Comuni di Monteroni d'Arbia e Buonconvento Prov. di Siena

PROGETTO:

Intervento di ripristino funzionale del ponte sul torrente Sorra in località Ponte d'Arbia a confine tra i Comuni di Buonconvento e Monteroni d'Arbia (Codice CIG Z591B7E23C)

Ponte sul torrente Sorra, Località Ponte d'Arbia (SI)

D3 - FASCICOLO DEI CALCOLI
MODELLO CALCOLO A t_0

INTEGRAZIONI

I TECNICI : Dott.Ing. Min. Gaetano Zanchi

Dott. Ing. Andrea Pannini

Dott. Ing. Claudio Lombardi

Dott. Ing. Giacomo Taliani

Dott. Geol. Duccio Notari





Data : Maggio 2017

Oggetto: INTEGRAZIONI FASCICOLO DEI CALCOLI T_0

Sommario

Introduzione 3
Sistemi di riferimento 3
Rotazioni e momenti 3
Normativa di riferimento 3
Unità di misura 4
Geometria 4
Elenco vincoli nodi 4
Elenco costanti elastiche nodali 4
Elenco nodi 4
Elenco materiali 13
Elenco sezioni aste 13
Elenco vincoli aste 14
Elenco aste 15
Elenco tipi elementi bidimensionali 31
Elenco elementi bidimensionali 31
Elenco tipi plinti/pali 48
Elenco plinti/pali 49
Carichi 49
Condizioni di carico elementari 49
Elenco carichi nodi Condizione di carico n. 11: Schema 2 q3 tandem mezz Carichi concentrati 50
Elenco carichi nodi Condizione di carico n. 12: Schema 2 q3 tandemdx Carichi concentrati 50
Elenco carichi nodi Condizione di carico n. 13: Schema 2 q3 tandem sx Carichi concentrati 50
Elenco carichi nodi Condizione di carico n. 16: q8 Veicolo in svio Carichi concentrati 50
Elenco carichi aste Condizione di carico n. 1: G1 Elenco peso proprio aste 50
Elenco carichi aste Condizione di carico n. 2: G2 + terreno Carichi distribuiti 50
Elenco carichi aste Condizione di carico n. 16: q8 Veicolo in svio Carichi distribuiti 51
Elenco carichi aste Condizione di carico n. 17: Ecc - Onda di Piena Carichi distribuiti 51
Elenco peso proprio elementi bidimensionali 52
Elenco carichi elementi bidimensionali Condizione di carico n. 2: G2 + terreno Carichi uniformi 52
Elenco carichi elementi bidimensionali Condizione di carico n. 2: G2 + terreno Carichi idrostatici 63
Elenco carichi elementi bidimensionali Condizione di carico n. 3: Schema 1 q1tandem mezz Carichi uniformi 65
Elenco carichi elementi bidimensionali Condizione di carico n. 4: Schema 1 q1tandem dx Carichi uniformi 65
Elenco carichi elementi bidimensionali Condizione di carico n. 5: Schema 1 q1tandem sx Carichi uniformi 66
Elenco carichi elementi bidimensionali Condizione di carico n. 6: Schema 1 q1dist Carichi uniformi 66
Elenco carichi elementi bidimensionali Condizione di carico n. 7: Schema 2 q1tandem mezz Carichi uniformi 74
Elenco carichi elementi bidimensionali Condizione di carico n. 8: Schema 2 q1tandem dx Carichi uniformi 75
Elenco carichi elementi bidimensionali Condizione di carico n. 9: Schema 2 q1tandem sx Carichi uniformi 75
Elenco carichi elementi bidimensionali Condizione di carico n. 10: Schema 2 q1dis mezz Carichi uniformi 75
Elenco carichi elementi bidimensionali Condizione di carico n. 14: Schema 1 q1dist Carichi uniformi 83
Elenco carichi elementi bidimensionali Condizione di carico n. 15: q var neve Carichi uniformi 90
Analisi dei carichi da vento 101
Analisi dei carichi da neve 102
Risultati del calcolo 103
Parametri di calcolo 103
Figura numero 1: Spettro SLD 105
Figura numero 2: Spettro SLD Z 106
Figura numero 3: Spettro SLV 106
Figura numero 4: Spettro SLV Z 106
Spostamenti dei nodi allo stato limite ultimo 116
Reazioni vincolari 168
Tensioni sul terreno 173
Sollecitazioni aste 175
Sollecitazioni elementi bidimensionali 237
Criteri di progetto utilizzati 338
Aste in acciaio 338
Plinti/Pali 340
Pareti 344
Solette/Platee 346
Nodi in acciaio 348
Verifiche e armature pareti 349
Figura numero 5: Riferimenti sezione 350
Parete n. 106 350
Parete n. 107 351
Parete n. 206 351
Parete n. 207 352
Parete n. 208 352
Parete n. 209 353
Parete n. 306 353
Parete n. 307 354

Introduzione

Sistemi di riferimento

Le coordinate, i carichi concentrati, i cedimenti, le reazioni vincolari e gli spostamenti dei NODI sono riferiti ad una terna destra cartesiana globale con l'asse Z verticale rivolto verso l'alto.
I carichi in coordinate locali e le sollecitazioni delle ASTE sono riferite ad una terna destra cartesiana locale così definita:
- origine nel nodo iniziale dell'asta;
- asse X coincidente con l'asse dell'asta e con verso dal nodo iniziale al nodo finale;
- immaginando la trave a sezione rettangolare l'asse Y è parallelo alla base e l'asse Z è parallelo all'altezza. La rotazione dell'asta comporta quindi una rotazione di tutta la terna locale.

Si può immaginare la terna locale di un'asta comunque disposta nello spazio come derivante da quella globale dopo una serie di trasformazioni:
- una rotazione intorno all'asse Z che porti l'asse X a coincidere con la proiezione dell'asse dell'asta sul piano orizzontale;
- una traslazione lungo il nuovo asse X così definito in modo da portare l'origine a coincidere con la proiezione del nodo iniziale dell'asta sul piano orizzontale;
- una traslazione lungo l'asse Z che porti l'origine a coincidere con il nodo iniziale dell'asta;
- una rotazione intorno all'asse Y così definito che porti l'asse X a coincidere con l'asse dell'asta;
- una rotazione intorno all'asse X così definito pari alla rotazione dell'asta.

In pratica le travi prive di rotazione avranno sempre l'asse Z rivolto verso l'alto e l'asse Y nel piano del solaio, mentre i pilastri privi di rotazione avranno l'asse Y parallelo all'asse Y globale e l'asse Z parallelo ma controverso all'asse X globale. Da notare quindi che per i pilastri la "base" è il lato parallelo a Y.

Le sollecitazioni ed i carichi in coordinate locali negli ELEMENTI BIDIMENSIONALI e nei MURI sono riferiti ad una terna destra cartesiana locale così definita:
- origine nel primo nodo dell'elemento;
- asse X coincidente con la congiungente il primo ed il secondo nodo dell'elemento;
- asse Y definito come prodotto vettoriale fra il versore dell'asse X e il versore della congiungente il primo e il quarto nodo. Asse Z a formare con gli altri due una terna destrorsa.

Praticamente un elemento verticale con l'asse X locale coincidente con l'asse X globale ha anche gli altri assi locali coincidenti con quelli globali.

Rotazioni e momenti

Seguendo il principio adottato per tutti i carichi che sono positivi se CONTROVERSI agli assi, anche i momenti concentrati e le rotazioni impresse in coordinate globali risultano positivi se CONTROVERSI al segno positivo delle rotazioni. Il segno positivo dei momenti e delle rotazioni è quello orario per l'osservatore posto nell'origine: X ruota su Y, Y ruota su Z, Z ruota su X. In pratica è sufficiente adottare la regola della mano destra: col pollice rivolto nella direzione dell'asse, la rotazione che porta a chiudere il palmo della mano corrisponde al segno positivo.

Normativa di riferimento

La normativa di riferimento è la seguente:
- Legge n. 64 del 2/2/1974 - Provvedimenti per le costruzioni con particolari prescrizioni per le zone sismiche.

- D.M. del 24/1/1986 - Norme tecniche relative alle costruzioni sismiche.

- Legge n. 1086 del 5/11/1971 - Norme per la disciplina delle opere di conglomerato cementizio armato, normale e precompresso ed a struttura metallica.

- D.M. del 14/2/1992 - Norme tecniche per l'esecuzione delle opere in c.a. normale e precompresso e per le strutture metalliche.

- D.M. del 9/1/1996 - Norme tecniche per l'esecuzione delle opere in c.a. normale e precompresso e per le strutture metalliche.

- D.M. del 16/1/1996 - Norme tecniche per le costruzioni in zone sismiche.

- Circolare n. 21745 del 30/7/1981 - Legge n. 219 del 14/5/1981 - Art. 10 - Istruzioni relative al rafforzamento degli edifici in muratura danneggiati dal sisma.

- Regione Autonoma Friuli Venezia Giulia - Legge Regionale n. 30 del 20/6/1977 - Documentazione tecnica per la progettazione e direzione delle opere di riparazione degli edifici - Documento Tecnico n. 2 - Raccomandazioni per la riparazione strutturale degli edifici in muratura.

- D.M. del 20/11/1987 - Norme Tecniche per la progettazione, esecuzione e collaudo degli edifici in muratura e per il loro consolidamento.

- Norme Tecniche C.N.R. n. 10011-85 del 18/4/1985 - Costruzioni di acciaio - Istruzioni per il calcolo, l'esecuzione, il collaudo e la manutenzione.

- Norme Tecniche C.N.R. n. 10025-84 del 14/12/1984 - Istruzioni per il progetto, l'esecuzione ed il controllo delle strutture prefabbricate in conglomerato cementizio e per le strutture costruite con sistemi industrializzati di acciaio

- Istruzioni per il calcolo, l'esecuzione, il collaudo e la manutenzione.

- Circolare n. 65 del 10/4/1997 - Istruzioni per l'applicazione delle "Norme tecniche per le costruzioni in zone sismiche" di cui al D.M. del 16/1/1996.

- Eurocodice 5 - Progettazione delle strutture di legno.

- DIN 1052 - Metodi di verifica per il legno.

- D.M. del 14/1/2008 - Norme tecniche per le costruzioni. Le verifiche degli elementi di fondazione sono eseguite utilizzando l'Approccio 2.

- Circolare n. 617 del 2/2/2009 - Istruzioni per l'applicazione delle "Nuove norme tecniche per le costruzioni" di cui al D.M. del 14/1/2008.

- Documento Tecnico CNR-DT 200 R1/2012 - Istruzioni per la Progettazione, l'Esecuzione ed il Controllo di Interventi di Consolidamento Statico mediante l'utilizzo di Compositi Fibrorinforzati.

- Eurocodice 3 - Progettazione delle strutture in acciaio.

Unità di misura

Le unità di misura adottate sono le seguenti:
- lunghezze : m
- forze : daN
- masse : kg
- temperature : gradi centigradi
- angoli : gradi sessadecimali o radianti

Geometria

Elenco vincoli nodi

Simbologia
Vn = Numero del vincolo nodo
Comm. = Commento
TV = Tipo vincolo se valutato da stratigrafia
SP = Plinto senza pali
CP = Palo o plinto con pali
Sx = Spostamento in dir. X (L=libero, B=bloccato, E=elastico)
Sy = Spostamento in dir. Y (L=libero, B=bloccato, E=elastico)
Sz = Spostamento in dir. Z (L=libero, B=bloccato, E=elastico)
Rx = Rotazione intorno all'asse X (L=libera, B=bloccata, E=elastica)
Ry = Rotazione intorno all'asse Y (L=libera, B=bloccata, E=elastica)
Rz = Rotazione intorno all'asse Z (L=libera, B=bloccata, E=elastica)
RL = Rotazione libera
Ly = Lunghezza (dir. Y locale)
Lz = Larghezza (dir. Z locale)
Kt = Coeff. di sottofondo su suolo elastico alla Winkler

Vn	Comm.	TV	Sx	Sy	Sz	Rx	Ry	Rz	RL	Ly <m>	Lz <m>	Kt <daN/cmc>
1	Libero		L	L	L	L	L	L				
3	El. sew 110001		B	B	L	L	L	B				
5	PALO	CP	E	E	E	E	E	B				f(strat.)
5	PALO	SP	B	B	E	B	B	B				f(strat.)

Elenco costanti elastiche nodali

Simbologia
Nodo = Numero del nodo
Kx = Costante elastica in dir. X
Ky = Costante elastica in dir. Y
Kz = Costante elastica in dir. Z
KRx = Costante elastica intorno all'asse X
KRy = Costante elastica intorno all'asse Y

Nodo	Kx <daN/cm>	Ky <daN/cm>	Kz <daN/cm>	KRx <daNm/rad>	KRy <daNm/rad>
-183	11253.20	11253.20	54883.30	2331060.00	2331060.00
-137	11247.10	11247.10	29784.30	2329590.00	2329590.00
-132	11253.20	11253.20	54883.30	2331060.00	2331060.00
-115	11247.10	11247.10	29784.30	2329590.00	2329590.00
-110	11253.20	11253.20	54883.30	2331060.00	2331060.00
-93	11247.10	11247.10	29784.30	2329590.00	2329590.00
-88	11253.20	11253.20	54883.30	2331060.00	2331060.00
-45	11253.20	11253.20	54883.30	2331060.00	2331060.00

Nodo	Kx <daN/cm>	Ky <daN/cm>	Kz <daN/cm>	KRx <daNm/rad>	KRy <daNm/rad>
-178	11253.20	11253.20	54883.30	2331060.00	2331060.00
-135	11253.20	11253.20	54883.30	2331060.00	2331060.00
-130	11247.10	11247.10	29784.30	2329590.00	2329590.00
-113	11253.20	11253.20	54883.30	2331060.00	2331060.00
-108	11247.10	11247.10	29784.30	2329590.00	2329590.00
-91	11253.20	11253.20	54883.30	2331060.00	2331060.00
-86	11247.10	11247.10	29784.30	2329590.00	2329590.00
-40	11253.20	11253.20	54883.30	2331060.00	2331060.00

Elenco nodi

Simbologia
Nodo = Numero del nodo
X = Coordinata X del nodo
Y = Coordinata Y del nodo
Z = Coordinata Z del nodo
Imp. = Numero dell'impalcato
Vn = Numero del vincolo nodo

Nodo	X <m>	Y <m>	Z <m>	Imp.	Vn
-2220	1.71	3.84	3.42	0	1
-2217	7.70	3.84	3.42	0	1
-2214	9.70	3.84	3.42	0	1
-2211	12.50	3.84	3.42	0	1
-2208	13.69	3.84	3.42	0	1
-2205	14.49	3.84	3.42	0	1
-2202	11.30	3.84	3.42	0	1
-2199	10.50	3.84	3.42	0	1
-2196	8.90	3.84	3.42	0	1
-2193	7.50	3.84	3.42	0	1
-2190	6.90	3.84	3.42	0	1
-2187	6.10	3.84	3.42	0	1
-2184	4.50	3.84	3.42	0	1
-2181	2.90	3.84	3.42	0	1
-2178	2.10	3.84	3.42	0	1
-2175	0.51	3.84	3.42	0	1
-2172	14.49	0.24	3.42	0	1
-2169	13.29	0.24	3.42	0	1
-2166	12.30	0.24	3.42	0	1
-2163	11.30	0.24	3.42	0	1
-2160	10.50	0.24	3.42	0	1
-2157	9.30	0.24	3.42	0	1
-2154	8.30	0.24	3.42	0	1
-2151	7.70	0.24	3.42	0	1
-2148	7.10	0.24	3.42	0	1
-2145	6.50	0.24	3.42	0	1
-2142	5.30	0.24	3.42	0	1
-2139	4.10	0.24	3.42	0	1
-2136	3.30	0.24	3.42	0	1
-2133	2.50	0.24	3.42	0	1
-2130	1.31	0.24	3.42	0	1
-2127	0.11	0.24	3.42	0	1
-2124	7.90	-0.07	3.42	0	1
-2121	7.10	4.13	3.42	0	1
-2118	7.90	4.13	3.42	0	1
-2115	6.70	4.04	3.42	0	1
-2112	7.10	3.64	3.42	0	1
-2109	7.90	3.51	3.42	0	1
-2106	6.70	3.51	3.42	0	1
-2103	7.10	3.04	3.42	0	1
-2100	7.90	2.04	3.42	0	1
-2097	7.90	0.58	3.42	0	1
-2094	8.30	0.44	3.42	0	1
-2091	7.90	0.04	3.42	0	1
-2088	6.70	0.44	3.42	0	1
-2085	7.90	0.84	3.42	0	1
-2082	7.10	2.44	3.42	0	1
-2079	6.70	2.84	3.42	0	1
-2076	7.90	1.24	3.42	0	1
-2073	7.90	1.04	3.42	0	1
-2070	7.10	1.24	3.42	0	1
-2067	5.70	4.04	3.42	0	1
-2064	7.10	1.64	3.42	0	1
-2061	6.70	0.84	3.42	0	1
-2058	3.90	-0.07	3.42	0	1
-2055	4.10	-0.07	3.42	0	1
-2052	5.30	-0.07	3.42	0	1
-2049	6.50	-0.07	3.42	0	1
-2046	7.70	-0.07	3.42	0	1
-2043	8.90	-0.07	3.42	0	1
-2040	10.10	-0.07	3.42	0	1
-2037	11.30	-0.07	3.42	0	1
-2034	12.50	-0.07	3.42	0	1
-2031	13.69	-0.07	3.42	0	1
-2028	0.11	-0.07	3.42	0	1
-2025	1.31	-0.07	3.42	0	1
-2022	2.50	-0.07	3.42	0	1
-2019	7.50	-0.07	3.42	0	1
-2016	11.10	4.13	3.42	0	1
-2013	3.70	4.13	3.42	0	1

Nodo	X <m>	Y <m>	Z <m>	Imp.	Vn
-2219	3.70	3.84	3.42	0	1
-2216	8.10	3.84	3.42	0	1
-2213	12.10	3.84	3.42	0	1
-2210	12.90	3.84	3.42	0	1
-2207	14.09	3.84	3.42	0	1
-2204	11.70	3.84	3.42	0	1
-2201	11.10	3.84	3.42	0	1
-2198	10.10	3.84	3.42	0	1
-2195	8.50	3.84	3.42	0	1
-2192	7.30	3.84	3.42	0	1
-2189	6.70	3.84	3.42	0	1
-2186	5.30	3.84	3.42	0	1
-2183	4.10	3.84	3.42	0	1
-2180	2.70	3.84	3.42	0	1
-2177	1.31	3.84	3.42	0	1
-2174	0.11	3.84	3.42	0	1
-2171	14.09	0.24	3.42	0	1
-2168	12.90	0.24	3.42	0	1
-2165	12.10	0.24	3.42	0	1
-2162	11.10	0.24	3.42	0	1
-2159	10.10	0.24	3.42	0	1
-2156	8.90	0.24	3.42	0	1
-2153	8.10	0.24	3.42	0	1
-2150	7.50	0.24	3.42	0	1
-2147	6.90	0.24	3.42	0	1
-2144	6.10	0.24	3.42	0	1
-2141	4.90	0.24	3.42	0	1
-2138	3.90	0.24	3.42	0	1
-2135	2.90	0.24	3.42	0	1
-2132	2.10	0.24	3.42	0	1
-2129	0.91	0.24	3.42	0	1
-2126	6.70	-0.07	3.42	0	1
-2123	8.30	-0.07	3.42	0	1
-2120	8.30	4.13	3.42	0	1
-2117	7.90	4.04	3.42	0	1
-2114	8.30	3.64	3.42	0	1
-2111	6.70	3.64	3.42	0	1
-2108	7.10	3.51	3.42	0	1
-2105	6.70	3.24	3.42	0	1
-2102	6.70	2.04	3.42	0	1
-2099	8.30	2.04	3.42	0	1
-2096	7.10	0.58	3.42	0	1
-2093	8.30	0.04	3.42	0	1
-2090	7.10	0.44	3.42	0	1
-2087	6.70	0.04	3.42	0	1
-2084	7.10	0.84	3.42	0	1
-2081	7.10	2.84	3.42	0	1
-2078	8.30	1.24	3.42	0	1
-2075	7.90	1.64	3.42	0	1
-2072	7.10	1.04	3.42	0	1
-2069	3.70	4.04	3.42	0	1
-2066	6.70	1.24	3.42	0	1
-2063	9.70	4.04	3.42	0	1
-2060	12.30	-0.07	3.42	0	1
-2057	2.70	-0.07	3.42	0	1
-2054	4.50	-0.07	3.42	0	1
-2051	5.70	-0.07	3.42	0	1
-2048	6.90	-0.07	3.42	0	1
-2045	8.10	-0.07	3.42	0	1
-2042	9.30	-0.07	3.42	0	1
-2039	10.50	-0.07	3.42	0	1
-2036	11.70	-0.07	3.42	0	1
-2033	12.90	-0.07	3.42	0	1
-2030	14.09	-0.07	3.42	0	1
-2027	0.51	-0.07	3.42	0	1
-2024	1.71	-0.07	3.42	0	1
-2021	2.90	-0.07	3.42	0	1
-2018	14.89	-0.07	3.42	0	1
-2015	3.90	4.13	3.42	0	1
-2012	4.10	4.13	3.42	0	1

Nodo	X <m>	Y <m>	Z <m>	Imp.	Vn
-2218	5.70	3.84	3.42	0	1
-2215	7.90	3.84	3.42	0	1
-2212	12.30	3.84	3.42	0	1
-2209	13.29	3.84	3.42	0	1
-2206	14.89	3.84	3.42	0	1
-2203	3.30	3.84	3.42	0	1
-2200	10.90	3.84	3.42	0	1
-2197	9.30	3.84	3.42	0	1
-2194	8.30	3.84	3.42	0	1
-2191	7.10	3.84	3.42	0	1
-2188	6.50	3.84	3.42	0	1
-2185	4.90	3.84	3.42	0	1
-2182	3.90	3.84	3.42	0	1
-2179	2.50	3.84	3.42	0	1
-2176	0.91	3.84	3.42	0	1
-2173	14.89	0.24	3.42	0	1
-2170	13.69	0.24	3.42	0	1
-2167	12.50	0.24	3.42	0	1
-2164	11.70	0.24	3.42	0	1
-2161	10.90	0.24	3.42	0	1
-2158	9.70	0.24	3.42	0	1
-2155	8.50	0.24	3.42	0	1
-2152	7.90	0.24	3.42	0	1
-2149	7.30	0.24	3.42	0	1
-2146	6.70	0.24	3.42	0	1
-2143	5.70	0.24	3.42	0	1
-2140	4.50	0.24	3.42	0	1
-2137	3.70	0.24	3.42	0	1
-2134	2.70	0.24	3.42	0	1
-2131	1.71	0.24	3.42	0	1
-2128	0.51	0.24	3.42	0	1
-2125	7.10	-0.07	3.42	0	1
-2122	6.70	4.13	3.42	0	1
-2119	8.30	4.04	3.42	0	1
-2116	7.10	4.04	3.42	0	1
-2113	7.90	3.64	3.42	0	1
-2110	8.30	3.51	3.42	0	1
-2107	7.10	3.24	3.42	0	1
-2104	6.70	3.04	3.42	0	1
-2101	7.10	2.04	3.42	0	1
-2098	8.30	0.58	3.42	0	1
-2095	6.70	0.58	3.42	0	1
-2092	7.90	0.44	3.42	0	1
-2089	7.10	0.04	3.42	0	1
-2086	8.30	0.84	3.42	0	1
-2083	7.90	2.84	3.42	0	1
-2080	6.70	2.44	3.42	0	1
-2077	8.30	1.64	3.42	0	1
-2074	8.30	1.04	3.42	0	1
-2071	1.71	4.04	3.42	0	1
-2068	6.70	1.04	3.42	0	1
-2065	7.70	4.04	3.42	0	1
-2062	6.70	1.64	3.42	0	1
-2059	11.10	-0.07	3.42	0	1
-2056	3.70	-0.07	3.42	0	1
-2053	4.90	-0.07	3.42	0	1
-2050	6.10	-0.07	3.42	0	1
-2047	7.30	-0.07	3.42	0	1
-2044	8.50	-0.07	3.42	0	1
-2041	9.70	-0.07	3.42	0	1
-2038	10.90	-0.07	3.42	0	1
-2035	12.10	-0.07	3.42	0	1
-2032	13.29	-0.07	3.42	0	1
-2029	14.49	-0.07	3.42	0	1
-2026	0.91	-0.07	3.42	0	1
-2023	2.10	-0.07	3.42	0	1
-2020	3.30	-0.07	3.42	0	1
-2017	12.30	4.13	3.42	0	1
-2014	2.70	4.13	3.42	0	1
-2011	4.50	4.13	3.42	0	1

-2010	4.90	4.13	3.42	0	1	-2009	5.30	4.13	3.42	0	1	-2008	5.70	4.13	3.42	0	1
-2007	6.10	4.13	3.42	0	1	-2006	6.50	4.13	3.42	0	1	-2005	6.90	4.13	3.42	0	1
-2004	7.30	4.13	3.42	0	1	-2003	7.70	4.13	3.42	0	1	-2002	8.10	4.13	3.42	0	1
-2001	8.50	4.13	3.42	0	1	-2000	8.90	4.13	3.42	0	1	-1999	9.30	4.13	3.42	0	1
-1998	9.70	4.13	3.42	0	1	-1997	10.10	4.13	3.42	0	1	-1996	10.50	4.13	3.42	0	1
-1995	10.90	4.13	3.42	0	1	-1994	11.30	4.13	3.42	0	1	-1993	7.50	4.13	3.42	0	1
-1992	11.70	4.13	3.42	0	1	-1991	12.10	4.13	3.42	0	1	-1990	12.50	4.13	3.42	0	1
-1989	12.90	4.13	3.42	0	1	-1988	13.29	4.13	3.42	0	1	-1987	13.69	4.13	3.42	0	1
-1986	14.09	4.13	3.42	0	1	-1985	14.49	4.13	3.42	0	1	-1984	0.11	4.13	3.42	0	1
-1983	0.51	4.13	3.42	0	1	-1982	0.91	4.13	3.42	0	1	-1981	1.31	4.13	3.42	0	1
-1980	1.71	4.13	3.42	0	1	-1979	2.10	4.13	3.42	0	1	-1978	2.50	4.13	3.42	0	1
-1977	2.90	4.13	3.42	0	1	-1976	3.30	4.13	3.42	0	1	-1975	14.89	4.13	3.42	0	1
-1974	8.30	3.04	3.42	0	1	-1973	8.30	3.24	3.42	0	1	-1972	12.30	3.04	3.42	0	1
-1971	12.30	1.64	3.42	0	1	-1970	12.30	1.24	3.42	0	1	-1969	12.30	1.04	3.42	0	1
-1968	12.30	2.84	3.42	0	1	-1967	12.30	2.44	3.42	0	1	-1966	12.30	2.04	3.42	0	1
-1965	12.30	3.24	3.42	0	1	-1964	12.30	4.04	3.42	0	1	-1963	12.30	3.64	3.42	0	1
-1962	12.30	3.51	3.42	0	1	-1961	12.30	0.04	3.42	0	1	-1960	12.30	0.44	3.42	0	1
-1959	12.30	0.84	3.42	0	1	-1958	12.30	0.58	3.42	0	1	-1957	11.10	4.04	3.42	0	1
-1956	11.10	3.64	3.42	0	1	-1955	11.10	3.51	3.42	0	1	-1954	11.10	2.84	3.42	0	1
-1953	11.10	2.44	3.42	0	1	-1952	11.10	0.58	3.42	0	1	-1951	11.10	0.44	3.42	0	1
-1950	11.10	0.04	3.42	0	1	-1949	11.10	2.04	3.42	0	1	-1948	11.10	0.84	3.42	0	1
-1947	11.10	1.04	3.42	0	1	-1946	11.10	1.64	3.42	0	1	-1945	11.10	1.24	3.42	0	1
-1944	11.10	3.24	3.42	0	1	-1943	11.10	3.04	3.42	0	1	-1942	3.90	4.04	3.42	0	1
-1941	3.90	3.64	3.42	0	1	-1940	3.90	3.51	3.42	0	1	-1939	3.90	3.24	3.42	0	1
-1938	3.90	3.04	3.42	0	1	-1937	3.90	2.04	3.42	0	1	-1936	3.90	0.58	3.42	0	1
-1935	3.90	0.44	3.42	0	1	-1934	3.90	0.04	3.42	0	1	-1933	2.70	0.04	3.42	0	1
-1932	2.70	0.44	3.42	0	1	-1931	2.70	0.58	3.42	0	1	-1930	2.70	0.84	3.42	0	1
-1929	2.70	1.64	3.42	0	1	-1928	2.70	2.84	3.42	0	1	-1927	2.70	2.44	3.42	0	1
-1926	2.70	2.04	3.42	0	1	-1925	2.70	3.51	3.42	0	1	-1924	3.90	0.84	3.42	0	1
-1923	3.90	1.64	3.42	0	1	-1922	2.70	4.04	3.42	0	1	-1921	2.70	3.64	3.42	0	1
-1920	3.90	1.24	3.42	0	1	-1919	3.90	1.04	3.42	0	1	-1918	3.90	2.84	3.42	0	1
-1917	3.90	2.44	3.42	0	1	-1916	2.70	1.24	3.42	0	1	-1915	2.70	1.04	3.42	0	1
-1914	2.70	3.24	3.42	0	1	-1913	2.70	3.04	3.42	0	1	-1912	7.90	3.24	3.42	0	1
-1911	7.90	3.04	3.42	0	1	-1910	12.10	3.04	3.42	0	1	-1909	12.50	3.04	3.42	0	1
-1908	12.90	3.04	3.42	0	1	-1907	13.29	3.04	3.42	0	1	-1906	13.69	3.04	3.42	0	1
-1905	14.09	3.04	3.42	0	1	-1904	14.49	3.04	3.42	0	1	-1903	14.89	3.04	3.42	0	1
-1902	14.89	1.04	3.42	0	1	-1901	14.49	1.04	3.42	0	1	-1900	14.09	1.04	3.42	0	1
-1899	13.69	1.04	3.42	0	1	-1898	13.29	1.04	3.42	0	1	-1897	12.90	1.04	3.42	0	1
-1896	12.50	1.04	3.42	0	1	-1895	12.10	1.04	3.42	0	1	-1894	3.70	3.04	3.42	0	1
-1893	4.10	3.04	3.42	0	1	-1892	4.50	3.04	3.42	0	1	-1891	4.90	3.04	3.42	0	1
-1890	5.30	3.04	3.42	0	1	-1889	5.70	3.04	3.42	0	1	-1888	6.10	3.04	3.42	0	1
-1887	6.50	3.04	3.42	0	1	-1886	6.90	3.04	3.42	0	1	-1885	7.30	3.04	3.42	0	1
-1884	7.50	3.04	3.42	0	1	-1883	7.70	3.04	3.42	0	1	-1882	8.10	3.04	3.42	0	1
-1881	8.50	3.04	3.42	0	1	-1880	8.90	3.04	3.42	0	1	-1879	9.30	3.04	3.42	0	1
-1878	9.70	3.04	3.42	0	1	-1877	10.10	3.04	3.42	0	1	-1876	10.50	3.04	3.42	0	1
-1875	10.90	3.04	3.42	0	1	-1874	11.70	3.04	3.42	0	1	-1873	11.30	3.04	3.42	0	1
-1872	0.11	3.04	3.42	0	1	-1871	0.51	3.04	3.42	0	1	-1870	0.91	3.04	3.42	0	1
-1869	1.31	3.04	3.42	0	1	-1868	1.71	3.04	3.42	0	1	-1867	7.50	2.84	3.42	0	1
-1866	7.70	0.84	3.42	0	1	-1865	8.10	0.84	3.42	0	1	-1864	8.50	0.84	3.42	0	1
-1863	11.70	1.64	3.42	0	1	-1862	7.50	0.84	3.42	0	1	-1861	8.90	0.84	3.42	0	1
-1860	1.71	0.44	3.42	0	1	-1859	11.70	2.44	3.42	0	1	-1858	5.70	0.84	3.42	0	1
-1857	9.30	0.84	3.42	0	1	-1856	6.10	0.84	3.42	0	1	-1855	2.10	0.44	3.42	0	1
-1854	2.50	0.44	3.42	0	1	-1853	4.50	0.84	3.42	0	1	-1852	4.90	0.84	3.42	0	1
-1851	5.30	0.84	3.42	0	1	-1850	11.70	0.84	3.42	0	1	-1849	7.50	1.24	3.42	0	1
-1848	11.70	3.24	3.42	0	1	-1847	7.50	3.64	3.42	0	1	-1846	7.50	2.04	3.42	0	1
-1845	9.70	0.84	3.42	0	1	-1844	10.10	0.84	3.42	0	1	-1843	10.50	0.84	3.42	0	1
-1842	7.50	3.24	3.42	0	1	-1841	2.90	0.44	3.42	0	1	-1840	0.51	0.84	3.42	0	1
-1839	10.90	0.84	3.42	0	1	-1838	3.70	0.84	3.42	0	1	-1837	4.10	0.84	3.42	0	1
-1836	11.30	0.84	3.42	0	1	-1835	6.50	2.44	3.42	0	1	-1834	6.90	2.44	3.42	0	1
-1833	7.30	2.44	3.42	0	1	-1832	7.70	2.44	3.42	0	1	-1831	8.10	2.44	3.42	0	1
-1830	8.50	2.44	3.42	0	1	-1829	8.90	2.44	3.42	0	1	-1828	9.30	2.44	3.42	0	1
-1827	9.70	2.44	3.42	0	1	-1826	10.10	2.44	3.42	0	1	-1825	10.50	2.44	3.42	0	1
-1824	10.90	2.44	3.42	0	1	-1823	11.30	2.44	3.42	0	1	-1822	3.70	0.04	3.42	0	1
-1821	4.10	0.04	3.42	0	1	-1820	4.50	0.04	3.42	0	1	-1819	4.90	0.04	3.42	0	1
-1818	5.30	0.04	3.42	0	1	-1817	5.70	0.04	3.42	0	1	-1816	6.10	0.04	3.42	0	1
-1815	6.50	0.04	3.42	0	1	-1814	6.90	0.04	3.42	0	1	-1813	7.30	0.04	3.42	0	1
-1812	7.70	0.04	3.42	0	1	-1811	8.10	0.04	3.42	0	1	-1810	8.50	0.04	3.42	0	1
-1809	8.90	0.04	3.42	0	1	-1808	9.30	0.04	3.42	0	1	-1807	9.70	0.04	3.42	0	1
-1806	10.10	0.04	3.42	0	1	-1805	10.50	0.04	3.42	0	1	-1804	10.90	0.04	3.42	0	1
-1803	11.30	0.04	3.42	0	1	-1802	3.70	1.64	3.42	0	1	-1801	4.10	1.64	3.42	0	1
-1800	4.50	1.64	3.42	0	1	-1799	4.90	1.64	3.42	0	1	-1798	5.30	1.64	3.42	0	1
-1797	5.70	1.64	3.42	0	1	-1796	6.10	1.64	3.42	0	1	-1795	6.50	1.64	3.42	0	1
-1794	6.90	1.64	3.42	0	1	-1793	7.30	1.64	3.42	0	1	-1792	7.70	1.64	3.42	0	1
-1791	8.10	1.64	3.42	0	1	-1790	8.50	1.64	3.42	0	1	-1789	8.90	1.64	3.42	0	1
-1788	9.30	1.64	3.42	0	1	-1787	9.70	1.64	3.42	0	1	-1786	10.10	1.64	3.42	0	1
-1785	10.50	1.64	3.42	0	1	-1784	10.90	1.64	3.42	0	1	-1783	11.30	1.64	3.42	0	1
-1782	3.70	0.44	3.42	0	1	-1781	4.10	0.44	3.42	0	1	-1780	4.50	0.44	3.42	0	1
-1779	4.90	0.44	3.42	0	1	-1778	5.30	0.44	3.42	0	1	-1777	5.70	0.44	3.42	0	1
-1776	6.10	0.44	3.42	0	1	-1775	6.50	0.44	3.42	0	1	-1774	6.90	0.44	3.42	0	1

-1773	7.30	0.44	3.42	0	1
-1770	8.50	0.44	3.42	0	1
-1767	9.70	0.44	3.42	0	1
-1764	10.90	0.44	3.42	0	1
-1761	4.10	4.04	3.42	0	1
-1758	5.30	4.04	3.42	0	1
-1755	6.90	4.04	3.42	0	1
-1752	8.50	4.04	3.42	0	1
-1749	10.10	4.04	3.42	0	1
-1746	11.30	4.04	3.42	0	1
-1743	4.50	3.64	3.42	0	1
-1740	5.70	3.64	3.42	0	1
-1737	6.90	3.64	3.42	0	1
-1734	8.10	3.64	3.42	0	1
-1731	9.30	3.64	3.42	0	1
-1728	10.50	3.64	3.42	0	1
-1725	3.70	1.24	3.42	0	1
-1722	4.90	1.24	3.42	0	1
-1719	6.10	1.24	3.42	0	1
-1716	7.30	1.24	3.42	0	1
-1713	8.50	1.24	3.42	0	1
-1710	9.70	1.24	3.42	0	1
-1707	10.90	1.24	3.42	0	1
-1704	4.10	3.24	3.42	0	1
-1701	5.30	3.24	3.42	0	1
-1698	3.70	2.44	3.42	0	1
-1695	6.50	0.84	3.42	0	1
-1692	4.10	2.44	3.42	0	1
-1689	7.50	4.04	3.42	0	1
-1686	11.70	4.04	3.42	0	1
-1683	14.09	0.44	3.42	0	1
-1680	12.50	4.04	3.42	0	1
-1677	13.69	4.04	3.42	0	1
-1674	12.10	2.04	3.42	0	1
-1671	13.29	2.04	3.42	0	1
-1668	14.49	2.04	3.42	0	1
-1665	12.90	1.24	3.42	0	1
-1662	14.09	1.24	3.42	0	1
-1659	12.50	3.64	3.42	0	1
-1656	13.69	3.64	3.42	0	1
-1653	12.10	3.24	3.42	0	1
-1650	13.29	3.24	3.42	0	1
-1647	14.49	3.24	3.42	0	1
-1644	12.90	2.84	3.42	0	1
-1641	14.09	2.84	3.42	0	1
-1638	12.50	2.44	3.42	0	1
-1635	13.69	2.44	3.42	0	1
-1632	12.10	1.64	3.42	0	1
-1629	13.29	1.64	3.42	0	1
-1626	14.49	1.64	3.42	0	1
-1623	12.90	0.04	3.42	0	1
-1620	14.09	0.04	3.42	0	1
-1617	0.11	0.04	3.42	0	1
-1614	0.11	2.84	3.42	0	1
-1611	0.11	1.24	3.42	0	1
-1608	0.11	0.44	3.42	0	1
-1605	0.91	0.04	3.42	0	1
-1602	2.10	0.04	3.42	0	1
-1599	0.51	1.64	3.42	0	1
-1596	1.71	1.64	3.42	0	1
-1593	2.90	1.64	3.42	0	1
-1590	1.31	2.44	3.42	0	1
-1587	2.50	2.44	3.42	0	1
-1584	0.91	2.84	3.42	0	1
-1581	2.10	2.84	3.42	0	1
-1578	0.51	3.24	3.42	0	1
-1575	1.71	3.24	3.42	0	1
-1572	2.90	3.24	3.42	0	1
-1569	1.31	3.64	3.42	0	1
-1566	2.50	3.64	3.42	0	1
-1563	0.91	1.24	3.42	0	1
-1560	2.10	1.24	3.42	0	1
-1557	0.51	2.04	3.42	0	1
-1554	1.71	2.04	3.42	0	1
-1551	2.90	2.04	3.42	0	1
-1548	1.31	4.04	3.42	0	1
-1545	2.50	4.04	3.42	0	1
-1542	0.91	0.44	3.42	0	1
-1539	3.30	0.04	3.42	0	1

-1772	7.70	0.44	3.42	0	1
-1769	8.90	0.44	3.42	0	1
-1766	10.10	0.44	3.42	0	1
-1763	11.30	0.44	3.42	0	1
-1760	4.50	4.04	3.42	0	1
-1757	6.10	4.04	3.42	0	1
-1754	7.30	4.04	3.42	0	1
-1751	8.90	4.04	3.42	0	1
-1748	10.50	4.04	3.42	0	1
-1745	3.70	3.64	3.42	0	1
-1742	4.90	3.64	3.42	0	1
-1739	6.10	3.64	3.42	0	1
-1736	7.30	3.64	3.42	0	1
-1733	8.50	3.64	3.42	0	1
-1730	9.70	3.64	3.42	0	1
-1727	10.90	3.64	3.42	0	1
-1724	4.10	1.24	3.42	0	1
-1721	5.30	1.24	3.42	0	1
-1718	6.50	1.24	3.42	0	1
-1715	7.70	1.24	3.42	0	1
-1712	8.90	1.24	3.42	0	1
-1709	10.10	1.24	3.42	0	1
-1706	11.30	1.24	3.42	0	1
-1703	4.50	3.24	3.42	0	1
-1700	5.70	3.24	3.42	0	1
-1697	0.91	0.84	3.42	0	1
-1694	6.90	0.84	3.42	0	1
-1691	4.50	2.44	3.42	0	1
-1688	4.90	2.44	3.42	0	1
-1685	2.10	0.84	3.42	0	1
-1682	14.49	0.44	3.42	0	1
-1679	12.90	4.04	3.42	0	1
-1676	14.09	4.04	3.42	0	1
-1673	12.50	2.04	3.42	0	1
-1670	13.69	2.04	3.42	0	1
-1667	12.10	1.24	3.42	0	1
-1664	13.29	1.24	3.42	0	1
-1661	14.49	1.24	3.42	0	1
-1658	12.90	3.64	3.42	0	1
-1655	14.09	3.64	3.42	0	1
-1652	12.50	3.24	3.42	0	1
-1649	13.69	3.24	3.42	0	1
-1646	12.10	2.84	3.42	0	1
-1643	13.29	2.84	3.42	0	1
-1640	14.49	2.84	3.42	0	1
-1637	12.90	2.44	3.42	0	1
-1634	14.09	2.44	3.42	0	1
-1631	12.50	1.64	3.42	0	1
-1628	13.69	1.64	3.42	0	1
-1625	12.10	0.04	3.42	0	1
-1622	13.29	0.04	3.42	0	1
-1619	14.49	0.04	3.42	0	1
-1616	0.11	1.64	3.42	0	1
-1613	0.11	3.24	3.42	0	1
-1610	0.11	2.04	3.42	0	1
-1607	0.11	0.84	3.42	0	1
-1604	1.31	0.04	3.42	0	1
-1601	2.50	0.04	3.42	0	1
-1598	0.91	1.64	3.42	0	1
-1595	2.10	1.64	3.42	0	1
-1592	0.51	2.44	3.42	0	1
-1589	1.71	2.44	3.42	0	1
-1586	2.90	2.44	3.42	0	1
-1583	1.31	2.84	3.42	0	1
-1580	2.50	2.84	3.42	0	1
-1577	0.91	3.24	3.42	0	1
-1574	2.10	3.24	3.42	0	1
-1571	0.51	3.64	3.42	0	1
-1568	1.71	3.64	3.42	0	1
-1565	2.90	3.64	3.42	0	1
-1562	1.31	1.24	3.42	0	1
-1559	2.50	1.24	3.42	0	1
-1556	0.91	2.04	3.42	0	1
-1553	2.10	2.04	3.42	0	1
-1550	0.51	4.04	3.42	0	1
-1547	7.90	2.44	3.42	0	1
-1544	2.90	4.04	3.42	0	1
-1541	1.31	0.44	3.42	0	1
-1538	13.29	0.58	3.42	0	1

-1771	8.10	0.44	3.42	0	1
-1768	9.30	0.44	3.42	0	1
-1765	10.50	0.44	3.42	0	1
-1762	8.30	2.84	3.42	0	1
-1759	4.90	4.04	3.42	0	1
-1756	6.50	4.04	3.42	0	1
-1753	8.10	4.04	3.42	0	1
-1750	9.30	4.04	3.42	0	1
-1747	10.90	4.04	3.42	0	1
-1744	4.10	3.64	3.42	0	1
-1741	5.30	3.64	3.42	0	1
-1738	6.50	3.64	3.42	0	1
-1735	7.70	3.64	3.42	0	1
-1732	8.90	3.64	3.42	0	1
-1729	10.10	3.64	3.42	0	1
-1726	11.30	3.64	3.42	0	1
-1723	4.50	1.24	3.42	0	1
-1720	5.70	1.24	3.42	0	1
-1717	6.90	1.24	3.42	0	1
-1714	8.10	1.24	3.42	0	1
-1711	9.30	1.24	3.42	0	1
-1708	10.50	1.24	3.42	0	1
-1705	3.70	3.24	3.42	0	1
-1702	4.90	3.24	3.42	0	1
-1699	8.30	2.44	3.42	0	1
-1696	1.31	0.84	3.42	0	1
-1693	7.30	0.84	3.42	0	1
-1690	1.71	0.84	3.42	0	1
-1687	11.70	0.04	3.42	0	1
-1684	13.69	0.44	3.42	0	1
-1681	12.10	4.04	3.42	0	1
-1678	13.29	4.04	3.42	0	1
-1675	14.49	4.04	3.42	0	1
-1672	12.90	2.04	3.42	0	1
-1669	14.09	2.04	3.42	0	1
-1666	12.50	1.24	3.42	0	1
-1663	13.69	1.24	3.42	0	1
-1660	12.10	3.64	3.42	0	1
-1657	13.29	3.64	3.42	0	1
-1654	14.49	3.64	3.42	0	1
-1651	12.90	3.24	3.42	0	1
-1648	14.09	3.24	3.42	0	1
-1645	12.50	2.84	3.42	0	1
-1642	13.69	2.84	3.42	0	1
-1639	12.10	2.44	3.42	0	1
-1636	13.29	2.44	3.42	0	1
-1633	14.49	2.44	3.42	0	1
-1630	12.90	1.64	3.42	0	1
-1627	14.09	1.64	3.42	0	1
-1624	12.50	0.04	3.42	0	1
-1621	13.69	0.04	3.42	0	1
-1618	2.90	0.84	3.42	0	1
-1615	0.11	2.44	3.42	0	1
-1612	0.11	3.64	3.42	0	1
-1609	0.11	4.04	3.42	0	1
-1606	0.51	0.04	3.42	0	1
-1603	1.71	0.04	3.42	0	1
-1600	2.90	0.04	3.42	0	1
-1597	1.31	1.64	3.42	0	1
-1594	2.50	1.64	3.42	0	1
-1591	0.91	2.44	3.42	0	1
-1588	2.10	2.44	3.42	0	1
-1585	0.51	2.84	3.42	0	1
-1582	1.71	2.84	3.42	0	1
-1579	2.90	2.84	3.42	0	1
-1576	1.31	3.24	3.42	0	1
-1573	2.50	3.24	3.42	0	1
-1570	0.91	3.64	3.42	0	1
-1567	2.10	3.64	3.42	0	1
-1564	0.51	1.24	3.42	0	1
-1561	1.71	1.24	3.42	0	1
-1558	2.90	1.24	3.42	0	1
-1555	1.31	2.04	3.42	0	1
-1552	2.50	2.04	3.42	0	1
-1549	0.91	4.04	3.42	0	1
-1546	2.10	4.04	3.42	0	1
-1543	0.51	0.44	3.42	0	1
-1540	3.30	4.04	3.42	0	1
-1537	3.30	3.24	3.42	0	1

-1536	3.30	0.84	3.42	0	1
-1533	7.50	0.04	3.42	0	1
-1530	12.50	0.58	3.42	0	1
-1527	14.49	0.58	3.42	0	1
-1524	13.29	3.51	3.42	0	1
-1521	12.10	3.51	3.42	0	1
-1518	14.09	3.51	3.42	0	1
-1515	2.50	3.51	3.42	0	1
-1512	1.31	3.51	3.42	0	1
-1509	0.11	3.51	3.42	0	1
-1506	10.50	3.51	3.42	0	1
-1503	9.30	3.51	3.42	0	1
-1500	8.10	3.51	3.42	0	1
-1497	6.10	3.24	3.42	0	1
-1494	7.30	3.24	3.42	0	1
-1491	8.50	3.24	3.42	0	1
-1488	6.50	3.51	3.42	0	1
-1485	5.30	3.51	3.42	0	1
-1482	8.90	3.24	3.42	0	1
-1479	10.10	3.24	3.42	0	1
-1476	11.30	3.24	3.42	0	1
-1473	4.50	2.84	3.42	0	1
-1470	5.70	2.84	3.42	0	1
-1467	6.90	2.84	3.42	0	1
-1464	8.10	2.84	3.42	0	1
-1461	4.10	3.51	3.42	0	1
-1458	3.70	3.51	3.42	0	1
-1455	10.50	2.84	3.42	0	1
-1452	3.70	2.04	3.42	0	1
-1449	4.50	2.04	3.42	0	1
-1446	5.30	2.04	3.42	0	1
-1443	6.10	2.04	3.42	0	1
-1440	1.71	0.58	3.42	0	1
-1437	1.31	0.58	3.42	0	1
-1434	8.90	2.04	3.42	0	1
-1431	10.10	2.04	3.42	0	1
-1428	11.30	2.04	3.42	0	1
-1425	14.89	4.04	3.42	0	1
-1422	14.89	3.64	3.42	0	1
-1419	14.89	2.44	3.42	0	1
-1416	12.10	0.84	3.42	0	1
-1413	7.50	0.44	3.42	0	1
-1410	5.70	2.44	3.42	0	1
-1407	0.11	0.58	3.42	0	1
-1404	10.50	0.58	3.42	0	1
-1401	9.30	0.58	3.42	0	1
-1398	8.10	0.58	3.42	0	1
-1395	6.90	0.58	3.42	0	1
-1392	5.70	0.58	3.42	0	1
-1389	4.50	0.58	3.42	0	1
-1386	7.50	0.58	3.42	0	1
-1383	4.10	1.04	3.42	0	1
-1380	5.30	1.04	3.42	0	1
-1377	6.50	1.04	3.42	0	1
-1374	7.50	1.04	3.42	0	1
-1371	8.50	1.04	3.42	0	1
-1368	9.70	1.04	3.42	0	1
-1365	13.69	0.84	3.42	0	1
-1362	12.10	0.44	3.42	0	1
-1359	10.90	1.04	3.42	0	1
-1356	12.50	0.44	3.42	0	1
-1353	0.51	1.04	3.42	0	1
-1350	1.31	1.04	3.42	0	1
-1347	2.50	1.04	3.42	0	1
-1344	3.30	3.04	3.42	0	1
-1334	8.30	4.04	3.20	0	1
-1330	6.70	4.04	3.20	0	1
-1327	7.10	3.64	3.20	0	1
-1320	6.70	3.24	3.20	0	1
-1315	7.90	2.04	3.20	0	1
-1308	8.30	0.04	3.20	0	1
-1305	7.10	0.44	3.20	0	1
-1302	6.70	0.04	3.20	0	1
-1299	7.10	0.84	3.20	0	1
-1296	7.10	1.64	3.20	0	1
-1289	7.90	1.64	3.20	0	1
-1286	8.30	1.24	3.20	0	1
-1283	7.10	2.84	3.20	0	1
-1280	7.90	2.44	3.20	0	1

-1535	7.50	1.64	3.42	0	1
-1532	7.50	2.44	3.42	0	1
-1529	12.10	0.58	3.42	0	1
-1526	14.09	0.58	3.42	0	1
-1523	12.90	3.51	3.42	0	1
-1520	14.89	3.51	3.42	0	1
-1517	13.69	3.51	3.42	0	1
-1514	2.10	3.51	3.42	0	1
-1511	0.91	3.51	3.42	0	1
-1508	11.30	3.51	3.42	0	1
-1505	10.10	3.51	3.42	0	1
-1502	8.90	3.51	3.42	0	1
-1499	7.70	3.51	3.42	0	1
-1496	6.50	3.24	3.42	0	1
-1493	7.70	3.24	3.42	0	1
-1490	12.90	0.58	3.42	0	1
-1487	6.10	3.51	3.42	0	1
-1484	4.90	3.51	3.42	0	1
-1481	9.30	3.24	3.42	0	1
-1478	10.50	3.24	3.42	0	1
-1475	3.70	2.84	3.42	0	1
-1472	4.90	2.84	3.42	0	1
-1469	6.10	2.84	3.42	0	1
-1466	7.30	2.84	3.42	0	1
-1463	8.50	2.84	3.42	0	1
-1460	9.30	2.84	3.42	0	1
-1457	7.50	3.51	3.42	0	1
-1454	10.90	2.84	3.42	0	1
-1451	2.90	0.58	3.42	0	1
-1448	4.90	2.04	3.42	0	1
-1445	5.70	2.04	3.42	0	1
-1442	6.50	2.04	3.42	0	1
-1439	7.30	2.04	3.42	0	1
-1436	8.10	2.04	3.42	0	1
-1433	9.30	2.04	3.42	0	1
-1430	10.50	2.04	3.42	0	1
-1427	14.89	0.84	3.42	0	1
-1424	14.89	2.04	3.42	0	1
-1421	14.89	3.24	3.42	0	1
-1418	14.89	1.64	3.42	0	1
-1415	12.50	0.84	3.42	0	1
-1412	6.10	2.44	3.42	0	1
-1409	0.91	0.58	3.42	0	1
-1406	11.30	0.58	3.42	0	1
-1403	10.10	0.58	3.42	0	1
-1400	8.90	0.58	3.42	0	1
-1397	7.70	0.58	3.42	0	1
-1394	6.50	0.58	3.42	0	1
-1391	5.30	0.58	3.42	0	1
-1388	4.10	0.58	3.42	0	1
-1385	3.30	1.04	3.42	0	1
-1382	4.50	1.04	3.42	0	1
-1379	5.70	1.04	3.42	0	1
-1376	6.90	1.04	3.42	0	1
-1373	7.70	1.04	3.42	0	1
-1370	8.90	1.04	3.42	0	1
-1367	12.90	0.84	3.42	0	1
-1364	14.09	0.84	3.42	0	1
-1361	10.10	1.04	3.42	0	1
-1358	11.30	1.04	3.42	0	1
-1355	12.90	0.44	3.42	0	1
-1352	13.29	0.44	3.42	0	1
-1349	1.71	1.04	3.42	0	1
-1346	2.90	1.04	3.42	0	1
-1343	2.50	3.04	3.42	0	1
-1332	7.90	4.04	3.20	0	1
-1329	8.30	3.64	3.20	0	1
-1326	6.70	3.64	3.20	0	1
-1317	6.70	2.04	3.20	0	1
-1314	8.30	2.04	3.20	0	1
-1307	7.90	0.44	3.20	0	1
-1304	7.10	0.04	3.20	0	1
-1301	8.30	0.84	3.20	0	1
-1298	6.70	0.84	3.20	0	1
-1295	6.70	1.24	3.20	0	1
-1288	7.90	1.24	3.20	0	1
-1285	6.70	2.84	3.20	0	1
-1282	7.10	2.44	3.20	0	1
-1279	8.30	2.84	3.20	0	1

-1534	3.30	2.44	3.42	0	1
-1531	3.30	1.64	3.42	0	1
-1528	14.89	0.58	3.42	0	1
-1525	13.69	0.58	3.42	0	1
-1522	12.50	3.51	3.42	0	1
-1519	14.49	3.51	3.42	0	1
-1516	2.90	3.51	3.42	0	1
-1513	1.71	3.51	3.42	0	1
-1510	0.51	3.51	3.42	0	1
-1507	10.90	3.51	3.42	0	1
-1504	9.70	3.51	3.42	0	1
-1501	8.50	3.51	3.42	0	1
-1498	7.30	3.51	3.42	0	1
-1495	6.90	3.24	3.42	0	1
-1492	8.10	3.24	3.42	0	1
-1489	6.90	3.51	3.42	0	1
-1486	5.70	3.51	3.42	0	1
-1483	4.50	3.51	3.42	0	1
-1480	9.70	3.24	3.42	0	1
-1477	10.90	3.24	3.42	0	1
-1474	4.10	2.84	3.42	0	1
-1471	5.30	2.84	3.42	0	1
-1468	6.50	2.84	3.42	0	1
-1465	7.70	2.84	3.42	0	1
-1462	8.90	2.84	3.42	0	1
-1459	9.70	2.84	3.42	0	1
-1456	10.10	2.84	3.42	0	1
-1453	11.30	2.84	3.42	0	1
-1450	4.10	2.04	3.42	0	1
-1447	2.50	0.58	3.42	0	1
-1444	2.10	0.58	3.42	0	1
-1441	6.90	2.04	3.42	0	1
-1438	7.70	2.04	3.42	0	1
-1435	8.50	2.04	3.42	0	1
-1432	9.70	2.04	3.42	0	1
-1429	10.90	2.04	3.42	0	1
-1426	14.89	0.44	3.42	0	1
-1423	14.89	1.24	3.42	0	1
-1420	14.89	2.84	3.42	0	1
-1417	14.89	0.04	3.42	0	1
-1414	2.50	0.84	3.42	0	1
-1411	5.30	2.44	3.42	0	1
-1408	0.51	0.58	3.42	0	1
-1405	10.90	0.58	3.42	0	1
-1402	9.70	0.58	3.42	0	1
-1399	8.50	0.58	3.42	0	1
-1396	7.30	0.58	3.42	0	1
-1393	6.10	0.58	3.42	0	1
-1390	4.90	0.58	3.42	0	1
-1387	3.70	0.58	3.42	0	1
-1384	3.70	1.04	3.42	0	1
-1381	4.90	1.04	3.42	0	1
-1378	6.10	1.04	3.42	0	1
-1375	7.30	1.04	3.42	0	1
-1372	8.10	1.04	3.42	0	1
-1369	9.30	1.04	3.42	0	1
-1366	13.29	0.84	3.42	0	1
-1363	14.49	0.84	3.42	0	1
-1360	10.50	1.04	3.42	0	1
-1357	11.70	1.04	3.42	0	1
-1354	0.11	1.04	3.42	0	1
-1351	0.91	1.04	3.42	0	1
-1348	2.10	1.04	3.42	0	1
-1345	2.90	3.04	3.42	0	1
-1342	2.10	3.04	3.42	0	1
-1331	7.10	4.04	3.20	0	1
-1328	7.90	3.64	3.20	0	1
-1322	7.10	3.24	3.20	0	1
-1316	7.10	2.04	3.20	0	1
-1309	8.30	0.44	3.20	0	1
-1306	7.90	0.04	3.20	0	1
-1303	6.70	0.44	3.20	0	1
-1300	7.90	0.84	3.20	0	1
-1297	6.70	1.64	3.20	0	1
-1293	7.10	1.24	3.20	0	1
-1287	8.30	1.64	3.20	0	1
-1284	6.70	2.44	3.20	0	1
-1281	7.90	2.84	3.20	0	1
-1278	8.30	2.44	3.20	0	1

-1277	8.30	3.24	3.20	0	1	-1275	7.90	3.24	3.20	0	1	-1273	7.75	0.04	4.70	0	1
-1272	7.25	0.04	4.70	0	1	-1271	15.20	4.29	3.20	0	1	-1270	-0.20	4.29	3.20	0	1
-1269	15.20	4.13	3.20	0	1	-1225	-0.20	4.13	3.20	0	1	-1224	14.89	4.04	3.20	0	1
-1223	14.49	4.04	3.20	0	1	-1222	14.09	4.04	3.20	0	1	-1221	13.69	4.04	3.20	0	1
-1220	12.90	4.04	3.20	0	1	-1219	12.50	4.04	3.20	0	1	-1218	12.30	4.04	3.20	0	1
-1217	12.10	4.04	3.20	0	1	-1216	11.70	4.04	3.20	0	1	-1215	11.10	4.04	3.20	0	1
-1214	10.90	4.04	3.20	0	1	-1213	10.50	4.04	3.20	0	1	-1212	10.10	4.04	3.20	0	1
-1211	9.70	4.04	3.20	0	1	-1210	8.90	4.04	3.20	0	1	-1209	8.50	4.04	3.20	0	1
-1208	8.10	4.04	3.20	0	1	-1207	7.70	4.04	3.20	0	1	-1206	7.30	4.04	3.20	0	1
-1205	6.90	4.04	3.20	0	1	-1204	6.50	4.04	3.20	0	1	-1203	6.10	4.04	3.20	0	1
-1202	5.30	4.04	3.20	0	1	-1201	4.90	4.04	3.20	0	1	-1200	4.50	4.04	3.20	0	1
-1199	4.10	4.04	3.20	0	1	-1198	3.90	4.04	3.20	0	1	-1197	3.30	4.04	3.20	0	1
-1196	2.90	4.04	3.20	0	1	-1195	2.70	4.04	3.20	0	1	-1194	2.50	4.04	3.20	0	1
-1193	2.10	4.04	3.20	0	1	-1192	1.31	4.04	3.20	0	1	-1191	0.91	4.04	3.20	0	1
-1190	0.51	4.04	3.20	0	1	-1189	0.11	4.04	3.20	0	1	-1188	15.20	3.64	3.20	0	1
-1187	14.89	3.64	3.20	0	1	-1186	14.49	3.64	3.20	0	1	-1185	14.09	3.64	3.20	0	1
-1184	13.69	3.64	3.20	0	1	-1183	13.29	3.64	3.20	0	1	-1182	12.90	3.64	3.20	0	1
-1181	12.50	3.64	3.20	0	1	-1180	12.30	3.64	3.20	0	1	-1179	12.10	3.64	3.20	0	1
-1178	11.30	3.64	3.20	0	1	-1177	11.10	3.64	3.20	0	1	-1176	10.90	3.64	3.20	0	1
-1175	10.50	3.64	3.20	0	1	-1174	10.10	3.64	3.20	0	1	-1173	9.70	3.64	3.20	0	1
-1172	9.30	3.64	3.20	0	1	-1171	8.90	3.64	3.20	0	1	-1170	8.50	3.64	3.20	0	1
-1169	8.10	3.64	3.20	0	1	-1168	7.70	3.64	3.20	0	1	-1167	7.50	3.64	3.20	0	1
-1166	7.30	3.64	3.20	0	1	-1165	6.90	3.64	3.20	0	1	-1164	6.50	3.64	3.20	0	1
-1163	6.10	3.64	3.20	0	1	-1162	5.70	3.64	3.20	0	1	-1161	5.30	3.64	3.20	0	1
-1160	4.90	3.64	3.20	0	1	-1159	4.50	3.64	3.20	0	1	-1158	4.10	3.64	3.20	0	1
-1157	3.90	3.64	3.20	0	1	-1156	3.70	3.64	3.20	0	1	-1155	2.90	3.64	3.20	0	1
-1154	2.70	3.64	3.20	0	1	-1153	2.50	3.64	3.20	0	1	-1152	2.10	3.64	3.20	0	1
-1151	1.71	3.64	3.20	0	1	-1150	1.31	3.64	3.20	0	1	-1149	0.91	3.64	3.20	0	1
-1148	0.51	3.64	3.20	0	1	-1147	0.11	3.64	3.20	0	1	-1146	-0.20	3.64	3.20	0	1
-1145	15.20	3.51	3.20	0	1	-1103	-0.20	3.51	3.20	0	1	-1102	15.20	3.24	3.20	0	1
-1101	14.89	3.24	3.20	0	1	-1100	14.49	3.24	3.20	0	1	-1099	14.09	3.24	3.20	0	1
-1098	13.69	3.24	3.20	0	1	-1097	13.29	3.24	3.20	0	1	-1096	12.90	3.24	3.20	0	1
-1095	12.50	3.24	3.20	0	1	-1094	12.30	3.24	3.20	0	1	-1093	12.10	3.24	3.20	0	1
-1092	11.70	3.24	3.20	0	1	-1091	11.30	3.24	3.20	0	1	-1090	11.10	3.24	3.20	0	1
-1089	10.90	3.24	3.20	0	1	-1088	10.50	3.24	3.20	0	1	-1087	10.10	3.24	3.20	0	1
-1086	9.70	3.24	3.20	0	1	-1085	9.30	3.24	3.20	0	1	-1084	8.90	3.24	3.20	0	1
-1083	8.50	3.24	3.20	0	1	-1082	8.10	3.24	3.20	0	1	-1081	7.70	3.24	3.20	0	1
-1080	7.50	3.24	3.20	0	1	-1079	7.30	3.24	3.20	0	1	-1078	6.90	3.24	3.20	0	1
-1077	6.50	3.24	3.20	0	1	-1076	6.10	3.24	3.20	0	1	-1075	5.70	3.24	3.20	0	1
-1074	5.30	3.24	3.20	0	1	-1073	4.90	3.24	3.20	0	1	-1072	4.50	3.24	3.20	0	1
-1071	4.10	3.24	3.20	0	1	-1070	3.90	3.24	3.20	0	1	-1069	3.70	3.24	3.20	0	1
-1068	3.30	3.24	3.20	0	1	-1067	2.90	3.24	3.20	0	1	-1066	2.70	3.24	3.20	0	1
-1065	2.50	3.24	3.20	0	1	-1064	2.10	3.24	3.20	0	1	-1063	1.71	3.24	3.20	0	1
-1062	1.31	3.24	3.20	0	1	-1061	0.91	3.24	3.20	0	1	-1060	0.51	3.24	3.20	0	1
-1059	0.11	3.24	3.20	0	1	-1058	-0.20	3.24	3.20	0	1	-1057	15.20	3.04	3.20	0	1
-1047	11.70	3.04	3.20	0	1	-1023	3.30	3.04	3.20	0	1	-1013	-0.20	3.04	3.20	0	1
-1012	15.20	2.84	3.20	0	1	-1011	14.89	2.84	3.20	0	1	-1010	14.49	2.84	3.20	0	1
-1009	14.09	2.84	3.20	0	1	-1008	13.69	2.84	3.20	0	1	-1007	13.29	2.84	3.20	0	1
-1006	12.90	2.84	3.20	0	1	-1005	12.50	2.84	3.20	0	1	-1004	12.30	2.84	3.20	0	1
-1003	12.10	2.84	3.20	0	1	-1002	11.30	2.84	3.20	0	1	-1001	11.10	2.84	3.20	0	1
-1000	10.90	2.84	3.20	0	1	-999	10.50	2.84	3.20	0	1	-998	10.10	2.84	3.20	0	1
-997	9.70	2.84	3.20	0	1	-996	9.30	2.84	3.20	0	1	-995	8.90	2.84	3.20	0	1
-994	8.50	2.84	3.20	0	1	-993	8.10	2.84	3.20	0	1	-992	7.70	2.84	3.20	0	1
-991	7.50	2.84	3.20	0	1	-990	7.30	2.84	3.20	0	1	-989	6.90	2.84	3.20	0	1
-988	6.50	2.84	3.20	0	1	-987	6.10	2.84	3.20	0	1	-986	5.70	2.84	3.20	0	1
-985	5.30	2.84	3.20	0	1	-984	4.90	2.84	3.20	0	1	-983	4.50	2.84	3.20	0	1
-982	4.10	2.84	3.20	0	1	-981	3.90	2.84	3.20	0	1	-980	3.70	2.84	3.20	0	1
-979	2.90	2.84	3.20	0	1	-978	2.70	2.84	3.20	0	1	-977	2.50	2.84	3.20	0	1
-976	2.10	2.84	3.20	0	1	-975	1.71	2.84	3.20	0	1	-974	1.31	2.84	3.20	0	1
-973	0.91	2.84	3.20	0	1	-972	0.51	2.84	3.20	0	1	-971	0.11	2.84	3.20	0	1
-970	-0.20	2.84	3.20	0	1	-969	15.20	2.44	3.20	0	1	-968	14.89	2.44	3.20	0	1
-967	14.49	2.44	3.20	0	1	-966	14.09	2.44	3.20	0	1	-965	13.69	2.44	3.20	0	1
-964	13.29	2.44	3.20	0	1	-963	12.90	2.44	3.20	0	1	-962	12.50	2.44	3.20	0	1
-961	12.30	2.44	3.20	0	1	-960	12.10	2.44	3.20	0	1	-959	11.70	2.44	3.20	0	1
-958	11.30	2.44	3.20	0	1	-957	11.10	2.44	3.20	0	1	-956	10.90	2.44	3.20	0	1
-955	10.50	2.44	3.20	0	1	-954	10.10	2.44	3.20	0	1	-953	9.70	2.44	3.20	0	1
-952	9.30	2.44	3.20	0	1	-951	8.90	2.44	3.20	0	1	-950	8.50	2.44	3.20	0	1
-949	8.10	2.44	3.20	0	1	-948	7.70	2.44	3.20	0	1	-947	7.50	2.44	3.20	0	1
-946	7.30	2.44	3.20	0	1	-945	6.90	2.44	3.20	0	1	-944	6.50	2.44	3.20	0	1
-943	6.10	2.44	3.20	0	1	-942	5.70	2.44	3.20	0	1	-941	5.30	2.44	3.20	0	1
-940	4.90	2.44	3.20	0	1	-939	4.50	2.44	3.20	0	1	-938	4.10	2.44	3.20	0	1
-937	3.90	2.44	3.20	0	1	-936	3.70	2.44	3.20	0	1	-935	3.30	2.44	3.20	0	1
-934	2.90	2.44	3.20	0	1	-933	2.70	2.44	3.20	0	1	-932	2.50	2.44	3.20	0	1
-931	2.10	2.44	3.20	0	1	-930	1.71	2.44	3.20	0	1	-929	1.31	2.44	3.20	0	1
-928	0.91	2.44	3.20	0	1	-927	0.51	2.44	3.20	0	1	-926	0.11	2.44	3.20	0	1
-925	-0.20	2.44	3.20	0	1	-924	15.20	2.04	3.20	0	1	-923	14.89	2.04	3.20	0	1
-922	14.49	2.04	3.20	0	1	-921	14.09	2.04	3.20	0	1	-920	13.69	2.04	3.20	0	1
-919	13.29	2.04	3.20	0	1	-918	12.90	2.04	3.20	0	1	-917	12.50	2.04	3.20	0	1
-916	12.30	2.04	3.20	0	1	-915	12.10	2.04	3.20	0	1	-914	11.30	2.04	3.20	0	1

-913	11.10	2.04	3.20	0	1	-912	10.90	2.04	3.20	0	1	-911	10.50	2.04	3.20	0	1
-910	10.10	2.04	3.20	0	1	-909	9.70	2.04	3.20	0	1	-908	9.30	2.04	3.20	0	1
-907	8.90	2.04	3.20	0	1	-906	8.50	2.04	3.20	0	1	-905	8.10	2.04	3.20	0	1
-904	7.70	2.04	3.20	0	1	-903	7.50	2.04	3.20	0	1	-902	7.30	2.04	3.20	0	1
-901	6.90	2.04	3.20	0	1	-900	6.50	2.04	3.20	0	1	-899	6.10	2.04	3.20	0	1
-898	5.70	2.04	3.20	0	1	-897	5.30	2.04	3.20	0	1	-896	4.90	2.04	3.20	0	1
-895	4.50	2.04	3.20	0	1	-894	4.10	2.04	3.20	0	1	-893	3.90	2.04	3.20	0	1
-892	3.70	2.04	3.20	0	1	-891	2.90	2.04	3.20	0	1	-890	2.70	2.04	3.20	0	1
-889	2.50	2.04	3.20	0	1	-888	2.10	2.04	3.20	0	1	-887	1.71	2.04	3.20	0	1
-886	1.31	2.04	3.20	0	1	-885	0.91	2.04	3.20	0	1	-884	0.51	2.04	3.20	0	1
-883	0.11	2.04	3.20	0	1	-882	-0.20	2.04	3.20	0	1	-881	15.20	1.64	3.20	0	1
-880	14.89	1.64	3.20	0	1	-879	14.49	1.64	3.20	0	1	-878	14.09	1.64	3.20	0	1
-877	13.69	1.64	3.20	0	1	-876	13.29	1.64	3.20	0	1	-875	12.90	1.64	3.20	0	1
-874	12.50	1.64	3.20	0	1	-873	12.30	1.64	3.20	0	1	-872	12.10	1.64	3.20	0	1
-871	11.70	1.64	3.20	0	1	-870	11.30	1.64	3.20	0	1	-869	11.10	1.64	3.20	0	1
-868	10.90	1.64	3.20	0	1	-867	10.50	1.64	3.20	0	1	-866	10.10	1.64	3.20	0	1
-865	9.70	1.64	3.20	0	1	-864	9.30	1.64	3.20	0	1	-863	8.90	1.64	3.20	0	1
-862	8.50	1.64	3.20	0	1	-861	8.10	1.64	3.20	0	1	-860	7.70	1.64	3.20	0	1
-859	7.50	1.64	3.20	0	1	-858	7.30	1.64	3.20	0	1	-857	6.90	1.64	3.20	0	1
-856	6.50	1.64	3.20	0	1	-855	6.10	1.64	3.20	0	1	-854	5.70	1.64	3.20	0	1
-853	5.30	1.64	3.20	0	1	-852	4.90	1.64	3.20	0	1	-851	4.50	1.64	3.20	0	1
-850	4.10	1.64	3.20	0	1	-849	3.90	1.64	3.20	0	1	-848	3.70	1.64	3.20	0	1
-847	3.30	1.64	3.20	0	1	-846	2.90	1.64	3.20	0	1	-845	2.70	1.64	3.20	0	1
-844	2.50	1.64	3.20	0	1	-843	2.10	1.64	3.20	0	1	-842	1.71	1.64	3.20	0	1
-841	1.31	1.64	3.20	0	1	-840	0.91	1.64	3.20	0	1	-839	0.51	1.64	3.20	0	1
-838	0.11	1.64	3.20	0	1	-837	-0.20	1.64	3.20	0	1	-836	15.20	1.24	3.20	0	1
-835	14.89	1.24	3.20	0	1	-834	14.49	1.24	3.20	0	1	-833	14.09	1.24	3.20	0	1
-832	13.69	1.24	3.20	0	1	-831	13.29	1.24	3.20	0	1	-830	12.90	1.24	3.20	0	1
-829	12.50	1.24	3.20	0	1	-828	12.30	1.24	3.20	0	1	-827	12.10	1.24	3.20	0	1
-826	11.30	1.24	3.20	0	1	-825	11.10	1.24	3.20	0	1	-824	10.90	1.24	3.20	0	1
-823	10.50	1.24	3.20	0	1	-822	10.10	1.24	3.20	0	1	-821	9.70	1.24	3.20	0	1
-820	9.30	1.24	3.20	0	1	-819	8.90	1.24	3.20	0	1	-818	8.50	1.24	3.20	0	1
-817	8.10	1.24	3.20	0	1	-816	7.70	1.24	3.20	0	1	-815	7.50	1.24	3.20	0	1
-814	7.30	1.24	3.20	0	1	-813	6.90	1.24	3.20	0	1	-812	6.50	1.24	3.20	0	1
-811	6.10	1.24	3.20	0	1	-810	5.70	1.24	3.20	0	1	-809	5.30	1.24	3.20	0	1
-808	4.90	1.24	3.20	0	1	-807	4.50	1.24	3.20	0	1	-806	4.10	1.24	3.20	0	1
-805	3.90	1.24	3.20	0	1	-804	3.70	1.24	3.20	0	1	-803	2.90	1.24	3.20	0	1
-802	2.70	1.24	3.20	0	1	-801	2.50	1.24	3.20	0	1	-800	2.10	1.24	3.20	0	1
-799	1.71	1.24	3.20	0	1	-798	1.31	1.24	3.20	0	1	-797	0.91	1.24	3.20	0	1
-796	0.51	1.24	3.20	0	1	-795	0.11	1.24	3.20	0	1	-794	-0.20	1.24	3.20	0	1
-793	15.20	1.04	3.20	0	1	-783	11.70	1.04	3.20	0	1	-759	3.30	1.04	3.20	0	1
-749	-0.20	1.04	3.20	0	1	-748	15.20	0.84	3.20	0	1	-747	14.89	0.84	3.20	0	1
-746	14.49	0.84	3.20	0	1	-745	14.09	0.84	3.20	0	1	-744	13.69	0.84	3.20	0	1
-743	13.29	0.84	3.20	0	1	-742	12.90	0.84	3.20	0	1	-741	12.50	0.84	3.20	0	1
-740	12.30	0.84	3.20	0	1	-739	12.10	0.84	3.20	0	1	-738	11.70	0.84	3.20	0	1
-737	11.30	0.84	3.20	0	1	-736	11.10	0.84	3.20	0	1	-735	10.90	0.84	3.20	0	1
-734	10.50	0.84	3.20	0	1	-733	10.10	0.84	3.20	0	1	-732	9.70	0.84	3.20	0	1
-731	9.30	0.84	3.20	0	1	-730	8.90	0.84	3.20	0	1	-729	8.50	0.84	3.20	0	1
-728	8.10	0.84	3.20	0	1	-727	7.70	0.84	3.20	0	1	-726	7.50	0.84	3.20	0	1
-725	7.30	0.84	3.20	0	1	-724	6.90	0.84	3.20	0	1	-723	6.50	0.84	3.20	0	1
-722	6.10	0.84	3.20	0	1	-721	5.70	0.84	3.20	0	1	-720	5.30	0.84	3.20	0	1
-719	4.90	0.84	3.20	0	1	-718	4.50	0.84	3.20	0	1	-717	4.10	0.84	3.20	0	1
-716	3.90	0.84	3.20	0	1	-715	3.70	0.84	3.20	0	1	-714	3.30	0.84	3.20	0	1
-713	2.90	0.84	3.20	0	1	-712	2.70	0.84	3.20	0	1	-711	2.50	0.84	3.20	0	1
-710	2.10	0.84	3.20	0	1	-709	1.71	0.84	3.20	0	1	-708	1.31	0.84	3.20	0	1
-707	0.91	0.84	3.20	0	1	-706	0.51	0.84	3.20	0	1	-705	0.11	0.84	3.20	0	1
-704	-0.20	0.84	3.20	0	1	-703	15.20	0.58	3.20	0	1	-661	-0.20	0.58	3.20	0	1
-660	15.20	0.44	3.20	0	1	-659	14.89	0.44	3.20	0	1	-658	14.49	0.44	3.20	0	1
-657	14.09	0.44	3.20	0	1	-656	13.69	0.44	3.20	0	1	-655	13.29	0.44	3.20	0	1
-654	12.90	0.44	3.20	0	1	-653	12.50	0.44	3.20	0	1	-652	12.30	0.44	3.20	0	1
-651	12.10	0.44	3.20	0	1	-650	11.30	0.44	3.20	0	1	-649	11.10	0.44	3.20	0	1
-648	10.90	0.44	3.20	0	1	-647	10.50	0.44	3.20	0	1	-646	10.10	0.44	3.20	0	1
-645	9.70	0.44	3.20	0	1	-644	9.30	0.44	3.20	0	1	-643	8.90	0.44	3.20	0	1
-642	8.50	0.44	3.20	0	1	-641	8.10	0.44	3.20	0	1	-640	7.70	0.44	3.20	0	1
-639	7.50	0.44	3.20	0	1	-638	7.30	0.44	3.20	0	1	-637	6.90	0.44	3.20	0	1
-636	6.50	0.44	3.20	0	1	-635	6.10	0.44	3.20	0	1	-634	5.70	0.44	3.20	0	1
-633	5.30	0.44	3.20	0	1	-632	4.90	0.44	3.20	0	1	-631	4.50	0.44	3.20	0	1
-630	4.10	0.44	3.20	0	1	-629	3.90	0.44	3.20	0	1	-628	3.70	0.44	3.20	0	1
-627	2.90	0.44	3.20	0	1	-626	2.70	0.44	3.20	0	1	-625	2.50	0.44	3.20	0	1
-624	2.10	0.44	3.20	0	1	-623	1.71	0.44	3.20	0	1	-622	1.31	0.44	3.20	0	1
-621	0.91	0.44	3.20	0	1	-620	0.51	0.44	3.20	0	1	-619	0.11	0.44	3.20	0	1
-618	-0.20	0.44	3.20	0	1	-617	14.89	0.04	3.20	0	1	-616	14.49	0.04	3.20	0	1
-615	14.09	0.04	3.20	0	1	-614	13.69	0.04	3.20	0	1	-613	12.90	0.04	3.20	0	1
-612	12.50	0.04	3.20	0	1	-611	12.30	0.04	3.20	0	1	-610	12.10	0.04	3.20	0	1
-609	11.70	0.04	3.20	0	1	-608	11.10	0.04	3.20	0	1	-607	10.90	0.04	3.20	0	1
-606	10.50	0.04	3.20	0	1	-605	10.10	0.04	3.20	0	1	-604	9.70	0.04	3.20	0	1
-603	8.90	0.04	3.20	0	1	-602	8.50	0.04	3.20	0	1	-601	8.10	0.04	3.20	0	1
-600	7.70	0.04	3.20	0	1	-599	7.30	0.04	3.20	0	1	-598	6.90	0.04	3.20	0	1
-597	6.50	0.04	3.20	0	1	-596	6.10	0.04	3.20	0	1	-595	5.30	0.04	3.20	0	1

-594	4.90	0.04	3.20	0	1
-591	3.90	0.04	3.20	0	1
-588	2.70	0.04	3.20	0	1
-585	1.31	0.04	3.20	0	1
-582	0.11	0.04	3.20	0	1
-536	15.20	-0.21	3.20	0	1
-533	-0.20	4.29	3.00	0	1
-530	15.20	4.04	3.00	0	1
-527	-0.20	3.64	3.00	0	1
-524	15.20	3.24	3.00	0	1
-521	-0.20	3.04	3.00	0	1
-518	15.20	2.44	3.00	0	1
-515	-0.20	2.04	3.00	0	1
-512	15.20	1.24	3.00	0	1
-509	-0.20	1.04	3.00	0	1
-506	15.20	0.58	3.00	0	1
-503	-0.20	0.44	3.00	0	1
-500	15.20	-0.07	3.00	0	1
-497	-0.20	-0.21	3.00	0	1
-494	15.20	4.13	2.50	0	1
-491	-0.20	4.04	2.50	0	1
-488	15.20	3.51	2.50	0	1
-485	-0.20	3.24	2.50	0	1
-482	15.20	2.84	2.50	0	1
-479	-0.20	2.44	2.50	0	1
-476	15.20	1.64	2.50	0	1
-473	-0.20	1.24	2.50	0	1
-470	15.20	0.84	2.50	0	1
-467	-0.20	0.58	2.50	0	1
-464	15.20	0.04	2.50	0	1
-461	-0.20	-0.07	2.50	0	1
-458	15.20	4.29	2.20	2	1
-455	-0.20	4.13	2.20	2	1
-452	15.20	3.64	2.20	2	1
-449	-0.20	3.51	2.20	2	1
-446	15.20	3.04	2.20	2	1
-443	-0.20	2.84	2.20	2	1
-440	15.20	2.04	2.20	2	1
-437	-0.20	1.64	2.20	2	1
-434	15.20	1.04	2.20	2	1
-431	-0.20	0.84	2.20	2	1
-428	15.20	0.44	2.20	2	1
-425	-0.20	0.04	2.20	2	1
-422	15.20	-0.21	2.20	2	1
-419	-0.20	4.29	1.70	0	1
-416	15.20	4.04	1.70	0	1
-413	-0.20	3.64	1.70	0	1
-410	15.20	3.24	1.70	0	1
-407	-0.20	3.04	1.70	0	1
-404	15.20	2.44	1.70	0	1
-401	-0.20	1.64	1.70	0	1
-398	15.20	1.04	1.70	0	1
-395	-0.20	0.84	1.70	0	1
-392	15.20	0.44	1.70	0	1
-389	-0.20	0.04	1.70	0	1
-386	15.20	-0.21	1.70	0	1
-383	1.55	3.64	1.50	0	1
-380	13.45	2.04	1.50	0	1
-377	1.55	1.24	1.50	0	1
-374	15.20	4.29	1.30	1	1
-371	-0.20	4.13	1.30	1	1
-368	15.20	3.64	1.30	1	1
-365	-0.20	3.51	1.30	1	1
-362	15.20	3.04	1.30	1	1
-359	-0.20	2.84	1.30	1	1
-356	15.20	2.04	1.30	1	1
-353	-0.20	1.64	1.30	1	1
-350	15.20	1.04	1.30	1	1
-347	-0.20	0.84	1.30	1	1
-344	15.20	0.44	1.30	1	1
-341	-0.20	0.04	1.30	1	1
-338	15.20	-0.21	1.30	1	1
-335	-0.20	4.29	1.00	0	1
-332	15.20	4.04	1.00	0	1
-329	-0.20	3.64	1.00	0	1
-326	15.20	3.24	1.00	0	1
-323	-0.20	3.04	1.00	0	1
-320	15.20	2.44	1.00	0	1
-317	-0.20	2.04	1.00	0	1

-593	4.50	0.04	3.20	0	1
-590	3.30	0.04	3.20	0	1
-587	2.50	0.04	3.20	0	1
-584	0.91	0.04	3.20	0	1
-581	15.20	-0.07	3.20	0	1
-535	-0.20	-0.21	3.20	0	1
-532	15.20	4.13	3.00	0	1
-529	-0.20	4.04	3.00	0	1
-526	15.20	3.51	3.00	0	1
-523	-0.20	3.24	3.00	0	1
-520	15.20	2.84	3.00	0	1
-517	-0.20	2.44	3.00	0	1
-514	15.20	1.64	3.00	0	1
-511	-0.20	1.24	3.00	0	1
-508	15.20	0.84	3.00	0	1
-505	-0.20	0.58	3.00	0	1
-502	15.20	0.04	3.00	0	1
-499	-0.20	-0.07	3.00	0	1
-496	15.20	4.29	2.50	0	1
-493	-0.20	4.13	2.50	0	1
-490	15.20	3.64	2.50	0	1
-487	-0.20	3.51	2.50	0	1
-484	15.20	3.04	2.50	0	1
-481	-0.20	2.84	2.50	0	1
-478	15.20	2.04	2.50	0	1
-475	-0.20	1.64	2.50	0	1
-472	15.20	1.04	2.50	0	1
-469	-0.20	0.84	2.50	0	1
-466	15.20	0.44	2.50	0	1
-463	-0.20	0.04	2.50	0	1
-460	15.20	-0.21	2.50	0	1
-457	-0.20	4.29	2.20	2	1
-454	15.20	4.04	2.20	2	1
-451	-0.20	3.64	2.20	2	1
-448	15.20	3.24	2.20	2	1
-445	-0.20	3.04	2.20	2	1
-442	15.20	2.44	2.20	2	1
-439	-0.20	2.04	2.20	2	1
-436	15.20	1.24	2.20	2	1
-433	-0.20	1.04	2.20	2	1
-430	15.20	0.58	2.20	2	1
-427	-0.20	0.44	2.20	2	1
-424	15.20	-0.07	2.20	2	1
-421	-0.20	-0.21	2.20	2	1
-418	15.20	4.13	1.70	0	1
-415	-0.20	4.04	1.70	0	1
-412	15.20	3.51	1.70	0	1
-409	-0.20	3.24	1.70	0	1
-406	15.20	2.84	1.70	0	1
-403	-0.20	2.44	1.70	0	1
-400	15.20	1.24	1.70	0	1
-397	-0.20	1.04	1.70	0	1
-394	15.20	0.58	1.70	0	1
-391	-0.20	0.44	1.70	0	1
-388	15.20	-0.07	1.70	0	1
-385	-0.20	-0.21	1.70	0	1
-382	13.45	2.84	1.50	0	1
-379	1.55	2.04	1.50	0	1
-376	13.45	0.44	1.50	0	1
-373	-0.20	4.29	1.30	1	1
-370	15.20	4.04	1.30	1	1
-367	-0.20	3.64	1.30	1	1
-364	15.20	3.24	1.30	1	1
-361	-0.20	3.04	1.30	1	1
-358	15.20	2.44	1.30	1	1
-355	-0.20	2.04	1.30	1	1
-352	15.20	1.24	1.30	1	1
-349	-0.20	1.04	1.30	1	1
-346	15.20	0.58	1.30	1	1
-343	-0.20	0.44	1.30	1	1
-340	15.20	-0.07	1.30	1	1
-337	-0.20	-0.21	1.30	1	1
-334	15.20	4.13	1.00	0	1
-331	-0.20	4.04	1.00	0	1
-328	15.20	3.51	1.00	0	1
-325	-0.20	3.24	1.00	0	1
-322	15.20	2.84	1.00	0	1
-319	-0.20	2.44	1.00	0	1
-316	15.20	1.64	1.00	0	1

-592	4.10	0.04	3.20	0	1
-589	2.90	0.04	3.20	0	1
-586	2.10	0.04	3.20	0	1
-583	0.51	0.04	3.20	0	1
-537	-0.20	-0.07	3.20	0	1
-534	15.20	4.29	3.00	0	1
-531	-0.20	4.13	3.00	0	1
-528	15.20	3.64	3.00	0	1
-525	-0.20	3.51	3.00	0	1
-522	15.20	3.04	3.00	0	1
-519	-0.20	2.84	3.00	0	1
-516	15.20	2.04	3.00	0	1
-513	-0.20	1.64	3.00	0	1
-510	15.20	1.04	3.00	0	1
-507	-0.20	0.84	3.00	0	1
-504	15.20	0.44	3.00	0	1
-501	-0.20	0.04	3.00	0	1
-498	15.20	-0.21	3.00	0	1
-495	-0.20	4.29	2.50	0	1
-492	15.20	4.04	2.50	0	1
-489	-0.20	3.64	2.50	0	1
-486	15.20	3.24	2.50	0	1
-483	-0.20	3.04	2.50	0	1
-480	15.20	2.44	2.50	0	1
-477	-0.20	2.04	2.50	0	1
-474	15.20	1.24	2.50	0	1
-471	-0.20	1.04	2.50	0	1
-468	15.20	0.58	2.50	0	1
-465	-0.20	0.44	2.50	0	1
-462	15.20	-0.07	2.50	0	1
-459	-0.20	-0.21	2.50	0	1
-456	15.20	4.13	2.20	2	1
-453	-0.20	4.04	2.20	2	1
-450	15.20	3.51	2.20	2	1
-447	-0.20	3.24	2.20	2	1
-444	15.20	2.84	2.20	2	1
-441	-0.20	2.44	2.20	2	1
-438	15.20	1.64	2.20	2	1
-435	-0.20	1.24	2.20	2	1
-432	15.20	0.84	2.20	2	1
-429	-0.20	0.58	2.20	2	1
-426	15.20	0.04	2.20	2	1
-423	-0.20	-0.07	2.20	2	1
-420	15.20	4.29	1.70	0	1
-417	-0.20	4.13	1.70	0	1
-414	15.20	3.64	1.70	0	1
-411	-0.20	3.51	1.70	0	1
-408	15.20	3.04	1.70	0	1
-405	-0.20	2.84	1.70	0	1
-402	15.20	1.64	1.70	0	1
-399	-0.20	1.24	1.70	0	1
-396	15.20	0.84	1.70	0	1
-393	-0.20	0.58	1.70	0	1
-390	15.20	0.04	1.70	0	1
-387	-0.20	-0.07	1.70	0	1
-384	13.45	3.64	1.50	0	1
-381	1.55	2.84	1.50	0	1
-378	13.45	1.24	1.50	0	1
-375	1.55	0.44	1.50	0	1
-372	15.20	4.13	1.30	1	1
-369	-0.20	4.04	1.30	1	1
-366	15.20	3.51	1.30	1	1
-363	-0.20	3.24	1.30	1	1
-360	15.20	2.84	1.30	1	1
-357	-0.20	2.44	1.30	1	1
-354	15.20	1.64	1.30	1	1
-351	-0.20	1.24	1.30	1	1
-348	15.20	0.84	1.30	1	1
-345	-0.20	0.58	1.30	1	1
-342	15.20	0.04	1.30	1	1
-339	-0.20	-0.07	1.30	1	1
-336	15.20	4.29	1.00	0	1
-333	-0.20	4.13	1.00	0	1
-330	15.20	3.64	1.00	0	1
-327	-0.20	3.51	1.00	0	1
-324	15.20	3.04	1.00	0	1
-321	-0.20	2.84	1.00	0	1
-318	15.20	2.04	1.00	0	1
-315	-0.20	1.64	1.00	0	1

-314	15.20	1.24	1.00	0	1	-313	-0.20	1.24	1.00	0	1	-312	15.20	1.04	1.00	0	1
-311	-0.20	1.04	1.00	0	1	-310	15.20	0.84	1.00	0	1	-309	-0.20	0.84	1.00	0	1
-308	15.20	0.58	1.00	0	1	-307	-0.20	0.58	1.00	0	1	-306	15.20	0.44	1.00	0	1
-305	-0.20	0.44	1.00	0	1	-304	15.20	0.04	1.00	0	1	-303	-0.20	0.04	1.00	0	1
-302	15.20	-0.07	1.00	0	1	-301	-0.20	-0.07	1.00	0	1	-300	15.20	-0.21	1.00	0	1
-299	-0.20	-0.21	1.00	0	1	-298	15.20	4.29	0.80	0	1	-297	-0.20	4.29	0.80	0	1
-296	15.20	4.13	0.80	0	1	-295	-0.20	4.13	0.80	0	1	-294	15.20	4.04	0.80	0	1
-293	-0.20	4.04	0.80	0	1	-292	15.20	3.64	0.80	0	1	-291	-0.20	3.64	0.80	0	1
-290	15.20	3.51	0.80	0	1	-289	-0.20	3.51	0.80	0	1	-288	15.20	3.24	0.80	0	1
-287	-0.20	3.24	0.80	0	1	-286	15.20	3.04	0.80	0	1	-285	-0.20	3.04	0.80	0	1
-284	15.20	2.84	0.80	0	1	-283	-0.20	2.84	0.80	0	1	-282	15.20	2.44	0.80	0	1
-281	-0.20	2.44	0.80	0	1	-280	15.20	2.04	0.80	0	1	-279	-0.20	2.04	0.80	0	1
-278	15.20	1.64	0.80	0	1	-277	-0.20	1.64	0.80	0	1	-276	15.20	1.24	0.80	0	1
-275	-0.20	1.24	0.80	0	1	-274	15.20	1.04	0.80	0	1	-273	-0.20	1.04	0.80	0	1
-272	15.20	0.84	0.80	0	1	-271	-0.20	0.84	0.80	0	1	-270	15.20	0.58	0.80	0	1
-269	-0.20	0.58	0.80	0	1	-268	15.20	0.44	0.80	0	1	-267	-0.20	0.44	0.80	0	1
-266	15.20	0.04	0.80	0	1	-265	-0.20	0.04	0.80	0	1	-264	15.20	-0.07	0.80	0	1
-263	-0.20	-0.07	0.80	0	1	-262	15.20	-0.21	0.80	0	1	-261	-0.20	-0.21	0.80	0	1
-260	15.20	4.29	0.40	0	1	-259	-0.20	4.29	0.40	0	1	-258	15.20	4.13	0.40	0	1
-257	-0.20	4.13	0.40	0	1	-256	15.20	4.04	0.40	0	1	-255	-0.20	4.04	0.40	0	1
-254	15.20	3.64	0.40	0	1	-253	-0.20	3.64	0.40	0	1	-252	15.20	3.51	0.40	0	1
-251	-0.20	3.51	0.40	0	1	-250	15.20	3.24	0.40	0	1	-249	-0.20	3.24	0.40	0	1
-248	15.20	3.04	0.40	0	1	-247	-0.20	3.04	0.40	0	1	-246	15.20	2.84	0.40	0	1
-245	-0.20	2.84	0.40	0	1	-244	15.20	2.44	0.40	0	1	-243	-0.20	2.44	0.40	0	1
-242	15.20	2.04	0.40	0	1	-241	-0.20	2.04	0.40	0	1	-240	15.20	1.64	0.40	0	1
-239	-0.20	1.64	0.40	0	1	-238	15.20	1.24	0.40	0	1	-237	-0.20	1.24	0.40	0	1
-236	15.20	1.04	0.40	0	1	-235	-0.20	1.04	0.40	0	1	-234	15.20	0.84	0.40	0	1
-233	-0.20	0.84	0.40	0	1	-232	15.20	0.58	0.40	0	1	-231	-0.20	0.58	0.40	0	1
-230	15.20	0.44	0.40	0	1	-229	-0.20	0.44	0.40	0	1	-228	15.20	0.04	0.40	0	1
-227	-0.20	0.04	0.40	0	1	-226	15.20	-0.07	0.40	0	1	-225	-0.20	-0.07	0.40	0	1
-224	15.20	-0.21	0.40	0	1	-223	-0.20	-0.21	0.40	0	1	-222	16.70	4.29	0.00	0	3
-221	16.20	4.29	0.00	0	3	-220	15.70	4.29	0.00	0	3	-219	15.30	4.29	0.00	0	3
-218	15.20	4.29	0.00	0	3	-217	14.80	4.29	0.00	0	3	-216	0.20	4.29	0.00	0	3
-215	-0.20	4.29	0.00	0	3	-214	-0.30	4.29	0.00	0	3	-213	-0.70	4.29	0.00	0	3
-212	-1.20	4.29	0.00	0	3	-211	-1.70	4.29	0.00	0	3	-210	16.70	4.13	0.00	0	3
-209	16.20	4.13	0.00	0	3	-208	15.70	4.13	0.00	0	3	-207	15.30	4.13	0.00	0	3
-206	15.20	4.13	0.00	0	3	-205	14.80	4.13	0.00	0	3	-204	0.20	4.13	0.00	0	3
-203	-0.20	4.13	0.00	0	3	-202	-0.30	4.13	0.00	0	3	-201	-0.70	4.13	0.00	0	3
-200	-1.20	4.13	0.00	0	3	-199	-1.70	4.13	0.00	0	3	-198	16.70	4.04	0.00	0	3
-197	16.20	4.04	0.00	0	3	-196	15.70	4.04	0.00	0	3	-195	15.30	4.04	0.00	0	3
-194	15.20	4.04	0.00	0	3	-193	14.80	4.04	0.00	0	3	-192	0.20	4.04	0.00	0	3
-191	-0.20	4.04	0.00	0	3	-190	-0.30	4.04	0.00	0	3	-189	-0.70	4.04	0.00	0	3
-188	-1.20	4.04	0.00	0	3	-187	-1.70	4.04	0.00	0	3	-186	16.70	3.64	0.00	0	3
-185	16.20	3.64	0.00	0	3	-184	15.70	3.64	0.00	0	3	-183	15.30	3.64	0.00	0	5
-182	15.20	3.64	0.00	0	3	-181	14.80	3.64	0.00	0	3	-180	0.20	3.64	0.00	0	3
-179	-0.20	3.64	0.00	0	3	-178	-0.30	3.64	0.00	0	5	-177	-0.70	3.64	0.00	0	3
-176	-1.20	3.64	0.00	0	3	-175	-1.70	3.64	0.00	0	3	-174	16.70	3.51	0.00	0	3
-173	16.20	3.51	0.00	0	3	-172	15.70	3.51	0.00	0	3	-171	15.30	3.51	0.00	0	3
-170	15.20	3.51	0.00	0	3	-169	14.80	3.51	0.00	0	3	-168	0.20	3.51	0.00	0	3
-167	-0.20	3.51	0.00	0	3	-166	-0.30	3.51	0.00	0	3	-165	-0.70	3.51	0.00	0	3
-164	-1.20	3.51	0.00	0	3	-163	-1.70	3.51	0.00	0	3	-162	16.70	3.24	0.00	0	3
-161	16.20	3.24	0.00	0	3	-160	15.70	3.24	0.00	0	3	-159	15.30	3.24	0.00	0	3
-158	15.20	3.24	0.00	0	3	-157	14.80	3.24	0.00	0	3	-156	0.20	3.24	0.00	0	3
-155	-0.20	3.24	0.00	0	3	-154	-0.30	3.24	0.00	0	3	-153	-0.70	3.24	0.00	0	3
-152	-1.20	3.24	0.00	0	3	-151	-1.70	3.24	0.00	0	3	-150	16.70	3.04	0.00	0	3
-149	16.20	3.04	0.00	0	3	-148	15.70	3.04	0.00	0	3	-147	15.30	3.04	0.00	0	3
-146	15.20	3.04	0.00	0	3	-145	14.80	3.04	0.00	0	3	-144	0.20	3.04	0.00	0	3
-143	-0.20	3.04	0.00	0	3	-142	-0.30	3.04	0.00	0	3	-141	-0.70	3.04	0.00	0	3
-140	-1.20	3.04	0.00	0	3	-139	-1.70	3.04	0.00	0	3	-138	16.70	2.84	0.00	0	3
-137	16.20	2.84	0.00	0	5	-136	15.70	2.84	0.00	0	3	-135	15.30	2.84	0.00	0	5
-134	14.80	2.84	0.00	0	3	-133	0.20	2.84	0.00	0	3	-132	-0.30	2.84	0.00	0	5
-131	-0.70	2.84	0.00	0	3	-130	-1.20	2.84	0.00	0	5	-129	-1.70	2.84	0.00	0	3
-128	16.70	2.44	0.00	0	3	-127	16.20	2.44	0.00	0	3	-126	15.70	2.44	0.00	0	3
-125	15.30	2.44	0.00	0	3	-124	15.20	2.44	0.00	0	3	-123	14.80	2.44	0.00	0	3
-122	0.20	2.44	0.00	0	3	-121	-0.20	2.44	0.00	0	3	-120	-0.30	2.44	0.00	0	3
-119	-0.70	2.44	0.00	0	3	-118	-1.20	2.44	0.00	0	3	-117	-1.70	2.44	0.00	0	3
-116	16.70	2.04	0.00	0	3	-115	16.20	2.04	0.00	0	5	-114	15.70	2.04	0.00	0	3
-113	15.30	2.04	0.00	0	5	-112	14.80	2.04	0.00	0	3	-111	0.20	2.04	0.00	0	3
-110	-0.30	2.04	0.00	0	5	-109	-0.70	2.04	0.00	0	3	-108	-1.20	2.04	0.00	0	5
-107	-1.70	2.04	0.00	0	3	-106	16.70	1.64	0.00	0	3	-105	16.20	1.64	0.00	0	3
-104	15.70	1.64	0.00	0	3	-103	15.30	1.64	0.00	0	3	-102	15.20	1.64	0.00	0	3
-101	14.80	1.64	0.00	0	3	-100	0.20	1.64	0.00	0	3	-99	-0.20	1.64	0.00	0	3
-98	-0.30	1.64	0.00	0	3	-97	-0.70	1.64	0.00	0	3	-96	-1.20	1.64	0.00	0	3
-95	-1.70	1.64	0.00	0	3	-94	16.70	1.24	0.00	0	3	-93	16.20	1.24	0.00	0	5
-92	15.70	1.24	0.00	0	3	-91	15.30	1.24	0.00	0	5	-90	14.80	1.24	0.00	0	3
-89	0.20	1.24	0.00	0	3	-88	-0.30	1.24	0.00	0	5	-87	-0.70	1.24	0.00	0	3
-86	-1.20	1.24	0.00	0	5	-85	-1.70	1.24	0.00	0	3	-84	16.70	1.04	0.00	0	3
-83	16.20	1.04	0.00	0	3	-82	15.70	1.04	0.00	0	3	-81	15.30	1.04	0.00	0	3
-80	15.20	1.04	0.00	0	3	-79	14.80	1.04	0.00	0	3	-78	0.20	1.04	0.00	0	3

-77	-0.20	1.04	0.00	0	3
-74	-1.20	1.04	0.00	0	3
-71	16.20	0.84	0.00	0	3
-68	15.20	0.84	0.00	0	3
-65	-0.20	0.84	0.00	0	3
-62	-1.20	0.84	0.00	0	3
-59	16.20	0.58	0.00	0	3
-56	15.20	0.58	0.00	0	3
-53	-0.20	0.58	0.00	0	3
-50	-1.20	0.58	0.00	0	3
-47	16.20	0.44	0.00	0	3
-44	15.20	0.44	0.00	0	3
-41	-0.20	0.44	0.00	0	3
-38	-1.20	0.44	0.00	0	3
-35	16.20	0.04	0.00	0	3
-32	15.20	0.04	0.00	0	3
-29	-0.20	0.04	0.00	0	3
-26	-1.20	0.04	0.00	0	3
-23	16.20	-0.07	0.00	0	3
-20	15.20	-0.07	0.00	0	3
-17	-0.20	-0.07	0.00	0	3
-14	-1.20	-0.07	0.00	0	3
-11	16.20	-0.21	0.00	0	3
-8	15.20	-0.21	0.00	0	3
-5	-0.20	-0.21	0.00	0	3
-2	-1.20	-0.21	0.00	0	3
11	11.70	0.44	3.00	0	1
14	3.30	2.04	3.00	0	1
17	11.70	2.84	3.00	0	1
20	-0.20	1.24	0.00	0	3
23	15.20	2.04	0.00	0	3
301	-0.20	0.04	3.20	0	1
304	5.70	0.04	3.20	0	1
307	11.30	0.04	3.20	0	1
310	3.30	0.44	3.20	0	1
313	11.70	1.24	3.20	0	1
316	3.30	2.84	3.20	0	1
319	11.70	3.64	3.20	0	1
322	3.70	4.04	3.20	0	1
325	9.30	4.04	3.20	0	1
328	15.20	4.04	3.20	0	1
331	3.30	3.51	3.20	0	1
402	1.71	0.04	4.70	0	1
405	7.50	0.04	4.70	0	1
408	13.29	0.04	4.70	0	1
421	1.71	4.04	4.70	0	1
424	7.50	4.04	4.70	0	1
427	13.29	4.04	4.70	0	1
430	3.30	2.04	3.42	0	1
433	3.30	2.84	3.42	0	1
436	11.70	0.44	3.42	0	1
439	11.70	2.84	3.42	0	1
442	11.70	1.24	3.42	0	1

-76	-0.30	1.04	0.00	0	3
-73	-1.70	1.04	0.00	0	3
-70	15.70	0.84	0.00	0	3
-67	14.80	0.84	0.00	0	3
-64	-0.30	0.84	0.00	0	3
-61	-1.70	0.84	0.00	0	3
-58	15.70	0.58	0.00	0	3
-55	14.80	0.58	0.00	0	3
-52	-0.30	0.58	0.00	0	3
-49	-1.70	0.58	0.00	0	3
-46	15.70	0.44	0.00	0	3
-43	14.80	0.44	0.00	0	3
-40	-0.30	0.44	0.00	0	5
-37	-1.70	0.44	0.00	0	3
-34	15.70	0.04	0.00	0	3
-31	14.80	0.04	0.00	0	3
-28	-0.30	0.04	0.00	0	3
-25	-1.70	0.04	0.00	0	3
-22	15.70	-0.07	0.00	0	3
-19	14.80	-0.07	0.00	0	3
-16	-0.30	-0.07	0.00	0	3
-13	-1.70	-0.07	0.00	0	3
-10	15.70	-0.21	0.00	0	3
-7	14.80	-0.21	0.00	0	3
-4	-0.30	-0.21	0.00	0	3
-1	-1.70	-0.21	0.00	0	3
12	3.30	1.24	3.00	0	1
15	11.70	2.04	3.00	0	1
18	3.30	3.64	3.00	0	1
21	15.20	1.24	0.00	0	3
24	-0.20	2.84	0.00	0	3
302	1.71	0.04	3.20	0	1
305	7.50	0.04	3.20	0	1
308	13.29	0.04	3.20	0	1
311	11.70	0.44	3.20	0	1
314	3.30	2.04	3.20	0	1
317	11.70	2.84	3.20	0	1
320	-0.20	4.04	3.20	0	1
323	5.70	4.04	3.20	0	1
326	11.30	4.04	3.20	0	1
329	3.30	0.58	3.20	0	1
332	11.70	3.51	3.20	0	1
403	3.70	0.04	4.70	0	1
406	9.30	0.04	4.70	0	1
409	15.20	0.04	4.70	0	1
422	3.70	4.04	4.70	0	1
425	9.30	4.04	4.70	0	1
428	15.20	4.04	4.70	0	1
431	3.30	0.44	3.42	0	1
434	11.70	3.64	3.42	0	1
437	3.30	3.51	3.42	0	1
440	3.30	1.24	3.42	0	1

-75	-0.70	1.04	0.00	0	3
-72	16.70	0.84	0.00	0	3
-69	15.30	0.84	0.00	0	3
-66	0.20	0.84	0.00	0	3
-63	-0.70	0.84	0.00	0	3
-60	16.70	0.58	0.00	0	3
-57	15.30	0.58	0.00	0	3
-54	0.20	0.58	0.00	0	3
-51	-0.70	0.58	0.00	0	3
-48	16.70	0.44	0.00	0	3
-45	15.30	0.44	0.00	0	5
-42	0.20	0.44	0.00	0	3
-39	-0.70	0.44	0.00	0	3
-36	16.70	0.04	0.00	0	3
-33	15.30	0.04	0.00	0	3
-30	0.20	0.04	0.00	0	3
-27	-0.70	0.04	0.00	0	3
-24	16.70	-0.07	0.00	0	3
-21	15.30	-0.07	0.00	0	3
-18	0.20	-0.07	0.00	0	3
-15	-0.70	-0.07	0.00	0	3
-12	16.70	-0.21	0.00	0	3
-9	15.30	-0.21	0.00	0	3
-6	0.20	-0.21	0.00	0	3
-3	-0.70	-0.21	0.00	0	3
10	3.30	0.44	3.00	0	1
13	11.70	1.24	3.00	0	1
16	3.30	2.84	3.00	0	1
19	11.70	3.64	3.00	0	1
22	-0.20	2.04	0.00	0	3
25	15.20	2.84	0.00	0	3
303	3.70	0.04	3.20	0	1
306	9.30	0.04	3.20	0	1
309	15.20	0.04	3.20	0	1
312	3.30	1.24	3.20	0	1
315	11.70	2.04	3.20	0	1
318	3.30	3.64	3.20	0	1
321	1.71	4.04	3.20	0	1
324	7.50	4.04	3.20	0	1
327	13.29	4.04	3.20	0	1
330	11.70	0.58	3.20	0	1
401	-0.20	0.04	4.70	0	1
404	5.70	0.04	4.70	0	1
407	11.30	0.04	4.70	0	1
420	-0.20	4.04	4.70	0	1
423	5.70	4.04	4.70	0	1
426	11.30	4.04	4.70	0	1
429	11.70	0.58	3.42	0	1
432	3.30	3.64	3.42	0	1
435	11.70	3.51	3.42	0	1
438	3.30	0.58	3.42	0	1
441	11.70	2.04	3.42	0	1

Elenco materiali

Simbologia

Mat. = Numero del materiale
Comm. = Commento
P = Peso specifico
E = Modulo elastico
G = Modulo elastico tangenziale
ν = Coeff. di Poisson
α = Coeff. di dilatazione termica

Mat.	Comm.	P <daN/mc>	E <daN/cmq>	G <daN/cmq>	ν	α
1	Calcestruzzo 28/35 t0	2500	325800.00	130000.00	0.1	1.000000E-05
2	Acciaio	7850	2100000.00	800000.00	0.3	1.000000E-05
7	Calcestruzzo 32/40	2500	336420.00	130000.00	0.1	1.000000E-05

Elenco sezioni aste

Simbologia

Sez. = Numero della sezione
Comm. = Commento
Tipo = Tipologia
2C = Doppia C lato labbri
2Cdx = Doppia C lato costola

2I = Doppia I
2L = Doppia L lato labbri
2Ldx = Doppia L lato costole
C = C
Cdx = C destra
Cir. = Circolare
Cir.c = Circolare cava
I = I
L = L
Ldx = L destra
Om. = Omega
Pg = Pi greco
Pr = Poligono regolare
Prc = Poligono regolare cavo
Pc = Per coordinate
Ia = Inerzie assegnate
R = Rettangolare
Rc = Rettangolare cava
T = T
U = U
Ur = U rovescia
V = V
Vr = V rovescia
Z = Z
Zdx = Z destra
Ts = T stondata
Ls = L stondata
Cs = C stondata
Is = I stondata
Dis. = Disegnata

Me = Membratura
G = Generica
T = Trave
P = Pilastro

Ver. = Verifica prevista
N = Nessuna
C = Cemento armato
A = Acciaio
L = Legno

B = Base
H = Altezza
s = Spessore ala
a = Spessore anima
r = Raggio raccordo anima-ala
r1 = Raggio in testa ala
R = Raggio
Ma = Numero del materiale
C = Numero del criterio di progetto
Crit. col. ini. = Numero del criterio di progetto collegamento iniziale
Crit. col. fin. = Numero del criterio di progetto collegamento finale

Sez.	Comm.	Tipo	Me	Ver.	B <cm>	H <cm>	s <cm>	a <cm>	r <cm>	r1 <cm>	R <cm>	Ma	C	Crit. col. ini.	Crit. col. fin.
1	IPE240 iimpalcato	Is	T	A	12.00	24.00	0.98	0.62	1.50	0.00		2	1	1	1
2	U160x8.5	Cs	T	A	6.60	16.00	0.85	1.05	1.05	0.55		2	1	10	10
3	HEB140	Is	T	A	14.00	14.00	1.20	0.70	1.20	0.00		2	1	10	10
4	IPE120	Is	T	A	6.40	12.00	0.63	0.44	0.70	0.00		2	10	1	1
5	HEA100 sez. generica	Is	G	A	10.00	9.60	0.80	0.50	1.20	0.00		2	10	10	10
6	HEB140 sicurvia	Is	G	N	14.00	14.00	1.20	0.70	1.20	0.00		2			
8	HEA120 comparato a lamina tre onde	Is	G	N	12.00	11.40	0.80	0.50	1.20	0.00		2			
10	BIELLA FITTIZIA	Cir.	G	N							1.50	2			

Elenco vincoli aste

Simbologia

Va = Numero del vincolo asta
Comm. = Commento
Tipo = Tipologia
SVI = Definizione di vincolamenti interni
ELA = Vincolo su suolo elastico alla Winkler
BIE-RTC = Biella resistente a trazione e a compressione
BIE-RC = Biella resistente solo a compressione
BIE-RT = Biella resistente solo a trazione
Ni = Sforzo normale nodo iniziale (0=sbloccato, 1=bloccato)
Tyi = Taglio in dir. Y locale nodo iniziale (0=sbloccato, 1=bloccato)
Tzi = Taglio in dir. Z locale nodo iniziale (0=sbloccato, 1=bloccato)
Mxi = Momento intorno all'asse X locale nodo iniziale (0=sbloccato, 1=bloccato)
Myi = Momento intorno all'asse Y locale nodo iniziale (0=sbloccato, 1=bloccato)
Mzi = Momento intorno all'asse Z locale nodo iniziale (0=sbloccato, 1=bloccato)
Nf = Sforzo normale nodo finale (0=sbloccato, 1=bloccato)
Tyf = Taglio in dir. Y locale nodo finale (0=sbloccato, 1=bloccato)
Tzf = Taglio in dir. Z locale nodo finale (0=sbloccato, 1=bloccato)
Mxf = Momento intorno all'asse X locale nodo finale (0=sbloccato, 1=bloccato)
Myf = Momento intorno all'asse Y locale nodo finale (0=sbloccato, 1=bloccato)

Mzf = Momento intorno all'asse Z locale nodo finale (0=sbloccato, 1=bloccato)
Kt = Coeff. di sottofondo su suolo elastico alla Winkler

Va	Comm.	Tipo	Ni	Tyi	Tzi	Mxi	Myi	Mzi	Nf	Tyf	Tzf	Mxf	Myf	Mzf	Kt <daN/cmc>
1	Inc+Inc	SVI	1	1	1	1	1	1	1	1	1	1	1	1	
5	Inc+CerY	SVI	1	1	1	1	1	1	1	1	1	1	0	1	
6	CerY+Inc	SVI	1	1	1	1	0	1	1	1	1	1	1	1	
7	CerY+CerY	SVI	1	1	1	1	0	1	1	1	1	1	0	1	
30	carr-inc	SVI	0	1	1	1	0	1	1	1	1	1	1	1	
31	inc-carr	SVI	1	1	1	1	1	1	0	1	1	1	0	1	

Elenco aste

Simbologia
Asta = Numero dell'asta
N1 = Nodo iniziale
N2 = Nodo finale
Sez. = Numero della sezione
Va = Numero del vincolo asta
Par. = Numero dei parametri aggiuntivi
Rot. = Rotazione
FF = Filo fisso
Dy1 = Scost. filo fisso Y1
Dy2 = Scost. filo fisso Y2
Dz1 = Scost. filo fisso Z1
Dz2 = Scost. filo fisso Z2
TC1 = Tipo collegamento iniziale
TC2 = Tipo collegamento finale
Kt = Coeff. di sottofondo su suolo elastico alla Winkler

Asta	N1	N2	Sez.	Va	Par.	Rot. <grad>	FF	Dy1 <cm>	Dy2 <cm>	Dz1 <cm>	Dz2 <cm>	TC1	TC2	Kt <daN/cmc>
0	-4	-16		1		0.00	22	0.00	0.00	0.00	0.00	ND	ND	
0	-16	-28		1		0.00	22	0.00	0.00	0.00	0.00	ND	ND	
0	-28	-40		1		0.00	22	0.00	0.00	0.00	0.00	ND	ND	
0	-40	-52		1		0.00	22	0.00	0.00	0.00	0.00	ND	ND	
0	-52	-64		1		0.00	22	0.00	0.00	0.00	0.00	ND	ND	
0	-64	-76		1		0.00	22	0.00	0.00	0.00	0.00	ND	ND	
0	-76	-88		1		0.00	22	0.00	0.00	0.00	0.00	ND	ND	
0	-337	-339		1		0.00	11	0.00	0.00	0.00	0.00	ND	ND	
0	-339	-341		1		0.00	11	0.00	0.00	0.00	0.00	ND	ND	
0	-88	-98		1		0.00	22	0.00	0.00	0.00	0.00	ND	ND	
0	-341	-343		1		0.00	11	0.00	0.00	0.00	0.00	ND	ND	
0	-343	-345		1		0.00	11	0.00	0.00	0.00	0.00	ND	ND	
0	-98	-110		1		0.00	22	0.00	0.00	0.00	0.00	ND	ND	
0	-345	-347		1		0.00	11	0.00	0.00	0.00	0.00	ND	ND	
0	-421	-423		1		0.00	11	0.00	0.00	0.00	0.00	ND	ND	
0	-423	-425		1		0.00	11	0.00	0.00	0.00	0.00	ND	ND	
0	-347	-349		1		0.00	11	0.00	0.00	0.00	0.00	ND	ND	
0	-110	-120		1		0.00	22	0.00	0.00	0.00	0.00	ND	ND	
0	-349	-351		1		0.00	11	0.00	0.00	0.00	0.00	ND	ND	
0	-425	-427		1		0.00	11	0.00	0.00	0.00	0.00	ND	ND	
0	-120	-132		1		0.00	22	0.00	0.00	0.00	0.00	ND	ND	
0	-427	-429		1		0.00	11	0.00	0.00	0.00	0.00	ND	ND	
0	-351	-353		1		0.00	11	0.00	0.00	0.00	0.00	ND	ND	
0	-429	-431		1		0.00	11	0.00	0.00	0.00	0.00	ND	ND	
0	-132	-142		1		0.00	22	0.00	0.00	0.00	0.00	ND	ND	
0	-142	-154		1		0.00	22	0.00	0.00	0.00	0.00	ND	ND	
0	-431	-433		1		0.00	11	0.00	0.00	0.00	0.00	ND	ND	
0	-353	-355		1		0.00	11	0.00	0.00	0.00	0.00	ND	ND	
0	-433	-435		1		0.00	11	0.00	0.00	0.00	0.00	ND	ND	
0	-582	-1617	10	1		0.00	11	0.00	0.00	0.00	0.00	ND	ND	
0	-154	-166		1		0.00	22	0.00	0.00	0.00	0.00	ND	ND	
0	-1617	-1606		1		0.00	11	0.00	0.00	0.00	0.00	ND	ND	
0	-583	-1606	10	1		0.00	11	0.00	0.00	0.00	0.00	ND	ND	
0	-355	-357		1		0.00	11	0.00	0.00	0.00	0.00	ND	ND	
0	-435	-437		1		0.00	11	0.00	0.00	0.00	0.00	ND	ND	
0	-619	-1608	10	1		0.00	11	0.00	0.00	0.00	0.00	ND	ND	
0	401	301	6	1		90.00	55	0.00	0.00	0.00	0.00	ND	ND	
0	-1606	-1605		1		0.00	11	0.00	0.00	0.00	0.00	ND	ND	
0	-584	-1605	10	1		0.00	11	0.00	0.00	0.00	0.00	ND	ND	
0	-620	-1543	10	1		0.00	11	0.00	0.00	0.00	0.00	ND	ND	
0	-1605	-1604		1		0.00	11	0.00	0.00	0.00	0.00	ND	ND	
0	-585	-1604	10	1		0.00	11	0.00	0.00	0.00	0.00	ND	ND	
0	-166	-178		1		0.00	22	0.00	0.00	0.00	0.00	ND	ND	
0	-705	-1607	10	1		0.00	11	0.00	0.00	0.00	0.00	ND	ND	
0	-621	-1542	10	1		0.00	11	0.00	0.00	0.00	0.00	ND	ND	
0	-706	-1840	10	1		0.00	11	0.00	0.00	0.00	0.00	ND	ND	
0	-1604	-1603		1		0.00	11	0.00	0.00	0.00	0.00	ND	ND	

0	-437	-439		1		0.00	11	0.00	0.00	0.00	0.00	ND	ND	
0	-795	-1611	10	1		0.00	11	0.00	0.00	0.00	0.00	ND	ND	
0	-622	-1541	10	1		0.00	11	0.00	0.00	0.00	0.00	ND	ND	
0	-707	-1697	10	1		0.00	11	0.00	0.00	0.00	0.00	ND	ND	
0	-1603	-1602		1		0.00	11	0.00	0.00	0.00	0.00	ND	ND	
0	-586	-1602	10	1		0.00	11	0.00	0.00	0.00	0.00	ND	ND	
0	-357	-359		1		0.00	11	0.00	0.00	0.00	0.00	ND	ND	
0	-624	-1855	10	1		0.00	11	0.00	0.00	0.00	0.00	ND	ND	
0	402	-1603	6	1		90.00	55	0.00	0.00	0.00	0.00	ND	ND	
0	-708	-1696	10	1		0.00	11	0.00	0.00	0.00	0.00	ND	ND	
0	-359	-361		1		0.00	11	0.00	0.00	0.00	0.00	ND	ND	
0	-361	-363		1		0.00	11	0.00	0.00	0.00	0.00	ND	ND	
0	-439	-441		1		0.00	11	0.00	0.00	0.00	0.00	ND	ND	
0	-796	-1564	10	1		0.00	11	0.00	0.00	0.00	0.00	ND	ND	
0	401	402	8	1		90.00	55	0.00	0.00	0.00	0.00	ND	ND	
0	-838	-1616	10	1		0.00	11	0.00	0.00	0.00	0.00	ND	ND	
0	-623	-1860	10	1		0.00	11	0.00	0.00	0.00	0.00	ND	ND	
0	-797	-1563	10	1		0.00	11	0.00	0.00	0.00	0.00	ND	ND	
0	-1602	-1601		1		0.00	11	0.00	0.00	0.00	0.00	ND	ND	
0	-587	-1601	10	1		0.00	11	0.00	0.00	0.00	0.00	ND	ND	
0	-589	-1600	10	1		0.00	11	0.00	0.00	0.00	0.00	ND	ND	
0	-625	-1854	10	1		0.00	11	0.00	0.00	0.00	0.00	ND	ND	
0	-178	-190		1		0.00	22	0.00	0.00	0.00	0.00	ND	ND	
0	-709	-1690	10	1		0.00	11	0.00	0.00	0.00	0.00	ND	ND	
0	-202	-214		1		0.00	22	0.00	0.00	0.00	0.00	ND	ND	
0	-363	-365		1		0.00	11	0.00	0.00	0.00	0.00	ND	ND	
0	-441	-443		1		0.00	11	0.00	0.00	0.00	0.00	ND	ND	
0	-839	-1599	10	1		0.00	11	0.00	0.00	0.00	0.00	ND	ND	
0	-840	-1598	10	1		0.00	11	0.00	0.00	0.00	0.00	ND	ND	
0	-1601	-1933		1		0.00	11	0.00	0.00	0.00	0.00	ND	ND	
0	-443	-445		1		0.00	11	0.00	0.00	0.00	0.00	ND	ND	
0	-445	-447		1		0.00	11	0.00	0.00	0.00	0.00	ND	ND	
0	-883	-1610	10	1		0.00	11	0.00	0.00	0.00	0.00	ND	ND	
0	-798	-1562	10	1		0.00	11	0.00	0.00	0.00	0.00	ND	ND	
0	-926	-1615	10	1		0.00	11	0.00	0.00	0.00	0.00	ND	ND	
0	-1933	-1600		1		0.00	11	0.00	0.00	0.00	0.00	ND	ND	
0	-710	-1685	10	1		0.00	11	0.00	0.00	0.00	0.00	ND	ND	
0	-799	-1561	10	1		0.00	11	0.00	0.00	0.00	0.00	ND	ND	
0	-1600	-1539		1		0.00	11	0.00	0.00	0.00	0.00	ND	ND	
0	-590	-1539	10	1		0.00	11	0.00	0.00	0.00	0.00	ND	ND	
0	-190	-202		1		0.00	22	0.00	0.00	0.00	0.00	ND	ND	
0	-365	-367		1		0.00	11	0.00	0.00	0.00	0.00	SA	SA	
0	-841	-1597	10	1		0.00	11	0.00	0.00	0.00	0.00	ND	ND	
0	-885	-1556	10	1		0.00	11	0.00	0.00	0.00	0.00	ND	ND	
0	-1539	-1822		1		0.00	11	0.00	0.00	0.00	0.00	ND	ND	
0	-367	-369		1		0.00	11	0.00	0.00	0.00	0.00	ND	ND	
0	-884	-1557	10	1		0.00	11	0.00	0.00	0.00	0.00	ND	ND	
0	-371	-373		1		0.00	11	0.00	0.00	0.00	0.00	ND	ND	
0	-447	-449		1		0.00	11	0.00	0.00	0.00	0.00	ND	ND	
0	-927	-1592	10	1		0.00	11	0.00	0.00	0.00	0.00	ND	ND	
0	-971	-1614	10	1		0.00	11	0.00	0.00	0.00	0.00	ND	ND	
0	-627	-1841	10	1		0.00	11	0.00	0.00	0.00	0.00	ND	ND	
0	-711	-1414	10	1		0.00	11	0.00	0.00	0.00	0.00	ND	ND	
0	-800	-1560	10	1		0.00	11	0.00	0.00	0.00	0.00	ND	ND	
0	-842	-1596	10	1		0.00	11	0.00	0.00	0.00	0.00	ND	ND	
0	-928	-1591	10	1		0.00	11	0.00	0.00	0.00	0.00	ND	ND	
0	-972	-1585	10	1		0.00	11	0.00	0.00	0.00	0.00	ND	ND	
0	-886	-1555	10	1		0.00	11	0.00	0.00	0.00	0.00	ND	ND	
0	310	431	10	1		0.00	11	0.00	0.00	0.00	0.00	ND	ND	
0	-713	-1618	10	1		0.00	11	0.00	0.00	0.00	0.00	ND	ND	
0	402	403	8	1		90.00	55	0.00	0.00	0.00	0.00	ND	ND	
0	-449	-451		1		0.00	11	0.00	0.00	0.00	0.00	ND	ND	
0	403	-1822	6	1		90.00	55	0.00	0.00	0.00	0.00	ND	ND	
0	-369	-371		1		0.00	11	0.00	0.00	0.00	0.00	ND	ND	
0	-451	-453		1		0.00	11	0.00	0.00	0.00	0.00	ND	ND	
0	-1059	-1613	10	1		0.00	11	0.00	0.00	0.00	0.00	ND	ND	
0	-801	-1559	10	1		0.00	11	0.00	0.00	0.00	0.00	ND	ND	
0	-843	-1595	10	1		0.00	11	0.00	0.00	0.00	0.00	ND	ND	
0	-929	-1590	10	1		0.00	11	0.00	0.00	0.00	0.00	ND	ND	
0	-973	-1584	10	1		0.00	11	0.00	0.00	0.00	0.00	ND	ND	
0	-887	-1554	10	1		0.00	11	0.00	0.00	0.00	0.00	ND	ND	
0	-1822	-1934		1		0.00	11	0.00	0.00	0.00	0.00	ND	ND	
0	-453	-455		1		0.00	11	0.00	0.00	0.00	0.00	ND	ND	
0	-455	-457		1		0.00	11	0.00	0.00	0.00	0.00	ND	ND	
0	-1060	-1578	10	1		0.00	11	0.00	0.00	0.00	0.00	ND	ND	
0	-1147	-1612	10	1		0.00	11	0.00	0.00	0.00	0.00	ND	ND	
0	420	320	6	1		90.00	55	0.00	0.00	0.00	0.00	ND	ND	
0	-592	-1821	10	1		0.00	11	0.00	0.00	0.00	0.00	ND	ND	
0	-1934	-1821		1		0.00	11	0.00	0.00	0.00	0.00	ND	ND	

0	-628	-1782	10	1		0.00	11	0.00	0.00	0.00	0.00	ND	ND	
0	-714	-1536	10	1		0.00	11	0.00	0.00	0.00	0.00	ND	ND	
0	-803	-1558	10	1		0.00	11	0.00	0.00	0.00	0.00	ND	ND	
0	-844	-1594	10	1		0.00	11	0.00	0.00	0.00	0.00	ND	ND	
0	-930	-1589	10	1		0.00	11	0.00	0.00	0.00	0.00	ND	ND	
0	-974	-1583	10	1		0.00	11	0.00	0.00	0.00	0.00	ND	ND	
0	-1061	-1577	10	1		0.00	11	0.00	0.00	0.00	0.00	ND	ND	
0	-888	-1553	10	1		0.00	11	0.00	0.00	0.00	0.00	ND	ND	
0	-1148	-1571	10	1		0.00	11	0.00	0.00	0.00	0.00	ND	ND	
0	-1189	-1609	10	1		0.00	11	0.00	0.00	0.00	0.00	ND	ND	
0	-1821	-1820		1		0.00	11	0.00	0.00	0.00	0.00	ND	ND	
0	-1609	-1550		1		0.00	11	0.00	0.00	0.00	0.00	ND	ND	
0	-630	-1781	10	1		0.00	11	0.00	0.00	0.00	0.00	ND	ND	
0	-593	-1820	10	1		0.00	11	0.00	0.00	0.00	0.00	ND	ND	
0	-715	-1838	10	1		0.00	11	0.00	0.00	0.00	0.00	ND	ND	
0	312	440	10	1		0.00	11	0.00	0.00	0.00	0.00	ND	ND	
0	-846	-1593	10	1		0.00	11	0.00	0.00	0.00	0.00	ND	ND	
0	-931	-1588	10	1		0.00	11	0.00	0.00	0.00	0.00	ND	ND	
0	-975	-1582	10	1		0.00	11	0.00	0.00	0.00	0.00	ND	ND	
0	-1062	-1576	10	1		0.00	11	0.00	0.00	0.00	0.00	ND	ND	
0	-889	-1552	10	1		0.00	11	0.00	0.00	0.00	0.00	ND	ND	
0	-1149	-1570	10	1		0.00	11	0.00	0.00	0.00	0.00	ND	ND	
0	-1190	-1550	10	1		0.00	11	0.00	0.00	0.00	0.00	ND	ND	
0	-1820	-1819		1		0.00	11	0.00	0.00	0.00	0.00	ND	ND	
0	-1550	-1549		1		0.00	11	0.00	0.00	0.00	0.00	ND	ND	
0	-717	-1837	10	1		0.00	11	0.00	0.00	0.00	0.00	ND	ND	
0	-847	-1531	10	1		0.00	11	0.00	0.00	0.00	0.00	ND	ND	
0	-594	-1819	10	1		0.00	11	0.00	0.00	0.00	0.00	ND	ND	
0	-804	-1725	10	1		0.00	11	0.00	0.00	0.00	0.00	ND	ND	
0	-631	-1780	10	1		0.00	11	0.00	0.00	0.00	0.00	ND	ND	
0	-932	-1587	10	1		0.00	11	0.00	0.00	0.00	0.00	ND	ND	
0	-976	-1581	10	1		0.00	11	0.00	0.00	0.00	0.00	ND	ND	
0	-1063	-1575	10	1		0.00	11	0.00	0.00	0.00	0.00	ND	ND	
0	-891	-1551	10	1		0.00	11	0.00	0.00	0.00	0.00	ND	ND	
0	-1150	-1569	10	1		0.00	11	0.00	0.00	0.00	0.00	ND	ND	
0	-1191	-1549	10	1		0.00	11	0.00	0.00	0.00	0.00	ND	ND	
0	-1819	-1818		1		0.00	11	0.00	0.00	0.00	0.00	ND	ND	
0	-1549	-1548		1		0.00	11	0.00	0.00	0.00	0.00	ND	ND	
0	-718	-1853	10	1		0.00	11	0.00	0.00	0.00	0.00	ND	ND	
0	-632	-1779	10	1		0.00	11	0.00	0.00	0.00	0.00	ND	ND	
0	-595	-1818	10	1		0.00	11	0.00	0.00	0.00	0.00	ND	ND	
0	-848	-1802	10	1		0.00	11	0.00	0.00	0.00	0.00	ND	ND	
0	-806	-1724	10	1		0.00	11	0.00	0.00	0.00	0.00	ND	ND	
0	403	404	8	1		90.00	55	0.00	0.00	0.00	0.00	ND	ND	
0	-934	-1586	10	1		0.00	11	0.00	0.00	0.00	0.00	ND	ND	
0	-977	-1580	10	1		0.00	11	0.00	0.00	0.00	0.00	ND	ND	
0	-1064	-1574	10	1		0.00	11	0.00	0.00	0.00	0.00	ND	ND	
0	314	430	10	1		0.00	11	0.00	0.00	0.00	0.00	ND	ND	
0	-1151	-1568	10	1		0.00	11	0.00	0.00	0.00	0.00	ND	ND	
0	-1192	-1548	10	1		0.00	11	0.00	0.00	0.00	0.00	ND	ND	
0	-1818	-1817		1		0.00	11	0.00	0.00	0.00	0.00	ND	ND	
0	-1548	-2071		1		0.00	11	0.00	0.00	0.00	0.00	ND	ND	
0	420	421	8	1		90.00	55	0.00	0.00	0.00	0.00	ND	ND	
0	-850	-1801	10	1		0.00	11	0.00	0.00	0.00	0.00	ND	ND	
0	-719	-1852	10	1		0.00	11	0.00	0.00	0.00	0.00	ND	ND	
0	-807	-1723	10	1		0.00	11	0.00	0.00	0.00	0.00	ND	ND	
0	-935	-1534	10	1		0.00	11	0.00	0.00	0.00	0.00	ND	ND	
0	-633	-1778	10	1		0.00	11	0.00	0.00	0.00	0.00	ND	ND	
0	-979	-1579	10	1		0.00	11	0.00	0.00	0.00	0.00	ND	ND	
0	-1065	-1573	10	1		0.00	11	0.00	0.00	0.00	0.00	ND	ND	
0	-1152	-1567	10	1		0.00	11	0.00	0.00	0.00	0.00	ND	ND	
0	321	-2071	10	1		0.00	11	0.00	0.00	0.00	0.00	ND	ND	
0	-2071	-1546		1		0.00	11	0.00	0.00	0.00	0.00	ND	ND	
0	421	-2071	6	1		90.00	55	0.00	0.00	0.00	0.00	ND	ND	
0	-1817	-1816		1		0.00	11	0.00	0.00	0.00	0.00	ND	ND	
0	-596	-1816	10	1		0.00	11	0.00	0.00	0.00	0.00	ND	ND	
0	-634	-1777	10	1		0.00	11	0.00	0.00	0.00	0.00	ND	ND	
0	404	-1817	6	1		90.00	55	0.00	0.00	0.00	0.00	ND	ND	
0	-892	-1452	10	1		0.00	11	0.00	0.00	0.00	0.00	ND	ND	
0	316	433	10	1		0.00	11	0.00	0.00	0.00	0.00	ND	ND	
0	-851	-1800	10	1		0.00	11	0.00	0.00	0.00	0.00	ND	ND	
0	-720	-1851	10	1		0.00	11	0.00	0.00	0.00	0.00	ND	ND	
0	-936	-1698	10	1		0.00	11	0.00	0.00	0.00	0.00	ND	ND	
0	-808	-1722	10	1		0.00	11	0.00	0.00	0.00	0.00	ND	ND	
0	-1067	-1572	10	1		0.00	11	0.00	0.00	0.00	0.00	ND	ND	
0	-1153	-1566	10	1		0.00	11	0.00	0.00	0.00	0.00	ND	ND	
0	-1193	-1546	10	1		0.00	11	0.00	0.00	0.00	0.00	ND	ND	
0	-894	-1450	10	1		0.00	11	0.00	0.00	0.00	0.00	ND	ND	
0	-1816	-1815		1		0.00	11	0.00	0.00	0.00	0.00	ND	ND	

0	-1546	-1545		1		0.00	11	0.00	0.00	0.00	0.00	ND	ND	
0	-809	-1721	10	1		0.00	11	0.00	0.00	0.00	0.00	ND	ND	
0	-1068	-1537	10	1		0.00	11	0.00	0.00	0.00	0.00	ND	ND	
0	-597	-1815	10	1		0.00	11	0.00	0.00	0.00	0.00	ND	ND	
0	-938	-1692	10	1		0.00	11	0.00	0.00	0.00	0.00	ND	ND	
0	-980	-1475	10	1		0.00	11	0.00	0.00	0.00	0.00	ND	ND	
0	-635	-1776	10	1		0.00	11	0.00	0.00	0.00	0.00	ND	ND	
0	-852	-1799	10	1		0.00	11	0.00	0.00	0.00	0.00	ND	ND	
0	-721	-1858	10	1		0.00	11	0.00	0.00	0.00	0.00	ND	ND	
0	-1155	-1565	10	1		0.00	11	0.00	0.00	0.00	0.00	ND	ND	
0	-1194	-1545	10	1		0.00	11	0.00	0.00	0.00	0.00	ND	ND	
0	-895	-1449	10	1		0.00	11	0.00	0.00	0.00	0.00	ND	ND	
0	-1815	-2087		1		0.00	11	0.00	0.00	0.00	0.00	ND	ND	
0	-1545	-1922		1		0.00	11	0.00	0.00	0.00	0.00	ND	ND	
0	-598	-1814	10	1		0.00	11	0.00	0.00	0.00	0.00	ND	ND	
0	-2087	-1814		1		0.00	11	0.00	0.00	0.00	0.00	ND	ND	
0	-722	-1856	10	1		0.00	11	0.00	0.00	0.00	0.00	ND	ND	
0	-982	-1474	10	1		0.00	11	0.00	0.00	0.00	0.00	ND	ND	
0	-810	-1720	10	1		0.00	11	0.00	0.00	0.00	0.00	ND	ND	
0	-636	-1775	10	1		0.00	11	0.00	0.00	0.00	0.00	ND	ND	
0	404	-1272	8	1		90.00	55	0.00	0.00	0.00	0.00	ND	ND	
0	-1922	-1544		1		0.00	11	0.00	0.00	0.00	0.00	ND	ND	
0	318	432	10	1		0.00	11	0.00	0.00	0.00	0.00	ND	ND	
0	-939	-1691	10	1		0.00	11	0.00	0.00	0.00	0.00	ND	ND	
0	-853	-1798	10	1		0.00	11	0.00	0.00	0.00	0.00	ND	ND	
0	-1069	-1705	10	1		0.00	11	0.00	0.00	0.00	0.00	ND	ND	
0	-1196	-1544	10	1		0.00	11	0.00	0.00	0.00	0.00	ND	ND	
0	-896	-1448	10	1		0.00	11	0.00	0.00	0.00	0.00	ND	ND	
0	-1544	-1540		1		0.00	11	0.00	0.00	0.00	0.00	ND	ND	
0	-599	-1813	10	1		0.00	11	0.00	0.00	0.00	0.00	ND	ND	
0	-1156	-1745	10	1		0.00	11	0.00	0.00	0.00	0.00	ND	ND	
0	421	422	8	1		90.00	55	0.00	0.00	0.00	0.00	ND	ND	
0	-1814	-2089		1		0.00	11	0.00	0.00	0.00	0.00	ND	ND	
0	-2089	-1813		1		0.00	11	0.00	0.00	0.00	0.00	ND	ND	
0	-983	-1473	10	1		0.00	11	0.00	0.00	0.00	0.00	ND	ND	
0	-811	-1719	10	1		0.00	11	0.00	0.00	0.00	0.00	ND	ND	
0	-723	-1695	10	1		0.00	11	0.00	0.00	0.00	0.00	ND	ND	
0	-1071	-1704	10	1		0.00	11	0.00	0.00	0.00	0.00	ND	ND	
0	-940	-1688	10	1		0.00	11	0.00	0.00	0.00	0.00	ND	ND	
0	-637	-1774	10	1		0.00	11	0.00	0.00	0.00	0.00	ND	ND	
0	-854	-1797	10	1		0.00	11	0.00	0.00	0.00	0.00	ND	ND	
0	-1197	-1540	10	1		0.00	11	0.00	0.00	0.00	0.00	ND	ND	
0	-897	-1446	10	1		0.00	11	0.00	0.00	0.00	0.00	ND	ND	
0	-1813	-1533		1		0.00	11	0.00	0.00	0.00	0.00	ND	ND	
0	-1540	-2069		1		0.00	11	0.00	0.00	0.00	0.00	ND	ND	
0	-600	-1812	10	1		0.00	11	0.00	0.00	0.00	0.00	ND	ND	
0	-1533	-1812		1		0.00	11	0.00	0.00	0.00	0.00	ND	ND	
0	-1072	-1703	10	1		0.00	11	0.00	0.00	0.00	0.00	ND	ND	
0	-984	-1472	10	1		0.00	11	0.00	0.00	0.00	0.00	ND	ND	
0	-638	-1773	10	1		0.00	11	0.00	0.00	0.00	0.00	ND	ND	
0	322	-2069	10	1		0.00	11	0.00	0.00	0.00	0.00	ND	ND	
0	-724	-1694	10	1		0.00	11	0.00	0.00	0.00	0.00	ND	ND	
0	-812	-1718	10	1		0.00	11	0.00	0.00	0.00	0.00	ND	ND	
0	-1158	-1744	10	1		0.00	11	0.00	0.00	0.00	0.00	ND	ND	
0	-855	-1796	10	1		0.00	11	0.00	0.00	0.00	0.00	ND	ND	
0	-941	-1411	10	1		0.00	11	0.00	0.00	0.00	0.00	ND	ND	
0	-898	-1445	10	1		0.00	11	0.00	0.00	0.00	0.00	ND	ND	
0	-2069	-1942		1		0.00	11	0.00	0.00	0.00	0.00	ND	ND	
0	-1812	-2091		1		0.00	11	0.00	0.00	0.00	0.00	ND	ND	
0	-1942	-1761		1		0.00	11	0.00	0.00	0.00	0.00	ND	ND	
0	422	-2069	6	1		90.00	55	0.00	0.00	0.00	0.00	ND	ND	
0	-601	-1811	10	1		0.00	11	0.00	0.00	0.00	0.00	ND	ND	
0	-2091	-1811		1		0.00	11	0.00	0.00	0.00	0.00	ND	ND	
0	-1159	-1743	10	1		0.00	11	0.00	0.00	0.00	0.00	ND	ND	
0	-640	-1772	10	1		0.00	11	0.00	0.00	0.00	0.00	ND	ND	
0	405	-1533	6	1		90.00	55	0.00	0.00	0.00	0.00	ND	ND	
0	-1199	-1761	10	1		0.00	11	0.00	0.00	0.00	0.00	ND	ND	
0	-813	-1717	10	1		0.00	11	0.00	0.00	0.00	0.00	ND	ND	
0	-1073	-1702	10	1		0.00	11	0.00	0.00	0.00	0.00	ND	ND	
0	-856	-1795	10	1		0.00	11	0.00	0.00	0.00	0.00	ND	ND	
0	-985	-1471	10	1		0.00	11	0.00	0.00	0.00	0.00	ND	ND	
0	-942	-1410	10	1		0.00	11	0.00	0.00	0.00	0.00	ND	ND	
0	-725	-1693	10	1		0.00	11	0.00	0.00	0.00	0.00	ND	ND	
0	-1811	-2093		1		0.00	11	0.00	0.00	0.00	0.00	ND	ND	
0	-1761	-1760		1		0.00	11	0.00	0.00	0.00	0.00	ND	ND	
0	-1160	-1742	10	1		0.00	11	0.00	0.00	0.00	0.00	ND	ND	
0	-641	-1771	10	1		0.00	11	0.00	0.00	0.00	0.00	ND	ND	
0	-986	-1470	10	1		0.00	11	0.00	0.00	0.00	0.00	ND	ND	
0	-602	-1810	10	1		0.00	11	0.00	0.00	0.00	0.00	ND	ND	

0	-1272	405	8	1		90.00	55	0.00	0.00	0.00	0.00	ND	ND	
0	-899	-1443	10	1		0.00	11	0.00	0.00	0.00	0.00	ND	ND	
0	-2093	-1810		1		0.00	11	0.00	0.00	0.00	0.00	ND	ND	
0	-1074	-1701	10	1		0.00	11	0.00	0.00	0.00	0.00	ND	ND	
0	-814	-1716	10	1		0.00	11	0.00	0.00	0.00	0.00	ND	ND	
0	-943	-1412	10	1		0.00	11	0.00	0.00	0.00	0.00	ND	ND	
0	-727	-1866	10	1		0.00	11	0.00	0.00	0.00	0.00	ND	ND	
0	-857	-1794	10	1		0.00	11	0.00	0.00	0.00	0.00	ND	ND	
0	-1200	-1760	10	1		0.00	11	0.00	0.00	0.00	0.00	ND	ND	
0	-900	-1442	10	1		0.00	11	0.00	0.00	0.00	0.00	ND	ND	
0	-1810	-1809		1		0.00	11	0.00	0.00	0.00	0.00	ND	ND	
0	-1760	-1759		1		0.00	11	0.00	0.00	0.00	0.00	ND	ND	
0	-1075	-1700	10	1		0.00	11	0.00	0.00	0.00	0.00	ND	ND	
0	-603	-1809	10	1		0.00	11	0.00	0.00	0.00	0.00	ND	ND	
0	-1201	-1759	10	1		0.00	11	0.00	0.00	0.00	0.00	ND	ND	
0	-944	-1835	10	1		0.00	11	0.00	0.00	0.00	0.00	ND	ND	
0	-816	-1715	10	1		0.00	11	0.00	0.00	0.00	0.00	ND	ND	
0	-1161	-1741	10	1		0.00	11	0.00	0.00	0.00	0.00	ND	ND	
0	422	423	8	1		90.00	55	0.00	0.00	0.00	0.00	ND	ND	
0	-858	-1793	10	1		0.00	11	0.00	0.00	0.00	0.00	ND	ND	
0	-987	-1469	10	1		0.00	11	0.00	0.00	0.00	0.00	ND	ND	
0	-642	-1770	10	1		0.00	11	0.00	0.00	0.00	0.00	ND	ND	
0	-728	-1865	10	1		0.00	11	0.00	0.00	0.00	0.00	ND	ND	
0	-901	-1441	10	1		0.00	11	0.00	0.00	0.00	0.00	ND	ND	
0	-1809	-1808		1		0.00	11	0.00	0.00	0.00	0.00	ND	ND	
0	-1759	-1758		1		0.00	11	0.00	0.00	0.00	0.00	ND	ND	
0	-643	-1769	10	1		0.00	11	0.00	0.00	0.00	0.00	ND	ND	
0	-817	-1714	10	1		0.00	11	0.00	0.00	0.00	0.00	ND	ND	
0	-729	-1864	10	1		0.00	11	0.00	0.00	0.00	0.00	ND	ND	
0	405	-1273	8	1		90.00	55	0.00	0.00	0.00	0.00	ND	ND	
0	-1273	406	8	1		90.00	55	0.00	0.00	0.00	0.00	ND	ND	
0	-1162	-1740	10	1		0.00	11	0.00	0.00	0.00	0.00	ND	ND	
0	-1076	-1497	10	1		0.00	11	0.00	0.00	0.00	0.00	ND	ND	
0	-945	-1834	10	1		0.00	11	0.00	0.00	0.00	0.00	ND	ND	
0	-988	-1468	10	1		0.00	11	0.00	0.00	0.00	0.00	ND	ND	
0	-1202	-1758	10	1		0.00	11	0.00	0.00	0.00	0.00	ND	ND	
0	-860	-1792	10	1		0.00	11	0.00	0.00	0.00	0.00	ND	ND	
0	-902	-1439	10	1		0.00	11	0.00	0.00	0.00	0.00	ND	ND	
0	-1758	-2067		1		0.00	11	0.00	0.00	0.00	0.00	ND	ND	
0	-1808	-1807		1		0.00	11	0.00	0.00	0.00	0.00	ND	ND	
0	-861	-1791	10	1		0.00	11	0.00	0.00	0.00	0.00	ND	ND	
0	-604	-1807	10	1		0.00	11	0.00	0.00	0.00	0.00	ND	ND	
0	323	-2067	10	1		0.00	11	0.00	0.00	0.00	0.00	ND	ND	
0	-818	-1713	10	1		0.00	11	0.00	0.00	0.00	0.00	ND	ND	
0	-989	-1467	10	1		0.00	11	0.00	0.00	0.00	0.00	ND	ND	
0	-644	-1768	10	1		0.00	11	0.00	0.00	0.00	0.00	ND	ND	
0	-946	-1833	10	1		0.00	11	0.00	0.00	0.00	0.00	ND	ND	
0	-1807	-1806		1		0.00	11	0.00	0.00	0.00	0.00	ND	ND	
0	406	-1808	6	1		90.00	55	0.00	0.00	0.00	0.00	ND	ND	
0	-730	-1861	10	1		0.00	11	0.00	0.00	0.00	0.00	ND	ND	
0	-1077	-1496	10	1		0.00	11	0.00	0.00	0.00	0.00	ND	ND	
0	-1163	-1739	10	1		0.00	11	0.00	0.00	0.00	0.00	ND	ND	
0	-904	-1438	10	1		0.00	11	0.00	0.00	0.00	0.00	ND	ND	
0	-2067	-1757		1		0.00	11	0.00	0.00	0.00	0.00	ND	ND	
0	-1203	-1757	10	1		0.00	11	0.00	0.00	0.00	0.00	ND	ND	
0	423	-2067	6	1		90.00	55	0.00	0.00	0.00	0.00	ND	ND	
0	-1164	-1738	10	1		0.00	11	0.00	0.00	0.00	0.00	ND	ND	
0	-645	-1767	10	1		0.00	11	0.00	0.00	0.00	0.00	ND	ND	
0	-862	-1790	10	1		0.00	11	0.00	0.00	0.00	0.00	ND	ND	
0	-819	-1712	10	1		0.00	11	0.00	0.00	0.00	0.00	ND	ND	
0	-605	-1806	10	1		0.00	11	0.00	0.00	0.00	0.00	ND	ND	
0	-731	-1857	10	1		0.00	11	0.00	0.00	0.00	0.00	ND	ND	
0	-948	-1832	10	1		0.00	11	0.00	0.00	0.00	0.00	ND	ND	
0	-990	-1466	10	1		0.00	11	0.00	0.00	0.00	0.00	ND	ND	
0	-1078	-1495	10	1		0.00	11	0.00	0.00	0.00	0.00	ND	ND	
0	-905	-1436	10	1		0.00	11	0.00	0.00	0.00	0.00	ND	ND	
0	-1757	-1756		1		0.00	11	0.00	0.00	0.00	0.00	ND	ND	
0	-1806	-1805		1		0.00	11	0.00	0.00	0.00	0.00	ND	ND	
0	-863	-1789	10	1		0.00	11	0.00	0.00	0.00	0.00	ND	ND	
0	-646	-1766	10	1		0.00	11	0.00	0.00	0.00	0.00	ND	ND	
0	-949	-1831	10	1		0.00	11	0.00	0.00	0.00	0.00	ND	ND	
0	-820	-1711	10	1		0.00	11	0.00	0.00	0.00	0.00	ND	ND	
0	-606	-1805	10	1		0.00	11	0.00	0.00	0.00	0.00	ND	ND	
0	-732	-1845	10	1		0.00	11	0.00	0.00	0.00	0.00	ND	ND	
0	406	407	8	1		90.00	55	0.00	0.00	0.00	0.00	ND	ND	
0	-1165	-1737	10	1		0.00	11	0.00	0.00	0.00	0.00	ND	ND	
0	-1079	-1494	10	1		0.00	11	0.00	0.00	0.00	0.00	ND	ND	
0	-1204	-1756	10	1		0.00	11	0.00	0.00	0.00	0.00	ND	ND	
0	-992	-1465	10	1		0.00	11	0.00	0.00	0.00	0.00	ND	ND	

0	-906	-1435	10	1		0.00	11	0.00	0.00	0.00	0.00	ND	ND	
0	-1756	-2115		1		0.00	11	0.00	0.00	0.00	0.00	ND	ND	
0	-1205	-1755	10	1		0.00	11	0.00	0.00	0.00	0.00	ND	ND	
0	-2115	-1755		1		0.00	11	0.00	0.00	0.00	0.00	ND	ND	
0	423	424	8	1		90.00	55	0.00	0.00	0.00	0.00	ND	ND	
0	-1805	-1804		1		0.00	11	0.00	0.00	0.00	0.00	ND	ND	
0	-1166	-1736	10	1		0.00	11	0.00	0.00	0.00	0.00	ND	ND	
0	-864	-1788	10	1		0.00	11	0.00	0.00	0.00	0.00	ND	ND	
0	-950	-1830	10	1		0.00	11	0.00	0.00	0.00	0.00	ND	ND	
0	-607	-1804	10	1		0.00	11	0.00	0.00	0.00	0.00	ND	ND	
0	-1081	-1493	10	1		0.00	11	0.00	0.00	0.00	0.00	ND	ND	
0	-733	-1844	10	1		0.00	11	0.00	0.00	0.00	0.00	ND	ND	
0	-821	-1710	10	1		0.00	11	0.00	0.00	0.00	0.00	ND	ND	
0	-647	-1765	10	1		0.00	11	0.00	0.00	0.00	0.00	ND	ND	
0	-993	-1464	10	1		0.00	11	0.00	0.00	0.00	0.00	ND	ND	
0	-907	-1434	10	1		0.00	11	0.00	0.00	0.00	0.00	ND	ND	
0	-1755	-2116		1		0.00	11	0.00	0.00	0.00	0.00	ND	ND	
0	-1804	-1950		1		0.00	11	0.00	0.00	0.00	0.00	ND	ND	
0	-1950	-1803		1		0.00	11	0.00	0.00	0.00	0.00	ND	ND	
0	-1206	-1754	10	1		0.00	11	0.00	0.00	0.00	0.00	ND	ND	
0	-2116	-1754		1		0.00	11	0.00	0.00	0.00	0.00	ND	ND	
0	-1082	-1492	10	1		0.00	11	0.00	0.00	0.00	0.00	ND	ND	
0	-734	-1843	10	1		0.00	11	0.00	0.00	0.00	0.00	ND	ND	
0	-822	-1709	10	1		0.00	11	0.00	0.00	0.00	0.00	ND	ND	
0	-1168	-1735	10	1		0.00	11	0.00	0.00	0.00	0.00	ND	ND	
0	-951	-1829	10	1		0.00	11	0.00	0.00	0.00	0.00	ND	ND	
0	-994	-1463	10	1		0.00	11	0.00	0.00	0.00	0.00	ND	ND	
0	-865	-1787	10	1		0.00	11	0.00	0.00	0.00	0.00	ND	ND	
0	-648	-1764	10	1		0.00	11	0.00	0.00	0.00	0.00	ND	ND	
0	-908	-1433	10	1		0.00	11	0.00	0.00	0.00	0.00	ND	ND	
0	-1803	-1687		1		0.00	11	0.00	0.00	0.00	0.00	ND	ND	
0	407	-1803	6	1		90.00	55	0.00	0.00	0.00	0.00	ND	ND	
0	-1754	-1689		1		0.00	11	0.00	0.00	0.00	0.00	ND	ND	
0	-1169	-1734	10	1		0.00	11	0.00	0.00	0.00	0.00	ND	ND	
0	-1207	-2065	10	1		0.00	11	0.00	0.00	0.00	0.00	ND	ND	
0	-1689	-2065		1		0.00	11	0.00	0.00	0.00	0.00	ND	ND	
0	-952	-1828	10	1		0.00	11	0.00	0.00	0.00	0.00	ND	ND	
0	-995	-1462	10	1		0.00	11	0.00	0.00	0.00	0.00	ND	ND	
0	-650	-1763	10	1		0.00	11	0.00	0.00	0.00	0.00	ND	ND	
0	-1083	-1491	10	1		0.00	11	0.00	0.00	0.00	0.00	ND	ND	
0	-2065	-2117		1		0.00	11	0.00	0.00	0.00	0.00	ND	ND	
0	-1208	-1753	10	1		0.00	11	0.00	0.00	0.00	0.00	ND	ND	
0	424	-1689	6	1		90.00	55	0.00	0.00	0.00	0.00	ND	ND	
0	-823	-1708	10	1		0.00	11	0.00	0.00	0.00	0.00	ND	ND	
0	-609	-1687	10	1		0.00	11	0.00	0.00	0.00	0.00	ND	ND	
0	-735	-1839	10	1		0.00	11	0.00	0.00	0.00	0.00	ND	ND	
0	-866	-1786	10	1		0.00	11	0.00	0.00	0.00	0.00	ND	ND	
0	-909	-1432	10	1		0.00	11	0.00	0.00	0.00	0.00	ND	ND	
0	-1687	-1625		1		0.00	11	0.00	0.00	0.00	0.00	ND	ND	
0	-2117	-1753		1		0.00	11	0.00	0.00	0.00	0.00	ND	ND	
0	-610	-1625	10	1		0.00	11	0.00	0.00	0.00	0.00	ND	ND	
0	-737	-1836	10	1		0.00	11	0.00	0.00	0.00	0.00	ND	ND	
0	-996	-1460	10	1		0.00	11	0.00	0.00	0.00	0.00	ND	ND	
0	-867	-1785	10	1		0.00	11	0.00	0.00	0.00	0.00	ND	ND	
0	-1170	-1733	10	1		0.00	11	0.00	0.00	0.00	0.00	ND	ND	
0	-824	-1707	10	1		0.00	11	0.00	0.00	0.00	0.00	ND	ND	
0	-953	-1827	10	1		0.00	11	0.00	0.00	0.00	0.00	ND	ND	
0	-1084	-1482	10	1		0.00	11	0.00	0.00	0.00	0.00	ND	ND	
0	311	436	10	1		0.00	11	0.00	0.00	0.00	0.00	ND	ND	
0	-910	-1431	10	1		0.00	11	0.00	0.00	0.00	0.00	ND	ND	
0	-1625	-1961		1		0.00	11	0.00	0.00	0.00	0.00	ND	ND	
0	-1753	-2119		1		0.00	11	0.00	0.00	0.00	0.00	ND	ND	
0	-1961	-1624		1		0.00	11	0.00	0.00	0.00	0.00	ND	ND	
0	407	408	8	1		90.00	55	0.00	0.00	0.00	0.00	ND	ND	
0	-1209	-1752	10	1		0.00	11	0.00	0.00	0.00	0.00	ND	ND	
0	-2119	-1752		1		0.00	11	0.00	0.00	0.00	0.00	ND	ND	
0	-651	-1362	10	1		0.00	11	0.00	0.00	0.00	0.00	ND	ND	
0	-1171	-1732	10	1		0.00	11	0.00	0.00	0.00	0.00	ND	ND	
0	-1085	-1481	10	1		0.00	11	0.00	0.00	0.00	0.00	ND	ND	
0	424	425	8	1		90.00	55	0.00	0.00	0.00	0.00	ND	ND	
0	-612	-1624	10	1		0.00	11	0.00	0.00	0.00	0.00	ND	ND	
0	-954	-1826	10	1		0.00	11	0.00	0.00	0.00	0.00	ND	ND	
0	-738	-1850	10	1		0.00	11	0.00	0.00	0.00	0.00	ND	ND	
0	-997	-1459	10	1		0.00	11	0.00	0.00	0.00	0.00	ND	ND	
0	-826	-1706	10	1		0.00	11	0.00	0.00	0.00	0.00	ND	ND	
0	-868	-1784	10	1		0.00	11	0.00	0.00	0.00	0.00	ND	ND	
0	-911	-1430	10	1		0.00	11	0.00	0.00	0.00	0.00	ND	ND	
0	-1624	-1623		1		0.00	11	0.00	0.00	0.00	0.00	ND	ND	
0	-1752	-1751		1		0.00	11	0.00	0.00	0.00	0.00	ND	ND	

0	-613	-1623	10	1		0.00	11	0.00	0.00	0.00	0.00	ND	ND	
0	-653	-1356	10	1		0.00	11	0.00	0.00	0.00	0.00	ND	ND	
0	-739	-1416	10	1		0.00	11	0.00	0.00	0.00	0.00	ND	ND	
0	-870	-1783	10	1		0.00	11	0.00	0.00	0.00	0.00	ND	ND	
0	-955	-1825	10	1		0.00	11	0.00	0.00	0.00	0.00	ND	ND	
0	-1172	-1731	10	1		0.00	11	0.00	0.00	0.00	0.00	ND	ND	
0	-1086	-1480	10	1		0.00	11	0.00	0.00	0.00	0.00	ND	ND	
0	-998	-1456	10	1		0.00	11	0.00	0.00	0.00	0.00	ND	ND	
0	-1210	-1751	10	1		0.00	11	0.00	0.00	0.00	0.00	ND	ND	
0	313	442	10	1		0.00	11	0.00	0.00	0.00	0.00	ND	ND	
0	-912	-1429	10	1		0.00	11	0.00	0.00	0.00	0.00	ND	ND	
0	-1623	-1622		1		0.00	11	0.00	0.00	0.00	0.00	ND	ND	
0	-1751	-1750		1		0.00	11	0.00	0.00	0.00	0.00	ND	ND	
0	-654	-1355	10	1		0.00	11	0.00	0.00	0.00	0.00	ND	ND	
0	408	-1622	6	1		90.00	55	0.00	0.00	0.00	0.00	ND	ND	
0	-741	-1415	10	1		0.00	11	0.00	0.00	0.00	0.00	ND	ND	
0	-827	-1667	10	1		0.00	11	0.00	0.00	0.00	0.00	ND	ND	
0	-1173	-1730	10	1		0.00	11	0.00	0.00	0.00	0.00	ND	ND	
0	-1087	-1479	10	1		0.00	11	0.00	0.00	0.00	0.00	ND	ND	
0	-871	-1863	10	1		0.00	11	0.00	0.00	0.00	0.00	ND	ND	
0	-956	-1824	10	1		0.00	11	0.00	0.00	0.00	0.00	ND	ND	
0	-999	-1455	10	1		0.00	11	0.00	0.00	0.00	0.00	ND	ND	
0	325	-1750	10	1		0.00	11	0.00	0.00	0.00	0.00	ND	ND	
0	-914	-1428	10	1		0.00	11	0.00	0.00	0.00	0.00	ND	ND	
0	-1622	-1621		1		0.00	11	0.00	0.00	0.00	0.00	ND	ND	
0	-1750	-2063		1		0.00	11	0.00	0.00	0.00	0.00	ND	ND	
0	-614	-1621	10	1		0.00	11	0.00	0.00	0.00	0.00	ND	ND	
0	-655	-1352	10	1		0.00	11	0.00	0.00	0.00	0.00	ND	ND	
0	-742	-1367	10	1		0.00	11	0.00	0.00	0.00	0.00	ND	ND	
0	-829	-1666	10	1		0.00	11	0.00	0.00	0.00	0.00	ND	ND	
0	-872	-1632	10	1		0.00	11	0.00	0.00	0.00	0.00	ND	ND	
0	-1211	-2063	10	1		0.00	11	0.00	0.00	0.00	0.00	ND	ND	
0	-958	-1823	10	1		0.00	11	0.00	0.00	0.00	0.00	ND	ND	
0	-1000	-1454	10	1		0.00	11	0.00	0.00	0.00	0.00	ND	ND	
0	-1174	-1729	10	1		0.00	11	0.00	0.00	0.00	0.00	ND	ND	
0	-2063	-1749		1		0.00	11	0.00	0.00	0.00	0.00	ND	ND	
0	425	-1750	6	1		90.00	55	0.00	0.00	0.00	0.00	ND	ND	
0	-1088	-1478	10	1		0.00	11	0.00	0.00	0.00	0.00	ND	ND	
0	315	441	10	1		0.00	11	0.00	0.00	0.00	0.00	ND	ND	
0	-1621	-1620		1		0.00	11	0.00	0.00	0.00	0.00	ND	ND	
0	-615	-1620	10	1		0.00	11	0.00	0.00	0.00	0.00	ND	ND	
0	-656	-1684	10	1		0.00	11	0.00	0.00	0.00	0.00	ND	ND	
0	-743	-1366	10	1		0.00	11	0.00	0.00	0.00	0.00	ND	ND	
0	-830	-1665	10	1		0.00	11	0.00	0.00	0.00	0.00	ND	ND	
0	-874	-1631	10	1		0.00	11	0.00	0.00	0.00	0.00	ND	ND	
0	-1212	-1749	10	1		0.00	11	0.00	0.00	0.00	0.00	ND	ND	
0	-1089	-1477	10	1		0.00	11	0.00	0.00	0.00	0.00	ND	ND	
0	-1175	-1728	10	1		0.00	11	0.00	0.00	0.00	0.00	ND	ND	
0	-1002	-1453	10	1		0.00	11	0.00	0.00	0.00	0.00	ND	ND	
0	-959	-1859	10	1		0.00	11	0.00	0.00	0.00	0.00	ND	ND	
0	-915	-1674	10	1		0.00	11	0.00	0.00	0.00	0.00	ND	ND	
0	-1749	-1748		1		0.00	11	0.00	0.00	0.00	0.00	ND	ND	
0	-1176	-1727	10	1		0.00	11	0.00	0.00	0.00	0.00	ND	ND	
0	425	426	8	1		90.00	55	0.00	0.00	0.00	0.00	ND	ND	
0	-338	-340		1		0.00	11	0.00	0.00	0.00	0.00	ND	ND	
0	-342	-344		1		0.00	11	0.00	0.00	0.00	0.00	ND	ND	
0	-344	-346		1		0.00	11	0.00	0.00	0.00	0.00	ND	ND	
0	-616	-1619	10	1		0.00	11	0.00	0.00	0.00	0.00	ND	ND	
0	-744	-1365	10	1		0.00	11	0.00	0.00	0.00	0.00	ND	ND	
0	-960	-1639	10	1		0.00	11	0.00	0.00	0.00	0.00	ND	ND	
0	-1213	-1748	10	1		0.00	11	0.00	0.00	0.00	0.00	ND	ND	
0	-346	-348		1		0.00	11	0.00	0.00	0.00	0.00	ND	ND	
0	-1620	-1619		1		0.00	11	0.00	0.00	0.00	0.00	ND	ND	
0	-657	-1683	10	1		0.00	11	0.00	0.00	0.00	0.00	ND	ND	
0	-831	-1664	10	1		0.00	11	0.00	0.00	0.00	0.00	ND	ND	
0	-875	-1630	10	1		0.00	11	0.00	0.00	0.00	0.00	ND	ND	
0	317	439	10	1		0.00	11	0.00	0.00	0.00	0.00	ND	ND	
0	-1091	-1476	10	1		0.00	11	0.00	0.00	0.00	0.00	ND	ND	
0	-917	-1673	10	1		0.00	11	0.00	0.00	0.00	0.00	ND	ND	
0	-1619	-1417		1		0.00	11	0.00	0.00	0.00	0.00	ND	ND	
0	-1748	-1747		1		0.00	11	0.00	0.00	0.00	0.00	ND	ND	
0	-658	-1682	10	1		0.00	11	0.00	0.00	0.00	0.00	ND	ND	
0	-876	-1629	10	1		0.00	11	0.00	0.00	0.00	0.00	ND	ND	
0	-962	-1638	10	1		0.00	11	0.00	0.00	0.00	0.00	ND	ND	
0	-1003	-1646	10	1		0.00	11	0.00	0.00	0.00	0.00	ND	ND	
0	-1178	-1726	10	1		0.00	11	0.00	0.00	0.00	0.00	ND	ND	
0	-1214	-1747	10	1		0.00	11	0.00	0.00	0.00	0.00	ND	ND	
0	-340	-342		1		0.00	11	0.00	0.00	0.00	0.00	ND	ND	
0	-617	-1417	10	1		0.00	11	0.00	0.00	0.00	0.00	ND	ND	

0	-832	-1663	10	1		0.00	11	0.00	0.00	0.00	0.00	ND	ND	
0	-1092	-1848	10	1		0.00	11	0.00	0.00	0.00	0.00	ND	ND	
0	-918	-1672	10	1		0.00	11	0.00	0.00	0.00	0.00	ND	ND	
0	-1747	-1957		1		0.00	11	0.00	0.00	0.00	0.00	ND	ND	
0	-422	-424		1		0.00	11	0.00	0.00	0.00	0.00	ND	ND	
0	-424	-426		1		0.00	11	0.00	0.00	0.00	0.00	ND	ND	
0	-536	-581		1		0.00	11	0.00	0.00	0.00	0.00	ND	ND	
0	-1957	-1746		1		0.00	11	0.00	0.00	0.00	0.00	ND	ND	
0	-659	-1426	10	1		0.00	11	0.00	0.00	0.00	0.00	ND	ND	
0	409	309	6	1		90.00	55	0.00	0.00	0.00	0.00	ND	ND	
0	-746	-1363	10	1		0.00	11	0.00	0.00	0.00	0.00	ND	ND	
0	-833	-1662	10	1		0.00	11	0.00	0.00	0.00	0.00	ND	ND	
0	-877	-1628	10	1		0.00	11	0.00	0.00	0.00	0.00	ND	ND	
0	-963	-1637	10	1		0.00	11	0.00	0.00	0.00	0.00	ND	ND	
0	-1005	-1645	10	1		0.00	11	0.00	0.00	0.00	0.00	ND	ND	
0	-1093	-1653	10	1		0.00	11	0.00	0.00	0.00	0.00	ND	ND	
0	-919	-1671	10	1		0.00	11	0.00	0.00	0.00	0.00	ND	ND	
0	319	434	10	1		0.00	11	0.00	0.00	0.00	0.00	ND	ND	
0	326	-1746	10	1		0.00	11	0.00	0.00	0.00	0.00	ND	ND	
0	-1746	-1686		1		0.00	11	0.00	0.00	0.00	0.00	ND	ND	
0	426	-1746	6	1		90.00	55	0.00	0.00	0.00	0.00	ND	ND	
0	-426	-428		1		0.00	11	0.00	0.00	0.00	0.00	ND	ND	
0	-1006	-1644	10	1		0.00	11	0.00	0.00	0.00	0.00	ND	ND	
0	-1095	-1652	10	1		0.00	11	0.00	0.00	0.00	0.00	ND	ND	
0	-1179	-1660	10	1		0.00	11	0.00	0.00	0.00	0.00	ND	ND	
0	-348	-350		1		0.00	11	0.00	0.00	0.00	0.00	ND	ND	
0	-428	-430		1		0.00	11	0.00	0.00	0.00	0.00	ND	ND	
0	-1686	-1681		1		0.00	11	0.00	0.00	0.00	0.00	ND	ND	
0	-1217	-1681	10	1		0.00	11	0.00	0.00	0.00	0.00	ND	ND	
0	-352	-354		1		0.00	11	0.00	0.00	0.00	0.00	ND	ND	
0	-430	-432		1		0.00	11	0.00	0.00	0.00	0.00	ND	ND	
0	-432	-434		1		0.00	11	0.00	0.00	0.00	0.00	ND	ND	
0	-581	309		1		0.00	11	0.00	0.00	0.00	0.00	ND	ND	
0	309	-660		1		0.00	11	0.00	0.00	0.00	0.00	ND	ND	
0	-660	-703		1		0.00	11	0.00	0.00	0.00	0.00	ND	ND	
0	-920	-1670	10	1		0.00	11	0.00	0.00	0.00	0.00	ND	ND	
0	-1096	-1651	10	1		0.00	11	0.00	0.00	0.00	0.00	ND	ND	
0	-1181	-1659	10	1		0.00	11	0.00	0.00	0.00	0.00	ND	ND	
0	-350	-352		1		0.00	11	0.00	0.00	0.00	0.00	ND	ND	
0	-1182	-1658	10	1		0.00	11	0.00	0.00	0.00	0.00	ND	ND	
0	-354	-356		1		0.00	11	0.00	0.00	0.00	0.00	ND	ND	
0	-434	-436		1		0.00	11	0.00	0.00	0.00	0.00	ND	ND	
0	-436	-438		1		0.00	11	0.00	0.00	0.00	0.00	ND	ND	
0	-745	-1364	10	1		0.00	11	0.00	0.00	0.00	0.00	ND	ND	
0	-747	-1427	10	1		0.00	11	0.00	0.00	0.00	0.00	ND	ND	
0	-878	-1627	10	1		0.00	11	0.00	0.00	0.00	0.00	ND	ND	
0	-1216	-1686	10	1		0.00	11	0.00	0.00	0.00	0.00	ND	ND	
0	-1680	-1679		1		0.00	11	0.00	0.00	0.00	0.00	ND	ND	
0	-1220	-1679	10	1		0.00	11	0.00	0.00	0.00	0.00	ND	ND	
0	-356	-358		1		0.00	11	0.00	0.00	0.00	0.00	ND	ND	
0	-358	-360		1		0.00	11	0.00	0.00	0.00	0.00	ND	ND	
0	-362	-364		1		0.00	11	0.00	0.00	0.00	0.00	ND	ND	
0	-440	-442		1		0.00	11	0.00	0.00	0.00	0.00	ND	ND	
0	-834	-1661	10	1		0.00	11	0.00	0.00	0.00	0.00	ND	ND	
0	-703	-748		1		0.00	11	0.00	0.00	0.00	0.00	ND	ND	
0	-438	-440		1		0.00	11	0.00	0.00	0.00	0.00	ND	ND	
0	-360	-362		1		0.00	11	0.00	0.00	0.00	0.00	ND	ND	
0	-835	-1423	10	1		0.00	11	0.00	0.00	0.00	0.00	ND	ND	
0	408	409	8	1		90.00	55	0.00	0.00	0.00	0.00	ND	ND	
0	-879	-1626	10	1		0.00	11	0.00	0.00	0.00	0.00	ND	ND	
0	-965	-1635	10	1		0.00	11	0.00	0.00	0.00	0.00	ND	ND	
0	-1007	-1643	10	1		0.00	11	0.00	0.00	0.00	0.00	ND	ND	
0	-748	-793		1		0.00	11	0.00	0.00	0.00	0.00	ND	ND	
0	-1681	-1964		1		0.00	11	0.00	0.00	0.00	0.00	ND	ND	
0	-1219	-1680	10	1		0.00	11	0.00	0.00	0.00	0.00	ND	ND	
0	-1964	-1680		1		0.00	11	0.00	0.00	0.00	0.00	ND	ND	
0	-364	-366		7		130.00	55	0.00	0.00	0.00	0.00	ND	ND	
0	-442	-444		1		0.00	11	0.00	0.00	0.00	0.00	ND	ND	
0	-366	-368		1		0.00	11	0.00	0.00	0.00	0.00	ND	ND	
0	-368	-370		1		0.00	11	0.00	0.00	0.00	0.00	ND	ND	
0	-370	-372		1		0.00	11	0.00	0.00	0.00	0.00	ND	ND	
0	-964	-1636	10	1		0.00	11	0.00	0.00	0.00	0.00	ND	ND	
0	-446	-448		1		0.00	11	0.00	0.00	0.00	0.00	ND	ND	
0	-921	-1669	10	1		0.00	11	0.00	0.00	0.00	0.00	ND	ND	
0	-372	-374		1		0.00	11	0.00	0.00	0.00	0.00	ND	ND	
0	-966	-1634	10	1		0.00	11	0.00	0.00	0.00	0.00	ND	ND	
0	-1008	-1642	10	1		0.00	11	0.00	0.00	0.00	0.00	ND	ND	
0	-1097	-1650	10	1		0.00	11	0.00	0.00	0.00	0.00	ND	ND	
0	-1183	-1657	10	1		0.00	11	0.00	0.00	0.00	0.00	ND	ND	

0	426	427	8	1		90.00	55	0.00	0.00	0.00	0.00	ND	ND	
0	-793	-836		1		0.00	11	0.00	0.00	0.00	0.00	ND	ND	
0	-880	-1418	10	1		0.00	11	0.00	0.00	0.00	0.00	ND	ND	
0	-922	-1668	10	1		0.00	11	0.00	0.00	0.00	0.00	ND	ND	
0	-967	-1633	10	1		0.00	11	0.00	0.00	0.00	0.00	ND	ND	
0	-1009	-1641	10	1		0.00	11	0.00	0.00	0.00	0.00	ND	ND	
0	-1098	-1649	10	1		0.00	11	0.00	0.00	0.00	0.00	ND	ND	
0	-923	-1424	10	1		0.00	11	0.00	0.00	0.00	0.00	ND	ND	
0	-881	-924		1		0.00	11	0.00	0.00	0.00	0.00	ND	ND	
0	-1679	-1678		1		0.00	11	0.00	0.00	0.00	0.00	ND	ND	
0	-968	-1419	10	1		0.00	11	0.00	0.00	0.00	0.00	ND	ND	
0	-1010	-1640	10	1		0.00	11	0.00	0.00	0.00	0.00	ND	ND	
0	-1099	-1648	10	1		0.00	11	0.00	0.00	0.00	0.00	ND	ND	
0	-1184	-1656	10	1		0.00	11	0.00	0.00	0.00	0.00	ND	ND	
0	327	-1678	10	1		0.00	11	0.00	0.00	0.00	0.00	ND	ND	
0	-1678	-1677		1		0.00	11	0.00	0.00	0.00	0.00	ND	ND	
0	427	-1678	6	1		90.00	55	0.00	0.00	0.00	0.00	ND	ND	
0	-924	-969		1		0.00	11	0.00	0.00	0.00	0.00	ND	ND	
0	-1100	-1647	10	1		0.00	11	0.00	0.00	0.00	0.00	ND	ND	
0	-1221	-1677	10	1		0.00	11	0.00	0.00	0.00	0.00	ND	ND	
0	-1677	-1676		1		0.00	11	0.00	0.00	0.00	0.00	ND	ND	
0	-444	-446		1		0.00	11	0.00	0.00	0.00	0.00	ND	ND	
0	-448	-450		1		0.00	11	0.00	0.00	0.00	0.00	ND	ND	
0	-450	-452		1		0.00	11	0.00	0.00	0.00	0.00	ND	ND	
0	-1011	-1420	10	1		0.00	11	0.00	0.00	0.00	0.00	ND	ND	
0	-969	-1012		1		0.00	11	0.00	0.00	0.00	0.00	ND	ND	
0	-452	-454		1		0.00	11	0.00	0.00	0.00	0.00	ND	ND	
0	-1186	-1654	10	1		0.00	11	0.00	0.00	0.00	0.00	ND	ND	
0	-1012	-1057		1		0.00	11	0.00	0.00	0.00	0.00	ND	ND	
0	-454	-456		1		0.00	11	0.00	0.00	0.00	0.00	ND	ND	
0	-1057	-1102		1		0.00	11	0.00	0.00	0.00	0.00	ND	ND	
0	-456	-458		1		0.00	11	0.00	0.00	0.00	0.00	ND	ND	
0	-1185	-1655	10	1		0.00	11	0.00	0.00	0.00	0.00	ND	ND	
0	-1101	-1421	10	1		0.00	11	0.00	0.00	0.00	0.00	ND	ND	
0	-1222	-1676	10	1		0.00	11	0.00	0.00	0.00	0.00	ND	ND	
0	-1676	-1675		1		0.00	11	0.00	0.00	0.00	0.00	ND	ND	
0	-1187	-1422	10	1		0.00	11	0.00	0.00	0.00	0.00	ND	ND	
0	-1223	-1675	10	1		0.00	11	0.00	0.00	0.00	0.00	ND	ND	
0	-1102	-1145		1		0.00	11	0.00	0.00	0.00	0.00	ND	ND	
0	-1675	-1425		1		0.00	11	0.00	0.00	0.00	0.00	ND	ND	
0	-1145	-1188		1		0.00	11	0.00	0.00	0.00	0.00	ND	ND	
0	-1224	-1425	10	1		0.00	11	0.00	0.00	0.00	0.00	ND	ND	
0	-1188	328		1		0.00	11	0.00	0.00	0.00	0.00	ND	ND	
0	328	-1269		1		0.00	11	0.00	0.00	0.00	0.00	ND	ND	
0	-1269	-1271		1		0.00	11	0.00	0.00	0.00	0.00	ND	ND	
0	427	428	8	1		90.00	55	0.00	0.00	0.00	0.00	ND	ND	
0	428	328	6	1		90.00	55	0.00	0.00	0.00	0.00	ND	ND	
2	-1603	302	10	1		90.00	55	0.00	0.00	0.00	0.00	ND	ND	
3	-1822	303	10	1		90.00	55	0.00	0.00	0.00	0.00	ND	ND	
4	-1817	304	10	1		90.00	55	0.00	0.00	0.00	0.00	ND	ND	
5	-1533	305	10	1		90.00	55	0.00	0.00	0.00	0.00	ND	ND	
6	-1808	306	10	1		90.00	55	0.00	0.00	0.00	0.00	ND	ND	
7	-1803	307	10	1		90.00	55	0.00	0.00	0.00	0.00	ND	ND	
8	-1622	308	10	1		90.00	55	0.00	0.00	0.00	0.00	ND	ND	
10	10	310	5	5		0.00	22	0.00	0.00	0.00	0.00	ND	ND	
11	11	311	5	5		0.00	88	0.00	0.00	0.00	0.00	ND	ND	
12	12	312	5	5		0.00	22	0.00	0.00	0.00	0.00	ND	ND	
13	13	313	5	5		0.00	88	0.00	0.00	0.00	0.00	ND	ND	
14	14	314	5	5		0.00	22	0.00	0.00	0.00	0.00	ND	ND	
15	15	315	5	5		0.00	88	0.00	0.00	0.00	0.00	ND	ND	
16	16	316	5	5		0.00	22	0.00	0.00	0.00	0.00	ND	ND	
17	17	317	5	5		0.00	88	0.00	0.00	0.00	0.00	ND	ND	
18	18	318	5	5		0.00	22	0.00	0.00	0.00	0.00	ND	ND	
19	19	319	5	5		0.00	88	0.00	0.00	0.00	0.00	ND	ND	
24	-1689	324	10	1		90.00	55	0.00	0.00	0.00	0.00	ND	ND	
301	301	-582	1	30		0.00	88	0.00	0.00	0.00	0.00	ND	ND	
301	-582	-583	1	1		0.00	88	0.00	0.00	0.00	0.00	ND	ND	
301	-583	-584	1	1		0.00	88	0.00	0.00	0.00	0.00	ND	ND	
301	-584	-585	1	1		0.00	88	0.00	0.00	0.00	0.00	ND	ND	
301	-585	302	1	1		0.00	88	0.00	0.00	0.00	0.00	ND	ND	
301	302	-586	1	1		0.00	88	0.00	0.00	0.00	0.00	ND	ND	
301	-586	-587	1	1		0.00	88	0.00	0.00	0.00	0.00	ND	ND	
301	-587	-588	1	1		0.00	88	0.00	0.00	0.00	0.00	ND	ND	
301	-588	-589	1	1		0.00	88	0.00	0.00	0.00	0.00	ND	ND	
301	-589	-590	1	1		0.00	88	0.00	0.00	0.00	0.00	ND	ND	
301	-590	303	1	1		0.00	88	0.00	0.00	0.00	0.00	ND	ND	
301	303	-591	1	1		0.00	88	0.00	0.00	0.00	0.00	ND	ND	
301	-591	-592	1	1		0.00	88	0.00	0.00	0.00	0.00	ND	ND	
301	-592	-593	1	1		0.00	88	0.00	0.00	0.00	0.00	ND	ND	

301	-593	-594	1	1		0.00	88	0.00	0.00	0.00	0.00	ND	CC	
301	-594	-595	1	1		0.00	88	0.00	0.00	0.00	0.00	CC	ND	
301	-595	304	1	1		0.00	88	0.00	0.00	0.00	0.00	ND	ND	
301	304	-596	1	1		0.00	88	0.00	0.00	0.00	0.00	ND	ND	
301	-596	-597	1	1		0.00	88	0.00	0.00	0.00	0.00	ND	ND	
301	-597	-1302	1	1		0.00	88	0.00	0.00	0.00	0.00	ND	ND	
301	-1302	-598	1	1		0.00	88	0.00	0.00	0.00	0.00	ND	ND	
301	-598	-1304	1	1		0.00	88	0.00	0.00	0.00	0.00	ND	ND	
301	-1304	-599	1	1		0.00	88	0.00	0.00	0.00	0.00	ND	ND	
301	-599	305	1	1		0.00	88	0.00	0.00	0.00	0.00	ND	ND	
301	305	-600	1	1		0.00	88	0.00	0.00	0.00	0.00	ND	ND	
301	-600	-1306	1	1		0.00	88	0.00	0.00	0.00	0.00	ND	ND	
301	-1306	-601	1	1		0.00	88	0.00	0.00	0.00	0.00	ND	ND	
301	-601	-1308	1	1		0.00	88	0.00	0.00	0.00	0.00	ND	ND	
301	-1308	-602	1	1		0.00	88	0.00	0.00	0.00	0.00	ND	ND	
301	-602	-603	1	1		0.00	88	0.00	0.00	0.00	0.00	ND	ND	
301	-603	306	1	1		0.00	88	0.00	0.00	0.00	0.00	ND	ND	
301	306	-604	1	1		0.00	88	0.00	0.00	0.00	0.00	ND	ND	
301	-604	-605	1	1		0.00	88	0.00	0.00	0.00	0.00	ND	CC	
301	-605	-606	1	1		0.00	88	0.00	0.00	0.00	0.00	CC	ND	
301	-606	-607	1	1		0.00	88	0.00	0.00	0.00	0.00	ND	ND	
301	-607	-608	1	1		0.00	88	0.00	0.00	0.00	0.00	ND	ND	
301	-608	307	1	1		0.00	88	0.00	0.00	0.00	0.00	ND	ND	
301	307	-609	1	1		0.00	88	0.00	0.00	0.00	0.00	ND	ND	
301	-609	-610	1	1		0.00	88	0.00	0.00	0.00	0.00	ND	ND	
301	-610	-611	1	1		0.00	88	0.00	0.00	0.00	0.00	ND	ND	
301	-611	-612	1	1		0.00	88	0.00	0.00	0.00	0.00	ND	ND	
301	-612	-613	1	1		0.00	88	0.00	0.00	0.00	0.00	ND	ND	
301	-613	308	1	1		0.00	88	0.00	0.00	0.00	0.00	ND	ND	
301	308	-614	1	1		0.00	88	0.00	0.00	0.00	0.00	ND	ND	
301	-614	-615	1	1		0.00	88	0.00	0.00	0.00	0.00	ND	ND	
301	-615	-616	1	1		0.00	88	0.00	0.00	0.00	0.00	ND	ND	
301	-616	-617	1	1		0.00	88	0.00	0.00	0.00	0.00	ND	ND	
301	-617	309	1	31		0.00	88	0.00	0.00	0.00	0.00	ND	ND	
302	-618	-619	1	30		0.00	88	0.00	0.00	0.00	0.00	ND	ND	
302	-619	-620	1	1		0.00	88	0.00	0.00	0.00	0.00	ND	ND	
302	-620	-621	1	1		0.00	88	0.00	0.00	0.00	0.00	ND	ND	
302	-621	-622	1	1		0.00	88	0.00	0.00	0.00	0.00	ND	ND	
302	-622	-623	1	1		0.00	88	0.00	0.00	0.00	0.00	ND	ND	
302	-623	-624	1	1		0.00	88	0.00	0.00	0.00	0.00	ND	ND	
302	-624	-625	1	1		0.00	88	0.00	0.00	0.00	0.00	ND	ND	
302	-625	-626	1	1		0.00	88	0.00	0.00	0.00	0.00	ND	ND	
302	-626	-627	1	1		0.00	88	0.00	0.00	0.00	0.00	ND	ND	
302	-627	310	1	1		0.00	88	0.00	0.00	0.00	0.00	ND	ND	
302	310	-628	1	1		0.00	88	0.00	0.00	0.00	0.00	ND	ND	
302	-628	-629	1	1		0.00	88	0.00	0.00	0.00	0.00	ND	ND	
302	-629	-630	1	1		0.00	88	0.00	0.00	0.00	0.00	ND	ND	
302	-630	-631	1	1		0.00	88	0.00	0.00	0.00	0.00	ND	ND	
302	-631	-632	1	1		0.00	88	0.00	0.00	0.00	0.00	ND	CC	
302	-632	-633	1	1		0.00	88	0.00	0.00	0.00	0.00	CC	ND	
302	-633	-634	1	1		0.00	88	0.00	0.00	0.00	0.00	ND	ND	
302	-634	-635	1	1		0.00	88	0.00	0.00	0.00	0.00	ND	ND	
302	-635	-636	1	1		0.00	88	0.00	0.00	0.00	0.00	ND	ND	
302	-636	-1303	1	1		0.00	88	0.00	0.00	0.00	0.00	ND	ND	
302	-1303	-637	1	1		0.00	88	0.00	0.00	0.00	0.00	ND	ND	
302	-637	-1305	1	1		0.00	88	0.00	0.00	0.00	0.00	ND	ND	
302	-1305	-638	1	1		0.00	88	0.00	0.00	0.00	0.00	ND	ND	
302	-638	-639	1	1		0.00	88	0.00	0.00	0.00	0.00	ND	ND	
302	-639	-640	1	1		0.00	88	0.00	0.00	0.00	0.00	ND	ND	
302	-640	-1307	1	1		0.00	88	0.00	0.00	0.00	0.00	ND	ND	
302	-1307	-641	1	1		0.00	88	0.00	0.00	0.00	0.00	ND	ND	
302	-641	-1309	1	1		0.00	88	0.00	0.00	0.00	0.00	ND	ND	
302	-1309	-642	1	1		0.00	88	0.00	0.00	0.00	0.00	ND	ND	
302	-642	-643	1	1		0.00	88	0.00	0.00	0.00	0.00	ND	ND	
302	-643	-644	1	1		0.00	88	0.00	0.00	0.00	0.00	ND	ND	
302	-644	-645	1	1		0.00	88	0.00	0.00	0.00	0.00	ND	ND	
302	-645	-646	1	1		0.00	88	0.00	0.00	0.00	0.00	ND	CC	
302	-646	-647	1	1		0.00	88	0.00	0.00	0.00	0.00	CC	ND	
302	-647	-648	1	1		0.00	88	0.00	0.00	0.00	0.00	ND	ND	
302	-648	-649	1	1		0.00	88	0.00	0.00	0.00	0.00	ND	ND	
302	-649	-650	1	1		0.00	88	0.00	0.00	0.00	0.00	ND	ND	
302	-650	311	1	1		0.00	88	0.00	0.00	0.00	0.00	ND	ND	
302	311	-651	1	1		0.00	88	0.00	0.00	0.00	0.00	ND	ND	
302	-651	-652	1	1		0.00	88	0.00	0.00	0.00	0.00	ND	ND	
302	-652	-653	1	1		0.00	88	0.00	0.00	0.00	0.00	ND	ND	
302	-653	-654	1	1		0.00	88	0.00	0.00	0.00	0.00	ND	ND	
302	-654	-655	1	1		0.00	88	0.00	0.00	0.00	0.00	ND	ND	
302	-655	-656	1	1		0.00	88	0.00	0.00	0.00	0.00	ND	ND	
302	-656	-657	1	1		0.00	88	0.00	0.00	0.00	0.00	ND	ND	

302	-657	-658	1	1		0.00	88	0.00	0.00	0.00	0.00	ND	ND	
302	-658	-659	1	1		0.00	88	0.00	0.00	0.00	0.00	ND	ND	
302	-659	-660	1	31		0.00	88	0.00	0.00	0.00	0.00	ND	ND	
303	-704	-705	1	30		0.00	88	0.00	0.00	0.00	0.00	ND	ND	
303	-705	-706	1	1		0.00	88	0.00	0.00	0.00	0.00	ND	ND	
303	-706	-707	1	1		0.00	88	0.00	0.00	0.00	0.00	ND	ND	
303	-707	-708	1	1		0.00	88	0.00	0.00	0.00	0.00	ND	ND	
303	-708	-709	1	1		0.00	88	0.00	0.00	0.00	0.00	ND	ND	
303	-709	-710	1	1		0.00	88	0.00	0.00	0.00	0.00	ND	ND	
303	-710	-711	1	1		0.00	88	0.00	0.00	0.00	0.00	ND	ND	
303	-711	-712	1	1		0.00	88	0.00	0.00	0.00	0.00	ND	ND	
303	-712	-713	1	1		0.00	88	0.00	0.00	0.00	0.00	ND	ND	
303	-713	-714	1	1		0.00	88	0.00	0.00	0.00	0.00	ND	ND	
303	-714	-715	1	1		0.00	88	0.00	0.00	0.00	0.00	ND	ND	
303	-715	-716	1	1		0.00	88	0.00	0.00	0.00	0.00	ND	ND	
303	-716	-717	1	1		0.00	88	0.00	0.00	0.00	0.00	ND	ND	
303	-717	-718	1	1		0.00	88	0.00	0.00	0.00	0.00	ND	ND	
303	-718	-719	1	1		0.00	88	0.00	0.00	0.00	0.00	ND	CC	
303	-719	-720	1	1		0.00	88	0.00	0.00	0.00	0.00	CC	ND	
303	-720	-721	1	1		0.00	88	0.00	0.00	0.00	0.00	ND	ND	
303	-721	-722	1	1		0.00	88	0.00	0.00	0.00	0.00	ND	ND	
303	-722	-723	1	1		0.00	88	0.00	0.00	0.00	0.00	ND	ND	
303	-723	-1298	1	1		0.00	88	0.00	0.00	0.00	0.00	ND	ND	
303	-1298	-724	1	1		0.00	88	0.00	0.00	0.00	0.00	ND	ND	
303	-724	-1299	1	1		0.00	88	0.00	0.00	0.00	0.00	ND	ND	
303	-1299	-725	1	1		0.00	88	0.00	0.00	0.00	0.00	ND	ND	
303	-725	-726	1	1		0.00	88	0.00	0.00	0.00	0.00	ND	ND	
303	-726	-727	1	1		0.00	88	0.00	0.00	0.00	0.00	ND	ND	
303	-727	-1300	1	1		0.00	88	0.00	0.00	0.00	0.00	ND	ND	
303	-1300	-728	1	1		0.00	88	0.00	0.00	0.00	0.00	ND	ND	
303	-728	-1301	1	1		0.00	88	0.00	0.00	0.00	0.00	ND	ND	
303	-1301	-729	1	1		0.00	88	0.00	0.00	0.00	0.00	ND	ND	
303	-729	-730	1	1		0.00	88	0.00	0.00	0.00	0.00	ND	ND	
303	-730	-731	1	1		0.00	88	0.00	0.00	0.00	0.00	ND	ND	
303	-731	-732	1	1		0.00	88	0.00	0.00	0.00	0.00	ND	ND	
303	-732	-733	1	1		0.00	88	0.00	0.00	0.00	0.00	ND	CC	
303	-733	-734	1	1		0.00	88	0.00	0.00	0.00	0.00	CC	ND	
303	-734	-735	1	1		0.00	88	0.00	0.00	0.00	0.00	ND	ND	
303	-735	-736	1	1		0.00	88	0.00	0.00	0.00	0.00	ND	ND	
303	-736	-737	1	1		0.00	88	0.00	0.00	0.00	0.00	ND	ND	
303	-737	-738	1	1		0.00	88	0.00	0.00	0.00	0.00	ND	ND	
303	-738	-739	1	1		0.00	88	0.00	0.00	0.00	0.00	ND	ND	
303	-739	-740	1	1		0.00	88	0.00	0.00	0.00	0.00	ND	ND	
303	-740	-741	1	1		0.00	88	0.00	0.00	0.00	0.00	ND	ND	
303	-741	-742	1	1		0.00	88	0.00	0.00	0.00	0.00	ND	ND	
303	-742	-743	1	1		0.00	88	0.00	0.00	0.00	0.00	ND	ND	
303	-743	-744	1	1		0.00	88	0.00	0.00	0.00	0.00	ND	ND	
303	-744	-745	1	1		0.00	88	0.00	0.00	0.00	0.00	ND	ND	
303	-745	-746	1	1		0.00	88	0.00	0.00	0.00	0.00	ND	ND	
303	-746	-747	1	1		0.00	88	0.00	0.00	0.00	0.00	ND	ND	
303	-747	-748	1	31		0.00	88	0.00	0.00	0.00	0.00	ND	ND	
304	-794	-795	1	30		0.00	88	0.00	0.00	0.00	0.00	ND	ND	
304	-795	-796	1	1		0.00	88	0.00	0.00	0.00	0.00	ND	ND	
304	-796	-797	1	1		0.00	88	0.00	0.00	0.00	0.00	ND	ND	
304	-797	-798	1	1		0.00	88	0.00	0.00	0.00	0.00	ND	ND	
304	-798	-799	1	1		0.00	88	0.00	0.00	0.00	0.00	ND	ND	
304	-799	-800	1	1		0.00	88	0.00	0.00	0.00	0.00	ND	ND	
304	-800	-801	1	1		0.00	88	0.00	0.00	0.00	0.00	ND	ND	
304	-801	-802	1	1		0.00	88	0.00	0.00	0.00	0.00	ND	ND	
304	-802	-803	1	1		0.00	88	0.00	0.00	0.00	0.00	ND	ND	
304	-803	312	1	1		0.00	88	0.00	0.00	0.00	0.00	ND	ND	
304	312	-804	1	1		0.00	88	0.00	0.00	0.00	0.00	ND	ND	
304	-804	-805	1	1		0.00	88	0.00	0.00	0.00	0.00	ND	ND	
304	-805	-806	1	1		0.00	88	0.00	0.00	0.00	0.00	ND	ND	
304	-806	-807	1	1		0.00	88	0.00	0.00	0.00	0.00	ND	ND	
304	-807	-808	1	1		0.00	88	0.00	0.00	0.00	0.00	ND	CC	
304	-808	-809	1	1		0.00	88	0.00	0.00	0.00	0.00	CC	ND	
304	-809	-810	1	1		0.00	88	0.00	0.00	0.00	0.00	ND	ND	
304	-810	-811	1	1		0.00	88	0.00	0.00	0.00	0.00	ND	ND	
304	-811	-812	1	1		0.00	88	0.00	0.00	0.00	0.00	ND	ND	
304	-812	-1295	1	1		0.00	88	0.00	0.00	0.00	0.00	ND	ND	
304	-1295	-813	1	1		0.00	88	0.00	0.00	0.00	0.00	ND	ND	
304	-813	-1293	1	1		0.00	88	0.00	0.00	0.00	0.00	ND	ND	
304	-1293	-814	1	1		0.00	88	0.00	0.00	0.00	0.00	ND	ND	
304	-814	-815	1	1		0.00	88	0.00	0.00	0.00	0.00	ND	ND	
304	-815	-816	1	1		0.00	88	0.00	0.00	0.00	0.00	ND	ND	
304	-816	-1288	1	1		0.00	88	0.00	0.00	0.00	0.00	ND	ND	
304	-1288	-817	1	1		0.00	88	0.00	0.00	0.00	0.00	ND	ND	
304	-817	-1286	1	1		0.00	88	0.00	0.00	0.00	0.00	ND	ND	

304	-1286	-818	1	1		0.00	88	0.00	0.00	0.00	0.00	ND	ND	
304	-818	-819	1	1		0.00	88	0.00	0.00	0.00	0.00	ND	ND	
304	-819	-820	1	1		0.00	88	0.00	0.00	0.00	0.00	ND	ND	
304	-820	-821	1	1		0.00	88	0.00	0.00	0.00	0.00	ND	ND	
304	-821	-822	1	1		0.00	88	0.00	0.00	0.00	0.00	ND	CC	
304	-822	-823	1	1		0.00	88	0.00	0.00	0.00	0.00	CC	ND	
304	-823	-824	1	1		0.00	88	0.00	0.00	0.00	0.00	ND	ND	
304	-824	-825	1	1		0.00	88	0.00	0.00	0.00	0.00	ND	ND	
304	-825	-826	1	1		0.00	88	0.00	0.00	0.00	0.00	ND	ND	
304	-826	313	1	1		0.00	88	0.00	0.00	0.00	0.00	ND	ND	
304	313	-827	1	1		0.00	88	0.00	0.00	0.00	0.00	ND	ND	
304	-827	-828	1	1		0.00	88	0.00	0.00	0.00	0.00	ND	ND	
304	-828	-829	1	1		0.00	88	0.00	0.00	0.00	0.00	ND	ND	
304	-829	-830	1	1		0.00	88	0.00	0.00	0.00	0.00	ND	ND	
304	-830	-831	1	1		0.00	88	0.00	0.00	0.00	0.00	ND	ND	
304	-831	-832	1	1		0.00	88	0.00	0.00	0.00	0.00	ND	ND	
304	-832	-833	1	1		0.00	88	0.00	0.00	0.00	0.00	ND	ND	
304	-833	-834	1	1		0.00	88	0.00	0.00	0.00	0.00	ND	ND	
304	-834	-835	1	1		0.00	88	0.00	0.00	0.00	0.00	ND	ND	
304	-835	-836	1	31		0.00	88	0.00	0.00	0.00	0.00	ND	ND	
305	-837	-838	1	30		0.00	88	0.00	0.00	0.00	0.00	ND	ND	
305	-838	-839	1	1		0.00	88	0.00	0.00	0.00	0.00	ND	ND	
305	-839	-840	1	1		0.00	88	0.00	0.00	0.00	0.00	ND	ND	
305	-840	-841	1	1		0.00	88	0.00	0.00	0.00	0.00	ND	ND	
305	-841	-842	1	1		0.00	88	0.00	0.00	0.00	0.00	ND	ND	
305	-842	-843	1	1		0.00	88	0.00	0.00	0.00	0.00	ND	ND	
305	-843	-844	1	1		0.00	88	0.00	0.00	0.00	0.00	ND	ND	
305	-844	-845	1	1		0.00	88	0.00	0.00	0.00	0.00	ND	ND	
305	-845	-846	1	1		0.00	88	0.00	0.00	0.00	0.00	ND	ND	
305	-846	-847	1	1		0.00	88	0.00	0.00	0.00	0.00	ND	ND	
305	-847	-848	1	1		0.00	88	0.00	0.00	0.00	0.00	ND	ND	
305	-848	-849	1	1		0.00	88	0.00	0.00	0.00	0.00	ND	ND	
305	-849	-850	1	1		0.00	88	0.00	0.00	0.00	0.00	ND	ND	
305	-850	-851	1	1		0.00	88	0.00	0.00	0.00	0.00	ND	ND	
305	-851	-852	1	1		0.00	88	0.00	0.00	0.00	0.00	ND	CC	
305	-852	-853	1	1		0.00	88	0.00	0.00	0.00	0.00	CC	ND	
305	-853	-854	1	1		0.00	88	0.00	0.00	0.00	0.00	ND	ND	
305	-854	-855	1	1		0.00	88	0.00	0.00	0.00	0.00	ND	ND	
305	-855	-856	1	1		0.00	88	0.00	0.00	0.00	0.00	ND	ND	
305	-856	-1297	1	1		0.00	88	0.00	0.00	0.00	0.00	ND	ND	
305	-1297	-857	1	1		0.00	88	0.00	0.00	0.00	0.00	ND	ND	
305	-857	-1296	1	1		0.00	88	0.00	0.00	0.00	0.00	ND	ND	
305	-1296	-858	1	1		0.00	88	0.00	0.00	0.00	0.00	ND	ND	
305	-858	-859	1	1		0.00	88	0.00	0.00	0.00	0.00	ND	ND	
305	-859	-860	1	1		0.00	88	0.00	0.00	0.00	0.00	ND	ND	
305	-860	-1289	1	1		0.00	88	0.00	0.00	0.00	0.00	ND	ND	
305	-1289	-861	1	1		0.00	88	0.00	0.00	0.00	0.00	ND	ND	
305	-861	-1287	1	1		0.00	88	0.00	0.00	0.00	0.00	ND	ND	
305	-1287	-862	1	1		0.00	88	0.00	0.00	0.00	0.00	ND	ND	
305	-862	-863	1	1		0.00	88	0.00	0.00	0.00	0.00	ND	ND	
305	-863	-864	1	1		0.00	88	0.00	0.00	0.00	0.00	ND	ND	
305	-864	-865	1	1		0.00	88	0.00	0.00	0.00	0.00	ND	ND	
305	-865	-866	1	1		0.00	88	0.00	0.00	0.00	0.00	ND	CC	
305	-866	-867	1	1		0.00	88	0.00	0.00	0.00	0.00	CC	ND	
305	-867	-868	1	1		0.00	88	0.00	0.00	0.00	0.00	ND	ND	
305	-868	-869	1	1		0.00	88	0.00	0.00	0.00	0.00	ND	ND	
305	-869	-870	1	1		0.00	88	0.00	0.00	0.00	0.00	ND	ND	
305	-870	-871	1	1		0.00	88	0.00	0.00	0.00	0.00	ND	ND	
305	-871	-872	1	1		0.00	88	0.00	0.00	0.00	0.00	ND	ND	
305	-872	-873	1	1		0.00	88	0.00	0.00	0.00	0.00	ND	ND	
305	-873	-874	1	1		0.00	88	0.00	0.00	0.00	0.00	ND	ND	
305	-874	-875	1	1		0.00	88	0.00	0.00	0.00	0.00	ND	ND	
305	-875	-876	1	1		0.00	88	0.00	0.00	0.00	0.00	ND	ND	
305	-876	-877	1	1		0.00	88	0.00	0.00	0.00	0.00	ND	ND	
305	-877	-878	1	1		0.00	88	0.00	0.00	0.00	0.00	ND	ND	
305	-878	-879	1	1		0.00	88	0.00	0.00	0.00	0.00	ND	ND	
305	-879	-880	1	1		0.00	88	0.00	0.00	0.00	0.00	ND	ND	
305	-880	-881	1	31		0.00	88	0.00	0.00	0.00	0.00	ND	ND	
306	-882	-883	1	30		0.00	88	0.00	0.00	0.00	0.00	ND	ND	
306	-883	-884	1	1		0.00	88	0.00	0.00	0.00	0.00	ND	ND	
306	-884	-885	1	1		0.00	88	0.00	0.00	0.00	0.00	ND	ND	
306	-885	-886	1	1		0.00	88	0.00	0.00	0.00	0.00	ND	ND	
306	-886	-887	1	1		0.00	88	0.00	0.00	0.00	0.00	ND	ND	
306	-887	-888	1	1		0.00	88	0.00	0.00	0.00	0.00	ND	ND	
306	-888	-889	1	1		0.00	88	0.00	0.00	0.00	0.00	ND	ND	
306	-889	-890	1	1		0.00	88	0.00	0.00	0.00	0.00	ND	ND	
306	-890	-891	1	1		0.00	88	0.00	0.00	0.00	0.00	ND	ND	
306	-891	314	1	1		0.00	88	0.00	0.00	0.00	0.00	ND	ND	
306	314	-892	1	1		0.00	88	0.00	0.00	0.00	0.00	ND	ND	

306	-892	-893	1	1		0.00	88	0.00	0.00	0.00	0.00	ND	ND	
306	-893	-894	1	1		0.00	88	0.00	0.00	0.00	0.00	ND	ND	
306	-894	-895	1	1		0.00	88	0.00	0.00	0.00	0.00	ND	ND	
306	-895	-896	1	1		0.00	88	0.00	0.00	0.00	0.00	ND	CC	
306	-896	-897	1	1		0.00	88	0.00	0.00	0.00	0.00	CC	ND	
306	-897	-898	1	1		0.00	88	0.00	0.00	0.00	0.00	ND	ND	
306	-898	-899	1	1		0.00	88	0.00	0.00	0.00	0.00	ND	ND	
306	-899	-900	1	1		0.00	88	0.00	0.00	0.00	0.00	ND	ND	
306	-900	-1317	1	1		0.00	88	0.00	0.00	0.00	0.00	ND	ND	
306	-1317	-901	1	1		0.00	88	0.00	0.00	0.00	0.00	ND	ND	
306	-901	-1316	1	1		0.00	88	0.00	0.00	0.00	0.00	ND	ND	
306	-1316	-902	1	1		0.00	88	0.00	0.00	0.00	0.00	ND	ND	
306	-902	-903	1	1		0.00	88	0.00	0.00	0.00	0.00	ND	ND	
306	-903	-904	1	1		0.00	88	0.00	0.00	0.00	0.00	ND	ND	
306	-904	-1315	1	1		0.00	88	0.00	0.00	0.00	0.00	ND	ND	
306	-1315	-905	1	1		0.00	88	0.00	0.00	0.00	0.00	ND	ND	
306	-905	-1314	1	1		0.00	88	0.00	0.00	0.00	0.00	ND	ND	
306	-1314	-906	1	1		0.00	88	0.00	0.00	0.00	0.00	ND	ND	
306	-906	-907	1	1		0.00	88	0.00	0.00	0.00	0.00	ND	ND	
306	-907	-908	1	1		0.00	88	0.00	0.00	0.00	0.00	ND	ND	
306	-908	-909	1	1		0.00	88	0.00	0.00	0.00	0.00	ND	ND	
306	-909	-910	1	1		0.00	88	0.00	0.00	0.00	0.00	ND	CC	
306	-910	-911	1	1		0.00	88	0.00	0.00	0.00	0.00	CC	ND	
306	-911	-912	1	1		0.00	88	0.00	0.00	0.00	0.00	ND	ND	
306	-912	-913	1	1		0.00	88	0.00	0.00	0.00	0.00	ND	ND	
306	-913	-914	1	1		0.00	88	0.00	0.00	0.00	0.00	ND	ND	
306	-914	315	1	1		0.00	88	0.00	0.00	0.00	0.00	ND	ND	
306	315	-915	1	1		0.00	88	0.00	0.00	0.00	0.00	ND	ND	
306	-915	-916	1	1		0.00	88	0.00	0.00	0.00	0.00	ND	ND	
306	-916	-917	1	1		0.00	88	0.00	0.00	0.00	0.00	ND	ND	
306	-917	-918	1	1		0.00	88	0.00	0.00	0.00	0.00	ND	ND	
306	-918	-919	1	1		0.00	88	0.00	0.00	0.00	0.00	ND	ND	
306	-919	-920	1	1		0.00	88	0.00	0.00	0.00	0.00	ND	ND	
306	-920	-921	1	1		0.00	88	0.00	0.00	0.00	0.00	ND	ND	
306	-921	-922	1	1		0.00	88	0.00	0.00	0.00	0.00	ND	ND	
306	-922	-923	1	1		0.00	88	0.00	0.00	0.00	0.00	ND	ND	
306	-923	-924	1	31		0.00	88	0.00	0.00	0.00	0.00	ND	ND	
307	-925	-926	1	30		0.00	88	0.00	0.00	0.00	0.00	ND	ND	
307	-926	-927	1	1		0.00	88	0.00	0.00	0.00	0.00	ND	ND	
307	-927	-928	1	1		0.00	88	0.00	0.00	0.00	0.00	ND	ND	
307	-928	-929	1	1		0.00	88	0.00	0.00	0.00	0.00	ND	ND	
307	-929	-930	1	1		0.00	88	0.00	0.00	0.00	0.00	ND	ND	
307	-930	-931	1	1		0.00	88	0.00	0.00	0.00	0.00	ND	ND	
307	-931	-932	1	1		0.00	88	0.00	0.00	0.00	0.00	ND	ND	
307	-932	-933	1	1		0.00	88	0.00	0.00	0.00	0.00	ND	ND	
307	-933	-934	1	1		0.00	88	0.00	0.00	0.00	0.00	ND	ND	
307	-934	-935	1	1		0.00	88	0.00	0.00	0.00	0.00	ND	ND	
307	-935	-936	1	1		0.00	88	0.00	0.00	0.00	0.00	ND	ND	
307	-936	-937	1	1		0.00	88	0.00	0.00	0.00	0.00	ND	ND	
307	-937	-938	1	1		0.00	88	0.00	0.00	0.00	0.00	ND	ND	
307	-938	-939	1	1		0.00	88	0.00	0.00	0.00	0.00	ND	ND	
307	-939	-940	1	1		0.00	88	0.00	0.00	0.00	0.00	ND	CC	
307	-940	-941	1	1		0.00	88	0.00	0.00	0.00	0.00	CC	ND	
307	-941	-942	1	1		0.00	88	0.00	0.00	0.00	0.00	ND	ND	
307	-942	-943	1	1		0.00	88	0.00	0.00	0.00	0.00	ND	ND	
307	-943	-944	1	1		0.00	88	0.00	0.00	0.00	0.00	ND	ND	
307	-944	-1284	1	1		0.00	88	0.00	0.00	0.00	0.00	ND	ND	
307	-1284	-945	1	1		0.00	88	0.00	0.00	0.00	0.00	ND	ND	
307	-945	-1282	1	1		0.00	88	0.00	0.00	0.00	0.00	ND	ND	
307	-1282	-946	1	1		0.00	88	0.00	0.00	0.00	0.00	ND	ND	
307	-946	-947	1	1		0.00	88	0.00	0.00	0.00	0.00	ND	ND	
307	-947	-948	1	1		0.00	88	0.00	0.00	0.00	0.00	ND	ND	
307	-948	-1280	1	1		0.00	88	0.00	0.00	0.00	0.00	ND	ND	
307	-1280	-949	1	1		0.00	88	0.00	0.00	0.00	0.00	ND	ND	
307	-949	-1278	1	1		0.00	88	0.00	0.00	0.00	0.00	ND	ND	
307	-1278	-950	1	1		0.00	88	0.00	0.00	0.00	0.00	ND	ND	
307	-950	-951	1	1		0.00	88	0.00	0.00	0.00	0.00	ND	ND	
307	-951	-952	1	1		0.00	88	0.00	0.00	0.00	0.00	ND	ND	
307	-952	-953	1	1		0.00	88	0.00	0.00	0.00	0.00	ND	ND	
307	-953	-954	1	1		0.00	88	0.00	0.00	0.00	0.00	ND	CC	
307	-954	-955	1	1		0.00	88	0.00	0.00	0.00	0.00	CC	ND	
307	-955	-956	1	1		0.00	88	0.00	0.00	0.00	0.00	ND	ND	
307	-956	-957	1	1		0.00	88	0.00	0.00	0.00	0.00	ND	ND	
307	-957	-958	1	1		0.00	88	0.00	0.00	0.00	0.00	ND	ND	
307	-958	-959	1	1		0.00	88	0.00	0.00	0.00	0.00	ND	ND	
307	-959	-960	1	1		0.00	88	0.00	0.00	0.00	0.00	ND	ND	
307	-960	-961	1	1		0.00	88	0.00	0.00	0.00	0.00	ND	ND	
307	-961	-962	1	1		0.00	88	0.00	0.00	0.00	0.00	ND	ND	
307	-962	-963	1	1		0.00	88	0.00	0.00	0.00	0.00	ND	ND	

307	-963	-964	1	1		0.00	88	0.00	0.00	0.00	0.00	ND	ND	
307	-964	-965	1	1		0.00	88	0.00	0.00	0.00	0.00	ND	ND	
307	-965	-966	1	1		0.00	88	0.00	0.00	0.00	0.00	ND	ND	
307	-966	-967	1	1		0.00	88	0.00	0.00	0.00	0.00	ND	ND	
307	-967	-968	1	1		0.00	88	0.00	0.00	0.00	0.00	ND	ND	
307	-968	-969	1	31		0.00	88	0.00	0.00	0.00	0.00	ND	ND	
308	-970	-971	1	30		0.00	88	0.00	0.00	0.00	0.00	ND	ND	
308	-971	-972	1	1		0.00	88	0.00	0.00	0.00	0.00	ND	ND	
308	-972	-973	1	1		0.00	88	0.00	0.00	0.00	0.00	ND	ND	
308	-973	-974	1	1		0.00	88	0.00	0.00	0.00	0.00	ND	ND	
308	-974	-975	1	1		0.00	88	0.00	0.00	0.00	0.00	ND	ND	
308	-975	-976	1	1		0.00	88	0.00	0.00	0.00	0.00	ND	ND	
308	-976	-977	1	1		0.00	88	0.00	0.00	0.00	0.00	ND	ND	
308	-977	-978	1	1		0.00	88	0.00	0.00	0.00	0.00	ND	ND	
308	-978	-979	1	1		0.00	88	0.00	0.00	0.00	0.00	ND	ND	
308	-979	316	1	1		0.00	88	0.00	0.00	0.00	0.00	ND	ND	
308	316	-980	1	1		0.00	88	0.00	0.00	0.00	0.00	ND	ND	
308	-980	-981	1	1		0.00	88	0.00	0.00	0.00	0.00	ND	ND	
308	-981	-982	1	1		0.00	88	0.00	0.00	0.00	0.00	ND	ND	
308	-982	-983	1	1		0.00	88	0.00	0.00	0.00	0.00	ND	ND	
308	-983	-984	1	1		0.00	88	0.00	0.00	0.00	0.00	ND	CC	
308	-984	-985	1	1		0.00	88	0.00	0.00	0.00	0.00	CC	ND	
308	-985	-986	1	1		0.00	88	0.00	0.00	0.00	0.00	ND	ND	
308	-986	-987	1	1		0.00	88	0.00	0.00	0.00	0.00	ND	ND	
308	-987	-988	1	1		0.00	88	0.00	0.00	0.00	0.00	ND	ND	
308	-988	-1285	1	1		0.00	88	0.00	0.00	0.00	0.00	ND	ND	
308	-1285	-989	1	1		0.00	88	0.00	0.00	0.00	0.00	ND	ND	
308	-989	-1283	1	1		0.00	88	0.00	0.00	0.00	0.00	ND	ND	
308	-1283	-990	1	1		0.00	88	0.00	0.00	0.00	0.00	ND	ND	
308	-990	-991	1	1		0.00	88	0.00	0.00	0.00	0.00	ND	ND	
308	-991	-992	1	1		0.00	88	0.00	0.00	0.00	0.00	ND	ND	
308	-992	-1281	1	1		0.00	88	0.00	0.00	0.00	0.00	ND	ND	
308	-1281	-993	1	1		0.00	88	0.00	0.00	0.00	0.00	ND	ND	
308	-993	-1279	1	1		0.00	88	0.00	0.00	0.00	0.00	ND	ND	
308	-1279	-994	1	1		0.00	88	0.00	0.00	0.00	0.00	ND	ND	
308	-994	-995	1	1		0.00	88	0.00	0.00	0.00	0.00	ND	ND	
308	-995	-996	1	1		0.00	88	0.00	0.00	0.00	0.00	ND	ND	
308	-996	-997	1	1		0.00	88	0.00	0.00	0.00	0.00	ND	ND	
308	-997	-998	1	1		0.00	88	0.00	0.00	0.00	0.00	ND	CC	
308	-998	-999	1	1		0.00	88	0.00	0.00	0.00	0.00	CC	ND	
308	-999	-1000	1	1		0.00	88	0.00	0.00	0.00	0.00	ND	ND	
308	-1000	-1001	1	1		0.00	88	0.00	0.00	0.00	0.00	ND	ND	
308	-1001	-1002	1	1		0.00	88	0.00	0.00	0.00	0.00	ND	ND	
308	-1002	317	1	1		0.00	88	0.00	0.00	0.00	0.00	ND	ND	
308	317	-1003	1	1		0.00	88	0.00	0.00	0.00	0.00	ND	ND	
308	-1003	-1004	1	1		0.00	88	0.00	0.00	0.00	0.00	ND	ND	
308	-1004	-1005	1	1		0.00	88	0.00	0.00	0.00	0.00	ND	ND	
308	-1005	-1006	1	1		0.00	88	0.00	0.00	0.00	0.00	ND	ND	
308	-1006	-1007	1	1		0.00	88	0.00	0.00	0.00	0.00	ND	ND	
308	-1007	-1008	1	1		0.00	88	0.00	0.00	0.00	0.00	ND	ND	
308	-1008	-1009	1	1		0.00	88	0.00	0.00	0.00	0.00	ND	ND	
308	-1009	-1010	1	1		0.00	88	0.00	0.00	0.00	0.00	ND	ND	
308	-1010	-1011	1	1		0.00	88	0.00	0.00	0.00	0.00	ND	ND	
308	-1011	-1012	1	31		0.00	88	0.00	0.00	0.00	0.00	ND	ND	
309	-1058	-1059	1	30		0.00	88	0.00	0.00	0.00	0.00	ND	ND	
309	-1059	-1060	1	1		0.00	88	0.00	0.00	0.00	0.00	ND	ND	
309	-1060	-1061	1	1		0.00	88	0.00	0.00	0.00	0.00	ND	ND	
309	-1061	-1062	1	1		0.00	88	0.00	0.00	0.00	0.00	ND	ND	
309	-1062	-1063	1	1		0.00	88	0.00	0.00	0.00	0.00	ND	ND	
309	-1063	-1064	1	1		0.00	88	0.00	0.00	0.00	0.00	ND	ND	
309	-1064	-1065	1	1		0.00	88	0.00	0.00	0.00	0.00	ND	ND	
309	-1065	-1066	1	1		0.00	88	0.00	0.00	0.00	0.00	ND	ND	
309	-1066	-1067	1	1		0.00	88	0.00	0.00	0.00	0.00	ND	ND	
309	-1067	-1068	1	1		0.00	88	0.00	0.00	0.00	0.00	ND	ND	
309	-1068	-1069	1	1		0.00	88	0.00	0.00	0.00	0.00	ND	ND	
309	-1069	-1070	1	1		0.00	88	0.00	0.00	0.00	0.00	ND	ND	
309	-1070	-1071	1	1		0.00	88	0.00	0.00	0.00	0.00	ND	ND	
309	-1071	-1072	1	1		0.00	88	0.00	0.00	0.00	0.00	ND	ND	
309	-1072	-1073	1	1		0.00	88	0.00	0.00	0.00	0.00	ND	CC	
309	-1073	-1074	1	1		0.00	88	0.00	0.00	0.00	0.00	CC	ND	
309	-1074	-1075	1	1		0.00	88	0.00	0.00	0.00	0.00	ND	ND	
309	-1075	-1076	1	1		0.00	88	0.00	0.00	0.00	0.00	ND	ND	
309	-1076	-1077	1	1		0.00	88	0.00	0.00	0.00	0.00	ND	ND	
309	-1077	-1320	1	1		0.00	88	0.00	0.00	0.00	0.00	ND	ND	
309	-1320	-1078	1	1		0.00	88	0.00	0.00	0.00	0.00	ND	ND	
309	-1078	-1322	1	1		0.00	88	0.00	0.00	0.00	0.00	ND	ND	
309	-1322	-1079	1	1		0.00	88	0.00	0.00	0.00	0.00	ND	ND	
309	-1079	-1080	1	1		0.00	88	0.00	0.00	0.00	0.00	ND	ND	
309	-1080	-1081	1	1		0.00	88	0.00	0.00	0.00	0.00	ND	ND	

309	-1081	-1275	1	1		0.00	88	0.00	0.00	0.00	0.00	ND	ND	
309	-1275	-1082	1	1		0.00	88	0.00	0.00	0.00	0.00	ND	ND	
309	-1082	-1277	1	1		0.00	88	0.00	0.00	0.00	0.00	ND	ND	
309	-1277	-1083	1	1		0.00	88	0.00	0.00	0.00	0.00	ND	ND	
309	-1083	-1084	1	1		0.00	88	0.00	0.00	0.00	0.00	ND	ND	
309	-1084	-1085	1	1		0.00	88	0.00	0.00	0.00	0.00	ND	ND	
309	-1085	-1086	1	1		0.00	88	0.00	0.00	0.00	0.00	ND	ND	
309	-1086	-1087	1	1		0.00	88	0.00	0.00	0.00	0.00	ND	CC	
309	-1087	-1088	1	1		0.00	88	0.00	0.00	0.00	0.00	CC	ND	
309	-1088	-1089	1	1		0.00	88	0.00	0.00	0.00	0.00	ND	ND	
309	-1089	-1090	1	1		0.00	88	0.00	0.00	0.00	0.00	ND	ND	
309	-1090	-1091	1	1		0.00	88	0.00	0.00	0.00	0.00	ND	ND	
309	-1091	-1092	1	1		0.00	88	0.00	0.00	0.00	0.00	ND	ND	
309	-1092	-1093	1	1		0.00	88	0.00	0.00	0.00	0.00	ND	ND	
309	-1093	-1094	1	1		0.00	88	0.00	0.00	0.00	0.00	ND	ND	
309	-1094	-1095	1	1		0.00	88	0.00	0.00	0.00	0.00	ND	ND	
309	-1095	-1096	1	1		0.00	88	0.00	0.00	0.00	0.00	ND	ND	
309	-1096	-1097	1	1		0.00	88	0.00	0.00	0.00	0.00	ND	ND	
309	-1097	-1098	1	1		0.00	88	0.00	0.00	0.00	0.00	ND	ND	
309	-1098	-1099	1	1		0.00	88	0.00	0.00	0.00	0.00	ND	ND	
309	-1099	-1100	1	1		0.00	88	0.00	0.00	0.00	0.00	ND	ND	
309	-1100	-1101	1	1		0.00	88	0.00	0.00	0.00	0.00	ND	ND	
309	-1101	-1102	1	31		0.00	88	0.00	0.00	0.00	0.00	ND	ND	
310	-1146	-1147	1	30		0.00	88	0.00	0.00	0.00	0.00	ND	ND	
310	-1147	-1148	1	1		0.00	88	0.00	0.00	0.00	0.00	ND	ND	
310	-1148	-1149	1	1		0.00	88	0.00	0.00	0.00	0.00	ND	ND	
310	-1149	-1150	1	1		0.00	88	0.00	0.00	0.00	0.00	ND	ND	
310	-1150	-1151	1	1		0.00	88	0.00	0.00	0.00	0.00	ND	ND	
310	-1151	-1152	1	1		0.00	88	0.00	0.00	0.00	0.00	ND	ND	
310	-1152	-1153	1	1		0.00	88	0.00	0.00	0.00	0.00	ND	ND	
310	-1153	-1154	1	1		0.00	88	0.00	0.00	0.00	0.00	ND	ND	
310	-1154	-1155	1	1		0.00	88	0.00	0.00	0.00	0.00	ND	ND	
310	-1155	318	1	1		0.00	88	0.00	0.00	0.00	0.00	ND	ND	
310	318	-1156	1	1		0.00	88	0.00	0.00	0.00	0.00	ND	ND	
310	-1156	-1157	1	1		0.00	88	0.00	0.00	0.00	0.00	ND	ND	
310	-1157	-1158	1	1		0.00	88	0.00	0.00	0.00	0.00	ND	ND	
310	-1158	-1159	1	1		0.00	88	0.00	0.00	0.00	0.00	ND	ND	
310	-1159	-1160	1	1		0.00	88	0.00	0.00	0.00	0.00	ND	CC	
310	-1160	-1161	1	1		0.00	88	0.00	0.00	0.00	0.00	CC	ND	
310	-1161	-1162	1	1		0.00	88	0.00	0.00	0.00	0.00	ND	ND	
310	-1162	-1163	1	1		0.00	88	0.00	0.00	0.00	0.00	ND	ND	
310	-1163	-1164	1	1		0.00	88	0.00	0.00	0.00	0.00	ND	ND	
310	-1164	-1326	1	1		0.00	88	0.00	0.00	0.00	0.00	ND	ND	
310	-1326	-1165	1	1		0.00	88	0.00	0.00	0.00	0.00	ND	ND	
310	-1165	-1327	1	1		0.00	88	0.00	0.00	0.00	0.00	ND	ND	
310	-1327	-1166	1	1		0.00	88	0.00	0.00	0.00	0.00	ND	ND	
310	-1166	-1167	1	1		0.00	88	0.00	0.00	0.00	0.00	ND	ND	
310	-1167	-1168	1	1		0.00	88	0.00	0.00	0.00	0.00	ND	ND	
310	-1168	-1328	1	1		0.00	88	0.00	0.00	0.00	0.00	ND	ND	
310	-1328	-1169	1	1		0.00	88	0.00	0.00	0.00	0.00	ND	ND	
310	-1169	-1329	1	1		0.00	88	0.00	0.00	0.00	0.00	ND	ND	
310	-1329	-1170	1	1		0.00	88	0.00	0.00	0.00	0.00	ND	ND	
310	-1170	-1171	1	1		0.00	88	0.00	0.00	0.00	0.00	ND	ND	
310	-1171	-1172	1	1		0.00	88	0.00	0.00	0.00	0.00	ND	ND	
310	-1172	-1173	1	1		0.00	88	0.00	0.00	0.00	0.00	ND	ND	
310	-1173	-1174	1	1		0.00	88	0.00	0.00	0.00	0.00	ND	CC	
310	-1174	-1175	1	1		0.00	88	0.00	0.00	0.00	0.00	CC	ND	
310	-1175	-1176	1	1		0.00	88	0.00	0.00	0.00	0.00	ND	ND	
310	-1176	-1177	1	1		0.00	88	0.00	0.00	0.00	0.00	ND	ND	
310	-1177	-1178	1	1		0.00	88	0.00	0.00	0.00	0.00	ND	ND	
310	-1178	319	1	1		0.00	88	0.00	0.00	0.00	0.00	ND	ND	
310	319	-1179	1	1		0.00	88	0.00	0.00	0.00	0.00	ND	ND	
310	-1179	-1180	1	1		0.00	88	0.00	0.00	0.00	0.00	ND	ND	
310	-1180	-1181	1	1		0.00	88	0.00	0.00	0.00	0.00	ND	ND	
310	-1181	-1182	1	1		0.00	88	0.00	0.00	0.00	0.00	ND	ND	
310	-1182	-1183	1	1		0.00	88	0.00	0.00	0.00	0.00	ND	ND	
310	-1183	-1184	1	1		0.00	88	0.00	0.00	0.00	0.00	ND	ND	
310	-1184	-1185	1	1		0.00	88	0.00	0.00	0.00	0.00	ND	ND	
310	-1185	-1186	1	1		0.00	88	0.00	0.00	0.00	0.00	ND	ND	
310	-1186	-1187	1	1		0.00	88	0.00	0.00	0.00	0.00	ND	ND	
310	-1187	-1188	1	31		0.00	88	0.00	0.00	0.00	0.00	ND	ND	
311	320	-1189	1	30		0.00	88	0.00	0.00	0.00	0.00	ND	ND	
311	-1189	-1190	1	1		0.00	88	0.00	0.00	0.00	0.00	ND	ND	
311	-1190	-1191	1	1		0.00	88	0.00	0.00	0.00	0.00	ND	ND	
311	-1191	-1192	1	1		0.00	88	0.00	0.00	0.00	0.00	ND	ND	
311	-1192	321	1	1		0.00	88	0.00	0.00	0.00	0.00	ND	ND	
311	321	-1193	1	1		0.00	88	0.00	0.00	0.00	0.00	ND	ND	
311	-1193	-1194	1	1		0.00	88	0.00	0.00	0.00	0.00	ND	ND	
311	-1194	-1195	1	1		0.00	88	0.00	0.00	0.00	0.00	ND	ND	

311	-1195	-1196	1	1		0.00	88	0.00	0.00	0.00	0.00	ND	ND	
311	-1196	-1197	1	1		0.00	88	0.00	0.00	0.00	0.00	ND	ND	
311	-1197	322	1	1		0.00	88	0.00	0.00	0.00	0.00	ND	ND	
311	322	-1198	1	1		0.00	88	0.00	0.00	0.00	0.00	ND	ND	
311	-1198	-1199	1	1		0.00	88	0.00	0.00	0.00	0.00	ND	ND	
311	-1199	-1200	1	1		0.00	88	0.00	0.00	0.00	0.00	ND	ND	
311	-1200	-1201	1	1		0.00	88	0.00	0.00	0.00	0.00	ND	CC	
311	-1201	-1202	1	1		0.00	88	0.00	0.00	0.00	0.00	CC	ND	
311	-1202	323	1	1		0.00	88	0.00	0.00	0.00	0.00	ND	ND	
311	323	-1203	1	1		0.00	88	0.00	0.00	0.00	0.00	ND	ND	
311	-1203	-1204	1	1		0.00	88	0.00	0.00	0.00	0.00	ND	ND	
311	-1204	-1330	1	1		0.00	88	0.00	0.00	0.00	0.00	ND	ND	
311	-1330	-1205	1	1		0.00	88	0.00	0.00	0.00	0.00	ND	ND	
311	-1205	-1331	1	1		0.00	88	0.00	0.00	0.00	0.00	ND	ND	
311	-1331	-1206	1	1		0.00	88	0.00	0.00	0.00	0.00	ND	ND	
311	-1206	324	1	1		0.00	88	0.00	0.00	0.00	0.00	ND	ND	
311	324	-1207	1	1		0.00	88	0.00	0.00	0.00	0.00	ND	ND	
311	-1207	-1332	1	1		0.00	88	0.00	0.00	0.00	0.00	ND	ND	
311	-1332	-1208	1	1		0.00	88	0.00	0.00	0.00	0.00	ND	ND	
311	-1208	-1334	1	1		0.00	88	0.00	0.00	0.00	0.00	ND	ND	
311	-1334	-1209	1	1		0.00	88	0.00	0.00	0.00	0.00	ND	ND	
311	-1209	-1210	1	1		0.00	88	0.00	0.00	0.00	0.00	ND	ND	
311	-1210	325	1	1		0.00	88	0.00	0.00	0.00	0.00	ND	ND	
311	325	-1211	1	1		0.00	88	0.00	0.00	0.00	0.00	ND	ND	
311	-1211	-1212	1	1		0.00	88	0.00	0.00	0.00	0.00	ND	CC	
311	-1212	-1213	1	1		0.00	88	0.00	0.00	0.00	0.00	CC	ND	
311	-1213	-1214	1	1		0.00	88	0.00	0.00	0.00	0.00	ND	ND	
311	-1214	-1215	1	1		0.00	88	0.00	0.00	0.00	0.00	ND	ND	
311	-1215	326	1	1		0.00	88	0.00	0.00	0.00	0.00	ND	ND	
311	326	-1216	1	1		0.00	88	0.00	0.00	0.00	0.00	ND	ND	
311	-1216	-1217	1	1		0.00	88	0.00	0.00	0.00	0.00	ND	ND	
311	-1217	-1218	1	1		0.00	88	0.00	0.00	0.00	0.00	ND	ND	
311	-1218	-1219	1	1		0.00	88	0.00	0.00	0.00	0.00	ND	ND	
311	-1219	-1220	1	1		0.00	88	0.00	0.00	0.00	0.00	ND	ND	
311	-1220	327	1	1		0.00	88	0.00	0.00	0.00	0.00	ND	ND	
311	327	-1221	1	1		0.00	88	0.00	0.00	0.00	0.00	ND	ND	
311	-1221	-1222	1	1		0.00	88	0.00	0.00	0.00	0.00	ND	ND	
311	-1222	-1223	1	1		0.00	88	0.00	0.00	0.00	0.00	ND	ND	
311	-1223	-1224	1	1		0.00	88	0.00	0.00	0.00	0.00	ND	ND	
311	-1224	328	1	31		0.00	88	0.00	0.00	0.00	0.00	ND	ND	
313	-590	310	4	1		0.00	33	0.00	0.00	0.00	0.00	ND	ND	
313	310	329	4	1		0.00	33	0.00	0.00	0.00	0.00	ND	ND	
313	329	-714	4	1		0.00	33	0.00	0.00	0.00	0.00	ND	ND	
313	-714	-759	4	1		0.00	33	0.00	0.00	0.00	0.00	ND	ND	
313	-759	312	4	1		0.00	33	0.00	0.00	0.00	0.00	ND	ND	
313	312	-847	4	1		0.00	33	0.00	0.00	0.00	0.00	ND	ND	
313	-847	314	4	1		0.00	33	0.00	0.00	0.00	0.00	ND	ND	
313	314	-935	4	1		0.00	33	0.00	0.00	0.00	0.00	ND	ND	
313	-935	316	4	1		0.00	33	0.00	0.00	0.00	0.00	ND	ND	
313	316	-1023	4	1		0.00	33	0.00	0.00	0.00	0.00	ND	ND	
313	-1023	-1068	4	1		0.00	33	0.00	0.00	0.00	0.00	ND	ND	
313	-1068	331	4	1		0.00	33	0.00	0.00	0.00	0.00	ND	ND	
313	331	318	4	1		0.00	33	0.00	0.00	0.00	0.00	ND	ND	
313	318	-1197	4	1		0.00	33	0.00	0.00	0.00	0.00	ND	ND	
314	-609	311	4	1		0.00	11	0.00	0.00	0.00	0.00	ND	ND	
314	311	330	4	1		0.00	11	0.00	0.00	0.00	0.00	ND	ND	
314	330	-738	4	1		0.00	11	0.00	0.00	0.00	0.00	ND	ND	
314	-738	-783	4	1		0.00	11	0.00	0.00	0.00	0.00	ND	ND	
314	-783	313	4	1		0.00	11	0.00	0.00	0.00	0.00	ND	ND	
314	313	-871	4	1		0.00	11	0.00	0.00	0.00	0.00	ND	ND	
314	-871	315	4	1		0.00	11	0.00	0.00	0.00	0.00	ND	ND	
314	315	-959	4	1		0.00	11	0.00	0.00	0.00	0.00	ND	ND	
314	-959	317	4	1		0.00	11	0.00	0.00	0.00	0.00	ND	ND	
314	317	-1047	4	1		0.00	11	0.00	0.00	0.00	0.00	ND	ND	
314	-1047	-1092	4	1		0.00	11	0.00	0.00	0.00	0.00	ND	ND	
314	-1092	332	4	1		0.00	11	0.00	0.00	0.00	0.00	ND	ND	
314	332	319	4	1		0.00	11	0.00	0.00	0.00	0.00	ND	ND	
314	319	-1216	4	1		0.00	11	0.00	0.00	0.00	0.00	ND	ND	
602	-503	-375	3	7		0.00	55	0.00	0.00	0.00	0.00	SA	SA	
604	-511	-377	3	7		0.00	55	0.00	0.00	0.00	0.00	SA	SA	
606	-515	-379	3	7		0.00	55	0.00	0.00	0.00	0.00	SA	SA	
608	-519	-381	3	7		0.00	55	0.00	0.00	0.00	0.00	SA	SA	
610	-527	-383	3	7		0.00	55	0.00	0.00	0.00	0.00	SA	SA	
612	-375	-377	2	7		230.00	44	0.00	0.00	0.00	0.00	ND	ND	
612	-377	-379	2	7		230.00	44	0.00	0.00	0.00	0.00	ND	ND	
612	-379	-381	2	7		230.00	44	0.00	0.00	0.00	0.00	ND	ND	
612	-381	-383	2	7		230.00	44	0.00	0.00	0.00	0.00	ND	ND	
615	-378	-376	2	7		230.00	44	0.00	0.00	0.00	0.00	ND	ND	
615	-380	-378	2	7		230.00	44	0.00	0.00	0.00	0.00	ND	ND	

615	-382	-380	2	7		230.00	44	0.00	0.00	0.00	0.00	ND	ND	
615	-384	-382	2	7		230.00	44	0.00	0.00	0.00	0.00	ND	ND	
617	-41	-375	3	6		0.00	55	0.00	0.00	0.00	0.00	PF	ND	
617	-375	10	3	5		0.00	55	0.00	0.00	0.00	0.00	ND	SAR	
619	12	-511	3	7		0.00	55	0.00	0.00	0.00	0.00	SAR	PF3	
621	22	-379	3	6		0.00	55	0.00	0.00	0.00	0.00	PF	ND	
621	-379	14	3	5		0.00	55	0.00	0.00	0.00	0.00	ND	ND	
623	16	-519	3	7		0.00	55	0.00	0.00	0.00	0.00	SAR	PF3	
625	-179	-383	3	6		0.00	55	0.00	0.00	0.00	0.00	PF	ND	
625	-383	18	3	5		0.00	55	0.00	0.00	0.00	0.00	ND	ND	
632	10	-503	3	7		0.00	55	0.00	0.00	0.00	0.00	SAR	PF3	
634	20	-377	3	6		0.00	55	0.00	0.00	0.00	0.00	PF	ND	
634	-377	12	3	5		0.00	55	0.00	0.00	0.00	0.00	ND	ND	
636	14	-515	3	7		0.00	55	0.00	0.00	0.00	0.00	SAR	PF3	
638	24	-381	3	6		0.00	55	0.00	0.00	0.00	0.00	PF	ND	
638	-381	16	3	5		0.00	55	0.00	0.00	0.00	0.00	ND	ND	
640	18	-527	3	7		0.00	55	0.00	0.00	0.00	0.00	SAR	PF3	
647	11	-504	3	7		0.00	55	0.00	0.00	0.00	0.00	SAR	PF3	
649	13	-512	3	7		0.00	55	0.00	0.00	0.00	0.00	SAR	PF3	
651	-380	15	3	5		0.00	55	0.00	0.00	0.00	0.00	ND	ND	
651	23	-380	3	6		0.00	55	0.00	0.00	0.00	0.00	PF	ND	
653	17	-520	3	7		0.00	55	0.00	0.00	0.00	0.00	SAR	PF3	
655	-384	19	3	5		0.00	55	0.00	0.00	0.00	0.00	ND	ND	
655	-182	-384	3	6		0.00	55	0.00	0.00	0.00	0.00	PF	ND	
662	-376	11	3	5		0.00	55	0.00	0.00	0.00	0.00	ND	ND	
662	-44	-376	3	6		0.00	55	0.00	0.00	0.00	0.00	PF	ND	
664	-378	13	3	5		0.00	55	0.00	0.00	0.00	0.00	ND	ND	
664	21	-378	3	6		0.00	55	0.00	0.00	0.00	0.00	PF	ND	
666	15	-516	3	7		0.00	55	0.00	0.00	0.00	0.00	SAR	PF3	
668	-382	17	3	5		0.00	55	0.00	0.00	0.00	0.00	ND	ND	
668	25	-382	3	6		0.00	55	0.00	0.00	0.00	0.00	PF	ND	
670	19	-528	3	7		0.00	55	0.00	0.00	0.00	0.00	SAR	PF3	
677	-376	-504	3	7		0.00	55	0.00	0.00	0.00	0.00	SA	SA	
679	-378	-512	3	7		0.00	55	0.00	0.00	0.00	0.00	SA	SA	
681	-380	-516	3	7		0.00	55	0.00	0.00	0.00	0.00	SA	SA	
683	-382	-520	3	7		0.00	55	0.00	0.00	0.00	0.00	SA	SA	
685	-384	-528	3	7		0.00	55	0.00	0.00	0.00	0.00	SA	SA	

Elenco tipi elementi bidimensionali

Simbologia

Tb = Numero del tipo muro/elemento bidimensionale
Comm. = Commento
Tipo = Tipologia
F = Membranale e Flessionale
M = Membranale
W-RC = Winkler resistente solo a compressione
W-RTC = Winkler resistente a trazione e a compressione
Uso = Utilizzo
G = Generico
P = Parete
S = Soletta/Platea
N = Nucleo
M = Muratura ordinaria
L = Pilastro
MA = Muratura armata
X = Pannello X-LAM
Mat. = Numero del materiale
Crit. = Numero del criterio di progetto
Spess. = Spessore
Kt = Coeff. di sottofondo su suolo elastico alla Winkler

Tb	Comm.	Tipo	Uso	Mat.	Crit.	Spess. <cm>	Kt <daN/cmc>
1	Soletta cls 15cm	F	S		1	15.00	
2	Soletta cls 12cm Cordolo laterale	F	S		1	15.00	
4	Calcestruzzo 70cm	F	P	7	1	70.00	
5	Soletta fondazione 90cm	W-RTC	S	7	1	90.00	f(strat.)
6	Calcestruzzo 50cm	F	P	7	1	50.00	

Elenco elementi bidimensionali

Simbologia

Bid. = Numero del muro/elemento bidimensionale
Tb = Numero del tipo muro/elemento bidimensionale
FF = Filo fisso
Dy1 = Scost. filo fisso Y1
Dy2 = Scost. filo fisso Y2
Kt = Coeff. di sottofondo su suolo elastico alla Winkler
NN = Nodi

Bid.	Tb	FF	Dy1 <cm>	Dy2 <cm>	Kt <daN/cmc>	NN
0	1	11	0.00	0.00		-1532 -1833 -1466 -1867
0	1	11	0.00	0.00		-1832 -1532 -1867 -1465
0	1	11	0.00	0.00		-1831 -1547 -2083 -1464
0	1	11	0.00	0.00		-1830 -1699 -1762 -1463
0	1	11	0.00	0.00		-1829 -1830 -1463 -1462
0	1	11	0.00	0.00		-1828 -1829 -1462 -1460
0	1	11	0.00	0.00		-1875 -1876 -1478 -1477
0	1	11	0.00	0.00		-1876 -1877 -1479 -1478
0	1	11	0.00	0.00		-1877 -1878 -1480 -1479
0	1	11	0.00	0.00		-1878 -1879 -1481 -1480
0	1	11	0.00	0.00		-1879 -1880 -1482 -1481
0	1	11	0.00	0.00		-1880 -1881 -1491 -1482
0	1	11	0.00	0.00		-1881 -1974 -1973 -1491
0	1	11	0.00	0.00		-1882 -1911 -1912 -1492
0	1	11	0.00	0.00		-1834 -2080 -2079 -1467
0	1	11	0.00	0.00		-1348 -1349 -1561 -1560
0	1	11	0.00	0.00		-1347 -1348 -1560 -1559
0	1	11	0.00	0.00		-1346 -1915 -1916 -1558
0	1	11	0.00	0.00		-1385 -1346 -1558 440
0	1	11	0.00	0.00		-1344 -1345 -1572 -1537
0	1	11	0.00	0.00		-1345 -1913 -1914 -1572
0	1	11	0.00	0.00		-1343 -1342 -1574 -1573
0	1	11	0.00	0.00		-1342 -1868 -1575 -1574
0	1	11	0.00	0.00		-1868 -1869 -1576 -1575
0	1	11	0.00	0.00		-1869 -1870 -1577 -1576
0	1	11	0.00	0.00		-1870 -1871 -1578 -1577
0	1	11	0.00	0.00		-1871 -1872 -1613 -1578
0	1	11	0.00	0.00		-1874 -1873 -1476 -1848
0	1	11	0.00	0.00		-1858 -1851 -1380 -1379
0	1	11	0.00	0.00		-1856 -1858 -1379 -1378
0	1	11	0.00	0.00		-1695 -1856 -1378 -1377
0	1	11	0.00	0.00		-1694 -2061 -2068 -1376
0	1	11	0.00	0.00		-1693 -2084 -2072 -1375
0	1	11	0.00	0.00		-1862 -1693 -1375 -1374
0	1	11	0.00	0.00		-1866 -1862 -1374 -1373
0	1	11	0.00	0.00		-1865 -2085 -2073 -1372
0	1	11	0.00	0.00		-1864 -2086 -2074 -1371
0	1	11	0.00	0.00		-1861 -1864 -1371 -1370
0	1	11	0.00	0.00		-1857 -1861 -1370 -1369
0	1	11	0.00	0.00		-1845 -1857 -1369 -1368
0	1	11	0.00	0.00		-1844 -1845 -1368 -1361
0	1	11	0.00	0.00		-1843 -1844 -1361 -1360
0	1	11	0.00	0.00		-1839 -1843 -1360 -1359
0	1	11	0.00	0.00		-1836 -1948 -1947 -1358
0	1	11	0.00	0.00		-1850 -1836 -1358 -1357
0	1	11	0.00	0.00		-1863 -1783 -1428 441
0	1	11	0.00	0.00		-1783 -1946 -1949 -1428
0	1	11	0.00	0.00		-1784 -1785 -1430 -1429
0	1	11	0.00	0.00		-1512 -1511 -1570 -1569
0	1	11	0.00	0.00		-1513 -1512 -1569 -1568
0	1	11	0.00	0.00		-1514 -1513 -1568 -1567
0	1	11	0.00	0.00		-1515 -1514 -1567 -1566
0	1	11	0.00	0.00		-1516 -1925 -1921 -1565
0	1	11	0.00	0.00		-1578 -1613 -1509 -1510
0	1	11	0.00	0.00		-1577 -1578 -1510 -1511
0	1	11	0.00	0.00		-1576 -1577 -1511 -1512
0	1	11	0.00	0.00		-1575 -1576 -1512 -1513
0	1	11	0.00	0.00		-1574 -1575 -1513 -1514
0	1	11	0.00	0.00		-1573 -1574 -1514 -1515
0	1	11	0.00	0.00		-1572 -1914 -1925 -1516
0	1	11	0.00	0.00		430 -1551 -1586 -1534
0	1	11	0.00	0.00		-1551 -1926 -1927 -1586
0	1	11	0.00	0.00		-1552 -1553 -1588 -1587
0	1	11	0.00	0.00		-1553 -1554 -1589 -1588
0	1	11	0.00	0.00		-1554 -1555 -1590 -1589
0	1	11	0.00	0.00		-1555 -1556 -1591 -1590
0	1	11	0.00	0.00		-1556 -1557 -1592 -1591
0	1	11	0.00	0.00		-1557 -1610 -1615 -1592
0	1	11	0.00	0.00		-1534 -1586 -1579 433
0	1	11	0.00	0.00		-1586 -1927 -1928 -1579
0	1	11	0.00	0.00		-1587 -1588 -1581 -1580
0	1	11	0.00	0.00		-1588 -1589 -1582 -1581
0	1	11	0.00	0.00		-1589 -1590 -1583 -1582
0	1	11	0.00	0.00		-1590 -1591 -1584 -1583
0	1	11	0.00	0.00		-1591 -1592 -1585 -1584
0	1	11	0.00	0.00		-1592 -1615 -1614 -1585

0	1	11	0.00	0.00		440 -1558 -1593 -1531
0	1	11	0.00	0.00		-1558 -1916 -1929 -1593
0	1	11	0.00	0.00		-1559 -1560 -1595 -1594
0	1	11	0.00	0.00		-1560 -1561 -1596 -1595
0	1	11	0.00	0.00		-1561 -1562 -1597 -1596
0	1	11	0.00	0.00		-1562 -1563 -1598 -1597
0	1	11	0.00	0.00		-1563 -1564 -1599 -1598
0	1	11	0.00	0.00		-1564 -1611 -1616 -1599
0	1	11	0.00	0.00		-1840 -1607 -1354 -1353
0	1	11	0.00	0.00		-1697 -1840 -1353 -1351
0	1	11	0.00	0.00		-1696 -1697 -1351 -1350
0	1	11	0.00	0.00		-1690 -1696 -1350 -1349
0	1	11	0.00	0.00		-1685 -1690 -1349 -1348
0	1	11	0.00	0.00		-1414 -1685 -1348 -1347
0	1	11	0.00	0.00		-1618 -1930 -1915 -1346
0	1	11	0.00	0.00		-1536 -1618 -1346 -1385
0	1	11	0.00	0.00		433 -1579 -1345 -1344
0	1	11	0.00	0.00		-1579 -1928 -1913 -1345
0	1	11	0.00	0.00		-1580 -1581 -1342 -1343
0	1	11	0.00	0.00		-1581 -1582 -1868 -1342
0	1	11	0.00	0.00		-1582 -1583 -1869 -1868
0	1	11	0.00	0.00		-1583 -1584 -1870 -1869
0	1	11	0.00	0.00		-1584 -1585 -1871 -1870
0	1	11	0.00	0.00		-1585 -1614 -1872 -1871
0	1	11	0.00	0.00		-1531 -1593 -1551 430
0	1	11	0.00	0.00		-1593 -1929 -1926 -1551
0	1	11	0.00	0.00		-1594 -1595 -1553 -1552
0	1	11	0.00	0.00		-1595 -1596 -1554 -1553
0	1	11	0.00	0.00		-1596 -1597 -1555 -1554
0	1	11	0.00	0.00		-1597 -1598 -1556 -1555
0	1	11	0.00	0.00		-1598 -1599 -1557 -1556
0	1	11	0.00	0.00		-1599 -1616 -1610 -1557
0	1	11	0.00	0.00		-1408 -1407 -1607 -1840
0	1	11	0.00	0.00		-1409 -1408 -1840 -1697
0	1	11	0.00	0.00		-1437 -1409 -1697 -1696
0	1	11	0.00	0.00		-1440 -1437 -1696 -1690
0	1	11	0.00	0.00		-1444 -1440 -1690 -1685
0	1	11	0.00	0.00		-1447 -1444 -1685 -1414
0	1	11	0.00	0.00		-1451 -1931 -1930 -1618
0	1	11	0.00	0.00		-1543 -1608 -1407 -1408
0	1	11	0.00	0.00		-1542 -1543 -1408 -1409
0	1	11	0.00	0.00		-1541 -1542 -1409 -1437
0	1	11	0.00	0.00		-1860 -1541 -1437 -1440
0	1	11	0.00	0.00		-1855 -1860 -1440 -1444
0	1	11	0.00	0.00		-1854 -1855 -1444 -1447
0	1	11	0.00	0.00		-1841 -1932 -1931 -1451
0	2	11	0.00	0.00		-1606 -1617 -2127 -2128
0	2	11	0.00	0.00		-1605 -1606 -2128 -2129
0	2	11	0.00	0.00		-1604 -1605 -2129 -2130
0	2	11	0.00	0.00		-1603 -1604 -2130 -2131
0	2	11	0.00	0.00		-1602 -1603 -2131 -2132
0	2	11	0.00	0.00		-1601 -1602 -2132 -2133
0	2	11	0.00	0.00		-1600 -1933 -2134 -2135
0	2	11	0.00	0.00		-1822 -1539 -2136 -2137
0	2	11	0.00	0.00		-1821 -1934 -2138 -2139
0	2	11	0.00	0.00		-1820 -1821 -2139 -2140
0	2	11	0.00	0.00		-1819 -1820 -2140 -2141
0	2	11	0.00	0.00		-1818 -1819 -2141 -2142
0	2	11	0.00	0.00		-1817 -1818 -2142 -2143
0	2	11	0.00	0.00		-1816 -1817 -2143 -2144
0	2	11	0.00	0.00		-1815 -1816 -2144 -2145
0	2	11	0.00	0.00		-1814 -2087 -2146 -2147
0	2	11	0.00	0.00		-1813 -2089 -2148 -2149
0	2	11	0.00	0.00		-1533 -1813 -2149 -2150
0	2	11	0.00	0.00		-1812 -1533 -2150 -2151
0	2	11	0.00	0.00		-1811 -2091 -2152 -2153
0	2	11	0.00	0.00		-1810 -2093 -2154 -2155
0	2	11	0.00	0.00		-1809 -1810 -2155 -2156
0	2	11	0.00	0.00		-1808 -1809 -2156 -2157
0	2	11	0.00	0.00		-1807 -1808 -2157 -2158
0	2	11	0.00	0.00		-1806 -1807 -2158 -2159
0	2	11	0.00	0.00		-1805 -1806 -2159 -2160
0	2	11	0.00	0.00		-1804 -1805 -2160 -2161
0	2	11	0.00	0.00		-1803 -1950 -2162 -2163
0	1	11	0.00	0.00		-1782 431 438 -1387
0	1	11	0.00	0.00		-1781 -1935 -1936 -1388
0	1	11	0.00	0.00		-1780 -1781 -1388 -1389
0	1	11	0.00	0.00		-1779 -1780 -1389 -1390
0	1	11	0.00	0.00		-1778 -1779 -1390 -1391

0	1	11	0.00	0.00		-1777 -1778 -1391 -1392
0	1	11	0.00	0.00		-1776 -1777 -1392 -1393
0	1	11	0.00	0.00		-1775 -1776 -1393 -1394
0	1	11	0.00	0.00		-1774 -2088 -2095 -1395
0	1	11	0.00	0.00		-1773 -2090 -2096 -1396
0	1	11	0.00	0.00		-1413 -1773 -1396 -1386
0	1	11	0.00	0.00		-1772 -1413 -1386 -1397
0	1	11	0.00	0.00		-1771 -2092 -2097 -1398
0	1	11	0.00	0.00		-1770 -2094 -2098 -1399
0	1	11	0.00	0.00		-1769 -1770 -1399 -1400
0	1	11	0.00	0.00		-1768 -1769 -1400 -1401
0	1	11	0.00	0.00		-1767 -1768 -1401 -1402
0	1	11	0.00	0.00		-1766 -1767 -1402 -1403
0	1	11	0.00	0.00		-1765 -1766 -1403 -1404
0	1	11	0.00	0.00		-1764 -1765 -1404 -1405
0	1	11	0.00	0.00		-1763 -1951 -1952 -1406
0	1	11	0.00	0.00		-1387 438 -1536 -1838
0	1	11	0.00	0.00		-1388 -1936 -1924 -1837
0	1	11	0.00	0.00		-1389 -1388 -1837 -1853
0	1	11	0.00	0.00		-1390 -1389 -1853 -1852
0	1	11	0.00	0.00		-1391 -1390 -1852 -1851
0	1	11	0.00	0.00		-1392 -1391 -1851 -1858
0	1	11	0.00	0.00		-1393 -1392 -1858 -1856
0	1	11	0.00	0.00		-1394 -1393 -1856 -1695
0	1	11	0.00	0.00		-1395 -2095 -2061 -1694
0	1	11	0.00	0.00		-1396 -2096 -2084 -1693
0	1	11	0.00	0.00		-1386 -1396 -1693 -1862
0	1	11	0.00	0.00		-1397 -1386 -1862 -1866
0	1	11	0.00	0.00		-1398 -2097 -2085 -1865
0	1	11	0.00	0.00		-1399 -2098 -2086 -1864
0	1	11	0.00	0.00		-1400 -1399 -1864 -1861
0	1	11	0.00	0.00		-1401 -1400 -1861 -1857
0	1	11	0.00	0.00		-1402 -1401 -1857 -1845
0	1	11	0.00	0.00		-1403 -1402 -1845 -1844
0	1	11	0.00	0.00		-1404 -1403 -1844 -1843
0	1	11	0.00	0.00		-1405 -1404 -1843 -1839
0	1	11	0.00	0.00		-1406 -1952 -1948 -1836
0	1	11	0.00	0.00		441 -1428 -1823 -1859
0	1	11	0.00	0.00		-1428 -1949 -1953 -1823
0	1	11	0.00	0.00		-1429 -1430 -1825 -1824
0	1	11	0.00	0.00		-1430 -1431 -1826 -1825
0	1	11	0.00	0.00		-1431 -1432 -1827 -1826
0	1	11	0.00	0.00		-1432 -1433 -1828 -1827
0	1	11	0.00	0.00		-1433 -1434 -1829 -1828
0	1	11	0.00	0.00		-1434 -1435 -1830 -1829
0	1	11	0.00	0.00		-1435 -2099 -1699 -1830
0	1	11	0.00	0.00		-1436 -2100 -1547 -1831
0	1	11	0.00	0.00		-1438 -1846 -1532 -1832
0	1	11	0.00	0.00		-1846 -1439 -1833 -1532
0	1	11	0.00	0.00		-1439 -2101 -2082 -1833
0	1	11	0.00	0.00		-1441 -2102 -2080 -1834
0	1	11	0.00	0.00		-1442 -1443 -1412 -1835
0	1	11	0.00	0.00		-1443 -1445 -1410 -1412
0	1	11	0.00	0.00		-1445 -1446 -1411 -1410
0	1	11	0.00	0.00		-1446 -1448 -1688 -1411
0	1	11	0.00	0.00		-1448 -1449 -1691 -1688
0	1	11	0.00	0.00		-1449 -1450 -1692 -1691
0	1	11	0.00	0.00		-1450 -1937 -1917 -1692
0	1	11	0.00	0.00		-1452 430 -1534 -1698
0	1	11	0.00	0.00		439 -1453 -1873 -1874
0	1	11	0.00	0.00		-1453 -1954 -1943 -1873
0	1	11	0.00	0.00		-1454 -1455 -1876 -1875
0	1	11	0.00	0.00		-1455 -1456 -1877 -1876
0	1	11	0.00	0.00		-1456 -1459 -1878 -1877
0	1	11	0.00	0.00		-1459 -1460 -1879 -1878
0	1	11	0.00	0.00		-1460 -1462 -1880 -1879
0	1	11	0.00	0.00		-1462 -1463 -1881 -1880
0	1	11	0.00	0.00		-1463 -1762 -1974 -1881
0	1	11	0.00	0.00		-1464 -2083 -1911 -1882
0	1	11	0.00	0.00		-1465 -1867 -1884 -1883
0	1	11	0.00	0.00		-1867 -1466 -1885 -1884
0	1	11	0.00	0.00		-1466 -2081 -2103 -1885
0	1	11	0.00	0.00		-1467 -2079 -2104 -1886
0	1	11	0.00	0.00		-1468 -1469 -1888 -1887
0	1	11	0.00	0.00		-1469 -1470 -1889 -1888
0	1	11	0.00	0.00		-1470 -1471 -1890 -1889
0	1	11	0.00	0.00		-1471 -1472 -1891 -1890
0	1	11	0.00	0.00		-1472 -1473 -1892 -1891
0	1	11	0.00	0.00		-1473 -1474 -1893 -1892

0	1	11	0.00	0.00		-1474 -1918 -1938 -1893
0	1	11	0.00	0.00		-1475 433 -1344 -1894
0	1	11	0.00	0.00		-1859 -1823 -1453 439
0	1	11	0.00	0.00		-1823 -1953 -1954 -1453
0	1	11	0.00	0.00		-1824 -1825 -1455 -1454
0	1	11	0.00	0.00		-1825 -1826 -1456 -1455
0	1	11	0.00	0.00		-1826 -1827 -1459 -1456
0	1	11	0.00	0.00		-1827 -1828 -1460 -1459
0	1	11	0.00	0.00		-1785 -1786 -1431 -1430
0	1	11	0.00	0.00		-1786 -1787 -1432 -1431
0	1	11	0.00	0.00		-1787 -1788 -1433 -1432
0	1	11	0.00	0.00		-1788 -1789 -1434 -1433
0	1	11	0.00	0.00		-1789 -1790 -1435 -1434
0	1	11	0.00	0.00		-1790 -2077 -2099 -1435
0	1	11	0.00	0.00		-1791 -2075 -2100 -1436
0	1	11	0.00	0.00		-1792 -1535 -1846 -1438
0	1	11	0.00	0.00		-1535 -1793 -1439 -1846
0	1	11	0.00	0.00		-1793 -2064 -2101 -1439
0	1	11	0.00	0.00		-1794 -2062 -2102 -1441
0	1	11	0.00	0.00		-1795 -1796 -1443 -1442
0	1	11	0.00	0.00		-1796 -1797 -1445 -1443
0	1	11	0.00	0.00		-1797 -1798 -1446 -1445
0	1	11	0.00	0.00		-1798 -1799 -1448 -1446
0	1	11	0.00	0.00		-1799 -1800 -1449 -1448
0	1	11	0.00	0.00		-1800 -1801 -1450 -1449
0	1	11	0.00	0.00		-1801 -1923 -1937 -1450
0	1	11	0.00	0.00		-1705 -1537 437 -1458
0	1	11	0.00	0.00		-1704 -1939 -1940 -1461
0	1	11	0.00	0.00		-1703 -1704 -1461 -1483
0	1	11	0.00	0.00		-1702 -1703 -1483 -1484
0	1	11	0.00	0.00		-1701 -1702 -1484 -1485
0	1	11	0.00	0.00		-1700 -1701 -1485 -1486
0	1	11	0.00	0.00		-1497 -1700 -1486 -1487
0	1	11	0.00	0.00		-1496 -1497 -1487 -1488
0	1	11	0.00	0.00		-1495 -2105 -2106 -1489
0	1	11	0.00	0.00		-1494 -2107 -2108 -1498
0	1	11	0.00	0.00		-1842 -1494 -1498 -1457
0	1	11	0.00	0.00		-1493 -1842 -1457 -1499
0	1	11	0.00	0.00		-1492 -1912 -2109 -1500
0	1	11	0.00	0.00		-1491 -1973 -2110 -1501
0	1	11	0.00	0.00		-1482 -1491 -1501 -1502
0	1	11	0.00	0.00		-1481 -1482 -1502 -1503
0	1	11	0.00	0.00		-1480 -1481 -1503 -1504
0	1	11	0.00	0.00		-1479 -1480 -1504 -1505
0	1	11	0.00	0.00		-1478 -1479 -1505 -1506
0	1	11	0.00	0.00		-1477 -1478 -1506 -1507
0	1	11	0.00	0.00		-1476 -1944 -1955 -1508
0	1	11	0.00	0.00		-1458 437 432 -1745
0	1	11	0.00	0.00		-1461 -1940 -1941 -1744
0	1	11	0.00	0.00		-1483 -1461 -1744 -1743
0	1	11	0.00	0.00		-1484 -1483 -1743 -1742
0	1	11	0.00	0.00		-1485 -1484 -1742 -1741
0	1	11	0.00	0.00		-1486 -1485 -1741 -1740
0	1	11	0.00	0.00		-1487 -1486 -1740 -1739
0	1	11	0.00	0.00		-1488 -1487 -1739 -1738
0	1	11	0.00	0.00		-1489 -2106 -2111 -1737
0	1	11	0.00	0.00		-1498 -2108 -2112 -1736
0	1	11	0.00	0.00		-1457 -1498 -1736 -1847
0	1	11	0.00	0.00		-1499 -1457 -1847 -1735
0	1	11	0.00	0.00		-1500 -2109 -2113 -1734
0	1	11	0.00	0.00		-1501 -2110 -2114 -1733
0	1	11	0.00	0.00		-1502 -1501 -1733 -1732
0	1	11	0.00	0.00		-1503 -1502 -1732 -1731
0	1	11	0.00	0.00		-1504 -1503 -1731 -1730
0	1	11	0.00	0.00		-1505 -1504 -1730 -1729
0	1	11	0.00	0.00		-1506 -1505 -1729 -1728
0	1	11	0.00	0.00		-1507 -1506 -1728 -1727
0	1	11	0.00	0.00		-1508 -1955 -1956 -1726
0	2	11	0.00	0.00		-2069 -1540 -1976 -2013
0	2	11	0.00	0.00		-1744 -1941 -2182 -2183
0	2	11	0.00	0.00		-1743 -1744 -2183 -2184
0	2	11	0.00	0.00		-1742 -1743 -2184 -2185
0	2	11	0.00	0.00		-1741 -1742 -2185 -2186
0	2	11	0.00	0.00		-2067 -1758 -2009 -2008
0	2	11	0.00	0.00		-1757 -2067 -2008 -2007
0	2	11	0.00	0.00		-1738 -1739 -2187 -2188
0	2	11	0.00	0.00		-1737 -2111 -2189 -2190
0	2	11	0.00	0.00		-1736 -2112 -2191 -2192
0	2	11	0.00	0.00		-1847 -1736 -2192 -2193

0	2	11	0.00	0.00		-2065 -1689 -1993 -2003
0	2	11	0.00	0.00		-1753 -2117 -2118 -2002
0	2	11	0.00	0.00		-1733 -2114 -2194 -2195
0	2	11	0.00	0.00		-1732 -1733 -2195 -2196
0	2	11	0.00	0.00		-1731 -1732 -2196 -2197
0	2	11	0.00	0.00		-2063 -1750 -1999 -1998
0	2	11	0.00	0.00		-1749 -2063 -1998 -1997
0	2	11	0.00	0.00		-1728 -1729 -2198 -2199
0	2	11	0.00	0.00		-1727 -1728 -2199 -2200
0	2	11	0.00	0.00		-1726 -1956 -2201 -2202
0	2	11	0.00	0.00		-1539 -1600 -2135 -2136
0	2	11	0.00	0.00		-1687 -1803 -2163 -2164
0	1	11	0.00	0.00		438 -1451 -1618 -1536
0	1	11	0.00	0.00		431 -1841 -1451 438
0	1	11	0.00	0.00		436 -1763 -1406 429
0	1	11	0.00	0.00		429 -1406 -1836 -1850
0	1	11	0.00	0.00		-1802 -1531 430 -1452
0	1	11	0.00	0.00		-1537 -1572 -1516 437
0	1	11	0.00	0.00		-1848 -1476 -1508 435
0	1	11	0.00	0.00		437 -1516 -1565 432
0	1	11	0.00	0.00		435 -1508 -1726 434
0	2	11	0.00	0.00		432 -1565 -2181 -2203
0	2	11	0.00	0.00		434 -1726 -2202 -2204
0	1	11	0.00	0.00		-1529 429 -1850 -1416
0	1	11	0.00	0.00		-1530 -1958 -1959 -1415
0	1	11	0.00	0.00		-1490 -1530 -1415 -1367
0	1	11	0.00	0.00		-1538 -1490 -1367 -1366
0	1	11	0.00	0.00		-1525 -1538 -1366 -1365
0	1	11	0.00	0.00		-1526 -1525 -1365 -1364
0	1	11	0.00	0.00		-1527 -1526 -1364 -1363
0	1	11	0.00	0.00		-1528 -1527 -1363 -1427
0	1	11	0.00	0.00		-1362 436 429 -1529
0	1	11	0.00	0.00		-1356 -1960 -1958 -1530
0	1	11	0.00	0.00		-1355 -1356 -1530 -1490
0	1	11	0.00	0.00		-1352 -1355 -1490 -1538
0	1	11	0.00	0.00		-1684 -1352 -1538 -1525
0	1	11	0.00	0.00		-1683 -1684 -1525 -1526
0	1	11	0.00	0.00		-1682 -1683 -1526 -1527
0	1	11	0.00	0.00		-1426 -1682 -1527 -1528
0	2	11	0.00	0.00		-1625 -1687 -2164 -2165
0	2	11	0.00	0.00		-1624 -1961 -2166 -2167
0	2	11	0.00	0.00		-1623 -1624 -2167 -2168
0	2	11	0.00	0.00		-1622 -1623 -2168 -2169
0	2	11	0.00	0.00		-1621 -1622 -2169 -2170
0	2	11	0.00	0.00		-1620 -1621 -2170 -2171
0	2	11	0.00	0.00		-1619 -1620 -2171 -2172
0	2	11	0.00	0.00		-1417 -1619 -2172 -2173
0	1	11	0.00	0.00		-1521 435 434 -1660
0	1	11	0.00	0.00		-1522 -1962 -1963 -1659
0	1	11	0.00	0.00		-1523 -1522 -1659 -1658
0	1	11	0.00	0.00		-1524 -1523 -1658 -1657
0	1	11	0.00	0.00		-1517 -1524 -1657 -1656
0	1	11	0.00	0.00		-1518 -1517 -1656 -1655
0	1	11	0.00	0.00		-1519 -1518 -1655 -1654
0	1	11	0.00	0.00		-1520 -1519 -1654 -1422
0	2	11	0.00	0.00		-1422 -1654 -2205 -2206
0	2	11	0.00	0.00		-1654 -1655 -2207 -2205
0	2	11	0.00	0.00		-1655 -1656 -2208 -2207
0	2	11	0.00	0.00		-1656 -1657 -2209 -2208
0	2	11	0.00	0.00		-1657 -1658 -2210 -2209
0	2	11	0.00	0.00		-1658 -1659 -2211 -2210
0	2	11	0.00	0.00		-1659 -1963 -2212 -2211
0	1	11	0.00	0.00		-1653 -1848 435 -1521
0	1	11	0.00	0.00		-1652 -1965 -1962 -1522
0	1	11	0.00	0.00		-1651 -1652 -1522 -1523
0	1	11	0.00	0.00		-1650 -1651 -1523 -1524
0	1	11	0.00	0.00		-1649 -1650 -1524 -1517
0	1	11	0.00	0.00		-1648 -1649 -1517 -1518
0	1	11	0.00	0.00		-1647 -1648 -1518 -1519
0	1	11	0.00	0.00		-1421 -1647 -1519 -1520
0	1	11	0.00	0.00		-1424 -1668 -1633 -1419
0	1	11	0.00	0.00		-1668 -1669 -1634 -1633
0	1	11	0.00	0.00		-1669 -1670 -1635 -1634
0	1	11	0.00	0.00		-1670 -1671 -1636 -1635
0	1	11	0.00	0.00		-1671 -1672 -1637 -1636
0	1	11	0.00	0.00		-1672 -1673 -1638 -1637
0	1	11	0.00	0.00		-1673 -1966 -1967 -1638
0	1	11	0.00	0.00		-1674 441 -1859 -1639
0	1	11	0.00	0.00		-1419 -1633 -1640 -1420

0	1	11	0.00	0.00		-1633 -1634 -1641 -1640
0	1	11	0.00	0.00		-1634 -1635 -1642 -1641
0	1	11	0.00	0.00		-1635 -1636 -1643 -1642
0	1	11	0.00	0.00		-1636 -1637 -1644 -1643
0	1	11	0.00	0.00		-1637 -1638 -1645 -1644
0	1	11	0.00	0.00		-1638 -1967 -1968 -1645
0	1	11	0.00	0.00		-1639 -1859 439 -1646
0	1	11	0.00	0.00		-1416 -1850 -1357 -1895
0	1	11	0.00	0.00		-1415 -1959 -1969 -1896
0	1	11	0.00	0.00		-1367 -1415 -1896 -1897
0	1	11	0.00	0.00		-1366 -1367 -1897 -1898
0	1	11	0.00	0.00		-1365 -1366 -1898 -1899
0	1	11	0.00	0.00		-1364 -1365 -1899 -1900
0	1	11	0.00	0.00		-1363 -1364 -1900 -1901
0	1	11	0.00	0.00		-1427 -1363 -1901 -1902
0	1	11	0.00	0.00		-1423 -1661 -1626 -1418
0	1	11	0.00	0.00		-1661 -1662 -1627 -1626
0	1	11	0.00	0.00		-1662 -1663 -1628 -1627
0	1	11	0.00	0.00		-1663 -1664 -1629 -1628
0	1	11	0.00	0.00		-1664 -1665 -1630 -1629
0	1	11	0.00	0.00		-1665 -1666 -1631 -1630
0	1	11	0.00	0.00		-1666 -1970 -1971 -1631
0	1	11	0.00	0.00		-1667 442 -1863 -1632
0	1	11	0.00	0.00		-1420 -1640 -1904 -1903
0	1	11	0.00	0.00		-1640 -1641 -1905 -1904
0	1	11	0.00	0.00		-1641 -1642 -1906 -1905
0	1	11	0.00	0.00		-1642 -1643 -1907 -1906
0	1	11	0.00	0.00		-1643 -1644 -1908 -1907
0	1	11	0.00	0.00		-1644 -1645 -1909 -1908
0	1	11	0.00	0.00		-1645 -1968 -1972 -1909
0	1	11	0.00	0.00		-1646 439 -1874 -1910
0	1	11	0.00	0.00		-1418 -1626 -1668 -1424
0	1	11	0.00	0.00		-1626 -1627 -1669 -1668
0	1	11	0.00	0.00		-1627 -1628 -1670 -1669
0	1	11	0.00	0.00		-1628 -1629 -1671 -1670
0	1	11	0.00	0.00		-1629 -1630 -1672 -1671
0	1	11	0.00	0.00		-1630 -1631 -1673 -1672
0	1	11	0.00	0.00		-1631 -1971 -1966 -1673
0	2	11	0.00	0.00		-1660 434 -2204 -2213
0	1	11	0.00	0.00		-1632 -1863 441 -1674
0	1	11	0.00	0.00		-1885 -2103 -2107 -1494
0	1	11	0.00	0.00		-1886 -2104 -2105 -1495
0	1	11	0.00	0.00		-1887 -1888 -1497 -1496
0	1	11	0.00	0.00		-1888 -1889 -1700 -1497
0	1	11	0.00	0.00		-1889 -1890 -1701 -1700
0	1	11	0.00	0.00		-1890 -1891 -1702 -1701
0	1	11	0.00	0.00		-1891 -1892 -1703 -1702
0	1	11	0.00	0.00		-1892 -1893 -1704 -1703
0	1	11	0.00	0.00		-1893 -1938 -1939 -1704
0	1	11	0.00	0.00		-1894 -1344 -1537 -1705
0	1	11	0.00	0.00		-1895 -1357 442 -1667
0	1	11	0.00	0.00		-1896 -1969 -1970 -1666
0	1	11	0.00	0.00		-1897 -1896 -1666 -1665
0	1	11	0.00	0.00		-1898 -1897 -1665 -1664
0	1	11	0.00	0.00		-1899 -1898 -1664 -1663
0	1	11	0.00	0.00		-1900 -1899 -1663 -1662
0	1	11	0.00	0.00		-1901 -1900 -1662 -1661
0	1	11	0.00	0.00		-1902 -1901 -1661 -1423
0	1	11	0.00	0.00		-1903 -1904 -1647 -1421
0	1	11	0.00	0.00		-1904 -1905 -1648 -1647
0	1	11	0.00	0.00		-1905 -1906 -1649 -1648
0	1	11	0.00	0.00		-1906 -1907 -1650 -1649
0	1	11	0.00	0.00		-1907 -1908 -1651 -1650
0	1	11	0.00	0.00		-1908 -1909 -1652 -1651
0	1	11	0.00	0.00		-1909 -1972 -1965 -1652
0	1	11	0.00	0.00		-1910 -1874 -1848 -1653
0	1	11	0.00	0.00		-1547 -1832 -1465 -2083
0	1	11	0.00	0.00		-1699 -1831 -1464 -1762
0	1	11	0.00	0.00		-1974 -1882 -1492 -1973
0	1	11	0.00	0.00		-1911 -1883 -1493 -1912
0	1	11	0.00	0.00		-2076 -1715 -1792 -2075
0	1	11	0.00	0.00		-2078 -1714 -1791 -2077
0	1	11	0.00	0.00		-2080 -1835 -1468 -2079
0	1	11	0.00	0.00		-2082 -1834 -1467 -2081
0	1	11	0.00	0.00		-1913 -1343 -1573 -1914
0	1	11	0.00	0.00		-1915 -1347 -1559 -1916
0	1	11	0.00	0.00		-1917 -1698 -1475 -1918
0	1	11	0.00	0.00		-1919 -1384 -1725 -1920
0	2	11	0.00	0.00		-1921 -1566 -2179 -2180

0	1	11	0.00	0.00		-1920 -1725 -1802 -1923
0	1	11	0.00	0.00		-1924 -1838 -1384 -1919
0	1	11	0.00	0.00		-1925 -1515 -1566 -1921
0	1	11	0.00	0.00		-1914 -1573 -1515 -1925
0	1	11	0.00	0.00		-1926 -1552 -1587 -1927
0	1	11	0.00	0.00		-1927 -1587 -1580 -1928
0	1	11	0.00	0.00		-1916 -1559 -1594 -1929
0	1	11	0.00	0.00		-1930 -1414 -1347 -1915
0	1	11	0.00	0.00		-1928 -1580 -1343 -1913
0	1	11	0.00	0.00		-1929 -1594 -1552 -1926
0	1	11	0.00	0.00		-1931 -1447 -1414 -1930
0	1	11	0.00	0.00		-1932 -1854 -1447 -1931
0	2	11	0.00	0.00		-1933 -1601 -2133 -2134
0	2	11	0.00	0.00		-1934 -1822 -2137 -2138
0	1	11	0.00	0.00		-1935 -1782 -1387 -1936
0	1	11	0.00	0.00		-1936 -1387 -1838 -1924
0	1	11	0.00	0.00		-1937 -1452 -1698 -1917
0	1	11	0.00	0.00		-1918 -1475 -1894 -1938
0	1	11	0.00	0.00		-1923 -1802 -1452 -1937
0	1	11	0.00	0.00		-1939 -1705 -1458 -1940
0	1	11	0.00	0.00		-1940 -1458 -1745 -1941
0	2	11	0.00	0.00		-1942 -2069 -2013 -2015
0	1	11	0.00	0.00		-1938 -1894 -1705 -1939
0	1	11	0.00	0.00		-1943 -1875 -1477 -1944
0	1	11	0.00	0.00		-1945 -1707 -1784 -1946
0	1	11	0.00	0.00		-1947 -1359 -1707 -1945
0	1	11	0.00	0.00		-1948 -1839 -1359 -1947
0	1	11	0.00	0.00		-1946 -1784 -1429 -1949
0	2	11	0.00	0.00		-1950 -1804 -2161 -2162
0	1	11	0.00	0.00		-1951 -1764 -1405 -1952
0	1	11	0.00	0.00		-1952 -1405 -1839 -1948
0	1	11	0.00	0.00		-1949 -1429 -1824 -1953
0	1	11	0.00	0.00		-1954 -1454 -1875 -1943
0	1	11	0.00	0.00		-1953 -1824 -1454 -1954
0	1	11	0.00	0.00		-1944 -1477 -1507 -1955
0	1	11	0.00	0.00		-1955 -1507 -1727 -1956
0	2	11	0.00	0.00		-1956 -1727 -2200 -2201
0	1	11	0.00	0.00		-1958 -1529 -1416 -1959
0	1	11	0.00	0.00		-1960 -1362 -1529 -1958
0	2	11	0.00	0.00		-1961 -1625 -2165 -2166
0	1	11	0.00	0.00		-1962 -1521 -1660 -1963
0	2	11	0.00	0.00		-1963 -1660 -2213 -2212
0	1	11	0.00	0.00		-1965 -1653 -1521 -1962
0	1	11	0.00	0.00		-1966 -1674 -1639 -1967
0	1	11	0.00	0.00		-1967 -1639 -1646 -1968
0	1	11	0.00	0.00		-1959 -1416 -1895 -1969
0	1	11	0.00	0.00		-1970 -1667 -1632 -1971
0	1	11	0.00	0.00		-1968 -1646 -1910 -1972
0	1	11	0.00	0.00		-1971 -1632 -1674 -1966
0	1	11	0.00	0.00		-1969 -1895 -1667 -1970
0	1	11	0.00	0.00		-1972 -1910 -1653 -1965
0	2	11	0.00	0.00		-2036 -2037 -1803 -1687
0	2	11	0.00	0.00		-2020 -2021 -1600 -1539
0	1	11	0.00	0.00		-1883 -1884 -1842 -1493
0	1	11	0.00	0.00		-1873 -1943 -1944 -1476
0	1	11	0.00	0.00		-1833 -2082 -2081 -1466
0	1	11	0.00	0.00		-1884 -1885 -1494 -1842
0	2	11	0.00	0.00		-2215 -2217 -2065 -2117
0	2	11	0.00	0.00		-2194 -2216 -1753 -2119
0	2	11	0.00	0.00		-2191 -2190 -1755 -2116
0	2	11	0.00	0.00		-2189 -2188 -1756 -2115
0	2	11	0.00	0.00		-2220 -2177 -1548 -2071
0	2	11	0.00	0.00		-2178 -2220 -2071 -1546
0	2	11	0.00	0.00		-2219 -2203 -1540 -2069
0	2	11	0.00	0.00		-2182 -2219 -2069 -1942
0	2	11	0.00	0.00		-2218 -2186 -1758 -2067
0	2	11	0.00	0.00		-2187 -2218 -2067 -1757
0	2	11	0.00	0.00		-2217 -2193 -1689 -2065
0	2	11	0.00	0.00		-2216 -2215 -2117 -1753
0	2	11	0.00	0.00		-2214 -2197 -1750 -2063
0	2	11	0.00	0.00		-2198 -2214 -2063 -1749
0	2	11	0.00	0.00		-2212 -2213 -1681 -1964
0	2	11	0.00	0.00		-2201 -2200 -1747 -1957
0	2	11	0.00	0.00		-2180 -2179 -1545 -1922
0	2	11	0.00	0.00		-2213 -2204 -1686 -1681
0	2	11	0.00	0.00		-2211 -2212 -1964 -1680
0	2	11	0.00	0.00		-2210 -2211 -1680 -1679
0	2	11	0.00	0.00		-2209 -2210 -1679 -1678
0	2	11	0.00	0.00		-2208 -2209 -1678 -1677

0	2	11	0.00	0.00		-2207 -2208 -1677 -1676
0	2	11	0.00	0.00		-2205 -2207 -1676 -1675
0	2	11	0.00	0.00		-2206 -2205 -1675 -1425
0	2	11	0.00	0.00		-2204 -2202 -1746 -1686
0	2	11	0.00	0.00		-2203 -2181 -1544 -1540
0	2	11	0.00	0.00		-2202 -2201 -1957 -1746
0	2	11	0.00	0.00		-2200 -2199 -1748 -1747
0	2	11	0.00	0.00		-2199 -2198 -1749 -1748
0	2	11	0.00	0.00		-2197 -2196 -1751 -1750
0	2	11	0.00	0.00		-2196 -2195 -1752 -1751
0	2	11	0.00	0.00		-2195 -2194 -2119 -1752
0	2	11	0.00	0.00		-2193 -2192 -1754 -1689
0	2	11	0.00	0.00		-2192 -2191 -2116 -1754
0	2	11	0.00	0.00		-2190 -2189 -2115 -1755
0	2	11	0.00	0.00		-2188 -2187 -1757 -1756
0	2	11	0.00	0.00		-2186 -2185 -1759 -1758
0	2	11	0.00	0.00		-2185 -2184 -1760 -1759
0	2	11	0.00	0.00		-2184 -2183 -1761 -1760
0	2	11	0.00	0.00		-2183 -2182 -1942 -1761
0	2	11	0.00	0.00		-2181 -2180 -1922 -1544
0	2	11	0.00	0.00		-2179 -2178 -1546 -1545
0	2	11	0.00	0.00		-2177 -2176 -1549 -1548
0	2	11	0.00	0.00		-2176 -2175 -1550 -1549
0	2	11	0.00	0.00		-2175 -2174 -1609 -1550
0	2	11	0.00	0.00		-2154 -2153 -1771 -2094
0	2	11	0.00	0.00		-2152 -2151 -1772 -2092
0	2	11	0.00	0.00		-2148 -2147 -1774 -2090
0	2	11	0.00	0.00		-2146 -2145 -1775 -2088
0	2	11	0.00	0.00		-2166 -2165 -1362 -1960
0	2	11	0.00	0.00		-2162 -2161 -1764 -1951
0	2	11	0.00	0.00		-2138 -2137 -1782 -1935
0	2	11	0.00	0.00		-2134 -2133 -1854 -1932
0	2	11	0.00	0.00		-2173 -2172 -1682 -1426
0	2	11	0.00	0.00		-2172 -2171 -1683 -1682
0	2	11	0.00	0.00		-2171 -2170 -1684 -1683
0	2	11	0.00	0.00		-2170 -2169 -1352 -1684
0	2	11	0.00	0.00		-2169 -2168 -1355 -1352
0	2	11	0.00	0.00		-2168 -2167 -1356 -1355
0	2	11	0.00	0.00		-2167 -2166 -1960 -1356
0	2	11	0.00	0.00		-2165 -2164 436 -1362
0	2	11	0.00	0.00		-2164 -2163 -1763 436
0	2	11	0.00	0.00		-2136 -2135 -1841 431
0	2	11	0.00	0.00		-2163 -2162 -1951 -1763
0	2	11	0.00	0.00		-2161 -2160 -1765 -1764
0	2	11	0.00	0.00		-2160 -2159 -1766 -1765
0	2	11	0.00	0.00		-2159 -2158 -1767 -1766
0	2	11	0.00	0.00		-2158 -2157 -1768 -1767
0	2	11	0.00	0.00		-2157 -2156 -1769 -1768
0	2	11	0.00	0.00		-2156 -2155 -1770 -1769
0	2	11	0.00	0.00		-2155 -2154 -2094 -1770
0	2	11	0.00	0.00		-2153 -2152 -2092 -1771
0	2	11	0.00	0.00		-2151 -2150 -1413 -1772
0	2	11	0.00	0.00		-2150 -2149 -1773 -1413
0	2	11	0.00	0.00		-2149 -2148 -2090 -1773
0	2	11	0.00	0.00		-2147 -2146 -2088 -1774
0	2	11	0.00	0.00		-2145 -2144 -1776 -1775
0	2	11	0.00	0.00		-2144 -2143 -1777 -1776
0	2	11	0.00	0.00		-2143 -2142 -1778 -1777
0	2	11	0.00	0.00		-2142 -2141 -1779 -1778
0	2	11	0.00	0.00		-2141 -2140 -1780 -1779
0	2	11	0.00	0.00		-2140 -2139 -1781 -1780
0	2	11	0.00	0.00		-2139 -2138 -1935 -1781
0	2	11	0.00	0.00		-2137 -2136 431 -1782
0	2	11	0.00	0.00		-2135 -2134 -1932 -1841
0	2	11	0.00	0.00		-2133 -2132 -1855 -1854
0	2	11	0.00	0.00		-2132 -2131 -1860 -1855
0	2	11	0.00	0.00		-2131 -2130 -1541 -1860
0	2	11	0.00	0.00		-2130 -2129 -1542 -1541
0	2	11	0.00	0.00		-2129 -2128 -1543 -1542
0	2	11	0.00	0.00		-2128 -2127 -1608 -1543
0	1	11	0.00	0.00		-1835 -1412 -1469 -1468
0	1	11	0.00	0.00		-1412 -1410 -1470 -1469
0	1	11	0.00	0.00		-1410 -1411 -1471 -1470
0	1	11	0.00	0.00		-1411 -1688 -1472 -1471
0	1	11	0.00	0.00		-1688 -1691 -1473 -1472
0	1	11	0.00	0.00		-1691 -1692 -1474 -1473
0	1	11	0.00	0.00		-1692 -1917 -1918 -1474
0	1	11	0.00	0.00		-1698 -1534 433 -1475
0	1	11	0.00	0.00		442 -1706 -1783 -1863

0	1	11	0.00	0.00		-1706 -1945 -1946 -1783
0	1	11	0.00	0.00		-1707 -1708 -1785 -1784
0	1	11	0.00	0.00		-1708 -1709 -1786 -1785
0	1	11	0.00	0.00		-1709 -1710 -1787 -1786
0	1	11	0.00	0.00		-1710 -1711 -1788 -1787
0	1	11	0.00	0.00		-1711 -1712 -1789 -1788
0	1	11	0.00	0.00		-1712 -1713 -1790 -1789
0	1	11	0.00	0.00		-1713 -2078 -2077 -1790
0	1	11	0.00	0.00		-1714 -2076 -2075 -1791
0	1	11	0.00	0.00		-1715 -1849 -1535 -1792
0	1	11	0.00	0.00		-1849 -1716 -1793 -1535
0	1	11	0.00	0.00		-1349 -1350 -1562 -1561
0	1	11	0.00	0.00		-1350 -1351 -1563 -1562
0	1	11	0.00	0.00		-1351 -1353 -1564 -1563
0	1	11	0.00	0.00		-1353 -1354 -1611 -1564
0	1	11	0.00	0.00		-1357 -1358 -1706 442
0	1	11	0.00	0.00		-1358 -1947 -1945 -1706
0	1	11	0.00	0.00		-1359 -1360 -1708 -1707
0	1	11	0.00	0.00		-1360 -1361 -1709 -1708
0	1	11	0.00	0.00		-1361 -1368 -1710 -1709
0	1	11	0.00	0.00		-1368 -1369 -1711 -1710
0	1	11	0.00	0.00		-1369 -1370 -1712 -1711
0	1	11	0.00	0.00		-1370 -1371 -1713 -1712
0	1	11	0.00	0.00		-1371 -2074 -2078 -1713
0	1	11	0.00	0.00		-1372 -2073 -2076 -1714
0	1	11	0.00	0.00		-1373 -1374 -1849 -1715
0	1	11	0.00	0.00		-1374 -1375 -1716 -1849
0	1	11	0.00	0.00		-1375 -2072 -2070 -1716
0	1	11	0.00	0.00		-1376 -2068 -2066 -1717
0	1	11	0.00	0.00		-1377 -1378 -1719 -1718
0	1	11	0.00	0.00		-1378 -1379 -1720 -1719
0	1	11	0.00	0.00		-1379 -1380 -1721 -1720
0	1	11	0.00	0.00		-1380 -1381 -1722 -1721
0	1	11	0.00	0.00		-1381 -1382 -1723 -1722
0	1	11	0.00	0.00		-1382 -1383 -1724 -1723
0	1	11	0.00	0.00		-1383 -1919 -1920 -1724
0	1	11	0.00	0.00		-1384 -1385 440 -1725
0	2	11	0.00	0.00		-1571 -1612 -2174 -2175
0	2	11	0.00	0.00		-1570 -1571 -2175 -2176
0	2	11	0.00	0.00		-1569 -1570 -2176 -2177
0	2	11	0.00	0.00		-2071 -1548 -1981 -1980
0	2	11	0.00	0.00		-1546 -2071 -1980 -1979
0	2	11	0.00	0.00		-1566 -1567 -2178 -2179
0	2	11	0.00	0.00		-1565 -1921 -2180 -2181
0	1	11	0.00	0.00		-1510 -1509 -1612 -1571
0	1	11	0.00	0.00		-1511 -1510 -1571 -1570
0	1	11	0.00	0.00		-1716 -2070 -2064 -1793
0	1	11	0.00	0.00		-1717 -2066 -2062 -1794
0	1	11	0.00	0.00		-1718 -1719 -1796 -1795
0	1	11	0.00	0.00		-1719 -1720 -1797 -1796
0	1	11	0.00	0.00		-1720 -1721 -1798 -1797
0	1	11	0.00	0.00		-1721 -1722 -1799 -1798
0	1	11	0.00	0.00		-1722 -1723 -1800 -1799
0	1	11	0.00	0.00		-1723 -1724 -1801 -1800
0	1	11	0.00	0.00		-1724 -1920 -1923 -1801
0	1	11	0.00	0.00		-1725 440 -1531 -1802
0	1	11	0.00	0.00		-1838 -1536 -1385 -1384
0	1	11	0.00	0.00		-1837 -1924 -1919 -1383
0	1	11	0.00	0.00		-1853 -1837 -1383 -1382
0	1	11	0.00	0.00		-1852 -1853 -1382 -1381
0	1	11	0.00	0.00		-1851 -1852 -1381 -1380
0	2	11	0.00	0.00		-1686 -1746 -1994 -1992
0	2	11	0.00	0.00		-1746 -1957 -2016 -1994
0	2	11	0.00	0.00		-1957 -1747 -1995 -2016
0	2	11	0.00	0.00		-1747 -1748 -1996 -1995
0	2	11	0.00	0.00		-1748 -1749 -1997 -1996
0	2	11	0.00	0.00		-1729 -1730 -2214 -2198
0	2	11	0.00	0.00		-1730 -1731 -2197 -2214
0	2	11	0.00	0.00		-1750 -1751 -2000 -1999
0	2	11	0.00	0.00		-1751 -1752 -2001 -2000
0	2	11	0.00	0.00		-1752 -2119 -2120 -2001
0	2	11	0.00	0.00		-1734 -2113 -2215 -2216
0	2	11	0.00	0.00		-1735 -1847 -2193 -2217
0	2	11	0.00	0.00		-1689 -1754 -2004 -1993
0	2	11	0.00	0.00		-1754 -2116 -2121 -2004
0	2	11	0.00	0.00		-1755 -2115 -2122 -2005
0	2	11	0.00	0.00		-1756 -1757 -2007 -2006
0	2	11	0.00	0.00		-1739 -1740 -2218 -2187
0	2	11	0.00	0.00		-1740 -1741 -2186 -2218

0	2	11	0.00	0.00		-1758 -1759 -2010 -2009
0	2	11	0.00	0.00		-1759 -1760 -2011 -2010
0	2	11	0.00	0.00		-1760 -1761 -2012 -2011
0	2	11	0.00	0.00		-1761 -1942 -2015 -2012
0	2	11	0.00	0.00		-1941 -1745 -2219 -2182
0	2	11	0.00	0.00		-1745 432 -2203 -2219
0	2	11	0.00	0.00		-1540 -1544 -1977 -1976
0	2	11	0.00	0.00		-1544 -1922 -2014 -1977
0	2	11	0.00	0.00		-1922 -1545 -1978 -2014
0	2	11	0.00	0.00		-1545 -1546 -1979 -1978
0	2	11	0.00	0.00		-1567 -1568 -2220 -2178
0	2	11	0.00	0.00		-1568 -1569 -2177 -2220
0	2	11	0.00	0.00		-1548 -1549 -1982 -1981
0	2	11	0.00	0.00		-1549 -1550 -1983 -1982
0	2	11	0.00	0.00		-1550 -1609 -1984 -1983
0	2	11	0.00	0.00		-1425 -1675 -1985 -1975
0	2	11	0.00	0.00		-1675 -1676 -1986 -1985
0	2	11	0.00	0.00		-1676 -1677 -1987 -1986
0	2	11	0.00	0.00		-1677 -1678 -1988 -1987
0	2	11	0.00	0.00		-1678 -1679 -1989 -1988
0	2	11	0.00	0.00		-1679 -1680 -1990 -1989
0	2	11	0.00	0.00		-1680 -1964 -2017 -1990
0	2	11	0.00	0.00		-1964 -1681 -1991 -2017
0	2	11	0.00	0.00		-1681 -1686 -1992 -1991
0	2	11	0.00	0.00		-2018 -2029 -1619 -1417
0	2	11	0.00	0.00		-2029 -2030 -1620 -1619
0	2	11	0.00	0.00		-2030 -2031 -1621 -1620
0	2	11	0.00	0.00		-2031 -2032 -1622 -1621
0	2	11	0.00	0.00		-2032 -2033 -1623 -1622
0	2	11	0.00	0.00		-2033 -2034 -1624 -1623
0	2	11	0.00	0.00		-2034 -2060 -1961 -1624
0	2	11	0.00	0.00		-2060 -2035 -1625 -1961
0	2	11	0.00	0.00		-2035 -2036 -1687 -1625
0	2	11	0.00	0.00		-2037 -2059 -1950 -1803
0	2	11	0.00	0.00		-2059 -2038 -1804 -1950
0	2	11	0.00	0.00		-2038 -2039 -1805 -1804
0	2	11	0.00	0.00		-2039 -2040 -1806 -1805
0	2	11	0.00	0.00		-2040 -2041 -1807 -1806
0	2	11	0.00	0.00		-2041 -2042 -1808 -1807
0	2	11	0.00	0.00		-2042 -2043 -1809 -1808
0	2	11	0.00	0.00		-2043 -2044 -1810 -1809
0	2	11	0.00	0.00		-2044 -2123 -2093 -1810
0	2	11	0.00	0.00		-2045 -2124 -2091 -1811
0	2	11	0.00	0.00		-2046 -2019 -1533 -1812
0	2	11	0.00	0.00		-2019 -2047 -1813 -1533
0	2	11	0.00	0.00		-2047 -2125 -2089 -1813
0	2	11	0.00	0.00		-2048 -2126 -2087 -1814
0	2	11	0.00	0.00		-2049 -2050 -1816 -1815
0	2	11	0.00	0.00		-2050 -2051 -1817 -1816
0	2	11	0.00	0.00		-2051 -2052 -1818 -1817
0	2	11	0.00	0.00		-2052 -2053 -1819 -1818
0	2	11	0.00	0.00		-2053 -2054 -1820 -1819
0	2	11	0.00	0.00		-2054 -2055 -1821 -1820
0	2	11	0.00	0.00		-2055 -2058 -1934 -1821
0	2	11	0.00	0.00		-2058 -2056 -1822 -1934
0	2	11	0.00	0.00		-2056 -2020 -1539 -1822
0	2	11	0.00	0.00		-2021 -2057 -1933 -1600
0	2	11	0.00	0.00		-2057 -2022 -1601 -1933
0	2	11	0.00	0.00		-2022 -2023 -1602 -1601
0	2	11	0.00	0.00		-2023 -2024 -1603 -1602
0	2	11	0.00	0.00		-2024 -2025 -1604 -1603
0	2	11	0.00	0.00		-2025 -2026 -1605 -1604
0	2	11	0.00	0.00		-2026 -2027 -1606 -1605
0	2	11	0.00	0.00		-2027 -2028 -1617 -1606
0	1	11	0.00	0.00		-2074 -1372 -1714 -2078
0	1	11	0.00	0.00		-2073 -1373 -1715 -2076
0	1	11	0.00	0.00		-2072 -1376 -1717 -2070
0	1	11	0.00	0.00		-2068 -1377 -1718 -2066
0	1	11	0.00	0.00		-2070 -1717 -1794 -2064
0	1	11	0.00	0.00		-2066 -1718 -1795 -2062
0	1	11	0.00	0.00		-2061 -1695 -1377 -2068
0	1	11	0.00	0.00		-2084 -1694 -1376 -2072
0	1	11	0.00	0.00		-2085 -1866 -1373 -2073
0	1	11	0.00	0.00		-2086 -1865 -1372 -2074
0	2	11	0.00	0.00		-2087 -1815 -2145 -2146
0	2	11	0.00	0.00		-2089 -1814 -2147 -2148
0	2	11	0.00	0.00		-2091 -1812 -2151 -2152
0	2	11	0.00	0.00		-2093 -1811 -2153 -2154
0	1	11	0.00	0.00		-2088 -1775 -1394 -2095

0	1	11	0.00	0.00		-2090 -1774 -1395 -2096
0	1	11	0.00	0.00		-2092 -1772 -1397 -2097
0	1	11	0.00	0.00		-2094 -1771 -1398 -2098
0	1	11	0.00	0.00		-2095 -1394 -1695 -2061
0	1	11	0.00	0.00		-2096 -1395 -1694 -2084
0	1	11	0.00	0.00		-2097 -1397 -1866 -2085
0	1	11	0.00	0.00		-2098 -1398 -1865 -2086
0	1	11	0.00	0.00		-2099 -1436 -1831 -1699
0	1	11	0.00	0.00		-2100 -1438 -1832 -1547
0	1	11	0.00	0.00		-2101 -1441 -1834 -2082
0	1	11	0.00	0.00		-2102 -1442 -1835 -2080
0	1	11	0.00	0.00		-1762 -1464 -1882 -1974
0	1	11	0.00	0.00		-2083 -1465 -1883 -1911
0	1	11	0.00	0.00		-2081 -1467 -1886 -2103
0	1	11	0.00	0.00		-2079 -1468 -1887 -2104
0	1	11	0.00	0.00		-2077 -1791 -1436 -2099
0	1	11	0.00	0.00		-2075 -1792 -1438 -2100
0	1	11	0.00	0.00		-2064 -1794 -1441 -2101
0	1	11	0.00	0.00		-2062 -1795 -1442 -2102
0	1	11	0.00	0.00		-2105 -1496 -1488 -2106
0	1	11	0.00	0.00		-2107 -1495 -1489 -2108
0	1	11	0.00	0.00		-1912 -1493 -1499 -2109
0	1	11	0.00	0.00		-1973 -1492 -1500 -2110
0	1	11	0.00	0.00		-2106 -1488 -1738 -2111
0	1	11	0.00	0.00		-2108 -1489 -1737 -2112
0	1	11	0.00	0.00		-2109 -1499 -1735 -2113
0	1	11	0.00	0.00		-2110 -1500 -1734 -2114
0	2	11	0.00	0.00		-2111 -1738 -2188 -2189
0	2	11	0.00	0.00		-2112 -1737 -2190 -2191
0	2	11	0.00	0.00		-2117 -2065 -2003 -2118
0	2	11	0.00	0.00		-2114 -1734 -2216 -2194
0	1	11	0.00	0.00		-2103 -1886 -1495 -2107
0	1	11	0.00	0.00		-2104 -1887 -1496 -2105
0	2	11	0.00	0.00		-2119 -1753 -2002 -2120
0	2	11	0.00	0.00		-2113 -1735 -2217 -2215
0	2	11	0.00	0.00		-2116 -1755 -2005 -2121
0	2	11	0.00	0.00		-2115 -1756 -2006 -2122
0	2	11	0.00	0.00		-2123 -2045 -1811 -2093
0	2	11	0.00	0.00		-2124 -2046 -1812 -2091
0	2	11	0.00	0.00		-2125 -2048 -1814 -2089
0	2	11	0.00	0.00		-2126 -2049 -1815 -2087
106	4	33	0.00	0.00		-203 -191 -255 -257
106	4	33	0.00	0.00		-179 -167 -251 -253
106	4	33	0.00	0.00		-237 -235 -273 -275
106	4	33	0.00	0.00		-333 -331 -369 -371
106	4	33	0.00	0.00		-255 -253 -291 -293
106	4	33	0.00	0.00		-329 -327 -365 -367
106	4	33	0.00	0.00		-155 -143 -247 -249
106	4	33	0.00	0.00		-143 24 -245 -247
106	4	33	0.00	0.00		-249 -247 -285 -287
106	4	33	0.00	0.00		-247 -245 -283 -285
106	4	33	0.00	0.00		-243 -241 -279 -281
106	4	33	0.00	0.00		-239 -237 -275 -277
106	4	33	0.00	0.00		-229 -227 -265 -267
106	4	33	0.00	0.00		-235 -233 -271 -273
106	4	33	0.00	0.00		-325 -323 -361 -363
106	4	33	0.00	0.00		-323 -321 -359 -361
106	4	33	0.00	0.00		-121 22 -241 -243
106	4	33	0.00	0.00		-295 -293 -331 -333
106	4	33	0.00	0.00		-301 -299 -337 -339
106	4	33	0.00	0.00		-311 -309 -347 -349
106	4	33	0.00	0.00		-319 -317 -355 -357
106	4	33	0.00	0.00		-257 -255 -293 -295
106	4	33	0.00	0.00		-315 -313 -351 -353
106	4	33	0.00	0.00		-327 -325 -363 -365
106	4	33	0.00	0.00		-313 -311 -349 -351
106	4	33	0.00	0.00		-307 -305 -343 -345
106	4	33	0.00	0.00		-41 -29 -227 -229
106	4	33	0.00	0.00		-167 -155 -249 -251
106	4	33	0.00	0.00		24 -121 -243 -245
106	4	33	0.00	0.00		22 -99 -239 -241
106	4	33	0.00	0.00		20 -77 -235 -237
106	4	33	0.00	0.00		-215 -203 -257 -259
106	4	33	0.00	0.00		-191 -179 -253 -255
106	4	33	0.00	0.00		-53 -41 -229 -231
106	4	33	0.00	0.00		-29 -17 -225 -227
106	4	33	0.00	0.00		-317 -315 -353 -355
106	4	33	0.00	0.00		-271 -269 -307 -309
106	4	33	0.00	0.00		-227 -225 -263 -265

106	4	33	0.00	0.00		-253 -251 -289 -291
106	4	33	0.00	0.00		-303 -301 -339 -341
106	4	33	0.00	0.00		-251 -249 -287 -289
106	4	33	0.00	0.00		-245 -243 -281 -283
106	4	33	0.00	0.00		-241 -239 -277 -279
106	4	33	0.00	0.00		-321 -319 -357 -359
106	4	33	0.00	0.00		-259 -257 -295 -297
106	4	33	0.00	0.00		-225 -223 -261 -263
106	4	33	0.00	0.00		-231 -229 -267 -269
106	4	33	0.00	0.00		-331 -329 -367 -369
106	4	33	0.00	0.00		-335 -333 -371 -373
106	4	33	0.00	0.00		-265 -263 -301 -303
106	4	33	0.00	0.00		-287 -285 -323 -325
106	4	33	0.00	0.00		-285 -283 -321 -323
106	4	33	0.00	0.00		-281 -279 -317 -319
106	4	33	0.00	0.00		-277 -275 -313 -315
106	4	33	0.00	0.00		-17 -5 -223 -225
106	4	33	0.00	0.00		-233 -231 -269 -271
106	4	33	0.00	0.00		-293 -291 -329 -331
106	4	33	0.00	0.00		-297 -295 -333 -335
106	4	33	0.00	0.00		-269 -267 -305 -307
106	4	33	0.00	0.00		-275 -273 -311 -313
106	4	33	0.00	0.00		-291 -289 -327 -329
106	4	33	0.00	0.00		-289 -287 -325 -327
106	4	33	0.00	0.00		-283 -281 -319 -321
106	4	33	0.00	0.00		-99 20 -237 -239
106	4	33	0.00	0.00		-267 -265 -303 -305
106	4	33	0.00	0.00		-279 -277 -315 -317
106	4	33	0.00	0.00		-309 -307 -345 -347
106	4	33	0.00	0.00		-305 -303 -341 -343
106	4	33	0.00	0.00		-77 -65 -233 -235
106	4	33	0.00	0.00		-263 -261 -299 -301
106	4	33	0.00	0.00		-273 -271 -309 -311
106	4	33	0.00	0.00		-65 -53 -231 -233
107	4	11	0.00	0.00		-316 -314 -352 -354
107	4	11	0.00	0.00		-330 -328 -366 -368
107	4	11	0.00	0.00		-328 -326 -364 -366
107	4	11	0.00	0.00		-236 -234 -272 -274
107	4	11	0.00	0.00		-228 -226 -264 -266
107	4	11	0.00	0.00		-230 -228 -266 -268
107	4	11	0.00	0.00		-314 -312 -350 -352
107	4	11	0.00	0.00		-158 -146 -248 -250
107	4	11	0.00	0.00		-308 -306 -344 -346
107	4	11	0.00	0.00		-334 -332 -370 -372
107	4	11	0.00	0.00		-304 -302 -340 -342
107	4	11	0.00	0.00		-288 -286 -324 -326
107	4	11	0.00	0.00		-234 -232 -270 -272
107	4	11	0.00	0.00		-282 -280 -318 -320
107	4	11	0.00	0.00		-286 -284 -322 -324
107	4	11	0.00	0.00		-322 -320 -358 -360
107	4	11	0.00	0.00		-290 -288 -326 -328
107	4	11	0.00	0.00		-264 -262 -300 -302
107	4	11	0.00	0.00		-318 -316 -354 -356
107	4	11	0.00	0.00		-326 -324 -362 -364
107	4	11	0.00	0.00		-256 -254 -292 -294
107	4	11	0.00	0.00		-260 -258 -296 -298
107	4	11	0.00	0.00		-272 -270 -308 -310
107	4	11	0.00	0.00		-312 -310 -348 -350
107	4	11	0.00	0.00		-182 -170 -252 -254
107	4	11	0.00	0.00		-320 -318 -356 -358
107	4	11	0.00	0.00		-102 21 -238 -240
107	4	11	0.00	0.00		-232 -230 -268 -270
107	4	11	0.00	0.00		-32 -20 -226 -228
107	4	11	0.00	0.00		-280 -278 -316 -318
107	4	11	0.00	0.00		-146 25 -246 -248
107	4	11	0.00	0.00		-292 -290 -328 -330
107	4	11	0.00	0.00		-336 -334 -372 -374
107	4	11	0.00	0.00		-270 -268 -306 -308
107	4	11	0.00	0.00		-242 -240 -278 -280
107	4	11	0.00	0.00		-206 -194 -256 -258
107	4	11	0.00	0.00		-268 -266 -304 -306
107	4	11	0.00	0.00		-274 -272 -310 -312
107	4	11	0.00	0.00		-248 -246 -284 -286
107	4	11	0.00	0.00		-250 -248 -286 -288
107	4	11	0.00	0.00		-20 -8 -224 -226
107	4	11	0.00	0.00		-252 -250 -288 -290
107	4	11	0.00	0.00		-124 23 -242 -244
107	4	11	0.00	0.00		-302 -300 -338 -340
107	4	11	0.00	0.00		21 -80 -236 -238

107	4	11	0.00	0.00		-310 -308 -346 -348
107	4	11	0.00	0.00		-194 -182 -254 -256
107	4	11	0.00	0.00		-56 -44 -230 -232
107	4	11	0.00	0.00		-278 -276 -314 -316
107	4	11	0.00	0.00		-68 -56 -232 -234
107	4	11	0.00	0.00		-332 -330 -368 -370
107	4	11	0.00	0.00		-170 -158 -250 -252
107	4	11	0.00	0.00		25 -124 -244 -246
107	4	11	0.00	0.00		23 -102 -240 -242
107	4	11	0.00	0.00		-294 -292 -330 -332
107	4	11	0.00	0.00		-218 -206 -258 -260
107	4	11	0.00	0.00		-244 -242 -280 -282
107	4	11	0.00	0.00		-246 -244 -282 -284
107	4	11	0.00	0.00		-254 -252 -290 -292
107	4	11	0.00	0.00		-276 -274 -312 -314
107	4	11	0.00	0.00		-284 -282 -320 -322
107	4	11	0.00	0.00		-238 -236 -274 -276
107	4	11	0.00	0.00		-324 -322 -360 -362
107	4	11	0.00	0.00		-258 -256 -294 -296
107	4	11	0.00	0.00		-306 -304 -342 -344
107	4	11	0.00	0.00		-80 -68 -234 -236
107	4	11	0.00	0.00		-266 -264 -302 -304
107	4	11	0.00	0.00		-226 -224 -262 -264
107	4	11	0.00	0.00		-240 -238 -276 -278
107	4	11	0.00	0.00		-44 -32 -228 -230
107	4	11	0.00	0.00		-296 -294 -332 -334
107	4	11	0.00	0.00		-298 -296 -334 -336
206	6	33	0.00	0.00		-339 -337 -385 -387
206	6	33	0.00	0.00		-389 -387 -423 -425
206	6	33	0.00	0.00		-345 -343 -391 -393
206	6	33	0.00	0.00		-393 -391 -427 -429
206	6	33	0.00	0.00		-401 -399 -435 -437
206	6	33	0.00	0.00		-391 -389 -425 -427
206	6	33	0.00	0.00		-353 -351 -399 -401
206	6	33	0.00	0.00		-399 -397 -433 -435
206	6	33	0.00	0.00		-387 -385 -421 -423
206	6	33	0.00	0.00		-395 -393 -429 -431
206	6	33	0.00	0.00		-397 -395 -431 -433
206	6	33	0.00	0.00		-351 -349 -397 -399
206	6	33	0.00	0.00		-341 -339 -387 -389
206	6	33	0.00	0.00		-349 -347 -395 -397
206	6	33	0.00	0.00		-343 -341 -389 -391
206	6	33	0.00	0.00		-347 -345 -393 -395
207	6	33	0.00	0.00		-367 -365 -411 -413
207	6	33	0.00	0.00		-409 -407 -445 -447
207	6	33	0.00	0.00		-363 -361 -407 -409
207	6	33	0.00	0.00		-419 -417 -455 -457
207	6	33	0.00	0.00		-371 -369 -415 -417
207	6	33	0.00	0.00		-369 -367 -413 -415
207	6	33	0.00	0.00		-411 -409 -447 -449
207	6	33	0.00	0.00		-365 -363 -409 -411
207	6	33	0.00	0.00		-417 -415 -453 -455
207	6	33	0.00	0.00		-413 -411 -449 -451
207	6	33	0.00	0.00		-361 -359 -405 -407
207	6	33	0.00	0.00		-359 -357 -403 -405
207	6	33	0.00	0.00		-405 -403 -441 -443
207	6	33	0.00	0.00		-407 -405 -443 -445
207	6	33	0.00	0.00		-373 -371 -417 -419
207	6	33	0.00	0.00		-415 -413 -451 -453
208	6	11	0.00	0.00		-374 -372 -418 -420
208	6	11	0.00	0.00		-406 -404 -442 -444
208	6	11	0.00	0.00		-418 -416 -454 -456
208	6	11	0.00	0.00		-372 -370 -416 -418
208	6	11	0.00	0.00		-420 -418 -456 -458
208	6	11	0.00	0.00		-416 -414 -452 -454
208	6	11	0.00	0.00		-362 -360 -406 -408
208	6	11	0.00	0.00		-360 -358 -404 -406
208	6	11	0.00	0.00		-412 -410 -448 -450
208	6	11	0.00	0.00		-410 -408 -446 -448
208	6	11	0.00	0.00		-414 -412 -450 -452
208	6	11	0.00	0.00		-408 -406 -444 -446
208	6	11	0.00	0.00		-364 -362 -408 -410
208	6	11	0.00	0.00		-370 -368 -414 -416
208	6	11	0.00	0.00		-366 -364 -410 -412
208	6	11	0.00	0.00		-368 -366 -412 -414
209	6	11	0.00	0.00		-390 -388 -424 -426
209	6	11	0.00	0.00		-354 -352 -400 -402
209	6	11	0.00	0.00		-352 -350 -398 -400
209	6	11	0.00	0.00		-392 -390 -426 -428

209	6	11	0.00	0.00		-350 -348 -396 -398
209	6	11	0.00	0.00		-398 -396 -432 -434
209	6	11	0.00	0.00		-342 -340 -388 -390
209	6	11	0.00	0.00		-400 -398 -434 -436
209	6	11	0.00	0.00		-348 -346 -394 -396
209	6	11	0.00	0.00		-344 -342 -390 -392
209	6	11	0.00	0.00		-402 -400 -436 -438
209	6	11	0.00	0.00		-340 -338 -386 -388
209	6	11	0.00	0.00		-394 -392 -428 -430
209	6	11	0.00	0.00		-388 -386 -422 -424
209	6	11	0.00	0.00		-396 -394 -430 -432
209	6	11	0.00	0.00		-346 -344 -392 -394
306	6	33	0.00	0.00		-467 -465 -503 -505
306	6	33	0.00	0.00		-517 -515 -882 -925
306	6	33	0.00	0.00		-501 -499 -537 301
306	6	33	0.00	0.00		-463 -461 -499 -501
306	6	33	0.00	0.00		-469 -467 -505 -507
306	6	33	0.00	0.00		-533 -531 -1225 -1270
306	6	33	0.00	0.00		-507 -505 -661 -704
306	6	33	0.00	0.00		-443 -441 -479 -481
306	6	33	0.00	0.00		-481 -479 -517 -519
306	6	33	0.00	0.00		-487 -485 -523 -525
306	6	33	0.00	0.00		-433 -431 -469 -471
306	6	33	0.00	0.00		-499 -497 -535 -537
306	6	33	0.00	0.00		-473 -471 -509 -511
306	6	33	0.00	0.00		-477 -475 -513 -515
306	6	33	0.00	0.00		-491 -489 -527 -529
306	6	33	0.00	0.00		-509 -507 -704 -749
306	6	33	0.00	0.00		-485 -483 -521 -523
306	6	33	0.00	0.00		-427 -425 -463 -465
306	6	33	0.00	0.00		-423 -421 -459 -461
306	6	33	0.00	0.00		-489 -487 -525 -527
306	6	33	0.00	0.00		-455 -453 -491 -493
306	6	33	0.00	0.00		-437 -435 -473 -475
306	6	33	0.00	0.00		-451 -449 -487 -489
306	6	33	0.00	0.00		-425 -423 -461 -463
306	6	33	0.00	0.00		-431 -429 -467 -469
306	6	33	0.00	0.00		-511 -509 -749 -794
306	6	33	0.00	0.00		-515 -513 -837 -882
306	6	33	0.00	0.00		-521 -519 -970 -1013
306	6	33	0.00	0.00		-513 -511 -794 -837
306	6	33	0.00	0.00		-439 -437 -475 -477
306	6	33	0.00	0.00		-529 -527 -1146 320
306	6	33	0.00	0.00		-447 -445 -483 -485
306	6	33	0.00	0.00		-525 -523 -1058 -1103
306	6	33	0.00	0.00		-457 -455 -493 -495
306	6	33	0.00	0.00		-495 -493 -531 -533
306	6	33	0.00	0.00		-531 -529 320 -1225
306	6	33	0.00	0.00		-471 -469 -507 -509
306	6	33	0.00	0.00		-449 -447 -485 -487
306	6	33	0.00	0.00		-441 -439 -477 -479
306	6	33	0.00	0.00		-503 -501 301 -618
306	6	33	0.00	0.00		-475 -473 -511 -513
306	6	33	0.00	0.00		-453 -451 -489 -491
306	6	33	0.00	0.00		-461 -459 -497 -499
306	6	33	0.00	0.00		-479 -477 -515 -517
306	6	33	0.00	0.00		-519 -517 -925 -970
306	6	33	0.00	0.00		-523 -521 -1013 -1058
306	6	33	0.00	0.00		-483 -481 -519 -521
306	6	33	0.00	0.00		-527 -525 -1103 -1146
306	6	33	0.00	0.00		-505 -503 -618 -661
306	6	33	0.00	0.00		-465 -463 -501 -503
306	6	33	0.00	0.00		-445 -443 -481 -483
306	6	33	0.00	0.00		-429 -427 -465 -467
306	6	33	0.00	0.00		-435 -433 -471 -473
306	6	33	0.00	0.00		-493 -491 -529 -531
307	6	11	0.00	0.00		-486 -484 -522 -524
307	6	11	0.00	0.00		-510 -508 -748 -793
307	6	11	0.00	0.00		-516 -514 -881 -924
307	6	11	0.00	0.00		-506 -504 -660 -703
307	6	11	0.00	0.00		-532 -530 328 -1269
307	6	11	0.00	0.00		-502 -500 -581 309
307	6	11	0.00	0.00		-434 -432 -470 -472
307	6	11	0.00	0.00		-440 -438 -476 -478
307	6	11	0.00	0.00		-512 -510 -793 -836
307	6	11	0.00	0.00		-476 -474 -512 -514
307	6	11	0.00	0.00		-526 -524 -1102 -1145
307	6	11	0.00	0.00		-446 -444 -482 -484
307	6	11	0.00	0.00		-518 -516 -924 -969

307	6	11	0.00	0.00		-508 -506 -703 -748
307	6	11	0.00	0.00		-500 -498 -536 -581
307	6	11	0.00	0.00		-478 -476 -514 -516
307	6	11	0.00	0.00		-514 -512 -836 -881
307	6	11	0.00	0.00		-490 -488 -526 -528
307	6	11	0.00	0.00		-534 -532 -1269 -1271
307	6	11	0.00	0.00		-442 -440 -478 -480
307	6	11	0.00	0.00		-426 -424 -462 -464
307	6	11	0.00	0.00		-528 -526 -1145 -1188
307	6	11	0.00	0.00		-484 -482 -520 -522
307	6	11	0.00	0.00		-488 -486 -524 -526
307	6	11	0.00	0.00		-472 -470 -508 -510
307	6	11	0.00	0.00		-432 -430 -468 -470
307	6	11	0.00	0.00		-456 -454 -492 -494
307	6	11	0.00	0.00		-464 -462 -500 -502
307	6	11	0.00	0.00		-480 -478 -516 -518
307	6	11	0.00	0.00		-504 -502 309 -660
307	6	11	0.00	0.00		-530 -528 -1188 328
307	6	11	0.00	0.00		-454 -452 -490 -492
307	6	11	0.00	0.00		-482 -480 -518 -520
307	6	11	0.00	0.00		-458 -456 -494 -496
307	6	11	0.00	0.00		-466 -464 -502 -504
307	6	11	0.00	0.00		-474 -472 -510 -512
307	6	11	0.00	0.00		-496 -494 -532 -534
307	6	11	0.00	0.00		-492 -490 -528 -530
307	6	11	0.00	0.00		-424 -422 -460 -462
307	6	11	0.00	0.00		-522 -520 -1012 -1057
307	6	11	0.00	0.00		-430 -428 -466 -468
307	6	11	0.00	0.00		-468 -466 -504 -506
307	6	11	0.00	0.00		-428 -426 -464 -466
307	6	11	0.00	0.00		-524 -522 -1057 -1102
307	6	11	0.00	0.00		-448 -446 -484 -486
307	6	11	0.00	0.00		-462 -460 -498 -500
307	6	11	0.00	0.00		-444 -442 -480 -482
307	6	11	0.00	0.00		-450 -448 -486 -488
307	6	11	0.00	0.00		-436 -434 -472 -474
307	6	11	0.00	0.00		-470 -468 -506 -508
307	6	11	0.00	0.00		-494 -492 -530 -532
307	6	11	0.00	0.00		-520 -518 -969 -1012
307	6	11	0.00	0.00		-452 -450 -488 -490
307	6	11	0.00	0.00		-438 -436 -474 -476
605	5	33	0.00	0.00	0.91	-154 -142 -141 -153
605	5	33	0.00	0.00	0.91	-98 -88 -87 -97
605	5	33	0.00	0.00	0.91	-119 -109 -108 -118
605	5	33	0.00	0.00	0.91	-39 -27 -26 -38
605	5	33	0.00	0.00	0.91	-50 -38 -37 -49
605	5	33	0.00	0.00	0.91	-166 -154 -153 -165
605	5	33	0.00	0.00	0.91	-14 -2 -1 -13
605	5	33	0.00	0.00	0.91	-152 -140 -139 -151
605	5	33	0.00	0.00	0.91	-131 -119 -118 -130
605	5	33	0.00	0.00	0.91	-26 -14 -13 -25
605	5	33	0.00	0.00	0.91	-178 -166 -165 -177
605	5	33	0.00	0.00	0.91	-120 -110 -109 -119
605	5	33	0.00	0.00	0.91	-52 -40 -39 -51
605	5	33	0.00	0.00	0.91	-74 -62 -61 -73
605	5	33	0.00	0.00	0.91	-176 -164 -163 -175
605	5	33	0.00	0.00	0.91	-38 -26 -25 -37
605	5	33	0.00	0.00	0.91	-203 -191 -190 -202
605	5	33	0.00	0.00	0.91	-201 -189 -188 -200
605	5	33	0.00	0.00	0.91	-75 -63 -62 -74
605	5	33	0.00	0.00	0.91	-202 -190 -189 -201
605	5	33	0.00	0.00	0.91	-97 -87 -86 -96
605	5	33	0.00	0.00	0.91	-141 -131 -130 -140
605	5	33	0.00	0.00	0.91	-63 -51 -50 -62
605	5	33	0.00	0.00	0.91	-177 -165 -164 -176
605	5	33	0.00	0.00	0.91	-132 -120 -119 -131
605	5	33	0.00	0.00	0.91	-27 -15 -14 -26
605	5	33	0.00	0.00	0.91	-51 -39 -38 -50
605	5	33	0.00	0.00	0.91	-87 -75 -74 -86
605	5	33	0.00	0.00	0.91	-109 -97 -96 -108
605	5	33	0.00	0.00	0.91	-16 -4 -3 -15
605	5	33	0.00	0.00	0.91	-53 -41 -40 -52
605	5	33	0.00	0.00	0.91	-40 -28 -27 -39
605	5	33	0.00	0.00	0.91	-153 -141 -140 -152
605	5	33	0.00	0.00	0.91	-62 -50 -49 -61
605	5	33	0.00	0.00	0.91	-76 -64 -63 -75
605	5	33	0.00	0.00	0.91	-64 -52 -51 -63
605	5	33	0.00	0.00	0.91	-200 -188 -187 -199
605	5	33	0.00	0.00	0.91	-28 -16 -15 -27

605	5	33	0.00	0.00	0.91	-18 -6 -5 -17
605	5	33	0.00	0.00	0.91	-17 -5 -4 -16
605	5	33	0.00	0.00	0.91	-88 -76 -75 -87
605	5	33	0.00	0.00	0.91	-110 -98 -97 -109
605	5	33	0.00	0.00	0.91	-54 -42 -41 -53
605	5	33	0.00	0.00	0.91	-89 -78 -77 20
605	5	33	0.00	0.00	0.91	-142 -132 -131 -141
605	5	33	0.00	0.00	0.91	-86 -74 -73 -85
605	5	33	0.00	0.00	0.91	-66 -54 -53 -65
605	5	33	0.00	0.00	0.91	-190 -178 -177 -189
605	5	33	0.00	0.00	0.91	-214 -202 -201 -213
605	5	33	0.00	0.00	0.91	-29 -17 -16 -28
605	5	33	0.00	0.00	0.91	-42 -30 -29 -41
605	5	33	0.00	0.00	0.91	20 -77 -76 -88
605	5	33	0.00	0.00	0.91	-100 -89 20 -99
605	5	33	0.00	0.00	0.91	-99 20 -88 -98
605	5	33	0.00	0.00	0.91	-121 22 -110 -120
605	5	33	0.00	0.00	0.91	-15 -3 -2 -14
605	5	33	0.00	0.00	0.91	-204 -192 -191 -203
605	5	33	0.00	0.00	0.91	-156 -144 -143 -155
605	5	33	0.00	0.00	0.91	-96 -86 -85 -95
605	5	33	0.00	0.00	0.91	-118 -108 -107 -117
605	5	33	0.00	0.00	0.91	-140 -130 -129 -139
605	5	33	0.00	0.00	0.91	-179 -167 -166 -178
605	5	33	0.00	0.00	0.91	-30 -18 -17 -29
605	5	33	0.00	0.00	0.91	-213 -201 -200 -212
605	5	33	0.00	0.00	0.91	-122 -111 22 -121
605	5	33	0.00	0.00	0.91	24 -121 -120 -132
605	5	33	0.00	0.00	0.91	-108 -96 -95 -107
605	5	33	0.00	0.00	0.91	-130 -118 -117 -129
605	5	33	0.00	0.00	0.91	-164 -152 -151 -163
605	5	33	0.00	0.00	0.91	-188 -176 -175 -187
605	5	33	0.00	0.00	0.91	-212 -200 -199 -211
605	5	33	0.00	0.00	0.91	-165 -153 -152 -164
605	5	33	0.00	0.00	0.91	-189 -177 -176 -188
605	5	33	0.00	0.00	0.91	-78 -66 -65 -77
605	5	33	0.00	0.00	0.91	22 -99 -98 -110
605	5	33	0.00	0.00	0.91	-155 -143 -142 -154
605	5	33	0.00	0.00	0.91	-144 -133 24 -143
605	5	33	0.00	0.00	0.91	-215 -203 -202 -214
605	5	33	0.00	0.00	0.91	-168 -156 -155 -167
605	5	33	0.00	0.00	0.91	-143 24 -132 -142
605	5	33	0.00	0.00	0.91	-77 -65 -64 -76
605	5	33	0.00	0.00	0.91	-180 -168 -167 -179
605	5	33	0.00	0.00	0.91	-41 -29 -28 -40
605	5	33	0.00	0.00	0.91	-216 -204 -203 -215
605	5	33	0.00	0.00	0.91	-65 -53 -52 -64
605	5	33	0.00	0.00	0.91	-133 -122 -121 24
605	5	33	0.00	0.00	0.91	-111 -100 -99 22
605	5	33	0.00	0.00	0.91	-192 -180 -179 -191
605	5	33	0.00	0.00	0.91	-191 -179 -178 -190
605	5	33	0.00	0.00	0.91	-167 -155 -154 -166
606	5	11	0.00	0.00	0.91	-57 -45 -46 -58
606	5	11	0.00	0.00	0.91	-79 -67 -68 -80
606	5	11	0.00	0.00	0.91	-159 -147 -148 -160
606	5	11	0.00	0.00	0.91	-221 -209 -210 -222
606	5	11	0.00	0.00	0.91	-67 -55 -56 -68
606	5	11	0.00	0.00	0.91	-183 -171 -172 -184
606	5	11	0.00	0.00	0.91	-81 -69 -70 -82
606	5	11	0.00	0.00	0.91	-209 -197 -198 -210
606	5	11	0.00	0.00	0.91	-146 25 -135 -147
606	5	11	0.00	0.00	0.91	-33 -21 -22 -34
606	5	11	0.00	0.00	0.91	-137 -127 -128 -138
606	5	11	0.00	0.00	0.91	-207 -195 -196 -208
606	5	11	0.00	0.00	0.91	-80 -68 -69 -81
606	5	11	0.00	0.00	0.91	-68 -56 -57 -69
606	5	11	0.00	0.00	0.91	-206 -194 -195 -207
606	5	11	0.00	0.00	0.91	-205 -193 -194 -206
606	5	11	0.00	0.00	0.91	-124 23 -113 -125
606	5	11	0.00	0.00	0.91	-147 -135 -136 -148
606	5	11	0.00	0.00	0.91	-93 -83 -84 -94
606	5	11	0.00	0.00	0.91	-157 -145 -146 -158
606	5	11	0.00	0.00	0.91	-145 -134 25 -146
606	5	11	0.00	0.00	0.91	-182 -170 -171 -183
606	5	11	0.00	0.00	0.91	-208 -196 -197 -209
606	5	11	0.00	0.00	0.91	-181 -169 -170 -182
606	5	11	0.00	0.00	0.91	-197 -185 -186 -198
606	5	11	0.00	0.00	0.91	-173 -161 -162 -174
606	5	11	0.00	0.00	0.91	-44 -32 -33 -45

606	5	11	0.00	0.00	0.91	-115 -105 -106 -116
606	5	11	0.00	0.00	0.91	-158 -146 -147 -159
606	5	11	0.00	0.00	0.91	-219 -207 -208 -220
606	5	11	0.00	0.00	0.91	-195 -183 -184 -196
606	5	11	0.00	0.00	0.91	-171 -159 -160 -172
606	5	11	0.00	0.00	0.91	-135 -125 -126 -136
606	5	11	0.00	0.00	0.91	-113 -103 -104 -114
606	5	11	0.00	0.00	0.91	-91 -81 -82 -92
606	5	11	0.00	0.00	0.91	-220 -208 -209 -221
606	5	11	0.00	0.00	0.91	-196 -184 -185 -197
606	5	11	0.00	0.00	0.91	-172 -160 -161 -173
606	5	11	0.00	0.00	0.91	-123 -112 23 -124
606	5	11	0.00	0.00	0.91	-125 -113 -114 -126
606	5	11	0.00	0.00	0.91	-103 -91 -92 -104
606	5	11	0.00	0.00	0.91	-45 -33 -34 -46
606	5	11	0.00	0.00	0.91	-34 -22 -23 -35
606	5	11	0.00	0.00	0.91	-69 -57 -58 -70
606	5	11	0.00	0.00	0.91	-102 21 -91 -103
606	5	11	0.00	0.00	0.91	-101 -90 21 -102
606	5	11	0.00	0.00	0.91	-126 -114 -115 -127
606	5	11	0.00	0.00	0.91	-104 -92 -93 -105
606	5	11	0.00	0.00	0.91	-43 -31 -32 -44
606	5	11	0.00	0.00	0.91	-82 -70 -71 -83
606	5	11	0.00	0.00	0.91	-70 -58 -59 -71
606	5	11	0.00	0.00	0.91	-59 -47 -48 -60
606	5	11	0.00	0.00	0.91	-35 -23 -24 -36
606	5	11	0.00	0.00	0.91	-185 -173 -174 -186
606	5	11	0.00	0.00	0.91	-161 -149 -150 -162
606	5	11	0.00	0.00	0.91	-149 -137 -138 -150
606	5	11	0.00	0.00	0.91	-127 -115 -116 -128
606	5	11	0.00	0.00	0.91	-105 -93 -94 -106
606	5	11	0.00	0.00	0.91	-47 -35 -36 -48
606	5	11	0.00	0.00	0.91	-83 -71 -72 -84
606	5	11	0.00	0.00	0.91	-71 -59 -60 -72
606	5	11	0.00	0.00	0.91	-218 -206 -207 -219
606	5	11	0.00	0.00	0.91	-194 -182 -183 -195
606	5	11	0.00	0.00	0.91	-170 -158 -159 -171
606	5	11	0.00	0.00	0.91	25 -124 -125 -135
606	5	11	0.00	0.00	0.91	23 -102 -103 -113
606	5	11	0.00	0.00	0.91	21 -80 -81 -91
606	5	11	0.00	0.00	0.91	-56 -44 -45 -57
606	5	11	0.00	0.00	0.91	-32 -20 -21 -33
606	5	11	0.00	0.00	0.91	-217 -205 -206 -218
606	5	11	0.00	0.00	0.91	-193 -181 -182 -194
606	5	11	0.00	0.00	0.91	-169 -157 -158 -170
606	5	11	0.00	0.00	0.91	-134 -123 -124 25
606	5	11	0.00	0.00	0.91	-112 -101 -102 23
606	5	11	0.00	0.00	0.91	-90 -79 -80 21
606	5	11	0.00	0.00	0.91	-55 -43 -44 -56
606	5	11	0.00	0.00	0.91	-31 -19 -20 -32
606	5	11	0.00	0.00	0.91	-20 -8 -9 -21
606	5	11	0.00	0.00	0.91	-19 -7 -8 -20
606	5	11	0.00	0.00	0.91	-136 -126 -127 -137
606	5	11	0.00	0.00	0.91	-114 -104 -105 -115
606	5	11	0.00	0.00	0.91	-92 -82 -83 -93
606	5	11	0.00	0.00	0.91	-58 -46 -47 -59
606	5	11	0.00	0.00	0.91	-22 -10 -11 -23
606	5	11	0.00	0.00	0.91	-184 -172 -173 -185
606	5	11	0.00	0.00	0.91	-160 -148 -149 -161
606	5	11	0.00	0.00	0.91	-148 -136 -137 -149
606	5	11	0.00	0.00	0.91	-21 -9 -10 -22
606	5	11	0.00	0.00	0.91	-23 -11 -12 -24
606	5	11	0.00	0.00	0.91	-46 -34 -35 -47

Elenco tipi plinti/pali

Simbologia

Tl = Numero del tipo plinto/palo
Tipo = Tipologia
- Gra = Gradoni
- Pir = Piramidale
- P = Palo
- T3 = Triangolare 3 pali
- T3B = Triangolare 3 pali + bicchiere
- R = Rettangolare
- RB = Rettangolare + bicchiere
- R1 = Rettangolare 1 palo
- R1B = Rettangolare 1 palo + bicchiere
- R2x = Rettangolare 2 pali dir. X
- R2xB = Rettangolare 2 pali dir. X + bicchiere

R2y = Rettangolare 2 pali dir. Y
R2B = Rettangolare 2 pali dir. Y + bicchiere
R4 = Rettangolare 4 pali
R4B = Rettangolare 4 pali + bicchiere
P5 = Pentagonale 5 pali
P5B = Pentagonale 5 pali + bicchiere
E6 = Esagonale 6 pali
E6B = Esagonale 6 pali + bicchiere
Tp = Tipo palo
ND = Non definito
BP = Battuto prefabbricato
BGO = Battuto gettato in opera
T = Trivellato
TEC = Trivellato con elica continua
MP = Micropalo
Comm. = Commento
Lp = Lunghezza pali
R = Rotazione testa
B = Bloccata
L = Libera
Dp = Diametro pali
Crit. = Numero del criterio di progetto

Tl	Tipo	Tp	Comm.	Lp <m>	R	Dp <m>	Crit.
1	P	T	Palo d400 dietro	8.50	L	0.40	1
2	P	T	Palo d400 davanti	9.50	L	0.40	1

Elenco plinti/pali

Simbologia
PL = Plinto/Palo
Tl = Numero del tipo plinto/palo
Nodo = Nodo plinto/palo
Kt = Coeff. di sottofondo su suolo elastico alla Winkler

PL	Tl	Nodo	Kt <daN/cmc>	PL	Tl	Nodo	Kt <daN/cmc>	PL	Tl	Nodo	Kt <daN/cmc>	PL	Tl	Nodo	Kt <daN/cmc>
1	2	-183	---	2	2	-40	---	3	1	-137	---	4	1	-93	---
5	1	-115	---	6	2	-135	---	7	2	-113	---	8	2	-91	---
9	2	-45	---	10	1	-130	---	11	1	-108	---	12	1	-86	---
13	2	-88	---	14	2	-110	---	15	2	-132	---	16	2	-178	---

Carichi

Condizioni di carico elementari

Simbologia
CCE = Numero della condizione di carico elementare
Comm. = Commento
Mx = Moltiplicatore della massa in dir. X
My = Moltiplicatore della massa in dir. Y
Mz = Moltiplicatore della massa in dir. Z
Jpx = Moltiplicatore del momento d'inerzia intorno all'asse X
Jpy = Moltiplicatore del momento d'inerzia intorno all'asse Y
Jpz = Moltiplicatore del momento d'inerzia intorno all'asse Z
Tipo CCE = Tipo di CCE per calcolo agli stati limite
Sicurezza = Contributo alla sicurezza
F = a favore
S = a sfavore
A = ambigua
Variabilità = Tipo di variabilità
B = di base
I = indipendente
A = ambigua

CCE	Comm.	Mx	My	Mz	Jpx	Jpy	Jpz	Tipo CCE	Sicurezza	Variabilità
1	G1	1.00	1.00	1.00	0.00	0.00	1.00	20 DM 08 PONTI Permanenti	S	--
2	G2 + terreno	1.00	1.00	1.00	0.00	0.00	1.00	21 DM 08 PONTI Perm non strutt	S	--
3	Schema 1 q1tandem mezz	1.00	1.00	0.00	0.00	0.00	1.00	22 DM 08 PONTI Variabili S1 Tandem	S	B
4	Schema 1 q1tandem dx	1.00	1.00	0.00	0.00	0.00	1.00	22 DM 08 PONTI Variabili S1 Tandem	S	B
5	Schema 1 q1tandem sx	1.00	1.00	0.00	0.00	0.00	1.00	22 DM 08 PONTI Variabili S1 Tandem	S	B
6	Schema 1 q1dist	1.00	1.00	0.00	0.00	0.00	1.00	23 DM 08 PONTI Var S1,5 e 6 Distr	S	B
7	Schema 2 q1tandem mezz	1.00	1.00	0.00	0.00	0.00	1.00	24 DM 08 PONTI Var S2	S	B
8	Schema 2 q1tandem dx	1.00	1.00	0.00	0.00	0.00	1.00	24 DM 08 PONTI Var S2	S	B
9	Schema 2 q1tandem sx	1.00	1.00	0.00	0.00	0.00	1.00	24 DM 08 PONTI Var S2	S	B
10	Schema 2 q1dis mezz	1.00	1.00	0.00	0.00	0.00	1.00	24 DM 08 PONTI Var S2	S	B
11	Schema 2 q3 tandem mezz	1.00	1.00	0.00	0.00	0.00	1.00	24 DM 08 PONTI Var S2	S	B
12	Schema 2 q3 tandemdx	1.00	1.00	0.00	0.00	0.00	1.00	24 DM 08 PONTI Var S2	S	B
13	Schema 2 q3 tandem sx	1.00	1.00	0.00	0.00	0.00	1.00	24 DM 08 PONTI Var S2	S	B
14	Schema 1 q1dist	1.00	1.00	0.00	0.00	0.00	1.00	23 DM 08 PONTI Var S1,5 e 6 Distr	S	B
15	q var neve	1.00	1.00	0.00	0.00	0.00	1.00	25 DM 08 PONTI Neve SLU-SLE	S	B
16	q8 Veicolo in svio	1.00	1.00	0.00	0.00	0.00	1.00	28 DM 08 PONTI Eccezionali schema 2	S	B
17	Ecc - Onda di Piena	1.00	1.00	0.00	0.00	0.00	1.00	28 DM 08 PONTI Eccezionali schema 2	S	B

Elenco carichi nodi
Condizione di carico n. 11: Schema 2 q3 tandem mezz
Carichi concentrati

Simbologia
Nodo = Numero del nodo
Px = Componente X della forza applicata
Py = Componente Y della forza applicata
Pz = Componente Z della forza applicata
Mx = Momento intorno all'asse X
My = Momento intorno all'asse Y
Mz = Momento intorno all'asse Z

Nodo	Px <daN>	Py <daN>	Pz <daN>	Mx <daNm>	My <daNm>	Mz <daNm>
-1886	7200.00	0.00	0.00	0.00	0.00	0.00
-1376	7200.00	0.00	0.00	0.00	0.00	0.00

Nodo	Px <daN>	Py <daN>	Pz <daN>	Mx <daNm>	My <daNm>	Mz <daNm>
-1882	7200.00	0.00	0.00	0.00	0.00	0.00
-1372	7200.00	0.00	0.00	0.00	0.00	0.00

Elenco carichi nodi
Condizione di carico n. 12: Schema 2 q3 tandemdx
Carichi concentrati

Nodo	Px <daN>	Py <daN>	Pz <daN>	Mx <daNm>	My <daNm>	Mz <daNm>
-1938	7200.00	0.00	0.00	0.00	0.00	0.00
-1915	7200.00	0.00	0.00	0.00	0.00	0.00

Nodo	Px <daN>	Py <daN>	Pz <daN>	Mx <daNm>	My <daNm>	Mz <daNm>
-1919	7200.00	0.00	0.00	0.00	0.00	0.00
-1913	7200.00	0.00	0.00	0.00	0.00	0.00

Elenco carichi nodi
Condizione di carico n. 13: Schema 2 q3 tandem sx
Carichi concentrati

Nodo	Px <daN>	Py <daN>	Pz <daN>	Mx <daNm>	My <daNm>	Mz <daNm>
-1972	7200.00	0.00	0.00	0.00	0.00	0.00
-1947	7200.00	0.00	0.00	0.00	0.00	0.00

Nodo	Px <daN>	Py <daN>	Pz <daN>	Mx <daNm>	My <daNm>	Mz <daNm>
-1969	7200.00	0.00	0.00	0.00	0.00	0.00
-1943	7200.00	0.00	0.00	0.00	0.00	0.00

Elenco carichi nodi
Condizione di carico n. 16: q8 Veicolo in svio
Carichi concentrati

Nodo	Px <daN>	Py <daN>	Pz <daN>	Mx <daNm>	My <daNm>	Mz <daNm>
-1832	0.00	0.00	20000.00	0.00	0.00	0.00

Nodo	Px <daN>	Py <daN>	Pz <daN>	Mx <daNm>	My <daNm>	Mz <daNm>
-1772	0.00	0.00	20000.00	0.00	0.00	0.00

Elenco carichi aste
Condizione di carico n. 1: G1
Elenco peso proprio aste

Simbologia
Sez. = Numero della sezione
Comm. = Commento
A = Area
Mat. = Materiale
P = Peso specifico
PL = Peso specifico a metro lineare

Sez.	Comm.	A <cmq>	Mat.	P <daN/mc>	PL <daN/m>
1	IPE240 iimpalcato	39.117500	Acciaio	7850.00	30.71
2	U160x8.5	26.578500	Acciaio	7850.00	20.86
3	HEB140	42.956800	Acciaio	7850.00	33.72
4	IPE120	13.210500	Acciaio	7850.00	10.37
5	HEA100 sez. generica	21.236900	Acciaio	7850.00	16.67
6	HEB140 sicurvia	42.956800	Acciaio	7850.00	33.72
8	HEA120 comparato a lamina tre onde	25.336900	Acciaio	7850.00	19.89
10	BIELLA FITTIZIA	7.068580	Acciaio	7850.00	5.55

Elenco carichi aste
Condizione di carico n. 2: G2 + terreno
Carichi distribuiti

Simbologia
Asta = Numero dell'asta
N1 = Nodo iniziale
N2 = Nodo finale
E = Elemento provenienza del carico
S = Solaio

T = Tamponatura
NE = Numero elemento di provenienza del carico
T = Tipo di carico
QA = Primo carico accidentale
QA2 = Secondo carico accidentale
QA3 = Terzo carico accidentale
QPS = Carico permanente strutturale
QPN = Carico permanente non strutturale
M = Manuale
DC = Direzione del carico
XG,YG,ZG = secondo gli assi globali
XL,YL,ZL = secondo gli assi locali
Xi = Distanza iniziale
Qi = Carico iniziale
Xf = Distanza finale
Qf = Carico finale

Asta	N1	N2	E	NE	T	DC	Xi <m>	Qi <daN/m>	Xf <m>	Qf <daN/m>
0	-1617	-1606	S	--	M	ZG	0.00	150.00	0.40	150.00
0	-1605	-1604	S	--	M	ZG	0.00	150.00	0.40	150.00
0	-1603	-1602	S	--	M	ZG	0.00	150.00	0.40	150.00
0	-1601	-1933	S	--	M	ZG	0.00	150.00	0.20	150.00
0	-1600	-1539	S	--	M	ZG	0.00	150.00	0.40	150.00
0	-1822	-1934	S	--	M	ZG	0.00	150.00	0.20	150.00
0	-1821	-1820	S	--	M	ZG	0.00	150.00	0.40	150.00
0	-1820	-1819	S	--	M	ZG	0.00	150.00	0.40	150.00
0	-1819	-1818	S	--	M	ZG	0.00	150.00	0.40	150.00
0	-1818	-1817	S	--	M	ZG	0.00	150.00	0.40	150.00
0	-2071	-1546	S	--	M	ZG	0.00	150.00	0.40	150.00
0	-1816	-1815	S	--	M	ZG	0.00	150.00	0.40	150.00
0	-1815	-2087	S	--	M	ZG	0.00	150.00	0.20	150.00
0	-2087	-1814	S	--	M	ZG	0.00	150.00	0.20	150.00
0	-1544	-1540	S	--	M	ZG	0.00	150.00	0.40	150.00
0	-2089	-1813	S	--	M	ZG	0.00	150.00	0.20	150.00
0	-1540	-2069	S	--	M	ZG	0.00	150.00	0.40	150.00
0	-2069	-1942	S	--	M	ZG	0.00	150.00	0.20	150.00
0	-1942	-1761	S	--	M	ZG	0.00	150.00	0.20	150.00
0	-1811	-2093	S	--	M	ZG	0.00	150.00	0.20	150.00
0	-2093	-1810	S	--	M	ZG	0.00	150.00	0.20	150.00
0	-1760	-1759	S	--	M	ZG	0.00	150.00	0.40	150.00
0	-1759	-1758	S	--	M	ZG	0.00	150.00	0.40	150.00
0	-1808	-1807	S	--	M	ZG	0.00	150.00	0.40	150.00
0	-2067	-1757	S	--	M	ZG	0.00	150.00	0.40	150.00
0	-1806	-1805	S	--	M	ZG	0.00	150.00	0.40	150.00
0	-2115	-1755	S	--	M	ZG	0.00	150.00	0.20	150.00
0	-1755	-2116	S	--	M	ZG	0.00	150.00	0.20	150.00
0	-1950	-1803	S	--	M	ZG	0.00	150.00	0.20	150.00
0	-1803	-1687	S	--	M	ZG	0.00	150.00	0.40	150.00
0	-1689	-2065	S	--	M	ZG	0.00	150.00	0.20	150.00
0	-1687	-1625	S	--	M	ZG	0.00	150.00	0.40	150.00
0	-1625	-1961	S	--	M	ZG	0.00	150.00	0.20	150.00
0	-1961	-1624	S	--	M	ZG	0.00	150.00	0.20	150.00
0	-1624	-1623	S	--	M	ZG	0.00	150.00	0.40	150.00
0	-1623	-1622	S	--	M	ZG	0.00	150.00	0.40	150.00
0	-1622	-1621	S	--	M	ZG	0.00	150.00	0.40	150.00
0	-2063	-1749	S	--	M	ZG	0.00	150.00	0.40	150.00
0	-1749	-1748	S	--	M	ZG	0.00	150.00	0.40	150.00
0	-1619	-1417	S	--	M	ZG	0.00	150.00	0.40	150.00
0	-1747	-1957	S	--	M	ZG	0.00	150.00	0.20	150.00
0	-1746	-1686	S	--	M	ZG	0.00	150.00	0.40	150.00
0	-1680	-1679	S	--	M	ZG	0.00	150.00	0.40	150.00
0	-1964	-1680	S	--	M	ZG	0.00	150.00	0.20	150.00
0	-1678	-1677	S	--	M	ZG	0.00	150.00	0.40	150.00
0	-1676	-1675	S	--	M	ZG	0.00	150.00	0.40	150.00

Asta	N1	N2	E	NE	T	DC	Xi <m>	Qi <daN/m>	Xf <m>	Qf <daN/m>
0	-1606	-1605	S	--	M	ZG	0.00	150.00	0.40	150.00
0	-1604	-1603	S	--	M	ZG	0.00	150.00	0.40	150.00
0	-1602	-1601	S	--	M	ZG	0.00	150.00	0.40	150.00
0	-1933	-1600	S	--	M	ZG	0.00	150.00	0.20	150.00
0	-1539	-1822	S	--	M	ZG	0.00	150.00	0.40	150.00
0	-1934	-1821	S	--	M	ZG	0.00	150.00	0.20	150.00
0	-1609	-1550	S	--	M	ZG	0.00	150.00	0.40	150.00
0	-1550	-1549	S	--	M	ZG	0.00	150.00	0.40	150.00
0	-1549	-1548	S	--	M	ZG	0.00	150.00	0.40	150.00
0	-1548	-2071	S	--	M	ZG	0.00	150.00	0.40	150.00
0	-1817	-1816	S	--	M	ZG	0.00	150.00	0.40	150.00
0	-1546	-1545	S	--	M	ZG	0.00	150.00	0.40	150.00
0	-1545	-1922	S	--	M	ZG	0.00	150.00	0.20	150.00
0	-1922	-1544	S	--	M	ZG	0.00	150.00	0.20	150.00
0	-1814	-2089	S	--	M	ZG	0.00	150.00	0.20	150.00
0	-1813	-1533	S	--	M	ZG	0.00	150.00	0.20	150.00
0	-1533	-1812	S	--	M	ZG	0.00	150.00	0.20	150.00
0	-1812	-2091	S	--	M	ZG	0.00	150.00	0.20	150.00
0	-2091	-1811	S	--	M	ZG	0.00	150.00	0.20	150.00
0	-1761	-1760	S	--	M	ZG	0.00	150.00	0.40	150.00
0	-1810	-1809	S	--	M	ZG	0.00	150.00	0.40	150.00
0	-1809	-1808	S	--	M	ZG	0.00	150.00	0.40	150.00
0	-1758	-2067	S	--	M	ZG	0.00	150.00	0.40	150.00
0	-1807	-1806	S	--	M	ZG	0.00	150.00	0.40	150.00
0	-1757	-1756	S	--	M	ZG	0.00	150.00	0.40	150.00
0	-1756	-2115	S	--	M	ZG	0.00	150.00	0.20	150.00
0	-1805	-1804	S	--	M	ZG	0.00	150.00	0.40	150.00
0	-1804	-1950	S	--	M	ZG	0.00	150.00	0.20	150.00
0	-2116	-1754	S	--	M	ZG	0.00	150.00	0.20	150.00
0	-1754	-1689	S	--	M	ZG	0.00	150.00	0.20	150.00
0	-2065	-2117	S	--	M	ZG	0.00	150.00	0.20	150.00
0	-2117	-1753	S	--	M	ZG	0.00	150.00	0.20	150.00
0	-1753	-2119	S	--	M	ZG	0.00	150.00	0.20	150.00
0	-2119	-1752	S	--	M	ZG	0.00	150.00	0.20	150.00
0	-1752	-1751	S	--	M	ZG	0.00	150.00	0.40	150.00
0	-1751	-1750	S	--	M	ZG	0.00	150.00	0.40	150.00
0	-1750	-2063	S	--	M	ZG	0.00	150.00	0.40	150.00
0	-1621	-1620	S	--	M	ZG	0.00	150.00	0.40	150.00
0	-1620	-1619	S	--	M	ZG	0.00	150.00	0.40	150.00
0	-1748	-1747	S	--	M	ZG	0.00	150.00	0.40	150.00
0	-1957	-1746	S	--	M	ZG	0.00	150.00	0.20	150.00
0	-1686	-1681	S	--	M	ZG	0.00	150.00	0.40	150.00
0	-1681	-1964	S	--	M	ZG	0.00	150.00	0.20	150.00
0	-1679	-1678	S	--	M	ZG	0.00	150.00	0.40	150.00
0	-1677	-1676	S	--	M	ZG	0.00	150.00	0.40	150.00
0	-1675	-1425	S	--	M	ZG	0.00	150.00	0.40	150.00

Elenco carichi aste
Condizione di carico n. 16: q8 Veicolo in svio
Carichi distribuiti

Asta	N1	N2	E	NE	T	DC	Xi <m>	Qi <daN/m>	Xf <m>	Qf <daN/m>
0	-1272	405	S	--	M	YG	0.00	6250.00	0.25	6250.00

Asta	N1	N2	E	NE	T	DC	Xi <m>	Qi <daN/m>	Xf <m>	Qf <daN/m>
0	405	-1273	S	--	M	YG	0.00	6250.00	0.25	6250.00

Elenco carichi aste
Condizione di carico n. 17: Ecc - Onda di Piena
Carichi distribuiti

Asta	N1	N2	E	NE	T	DC	Xi <m>	Qi <daN/m>	Xf <m>	Qf <daN/m>

Asta	N1	N2	E	NE	T	DC	Xi <m>	Qi <daN/m>	Xf <m>	Qf <daN/m>

0	401	402	S	--	M	YG	0.00	-472.20	1.91	-472.20
0	403	404	S	--	M	YG	0.00	-472.20	2.00	-472.20
0	-1272	405	S	--	M	YG	0.00	-472.20	0.25	-472.20
0	-1273	406	S	--	M	YG	0.00	-472.20	1.55	-472.20
0	407	408	S	--	M	YG	0.00	-472.20	2.00	-472.20
301	301	-582	S	--	M	YG	0.00	-661.08	0.31	-661.08
301	-583	-584	S	--	M	YG	0.00	-661.08	0.40	-661.08
301	-585	302	S	--	M	YG	0.00	-661.08	0.40	-661.08
301	-586	-587	S	--	M	YG	0.00	-661.08	0.40	-661.08
301	-588	-589	S	--	M	YG	0.00	-661.08	0.20	-661.08
301	-590	303	S	--	M	YG	0.00	-661.08	0.40	-661.08
301	-591	-592	S	--	M	YG	0.00	-661.08	0.20	-661.08
301	-593	-594	S	--	M	YG	0.00	-661.08	0.40	-661.08
301	-595	304	S	--	M	YG	0.00	-661.08	0.40	-661.08
301	-596	-597	S	--	M	YG	0.00	-661.08	0.40	-661.08
301	-1302	-598	S	--	M	YG	0.00	-661.08	0.20	-661.08
301	-1304	-599	S	--	M	YG	0.00	-661.08	0.20	-661.08
301	305	-600	S	--	M	YG	0.00	-661.08	0.20	-661.08
301	-1306	-601	S	--	M	YG	0.00	-661.08	0.20	-661.08
301	-1308	-602	S	--	M	YG	0.00	-661.08	0.20	-661.08
301	-603	306	S	--	M	YG	0.00	-661.08	0.40	-661.08
301	-604	-605	S	--	M	YG	0.00	-661.08	0.40	-661.08
301	-606	-607	S	--	M	YG	0.00	-661.08	0.40	-661.08
301	-608	307	S	--	M	YG	0.00	-661.08	0.20	-661.08
301	-609	-610	S	--	M	YG	0.00	-661.08	0.40	-661.08
301	-611	-612	S	--	M	YG	0.00	-661.08	0.20	-661.08
301	-613	308	S	--	M	YG	0.00	-661.08	0.40	-661.08
301	-614	-615	S	--	M	YG	0.00	-661.08	0.40	-661.08
301	-616	-617	S	--	M	YG	0.00	-661.08	0.40	-661.08

0	402	403	S	--	M	YG	0.00	-472.20	2.00	-472.20
0	404	-1272	S	--	M	YG	0.00	-472.20	1.55	-472.20
0	405	-1273	S	--	M	YG	0.00	-472.20	0.25	-472.20
0	406	407	S	--	M	YG	0.00	-472.20	2.00	-472.20
0	408	409	S	--	M	YG	0.00	-472.20	1.91	-472.20
301	-582	-583	S	--	M	YG	0.00	-661.08	0.40	-661.08
301	-584	-585	S	--	M	YG	0.00	-661.08	0.40	-661.08
301	302	-586	S	--	M	YG	0.00	-661.08	0.40	-661.08
301	-587	-588	S	--	M	YG	0.00	-661.08	0.20	-661.08
301	-589	-590	S	--	M	YG	0.00	-661.08	0.40	-661.08
301	303	-591	S	--	M	YG	0.00	-661.08	0.20	-661.08
301	-592	-593	S	--	M	YG	0.00	-661.08	0.40	-661.08
301	-594	-595	S	--	M	YG	0.00	-661.08	0.40	-661.08
301	304	-596	S	--	M	YG	0.00	-661.08	0.40	-661.08
301	-597	-1302	S	--	M	YG	0.00	-661.08	0.20	-661.08
301	-598	-1304	S	--	M	YG	0.00	-661.08	0.20	-661.08
301	-599	305	S	--	M	YG	0.00	-661.08	0.20	-661.08
301	-600	-1306	S	--	M	YG	0.00	-661.08	0.20	-661.08
301	-601	-1308	S	--	M	YG	0.00	-661.08	0.20	-661.08
301	-602	-603	S	--	M	YG	0.00	-661.08	0.40	-661.08
301	306	-604	S	--	M	YG	0.00	-661.08	0.40	-661.08
301	-605	-606	S	--	M	YG	0.00	-661.08	0.40	-661.08
301	-607	-608	S	--	M	YG	0.00	-661.08	0.20	-661.08
301	307	-609	S	--	M	YG	0.00	-661.08	0.40	-661.08
301	-610	-611	S	--	M	YG	0.00	-661.08	0.20	-661.08
301	-612	-613	S	--	M	YG	0.00	-661.08	0.40	-661.08
301	308	-614	S	--	M	YG	0.00	-661.08	0.40	-661.08
301	-615	-616	S	--	M	YG	0.00	-661.08	0.40	-661.08
301	-617	309	S	--	M	YG	0.00	-661.08	0.31	-661.08

Elenco peso proprio elementi bidimensionali

Simbologia
Tb = Numero del tipo muro/elemento bidimensionale
Comm. = Commento
Spess. = Spessore
Mat. = Materiale
P = Peso specifico
PQ = Peso specifico per unità di superficie

Tb	Comm.	Spess. <cm>	Mat.	P <daN/mc>	PQ <daN/mq>
1	Soletta cls 15cm	15.00	Calcestruzzo 28/35 t0	2500.00	375.00
2	Soletta cls 12cm Cordolo laterale	15.00	Calcestruzzo 28/35 t0	2500.00	375.00
4	Calcestruzzo 70cm	70.00	Calcestruzzo 32/40	2500.00	1750.00
5	Soletta fondazione 90cm	90.00	Calcestruzzo 32/40	2500.00	2250.00
6	Calcestruzzo 50cm	50.00	Calcestruzzo 32/40	2500.00	1250.00

Elenco carichi elementi bidimensionali
Condizione di carico n. 2: G2 + terreno
Carichi uniformi

Simbologia
Bid. = Numero del muro/elemento bidimensionale
N1 = Nodo1
N2 = Nodo2
N3 = Nodo3
N4 = Nodo4
T = Tipo di carico
PP = Peso proprio
M = Manuale
DC = Direzione del carico
G = secondo gli assi globali
L = secondo gli assi locali
Qx = Carico in dir. X
Qy = Carico in dir. Y
Qz = Carico in dir. Z

Bid.	N1	N2	N3	N4	T	DC	Qx <daN/mq>	Qy <daN/mq>	Qz <daN/mq>
0	-1532	-1833	-1466	-1867	M	G	0.00	0.00	216.00
0	-1832	-1532	-1867	-1465	M	G	0.00	0.00	216.00
0	-1831	-1547	-2083	-1464	M	G	0.00	0.00	216.00
0	-1830	-1699	-1762	-1463	M	G	0.00	0.00	216.00
0	-1829	-1830	-1463	-1462	M	G	0.00	0.00	216.00
0	-1828	-1829	-1462	-1460	M	G	0.00	0.00	216.00
0	-1875	-1876	-1478	-1477	M	G	0.00	0.00	216.00
0	-1876	-1877	-1479	-1478	M	G	0.00	0.00	216.00

0	-1877	-1878	-1480	-1479	M	G	0.00	0.00	216.00
0	-1878	-1879	-1481	-1480	M	G	0.00	0.00	216.00
0	-1879	-1880	-1482	-1481	M	G	0.00	0.00	216.00
0	-1880	-1881	-1491	-1482	M	G	0.00	0.00	216.00
0	-1881	-1974	-1973	-1491	M	G	0.00	0.00	216.00
0	-1882	-1911	-1912	-1492	M	G	0.00	0.00	216.00
0	-1834	-2080	-2079	-1467	M	G	0.00	0.00	216.00
0	-1348	-1349	-1561	-1560	M	G	0.00	0.00	216.00
0	-1347	-1348	-1560	-1559	M	G	0.00	0.00	216.00
0	-1346	-1915	-1916	-1558	M	G	0.00	0.00	216.00
0	-1385	-1346	-1558	440	M	G	0.00	0.00	216.00
0	-1344	-1345	-1572	-1537	M	G	0.00	0.00	216.00
0	-1345	-1913	-1914	-1572	M	G	0.00	0.00	216.00
0	-1343	-1342	-1574	-1573	M	G	0.00	0.00	216.00
0	-1342	-1868	-1575	-1574	M	G	0.00	0.00	216.00
0	-1868	-1869	-1576	-1575	M	G	0.00	0.00	216.00
0	-1869	-1870	-1577	-1576	M	G	0.00	0.00	216.00
0	-1870	-1871	-1578	-1577	M	G	0.00	0.00	216.00
0	-1871	-1872	-1613	-1578	M	G	0.00	0.00	216.00
0	-1874	-1873	-1476	-1848	M	G	0.00	0.00	216.00
0	-1858	-1851	-1380	-1379	M	G	0.00	0.00	216.00
0	-1856	-1858	-1379	-1378	M	G	0.00	0.00	216.00
0	-1695	-1856	-1378	-1377	M	G	0.00	0.00	216.00
0	-1694	-2061	-2068	-1376	M	G	0.00	0.00	216.00
0	-1693	-2084	-2072	-1375	M	G	0.00	0.00	216.00
0	-1862	-1693	-1375	-1374	M	G	0.00	0.00	216.00
0	-1866	-1862	-1374	-1373	M	G	0.00	0.00	216.00
0	-1865	-2085	-2073	-1372	M	G	0.00	0.00	216.00
0	-1864	-2086	-2074	-1371	M	G	0.00	0.00	216.00
0	-1861	-1864	-1371	-1370	M	G	0.00	0.00	216.00
0	-1857	-1861	-1370	-1369	M	G	0.00	0.00	216.00
0	-1845	-1857	-1369	-1368	M	G	0.00	0.00	216.00
0	-1844	-1845	-1368	-1361	M	G	0.00	0.00	216.00
0	-1843	-1844	-1361	-1360	M	G	0.00	0.00	216.00
0	-1839	-1843	-1360	-1359	M	G	0.00	0.00	216.00
0	-1836	-1948	-1947	-1358	M	G	0.00	0.00	216.00
0	-1850	-1836	-1358	-1357	M	G	0.00	0.00	216.00
0	-1863	-1783	-1428	441	M	G	0.00	0.00	216.00
0	-1783	-1946	-1949	-1428	M	G	0.00	0.00	216.00
0	-1784	-1785	-1430	-1429	M	G	0.00	0.00	216.00
0	-1512	-1511	-1570	-1569	M	G	0.00	0.00	216.00
0	-1513	-1512	-1569	-1568	M	G	0.00	0.00	216.00
0	-1514	-1513	-1568	-1567	M	G	0.00	0.00	216.00
0	-1515	-1514	-1567	-1566	M	G	0.00	0.00	216.00
0	-1516	-1925	-1921	-1565	M	G	0.00	0.00	216.00
0	-1578	-1613	-1509	-1510	M	G	0.00	0.00	216.00
0	-1577	-1578	-1510	-1511	M	G	0.00	0.00	216.00
0	-1576	-1577	-1511	-1512	M	G	0.00	0.00	216.00
0	-1575	-1576	-1512	-1513	M	G	0.00	0.00	216.00
0	-1574	-1575	-1513	-1514	M	G	0.00	0.00	216.00
0	-1573	-1574	-1514	-1515	M	G	0.00	0.00	216.00
0	-1572	-1914	-1925	-1516	M	G	0.00	0.00	216.00
0	430	-1551	-1586	-1534	M	G	0.00	0.00	216.00
0	-1551	-1926	-1927	-1586	M	G	0.00	0.00	216.00
0	-1552	-1553	-1588	-1587	M	G	0.00	0.00	216.00
0	-1553	-1554	-1589	-1588	M	G	0.00	0.00	216.00
0	-1554	-1555	-1590	-1589	M	G	0.00	0.00	216.00
0	-1555	-1556	-1591	-1590	M	G	0.00	0.00	216.00
0	-1556	-1557	-1592	-1591	M	G	0.00	0.00	216.00
0	-1557	-1610	-1615	-1592	M	G	0.00	0.00	216.00
0	-1534	-1586	-1579	433	M	G	0.00	0.00	216.00
0	-1586	-1927	-1928	-1579	M	G	0.00	0.00	216.00
0	-1587	-1588	-1581	-1580	M	G	0.00	0.00	216.00
0	-1588	-1589	-1582	-1581	M	G	0.00	0.00	216.00
0	-1589	-1590	-1583	-1582	M	G	0.00	0.00	216.00
0	-1590	-1591	-1584	-1583	M	G	0.00	0.00	216.00
0	-1591	-1592	-1585	-1584	M	G	0.00	0.00	216.00
0	-1592	-1615	-1614	-1585	M	G	0.00	0.00	216.00
0	440	-1558	-1593	-1531	M	G	0.00	0.00	216.00
0	-1558	-1916	-1929	-1593	M	G	0.00	0.00	216.00
0	-1559	-1560	-1595	-1594	M	G	0.00	0.00	216.00
0	-1560	-1561	-1596	-1595	M	G	0.00	0.00	216.00
0	-1561	-1562	-1597	-1596	M	G	0.00	0.00	216.00
0	-1562	-1563	-1598	-1597	M	G	0.00	0.00	216.00
0	-1563	-1564	-1599	-1598	M	G	0.00	0.00	216.00
0	-1564	-1611	-1616	-1599	M	G	0.00	0.00	216.00
0	-1840	-1607	-1354	-1353	M	G	0.00	0.00	216.00
0	-1697	-1840	-1353	-1351	M	G	0.00	0.00	216.00
0	-1696	-1697	-1351	-1350	M	G	0.00	0.00	216.00

0	-1690	-1696	-1350	-1349	M	G	0.00	0.00	216.00
0	-1685	-1690	-1349	-1348	M	G	0.00	0.00	216.00
0	-1414	-1685	-1348	-1347	M	G	0.00	0.00	216.00
0	-1618	-1930	-1915	-1346	M	G	0.00	0.00	216.00
0	-1536	-1618	-1346	-1385	M	G	0.00	0.00	216.00
0	433	-1579	-1345	-1344	M	G	0.00	0.00	216.00
0	-1579	-1928	-1913	-1345	M	G	0.00	0.00	216.00
0	-1580	-1581	-1342	-1343	M	G	0.00	0.00	216.00
0	-1581	-1582	-1868	-1342	M	G	0.00	0.00	216.00
0	-1582	-1583	-1869	-1868	M	G	0.00	0.00	216.00
0	-1583	-1584	-1870	-1869	M	G	0.00	0.00	216.00
0	-1584	-1585	-1871	-1870	M	G	0.00	0.00	216.00
0	-1585	-1614	-1872	-1871	M	G	0.00	0.00	216.00
0	-1531	-1593	-1551	430	M	G	0.00	0.00	216.00
0	-1593	-1929	-1926	-1551	M	G	0.00	0.00	216.00
0	-1594	-1595	-1553	-1552	M	G	0.00	0.00	216.00
0	-1595	-1596	-1554	-1553	M	G	0.00	0.00	216.00
0	-1596	-1597	-1555	-1554	M	G	0.00	0.00	216.00
0	-1597	-1598	-1556	-1555	M	G	0.00	0.00	216.00
0	-1598	-1599	-1557	-1556	M	G	0.00	0.00	216.00
0	-1599	-1616	-1610	-1557	M	G	0.00	0.00	216.00
0	-1408	-1407	-1607	-1840	M	G	0.00	0.00	216.00
0	-1409	-1408	-1840	-1697	M	G	0.00	0.00	216.00
0	-1437	-1409	-1697	-1696	M	G	0.00	0.00	216.00
0	-1440	-1437	-1696	-1690	M	G	0.00	0.00	216.00
0	-1444	-1440	-1690	-1685	M	G	0.00	0.00	216.00
0	-1447	-1444	-1685	-1414	M	G	0.00	0.00	216.00
0	-1451	-1931	-1930	-1618	M	G	0.00	0.00	216.00
0	-1543	-1608	-1407	-1408	M	G	0.00	0.00	216.00
0	-1542	-1543	-1408	-1409	M	G	0.00	0.00	216.00
0	-1541	-1542	-1409	-1437	M	G	0.00	0.00	216.00
0	-1860	-1541	-1437	-1440	M	G	0.00	0.00	216.00
0	-1855	-1860	-1440	-1444	M	G	0.00	0.00	216.00
0	-1854	-1855	-1444	-1447	M	G	0.00	0.00	216.00
0	-1841	-1932	-1931	-1451	M	G	0.00	0.00	216.00
0	-1606	-1617	-2127	-2128	M	G	0.00	0.00	400.00
0	-1605	-1606	-2128	-2129	M	G	0.00	0.00	400.00
0	-1604	-1605	-2129	-2130	M	G	0.00	0.00	400.00
0	-1603	-1604	-2130	-2131	M	G	0.00	0.00	400.00
0	-1602	-1603	-2131	-2132	M	G	0.00	0.00	400.00
0	-1601	-1602	-2132	-2133	M	G	0.00	0.00	400.00
0	-1600	-1933	-2134	-2135	M	G	0.00	0.00	400.00
0	-1822	-1539	-2136	-2137	M	G	0.00	0.00	400.00
0	-1821	-1934	-2138	-2139	M	G	0.00	0.00	400.00
0	-1820	-1821	-2139	-2140	M	G	0.00	0.00	400.00
0	-1819	-1820	-2140	-2141	M	G	0.00	0.00	400.00
0	-1818	-1819	-2141	-2142	M	G	0.00	0.00	400.00
0	-1817	-1818	-2142	-2143	M	G	0.00	0.00	400.00
0	-1816	-1817	-2143	-2144	M	G	0.00	0.00	400.00
0	-1815	-1816	-2144	-2145	M	G	0.00	0.00	400.00
0	-1814	-2087	-2146	-2147	M	G	0.00	0.00	400.00
0	-1813	-2089	-2148	-2149	M	G	0.00	0.00	400.00
0	-1533	-1813	-2149	-2150	M	G	0.00	0.00	400.00
0	-1812	-1533	-2150	-2151	M	G	0.00	0.00	400.00
0	-1811	-2091	-2152	-2153	M	G	0.00	0.00	400.00
0	-1810	-2093	-2154	-2155	M	G	0.00	0.00	400.00
0	-1809	-1810	-2155	-2156	M	G	0.00	0.00	400.00
0	-1808	-1809	-2156	-2157	M	G	0.00	0.00	400.00
0	-1807	-1808	-2157	-2158	M	G	0.00	0.00	400.00
0	-1806	-1807	-2158	-2159	M	G	0.00	0.00	400.00
0	-1805	-1806	-2159	-2160	M	G	0.00	0.00	400.00
0	-1804	-1805	-2160	-2161	M	G	0.00	0.00	400.00
0	-1803	-1950	-2162	-2163	M	G	0.00	0.00	400.00
0	-1782	431	438	-1387	M	G	0.00	0.00	216.00
0	-1781	-1935	-1936	-1388	M	G	0.00	0.00	216.00
0	-1780	-1781	-1388	-1389	M	G	0.00	0.00	216.00
0	-1779	-1780	-1389	-1390	M	G	0.00	0.00	216.00
0	-1778	-1779	-1390	-1391	M	G	0.00	0.00	216.00
0	-1777	-1778	-1391	-1392	M	G	0.00	0.00	216.00
0	-1776	-1777	-1392	-1393	M	G	0.00	0.00	216.00
0	-1775	-1776	-1393	-1394	M	G	0.00	0.00	216.00
0	-1774	-2088	-2095	-1395	M	G	0.00	0.00	216.00
0	-1773	-2090	-2096	-1396	M	G	0.00	0.00	216.00
0	-1413	-1773	-1396	-1386	M	G	0.00	0.00	216.00
0	-1772	-1413	-1386	-1397	M	G	0.00	0.00	216.00
0	-1771	-2092	-2097	-1398	M	G	0.00	0.00	216.00
0	-1770	-2094	-2098	-1399	M	G	0.00	0.00	216.00
0	-1769	-1770	-1399	-1400	M	G	0.00	0.00	216.00
0	-1768	-1769	-1400	-1401	M	G	0.00	0.00	216.00

0	-1767	-1768	-1401	-1402	M	G	0.00	0.00	216.00
0	-1766	-1767	-1402	-1403	M	G	0.00	0.00	216.00
0	-1765	-1766	-1403	-1404	M	G	0.00	0.00	216.00
0	-1764	-1765	-1404	-1405	M	G	0.00	0.00	216.00
0	-1763	-1951	-1952	-1406	M	G	0.00	0.00	216.00
0	-1387	438	-1536	-1838	M	G	0.00	0.00	216.00
0	-1388	-1936	-1924	-1837	M	G	0.00	0.00	216.00
0	-1389	-1388	-1837	-1853	M	G	0.00	0.00	216.00
0	-1390	-1389	-1853	-1852	M	G	0.00	0.00	216.00
0	-1391	-1390	-1852	-1851	M	G	0.00	0.00	216.00
0	-1392	-1391	-1851	-1858	M	G	0.00	0.00	216.00
0	-1393	-1392	-1858	-1856	M	G	0.00	0.00	216.00
0	-1394	-1393	-1856	-1695	M	G	0.00	0.00	216.00
0	-1395	-2095	-2061	-1694	M	G	0.00	0.00	216.00
0	-1396	-2096	-2084	-1693	M	G	0.00	0.00	216.00
0	-1386	-1396	-1693	-1862	M	G	0.00	0.00	216.00
0	-1397	-1386	-1862	-1866	M	G	0.00	0.00	216.00
0	-1398	-2097	-2085	-1865	M	G	0.00	0.00	216.00
0	-1399	-2098	-2086	-1864	M	G	0.00	0.00	216.00
0	-1400	-1399	-1864	-1861	M	G	0.00	0.00	216.00
0	-1401	-1400	-1861	-1857	M	G	0.00	0.00	216.00
0	-1402	-1401	-1857	-1845	M	G	0.00	0.00	216.00
0	-1403	-1402	-1845	-1844	M	G	0.00	0.00	216.00
0	-1404	-1403	-1844	-1843	M	G	0.00	0.00	216.00
0	-1405	-1404	-1843	-1839	M	G	0.00	0.00	216.00
0	-1406	-1952	-1948	-1836	M	G	0.00	0.00	216.00
0	441	-1428	-1823	-1859	M	G	0.00	0.00	216.00
0	-1428	-1949	-1953	-1823	M	G	0.00	0.00	216.00
0	-1429	-1430	-1825	-1824	M	G	0.00	0.00	216.00
0	-1430	-1431	-1826	-1825	M	G	0.00	0.00	216.00
0	-1431	-1432	-1827	-1826	M	G	0.00	0.00	216.00
0	-1432	-1433	-1828	-1827	M	G	0.00	0.00	216.00
0	-1433	-1434	-1829	-1828	M	G	0.00	0.00	216.00
0	-1434	-1435	-1830	-1829	M	G	0.00	0.00	216.00
0	-1435	-2099	-1699	-1830	M	G	0.00	0.00	216.00
0	-1436	-2100	-1547	-1831	M	G	0.00	0.00	216.00
0	-1438	-1846	-1532	-1832	M	G	0.00	0.00	216.00
0	-1846	-1439	-1833	-1532	M	G	0.00	0.00	216.00
0	-1439	-2101	-2082	-1833	M	G	0.00	0.00	216.00
0	-1441	-2102	-2080	-1834	M	G	0.00	0.00	216.00
0	-1442	-1443	-1412	-1835	M	G	0.00	0.00	216.00
0	-1443	-1445	-1410	-1412	M	G	0.00	0.00	216.00
0	-1445	-1446	-1411	-1410	M	G	0.00	0.00	216.00
0	-1446	-1448	-1688	-1411	M	G	0.00	0.00	216.00
0	-1448	-1449	-1691	-1688	M	G	0.00	0.00	216.00
0	-1449	-1450	-1692	-1691	M	G	0.00	0.00	216.00
0	-1450	-1937	-1917	-1692	M	G	0.00	0.00	216.00
0	-1452	430	-1534	-1698	M	G	0.00	0.00	216.00
0	439	-1453	-1873	-1874	M	G	0.00	0.00	216.00
0	-1453	-1954	-1943	-1873	M	G	0.00	0.00	216.00
0	-1454	-1455	-1876	-1875	M	G	0.00	0.00	216.00
0	-1455	-1456	-1877	-1876	M	G	0.00	0.00	216.00
0	-1456	-1459	-1878	-1877	M	G	0.00	0.00	216.00
0	-1459	-1460	-1879	-1878	M	G	0.00	0.00	216.00
0	-1460	-1462	-1880	-1879	M	G	0.00	0.00	216.00
0	-1462	-1463	-1881	-1880	M	G	0.00	0.00	216.00
0	-1463	-1762	-1974	-1881	M	G	0.00	0.00	216.00
0	-1464	-2083	-1911	-1882	M	G	0.00	0.00	216.00
0	-1465	-1867	-1884	-1883	M	G	0.00	0.00	216.00
0	-1867	-1466	-1885	-1884	M	G	0.00	0.00	216.00
0	-1466	-2081	-2103	-1885	M	G	0.00	0.00	216.00
0	-1467	-2079	-2104	-1886	M	G	0.00	0.00	216.00
0	-1468	-1469	-1888	-1887	M	G	0.00	0.00	216.00
0	-1469	-1470	-1889	-1888	M	G	0.00	0.00	216.00
0	-1470	-1471	-1890	-1889	M	G	0.00	0.00	216.00
0	-1471	-1472	-1891	-1890	M	G	0.00	0.00	216.00
0	-1472	-1473	-1892	-1891	M	G	0.00	0.00	216.00
0	-1473	-1474	-1893	-1892	M	G	0.00	0.00	216.00
0	-1474	-1918	-1938	-1893	M	G	0.00	0.00	216.00
0	-1475	433	-1344	-1894	M	G	0.00	0.00	216.00
0	-1859	-1823	-1453	439	M	G	0.00	0.00	216.00
0	-1823	-1953	-1954	-1453	M	G	0.00	0.00	216.00
0	-1824	-1825	-1455	-1454	M	G	0.00	0.00	216.00
0	-1825	-1826	-1456	-1455	M	G	0.00	0.00	216.00
0	-1826	-1827	-1459	-1456	M	G	0.00	0.00	216.00
0	-1827	-1828	-1460	-1459	M	G	0.00	0.00	216.00
0	-1785	-1786	-1431	-1430	M	G	0.00	0.00	216.00
0	-1786	-1787	-1432	-1431	M	G	0.00	0.00	216.00
0	-1787	-1788	-1433	-1432	M	G	0.00	0.00	216.00

0	-1788	-1789	-1434	-1433	M	G	0.00	0.00	216.00
0	-1789	-1790	-1435	-1434	M	G	0.00	0.00	216.00
0	-1790	-2077	-2099	-1435	M	G	0.00	0.00	216.00
0	-1791	-2075	-2100	-1436	M	G	0.00	0.00	216.00
0	-1792	-1535	-1846	-1438	M	G	0.00	0.00	216.00
0	-1535	-1793	-1439	-1846	M	G	0.00	0.00	216.00
0	-1793	-2064	-2101	-1439	M	G	0.00	0.00	216.00
0	-1794	-2062	-2102	-1441	M	G	0.00	0.00	216.00
0	-1795	-1796	-1443	-1442	M	G	0.00	0.00	216.00
0	-1796	-1797	-1445	-1443	M	G	0.00	0.00	216.00
0	-1797	-1798	-1446	-1445	M	G	0.00	0.00	216.00
0	-1798	-1799	-1448	-1446	M	G	0.00	0.00	216.00
0	-1799	-1800	-1449	-1448	M	G	0.00	0.00	216.00
0	-1800	-1801	-1450	-1449	M	G	0.00	0.00	216.00
0	-1801	-1923	-1937	-1450	M	G	0.00	0.00	216.00
0	-1705	-1537	437	-1458	M	G	0.00	0.00	216.00
0	-1704	-1939	-1940	-1461	M	G	0.00	0.00	216.00
0	-1703	-1704	-1461	-1483	M	G	0.00	0.00	216.00
0	-1702	-1703	-1483	-1484	M	G	0.00	0.00	216.00
0	-1701	-1702	-1484	-1485	M	G	0.00	0.00	216.00
0	-1700	-1701	-1485	-1486	M	G	0.00	0.00	216.00
0	-1497	-1700	-1486	-1487	M	G	0.00	0.00	216.00
0	-1496	-1497	-1487	-1488	M	G	0.00	0.00	216.00
0	-1495	-2105	-2106	-1489	M	G	0.00	0.00	216.00
0	-1494	-2107	-2108	-1498	M	G	0.00	0.00	216.00
0	-1842	-1494	-1498	-1457	M	G	0.00	0.00	216.00
0	-1493	-1842	-1457	-1499	M	G	0.00	0.00	216.00
0	-1492	-1912	-2109	-1500	M	G	0.00	0.00	216.00
0	-1491	-1973	-2110	-1501	M	G	0.00	0.00	216.00
0	-1482	-1491	-1501	-1502	M	G	0.00	0.00	216.00
0	-1481	-1482	-1502	-1503	M	G	0.00	0.00	216.00
0	-1480	-1481	-1503	-1504	M	G	0.00	0.00	216.00
0	-1479	-1480	-1504	-1505	M	G	0.00	0.00	216.00
0	-1478	-1479	-1505	-1506	M	G	0.00	0.00	216.00
0	-1477	-1478	-1506	-1507	M	G	0.00	0.00	216.00
0	-1476	-1944	-1955	-1508	M	G	0.00	0.00	216.00
0	-1458	437	432	-1745	M	G	0.00	0.00	216.00
0	-1461	-1940	-1941	-1744	M	G	0.00	0.00	216.00
0	-1483	-1461	-1744	-1743	M	G	0.00	0.00	216.00
0	-1484	-1483	-1743	-1742	M	G	0.00	0.00	216.00
0	-1485	-1484	-1742	-1741	M	G	0.00	0.00	216.00
0	-1486	-1485	-1741	-1740	M	G	0.00	0.00	216.00
0	-1487	-1486	-1740	-1739	M	G	0.00	0.00	216.00
0	-1488	-1487	-1739	-1738	M	G	0.00	0.00	216.00
0	-1489	-2106	-2111	-1737	M	G	0.00	0.00	216.00
0	-1498	-2108	-2112	-1736	M	G	0.00	0.00	216.00
0	-1457	-1498	-1736	-1847	M	G	0.00	0.00	216.00
0	-1499	-1457	-1847	-1735	M	G	0.00	0.00	216.00
0	-1500	-2109	-2113	-1734	M	G	0.00	0.00	216.00
0	-1501	-2110	-2114	-1733	M	G	0.00	0.00	216.00
0	-1502	-1501	-1733	-1732	M	G	0.00	0.00	216.00
0	-1503	-1502	-1732	-1731	M	G	0.00	0.00	216.00
0	-1504	-1503	-1731	-1730	M	G	0.00	0.00	216.00
0	-1505	-1504	-1730	-1729	M	G	0.00	0.00	216.00
0	-1506	-1505	-1729	-1728	M	G	0.00	0.00	216.00
0	-1507	-1506	-1728	-1727	M	G	0.00	0.00	216.00
0	-1508	-1955	-1956	-1726	M	G	0.00	0.00	216.00
0	-2069	-1540	-1976	-2013	M	G	0.00	0.00	400.00
0	-1744	-1941	-2182	-2183	M	G	0.00	0.00	400.00
0	-1743	-1744	-2183	-2184	M	G	0.00	0.00	400.00
0	-1742	-1743	-2184	-2185	M	G	0.00	0.00	400.00
0	-1741	-1742	-2185	-2186	M	G	0.00	0.00	400.00
0	-2067	-1758	-2009	-2008	M	G	0.00	0.00	400.00
0	-1757	-2067	-2008	-2007	M	G	0.00	0.00	400.00
0	-1738	-1739	-2187	-2188	M	G	0.00	0.00	400.00
0	-1737	-2111	-2189	-2190	M	G	0.00	0.00	400.00
0	-1736	-2112	-2191	-2192	M	G	0.00	0.00	400.00
0	-1847	-1736	-2192	-2193	M	G	0.00	0.00	400.00
0	-2065	-1689	-1993	-2003	M	G	0.00	0.00	400.00
0	-1753	-2117	-2118	-2002	M	G	0.00	0.00	400.00
0	-1733	-2114	-2194	-2195	M	G	0.00	0.00	400.00
0	-1732	-1733	-2195	-2196	M	G	0.00	0.00	400.00
0	-1731	-1732	-2196	-2197	M	G	0.00	0.00	400.00
0	-2063	-1750	-1999	-1998	M	G	0.00	0.00	400.00
0	-1749	-2063	-1998	-1997	M	G	0.00	0.00	400.00
0	-1728	-1729	-2198	-2199	M	G	0.00	0.00	400.00
0	-1727	-1728	-2199	-2200	M	G	0.00	0.00	400.00
0	-1726	-1956	-2201	-2202	M	G	0.00	0.00	400.00
0	-1539	-1600	-2135	-2136	M	G	0.00	0.00	400.00

0	-1687	-1803	-2163	-2164	M	G	0.00	0.00	400.00
0	438	-1451	-1618	-1536	M	G	0.00	0.00	216.00
0	431	-1841	-1451	438	M	G	0.00	0.00	216.00
0	436	-1763	-1406	429	M	G	0.00	0.00	216.00
0	429	-1406	-1836	-1850	M	G	0.00	0.00	216.00
0	-1802	-1531	430	-1452	M	G	0.00	0.00	216.00
0	-1537	-1572	-1516	437	M	G	0.00	0.00	216.00
0	-1848	-1476	-1508	435	M	G	0.00	0.00	216.00
0	437	-1516	-1565	432	M	G	0.00	0.00	216.00
0	435	-1508	-1726	434	M	G	0.00	0.00	216.00
0	432	-1565	-2181	-2203	M	G	0.00	0.00	400.00
0	434	-1726	-2202	-2204	M	G	0.00	0.00	400.00
0	-1529	429	-1850	-1416	M	G	0.00	0.00	216.00
0	-1530	-1958	-1959	-1415	M	G	0.00	0.00	216.00
0	-1490	-1530	-1415	-1367	M	G	0.00	0.00	216.00
0	-1538	-1490	-1367	-1366	M	G	0.00	0.00	216.00
0	-1525	-1538	-1366	-1365	M	G	0.00	0.00	216.00
0	-1526	-1525	-1365	-1364	M	G	0.00	0.00	216.00
0	-1527	-1526	-1364	-1363	M	G	0.00	0.00	216.00
0	-1528	-1527	-1363	-1427	M	G	0.00	0.00	216.00
0	-1362	436	429	-1529	M	G	0.00	0.00	216.00
0	-1356	-1960	-1958	-1530	M	G	0.00	0.00	216.00
0	-1355	-1356	-1530	-1490	M	G	0.00	0.00	216.00
0	-1352	-1355	-1490	-1538	M	G	0.00	0.00	216.00
0	-1684	-1352	-1538	-1525	M	G	0.00	0.00	216.00
0	-1683	-1684	-1525	-1526	M	G	0.00	0.00	216.00
0	-1682	-1683	-1526	-1527	M	G	0.00	0.00	216.00
0	-1426	-1682	-1527	-1528	M	G	0.00	0.00	216.00
0	-1625	-1687	-2164	-2165	M	G	0.00	0.00	400.00
0	-1624	-1961	-2166	-2167	M	G	0.00	0.00	400.00
0	-1623	-1624	-2167	-2168	M	G	0.00	0.00	400.00
0	-1622	-1623	-2168	-2169	M	G	0.00	0.00	400.00
0	-1621	-1622	-2169	-2170	M	G	0.00	0.00	400.00
0	-1620	-1621	-2170	-2171	M	G	0.00	0.00	400.00
0	-1619	-1620	-2171	-2172	M	G	0.00	0.00	400.00
0	-1417	-1619	-2172	-2173	M	G	0.00	0.00	400.00
0	-1521	435	434	-1660	M	G	0.00	0.00	216.00
0	-1522	-1962	-1963	-1659	M	G	0.00	0.00	216.00
0	-1523	-1522	-1659	-1658	M	G	0.00	0.00	216.00
0	-1524	-1523	-1658	-1657	M	G	0.00	0.00	216.00
0	-1517	-1524	-1657	-1656	M	G	0.00	0.00	216.00
0	-1518	-1517	-1656	-1655	M	G	0.00	0.00	216.00
0	-1519	-1518	-1655	-1654	M	G	0.00	0.00	216.00
0	-1520	-1519	-1654	-1422	M	G	0.00	0.00	216.00
0	-1422	-1654	-2205	-2206	M	G	0.00	0.00	400.00
0	-1654	-1655	-2207	-2205	M	G	0.00	0.00	400.00
0	-1655	-1656	-2208	-2207	M	G	0.00	0.00	400.00
0	-1656	-1657	-2209	-2208	M	G	0.00	0.00	400.00
0	-1657	-1658	-2210	-2209	M	G	0.00	0.00	400.00
0	-1658	-1659	-2211	-2210	M	G	0.00	0.00	400.00
0	-1659	-1963	-2212	-2211	M	G	0.00	0.00	400.00
0	-1653	-1848	435	-1521	M	G	0.00	0.00	216.00
0	-1652	-1965	-1962	-1522	M	G	0.00	0.00	216.00
0	-1651	-1652	-1522	-1523	M	G	0.00	0.00	216.00
0	-1650	-1651	-1523	-1524	M	G	0.00	0.00	216.00
0	-1649	-1650	-1524	-1517	M	G	0.00	0.00	216.00
0	-1648	-1649	-1517	-1518	M	G	0.00	0.00	216.00
0	-1647	-1648	-1518	-1519	M	G	0.00	0.00	216.00
0	-1421	-1647	-1519	-1520	M	G	0.00	0.00	216.00
0	-1424	-1668	-1633	-1419	M	G	0.00	0.00	216.00
0	-1668	-1669	-1634	-1633	M	G	0.00	0.00	216.00
0	-1669	-1670	-1635	-1634	M	G	0.00	0.00	216.00
0	-1670	-1671	-1636	-1635	M	G	0.00	0.00	216.00
0	-1671	-1672	-1637	-1636	M	G	0.00	0.00	216.00
0	-1672	-1673	-1638	-1637	M	G	0.00	0.00	216.00
0	-1673	-1966	-1967	-1638	M	G	0.00	0.00	216.00
0	-1674	441	-1859	-1639	M	G	0.00	0.00	216.00
0	-1419	-1633	-1640	-1420	M	G	0.00	0.00	216.00
0	-1633	-1634	-1641	-1640	M	G	0.00	0.00	216.00
0	-1634	-1635	-1642	-1641	M	G	0.00	0.00	216.00
0	-1635	-1636	-1643	-1642	M	G	0.00	0.00	216.00
0	-1636	-1637	-1644	-1643	M	G	0.00	0.00	216.00
0	-1637	-1638	-1645	-1644	M	G	0.00	0.00	216.00
0	-1638	-1967	-1968	-1645	M	G	0.00	0.00	216.00
0	-1639	-1859	439	-1646	M	G	0.00	0.00	216.00
0	-1416	-1850	-1357	-1895	M	G	0.00	0.00	216.00
0	-1415	-1959	-1969	-1896	M	G	0.00	0.00	216.00
0	-1367	-1415	-1896	-1897	M	G	0.00	0.00	216.00
0	-1366	-1367	-1897	-1898	M	G	0.00	0.00	216.00

0	-1365	-1366	-1898	-1899	M	G	0.00	0.00	216.00
0	-1364	-1365	-1899	-1900	M	G	0.00	0.00	216.00
0	-1363	-1364	-1900	-1901	M	G	0.00	0.00	216.00
0	-1427	-1363	-1901	-1902	M	G	0.00	0.00	216.00
0	-1423	-1661	-1626	-1418	M	G	0.00	0.00	216.00
0	-1661	-1662	-1627	-1626	M	G	0.00	0.00	216.00
0	-1662	-1663	-1628	-1627	M	G	0.00	0.00	216.00
0	-1663	-1664	-1629	-1628	M	G	0.00	0.00	216.00
0	-1664	-1665	-1630	-1629	M	G	0.00	0.00	216.00
0	-1665	-1666	-1631	-1630	M	G	0.00	0.00	216.00
0	-1666	-1970	-1971	-1631	M	G	0.00	0.00	216.00
0	-1667	442	-1863	-1632	M	G	0.00	0.00	216.00
0	-1420	-1640	-1904	-1903	M	G	0.00	0.00	216.00
0	-1640	-1641	-1905	-1904	M	G	0.00	0.00	216.00
0	-1641	-1642	-1906	-1905	M	G	0.00	0.00	216.00
0	-1642	-1643	-1907	-1906	M	G	0.00	0.00	216.00
0	-1643	-1644	-1908	-1907	M	G	0.00	0.00	216.00
0	-1644	-1645	-1909	-1908	M	G	0.00	0.00	216.00
0	-1645	-1968	-1972	-1909	M	G	0.00	0.00	216.00
0	-1646	439	-1874	-1910	M	G	0.00	0.00	216.00
0	-1418	-1626	-1668	-1424	M	G	0.00	0.00	216.00
0	-1626	-1627	-1669	-1668	M	G	0.00	0.00	216.00
0	-1627	-1628	-1670	-1669	M	G	0.00	0.00	216.00
0	-1628	-1629	-1671	-1670	M	G	0.00	0.00	216.00
0	-1629	-1630	-1672	-1671	M	G	0.00	0.00	216.00
0	-1630	-1631	-1673	-1672	M	G	0.00	0.00	216.00
0	-1631	-1971	-1966	-1673	M	G	0.00	0.00	216.00
0	-1660	434	-2204	-2213	M	G	0.00	0.00	400.00
0	-1632	-1863	441	-1674	M	G	0.00	0.00	216.00
0	-1885	-2103	-2107	-1494	M	G	0.00	0.00	216.00
0	-1886	-2104	-2105	-1495	M	G	0.00	0.00	216.00
0	-1887	-1888	-1497	-1496	M	G	0.00	0.00	216.00
0	-1888	-1889	-1700	-1497	M	G	0.00	0.00	216.00
0	-1889	-1890	-1701	-1700	M	G	0.00	0.00	216.00
0	-1890	-1891	-1702	-1701	M	G	0.00	0.00	216.00
0	-1891	-1892	-1703	-1702	M	G	0.00	0.00	216.00
0	-1892	-1893	-1704	-1703	M	G	0.00	0.00	216.00
0	-1893	-1938	-1939	-1704	M	G	0.00	0.00	216.00
0	-1894	-1344	-1537	-1705	M	G	0.00	0.00	216.00
0	-1895	-1357	442	-1667	M	G	0.00	0.00	216.00
0	-1896	-1969	-1970	-1666	M	G	0.00	0.00	216.00
0	-1897	-1896	-1666	-1665	M	G	0.00	0.00	216.00
0	-1898	-1897	-1665	-1664	M	G	0.00	0.00	216.00
0	-1899	-1898	-1664	-1663	M	G	0.00	0.00	216.00
0	-1900	-1899	-1663	-1662	M	G	0.00	0.00	216.00
0	-1901	-1900	-1662	-1661	M	G	0.00	0.00	216.00
0	-1902	-1901	-1661	-1423	M	G	0.00	0.00	216.00
0	-1903	-1904	-1647	-1421	M	G	0.00	0.00	216.00
0	-1904	-1905	-1648	-1647	M	G	0.00	0.00	216.00
0	-1905	-1906	-1649	-1648	M	G	0.00	0.00	216.00
0	-1906	-1907	-1650	-1649	M	G	0.00	0.00	216.00
0	-1907	-1908	-1651	-1650	M	G	0.00	0.00	216.00
0	-1908	-1909	-1652	-1651	M	G	0.00	0.00	216.00
0	-1909	-1972	-1965	-1652	M	G	0.00	0.00	216.00
0	-1910	-1874	-1848	-1653	M	G	0.00	0.00	216.00
0	-1547	-1832	-1465	-2083	M	G	0.00	0.00	216.00
0	-1699	-1831	-1464	-1762	M	G	0.00	0.00	216.00
0	-1974	-1882	-1492	-1973	M	G	0.00	0.00	216.00
0	-1911	-1883	-1493	-1912	M	G	0.00	0.00	216.00
0	-2076	-1715	-1792	-2075	M	G	0.00	0.00	216.00
0	-2078	-1714	-1791	-2077	M	G	0.00	0.00	216.00
0	-2080	-1835	-1468	-2079	M	G	0.00	0.00	216.00
0	-2082	-1834	-1467	-2081	M	G	0.00	0.00	216.00
0	-1913	-1343	-1573	-1914	M	G	0.00	0.00	216.00
0	-1915	-1347	-1559	-1916	M	G	0.00	0.00	216.00
0	-1917	-1698	-1475	-1918	M	G	0.00	0.00	216.00
0	-1919	-1384	-1725	-1920	M	G	0.00	0.00	216.00
0	-1921	-1566	-2179	-2180	M	G	0.00	0.00	400.00
0	-1920	-1725	-1802	-1923	M	G	0.00	0.00	216.00
0	-1924	-1838	-1384	-1919	M	G	0.00	0.00	216.00
0	-1925	-1515	-1566	-1921	M	G	0.00	0.00	216.00
0	-1914	-1573	-1515	-1925	M	G	0.00	0.00	216.00
0	-1926	-1552	-1587	-1927	M	G	0.00	0.00	216.00
0	-1927	-1587	-1580	-1928	M	G	0.00	0.00	216.00
0	-1916	-1559	-1594	-1929	M	G	0.00	0.00	216.00
0	-1930	-1414	-1347	-1915	M	G	0.00	0.00	216.00
0	-1928	-1580	-1343	-1913	M	G	0.00	0.00	216.00
0	-1929	-1594	-1552	-1926	M	G	0.00	0.00	216.00
0	-1931	-1447	-1414	-1930	M	G	0.00	0.00	216.00

0	-1932	-1854	-1447	-1931	M	G	0.00	0.00	216.00
0	-1933	-1601	-2133	-2134	M	G	0.00	0.00	400.00
0	-1934	-1822	-2137	-2138	M	G	0.00	0.00	400.00
0	-1935	-1782	-1387	-1936	M	G	0.00	0.00	216.00
0	-1936	-1387	-1838	-1924	M	G	0.00	0.00	216.00
0	-1937	-1452	-1698	-1917	M	G	0.00	0.00	216.00
0	-1918	-1475	-1894	-1938	M	G	0.00	0.00	216.00
0	-1923	-1802	-1452	-1937	M	G	0.00	0.00	216.00
0	-1939	-1705	-1458	-1940	M	G	0.00	0.00	216.00
0	-1940	-1458	-1745	-1941	M	G	0.00	0.00	216.00
0	-1942	-2069	-2013	-2015	M	G	0.00	0.00	400.00
0	-1938	-1894	-1705	-1939	M	G	0.00	0.00	216.00
0	-1943	-1875	-1477	-1944	M	G	0.00	0.00	216.00
0	-1945	-1707	-1784	-1946	M	G	0.00	0.00	216.00
0	-1947	-1359	-1707	-1945	M	G	0.00	0.00	216.00
0	-1948	-1839	-1359	-1947	M	G	0.00	0.00	216.00
0	-1946	-1784	-1429	-1949	M	G	0.00	0.00	216.00
0	-1950	-1804	-2161	-2162	M	G	0.00	0.00	400.00
0	-1951	-1764	-1405	-1952	M	G	0.00	0.00	216.00
0	-1952	-1405	-1839	-1948	M	G	0.00	0.00	216.00
0	-1949	-1429	-1824	-1953	M	G	0.00	0.00	216.00
0	-1954	-1454	-1875	-1943	M	G	0.00	0.00	216.00
0	-1953	-1824	-1454	-1954	M	G	0.00	0.00	216.00
0	-1944	-1477	-1507	-1955	M	G	0.00	0.00	216.00
0	-1955	-1507	-1727	-1956	M	G	0.00	0.00	216.00
0	-1956	-1727	-2200	-2201	M	G	0.00	0.00	400.00
0	-1958	-1529	-1416	-1959	M	G	0.00	0.00	216.00
0	-1960	-1362	-1529	-1958	M	G	0.00	0.00	216.00
0	-1961	-1625	-2165	-2166	M	G	0.00	0.00	400.00
0	-1962	-1521	-1660	-1963	M	G	0.00	0.00	216.00
0	-1963	-1660	-2213	-2212	M	G	0.00	0.00	400.00
0	-1965	-1653	-1521	-1962	M	G	0.00	0.00	216.00
0	-1966	-1674	-1639	-1967	M	G	0.00	0.00	216.00
0	-1967	-1639	-1646	-1968	M	G	0.00	0.00	216.00
0	-1959	-1416	-1895	-1969	M	G	0.00	0.00	216.00
0	-1970	-1667	-1632	-1971	M	G	0.00	0.00	216.00
0	-1968	-1646	-1910	-1972	M	G	0.00	0.00	216.00
0	-1971	-1632	-1674	-1966	M	G	0.00	0.00	216.00
0	-1969	-1895	-1667	-1970	M	G	0.00	0.00	216.00
0	-1972	-1910	-1653	-1965	M	G	0.00	0.00	216.00
0	-2036	-2037	-1803	-1687	M	G	0.00	0.00	400.00
0	-2020	-2021	-1600	-1539	M	G	0.00	0.00	400.00
0	-1883	-1884	-1842	-1493	M	G	0.00	0.00	216.00
0	-1873	-1943	-1944	-1476	M	G	0.00	0.00	216.00
0	-1833	-2082	-2081	-1466	M	G	0.00	0.00	216.00
0	-1884	-1885	-1494	-1842	M	G	0.00	0.00	216.00
0	-2215	-2217	-2065	-2117	M	G	0.00	0.00	400.00
0	-2194	-2216	-1753	-2119	M	G	0.00	0.00	400.00
0	-2191	-2190	-1755	-2116	M	G	0.00	0.00	400.00
0	-2189	-2188	-1756	-2115	M	G	0.00	0.00	400.00
0	-2220	-2177	-1548	-2071	M	G	0.00	0.00	400.00
0	-2178	-2220	-2071	-1546	M	G	0.00	0.00	400.00
0	-2219	-2203	-1540	-2069	M	G	0.00	0.00	400.00
0	-2182	-2219	-2069	-1942	M	G	0.00	0.00	400.00
0	-2218	-2186	-1758	-2067	M	G	0.00	0.00	400.00
0	-2187	-2218	-2067	-1757	M	G	0.00	0.00	400.00
0	-2217	-2193	-1689	-2065	M	G	0.00	0.00	400.00
0	-2216	-2215	-2117	-1753	M	G	0.00	0.00	400.00
0	-2214	-2197	-1750	-2063	M	G	0.00	0.00	400.00
0	-2198	-2214	-2063	-1749	M	G	0.00	0.00	400.00
0	-2212	-2213	-1681	-1964	M	G	0.00	0.00	400.00
0	-2201	-2200	-1747	-1957	M	G	0.00	0.00	400.00
0	-2180	-2179	-1545	-1922	M	G	0.00	0.00	400.00
0	-2213	-2204	-1686	-1681	M	G	0.00	0.00	400.00
0	-2211	-2212	-1964	-1680	M	G	0.00	0.00	400.00
0	-2210	-2211	-1680	-1679	M	G	0.00	0.00	400.00
0	-2209	-2210	-1679	-1678	M	G	0.00	0.00	400.00
0	-2208	-2209	-1678	-1677	M	G	0.00	0.00	400.00
0	-2207	-2208	-1677	-1676	M	G	0.00	0.00	400.00
0	-2205	-2207	-1676	-1675	M	G	0.00	0.00	400.00
0	-2206	-2205	-1675	-1425	M	G	0.00	0.00	400.00
0	-2204	-2202	-1746	-1686	M	G	0.00	0.00	400.00
0	-2203	-2181	-1544	-1540	M	G	0.00	0.00	400.00
0	-2202	-2201	-1957	-1746	M	G	0.00	0.00	400.00
0	-2200	-2199	-1748	-1747	M	G	0.00	0.00	400.00
0	-2199	-2198	-1749	-1748	M	G	0.00	0.00	400.00
0	-2197	-2196	-1751	-1750	M	G	0.00	0.00	400.00
0	-2196	-2195	-1752	-1751	M	G	0.00	0.00	400.00
0	-2195	-2194	-2119	-1752	M	G	0.00	0.00	400.00

0	-2193	-2192	-1754	-1689	M	G	0.00	0.00	400.00
0	-2192	-2191	-2116	-1754	M	G	0.00	0.00	400.00
0	-2190	-2189	-2115	-1755	M	G	0.00	0.00	400.00
0	-2188	-2187	-1757	-1756	M	G	0.00	0.00	400.00
0	-2186	-2185	-1759	-1758	M	G	0.00	0.00	400.00
0	-2185	-2184	-1760	-1759	M	G	0.00	0.00	400.00
0	-2184	-2183	-1761	-1760	M	G	0.00	0.00	400.00
0	-2183	-2182	-1942	-1761	M	G	0.00	0.00	400.00
0	-2181	-2180	-1922	-1544	M	G	0.00	0.00	400.00
0	-2179	-2178	-1546	-1545	M	G	0.00	0.00	400.00
0	-2177	-2176	-1549	-1548	M	G	0.00	0.00	400.00
0	-2176	-2175	-1550	-1549	M	G	0.00	0.00	400.00
0	-2175	-2174	-1609	-1550	M	G	0.00	0.00	400.00
0	-2154	-2153	-1771	-2094	M	G	0.00	0.00	400.00
0	-2152	-2151	-1772	-2092	M	G	0.00	0.00	400.00
0	-2148	-2147	-1774	-2090	M	G	0.00	0.00	400.00
0	-2146	-2145	-1775	-2088	M	G	0.00	0.00	400.00
0	-2166	-2165	-1362	-1960	M	G	0.00	0.00	400.00
0	-2162	-2161	-1764	-1951	M	G	0.00	0.00	400.00
0	-2138	-2137	-1782	-1935	M	G	0.00	0.00	400.00
0	-2134	-2133	-1854	-1932	M	G	0.00	0.00	400.00
0	-2173	-2172	-1682	-1426	M	G	0.00	0.00	400.00
0	-2172	-2171	-1683	-1682	M	G	0.00	0.00	400.00
0	-2171	-2170	-1684	-1683	M	G	0.00	0.00	400.00
0	-2170	-2169	-1352	-1684	M	G	0.00	0.00	400.00
0	-2169	-2168	-1355	-1352	M	G	0.00	0.00	400.00
0	-2168	-2167	-1356	-1355	M	G	0.00	0.00	400.00
0	-2167	-2166	-1960	-1356	M	G	0.00	0.00	400.00
0	-2165	-2164	436	-1362	M	G	0.00	0.00	400.00
0	-2164	-2163	-1763	436	M	G	0.00	0.00	400.00
0	-2136	-2135	-1841	431	M	G	0.00	0.00	400.00
0	-2163	-2162	-1951	-1763	M	G	0.00	0.00	400.00
0	-2161	-2160	-1765	-1764	M	G	0.00	0.00	400.00
0	-2160	-2159	-1766	-1765	M	G	0.00	0.00	400.00
0	-2159	-2158	-1767	-1766	M	G	0.00	0.00	400.00
0	-2158	-2157	-1768	-1767	M	G	0.00	0.00	400.00
0	-2157	-2156	-1769	-1768	M	G	0.00	0.00	400.00
0	-2156	-2155	-1770	-1769	M	G	0.00	0.00	400.00
0	-2155	-2154	-2094	-1770	M	G	0.00	0.00	400.00
0	-2153	-2152	-2092	-1771	M	G	0.00	0.00	400.00
0	-2151	-2150	-1413	-1772	M	G	0.00	0.00	400.00
0	-2150	-2149	-1773	-1413	M	G	0.00	0.00	400.00
0	-2149	-2148	-2090	-1773	M	G	0.00	0.00	400.00
0	-2147	-2146	-2088	-1774	M	G	0.00	0.00	400.00
0	-2145	-2144	-1776	-1775	M	G	0.00	0.00	400.00
0	-2144	-2143	-1777	-1776	M	G	0.00	0.00	400.00
0	-2143	-2142	-1778	-1777	M	G	0.00	0.00	400.00
0	-2142	-2141	-1779	-1778	M	G	0.00	0.00	400.00
0	-2141	-2140	-1780	-1779	M	G	0.00	0.00	400.00
0	-2140	-2139	-1781	-1780	M	G	0.00	0.00	400.00
0	-2139	-2138	-1935	-1781	M	G	0.00	0.00	400.00
0	-2137	-2136	431	-1782	M	G	0.00	0.00	400.00
0	-2135	-2134	-1932	-1841	M	G	0.00	0.00	400.00
0	-2133	-2132	-1855	-1854	M	G	0.00	0.00	400.00
0	-2132	-2131	-1860	-1855	M	G	0.00	0.00	400.00
0	-2131	-2130	-1541	-1860	M	G	0.00	0.00	400.00
0	-2130	-2129	-1542	-1541	M	G	0.00	0.00	400.00
0	-2129	-2128	-1543	-1542	M	G	0.00	0.00	400.00
0	-2128	-2127	-1608	-1543	M	G	0.00	0.00	400.00
0	-1835	-1412	-1469	-1468	M	G	0.00	0.00	216.00
0	-1412	-1410	-1470	-1469	M	G	0.00	0.00	216.00
0	-1410	-1411	-1471	-1470	M	G	0.00	0.00	216.00
0	-1411	-1688	-1472	-1471	M	G	0.00	0.00	216.00
0	-1688	-1691	-1473	-1472	M	G	0.00	0.00	216.00
0	-1691	-1692	-1474	-1473	M	G	0.00	0.00	216.00
0	-1692	-1917	-1918	-1474	M	G	0.00	0.00	216.00
0	-1698	-1534	433	-1475	M	G	0.00	0.00	216.00
0	442	-1706	-1783	-1863	M	G	0.00	0.00	216.00
0	-1706	-1945	-1946	-1783	M	G	0.00	0.00	216.00
0	-1707	-1708	-1785	-1784	M	G	0.00	0.00	216.00
0	-1708	-1709	-1786	-1785	M	G	0.00	0.00	216.00
0	-1709	-1710	-1787	-1786	M	G	0.00	0.00	216.00
0	-1710	-1711	-1788	-1787	M	G	0.00	0.00	216.00
0	-1711	-1712	-1789	-1788	M	G	0.00	0.00	216.00
0	-1712	-1713	-1790	-1789	M	G	0.00	0.00	216.00
0	-1713	-2078	-2077	-1790	M	G	0.00	0.00	216.00
0	-1714	-2076	-2075	-1791	M	G	0.00	0.00	216.00
0	-1715	-1849	-1535	-1792	M	G	0.00	0.00	216.00
0	-1849	-1716	-1793	-1535	M	G	0.00	0.00	216.00

0	-1349	-1350	-1562	-1561	M	G	0.00	0.00	216.00
0	-1350	-1351	-1563	-1562	M	G	0.00	0.00	216.00
0	-1351	-1353	-1564	-1563	M	G	0.00	0.00	216.00
0	-1353	-1354	-1611	-1564	M	G	0.00	0.00	216.00
0	-1357	-1358	-1706	442	M	G	0.00	0.00	216.00
0	-1358	-1947	-1945	-1706	M	G	0.00	0.00	216.00
0	-1359	-1360	-1708	-1707	M	G	0.00	0.00	216.00
0	-1360	-1361	-1709	-1708	M	G	0.00	0.00	216.00
0	-1361	-1368	-1710	-1709	M	G	0.00	0.00	216.00
0	-1368	-1369	-1711	-1710	M	G	0.00	0.00	216.00
0	-1369	-1370	-1712	-1711	M	G	0.00	0.00	216.00
0	-1370	-1371	-1713	-1712	M	G	0.00	0.00	216.00
0	-1371	-2074	-2078	-1713	M	G	0.00	0.00	216.00
0	-1372	-2073	-2076	-1714	M	G	0.00	0.00	216.00
0	-1373	-1374	-1849	-1715	M	G	0.00	0.00	216.00
0	-1374	-1375	-1716	-1849	M	G	0.00	0.00	216.00
0	-1375	-2072	-2070	-1716	M	G	0.00	0.00	216.00
0	-1376	-2068	-2066	-1717	M	G	0.00	0.00	216.00
0	-1377	-1378	-1719	-1718	M	G	0.00	0.00	216.00
0	-1378	-1379	-1720	-1719	M	G	0.00	0.00	216.00
0	-1379	-1380	-1721	-1720	M	G	0.00	0.00	216.00
0	-1380	-1381	-1722	-1721	M	G	0.00	0.00	216.00
0	-1381	-1382	-1723	-1722	M	G	0.00	0.00	216.00
0	-1382	-1383	-1724	-1723	M	G	0.00	0.00	216.00
0	-1383	-1919	-1920	-1724	M	G	0.00	0.00	216.00
0	-1384	-1385	440	-1725	M	G	0.00	0.00	216.00
0	-1571	-1612	-2174	-2175	M	G	0.00	0.00	400.00
0	-1570	-1571	-2175	-2176	M	G	0.00	0.00	400.00
0	-1569	-1570	-2176	-2177	M	G	0.00	0.00	400.00
0	-2071	-1548	-1981	-1980	M	G	0.00	0.00	400.00
0	-1546	-2071	-1980	-1979	M	G	0.00	0.00	400.00
0	-1566	-1567	-2178	-2179	M	G	0.00	0.00	400.00
0	-1565	-1921	-2180	-2181	M	G	0.00	0.00	400.00
0	-1510	-1509	-1612	-1571	M	G	0.00	0.00	216.00
0	-1511	-1510	-1571	-1570	M	G	0.00	0.00	216.00
0	-1716	-2070	-2064	-1793	M	G	0.00	0.00	216.00
0	-1717	-2066	-2062	-1794	M	G	0.00	0.00	216.00
0	-1718	-1719	-1796	-1795	M	G	0.00	0.00	216.00
0	-1719	-1720	-1797	-1796	M	G	0.00	0.00	216.00
0	-1720	-1721	-1798	-1797	M	G	0.00	0.00	216.00
0	-1721	-1722	-1799	-1798	M	G	0.00	0.00	216.00
0	-1722	-1723	-1800	-1799	M	G	0.00	0.00	216.00
0	-1723	-1724	-1801	-1800	M	G	0.00	0.00	216.00
0	-1724	-1920	-1923	-1801	M	G	0.00	0.00	216.00
0	-1725	440	-1531	-1802	M	G	0.00	0.00	216.00
0	-1838	-1536	-1385	-1384	M	G	0.00	0.00	216.00
0	-1837	-1924	-1919	-1383	M	G	0.00	0.00	216.00
0	-1853	-1837	-1383	-1382	M	G	0.00	0.00	216.00
0	-1852	-1853	-1382	-1381	M	G	0.00	0.00	216.00
0	-1851	-1852	-1381	-1380	M	G	0.00	0.00	216.00
0	-1686	-1746	-1994	-1992	M	G	0.00	0.00	400.00
0	-1746	-1957	-2016	-1994	M	G	0.00	0.00	400.00
0	-1957	-1747	-1995	-2016	M	G	0.00	0.00	400.00
0	-1747	-1748	-1996	-1995	M	G	0.00	0.00	400.00
0	-1748	-1749	-1997	-1996	M	G	0.00	0.00	400.00
0	-1729	-1730	-2214	-2198	M	G	0.00	0.00	400.00
0	-1730	-1731	-2197	-2214	M	G	0.00	0.00	400.00
0	-1750	-1751	-2000	-1999	M	G	0.00	0.00	400.00
0	-1751	-1752	-2001	-2000	M	G	0.00	0.00	400.00
0	-1752	-2119	-2120	-2001	M	G	0.00	0.00	400.00
0	-1734	-2113	-2215	-2216	M	G	0.00	0.00	400.00
0	-1735	-1847	-2193	-2217	M	G	0.00	0.00	400.00
0	-1689	-1754	-2004	-1993	M	G	0.00	0.00	400.00
0	-1754	-2116	-2121	-2004	M	G	0.00	0.00	400.00
0	-1755	-2115	-2122	-2005	M	G	0.00	0.00	400.00
0	-1756	-1757	-2007	-2006	M	G	0.00	0.00	400.00
0	-1739	-1740	-2218	-2187	M	G	0.00	0.00	400.00
0	-1740	-1741	-2186	-2218	M	G	0.00	0.00	400.00
0	-1758	-1759	-2010	-2009	M	G	0.00	0.00	400.00
0	-1759	-1760	-2011	-2010	M	G	0.00	0.00	400.00
0	-1760	-1761	-2012	-2011	M	G	0.00	0.00	400.00
0	-1761	-1942	-2015	-2012	M	G	0.00	0.00	400.00
0	-1941	-1745	-2219	-2182	M	G	0.00	0.00	400.00
0	-1745	432	-2203	-2219	M	G	0.00	0.00	400.00
0	-1540	-1544	-1977	-1976	M	G	0.00	0.00	400.00
0	-1544	-1922	-2014	-1977	M	G	0.00	0.00	400.00
0	-1922	-1545	-1978	-2014	M	G	0.00	0.00	400.00
0	-1545	-1546	-1979	-1978	M	G	0.00	0.00	400.00
0	-1567	-1568	-2220	-2178	M	G	0.00	0.00	400.00

0	-1568	-1569	-2177	-2220	M	G	0.00	0.00	400.00
0	-1548	-1549	-1982	-1981	M	G	0.00	0.00	400.00
0	-1549	-1550	-1983	-1982	M	G	0.00	0.00	400.00
0	-1550	-1609	-1984	-1983	M	G	0.00	0.00	400.00
0	-1425	-1675	-1985	-1975	M	G	0.00	0.00	400.00
0	-1675	-1676	-1986	-1985	M	G	0.00	0.00	400.00
0	-1676	-1677	-1987	-1986	M	G	0.00	0.00	400.00
0	-1677	-1678	-1988	-1987	M	G	0.00	0.00	400.00
0	-1678	-1679	-1989	-1988	M	G	0.00	0.00	400.00
0	-1679	-1680	-1990	-1989	M	G	0.00	0.00	400.00
0	-1680	-1964	-2017	-1990	M	G	0.00	0.00	400.00
0	-1964	-1681	-1991	-2017	M	G	0.00	0.00	400.00
0	-1681	-1686	-1992	-1991	M	G	0.00	0.00	400.00
0	-2018	-2029	-1619	-1417	M	G	0.00	0.00	400.00
0	-2029	-2030	-1620	-1619	M	G	0.00	0.00	400.00
0	-2030	-2031	-1621	-1620	M	G	0.00	0.00	400.00
0	-2031	-2032	-1622	-1621	M	G	0.00	0.00	400.00
0	-2032	-2033	-1623	-1622	M	G	0.00	0.00	400.00
0	-2033	-2034	-1624	-1623	M	G	0.00	0.00	400.00
0	-2034	-2060	-1961	-1624	M	G	0.00	0.00	400.00
0	-2060	-2035	-1625	-1961	M	G	0.00	0.00	400.00
0	-2035	-2036	-1687	-1625	M	G	0.00	0.00	400.00
0	-2037	-2059	-1950	-1803	M	G	0.00	0.00	400.00
0	-2059	-2038	-1804	-1950	M	G	0.00	0.00	400.00
0	-2038	-2039	-1805	-1804	M	G	0.00	0.00	400.00
0	-2039	-2040	-1806	-1805	M	G	0.00	0.00	400.00
0	-2040	-2041	-1807	-1806	M	G	0.00	0.00	400.00
0	-2041	-2042	-1808	-1807	M	G	0.00	0.00	400.00
0	-2042	-2043	-1809	-1808	M	G	0.00	0.00	400.00
0	-2043	-2044	-1810	-1809	M	G	0.00	0.00	400.00
0	-2044	-2123	-2093	-1810	M	G	0.00	0.00	400.00
0	-2045	-2124	-2091	-1811	M	G	0.00	0.00	400.00
0	-2046	-2019	-1533	-1812	M	G	0.00	0.00	400.00
0	-2019	-2047	-1813	-1533	M	G	0.00	0.00	400.00
0	-2047	-2125	-2089	-1813	M	G	0.00	0.00	400.00
0	-2048	-2126	-2087	-1814	M	G	0.00	0.00	400.00
0	-2049	-2050	-1816	-1815	M	G	0.00	0.00	400.00
0	-2050	-2051	-1817	-1816	M	G	0.00	0.00	400.00
0	-2051	-2052	-1818	-1817	M	G	0.00	0.00	400.00
0	-2052	-2053	-1819	-1818	M	G	0.00	0.00	400.00
0	-2053	-2054	-1820	-1819	M	G	0.00	0.00	400.00
0	-2054	-2055	-1821	-1820	M	G	0.00	0.00	400.00
0	-2055	-2058	-1934	-1821	M	G	0.00	0.00	400.00
0	-2058	-2056	-1822	-1934	M	G	0.00	0.00	400.00
0	-2056	-2020	-1539	-1822	M	G	0.00	0.00	400.00
0	-2021	-2057	-1933	-1600	M	G	0.00	0.00	400.00
0	-2057	-2022	-1601	-1933	M	G	0.00	0.00	400.00
0	-2022	-2023	-1602	-1601	M	G	0.00	0.00	400.00
0	-2023	-2024	-1603	-1602	M	G	0.00	0.00	400.00
0	-2024	-2025	-1604	-1603	M	G	0.00	0.00	400.00
0	-2025	-2026	-1605	-1604	M	G	0.00	0.00	400.00
0	-2026	-2027	-1606	-1605	M	G	0.00	0.00	400.00
0	-2027	-2028	-1617	-1606	M	G	0.00	0.00	400.00
0	-2074	-1372	-1714	-2078	M	G	0.00	0.00	216.00
0	-2073	-1373	-1715	-2076	M	G	0.00	0.00	216.00
0	-2072	-1376	-1717	-2070	M	G	0.00	0.00	216.00
0	-2068	-1377	-1718	-2066	M	G	0.00	0.00	216.00
0	-2070	-1717	-1794	-2064	M	G	0.00	0.00	216.00
0	-2066	-1718	-1795	-2062	M	G	0.00	0.00	216.00
0	-2061	-1695	-1377	-2068	M	G	0.00	0.00	216.00
0	-2084	-1694	-1376	-2072	M	G	0.00	0.00	216.00
0	-2085	-1866	-1373	-2073	M	G	0.00	0.00	216.00
0	-2086	-1865	-1372	-2074	M	G	0.00	0.00	216.00
0	-2087	-1815	-2145	-2146	M	G	0.00	0.00	400.00
0	-2089	-1814	-2147	-2148	M	G	0.00	0.00	400.00
0	-2091	-1812	-2151	-2152	M	G	0.00	0.00	400.00
0	-2093	-1811	-2153	-2154	M	G	0.00	0.00	400.00
0	-2088	-1775	-1394	-2095	M	G	0.00	0.00	216.00
0	-2090	-1774	-1395	-2096	M	G	0.00	0.00	216.00
0	-2092	-1772	-1397	-2097	M	G	0.00	0.00	216.00
0	-2094	-1771	-1398	-2098	M	G	0.00	0.00	216.00
0	-2095	-1394	-1695	-2061	M	G	0.00	0.00	216.00
0	-2096	-1395	-1694	-2084	M	G	0.00	0.00	216.00
0	-2097	-1397	-1866	-2085	M	G	0.00	0.00	216.00
0	-2098	-1398	-1865	-2086	M	G	0.00	0.00	216.00
0	-2099	-1436	-1831	-1699	M	G	0.00	0.00	216.00
0	-2100	-1438	-1832	-1547	M	G	0.00	0.00	216.00
0	-2101	-1441	-1834	-2082	M	G	0.00	0.00	216.00
0	-2102	-1442	-1835	-2080	M	G	0.00	0.00	216.00

0	-1762	-1464	-1882	-1974	M	G	0.00	0.00	216.00
0	-2083	-1465	-1883	-1911	M	G	0.00	0.00	216.00
0	-2081	-1467	-1886	-2103	M	G	0.00	0.00	216.00
0	-2079	-1468	-1887	-2104	M	G	0.00	0.00	216.00
0	-2077	-1791	-1436	-2099	M	G	0.00	0.00	216.00
0	-2075	-1792	-1438	-2100	M	G	0.00	0.00	216.00
0	-2064	-1794	-1441	-2101	M	G	0.00	0.00	216.00
0	-2062	-1795	-1442	-2102	M	G	0.00	0.00	216.00
0	-2105	-1496	-1488	-2106	M	G	0.00	0.00	216.00
0	-2107	-1495	-1489	-2108	M	G	0.00	0.00	216.00
0	-1912	-1493	-1499	-2109	M	G	0.00	0.00	216.00
0	-1973	-1492	-1500	-2110	M	G	0.00	0.00	216.00
0	-2106	-1488	-1738	-2111	M	G	0.00	0.00	216.00
0	-2108	-1489	-1737	-2112	M	G	0.00	0.00	216.00
0	-2109	-1499	-1735	-2113	M	G	0.00	0.00	216.00
0	-2110	-1500	-1734	-2114	M	G	0.00	0.00	216.00
0	-2111	-1738	-2188	-2189	M	G	0.00	0.00	400.00
0	-2112	-1737	-2190	-2191	M	G	0.00	0.00	400.00
0	-2117	-2065	-2003	-2118	M	G	0.00	0.00	400.00
0	-2114	-1734	-2216	-2194	M	G	0.00	0.00	400.00
0	-2103	-1886	-1495	-2107	M	G	0.00	0.00	216.00
0	-2104	-1887	-1496	-2105	M	G	0.00	0.00	216.00
0	-2119	-1753	-2002	-2120	M	G	0.00	0.00	400.00
0	-2113	-1735	-2217	-2215	M	G	0.00	0.00	400.00
0	-2116	-1755	-2005	-2121	M	G	0.00	0.00	400.00
0	-2115	-1756	-2006	-2122	M	G	0.00	0.00	400.00
0	-2123	-2045	-1811	-2093	M	G	0.00	0.00	400.00
0	-2124	-2046	-1812	-2091	M	G	0.00	0.00	400.00
0	-2125	-2048	-1814	-2089	M	G	0.00	0.00	400.00
0	-2126	-2049	-1815	-2087	M	G	0.00	0.00	400.00

Elenco carichi elementi bidimensionali
Condizione di carico n. 2: G2 + terreno
Carichi idrostatici

Simbologia

Bid. = Numero del muro/elemento bidimensionale
N1 = Nodo1
N2 = Nodo2
N3 = Nodo3
N4 = Nodo4
Zi = Coordinata Z globale d'inizio carico
QYi = Componente iniziale del carico in direzione Y locale dell'elemento bidimensionale
MY = Coordinata Z globale di fine carico
QYf = Componente finale del carico in direzione Y locale dell'elemento bidimensionale

Bid.	N1	N2	N3	N4	Zi <m>	QYi <daN/m>	MY <m>	QYf <daN/m>
106	-203	-191	-255	-257	3.20	0.00	0.00	-2814.44
106	-237	-235	-273	-275	3.20	0.00	0.00	-2814.44
106	-255	-253	-291	-293	3.20	0.00	0.00	-2814.44
106	-155	-143	-247	-249	3.20	0.00	0.00	-2814.44
106	-249	-247	-285	-287	3.20	0.00	0.00	-2814.44
106	-243	-241	-279	-281	3.20	0.00	0.00	-2814.44
106	-229	-227	-265	-267	3.20	0.00	0.00	-2814.44
106	-325	-323	-361	-363	3.20	0.00	0.00	-2814.44
106	-121	22	-241	-243	3.20	0.00	0.00	-2814.44
106	-301	-299	-337	-339	3.20	0.00	0.00	-2814.44
106	-319	-317	-355	-357	3.20	0.00	0.00	-2814.44
106	-315	-313	-351	-353	3.20	0.00	0.00	-2814.44
106	-313	-311	-349	-351	3.20	0.00	0.00	-2814.44
106	-41	-29	-227	-229	3.20	0.00	0.00	-2814.44
106	24	-121	-243	-245	3.20	0.00	0.00	-2814.44
106	20	-77	-235	-237	3.20	0.00	0.00	-2814.44
106	-191	-179	-253	-255	3.20	0.00	0.00	-2814.44
106	-29	-17	-225	-227	3.20	0.00	0.00	-2814.44
106	-271	-269	-307	-309	3.20	0.00	0.00	-2814.44
106	-253	-251	-289	-291	3.20	0.00	0.00	-2814.44
106	-251	-249	-287	-289	3.20	0.00	0.00	-2814.44
106	-241	-239	-277	-279	3.20	0.00	0.00	-2814.44
106	-259	-257	-295	-297	3.20	0.00	0.00	-2814.44
106	-231	-229	-267	-269	3.20	0.00	0.00	-2814.44
106	-335	-333	-371	-373	3.20	0.00	0.00	-2814.44
106	-287	-285	-323	-325	3.20	0.00	0.00	-2814.44
106	-281	-279	-317	-319	3.20	0.00	0.00	-2814.44
106	-17	-5	-223	-225	3.20	0.00	0.00	-2814.44
106	-293	-291	-329	-331	3.20	0.00	0.00	-2814.44
106	-269	-267	-305	-307	3.20	0.00	0.00	-2814.44

Bid.	N1	N2	N3	N4	Zi <m>	QYi <daN/m>	MY <m>	QYf <daN/m>
106	-179	-167	-251	-253	3.20	0.00	0.00	-2814.44
106	-333	-331	-369	-371	3.20	0.00	0.00	-2814.44
106	-329	-327	-365	-367	3.20	0.00	0.00	-2814.44
106	-143	24	-245	-247	3.20	0.00	0.00	-2814.44
106	-247	-245	-283	-285	3.20	0.00	0.00	-2814.44
106	-239	-237	-275	-277	3.20	0.00	0.00	-2814.44
106	-235	-233	-271	-273	3.20	0.00	0.00	-2814.44
106	-323	-321	-359	-361	3.20	0.00	0.00	-2814.44
106	-295	-293	-331	-333	3.20	0.00	0.00	-2814.44
106	-311	-309	-347	-349	3.20	0.00	0.00	-2814.44
106	-257	-255	-293	-295	3.20	0.00	0.00	-2814.44
106	-327	-325	-363	-365	3.20	0.00	0.00	-2814.44
106	-307	-305	-343	-345	3.20	0.00	0.00	-2814.44
106	-167	-155	-249	-251	3.20	0.00	0.00	-2814.44
106	22	-99	-239	-241	3.20	0.00	0.00	-2814.44
106	-215	-203	-257	-259	3.20	0.00	0.00	-2814.44
106	-53	-41	-229	-231	3.20	0.00	0.00	-2814.44
106	-317	-315	-353	-355	3.20	0.00	0.00	-2814.44
106	-227	-225	-263	-265	3.20	0.00	0.00	-2814.44
106	-303	-301	-339	-341	3.20	0.00	0.00	-2814.44
106	-245	-243	-281	-283	3.20	0.00	0.00	-2814.44
106	-321	-319	-357	-359	3.20	0.00	0.00	-2814.44
106	-225	-223	-261	-263	3.20	0.00	0.00	-2814.44
106	-331	-329	-367	-369	3.20	0.00	0.00	-2814.44
106	-265	-263	-301	-303	3.20	0.00	0.00	-2814.44
106	-285	-283	-321	-323	3.20	0.00	0.00	-2814.44
106	-277	-275	-313	-315	3.20	0.00	0.00	-2814.44
106	-233	-231	-269	-271	3.20	0.00	0.00	-2814.44
106	-297	-295	-333	-335	3.20	0.00	0.00	-2814.44
106	-275	-273	-311	-313	3.20	0.00	0.00	-2814.44

106	-291	-289	-327	-329	3.20	0.00	0.00	-2814.44
106	-283	-281	-319	-321	3.20	0.00	0.00	-2814.44
106	-267	-265	-303	-305	3.20	0.00	0.00	-2814.44
106	-309	-307	-345	-347	3.20	0.00	0.00	-2814.44
106	-77	-65	-233	-235	3.20	0.00	0.00	-2814.44
106	-273	-271	-309	-311	3.20	0.00	0.00	-2814.44
107	-316	-314	-352	-354	3.20	0.00	0.00	2814.44
107	-328	-326	-364	-366	3.20	0.00	0.00	2814.44
107	-228	-226	-264	-266	3.20	0.00	0.00	2814.44
107	-314	-312	-350	-352	3.20	0.00	0.00	2814.44
107	-308	-306	-344	-346	3.20	0.00	0.00	2814.44
107	-304	-302	-340	-342	3.20	0.00	0.00	2814.44
107	-234	-232	-270	-272	3.20	0.00	0.00	2814.44
107	-286	-284	-322	-324	3.20	0.00	0.00	2814.44
107	-290	-288	-326	-328	3.20	0.00	0.00	2814.44
107	-318	-316	-354	-356	3.20	0.00	0.00	2814.44
107	-256	-254	-292	-294	3.20	0.00	0.00	2814.44
107	-272	-270	-308	-310	3.20	0.00	0.00	2814.44
107	-182	-170	-252	-254	3.20	0.00	0.00	2814.44
107	-102	21	-238	-240	3.20	0.00	0.00	2814.44
107	-32	-20	-226	-228	3.20	0.00	0.00	2814.44
107	-146	25	-246	-248	3.20	0.00	0.00	2814.44
107	-336	-334	-372	-374	3.20	0.00	0.00	2814.44
107	-242	-240	-278	-280	3.20	0.00	0.00	2814.44
107	-268	-266	-304	-306	3.20	0.00	0.00	2814.44
107	-248	-246	-284	-286	3.20	0.00	0.00	2814.44
107	-20	-8	-224	-226	3.20	0.00	0.00	2814.44
107	-124	23	-242	-244	3.20	0.00	0.00	2814.44
107	21	-80	-236	-238	3.20	0.00	0.00	2814.44
107	-194	-182	-254	-256	3.20	0.00	0.00	2814.44
107	-278	-276	-314	-316	3.20	0.00	0.00	2814.44
107	-332	-330	-368	-370	3.20	0.00	0.00	2814.44
107	25	-124	-244	-246	3.20	0.00	0.00	2814.44
107	-294	-292	-330	-332	3.20	0.00	0.00	2814.44
107	-244	-242	-280	-282	3.20	0.00	0.00	2814.44
107	-254	-252	-290	-292	3.20	0.00	0.00	2814.44
107	-284	-282	-320	-322	3.20	0.00	0.00	2814.44
107	-324	-322	-360	-362	3.20	0.00	0.00	2814.44
107	-306	-304	-342	-344	3.20	0.00	0.00	2814.44
107	-266	-264	-302	-304	3.20	0.00	0.00	2814.44
107	-240	-238	-276	-278	3.20	0.00	0.00	2814.44
107	-296	-294	-332	-334	3.20	0.00	0.00	2814.44
206	-339	-337	-385	-387	3.20	0.00	0.00	-2814.44
206	-345	-343	-391	-393	3.20	0.00	0.00	-2814.44
206	-391	-389	-425	-427	3.20	0.00	0.00	-2814.44
206	-387	-385	-421	-423	3.20	0.00	0.00	-2814.44
206	-397	-395	-431	-433	3.20	0.00	0.00	-2814.44
206	-341	-339	-387	-389	3.20	0.00	0.00	-2814.44
206	-343	-341	-389	-391	3.20	0.00	0.00	-2814.44
207	-367	-365	-411	-413	3.20	0.00	0.00	-2814.44
207	-363	-361	-407	-409	3.20	0.00	0.00	-2814.44
207	-371	-369	-415	-417	3.20	0.00	0.00	-2814.44
207	-411	-409	-447	-449	3.20	0.00	0.00	-2814.44
207	-417	-415	-453	-455	3.20	0.00	0.00	-2814.44
207	-361	-359	-405	-407	3.20	0.00	0.00	-2814.44
207	-405	-403	-441	-443	3.20	0.00	0.00	-2814.44
207	-373	-371	-417	-419	3.20	0.00	0.00	-2814.44
208	-374	-372	-418	-420	3.20	0.00	0.00	2814.44
208	-418	-416	-454	-456	3.20	0.00	0.00	2814.44
208	-420	-418	-456	-458	3.20	0.00	0.00	2814.44
208	-362	-360	-406	-408	3.20	0.00	0.00	2814.44
208	-412	-410	-448	-450	3.20	0.00	0.00	2814.44
208	-414	-412	-450	-452	3.20	0.00	0.00	2814.44
208	-364	-362	-408	-410	3.20	0.00	0.00	2814.44
208	-366	-364	-410	-412	3.20	0.00	0.00	2814.44
209	-390	-388	-424	-426	3.20	0.00	0.00	2814.44
209	-392	-390	-426	-428	3.20	0.00	0.00	2814.44
209	-398	-396	-432	-434	3.20	0.00	0.00	2814.44
209	-400	-398	-434	-436	3.20	0.00	0.00	2814.44
209	-344	-342	-390	-392	3.20	0.00	0.00	2814.44
209	-394	-392	-428	-430	3.20	0.00	0.00	2814.44
209	-396	-394	-430	-432	3.20	0.00	0.00	2814.44
306	-467	-465	-503	-505	3.20	0.00	0.00	-2814.44
306	-501	-499	-537	301	3.20	0.00	0.00	-2814.44
306	-469	-467	-505	-507	3.20	0.00	0.00	-2814.44
306	-507	-505	-661	-704	3.20	0.00	0.00	-2814.44
306	-481	-479	-517	-519	3.20	0.00	0.00	-2814.44
306	-433	-431	-469	-471	3.20	0.00	0.00	-2814.44
306	-473	-471	-509	-511	3.20	0.00	0.00	-2814.44

106	-289	-287	-325	-327	3.20	0.00	0.00	-2814.44
106	-99	20	-237	-239	3.20	0.00	0.00	-2814.44
106	-279	-277	-315	-317	3.20	0.00	0.00	-2814.44
106	-305	-303	-341	-343	3.20	0.00	0.00	-2814.44
106	-263	-261	-299	-301	3.20	0.00	0.00	-2814.44
106	-65	-53	-231	-233	3.20	0.00	0.00	-2814.44
107	-330	-328	-366	-368	3.20	0.00	0.00	2814.44
107	-236	-234	-272	-274	3.20	0.00	0.00	2814.44
107	-230	-228	-266	-268	3.20	0.00	0.00	2814.44
107	-158	-146	-248	-250	3.20	0.00	0.00	2814.44
107	-334	-332	-370	-372	3.20	0.00	0.00	2814.44
107	-288	-286	-324	-326	3.20	0.00	0.00	2814.44
107	-282	-280	-318	-320	3.20	0.00	0.00	2814.44
107	-322	-320	-358	-360	3.20	0.00	0.00	2814.44
107	-264	-262	-300	-302	3.20	0.00	0.00	2814.44
107	-326	-324	-362	-364	3.20	0.00	0.00	2814.44
107	-260	-258	-296	-298	3.20	0.00	0.00	2814.44
107	-312	-310	-348	-350	3.20	0.00	0.00	2814.44
107	-320	-318	-356	-358	3.20	0.00	0.00	2814.44
107	-232	-230	-268	-270	3.20	0.00	0.00	2814.44
107	-280	-278	-316	-318	3.20	0.00	0.00	2814.44
107	-292	-290	-328	-330	3.20	0.00	0.00	2814.44
107	-270	-268	-306	-308	3.20	0.00	0.00	2814.44
107	-206	-194	-256	-258	3.20	0.00	0.00	2814.44
107	-274	-272	-310	-312	3.20	0.00	0.00	2814.44
107	-250	-248	-286	-288	3.20	0.00	0.00	2814.44
107	-252	-250	-288	-290	3.20	0.00	0.00	2814.44
107	-302	-300	-338	-340	3.20	0.00	0.00	2814.44
107	-310	-308	-346	-348	3.20	0.00	0.00	2814.44
107	-56	-44	-230	-232	3.20	0.00	0.00	2814.44
107	-68	-56	-232	-234	3.20	0.00	0.00	2814.44
107	-170	-158	-250	-252	3.20	0.00	0.00	2814.44
107	23	-102	-240	-242	3.20	0.00	0.00	2814.44
107	-218	-206	-258	-260	3.20	0.00	0.00	2814.44
107	-246	-244	-282	-284	3.20	0.00	0.00	2814.44
107	-276	-274	-312	-314	3.20	0.00	0.00	2814.44
107	-238	-236	-274	-276	3.20	0.00	0.00	2814.44
107	-258	-256	-294	-296	3.20	0.00	0.00	2814.44
107	-80	-68	-234	-236	3.20	0.00	0.00	2814.44
107	-226	-224	-262	-264	3.20	0.00	0.00	2814.44
107	-44	-32	-228	-230	3.20	0.00	0.00	2814.44
107	-298	-296	-334	-336	3.20	0.00	0.00	2814.44
206	-389	-387	-423	-425	3.20	0.00	0.00	-2814.44
206	-393	-391	-427	-429	3.20	0.00	0.00	-2814.44
206	-399	-397	-433	-435	3.20	0.00	0.00	-2814.44
206	-395	-393	-429	-431	3.20	0.00	0.00	-2814.44
206	-351	-349	-397	-399	3.20	0.00	0.00	-2814.44
206	-349	-347	-395	-397	3.20	0.00	0.00	-2814.44
206	-347	-345	-393	-395	3.20	0.00	0.00	-2814.44
207	-409	-407	-445	-447	3.20	0.00	0.00	-2814.44
207	-419	-417	-455	-457	3.20	0.00	0.00	-2814.44
207	-369	-367	-413	-415	3.20	0.00	0.00	-2814.44
207	-365	-363	-409	-411	3.20	0.00	0.00	-2814.44
207	-413	-411	-449	-451	3.20	0.00	0.00	-2814.44
207	-359	-357	-403	-405	3.20	0.00	0.00	-2814.44
207	-407	-405	-443	-445	3.20	0.00	0.00	-2814.44
207	-415	-413	-451	-453	3.20	0.00	0.00	-2814.44
208	-406	-404	-442	-444	3.20	0.00	0.00	2814.44
208	-372	-370	-416	-418	3.20	0.00	0.00	2814.44
208	-416	-414	-452	-454	3.20	0.00	0.00	2814.44
208	-360	-358	-404	-406	3.20	0.00	0.00	2814.44
208	-410	-408	-446	-448	3.20	0.00	0.00	2814.44
208	-408	-406	-444	-446	3.20	0.00	0.00	2814.44
208	-370	-368	-414	-416	3.20	0.00	0.00	2814.44
208	-368	-366	-412	-414	3.20	0.00	0.00	2814.44
209	-352	-350	-398	-400	3.20	0.00	0.00	2814.44
209	-350	-348	-396	-398	3.20	0.00	0.00	2814.44
209	-342	-340	-388	-390	3.20	0.00	0.00	2814.44
209	-348	-346	-394	-396	3.20	0.00	0.00	2814.44
209	-340	-338	-386	-388	3.20	0.00	0.00	2814.44
209	-388	-386	-422	-424	3.20	0.00	0.00	2814.44
209	-346	-344	-392	-394	3.20	0.00	0.00	2814.44
306	-517	-515	-882	-925	3.20	0.00	0.00	-2814.44
306	-463	-461	-499	-501	3.20	0.00	0.00	-2814.44
306	-533	-531	-1225	-1270	3.20	0.00	0.00	-2814.44
306	-443	-441	-479	-481	3.20	0.00	0.00	-2814.44
306	-487	-485	-523	-525	3.20	0.00	0.00	-2814.44
306	-499	-497	-535	-537	3.20	0.00	0.00	-2814.44
306	-477	-475	-513	-515	3.20	0.00	0.00	-2814.44

306	-491	-489	-527	-529	3.20	0.00	0.00	-2814.44
306	-485	-483	-521	-523	3.20	0.00	0.00	-2814.44
306	-423	-421	-459	-461	3.20	0.00	0.00	-2814.44
306	-455	-453	-491	-493	3.20	0.00	0.00	-2814.44
306	-451	-449	-487	-489	3.20	0.00	0.00	-2814.44
306	-431	-429	-467	-469	3.20	0.00	0.00	-2814.44
306	-515	-513	-837	-882	3.20	0.00	0.00	-2814.44
306	-513	-511	-794	-837	3.20	0.00	0.00	-2814.44
306	-529	-527	-1146	320	3.20	0.00	0.00	-2814.44
306	-525	-523	-1058	-1103	3.20	0.00	0.00	-2814.44
306	-495	-493	-531	-533	3.20	0.00	0.00	-2814.44
306	-471	-469	-507	-509	3.20	0.00	0.00	-2814.44
306	-441	-439	-477	-479	3.20	0.00	0.00	-2814.44
306	-475	-473	-511	-513	3.20	0.00	0.00	-2814.44
306	-461	-459	-497	-499	3.20	0.00	0.00	-2814.44
306	-519	-517	-925	-970	3.20	0.00	0.00	-2814.44
306	-483	-481	-519	-521	3.20	0.00	0.00	-2814.44
306	-505	-503	-618	-661	3.20	0.00	0.00	-2814.44
306	-445	-443	-481	-483	3.20	0.00	0.00	-2814.44
306	-435	-433	-471	-473	3.20	0.00	0.00	-2814.44
307	-486	-484	-522	-524	3.20	0.00	0.00	2814.44
307	-516	-514	-881	-924	3.20	0.00	0.00	2814.44
307	-532	-530	328	-1269	3.20	0.00	0.00	2814.44
307	-434	-432	-470	-472	3.20	0.00	0.00	2814.44
307	-512	-510	-793	-836	3.20	0.00	0.00	2814.44
307	-526	-524	-1102	-1145	3.20	0.00	0.00	2814.44
307	-518	-516	-924	-969	3.20	0.00	0.00	2814.44
307	-500	-498	-536	-581	3.20	0.00	0.00	2814.44
307	-514	-512	-836	-881	3.20	0.00	0.00	2814.44
307	-534	-532	-1269	-1271	3.20	0.00	0.00	2814.44
307	-426	-424	-462	-464	3.20	0.00	0.00	2814.44
307	-484	-482	-520	-522	3.20	0.00	0.00	2814.44
307	-472	-470	-508	-510	3.20	0.00	0.00	2814.44
307	-456	-454	-492	-494	3.20	0.00	0.00	2814.44
307	-480	-478	-516	-518	3.20	0.00	0.00	2814.44
307	-530	-528	-1188	328	3.20	0.00	0.00	2814.44
307	-482	-480	-518	-520	3.20	0.00	0.00	2814.44
307	-466	-464	-502	-504	3.20	0.00	0.00	2814.44
307	-496	-494	-532	-534	3.20	0.00	0.00	2814.44
307	-424	-422	-460	-462	3.20	0.00	0.00	2814.44
307	-430	-428	-466	-468	3.20	0.00	0.00	2814.44
307	-428	-426	-464	-466	3.20	0.00	0.00	2814.44
307	-448	-446	-484	-486	3.20	0.00	0.00	2814.44
307	-444	-442	-480	-482	3.20	0.00	0.00	2814.44
307	-436	-434	-472	-474	3.20	0.00	0.00	2814.44
307	-494	-492	-530	-532	3.20	0.00	0.00	2814.44
307	-452	-450	-488	-490	3.20	0.00	0.00	2814.44

306	-509	-507	-704	-749	3.20	0.00	0.00	-2814.44
306	-427	-425	-463	-465	3.20	0.00	0.00	-2814.44
306	-489	-487	-525	-527	3.20	0.00	0.00	-2814.44
306	-437	-435	-473	-475	3.20	0.00	0.00	-2814.44
306	-425	-423	-461	-463	3.20	0.00	0.00	-2814.44
306	-511	-509	-749	-794	3.20	0.00	0.00	-2814.44
306	-521	-519	-970	-1013	3.20	0.00	0.00	-2814.44
306	-439	-437	-475	-477	3.20	0.00	0.00	-2814.44
306	-447	-445	-483	-485	3.20	0.00	0.00	-2814.44
306	-457	-455	-493	-495	3.20	0.00	0.00	-2814.44
306	-531	-529	320	-1225	3.20	0.00	0.00	-2814.44
306	-449	-447	-485	-487	3.20	0.00	0.00	-2814.44
306	-503	-501	301	-618	3.20	0.00	0.00	-2814.44
306	-453	-451	-489	-491	3.20	0.00	0.00	-2814.44
306	-479	-477	-515	-517	3.20	0.00	0.00	-2814.44
306	-523	-521	-1013	-1058	3.20	0.00	0.00	-2814.44
306	-527	-525	-1103	-1146	3.20	0.00	0.00	-2814.44
306	-465	-463	-501	-503	3.20	0.00	0.00	-2814.44
306	-429	-427	-465	-467	3.20	0.00	0.00	-2814.44
306	-493	-491	-529	-531	3.20	0.00	0.00	-2814.44
307	-510	-508	-748	-793	3.20	0.00	0.00	2814.44
307	-506	-504	-660	-703	3.20	0.00	0.00	2814.44
307	-502	-500	-581	309	3.20	0.00	0.00	2814.44
307	-440	-438	-476	-478	3.20	0.00	0.00	2814.44
307	-476	-474	-512	-514	3.20	0.00	0.00	2814.44
307	-446	-444	-482	-484	3.20	0.00	0.00	2814.44
307	-508	-506	-703	-748	3.20	0.00	0.00	2814.44
307	-478	-476	-514	-516	3.20	0.00	0.00	2814.44
307	-490	-488	-526	-528	3.20	0.00	0.00	2814.44
307	-442	-440	-478	-480	3.20	0.00	0.00	2814.44
307	-528	-526	-1145	-1188	3.20	0.00	0.00	2814.44
307	-488	-486	-524	-526	3.20	0.00	0.00	2814.44
307	-432	-430	-468	-470	3.20	0.00	0.00	2814.44
307	-464	-462	-500	-502	3.20	0.00	0.00	2814.44
307	-504	-502	309	-660	3.20	0.00	0.00	2814.44
307	-454	-452	-490	-492	3.20	0.00	0.00	2814.44
307	-458	-456	-494	-496	3.20	0.00	0.00	2814.44
307	-474	-472	-510	-512	3.20	0.00	0.00	2814.44
307	-492	-490	-528	-530	3.20	0.00	0.00	2814.44
307	-522	-520	-1012	-1057	3.20	0.00	0.00	2814.44
307	-468	-466	-504	-506	3.20	0.00	0.00	2814.44
307	-524	-522	-1057	-1102	3.20	0.00	0.00	2814.44
307	-462	-460	-498	-500	3.20	0.00	0.00	2814.44
307	-450	-448	-486	-488	3.20	0.00	0.00	2814.44
307	-470	-468	-506	-508	3.20	0.00	0.00	2814.44
307	-520	-518	-969	-1012	3.20	0.00	0.00	2814.44
307	-438	-436	-474	-476	3.20	0.00	0.00	2814.44

Elenco carichi elementi bidimensionali
Condizione di carico n. 3: Schema 1 q1tandem mezz
Carichi uniformi

Bid.	N1	N2	N3	N4	T	DC	Qx <daN/mq>	Qy <daN/mq>	Qz <daN/mq>
0	-1882	-1911	-1912	-1492	M	G	0.00	0.00	75000.00
0	-1694	-2061	-2068	-1376	M	G	0.00	0.00	75000.00
0	-1865	-2085	-2073	-1372	M	G	0.00	0.00	75000.00
0	-1464	-2083	-1911	-1882	M	G	0.00	0.00	75000.00
0	-1467	-2079	-2104	-1886	M	G	0.00	0.00	75000.00
0	-1886	-2104	-2105	-1495	M	G	0.00	0.00	75000.00
0	-1974	-1882	-1492	-1973	M	G	0.00	0.00	75000.00
0	-1372	-2073	-2076	-1714	M	G	0.00	0.00	75000.00
0	-1376	-2068	-2066	-1717	M	G	0.00	0.00	75000.00
0	-2074	-1372	-1714	-2078	M	G	0.00	0.00	75000.00
0	-2072	-1376	-1717	-2070	M	G	0.00	0.00	75000.00
0	-2084	-1694	-1376	-2072	M	G	0.00	0.00	75000.00
0	-2086	-1865	-1372	-2074	M	G	0.00	0.00	75000.00
0	-1762	-1464	-1882	-1974	M	G	0.00	0.00	75000.00
0	-2081	-1467	-1886	-2103	M	G	0.00	0.00	75000.00
0	-2103	-1886	-1495	-2107	M	G	0.00	0.00	75000.00

Elenco carichi elementi bidimensionali
Condizione di carico n. 4: Schema 1 q1tandem dx
Carichi uniformi

Bid.	N1	N2	N3	N4	T	DC	Qx <daN/mq>	Qy <daN/mq>	Qz <daN/mq>
0	-1346	-1915	-1916	-1558	M	G	0.00	0.00	75000.00
0	-1345	-1913	-1914	-1572	M	G	0.00	0.00	75000.00

0	-1618	-1930	-1915	-1346	M	G	0.00	0.00	75000.00
0	-1579	-1928	-1913	-1345	M	G	0.00	0.00	75000.00
0	-1474	-1918	-1938	-1893	M	G	0.00	0.00	75000.00
0	-1893	-1938	-1939	-1704	M	G	0.00	0.00	75000.00
0	-1913	-1343	-1573	-1914	M	G	0.00	0.00	75000.00
0	-1915	-1347	-1559	-1916	M	G	0.00	0.00	75000.00
0	-1919	-1384	-1725	-1920	M	G	0.00	0.00	75000.00
0	-1924	-1838	-1384	-1919	M	G	0.00	0.00	75000.00
0	-1930	-1414	-1347	-1915	M	G	0.00	0.00	75000.00
0	-1928	-1580	-1343	-1913	M	G	0.00	0.00	75000.00
0	-1918	-1475	-1894	-1938	M	G	0.00	0.00	75000.00
0	-1938	-1894	-1705	-1939	M	G	0.00	0.00	75000.00
0	-1383	-1919	-1920	-1724	M	G	0.00	0.00	75000.00
0	-1837	-1924	-1919	-1383	M	G	0.00	0.00	75000.00

Elenco carichi elementi bidimensionali
Condizione di carico n. 5: Schema 1 q1tandem sx
Carichi uniformi

Bid.	N1	N2	N3	N4	T	DC	Qx <daN/mq>	Qy <daN/mq>	Qz <daN/mq>
0	-1836	-1948	-1947	-1358	M	G	0.00	0.00	75000.00
0	-1453	-1954	-1943	-1873	M	G	0.00	0.00	75000.00
0	-1415	-1959	-1969	-1896	M	G	0.00	0.00	75000.00
0	-1645	-1968	-1972	-1909	M	G	0.00	0.00	75000.00
0	-1896	-1969	-1970	-1666	M	G	0.00	0.00	75000.00
0	-1909	-1972	-1965	-1652	M	G	0.00	0.00	75000.00
0	-1943	-1875	-1477	-1944	M	G	0.00	0.00	75000.00
0	-1947	-1359	-1707	-1945	M	G	0.00	0.00	75000.00
0	-1948	-1839	-1359	-1947	M	G	0.00	0.00	75000.00
0	-1954	-1454	-1875	-1943	M	G	0.00	0.00	75000.00
0	-1959	-1416	-1895	-1969	M	G	0.00	0.00	75000.00
0	-1968	-1646	-1910	-1972	M	G	0.00	0.00	75000.00
0	-1969	-1895	-1667	-1970	M	G	0.00	0.00	75000.00
0	-1972	-1910	-1653	-1965	M	G	0.00	0.00	75000.00
0	-1873	-1943	-1944	-1476	M	G	0.00	0.00	75000.00
0	-1358	-1947	-1945	-1706	M	G	0.00	0.00	75000.00

Elenco carichi elementi bidimensionali
Condizione di carico n. 6: Schema 1 q1dist
Carichi uniformi

Bid.	N1	N2	N3	N4	T	DC	Qx <daN/mq>	Qy <daN/mq>	Qz <daN/mq>
0	-1532	-1833	-1466	-1867	M	G	0.00	0.00	720.00
0	-1832	-1532	-1867	-1465	M	G	0.00	0.00	720.00
0	-1831	-1547	-2083	-1464	M	G	0.00	0.00	720.00
0	-1830	-1699	-1762	-1463	M	G	0.00	0.00	720.00
0	-1829	-1830	-1463	-1462	M	G	0.00	0.00	720.00
0	-1828	-1829	-1462	-1460	M	G	0.00	0.00	720.00
0	-1875	-1876	-1478	-1477	M	G	0.00	0.00	720.00
0	-1876	-1877	-1479	-1478	M	G	0.00	0.00	720.00
0	-1877	-1878	-1480	-1479	M	G	0.00	0.00	720.00
0	-1878	-1879	-1481	-1480	M	G	0.00	0.00	720.00
0	-1879	-1880	-1482	-1481	M	G	0.00	0.00	720.00
0	-1880	-1881	-1491	-1482	M	G	0.00	0.00	720.00
0	-1881	-1974	-1973	-1491	M	G	0.00	0.00	720.00
0	-1882	-1911	-1912	-1492	M	G	0.00	0.00	720.00
0	-1834	-2080	-2079	-1467	M	G	0.00	0.00	720.00
0	-1348	-1349	-1561	-1560	M	G	0.00	0.00	720.00
0	-1347	-1348	-1560	-1559	M	G	0.00	0.00	720.00
0	-1346	-1915	-1916	-1558	M	G	0.00	0.00	720.00
0	-1385	-1346	-1558	440	M	G	0.00	0.00	720.00
0	-1344	-1345	-1572	-1537	M	G	0.00	0.00	720.00
0	-1345	-1913	-1914	-1572	M	G	0.00	0.00	720.00
0	-1343	-1342	-1574	-1573	M	G	0.00	0.00	720.00
0	-1342	-1868	-1575	-1574	M	G	0.00	0.00	720.00
0	-1868	-1869	-1576	-1575	M	G	0.00	0.00	720.00
0	-1869	-1870	-1577	-1576	M	G	0.00	0.00	720.00
0	-1870	-1871	-1578	-1577	M	G	0.00	0.00	720.00
0	-1871	-1872	-1613	-1578	M	G	0.00	0.00	720.00
0	-1874	-1873	-1476	-1848	M	G	0.00	0.00	720.00
0	-1858	-1851	-1380	-1379	M	G	0.00	0.00	720.00
0	-1856	-1858	-1379	-1378	M	G	0.00	0.00	720.00
0	-1695	-1856	-1378	-1377	M	G	0.00	0.00	720.00
0	-1694	-2061	-2068	-1376	M	G	0.00	0.00	720.00
0	-1693	-2084	-2072	-1375	M	G	0.00	0.00	720.00
0	-1862	-1693	-1375	-1374	M	G	0.00	0.00	720.00
0	-1866	-1862	-1374	-1373	M	G	0.00	0.00	720.00

0	-1865	-2085	-2073	-1372	M	G	0.00	0.00	720.00
0	-1864	-2086	-2074	-1371	M	G	0.00	0.00	720.00
0	-1861	-1864	-1371	-1370	M	G	0.00	0.00	720.00
0	-1857	-1861	-1370	-1369	M	G	0.00	0.00	720.00
0	-1845	-1857	-1369	-1368	M	G	0.00	0.00	720.00
0	-1844	-1845	-1368	-1361	M	G	0.00	0.00	720.00
0	-1843	-1844	-1361	-1360	M	G	0.00	0.00	720.00
0	-1839	-1843	-1360	-1359	M	G	0.00	0.00	720.00
0	-1836	-1948	-1947	-1358	M	G	0.00	0.00	720.00
0	-1850	-1836	-1358	-1357	M	G	0.00	0.00	720.00
0	-1863	-1783	-1428	441	M	G	0.00	0.00	720.00
0	-1783	-1946	-1949	-1428	M	G	0.00	0.00	720.00
0	-1784	-1785	-1430	-1429	M	G	0.00	0.00	720.00
0	-1512	-1511	-1570	-1569	M	G	0.00	0.00	720.00
0	-1513	-1512	-1569	-1568	M	G	0.00	0.00	720.00
0	-1514	-1513	-1568	-1567	M	G	0.00	0.00	720.00
0	-1515	-1514	-1567	-1566	M	G	0.00	0.00	720.00
0	-1516	-1925	-1921	-1565	M	G	0.00	0.00	720.00
0	-1578	-1613	-1509	-1510	M	G	0.00	0.00	720.00
0	-1577	-1578	-1510	-1511	M	G	0.00	0.00	720.00
0	-1576	-1577	-1511	-1512	M	G	0.00	0.00	720.00
0	-1575	-1576	-1512	-1513	M	G	0.00	0.00	720.00
0	-1574	-1575	-1513	-1514	M	G	0.00	0.00	720.00
0	-1573	-1574	-1514	-1515	M	G	0.00	0.00	720.00
0	-1572	-1914	-1925	-1516	M	G	0.00	0.00	720.00
0	430	-1551	-1586	-1534	M	G	0.00	0.00	720.00
0	-1551	-1926	-1927	-1586	M	G	0.00	0.00	720.00
0	-1552	-1553	-1588	-1587	M	G	0.00	0.00	720.00
0	-1553	-1554	-1589	-1588	M	G	0.00	0.00	720.00
0	-1554	-1555	-1590	-1589	M	G	0.00	0.00	720.00
0	-1555	-1556	-1591	-1590	M	G	0.00	0.00	720.00
0	-1556	-1557	-1592	-1591	M	G	0.00	0.00	720.00
0	-1557	-1610	-1615	-1592	M	G	0.00	0.00	720.00
0	-1534	-1586	-1579	433	M	G	0.00	0.00	720.00
0	-1586	-1927	-1928	-1579	M	G	0.00	0.00	720.00
0	-1587	-1588	-1581	-1580	M	G	0.00	0.00	720.00
0	-1588	-1589	-1582	-1581	M	G	0.00	0.00	720.00
0	-1589	-1590	-1583	-1582	M	G	0.00	0.00	720.00
0	-1590	-1591	-1584	-1583	M	G	0.00	0.00	720.00
0	-1591	-1592	-1585	-1584	M	G	0.00	0.00	720.00
0	-1592	-1615	-1614	-1585	M	G	0.00	0.00	720.00
0	440	-1558	-1593	-1531	M	G	0.00	0.00	720.00
0	-1558	-1916	-1929	-1593	M	G	0.00	0.00	720.00
0	-1559	-1560	-1595	-1594	M	G	0.00	0.00	720.00
0	-1560	-1561	-1596	-1595	M	G	0.00	0.00	720.00
0	-1561	-1562	-1597	-1596	M	G	0.00	0.00	720.00
0	-1562	-1563	-1598	-1597	M	G	0.00	0.00	720.00
0	-1563	-1564	-1599	-1598	M	G	0.00	0.00	720.00
0	-1564	-1611	-1616	-1599	M	G	0.00	0.00	720.00
0	-1840	-1607	-1354	-1353	M	G	0.00	0.00	720.00
0	-1697	-1840	-1353	-1351	M	G	0.00	0.00	720.00
0	-1696	-1697	-1351	-1350	M	G	0.00	0.00	720.00
0	-1690	-1696	-1350	-1349	M	G	0.00	0.00	720.00
0	-1685	-1690	-1349	-1348	M	G	0.00	0.00	720.00
0	-1414	-1685	-1348	-1347	M	G	0.00	0.00	720.00
0	-1618	-1930	-1915	-1346	M	G	0.00	0.00	720.00
0	-1536	-1618	-1346	-1385	M	G	0.00	0.00	720.00
0	433	-1579	-1345	-1344	M	G	0.00	0.00	720.00
0	-1579	-1928	-1913	-1345	M	G	0.00	0.00	720.00
0	-1580	-1581	-1342	-1343	M	G	0.00	0.00	720.00
0	-1581	-1582	-1868	-1342	M	G	0.00	0.00	720.00
0	-1582	-1583	-1869	-1868	M	G	0.00	0.00	720.00
0	-1583	-1584	-1870	-1869	M	G	0.00	0.00	720.00
0	-1584	-1585	-1871	-1870	M	G	0.00	0.00	720.00
0	-1585	-1614	-1872	-1871	M	G	0.00	0.00	720.00
0	-1531	-1593	-1551	430	M	G	0.00	0.00	720.00
0	-1593	-1929	-1926	-1551	M	G	0.00	0.00	720.00
0	-1594	-1595	-1553	-1552	M	G	0.00	0.00	720.00
0	-1595	-1596	-1554	-1553	M	G	0.00	0.00	720.00
0	-1596	-1597	-1555	-1554	M	G	0.00	0.00	720.00
0	-1597	-1598	-1556	-1555	M	G	0.00	0.00	720.00
0	-1598	-1599	-1557	-1556	M	G	0.00	0.00	720.00
0	-1599	-1616	-1610	-1557	M	G	0.00	0.00	720.00
0	-1408	-1407	-1607	-1840	M	G	0.00	0.00	720.00
0	-1409	-1408	-1840	-1697	M	G	0.00	0.00	720.00
0	-1437	-1409	-1697	-1696	M	G	0.00	0.00	720.00
0	-1440	-1437	-1696	-1690	M	G	0.00	0.00	720.00
0	-1444	-1440	-1690	-1685	M	G	0.00	0.00	720.00
0	-1447	-1444	-1685	-1414	M	G	0.00	0.00	720.00

0	-1451	-1931	-1930	-1618	M	G	0.00	0.00	720.00
0	-1543	-1608	-1407	-1408	M	G	0.00	0.00	720.00
0	-1542	-1543	-1408	-1409	M	G	0.00	0.00	720.00
0	-1541	-1542	-1409	-1437	M	G	0.00	0.00	720.00
0	-1860	-1541	-1437	-1440	M	G	0.00	0.00	720.00
0	-1855	-1860	-1440	-1444	M	G	0.00	0.00	720.00
0	-1854	-1855	-1444	-1447	M	G	0.00	0.00	720.00
0	-1841	-1932	-1931	-1451	M	G	0.00	0.00	720.00
0	-1782	431	438	-1387	M	G	0.00	0.00	720.00
0	-1781	-1935	-1936	-1388	M	G	0.00	0.00	720.00
0	-1780	-1781	-1388	-1389	M	G	0.00	0.00	720.00
0	-1779	-1780	-1389	-1390	M	G	0.00	0.00	720.00
0	-1778	-1779	-1390	-1391	M	G	0.00	0.00	720.00
0	-1777	-1778	-1391	-1392	M	G	0.00	0.00	720.00
0	-1776	-1777	-1392	-1393	M	G	0.00	0.00	720.00
0	-1775	-1776	-1393	-1394	M	G	0.00	0.00	720.00
0	-1774	-2088	-2095	-1395	M	G	0.00	0.00	720.00
0	-1773	-2090	-2096	-1396	M	G	0.00	0.00	720.00
0	-1413	-1773	-1396	-1386	M	G	0.00	0.00	720.00
0	-1772	-1413	-1386	-1397	M	G	0.00	0.00	720.00
0	-1771	-2092	-2097	-1398	M	G	0.00	0.00	720.00
0	-1770	-2094	-2098	-1399	M	G	0.00	0.00	720.00
0	-1769	-1770	-1399	-1400	M	G	0.00	0.00	720.00
0	-1768	-1769	-1400	-1401	M	G	0.00	0.00	720.00
0	-1767	-1768	-1401	-1402	M	G	0.00	0.00	720.00
0	-1766	-1767	-1402	-1403	M	G	0.00	0.00	720.00
0	-1765	-1766	-1403	-1404	M	G	0.00	0.00	720.00
0	-1764	-1765	-1404	-1405	M	G	0.00	0.00	720.00
0	-1763	-1951	-1952	-1406	M	G	0.00	0.00	720.00
0	-1387	438	-1536	-1838	M	G	0.00	0.00	720.00
0	-1388	-1936	-1924	-1837	M	G	0.00	0.00	720.00
0	-1389	-1388	-1837	-1853	M	G	0.00	0.00	720.00
0	-1390	-1389	-1853	-1852	M	G	0.00	0.00	720.00
0	-1391	-1390	-1852	-1851	M	G	0.00	0.00	720.00
0	-1392	-1391	-1851	-1858	M	G	0.00	0.00	720.00
0	-1393	-1392	-1858	-1856	M	G	0.00	0.00	720.00
0	-1394	-1393	-1856	-1695	M	G	0.00	0.00	720.00
0	-1395	-2095	-2061	-1694	M	G	0.00	0.00	720.00
0	-1396	-2096	-2084	-1693	M	G	0.00	0.00	720.00
0	-1386	-1396	-1693	-1862	M	G	0.00	0.00	720.00
0	-1397	-1386	-1862	-1866	M	G	0.00	0.00	720.00
0	-1398	-2097	-2085	-1865	M	G	0.00	0.00	720.00
0	-1399	-2098	-2086	-1864	M	G	0.00	0.00	720.00
0	-1400	-1399	-1864	-1861	M	G	0.00	0.00	720.00
0	-1401	-1400	-1861	-1857	M	G	0.00	0.00	720.00
0	-1402	-1401	-1857	-1845	M	G	0.00	0.00	720.00
0	-1403	-1402	-1845	-1844	M	G	0.00	0.00	720.00
0	-1404	-1403	-1844	-1843	M	G	0.00	0.00	720.00
0	-1405	-1404	-1843	-1839	M	G	0.00	0.00	720.00
0	-1406	-1952	-1948	-1836	M	G	0.00	0.00	720.00
0	441	-1428	-1823	-1859	M	G	0.00	0.00	720.00
0	-1428	-1949	-1953	-1823	M	G	0.00	0.00	720.00
0	-1429	-1430	-1825	-1824	M	G	0.00	0.00	720.00
0	-1430	-1431	-1826	-1825	M	G	0.00	0.00	720.00
0	-1431	-1432	-1827	-1826	M	G	0.00	0.00	720.00
0	-1432	-1433	-1828	-1827	M	G	0.00	0.00	720.00
0	-1433	-1434	-1829	-1828	M	G	0.00	0.00	720.00
0	-1434	-1435	-1830	-1829	M	G	0.00	0.00	720.00
0	-1435	-2099	-1699	-1830	M	G	0.00	0.00	720.00
0	-1436	-2100	-1547	-1831	M	G	0.00	0.00	720.00
0	-1438	-1846	-1532	-1832	M	G	0.00	0.00	720.00
0	-1846	-1439	-1833	-1532	M	G	0.00	0.00	720.00
0	-1439	-2101	-2082	-1833	M	G	0.00	0.00	720.00
0	-1441	-2102	-2080	-1834	M	G	0.00	0.00	720.00
0	-1442	-1443	-1412	-1835	M	G	0.00	0.00	720.00
0	-1443	-1445	-1410	-1412	M	G	0.00	0.00	720.00
0	-1445	-1446	-1411	-1410	M	G	0.00	0.00	720.00
0	-1446	-1448	-1688	-1411	M	G	0.00	0.00	720.00
0	-1448	-1449	-1691	-1688	M	G	0.00	0.00	720.00
0	-1449	-1450	-1692	-1691	M	G	0.00	0.00	720.00
0	-1450	-1937	-1917	-1692	M	G	0.00	0.00	720.00
0	-1452	430	-1534	-1698	M	G	0.00	0.00	720.00
0	439	-1453	-1873	-1874	M	G	0.00	0.00	720.00
0	-1453	-1954	-1943	-1873	M	G	0.00	0.00	720.00
0	-1454	-1455	-1876	-1875	M	G	0.00	0.00	720.00
0	-1455	-1456	-1877	-1876	M	G	0.00	0.00	720.00
0	-1456	-1459	-1878	-1877	M	G	0.00	0.00	720.00
0	-1459	-1460	-1879	-1878	M	G	0.00	0.00	720.00
0	-1460	-1462	-1880	-1879	M	G	0.00	0.00	720.00

0	-1462	-1463	-1881	-1880	M	G	0.00	0.00	720.00
0	-1463	-1762	-1974	-1881	M	G	0.00	0.00	720.00
0	-1464	-2083	-1911	-1882	M	G	0.00	0.00	720.00
0	-1465	-1867	-1884	-1883	M	G	0.00	0.00	720.00
0	-1867	-1466	-1885	-1884	M	G	0.00	0.00	720.00
0	-1466	-2081	-2103	-1885	M	G	0.00	0.00	720.00
0	-1467	-2079	-2104	-1886	M	G	0.00	0.00	720.00
0	-1468	-1469	-1888	-1887	M	G	0.00	0.00	720.00
0	-1469	-1470	-1889	-1888	M	G	0.00	0.00	720.00
0	-1470	-1471	-1890	-1889	M	G	0.00	0.00	720.00
0	-1471	-1472	-1891	-1890	M	G	0.00	0.00	720.00
0	-1472	-1473	-1892	-1891	M	G	0.00	0.00	720.00
0	-1473	-1474	-1893	-1892	M	G	0.00	0.00	720.00
0	-1474	-1918	-1938	-1893	M	G	0.00	0.00	720.00
0	-1475	433	-1344	-1894	M	G	0.00	0.00	720.00
0	-1859	-1823	-1453	439	M	G	0.00	0.00	720.00
0	-1823	-1953	-1954	-1453	M	G	0.00	0.00	720.00
0	-1824	-1825	-1455	-1454	M	G	0.00	0.00	720.00
0	-1825	-1826	-1456	-1455	M	G	0.00	0.00	720.00
0	-1826	-1827	-1459	-1456	M	G	0.00	0.00	720.00
0	-1827	-1828	-1460	-1459	M	G	0.00	0.00	720.00
0	-1785	-1786	-1431	-1430	M	G	0.00	0.00	720.00
0	-1786	-1787	-1432	-1431	M	G	0.00	0.00	720.00
0	-1787	-1788	-1433	-1432	M	G	0.00	0.00	720.00
0	-1788	-1789	-1434	-1433	M	G	0.00	0.00	720.00
0	-1789	-1790	-1435	-1434	M	G	0.00	0.00	720.00
0	-1790	-2077	-2099	-1435	M	G	0.00	0.00	720.00
0	-1791	-2075	-2100	-1436	M	G	0.00	0.00	720.00
0	-1792	-1535	-1846	-1438	M	G	0.00	0.00	720.00
0	-1535	-1793	-1439	-1846	M	G	0.00	0.00	720.00
0	-1793	-2064	-2101	-1439	M	G	0.00	0.00	720.00
0	-1794	-2062	-2102	-1441	M	G	0.00	0.00	720.00
0	-1795	-1796	-1443	-1442	M	G	0.00	0.00	720.00
0	-1796	-1797	-1445	-1443	M	G	0.00	0.00	720.00
0	-1797	-1798	-1446	-1445	M	G	0.00	0.00	720.00
0	-1798	-1799	-1448	-1446	M	G	0.00	0.00	720.00
0	-1799	-1800	-1449	-1448	M	G	0.00	0.00	720.00
0	-1800	-1801	-1450	-1449	M	G	0.00	0.00	720.00
0	-1801	-1923	-1937	-1450	M	G	0.00	0.00	720.00
0	-1705	-1537	437	-1458	M	G	0.00	0.00	720.00
0	-1704	-1939	-1940	-1461	M	G	0.00	0.00	720.00
0	-1703	-1704	-1461	-1483	M	G	0.00	0.00	720.00
0	-1702	-1703	-1483	-1484	M	G	0.00	0.00	720.00
0	-1701	-1702	-1484	-1485	M	G	0.00	0.00	720.00
0	-1700	-1701	-1485	-1486	M	G	0.00	0.00	720.00
0	-1497	-1700	-1486	-1487	M	G	0.00	0.00	720.00
0	-1496	-1497	-1487	-1488	M	G	0.00	0.00	720.00
0	-1495	-2105	-2106	-1489	M	G	0.00	0.00	720.00
0	-1494	-2107	-2108	-1498	M	G	0.00	0.00	720.00
0	-1842	-1494	-1498	-1457	M	G	0.00	0.00	720.00
0	-1493	-1842	-1457	-1499	M	G	0.00	0.00	720.00
0	-1492	-1912	-2109	-1500	M	G	0.00	0.00	720.00
0	-1491	-1973	-2110	-1501	M	G	0.00	0.00	720.00
0	-1482	-1491	-1501	-1502	M	G	0.00	0.00	720.00
0	-1481	-1482	-1502	-1503	M	G	0.00	0.00	720.00
0	-1480	-1481	-1503	-1504	M	G	0.00	0.00	720.00
0	-1479	-1480	-1504	-1505	M	G	0.00	0.00	720.00
0	-1478	-1479	-1505	-1506	M	G	0.00	0.00	720.00
0	-1477	-1478	-1506	-1507	M	G	0.00	0.00	720.00
0	-1476	-1944	-1955	-1508	M	G	0.00	0.00	720.00
0	-1458	437	432	-1745	M	G	0.00	0.00	720.00
0	-1461	-1940	-1941	-1744	M	G	0.00	0.00	720.00
0	-1483	-1461	-1744	-1743	M	G	0.00	0.00	720.00
0	-1484	-1483	-1743	-1742	M	G	0.00	0.00	720.00
0	-1485	-1484	-1742	-1741	M	G	0.00	0.00	720.00
0	-1486	-1485	-1741	-1740	M	G	0.00	0.00	720.00
0	-1487	-1486	-1740	-1739	M	G	0.00	0.00	720.00
0	-1488	-1487	-1739	-1738	M	G	0.00	0.00	720.00
0	-1489	-2106	-2111	-1737	M	G	0.00	0.00	720.00
0	-1498	-2108	-2112	-1736	M	G	0.00	0.00	720.00
0	-1457	-1498	-1736	-1847	M	G	0.00	0.00	720.00
0	-1499	-1457	-1847	-1735	M	G	0.00	0.00	720.00
0	-1500	-2109	-2113	-1734	M	G	0.00	0.00	720.00
0	-1501	-2110	-2114	-1733	M	G	0.00	0.00	720.00
0	-1502	-1501	-1733	-1732	M	G	0.00	0.00	720.00
0	-1503	-1502	-1732	-1731	M	G	0.00	0.00	720.00
0	-1504	-1503	-1731	-1730	M	G	0.00	0.00	720.00
0	-1505	-1504	-1730	-1729	M	G	0.00	0.00	720.00
0	-1506	-1505	-1729	-1728	M	G	0.00	0.00	720.00

0	-1507	-1506	-1728	-1727	M	G	0.00	0.00	720.00
0	-1508	-1955	-1956	-1726	M	G	0.00	0.00	720.00
0	-1744	-1941	-2182	-2183	M	G	0.00	0.00	250.00
0	-1743	-1744	-2183	-2184	M	G	0.00	0.00	250.00
0	-1742	-1743	-2184	-2185	M	G	0.00	0.00	250.00
0	-1741	-1742	-2185	-2186	M	G	0.00	0.00	250.00
0	-1738	-1739	-2187	-2188	M	G	0.00	0.00	250.00
0	-1737	-2111	-2189	-2190	M	G	0.00	0.00	250.00
0	-1736	-2112	-2191	-2192	M	G	0.00	0.00	250.00
0	-1847	-1736	-2192	-2193	M	G	0.00	0.00	250.00
0	-1733	-2114	-2194	-2195	M	G	0.00	0.00	250.00
0	-1732	-1733	-2195	-2196	M	G	0.00	0.00	250.00
0	-1731	-1732	-2196	-2197	M	G	0.00	0.00	250.00
0	-1728	-1729	-2198	-2199	M	G	0.00	0.00	250.00
0	-1727	-1728	-2199	-2200	M	G	0.00	0.00	250.00
0	-1726	-1956	-2201	-2202	M	G	0.00	0.00	250.00
0	438	-1451	-1618	-1536	M	G	0.00	0.00	720.00
0	431	-1841	-1451	438	M	G	0.00	0.00	720.00
0	436	-1763	-1406	429	M	G	0.00	0.00	720.00
0	429	-1406	-1836	-1850	M	G	0.00	0.00	720.00
0	-1802	-1531	430	-1452	M	G	0.00	0.00	720.00
0	-1537	-1572	-1516	437	M	G	0.00	0.00	720.00
0	-1848	-1476	-1508	435	M	G	0.00	0.00	720.00
0	437	-1516	-1565	432	M	G	0.00	0.00	720.00
0	435	-1508	-1726	434	M	G	0.00	0.00	720.00
0	432	-1565	-2181	-2203	M	G	0.00	0.00	250.00
0	434	-1726	-2202	-2204	M	G	0.00	0.00	250.00
0	-1529	429	-1850	-1416	M	G	0.00	0.00	720.00
0	-1530	-1958	-1959	-1415	M	G	0.00	0.00	720.00
0	-1490	-1530	-1415	-1367	M	G	0.00	0.00	720.00
0	-1538	-1490	-1367	-1366	M	G	0.00	0.00	720.00
0	-1525	-1538	-1366	-1365	M	G	0.00	0.00	720.00
0	-1526	-1525	-1365	-1364	M	G	0.00	0.00	720.00
0	-1527	-1526	-1364	-1363	M	G	0.00	0.00	720.00
0	-1528	-1527	-1363	-1427	M	G	0.00	0.00	720.00
0	-1362	436	429	-1529	M	G	0.00	0.00	720.00
0	-1356	-1960	-1958	-1530	M	G	0.00	0.00	720.00
0	-1355	-1356	-1530	-1490	M	G	0.00	0.00	720.00
0	-1352	-1355	-1490	-1538	M	G	0.00	0.00	720.00
0	-1684	-1352	-1538	-1525	M	G	0.00	0.00	720.00
0	-1683	-1684	-1525	-1526	M	G	0.00	0.00	720.00
0	-1682	-1683	-1526	-1527	M	G	0.00	0.00	720.00
0	-1426	-1682	-1527	-1528	M	G	0.00	0.00	720.00
0	-1521	435	434	-1660	M	G	0.00	0.00	720.00
0	-1522	-1962	-1963	-1659	M	G	0.00	0.00	720.00
0	-1523	-1522	-1659	-1658	M	G	0.00	0.00	720.00
0	-1524	-1523	-1658	-1657	M	G	0.00	0.00	720.00
0	-1517	-1524	-1657	-1656	M	G	0.00	0.00	720.00
0	-1518	-1517	-1656	-1655	M	G	0.00	0.00	720.00
0	-1519	-1518	-1655	-1654	M	G	0.00	0.00	720.00
0	-1520	-1519	-1654	-1422	M	G	0.00	0.00	720.00
0	-1422	-1654	-2205	-2206	M	G	0.00	0.00	250.00
0	-1654	-1655	-2207	-2205	M	G	0.00	0.00	250.00
0	-1655	-1656	-2208	-2207	M	G	0.00	0.00	250.00
0	-1656	-1657	-2209	-2208	M	G	0.00	0.00	250.00
0	-1657	-1658	-2210	-2209	M	G	0.00	0.00	250.00
0	-1658	-1659	-2211	-2210	M	G	0.00	0.00	250.00
0	-1659	-1963	-2212	-2211	M	G	0.00	0.00	250.00
0	-1653	-1848	435	-1521	M	G	0.00	0.00	720.00
0	-1652	-1965	-1962	-1522	M	G	0.00	0.00	720.00
0	-1651	-1652	-1522	-1523	M	G	0.00	0.00	720.00
0	-1650	-1651	-1523	-1524	M	G	0.00	0.00	720.00
0	-1649	-1650	-1524	-1517	M	G	0.00	0.00	720.00
0	-1648	-1649	-1517	-1518	M	G	0.00	0.00	720.00
0	-1647	-1648	-1518	-1519	M	G	0.00	0.00	720.00
0	-1421	-1647	-1519	-1520	M	G	0.00	0.00	720.00
0	-1424	-1668	-1633	-1419	M	G	0.00	0.00	720.00
0	-1668	-1669	-1634	-1633	M	G	0.00	0.00	720.00
0	-1669	-1670	-1635	-1634	M	G	0.00	0.00	720.00
0	-1670	-1671	-1636	-1635	M	G	0.00	0.00	720.00
0	-1671	-1672	-1637	-1636	M	G	0.00	0.00	720.00
0	-1672	-1673	-1638	-1637	M	G	0.00	0.00	720.00
0	-1673	-1966	-1967	-1638	M	G	0.00	0.00	720.00
0	-1674	441	-1859	-1639	M	G	0.00	0.00	720.00
0	-1419	-1633	-1640	-1420	M	G	0.00	0.00	720.00
0	-1633	-1634	-1641	-1640	M	G	0.00	0.00	720.00
0	-1634	-1635	-1642	-1641	M	G	0.00	0.00	720.00
0	-1635	-1636	-1643	-1642	M	G	0.00	0.00	720.00
0	-1636	-1637	-1644	-1643	M	G	0.00	0.00	720.00

0	-1637	-1638	-1645	-1644	M	G	0.00	0.00	720.00
0	-1638	-1967	-1968	-1645	M	G	0.00	0.00	720.00
0	-1639	-1859	439	-1646	M	G	0.00	0.00	720.00
0	-1416	-1850	-1357	-1895	M	G	0.00	0.00	720.00
0	-1415	-1959	-1969	-1896	M	G	0.00	0.00	720.00
0	-1367	-1415	-1896	-1897	M	G	0.00	0.00	720.00
0	-1366	-1367	-1897	-1898	M	G	0.00	0.00	720.00
0	-1365	-1366	-1898	-1899	M	G	0.00	0.00	720.00
0	-1364	-1365	-1899	-1900	M	G	0.00	0.00	720.00
0	-1363	-1364	-1900	-1901	M	G	0.00	0.00	720.00
0	-1427	-1363	-1901	-1902	M	G	0.00	0.00	720.00
0	-1423	-1661	-1626	-1418	M	G	0.00	0.00	720.00
0	-1661	-1662	-1627	-1626	M	G	0.00	0.00	720.00
0	-1662	-1663	-1628	-1627	M	G	0.00	0.00	720.00
0	-1663	-1664	-1629	-1628	M	G	0.00	0.00	720.00
0	-1664	-1665	-1630	-1629	M	G	0.00	0.00	720.00
0	-1665	-1666	-1631	-1630	M	G	0.00	0.00	720.00
0	-1666	-1970	-1971	-1631	M	G	0.00	0.00	720.00
0	-1667	442	-1863	-1632	M	G	0.00	0.00	720.00
0	-1420	-1640	-1904	-1903	M	G	0.00	0.00	720.00
0	-1640	-1641	-1905	-1904	M	G	0.00	0.00	720.00
0	-1641	-1642	-1906	-1905	M	G	0.00	0.00	720.00
0	-1642	-1643	-1907	-1906	M	G	0.00	0.00	720.00
0	-1643	-1644	-1908	-1907	M	G	0.00	0.00	720.00
0	-1644	-1645	-1909	-1908	M	G	0.00	0.00	720.00
0	-1645	-1968	-1972	-1909	M	G	0.00	0.00	720.00
0	-1646	439	-1874	-1910	M	G	0.00	0.00	720.00
0	-1418	-1626	-1668	-1424	M	G	0.00	0.00	720.00
0	-1626	-1627	-1669	-1668	M	G	0.00	0.00	720.00
0	-1627	-1628	-1670	-1669	M	G	0.00	0.00	720.00
0	-1628	-1629	-1671	-1670	M	G	0.00	0.00	720.00
0	-1629	-1630	-1672	-1671	M	G	0.00	0.00	720.00
0	-1630	-1631	-1673	-1672	M	G	0.00	0.00	720.00
0	-1631	-1971	-1966	-1673	M	G	0.00	0.00	720.00
0	-1660	434	-2204	-2213	M	G	0.00	0.00	250.00
0	-1632	-1863	441	-1674	M	G	0.00	0.00	720.00
0	-1885	-2103	-2107	-1494	M	G	0.00	0.00	720.00
0	-1886	-2104	-2105	-1495	M	G	0.00	0.00	720.00
0	-1887	-1888	-1497	-1496	M	G	0.00	0.00	720.00
0	-1888	-1889	-1700	-1497	M	G	0.00	0.00	720.00
0	-1889	-1890	-1701	-1700	M	G	0.00	0.00	720.00
0	-1890	-1891	-1702	-1701	M	G	0.00	0.00	720.00
0	-1891	-1892	-1703	-1702	M	G	0.00	0.00	720.00
0	-1892	-1893	-1704	-1703	M	G	0.00	0.00	720.00
0	-1893	-1938	-1939	-1704	M	G	0.00	0.00	720.00
0	-1894	-1344	-1537	-1705	M	G	0.00	0.00	720.00
0	-1895	-1357	442	-1667	M	G	0.00	0.00	720.00
0	-1896	-1969	-1970	-1666	M	G	0.00	0.00	720.00
0	-1897	-1896	-1666	-1665	M	G	0.00	0.00	720.00
0	-1898	-1897	-1665	-1664	M	G	0.00	0.00	720.00
0	-1899	-1898	-1664	-1663	M	G	0.00	0.00	720.00
0	-1900	-1899	-1663	-1662	M	G	0.00	0.00	720.00
0	-1901	-1900	-1662	-1661	M	G	0.00	0.00	720.00
0	-1902	-1901	-1661	-1423	M	G	0.00	0.00	720.00
0	-1903	-1904	-1647	-1421	M	G	0.00	0.00	720.00
0	-1904	-1905	-1648	-1647	M	G	0.00	0.00	720.00
0	-1905	-1906	-1649	-1648	M	G	0.00	0.00	720.00
0	-1906	-1907	-1650	-1649	M	G	0.00	0.00	720.00
0	-1907	-1908	-1651	-1650	M	G	0.00	0.00	720.00
0	-1908	-1909	-1652	-1651	M	G	0.00	0.00	720.00
0	-1909	-1972	-1965	-1652	M	G	0.00	0.00	720.00
0	-1910	-1874	-1848	-1653	M	G	0.00	0.00	720.00
0	-1547	-1832	-1465	-2083	M	G	0.00	0.00	720.00
0	-1699	-1831	-1464	-1762	M	G	0.00	0.00	720.00
0	-1974	-1882	-1492	-1973	M	G	0.00	0.00	720.00
0	-1911	-1883	-1493	-1912	M	G	0.00	0.00	720.00
0	-2076	-1715	-1792	-2075	M	G	0.00	0.00	720.00
0	-2078	-1714	-1791	-2077	M	G	0.00	0.00	720.00
0	-2080	-1835	-1468	-2079	M	G	0.00	0.00	720.00
0	-2082	-1834	-1467	-2081	M	G	0.00	0.00	720.00
0	-1913	-1343	-1573	-1914	M	G	0.00	0.00	720.00
0	-1915	-1347	-1559	-1916	M	G	0.00	0.00	720.00
0	-1917	-1698	-1475	-1918	M	G	0.00	0.00	720.00
0	-1919	-1384	-1725	-1920	M	G	0.00	0.00	720.00
0	-1921	-1566	-2179	-2180	M	G	0.00	0.00	250.00
0	-1920	-1725	-1802	-1923	M	G	0.00	0.00	720.00
0	-1924	-1838	-1384	-1919	M	G	0.00	0.00	720.00
0	-1925	-1515	-1566	-1921	M	G	0.00	0.00	720.00
0	-1914	-1573	-1515	-1925	M	G	0.00	0.00	720.00

0	-1926	-1552	-1587	-1927	M	G	0.00	0.00	720.00
0	-1927	-1587	-1580	-1928	M	G	0.00	0.00	720.00
0	-1916	-1559	-1594	-1929	M	G	0.00	0.00	720.00
0	-1930	-1414	-1347	-1915	M	G	0.00	0.00	720.00
0	-1928	-1580	-1343	-1913	M	G	0.00	0.00	720.00
0	-1929	-1594	-1552	-1926	M	G	0.00	0.00	720.00
0	-1931	-1447	-1414	-1930	M	G	0.00	0.00	720.00
0	-1932	-1854	-1447	-1931	M	G	0.00	0.00	720.00
0	-1935	-1782	-1387	-1936	M	G	0.00	0.00	720.00
0	-1936	-1387	-1838	-1924	M	G	0.00	0.00	720.00
0	-1937	-1452	-1698	-1917	M	G	0.00	0.00	720.00
0	-1918	-1475	-1894	-1938	M	G	0.00	0.00	720.00
0	-1923	-1802	-1452	-1937	M	G	0.00	0.00	720.00
0	-1939	-1705	-1458	-1940	M	G	0.00	0.00	720.00
0	-1940	-1458	-1745	-1941	M	G	0.00	0.00	720.00
0	-1938	-1894	-1705	-1939	M	G	0.00	0.00	720.00
0	-1943	-1875	-1477	-1944	M	G	0.00	0.00	720.00
0	-1945	-1707	-1784	-1946	M	G	0.00	0.00	720.00
0	-1947	-1359	-1707	-1945	M	G	0.00	0.00	720.00
0	-1948	-1839	-1359	-1947	M	G	0.00	0.00	720.00
0	-1946	-1784	-1429	-1949	M	G	0.00	0.00	720.00
0	-1951	-1764	-1405	-1952	M	G	0.00	0.00	720.00
0	-1952	-1405	-1839	-1948	M	G	0.00	0.00	720.00
0	-1949	-1429	-1824	-1953	M	G	0.00	0.00	720.00
0	-1954	-1454	-1875	-1943	M	G	0.00	0.00	720.00
0	-1953	-1824	-1454	-1954	M	G	0.00	0.00	720.00
0	-1944	-1477	-1507	-1955	M	G	0.00	0.00	720.00
0	-1955	-1507	-1727	-1956	M	G	0.00	0.00	720.00
0	-1956	-1727	-2200	-2201	M	G	0.00	0.00	250.00
0	-1958	-1529	-1416	-1959	M	G	0.00	0.00	720.00
0	-1960	-1362	-1529	-1958	M	G	0.00	0.00	720.00
0	-1962	-1521	-1660	-1963	M	G	0.00	0.00	720.00
0	-1963	-1660	-2213	-2212	M	G	0.00	0.00	250.00
0	-1965	-1653	-1521	-1962	M	G	0.00	0.00	720.00
0	-1966	-1674	-1639	-1967	M	G	0.00	0.00	720.00
0	-1967	-1639	-1646	-1968	M	G	0.00	0.00	720.00
0	-1959	-1416	-1895	-1969	M	G	0.00	0.00	720.00
0	-1970	-1667	-1632	-1971	M	G	0.00	0.00	720.00
0	-1968	-1646	-1910	-1972	M	G	0.00	0.00	720.00
0	-1971	-1632	-1674	-1966	M	G	0.00	0.00	720.00
0	-1969	-1895	-1667	-1970	M	G	0.00	0.00	720.00
0	-1972	-1910	-1653	-1965	M	G	0.00	0.00	720.00
0	-1883	-1884	-1842	-1493	M	G	0.00	0.00	720.00
0	-1873	-1943	-1944	-1476	M	G	0.00	0.00	720.00
0	-1833	-2082	-2081	-1466	M	G	0.00	0.00	720.00
0	-1884	-1885	-1494	-1842	M	G	0.00	0.00	720.00
0	-2154	-2153	-1771	-2094	M	G	0.00	0.00	250.00
0	-2152	-2151	-1772	-2092	M	G	0.00	0.00	250.00
0	-2148	-2147	-1774	-2090	M	G	0.00	0.00	250.00
0	-2146	-2145	-1775	-2088	M	G	0.00	0.00	250.00
0	-2166	-2165	-1362	-1960	M	G	0.00	0.00	250.00
0	-2162	-2161	-1764	-1951	M	G	0.00	0.00	250.00
0	-2138	-2137	-1782	-1935	M	G	0.00	0.00	250.00
0	-2134	-2133	-1854	-1932	M	G	0.00	0.00	250.00
0	-2173	-2172	-1682	-1426	M	G	0.00	0.00	250.00
0	-2172	-2171	-1683	-1682	M	G	0.00	0.00	250.00
0	-2171	-2170	-1684	-1683	M	G	0.00	0.00	250.00
0	-2170	-2169	-1352	-1684	M	G	0.00	0.00	250.00
0	-2169	-2168	-1355	-1352	M	G	0.00	0.00	250.00
0	-2168	-2167	-1356	-1355	M	G	0.00	0.00	250.00
0	-2167	-2166	-1960	-1356	M	G	0.00	0.00	250.00
0	-2165	-2164	436	-1362	M	G	0.00	0.00	250.00
0	-2164	-2163	-1763	436	M	G	0.00	0.00	250.00
0	-2136	-2135	-1841	431	M	G	0.00	0.00	250.00
0	-2163	-2162	-1951	-1763	M	G	0.00	0.00	250.00
0	-2161	-2160	-1765	-1764	M	G	0.00	0.00	250.00
0	-2160	-2159	-1766	-1765	M	G	0.00	0.00	250.00
0	-2159	-2158	-1767	-1766	M	G	0.00	0.00	250.00
0	-2158	-2157	-1768	-1767	M	G	0.00	0.00	250.00
0	-2157	-2156	-1769	-1768	M	G	0.00	0.00	250.00
0	-2156	-2155	-1770	-1769	M	G	0.00	0.00	250.00
0	-2155	-2154	-2094	-1770	M	G	0.00	0.00	250.00
0	-2153	-2152	-2092	-1771	M	G	0.00	0.00	250.00
0	-2151	-2150	-1413	-1772	M	G	0.00	0.00	250.00
0	-2150	-2149	-1773	-1413	M	G	0.00	0.00	250.00
0	-2149	-2148	-2090	-1773	M	G	0.00	0.00	250.00
0	-2147	-2146	-2088	-1774	M	G	0.00	0.00	250.00
0	-2145	-2144	-1776	-1775	M	G	0.00	0.00	250.00
0	-2144	-2143	-1777	-1776	M	G	0.00	0.00	250.00

0	-2143	-2142	-1778	-1777	M	G	0.00	0.00	250.00
0	-2142	-2141	-1779	-1778	M	G	0.00	0.00	250.00
0	-2141	-2140	-1780	-1779	M	G	0.00	0.00	250.00
0	-2140	-2139	-1781	-1780	M	G	0.00	0.00	250.00
0	-2139	-2138	-1935	-1781	M	G	0.00	0.00	250.00
0	-2137	-2136	431	-1782	M	G	0.00	0.00	250.00
0	-2135	-2134	-1932	-1841	M	G	0.00	0.00	250.00
0	-2133	-2132	-1855	-1854	M	G	0.00	0.00	250.00
0	-2132	-2131	-1860	-1855	M	G	0.00	0.00	250.00
0	-2131	-2130	-1541	-1860	M	G	0.00	0.00	250.00
0	-2130	-2129	-1542	-1541	M	G	0.00	0.00	250.00
0	-2129	-2128	-1543	-1542	M	G	0.00	0.00	250.00
0	-2128	-2127	-1608	-1543	M	G	0.00	0.00	250.00
0	-1835	-1412	-1469	-1468	M	G	0.00	0.00	720.00
0	-1412	-1410	-1470	-1469	M	G	0.00	0.00	720.00
0	-1410	-1411	-1471	-1470	M	G	0.00	0.00	720.00
0	-1411	-1688	-1472	-1471	M	G	0.00	0.00	720.00
0	-1688	-1691	-1473	-1472	M	G	0.00	0.00	720.00
0	-1691	-1692	-1474	-1473	M	G	0.00	0.00	720.00
0	-1692	-1917	-1918	-1474	M	G	0.00	0.00	720.00
0	-1698	-1534	433	-1475	M	G	0.00	0.00	720.00
0	442	-1706	-1783	-1863	M	G	0.00	0.00	720.00
0	-1706	-1945	-1946	-1783	M	G	0.00	0.00	720.00
0	-1707	-1708	-1785	-1784	M	G	0.00	0.00	720.00
0	-1708	-1709	-1786	-1785	M	G	0.00	0.00	720.00
0	-1709	-1710	-1787	-1786	M	G	0.00	0.00	720.00
0	-1710	-1711	-1788	-1787	M	G	0.00	0.00	720.00
0	-1711	-1712	-1789	-1788	M	G	0.00	0.00	720.00
0	-1712	-1713	-1790	-1789	M	G	0.00	0.00	720.00
0	-1713	-2078	-2077	-1790	M	G	0.00	0.00	720.00
0	-1714	-2076	-2075	-1791	M	G	0.00	0.00	720.00
0	-1715	-1849	-1535	-1792	M	G	0.00	0.00	720.00
0	-1849	-1716	-1793	-1535	M	G	0.00	0.00	720.00
0	-1349	-1350	-1562	-1561	M	G	0.00	0.00	720.00
0	-1350	-1351	-1563	-1562	M	G	0.00	0.00	720.00
0	-1351	-1353	-1564	-1563	M	G	0.00	0.00	720.00
0	-1353	-1354	-1611	-1564	M	G	0.00	0.00	720.00
0	-1357	-1358	-1706	442	M	G	0.00	0.00	720.00
0	-1358	-1947	-1945	-1706	M	G	0.00	0.00	720.00
0	-1359	-1360	-1708	-1707	M	G	0.00	0.00	720.00
0	-1360	-1361	-1709	-1708	M	G	0.00	0.00	720.00
0	-1361	-1368	-1710	-1709	M	G	0.00	0.00	720.00
0	-1368	-1369	-1711	-1710	M	G	0.00	0.00	720.00
0	-1369	-1370	-1712	-1711	M	G	0.00	0.00	720.00
0	-1370	-1371	-1713	-1712	M	G	0.00	0.00	720.00
0	-1371	-2074	-2078	-1713	M	G	0.00	0.00	720.00
0	-1372	-2073	-2076	-1714	M	G	0.00	0.00	720.00
0	-1373	-1374	-1849	-1715	M	G	0.00	0.00	720.00
0	-1374	-1375	-1716	-1849	M	G	0.00	0.00	720.00
0	-1375	-2072	-2070	-1716	M	G	0.00	0.00	720.00
0	-1376	-2068	-2066	-1717	M	G	0.00	0.00	720.00
0	-1377	-1378	-1719	-1718	M	G	0.00	0.00	720.00
0	-1378	-1379	-1720	-1719	M	G	0.00	0.00	720.00
0	-1379	-1380	-1721	-1720	M	G	0.00	0.00	720.00
0	-1380	-1381	-1722	-1721	M	G	0.00	0.00	720.00
0	-1381	-1382	-1723	-1722	M	G	0.00	0.00	720.00
0	-1382	-1383	-1724	-1723	M	G	0.00	0.00	720.00
0	-1383	-1919	-1920	-1724	M	G	0.00	0.00	720.00
0	-1384	-1385	440	-1725	M	G	0.00	0.00	720.00
0	-1571	-1612	-2174	-2175	M	G	0.00	0.00	250.00
0	-1570	-1571	-2175	-2176	M	G	0.00	0.00	250.00
0	-1569	-1570	-2176	-2177	M	G	0.00	0.00	250.00
0	-1566	-1567	-2178	-2179	M	G	0.00	0.00	250.00
0	-1565	-1921	-2180	-2181	M	G	0.00	0.00	250.00
0	-1510	-1509	-1612	-1571	M	G	0.00	0.00	720.00
0	-1511	-1510	-1571	-1570	M	G	0.00	0.00	720.00
0	-1716	-2070	-2064	-1793	M	G	0.00	0.00	720.00
0	-1717	-2066	-2062	-1794	M	G	0.00	0.00	720.00
0	-1718	-1719	-1796	-1795	M	G	0.00	0.00	720.00
0	-1719	-1720	-1797	-1796	M	G	0.00	0.00	720.00
0	-1720	-1721	-1798	-1797	M	G	0.00	0.00	720.00
0	-1721	-1722	-1799	-1798	M	G	0.00	0.00	720.00
0	-1722	-1723	-1800	-1799	M	G	0.00	0.00	720.00
0	-1723	-1724	-1801	-1800	M	G	0.00	0.00	720.00
0	-1724	-1920	-1923	-1801	M	G	0.00	0.00	720.00
0	-1725	440	-1531	-1802	M	G	0.00	0.00	720.00
0	-1838	-1536	-1385	-1384	M	G	0.00	0.00	720.00
0	-1837	-1924	-1919	-1383	M	G	0.00	0.00	720.00
0	-1853	-1837	-1383	-1382	M	G	0.00	0.00	720.00

0	-1852	-1853	-1382	-1381	M	G	0.00	0.00	720.00
0	-1851	-1852	-1381	-1380	M	G	0.00	0.00	720.00
0	-1729	-1730	-2214	-2198	M	G	0.00	0.00	250.00
0	-1730	-1731	-2197	-2214	M	G	0.00	0.00	250.00
0	-1734	-2113	-2215	-2216	M	G	0.00	0.00	250.00
0	-1735	-1847	-2193	-2217	M	G	0.00	0.00	250.00
0	-1739	-1740	-2218	-2187	M	G	0.00	0.00	250.00
0	-1740	-1741	-2186	-2218	M	G	0.00	0.00	250.00
0	-1941	-1745	-2219	-2182	M	G	0.00	0.00	250.00
0	-1745	432	-2203	-2219	M	G	0.00	0.00	250.00
0	-1567	-1568	-2220	-2178	M	G	0.00	0.00	250.00
0	-1568	-1569	-2177	-2220	M	G	0.00	0.00	250.00
0	-2074	-1372	-1714	-2078	M	G	0.00	0.00	720.00
0	-2073	-1373	-1715	-2076	M	G	0.00	0.00	720.00
0	-2072	-1376	-1717	-2070	M	G	0.00	0.00	720.00
0	-2068	-1377	-1718	-2066	M	G	0.00	0.00	720.00
0	-2070	-1717	-1794	-2064	M	G	0.00	0.00	720.00
0	-2066	-1718	-1795	-2062	M	G	0.00	0.00	720.00
0	-2061	-1695	-1377	-2068	M	G	0.00	0.00	720.00
0	-2084	-1694	-1376	-2072	M	G	0.00	0.00	720.00
0	-2085	-1866	-1373	-2073	M	G	0.00	0.00	720.00
0	-2086	-1865	-1372	-2074	M	G	0.00	0.00	720.00
0	-2088	-1775	-1394	-2095	M	G	0.00	0.00	720.00
0	-2090	-1774	-1395	-2096	M	G	0.00	0.00	720.00
0	-2092	-1772	-1397	-2097	M	G	0.00	0.00	720.00
0	-2094	-1771	-1398	-2098	M	G	0.00	0.00	720.00
0	-2095	-1394	-1695	-2061	M	G	0.00	0.00	720.00
0	-2096	-1395	-1694	-2084	M	G	0.00	0.00	720.00
0	-2097	-1397	-1866	-2085	M	G	0.00	0.00	720.00
0	-2098	-1398	-1865	-2086	M	G	0.00	0.00	720.00
0	-2099	-1436	-1831	-1699	M	G	0.00	0.00	720.00
0	-2100	-1438	-1832	-1547	M	G	0.00	0.00	720.00
0	-2101	-1441	-1834	-2082	M	G	0.00	0.00	720.00
0	-2102	-1442	-1835	-2080	M	G	0.00	0.00	720.00
0	-1762	-1464	-1882	-1974	M	G	0.00	0.00	720.00
0	-2083	-1465	-1883	-1911	M	G	0.00	0.00	720.00
0	-2081	-1467	-1886	-2103	M	G	0.00	0.00	720.00
0	-2079	-1468	-1887	-2104	M	G	0.00	0.00	720.00
0	-2077	-1791	-1436	-2099	M	G	0.00	0.00	720.00
0	-2075	-1792	-1438	-2100	M	G	0.00	0.00	720.00
0	-2064	-1794	-1441	-2101	M	G	0.00	0.00	720.00
0	-2062	-1795	-1442	-2102	M	G	0.00	0.00	720.00
0	-2105	-1496	-1488	-2106	M	G	0.00	0.00	720.00
0	-2107	-1495	-1489	-2108	M	G	0.00	0.00	720.00
0	-1912	-1493	-1499	-2109	M	G	0.00	0.00	720.00
0	-1973	-1492	-1500	-2110	M	G	0.00	0.00	720.00
0	-2106	-1488	-1738	-2111	M	G	0.00	0.00	720.00
0	-2108	-1489	-1737	-2112	M	G	0.00	0.00	720.00
0	-2109	-1499	-1735	-2113	M	G	0.00	0.00	720.00
0	-2110	-1500	-1734	-2114	M	G	0.00	0.00	720.00
0	-2111	-1738	-2188	-2189	M	G	0.00	0.00	250.00
0	-2112	-1737	-2190	-2191	M	G	0.00	0.00	250.00
0	-2114	-1734	-2216	-2194	M	G	0.00	0.00	250.00
0	-2103	-1886	-1495	-2107	M	G	0.00	0.00	720.00
0	-2104	-1887	-1496	-2105	M	G	0.00	0.00	720.00
0	-2113	-1735	-2217	-2215	M	G	0.00	0.00	250.00

Elenco carichi elementi bidimensionali
Condizione di carico n. 7: Schema 2 q1tandem mezz
Carichi uniformi

Bid.	N1	N2	N3	N4	T	DC	Qx <daN/mq>	Qy <daN/mq>	Qz <daN/mq>
0	-1882	-1911	-1912	-1492	M	G	0.00	0.00	75000.00
0	-1694	-2061	-2068	-1376	M	G	0.00	0.00	75000.00
0	-1865	-2085	-2073	-1372	M	G	0.00	0.00	75000.00
0	-1464	-2083	-1911	-1882	M	G	0.00	0.00	75000.00
0	-1467	-2079	-2104	-1886	M	G	0.00	0.00	75000.00
0	-1886	-2104	-2105	-1495	M	G	0.00	0.00	75000.00
0	-1974	-1882	-1492	-1973	M	G	0.00	0.00	75000.00
0	-1372	-2073	-2076	-1714	M	G	0.00	0.00	75000.00
0	-1376	-2068	-2066	-1717	M	G	0.00	0.00	75000.00
0	-2074	-1372	-1714	-2078	M	G	0.00	0.00	75000.00
0	-2072	-1376	-1717	-2070	M	G	0.00	0.00	75000.00
0	-2084	-1694	-1376	-2072	M	G	0.00	0.00	75000.00
0	-2086	-1865	-1372	-2074	M	G	0.00	0.00	75000.00
0	-1762	-1464	-1882	-1974	M	G	0.00	0.00	75000.00
0	-2081	-1467	-1886	-2103	M	G	0.00	0.00	75000.00
0	-2103	-1886	-1495	-2107	M	G	0.00	0.00	75000.00

Elenco carichi elementi bidimensionali
Condizione di carico n. 8: Schema 2 q1tandem dx
Carichi uniformi

Bid.	N1	N2	N3	N4	T	DC	Qx <daN/mq>	Qy <daN/mq>	Qz <daN/mq>
0	-1346	-1915	-1916	-1558	M	G	0.00	0.00	75000.00
0	-1345	-1913	-1914	-1572	M	G	0.00	0.00	75000.00
0	-1618	-1930	-1915	-1346	M	G	0.00	0.00	75000.00
0	-1579	-1928	-1913	-1345	M	G	0.00	0.00	75000.00
0	-1474	-1918	-1938	-1893	M	G	0.00	0.00	75000.00
0	-1893	-1938	-1939	-1704	M	G	0.00	0.00	75000.00
0	-1913	-1343	-1573	-1914	M	G	0.00	0.00	75000.00
0	-1915	-1347	-1559	-1916	M	G	0.00	0.00	75000.00
0	-1919	-1384	-1725	-1920	M	G	0.00	0.00	75000.00
0	-1924	-1838	-1384	-1919	M	G	0.00	0.00	75000.00
0	-1930	-1414	-1347	-1915	M	G	0.00	0.00	75000.00
0	-1928	-1580	-1343	-1913	M	G	0.00	0.00	75000.00
0	-1918	-1475	-1894	-1938	M	G	0.00	0.00	75000.00
0	-1938	-1894	-1705	-1939	M	G	0.00	0.00	75000.00
0	-1383	-1919	-1920	-1724	M	G	0.00	0.00	75000.00
0	-1837	-1924	-1919	-1383	M	G	0.00	0.00	75000.00

Elenco carichi elementi bidimensionali
Condizione di carico n. 9: Schema 2 q1tandem sx
Carichi uniformi

Bid.	N1	N2	N3	N4	T	DC	Qx <daN/mq>	Qy <daN/mq>	Qz <daN/mq>
0	-1836	-1948	-1947	-1358	M	G	0.00	0.00	75000.00
0	-1453	-1954	-1943	-1873	M	G	0.00	0.00	75000.00
0	-1415	-1959	-1969	-1896	M	G	0.00	0.00	75000.00
0	-1645	-1968	-1972	-1909	M	G	0.00	0.00	75000.00
0	-1896	-1969	-1970	-1666	M	G	0.00	0.00	75000.00
0	-1909	-1972	-1965	-1652	M	G	0.00	0.00	75000.00
0	-1943	-1875	-1477	-1944	M	G	0.00	0.00	75000.00
0	-1947	-1359	-1707	-1945	M	G	0.00	0.00	75000.00
0	-1948	-1839	-1359	-1947	M	G	0.00	0.00	75000.00
0	-1954	-1454	-1875	-1943	M	G	0.00	0.00	75000.00
0	-1959	-1416	-1895	-1969	M	G	0.00	0.00	75000.00
0	-1968	-1646	-1910	-1972	M	G	0.00	0.00	75000.00
0	-1969	-1895	-1667	-1970	M	G	0.00	0.00	75000.00
0	-1972	-1910	-1653	-1965	M	G	0.00	0.00	75000.00
0	-1873	-1943	-1944	-1476	M	G	0.00	0.00	75000.00
0	-1358	-1947	-1945	-1706	M	G	0.00	0.00	75000.00

Elenco carichi elementi bidimensionali
Condizione di carico n. 10: Schema 2 q1dis mezz
Carichi uniformi

Bid.	N1	N2	N3	N4	T	DC	Qx <daN/mq>	Qy <daN/mq>	Qz <daN/mq>
0	-1532	-1833	-1466	-1867	M	G	0.00	0.00	720.00
0	-1832	-1532	-1867	-1465	M	G	0.00	0.00	720.00
0	-1831	-1547	-2083	-1464	M	G	0.00	0.00	720.00
0	-1830	-1699	-1762	-1463	M	G	0.00	0.00	720.00
0	-1829	-1830	-1463	-1462	M	G	0.00	0.00	720.00
0	-1828	-1829	-1462	-1460	M	G	0.00	0.00	720.00
0	-1875	-1876	-1478	-1477	M	G	0.00	0.00	720.00
0	-1876	-1877	-1479	-1478	M	G	0.00	0.00	720.00
0	-1877	-1878	-1480	-1479	M	G	0.00	0.00	720.00
0	-1878	-1879	-1481	-1480	M	G	0.00	0.00	720.00
0	-1879	-1880	-1482	-1481	M	G	0.00	0.00	720.00
0	-1880	-1881	-1491	-1482	M	G	0.00	0.00	720.00
0	-1881	-1974	-1973	-1491	M	G	0.00	0.00	720.00
0	-1882	-1911	-1912	-1492	M	G	0.00	0.00	720.00
0	-1834	-2080	-2079	-1467	M	G	0.00	0.00	720.00
0	-1348	-1349	-1561	-1560	M	G	0.00	0.00	720.00
0	-1347	-1348	-1560	-1559	M	G	0.00	0.00	720.00
0	-1346	-1915	-1916	-1558	M	G	0.00	0.00	720.00
0	-1385	-1346	-1558	440	M	G	0.00	0.00	720.00
0	-1344	-1345	-1572	-1537	M	G	0.00	0.00	720.00
0	-1345	-1913	-1914	-1572	M	G	0.00	0.00	720.00
0	-1343	-1342	-1574	-1573	M	G	0.00	0.00	720.00
0	-1342	-1868	-1575	-1574	M	G	0.00	0.00	720.00
0	-1868	-1869	-1576	-1575	M	G	0.00	0.00	720.00
0	-1869	-1870	-1577	-1576	M	G	0.00	0.00	720.00
0	-1870	-1871	-1578	-1577	M	G	0.00	0.00	720.00

0	-1871	-1872	-1613	-1578	M	G	0.00	0.00	720.00
0	-1874	-1873	-1476	-1848	M	G	0.00	0.00	720.00
0	-1858	-1851	-1380	-1379	M	G	0.00	0.00	720.00
0	-1856	-1858	-1379	-1378	M	G	0.00	0.00	720.00
0	-1695	-1856	-1378	-1377	M	G	0.00	0.00	720.00
0	-1694	-2061	-2068	-1376	M	G	0.00	0.00	720.00
0	-1693	-2084	-2072	-1375	M	G	0.00	0.00	720.00
0	-1862	-1693	-1375	-1374	M	G	0.00	0.00	720.00
0	-1866	-1862	-1374	-1373	M	G	0.00	0.00	720.00
0	-1865	-2085	-2073	-1372	M	G	0.00	0.00	720.00
0	-1864	-2086	-2074	-1371	M	G	0.00	0.00	720.00
0	-1861	-1864	-1371	-1370	M	G	0.00	0.00	720.00
0	-1857	-1861	-1370	-1369	M	G	0.00	0.00	720.00
0	-1845	-1857	-1369	-1368	M	G	0.00	0.00	720.00
0	-1844	-1845	-1368	-1361	M	G	0.00	0.00	720.00
0	-1843	-1844	-1361	-1360	M	G	0.00	0.00	720.00
0	-1839	-1843	-1360	-1359	M	G	0.00	0.00	720.00
0	-1836	-1948	-1947	-1358	M	G	0.00	0.00	720.00
0	-1850	-1836	-1358	-1357	M	G	0.00	0.00	720.00
0	-1863	-1783	-1428	441	M	G	0.00	0.00	720.00
0	-1783	-1946	-1949	-1428	M	G	0.00	0.00	720.00
0	-1784	-1785	-1430	-1429	M	G	0.00	0.00	720.00
0	-1512	-1511	-1570	-1569	M	G	0.00	0.00	720.00
0	-1513	-1512	-1569	-1568	M	G	0.00	0.00	720.00
0	-1514	-1513	-1568	-1567	M	G	0.00	0.00	720.00
0	-1515	-1514	-1567	-1566	M	G	0.00	0.00	720.00
0	-1516	-1925	-1921	-1565	M	G	0.00	0.00	720.00
0	-1578	-1613	-1509	-1510	M	G	0.00	0.00	720.00
0	-1577	-1578	-1510	-1511	M	G	0.00	0.00	720.00
0	-1576	-1577	-1511	-1512	M	G	0.00	0.00	720.00
0	-1575	-1576	-1512	-1513	M	G	0.00	0.00	720.00
0	-1574	-1575	-1513	-1514	M	G	0.00	0.00	720.00
0	-1573	-1574	-1514	-1515	M	G	0.00	0.00	720.00
0	-1572	-1914	-1925	-1516	M	G	0.00	0.00	720.00
0	430	-1551	-1586	-1534	M	G	0.00	0.00	720.00
0	-1551	-1926	-1927	-1586	M	G	0.00	0.00	720.00
0	-1552	-1553	-1588	-1587	M	G	0.00	0.00	720.00
0	-1553	-1554	-1589	-1588	M	G	0.00	0.00	720.00
0	-1554	-1555	-1590	-1589	M	G	0.00	0.00	720.00
0	-1555	-1556	-1591	-1590	M	G	0.00	0.00	720.00
0	-1556	-1557	-1592	-1591	M	G	0.00	0.00	720.00
0	-1557	-1610	-1615	-1592	M	G	0.00	0.00	720.00
0	-1534	-1586	-1579	433	M	G	0.00	0.00	720.00
0	-1586	-1927	-1928	-1579	M	G	0.00	0.00	720.00
0	-1587	-1588	-1581	-1580	M	G	0.00	0.00	720.00
0	-1588	-1589	-1582	-1581	M	G	0.00	0.00	720.00
0	-1589	-1590	-1583	-1582	M	G	0.00	0.00	720.00
0	-1590	-1591	-1584	-1583	M	G	0.00	0.00	720.00
0	-1591	-1592	-1585	-1584	M	G	0.00	0.00	720.00
0	-1592	-1615	-1614	-1585	M	G	0.00	0.00	720.00
0	440	-1558	-1593	-1531	M	G	0.00	0.00	720.00
0	-1558	-1916	-1929	-1593	M	G	0.00	0.00	720.00
0	-1559	-1560	-1595	-1594	M	G	0.00	0.00	720.00
0	-1560	-1561	-1596	-1595	M	G	0.00	0.00	720.00
0	-1561	-1562	-1597	-1596	M	G	0.00	0.00	720.00
0	-1562	-1563	-1598	-1597	M	G	0.00	0.00	720.00
0	-1563	-1564	-1599	-1598	M	G	0.00	0.00	720.00
0	-1564	-1611	-1616	-1599	M	G	0.00	0.00	720.00
0	-1840	-1607	-1354	-1353	M	G	0.00	0.00	720.00
0	-1697	-1840	-1353	-1351	M	G	0.00	0.00	720.00
0	-1696	-1697	-1351	-1350	M	G	0.00	0.00	720.00
0	-1690	-1696	-1350	-1349	M	G	0.00	0.00	720.00
0	-1685	-1690	-1349	-1348	M	G	0.00	0.00	720.00
0	-1414	-1685	-1348	-1347	M	G	0.00	0.00	720.00
0	-1618	-1930	-1915	-1346	M	G	0.00	0.00	720.00
0	-1536	-1618	-1346	-1385	M	G	0.00	0.00	720.00
0	433	-1579	-1345	-1344	M	G	0.00	0.00	720.00
0	-1579	-1928	-1913	-1345	M	G	0.00	0.00	720.00
0	-1580	-1581	-1342	-1343	M	G	0.00	0.00	720.00
0	-1581	-1582	-1868	-1342	M	G	0.00	0.00	720.00
0	-1582	-1583	-1869	-1868	M	G	0.00	0.00	720.00
0	-1583	-1584	-1870	-1869	M	G	0.00	0.00	720.00
0	-1584	-1585	-1871	-1870	M	G	0.00	0.00	720.00
0	-1585	-1614	-1872	-1871	M	G	0.00	0.00	720.00
0	-1531	-1593	-1551	430	M	G	0.00	0.00	720.00
0	-1593	-1929	-1926	-1551	M	G	0.00	0.00	720.00
0	-1594	-1595	-1553	-1552	M	G	0.00	0.00	720.00
0	-1595	-1596	-1554	-1553	M	G	0.00	0.00	720.00
0	-1596	-1597	-1555	-1554	M	G	0.00	0.00	720.00

0	-1597	-1598	-1556	-1555	M	G	0.00	0.00	720.00
0	-1598	-1599	-1557	-1556	M	G	0.00	0.00	720.00
0	-1599	-1616	-1610	-1557	M	G	0.00	0.00	720.00
0	-1408	-1407	-1607	-1840	M	G	0.00	0.00	720.00
0	-1409	-1408	-1840	-1697	M	G	0.00	0.00	720.00
0	-1437	-1409	-1697	-1696	M	G	0.00	0.00	720.00
0	-1440	-1437	-1696	-1690	M	G	0.00	0.00	720.00
0	-1444	-1440	-1690	-1685	M	G	0.00	0.00	720.00
0	-1447	-1444	-1685	-1414	M	G	0.00	0.00	720.00
0	-1451	-1931	-1930	-1618	M	G	0.00	0.00	720.00
0	-1543	-1608	-1407	-1408	M	G	0.00	0.00	720.00
0	-1542	-1543	-1408	-1409	M	G	0.00	0.00	720.00
0	-1541	-1542	-1409	-1437	M	G	0.00	0.00	720.00
0	-1860	-1541	-1437	-1440	M	G	0.00	0.00	720.00
0	-1855	-1860	-1440	-1444	M	G	0.00	0.00	720.00
0	-1854	-1855	-1444	-1447	M	G	0.00	0.00	720.00
0	-1841	-1932	-1931	-1451	M	G	0.00	0.00	720.00
0	-1782	431	438	-1387	M	G	0.00	0.00	720.00
0	-1781	-1935	-1936	-1388	M	G	0.00	0.00	720.00
0	-1780	-1781	-1388	-1389	M	G	0.00	0.00	720.00
0	-1779	-1780	-1389	-1390	M	G	0.00	0.00	720.00
0	-1778	-1779	-1390	-1391	M	G	0.00	0.00	720.00
0	-1777	-1778	-1391	-1392	M	G	0.00	0.00	720.00
0	-1776	-1777	-1392	-1393	M	G	0.00	0.00	720.00
0	-1775	-1776	-1393	-1394	M	G	0.00	0.00	720.00
0	-1774	-2088	-2095	-1395	M	G	0.00	0.00	720.00
0	-1773	-2090	-2096	-1396	M	G	0.00	0.00	720.00
0	-1413	-1773	-1396	-1386	M	G	0.00	0.00	720.00
0	-1772	-1413	-1386	-1397	M	G	0.00	0.00	720.00
0	-1771	-2092	-2097	-1398	M	G	0.00	0.00	720.00
0	-1770	-2094	-2098	-1399	M	G	0.00	0.00	720.00
0	-1769	-1770	-1399	-1400	M	G	0.00	0.00	720.00
0	-1768	-1769	-1400	-1401	M	G	0.00	0.00	720.00
0	-1767	-1768	-1401	-1402	M	G	0.00	0.00	720.00
0	-1766	-1767	-1402	-1403	M	G	0.00	0.00	720.00
0	-1765	-1766	-1403	-1404	M	G	0.00	0.00	720.00
0	-1764	-1765	-1404	-1405	M	G	0.00	0.00	720.00
0	-1763	-1951	-1952	-1406	M	G	0.00	0.00	720.00
0	-1387	438	-1536	-1838	M	G	0.00	0.00	720.00
0	-1388	-1936	-1924	-1837	M	G	0.00	0.00	720.00
0	-1389	-1388	-1837	-1853	M	G	0.00	0.00	720.00
0	-1390	-1389	-1853	-1852	M	G	0.00	0.00	720.00
0	-1391	-1390	-1852	-1851	M	G	0.00	0.00	720.00
0	-1392	-1391	-1851	-1858	M	G	0.00	0.00	720.00
0	-1393	-1392	-1858	-1856	M	G	0.00	0.00	720.00
0	-1394	-1393	-1856	-1695	M	G	0.00	0.00	720.00
0	-1395	-2095	-2061	-1694	M	G	0.00	0.00	720.00
0	-1396	-2096	-2084	-1693	M	G	0.00	0.00	720.00
0	-1386	-1396	-1693	-1862	M	G	0.00	0.00	720.00
0	-1397	-1386	-1862	-1866	M	G	0.00	0.00	720.00
0	-1398	-2097	-2085	-1865	M	G	0.00	0.00	720.00
0	-1399	-2098	-2086	-1864	M	G	0.00	0.00	720.00
0	-1400	-1399	-1864	-1861	M	G	0.00	0.00	720.00
0	-1401	-1400	-1861	-1857	M	G	0.00	0.00	720.00
0	-1402	-1401	-1857	-1845	M	G	0.00	0.00	720.00
0	-1403	-1402	-1845	-1844	M	G	0.00	0.00	720.00
0	-1404	-1403	-1844	-1843	M	G	0.00	0.00	720.00
0	-1405	-1404	-1843	-1839	M	G	0.00	0.00	720.00
0	-1406	-1952	-1948	-1836	M	G	0.00	0.00	720.00
0	441	-1428	-1823	-1859	M	G	0.00	0.00	720.00
0	-1428	-1949	-1953	-1823	M	G	0.00	0.00	720.00
0	-1429	-1430	-1825	-1824	M	G	0.00	0.00	720.00
0	-1430	-1431	-1826	-1825	M	G	0.00	0.00	720.00
0	-1431	-1432	-1827	-1826	M	G	0.00	0.00	720.00
0	-1432	-1433	-1828	-1827	M	G	0.00	0.00	720.00
0	-1433	-1434	-1829	-1828	M	G	0.00	0.00	720.00
0	-1434	-1435	-1830	-1829	M	G	0.00	0.00	720.00
0	-1435	-2099	-1699	-1830	M	G	0.00	0.00	720.00
0	-1436	-2100	-1547	-1831	M	G	0.00	0.00	720.00
0	-1438	-1846	-1532	-1832	M	G	0.00	0.00	720.00
0	-1846	-1439	-1833	-1532	M	G	0.00	0.00	720.00
0	-1439	-2101	-2082	-1833	M	G	0.00	0.00	720.00
0	-1441	-2102	-2080	-1834	M	G	0.00	0.00	720.00
0	-1442	-1443	-1412	-1835	M	G	0.00	0.00	720.00
0	-1443	-1445	-1410	-1412	M	G	0.00	0.00	720.00
0	-1445	-1446	-1411	-1410	M	G	0.00	0.00	720.00
0	-1446	-1448	-1688	-1411	M	G	0.00	0.00	720.00
0	-1448	-1449	-1691	-1688	M	G	0.00	0.00	720.00
0	-1449	-1450	-1692	-1691	M	G	0.00	0.00	720.00

0	-1450	-1937	-1917	-1692	M	G	0.00	0.00	720.00
0	-1452	430	-1534	-1698	M	G	0.00	0.00	720.00
0	439	-1453	-1873	-1874	M	G	0.00	0.00	720.00
0	-1453	-1954	-1943	-1873	M	G	0.00	0.00	720.00
0	-1454	-1455	-1876	-1875	M	G	0.00	0.00	720.00
0	-1455	-1456	-1877	-1876	M	G	0.00	0.00	720.00
0	-1456	-1459	-1878	-1877	M	G	0.00	0.00	720.00
0	-1459	-1460	-1879	-1878	M	G	0.00	0.00	720.00
0	-1460	-1462	-1880	-1879	M	G	0.00	0.00	720.00
0	-1462	-1463	-1881	-1880	M	G	0.00	0.00	720.00
0	-1463	-1762	-1974	-1881	M	G	0.00	0.00	720.00
0	-1464	-2083	-1911	-1882	M	G	0.00	0.00	720.00
0	-1465	-1867	-1884	-1883	M	G	0.00	0.00	720.00
0	-1867	-1466	-1885	-1884	M	G	0.00	0.00	720.00
0	-1466	-2081	-2103	-1885	M	G	0.00	0.00	720.00
0	-1467	-2079	-2104	-1886	M	G	0.00	0.00	720.00
0	-1468	-1469	-1888	-1887	M	G	0.00	0.00	720.00
0	-1469	-1470	-1889	-1888	M	G	0.00	0.00	720.00
0	-1470	-1471	-1890	-1889	M	G	0.00	0.00	720.00
0	-1471	-1472	-1891	-1890	M	G	0.00	0.00	720.00
0	-1472	-1473	-1892	-1891	M	G	0.00	0.00	720.00
0	-1473	-1474	-1893	-1892	M	G	0.00	0.00	720.00
0	-1474	-1918	-1938	-1893	M	G	0.00	0.00	720.00
0	-1475	433	-1344	-1894	M	G	0.00	0.00	720.00
0	-1859	-1823	-1453	439	M	G	0.00	0.00	720.00
0	-1823	-1953	-1954	-1453	M	G	0.00	0.00	720.00
0	-1824	-1825	-1455	-1454	M	G	0.00	0.00	720.00
0	-1825	-1826	-1456	-1455	M	G	0.00	0.00	720.00
0	-1826	-1827	-1459	-1456	M	G	0.00	0.00	720.00
0	-1827	-1828	-1460	-1459	M	G	0.00	0.00	720.00
0	-1785	-1786	-1431	-1430	M	G	0.00	0.00	720.00
0	-1786	-1787	-1432	-1431	M	G	0.00	0.00	720.00
0	-1787	-1788	-1433	-1432	M	G	0.00	0.00	720.00
0	-1788	-1789	-1434	-1433	M	G	0.00	0.00	720.00
0	-1789	-1790	-1435	-1434	M	G	0.00	0.00	720.00
0	-1790	-2077	-2099	-1435	M	G	0.00	0.00	720.00
0	-1791	-2075	-2100	-1436	M	G	0.00	0.00	720.00
0	-1792	-1535	-1846	-1438	M	G	0.00	0.00	720.00
0	-1535	-1793	-1439	-1846	M	G	0.00	0.00	720.00
0	-1793	-2064	-2101	-1439	M	G	0.00	0.00	720.00
0	-1794	-2062	-2102	-1441	M	G	0.00	0.00	720.00
0	-1795	-1796	-1443	-1442	M	G	0.00	0.00	720.00
0	-1796	-1797	-1445	-1443	M	G	0.00	0.00	720.00
0	-1797	-1798	-1446	-1445	M	G	0.00	0.00	720.00
0	-1798	-1799	-1448	-1446	M	G	0.00	0.00	720.00
0	-1799	-1800	-1449	-1448	M	G	0.00	0.00	720.00
0	-1800	-1801	-1450	-1449	M	G	0.00	0.00	720.00
0	-1801	-1923	-1937	-1450	M	G	0.00	0.00	720.00
0	-1705	-1537	437	-1458	M	G	0.00	0.00	720.00
0	-1704	-1939	-1940	-1461	M	G	0.00	0.00	720.00
0	-1703	-1704	-1461	-1483	M	G	0.00	0.00	720.00
0	-1702	-1703	-1483	-1484	M	G	0.00	0.00	720.00
0	-1701	-1702	-1484	-1485	M	G	0.00	0.00	720.00
0	-1700	-1701	-1485	-1486	M	G	0.00	0.00	720.00
0	-1497	-1700	-1486	-1487	M	G	0.00	0.00	720.00
0	-1496	-1497	-1487	-1488	M	G	0.00	0.00	720.00
0	-1495	-2105	-2106	-1489	M	G	0.00	0.00	720.00
0	-1494	-2107	-2108	-1498	M	G	0.00	0.00	720.00
0	-1842	-1494	-1498	-1457	M	G	0.00	0.00	720.00
0	-1493	-1842	-1457	-1499	M	G	0.00	0.00	720.00
0	-1492	-1912	-2109	-1500	M	G	0.00	0.00	720.00
0	-1491	-1973	-2110	-1501	M	G	0.00	0.00	720.00
0	-1482	-1491	-1501	-1502	M	G	0.00	0.00	720.00
0	-1481	-1482	-1502	-1503	M	G	0.00	0.00	720.00
0	-1480	-1481	-1503	-1504	M	G	0.00	0.00	720.00
0	-1479	-1480	-1504	-1505	M	G	0.00	0.00	720.00
0	-1478	-1479	-1505	-1506	M	G	0.00	0.00	720.00
0	-1477	-1478	-1506	-1507	M	G	0.00	0.00	720.00
0	-1476	-1944	-1955	-1508	M	G	0.00	0.00	720.00
0	-1458	437	432	-1745	M	G	0.00	0.00	720.00
0	-1461	-1940	-1941	-1744	M	G	0.00	0.00	720.00
0	-1483	-1461	-1744	-1743	M	G	0.00	0.00	720.00
0	-1484	-1483	-1743	-1742	M	G	0.00	0.00	720.00
0	-1485	-1484	-1742	-1741	M	G	0.00	0.00	720.00
0	-1486	-1485	-1741	-1740	M	G	0.00	0.00	720.00
0	-1487	-1486	-1740	-1739	M	G	0.00	0.00	720.00
0	-1488	-1487	-1739	-1738	M	G	0.00	0.00	720.00
0	-1489	-2106	-2111	-1737	M	G	0.00	0.00	720.00
0	-1498	-2108	-2112	-1736	M	G	0.00	0.00	720.00

0	-1457	-1498	-1736	-1847	M	G	0.00	0.00	720.00
0	-1499	-1457	-1847	-1735	M	G	0.00	0.00	720.00
0	-1500	-2109	-2113	-1734	M	G	0.00	0.00	720.00
0	-1501	-2110	-2114	-1733	M	G	0.00	0.00	720.00
0	-1502	-1501	-1733	-1732	M	G	0.00	0.00	720.00
0	-1503	-1502	-1732	-1731	M	G	0.00	0.00	720.00
0	-1504	-1503	-1731	-1730	M	G	0.00	0.00	720.00
0	-1505	-1504	-1730	-1729	M	G	0.00	0.00	720.00
0	-1506	-1505	-1729	-1728	M	G	0.00	0.00	720.00
0	-1507	-1506	-1728	-1727	M	G	0.00	0.00	720.00
0	-1508	-1955	-1956	-1726	M	G	0.00	0.00	720.00
0	-1744	-1941	-2182	-2183	M	G	0.00	0.00	250.00
0	-1743	-1744	-2183	-2184	M	G	0.00	0.00	250.00
0	-1742	-1743	-2184	-2185	M	G	0.00	0.00	250.00
0	-1741	-1742	-2185	-2186	M	G	0.00	0.00	250.00
0	-1738	-1739	-2187	-2188	M	G	0.00	0.00	250.00
0	-1737	-2111	-2189	-2190	M	G	0.00	0.00	250.00
0	-1736	-2112	-2191	-2192	M	G	0.00	0.00	250.00
0	-1847	-1736	-2192	-2193	M	G	0.00	0.00	250.00
0	-1733	-2114	-2194	-2195	M	G	0.00	0.00	250.00
0	-1732	-1733	-2195	-2196	M	G	0.00	0.00	250.00
0	-1731	-1732	-2196	-2197	M	G	0.00	0.00	250.00
0	-1728	-1729	-2198	-2199	M	G	0.00	0.00	250.00
0	-1727	-1728	-2199	-2200	M	G	0.00	0.00	250.00
0	-1726	-1956	-2201	-2202	M	G	0.00	0.00	250.00
0	438	-1451	-1618	-1536	M	G	0.00	0.00	720.00
0	431	-1841	-1451	438	M	G	0.00	0.00	720.00
0	436	-1763	-1406	429	M	G	0.00	0.00	720.00
0	429	-1406	-1836	-1850	M	G	0.00	0.00	720.00
0	-1802	-1531	430	-1452	M	G	0.00	0.00	720.00
0	-1537	-1572	-1516	437	M	G	0.00	0.00	720.00
0	-1848	-1476	-1508	435	M	G	0.00	0.00	720.00
0	437	-1516	-1565	432	M	G	0.00	0.00	720.00
0	435	-1508	-1726	434	M	G	0.00	0.00	720.00
0	432	-1565	-2181	-2203	M	G	0.00	0.00	250.00
0	434	-1726	-2202	-2204	M	G	0.00	0.00	250.00
0	-1529	429	-1850	-1416	M	G	0.00	0.00	720.00
0	-1530	-1958	-1959	-1415	M	G	0.00	0.00	720.00
0	-1490	-1530	-1415	-1367	M	G	0.00	0.00	720.00
0	-1538	-1490	-1367	-1366	M	G	0.00	0.00	720.00
0	-1525	-1538	-1366	-1365	M	G	0.00	0.00	720.00
0	-1526	-1525	-1365	-1364	M	G	0.00	0.00	720.00
0	-1527	-1526	-1364	-1363	M	G	0.00	0.00	720.00
0	-1528	-1527	-1363	-1427	M	G	0.00	0.00	720.00
0	-1362	436	429	-1529	M	G	0.00	0.00	720.00
0	-1356	-1960	-1958	-1530	M	G	0.00	0.00	720.00
0	-1355	-1356	-1530	-1490	M	G	0.00	0.00	720.00
0	-1352	-1355	-1490	-1538	M	G	0.00	0.00	720.00
0	-1684	-1352	-1538	-1525	M	G	0.00	0.00	720.00
0	-1683	-1684	-1525	-1526	M	G	0.00	0.00	720.00
0	-1682	-1683	-1526	-1527	M	G	0.00	0.00	720.00
0	-1426	-1682	-1527	-1528	M	G	0.00	0.00	720.00
0	-1521	435	434	-1660	M	G	0.00	0.00	720.00
0	-1522	-1962	-1963	-1659	M	G	0.00	0.00	720.00
0	-1523	-1522	-1659	-1658	M	G	0.00	0.00	720.00
0	-1524	-1523	-1658	-1657	M	G	0.00	0.00	720.00
0	-1517	-1524	-1657	-1656	M	G	0.00	0.00	720.00
0	-1518	-1517	-1656	-1655	M	G	0.00	0.00	720.00
0	-1519	-1518	-1655	-1654	M	G	0.00	0.00	720.00
0	-1520	-1519	-1654	-1422	M	G	0.00	0.00	720.00
0	-1422	-1654	-2205	-2206	M	G	0.00	0.00	250.00
0	-1654	-1655	-2207	-2205	M	G	0.00	0.00	250.00
0	-1655	-1656	-2208	-2207	M	G	0.00	0.00	250.00
0	-1656	-1657	-2209	-2208	M	G	0.00	0.00	250.00
0	-1657	-1658	-2210	-2209	M	G	0.00	0.00	250.00
0	-1658	-1659	-2211	-2210	M	G	0.00	0.00	250.00
0	-1659	-1963	-2212	-2211	M	G	0.00	0.00	250.00
0	-1653	-1848	435	-1521	M	G	0.00	0.00	720.00
0	-1652	-1965	-1962	-1522	M	G	0.00	0.00	720.00
0	-1651	-1652	-1522	-1523	M	G	0.00	0.00	720.00
0	-1650	-1651	-1523	-1524	M	G	0.00	0.00	720.00
0	-1649	-1650	-1524	-1517	M	G	0.00	0.00	720.00
0	-1648	-1649	-1517	-1518	M	G	0.00	0.00	720.00
0	-1647	-1648	-1518	-1519	M	G	0.00	0.00	720.00
0	-1421	-1647	-1519	-1520	M	G	0.00	0.00	720.00
0	-1424	-1668	-1633	-1419	M	G	0.00	0.00	720.00
0	-1668	-1669	-1634	-1633	M	G	0.00	0.00	720.00
0	-1669	-1670	-1635	-1634	M	G	0.00	0.00	720.00
0	-1670	-1671	-1636	-1635	M	G	0.00	0.00	720.00

0	-1671	-1672	-1637	-1636	M	G	0.00	0.00	720.00
0	-1672	-1673	-1638	-1637	M	G	0.00	0.00	720.00
0	-1673	-1966	-1967	-1638	M	G	0.00	0.00	720.00
0	-1674	441	-1859	-1639	M	G	0.00	0.00	720.00
0	-1419	-1633	-1640	-1420	M	G	0.00	0.00	720.00
0	-1633	-1634	-1641	-1640	M	G	0.00	0.00	720.00
0	-1634	-1635	-1642	-1641	M	G	0.00	0.00	720.00
0	-1635	-1636	-1643	-1642	M	G	0.00	0.00	720.00
0	-1636	-1637	-1644	-1643	M	G	0.00	0.00	720.00
0	-1637	-1638	-1645	-1644	M	G	0.00	0.00	720.00
0	-1638	-1967	-1968	-1645	M	G	0.00	0.00	720.00
0	-1639	-1859	439	-1646	M	G	0.00	0.00	720.00
0	-1416	-1850	-1357	-1895	M	G	0.00	0.00	720.00
0	-1415	-1959	-1969	-1896	M	G	0.00	0.00	720.00
0	-1367	-1415	-1896	-1897	M	G	0.00	0.00	720.00
0	-1366	-1367	-1897	-1898	M	G	0.00	0.00	720.00
0	-1365	-1366	-1898	-1899	M	G	0.00	0.00	720.00
0	-1364	-1365	-1899	-1900	M	G	0.00	0.00	720.00
0	-1363	-1364	-1900	-1901	M	G	0.00	0.00	720.00
0	-1427	-1363	-1901	-1902	M	G	0.00	0.00	720.00
0	-1423	-1661	-1626	-1418	M	G	0.00	0.00	720.00
0	-1661	-1662	-1627	-1626	M	G	0.00	0.00	720.00
0	-1662	-1663	-1628	-1627	M	G	0.00	0.00	720.00
0	-1663	-1664	-1629	-1628	M	G	0.00	0.00	720.00
0	-1664	-1665	-1630	-1629	M	G	0.00	0.00	720.00
0	-1665	-1666	-1631	-1630	M	G	0.00	0.00	720.00
0	-1666	-1970	-1971	-1631	M	G	0.00	0.00	720.00
0	-1667	442	-1863	-1632	M	G	0.00	0.00	720.00
0	-1420	-1640	-1904	-1903	M	G	0.00	0.00	720.00
0	-1640	-1641	-1905	-1904	M	G	0.00	0.00	720.00
0	-1641	-1642	-1906	-1905	M	G	0.00	0.00	720.00
0	-1642	-1643	-1907	-1906	M	G	0.00	0.00	720.00
0	-1643	-1644	-1908	-1907	M	G	0.00	0.00	720.00
0	-1644	-1645	-1909	-1908	M	G	0.00	0.00	720.00
0	-1645	-1968	-1972	-1909	M	G	0.00	0.00	720.00
0	-1646	439	-1874	-1910	M	G	0.00	0.00	720.00
0	-1418	-1626	-1668	-1424	M	G	0.00	0.00	720.00
0	-1626	-1627	-1669	-1668	M	G	0.00	0.00	720.00
0	-1627	-1628	-1670	-1669	M	G	0.00	0.00	720.00
0	-1628	-1629	-1671	-1670	M	G	0.00	0.00	720.00
0	-1629	-1630	-1672	-1671	M	G	0.00	0.00	720.00
0	-1630	-1631	-1673	-1672	M	G	0.00	0.00	720.00
0	-1631	-1971	-1966	-1673	M	G	0.00	0.00	720.00
0	-1660	434	-2204	-2213	M	G	0.00	0.00	250.00
0	-1632	-1863	441	-1674	M	G	0.00	0.00	720.00
0	-1885	-2103	-2107	-1494	M	G	0.00	0.00	720.00
0	-1886	-2104	-2105	-1495	M	G	0.00	0.00	720.00
0	-1887	-1888	-1497	-1496	M	G	0.00	0.00	720.00
0	-1888	-1889	-1700	-1497	M	G	0.00	0.00	720.00
0	-1889	-1890	-1701	-1700	M	G	0.00	0.00	720.00
0	-1890	-1891	-1702	-1701	M	G	0.00	0.00	720.00
0	-1891	-1892	-1703	-1702	M	G	0.00	0.00	720.00
0	-1892	-1893	-1704	-1703	M	G	0.00	0.00	720.00
0	-1893	-1938	-1939	-1704	M	G	0.00	0.00	720.00
0	-1894	-1344	-1537	-1705	M	G	0.00	0.00	720.00
0	-1895	-1357	442	-1667	M	G	0.00	0.00	720.00
0	-1896	-1969	-1970	-1666	M	G	0.00	0.00	720.00
0	-1897	-1896	-1666	-1665	M	G	0.00	0.00	720.00
0	-1898	-1897	-1665	-1664	M	G	0.00	0.00	720.00
0	-1899	-1898	-1664	-1663	M	G	0.00	0.00	720.00
0	-1900	-1899	-1663	-1662	M	G	0.00	0.00	720.00
0	-1901	-1900	-1662	-1661	M	G	0.00	0.00	720.00
0	-1902	-1901	-1661	-1423	M	G	0.00	0.00	720.00
0	-1903	-1904	-1647	-1421	M	G	0.00	0.00	720.00
0	-1904	-1905	-1648	-1647	M	G	0.00	0.00	720.00
0	-1905	-1906	-1649	-1648	M	G	0.00	0.00	720.00
0	-1906	-1907	-1650	-1649	M	G	0.00	0.00	720.00
0	-1907	-1908	-1651	-1650	M	G	0.00	0.00	720.00
0	-1908	-1909	-1652	-1651	M	G	0.00	0.00	720.00
0	-1909	-1972	-1965	-1652	M	G	0.00	0.00	720.00
0	-1910	-1874	-1848	-1653	M	G	0.00	0.00	720.00
0	-1547	-1832	-1465	-2083	M	G	0.00	0.00	720.00
0	-1699	-1831	-1464	-1762	M	G	0.00	0.00	720.00
0	-1974	-1882	-1492	-1973	M	G	0.00	0.00	720.00
0	-1911	-1883	-1493	-1912	M	G	0.00	0.00	720.00
0	-2076	-1715	-1792	-2075	M	G	0.00	0.00	720.00
0	-2078	-1714	-1791	-2077	M	G	0.00	0.00	720.00
0	-2080	-1835	-1468	-2079	M	G	0.00	0.00	720.00
0	-2082	-1834	-1467	-2081	M	G	0.00	0.00	720.00

0	-1913	-1343	-1573	-1914	M	G	0.00	0.00	720.00
0	-1915	-1347	-1559	-1916	M	G	0.00	0.00	720.00
0	-1917	-1698	-1475	-1918	M	G	0.00	0.00	720.00
0	-1919	-1384	-1725	-1920	M	G	0.00	0.00	720.00
0	-1921	-1566	-2179	-2180	M	G	0.00	0.00	250.00
0	-1920	-1725	-1802	-1923	M	G	0.00	0.00	720.00
0	-1924	-1838	-1384	-1919	M	G	0.00	0.00	720.00
0	-1925	-1515	-1566	-1921	M	G	0.00	0.00	720.00
0	-1914	-1573	-1515	-1925	M	G	0.00	0.00	720.00
0	-1926	-1552	-1587	-1927	M	G	0.00	0.00	720.00
0	-1927	-1587	-1580	-1928	M	G	0.00	0.00	720.00
0	-1916	-1559	-1594	-1929	M	G	0.00	0.00	720.00
0	-1930	-1414	-1347	-1915	M	G	0.00	0.00	720.00
0	-1928	-1580	-1343	-1913	M	G	0.00	0.00	720.00
0	-1929	-1594	-1552	-1926	M	G	0.00	0.00	720.00
0	-1931	-1447	-1414	-1930	M	G	0.00	0.00	720.00
0	-1932	-1854	-1447	-1931	M	G	0.00	0.00	720.00
0	-1935	-1782	-1387	-1936	M	G	0.00	0.00	720.00
0	-1936	-1387	-1838	-1924	M	G	0.00	0.00	720.00
0	-1937	-1452	-1698	-1917	M	G	0.00	0.00	720.00
0	-1918	-1475	-1894	-1938	M	G	0.00	0.00	720.00
0	-1923	-1802	-1452	-1937	M	G	0.00	0.00	720.00
0	-1939	-1705	-1458	-1940	M	G	0.00	0.00	720.00
0	-1940	-1458	-1745	-1941	M	G	0.00	0.00	720.00
0	-1938	-1894	-1705	-1939	M	G	0.00	0.00	720.00
0	-1943	-1875	-1477	-1944	M	G	0.00	0.00	720.00
0	-1945	-1707	-1784	-1946	M	G	0.00	0.00	720.00
0	-1947	-1359	-1707	-1945	M	G	0.00	0.00	720.00
0	-1948	-1839	-1359	-1947	M	G	0.00	0.00	720.00
0	-1946	-1784	-1429	-1949	M	G	0.00	0.00	720.00
0	-1951	-1764	-1405	-1952	M	G	0.00	0.00	720.00
0	-1952	-1405	-1839	-1948	M	G	0.00	0.00	720.00
0	-1949	-1429	-1824	-1953	M	G	0.00	0.00	720.00
0	-1954	-1454	-1875	-1943	M	G	0.00	0.00	720.00
0	-1953	-1824	-1454	-1954	M	G	0.00	0.00	720.00
0	-1944	-1477	-1507	-1955	M	G	0.00	0.00	720.00
0	-1955	-1507	-1727	-1956	M	G	0.00	0.00	720.00
0	-1956	-1727	-2200	-2201	M	G	0.00	0.00	250.00
0	-1958	-1529	-1416	-1959	M	G	0.00	0.00	720.00
0	-1960	-1362	-1529	-1958	M	G	0.00	0.00	720.00
0	-1962	-1521	-1660	-1963	M	G	0.00	0.00	720.00
0	-1963	-1660	-2213	-2212	M	G	0.00	0.00	250.00
0	-1965	-1653	-1521	-1962	M	G	0.00	0.00	720.00
0	-1966	-1674	-1639	-1967	M	G	0.00	0.00	720.00
0	-1967	-1639	-1646	-1968	M	G	0.00	0.00	720.00
0	-1959	-1416	-1895	-1969	M	G	0.00	0.00	720.00
0	-1970	-1667	-1632	-1971	M	G	0.00	0.00	720.00
0	-1968	-1646	-1910	-1972	M	G	0.00	0.00	720.00
0	-1971	-1632	-1674	-1966	M	G	0.00	0.00	720.00
0	-1969	-1895	-1667	-1970	M	G	0.00	0.00	720.00
0	-1972	-1910	-1653	-1965	M	G	0.00	0.00	720.00
0	-1883	-1884	-1842	-1493	M	G	0.00	0.00	720.00
0	-1873	-1943	-1944	-1476	M	G	0.00	0.00	720.00
0	-1833	-2082	-2081	-1466	M	G	0.00	0.00	720.00
0	-1884	-1885	-1494	-1842	M	G	0.00	0.00	720.00
0	-2154	-2153	-1771	-2094	M	G	0.00	0.00	250.00
0	-2152	-2151	-1772	-2092	M	G	0.00	0.00	250.00
0	-2148	-2147	-1774	-2090	M	G	0.00	0.00	250.00
0	-2146	-2145	-1775	-2088	M	G	0.00	0.00	250.00
0	-2166	-2165	-1362	-1960	M	G	0.00	0.00	250.00
0	-2162	-2161	-1764	-1951	M	G	0.00	0.00	250.00
0	-2138	-2137	-1782	-1935	M	G	0.00	0.00	250.00
0	-2134	-2133	-1854	-1932	M	G	0.00	0.00	250.00
0	-2173	-2172	-1682	-1426	M	G	0.00	0.00	250.00
0	-2172	-2171	-1683	-1682	M	G	0.00	0.00	250.00
0	-2171	-2170	-1684	-1683	M	G	0.00	0.00	250.00
0	-2170	-2169	-1352	-1684	M	G	0.00	0.00	250.00
0	-2169	-2168	-1355	-1352	M	G	0.00	0.00	250.00
0	-2168	-2167	-1356	-1355	M	G	0.00	0.00	250.00
0	-2167	-2166	-1960	-1356	M	G	0.00	0.00	250.00
0	-2165	-2164	436	-1362	M	G	0.00	0.00	250.00
0	-2164	-2163	-1763	436	M	G	0.00	0.00	250.00
0	-2136	-2135	-1841	431	M	G	0.00	0.00	250.00
0	-2163	-2162	-1951	-1763	M	G	0.00	0.00	250.00
0	-2161	-2160	-1765	-1764	M	G	0.00	0.00	250.00
0	-2160	-2159	-1766	-1765	M	G	0.00	0.00	250.00
0	-2159	-2158	-1767	-1766	M	G	0.00	0.00	250.00
0	-2158	-2157	-1768	-1767	M	G	0.00	0.00	250.00
0	-2157	-2156	-1769	-1768	M	G	0.00	0.00	250.00

0	-2156	-2155	-1770	-1769	M	G	0.00	0.00	250.00
0	-2155	-2154	-2094	-1770	M	G	0.00	0.00	250.00
0	-2153	-2152	-2092	-1771	M	G	0.00	0.00	250.00
0	-2151	-2150	-1413	-1772	M	G	0.00	0.00	250.00
0	-2150	-2149	-1773	-1413	M	G	0.00	0.00	250.00
0	-2149	-2148	-2090	-1773	M	G	0.00	0.00	250.00
0	-2147	-2146	-2088	-1774	M	G	0.00	0.00	250.00
0	-2145	-2144	-1776	-1775	M	G	0.00	0.00	250.00
0	-2144	-2143	-1777	-1776	M	G	0.00	0.00	250.00
0	-2143	-2142	-1778	-1777	M	G	0.00	0.00	250.00
0	-2142	-2141	-1779	-1778	M	G	0.00	0.00	250.00
0	-2141	-2140	-1780	-1779	M	G	0.00	0.00	250.00
0	-2140	-2139	-1781	-1780	M	G	0.00	0.00	250.00
0	-2139	-2138	-1935	-1781	M	G	0.00	0.00	250.00
0	-2137	-2136	431	-1782	M	G	0.00	0.00	250.00
0	-2135	-2134	-1932	-1841	M	G	0.00	0.00	250.00
0	-2133	-2132	-1855	-1854	M	G	0.00	0.00	250.00
0	-2132	-2131	-1860	-1855	M	G	0.00	0.00	250.00
0	-2131	-2130	-1541	-1860	M	G	0.00	0.00	250.00
0	-2130	-2129	-1542	-1541	M	G	0.00	0.00	250.00
0	-2129	-2128	-1543	-1542	M	G	0.00	0.00	250.00
0	-2128	-2127	-1608	-1543	M	G	0.00	0.00	250.00
0	-1835	-1412	-1469	-1468	M	G	0.00	0.00	720.00
0	-1412	-1410	-1470	-1469	M	G	0.00	0.00	720.00
0	-1410	-1411	-1471	-1470	M	G	0.00	0.00	720.00
0	-1411	-1688	-1472	-1471	M	G	0.00	0.00	720.00
0	-1688	-1691	-1473	-1472	M	G	0.00	0.00	720.00
0	-1691	-1692	-1474	-1473	M	G	0.00	0.00	720.00
0	-1692	-1917	-1918	-1474	M	G	0.00	0.00	720.00
0	-1698	-1534	433	-1475	M	G	0.00	0.00	720.00
0	442	-1706	-1783	-1863	M	G	0.00	0.00	720.00
0	-1706	-1945	-1946	-1783	M	G	0.00	0.00	720.00
0	-1707	-1708	-1785	-1784	M	G	0.00	0.00	720.00
0	-1708	-1709	-1786	-1785	M	G	0.00	0.00	720.00
0	-1709	-1710	-1787	-1786	M	G	0.00	0.00	720.00
0	-1710	-1711	-1788	-1787	M	G	0.00	0.00	720.00
0	-1711	-1712	-1789	-1788	M	G	0.00	0.00	720.00
0	-1712	-1713	-1790	-1789	M	G	0.00	0.00	720.00
0	-1713	-2078	-2077	-1790	M	G	0.00	0.00	720.00
0	-1714	-2076	-2075	-1791	M	G	0.00	0.00	720.00
0	-1715	-1849	-1535	-1792	M	G	0.00	0.00	720.00
0	-1849	-1716	-1793	-1535	M	G	0.00	0.00	720.00
0	-1349	-1350	-1562	-1561	M	G	0.00	0.00	720.00
0	-1350	-1351	-1563	-1562	M	G	0.00	0.00	720.00
0	-1351	-1353	-1564	-1563	M	G	0.00	0.00	720.00
0	-1353	-1354	-1611	-1564	M	G	0.00	0.00	720.00
0	-1357	-1358	-1706	442	M	G	0.00	0.00	720.00
0	-1358	-1947	-1945	-1706	M	G	0.00	0.00	720.00
0	-1359	-1360	-1708	-1707	M	G	0.00	0.00	720.00
0	-1360	-1361	-1709	-1708	M	G	0.00	0.00	720.00
0	-1361	-1368	-1710	-1709	M	G	0.00	0.00	720.00
0	-1368	-1369	-1711	-1710	M	G	0.00	0.00	720.00
0	-1369	-1370	-1712	-1711	M	G	0.00	0.00	720.00
0	-1370	-1371	-1713	-1712	M	G	0.00	0.00	720.00
0	-1371	-2074	-2078	-1713	M	G	0.00	0.00	720.00
0	-1372	-2073	-2076	-1714	M	G	0.00	0.00	720.00
0	-1373	-1374	-1849	-1715	M	G	0.00	0.00	720.00
0	-1374	-1375	-1716	-1849	M	G	0.00	0.00	720.00
0	-1375	-2072	-2070	-1716	M	G	0.00	0.00	720.00
0	-1376	-2068	-2066	-1717	M	G	0.00	0.00	720.00
0	-1377	-1378	-1719	-1718	M	G	0.00	0.00	720.00
0	-1378	-1379	-1720	-1719	M	G	0.00	0.00	720.00
0	-1379	-1380	-1721	-1720	M	G	0.00	0.00	720.00
0	-1380	-1381	-1722	-1721	M	G	0.00	0.00	720.00
0	-1381	-1382	-1723	-1722	M	G	0.00	0.00	720.00
0	-1382	-1383	-1724	-1723	M	G	0.00	0.00	720.00
0	-1383	-1919	-1920	-1724	M	G	0.00	0.00	720.00
0	-1384	-1385	440	-1725	M	G	0.00	0.00	720.00
0	-1571	-1612	-2174	-2175	M	G	0.00	0.00	250.00
0	-1570	-1571	-2175	-2176	M	G	0.00	0.00	250.00
0	-1569	-1570	-2176	-2177	M	G	0.00	0.00	250.00
0	-1566	-1567	-2178	-2179	M	G	0.00	0.00	250.00
0	-1565	-1921	-2180	-2181	M	G	0.00	0.00	250.00
0	-1510	-1509	-1612	-1571	M	G	0.00	0.00	720.00
0	-1511	-1510	-1571	-1570	M	G	0.00	0.00	720.00
0	-1716	-2070	-2064	-1793	M	G	0.00	0.00	720.00
0	-1717	-2066	-2062	-1794	M	G	0.00	0.00	720.00
0	-1718	-1719	-1796	-1795	M	G	0.00	0.00	720.00
0	-1719	-1720	-1797	-1796	M	G	0.00	0.00	720.00

0	-1720	-1721	-1798	-1797	M	G	0.00	0.00	720.00
0	-1721	-1722	-1799	-1798	M	G	0.00	0.00	720.00
0	-1722	-1723	-1800	-1799	M	G	0.00	0.00	720.00
0	-1723	-1724	-1801	-1800	M	G	0.00	0.00	720.00
0	-1724	-1920	-1923	-1801	M	G	0.00	0.00	720.00
0	-1725	440	-1531	-1802	M	G	0.00	0.00	720.00
0	-1838	-1536	-1385	-1384	M	G	0.00	0.00	720.00
0	-1837	-1924	-1919	-1383	M	G	0.00	0.00	720.00
0	-1853	-1837	-1383	-1382	M	G	0.00	0.00	720.00
0	-1852	-1853	-1382	-1381	M	G	0.00	0.00	720.00
0	-1851	-1852	-1381	-1380	M	G	0.00	0.00	720.00
0	-1729	-1730	-2214	-2198	M	G	0.00	0.00	250.00
0	-1730	-1731	-2197	-2214	M	G	0.00	0.00	250.00
0	-1734	-2113	-2215	-2216	M	G	0.00	0.00	250.00
0	-1735	-1847	-2193	-2217	M	G	0.00	0.00	250.00
0	-1739	-1740	-2218	-2187	M	G	0.00	0.00	250.00
0	-1740	-1741	-2186	-2218	M	G	0.00	0.00	250.00
0	-1941	-1745	-2219	-2182	M	G	0.00	0.00	250.00
0	-1745	432	-2203	-2219	M	G	0.00	0.00	250.00
0	-1567	-1568	-2220	-2178	M	G	0.00	0.00	250.00
0	-1568	-1569	-2177	-2220	M	G	0.00	0.00	250.00
0	-2074	-1372	-1714	-2078	M	G	0.00	0.00	720.00
0	-2073	-1373	-1715	-2076	M	G	0.00	0.00	720.00
0	-2072	-1376	-1717	-2070	M	G	0.00	0.00	720.00
0	-2068	-1377	-1718	-2066	M	G	0.00	0.00	720.00
0	-2070	-1717	-1794	-2064	M	G	0.00	0.00	720.00
0	-2066	-1718	-1795	-2062	M	G	0.00	0.00	720.00
0	-2061	-1695	-1377	-2068	M	G	0.00	0.00	720.00
0	-2084	-1694	-1376	-2072	M	G	0.00	0.00	720.00
0	-2085	-1866	-1373	-2073	M	G	0.00	0.00	720.00
0	-2086	-1865	-1372	-2074	M	G	0.00	0.00	720.00
0	-2088	-1775	-1394	-2095	M	G	0.00	0.00	720.00
0	-2090	-1774	-1395	-2096	M	G	0.00	0.00	720.00
0	-2092	-1772	-1397	-2097	M	G	0.00	0.00	720.00
0	-2094	-1771	-1398	-2098	M	G	0.00	0.00	720.00
0	-2095	-1394	-1695	-2061	M	G	0.00	0.00	720.00
0	-2096	-1395	-1694	-2084	M	G	0.00	0.00	720.00
0	-2097	-1397	-1866	-2085	M	G	0.00	0.00	720.00
0	-2098	-1398	-1865	-2086	M	G	0.00	0.00	720.00
0	-2099	-1436	-1831	-1699	M	G	0.00	0.00	720.00
0	-2100	-1438	-1832	-1547	M	G	0.00	0.00	720.00
0	-2101	-1441	-1834	-2082	M	G	0.00	0.00	720.00
0	-2102	-1442	-1835	-2080	M	G	0.00	0.00	720.00
0	-1762	-1464	-1882	-1974	M	G	0.00	0.00	720.00
0	-2083	-1465	-1883	-1911	M	G	0.00	0.00	720.00
0	-2081	-1467	-1886	-2103	M	G	0.00	0.00	720.00
0	-2079	-1468	-1887	-2104	M	G	0.00	0.00	720.00
0	-2077	-1791	-1436	-2099	M	G	0.00	0.00	720.00
0	-2075	-1792	-1438	-2100	M	G	0.00	0.00	720.00
0	-2064	-1794	-1441	-2101	M	G	0.00	0.00	720.00
0	-2062	-1795	-1442	-2102	M	G	0.00	0.00	720.00
0	-2105	-1496	-1488	-2106	M	G	0.00	0.00	720.00
0	-2107	-1495	-1489	-2108	M	G	0.00	0.00	720.00
0	-1912	-1493	-1499	-2109	M	G	0.00	0.00	720.00
0	-1973	-1492	-1500	-2110	M	G	0.00	0.00	720.00
0	-2106	-1488	-1738	-2111	M	G	0.00	0.00	720.00
0	-2108	-1489	-1737	-2112	M	G	0.00	0.00	720.00
0	-2109	-1499	-1735	-2113	M	G	0.00	0.00	720.00
0	-2110	-1500	-1734	-2114	M	G	0.00	0.00	720.00
0	-2111	-1738	-2188	-2189	M	G	0.00	0.00	250.00
0	-2112	-1737	-2190	-2191	M	G	0.00	0.00	250.00
0	-2114	-1734	-2216	-2194	M	G	0.00	0.00	250.00
0	-2103	-1886	-1495	-2107	M	G	0.00	0.00	720.00
0	-2104	-1887	-1496	-2105	M	G	0.00	0.00	720.00
0	-2113	-1735	-2217	-2215	M	G	0.00	0.00	250.00

Elenco carichi elementi bidimensionali
Condizione di carico n. 14: Schema 1 q1dist
Carichi uniformi

Bid.	N1	N2	N3	N4	T	DC	Qx <daN/mq>	Qy <daN/mq>	Qz <daN/mq>
0	-1532	-1833	-1466	-1867	M	G	72.00	0.00	0.00
0	-1832	-1532	-1867	-1465	M	G	72.00	0.00	0.00
0	-1831	-1547	-2083	-1464	M	G	72.00	0.00	0.00
0	-1830	-1699	-1762	-1463	M	G	72.00	0.00	0.00
0	-1829	-1830	-1463	-1462	M	G	72.00	0.00	0.00
0	-1828	-1829	-1462	-1460	M	G	72.00	0.00	0.00
0	-1875	-1876	-1478	-1477	M	G	72.00	0.00	0.00

0	-1876	-1877	-1479	-1478	M	G	72.00	0.00	0.00
0	-1877	-1878	-1480	-1479	M	G	72.00	0.00	0.00
0	-1878	-1879	-1481	-1480	M	G	72.00	0.00	0.00
0	-1879	-1880	-1482	-1481	M	G	72.00	0.00	0.00
0	-1880	-1881	-1491	-1482	M	G	72.00	0.00	0.00
0	-1881	-1974	-1973	-1491	M	G	72.00	0.00	0.00
0	-1882	-1911	-1912	-1492	M	G	72.00	0.00	0.00
0	-1834	-2080	-2079	-1467	M	G	72.00	0.00	0.00
0	-1348	-1349	-1561	-1560	M	G	72.00	0.00	0.00
0	-1347	-1348	-1560	-1559	M	G	72.00	0.00	0.00
0	-1346	-1915	-1916	-1558	M	G	72.00	0.00	0.00
0	-1385	-1346	-1558	440	M	G	72.00	0.00	0.00
0	-1344	-1345	-1572	-1537	M	G	72.00	0.00	0.00
0	-1345	-1913	-1914	-1572	M	G	72.00	0.00	0.00
0	-1343	-1342	-1574	-1573	M	G	72.00	0.00	0.00
0	-1342	-1868	-1575	-1574	M	G	72.00	0.00	0.00
0	-1868	-1869	-1576	-1575	M	G	72.00	0.00	0.00
0	-1869	-1870	-1577	-1576	M	G	72.00	0.00	0.00
0	-1870	-1871	-1578	-1577	M	G	72.00	0.00	0.00
0	-1871	-1872	-1613	-1578	M	G	72.00	0.00	0.00
0	-1874	-1873	-1476	-1848	M	G	72.00	0.00	0.00
0	-1858	-1851	-1380	-1379	M	G	72.00	0.00	0.00
0	-1856	-1858	-1379	-1378	M	G	72.00	0.00	0.00
0	-1695	-1856	-1378	-1377	M	G	72.00	0.00	0.00
0	-1694	-2061	-2068	-1376	M	G	72.00	0.00	0.00
0	-1693	-2084	-2072	-1375	M	G	72.00	0.00	0.00
0	-1862	-1693	-1375	-1374	M	G	72.00	0.00	0.00
0	-1866	-1862	-1374	-1373	M	G	72.00	0.00	0.00
0	-1865	-2085	-2073	-1372	M	G	72.00	0.00	0.00
0	-1864	-2086	-2074	-1371	M	G	72.00	0.00	0.00
0	-1861	-1864	-1371	-1370	M	G	72.00	0.00	0.00
0	-1857	-1861	-1370	-1369	M	G	72.00	0.00	0.00
0	-1845	-1857	-1369	-1368	M	G	72.00	0.00	0.00
0	-1844	-1845	-1368	-1361	M	G	72.00	0.00	0.00
0	-1843	-1844	-1361	-1360	M	G	72.00	0.00	0.00
0	-1839	-1843	-1360	-1359	M	G	72.00	0.00	0.00
0	-1836	-1948	-1947	-1358	M	G	72.00	0.00	0.00
0	-1850	-1836	-1358	-1357	M	G	72.00	0.00	0.00
0	-1863	-1783	-1428	441	M	G	72.00	0.00	0.00
0	-1783	-1946	-1949	-1428	M	G	72.00	0.00	0.00
0	-1784	-1785	-1430	-1429	M	G	72.00	0.00	0.00
0	-1512	-1511	-1570	-1569	M	G	72.00	0.00	0.00
0	-1513	-1512	-1569	-1568	M	G	72.00	0.00	0.00
0	-1514	-1513	-1568	-1567	M	G	72.00	0.00	0.00
0	-1515	-1514	-1567	-1566	M	G	72.00	0.00	0.00
0	-1516	-1925	-1921	-1565	M	G	72.00	0.00	0.00
0	-1578	-1613	-1509	-1510	M	G	72.00	0.00	0.00
0	-1577	-1578	-1510	-1511	M	G	72.00	0.00	0.00
0	-1576	-1577	-1511	-1512	M	G	72.00	0.00	0.00
0	-1575	-1576	-1512	-1513	M	G	72.00	0.00	0.00
0	-1574	-1575	-1513	-1514	M	G	72.00	0.00	0.00
0	-1573	-1574	-1514	-1515	M	G	72.00	0.00	0.00
0	-1572	-1914	-1925	-1516	M	G	72.00	0.00	0.00
0	430	-1551	-1586	-1534	M	G	72.00	0.00	0.00
0	-1551	-1926	-1927	-1586	M	G	72.00	0.00	0.00
0	-1552	-1553	-1588	-1587	M	G	72.00	0.00	0.00
0	-1553	-1554	-1589	-1588	M	G	72.00	0.00	0.00
0	-1554	-1555	-1590	-1589	M	G	72.00	0.00	0.00
0	-1555	-1556	-1591	-1590	M	G	72.00	0.00	0.00
0	-1556	-1557	-1592	-1591	M	G	72.00	0.00	0.00
0	-1557	-1610	-1615	-1592	M	G	72.00	0.00	0.00
0	-1534	-1586	-1579	433	M	G	72.00	0.00	0.00
0	-1586	-1927	-1928	-1579	M	G	72.00	0.00	0.00
0	-1587	-1588	-1581	-1580	M	G	72.00	0.00	0.00
0	-1588	-1589	-1582	-1581	M	G	72.00	0.00	0.00
0	-1589	-1590	-1583	-1582	M	G	72.00	0.00	0.00
0	-1590	-1591	-1584	-1583	M	G	72.00	0.00	0.00
0	-1591	-1592	-1585	-1584	M	G	72.00	0.00	0.00
0	-1592	-1615	-1614	-1585	M	G	72.00	0.00	0.00
0	440	-1558	-1593	-1531	M	G	72.00	0.00	0.00
0	-1558	-1916	-1929	-1593	M	G	72.00	0.00	0.00
0	-1559	-1560	-1595	-1594	M	G	72.00	0.00	0.00
0	-1560	-1561	-1596	-1595	M	G	72.00	0.00	0.00
0	-1561	-1562	-1597	-1596	M	G	72.00	0.00	0.00
0	-1562	-1563	-1598	-1597	M	G	72.00	0.00	0.00
0	-1563	-1564	-1599	-1598	M	G	72.00	0.00	0.00
0	-1564	-1611	-1616	-1599	M	G	72.00	0.00	0.00
0	-1840	-1607	-1354	-1353	M	G	72.00	0.00	0.00
0	-1697	-1840	-1353	-1351	M	G	72.00	0.00	0.00

0	-1696	-1697	-1351	-1350	M	G	72.00	0.00	0.00
0	-1690	-1696	-1350	-1349	M	G	72.00	0.00	0.00
0	-1685	-1690	-1349	-1348	M	G	72.00	0.00	0.00
0	-1414	-1685	-1348	-1347	M	G	72.00	0.00	0.00
0	-1618	-1930	-1915	-1346	M	G	72.00	0.00	0.00
0	-1536	-1618	-1346	-1385	M	G	72.00	0.00	0.00
0	433	-1579	-1345	-1344	M	G	72.00	0.00	0.00
0	-1579	-1928	-1913	-1345	M	G	72.00	0.00	0.00
0	-1580	-1581	-1342	-1343	M	G	72.00	0.00	0.00
0	-1581	-1582	-1868	-1342	M	G	72.00	0.00	0.00
0	-1582	-1583	-1869	-1868	M	G	72.00	0.00	0.00
0	-1583	-1584	-1870	-1869	M	G	72.00	0.00	0.00
0	-1584	-1585	-1871	-1870	M	G	72.00	0.00	0.00
0	-1585	-1614	-1872	-1871	M	G	72.00	0.00	0.00
0	-1531	-1593	-1551	430	M	G	72.00	0.00	0.00
0	-1593	-1929	-1926	-1551	M	G	72.00	0.00	0.00
0	-1594	-1595	-1553	-1552	M	G	72.00	0.00	0.00
0	-1595	-1596	-1554	-1553	M	G	72.00	0.00	0.00
0	-1596	-1597	-1555	-1554	M	G	72.00	0.00	0.00
0	-1597	-1598	-1556	-1555	M	G	72.00	0.00	0.00
0	-1598	-1599	-1557	-1556	M	G	72.00	0.00	0.00
0	-1599	-1616	-1610	-1557	M	G	72.00	0.00	0.00
0	-1408	-1407	-1607	-1840	M	G	72.00	0.00	0.00
0	-1409	-1408	-1840	-1697	M	G	72.00	0.00	0.00
0	-1437	-1409	-1697	-1696	M	G	72.00	0.00	0.00
0	-1440	-1437	-1696	-1690	M	G	72.00	0.00	0.00
0	-1444	-1440	-1690	-1685	M	G	72.00	0.00	0.00
0	-1447	-1444	-1685	-1414	M	G	72.00	0.00	0.00
0	-1451	-1931	-1930	-1618	M	G	72.00	0.00	0.00
0	-1543	-1608	-1407	-1408	M	G	72.00	0.00	0.00
0	-1542	-1543	-1408	-1409	M	G	72.00	0.00	0.00
0	-1541	-1542	-1409	-1437	M	G	72.00	0.00	0.00
0	-1860	-1541	-1437	-1440	M	G	72.00	0.00	0.00
0	-1855	-1860	-1440	-1444	M	G	72.00	0.00	0.00
0	-1854	-1855	-1444	-1447	M	G	72.00	0.00	0.00
0	-1841	-1932	-1931	-1451	M	G	72.00	0.00	0.00
0	-1782	431	438	-1387	M	G	72.00	0.00	0.00
0	-1781	-1935	-1936	-1388	M	G	72.00	0.00	0.00
0	-1780	-1781	-1388	-1389	M	G	72.00	0.00	0.00
0	-1779	-1780	-1389	-1390	M	G	72.00	0.00	0.00
0	-1778	-1779	-1390	-1391	M	G	72.00	0.00	0.00
0	-1777	-1778	-1391	-1392	M	G	72.00	0.00	0.00
0	-1776	-1777	-1392	-1393	M	G	72.00	0.00	0.00
0	-1775	-1776	-1393	-1394	M	G	72.00	0.00	0.00
0	-1774	-2088	-2095	-1395	M	G	72.00	0.00	0.00
0	-1773	-2090	-2096	-1396	M	G	72.00	0.00	0.00
0	-1413	-1773	-1396	-1386	M	G	72.00	0.00	0.00
0	-1772	-1413	-1386	-1397	M	G	72.00	0.00	0.00
0	-1771	-2092	-2097	-1398	M	G	72.00	0.00	0.00
0	-1770	-2094	-2098	-1399	M	G	72.00	0.00	0.00
0	-1769	-1770	-1399	-1400	M	G	72.00	0.00	0.00
0	-1768	-1769	-1400	-1401	M	G	72.00	0.00	0.00
0	-1767	-1768	-1401	-1402	M	G	72.00	0.00	0.00
0	-1766	-1767	-1402	-1403	M	G	72.00	0.00	0.00
0	-1765	-1766	-1403	-1404	M	G	72.00	0.00	0.00
0	-1764	-1765	-1404	-1405	M	G	72.00	0.00	0.00
0	-1763	-1951	-1952	-1406	M	G	72.00	0.00	0.00
0	-1387	438	-1536	-1838	M	G	72.00	0.00	0.00
0	-1388	-1936	-1924	-1837	M	G	72.00	0.00	0.00
0	-1389	-1388	-1837	-1853	M	G	72.00	0.00	0.00
0	-1390	-1389	-1853	-1852	M	G	72.00	0.00	0.00
0	-1391	-1390	-1852	-1851	M	G	72.00	0.00	0.00
0	-1392	-1391	-1851	-1858	M	G	72.00	0.00	0.00
0	-1393	-1392	-1858	-1856	M	G	72.00	0.00	0.00
0	-1394	-1393	-1856	-1695	M	G	72.00	0.00	0.00
0	-1395	-2095	-2061	-1694	M	G	72.00	0.00	0.00
0	-1396	-2096	-2084	-1693	M	G	72.00	0.00	0.00
0	-1386	-1396	-1693	-1862	M	G	72.00	0.00	0.00
0	-1397	-1386	-1862	-1866	M	G	72.00	0.00	0.00
0	-1398	-2097	-2085	-1865	M	G	72.00	0.00	0.00
0	-1399	-2098	-2086	-1864	M	G	72.00	0.00	0.00
0	-1400	-1399	-1864	-1861	M	G	72.00	0.00	0.00
0	-1401	-1400	-1861	-1857	M	G	72.00	0.00	0.00
0	-1402	-1401	-1857	-1845	M	G	72.00	0.00	0.00
0	-1403	-1402	-1845	-1844	M	G	72.00	0.00	0.00
0	-1404	-1403	-1844	-1843	M	G	72.00	0.00	0.00
0	-1405	-1404	-1843	-1839	M	G	72.00	0.00	0.00
0	-1406	-1952	-1948	-1836	M	G	72.00	0.00	0.00
0	441	-1428	-1823	-1859	M	G	72.00	0.00	0.00

0	-1428	-1949	-1953	-1823	M	G	72.00	0.00	0.00
0	-1429	-1430	-1825	-1824	M	G	72.00	0.00	0.00
0	-1430	-1431	-1826	-1825	M	G	72.00	0.00	0.00
0	-1431	-1432	-1827	-1826	M	G	72.00	0.00	0.00
0	-1432	-1433	-1828	-1827	M	G	72.00	0.00	0.00
0	-1433	-1434	-1829	-1828	M	G	72.00	0.00	0.00
0	-1434	-1435	-1830	-1829	M	G	72.00	0.00	0.00
0	-1435	-2099	-1699	-1830	M	G	72.00	0.00	0.00
0	-1436	-2100	-1547	-1831	M	G	72.00	0.00	0.00
0	-1438	-1846	-1532	-1832	M	G	72.00	0.00	0.00
0	-1846	-1439	-1833	-1532	M	G	72.00	0.00	0.00
0	-1439	-2101	-2082	-1833	M	G	72.00	0.00	0.00
0	-1441	-2102	-2080	-1834	M	G	72.00	0.00	0.00
0	-1442	-1443	-1412	-1835	M	G	72.00	0.00	0.00
0	-1443	-1445	-1410	-1412	M	G	72.00	0.00	0.00
0	-1445	-1446	-1411	-1410	M	G	72.00	0.00	0.00
0	-1446	-1448	-1688	-1411	M	G	72.00	0.00	0.00
0	-1448	-1449	-1691	-1688	M	G	72.00	0.00	0.00
0	-1449	-1450	-1692	-1691	M	G	72.00	0.00	0.00
0	-1450	-1937	-1917	-1692	M	G	72.00	0.00	0.00
0	-1452	430	-1534	-1698	M	G	72.00	0.00	0.00
0	439	-1453	-1873	-1874	M	G	72.00	0.00	0.00
0	-1453	-1954	-1943	-1873	M	G	72.00	0.00	0.00
0	-1454	-1455	-1876	-1875	M	G	72.00	0.00	0.00
0	-1455	-1456	-1877	-1876	M	G	72.00	0.00	0.00
0	-1456	-1459	-1878	-1877	M	G	72.00	0.00	0.00
0	-1459	-1460	-1879	-1878	M	G	72.00	0.00	0.00
0	-1460	-1462	-1880	-1879	M	G	72.00	0.00	0.00
0	-1462	-1463	-1881	-1880	M	G	72.00	0.00	0.00
0	-1463	-1762	-1974	-1881	M	G	72.00	0.00	0.00
0	-1464	-2083	-1911	-1882	M	G	72.00	0.00	0.00
0	-1465	-1867	-1884	-1883	M	G	72.00	0.00	0.00
0	-1867	-1466	-1885	-1884	M	G	72.00	0.00	0.00
0	-1466	-2081	-2103	-1885	M	G	72.00	0.00	0.00
0	-1467	-2079	-2104	-1886	M	G	72.00	0.00	0.00
0	-1468	-1469	-1888	-1887	M	G	72.00	0.00	0.00
0	-1469	-1470	-1889	-1888	M	G	72.00	0.00	0.00
0	-1470	-1471	-1890	-1889	M	G	72.00	0.00	0.00
0	-1471	-1472	-1891	-1890	M	G	72.00	0.00	0.00
0	-1472	-1473	-1892	-1891	M	G	72.00	0.00	0.00
0	-1473	-1474	-1893	-1892	M	G	72.00	0.00	0.00
0	-1474	-1918	-1938	-1893	M	G	72.00	0.00	0.00
0	-1475	433	-1344	-1894	M	G	72.00	0.00	0.00
0	-1859	-1823	-1453	439	M	G	72.00	0.00	0.00
0	-1823	-1953	-1954	-1453	M	G	72.00	0.00	0.00
0	-1824	-1825	-1455	-1454	M	G	72.00	0.00	0.00
0	-1825	-1826	-1456	-1455	M	G	72.00	0.00	0.00
0	-1826	-1827	-1459	-1456	M	G	72.00	0.00	0.00
0	-1827	-1828	-1460	-1459	M	G	72.00	0.00	0.00
0	-1785	-1786	-1431	-1430	M	G	72.00	0.00	0.00
0	-1786	-1787	-1432	-1431	M	G	72.00	0.00	0.00
0	-1787	-1788	-1433	-1432	M	G	72.00	0.00	0.00
0	-1788	-1789	-1434	-1433	M	G	72.00	0.00	0.00
0	-1789	-1790	-1435	-1434	M	G	72.00	0.00	0.00
0	-1790	-2077	-2099	-1435	M	G	72.00	0.00	0.00
0	-1791	-2075	-2100	-1436	M	G	72.00	0.00	0.00
0	-1792	-1535	-1846	-1438	M	G	72.00	0.00	0.00
0	-1535	-1793	-1439	-1846	M	G	72.00	0.00	0.00
0	-1793	-2064	-2101	-1439	M	G	72.00	0.00	0.00
0	-1794	-2062	-2102	-1441	M	G	72.00	0.00	0.00
0	-1795	-1796	-1443	-1442	M	G	72.00	0.00	0.00
0	-1796	-1797	-1445	-1443	M	G	72.00	0.00	0.00
0	-1797	-1798	-1446	-1445	M	G	72.00	0.00	0.00
0	-1798	-1799	-1448	-1446	M	G	72.00	0.00	0.00
0	-1799	-1800	-1449	-1448	M	G	72.00	0.00	0.00
0	-1800	-1801	-1450	-1449	M	G	72.00	0.00	0.00
0	-1801	-1923	-1937	-1450	M	G	72.00	0.00	0.00
0	-1705	-1537	437	-1458	M	G	72.00	0.00	0.00
0	-1704	-1939	-1940	-1461	M	G	72.00	0.00	0.00
0	-1703	-1704	-1461	-1483	M	G	72.00	0.00	0.00
0	-1702	-1703	-1483	-1484	M	G	72.00	0.00	0.00
0	-1701	-1702	-1484	-1485	M	G	72.00	0.00	0.00
0	-1700	-1701	-1485	-1486	M	G	72.00	0.00	0.00
0	-1497	-1700	-1486	-1487	M	G	72.00	0.00	0.00
0	-1496	-1497	-1487	-1488	M	G	72.00	0.00	0.00
0	-1495	-2105	-2106	-1489	M	G	72.00	0.00	0.00
0	-1494	-2107	-2108	-1498	M	G	72.00	0.00	0.00
0	-1842	-1494	-1498	-1457	M	G	72.00	0.00	0.00
0	-1493	-1842	-1457	-1499	M	G	72.00	0.00	0.00

0	-1492	-1912	-2109	-1500	M	G	72.00	0.00	0.00
0	-1491	-1973	-2110	-1501	M	G	72.00	0.00	0.00
0	-1482	-1491	-1501	-1502	M	G	72.00	0.00	0.00
0	-1481	-1482	-1502	-1503	M	G	72.00	0.00	0.00
0	-1480	-1481	-1503	-1504	M	G	72.00	0.00	0.00
0	-1479	-1480	-1504	-1505	M	G	72.00	0.00	0.00
0	-1478	-1479	-1505	-1506	M	G	72.00	0.00	0.00
0	-1477	-1478	-1506	-1507	M	G	72.00	0.00	0.00
0	-1476	-1944	-1955	-1508	M	G	72.00	0.00	0.00
0	-1458	437	432	-1745	M	G	72.00	0.00	0.00
0	-1461	-1940	-1941	-1744	M	G	72.00	0.00	0.00
0	-1483	-1461	-1744	-1743	M	G	72.00	0.00	0.00
0	-1484	-1483	-1743	-1742	M	G	72.00	0.00	0.00
0	-1485	-1484	-1742	-1741	M	G	72.00	0.00	0.00
0	-1486	-1485	-1741	-1740	M	G	72.00	0.00	0.00
0	-1487	-1486	-1740	-1739	M	G	72.00	0.00	0.00
0	-1488	-1487	-1739	-1738	M	G	72.00	0.00	0.00
0	-1489	-2106	-2111	-1737	M	G	72.00	0.00	0.00
0	-1498	-2108	-2112	-1736	M	G	72.00	0.00	0.00
0	-1457	-1498	-1736	-1847	M	G	72.00	0.00	0.00
0	-1499	-1457	-1847	-1735	M	G	72.00	0.00	0.00
0	-1500	-2109	-2113	-1734	M	G	72.00	0.00	0.00
0	-1501	-2110	-2114	-1733	M	G	72.00	0.00	0.00
0	-1502	-1501	-1733	-1732	M	G	72.00	0.00	0.00
0	-1503	-1502	-1732	-1731	M	G	72.00	0.00	0.00
0	-1504	-1503	-1731	-1730	M	G	72.00	0.00	0.00
0	-1505	-1504	-1730	-1729	M	G	72.00	0.00	0.00
0	-1506	-1505	-1729	-1728	M	G	72.00	0.00	0.00
0	-1507	-1506	-1728	-1727	M	G	72.00	0.00	0.00
0	-1508	-1955	-1956	-1726	M	G	72.00	0.00	0.00
0	438	-1451	-1618	-1536	M	G	72.00	0.00	0.00
0	431	-1841	-1451	438	M	G	72.00	0.00	0.00
0	436	-1763	-1406	429	M	G	72.00	0.00	0.00
0	429	-1406	-1836	-1850	M	G	72.00	0.00	0.00
0	-1802	-1531	430	-1452	M	G	72.00	0.00	0.00
0	-1537	-1572	-1516	437	M	G	72.00	0.00	0.00
0	-1848	-1476	-1508	435	M	G	72.00	0.00	0.00
0	437	-1516	-1565	432	M	G	72.00	0.00	0.00
0	435	-1508	-1726	434	M	G	72.00	0.00	0.00
0	-1529	429	-1850	-1416	M	G	72.00	0.00	0.00
0	-1530	-1958	-1959	-1415	M	G	72.00	0.00	0.00
0	-1490	-1530	-1415	-1367	M	G	72.00	0.00	0.00
0	-1538	-1490	-1367	-1366	M	G	72.00	0.00	0.00
0	-1525	-1538	-1366	-1365	M	G	72.00	0.00	0.00
0	-1526	-1525	-1365	-1364	M	G	72.00	0.00	0.00
0	-1527	-1526	-1364	-1363	M	G	72.00	0.00	0.00
0	-1528	-1527	-1363	-1427	M	G	72.00	0.00	0.00
0	-1362	436	429	-1529	M	G	72.00	0.00	0.00
0	-1356	-1960	-1958	-1530	M	G	72.00	0.00	0.00
0	-1355	-1356	-1530	-1490	M	G	72.00	0.00	0.00
0	-1352	-1355	-1490	-1538	M	G	72.00	0.00	0.00
0	-1684	-1352	-1538	-1525	M	G	72.00	0.00	0.00
0	-1683	-1684	-1525	-1526	M	G	72.00	0.00	0.00
0	-1682	-1683	-1526	-1527	M	G	72.00	0.00	0.00
0	-1426	-1682	-1527	-1528	M	G	72.00	0.00	0.00
0	-1521	435	434	-1660	M	G	72.00	0.00	0.00
0	-1522	-1962	-1963	-1659	M	G	72.00	0.00	0.00
0	-1523	-1522	-1659	-1658	M	G	72.00	0.00	0.00
0	-1524	-1523	-1658	-1657	M	G	72.00	0.00	0.00
0	-1517	-1524	-1657	-1656	M	G	72.00	0.00	0.00
0	-1518	-1517	-1656	-1655	M	G	72.00	0.00	0.00
0	-1519	-1518	-1655	-1654	M	G	72.00	0.00	0.00
0	-1520	-1519	-1654	-1422	M	G	72.00	0.00	0.00
0	-1653	-1848	435	-1521	M	G	72.00	0.00	0.00
0	-1652	-1965	-1962	-1522	M	G	72.00	0.00	0.00
0	-1651	-1652	-1522	-1523	M	G	72.00	0.00	0.00
0	-1650	-1651	-1523	-1524	M	G	72.00	0.00	0.00
0	-1649	-1650	-1524	-1517	M	G	72.00	0.00	0.00
0	-1648	-1649	-1517	-1518	M	G	72.00	0.00	0.00
0	-1647	-1648	-1518	-1519	M	G	72.00	0.00	0.00
0	-1421	-1647	-1519	-1520	M	G	72.00	0.00	0.00
0	-1424	-1668	-1633	-1419	M	G	72.00	0.00	0.00
0	-1668	-1669	-1634	-1633	M	G	72.00	0.00	0.00
0	-1669	-1670	-1635	-1634	M	G	72.00	0.00	0.00
0	-1670	-1671	-1636	-1635	M	G	72.00	0.00	0.00
0	-1671	-1672	-1637	-1636	M	G	72.00	0.00	0.00
0	-1672	-1673	-1638	-1637	M	G	72.00	0.00	0.00
0	-1673	-1966	-1967	-1638	M	G	72.00	0.00	0.00
0	-1674	441	-1859	-1639	M	G	72.00	0.00	0.00

0	-1419	-1633	-1640	-1420	M	G	72.00	0.00	0.00
0	-1633	-1634	-1641	-1640	M	G	72.00	0.00	0.00
0	-1634	-1635	-1642	-1641	M	G	72.00	0.00	0.00
0	-1635	-1636	-1643	-1642	M	G	72.00	0.00	0.00
0	-1636	-1637	-1644	-1643	M	G	72.00	0.00	0.00
0	-1637	-1638	-1645	-1644	M	G	72.00	0.00	0.00
0	-1638	-1967	-1968	-1645	M	G	72.00	0.00	0.00
0	-1639	-1859	439	-1646	M	G	72.00	0.00	0.00
0	-1416	-1850	-1357	-1895	M	G	72.00	0.00	0.00
0	-1415	-1959	-1969	-1896	M	G	72.00	0.00	0.00
0	-1367	-1415	-1896	-1897	M	G	72.00	0.00	0.00
0	-1366	-1367	-1897	-1898	M	G	72.00	0.00	0.00
0	-1365	-1366	-1898	-1899	M	G	72.00	0.00	0.00
0	-1364	-1365	-1899	-1900	M	G	72.00	0.00	0.00
0	-1363	-1364	-1900	-1901	M	G	72.00	0.00	0.00
0	-1427	-1363	-1901	-1902	M	G	72.00	0.00	0.00
0	-1423	-1661	-1626	-1418	M	G	72.00	0.00	0.00
0	-1661	-1662	-1627	-1626	M	G	72.00	0.00	0.00
0	-1662	-1663	-1628	-1627	M	G	72.00	0.00	0.00
0	-1663	-1664	-1629	-1628	M	G	72.00	0.00	0.00
0	-1664	-1665	-1630	-1629	M	G	72.00	0.00	0.00
0	-1665	-1666	-1631	-1630	M	G	72.00	0.00	0.00
0	-1666	-1970	-1971	-1631	M	G	72.00	0.00	0.00
0	-1667	442	-1863	-1632	M	G	72.00	0.00	0.00
0	-1420	-1640	-1904	-1903	M	G	72.00	0.00	0.00
0	-1640	-1641	-1905	-1904	M	G	72.00	0.00	0.00
0	-1641	-1642	-1906	-1905	M	G	72.00	0.00	0.00
0	-1642	-1643	-1907	-1906	M	G	72.00	0.00	0.00
0	-1643	-1644	-1908	-1907	M	G	72.00	0.00	0.00
0	-1644	-1645	-1909	-1908	M	G	72.00	0.00	0.00
0	-1645	-1968	-1972	-1909	M	G	72.00	0.00	0.00
0	-1646	439	-1874	-1910	M	G	72.00	0.00	0.00
0	-1418	-1626	-1668	-1424	M	G	72.00	0.00	0.00
0	-1626	-1627	-1669	-1668	M	G	72.00	0.00	0.00
0	-1627	-1628	-1670	-1669	M	G	72.00	0.00	0.00
0	-1628	-1629	-1671	-1670	M	G	72.00	0.00	0.00
0	-1629	-1630	-1672	-1671	M	G	72.00	0.00	0.00
0	-1630	-1631	-1673	-1672	M	G	72.00	0.00	0.00
0	-1631	-1971	-1966	-1673	M	G	72.00	0.00	0.00
0	-1632	-1863	441	-1674	M	G	72.00	0.00	0.00
0	-1885	-2103	-2107	-1494	M	G	72.00	0.00	0.00
0	-1886	-2104	-2105	-1495	M	G	72.00	0.00	0.00
0	-1887	-1888	-1497	-1496	M	G	72.00	0.00	0.00
0	-1888	-1889	-1700	-1497	M	G	72.00	0.00	0.00
0	-1889	-1890	-1701	-1700	M	G	72.00	0.00	0.00
0	-1890	-1891	-1702	-1701	M	G	72.00	0.00	0.00
0	-1891	-1892	-1703	-1702	M	G	72.00	0.00	0.00
0	-1892	-1893	-1704	-1703	M	G	72.00	0.00	0.00
0	-1893	-1938	-1939	-1704	M	G	72.00	0.00	0.00
0	-1894	-1344	-1537	-1705	M	G	72.00	0.00	0.00
0	-1895	-1357	442	-1667	M	G	72.00	0.00	0.00
0	-1896	-1969	-1970	-1666	M	G	72.00	0.00	0.00
0	-1897	-1896	-1666	-1665	M	G	72.00	0.00	0.00
0	-1898	-1897	-1665	-1664	M	G	72.00	0.00	0.00
0	-1899	-1898	-1664	-1663	M	G	72.00	0.00	0.00
0	-1900	-1899	-1663	-1662	M	G	72.00	0.00	0.00
0	-1901	-1900	-1662	-1661	M	G	72.00	0.00	0.00
0	-1902	-1901	-1661	-1423	M	G	72.00	0.00	0.00
0	-1903	-1904	-1647	-1421	M	G	72.00	0.00	0.00
0	-1904	-1905	-1648	-1647	M	G	72.00	0.00	0.00
0	-1905	-1906	-1649	-1648	M	G	72.00	0.00	0.00
0	-1906	-1907	-1650	-1649	M	G	72.00	0.00	0.00
0	-1907	-1908	-1651	-1650	M	G	72.00	0.00	0.00
0	-1908	-1909	-1652	-1651	M	G	72.00	0.00	0.00
0	-1909	-1972	-1965	-1652	M	G	72.00	0.00	0.00
0	-1910	-1874	-1848	-1653	M	G	72.00	0.00	0.00
0	-1547	-1832	-1465	-2083	M	G	72.00	0.00	0.00
0	-1699	-1831	-1464	-1762	M	G	72.00	0.00	0.00
0	-1974	-1882	-1492	-1973	M	G	72.00	0.00	0.00
0	-1911	-1883	-1493	-1912	M	G	72.00	0.00	0.00
0	-2076	-1715	-1792	-2075	M	G	72.00	0.00	0.00
0	-2078	-1714	-1791	-2077	M	G	72.00	0.00	0.00
0	-2080	-1835	-1468	-2079	M	G	72.00	0.00	0.00
0	-2082	-1834	-1467	-2081	M	G	72.00	0.00	0.00
0	-1913	-1343	-1573	-1914	M	G	72.00	0.00	0.00
0	-1915	-1347	-1559	-1916	M	G	72.00	0.00	0.00
0	-1917	-1698	-1475	-1918	M	G	72.00	0.00	0.00
0	-1919	-1384	-1725	-1920	M	G	72.00	0.00	0.00
0	-1920	-1725	-1802	-1923	M	G	72.00	0.00	0.00

0	-1924	-1838	-1384	-1919	M	G	72.00	0.00	0.00
0	-1925	-1515	-1566	-1921	M	G	72.00	0.00	0.00
0	-1914	-1573	-1515	-1925	M	G	72.00	0.00	0.00
0	-1926	-1552	-1587	-1927	M	G	72.00	0.00	0.00
0	-1927	-1587	-1580	-1928	M	G	72.00	0.00	0.00
0	-1916	-1559	-1594	-1929	M	G	72.00	0.00	0.00
0	-1930	-1414	-1347	-1915	M	G	72.00	0.00	0.00
0	-1928	-1580	-1343	-1913	M	G	72.00	0.00	0.00
0	-1929	-1594	-1552	-1926	M	G	72.00	0.00	0.00
0	-1931	-1447	-1414	-1930	M	G	72.00	0.00	0.00
0	-1932	-1854	-1447	-1931	M	G	72.00	0.00	0.00
0	-1935	-1782	-1387	-1936	M	G	72.00	0.00	0.00
0	-1936	-1387	-1838	-1924	M	G	72.00	0.00	0.00
0	-1937	-1452	-1698	-1917	M	G	72.00	0.00	0.00
0	-1918	-1475	-1894	-1938	M	G	72.00	0.00	0.00
0	-1923	-1802	-1452	-1937	M	G	72.00	0.00	0.00
0	-1939	-1705	-1458	-1940	M	G	72.00	0.00	0.00
0	-1940	-1458	-1745	-1941	M	G	72.00	0.00	0.00
0	-1938	-1894	-1705	-1939	M	G	72.00	0.00	0.00
0	-1943	-1875	-1477	-1944	M	G	72.00	0.00	0.00
0	-1945	-1707	-1784	-1946	M	G	72.00	0.00	0.00
0	-1947	-1359	-1707	-1945	M	G	72.00	0.00	0.00
0	-1948	-1839	-1359	-1947	M	G	72.00	0.00	0.00
0	-1946	-1784	-1429	-1949	M	G	72.00	0.00	0.00
0	-1951	-1764	-1405	-1952	M	G	72.00	0.00	0.00
0	-1952	-1405	-1839	-1948	M	G	72.00	0.00	0.00
0	-1949	-1429	-1824	-1953	M	G	72.00	0.00	0.00
0	-1954	-1454	-1875	-1943	M	G	72.00	0.00	0.00
0	-1953	-1824	-1454	-1954	M	G	72.00	0.00	0.00
0	-1944	-1477	-1507	-1955	M	G	72.00	0.00	0.00
0	-1955	-1507	-1727	-1956	M	G	72.00	0.00	0.00
0	-1958	-1529	-1416	-1959	M	G	72.00	0.00	0.00
0	-1960	-1362	-1529	-1958	M	G	72.00	0.00	0.00
0	-1962	-1521	-1660	-1963	M	G	72.00	0.00	0.00
0	-1965	-1653	-1521	-1962	M	G	72.00	0.00	0.00
0	-1966	-1674	-1639	-1967	M	G	72.00	0.00	0.00
0	-1967	-1639	-1646	-1968	M	G	72.00	0.00	0.00
0	-1959	-1416	-1895	-1969	M	G	72.00	0.00	0.00
0	-1970	-1667	-1632	-1971	M	G	72.00	0.00	0.00
0	-1968	-1646	-1910	-1972	M	G	72.00	0.00	0.00
0	-1971	-1632	-1674	-1966	M	G	72.00	0.00	0.00
0	-1969	-1895	-1667	-1970	M	G	72.00	0.00	0.00
0	-1972	-1910	-1653	-1965	M	G	72.00	0.00	0.00
0	-1883	-1884	-1842	-1493	M	G	72.00	0.00	0.00
0	-1873	-1943	-1944	-1476	M	G	72.00	0.00	0.00
0	-1833	-2082	-2081	-1466	M	G	72.00	0.00	0.00
0	-1884	-1885	-1494	-1842	M	G	72.00	0.00	0.00
0	-1835	-1412	-1469	-1468	M	G	72.00	0.00	0.00
0	-1412	-1410	-1470	-1469	M	G	72.00	0.00	0.00
0	-1410	-1411	-1471	-1470	M	G	72.00	0.00	0.00
0	-1411	-1688	-1472	-1471	M	G	72.00	0.00	0.00
0	-1688	-1691	-1473	-1472	M	G	72.00	0.00	0.00
0	-1691	-1692	-1474	-1473	M	G	72.00	0.00	0.00
0	-1692	-1917	-1918	-1474	M	G	72.00	0.00	0.00
0	-1698	-1534	433	-1475	M	G	72.00	0.00	0.00
0	442	-1706	-1783	-1863	M	G	72.00	0.00	0.00
0	-1706	-1945	-1946	-1783	M	G	72.00	0.00	0.00
0	-1707	-1708	-1785	-1784	M	G	72.00	0.00	0.00
0	-1708	-1709	-1786	-1785	M	G	72.00	0.00	0.00
0	-1709	-1710	-1787	-1786	M	G	72.00	0.00	0.00
0	-1710	-1711	-1788	-1787	M	G	72.00	0.00	0.00
0	-1711	-1712	-1789	-1788	M	G	72.00	0.00	0.00
0	-1712	-1713	-1790	-1789	M	G	72.00	0.00	0.00
0	-1713	-2078	-2077	-1790	M	G	72.00	0.00	0.00
0	-1714	-2076	-2075	-1791	M	G	72.00	0.00	0.00
0	-1715	-1849	-1535	-1792	M	G	72.00	0.00	0.00
0	-1849	-1716	-1793	-1535	M	G	72.00	0.00	0.00
0	-1349	-1350	-1562	-1561	M	G	72.00	0.00	0.00
0	-1350	-1351	-1563	-1562	M	G	72.00	0.00	0.00
0	-1351	-1353	-1564	-1563	M	G	72.00	0.00	0.00
0	-1353	-1354	-1611	-1564	M	G	72.00	0.00	0.00
0	-1357	-1358	-1706	442	M	G	72.00	0.00	0.00
0	-1358	-1947	-1945	-1706	M	G	72.00	0.00	0.00
0	-1359	-1360	-1708	-1707	M	G	72.00	0.00	0.00
0	-1360	-1361	-1709	-1708	M	G	72.00	0.00	0.00
0	-1361	-1368	-1710	-1709	M	G	72.00	0.00	0.00
0	-1368	-1369	-1711	-1710	M	G	72.00	0.00	0.00
0	-1369	-1370	-1712	-1711	M	G	72.00	0.00	0.00
0	-1370	-1371	-1713	-1712	M	G	72.00	0.00	0.00

0	-1371	-2074	-2078	-1713	M	G	72.00	0.00	0.00
0	-1372	-2073	-2076	-1714	M	G	72.00	0.00	0.00
0	-1373	-1374	-1849	-1715	M	G	72.00	0.00	0.00
0	-1374	-1375	-1716	-1849	M	G	72.00	0.00	0.00
0	-1375	-2072	-2070	-1716	M	G	72.00	0.00	0.00
0	-1376	-2068	-2066	-1717	M	G	72.00	0.00	0.00
0	-1377	-1378	-1719	-1718	M	G	72.00	0.00	0.00
0	-1378	-1379	-1720	-1719	M	G	72.00	0.00	0.00
0	-1379	-1380	-1721	-1720	M	G	72.00	0.00	0.00
0	-1380	-1381	-1722	-1721	M	G	72.00	0.00	0.00
0	-1381	-1382	-1723	-1722	M	G	72.00	0.00	0.00
0	-1382	-1383	-1724	-1723	M	G	72.00	0.00	0.00
0	-1383	-1919	-1920	-1724	M	G	72.00	0.00	0.00
0	-1384	-1385	440	-1725	M	G	72.00	0.00	0.00
0	-1510	-1509	-1612	-1571	M	G	72.00	0.00	0.00
0	-1511	-1510	-1571	-1570	M	G	72.00	0.00	0.00
0	-1716	-2070	-2064	-1793	M	G	72.00	0.00	0.00
0	-1717	-2066	-2062	-1794	M	G	72.00	0.00	0.00
0	-1718	-1719	-1796	-1795	M	G	72.00	0.00	0.00
0	-1719	-1720	-1797	-1796	M	G	72.00	0.00	0.00
0	-1720	-1721	-1798	-1797	M	G	72.00	0.00	0.00
0	-1721	-1722	-1799	-1798	M	G	72.00	0.00	0.00
0	-1722	-1723	-1800	-1799	M	G	72.00	0.00	0.00
0	-1723	-1724	-1801	-1800	M	G	72.00	0.00	0.00
0	-1724	-1920	-1923	-1801	M	G	72.00	0.00	0.00
0	-1725	440	-1531	-1802	M	G	72.00	0.00	0.00
0	-1838	-1536	-1385	-1384	M	G	72.00	0.00	0.00
0	-1837	-1924	-1919	-1383	M	G	72.00	0.00	0.00
0	-1853	-1837	-1383	-1382	M	G	72.00	0.00	0.00
0	-1852	-1853	-1382	-1381	M	G	72.00	0.00	0.00
0	-1851	-1852	-1381	-1380	M	G	72.00	0.00	0.00
0	-2074	-1372	-1714	-2078	M	G	72.00	0.00	0.00
0	-2073	-1373	-1715	-2076	M	G	72.00	0.00	0.00
0	-2072	-1376	-1717	-2070	M	G	72.00	0.00	0.00
0	-2068	-1377	-1718	-2066	M	G	72.00	0.00	0.00
0	-2070	-1717	-1794	-2064	M	G	72.00	0.00	0.00
0	-2066	-1718	-1795	-2062	M	G	72.00	0.00	0.00
0	-2061	-1695	-1377	-2068	M	G	72.00	0.00	0.00
0	-2084	-1694	-1376	-2072	M	G	72.00	0.00	0.00
0	-2085	-1866	-1373	-2073	M	G	72.00	0.00	0.00
0	-2086	-1865	-1372	-2074	M	G	72.00	0.00	0.00
0	-2088	-1775	-1394	-2095	M	G	72.00	0.00	0.00
0	-2090	-1774	-1395	-2096	M	G	72.00	0.00	0.00
0	-2092	-1772	-1397	-2097	M	G	72.00	0.00	0.00
0	-2094	-1771	-1398	-2098	M	G	72.00	0.00	0.00
0	-2095	-1394	-1695	-2061	M	G	72.00	0.00	0.00
0	-2096	-1395	-1694	-2084	M	G	72.00	0.00	0.00
0	-2097	-1397	-1866	-2085	M	G	72.00	0.00	0.00
0	-2098	-1398	-1865	-2086	M	G	72.00	0.00	0.00
0	-2099	-1436	-1831	-1699	M	G	72.00	0.00	0.00
0	-2100	-1438	-1832	-1547	M	G	72.00	0.00	0.00
0	-2101	-1441	-1834	-2082	M	G	72.00	0.00	0.00
0	-2102	-1442	-1835	-2080	M	G	72.00	0.00	0.00
0	-1762	-1464	-1882	-1974	M	G	72.00	0.00	0.00
0	-2083	-1465	-1883	-1911	M	G	72.00	0.00	0.00
0	-2081	-1467	-1886	-2103	M	G	72.00	0.00	0.00
0	-2079	-1468	-1887	-2104	M	G	72.00	0.00	0.00
0	-2077	-1791	-1436	-2099	M	G	72.00	0.00	0.00
0	-2075	-1792	-1438	-2100	M	G	72.00	0.00	0.00
0	-2064	-1794	-1441	-2101	M	G	72.00	0.00	0.00
0	-2062	-1795	-1442	-2102	M	G	72.00	0.00	0.00
0	-2105	-1496	-1488	-2106	M	G	72.00	0.00	0.00
0	-2107	-1495	-1489	-2108	M	G	72.00	0.00	0.00
0	-1912	-1493	-1499	-2109	M	G	72.00	0.00	0.00
0	-1973	-1492	-1500	-2110	M	G	72.00	0.00	0.00
0	-2106	-1488	-1738	-2111	M	G	72.00	0.00	0.00
0	-2108	-1489	-1737	-2112	M	G	72.00	0.00	0.00
0	-2109	-1499	-1735	-2113	M	G	72.00	0.00	0.00
0	-2110	-1500	-1734	-2114	M	G	72.00	0.00	0.00
0	-2103	-1886	-1495	-2107	M	G	72.00	0.00	0.00
0	-2104	-1887	-1496	-2105	M	G	72.00	0.00	0.00

Elenco carichi elementi bidimensionali
Condizione di carico n. 15: q var neve
Carichi uniformi

Bid.	N1	N2	N3	N4	T	DC	Qx <daN/mq>	Qy <daN/mq>	Qz <daN/mq>
0	-1532	-1833	-1466	-1867	M	G	0.00	0.00	48.00

0	-1832	-1532	-1867	-1465	M	G	0.00	0.00	48.00
0	-1831	-1547	-2083	-1464	M	G	0.00	0.00	48.00
0	-1830	-1699	-1762	-1463	M	G	0.00	0.00	48.00
0	-1829	-1830	-1463	-1462	M	G	0.00	0.00	48.00
0	-1828	-1829	-1462	-1460	M	G	0.00	0.00	48.00
0	-1875	-1876	-1478	-1477	M	G	0.00	0.00	48.00
0	-1876	-1877	-1479	-1478	M	G	0.00	0.00	48.00
0	-1877	-1878	-1480	-1479	M	G	0.00	0.00	48.00
0	-1878	-1879	-1481	-1480	M	G	0.00	0.00	48.00
0	-1879	-1880	-1482	-1481	M	G	0.00	0.00	48.00
0	-1880	-1881	-1491	-1482	M	G	0.00	0.00	48.00
0	-1881	-1974	-1973	-1491	M	G	0.00	0.00	48.00
0	-1882	-1911	-1912	-1492	M	G	0.00	0.00	48.00
0	-1834	-2080	-2079	-1467	M	G	0.00	0.00	48.00
0	-1348	-1349	-1561	-1560	M	G	0.00	0.00	48.00
0	-1347	-1348	-1560	-1559	M	G	0.00	0.00	48.00
0	-1346	-1915	-1916	-1558	M	G	0.00	0.00	48.00
0	-1385	-1346	-1558	440	M	G	0.00	0.00	48.00
0	-1344	-1345	-1572	-1537	M	G	0.00	0.00	48.00
0	-1345	-1913	-1914	-1572	M	G	0.00	0.00	48.00
0	-1343	-1342	-1574	-1573	M	G	0.00	0.00	48.00
0	-1342	-1868	-1575	-1574	M	G	0.00	0.00	48.00
0	-1868	-1869	-1576	-1575	M	G	0.00	0.00	48.00
0	-1869	-1870	-1577	-1576	M	G	0.00	0.00	48.00
0	-1870	-1871	-1578	-1577	M	G	0.00	0.00	48.00
0	-1871	-1872	-1613	-1578	M	G	0.00	0.00	48.00
0	-1874	-1873	-1476	-1848	M	G	0.00	0.00	48.00
0	-1858	-1851	-1380	-1379	M	G	0.00	0.00	48.00
0	-1856	-1858	-1379	-1378	M	G	0.00	0.00	48.00
0	-1695	-1856	-1378	-1377	M	G	0.00	0.00	48.00
0	-1694	-2061	-2068	-1376	M	G	0.00	0.00	48.00
0	-1693	-2084	-2072	-1375	M	G	0.00	0.00	48.00
0	-1862	-1693	-1375	-1374	M	G	0.00	0.00	48.00
0	-1866	-1862	-1374	-1373	M	G	0.00	0.00	48.00
0	-1865	-2085	-2073	-1372	M	G	0.00	0.00	48.00
0	-1864	-2086	-2074	-1371	M	G	0.00	0.00	48.00
0	-1861	-1864	-1371	-1370	M	G	0.00	0.00	48.00
0	-1857	-1861	-1370	-1369	M	G	0.00	0.00	48.00
0	-1845	-1857	-1369	-1368	M	G	0.00	0.00	48.00
0	-1844	-1845	-1368	-1361	M	G	0.00	0.00	48.00
0	-1843	-1844	-1361	-1360	M	G	0.00	0.00	48.00
0	-1839	-1843	-1360	-1359	M	G	0.00	0.00	48.00
0	-1836	-1948	-1947	-1358	M	G	0.00	0.00	48.00
0	-1850	-1836	-1358	-1357	M	G	0.00	0.00	48.00
0	-1863	-1783	-1428	441	M	G	0.00	0.00	48.00
0	-1783	-1946	-1949	-1428	M	G	0.00	0.00	48.00
0	-1784	-1785	-1430	-1429	M	G	0.00	0.00	48.00
0	-1512	-1511	-1570	-1569	M	G	0.00	0.00	48.00
0	-1513	-1512	-1569	-1568	M	G	0.00	0.00	48.00
0	-1514	-1513	-1568	-1567	M	G	0.00	0.00	48.00
0	-1515	-1514	-1567	-1566	M	G	0.00	0.00	48.00
0	-1516	-1925	-1921	-1565	M	G	0.00	0.00	48.00
0	-1578	-1613	-1509	-1510	M	G	0.00	0.00	48.00
0	-1577	-1578	-1510	-1511	M	G	0.00	0.00	48.00
0	-1576	-1577	-1511	-1512	M	G	0.00	0.00	48.00
0	-1575	-1576	-1512	-1513	M	G	0.00	0.00	48.00
0	-1574	-1575	-1513	-1514	M	G	0.00	0.00	48.00
0	-1573	-1574	-1514	-1515	M	G	0.00	0.00	48.00
0	-1572	-1914	-1925	-1516	M	G	0.00	0.00	48.00
0	430	-1551	-1586	-1534	M	G	0.00	0.00	48.00
0	-1551	-1926	-1927	-1586	M	G	0.00	0.00	48.00
0	-1552	-1553	-1588	-1587	M	G	0.00	0.00	48.00
0	-1553	-1554	-1589	-1588	M	G	0.00	0.00	48.00
0	-1554	-1555	-1590	-1589	M	G	0.00	0.00	48.00
0	-1555	-1556	-1591	-1590	M	G	0.00	0.00	48.00
0	-1556	-1557	-1592	-1591	M	G	0.00	0.00	48.00
0	-1557	-1610	-1615	-1592	M	G	0.00	0.00	48.00
0	-1534	-1586	-1579	433	M	G	0.00	0.00	48.00
0	-1586	-1927	-1928	-1579	M	G	0.00	0.00	48.00
0	-1587	-1588	-1581	-1580	M	G	0.00	0.00	48.00
0	-1588	-1589	-1582	-1581	M	G	0.00	0.00	48.00
0	-1589	-1590	-1583	-1582	M	G	0.00	0.00	48.00
0	-1590	-1591	-1584	-1583	M	G	0.00	0.00	48.00
0	-1591	-1592	-1585	-1584	M	G	0.00	0.00	48.00
0	-1592	-1615	-1614	-1585	M	G	0.00	0.00	48.00
0	440	-1558	-1593	-1531	M	G	0.00	0.00	48.00
0	-1558	-1916	-1929	-1593	M	G	0.00	0.00	48.00
0	-1559	-1560	-1595	-1594	M	G	0.00	0.00	48.00
0	-1560	-1561	-1596	-1595	M	G	0.00	0.00	48.00

0	-1561	-1562	-1597	-1596	M	G	0.00	0.00	48.00
0	-1562	-1563	-1598	-1597	M	G	0.00	0.00	48.00
0	-1563	-1564	-1599	-1598	M	G	0.00	0.00	48.00
0	-1564	-1611	-1616	-1599	M	G	0.00	0.00	48.00
0	-1840	-1607	-1354	-1353	M	G	0.00	0.00	48.00
0	-1697	-1840	-1353	-1351	M	G	0.00	0.00	48.00
0	-1696	-1697	-1351	-1350	M	G	0.00	0.00	48.00
0	-1690	-1696	-1350	-1349	M	G	0.00	0.00	48.00
0	-1685	-1690	-1349	-1348	M	G	0.00	0.00	48.00
0	-1414	-1685	-1348	-1347	M	G	0.00	0.00	48.00
0	-1618	-1930	-1915	-1346	M	G	0.00	0.00	48.00
0	-1536	-1618	-1346	-1385	M	G	0.00	0.00	48.00
0	433	-1579	-1345	-1344	M	G	0.00	0.00	48.00
0	-1579	-1928	-1913	-1345	M	G	0.00	0.00	48.00
0	-1580	-1581	-1342	-1343	M	G	0.00	0.00	48.00
0	-1581	-1582	-1868	-1342	M	G	0.00	0.00	48.00
0	-1582	-1583	-1869	-1868	M	G	0.00	0.00	48.00
0	-1583	-1584	-1870	-1869	M	G	0.00	0.00	48.00
0	-1584	-1585	-1871	-1870	M	G	0.00	0.00	48.00
0	-1585	-1614	-1872	-1871	M	G	0.00	0.00	48.00
0	-1531	-1593	-1551	430	M	G	0.00	0.00	48.00
0	-1593	-1929	-1926	-1551	M	G	0.00	0.00	48.00
0	-1594	-1595	-1553	-1552	M	G	0.00	0.00	48.00
0	-1595	-1596	-1554	-1553	M	G	0.00	0.00	48.00
0	-1596	-1597	-1555	-1554	M	G	0.00	0.00	48.00
0	-1597	-1598	-1556	-1555	M	G	0.00	0.00	48.00
0	-1598	-1599	-1557	-1556	M	G	0.00	0.00	48.00
0	-1599	-1616	-1610	-1557	M	G	0.00	0.00	48.00
0	-1408	-1407	-1607	-1840	M	G	0.00	0.00	48.00
0	-1409	-1408	-1840	-1697	M	G	0.00	0.00	48.00
0	-1437	-1409	-1697	-1696	M	G	0.00	0.00	48.00
0	-1440	-1437	-1696	-1690	M	G	0.00	0.00	48.00
0	-1444	-1440	-1690	-1685	M	G	0.00	0.00	48.00
0	-1447	-1444	-1685	-1414	M	G	0.00	0.00	48.00
0	-1451	-1931	-1930	-1618	M	G	0.00	0.00	48.00
0	-1543	-1608	-1407	-1408	M	G	0.00	0.00	48.00
0	-1542	-1543	-1408	-1409	M	G	0.00	0.00	48.00
0	-1541	-1542	-1409	-1437	M	G	0.00	0.00	48.00
0	-1860	-1541	-1437	-1440	M	G	0.00	0.00	48.00
0	-1855	-1860	-1440	-1444	M	G	0.00	0.00	48.00
0	-1854	-1855	-1444	-1447	M	G	0.00	0.00	48.00
0	-1841	-1932	-1931	-1451	M	G	0.00	0.00	48.00
0	-1606	-1617	-2127	-2128	M	G	0.00	0.00	48.00
0	-1605	-1606	-2128	-2129	M	G	0.00	0.00	48.00
0	-1604	-1605	-2129	-2130	M	G	0.00	0.00	48.00
0	-1603	-1604	-2130	-2131	M	G	0.00	0.00	48.00
0	-1602	-1603	-2131	-2132	M	G	0.00	0.00	48.00
0	-1601	-1602	-2132	-2133	M	G	0.00	0.00	48.00
0	-1600	-1933	-2134	-2135	M	G	0.00	0.00	48.00
0	-1822	-1539	-2136	-2137	M	G	0.00	0.00	48.00
0	-1821	-1934	-2138	-2139	M	G	0.00	0.00	48.00
0	-1820	-1821	-2139	-2140	M	G	0.00	0.00	48.00
0	-1819	-1820	-2140	-2141	M	G	0.00	0.00	48.00
0	-1818	-1819	-2141	-2142	M	G	0.00	0.00	48.00
0	-1817	-1818	-2142	-2143	M	G	0.00	0.00	48.00
0	-1816	-1817	-2143	-2144	M	G	0.00	0.00	48.00
0	-1815	-1816	-2144	-2145	M	G	0.00	0.00	48.00
0	-1814	-2087	-2146	-2147	M	G	0.00	0.00	48.00
0	-1813	-2089	-2148	-2149	M	G	0.00	0.00	48.00
0	-1533	-1813	-2149	-2150	M	G	0.00	0.00	48.00
0	-1812	-1533	-2150	-2151	M	G	0.00	0.00	48.00
0	-1811	-2091	-2152	-2153	M	G	0.00	0.00	48.00
0	-1810	-2093	-2154	-2155	M	G	0.00	0.00	48.00
0	-1809	-1810	-2155	-2156	M	G	0.00	0.00	48.00
0	-1808	-1809	-2156	-2157	M	G	0.00	0.00	48.00
0	-1807	-1808	-2157	-2158	M	G	0.00	0.00	48.00
0	-1806	-1807	-2158	-2159	M	G	0.00	0.00	48.00
0	-1805	-1806	-2159	-2160	M	G	0.00	0.00	48.00
0	-1804	-1805	-2160	-2161	M	G	0.00	0.00	48.00
0	-1803	-1950	-2162	-2163	M	G	0.00	0.00	48.00
0	-1782	431	438	-1387	M	G	0.00	0.00	48.00
0	-1781	-1935	-1936	-1388	M	G	0.00	0.00	48.00
0	-1780	-1781	-1388	-1389	M	G	0.00	0.00	48.00
0	-1779	-1780	-1389	-1390	M	G	0.00	0.00	48.00
0	-1778	-1779	-1390	-1391	M	G	0.00	0.00	48.00
0	-1777	-1778	-1391	-1392	M	G	0.00	0.00	48.00
0	-1776	-1777	-1392	-1393	M	G	0.00	0.00	48.00
0	-1775	-1776	-1393	-1394	M	G	0.00	0.00	48.00
0	-1774	-2088	-2095	-1395	M	G	0.00	0.00	48.00

0	-1773	-2090	-2096	-1396	M	G	0.00	0.00	48.00
0	-1413	-1773	-1396	-1386	M	G	0.00	0.00	48.00
0	-1772	-1413	-1386	-1397	M	G	0.00	0.00	48.00
0	-1771	-2092	-2097	-1398	M	G	0.00	0.00	48.00
0	-1770	-2094	-2098	-1399	M	G	0.00	0.00	48.00
0	-1769	-1770	-1399	-1400	M	G	0.00	0.00	48.00
0	-1768	-1769	-1400	-1401	M	G	0.00	0.00	48.00
0	-1767	-1768	-1401	-1402	M	G	0.00	0.00	48.00
0	-1766	-1767	-1402	-1403	M	G	0.00	0.00	48.00
0	-1765	-1766	-1403	-1404	M	G	0.00	0.00	48.00
0	-1764	-1765	-1404	-1405	M	G	0.00	0.00	48.00
0	-1763	-1951	-1952	-1406	M	G	0.00	0.00	48.00
0	-1387	438	-1536	-1838	M	G	0.00	0.00	48.00
0	-1388	-1936	-1924	-1837	M	G	0.00	0.00	48.00
0	-1389	-1388	-1837	-1853	M	G	0.00	0.00	48.00
0	-1390	-1389	-1853	-1852	M	G	0.00	0.00	48.00
0	-1391	-1390	-1852	-1851	M	G	0.00	0.00	48.00
0	-1392	-1391	-1851	-1858	M	G	0.00	0.00	48.00
0	-1393	-1392	-1858	-1856	M	G	0.00	0.00	48.00
0	-1394	-1393	-1856	-1695	M	G	0.00	0.00	48.00
0	-1395	-2095	-2061	-1694	M	G	0.00	0.00	48.00
0	-1396	-2096	-2084	-1693	M	G	0.00	0.00	48.00
0	-1386	-1396	-1693	-1862	M	G	0.00	0.00	48.00
0	-1397	-1386	-1862	-1866	M	G	0.00	0.00	48.00
0	-1398	-2097	-2085	-1865	M	G	0.00	0.00	48.00
0	-1399	-2098	-2086	-1864	M	G	0.00	0.00	48.00
0	-1400	-1399	-1864	-1861	M	G	0.00	0.00	48.00
0	-1401	-1400	-1861	-1857	M	G	0.00	0.00	48.00
0	-1402	-1401	-1857	-1845	M	G	0.00	0.00	48.00
0	-1403	-1402	-1845	-1844	M	G	0.00	0.00	48.00
0	-1404	-1403	-1844	-1843	M	G	0.00	0.00	48.00
0	-1405	-1404	-1843	-1839	M	G	0.00	0.00	48.00
0	-1406	-1952	-1948	-1836	M	G	0.00	0.00	48.00
0	441	-1428	-1823	-1859	M	G	0.00	0.00	48.00
0	-1428	-1949	-1953	-1823	M	G	0.00	0.00	48.00
0	-1429	-1430	-1825	-1824	M	G	0.00	0.00	48.00
0	-1430	-1431	-1826	-1825	M	G	0.00	0.00	48.00
0	-1431	-1432	-1827	-1826	M	G	0.00	0.00	48.00
0	-1432	-1433	-1828	-1827	M	G	0.00	0.00	48.00
0	-1433	-1434	-1829	-1828	M	G	0.00	0.00	48.00
0	-1434	-1435	-1830	-1829	M	G	0.00	0.00	48.00
0	-1435	-2099	-1699	-1830	M	G	0.00	0.00	48.00
0	-1436	-2100	-1547	-1831	M	G	0.00	0.00	48.00
0	-1438	-1846	-1532	-1832	M	G	0.00	0.00	48.00
0	-1846	-1439	-1833	-1532	M	G	0.00	0.00	48.00
0	-1439	-2101	-2082	-1833	M	G	0.00	0.00	48.00
0	-1441	-2102	-2080	-1834	M	G	0.00	0.00	48.00
0	-1442	-1443	-1412	-1835	M	G	0.00	0.00	48.00
0	-1443	-1445	-1410	-1412	M	G	0.00	0.00	48.00
0	-1445	-1446	-1411	-1410	M	G	0.00	0.00	48.00
0	-1446	-1448	-1688	-1411	M	G	0.00	0.00	48.00
0	-1448	-1449	-1691	-1688	M	G	0.00	0.00	48.00
0	-1449	-1450	-1692	-1691	M	G	0.00	0.00	48.00
0	-1450	-1937	-1917	-1692	M	G	0.00	0.00	48.00
0	-1452	430	-1534	-1698	M	G	0.00	0.00	48.00
0	439	-1453	-1873	-1874	M	G	0.00	0.00	48.00
0	-1453	-1954	-1943	-1873	M	G	0.00	0.00	48.00
0	-1454	-1455	-1876	-1875	M	G	0.00	0.00	48.00
0	-1455	-1456	-1877	-1876	M	G	0.00	0.00	48.00
0	-1456	-1459	-1878	-1877	M	G	0.00	0.00	48.00
0	-1459	-1460	-1879	-1878	M	G	0.00	0.00	48.00
0	-1460	-1462	-1880	-1879	M	G	0.00	0.00	48.00
0	-1462	-1463	-1881	-1880	M	G	0.00	0.00	48.00
0	-1463	-1762	-1974	-1881	M	G	0.00	0.00	48.00
0	-1464	-2083	-1911	-1882	M	G	0.00	0.00	48.00
0	-1465	-1867	-1884	-1883	M	G	0.00	0.00	48.00
0	-1867	-1466	-1885	-1884	M	G	0.00	0.00	48.00
0	-1466	-2081	-2103	-1885	M	G	0.00	0.00	48.00
0	-1467	-2079	-2104	-1886	M	G	0.00	0.00	48.00
0	-1468	-1469	-1888	-1887	M	G	0.00	0.00	48.00
0	-1469	-1470	-1889	-1888	M	G	0.00	0.00	48.00
0	-1470	-1471	-1890	-1889	M	G	0.00	0.00	48.00
0	-1471	-1472	-1891	-1890	M	G	0.00	0.00	48.00
0	-1472	-1473	-1892	-1891	M	G	0.00	0.00	48.00
0	-1473	-1474	-1893	-1892	M	G	0.00	0.00	48.00
0	-1474	-1918	-1938	-1893	M	G	0.00	0.00	48.00
0	-1475	433	-1344	-1894	M	G	0.00	0.00	48.00
0	-1859	-1823	-1453	439	M	G	0.00	0.00	48.00
0	-1823	-1953	-1954	-1453	M	G	0.00	0.00	48.00

0	-1824	-1825	-1455	-1454	M	G	0.00	0.00	48.00
0	-1825	-1826	-1456	-1455	M	G	0.00	0.00	48.00
0	-1826	-1827	-1459	-1456	M	G	0.00	0.00	48.00
0	-1827	-1828	-1460	-1459	M	G	0.00	0.00	48.00
0	-1785	-1786	-1431	-1430	M	G	0.00	0.00	48.00
0	-1786	-1787	-1432	-1431	M	G	0.00	0.00	48.00
0	-1787	-1788	-1433	-1432	M	G	0.00	0.00	48.00
0	-1788	-1789	-1434	-1433	M	G	0.00	0.00	48.00
0	-1789	-1790	-1435	-1434	M	G	0.00	0.00	48.00
0	-1790	-2077	-2099	-1435	M	G	0.00	0.00	48.00
0	-1791	-2075	-2100	-1436	M	G	0.00	0.00	48.00
0	-1792	-1535	-1846	-1438	M	G	0.00	0.00	48.00
0	-1535	-1793	-1439	-1846	M	G	0.00	0.00	48.00
0	-1793	-2064	-2101	-1439	M	G	0.00	0.00	48.00
0	-1794	-2062	-2102	-1441	M	G	0.00	0.00	48.00
0	-1795	-1796	-1443	-1442	M	G	0.00	0.00	48.00
0	-1796	-1797	-1445	-1443	M	G	0.00	0.00	48.00
0	-1797	-1798	-1446	-1445	M	G	0.00	0.00	48.00
0	-1798	-1799	-1448	-1446	M	G	0.00	0.00	48.00
0	-1799	-1800	-1449	-1448	M	G	0.00	0.00	48.00
0	-1800	-1801	-1450	-1449	M	G	0.00	0.00	48.00
0	-1801	-1923	-1937	-1450	M	G	0.00	0.00	48.00
0	-1705	-1537	437	-1458	M	G	0.00	0.00	48.00
0	-1704	-1939	-1940	-1461	M	G	0.00	0.00	48.00
0	-1703	-1704	-1461	-1483	M	G	0.00	0.00	48.00
0	-1702	-1703	-1483	-1484	M	G	0.00	0.00	48.00
0	-1701	-1702	-1484	-1485	M	G	0.00	0.00	48.00
0	-1700	-1701	-1485	-1486	M	G	0.00	0.00	48.00
0	-1497	-1700	-1486	-1487	M	G	0.00	0.00	48.00
0	-1496	-1497	-1487	-1488	M	G	0.00	0.00	48.00
0	-1495	-2105	-2106	-1489	M	G	0.00	0.00	48.00
0	-1494	-2107	-2108	-1498	M	G	0.00	0.00	48.00
0	-1842	-1494	-1498	-1457	M	G	0.00	0.00	48.00
0	-1493	-1842	-1457	-1499	M	G	0.00	0.00	48.00
0	-1492	-1912	-2109	-1500	M	G	0.00	0.00	48.00
0	-1491	-1973	-2110	-1501	M	G	0.00	0.00	48.00
0	-1482	-1491	-1501	-1502	M	G	0.00	0.00	48.00
0	-1481	-1482	-1502	-1503	M	G	0.00	0.00	48.00
0	-1480	-1481	-1503	-1504	M	G	0.00	0.00	48.00
0	-1479	-1480	-1504	-1505	M	G	0.00	0.00	48.00
0	-1478	-1479	-1505	-1506	M	G	0.00	0.00	48.00
0	-1477	-1478	-1506	-1507	M	G	0.00	0.00	48.00
0	-1476	-1944	-1955	-1508	M	G	0.00	0.00	48.00
0	-1458	437	432	-1745	M	G	0.00	0.00	48.00
0	-1461	-1940	-1941	-1744	M	G	0.00	0.00	48.00
0	-1483	-1461	-1744	-1743	M	G	0.00	0.00	48.00
0	-1484	-1483	-1743	-1742	M	G	0.00	0.00	48.00
0	-1485	-1484	-1742	-1741	M	G	0.00	0.00	48.00
0	-1486	-1485	-1741	-1740	M	G	0.00	0.00	48.00
0	-1487	-1486	-1740	-1739	M	G	0.00	0.00	48.00
0	-1488	-1487	-1739	-1738	M	G	0.00	0.00	48.00
0	-1489	-2106	-2111	-1737	M	G	0.00	0.00	48.00
0	-1498	-2108	-2112	-1736	M	G	0.00	0.00	48.00
0	-1457	-1498	-1736	-1847	M	G	0.00	0.00	48.00
0	-1499	-1457	-1847	-1735	M	G	0.00	0.00	48.00
0	-1500	-2109	-2113	-1734	M	G	0.00	0.00	48.00
0	-1501	-2110	-2114	-1733	M	G	0.00	0.00	48.00
0	-1502	-1501	-1733	-1732	M	G	0.00	0.00	48.00
0	-1503	-1502	-1732	-1731	M	G	0.00	0.00	48.00
0	-1504	-1503	-1731	-1730	M	G	0.00	0.00	48.00
0	-1505	-1504	-1730	-1729	M	G	0.00	0.00	48.00
0	-1506	-1505	-1729	-1728	M	G	0.00	0.00	48.00
0	-1507	-1506	-1728	-1727	M	G	0.00	0.00	48.00
0	-1508	-1955	-1956	-1726	M	G	0.00	0.00	48.00
0	-2069	-1540	-1976	-2013	M	G	0.00	0.00	48.00
0	-1744	-1941	-2182	-2183	M	G	0.00	0.00	48.00
0	-1743	-1744	-2183	-2184	M	G	0.00	0.00	48.00
0	-1742	-1743	-2184	-2185	M	G	0.00	0.00	48.00
0	-1741	-1742	-2185	-2186	M	G	0.00	0.00	48.00
0	-2067	-1758	-2009	-2008	M	G	0.00	0.00	48.00
0	-1757	-2067	-2008	-2007	M	G	0.00	0.00	48.00
0	-1738	-1739	-2187	-2188	M	G	0.00	0.00	48.00
0	-1737	-2111	-2189	-2190	M	G	0.00	0.00	48.00
0	-1736	-2112	-2191	-2192	M	G	0.00	0.00	48.00
0	-1847	-1736	-2192	-2193	M	G	0.00	0.00	48.00
0	-2065	-1689	-1993	-2003	M	G	0.00	0.00	48.00
0	-1753	-2117	-2118	-2002	M	G	0.00	0.00	48.00
0	-1733	-2114	-2194	-2195	M	G	0.00	0.00	48.00
0	-1732	-1733	-2195	-2196	M	G	0.00	0.00	48.00

0	-1731	-1732	-2196	-2197	M	G	0.00	0.00	48.00
0	-2063	-1750	-1999	-1998	M	G	0.00	0.00	48.00
0	-1749	-2063	-1998	-1997	M	G	0.00	0.00	48.00
0	-1728	-1729	-2198	-2199	M	G	0.00	0.00	48.00
0	-1727	-1728	-2199	-2200	M	G	0.00	0.00	48.00
0	-1726	-1956	-2201	-2202	M	G	0.00	0.00	48.00
0	-1539	-1600	-2135	-2136	M	G	0.00	0.00	48.00
0	-1687	-1803	-2163	-2164	M	G	0.00	0.00	48.00
0	438	-1451	-1618	-1536	M	G	0.00	0.00	48.00
0	431	-1841	-1451	438	M	G	0.00	0.00	48.00
0	436	-1763	-1406	429	M	G	0.00	0.00	48.00
0	429	-1406	-1836	-1850	M	G	0.00	0.00	48.00
0	-1802	-1531	430	-1452	M	G	0.00	0.00	48.00
0	-1537	-1572	-1516	437	M	G	0.00	0.00	48.00
0	-1848	-1476	-1508	435	M	G	0.00	0.00	48.00
0	437	-1516	-1565	432	M	G	0.00	0.00	48.00
0	435	-1508	-1726	434	M	G	0.00	0.00	48.00
0	432	-1565	-2181	-2203	M	G	0.00	0.00	48.00
0	434	-1726	-2202	-2204	M	G	0.00	0.00	48.00
0	-1529	429	-1850	-1416	M	G	0.00	0.00	48.00
0	-1530	-1958	-1959	-1415	M	G	0.00	0.00	48.00
0	-1490	-1530	-1415	-1367	M	G	0.00	0.00	48.00
0	-1538	-1490	-1367	-1366	M	G	0.00	0.00	48.00
0	-1525	-1538	-1366	-1365	M	G	0.00	0.00	48.00
0	-1526	-1525	-1365	-1364	M	G	0.00	0.00	48.00
0	-1527	-1526	-1364	-1363	M	G	0.00	0.00	48.00
0	-1528	-1527	-1363	-1427	M	G	0.00	0.00	48.00
0	-1362	436	429	-1529	M	G	0.00	0.00	48.00
0	-1356	-1960	-1958	-1530	M	G	0.00	0.00	48.00
0	-1355	-1356	-1530	-1490	M	G	0.00	0.00	48.00
0	-1352	-1355	-1490	-1538	M	G	0.00	0.00	48.00
0	-1684	-1352	-1538	-1525	M	G	0.00	0.00	48.00
0	-1683	-1684	-1525	-1526	M	G	0.00	0.00	48.00
0	-1682	-1683	-1526	-1527	M	G	0.00	0.00	48.00
0	-1426	-1682	-1527	-1528	M	G	0.00	0.00	48.00
0	-1625	-1687	-2164	-2165	M	G	0.00	0.00	48.00
0	-1624	-1961	-2166	-2167	M	G	0.00	0.00	48.00
0	-1623	-1624	-2167	-2168	M	G	0.00	0.00	48.00
0	-1622	-1623	-2168	-2169	M	G	0.00	0.00	48.00
0	-1621	-1622	-2169	-2170	M	G	0.00	0.00	48.00
0	-1620	-1621	-2170	-2171	M	G	0.00	0.00	48.00
0	-1619	-1620	-2171	-2172	M	G	0.00	0.00	48.00
0	-1417	-1619	-2172	-2173	M	G	0.00	0.00	48.00
0	-1521	435	434	-1660	M	G	0.00	0.00	48.00
0	-1522	-1962	-1963	-1659	M	G	0.00	0.00	48.00
0	-1523	-1522	-1659	-1658	M	G	0.00	0.00	48.00
0	-1524	-1523	-1658	-1657	M	G	0.00	0.00	48.00
0	-1517	-1524	-1657	-1656	M	G	0.00	0.00	48.00
0	-1518	-1517	-1656	-1655	M	G	0.00	0.00	48.00
0	-1519	-1518	-1655	-1654	M	G	0.00	0.00	48.00
0	-1520	-1519	-1654	-1422	M	G	0.00	0.00	48.00
0	-1422	-1654	-2205	-2206	M	G	0.00	0.00	48.00
0	-1654	-1655	-2207	-2205	M	G	0.00	0.00	48.00
0	-1655	-1656	-2208	-2207	M	G	0.00	0.00	48.00
0	-1656	-1657	-2209	-2208	M	G	0.00	0.00	48.00
0	-1657	-1658	-2210	-2209	M	G	0.00	0.00	48.00
0	-1658	-1659	-2211	-2210	M	G	0.00	0.00	48.00
0	-1659	-1963	-2212	-2211	M	G	0.00	0.00	48.00
0	-1653	-1848	435	-1521	M	G	0.00	0.00	48.00
0	-1652	-1965	-1962	-1522	M	G	0.00	0.00	48.00
0	-1651	-1652	-1522	-1523	M	G	0.00	0.00	48.00
0	-1650	-1651	-1523	-1524	M	G	0.00	0.00	48.00
0	-1649	-1650	-1524	-1517	M	G	0.00	0.00	48.00
0	-1648	-1649	-1517	-1518	M	G	0.00	0.00	48.00
0	-1647	-1648	-1518	-1519	M	G	0.00	0.00	48.00
0	-1421	-1647	-1519	-1520	M	G	0.00	0.00	48.00
0	-1424	-1668	-1633	-1419	M	G	0.00	0.00	48.00
0	-1668	-1669	-1634	-1633	M	G	0.00	0.00	48.00
0	-1669	-1670	-1635	-1634	M	G	0.00	0.00	48.00
0	-1670	-1671	-1636	-1635	M	G	0.00	0.00	48.00
0	-1671	-1672	-1637	-1636	M	G	0.00	0.00	48.00
0	-1672	-1673	-1638	-1637	M	G	0.00	0.00	48.00
0	-1673	-1966	-1967	-1638	M	G	0.00	0.00	48.00
0	-1674	441	-1859	-1639	M	G	0.00	0.00	48.00
0	-1419	-1633	-1640	-1420	M	G	0.00	0.00	48.00
0	-1633	-1634	-1641	-1640	M	G	0.00	0.00	48.00
0	-1634	-1635	-1642	-1641	M	G	0.00	0.00	48.00
0	-1635	-1636	-1643	-1642	M	G	0.00	0.00	48.00
0	-1636	-1637	-1644	-1643	M	G	0.00	0.00	48.00

0	-1637	-1638	-1645	-1644	M	G	0.00	0.00	48.00
0	-1638	-1967	-1968	-1645	M	G	0.00	0.00	48.00
0	-1639	-1859	439	-1646	M	G	0.00	0.00	48.00
0	-1416	-1850	-1357	-1895	M	G	0.00	0.00	48.00
0	-1415	-1959	-1969	-1896	M	G	0.00	0.00	48.00
0	-1367	-1415	-1896	-1897	M	G	0.00	0.00	48.00
0	-1366	-1367	-1897	-1898	M	G	0.00	0.00	48.00
0	-1365	-1366	-1898	-1899	M	G	0.00	0.00	48.00
0	-1364	-1365	-1899	-1900	M	G	0.00	0.00	48.00
0	-1363	-1364	-1900	-1901	M	G	0.00	0.00	48.00
0	-1427	-1363	-1901	-1902	M	G	0.00	0.00	48.00
0	-1423	-1661	-1626	-1418	M	G	0.00	0.00	48.00
0	-1661	-1662	-1627	-1626	M	G	0.00	0.00	48.00
0	-1662	-1663	-1628	-1627	M	G	0.00	0.00	48.00
0	-1663	-1664	-1629	-1628	M	G	0.00	0.00	48.00
0	-1664	-1665	-1630	-1629	M	G	0.00	0.00	48.00
0	-1665	-1666	-1631	-1630	M	G	0.00	0.00	48.00
0	-1666	-1970	-1971	-1631	M	G	0.00	0.00	48.00
0	-1667	442	-1863	-1632	M	G	0.00	0.00	48.00
0	-1420	-1640	-1904	-1903	M	G	0.00	0.00	48.00
0	-1640	-1641	-1905	-1904	M	G	0.00	0.00	48.00
0	-1641	-1642	-1906	-1905	M	G	0.00	0.00	48.00
0	-1642	-1643	-1907	-1906	M	G	0.00	0.00	48.00
0	-1643	-1644	-1908	-1907	M	G	0.00	0.00	48.00
0	-1644	-1645	-1909	-1908	M	G	0.00	0.00	48.00
0	-1645	-1968	-1972	-1909	M	G	0.00	0.00	48.00
0	-1646	439	-1874	-1910	M	G	0.00	0.00	48.00
0	-1418	-1626	-1668	-1424	M	G	0.00	0.00	48.00
0	-1626	-1627	-1669	-1668	M	G	0.00	0.00	48.00
0	-1627	-1628	-1670	-1669	M	G	0.00	0.00	48.00
0	-1628	-1629	-1671	-1670	M	G	0.00	0.00	48.00
0	-1629	-1630	-1672	-1671	M	G	0.00	0.00	48.00
0	-1630	-1631	-1673	-1672	M	G	0.00	0.00	48.00
0	-1631	-1971	-1966	-1673	M	G	0.00	0.00	48.00
0	-1660	434	-2204	-2213	M	G	0.00	0.00	48.00
0	-1632	-1863	441	-1674	M	G	0.00	0.00	48.00
0	-1885	-2103	-2107	-1494	M	G	0.00	0.00	48.00
0	-1886	-2104	-2105	-1495	M	G	0.00	0.00	48.00
0	-1887	-1888	-1497	-1496	M	G	0.00	0.00	48.00
0	-1888	-1889	-1700	-1497	M	G	0.00	0.00	48.00
0	-1889	-1890	-1701	-1700	M	G	0.00	0.00	48.00
0	-1890	-1891	-1702	-1701	M	G	0.00	0.00	48.00
0	-1891	-1892	-1703	-1702	M	G	0.00	0.00	48.00
0	-1892	-1893	-1704	-1703	M	G	0.00	0.00	48.00
0	-1893	-1938	-1939	-1704	M	G	0.00	0.00	48.00
0	-1894	-1344	-1537	-1705	M	G	0.00	0.00	48.00
0	-1895	-1357	442	-1667	M	G	0.00	0.00	48.00
0	-1896	-1969	-1970	-1666	M	G	0.00	0.00	48.00
0	-1897	-1896	-1666	-1665	M	G	0.00	0.00	48.00
0	-1898	-1897	-1665	-1664	M	G	0.00	0.00	48.00
0	-1899	-1898	-1664	-1663	M	G	0.00	0.00	48.00
0	-1900	-1899	-1663	-1662	M	G	0.00	0.00	48.00
0	-1901	-1900	-1662	-1661	M	G	0.00	0.00	48.00
0	-1902	-1901	-1661	-1423	M	G	0.00	0.00	48.00
0	-1903	-1904	-1647	-1421	M	G	0.00	0.00	48.00
0	-1904	-1905	-1648	-1647	M	G	0.00	0.00	48.00
0	-1905	-1906	-1649	-1648	M	G	0.00	0.00	48.00
0	-1906	-1907	-1650	-1649	M	G	0.00	0.00	48.00
0	-1907	-1908	-1651	-1650	M	G	0.00	0.00	48.00
0	-1908	-1909	-1652	-1651	M	G	0.00	0.00	48.00
0	-1909	-1972	-1965	-1652	M	G	0.00	0.00	48.00
0	-1910	-1874	-1848	-1653	M	G	0.00	0.00	48.00
0	-1547	-1832	-1465	-2083	M	G	0.00	0.00	48.00
0	-1699	-1831	-1464	-1762	M	G	0.00	0.00	48.00
0	-1974	-1882	-1492	-1973	M	G	0.00	0.00	48.00
0	-1911	-1883	-1493	-1912	M	G	0.00	0.00	48.00
0	-2076	-1715	-1792	-2075	M	G	0.00	0.00	48.00
0	-2078	-1714	-1791	-2077	M	G	0.00	0.00	48.00
0	-2080	-1835	-1468	-2079	M	G	0.00	0.00	48.00
0	-2082	-1834	-1467	-2081	M	G	0.00	0.00	48.00
0	-1913	-1343	-1573	-1914	M	G	0.00	0.00	48.00
0	-1915	-1347	-1559	-1916	M	G	0.00	0.00	48.00
0	-1917	-1698	-1475	-1918	M	G	0.00	0.00	48.00
0	-1919	-1384	-1725	-1920	M	G	0.00	0.00	48.00
0	-1921	-1566	-2179	-2180	M	G	0.00	0.00	48.00
0	-1920	-1725	-1802	-1923	M	G	0.00	0.00	48.00
0	-1924	-1838	-1384	-1919	M	G	0.00	0.00	48.00
0	-1925	-1515	-1566	-1921	M	G	0.00	0.00	48.00
0	-1914	-1573	-1515	-1925	M	G	0.00	0.00	48.00

0	-1926	-1552	-1587	-1927	M	G	0.00	0.00	48.00
0	-1927	-1587	-1580	-1928	M	G	0.00	0.00	48.00
0	-1916	-1559	-1594	-1929	M	G	0.00	0.00	48.00
0	-1930	-1414	-1347	-1915	M	G	0.00	0.00	48.00
0	-1928	-1580	-1343	-1913	M	G	0.00	0.00	48.00
0	-1929	-1594	-1552	-1926	M	G	0.00	0.00	48.00
0	-1931	-1447	-1414	-1930	M	G	0.00	0.00	48.00
0	-1932	-1854	-1447	-1931	M	G	0.00	0.00	48.00
0	-1933	-1601	-2133	-2134	M	G	0.00	0.00	48.00
0	-1934	-1822	-2137	-2138	M	G	0.00	0.00	48.00
0	-1935	-1782	-1387	-1936	M	G	0.00	0.00	48.00
0	-1936	-1387	-1838	-1924	M	G	0.00	0.00	48.00
0	-1937	-1452	-1698	-1917	M	G	0.00	0.00	48.00
0	-1918	-1475	-1894	-1938	M	G	0.00	0.00	48.00
0	-1923	-1802	-1452	-1937	M	G	0.00	0.00	48.00
0	-1939	-1705	-1458	-1940	M	G	0.00	0.00	48.00
0	-1940	-1458	-1745	-1941	M	G	0.00	0.00	48.00
0	-1942	-2069	-2013	-2015	M	G	0.00	0.00	48.00
0	-1938	-1894	-1705	-1939	M	G	0.00	0.00	48.00
0	-1943	-1875	-1477	-1944	M	G	0.00	0.00	48.00
0	-1945	-1707	-1784	-1946	M	G	0.00	0.00	48.00
0	-1947	-1359	-1707	-1945	M	G	0.00	0.00	48.00
0	-1948	-1839	-1359	-1947	M	G	0.00	0.00	48.00
0	-1946	-1784	-1429	-1949	M	G	0.00	0.00	48.00
0	-1950	-1804	-2161	-2162	M	G	0.00	0.00	48.00
0	-1951	-1764	-1405	-1952	M	G	0.00	0.00	48.00
0	-1952	-1405	-1839	-1948	M	G	0.00	0.00	48.00
0	-1949	-1429	-1824	-1953	M	G	0.00	0.00	48.00
0	-1954	-1454	-1875	-1943	M	G	0.00	0.00	48.00
0	-1953	-1824	-1454	-1954	M	G	0.00	0.00	48.00
0	-1944	-1477	-1507	-1955	M	G	0.00	0.00	48.00
0	-1955	-1507	-1727	-1956	M	G	0.00	0.00	48.00
0	-1956	-1727	-2200	-2201	M	G	0.00	0.00	48.00
0	-1958	-1529	-1416	-1959	M	G	0.00	0.00	48.00
0	-1960	-1362	-1529	-1958	M	G	0.00	0.00	48.00
0	-1961	-1625	-2165	-2166	M	G	0.00	0.00	48.00
0	-1962	-1521	-1660	-1963	M	G	0.00	0.00	48.00
0	-1963	-1660	-2213	-2212	M	G	0.00	0.00	48.00
0	-1965	-1653	-1521	-1962	M	G	0.00	0.00	48.00
0	-1966	-1674	-1639	-1967	M	G	0.00	0.00	48.00
0	-1967	-1639	-1646	-1968	M	G	0.00	0.00	48.00
0	-1959	-1416	-1895	-1969	M	G	0.00	0.00	48.00
0	-1970	-1667	-1632	-1971	M	G	0.00	0.00	48.00
0	-1968	-1646	-1910	-1972	M	G	0.00	0.00	48.00
0	-1971	-1632	-1674	-1966	M	G	0.00	0.00	48.00
0	-1969	-1895	-1667	-1970	M	G	0.00	0.00	48.00
0	-1972	-1910	-1653	-1965	M	G	0.00	0.00	48.00
0	-2036	-2037	-1803	-1687	M	G	0.00	0.00	48.00
0	-2020	-2021	-1600	-1539	M	G	0.00	0.00	48.00
0	-1883	-1884	-1842	-1493	M	G	0.00	0.00	48.00
0	-1873	-1943	-1944	-1476	M	G	0.00	0.00	48.00
0	-1833	-2082	-2081	-1466	M	G	0.00	0.00	48.00
0	-1884	-1885	-1494	-1842	M	G	0.00	0.00	48.00
0	-2215	-2217	-2065	-2117	M	G	0.00	0.00	48.00
0	-2194	-2216	-1753	-2119	M	G	0.00	0.00	48.00
0	-2191	-2190	-1755	-2116	M	G	0.00	0.00	48.00
0	-2189	-2188	-1756	-2115	M	G	0.00	0.00	48.00
0	-2220	-2177	-1548	-2071	M	G	0.00	0.00	48.00
0	-2178	-2220	-2071	-1546	M	G	0.00	0.00	48.00
0	-2219	-2203	-1540	-2069	M	G	0.00	0.00	48.00
0	-2182	-2219	-2069	-1942	M	G	0.00	0.00	48.00
0	-2218	-2186	-1758	-2067	M	G	0.00	0.00	48.00
0	-2187	-2218	-2067	-1757	M	G	0.00	0.00	48.00
0	-2217	-2193	-1689	-2065	M	G	0.00	0.00	48.00
0	-2216	-2215	-2117	-1753	M	G	0.00	0.00	48.00
0	-2214	-2197	-1750	-2063	M	G	0.00	0.00	48.00
0	-2198	-2214	-2063	-1749	M	G	0.00	0.00	48.00
0	-2212	-2213	-1681	-1964	M	G	0.00	0.00	48.00
0	-2201	-2200	-1747	-1957	M	G	0.00	0.00	48.00
0	-2180	-2179	-1545	-1922	M	G	0.00	0.00	48.00
0	-2213	-2204	-1686	-1681	M	G	0.00	0.00	48.00
0	-2211	-2212	-1964	-1680	M	G	0.00	0.00	48.00
0	-2210	-2211	-1680	-1679	M	G	0.00	0.00	48.00
0	-2209	-2210	-1679	-1678	M	G	0.00	0.00	48.00
0	-2208	-2209	-1678	-1677	M	G	0.00	0.00	48.00
0	-2207	-2208	-1677	-1676	M	G	0.00	0.00	48.00
0	-2205	-2207	-1676	-1675	M	G	0.00	0.00	48.00
0	-2206	-2205	-1675	-1425	M	G	0.00	0.00	48.00
0	-2204	-2202	-1746	-1686	M	G	0.00	0.00	48.00

0	-2203	-2181	-1544	-1540	M	G	0.00	0.00	48.00
0	-2202	-2201	-1957	-1746	M	G	0.00	0.00	48.00
0	-2200	-2199	-1748	-1747	M	G	0.00	0.00	48.00
0	-2199	-2198	-1749	-1748	M	G	0.00	0.00	48.00
0	-2197	-2196	-1751	-1750	M	G	0.00	0.00	48.00
0	-2196	-2195	-1752	-1751	M	G	0.00	0.00	48.00
0	-2195	-2194	-2119	-1752	M	G	0.00	0.00	48.00
0	-2193	-2192	-1754	-1689	M	G	0.00	0.00	48.00
0	-2192	-2191	-2116	-1754	M	G	0.00	0.00	48.00
0	-2190	-2189	-2115	-1755	M	G	0.00	0.00	48.00
0	-2188	-2187	-1757	-1756	M	G	0.00	0.00	48.00
0	-2186	-2185	-1759	-1758	M	G	0.00	0.00	48.00
0	-2185	-2184	-1760	-1759	M	G	0.00	0.00	48.00
0	-2184	-2183	-1761	-1760	M	G	0.00	0.00	48.00
0	-2183	-2182	-1942	-1761	M	G	0.00	0.00	48.00
0	-2181	-2180	-1922	-1544	M	G	0.00	0.00	48.00
0	-2179	-2178	-1546	-1545	M	G	0.00	0.00	48.00
0	-2177	-2176	-1549	-1548	M	G	0.00	0.00	48.00
0	-2176	-2175	-1550	-1549	M	G	0.00	0.00	48.00
0	-2175	-2174	-1609	-1550	M	G	0.00	0.00	48.00
0	-2154	-2153	-1771	-2094	M	G	0.00	0.00	48.00
0	-2152	-2151	-1772	-2092	M	G	0.00	0.00	48.00
0	-2148	-2147	-1774	-2090	M	G	0.00	0.00	48.00
0	-2146	-2145	-1775	-2088	M	G	0.00	0.00	48.00
0	-2166	-2165	-1362	-1960	M	G	0.00	0.00	48.00
0	-2162	-2161	-1764	-1951	M	G	0.00	0.00	48.00
0	-2138	-2137	-1782	-1935	M	G	0.00	0.00	48.00
0	-2134	-2133	-1854	-1932	M	G	0.00	0.00	48.00
0	-2173	-2172	-1682	-1426	M	G	0.00	0.00	48.00
0	-2172	-2171	-1683	-1682	M	G	0.00	0.00	48.00
0	-2171	-2170	-1684	-1683	M	G	0.00	0.00	48.00
0	-2170	-2169	-1352	-1684	M	G	0.00	0.00	48.00
0	-2169	-2168	-1355	-1352	M	G	0.00	0.00	48.00
0	-2168	-2167	-1356	-1355	M	G	0.00	0.00	48.00
0	-2167	-2166	-1960	-1356	M	G	0.00	0.00	48.00
0	-2165	-2164	436	-1362	M	G	0.00	0.00	48.00
0	-2164	-2163	-1763	436	M	G	0.00	0.00	48.00
0	-2136	-2135	-1841	431	M	G	0.00	0.00	48.00
0	-2163	-2162	-1951	-1763	M	G	0.00	0.00	48.00
0	-2161	-2160	-1765	-1764	M	G	0.00	0.00	48.00
0	-2160	-2159	-1766	-1765	M	G	0.00	0.00	48.00
0	-2159	-2158	-1767	-1766	M	G	0.00	0.00	48.00
0	-2158	-2157	-1768	-1767	M	G	0.00	0.00	48.00
0	-2157	-2156	-1769	-1768	M	G	0.00	0.00	48.00
0	-2156	-2155	-1770	-1769	M	G	0.00	0.00	48.00
0	-2155	-2154	-2094	-1770	M	G	0.00	0.00	48.00
0	-2153	-2152	-2092	-1771	M	G	0.00	0.00	48.00
0	-2151	-2150	-1413	-1772	M	G	0.00	0.00	48.00
0	-2150	-2149	-1773	-1413	M	G	0.00	0.00	48.00
0	-2149	-2148	-2090	-1773	M	G	0.00	0.00	48.00
0	-2147	-2146	-2088	-1774	M	G	0.00	0.00	48.00
0	-2145	-2144	-1776	-1775	M	G	0.00	0.00	48.00
0	-2144	-2143	-1777	-1776	M	G	0.00	0.00	48.00
0	-2143	-2142	-1778	-1777	M	G	0.00	0.00	48.00
0	-2142	-2141	-1779	-1778	M	G	0.00	0.00	48.00
0	-2141	-2140	-1780	-1779	M	G	0.00	0.00	48.00
0	-2140	-2139	-1781	-1780	M	G	0.00	0.00	48.00
0	-2139	-2138	-1935	-1781	M	G	0.00	0.00	48.00
0	-2137	-2136	431	-1782	M	G	0.00	0.00	48.00
0	-2135	-2134	-1932	-1841	M	G	0.00	0.00	48.00
0	-2133	-2132	-1855	-1854	M	G	0.00	0.00	48.00
0	-2132	-2131	-1860	-1855	M	G	0.00	0.00	48.00
0	-2131	-2130	-1541	-1860	M	G	0.00	0.00	48.00
0	-2130	-2129	-1542	-1541	M	G	0.00	0.00	48.00
0	-2129	-2128	-1543	-1542	M	G	0.00	0.00	48.00
0	-2128	-2127	-1608	-1543	M	G	0.00	0.00	48.00
0	-1835	-1412	-1469	-1468	M	G	0.00	0.00	48.00
0	-1412	-1410	-1470	-1469	M	G	0.00	0.00	48.00
0	-1410	-1411	-1471	-1470	M	G	0.00	0.00	48.00
0	-1411	-1688	-1472	-1471	M	G	0.00	0.00	48.00
0	-1688	-1691	-1473	-1472	M	G	0.00	0.00	48.00
0	-1691	-1692	-1474	-1473	M	G	0.00	0.00	48.00
0	-1692	-1917	-1918	-1474	M	G	0.00	0.00	48.00
0	-1698	-1534	433	-1475	M	G	0.00	0.00	48.00
0	442	-1706	-1783	-1863	M	G	0.00	0.00	48.00
0	-1706	-1945	-1946	-1783	M	G	0.00	0.00	48.00
0	-1707	-1708	-1785	-1784	M	G	0.00	0.00	48.00
0	-1708	-1709	-1786	-1785	M	G	0.00	0.00	48.00
0	-1709	-1710	-1787	-1786	M	G	0.00	0.00	48.00

0	-1710	-1711	-1788	-1787	M	G	0.00	0.00	48.00
0	-1711	-1712	-1789	-1788	M	G	0.00	0.00	48.00
0	-1712	-1713	-1790	-1789	M	G	0.00	0.00	48.00
0	-1713	-2078	-2077	-1790	M	G	0.00	0.00	48.00
0	-1714	-2076	-2075	-1791	M	G	0.00	0.00	48.00
0	-1715	-1849	-1535	-1792	M	G	0.00	0.00	48.00
0	-1849	-1716	-1793	-1535	M	G	0.00	0.00	48.00
0	-1349	-1350	-1562	-1561	M	G	0.00	0.00	48.00
0	-1350	-1351	-1563	-1562	M	G	0.00	0.00	48.00
0	-1351	-1353	-1564	-1563	M	G	0.00	0.00	48.00
0	-1353	-1354	-1611	-1564	M	G	0.00	0.00	48.00
0	-1357	-1358	-1706	442	M	G	0.00	0.00	48.00
0	-1358	-1947	-1945	-1706	M	G	0.00	0.00	48.00
0	-1359	-1360	-1708	-1707	M	G	0.00	0.00	48.00
0	-1360	-1361	-1709	-1708	M	G	0.00	0.00	48.00
0	-1361	-1368	-1710	-1709	M	G	0.00	0.00	48.00
0	-1368	-1369	-1711	-1710	M	G	0.00	0.00	48.00
0	-1369	-1370	-1712	-1711	M	G	0.00	0.00	48.00
0	-1370	-1371	-1713	-1712	M	G	0.00	0.00	48.00
0	-1371	-2074	-2078	-1713	M	G	0.00	0.00	48.00
0	-1372	-2073	-2076	-1714	M	G	0.00	0.00	48.00
0	-1373	-1374	-1849	-1715	M	G	0.00	0.00	48.00
0	-1374	-1375	-1716	-1849	M	G	0.00	0.00	48.00
0	-1375	-2072	-2070	-1716	M	G	0.00	0.00	48.00
0	-1376	-2068	-2066	-1717	M	G	0.00	0.00	48.00
0	-1377	-1378	-1719	-1718	M	G	0.00	0.00	48.00
0	-1378	-1379	-1720	-1719	M	G	0.00	0.00	48.00
0	-1379	-1380	-1721	-1720	M	G	0.00	0.00	48.00
0	-1380	-1381	-1722	-1721	M	G	0.00	0.00	48.00
0	-1381	-1382	-1723	-1722	M	G	0.00	0.00	48.00
0	-1382	-1383	-1724	-1723	M	G	0.00	0.00	48.00
0	-1383	-1919	-1920	-1724	M	G	0.00	0.00	48.00
0	-1384	-1385	440	-1725	M	G	0.00	0.00	48.00
0	-1571	-1612	-2174	-2175	M	G	0.00	0.00	48.00
0	-1570	-1571	-2175	-2176	M	G	0.00	0.00	48.00
0	-1569	-1570	-2176	-2177	M	G	0.00	0.00	48.00
0	-2071	-1548	-1981	-1980	M	G	0.00	0.00	48.00
0	-1546	-2071	-1980	-1979	M	G	0.00	0.00	48.00
0	-1566	-1567	-2178	-2179	M	G	0.00	0.00	48.00
0	-1565	-1921	-2180	-2181	M	G	0.00	0.00	48.00
0	-1510	-1509	-1612	-1571	M	G	0.00	0.00	48.00
0	-1511	-1510	-1571	-1570	M	G	0.00	0.00	48.00
0	-1716	-2070	-2064	-1793	M	G	0.00	0.00	48.00
0	-1717	-2066	-2062	-1794	M	G	0.00	0.00	48.00
0	-1718	-1719	-1796	-1795	M	G	0.00	0.00	48.00
0	-1719	-1720	-1797	-1796	M	G	0.00	0.00	48.00
0	-1720	-1721	-1798	-1797	M	G	0.00	0.00	48.00
0	-1721	-1722	-1799	-1798	M	G	0.00	0.00	48.00
0	-1722	-1723	-1800	-1799	M	G	0.00	0.00	48.00
0	-1723	-1724	-1801	-1800	M	G	0.00	0.00	48.00
0	-1724	-1920	-1923	-1801	M	G	0.00	0.00	48.00
0	-1725	440	-1531	-1802	M	G	0.00	0.00	48.00
0	-1838	-1536	-1385	-1384	M	G	0.00	0.00	48.00
0	-1837	-1924	-1919	-1383	M	G	0.00	0.00	48.00
0	-1853	-1837	-1383	-1382	M	G	0.00	0.00	48.00
0	-1852	-1853	-1382	-1381	M	G	0.00	0.00	48.00
0	-1851	-1852	-1381	-1380	M	G	0.00	0.00	48.00
0	-1686	-1746	-1994	-1992	M	G	0.00	0.00	48.00
0	-1746	-1957	-2016	-1994	M	G	0.00	0.00	48.00
0	-1957	-1747	-1995	-2016	M	G	0.00	0.00	48.00
0	-1747	-1748	-1996	-1995	M	G	0.00	0.00	48.00
0	-1748	-1749	-1997	-1996	M	G	0.00	0.00	48.00
0	-1729	-1730	-2214	-2198	M	G	0.00	0.00	48.00
0	-1730	-1731	-2197	-2214	M	G	0.00	0.00	48.00
0	-1750	-1751	-2000	-1999	M	G	0.00	0.00	48.00
0	-1751	-1752	-2001	-2000	M	G	0.00	0.00	48.00
0	-1752	-2119	-2120	-2001	M	G	0.00	0.00	48.00
0	-1734	-2113	-2215	-2216	M	G	0.00	0.00	48.00
0	-1735	-1847	-2193	-2217	M	G	0.00	0.00	48.00
0	-1689	-1754	-2004	-1993	M	G	0.00	0.00	48.00
0	-1754	-2116	-2121	-2004	M	G	0.00	0.00	48.00
0	-1755	-2115	-2122	-2005	M	G	0.00	0.00	48.00
0	-1756	-1757	-2007	-2006	M	G	0.00	0.00	48.00
0	-1739	-1740	-2218	-2187	M	G	0.00	0.00	48.00
0	-1740	-1741	-2186	-2218	M	G	0.00	0.00	48.00
0	-1758	-1759	-2010	-2009	M	G	0.00	0.00	48.00
0	-1759	-1760	-2011	-2010	M	G	0.00	0.00	48.00
0	-1760	-1761	-2012	-2011	M	G	0.00	0.00	48.00
0	-1761	-1942	-2015	-2012	M	G	0.00	0.00	48.00

0	-1941	-1745	-2219	-2182	M	G	0.00	0.00	48.00
0	-1745	432	-2203	-2219	M	G	0.00	0.00	48.00
0	-1540	-1544	-1977	-1976	M	G	0.00	0.00	48.00
0	-1544	-1922	-2014	-1977	M	G	0.00	0.00	48.00
0	-1922	-1545	-1978	-2014	M	G	0.00	0.00	48.00
0	-1545	-1546	-1979	-1978	M	G	0.00	0.00	48.00
0	-1567	-1568	-2220	-2178	M	G	0.00	0.00	48.00
0	-1568	-1569	-2177	-2220	M	G	0.00	0.00	48.00
0	-1548	-1549	-1982	-1981	M	G	0.00	0.00	48.00
0	-1549	-1550	-1983	-1982	M	G	0.00	0.00	48.00
0	-1550	-1609	-1984	-1983	M	G	0.00	0.00	48.00
0	-1425	-1675	-1985	-1975	M	G	0.00	0.00	48.00
0	-1675	-1676	-1986	-1985	M	G	0.00	0.00	48.00
0	-1676	-1677	-1987	-1986	M	G	0.00	0.00	48.00
0	-1677	-1678	-1988	-1987	M	G	0.00	0.00	48.00
0	-1678	-1679	-1989	-1988	M	G	0.00	0.00	48.00
0	-1679	-1680	-1990	-1989	M	G	0.00	0.00	48.00
0	-1680	-1964	-2017	-1990	M	G	0.00	0.00	48.00
0	-1964	-1681	-1991	-2017	M	G	0.00	0.00	48.00
0	-1681	-1686	-1992	-1991	M	G	0.00	0.00	48.00
0	-2018	-2029	-1619	-1417	M	G	0.00	0.00	48.00
0	-2029	-2030	-1620	-1619	M	G	0.00	0.00	48.00
0	-2030	-2031	-1621	-1620	M	G	0.00	0.00	48.00
0	-2031	-2032	-1622	-1621	M	G	0.00	0.00	48.00
0	-2032	-2033	-1623	-1622	M	G	0.00	0.00	48.00
0	-2033	-2034	-1624	-1623	M	G	0.00	0.00	48.00
0	-2034	-2060	-1961	-1624	M	G	0.00	0.00	48.00
0	-2060	-2035	-1625	-1961	M	G	0.00	0.00	48.00
0	-2035	-2036	-1687	-1625	M	G	0.00	0.00	48.00
0	-2037	-2059	-1950	-1803	M	G	0.00	0.00	48.00
0	-2059	-2038	-1804	-1950	M	G	0.00	0.00	48.00
0	-2038	-2039	-1805	-1804	M	G	0.00	0.00	48.00
0	-2039	-2040	-1806	-1805	M	G	0.00	0.00	48.00
0	-2040	-2041	-1807	-1806	M	G	0.00	0.00	48.00
0	-2041	-2042	-1808	-1807	M	G	0.00	0.00	48.00
0	-2042	-2043	-1809	-1808	M	G	0.00	0.00	48.00
0	-2043	-2044	-1810	-1809	M	G	0.00	0.00	48.00
0	-2044	-2123	-2093	-1810	M	G	0.00	0.00	48.00
0	-2045	-2124	-2091	-1811	M	G	0.00	0.00	48.00
0	-2046	-2019	-1533	-1812	M	G	0.00	0.00	48.00
0	-2019	-2047	-1813	-1533	M	G	0.00	0.00	48.00
0	-2047	-2125	-2089	-1813	M	G	0.00	0.00	48.00
0	-2048	-2126	-2087	-1814	M	G	0.00	0.00	48.00
0	-2049	-2050	-1816	-1815	M	G	0.00	0.00	48.00
0	-2050	-2051	-1817	-1816	M	G	0.00	0.00	48.00
0	-2051	-2052	-1818	-1817	M	G	0.00	0.00	48.00
0	-2052	-2053	-1819	-1818	M	G	0.00	0.00	48.00
0	-2053	-2054	-1820	-1819	M	G	0.00	0.00	48.00
0	-2054	-2055	-1821	-1820	M	G	0.00	0.00	48.00
0	-2055	-2058	-1934	-1821	M	G	0.00	0.00	48.00
0	-2058	-2056	-1822	-1934	M	G	0.00	0.00	48.00
0	-2056	-2020	-1539	-1822	M	G	0.00	0.00	48.00
0	-2021	-2057	-1933	-1600	M	G	0.00	0.00	48.00
0	-2057	-2022	-1601	-1933	M	G	0.00	0.00	48.00
0	-2022	-2023	-1602	-1601	M	G	0.00	0.00	48.00
0	-2023	-2024	-1603	-1602	M	G	0.00	0.00	48.00
0	-2024	-2025	-1604	-1603	M	G	0.00	0.00	48.00
0	-2025	-2026	-1605	-1604	M	G	0.00	0.00	48.00
0	-2026	-2027	-1606	-1605	M	G	0.00	0.00	48.00
0	-2027	-2028	-1617	-1606	M	G	0.00	0.00	48.00
0	-2074	-1372	-1714	-2078	M	G	0.00	0.00	48.00
0	-2073	-1373	-1715	-2076	M	G	0.00	0.00	48.00
0	-2072	-1376	-1717	-2070	M	G	0.00	0.00	48.00
0	-2068	-1377	-1718	-2066	M	G	0.00	0.00	48.00
0	-2070	-1717	-1794	-2064	M	G	0.00	0.00	48.00
0	-2066	-1718	-1795	-2062	M	G	0.00	0.00	48.00
0	-2061	-1695	-1377	-2068	M	G	0.00	0.00	48.00
0	-2084	-1694	-1376	-2072	M	G	0.00	0.00	48.00
0	-2085	-1866	-1373	-2073	M	G	0.00	0.00	48.00
0	-2086	-1865	-1372	-2074	M	G	0.00	0.00	48.00
0	-2087	-1815	-2145	-2146	M	G	0.00	0.00	48.00
0	-2089	-1814	-2147	-2148	M	G	0.00	0.00	48.00
0	-2091	-1812	-2151	-2152	M	G	0.00	0.00	48.00
0	-2093	-1811	-2153	-2154	M	G	0.00	0.00	48.00
0	-2088	-1775	-1394	-2095	M	G	0.00	0.00	48.00
0	-2090	-1774	-1395	-2096	M	G	0.00	0.00	48.00
0	-2092	-1772	-1397	-2097	M	G	0.00	0.00	48.00
0	-2094	-1771	-1398	-2098	M	G	0.00	0.00	48.00
0	-2095	-1394	-1695	-2061	M	G	0.00	0.00	48.00

0	-2096	-1395	-1694	-2084	M	G	0.00	0.00	48.00
0	-2097	-1397	-1866	-2085	M	G	0.00	0.00	48.00
0	-2098	-1398	-1865	-2086	M	G	0.00	0.00	48.00
0	-2099	-1436	-1831	-1699	M	G	0.00	0.00	48.00
0	-2100	-1438	-1832	-1547	M	G	0.00	0.00	48.00
0	-2101	-1441	-1834	-2082	M	G	0.00	0.00	48.00
0	-2102	-1442	-1835	-2080	M	G	0.00	0.00	48.00
0	-1762	-1464	-1882	-1974	M	G	0.00	0.00	48.00
0	-2083	-1465	-1883	-1911	M	G	0.00	0.00	48.00
0	-2081	-1467	-1886	-2103	M	G	0.00	0.00	48.00
0	-2079	-1468	-1887	-2104	M	G	0.00	0.00	48.00
0	-2077	-1791	-1436	-2099	M	G	0.00	0.00	48.00
0	-2075	-1792	-1438	-2100	M	G	0.00	0.00	48.00
0	-2064	-1794	-1441	-2101	M	G	0.00	0.00	48.00
0	-2062	-1795	-1442	-2102	M	G	0.00	0.00	48.00
0	-2105	-1496	-1488	-2106	M	G	0.00	0.00	48.00
0	-2107	-1495	-1489	-2108	M	G	0.00	0.00	48.00
0	-1912	-1493	-1499	-2109	M	G	0.00	0.00	48.00
0	-1973	-1492	-1500	-2110	M	G	0.00	0.00	48.00
0	-2106	-1488	-1738	-2111	M	G	0.00	0.00	48.00
0	-2108	-1489	-1737	-2112	M	G	0.00	0.00	48.00
0	-2109	-1499	-1735	-2113	M	G	0.00	0.00	48.00
0	-2110	-1500	-1734	-2114	M	G	0.00	0.00	48.00
0	-2111	-1738	-2188	-2189	M	G	0.00	0.00	48.00
0	-2112	-1737	-2190	-2191	M	G	0.00	0.00	48.00
0	-2117	-2065	-2003	-2118	M	G	0.00	0.00	48.00
0	-2114	-1734	-2216	-2194	M	G	0.00	0.00	48.00
0	-2103	-1886	-1495	-2107	M	G	0.00	0.00	48.00
0	-2104	-1887	-1496	-2105	M	G	0.00	0.00	48.00
0	-2119	-1753	-2002	-2120	M	G	0.00	0.00	48.00
0	-2113	-1735	-2217	-2215	M	G	0.00	0.00	48.00
0	-2116	-1755	-2005	-2121	M	G	0.00	0.00	48.00
0	-2115	-1756	-2006	-2122	M	G	0.00	0.00	48.00
0	-2123	-2045	-1811	-2093	M	G	0.00	0.00	48.00
0	-2124	-2046	-1812	-2091	M	G	0.00	0.00	48.00
0	-2125	-2048	-1814	-2089	M	G	0.00	0.00	48.00
0	-2126	-2049	-1815	-2087	M	G	0.00	0.00	48.00
306	-517	-515	-882	-925	M	G	0.00	0.00	48.00
306	-501	-499	-537	301	M	G	0.00	0.00	48.00
306	-533	-531	-1225	-1270	M	G	0.00	0.00	48.00
306	-507	-505	-661	-704	M	G	0.00	0.00	48.00
306	-499	-497	-535	-537	M	G	0.00	0.00	48.00
306	-509	-507	-704	-749	M	G	0.00	0.00	48.00
306	-511	-509	-749	-794	M	G	0.00	0.00	48.00
306	-515	-513	-837	-882	M	G	0.00	0.00	48.00
306	-521	-519	-970	-1013	M	G	0.00	0.00	48.00
306	-513	-511	-794	-837	M	G	0.00	0.00	48.00
306	-529	-527	-1146	320	M	G	0.00	0.00	48.00
306	-525	-523	-1058	-1103	M	G	0.00	0.00	48.00
306	-531	-529	320	-1225	M	G	0.00	0.00	48.00
306	-503	-501	301	-618	M	G	0.00	0.00	48.00
306	-519	-517	-925	-970	M	G	0.00	0.00	48.00
306	-523	-521	-1013	-1058	M	G	0.00	0.00	48.00
306	-527	-525	-1103	-1146	M	G	0.00	0.00	48.00
306	-505	-503	-618	-661	M	G	0.00	0.00	48.00
307	-510	-508	-748	-793	M	G	0.00	0.00	48.00
307	-516	-514	-881	-924	M	G	0.00	0.00	48.00
307	-506	-504	-660	-703	M	G	0.00	0.00	48.00
307	-532	-530	328	-1269	M	G	0.00	0.00	48.00
307	-502	-500	-581	309	M	G	0.00	0.00	48.00
307	-512	-510	-793	-836	M	G	0.00	0.00	48.00
307	-526	-524	-1102	-1145	M	G	0.00	0.00	48.00
307	-518	-516	-924	-969	M	G	0.00	0.00	48.00
307	-508	-506	-703	-748	M	G	0.00	0.00	48.00
307	-500	-498	-536	-581	M	G	0.00	0.00	48.00
307	-514	-512	-836	-881	M	G	0.00	0.00	48.00
307	-534	-532	-1269	-1271	M	G	0.00	0.00	48.00
307	-528	-526	-1145	-1188	M	G	0.00	0.00	48.00
307	-504	-502	309	-660	M	G	0.00	0.00	48.00
307	-530	-528	-1188	328	M	G	0.00	0.00	48.00
307	-522	-520	-1012	-1057	M	G	0.00	0.00	48.00
307	-524	-522	-1057	-1102	M	G	0.00	0.00	48.00
307	-520	-518	-969	-1012	M	G	0.00	0.00	48.00

Analisi dei carichi da vento

Ponte

Calcolo delle azioni del vento

Normativa di riferimento:
Norme tecniche per le costruzioni D.M. 14 gennaio 2008 e Circolare 2 febbraio 2009, n. 617 del Ministero delle Infrastrutture e dei Trasporti

Area di ubicazione dell'edificio: Area 3
Toscana, Marche, Umbria, Lazio, Abruzzo, Molise, Puglia, Campania, Basilicata, Calabria(esclusa la Provincia di Reggio Calabria)

Tempo di ritorno 50 <anni>

Altitudine sul livello del mare: 147 <m>

Altezza dell'edificio: 3 <m>

Parametri derivati dall'area di ubicazione (tab. 3.3.I):
Vb,0 (Velocità media del vento): 27 <m/sec>
a0 (Altitudine media): 500 <m>
Ka: 0.020 <1/sec>

Velocità di riferimento: 27.00 <m/sec>

Classificazione della costruzione: Pianta rettangolare con coperture piane, a falde, inclinate o curve

Categoria di esposizione del sito: II

Parametri derivati dalla categoria di esposizione del sito (tab. 3.3.II):
kr: 0.19 <m>
z0: 0.05 <m>
zmin: 4 <m>

Classe di rugosità del terreno: D
Aree prive di ostacoli (aperta campagna, aeroporti, aree agricole, pascoli zone paludose o sabbiose, superfici innevate o ghiacciate, mari, laghi, ...)

Angolo alfa: 0.0 <grad>

Pressione del vento = qb*ce*cp*cd
qb (Pressione cinetica di riferimento): 45.56 <daN/mq>
ct (Coefficiente topografico): 1.00
ce (Coefficiente di esposizione): 1.80
cd (Coefficiente dinamico): 1.00

Tipologia di superficie:
Una parete con aperture di superficie minore di 1/3 di quella totale

Coefficiente di forma o aerodinamico interno cpi: 0.20
Coefficienti di forma o aerodinamici esterni cpe:
sopravento: 0.80 sopravento su falda: -0.40 sottovento su falda: -0.40 sottovento: -0.40

Pressione interna: 16.41 <daN/mq>
Pressioni esterne:
sopravento: 65.63 <daN/mq> sopravento su falda: -32.81 <daN/mq> sottovento su falda: -32.81 <daN/mq> sottovento: -32.81 <daN/mq>

Analisi dei carichi da neve

Ponte d'Arbia
Calcolo delle azioni della neve

Normativa di riferimento:
Norme tecniche per le costruzioni D.M. 14 gennaio 2008 e Circolare 2 febbraio 2009, n. 617 del Ministero delle Infrastrutture e dei Trasporti

Area di ubicazione dell'edificio: Area 3
Agrigento, Avellino, Benevento, Brindisi, Cagliari, Caltanisetta, Carbonia-Iglesias, Caserta, Catania, Catanzaro, Cosenza, Crotone, Enna, Frosinone, Grosseto, L 'Aquila, Latina, Lecce, Livorno, Matera, Medio Campidano, Messina, Napoli, Nuoro, Ogliastra, Olbia Tempio, Oristano, Palermo, Pisa, Potenza, Ragusa, Reggio Calabria, Rieti, Roma, Salerno, Sassari, Siena, Siracusa, Taranto, Terni, Trapani, Vibo Valentia, Viterbo

Altitudine sul livello del mare: 147 <m>

Tipologia di copertura: Ad una falda
Barriera o parapetto presente

Pressione della neve ps = μ1*qsk*Ce*Ct

Parametri d'input ed intermedi:
Categoria del coefficiente d'esposizione: Normale

Ce (Coefficiente d'esposizione): 1.0
Ct (Coefficiente termico): 1.0
Angolo d'inclinazione della falda: 0.0 <grad>
μ1 (Coefficiente di forma della copertura): 0.80

Carichi agenti:
qsk (Valore di riferimento del carico neve al suolo): 60.00 <daN/mq>
qss (Carico provocato dalla neve sulle coperture): 48.00 <daN/mq>

Risultati del calcolo

Parametri di calcolo

La modellazione della struttura e la rielaborazione dei risultati del calcolo sono stati effettuati con:
ModeSt ver. 8.12, prodotto da Tecnisoft s.a.s. - Prato

La struttura è stata calcolata utilizzando come solutore agli elementi finiti:
Xfinest ver. 2016, prodotto da Ce.A.S. S.r.l. - Milano

Tipo di normativa: stati limite D.M. 08
Tipo di calcolo: analisi sismica dinamica
Vincoli esterni: Considera sempre vincoli assegnati in modellazione
Schematizzazione piani rigidi: metodo Master-Slave
Modalità di recupero masse secondarie: trasferire all'impalcato più vicino con modifica XY baricentro

Generazione combinazioni

- Lineari: si
- Valuta spostamenti e non sollecitazioni: no
- Buckling: no

Opzioni di calcolo

- Sono state considerate infinitamente rigide le zone di connessione fra travi, pilastri ed elementi bidimensionali con una riduzione del 20%
- Calcolo con offset rigidi dai nodi: no
- Uniformare i carichi variabili: no
- Massimizzare i carichi variabili: no
- Minimo carico da considerare: 0.00 <daN/m>
- Recupero carichi zone rigide: taglio e momento flettente
- Modalità di combinazione momento torcente: disaccoppiare le azioni

Opzioni del solutore

- Tipo di elemento bidimensionale: QF46
- Calcolo sforzo nei nodi: No
- Trascura deformabilità a taglio delle aste: No
- Analisi dinamica con metodo di Lanczos: Sì
- Check sequenza di Sturm: Sì
- Soluzione matrice con metodo ver. 5.1: No
- Analisi non lineare con Newton modificato: No
- Usa formulazione secante per buckling: No
- Trascura buckling torsionale: No

Dati struttura

- Zona sismica: zona 2
- Sito di costruzione: Via del Magistrato, 194, 53014 Ponte D'arbia SI, Italia LON. 11.46250 LAT. 43.16360
  Contenuto tra ID reticolo: 22725 22726 22947 22948

Simbologia
TCC = Tipo di combinazione di carico
SLU = Stato limite ultimo
SLU S = Stato limite ultimo (azione sismica)
SLE R = Stato limite d'esercizio, combinazione rara
SLE F = Stato limite d'esercizio, combinazione frequente
SLE Q = Stato limite d'esercizio, combinazione quasi permanente
SLD = Stato limite di danno
SLV = Stato limite di salvaguardia della vita
SLC = Stato limite di prevenzione del collasso
SLO = Stato limite di operatività
SLU I = Stato limite di resistenza al fuoco
T_R = Periodo di ritorno <anni>
Ag = Accelerazione orizzontale massima al sito
FO = Valore massimo del fattore di amplificazione dello spettro in accelerazione orizzontale
TC* = Periodo di inizio del tratto a velocità costante dello spettro in accelerazione orizzontale <sec>
S_S = Coefficiente di amplificazione stratigrafica
C_C = Coefficiente funzione della categoria del suolo

TCC	T_R	Ag <g>	FO	TC*	S_S	C_C

SLD	75	0.0716	2.51	0.26	1.50	1.64
SLV	712	0.1605	2.51	0.28	1.46	1.60

- Edificio esistente: no
- Tipo di opera: Opera ordinaria
- Vita nominale V_N: 50.00
- Classe d'uso: Classe III
- SL Esercizio: SLO-Pvr no, SLD-Pvr 63.00
- SL Ultimi: SLV-Pvr 10.00, SLC-Pvr no
- Classe di duttilità: Classe B
- Quota di riferimento: 0.00 <m>
- Altezza della struttura: 4.70 <m>
- Numero piani edificio: 2
- Coefficiente θ: 0.00
- Edificio regolare in altezza: no
- Edificio regolare in pianta: si
- Forze orizzontali convenzionali per stati limite non sismici: 1.00%
- Genera stati limite per verifiche di resistenza al fuoco: no

Dati di piano

Simbologia
Imp. = Numero dell'impalcato
Lx = Dimensione del piano in dir. X
Ly = Dimensione del piano in dir. Y
Ex = Eccentricità in dir. X
Ey = Eccentricità in dir. Y
Ea = Eccentricità complessiva

Imp.	Lx <m>	Ly <m>	Ex <m>	Ey <m>	Ea <m>
1	15.40	4.50	0.77	0.23	0.80
2	15.40	4.50	0.77	0.23	0.80

Dati di calcolo

- Categoria del suolo di fondazione: C
- Tipologia edificio: c.a. o prefabbricato a telaio a più piani e più campate

Coeff. C_1: 0.075
Periodo T_1: 0.23941
Coeff. λ SLD: 1.00
Coeff. λ SLV: 1.00
Rapporto di sovraresistenza (α_u/α_1): 1.30
Valore di riferimento del fattore di struttura (q_0): 1.00
Fattore riduttivo (K_w): 1.00
Fattore riduttivo regolarità in altezza (KR): 0.80
Fattore di struttura (q): 1.00

- Categoria topografica: T1 - Superficie pianeggiante, pendii e rilievi isolati con inclinazione media i<=15°
- Coeff. amplificazione topografica S_T: 1.00
- Fattore di struttura per sisma verticale (qv): 1.00
- Modalità di calcolo modi di vibrare: Autovalori
- Numero modi: 6
- Modi da considerare: Tali da movimentare una percentuale di massa pari a 85.00%
- Trascura modi con massa movimentata minore di: no
- Smorzamento spettro: 5.00%

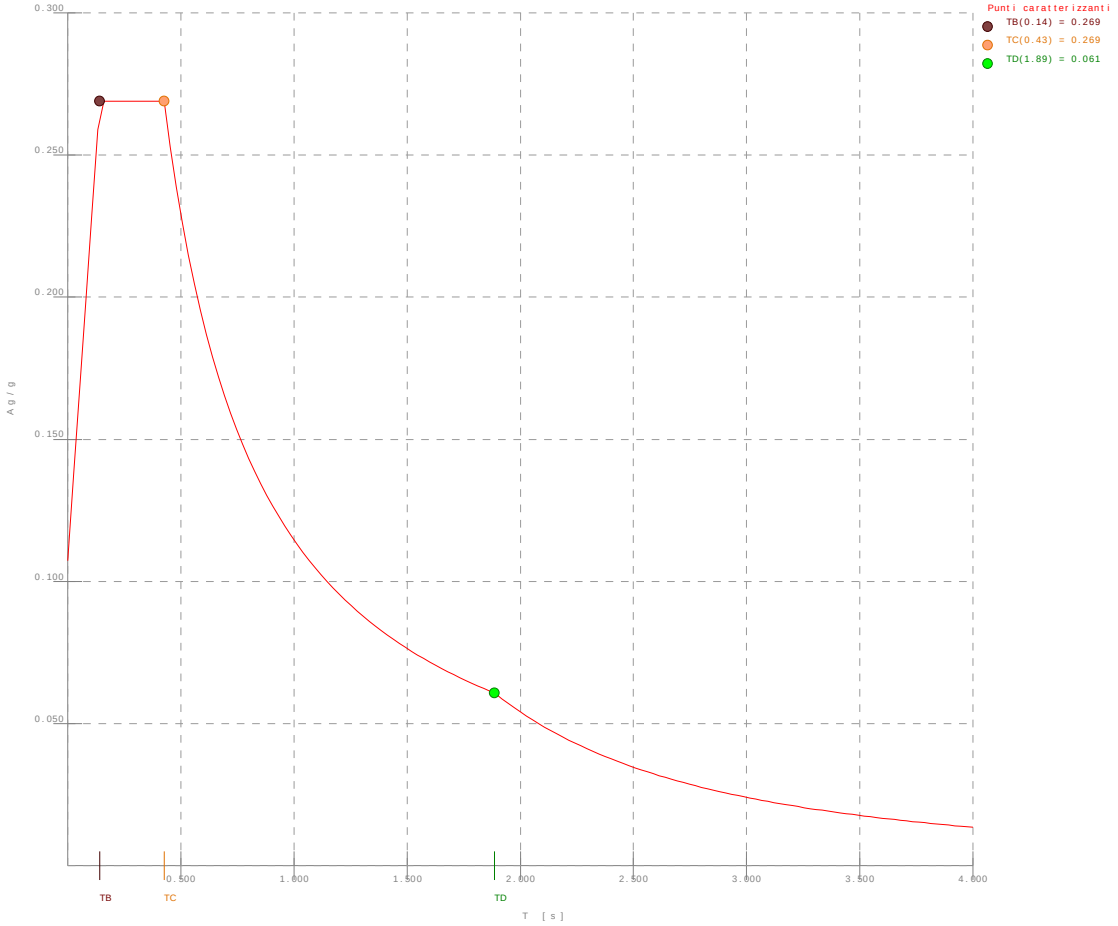


Figura numero 1: Spettro SLD

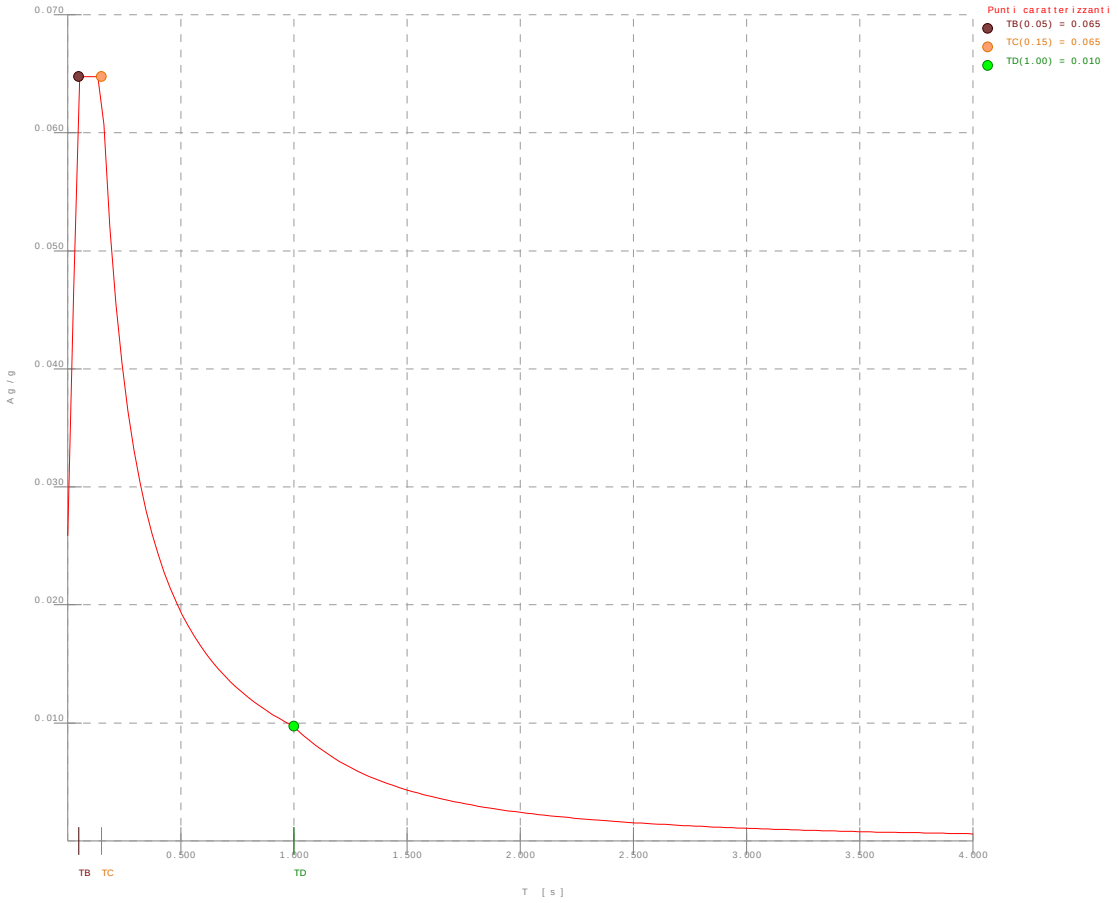


Figura numero 2: Spettro SLD Z

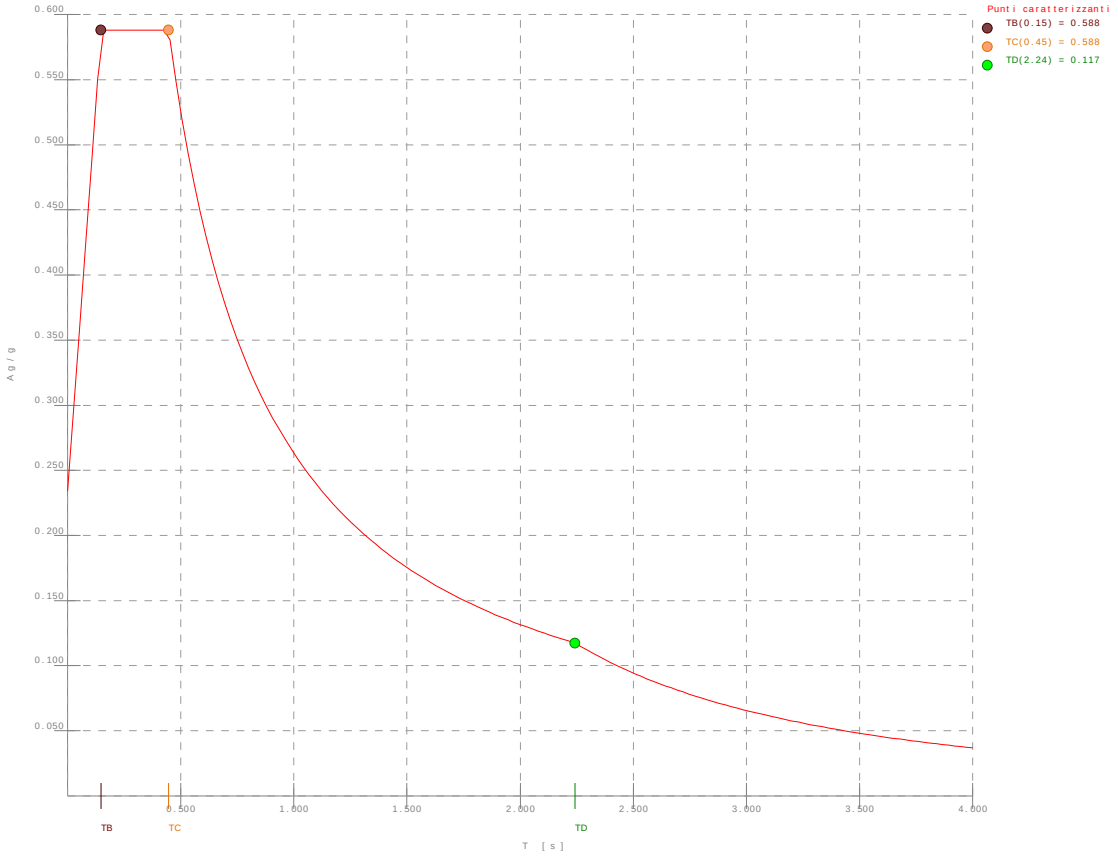


Figura numero 3: Spettro SLV

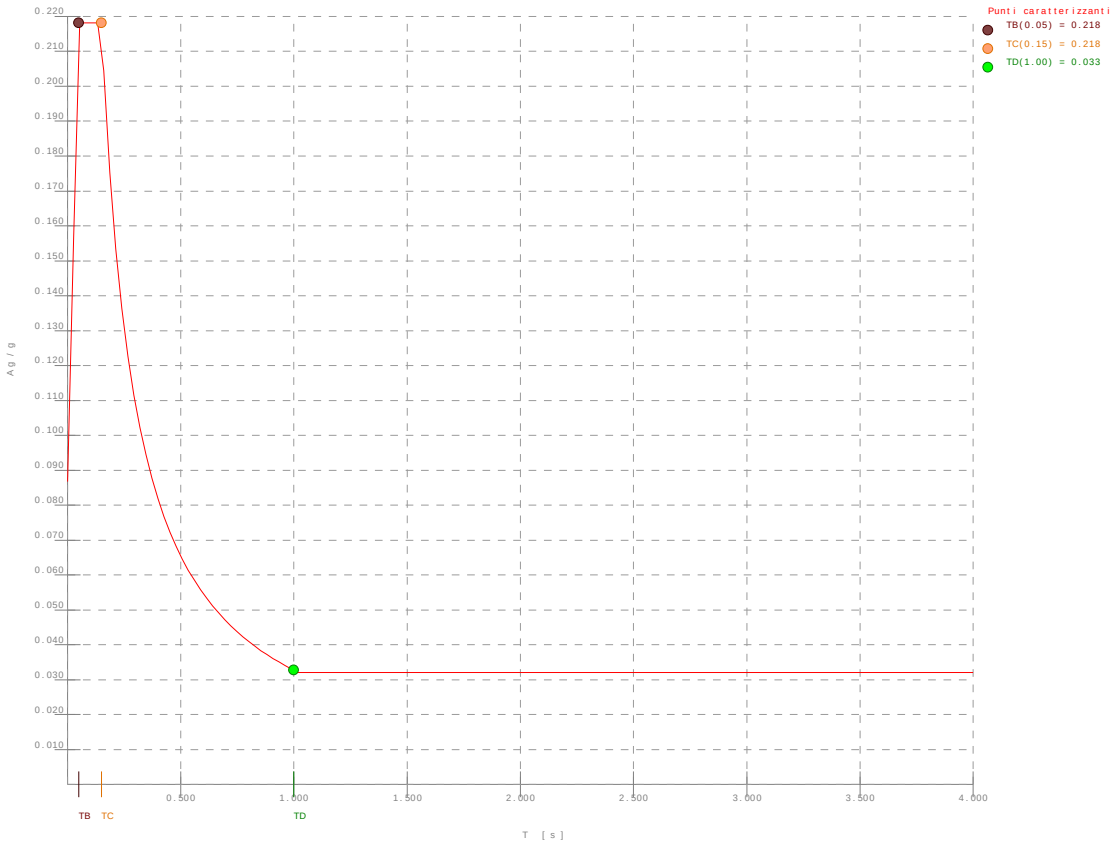


Figura numero 4: Spettro SLV Z

- Angolo di ingresso del sisma: 0.00 <grad>

Condizioni di carico elementari

Simbologia

CCE = Numero della condizione di carico elementare
Comm. = Commento
Mx = Moltiplicatore della massa in dir. X
My = Moltiplicatore della massa in dir. Y
Mz = Moltiplicatore della massa in dir. Z
Jpx = Moltiplicatore del momento d'inerzia intorno all'asse X
Jpy = Moltiplicatore del momento d'inerzia intorno all'asse Y
Jpz = Moltiplicatore del momento d'inerzia intorno all'asse Z
Tipo CCE = Tipo di CCE per calcolo agli stati limite
Sicurezza = Contributo alla sicurezza
F = a favore
S = a sfavore
A = ambigua
Variabilità = Tipo di variabilità
B = di base
I = indipendente
A = ambigua

CCE	Comm.	Mx	My	Mz	Jpx	Jpy	Jpz	Tipo CCE	Sicurezza	Variabilità
1	G1	1.00	1.00	1.00	0.00	0.00	1.00	20	S	--
2	G2 + terreno	1.00	1.00	1.00	0.00	0.00	1.00	21	S	--
3	Schema 1 q1tandem mezz	1.00	1.00	0.00	0.00	0.00	1.00	22	S	B
4	Schema 1 q1tandem dx	1.00	1.00	0.00	0.00	0.00	1.00	22	S	B
5	Schema 1 q1tandem sx	1.00	1.00	0.00	0.00	0.00	1.00	22	S	B
6	Schema 1 q1dist	1.00	1.00	0.00	0.00	0.00	1.00	23	S	B
7	Schema 2 q1tandem mezz	1.00	1.00	0.00	0.00	0.00	1.00	24	S	B
8	Schema 2 q1tandem dx	1.00	1.00	0.00	0.00	0.00	1.00	24	S	B
9	Schema 2 q1tandem sx	1.00	1.00	0.00	0.00	0.00	1.00	24	S	B
10	Schema 2 q1dis mezz	1.00	1.00	0.00	0.00	0.00	1.00	24	S	B
11	Schema 2 q3 tandem mezz	1.00	1.00	0.00	0.00	0.00	1.00	24	S	B
12	Schema 2 q3 tandemdx	1.00	1.00	0.00	0.00	0.00	1.00	24	S	B
13	Schema 2 q3 tandem sx	1.00	1.00	0.00	0.00	0.00	1.00	24	S	B
14	Schema 1 q1dist	1.00	1.00	0.00	0.00	0.00	1.00	23	S	B
15	q var neve	1.00	1.00	0.00	0.00	0.00	1.00	25	S	B
16	q8 Veicolo in svio	1.00	1.00	0.00	0.00	0.00	1.00	28	S	B
17	Ecc - Onda di Piena	1.00	1.00	0.00	0.00	0.00	1.00	28	S	B

Elenco tipi cce definiti

Simbologia

Tipo CCE = Tipo condizione di carico elementare
Comm. = Commento
Tipo = Tipologia
G = Permanente
Q = Variabile
I = Da ignorare
A = Azione eccezionale
P = Precompressione
Durata = Durata del carico
N = Non definita
P = Permanente
L = Lunga
M = Media
B = Breve
I = Istantanea
γ min. = Coeff. $\gamma_{min.}$
γ max = Coeff. γ_{max}
ψ_0 = Coeff. ψ_0
ψ_1 = Coeff. ψ_1
ψ_2 = Coeff. ψ_2
$\psi_{0,s}$ = Coeff. ψ_0 sismico (D.M. 96)

Tipo CCE	Comm.	Tipo	Durata	γ min.	γ max	ψ_0	ψ_1	ψ_2	$\psi_{0,s}$
24	DM 08 PONTI Var S2	Q	N	0.00	1.35	0.00	0.75	0.00	0.00
20	DM 08 PONTI Permanenti	G	N	1.00	1.35				
21	DM 08 PONTI Perm non strutt	G	N	0.00	1.50				
22	DM 08 PONTI Variabili S1 Tandem	Q	N	0.00	1.35	0.75	0.75	0.00	0.00
23	DM 08 PONTI Var S1,5 e 6 Distr	Q	N	0.00	1.35	0.40	0.40	0.00	0.00
25	DM 08 PONTI Neve SLU-SLE	Q	N	0.00	1.50	0.00	0.00	0.00	0.00
28	DM 08 PONTI Eccezionali schema 2	Q	N	0.00	1.35	0.00	0.75	0.00	0.00

Ambienti di carico

Simbologia

N Numero
Comm. Commento
1 G1
2 G2 + terreno
3 Schema 1 q1tandem mezz
4 Schema 1 q1tandem dx
5 Schema 1 q1tandem sx
6 Schema 1 q1dist
7 Schema 2 q1tandem mezz
8 Schema 2 q1tandem dx
9 Schema 2 q1tandem sx
10 Schema 2 q1dis mezz
11 Schema 2 q3 tandem mezz
12 Schema 2 q3 tandemdx
13 Schema 2 q3 tandem sx
14 Schema 1 q1dist
15 q var neve
16 q8 Veicolo in svio
17 Ecc - Onda di Piena
F azioni orizzontali convenzionali
SLU Stato limite ultimo
SLR Stato limite per combinazioni rare
SLF Stato limite per combinazioni frequenti
SLQ\D Stato limite per combinazioni quasi permanenti o di danno

N	Comm.	1	2	3	4	5	6	7	8	9	10	11	12	13	14	15	16	17	F	S	SLU	SLR	SLF	SLQ
1	Calcolo sismico	si	si	si	si	si	si	si	si	si	si	si	si	si	si	si	si	si	no	si	si	no	no	no
2	Calcolo statico	si	si	si	si	si	si	si	si	si	si	si	si	si	si	si	si	si	si	no	si	si	si	si

Elenco combinazioni di carico simboliche

Simbologia
CC = Numero della combinazione delle condizioni di carico elementari
Comm. = Commento
TCC = Tipo di combinazione di carico
SLU = Stato limite ultimo
SLU S = Stato limite ultimo (azione sismica)
SLE R = Stato limite d'esercizio, combinazione rara
SLE F = Stato limite d'esercizio, combinazione frequente
SLE Q = Stato limite d'esercizio, combinazione quasi permanente
SLD = Stato limite di danno
SLV = Stato limite di salvaguardia della vita
SLC = Stato limite di prevenzione del collasso
SLO = Stato limite di operatività
SLU I = Stato limite di resistenza al fuoco

CC	Comm.	TCC	1	2	3	4	5	6	7	8	9	10	11	12	13	14	15	16	17	F	S
1	Amb. 1 (Sisma)	SLU S	1	1	ψ_2	ψ_2	ψ_2	ψ_2	ψ_2	ψ_2	ψ_2	ψ_2	ψ_2	ψ_2	ψ_2	ψ_2	ψ_2	ψ_2	ψ_2	-----	1
2	Amb. 2 (SLU)	SLU	γ max	γ max	γ max	γ max	γ max	γ max	γ max	γ max	γ max	γ max	γ max	γ max	γ max	γ max	γ max	γ max	γ max	1	-----
3	Amb. 2 (SLE R)	SLE R	1	1	1	1	1	1	1	1	1	1	1	1	1	1	1	1	1	1	-----
4	Amb. 2 (SLE F)	SLE F	1	1	ψ_1	ψ_1	ψ_1	ψ_1	ψ_1	ψ_1	ψ_1	ψ_1	ψ_1	ψ_1	ψ_1	ψ_1	ψ_1	ψ_1	ψ_1	1	-----
5	Amb. 2 (SLE Q)	SLE Q	1	1	ψ_2	ψ_2	ψ_2	ψ_2	ψ_2	ψ_2	ψ_2	ψ_2	ψ_2	ψ_2	ψ_2	ψ_2	ψ_2	ψ_2	ψ_2	1	-----

Genera le combinazioni con un solo carico di tipo variabile come di base: no

Considera sollecitazioni dinamiche con segno dei modi principali: no

Combinazioni delle cce

Simbologia
CC = Numero della combinazione delle condizioni di carico elementari
Comm. = Commento
TCC = Tipo di combinazione di carico
SLU = Stato limite ultimo
SLU S = Stato limite ultimo (azione sismica)
SLE R = Stato limite d'esercizio, combinazione rara
SLE F = Stato limite d'esercizio, combinazione frequente
SLE Q = Stato limite d'esercizio, combinazione quasi permanente
SLD = Stato limite di danno
SLV = Stato limite di salvaguardia della vita
SLC = Stato limite di prevenzione del collasso
SLO = Stato limite di operatività
SLU I = Stato limite di resistenza al fuoco
An. = Tipo di analisi
L = Lineare
NL = Non lineare
Bk = Buckling
S = Si
N = No

CC	Comm.	TCC	An.	Bk	1	2	3	4	5	6	7	8	9	10	11	12	13	14	15	16	17	F X	F Y	Mt	±S X

1	CC 1 - Amb. 1 (SLU S) S Mt+X+0.3Y+0.3Z	SLV	L	N	1.00	1.00	0.00	0.00	0.00	0.00	0.00	0.00	0.00	0.00	0.00	0.00	0.00	0.00	0.00	0.00	0.00	0.00	1.00	1.00
2	CC 2 - Amb. 1 (SLE) S Mt+X+0.3Y+0.3Z	SLD	L	N	1.00	1.00	0.00	0.00	0.00	0.00	0.00	0.00	0.00	0.00	0.00	0.00	0.00	0.00	0.00	0.00	0.00	0.00	1.00	1.00
3	CC 1 - Amb. 1 (SLU S) S Mt+X+0.3Y-0.3Z	SLV	L	N	1.00	1.00	0.00	0.00	0.00	0.00	0.00	0.00	0.00	0.00	0.00	0.00	0.00	0.00	0.00	0.00	0.00	0.00	1.00	1.00
4	CC 2 - Amb. 1 (SLE) S Mt+X+0.3Y-0.3Z	SLD	L	N	1.00	1.00	0.00	0.00	0.00	0.00	0.00	0.00	0.00	0.00	0.00	0.00	0.00	0.00	0.00	0.00	0.00	0.00	1.00	1.00
5	CC 3 - Amb. 1 (SLU S) S Mt+X-0.3Y+0.3Z	SLV	L	N	1.00	1.00	0.00	0.00	0.00	0.00	0.00	0.00	0.00	0.00	0.00	0.00	0.00	0.00	0.00	0.00	0.00	0.00	1.00	1.00
6	CC 4 - Amb. 1 (SLE) S Mt+X-0.3Y+0.3Z	SLD	L	N	1.00	1.00	0.00	0.00	0.00	0.00	0.00	0.00	0.00	0.00	0.00	0.00	0.00	0.00	0.00	0.00	0.00	0.00	1.00	1.00
7	CC 3 - Amb. 1 (SLU S) S Mt+X-0.3Y-0.3Z	SLV	L	N	1.00	1.00	0.00	0.00	0.00	0.00	0.00	0.00	0.00	0.00	0.00	0.00	0.00	0.00	0.00	0.00	0.00	0.00	1.00	1.00
8	CC 4 - Amb. 1 (SLE) S Mt+X-0.3Y-0.3Z	SLD	L	N	1.00	1.00	0.00	0.00	0.00	0.00	0.00	0.00	0.00	0.00	0.00	0.00	0.00	0.00	0.00	0.00	0.00	0.00	1.00	1.00
9	CC 5 - Amb. 1 (SLU S) S Mt-X+0.3Y+0.3Z	SLV	L	N	1.00	1.00	0.00	0.00	0.00	0.00	0.00	0.00	0.00	0.00	0.00	0.00	0.00	0.00	0.00	0.00	0.00	0.00	1.00	-1.00
10	CC 6 - Amb. 1 (SLE) S Mt-X+0.3Y+0.3Z	SLD	L	N	1.00	1.00	0.00	0.00	0.00	0.00	0.00	0.00	0.00	0.00	0.00	0.00	0.00	0.00	0.00	0.00	0.00	0.00	1.00	-1.00
11	CC 5 - Amb. 1 (SLU S) S Mt-X+0.3Y-0.3Z	SLV	L	N	1.00	1.00	0.00	0.00	0.00	0.00	0.00	0.00	0.00	0.00	0.00	0.00	0.00	0.00	0.00	0.00	0.00	0.00	1.00	-1.00
12	CC 6 - Amb. 1 (SLE) S Mt-X+0.3Y-0.3Z	SLD	L	N	1.00	1.00	0.00	0.00	0.00	0.00	0.00	0.00	0.00	0.00	0.00	0.00	0.00	0.00	0.00	0.00	0.00	0.00	1.00	-1.00
13	CC 7 - Amb. 1 (SLU S) S Mt-X-0.3Y+0.3Z	SLV	L	N	1.00	1.00	0.00	0.00	0.00	0.00	0.00	0.00	0.00	0.00	0.00	0.00	0.00	0.00	0.00	0.00	0.00	0.00	1.00	-1.00
14	CC 8 - Amb. 1 (SLE) S Mt-X-0.3Y+0.3Z	SLD	L	N	1.00	1.00	0.00	0.00	0.00	0.00	0.00	0.00	0.00	0.00	0.00	0.00	0.00	0.00	0.00	0.00	0.00	0.00	1.00	-1.00
15	CC 7 - Amb. 1 (SLU S) S Mt-X-0.3Y-0.3Z	SLV	L	N	1.00	1.00	0.00	0.00	0.00	0.00	0.00	0.00	0.00	0.00	0.00	0.00	0.00	0.00	0.00	0.00	0.00	0.00	1.00	-1.00
16	CC 8 - Amb. 1 (SLE) S Mt-X-0.3Y-0.3Z	SLD	L	N	1.00	1.00	0.00	0.00	0.00	0.00	0.00	0.00	0.00	0.00	0.00	0.00	0.00	0.00	0.00	0.00	0.00	0.00	1.00	-1.00
17	CC 9 - Amb. 1 (SLU S) S Mt+0.3X+Y+0.3Z	SLV	L	N	1.00	1.00	0.00	0.00	0.00	0.00	0.00	0.00	0.00	0.00	0.00	0.00	0.00	0.00	0.00	0.00	0.00	0.00	1.00	0.30
18	CC 10 - Amb. 1 (SLE) S Mt+0.3X+Y+0.3Z	SLD	L	N	1.00	1.00	0.00	0.00	0.00	0.00	0.00	0.00	0.00	0.00	0.00	0.00	0.00	0.00	0.00	0.00	0.00	0.00	1.00	0.30
19	CC 9 - Amb. 1 (SLU S) S Mt+0.3X+Y-0.3Z	SLV	L	N	1.00	1.00	0.00	0.00	0.00	0.00	0.00	0.00	0.00	0.00	0.00	0.00	0.00	0.00	0.00	0.00	0.00	0.00	1.00	0.30
20	CC 10 - Amb. 1 (SLE) S Mt+0.3X+Y-0.3Z	SLD	L	N	1.00	1.00	0.00	0.00	0.00	0.00	0.00	0.00	0.00	0.00	0.00	0.00	0.00	0.00	0.00	0.00	0.00	0.00	1.00	0.30
21	CC 11 - Amb. 1 (SLU S) S Mt-0.3X+Y+0.3Z	SLV	L	N	1.00	1.00	0.00	0.00	0.00	0.00	0.00	0.00	0.00	0.00	0.00	0.00	0.00	0.00	0.00	0.00	0.00	0.00	1.00	-0.30
22	CC 12 - Amb. 1 (SLE) S Mt-0.3X+Y+0.3Z	SLD	L	N	1.00	1.00	0.00	0.00	0.00	0.00	0.00	0.00	0.00	0.00	0.00	0.00	0.00	0.00	0.00	0.00	0.00	0.00	1.00	-0.30
23	CC 11 - Amb. 1 (SLU S) S Mt-0.3X+Y-0.3Z	SLV	L	N	1.00	1.00	0.00	0.00	0.00	0.00	0.00	0.00	0.00	0.00	0.00	0.00	0.00	0.00	0.00	0.00	0.00	0.00	1.00	-0.30
24	CC 12 - Amb. 1 (SLE) S Mt-0.3X+Y-0.3Z	SLD	L	N	1.00	1.00	0.00	0.00	0.00	0.00	0.00	0.00	0.00	0.00	0.00	0.00	0.00	0.00	0.00	0.00	0.00	0.00	1.00	-0.30
25	CC 13 - Amb. 1 (SLU S) S Mt+0.3X-Y+0.3Z	SLV	L	N	1.00	1.00	0.00	0.00	0.00	0.00	0.00	0.00	0.00	0.00	0.00	0.00	0.00	0.00	0.00	0.00	0.00	0.00	1.00	0.30
26	CC 14 - Amb. 1 (SLE) S Mt+0.3X-Y+0.3Z	SLD	L	N	1.00	1.00	0.00	0.00	0.00	0.00	0.00	0.00	0.00	0.00	0.00	0.00	0.00	0.00	0.00	0.00	0.00	0.00	1.00	0.30
27	CC 13 - Amb. 1 (SLU S) S Mt+0.3X-Y-0.3Z	SLV	L	N	1.00	1.00	0.00	0.00	0.00	0.00	0.00	0.00	0.00	0.00	0.00	0.00	0.00	0.00	0.00	0.00	0.00	0.00	1.00	0.30
28	CC 14 - Amb. 1 (SLE) S Mt+0.3X-Y-0.3Z	SLD	L	N	1.00	1.00	0.00	0.00	0.00	0.00	0.00	0.00	0.00	0.00	0.00	0.00	0.00	0.00	0.00	0.00	0.00	0.00	1.00	0.30
29	CC 15 - Amb. 1 (SLU S) S Mt-0.3X-Y+0.3Z	SLV	L	N	1.00	1.00	0.00	0.00	0.00	0.00	0.00	0.00	0.00	0.00	0.00	0.00	0.00	0.00	0.00	0.00	0.00	0.00	1.00	-0.30
30	CC 16 - Amb. 1 (SLE) S Mt-0.3X-Y+0.3Z	SLD	L	N	1.00	1.00	0.00	0.00	0.00	0.00	0.00	0.00	0.00	0.00	0.00	0.00	0.00	0.00	0.00	0.00	0.00	0.00	1.00	-0.30
31	CC 15 - Amb. 1 (SLU S) S Mt-0.3X-Y-0.3Z	SLV	L	N	1.00	1.00	0.00	0.00	0.00	0.00	0.00	0.00	0.00	0.00	0.00	0.00	0.00	0.00	0.00	0.00	0.00	0.00	1.00	-0.30
32	CC 16 - Amb. 1 (SLE) S Mt-0.3X-Y-0.3Z	SLD	L	N	1.00	1.00	0.00	0.00	0.00	0.00	0.00	0.00	0.00	0.00	0.00	0.00	0.00	0.00	0.00	0.00	0.00	0.00	1.00	-0.30
33	CC 1 - Amb. 1 (SLU S) S Mt+0.3X+0.3Y+Z	SLV	L	N	1.00	1.00	0.00	0.00	0.00	0.00	0.00	0.00	0.00	0.00	0.00	0.00	0.00	0.00	0.00	0.00	0.00	0.00	1.00	0.30
34	CC 2 - Amb. 1 (SLE) S Mt+0.3X+0.3Y+Z	SLD	L	N	1.00	1.00	0.00	0.00	0.00	0.00	0.00	0.00	0.00	0.00	0.00	0.00	0.00	0.00	0.00	0.00	0.00	0.00	1.00	0.30
35	CC 1 - Amb. 1 (SLU S) S Mt+0.3X-0.3Y+Z	SLV	L	N	1.00	1.00	0.00	0.00	0.00	0.00	0.00	0.00	0.00	0.00	0.00	0.00	0.00	0.00	0.00	0.00	0.00	0.00	1.00	0.30
36	CC 2 - Amb. 1 (SLE) S Mt+0.3X-0.3Y+Z	SLD	L	N	1.00	1.00	0.00	0.00	0.00	0.00	0.00	0.00	0.00	0.00	0.00	0.00	0.00	0.00	0.00	0.00	0.00	0.00	1.00	0.30

37	CC 3 - Amb. 1 (SLU S) S Mt-0.3X-0.3Y+Z	SLV	L	N	1.00	1.00	0.00	0.00	0.00	0.00	0.00	0.00	0.00	0.00	0.00	0.00	0.00	0.00	0.00	0.00	0.00	0.00	1.00	-0.30
38	CC 4 - Amb. 1 (SLE) S Mt-0.3X-0.3Y+Z	SLD	L	N	1.00	1.00	0.00	0.00	0.00	0.00	0.00	0.00	0.00	0.00	0.00	0.00	0.00	0.00	0.00	0.00	0.00	0.00	1.00	-0.30
39	CC 3 - Amb. 1 (SLU S) S Mt-0.3X+0.3Y+Z	SLV	L	N	1.00	1.00	0.00	0.00	0.00	0.00	0.00	0.00	0.00	0.00	0.00	0.00	0.00	0.00	0.00	0.00	0.00	0.00	1.00	-0.30
40	CC 4 - Amb. 1 (SLE) S Mt-0.3X+0.3Y+Z	SLD	L	N	1.00	1.00	0.00	0.00	0.00	0.00	0.00	0.00	0.00	0.00	0.00	0.00	0.00	0.00	0.00	0.00	0.00	0.00	1.00	-0.30
41	CC 1 - Amb. 1 (SLU S) S Mt+0.3X+0.3Y-Z	SLV	L	N	1.00	1.00	0.00	0.00	0.00	0.00	0.00	0.00	0.00	0.00	0.00	0.00	0.00	0.00	0.00	0.00	0.00	0.00	1.00	0.30
42	CC 2 - Amb. 1 (SLE) S Mt+0.3X+0.3Y-Z	SLD	L	N	1.00	1.00	0.00	0.00	0.00	0.00	0.00	0.00	0.00	0.00	0.00	0.00	0.00	0.00	0.00	0.00	0.00	0.00	1.00	0.30
43	CC 1 - Amb. 1 (SLU S) S Mt+0.3X-0.3Y-Z	SLV	L	N	1.00	1.00	0.00	0.00	0.00	0.00	0.00	0.00	0.00	0.00	0.00	0.00	0.00	0.00	0.00	0.00	0.00	0.00	1.00	0.30
44	CC 2 - Amb. 1 (SLE) S Mt+0.3X-0.3Y-Z	SLD	L	N	1.00	1.00	0.00	0.00	0.00	0.00	0.00	0.00	0.00	0.00	0.00	0.00	0.00	0.00	0.00	0.00	0.00	0.00	1.00	0.30
45	CC 3 - Amb. 1 (SLU S) S Mt-0.3X-0.3Y-Z	SLV	L	N	1.00	1.00	0.00	0.00	0.00	0.00	0.00	0.00	0.00	0.00	0.00	0.00	0.00	0.00	0.00	0.00	0.00	0.00	1.00	-0.30
46	CC 4 - Amb. 1 (SLE) S Mt-0.3X-0.3Y-Z	SLD	L	N	1.00	1.00	0.00	0.00	0.00	0.00	0.00	0.00	0.00	0.00	0.00	0.00	0.00	0.00	0.00	0.00	0.00	0.00	1.00	-0.30
47	CC 3 - Amb. 1 (SLU S) S Mt-0.3X+0.3Y-Z	SLV	L	N	1.00	1.00	0.00	0.00	0.00	0.00	0.00	0.00	0.00	0.00	0.00	0.00	0.00	0.00	0.00	0.00	0.00	0.00	1.00	-0.30
48	CC 4 - Amb. 1 (SLE) S Mt-0.3X+0.3Y-Z	SLD	L	N	1.00	1.00	0.00	0.00	0.00	0.00	0.00	0.00	0.00	0.00	0.00	0.00	0.00	0.00	0.00	0.00	0.00	0.00	1.00	-0.30
49	CC 17 - Amb. 1 (SLU S) S -Mt+X+0.3Y+0.3Z	SLV	L	N	1.00	1.00	0.00	0.00	0.00	0.00	0.00	0.00	0.00	0.00	0.00	0.00	0.00	0.00	0.00	0.00	0.00	0.00	-1.00	1.00
50	CC 18 - Amb. 1 (SLE) S -Mt+X+0.3Y+0.3Z	SLD	L	N	1.00	1.00	0.00	0.00	0.00	0.00	0.00	0.00	0.00	0.00	0.00	0.00	0.00	0.00	0.00	0.00	0.00	0.00	-1.00	1.00
51	CC 17 - Amb. 1 (SLU S) S -Mt+X+0.3Y-0.3Z	SLV	L	N	1.00	1.00	0.00	0.00	0.00	0.00	0.00	0.00	0.00	0.00	0.00	0.00	0.00	0.00	0.00	0.00	0.00	0.00	-1.00	1.00
52	CC 18 - Amb. 1 (SLE) S -Mt+X+0.3Y-0.3Z	SLD	L	N	1.00	1.00	0.00	0.00	0.00	0.00	0.00	0.00	0.00	0.00	0.00	0.00	0.00	0.00	0.00	0.00	0.00	0.00	-1.00	1.00
53	CC 19 - Amb. 1 (SLU S) S -Mt+X-0.3Y+0.3Z	SLV	L	N	1.00	1.00	0.00	0.00	0.00	0.00	0.00	0.00	0.00	0.00	0.00	0.00	0.00	0.00	0.00	0.00	0.00	0.00	-1.00	1.00
54	CC 20 - Amb. 1 (SLE) S -Mt+X-0.3Y+0.3Z	SLD	L	N	1.00	1.00	0.00	0.00	0.00	0.00	0.00	0.00	0.00	0.00	0.00	0.00	0.00	0.00	0.00	0.00	0.00	0.00	-1.00	1.00
55	CC 19 - Amb. 1 (SLU S) S -Mt+X-0.3Y-0.3Z	SLV	L	N	1.00	1.00	0.00	0.00	0.00	0.00	0.00	0.00	0.00	0.00	0.00	0.00	0.00	0.00	0.00	0.00	0.00	0.00	-1.00	1.00
56	CC 20 - Amb. 1 (SLE) S -Mt+X-0.3Y-0.3Z	SLD	L	N	1.00	1.00	0.00	0.00	0.00	0.00	0.00	0.00	0.00	0.00	0.00	0.00	0.00	0.00	0.00	0.00	0.00	0.00	-1.00	1.00
57	CC 21 - Amb. 1 (SLU S) S -Mt-X+0.3Y+0.3Z	SLV	L	N	1.00	1.00	0.00	0.00	0.00	0.00	0.00	0.00	0.00	0.00	0.00	0.00	0.00	0.00	0.00	0.00	0.00	0.00	-1.00	-1.00
58	CC 22 - Amb. 1 (SLE) S -Mt-X+0.3Y+0.3Z	SLD	L	N	1.00	1.00	0.00	0.00	0.00	0.00	0.00	0.00	0.00	0.00	0.00	0.00	0.00	0.00	0.00	0.00	0.00	0.00	-1.00	-1.00
59	CC 21 - Amb. 1 (SLU S) S -Mt-X+0.3Y-0.3Z	SLV	L	N	1.00	1.00	0.00	0.00	0.00	0.00	0.00	0.00	0.00	0.00	0.00	0.00	0.00	0.00	0.00	0.00	0.00	0.00	-1.00	-1.00
60	CC 22 - Amb. 1 (SLE) S -Mt-X+0.3Y-0.3Z	SLD	L	N	1.00	1.00	0.00	0.00	0.00	0.00	0.00	0.00	0.00	0.00	0.00	0.00	0.00	0.00	0.00	0.00	0.00	0.00	-1.00	-1.00
61	CC 23 - Amb. 1 (SLU S) S -Mt-X-0.3Y+0.3Z	SLV	L	N	1.00	1.00	0.00	0.00	0.00	0.00	0.00	0.00	0.00	0.00	0.00	0.00	0.00	0.00	0.00	0.00	0.00	0.00	-1.00	-1.00
62	CC 24 - Amb. 1 (SLE) S -Mt-X-0.3Y+0.3Z	SLD	L	N	1.00	1.00	0.00	0.00	0.00	0.00	0.00	0.00	0.00	0.00	0.00	0.00	0.00	0.00	0.00	0.00	0.00	0.00	-1.00	-1.00
63	CC 23 - Amb. 1 (SLU S) S -Mt-X-0.3Y-0.3Z	SLV	L	N	1.00	1.00	0.00	0.00	0.00	0.00	0.00	0.00	0.00	0.00	0.00	0.00	0.00	0.00	0.00	0.00	0.00	0.00	-1.00	-1.00
64	CC 24 - Amb. 1 (SLE) S -Mt-X-0.3Y-0.3Z	SLD	L	N	1.00	1.00	0.00	0.00	0.00	0.00	0.00	0.00	0.00	0.00	0.00	0.00	0.00	0.00	0.00	0.00	0.00	0.00	-1.00	-1.00
65	CC 25 - Amb. 1 (SLU S) S -Mt+0.3X+Y+0.3Z	SLV	L	N	1.00	1.00	0.00	0.00	0.00	0.00	0.00	0.00	0.00	0.00	0.00	0.00	0.00	0.00	0.00	0.00	0.00	0.00	-1.00	0.30
66	CC 26 - Amb. 1 (SLE) S -Mt+0.3X+Y+0.3Z	SLD	L	N	1.00	1.00	0.00	0.00	0.00	0.00	0.00	0.00	0.00	0.00	0.00	0.00	0.00	0.00	0.00	0.00	0.00	0.00	-1.00	0.30
67	CC 25 - Amb. 1 (SLU S) S -Mt+0.3X+Y-0.3Z	SLV	L	N	1.00	1.00	0.00	0.00	0.00	0.00	0.00	0.00	0.00	0.00	0.00	0.00	0.00	0.00	0.00	0.00	0.00	0.00	-1.00	0.30
68	CC 26 - Amb. 1 (SLE) S -Mt+0.3X+Y-0.3Z	SLD	L	N	1.00	1.00	0.00	0.00	0.00	0.00	0.00	0.00	0.00	0.00	0.00	0.00	0.00	0.00	0.00	0.00	0.00	0.00	-1.00	0.30
69	CC 27 - Amb. 1 (SLU S) S -Mt-0.3X+Y+0.3Z	SLV	L	N	1.00	1.00	0.00	0.00	0.00	0.00	0.00	0.00	0.00	0.00	0.00	0.00	0.00	0.00	0.00	0.00	0.00	0.00	-1.00	-0.30
70	CC 28 - Amb. 1 (SLE) S -Mt-0.3X+Y+0.3Z	SLD	L	N	1.00	1.00	0.00	0.00	0.00	0.00	0.00	0.00	0.00	0.00	0.00	0.00	0.00	0.00	0.00	0.00	0.00	0.00	-1.00	-0.30
71	CC 27 - Amb. 1 (SLU S) S -Mt-0.3X+Y-0.3Z	SLV	L	N	1.00	1.00	0.00	0.00	0.00	0.00	0.00	0.00	0.00	0.00	0.00	0.00	0.00	0.00	0.00	0.00	0.00	0.00	-1.00	-0.30
72	CC 28 - Amb. 1 (SLE) S -Mt-0.3X+Y-0.3Z	SLD	L	N	1.00	1.00	0.00	0.00	0.00	0.00	0.00	0.00	0.00	0.00	0.00	0.00	0.00	0.00	0.00	0.00	0.00	0.00	-1.00	-0.30

73	CC 29 - Amb. 1 (SLU S) S -Mt+0.3X-Y+0.3Z	SLV	L	N	1.00	1.00	0.00	0.00	0.00	0.00	0.00	0.00	0.00	0.00	0.00	0.00	0.00	0.00	0.00	0.00	0.00	0.00	-1.00	0.30
74	CC 30 - Amb. 1 (SLE) S -Mt+0.3X-Y+0.3Z	SLD	L	N	1.00	1.00	0.00	0.00	0.00	0.00	0.00	0.00	0.00	0.00	0.00	0.00	0.00	0.00	0.00	0.00	0.00	0.00	-1.00	0.30
75	CC 29 - Amb. 1 (SLU S) S -Mt+0.3X-Y-0.3Z	SLV	L	N	1.00	1.00	0.00	0.00	0.00	0.00	0.00	0.00	0.00	0.00	0.00	0.00	0.00	0.00	0.00	0.00	0.00	0.00	-1.00	0.30
76	CC 30 - Amb. 1 (SLE) S -Mt+0.3X-Y-0.3Z	SLD	L	N	1.00	1.00	0.00	0.00	0.00	0.00	0.00	0.00	0.00	0.00	0.00	0.00	0.00	0.00	0.00	0.00	0.00	0.00	-1.00	0.30
77	CC 31 - Amb. 1 (SLU S) S -Mt-0.3X-Y+0.3Z	SLV	L	N	1.00	1.00	0.00	0.00	0.00	0.00	0.00	0.00	0.00	0.00	0.00	0.00	0.00	0.00	0.00	0.00	0.00	0.00	-1.00	-0.30
78	CC 32 - Amb. 1 (SLE) S -Mt-0.3X-Y+0.3Z	SLD	L	N	1.00	1.00	0.00	0.00	0.00	0.00	0.00	0.00	0.00	0.00	0.00	0.00	0.00	0.00	0.00	0.00	0.00	0.00	-1.00	-0.30
79	CC 31 - Amb. 1 (SLU S) S -Mt-0.3X-Y-0.3Z	SLV	L	N	1.00	1.00	0.00	0.00	0.00	0.00	0.00	0.00	0.00	0.00	0.00	0.00	0.00	0.00	0.00	0.00	0.00	0.00	-1.00	-0.30
80	CC 32 - Amb. 1 (SLE) S -Mt-0.3X-Y-0.3Z	SLD	L	N	1.00	1.00	0.00	0.00	0.00	0.00	0.00	0.00	0.00	0.00	0.00	0.00	0.00	0.00	0.00	0.00	0.00	0.00	-1.00	-0.30
81	CC 1 - Amb. 1 (SLU S) S -Mt+0.3X+0.3Y+Z	SLV	L	N	1.00	1.00	0.00	0.00	0.00	0.00	0.00	0.00	0.00	0.00	0.00	0.00	0.00	0.00	0.00	0.00	0.00	0.00	1.00	0.30
82	CC 2 - Amb. 1 (SLE) S -Mt+0.3X+0.3Y+Z	SLD	L	N	1.00	1.00	0.00	0.00	0.00	0.00	0.00	0.00	0.00	0.00	0.00	0.00	0.00	0.00	0.00	0.00	0.00	0.00	1.00	0.30
83	CC 1 - Amb. 1 (SLU S) S -Mt+0.3X-0.3Y+Z	SLV	L	N	1.00	1.00	0.00	0.00	0.00	0.00	0.00	0.00	0.00	0.00	0.00	0.00	0.00	0.00	0.00	0.00	0.00	0.00	1.00	0.30
84	CC 2 - Amb. 1 (SLE) S -Mt+0.3X-0.3Y+Z	SLD	L	N	1.00	1.00	0.00	0.00	0.00	0.00	0.00	0.00	0.00	0.00	0.00	0.00	0.00	0.00	0.00	0.00	0.00	0.00	1.00	0.30
85	CC 3 - Amb. 1 (SLU S) S -Mt-0.3X-0.3Y+Z	SLV	L	N	1.00	1.00	0.00	0.00	0.00	0.00	0.00	0.00	0.00	0.00	0.00	0.00	0.00	0.00	0.00	0.00	0.00	0.00	1.00	-0.30
86	CC 4 - Amb. 1 (SLE) S -Mt-0.3X-0.3Y+Z	SLD	L	N	1.00	1.00	0.00	0.00	0.00	0.00	0.00	0.00	0.00	0.00	0.00	0.00	0.00	0.00	0.00	0.00	0.00	0.00	1.00	-0.30
87	CC 3 - Amb. 1 (SLU S) S -Mt-0.3X+0.3Y+Z	SLV	L	N	1.00	1.00	0.00	0.00	0.00	0.00	0.00	0.00	0.00	0.00	0.00	0.00	0.00	0.00	0.00	0.00	0.00	0.00	1.00	-0.30
88	CC 4 - Amb. 1 (SLE) S -Mt-0.3X+0.3Y+Z	SLD	L	N	1.00	1.00	0.00	0.00	0.00	0.00	0.00	0.00	0.00	0.00	0.00	0.00	0.00	0.00	0.00	0.00	0.00	0.00	1.00	-0.30
89	CC 1 - Amb. 1 (SLU S) S -Mt+0.3X+0.3Y-Z	SLV	L	N	1.00	1.00	0.00	0.00	0.00	0.00	0.00	0.00	0.00	0.00	0.00	0.00	0.00	0.00	0.00	0.00	0.00	0.00	1.00	0.30
90	CC 2 - Amb. 1 (SLE) S -Mt+0.3X+0.3Y-Z	SLD	L	N	1.00	1.00	0.00	0.00	0.00	0.00	0.00	0.00	0.00	0.00	0.00	0.00	0.00	0.00	0.00	0.00	0.00	0.00	1.00	0.30
91	CC 1 - Amb. 1 (SLU S) S -Mt+0.3X-0.3Y-Z	SLV	L	N	1.00	1.00	0.00	0.00	0.00	0.00	0.00	0.00	0.00	0.00	0.00	0.00	0.00	0.00	0.00	0.00	0.00	0.00	1.00	0.30
92	CC 2 - Amb. 1 (SLE) S -Mt+0.3X-0.3Y-Z	SLD	L	N	1.00	1.00	0.00	0.00	0.00	0.00	0.00	0.00	0.00	0.00	0.00	0.00	0.00	0.00	0.00	0.00	0.00	0.00	1.00	0.30
93	CC 3 - Amb. 1 (SLU S) S -Mt-0.3X-0.3Y-Z	SLV	L	N	1.00	1.00	0.00	0.00	0.00	0.00	0.00	0.00	0.00	0.00	0.00	0.00	0.00	0.00	0.00	0.00	0.00	0.00	1.00	-0.30
94	CC 4 - Amb. 1 (SLE) S -Mt-0.3X-0.3Y-Z	SLD	L	N	1.00	1.00	0.00	0.00	0.00	0.00	0.00	0.00	0.00	0.00	0.00	0.00	0.00	0.00	0.00	0.00	0.00	0.00	1.00	-0.30
95	CC 3 - Amb. 1 (SLU S) S -Mt-0.3X+0.3Y-Z	SLV	L	N	1.00	1.00	0.00	0.00	0.00	0.00	0.00	0.00	0.00	0.00	0.00	0.00	0.00	0.00	0.00	0.00	0.00	0.00	1.00	-0.30
96	CC 4 - Amb. 1 (SLE) S -Mt-0.3X+0.3Y-Z	SLD	L	N	1.00	1.00	0.00	0.00	0.00	0.00	0.00	0.00	0.00	0.00	0.00	0.00	0.00	0.00	0.00	0.00	0.00	0.00	1.00	-0.30
97	SCH 1 - mezz	SLU	L	N	1.35	1.50	1.35	0.00	0.00	1.35	0.00	0.00	0.00	0.00	0.00	0.00	0.00	0.00	0.00	0.00	0.00	1.00	0.00	0.00	0.00
98	SCH 1 - mezz	SLU	L	N	1.35	1.50	1.35	0.00	0.00	1.35	0.00	0.00	0.00	0.00	0.00	0.00	0.00	0.00	0.00	0.00	0.00	-1.00	0.00	0.00	0.00
99	SCH 1 - mezz	SLU	L	N	1.35	1.50	1.35	0.00	0.00	1.35	0.00	0.00	0.00	0.00	0.00	0.00	0.00	0.00	0.00	0.00	0.00	0.00	1.00	0.00	0.00
100	SCH 1 - mezz	SLU	L	N	1.35	1.50	1.35	0.00	0.00	1.35	0.00	0.00	0.00	0.00	0.00	0.00	0.00	0.00	0.00	0.00	0.00	0.00	-1.00	0.00	0.00
101	SCH 1 - dx	SLU	L	N	1.35	1.50	0.00	1.35	0.00	1.35	0.00	0.00	0.00	0.00	0.00	0.00	0.00	0.00	0.00	0.00	0.00	1.00	0.00	0.00	0.00
102	SCH 1 - dx	SLU	L	N	1.35	1.50	0.00	1.35	0.00	1.35	0.00	0.00	0.00	0.00	0.00	0.00	0.00	0.00	0.00	0.00	0.00	-1.00	0.00	0.00	0.00
103	SCH 1 - dx	SLU	L	N	1.35	1.50	0.00	1.35	0.00	1.35	0.00	0.00	0.00	0.00	0.00	0.00	0.00	0.00	0.00	0.00	0.00	0.00	1.00	0.00	0.00
104	SCH 1 - dx	SLU	L	N	1.35	1.50	0.00	1.35	0.00	1.35	0.00	0.00	0.00	0.00	0.00	0.00	0.00	0.00	0.00	0.00	0.00	0.00	-1.00	0.00	0.00
105	SCH 1 - sx	SLU	L	N	1.35	1.50	0.00	0.00	1.35	1.35	0.00	0.00	0.00	0.00	0.00	0.00	0.00	0.00	0.00	0.00	0.00	1.00	0.00	0.00	0.00
106	SCH 1 - sx	SLU	L	N	1.35	1.50	0.00	0.00	1.35	1.35	0.00	0.00	0.00	0.00	0.00	0.00	0.00	0.00	0.00	0.00	0.00	-1.00	0.00	0.00	0.00
107	SCH 1 - sx	SLU	L	N	1.35	1.50	0.00	0.00	1.35	1.35	0.00	0.00	0.00	0.00	0.00	0.00	0.00	0.00	0.00	0.00	0.00	0.00	1.00	0.00	0.00
108	SCH 1 - sx	SLU	L	N	1.35	1.50	0.00	0.00	1.35	1.35	0.00	0.00	0.00	0.00	0.00	0.00	0.00	0.00	0.00	0.00	0.00	0.00	-1.00	0.00	0.00
109	SCH 1 - mezz neve	SLU	L	N	1.35	1.50	1.01	0.00	0.00	0.54	0.00	0.00	0.00	0.00	0.00	0.00	0.00	0.00	1.50	0.00	0.00	1.00	0.00	0.00	0.00
110	SCH 1 - mezz neve	SLU	L	N	1.35	1.50	1.01	0.00	0.00	0.54	0.00	0.00	0.00	0.00	0.00	0.00	0.00	0.00	1.50	0.00	0.00	-1.00	0.00	0.00	0.00
111	SCH 1 - mezz neve	SLU	L	N	1.35	1.50	1.01	0.00	0.00	0.54	0.00	0.00	0.00	0.00	0.00	0.00	0.00	0.00	1.50	0.00	0.00	0.00	1.00	0.00	0.00
112	SCH 1 - mezz neve	SLU	L	N	1.35	1.50	1.01	0.00	0.00	0.54	0.00	0.00	0.00	0.00	0.00	0.00	0.00	0.00	1.50	0.00	0.00	0.00	-1.00	0.00	0.00
113	SCH 1 - dx neve	SLU	L	N	1.35	1.50	0.00	1.01	0.00	0.54	0.00	0.00	0.00	0.00	0.00	0.00	0.00	0.00	1.50	0.00	0.00	1.00	0.00	0.00	0.00
114	SCH 1 - dx neve	SLU	L	N	1.35	1.50	0.00	1.01	0.00	0.54	0.00	0.00	0.00	0.00	0.00	0.00	0.00	0.00	1.50	0.00	0.00	-1.00	0.00	0.00	0.00
115	SCH 1 - dx neve	SLU	L	N	1.35	1.50	0.00	1.01	0.00	0.54	0.00	0.00	0.00	0.00	0.00	0.00	0.00	0.00	1.50	0.00	0.00	0.00	1.00	0.00	0.00
116	SCH 1 - dx neve	SLU	L	N	1.35	1.50	0.00	1.01	0.00	0.54	0.00	0.00	0.00	0.00	0.00	0.00	0.00	0.00	1.50	0.00	0.00	0.00	-1.00	0.00	0.00
117	SCH 1 - sx neve	SLU	L	N	1.35	1.50	0.00	0.00	1.01	0.54	0.00	0.00	0.00	0.00	0.00	0.00	0.00	0.00	1.50	0.00	0.00	1.00	0.00	0.00	0.00
118	SCH 1 - sx neve	SLU	L	N	1.35	1.50	0.00	0.00	1.01	0.54	0.00	0.00	0.00	0.00	0.00	0.00	0.00	0.00	1.50	0.00	0.00	-1.00	0.00	0.00	0.00
119	SCH 1 - sx neve	SLU	L	N	1.35	1.50	0.00	0.00	1.01	0.54	0.00	0.00	0.00	0.00	0.00	0.00	0.00	0.00	1.50	0.00	0.00	0.00	1.00	0.00	0.00
120	SCH 1 - sx neve	SLU	L	N	1.35	1.50	0.00	0.00	1.01	0.54	0.00	0.00	0.00	0.00	0.00	0.00	0.00	0.00	1.50	0.00	0.00	0.00	-1.00	0.00	0.00
121	SCH 2a mezz	SLU	L	N	1.35	1.50	0.00	0.00	0.00	0.00	1.01	0.00	0.00	0.54	0.54	0.00	0.00	0.54	0.00	0.00	0.00	1.00	0.00	0.00	0.00
122	SCH 2a mezz	SLU	L	N	1.35	1.50	0.00	0.00	0.00	0.00	1.01	0.00	0.00	0.54	0.54	0.00	0.00	0.54	0.00	0.00	0.00	-1.00	0.00	0.00	0.00
123	SCH 2a mezz	SLU	L	N	1.35	1.50	0.00	0.00	0.00	0.00	1.01	0.00	0.00	0.54	0.54	0.00	0.00	0.54	0.00	0.00	0.00	0.00	1.00	0.00	0.00
124	SCH 2a mezz	SLU	L	N	1.35	1.50	0.00	0.00	0.00	0.00	1.01	0.00	0.00	0.54	0.54	0.00	0.00	0.54	0.00	0.00	0.00	0.00	-1.00	0.00	0.00
125	SCH 2a dx	SLU	L	N	1.35	1.50	0.00	0.00	0.00	0.00	0.00	1.01	0.00	0.54	0.00	0.54	0.00	0.54	0.00	0.00	0.00	1.00	0.00	0.00	0.00
126	SCH 2a dx	SLU	L	N	1.35	1.50	0.00	0.00	0.00	0.00	0.00	1.01	0.00	0.54	0.00	0.54	0.00	0.54	0.00	0.00	0.00	-1.00	0.00	0.00	0.00
127	SCH 2a dx	SLU	L	N	1.35	1.50	0.00	0.00	0.00	0.00	0.00	1.01	0.00	0.54	0.00	0.54	0.00	0.54	0.00	0.00	0.00	0.00	1.00	0.00	0.00
128	SCH 2a dx	SLU	L	N	1.35	1.50	0.00	0.00	0.00	0.00	0.00	1.01	0.00	0.54	0.00	0.54	0.00	0.54	0.00	0.00	0.00	0.00	-1.00	0.00	0.00
129	SCH 2a sx	SLU	L	N	1.35	1.50	0.00	0.00	0.00	0.00	0.00	0.00	1.01	0.54	0.00	0.00	0.54	0.54	0.00	0.00	0.00	1.00	0.00	0.00	0.00
130	SCH 2a sx	SLU	L	N	1.35	1.50	0.00	0.00	0.00	0.00	0.00	0.00	1.01	0.54	0.00	0.00	0.54	0.54	0.00	0.00	0.00	-1.00	0.00	0.00	0.00
131	SCH 2a sx	SLU	L	N	1.35	1.50	0.00	0.00	0.00	0.00	0.00	0.00	1.01	0.54	0.00	0.00	0.54	0.54	0.00	0.00	0.00	0.00	1.00	0.00	0.00

132	SCH 2a sx	SLU	L	N	1.35	1.50	0.00	0.00	0.00	0.00	0.00	0.00	1.01	0.54	0.00	0.00	0.54	0.54	0.00	0.00	0.00	0.00	-1.00	0.00	0.00
133	SCH1 mezz	SLE R	L	N	1.00	1.00	1.00	0.00	0.00	1.00	0.00	0.00	0.00	0.00	0.00	0.00	0.00	0.00	0.00	0.00	0.00	1.00	0.00	0.00	0.00
134	SCH1 mezz	SLE R	L	N	1.00	1.00	1.00	0.00	0.00	1.00	0.00	0.00	0.00	0.00	0.00	0.00	0.00	0.00	0.00	0.00	0.00	-1.00	0.00	0.00	0.00
135	SCH1 mezz	SLE R	L	N	1.00	1.00	1.00	0.00	0.00	1.00	0.00	0.00	0.00	0.00	0.00	0.00	0.00	0.00	0.00	0.00	0.00	0.00	1.00	0.00	0.00
136	SCH1 mezz	SLE R	L	N	1.00	1.00	1.00	0.00	0.00	1.00	0.00	0.00	0.00	0.00	0.00	0.00	0.00	0.00	0.00	0.00	0.00	0.00	-1.00	0.00	0.00
137	SCH1 dx	SLE R	L	N	1.00	1.00	0.00	1.00	0.00	1.00	0.00	0.00	0.00	0.00	0.00	0.00	0.00	0.00	0.00	0.00	0.00	1.00	0.00	0.00	0.00
138	SCH1 dx	SLE R	L	N	1.00	1.00	0.00	1.00	0.00	1.00	0.00	0.00	0.00	0.00	0.00	0.00	0.00	0.00	0.00	0.00	0.00	-1.00	0.00	0.00	0.00
139	SCH1 dx	SLE R	L	N	1.00	1.00	0.00	1.00	0.00	1.00	0.00	0.00	0.00	0.00	0.00	0.00	0.00	0.00	0.00	0.00	0.00	0.00	1.00	0.00	0.00
140	SCH1 dx	SLE R	L	N	1.00	1.00	0.00	1.00	0.00	1.00	0.00	0.00	0.00	0.00	0.00	0.00	0.00	0.00	0.00	0.00	0.00	0.00	-1.00	0.00	0.00
141	SCH1 sx	SLE R	L	N	1.00	1.00	0.00	0.00	1.00	1.00	0.00	0.00	0.00	0.00	0.00	0.00	0.00	0.00	0.00	0.00	0.00	1.00	0.00	0.00	0.00
142	SCH1 sx	SLE R	L	N	1.00	1.00	0.00	0.00	1.00	1.00	0.00	0.00	0.00	0.00	0.00	0.00	0.00	0.00	0.00	0.00	0.00	-1.00	0.00	0.00	0.00
143	SCH1 sx	SLE R	L	N	1.00	1.00	0.00	0.00	1.00	1.00	0.00	0.00	0.00	0.00	0.00	0.00	0.00	0.00	0.00	0.00	0.00	0.00	1.00	0.00	0.00
144	SCH1 sx	SLE R	L	N	1.00	1.00	0.00	0.00	1.00	1.00	0.00	0.00	0.00	0.00	0.00	0.00	0.00	0.00	0.00	0.00	0.00	0.00	-1.00	0.00	0.00
145	SCH1 mezz	SLE F	L	N	1.00	1.00	0.75	0.00	0.00	0.40	0.00	0.00	0.00	0.00	0.00	0.00	0.00	0.00	0.00	0.00	0.00	1.00	0.00	0.00	0.00
146	SCH1 mezz	SLE F	L	N	1.00	1.00	0.75	0.00	0.00	0.40	0.00	0.00	0.00	0.00	0.00	0.00	0.00	0.00	0.00	0.00	0.00	-1.00	0.00	0.00	0.00
147	SCH1 mezz	SLE F	L	N	1.00	1.00	0.75	0.00	0.00	0.40	0.00	0.00	0.00	0.00	0.00	0.00	0.00	0.00	0.00	0.00	0.00	0.00	1.00	0.00	0.00
148	SCH1 mezz	SLE F	L	N	1.00	1.00	0.75	0.00	0.00	0.40	0.00	0.00	0.00	0.00	0.00	0.00	0.00	0.00	0.00	0.00	0.00	0.00	-1.00	0.00	0.00
149	SCH1 dx	SLE F	L	N	1.00	1.00	0.00	0.75	0.00	0.40	0.00	0.00	0.00	0.00	0.00	0.00	0.00	0.00	0.00	0.00	0.00	1.00	0.00	0.00	0.00
150	SCH1 dx	SLE F	L	N	1.00	1.00	0.00	0.75	0.00	0.40	0.00	0.00	0.00	0.00	0.00	0.00	0.00	0.00	0.00	0.00	0.00	-1.00	0.00	0.00	0.00
151	SCH1 dx	SLE F	L	N	1.00	1.00	0.00	0.75	0.00	0.40	0.00	0.00	0.00	0.00	0.00	0.00	0.00	0.00	0.00	0.00	0.00	0.00	1.00	0.00	0.00
152	SCH1 dx	SLE F	L	N	1.00	1.00	0.00	0.75	0.00	0.40	0.00	0.00	0.00	0.00	0.00	0.00	0.00	0.00	0.00	0.00	0.00	0.00	-1.00	0.00	0.00
153	SCH1 sx	SLE F	L	N	1.00	1.00	0.00	0.00	0.75	0.40	0.00	0.00	0.00	0.00	0.00	0.00	0.00	0.00	0.00	0.00	0.00	1.00	0.00	0.00	0.00
154	SCH1 sx	SLE F	L	N	1.00	1.00	0.00	0.00	0.75	0.40	0.00	0.00	0.00	0.00	0.00	0.00	0.00	0.00	0.00	0.00	0.00	-1.00	0.00	0.00	0.00
155	SCH1 sx	SLE F	L	N	1.00	1.00	0.00	0.00	0.75	0.40	0.00	0.00	0.00	0.00	0.00	0.00	0.00	0.00	0.00	0.00	0.00	0.00	1.00	0.00	0.00
156	SCH1 sx	SLE F	L	N	1.00	1.00	0.00	0.00	0.75	0.40	0.00	0.00	0.00	0.00	0.00	0.00	0.00	0.00	0.00	0.00	0.00	0.00	-1.00	0.00	0.00
157	SCH2 mezz	SLE F	L	N	1.00	1.00	0.00	0.00	0.00	0.00	0.75	0.00	0.00	0.40	0.75	0.00	0.00	0.75	0.00	0.00	0.00	1.00	0.00	0.00	0.00
158	SCH2 mezz	SLE F	L	N	1.00	1.00	0.00	0.00	0.00	0.00	0.75	0.00	0.00	0.40	0.75	0.00	0.00	0.75	0.00	0.00	0.00	-1.00	0.00	0.00	0.00
159	SCH2 mezz	SLE F	L	N	1.00	1.00	0.00	0.00	0.00	0.00	0.75	0.00	0.00	0.40	0.75	0.00	0.00	0.75	0.00	0.00	0.00	0.00	1.00	0.00	0.00
160	SCH2 mezz	SLE F	L	N	1.00	1.00	0.00	0.00	0.00	0.00	0.75	0.00	0.00	0.40	0.75	0.00	0.00	0.75	0.00	0.00	0.00	0.00	-1.00	0.00	0.00
161	SCH2 dx	SLE F	L	N	1.00	1.00	0.00	0.00	0.00	0.00	0.00	0.00	0.00	0.40	0.00	0.75	0.00	0.75	0.00	0.00	0.00	1.00	0.00	0.00	0.00
162	SCH2 dx	SLE F	L	N	1.00	1.00	0.00	0.00	0.00	0.00	0.00	0.00	0.00	0.40	0.00	0.75	0.00	0.75	0.00	0.00	0.00	-1.00	0.00	0.00	0.00
163	SCH2 dx	SLE F	L	N	1.00	1.00	0.00	0.00	0.00	0.00	0.00	0.00	0.00	0.40	0.00	0.75	0.00	0.75	0.00	0.00	0.00	0.00	1.00	0.00	0.00
164	SCH2 dx	SLE F	L	N	1.00	1.00	0.00	0.00	0.00	0.00	0.00	0.00	0.00	0.40	0.00	0.75	0.00	0.75	0.00	0.00	0.00	0.00	-1.00	0.00	0.00
165	SCH2 sx	SLE F	L	N	1.00	1.00	0.00	0.00	0.00	0.00	0.00	0.00	0.00	0.40	0.00	0.00	0.75	0.75	0.00	0.00	0.00	1.00	0.00	0.00	0.00
166	SCH2 sx	SLE F	L	N	1.00	1.00	0.00	0.00	0.00	0.00	0.00	0.00	0.00	0.40	0.00	0.00	0.75	0.75	0.00	0.00	0.00	-1.00	0.00	0.00	0.00
167	SCH2 sx	SLE F	L	N	1.00	1.00	0.00	0.00	0.00	0.00	0.00	0.00	0.00	0.40	0.00	0.00	0.75	0.75	0.00	0.00	0.00	0.00	1.00	0.00	0.00
168	SCH2 sx	SLE F	L	N	1.00	1.00	0.00	0.00	0.00	0.00	0.00	0.00	0.00	0.40	0.00	0.00	0.75	0.75	0.00	0.00	0.00	0.00	-1.00	0.00	0.00
169	CC 45 - Amb. 2 (SLE Q) F X	SLE Q	L	N	1.00	1.00	0.00	0.00	0.00	0.00	0.00	0.00	0.00	0.00	0.00	0.00	0.00	0.00	0.00	0.00	0.00	1.00	0.00	0.00	0.00
170	CC 46 - Amb. 2 (SLE Q) F -X	SLE Q	L	N	1.00	1.00	0.00	0.00	0.00	0.00	0.00	0.00	0.00	0.00	0.00	0.00	0.00	0.00	0.00	0.00	0.00	-1.00	0.00	0.00	0.00
171	CC 47 - Amb. 2 (SLE Q) F Y	SLE Q	L	N	1.00	1.00	0.00	0.00	0.00	0.00	0.00	0.00	0.00	0.00	0.00	0.00	0.00	0.00	0.00	0.00	0.00	0.00	1.00	0.00	0.00
172	CC 48 - Amb. 2 (SLE Q) F -Y	SLE Q	L	N	1.00	1.00	0.00	0.00	0.00	0.00	0.00	0.00	0.00	0.00	0.00	0.00	0.00	0.00	0.00	0.00	0.00	0.00	-1.00	0.00	0.00
173	ECC. URTO	SLU I	L	N	1.00	1.00	0.00	0.00	0.00	0.00	0.00	0.00	0.00	0.00	0.00	0.00	0.00	0.00	0.00	1.00	0.00	0.00	0.00	0.00	0.00
174	ECC. URTO	SLU I	L	N	1.00	1.00	0.00	0.00	0.00	0.00	0.00	0.00	0.00	0.00	0.00	0.00	0.00	0.00	0.00	1.00	0.00	0.00	0.00	0.00	0.00
175	ECC. URTO	SLU I	L	N	1.00	1.00	0.00	0.00	0.00	0.00	0.00	0.00	0.00	0.00	0.00	0.00	0.00	0.00	0.00	1.00	0.00	0.00	0.00	0.00	0.00
176	ECC. URTO	SLU I	L	N	1.00	1.00	0.00	0.00	0.00	0.00	0.00	0.00	0.00	0.00	0.00	0.00	0.00	0.00	0.00	1.00	0.00	0.00	0.00	0.00	0.00
177	ECC. Onda di piena	SLU I	L	N	1.00	1.00	0.00	0.00	0.00	0.00	0.00	0.00	0.00	0.00	0.00	0.00	0.00	0.00	0.00	0.00	1.00	0.00	0.00	0.00	0.00
178	ECC. Onda di piena	SLU I	L	N	1.00	1.00	0.00	0.00	0.00	0.00	0.00	0.00	0.00	0.00	0.00	0.00	0.00	0.00	0.00	0.00	1.00	0.00	0.00	0.00	0.00
179	ECC. Onda di piena	SLU I	L	N	1.00	1.00	0.00	0.00	0.00	0.00	0.00	0.00	0.00	0.00	0.00	0.00	0.00	0.00	0.00	0.00	1.00	0.00	0.00	0.00	0.00
180	ECC. Onda di piena	SLU I	L	N	1.00	1.00	0.00	0.00	0.00	0.00	0.00	0.00	0.00	0.00	0.00	0.00	0.00	0.00	0.00	0.00	1.00	0.00	0.00	0.00	0.00

Elenco baricentri e masse impalcati

Simbologia
Imp. = Numero dell'impalcato
X = Coordinata X
Y = Coordinata Y
Z = Coordinata Z
Mo = Massa orizzontale
Jpz = Momento d'inerzia polare intorno all'asse Z

Imp.	X <m>	Y <m>	Z <m>	Mo <kg>	Jpz <kg*mq>
1	7.50	2.04	1.30	19546.40	1192890.00

Imp.	X <m>	Y <m>	Z <m>	Mo <kg>	Jpz <kg*mq>
2	7.50	2.04	2.20	73474.00	2296250.00

Totali masse impalcati

Mo <kg>	Jpz <kg*mq>
93020.40	3489140.00

Elenco masse nodi

Simbologia
Nodo = Numero del nodo
Mz = Massa in dir. Z

Nodo	Mz <kg>	Nodo	Mz <kg>	Nodo	Mz <kg>	Nodo	Mz <kg>	Nodo	Mz <kg>	Nodo	Mz <kg>	Nodo	Mz <kg>	Nodo	Mz <kg>
-2220	63.00	-2219	47.40	-2218	63.20	-2217	31.60	-2216	31.60	-2215	31.60	-2214	63.20	-2213	47.25
-2212	31.50	-2211	47.25	-2210	63.00	-2209	63.00	-2208	63.00	-2207	63.00	-2206	31.50	-2205	63.00
-2204	63.10	-2203	63.10	-2202	47.40	-2201	31.60	-2200	47.40	-2199	63.20	-2198	63.20	-2197	63.20
-2196	63.20	-2195	47.40	-2194	31.60	-2193	31.60	-2192	31.60	-2191	31.60	-2190	31.60	-2189	31.60
-2188	47.40	-2187	63.20	-2186	63.20	-2185	63.20	-2184	63.20	-2183	47.40	-2182	31.60	-2181	47.25
-2180	31.50	-2179	47.25	-2178	63.00	-2177	63.00	-2176	63.00	-2175	63.00	-2174	31.50	-2173	31.50
-2172	63.00	-2171	63.00	-2170	63.00	-2169	63.00	-2168	63.00	-2167	47.25	-2166	31.50	-2165	47.25
-2164	63.10	-2163	47.40	-2162	31.60	-2161	47.40	-2160	63.20	-2159	63.20	-2158	63.20	-2157	63.20

-2156	63.20	-2155	47.40	-2154	31.60	-2153	31.60	-2152	31.60	-2151	31.60	-2150	31.60	-2149	31.60
-2148	31.60	-2147	31.60	-2146	31.60	-2145	47.40	-2144	63.20	-2143	63.20	-2142	63.20	-2141	63.20
-2140	63.20	-2139	47.40	-2138	31.60	-2137	47.40	-2136	63.10	-2135	47.25	-2134	31.50	-2133	47.25
-2132	63.00	-2131	63.00	-2130	63.00	-2129	63.00	-2128	63.00	-2127	31.50	-2126	8.30	-2125	8.30
-2124	8.30	-2123	8.30	-2122	7.51	-2121	7.51	-2120	7.51	-2119	53.89	-2118	7.51	-2117	53.89
-2116	53.89	-2115	53.89	-2114	23.92	-2113	23.92	-2112	23.92	-2111	23.92	-2110	24.10	-2109	24.10
-2108	24.10	-2107	28.03	-2106	24.10	-2105	28.03	-2104	24.10	-2103	24.10	-2102	48.20	-2101	48.20
-2100	48.20	-2099	48.20	-2098	24.10	-2097	24.10	-2096	24.10	-2095	24.10	-2094	24.49	-2093	54.68
-2092	24.49	-2091	54.68	-2090	24.49	-2089	54.68	-2088	24.49	-2087	54.68	-2086	27.46	-2085	27.46
-2084	27.46	-2083	36.15	-2082	47.91	-2081	36.15	-2080	47.91	-2079	36.15	-2078	36.15	-2077	48.48
-2076	36.15	-2075	48.48	-2074	24.10	-2073	24.10	-2072	24.10	-2071	130.01	-2070	36.15	-2069	103.41
-2068	24.10	-2067	130.35	-2066	36.15	-2065	54.52	-2064	48.48	-2063	108.40	-2062	48.48	-2061	27.46
-2060	8.27	-2059	8.30	-2058	8.30	-2057	8.27	-2056	12.44	-2055	12.44	-2054	16.59	-2053	16.59
-2052	16.59	-2051	16.59	-2050	16.59	-2049	12.44	-2048	8.30	-2047	8.30	-2046	8.30	-2045	8.30
-2044	12.44	-2043	16.59	-2042	16.59	-2041	16.59	-2040	16.59	-2039	16.59	-2038	12.44	-2037	12.44
-2036	16.56	-2035	12.40	-2034	12.40	-2033	16.54	-2032	16.54	-2031	16.54	-2030	16.54	-2029	16.54
-2028	8.27	-2027	16.54	-2026	16.54	-2025	16.54	-2024	16.54	-2023	16.54	-2022	12.40	-2021	12.40
-2020	16.56	-2019	8.30	-2018	8.27	-2017	7.48	-2016	7.51	-2015	7.51	-2014	7.48	-2013	11.26
-2012	11.26	-2011	15.01	-2010	15.01	-2009	15.01	-2008	15.01	-2007	15.01	-2006	11.26	-2005	7.51
-2004	7.51	-2003	7.51	-2002	7.51	-2001	11.26	-2000	15.01	-1999	15.01	-1998	15.01	-1997	15.01
-1996	15.01	-1995	11.26	-1994	11.26	-1993	7.51	-1992	14.99	-1991	11.22	-1990	11.22	-1989	14.96
-1988	14.96	-1987	14.96	-1986	14.96	-1985	14.96	-1984	7.48	-1983	14.96	-1982	14.96	-1981	14.96
-1980	14.96	-1979	14.96	-1978	11.22	-1977	11.22	-1976	14.99	-1975	7.48	-1974	24.10	-1973	28.03
-1972	24.02	-1971	48.33	-1970	36.03	-1969	24.02	-1968	36.03	-1967	47.76	-1966	48.05	-1965	27.94
-1964	53.72	-1963	23.85	-1962	24.02	-1961	54.51	-1960	24.41	-1959	27.37	-1958	24.02	-1957	53.89
-1956	23.92	-1955	24.10	-1954	36.15	-1953	47.91	-1952	24.10	-1951	24.49	-1950	54.68	-1949	48.20
-1948	27.46	-1947	24.10	-1946	48.48	-1945	36.15	-1944	28.03	-1943	24.10	-1942	53.89	-1941	23.92
-1940	24.10	-1939	28.03	-1938	24.10	-1937	48.20	-1936	24.10	-1935	24.49	-1934	54.68	-1933	54.51
-1932	24.41	-1931	24.02	-1930	27.37	-1929	48.33	-1928	36.03	-1927	47.76	-1926	48.05	-1925	24.02
-1924	27.46	-1923	48.48	-1922	53.72	-1921	23.85	-1920	36.15	-1919	24.10	-1918	36.15	-1917	47.91
-1916	36.03	-1915	24.02	-1914	27.94	-1913	24.02	-1912	28.03	-1911	24.10	-1910	36.03	-1909	36.03
-1908	48.05	-1907	48.05	-1906	48.05	-1905	48.05	-1904	48.05	-1903	24.02	-1902	24.02	-1901	48.05
-1900	48.05	-1899	48.05	-1898	48.05	-1897	48.05	-1896	36.03	-1895	36.03	-1894	36.15	-1893	36.15
-1892	48.20	-1891	48.20	-1890	48.20	-1889	48.20	-1888	48.20	-1887	36.15	-1886	24.10	-1885	24.10
-1884	24.10	-1883	24.10	-1882	24.10	-1881	36.15	-1880	48.20	-1879	48.20	-1878	48.20	-1877	48.20
-1876	48.20	-1875	36.15	-1874	48.12	-1873	36.15	-1872	24.02	-1871	48.05	-1870	48.05	-1869	48.05
-1868	48.05	-1867	36.15	-1866	28.09	-1865	28.09	-1864	41.82	-1863	97.44	-1862	27.46	-1861	55.55
-1860	49.45	-1859	96.31	-1858	55.55	-1857	55.55	-1856	55.55	-1855	49.45	-1854	37.25	-1853	55.55
-1852	55.55	-1851	55.55	-1850	55.46	-1849	36.15	-1848	56.59	-1847	23.92	-1846	48.20	-1845	55.55
-1844	55.55	-1843	55.55	-1842	28.03	-1841	37.25	-1840	55.38	-1839	41.82	-1838	41.82	-1837	41.82
-1836	41.82	-1835	72.50	-1834	48.54	-1833	48.54	-1832	48.54	-1831	48.54	-1830	72.50	-1829	96.46
-1828	96.46	-1827	96.46	-1826	96.46	-1825	96.46	-1824	72.50	-1823	72.50	-1822	104.59	-1821	82.65
-1820	109.98	-1819	109.98	-1818	109.98	-1817	131.93	-1816	109.98	-1815	82.65	-1814	55.31	-1813	55.31
-1812	55.31	-1811	55.31	-1810	82.65	-1809	109.98	-1808	131.93	-1807	109.98	-1806	109.98	-1805	109.98
-1804	82.65	-1803	104.59	-1802	73.35	-1801	73.35	-1800	97.59	-1799	97.59	-1798	97.59	-1797	97.59
-1796	97.59	-1795	73.35	-1794	49.11	-1793	49.11	-1792	49.11	-1791	49.11	-1790	73.35	-1789	97.59
-1788	97.59	-1787	97.59	-1786	97.59	-1785	97.59	-1784	73.35	-1783	73.35	-1782	37.36	-1781	37.36
-1780	49.61	-1779	49.61	-1778	49.61	-1777	49.61	-1776	49.61	-1775	37.36	-1774	25.12	-1773	25.12
-1772	25.12	-1771	25.12	-1770	37.36	-1769	49.61	-1768	49.61	-1767	49.61	-1766	49.61	-1765	49.61
-1764	37.36	-1763	37.36	-1762	36.15	-1761	81.46	-1760	108.40	-1759	108.40	-1758	108.40	-1757	108.40
-1756	81.46	-1755	54.52	-1754	54.52	-1753	54.52	-1752	81.46	-1751	108.40	-1750	130.35	-1749	108.40
-1748	108.40	-1747	81.46	-1746	103.41	-1745	36.51	-1744	36.51	-1743	48.47	-1742	48.47	-1741	48.47
-1740	48.47	-1739	48.47	-1738	36.51	-1737	24.55	-1736	24.55	-1735	24.55	-1734	24.55	-1733	36.51
-1732	48.47	-1731	48.47	-1730	48.47	-1729	48.47	-1728	48.47	-1727	36.51	-1726	36.51	-1725	54.85
-1724	54.85	-1723	72.92	-1722	72.92	-1721	72.92	-1720	72.92	-1719	72.92	-1718	54.85	-1717	36.78
-1716	36.78	-1715	36.78	-1714	36.78	-1713	54.85	-1712	72.92	-1711	72.92	-1710	72.92	-1709	72.92
-1708	72.92	-1707	54.85	-1706	54.85	-1705	42.67	-1704	42.67	-1703	56.68	-1702	56.68	-1701	56.68
-1700	56.68	-1699	47.91	-1698	72.50	-1697	55.38	-1696	55.38	-1695	41.82	-1694	28.09	-1693	28.09
-1692	72.50	-1691	96.46	-1690	55.38	-1689	76.46	-1688	96.46	-1687	109.81	-1686	108.23	-1685	55.38
-1684	49.45	-1683	49.45	-1682	49.45	-1681	81.21	-1680	81.21	-1679	108.07	-1678	130.01	-1677	108.07
-1676	108.07	-1675	108.07	-1674	72.70	-1673	72.70	-1672	96.72	-1671	96.72	-1670	96.72	-1669	96.72
-1668	96.72	-1667	54.68	-1666	54.68	-1665	72.70	-1664	72.70	-1663	72.70	-1662	72.70	-1661	72.70
-1660	36.40	-1659	36.40	-1658	48.32	-1657	48.32	-1656	48.32	-1655	48.32	-1654	48.32	-1653	42.54
-1652	42.54	-1651	56.51	-1650	56.51	-1649	56.51	-1648	56.51	-1647	56.51	-1646	54.68	-1645	54.68
-1644	72.70	-1643	72.70	-1642	72.70	-1641	72.70	-1640	72.70	-1639	72.27	-1638	72.28	-1637	96.16
-1636	96.16	-1635	96.16	-1634	96.16	-1633	96.16	-1632	73.12	-1631	73.12	-1630	97.29	-1629	97.29
-1628	97.29	-1627	97.29	-1626	97.29	-1625	82.39	-1624	82.39	-1623	109.64	-1622	131.59	-1621	109.64
-1620	109.64	-1619	109.64	-1618	41.69	-1617	55.14	-1616	48.96	-1615	48.39	-1614	36.66	-1613	28.57
-1612	24.48	-1611	36.66	-1610	48.68	-1609	54.35	-1608	25.04	-1607	28.00	-1606	109.64	-1605	109.64
-1604	109.64	-1603	131.59	-1602	109.64	-1601	82.39	-1600	82.39	-1599	97.29	-1598	97.29	-1597	97.29
-1596	97.29	-1595	97.29	-1594	73.12	-1593	73.12	-1592	96.16	-1591	96.16	-1590	96.16	-1589	96.16
-1588	96.16	-1587	72.27	-1586	72.27	-1585	72.70	-1584	72.70	-1583	72.70	-1582	72.70	-1581	72.70
-1580	54.68	-1579	54.68	-1578	56.51	-1577	56.51	-1576	56.51	-1575	56.51	-1574	56.51	-1573	42.54
-1572	42.54	-1571	48.32	-1570	48.32	-1569	48.32	-1568	48.32	-1567	48.32	-1566	36.40	-1565	36.40
-1564	72.70	-1563	72.70	-1562	72.70	-1561	72.70	-1560	72.70	-1559	54.68	-1558	54.68	-1557	96.72
-1556	96.72	-1555	96.72	-1554	96.72	-1553	96.72	-1552	72.70	-1551	72.70	-1550	108.07	-1549	108.07
-1548	108.07	-1547	47.91	-1546	108.07	-1545	81.21	-1544	81.21	-1543	49.45	-1542	49.45	-1541	49.45
-1540	108.23	-1539	109.81	-1538	48.05	-1537	56.59	-1536	55.46	-1535	48.48	-1534	96.31	-1533	77.25
-1532	47.91	-1531	97.44	-1530	36.03	-1529	36.03	-1528	24.02	-1527	48.05	-1526	48.05	-1525	48.05

-1524	48.05	-1523	48.05	-1522	36.03	-1521	36.03	-1520	24.02	-1519	48.05	-1518	48.05	-1517	48.05
-1516	36.03	-1515	36.03	-1514	48.05	-1513	48.05	-1512	48.05	-1511	48.05	-1510	48.05	-1509	24.02
-1508	36.15	-1507	36.15	-1506	48.20	-1505	48.20	-1504	48.20	-1503	48.20	-1502	48.20	-1501	36.15
-1500	24.10	-1499	24.10	-1498	24.10	-1497	56.68	-1496	42.67	-1495	28.66	-1494	28.66	-1493	28.66
-1492	28.66	-1491	42.67	-1490	48.05	-1489	24.10	-1488	36.15	-1487	48.20	-1486	48.20	-1485	48.20
-1484	48.20	-1483	48.20	-1482	56.68	-1481	56.68	-1480	56.68	-1479	56.68	-1478	56.68	-1477	42.67
-1476	42.67	-1475	54.85	-1474	54.85	-1473	72.92	-1472	72.92	-1471	72.92	-1470	72.92	-1469	72.92
-1468	54.85	-1467	36.78	-1466	36.78	-1465	36.78	-1464	36.78	-1463	54.85	-1462	72.92	-1461	36.15
-1460	72.92	-1459	72.92	-1458	36.15	-1457	24.10	-1456	72.92	-1455	72.92	-1454	54.85	-1453	54.85
-1452	72.92	-1451	36.03	-1450	72.92	-1449	97.02	-1448	97.02	-1447	36.03	-1446	97.02	-1445	97.02
-1444	48.05	-1443	97.02	-1442	72.92	-1441	48.83	-1440	48.05	-1439	48.83	-1438	48.83	-1437	48.05
-1436	48.83	-1435	72.92	-1434	97.02	-1433	97.02	-1432	97.02	-1431	97.02	-1430	97.02	-1429	72.92
-1428	72.92	-1427	28.00	-1426	25.04	-1425	54.35	-1424	48.68	-1423	36.66	-1422	24.48	-1421	28.57
-1420	36.66	-1419	48.39	-1418	48.96	-1417	55.14	-1416	41.69	-1415	41.69	-1414	41.69	-1413	24.49
-1412	96.46	-1411	96.46	-1410	96.46	-1409	48.05	-1408	48.05	-1407	24.02	-1406	36.15	-1405	36.15
-1404	48.20	-1403	48.20	-1402	48.20	-1401	48.20	-1400	48.20	-1399	36.15	-1398	24.10	-1397	24.10
-1396	24.10	-1395	24.10	-1394	36.15	-1393	48.20	-1392	48.20	-1391	48.20	-1390	48.20	-1389	48.20
-1388	36.15	-1387	36.15	-1386	24.10	-1385	48.12	-1384	36.15	-1383	36.15	-1382	48.20	-1381	48.20
-1380	48.20	-1379	48.20	-1378	48.20	-1377	36.15	-1376	24.10	-1375	24.10	-1374	24.10	-1373	24.10
-1372	24.10	-1371	36.15	-1370	48.20	-1369	48.20	-1368	48.20	-1367	55.38	-1366	55.38	-1365	55.38
-1364	55.38	-1363	55.38	-1362	37.25	-1361	48.20	-1360	48.20	-1359	36.15	-1358	36.15	-1357	48.12
-1356	37.25	-1355	49.45	-1354	24.02	-1353	48.05	-1352	49.45	-1351	48.05	-1350	48.05	-1349	48.05
-1348	48.05	-1347	36.03	-1346	36.03	-1345	36.03	-1344	48.12	-1343	36.03	-1342	48.05	-1334	6.26
-1332	6.26	-1331	6.26	-1330	6.26	-1329	6.26	-1328	6.26	-1327	6.26	-1326	6.26	-1322	6.26
-1320	6.26	-1317	6.26	-1316	6.26	-1315	6.26	-1314	6.26	-1309	6.26	-1308	6.26	-1307	6.26
-1306	6.26	-1305	6.26	-1304	6.26	-1303	6.26	-1302	6.26	-1301	6.26	-1300	6.26	-1299	6.26
-1298	6.26	-1297	6.26	-1296	6.26	-1295	6.26	-1293	6.26	-1289	6.26	-1288	6.26	-1287	6.26
-1286	6.26	-1285	6.26	-1284	6.26	-1283	6.26	-1282	6.26	-1281	6.26	-1280	6.26	-1279	6.26
-1278	6.26	-1277	6.26	-1275	6.26	-1273	18.25	-1272	18.25	-1271	9.88	-1270	9.88	-1269	15.93
-1225	15.93	-1224	11.72	-1223	13.11	-1222	13.11	-1221	13.11	-1220	13.11	-1219	9.99	-1218	6.24
-1217	9.99	-1216	15.25	-1215	6.26	-1214	10.02	-1213	13.15	-1212	13.15	-1211	13.15	-1210	13.15
-1209	10.02	-1208	6.89	-1207	6.89	-1206	6.89	-1205	6.89	-1204	10.02	-1203	13.15	-1202	13.15
-1201	13.15	-1200	13.15	-1199	10.02	-1198	6.26	-1197	15.25	-1196	9.99	-1195	6.24	-1194	9.99
-1193	13.11	-1192	13.11	-1191	13.11	-1190	13.11	-1189	11.72	-1188	38.92	-1187	11.72	-1186	13.11
-1185	13.11	-1184	13.11	-1183	13.11	-1182	13.11	-1181	9.99	-1180	6.24	-1179	9.99	-1178	10.02
-1177	6.26	-1176	10.02	-1175	13.15	-1174	13.15	-1173	13.15	-1172	13.15	-1171	13.15	-1170	10.02
-1169	6.89	-1168	6.89	-1167	6.26	-1166	6.89	-1165	6.89	-1164	10.02	-1163	13.15	-1162	13.15
-1161	13.15	-1160	13.15	-1159	13.15	-1158	10.02	-1157	6.26	-1156	10.02	-1155	9.99	-1154	6.24
-1153	9.99	-1152	13.11	-1151	13.11	-1150	13.11	-1149	13.11	-1148	13.11	-1147	11.72	-1146	38.92
-1145	25.48	-1103	25.48	-1102	34.49	-1101	11.72	-1100	13.11	-1099	13.11	-1098	13.11	-1097	13.11
-1096	13.11	-1095	9.99	-1094	6.24	-1093	9.99	-1092	15.59	-1091	10.02	-1090	6.26	-1089	10.02
-1088	13.15	-1087	13.15	-1086	13.15	-1085	13.15	-1084	13.15	-1083	10.02	-1082	6.89	-1081	6.89
-1080	6.26	-1079	6.89	-1078	6.89	-1077	10.02	-1076	13.15	-1075	13.15	-1074	13.15	-1073	13.15
-1072	13.15	-1071	10.02	-1070	6.26	-1069	10.02	-1068	15.59	-1067	9.99	-1066	6.24	-1065	9.99
-1064	13.11	-1063	13.11	-1062	13.11	-1061	13.11	-1060	13.11	-1059	11.72	-1058	34.49	-1057	25.48
-1047	2.11	-1023	2.11	-1013	25.48	-1012	43.08	-1011	11.72	-1010	13.11	-1009	13.11	-1008	13.11
-1007	13.11	-1006	13.11	-1005	9.99	-1004	6.24	-1003	9.99	-1002	10.02	-1001	6.26	-1000	10.02
-999	13.15	-998	13.15	-997	13.15	-996	13.15	-995	13.15	-994	10.02	-993	6.89	-992	6.89
-991	6.26	-990	6.89	-989	6.89	-988	10.02	-987	13.15	-986	13.15	-985	13.15	-984	13.15
-983	13.15	-982	10.02	-981	6.26	-980	10.02	-979	9.99	-978	6.24	-977	9.99	-976	13.11
-975	13.11	-974	13.11	-973	13.11	-972	13.11	-971	11.72	-970	43.08	-969	55.52	-968	11.72
-967	13.11	-966	13.11	-965	13.11	-964	13.11	-963	13.11	-962	9.99	-961	6.24	-960	9.99
-959	17.34	-958	10.02	-957	6.26	-956	10.02	-955	13.15	-954	13.15	-953	13.15	-952	13.15
-951	13.15	-950	10.02	-949	6.89	-948	6.89	-947	6.26	-946	6.89	-945	6.89	-944	10.02
-943	13.15	-942	13.15	-941	13.15	-940	13.15	-939	13.15	-938	10.02	-937	6.26	-936	10.02
-935	17.34	-934	9.99	-933	6.24	-932	9.99	-931	13.11	-930	13.11	-929	13.11	-928	13.11
-927	13.11	-926	11.72	-925	55.52	-924	55.82	-923	11.72	-922	13.11	-921	13.11	-920	13.11
-919	13.11	-918	13.11	-917	9.99	-916	6.24	-915	9.99	-914	10.02	-913	6.26	-912	10.02
-911	13.15	-910	13.15	-909	13.15	-908	13.15	-907	13.15	-906	10.02	-905	6.89	-904	6.89
-903	6.26	-902	6.89	-901	6.89	-900	10.02	-899	13.15	-898	13.15	-897	13.15	-896	13.15
-895	13.15	-894	10.02	-893	6.26	-892	10.02	-891	9.99	-890	6.24	-889	9.99	-888	13.11
-887	13.11	-886	13.11	-885	13.11	-884	13.11	-883	11.72	-882	55.82	-881	56.12	-880	11.72
-879	13.11	-878	13.11	-877	13.11	-876	13.11	-875	13.11	-874	9.99	-873	6.24	-872	9.99
-871	17.39	-870	10.02	-869	6.26	-868	10.02	-867	13.15	-866	13.15	-865	13.15	-864	13.15
-863	13.15	-862	10.02	-861	6.89	-860	6.89	-859	6.26	-858	6.89	-857	6.89	-856	10.02
-855	13.15	-854	13.15	-853	13.15	-852	13.15	-851	13.15	-850	10.02	-849	6.26	-848	10.02
-847	17.39	-846	9.99	-845	6.24	-844	9.99	-843	13.11	-842	13.11	-841	13.11	-840	13.11
-839	13.11	-838	11.72	-837	56.12	-836	43.08	-835	11.72	-834	13.11	-833	13.11	-832	13.11
-831	13.11	-830	13.11	-829	9.99	-828	6.24	-827	9.99	-826	10.02	-825	6.26	-824	10.02
-823	13.15	-822	13.15	-821	13.15	-820	13.15	-819	13.15	-818	10.02	-817	6.89	-816	6.89
-815	6.26	-814	6.89	-813	6.89	-812	10.02	-811	13.15	-810	13.15	-809	13.15	-808	13.15
-807	13.15	-806	10.02	-805	6.26	-804	10.02	-803	9.99	-802	6.24	-801	9.99	-800	13.11
-799	13.11	-798	13.11	-797	13.11	-796	13.11	-795	11.72	-794	43.08	-793	25.48	-783	2.11
-759	2.11	-749	25.48	-748	33.89	-747	11.72	-746	13.11	-745	13.11	-744	13.11	-743	13.11
-742	13.11	-741	9.99	-740	6.24	-739	9.99	-738	15.54	-737	10.02	-736	6.26	-735	10.02
-734	13.15	-733	13.15	-732	13.15	-731	13.15	-730	13.15	-729	10.02	-728	6.89	-727	6.89
-726	6.26	-725	6.89	-724	6.89	-723	10.02	-722	13.15	-721	13.15	-720	13.15	-719	13.15
-718	13.15	-717	10.02	-716	6.26	-715	10.02	-714	15.54	-713	9.99	-712	6.24	-711	9.99
-710	13.11	-709	13.11	-708	13.11	-707	13.11	-706	13.11	-705	11.72	-704	33.89	-703	25.48

-661	25.48	-660	39.52	-659	11.72	-658	13.11	-657	13.11	-656	13.11	-655	13.11	-654	13.11
-653	9.99	-652	6.24	-651	9.99	-650	10.02	-649	6.26	-648	10.02	-647	13.15	-646	13.15
-645	13.15	-644	13.15	-643	13.15	-642	10.02	-641	6.89	-640	6.89	-639	6.26	-638	6.89
-637	6.89	-636	10.02	-635	13.15	-634	13.15	-633	13.15	-632	13.15	-631	13.15	-630	10.02
-629	6.26	-628	10.02	-627	9.99	-626	6.24	-625	9.99	-624	13.11	-623	13.11	-622	13.11
-621	13.11	-620	13.11	-619	11.72	-618	39.52	-617	11.72	-616	13.11	-615	13.11	-614	13.11
-613	13.11	-612	9.99	-611	6.24	-610	9.99	-609	15.25	-608	6.26	-607	10.02	-606	13.15
-605	13.15	-604	13.15	-603	13.15	-602	10.02	-601	6.89	-600	6.89	-599	6.89	-598	6.89
-597	10.02	-596	13.15	-595	13.15	-594	13.15	-593	13.15	-592	10.02	-591	6.26	-590	15.25
-589	9.99	-588	6.24	-587	9.99	-586	13.11	-585	13.11	-584	13.11	-583	13.11	-582	11.72
-581	15.93	-537	15.93	-536	9.24	-535	9.24	-534	34.56	-533	34.56	-532	55.75	-531	55.75
-530	110.38	-529	110.38	-528	219.02	-527	219.02	-526	89.19	-525	89.19	-524	103.73	-523	103.73
-522	89.19	-521	89.19	-520	233.56	-519	233.56	-518	177.34	-517	177.34	-516	278.16	-515	278.16
-514	179.44	-513	179.44	-512	233.56	-511	233.56	-510	89.19	-509	89.19	-508	101.64	-507	101.64
-506	89.19	-505	89.19	-504	221.12	-503	221.12	-502	112.61	-501	112.61	-500	55.75	-499	55.75
-498	32.33	-497	32.33	-496	39.50	-495	39.50	-494	63.71	-493	63.71	-492	126.15	-491	126.15
-490	136.29	-489	136.29	-488	101.94	-487	101.94	-486	118.55	-485	118.55	-484	101.94	-483	101.94
-482	152.91	-481	152.91	-480	202.68	-479	202.68	-478	203.87	-477	203.87	-476	205.07	-475	205.07
-474	152.91	-473	152.91	-472	101.94	-471	101.94	-470	116.16	-469	116.16	-468	101.94	-467	101.94
-466	138.69	-465	138.69	-464	128.69	-463	128.69	-462	63.71	-461	63.71	-460	36.95	-459	36.95
-420	44.44	-419	44.44	-418	71.67	-417	71.67	-416	141.91	-415	141.91	-414	153.33	-413	153.33
-412	114.68	-411	114.68	-410	133.37	-409	133.37	-408	114.68	-407	114.68	-406	172.02	-405	172.02
-404	114.68	-403	114.68	-402	114.68	-401	114.68	-400	172.02	-399	172.02	-398	114.68	-397	114.68
-396	130.68	-395	130.68	-394	114.68	-393	114.68	-392	156.02	-391	156.02	-390	144.78	-389	144.78
-388	71.67	-387	71.67	-386	41.57	-385	41.57	-384	127.35	-383	127.35	-382	135.81	-381	135.81
-380	135.86	-379	135.86	-378	135.91	-377	135.91	-376	127.35	-375	127.35	-336	34.56	-335	34.56
-334	55.75	-333	55.75	-332	110.38	-331	110.38	-330	119.25	-329	119.25	-328	89.19	-327	89.19
-326	103.73	-325	103.73	-324	89.19	-323	89.19	-322	133.79	-321	133.79	-320	177.34	-319	177.34
-318	178.39	-317	178.39	-316	179.44	-315	179.44	-314	133.79	-313	133.79	-312	89.19	-311	89.19
-310	101.64	-309	101.64	-308	89.19	-307	89.19	-306	121.35	-305	121.35	-304	112.61	-303	112.61
-302	55.75	-301	55.75	-300	32.33	-299	32.33	-298	41.48	-297	41.48	-296	66.90	-295	66.90
-294	132.45	-293	132.45	-292	143.10	-291	143.10	-290	107.03	-289	107.03	-288	124.48	-287	124.48
-286	107.03	-285	107.03	-284	160.55	-283	160.55	-282	212.81	-281	212.81	-280	214.07	-279	214.07
-278	215.32	-277	215.32	-276	160.55	-275	160.55	-274	107.03	-273	107.03	-272	121.97	-271	121.97
-270	107.03	-269	107.03	-268	145.62	-267	145.62	-266	135.13	-265	135.13	-264	66.90	-263	66.90
-262	38.80	-261	38.80	-260	55.30	-259	55.30	-258	89.19	-257	89.19	-256	176.61	-255	176.61
-254	190.81	-253	190.81	-252	142.71	-251	142.71	-250	165.97	-249	165.97	-248	142.71	-247	142.71
-246	214.07	-245	214.07	-244	283.75	-243	283.75	-242	285.42	-241	285.42	-240	287.10	-239	287.10
-238	214.07	-237	214.07	-236	142.71	-235	142.71	-234	162.62	-233	162.62	-232	142.71	-231	142.71
-230	194.16	-229	194.16	-228	180.17	-227	180.17	-226	89.19	-225	89.19	-224	51.73	-223	51.73
10	101.47	11	101.47	12	101.47	13	101.47	14	101.47	15	101.47	16	101.47	17	101.47
18	101.47	19	101.47	301	62.81	302	13.11	303	10.02	304	13.15	305	6.89	306	13.15
307	10.02	308	13.11	309	62.81	310	17.71	311	17.71	312	18.00	313	18.00	314	19.06
315	19.06	316	18.00	317	18.00	318	17.66	319	17.66	320	62.17	321	13.11	322	10.02
323	13.15	324	6.89	325	13.15	326	10.02	327	13.11	328	62.17	329	2.11	330	2.11
331	2.11	332	2.11	401	45.09	402	61.48	403	62.45	404	57.94	405	27.02	406	57.94
407	62.45	408	61.48	409	45.09	420	45.09	421	61.48	422	62.45	423	60.47	424	58.44
425	60.47	426	62.45	427	61.48	428	45.09	429	48.12	430	96.87	431	49.53	432	48.40
433	72.81	434	48.40	435	48.12	436	49.53	437	48.12	438	48.12	439	72.81	440	72.81
441	96.87	442	72.81												

Totali masse nodi

Mz <kg>
84647.90

Elenco forze sismiche di impalcato allo SLD

Simbologia

Imp. = Numero dell'impalcato
cx = Coeff. c in dir. X
cy = Coeff. c in dir. Y
Mz = Momento intorno all'asse Z

Imp.	cx	cy	Mz <daNm>
1	0.14	0.14	2674.89
2	0.86	0.86	17015.80

Totali forze sismiche

Mz <daNm>
19690.70

Elenco forze sismiche di impalcato allo SLV

Imp.	cx	cy	Mz <daNm>
1	0.14	0.14	5848.06
2	0.86	0.86	37201.40

Totali forze sismiche

Mz <daNm>
43049.50

Elenco pesi e forze fittizie impalcati

Simbologia
Imp. = Numero dell'impalcato
Peso = Peso
Fx = Forza in dir. X
Fy = Forza in dir. Y

Imp.	Peso <daN>	Fx <daN>	Fy <daN>
1	19175.00	191.75	191.75
2	473906.00	4739.06	4739.06

Elenco modi di vibrare, masse partecipanti e coefficienti di partecipazione

Simbologia
Modo = Numero del modo di vibrare
C = * indica che il modo è stato considerato
Per. = Periodo
Diff. = Minima differenza percentuale dagli altri periodi
Φx = Coefficiente di partecipazione in dir. X
Φy = Coefficiente di partecipazione in dir. Y
Φz = Coefficiente di partecipazione in dir. Z
%Mx = Percentuale massa partecipante in dir. X
%My = Percentuale massa partecipante in dir. Y
%Mz = Percentuale massa partecipante in dir. Z
%Jpz = Percentuale momento d'inerzia polare partecipante intorno all'asse Z

Modo	C	Per.	Diff.	Φx	Φy	Φz	%Mx	%My	%Mz	%Jpz
1	*	0.17	22.37	-63.80	0.00	0.00	43.76	0.00	0.00	0.00
2	*	0.14	1.73	0.00	-4.19	-56.69	0.00	0.19	37.97	0.00
3	*	0.14	1.73	0.00	55.88	-4.32	0.00	33.57	0.22	0.00
4	*	0.10	11.44	0.00	61.73	0.20	0.00	40.97	0.00	0.00
5	*	0.09	11.44	0.19	-0.00	0.00	0.00	0.00	0.00	41.16
6	*	0.06	42.13	-0.00	0.24	-67.07	0.00	0.00	53.15	0.00
Tot.cons.							43.76	74.72	91.33	41.16

Elenco coefficienti di risposta

Simbologia
Modo = Numero del modo di vibrare
Sx = Coefficiente di risposta (moltiplicato per 100) in dir. X
Sy = Coefficiente di risposta (moltiplicato per 100) in dir. Y
Sz = Coefficiente di risposta (moltiplicato per 100) in dir. Z

Stato limite di danno

Modo	Sx	Sy	Sz
1	26.90	26.90	5.63
2	26.77	26.77	6.48
3	26.49	26.49	6.48
4	22.05	22.05	6.48
5	20.88	20.88	6.48
6	17.88	17.88	6.48

Stato limite di salvaguardia della vita

Modo	Sx	Sy	Sz
1	58.81	58.81	18.98
2	56.85	56.85	21.81
3	56.28	56.28	21.81
4	47.00	47.00	21.81
5	44.58	44.58	21.81
6	38.30	38.30	21.81

Spostamenti dei nodi allo stato limite ultimo

Simbologia
Nodo = Numero del nodo
Sx = Spostamento in dir. X
CC = Numero della combinazione delle condizioni di carico elementari
Sy = Spostamento in dir. Y

Sz = Spostamento in dir. Z
Rx = Rotazione intorno all'asse X
Ry = Rotazione intorno all'asse Y
Rz = Rotazione intorno all'asse Z

Nodo		Sx <cm>	CC	Sy <cm>	CC	Sz <cm>	CC	Rx <rad>	CC	Ry <rad>	CC	Rz <rad>	CC
-2220	Max	1.27	101	0.31	177	0.41	130	0.00	128	0.00	101	0.00	177
-2220	Min.	-5.04	162	-0.19	17	-1.22	101	-0.00	65	-0.00	130	0.00	65
-2219	Max	1.27	101	0.32	177	0.35	130	0.00	17	0.01	98	0.00	177
-2219	Min.	-5.04	162	-0.19	17	-1.76	101	-0.00	65	0.00	65	0.00	65
-2218	Max	1.27	101	0.33	177	-0.19	17	0.00	173	0.01	98	0.00	17
-2218	Min.	-5.04	162	-0.18	17	-2.89	97	-0.00	65	0.00	49	0.00	65
-2217	Max	1.26	101	0.33	177	-0.30	65	0.00	173	0.00	130	0.00	1
-2217	Min.	-5.04	166	-0.18	65	-3.69	99	-0.00	17	-0.00	101	0.00	49
-2216	Max	1.26	101	0.33	177	-0.28	65	0.00	173	0.00	130	0.00	1
-2216	Min.	-5.04	166	-0.18	65	-3.60	99	-0.00	17	-0.00	101	0.00	49
-2215	Max	1.26	101	0.33	177	-0.29	65	0.00	173	0.00	130	0.00	1
-2215	Min.	-5.04	166	-0.18	65	-3.65	99	-0.00	17	-0.00	101	0.00	49
-2214	Max	1.26	101	0.33	177	-0.15	65	0.00	173	0.00	130	0.00	17
-2214	Min.	-5.04	158	-0.18	65	-2.56	98	-0.00	17	-0.01	97	0.00	65
-2213	Max	1.26	101	0.32	177	0.27	101	0.00	65	0.00	17	0.00	17
-2213	Min.	-5.04	166	-0.19	65	-1.55	130	-0.00	17	-0.00	98	0.00	177
-2212	Max	1.26	101	0.32	177	0.28	101	0.00	65	0.00	1	0.00	17
-2212	Min.	-5.04	166	-0.19	65	-1.51	130	-0.00	17	-0.00	98	0.00	177
-2211	Max	1.26	101	0.32	177	0.29	101	0.00	65	0.00	49	0.00	17
-2211	Min.	-5.04	166	-0.19	65	-1.46	130	-0.00	17	-0.00	98	0.00	177
-2210	Max	1.26	101	0.32	177	0.26	101	0.00	65	0.00	101	0.00	17
-2210	Min.	-5.04	166	-0.19	65	-1.36	130	-0.00	17	-0.00	106	0.00	177
-2209	Max	1.26	101	0.31	177	0.21	101	0.00	65	0.00	101	0.00	17
-2209	Min.	-5.04	166	-0.19	65	-1.25	130	-0.00	159	-0.00	130	0.00	177
-2208	Max	1.26	101	0.31	177	0.14	101	0.00	65	0.00	101	0.00	17
-2208	Min.	-5.04	166	-0.19	65	-1.12	130	-0.00	159	-0.00	130	0.00	177
-2207	Max	1.26	101	0.31	177	0.07	49	0.00	65	0.00	101	0.00	1
-2207	Min.	-5.04	166	-0.19	65	-0.95	130	0.00	17	-0.00	130	0.00	177
-2206	Max	1.26	101	0.31	177	-0.02	65	0.00	65	0.00	101	0.00	1
-2206	Min.	-5.05	166	-0.20	65	-0.61	107	0.00	17	-0.00	130	0.00	177
-2205	Max	1.26	101	0.31	177	0.02	49	0.00	65	0.00	101	0.00	1
-2205	Min.	-5.05	166	-0.19	65	-0.78	107	0.00	17	-0.00	130	0.00	177
-2204	Max	1.26	101	0.32	177	0.20	101	0.00	65	0.00	17	0.00	17
-2204	Min.	-5.04	166	-0.19	65	-1.64	106	-0.00	17	-0.01	98	0.00	177
-2203	Max	1.27	101	0.32	177	0.46	130	0.00	17	0.01	97	0.00	177
-2203	Min.	-5.04	162	-0.19	17	-1.64	101	-0.00	65	0.00	65	0.00	65
-2202	Max	1.26	101	0.32	177	0.13	49	0.00	65	0.00	17	0.00	17
-2202	Min.	-5.04	166	-0.19	65	-1.76	106	-0.00	17	-0.01	97	0.00	177
-2201	Max	1.26	101	0.32	177	0.10	49	0.00	173	0.00	17	0.00	17
-2201	Min.	-5.04	166	-0.19	65	-1.82	106	-0.00	17	-0.01	97	0.00	177
-2200	Max	1.26	101	0.32	177	0.07	49	0.00	173	0.00	17	0.00	17
-2200	Min.	-5.04	158	-0.18	65	-1.88	106	-0.00	17	-0.01	97	0.00	177
-2199	Max	1.26	101	0.33	177	0.00	49	0.00	173	0.00	17	0.00	17
-2199	Min.	-5.04	158	-0.18	65	-1.98	106	-0.00	17	-0.01	97	0.00	65
-2198	Max	1.26	101	0.33	177	-0.07	49	0.00	173	0.00	17	0.00	17
-2198	Min.	-5.04	158	-0.18	65	-2.19	98	-0.00	17	-0.01	97	0.00	65
-2197	Max	1.26	101	0.33	177	-0.19	65	0.00	173	0.00	130	0.00	17
-2197	Min.	-5.04	158	-0.18	65	-2.89	98	-0.00	17	-0.01	97	0.00	65
-2196	Max	1.26	101	0.33	177	-0.22	65	0.00	173	0.00	130	0.00	17
-2196	Min.	-5.04	158	-0.18	65	-3.18	98	-0.00	17	-0.01	97	0.00	65
-2195	Max	1.26	101	0.33	177	-0.25	65	0.00	173	0.00	130	0.00	17
-2195	Min.	-5.04	166	-0.18	65	-3.43	99	-0.00	17	-0.01	97	0.00	65
-2194	Max	1.26	101	0.33	177	-0.26	65	0.00	173	0.00	130	0.00	1
-2194	Min.	-5.04	166	-0.18	65	-3.52	99	-0.00	17	-0.00	101	0.00	49
-2193	Max	1.26	101	0.33	177	-0.31	17	0.00	173	0.00	130	0.00	1
-2193	Min.	-5.04	162	-0.18	17	-3.70	99	-0.00	17	-0.00	101	0.00	49
-2192	Max	1.26	101	0.33	177	-0.30	17	0.00	173	0.00	130	0.00	1
-2192	Min.	-5.04	162	-0.18	17	-3.69	99	-0.00	65	-0.00	101	0.00	49
-2191	Max	1.26	101	0.33	177	-0.29	17	0.00	173	0.00	130	0.00	1
-2191	Min.	-5.04	162	-0.18	17	-3.65	99	-0.00	65	-0.00	101	0.00	49
-2190	Max	1.26	101	0.33	177	-0.28	17	0.00	173	0.00	130	0.00	1
-2190	Min.	-5.04	162	-0.18	17	-3.60	99	-0.00	65	-0.00	101	0.00	49
-2189	Max	1.26	101	0.33	177	-0.26	17	0.00	173	0.00	106	0.00	1
-2189	Min.	-5.04	162	-0.18	17	-3.52	99	-0.00	65	-0.00	101	0.00	49
-2188	Max	1.26	101	0.33	177	-0.25	17	0.00	173	0.01	98	0.00	17
-2188	Min.	-5.04	162	-0.18	17	-3.43	99	-0.00	65	-0.00	101	0.00	65
-2187	Max	1.27	101	0.33	177	-0.22	17	0.00	173	0.01	98	0.00	17
-2187	Min.	-5.04	162	-0.18	17	-3.18	97	-0.00	65	0.00	49	0.00	65
-2186	Max	1.27	101	0.33	177	-0.15	17	0.00	173	0.01	98	0.00	17
-2186	Min.	-5.04	162	-0.18	17	-2.56	97	-0.00	65	0.00	49	0.00	65
-2185	Max	1.27	101	0.33	177	-0.07	1	0.00	173	0.01	98	0.00	17
-2185	Min.	-5.04	162	-0.18	17	-2.19	97	-0.00	65	0.00	65	0.00	65
-2184	Max	1.27	101	0.33	177	0.01	130	0.00	173	0.01	98	0.00	17

-2184	Min.	-5.04	162	-0.18	17	-1.98	101	-0.00	65	0.00	65	0.00	65
-2183	Max	1.27	101	0.32	177	0.20	130	0.00	173	0.01	98	0.00	177
-2183	Min.	-5.04	162	-0.18	17	-1.88	101	-0.00	65	0.00	65	0.00	65
-2182	Max	1.27	101	0.32	177	0.28	130	0.00	17	0.01	98	0.00	177
-2182	Min.	-5.04	162	-0.19	17	-1.82	101	-0.00	65	0.00	65	0.00	65
-2181	Max	1.27	101	0.32	177	0.51	130	0.00	17	0.00	97	0.00	177
-2181	Min.	-5.04	162	-0.19	17	-1.54	101	-0.00	65	0.00	65	0.00	65
-2180	Max	1.27	101	0.32	177	0.52	130	0.00	17	0.00	97	0.00	177
-2180	Min.	-5.04	162	-0.19	17	-1.49	101	-0.00	65	0.00	49	0.00	65
-2179	Max	1.27	101	0.32	177	0.51	130	0.00	17	0.00	97	0.00	177
-2179	Min.	-5.04	162	-0.19	17	-1.44	101	-0.00	65	0.00	130	0.00	65
-2178	Max	1.27	101	0.32	177	0.48	130	0.00	128	0.00	101	0.00	177
-2178	Min.	-5.04	162	-0.19	17	-1.33	101	-0.00	65	-0.00	130	0.00	65
-2177	Max	1.27	101	0.31	177	0.32	130	0.00	164	0.00	101	0.00	177
-2177	Min.	-5.04	162	-0.19	17	-1.09	101	0.00	65	-0.00	130	0.00	65
-2176	Max	1.28	101	0.31	177	0.21	130	0.00	17	0.00	101	0.00	177
-2176	Min.	-5.04	162	-0.19	17	-0.94	101	0.00	65	-0.00	130	0.00	49
-2175	Max	1.28	101	0.31	177	0.08	132	0.00	17	0.00	101	0.00	177
-2175	Min.	-5.04	162	-0.19	17	-0.78	103	0.00	65	-0.00	130	0.00	49
-2174	Max	1.28	101	0.31	177	-0.02	17	0.00	17	0.00	101	0.00	177
-2174	Min.	-5.04	162	-0.20	17	-0.61	103	0.00	65	-0.00	130	0.00	49
-2173	Max	1.26	101	0.31	177	-0.02	17	0.00	65	0.00	101	0.00	1
-2173	Min.	-5.04	166	-0.20	65	-0.62	108	0.00	177	-0.00	130	0.00	177
-2172	Max	1.26	101	0.31	177	0.02	1	0.00	65	0.00	101	0.00	1
-2172	Min.	-5.04	166	-0.19	65	-0.78	108	0.00	177	-0.00	130	0.00	177
-2171	Max	1.26	101	0.31	177	0.07	1	0.00	65	0.00	101	0.00	1
-2171	Min.	-5.04	166	-0.19	65	-0.95	130	0.00	177	-0.00	130	0.00	177
-2170	Max	1.26	101	0.31	177	0.14	101	0.00	160	0.00	101	0.00	1
-2170	Min.	-5.04	166	-0.19	65	-1.12	130	0.00	177	-0.00	130	0.00	177
-2169	Max	1.26	101	0.32	177	0.21	101	0.00	65	0.00	101	0.00	17
-2169	Min.	-5.04	166	-0.19	65	-1.25	130	0.00	177	-0.00	130	0.00	177
-2168	Max	1.26	101	0.32	177	0.26	101	0.00	65	0.00	101	0.00	17
-2168	Min.	-5.04	166	-0.19	65	-1.37	130	0.00	177	-0.00	106	0.00	177
-2167	Max	1.26	101	0.32	177	0.28	101	0.00	173	0.00	1	0.00	17
-2167	Min.	-5.04	166	-0.19	65	-1.47	130	0.00	177	-0.00	98	0.00	177
-2166	Max	1.26	101	0.32	177	0.28	101	0.00	173	0.00	49	0.00	17
-2166	Min.	-5.04	166	-0.19	65	-1.51	130	0.00	177	-0.00	98	0.00	177
-2165	Max	1.26	101	0.32	177	0.27	101	0.00	173	0.00	65	0.00	17
-2165	Min.	-5.04	166	-0.19	65	-1.55	130	0.00	177	-0.00	98	0.00	177
-2164	Max	1.26	101	0.32	177	0.20	101	0.00	173	0.00	65	0.00	17
-2164	Min.	-5.04	166	-0.19	65	-1.64	106	0.00	177	-0.01	98	0.00	177
-2163	Max	1.26	101	0.32	177	0.13	1	0.00	173	0.00	65	0.00	17
-2163	Min.	-5.04	166	-0.19	65	-1.76	106	0.00	177	-0.01	97	0.00	177
-2162	Max	1.26	101	0.32	177	0.10	1	0.00	173	0.00	65	0.00	17
-2162	Min.	-5.04	166	-0.19	65	-1.82	106	0.00	177	-0.01	97	0.00	177
-2161	Max	1.26	101	0.32	177	0.07	1	0.00	173	0.00	65	0.00	17
-2161	Min.	-5.04	158	-0.19	65	-1.88	106	0.00	17	-0.01	97	0.00	177
-2160	Max	1.26	101	0.33	177	0.00	1	0.00	173	0.00	65	0.00	17
-2160	Min.	-5.04	158	-0.18	65	-1.99	106	-0.00	17	-0.01	97	0.00	65
-2159	Max	1.26	101	0.33	177	-0.08	1	0.00	173	0.00	65	0.00	17
-2159	Min.	-5.04	158	-0.18	65	-2.19	98	-0.00	17	-0.01	97	0.00	65
-2158	Max	1.26	101	0.33	177	-0.16	1	0.00	173	0.00	130	0.00	17
-2158	Min.	-5.04	158	-0.18	65	-2.56	98	-0.00	17	-0.01	97	0.00	65
-2157	Max	1.26	101	0.33	177	-0.20	17	0.00	173	0.00	130	0.00	17
-2157	Min.	-5.04	158	-0.18	65	-2.90	98	-0.00	17	-0.01	97	0.00	65
-2156	Max	1.26	101	0.33	177	-0.23	17	0.00	173	0.00	130	0.00	17
-2156	Min.	-5.04	158	-0.18	65	-3.19	98	-0.00	17	-0.01	97	0.00	65
-2155	Max	1.26	101	0.33	177	-0.26	17	0.00	173	0.00	130	0.00	17
-2155	Min.	-5.04	166	-0.18	65	-3.43	100	-0.00	99	-0.01	97	0.00	65
-2154	Max	1.26	101	0.33	177	-0.27	17	0.00	173	0.00	130	0.00	1
-2154	Min.	-5.04	166	-0.18	65	-3.53	100	-0.00	99	-0.00	101	0.00	49
-2153	Max	1.26	101	0.33	177	-0.29	17	0.00	173	0.00	130	0.00	1
-2153	Min.	-5.04	166	-0.18	65	-3.60	100	-0.00	99	-0.00	101	0.00	49
-2152	Max	1.26	101	0.33	177	-0.30	17	0.00	173	0.00	130	0.00	1
-2152	Min.	-5.04	166	-0.18	65	-3.66	100	-0.00	99	-0.00	101	0.00	49
-2151	Max	1.26	101	0.33	177	-0.31	17	0.00	173	0.00	130	0.00	1
-2151	Min.	-5.04	166	-0.18	65	-3.69	100	-0.00	99	-0.00	101	0.00	49
-2150	Max	1.26	101	0.33	177	-0.32	17	0.00	173	0.00	130	0.00	1
-2150	Min.	-5.04	162	-0.18	17	-3.70	100	-0.00	99	-0.00	101	0.00	49
-2149	Max	1.26	101	0.33	177	-0.31	65	0.00	173	0.00	130	0.00	1
-2149	Min.	-5.04	162	-0.18	17	-3.69	100	-0.00	99	-0.00	101	0.00	49
-2148	Max	1.26	101	0.33	177	-0.30	65	0.00	173	0.00	130	0.00	1
-2148	Min.	-5.04	162	-0.18	17	-3.66	100	-0.00	99	-0.00	101	0.00	49
-2147	Max	1.26	101	0.33	177	-0.29	65	0.00	173	0.00	130	0.00	1
-2147	Min.	-5.04	162	-0.18	17	-3.60	100	-0.00	99	-0.00	101	0.00	49
-2146	Max	1.26	101	0.33	177	-0.27	65	0.00	173	0.00	106	0.00	1
-2146	Min.	-5.04	162	-0.18	17	-3.53	100	-0.00	99	-0.00	101	0.00	49
-2145	Max	1.26	101	0.33	177	-0.26	65	0.00	173	0.01	98	0.00	17
-2145	Min.	-5.04	162	-0.18	17	-3.43	100	-0.00	99	-0.00	101	0.00	65

-2144	Max	1.27	101	0.33	177	-0.23	65	0.00	173	0.01	98	0.00	17
-2144	Min.	-5.04	162	-0.18	17	-3.19	97	-0.00	65	0.00	1	0.00	65
-2143	Max	1.27	101	0.33	177	-0.20	65	0.00	173	0.01	98	0.00	17
-2143	Min.	-5.04	162	-0.18	17	-2.90	97	-0.00	65	0.00	1	0.00	65
-2142	Max	1.27	101	0.33	177	-0.16	49	0.00	173	0.01	98	0.00	17
-2142	Min.	-5.04	162	-0.18	17	-2.56	97	-0.00	65	0.00	1	0.00	65
-2141	Max	1.27	101	0.33	177	-0.08	49	0.00	173	0.01	98	0.00	17
-2141	Min.	-5.04	162	-0.18	17	-2.19	97	-0.00	65	0.00	17	0.00	65
-2140	Max	1.27	101	0.33	177	0.01	130	0.00	173	0.01	98	0.00	17
-2140	Min.	-5.04	162	-0.18	17	-1.99	101	-0.00	65	0.00	17	0.00	65
-2139	Max	1.27	101	0.32	177	0.19	130	0.00	173	0.01	98	0.00	177
-2139	Min.	-5.04	162	-0.19	17	-1.88	101	0.00	65	0.00	17	0.00	65
-2138	Max	1.27	101	0.32	177	0.28	130	0.00	173	0.01	98	0.00	177
-2138	Min.	-5.04	162	-0.19	17	-1.82	101	0.00	177	0.00	17	0.00	65
-2137	Max	1.27	101	0.32	177	0.35	130	0.00	173	0.01	98	0.00	177
-2137	Min.	-5.04	162	-0.19	17	-1.76	101	0.00	177	0.00	17	0.00	65
-2136	Max	1.27	101	0.32	177	0.46	130	0.00	173	0.01	97	0.00	177
-2136	Min.	-5.04	162	-0.19	17	-1.64	101	0.00	177	0.00	17	0.00	65
-2135	Max	1.27	101	0.32	177	0.51	130	0.00	173	0.00	97	0.00	177
-2135	Min.	-5.04	162	-0.19	17	-1.54	101	0.00	177	0.00	17	0.00	65
-2134	Max	1.27	101	0.32	177	0.52	130	0.00	173	0.00	97	0.00	177
-2134	Min.	-5.04	162	-0.19	17	-1.49	101	0.00	177	0.00	1	0.00	65
-2133	Max	1.27	101	0.32	177	0.51	130	0.00	173	0.00	97	0.00	177
-2133	Min.	-5.04	162	-0.19	17	-1.44	101	0.00	177	0.00	130	0.00	65
-2132	Max	1.27	101	0.32	177	0.47	130	0.00	17	0.00	101	0.00	177
-2132	Min.	-5.04	162	-0.19	17	-1.34	101	0.00	177	-0.00	130	0.00	65
-2131	Max	1.27	101	0.32	177	0.41	130	0.00	17	0.00	101	0.00	177
-2131	Min.	-5.04	162	-0.19	17	-1.22	101	0.00	177	-0.00	130	0.00	65
-2130	Max	1.27	101	0.31	177	0.32	130	0.00	17	0.00	101	0.00	177
-2130	Min.	-5.04	162	-0.19	17	-1.09	101	0.00	177	-0.00	130	0.00	49
-2129	Max	1.27	101	0.31	177	0.21	130	0.00	17	0.00	101	0.00	177
-2129	Min.	-5.04	162	-0.19	17	-0.94	101	0.00	177	-0.00	130	0.00	49
-2128	Max	1.28	101	0.31	177	0.08	131	0.00	17	0.00	101	0.00	177
-2128	Min.	-5.04	162	-0.19	17	-0.78	104	0.00	177	-0.00	130	0.00	49
-2127	Max	1.28	101	0.31	177	-0.02	65	0.00	17	0.00	101	0.00	177
-2127	Min.	-5.04	162	-0.20	17	-0.62	104	0.00	177	-0.00	130	0.00	49
-2126	Max	1.26	101	0.33	177	-0.22	65	0.00	173	0.00	106	0.00	98
-2126	Min.	-5.04	162	-0.18	17	-3.48	100	-0.00	99	-0.00	101	0.00	49
-2125	Max	1.26	101	0.33	177	-0.25	65	0.00	173	0.00	130	0.00	1
-2125	Min.	-5.04	162	-0.18	17	-3.60	100	-0.00	99	-0.00	101	0.00	49
-2124	Max	1.26	101	0.33	177	-0.25	17	0.00	173	0.00	130	0.00	1
-2124	Min.	-5.04	166	-0.18	65	-3.60	100	-0.00	99	-0.00	101	0.00	49
-2123	Max	1.26	101	0.33	177	-0.22	17	0.00	173	0.00	130	0.00	1
-2123	Min.	-5.04	166	-0.18	65	-3.48	100	-0.00	99	-0.00	101	0.00	97
-2122	Max	1.26	101	0.33	177	-0.21	17	0.00	173	0.00	106	0.00	1
-2122	Min.	-5.04	162	-0.18	17	-3.47	99	-0.00	65	-0.00	101	0.00	98
-2121	Max	1.26	101	0.33	177	-0.24	17	0.00	173	0.00	130	0.00	1
-2121	Min.	-5.04	162	-0.18	17	-3.60	99	-0.00	65	-0.00	101	0.00	49
-2120	Max	1.26	101	0.33	177	-0.21	65	0.00	173	0.00	130	0.00	97
-2120	Min.	-5.04	166	-0.18	65	-3.47	99	-0.00	17	-0.00	101	0.00	49
-2119	Max	1.26	101	0.33	177	-0.23	65	0.00	173	0.00	130	0.00	1
-2119	Min.	-5.04	166	-0.18	65	-3.49	99	-0.00	17	-0.00	101	0.00	49
-2118	Max	1.26	101	0.33	177	-0.24	65	0.00	173	0.00	130	0.00	1
-2118	Min.	-5.04	166	-0.18	65	-3.60	99	-0.00	17	-0.00	101	0.00	49
-2117	Max	1.26	101	0.33	177	-0.25	65	0.00	173	0.00	130	0.00	1
-2117	Min.	-5.04	166	-0.18	65	-3.62	99	-0.00	17	-0.00	101	0.00	49
-2116	Max	1.26	101	0.33	177	-0.25	17	0.00	173	0.00	130	0.00	1
-2116	Min.	-5.04	162	-0.18	17	-3.62	99	-0.00	65	-0.00	101	0.00	49
-2115	Max	1.26	101	0.33	177	-0.23	17	0.00	173	0.00	106	0.00	1
-2115	Min.	-5.04	162	-0.18	17	-3.49	99	-0.00	65	-0.00	101	0.00	49
-2114	Max	1.26	101	0.33	177	-0.30	65	0.00	173	0.00	130	0.00	1
-2114	Min.	-5.04	166	-0.18	65	-3.56	99	-0.00	17	-0.00	101	0.00	49
-2113	Max	1.26	101	0.33	177	-0.33	65	0.00	173	0.00	130	0.00	1
-2113	Min.	-5.04	166	-0.18	65	-3.69	99	-0.00	17	-0.00	101	0.00	49
-2112	Max	1.26	101	0.33	177	-0.33	17	0.00	173	0.00	130	0.00	1
-2112	Min.	-5.04	162	-0.18	17	-3.69	99	-0.00	65	-0.00	101	0.00	49
-2111	Max	1.26	101	0.33	177	-0.30	17	0.00	173	0.00	106	0.00	1
-2111	Min.	-5.04	162	-0.18	17	-3.56	99	-0.00	65	-0.00	101	0.00	49
-2110	Max	1.26	101	0.33	177	-0.32	65	0.00	173	0.00	130	0.00	1
-2110	Min.	-5.04	166	-0.18	65	-3.58	99	-0.00	17	-0.00	101	0.00	49
-2109	Max	1.26	101	0.33	177	-0.35	65	0.00	173	0.00	130	0.00	1
-2109	Min.	-5.04	166	-0.18	65	-3.72	99	-0.00	17	-0.00	101	0.00	49
-2108	Max	1.26	101	0.33	177	-0.35	17	0.00	173	0.00	130	0.00	1
-2108	Min.	-5.04	162	-0.18	17	-3.72	99	-0.00	65	-0.00	101	0.00	49
-2107	Max	1.26	101	0.33	177	-0.40	17	0.00	173	0.00	130	0.00	1
-2107	Min.	-5.04	162	-0.18	17	-3.76	99	-0.00	65	-0.00	101	0.00	49
-2106	Max	1.26	101	0.33	177	-0.32	17	0.00	173	0.00	106	0.00	1
-2106	Min.	-5.04	162	-0.18	17	-3.58	99	-0.00	65	-0.00	101	0.00	49
-2105	Max	1.26	101	0.33	177	-0.37	17	0.00	173	0.00	106	0.00	1

-2105	Min.	-5.04	162	-0.18	17	-3.62	97	-0.00	65	-0.00	101	0.00	49
-2104	Max	1.26	101	0.33	177	-0.41	17	0.00	173	0.00	98	0.00	1
-2104	Min.	-5.04	162	-0.18	17	-3.65	97	-0.00	65	-0.00	101	0.00	49
-2103	Max	1.26	101	0.33	177	-0.44	17	0.00	173	0.00	130	0.00	1
-2103	Min.	-5.04	162	-0.18	17	-3.79	99	-0.00	65	-0.00	101	0.00	49
-2102	Max	1.26	101	0.33	177	-0.50	33	0.00	173	0.00	106	0.00	17
-2102	Min.	-5.04	162	-0.18	17	-3.68	97	-0.00	65	-0.00	101	0.00	65
-2101	Max	1.26	101	0.33	177	-0.53	33	0.00	173	0.00	130	0.00	17
-2101	Min.	-5.04	162	-0.18	17	-3.82	97	-0.00	65	-0.00	101	0.00	65
-2100	Max	1.26	101	0.33	177	-0.53	33	0.00	173	0.00	130	0.00	17
-2100	Min.	-5.04	166	-0.18	65	-3.82	98	-0.00	17	-0.00	101	0.00	65
-2099	Max	1.26	101	0.33	177	-0.50	33	0.00	173	0.00	130	0.00	17
-2099	Min.	-5.04	166	-0.18	65	-3.68	98	-0.00	17	-0.00	101	0.00	65
-2098	Max	1.26	101	0.33	177	-0.34	17	0.00	173	0.00	130	0.00	1
-2098	Min.	-5.04	166	-0.18	65	-3.59	100	-0.00	99	-0.00	101	0.00	49
-2097	Max	1.26	101	0.33	177	-0.36	17	0.00	173	0.00	130	0.00	1
-2097	Min.	-5.04	166	-0.18	65	-3.72	100	-0.00	99	-0.00	101	0.00	49
-2096	Max	1.26	101	0.33	177	-0.36	65	0.00	173	0.00	130	0.00	1
-2096	Min.	-5.04	162	-0.18	17	-3.72	100	-0.00	99	-0.00	101	0.00	49
-2095	Max	1.26	101	0.33	177	-0.34	65	0.00	173	0.00	106	0.00	1
-2095	Min.	-5.04	162	-0.18	17	-3.59	100	-0.00	99	-0.00	101	0.00	49
-2094	Max	1.26	101	0.33	177	-0.31	17	0.00	173	0.00	130	0.00	1
-2094	Min.	-5.04	166	-0.18	65	-3.56	100	-0.00	99	-0.00	101	0.00	49
-2093	Max	1.26	101	0.33	177	-0.24	17	0.00	173	0.00	130	0.00	1
-2093	Min.	-5.04	166	-0.18	65	-3.49	100	-0.00	99	-0.00	101	0.00	49
-2092	Max	1.26	101	0.33	177	-0.34	17	0.00	173	0.00	130	0.00	1
-2092	Min.	-5.04	166	-0.18	65	-3.70	100	-0.00	99	-0.00	101	0.00	49
-2091	Max	1.26	101	0.33	177	-0.27	17	0.00	173	0.00	130	0.00	1
-2091	Min.	-5.04	166	-0.18	65	-3.62	100	-0.00	99	-0.00	101	0.00	49
-2090	Max	1.26	101	0.33	177	-0.34	65	0.00	173	0.00	130	0.00	1
-2090	Min.	-5.04	162	-0.18	17	-3.70	100	-0.00	99	-0.00	101	0.00	49
-2089	Max	1.26	101	0.33	177	-0.27	65	0.00	173	0.00	130	0.00	1
-2089	Min.	-5.04	162	-0.18	17	-3.62	100	-0.00	99	-0.00	101	0.00	49
-2088	Max	1.26	101	0.33	177	-0.31	65	0.00	173	0.00	106	0.00	1
-2088	Min.	-5.04	162	-0.18	17	-3.56	100	-0.00	99	-0.00	101	0.00	49
-2087	Max	1.26	101	0.33	177	-0.24	65	0.00	173	0.00	106	0.00	1
-2087	Min.	-5.04	162	-0.18	17	-3.49	100	-0.00	99	-0.00	101	0.00	49
-2086	Max	1.26	101	0.33	177	-0.38	17	0.00	173	0.00	130	0.00	17
-2086	Min.	-5.04	158	-0.18	65	-3.63	98	-0.00	17	-0.00	101	0.00	65
-2085	Max	1.26	101	0.33	177	-0.41	17	0.00	173	0.00	130	0.00	1
-2085	Min.	-5.04	166	-0.18	65	-3.77	100	-0.00	17	-0.00	101	0.00	49
-2084	Max	1.26	101	0.33	177	-0.41	65	0.00	173	0.00	130	0.00	1
-2084	Min.	-5.04	162	-0.18	17	-3.77	100	-0.00	65	-0.00	101	0.00	49
-2083	Max	1.26	101	0.33	177	-0.48	65	0.00	173	0.00	130	0.00	1
-2083	Min.	-5.04	166	-0.18	65	-3.81	99	-0.00	17	-0.00	101	0.00	49
-2082	Max	1.26	101	0.33	177	-0.51	33	0.00	173	0.00	130	0.00	1
-2082	Min.	-5.04	162	-0.18	17	-3.82	97	-0.00	65	-0.00	101	0.00	49
-2081	Max	1.26	101	0.33	177	-0.48	17	0.00	173	0.00	130	0.00	1
-2081	Min.	-5.04	162	-0.18	17	-3.81	99	-0.00	65	-0.00	101	0.00	49
-2080	Max	1.26	101	0.33	177	-0.48	33	0.00	173	0.00	106	0.00	17
-2080	Min.	-5.04	162	-0.18	17	-3.68	97	-0.00	65	-0.00	101	0.00	65
-2079	Max	1.26	101	0.33	177	-0.45	17	0.00	173	0.00	98	0.00	17
-2079	Min.	-5.04	162	-0.18	17	-3.67	97	-0.00	65	-0.00	101	0.00	65
-2078	Max	1.26	101	0.33	177	-0.45	17	0.00	173	0.00	130	0.00	17
-2078	Min.	-5.04	158	-0.18	65	-3.67	98	-0.00	17	-0.00	97	0.00	65
-2077	Max	1.26	101	0.33	177	-0.48	33	0.00	173	0.00	130	0.00	17
-2077	Min.	-5.04	158	-0.18	65	-3.68	98	-0.00	17	-0.00	101	0.00	65
-2076	Max	1.26	101	0.33	177	-0.49	17	0.00	173	0.00	130	0.00	1
-2076	Min.	-5.04	166	-0.18	65	-3.81	100	-0.00	17	-0.00	101	0.00	49
-2075	Max	1.26	101	0.33	177	-0.51	33	0.00	173	0.00	130	0.00	17
-2075	Min.	-5.04	166	-0.18	65	-3.82	98	-0.00	17	-0.00	101	0.00	65
-2074	Max	1.26	101	0.33	177	-0.42	17	0.00	173	0.00	130	0.00	17
-2074	Min.	-5.04	158	-0.18	65	-3.65	98	-0.00	17	-0.00	97	0.00	65
-2073	Max	1.26	101	0.33	177	-0.45	17	0.00	173	0.00	130	0.00	1
-2073	Min.	-5.04	166	-0.18	65	-3.79	100	-0.00	17	-0.00	101	0.00	49
-2072	Max	1.26	101	0.33	177	-0.45	65	0.00	173	0.00	130	0.00	1
-2072	Min.	-5.04	162	-0.18	17	-3.79	100	-0.00	65	-0.00	101	0.00	49
-2071	Max	1.27	101	0.31	177	0.41	130	0.00	128	0.00	101	0.00	177
-2071	Min.	-5.04	162	-0.19	17	-1.21	101	-0.00	65	-0.00	130	0.00	65
-2070	Max	1.26	101	0.33	177	-0.49	65	0.00	173	0.00	130	0.00	1
-2070	Min.	-5.04	162	-0.18	17	-3.81	100	-0.00	65	-0.00	101	0.00	49
-2069	Max	1.27	101	0.32	177	0.34	130	0.00	17	0.01	98	0.00	177
-2069	Min.	-5.04	162	-0.19	17	-1.75	101	-0.00	65	0.00	65	0.00	65
-2068	Max	1.26	101	0.33	177	-0.42	65	0.00	173	0.00	98	0.00	17
-2068	Min.	-5.04	162	-0.18	17	-3.65	97	-0.00	65	-0.00	101	0.00	65
-2067	Max	1.27	101	0.33	177	-0.16	17	0.00	173	0.01	98	0.00	17
-2067	Min.	-5.04	162	-0.18	17	-2.88	97	-0.00	65	0.00	49	0.00	65
-2066	Max	1.26	101	0.33	177	-0.45	65	0.00	173	0.00	98	0.00	17
-2066	Min.	-5.04	162	-0.18	17	-3.67	97	-0.00	65	-0.00	101	0.00	65

-2065	Max	1.26	101	0.33	177	-0.27	65	0.00	173	0.00	130	0.00	1
-2065	Min.	-5.04	166	-0.18	65	-3.65	99	-0.00	17	-0.00	101	0.00	49
-2064	Max	1.26	101	0.33	177	-0.52	33	0.00	173	0.00	130	0.00	17
-2064	Min.	-5.04	162	-0.18	17	-3.82	97	-0.00	65	-0.00	101	0.00	65
-2063	Max	1.26	101	0.33	177	-0.13	65	0.00	173	0.00	1	0.00	97
-2063	Min.	-5.04	158	-0.18	65	-2.55	98	-0.00	17	-0.01	97	0.00	65
-2062	Max	1.26	101	0.33	177	-0.49	33	0.00	173	0.00	106	0.00	17
-2062	Min.	-5.04	162	-0.18	17	-3.68	97	-0.00	65	-0.00	101	0.00	65
-2061	Max	1.26	101	0.33	177	-0.38	65	0.00	173	0.00	106	0.00	17
-2061	Min.	-5.04	162	-0.18	17	-3.63	97	-0.00	65	-0.00	101	0.00	65
-2060	Max	1.26	101	0.32	177	0.26	101	0.00	173	0.00	49	0.00	17
-2060	Min.	-5.04	166	-0.19	65	-1.52	130	0.00	177	-0.00	98	0.00	177
-2059	Max	1.26	101	0.32	177	0.10	1	0.00	173	0.00	65	0.00	17
-2059	Min.	-5.04	166	-0.19	65	-1.80	106	-0.00	177	-0.01	97	0.00	97
-2058	Max	1.27	101	0.32	177	0.26	130	0.00	173	0.01	98	0.00	98
-2058	Min.	-5.04	162	-0.19	17	-1.80	101	-0.00	177	0.00	17	0.00	65
-2057	Max	1.27	101	0.32	177	0.50	130	0.00	173	0.00	97	0.00	177
-2057	Min.	-5.04	162	-0.19	17	-1.48	101	0.00	177	0.00	1	0.00	65
-2056	Max	1.27	101	0.32	177	0.33	130	0.00	173	0.01	98	0.00	177
-2056	Min.	-5.04	162	-0.19	17	-1.75	101	-0.00	177	0.00	17	0.00	65
-2055	Max	1.27	101	0.32	177	0.17	130	0.00	173	0.01	98	0.00	98
-2055	Min.	-5.04	162	-0.19	17	-1.86	101	0.00	177	0.00	17	0.00	65
-2054	Max	1.27	101	0.33	177	0.00	49	0.00	173	0.01	98	0.00	98
-2054	Min.	-5.04	162	-0.18	17	-1.97	101	-0.00	65	0.00	17	0.00	65
-2053	Max	1.27	101	0.33	177	-0.07	49	0.00	173	0.01	98	0.00	98
-2053	Min.	-5.04	162	-0.18	17	-2.19	97	-0.00	65	0.00	17	0.00	65
-2052	Max	1.27	101	0.33	177	-0.12	65	0.00	173	0.01	98	0.00	98
-2052	Min.	-5.04	162	-0.18	17	-2.55	97	-0.00	65	0.00	1	0.00	65
-2051	Max	1.27	101	0.33	177	-0.15	65	0.00	173	0.01	98	0.00	98
-2051	Min.	-5.04	162	-0.18	17	-2.87	97	-0.00	65	0.00	1	0.00	65
-2050	Max	1.27	101	0.33	177	-0.18	65	0.00	173	0.01	98	0.00	98
-2050	Min.	-5.04	162	-0.18	17	-3.15	97	-0.00	65	0.00	1	0.00	65
-2049	Max	1.26	101	0.33	177	-0.21	65	0.00	173	0.01	98	0.00	98
-2049	Min.	-5.04	162	-0.18	17	-3.38	100	-0.00	65	-0.00	101	0.00	49
-2048	Max	1.26	101	0.33	177	-0.24	65	0.00	173	0.00	130	0.00	1
-2048	Min.	-5.04	162	-0.18	17	-3.55	100	-0.00	99	-0.00	101	0.00	49
-2047	Max	1.26	101	0.33	177	-0.26	65	0.00	173	0.00	130	0.00	130
-2047	Min.	-5.04	162	-0.18	17	-3.64	100	-0.00	99	-0.00	101	0.00	49
-2046	Max	1.26	101	0.33	177	-0.26	17	0.00	173	0.00	130	0.00	1
-2046	Min.	-5.04	166	-0.18	65	-3.64	100	-0.00	99	-0.00	101	0.00	49
-2045	Max	1.26	101	0.33	177	-0.24	17	0.00	173	0.00	130	0.00	1
-2045	Min.	-5.04	166	-0.18	65	-3.55	100	-0.00	99	-0.00	101	0.00	49
-2044	Max	1.26	101	0.33	177	-0.21	17	0.00	173	0.00	130	0.00	1
-2044	Min.	-5.04	166	-0.18	65	-3.38	100	-0.00	17	-0.01	97	0.00	97
-2043	Max	1.26	101	0.33	177	-0.18	17	0.00	173	0.00	130	0.00	17
-2043	Min.	-5.04	158	-0.18	65	-3.15	98	-0.00	17	-0.01	97	0.00	97
-2042	Max	1.26	101	0.33	177	-0.15	17	0.00	173	0.00	130	0.00	17
-2042	Min.	-5.04	158	-0.18	65	-2.87	98	-0.00	17	-0.01	97	0.00	97
-2041	Max	1.26	101	0.33	177	-0.12	17	0.00	173	0.00	49	0.00	17
-2041	Min.	-5.04	158	-0.18	65	-2.55	98	-0.00	17	-0.01	97	0.00	97
-2040	Max	1.26	101	0.33	177	-0.07	1	0.00	173	0.00	65	0.00	17
-2040	Min.	-5.04	158	-0.18	65	-2.19	98	-0.00	17	-0.01	97	0.00	97
-2039	Max	1.26	101	0.33	177	0.00	1	0.00	173	0.00	65	0.00	17
-2039	Min.	-5.04	158	-0.18	65	-1.97	106	-0.00	17	-0.01	97	0.00	97
-2038	Max	1.26	101	0.32	177	0.07	1	0.00	173	0.00	65	0.00	17
-2038	Min.	-5.04	158	-0.19	65	-1.86	106	0.00	177	-0.01	97	0.00	97
-2037	Max	1.26	101	0.32	177	0.13	1	0.00	173	0.00	65	0.00	17
-2037	Min.	-5.04	166	-0.19	65	-1.75	106	-0.00	177	-0.01	97	0.00	177
-2036	Max	1.26	101	0.32	177	0.17	101	0.00	173	0.00	65	0.00	17
-2036	Min.	-5.04	166	-0.19	65	-1.65	130	0.00	177	-0.01	98	0.00	177
-2035	Max	1.26	101	0.32	177	0.24	101	0.00	173	0.00	65	0.00	17
-2035	Min.	-5.04	166	-0.19	65	-1.56	130	0.00	177	-0.00	98	0.00	177
-2034	Max	1.26	101	0.32	177	0.26	101	0.00	173	0.00	1	0.00	17
-2034	Min.	-5.04	166	-0.19	65	-1.47	130	0.00	177	-0.00	98	0.00	177
-2033	Max	1.26	101	0.32	177	0.24	101	0.00	65	0.00	101	0.00	1
-2033	Min.	-5.04	166	-0.19	65	-1.37	130	0.00	177	-0.00	106	0.00	177
-2032	Max	1.26	101	0.32	177	0.20	101	0.00	65	0.00	101	0.00	1
-2032	Min.	-5.04	166	-0.19	65	-1.27	130	-0.00	177	-0.00	106	0.00	177
-2031	Max	1.26	101	0.31	177	0.13	101	0.00	160	0.00	101	0.00	1
-2031	Min.	-5.04	166	-0.19	65	-1.14	130	0.00	177	-0.00	130	0.00	177
-2030	Max	1.26	101	0.31	177	0.07	1	0.00	65	0.00	101	0.00	1
-2030	Min.	-5.04	166	-0.19	65	-0.97	130	0.00	177	-0.00	130	0.00	177
-2029	Max	1.26	101	0.31	177	0.03	1	0.00	65	0.00	101	0.00	1
-2029	Min.	-5.04	166	-0.19	65	-0.79	132	0.00	177	-0.00	130	0.00	177
-2028	Max	1.28	101	0.31	177	-0.01	65	0.00	17	0.00	101	0.00	177
-2028	Min.	-5.04	162	-0.20	17	-0.62	104	0.00	177	-0.00	130	0.00	130
-2027	Max	1.28	101	0.31	177	0.09	131	0.00	17	0.00	101	0.00	177
-2027	Min.	-5.04	162	-0.19	17	-0.78	104	0.00	177	-0.00	130	0.00	130
-2026	Max	1.28	101	0.31	177	0.21	130	0.00	17	0.00	101	0.00	177

-2026	Min.	-5.04	162	-0.19	17	-0.94	101	0.00	177	-0.00	130	0.00	49
-2025	Max	1.27	101	0.31	177	0.33	130	0.00	17	0.00	101	0.00	177
-2025	Min.	-5.04	162	-0.19	17	-1.09	101	0.00	177	-0.00	130	0.00	49
-2024	Max	1.27	101	0.32	177	0.41	130	0.00	17	0.00	101	0.00	177
-2024	Min.	-5.04	162	-0.19	17	-1.21	101	-0.00	177	-0.00	130	0.00	49
-2023	Max	1.27	101	0.32	177	0.47	130	0.00	17	0.00	101	0.00	177
-2023	Min.	-5.04	162	-0.19	17	-1.32	101	0.00	177	-0.00	130	0.00	49
-2022	Max	1.27	101	0.32	177	0.50	130	0.00	173	0.00	97	0.00	177
-2022	Min.	-5.04	162	-0.19	17	-1.43	101	0.00	177	0.00	130	0.00	65
-2021	Max	1.27	101	0.32	177	0.49	130	0.00	173	0.00	97	0.00	177
-2021	Min.	-5.04	162	-0.19	17	-1.53	101	0.00	177	0.00	17	0.00	65
-2020	Max	1.27	101	0.32	177	0.44	130	0.00	173	0.01	97	0.00	177
-2020	Min.	-5.04	162	-0.19	17	-1.64	101	0.00	177	0.00	17	0.00	65
-2019	Max	1.26	101	0.33	177	-0.27	17	0.01	173	0.00	130	0.00	130
-2019	Min.	-5.04	162	-0.18	17	-3.65	100	-0.00	99	-0.00	101	0.00	49
-2018	Max	1.26	101	0.31	177	-0.01	17	0.00	65	0.00	101	0.00	1
-2018	Min.	-5.05	166	-0.20	65	-0.62	108	0.00	177	-0.01	130	0.00	177
-2017	Max	1.26	101	0.32	177	0.26	101	0.00	65	0.00	1	0.00	17
-2017	Min.	-5.04	166	-0.19	65	-1.51	130	-0.00	17	-0.00	98	0.00	177
-2016	Max	1.26	101	0.32	177	0.10	49	0.00	173	0.00	17	0.00	97
-2016	Min.	-5.04	166	-0.19	65	-1.80	106	-0.00	17	-0.01	97	0.00	177
-2015	Max	1.27	101	0.32	177	0.26	130	0.00	17	0.01	98	0.00	177
-2015	Min.	-5.04	162	-0.19	17	-1.80	101	-0.00	65	0.00	65	0.00	98
-2014	Max	1.27	101	0.32	177	0.51	130	0.00	17	0.00	97	0.00	177
-2014	Min.	-5.04	162	-0.19	17	-1.48	101	-0.00	65	0.00	49	0.00	65
-2013	Max	1.27	101	0.32	177	0.33	130	0.00	17	0.01	98	0.00	177
-2013	Min.	-5.04	162	-0.19	17	-1.74	101	-0.00	65	0.00	65	0.00	65
-2012	Max	1.27	101	0.32	177	0.18	130	0.00	173	0.01	98	0.00	17
-2012	Min.	-5.04	162	-0.18	17	-1.86	101	-0.00	65	0.00	65	0.00	98
-2011	Max	1.27	101	0.33	177	0.01	1	0.00	173	0.01	98	0.00	17
-2011	Min.	-5.04	162	-0.18	17	-1.97	101	-0.00	65	0.00	65	0.00	98
-2010	Max	1.27	101	0.33	177	-0.07	1	0.00	173	0.01	98	0.00	17
-2010	Min.	-5.04	162	-0.18	17	-2.18	97	-0.00	65	0.00	65	0.00	98
-2009	Max	1.27	101	0.33	177	-0.11	17	0.00	173	0.01	98	0.00	17
-2009	Min.	-5.04	162	-0.18	17	-2.55	97	-0.00	65	0.00	49	0.00	98
-2008	Max	1.27	101	0.33	177	-0.14	17	0.00	173	0.01	98	0.00	17
-2008	Min.	-5.04	162	-0.18	17	-2.87	97	-0.00	65	0.00	49	0.00	98
-2007	Max	1.27	101	0.33	177	-0.17	17	0.00	173	0.01	98	0.00	17
-2007	Min.	-5.04	162	-0.18	17	-3.14	97	-0.00	65	0.00	49	0.00	98
-2006	Max	1.26	101	0.33	177	-0.20	17	0.00	173	0.01	98	0.00	1
-2006	Min.	-5.04	162	-0.18	17	-3.38	99	-0.00	65	-0.00	101	0.00	98
-2005	Max	1.26	101	0.33	177	-0.23	17	0.00	173	0.00	130	0.00	1
-2005	Min.	-5.04	162	-0.18	17	-3.55	99	-0.00	65	-0.00	101	0.00	49
-2004	Max	1.26	101	0.33	177	-0.25	17	0.00	173	0.00	130	0.00	1
-2004	Min.	-5.04	162	-0.18	17	-3.63	99	-0.00	65	-0.00	101	0.00	130
-2003	Max	1.26	101	0.33	177	-0.25	65	0.00	173	0.00	130	0.00	1
-2003	Min.	-5.04	166	-0.18	65	-3.63	99	-0.00	17	-0.00	101	0.00	49
-2002	Max	1.26	101	0.33	177	-0.23	65	0.00	173	0.00	130	0.00	1
-2002	Min.	-5.04	166	-0.18	65	-3.55	99	-0.00	17	-0.00	101	0.00	49
-2001	Max	1.26	101	0.33	177	-0.20	65	0.00	173	0.00	130	0.00	97
-2001	Min.	-5.04	166	-0.18	65	-3.38	99	-0.00	17	-0.01	97	0.00	49
-2000	Max	1.26	101	0.33	177	-0.17	65	0.00	173	0.00	130	0.00	97
-2000	Min.	-5.04	158	-0.18	65	-3.14	98	-0.00	17	-0.01	97	0.00	65
-1999	Max	1.26	101	0.33	177	-0.14	65	0.00	173	0.00	130	0.00	97
-1999	Min.	-5.04	158	-0.18	65	-2.87	98	-0.00	17	-0.01	97	0.00	65
-1998	Max	1.26	101	0.33	177	-0.11	65	0.00	173	0.00	1	0.00	97
-1998	Min.	-5.04	158	-0.18	65	-2.55	98	-0.00	17	-0.01	97	0.00	65
-1997	Max	1.26	101	0.33	177	-0.07	49	0.00	173	0.00	17	0.00	97
-1997	Min.	-5.04	158	-0.18	65	-2.18	98	-0.00	17	-0.01	97	0.00	65
-1996	Max	1.26	101	0.33	177	0.01	49	0.00	173	0.00	17	0.00	97
-1996	Min.	-5.04	158	-0.18	65	-1.97	106	-0.00	17	-0.01	97	0.00	65
-1995	Max	1.26	101	0.32	177	0.07	49	0.00	173	0.00	17	0.00	97
-1995	Min.	-5.04	158	-0.18	65	-1.86	106	-0.00	17	-0.01	97	0.00	65
-1994	Max	1.26	101	0.32	177	0.13	49	0.00	65	0.00	17	0.00	17
-1994	Min.	-5.04	166	-0.19	65	-1.74	106	-0.00	17	-0.01	97	0.00	177
-1993	Max	1.26	101	0.33	177	-0.26	17	0.00	173	0.00	130	0.00	1
-1993	Min.	-5.04	162	-0.18	17	-3.64	99	-0.00	17	-0.00	101	0.00	130
-1992	Max	1.26	101	0.32	177	0.18	101	0.00	65	0.00	17	0.00	17
-1992	Min.	-5.04	166	-0.19	65	-1.64	130	-0.00	17	-0.01	98	0.00	177
-1991	Max	1.26	101	0.32	177	0.25	101	0.00	65	0.00	17	0.00	17
-1991	Min.	-5.04	166	-0.19	65	-1.56	130	-0.00	17	-0.00	98	0.00	177
-1990	Max	1.26	101	0.32	177	0.27	101	0.00	65	0.00	49	0.00	17
-1990	Min.	-5.04	166	-0.19	65	-1.47	130	-0.00	17	-0.00	98	0.00	177
-1989	Max	1.26	101	0.32	177	0.25	101	0.00	65	0.00	101	0.00	1
-1989	Min.	-5.04	166	-0.19	65	-1.37	130	-0.00	17	-0.00	106	0.00	177
-1988	Max	1.26	101	0.31	177	0.20	101	0.00	65	0.00	101	0.00	1
-1988	Min.	-5.04	166	-0.19	65	-1.26	130	-0.00	17	-0.00	106	0.00	177
-1987	Max	1.26	101	0.31	177	0.14	101	0.00	65	0.00	101	0.00	130
-1987	Min.	-5.04	166	-0.19	65	-1.14	130	-0.00	159	-0.00	130	0.00	177

-1986	Max	1.26	101	0.31	177	0.07	49	0.00	65	0.00	101	0.00	130
-1986	Min.	-5.04	166	-0.19	65	-0.97	130	0.00	17	-0.00	130	0.00	177
-1985	Max	1.26	101	0.31	177	0.03	49	0.00	65	0.00	101	0.00	130
-1985	Min.	-5.05	166	-0.19	65	-0.78	131	0.00	17	-0.00	130	0.00	177
-1984	Max	1.28	101	0.31	177	-0.01	17	0.00	17	0.00	101	0.00	177
-1984	Min.	-5.04	162	-0.20	17	-0.62	103	0.00	65	-0.00	130	0.00	101
-1983	Max	1.28	101	0.31	177	0.09	132	0.00	17	0.00	101	0.00	177
-1983	Min.	-5.04	162	-0.19	17	-0.78	103	0.00	65	-0.00	130	0.00	49
-1982	Max	1.28	101	0.31	177	0.22	130	0.00	17	0.00	101	0.00	177
-1982	Min.	-5.04	162	-0.19	17	-0.94	101	0.00	65	-0.00	130	0.00	49
-1981	Max	1.27	101	0.31	177	0.33	130	0.00	164	0.00	101	0.00	177
-1981	Min.	-5.04	162	-0.19	17	-1.09	101	-0.00	65	-0.00	130	0.00	49
-1980	Max	1.27	101	0.31	177	0.42	130	0.00	128	0.00	101	0.00	177
-1980	Min.	-5.04	162	-0.19	17	-1.21	101	-0.00	65	-0.00	130	0.00	49
-1979	Max	1.27	101	0.32	177	0.47	130	0.00	128	0.00	101	0.00	177
-1979	Min.	-5.04	162	-0.19	17	-1.32	101	-0.00	65	-0.00	130	0.00	49
-1978	Max	1.27	101	0.32	177	0.50	130	0.00	17	0.00	97	0.00	177
-1978	Min.	-5.04	162	-0.19	17	-1.43	101	-0.00	65	0.00	130	0.00	65
-1977	Max	1.27	101	0.32	177	0.50	130	0.00	17	0.00	97	0.00	177
-1977	Min.	-5.04	162	-0.19	17	-1.53	101	-0.00	65	0.00	65	0.00	65
-1976	Max	1.27	101	0.32	177	0.44	130	0.00	17	0.01	97	0.00	177
-1976	Min.	-5.04	162	-0.19	17	-1.64	101	-0.00	65	0.00	65	0.00	65
-1975	Max	1.26	101	0.31	177	-0.01	65	0.00	65	0.00	101	0.00	130
-1975	Min.	-5.05	166	-0.20	65	-0.62	107	0.00	17	-0.00	130	0.00	177
-1974	Max	1.26	101	0.33	177	-0.41	65	0.00	173	0.00	130	0.00	1
-1974	Min.	-5.04	158	-0.18	65	-3.65	98	-0.00	17	-0.00	97	0.00	49
-1973	Max	1.26	101	0.33	177	-0.37	65	0.00	173	0.00	130	0.00	1
-1973	Min.	-5.04	158	-0.18	65	-3.62	98	-0.00	17	-0.00	101	0.00	49
-1972	Max	1.26	101	0.32	177	0.33	101	0.00	65	0.00	1	0.00	17
-1972	Min.	-5.04	166	-0.19	65	-1.52	106	-0.00	17	-0.00	98	0.00	177
-1971	Max	1.26	101	0.32	177	0.34	101	0.00	65	0.00	1	0.00	17
-1971	Min.	-5.04	166	-0.19	65	-1.50	106	0.00	17	-0.00	98	0.00	177
-1970	Max	1.26	101	0.32	177	0.33	101	0.00	65	0.00	49	0.00	17
-1970	Min.	-5.04	166	-0.19	65	-1.52	106	0.00	17	-0.00	98	0.00	177
-1969	Max	1.26	101	0.32	177	0.33	101	0.00	65	0.00	49	0.00	17
-1969	Min.	-5.04	166	-0.19	65	-1.52	106	0.00	17	-0.00	98	0.00	177
-1968	Max	1.26	101	0.32	177	0.33	101	0.00	65	0.00	1	0.00	17
-1968	Min.	-5.04	166	-0.19	65	-1.52	106	0.00	17	-0.00	98	0.00	177
-1967	Max	1.26	101	0.32	177	0.34	101	0.00	65	0.00	49	0.00	17
-1967	Min.	-5.04	166	-0.19	65	-1.50	106	0.00	17	-0.00	98	0.00	177
-1966	Max	1.26	101	0.32	177	0.35	101	0.00	65	0.00	49	0.00	17
-1966	Min.	-5.04	166	-0.19	65	-1.50	106	0.00	17	-0.00	98	0.00	177
-1965	Max	1.26	101	0.32	177	0.32	101	0.00	65	0.00	1	0.00	17
-1965	Min.	-5.04	166	-0.19	65	-1.52	106	-0.00	17	-0.00	98	0.00	177
-1964	Max	1.26	101	0.32	177	0.27	101	0.00	65	0.00	1	0.00	17
-1964	Min.	-5.04	166	-0.19	65	-1.51	130	-0.00	17	-0.00	98	0.00	177
-1963	Max	1.26	101	0.32	177	0.30	101	0.00	108	0.00	1	0.00	17
-1963	Min.	-5.04	166	-0.19	65	-1.51	130	-0.00	17	-0.00	98	0.00	177
-1962	Max	1.26	101	0.32	177	0.31	101	0.00	108	0.00	1	0.00	17
-1962	Min.	-5.04	166	-0.19	65	-1.51	130	-0.00	17	-0.00	98	0.00	177
-1961	Max	1.26	101	0.32	177	0.27	101	0.00	173	0.00	49	0.00	17
-1961	Min.	-5.04	166	-0.19	65	-1.52	130	0.00	177	-0.00	98	0.00	177
-1960	Max	1.26	101	0.32	177	0.29	101	0.00	173	0.00	49	0.00	17
-1960	Min.	-5.04	166	-0.19	65	-1.51	130	0.00	177	-0.00	98	0.00	177
-1959	Max	1.26	101	0.32	177	0.32	101	0.00	173	0.00	49	0.00	17
-1959	Min.	-5.04	166	-0.19	65	-1.52	106	0.00	17	-0.00	98	0.00	177
-1958	Max	1.26	101	0.32	177	0.30	101	0.00	173	0.00	49	0.00	17
-1958	Min.	-5.04	166	-0.19	65	-1.51	130	0.00	107	-0.00	98	0.00	177
-1957	Max	1.26	101	0.32	177	0.10	49	0.00	173	0.00	17	0.00	17
-1957	Min.	-5.04	166	-0.19	65	-1.80	106	-0.00	17	-0.01	97	0.00	177
-1956	Max	1.26	101	0.32	177	0.10	49	0.00	173	0.00	17	0.00	17
-1956	Min.	-5.04	166	-0.19	65	-1.83	106	-0.00	17	-0.01	97	0.00	177
-1955	Max	1.26	101	0.32	177	0.10	49	0.00	173	0.00	17	0.00	17
-1955	Min.	-5.04	166	-0.19	65	-1.84	106	-0.00	17	-0.01	97	0.00	177
-1954	Max	1.26	101	0.32	177	0.09	49	0.00	173	0.00	17	0.00	17
-1954	Min.	-5.04	166	-0.19	65	-1.86	106	-0.00	17	-0.01	97	0.00	177
-1953	Max	1.26	101	0.32	177	0.08	49	0.00	173	0.00	33	0.00	17
-1953	Min.	-5.04	158	-0.19	65	-1.85	106	-0.00	17	-0.01	97	0.00	177
-1952	Max	1.26	101	0.32	177	0.10	1	0.00	173	0.00	65	0.00	17
-1952	Min.	-5.04	166	-0.19	65	-1.84	106	0.00	17	-0.01	97	0.00	177
-1951	Max	1.26	101	0.32	177	0.10	1	0.00	173	0.00	65	0.00	17
-1951	Min.	-5.04	166	-0.19	65	-1.83	106	0.00	17	-0.01	97	0.00	177
-1950	Max	1.26	101	0.32	177	0.10	1	0.00	173	0.00	65	0.00	17
-1950	Min.	-5.04	166	-0.19	65	-1.81	106	0.00	177	-0.01	97	0.00	177
-1949	Max	1.26	101	0.32	177	0.07	49	0.00	173	0.00	33	0.00	17
-1949	Min.	-5.04	158	-0.19	65	-1.84	106	0.00	17	-0.01	97	0.00	177
-1948	Max	1.26	101	0.32	177	0.10	1	0.00	173	0.00	65	0.00	17
-1948	Min.	-5.04	166	-0.19	65	-1.86	106	0.00	17	-0.01	97	0.00	177
-1947	Max	1.26	101	0.32	177	0.09	1	0.00	173	0.00	65	0.00	17

-1947	Min.	-5.04	166	-0.19	65	-1.86	106	0.00	17	-0.01	97	0.00	177
-1946	Max	1.26	101	0.32	177	0.08	1	0.00	173	0.00	33	0.00	17
-1946	Min.	-5.04	158	-0.19	65	-1.85	106	0.00	17	-0.01	97	0.00	177
-1945	Max	1.26	101	0.32	177	0.09	1	0.00	173	0.00	65	0.00	17
-1945	Min.	-5.04	166	-0.19	65	-1.86	106	0.00	17	-0.01	97	0.00	177
-1944	Max	1.26	101	0.32	177	0.10	49	0.00	173	0.00	17	0.00	17
-1944	Min.	-5.04	166	-0.19	65	-1.85	106	-0.00	17	-0.01	97	0.00	177
-1943	Max	1.26	101	0.32	177	0.09	49	0.00	173	0.00	17	0.00	17
-1943	Min.	-5.04	166	-0.19	65	-1.86	106	-0.00	17	-0.01	97	0.00	177
-1942	Max	1.27	101	0.32	177	0.27	130	0.00	17	0.01	98	0.00	177
-1942	Min.	-5.04	162	-0.19	17	-1.80	101	-0.00	65	0.00	65	0.00	65
-1941	Max	1.27	101	0.32	177	0.29	130	0.00	17	0.01	98	0.00	177
-1941	Min.	-5.04	162	-0.19	17	-1.83	101	-0.00	65	0.00	65	0.00	65
-1940	Max	1.27	101	0.32	177	0.30	130	0.00	17	0.01	98	0.00	177
-1940	Min.	-5.04	162	-0.19	17	-1.84	101	-0.00	65	0.00	65	0.00	65
-1939	Max	1.27	101	0.32	177	0.31	130	0.00	17	0.01	98	0.00	177
-1939	Min.	-5.04	162	-0.19	17	-1.85	101	-0.00	65	0.00	65	0.00	65
-1938	Max	1.27	101	0.32	177	0.32	130	0.00	17	0.01	98	0.00	177
-1938	Min.	-5.04	162	-0.19	17	-1.86	101	-0.00	65	0.00	65	0.00	65
-1937	Max	1.27	101	0.32	177	0.34	130	0.00	173	0.01	98	0.00	177
-1937	Min.	-5.04	162	-0.19	17	-1.84	101	0.00	65	0.00	33	0.00	65
-1936	Max	1.27	101	0.32	177	0.30	130	0.00	173	0.01	98	0.00	177
-1936	Min.	-5.04	162	-0.19	17	-1.84	101	0.00	65	0.00	17	0.00	65
-1935	Max	1.27	101	0.32	177	0.29	130	0.00	173	0.01	98	0.00	177
-1935	Min.	-5.04	162	-0.19	17	-1.83	101	0.00	65	0.00	17	0.00	65
-1934	Max	1.27	101	0.32	177	0.26	130	0.00	173	0.01	98	0.00	177
-1934	Min.	-5.04	162	-0.19	17	-1.81	101	0.00	177	0.00	17	0.00	65
-1933	Max	1.27	101	0.32	177	0.51	130	0.00	173	0.00	97	0.00	177
-1933	Min.	-5.04	162	-0.19	17	-1.48	101	0.00	177	0.00	1	0.00	65
-1932	Max	1.27	101	0.32	177	0.52	130	0.00	173	0.00	97	0.00	177
-1932	Min.	-5.04	162	-0.19	17	-1.50	101	0.00	177	0.00	1	0.00	65
-1931	Max	1.27	101	0.32	177	0.53	130	0.00	173	0.00	97	0.00	177
-1931	Min.	-5.04	162	-0.19	17	-1.51	101	0.00	103	0.00	130	0.00	65
-1930	Max	1.27	101	0.32	177	0.54	130	0.00	17	0.00	97	0.00	177
-1930	Min.	-5.04	162	-0.19	17	-1.52	101	0.00	65	0.00	130	0.00	65
-1929	Max	1.27	101	0.32	177	0.55	130	0.00	17	0.00	97	0.00	177
-1929	Min.	-5.04	162	-0.19	17	-1.50	101	0.00	65	0.00	130	0.00	65
-1928	Max	1.27	101	0.32	177	0.55	130	0.00	17	0.00	97	0.00	177
-1928	Min.	-5.04	162	-0.19	17	-1.52	101	0.00	65	0.00	130	0.00	65
-1927	Max	1.27	101	0.32	177	0.55	130	0.00	17	0.00	97	0.00	177
-1927	Min.	-5.04	162	-0.19	17	-1.50	101	0.00	65	0.00	130	0.00	65
-1926	Max	1.27	101	0.32	177	0.56	130	0.00	17	0.00	97	0.00	177
-1926	Min.	-5.04	162	-0.19	17	-1.50	101	0.00	65	0.00	130	0.00	65
-1925	Max	1.27	101	0.32	177	0.53	130	0.00	104	0.00	97	0.00	177
-1925	Min.	-5.04	162	-0.19	17	-1.50	101	-0.00	65	0.00	130	0.00	65
-1924	Max	1.27	101	0.32	177	0.31	130	0.00	173	0.01	98	0.00	177
-1924	Min.	-5.04	162	-0.19	17	-1.86	101	0.00	65	0.00	17	0.00	65
-1923	Max	1.27	101	0.32	177	0.33	130	0.00	173	0.01	98	0.00	177
-1923	Min.	-5.04	162	-0.19	17	-1.85	101	0.00	65	0.00	33	0.00	65
-1922	Max	1.27	101	0.32	177	0.51	130	0.00	17	0.00	97	0.00	177
-1922	Min.	-5.04	162	-0.19	17	-1.48	101	-0.00	65	0.00	49	0.00	65
-1921	Max	1.27	101	0.32	177	0.53	130	0.00	104	0.00	97	0.00	177
-1921	Min.	-5.04	162	-0.19	17	-1.50	101	-0.00	65	0.00	49	0.00	65
-1920	Max	1.27	101	0.32	177	0.32	130	0.00	173	0.01	98	0.00	177
-1920	Min.	-5.04	162	-0.19	17	-1.86	101	0.00	65	0.00	33	0.00	65
-1919	Max	1.27	101	0.32	177	0.32	130	0.00	173	0.01	98	0.00	177
-1919	Min.	-5.04	162	-0.19	17	-1.86	101	0.00	65	0.00	17	0.00	65
-1918	Max	1.27	101	0.32	177	0.33	130	0.00	17	0.01	98	0.00	177
-1918	Min.	-5.04	162	-0.19	17	-1.86	101	-0.00	65	0.00	65	0.00	65
-1917	Max	1.27	101	0.32	177	0.33	130	0.00	17	0.01	98	0.00	177
-1917	Min.	-5.04	162	-0.19	17	-1.85	101	-0.00	65	0.00	33	0.00	65
-1916	Max	1.27	101	0.32	177	0.55	130	0.00	17	0.00	97	0.00	177
-1916	Min.	-5.04	162	-0.19	17	-1.52	101	0.00	65	0.00	130	0.00	65
-1915	Max	1.27	101	0.32	177	0.54	130	0.00	17	0.00	97	0.00	177
-1915	Min.	-5.04	162	-0.19	17	-1.52	101	0.00	65	0.00	130	0.00	65
-1914	Max	1.27	101	0.32	177	0.54	130	0.00	17	0.00	97	0.00	177
-1914	Min.	-5.04	162	-0.19	17	-1.52	101	-0.00	65	0.00	130	0.00	65
-1913	Max	1.27	101	0.32	177	0.55	130	0.00	17	0.00	97	0.00	177
-1913	Min.	-5.04	162	-0.19	17	-1.52	101	-0.00	65	0.00	130	0.00	65
-1912	Max	1.26	101	0.33	177	-0.40	65	0.00	173	0.00	130	0.00	1
-1912	Min.	-5.04	166	-0.18	65	-3.76	99	-0.00	17	-0.00	101	0.00	49
-1911	Max	1.26	101	0.33	177	-0.44	65	0.00	173	0.00	130	0.00	1
-1911	Min.	-5.04	166	-0.18	65	-3.79	99	-0.00	17	-0.00	101	0.00	49
-1910	Max	1.26	101	0.32	177	0.32	101	0.00	65	0.00	1	0.00	17
-1910	Min.	-5.04	166	-0.19	65	-1.57	106	-0.00	17	-0.00	98	0.00	177
-1909	Max	1.26	101	0.32	177	0.33	101	0.00	65	0.00	101	0.00	17
-1909	Min.	-5.04	166	-0.19	65	-1.47	106	0.00	17	-0.00	106	0.00	177
-1908	Max	1.26	101	0.32	177	0.30	101	0.00	65	0.00	101	0.00	17
-1908	Min.	-5.04	166	-0.19	65	-1.35	106	0.00	17	-0.00	106	0.00	177

-1907	Max	1.26	101	0.32	177	0.24	101	0.00	65	0.00	101	0.00	17
-1907	Min.	-5.04	166	-0.19	65	-1.23	106	0.00	17	-0.00	130	0.00	177
-1906	Max	1.26	101	0.31	177	0.16	101	0.00	65	0.00	101	0.00	17
-1906	Min.	-5.04	166	-0.19	65	-1.09	106	0.00	17	-0.00	130	0.00	177
-1905	Max	1.26	101	0.31	177	0.07	101	0.00	65	0.00	101	0.00	17
-1905	Min.	-5.04	166	-0.19	65	-0.94	106	0.00	17	-0.00	130	0.00	177
-1904	Max	1.26	101	0.31	177	0.01	49	0.00	65	0.00	101	0.00	17
-1904	Min.	-5.04	166	-0.19	65	-0.78	106	0.00	17	-0.00	130	0.00	177
-1903	Max	1.26	101	0.31	177	-0.04	49	0.00	65	0.00	101	0.00	17
-1903	Min.	-5.05	166	-0.20	65	-0.61	107	0.00	17	-0.00	130	0.00	177
-1902	Max	1.26	101	0.31	177	-0.04	1	0.00	65	0.00	101	0.00	17
-1902	Min.	-5.04	166	-0.20	65	-0.61	108	0.00	17	-0.00	130	0.00	177
-1901	Max	1.26	101	0.31	177	0.01	1	0.00	65	0.00	101	0.00	17
-1901	Min.	-5.04	166	-0.19	65	-0.78	106	0.00	17	-0.00	130	0.00	177
-1900	Max	1.26	101	0.31	177	0.07	101	0.00	65	0.00	101	0.00	17
-1900	Min.	-5.04	166	-0.19	65	-0.94	106	0.00	17	-0.00	130	0.00	177
-1899	Max	1.26	101	0.31	177	0.16	101	0.00	65	0.00	101	0.00	17
-1899	Min.	-5.04	166	-0.19	65	-1.09	106	0.00	17	-0.00	130	0.00	177
-1898	Max	1.26	101	0.32	177	0.24	101	0.00	65	0.00	101	0.00	17
-1898	Min.	-5.04	166	-0.19	65	-1.23	106	0.00	17	-0.00	130	0.00	177
-1897	Max	1.26	101	0.32	177	0.29	101	0.00	65	0.00	101	0.00	17
-1897	Min.	-5.04	166	-0.19	65	-1.36	106	0.00	17	-0.00	106	0.00	177
-1896	Max	1.26	101	0.32	177	0.32	101	0.00	65	0.00	101	0.00	17
-1896	Min.	-5.04	166	-0.19	65	-1.47	106	0.00	17	-0.00	106	0.00	177
-1895	Max	1.26	101	0.32	177	0.32	101	0.00	173	0.00	49	0.00	17
-1895	Min.	-5.04	166	-0.19	65	-1.57	106	0.00	17	-0.00	98	0.00	177
-1894	Max	1.27	101	0.32	177	0.39	130	0.00	17	0.01	98	0.00	177
-1894	Min.	-5.04	162	-0.19	17	-1.79	101	-0.00	65	0.00	65	0.00	65
-1893	Max	1.27	101	0.32	177	0.24	130	0.00	17	0.01	98	0.00	17
-1893	Min.	-5.04	162	-0.19	17	-1.92	101	-0.00	65	0.00	65	0.00	65
-1892	Max	1.27	101	0.33	177	0.05	130	0.00	173	0.01	98	0.00	17
-1892	Min.	-5.04	162	-0.18	17	-2.02	101	-0.00	65	0.00	49	0.00	65
-1891	Max	1.27	101	0.33	177	-0.09	1	0.00	173	0.01	98	0.00	17
-1891	Min.	-5.04	162	-0.18	17	-2.21	97	-0.00	65	0.00	49	0.00	65
-1890	Max	1.27	101	0.33	177	-0.18	1	0.00	173	0.01	98	0.00	17
-1890	Min.	-5.04	162	-0.18	17	-2.60	97	-0.00	65	0.00	49	0.00	65
-1889	Max	1.27	101	0.33	177	-0.27	1	0.00	173	0.01	98	0.00	17
-1889	Min.	-5.04	162	-0.18	17	-2.96	97	-0.00	65	0.00	49	0.00	65
-1888	Max	1.27	101	0.33	177	-0.35	1	0.00	173	0.01	98	0.00	17
-1888	Min.	-5.04	162	-0.18	17	-3.28	97	-0.00	65	0.00	101	0.00	65
-1887	Max	1.26	101	0.33	177	-0.39	17	0.00	173	0.01	98	0.00	17
-1887	Min.	-5.04	162	-0.18	17	-3.55	97	-0.00	65	-0.00	101	0.00	65
-1886	Max	1.26	101	0.33	177	-0.42	17	0.00	173	0.00	130	0.00	1
-1886	Min.	-5.04	162	-0.18	17	-3.73	99	-0.00	65	-0.00	101	0.00	49
-1885	Max	1.26	101	0.33	177	-0.45	17	0.00	173	0.00	130	0.00	1
-1885	Min.	-5.04	162	-0.18	17	-3.82	99	-0.00	65	-0.00	101	0.00	49
-1884	Max	1.26	101	0.33	177	-0.46	17	0.00	173	0.00	130	0.00	1
-1884	Min.	-5.04	162	-0.18	17	-3.83	99	-0.00	17	-0.00	101	0.00	49
-1883	Max	1.26	101	0.33	177	-0.45	65	0.00	173	0.00	130	0.00	1
-1883	Min.	-5.04	166	-0.18	65	-3.82	99	-0.00	17	-0.00	101	0.00	49
-1882	Max	1.26	101	0.33	177	-0.42	65	0.00	173	0.00	130	0.00	1
-1882	Min.	-5.04	158	-0.18	65	-3.73	99	-0.00	17	-0.00	101	0.00	49
-1881	Max	1.26	101	0.33	177	-0.39	65	0.00	173	0.00	130	0.00	17
-1881	Min.	-5.04	158	-0.18	65	-3.55	98	-0.00	17	-0.01	97	0.00	65
-1880	Max	1.26	101	0.33	177	-0.35	49	0.00	173	0.00	130	0.00	17
-1880	Min.	-5.04	158	-0.18	65	-3.28	98	-0.00	17	-0.01	97	0.00	65
-1879	Max	1.26	101	0.33	177	-0.27	49	0.00	173	0.00	130	0.00	17
-1879	Min.	-5.04	158	-0.18	65	-2.96	98	-0.00	17	-0.01	97	0.00	65
-1878	Max	1.26	101	0.33	177	-0.18	49	0.00	173	0.00	130	0.00	17
-1878	Min.	-5.04	158	-0.18	65	-2.60	98	-0.00	17	-0.01	97	0.00	65
-1877	Max	1.26	101	0.33	177	-0.09	49	0.00	173	0.00	1	0.00	17
-1877	Min.	-5.04	158	-0.18	65	-2.21	98	-0.00	17	-0.01	97	0.00	65
-1876	Max	1.26	101	0.33	177	-0.01	49	0.00	173	0.00	1	0.00	17
-1876	Min.	-5.04	158	-0.18	65	-2.02	106	-0.00	17	-0.01	97	0.00	65
-1875	Max	1.26	101	0.32	177	0.06	49	0.00	173	0.00	17	0.00	17
-1875	Min.	-5.04	166	-0.19	65	-1.92	106	-0.00	17	-0.01	97	0.00	65
-1874	Max	1.26	101	0.32	177	0.25	101	0.00	65	0.00	17	0.00	17
-1874	Min.	-5.04	166	-0.19	65	-1.67	106	-0.00	17	-0.01	98	0.00	177
-1873	Max	1.26	101	0.32	177	0.12	49	0.00	65	0.00	17	0.00	17
-1873	Min.	-5.04	166	-0.19	65	-1.79	106	-0.00	17	-0.01	97	0.00	177
-1872	Max	1.28	101	0.31	177	-0.04	1	0.00	17	0.00	101	0.00	177
-1872	Min.	-5.04	162	-0.20	17	-0.61	103	0.00	65	-0.00	130	0.00	65
-1871	Max	1.28	101	0.31	177	0.07	130	0.00	17	0.00	101	0.00	177
-1871	Min.	-5.04	162	-0.19	17	-0.78	101	0.00	65	-0.00	130	0.00	65
-1870	Max	1.28	101	0.31	177	0.20	130	0.00	17	0.00	101	0.00	177
-1870	Min.	-5.04	162	-0.19	17	-0.94	101	0.00	65	-0.00	130	0.00	65
-1869	Max	1.27	101	0.31	177	0.32	130	0.00	17	0.00	101	0.00	177
-1869	Min.	-5.04	162	-0.19	17	-1.09	101	0.00	65	-0.00	130	0.00	65
-1868	Max	1.27	101	0.32	177	0.41	130	0.00	17	0.00	101	0.00	177

-1868	Min.	-5.04	162	-0.19	17	-1.23	101	0.00	65	-0.00	130	0.00	65
-1867	Max	1.26	101	0.33	177	-0.50	17	0.00	173	0.00	130	0.00	1
-1867	Min.	-5.04	162	-0.18	17	-3.85	99	-0.00	17	-0.00	101	0.00	49
-1866	Max	1.26	101	0.33	177	-0.42	17	0.00	173	0.00	130	0.00	1
-1866	Min.	-5.04	166	-0.18	65	-3.80	100	-0.00	17	-0.00	101	0.00	49
-1865	Max	1.26	101	0.33	177	-0.40	17	0.00	173	0.00	130	0.00	1
-1865	Min.	-5.04	158	-0.18	65	-3.71	100	-0.00	17	-0.00	101	0.00	49
-1864	Max	1.26	101	0.33	177	-0.36	17	0.00	173	0.00	130	0.00	17
-1864	Min.	-5.04	158	-0.18	65	-3.53	98	-0.00	17	-0.01	97	0.00	65
-1863	Max	1.26	101	0.32	177	0.27	101	0.00	65	0.00	33	0.00	17
-1863	Min.	-5.04	166	-0.19	65	-1.66	106	0.00	17	-0.01	98	0.00	177
-1862	Max	1.26	101	0.33	177	-0.43	17	0.00	173	0.00	130	0.00	1
-1862	Min.	-5.04	162	-0.18	17	-3.81	100	-0.00	17	-0.00	101	0.00	49
-1861	Max	1.26	101	0.33	177	-0.33	17	0.00	173	0.00	130	0.00	17
-1861	Min.	-5.04	158	-0.18	65	-3.27	98	-0.00	17	-0.01	97	0.00	65
-1860	Max	1.27	101	0.32	177	0.41	130	0.00	17	0.00	101	0.00	177
-1860	Min.	-5.04	162	-0.19	17	-1.22	101	0.00	177	-0.00	130	0.00	65
-1859	Max	1.26	101	0.32	177	0.27	101	0.00	65	0.00	33	0.00	17
-1859	Min.	-5.04	166	-0.19	65	-1.66	106	0.00	17	-0.01	98	0.00	177
-1858	Max	1.27	101	0.33	177	-0.26	49	0.00	173	0.01	98	0.00	17
-1858	Min.	-5.04	162	-0.18	17	-2.95	97	-0.00	65	0.00	1	0.00	65
-1857	Max	1.26	101	0.33	177	-0.26	1	0.00	173	0.00	130	0.00	17
-1857	Min.	-5.04	158	-0.18	65	-2.95	98	-0.00	17	-0.01	97	0.00	65
-1856	Max	1.27	101	0.33	177	-0.33	65	0.00	173	0.01	98	0.00	17
-1856	Min.	-5.04	162	-0.18	17	-3.27	97	-0.00	65	0.00	101	0.00	65
-1855	Max	1.27	101	0.32	177	0.48	130	0.00	17	0.00	101	0.00	177
-1855	Min.	-5.04	162	-0.19	17	-1.34	101	0.00	177	-0.00	130	0.00	65
-1854	Max	1.27	101	0.32	177	0.52	130	0.00	173	0.00	97	0.00	177
-1854	Min.	-5.04	162	-0.19	17	-1.45	101	0.00	177	0.00	130	0.00	65
-1853	Max	1.27	101	0.33	177	0.04	130	0.00	173	0.01	98	0.00	17
-1853	Min.	-5.04	162	-0.18	17	-2.02	101	-0.00	65	0.00	17	0.00	65
-1852	Max	1.27	101	0.33	177	-0.09	49	0.00	173	0.01	98	0.00	17
-1852	Min.	-5.04	162	-0.18	17	-2.21	97	-0.00	65	0.00	1	0.00	65
-1851	Max	1.27	101	0.33	177	-0.17	49	0.00	173	0.01	98	0.00	17
-1851	Min.	-5.04	162	-0.18	17	-2.59	97	-0.00	65	0.00	1	0.00	65
-1850	Max	1.26	101	0.32	177	0.24	101	0.00	173	0.00	65	0.00	17
-1850	Min.	-5.04	166	-0.19	65	-1.67	106	0.00	17	-0.01	98	0.00	177
-1849	Max	1.26	101	0.33	177	-0.51	17	0.00	173	0.00	130	0.00	1
-1849	Min.	-5.04	162	-0.18	17	-3.85	100	-0.00	17	-0.00	101	0.00	49
-1848	Max	1.26	101	0.32	177	0.24	101	0.00	65	0.00	17	0.00	17
-1848	Min.	-5.04	166	-0.19	65	-1.66	106	-0.00	17	-0.01	98	0.00	177
-1847	Max	1.26	101	0.33	177	-0.35	17	0.00	173	0.00	130	0.00	1
-1847	Min.	-5.04	162	-0.18	17	-3.74	99	-0.00	17	-0.00	101	0.00	49
-1846	Max	1.26	101	0.33	177	-0.56	33	0.00	173	0.00	130	0.00	1
-1846	Min.	-5.04	162	-0.18	17	-3.87	99	-0.00	17	-0.00	101	0.00	49
-1845	Max	1.26	101	0.33	177	-0.17	1	0.00	173	0.00	130	0.00	17
-1845	Min.	-5.04	158	-0.18	65	-2.59	98	-0.00	17	-0.01	97	0.00	65
-1844	Max	1.26	101	0.33	177	-0.09	1	0.00	173	0.00	49	0.00	17
-1844	Min.	-5.04	158	-0.18	65	-2.21	98	-0.00	17	-0.01	97	0.00	65
-1843	Max	1.26	101	0.33	177	-0.01	1	0.00	173	0.00	65	0.00	17
-1843	Min.	-5.04	158	-0.18	65	-2.02	106	-0.00	17	-0.01	97	0.00	65
-1842	Max	1.26	101	0.33	177	-0.42	17	0.00	173	0.00	130	0.00	1
-1842	Min.	-5.04	162	-0.18	17	-3.81	99	-0.00	17	-0.00	101	0.00	49
-1841	Max	1.27	101	0.32	177	0.52	130	0.00	173	0.00	97	0.00	177
-1841	Min.	-5.04	162	-0.19	17	-1.55	101	0.00	177	0.00	17	0.00	65
-1840	Max	1.28	101	0.31	177	0.07	130	0.00	17	0.00	101	0.00	177
-1840	Min.	-5.04	162	-0.19	17	-0.78	101	0.00	65	-0.00	130	0.00	65
-1839	Max	1.26	101	0.32	177	0.06	1	0.00	173	0.00	65	0.00	17
-1839	Min.	-5.04	166	-0.19	65	-1.92	106	0.00	17	-0.01	97	0.00	65
-1838	Max	1.27	101	0.32	177	0.38	130	0.00	173	0.01	98	0.00	177
-1838	Min.	-5.04	162	-0.19	17	-1.79	101	0.00	65	0.00	17	0.00	65
-1837	Max	1.27	101	0.32	177	0.23	130	0.00	173	0.01	98	0.00	17
-1837	Min.	-5.04	162	-0.19	17	-1.92	101	0.00	65	0.00	17	0.00	65
-1836	Max	1.26	101	0.32	177	0.12	1	0.00	173	0.00	65	0.00	17
-1836	Min.	-5.04	166	-0.19	65	-1.79	106	0.00	17	-0.01	97	0.00	177
-1835	Max	1.26	101	0.33	177	-0.46	33	0.00	173	0.01	98	0.00	17
-1835	Min.	-5.04	162	-0.18	17	-3.58	97	-0.00	65	-0.00	101	0.00	65
-1834	Max	1.26	101	0.33	177	-0.50	33	0.00	173	0.00	130	0.00	17
-1834	Min.	-5.04	162	-0.18	17	-3.76	97	-0.00	65	-0.00	101	0.00	65
-1833	Max	1.26	101	0.33	177	-0.52	33	0.00	173	0.00	130	0.00	1
-1833	Min.	-5.04	162	-0.18	17	-3.85	99	-0.00	65	-0.00	101	0.00	49
-1832	Max	1.26	101	0.33	177	-0.52	33	0.00	173	0.00	130	0.00	1
-1832	Min.	-5.04	166	-0.18	65	-3.85	99	-0.00	17	-0.00	101	0.00	49
-1831	Max	1.26	101	0.33	177	-0.50	33	0.00	173	0.00	130	0.00	17
-1831	Min.	-5.04	166	-0.18	65	-3.76	98	-0.00	17	-0.00	101	0.00	65
-1830	Max	1.26	101	0.33	177	-0.46	49	0.00	173	0.00	130	0.00	17
-1830	Min.	-5.04	158	-0.18	65	-3.58	98	-0.00	17	-0.01	97	0.00	65
-1829	Max	1.26	101	0.33	177	-0.38	49	0.00	173	0.00	130	0.00	17
-1829	Min.	-5.04	158	-0.18	65	-3.31	98	-0.00	17	-0.01	97	0.00	65

-1828	Max	1.26	101	0.33	177	-0.29	49	0.00	173	0.00	130	0.00	17
-1828	Min.	-5.04	158	-0.18	65	-2.99	98	-0.00	17	-0.01	97	0.00	65
-1827	Max	1.26	101	0.33	177	-0.20	49	0.00	173	0.00	130	0.00	17
-1827	Min.	-5.04	158	-0.18	65	-2.61	98	-0.00	17	-0.01	97	0.00	65
-1826	Max	1.26	101	0.33	177	-0.11	49	0.00	173	0.00	1	0.00	17
-1826	Min.	-5.04	158	-0.18	65	-2.22	98	-0.00	17	-0.01	97	0.00	65
-1825	Max	1.26	101	0.33	177	-0.03	49	0.00	173	0.00	1	0.00	17
-1825	Min.	-5.04	158	-0.18	65	-2.02	106	-0.00	17	-0.01	97	0.00	65
-1824	Max	1.26	101	0.32	177	0.05	49	0.00	173	0.00	33	0.00	17
-1824	Min.	-5.04	158	-0.19	65	-1.91	106	-0.00	17	-0.01	97	0.00	65
-1823	Max	1.26	101	0.32	177	0.13	101	0.00	65	0.00	33	0.00	17
-1823	Min.	-5.04	166	-0.19	65	-1.78	106	0.00	17	-0.01	97	0.00	177
-1822	Max	1.27	101	0.32	177	0.34	130	0.00	173	0.01	98	0.00	177
-1822	Min.	-5.04	162	-0.19	17	-1.75	101	-0.00	177	0.00	17	0.00	65
-1821	Max	1.27	101	0.32	177	0.18	130	0.00	173	0.01	98	0.00	98
-1821	Min.	-5.04	162	-0.19	17	-1.87	101	0.00	177	0.00	17	0.00	65
-1820	Max	1.27	101	0.33	177	0.00	49	0.00	173	0.01	98	0.00	98
-1820	Min.	-5.04	162	-0.18	17	-1.98	101	-0.00	65	0.00	17	0.00	65
-1819	Max	1.27	101	0.33	177	-0.07	49	0.00	173	0.01	98	0.00	98
-1819	Min.	-5.04	162	-0.18	17	-2.19	97	-0.00	65	0.00	17	0.00	65
-1818	Max	1.27	101	0.33	177	-0.14	65	0.00	173	0.01	98	0.00	98
-1818	Min.	-5.04	162	-0.18	17	-2.56	97	-0.00	65	0.00	1	0.00	65
-1817	Max	1.27	101	0.33	177	-0.17	65	0.00	173	0.01	98	0.00	98
-1817	Min.	-5.04	162	-0.18	17	-2.88	97	-0.00	177	0.00	1	0.00	65
-1816	Max	1.27	101	0.33	177	-0.20	65	0.00	173	0.01	98	0.00	98
-1816	Min.	-5.04	162	-0.18	17	-3.16	97	-0.00	65	0.00	1	0.00	65
-1815	Max	1.26	101	0.33	177	-0.23	65	0.00	173	0.01	98	0.00	98
-1815	Min.	-5.04	162	-0.18	17	-3.40	100	-0.00	65	-0.00	101	0.00	65
-1814	Max	1.26	101	0.33	177	-0.25	65	0.00	173	0.00	130	0.00	1
-1814	Min.	-5.04	162	-0.18	17	-3.57	100	-0.00	99	-0.00	101	0.00	49
-1813	Max	1.26	101	0.33	177	-0.28	65	0.00	173	0.00	130	0.00	1
-1813	Min.	-5.04	162	-0.18	17	-3.65	100	-0.00	99	-0.00	101	0.00	49
-1812	Max	1.26	101	0.33	177	-0.28	17	0.00	173	0.00	130	0.00	1
-1812	Min.	-5.04	166	-0.18	65	-3.65	100	-0.00	99	-0.00	101	0.00	49
-1811	Max	1.26	101	0.33	177	-0.25	17	0.00	173	0.00	130	0.00	1
-1811	Min.	-5.04	166	-0.18	65	-3.57	100	-0.00	99	-0.00	101	0.00	49
-1810	Max	1.26	101	0.33	177	-0.23	17	0.00	173	0.00	130	0.00	17
-1810	Min.	-5.04	166	-0.18	65	-3.40	100	-0.00	17	-0.01	97	0.00	97
-1809	Max	1.26	101	0.33	177	-0.20	17	0.00	173	0.00	130	0.00	17
-1809	Min.	-5.04	158	-0.18	65	-3.16	98	-0.00	17	-0.01	97	0.00	97
-1808	Max	1.26	101	0.33	177	-0.17	17	0.00	173	0.00	130	0.00	17
-1808	Min.	-5.04	158	-0.18	65	-2.88	98	-0.00	177	-0.01	97	0.00	97
-1807	Max	1.26	101	0.33	177	-0.14	17	0.00	173	0.00	49	0.00	17
-1807	Min.	-5.04	158	-0.18	65	-2.56	98	-0.00	17	-0.01	97	0.00	97
-1806	Max	1.26	101	0.33	177	-0.07	1	0.00	173	0.00	65	0.00	17
-1806	Min.	-5.04	158	-0.18	65	-2.19	98	-0.00	17	-0.01	97	0.00	97
-1805	Max	1.26	101	0.33	177	0.00	1	0.00	173	0.00	65	0.00	17
-1805	Min.	-5.04	158	-0.18	65	-1.98	106	-0.00	17	-0.01	97	0.00	97
-1804	Max	1.26	101	0.32	177	0.07	1	0.00	173	0.00	65	0.00	17
-1804	Min.	-5.04	158	-0.19	65	-1.87	106	0.00	177	-0.01	97	0.00	97
-1803	Max	1.26	101	0.32	177	0.13	1	0.00	173	0.00	162	0.00	17
-1803	Min.	-5.04	166	-0.19	65	-1.75	106	-0.00	177	-0.01	97	0.00	177
-1802	Max	1.27	101	0.32	177	0.41	130	0.00	173	0.01	98	0.00	177
-1802	Min.	-5.04	162	-0.19	17	-1.78	101	0.00	65	0.00	33	0.00	65
-1801	Max	1.27	101	0.32	177	0.25	130	0.00	173	0.01	98	0.00	17
-1801	Min.	-5.04	162	-0.19	17	-1.91	101	0.00	65	0.00	33	0.00	65
-1800	Max	1.27	101	0.33	177	0.06	130	0.00	173	0.01	98	0.00	17
-1800	Min.	-5.04	162	-0.18	17	-2.03	101	-0.00	65	0.00	1	0.00	65
-1799	Max	1.27	101	0.33	177	-0.11	49	0.00	173	0.01	98	0.00	17
-1799	Min.	-5.04	162	-0.18	17	-2.22	97	-0.00	65	0.00	1	0.00	65
-1798	Max	1.27	101	0.33	177	-0.20	49	0.00	173	0.01	98	0.00	17
-1798	Min.	-5.04	162	-0.18	17	-2.62	97	-0.00	65	0.00	1	0.00	65
-1797	Max	1.27	101	0.33	177	-0.29	49	0.00	173	0.01	98	0.00	17
-1797	Min.	-5.04	162	-0.18	17	-2.99	97	-0.00	65	0.00	1	0.00	65
-1796	Max	1.27	101	0.33	177	-0.38	49	0.00	173	0.01	98	0.00	17
-1796	Min.	-5.04	162	-0.18	17	-3.31	97	-0.00	65	0.00	101	0.00	65
-1795	Max	1.26	101	0.33	177	-0.47	49	0.00	173	0.01	98	0.00	17
-1795	Min.	-5.04	162	-0.18	17	-3.58	97	-0.00	65	-0.00	101	0.00	65
-1794	Max	1.26	101	0.33	177	-0.50	33	0.00	173	0.00	130	0.00	17
-1794	Min.	-5.04	162	-0.18	17	-3.76	97	-0.00	65	-0.00	101	0.00	65
-1793	Max	1.26	101	0.33	177	-0.53	33	0.00	173	0.00	130	0.00	1
-1793	Min.	-5.04	162	-0.18	17	-3.85	100	-0.00	65	-0.00	101	0.00	49
-1792	Max	1.26	101	0.33	177	-0.53	33	0.00	173	0.00	130	0.00	1
-1792	Min.	-5.04	166	-0.18	65	-3.85	100	-0.00	17	-0.00	101	0.00	49
-1791	Max	1.26	101	0.33	177	-0.50	33	0.00	173	0.00	130	0.00	17
-1791	Min.	-5.04	166	-0.18	65	-3.76	98	-0.00	17	-0.00	101	0.00	65
-1790	Max	1.26	101	0.33	177	-0.47	33	0.00	173	0.00	130	0.00	17
-1790	Min.	-5.04	158	-0.18	65	-3.58	98	-0.00	17	-0.01	97	0.00	65
-1789	Max	1.26	101	0.33	177	-0.38	1	0.00	173	0.00	130	0.00	17

-1789	Min.	-5.04	158	-0.18	65	-3.31	98	-0.00	17	-0.01	97	0.00	65
-1788	Max	1.26	101	0.33	177	-0.29	1	0.00	173	0.00	130	0.00	17
-1788	Min.	-5.04	158	-0.18	65	-2.99	98	-0.00	17	-0.01	97	0.00	65
-1787	Max	1.26	101	0.33	177	-0.20	1	0.00	173	0.00	130	0.00	17
-1787	Min.	-5.04	158	-0.18	65	-2.62	98	-0.00	17	-0.01	97	0.00	65
-1786	Max	1.26	101	0.33	177	-0.11	1	0.00	173	0.00	49	0.00	17
-1786	Min.	-5.04	158	-0.18	65	-2.22	98	-0.00	17	-0.01	97	0.00	65
-1785	Max	1.26	101	0.33	177	-0.03	1	0.00	173	0.00	49	0.00	17
-1785	Min.	-5.04	158	-0.18	65	-2.03	106	-0.00	17	-0.01	97	0.00	65
-1784	Max	1.26	101	0.32	177	0.05	1	0.00	173	0.00	33	0.00	17
-1784	Min.	-5.04	158	-0.19	65	-1.91	106	0.00	17	-0.01	97	0.00	65
-1783	Max	1.26	101	0.32	177	0.13	101	0.00	173	0.00	33	0.00	17
-1783	Min.	-5.04	166	-0.19	65	-1.78	106	0.00	17	-0.01	97	0.00	177
-1782	Max	1.27	101	0.32	177	0.36	130	0.00	173	0.01	98	0.00	177
-1782	Min.	-5.04	162	-0.19	17	-1.77	101	0.00	65	0.00	17	0.00	65
-1781	Max	1.27	101	0.32	177	0.20	130	0.00	173	0.01	98	0.00	17
-1781	Min.	-5.04	162	-0.19	17	-1.89	101	0.00	65	0.00	17	0.00	65
-1780	Max	1.27	101	0.33	177	0.02	130	0.00	173	0.01	98	0.00	17
-1780	Min.	-5.04	162	-0.18	17	-2.00	101	-0.00	65	0.00	17	0.00	65
-1779	Max	1.27	101	0.33	177	-0.08	49	0.00	173	0.01	98	0.00	17
-1779	Min.	-5.04	162	-0.18	17	-2.20	97	-0.00	65	0.00	1	0.00	65
-1778	Max	1.27	101	0.33	177	-0.16	49	0.00	173	0.01	98	0.00	17
-1778	Min.	-5.04	162	-0.18	17	-2.57	97	-0.00	65	0.00	1	0.00	65
-1777	Max	1.27	101	0.33	177	-0.23	65	0.00	173	0.01	98	0.00	17
-1777	Min.	-5.04	162	-0.18	17	-2.92	97	-0.00	65	0.00	1	0.00	65
-1776	Max	1.27	101	0.33	177	-0.26	65	0.00	173	0.01	98	0.00	17
-1776	Min.	-5.04	162	-0.18	17	-3.22	97	-0.00	65	0.00	1	0.00	65
-1775	Max	1.26	101	0.33	177	-0.29	65	0.00	173	0.01	98	0.00	17
-1775	Min.	-5.04	162	-0.18	17	-3.46	97	-0.00	99	-0.00	101	0.00	65
-1774	Max	1.26	101	0.33	177	-0.32	65	0.00	173	0.00	130	0.00	1
-1774	Min.	-5.04	162	-0.18	17	-3.64	100	-0.00	99	-0.00	101	0.00	49
-1773	Max	1.26	101	0.33	177	-0.35	65	0.00	173	0.00	130	0.00	1
-1773	Min.	-5.04	162	-0.18	17	-3.73	100	-0.00	99	-0.00	101	0.00	49
-1772	Max	1.26	101	0.33	177	-0.35	17	0.00	173	0.00	130	0.00	1
-1772	Min.	-5.04	166	-0.18	65	-3.73	100	-0.00	99	-0.00	101	0.00	49
-1771	Max	1.26	101	0.33	177	-0.32	17	0.00	173	0.00	130	0.00	1
-1771	Min.	-5.04	166	-0.18	65	-3.64	100	-0.00	99	-0.00	101	0.00	49
-1770	Max	1.26	101	0.33	177	-0.29	17	0.00	173	0.00	130	0.00	17
-1770	Min.	-5.04	158	-0.18	65	-3.46	98	-0.00	99	-0.01	97	0.00	65
-1769	Max	1.26	101	0.33	177	-0.26	17	0.00	173	0.00	130	0.00	17
-1769	Min.	-5.04	158	-0.18	65	-3.22	98	-0.00	17	-0.01	97	0.00	65
-1768	Max	1.26	101	0.33	177	-0.23	17	0.00	173	0.00	130	0.00	17
-1768	Min.	-5.04	158	-0.18	65	-2.92	98	-0.00	17	-0.01	97	0.00	65
-1767	Max	1.26	101	0.33	177	-0.16	1	0.00	173	0.00	130	0.00	17
-1767	Min.	-5.04	158	-0.18	65	-2.57	98	-0.00	17	-0.01	97	0.00	65
-1766	Max	1.26	101	0.33	177	-0.08	1	0.00	173	0.00	49	0.00	17
-1766	Min.	-5.04	158	-0.18	65	-2.20	98	-0.00	17	-0.01	97	0.00	65
-1765	Max	1.26	101	0.33	177	-0.00	1	0.00	173	0.00	65	0.00	17
-1765	Min.	-5.04	158	-0.18	65	-2.00	106	-0.00	17	-0.01	97	0.00	65
-1764	Max	1.26	101	0.32	177	0.07	1	0.00	173	0.00	65	0.00	17
-1764	Min.	-5.04	158	-0.19	65	-1.89	106	0.00	17	-0.01	97	0.00	65
-1763	Max	1.26	101	0.32	177	0.13	1	0.00	173	0.00	65	0.00	17
-1763	Min.	-5.04	166	-0.19	65	-1.77	106	0.00	17	-0.01	97	0.00	177
-1762	Max	1.26	101	0.33	177	-0.45	65	0.00	173	0.00	130	0.00	17
-1762	Min.	-5.04	158	-0.18	65	-3.67	98	-0.00	17	-0.00	97	0.00	65
-1761	Max	1.27	101	0.32	177	0.19	130	0.00	173	0.01	98	0.00	177
-1761	Min.	-5.04	162	-0.18	17	-1.86	101	-0.00	65	0.00	65	0.00	98
-1760	Max	1.27	101	0.33	177	0.01	1	0.00	173	0.01	98	0.00	17
-1760	Min.	-5.04	162	-0.18	17	-1.97	101	-0.00	65	0.00	65	0.00	98
-1759	Max	1.27	101	0.33	177	-0.07	1	0.00	173	0.01	98	0.00	17
-1759	Min.	-5.04	162	-0.18	17	-2.18	97	-0.00	65	0.00	65	0.00	98
-1758	Max	1.27	101	0.33	177	-0.13	17	0.00	173	0.01	98	0.00	17
-1758	Min.	-5.04	162	-0.18	17	-2.55	97	-0.00	65	0.00	49	0.00	98
-1757	Max	1.27	101	0.33	177	-0.19	17	0.00	173	0.01	98	0.00	17
-1757	Min.	-5.04	162	-0.18	17	-3.15	97	-0.00	65	0.00	49	0.00	98
-1756	Max	1.26	101	0.33	177	-0.22	17	0.00	173	0.01	98	0.00	1
-1756	Min.	-5.04	162	-0.18	17	-3.39	99	-0.00	65	-0.00	101	0.00	98
-1755	Max	1.26	101	0.33	177	-0.24	17	0.00	173	0.00	130	0.00	1
-1755	Min.	-5.04	162	-0.18	17	-3.56	99	-0.00	65	-0.00	101	0.00	49
-1754	Max	1.26	101	0.33	177	-0.27	17	0.00	173	0.00	130	0.00	1
-1754	Min.	-5.04	162	-0.18	17	-3.65	99	-0.00	65	-0.00	101	0.00	49
-1753	Max	1.26	101	0.33	177	-0.24	65	0.00	173	0.00	130	0.00	1
-1753	Min.	-5.04	166	-0.18	65	-3.56	99	-0.00	17	-0.00	101	0.00	49
-1752	Max	1.26	101	0.33	177	-0.22	65	0.00	173	0.00	130	0.00	97
-1752	Min.	-5.04	166	-0.18	65	-3.39	99	-0.00	17	-0.01	97	0.00	49
-1751	Max	1.26	101	0.33	177	-0.19	65	0.00	173	0.00	130	0.00	97
-1751	Min.	-5.04	158	-0.18	65	-3.15	98	-0.00	17	-0.01	97	0.00	65
-1750	Max	1.26	101	0.33	177	-0.16	65	0.00	173	0.00	130	0.00	17
-1750	Min.	-5.04	158	-0.18	65	-2.88	98	-0.00	17	-0.01	97	0.00	65

-1749	Max	1.26	101	0.33	177	-0.07	49	0.00	173	0.00	17	0.00	97
-1749	Min.	-5.04	158	-0.18	65	-2.18	98	-0.00	17	-0.01	97	0.00	65
-1748	Max	1.26	101	0.33	177	0.01	49	0.00	173	0.00	17	0.00	97
-1748	Min.	-5.04	158	-0.18	65	-1.97	106	-0.00	17	-0.01	97	0.00	65
-1747	Max	1.26	101	0.32	177	0.07	49	0.00	173	0.00	17	0.00	97
-1747	Min.	-5.04	158	-0.18	65	-1.86	106	-0.00	17	-0.01	97	0.00	177
-1746	Max	1.26	101	0.32	177	0.13	49	0.00	65	0.00	162	0.00	17
-1746	Min.	-5.04	166	-0.19	65	-1.75	106	-0.00	17	-0.01	97	0.00	177
-1745	Max	1.27	101	0.32	177	0.37	130	0.00	17	0.01	98	0.00	177
-1745	Min.	-5.04	162	-0.19	17	-1.76	101	-0.00	65	0.00	65	0.00	65
-1744	Max	1.27	101	0.32	177	0.21	130	0.00	17	0.01	98	0.00	177
-1744	Min.	-5.04	162	-0.18	17	-1.89	101	-0.00	65	0.00	65	0.00	65
-1743	Max	1.27	101	0.33	177	0.02	130	0.00	173	0.01	98	0.00	17
-1743	Min.	-5.04	162	-0.18	17	-2.00	101	-0.00	65	0.00	65	0.00	65
-1742	Max	1.27	101	0.33	177	-0.08	1	0.00	173	0.01	98	0.00	17
-1742	Min.	-5.04	162	-0.18	17	-2.19	97	-0.00	65	0.00	65	0.00	65
-1741	Max	1.27	101	0.33	177	-0.16	1	0.00	173	0.01	98	0.00	17
-1741	Min.	-5.04	162	-0.18	17	-2.57	97	-0.00	65	0.00	49	0.00	65
-1740	Max	1.27	101	0.33	177	-0.22	17	0.00	173	0.01	98	0.00	17
-1740	Min.	-5.04	162	-0.18	17	-2.91	97	-0.00	65	0.00	49	0.00	65
-1739	Max	1.27	101	0.33	177	-0.25	17	0.00	173	0.01	98	0.00	17
-1739	Min.	-5.04	162	-0.18	17	-3.21	97	-0.00	65	0.00	49	0.00	65
-1738	Max	1.26	101	0.33	177	-0.28	17	0.00	173	0.01	98	0.00	17
-1738	Min.	-5.04	162	-0.18	17	-3.46	97	-0.00	65	-0.00	101	0.00	65
-1737	Max	1.26	101	0.33	177	-0.31	17	0.00	173	0.00	130	0.00	1
-1737	Min.	-5.04	162	-0.18	17	-3.64	99	-0.00	65	-0.00	101	0.00	49
-1736	Max	1.26	101	0.33	177	-0.34	17	0.00	173	0.00	130	0.00	1
-1736	Min.	-5.04	162	-0.18	17	-3.73	99	-0.00	65	-0.00	101	0.00	49
-1735	Max	1.26	101	0.33	177	-0.34	65	0.00	173	0.00	130	0.00	1
-1735	Min.	-5.04	166	-0.18	65	-3.73	99	-0.00	17	-0.00	101	0.00	49
-1734	Max	1.26	101	0.33	177	-0.31	65	0.00	173	0.00	130	0.00	1
-1734	Min.	-5.04	166	-0.18	65	-3.64	99	-0.00	17	-0.00	101	0.00	49
-1733	Max	1.26	101	0.33	177	-0.28	65	0.00	173	0.00	130	0.00	17
-1733	Min.	-5.04	158	-0.18	65	-3.46	98	-0.00	17	-0.01	97	0.00	65
-1732	Max	1.26	101	0.33	177	-0.25	65	0.00	173	0.00	130	0.00	17
-1732	Min.	-5.04	158	-0.18	65	-3.21	98	-0.00	17	-0.01	97	0.00	65
-1731	Max	1.26	101	0.33	177	-0.22	65	0.00	173	0.00	130	0.00	17
-1731	Min.	-5.04	158	-0.18	65	-2.91	98	-0.00	17	-0.01	97	0.00	65
-1730	Max	1.26	101	0.33	177	-0.16	49	0.00	173	0.00	130	0.00	17
-1730	Min.	-5.04	158	-0.18	65	-2.57	98	-0.00	17	-0.01	97	0.00	65
-1729	Max	1.26	101	0.33	177	-0.08	49	0.00	173	0.00	17	0.00	17
-1729	Min.	-5.04	158	-0.18	65	-2.19	98	-0.00	17	-0.01	97	0.00	65
-1728	Max	1.26	101	0.33	177	0.00	49	0.00	173	0.00	17	0.00	17
-1728	Min.	-5.04	158	-0.18	65	-2.00	106	-0.00	17	-0.01	97	0.00	65
-1727	Max	1.26	101	0.32	177	0.07	49	0.00	173	0.00	17	0.00	17
-1727	Min.	-5.04	158	-0.18	65	-1.89	106	-0.00	17	-0.01	97	0.00	177
-1726	Max	1.26	101	0.32	177	0.13	49	0.00	65	0.00	17	0.00	17
-1726	Min.	-5.04	166	-0.19	65	-1.76	106	-0.00	17	-0.01	97	0.00	177
-1725	Max	1.27	101	0.32	177	0.40	130	0.00	173	0.01	98	0.00	177
-1725	Min.	-5.04	162	-0.19	17	-1.79	101	0.00	65	0.00	33	0.00	65
-1724	Max	1.27	101	0.32	177	0.24	130	0.00	173	0.01	98	0.00	17
-1724	Min.	-5.04	162	-0.19	17	-1.92	101	0.00	65	0.00	33	0.00	65
-1723	Max	1.27	101	0.33	177	0.05	130	0.00	173	0.01	98	0.00	17
-1723	Min.	-5.04	162	-0.18	17	-2.03	101	-0.00	65	0.00	1	0.00	65
-1722	Max	1.27	101	0.33	177	-0.10	49	0.00	173	0.01	98	0.00	17
-1722	Min.	-5.04	162	-0.18	17	-2.21	97	-0.00	65	0.00	1	0.00	65
-1721	Max	1.27	101	0.33	177	-0.19	49	0.00	173	0.01	98	0.00	17
-1721	Min.	-5.04	162	-0.18	17	-2.61	97	-0.00	65	0.00	1	0.00	65
-1720	Max	1.27	101	0.33	177	-0.28	49	0.00	173	0.01	98	0.00	17
-1720	Min.	-5.04	162	-0.18	17	-2.97	97	-0.00	65	0.00	1	0.00	65
-1719	Max	1.27	101	0.33	177	-0.36	49	0.00	173	0.01	98	0.00	17
-1719	Min.	-5.04	162	-0.18	17	-3.30	97	-0.00	65	0.00	101	0.00	65
-1718	Max	1.26	101	0.33	177	-0.44	65	0.00	173	0.01	98	0.00	17
-1718	Min.	-5.04	162	-0.18	17	-3.56	97	-0.00	65	-0.00	101	0.00	65
-1717	Max	1.26	101	0.33	177	-0.47	65	0.00	173	0.00	130	0.00	1
-1717	Min.	-5.04	162	-0.18	17	-3.75	97	-0.00	65	-0.00	101	0.00	49
-1716	Max	1.26	101	0.33	177	-0.50	65	0.00	173	0.00	130	0.00	1
-1716	Min.	-5.04	162	-0.18	17	-3.84	100	-0.00	65	-0.00	101	0.00	49
-1715	Max	1.26	101	0.33	177	-0.50	17	0.00	173	0.00	130	0.00	1
-1715	Min.	-5.04	166	-0.18	65	-3.84	100	-0.00	17	-0.00	101	0.00	49
-1714	Max	1.26	101	0.33	177	-0.47	17	0.00	173	0.00	130	0.00	1
-1714	Min.	-5.04	158	-0.18	65	-3.75	98	-0.00	17	-0.00	101	0.00	49
-1713	Max	1.26	101	0.33	177	-0.44	17	0.00	173	0.00	130	0.00	17
-1713	Min.	-5.04	158	-0.18	65	-3.56	98	-0.00	17	-0.01	97	0.00	65
-1712	Max	1.26	101	0.33	177	-0.36	1	0.00	173	0.00	130	0.00	17
-1712	Min.	-5.04	158	-0.18	65	-3.30	98	-0.00	17	-0.01	97	0.00	65
-1711	Max	1.26	101	0.33	177	-0.28	1	0.00	173	0.00	130	0.00	17
-1711	Min.	-5.04	158	-0.18	65	-2.97	98	-0.00	17	-0.01	97	0.00	65
-1710	Max	1.26	101	0.33	177	-0.19	1	0.00	173	0.00	130	0.00	17

-1710	Min.	-5.04	158	-0.18	65	-2.61	98	-0.00	17	-0.01	97	0.00	65
-1709	Max	1.26	101	0.33	177	-0.10	1	0.00	173	0.00	49	0.00	17
-1709	Min.	-5.04	158	-0.18	65	-2.21	98	-0.00	17	-0.01	97	0.00	65
-1708	Max	1.26	101	0.33	177	-0.02	1	0.00	173	0.00	49	0.00	17
-1708	Min.	-5.04	158	-0.18	65	-2.03	106	-0.00	17	-0.01	97	0.00	65
-1707	Max	1.26	101	0.32	177	0.06	1	0.00	173	0.00	65	0.00	17
-1707	Min.	-5.04	166	-0.19	65	-1.92	106	0.00	17	-0.01	97	0.00	65
-1706	Max	1.26	101	0.32	177	0.12	101	0.00	173	0.00	65	0.00	17
-1706	Min.	-5.04	166	-0.19	65	-1.79	106	0.00	17	-0.01	97	0.00	177
-1705	Max	1.27	101	0.32	177	0.39	130	0.00	17	0.01	98	0.00	177
-1705	Min.	-5.04	162	-0.19	17	-1.79	101	-0.00	65	0.00	65	0.00	65
-1704	Max	1.27	101	0.32	177	0.23	130	0.00	17	0.01	98	0.00	17
-1704	Min.	-5.04	162	-0.19	17	-1.91	101	-0.00	65	0.00	65	0.00	65
-1703	Max	1.27	101	0.33	177	0.04	130	0.00	173	0.01	98	0.00	17
-1703	Min.	-5.04	162	-0.18	17	-2.02	101	-0.00	65	0.00	65	0.00	65
-1702	Max	1.27	101	0.33	177	-0.09	1	0.00	173	0.01	98	0.00	17
-1702	Min.	-5.04	162	-0.18	17	-2.20	97	-0.00	65	0.00	49	0.00	65
-1701	Max	1.27	101	0.33	177	-0.17	1	0.00	173	0.01	98	0.00	17
-1701	Min.	-5.04	162	-0.18	17	-2.59	97	-0.00	65	0.00	49	0.00	65
-1700	Max	1.27	101	0.33	177	-0.26	1	0.00	173	0.01	98	0.00	17
-1700	Min.	-5.04	162	-0.18	17	-2.95	97	-0.00	65	0.00	49	0.00	65
-1699	Max	1.26	101	0.33	177	-0.48	33	0.00	173	0.00	130	0.00	17
-1699	Min.	-5.04	158	-0.18	65	-3.68	98	-0.00	17	-0.00	101	0.00	65
-1698	Max	1.27	101	0.32	177	0.41	130	0.00	17	0.01	98	0.00	177
-1698	Min.	-5.04	162	-0.19	17	-1.78	101	0.00	65	0.00	33	0.00	65
-1697	Max	1.28	101	0.31	177	0.20	130	0.00	17	0.00	101	0.00	177
-1697	Min.	-5.04	162	-0.19	17	-0.94	101	0.00	65	-0.00	130	0.00	65
-1696	Max	1.27	101	0.31	177	0.31	130	0.00	17	0.00	101	0.00	177
-1696	Min.	-5.04	162	-0.19	17	-1.09	101	0.00	65	-0.00	130	0.00	65
-1695	Max	1.26	101	0.33	177	-0.36	65	0.00	173	0.01	98	0.00	17
-1695	Min.	-5.04	162	-0.18	17	-3.53	97	-0.00	65	-0.00	101	0.00	65
-1694	Max	1.26	101	0.33	177	-0.40	65	0.00	173	0.00	130	0.00	1
-1694	Min.	-5.04	162	-0.18	17	-3.71	100	-0.00	65	-0.00	101	0.00	49
-1693	Max	1.26	101	0.33	177	-0.42	65	0.00	173	0.00	130	0.00	1
-1693	Min.	-5.04	162	-0.18	17	-3.80	100	-0.00	65	-0.00	101	0.00	49
-1692	Max	1.27	101	0.32	177	0.25	130	0.00	173	0.01	98	0.00	17
-1692	Min.	-5.04	162	-0.19	17	-1.91	101	-0.00	65	0.00	33	0.00	65
-1691	Max	1.27	101	0.33	177	0.06	130	0.00	173	0.01	98	0.00	17
-1691	Min.	-5.04	162	-0.18	17	-2.02	101	-0.00	65	0.00	49	0.00	65
-1690	Max	1.27	101	0.32	177	0.41	130	0.00	17	0.00	101	0.00	177
-1690	Min.	-5.04	162	-0.19	17	-1.23	101	0.00	65	-0.00	130	0.00	65
-1689	Max	1.26	101	0.33	177	-0.27	17	0.00	173	0.00	130	0.00	1
-1689	Min.	-5.04	162	-0.18	17	-3.66	99	-0.00	17	-0.00	101	0.00	49
-1688	Max	1.27	101	0.33	177	-0.11	1	0.00	173	0.01	98	0.00	17
-1688	Min.	-5.04	162	-0.18	17	-2.22	97	-0.00	65	0.00	49	0.00	65
-1687	Max	1.26	101	0.32	177	0.18	101	0.00	173	0.00	65	0.00	17
-1687	Min.	-5.04	166	-0.19	65	-1.64	106	0.00	177	-0.01	98	0.00	177
-1686	Max	1.26	101	0.32	177	0.18	101	0.00	65	0.00	17	0.00	17
-1686	Min.	-5.04	166	-0.19	65	-1.64	130	-0.00	17	-0.01	98	0.00	177
-1685	Max	1.27	101	0.32	177	0.49	130	0.00	17	0.00	101	0.00	177
-1685	Min.	-5.04	162	-0.19	17	-1.35	101	0.00	65	-0.00	130	0.00	65
-1684	Max	1.26	101	0.31	177	0.14	101	0.00	160	0.00	101	0.00	17
-1684	Min.	-5.04	166	-0.19	65	-1.11	130	0.00	177	-0.00	130	0.00	177
-1683	Max	1.26	101	0.31	177	0.07	1	0.00	65	0.00	101	0.00	17
-1683	Min.	-5.04	166	-0.19	65	-0.94	130	0.00	177	-0.00	130	0.00	177
-1682	Max	1.26	101	0.31	177	0.02	1	0.00	65	0.00	101	0.00	17
-1682	Min.	-5.04	166	-0.19	65	-0.78	106	0.00	177	-0.00	130	0.00	177
-1681	Max	1.26	101	0.32	177	0.26	101	0.00	65	0.00	17	0.00	17
-1681	Min.	-5.04	166	-0.19	65	-1.55	130	-0.00	17	-0.00	98	0.00	177
-1680	Max	1.26	101	0.32	177	0.27	101	0.00	65	0.00	49	0.00	17
-1680	Min.	-5.04	166	-0.19	65	-1.47	130	-0.00	17	-0.00	98	0.00	177
-1679	Max	1.26	101	0.32	177	0.25	101	0.00	65	0.00	101	0.00	17
-1679	Min.	-5.04	166	-0.19	65	-1.37	130	-0.00	17	-0.00	106	0.00	177
-1678	Max	1.26	101	0.31	177	0.21	101	0.00	65	0.00	101	0.00	17
-1678	Min.	-5.04	166	-0.19	65	-1.26	130	-0.00	17	-0.00	106	0.00	177
-1677	Max	1.26	101	0.31	177	0.14	101	0.00	65	0.00	101	0.00	1
-1677	Min.	-5.04	166	-0.19	65	-1.13	130	-0.00	159	-0.00	130	0.00	177
-1676	Max	1.26	101	0.31	177	0.07	49	0.00	65	0.00	101	0.00	1
-1676	Min.	-5.04	166	-0.19	65	-0.96	130	0.00	17	-0.00	130	0.00	177
-1675	Max	1.26	101	0.31	177	0.03	49	0.00	65	0.00	101	0.00	130
-1675	Min.	-5.05	166	-0.19	65	-0.78	107	0.00	17	-0.00	130	0.00	177
-1674	Max	1.26	101	0.32	177	0.34	101	0.00	65	0.00	49	0.00	17
-1674	Min.	-5.04	166	-0.19	65	-1.54	106	0.00	17	-0.00	98	0.00	177
-1673	Max	1.26	101	0.32	177	0.34	101	0.00	65	0.00	101	0.00	17
-1673	Min.	-5.04	166	-0.19	65	-1.45	106	0.00	17	-0.00	98	0.00	177
-1672	Max	1.26	101	0.32	177	0.31	101	0.00	65	0.00	101	0.00	17
-1672	Min.	-5.04	166	-0.19	65	-1.35	106	0.00	17	-0.00	130	0.00	177
-1671	Max	1.26	101	0.32	177	0.25	101	0.00	65	0.00	101	0.00	17
-1671	Min.	-5.04	166	-0.19	65	-1.23	106	0.00	17	-0.00	130	0.00	177

-1670	Max	1.26	101	0.31	177	0.17	101	0.00	65	0.00	101	0.00	17
-1670	Min.	-5.04	166	-0.19	65	-1.09	106	0.00	17	-0.00	130	0.00	177
-1669	Max	1.26	101	0.31	177	0.07	101	0.00	65	0.00	101	0.00	17
-1669	Min.	-5.04	166	-0.19	65	-0.94	106	0.00	17	-0.00	130	0.00	177
-1668	Max	1.26	101	0.31	177	-0.01	49	0.00	65	0.00	101	0.00	17
-1668	Min.	-5.05	166	-0.19	65	-0.78	106	0.00	17	-0.00	130	0.00	177
-1667	Max	1.26	101	0.32	177	0.32	101	0.00	65	0.00	49	0.00	17
-1667	Min.	-5.04	166	-0.19	65	-1.56	106	0.00	17	-0.00	98	0.00	177
-1666	Max	1.26	101	0.32	177	0.33	101	0.00	65	0.00	101	0.00	17
-1666	Min.	-5.04	166	-0.19	65	-1.47	106	0.00	17	-0.00	106	0.00	177
-1665	Max	1.26	101	0.32	177	0.30	101	0.00	65	0.00	101	0.00	17
-1665	Min.	-5.04	166	-0.19	65	-1.36	106	0.00	17	-0.00	106	0.00	177
-1664	Max	1.26	101	0.32	177	0.24	101	0.00	65	0.00	101	0.00	17
-1664	Min.	-5.04	166	-0.19	65	-1.23	106	0.00	17	-0.00	130	0.00	177
-1663	Max	1.26	101	0.31	177	0.16	101	0.00	65	0.00	101	0.00	17
-1663	Min.	-5.04	166	-0.19	65	-1.09	106	0.00	17	-0.00	130	0.00	177
-1662	Max	1.26	101	0.31	177	0.07	101	0.00	65	0.00	101	0.00	17
-1662	Min.	-5.04	166	-0.19	65	-0.94	106	0.00	17	-0.00	130	0.00	177
-1661	Max	1.26	101	0.31	177	0.00	1	0.00	65	0.00	101	0.00	17
-1661	Min.	-5.04	166	-0.19	65	-0.78	106	0.00	17	-0.00	130	0.00	177
-1660	Max	1.26	101	0.32	177	0.29	101	0.00	65	0.00	17	0.00	17
-1660	Min.	-5.04	166	-0.19	65	-1.55	130	-0.00	17	-0.00	98	0.00	177
-1659	Max	1.26	101	0.32	177	0.30	101	0.00	108	0.00	49	0.00	17
-1659	Min.	-5.04	166	-0.19	65	-1.46	130	-0.00	17	-0.00	98	0.00	177
-1658	Max	1.26	101	0.32	177	0.27	101	0.00	65	0.00	101	0.00	17
-1658	Min.	-5.04	166	-0.19	65	-1.36	130	-0.00	17	-0.00	106	0.00	177
-1657	Max	1.26	101	0.31	177	0.22	101	0.00	65	0.00	101	0.00	17
-1657	Min.	-5.04	166	-0.19	65	-1.24	130	-0.00	17	-0.00	130	0.00	177
-1656	Max	1.26	101	0.31	177	0.15	101	0.00	65	0.00	101	0.00	17
-1656	Min.	-5.04	166	-0.19	65	-1.10	130	0.00	159	-0.00	130	0.00	177
-1655	Max	1.26	101	0.31	177	0.07	49	0.00	65	0.00	101	0.00	17
-1655	Min.	-5.04	166	-0.19	65	-0.94	130	0.00	17	-0.00	130	0.00	177
-1654	Max	1.26	101	0.31	177	0.02	49	0.00	65	0.00	101	0.00	17
-1654	Min.	-5.04	166	-0.19	65	-0.78	106	0.00	17	-0.00	130	0.00	177
-1653	Max	1.26	101	0.32	177	0.31	101	0.00	65	0.00	1	0.00	17
-1653	Min.	-5.04	166	-0.19	65	-1.56	106	-0.00	17	-0.00	98	0.00	177
-1652	Max	1.26	101	0.32	177	0.32	101	0.00	65	0.00	101	0.00	17
-1652	Min.	-5.04	166	-0.19	65	-1.46	106	-0.00	17	-0.00	106	0.00	177
-1651	Max	1.26	101	0.32	177	0.29	101	0.00	65	0.00	101	0.00	17
-1651	Min.	-5.04	166	-0.19	65	-1.35	130	-0.00	17	-0.00	106	0.00	177
-1650	Max	1.26	101	0.32	177	0.23	101	0.00	65	0.00	101	0.00	17
-1650	Min.	-5.04	166	-0.19	65	-1.23	130	0.00	17	-0.00	130	0.00	177
-1649	Max	1.26	101	0.31	177	0.15	101	0.00	65	0.00	101	0.00	17
-1649	Min.	-5.04	166	-0.19	65	-1.09	106	0.00	17	-0.00	130	0.00	177
-1648	Max	1.26	101	0.31	177	0.07	101	0.00	65	0.00	101	0.00	17
-1648	Min.	-5.04	166	-0.19	65	-0.94	106	0.00	17	-0.00	130	0.00	177
-1647	Max	1.26	101	0.31	177	0.01	49	0.00	65	0.00	101	0.00	17
-1647	Min.	-5.04	166	-0.19	65	-0.78	106	0.00	17	-0.00	130	0.00	177
-1646	Max	1.26	101	0.32	177	0.32	101	0.00	65	0.00	1	0.00	17
-1646	Min.	-5.04	166	-0.19	65	-1.56	106	0.00	17	-0.00	98	0.00	177
-1645	Max	1.26	101	0.32	177	0.33	101	0.00	65	0.00	101	0.00	17
-1645	Min.	-5.04	166	-0.19	65	-1.47	106	0.00	17	-0.00	106	0.00	177
-1644	Max	1.26	101	0.32	177	0.30	101	0.00	65	0.00	101	0.00	17
-1644	Min.	-5.04	166	-0.19	65	-1.35	106	0.00	17	-0.00	106	0.00	177
-1643	Max	1.26	101	0.32	177	0.24	101	0.00	65	0.00	101	0.00	17
-1643	Min.	-5.04	166	-0.19	65	-1.23	106	0.00	17	-0.00	130	0.00	177
-1642	Max	1.26	101	0.31	177	0.16	101	0.00	65	0.00	101	0.00	17
-1642	Min.	-5.04	166	-0.19	65	-1.09	106	0.00	17	-0.00	130	0.00	177
-1641	Max	1.26	101	0.31	177	0.07	101	0.00	65	0.00	101	0.00	17
-1641	Min.	-5.04	166	-0.19	65	-0.94	106	0.00	17	-0.00	130	0.00	177
-1640	Max	1.26	101	0.31	177	0.01	49	0.00	65	0.00	101	0.00	17
-1640	Min.	-5.04	166	-0.19	65	-0.78	106	0.00	17	-0.00	130	0.00	177
-1639	Max	1.26	101	0.32	177	0.33	101	0.00	65	0.00	1	0.00	17
-1639	Min.	-5.04	166	-0.19	65	-1.55	106	0.00	17	-0.00	98	0.00	177
-1638	Max	1.26	101	0.32	177	0.34	101	0.00	65	0.00	101	0.00	17
-1638	Min.	-5.04	166	-0.19	65	-1.45	106	0.00	17	-0.00	98	0.00	177
-1637	Max	1.26	101	0.32	177	0.31	101	0.00	65	0.00	101	0.00	17
-1637	Min.	-5.04	166	-0.19	65	-1.35	106	0.00	17	-0.00	130	0.00	177
-1636	Max	1.26	101	0.32	177	0.25	101	0.00	65	0.00	101	0.00	17
-1636	Min.	-5.04	166	-0.19	65	-1.23	106	0.00	17	-0.00	130	0.00	177
-1635	Max	1.26	101	0.31	177	0.17	101	0.00	65	0.00	101	0.00	17
-1635	Min.	-5.04	166	-0.19	65	-1.09	106	0.00	17	-0.00	130	0.00	177
-1634	Max	1.26	101	0.31	177	0.07	101	0.00	65	0.00	101	0.00	17
-1634	Min.	-5.04	166	-0.19	65	-0.94	106	0.00	17	-0.00	130	0.00	177
-1633	Max	1.26	101	0.31	177	-0.00	49	0.00	65	0.00	101	0.00	17
-1633	Min.	-5.05	166	-0.19	65	-0.78	106	0.00	17	-0.00	130	0.00	177
-1632	Max	1.26	101	0.32	177	0.33	101	0.00	65	0.00	49	0.00	17
-1632	Min.	-5.04	166	-0.19	65	-1.55	106	0.00	17	-0.00	98	0.00	177
-1631	Max	1.26	101	0.32	177	0.34	101	0.00	65	0.00	101	0.00	17

-1631	Min.	-5.04	166	-0.19	65	-1.46	106	0.00	17	-0.00	98	0.00	177
-1630	Max	1.26	101	0.32	177	0.31	101	0.00	65	0.00	101	0.00	17
-1630	Min.	-5.04	166	-0.19	65	-1.35	106	0.00	17	-0.00	130	0.00	177
-1629	Max	1.26	101	0.32	177	0.25	101	0.00	65	0.00	101	0.00	17
-1629	Min.	-5.04	166	-0.19	65	-1.23	106	0.00	17	-0.00	130	0.00	177
-1628	Max	1.26	101	0.31	177	0.17	101	0.00	65	0.00	101	0.00	17
-1628	Min.	-5.04	166	-0.19	65	-1.09	106	0.00	17	-0.00	130	0.00	177
-1627	Max	1.26	101	0.31	177	0.07	101	0.00	65	0.00	101	0.00	17
-1627	Min.	-5.04	166	-0.19	65	-0.94	106	0.00	17	-0.00	130	0.00	177
-1626	Max	1.26	101	0.31	177	-0.00	1	0.00	65	0.00	101	0.00	17
-1626	Min.	-5.04	166	-0.19	65	-0.78	106	0.00	17	-0.00	130	0.00	177
-1625	Max	1.26	101	0.32	177	0.25	101	0.00	173	0.00	65	0.00	17
-1625	Min.	-5.04	166	-0.19	65	-1.56	130	0.00	177	-0.00	98	0.00	177
-1624	Max	1.26	101	0.32	177	0.27	101	0.00	173	0.00	1	0.00	17
-1624	Min.	-5.04	166	-0.19	65	-1.47	130	0.00	177	-0.00	98	0.00	177
-1623	Max	1.26	101	0.32	177	0.25	101	0.00	65	0.00	101	0.00	17
-1623	Min.	-5.04	166	-0.19	65	-1.37	130	0.00	177	-0.00	106	0.00	177
-1622	Max	1.26	101	0.32	177	0.20	101	0.00	65	0.00	101	0.00	17
-1622	Min.	-5.04	166	-0.19	65	-1.26	130	-0.00	177	-0.00	106	0.00	177
-1621	Max	1.26	101	0.31	177	0.14	101	0.00	160	0.00	101	0.00	1
-1621	Min.	-5.04	166	-0.19	65	-1.13	130	0.00	177	-0.00	130	0.00	177
-1620	Max	1.26	101	0.31	177	0.07	1	0.00	65	0.00	101	0.00	1
-1620	Min.	-5.04	166	-0.19	65	-0.96	130	0.00	177	-0.00	130	0.00	177
-1619	Max	1.26	101	0.31	177	0.02	1	0.00	65	0.00	101	0.00	1
-1619	Min.	-5.04	166	-0.19	65	-0.78	108	0.00	177	-0.00	130	0.00	177
-1618	Max	1.27	101	0.32	177	0.54	130	0.00	173	0.00	97	0.00	177
-1618	Min.	-5.04	162	-0.19	17	-1.56	101	0.00	65	0.00	1	0.00	65
-1617	Max	1.28	101	0.31	177	-0.01	65	0.00	17	0.00	101	0.00	177
-1617	Min.	-5.04	162	-0.20	17	-0.62	104	0.00	177	-0.00	130	0.00	49
-1616	Max	1.28	101	0.31	177	-0.05	49	0.00	17	0.00	101	0.00	177
-1616	Min.	-5.04	162	-0.20	17	-0.61	101	0.00	65	-0.00	130	0.00	65
-1615	Max	1.28	101	0.31	177	-0.05	1	0.00	17	0.00	101	0.00	177
-1615	Min.	-5.04	162	-0.20	17	-0.61	101	0.00	65	-0.00	130	0.00	65
-1614	Max	1.28	101	0.31	177	-0.05	1	0.00	17	0.00	101	0.00	177
-1614	Min.	-5.04	162	-0.20	17	-0.61	101	0.00	65	-0.00	130	0.00	65
-1613	Max	1.28	101	0.31	177	-0.04	1	0.00	17	0.00	101	0.00	177
-1613	Min.	-5.04	162	-0.20	17	-0.61	103	0.00	65	-0.00	130	0.00	65
-1612	Max	1.28	101	0.31	177	-0.03	1	0.00	17	0.00	101	0.00	177
-1612	Min.	-5.04	162	-0.20	17	-0.61	103	0.00	65	-0.00	130	0.00	65
-1611	Max	1.28	101	0.31	177	-0.05	49	0.00	17	0.00	101	0.00	177
-1611	Min.	-5.04	162	-0.20	17	-0.61	101	0.00	65	-0.00	130	0.00	49
-1610	Max	1.28	101	0.31	177	-0.06	130	0.00	17	0.00	101	0.00	177
-1610	Min.	-5.04	162	-0.20	17	-0.61	101	0.00	65	-0.00	130	0.00	65
-1609	Max	1.28	101	0.31	177	-0.01	17	0.00	17	0.00	101	0.00	177
-1609	Min.	-5.04	162	-0.20	17	-0.62	103	0.00	65	-0.00	130	0.00	49
-1608	Max	1.28	101	0.31	177	-0.03	49	0.00	17	0.00	101	0.00	177
-1608	Min.	-5.04	162	-0.20	17	-0.61	104	0.00	177	-0.00	130	0.00	65
-1607	Max	1.28	101	0.31	177	-0.04	49	0.00	17	0.00	101	0.00	177
-1607	Min.	-5.04	162	-0.20	17	-0.61	104	0.00	65	-0.00	130	0.00	65
-1606	Max	1.28	101	0.31	177	0.09	131	0.00	17	0.00	101	0.00	177
-1606	Min.	-5.04	162	-0.19	17	-0.78	104	0.00	177	-0.00	130	0.00	49
-1605	Max	1.28	101	0.31	177	0.21	130	0.00	17	0.00	101	0.00	177
-1605	Min.	-5.04	162	-0.19	17	-0.94	101	0.00	177	-0.00	130	0.00	49
-1604	Max	1.27	101	0.31	177	0.33	130	0.00	17	0.00	101	0.00	177
-1604	Min.	-5.04	162	-0.19	17	-1.09	101	0.00	177	-0.00	130	0.00	49
-1603	Max	1.27	101	0.32	177	0.41	130	0.00	17	0.00	101	0.00	177
-1603	Min.	-5.04	162	-0.19	17	-1.22	101	-0.00	177	-0.00	130	0.00	65
-1602	Max	1.27	101	0.32	177	0.47	130	0.00	17	0.00	101	0.00	177
-1602	Min.	-5.04	162	-0.19	17	-1.33	101	0.00	177	-0.00	130	0.00	65
-1601	Max	1.27	101	0.32	177	0.50	130	0.00	173	0.00	97	0.00	177
-1601	Min.	-5.04	162	-0.19	17	-1.43	101	0.00	177	0.00	130	0.00	65
-1600	Max	1.27	101	0.32	177	0.50	130	0.00	173	0.00	97	0.00	177
-1600	Min.	-5.04	162	-0.19	17	-1.53	101	0.00	177	0.00	17	0.00	65
-1599	Max	1.28	101	0.31	177	0.07	130	0.00	17	0.00	101	0.00	177
-1599	Min.	-5.04	162	-0.19	17	-0.78	101	0.00	65	-0.00	130	0.00	65
-1598	Max	1.28	101	0.31	177	0.20	130	0.00	17	0.00	101	0.00	177
-1598	Min.	-5.04	162	-0.19	17	-0.94	101	0.00	65	-0.00	130	0.00	65
-1597	Max	1.27	101	0.31	177	0.31	130	0.00	17	0.00	101	0.00	177
-1597	Min.	-5.04	162	-0.19	17	-1.09	101	0.00	65	-0.00	130	0.00	65
-1596	Max	1.27	101	0.32	177	0.41	130	0.00	17	0.00	101	0.00	177
-1596	Min.	-5.04	162	-0.19	17	-1.23	101	0.00	65	-0.00	130	0.00	65
-1595	Max	1.27	101	0.32	177	0.49	130	0.00	17	0.00	101	0.00	177
-1595	Min.	-5.04	162	-0.19	17	-1.35	101	0.00	65	-0.00	130	0.00	65
-1594	Max	1.27	101	0.32	177	0.54	130	0.00	17	0.00	97	0.00	177
-1594	Min.	-5.04	162	-0.19	17	-1.46	101	0.00	65	0.00	130	0.00	65
-1593	Max	1.27	101	0.32	177	0.55	130	0.00	17	0.00	97	0.00	177
-1593	Min.	-5.04	162	-0.19	17	-1.55	101	0.00	65	0.00	1	0.00	65
-1592	Max	1.28	101	0.31	177	0.07	130	0.00	17	0.00	101	0.00	177
-1592	Min.	-5.04	162	-0.19	17	-0.78	101	0.00	65	-0.00	130	0.00	65

-1591	Max	1.28	101	0.31	177	0.20	130	0.00	17	0.00	101	0.00	177
-1591	Min.	-5.04	162	-0.19	17	-0.94	101	0.00	65	-0.00	130	0.00	65
-1590	Max	1.27	101	0.31	177	0.31	130	0.00	17	0.00	101	0.00	177
-1590	Min.	-5.04	162	-0.19	17	-1.09	101	0.00	65	-0.00	130	0.00	65
-1589	Max	1.27	101	0.32	177	0.42	130	0.00	17	0.00	101	0.00	177
-1589	Min.	-5.04	162	-0.19	17	-1.23	101	0.00	65	-0.00	130	0.00	65
-1588	Max	1.27	101	0.32	177	0.49	130	0.00	17	0.00	101	0.00	177
-1588	Min.	-5.04	162	-0.19	17	-1.35	101	0.00	65	-0.00	130	0.00	65
-1587	Max	1.27	101	0.32	177	0.54	130	0.00	17	0.00	97	0.00	177
-1587	Min.	-5.04	162	-0.19	17	-1.45	101	0.00	65	0.00	130	0.00	65
-1586	Max	1.27	101	0.32	177	0.55	130	0.00	17	0.00	97	0.00	177
-1586	Min.	-5.04	162	-0.19	17	-1.55	101	0.00	65	0.00	49	0.00	65
-1585	Max	1.28	101	0.31	177	0.07	130	0.00	17	0.00	101	0.00	177
-1585	Min.	-5.04	162	-0.19	17	-0.78	101	0.00	65	-0.00	130	0.00	65
-1584	Max	1.28	101	0.31	177	0.20	130	0.00	17	0.00	101	0.00	177
-1584	Min.	-5.04	162	-0.19	17	-0.94	101	0.00	65	-0.00	130	0.00	65
-1583	Max	1.27	101	0.31	177	0.31	130	0.00	17	0.00	101	0.00	177
-1583	Min.	-5.04	162	-0.19	17	-1.09	101	0.00	65	-0.00	130	0.00	65
-1582	Max	1.27	101	0.32	177	0.41	130	0.00	17	0.00	101	0.00	177
-1582	Min.	-5.04	162	-0.19	17	-1.23	101	0.00	65	-0.00	130	0.00	65
-1581	Max	1.27	101	0.32	177	0.49	130	0.00	17	0.00	101	0.00	177
-1581	Min.	-5.04	162	-0.19	17	-1.35	101	0.00	65	-0.00	130	0.00	65
-1580	Max	1.27	101	0.32	177	0.54	130	0.00	17	0.00	101	0.00	177
-1580	Min.	-5.04	162	-0.19	17	-1.47	101	0.00	65	0.00	130	0.00	65
-1579	Max	1.27	101	0.32	177	0.55	130	0.00	17	0.00	97	0.00	177
-1579	Min.	-5.04	162	-0.19	17	-1.56	101	0.00	65	0.00	49	0.00	65
-1578	Max	1.28	101	0.31	177	0.08	130	0.00	17	0.00	101	0.00	177
-1578	Min.	-5.04	162	-0.19	17	-0.78	101	0.00	65	-0.00	130	0.00	65
-1577	Max	1.28	101	0.31	177	0.20	130	0.00	17	0.00	101	0.00	177
-1577	Min.	-5.04	162	-0.19	17	-0.94	101	0.00	65	-0.00	130	0.00	65
-1576	Max	1.27	101	0.31	177	0.32	130	0.00	17	0.00	101	0.00	177
-1576	Min.	-5.04	162	-0.19	17	-1.09	101	0.00	65	-0.00	130	0.00	65
-1575	Max	1.27	101	0.32	177	0.41	130	0.00	17	0.00	101	0.00	177
-1575	Min.	-5.04	162	-0.19	17	-1.23	101	0.00	65	-0.00	130	0.00	65
-1574	Max	1.27	101	0.32	177	0.49	130	0.00	17	0.00	101	0.00	177
-1574	Min.	-5.04	162	-0.19	17	-1.35	101	-0.00	65	-0.00	130	0.00	65
-1573	Max	1.27	101	0.32	177	0.53	130	0.00	17	0.00	101	0.00	177
-1573	Min.	-5.04	162	-0.19	17	-1.46	101	-0.00	65	0.00	130	0.00	65
-1572	Max	1.27	101	0.32	177	0.54	130	0.00	17	0.00	97	0.00	177
-1572	Min.	-5.04	162	-0.19	17	-1.56	101	-0.00	65	0.00	49	0.00	65
-1571	Max	1.28	101	0.31	177	0.08	130	0.00	17	0.00	101	0.00	177
-1571	Min.	-5.04	162	-0.19	17	-0.78	101	0.00	65	-0.00	130	0.00	65
-1570	Max	1.28	101	0.31	177	0.21	130	0.00	17	0.00	101	0.00	177
-1570	Min.	-5.04	162	-0.19	17	-0.94	101	0.00	65	-0.00	130	0.00	65
-1569	Max	1.27	101	0.31	177	0.32	130	0.00	17	0.00	101	0.00	177
-1569	Min.	-5.04	162	-0.19	17	-1.09	101	0.00	65	-0.00	130	0.00	65
-1568	Max	1.27	101	0.31	177	0.41	130	0.00	17	0.00	101	0.00	177
-1568	Min.	-5.04	162	-0.19	17	-1.22	101	-0.00	65	-0.00	130	0.00	65
-1567	Max	1.27	101	0.32	177	0.48	130	0.00	128	0.00	101	0.00	177
-1567	Min.	-5.04	162	-0.19	17	-1.34	101	-0.00	65	-0.00	130	0.00	65
-1566	Max	1.27	101	0.32	177	0.52	130	0.00	104	0.00	97	0.00	177
-1566	Min.	-5.04	162	-0.19	17	-1.45	101	-0.00	65	0.00	130	0.00	65
-1565	Max	1.27	101	0.32	177	0.52	130	0.00	17	0.00	97	0.00	177
-1565	Min.	-5.04	162	-0.19	17	-1.54	101	-0.00	65	0.00	65	0.00	65
-1564	Max	1.28	101	0.31	177	0.07	130	0.00	17	0.00	101	0.00	177
-1564	Min.	-5.04	162	-0.19	17	-0.78	101	0.00	65	-0.00	130	0.00	65
-1563	Max	1.28	101	0.31	177	0.20	130	0.00	17	0.00	101	0.00	177
-1563	Min.	-5.04	162	-0.19	17	-0.94	101	0.00	65	-0.00	130	0.00	65
-1562	Max	1.27	101	0.31	177	0.31	130	0.00	17	0.00	101	0.00	177
-1562	Min.	-5.04	162	-0.19	17	-1.09	101	0.00	65	-0.00	130	0.00	65
-1561	Max	1.27	101	0.32	177	0.41	130	0.00	17	0.00	101	0.00	177
-1561	Min.	-5.04	162	-0.19	17	-1.23	101	0.00	65	-0.00	130	0.00	65
-1560	Max	1.27	101	0.32	177	0.49	130	0.00	17	0.00	101	0.00	177
-1560	Min.	-5.04	162	-0.19	17	-1.36	101	0.00	65	-0.00	130	0.00	65
-1559	Max	1.27	101	0.32	177	0.54	130	0.00	17	0.00	101	0.00	177
-1559	Min.	-5.04	162	-0.19	17	-1.47	101	0.00	65	0.00	130	0.00	65
-1558	Max	1.27	101	0.32	177	0.55	130	0.00	17	0.00	97	0.00	177
-1558	Min.	-5.04	162	-0.19	17	-1.56	101	0.00	65	0.00	1	0.00	65
-1557	Max	1.28	101	0.31	177	0.07	130	0.00	17	0.00	101	0.00	177
-1557	Min.	-5.04	162	-0.19	17	-0.78	101	0.00	65	-0.00	130	0.00	65
-1556	Max	1.28	101	0.31	177	0.20	130	0.00	17	0.00	101	0.00	177
-1556	Min.	-5.04	162	-0.19	17	-0.94	101	0.00	65	-0.00	130	0.00	65
-1555	Max	1.27	101	0.31	177	0.31	130	0.00	17	0.00	101	0.00	177
-1555	Min.	-5.04	162	-0.19	17	-1.09	101	0.00	65	-0.00	130	0.00	65
-1554	Max	1.27	101	0.32	177	0.42	130	0.00	17	0.00	101	0.00	177
-1554	Min.	-5.04	162	-0.19	17	-1.23	101	0.00	65	-0.00	130	0.00	65
-1553	Max	1.27	101	0.32	177	0.50	130	0.00	17	0.00	101	0.00	177
-1553	Min.	-5.04	162	-0.19	17	-1.35	101	0.00	65	-0.00	130	0.00	65
-1552	Max	1.27	101	0.32	177	0.54	130	0.00	17	0.00	97	0.00	177

-1552	Min.	-5.04	162	-0.19	17	-1.45	101	0.00	65	0.00	130	0.00	65
-1551	Max	1.27	101	0.32	177	0.56	130	0.00	17	0.00	97	0.00	177
-1551	Min.	-5.04	162	-0.19	17	-1.54	101	0.00	65	0.00	1	0.00	65
-1550	Max	1.28	101	0.31	177	0.09	132	0.00	17	0.00	101	0.00	177
-1550	Min.	-5.04	162	-0.19	17	-0.78	103	0.00	65	-0.00	130	0.00	49
-1549	Max	1.28	101	0.31	177	0.21	130	0.00	17	0.00	101	0.00	177
-1549	Min.	-5.04	162	-0.19	17	-0.94	101	0.00	65	-0.00	130	0.00	49
-1548	Max	1.27	101	0.31	177	0.33	130	0.00	164	0.00	101	0.00	177
-1548	Min.	-5.04	162	-0.19	17	-1.09	101	-0.00	65	-0.00	130	0.00	49
-1547	Max	1.26	101	0.33	177	-0.51	33	0.00	173	0.00	130	0.00	1
-1547	Min.	-5.04	166	-0.18	65	-3.82	98	-0.00	17	-0.00	101	0.00	49
-1546	Max	1.27	101	0.32	177	0.47	130	0.00	128	0.00	101	0.00	177
-1546	Min.	-5.04	162	-0.19	17	-1.32	101	-0.00	65	-0.00	130	0.00	65
-1545	Max	1.27	101	0.32	177	0.51	130	0.00	17	0.00	97	0.00	177
-1545	Min.	-5.04	162	-0.19	17	-1.43	101	-0.00	65	0.00	130	0.00	65
-1544	Max	1.27	101	0.32	177	0.50	130	0.00	17	0.00	97	0.00	177
-1544	Min.	-5.04	162	-0.19	17	-1.53	101	-0.00	65	0.00	65	0.00	65
-1543	Max	1.28	101	0.31	177	0.08	130	0.00	17	0.00	101	0.00	177
-1543	Min.	-5.04	162	-0.19	17	-0.78	101	0.00	177	-0.00	130	0.00	65
-1542	Max	1.28	101	0.31	177	0.21	130	0.00	17	0.00	101	0.00	177
-1542	Min.	-5.04	162	-0.19	17	-0.94	101	0.00	177	-0.00	130	0.00	65
-1541	Max	1.27	101	0.31	177	0.32	130	0.00	17	0.00	101	0.00	177
-1541	Min.	-5.04	162	-0.19	17	-1.09	101	0.00	177	-0.00	130	0.00	65
-1540	Max	1.27	101	0.32	177	0.45	130	0.00	17	0.01	97	0.00	177
-1540	Min.	-5.04	162	-0.19	17	-1.64	101	-0.00	65	0.00	65	0.00	65
-1539	Max	1.27	101	0.32	177	0.45	130	0.00	173	0.01	97	0.00	177
-1539	Min.	-5.04	162	-0.19	17	-1.64	101	0.00	177	0.00	17	0.00	65
-1538	Max	1.26	101	0.32	177	0.22	101	0.00	65	0.00	101	0.00	17
-1538	Min.	-5.04	166	-0.19	65	-1.24	130	0.00	177	-0.00	130	0.00	177
-1537	Max	1.27	101	0.32	177	0.49	130	0.00	17	0.01	97	0.00	177
-1537	Min.	-5.04	162	-0.19	17	-1.66	101	-0.00	65	0.00	65	0.00	65
-1536	Max	1.27	101	0.32	177	0.49	130	0.00	173	0.01	97	0.00	177
-1536	Min.	-5.04	162	-0.19	17	-1.67	101	0.00	65	0.00	17	0.00	65
-1535	Max	1.26	101	0.33	177	-0.54	33	0.00	173	0.00	130	0.00	1
-1535	Min.	-5.04	162	-0.18	17	-3.87	100	-0.00	17	-0.00	101	0.00	49
-1534	Max	1.27	101	0.32	177	0.51	130	0.00	17	0.01	97	0.00	177
-1534	Min.	-5.04	162	-0.19	17	-1.66	101	0.00	65	0.00	33	0.00	65
-1533	Max	1.26	101	0.33	177	-0.29	17	0.01	173	0.00	130	0.00	1
-1533	Min.	-5.04	162	-0.18	17	-3.66	100	-0.00	99	-0.00	101	0.00	49
-1532	Max	1.26	101	0.33	177	-0.53	33	0.00	173	0.00	130	0.00	1
-1532	Min.	-5.04	162	-0.18	17	-3.87	99	-0.00	17	-0.00	101	0.00	49
-1531	Max	1.27	101	0.32	177	0.51	130	0.00	17	0.01	97	0.00	177
-1531	Min.	-5.04	162	-0.19	17	-1.66	101	0.00	65	0.00	33	0.00	65
-1530	Max	1.26	101	0.32	177	0.30	101	0.00	173	0.00	1	0.00	17
-1530	Min.	-5.04	166	-0.19	65	-1.47	130	0.00	177	-0.00	98	0.00	177
-1529	Max	1.26	101	0.32	177	0.29	101	0.00	173	0.00	49	0.00	17
-1529	Min.	-5.04	166	-0.19	65	-1.55	106	0.00	107	-0.00	98	0.00	177
-1528	Max	1.26	101	0.31	177	-0.03	1	0.00	65	0.00	101	0.00	1
-1528	Min.	-5.04	166	-0.20	65	-0.61	108	0.00	17	-0.00	130	0.00	177
-1527	Max	1.26	101	0.31	177	0.02	1	0.00	65	0.00	101	0.00	1
-1527	Min.	-5.04	166	-0.19	65	-0.78	106	0.00	177	-0.00	130	0.00	177
-1526	Max	1.26	101	0.31	177	0.06	1	0.00	65	0.00	101	0.00	1
-1526	Min.	-5.04	166	-0.19	65	-0.94	106	0.00	177	-0.00	130	0.00	177
-1525	Max	1.26	101	0.31	177	0.15	101	0.00	65	0.00	101	0.00	17
-1525	Min.	-5.04	166	-0.19	65	-1.10	130	0.00	177	-0.00	130	0.00	177
-1524	Max	1.26	101	0.31	177	0.22	101	0.00	65	0.00	101	0.00	17
-1524	Min.	-5.04	166	-0.19	65	-1.24	130	-0.00	17	-0.00	130	0.00	177
-1523	Max	1.26	101	0.32	177	0.28	101	0.00	65	0.00	101	0.00	17
-1523	Min.	-5.04	166	-0.19	65	-1.36	130	-0.00	17	-0.00	106	0.00	177
-1522	Max	1.26	101	0.32	177	0.30	101	0.00	108	0.00	49	0.00	17
-1522	Min.	-5.04	166	-0.19	65	-1.46	130	-0.00	17	-0.00	98	0.00	177
-1521	Max	1.26	101	0.32	177	0.29	101	0.00	108	0.00	17	0.00	17
-1521	Min.	-5.04	166	-0.19	65	-1.55	106	-0.00	17	-0.00	98	0.00	177
-1520	Max	1.26	101	0.31	177	-0.03	49	0.00	65	0.00	101	0.00	1
-1520	Min.	-5.05	166	-0.20	65	-0.61	107	0.00	17	-0.00	130	0.00	177
-1519	Max	1.26	101	0.31	177	0.02	49	0.00	65	0.00	101	0.00	1
-1519	Min.	-5.04	166	-0.19	65	-0.78	106	0.00	17	-0.00	130	0.00	177
-1518	Max	1.26	101	0.31	177	0.06	49	0.00	65	0.00	101	0.00	1
-1518	Min.	-5.04	166	-0.19	65	-0.94	106	0.00	17	-0.00	130	0.00	177
-1517	Max	1.26	101	0.31	177	0.15	101	0.00	65	0.00	101	0.00	17
-1517	Min.	-5.04	166	-0.19	65	-1.10	130	0.00	17	-0.00	130	0.00	177
-1516	Max	1.27	101	0.32	177	0.53	130	0.00	104	0.00	97	0.00	177
-1516	Min.	-5.04	162	-0.19	17	-1.55	101	-0.00	65	0.00	65	0.00	65
-1515	Max	1.27	101	0.32	177	0.52	130	0.00	104	0.00	97	0.00	177
-1515	Min.	-5.04	162	-0.19	17	-1.45	101	-0.00	65	0.00	130	0.00	65
-1514	Max	1.27	101	0.32	177	0.48	130	0.00	17	0.00	101	0.00	177
-1514	Min.	-5.04	162	-0.19	17	-1.35	101	-0.00	65	-0.00	130	0.00	65
-1513	Max	1.27	101	0.31	177	0.41	130	0.00	17	0.00	101	0.00	177
-1513	Min.	-5.04	162	-0.19	17	-1.22	101	-0.00	65	-0.00	130	0.00	65

-1512	Max	1.27	101	0.31	177	0.32	130	0.00	17	0.00	101	0.00	177
-1512	Min.	-5.04	162	-0.19	17	-1.09	101	0.00	65	-0.00	130	0.00	65
-1511	Max	1.28	101	0.31	177	0.21	130	0.00	17	0.00	101	0.00	177
-1511	Min.	-5.04	162	-0.19	17	-0.94	101	0.00	65	-0.00	130	0.00	49
-1510	Max	1.28	101	0.31	177	0.08	130	0.00	17	0.00	101	0.00	177
-1510	Min.	-5.04	162	-0.19	17	-0.78	101	0.00	65	-0.00	130	0.00	49
-1509	Max	1.28	101	0.31	177	-0.03	1	0.00	17	0.00	101	0.00	177
-1509	Min.	-5.04	162	-0.20	17	-0.61	103	0.00	65	-0.00	130	0.00	49
-1508	Max	1.26	101	0.32	177	0.13	49	0.00	65	0.00	17	0.00	17
-1508	Min.	-5.04	166	-0.19	65	-1.77	106	-0.00	17	-0.01	97	0.00	177
-1507	Max	1.26	101	0.32	177	0.07	49	0.00	173	0.00	17	0.00	17
-1507	Min.	-5.04	158	-0.19	65	-1.90	106	-0.00	17	-0.01	97	0.00	65
-1506	Max	1.26	101	0.33	177	-0.00	49	0.00	173	0.00	17	0.00	97
-1506	Min.	-5.04	158	-0.18	65	-2.00	106	-0.00	17	-0.01	97	0.00	65
-1505	Max	1.26	101	0.33	177	-0.08	49	0.00	173	0.00	1	0.00	97
-1505	Min.	-5.04	158	-0.18	65	-2.20	98	-0.00	17	-0.01	97	0.00	65
-1504	Max	1.26	101	0.33	177	-0.16	49	0.00	173	0.00	130	0.00	17
-1504	Min.	-5.04	158	-0.18	65	-2.57	98	-0.00	17	-0.01	97	0.00	65
-1503	Max	1.26	101	0.33	177	-0.24	65	0.00	173	0.00	130	0.00	17
-1503	Min.	-5.04	158	-0.18	65	-2.92	98	-0.00	17	-0.01	97	0.00	65
-1502	Max	1.26	101	0.33	177	-0.27	65	0.00	173	0.00	130	0.00	17
-1502	Min.	-5.04	158	-0.18	65	-3.23	98	-0.00	17	-0.01	97	0.00	65
-1501	Max	1.26	101	0.33	177	-0.31	65	0.00	173	0.00	130	0.00	1
-1501	Min.	-5.04	158	-0.18	65	-3.48	98	-0.00	17	-0.01	97	0.00	49
-1500	Max	1.26	101	0.33	177	-0.34	65	0.00	173	0.00	130	0.00	1
-1500	Min.	-5.04	166	-0.18	65	-3.66	99	-0.00	17	-0.00	101	0.00	49
-1499	Max	1.26	101	0.33	177	-0.36	65	0.00	173	0.00	130	0.00	1
-1499	Min.	-5.04	166	-0.18	65	-3.75	99	-0.00	17	-0.00	101	0.00	49
-1498	Max	1.26	101	0.33	177	-0.36	17	0.00	173	0.00	130	0.00	1
-1498	Min.	-5.04	162	-0.18	17	-3.75	99	-0.00	65	-0.00	101	0.00	49
-1497	Max	1.27	101	0.33	177	-0.32	17	0.00	173	0.01	98	0.00	17
-1497	Min.	-5.04	162	-0.18	17	-3.26	97	-0.00	65	0.00	101	0.00	65
-1496	Max	1.26	101	0.33	177	-0.36	17	0.00	173	0.01	98	0.00	17
-1496	Min.	-5.04	162	-0.18	17	-3.52	97	-0.00	65	-0.00	101	0.00	65
-1495	Max	1.26	101	0.33	177	-0.39	17	0.00	173	0.00	130	0.00	1
-1495	Min.	-5.04	162	-0.18	17	-3.71	99	-0.00	65	-0.00	101	0.00	49
-1494	Max	1.26	101	0.33	177	-0.41	17	0.00	173	0.00	130	0.00	1
-1494	Min.	-5.04	162	-0.18	17	-3.80	99	-0.00	65	-0.00	101	0.00	49
-1493	Max	1.26	101	0.33	177	-0.41	65	0.00	173	0.00	130	0.00	1
-1493	Min.	-5.04	166	-0.18	65	-3.80	99	-0.00	17	-0.00	101	0.00	49
-1492	Max	1.26	101	0.33	177	-0.39	65	0.00	173	0.00	130	0.00	1
-1492	Min.	-5.04	158	-0.18	65	-3.71	99	-0.00	17	-0.00	101	0.00	49
-1491	Max	1.26	101	0.33	177	-0.36	65	0.00	173	0.00	130	0.00	17
-1491	Min.	-5.04	158	-0.18	65	-3.52	98	-0.00	17	-0.01	97	0.00	65
-1490	Max	1.26	101	0.32	177	0.28	101	0.00	65	0.00	101	0.00	17
-1490	Min.	-5.04	166	-0.19	65	-1.36	130	0.00	177	-0.00	106	0.00	177
-1489	Max	1.26	101	0.33	177	-0.34	17	0.00	173	0.00	130	0.00	1
-1489	Min.	-5.04	162	-0.18	17	-3.66	99	-0.00	65	-0.00	101	0.00	49
-1488	Max	1.26	101	0.33	177	-0.31	17	0.00	173	0.01	98	0.00	1
-1488	Min.	-5.04	162	-0.18	17	-3.48	97	-0.00	65	-0.00	101	0.00	49
-1487	Max	1.27	101	0.33	177	-0.27	17	0.00	173	0.01	98	0.00	17
-1487	Min.	-5.04	162	-0.18	17	-3.23	97	-0.00	65	0.00	49	0.00	65
-1486	Max	1.27	101	0.33	177	-0.24	17	0.00	173	0.01	98	0.00	17
-1486	Min.	-5.04	162	-0.18	17	-2.92	97	-0.00	65	0.00	49	0.00	65
-1485	Max	1.27	101	0.33	177	-0.16	1	0.00	173	0.01	98	0.00	17
-1485	Min.	-5.04	162	-0.18	17	-2.57	97	-0.00	65	0.00	49	0.00	65
-1484	Max	1.27	101	0.33	177	-0.08	1	0.00	173	0.01	98	0.00	17
-1484	Min.	-5.04	162	-0.18	17	-2.20	97	-0.00	65	0.00	49	0.00	98
-1483	Max	1.27	101	0.33	177	0.03	130	0.00	173	0.01	98	0.00	17
-1483	Min.	-5.04	162	-0.18	17	-2.00	101	-0.00	65	0.00	65	0.00	98
-1482	Max	1.26	101	0.33	177	-0.32	65	0.00	173	0.00	130	0.00	17
-1482	Min.	-5.04	158	-0.18	65	-3.26	98	-0.00	17	-0.01	97	0.00	65
-1481	Max	1.26	101	0.33	177	-0.26	49	0.00	173	0.00	130	0.00	17
-1481	Min.	-5.04	158	-0.18	65	-2.95	98	-0.00	17	-0.01	97	0.00	65
-1480	Max	1.26	101	0.33	177	-0.17	49	0.00	173	0.00	130	0.00	17
-1480	Min.	-5.04	158	-0.18	65	-2.59	98	-0.00	17	-0.01	97	0.00	65
-1479	Max	1.26	101	0.33	177	-0.09	49	0.00	173	0.00	1	0.00	17
-1479	Min.	-5.04	158	-0.18	65	-2.20	98	-0.00	17	-0.01	97	0.00	65
-1478	Max	1.26	101	0.33	177	-0.01	49	0.00	173	0.00	17	0.00	17
-1478	Min.	-5.04	158	-0.18	65	-2.02	106	-0.00	17	-0.01	97	0.00	65
-1477	Max	1.26	101	0.32	177	0.07	49	0.00	173	0.00	17	0.00	17
-1477	Min.	-5.04	166	-0.19	65	-1.91	106	-0.00	17	-0.01	97	0.00	65
-1476	Max	1.26	101	0.32	177	0.12	49	0.00	65	0.00	17	0.00	17
-1476	Min.	-5.04	166	-0.19	65	-1.79	106	-0.00	17	-0.01	97	0.00	177
-1475	Max	1.27	101	0.32	177	0.40	130	0.00	17	0.01	98	0.00	177
-1475	Min.	-5.04	162	-0.19	17	-1.79	101	-0.00	65	0.00	65	0.00	65
-1474	Max	1.27	101	0.32	177	0.24	130	0.00	173	0.01	98	0.00	17
-1474	Min.	-5.04	162	-0.19	17	-1.92	101	-0.00	65	0.00	65	0.00	65
-1473	Max	1.27	101	0.33	177	0.05	130	0.00	173	0.01	98	0.00	17

-1473	Min.	-5.04	162	-0.18	17	-2.03	101	-0.00	65	0.00	49	0.00	65
-1472	Max	1.27	101	0.33	177	-0.10	1	0.00	173	0.01	98	0.00	17
-1472	Min.	-5.04	162	-0.18	17	-2.21	97	-0.00	65	0.00	49	0.00	65
-1471	Max	1.27	101	0.33	177	-0.18	1	0.00	173	0.01	98	0.00	17
-1471	Min.	-5.04	162	-0.18	17	-2.60	97	-0.00	65	0.00	49	0.00	65
-1470	Max	1.27	101	0.33	177	-0.27	1	0.00	173	0.01	98	0.00	17
-1470	Min.	-5.04	162	-0.18	17	-2.97	97	-0.00	65	0.00	49	0.00	65
-1469	Max	1.27	101	0.33	177	-0.36	1	0.00	173	0.01	98	0.00	17
-1469	Min.	-5.04	162	-0.18	17	-3.30	97	-0.00	65	0.00	101	0.00	65
-1468	Max	1.26	101	0.33	177	-0.43	17	0.00	173	0.01	98	0.00	17
-1468	Min.	-5.04	162	-0.18	17	-3.56	97	-0.00	65	-0.00	101	0.00	65
-1467	Max	1.26	101	0.33	177	-0.46	17	0.00	173	0.00	130	0.00	1
-1467	Min.	-5.04	162	-0.18	17	-3.75	97	-0.00	65	-0.00	101	0.00	49
-1466	Max	1.26	101	0.33	177	-0.49	17	0.00	173	0.00	130	0.00	1
-1466	Min.	-5.04	162	-0.18	17	-3.84	99	-0.00	65	-0.00	101	0.00	49
-1465	Max	1.26	101	0.33	177	-0.49	65	0.00	173	0.00	130	0.00	1
-1465	Min.	-5.04	166	-0.18	65	-3.84	99	-0.00	17	-0.00	101	0.00	49
-1464	Max	1.26	101	0.33	177	-0.46	65	0.00	173	0.00	130	0.00	1
-1464	Min.	-5.04	158	-0.18	65	-3.75	98	-0.00	17	-0.00	101	0.00	49
-1463	Max	1.26	101	0.33	177	-0.43	65	0.00	173	0.00	130	0.00	17
-1463	Min.	-5.04	158	-0.18	65	-3.56	98	-0.00	17	-0.01	97	0.00	65
-1462	Max	1.26	101	0.33	177	-0.36	49	0.00	173	0.00	130	0.00	17
-1462	Min.	-5.04	158	-0.18	65	-3.30	98	-0.00	17	-0.01	97	0.00	65
-1461	Max	1.27	101	0.32	177	0.22	130	0.00	17	0.01	98	0.00	17
-1461	Min.	-5.04	162	-0.19	17	-1.90	101	-0.00	65	0.00	65	0.00	65
-1460	Max	1.26	101	0.33	177	-0.27	49	0.00	173	0.00	130	0.00	17
-1460	Min.	-5.04	158	-0.18	65	-2.97	98	-0.00	17	-0.01	97	0.00	65
-1459	Max	1.26	101	0.33	177	-0.18	49	0.00	173	0.00	130	0.00	17
-1459	Min.	-5.04	158	-0.18	65	-2.60	98	-0.00	17	-0.01	97	0.00	65
-1458	Max	1.27	101	0.32	177	0.37	130	0.00	17	0.01	98	0.00	177
-1458	Min.	-5.04	162	-0.19	17	-1.77	101	-0.00	65	0.00	65	0.00	65
-1457	Max	1.26	101	0.33	177	-0.37	17	0.00	173	0.00	130	0.00	1
-1457	Min.	-5.04	162	-0.18	17	-3.76	99	-0.00	17	-0.00	101	0.00	49
-1456	Max	1.26	101	0.33	177	-0.10	49	0.00	173	0.00	1	0.00	17
-1456	Min.	-5.04	158	-0.18	65	-2.21	98	-0.00	17	-0.01	97	0.00	65
-1455	Max	1.26	101	0.33	177	-0.01	49	0.00	173	0.00	1	0.00	17
-1455	Min.	-5.04	158	-0.18	65	-2.03	106	-0.00	17	-0.01	97	0.00	65
-1454	Max	1.26	101	0.32	177	0.06	49	0.00	173	0.00	17	0.00	17
-1454	Min.	-5.04	166	-0.19	65	-1.92	106	-0.00	17	-0.01	97	0.00	65
-1453	Max	1.26	101	0.32	177	0.13	101	0.00	65	0.00	17	0.00	17
-1453	Min.	-5.04	166	-0.19	65	-1.79	106	-0.00	17	-0.01	97	0.00	177
-1452	Max	1.27	101	0.32	177	0.41	130	0.00	17	0.01	98	0.00	177
-1452	Min.	-5.04	162	-0.19	17	-1.77	101	0.00	65	0.00	33	0.00	65
-1451	Max	1.27	101	0.32	177	0.53	130	0.00	173	0.00	97	0.00	177
-1451	Min.	-5.04	162	-0.19	17	-1.55	101	0.00	103	0.00	1	0.00	65
-1450	Max	1.27	101	0.32	177	0.25	130	0.00	173	0.01	98	0.00	17
-1450	Min.	-5.04	162	-0.19	17	-1.91	101	-0.00	65	0.00	33	0.00	65
-1449	Max	1.27	101	0.33	177	0.06	130	0.00	173	0.01	98	0.00	17
-1449	Min.	-5.04	162	-0.18	17	-2.02	101	-0.00	65	0.00	49	0.00	65
-1448	Max	1.27	101	0.33	177	-0.13	1	0.00	173	0.01	98	0.00	17
-1448	Min.	-5.04	162	-0.18	17	-2.22	97	-0.00	65	0.00	49	0.00	65
-1447	Max	1.27	101	0.32	177	0.52	130	0.00	173	0.00	97	0.00	177
-1447	Min.	-5.04	162	-0.19	17	-1.46	101	0.00	177	0.00	130	0.00	65
-1446	Max	1.27	101	0.33	177	-0.22	1	0.00	173	0.01	98	0.00	17
-1446	Min.	-5.04	162	-0.18	17	-2.62	97	-0.00	65	0.00	49	0.00	65
-1445	Max	1.27	101	0.33	177	-0.31	1	0.00	173	0.01	98	0.00	17
-1445	Min.	-5.04	162	-0.18	17	-2.99	97	-0.00	65	0.00	49	0.00	65
-1444	Max	1.27	101	0.32	177	0.48	130	0.00	17	0.00	101	0.00	177
-1444	Min.	-5.04	162	-0.19	17	-1.35	101	0.00	177	-0.00	130	0.00	65
-1443	Max	1.27	101	0.33	177	-0.40	1	0.00	173	0.01	98	0.00	17
-1443	Min.	-5.04	162	-0.18	17	-3.32	97	-0.00	65	0.00	101	0.00	65
-1442	Max	1.26	101	0.33	177	-0.48	33	0.00	173	0.01	98	0.00	17
-1442	Min.	-5.04	162	-0.18	17	-3.58	97	-0.00	65	-0.00	101	0.00	65
-1441	Max	1.26	101	0.33	177	-0.52	33	0.00	173	0.00	130	0.00	17
-1441	Min.	-5.04	162	-0.18	17	-3.76	97	-0.00	65	-0.00	101	0.00	65
-1440	Max	1.27	101	0.32	177	0.41	130	0.00	17	0.00	101	0.00	177
-1440	Min.	-5.04	162	-0.19	17	-1.23	101	0.00	177	-0.00	130	0.00	65
-1439	Max	1.26	101	0.33	177	-0.55	33	0.00	173	0.00	130	0.00	17
-1439	Min.	-5.04	162	-0.18	17	-3.86	97	-0.00	65	-0.00	101	0.00	65
-1438	Max	1.26	101	0.33	177	-0.55	33	0.00	173	0.00	130	0.00	17
-1438	Min.	-5.04	166	-0.18	65	-3.86	98	-0.00	17	-0.00	101	0.00	65
-1437	Max	1.27	101	0.31	177	0.32	130	0.00	17	0.00	101	0.00	177
-1437	Min.	-5.04	162	-0.19	17	-1.09	101	0.00	177	-0.00	130	0.00	65
-1436	Max	1.26	101	0.33	177	-0.52	33	0.00	173	0.00	130	0.00	17
-1436	Min.	-5.04	166	-0.18	65	-3.76	98	-0.00	17	-0.00	101	0.00	65
-1435	Max	1.26	101	0.33	177	-0.48	33	0.00	173	0.00	130	0.00	17
-1435	Min.	-5.04	158	-0.18	65	-3.58	98	-0.00	17	-0.01	97	0.00	65
-1434	Max	1.26	101	0.33	177	-0.40	49	0.00	173	0.00	130	0.00	17
-1434	Min.	-5.04	158	-0.18	65	-3.32	98	-0.00	17	-0.01	97	0.00	65

-1433	Max	1.26	101	0.33	177	-0.31	49	0.00	173	0.00	130	0.00	17
-1433	Min.	-5.04	158	-0.18	65	-2.99	98	-0.00	17	-0.01	97	0.00	65
-1432	Max	1.26	101	0.33	177	-0.22	49	0.00	173	0.00	130	0.00	17
-1432	Min.	-5.04	158	-0.18	65	-2.62	98	-0.00	17	-0.01	97	0.00	65
-1431	Max	1.26	101	0.33	177	-0.13	49	0.00	173	0.00	1	0.00	17
-1431	Min.	-5.04	158	-0.18	65	-2.22	98	-0.00	17	-0.01	97	0.00	65
-1430	Max	1.26	101	0.33	177	-0.04	49	0.00	173	0.00	1	0.00	17
-1430	Min.	-5.04	158	-0.18	65	-2.02	106	-0.00	17	-0.01	97	0.00	65
-1429	Max	1.26	101	0.32	177	0.04	49	0.00	173	0.00	33	0.00	17
-1429	Min.	-5.04	158	-0.19	65	-1.91	106	-0.00	17	-0.01	97	0.00	65
-1428	Max	1.26	101	0.32	177	0.14	101	0.00	173	0.00	33	0.00	17
-1428	Min.	-5.04	166	-0.19	65	-1.77	106	0.00	17	-0.01	97	0.00	177
-1427	Max	1.26	101	0.31	177	-0.04	1	0.00	65	0.00	101	0.00	17
-1427	Min.	-5.05	166	-0.20	65	-0.61	108	0.00	17	-0.00	130	0.00	177
-1426	Max	1.26	101	0.31	177	-0.03	1	0.00	65	0.00	101	0.00	17
-1426	Min.	-5.05	166	-0.20	65	-0.61	108	0.00	177	-0.00	130	0.00	177
-1425	Max	1.26	101	0.31	177	-0.01	65	0.00	65	0.00	101	0.00	130
-1425	Min.	-5.05	166	-0.20	65	-0.62	107	0.00	17	-0.00	130	0.00	177
-1424	Max	1.26	101	0.31	177	-0.06	49	0.00	65	0.00	101	0.00	17
-1424	Min.	-5.05	166	-0.20	65	-0.61	106	0.00	17	-0.00	130	0.00	177
-1423	Max	1.26	101	0.31	177	-0.05	1	0.00	65	0.00	101	0.00	1
-1423	Min.	-5.05	166	-0.20	65	-0.61	106	0.00	17	-0.00	130	0.00	177
-1422	Max	1.26	101	0.31	177	-0.03	49	0.00	65	0.00	101	0.00	17
-1422	Min.	-5.05	166	-0.20	65	-0.61	107	0.00	17	-0.00	130	0.00	177
-1421	Max	1.26	101	0.31	177	-0.04	49	0.00	65	0.00	101	0.00	17
-1421	Min.	-5.05	166	-0.20	65	-0.61	107	0.00	17	-0.00	130	0.00	177
-1420	Max	1.26	101	0.31	177	-0.05	49	0.00	65	0.00	101	0.00	17
-1420	Min.	-5.05	166	-0.20	65	-0.61	106	0.00	17	-0.00	130	0.00	177
-1419	Max	1.26	101	0.31	177	-0.05	49	0.00	65	0.00	101	0.00	17
-1419	Min.	-5.05	166	-0.20	65	-0.61	106	0.00	17	-0.00	130	0.00	177
-1418	Max	1.26	101	0.31	177	-0.05	1	0.00	65	0.00	101	0.00	17
-1418	Min.	-5.05	166	-0.20	65	-0.61	106	0.00	17	-0.00	130	0.00	177
-1417	Max	1.26	101	0.31	177	-0.01	17	0.00	65	0.00	101	0.00	1
-1417	Min.	-5.05	166	-0.20	65	-0.62	108	0.00	177	-0.00	130	0.00	177
-1416	Max	1.26	101	0.32	177	0.31	101	0.00	173	0.00	49	0.00	17
-1416	Min.	-5.04	166	-0.19	65	-1.56	106	0.00	17	-0.00	98	0.00	177
-1415	Max	1.26	101	0.32	177	0.32	101	0.00	65	0.00	101	0.00	17
-1415	Min.	-5.04	166	-0.19	65	-1.47	106	0.00	17	-0.00	106	0.00	177
-1414	Max	1.27	101	0.32	177	0.53	130	0.00	17	0.00	101	0.00	177
-1414	Min.	-5.04	162	-0.19	17	-1.47	101	0.00	65	0.00	130	0.00	65
-1413	Max	1.26	101	0.33	177	-0.36	17	0.00	173	0.00	130	0.00	1
-1413	Min.	-5.04	162	-0.18	17	-3.74	100	-0.00	99	-0.00	101	0.00	49
-1412	Max	1.27	101	0.33	177	-0.38	1	0.00	173	0.01	98	0.00	17
-1412	Min.	-5.04	162	-0.18	17	-3.31	97	-0.00	65	0.00	101	0.00	65
-1411	Max	1.27	101	0.33	177	-0.20	1	0.00	173	0.01	98	0.00	17
-1411	Min.	-5.04	162	-0.18	17	-2.61	97	-0.00	65	0.00	49	0.00	65
-1410	Max	1.27	101	0.33	177	-0.29	1	0.00	173	0.01	98	0.00	17
-1410	Min.	-5.04	162	-0.18	17	-2.99	97	-0.00	65	0.00	49	0.00	65
-1409	Max	1.28	101	0.31	177	0.20	130	0.00	17	0.00	101	0.00	177
-1409	Min.	-5.04	162	-0.19	17	-0.94	101	0.00	177	-0.00	130	0.00	49
-1408	Max	1.28	101	0.31	177	0.08	130	0.00	17	0.00	101	0.00	177
-1408	Min.	-5.04	162	-0.19	17	-0.78	101	0.00	177	-0.00	130	0.00	49
-1407	Max	1.28	101	0.31	177	-0.03	49	0.00	17	0.00	101	0.00	177
-1407	Min.	-5.04	162	-0.20	17	-0.61	104	0.00	65	-0.00	130	0.00	49
-1406	Max	1.26	101	0.32	177	0.12	1	0.00	173	0.00	65	0.00	17
-1406	Min.	-5.04	166	-0.19	65	-1.78	106	0.00	17	-0.01	97	0.00	177
-1405	Max	1.26	101	0.32	177	0.07	1	0.00	173	0.00	65	0.00	17
-1405	Min.	-5.04	166	-0.19	65	-1.90	106	0.00	17	-0.01	97	0.00	65
-1404	Max	1.26	101	0.33	177	-0.00	1	0.00	173	0.00	65	0.00	17
-1404	Min.	-5.04	158	-0.18	65	-2.01	106	-0.00	17	-0.01	97	0.00	65
-1403	Max	1.26	101	0.33	177	-0.08	1	0.00	173	0.00	49	0.00	17
-1403	Min.	-5.04	158	-0.18	65	-2.20	98	-0.00	17	-0.01	97	0.00	65
-1402	Max	1.26	101	0.33	177	-0.17	1	0.00	173	0.00	130	0.00	17
-1402	Min.	-5.04	158	-0.18	65	-2.58	98	-0.00	17	-0.01	97	0.00	65
-1401	Max	1.26	101	0.33	177	-0.25	17	0.00	173	0.00	130	0.00	17
-1401	Min.	-5.04	158	-0.18	65	-2.93	98	-0.00	17	-0.01	97	0.00	65
-1400	Max	1.26	101	0.33	177	-0.29	17	0.00	173	0.00	130	0.00	17
-1400	Min.	-5.04	158	-0.18	65	-3.24	98	-0.00	17	-0.01	97	0.00	65
-1399	Max	1.26	101	0.33	177	-0.32	17	0.00	173	0.00	130	0.00	17
-1399	Min.	-5.04	158	-0.18	65	-3.49	98	-0.00	17	-0.01	97	0.00	65
-1398	Max	1.26	101	0.33	177	-0.35	17	0.00	173	0.00	130	0.00	1
-1398	Min.	-5.04	166	-0.18	65	-3.67	100	-0.00	99	-0.00	101	0.00	49
-1397	Max	1.26	101	0.33	177	-0.37	17	0.00	173	0.00	130	0.00	1
-1397	Min.	-5.04	166	-0.18	65	-3.76	100	-0.00	99	-0.00	101	0.00	49
-1396	Max	1.26	101	0.33	177	-0.37	65	0.00	173	0.00	130	0.00	1
-1396	Min.	-5.04	162	-0.18	17	-3.76	100	-0.00	99	-0.00	101	0.00	49
-1395	Max	1.26	101	0.33	177	-0.35	65	0.00	173	0.00	130	0.00	1
-1395	Min.	-5.04	162	-0.18	17	-3.67	100	-0.00	99	-0.00	101	0.00	49
-1394	Max	1.26	101	0.33	177	-0.32	65	0.00	173	0.01	98	0.00	17

-1394	Min.	-5.04	162	-0.18	17	-3.49	97	-0.00	65	-0.00	101	0.00	65
-1393	Max	1.27	101	0.33	177	-0.29	65	0.00	173	0.01	98	0.00	17
-1393	Min.	-5.04	162	-0.18	17	-3.24	97	-0.00	65	0.00	1	0.00	65
-1392	Max	1.27	101	0.33	177	-0.25	65	0.00	173	0.01	98	0.00	17
-1392	Min.	-5.04	162	-0.18	17	-2.93	97	-0.00	65	0.00	1	0.00	65
-1391	Max	1.27	101	0.33	177	-0.17	49	0.00	173	0.01	98	0.00	17
-1391	Min.	-5.04	162	-0.18	17	-2.58	97	-0.00	65	0.00	1	0.00	65
-1390	Max	1.27	101	0.33	177	-0.08	49	0.00	173	0.01	98	0.00	17
-1390	Min.	-5.04	162	-0.18	17	-2.20	97	-0.00	65	0.00	1	0.00	65
-1389	Max	1.27	101	0.33	177	0.02	130	0.00	173	0.01	98	0.00	17
-1389	Min.	-5.04	162	-0.18	17	-2.01	101	-0.00	65	0.00	17	0.00	65
-1388	Max	1.27	101	0.32	177	0.21	130	0.00	173	0.01	98	0.00	17
-1388	Min.	-5.04	162	-0.19	17	-1.90	101	0.00	65	0.00	17	0.00	65
-1387	Max	1.27	101	0.32	177	0.37	130	0.00	173	0.01	98	0.00	177
-1387	Min.	-5.04	162	-0.19	17	-1.78	101	0.00	65	0.00	17	0.00	65
-1386	Max	1.26	101	0.33	177	-0.38	17	0.00	173	0.00	130	0.00	1
-1386	Min.	-5.04	162	-0.18	17	-3.77	100	-0.00	99	-0.00	101	0.00	49
-1385	Max	1.27	101	0.32	177	0.50	130	0.00	173	0.01	97	0.00	177
-1385	Min.	-5.04	162	-0.19	17	-1.67	101	0.00	65	0.00	17	0.00	65
-1384	Max	1.27	101	0.32	177	0.39	130	0.00	173	0.01	98	0.00	177
-1384	Min.	-5.04	162	-0.19	17	-1.79	101	0.00	65	0.00	17	0.00	65
-1383	Max	1.27	101	0.32	177	0.23	130	0.00	173	0.01	98	0.00	17
-1383	Min.	-5.04	162	-0.19	17	-1.92	101	0.00	65	0.00	17	0.00	65
-1382	Max	1.27	101	0.33	177	0.04	130	0.00	173	0.01	98	0.00	17
-1382	Min.	-5.04	162	-0.18	17	-2.03	101	-0.00	65	0.00	1	0.00	65
-1381	Max	1.27	101	0.33	177	-0.09	49	0.00	173	0.01	98	0.00	17
-1381	Min.	-5.04	162	-0.18	17	-2.21	97	-0.00	65	0.00	1	0.00	65
-1380	Max	1.27	101	0.33	177	-0.18	49	0.00	173	0.01	98	0.00	17
-1380	Min.	-5.04	162	-0.18	17	-2.60	97	-0.00	65	0.00	1	0.00	65
-1379	Max	1.27	101	0.33	177	-0.27	49	0.00	173	0.01	98	0.00	17
-1379	Min.	-5.04	162	-0.18	17	-2.96	97	-0.00	65	0.00	1	0.00	65
-1378	Max	1.27	101	0.33	177	-0.36	49	0.00	173	0.01	98	0.00	17
-1378	Min.	-5.04	162	-0.18	17	-3.28	97	-0.00	65	0.00	101	0.00	65
-1377	Max	1.26	101	0.33	177	-0.40	65	0.00	173	0.01	98	0.00	17
-1377	Min.	-5.04	162	-0.18	17	-3.55	97	-0.00	65	-0.00	101	0.00	65
-1376	Max	1.26	101	0.33	177	-0.43	65	0.00	173	0.00	130	0.00	1
-1376	Min.	-5.04	162	-0.18	17	-3.74	100	-0.00	65	-0.00	101	0.00	49
-1375	Max	1.26	101	0.33	177	-0.46	65	0.00	173	0.00	130	0.00	1
-1375	Min.	-5.04	162	-0.18	17	-3.83	100	-0.00	65	-0.00	101	0.00	49
-1374	Max	1.26	101	0.33	177	-0.47	17	0.00	173	0.00	130	0.00	1
-1374	Min.	-5.04	162	-0.18	17	-3.84	100	-0.00	17	-0.00	101	0.00	49
-1373	Max	1.26	101	0.33	177	-0.46	17	0.00	173	0.00	130	0.00	1
-1373	Min.	-5.04	166	-0.18	65	-3.83	100	-0.00	17	-0.00	101	0.00	49
-1372	Max	1.26	101	0.33	177	-0.43	17	0.00	173	0.00	130	0.00	1
-1372	Min.	-5.04	158	-0.18	65	-3.74	100	-0.00	17	-0.00	101	0.00	49
-1371	Max	1.26	101	0.33	177	-0.40	17	0.00	173	0.00	130	0.00	17
-1371	Min.	-5.04	158	-0.18	65	-3.55	98	-0.00	17	-0.01	97	0.00	65
-1370	Max	1.26	101	0.33	177	-0.36	1	0.00	173	0.00	130	0.00	17
-1370	Min.	-5.04	158	-0.18	65	-3.28	98	-0.00	17	-0.01	97	0.00	65
-1369	Max	1.26	101	0.33	177	-0.27	1	0.00	173	0.00	130	0.00	17
-1369	Min.	-5.04	158	-0.18	65	-2.96	98	-0.00	17	-0.01	97	0.00	65
-1368	Max	1.26	101	0.33	177	-0.18	1	0.00	173	0.00	130	0.00	17
-1368	Min.	-5.04	158	-0.18	65	-2.60	98	-0.00	17	-0.01	97	0.00	65
-1367	Max	1.26	101	0.32	177	0.29	101	0.00	65	0.00	101	0.00	17
-1367	Min.	-5.04	166	-0.19	65	-1.36	130	0.00	17	-0.00	106	0.00	177
-1366	Max	1.26	101	0.32	177	0.23	101	0.00	65	0.00	101	0.00	17
-1366	Min.	-5.04	166	-0.19	65	-1.23	130	0.00	17	-0.00	130	0.00	177
-1365	Max	1.26	101	0.31	177	0.15	101	0.00	65	0.00	101	0.00	17
-1365	Min.	-5.04	166	-0.19	65	-1.09	106	0.00	17	-0.00	130	0.00	177
-1364	Max	1.26	101	0.31	177	0.06	101	0.00	65	0.00	101	0.00	17
-1364	Min.	-5.04	166	-0.19	65	-0.94	106	0.00	17	-0.00	130	0.00	177
-1363	Max	1.26	101	0.31	177	0.01	1	0.00	65	0.00	101	0.00	17
-1363	Min.	-5.04	166	-0.19	65	-0.78	106	0.00	17	-0.00	130	0.00	177
-1362	Max	1.26	101	0.32	177	0.28	101	0.00	173	0.00	65	0.00	17
-1362	Min.	-5.04	166	-0.19	65	-1.55	130	0.00	177	-0.00	98	0.00	177
-1361	Max	1.26	101	0.33	177	-0.09	1	0.00	173	0.00	49	0.00	17
-1361	Min.	-5.04	158	-0.18	65	-2.21	98	-0.00	17	-0.01	97	0.00	65
-1360	Max	1.26	101	0.33	177	-0.01	1	0.00	173	0.00	49	0.00	17
-1360	Min.	-5.04	158	-0.18	65	-2.03	106	-0.00	17	-0.01	97	0.00	65
-1359	Max	1.26	101	0.32	177	0.06	1	0.00	173	0.00	65	0.00	17
-1359	Min.	-5.04	166	-0.19	65	-1.92	106	0.00	17	-0.01	97	0.00	65
-1358	Max	1.26	101	0.32	177	0.12	1	0.00	173	0.00	65	0.00	17
-1358	Min.	-5.04	166	-0.19	65	-1.79	106	0.00	17	-0.01	97	0.00	177
-1357	Max	1.26	101	0.32	177	0.25	101	0.00	173	0.00	65	0.00	17
-1357	Min.	-5.04	166	-0.19	65	-1.67	106	0.00	17	-0.01	98	0.00	177
-1356	Max	1.26	101	0.32	177	0.29	101	0.00	173	0.00	1	0.00	17
-1356	Min.	-5.04	166	-0.19	65	-1.47	130	0.00	177	-0.00	98	0.00	177
-1355	Max	1.26	101	0.32	177	0.27	101	0.00	65	0.00	101	0.00	17
-1355	Min.	-5.04	166	-0.19	65	-1.36	130	0.00	177	-0.00	106	0.00	177

-1354	Max	1.28	101	0.31	177	-0.04	49	0.00	17	0.00	101	0.00	177
-1354	Min.	-5.04	162	-0.20	17	-0.61	104	0.00	65	-0.00	130	0.00	65
-1353	Max	1.28	101	0.31	177	0.07	130	0.00	17	0.00	101	0.00	177
-1353	Min.	-5.04	162	-0.19	17	-0.78	101	0.00	65	-0.00	130	0.00	65
-1352	Max	1.26	101	0.32	177	0.22	101	0.00	65	0.00	101	0.00	17
-1352	Min.	-5.04	166	-0.19	65	-1.25	130	0.00	177	-0.00	130	0.00	177
-1351	Max	1.28	101	0.31	177	0.20	130	0.00	17	0.00	101	0.00	177
-1351	Min.	-5.04	162	-0.19	17	-0.94	101	0.00	65	-0.00	130	0.00	65
-1350	Max	1.27	101	0.31	177	0.31	130	0.00	17	0.00	101	0.00	177
-1350	Min.	-5.04	162	-0.19	17	-1.09	101	0.00	65	-0.00	130	0.00	65
-1349	Max	1.27	101	0.32	177	0.41	130	0.00	17	0.00	101	0.00	177
-1349	Min.	-5.04	162	-0.19	17	-1.23	101	0.00	65	-0.00	130	0.00	65
-1348	Max	1.27	101	0.32	177	0.49	130	0.00	17	0.00	101	0.00	177
-1348	Min.	-5.04	162	-0.19	17	-1.36	101	0.00	65	-0.00	130	0.00	65
-1347	Max	1.27	101	0.32	177	0.53	130	0.00	17	0.00	101	0.00	177
-1347	Min.	-5.04	162	-0.19	17	-1.47	101	0.00	65	0.00	130	0.00	65
-1346	Max	1.27	101	0.32	177	0.54	130	0.00	17	0.00	97	0.00	177
-1346	Min.	-5.04	162	-0.19	17	-1.57	101	0.00	65	0.00	1	0.00	65
-1345	Max	1.27	101	0.32	177	0.54	130	0.00	17	0.00	97	0.00	177
-1345	Min.	-5.04	162	-0.19	17	-1.57	101	-0.00	65	0.00	49	0.00	65
-1344	Max	1.27	101	0.32	177	0.50	130	0.00	17	0.01	97	0.00	177
-1344	Min.	-5.04	162	-0.19	17	-1.67	101	-0.00	65	0.00	65	0.00	65
-1343	Max	1.27	101	0.32	177	0.54	130	0.00	17	0.00	101	0.00	177
-1343	Min.	-5.04	162	-0.19	17	-1.47	101	0.00	65	0.00	130	0.00	65
-1342	Max	1.27	101	0.32	177	0.49	130	0.00	17	0.00	101	0.00	177
-1342	Min.	-5.04	162	-0.19	17	-1.35	101	0.00	65	-0.00	130	0.00	65
-1334	Max	1.29	101	0.31	177	-0.23	65	0.00	173	0.00	130	0.00	17
-1334	Min.	-5.04	166	-0.16	65	-3.49	99	-0.00	17	-0.00	101	0.00	97
-1332	Max	1.28	101	0.31	177	-0.25	65	0.00	173	0.00	130	0.00	17
-1332	Min.	-5.05	166	-0.16	65	-3.61	99	-0.00	17	-0.00	101	0.00	97
-1331	Max	1.28	101	0.31	177	-0.25	17	0.00	173	0.00	130	0.00	173
-1331	Min.	-5.05	162	-0.16	17	-3.61	99	-0.00	65	-0.00	101	0.00	65
-1330	Max	1.28	101	0.31	177	-0.23	17	0.00	173	0.00	106	0.00	173
-1330	Min.	-5.05	158	-0.16	17	-3.49	99	-0.00	65	-0.00	101	0.00	65
-1329	Max	1.28	101	0.31	177	-0.30	65	0.00	173	0.00	130	0.00	17
-1329	Min.	-5.04	166	-0.16	65	-3.56	99	-0.00	17	-0.00	101	0.00	97
-1328	Max	1.28	101	0.31	177	-0.33	65	0.00	173	0.00	130	0.00	17
-1328	Min.	-5.04	166	-0.16	65	-3.69	99	-0.00	17	-0.00	101	0.00	97
-1327	Max	1.28	101	0.31	177	-0.33	17	0.00	173	0.00	130	0.00	173
-1327	Min.	-5.05	162	-0.16	17	-3.69	99	-0.00	65	-0.00	101	0.00	65
-1326	Max	1.28	101	0.31	177	-0.30	17	0.00	173	0.00	106	0.00	173
-1326	Min.	-5.05	158	-0.16	17	-3.56	99	-0.00	65	-0.00	101	0.00	65
-1322	Max	1.28	101	0.31	177	-0.40	17	0.00	173	0.00	130	0.00	173
-1322	Min.	-5.05	162	-0.16	17	-3.76	99	-0.00	65	-0.00	101	0.00	65
-1320	Max	1.28	101	0.31	177	-0.37	17	0.00	173	0.00	106	0.00	173
-1320	Min.	-5.05	158	-0.16	17	-3.62	97	-0.00	65	-0.00	101	0.00	65
-1317	Max	1.28	101	0.31	177	-0.50	33	0.00	173	0.00	106	0.00	17
-1317	Min.	-5.05	158	-0.16	17	-3.68	97	-0.00	65	-0.00	101	0.00	65
-1316	Max	1.28	101	0.31	177	-0.53	33	0.00	173	0.00	130	0.00	17
-1316	Min.	-5.05	162	-0.16	17	-3.82	97	-0.00	65	-0.00	101	0.00	65
-1315	Max	1.28	101	0.31	177	-0.53	33	0.00	173	0.00	130	0.00	17
-1315	Min.	-5.04	166	-0.16	65	-3.82	98	-0.00	17	-0.00	101	0.00	65
-1314	Max	1.28	101	0.31	177	-0.50	33	0.00	173	0.00	130	0.00	17
-1314	Min.	-5.04	166	-0.16	65	-3.68	98	-0.00	17	-0.00	101	0.00	65
-1309	Max	1.28	101	0.31	177	-0.31	17	0.00	173	0.00	130	0.00	97
-1309	Min.	-5.04	166	-0.15	65	-3.56	100	-0.00	17	-0.00	101	0.00	173
-1308	Max	1.29	101	0.41	177	-0.24	17	0.01	177	0.00	130	0.00	177
-1308	Min.	-5.04	166	-0.15	65	-3.49	100	-0.00	17	-0.00	101	0.00	173
-1307	Max	1.28	101	0.31	177	-0.34	17	0.00	173	0.00	130	0.00	97
-1307	Min.	-5.04	166	-0.15	65	-3.70	100	-0.00	99	-0.00	101	0.00	173
-1306	Max	1.28	101	0.40	177	-0.27	17	0.01	177	0.00	130	0.00	177
-1306	Min.	-5.05	166	-0.15	65	-3.62	100	-0.00	99	-0.00	101	0.00	173
-1305	Max	1.28	101	0.31	177	-0.34	65	0.00	173	0.00	130	0.00	173
-1305	Min.	-5.05	162	-0.15	17	-3.70	100	-0.00	99	-0.00	101	0.00	98
-1304	Max	1.28	101	0.40	177	-0.27	65	0.01	177	0.00	130	0.00	173
-1304	Min.	-5.05	162	-0.15	17	-3.62	100	-0.00	99	-0.00	101	0.00	177
-1303	Max	1.28	101	0.31	177	-0.31	65	0.00	173	0.00	106	0.00	173
-1303	Min.	-5.05	158	-0.15	17	-3.56	100	-0.00	65	-0.00	101	0.00	98
-1302	Max	1.28	101	0.41	177	-0.24	65	0.01	177	0.00	106	0.00	173
-1302	Min.	-5.05	158	-0.15	17	-3.49	100	-0.00	65	-0.00	101	0.00	177
-1301	Max	1.28	101	0.31	177	-0.38	17	0.00	173	0.00	130	0.00	97
-1301	Min.	-5.04	166	-0.15	65	-3.63	98	-0.00	17	-0.00	101	0.00	173
-1300	Max	1.28	101	0.31	177	-0.41	17	0.00	173	0.00	130	0.00	97
-1300	Min.	-5.04	166	-0.15	65	-3.77	100	-0.00	17	-0.00	101	0.00	173
-1299	Max	1.28	101	0.31	177	-0.41	65	0.00	173	0.00	130	0.00	173
-1299	Min.	-5.05	162	-0.15	17	-3.77	100	-0.00	65	-0.00	101	0.00	98
-1298	Max	1.28	101	0.31	177	-0.38	65	0.00	173	0.00	106	0.00	173
-1298	Min.	-5.05	158	-0.15	17	-3.63	97	-0.00	65	-0.00	101	0.00	98
-1297	Max	1.28	101	0.31	177	-0.49	33	0.00	173	0.00	106	0.00	17

-1297	Min.	-5.05	158	-0.15	17	-3.68	97	-0.00	65	-0.00	101	0.00	65
-1296	Max	1.28	101	0.31	177	-0.52	33	0.00	173	0.00	130	0.00	17
-1296	Min.	-5.05	162	-0.15	17	-3.82	97	-0.00	65	-0.00	101	0.00	65
-1295	Max	1.28	101	0.31	177	-0.45	65	0.00	173	0.00	106	0.00	173
-1295	Min.	-5.05	158	-0.15	17	-3.67	97	-0.00	65	-0.00	101	0.00	65
-1293	Max	1.28	101	0.31	177	-0.49	65	0.00	173	0.00	130	0.00	173
-1293	Min.	-5.05	162	-0.15	17	-3.81	100	-0.00	65	-0.00	101	0.00	65
-1289	Max	1.28	101	0.31	177	-0.51	33	0.00	173	0.00	130	0.00	17
-1289	Min.	-5.04	166	-0.15	65	-3.82	98	-0.00	17	-0.00	101	0.00	65
-1288	Max	1.28	101	0.31	177	-0.49	17	0.00	173	0.00	130	0.00	17
-1288	Min.	-5.04	166	-0.15	65	-3.81	100	-0.00	17	-0.00	101	0.00	65
-1287	Max	1.28	101	0.31	177	-0.48	33	0.00	173	0.00	130	0.00	17
-1287	Min.	-5.04	166	-0.15	65	-3.68	98	-0.00	17	-0.00	101	0.00	65
-1286	Max	1.28	101	0.31	177	-0.45	17	0.00	173	0.00	130	0.00	17
-1286	Min.	-5.04	166	-0.15	65	-3.67	98	-0.00	17	-0.00	101	0.00	173
-1285	Max	1.28	101	0.31	177	-0.45	17	0.00	173	0.00	106	0.00	173
-1285	Min.	-5.05	158	-0.16	17	-3.66	97	-0.00	65	-0.00	101	0.00	65
-1284	Max	1.28	101	0.31	177	-0.48	33	0.00	173	0.00	106	0.00	173
-1284	Min.	-5.05	158	-0.16	17	-3.68	97	-0.00	65	-0.00	101	0.00	65
-1283	Max	1.28	101	0.31	177	-0.48	17	0.00	173	0.00	130	0.00	173
-1283	Min.	-5.05	162	-0.16	17	-3.80	99	-0.00	65	-0.00	101	0.00	65
-1282	Max	1.28	101	0.31	177	-0.51	33	0.00	173	0.00	130	0.00	173
-1282	Min.	-5.05	162	-0.16	17	-3.82	97	-0.00	65	-0.00	101	0.00	65
-1281	Max	1.28	101	0.31	177	-0.48	65	0.00	173	0.00	130	0.00	17
-1281	Min.	-5.04	166	-0.16	65	-3.80	99	-0.00	17	-0.00	101	0.00	173
-1280	Max	1.28	101	0.31	177	-0.51	33	0.00	173	0.00	130	0.00	17
-1280	Min.	-5.04	166	-0.16	65	-3.82	98	-0.00	17	-0.00	101	0.00	65
-1279	Max	1.28	101	0.31	177	-0.45	65	0.00	173	0.00	130	0.00	17
-1279	Min.	-5.04	166	-0.16	65	-3.66	98	-0.00	17	-0.00	101	0.00	173
-1278	Max	1.28	101	0.31	177	-0.48	33	0.00	173	0.00	130	0.00	17
-1278	Min.	-5.04	166	-0.16	65	-3.68	98	-0.00	17	-0.00	101	0.00	173
-1277	Max	1.28	101	0.31	177	-0.37	65	0.00	173	0.00	130	0.00	17
-1277	Min.	-5.04	166	-0.16	65	-3.62	98	-0.00	17	-0.00	101	0.00	173
-1275	Max	1.28	101	0.31	177	-0.40	65	0.00	173	0.00	130	0.00	17
-1275	Min.	-5.04	166	-0.16	65	-3.76	99	-0.00	17	-0.00	101	0.00	173
-1273	Max	1.16	101	0.73	177	-0.28	17	0.01	173	0.00	130	0.00	173
-1273	Min.	-4.41	166	-1.31	173	-3.63	100	-0.00	177	-0.00	101	0.00	101
-1272	Max	1.16	101	0.73	177	-0.28	65	0.01	173	0.00	130	0.00	106
-1272	Min.	-4.41	162	-1.31	173	-3.63	100	-0.00	177	-0.00	101	-0.00	173
-1271	Max	0.68	101	0.18	17	-0.01	65	0.00	65	0.00	101	0.00	162
-1271	Min.	-0.88	130	-0.18	65	-0.48	107	0.00	17	-0.00	130	0.00	105
-1270	Max	0.74	101	0.18	65	-0.01	17	0.00	17	0.00	101	0.00	126
-1270	Min.	-0.83	130	-0.18	17	-0.48	103	0.00	65	-0.00	130	0.00	65
-1269	Max	0.68	101	0.18	17	-0.02	65	0.00	65	0.00	101	0.00	162
-1269	Min.	-0.88	130	-0.18	65	-0.48	107	0.00	17	-0.00	130	0.00	105
-1225	Max	0.75	101	0.18	65	-0.02	17	0.00	17	0.00	101	0.00	126
-1225	Min.	-0.83	130	-0.18	17	-0.48	103	0.00	65	-0.00	130	0.00	65
-1224	Max	1.28	101	0.18	17	-0.01	65	0.00	173	0.00	101	0.00	173
-1224	Min.	-5.03	166	-0.18	65	-0.61	107	-0.01	177	-0.01	130	0.00	177
-1223	Max	1.28	101	0.22	177	0.03	49	0.00	173	0.00	101	0.00	173
-1223	Min.	-5.03	166	-0.18	65	-0.78	107	-0.01	177	-0.00	130	-0.00	177
-1222	Max	1.28	101	0.25	177	0.07	49	0.00	173	0.00	101	0.00	173
-1222	Min.	-5.03	166	-0.18	65	-0.96	130	-0.00	177	-0.00	130	0.00	177
-1221	Max	1.28	101	0.28	177	0.14	101	0.00	65	0.00	101	0.00	173
-1221	Min.	-5.03	166	-0.18	65	-1.13	130	-0.00	177	-0.00	130	0.00	177
-1220	Max	1.28	101	0.30	177	0.25	101	0.00	65	0.00	101	0.00	17
-1220	Min.	-5.03	166	-0.18	65	-1.37	130	-0.00	17	-0.00	106	0.00	177
-1219	Max	1.28	101	0.31	177	0.27	101	0.00	65	0.00	1	0.00	17
-1219	Min.	-5.03	166	-0.18	65	-1.47	130	0.00	17	-0.00	98	0.00	157
-1218	Max	1.28	101	0.31	177	0.27	101	0.00	65	0.00	17	0.00	106
-1218	Min.	-5.03	166	-0.18	65	-1.51	130	0.00	17	-0.00	98	0.00	121
-1217	Max	1.28	101	0.31	177	0.25	101	0.00	65	0.00	17	0.00	106
-1217	Min.	-5.03	166	-0.17	65	-1.56	130	0.00	17	-0.00	98	0.00	121
-1216	Max	1.29	101	0.31	177	0.18	101	0.00	65	0.00	17	0.00	17
-1216	Min.	-5.03	166	-0.17	65	-1.64	106	-0.00	17	-0.01	98	0.00	173
-1215	Max	1.29	101	0.31	177	0.10	49	0.00	173	0.00	17	0.00	17
-1215	Min.	-5.04	166	-0.17	65	-1.81	106	-0.00	17	-0.01	97	0.00	173
-1214	Max	1.29	101	0.31	177	0.07	49	0.00	173	0.00	17	0.00	17
-1214	Min.	-5.04	166	-0.17	65	-1.86	106	-0.00	17	-0.01	97	0.00	173
-1213	Max	1.29	101	0.31	177	0.01	49	0.00	173	0.00	17	0.00	17
-1213	Min.	-5.04	166	-0.17	65	-1.97	106	-0.00	17	-0.01	97	0.00	173
-1212	Max	1.29	101	0.31	177	-0.07	49	0.00	173	0.00	17	0.00	17
-1212	Min.	-5.04	166	-0.17	65	-2.18	98	-0.00	17	-0.01	97	0.00	173
-1211	Max	1.29	101	0.31	177	-0.13	65	0.00	173	0.00	130	0.00	17
-1211	Min.	-5.04	166	-0.17	65	-2.55	98	-0.00	17	-0.01	97	0.00	173
-1210	Max	1.29	101	0.31	177	-0.19	65	0.00	173	0.00	130	0.00	17
-1210	Min.	-5.04	166	-0.16	65	-3.16	98	-0.00	17	-0.01	97	0.00	97
-1209	Max	1.29	101	0.31	177	-0.22	65	0.00	173	0.00	130	0.00	17
-1209	Min.	-5.04	166	-0.16	65	-3.39	99	-0.00	17	-0.01	97	0.00	97

-1208	Max	1.28	101	0.31	177	-0.24	65	0.00	173	0.00	130	0.00	17
-1208	Min.	-5.04	166	-0.16	65	-3.56	99	-0.00	17	-0.00	101	0.00	97
-1207	Max	1.28	101	0.31	177	-0.27	65	0.00	173	0.00	130	0.00	106
-1207	Min.	-5.05	166	-0.16	65	-3.65	99	-0.00	17	-0.00	101	0.00	101
-1206	Max	1.28	101	0.31	177	-0.27	17	0.00	173	0.00	130	0.00	173
-1206	Min.	-5.05	162	-0.16	17	-3.65	99	-0.00	65	-0.00	101	0.00	101
-1205	Max	1.28	101	0.31	177	-0.24	17	0.00	173	0.00	130	0.00	173
-1205	Min.	-5.05	158	-0.16	17	-3.56	99	-0.00	65	-0.00	101	0.00	65
-1204	Max	1.28	101	0.31	177	-0.22	17	0.00	173	0.01	98	0.00	173
-1204	Min.	-5.05	158	-0.16	17	-3.39	99	-0.00	65	-0.00	101	0.00	65
-1203	Max	1.27	101	0.31	177	-0.19	17	0.00	173	0.01	98	0.00	173
-1203	Min.	-5.05	158	-0.16	17	-3.16	97	-0.00	65	0.00	49	0.00	65
-1202	Max	1.27	101	0.31	177	-0.13	17	0.00	173	0.01	98	0.00	173
-1202	Min.	-5.06	158	-0.17	17	-2.55	97	-0.00	65	0.00	49	0.00	65
-1201	Max	1.26	101	0.31	177	-0.07	1	0.00	173	0.01	98	0.00	173
-1201	Min.	-5.06	158	-0.17	17	-2.18	97	-0.00	65	0.00	65	0.00	65
-1200	Max	1.26	101	0.31	177	0.01	1	0.00	173	0.01	98	0.00	173
-1200	Min.	-5.06	158	-0.17	17	-1.97	101	-0.00	65	0.00	65	0.00	65
-1199	Max	1.26	101	0.31	177	0.19	130	0.00	173	0.01	98	0.00	173
-1199	Min.	-5.06	158	-0.17	17	-1.86	101	-0.00	65	0.00	65	0.00	65
-1198	Max	1.26	101	0.31	177	0.27	130	0.00	173	0.01	98	0.00	173
-1198	Min.	-5.06	158	-0.17	17	-1.81	101	-0.00	65	0.00	65	0.00	65
-1197	Max	1.26	101	0.31	177	0.45	130	0.00	17	0.01	97	0.00	173
-1197	Min.	-5.06	158	-0.17	17	-1.64	101	-0.00	65	0.00	65	0.00	65
-1196	Max	1.25	101	0.31	177	0.50	130	0.00	17	0.00	97	0.00	173
-1196	Min.	-5.05	158	-0.17	17	-1.53	101	0.00	65	0.00	65	0.00	125
-1195	Max	1.25	101	0.31	177	0.51	130	0.00	17	0.00	97	0.00	173
-1195	Min.	-5.05	158	-0.18	17	-1.48	101	0.00	65	0.00	65	0.00	125
-1194	Max	1.25	101	0.31	177	0.51	130	0.00	17	0.00	97	0.00	17
-1194	Min.	-5.05	158	-0.18	17	-1.43	101	0.00	65	0.00	130	0.00	125
-1193	Max	1.25	101	0.30	177	0.47	130	0.00	17	0.00	101	0.00	177
-1193	Min.	-5.05	158	-0.18	17	-1.32	101	-0.00	65	-0.00	130	0.00	65
-1192	Max	1.25	101	0.28	177	0.33	130	0.00	17	0.00	101	0.00	177
-1192	Min.	-5.05	158	-0.18	17	-1.09	101	-0.00	177	-0.00	130	0.00	173
-1191	Max	1.25	101	0.25	177	0.21	130	0.00	173	0.00	101	0.00	177
-1191	Min.	-5.05	158	-0.18	17	-0.94	101	-0.00	177	-0.00	130	0.00	173
-1190	Max	1.25	101	0.22	177	0.09	132	0.00	173	0.00	101	0.00	177
-1190	Min.	-5.05	158	-0.18	17	-0.78	103	-0.01	177	-0.00	130	0.00	173
-1189	Max	1.25	101	0.18	65	-0.01	17	0.00	173	0.00	101	0.00	177
-1189	Min.	-5.05	158	-0.18	17	-0.61	103	-0.01	177	-0.00	130	0.00	173
-1188	Max	0.68	101	0.18	17	-0.04	65	0.00	65	0.00	101	0.00	162
-1188	Min.	-0.88	130	-0.18	65	-0.47	107	0.00	17	-0.00	130	0.00	105
-1187	Max	1.28	101	0.18	17	-0.03	49	0.00	173	0.00	101	0.00	173
-1187	Min.	-5.03	166	-0.18	65	-0.61	107	-0.01	177	-0.00	130	0.00	177
-1186	Max	1.28	101	0.22	177	0.02	49	0.00	173	0.00	101	0.00	173
-1186	Min.	-5.03	166	-0.18	65	-0.78	106	-0.01	177	-0.00	130	-0.00	177
-1185	Max	1.28	101	0.26	177	0.07	49	0.00	173	0.00	101	0.00	173
-1185	Min.	-5.03	166	-0.18	65	-0.94	130	-0.00	177	-0.00	130	0.00	177
-1184	Max	1.28	101	0.28	177	0.15	101	0.00	65	0.00	101	0.00	173
-1184	Min.	-5.03	166	-0.18	65	-1.10	130	-0.00	177	-0.00	130	0.00	177
-1183	Max	1.28	101	0.30	177	0.22	101	0.00	65	0.00	101	0.00	17
-1183	Min.	-5.03	166	-0.18	65	-1.24	130	0.00	17	-0.00	130	0.00	177
-1182	Max	1.28	101	0.30	177	0.27	101	0.00	65	0.00	101	0.00	17
-1182	Min.	-5.03	166	-0.18	65	-1.36	130	0.00	17	-0.00	106	0.00	177
-1181	Max	1.28	101	0.31	177	0.30	101	0.00	65	0.00	49	0.00	17
-1181	Min.	-5.03	166	-0.18	65	-1.46	130	0.00	17	-0.00	98	0.00	173
-1180	Max	1.28	101	0.31	177	0.30	101	0.00	65	0.00	1	0.00	106
-1180	Min.	-5.03	166	-0.18	65	-1.51	130	0.00	17	-0.00	98	0.00	173
-1179	Max	1.28	101	0.31	177	0.29	101	0.00	65	0.00	17	0.00	106
-1179	Min.	-5.03	166	-0.17	65	-1.55	130	0.00	17	-0.00	98	0.00	173
-1178	Max	1.29	101	0.31	177	0.13	49	0.00	173	0.00	17	0.00	17
-1178	Min.	-5.03	166	-0.17	65	-1.76	106	-0.00	17	-0.01	97	0.00	173
-1177	Max	1.29	101	0.31	177	0.10	49	0.00	173	0.00	17	0.00	17
-1177	Min.	-5.03	166	-0.17	65	-1.83	106	-0.00	17	-0.01	97	0.00	173
-1176	Max	1.29	101	0.31	177	0.07	49	0.00	173	0.00	17	0.00	17
-1176	Min.	-5.04	166	-0.17	65	-1.89	106	-0.00	17	-0.01	97	0.00	173
-1175	Max	1.29	101	0.31	177	0.00	49	0.00	173	0.00	17	0.00	17
-1175	Min.	-5.04	166	-0.17	65	-2.00	106	-0.00	17	-0.01	97	0.00	173
-1174	Max	1.29	101	0.31	177	-0.08	49	0.00	173	0.00	17	0.00	17
-1174	Min.	-5.04	166	-0.17	65	-2.19	98	-0.00	17	-0.01	97	0.00	173
-1173	Max	1.29	101	0.31	177	-0.16	49	0.00	173	0.00	130	0.00	17
-1173	Min.	-5.04	166	-0.17	65	-2.57	98	-0.00	17	-0.01	97	0.00	173
-1172	Max	1.29	101	0.31	177	-0.22	65	0.00	173	0.00	130	0.00	17
-1172	Min.	-5.04	166	-0.17	65	-2.91	98	-0.00	17	-0.01	97	0.00	173
-1171	Max	1.29	101	0.31	177	-0.25	65	0.00	173	0.00	130	0.00	17
-1171	Min.	-5.04	166	-0.16	65	-3.21	98	-0.00	17	-0.01	97	0.00	173
-1170	Max	1.28	101	0.31	177	-0.28	65	0.00	173	0.00	130	0.00	17
-1170	Min.	-5.04	166	-0.16	65	-3.46	98	-0.00	17	-0.01	97	0.00	97
-1169	Max	1.28	101	0.31	177	-0.31	65	0.00	173	0.00	130	0.00	17

-1169	Min.	-5.04	166	-0.16	65	-3.63	99	-0.00	17	-0.00	101	0.00	97
-1168	Max	1.28	101	0.31	177	-0.34	65	0.00	173	0.00	130	0.00	106
-1168	Min.	-5.04	166	-0.16	65	-3.72	99	-0.00	17	-0.00	101	0.00	101
-1167	Max	1.28	101	0.31	177	-0.35	17	0.00	173	0.00	130	0.00	106
-1167	Min.	-5.05	162	-0.16	17	-3.74	99	-0.00	17	-0.00	101	0.00	101
-1166	Max	1.28	101	0.31	177	-0.34	17	0.00	173	0.00	130	0.00	173
-1166	Min.	-5.05	162	-0.16	17	-3.72	99	-0.00	65	-0.00	101	0.00	101
-1165	Max	1.28	101	0.31	177	-0.31	17	0.00	173	0.00	130	0.00	173
-1165	Min.	-5.05	158	-0.16	17	-3.63	99	-0.00	65	-0.00	101	0.00	65
-1164	Max	1.27	101	0.31	177	-0.28	17	0.00	173	0.01	98	0.00	173
-1164	Min.	-5.05	158	-0.16	17	-3.46	97	-0.00	65	-0.00	101	0.00	65
-1163	Max	1.27	101	0.31	177	-0.25	17	0.00	173	0.01	98	0.00	173
-1163	Min.	-5.05	158	-0.16	17	-3.21	97	-0.00	65	0.00	49	0.00	65
-1162	Max	1.27	101	0.31	177	-0.22	17	0.00	173	0.01	98	0.00	173
-1162	Min.	-5.05	158	-0.17	17	-2.91	97	-0.00	65	0.00	49	0.00	65
-1161	Max	1.27	101	0.31	177	-0.16	1	0.00	173	0.01	98	0.00	173
-1161	Min.	-5.06	158	-0.17	17	-2.57	97	-0.00	65	0.00	49	0.00	65
-1160	Max	1.26	101	0.31	177	-0.08	1	0.00	173	0.01	98	0.00	173
-1160	Min.	-5.06	158	-0.17	17	-2.19	97	-0.00	65	0.00	65	0.00	65
-1159	Max	1.26	101	0.31	177	0.02	130	0.00	173	0.01	98	0.00	173
-1159	Min.	-5.06	158	-0.17	17	-2.00	101	-0.00	65	0.00	65	0.00	65
-1158	Max	1.26	101	0.31	177	0.21	130	0.00	173	0.01	98	0.00	173
-1158	Min.	-5.06	158	-0.17	17	-1.89	101	-0.00	65	0.00	65	0.00	65
-1157	Max	1.26	101	0.31	177	0.29	130	0.00	173	0.01	98	0.00	173
-1157	Min.	-5.06	158	-0.17	17	-1.83	101	-0.00	65	0.00	65	0.00	65
-1156	Max	1.26	101	0.31	177	0.37	130	0.00	17	0.01	98	0.00	101
-1156	Min.	-5.06	158	-0.17	17	-1.76	101	-0.00	65	0.00	65	0.00	65
-1155	Max	1.25	101	0.31	177	0.53	130	0.00	17	0.00	97	0.00	173
-1155	Min.	-5.05	158	-0.17	17	-1.54	101	0.00	65	0.00	65	0.00	125
-1154	Max	1.25	101	0.31	177	0.53	130	0.00	17	0.00	97	0.00	173
-1154	Min.	-5.05	158	-0.18	17	-1.49	101	0.00	65	0.00	49	0.00	125
-1153	Max	1.25	101	0.31	177	0.52	130	0.00	17	0.00	97	0.00	17
-1153	Min.	-5.05	158	-0.18	17	-1.45	101	0.00	65	0.00	130	0.00	125
-1152	Max	1.25	101	0.30	177	0.48	130	0.00	17	0.00	101	0.00	177
-1152	Min.	-5.05	158	-0.18	17	-1.34	101	0.00	65	-0.00	130	0.00	65
-1151	Max	1.25	101	0.30	177	0.41	130	0.00	17	0.00	101	0.00	177
-1151	Min.	-5.05	158	-0.18	17	-1.22	101	0.00	65	-0.00	130	0.00	65
-1150	Max	1.25	101	0.28	177	0.32	130	0.00	17	0.00	101	0.00	177
-1150	Min.	-5.05	158	-0.18	17	-1.09	101	-0.00	177	-0.00	130	0.00	173
-1149	Max	1.25	101	0.26	177	0.21	130	0.00	173	0.00	101	0.00	177
-1149	Min.	-5.05	158	-0.18	17	-0.94	101	-0.00	177	-0.00	130	0.00	173
-1148	Max	1.25	101	0.22	177	0.08	130	0.00	173	0.00	101	0.00	177
-1148	Min.	-5.05	158	-0.18	17	-0.78	101	-0.01	177	-0.00	130	0.00	173
-1147	Max	1.25	101	0.18	65	-0.03	1	0.00	173	0.00	101	0.00	177
-1147	Min.	-5.05	158	-0.18	17	-0.61	103	-0.01	177	-0.00	130	0.00	173
-1146	Max	0.75	101	0.18	65	-0.04	17	0.00	17	0.00	101	0.00	126
-1146	Min.	-0.82	130	-0.18	17	-0.47	103	0.00	65	-0.00	130	0.00	65
-1145	Max	0.67	101	0.18	17	-0.05	65	0.00	65	0.00	101	0.00	162
-1145	Min.	-0.88	130	-0.18	65	-0.47	107	0.00	17	-0.00	130	0.00	105
-1103	Max	0.75	101	0.18	65	-0.05	17	0.00	17	0.00	101	0.00	126
-1103	Min.	-0.82	130	-0.18	17	-0.47	103	0.00	65	-0.00	130	0.00	65
-1102	Max	0.67	101	0.18	17	-0.07	65	0.00	65	0.00	101	0.00	162
-1102	Min.	-0.88	130	-0.18	65	-0.47	107	0.00	17	-0.00	130	0.00	105
-1101	Max	1.28	101	0.18	17	-0.04	49	0.00	173	0.00	101	0.00	173
-1101	Min.	-5.03	166	-0.18	65	-0.61	107	-0.01	177	-0.00	130	0.00	177
-1100	Max	1.28	101	0.22	177	0.01	49	0.00	173	0.00	101	0.00	173
-1100	Min.	-5.03	166	-0.18	65	-0.78	106	-0.01	177	-0.00	130	-0.00	177
-1099	Max	1.28	101	0.26	177	0.07	101	0.00	173	0.00	101	0.00	173
-1099	Min.	-5.03	166	-0.18	65	-0.94	106	-0.00	177	-0.00	130	0.00	177
-1098	Max	1.28	101	0.28	177	0.16	101	0.00	65	0.00	101	0.00	173
-1098	Min.	-5.03	166	-0.18	65	-1.09	106	-0.00	177	-0.00	130	0.00	177
-1097	Max	1.28	101	0.30	177	0.23	101	0.00	65	0.00	101	0.00	17
-1097	Min.	-5.03	166	-0.18	65	-1.23	130	0.00	177	-0.00	130	0.00	177
-1096	Max	1.28	101	0.31	177	0.29	101	0.00	65	0.00	101	0.00	17
-1096	Min.	-5.03	166	-0.18	65	-1.35	130	0.00	17	-0.00	106	0.00	177
-1095	Max	1.28	101	0.31	177	0.32	101	0.00	65	0.00	49	0.00	17
-1095	Min.	-5.03	166	-0.18	65	-1.46	106	0.00	17	-0.00	98	0.00	173
-1094	Max	1.28	101	0.31	177	0.32	101	0.00	65	0.00	1	0.00	17
-1094	Min.	-5.03	166	-0.17	65	-1.51	106	0.00	17	-0.00	98	0.00	173
-1093	Max	1.28	101	0.31	177	0.31	101	0.00	65	0.00	1	0.00	17
-1093	Min.	-5.03	166	-0.17	65	-1.56	106	0.00	17	-0.00	98	0.00	173
-1092	Max	1.28	101	0.31	177	0.24	101	0.00	65	0.00	17	0.00	17
-1092	Min.	-5.03	166	-0.17	65	-1.66	106	-0.00	17	-0.01	98	0.00	173
-1091	Max	1.29	101	0.31	177	0.12	49	0.00	173	0.00	17	0.00	17
-1091	Min.	-5.03	166	-0.17	65	-1.79	106	-0.00	17	-0.01	97	0.00	173
-1090	Max	1.29	101	0.31	177	0.10	49	0.00	173	0.00	17	0.00	17
-1090	Min.	-5.03	166	-0.17	65	-1.85	106	-0.00	17	-0.01	97	0.00	173
-1089	Max	1.29	101	0.31	177	0.07	49	0.00	173	0.00	17	0.00	17
-1089	Min.	-5.04	166	-0.17	65	-1.91	106	-0.00	17	-0.01	97	0.00	173

-1088	Max	1.29	101	0.31	177	-0.01	49	0.00	173	0.00	17	0.00	17
-1088	Min.	-5.04	166	-0.17	65	-2.02	106	-0.00	17	-0.01	97	0.00	173
-1087	Max	1.29	101	0.31	177	-0.09	49	0.00	173	0.00	1	0.00	17
-1087	Min.	-5.04	166	-0.17	65	-2.20	98	-0.00	17	-0.01	97	0.00	173
-1086	Max	1.29	101	0.31	177	-0.17	49	0.00	173	0.00	130	0.00	17
-1086	Min.	-5.04	166	-0.17	65	-2.59	98	-0.00	17	-0.01	97	0.00	173
-1085	Max	1.29	101	0.31	177	-0.26	49	0.00	173	0.00	130	0.00	17
-1085	Min.	-5.04	166	-0.16	65	-2.95	98	-0.00	17	-0.01	97	0.00	173
-1084	Max	1.29	101	0.31	177	-0.32	65	0.00	173	0.00	130	0.00	17
-1084	Min.	-5.04	166	-0.16	65	-3.26	98	-0.00	17	-0.01	97	0.00	173
-1083	Max	1.29	101	0.31	177	-0.36	65	0.00	173	0.00	130	0.00	17
-1083	Min.	-5.04	166	-0.16	65	-3.52	98	-0.00	17	-0.01	97	0.00	173
-1082	Max	1.28	101	0.31	177	-0.39	65	0.00	173	0.00	130	0.00	17
-1082	Min.	-5.04	166	-0.16	65	-3.70	99	-0.00	17	-0.00	101	0.00	173
-1081	Max	1.28	101	0.31	177	-0.41	65	0.00	173	0.00	130	0.00	17
-1081	Min.	-5.04	166	-0.16	65	-3.80	99	-0.00	17	-0.00	101	0.00	101
-1080	Max	1.28	101	0.31	177	-0.42	17	0.00	173	0.00	130	0.00	106
-1080	Min.	-5.05	162	-0.16	17	-3.81	99	-0.00	17	-0.00	101	0.00	101
-1079	Max	1.28	101	0.31	177	-0.41	17	0.00	173	0.00	130	0.00	173
-1079	Min.	-5.05	162	-0.16	17	-3.80	99	-0.00	65	-0.00	101	0.00	65
-1078	Max	1.28	101	0.31	177	-0.39	17	0.00	173	0.00	130	0.00	173
-1078	Min.	-5.05	158	-0.16	17	-3.70	99	-0.00	65	-0.00	101	0.00	65
-1077	Max	1.27	101	0.31	177	-0.36	17	0.00	173	0.01	98	0.00	173
-1077	Min.	-5.05	158	-0.16	17	-3.52	97	-0.00	65	-0.00	101	0.00	65
-1076	Max	1.27	101	0.31	177	-0.32	17	0.00	173	0.01	98	0.00	173
-1076	Min.	-5.05	158	-0.16	17	-3.26	97	-0.00	65	0.00	101	0.00	65
-1075	Max	1.27	101	0.31	177	-0.26	1	0.00	173	0.01	98	0.00	173
-1075	Min.	-5.05	158	-0.16	17	-2.95	97	-0.00	65	0.00	49	0.00	65
-1074	Max	1.27	101	0.31	177	-0.17	1	0.00	173	0.01	98	0.00	173
-1074	Min.	-5.06	158	-0.17	17	-2.59	97	-0.00	65	0.00	49	0.00	65
-1073	Max	1.26	101	0.31	177	-0.09	1	0.00	173	0.01	98	0.00	173
-1073	Min.	-5.06	158	-0.17	17	-2.20	97	-0.00	65	0.00	49	0.00	65
-1072	Max	1.26	101	0.31	177	0.04	130	0.00	173	0.01	98	0.00	173
-1072	Min.	-5.06	158	-0.17	17	-2.02	101	-0.00	65	0.00	65	0.00	65
-1071	Max	1.26	101	0.31	177	0.23	130	0.00	173	0.01	98	0.00	173
-1071	Min.	-5.06	158	-0.17	17	-1.91	101	-0.00	65	0.00	65	0.00	65
-1070	Max	1.26	101	0.31	177	0.31	130	0.00	173	0.01	98	0.00	173
-1070	Min.	-5.06	158	-0.17	17	-1.85	101	-0.00	65	0.00	65	0.00	65
-1069	Max	1.26	101	0.31	177	0.38	130	0.00	17	0.01	98	0.00	17
-1069	Min.	-5.06	158	-0.17	17	-1.79	101	-0.00	65	0.00	65	0.00	65
-1068	Max	1.25	101	0.31	177	0.49	130	0.00	17	0.01	97	0.00	17
-1068	Min.	-5.05	158	-0.17	17	-1.66	101	-0.00	65	0.00	65	0.00	65
-1067	Max	1.25	101	0.31	177	0.54	130	0.00	17	0.00	97	0.00	173
-1067	Min.	-5.05	158	-0.17	17	-1.56	101	0.00	65	0.00	49	0.00	65
-1066	Max	1.25	101	0.31	177	0.54	130	0.00	17	0.00	97	0.00	173
-1066	Min.	-5.05	158	-0.17	17	-1.51	101	0.00	65	0.00	49	0.00	65
-1065	Max	1.25	101	0.31	177	0.53	130	0.00	17	0.00	97	0.00	17
-1065	Min.	-5.05	158	-0.18	17	-1.46	101	0.00	65	0.00	130	0.00	65
-1064	Max	1.25	101	0.31	177	0.49	130	0.00	17	0.00	101	0.00	177
-1064	Min.	-5.05	158	-0.18	17	-1.35	101	0.00	65	-0.00	130	0.00	65
-1063	Max	1.25	101	0.30	177	0.41	130	0.00	17	0.00	101	0.00	177
-1063	Min.	-5.05	158	-0.18	17	-1.23	101	0.00	177	-0.00	130	0.00	65
-1062	Max	1.25	101	0.28	177	0.32	130	0.00	17	0.00	101	0.00	177
-1062	Min.	-5.05	158	-0.18	17	-1.09	101	-0.00	177	-0.00	130	0.00	173
-1061	Max	1.25	101	0.26	177	0.20	130	0.00	173	0.00	101	0.00	177
-1061	Min.	-5.05	158	-0.18	17	-0.94	101	-0.00	177	-0.00	130	0.00	173
-1060	Max	1.25	101	0.22	177	0.08	130	0.00	173	0.00	101	0.00	177
-1060	Min.	-5.05	158	-0.18	17	-0.78	101	-0.01	177	-0.00	130	0.00	173
-1059	Max	1.25	101	0.18	65	-0.04	1	0.00	173	0.00	101	0.00	177
-1059	Min.	-5.05	158	-0.18	17	-0.61	103	-0.01	177	-0.00	130	0.00	173
-1058	Max	0.76	101	0.18	65	-0.07	17	0.00	17	0.00	101	0.00	126
-1058	Min.	-0.81	130	-0.18	17	-0.47	103	0.00	65	-0.00	130	0.00	65
-1057	Max	0.67	101	0.18	17	-0.08	65	0.00	65	0.00	101	0.00	162
-1057	Min.	-0.88	130	-0.18	65	-0.47	107	0.00	17	-0.00	130	0.00	105
-1047	Max	1.28	101	0.31	177	0.26	101	0.00	65	0.00	17	0.00	173
-1047	Min.	-5.03	166	-0.17	65	-1.66	106	-0.00	17	-0.01	98	0.00	65
-1023	Max	1.25	101	0.31	177	0.50	130	0.00	17	0.01	97	0.00	17
-1023	Min.	-5.05	158	-0.17	17	-1.66	101	-0.00	65	0.00	65	0.00	173
-1013	Max	0.76	101	0.18	65	-0.08	17	0.00	17	0.00	101	0.00	126
-1013	Min.	-0.81	130	-0.18	17	-0.47	103	0.00	65	-0.00	130	0.00	65
-1012	Max	0.67	101	0.18	17	-0.09	49	0.00	65	0.00	101	0.00	17
-1012	Min.	-0.88	130	-0.18	65	-0.47	107	0.00	17	-0.00	130	0.00	105
-1011	Max	1.28	101	0.18	17	-0.05	49	0.00	173	0.00	101	0.00	173
-1011	Min.	-5.03	166	-0.18	65	-0.61	106	-0.01	177	-0.00	130	0.00	177
-1010	Max	1.28	101	0.22	177	0.01	49	0.00	173	0.00	101	0.00	173
-1010	Min.	-5.03	166	-0.18	65	-0.78	106	-0.01	177	-0.00	130	-0.00	177
-1009	Max	1.28	101	0.26	177	0.07	101	0.00	173	0.00	101	0.00	173
-1009	Min.	-5.03	166	-0.18	65	-0.94	106	-0.00	177	-0.00	130	0.00	177
-1008	Max	1.28	101	0.28	177	0.16	101	0.00	65	0.00	101	0.00	173

-1008	Min.	-5.03	166	-0.18	65	-1.09	106	-0.00	177	-0.00	130	0.00	177
-1007	Max	1.28	101	0.30	177	0.24	101	0.00	65	0.00	101	0.00	17
-1007	Min.	-5.03	166	-0.18	65	-1.23	106	0.00	177	-0.00	130	0.00	177
-1006	Max	1.28	101	0.31	177	0.30	101	0.00	65	0.00	101	0.00	17
-1006	Min.	-5.03	166	-0.18	65	-1.35	106	0.00	17	-0.00	106	0.00	177
-1005	Max	1.28	101	0.31	177	0.33	101	0.00	65	0.00	49	0.00	17
-1005	Min.	-5.03	166	-0.18	65	-1.46	106	0.00	17	-0.00	98	0.00	173
-1004	Max	1.28	101	0.31	177	0.34	101	0.00	65	0.00	1	0.00	17
-1004	Min.	-5.03	166	-0.17	65	-1.51	106	0.00	17	-0.00	98	0.00	173
-1003	Max	1.28	101	0.31	177	0.33	101	0.00	65	0.00	1	0.00	17
-1003	Min.	-5.03	166	-0.17	65	-1.56	106	0.00	17	-0.00	98	0.00	173
-1002	Max	1.29	101	0.31	177	0.13	101	0.00	173	0.00	33	0.00	17
-1002	Min.	-5.03	166	-0.17	65	-1.79	106	-0.00	17	-0.01	97	0.00	173
-1001	Max	1.29	101	0.31	177	0.09	49	0.00	173	0.00	17	0.00	17
-1001	Min.	-5.03	166	-0.17	65	-1.85	106	-0.00	17	-0.01	97	0.00	173
-1000	Max	1.29	101	0.31	177	0.06	49	0.00	173	0.00	33	0.00	17
-1000	Min.	-5.04	166	-0.17	65	-1.92	106	-0.00	17	-0.01	97	0.00	173
-999	Max	1.29	101	0.31	177	-0.01	49	0.00	173	0.00	1	0.00	17
-999	Min.	-5.04	166	-0.17	65	-2.03	106	-0.00	17	-0.01	97	0.00	173
-998	Max	1.29	101	0.31	177	-0.10	49	0.00	173	0.00	1	0.00	17
-998	Min.	-5.04	166	-0.17	65	-2.21	98	-0.00	17	-0.01	97	0.00	173
-997	Max	1.29	101	0.31	177	-0.18	49	0.00	173	0.00	130	0.00	17
-997	Min.	-5.04	166	-0.16	65	-2.60	98	-0.00	17	-0.01	97	0.00	173
-996	Max	1.29	101	0.31	177	-0.27	49	0.00	173	0.00	130	0.00	17
-996	Min.	-5.04	166	-0.16	65	-2.97	98	-0.00	17	-0.01	97	0.00	173
-995	Max	1.29	101	0.31	177	-0.36	49	0.00	173	0.00	130	0.00	17
-995	Min.	-5.04	166	-0.16	65	-3.30	98	-0.00	17	-0.01	97	0.00	173
-994	Max	1.29	101	0.31	177	-0.43	65	0.00	173	0.00	130	0.00	17
-994	Min.	-5.04	166	-0.16	65	-3.56	98	-0.00	17	-0.01	97	0.00	173
-993	Max	1.28	101	0.31	177	-0.46	65	0.00	173	0.00	130	0.00	17
-993	Min.	-5.04	166	-0.16	65	-3.75	98	-0.00	17	-0.00	101	0.00	173
-992	Max	1.28	101	0.31	177	-0.49	65	0.00	173	0.00	130	0.00	17
-992	Min.	-5.04	166	-0.16	65	-3.84	99	-0.00	17	-0.00	101	0.00	65
-991	Max	1.28	101	0.31	177	-0.50	17	0.00	173	0.00	130	0.00	173
-991	Min.	-5.05	162	-0.16	17	-3.85	99	-0.00	17	-0.00	101	0.00	101
-990	Max	1.28	101	0.31	177	-0.49	17	0.00	173	0.00	130	0.00	173
-990	Min.	-5.05	162	-0.16	17	-3.84	99	-0.00	65	-0.00	101	0.00	65
-989	Max	1.28	101	0.31	177	-0.46	17	0.00	173	0.00	130	0.00	173
-989	Min.	-5.05	158	-0.16	17	-3.75	97	-0.00	65	-0.00	101	0.00	65
-988	Max	1.27	101	0.31	177	-0.43	17	0.00	173	0.01	98	0.00	173
-988	Min.	-5.05	158	-0.16	17	-3.56	97	-0.00	65	-0.00	101	0.00	65
-987	Max	1.27	101	0.31	177	-0.36	1	0.00	173	0.01	98	0.00	173
-987	Min.	-5.05	158	-0.16	17	-3.30	97	-0.00	65	0.00	101	0.00	65
-986	Max	1.27	101	0.31	177	-0.27	1	0.00	173	0.01	98	0.00	173
-986	Min.	-5.05	158	-0.16	17	-2.97	97	-0.00	65	0.00	49	0.00	65
-985	Max	1.27	101	0.31	177	-0.18	1	0.00	173	0.01	98	0.00	173
-985	Min.	-5.06	158	-0.16	17	-2.60	97	-0.00	65	0.00	49	0.00	65
-984	Max	1.26	101	0.31	177	-0.10	1	0.00	173	0.01	98	0.00	173
-984	Min.	-5.06	158	-0.17	17	-2.21	97	-0.00	65	0.00	49	0.00	65
-983	Max	1.26	101	0.31	177	0.05	130	0.00	173	0.01	98	0.00	173
-983	Min.	-5.06	158	-0.17	17	-2.03	101	-0.00	65	0.00	49	0.00	65
-982	Max	1.26	101	0.31	177	0.24	130	0.00	173	0.01	98	0.00	173
-982	Min.	-5.06	158	-0.17	17	-1.92	101	-0.00	65	0.00	65	0.00	65
-981	Max	1.26	101	0.31	177	0.33	130	0.00	173	0.01	98	0.00	173
-981	Min.	-5.06	158	-0.17	17	-1.85	101	-0.00	65	0.00	65	0.00	65
-980	Max	1.26	101	0.31	177	0.40	130	0.00	17	0.01	98	0.00	17
-980	Min.	-5.06	158	-0.17	17	-1.79	101	-0.00	65	0.00	65	0.00	65
-979	Max	1.25	101	0.31	177	0.55	130	0.00	17	0.00	97	0.00	173
-979	Min.	-5.05	158	-0.17	17	-1.56	101	0.00	65	0.00	49	0.00	65
-978	Max	1.25	101	0.31	177	0.55	130	0.00	17	0.00	97	0.00	173
-978	Min.	-5.05	158	-0.17	17	-1.51	101	0.00	65	0.00	130	0.00	65
-977	Max	1.25	101	0.31	177	0.54	130	0.00	17	0.00	97	0.00	17
-977	Min.	-5.05	158	-0.18	17	-1.46	101	0.00	65	0.00	130	0.00	65
-976	Max	1.25	101	0.31	177	0.49	130	0.00	17	0.00	101	0.00	177
-976	Min.	-5.05	158	-0.18	17	-1.35	101	0.00	65	-0.00	130	0.00	65
-975	Max	1.25	101	0.30	177	0.41	130	0.00	17	0.00	101	0.00	177
-975	Min.	-5.05	158	-0.18	17	-1.23	101	0.00	177	-0.00	130	0.00	65
-974	Max	1.25	101	0.28	177	0.32	130	0.00	17	0.00	101	0.00	177
-974	Min.	-5.05	158	-0.18	17	-1.09	101	-0.00	177	-0.00	130	0.00	173
-973	Max	1.25	101	0.26	177	0.20	130	0.00	173	0.00	101	0.00	177
-973	Min.	-5.05	158	-0.18	17	-0.94	101	-0.00	177	-0.00	130	0.00	173
-972	Max	1.25	101	0.22	177	0.07	130	0.00	173	0.00	101	0.00	177
-972	Min.	-5.05	158	-0.18	17	-0.78	101	-0.01	177	-0.00	130	0.00	173
-971	Max	1.25	101	0.18	65	-0.05	1	0.00	173	0.00	101	0.00	177
-971	Min.	-5.05	158	-0.18	17	-0.61	101	-0.01	177	-0.00	130	0.00	173
-970	Max	0.76	101	0.18	65	-0.09	1	0.00	17	0.00	101	0.00	126
-970	Min.	-0.81	130	-0.18	17	-0.47	103	0.00	65	-0.00	130	0.00	65
-969	Max	0.67	101	0.18	17	-0.10	49	0.00	65	0.00	101	0.00	17
-969	Min.	-0.88	130	-0.18	65	-0.47	107	0.00	17	-0.00	130	0.00	65

-968	Max	1.28	101	0.18	17	-0.05	49	0.00	173	0.00	101	0.00	173
-968	Min.	-5.03	166	-0.18	65	-0.61	106	-0.01	177	-0.00	130	0.00	177
-967	Max	1.28	101	0.22	177	-0.00	49	0.00	173	0.00	101	0.00	173
-967	Min.	-5.03	166	-0.18	65	-0.78	106	-0.01	177	-0.00	130	-0.00	177
-966	Max	1.28	101	0.26	177	0.07	101	0.00	173	0.00	101	0.00	173
-966	Min.	-5.03	166	-0.18	65	-0.94	106	-0.00	177	-0.00	130	0.00	177
-965	Max	1.28	101	0.29	177	0.17	101	0.00	65	0.00	101	0.00	173
-965	Min.	-5.03	166	-0.18	65	-1.09	106	-0.00	177	-0.00	130	0.00	177
-964	Max	1.28	101	0.30	177	0.25	101	0.00	65	0.00	101	0.00	17
-964	Min.	-5.03	166	-0.18	65	-1.23	106	0.00	177	-0.00	130	0.00	177
-963	Max	1.28	101	0.31	177	0.31	101	0.00	65	0.00	101	0.00	17
-963	Min.	-5.03	166	-0.18	65	-1.35	106	0.00	17	-0.00	130	0.00	177
-962	Max	1.28	101	0.31	177	0.34	101	0.00	65	0.00	49	0.00	17
-962	Min.	-5.03	166	-0.17	65	-1.45	106	0.00	17	-0.00	98	0.00	173
-961	Max	1.28	101	0.31	177	0.34	101	0.00	65	0.00	1	0.00	17
-961	Min.	-5.03	166	-0.17	65	-1.50	106	0.00	17	-0.00	98	0.00	173
-960	Max	1.28	101	0.31	177	0.33	101	0.00	65	0.00	1	0.00	17
-960	Min.	-5.03	166	-0.17	65	-1.55	106	0.00	17	-0.00	98	0.00	173
-959	Max	1.28	101	0.31	177	0.27	101	0.00	65	0.00	33	0.00	17
-959	Min.	-5.03	166	-0.17	65	-1.66	106	0.00	17	-0.01	98	0.00	173
-958	Max	1.29	101	0.31	177	0.13	101	0.00	173	0.00	33	0.00	17
-958	Min.	-5.03	166	-0.17	65	-1.78	106	0.00	17	-0.01	97	0.00	173
-957	Max	1.29	101	0.31	177	0.08	49	0.00	173	0.00	33	0.00	17
-957	Min.	-5.03	166	-0.17	65	-1.85	106	-0.00	17	-0.01	97	0.00	173
-956	Max	1.29	101	0.31	177	0.05	49	0.00	173	0.00	33	0.00	17
-956	Min.	-5.04	166	-0.17	65	-1.91	106	-0.00	17	-0.01	97	0.00	173
-955	Max	1.29	101	0.31	177	-0.03	49	0.00	173	0.00	1	0.00	17
-955	Min.	-5.04	166	-0.17	65	-2.02	106	-0.00	17	-0.01	97	0.00	173
-954	Max	1.29	101	0.31	177	-0.11	49	0.00	173	0.00	1	0.00	17
-954	Min.	-5.04	166	-0.16	65	-2.22	98	-0.00	17	-0.01	97	0.00	173
-953	Max	1.29	101	0.31	177	-0.20	49	0.00	173	0.00	130	0.00	17
-953	Min.	-5.04	166	-0.16	65	-2.61	98	-0.00	17	-0.01	97	0.00	173
-952	Max	1.29	101	0.31	177	-0.29	49	0.00	173	0.00	130	0.00	17
-952	Min.	-5.04	166	-0.16	65	-2.99	98	-0.00	17	-0.01	97	0.00	173
-951	Max	1.29	101	0.31	177	-0.38	49	0.00	173	0.00	130	0.00	17
-951	Min.	-5.04	166	-0.16	65	-3.31	98	-0.00	17	-0.01	97	0.00	173
-950	Max	1.29	101	0.31	177	-0.46	49	0.00	173	0.00	130	0.00	17
-950	Min.	-5.04	166	-0.16	65	-3.58	98	-0.00	17	-0.01	97	0.00	173
-949	Max	1.28	101	0.31	177	-0.50	33	0.00	173	0.00	130	0.00	17
-949	Min.	-5.04	166	-0.16	65	-3.76	98	-0.00	17	-0.00	101	0.00	173
-948	Max	1.28	101	0.31	177	-0.52	33	0.00	173	0.00	130	0.00	17
-948	Min.	-5.04	166	-0.16	65	-3.85	99	-0.00	17	-0.00	101	0.00	65
-947	Max	1.28	101	0.31	177	-0.53	33	0.00	173	0.00	130	0.00	1
-947	Min.	-5.05	162	-0.16	17	-3.86	99	-0.00	17	-0.00	101	0.00	49
-946	Max	1.28	101	0.31	177	-0.52	33	0.00	173	0.00	130	0.00	173
-946	Min.	-5.05	162	-0.16	17	-3.85	99	-0.00	65	-0.00	101	0.00	65
-945	Max	1.28	101	0.31	177	-0.50	33	0.00	173	0.00	130	0.00	173
-945	Min.	-5.05	158	-0.16	17	-3.76	97	-0.00	65	-0.00	101	0.00	65
-944	Max	1.27	101	0.31	177	-0.46	33	0.00	173	0.01	98	0.00	173
-944	Min.	-5.05	158	-0.16	17	-3.58	97	-0.00	65	-0.00	101	0.00	65
-943	Max	1.27	101	0.31	177	-0.38	1	0.00	173	0.01	98	0.00	173
-943	Min.	-5.05	158	-0.16	17	-3.31	97	-0.00	65	0.00	101	0.00	65
-942	Max	1.27	101	0.31	177	-0.29	1	0.00	173	0.01	98	0.00	173
-942	Min.	-5.05	158	-0.16	17	-2.99	97	-0.00	65	0.00	49	0.00	65
-941	Max	1.27	101	0.31	177	-0.20	1	0.00	173	0.01	98	0.00	173
-941	Min.	-5.06	158	-0.16	17	-2.61	97	-0.00	65	0.00	49	0.00	65
-940	Max	1.26	101	0.31	177	-0.11	1	0.00	173	0.01	98	0.00	173
-940	Min.	-5.06	158	-0.16	17	-2.22	97	-0.00	65	0.00	49	0.00	65
-939	Max	1.26	101	0.31	177	0.06	130	0.00	173	0.01	98	0.00	173
-939	Min.	-5.06	158	-0.17	17	-2.02	101	-0.00	65	0.00	49	0.00	65
-938	Max	1.26	101	0.31	177	0.25	130	0.00	173	0.01	98	0.00	173
-938	Min.	-5.06	158	-0.17	17	-1.91	101	-0.00	65	0.00	33	0.00	65
-937	Max	1.26	101	0.31	177	0.33	130	0.00	173	0.01	98	0.00	173
-937	Min.	-5.06	158	-0.17	17	-1.85	101	-0.00	65	0.00	33	0.00	65
-936	Max	1.26	101	0.31	177	0.41	130	0.00	173	0.01	98	0.00	17
-936	Min.	-5.06	158	-0.17	17	-1.78	101	0.00	65	0.00	33	0.00	65
-935	Max	1.25	101	0.31	177	0.51	130	0.00	17	0.01	97	0.00	17
-935	Min.	-5.05	158	-0.17	17	-1.66	101	0.00	65	0.00	33	0.00	65
-934	Max	1.25	101	0.31	177	0.55	130	0.00	17	0.00	97	0.00	173
-934	Min.	-5.05	158	-0.17	17	-1.55	101	0.00	65	0.00	49	0.00	65
-933	Max	1.25	101	0.31	177	0.55	130	0.00	17	0.00	97	0.00	173
-933	Min.	-5.05	158	-0.17	17	-1.50	101	0.00	65	0.00	130	0.00	65
-932	Max	1.25	101	0.31	177	0.54	130	0.00	17	0.00	97	0.00	17
-932	Min.	-5.05	158	-0.17	17	-1.45	101	0.00	65	0.00	130	0.00	65
-931	Max	1.25	101	0.31	177	0.49	130	0.00	17	0.00	101	0.00	177
-931	Min.	-5.05	158	-0.18	17	-1.35	101	0.00	65	-0.00	130	0.00	65
-930	Max	1.25	101	0.30	177	0.42	130	0.00	17	0.00	101	0.00	177
-930	Min.	-5.05	158	-0.18	17	-1.23	101	0.00	177	-0.00	130	0.00	65
-929	Max	1.25	101	0.29	177	0.31	130	0.00	17	0.00	101	0.00	177

-929	Min.	-5.05	158	-0.18	17	-1.09	101	-0.00	177	-0.00	130	0.00	173
-928	Max	1.25	101	0.26	177	0.20	130	0.00	173	0.00	101	0.00	177
-928	Min.	-5.05	158	-0.18	17	-0.94	101	-0.00	177	-0.00	130	0.00	173
-927	Max	1.25	101	0.22	177	0.07	130	0.00	173	0.00	101	0.00	177
-927	Min.	-5.05	158	-0.18	17	-0.78	101	-0.01	177	-0.00	130	0.00	173
-926	Max	1.25	101	0.18	65	-0.05	1	0.00	173	0.00	101	0.00	177
-926	Min.	-5.05	158	-0.18	17	-0.61	101	-0.01	177	-0.00	130	0.00	173
-925	Max	0.76	101	0.18	65	-0.10	1	0.00	17	0.00	101	0.00	17
-925	Min.	-0.81	130	-0.18	17	-0.47	103	0.00	65	-0.00	130	0.00	65
-924	Max	0.67	101	0.18	17	-0.10	49	0.00	65	0.00	101	0.00	17
-924	Min.	-0.88	130	-0.18	65	-0.47	106	0.00	17	-0.00	130	0.00	65
-923	Max	1.28	101	0.18	17	-0.06	49	0.00	173	0.00	101	0.00	173
-923	Min.	-5.03	166	-0.18	65	-0.61	106	-0.01	177	-0.00	130	0.00	177
-922	Max	1.28	101	0.22	177	-0.01	49	0.00	173	0.00	101	0.00	173
-922	Min.	-5.03	166	-0.18	65	-0.78	106	-0.01	177	-0.00	130	-0.00	177
-921	Max	1.28	101	0.26	177	0.08	101	0.00	173	0.00	101	0.00	173
-921	Min.	-5.03	166	-0.18	65	-0.94	106	-0.00	177	-0.00	130	0.00	177
-920	Max	1.28	101	0.29	177	0.17	101	0.00	65	0.00	101	0.00	173
-920	Min.	-5.03	166	-0.18	65	-1.09	106	-0.00	177	-0.00	130	0.00	177
-919	Max	1.28	101	0.30	177	0.25	101	0.00	65	0.00	101	0.00	17
-919	Min.	-5.03	166	-0.18	65	-1.23	106	0.00	177	-0.00	130	0.00	177
-918	Max	1.28	101	0.31	177	0.31	101	0.00	65	0.00	101	0.00	17
-918	Min.	-5.03	166	-0.17	65	-1.34	106	0.00	17	-0.00	130	0.00	177
-917	Max	1.28	101	0.31	177	0.34	101	0.00	65	0.00	101	0.00	17
-917	Min.	-5.03	166	-0.17	65	-1.45	106	0.00	17	-0.00	98	0.00	173
-916	Max	1.28	101	0.31	177	0.35	101	0.00	65	0.00	49	0.00	17
-916	Min.	-5.03	166	-0.17	65	-1.49	106	0.00	17	-0.00	98	0.00	173
-915	Max	1.28	101	0.31	177	0.34	101	0.00	65	0.00	1	0.00	17
-915	Min.	-5.03	166	-0.17	65	-1.54	106	0.00	17	-0.00	98	0.00	173
-914	Max	1.29	101	0.31	177	0.14	101	0.00	173	0.00	33	0.00	17
-914	Min.	-5.03	166	-0.17	65	-1.77	106	0.00	17	-0.01	97	0.00	173
-913	Max	1.29	101	0.31	177	0.07	49	0.00	173	0.00	33	0.00	17
-913	Min.	-5.03	166	-0.17	65	-1.84	106	-0.00	17	-0.01	97	0.00	173
-912	Max	1.29	101	0.31	177	0.04	49	0.00	173	0.00	33	0.00	17
-912	Min.	-5.04	166	-0.17	65	-1.90	106	-0.00	17	-0.01	97	0.00	173
-911	Max	1.29	101	0.31	177	-0.04	49	0.00	173	0.00	1	0.00	17
-911	Min.	-5.04	166	-0.16	65	-2.02	106	-0.00	17	-0.01	97	0.00	173
-910	Max	1.29	101	0.31	177	-0.13	49	0.00	173	0.00	1	0.00	17
-910	Min.	-5.04	166	-0.16	65	-2.22	98	-0.00	17	-0.01	97	0.00	173
-909	Max	1.29	101	0.31	177	-0.22	49	0.00	173	0.00	130	0.00	17
-909	Min.	-5.04	166	-0.16	65	-2.62	98	-0.00	17	-0.01	97	0.00	173
-908	Max	1.29	101	0.31	177	-0.31	49	0.00	173	0.00	130	0.00	17
-908	Min.	-5.04	166	-0.16	65	-2.99	98	-0.00	17	-0.01	97	0.00	173
-907	Max	1.29	101	0.31	177	-0.40	49	0.00	173	0.00	130	0.00	17
-907	Min.	-5.04	166	-0.16	65	-3.32	98	-0.00	17	-0.01	97	0.00	65
-906	Max	1.29	101	0.31	177	-0.48	33	0.00	173	0.00	130	0.00	17
-906	Min.	-5.04	166	-0.16	65	-3.58	98	-0.00	17	-0.01	97	0.00	65
-905	Max	1.28	101	0.31	177	-0.52	33	0.00	173	0.00	130	0.00	17
-905	Min.	-5.04	166	-0.16	65	-3.76	98	-0.00	17	-0.00	101	0.00	65
-904	Max	1.28	101	0.31	177	-0.55	33	0.00	173	0.00	130	0.00	17
-904	Min.	-5.04	166	-0.16	65	-3.85	98	-0.00	17	-0.00	101	0.00	65
-903	Max	1.28	101	0.31	177	-0.56	33	0.00	173	0.00	130	0.00	1
-903	Min.	-5.05	162	-0.15	17	-3.86	99	-0.00	17	-0.00	101	0.00	49
-902	Max	1.28	101	0.31	177	-0.55	33	0.00	173	0.00	130	0.00	17
-902	Min.	-5.05	162	-0.16	17	-3.85	97	-0.00	65	-0.00	101	0.00	65
-901	Max	1.28	101	0.31	177	-0.52	33	0.00	173	0.00	130	0.00	17
-901	Min.	-5.05	158	-0.16	17	-3.76	97	-0.00	65	-0.00	101	0.00	65
-900	Max	1.27	101	0.31	177	-0.48	33	0.00	173	0.01	98	0.00	17
-900	Min.	-5.05	158	-0.16	17	-3.58	97	-0.00	65	-0.00	101	0.00	65
-899	Max	1.27	101	0.31	177	-0.40	1	0.00	173	0.01	98	0.00	173
-899	Min.	-5.05	158	-0.16	17	-3.32	97	-0.00	65	0.00	101	0.00	65
-898	Max	1.27	101	0.31	177	-0.31	1	0.00	173	0.01	98	0.00	173
-898	Min.	-5.05	158	-0.16	17	-2.99	97	-0.00	65	0.00	49	0.00	65
-897	Max	1.27	101	0.31	177	-0.22	1	0.00	173	0.01	98	0.00	173
-897	Min.	-5.06	158	-0.16	17	-2.62	97	-0.00	65	0.00	49	0.00	65
-896	Max	1.26	101	0.31	177	-0.13	1	0.00	173	0.01	98	0.00	173
-896	Min.	-5.06	158	-0.16	17	-2.22	97	-0.00	65	0.00	49	0.00	65
-895	Max	1.26	101	0.31	177	0.06	130	0.00	173	0.01	98	0.00	173
-895	Min.	-5.06	158	-0.16	17	-2.02	101	-0.00	65	0.00	49	0.00	65
-894	Max	1.26	101	0.31	177	0.25	130	0.00	173	0.01	98	0.00	173
-894	Min.	-5.06	158	-0.17	17	-1.90	101	-0.00	65	0.00	33	0.00	65
-893	Max	1.26	101	0.31	177	0.34	130	0.00	173	0.01	98	0.00	173
-893	Min.	-5.06	158	-0.17	17	-1.84	101	-0.00	65	0.00	33	0.00	65
-892	Max	1.26	101	0.31	177	0.41	130	0.00	173	0.01	98	0.00	173
-892	Min.	-5.06	158	-0.17	17	-1.77	101	0.00	65	0.00	33	0.00	65
-891	Max	1.25	101	0.31	177	0.56	130	0.00	17	0.00	97	0.00	173
-891	Min.	-5.05	158	-0.17	17	-1.54	101	0.00	65	0.00	49	0.00	65
-890	Max	1.25	101	0.31	177	0.56	130	0.00	17	0.00	97	0.00	17
-890	Min.	-5.05	158	-0.17	17	-1.49	101	0.00	65	0.00	130	0.00	65

-889	Max	1.25	101	0.31	177	0.55	130	0.00	17	0.00	97	0.00	17
-889	Min.	-5.05	158	-0.17	17	-1.45	101	0.00	65	0.00	130	0.00	65
-888	Max	1.25	101	0.31	177	0.50	130	0.00	17	0.00	101	0.00	177
-888	Min.	-5.05	158	-0.17	17	-1.34	101	0.00	65	-0.00	130	0.00	65
-887	Max	1.25	101	0.30	177	0.42	130	0.00	17	0.00	101	0.00	177
-887	Min.	-5.05	158	-0.18	17	-1.23	101	0.00	177	-0.00	130	0.00	65
-886	Max	1.25	101	0.29	177	0.31	130	0.00	17	0.00	101	0.00	177
-886	Min.	-5.05	158	-0.18	17	-1.09	101	-0.00	177	-0.00	130	0.00	173
-885	Max	1.25	101	0.26	177	0.20	130	0.00	173	0.00	101	0.00	177
-885	Min.	-5.05	158	-0.18	17	-0.94	101	-0.00	177	-0.00	130	0.00	173
-884	Max	1.25	101	0.22	177	0.07	130	0.00	173	0.00	101	0.00	177
-884	Min.	-5.05	158	-0.18	17	-0.78	101	-0.01	177	-0.00	130	0.00	173
-883	Max	1.25	101	0.18	65	-0.06	130	0.00	173	0.00	101	0.00	177
-883	Min.	-5.05	158	-0.18	17	-0.61	101	-0.01	177	-0.00	130	0.00	173
-882	Max	0.76	101	0.18	65	-0.10	1	0.00	17	0.00	101	0.00	17
-882	Min.	-0.81	130	-0.18	17	-0.47	101	0.00	65	-0.00	130	0.00	65
-881	Max	0.67	101	0.18	17	-0.10	1	0.00	65	0.00	101	0.00	17
-881	Min.	-0.88	130	-0.18	65	-0.47	108	0.00	17	-0.00	130	0.00	65
-880	Max	1.28	101	0.18	17	-0.05	1	0.00	173	0.00	101	0.00	173
-880	Min.	-5.03	166	-0.18	65	-0.61	106	-0.01	177	-0.00	130	0.00	177
-879	Max	1.28	101	0.22	177	-0.00	1	0.00	173	0.00	101	0.00	173
-879	Min.	-5.03	166	-0.18	65	-0.78	106	-0.01	177	-0.00	130	-0.00	177
-878	Max	1.28	101	0.26	177	0.07	101	0.00	173	0.00	101	0.00	173
-878	Min.	-5.03	166	-0.18	65	-0.94	106	-0.00	177	-0.00	130	0.00	177
-877	Max	1.28	101	0.29	177	0.17	101	0.00	65	0.00	101	0.00	173
-877	Min.	-5.03	166	-0.18	65	-1.09	106	-0.00	177	-0.00	130	0.00	177
-876	Max	1.28	101	0.30	177	0.25	101	0.00	65	0.00	101	0.00	17
-876	Min.	-5.03	166	-0.17	65	-1.23	106	0.00	177	-0.00	130	0.00	177
-875	Max	1.28	101	0.31	177	0.31	101	0.00	65	0.00	101	0.00	17
-875	Min.	-5.03	166	-0.17	65	-1.35	106	0.00	17	-0.00	130	0.00	177
-874	Max	1.28	101	0.31	177	0.34	101	0.00	65	0.00	1	0.00	17
-874	Min.	-5.03	166	-0.17	65	-1.45	106	0.00	17	-0.00	98	0.00	65
-873	Max	1.28	101	0.31	177	0.34	101	0.00	65	0.00	49	0.00	17
-873	Min.	-5.03	166	-0.17	65	-1.50	106	0.00	17	-0.00	98	0.00	173
-872	Max	1.28	101	0.31	177	0.33	101	0.00	65	0.00	49	0.00	17
-872	Min.	-5.03	166	-0.17	65	-1.55	106	0.00	17	-0.00	98	0.00	173
-871	Max	1.28	101	0.31	177	0.26	101	0.00	65	0.00	33	0.00	17
-871	Min.	-5.03	166	-0.17	65	-1.66	106	0.00	17	-0.01	98	0.00	173
-870	Max	1.29	101	0.31	177	0.13	101	0.00	173	0.00	33	0.00	17
-870	Min.	-5.03	166	-0.17	65	-1.78	106	0.00	17	-0.01	97	0.00	173
-869	Max	1.29	101	0.31	177	0.08	1	0.00	173	0.00	33	0.00	17
-869	Min.	-5.03	166	-0.17	65	-1.85	106	0.00	17	-0.01	97	0.00	173
-868	Max	1.29	101	0.31	177	0.05	1	0.00	173	0.00	33	0.00	17
-868	Min.	-5.04	166	-0.16	65	-1.91	106	-0.00	17	-0.01	97	0.00	173
-867	Max	1.29	101	0.31	177	-0.03	1	0.00	173	0.00	49	0.00	17
-867	Min.	-5.04	166	-0.16	65	-2.02	106	-0.00	17	-0.01	97	0.00	173
-866	Max	1.29	101	0.31	177	-0.11	1	0.00	173	0.00	49	0.00	17
-866	Min.	-5.04	166	-0.16	65	-2.22	98	-0.00	17	-0.01	97	0.00	173
-865	Max	1.29	101	0.31	177	-0.20	1	0.00	173	0.00	130	0.00	17
-865	Min.	-5.04	166	-0.16	65	-2.62	98	-0.00	17	-0.01	97	0.00	173
-864	Max	1.29	101	0.31	177	-0.29	1	0.00	173	0.00	130	0.00	17
-864	Min.	-5.04	166	-0.16	65	-2.99	98	-0.00	17	-0.01	97	0.00	173
-863	Max	1.29	101	0.31	177	-0.38	1	0.00	173	0.00	130	0.00	17
-863	Min.	-5.04	166	-0.16	65	-3.31	98	-0.00	17	-0.01	97	0.00	173
-862	Max	1.29	101	0.31	177	-0.47	33	0.00	173	0.00	130	0.00	17
-862	Min.	-5.04	166	-0.16	65	-3.58	98	-0.00	17	-0.01	97	0.00	65
-861	Max	1.28	101	0.31	177	-0.50	33	0.00	173	0.00	130	0.00	17
-861	Min.	-5.04	166	-0.15	65	-3.76	98	-0.00	17	-0.00	101	0.00	65
-860	Max	1.28	101	0.31	177	-0.53	33	0.00	173	0.00	130	0.00	17
-860	Min.	-5.04	166	-0.15	65	-3.85	100	-0.00	17	-0.00	101	0.00	65
-859	Max	1.28	101	0.31	177	-0.54	33	0.00	173	0.00	130	0.00	1
-859	Min.	-5.05	162	-0.15	17	-3.87	100	-0.00	17	-0.00	101	0.00	49
-858	Max	1.28	101	0.31	177	-0.53	33	0.00	173	0.00	130	0.00	17
-858	Min.	-5.05	162	-0.15	17	-3.85	100	-0.00	65	-0.00	101	0.00	65
-857	Max	1.28	101	0.31	177	-0.50	33	0.00	173	0.00	130	0.00	17
-857	Min.	-5.05	158	-0.15	17	-3.76	97	-0.00	65	-0.00	101	0.00	65
-856	Max	1.27	101	0.31	177	-0.47	49	0.00	173	0.01	98	0.00	17
-856	Min.	-5.05	158	-0.16	17	-3.58	97	-0.00	65	-0.00	101	0.00	65
-855	Max	1.27	101	0.31	177	-0.38	49	0.00	173	0.01	98	0.00	173
-855	Min.	-5.05	158	-0.16	17	-3.31	97	-0.00	65	0.00	101	0.00	65
-854	Max	1.27	101	0.31	177	-0.29	49	0.00	173	0.01	98	0.00	173
-854	Min.	-5.05	158	-0.16	17	-2.99	97	-0.00	65	0.00	1	0.00	65
-853	Max	1.27	101	0.31	177	-0.20	49	0.00	173	0.01	98	0.00	173
-853	Min.	-5.06	158	-0.16	17	-2.62	97	-0.00	65	0.00	1	0.00	65
-852	Max	1.26	101	0.31	177	-0.11	49	0.00	173	0.01	98	0.00	173
-852	Min.	-5.06	158	-0.16	17	-2.22	97	-0.00	65	0.00	1	0.00	65
-851	Max	1.26	101	0.31	177	0.06	130	0.00	173	0.01	98	0.00	173
-851	Min.	-5.06	158	-0.16	17	-2.02	101	-0.00	65	0.00	1	0.00	65
-850	Max	1.26	101	0.31	177	0.25	130	0.00	173	0.01	98	0.00	173

-850	Min.	-5.06	158	-0.16	17	-1.91	101	-0.00	65	0.00	33	0.00	65
-849	Max	1.26	101	0.31	177	0.33	130	0.00	173	0.01	98	0.00	173
-849	Min.	-5.06	158	-0.17	17	-1.85	101	0.00	65	0.00	33	0.00	65
-848	Max	1.26	101	0.31	177	0.40	130	0.00	173	0.01	98	0.00	173
-848	Min.	-5.06	158	-0.17	17	-1.78	101	0.00	65	0.00	33	0.00	65
-847	Max	1.25	101	0.31	177	0.51	130	0.00	17	0.01	97	0.00	17
-847	Min.	-5.05	158	-0.17	17	-1.66	101	0.00	65	0.00	33	0.00	65
-846	Max	1.25	101	0.31	177	0.55	130	0.00	17	0.00	97	0.00	17
-846	Min.	-5.05	158	-0.17	17	-1.55	101	0.00	65	0.00	1	0.00	65
-845	Max	1.25	101	0.31	177	0.55	130	0.00	17	0.00	97	0.00	17
-845	Min.	-5.05	158	-0.17	17	-1.50	101	0.00	65	0.00	130	0.00	65
-844	Max	1.25	101	0.31	177	0.54	130	0.00	17	0.00	97	0.00	17
-844	Min.	-5.05	158	-0.17	17	-1.45	101	0.00	65	0.00	130	0.00	65
-843	Max	1.25	101	0.31	177	0.49	130	0.00	17	0.00	101	0.00	177
-843	Min.	-5.05	158	-0.17	17	-1.35	101	0.00	65	-0.00	130	0.00	65
-842	Max	1.25	101	0.30	177	0.42	130	0.00	17	0.00	101	0.00	177
-842	Min.	-5.05	158	-0.17	17	-1.23	101	0.00	177	-0.00	130	0.00	65
-841	Max	1.25	101	0.29	177	0.31	130	0.00	17	0.00	101	0.00	177
-841	Min.	-5.05	158	-0.18	17	-1.09	101	-0.00	177	-0.00	130	0.00	173
-840	Max	1.25	101	0.26	177	0.20	130	0.00	173	0.00	101	0.00	177
-840	Min.	-5.05	158	-0.18	17	-0.94	101	-0.00	177	-0.00	130	0.00	173
-839	Max	1.25	101	0.22	177	0.07	130	0.00	173	0.00	101	0.00	177
-839	Min.	-5.05	158	-0.18	17	-0.78	101	-0.01	177	-0.00	130	0.00	173
-838	Max	1.25	101	0.18	65	-0.05	49	0.00	173	0.00	101	0.00	177
-838	Min.	-5.05	158	-0.18	17	-0.61	101	-0.01	177	-0.00	130	0.00	173
-837	Max	0.76	101	0.18	65	-0.10	49	0.00	17	0.00	101	0.00	17
-837	Min.	-0.81	130	-0.18	17	-0.47	104	0.00	65	-0.00	130	0.00	65
-836	Max	0.67	101	0.18	17	-0.09	1	0.00	65	0.00	101	0.00	105
-836	Min.	-0.88	130	-0.18	65	-0.47	108	0.00	17	-0.00	130	0.00	65
-835	Max	1.28	101	0.18	17	-0.05	1	0.00	173	0.00	101	0.00	173
-835	Min.	-5.03	166	-0.18	65	-0.61	106	-0.01	177	-0.00	130	0.00	177
-834	Max	1.28	101	0.22	177	0.00	1	0.00	173	0.00	101	0.00	173
-834	Min.	-5.03	166	-0.18	65	-0.78	106	-0.01	177	-0.00	130	-0.00	177
-833	Max	1.28	101	0.26	177	0.07	101	0.00	173	0.00	101	0.00	173
-833	Min.	-5.03	166	-0.18	65	-0.94	106	-0.00	177	-0.00	130	0.00	177
-832	Max	1.28	101	0.29	177	0.16	101	0.00	65	0.00	101	0.00	173
-832	Min.	-5.03	166	-0.18	65	-1.09	106	-0.00	177	-0.00	130	0.00	177
-831	Max	1.28	101	0.30	177	0.24	101	0.00	65	0.00	101	0.00	17
-831	Min.	-5.03	166	-0.17	65	-1.23	106	0.00	177	-0.00	130	0.00	177
-830	Max	1.28	101	0.31	177	0.30	101	0.00	65	0.00	101	0.00	17
-830	Min.	-5.03	166	-0.17	65	-1.36	106	0.00	17	-0.00	106	0.00	177
-829	Max	1.28	101	0.31	177	0.33	101	0.00	65	0.00	1	0.00	17
-829	Min.	-5.03	166	-0.17	65	-1.47	106	0.00	17	-0.00	98	0.00	65
-828	Max	1.28	101	0.31	177	0.33	101	0.00	65	0.00	49	0.00	17
-828	Min.	-5.03	166	-0.17	65	-1.51	106	0.00	17	-0.00	98	0.00	65
-827	Max	1.28	101	0.31	177	0.32	101	0.00	65	0.00	49	0.00	17
-827	Min.	-5.03	166	-0.17	65	-1.56	106	0.00	17	-0.00	98	0.00	65
-826	Max	1.29	101	0.31	177	0.13	101	0.00	173	0.00	65	0.00	17
-826	Min.	-5.03	166	-0.17	65	-1.79	106	0.00	17	-0.01	97	0.00	173
-825	Max	1.29	101	0.31	177	0.09	1	0.00	173	0.00	65	0.00	17
-825	Min.	-5.03	166	-0.16	65	-1.85	106	0.00	17	-0.01	97	0.00	173
-824	Max	1.29	101	0.31	177	0.06	1	0.00	173	0.00	65	0.00	17
-824	Min.	-5.04	166	-0.16	65	-1.92	106	-0.00	17	-0.01	97	0.00	173
-823	Max	1.29	101	0.31	177	-0.02	1	0.00	173	0.00	49	0.00	17
-823	Min.	-5.04	166	-0.16	65	-2.03	106	-0.00	17	-0.01	97	0.00	173
-822	Max	1.29	101	0.31	177	-0.10	1	0.00	173	0.00	49	0.00	17
-822	Min.	-5.04	166	-0.16	65	-2.21	98	-0.00	17	-0.01	97	0.00	173
-821	Max	1.29	101	0.31	177	-0.19	1	0.00	173	0.00	130	0.00	17
-821	Min.	-5.04	166	-0.16	65	-2.61	98	-0.00	17	-0.01	97	0.00	173
-820	Max	1.29	101	0.31	177	-0.28	1	0.00	173	0.00	130	0.00	17
-820	Min.	-5.04	166	-0.16	65	-2.97	98	-0.00	17	-0.01	97	0.00	173
-819	Max	1.29	101	0.31	177	-0.36	1	0.00	173	0.00	130	0.00	17
-819	Min.	-5.04	166	-0.15	65	-3.30	98	-0.00	17	-0.01	97	0.00	173
-818	Max	1.29	101	0.31	177	-0.44	17	0.00	173	0.00	130	0.00	17
-818	Min.	-5.04	166	-0.15	65	-3.56	98	-0.00	17	-0.01	97	0.00	173
-817	Max	1.28	101	0.31	177	-0.47	17	0.00	173	0.00	130	0.00	17
-817	Min.	-5.04	166	-0.15	65	-3.75	98	-0.00	17	-0.00	101	0.00	173
-816	Max	1.28	101	0.31	177	-0.50	17	0.00	173	0.00	130	0.00	17
-816	Min.	-5.04	166	-0.15	65	-3.84	100	-0.00	17	-0.00	101	0.00	65
-815	Max	1.28	101	0.31	177	-0.51	17	0.00	173	0.00	130	0.00	101
-815	Min.	-5.05	162	-0.15	17	-3.85	100	-0.00	17	-0.00	101	0.00	106
-814	Max	1.28	101	0.31	177	-0.50	65	0.00	173	0.00	130	0.00	173
-814	Min.	-5.05	162	-0.15	17	-3.84	100	-0.00	65	-0.00	101	0.00	65
-813	Max	1.28	101	0.31	177	-0.47	65	0.00	173	0.00	130	0.00	173
-813	Min.	-5.05	158	-0.15	17	-3.75	97	-0.00	65	-0.00	101	0.00	65
-812	Max	1.27	101	0.31	177	-0.44	65	0.00	173	0.01	98	0.00	173
-812	Min.	-5.05	158	-0.15	17	-3.56	97	-0.00	65	-0.00	101	0.00	65
-811	Max	1.27	101	0.31	177	-0.36	49	0.00	173	0.01	98	0.00	173
-811	Min.	-5.05	158	-0.15	17	-3.30	97	-0.00	65	0.00	101	0.00	65

-810	Max	1.27	101	0.31	177	-0.28	49	0.00	173	0.01	98	0.00	173
-810	Min.	-5.05	158	-0.16	17	-2.97	97	-0.00	65	0.00	1	0.00	65
-809	Max	1.27	101	0.31	177	-0.19	49	0.00	173	0.01	98	0.00	173
-809	Min.	-5.06	158	-0.16	17	-2.61	97	-0.00	65	0.00	1	0.00	65
-808	Max	1.26	101	0.31	177	-0.10	49	0.00	173	0.01	98	0.00	173
-808	Min.	-5.06	158	-0.16	17	-2.21	97	-0.00	65	0.00	1	0.00	65
-807	Max	1.26	101	0.31	177	0.05	130	0.00	173	0.01	98	0.00	173
-807	Min.	-5.06	158	-0.16	17	-2.03	101	-0.00	65	0.00	1	0.00	65
-806	Max	1.26	101	0.31	177	0.24	130	0.00	173	0.01	98	0.00	173
-806	Min.	-5.06	158	-0.16	17	-1.92	101	-0.00	65	0.00	33	0.00	65
-805	Max	1.26	101	0.31	177	0.33	130	0.00	173	0.01	98	0.00	173
-805	Min.	-5.06	158	-0.16	17	-1.85	101	0.00	65	0.00	33	0.00	65
-804	Max	1.26	101	0.31	177	0.40	130	0.00	173	0.01	98	0.00	173
-804	Min.	-5.06	158	-0.17	17	-1.79	101	0.00	65	0.00	33	0.00	65
-803	Max	1.25	101	0.31	177	0.55	130	0.00	17	0.00	97	0.00	17
-803	Min.	-5.05	158	-0.17	17	-1.56	101	0.00	65	0.00	1	0.00	65
-802	Max	1.25	101	0.31	177	0.55	130	0.00	17	0.00	97	0.00	17
-802	Min.	-5.05	158	-0.17	17	-1.51	101	0.00	65	0.00	130	0.00	65
-801	Max	1.25	101	0.31	177	0.54	130	0.00	17	0.00	97	0.00	17
-801	Min.	-5.05	158	-0.17	17	-1.47	101	0.00	65	0.00	130	0.00	65
-800	Max	1.25	101	0.31	177	0.49	130	0.00	17	0.00	101	0.00	177
-800	Min.	-5.05	158	-0.17	17	-1.36	101	0.00	65	-0.00	130	0.00	65
-799	Max	1.25	101	0.30	177	0.41	130	0.00	17	0.00	101	0.00	177
-799	Min.	-5.05	158	-0.17	17	-1.23	101	0.00	177	-0.00	130	0.00	65
-798	Max	1.25	101	0.29	177	0.31	130	0.00	17	0.00	101	0.00	177
-798	Min.	-5.05	158	-0.18	17	-1.09	101	-0.00	177	-0.00	130	0.00	173
-797	Max	1.25	101	0.26	177	0.20	130	0.00	173	0.00	101	0.00	177
-797	Min.	-5.05	158	-0.18	17	-0.94	101	-0.00	177	-0.00	130	0.00	173
-796	Max	1.25	101	0.22	177	0.07	130	0.00	173	0.00	101	0.00	177
-796	Min.	-5.05	158	-0.18	17	-0.78	101	-0.01	177	-0.00	130	0.00	173
-795	Max	1.25	101	0.18	65	-0.05	49	0.00	173	0.00	101	0.00	177
-795	Min.	-5.05	158	-0.18	17	-0.61	101	-0.01	177	-0.00	130	0.00	173
-794	Max	0.76	101	0.18	65	-0.09	49	0.00	17	0.00	101	0.00	17
-794	Min.	-0.81	130	-0.18	17	-0.47	104	0.00	65	-0.00	130	0.00	126
-793	Max	0.67	101	0.18	17	-0.08	17	0.00	65	0.00	101	0.00	105
-793	Min.	-0.88	130	-0.18	65	-0.47	108	0.00	17	-0.00	130	0.00	162
-783	Max	1.28	101	0.32	177	0.25	101	0.00	173	0.00	65	0.00	173
-783	Min.	-5.03	166	-0.17	65	-1.66	106	0.00	17	-0.01	98	0.00	65
-759	Max	1.25	101	0.32	177	0.50	130	0.00	173	0.01	97	0.00	17
-759	Min.	-5.05	158	-0.17	17	-1.66	101	0.00	65	0.00	17	0.00	173
-749	Max	0.76	101	0.18	65	-0.08	65	0.00	17	0.00	101	0.00	17
-749	Min.	-0.81	130	-0.18	17	-0.47	104	0.00	65	-0.00	130	0.00	126
-748	Max	0.67	101	0.18	17	-0.07	17	0.00	65	0.00	101	0.00	105
-748	Min.	-0.88	130	-0.18	65	-0.47	108	0.00	17	-0.00	130	0.00	162
-747	Max	1.28	101	0.18	17	-0.04	1	0.00	173	0.00	101	0.00	173
-747	Min.	-5.03	166	-0.18	65	-0.61	108	-0.01	177	-0.00	130	0.00	177
-746	Max	1.28	101	0.22	177	0.01	1	0.00	173	0.00	101	0.00	173
-746	Min.	-5.03	166	-0.18	65	-0.78	106	-0.01	177	-0.00	130	-0.00	177
-745	Max	1.28	101	0.26	177	0.06	101	0.00	173	0.00	101	0.00	173
-745	Min.	-5.03	166	-0.18	65	-0.94	106	-0.00	177	-0.00	130	0.00	177
-744	Max	1.28	101	0.29	177	0.15	101	0.00	173	0.00	101	0.00	173
-744	Min.	-5.03	166	-0.17	65	-1.09	106	-0.00	177	-0.00	130	0.00	177
-743	Max	1.28	101	0.30	177	0.23	101	0.00	65	0.00	101	0.00	17
-743	Min.	-5.03	166	-0.17	65	-1.23	130	0.00	177	-0.00	130	0.00	177
-742	Max	1.28	101	0.31	177	0.29	101	0.00	65	0.00	101	0.00	17
-742	Min.	-5.03	166	-0.17	65	-1.36	130	0.00	17	-0.00	106	0.00	177
-741	Max	1.28	101	0.31	177	0.32	101	0.00	65	0.00	1	0.00	17
-741	Min.	-5.03	166	-0.17	65	-1.47	106	0.00	17	-0.00	98	0.00	177
-740	Max	1.28	101	0.31	177	0.32	101	0.00	65	0.00	49	0.00	17
-740	Min.	-5.03	166	-0.17	65	-1.52	106	0.00	17	-0.00	98	0.00	65
-739	Max	1.28	101	0.32	177	0.31	101	0.00	65	0.00	49	0.00	17
-739	Min.	-5.03	166	-0.17	65	-1.56	106	0.00	17	-0.00	98	0.00	65
-738	Max	1.28	101	0.32	177	0.24	101	0.00	173	0.00	65	0.00	17
-738	Min.	-5.03	166	-0.17	65	-1.67	106	0.00	17	-0.01	98	0.00	65
-737	Max	1.29	101	0.32	177	0.12	1	0.00	173	0.00	65	0.00	17
-737	Min.	-5.03	166	-0.17	65	-1.79	106	0.00	17	-0.01	97	0.00	173
-736	Max	1.29	101	0.31	177	0.10	1	0.00	173	0.00	65	0.00	17
-736	Min.	-5.03	166	-0.16	65	-1.85	106	0.00	17	-0.01	97	0.00	173
-735	Max	1.29	101	0.31	177	0.06	1	0.00	173	0.00	65	0.00	17
-735	Min.	-5.04	166	-0.16	65	-1.91	106	0.00	17	-0.01	97	0.00	173
-734	Max	1.29	101	0.31	177	-0.01	1	0.00	173	0.00	65	0.00	17
-734	Min.	-5.04	166	-0.16	65	-2.02	106	-0.00	17	-0.01	97	0.00	173
-733	Max	1.29	101	0.31	177	-0.09	1	0.00	173	0.00	49	0.00	17
-733	Min.	-5.04	166	-0.16	65	-2.20	98	-0.00	17	-0.01	97	0.00	173
-732	Max	1.29	101	0.31	177	-0.17	1	0.00	173	0.00	130	0.00	97
-732	Min.	-5.04	166	-0.16	65	-2.59	98	-0.00	17	-0.01	97	0.00	173
-731	Max	1.29	101	0.31	177	-0.26	1	0.00	173	0.00	130	0.00	97
-731	Min.	-5.04	166	-0.15	65	-2.95	98	-0.00	17	-0.01	97	0.00	173
-730	Max	1.29	101	0.31	177	-0.33	17	0.00	173	0.00	130	0.00	97

-730	Min.	-5.04	166	-0.15	65	-3.27	98	-0.00	17	-0.01	97	0.00	173
-729	Max	1.29	101	0.31	177	-0.36	17	0.00	173	0.00	130	0.00	97
-729	Min.	-5.04	166	-0.15	65	-3.52	98	-0.00	17	-0.01	97	0.00	173
-728	Max	1.28	101	0.31	177	-0.40	17	0.00	173	0.00	130	0.00	97
-728	Min.	-5.04	166	-0.15	65	-3.71	100	-0.00	17	-0.00	101	0.00	173
-727	Max	1.28	101	0.31	177	-0.42	17	0.00	173	0.00	130	0.00	101
-727	Min.	-5.04	166	-0.15	65	-3.80	100	-0.00	17	-0.00	101	0.00	65
-726	Max	1.28	101	0.31	177	-0.43	17	0.00	173	0.00	130	0.00	101
-726	Min.	-5.05	162	-0.15	17	-3.81	100	-0.00	17	-0.00	101	0.00	106
-725	Max	1.28	101	0.31	177	-0.42	65	0.00	173	0.00	130	0.00	173
-725	Min.	-5.05	162	-0.15	17	-3.80	100	-0.00	65	-0.00	101	0.00	106
-724	Max	1.28	101	0.31	177	-0.40	65	0.00	173	0.00	130	0.00	173
-724	Min.	-5.05	158	-0.15	17	-3.71	100	-0.00	65	-0.00	101	0.00	98
-723	Max	1.27	101	0.31	177	-0.36	65	0.00	173	0.01	98	0.00	173
-723	Min.	-5.05	158	-0.15	17	-3.52	97	-0.00	65	-0.00	101	0.00	98
-722	Max	1.27	101	0.31	177	-0.33	65	0.00	173	0.01	98	0.00	173
-722	Min.	-5.05	158	-0.15	17	-3.27	97	-0.00	65	0.00	101	0.00	98
-721	Max	1.27	101	0.31	177	-0.26	49	0.00	173	0.01	98	0.00	173
-721	Min.	-5.05	158	-0.15	17	-2.95	97	-0.00	65	0.00	1	0.00	98
-720	Max	1.27	101	0.31	177	-0.17	49	0.00	173	0.01	98	0.00	173
-720	Min.	-5.06	158	-0.16	17	-2.59	97	-0.00	65	0.00	1	0.00	98
-719	Max	1.26	101	0.31	177	-0.09	49	0.00	173	0.01	98	0.00	173
-719	Min.	-5.06	158	-0.16	17	-2.20	97	-0.00	65	0.00	1	0.00	65
-718	Max	1.26	101	0.31	177	0.04	130	0.00	173	0.01	98	0.00	173
-718	Min.	-5.06	158	-0.16	17	-2.02	101	-0.00	65	0.00	17	0.00	65
-717	Max	1.26	101	0.31	177	0.23	130	0.00	173	0.01	98	0.00	173
-717	Min.	-5.06	158	-0.16	17	-1.91	101	0.00	65	0.00	17	0.00	65
-716	Max	1.26	101	0.31	177	0.31	130	0.00	173	0.01	98	0.00	173
-716	Min.	-5.06	158	-0.16	17	-1.85	101	0.00	65	0.00	17	0.00	65
-715	Max	1.26	101	0.32	177	0.38	130	0.00	173	0.01	98	0.00	173
-715	Min.	-5.06	158	-0.17	17	-1.79	101	0.00	65	0.00	17	0.00	65
-714	Max	1.25	101	0.32	177	0.49	130	0.00	173	0.01	97	0.00	17
-714	Min.	-5.05	158	-0.17	17	-1.67	101	0.00	65	0.00	17	0.00	65
-713	Max	1.25	101	0.32	177	0.54	130	0.00	17	0.00	97	0.00	17
-713	Min.	-5.05	158	-0.17	17	-1.56	101	0.00	65	0.00	1	0.00	65
-712	Max	1.25	101	0.31	177	0.54	130	0.00	17	0.00	97	0.00	17
-712	Min.	-5.05	158	-0.17	17	-1.52	101	0.00	65	0.00	1	0.00	65
-711	Max	1.25	101	0.31	177	0.53	130	0.00	17	0.00	97	0.00	177
-711	Min.	-5.05	158	-0.17	17	-1.47	101	0.00	65	0.00	130	0.00	65
-710	Max	1.25	101	0.31	177	0.49	130	0.00	17	0.00	101	0.00	177
-710	Min.	-5.05	158	-0.17	17	-1.35	101	0.00	65	-0.00	130	0.00	65
-709	Max	1.25	101	0.30	177	0.41	130	0.00	17	0.00	101	0.00	177
-709	Min.	-5.05	158	-0.17	17	-1.23	101	0.00	177	-0.00	130	0.00	65
-708	Max	1.25	101	0.29	177	0.31	130	0.00	173	0.00	101	0.00	177
-708	Min.	-5.05	158	-0.17	17	-1.09	101	-0.00	177	-0.00	130	0.00	173
-707	Max	1.25	101	0.26	177	0.20	130	0.00	173	0.00	101	0.00	177
-707	Min.	-5.05	158	-0.18	17	-0.94	101	-0.00	177	-0.00	130	0.00	173
-706	Max	1.25	101	0.22	177	0.08	130	0.00	173	0.00	101	0.00	177
-706	Min.	-5.05	158	-0.18	17	-0.78	101	-0.01	177	-0.00	130	0.00	173
-705	Max	1.25	101	0.18	65	-0.04	49	0.00	173	0.00	101	0.00	177
-705	Min.	-5.05	158	-0.18	17	-0.61	104	-0.01	177	-0.00	130	0.00	173
-704	Max	0.76	101	0.18	65	-0.07	65	0.00	17	0.00	101	0.00	17
-704	Min.	-0.81	130	-0.18	17	-0.47	104	0.00	65	-0.00	130	0.00	126
-703	Max	0.67	101	0.18	17	-0.05	17	0.00	65	0.00	101	0.00	105
-703	Min.	-0.88	130	-0.18	65	-0.47	108	0.00	177	-0.00	130	0.00	162
-661	Max	0.75	101	0.18	65	-0.05	65	0.00	17	0.00	101	0.00	17
-661	Min.	-0.82	130	-0.18	17	-0.47	104	0.00	177	-0.00	130	0.00	126
-660	Max	0.68	101	0.18	17	-0.05	17	0.00	65	0.00	101	0.00	105
-660	Min.	-0.88	130	-0.18	65	-0.48	108	0.00	177	-0.00	130	0.00	162
-659	Max	1.28	101	0.18	17	-0.03	1	0.00	173	0.00	101	0.00	173
-659	Min.	-5.03	166	-0.18	65	-0.61	108	-0.01	177	-0.00	130	0.00	177
-658	Max	1.28	101	0.22	177	0.02	1	0.00	173	0.00	101	0.00	173
-658	Min.	-5.03	166	-0.18	65	-0.78	106	-0.01	177	-0.00	130	-0.00	177
-657	Max	1.28	101	0.26	177	0.07	1	0.00	173	0.00	101	0.00	173
-657	Min.	-5.03	166	-0.18	65	-0.94	130	-0.00	177	-0.00	130	0.00	177
-656	Max	1.28	101	0.28	177	0.14	101	0.00	173	0.00	101	0.00	17
-656	Min.	-5.03	166	-0.17	65	-1.11	130	-0.00	177	-0.00	130	0.00	177
-655	Max	1.28	101	0.30	177	0.22	101	0.00	65	0.00	101	0.00	17
-655	Min.	-5.03	166	-0.17	65	-1.25	130	0.00	177	-0.00	130	0.00	177
-654	Max	1.28	101	0.31	177	0.27	101	0.00	65	0.00	101	0.00	17
-654	Min.	-5.03	166	-0.17	65	-1.36	130	0.00	17	-0.00	106	0.00	177
-653	Max	1.28	101	0.31	177	0.30	101	0.00	65	0.00	1	0.00	157
-653	Min.	-5.03	166	-0.17	65	-1.47	130	0.00	17	-0.00	98	0.00	177
-652	Max	1.28	101	0.31	177	0.30	101	0.00	65	0.00	49	0.00	121
-652	Min.	-5.03	166	-0.17	65	-1.51	130	0.00	17	-0.00	98	0.00	177
-651	Max	1.28	101	0.32	177	0.29	101	0.00	65	0.00	65	0.00	121
-651	Min.	-5.03	166	-0.17	65	-1.55	130	0.00	17	-0.00	98	0.00	177
-650	Max	1.29	101	0.32	177	0.13	1	0.00	173	0.00	65	0.00	106
-650	Min.	-5.03	166	-0.16	65	-1.77	106	0.00	17	-0.01	97	0.00	173

-649	Max	1.29	101	0.31	177	0.10	1	0.00	173	0.00	65	0.00	17
-649	Min.	-5.03	166	-0.16	65	-1.83	106	0.00	17	-0.01	97	0.00	173
-648	Max	1.29	101	0.31	177	0.07	1	0.00	173	0.00	65	0.00	17
-648	Min.	-5.04	166	-0.16	65	-1.89	106	0.00	17	-0.01	97	0.00	173
-647	Max	1.29	101	0.31	177	-0.00	1	0.00	173	0.00	65	0.00	17
-647	Min.	-5.04	166	-0.16	65	-2.00	106	-0.00	17	-0.01	97	0.00	173
-646	Max	1.29	101	0.31	177	-0.08	1	0.00	173	0.00	49	0.00	98
-646	Min.	-5.04	166	-0.16	65	-2.20	98	-0.00	17	-0.01	97	0.00	173
-645	Max	1.29	101	0.31	177	-0.16	1	0.00	173	0.00	130	0.00	97
-645	Min.	-5.04	166	-0.15	65	-2.57	98	-0.00	17	-0.01	97	0.00	173
-644	Max	1.29	101	0.31	177	-0.23	17	0.00	173	0.00	130	0.00	97
-644	Min.	-5.04	166	-0.15	65	-2.92	98	-0.00	17	-0.01	97	0.00	173
-643	Max	1.29	101	0.31	177	-0.26	17	0.00	173	0.00	130	0.00	97
-643	Min.	-5.04	166	-0.15	65	-3.22	98	-0.00	17	-0.01	97	0.00	173
-642	Max	1.29	101	0.31	177	-0.29	17	0.00	173	0.00	130	0.00	97
-642	Min.	-5.04	166	-0.15	65	-3.46	98	-0.00	17	-0.01	97	0.00	173
-641	Max	1.28	101	0.31	177	-0.32	17	0.00	173	0.00	130	0.00	97
-641	Min.	-5.04	166	-0.15	65	-3.64	100	-0.00	99	-0.00	101	0.00	173
-640	Max	1.28	101	0.31	177	-0.35	17	0.00	173	0.00	130	0.00	101
-640	Min.	-5.04	166	-0.15	65	-3.73	100	-0.00	99	-0.00	101	0.00	106
-639	Max	1.28	101	0.31	177	-0.36	17	0.00	173	0.00	130	0.00	101
-639	Min.	-5.05	162	-0.15	17	-3.74	100	-0.00	99	-0.00	101	0.00	106
-638	Max	1.28	101	0.31	177	-0.35	65	0.00	173	0.00	130	0.00	173
-638	Min.	-5.05	162	-0.15	17	-3.73	100	-0.00	99	-0.00	101	0.00	106
-637	Max	1.28	101	0.31	177	-0.32	65	0.00	173	0.00	130	0.00	173
-637	Min.	-5.05	158	-0.15	17	-3.64	100	-0.00	99	-0.00	101	0.00	98
-636	Max	1.27	101	0.31	177	-0.29	65	0.00	173	0.01	98	0.00	173
-636	Min.	-5.05	158	-0.15	17	-3.46	97	-0.00	65	-0.00	101	0.00	98
-635	Max	1.27	101	0.31	177	-0.26	65	0.00	173	0.01	98	0.00	173
-635	Min.	-5.05	158	-0.15	17	-3.22	97	-0.00	65	0.00	1	0.00	98
-634	Max	1.27	101	0.31	177	-0.23	65	0.00	173	0.01	98	0.00	173
-634	Min.	-5.05	158	-0.15	17	-2.92	97	-0.00	65	0.00	1	0.00	98
-633	Max	1.27	101	0.31	177	-0.16	49	0.00	173	0.01	98	0.00	173
-633	Min.	-5.06	158	-0.15	17	-2.57	97	-0.00	65	0.00	1	0.00	98
-632	Max	1.26	101	0.31	177	-0.08	49	0.00	173	0.01	98	0.00	173
-632	Min.	-5.06	158	-0.16	17	-2.20	97	-0.00	65	0.00	1	0.00	97
-631	Max	1.26	101	0.31	177	0.02	130	0.00	173	0.01	98	0.00	173
-631	Min.	-5.06	158	-0.16	17	-2.00	101	-0.00	65	0.00	17	0.00	65
-630	Max	1.26	101	0.31	177	0.21	130	0.00	173	0.01	98	0.00	173
-630	Min.	-5.06	158	-0.16	17	-1.89	101	0.00	65	0.00	17	0.00	65
-629	Max	1.26	101	0.31	177	0.29	130	0.00	173	0.01	98	0.00	173
-629	Min.	-5.06	158	-0.16	17	-1.83	101	0.00	65	0.00	17	0.00	65
-628	Max	1.26	101	0.32	177	0.36	130	0.00	173	0.01	98	0.00	173
-628	Min.	-5.06	158	-0.16	17	-1.77	101	0.00	65	0.00	17	0.00	101
-627	Max	1.25	101	0.32	177	0.52	130	0.00	17	0.00	97	0.00	125
-627	Min.	-5.05	158	-0.17	17	-1.54	101	0.00	65	0.00	17	0.00	65
-626	Max	1.25	101	0.31	177	0.53	130	0.00	17	0.00	97	0.00	177
-626	Min.	-5.05	158	-0.17	17	-1.50	101	0.00	65	0.00	1	0.00	65
-625	Max	1.25	101	0.31	177	0.52	130	0.00	17	0.00	97	0.00	177
-625	Min.	-5.05	158	-0.17	17	-1.45	101	0.00	65	0.00	130	0.00	65
-624	Max	1.25	101	0.31	177	0.48	130	0.00	17	0.00	101	0.00	177
-624	Min.	-5.05	158	-0.17	17	-1.34	101	0.00	65	-0.00	130	0.00	65
-623	Max	1.25	101	0.30	177	0.41	130	0.00	17	0.00	101	0.00	177
-623	Min.	-5.05	158	-0.17	17	-1.22	101	0.00	177	-0.00	130	0.00	65
-622	Max	1.25	101	0.28	177	0.32	130	0.00	173	0.00	101	0.00	177
-622	Min.	-5.05	158	-0.17	17	-1.09	101	-0.00	177	-0.00	130	0.00	65
-621	Max	1.25	101	0.26	177	0.21	130	0.00	173	0.00	101	0.00	177
-621	Min.	-5.05	158	-0.18	17	-0.94	101	-0.00	177	-0.00	130	0.00	173
-620	Max	1.25	101	0.22	177	0.08	130	0.00	173	0.00	101	0.00	177
-620	Min.	-5.05	158	-0.18	17	-0.78	101	-0.01	177	-0.00	130	0.00	173
-619	Max	1.25	101	0.18	65	-0.03	49	0.00	173	0.00	101	0.00	177
-619	Min.	-5.05	158	-0.18	17	-0.61	104	-0.01	177	-0.00	130	0.00	173
-618	Max	0.75	101	0.18	65	-0.05	65	0.00	17	0.00	101	0.00	17
-618	Min.	-0.82	130	-0.18	17	-0.48	104	0.00	177	-0.00	130	0.00	126
-617	Max	1.28	101	0.19	177	-0.01	17	0.00	173	0.00	101	0.00	173
-617	Min.	-5.03	166	-0.18	65	-0.62	108	-0.01	177	-0.01	130	-0.00	177
-616	Max	1.28	101	0.27	177	0.03	1	0.00	173	0.00	101	0.00	173
-616	Min.	-5.03	166	-0.18	65	-0.78	108	-0.00	177	-0.00	130	-0.00	177
-615	Max	1.28	101	0.34	177	0.07	1	0.00	177	0.00	101	0.00	173
-615	Min.	-5.03	166	-0.18	65	-0.96	130	0.00	17	-0.00	130	-0.00	177
-614	Max	1.28	101	0.38	177	0.14	101	0.00	177	0.00	101	0.00	17
-614	Min.	-5.03	166	-0.17	65	-1.13	130	0.00	17	-0.00	130	0.00	177
-613	Max	1.28	101	0.39	177	0.25	101	0.01	177	0.00	101	0.00	177
-613	Min.	-5.03	166	-0.17	65	-1.37	130	0.00	17	-0.00	106	0.00	65
-612	Max	1.28	101	0.37	177	0.27	101	0.00	177	0.00	49	0.00	177
-612	Min.	-5.03	166	-0.17	65	-1.47	130	0.00	17	-0.00	98	0.00	65
-611	Max	1.28	101	0.35	177	0.26	101	0.00	177	0.00	65	0.00	177
-611	Min.	-5.03	166	-0.17	65	-1.52	130	0.00	17	-0.00	98	0.00	106
-610	Max	1.28	101	0.34	177	0.25	101	0.00	177	0.00	65	0.00	177

-610	Min.	-5.03	166	-0.17	65	-1.56	130	0.00	17	-0.00	98	0.00	106
-609	Max	1.29	101	0.32	177	0.18	101	0.00	173	0.00	65	0.00	17
-609	Min.	-5.03	166	-0.17	65	-1.64	106	0.00	17	-0.01	98	0.00	173
-608	Max	1.29	101	0.35	177	0.10	1	0.00	177	0.00	65	0.00	17
-608	Min.	-5.04	166	-0.16	65	-1.81	106	0.00	17	-0.01	97	0.00	177
-607	Max	1.29	101	0.37	177	0.07	1	0.00	177	0.00	65	0.00	17
-607	Min.	-5.04	166	-0.16	65	-1.87	106	0.00	17	-0.01	97	0.00	177
-606	Max	1.29	101	0.40	177	0.00	1	0.00	177	0.00	65	0.00	17
-606	Min.	-5.04	166	-0.16	65	-1.98	106	-0.00	17	-0.01	97	0.00	177
-605	Max	1.29	101	0.41	177	-0.07	1	0.01	177	0.00	65	0.00	100
-605	Min.	-5.04	166	-0.15	65	-2.19	98	-0.00	17	-0.01	97	0.00	177
-604	Max	1.29	101	0.42	177	-0.13	17	0.01	177	0.00	130	0.00	97
-604	Min.	-5.04	166	-0.15	65	-2.55	98	-0.00	17	-0.01	97	0.00	173
-603	Max	1.29	101	0.42	177	-0.20	17	0.01	177	0.00	130	0.00	97
-603	Min.	-5.04	166	-0.15	65	-3.16	98	-0.00	17	-0.01	97	0.00	173
-602	Max	1.29	101	0.42	177	-0.23	17	0.01	177	0.00	130	0.00	177
-602	Min.	-5.04	166	-0.15	65	-3.40	100	-0.00	17	-0.01	97	0.00	173
-601	Max	1.28	101	0.41	177	-0.25	17	0.01	177	0.00	130	0.00	177
-601	Min.	-5.04	166	-0.15	65	-3.57	100	-0.00	99	-0.00	101	0.00	173
-600	Max	1.28	101	0.40	177	-0.28	17	0.01	177	0.00	130	0.00	177
-600	Min.	-5.05	166	-0.15	65	-3.65	100	-0.00	99	-0.00	101	0.00	173
-599	Max	1.28	101	0.40	177	-0.28	65	0.01	177	0.00	130	0.00	173
-599	Min.	-5.05	162	-0.15	17	-3.65	100	-0.00	99	-0.00	101	0.00	177
-598	Max	1.28	101	0.41	177	-0.25	65	0.01	177	0.00	130	0.00	173
-598	Min.	-5.05	158	-0.15	17	-3.57	100	-0.00	99	-0.00	101	0.00	177
-597	Max	1.28	101	0.42	177	-0.23	65	0.01	177	0.01	98	0.00	173
-597	Min.	-5.05	158	-0.15	17	-3.40	100	-0.00	65	-0.00	101	0.00	177
-596	Max	1.27	101	0.42	177	-0.20	65	0.01	177	0.01	98	0.00	173
-596	Min.	-5.05	158	-0.15	17	-3.16	97	-0.00	65	0.00	1	0.00	98
-595	Max	1.27	101	0.42	177	-0.13	65	0.01	177	0.01	98	0.00	173
-595	Min.	-5.06	158	-0.15	17	-2.55	97	-0.00	65	0.00	1	0.00	98
-594	Max	1.26	101	0.41	177	-0.07	49	0.01	177	0.01	98	0.00	177
-594	Min.	-5.06	158	-0.15	17	-2.19	97	-0.00	65	0.00	17	0.00	100
-593	Max	1.26	101	0.40	177	0.00	49	0.00	177	0.01	98	0.00	177
-593	Min.	-5.06	158	-0.16	17	-1.98	101	-0.00	65	0.00	17	0.00	65
-592	Max	1.26	101	0.37	177	0.18	130	0.00	177	0.01	98	0.00	177
-592	Min.	-5.06	158	-0.16	17	-1.87	101	0.00	65	0.00	17	0.00	65
-591	Max	1.26	101	0.35	177	0.26	130	0.00	177	0.01	98	0.00	177
-591	Min.	-5.06	158	-0.16	17	-1.81	101	0.00	65	0.00	17	0.00	65
-590	Max	1.26	101	0.32	177	0.44	130	0.00	173	0.01	97	0.00	173
-590	Min.	-5.06	158	-0.17	17	-1.64	101	0.00	65	0.00	17	0.00	65
-589	Max	1.25	101	0.34	177	0.50	130	0.00	177	0.00	97	0.00	125
-589	Min.	-5.05	158	-0.17	17	-1.54	101	0.00	65	0.00	17	0.00	177
-588	Max	1.25	101	0.35	177	0.51	130	0.00	177	0.00	97	0.00	125
-588	Min.	-5.05	158	-0.17	17	-1.48	101	0.00	65	0.00	17	0.00	177
-587	Max	1.25	101	0.37	177	0.50	130	0.00	177	0.00	97	0.00	125
-587	Min.	-5.05	158	-0.17	17	-1.43	101	0.00	65	0.00	130	0.00	177
-586	Max	1.25	101	0.39	177	0.47	130	0.01	177	0.00	101	0.00	17
-586	Min.	-5.05	158	-0.17	17	-1.33	101	0.00	65	-0.00	130	0.00	177
-585	Max	1.25	101	0.38	177	0.33	130	0.00	177	0.00	101	0.00	177
-585	Min.	-5.05	158	-0.17	17	-1.09	101	0.00	65	-0.00	130	0.00	65
-584	Max	1.25	101	0.34	177	0.21	130	0.00	177	0.00	101	0.00	177
-584	Min.	-5.05	158	-0.18	17	-0.94	101	0.00	65	-0.00	130	0.00	173
-583	Max	1.25	101	0.27	177	0.09	131	0.00	173	0.00	101	0.00	177
-583	Min.	-5.05	158	-0.18	17	-0.78	104	-0.00	177	-0.00	130	0.00	173
-582	Max	1.25	101	0.19	177	-0.01	65	0.00	173	0.00	101	0.00	177
-582	Min.	-5.05	158	-0.18	17	-0.62	104	-0.01	177	-0.00	130	0.00	173
-581	Max	0.68	101	0.18	17	-0.02	17	0.00	65	0.00	101	0.00	105
-581	Min.	-0.88	130	-0.18	65	-0.48	108	0.00	177	-0.00	130	0.00	162
-537	Max	0.75	101	0.18	65	-0.02	65	0.00	17	0.00	101	0.00	33
-537	Min.	-0.83	130	-0.18	17	-0.48	104	0.00	177	-0.00	130	0.00	126
-536	Max	0.68	101	0.18	17	-0.01	17	0.00	65	0.00	101	0.00	105
-536	Min.	-0.88	130	-0.18	65	-0.48	108	0.00	177	-0.00	130	0.00	162
-535	Max	0.74	101	0.18	65	-0.01	65	0.00	17	0.00	101	0.00	33
-535	Min.	-0.83	130	-0.18	17	-0.48	104	0.00	177	-0.00	130	0.00	126
-534	Max	0.64	101	0.17	17	-0.01	65	0.00	65	0.00	101	0.00	162
-534	Min.	-0.81	130	-0.17	65	-0.48	107	0.00	17	-0.00	130	0.00	105
-533	Max	0.69	101	0.17	65	-0.01	17	0.00	17	0.00	101	0.00	126
-533	Min.	-0.77	130	-0.17	17	-0.48	103	0.00	65	-0.00	130	0.00	65
-532	Max	0.64	101	0.17	17	-0.02	65	0.00	65	0.00	101	0.00	162
-532	Min.	-0.81	130	-0.17	65	-0.48	107	0.00	17	-0.00	130	0.00	105
-531	Max	0.69	101	0.17	65	-0.02	17	0.00	17	0.00	101	0.00	126
-531	Min.	-0.77	130	-0.17	17	-0.48	103	0.00	65	-0.00	130	0.00	65
-530	Max	0.64	101	0.17	17	-0.02	65	0.00	65	0.00	101	0.00	162
-530	Min.	-0.81	130	-0.17	65	-0.48	107	0.00	17	-0.00	130	0.00	105
-529	Max	0.69	101	0.17	65	-0.02	17	0.00	17	0.00	101	0.00	126
-529	Min.	-0.77	130	-0.17	17	-0.48	103	0.00	65	-0.00	130	0.00	65
-528	Max	0.64	101	0.17	17	-0.04	65	0.00	65	0.00	101	0.00	162
-528	Min.	-0.81	130	-0.17	65	-0.47	107	0.00	17	-0.00	130	0.00	105

-527	Max	0.70	101	0.17	65	-0.04	17	0.00	17	0.00	101	0.00	158
-527	Min.	-0.77	130	-0.17	17	-0.47	103	0.00	65	-0.00	130	0.00	65
-526	Max	0.64	101	0.17	17	-0.05	65	0.00	65	0.00	101	0.00	162
-526	Min.	-0.81	130	-0.17	65	-0.47	107	0.00	17	-0.00	130	0.00	105
-525	Max	0.70	101	0.17	65	-0.05	17	0.00	17	0.00	101	0.00	158
-525	Min.	-0.77	130	-0.17	17	-0.47	103	0.00	65	-0.00	130	0.00	65
-524	Max	0.64	101	0.17	17	-0.07	65	0.00	65	0.00	101	0.00	162
-524	Min.	-0.81	130	-0.17	65	-0.47	107	0.00	17	-0.00	130	0.00	105
-523	Max	0.70	101	0.17	65	-0.07	17	0.00	17	0.00	101	0.00	126
-523	Min.	-0.76	130	-0.17	17	-0.47	103	0.00	65	-0.00	130	0.00	65
-522	Max	0.63	101	0.17	17	-0.08	65	0.00	65	0.00	101	0.00	162
-522	Min.	-0.81	130	-0.17	65	-0.47	107	0.00	17	-0.00	130	0.00	105
-521	Max	0.70	101	0.17	65	-0.08	17	0.00	17	0.00	101	0.00	126
-521	Min.	-0.76	130	-0.17	17	-0.47	103	0.00	65	-0.00	130	0.00	65
-520	Max	0.63	101	0.17	17	-0.09	49	0.00	65	0.00	101	0.00	17
-520	Min.	-0.81	130	-0.17	65	-0.47	107	0.00	17	-0.00	130	0.00	105
-519	Max	0.70	101	0.17	65	-0.09	1	0.00	17	0.00	101	0.00	126
-519	Min.	-0.76	130	-0.17	17	-0.47	103	0.00	65	-0.00	130	0.00	65
-518	Max	0.63	101	0.17	17	-0.10	49	0.00	65	0.00	101	0.00	17
-518	Min.	-0.81	130	-0.17	65	-0.47	107	0.00	17	-0.00	130	0.00	65
-517	Max	0.70	101	0.17	65	-0.10	1	0.00	17	0.00	101	0.00	17
-517	Min.	-0.76	130	-0.17	17	-0.47	103	0.00	65	-0.00	130	0.00	65
-516	Max	0.63	101	0.17	17	-0.10	49	0.00	65	0.00	101	0.00	17
-516	Min.	-0.81	130	-0.17	65	-0.47	106	0.00	17	-0.00	130	0.00	65
-515	Max	0.71	101	0.17	65	-0.10	1	0.00	17	0.00	101	0.00	17
-515	Min.	-0.76	130	-0.17	17	-0.47	101	0.00	65	-0.00	130	0.00	65
-514	Max	0.63	101	0.17	17	-0.10	1	0.00	65	0.00	101	0.00	17
-514	Min.	-0.81	130	-0.17	65	-0.47	108	0.00	17	-0.00	130	0.00	65
-513	Max	0.70	101	0.17	65	-0.10	49	0.00	17	0.00	101	0.00	17
-513	Min.	-0.76	130	-0.17	17	-0.47	104	0.00	65	-0.00	130	0.00	65
-512	Max	0.63	101	0.17	17	-0.09	1	0.00	65	0.00	101	0.00	105
-512	Min.	-0.81	130	-0.17	65	-0.47	108	0.00	17	-0.00	130	0.00	65
-511	Max	0.70	101	0.17	65	-0.09	49	0.00	17	0.00	101	0.00	17
-511	Min.	-0.76	130	-0.17	17	-0.47	104	0.00	65	-0.00	130	0.00	126
-510	Max	0.63	101	0.17	17	-0.08	17	0.00	65	0.00	101	0.00	105
-510	Min.	-0.81	130	-0.17	65	-0.47	108	0.00	17	-0.00	130	0.00	162
-509	Max	0.70	101	0.17	65	-0.08	65	0.00	17	0.00	101	0.00	17
-509	Min.	-0.76	130	-0.17	17	-0.47	104	0.00	65	-0.00	130	0.00	126
-508	Max	0.64	101	0.17	17	-0.07	17	0.00	65	0.00	101	0.00	105
-508	Min.	-0.81	130	-0.17	65	-0.47	108	0.00	17	-0.00	130	0.00	162
-507	Max	0.70	101	0.17	65	-0.07	65	0.00	17	0.00	101	0.00	17
-507	Min.	-0.76	130	-0.17	17	-0.47	104	0.00	65	-0.00	130	0.00	126
-506	Max	0.64	101	0.17	17	-0.05	17	0.00	65	0.00	101	0.00	105
-506	Min.	-0.81	130	-0.17	65	-0.47	108	0.00	17	-0.00	130	0.00	162
-505	Max	0.70	101	0.17	65	-0.05	65	0.00	17	0.00	101	0.00	17
-505	Min.	-0.77	130	-0.17	17	-0.47	104	0.00	65	-0.00	130	0.00	158
-504	Max	0.64	101	0.17	17	-0.05	17	0.00	65	0.00	101	0.00	105
-504	Min.	-0.81	130	-0.17	65	-0.48	108	0.00	177	-0.00	130	0.00	162
-503	Max	0.70	101	0.17	65	-0.05	65	0.00	17	0.00	101	0.00	17
-503	Min.	-0.77	130	-0.17	17	-0.48	104	0.00	177	-0.00	130	0.00	158
-502	Max	0.64	101	0.17	17	-0.02	17	0.00	65	0.00	101	0.00	105
-502	Min.	-0.81	130	-0.17	65	-0.48	108	0.00	177	-0.00	130	0.00	162
-501	Max	0.69	101	0.17	65	-0.02	65	0.00	17	0.00	101	0.00	33
-501	Min.	-0.77	130	-0.17	17	-0.48	104	0.00	177	-0.00	130	0.00	126
-500	Max	0.64	101	0.17	17	-0.02	17	0.00	65	0.00	101	0.00	105
-500	Min.	-0.81	130	-0.17	65	-0.48	108	0.00	177	-0.00	130	0.00	162
-499	Max	0.69	101	0.17	65	-0.02	65	0.00	17	0.00	101	0.00	33
-499	Min.	-0.77	130	-0.17	17	-0.48	104	0.00	177	-0.00	130	0.00	126
-498	Max	0.64	101	0.17	17	-0.01	17	0.00	65	0.00	101	0.00	105
-498	Min.	-0.81	130	-0.17	65	-0.48	108	0.00	177	-0.00	130	0.00	162
-497	Max	0.69	101	0.17	65	-0.01	65	0.00	17	0.00	101	0.00	33
-497	Min.	-0.77	130	-0.17	17	-0.48	104	0.00	177	-0.00	130	0.00	126
-496	Max	0.54	101	0.14	17	-0.01	65	0.00	65	0.00	101	0.00	33
-496	Min.	-0.65	130	-0.14	65	-0.48	107	0.00	17	-0.00	130	0.00	105
-495	Max	0.56	101	0.14	65	-0.01	17	0.00	17	0.00	101	0.00	102
-495	Min.	-0.64	130	-0.14	17	-0.48	103	0.00	65	-0.00	130	0.00	65
-494	Max	0.54	101	0.14	17	-0.02	65	0.00	65	0.00	101	0.00	33
-494	Min.	-0.65	130	-0.14	65	-0.48	107	0.00	17	-0.00	130	0.00	105
-493	Max	0.56	101	0.14	65	-0.02	17	0.00	17	0.00	101	0.00	126
-493	Min.	-0.64	130	-0.14	17	-0.48	103	0.00	65	-0.00	130	0.00	65
-492	Max	0.54	101	0.14	17	-0.02	65	0.00	65	0.00	101	0.00	33
-492	Min.	-0.65	130	-0.14	65	-0.48	107	0.00	17	-0.00	130	0.00	105
-491	Max	0.56	101	0.14	65	-0.02	17	0.00	17	0.00	101	0.00	126
-491	Min.	-0.64	130	-0.14	17	-0.48	103	0.00	65	-0.00	130	0.00	65
-490	Max	0.54	101	0.14	17	-0.04	65	0.00	65	0.00	101	0.00	162
-490	Min.	-0.65	130	-0.14	65	-0.47	107	0.00	17	-0.00	130	0.00	105
-489	Max	0.56	101	0.14	65	-0.04	17	0.00	17	0.00	101	0.00	126
-489	Min.	-0.64	130	-0.14	17	-0.47	103	0.00	65	-0.00	130	0.00	65
-488	Max	0.54	101	0.14	17	-0.05	65	0.00	65	0.00	101	0.00	162

-488	Min.	-0.65	130	-0.14	65	-0.47	107	0.00	17	-0.00	130	0.00	105
-487	Max	0.56	101	0.14	65	-0.05	17	0.00	17	0.00	101	0.00	126
-487	Min.	-0.64	130	-0.14	17	-0.47	103	0.00	65	-0.00	130	0.00	65
-486	Max	0.54	101	0.14	17	-0.07	65	0.00	65	0.00	101	0.00	17
-486	Min.	-0.65	130	-0.14	65	-0.47	107	0.00	17	-0.00	130	0.00	105
-485	Max	0.56	101	0.14	65	-0.07	17	0.00	17	0.00	101	0.00	126
-485	Min.	-0.64	130	-0.14	17	-0.47	103	0.00	65	-0.00	130	0.00	65
-484	Max	0.54	101	0.14	17	-0.08	65	0.00	65	0.00	101	0.00	17
-484	Min.	-0.65	130	-0.14	65	-0.47	107	0.00	17	-0.00	130	0.00	105
-483	Max	0.56	101	0.14	65	-0.08	17	0.00	17	0.00	101	0.00	126
-483	Min.	-0.64	130	-0.14	17	-0.47	103	0.00	65	-0.00	130	0.00	65
-482	Max	0.54	101	0.14	17	-0.09	49	0.00	65	0.00	101	0.00	17
-482	Min.	-0.65	130	-0.14	65	-0.47	107	0.00	17	-0.00	130	0.00	105
-481	Max	0.56	101	0.14	65	-0.09	1	0.00	17	0.00	101	0.00	126
-481	Min.	-0.64	130	-0.14	17	-0.47	103	0.00	65	-0.00	130	0.00	65
-480	Max	0.54	101	0.14	17	-0.10	49	0.00	65	0.00	101	0.00	17
-480	Min.	-0.66	130	-0.14	65	-0.47	107	0.00	17	-0.00	130	0.00	65
-479	Max	0.56	101	0.14	65	-0.10	1	0.00	17	0.00	101	0.00	17
-479	Min.	-0.64	130	-0.14	17	-0.47	103	0.00	65	-0.00	130	0.00	65
-478	Max	0.54	101	0.14	17	-0.10	49	0.00	65	0.00	101	0.00	17
-478	Min.	-0.66	130	-0.14	65	-0.47	106	0.00	17	-0.00	130	0.00	65
-477	Max	0.56	101	0.14	65	-0.10	1	0.00	17	0.00	101	0.00	17
-477	Min.	-0.64	130	-0.14	17	-0.47	101	0.00	65	-0.00	130	0.00	65
-476	Max	0.54	101	0.14	17	-0.10	1	0.00	65	0.00	101	0.00	17
-476	Min.	-0.66	130	-0.14	65	-0.47	108	0.00	17	-0.00	130	0.00	65
-475	Max	0.56	101	0.14	65	-0.10	49	0.00	17	0.00	101	0.00	17
-475	Min.	-0.64	130	-0.14	17	-0.47	104	0.00	65	-0.00	130	0.00	65
-474	Max	0.54	101	0.14	17	-0.09	1	0.00	65	0.00	101	0.00	105
-474	Min.	-0.65	130	-0.14	65	-0.47	108	0.00	17	-0.00	130	0.00	65
-473	Max	0.56	101	0.14	65	-0.09	49	0.00	17	0.00	101	0.00	17
-473	Min.	-0.64	130	-0.14	17	-0.47	104	0.00	65	-0.00	130	0.00	126
-472	Max	0.54	101	0.14	17	-0.08	17	0.00	65	0.00	101	0.00	105
-472	Min.	-0.65	130	-0.14	65	-0.47	108	0.00	17	-0.00	130	0.00	65
-471	Max	0.56	101	0.14	65	-0.08	65	0.00	17	0.00	101	0.00	17
-471	Min.	-0.64	130	-0.14	17	-0.47	104	0.00	65	-0.00	130	0.00	126
-470	Max	0.54	101	0.14	17	-0.07	17	0.00	65	0.00	101	0.00	105
-470	Min.	-0.65	130	-0.14	65	-0.47	108	0.00	17	-0.00	130	0.00	65
-469	Max	0.56	101	0.14	65	-0.07	65	0.00	17	0.00	101	0.00	17
-469	Min.	-0.64	130	-0.14	17	-0.47	104	0.00	65	-0.00	130	0.00	126
-468	Max	0.54	101	0.14	17	-0.05	17	0.00	65	0.00	101	0.00	105
-468	Min.	-0.65	130	-0.14	65	-0.47	108	0.00	17	-0.00	130	0.00	162
-467	Max	0.56	101	0.14	65	-0.05	65	0.00	17	0.00	101	0.00	17
-467	Min.	-0.64	130	-0.14	17	-0.47	104	0.00	65	-0.00	130	0.00	126
-466	Max	0.54	101	0.14	17	-0.05	17	0.00	65	0.00	101	0.00	105
-466	Min.	-0.65	130	-0.14	65	-0.48	108	0.00	177	-0.00	130	0.00	162
-465	Max	0.56	101	0.14	65	-0.05	65	0.00	17	0.00	101	0.00	17
-465	Min.	-0.64	130	-0.14	17	-0.48	104	0.00	177	-0.00	130	0.00	126
-464	Max	0.54	101	0.14	17	-0.02	17	0.00	65	0.00	101	0.00	105
-464	Min.	-0.65	130	-0.14	65	-0.48	108	0.00	177	-0.00	130	0.00	49
-463	Max	0.56	101	0.14	65	-0.02	65	0.00	17	0.00	101	0.00	33
-463	Min.	-0.64	130	-0.14	17	-0.48	104	0.00	177	-0.00	130	0.00	126
-462	Max	0.54	101	0.14	17	-0.02	17	0.00	65	0.00	101	0.00	105
-462	Min.	-0.65	130	-0.14	65	-0.48	108	0.00	177	-0.00	130	0.00	65
-461	Max	0.56	101	0.14	65	-0.02	65	0.00	17	0.00	101	0.00	33
-461	Min.	-0.64	130	-0.14	17	-0.48	104	0.00	177	-0.00	130	0.00	126
-460	Max	0.54	101	0.14	17	-0.01	17	0.00	65	0.00	101	0.00	105
-460	Min.	-0.65	130	-0.14	65	-0.48	108	0.00	177	-0.00	130	0.00	65
-459	Max	0.56	101	0.14	65	-0.01	65	0.00	17	0.00	101	0.00	33
-459	Min.	-0.64	130	-0.14	17	-0.48	104	0.00	177	-0.00	130	0.00	102
-458	Max	0.48	101	0.12	17	-0.01	65	0.00	65	0.00	101	0.00	1
-458	Min.	-0.56	130	-0.13	65	-0.48	107	0.00	17	-0.00	130	0.00	49
-457	Max	0.48	101	0.12	65	-0.01	17	0.00	17	0.00	101	0.00	1
-457	Min.	-0.56	130	-0.13	17	-0.48	103	0.00	65	-0.00	130	0.00	49
-456	Max	0.48	101	0.12	17	-0.02	65	0.00	65	0.00	101	0.00	1
-456	Min.	-0.56	130	-0.13	65	-0.48	107	0.00	17	-0.00	130	0.00	49
-455	Max	0.48	101	0.12	65	-0.02	17	0.00	17	0.00	101	0.00	1
-455	Min.	-0.56	130	-0.13	17	-0.48	103	0.00	65	-0.00	130	0.00	49
-454	Max	0.48	101	0.12	17	-0.02	65	0.00	65	0.00	101	0.00	1
-454	Min.	-0.56	130	-0.13	65	-0.48	107	0.00	17	-0.00	130	0.00	49
-453	Max	0.48	101	0.12	65	-0.02	17	0.00	17	0.00	101	0.00	1
-453	Min.	-0.56	130	-0.13	17	-0.48	103	0.00	65	-0.00	130	0.00	49
-452	Max	0.48	101	0.12	17	-0.04	65	0.00	65	0.00	101	0.00	1
-452	Min.	-0.56	130	-0.13	65	-0.47	107	0.00	17	-0.00	130	0.00	49
-451	Max	0.48	101	0.12	65	-0.04	17	0.00	17	0.00	101	0.00	1
-451	Min.	-0.56	130	-0.13	17	-0.47	103	0.00	65	-0.00	130	0.00	49
-450	Max	0.48	101	0.12	17	-0.05	65	0.00	65	0.00	101	0.00	1
-450	Min.	-0.56	130	-0.13	65	-0.47	107	0.00	17	-0.00	130	0.00	49
-449	Max	0.48	101	0.12	65	-0.05	17	0.00	17	0.00	101	0.00	1
-449	Min.	-0.56	130	-0.13	17	-0.47	103	0.00	65	-0.00	130	0.00	49

-448	Max	0.48	101	0.12	17	-0.07	65	0.00	65	0.00	101	0.00	1
-448	Min.	-0.56	130	-0.13	65	-0.47	107	0.00	17	-0.00	130	0.00	49
-447	Max	0.48	101	0.12	65	-0.07	17	0.00	17	0.00	101	0.00	1
-447	Min.	-0.56	130	-0.13	17	-0.47	103	0.00	65	-0.00	130	0.00	49
-446	Max	0.48	101	0.12	17	-0.08	65	0.00	65	0.00	101	0.00	1
-446	Min.	-0.56	130	-0.13	65	-0.47	107	0.00	17	-0.00	130	0.00	49
-445	Max	0.48	101	0.12	65	-0.08	17	0.00	17	0.00	101	0.00	1
-445	Min.	-0.56	130	-0.13	17	-0.47	103	0.00	65	-0.00	130	0.00	49
-444	Max	0.48	101	0.12	17	-0.09	49	0.00	65	0.00	101	0.00	1
-444	Min.	-0.56	130	-0.13	65	-0.47	107	0.00	17	-0.00	130	0.00	49
-443	Max	0.48	101	0.12	65	-0.09	1	0.00	17	0.00	101	0.00	1
-443	Min.	-0.56	130	-0.13	17	-0.47	103	0.00	65	-0.00	130	0.00	49
-442	Max	0.48	101	0.12	17	-0.10	49	0.00	65	0.00	101	0.00	1
-442	Min.	-0.56	130	-0.13	65	-0.47	107	0.00	17	-0.00	130	0.00	49
-441	Max	0.48	101	0.12	65	-0.10	1	0.00	17	0.00	101	0.00	1
-441	Min.	-0.56	130	-0.13	17	-0.47	103	0.00	65	-0.00	130	0.00	49
-440	Max	0.48	101	0.12	17	-0.10	49	0.00	65	0.00	101	0.00	1
-440	Min.	-0.56	130	-0.13	65	-0.47	106	0.00	17	-0.00	130	0.00	49
-439	Max	0.48	101	0.12	65	-0.10	1	0.00	17	0.00	101	0.00	1
-439	Min.	-0.56	130	-0.13	17	-0.47	101	0.00	65	-0.00	130	0.00	49
-438	Max	0.48	101	0.12	17	-0.10	1	0.00	65	0.00	101	0.00	1
-438	Min.	-0.56	130	-0.13	65	-0.47	108	0.00	17	-0.00	130	0.00	49
-437	Max	0.48	101	0.12	65	-0.10	49	0.00	17	0.00	101	0.00	1
-437	Min.	-0.56	130	-0.13	17	-0.47	104	0.00	65	-0.00	130	0.00	49
-436	Max	0.48	101	0.12	17	-0.09	1	0.00	65	0.00	101	0.00	1
-436	Min.	-0.56	130	-0.13	65	-0.47	108	0.00	17	-0.00	130	0.00	49
-435	Max	0.48	101	0.12	65	-0.09	49	0.00	17	0.00	101	0.00	1
-435	Min.	-0.56	130	-0.13	17	-0.47	104	0.00	65	-0.00	130	0.00	49
-434	Max	0.48	101	0.12	17	-0.08	17	0.00	65	0.00	101	0.00	1
-434	Min.	-0.56	130	-0.13	65	-0.47	108	0.00	17	-0.00	130	0.00	49
-433	Max	0.48	101	0.12	65	-0.08	65	0.00	17	0.00	101	0.00	1
-433	Min.	-0.56	130	-0.13	17	-0.47	104	0.00	65	-0.00	130	0.00	49
-432	Max	0.48	101	0.12	17	-0.07	17	0.00	65	0.00	101	0.00	1
-432	Min.	-0.56	130	-0.13	65	-0.47	108	0.00	17	-0.00	130	0.00	49
-431	Max	0.48	101	0.12	65	-0.07	65	0.00	17	0.00	101	0.00	1
-431	Min.	-0.56	130	-0.13	17	-0.47	104	0.00	65	-0.00	130	0.00	49
-430	Max	0.48	101	0.12	17	-0.05	17	0.00	65	0.00	101	0.00	1
-430	Min.	-0.56	130	-0.13	65	-0.47	108	0.00	17	-0.00	130	0.00	49
-429	Max	0.48	101	0.12	65	-0.05	65	0.00	17	0.00	101	0.00	1
-429	Min.	-0.56	130	-0.13	17	-0.47	104	0.00	65	-0.00	130	0.00	49
-428	Max	0.48	101	0.12	17	-0.05	17	0.00	65	0.00	101	0.00	1
-428	Min.	-0.56	130	-0.13	65	-0.48	108	0.00	177	-0.00	130	0.00	49
-427	Max	0.48	101	0.12	65	-0.05	65	0.00	17	0.00	101	0.00	1
-427	Min.	-0.56	130	-0.13	17	-0.48	104	0.00	177	-0.00	130	0.00	49
-426	Max	0.48	101	0.12	17	-0.02	17	0.00	65	0.00	101	0.00	1
-426	Min.	-0.56	130	-0.13	65	-0.48	108	0.00	177	-0.00	130	0.00	49
-425	Max	0.48	101	0.12	65	-0.02	65	0.00	17	0.00	101	0.00	1
-425	Min.	-0.56	130	-0.13	17	-0.48	104	0.00	177	-0.00	130	0.00	49
-424	Max	0.48	101	0.12	17	-0.02	17	0.00	65	0.00	101	0.00	1
-424	Min.	-0.56	130	-0.13	65	-0.48	108	0.00	177	-0.00	130	0.00	49
-423	Max	0.48	101	0.12	65	-0.02	65	0.00	17	0.00	101	0.00	1
-423	Min.	-0.56	130	-0.13	17	-0.48	104	0.00	177	-0.00	130	0.00	49
-422	Max	0.48	101	0.12	17	-0.01	17	0.00	65	0.00	101	0.00	1
-422	Min.	-0.56	130	-0.13	65	-0.48	108	0.00	17	-0.00	130	0.00	49
-421	Max	0.48	101	0.12	65	-0.01	65	0.00	17	0.00	101	0.00	1
-421	Min.	-0.56	130	-0.13	17	-0.48	104	0.00	65	-0.00	130	0.00	49
-420	Max	0.37	101	0.10	17	-0.01	65	0.00	65	0.00	101	0.00	1
-420	Min.	-0.43	130	-0.10	65	-0.48	107	0.00	17	-0.00	130	0.00	130
-419	Max	0.36	101	0.10	65	-0.01	17	0.00	17	0.00	101	0.00	1
-419	Min.	-0.43	130	-0.10	17	-0.48	103	0.00	65	-0.00	130	0.00	49
-418	Max	0.37	101	0.10	17	-0.02	65	0.00	65	0.00	101	0.00	1
-418	Min.	-0.43	130	-0.10	65	-0.48	107	0.00	17	-0.00	130	0.00	49
-417	Max	0.36	101	0.10	65	-0.02	17	0.00	17	0.00	101	0.00	1
-417	Min.	-0.43	130	-0.10	17	-0.48	103	0.00	65	-0.00	130	0.00	49
-416	Max	0.37	101	0.10	17	-0.02	65	0.00	65	0.00	101	0.00	1
-416	Min.	-0.43	130	-0.10	65	-0.48	107	0.00	17	-0.00	130	0.00	49
-415	Max	0.36	101	0.10	65	-0.02	17	0.00	17	0.00	101	0.00	1
-415	Min.	-0.43	130	-0.10	17	-0.48	103	0.00	65	-0.00	130	0.00	49
-414	Max	0.37	101	0.10	17	-0.04	65	0.00	65	0.00	101	0.00	1
-414	Min.	-0.43	130	-0.10	65	-0.47	107	0.00	17	-0.00	130	0.00	49
-413	Max	0.36	101	0.10	65	-0.04	17	0.00	17	0.00	101	0.00	1
-413	Min.	-0.43	130	-0.10	17	-0.47	103	0.00	65	-0.00	130	0.00	49
-412	Max	0.37	101	0.10	17	-0.05	65	0.00	65	0.00	101	0.00	17
-412	Min.	-0.43	130	-0.10	65	-0.47	107	0.00	17	-0.00	130	0.00	65
-411	Max	0.36	101	0.10	65	-0.05	17	0.00	17	0.00	101	0.00	17
-411	Min.	-0.43	130	-0.10	17	-0.47	103	0.00	65	-0.00	130	0.00	65
-410	Max	0.37	101	0.10	17	-0.07	65	0.00	65	0.00	101	0.00	17
-410	Min.	-0.43	130	-0.10	65	-0.47	107	0.00	17	-0.00	130	0.00	65
-409	Max	0.36	101	0.10	65	-0.07	17	0.00	17	0.00	101	0.00	17

-409	Min.	-0.43	130	-0.10	17	-0.47	103	0.00	65	-0.00	130	0.00	65
-408	Max	0.37	101	0.10	17	-0.08	65	0.00	65	0.00	101	0.00	17
-408	Min.	-0.43	130	-0.10	65	-0.47	107	0.00	17	-0.00	130	0.00	65
-407	Max	0.36	101	0.10	65	-0.08	17	0.00	17	0.00	101	0.00	17
-407	Min.	-0.43	130	-0.10	17	-0.47	103	0.00	65	-0.00	130	0.00	65
-406	Max	0.37	101	0.10	17	-0.09	49	0.00	65	0.00	101	0.00	1
-406	Min.	-0.43	130	-0.10	65	-0.47	107	0.00	17	-0.00	130	0.00	49
-405	Max	0.36	101	0.10	65	-0.09	1	0.00	17	0.00	101	0.00	1
-405	Min.	-0.43	130	-0.10	17	-0.47	103	0.00	65	-0.00	130	0.00	49
-404	Max	0.37	101	0.10	17	-0.10	49	0.00	65	0.00	101	0.00	105
-404	Min.	-0.43	130	-0.10	65	-0.47	107	0.00	17	-0.00	130	0.00	49
-403	Max	0.36	101	0.10	65	-0.10	1	0.00	17	0.00	101	0.00	1
-403	Min.	-0.43	130	-0.10	17	-0.47	103	0.00	65	-0.00	130	0.00	102
-402	Max	0.37	101	0.10	17	-0.10	1	0.00	65	0.00	101	0.00	1
-402	Min.	-0.42	130	-0.10	65	-0.47	108	0.00	17	-0.00	130	0.00	105
-401	Max	0.36	101	0.10	65	-0.10	49	0.00	17	0.00	101	0.00	102
-401	Min.	-0.43	130	-0.10	17	-0.47	104	0.00	65	-0.00	130	0.00	49
-400	Max	0.37	101	0.10	17	-0.09	1	0.00	65	0.00	101	0.00	1
-400	Min.	-0.43	130	-0.10	65	-0.47	108	0.00	17	-0.00	130	0.00	49
-399	Max	0.36	101	0.10	65	-0.09	49	0.00	17	0.00	101	0.00	1
-399	Min.	-0.43	130	-0.10	17	-0.47	104	0.00	65	-0.00	130	0.00	49
-398	Max	0.37	101	0.10	17	-0.08	17	0.00	65	0.00	101	0.00	1
-398	Min.	-0.43	130	-0.10	65	-0.47	108	0.00	17	-0.00	130	0.00	49
-397	Max	0.36	101	0.10	65	-0.08	65	0.00	17	0.00	101	0.00	1
-397	Min.	-0.43	130	-0.10	17	-0.47	104	0.00	65	-0.00	130	0.00	49
-396	Max	0.37	101	0.10	17	-0.07	17	0.00	65	0.00	101	0.00	17
-396	Min.	-0.43	130	-0.10	65	-0.47	108	0.00	17	-0.00	130	0.00	65
-395	Max	0.36	101	0.10	65	-0.07	65	0.00	17	0.00	101	0.00	17
-395	Min.	-0.43	130	-0.10	17	-0.47	104	0.00	65	-0.00	130	0.00	65
-394	Max	0.37	101	0.10	17	-0.05	17	0.00	65	0.00	101	0.00	17
-394	Min.	-0.43	130	-0.10	65	-0.47	108	0.00	17	-0.00	130	0.00	65
-393	Max	0.36	101	0.10	65	-0.05	65	0.00	17	0.00	101	0.00	17
-393	Min.	-0.43	130	-0.10	17	-0.47	104	0.00	65	-0.00	130	0.00	65
-392	Max	0.37	101	0.10	17	-0.05	17	0.00	65	0.00	101	0.00	17
-392	Min.	-0.43	130	-0.10	65	-0.48	108	0.00	17	-0.00	130	0.00	65
-391	Max	0.36	101	0.10	65	-0.05	65	0.00	17	0.00	101	0.00	17
-391	Min.	-0.43	130	-0.10	17	-0.48	104	0.00	65	-0.00	130	0.00	65
-390	Max	0.37	101	0.10	17	-0.02	17	0.00	65	0.00	101	0.00	17
-390	Min.	-0.43	130	-0.10	65	-0.48	108	0.00	17	-0.00	130	0.00	65
-389	Max	0.36	101	0.10	65	-0.02	65	0.00	17	0.00	101	0.00	17
-389	Min.	-0.43	130	-0.10	17	-0.48	104	0.00	65	-0.00	130	0.00	65
-388	Max	0.37	101	0.10	17	-0.02	17	0.00	65	0.00	101	0.00	17
-388	Min.	-0.43	130	-0.10	65	-0.48	108	0.00	17	-0.00	130	0.00	65
-387	Max	0.36	101	0.10	65	-0.02	65	0.00	17	0.00	101	0.00	17
-387	Min.	-0.43	130	-0.10	17	-0.48	104	0.00	65	-0.00	130	0.00	65
-386	Max	0.37	101	0.10	17	-0.01	17	0.00	65	0.00	101	0.00	130
-386	Min.	-0.43	130	-0.10	65	-0.48	108	0.00	17	-0.00	130	0.00	49
-385	Max	0.36	101	0.10	65	-0.01	65	0.00	17	0.00	101	0.00	1
-385	Min.	-0.43	130	-0.10	17	-0.48	104	0.00	65	-0.00	130	0.00	49
-384	Max	0.36	101	0.10	177	0.11	101	0.00	65	0.00	101	0.00	17
-384	Min.	-0.37	130	-0.08	65	-0.93	106	0.00	177	-0.00	130	0.00	177
-383	Max	0.30	101	0.10	177	0.24	130	0.00	17	0.00	101	0.00	177
-383	Min.	-0.42	130	-0.08	17	-0.93	101	0.00	177	-0.00	130	0.00	65
-382	Max	0.35	101	0.10	177	0.11	101	0.00	65	0.00	101	0.00	17
-382	Min.	-0.37	130	-0.08	65	-0.94	106	0.00	177	-0.00	130	0.00	177
-381	Max	0.30	101	0.10	177	0.24	130	0.00	17	0.00	101	0.00	177
-381	Min.	-0.41	130	-0.08	17	-0.94	101	0.00	177	-0.00	130	0.00	65
-380	Max	0.35	101	0.10	177	0.11	101	0.00	65	0.00	101	0.00	17
-380	Min.	-0.37	130	-0.08	65	-0.94	106	0.00	177	-0.00	130	0.00	177
-379	Max	0.30	101	0.10	177	0.24	130	0.00	17	0.00	101	0.00	177
-379	Min.	-0.41	130	-0.08	17	-0.94	101	0.00	177	-0.00	130	0.00	65
-378	Max	0.35	101	0.10	177	0.11	101	0.00	65	0.00	101	0.00	17
-378	Min.	-0.37	130	-0.08	65	-0.94	106	0.00	177	-0.00	130	0.00	177
-377	Max	0.30	101	0.10	177	0.24	130	0.00	17	0.00	101	0.00	177
-377	Min.	-0.41	130	-0.08	17	-0.94	101	0.00	177	-0.00	130	0.00	65
-376	Max	0.36	101	0.10	177	0.11	101	0.00	65	0.00	101	0.00	17
-376	Min.	-0.37	130	-0.08	65	-0.93	106	0.00	177	-0.00	130	0.00	177
-375	Max	0.30	101	0.10	177	0.24	130	0.00	17	0.00	101	0.00	177
-375	Min.	-0.42	130	-0.08	17	-0.93	101	0.00	177	-0.00	130	0.00	65
-374	Max	0.28	101	0.07	17	-0.01	65	0.00	65	0.00	101	0.00	1
-374	Min.	-0.32	130	-0.07	65	-0.48	107	0.00	17	-0.00	130	0.00	49
-373	Max	0.28	101	0.07	65	-0.01	17	0.00	17	0.00	101	0.00	1
-373	Min.	-0.32	130	-0.07	17	-0.48	103	0.00	65	-0.00	130	0.00	49
-372	Max	0.28	101	0.07	17	-0.02	65	0.00	65	0.00	101	0.00	1
-372	Min.	-0.32	130	-0.07	65	-0.48	107	0.00	17	-0.00	130	0.00	49
-371	Max	0.28	101	0.07	65	-0.02	17	0.00	17	0.00	101	0.00	1
-371	Min.	-0.32	130	-0.07	17	-0.48	103	0.00	65	-0.00	130	0.00	49
-370	Max	0.28	101	0.07	17	-0.02	65	0.00	65	0.00	101	0.00	1
-370	Min.	-0.32	130	-0.07	65	-0.48	107	0.00	17	-0.00	130	0.00	49

-369	Max	0.28	101	0.07	65	-0.02	17	0.00	17	0.00	101	0.00	1
-369	Min.	-0.32	130	-0.07	17	-0.48	103	0.00	65	-0.00	130	0.00	49
-368	Max	0.28	101	0.07	17	-0.04	65	0.00	65	0.00	101	0.00	1
-368	Min.	-0.32	130	-0.07	65	-0.47	107	0.00	17	-0.00	130	0.00	49
-367	Max	0.28	101	0.07	65	-0.04	17	0.00	17	0.00	101	0.00	1
-367	Min.	-0.32	130	-0.07	17	-0.47	103	0.00	65	-0.00	130	0.00	49
-366	Max	0.28	101	0.07	17	-0.05	65	0.00	65	0.00	101	0.00	1
-366	Min.	-0.32	130	-0.07	65	-0.47	107	0.00	17	-0.00	130	0.00	49
-365	Max	0.28	101	0.07	65	-0.05	17	0.00	17	0.00	101	0.00	1
-365	Min.	-0.32	130	-0.07	17	-0.47	103	0.00	65	-0.00	130	0.00	49
-364	Max	0.28	101	0.07	17	-0.07	65	0.00	65	0.00	101	0.00	1
-364	Min.	-0.32	130	-0.07	65	-0.47	107	0.00	17	-0.00	130	0.00	49
-363	Max	0.28	101	0.07	65	-0.07	17	0.00	17	0.00	101	0.00	1
-363	Min.	-0.32	130	-0.07	17	-0.47	103	0.00	65	-0.00	130	0.00	49
-362	Max	0.28	101	0.07	17	-0.08	65	0.00	65	0.00	101	0.00	1
-362	Min.	-0.32	130	-0.07	65	-0.47	107	0.00	17	-0.00	130	0.00	49
-361	Max	0.28	101	0.07	65	-0.08	17	0.00	17	0.00	101	0.00	1
-361	Min.	-0.32	130	-0.07	17	-0.47	103	0.00	65	-0.00	130	0.00	49
-360	Max	0.28	101	0.07	17	-0.09	49	0.00	65	0.00	101	0.00	1
-360	Min.	-0.32	130	-0.07	65	-0.47	107	0.00	17	-0.00	130	0.00	49
-359	Max	0.28	101	0.07	65	-0.09	1	0.00	17	0.00	101	0.00	1
-359	Min.	-0.32	130	-0.07	17	-0.47	103	0.00	65	-0.00	130	0.00	49
-358	Max	0.28	101	0.07	17	-0.10	49	0.00	65	0.00	101	0.00	1
-358	Min.	-0.32	130	-0.07	65	-0.46	107	0.00	17	-0.00	130	0.00	49
-357	Max	0.28	101	0.07	65	-0.10	1	0.00	17	0.00	101	0.00	1
-357	Min.	-0.32	130	-0.07	17	-0.46	103	0.00	65	-0.00	130	0.00	49
-356	Max	0.28	101	0.07	17	-0.10	49	0.00	65	0.00	101	0.00	1
-356	Min.	-0.32	130	-0.07	65	-0.46	106	0.00	17	-0.00	130	0.00	49
-355	Max	0.28	101	0.07	65	-0.10	1	0.00	17	0.00	101	0.00	1
-355	Min.	-0.32	130	-0.07	17	-0.46	101	0.00	65	-0.00	130	0.00	49
-354	Max	0.28	101	0.07	17	-0.10	1	0.00	65	0.00	101	0.00	1
-354	Min.	-0.32	130	-0.07	65	-0.47	108	0.00	17	-0.00	130	0.00	49
-353	Max	0.28	101	0.07	65	-0.10	49	0.00	17	0.00	101	0.00	1
-353	Min.	-0.32	130	-0.07	17	-0.47	104	0.00	65	-0.00	130	0.00	49
-352	Max	0.28	101	0.07	17	-0.09	1	0.00	65	0.00	101	0.00	1
-352	Min.	-0.32	130	-0.07	65	-0.47	108	0.00	17	-0.00	130	0.00	49
-351	Max	0.28	101	0.07	65	-0.09	49	0.00	17	0.00	101	0.00	1
-351	Min.	-0.32	130	-0.07	17	-0.47	104	0.00	65	-0.00	130	0.00	49
-350	Max	0.28	101	0.07	17	-0.08	17	0.00	65	0.00	101	0.00	1
-350	Min.	-0.32	130	-0.07	65	-0.47	108	0.00	17	-0.00	130	0.00	49
-349	Max	0.28	101	0.07	65	-0.08	65	0.00	17	0.00	101	0.00	1
-349	Min.	-0.32	130	-0.07	17	-0.47	104	0.00	65	-0.00	130	0.00	49
-348	Max	0.28	101	0.07	17	-0.07	17	0.00	65	0.00	101	0.00	1
-348	Min.	-0.32	130	-0.07	65	-0.47	108	0.00	17	-0.00	130	0.00	49
-347	Max	0.28	101	0.07	65	-0.07	65	0.00	17	0.00	101	0.00	1
-347	Min.	-0.32	130	-0.07	17	-0.47	104	0.00	65	-0.00	130	0.00	49
-346	Max	0.28	101	0.07	17	-0.05	17	0.00	65	0.00	101	0.00	1
-346	Min.	-0.32	130	-0.07	65	-0.47	108	0.00	17	-0.00	130	0.00	49
-345	Max	0.28	101	0.07	65	-0.05	65	0.00	17	0.00	101	0.00	1
-345	Min.	-0.32	130	-0.07	17	-0.47	104	0.00	65	-0.00	130	0.00	49
-344	Max	0.28	101	0.07	17	-0.05	17	0.00	65	0.00	101	0.00	1
-344	Min.	-0.32	130	-0.07	65	-0.48	108	0.00	17	-0.00	130	0.00	49
-343	Max	0.28	101	0.07	65	-0.05	65	0.00	17	0.00	101	0.00	1
-343	Min.	-0.32	130	-0.07	17	-0.48	104	0.00	65	-0.00	130	0.00	49
-342	Max	0.28	101	0.07	17	-0.02	17	0.00	65	0.00	101	0.00	1
-342	Min.	-0.32	130	-0.07	65	-0.48	108	0.00	17	-0.00	130	0.00	49
-341	Max	0.28	101	0.07	65	-0.02	65	0.00	17	0.00	101	0.00	1
-341	Min.	-0.32	130	-0.07	17	-0.48	104	0.00	65	-0.00	130	0.00	49
-340	Max	0.28	101	0.07	17	-0.02	17	0.00	65	0.00	101	0.00	1
-340	Min.	-0.32	130	-0.07	65	-0.48	108	0.00	17	-0.00	130	0.00	49
-339	Max	0.28	101	0.07	65	-0.02	65	0.00	17	0.00	101	0.00	1
-339	Min.	-0.32	130	-0.07	17	-0.48	104	0.00	65	-0.00	130	0.00	49
-338	Max	0.28	101	0.07	17	-0.01	17	0.00	65	0.00	101	0.00	1
-338	Min.	-0.32	130	-0.07	65	-0.48	108	0.00	17	-0.00	130	0.00	49
-337	Max	0.28	101	0.07	65	-0.01	65	0.00	17	0.00	101	0.00	1
-337	Min.	-0.32	130	-0.07	17	-0.48	104	0.00	65	-0.00	130	0.00	49
-336	Max	0.21	101	0.06	17	-0.01	65	0.00	65	0.00	101	0.00	1
-336	Min.	-0.25	130	-0.06	65	-0.48	107	0.00	17	-0.00	130	0.00	49
-335	Max	0.21	101	0.06	65	-0.01	17	0.00	17	0.00	101	0.00	1
-335	Min.	-0.25	130	-0.06	17	-0.48	103	0.00	65	-0.00	130	0.00	49
-334	Max	0.21	101	0.06	17	-0.02	65	0.00	65	0.00	101	0.00	1
-334	Min.	-0.25	130	-0.06	65	-0.48	107	0.00	17	-0.00	130	0.00	49
-333	Max	0.21	101	0.06	65	-0.02	17	0.00	17	0.00	101	0.00	1
-333	Min.	-0.25	130	-0.06	17	-0.48	103	0.00	65	-0.00	130	0.00	49
-332	Max	0.21	101	0.06	17	-0.02	65	0.00	65	0.00	101	0.00	1
-332	Min.	-0.25	130	-0.06	65	-0.48	107	0.00	17	-0.00	130	0.00	49
-331	Max	0.21	101	0.06	65	-0.02	17	0.00	17	0.00	101	0.00	1
-331	Min.	-0.25	130	-0.06	17	-0.48	103	0.00	65	-0.00	130	0.00	49
-330	Max	0.21	101	0.06	17	-0.04	65	0.00	65	0.00	101	0.00	1

-330	Min.	-0.25	130	-0.06	65	-0.47	107	0.00	17	-0.00	130	0.00	49
-329	Max	0.21	101	0.06	65	-0.04	17	0.00	17	0.00	101	0.00	1
-329	Min.	-0.25	130	-0.06	17	-0.47	103	0.00	65	-0.00	130	0.00	49
-328	Max	0.21	101	0.06	17	-0.05	65	0.00	65	0.00	101	0.00	1
-328	Min.	-0.25	130	-0.06	65	-0.47	107	0.00	17	-0.00	130	0.00	49
-327	Max	0.21	101	0.06	65	-0.05	17	0.00	17	0.00	101	0.00	1
-327	Min.	-0.25	130	-0.06	17	-0.47	103	0.00	65	-0.00	130	0.00	49
-326	Max	0.21	101	0.06	17	-0.07	65	0.00	65	0.00	101	0.00	1
-326	Min.	-0.25	130	-0.06	65	-0.47	107	0.00	17	-0.00	130	0.00	49
-325	Max	0.21	101	0.06	65	-0.07	17	0.00	17	0.00	101	0.00	1
-325	Min.	-0.25	130	-0.06	17	-0.47	103	0.00	65	-0.00	130	0.00	49
-324	Max	0.21	101	0.06	17	-0.08	65	0.00	65	0.00	101	0.00	17
-324	Min.	-0.25	130	-0.06	65	-0.47	107	0.00	17	-0.00	130	0.00	65
-323	Max	0.21	101	0.06	65	-0.08	17	0.00	17	0.00	101	0.00	17
-323	Min.	-0.25	130	-0.06	17	-0.47	103	0.00	65	-0.00	130	0.00	65
-322	Max	0.21	101	0.06	17	-0.09	49	0.00	65	0.00	101	0.00	17
-322	Min.	-0.25	130	-0.06	65	-0.47	107	0.00	17	-0.00	130	0.00	65
-321	Max	0.21	101	0.06	65	-0.09	1	0.00	17	0.00	101	0.00	17
-321	Min.	-0.25	130	-0.06	17	-0.47	103	0.00	65	-0.00	130	0.00	65
-320	Max	0.21	101	0.06	17	-0.10	49	0.00	65	0.00	101	0.00	17
-320	Min.	-0.25	130	-0.06	65	-0.46	107	0.00	17	-0.00	130	0.00	65
-319	Max	0.21	101	0.06	65	-0.10	1	0.00	17	0.00	101	0.00	17
-319	Min.	-0.25	130	-0.06	17	-0.46	103	0.00	65	-0.00	130	0.00	65
-318	Max	0.21	101	0.06	17	-0.10	49	0.00	65	0.00	101	0.00	17
-318	Min.	-0.25	130	-0.06	65	-0.46	106	0.00	17	-0.00	130	0.00	65
-317	Max	0.21	101	0.06	65	-0.10	1	0.00	17	0.00	101	0.00	17
-317	Min.	-0.25	130	-0.06	17	-0.46	101	0.00	65	-0.00	130	0.00	65
-316	Max	0.21	101	0.06	17	-0.10	1	0.00	65	0.00	101	0.00	1
-316	Min.	-0.25	130	-0.06	65	-0.47	108	0.00	17	-0.00	130	0.00	49
-315	Max	0.21	101	0.06	65	-0.10	49	0.00	17	0.00	101	0.00	1
-315	Min.	-0.25	130	-0.06	17	-0.47	104	0.00	65	-0.00	130	0.00	49
-314	Max	0.21	101	0.06	17	-0.09	1	0.00	65	0.00	101	0.00	17
-314	Min.	-0.25	130	-0.06	65	-0.47	108	0.00	17	-0.00	130	0.00	65
-313	Max	0.21	101	0.06	65	-0.09	49	0.00	17	0.00	101	0.00	17
-313	Min.	-0.25	130	-0.06	17	-0.47	104	0.00	65	-0.00	130	0.00	65
-312	Max	0.21	101	0.06	17	-0.08	17	0.00	65	0.00	101	0.00	17
-312	Min.	-0.25	130	-0.06	65	-0.47	108	0.00	17	-0.00	130	0.00	65
-311	Max	0.21	101	0.06	65	-0.08	65	0.00	17	0.00	101	0.00	17
-311	Min.	-0.25	130	-0.06	17	-0.47	104	0.00	65	-0.00	130	0.00	65
-310	Max	0.21	101	0.06	17	-0.07	17	0.00	65	0.00	101	0.00	17
-310	Min.	-0.25	130	-0.06	65	-0.47	108	0.00	17	-0.00	130	0.00	65
-309	Max	0.21	101	0.06	65	-0.07	65	0.00	17	0.00	101	0.00	17
-309	Min.	-0.25	130	-0.06	17	-0.47	104	0.00	65	-0.00	130	0.00	65
-308	Max	0.21	101	0.06	17	-0.05	17	0.00	65	0.00	101	0.00	17
-308	Min.	-0.25	130	-0.06	65	-0.47	108	0.00	17	-0.00	130	0.00	65
-307	Max	0.21	101	0.06	65	-0.05	65	0.00	17	0.00	101	0.00	17
-307	Min.	-0.25	130	-0.06	17	-0.47	104	0.00	65	-0.00	130	0.00	65
-306	Max	0.21	101	0.06	17	-0.05	17	0.00	65	0.00	101	0.00	17
-306	Min.	-0.25	130	-0.06	65	-0.48	108	0.00	17	-0.00	130	0.00	65
-305	Max	0.21	101	0.06	65	-0.05	65	0.00	17	0.00	101	0.00	17
-305	Min.	-0.25	130	-0.06	17	-0.48	104	0.00	65	-0.00	130	0.00	65
-304	Max	0.21	101	0.06	17	-0.02	17	0.00	65	0.00	101	0.00	1
-304	Min.	-0.25	130	-0.06	65	-0.48	108	0.00	17	-0.00	130	0.00	49
-303	Max	0.21	101	0.06	65	-0.02	65	0.00	17	0.00	101	0.00	1
-303	Min.	-0.25	130	-0.06	17	-0.48	104	0.00	65	-0.00	130	0.00	49
-302	Max	0.21	101	0.06	17	-0.02	17	0.00	65	0.00	101	0.00	1
-302	Min.	-0.25	130	-0.06	65	-0.48	108	0.00	17	-0.00	130	0.00	49
-301	Max	0.21	101	0.06	65	-0.02	65	0.00	17	0.00	101	0.00	1
-301	Min.	-0.25	130	-0.06	17	-0.48	104	0.00	65	-0.00	130	0.00	49
-300	Max	0.21	101	0.06	17	-0.01	17	0.00	65	0.00	101	0.00	1
-300	Min.	-0.25	130	-0.06	65	-0.48	108	0.00	17	-0.00	130	0.00	49
-299	Max	0.21	101	0.06	65	-0.01	65	0.00	17	0.00	101	0.00	1
-299	Min.	-0.25	130	-0.06	17	-0.48	104	0.00	65	-0.00	130	0.00	49
-298	Max	0.17	101	0.05	17	-0.01	65	0.00	65	0.00	101	0.00	1
-298	Min.	-0.20	130	-0.05	65	-0.48	107	0.00	17	-0.00	130	0.00	49
-297	Max	0.17	101	0.05	65	-0.01	17	0.00	17	0.00	101	0.00	1
-297	Min.	-0.20	130	-0.05	17	-0.48	103	0.00	65	-0.00	130	0.00	130
-296	Max	0.17	101	0.05	17	-0.02	65	0.00	65	0.00	101	0.00	1
-296	Min.	-0.20	130	-0.05	65	-0.48	107	0.00	17	-0.00	130	0.00	49
-295	Max	0.17	101	0.05	65	-0.02	17	0.00	17	0.00	101	0.00	1
-295	Min.	-0.20	130	-0.05	17	-0.48	103	0.00	65	-0.00	130	0.00	49
-294	Max	0.17	101	0.05	17	-0.02	65	0.00	65	0.00	101	0.00	1
-294	Min.	-0.20	130	-0.05	65	-0.48	107	0.00	17	-0.00	130	0.00	49
-293	Max	0.17	101	0.05	65	-0.02	17	0.00	17	0.00	101	0.00	1
-293	Min.	-0.20	130	-0.05	17	-0.48	103	0.00	65	-0.00	130	0.00	49
-292	Max	0.17	101	0.05	17	-0.04	65	0.00	65	0.00	101	0.00	1
-292	Min.	-0.20	130	-0.05	65	-0.47	107	0.00	17	-0.00	130	0.00	49
-291	Max	0.17	101	0.05	65	-0.04	17	0.00	17	0.00	101	0.00	1
-291	Min.	-0.20	130	-0.05	17	-0.47	103	0.00	65	-0.00	130	0.00	49

-290	Max	0.17	101	0.05	17	-0.05	65	0.00	65	0.00	101	0.00	1
-290	Min.	-0.20	130	-0.05	65	-0.47	107	0.00	17	-0.00	130	0.00	49
-289	Max	0.17	101	0.05	65	-0.05	17	0.00	17	0.00	101	0.00	1
-289	Min.	-0.20	130	-0.05	17	-0.47	103	0.00	65	-0.00	130	0.00	49
-288	Max	0.17	101	0.05	17	-0.07	65	0.00	65	0.00	101	0.00	17
-288	Min.	-0.20	130	-0.05	65	-0.47	107	0.00	17	-0.00	130	0.00	65
-287	Max	0.17	101	0.05	65	-0.07	17	0.00	17	0.00	101	0.00	17
-287	Min.	-0.20	130	-0.05	17	-0.47	103	0.00	65	-0.00	130	0.00	65
-286	Max	0.17	101	0.05	17	-0.08	65	0.00	65	0.00	101	0.00	17
-286	Min.	-0.20	130	-0.05	65	-0.47	107	0.00	17	-0.00	130	0.00	65
-285	Max	0.17	101	0.05	65	-0.08	17	0.00	17	0.00	101	0.00	17
-285	Min.	-0.20	130	-0.05	17	-0.47	103	0.00	65	-0.00	130	0.00	65
-284	Max	0.17	101	0.05	17	-0.09	49	0.00	65	0.00	101	0.00	17
-284	Min.	-0.20	130	-0.05	65	-0.47	107	0.00	17	-0.00	130	0.00	65
-283	Max	0.17	101	0.05	65	-0.09	1	0.00	17	0.00	101	0.00	17
-283	Min.	-0.20	130	-0.05	17	-0.47	103	0.00	65	-0.00	130	0.00	65
-282	Max	0.17	101	0.05	17	-0.10	49	0.00	65	0.00	101	0.00	17
-282	Min.	-0.20	130	-0.05	65	-0.46	107	0.00	17	-0.00	130	0.00	65
-281	Max	0.17	101	0.05	65	-0.10	1	0.00	17	0.00	101	0.00	17
-281	Min.	-0.20	130	-0.05	17	-0.46	103	0.00	65	-0.00	130	0.00	65
-280	Max	0.17	101	0.05	17	-0.10	49	0.00	65	0.00	101	0.00	17
-280	Min.	-0.20	130	-0.05	65	-0.46	106	0.00	17	-0.00	130	0.00	65
-279	Max	0.17	101	0.05	65	-0.10	1	0.00	17	0.00	101	0.00	17
-279	Min.	-0.20	130	-0.05	17	-0.46	101	0.00	65	-0.00	130	0.00	65
-278	Max	0.17	101	0.05	17	-0.10	1	0.00	65	0.00	101	0.00	17
-278	Min.	-0.20	130	-0.05	65	-0.47	108	0.00	17	-0.00	130	0.00	65
-277	Max	0.17	101	0.05	65	-0.10	49	0.00	17	0.00	101	0.00	17
-277	Min.	-0.20	130	-0.05	17	-0.47	104	0.00	65	-0.00	130	0.00	65
-276	Max	0.17	101	0.05	17	-0.09	1	0.00	65	0.00	101	0.00	17
-276	Min.	-0.20	130	-0.05	65	-0.47	108	0.00	17	-0.00	130	0.00	65
-275	Max	0.17	101	0.05	65	-0.09	49	0.00	17	0.00	101	0.00	17
-275	Min.	-0.20	130	-0.05	17	-0.47	104	0.00	65	-0.00	130	0.00	65
-274	Max	0.17	101	0.05	17	-0.08	17	0.00	65	0.00	101	0.00	17
-274	Min.	-0.20	130	-0.05	65	-0.47	108	0.00	17	-0.00	130	0.00	65
-273	Max	0.17	101	0.05	65	-0.08	65	0.00	17	0.00	101	0.00	17
-273	Min.	-0.20	130	-0.05	17	-0.47	104	0.00	65	-0.00	130	0.00	65
-272	Max	0.17	101	0.05	17	-0.07	17	0.00	65	0.00	101	0.00	17
-272	Min.	-0.20	130	-0.05	65	-0.47	108	0.00	17	-0.00	130	0.00	65
-271	Max	0.17	101	0.05	65	-0.07	65	0.00	17	0.00	101	0.00	17
-271	Min.	-0.20	130	-0.05	17	-0.47	104	0.00	65	-0.00	130	0.00	65
-270	Max	0.17	101	0.05	17	-0.05	17	0.00	65	0.00	101	0.00	17
-270	Min.	-0.20	130	-0.05	65	-0.47	108	0.00	17	-0.00	130	0.00	65
-269	Max	0.17	101	0.05	65	-0.05	65	0.00	17	0.00	101	0.00	17
-269	Min.	-0.20	130	-0.05	17	-0.47	104	0.00	65	-0.00	130	0.00	65
-268	Max	0.17	101	0.05	17	-0.05	17	0.00	65	0.00	101	0.00	17
-268	Min.	-0.20	130	-0.05	65	-0.48	108	0.00	17	-0.00	130	0.00	65
-267	Max	0.17	101	0.05	65	-0.05	65	0.00	17	0.00	101	0.00	17
-267	Min.	-0.20	130	-0.05	17	-0.48	104	0.00	65	-0.00	130	0.00	65
-266	Max	0.17	101	0.05	17	-0.02	17	0.00	65	0.00	101	0.00	1
-266	Min.	-0.20	130	-0.05	65	-0.48	108	0.00	17	-0.00	130	0.00	49
-265	Max	0.17	101	0.05	65	-0.02	65	0.00	17	0.00	101	0.00	1
-265	Min.	-0.20	130	-0.05	17	-0.48	104	0.00	65	-0.00	130	0.00	49
-264	Max	0.17	101	0.05	17	-0.02	17	0.00	65	0.00	101	0.00	1
-264	Min.	-0.20	130	-0.05	65	-0.48	108	0.00	17	-0.00	130	0.00	49
-263	Max	0.17	101	0.05	65	-0.02	65	0.00	17	0.00	101	0.00	1
-263	Min.	-0.20	130	-0.05	17	-0.48	104	0.00	65	-0.00	130	0.00	49
-262	Max	0.17	101	0.05	17	-0.01	17	0.00	65	0.00	101	0.00	1
-262	Min.	-0.20	130	-0.05	65	-0.48	108	0.00	17	-0.00	130	0.00	49
-261	Max	0.17	101	0.05	65	-0.01	65	0.00	17	0.00	101	0.00	130
-261	Min.	-0.20	130	-0.05	17	-0.48	104	0.00	65	-0.00	130	0.00	49
-260	Max	0.08	101	0.02	17	-0.01	65	0.00	65	0.00	101	0.00	101
-260	Min.	-0.10	130	-0.02	65	-0.48	107	0.00	17	-0.00	130	0.00	130
-259	Max	0.09	101	0.02	65	-0.01	17	0.00	17	0.00	101	0.00	1
-259	Min.	-0.10	130	-0.02	17	-0.48	103	0.00	65	-0.00	130	0.00	130
-258	Max	0.08	101	0.02	17	-0.02	65	0.00	65	0.00	101	0.00	101
-258	Min.	-0.10	130	-0.02	65	-0.48	107	0.00	17	-0.00	130	0.00	49
-257	Max	0.09	101	0.02	65	-0.02	17	0.00	17	0.00	101	0.00	1
-257	Min.	-0.10	130	-0.02	17	-0.48	103	0.00	65	-0.00	130	0.00	130
-256	Max	0.08	101	0.02	17	-0.02	65	0.00	65	0.00	101	0.00	1
-256	Min.	-0.10	130	-0.02	65	-0.48	107	0.00	17	-0.00	130	0.00	49
-255	Max	0.09	101	0.02	65	-0.02	17	0.00	17	0.00	101	0.00	1
-255	Min.	-0.10	130	-0.02	17	-0.48	103	0.00	65	-0.00	130	0.00	130
-254	Max	0.08	101	0.02	17	-0.04	65	0.00	65	0.00	101	0.00	1
-254	Min.	-0.10	130	-0.02	65	-0.47	107	0.00	17	-0.00	130	0.00	49
-253	Max	0.09	101	0.02	65	-0.04	17	0.00	17	0.00	101	0.00	1
-253	Min.	-0.10	130	-0.02	17	-0.47	103	0.00	65	-0.00	130	0.00	49
-252	Max	0.08	101	0.02	17	-0.05	65	0.00	65	0.00	101	0.00	17
-252	Min.	-0.10	130	-0.02	65	-0.47	107	0.00	17	-0.00	130	0.00	65
-251	Max	0.09	101	0.02	65	-0.05	17	0.00	17	0.00	101	0.00	17

-251	Min.	-0.10	130	-0.02	17	-0.47	103	0.00	65	-0.00	130	0.00	65
-250	Max	0.08	101	0.02	17	-0.07	65	0.00	65	0.00	101	0.00	17
-250	Min.	-0.10	130	-0.02	65	-0.47	107	0.00	17	-0.00	130	0.00	65
-249	Max	0.09	101	0.02	65	-0.07	17	0.00	17	0.00	101	0.00	17
-249	Min.	-0.10	130	-0.02	17	-0.47	103	0.00	65	-0.00	130	0.00	65
-248	Max	0.08	101	0.02	17	-0.08	65	0.00	65	0.00	101	0.00	1
-248	Min.	-0.10	130	-0.02	65	-0.47	107	0.00	17	-0.00	130	0.00	49
-247	Max	0.09	101	0.02	65	-0.08	17	0.00	17	0.00	101	0.00	1
-247	Min.	-0.10	130	-0.02	17	-0.47	103	0.00	65	-0.00	130	0.00	49
-246	Max	0.08	101	0.02	17	-0.09	49	0.00	65	0.00	101	0.00	17
-246	Min.	-0.10	130	-0.02	65	-0.47	107	0.00	17	-0.00	130	0.00	65
-245	Max	0.09	101	0.02	65	-0.09	1	0.00	17	0.00	101	0.00	17
-245	Min.	-0.10	130	-0.02	17	-0.47	103	0.00	65	-0.00	130	0.00	65
-244	Max	0.08	101	0.02	17	-0.10	49	0.00	65	0.00	101	0.00	17
-244	Min.	-0.10	130	-0.02	65	-0.46	107	0.00	17	-0.00	130	0.00	65
-243	Max	0.09	101	0.02	65	-0.10	1	0.00	17	0.00	101	0.00	17
-243	Min.	-0.10	130	-0.02	17	-0.46	103	0.00	65	-0.00	130	0.00	65
-242	Max	0.08	101	0.02	17	-0.10	49	0.00	65	0.00	101	0.00	17
-242	Min.	-0.10	130	-0.02	65	-0.46	106	0.00	17	-0.00	130	0.00	65
-241	Max	0.09	101	0.02	65	-0.10	1	0.00	17	0.00	101	0.00	17
-241	Min.	-0.10	130	-0.02	17	-0.46	101	0.00	65	-0.00	130	0.00	65
-240	Max	0.08	101	0.02	17	-0.10	1	0.00	65	0.00	101	0.00	17
-240	Min.	-0.10	130	-0.02	65	-0.46	108	0.00	17	-0.00	130	0.00	65
-239	Max	0.09	101	0.02	65	-0.10	49	0.00	17	0.00	101	0.00	17
-239	Min.	-0.10	130	-0.02	17	-0.46	104	0.00	65	-0.00	130	0.00	65
-238	Max	0.08	101	0.02	17	-0.09	1	0.00	65	0.00	101	0.00	17
-238	Min.	-0.10	130	-0.02	65	-0.47	108	0.00	17	-0.00	130	0.00	65
-237	Max	0.09	101	0.02	65	-0.09	49	0.00	17	0.00	101	0.00	17
-237	Min.	-0.10	130	-0.02	17	-0.47	104	0.00	65	-0.00	130	0.00	65
-236	Max	0.08	101	0.02	17	-0.08	17	0.00	65	0.00	101	0.00	17
-236	Min.	-0.10	130	-0.02	65	-0.47	108	0.00	17	-0.00	130	0.00	65
-235	Max	0.09	101	0.02	65	-0.08	65	0.00	17	0.00	101	0.00	17
-235	Min.	-0.10	130	-0.02	17	-0.47	104	0.00	65	-0.00	130	0.00	65
-234	Max	0.08	101	0.02	17	-0.07	17	0.00	65	0.00	101	0.00	17
-234	Min.	-0.10	130	-0.02	65	-0.47	108	0.00	17	-0.00	130	0.00	65
-233	Max	0.09	101	0.02	65	-0.07	65	0.00	17	0.00	101	0.00	17
-233	Min.	-0.10	130	-0.02	17	-0.47	104	0.00	65	-0.00	130	0.00	65
-232	Max	0.08	101	0.02	17	-0.05	17	0.00	65	0.00	101	0.00	17
-232	Min.	-0.10	130	-0.02	65	-0.47	108	0.00	17	-0.00	130	0.00	65
-231	Max	0.09	101	0.02	65	-0.05	65	0.00	17	0.00	101	0.00	17
-231	Min.	-0.10	130	-0.02	17	-0.47	104	0.00	65	-0.00	130	0.00	65
-230	Max	0.08	101	0.02	17	-0.05	17	0.00	65	0.00	101	0.00	1
-230	Min.	-0.10	130	-0.02	65	-0.47	108	0.00	17	-0.00	130	0.00	49
-229	Max	0.09	101	0.02	65	-0.05	65	0.00	17	0.00	101	0.00	1
-229	Min.	-0.10	130	-0.02	17	-0.47	104	0.00	65	-0.00	130	0.00	49
-228	Max	0.08	101	0.02	17	-0.02	17	0.00	65	0.00	101	0.00	1
-228	Min.	-0.10	130	-0.02	65	-0.48	108	0.00	17	-0.00	130	0.00	101
-227	Max	0.09	101	0.02	65	-0.02	65	0.00	17	0.00	101	0.00	130
-227	Min.	-0.10	130	-0.02	17	-0.48	104	0.00	65	-0.00	130	0.00	49
-226	Max	0.08	101	0.02	17	-0.02	17	0.00	65	0.00	101	0.00	1
-226	Min.	-0.10	130	-0.02	65	-0.48	108	0.00	17	-0.00	130	0.00	101
-225	Max	0.09	101	0.02	65	-0.02	65	0.00	17	0.00	101	0.00	130
-225	Min.	-0.10	130	-0.02	17	-0.48	104	0.00	65	-0.00	130	0.00	49
-224	Max	0.08	101	0.02	17	-0.01	17	0.00	65	0.00	101	0.00	130
-224	Min.	-0.10	130	-0.02	65	-0.48	108	0.00	17	-0.00	130	0.00	101
-223	Max	0.09	101	0.02	65	-0.01	65	0.00	17	0.00	101	0.00	130
-223	Min.	-0.10	130	-0.02	17	-0.48	104	0.00	65	-0.00	130	0.00	49
-222	Max	0.00	1	0.00	1	0.01	65	0.00	65	0.00	101	0.00	1
-222	Min.	0.00	1	0.00	1	-0.52	103	0.00	17	-0.00	130	0.00	1
-221	Max	0.00	1	0.00	1	-0.01	65	0.00	65	0.00	101	0.00	1
-221	Min.	0.00	1	0.00	1	-0.42	103	0.00	17	-0.00	130	0.00	1
-220	Max	0.00	1	0.00	1	-0.02	65	0.00	65	0.00	101	0.00	1
-220	Min.	0.00	1	0.00	1	-0.38	107	0.00	17	-0.00	130	0.00	1
-219	Max	0.00	1	0.00	1	-0.01	65	0.00	65	0.00	101	0.00	1
-219	Min.	0.00	1	0.00	1	-0.46	107	0.00	17	-0.00	130	0.00	1
-218	Max	0.00	1	0.00	1	-0.01	65	0.00	65	0.00	101	0.00	1
-218	Min.	0.00	1	0.00	1	-0.48	107	0.00	17	-0.00	130	0.00	1
-217	Max	0.00	1	0.00	1	0.00	65	0.00	65	0.00	101	0.00	1
-217	Min.	0.00	1	0.00	1	-0.56	107	0.00	17	-0.00	130	0.00	1
-216	Max	0.00	1	0.00	1	0.00	17	0.00	17	0.00	101	0.00	1
-216	Min.	0.00	1	0.00	1	-0.56	103	0.00	65	-0.00	130	0.00	1
-215	Max	0.00	1	0.00	1	-0.01	17	0.00	17	0.00	101	0.00	1
-215	Min.	0.00	1	0.00	1	-0.48	103	0.00	65	-0.00	130	0.00	1
-214	Max	0.00	1	0.00	1	-0.01	17	0.00	17	0.00	101	0.00	1
-214	Min.	0.00	1	0.00	1	-0.46	103	0.00	65	-0.00	130	0.00	1
-213	Max	0.00	1	0.00	1	-0.02	17	0.00	17	0.00	101	0.00	1
-213	Min.	0.00	1	0.00	1	-0.38	103	0.00	65	-0.00	130	0.00	1
-212	Max	0.00	1	0.00	1	-0.01	17	0.00	17	0.00	101	0.00	1
-212	Min.	0.00	1	0.00	1	-0.42	107	0.00	65	-0.00	130	0.00	1

-211	Max	0.00	1	0.00	1	0.01	17	0.00	17	0.00	101	0.00	1
-211	Min.	0.00	1	0.00	1	-0.52	131	0.00	65	-0.00	130	0.00	1
-210	Max	0.00	1	0.00	1	-0.00	65	0.00	65	0.00	101	0.00	1
-210	Min.	0.00	1	0.00	1	-0.51	103	0.00	17	-0.00	130	0.00	1
-209	Max	0.00	1	0.00	1	-0.02	65	0.00	65	0.00	101	0.00	1
-209	Min.	0.00	1	0.00	1	-0.42	103	0.00	17	-0.00	130	0.00	1
-208	Max	0.00	1	0.00	1	-0.03	65	0.00	65	0.00	101	0.00	1
-208	Min.	0.00	1	0.00	1	-0.38	107	0.00	17	-0.00	130	0.00	1
-207	Max	0.00	1	0.00	1	-0.02	65	0.00	65	0.00	101	0.00	1
-207	Min.	0.00	1	0.00	1	-0.46	107	0.00	17	-0.00	130	0.00	1
-206	Max	0.00	1	0.00	1	-0.02	65	0.00	65	0.00	101	0.00	1
-206	Min.	0.00	1	0.00	1	-0.48	107	0.00	17	-0.00	130	0.00	1
-205	Max	0.00	1	0.00	1	-0.01	65	0.00	65	0.00	101	0.00	1
-205	Min.	0.00	1	0.00	1	-0.56	107	0.00	17	-0.00	130	0.00	1
-204	Max	0.00	1	0.00	1	-0.01	17	0.00	17	0.00	101	0.00	1
-204	Min.	0.00	1	0.00	1	-0.56	103	0.00	65	-0.00	130	0.00	1
-203	Max	0.00	1	0.00	1	-0.02	17	0.00	17	0.00	101	0.00	1
-203	Min.	0.00	1	0.00	1	-0.48	103	0.00	65	-0.00	130	0.00	1
-202	Max	0.00	1	0.00	1	-0.02	17	0.00	17	0.00	101	0.00	1
-202	Min.	0.00	1	0.00	1	-0.46	103	0.00	65	-0.00	130	0.00	1
-201	Max	0.00	1	0.00	1	-0.03	17	0.00	17	0.00	101	0.00	1
-201	Min.	0.00	1	0.00	1	-0.38	103	0.00	65	-0.00	130	0.00	1
-200	Max	0.00	1	0.00	1	-0.02	17	0.00	17	0.00	101	0.00	1
-200	Min.	0.00	1	0.00	1	-0.42	107	0.00	65	-0.00	130	0.00	1
-199	Max	0.00	1	0.00	1	-0.00	17	0.00	17	0.00	101	0.00	1
-199	Min.	0.00	1	0.00	1	-0.52	131	0.00	65	-0.00	130	0.00	1
-198	Max	0.00	1	0.00	1	-0.01	65	0.00	65	0.00	101	0.00	1
-198	Min.	0.00	1	0.00	1	-0.51	103	0.00	17	-0.00	130	0.00	1
-197	Max	0.00	1	0.00	1	-0.02	65	0.00	65	0.00	101	0.00	1
-197	Min.	0.00	1	0.00	1	-0.42	103	0.00	17	-0.00	130	0.00	1
-196	Max	0.00	1	0.00	1	-0.04	65	0.00	65	0.00	101	0.00	1
-196	Min.	0.00	1	0.00	1	-0.37	107	0.00	17	-0.00	130	0.00	1
-195	Max	0.00	1	0.00	1	-0.02	65	0.00	65	0.00	101	0.00	1
-195	Min.	0.00	1	0.00	1	-0.46	107	0.00	17	-0.00	130	0.00	1
-194	Max	0.00	1	0.00	1	-0.02	65	0.00	65	0.00	101	0.00	1
-194	Min.	0.00	1	0.00	1	-0.48	107	0.00	17	-0.00	130	0.00	1
-193	Max	0.00	1	0.00	1	-0.01	65	0.00	65	0.00	101	0.00	1
-193	Min.	0.00	1	0.00	1	-0.56	107	0.00	17	-0.00	130	0.00	1
-192	Max	0.00	1	0.00	1	-0.01	17	0.00	17	0.00	101	0.00	1
-192	Min.	0.00	1	0.00	1	-0.56	103	0.00	65	-0.00	130	0.00	1
-191	Max	0.00	1	0.00	1	-0.02	17	0.00	17	0.00	101	0.00	1
-191	Min.	0.00	1	0.00	1	-0.48	103	0.00	65	-0.00	130	0.00	1
-190	Max	0.00	1	0.00	1	-0.02	17	0.00	17	0.00	101	0.00	1
-190	Min.	0.00	1	0.00	1	-0.46	103	0.00	65	-0.00	130	0.00	1
-189	Max	0.00	1	0.00	1	-0.04	17	0.00	17	0.00	101	0.00	1
-189	Min.	0.00	1	0.00	1	-0.37	103	0.00	65	-0.00	130	0.00	1
-188	Max	0.00	1	0.00	1	-0.02	17	0.00	17	0.00	101	0.00	1
-188	Min.	0.00	1	0.00	1	-0.42	107	0.00	65	-0.00	130	0.00	1
-187	Max	0.00	1	0.00	1	-0.01	17	0.00	17	0.00	101	0.00	1
-187	Min.	0.00	1	0.00	1	-0.52	131	0.00	65	-0.00	130	0.00	1
-186	Max	0.00	1	0.00	1	-0.02	168	0.00	65	0.00	101	0.00	1
-186	Min.	0.00	1	0.00	1	-0.51	103	0.00	17	-0.00	130	0.00	1
-185	Max	0.00	1	0.00	1	-0.04	65	0.00	65	0.00	101	0.00	1
-185	Min.	0.00	1	0.00	1	-0.42	103	0.00	17	-0.00	130	0.00	1
-184	Max	0.00	1	0.00	1	-0.06	65	0.00	65	0.00	101	0.00	1
-184	Min.	0.00	1	0.00	1	-0.37	107	0.00	17	-0.00	130	0.00	1
-182	Max	0.00	1	0.00	1	-0.04	65	0.00	65	0.00	101	0.00	1
-182	Min.	0.00	1	0.00	1	-0.47	107	0.00	17	-0.00	130	0.00	1
-181	Max	0.00	1	0.00	1	-0.03	65	0.00	65	0.00	101	0.00	1
-181	Min.	0.00	1	0.00	1	-0.55	107	0.00	17	-0.00	130	0.00	1
-180	Max	0.00	1	0.00	1	-0.03	17	0.00	17	0.00	101	0.00	1
-180	Min.	0.00	1	0.00	1	-0.55	103	0.00	65	-0.00	130	0.00	1
-179	Max	0.00	1	0.00	1	-0.04	17	0.00	17	0.00	101	0.00	1
-179	Min.	0.00	1	0.00	1	-0.47	103	0.00	65	-0.00	130	0.00	1
-177	Max	0.00	1	0.00	1	-0.06	17	0.00	17	0.00	101	0.00	1
-177	Min.	0.00	1	0.00	1	-0.37	103	0.00	65	-0.00	130	0.00	1
-176	Max	0.00	1	0.00	1	-0.04	17	0.00	17	0.00	101	0.00	1
-176	Min.	0.00	1	0.00	1	-0.42	107	0.00	65	-0.00	130	0.00	1
-175	Max	0.00	1	0.00	1	-0.02	1	0.00	17	0.00	101	0.00	1
-175	Min.	0.00	1	0.00	1	-0.51	131	0.00	65	-0.00	130	0.00	1
-174	Max	0.00	1	0.00	1	-0.02	166	0.00	65	0.00	101	0.00	1
-174	Min.	0.00	1	0.00	1	-0.51	101	0.00	17	-0.00	130	0.00	1
-173	Max	0.00	1	0.00	1	-0.05	65	0.00	65	0.00	101	0.00	1
-173	Min.	0.00	1	0.00	1	-0.41	103	0.00	17	-0.00	130	0.00	1
-172	Max	0.00	1	0.00	1	-0.06	65	0.00	65	0.00	101	0.00	1
-172	Min.	0.00	1	0.00	1	-0.37	107	0.00	17	-0.00	130	0.00	1
-171	Max	0.00	1	0.00	1	-0.05	65	0.00	65	0.00	101	0.00	1
-171	Min.	0.00	1	0.00	1	-0.45	107	0.00	17	-0.00	130	0.00	1
-170	Max	0.00	1	0.00	1	-0.05	65	0.00	65	0.00	101	0.00	1

-170	Min.	0.00	1	0.00	1	-0.47	107	0.00	17	-0.00	130	0.00	1
-169	Max	0.00	1	0.00	1	-0.04	49	0.00	65	0.00	101	0.00	1
-169	Min.	0.00	1	0.00	1	-0.55	107	0.00	17	-0.00	130	0.00	1
-168	Max	0.00	1	0.00	1	-0.04	1	0.00	17	0.00	101	0.00	1
-168	Min.	0.00	1	0.00	1	-0.55	103	0.00	65	-0.00	130	0.00	1
-167	Max	0.00	1	0.00	1	-0.05	17	0.00	17	0.00	101	0.00	1
-167	Min.	0.00	1	0.00	1	-0.47	103	0.00	65	-0.00	130	0.00	1
-166	Max	0.00	1	0.00	1	-0.05	17	0.00	17	0.00	101	0.00	1
-166	Min.	0.00	1	0.00	1	-0.45	103	0.00	65	-0.00	130	0.00	1
-165	Max	0.00	1	0.00	1	-0.06	17	0.00	17	0.00	101	0.00	1
-165	Min.	0.00	1	0.00	1	-0.37	103	0.00	65	-0.00	130	0.00	1
-164	Max	0.00	1	0.00	1	-0.05	17	0.00	17	0.00	101	0.00	1
-164	Min.	0.00	1	0.00	1	-0.41	107	0.00	65	-0.00	130	0.00	1
-163	Max	0.00	1	0.00	1	-0.03	1	0.00	17	0.00	101	0.00	1
-163	Min.	0.00	1	0.00	1	-0.51	130	0.00	65	-0.00	130	0.00	1
-162	Max	0.00	1	0.00	1	-0.02	166	0.00	65	0.00	101	0.00	1
-162	Min.	0.00	1	0.00	1	-0.51	101	0.00	17	-0.00	130	0.00	1
-161	Max	0.00	1	0.00	1	-0.07	65	0.00	65	0.00	101	0.00	1
-161	Min.	0.00	1	0.00	1	-0.41	103	0.00	17	-0.00	130	0.00	1
-160	Max	0.00	1	0.00	1	-0.08	65	0.00	65	0.00	101	0.00	1
-160	Min.	0.00	1	0.00	1	-0.37	107	0.00	17	-0.00	130	0.00	1
-159	Max	0.00	1	0.00	1	-0.07	65	0.00	65	0.00	101	0.00	1
-159	Min.	0.00	1	0.00	1	-0.45	107	0.00	17	-0.00	130	0.00	1
-158	Max	0.00	1	0.00	1	-0.07	65	0.00	65	0.00	101	0.00	1
-158	Min.	0.00	1	0.00	1	-0.47	107	0.00	17	-0.00	130	0.00	1
-157	Max	0.00	1	0.00	1	-0.04	49	0.00	65	0.00	101	0.00	1
-157	Min.	0.00	1	0.00	1	-0.55	107	0.00	17	-0.00	130	0.00	1
-156	Max	0.00	1	0.00	1	-0.04	1	0.00	17	0.00	101	0.00	1
-156	Min.	0.00	1	0.00	1	-0.55	103	0.00	65	-0.00	130	0.00	1
-155	Max	0.00	1	0.00	1	-0.07	17	0.00	17	0.00	101	0.00	1
-155	Min.	0.00	1	0.00	1	-0.47	103	0.00	65	-0.00	130	0.00	1
-154	Max	0.00	1	0.00	1	-0.07	17	0.00	17	0.00	101	0.00	1
-154	Min.	0.00	1	0.00	1	-0.45	103	0.00	65	-0.00	130	0.00	1
-153	Max	0.00	1	0.00	1	-0.08	17	0.00	17	0.00	101	0.00	1
-153	Min.	0.00	1	0.00	1	-0.37	103	0.00	65	-0.00	130	0.00	1
-152	Max	0.00	1	0.00	1	-0.07	17	0.00	17	0.00	101	0.00	1
-152	Min.	0.00	1	0.00	1	-0.41	107	0.00	65	-0.00	130	0.00	1
-151	Max	0.00	1	0.00	1	-0.03	1	0.00	17	0.00	101	0.00	1
-151	Min.	0.00	1	0.00	1	-0.51	130	0.00	65	-0.00	130	0.00	1
-150	Max	0.00	1	0.00	1	-0.02	166	0.00	65	0.00	101	0.00	1
-150	Min.	0.00	1	0.00	1	-0.51	101	0.00	17	-0.00	130	0.00	1
-149	Max	0.00	1	0.00	1	-0.08	65	0.00	65	0.00	101	0.00	1
-149	Min.	0.00	1	0.00	1	-0.41	103	0.00	17	-0.00	130	0.00	1
-148	Max	0.00	1	0.00	1	-0.09	65	0.00	65	0.00	101	0.00	1
-148	Min.	0.00	1	0.00	1	-0.37	107	0.00	17	-0.00	130	0.00	1
-147	Max	0.00	1	0.00	1	-0.08	65	0.00	65	0.00	101	0.00	1
-147	Min.	0.00	1	0.00	1	-0.45	107	0.00	17	-0.00	130	0.00	1
-146	Max	0.00	1	0.00	1	-0.08	65	0.00	65	0.00	101	0.00	1
-146	Min.	0.00	1	0.00	1	-0.47	107	0.00	17	-0.00	130	0.00	1
-145	Max	0.00	1	0.00	1	-0.05	49	0.00	65	0.00	101	0.00	1
-145	Min.	0.00	1	0.00	1	-0.55	107	0.00	17	-0.00	130	0.00	1
-144	Max	0.00	1	0.00	1	-0.05	1	0.00	17	0.00	101	0.00	1
-144	Min.	0.00	1	0.00	1	-0.55	103	0.00	65	-0.00	130	0.00	1
-143	Max	0.00	1	0.00	1	-0.08	17	0.00	17	0.00	101	0.00	1
-143	Min.	0.00	1	0.00	1	-0.47	103	0.00	65	-0.00	130	0.00	1
-142	Max	0.00	1	0.00	1	-0.08	17	0.00	17	0.00	101	0.00	1
-142	Min.	0.00	1	0.00	1	-0.45	103	0.00	65	-0.00	130	0.00	1
-141	Max	0.00	1	0.00	1	-0.09	17	0.00	17	0.00	101	0.00	1
-141	Min.	0.00	1	0.00	1	-0.37	103	0.00	65	-0.00	130	0.00	1
-140	Max	0.00	1	0.00	1	-0.08	17	0.00	17	0.00	101	0.00	1
-140	Min.	0.00	1	0.00	1	-0.41	107	0.00	65	-0.00	130	0.00	1
-139	Max	0.00	1	0.00	1	-0.03	1	0.00	17	0.00	101	0.00	1
-139	Min.	0.00	1	0.00	1	-0.51	130	0.00	65	-0.00	130	0.00	1
-138	Max	0.00	1	0.00	1	-0.02	166	0.00	65	0.00	101	0.00	1
-138	Min.	0.00	1	0.00	1	-0.51	101	0.00	17	-0.00	130	0.00	1
-136	Max	0.00	1	0.00	1	-0.10	65	0.00	65	0.00	101	0.00	1
-136	Min.	0.00	1	0.00	1	-0.37	107	0.00	17	-0.00	130	0.00	1
-134	Max	0.00	1	0.00	1	-0.05	49	0.00	65	0.00	101	0.00	1
-134	Min.	0.00	1	0.00	1	-0.55	106	0.00	17	-0.00	130	0.00	1
-133	Max	0.00	1	0.00	1	-0.05	1	0.00	17	0.00	101	0.00	1
-133	Min.	0.00	1	0.00	1	-0.55	101	0.00	65	-0.00	130	0.00	1
-131	Max	0.00	1	0.00	1	-0.10	17	0.00	17	0.00	101	0.00	1
-131	Min.	0.00	1	0.00	1	-0.37	103	0.00	65	-0.00	130	0.00	1
-129	Max	0.00	1	0.00	1	-0.04	1	0.00	17	0.00	101	0.00	1
-129	Min.	0.00	1	0.00	1	-0.51	130	0.00	65	-0.00	130	0.00	1
-128	Max	0.00	1	0.00	1	-0.02	166	0.00	65	0.00	101	0.00	1
-128	Min.	0.00	1	0.00	1	-0.51	101	0.00	17	-0.00	130	0.00	1
-127	Max	0.00	1	0.00	1	-0.08	166	0.00	65	0.00	101	0.00	1
-127	Min.	0.00	1	0.00	1	-0.41	101	0.00	17	-0.00	130	0.00	1

-126	Max	0.00	1	0.00	1	-0.12	65	0.00	65	0.00	101	0.00	1
-126	Min.	0.00	1	0.00	1	-0.36	107	0.00	17	-0.00	130	0.00	1
-125	Max	0.00	1	0.00	1	-0.10	49	0.00	65	0.00	101	0.00	1
-125	Min.	0.00	1	0.00	1	-0.44	107	0.00	17	-0.00	130	0.00	1
-124	Max	0.00	1	0.00	1	-0.09	49	0.00	65	0.00	101	0.00	1
-124	Min.	0.00	1	0.00	1	-0.46	107	0.00	17	-0.00	130	0.00	1
-123	Max	0.00	1	0.00	1	-0.06	49	0.00	65	0.00	101	0.00	1
-123	Min.	0.00	1	0.00	1	-0.55	106	0.00	17	-0.00	130	0.00	1
-122	Max	0.00	1	0.00	1	-0.06	1	0.00	17	0.00	101	0.00	1
-122	Min.	0.00	1	0.00	1	-0.55	101	0.00	65	-0.00	130	0.00	1
-121	Max	0.00	1	0.00	1	-0.09	1	0.00	17	0.00	101	0.00	1
-121	Min.	0.00	1	0.00	1	-0.46	103	0.00	65	-0.00	130	0.00	1
-120	Max	0.00	1	0.00	1	-0.10	1	0.00	17	0.00	101	0.00	1
-120	Min.	0.00	1	0.00	1	-0.44	103	0.00	65	-0.00	130	0.00	1
-119	Max	0.00	1	0.00	1	-0.12	17	0.00	17	0.00	101	0.00	1
-119	Min.	0.00	1	0.00	1	-0.36	103	0.00	65	-0.00	130	0.00	1
-118	Max	0.00	1	0.00	1	-0.09	1	0.00	17	0.00	101	0.00	1
-118	Min.	0.00	1	0.00	1	-0.41	106	0.00	65	-0.00	130	0.00	1
-117	Max	0.00	1	0.00	1	-0.05	1	0.00	17	0.00	101	0.00	1
-117	Min.	0.00	1	0.00	1	-0.51	130	0.00	65	-0.00	130	0.00	1
-116	Max	0.00	1	0.00	1	-0.02	166	0.00	65	0.00	101	0.00	1
-116	Min.	0.00	1	0.00	1	-0.51	101	0.00	17	-0.00	130	0.00	1
-114	Max	0.00	1	0.00	1	-0.14	33	0.00	65	0.00	101	0.00	1
-114	Min.	0.00	1	0.00	1	-0.36	105	0.00	17	-0.00	130	0.00	1
-112	Max	0.00	1	0.00	1	-0.07	49	0.00	65	0.00	101	0.00	1
-112	Min.	0.00	1	0.00	1	-0.55	106	0.00	17	-0.00	130	0.00	1
-111	Max	0.00	1	0.00	1	-0.07	1	0.00	17	0.00	101	0.00	1
-111	Min.	0.00	1	0.00	1	-0.55	101	0.00	65	-0.00	130	0.00	1
-109	Max	0.00	1	0.00	1	-0.14	33	0.00	17	0.00	101	0.00	1
-109	Min.	0.00	1	0.00	1	-0.36	102	0.00	65	-0.00	130	0.00	1
-107	Max	0.00	1	0.00	1	-0.05	1	0.00	17	0.00	101	0.00	1
-107	Min.	0.00	1	0.00	1	-0.51	130	0.00	65	-0.00	130	0.00	1
-106	Max	0.00	1	0.00	1	-0.02	166	0.00	65	0.00	101	0.00	1
-106	Min.	0.00	1	0.00	1	-0.51	101	0.00	17	-0.00	130	0.00	1
-105	Max	0.00	1	0.00	1	-0.08	166	0.00	65	0.00	101	0.00	1
-105	Min.	0.00	1	0.00	1	-0.41	101	0.00	17	-0.00	130	0.00	1
-104	Max	0.00	1	0.00	1	-0.12	17	0.00	65	0.00	101	0.00	1
-104	Min.	0.00	1	0.00	1	-0.36	108	0.00	17	-0.00	130	0.00	1
-103	Max	0.00	1	0.00	1	-0.10	1	0.00	65	0.00	101	0.00	1
-103	Min.	0.00	1	0.00	1	-0.44	108	0.00	17	-0.00	130	0.00	1
-102	Max	0.00	1	0.00	1	-0.10	1	0.00	65	0.00	101	0.00	1
-102	Min.	0.00	1	0.00	1	-0.46	108	0.00	17	-0.00	130	0.00	1
-101	Max	0.00	1	0.00	1	-0.06	1	0.00	65	0.00	101	0.00	1
-101	Min.	0.00	1	0.00	1	-0.55	106	0.00	17	-0.00	130	0.00	1
-100	Max	0.00	1	0.00	1	-0.06	49	0.00	17	0.00	101	0.00	1
-100	Min.	0.00	1	0.00	1	-0.55	101	0.00	65	-0.00	130	0.00	1
-99	Max	0.00	1	0.00	1	-0.10	49	0.00	17	0.00	101	0.00	1
-99	Min.	0.00	1	0.00	1	-0.46	104	0.00	65	-0.00	130	0.00	1
-98	Max	0.00	1	0.00	1	-0.10	49	0.00	17	0.00	101	0.00	1
-98	Min.	0.00	1	0.00	1	-0.44	104	0.00	65	-0.00	130	0.00	1
-97	Max	0.00	1	0.00	1	-0.12	65	0.00	17	0.00	101	0.00	1
-97	Min.	0.00	1	0.00	1	-0.36	104	0.00	65	-0.00	130	0.00	1
-96	Max	0.00	1	0.00	1	-0.09	49	0.00	17	0.00	101	0.00	1
-96	Min.	0.00	1	0.00	1	-0.41	106	0.00	65	-0.00	130	0.00	1
-95	Max	0.00	1	0.00	1	-0.05	49	0.00	17	0.00	101	0.00	1
-95	Min.	0.00	1	0.00	1	-0.51	130	0.00	65	-0.00	130	0.00	1
-94	Max	0.00	1	0.00	1	-0.02	166	0.00	65	0.00	101	0.00	1
-94	Min.	0.00	1	0.00	1	-0.51	101	0.00	17	-0.00	130	0.00	1
-92	Max	0.00	1	0.00	1	-0.10	17	0.00	65	0.00	101	0.00	1
-92	Min.	0.00	1	0.00	1	-0.37	108	0.00	17	-0.00	130	0.00	1
-90	Max	0.00	1	0.00	1	-0.05	1	0.00	65	0.00	101	0.00	1
-90	Min.	0.00	1	0.00	1	-0.55	106	0.00	17	-0.00	130	0.00	1
-89	Max	0.00	1	0.00	1	-0.05	49	0.00	17	0.00	101	0.00	1
-89	Min.	0.00	1	0.00	1	-0.55	101	0.00	65	-0.00	130	0.00	1
-87	Max	0.00	1	0.00	1	-0.10	65	0.00	17	0.00	101	0.00	1
-87	Min.	0.00	1	0.00	1	-0.37	104	0.00	65	-0.00	130	0.00	1
-85	Max	0.00	1	0.00	1	-0.04	49	0.00	17	0.00	101	0.00	1
-85	Min.	0.00	1	0.00	1	-0.51	130	0.00	65	-0.00	130	0.00	1
-84	Max	0.00	1	0.00	1	-0.02	166	0.00	65	0.00	101	0.00	1
-84	Min.	0.00	1	0.00	1	-0.51	101	0.00	17	-0.00	130	0.00	1
-83	Max	0.00	1	0.00	1	-0.08	17	0.00	65	0.00	101	0.00	1
-83	Min.	0.00	1	0.00	1	-0.41	104	0.00	17	-0.00	130	0.00	1
-82	Max	0.00	1	0.00	1	-0.09	17	0.00	65	0.00	101	0.00	1
-82	Min.	0.00	1	0.00	1	-0.37	108	0.00	17	-0.00	130	0.00	1
-81	Max	0.00	1	0.00	1	-0.08	17	0.00	65	0.00	101	0.00	1
-81	Min.	0.00	1	0.00	1	-0.45	108	0.00	17	-0.00	130	0.00	1
-80	Max	0.00	1	0.00	1	-0.08	17	0.00	65	0.00	101	0.00	1
-80	Min.	0.00	1	0.00	1	-0.47	108	0.00	17	-0.00	130	0.00	1
-79	Max	0.00	1	0.00	1	-0.05	1	0.00	65	0.00	101	0.00	1

-79	Min.	0.00	1	0.00	1	-0.55	108	0.00	17	-0.00	130	0.00	1
-78	Max	0.00	1	0.00	1	-0.05	49	0.00	17	0.00	101	0.00	1
-78	Min.	0.00	1	0.00	1	-0.55	104	0.00	65	-0.00	130	0.00	1
-77	Max	0.00	1	0.00	1	-0.08	65	0.00	17	0.00	101	0.00	1
-77	Min.	0.00	1	0.00	1	-0.47	104	0.00	65	-0.00	130	0.00	1
-76	Max	0.00	1	0.00	1	-0.08	65	0.00	17	0.00	101	0.00	1
-76	Min.	0.00	1	0.00	1	-0.45	104	0.00	65	-0.00	130	0.00	1
-75	Max	0.00	1	0.00	1	-0.09	65	0.00	17	0.00	101	0.00	1
-75	Min.	0.00	1	0.00	1	-0.37	104	0.00	65	-0.00	130	0.00	1
-74	Max	0.00	1	0.00	1	-0.08	65	0.00	17	0.00	101	0.00	1
-74	Min.	0.00	1	0.00	1	-0.41	108	0.00	65	-0.00	130	0.00	1
-73	Max	0.00	1	0.00	1	-0.04	49	0.00	17	0.00	101	0.00	1
-73	Min.	0.00	1	0.00	1	-0.51	130	0.00	65	-0.00	130	0.00	1
-72	Max	0.00	1	0.00	1	-0.02	166	0.00	65	0.00	101	0.00	1
-72	Min.	0.00	1	0.00	1	-0.51	101	0.00	17	-0.00	130	0.00	1
-71	Max	0.00	1	0.00	1	-0.07	17	0.00	65	0.00	101	0.00	1
-71	Min.	0.00	1	0.00	1	-0.41	104	0.00	17	-0.00	130	0.00	1
-70	Max	0.00	1	0.00	1	-0.08	17	0.00	65	0.00	101	0.00	1
-70	Min.	0.00	1	0.00	1	-0.37	108	0.00	17	-0.00	130	0.00	1
-69	Max	0.00	1	0.00	1	-0.07	17	0.00	65	0.00	101	0.00	1
-69	Min.	0.00	1	0.00	1	-0.45	108	0.00	17	-0.00	130	0.00	1
-68	Max	0.00	1	0.00	1	-0.07	17	0.00	65	0.00	101	0.00	1
-68	Min.	0.00	1	0.00	1	-0.47	108	0.00	17	-0.00	130	0.00	1
-67	Max	0.00	1	0.00	1	-0.04	1	0.00	65	0.00	101	0.00	1
-67	Min.	0.00	1	0.00	1	-0.55	108	0.00	17	-0.00	130	0.00	1
-66	Max	0.00	1	0.00	1	-0.04	49	0.00	17	0.00	101	0.00	1
-66	Min.	0.00	1	0.00	1	-0.55	104	0.00	65	-0.00	130	0.00	1
-65	Max	0.00	1	0.00	1	-0.07	65	0.00	17	0.00	101	0.00	1
-65	Min.	0.00	1	0.00	1	-0.47	104	0.00	65	-0.00	130	0.00	1
-64	Max	0.00	1	0.00	1	-0.07	65	0.00	17	0.00	101	0.00	1
-64	Min.	0.00	1	0.00	1	-0.45	104	0.00	65	-0.00	130	0.00	1
-63	Max	0.00	1	0.00	1	-0.08	65	0.00	17	0.00	101	0.00	1
-63	Min.	0.00	1	0.00	1	-0.37	104	0.00	65	-0.00	130	0.00	1
-62	Max	0.00	1	0.00	1	-0.07	65	0.00	17	0.00	101	0.00	1
-62	Min.	0.00	1	0.00	1	-0.41	108	0.00	65	-0.00	130	0.00	1
-61	Max	0.00	1	0.00	1	-0.03	49	0.00	17	0.00	101	0.00	1
-61	Min.	0.00	1	0.00	1	-0.51	130	0.00	65	-0.00	130	0.00	1
-60	Max	0.00	1	0.00	1	-0.02	166	0.00	65	0.00	101	0.00	1
-60	Min.	0.00	1	0.00	1	-0.51	101	0.00	17	-0.00	130	0.00	1
-59	Max	0.00	1	0.00	1	-0.05	17	0.00	65	0.00	101	0.00	1
-59	Min.	0.00	1	0.00	1	-0.42	104	0.00	17	-0.00	130	0.00	1
-58	Max	0.00	1	0.00	1	-0.07	17	0.00	65	0.00	101	0.00	1
-58	Min.	0.00	1	0.00	1	-0.37	108	0.00	17	-0.00	130	0.00	1
-57	Max	0.00	1	0.00	1	-0.06	17	0.00	65	0.00	101	0.00	1
-57	Min.	0.00	1	0.00	1	-0.45	108	0.00	17	-0.00	130	0.00	1
-56	Max	0.00	1	0.00	1	-0.05	17	0.00	65	0.00	101	0.00	1
-56	Min.	0.00	1	0.00	1	-0.47	108	0.00	17	-0.00	130	0.00	1
-55	Max	0.00	1	0.00	1	-0.04	1	0.00	65	0.00	101	0.00	1
-55	Min.	0.00	1	0.00	1	-0.55	108	0.00	17	-0.00	130	0.00	1
-54	Max	0.00	1	0.00	1	-0.04	49	0.00	17	0.00	101	0.00	1
-54	Min.	0.00	1	0.00	1	-0.55	104	0.00	65	-0.00	130	0.00	1
-53	Max	0.00	1	0.00	1	-0.05	65	0.00	17	0.00	101	0.00	1
-53	Min.	0.00	1	0.00	1	-0.47	104	0.00	65	-0.00	130	0.00	1
-52	Max	0.00	1	0.00	1	-0.06	65	0.00	17	0.00	101	0.00	1
-52	Min.	0.00	1	0.00	1	-0.45	104	0.00	65	-0.00	130	0.00	1
-51	Max	0.00	1	0.00	1	-0.07	65	0.00	17	0.00	101	0.00	1
-51	Min.	0.00	1	0.00	1	-0.37	104	0.00	65	-0.00	130	0.00	1
-50	Max	0.00	1	0.00	1	-0.05	65	0.00	17	0.00	101	0.00	1
-50	Min.	0.00	1	0.00	1	-0.42	108	0.00	65	-0.00	130	0.00	1
-49	Max	0.00	1	0.00	1	-0.03	49	0.00	17	0.00	101	0.00	1
-49	Min.	0.00	1	0.00	1	-0.51	130	0.00	65	-0.00	130	0.00	1
-48	Max	0.00	1	0.00	1	-0.02	167	0.00	65	0.00	101	0.00	1
-48	Min.	0.00	1	0.00	1	-0.51	104	0.00	17	-0.00	130	0.00	1
-47	Max	0.00	1	0.00	1	-0.04	17	0.00	65	0.00	101	0.00	1
-47	Min.	0.00	1	0.00	1	-0.42	104	0.00	17	-0.00	130	0.00	1
-46	Max	0.00	1	0.00	1	-0.06	17	0.00	65	0.00	101	0.00	1
-46	Min.	0.00	1	0.00	1	-0.37	108	0.00	17	-0.00	130	0.00	1
-44	Max	0.00	1	0.00	1	-0.05	17	0.00	65	0.00	101	0.00	1
-44	Min.	0.00	1	0.00	1	-0.47	108	0.00	17	-0.00	130	0.00	1
-43	Max	0.00	1	0.00	1	-0.03	17	0.00	65	0.00	101	0.00	1
-43	Min.	0.00	1	0.00	1	-0.56	108	0.00	17	-0.00	130	0.00	1
-42	Max	0.00	1	0.00	1	-0.03	65	0.00	17	0.00	101	0.00	1
-42	Min.	0.00	1	0.00	1	-0.56	104	0.00	65	-0.00	130	0.00	1
-41	Max	0.00	1	0.00	1	-0.05	65	0.00	17	0.00	101	0.00	1
-41	Min.	0.00	1	0.00	1	-0.47	104	0.00	65	-0.00	130	0.00	1
-39	Max	0.00	1	0.00	1	-0.06	65	0.00	17	0.00	101	0.00	1
-39	Min.	0.00	1	0.00	1	-0.37	104	0.00	65	-0.00	130	0.00	1
-38	Max	0.00	1	0.00	1	-0.04	65	0.00	17	0.00	101	0.00	1
-38	Min.	0.00	1	0.00	1	-0.42	108	0.00	65	-0.00	130	0.00	1

-37	Max	0.00	1	0.00	1	-0.02	49	0.00	17	0.00	101	0.00	1
-37	Min.	0.00	1	0.00	1	-0.51	132	0.00	65	-0.00	130	0.00	1
-36	Max	0.00	1	0.00	1	-0.01	17	0.00	65	0.00	101	0.00	1
-36	Min.	0.00	1	0.00	1	-0.52	104	0.00	17	-0.00	130	0.00	1
-35	Max	0.00	1	0.00	1	-0.02	17	0.00	65	0.00	101	0.00	1
-35	Min.	0.00	1	0.00	1	-0.42	104	0.00	17	-0.00	130	0.00	1
-34	Max	0.00	1	0.00	1	-0.04	17	0.00	65	0.00	101	0.00	1
-34	Min.	0.00	1	0.00	1	-0.38	108	0.00	17	-0.00	130	0.00	1
-33	Max	0.00	1	0.00	1	-0.03	17	0.00	65	0.00	101	0.00	1
-33	Min.	0.00	1	0.00	1	-0.46	108	0.00	17	-0.00	130	0.00	1
-32	Max	0.00	1	0.00	1	-0.02	17	0.00	65	0.00	101	0.00	1
-32	Min.	0.00	1	0.00	1	-0.48	108	0.00	17	-0.00	130	0.00	1
-31	Max	0.00	1	0.00	1	-0.01	17	0.00	65	0.00	101	0.00	1
-31	Min.	0.00	1	0.00	1	-0.56	108	0.00	17	-0.00	130	0.00	1
-30	Max	0.00	1	0.00	1	-0.01	65	0.00	17	0.00	101	0.00	1
-30	Min.	0.00	1	0.00	1	-0.56	104	0.00	65	-0.00	130	0.00	1
-29	Max	0.00	1	0.00	1	-0.02	65	0.00	17	0.00	101	0.00	1
-29	Min.	0.00	1	0.00	1	-0.48	104	0.00	65	-0.00	130	0.00	1
-28	Max	0.00	1	0.00	1	-0.03	65	0.00	17	0.00	101	0.00	1
-28	Min.	0.00	1	0.00	1	-0.46	104	0.00	65	-0.00	130	0.00	1
-27	Max	0.00	1	0.00	1	-0.04	65	0.00	17	0.00	101	0.00	1
-27	Min.	0.00	1	0.00	1	-0.38	104	0.00	65	-0.00	130	0.00	1
-26	Max	0.00	1	0.00	1	-0.02	65	0.00	17	0.00	101	0.00	1
-26	Min.	0.00	1	0.00	1	-0.42	108	0.00	65	-0.00	130	0.00	1
-25	Max	0.00	1	0.00	1	-0.01	65	0.00	17	0.00	101	0.00	1
-25	Min.	0.00	1	0.00	1	-0.52	132	0.00	65	-0.00	130	0.00	1
-24	Max	0.00	1	0.00	1	-0.00	17	0.00	65	0.00	101	0.00	1
-24	Min.	0.00	1	0.00	1	-0.52	104	0.00	17	-0.00	130	0.00	1
-23	Max	0.00	1	0.00	1	-0.02	17	0.00	65	0.00	101	0.00	1
-23	Min.	0.00	1	0.00	1	-0.42	104	0.00	17	-0.00	130	0.00	1
-22	Max	0.00	1	0.00	1	-0.03	17	0.00	65	0.00	101	0.00	1
-22	Min.	0.00	1	0.00	1	-0.38	108	0.00	17	-0.00	130	0.00	1
-21	Max	0.00	1	0.00	1	-0.02	17	0.00	65	0.00	101	0.00	1
-21	Min.	0.00	1	0.00	1	-0.46	108	0.00	17	-0.00	130	0.00	1
-20	Max	0.00	1	0.00	1	-0.02	17	0.00	65	0.00	101	0.00	1
-20	Min.	0.00	1	0.00	1	-0.48	108	0.00	17	-0.00	130	0.00	1
-19	Max	0.00	1	0.00	1	-0.01	17	0.00	65	0.00	101	0.00	1
-19	Min.	0.00	1	0.00	1	-0.56	108	0.00	17	-0.00	130	0.00	1
-18	Max	0.00	1	0.00	1	-0.01	65	0.00	17	0.00	101	0.00	1
-18	Min.	0.00	1	0.00	1	-0.56	104	0.00	65	-0.00	130	0.00	1
-17	Max	0.00	1	0.00	1	-0.02	65	0.00	17	0.00	101	0.00	1
-17	Min.	0.00	1	0.00	1	-0.48	104	0.00	65	-0.00	130	0.00	1
-16	Max	0.00	1	0.00	1	-0.02	65	0.00	17	0.00	101	0.00	1
-16	Min.	0.00	1	0.00	1	-0.46	104	0.00	65	-0.00	130	0.00	1
-15	Max	0.00	1	0.00	1	-0.03	65	0.00	17	0.00	101	0.00	1
-15	Min.	0.00	1	0.00	1	-0.38	104	0.00	65	-0.00	130	0.00	1
-14	Max	0.00	1	0.00	1	-0.02	65	0.00	17	0.00	101	0.00	1
-14	Min.	0.00	1	0.00	1	-0.42	108	0.00	65	-0.00	130	0.00	1
-13	Max	0.00	1	0.00	1	-0.00	65	0.00	17	0.00	101	0.00	1
-13	Min.	0.00	1	0.00	1	-0.52	132	0.00	65	-0.00	130	0.00	1
-12	Max	0.00	1	0.00	1	0.01	17	0.00	65	0.00	101	0.00	1
-12	Min.	0.00	1	0.00	1	-0.52	104	0.00	17	-0.00	130	0.00	1
-11	Max	0.00	1	0.00	1	-0.01	17	0.00	65	0.00	101	0.00	1
-11	Min.	0.00	1	0.00	1	-0.42	104	0.00	17	-0.00	130	0.00	1
-10	Max	0.00	1	0.00	1	-0.02	17	0.00	65	0.00	101	0.00	1
-10	Min.	0.00	1	0.00	1	-0.38	108	0.00	17	-0.00	130	0.00	1
-9	Max	0.00	1	0.00	1	-0.01	17	0.00	65	0.00	101	0.00	1
-9	Min.	0.00	1	0.00	1	-0.46	108	0.00	17	-0.00	130	0.00	1
-8	Max	0.00	1	0.00	1	-0.01	17	0.00	65	0.00	101	0.00	1
-8	Min.	0.00	1	0.00	1	-0.48	108	0.00	17	-0.00	130	0.00	1
-7	Max	0.00	1	0.00	1	0.00	17	0.00	65	0.00	101	0.00	1
-7	Min.	0.00	1	0.00	1	-0.56	108	0.00	17	-0.00	130	0.00	1
-6	Max	0.00	1	0.00	1	0.00	65	0.00	17	0.00	101	0.00	1
-6	Min.	0.00	1	0.00	1	-0.56	104	0.00	65	-0.00	130	0.00	1
-5	Max	0.00	1	0.00	1	-0.01	65	0.00	17	0.00	101	0.00	1
-5	Min.	0.00	1	0.00	1	-0.48	104	0.00	65	-0.00	130	0.00	1
-4	Max	0.00	1	0.00	1	-0.01	65	0.00	17	0.00	101	0.00	1
-4	Min.	0.00	1	0.00	1	-0.46	104	0.00	65	-0.00	130	0.00	1
-3	Max	0.00	1	0.00	1	-0.02	65	0.00	17	0.00	101	0.00	1
-3	Min.	0.00	1	0.00	1	-0.38	104	0.00	65	-0.00	130	0.00	1
-2	Max	0.00	1	0.00	1	-0.01	65	0.00	17	0.00	101	0.00	1
-2	Min.	0.00	1	0.00	1	-0.42	108	0.00	65	-0.00	130	0.00	1
-1	Max	0.00	1	0.00	1	0.01	65	0.00	17	0.00	101	0.00	1
-1	Min.	0.00	1	0.00	1	-0.52	132	0.00	65	-0.00	130	0.00	1
10	Max	0.79	101	0.30	177	0.49	130	0.00	173	0.02	101	0.00	177
10	Min.	-0.70	130	-0.15	17	-1.62	101	0.00	177	-0.24	158	0.00	101
11	Max	0.56	101	0.30	177	0.24	101	0.00	173	0.04	101	0.00	106
11	Min.	-0.88	130	-0.15	65	-1.62	106	0.00	177	-0.23	166	0.00	177
12	Max	0.80	101	0.30	177	0.52	130	0.00	17	0.02	101	0.00	177

12	Min.	-0.71	130	-0.15	17	-1.64	101	0.00	65	-0.24	158	0.00	65
13	Max	0.57	101	0.30	177	0.28	101	0.00	173	0.04	101	0.00	17
13	Min.	-0.88	130	-0.15	65	-1.64	106	0.00	17	-0.23	166	0.00	177
14	Max	0.79	101	0.30	177	0.53	130	0.00	17	0.02	101	0.00	177
14	Min.	-0.71	130	-0.16	17	-1.62	101	0.00	65	-0.24	158	0.00	65
15	Max	0.57	101	0.30	177	0.29	101	0.00	65	0.04	101	0.00	17
15	Min.	-0.87	130	-0.16	65	-1.62	106	0.00	17	-0.23	166	0.00	177
16	Max	0.80	101	0.30	177	0.52	130	0.00	17	0.02	101	0.00	177
16	Min.	-0.71	130	-0.16	17	-1.64	101	0.00	65	-0.24	158	0.00	65
17	Max	0.57	101	0.30	177	0.28	101	0.00	65	0.04	101	0.00	17
17	Min.	-0.88	130	-0.16	65	-1.64	106	0.00	17	-0.23	166	0.00	177
18	Max	0.79	101	0.29	177	0.49	130	0.00	17	0.02	101	0.00	177
18	Min.	-0.70	130	-0.16	17	-1.62	101	-0.00	65	-0.24	158	0.00	65
19	Max	0.56	101	0.29	177	0.24	101	0.00	65	0.04	101	0.00	17
19	Min.	-0.88	130	-0.16	65	-1.62	106	-0.00	17	-0.23	166	0.00	177
20	Max	0.00	1	0.00	1	-0.09	49	0.00	17	0.00	101	0.00	1
20	Min.	0.00	1	0.00	1	-0.47	104	0.00	65	-0.00	130	0.00	1
21	Max	0.00	1	0.00	1	-0.09	1	0.00	65	0.00	101	0.00	1
21	Min.	0.00	1	0.00	1	-0.47	108	0.00	17	-0.00	130	0.00	1
22	Max	0.00	1	0.00	1	-0.10	1	0.00	17	0.00	101	0.00	1
22	Min.	0.00	1	0.00	1	-0.46	101	0.00	65	-0.00	130	0.00	1
23	Max	0.00	1	0.00	1	-0.10	49	0.00	65	0.00	101	0.00	1
23	Min.	0.00	1	0.00	1	-0.46	106	0.00	17	-0.00	130	0.00	1
24	Max	0.00	1	0.00	1	-0.09	1	0.00	17	0.00	101	0.00	1
24	Min.	0.00	1	0.00	1	-0.47	103	0.00	65	-0.00	130	0.00	1
25	Max	0.00	1	0.00	1	-0.09	49	0.00	65	0.00	101	0.00	1
25	Min.	0.00	1	0.00	1	-0.47	107	0.00	17	-0.00	130	0.00	1
301	Max	0.75	101	0.18	65	-0.02	65	0.00	17	0.00	101	0.00	177
301	Min.	-0.83	130	-0.18	17	-0.48	104	0.00	177	-0.00	130	0.00	126
302	Max	1.25	101	0.40	177	0.41	130	0.01	177	0.00	101	0.00	177
302	Min.	-5.05	158	-0.17	17	-1.22	101	0.00	65	-0.00	130	0.00	65
303	Max	1.26	101	0.34	177	0.33	130	0.00	177	0.01	98	0.00	177
303	Min.	-5.06	158	-0.16	17	-1.75	101	0.00	65	0.00	17	0.00	65
304	Max	1.27	101	0.42	177	-0.17	65	0.01	177	0.01	98	0.00	173
304	Min.	-5.05	158	-0.15	17	-2.88	97	-0.00	65	0.00	1	0.00	98
305	Max	1.28	101	0.40	177	-0.29	17	0.01	177	0.00	130	0.00	101
305	Min.	-5.05	162	-0.15	17	-3.66	100	-0.00	99	-0.00	101	0.00	106
306	Max	1.29	101	0.42	177	-0.17	17	0.01	177	0.00	130	0.00	97
306	Min.	-5.04	166	-0.15	65	-2.88	98	-0.00	17	-0.01	97	0.00	173
307	Max	1.29	101	0.34	177	0.12	1	0.00	177	0.00	65	0.00	17
307	Min.	-5.04	166	-0.16	65	-1.75	106	0.00	17	-0.01	97	0.00	177
308	Max	1.28	101	0.40	177	0.20	101	0.01	177	0.00	101	0.00	17
308	Min.	-5.03	166	-0.17	65	-1.26	130	0.00	17	-0.00	130	0.00	177
309	Max	0.68	101	0.18	17	-0.02	17	0.00	65	0.00	101	0.00	105
309	Min.	-0.88	130	-0.18	65	-0.48	108	0.00	177	-0.00	130	0.00	162
310	Max	1.25	101	0.32	177	0.48	130	0.00	173	0.01	97	0.00	17
310	Min.	-5.05	158	-0.17	17	-1.63	101	0.00	177	0.00	17	0.00	65
311	Max	1.28	101	0.32	177	0.23	101	0.00	173	0.00	65	0.00	17
311	Min.	-5.03	166	-0.17	65	-1.63	106	0.00	177	-0.01	98	0.00	173
312	Max	1.25	101	0.32	177	0.51	130	0.00	173	0.01	97	0.00	17
312	Min.	-5.05	158	-0.17	17	-1.65	101	0.00	65	0.00	33	0.00	65
313	Max	1.28	101	0.32	177	0.27	101	0.00	173	0.00	33	0.00	17
313	Min.	-5.03	166	-0.17	65	-1.65	106	0.00	17	-0.01	98	0.00	65
314	Max	1.25	101	0.31	177	0.52	130	0.00	17	0.01	97	0.00	17
314	Min.	-5.05	158	-0.17	17	-1.63	101	0.00	65	0.00	33	0.00	65
315	Max	1.28	101	0.31	177	0.28	101	0.00	65	0.00	33	0.00	17
315	Min.	-5.03	166	-0.17	65	-1.63	106	0.00	17	-0.01	98	0.00	173
316	Max	1.25	101	0.31	177	0.51	130	0.00	17	0.01	97	0.00	17
316	Min.	-5.05	158	-0.17	17	-1.65	101	0.00	65	0.00	33	0.00	65
317	Max	1.28	101	0.31	177	0.27	101	0.00	65	0.00	33	0.00	17
317	Min.	-5.03	166	-0.17	65	-1.65	106	0.00	17	-0.01	98	0.00	173
318	Max	1.25	101	0.31	177	0.49	130	0.00	17	0.01	97	0.00	17
318	Min.	-5.05	158	-0.17	17	-1.63	101	-0.00	65	0.00	65	0.00	65
319	Max	1.28	101	0.31	177	0.23	101	0.00	65	0.00	17	0.00	17
319	Min.	-5.03	166	-0.17	65	-1.63	106	-0.00	17	-0.01	98	0.00	173
320	Max	0.75	101	0.18	65	-0.02	17	0.00	17	0.00	101	0.00	126
320	Min.	-0.83	130	-0.18	17	-0.48	103	0.00	65	-0.00	130	0.00	65
321	Max	1.25	101	0.30	177	0.41	130	0.00	17	0.00	101	0.00	177
321	Min.	-5.05	158	-0.18	17	-1.21	101	0.00	65	-0.00	130	0.00	65
322	Max	1.26	101	0.31	177	0.34	130	0.00	17	0.01	98	0.00	173
322	Min.	-5.06	158	-0.17	17	-1.75	101	-0.00	65	0.00	65	0.00	65
323	Max	1.27	101	0.31	177	-0.16	17	0.00	173	0.01	98	0.00	173
323	Min.	-5.05	158	-0.17	17	-2.87	97	-0.00	65	0.00	49	0.00	65
324	Max	1.28	101	0.31	177	-0.27	17	0.00	173	0.00	130	0.00	106
324	Min.	-5.05	162	-0.16	17	-3.66	99	-0.00	17	-0.00	101	0.00	101
325	Max	1.29	101	0.31	177	-0.16	65	0.00	173	0.00	130	0.00	17
325	Min.	-5.04	166	-0.17	65	-2.87	98	-0.00	17	-0.01	97	0.00	173
326	Max	1.29	101	0.31	177	0.13	49	0.00	173	0.00	17	0.00	17
326	Min.	-5.04	166	-0.17	65	-1.75	106	-0.00	17	-0.01	97	0.00	173

327	Max	1.28	101	0.30	177	0.21	101	0.00	65	0.00	101	0.00	17
327	Min.	-5.03	166	-0.18	65	-1.26	130	0.00	17	-0.00	130	0.00	177
328	Max	0.68	101	0.18	17	-0.02	65	0.00	65	0.00	101	0.00	162
328	Min.	-0.88	130	-0.18	65	-0.48	107	0.00	17	-0.00	130	0.00	105
329	Max	1.25	101	0.32	177	0.49	130	0.00	173	0.01	97	0.00	17
329	Min.	-5.05	158	-0.17	17	-1.64	101	0.00	103	0.00	17	0.00	173
330	Max	1.28	101	0.32	177	0.24	101	0.00	173	0.00	65	0.00	173
330	Min.	-5.03	166	-0.17	65	-1.64	106	0.00	107	-0.01	98	0.00	65
331	Max	1.25	101	0.31	177	0.49	130	0.00	104	0.01	97	0.00	17
331	Min.	-5.05	158	-0.17	17	-1.64	101	-0.00	65	0.00	65	0.00	173
332	Max	1.28	101	0.31	177	0.24	101	0.00	108	0.00	17	0.00	17
332	Min.	-5.03	166	-0.17	65	-1.64	106	-0.00	17	-0.01	98	0.00	65
401	Max	1.19	101	0.45	177	-0.02	65	0.00	17	0.00	101	0.00	177
401	Min.	-4.35	162	-0.27	17	-0.48	104	-0.00	177	-0.03	158	0.00	173
402	Max	1.19	101	0.69	177	0.41	130	0.00	17	0.01	158	0.00	177
402	Min.	-4.37	162	-0.33	17	-1.22	101	-0.00	177	0.00	1	0.00	173
403	Max	1.18	101	0.73	177	0.33	130	0.00	173	0.00	158	0.00	97
403	Min.	-4.39	162	-0.37	17	-1.75	101	-0.00	177	0.00	1	-0.00	173
404	Max	1.17	101	0.73	177	-0.17	65	0.01	173	0.00	158	0.00	98
404	Min.	-4.40	162	-0.78	173	-2.88	97	-0.00	177	0.00	101	-0.00	173
405	Max	1.16	101	0.73	177	-0.29	17	0.01	173	0.00	158	0.00	106
405	Min.	-4.41	162	-1.33	173	-3.66	100	-0.00	177	-0.00	101	0.00	101
406	Max	1.15	101	0.73	177	-0.17	17	0.01	173	0.00	166	0.00	173
406	Min.	-4.42	158	-0.79	173	-2.88	98	-0.00	177	-0.00	101	0.00	97
407	Max	1.15	101	0.73	177	0.12	1	0.00	173	0.00	166	0.00	173
407	Min.	-4.42	158	-0.38	173	-1.75	106	-0.00	177	-0.00	97	0.00	98
408	Max	1.15	101	0.69	177	0.20	101	0.00	65	0.01	166	0.00	173
408	Min.	-4.40	158	-0.33	65	-1.27	130	-0.00	177	-0.00	101	0.00	177
409	Max	1.15	101	0.45	177	-0.02	17	0.00	65	0.00	101	0.00	121
409	Min.	-4.38	158	-0.27	65	-0.48	108	-0.00	177	-0.03	166	-0.00	177
420	Max	1.19	101	0.27	65	-0.02	17	0.00	17	0.00	101	0.00	177
420	Min.	-4.35	162	-0.27	17	-0.48	103	0.00	177	-0.03	158	0.00	125
421	Max	1.19	101	0.40	177	0.42	130	0.00	17	0.01	158	0.00	177
421	Min.	-4.37	162	-0.25	17	-1.21	101	-0.00	65	0.00	49	0.00	173
422	Max	1.18	101	0.44	177	0.34	130	0.00	17	0.00	158	0.00	17
422	Min.	-4.39	162	-0.27	17	-1.75	101	-0.00	65	0.00	49	0.00	173
423	Max	1.17	101	0.43	177	-0.16	17	0.00	173	0.00	158	0.00	17
423	Min.	-4.40	162	-0.42	173	-2.87	97	-0.00	65	0.00	101	-0.00	173
424	Max	1.16	101	0.43	177	-0.27	17	0.00	173	0.00	158	0.00	101
424	Min.	-4.41	162	-0.54	173	-3.66	99	-0.00	17	-0.00	101	0.00	106
425	Max	1.15	101	0.43	177	-0.16	65	0.00	173	0.00	166	0.00	173
425	Min.	-4.42	158	-0.44	173	-2.87	98	-0.00	17	-0.00	101	0.00	65
426	Max	1.15	101	0.44	177	0.13	49	0.00	173	0.00	166	0.00	173
426	Min.	-4.42	158	-0.27	65	-1.75	106	-0.00	17	-0.00	97	0.00	65
427	Max	1.15	101	0.40	177	0.21	101	0.00	65	0.01	166	0.00	173
427	Min.	-4.40	158	-0.25	65	-1.26	130	-0.00	17	-0.00	101	0.00	177
428	Max	1.15	101	0.27	17	-0.02	65	0.00	65	0.00	101	0.00	106
428	Min.	-4.38	158	-0.27	65	-0.48	107	0.00	177	-0.03	166	0.00	177
429	Max	1.26	101	0.32	177	0.23	101	0.00	173	0.00	65	0.00	17
429	Min.	-5.04	166	-0.19	65	-1.66	106	0.00	17	-0.01	98	0.00	177
430	Max	1.27	101	0.32	177	0.51	130	0.00	17	0.01	97	0.00	177
430	Min.	-5.04	162	-0.19	17	-1.65	101	0.00	65	0.00	33	0.00	65
431	Max	1.27	101	0.32	177	0.47	130	0.00	173	0.01	97	0.00	177
431	Min.	-5.04	162	-0.19	17	-1.65	101	0.00	65	0.00	17	0.00	65
432	Max	1.27	101	0.32	177	0.48	130	0.00	17	0.01	97	0.00	177
432	Min.	-5.04	162	-0.19	17	-1.64	101	-0.00	65	0.00	65	0.00	65
433	Max	1.27	101	0.32	177	0.51	130	0.00	17	0.01	97	0.00	177
433	Min.	-5.04	162	-0.19	17	-1.66	101	-0.00	65	0.00	33	0.00	65
434	Max	1.26	101	0.32	177	0.22	101	0.00	65	0.00	17	0.00	17
434	Min.	-5.04	166	-0.19	65	-1.64	106	-0.00	17	-0.01	98	0.00	177
435	Max	1.26	101	0.32	177	0.23	101	0.00	65	0.00	17	0.00	17
435	Min.	-5.04	166	-0.19	65	-1.65	106	-0.00	17	-0.01	98	0.00	177
436	Max	1.26	101	0.32	177	0.22	101	0.00	173	0.00	65	0.00	17
436	Min.	-5.04	166	-0.19	65	-1.65	106	0.00	17	-0.01	98	0.00	177
437	Max	1.27	101	0.32	177	0.48	130	0.00	17	0.01	97	0.00	177
437	Min.	-5.04	162	-0.19	17	-1.65	101	-0.00	65	0.00	65	0.00	65
438	Max	1.27	101	0.32	177	0.48	130	0.00	173	0.01	97	0.00	177
438	Min.	-5.04	162	-0.19	17	-1.66	101	0.00	65	0.00	17	0.00	65
439	Max	1.26	101	0.32	177	0.26	101	0.00	65	0.00	33	0.00	17
439	Min.	-5.04	166	-0.19	65	-1.66	106	-0.00	17	-0.01	98	0.00	177
440	Max	1.27	101	0.32	177	0.50	130	0.00	173	0.01	97	0.00	177
440	Min.	-5.04	162	-0.19	17	-1.66	101	0.00	65	0.00	33	0.00	65
441	Max	1.26	101	0.32	177	0.27	101	0.00	65	0.00	33	0.00	17
441	Min.	-5.04	166	-0.19	65	-1.65	106	0.00	17	-0.01	98	0.00	177
442	Max	1.26	101	0.32	177	0.26	101	0.00	173	0.00	33	0.00	17
442	Min.	-5.04	166	-0.19	65	-1.66	106	0.00	17	-0.01	98	0.00	177

Min = -5.06
Max = 1.29

Reazioni vincolari

Simbologia
Nodo = Numero del nodo
Rx = Reazione vincolare (forza) in dir. X
CC = Numero della combinazione delle condizioni di carico elementari
Ry = Reazione vincolare (forza) in dir. Y
Rz = Reazione vincolare (forza) in dir. Z
Mx = Reazione vincolare (momento) intorno all'asse X
My = Reazione vincolare (momento) intorno all'asse Y
Mz = Reazione vincolare (momento) intorno all'asse Z

Nodo		Rx <daN>	CC	Ry <daN>	CC	Rz <daN>	CC	Mx <daNm>	CC	My <daNm>	CC	Mz <daNm>	CC
-222	Max	0.00	1	0.00	1	0.00	161	0.00	49	0.00	49	0.00	1
-222	Min.	0.00	1	0.00	1	0.00	102	0.00	115	0.00	128	0.00	1
-221	Max	0.00	1	0.00	1	0.00	65	0.00	65	0.00	1	0.00	1
-221	Min.	0.00	1	0.00	1	0.00	17	0.00	104	0.00	49	0.00	1
-220	Max	0.00	1	0.00	1	0.00	65	0.00	65	0.00	106	0.00	1
-220	Min.	0.00	1	0.00	1	0.00	108	0.00	108	0.00	161	0.00	1
-219	Max	0.00	1	0.00	1	0.00	17	0.00	108	0.00	163	0.00	1
-219	Min.	0.00	1	0.00	1	0.00	65	0.00	17	0.00	108	0.00	1
-218	Max	363.03	17	389.91	65	0.00	65	0.00	65	0.00	130	77.64	130
-218	Min.	-238.37	65	-107.89	17	0.00	17	0.00	17	0.00	101	-246.59	101
-217	Max	0.00	1	0.00	1	0.00	131	0.00	65	0.00	49	0.00	1
-217	Min.	0.00	1	0.00	1	0.00	49	0.00	108	0.00	1	0.00	1
-216	Max	0.00	1	0.00	1	0.00	105	0.00	17	0.00	157	0.00	1
-216	Min.	0.00	1	0.00	1	0.00	49	0.00	65	0.00	106	0.00	1
-215	Max	238.36	17	389.91	17	0.00	104	0.00	65	0.00	108	257.90	130
-215	Min.	-363.02	65	-107.90	65	0.00	17	0.00	17	0.00	103	-27.99	49
-214	Max	0.00	1	0.00	1	0.00	65	0.00	108	0.00	49	0.00	1
-214	Min.	0.00	1	0.00	1	0.00	17	0.00	17	0.00	1	0.00	1
-213	Max	0.00	1	0.00	1	0.00	17	0.00	17	0.00	107	0.00	1
-213	Min.	0.00	1	0.00	1	0.00	65	0.00	177	0.00	104	0.00	1
-212	Max	0.00	1	0.00	1	0.00	49	0.00	65	0.00	1	0.00	1
-212	Min.	0.00	1	0.00	1	0.00	177	0.00	167	0.00	105	0.00	1
-211	Max	0.00	1	0.00	1	0.00	65	0.00	49	0.00	106	0.00	1
-211	Min.	0.00	1	0.00	1	0.00	158	0.00	1	0.00	101	0.00	1
-210	Max	0.00	1	0.00	1	0.00	144	0.00	65	0.00	102	0.00	1
-210	Min.	0.00	1	0.00	1	0.00	123	0.00	104	0.00	129	0.00	1
-209	Max	0.00	1	0.00	1	0.00	65	0.00	17	0.00	1	0.00	1
-209	Min.	0.00	1	0.00	1	0.00	166	0.00	104	0.00	129	0.00	1
-208	Max	0.00	1	0.00	1	0.00	65	0.00	65	0.00	126	0.00	1
-208	Min.	0.00	1	0.00	1	0.00	103	0.00	17	0.00	1	0.00	1
-207	Max	0.00	1	0.00	1	0.00	107	0.00	173	0.00	106	0.00	1
-207	Min.	0.00	1	0.00	1	0.00	17	0.00	17	0.00	125	0.00	1
-206	Max	540.14	1	331.98	100	0.00	99	0.00	65	0.00	130	32.81	49
-206	Min.	-386.08	49	16.76	17	0.00	108	0.00	17	0.00	101	-69.50	101
-205	Max	0.00	1	0.00	1	0.00	17	0.00	177	0.00	166	0.00	1
-205	Min.	0.00	1	0.00	1	0.00	106	0.00	108	0.00	105	0.00	1
-204	Max	0.00	1	0.00	1	0.00	49	0.00	103	0.00	158	0.00	1
-204	Min.	0.00	1	0.00	1	0.00	1	0.00	17	0.00	101	0.00	1
-203	Max	386.07	1	331.98	100	0.00	104	0.00	17	0.00	165	73.08	130
-203	Min.	-540.13	49	16.76	65	0.00	17	0.00	65	0.00	102	-32.81	1
-202	Max	0.00	1	0.00	1	0.00	17	0.00	173	0.00	164	0.00	1
-202	Min.	0.00	1	0.00	1	0.00	65	0.00	17	0.00	103	0.00	1
-201	Max	0.00	1	0.00	1	0.00	17	0.00	177	0.00	1	0.00	1
-201	Min.	0.00	1	0.00	1	0.00	99	0.00	17	0.00	49	0.00	1
-200	Max	0.00	1	0.00	1	0.00	108	0.00	65	0.00	104	0.00	1
-200	Min.	0.00	1	0.00	1	0.00	127	0.00	17	0.00	49	0.00	1
-199	Max	0.00	1	0.00	1	0.00	1	0.00	160	0.00	1	0.00	1
-199	Min.	0.00	1	0.00	1	0.00	166	0.00	177	0.00	158	0.00	1
-198	Max	0.00	1	0.00	1	0.00	104	0.00	128	0.00	161	0.00	1
-198	Min.	0.00	1	0.00	1	0.00	65	0.00	17	0.00	130	0.00	1
-197	Max	0.00	1	0.00	1	0.00	17	0.00	177	0.00	107	0.00	1
-197	Min.	0.00	1	0.00	1	0.00	65	0.00	17	0.00	49	0.00	1
-196	Max	0.00	1	0.00	1	0.00	99	0.00	173	0.00	1	0.00	1
-196	Min.	0.00	1	0.00	1	0.00	65	0.00	177	0.00	130	0.00	1
-195	Max	0.00	1	0.00	1	0.00	17	0.00	65	0.00	102	0.00	1
-195	Min.	0.00	1	0.00	1	0.00	107	0.00	17	0.00	105	0.00	1
-194	Max	1023.01	1	557.45	65	0.00	17	0.00	17	0.00	1	109.48	65
-194	Min.	-857.65	49	-313.96	99	0.00	65	0.00	65	0.00	102	-113.06	17
-193	Max	0.00	1	0.00	1	0.00	140	0.00	177	0.00	1	0.00	1
-193	Min.	0.00	1	0.00	1	0.00	107	0.00	100	0.00	49	0.00	1
-192	Max	0.00	1	0.00	1	0.00	127	0.00	177	0.00	102	0.00	1
-192	Min.	0.00	1	0.00	1	0.00	49	0.00	65	0.00	161	0.00	1
-191	Max	857.65	1	557.45	17	0.00	17	0.00	65	0.00	101	113.06	65
-191	Min.	-1023.00	49	-313.96	99	0.00	65	0.00	17	0.00	158	-109.48	17
-190	Max	0.00	1	0.00	1	0.00	140	0.00	177	0.00	102	0.00	1

-190	Min.	0.00	1	0.00	1	0.00	177	0.00	17	0.00	129	0.00	1
-189	Max	0.00	1	0.00	1	0.00	65	0.00	177	0.00	165	0.00	1
-189	Min.	0.00	1	0.00	1	0.00	17	0.00	104	0.00	102	0.00	1
-188	Max	0.00	1	0.00	1	0.00	65	0.00	65	0.00	108	0.00	1
-188	Min.	0.00	1	0.00	1	0.00	108	0.00	107	0.00	17	0.00	1
-187	Max	0.00	1	0.00	1	0.00	108	0.00	100	0.00	49	0.00	1
-187	Min.	0.00	1	0.00	1	0.00	159	0.00	159	0.00	126	0.00	1
-186	Max	0.00	1	0.00	1	0.00	127	0.00	17	0.00	162	0.00	1
-186	Min.	0.00	1	0.00	1	0.00	168	0.00	65	0.00	129	0.00	1
-185	Max	0.00	1	0.00	1	0.00	49	0.00	177	0.00	1	0.00	1
-185	Min.	0.00	1	0.00	1	0.00	104	0.00	108	0.00	105	0.00	1
-184	Max	0.00	1	0.00	1	0.00	107	0.00	65	0.00	65	0.00	1
-184	Min.	0.00	1	0.00	1	0.00	17	0.00	17	0.00	132	0.00	1
-183	Max	0.00	1	0.00	1	24829.70	107	1306.41	17	5675.84	130	0.00	1
-183	Min.	0.00	1	0.00	1	2587.53	65	-1300.64	65	-4682.74	101	0.00	1
-182	Max	-2001.47	17	809.71	65	0.00	177	0.00	65	0.00	105	146.50	65
-182	Min.	-25935.40	97	-74.99	17	0.00	107	0.00	17	0.00	102	-125.07	17
-181	Max	0.00	1	0.00	1	0.00	107	0.00	17	0.00	106	0.00	1
-181	Min.	0.00	1	0.00	1	0.00	160	0.00	65	0.00	1	0.00	1
-180	Max	0.00	1	0.00	1	0.00	164	0.00	65	0.00	49	0.00	1
-180	Min.	0.00	1	0.00	1	0.00	123	0.00	104	0.00	1	0.00	1
-179	Max	25935.40	98	809.71	17	0.00	139	0.00	65	0.00	102	125.07	65
-179	Min.	2001.47	65	-74.99	65	0.00	124	0.00	17	0.00	157	-146.50	17
-178	Max	0.00	1	0.00	1	24830.40	103	1306.41	65	5482.81	130	0.00	1
-178	Min.	0.00	1	0.00	1	2587.52	17	-1300.64	17	-4925.30	101	0.00	1
-177	Max	0.00	1	0.00	1	0.00	103	0.00	17	0.00	101	0.00	1
-177	Min.	0.00	1	0.00	1	0.00	17	0.00	103	0.00	162	0.00	1
-176	Max	0.00	1	0.00	1	0.00	49	0.00	159	0.00	106	0.00	1
-176	Min.	0.00	1	0.00	1	0.00	99	0.00	17	0.00	125	0.00	1
-175	Max	0.00	1	0.00	1	0.00	65	0.00	65	0.00	127	0.00	1
-175	Min.	0.00	1	0.00	1	0.00	17	0.00	17	0.00	108	0.00	1
-174	Max	0.00	1	0.00	1	0.00	125	0.00	132	0.00	131	0.00	1
-174	Min.	0.00	1	0.00	1	0.00	158	0.00	127	0.00	104	0.00	1
-173	Max	0.00	1	0.00	1	0.00	17	0.00	177	0.00	101	0.00	1
-173	Min.	0.00	1	0.00	1	0.00	65	0.00	49	0.00	166	0.00	1
-172	Max	0.00	1	0.00	1	0.00	17	0.00	177	0.00	101	0.00	1
-172	Min.	0.00	1	0.00	1	0.00	65	0.00	65	0.00	106	0.00	1
-171	Max	0.00	1	0.00	1	0.00	107	0.00	65	0.00	101	0.00	1
-171	Min.	0.00	1	0.00	1	0.00	104	0.00	17	0.00	106	0.00	1
-170	Max	694.86	1	1460.87	100	0.00	100	0.00	173	0.00	1	132.56	49
-170	Min.	-958.12	101	-171.23	17	0.00	65	0.00	107	0.00	49	-111.12	1
-169	Max	0.00	1	0.00	1	0.00	121	0.00	49	0.00	65	0.00	1
-169	Min.	0.00	1	0.00	1	0.00	138	0.00	107	0.00	130	0.00	1
-168	Max	0.00	1	0.00	1	0.00	65	0.00	65	0.00	49	0.00	1
-168	Min.	0.00	1	0.00	1	0.00	128	0.00	17	0.00	128	0.00	1
-167	Max	958.07	106	1460.87	100	0.00	17	0.00	17	0.00	1	111.12	49
-167	Min.	-694.85	49	-171.23	65	0.00	65	0.00	65	0.00	49	-132.56	1
-166	Max	0.00	1	0.00	1	0.00	1	0.00	65	0.00	158	0.00	1
-166	Min.	0.00	1	0.00	1	0.00	103	0.00	177	0.00	165	0.00	1
-165	Max	0.00	1	0.00	1	0.00	17	0.00	17	0.00	167	0.00	1
-165	Min.	0.00	1	0.00	1	0.00	65	0.00	65	0.00	128	0.00	1
-164	Max	0.00	1	0.00	1	0.00	17	0.00	107	0.00	129	0.00	1
-164	Min.	0.00	1	0.00	1	0.00	65	0.00	49	0.00	126	0.00	1
-163	Max	0.00	1	0.00	1	0.00	105	0.00	107	0.00	131	0.00	1
-163	Min.	0.00	1	0.00	1	0.00	1	0.00	17	0.00	1	0.00	1
-162	Max	0.00	1	0.00	1	0.00	49	0.00	104	0.00	1	0.00	1
-162	Min.	0.00	1	0.00	1	0.00	1	0.00	1	0.00	125	0.00	1
-161	Max	0.00	1	0.00	1	0.00	101	0.00	17	0.00	131	0.00	1
-161	Min.	0.00	1	0.00	1	0.00	49	0.00	65	0.00	49	0.00	1
-160	Max	0.00	1	0.00	1	0.00	17	0.00	17	0.00	1	0.00	1
-160	Min.	0.00	1	0.00	1	0.00	65	0.00	65	0.00	49	0.00	1
-159	Max	0.00	1	0.00	1	0.00	143	0.00	65	0.00	158	0.00	1
-159	Min.	0.00	1	0.00	1	0.00	124	0.00	108	0.00	125	0.00	1
-158	Max	690.79	1	1103.88	65	0.00	65	0.00	49	0.00	158	157.26	65
-158	Min.	-1044.46	101	-178.53	17	0.00	159	0.00	1	0.00	1	-125.02	17
-157	Max	0.00	1	0.00	1	0.00	17	0.00	17	0.00	162	0.00	1
-157	Min.	0.00	1	0.00	1	0.00	106	0.00	65	0.00	105	0.00	1
-156	Max	0.00	1	0.00	1	0.00	160	0.00	102	0.00	49	0.00	1
-156	Min.	0.00	1	0.00	1	0.00	107	0.00	1	0.00	1	0.00	1
-155	Max	1044.40	106	1103.88	17	0.00	107	0.00	17	0.00	129	125.03	65
-155	Min.	-690.79	49	-178.54	65	0.00	104	0.00	65	0.00	49	-157.27	17
-154	Max	0.00	1	0.00	1	0.00	99	0.00	115	0.00	106	0.00	1
-154	Min.	0.00	1	0.00	1	0.00	104	0.00	108	0.00	101	0.00	1
-153	Max	0.00	1	0.00	1	0.00	17	0.00	1	0.00	49	0.00	1
-153	Min.	0.00	1	0.00	1	0.00	97	0.00	177	0.00	106	0.00	1
-152	Max	0.00	1	0.00	1	0.00	168	0.00	103	0.00	102	0.00	1
-152	Min.	0.00	1	0.00	1	0.00	107	0.00	17	0.00	49	0.00	1
-151	Max	0.00	1	0.00	1	0.00	127	0.00	164	0.00	107	0.00	1
-151	Min.	0.00	1	0.00	1	0.00	1	0.00	103	0.00	164	0.00	1

-150	Max	0.00	1	0.00	1	0.00	105	0.00	103	0.00	166	0.00	1
-150	Min.	0.00	1	0.00	1	0.00	166	0.00	177	0.00	113	0.00	1
-149	Max	0.00	1	0.00	1	0.00	158	0.00	17	0.00	166	0.00	1
-149	Min.	0.00	1	0.00	1	0.00	105	0.00	65	0.00	101	0.00	1
-148	Max	0.00	1	0.00	1	0.00	107	0.00	164	0.00	105	0.00	1
-148	Min.	0.00	1	0.00	1	0.00	140	0.00	103	0.00	102	0.00	1
-147	Max	0.00	1	0.00	1	0.00	65	0.00	65	0.00	162	0.00	1
-147	Min.	0.00	1	0.00	1	0.00	104	0.00	17	0.00	101	0.00	1
-146	Max	601.99	1	955.50	65	0.00	1	0.00	65	0.00	102	147.94	49
-146	Min.	-1146.51	101	-350.94	17	0.00	49	0.00	17	0.00	165	-116.14	1
-145	Max	0.00	1	0.00	1	0.00	105	0.00	65	0.00	129	0.00	1
-145	Min.	0.00	1	0.00	1	0.00	49	0.00	104	0.00	158	0.00	1
-144	Max	0.00	1	0.00	1	0.00	103	0.00	1	0.00	159	0.00	1
-144	Min.	0.00	1	0.00	1	0.00	49	0.00	49	0.00	49	0.00	1
-143	Max	1146.45	106	955.50	17	0.00	100	0.00	65	0.00	1	116.14	49
-143	Min.	-601.99	49	-350.94	65	0.00	127	0.00	17	0.00	49	-147.94	1
-142	Max	0.00	1	0.00	1	0.00	108	0.00	103	0.00	130	0.00	1
-142	Min.	0.00	1	0.00	1	0.00	1	0.00	120	0.00	49	0.00	1
-141	Max	0.00	1	0.00	1	0.00	65	0.00	17	0.00	129	0.00	1
-141	Min.	0.00	1	0.00	1	0.00	104	0.00	65	0.00	102	0.00	1
-140	Max	0.00	1	0.00	1	0.00	65	0.00	17	0.00	103	0.00	1
-140	Min.	0.00	1	0.00	1	0.00	124	0.00	65	0.00	108	0.00	1
-139	Max	0.00	1	0.00	1	0.00	17	0.00	17	0.00	130	0.00	1
-139	Min.	0.00	1	0.00	1	0.00	160	0.00	65	0.00	1	0.00	1
-138	Max	0.00	1	0.00	1	0.00	1	0.00	65	0.00	105	0.00	1
-138	Min.	0.00	1	0.00	1	0.00	129	0.00	101	0.00	162	0.00	1
-137	Max	0.00	1	0.00	1	12178.40	101	1294.17	17	5633.80	130	0.00	1
-137	Min.	0.00	1	0.00	1	2444.49	166	-1284.71	65	-4584.73	101	0.00	1
-136	Max	0.00	1	0.00	1	0.00	99	0.00	17	0.00	129	0.00	1
-136	Min.	0.00	1	0.00	1	0.00	65	0.00	104	0.00	1	0.00	1
-135	Max	0.00	1	0.00	1	24496.80	107	1299.87	17	5677.83	130	0.00	1
-135	Min.	0.00	1	0.00	1	5043.41	65	-1300.61	65	-4667.23	101	0.00	1
-134	Max	0.00	1	0.00	1	0.00	98	0.00	17	0.00	1	0.00	1
-134	Min.	0.00	1	0.00	1	0.00	165	0.00	104	0.00	107	0.00	1
-133	Max	0.00	1	0.00	1	0.00	1	0.00	65	0.00	126	0.00	1
-133	Min.	0.00	1	0.00	1	0.00	49	0.00	17	0.00	129	0.00	1
-132	Max	0.00	1	0.00	1	24497.40	103	1299.88	65	5467.37	130	0.00	1
-132	Min.	0.00	1	0.00	1	5043.40	17	-1300.61	17	-4930.59	101	0.00	1
-131	Max	0.00	1	0.00	1	0.00	137	0.00	17	0.00	1	0.00	1
-131	Min.	0.00	1	0.00	1	0.00	98	0.00	65	0.00	101	0.00	1
-130	Max	0.00	1	0.00	1	12178.20	106	1294.17	65	5379.43	130	0.00	1
-130	Min.	0.00	1	0.00	1	2505.26	1	-1284.71	17	-4904.97	101	0.00	1
-129	Max	0.00	1	0.00	1	0.00	130	0.00	65	0.00	1	0.00	1
-129	Min.	0.00	1	0.00	1	0.00	49	0.00	161	0.00	49	0.00	1
-128	Max	0.00	1	0.00	1	0.00	129	0.00	177	0.00	157	0.00	1
-128	Min.	0.00	1	0.00	1	0.00	49	0.00	101	0.00	130	0.00	1
-127	Max	0.00	1	0.00	1	0.00	17	0.00	49	0.00	162	0.00	1
-127	Min.	0.00	1	0.00	1	0.00	126	0.00	101	0.00	101	0.00	1
-126	Max	0.00	1	0.00	1	0.00	99	0.00	65	0.00	102	0.00	1
-126	Min.	0.00	1	0.00	1	0.00	65	0.00	17	0.00	129	0.00	1
-125	Max	0.00	1	0.00	1	0.00	1	0.00	177	0.00	162	0.00	1
-125	Min.	0.00	1	0.00	1	0.00	107	0.00	65	0.00	105	0.00	1
-124	Max	1462.35	130	2293.28	65	0.00	108	0.00	17	0.00	104	269.74	65
-124	Min.	-3041.62	101	-1535.34	17	0.00	49	0.00	65	0.00	107	-247.29	17
-123	Max	0.00	1	0.00	1	0.00	1	0.00	177	0.00	1	0.00	1
-123	Min.	0.00	1	0.00	1	0.00	157	0.00	108	0.00	49	0.00	1
-122	Max	0.00	1	0.00	1	0.00	49	0.00	103	0.00	125	0.00	1
-122	Min.	0.00	1	0.00	1	0.00	101	0.00	164	0.00	130	0.00	1
-121	Max	3041.47	106	2293.28	17	0.00	140	0.00	17	0.00	165	247.29	65
-121	Min.	-1098.02	49	-1535.35	65	0.00	99	0.00	65	0.00	106	-269.74	17
-120	Max	0.00	1	0.00	1	0.00	1	0.00	17	0.00	104	0.00	1
-120	Min.	0.00	1	0.00	1	0.00	103	0.00	65	0.00	49	0.00	1
-119	Max	0.00	1	0.00	1	0.00	49	0.00	65	0.00	105	0.00	1
-119	Min.	0.00	1	0.00	1	0.00	103	0.00	17	0.00	138	0.00	1
-118	Max	0.00	1	0.00	1	0.00	1	0.00	65	0.00	125	0.00	1
-118	Min.	0.00	1	0.00	1	0.00	107	0.00	127	0.00	1	0.00	1
-117	Max	0.00	1	0.00	1	0.00	144	0.00	160	0.00	129	0.00	1
-117	Min.	0.00	1	0.00	1	0.00	123	0.00	107	0.00	102	0.00	1
-116	Max	0.00	1	0.00	1	0.00	49	0.00	65	0.00	165	0.00	1
-116	Min.	0.00	1	0.00	1	0.00	1	0.00	17	0.00	102	0.00	1
-115	Max	0.00	1	0.00	1	12169.90	101	1278.64	17	5632.82	130	0.00	1
-115	Min.	0.00	1	0.00	1	2448.30	166	-1290.17	65	-4575.60	101	0.00	1
-114	Max	0.00	1	0.00	1	0.00	130	0.00	17	0.00	159	0.00	1
-114	Min.	0.00	1	0.00	1	0.00	49	0.00	65	0.00	128	0.00	1
-113	Max	0.00	1	0.00	1	24273.90	106	1292.84	17	5681.63	130	0.00	1
-113	Min.	0.00	1	0.00	1	6126.52	49	-1304.49	65	-4663.19	101	0.00	1
-112	Max	0.00	1	0.00	1	0.00	98	0.00	65	0.00	157	0.00	1
-112	Min.	0.00	1	0.00	1	0.00	49	0.00	17	0.00	102	0.00	1
-111	Max	0.00	1	0.00	1	0.00	122	0.00	65	0.00	131	0.00	1

-111	Min.	0.00	1	0.00	1	0.00	33	0.00	17	0.00	164	0.00	1
-110	Max	0.00	1	0.00	1	24274.60	101	1292.85	65	5463.80	130	0.00	1
-110	Min.	0.00	1	0.00	1	6126.52	1	-1304.49	17	-4935.26	101	0.00	1
-109	Max	0.00	1	0.00	1	0.00	101	0.00	107	0.00	129	0.00	1
-109	Min.	0.00	1	0.00	1	0.00	130	0.00	65	0.00	49	0.00	1
-108	Max	0.00	1	0.00	1	12169.70	106	1278.65	65	5370.01	130	0.00	1
-108	Min.	0.00	1	0.00	1	2981.45	1	-1290.18	17	-4905.88	101	0.00	1
-107	Max	0.00	1	0.00	1	0.00	98	0.00	106	0.00	49	0.00	1
-107	Min.	0.00	1	0.00	1	0.00	105	0.00	177	0.00	1	0.00	1
-106	Max	0.00	1	0.00	1	0.00	49	0.00	17	0.00	1	0.00	1
-106	Min.	0.00	1	0.00	1	0.00	126	0.00	132	0.00	106	0.00	1
-105	Max	0.00	1	0.00	1	0.00	163	0.00	104	0.00	129	0.00	1
-105	Min.	0.00	1	0.00	1	0.00	173	0.00	167	0.00	102	0.00	1
-104	Max	0.00	1	0.00	1	0.00	173	0.00	108	0.00	157	0.00	1
-104	Min.	0.00	1	0.00	1	0.00	108	0.00	115	0.00	49	0.00	1
-103	Max	0.00	1	0.00	1	0.00	107	0.00	160	0.00	1	0.00	1
-103	Min.	0.00	1	0.00	1	0.00	104	0.00	103	0.00	106	0.00	1
-102	Max	1474.81	130	1554.18	65	0.00	168	0.00	106	0.00	106	250.79	65
-102	Min.	-3064.50	101	-2322.22	17	0.00	107	0.00	1	0.00	101	-271.77	17
-101	Max	0.00	1	0.00	1	0.00	106	0.00	65	0.00	49	0.00	1
-101	Min.	0.00	1	0.00	1	0.00	1	0.00	173	0.00	101	0.00	1
-100	Max	0.00	1	0.00	1	0.00	158	0.00	17	0.00	102	0.00	1
-100	Min.	0.00	1	0.00	1	0.00	101	0.00	65	0.00	105	0.00	1
-99	Max	3064.35	106	1554.18	17	0.00	162	0.00	103	0.00	130	271.77	65
-99	Min.	-1110.79	1	-2322.22	65	0.00	129	0.00	177	0.00	101	-250.79	17
-98	Max	0.00	1	0.00	1	0.00	177	0.00	1	0.00	162	0.00	1
-98	Min.	0.00	1	0.00	1	0.00	104	0.00	173	0.00	101	0.00	1
-97	Max	0.00	1	0.00	1	0.00	131	0.00	65	0.00	1	0.00	1
-97	Min.	0.00	1	0.00	1	0.00	104	0.00	17	0.00	108	0.00	1
-96	Max	0.00	1	0.00	1	0.00	166	0.00	99	0.00	106	0.00	1
-96	Min.	0.00	1	0.00	1	0.00	49	0.00	65	0.00	49	0.00	1
-95	Max	0.00	1	0.00	1	0.00	162	0.00	162	0.00	129	0.00	1
-95	Min.	0.00	1	0.00	1	0.00	101	0.00	105	0.00	126	0.00	1
-94	Max	0.00	1	0.00	1	0.00	118	0.00	65	0.00	164	0.00	1
-94	Min.	0.00	1	0.00	1	0.00	161	0.00	17	0.00	131	0.00	1
-93	Max	0.00	1	0.00	1	12198.40	101	1272.39	17	5634.08	130	0.00	1
-93	Min.	0.00	1	0.00	1	2456.64	166	-1305.03	65	-4584.84	101	0.00	1
-92	Max	0.00	1	0.00	1	0.00	116	0.00	65	0.00	101	0.00	1
-92	Min.	0.00	1	0.00	1	0.00	65	0.00	17	0.00	106	0.00	1
-91	Max	0.00	1	0.00	1	24536.00	108	1288.67	17	5678.03	130	0.00	1
-91	Min.	0.00	1	0.00	1	5069.09	17	-1311.20	65	-4667.32	101	0.00	1
-90	Max	0.00	1	0.00	1	0.00	101	0.00	65	0.00	101	0.00	1
-90	Min.	0.00	1	0.00	1	0.00	158	0.00	17	0.00	130	0.00	1
-89	Max	0.00	1	0.00	1	0.00	132	0.00	101	0.00	1	0.00	1
-89	Min.	0.00	1	0.00	1	0.00	103	0.00	65	0.00	106	0.00	1
-88	Max	0.00	1	0.00	1	24536.60	104	1288.67	65	5467.45	130	0.00	1
-88	Min.	0.00	1	0.00	1	5069.08	65	-1311.20	17	-4930.78	101	0.00	1
-87	Max	0.00	1	0.00	1	0.00	65	0.00	65	0.00	102	0.00	1
-87	Min.	0.00	1	0.00	1	0.00	99	0.00	17	0.00	157	0.00	1
-86	Max	0.00	1	0.00	1	12198.10	106	1272.39	65	5379.56	130	0.00	1
-86	Min.	0.00	1	0.00	1	2519.82	49	-1305.03	17	-4905.23	101	0.00	1
-85	Max	0.00	1	0.00	1	0.00	49	0.00	107	0.00	1	0.00	1
-85	Min.	0.00	1	0.00	1	0.00	158	0.00	17	0.00	49	0.00	1
-84	Max	0.00	1	0.00	1	0.00	102	0.00	65	0.00	49	0.00	1
-84	Min.	0.00	1	0.00	1	0.00	157	0.00	17	0.00	106	0.00	1
-83	Max	0.00	1	0.00	1	0.00	104	0.00	1	0.00	157	0.00	1
-83	Min.	0.00	1	0.00	1	0.00	167	0.00	49	0.00	49	0.00	1
-82	Max	0.00	1	0.00	1	0.00	108	0.00	65	0.00	106	0.00	1
-82	Min.	0.00	1	0.00	1	0.00	17	0.00	17	0.00	101	0.00	1
-81	Max	0.00	1	0.00	1	0.00	17	0.00	17	0.00	103	0.00	1
-81	Min.	0.00	1	0.00	1	0.00	107	0.00	107	0.00	1	0.00	1
-80	Max	605.61	49	350.78	65	0.00	108	0.00	127	0.00	49	118.63	49
-80	Min.	-1142.96	101	-954.71	17	0.00	1	0.00	108	0.00	101	-150.05	1
-79	Max	0.00	1	0.00	1	0.00	108	0.00	107	0.00	102	0.00	1
-79	Min.	0.00	1	0.00	1	0.00	17	0.00	177	0.00	1	0.00	1
-78	Max	0.00	1	0.00	1	0.00	49	0.00	100	0.00	101	0.00	1
-78	Min.	0.00	1	0.00	1	0.00	101	0.00	17	0.00	158	0.00	1
-77	Max	1142.90	106	350.78	17	0.00	177	0.00	65	0.00	1	150.05	49
-77	Min.	-605.61	1	-954.71	65	0.00	104	0.00	17	0.00	49	-118.63	1
-76	Max	0.00	1	0.00	1	0.00	173	0.00	177	0.00	1	0.00	1
-76	Min.	0.00	1	0.00	1	0.00	65	0.00	65	0.00	49	0.00	1
-75	Max	0.00	1	0.00	1	0.00	17	0.00	17	0.00	101	0.00	1
-75	Min.	0.00	1	0.00	1	0.00	100	0.00	103	0.00	1	0.00	1
-74	Max	0.00	1	0.00	1	0.00	105	0.00	108	0.00	49	0.00	1
-74	Min.	0.00	1	0.00	1	0.00	162	0.00	65	0.00	102	0.00	1
-73	Max	0.00	1	0.00	1	0.00	161	0.00	65	0.00	137	0.00	1
-73	Min.	0.00	1	0.00	1	0.00	106	0.00	17	0.00	122	0.00	1
-72	Max	0.00	1	0.00	1	0.00	164	0.00	49	0.00	166	0.00	1
-72	Min.	0.00	1	0.00	1	0.00	103	0.00	1	0.00	105	0.00	1

-71	Max	0.00	1	0.00	1	0.00	163	0.00	17	0.00	1	0.00	1
-71	Min.	0.00	1	0.00	1	0.00	108	0.00	65	0.00	49	0.00	1
-70	Max	0.00	1	0.00	1	0.00	65	0.00	17	0.00	161	0.00	1
-70	Min.	0.00	1	0.00	1	0.00	108	0.00	65	0.00	106	0.00	1
-69	Max	0.00	1	0.00	1	0.00	136	0.00	17	0.00	158	0.00	1
-69	Min.	0.00	1	0.00	1	0.00	107	0.00	104	0.00	1	0.00	1
-68	Max	679.21	49	179.22	65	0.00	100	0.00	49	0.00	1	123.43	65
-68	Min.	-1018.50	101	-1079.94	17	0.00	65	0.00	1	0.00	106	-154.88	17
-67	Max	0.00	1	0.00	1	0.00	159	0.00	99	0.00	65	0.00	1
-67	Min.	0.00	1	0.00	1	0.00	128	0.00	177	0.00	107	0.00	1
-66	Max	0.00	1	0.00	1	0.00	163	0.00	1	0.00	105	0.00	1
-66	Min.	0.00	1	0.00	1	0.00	104	0.00	104	0.00	102	0.00	1
-65	Max	1018.45	106	179.22	17	0.00	131	0.00	65	0.00	17	154.88	65
-65	Min.	-679.21	1	-1079.94	65	0.00	177	0.00	17	0.00	129	-123.43	17
-64	Max	0.00	1	0.00	1	0.00	104	0.00	65	0.00	130	0.00	1
-64	Min.	0.00	1	0.00	1	0.00	49	0.00	17	0.00	101	0.00	1
-63	Max	0.00	1	0.00	1	0.00	173	0.00	65	0.00	165	0.00	1
-63	Min.	0.00	1	0.00	1	0.00	103	0.00	17	0.00	106	0.00	1
-62	Max	0.00	1	0.00	1	0.00	17	0.00	125	0.00	101	0.00	1
-62	Min.	0.00	1	0.00	1	0.00	65	0.00	17	0.00	162	0.00	1
-61	Max	0.00	1	0.00	1	0.00	49	0.00	65	0.00	104	0.00	1
-61	Min.	0.00	1	0.00	1	0.00	1	0.00	17	0.00	107	0.00	1
-60	Max	0.00	1	0.00	1	0.00	108	0.00	164	0.00	101	0.00	1
-60	Min.	0.00	1	0.00	1	0.00	167	0.00	173	0.00	162	0.00	1
-59	Max	0.00	1	0.00	1	0.00	65	0.00	65	0.00	1	0.00	1
-59	Min.	0.00	1	0.00	1	0.00	17	0.00	17	0.00	159	0.00	1
-58	Max	0.00	1	0.00	1	0.00	65	0.00	177	0.00	49	0.00	1
-58	Min.	0.00	1	0.00	1	0.00	99	0.00	17	0.00	130	0.00	1
-57	Max	0.00	1	0.00	1	0.00	119	0.00	177	0.00	1	0.00	1
-57	Min.	0.00	1	0.00	1	0.00	100	0.00	65	0.00	49	0.00	1
-56	Max	696.16	49	162.61	65	0.00	133	0.00	65	0.00	1	110.13	65
-56	Min.	-951.60	101	-1457.31	99	0.00	49	0.00	17	0.00	161	-131.44	17
-55	Max	0.00	1	0.00	1	0.00	106	0.00	107	0.00	1	0.00	1
-55	Min.	0.00	1	0.00	1	0.00	17	0.00	17	0.00	162	0.00	1
-54	Max	0.00	1	0.00	1	0.00	99	0.00	177	0.00	106	0.00	1
-54	Min.	0.00	1	0.00	1	0.00	49	0.00	1	0.00	101	0.00	1
-53	Max	951.55	106	162.61	17	0.00	49	0.00	126	0.00	107	131.44	65
-53	Min.	-696.16	1	-1457.31	99	0.00	103	0.00	49	0.00	104	-110.13	17
-52	Max	0.00	1	0.00	1	0.00	65	0.00	103	0.00	101	0.00	1
-52	Min.	0.00	1	0.00	1	0.00	104	0.00	173	0.00	158	0.00	1
-51	Max	0.00	1	0.00	1	0.00	17	0.00	103	0.00	49	0.00	1
-51	Min.	0.00	1	0.00	1	0.00	98	0.00	65	0.00	1	0.00	1
-50	Max	0.00	1	0.00	1	0.00	124	0.00	177	0.00	160	0.00	1
-50	Min.	0.00	1	0.00	1	0.00	49	0.00	164	0.00	107	0.00	1
-49	Max	0.00	1	0.00	1	0.00	97	0.00	97	0.00	17	0.00	1
-49	Min.	0.00	1	0.00	1	0.00	49	0.00	49	0.00	105	0.00	1
-48	Max	0.00	1	0.00	1	0.00	166	0.00	167	0.00	160	0.00	1
-48	Min.	0.00	1	0.00	1	0.00	105	0.00	173	0.00	127	0.00	1
-47	Max	0.00	1	0.00	1	0.00	132	0.00	17	0.00	130	0.00	1
-47	Min.	0.00	1	0.00	1	0.00	17	0.00	65	0.00	101	0.00	1
-46	Max	0.00	1	0.00	1	0.00	17	0.00	173	0.00	132	0.00	1
-46	Min.	0.00	1	0.00	1	0.00	65	0.00	65	0.00	17	0.00	1
-45	Max	0.00	1	0.00	1	24907.20	108	1288.57	17	5676.23	130	0.00	1
-45	Min.	0.00	1	0.00	1	2631.43	17	-1317.59	65	-4682.85	101	0.00	1
-44	Max	-2088.87	65	81.99	65	0.00	17	0.00	17	0.00	158	128.22	65
-44	Min.	-26069.10	97	-829.09	17	0.00	108	0.00	65	0.00	105	-149.85	17
-43	Max	0.00	1	0.00	1	0.00	107	0.00	177	0.00	102	0.00	1
-43	Min.	0.00	1	0.00	1	0.00	116	0.00	108	0.00	129	0.00	1
-42	Max	0.00	1	0.00	1	0.00	101	0.00	17	0.00	125	0.00	1
-42	Min.	0.00	1	0.00	1	0.00	17	0.00	65	0.00	166	0.00	1
-41	Max	26069.10	98	81.99	17	0.00	17	0.00	103	0.00	49	149.85	65
-41	Min.	2088.87	17	-829.09	65	0.00	65	0.00	17	0.00	1	-128.22	17
-40	Max	0.00	1	0.00	1	24907.80	104	1288.58	65	5482.93	130	0.00	1
-40	Min.	0.00	1	0.00	1	2631.41	65	-1317.59	17	-4925.67	101	0.00	1
-39	Max	0.00	1	0.00	1	0.00	65	0.00	17	0.00	105	0.00	1
-39	Min.	0.00	1	0.00	1	0.00	17	0.00	65	0.00	102	0.00	1
-38	Max	0.00	1	0.00	1	0.00	65	0.00	17	0.00	108	0.00	1
-38	Min.	0.00	1	0.00	1	0.00	107	0.00	65	0.00	127	0.00	1
-37	Max	0.00	1	0.00	1	0.00	163	0.00	163	0.00	107	0.00	1
-37	Min.	0.00	1	0.00	1	0.00	49	0.00	104	0.00	104	0.00	1
-36	Max	0.00	1	0.00	1	0.00	17	0.00	177	0.00	106	0.00	1
-36	Min.	0.00	1	0.00	1	0.00	65	0.00	107	0.00	101	0.00	1
-35	Max	0.00	1	0.00	1	0.00	97	0.00	177	0.00	1	0.00	1
-35	Min.	0.00	1	0.00	1	0.00	65	0.00	17	0.00	106	0.00	1
-34	Max	0.00	1	0.00	1	0.00	121	0.00	65	0.00	1	0.00	1
-34	Min.	0.00	1	0.00	1	0.00	17	0.00	17	0.00	49	0.00	1
-33	Max	0.00	1	0.00	1	0.00	17	0.00	17	0.00	126	0.00	1
-33	Min.	0.00	1	0.00	1	0.00	65	0.00	65	0.00	1	0.00	1
-32	Max	1054.69	49	301.79	100	0.00	65	0.00	65	0.00	162	115.47	65

-32	Min.	-882.59	1	-558.42	17	0.00	107	0.00	17	0.00	49	-111.02	17
-31	Max	0.00	1	0.00	1	0.00	160	0.00	107	0.00	104	0.00	1
-31	Min.	0.00	1	0.00	1	0.00	17	0.00	177	0.00	159	0.00	1
-30	Max	0.00	1	0.00	1	0.00	65	0.00	177	0.00	1	0.00	1
-30	Min.	0.00	1	0.00	1	0.00	104	0.00	104	0.00	108	0.00	1
-29	Max	882.59	49	301.79	100	0.00	65	0.00	65	0.00	1	111.02	65
-29	Min.	-1054.68	1	-558.42	65	0.00	17	0.00	104	0.00	49	-115.48	17
-28	Max	0.00	1	0.00	1	0.00	104	0.00	65	0.00	107	0.00	1
-28	Min.	0.00	1	0.00	1	0.00	177	0.00	17	0.00	164	0.00	1
-27	Max	0.00	1	0.00	1	0.00	65	0.00	65	0.00	106	0.00	1
-27	Min.	0.00	1	0.00	1	0.00	17	0.00	17	0.00	101	0.00	1
-26	Max	0.00	1	0.00	1	0.00	106	0.00	177	0.00	1	0.00	1
-26	Min.	0.00	1	0.00	1	0.00	17	0.00	173	0.00	162	0.00	1
-25	Max	0.00	1	0.00	1	0.00	161	0.00	17	0.00	131	0.00	1
-25	Min.	0.00	1	0.00	1	0.00	106	0.00	108	0.00	65	0.00	1
-24	Max	0.00	1	0.00	1	0.00	103	0.00	49	0.00	130	0.00	1
-24	Min.	0.00	1	0.00	1	0.00	65	0.00	121	0.00	101	0.00	1
-23	Max	0.00	1	0.00	1	0.00	104	0.00	177	0.00	102	0.00	1
-23	Min.	0.00	1	0.00	1	0.00	159	0.00	17	0.00	105	0.00	1
-22	Max	0.00	1	0.00	1	0.00	104	0.00	173	0.00	107	0.00	1
-22	Min.	0.00	1	0.00	1	0.00	173	0.00	177	0.00	49	0.00	1
-21	Max	0.00	1	0.00	1	0.00	17	0.00	65	0.00	102	0.00	1
-21	Min.	0.00	1	0.00	1	0.00	108	0.00	17	0.00	49	0.00	1
-20	Max	548.82	49	-9.31	65	0.00	99	0.00	65	0.00	102	70.20	101
-20	Min.	-392.82	1	-368.76	177	0.00	65	0.00	17	0.00	105	-32.12	1
-19	Max	0.00	1	0.00	1	0.00	102	0.00	108	0.00	158	0.00	1
-19	Min.	0.00	1	0.00	1	0.00	173	0.00	173	0.00	161	0.00	1
-18	Max	0.00	1	0.00	1	0.00	104	0.00	177	0.00	166	0.00	1
-18	Min.	0.00	1	0.00	1	0.00	1	0.00	65	0.00	105	0.00	1
-17	Max	392.81	49	-9.31	17	0.00	65	0.00	1	0.00	102	32.12	49
-17	Min.	-548.81	1	-368.76	177	0.00	108	0.00	177	0.00	1	-73.88	130
-16	Max	0.00	1	0.00	1	0.00	103	0.00	17	0.00	101	0.00	1
-16	Min.	0.00	1	0.00	1	0.00	65	0.00	65	0.00	158	0.00	1
-15	Max	0.00	1	0.00	1	0.00	177	0.00	17	0.00	165	0.00	1
-15	Min.	0.00	1	0.00	1	0.00	140	0.00	177	0.00	126	0.00	1
-14	Max	0.00	1	0.00	1	0.00	173	0.00	173	0.00	159	0.00	1
-14	Min.	0.00	1	0.00	1	0.00	65	0.00	177	0.00	108	0.00	1
-13	Max	0.00	1	0.00	1	0.00	127	0.00	17	0.00	158	0.00	1
-13	Min.	0.00	1	0.00	1	0.00	100	0.00	65	0.00	49	0.00	1
-12	Max	0.00	1	0.00	1	0.00	135	0.00	17	0.00	166	0.00	1
-12	Min.	0.00	1	0.00	1	0.00	128	0.00	103	0.00	105	0.00	1
-11	Max	0.00	1	0.00	1	0.00	1	0.00	105	0.00	167	0.00	1
-11	Min.	0.00	1	0.00	1	0.00	126	0.00	65	0.00	160	0.00	1
-10	Max	0.00	1	0.00	1	0.00	17	0.00	17	0.00	1	0.00	1
-10	Min.	0.00	1	0.00	1	0.00	108	0.00	65	0.00	101	0.00	1
-9	Max	0.00	1	0.00	1	0.00	103	0.00	49	0.00	1	0.00	1
-9	Min.	0.00	1	0.00	1	0.00	173	0.00	107	0.00	165	0.00	1
-8	Max	342.62	65	109.08	65	0.00	65	0.00	1	0.00	49	243.09	101
-8	Min.	-224.55	17	-369.31	17	0.00	17	0.00	49	0.00	1	-76.34	130
-7	Max	0.00	1	0.00	1	0.00	65	0.00	173	0.00	126	0.00	1
-7	Min.	0.00	1	0.00	1	0.00	17	0.00	17	0.00	1	0.00	1
-6	Max	0.00	1	0.00	1	0.00	65	0.00	101	0.00	106	0.00	1
-6	Min.	0.00	1	0.00	1	0.00	17	0.00	17	0.00	101	0.00	1
-5	Max	224.54	65	109.09	17	0.00	17	0.00	65	0.00	101	28.76	1
-5	Min.	-342.62	17	-369.31	65	0.00	102	0.00	17	0.00	158	-254.18	130
-4	Max	0.00	1	0.00	1	0.00	65	0.00	17	0.00	163	0.00	1
-4	Min.	0.00	1	0.00	1	0.00	17	0.00	65	0.00	104	0.00	1
-3	Max	0.00	1	0.00	1	0.00	100	0.00	65	0.00	49	0.00	1
-3	Min.	0.00	1	0.00	1	0.00	173	0.00	17	0.00	1	0.00	1
-2	Max	0.00	1	0.00	1	0.00	65	0.00	65	0.00	166	0.00	1
-2	Min.	0.00	1	0.00	1	0.00	106	0.00	17	0.00	105	0.00	1
-1	Max	0.00	1	0.00	1	0.00	164	0.00	102	0.00	1	0.00	1
-1	Min.	0.00	1	0.00	1	0.00	17	0.00	105	0.00	49	0.00	1
20	Max	23770.00	102	889.50	17	0.00	177	0.00	17	0.00	126	209.20	65
20	Min.	3164.37	17	-1730.87	65	0.00	127	0.00	65	0.00	105	-180.15	17
21	Max	-3164.37	65	889.50	65	0.00	159	0.00	1	0.00	49	180.14	65
21	Min.	-23769.30	105	-1730.87	17	0.00	108	0.00	49	0.00	1	-209.20	17
22	Max	23115.70	98	2079.09	17	0.00	138	0.00	17	0.00	1	266.49	65
22	Min.	3222.84	49	-2086.90	65	0.00	109	0.00	65	0.00	49	-267.35	17
23	Max	-3222.84	1	2079.09	65	0.00	49	0.00	65	0.00	157	267.34	65
23	Min.	-23115.70	97	-2086.90	17	0.00	105	0.00	17	0.00	102	-266.49	17
24	Max	23698.20	102	1730.02	17	0.00	1	0.00	17	0.00	105	180.56	65
24	Min.	3099.67	65	-888.75	65	0.00	102	0.00	65	0.00	122	-210.71	17
25	Max	-3099.66	17	1730.02	65	0.00	65	0.00	17	0.00	166	210.71	65
25	Min.	-23697.60	105	-888.74	17	0.00	107	0.00	108	0.00	101	-180.55	17

Tensioni sul terreno

Simbologia

Nodo = Numero del nodo
σ_t = Tensione sul terreno
CC = Numero della combinazione delle condizioni di carico elementari

Nodo		σ_t <daN/cmq>	CC
-222	Max	0.47	103
-220	Max	0.34	107
-218	Max	0.43	107
-216	Max	0.51	103
-214	Max	0.42	103
-212	Max	0.38	107
-210	Max	0.47	103
-208	Max	0.34	107
-206	Max	0.43	107
-204	Max	0.51	103
-202	Max	0.41	103
-200	Max	0.38	107
-198	Max	0.47	103
-196	Max	0.34	107
-194	Max	0.43	107
-192	Max	0.51	103
-190	Max	0.41	103
-188	Max	0.38	107
-186	Max	0.46	103
-184	Max	0.34	107
-182	Max	0.43	107
-180	Max	0.50	103
-178	Max	0.41	103
-176	Max	0.38	107
-174	Max	0.46	101
-172	Max	0.34	107
-170	Max	0.43	107
-168	Max	0.50	103
-166	Max	0.41	103
-164	Max	0.38	107
-162	Max	0.46	101
-160	Max	0.33	107
-158	Max	0.43	107
-156	Max	0.50	103
-154	Max	0.41	103
-152	Max	0.37	107
-150	Max	0.46	101
-148	Max	0.33	107
-146	Max	0.42	107
-144	Max	0.50	103
-142	Max	0.41	103
-140	Max	0.37	107
-138	Max	0.46	101
-136	Max	0.33	107
-134	Max	0.50	106
-132	Max	0.40	103
-130	Max	0.37	106
-128	Max	0.46	101
-126	Max	0.33	107
-124	Max	0.42	107
-122	Max	0.50	101
-120	Max	0.40	103
-118	Max	0.37	106
-116	Max	0.46	101
-114	Max	0.33	105
-112	Max	0.50	106
-110	Max	0.40	101
-108	Max	0.37	106
-106	Max	0.46	101
-104	Max	0.33	108
-102	Max	0.42	108
-100	Max	0.50	101
-98	Max	0.40	104
-96	Max	0.37	106
-94	Max	0.46	101
-92	Max	0.33	108
-90	Max	0.50	106
-88	Max	0.41	104
-86	Max	0.37	106
-84	Max	0.46	101
-82	Max	0.33	108
-80	Max	0.43	108
-78	Max	0.50	104

Nodo		σ_t <daN/cmq>	CC
-222	Min.	-0.01	65
-220	Min.	0.02	65
-218	Min.	0.01	65
-216	Min.	-0.00	17
-214	Min.	0.01	17
-212	Min.	0.01	17
-210	Min.	0.00	65
-208	Min.	0.03	65
-206	Min.	0.02	65
-204	Min.	0.01	17
-202	Min.	0.02	17
-200	Min.	0.01	17
-198	Min.	0.01	65
-196	Min.	0.03	65
-194	Min.	0.02	65
-192	Min.	0.01	17
-190	Min.	0.02	17
-188	Min.	0.02	17
-186	Min.	0.02	168
-184	Min.	0.05	65
-182	Min.	0.04	65
-180	Min.	0.03	17
-178	Min.	0.04	17
-176	Min.	0.04	17
-174	Min.	0.02	166
-172	Min.	0.06	65
-170	Min.	0.05	65
-168	Min.	0.03	1
-166	Min.	0.05	17
-164	Min.	0.05	17
-162	Min.	0.02	166
-160	Min.	0.07	65
-158	Min.	0.06	65
-156	Min.	0.04	1
-154	Min.	0.06	17
-152	Min.	0.06	17
-150	Min.	0.02	166
-148	Min.	0.08	65
-146	Min.	0.07	65
-144	Min.	0.04	1
-142	Min.	0.07	17
-140	Min.	0.07	17
-138	Min.	0.02	166
-136	Min.	0.09	65
-134	Min.	0.05	49
-132	Min.	0.08	17
-130	Min.	0.08	1
-128	Min.	0.02	166
-126	Min.	0.11	65
-124	Min.	0.09	49
-122	Min.	0.05	1
-120	Min.	0.09	1
-118	Min.	0.08	1
-116	Min.	0.02	166
-114	Min.	0.12	33
-112	Min.	0.06	49
-110	Min.	0.10	1
-108	Min.	0.09	1
-106	Min.	0.02	166
-104	Min.	0.11	17
-102	Min.	0.09	1
-100	Min.	0.05	49
-98	Min.	0.09	49
-96	Min.	0.08	49
-94	Min.	0.02	166
-92	Min.	0.09	17
-90	Min.	0.05	1
-88	Min.	0.08	65
-86	Min.	0.08	49
-84	Min.	0.02	166
-82	Min.	0.08	17
-80	Min.	0.07	17
-78	Min.	0.04	49

Nodo		σ_t <daN/cmq>	CC
-221	Max	0.38	103
-219	Max	0.42	107
-217	Max	0.51	107
-215	Max	0.43	103
-213	Max	0.34	103
-211	Max	0.47	131
-209	Max	0.38	103
-207	Max	0.41	107
-205	Max	0.51	107
-203	Max	0.43	103
-201	Max	0.34	103
-199	Max	0.47	131
-197	Max	0.38	103
-195	Max	0.41	107
-193	Max	0.51	107
-191	Max	0.43	103
-189	Max	0.34	103
-187	Max	0.47	131
-185	Max	0.38	103
-183	Max	0.41	107
-181	Max	0.50	107
-179	Max	0.43	103
-177	Max	0.34	103
-175	Max	0.47	131
-173	Max	0.38	103
-171	Max	0.41	107
-169	Max	0.50	107
-167	Max	0.43	103
-165	Max	0.34	103
-163	Max	0.47	130
-161	Max	0.37	103
-159	Max	0.41	107
-157	Max	0.50	107
-155	Max	0.43	103
-153	Max	0.33	103
-151	Max	0.46	130
-149	Max	0.37	103
-147	Max	0.41	107
-145	Max	0.50	107
-143	Max	0.42	103
-141	Max	0.33	103
-139	Max	0.46	130
-137	Max	0.37	101
-135	Max	0.40	107
-133	Max	0.50	101
-131	Max	0.33	103
-129	Max	0.46	130
-127	Max	0.37	101
-125	Max	0.40	107
-123	Max	0.50	106
-121	Max	0.42	103
-119	Max	0.33	103
-117	Max	0.46	130
-115	Max	0.37	101
-113	Max	0.40	106
-111	Max	0.50	101
-109	Max	0.33	102
-107	Max	0.46	130
-105	Max	0.37	101
-103	Max	0.40	108
-101	Max	0.50	106
-99	Max	0.42	104
-97	Max	0.33	104
-95	Max	0.46	130
-93	Max	0.37	101
-91	Max	0.41	108
-89	Max	0.50	101
-87	Max	0.33	104
-85	Max	0.46	130
-83	Max	0.37	104
-81	Max	0.41	108
-79	Max	0.50	108
-77	Max	0.43	104

Nodo		σ_t <daN/cmq>	CC
-221	Min.	0.01	65
-219	Min.	0.01	65
-217	Min.	-0.00	65
-215	Min.	0.01	17
-213	Min.	0.02	17
-211	Min.	-0.01	17
-209	Min.	0.01	65
-207	Min.	0.02	65
-205	Min.	0.01	65
-203	Min.	0.02	17
-201	Min.	0.03	17
-199	Min.	0.00	17
-197	Min.	0.02	65
-195	Min.	0.02	65
-193	Min.	0.01	65
-191	Min.	0.02	17
-189	Min.	0.03	17
-187	Min.	0.01	17
-185	Min.	0.04	65
-183	Min.	0.04	65
-181	Min.	0.03	65
-179	Min.	0.04	17
-177	Min.	0.05	17
-175	Min.	0.02	1
-173	Min.	0.05	65
-171	Min.	0.05	65
-169	Min.	0.03	49
-167	Min.	0.05	17
-165	Min.	0.06	17
-163	Min.	0.02	1
-161	Min.	0.06	65
-159	Min.	0.06	65
-157	Min.	0.04	49
-155	Min.	0.06	17
-153	Min.	0.07	17
-151	Min.	0.03	1
-149	Min.	0.07	65
-147	Min.	0.07	65
-145	Min.	0.04	49
-143	Min.	0.07	17
-141	Min.	0.08	17
-139	Min.	0.03	1
-137	Min.	0.07	166
-135	Min.	0.08	65
-133	Min.	0.05	1
-131	Min.	0.09	17
-129	Min.	0.04	1
-127	Min.	0.07	166
-125	Min.	0.09	49
-123	Min.	0.05	49
-121	Min.	0.09	1
-119	Min.	0.11	17
-117	Min.	0.04	1
-115	Min.	0.07	166
-113	Min.	0.10	49
-111	Min.	0.06	1
-109	Min.	0.12	33
-107	Min.	0.05	1
-105	Min.	0.07	166
-103	Min.	0.09	1
-101	Min.	0.05	1
-99	Min.	0.09	49
-97	Min.	0.11	65
-95	Min.	0.04	49
-93	Min.	0.07	166
-91	Min.	0.08	17
-89	Min.	0.05	49
-87	Min.	0.09	65
-85	Min.	0.04	49
-83	Min.	0.07	17
-81	Min.	0.07	17
-79	Min.	0.04	1
-77	Min.	0.07	65

-76	Max	0.41	104	-76	Min.	0.07	65	-75	Max	0.33	104	-75	Min.	0.08	65
-74	Max	0.37	108	-74	Min.	0.07	65	-73	Max	0.46	130	-73	Min.	0.03	49
-72	Max	0.46	101	-72	Min.	0.02	166	-71	Max	0.37	104	-71	Min.	0.06	17
-70	Max	0.34	108	-70	Min.	0.07	17	-69	Max	0.41	108	-69	Min.	0.06	17
-68	Max	0.43	108	-68	Min.	0.06	17	-67	Max	0.50	108	-67	Min.	0.04	1
-66	Max	0.50	104	-66	Min.	0.04	49	-65	Max	0.43	104	-65	Min.	0.06	65
-64	Max	0.41	104	-64	Min.	0.06	65	-63	Max	0.34	104	-63	Min.	0.07	65
-62	Max	0.37	108	-62	Min.	0.06	65	-61	Max	0.47	130	-61	Min.	0.03	49
-60	Max	0.46	101	-60	Min.	0.02	166	-59	Max	0.38	104	-59	Min.	0.05	17
-58	Max	0.34	108	-58	Min.	0.06	17	-57	Max	0.41	108	-57	Min.	0.05	17
-56	Max	0.43	108	-56	Min.	0.05	17	-55	Max	0.50	108	-55	Min.	0.03	1
-54	Max	0.50	104	-54	Min.	0.03	49	-53	Max	0.43	104	-53	Min.	0.05	65
-52	Max	0.41	104	-52	Min.	0.05	65	-51	Max	0.34	104	-51	Min.	0.06	65
-50	Max	0.38	108	-50	Min.	0.05	65	-49	Max	0.47	130	-49	Min.	0.02	49
-48	Max	0.46	104	-48	Min.	0.02	167	-47	Max	0.38	104	-47	Min.	0.04	17
-46	Max	0.34	108	-46	Min.	0.05	17	-45	Max	0.41	108	-45	Min.	0.04	17
-44	Max	0.43	108	-44	Min.	0.04	17	-43	Max	0.50	108	-43	Min.	0.03	17
-42	Max	0.50	104	-42	Min.	0.03	65	-41	Max	0.43	104	-41	Min.	0.04	65
-40	Max	0.41	104	-40	Min.	0.04	65	-39	Max	0.34	104	-39	Min.	0.05	65
-38	Max	0.38	108	-38	Min.	0.04	65	-37	Max	0.47	132	-37	Min.	0.02	49
-36	Max	0.47	104	-36	Min.	0.01	17	-35	Max	0.38	104	-35	Min.	0.02	17
-34	Max	0.34	108	-34	Min.	0.03	17	-33	Max	0.42	108	-33	Min.	0.02	17
-32	Max	0.43	108	-32	Min.	0.02	17	-31	Max	0.51	108	-31	Min.	0.01	17
-30	Max	0.51	104	-30	Min.	0.01	65	-29	Max	0.43	104	-29	Min.	0.02	65
-28	Max	0.42	104	-28	Min.	0.02	65	-27	Max	0.34	104	-27	Min.	0.03	65
-26	Max	0.38	108	-26	Min.	0.02	65	-25	Max	0.47	132	-25	Min.	0.01	65
-24	Max	0.47	104	-24	Min.	0.00	17	-23	Max	0.38	104	-23	Min.	0.02	17
-22	Max	0.34	108	-22	Min.	0.03	17	-21	Max	0.42	108	-21	Min.	0.02	17
-20	Max	0.43	108	-20	Min.	0.02	17	-19	Max	0.51	108	-19	Min.	0.01	17
-18	Max	0.51	104	-18	Min.	0.01	65	-17	Max	0.43	104	-17	Min.	0.02	65
-16	Max	0.42	104	-16	Min.	0.02	65	-15	Max	0.34	104	-15	Min.	0.03	65
-14	Max	0.38	108	-14	Min.	0.02	65	-13	Max	0.47	132	-13	Min.	0.00	65
-12	Max	0.47	104	-12	Min.	-0.00	17	-11	Max	0.38	104	-11	Min.	0.01	17
-10	Max	0.34	108	-10	Min.	0.02	17	-9	Max	0.42	108	-9	Min.	0.01	17
-8	Max	0.44	108	-8	Min.	0.01	17	-7	Max	0.51	108	-7	Min.	-0.00	17
-6	Max	0.51	104	-6	Min.	-0.00	65	-5	Max	0.44	104	-5	Min.	0.01	65
-4	Max	0.42	104	-4	Min.	0.01	65	-3	Max	0.34	104	-3	Min.	0.02	65
-2	Max	0.38	108	-2	Min.	0.01	65	-1	Max	0.47	132	-1	Min.	-0.00	65
20	Max	0.42	104	20	Min.	0.08	49	21	Max	0.42	108	21	Min.	0.08	1
22	Max	0.42	101	22	Min.	0.09	1	23	Max	0.42	106	23	Min.	0.09	49
24	Max	0.42	103	24	Min.	0.08	1	25	Max	0.42	107	25	Min.	0.08	49

Sollecitazioni aste

Simbologia

Asta = Numero dell'asta
N1 = Nodo1
N2 = Nodo2
X = Coordinata progressiva rispetto al nodo iniziale
N = Sforzo normale
CC = Numero della combinazione delle condizioni di carico elementari
Ty = Taglio in dir. Y
Mz = Momento flettente intorno all'asse Z
Tz = Taglio in dir. Z
My = Momento flettente intorno all'asse Y
Mx = Momento torcente intorno all'asse X

Asta	N1	N2		X <cm>	N <daN>	CC	Ty <daN>	CC	Mz <daNm>	CC	Tz <daN>	CC	My <daNm>	CC	Mx <daNm>	CC
0	-582	-1617	Max	0.00	898.44	158	71.97	173	23.36	177	719.59	130	66.46	101	0.38	173
0	-582	-1617	Max	22.30	899.67	158	71.97	173	11.98	173	719.59	130	79.91	130	0.38	173
0	-582	-1617	Min.	0.00	-819.57	101	-394.56	177	-4.07	173	-593.61	101	-80.56	130	-4.46	177
0	-582	-1617	Min.	22.30	-818.27	1	-394.56	177	-64.62	177	-593.61	101	-65.91	101	-4.46	177
0	-583	-1606	Max	0.00	138.19	101	29.95	173	1.59	177	702.03	130	62.98	101	0.36	173
0	-583	-1606	Max	22.30	139.86	101	29.95	173	6.42	173	702.03	130	78.56	130	0.36	173
0	-583	-1606	Min.	0.00	-429.15	130	-79.42	177	-0.26	173	-567.24	101	-78.00	130	-5.45	177
0	-583	-1606	Min.	22.30	-427.48	130	-79.42	177	-16.13	177	-567.24	101	-63.52	101	-5.45	177
0	-619	-1608	Max	0.00	622.67	158	76.70	173	22.09	177	696.38	130	65.41	101	0.40	173
0	-619	-1608	Max	22.30	623.91	158	76.70	173	12.89	173	696.38	130	77.42	130	0.40	173
0	-619	-1608	Min.	0.00	-893.19	101	-422.04	177	-4.21	173	-584.04	101	-77.87	130	-2.42	177
0	-619	-1608	Min.	22.30	-891.52	101	-422.04	177	-72.03	177	-584.04	101	-64.83	101	-2.42	177
0	401	301	Max	0.00	109.53	106	-28.71	65	2413.48	165	13.32	17	0.12	17	2.03	177
0	401	301	Max	150.00	41.24	106	-28.71	65	10.35	49	13.32	17	20.01	17	2.03	177
0	401	301	Min.	0.00	-1565.61	165	-6103.13	167	-22.00	49	-409.38	177	-0.27	177	-0.44	173
0	401	301	Min.	150.00	-1616.19	165	-6103.13	167	-6751.49	158	-409.38	177	-614.34	177	-0.44	173
0	-584	-1605	Max	0.00	13.37	1	109.47	177	0.28	173	652.82	130	56.80	101	0.18	173
0	-584	-1605	Max	22.30	14.61	1	109.47	177	21.16	177	652.82	130	73.13	130	0.18	173
0	-584	-1605	Min.	0.00	-401.15	130	-6.57	101	-3.25	177	-511.12	101	-72.44	130	-3.99	177
0	-584	-1605	Min.	22.30	-399.48	130	-6.57	101	-1.45	101	-511.12	101	-57.18	101	-3.99	177
0	-620	-1543	Max	0.00	107.42	101	32.40	173	2.04	177	679.91	130	61.99	101	0.39	173

0	-620	-1543	Max	22.30	109.09	101	32.40	173	6.94	173	679.91	130	76.07	130	0.39	173
0	-620	-1543	Min.	0.00	-324.92	130	-194.44	177	-0.28	173	-557.90	101	-75.55	130	-2.94	177
0	-620	-1543	Min.	22.30	-323.24	130	-194.44	177	-41.32	177	-557.90	101	-62.42	101	-2.94	177
0	-705	-1607	Max	0.00	527.26	122	80.54	173	22.73	177	686.02	130	65.21	101	0.42	173
0	-705	-1607	Max	22.30	528.93	122	80.54	173	13.60	173	686.02	130	76.31	130	0.42	173
0	-705	-1607	Min.	0.00	-928.42	101	-428.67	177	-4.36	173	-582.23	101	-76.67	130	-2.51	177
0	-705	-1607	Min.	22.30	-926.75	101	-428.67	177	-72.87	177	-582.23	101	-64.63	101	-2.51	177
0	-585	-1604	Max	0.00	1053.18	130	211.13	177	0.27	173	590.01	130	49.88	101	0.11	101
0	-585	-1604	Max	22.30	1054.85	130	211.13	177	43.42	177	590.01	130	67.00	130	0.11	101
0	-585	-1604	Min.	0.00	-1066.92	101	-8.25	101	-3.66	177	-453.11	101	-64.57	130	-1.98	177
0	-585	-1604	Min.	22.30	-1065.25	101	-8.25	101	-1.69	101	-453.11	101	-51.16	101	-1.98	177
0	-621	-1542	Max	0.00	48.99	177	13.30	173	0.29	173	638.99	130	56.46	101	0.21	173
0	-621	-1542	Max	22.30	50.23	177	13.30	173	3.26	173	638.99	130	71.65	130	0.21	173
0	-621	-1542	Min.	0.00	-228.04	97	-84.43	177	-1.41	177	-508.33	101	-70.84	130	-2.22	177
0	-621	-1542	Min.	22.30	-226.37	97	-84.43	177	-20.24	177	-508.33	101	-56.90	101	-2.22	177
0	-706	-1840	Max	0.00	54.11	101	34.85	173	2.09	177	671.98	130	61.87	101	0.44	173
0	-706	-1840	Max	22.30	55.78	101	34.85	173	7.45	173	671.98	130	75.17	130	0.44	173
0	-706	-1840	Min.	0.00	-293.63	98	-195.89	177	-0.33	173	-556.71	101	-74.68	130	-3.02	177
0	-706	-1840	Min.	22.30	-291.96	98	-195.89	177	-41.59	177	-556.71	101	-62.27	101	-3.02	177
0	-795	-1611	Max	0.00	531.46	122	83.69	173	22.93	177	680.24	130	65.22	101	0.45	173
0	-795	-1611	Max	22.30	533.13	122	83.69	173	14.17	173	680.24	130	75.70	130	0.45	173
0	-795	-1611	Min.	0.00	-930.19	101	-432.10	177	-4.49	173	-582.58	101	-76.00	130	-2.55	177
0	-795	-1611	Min.	22.30	-928.52	101	-432.10	177	-73.43	177	-582.58	101	-64.69	101	-2.55	177
0	-622	-1541	Max	0.00	298.17	162	5.68	162	0.26	173	567.82	130	49.57	101	0.11	101
0	-622	-1541	Max	17.84					-0.01	1			14.87	1		
0	-622	-1541	Max	22.30	299.41	162	5.68	162	1.29	162	567.82	130	63.62	130	0.11	101
0	-622	-1541	Min.	0.00	-348.53	101	-24.73	177	-1.66	177	-444.91	101	-63.00	130	-1.31	177
0	-622	-1541	Min.	17.84					-0.63	1			-11.88	1		
0	-622	-1541	Min.	22.30	-346.86	101	-24.73	177	-7.17	177	-444.91	101	-49.65	101	-1.31	177
0	-707	-1697	Max	0.00	-17.81	161	14.29	173	0.30	173	635.69	130	56.66	101	0.27	173
0	-707	-1697	Max	22.30	-16.57	161	14.29	173	3.49	173	635.69	130	71.18	130	0.27	173
0	-707	-1697	Min.	0.00	-254.89	98	-85.28	177	-1.44	177	-509.51	101	-70.58	130	-2.28	177
0	-707	-1697	Min.	22.30	-253.22	98	-85.28	177	-20.46	177	-509.51	101	-56.96	101	-2.28	177
0	-796	-1564	Max	0.00	58.86	101	36.59	173	2.10	177	667.69	130	61.87	101	0.50	173
0	-796	-1564	Max	22.30	60.53	101	36.59	173	7.81	173	667.69	130	74.66	130	0.50	173
0	-796	-1564	Min.	0.00	-311.48	98	-197.27	177	-0.35	173	-556.66	101	-74.23	130	-3.06	177
0	-796	-1564	Min.	22.30	-309.81	98	-197.27	177	-41.89	177	-556.66	101	-62.26	101	-3.06	177
0	-838	-1616	Max	0.00	528.17	122	86.24	173	22.99	177	677.87	130	65.29	101	0.50	173
0	-838	-1616	Max	22.30	529.84	122	86.24	173	14.64	173	677.87	130	75.46	130	0.50	173
0	-838	-1616	Min.	0.00	-910.99	101	-433.42	177	-4.59	173	-583.46	101	-75.71	130	-2.57	177
0	-838	-1616	Min.	22.30	-909.32	101	-433.42	177	-73.67	177	-583.46	101	-64.82	101	-2.57	177
0	-586	-1602	Max	0.00	443.25	101	222.31	177	0.14	166	361.56	130	37.96	101	1.30	177
0	-586	-1602	Max	22.30	444.92	101	222.31	177	47.22	177	361.56	130	41.37	130	1.30	177
0	-586	-1602	Min.	0.00	-1187.16	130	-7.64	130	-2.35	177	-343.82	101	-39.26	130	-0.20	162
0	-586	-1602	Min.	22.30	-1185.49	130	-7.64	130	-1.68	130	-343.82	101	-38.71	101	-0.20	162
0	-623	-1860	Max	0.00	123.65	158	2.88	164	0.12	125	470.75	130	42.69	101	0.10	101
0	-623	-1860	Max	22.30	124.89	158	2.88	164	0.68	161	470.75	130	52.58	130	0.10	101
0	-623	-1860	Min.	0.00	-201.80	177	-1.92	17	-1.10	177	-381.66	101	-52.40	130	-0.62	177
0	-623	-1860	Min.	22.30	-200.56	177	-1.92	17	-0.69	177	-381.66	101	-42.42	101	-0.62	177
0	402	-1603	Max	0.00	2215.34	162	1737.00	130	793.66	101	63.76	158	0.20	177	0.59	177
0	402	-1603	Max	127.70	2172.28	162	1737.00	130	1736.85	130	63.76	158	81.45	158	0.59	177
0	402	-1603	Min.	0.00	-477.46	97	-1597.11	101	-481.30	130	-920.70	177	-0.15	97	-0.57	173
0	402	-1603	Min.	127.70	-535.60	97	-1597.11	101	-1245.86	101	-920.70	177	-1175.54	177	-0.57	173
0	-708	-1696	Max	0.00	25.90	162	3.91	173	0.30	173	577.75	130	50.68	101	0.09	173
0	-708	-1696	Max	22.30	27.14	162	3.91	173	1.17	173	577.75	130	64.71	130	0.09	173
0	-708	-1696	Min.	0.00	-240.23	97	-26.02	177	-1.68	177	-454.76	101	-64.13	130	-1.34	177
0	-708	-1696	Min.	22.30	-238.56	97	-26.02	177	-7.48	177	-454.76	101	-50.73	101	-1.34	177
0	-797	-1563	Max	0.00	-54.53	17	15.13	173	0.32	173	636.50	130	56.76	101	0.33	173
0	-797	-1563	Max	22.30	-53.29	17	15.13	173	3.69	173	636.50	130	71.25	130	0.33	173
0	-797	-1563	Min.	0.00	-264.30	98	-86.16	177	-1.45	177	-510.44	101	-70.68	130	-2.30	177
0	-797	-1563	Min.	22.30	-262.63	98	-86.16	177	-20.67	177	-510.44	101	-57.07	101	-2.30	177
0	-883	-1610	Max	0.00	535.77	122	89.00	173	22.98	177	676.63	130	65.31	101	0.53	173
0	-883	-1610	Max	22.30	537.44	122	89.00	173	15.15	173	676.63	130	75.31	130	0.53	173
0	-883	-1610	Min.	0.00	-915.93	101	-432.90	177	-4.70	173	-583.56	101	-75.58	130	-2.58	177
0	-883	-1610	Min.	22.30	-914.26	101	-432.90	177	-73.56	177	-583.56	101	-64.82	101	-2.58	177
0	-624	-1855	Max	0.00	16.63	1	14.82	177	0.13	125	364.55	130	37.37	101	0.14	65
0	-624	-1855	Max	22.30	17.86	1	14.82	177	2.65	177	364.55	130	40.91	130	0.14	65
0	-624	-1855	Min.	0.00	-281.84	130	-5.89	130	-0.65	177	-335.01	101	-40.39	130	-0.24	177
0	-624	-1855	Min.	22.30	-280.17	130	-5.89	130	-1.47	118	-335.01	101	-37.34	101	-0.24	177
0	-709	-1690	Max	0.00	9.29	125	2.00	177	0.17	173	496.06	130	44.84	101	0.06	65
0	-709	-1690	Max	22.30	10.96	125	2.00	177	0.31	165	496.06	130	55.61	130	0.06	65
0	-709	-1690	Min.	0.00	-275.55	98	-2.06	110	-1.19	177	-401.63	101	-55.01	130	-0.63	177
0	-709	-1690	Min.	22.30	-273.88	98	-2.06	110	-0.75	177	-401.63	101	-44.73	101	-0.63	177
0	401	402	Max	0.00	-28.71	65	1565.61	165	22.00	49	409.38	177	0.44	173	0.12	17
0	401	402	Max	86.25					-1.01	177			175.42	177		
0	401	402	Max	190.50	-28.71	65	1527.72	165	663.99	125	21.73	162	41.12	162	0.12	17
0	401	402	Min.	0.00	-6103.13	167	-109.53	106	-2413.48	165	-13.32	17	-2.03	177	-0.27	177
0	401	402	Min.	185.24					2.54	170			-5.80	170		
0	401	402	Min.	190.50	-6103.13	167	-160.68	106	-258.16	106	-490.16	177	-78.98	177	-0.27	177

0	-839	-1599	Max	0.00	85.00	101	38.84	173	2.09	177	665.96	130	61.84	101	0.58	173
0	-839	-1599	Max	22.30	86.67	101	38.84	173	8.27	173	665.96	130	74.46	130	0.58	173
0	-839	-1599	Min.	0.00	-320.86	98	-197.54	177	-0.39	173	-556.45	101	-74.05	130	-3.06	177
0	-839	-1599	Min.	22.30	-319.19	98	-197.54	177	-41.96	177	-556.45	101	-62.25	101	-3.06	177
0	-587	-1601	Max	0.00	355.01	98	156.04	177	0.21	173	206.69	130	35.69	101	2.33	177
0	-587	-1601	Max	22.30	356.69	98	156.04	177	33.57	177	206.69	130	23.50	130	2.33	177
0	-587	-1601	Min.	0.00	-267.49	101	-17.55	173	-1.22	177	-316.84	101	-22.59	130	-0.18	162
0	-587	-1601	Min.	22.30	-265.82	101	-17.55	173	-3.70	173	-316.84	101	-34.96	101	-0.18	162
0	-798	-1562	Max	0.00	-35.46	162	4.12	173	0.34	173	585.15	130	50.86	101	0.14	173
0	-798	-1562	Max	22.30	-34.22	162	4.12	173	1.26	173	585.15	130	65.56	130	0.14	173
0	-798	-1562	Min.	0.00	-223.18	97	-26.21	177	-1.72	177	-456.52	101	-64.93	130	-1.35	177
0	-798	-1562	Min.	22.30	-221.51	97	-26.21	177	-7.56	177	-456.52	101	-50.95	101	-1.35	177
0	-840	-1598	Max	0.00	-54.49	149	16.51	173	0.33	173	637.72	130	56.55	101	0.41	173
0	-840	-1598	Max	22.30	-53.25	149	16.51	173	4.01	173	637.72	130	71.40	130	0.41	173
0	-840	-1598	Min.	0.00	-274.32	98	-86.29	177	-1.46	177	-508.87	101	-70.81	130	-2.30	177
0	-840	-1598	Min.	22.30	-272.65	98	-86.29	177	-20.70	177	-508.87	101	-56.93	101	-2.30	177
0	-926	-1615	Max	0.00	526.30	122	91.22	173	22.92	177	677.96	130	65.25	101	0.56	173
0	-926	-1615	Max	22.30	527.98	122	91.22	173	15.56	173	677.96	130	75.47	130	0.56	173
0	-926	-1615	Min.	0.00	-907.35	101	-431.51	177	-4.78	173	-583.13	101	-75.72	130	-2.56	177
0	-926	-1615	Min.	22.30	-905.67	101	-431.51	177	-73.30	177	-583.13	101	-64.78	101	-2.56	177
0	-884	-1557	Max	0.00	101.87	101	41.09	173	2.08	177	665.30	130	61.83	101	0.65	173
0	-884	-1557	Max	22.30	103.54	101	41.09	173	8.73	173	665.30	130	74.38	130	0.65	173
0	-884	-1557	Min.	0.00	-328.24	98	-196.95	177	-0.43	173	-556.45	101	-73.98	130	-3.05	177
0	-884	-1557	Min.	22.30	-326.57	98	-196.95	177	-41.84	177	-556.45	101	-62.26	101	-3.05	177
0	-589	-1600	Max	0.00	1470.10	98	70.18	177	3.22	98	29.19	49	53.12	97	2.32	177
0	-589	-1600	Max	22.30	1471.77	98	70.18	177	15.91	177	29.19	49	3.41	49	2.32	177
0	-589	-1600	Min.	0.00	91.52	177	-53.31	173	0.23	137	-471.92	97	-3.10	49	-0.15	125
0	-589	-1600	Min.	22.30	92.75	177	-53.31	173	-8.76	173	-471.92	97	-52.12	97	-0.15	125
0	-625	-1854	Max	0.00	25.53	177	18.25	177	0.09	173	230.26	130	33.39	101	0.21	65
0	-625	-1854	Max	22.30	26.76	177	18.25	177	3.68	177	230.26	130	26.03	130	0.21	65
0	-625	-1854	Min.	0.00	-810.50	102	-14.48	98	-0.39	177	-299.67	101	-25.32	130	-0.16	126
0	-625	-1854	Min.	22.30	-808.83	102	-14.48	98	-3.26	98	-299.67	101	-33.43	101	-0.16	126
0	-710	-1685	Max	0.00	-42.90	17	12.42	177	0.11	125	387.30	130	39.98	101	0.14	65
0	-710	-1685	Max	22.30	-41.66	17	12.42	177	2.10	177	387.30	130	43.57	130	0.14	65
0	-710	-1685	Min.	0.00	-289.54	98	-4.62	110	-0.67	177	-359.06	101	-42.80	130	-0.21	177
0	-710	-1685	Min.	22.30	-287.87	98	-4.62	110	-1.21	110	-359.06	101	-40.09	101	-0.21	177
0	-799	-1561	Max	0.00	46.18	126	1.84	177	0.24	173	508.89	130	44.96	101	0.06	65
0	-799	-1561	Max	17.84					-0.02	116			-19.09	116		
0	-799	-1561	Max	22.30	47.85	126	1.84	177	0.30	125	508.89	130	57.09	130	0.06	65
0	-799	-1561	Min.	0.00	-201.98	97	-1.86	98	-1.23	177	-403.05	101	-56.39	130	-0.62	177
0	-799	-1561	Min.	17.84					-0.02	115			-19.10	115		
0	-799	-1561	Min.	22.30	-200.31	97	-1.86	98	-0.82	177	-403.05	101	-44.92	101	-0.62	177
0	-927	-1592	Max	0.00	84.31	101	43.01	173	2.06	177	666.06	130	61.80	101	0.71	173
0	-927	-1592	Max	22.30	85.98	101	43.01	173	9.13	173	666.06	130	74.47	130	0.71	173
0	-927	-1592	Min.	0.00	-320.35	98	-195.70	177	-0.46	173	-556.15	101	-74.06	130	-3.02	177
0	-927	-1592	Min.	22.30	-318.68	98	-195.70	177	-41.59	177	-556.15	101	-62.22	101	-3.02	177
0	-971	-1614	Max	0.00	530.51	122	92.14	173	22.81	177	680.53	130	65.15	101	0.58	173
0	-971	-1614	Max	22.30	532.18	122	92.14	173	15.74	173	680.53	130	75.73	130	0.58	173
0	-971	-1614	Min.	0.00	-928.30	101	-428.87	177	-4.81	173	-581.95	101	-76.03	130	-2.53	177
0	-971	-1614	Min.	22.30	-926.63	101	-428.87	177	-72.83	177	-581.95	101	-64.62	101	-2.53	177
0	-885	-1556	Max	0.00	-46.42	149	18.03	173	0.34	173	637.81	130	56.44	101	0.49	173
0	-885	-1556	Max	22.30	-45.18	149	18.03	173	4.36	173	637.81	130	71.40	130	0.49	173
0	-885	-1556	Min.	0.00	-277.65	98	-85.75	177	-1.47	177	-507.96	101	-70.83	130	-2.29	177
0	-885	-1556	Min.	22.30	-275.98	98	-85.75	177	-20.59	177	-507.96	101	-56.84	101	-2.29	177
0	-590	-1539	Max	0.00	1203.24	162	80.26	177	27.21	98	-12.78	65	88.13	97	0.25	177
0	-590	-1539	Max	22.30	1204.48	162	80.26	177	9.52	177	-12.78	65	-1.47	65	0.25	177
0	-590	-1539	Min.	0.00	-352.36	173	-228.81	98	-8.38	177	-803.63	97	1.38	65	-0.20	173
0	-590	-1539	Min.	22.30	-351.12	173	-228.81	98	-23.81	98	-803.63	97	-91.08	97	-0.20	173
0	-627	-1841	Max	0.00	-174.88	17	25.80	177	1.74	173	49.36	130	47.64	97	0.32	98
0	-627	-1841	Max	22.30	-173.64	17	25.80	177	4.58	177	49.36	130	5.75	130	0.32	98
0	-627	-1841	Min.	0.00	-2449.20	102	-37.67	98	-1.18	177	-425.95	97	-5.25	130	-0.18	125
0	-627	-1841	Min.	22.30	-2447.53	102	-37.67	98	-6.74	98	-425.95	97	-47.35	97	-0.18	125
0	-711	-1414	Max	0.00	14.15	177	15.28	177	0.10	173	242.16	130	35.85	101	0.21	65
0	-711	-1414	Max	22.30	15.39	177	15.28	177	3.03	177	242.16	130	27.52	130	0.21	65
0	-711	-1414	Min.	0.00	-1114.83	102	-10.70	110	-0.38	177	-320.41	101	-26.48	130	-0.11	162
0	-711	-1414	Min.	22.30	-1113.15	102	-10.70	110	-2.41	98	-320.41	101	-35.60	101	-0.11	162
0	-800	-1560	Max	0.00	-18.80	1	11.42	177	0.14	173	402.55	130	39.64	101	0.13	65
0	-800	-1560	Max	22.30	-17.57	1	11.42	177	1.85	177	402.55	130	45.28	130	0.13	65
0	-800	-1560	Min.	0.00	-150.64	101	-3.57	17	-0.70	177	-356.61	101	-44.49	130	-0.18	177
0	-800	-1560	Min.	22.30	-148.97	101	-3.57	17	-0.92	17	-356.61	101	-39.89	101	-0.18	177
0	-842	-1596	Max	0.00	-52.72	1	2.00	177	0.32	173	515.23	130	43.63	101	0.06	65
0	-842	-1596	Max	22.30	-51.49	1	2.00	177	0.32	173	515.23	130	57.83	130	0.06	65
0	-842	-1596	Min.	0.00	-293.31	102	-1.48	17	-1.25	177	-391.65	101	-57.07	130	-0.62	177
0	-842	-1596	Min.	22.30	-291.64	102	-1.48	17	-0.80	177	-391.65	101	-43.71	101	-0.62	177
0	-1059	-1613	Max	0.00	527.53	122	92.83	173	22.69	177	686.57	130	65.10	101	0.58	173
0	-1059	-1613	Max	22.30	529.20	122	92.83	173	15.86	173	686.57	130	76.38	130	0.58	173
0	-1059	-1613	Min.	0.00	-927.25	101	-425.98	177	-4.84	173	-581.28	101	-76.73	130	-2.49	177
0	-1059	-1613	Min.	22.30	-925.58	101	-425.98	177	-72.30	177	-581.28	101	-64.53	101	-2.49	177
0	-886	-1555	Max	0.00	-48.65	49	5.73	173	0.44	173	590.18	130	49.88	101	0.26	173

0	-886	-1555	Max	22.30	-47.42	49	5.73	173	1.72	173	590.18	130	66.14	130	0.26	173
0	-886	-1555	Min.	0.00	-233.76	98	-25.75	177	-1.72	177	-448.41	101	-65.48	130	-1.34	177
0	-886	-1555	Min.	22.30	-232.09	98	-25.75	177	-7.47	177	-448.41	101	-50.12	101	-1.34	177
0	-1147	-1612	Max	0.00	626.27	158	93.53	173	22.52	177	697.12	130	65.26	101	0.57	173
0	-1147	-1612	Max	22.30	627.50	158	93.53	173	15.99	173	697.12	130	77.51	130	0.57	173
0	-1147	-1612	Min.	0.00	-888.37	101	-422.13	177	-4.87	173	-582.66	101	-77.95	130	-2.42	177
0	-1147	-1612	Min.	22.30	-886.70	101	-422.13	177	-71.61	177	-582.66	101	-64.68	101	-2.42	177
0	-628	-1782	Max	0.00	-177.32	17	25.85	101	2.03	173	-68.09	17	126.82	98	0.31	177
0	-628	-1782	Max	22.30	-176.08	17	25.85	101	4.75	101	-68.09	17	-7.63	17	0.31	177
0	-628	-1782	Min.	0.00	-2309.90	102	-41.89	173	-1.07	177	-1140.59	98	7.55	17	-0.59	173
0	-628	-1782	Min.	22.30	-2308.23	102	-41.89	173	-7.31	173	-1140.59	98	-127.53	98	-0.59	173
0	403	-1822	Max	0.00	8.82	137	1466.76	162	1460.32	97	3.96	65	0.57	173	0.54	97
0	403	-1822	Max	127.70	-34.24	137	1466.76	162	1053.77	162	3.96	65	5.05	65	0.54	97
0	403	-1822	Min.	0.00	-866.51	122	-3026.27	97	-819.29	162	-991.61	177	-0.25	98	-1.19	173
0	403	-1822	Min.	127.70	-924.64	122	-3026.27	97	-2404.22	97	-991.61	177	-1266.21	177	-1.19	173
0	-713	-1618	Max	0.00	1130.14	98	18.33	177	0.99	110	46.24	130	50.39	97	0.25	98
0	-713	-1618	Max	22.30	1131.81	98	18.33	177	3.33	177	46.24	130	5.65	130	0.25	98
0	-713	-1618	Min.	0.00	77.51	149	-23.05	110	-0.76	177	-445.69	97	-4.66	130	-0.11	125
0	-713	-1618	Min.	22.30	78.75	149	-23.05	110	-4.14	110	-445.69	97	-49.00	97	-0.11	125
0	-803	-1558	Max	0.00	-202.83	17	13.14	177	0.62	118	68.12	130	48.17	97	0.23	17
0	-803	-1558	Max	22.30	-201.59	17	13.14	177	2.39	177	68.12	130	7.87	130	0.23	17
0	-803	-1558	Min.	0.00	-2545.19	102	-15.13	114	-0.54	177	-428.93	97	-7.33	130	-0.13	173
0	-803	-1558	Min.	22.30	-2543.52	102	-15.13	114	-2.84	102	-428.93	97	-47.48	97	-0.13	173
0	402	403	Max	0.00	609.19	106	423.32	101	794.63	162	430.54	177	41.24	162	0.23	173
0	402	403	Max	90.73					-3.66	177			116.71	177		
0	402	403	Max	199.50	609.19	106	369.75	101	390.81	101	33.05	173	66.98	173	0.23	173
0	402	403	Min.	0.00	-4805.69	157	-706.36	162	-409.09	97	-46.36	158	-79.56	177	-0.09	17
0	402	403	Min.	39.90					7.79	117			-8.95	117		
0	402	403	Min.	199.50	-4805.69	157	-746.04	162	-654.13	162	-511.50	177	-160.32	177	-0.09	17
0	-841	-1597	Max	0.00	-50.57	1	4.79	173	0.40	173	589.25	130	50.22	101	0.20	173
0	-841	-1597	Max	22.30	-49.33	1	4.79	173	1.46	173	589.25	130	66.03	130	0.20	173
0	-841	-1597	Min.	0.00	-254.46	98	-26.08	177	-1.73	177	-451.31	101	-65.37	130	-1.35	177
0	-841	-1597	Min.	22.30	-252.78	98	-26.08	177	-7.54	177	-451.31	101	-50.42	101	-1.35	177
0	-928	-1591	Max	0.00	-54.60	149	19.41	173	0.35	173	637.78	130	56.52	101	0.55	173
0	-928	-1591	Max	22.30	-53.36	149	19.41	173	4.68	173	637.78	130	71.40	130	0.55	173
0	-928	-1591	Min.	0.00	-273.61	98	-84.98	177	-1.46	177	-508.56	101	-70.82	130	-2.26	177
0	-928	-1591	Min.	22.30	-271.94	98	-84.98	177	-20.41	177	-508.56	101	-56.89	101	-2.26	177
0	-972	-1585	Max	0.00	58.84	101	44.19	173	2.04	177	667.95	130	61.80	101	0.75	173
0	-972	-1585	Max	22.30	60.51	101	44.19	173	9.37	173	667.95	130	74.69	130	0.75	173
0	-972	-1585	Min.	0.00	-311.38	98	-194.38	177	-0.48	173	-556.05	101	-74.26	130	-2.99	177
0	-972	-1585	Min.	22.30	-309.71	98	-194.38	177	-41.30	177	-556.05	101	-62.19	101	-2.99	177
0	310	431	Max	0.00	-1092.13	17	74.53	177	13.86	173	-31.34	65	87.71	97	0.16	97
0	310	431	Max	22.30	-1090.90	17	74.53	177	8.22	177	-31.34	65	-3.50	65	0.16	97
0	310	431	Min.	0.00	-11126.70	98	-128.29	173	-8.40	177	-788.64	97	3.49	65	-0.14	173
0	310	431	Min.	22.30	-11125.00	98	-128.29	173	-14.75	173	-788.64	97	-88.15	97	-0.14	173
0	-801	-1559	Max	0.00	-41.46	17	12.53	177	0.09	173	258.21	130	34.57	101	0.20	17
0	-801	-1559	Max	22.30	-40.22	17	12.53	177	2.44	177	258.21	130	29.16	130	0.20	17
0	-801	-1559	Min.	0.00	-1396.04	102	-9.22	102	-0.36	177	-311.19	101	-28.42	130	-0.13	173
0	-801	-1559	Min.	22.30	-1394.37	102	-9.22	102	-2.00	102	-311.19	101	-34.83	101	-0.13	173
0	-843	-1595	Max	0.00	-48.27	1	11.25	177	0.21	173	408.42	130	37.65	101	0.12	65
0	-843	-1595	Max	22.30	-47.03	1	11.25	177	1.80	177	408.42	130	45.99	130	0.12	65
0	-843	-1595	Min.	0.00	-567.38	102	-3.15	17	-0.71	177	-337.06	101	-45.09	130	-0.17	177
0	-843	-1595	Min.	22.30	-565.71	102	-3.15	17	-0.81	17	-337.06	101	-37.52	101	-0.17	177
0	-929	-1590	Max	0.00	-50.36	49	6.60	173	0.47	173	589.29	130	50.19	101	0.30	173
0	-929	-1590	Max	22.30	-49.12	49	6.60	173	1.95	173	589.29	130	66.03	130	0.30	173
0	-929	-1590	Min.	0.00	-253.95	98	-25.25	177	-1.71	177	-451.00	101	-65.38	130	-1.32	177
0	-929	-1590	Min.	22.30	-252.28	98	-25.25	177	-7.34	177	-451.00	101	-50.39	101	-1.32	177
0	-973	-1584	Max	0.00	-53.99	65	20.22	173	0.35	173	636.70	130	56.70	101	0.59	173
0	-973	-1584	Max	22.30	-52.75	65	20.22	173	4.86	173	636.70	130	71.28	130	0.59	173
0	-973	-1584	Min.	0.00	-263.71	98	-84.09	177	-1.45	177	-509.86	101	-70.71	130	-2.22	177
0	-973	-1584	Min.	22.30	-262.04	98	-84.09	177	-20.20	177	-509.86	101	-57.00	101	-2.22	177
0	-1060	-1578	Max	0.00	54.37	101	44.51	173	2.04	177	672.43	130	61.77	101	0.76	173
0	-1060	-1578	Max	22.30	56.04	101	44.51	173	9.44	173	672.43	130	75.22	130	0.76	173
0	-1060	-1578	Min.	0.00	-293.70	98	-192.98	177	-0.49	173	-555.78	101	-74.73	130	-2.95	177
0	-1060	-1578	Min.	22.30	-292.03	98	-192.98	177	-41.00	177	-555.78	101	-62.17	101	-2.95	177
0	-887	-1554	Max	0.00	-38.04	49	2.16	177	0.38	173	516.73	130	42.87	101	0.06	65
0	-887	-1554	Max	22.30	-36.80	49	2.16	177	0.59	173	516.73	130	57.99	130	0.06	65
0	-887	-1554	Min.	0.00	-316.43	101	-0.98	17	-1.24	177	-384.94	101	-57.24	130	-0.60	177
0	-887	-1554	Min.	22.30	-314.76	101	-0.98	17	-0.76	177	-384.94	101	-42.97	101	-0.60	177
0	-844	-1594	Max	0.00	-2.47	1	11.75	177	0.08	173	260.57	130	33.69	101	0.18	17
0	-844	-1594	Max	22.30	-1.23	1	11.75	177	2.27	177	260.57	130	29.59	130	0.18	17
0	-844	-1594	Min.	0.00	-749.22	101	-10.44	102	-0.35	177	-298.52	101	-28.52	130	-0.19	173
0	-844	-1594	Min.	22.30	-747.54	101	-10.44	102	-2.28	102	-298.52	101	-32.88	101	-0.19	173
0	-930	-1589	Max	0.00	-52.48	49	2.58	177	0.42	173	515.28	130	43.59	101	0.07	65
0	-930	-1589	Max	22.30	-51.24	49	2.58	177	0.81	173	515.28	130	57.83	130	0.07	65
0	-930	-1589	Min.	0.00	-292.97	102	-1.20	125	-1.22	177	-391.32	101	-57.08	130	-0.59	177
0	-930	-1589	Min.	22.30	-291.30	102	-1.20	125	-0.65	177	-391.32	101	-43.67	101	-0.59	177
0	-974	-1583	Max	0.00	-35.07	162	7.09	173	0.50	173	585.29	130	50.79	101	0.33	173
0	-974	-1583	Max	22.30	-33.83	162	7.09	173	2.08	173	585.29	130	65.57	130	0.33	173

0	-974	-1583	Min.	0.00	-222.71	97	-24.85	177	-1.69	177	-455.96	101	-64.95	130	-1.29	177
0	-974	-1583	Min.	22.30	-221.04	97	-24.85	177	-7.23	177	-455.96	101	-50.88	101	-1.29	177
0	-888	-1553	Max	0.00	-16.21	49	11.21	177	0.26	173	411.06	130	36.31	101	0.11	65
0	-888	-1553	Max	22.30	-14.98	49	11.21	177	1.80	177	411.06	130	46.26	130	0.11	65
0	-888	-1553	Min.	0.00	-460.12	101	-2.44	17	-0.70	177	-324.76	101	-45.41	130	-0.16	177
0	-888	-1553	Min.	22.30	-458.45	101	-2.44	17	-0.62	17	-324.76	101	-36.12	101	-0.16	177
0	-1189	-1609	Max	0.00	895.87	158	94.61	173	22.29	177	720.51	130	66.25	101	0.56	173
0	-1189	-1609	Max	22.30	897.11	158	94.61	173	16.19	173	720.51	130	80.01	130	0.56	173
0	-1189	-1609	Min.	0.00	-798.32	101	-416.30	177	-4.90	173	-591.80	101	-80.67	130	-2.37	177
0	-1189	-1609	Min.	22.30	-796.65	101	-416.30	177	-70.54	177	-591.80	101	-65.72	101	-2.37	177
0	420	320	Max	0.00	110.40	106	-26.62	173	2412.10	165	22.01	162	0.06	125	0.83	177
0	420	320	Max	0.38					78.32	5			-0.05	5		
0	420	320	Max	150.00	42.12	106	-26.62	173	10.95	1	22.01	162	33.04	162	0.83	177
0	420	320	Min.	0.00	-1564.27	165	-6100.81	168	-22.12	1	-27.18	177	-0.12	65	-0.39	125
0	420	320	Min.	0.38					-14.29	5			-0.08	5		
0	420	320	Min.	150.00	-1614.85	165	-6100.81	168	-6749.36	158	-27.18	177	-40.77	177	-0.39	125
0	-592	-1821	Max	0.00	1370.02	98	142.86	177	0.21	173	-46.11	17	145.58	98	0.33	97
0	-592	-1821	Max	22.30	1371.69	98	142.86	177	31.51	177	-46.11	17	-5.24	17	0.33	97
0	-592	-1821	Min.	0.00	-547.83	161	-13.41	173	-0.35	177	-1318.89	98	5.04	17	-2.12	177
0	-592	-1821	Min.	22.30	-546.59	161	-13.41	173	-2.78	173	-1318.89	98	-148.54	98	-2.12	177
0	-714	-1536	Max	0.00	804.12	98	45.76	177	7.63	110	-49.20	65	89.45	97	0.14	97
0	-714	-1536	Max	22.30	805.79	98	45.76	177	5.15	101	-49.20	65	-5.49	65	0.14	97
0	-714	-1536	Min.	0.00	99.42	17	-69.48	110	-5.10	177	-804.22	97	5.48	65	-0.15	173
0	-714	-1536	Min.	22.30	100.66	17	-69.48	110	-7.87	110	-804.22	97	-89.89	97	-0.15	173
0	-1061	-1577	Max	0.00	-16.81	161	20.39	173	0.36	173	636.04	130	56.57	101	0.59	173
0	-1061	-1577	Max	22.30	-15.57	161	20.39	173	4.90	173	636.04	130	71.22	130	0.59	173
0	-1061	-1577	Min.	0.00	-254.23	98	-83.28	177	-1.44	177	-508.67	101	-70.62	130	-2.19	177
0	-1061	-1577	Min.	22.30	-252.56	98	-83.28	177	-20.01	177	-508.67	101	-56.87	101	-2.19	177
0	-1148	-1571	Max	0.00	107.93	101	44.85	173	2.02	177	680.58	130	61.85	101	0.75	173
0	-1148	-1571	Max	22.30	109.60	101	44.85	173	9.51	173	680.58	130	76.14	130	0.75	173
0	-1148	-1571	Min.	0.00	-325.63	130	-191.01	177	-0.49	173	-556.64	101	-75.63	130	-2.89	177
0	-1148	-1571	Min.	22.30	-323.95	130	-191.01	177	-40.57	177	-556.64	101	-62.28	101	-2.89	177
0	-593	-1820	Max	0.00	82.63	173	204.92	177	0.12	101	-44.22	17	161.81	98	0.47	100
0	-593	-1820	Max	22.30	83.87	173	204.92	177	44.45	177	-44.22	17	-5.01	17	0.47	100
0	-593	-1820	Min.	0.00	-380.40	101	-3.88	65	-1.25	177	-1463.56	98	4.85	17	-1.52	177
0	-593	-1820	Min.	22.30	-378.73	101	-3.88	65	-0.99	65	-1463.56	98	-164.57	98	-1.52	177
0	312	440	Max	0.00	-1333.45	17	32.16	177	4.73	118	-63.84	33	90.83	97	0.12	17
0	312	440	Max	22.30	-1332.21	17	32.16	177	3.56	177	-63.84	33	-7.13	33	0.12	17
0	312	440	Min.	0.00	-9938.59	102	-42.40	118	-3.62	177	-816.79	97	7.11	33	-0.16	173
0	312	440	Min.	22.30	-9936.92	102	-42.40	118	-4.73	118	-816.79	97	-91.31	97	-0.16	173
0	-715	-1838	Max	0.00	1277.62	98	19.13	101	1.13	173	-90.78	17	127.55	98	0.23	177
0	-715	-1838	Max	22.30	1279.29	98	19.13	101	3.55	101	-90.78	17	-10.24	17	0.23	177
0	-715	-1838	Min.	0.00	110.94	149	-24.21	173	-0.71	101	-1153.55	98	10.00	17	-0.50	173
0	-715	-1838	Min.	22.30	112.18	149	-24.21	173	-4.27	173	-1153.55	98	-129.69	98	-0.50	173
0	-630	-1781	Max	0.00	9.16	173	17.50	101	0.13	173	-74.67	17	152.10	98	0.30	177
0	-630	-1781	Max	22.30	10.40	173	17.50	101	3.77	101	-74.67	17	-8.39	17	0.30	177
0	-630	-1781	Min.	0.00	-792.13	126	-15.20	173	-0.17	97	-1371.57	98	8.26	17	-0.66	173
0	-630	-1781	Min.	22.30	-790.46	126	-15.20	173	-3.26	173	-1371.57	98	-153.76	98	-0.66	173
0	-846	-1593	Max	0.00	1249.91	98	11.15	177	0.67	102	61.22	130	51.21	97	0.21	17
0	-846	-1593	Max	22.30	1251.58	98	11.15	177	2.06	177	61.22	130	7.32	130	0.21	17
0	-846	-1593	Min.	0.00	187.35	33	-18.42	102	-0.43	177	-452.97	97	-6.33	130	-0.22	173
0	-846	-1593	Min.	22.30	188.58	33	-18.42	102	-3.44	102	-452.97	97	-49.80	97	-0.22	173
0	-931	-1588	Max	0.00	-48.20	49	11.81	177	0.30	173	408.50	130	37.60	101	0.10	65
0	-931	-1588	Max	22.30	-46.97	49	11.81	177	1.95	177	408.50	130	46.00	130	0.10	65
0	-931	-1588	Min.	0.00	-567.83	102	-1.53	17	-0.69	177	-336.69	101	-45.10	130	-0.17	177
0	-931	-1588	Min.	22.30	-566.16	102	-1.53	17	-0.39	17	-336.69	101	-37.48	101	-0.17	177
0	-975	-1582	Max	0.00	46.07	126	2.84	177	0.45	173	509.01	130	44.90	101	0.09	65
0	-975	-1582	Max	22.30	47.74	126	2.84	177	0.95	173	509.01	130	57.10	130	0.09	65
0	-975	-1582	Min.	0.00	-202.07	97	-1.52	125	-1.19	177	-402.51	101	-56.41	130	-0.58	177
0	-975	-1582	Min.	22.30	-200.41	97	-1.52	125	-0.56	177	-402.51	101	-44.86	101	-0.58	177
0	-1062	-1576	Max	0.00	26.23	162	7.14	173	0.51	173	577.99	130	50.59	101	0.33	173
0	-1062	-1576	Max	22.30	27.47	162	7.14	173	2.10	173	577.99	130	64.74	130	0.33	173
0	-1062	-1576	Min.	0.00	-239.35	97	-24.54	177	-1.66	177	-453.99	101	-64.16	130	-1.26	177
0	-1062	-1576	Min.	22.30	-237.68	97	-24.54	177	-7.13	177	-453.99	101	-50.65	101	-1.26	177
0	-889	-1552	Max	0.00	-35.49	49	11.51	177	0.07	173	265.53	130	31.97	101	0.16	17
0	-889	-1552	Max	22.30	-34.25	49	11.51	177	2.22	177	265.53	130	30.00	130	0.16	17
0	-889	-1552	Min.	0.00	-742.67	102	-5.21	17	-0.34	177	-284.76	101	-29.21	130	-0.24	173
0	-889	-1552	Min.	22.30	-741.00	102	-5.21	17	-1.16	17	-284.76	101	-31.53	101	-0.24	173
0	-1149	-1570	Max	0.00	-10.12	162	20.45	173	0.36	173	639.54	130	56.33	101	0.59	173
0	-1149	-1570	Max	22.30	-8.88	162	20.45	173	4.92	173	639.54	130	71.71	130	0.59	173
0	-1149	-1570	Min.	0.00	-226.94	97	-82.45	177	-1.42	177	-507.23	101	-70.90	130	-2.15	177
0	-1149	-1570	Min.	22.30	-225.27	97	-82.45	177	-19.81	177	-507.23	101	-56.78	101	-2.15	177
0	-1190	-1550	Max	0.00	135.61	101	45.41	173	2.02	177	702.96	130	62.80	101	0.75	173
0	-1190	-1550	Max	22.30	137.28	101	45.41	173	9.62	173	702.96	130	78.66	130	0.75	173
0	-1190	-1550	Min.	0.00	-429.24	130	-188.83	177	-0.50	173	-565.70	101	-78.10	130	-2.86	177
0	-1190	-1550	Min.	22.30	-427.57	130	-188.83	177	-40.09	177	-565.70	101	-63.35	101	-2.86	177
0	-594	-1819	Max	0.00	85.20	173	244.76	177	0.13	101	-36.01	17	165.15	98	0.59	98
0	-594	-1819	Max	22.30	86.44	173	244.76	177	53.29	177	-36.01	17	-4.07	17	0.59	98
0	-594	-1819	Min.	0.00	-372.12	101	-1.28	110	-1.29	177	-1491.03	98	3.96	17	-0.79	177

0	-594	-1819	Min.	22.30	-370.45	101	-1.28	110	-0.52	98	-1491.03	98	-167.35	98	-0.79	177
0	-631	-1780	Max	0.00	120.39	98	6.76	101	0.15	101	-73.08	17	166.57	98	0.38	97
0	-631	-1780	Max	22.30	122.06	98	6.76	101	1.66	101	-73.08	17	-8.23	17	0.38	97
0	-631	-1780	Min.	0.00	-254.11	101	-6.10	173	-0.27	98	-1504.10	98	8.07	17	-0.63	173
0	-631	-1780	Min.	22.30	-252.44	101	-6.10	173	-1.50	173	-1504.10	98	-168.84	98	-0.63	173
0	-717	-1837	Max	0.00	-3.91	17	12.04	101	0.15	173	-103.14	17	154.95	98	0.23	17
0	-717	-1837	Max	22.30	-2.68	17	12.04	101	2.59	101	-103.14	17	-11.63	17	0.23	17
0	-717	-1837	Min.	0.00	-1135.52	102	-12.50	173	-0.09	101	-1400.30	98	11.38	17	-0.58	173
0	-717	-1837	Min.	22.30	-1133.85	102	-12.50	173	-2.63	173	-1400.30	98	-157.31	98	-0.58	173
0	-847	-1531	Max	0.00	1091.33	98	24.40	177	5.05	102	-69.58	33	91.72	97	0.12	17
0	-847	-1531	Max	22.30	1093.00	98	24.40	177	2.72	177	-69.58	33	-7.77	33	0.12	17
0	-847	-1531	Min.	0.00	168.78	33	-48.14	102	-2.72	177	-824.80	97	7.75	33	-0.18	173
0	-847	-1531	Min.	22.30	170.01	33	-48.14	102	-5.68	102	-824.80	97	-92.21	97	-0.18	173
0	-804	-1725	Max	0.00	-192.59	17	8.19	177	0.63	118	-117.65	33	132.52	98	0.17	17
0	-804	-1725	Max	22.30	-191.35	17	8.19	177	1.38	177	-117.65	33	-13.22	33	0.17	17
0	-804	-1725	Min.	0.00	-2500.14	102	-14.79	114	-0.44	177	-1195.52	98	13.02	33	-0.41	173
0	-804	-1725	Min.	22.30	-2498.47	102	-14.79	114	-2.75	114	-1195.52	98	-134.08	98	-0.41	173
0	-932	-1587	Max	0.00	1.85	173	12.50	177	0.07	173	260.74	130	33.63	101	0.13	17
0	-932	-1587	Max	22.30	3.09	173	12.50	177	2.45	177	260.74	130	29.61	130	0.13	17
0	-932	-1587	Min.	0.00	-753.83	101	-3.36	17	-0.34	177	-298.07	101	-28.54	130	-0.28	173
0	-932	-1587	Min.	22.30	-752.16	101	-3.36	17	-0.75	17	-298.07	101	-32.83	101	-0.28	173
0	-976	-1581	Max	0.00	-18.90	49	12.30	177	0.33	173	402.68	130	39.58	101	0.09	65
0	-976	-1581	Max	22.30	-17.66	49	12.30	177	2.08	177	402.68	130	45.30	130	0.09	65
0	-976	-1581	Min.	0.00	-151.84	101	-0.33	17	-0.66	177	-356.07	101	-44.50	130	-0.17	177
0	-976	-1581	Min.	22.30	-150.17	101	-0.33	17	-0.09	17	-356.07	101	-39.82	101	-0.17	177
0	-891	-1551	Max	0.00	-224.90	33	13.35	173	0.41	17	73.01	130	49.13	97	0.18	17
0	-891	-1551	Max	8.92					-0.00	147			5.49	147		
0	-891	-1551	Max	22.30	-223.66	33	13.35	173	2.42	173	73.01	130	8.40	130	0.18	17
0	-891	-1551	Min.	0.00	-1999.45	102	-10.02	17	-0.56	173	-437.82	97	-7.88	130	-0.29	173
0	-891	-1551	Min.	17.84					-0.00	121			-18.23	121		
0	-891	-1551	Min.	22.30	-1997.78	102	-10.02	17	-1.83	17	-437.82	97	-48.50	97	-0.29	173
0	-1150	-1569	Max	0.00	301.15	162	7.13	173	0.51	173	568.16	130	49.46	101	0.33	173
0	-1150	-1569	Max	17.84					-0.02	125			-10.78	125		
0	-1150	-1569	Max	22.30	302.39	162	7.13	173	2.10	173	568.16	130	63.66	130	0.33	173
0	-1150	-1569	Min.	0.00	-349.12	101	-24.47	177	-1.64	177	-443.93	101	-63.04	130	-1.24	177
0	-1150	-1569	Min.	17.84					-0.02	125			-10.78	125		
0	-1150	-1569	Min.	22.30	-347.45	101	-24.47	177	-7.09	177	-443.93	101	-49.54	101	-1.24	177
0	-718	-1853	Max	0.00	-21.65	177	2.88	101	0.13	101	-103.71	17	170.24	98	0.33	97
0	-718	-1853	Max	22.30	-20.41	177	2.88	101	0.78	101	-103.71	17	-11.67	17	0.33	97
0	-718	-1853	Min.	0.00	-247.41	102	-6.37	173	-0.18	98	-1536.96	98	11.46	17	-0.57	173
0	-718	-1853	Min.	22.30	-245.74	102	-6.37	173	-1.48	173	-1536.96	98	-172.50	98	-0.57	173
0	-806	-1724	Max	0.00	-45.19	17	2.95	177	0.13	173	-132.25	33	158.81	98	0.24	17
0	-806	-1724	Max	22.30	-43.95	17	2.95	177	0.64	177	-132.25	33	-14.86	33	0.24	17
0	-806	-1724	Min.	0.00	-1417.94	102	-8.60	102	-0.04	17	-1432.99	98	14.63	33	-0.50	173
0	-806	-1724	Min.	22.30	-1416.27	102	-8.60	102	-1.86	102	-1432.99	98	-160.75	98	-0.50	173
0	403	404	Max	0.00	82.10	49	1111.92	98	176.51	161	480.12	177	68.18	173	0.80	173
0	403	404	Max	101.68					4.88	177			83.80	177		
0	403	404	Max	200.00	82.10	49	1058.22	98	1071.63	98	91.64	173	251.46	173	0.80	173
0	403	404	Min.	0.00	-4463.59	121	-173.49	161	-1098.51	98	-8.46	65	-160.28	177	-0.28	98
0	403	404	Min.	3.24					16.29	126			-7.81	126		
0	403	404	Min.	200.00	-4463.59	121	-213.27	161	-210.24	161	-464.28	177	-144.45	177	-0.28	98
0	-1063	-1575	Max	0.00	9.79	125	3.08	177	0.47	173	496.22	130	44.76	101	0.12	130
0	-1063	-1575	Max	22.30	11.46	125	3.08	177	0.97	173	496.22	130	55.63	130	0.12	130
0	-1063	-1575	Min.	0.00	-274.93	98	-1.24	165	-1.16	177	-400.95	101	-55.03	130	-0.57	177
0	-1063	-1575	Min.	22.30	-273.26	98	-1.24	165	-0.47	177	-400.95	101	-44.65	101	-0.57	177
0	-1191	-1549	Max	0.00	15.39	49	20.57	173	0.35	173	653.56	130	56.65	101	0.59	173
0	-1191	-1549	Max	22.30	16.63	49	20.57	173	4.94	173	653.56	130	73.21	130	0.59	173
0	-1191	-1549	Min.	0.00	-415.46	130	-81.48	177	-1.41	177	-509.73	101	-72.53	130	-2.12	177
0	-1191	-1549	Min.	22.30	-413.79	130	-81.48	177	-19.58	177	-509.73	101	-57.02	101	-2.12	177
0	-848	-1802	Max	0.00	1350.69	98	5.90	177	0.66	102	-122.59	33	131.24	98	0.18	17
0	-848	-1802	Max	22.30	1352.36	98	5.90	177	1.00	177	-122.59	33	-13.84	33	0.18	17
0	-848	-1802	Min.	0.00	199.46	33	-18.15	102	-0.31	177	-1187.73	98	13.49	33	-0.35	173
0	-848	-1802	Min.	22.30	200.70	33	-18.15	102	-3.39	102	-1187.73	98	-133.63	98	-0.35	173
0	-632	-1779	Max	0.00	26.78	177	0.70	177	0.17	101	-64.06	17	169.98	98	0.51	98
0	-632	-1779	Max	22.30	28.02	177	0.70	177	0.26	177	-64.06	17	-7.21	17	0.51	98
0	-632	-1779	Min.	0.00	-310.11	98	-3.44	173	-0.19	98	-1534.61	98	7.08	17	-0.56	173
0	-632	-1779	Min.	22.30	-308.44	98	-3.44	173	-0.91	173	-1534.61	98	-172.23	98	-0.56	173
0	-595	-1818	Max	0.00	404.42	161	260.67	177	0.16	98	-23.64	17	158.62	98	0.68	98
0	-595	-1818	Max	2.93					0.02	69			28.05	69		
0	-595	-1818	Max	22.30	405.65	161	260.67	177	57.46	177	-23.64	17	-2.69	17	0.68	98
0	-595	-1818	Min.	0.00	-1999.97	98	-11.16	98	-0.67	177	-1441.40	98	2.59	17	-0.50	173
0	-595	-1818	Min.	2.79					-0.11	21			8.72	21		
0	-595	-1818	Min.	22.30	-1998.30	98	-11.16	98	-2.33	98	-1441.40	98	-162.81	98	-0.50	173
0	-934	-1586	Max	0.00	1245.42	98	18.47	173	0.25	17	61.55	130	51.15	97	0.15	17
0	-934	-1586	Max	22.30	1247.09	98	18.47	173	3.42	102	61.55	130	7.36	130	0.15	17
0	-934	-1586	Min.	0.00	187.56	33	-6.40	17	-0.80	173	-452.39	97	-6.36	130	-0.34	173
0	-934	-1586	Min.	22.30	188.80	33	-6.40	17	-1.18	17	-452.39	97	-49.73	97	-0.34	173
0	-977	-1580	Max	0.00	-41.07	65	13.77	177	0.07	173	258.41	130	34.51	101	0.10	17
0	-977	-1580	Max	22.30	-39.83	65	13.77	177	2.73	177	258.41	130	29.18	130	0.10	17

0	-977	-1580	Min.	0.00	-1396.24	102	-0.50	17	-0.34	177	-310.63	101	-28.44	130	-0.30	173
0	-977	-1580	Min.	22.30	-1394.57	102	-0.50	17	-0.12	17	-310.63	101	-34.76	101	-0.30	173
0	-1064	-1574	Max	0.00	-42.15	65	13.07	177	0.35	173	387.44	130	39.91	101	0.11	166
0	-1064	-1574	Max	22.30	-40.91	65	13.07	177	2.28	177	387.44	130	43.58	130	0.11	166
0	-1064	-1574	Min.	0.00	-288.93	98	-2.46	101	-0.63	177	-358.43	101	-42.82	130	-0.17	177
0	-1064	-1574	Min.	22.30	-287.26	98	-2.46	101	-0.64	101	-358.43	101	-40.02	101	-0.17	177
0	-1151	-1568	Max	0.00	124.60	158	2.86	177	0.47	173	470.86	130	42.59	101	0.16	130
0	-1151	-1568	Max	22.30	125.83	158	2.86	177	0.94	173	470.86	130	52.59	130	0.16	130
0	-1151	-1568	Min.	0.00	-141.46	101	-2.91	163	-1.14	177	-380.76	101	-52.42	130	-0.55	177
0	-1151	-1568	Min.	22.30	-139.78	101	-2.91	163	-0.69	161	-380.76	101	-42.32	101	-0.55	177
0	-1192	-1548	Max	0.00	1081.33	130	8.49	101	0.49	173	591.15	130	49.77	101	0.34	173
0	-1192	-1548	Max	22.30	1083.00	130	8.49	101	2.06	173	591.15	130	67.15	130	0.34	173
0	-1192	-1548	Min.	0.00	-1083.57	101	-23.89	177	-1.64	177	-452.22	101	-64.68	130	-1.21	177
0	-1192	-1548	Min.	22.30	-1081.90	101	-23.89	177	-6.97	177	-452.22	101	-51.08	101	-1.21	177
0	-935	-1534	Max	0.00	1086.02	98	53.41	173	1.76	17	-68.96	33	91.68	97	0.11	17
0	-935	-1534	Max	22.30	1087.69	98	53.41	173	5.97	173	-68.96	33	-7.70	33	0.11	17
0	-935	-1534	Min.	0.00	168.72	33	-15.63	17	-5.94	173	-824.48	97	7.68	33	-0.20	173
0	-935	-1534	Min.	22.30	169.96	33	-15.63	17	-1.73	17	-824.48	97	-92.18	97	-0.20	173
0	-719	-1852	Max	0.00	-19.96	149	0.71	177	0.11	101	-82.10	1	174.42	98	0.43	98
0	-719	-1852	Max	22.30	-18.73	149	0.71	177	0.21	177	-82.10	1	-9.24	1	0.43	98
0	-719	-1852	Min.	0.00	-319.45	98	-3.46	173	-0.12	98	-1573.26	98	9.07	1	-0.52	173
0	-719	-1852	Min.	22.30	-317.78	98	-3.46	173	-0.85	173	-1573.26	98	-176.41	98	-0.52	173
0	-1152	-1567	Max	0.00	17.25	49	13.01	177	0.37	173	364.69	130	37.29	101	0.16	162
0	-1152	-1567	Max	22.30	18.49	49	13.01	177	2.31	177	364.69	130	40.92	130	0.16	162
0	-1152	-1567	Min.	0.00	-283.80	130	-7.80	101	-0.59	177	-334.26	101	-40.40	130	-0.17	177
0	-1152	-1567	Min.	22.30	-282.13	130	-7.80	101	-1.79	101	-334.26	101	-37.25	101	-0.17	177
0	420	421	Max	0.00	-26.62	173	1564.27	165	22.12	1	27.18	177	0.39	125	0.06	125
0	420	421	Max	182.55					2.07	170			5.67	170		
0	420	421	Max	190.50	-26.62	173	1526.38	165	662.62	125	27.18	177	50.96	177	0.06	125
0	420	421	Min.	0.00	-6100.81	168	-110.40	106	-2412.10	165	-22.01	162	-0.83	177	-0.12	65
0	420	421	Min.	6.71					-7.19	111			0.35	111		
0	420	421	Min.	190.50	-6100.81	168	-161.55	106	-258.95	106	-22.01	162	-41.66	162	-0.12	65
0	314	430	Max	0.00	-1520.81	33	36.43	173	2.90	17	-74.04	33	92.03	97	0.12	17
0	314	430	Max	22.30	-1519.57	33	36.43	173	4.05	173	-74.04	33	-8.27	33	0.12	17
0	314	430	Min.	0.00	-9844.26	102	-26.00	17	-4.07	173	-827.59	97	8.24	33	-0.19	173
0	314	430	Min.	22.30	-9842.59	102	-26.00	17	-2.89	17	-827.59	97	-92.53	97	-0.19	173
0	-807	-1723	Max	0.00	-15.73	1	1.13	177	0.04	177	-125.96	1	173.65	98	0.29	17
0	-807	-1723	Max	22.30	-14.50	1	1.13	177	0.29	177	-125.96	1	-14.17	1	0.29	17
0	-807	-1723	Min.	0.00	-134.42	106	-4.24	173	-0.11	102	-1567.08	98	13.92	1	-0.51	173
0	-807	-1723	Min.	22.30	-132.75	106	-4.24	173	-0.95	173	-1567.08	98	-175.81	98	-0.51	173
0	-633	-1778	Max	0.00	48.94	161	2.04	161	0.12	101	-29.89	1	163.00	98	0.62	98
0	-633	-1778	Max	2.23					-0.06	53			31.38	53		
0	-633	-1778	Max	22.30	50.18	161	2.04	161	0.39	161	-29.89	1	-3.38	1	0.62	98
0	-633	-1778	Min.	0.00	-581.63	98	-6.74	98	-0.08	17	-1469.40	98	3.29	1	-0.47	173
0	-633	-1778	Min.	2.23					-0.02	5			8.55	5		
0	-633	-1778	Min.	22.30	-579.96	98	-6.74	98	-1.48	98	-1469.40	98	-164.68	98	-0.47	173
0	-850	-1801	Max	0.00	-13.39	1	1.77	177	0.11	173	-141.14	33	159.53	98	0.26	17
0	-850	-1801	Max	22.30	-12.15	1	1.77	177	0.39	177	-141.14	33	-15.91	33	0.26	17
0	-850	-1801	Min.	0.00	-774.28	101	-10.17	102	-0.05	17	-1442.07	98	15.56	33	-0.45	173
0	-850	-1801	Min.	22.30	-772.61	101	-10.17	102	-2.22	102	-1442.07	98	-162.05	98	-0.45	173
0	-979	-1579	Max	0.00	-198.06	65	22.33	173	-0.06	161	68.40	130	48.11	97	0.10	17
0	-979	-1579	Max	22.30	-196.82	65	22.33	173	4.01	173	68.40	130	7.90	130	0.10	17
0	-979	-1579	Min.	0.00	-2534.61	102	0.24	17	-0.97	173	-428.39	97	-7.36	130	-0.38	173
0	-979	-1579	Min.	22.30	-2532.94	102	0.24	17	-0.01	17	-428.39	97	-47.42	97	-0.38	173
0	-1065	-1573	Max	0.00	12.20	173	15.78	177	0.10	101	242.37	130	35.78	101	0.11	162
0	-1065	-1573	Max	22.30	13.43	173	15.78	177	3.18	177	242.37	130	27.54	130	0.11	162
0	-1065	-1573	Min.	0.00	-1114.06	102	-11.06	101	-0.34	177	-319.79	101	-26.50	130	-0.32	173
0	-1065	-1573	Min.	22.30	-1112.39	102	-11.06	101	-2.37	101	-319.79	101	-35.53	101	-0.32	173
0	-892	-1452	Max	0.00	-214.04	33	7.69	173	0.24	17	-132.23	33	133.95	98	0.20	17
0	-892	-1452	Max	13.38					-0.00	144			-9.40	144		
0	-892	-1452	Max	22.30	-212.80	33	7.69	173	1.39	173	-132.23	33	-14.85	33	0.20	17
0	-892	-1452	Min.	0.00	-1955.56	102	-5.29	17	-0.33	177	-1208.36	98	14.64	33	-0.31	173
0	-892	-1452	Min.	17.84					-0.00	110			-62.43	110		
0	-892	-1452	Min.	22.30	-1953.89	102	-5.29	17	-0.94	17	-1208.36	98	-135.52	98	-0.31	173
0	321	-2071	Max	0.00	405.19	161	1.43	177	0.45	173	395.75	130	37.99	101	0.20	130
0	321	-2071	Max	22.30	406.43	161	1.43	177	0.75	173	395.75	130	43.24	106	0.20	130
0	321	-2071	Min.	0.00	-359.52	102	-2.42	161	-1.09	177	-324.47	101	-46.27	130	-0.53	177
0	321	-2071	Min.	22.30	-357.85	102	-2.42	161	-0.77	177	-324.47	101	-34.36	101	-0.53	177
0	316	433	Max	0.00	-1305.56	65	64.16	173	-0.64	17	-63.09	33	90.76	97	0.11	17
0	316	433	Max	22.30	-1304.33	65	64.16	173	7.15	173	-63.09	33	-7.04	33	0.11	17
0	316	433	Min.	0.00	-9898.69	102	6.02	17	-7.15	173	-816.19	97	7.02	33	-0.21	173
0	316	433	Min.	22.30	-9897.02	102	6.02	17	0.65	165	-816.19	97	-91.25	97	-0.21	173
0	-808	-1722	Max	0.00	37.74	101	2.08	101	0.04	177	-93.73	1	178.03	98	0.32	17
0	-808	-1722	Max	22.30	39.41	101	2.08	101	0.42	101	-93.73	1	-10.55	1	0.32	17
0	-808	-1722	Min.	0.00	-190.10	106	-2.26	173	-0.07	118	-1605.61	98	10.36	1	-0.49	173
0	-808	-1722	Min.	22.30	-188.43	106	-2.26	173	-0.56	173	-1605.61	98	-180.03	98	-0.49	173
0	-596	-1816	Max	0.00	1388.88	173	260.29	177	0.07	165	65.88	1	121.86	98	0.67	98
0	-596	-1816	Max	17.84					-0.00	138			-0.69	138		
0	-596	-1816	Max	22.30	1390.12	173	260.29	177	57.82	177	65.88	1	7.34	1	0.67	98

0	-596	-1816	Min.	0.00	-603.88	161	-3.43	125	-0.49	173	-1110.52	98	-7.35	1	-0.38	173
0	-596	-1816	Min.	17.84					-0.00	138			-0.69	138		
0	-596	-1816	Min.	22.30	-602.65	161	-3.43	125	-0.69	125	-1110.52	98	-125.79	98	-0.38	173
0	-851	-1800	Max	0.00	-46.21	1	0.38	177	0.04	173	-136.53	1	175.38	98	0.31	17
0	-851	-1800	Max	22.30	-44.97	1	0.38	177	0.12	177	-136.53	1	-15.37	1	0.31	17
0	-851	-1800	Min.	0.00	-538.53	102	-2.33	102	-0.10	102	-1583.23	98	15.08	1	-0.49	173
0	-851	-1800	Min.	22.30	-536.86	102	-2.33	102	-0.62	102	-1583.23	98	-177.68	98	-0.49	173
0	-1067	-1572	Max	0.00	1130.54	98	25.11	173	0.67	101	46.63	130	50.31	97	0.11	125
0	-1067	-1572	Max	22.30	1132.21	98	25.11	173	4.50	173	46.63	130	5.70	130	0.11	125
0	-1067	-1572	Min.	0.00	77.68	149	-17.71	101	-1.10	173	-444.97	97	-4.70	130	-0.40	173
0	-1067	-1572	Min.	22.30	78.92	149	-17.71	101	-3.28	101	-444.97	97	-48.92	97	-0.40	173
0	-1193	-1546	Max	0.00	460.27	101	13.06	177	0.37	173	362.35	130	37.86	101	0.20	162
0	-1193	-1546	Max	22.30	461.94	101	13.06	177	2.31	177	362.35	130	41.48	130	0.20	162
0	-1193	-1546	Min.	0.00	-1213.64	130	-11.28	101	-0.60	177	-343.04	101	-39.32	130	-0.15	177
0	-1193	-1546	Min.	22.30	-1211.97	130	-11.28	101	-2.45	101	-343.04	101	-38.64	101	-0.15	177
0	421	-2071	Max	0.00	2214.52	162	1738.37	130	791.72	101	45.37	177	0.20	173	0.51	177
0	421	-2071	Max	127.70	2171.46	162	1738.37	130	1736.81	130	45.37	177	57.86	177	0.51	177
0	421	-2071	Min.	0.00	-477.67	97	-1592.27	101	-483.08	130	-64.42	158	-0.09	162	-0.14	173
0	421	-2071	Min.	127.70	-535.80	97	-1592.27	101	-1241.61	101	-64.42	158	-82.29	158	-0.14	173
0	-634	-1777	Max	0.00	43.71	173	2.84	173	0.10	177	15.27	1	147.78	98	0.67	98
0	-634	-1777	Max	22.30	44.95	173	2.84	173	0.49	173	15.27	1	1.69	1	0.67	98
0	-634	-1777	Min.	0.00	-218.28	177	-1.99	177	-0.15	173	-1329.83	98	-1.72	1	-0.41	173
0	-634	-1777	Min.	22.30	-217.04	177	-1.99	177	-0.38	97	-1329.83	98	-148.77	98	-0.41	173
0	-936	-1698	Max	0.00	1346.33	98	18.05	102	0.08	17	-122.37	33	131.23	98	0.23	17
0	-936	-1698	Max	22.30	1348.00	98	18.05	102	3.36	102	-122.37	33	-13.82	33	0.23	17
0	-936	-1698	Min.	0.00	199.66	33	-1.57	17	-0.66	102	-1187.66	98	13.47	33	-0.28	173
0	-936	-1698	Min.	22.30	200.90	33	-1.57	17	-0.27	17	-1187.66	98	-133.62	98	-0.28	173
0	-720	-1851	Max	0.00	-40.50	17	0.82	17	0.06	101	-41.37	1	168.98	98	0.49	98
0	-720	-1851	Max	1.11					-0.04	54			26.71	54		
0	-720	-1851	Max	22.30	-39.27	17	0.82	17	0.20	17	-41.37	1	-4.67	1	0.49	98
0	-720	-1851	Min.	0.00	-261.42	98	-1.93	98	-0.09	17	-1523.12	98	4.56	1	-0.47	173
0	-720	-1851	Min.	1.35					-0.03	6			18.52	6		
0	-720	-1851	Min.	22.30	-259.75	98	-1.93	98	-0.49	98	-1523.12	98	-170.67	98	-0.47	173
0	-894	-1450	Max	0.00	-45.47	49	1.92	177	0.09	173	-150.12	33	160.90	98	0.28	17
0	-894	-1450	Max	22.30	-44.23	49	1.92	177	0.50	173	-150.12	33	-16.88	33	0.28	17
0	-894	-1450	Min.	0.00	-764.03	102	-0.92	17	-0.06	17	-1452.12	98	16.60	33	-0.42	173
0	-894	-1450	Min.	22.30	-762.36	102	-0.92	17	-0.25	17	-1452.12	98	-162.93	98	-0.42	173
0	-1068	-1537	Max	0.00	807.40	98	73.67	173	4.77	101	-47.24	17	89.35	97	0.10	177
0	-1068	-1537	Max	22.30	809.07	98	73.67	173	8.25	173	-47.24	17	-5.27	17	0.10	177
0	-1068	-1537	Min.	0.00	97.64	65	-44.33	101	-8.18	173	-803.30	97	5.26	17	-0.22	173
0	-1068	-1537	Min.	22.30	98.88	65	-44.33	101	-5.11	101	-803.30	97	-89.79	97	-0.22	173
0	-721	-1858	Max	0.00	-24.27	145	1.78	173	0.05	65	4.66	1	155.24	98	0.52	98
0	-721	-1858	Max	22.30	-23.03	145	1.78	173	0.32	173	4.66	1	0.50	1	0.52	98
0	-721	-1858	Min.	0.00	-181.92	106	-1.13	97	-0.08	17	-1399.05	98	-0.54	1	-0.43	173
0	-721	-1858	Min.	22.30	-180.25	106	-1.13	97	-0.25	97	-1399.05	98	-156.75	98	-0.43	173
0	-809	-1721	Max	0.00	-39.95	17	1.75	101	0.03	177	-52.71	1	173.00	98	0.31	17
0	-809	-1721	Max	22.30	-38.71	17	1.75	101	0.41	101	-52.71	1	-5.94	1	0.31	17
0	-809	-1721	Min.	0.00	-201.21	106	-0.94	65	-0.07	173	-1559.75	98	5.82	1	-0.44	173
0	-809	-1721	Min.	22.30	-199.53	106	-0.94	65	-0.28	65	-1559.75	98	-174.83	98	-0.44	173
0	-980	-1475	Max	0.00	-188.03	65	16.22	173	-0.10	165	-117.10	65	132.44	98	0.27	17
0	-980	-1475	Max	22.30	-186.80	65	16.22	173	2.88	173	-117.10	65	-13.15	65	0.27	17
0	-980	-1475	Min.	0.00	-2489.67	102	2.68	165	-0.73	173	-1194.85	98	12.96	65	-0.27	173
0	-980	-1475	Min.	22.30	-2488.00	102	2.68	165	0.50	165	-1194.85	98	-134.01	98	-0.27	173
0	-635	-1776	Max	0.00	283.82	173	6.00	173	0.06	17	62.50	1	126.98	98	0.64	98
0	-635	-1776	Max	22.30	285.06	173	6.00	173	1.13	173	62.50	1	6.98	1	0.64	98
0	-635	-1776	Min.	0.00	-222.33	125	-2.14	125	-0.21	173	-1145.81	98	-6.96	1	-0.35	173
0	-635	-1776	Min.	22.30	-220.66	125	-2.14	125	-0.44	125	-1145.81	98	-128.54	98	-0.35	173
0	-597	-1815	Max	0.00	203.57	173	245.51	177	0.24	97	149.58	101	93.21	98	0.58	177
0	-597	-1815	Max	22.30	204.80	173	245.51	177	54.53	177	149.58	101	16.70	101	0.58	177
0	-597	-1815	Min.	0.00	-789.67	97	-0.75	101	-0.22	177	-841.28	98	-16.66	101	-0.35	173
0	-597	-1815	Min.	22.30	-788.00	97	-0.75	101	-0.14	125	-841.28	98	-94.40	98	-0.35	173
0	-852	-1799	Max	0.00	-51.49	1	1.74	101	0.03	177	-104.95	1	180.19	98	0.32	17
0	-852	-1799	Max	22.30	-50.26	1	1.74	101	0.31	101	-104.95	1	-11.81	1	0.32	17
0	-852	-1799	Min.	0.00	-256.03	102	-1.37	173	-0.08	102	-1625.48	98	11.60	1	-0.49	173
0	-852	-1799	Min.	22.30	-254.36	102	-1.37	173	-0.34	173	-1625.48	98	-182.30	98	-0.49	173
0	-938	-1692	Max	0.00	-14.21	49	10.09	102	0.09	173	-141.17	33	159.50	98	0.30	17
0	-938	-1692	Max	22.30	-12.97	49	10.09	102	2.20	102	-141.17	33	-15.91	33	0.30	17
0	-938	-1692	Min.	0.00	-779.02	101	0.69	161	-0.07	17	-1441.84	98	15.57	33	-0.41	173
0	-938	-1692	Min.	22.30	-777.35	101	0.69	161	0.16	161	-1441.84	98	-162.03	98	-0.41	173
0	-1155	-1565	Max	0.00	-166.32	65	37.57	98	0.95	101	49.73	130	47.55	97	0.17	125
0	-1155	-1565	Max	22.30	-165.08	65	37.57	98	6.72	98	49.73	130	5.80	130	0.17	125
0	-1155	-1565	Min.	0.00	-2435.66	102	-23.24	101	-1.66	98	-425.19	97	-5.29	130	-0.41	173
0	-1155	-1565	Min.	22.30	-2433.99	102	-23.24	101	-4.24	101	-425.19	97	-47.27	97	-0.41	173
0	-1194	-1545	Max	0.00	353.79	98	18.35	177	0.07	173	207.22	130	35.56	101	0.18	162
0	-1194	-1545	Max	22.30	355.46	98	18.35	177	3.71	177	207.22	130	23.56	130	0.18	162
0	-1194	-1545	Min.	0.00	-276.80	101	-11.02	101	-0.38	177	-315.66	101	-22.65	130	-0.32	173
0	-1194	-1545	Min.	22.30	-275.13	101	-11.02	101	-2.50	101	-315.66	101	-34.83	101	-0.32	173
0	-895	-1449	Max	0.00	-15.21	49	0.63	17	0.07	173	-145.40	49	176.21	98	0.32	17
0	-895	-1449	Max	22.30	-13.97	49	0.63	17	0.14	177	-145.40	49	-16.36	49	0.32	17

0	-895	-1449	Min.	0.00	-431.50	101	-0.60	65	-0.05	17	-1590.35	98	16.07	49	-0.49	173
0	-895	-1449	Min.	22.30	-429.83	101	-0.60	65	-0.10	17	-1590.35	98	-178.44	98	-0.49	173
0	-1069	-1705	Max	0.00	1278.10	98	21.45	118	0.71	101	-87.93	65	127.43	98	0.32	17
0	-1069	-1705	Max	22.30	1279.77	98	21.45	118	3.80	118	-87.93	65	-9.92	65	0.32	17
0	-1069	-1705	Min.	0.00	111.06	149	-19.03	101	-0.98	118	-1152.51	98	9.69	65	-0.25	173
0	-1069	-1705	Min.	22.30	112.30	149	-19.03	101	-3.54	101	-1152.51	98	-129.58	98	-0.25	173
0	-636	-1775	Max	0.00	93.78	173	3.38	98	0.18	97	166.80	101	98.72	98	0.53	98
0	-636	-1775	Max	22.30	95.01	173	3.38	98	0.93	98	166.80	101	18.58	101	0.53	98
0	-636	-1775	Min.	0.00	-425.72	97	-0.58	125	-0.14	173	-893.08	98	-18.61	101	-0.30	173
0	-636	-1775	Min.	22.30	-424.05	97	-0.58	125	-0.11	125	-893.08	98	-100.44	98	-0.30	173
0	-598	-1814	Max	0.00	121.09	173	225.35	177	0.25	177	277.60	101	71.35	106	0.62	177
0	-598	-1814	Max	1.69					0.00	35			13.32	35		
0	-598	-1814	Max	22.30	122.33	173	225.35	177	50.50	177	277.60	101	31.10	101	0.62	177
0	-598	-1814	Min.	0.00	-956.73	98	-1.29	106	-0.34	173	-642.28	106	-30.80	101	-0.30	173
0	-598	-1814	Min.	1.69					0.03	35			0.01	35		
0	-598	-1814	Min.	22.30	-955.06	98	-1.29	106	-0.24	106	-642.28	106	-71.88	106	-0.30	173
0	-853	-1798	Max	0.00	-47.55	1	2.14	101	0.03	97	-63.54	1	175.04	98	0.31	17
0	-853	-1798	Max	22.30	-46.31	1	2.14	101	0.46	101	-63.54	1	-7.15	1	0.31	17
0	-853	-1798	Min.	0.00	-214.09	106	-1.08	173	-0.08	173	-1578.66	98	7.02	1	-0.45	173
0	-853	-1798	Min.	22.30	-212.42	106	-1.08	173	-0.33	173	-1578.66	98	-177.00	98	-0.45	173
0	-724	-1694	Max	0.00	-28.79	177	6.31	97	0.09	65	302.27	101	74.80	130	0.27	98
0	-724	-1694	Max	22.30	-27.55	177	6.31	97	1.47	97	302.27	101	33.73	101	0.27	98
0	-724	-1694	Min.	0.00	-1666.53	98	-0.22	65	-0.24	173	-672.06	130	-33.67	101	-0.29	173
0	-724	-1694	Min.	22.30	-1664.86	98	-0.22	65	-0.12	65	-672.06	130	-75.08	106	-0.29	173
0	-858	-1793	Max	0.00	-38.35	33	1.96	173	0.10	65	444.60	101	66.82	130	0.06	106
0	-858	-1793	Max	22.30	-37.11	33	1.96	173	0.27	173	444.60	101	49.67	101	0.06	106
0	-858	-1793	Min.	0.00	-757.67	98	-0.32	65	-0.17	173	-600.62	130	-49.47	101	-0.04	65
0	-858	-1793	Min.	22.30	-756.00	98	-0.32	65	-0.16	65	-600.62	130	-67.12	130	-0.04	65
0	404	-1817	Max	0.00	385.65	97	967.06	161	1637.16	98	662.21	173	0.45	173	1.01	98
0	404	-1817	Max	127.70	327.52	97	967.06	161	722.87	161	662.21	173	846.09	173	1.01	98
0	404	-1817	Min.	0.00	-37.76	49	-3340.89	98	-512.07	161	-903.84	177	-0.08	17	-4.02	173
0	404	-1817	Min.	127.70	-89.65	106	-3340.89	98	-2629.15	98	-903.84	177	-1154.21	177	-4.02	173
0	-1153	-1566	Max	0.00	-30.90	65	17.30	177	0.08	102	230.53	130	33.32	101	0.15	126
0	-1153	-1566	Max	22.30	-29.66	65	17.30	177	3.52	177	230.53	130	26.06	130	0.15	126
0	-1153	-1566	Min.	0.00	-807.86	102	-14.65	101	-0.34	177	-298.96	101	-25.34	130	-0.33	173
0	-1153	-1566	Min.	22.30	-806.19	102	-14.65	101	-3.19	101	-298.96	101	-33.35	101	-0.33	173
0	-722	-1856	Max	0.00	89.40	98	3.53	173	0.09	97	53.41	1	133.94	98	0.50	98
0	-722	-1856	Max	22.30	91.08	98	3.53	173	0.68	173	53.41	1	5.96	1	0.50	98
0	-722	-1856	Min.	0.00	-144.23	101	-0.61	157	-0.10	173	-1208.63	98	-5.95	1	-0.39	173
0	-722	-1856	Min.	22.30	-142.56	101	-0.61	157	-0.09	125	-1208.63	98	-135.58	98	-0.39	173
0	-982	-1474	Max	0.00	-44.42	65	8.60	102	0.09	173	-131.52	65	158.74	98	0.33	17
0	-982	-1474	Max	22.30	-43.18	65	8.60	102	1.86	102	-131.52	65	-14.78	65	0.33	17
0	-982	-1474	Min.	0.00	-1418.17	102	1.66	161	-0.08	17	-1432.34	98	14.55	65	-0.40	173
0	-982	-1474	Min.	22.30	-1416.50	102	1.66	161	0.39	161	-1432.34	98	-160.68	98	-0.40	173
0	-810	-1720	Max	0.00	-23.01	145	2.23	98	0.05	65	-5.75	1	159.31	98	0.28	17
0	-810	-1720	Max	22.30	-21.77	145	2.23	98	0.53	98	-5.75	1	-0.67	1	0.28	17
0	-810	-1720	Min.	0.00	-188.15	106	-0.46	65	-0.09	173	-1436.33	98	0.61	1	-0.39	173
0	-810	-1720	Min.	22.30	-186.47	106	-0.46	65	-0.18	65	-1436.33	98	-160.99	98	-0.39	173
0	404	-1272	Max	0.00	-295.13	65	686.83	98	355.16	125	439.56	177	255.49	173	1.25	173
0	404	-1272	Max	93.16					10.84	177			60.23	177		
0	404	-1272	Max	155.00	-295.13	65	645.21	98	466.80	98	48.69	98	98.40	97	1.25	173
0	404	-1272	Min.	0.00	-6904.85	97	-356.68	125	-565.53	98	-570.57	173	-144.35	177	-0.18	98
0	404	-1272	Min.	93.16					10.84	177			60.23	177		
0	404	-1272	Min.	155.00	-6904.85	97	-398.30	125	-229.95	125	-570.57	173	-628.89	173	-0.18	98
0	318	432	Max	0.00	-1048.13	65	122.06	98	7.14	101	-29.27	17	87.58	97	0.10	177
0	318	432	Max	22.30	-1046.89	65	122.06	98	13.99	98	-29.27	17	-3.26	17	0.10	177
0	318	432	Min.	0.00	-11066.30	98	-65.22	101	-13.23	98	-787.42	97	3.26	17	-0.22	173
0	318	432	Min.	22.30	-11064.70	98	-65.22	101	-7.40	101	-787.42	97	-88.02	97	-0.22	173
0	-939	-1691	Max	0.00	-46.06	49	2.29	102	0.12	173	-135.44	49	175.34	98	0.33	17
0	-939	-1691	Max	22.30	-44.82	49	2.29	102	0.61	102	-135.44	49	-15.25	49	0.33	17
0	-939	-1691	Min.	0.00	-538.93	102	-0.05	65	-0.03	17	-1582.93	98	14.95	49	-0.50	173
0	-939	-1691	Min.	22.30	-537.26	102	-0.05	65	0.04	17	-1582.93	98	-177.65	98	-0.50	173
0	-1196	-1544	Max	0.00	1490.76	98	51.62	98	-0.22	137	29.79	1	52.97	97	0.15	125
0	-1196	-1544	Max	22.30	1492.43	98	51.62	98	8.31	98	29.79	1	3.48	1	0.15	125
0	-1196	-1544	Min.	0.00	108.76	65	-6.63	101	-3.20	98	-470.57	97	-3.17	1	-0.44	173
0	-1196	-1544	Min.	22.30	110.00	65	-6.63	101	-1.89	101	-470.57	97	-51.97	97	-0.44	173
0	-1156	-1745	Max	0.00	-169.49	65	32.34	110	1.02	101	-65.00	65	126.63	98	0.36	17
0	-1156	-1745	Max	22.30	-168.26	65	32.34	110	5.70	118	-65.00	65	-7.29	65	0.36	17
0	-1156	-1745	Min.	0.00	-2296.19	102	-25.97	101	-1.53	110	-1138.83	98	7.21	65	-0.28	101
0	-1156	-1745	Min.	22.30	-2294.52	102	-25.97	101	-4.77	101	-1138.83	98	-127.33	98	-0.28	101
0	421	422	Max	0.00	611.92	106	422.32	101	795.12	162	46.71	158	50.45	177	0.15	173
0	421	422	Max	185.19					71.98	69			24.44	69		
0	421	422	Max	199.50	611.92	106	368.75	101	389.79	101	46.71	158	79.31	98	0.15	173
0	421	422	Min.	0.00	-4801.58	157	-706.89	162	-408.39	97	-18.19	177	-41.77	162	-0.14	17
0	421	422	Min.	184.67					25.08	21			-1.49	21		
0	421	422	Min.	199.50	-4801.58	157	-746.57	162	-654.71	162	-18.19	177	-5.30	101	-0.14	17
0	-896	-1448	Max	0.00	-37.02	49	0.99	17	0.03	177	-113.59	49	180.83	98	0.33	17
0	-896	-1448	Max	22.30	-35.78	49	0.99	17	0.22	17	-113.59	49	-12.78	49	0.33	17
0	-896	-1448	Min.	0.00	-280.03	102	-0.99	65	-0.01	17	-1631.33	98	12.55	49	-0.51	173

0	-896	-1448	Min.	22.30	-278.36	102	-0.99	65	-0.22	65	-1631.33	98	-182.95	98	-0.51	173
0	-599	-1813	Max	0.00	986.91	125	209.57	177	1.02	177	395.95	101	61.36	130	0.35	177
0	-599	-1813	Max	3.07					-0.01	72			3.24	72		
0	-599	-1813	Max	22.30	988.58	125	209.57	177	47.76	177	395.95	101	44.31	101	0.35	177
0	-599	-1813	Min.	0.00	-955.00	173	-3.46	106	-1.11	173	-550.99	130	-43.99	101	-0.15	101
0	-599	-1813	Min.	2.95					0.01	40			0.67	40		
0	-599	-1813	Min.	22.30	-953.77	173	-3.46	106	-0.66	106	-550.99	130	-61.51	130	-0.15	101
0	-1071	-1704	Max	0.00	8.58	173	9.54	118	0.10	173	-99.78	65	154.83	98	0.37	17
0	-1071	-1704	Max	22.30	9.81	173	9.54	118	2.10	118	-99.78	65	-11.25	65	0.37	17
0	-1071	-1704	Min.	0.00	-1135.02	102	-12.02	101	-0.09	17	-1399.22	98	11.00	65	-0.39	173
0	-1071	-1704	Min.	22.30	-1133.35	102	-12.02	101	-2.59	101	-1399.22	98	-157.19	98	-0.39	173
0	-1197	-1540	Max	0.00	1222.23	162	228.93	98	-2.56	137	-10.58	17	88.01	97	0.13	17
0	-1197	-1540	Max	22.30	1223.47	162	228.93	98	23.87	98	-10.58	17	-1.22	17	0.13	17
0	-1197	-1540	Min.	0.00	-370.82	97	12.59	137	-27.18	98	-802.86	97	1.14	17	-0.31	173
0	-1197	-1540	Min.	22.30	-369.15	97	12.59	137	0.18	125	-802.86	97	-91.02	97	-0.31	173
0	-723	-1695	Max	0.00	47.22	173	3.35	173	0.14	97	170.85	101	104.55	98	0.42	98
0	-723	-1695	Max	22.30	48.45	173	3.35	173	0.62	98	170.85	101	19.04	101	0.42	98
0	-723	-1695	Min.	0.00	-413.56	97	-0.04	125	-0.14	173	-946.42	98	-19.06	101	-0.35	173
0	-723	-1695	Min.	22.30	-411.89	97	-0.04	125	-0.03	17	-946.42	98	-106.51	98	-0.35	173
0	-811	-1719	Max	0.00	26.61	97	3.31	98	0.07	65	44.50	1	137.45	98	0.24	17
0	-811	-1719	Max	22.30	28.28	97	3.31	98	0.75	98	44.50	1	4.96	1	0.24	17
0	-811	-1719	Min.	0.00	-174.44	106	-0.21	65	-0.11	173	-1240.58	98	-4.96	1	-0.34	173
0	-811	-1719	Min.	22.30	-172.77	106	-0.21	65	-0.13	65	-1240.58	98	-139.21	98	-0.34	173
0	-854	-1797	Max	0.00	-41.77	173	2.44	98	0.05	65	-15.57	1	160.73	98	0.28	17
0	-854	-1797	Max	22.30	-40.53	173	2.44	98	0.56	98	-15.57	1	-1.77	1	0.28	17
0	-854	-1797	Min.	0.00	-194.23	106	-1.25	173	-0.12	173	-1449.98	98	1.70	1	-0.38	173
0	-854	-1797	Min.	22.30	-192.56	106	-1.25	173	-0.40	173	-1449.98	98	-162.61	98	-0.38	173
0	-983	-1473	Max	0.00	-15.82	49	2.81	118	0.16	173	-124.65	49	173.58	98	0.34	17
0	-983	-1473	Max	22.30	-14.58	49	2.81	118	0.70	118	-124.65	49	-14.03	49	0.34	17
0	-983	-1473	Min.	0.00	-135.10	106	-0.03	137	0.00	17	-1566.43	98	13.77	49	-0.52	173
0	-983	-1473	Min.	22.30	-133.43	106	-0.03	137	0.07	137	-1566.43	98	-175.73	98	-0.52	173
0	-940	-1688	Max	0.00	-51.15	49	1.34	17	0.08	102	-103.87	49	180.15	98	0.33	17
0	-940	-1688	Max	17.84					-0.00	97			-108.13	97		
0	-940	-1688	Max	22.30	-49.91	49	1.34	17	0.32	17	-103.87	49	-11.69	49	0.33	17
0	-940	-1688	Min.	0.00	-255.82	102	-1.75	101	-0.01	97	-1625.14	98	11.48	49	-0.55	173
0	-940	-1688	Min.	17.84					-0.00	97			-108.13	97		
0	-940	-1688	Min.	22.30	-254.15	102	-1.75	101	-0.31	101	-1625.14	98	-182.26	98	-0.55	173
0	-637	-1774	Max	0.00	45.35	125	4.04	121	0.21	98	296.51	101	73.77	130	0.34	98
0	-637	-1774	Max	22.30	47.02	125	4.04	121	1.10	97	296.51	101	33.12	101	0.34	98
0	-637	-1774	Min.	0.00	-1046.17	98	-3.20	173	-0.11	173	-662.71	130	-33.00	101	-0.21	173
0	-637	-1774	Min.	22.30	-1044.50	98	-3.20	173	-0.82	173	-662.71	130	-74.07	106	-0.21	173
0	-897	-1446	Max	0.00	-45.63	49	0.98	17	0.04	65	-71.74	49	175.55	98	0.31	17
0	-897	-1446	Max	22.30	-44.39	49	0.98	17	0.25	17	-71.74	49	-8.07	49	0.31	17
0	-897	-1446	Min.	0.00	-198.14	106	-0.99	65	-0.08	173	-1583.52	98	7.92	49	-0.48	173
0	-897	-1446	Min.	22.30	-196.47	106	-0.99	65	-0.27	173	-1583.52	98	-177.57	98	-0.48	173
0	-638	-1773	Max	0.00	96.36	125	3.23	157	0.29	98	420.40	101	64.55	130	0.17	106
0	-638	-1773	Max	2.60					-0.01	35			7.65	35		
0	-638	-1773	Max	22.30	98.04	125	3.23	157	0.87	121	420.40	101	46.88	101	0.17	106
0	-638	-1773	Min.	0.00	-701.76	98	-3.19	173	-0.22	173	-579.74	130	-46.87	101	-0.14	101
0	-638	-1773	Min.	2.60					0.04	35			-3.85	35		
0	-638	-1773	Min.	22.30	-700.09	98	-3.19	173	-0.93	173	-579.74	130	-64.73	130	-0.14	101
0	-1158	-1744	Max	0.00	45.93	173	12.24	130	0.18	97	-71.12	65	151.93	98	0.40	17
0	-1158	-1744	Max	22.30	47.16	173	12.24	130	2.70	130	-71.12	65	-7.99	65	0.40	17
0	-1158	-1744	Min.	0.00	-790.89	126	-17.59	101	-0.08	17	-1370.01	98	7.87	65	-0.39	173
0	-1158	-1744	Min.	22.30	-789.22	126	-17.59	101	-3.79	101	-1370.01	98	-153.58	98	-0.39	173
0	-600	-1812	Max	0.00	510.53	106	209.57	177	1.02	177	517.06	101	51.08	130	0.15	106
0	-600	-1812	Max	2.80					-0.01	39			1.70	39		
0	-600	-1812	Max	22.30	512.21	106	209.57	177	47.76	177	517.06	101	57.78	101	0.15	106
0	-600	-1812	Min.	0.00	-1645.82	173	-5.58	125	-1.34	173	-459.03	130	-57.53	101	-0.35	177
0	-600	-1812	Min.	2.80					0.03	39			-6.43	39		
0	-600	-1812	Min.	22.30	-1644.59	173	-5.58	125	-1.07	125	-459.03	130	-51.28	130	-0.35	177
0	405	-1533	Max	0.00	1252.41	99	1905.19	125	568.85	106	1987.69	173	0.36	100	0.22	106
0	405	-1533	Max	127.70	1194.28	99	1905.19	125	1436.06	125	1987.69	173	2535.81	173	0.22	106
0	405	-1533	Min.	0.00	95.20	17	-1098.47	106	-996.88	125	-820.81	177	-2.48	173	-0.22	101
0	405	-1533	Min.	127.70	52.14	17	-1098.47	106	-833.89	106	-820.81	177	-1048.20	177	-0.22	101
0	-812	-1718	Max	0.00	-28.36	1	1.12	98	0.08	65	173.44	101	107.12	98	0.18	17
0	-812	-1718	Max	22.30	-27.12	1	1.12	98	0.28	98	173.44	101	19.33	101	0.18	17
0	-812	-1718	Min.	0.00	-472.41	97	-0.15	65	-0.14	173	-969.73	98	-19.34	101	-0.27	173
0	-812	-1718	Min.	22.30	-470.74	97	-0.15	65	-0.11	65	-969.73	98	-109.13	98	-0.27	173
0	-855	-1796	Max	0.00	-42.26	33	2.48	98	0.07	65	42.17	137	137.71	98	0.24	17
0	-855	-1796	Max	22.30	-41.02	33	2.48	98	0.55	98	42.17	137	4.68	137	0.24	17
0	-855	-1796	Min.	0.00	-253.36	98	-1.78	173	-0.13	173	-1243.33	98	-4.72	137	-0.29	173
0	-855	-1796	Min.	22.30	-251.69	98	-1.78	173	-0.53	173	-1243.33	98	-139.55	98	-0.29	173
0	322	-2069	Max	0.00	1481.24	98	45.26	98	-0.18	137	-32.81	65	111.06	98	0.39	17
0	322	-2069	Max	22.30	1482.91	98	45.26	98	6.99	98	-32.81	65	-3.54	65	0.39	17
0	322	-2069	Min.	0.00	119.80	65	-9.06	101	-3.10	98	-970.33	98	3.77	65	-0.29	173
0	322	-2069	Min.	22.30	121.04	65	-9.06	101	-2.38	101	-970.33	98	-105.32	98	-0.29	173
0	-984	-1472	Max	0.00	37.36	101	1.67	17	0.11	173	-92.48	49	177.96	98	0.32	17
0	-984	-1472	Max	22.30	39.03	101	1.67	17	0.42	17	-92.48	49	-10.41	49	0.32	17

0	-984	-1472	Min.	0.00	-190.11	106	-2.10	101	0.02	133	-1604.97	98	10.22	49	-0.60	173
0	-984	-1472	Min.	22.30	-188.44	106	-2.10	101	-0.42	101	-1604.97	98	-179.95	98	-0.60	173
0	-1072	-1703	Max	0.00	-31.06	65	4.05	17	0.19	173	-100.15	65	170.12	98	0.36	17
0	-1072	-1703	Max	22.30	-29.82	65	4.05	17	1.01	118	-100.15	65	-11.27	65	0.36	17
0	-1072	-1703	Min.	0.00	-247.01	102	-2.90	101	-0.13	101	-1535.90	98	11.07	65	-0.52	173
0	-1072	-1703	Min.	22.30	-245.34	102	-2.90	101	-0.78	101	-1535.90	98	-172.39	98	-0.52	173
0	-941	-1411	Max	0.00	-47.20	49	0.99	17	0.05	65	-62.56	49	175.00	98	0.30	17
0	-941	-1411	Max	22.30	-45.96	49	0.99	17	0.27	17	-62.56	49	-7.04	49	0.30	17
0	-941	-1411	Min.	0.00	-213.67	106	-2.14	101	-0.03	97	-1578.32	98	6.91	49	-0.56	173
0	-941	-1411	Min.	22.30	-212.00	106	-2.14	101	-0.46	101	-1578.32	98	-176.97	98	-0.56	173
0	422	-2069	Max	0.00	9.02	137	1469.42	162	1458.18	97	85.06	122	0.25	98	0.53	17
0	422	-2069	Max	127.70	-34.04	137	1469.42	162	1055.30	162	85.06	122	108.81	122	0.53	17
0	422	-2069	Min.	0.00	-865.82	122	-3019.37	97	-821.15	162	-9.10	177	-0.03	101	-0.90	173
0	422	-2069	Min.	127.70	-923.95	122	-3019.37	97	-2397.56	97	-9.10	177	-11.53	177	-0.90	173
0	-898	-1445	Max	0.00	-47.19	33	0.82	17	0.06	65	-22.92	49	160.91	98	0.27	17
0	-898	-1445	Max	22.30	-45.95	33	0.82	17	0.24	17	-22.92	49	-2.60	49	0.27	17
0	-898	-1445	Min.	0.00	-195.76	98	-1.62	173	-0.13	173	-1451.84	98	2.52	49	-0.41	173
0	-898	-1445	Min.	22.30	-194.09	98	-1.62	173	-0.49	173	-1451.84	98	-162.85	98	-0.41	173
0	-985	-1471	Max	0.00	-39.09	65	0.93	17	0.07	65	-51.59	49	172.93	98	0.28	17
0	-985	-1471	Max	22.30	-37.85	65	0.93	17	0.27	17	-51.59	49	-5.81	49	0.28	17
0	-985	-1471	Min.	0.00	-200.91	106	-1.77	101	-0.02	17	-1559.15	98	5.69	49	-0.64	173
0	-985	-1471	Min.	22.30	-199.25	106	-1.77	101	-0.41	101	-1559.15	98	-174.76	98	-0.64	173
0	-601	-1811	Max	0.00	-20.18	65	225.35	177	0.25	177	642.31	101	40.02	130	0.28	173
0	-601	-1811	Max	0.28									-0.78	35		
0	-601	-1811	Max	22.30	-18.95	65	225.35	177	50.50	177	642.31	101	71.88	101	0.28	173
0	-601	-1811	Min.	0.00	-956.73	97	-2.01	125	-0.37	173	-359.14	130	-71.36	101	-0.62	177
0	-601	-1811	Min.	0.28					0.03	35			-16.08	35		
0	-601	-1811	Min.	22.30	-955.06	97	-2.01	125	-0.41	125	-359.14	130	-40.07	130	-0.62	177
0	-1159	-1743	Max	0.00	121.10	98	4.59	17	0.27	98	-69.33	65	166.41	98	0.36	17
0	-1159	-1743	Max	22.30	122.77	98	4.59	17	1.13	130	-69.33	65	-7.81	65	0.36	17
0	-1159	-1743	Min.	0.00	-254.52	101	-6.78	101	-0.15	101	-1502.69	98	7.66	65	-0.51	173
0	-1159	-1743	Min.	22.30	-252.84	101	-6.78	101	-1.66	101	-1502.69	98	-168.69	98	-0.51	173
0	-942	-1410	Max	0.00	-45.01	33	0.69	17	0.07	65	-14.73	49	160.70	98	0.26	17
0	-942	-1410	Max	22.30	-43.77	33	0.69	17	0.22	17	-14.73	49	-1.68	49	0.26	17
0	-942	-1410	Min.	0.00	-193.94	106	-2.44	98	-0.07	173	-1449.66	98	1.61	49	-0.53	173
0	-942	-1410	Min.	22.30	-192.27	106	-2.44	98	-0.56	98	-1449.66	98	-162.58	98	-0.53	173
0	-725	-1693	Max	0.00	-32.31	33	0.54	17	0.28	98	431.58	101	65.47	130	0.14	106
0	-725	-1693	Max	22.30	-31.07	33	0.54	17	0.32	97	431.58	101	48.17	101	0.14	106
0	-725	-1693	Min.	0.00	-727.12	173	-3.80	173	-0.25	173	-588.13	130	-48.07	101	-0.16	173
0	-725	-1693	Min.	22.30	-725.88	173	-3.80	173	-1.10	173	-588.13	130	-65.68	130	-0.16	173
0	-856	-1795	Max	0.00	-32.72	1	0.60	17	0.09	65	175.21	101	106.26	98	0.18	17
0	-856	-1795	Max	22.30	-31.48	1	0.60	17	0.22	17	175.21	101	19.54	101	0.18	17
0	-856	-1795	Min.	0.00	-559.35	97	-2.23	173	-0.12	173	-960.18	98	-19.53	101	-0.19	173
0	-856	-1795	Min.	22.30	-557.68	97	-2.23	173	-0.61	173	-960.18	98	-107.86	98	-0.19	173
0	-813	-1717	Max	0.00	-39.20	33	0.57	17	0.18	97	307.52	101	75.82	106	0.13	106
0	-813	-1717	Max	22.30	-37.97	33	0.57	17	0.22	17	307.52	101	34.33	101	0.13	106
0	-813	-1717	Min.	0.00	-1660.64	98	-4.03	100	-0.18	173	-681.58	106	-34.25	101	-0.20	173
0	-813	-1717	Min.	22.30	-1658.97	98	-4.03	100	-0.72	98	-681.58	106	-76.17	106	-0.20	173
0	-640	-1772	Max	0.00	9.35	49	2.24	98	0.29	97	543.57	101	54.18	130	0.14	106
0	-640	-1772	Max	2.58					-0.01	35			3.36	35		
0	-640	-1772	Max	22.30	10.58	49	2.24	98	0.78	98	543.57	101	60.63	101	0.14	106
0	-640	-1772	Min.	0.00	-3600.75	173	-3.62	173	-0.22	173	-486.56	130	-60.58	101	-0.17	101
0	-640	-1772	Min.	2.58					0.04	35			-8.16	35		
0	-640	-1772	Min.	22.30	-3599.52	173	-3.62	173	-1.03	173	-486.56	130	-54.32	130	-0.17	101
0	-1073	-1702	Max	0.00	-19.63	149	2.11	17	0.13	173	-80.69	49	174.31	98	0.31	17
0	-1073	-1702	Max	22.30	-18.34	125	2.11	17	0.57	98	-80.69	49	-9.08	49	0.31	17
0	-1073	-1702	Min.	0.00	-319.47	98	-0.55	65	-0.11	101	-1572.29	98	8.91	49	-0.61	173
0	-1073	-1702	Min.	22.30	-317.80	98	-0.55	65	-0.10	65	-1572.29	98	-176.31	98	-0.61	173
0	-602	-1810	Max	0.00	65.56	173	245.51	177	0.24	98	841.28	97	28.81	130	0.31	173
0	-602	-1810	Max	22.30	66.80	173	245.51	177	54.53	177	841.28	97	94.40	97	0.31	173
0	-602	-1810	Min.	0.00	-789.67	98	-0.75	106	-0.22	177	-258.53	130	-93.21	97	-0.58	177
0	-602	-1810	Min.	22.30	-788.00	98	-0.75	106	-0.12	106	-258.53	130	-28.84	130	-0.58	177
0	-814	-1716	Max	0.00	-36.47	33	1.84	97	0.10	65	439.44	101	66.25	130	0.11	106
0	-814	-1716	Max	22.30	-35.23	33	1.84	97	0.39	97	439.44	101	49.08	101	0.11	106
0	-814	-1716	Min.	0.00	-648.80	173	-2.50	173	-0.16	173	-595.31	130	-48.92	101	-0.10	173
0	-814	-1716	Min.	22.30	-647.57	173	-2.50	173	-0.72	173	-595.31	130	-66.50	130	-0.10	173
0	-1160	-1742	Max	0.00	-0.16	161	2.69	98	0.19	98	-60.40	65	169.84	98	0.30	17
0	-1160	-1742	Max	17.84					-0.01	150			-12.31	150		
0	-1160	-1742	Max	22.30	1.08	161	2.69	98	0.79	98	-60.40	65	-6.79	65	0.30	17
0	-1160	-1742	Min.	0.00	-311.51	98	-0.52	65	-0.17	101	-1533.32	98	6.67	65	-0.60	173
0	-1160	-1742	Min.	17.84					-0.01	150			-12.31	150		
0	-1160	-1742	Min.	22.30	-309.84	98	-0.52	65	-0.16	101	-1533.32	98	-172.09	98	-0.60	173
0	-727	-1866	Max	0.00	-32.77	33	0.54	65	0.28	97	556.21	101	55.02	130	0.11	106
0	-727	-1866	Max	22.30	-31.53	33	0.54	65	0.32	98	556.21	101	62.10	101	0.11	106
0	-727	-1866	Min.	0.00	-1523.58	173	-11.72	173	-0.08	173	-494.10	130	-61.93	101	-0.14	101
0	-727	-1866	Min.	22.30	-1522.34	173	-11.72	173	-2.69	173	-494.10	130	-55.17	130	-0.14	101
0	-641	-1771	Max	0.00	4.95	177	4.00	98	0.21	97	662.61	101	43.00	130	0.17	173
0	-641	-1771	Max	4.46					0.00	35			-0.22	35		
0	-641	-1771	Max	22.30	6.18	177	4.00	98	1.10	98	662.61	101	74.07	101	0.17	173

0	-641	-1771	Min.	0.00	-1046.17	97	-4.35	173	-0.12	173	-385.87	130	-73.69	101	-0.34	97
0	-641	-1771	Min.	4.46					0.04	35			-10.11	35		
0	-641	-1771	Min.	22.30	-1044.50	97	-4.35	173	-1.09	173	-385.87	130	-43.05	130	-0.34	97
0	-1200	-1760	Max	0.00	29.04	173	3.83	17	0.23	98	-40.40	65	161.62	98	0.33	17
0	-1200	-1760	Max	22.30	30.28	173	3.83	17	0.97	17	-40.40	65	-4.58	65	0.33	17
0	-1200	-1760	Min.	0.00	-385.43	101	-7.62	101	-0.12	101	-1461.87	98	4.43	65	-0.53	173
0	-1200	-1760	Min.	22.30	-383.75	101	-7.62	101	-1.82	101	-1461.87	98	-164.38	98	-0.53	173
0	-1161	-1741	Max	0.00	50.58	161	6.82	98	0.08	65	-28.57	49	162.86	98	0.23	17
0	-1161	-1741	Max	22.30	51.82	161	6.82	98	1.50	98	-28.57	49	-3.23	49	0.23	17
0	-1161	-1741	Min.	0.00	-583.93	98	-2.07	161	-0.12	101	-1468.21	98	3.14	49	-0.66	173
0	-1161	-1741	Min.	22.30	-582.26	98	-2.07	161	-0.39	161	-1468.21	98	-164.55	98	-0.66	173
0	-818	-1713	Max	0.00	-28.36	49	1.12	97	0.08	17	969.73	97	32.61	130	0.25	173
0	-818	-1713	Max	22.30	-27.12	49	1.12	97	0.28	97	969.73	97	109.13	97	0.25	173
0	-818	-1713	Min.	0.00	-472.41	98	-0.15	17	-0.18	173	-292.78	130	-107.12	97	-0.18	65
0	-818	-1713	Min.	22.30	-470.74	98	-0.15	17	-0.13	173	-292.78	130	-32.68	130	-0.18	65
0	-1272	405	Max	0.00	-295.13	65	645.21	98	466.80	98	48.69	98	98.40	97	1.25	173
0	-1272	405	Max	25.00	-295.13	65	638.50	98	627.27	98	991.93	173	110.55	98	1.25	173
0	-1272	405	Min.	0.00	-6904.85	97	-398.30	125	-229.95	125	-570.57	173	-628.89	173	-0.18	98
0	-1272	405	Min.	25.00	-6904.85	97	-405.01	125	-330.37	125	-410.40	177	-576.22	173	-0.18	98
0	-1074	-1701	Max	0.00	-39.33	65	1.92	98	0.08	65	-40.14	49	168.88	98	0.26	17
0	-1074	-1701	Max	22.30	-38.09	65	1.92	98	0.48	98	-40.14	49	-4.53	49	0.26	17
0	-1074	-1701	Min.	0.00	-260.75	98	-0.83	65	-0.06	101	-1522.25	98	4.42	49	-0.67	173
0	-1074	-1701	Min.	22.30	-259.08	98	-0.83	65	-0.20	65	-1522.25	98	-170.58	98	-0.67	173
0	-857	-1794	Max	0.00	-41.69	33	0.52	17	0.09	65	311.17	101	76.60	106	0.11	17
0	-857	-1794	Max	22.30	-40.45	33	0.52	17	0.21	17	311.17	101	34.75	101	0.11	17
0	-857	-1794	Min.	0.00	-977.25	98	-2.79	97	-0.10	173	-688.73	106	-34.64	101	-0.11	173
0	-857	-1794	Min.	22.30	-975.58	98	-2.79	97	-0.57	97	-688.73	106	-76.99	106	-0.11	173
0	-986	-1470	Max	0.00	-22.85	145	0.46	17	0.08	65	-4.82	49	159.25	98	0.24	17
0	-986	-1470	Max	2.23					-0.01	5			32.81	5		
0	-986	-1470	Max	22.30	-21.62	145	0.46	17	0.17	17	-4.82	49	-0.57	49	0.24	17
0	-986	-1470	Min.	0.00	-187.84	106	-2.23	98	-0.05	17	-1435.80	98	0.51	49	-0.65	173
0	-986	-1470	Min.	2.23					0.03	5			3.52	5		
0	-986	-1470	Min.	22.30	-186.17	106	-2.23	98	-0.53	98	-1435.80	98	-160.94	98	-0.65	173
0	-900	-1442	Max	0.00	99.92	173	0.51	17	0.09	65	175.86	101	105.57	98	0.17	17
0	-900	-1442	Max	22.30	101.16	173	0.51	17	0.20	17	175.86	101	19.61	101	0.17	17
0	-900	-1442	Min.	0.00	-525.34	97	-4.44	173	-0.14	173	-953.24	98	-19.60	101	-0.18	173
0	-900	-1442	Min.	22.30	-523.67	97	-4.44	173	-1.13	173	-953.24	98	-107.00	98	-0.18	173
0	-816	-1715	Max	0.00	-36.57	33	1.84	98	0.10	17	565.52	101	55.70	130	0.09	106
0	-816	-1715	Max	22.30	-35.33	33	1.84	98	0.39	98	565.52	101	63.18	101	0.09	106
0	-816	-1715	Min.	0.00	-886.31	173	-3.57	173	-0.17	173	-500.38	130	-62.93	101	-0.11	101
0	-816	-1715	Min.	22.30	-885.07	173	-3.57	173	-0.96	173	-500.38	130	-55.89	130	-0.11	101
0	-1201	-1759	Max	0.00	18.31	49	1.12	110	0.26	98	-32.26	65	164.98	98	0.27	17
0	-1201	-1759	Max	22.30	19.54	49	1.12	110	0.49	98	-32.26	65	-3.65	65	0.27	17
0	-1201	-1759	Min.	0.00	-369.28	101	-1.71	101	-0.13	101	-1489.52	98	3.54	65	-0.61	173
0	-1201	-1759	Min.	22.30	-367.61	101	-1.71	101	-0.51	101	-1489.52	98	-167.18	98	-0.61	173
0	-987	-1469	Max	0.00	26.72	97	1.34	173	0.08	65	45.21	49	137.40	98	0.19	17
0	-987	-1469	Max	22.30	28.39	97	1.34	173	0.23	173	45.21	49	5.04	49	0.19	17
0	-987	-1469	Min.	0.00	-174.22	106	-3.31	98	-0.07	17	-1240.15	98	-5.04	49	-0.63	173
0	-987	-1469	Min.	22.30	-172.54	106	-3.31	98	-0.75	98	-1240.15	98	-139.16	98	-0.63	173
0	-728	-1865	Max	0.00	-28.79	177	6.31	98	0.09	17	671.96	101	43.80	130	0.21	173
0	-728	-1865	Max	22.30	-27.55	177	6.31	98	1.47	98	671.96	101	75.08	101	0.21	173
0	-728	-1865	Min.	0.00	-1666.53	97	-4.61	173	-0.22	173	-393.19	130	-74.76	101	-0.27	97
0	-728	-1865	Min.	22.30	-1664.86	97	-4.61	173	-1.25	173	-393.19	130	-43.88	130	-0.27	97
0	-1075	-1700	Max	0.00	-24.05	145	1.12	97	0.08	65	5.66	49	155.16	98	0.21	17
0	-1075	-1700	Max	22.30	-22.81	145	1.12	97	0.25	97	5.66	49	0.61	49	0.21	17
0	-1075	-1700	Min.	0.00	-181.59	106	-0.88	106	-0.05	17	-1398.33	98	-0.65	49	-0.68	173
0	-1075	-1700	Min.	22.30	-179.92	106	-0.88	106	-0.24	65	-1398.33	98	-156.67	98	-0.68	173
0	422	423	Max	0.00	86.83	1	1110.73	98	177.80	161	8.48	17	79.85	98	0.35	173
0	422	423	Max	200.00	86.83	1	1057.03	98	1070.43	98	8.48	17	16.80	65	0.35	173
0	422	423	Min.	0.00	-4453.09	121	-174.78	161	-1097.34	98	-51.84	98	-5.24	101	-0.14	17
0	422	423	Min.	200.00	-4453.09	121	-214.56	161	-211.55	161	-51.84	98	-29.24	173	-0.14	17
0	-603	-1809	Max	0.00	1581.48	121	260.29	177	0.05	65	1110.52	97	17.24	130	0.34	173
0	-603	-1809	Max	17.84					-0.00	141			0.69	141		
0	-603	-1809	Max	22.30	1583.15	121	260.29	177	57.82	177	1110.52	97	125.79	97	0.34	173
0	-603	-1809	Min.	0.00	-64.89	49	-0.21	142	-0.47	173	-149.81	130	-121.86	97	-0.67	97
0	-603	-1809	Min.	17.84					-0.00	141			0.69	141		
0	-603	-1809	Min.	22.30	-63.65	49	-0.21	142	-0.05	142	-149.81	130	-16.17	130	-0.67	97
0	-944	-1835	Max	0.00	145.01	173	0.37	17	0.08	65	175.31	101	106.23	98	0.16	17
0	-944	-1835	Max	22.30	146.25	173	0.37	17	0.17	17	175.31	101	19.55	101	0.16	17
0	-944	-1835	Min.	0.00	-559.23	97	-1.05	173	-0.15	173	-959.97	98	-19.54	101	-0.37	173
0	-944	-1835	Min.	22.30	-557.56	97	-1.05	173	-0.38	173	-959.97	98	-107.84	98	-0.37	173
0	-642	-1770	Max	0.00	322.92	173	3.38	97	0.18	98	893.08	97	31.53	130	0.27	173
0	-642	-1770	Max	22.30	324.15	173	3.38	97	0.93	97	893.08	97	100.44	97	0.27	173
0	-642	-1770	Min.	0.00	-425.72	98	-0.30	106	-0.16	173	-282.37	130	-98.72	97	-0.53	97
0	-642	-1770	Min.	22.30	-424.05	98	-0.30	106	-0.04	106	-282.37	130	-31.44	130	-0.53	97
0	-643	-1769	Max	0.00	396.19	173	5.57	125	0.06	65	1145.81	97	20.43	130	0.34	173
0	-643	-1769	Max	22.30	397.43	173	5.57	125	1.15	121	1145.81	97	128.54	97	0.34	173
0	-643	-1769	Min.	0.00	-97.27	106	-0.51	106	-0.23	173	-183.50	130	-126.98	97	-0.64	97
0	-643	-1769	Min.	22.30	-95.60	106	-0.51	106	-0.10	106	-183.50	130	-20.49	130	-0.64	97

0	405	-1273	Max	0.00	-295.13	17	111.00	106	757.69	121	410.40	177	110.55	97	0.18	97
0	405	-1273	Max	25.00	-295.13	17	104.29	106	558.03	121	566.74	173	98.40	98	0.18	97
0	405	-1273	Min.	0.00	-6904.85	98	-795.28	121	-63.98	49	-995.76	173	-576.17	173	-1.23	173
0	405	-1273	Min.	25.00	-6904.85	98	-801.99	121	-43.01	49	-48.69	97	-629.80	173	-1.23	173
0	-1199	-1761	Max	0.00	1386.38	98	12.52	130	0.07	97	-42.58	65	145.43	98	0.39	17
0	-1199	-1761	Max	22.30	1388.05	98	12.52	130	2.68	130	-42.58	65	-4.85	65	0.39	17
0	-1199	-1761	Min.	0.00	-558.02	161	-15.07	101	-0.11	130	-1317.76	98	4.65	65	-0.42	173
0	-1199	-1761	Min.	22.30	-556.78	161	-15.07	101	-3.31	101	-1317.76	98	-148.44	98	-0.42	173
0	-899	-1443	Max	0.00	-34.81	173	0.64	17	0.08	65	42.03	137	137.34	98	0.23	17
0	-899	-1443	Max	22.30	-33.57	173	0.64	17	0.22	17	42.03	137	4.67	137	0.23	17
0	-899	-1443	Min.	0.00	-370.11	98	-2.92	173	-0.16	173	-1239.88	98	-4.70	137	-0.31	173
0	-899	-1443	Min.	22.30	-368.44	98	-2.92	173	-0.81	173	-1239.88	98	-139.15	98	-0.31	173
0	-943	-1412	Max	0.00	-42.28	33	0.49	17	0.08	65	42.28	137	137.68	98	0.21	17
0	-943	-1412	Max	22.30	-41.04	33	0.49	17	0.19	17	42.28	137	4.69	137	0.21	17
0	-943	-1412	Min.	0.00	-253.28	98	-2.48	98	-0.11	173	-1243.05	98	-4.74	137	-0.46	173
0	-943	-1412	Min.	22.30	-251.61	98	-2.48	98	-0.55	98	-1243.05	98	-139.52	98	-0.46	173
0	-901	-1441	Max	0.00	72.32	173	0.43	17	0.09	65	312.35	101	76.85	106	0.11	17
0	-901	-1441	Max	22.30	73.55	173	0.43	17	0.19	17	312.35	101	34.88	101	0.11	17
0	-901	-1441	Min.	0.00	-796.39	98	-4.89	173	-0.09	17	-690.91	106	-34.77	101	-0.11	65
0	-901	-1441	Min.	22.30	-794.72	98	-4.89	173	-1.13	173	-690.91	106	-77.23	106	-0.11	65
0	-1162	-1740	Max	0.00	-24.29	65	1.86	101	0.08	65	16.31	49	147.66	98	0.18	17
0	-1162	-1740	Max	22.30	-23.05	65	1.86	101	0.38	97	16.31	49	1.80	49	0.18	17
0	-1162	-1740	Min.	0.00	-173.95	106	-1.20	106	-0.05	101	-1328.74	98	-1.83	49	-0.67	98
0	-1162	-1740	Min.	22.30	-172.28	106	-1.20	106	-0.23	106	-1328.74	98	-148.65	98	-0.67	98
0	-945	-1834	Max	0.00	385.50	173	2.79	97	0.09	65	311.19	101	76.57	106	0.10	17
0	-945	-1834	Max	22.30	386.74	173	2.79	97	0.57	97	311.19	101	34.75	101	0.10	17
0	-945	-1834	Min.	0.00	-977.25	98	-1.30	173	-0.18	173	-688.53	106	-34.64	101	-0.25	173
0	-945	-1834	Min.	22.30	-975.58	98	-1.30	173	-0.47	173	-688.53	106	-76.97	106	-0.25	173
0	-860	-1792	Max	0.00	-38.37	33	0.91	173	0.10	17	571.80	101	56.19	130	0.04	17
0	-860	-1792	Max	22.30	-37.14	33	0.91	173	0.20	65	571.80	101	63.90	101	0.04	17
0	-860	-1792	Min.	0.00	-789.25	173	-0.32	17	-0.10	173	-504.99	130	-63.61	101	-0.06	101
0	-860	-1792	Min.	22.30	-788.01	173	-0.32	17	-0.16	17	-504.99	130	-56.42	130	-0.06	101
0	-817	-1714	Max	0.00	-39.44	33	0.57	65	0.18	98	681.61	101	44.37	130	0.15	173
0	-817	-1714	Max	22.30	-38.21	33	0.57	65	0.22	65	681.61	101	76.17	101	0.15	173
0	-817	-1714	Min.	0.00	-1660.64	97	-4.03	100	-0.16	173	-398.50	130	-75.83	101	-0.13	101
0	-817	-1714	Min.	22.30	-1658.97	97	-4.03	100	-0.78	173	-398.50	130	-44.50	130	-0.13	101
0	-729	-1864	Max	0.00	1.07	177	2.63	173	0.14	98	946.43	97	32.24	130	0.33	173
0	-729	-1864	Max	22.30	2.30	177	2.63	173	0.62	97	946.43	97	106.51	97	0.33	173
0	-729	-1864	Min.	0.00	-413.56	98	0.08	142	-0.25	173	-289.32	130	-104.55	97	-0.42	97
0	-729	-1864	Min.	22.30	-411.89	98	0.08	142	-0.03	65	-289.32	130	-32.28	130	-0.42	97
0	-1202	-1758	Max	0.00	418.05	161	11.66	98	0.10	161	-20.18	65	158.51	98	0.21	17
0	-1202	-1758	Max	22.30	419.29	161	11.66	98	2.43	98	-20.18	65	-2.30	65	0.21	17
0	-1202	-1758	Min.	0.00	-2037.21	98	-3.71	161	-0.17	98	-1440.77	98	2.20	65	-0.69	98
0	-1202	-1758	Min.	22.30	-2035.54	98	-3.71	161	-0.72	161	-1440.77	98	-162.78	98	-0.69	98
0	-902	-1439	Max	0.00	-39.71	33	0.40	17	0.09	65	446.19	101	67.00	130	0.04	17
0	-902	-1439	Max	22.30	-38.47	33	0.40	17	0.18	17	446.19	101	49.85	101	0.04	17
0	-902	-1439	Min.	0.00	-850.38	98	-0.40	65	-0.10	17	-602.16	130	-49.65	101	-0.04	65
0	-902	-1439	Min.	22.30	-848.71	98	-0.40	65	-0.18	65	-602.16	130	-67.29	130	-0.04	65
0	-989	-1467	Max	0.00	121.78	173	4.03	99	0.08	65	307.58	101	75.78	106	0.09	17
0	-989	-1467	Max	22.30	123.02	173	4.03	99	0.72	98	307.58	101	34.34	101	0.09	17
0	-989	-1467	Min.	0.00	-1660.52	98	-0.57	65	-0.31	173	-681.22	106	-34.25	101	-0.44	173
0	-989	-1467	Min.	22.30	-1658.85	98	-0.57	65	-0.22	65	-681.22	106	-76.13	106	-0.44	173
0	-1163	-1739	Max	0.00	155.25	98	2.17	125	0.11	17	63.24	49	126.89	98	0.14	17
0	-1163	-1739	Max	22.30	156.93	98	2.17	125	0.44	125	63.24	49	7.06	49	0.14	17
0	-1163	-1739	Min.	0.00	-223.47	125	-4.57	106	-0.06	65	-1145.06	98	-7.04	49	-0.64	98
0	-1163	-1739	Min.	22.30	-221.81	125	-4.57	106	-0.99	98	-1145.06	98	-128.46	98	-0.64	98
0	-644	-1768	Max	0.00	67.81	173	2.84	173	0.10	177	1329.84	97	9.29	130	0.41	173
0	-644	-1768	Max	22.30	69.05	173	2.84	173	0.46	173	1329.84	97	148.77	97	0.41	173
0	-644	-1768	Min.	0.00	-218.28	177	-1.99	177	-0.17	173	-84.35	130	-147.78	97	-0.67	97
0	-644	-1768	Min.	22.30	-217.04	177	-1.99	177	-0.38	98	-84.35	130	-9.52	130	-0.67	97
0	-1077	-1496	Max	0.00	-6.52	173	0.74	173	0.07	65	171.16	101	104.50	98	0.12	17
0	-1077	-1496	Max	22.30	-5.29	173	0.74	173	0.03	65	171.16	101	19.08	101	0.12	17
0	-1077	-1496	Min.	0.00	-413.49	97	-2.14	98	-0.18	173	-946.03	98	-19.09	101	-0.57	173
0	-1077	-1496	Min.	22.30	-411.81	97	-2.14	98	-0.62	98	-946.03	98	-106.46	98	-0.57	173
0	-946	-1833	Max	0.00	-19.54	173	0.32	17	0.09	65	444.55	101	66.80	130	0.04	17
0	-946	-1833	Max	17.84					-0.00	113			22.46	113		
0	-946	-1833	Max	22.30	-18.30	173	0.32	17	0.16	17	444.55	101	49.67	101	0.04	17
0	-946	-1833	Min.	0.00	-757.41	98	-1.62	173	-0.19	173	-600.49	130	-49.47	101	-0.11	173
0	-946	-1833	Min.	17.84					-0.00	126			8.79	126		
0	-946	-1833	Min.	22.30	-755.74	98	-1.62	173	-0.55	173	-600.49	130	-67.10	130	-0.11	173
0	-861	-1791	Max	0.00	-41.78	33	1.82	173	0.09	17	688.76	101	44.77	130	0.10	17
0	-861	-1791	Max	22.30	-40.54	33	1.82	173	0.24	173	688.76	101	76.99	101	0.10	17
0	-861	-1791	Min.	0.00	-977.25	97	-2.79	98	-0.17	173	-402.23	130	-76.60	101	-0.11	65
0	-861	-1791	Min.	22.30	-975.58	97	-2.79	98	-0.57	98	-402.23	130	-44.93	130	-0.11	65
0	-730	-1861	Max	0.00	97.79	121	4.42	173	0.09	98	1208.63	97	20.65	130	0.41	173
0	-730	-1861	Max	22.30	99.46	121	4.42	173	0.82	173	1208.63	97	135.58	97	0.41	173
0	-730	-1861	Min.	0.00	-144.23	106	-0.27	106	-0.17	173	-185.35	130	-133.94	97	-0.50	97
0	-730	-1861	Min.	22.30	-142.56	106	-0.27	106	-0.04	106	-185.35	130	-20.69	130	-0.50	97
0	-904	-1438	Max	0.00	-39.71	33	14.06	173	0.09	17	573.70	101	56.35	130	0.04	17

0	-904	-1438	Max	22.30	-38.47	33	14.06	173	2.74	173	573.70	101	64.11	101	0.04	17
0	-904	-1438	Min.	0.00	-1585.87	173	-0.40	17	-0.40	173	-506.35	130	-63.83	101	-0.04	65
0	-904	-1438	Min.	22.30	-1584.63	173	-0.40	17	-0.18	17	-506.35	130	-56.57	130	-0.04	65
0	-948	-1832	Max	0.00	-38.17	33	0.32	65	0.09	17	571.68	101	56.18	130	0.06	101
0	-948	-1832	Max	17.84					-0.00	117			-19.92	117		
0	-948	-1832	Max	22.30	-36.94	33	0.32	65	0.16	65	571.68	101	63.89	101	0.06	101
0	-948	-1832	Min.	0.00	-3345.56	173	-1.43	173	-0.20	173	-504.93	130	-63.60	101	-0.04	65
0	-948	-1832	Min.	17.84					-0.00	118			-22.45	118		
0	-948	-1832	Min.	22.30	-3344.32	173	-1.43	173	-0.52	173	-504.93	130	-56.42	130	-0.04	65
0	-645	-1767	Max	0.00	-44.52	65	0.70	65	0.12	106	1469.40	97	-2.45	130	0.49	173
0	-645	-1767	Max	2.23					-0.06	53			-8.55	53		
0	-645	-1767	Max	22.30	-43.29	65	0.70	65	0.17	65	1469.40	97	164.68	97	0.49	173
0	-645	-1767	Min.	0.00	-593.77	121	-7.02	121	-0.08	65	22.48	130	-163.00	97	-0.62	97
0	-645	-1767	Min.	2.23					-0.02	5			-31.38	5		
0	-645	-1767	Min.	22.30	-592.10	121	-7.02	121	-1.54	121	22.48	130	2.56	130	-0.62	97
0	-821	-1710	Max	0.00	-39.95	65	1.75	106	0.03	177	1559.75	97	-2.21	130	0.46	173
0	-821	-1710	Max	22.30	-38.71	65	1.75	106	0.41	106	1559.75	97	174.83	97	0.46	173
0	-821	-1710	Min.	0.00	-201.21	101	-0.94	17	-0.08	173	20.60	130	-173.00	97	-0.31	65
0	-821	-1710	Min.	22.30	-199.54	101	-0.94	17	-0.28	17	20.60	130	2.38	130	-0.31	65
0	-1273	406	Max	0.00	-295.13	17	104.29	106	558.03	121	566.74	173	98.40	98	0.18	97
0	-1273	406	Max	62.00					10.70	177			60.23	177		
0	-1273	406	Max	155.00	-295.13	17	62.67	106	94.82	106	566.74	173	248.65	173	0.18	97
0	-1273	406	Min.	0.00	-6904.85	98	-801.99	121	-43.01	49	-48.69	97	-629.80	173	-1.23	173
0	-1273	406	Min.	62.00					10.70	177			60.23	177		
0	-1273	406	Min.	155.00	-6904.85	98	-843.61	121	-717.30	121	-439.56	177	-144.35	177	-1.23	173
0	-1076	-1497	Max	0.00	89.22	98	0.78	173	0.08	65	54.15	49	133.88	98	0.16	17
0	-1076	-1497	Max	22.30	90.89	98	0.78	173	0.09	125	54.15	49	6.04	49	0.16	17
0	-1076	-1497	Min.	0.00	-144.15	101	-1.60	106	-0.09	97	-1208.05	98	-6.03	49	-0.65	173
0	-1076	-1497	Min.	22.30	-142.48	101	-1.60	106	-0.34	106	-1208.05	98	-135.52	98	-0.65	173
0	-988	-1468	Max	0.00	125.74	173	2.41	173	0.08	65	173.64	101	107.09	98	0.14	17
0	-988	-1468	Max	22.30	126.97	173	2.41	173	0.37	173	173.64	101	19.36	101	0.14	17
0	-988	-1468	Min.	0.00	-472.40	97	-1.12	98	-0.16	173	-969.40	98	-19.36	101	-0.57	173
0	-988	-1468	Min.	22.30	-470.73	97	-1.12	98	-0.28	98	-969.40	98	-109.09	98	-0.57	173
0	-604	-1807	Max	0.00	-66.57	65	260.67	177	0.17	157	1441.41	97	-2.59	65	0.49	173
0	-604	-1807	Max	2.79					0.02	69			-8.72	69		
0	-604	-1807	Max	22.30	-65.33	65	260.67	177	57.46	177	1441.41	97	162.81	97	0.49	173
0	-604	-1807	Min.	0.00	-2113.68	121	-11.95	121	-0.67	177	23.64	65	-158.62	97	-0.68	97
0	-604	-1807	Min.	2.93					-0.11	21			-28.05	21		
0	-604	-1807	Min.	22.30	-2112.01	121	-11.95	121	-2.50	121	23.64	65	2.69	65	-0.68	97
0	423	-2067	Max	0.00	385.12	97	970.52	161	1635.30	98	1.17	65	0.08	65	0.40	17
0	423	-2067	Max	127.70	326.98	97	970.52	161	725.18	161	1.17	65	1.57	65	0.40	17
0	423	-2067	Min.	0.00	-36.86	1	-3334.74	98	-514.17	161	-21.43	106	-0.13	173	-1.17	173
0	423	-2067	Min.	127.70	-90.19	106	-3334.74	98	-2623.16	98	-21.43	106	-27.35	106	-1.17	173
0	-819	-1712	Max	0.00	30.93	158	3.31	97	0.07	17	1240.59	97	20.73	130	0.34	173
0	-819	-1712	Max	22.30	32.17	158	3.31	97	0.75	97	1240.59	97	139.21	97	0.34	173
0	-819	-1712	Min.	0.00	-174.44	101	-0.21	17	-0.15	173	-186.09	130	-137.45	97	-0.24	65
0	-819	-1712	Min.	22.30	-172.77	101	-0.21	17	-0.13	17	-186.09	130	-20.76	130	-0.24	65
0	-905	-1436	Max	0.00	-43.39	33	0.43	65	0.09	17	690.94	101	44.89	130	0.11	17
0	-905	-1436	Max	22.30	-42.16	33	0.43	65	0.19	65	690.94	101	77.23	101	0.11	17
0	-905	-1436	Min.	0.00	-796.39	97	-0.44	17	-0.09	65	-403.34	130	-76.85	101	-0.11	65
0	-905	-1436	Min.	22.30	-794.72	97	-0.44	17	-0.19	17	-403.34	130	-45.05	130	-0.11	65
0	-820	-1711	Max	0.00	-18.85	158	2.23	97	0.05	17	1436.33	97	9.01	130	0.40	173
0	-820	-1711	Max	22.30	-17.61	158	2.23	97	0.53	97	1436.33	97	160.99	97	0.40	173
0	-820	-1711	Min.	0.00	-188.15	101	-0.46	17	-0.11	173	-80.53	130	-159.31	97	-0.28	65
0	-820	-1711	Min.	22.30	-186.48	101	-0.46	17	-0.18	17	-80.53	130	-8.95	130	-0.28	65
0	-733	-1844	Max	0.00	-19.96	154	0.71	177	0.11	106	1573.26	97	-9.07	49	0.55	173
0	-733	-1844	Max	22.30	-18.73	154	0.71	177	0.21	177	1573.26	97	176.41	97	0.55	173
0	-733	-1844	Min.	0.00	-319.45	97	-3.05	173	-0.12	97	82.10	49	-174.42	97	-0.43	97
0	-733	-1844	Min.	22.30	-317.79	97	-3.05	173	-0.75	173	82.10	49	9.24	49	-0.43	97
0	406	-1808	Max	0.00	385.65	98	3677.33	121	-13.49	49	655.17	173	0.43	173	3.98	173
0	406	-1808	Max	127.70	327.52	98	3677.33	121	2864.53	121	655.17	173	837.08	173	3.98	173
0	406	-1808	Min.	0.00	-51.93	125	30.40	49	-1831.41	121	-903.84	177	-0.08	65	-1.01	97
0	406	-1808	Min.	127.70	-110.07	125	30.40	49	25.32	49	-903.84	177	-1154.21	177	-1.01	97
0	323	-2067	Max	0.00	-27.95	65	1.85	101	0.08	65	22.26	49	133.10	98	0.16	17
0	323	-2067	Max	22.30	-26.71	65	1.85	101	0.36	101	22.26	49	2.50	49	0.16	17
0	323	-2067	Min.	0.00	-247.60	98	-0.65	118	-0.06	101	-1167.72	98	-2.47	49	-0.70	98
0	323	-2067	Min.	22.30	-245.94	98	-0.65	118	-0.13	17	-1167.72	98	-127.30	98	-0.70	98
0	-1164	-1738	Max	0.00	6.67	1	0.59	125	0.06	65	167.19	101	98.67	98	0.10	17
0	-1164	-1738	Max	22.30	7.91	1	0.59	125	0.11	125	167.19	101	18.63	101	0.10	17
0	-1164	-1738	Min.	0.00	-426.03	97	-3.38	98	-0.18	173	-892.62	98	-18.66	101	-0.53	98
0	-1164	-1738	Min.	22.30	-424.36	97	-3.38	98	-0.93	98	-892.62	98	-100.39	98	-0.53	98
0	-731	-1857	Max	0.00	-14.56	173	2.90	173	0.05	17	1399.05	97	9.13	130	0.46	173
0	-731	-1857	Max	22.30	-13.32	173	2.90	173	0.54	173	1399.05	97	156.75	97	0.46	173
0	-731	-1857	Min.	0.00	-181.92	101	-1.13	98	-0.11	173	-81.78	130	-155.24	97	-0.52	97
0	-731	-1857	Min.	22.30	-180.25	101	-1.13	98	-0.25	98	-81.78	130	-9.10	130	-0.52	97
0	-1078	-1495	Max	0.00	-34.84	33	0.22	17	0.07	65	302.37	101	74.73	130	0.08	17
0	-1078	-1495	Max	1.54					-0.04	5			27.16	5		
0	-1078	-1495	Max	22.30	-33.60	33	0.22	17	0.12	17	302.37	101	33.74	101	0.08	17
0	-1078	-1495	Min.	0.00	-1666.14	98	-6.30	97	-0.27	173	-671.50	130	-33.69	101	-0.42	173

0	-1078	-1495	Min.	1.39					0.01	53			-12.93	53		
0	-1078	-1495	Min.	22.30	-1664.46	98	-6.30	97	-1.47	97	-671.50	130	-75.03	106	-0.42	173
0	-990	-1466	Max	0.00	-36.40	33	0.29	17	0.08	65	439.37	101	66.22	130	0.09	101
0	-990	-1466	Max	1.62					-0.04	5			22.86	5		
0	-990	-1466	Max	22.30	-35.16	33	0.29	17	0.14	17	439.37	101	49.07	101	0.09	101
0	-990	-1466	Min.	0.00	-622.03	173	-3.28	173	-0.39	173	-595.07	130	-48.91	101	-0.24	173
0	-990	-1466	Min.	1.52					0.02	53			-18.16	53		
0	-990	-1466	Min.	22.30	-620.80	173	-3.28	173	-1.12	173	-595.07	130	-66.48	130	-0.24	173
0	-862	-1790	Max	0.00	-32.72	49	0.60	65	0.09	17	960.18	97	32.86	130	0.16	173
0	-862	-1790	Max	22.30	-31.48	49	0.60	65	0.22	65	960.18	97	107.86	97	0.16	173
0	-862	-1790	Min.	0.00	-559.35	98	-1.66	173	-0.10	173	-295.13	130	-106.26	97	-0.18	65
0	-862	-1790	Min.	22.30	-557.68	98	-1.66	173	-0.47	173	-295.13	130	-32.96	130	-0.18	65
0	-1203	-1757	Max	0.00	1329.46	98	3.57	125	0.16	106	66.64	49	121.80	98	0.12	17
0	-1203	-1757	Max	22.30	1331.13	98	3.57	125	0.72	125	66.64	49	7.43	49	0.12	17
0	-1203	-1757	Min.	0.00	-616.37	161	-10.23	98	-0.08	165	-1110.36	98	-7.43	49	-0.67	98
0	-1203	-1757	Min.	22.30	-615.13	161	-10.23	98	-2.14	98	-1110.36	98	-125.81	98	-0.67	98
0	-605	-1806	Max	0.00	80.43	173	244.76	177	0.13	106	1491.03	97	-3.96	65	0.79	177
0	-605	-1806	Max	22.30	81.66	173	244.76	177	53.29	177	1491.03	97	167.35	97	0.79	177
0	-605	-1806	Min.	0.00	-372.11	106	-1.82	121	-1.29	177	36.01	65	-165.15	97	-0.59	97
0	-605	-1806	Min.	22.30	-370.44	106	-1.82	121	-0.66	121	36.01	65	4.07	65	-0.59	97
0	-646	-1766	Max	0.00	26.78	177	0.70	177	0.17	106	1534.61	97	-7.08	65	0.57	173
0	-646	-1766	Max	22.30	28.02	177	0.70	177	0.26	177	1534.61	97	172.23	97	0.57	173
0	-646	-1766	Min.	0.00	-310.11	97	-3.18	173	-0.19	97	64.06	65	-169.98	97	-0.51	97
0	-646	-1766	Min.	22.30	-308.44	97	-3.18	173	-0.88	121	64.06	65	7.21	65	-0.51	97
0	-732	-1845	Max	0.00	-40.50	65	0.82	65	0.06	106	1523.12	97	-1.98	130	0.50	173
0	-732	-1845	Max	1.35					-0.04	54			-18.52	54		
0	-732	-1845	Max	22.30	-39.27	65	0.82	65	0.20	65	1523.12	97	170.67	97	0.50	173
0	-732	-1845	Min.	0.00	-261.42	97	-1.93	97	-0.09	65	18.53	130	-168.98	97	-0.49	97
0	-732	-1845	Min.	1.11					-0.03	6			-26.71	6		
0	-732	-1845	Min.	22.30	-259.75	97	-1.93	97	-0.49	97	18.53	130	2.15	130	-0.49	97
0	-1079	-1494	Max	0.00	-32.64	33	0.39	17	0.07	65	431.48	101	65.43	130	0.11	101
0	-1079	-1494	Max	2.02					-0.04	55			20.98	55		
0	-1079	-1494	Max	22.30	-31.41	33	0.39	17	0.15	17	431.48	101	48.16	101	0.11	101
0	-1079	-1494	Min.	0.00	-492.73	173	-5.10	173	-0.28	98	-587.78	130	-48.06	101	-0.21	173
0	-1079	-1494	Min.	17.84					-0.01	118			-28.39	118		
0	-1079	-1494	Min.	22.30	-491.49	173	-5.10	173	-1.41	173	-587.78	130	-65.64	130	-0.21	173
0	-606	-1805	Max	0.00	84.04	173	204.92	177	0.12	106	1463.56	97	-4.85	65	1.52	177
0	-606	-1805	Max	22.30	85.27	173	204.92	177	44.45	177	1463.56	97	164.57	97	1.52	177
0	-606	-1805	Min.	0.00	-380.40	106	-3.88	17	-1.25	177	44.22	65	-161.81	97	-0.47	100
0	-606	-1805	Min.	22.30	-378.73	106	-3.88	17	-0.99	17	44.22	65	5.01	65	-0.47	100
0	406	407	Max	0.00	1537.99	161	-19.44	65	1114.11	121	464.28	177	244.67	173	0.28	97
0	406	407	Max	97.04					6.99	177			83.76	177		
0	406	407	Max	200.00	1537.99	161	-59.22	65	-44.74	65	8.46	17	67.81	173	0.28	97
0	406	407	Min.	0.00	-3628.04	98	-1092.74	121	33.91	65	-88.43	173	-144.45	177	-0.80	173
0	406	407	Min.	97.04					6.99	177			83.76	177		
0	406	407	Min.	200.00	-3628.04	98	-1146.45	121	-1125.08	121	-480.12	177	-160.28	177	-0.80	173
0	-1204	-1756	Max	0.00	-27.50	65	0.80	101	0.04	65	150.13	101	93.13	98	0.09	17
0	-1204	-1756	Max	22.30	-26.26	65	0.80	101	0.14	125	150.13	101	16.76	101	0.09	17
0	-1204	-1756	Min.	0.00	-810.82	97	-1.95	98	-0.25	98	-840.63	98	-16.72	101	-0.55	98
0	-1204	-1756	Min.	22.30	-809.14	97	-1.95	98	-0.68	98	-840.63	98	-94.33	98	-0.55	98
0	-1165	-1737	Max	0.00	46.76	125	0.96	106	0.06	65	296.63	101	73.68	130	0.10	101
0	-1165	-1737	Max	1.11					-0.03	6			13.64	6		
0	-1165	-1737	Max	22.30	48.43	125	0.96	106	0.16	106	296.63	101	33.14	101	0.10	101
0	-1165	-1737	Min.	0.00	-1047.75	98	-4.05	121	-0.24	173	-661.87	130	-33.01	101	-0.37	173
0	-1165	-1737	Min.	2.23					-0.00	35			0.33	35		
0	-1165	-1737	Min.	22.30	-1046.08	98	-4.05	121	-1.10	97	-661.87	130	-73.98	106	-0.37	173
0	-949	-1831	Max	0.00	-31.87	173	2.79	98	0.09	17	688.56	101	44.77	130	0.18	173
0	-949	-1831	Max	22.30	-30.63	173	2.79	98	0.57	98	688.56	101	76.97	101	0.18	173
0	-949	-1831	Min.	0.00	-977.25	97	-1.73	173	-0.19	173	-402.25	130	-76.58	101	-0.10	65
0	-949	-1831	Min.	22.30	-975.58	97	-1.73	173	-0.57	173	-402.25	130	-44.93	130	-0.10	65
0	-992	-1465	Max	0.00	-36.30	33	0.29	65	0.08	17	565.31	101	55.69	130	0.11	101
0	-992	-1465	Max	1.52					-0.04	5			18.16	5		
0	-992	-1465	Max	22.30	-35.06	33	0.29	65	0.14	65	565.31	101	63.15	101	0.11	101
0	-992	-1465	Min.	0.00	-1490.51	173	-18.12	173	-0.10	65	-500.29	130	-62.91	101	-0.09	106
0	-992	-1465	Min.	1.62					0.02	53			-22.86	53		
0	-992	-1465	Min.	22.30	-1489.27	173	-18.12	173	-4.03	173	-500.29	130	-55.88	130	-0.09	106
0	-863	-1789	Max	0.00	-42.50	33	2.48	97	0.07	17	1243.33	97	20.78	130	0.26	173
0	-863	-1789	Max	22.30	-41.26	33	2.48	97	0.55	97	1243.33	97	139.55	97	0.26	173
0	-863	-1789	Min.	0.00	-253.36	97	-2.49	173	-0.12	173	-186.57	130	-137.71	97	-0.24	65
0	-863	-1789	Min.	22.30	-251.69	97	-2.49	173	-0.67	173	-186.57	130	-20.82	130	-0.24	65
0	-906	-1435	Max	0.00	121.50	173	0.51	65	0.09	17	953.24	97	32.95	130	0.17	17
0	-906	-1435	Max	22.30	122.73	173	0.51	65	0.20	65	953.24	97	107.00	97	0.17	17
0	-906	-1435	Min.	0.00	-525.34	98	-5.08	173	-0.09	65	-295.91	130	-105.57	97	-0.17	65
0	-906	-1435	Min.	22.30	-523.67	98	-5.08	173	-1.17	173	-295.91	130	-33.04	130	-0.17	65
0	-1166	-1736	Max	0.00	98.13	125	1.62	106	0.07	65	420.20	101	64.49	130	0.14	101
0	-1166	-1736	Max	2.60					-0.04	35			8.10	35		
0	-1166	-1736	Max	22.30	99.80	125	1.62	106	0.29	106	420.20	101	46.85	101	0.14	101
0	-1166	-1736	Min.	0.00	-701.56	98	-3.25	157	-0.29	98	-579.20	130	-46.85	101	-0.18	173
0	-1166	-1736	Min.	2.60					0.01	35			-3.34	35		

0	-1166	-1736	Min.	22.30	-699.89	98	-3.25	157	-0.95	173	-579.20	130	-64.67	130	-0.18	173
0	-607	-1804	Max	0.00	1617.39	121	142.86	177	0.20	173	1318.89	97	-5.04	65	2.12	177
0	-607	-1804	Max	22.30	1619.06	121	142.86	177	31.51	177	1318.89	97	148.54	97	2.12	177
0	-607	-1804	Min.	0.00	58.08	65	-12.99	173	-0.35	177	46.11	65	-145.58	97	-0.33	98
0	-607	-1804	Min.	22.30	59.32	65	-12.99	173	-2.70	173	46.11	65	5.24	65	-0.33	98
0	-647	-1765	Max	0.00	156.65	157	6.76	106	0.15	106	1504.10	97	-8.07	65	0.65	173
0	-647	-1765	Max	22.30	157.89	157	6.76	106	1.66	106	1504.10	97	168.84	97	0.65	173
0	-647	-1765	Min.	0.00	-254.11	106	-5.82	173	-0.27	97	73.08	65	-166.57	97	-0.38	98
0	-647	-1765	Min.	22.30	-252.44	106	-5.82	173	-1.44	173	73.08	65	8.23	65	-0.38	98
0	-950	-1830	Max	0.00	432.51	173	0.37	65	0.08	17	959.97	97	32.87	130	0.32	173
0	-950	-1830	Max	1.48					-0.03	35			-3.24	35		
0	-950	-1830	Max	22.30	433.75	173	0.37	65	0.17	65	959.97	97	107.84	97	0.32	173
0	-950	-1830	Min.	0.00	-559.23	98	-1.48	173	-0.17	173	-295.24	130	-106.23	97	-0.16	65
0	-950	-1830	Min.	1.48					0.02	35			-20.72	35		
0	-950	-1830	Min.	22.30	-557.56	98	-1.48	173	-0.50	173	-295.24	130	-32.97	130	-0.16	65
0	-1081	-1493	Max	0.00	-32.19	33	0.39	65	0.07	17	555.90	101	55.00	130	0.14	101
0	-1081	-1493	Max	17.84					-0.01	113			28.40	113		
0	-1081	-1493	Max	22.30	-30.95	33	0.39	65	0.15	65	555.90	101	62.07	101	0.14	101
0	-1081	-1493	Min.	0.00	-635.54	173	-7.30	173	-0.28	97	-493.98	130	-61.89	101	-0.11	106
0	-1081	-1493	Min.	2.02					0.01	7			-20.98	7		
0	-1081	-1493	Min.	22.30	-634.30	173	-7.30	173	-1.89	173	-493.98	130	-55.15	130	-0.11	106
0	-1205	-1755	Max	0.00	70.94	161	1.27	106	0.05	65	277.84	101	71.26	106	0.11	101
0	-1205	-1755	Max	0.28					-0.03	35			15.95	35		
0	-1205	-1755	Max	22.30	72.18	161	1.27	106	0.24	106	277.84	101	31.13	101	0.11	101
0	-1205	-1755	Min.	0.00	-956.56	98	-2.71	157	-0.22	98	-641.45	106	-30.83	101	-0.34	173
0	-1205	-1755	Min.	17.84					-0.04	54			-8.87	54		
0	-1205	-1755	Min.	22.30	-954.89	98	-2.71	157	-0.75	121	-641.45	106	-71.78	106	-0.34	173
0	-907	-1434	Max	0.00	35.44	173	0.64	65	0.08	17	1239.88	97	20.80	130	0.25	173
0	-907	-1434	Max	22.30	36.68	173	0.64	65	0.22	65	1239.88	97	139.15	97	0.25	173
0	-907	-1434	Min.	0.00	-370.11	97	-4.73	173	-0.13	173	-186.77	130	-137.34	97	-0.23	65
0	-907	-1434	Min.	22.30	-368.44	97	-4.73	173	-1.18	173	-186.77	130	-20.85	130	-0.23	65
0	-1206	-1754	Max	0.00	1015.34	125	3.68	106	0.17	125	395.78	101	61.28	130	0.15	101
0	-1206	-1754	Max	17.84					-0.00	172			-1.64	172		
0	-1206	-1754	Max	22.30	1017.01	125	3.68	106	0.70	106	395.78	101	44.30	101	0.15	101
0	-1206	-1754	Min.	0.00	-790.97	106	-5.98	157	-0.14	173	-550.28	130	-43.96	101	-0.18	106
0	-1206	-1754	Min.	17.84					-0.00	171			-1.64	171		
0	-1206	-1754	Min.	22.30	-789.30	106	-5.98	157	-1.27	157	-550.28	130	-61.43	130	-0.18	106
0	-734	-1843	Max	0.00	-21.65	177	2.88	106	0.13	106	1536.96	97	-11.46	65	0.59	173
0	-734	-1843	Max	22.30	-20.41	177	2.88	106	0.78	106	1536.96	97	172.50	97	0.59	173
0	-734	-1843	Min.	0.00	-247.41	105	-6.19	173	-0.18	97	103.71	65	-170.24	97	-0.33	98
0	-734	-1843	Min.	22.30	-245.74	105	-6.19	173	-1.43	173	103.71	65	11.67	65	-0.33	98
0	-1168	-1735	Max	0.00	9.91	1	2.66	125	0.07	17	543.08	101	54.15	130	0.17	101
0	-1168	-1735	Max	2.60					-0.04	35			3.83	35		
0	-1168	-1735	Max	22.30	11.15	1	2.66	125	0.50	125	543.08	101	60.58	101	0.17	101
0	-1168	-1735	Min.	0.00	-701.56	97	-4.13	173	-0.29	97	-486.32	130	-60.53	101	-0.14	106
0	-1168	-1735	Min.	2.60					0.01	35			-7.61	35		
0	-1168	-1735	Min.	22.30	-699.89	97	-4.13	173	-1.18	173	-486.32	130	-54.30	130	-0.14	106
0	-1207	-2065	Max	0.00	527.65	106	5.97	125	0.10	106	516.48	101	51.05	130	0.18	101
0	-1207	-2065	Max	17.84					-0.00	171			1.64	171		
0	-1207	-2065	Max	22.30	529.32	106	5.97	125	1.14	125	516.48	101	57.71	101	0.18	101
0	-1207	-2065	Min.	0.00	-1210.36	125	-3.33	106	-0.21	157	-458.72	130	-57.46	101	-0.15	106
0	-1207	-2065	Min.	17.84					-0.00	172			1.64	172		
0	-1207	-2065	Min.	22.30	-1208.69	125	-3.33	106	-0.82	173	-458.72	130	-51.25	130	-0.15	106
0	423	424	Max	0.00	-276.79	17	686.17	98	355.95	125	7.68	17	16.45	65	0.21	173
0	423	424	Max	180.00	-276.79	17	637.84	98	626.75	98	7.68	17	28.93	17	0.21	173
0	423	424	Min.	0.00	-6887.29	97	-357.56	125	-564.87	98	-48.98	98	-28.07	173	-0.07	17
0	423	424	Min.	180.00	-6887.29	97	-405.89	125	-331.16	125	-48.98	98	-111.18	173	-0.07	17
0	-993	-1464	Max	0.00	-39.01	33	4.03	99	0.08	17	681.25	101	44.38	130	0.32	173
0	-993	-1464	Max	22.30	-37.77	33	4.03	99	0.72	97	681.25	101	76.13	101	0.32	173
0	-993	-1464	Min.	0.00	-1660.52	97	-3.40	173	-0.39	173	-398.57	130	-75.79	101	-0.09	65
0	-993	-1464	Min.	22.30	-1658.85	97	-3.40	173	-1.15	173	-398.57	130	-44.50	130	-0.09	65
0	-864	-1788	Max	0.00	-45.27	33	2.44	97	0.05	17	1449.98	97	8.78	130	0.35	173
0	-864	-1788	Max	22.30	-44.03	33	2.44	97	0.56	97	1449.98	97	162.61	97	0.35	173
0	-864	-1788	Min.	0.00	-194.23	101	-2.15	173	-0.12	173	-78.65	130	-160.73	97	-0.28	65
0	-864	-1788	Min.	22.30	-192.56	101	-2.15	173	-0.60	173	-78.65	130	-8.76	130	-0.28	65
0	-951	-1829	Max	0.00	86.46	173	0.49	65	0.08	17	1243.05	97	20.80	130	0.43	173
0	-951	-1829	Max	22.30	87.70	173	0.49	65	0.19	65	1243.05	97	139.52	97	0.43	173
0	-951	-1829	Min.	0.00	-253.28	97	-2.48	97	-0.14	173	-186.75	130	-137.68	97	-0.21	65
0	-951	-1829	Min.	22.30	-251.61	97	-2.48	97	-0.55	97	-186.75	130	-20.84	130	-0.21	65
0	-822	-1709	Max	0.00	37.74	106	2.08	106	0.04	177	1605.62	97	-10.36	49	0.50	173
0	-822	-1709	Max	22.30	39.41	106	2.08	106	0.42	106	1605.62	97	180.03	97	0.50	173
0	-822	-1709	Min.	0.00	-190.10	101	-2.11	173	-0.08	125	93.73	49	-178.03	97	-0.32	65
0	-822	-1709	Min.	22.30	-188.43	101	-2.11	173	-0.52	173	93.73	49	10.55	49	-0.32	65
0	-1082	-1492	Max	0.00	-34.10	33	0.26	125	0.07	17	671.46	101	43.81	130	0.29	173
0	-1082	-1492	Max	1.39					-0.04	5			12.93	5		
0	-1082	-1492	Max	22.30	-32.87	33	0.26	125	0.12	65	671.46	101	75.03	101	0.29	173
0	-1082	-1492	Min.	0.00	-1666.14	97	-6.30	98	-0.27	173	-393.29	130	-74.71	101	-0.08	65
0	-1082	-1492	Min.	1.54					0.01	53			-27.16	53		
0	-1082	-1492	Min.	22.30	-1664.46	97	-6.30	98	-1.47	98	-393.29	130	-43.89	130	-0.08	65

0	-865	-1787	Max	0.00	-47.55	49	2.14	106	0.03	98	1578.67	97	-2.86	130	0.44	173
0	-865	-1787	Max	17.84					-0.00	165			8.85	165		
0	-865	-1787	Max	22.30	-46.31	49	2.14	106	0.46	106	1578.67	97	177.00	97	0.44	173
0	-865	-1787	Min.	0.00	-214.09	101	-1.74	173	-0.10	173	26.11	130	-175.04	97	-0.31	65
0	-865	-1787	Min.	17.84					-0.00	165			8.85	165		
0	-865	-1787	Min.	22.30	-212.42	101	-1.74	173	-0.49	173	26.11	130	2.96	130	-0.31	65
0	-648	-1764	Max	0.00	319.20	158	17.50	106	0.13	173	1371.57	97	-8.26	65	0.68	173
0	-648	-1764	Max	22.30	320.43	158	17.50	106	3.77	106	1371.57	97	153.76	97	0.68	173
0	-648	-1764	Min.	0.00	-740.15	105	-14.86	173	-0.17	98	74.67	65	-152.10	97	-0.30	177
0	-648	-1764	Min.	22.30	-738.48	105	-14.86	173	-3.19	173	74.67	65	8.39	65	-0.30	177
0	-994	-1463	Max	0.00	170.54	173	2.02	173	0.08	17	969.40	97	32.63	130	0.52	173
0	-994	-1463	Max	22.30	171.78	173	2.02	173	0.15	173	969.40	97	109.09	97	0.52	173
0	-994	-1463	Min.	0.00	-472.40	98	-1.12	97	-0.30	173	-292.99	130	-107.09	97	-0.14	65
0	-994	-1463	Min.	22.30	-470.73	98	-1.12	97	-0.28	97	-292.99	130	-32.71	130	-0.14	65
0	-609	-1687	Max	0.00	326.32	101	80.25	177	27.21	97	803.63	98	-1.38	17	0.22	173
0	-609	-1687	Max	22.30	327.99	101	80.25	177	9.52	177	803.63	98	91.08	98	0.22	173
0	-609	-1687	Min.	0.00	-1365.03	158	-229.75	121	-8.38	177	12.78	17	-88.13	98	-0.25	177
0	-609	-1687	Min.	22.30	-1363.80	158	-229.75	121	-24.58	121	12.78	17	1.47	17	-0.25	177
0	407	-1803	Max	0.00	257.45	130	3799.27	122	-48.15	65	27.04	130	0.56	173	1.22	173
0	407	-1803	Max	127.70	199.32	130	3799.27	122	2941.83	122	27.04	130	34.55	130	1.22	173
0	407	-1803	Min.	0.00	-764.77	97	106.94	65	-1927.72	158	-991.61	177	-0.25	97	-0.55	122
0	407	-1803	Min.	127.70	-822.90	97	106.94	65	88.42	65	-991.61	177	-1266.20	177	-0.55	122
0	-908	-1433	Max	0.00	-31.86	173	0.82	65	0.06	17	1451.84	97	8.68	130	0.37	173
0	-908	-1433	Max	22.30	-30.62	173	0.82	65	0.24	65	1451.84	97	162.85	97	0.37	173
0	-908	-1433	Min.	0.00	-195.76	97	-3.27	173	-0.14	173	-77.77	130	-160.91	97	-0.27	65
0	-908	-1433	Min.	22.30	-194.09	97	-3.27	173	-0.87	173	-77.77	130	-8.66	130	-0.27	65
0	-1169	-1734	Max	0.00	-13.41	1	1.63	125	0.06	17	661.88	101	43.01	130	0.34	97
0	-1169	-1734	Max	1.11					-0.03	6			-1.23	6		
0	-1169	-1734	Max	22.30	-12.17	1	1.63	125	0.30	125	661.88	101	73.99	101	0.34	97
0	-1169	-1734	Min.	0.00	-1047.75	97	-3.99	98	-0.26	173	-385.93	130	-73.61	101	-0.10	130
0	-1169	-1734	Min.	1.11					-0.01	54			-13.64	54		
0	-1169	-1734	Min.	22.30	-1046.08	97	-3.99	98	-1.10	98	-385.93	130	-43.06	130	-0.10	130
0	424	-1689	Max	0.00	1251.11	100	1904.13	125	568.51	106	14.61	17	0.11	17	0.22	101
0	424	-1689	Max	127.70	1192.97	100	1904.13	125	1434.47	125	14.61	17	18.78	17	0.22	101
0	424	-1689	Min.	0.00	89.68	17	-1096.94	106	-997.11	125	-97.83	100	-0.39	173	-0.22	106
0	424	-1689	Min.	127.70	46.62	17	-1096.94	106	-832.28	106	-97.83	100	-125.29	100	-0.22	106
0	-952	-1828	Max	0.00	-42.25	173	0.69	65	0.07	17	1449.66	97	8.81	130	0.52	173
0	-952	-1828	Max	22.30	-41.01	173	0.69	65	0.22	65	1449.66	97	162.58	97	0.52	173
0	-952	-1828	Min.	0.00	-193.94	101	-2.44	97	-0.09	173	-78.90	130	-160.70	97	-0.26	65
0	-952	-1828	Min.	22.30	-192.28	101	-2.44	97	-0.56	97	-78.90	130	-8.78	130	-0.26	65
0	-735	-1839	Max	0.00	42.28	158	12.04	106	0.16	173	1400.30	97	-11.38	65	0.60	173
0	-735	-1839	Max	22.30	43.52	158	12.04	106	2.59	106	1400.30	97	157.31	97	0.60	173
0	-735	-1839	Min.	0.00	-1135.54	105	-12.35	173	-0.09	106	103.14	65	-154.95	97	-0.23	65
0	-735	-1839	Min.	22.30	-1133.87	105	-12.35	173	-2.59	173	103.14	65	11.63	65	-0.23	65
0	-650	-1763	Max	0.00	-177.32	65	25.85	106	2.04	173	1140.59	97	-7.55	65	0.60	173
0	-650	-1763	Max	22.30	-176.08	65	25.85	106	4.75	106	1140.59	97	127.53	97	0.60	173
0	-650	-1763	Min.	0.00	-2309.87	105	-41.88	173	-1.07	177	68.09	65	-126.82	97	-0.31	177
0	-650	-1763	Min.	22.30	-2308.20	105	-41.88	173	-7.30	173	68.09	65	7.63	65	-0.31	177
0	-866	-1786	Max	0.00	-51.49	49	1.74	106	0.03	177	1625.48	97	-11.60	49	0.49	173
0	-866	-1786	Max	17.84					-0.00	39			19.96	39		
0	-866	-1786	Max	22.30	-50.26	49	1.74	106	0.31	106	1625.48	97	182.30	97	0.49	173
0	-866	-1786	Min.	0.00	-256.03	105	-1.71	173	-0.08	105	104.95	49	-180.19	97	-0.32	65
0	-866	-1786	Min.	17.84					-0.14	39			13.68	39		
0	-866	-1786	Min.	22.30	-254.36	105	-1.71	173	-0.43	173	104.95	49	11.81	49	-0.32	65
0	-995	-1462	Max	0.00	72.20	173	2.18	173	0.08	17	1240.15	97	20.77	130	0.63	173
0	-995	-1462	Max	22.30	73.44	173	2.18	173	0.34	173	1240.15	97	139.16	97	0.63	173
0	-995	-1462	Min.	0.00	-174.22	101	-3.31	97	-0.15	173	-186.44	130	-137.40	97	-0.19	65
0	-995	-1462	Min.	22.30	-172.55	101	-3.31	97	-0.75	97	-186.44	130	-20.80	130	-0.19	65
0	-823	-1708	Max	0.00	-15.73	49	1.13	177	0.04	177	1567.08	97	-13.92	49	0.53	173
0	-823	-1708	Max	22.30	-14.50	49	1.13	177	0.29	177	1567.08	97	175.81	97	0.53	173
0	-823	-1708	Min.	0.00	-134.42	101	-4.13	173	-0.11	105	125.97	49	-173.65	97	-0.29	65
0	-823	-1708	Min.	22.30	-132.75	101	-4.13	173	-0.92	173	125.97	49	14.17	49	-0.29	65
0	-1083	-1491	Max	0.00	-16.43	49	-0.09	142	0.07	17	946.03	97	32.28	130	0.50	173
0	-1083	-1491	Max	22.30	-15.19	49	-0.09	142	0.03	17	946.03	97	106.46	97	0.50	173
0	-1083	-1491	Min.	0.00	-413.49	98	-2.14	97	-0.25	173	-289.64	130	-104.50	97	-0.12	65
0	-1083	-1491	Min.	22.30	-411.81	98	-2.14	97	-0.62	97	-289.64	130	-32.31	130	-0.12	65
0	-909	-1432	Max	0.00	-45.63	1	0.98	65	0.04	17	1583.52	97	-3.18	130	0.46	173
0	-909	-1432	Max	22.30	-44.39	1	0.98	65	0.25	65	1583.52	97	177.57	97	0.46	173
0	-909	-1432	Min.	0.00	-198.14	101	-1.93	173	-0.10	173	28.82	130	-175.55	97	-0.31	65
0	-909	-1432	Min.	22.30	-196.47	101	-1.93	173	-0.53	173	28.82	130	3.25	130	-0.31	65
0	-610	-1625	Max	0.00	1470.08	97	70.19	177	3.22	121	471.89	98	3.10	1	0.04	106
0	-610	-1625	Max	22.30	1471.75	97	70.19	177	15.91	177	471.89	98	52.12	98	0.04	106
0	-610	-1625	Min.	0.00	91.51	177	-55.69	121	0.23	142	-29.20	1	-53.11	98	-2.32	177
0	-610	-1625	Min.	22.30	92.75	177	-55.69	121	-9.20	121	-29.20	1	-3.41	1	-2.32	177
0	-996	-1460	Max	0.00	-14.90	173	1.22	173	0.08	17	1435.81	97	9.06	130	0.68	173
0	-996	-1460	Max	2.23					-0.01	53			-3.52	53		
0	-996	-1460	Max	22.30	-13.66	173	1.22	173	0.23	173	1435.81	97	160.94	97	0.68	173
0	-996	-1460	Min.	0.00	-187.84	101	-2.23	97	-0.05	65	-81.02	130	-159.25	97	-0.24	65
0	-996	-1460	Min.	2.23					0.03	53			-32.81	53		

0	-996	-1460	Min.	22.30	-186.17	101	-2.23	97	-0.53	97	-81.02	130	-9.00	130	-0.24	65
0	311	436	Max	0.00	-1092.16	65	74.53	177	15.18	121	788.64	98	-3.49	17	0.15	173
0	311	436	Max	22.30	-1090.92	65	74.53	177	8.22	177	788.64	98	88.15	98	0.15	173
0	311	436	Min.	0.00	-11126.90	97	-139.95	121	-8.40	177	31.34	17	-87.71	98	-0.17	122
0	311	436	Min.	22.30	-11125.30	97	-139.95	121	-16.02	121	31.34	17	3.50	17	-0.17	122
0	-1170	-1733	Max	0.00	25.51	125	0.30	106	0.06	17	892.62	97	31.57	130	0.53	97
0	-1170	-1733	Max	22.30	27.18	125	0.30	106	0.04	106	892.62	97	100.39	97	0.53	97
0	-1170	-1733	Min.	0.00	-426.03	98	-3.38	97	-0.23	173	-282.72	130	-98.67	97	-0.10	65
0	-1170	-1733	Min.	22.30	-424.36	98	-3.38	97	-0.93	97	-282.72	130	-31.48	130	-0.10	65
0	-953	-1827	Max	0.00	-47.20	1	0.99	65	0.05	17	1578.32	97	-2.83	130	0.57	173
0	-953	-1827	Max	22.30	-45.96	1	0.99	65	0.27	65	1578.32	97	176.97	97	0.57	173
0	-953	-1827	Min.	0.00	-213.67	101	-2.14	106	-0.03	98	25.82	130	-175.00	97	-0.30	65
0	-953	-1827	Min.	22.30	-212.00	101	-2.14	106	-0.46	106	25.82	130	2.93	130	-0.30	65
0	-824	-1707	Max	0.00	-45.19	65	2.95	177	0.14	173	1432.99	97	-14.82	33	0.51	173
0	-824	-1707	Max	22.30	-43.95	65	2.95	177	0.64	177	1432.99	97	160.75	97	0.51	173
0	-824	-1707	Min.	0.00	-1417.95	105	-9.15	129	-0.04	65	133.95	33	-158.81	97	-0.24	65
0	-824	-1707	Min.	22.30	-1416.28	105	-9.15	129	-1.96	129	133.95	33	15.06	33	-0.24	65
0	-737	-1836	Max	0.00	1277.63	97	19.12	106	1.19	125	1153.56	97	-10.00	65	0.51	173
0	-737	-1836	Max	22.30	1279.30	97	19.12	106	3.55	106	1153.56	97	129.69	97	0.51	173
0	-737	-1836	Min.	0.00	110.92	154	-24.93	125	-0.71	106	90.78	65	-127.55	97	-0.23	177
0	-737	-1836	Min.	22.30	112.16	154	-24.93	125	-4.37	125	90.78	65	10.24	65	-0.23	177
0	-1084	-1482	Max	0.00	97.60	121	0.41	173	0.08	17	1208.05	97	20.70	130	0.64	173
0	-1084	-1482	Max	22.30	99.27	121	0.41	173	0.03	106	1208.05	97	135.52	97	0.64	173
0	-1084	-1482	Min.	0.00	-144.15	106	-1.77	125	-0.16	173	-185.88	130	-133.88	97	-0.16	65
0	-1084	-1482	Min.	22.30	-142.48	106	-1.77	125	-0.37	125	-185.88	130	-20.75	130	-0.16	65
0	-867	-1785	Max	0.00	-46.21	49	0.38	177	0.03	177	1583.23	97	-15.08	49	0.50	173
0	-867	-1785	Max	22.30	-44.97	49	0.38	177	0.12	177	1583.23	97	177.69	97	0.50	173
0	-867	-1785	Min.	0.00	-538.53	105	-2.33	105	-0.10	105	136.53	49	-175.38	97	-0.31	65
0	-867	-1785	Min.	22.30	-536.86	105	-2.33	105	-0.62	105	136.53	49	15.37	49	-0.31	65
0	-1208	-1753	Max	0.00	-18.84	17	1.97	125	0.05	17	641.48	101	40.03	130	0.34	97
0	-1208	-1753	Max	17.84					-0.00	6			8.87	6		
0	-1208	-1753	Max	22.30	-17.60	17	1.97	125	0.40	125	641.48	101	71.79	101	0.34	97
0	-1208	-1753	Min.	0.00	-956.56	97	-2.55	173	-0.23	173	-359.20	130	-71.26	101	-0.11	106
0	-1208	-1753	Min.	0.28					0.01	39			-10.29	39		
0	-1208	-1753	Min.	22.30	-954.89	97	-2.55	173	-0.80	173	-359.20	130	-40.08	130	-0.11	106
0	-910	-1431	Max	0.00	-37.02	1	0.99	65	0.03	177	1631.33	97	-12.55	1	0.51	173
0	-910	-1431	Max	22.30	-35.78	1	0.99	65	0.22	65	1631.33	97	182.95	97	0.51	173
0	-910	-1431	Min.	0.00	-280.04	105	-0.99	17	-0.03	173	113.59	1	-180.83	97	-0.33	65
0	-910	-1431	Min.	22.30	-278.37	105	-0.99	17	-0.25	173	113.59	1	12.78	1	-0.33	65
0	-612	-1624	Max	0.00	354.96	97	156.04	177	0.22	173	316.83	106	19.35	101	0.03	105
0	-612	-1624	Max	22.30	356.63	97	156.04	177	33.57	177	316.83	106	34.96	106	0.03	105
0	-612	-1624	Min.	0.00	-267.48	106	-17.76	173	-1.22	177	-178.64	101	-35.69	106	-2.33	177
0	-612	-1624	Min.	22.30	-265.81	106	-17.76	173	-3.74	173	-178.64	101	-20.49	101	-2.33	177
0	-651	-1362	Max	0.00	-174.85	65	25.80	177	1.97	121	425.92	98	3.54	1	0.10	106
0	-651	-1362	Max	22.30	-173.61	65	25.80	177	4.58	177	425.92	98	47.35	98	0.10	106
0	-651	-1362	Min.	0.00	-2448.86	105	-43.52	121	-1.18	177	-32.50	1	-47.63	98	-0.43	121
0	-651	-1362	Min.	22.30	-2447.19	105	-43.52	121	-7.73	121	-32.50	1	-3.71	1	-0.43	121
0	-826	-1706	Max	0.00	-192.59	65	8.19	177	0.76	125	1195.52	97	-13.12	33	0.42	173
0	-826	-1706	Max	22.30	-191.35	65	8.19	177	1.38	177	1195.52	97	134.08	97	0.42	173
0	-826	-1706	Min.	0.00	-2500.11	105	-16.96	129	-0.44	177	118.59	33	-132.52	97	-0.17	65
0	-826	-1706	Min.	22.30	-2498.44	105	-16.96	129	-3.11	129	118.59	33	13.33	33	-0.17	65
0	-997	-1459	Max	0.00	-39.09	17	0.93	65	0.07	17	1559.15	97	-2.14	130	0.69	173
0	-997	-1459	Max	22.30	-37.85	17	0.93	65	0.27	65	1559.15	97	174.76	97	0.69	173
0	-997	-1459	Min.	0.00	-200.92	101	-1.77	106	-0.02	65	20.01	130	-172.93	97	-0.28	65
0	-997	-1459	Min.	22.30	-199.25	101	-1.77	106	-0.41	106	20.01	130	2.32	130	-0.28	65
0	-954	-1826	Max	0.00	-51.15	1	1.34	65	0.08	105	1625.14	97	-11.48	1	0.57	173
0	-954	-1826	Max	17.84					-0.00	98			108.13	98		
0	-954	-1826	Max	22.30	-49.91	1	1.34	65	0.32	65	1625.14	97	182.26	97	0.57	173
0	-954	-1826	Min.	0.00	-255.82	105	-1.75	106	-0.01	98	103.87	1	-180.15	97	-0.33	65
0	-954	-1826	Min.	17.84					-0.00	98			108.13	98		
0	-954	-1826	Min.	22.30	-254.15	105	-1.75	106	-0.31	106	103.87	1	11.69	1	-0.33	65
0	-1171	-1732	Max	0.00	305.65	157	0.50	106	0.11	125	1145.06	97	20.51	130	0.64	97
0	-1171	-1732	Max	22.30	306.89	157	0.50	106	0.10	106	1145.06	97	128.46	97	0.64	97
0	-1171	-1732	Min.	0.00	-97.13	106	-5.62	125	-0.11	173	-184.18	130	-126.89	97	-0.14	65
0	-1171	-1732	Min.	22.30	-95.46	106	-5.62	125	-1.17	121	-184.18	130	-20.57	130	-0.14	65
0	-1209	-1752	Max	0.00	-27.50	17	0.80	106	0.04	17	840.63	97	28.86	130	0.55	97
0	-1209	-1752	Max	17.84					-0.01	129			-15.04	129		
0	-1209	-1752	Max	22.30	-26.26	17	0.80	106	0.13	106	840.63	97	94.33	97	0.55	97
0	-1209	-1752	Min.	0.00	-810.82	98	-2.16	173	-0.25	97	-258.98	130	-93.13	97	-0.09	65
0	-1209	-1752	Min.	17.84					-0.01	129			-15.04	129		
0	-1209	-1752	Min.	22.30	-809.14	98	-2.16	173	-0.71	173	-258.98	130	-28.89	130	-0.09	65
0	-738	-1850	Max	0.00	804.14	97	45.76	177	9.24	121	804.22	98	-5.48	17	0.15	173
0	-738	-1850	Max	22.30	805.81	97	45.76	177	5.15	106	804.22	98	89.89	98	0.15	173
0	-738	-1850	Min.	0.00	99.42	65	-84.11	121	-5.10	177	49.20	17	-89.45	98	-0.15	122
0	-738	-1850	Min.	22.30	100.66	65	-84.11	121	-9.51	121	49.20	17	5.49	17	-0.15	122
0	-1085	-1481	Max	0.00	-23.78	158	1.12	98	0.08	17	1398.34	97	9.22	130	0.70	173
0	-1085	-1481	Max	22.30	-22.54	158	1.12	98	0.25	98	1398.34	97	156.67	97	0.70	173
0	-1085	-1481	Min.	0.00	-181.59	101	-0.88	101	-0.06	173	-82.51	130	-155.16	97	-0.21	65
0	-1085	-1481	Min.	22.30	-179.92	101	-0.88	101	-0.24	17	-82.51	130	-9.18	130	-0.21	65

0	-868	-1784	Max	0.00	-13.39	49	1.77	177	0.10	173	1442.07	97	-15.66	33	0.47	173
0	-868	-1784	Max	22.30	-12.15	49	1.77	177	0.39	177	1442.07	97	162.05	97	0.47	173
0	-868	-1784	Min.	0.00	-774.28	106	-10.17	105	-0.05	65	141.99	33	-159.53	97	-0.26	65
0	-868	-1784	Min.	22.30	-772.62	106	-10.17	105	-2.22	105	141.99	33	16.01	33	-0.26	65
0	-911	-1430	Max	0.00	-12.95	173	0.63	65	0.05	173	1590.36	97	-16.07	1	0.51	173
0	-911	-1430	Max	22.30	-11.71	173	0.63	65	0.14	177	1590.36	97	178.44	97	0.51	173
0	-911	-1430	Min.	0.00	-431.50	106	-0.60	17	-0.05	65	145.40	1	-176.21	97	-0.32	65
0	-911	-1430	Min.	22.30	-429.83	106	-0.60	17	-0.10	65	145.40	1	16.36	1	-0.32	65
0	-613	-1623	Max	0.00	1132.61	158	222.31	177	-0.03	141	360.27	130	35.81	101	0.08	101
0	-613	-1623	Max	22.30	1133.85	158	222.31	177	47.22	177	360.27	130	40.88	130	0.08	101
0	-613	-1623	Min.	0.00	-583.42	101	-5.73	113	-2.35	177	-328.50	101	-39.46	130	-1.30	177
0	-613	-1623	Min.	22.30	-581.75	101	-5.73	113	-1.45	113	-328.50	101	-37.45	101	-1.30	177
0	-653	-1356	Max	0.00	28.88	166	18.25	177	0.10	173	299.66	106	22.18	101	0.07	177
0	-653	-1356	Max	22.30	30.12	166	18.25	177	3.68	177	299.66	106	33.43	106	0.07	177
0	-653	-1356	Min.	0.00	-810.39	105	-16.56	121	-0.39	177	-202.45	101	-33.39	106	-0.35	158
0	-653	-1356	Min.	22.30	-808.72	105	-16.56	121	-3.71	121	-202.45	101	-22.96	101	-0.35	158
0	-739	-1416	Max	0.00	1130.11	97	18.32	177	1.24	121	445.65	98	2.58	1	0.05	106
0	-739	-1416	Max	22.30	1131.78	97	18.32	177	3.33	177	445.65	98	49.00	98	0.05	106
0	-739	-1416	Min.	0.00	39.39	130	-28.28	121	-0.76	177	-24.82	1	-50.38	98	-0.34	121
0	-739	-1416	Min.	22.30	41.06	130	-28.28	121	-5.07	121	-24.82	1	-2.96	1	-0.34	121
0	-1086	-1480	Max	0.00	-39.33	17	1.92	97	0.08	17	1522.25	97	-1.88	130	0.71	173
0	-1086	-1480	Max	22.30	-38.09	17	1.92	97	0.48	97	1522.25	97	170.58	97	0.71	173
0	-1086	-1480	Min.	0.00	-260.75	97	-0.83	17	-0.06	106	17.62	130	-168.88	97	-0.26	65
0	-1086	-1480	Min.	22.30	-259.08	97	-0.83	17	-0.20	17	17.62	130	2.05	130	-0.26	65
0	-998	-1456	Max	0.00	37.36	106	1.67	65	0.11	173	1604.98	97	-10.22	1	0.65	173
0	-998	-1456	Max	22.30	39.03	106	1.67	65	0.42	65	1604.98	97	179.95	97	0.65	173
0	-998	-1456	Min.	0.00	-190.11	101	-2.10	106	0.02	134	92.48	1	-177.96	97	-0.32	65
0	-998	-1456	Min.	22.30	-188.44	101	-2.10	106	-0.42	106	92.48	1	10.41	1	-0.32	65
0	313	442	Max	0.00	-1333.47	65	32.16	177	5.73	125	816.80	98	-7.08	33	0.16	173
0	313	442	Max	22.30	-1332.23	65	32.16	177	3.56	177	816.80	98	91.31	98	0.16	173
0	313	442	Min.	0.00	-9938.49	105	-51.69	125	-3.62	177	63.58	33	-90.83	98	-0.12	65
0	313	442	Min.	22.30	-9936.82	105	-51.69	125	-5.79	125	63.58	33	7.10	33	-0.12	65
0	-870	-1783	Max	0.00	1350.71	97	5.90	177	0.66	105	1187.73	97	-13.54	33	0.37	173
0	-870	-1783	Max	22.30	1352.38	97	5.90	177	1.00	177	1187.73	97	133.63	97	0.37	173
0	-870	-1783	Min.	0.00	201.29	33	-18.15	105	-0.31	177	123.04	33	-131.24	97	-0.18	65
0	-870	-1783	Min.	22.30	202.53	33	-18.15	105	-3.39	105	123.04	33	13.89	33	-0.18	65
0	-912	-1429	Max	0.00	-45.47	1	2.00	173	0.08	173	1452.12	97	-16.60	33	0.44	173
0	-912	-1429	Max	22.30	-44.23	1	2.00	173	0.52	173	1452.12	97	162.93	97	0.44	173
0	-912	-1429	Min.	0.00	-764.02	105	-0.92	65	-0.06	65	150.11	33	-160.90	97	-0.28	65
0	-912	-1429	Min.	22.30	-762.35	105	-0.92	65	-0.25	65	150.11	33	16.87	33	-0.28	65
0	-654	-1355	Max	0.00	178.52	158	14.82	177	0.05	106	347.89	130	37.25	101	0.24	177
0	-654	-1355	Max	22.30	179.76	158	14.82	177	2.66	177	347.89	130	38.73	130	0.24	177
0	-654	-1355	Min.	0.00	-206.86	101	-5.89	101	-0.65	177	-337.70	101	-38.85	130	-0.21	166
0	-654	-1355	Min.	22.30	-205.19	101	-5.89	101	-1.56	125	-337.70	101	-38.05	101	-0.21	166
0	-741	-1415	Max	0.00	14.15	177	15.28	177	0.09	173	320.40	106	22.68	101	0.07	173
0	-741	-1415	Max	22.30	15.39	177	15.28	177	3.03	177	320.40	106	35.60	106	0.07	173
0	-741	-1415	Min.	0.00	-1114.69	105	-12.85	121	-0.38	177	-209.10	101	-35.85	106	-0.28	158
0	-741	-1415	Min.	22.30	-1113.02	105	-12.85	121	-2.89	121	-209.10	101	-23.95	101	-0.28	158
0	-999	-1455	Max	0.00	-15.82	1	2.93	125	0.17	173	1566.43	97	-13.77	1	0.57	173
0	-999	-1455	Max	22.30	-14.58	1	2.93	125	0.74	125	1566.43	97	175.73	97	0.57	173
0	-999	-1455	Min.	0.00	-135.10	101	-0.03	142	0.00	65	124.66	1	-173.58	97	-0.34	65
0	-999	-1455	Min.	22.30	-133.43	101	-0.03	142	0.07	142	124.66	1	14.03	1	-0.34	65
0	-655	-1352	Max	0.00	-18.49	49	1.83	177	0.10	106	420.06	130	47.86	101	0.62	177
0	-655	-1352	Max	22.30	-17.25	49	1.83	177	-0.03	142	420.06	130	46.61	130	0.62	177
0	-655	-1352	Min.	0.00	-274.79	162	-4.86	159	-1.10	177	-431.63	101	-47.06	130	-0.14	130
0	-655	-1352	Min.	22.30	-273.55	162	-4.86	159	-1.38	157	-431.63	101	-48.39	101	-0.14	130
0	407	408	Max	0.00	4270.61	161	80.10	101	922.64	158	511.50	177	66.59	173	0.09	65
0	407	408	Max	108.32					-3.37	177			116.72	177		
0	407	408	Max	199.50	4270.61	161	35.54	1	47.48	1	30.71	97	13.23	17	0.09	65
0	407	408	Min.	0.00	-1778.41	106	-993.66	158	-64.46	101	-32.66	173	-160.32	177	-0.23	173
0	407	408	Min.	158.85					7.80	114			-9.06	114		
0	407	408	Min.	199.50	-1778.41	106	-1033.34	158	-1099.29	158	-430.54	177	-79.56	177	-0.23	173
0	-1172	-1731	Max	0.00	-24.29	17	1.86	106	0.08	17	1328.74	97	9.40	130	0.67	97
0	-1172	-1731	Max	22.30	-23.05	17	1.86	106	0.38	98	1328.74	97	148.65	97	0.67	97
0	-1172	-1731	Min.	0.00	-173.95	101	-1.20	101	-0.08	173	-85.35	130	-147.66	97	-0.18	65
0	-1172	-1731	Min.	22.30	-172.28	101	-1.20	101	-0.23	101	-85.35	130	-9.63	130	-0.18	65
0	-1210	-1751	Max	0.00	1622.13	121	0.19	142	0.22	125	1110.37	97	17.30	130	0.67	97
0	-1210	-1751	Max	22.30	1623.80	121	0.19	142	0.04	142	1110.37	97	125.81	97	0.67	97
0	-1210	-1751	Min.	0.00	-65.27	1	-11.60	121	-0.05	17	-150.30	130	-121.80	97	-0.12	65
0	-1210	-1751	Min.	22.30	-64.04	1	-11.60	121	-2.38	121	-150.30	130	-16.21	130	-0.12	65
0	424	425	Max	0.00	-276.78	65	111.56	106	757.36	121	48.98	97	28.93	65	0.07	65
0	424	425	Max	180.00	-276.78	65	63.22	106	95.33	106	48.98	97	16.45	17	0.07	65
0	424	425	Min.	0.00	-6887.29	98	-794.86	121	-65.70	1	-7.68	65	-111.09	173	-0.18	97
0	424	425	Min.	180.00	-6887.29	98	-843.20	121	-716.89	121	-7.68	65	-43.43	173	-0.18	97
0	-955	-1825	Max	0.00	-46.06	1	2.29	129	0.11	173	1582.93	97	-14.95	1	0.53	173
0	-955	-1825	Max	22.30	-44.83	1	2.29	129	0.61	105	1582.93	97	177.65	97	0.53	173
0	-955	-1825	Min.	0.00	-538.93	105	-0.05	17	-0.03	65	135.44	1	-175.34	97	-0.33	65
0	-955	-1825	Min.	22.30	-537.26	105	-0.05	17	0.04	65	135.44	1	15.25	1	-0.33	65
0	408	-1622	Max	0.00	-11.92	65	2380.16	130	300.08	101	23.35	101	0.20	177	0.60	173

0	408	-1622	Max	127.70	-54.99	65	2380.16	130	2165.87	130	23.35	101	29.78	101	0.60	173
0	408	-1622	Min.	0.00	-2572.26	158	-790.67	101	-873.59	130	-920.71	177	-0.21	122	-0.59	177
0	408	-1622	Min.	127.70	-2615.32	158	-790.67	101	-709.60	101	-920.71	177	-1175.54	177	-0.59	177
0	-827	-1667	Max	0.00	-202.79	65	13.13	177	0.77	125	428.89	98	2.81	1	0.14	173
0	-827	-1667	Max	22.30	-201.56	65	13.13	177	2.39	177	428.89	98	47.47	98	0.14	173
0	-827	-1667	Min.	0.00	-2544.76	105	-18.76	129	-0.54	177	-26.22	1	-48.17	98	-0.24	121
0	-827	-1667	Min.	22.30	-2543.09	105	-18.76	129	-3.47	129	-26.22	1	-3.03	1	-0.24	121
0	-1087	-1479	Max	0.00	-19.63	154	2.28	121	0.12	97	1572.29	97	-8.91	1	0.66	173
0	-1087	-1479	Max	22.30	-18.39	154	2.28	121	0.63	121	1572.29	97	176.31	97	0.66	173
0	-1087	-1479	Min.	0.00	-319.47	97	-0.55	17	-0.11	106	80.69	1	-174.31	97	-0.31	65
0	-1087	-1479	Min.	22.30	-317.80	97	-0.55	17	-0.10	17	80.69	1	9.08	1	-0.31	65
0	-956	-1824	Max	0.00	-14.21	1	10.09	105	0.09	173	1441.84	97	-15.47	33	0.44	173
0	-956	-1824	Max	22.30	-12.97	1	10.09	105	2.20	105	1441.84	97	162.03	97	0.44	173
0	-956	-1824	Min.	0.00	-779.03	106	0.95	65	-0.07	65	140.31	33	-159.50	97	-0.30	65
0	-956	-1824	Min.	22.30	-777.36	106	0.95	65	0.16	65	140.31	33	15.82	33	-0.30	65
0	325	-1750	Max	0.00	-27.95	17	1.85	106	0.08	17	1167.72	97	10.46	130	0.70	97
0	325	-1750	Max	22.30	-26.71	17	1.85	106	0.36	106	1167.72	97	127.30	97	0.70	97
0	325	-1750	Min.	0.00	-247.60	97	-0.72	125	-0.08	173	-108.63	130	-133.10	97	-0.16	65
0	325	-1750	Min.	22.30	-245.94	97	-0.72	125	-0.13	65	-108.63	130	-13.76	130	-0.16	65
0	-871	-1863	Max	0.00	1091.36	97	24.40	177	5.05	105	824.80	98	-7.73	33	0.19	173
0	-871	-1863	Max	22.30	1093.03	97	24.40	177	2.72	177	824.80	98	92.21	98	0.19	173
0	-871	-1863	Min.	0.00	170.41	33	-48.14	105	-2.72	177	69.46	33	-91.72	98	-0.12	65
0	-871	-1863	Min.	22.30	171.64	33	-48.14	105	-5.68	105	69.46	33	7.76	33	-0.12	65
0	-1173	-1730	Max	0.00	-42.61	17	7.11	121	0.08	17	1468.21	97	-2.31	130	0.69	173
0	-1173	-1730	Max	22.30	-41.37	17	7.11	121	1.55	121	1468.21	97	164.55	97	0.69	173
0	-1173	-1730	Min.	0.00	-596.31	121	-0.71	17	-0.12	106	21.27	130	-162.87	97	-0.23	65
0	-1173	-1730	Min.	22.30	-594.64	121	-0.71	17	-0.17	17	21.27	130	2.43	130	-0.23	65
0	-914	-1428	Max	0.00	-214.00	33	8.26	173	0.24	65	1208.36	97	-14.63	33	0.33	173
0	-914	-1428	Max	17.84					-0.00	109			62.43	109		
0	-914	-1428	Max	22.30	-212.77	33	8.26	173	1.48	173	1208.36	97	135.52	97	0.33	173
0	-914	-1428	Min.	0.00	-1955.50	105	-5.29	65	-0.36	173	132.23	33	-133.95	97	-0.20	65
0	-914	-1428	Min.	13.38					-0.00	140			9.40	140		
0	-914	-1428	Min.	22.30	-1953.83	105	-5.29	65	-0.94	65	132.23	33	14.85	33	-0.20	65
0	-614	-1621	Max	0.00	284.19	101	211.13	177	0.28	173	548.62	130	55.06	101	1.98	177
0	-614	-1621	Max	22.30	285.86	101	211.13	177	43.42	177	548.62	130	62.41	130	1.98	177
0	-614	-1621	Min.	0.00	-1656.86	130	-14.02	130	-3.67	177	-499.28	101	-59.94	130	-0.11	106
0	-614	-1621	Min.	22.30	-1655.19	130	-14.02	130	-3.07	130	-499.28	101	-56.28	101	-0.11	106
0	-742	-1367	Max	0.00	-42.91	65	12.42	177	0.09	106	376.13	130	38.99	101	0.21	177
0	-742	-1367	Max	22.30	-41.67	65	12.42	177	2.10	177	376.13	130	41.99	130	0.21	177
0	-742	-1367	Min.	0.00	-289.59	97	-5.78	121	-0.67	177	-354.01	101	-41.89	130	-0.16	158
0	-742	-1367	Min.	22.30	-287.92	97	-5.78	121	-1.54	121	-354.01	101	-39.96	101	-0.16	158
0	-829	-1666	Max	0.00	-41.46	65	12.53	177	0.08	173	312.22	130	24.19	101	0.14	173
0	-829	-1666	Max	22.30	-40.22	65	12.53	177	2.44	177	312.22	130	34.94	130	0.14	173
0	-829	-1666	Min.	0.00	-1395.88	105	-10.34	129	-0.36	177	-221.02	101	-34.69	130	-0.20	65
0	-829	-1666	Min.	22.30	-1394.21	105	-10.34	129	-2.28	129	-221.02	101	-25.09	101	-0.20	65
0	-872	-1632	Max	0.00	1249.87	97	11.15	177	0.67	105	452.93	98	1.88	1	0.23	173
0	-872	-1632	Max	22.30	1251.54	97	11.15	177	2.06	177	452.93	98	49.80	98	0.23	173
0	-872	-1632	Min.	0.00	189.16	33	-18.42	105	-0.43	177	-18.58	1	-51.21	98	-0.21	65
0	-872	-1632	Min.	22.30	190.40	33	-18.42	105	-3.44	105	-18.58	1	-2.26	1	-0.21	65
0	-1211	-2063	Max	0.00	-61.64	17	12.49	121	0.05	1	1440.77	97	-2.20	17	0.69	97
0	-1211	-2063	Max	22.30	-60.40	17	12.49	121	2.61	121	1440.77	97	162.78	97	0.69	97
0	-1211	-2063	Min.	0.00	-2154.58	121	-0.57	17	-0.19	157	20.18	17	-158.52	97	-0.21	65
0	-1211	-2063	Min.	22.30	-2152.91	121	-0.57	17	-0.13	17	20.18	17	2.30	17	-0.21	65
0	425	-1750	Max	0.00	385.12	98	3671.57	121	-12.04	1	1.17	17	0.08	17	1.12	173
0	425	-1750	Max	127.70	326.98	98	3671.57	121	2858.69	121	1.17	17	1.57	17	1.12	173
0	425	-1750	Min.	0.00	-52.62	125	27.39	1	-1829.90	121	-21.44	101	-0.18	173	-0.40	65
0	425	-1750	Min.	127.70	-110.76	125	27.39	1	22.94	1	-21.44	101	-27.35	101	-0.40	65
0	-1000	-1454	Max	0.00	-44.42	17	9.15	129	0.10	173	1432.35	97	-14.53	33	0.45	173
0	-1000	-1454	Max	22.30	-43.18	17	9.15	129	1.96	129	1432.35	97	160.68	97	0.45	173
0	-1000	-1454	Min.	0.00	-1418.18	105	2.48	33	-0.08	65	131.38	33	-158.74	97	-0.33	65
0	-1000	-1454	Min.	22.30	-1416.51	105	2.48	33	0.56	33	131.38	33	14.77	33	-0.33	65
0	-1088	-1478	Max	0.00	-31.06	17	4.05	65	0.19	173	1535.90	97	-11.07	17	0.57	173
0	-1088	-1478	Max	22.30	-29.82	17	4.05	65	1.01	125	1535.90	97	172.39	97	0.57	173
0	-1088	-1478	Min.	0.00	-247.02	105	-2.90	106	-0.13	106	100.15	17	-170.12	97	-0.36	65
0	-1088	-1478	Min.	22.30	-245.35	105	-2.90	106	-0.78	106	100.15	17	11.27	17	-0.36	65
0	-958	-1823	Max	0.00	1346.35	97	18.05	105	0.08	65	1187.67	97	-13.42	33	0.31	173
0	-958	-1823	Max	22.30	1348.02	97	18.05	105	3.36	105	1187.67	97	133.62	97	0.31	173
0	-958	-1823	Min.	0.00	197.82	33	-1.57	65	-0.66	105	121.92	33	-131.23	97	-0.23	65
0	-958	-1823	Min.	22.30	199.06	33	-1.57	65	-0.27	65	121.92	33	13.77	33	-0.23	65
0	-1174	-1729	Max	0.00	-29.52	17	3.15	121	0.19	97	1533.33	97	-6.67	17	0.65	173
0	-1174	-1729	Max	17.84					-0.01	153			12.31	153		
0	-1174	-1729	Max	22.30	-28.28	17	3.15	121	0.89	121	1533.33	97	172.09	97	0.65	173
0	-1174	-1729	Min.	0.00	-311.51	97	-0.52	17	-0.17	106	60.40	17	-169.84	97	-0.30	65
0	-1174	-1729	Min.	17.84					-0.01	153			12.31	153		
0	-1174	-1729	Min.	22.30	-309.84	97	-0.52	17	-0.16	106	60.40	17	6.79	17	-0.30	65
0	315	441	Max	0.00	-1520.64	33	38.76	173	2.90	65	827.59	98	-8.24	33	0.20	173
0	315	441	Max	22.30	-1519.40	33	38.76	173	4.31	173	827.59	98	92.53	98	0.20	173
0	315	441	Min.	0.00	-9844.19	105	-26.00	65	-4.33	173	74.05	33	-92.03	98	-0.12	65
0	315	441	Min.	22.30	-9842.52	105	-26.00	65	-2.89	65	74.05	33	8.27	33	-0.12	65

0	-615	-1620	Max	0.00	284.30	158	109.47	177	0.28	173	628.25	130	60.08	101	3.99	177
0	-615	-1620	Max	22.30	285.54	158	109.47	177	21.16	177	628.25	130	70.33	130	3.99	177
0	-615	-1620	Min.	0.00	-230.99	101	-8.83	130	-3.25	177	-541.27	101	-69.77	130	-0.18	173
0	-615	-1620	Min.	22.30	-229.32	101	-8.83	130	-2.14	130	-541.27	101	-60.62	101	-0.18	173
0	-656	-1684	Max	0.00	24.75	1	3.37	173	0.27	173	515.57	130	55.50	101	1.31	177
0	-656	-1684	Max	17.84					-0.01	49			11.88	49		
0	-656	-1684	Max	22.30	25.99	1	3.37	173	1.02	173	515.57	130	57.60	130	1.31	177
0	-656	-1684	Min.	0.00	-553.26	130	-24.74	177	-1.66	177	-500.36	101	-57.37	130	-0.11	106
0	-656	-1684	Min.	17.84					-0.63	49			-14.87	49		
0	-656	-1684	Min.	22.30	-551.59	130	-24.74	177	-7.17	177	-500.36	101	-56.08	101	-0.11	106
0	-743	-1366	Max	0.00	-34.62	154	2.00	177	0.17	173	443.65	130	50.05	101	0.63	177
0	-743	-1366	Max	22.30	-33.38	154	2.00	177	-0.07	17	443.65	130	49.45	130	0.63	177
0	-743	-1366	Min.	0.00	-275.57	97	-3.56	121	-1.19	177	-452.12	101	-49.49	130	-0.08	130
0	-743	-1366	Min.	22.30	-273.90	97	-3.56	121	-1.06	121	-452.12	101	-50.78	101	-0.08	130
0	-830	-1665	Max	0.00	-18.81	49	11.42	177	0.14	173	381.23	130	40.31	101	0.18	177
0	-830	-1665	Max	22.30	-17.58	49	11.42	177	1.85	177	381.23	130	42.64	130	0.18	177
0	-830	-1665	Min.	0.00	-150.68	106	-4.38	121	-0.70	177	-365.78	101	-42.38	130	-0.13	17
0	-830	-1665	Min.	22.30	-149.01	106	-4.38	121	-1.14	121	-365.78	101	-41.26	101	-0.13	17
0	-874	-1631	Max	0.00	-2.46	49	11.75	177	0.08	173	308.84	130	23.79	101	0.21	173
0	-874	-1631	Max	22.30	-1.23	49	11.75	177	2.27	177	308.84	130	34.19	130	0.21	173
0	-874	-1631	Min.	0.00	-749.09	106	-10.44	105	-0.35	177	-219.16	101	-34.68	130	-0.18	65
0	-874	-1631	Min.	22.30	-747.42	106	-10.44	105	-2.28	105	-219.16	101	-25.08	101	-0.18	65
0	-1175	-1728	Max	0.00	157.54	157	4.59	65	0.27	97	1502.69	97	-7.66	17	0.56	173
0	-1175	-1728	Max	22.30	158.78	157	4.59	65	1.13	65	1502.69	97	168.69	97	0.56	173
0	-1175	-1728	Min.	0.00	-254.51	106	-6.78	106	-0.15	106	69.33	17	-166.41	97	-0.36	65
0	-1175	-1728	Min.	22.30	-252.84	106	-6.78	106	-1.66	106	69.33	17	7.81	17	-0.36	65
0	-1089	-1477	Max	0.00	42.70	158	10.04	125	0.11	173	1399.22	97	-11.00	17	0.44	173
0	-1089	-1477	Max	22.30	43.94	158	10.04	125	2.20	125	1399.22	97	157.19	97	0.44	173
0	-1089	-1477	Min.	0.00	-1135.04	105	-12.02	106	-0.09	65	99.78	17	-154.83	97	-0.37	65
0	-1089	-1477	Min.	22.30	-1133.37	105	-12.02	106	-2.59	106	99.78	17	11.25	17	-0.37	65
0	-1002	-1453	Max	0.00	-188.03	17	17.07	129	-0.23	65	1194.85	97	-12.93	33	0.30	173
0	-1002	-1453	Max	22.30	-186.80	17	17.07	129	3.13	129	1194.85	97	134.01	97	0.30	173
0	-1002	-1453	Min.	0.00	-2489.64	105	4.88	65	-0.76	125	116.90	33	-132.44	97	-0.27	65
0	-1002	-1453	Min.	22.30	-2487.97	105	4.88	65	0.86	65	116.90	33	13.13	33	-0.27	65
0	-1212	-1749	Max	0.00	18.31	1	1.58	121	0.27	121	1489.52	97	-3.54	17	0.65	173
0	-1212	-1749	Max	22.30	19.54	1	1.58	121	0.62	121	1489.52	97	167.18	97	0.65	173
0	-1212	-1749	Min.	0.00	-369.27	106	-1.71	106	-0.13	106	32.26	17	-164.98	97	-0.27	65
0	-1212	-1749	Min.	22.30	-367.60	106	-1.71	106	-0.51	106	32.26	17	3.65	17	-0.27	65
0	-959	-1859	Max	0.00	1086.05	97	55.14	173	1.76	65	824.48	98	-7.69	33	0.22	173
0	-959	-1859	Max	22.30	1087.72	97	55.14	173	6.16	173	824.48	98	92.18	98	0.22	173
0	-959	-1859	Min.	0.00	167.07	33	-15.63	65	-6.13	173	69.08	33	-91.68	98	-0.11	65
0	-959	-1859	Min.	22.30	168.31	33	-15.63	65	-1.73	65	69.08	33	7.72	33	-0.11	65
0	-915	-1674	Max	0.00	-224.83	33	14.20	173	0.41	65	437.78	98	2.08	49	0.31	173
0	-915	-1674	Max	8.92					-0.00	147			-5.49	147		
0	-915	-1674	Max	22.30	-223.59	33	14.20	173	2.58	173	437.78	98	48.50	98	0.31	173
0	-915	-1674	Min.	0.00	-1999.12	105	-10.02	65	-0.59	173	-19.58	49	-49.12	98	-0.18	65
0	-915	-1674	Min.	8.92					-0.00	147			-5.49	147		
0	-915	-1674	Min.	22.30	-1997.45	105	-10.02	65	-1.83	65	-19.58	49	-2.35	101	-0.18	65
0	425	426	Max	0.00	1544.42	161	-16.54	17	1113.01	121	53.12	173	16.80	17	0.14	65
0	425	426	Max	200.00	1544.42	161	-56.32	17	-41.87	17	53.12	173	79.85	97	0.14	65
0	425	426	Min.	0.00	-3616.55	98	-1091.65	121	31.00	17	-8.48	65	-44.54	173	-0.35	173
0	425	426	Min.	200.00	-3616.55	98	-1145.35	121	-1123.98	121	-8.48	65	-15.31	130	-0.35	173
0	-616	-1619	Max	0.00	331.91	130	29.62	173	1.59	177	705.66	130	63.06	101	5.45	177
0	-616	-1619	Max	22.30	333.58	130	29.62	173	6.35	173	705.66	130	78.97	130	5.45	177
0	-616	-1619	Min.	0.00	-286.23	101	-79.44	177	-0.26	173	-567.52	101	-78.39	130	-0.36	173
0	-616	-1619	Min.	22.30	-284.55	101	-79.44	177	-16.13	177	-567.52	101	-63.50	101	-0.36	173
0	-657	-1683	Max	0.00	48.99	177	12.99	173	0.29	173	604.39	130	60.39	101	2.22	177
0	-657	-1683	Max	22.30	50.23	177	12.99	173	3.19	173	604.39	130	67.75	130	2.22	177
0	-657	-1683	Min.	0.00	-230.46	122	-84.43	177	-1.41	177	-544.14	101	-67.03	130	-0.21	173
0	-657	-1683	Min.	22.30	-228.78	122	-84.43	177	-20.24	177	-544.14	101	-60.95	101	-0.21	173
0	-744	-1365	Max	0.00	-33.87	49	3.76	173	0.30	173	517.82	130	57.24	101	1.34	177
0	-744	-1365	Max	22.30	-32.64	49	3.76	173	1.14	173	517.82	130	57.82	130	1.34	177
0	-744	-1365	Min.	0.00	-279.91	122	-26.03	177	-1.68	177	-516.06	101	-57.65	130	-0.09	173
0	-744	-1365	Min.	22.30	-278.24	122	-26.03	177	-7.48	177	-516.06	101	-57.84	101	-0.09	173
0	-831	-1664	Max	0.00	7.07	153	1.84	177	0.25	173	447.59	130	51.36	101	0.62	177
0	-831	-1664	Max	17.84					-0.02	119			19.09	119		
0	-831	-1664	Max	22.30	8.30	153	1.84	177	0.18	106	447.59	130	49.95	130	0.62	177
0	-831	-1664	Min.	0.00	-201.99	98	-2.81	121	-1.23	177	-464.15	101	-49.87	130	-0.06	17
0	-831	-1664	Min.	17.84					-0.02	120			19.09	120		
0	-831	-1664	Min.	22.30	-200.32	98	-2.81	121	-0.82	177	-464.15	101	-52.15	101	-0.06	17
0	-875	-1630	Max	0.00	-48.28	49	11.25	177	0.22	173	370.43	130	40.68	101	0.17	177
0	-875	-1630	Max	22.30	-47.05	49	11.25	177	1.80	177	370.43	130	41.31	130	0.17	177
0	-875	-1630	Min.	0.00	-567.40	105	-3.15	65	-0.71	177	-369.55	101	-41.29	130	-0.12	17
0	-875	-1630	Min.	22.30	-565.74	105	-3.15	65	-0.81	65	-369.55	101	-41.73	101	-0.12	17
0	-960	-1639	Max	0.00	1245.38	97	19.14	173	0.25	65	452.35	98	1.92	49	0.36	173
0	-960	-1639	Max	22.30	1247.05	97	19.14	173	3.45	173	452.35	98	49.73	98	0.36	173
0	-960	-1639	Min.	0.00	185.73	33	-6.40	65	-0.82	173	-18.96	49	-51.15	98	-0.15	65
0	-960	-1639	Min.	22.30	186.97	33	-6.40	65	-1.18	65	-18.96	49	-2.30	49	-0.15	65
0	-1091	-1476	Max	0.00	1278.11	97	24.91	125	0.71	106	1152.51	97	-9.69	17	0.30	173

0	-1091	-1476	Max	22.30	1279.78	97	24.91	125	4.37	125	1152.51	97	129.58	97	0.30	173
0	-1091	-1476	Min.	0.00	111.04	154	-19.03	106	-1.19	125	87.93	17	-127.43	97	-0.32	65
0	-1091	-1476	Min.	22.30	112.27	154	-19.03	106	-3.54	106	87.93	17	9.92	17	-0.32	65
0	-1213	-1748	Max	0.00	46.05	157	3.83	65	0.23	97	1461.87	97	-4.43	17	0.57	173
0	-1213	-1748	Max	22.30	47.29	157	3.83	65	0.97	65	1461.87	97	164.38	97	0.57	173
0	-1213	-1748	Min.	0.00	-385.42	106	-7.62	106	-0.12	106	40.40	17	-161.62	97	-0.33	65
0	-1213	-1748	Min.	22.30	-383.75	106	-7.62	106	-1.82	106	40.40	17	4.58	17	-0.33	65
0	-1176	-1727	Max	0.00	325.29	158	11.69	113	0.18	98	1370.01	97	-7.87	17	0.44	173
0	-1176	-1727	Max	22.30	326.53	158	11.69	113	2.60	113	1370.01	97	153.59	97	0.44	173
0	-1176	-1727	Min.	0.00	-736.69	105	-17.59	106	-0.08	65	71.12	17	-151.93	97	-0.40	65
0	-1176	-1727	Min.	22.30	-735.02	105	-17.59	106	-3.79	106	71.12	17	7.99	17	-0.40	65
0	317	439	Max	0.00	-1305.59	17	64.76	173	-0.64	65	816.19	98	-7.05	33	0.23	173
0	317	439	Max	22.30	-1304.35	17	64.76	173	7.21	173	816.19	98	91.25	98	0.23	173
0	317	439	Min.	0.00	-9898.59	105	6.02	65	-7.23	173	63.34	33	-90.76	98	-0.11	65
0	317	439	Min.	22.30	-9896.92	105	6.02	65	0.70	65	63.34	33	7.07	33	-0.11	65
0	-617	-1417	Max	0.00	210.95	177	71.83	173	23.36	177	743.79	130	64.04	101	4.46	177
0	-617	-1417	Max	22.30	212.19	177	71.83	173	11.94	173	743.79	130	82.35	130	4.46	177
0	-617	-1417	Min.	0.00	-1530.73	130	-394.54	177	-4.08	173	-573.39	101	-83.51	130	-0.39	173
0	-617	-1417	Min.	22.30	-1529.06	130	-394.54	177	-64.62	177	-573.39	101	-63.83	101	-0.39	173
0	-658	-1682	Max	0.00	198.26	130	32.18	173	2.04	177	668.53	130	63.00	101	2.94	177
0	-658	-1682	Max	22.30	199.93	130	32.18	173	6.90	173	668.53	130	74.83	130	2.94	177
0	-658	-1682	Min.	0.00	-272.62	101	-194.45	177	-0.28	173	-566.61	101	-74.25	130	-0.38	173
0	-658	-1682	Min.	22.30	-270.95	101	-194.45	177	-41.32	177	-566.61	101	-63.36	101	-0.38	173
0	-745	-1364	Max	0.00	-26.46	177	14.08	173	0.31	173	588.52	130	61.59	101	2.28	177
0	-745	-1364	Max	22.30	-25.22	177	14.08	173	3.45	173	588.52	130	65.85	130	2.28	177
0	-745	-1364	Min.	0.00	-254.93	97	-85.28	177	-1.44	177	-554.51	101	-65.39	130	-0.26	173
0	-745	-1364	Min.	22.30	-253.26	97	-85.28	177	-20.45	177	-554.51	101	-62.07	101	-0.26	173
0	-832	-1663	Max	0.00	-40.33	49	4.03	173	0.35	173	515.28	130	58.47	101	1.35	177
0	-832	-1663	Max	22.30	-39.10	49	4.03	173	1.25	173	515.28	130	57.56	130	1.35	177
0	-832	-1663	Min.	0.00	-223.16	98	-26.22	177	-1.72	177	-527.29	101	-57.35	130	-0.14	173
0	-832	-1663	Min.	22.30	-221.48	98	-26.22	177	-7.56	177	-527.29	101	-59.11	101	-0.14	173
0	408	409	Max	0.00	5998.16	160	1556.33	157	393.35	106	490.16	177	12.84	17	0.27	177
0	408	409	Max	103.80					-0.97	177			175.43	177		
0	408	409	Max	190.50	5998.16	160	1518.44	157	2371.54	157	31.22	158	0.62	157	0.27	177
0	408	409	Min.	0.00	-181.43	103	-295.52	106	-557.18	157	-6.62	17	-78.98	177	-0.17	121
0	408	409	Min.	4.31					2.53	169			-5.83	169		
0	408	409	Min.	190.50	-181.43	103	-346.67	106	-218.33	106	-409.38	177	-2.03	177	-0.17	121
0	-917	-1673	Max	0.00	-35.49	1	11.50	177	0.07	173	300.93	130	24.48	101	0.26	173
0	-917	-1673	Max	22.30	-34.25	1	11.50	177	2.22	177	300.93	130	33.43	130	0.26	173
0	-917	-1673	Min.	0.00	-742.57	105	-5.21	65	-0.34	177	-223.73	101	-33.67	130	-0.16	65
0	-917	-1673	Min.	22.30	-740.90	105	-5.21	65	-1.16	65	-223.73	101	-25.41	101	-0.16	65
0	-876	-1629	Max	0.00	-52.73	49	2.00	177	0.32	173	439.90	130	52.06	101	0.62	177
0	-876	-1629	Max	22.30	-51.49	49	2.00	177	0.33	173	439.90	130	49.14	130	0.62	177
0	-876	-1629	Min.	0.00	-293.34	105	-1.56	121	-1.25	177	-470.65	101	-48.95	130	-0.06	17
0	-876	-1629	Min.	22.30	-291.67	105	-1.56	121	-0.80	177	-470.65	101	-52.90	101	-0.06	17
0	-962	-1638	Max	0.00	5.15	173	12.50	177	0.07	173	308.48	130	23.81	101	0.30	173
0	-962	-1638	Max	22.30	6.39	173	12.50	177	2.45	177	308.48	130	34.15	130	0.30	173
0	-962	-1638	Min.	0.00	-753.71	106	-3.36	65	-0.34	177	-219.38	101	-34.64	130	-0.13	65
0	-962	-1638	Min.	22.30	-752.04	106	-3.36	65	-0.75	65	-219.38	101	-25.11	101	-0.13	65
0	-1003	-1646	Max	0.00	-198.02	17	22.68	173	-0.06	65	428.36	98	2.85	49	0.40	173
0	-1003	-1646	Max	22.30	-196.78	17	22.68	173	4.08	173	428.36	98	47.41	98	0.40	173
0	-1003	-1646	Min.	0.00	-2534.19	105	0.24	65	-0.98	173	-26.56	49	-48.11	98	-0.10	65
0	-1003	-1646	Min.	22.30	-2532.52	105	0.24	65	-0.01	65	-26.56	49	-3.07	49	-0.10	65
0	-1092	-1848	Max	0.00	807.42	97	84.15	121	4.77	106	803.31	98	-5.26	65	0.24	173
0	-1092	-1848	Max	22.30	809.09	97	84.15	121	9.51	121	803.31	98	89.79	98	0.24	173
0	-1092	-1848	Min.	0.00	97.64	17	-44.32	106	-9.26	121	47.24	65	-89.35	98	-0.10	177
0	-1092	-1848	Min.	22.30	98.88	17	-44.32	106	-5.11	106	47.24	65	5.27	65	-0.10	177
0	-1178	-1726	Max	0.00	-169.49	17	36.46	121	1.02	106	1138.83	97	-7.21	17	0.30	173
0	-1178	-1726	Max	22.30	-168.26	17	36.46	121	6.32	125	1138.83	97	127.33	97	0.30	173
0	-1178	-1726	Min.	0.00	-2296.15	105	-25.97	106	-1.83	121	65.00	17	-126.63	97	-0.36	65
0	-1178	-1726	Min.	22.30	-2294.48	105	-25.97	106	-4.77	106	65.00	17	7.29	17	-0.36	65
0	-1214	-1747	Max	0.00	1638.70	121	11.56	113	0.08	158	1317.77	97	-4.65	17	0.47	173
0	-1214	-1747	Max	22.30	1640.37	121	11.56	113	2.50	113	1317.77	97	148.44	97	0.47	173
0	-1214	-1747	Min.	0.00	55.45	17	-15.07	106	-0.09	65	42.58	17	-145.43	97	-0.39	65
0	-1214	-1747	Min.	22.30	56.69	17	-15.07	106	-3.31	106	42.58	17	4.85	17	-0.39	65
0	-918	-1672	Max	0.00	-16.22	1	11.21	177	0.27	173	362.66	130	40.96	101	0.16	177
0	-918	-1672	Max	22.30	-14.99	1	11.21	177	1.80	177	362.66	130	40.42	130	0.16	177
0	-918	-1672	Min.	0.00	-460.11	106	-2.44	65	-0.70	177	-371.78	101	-40.45	130	-0.11	17
0	-918	-1672	Min.	22.30	-458.44	106	-2.44	65	-0.62	65	-371.78	101	-41.95	101	-0.11	17
0	-659	-1426	Max	0.00	265.94	97	76.80	173	22.09	177	701.83	130	64.05	101	2.42	177
0	-659	-1426	Max	22.30	267.61	97	76.80	173	12.89	173	701.83	130	77.92	130	2.42	177
0	-659	-1426	Min.	0.00	-1040.72	130	-422.02	177	-4.23	173	-573.05	101	-78.59	130	-0.40	173
0	-659	-1426	Min.	22.30	-1039.05	130	-422.02	177	-72.02	177	-573.05	101	-63.74	101	-0.40	173
0	409	309	Max	0.00	1518.44	157	181.43	103	2371.54	157	31.22	158	0.17	121	0.62	157
0	409	309	Max	150.00	1467.86	157	181.43	103	271.32	101	31.22	158	46.99	158	0.62	157
0	409	309	Min.	0.00	-346.67	106	-5998.16	160	-218.33	106	-409.38	177	-0.27	177	-2.03	177
0	409	309	Min.	150.00	-414.96	106	-5998.16	160	-6636.54	162	-409.38	177	-614.33	177	-2.03	177
0	-746	-1363	Max	0.00	92.45	130	34.77	173	2.09	177	645.13	130	63.93	101	3.02	177
0	-746	-1363	Max	22.30	94.12	130	34.77	173	7.43	173	645.13	130	72.21	130	3.02	177

0	-746	-1363	Min.	0.00	-293.61	97	-195.90	177	-0.32	173	-574.84	101	-71.65	130	-0.44	173
0	-746	-1363	Min.	22.30	-291.94	97	-195.90	177	-41.60	177	-574.84	101	-64.26	101	-0.44	173
0	-833	-1662	Max	0.00	-54.53	65	15.04	173	0.32	173	578.08	130	62.62	101	2.30	177
0	-833	-1662	Max	22.30	-53.30	65	15.04	173	3.68	173	578.08	130	64.67	130	2.30	177
0	-833	-1662	Min.	0.00	-264.34	97	-86.16	177	-1.45	177	-563.88	101	-64.24	130	-0.33	173
0	-833	-1662	Min.	22.30	-262.67	97	-86.16	177	-20.67	177	-563.88	101	-63.12	101	-0.33	173
0	-877	-1628	Max	0.00	-50.56	49	4.76	173	0.40	173	508.43	130	59.22	101	1.35	177
0	-877	-1628	Max	22.30	-49.33	49	4.76	173	1.46	173	508.43	130	56.84	130	1.35	177
0	-877	-1628	Min.	0.00	-254.43	97	-26.08	177	-1.73	177	-534.05	101	-56.54	130	-0.20	173
0	-877	-1628	Min.	22.30	-252.76	97	-26.08	177	-7.54	177	-534.05	101	-59.88	101	-0.20	173
0	-963	-1637	Max	0.00	-48.22	1	11.81	177	0.31	173	370.13	130	40.70	101	0.17	177
0	-963	-1637	Max	22.30	-46.98	1	11.81	177	1.95	177	370.13	130	41.28	130	0.17	177
0	-963	-1637	Min.	0.00	-567.85	105	-1.53	65	-0.69	177	-369.68	101	-41.26	130	-0.10	17
0	-963	-1637	Min.	22.30	-566.18	105	-1.53	65	-0.39	65	-369.68	101	-41.74	101	-0.10	17
0	-1005	-1645	Max	0.00	-41.06	17	13.77	177	0.07	173	311.74	130	24.22	101	0.32	173
0	-1005	-1645	Max	22.30	-39.83	17	13.77	177	2.73	177	311.74	130	34.88	130	0.32	173
0	-1005	-1645	Min.	0.00	-1396.08	105	-0.50	65	-0.34	177	-221.29	101	-34.64	130	-0.10	65
0	-1005	-1645	Min.	22.30	-1394.41	105	-0.50	65	-0.12	65	-221.29	101	-25.12	101	-0.10	65
0	-1093	-1653	Max	0.00	1130.51	97	28.33	121	0.67	106	444.93	98	2.62	49	0.42	173
0	-1093	-1653	Max	22.30	1132.18	97	28.33	121	5.08	121	444.93	98	48.92	98	0.42	173
0	-1093	-1653	Min.	0.00	39.30	130	-17.71	106	-1.24	121	-25.23	49	-50.30	98	-0.05	65
0	-1093	-1653	Min.	22.30	40.97	130	-17.71	106	-3.28	106	-25.23	49	-3.00	49	-0.05	65
0	-919	-1671	Max	0.00	-38.04	1	2.16	177	0.38	173	435.02	130	52.24	101	0.60	177
0	-919	-1671	Max	22.30	-36.80	1	2.16	177	0.61	173	435.02	130	48.61	130	0.60	177
0	-919	-1671	Min.	0.00	-316.44	106	-0.98	65	-1.24	177	-472.24	101	-48.40	130	-0.06	17
0	-919	-1671	Min.	22.30	-314.77	106	-0.98	65	-0.76	177	-472.24	101	-53.07	101	-0.06	17
0	319	434	Max	0.00	-1048.15	17	139.68	121	7.14	106	787.42	98	-3.26	65	0.24	173
0	319	434	Max	22.30	-1046.91	17	139.68	121	15.99	121	787.42	98	88.02	98	0.24	173
0	319	434	Min.	0.00	-11066.60	97	-65.21	106	-15.16	121	29.27	65	-87.58	98	-0.10	177
0	319	434	Min.	22.30	-11064.90	97	-65.21	106	-7.40	106	29.27	65	3.26	65	-0.10	177
0	326	-1746	Max	0.00	1481.26	97	48.97	121	-0.18	142	970.33	97	-3.77	17	0.34	173
0	326	-1746	Max	22.30	1482.93	97	48.97	121	7.78	121	970.33	97	105.32	97	0.34	173
0	326	-1746	Min.	0.00	119.81	17	-9.06	106	-3.14	121	32.81	17	-111.06	97	-0.39	65
0	326	-1746	Min.	22.30	121.04	17	-9.06	106	-2.38	106	32.81	17	3.39	166	-0.39	65
0	426	-1746	Max	0.00	257.75	130	3792.02	122	-44.19	17	82.43	97	0.25	97	0.97	173
0	426	-1746	Max	127.70	199.61	130	3792.02	122	2934.56	122	82.43	97	105.52	97	0.97	173
0	426	-1746	Min.	0.00	-764.42	97	98.75	17	-1926.44	158	-27.58	130	-0.03	106	-0.53	65
0	426	-1746	Min.	127.70	-822.55	97	98.75	17	81.91	17	-27.58	130	-35.24	130	-0.53	65
0	-747	-1427	Max	0.00	413.62	173	80.83	173	22.73	177	673.66	130	64.91	101	2.51	177
0	-747	-1427	Max	22.30	414.86	173	80.83	173	13.64	173	673.66	130	74.87	130	2.51	177
0	-747	-1427	Min.	0.00	-928.37	106	-428.66	177	-4.38	173	-580.75	101	-75.35	130	-0.42	173
0	-747	-1427	Min.	22.30	-926.70	106	-428.66	177	-72.86	177	-580.75	101	-64.60	101	-0.42	173
0	-834	-1661	Max	0.00	88.75	130	36.64	173	2.10	177	628.30	130	64.78	101	3.06	177
0	-834	-1661	Max	22.30	90.42	130	36.64	173	7.82	173	628.30	130	70.31	130	3.06	177
0	-834	-1661	Min.	0.00	-311.46	97	-197.28	177	-0.35	173	-582.35	101	-69.80	130	-0.50	173
0	-834	-1661	Min.	22.30	-309.79	97	-197.28	177	-41.90	177	-582.35	101	-65.08	101	-0.50	173
0	-878	-1627	Max	0.00	-54.47	154	16.51	173	0.33	173	570.02	130	63.32	101	2.30	177
0	-878	-1627	Max	22.30	-53.23	154	16.51	173	4.02	173	570.02	130	63.79	130	2.30	177
0	-878	-1627	Min.	0.00	-274.36	97	-86.29	177	-1.46	177	-570.22	101	-63.32	130	-0.41	173
0	-878	-1627	Min.	22.30	-272.69	97	-86.29	177	-20.70	177	-570.22	101	-63.84	101	-0.41	173
0	-964	-1636	Max	0.00	-52.49	1	2.58	177	0.43	173	439.63	130	52.07	101	0.59	177
0	-964	-1636	Max	22.30	-51.25	1	2.58	177	0.83	173	439.63	130	49.11	130	0.59	177
0	-964	-1636	Min.	0.00	-293.00	105	-1.18	106	-1.22	177	-470.75	101	-48.92	130	-0.07	17
0	-964	-1636	Min.	22.30	-291.33	105	-1.18	106	-0.65	177	-470.75	101	-52.91	101	-0.07	17
0	-1006	-1644	Max	0.00	-18.91	1	12.30	177	0.34	173	380.77	130	40.34	101	0.17	177
0	-1006	-1644	Max	22.30	-17.67	1	12.30	177	2.08	177	380.77	130	42.59	130	0.17	177
0	-1006	-1644	Min.	0.00	-151.88	106	-0.33	65	-0.66	177	-365.99	101	-42.32	130	-0.09	17
0	-1006	-1644	Min.	22.30	-150.21	106	-0.33	65	-0.09	65	-365.99	101	-41.28	101	-0.09	17
0	-1095	-1652	Max	0.00	20.23	173	15.78	177	0.10	106	319.77	106	22.71	101	0.34	173
0	-1095	-1652	Max	22.30	21.47	173	15.78	177	3.18	177	319.77	106	35.53	106	0.34	173
0	-1095	-1652	Min.	0.00	-1113.93	105	-11.06	106	-0.34	177	-209.41	101	-35.78	106	-0.06	17
0	-1095	-1652	Min.	22.30	-1112.26	105	-11.06	106	-2.37	106	-209.41	101	-23.99	101	-0.06	17
0	-920	-1670	Max	0.00	-48.65	1	5.74	173	0.45	173	505.14	130	59.41	101	1.34	177
0	-920	-1670	Max	22.30	-47.41	1	5.74	173	1.73	173	505.14	130	56.49	130	1.34	177
0	-920	-1670	Min.	0.00	-233.74	97	-25.75	177	-1.72	177	-535.87	101	-56.15	130	-0.25	173
0	-920	-1670	Min.	22.30	-232.07	97	-25.75	177	-7.47	177	-535.87	101	-60.09	101	-0.25	173
0	-1179	-1660	Max	0.00	-166.29	17	43.40	121	0.95	106	425.16	98	3.58	49	0.43	121
0	-1179	-1660	Max	22.30	-165.05	17	43.40	121	7.71	121	425.16	98	47.26	98	0.43	121
0	-1179	-1660	Min.	0.00	-2435.31	105	-23.24	106	-1.97	121	-32.89	49	-47.55	98	-0.10	106
0	-1179	-1660	Min.	22.30	-2433.64	105	-23.24	106	-4.24	106	-32.89	49	-3.75	49	-0.10	106
0	-1216	-1686	Max	0.00	312.70	101	229.94	121	-2.56	142	802.86	98	-1.14	65	0.34	173
0	-1216	-1686	Max	22.30	314.37	101	229.94	121	24.64	121	802.86	98	91.03	98	0.34	173
0	-1216	-1686	Min.	0.00	-1411.90	158	12.60	142	-27.18	97	10.58	65	-88.01	98	-0.13	65
0	-1216	-1686	Min.	22.30	-1410.67	158	12.60	142	0.25	142	10.58	65	1.22	65	-0.13	65
0	-835	-1423	Max	0.00	455.28	97	84.12	173	22.92	177	654.40	130	65.73	101	2.55	177
0	-835	-1423	Max	22.30	456.95	97	84.12	173	14.24	173	654.40	130	72.78	130	2.55	177
0	-835	-1423	Min.	0.00	-930.13	106	-432.09	177	-4.52	173	-588.16	101	-73.15	130	-0.45	173
0	-835	-1423	Min.	22.30	-928.46	106	-432.09	177	-73.43	177	-588.16	101	-65.43	101	-0.45	173
0	-879	-1626	Max	0.00	110.21	130	39.01	173	2.09	177	617.90	130	65.38	101	3.06	177

0	-879	-1626	Max	22.30	111.88	130	39.01	173	8.31	173	617.90	130	69.15	130	3.06	177
0	-879	-1626	Min.	0.00	-320.84	97	-197.55	177	-0.39	173	-587.71	101	-68.64	130	-0.58	173
0	-879	-1626	Min.	22.30	-319.17	97	-197.55	177	-41.97	177	-587.71	101	-65.68	101	-0.58	173
0	-965	-1635	Max	0.00	-50.35	1	6.65	173	0.48	173	508.16	130	59.23	101	1.32	177
0	-965	-1635	Max	22.30	-49.11	1	6.65	173	1.96	173	508.16	130	56.81	130	1.32	177
0	-965	-1635	Min.	0.00	-253.93	97	-25.26	177	-1.71	177	-534.14	101	-56.51	130	-0.29	173
0	-965	-1635	Min.	22.30	-252.26	97	-25.26	177	-7.34	177	-534.14	101	-59.89	101	-0.29	173
0	-1007	-1643	Max	0.00	7.04	153	2.84	177	0.46	173	447.13	130	51.38	101	0.58	177
0	-1007	-1643	Max	22.30	8.28	153	2.84	177	0.97	173	447.13	130	49.90	130	0.58	177
0	-1007	-1643	Min.	0.00	-202.08	98	-1.20	106	-1.19	177	-464.34	101	-49.81	130	-0.09	17
0	-1007	-1643	Min.	22.30	-200.41	98	-1.20	106	-0.56	177	-464.34	101	-52.17	101	-0.09	17
0	-1096	-1651	Max	0.00	-42.16	17	13.07	177	0.36	173	375.55	130	39.02	101	0.17	177
0	-1096	-1651	Max	22.30	-40.92	17	13.07	177	2.28	177	375.55	130	41.93	130	0.17	177
0	-1096	-1651	Min.	0.00	-288.98	97	-2.46	106	-0.63	177	-354.27	101	-41.82	130	-0.08	17
0	-1096	-1651	Min.	22.30	-287.31	97	-2.46	106	-0.64	106	-354.27	101	-39.99	101	-0.08	17
0	-921	-1669	Max	0.00	-46.40	154	18.11	173	0.35	173	566.96	130	63.52	101	2.29	177
0	-921	-1669	Max	22.30	-45.16	154	18.11	173	4.38	173	566.96	130	63.46	130	2.29	177
0	-921	-1669	Min.	0.00	-277.70	97	-85.75	177	-1.47	177	-571.98	101	-62.98	130	-0.49	173
0	-921	-1669	Min.	22.30	-276.03	97	-85.75	177	-20.59	177	-571.98	101	-64.04	101	-0.49	173
0	-1181	-1659	Max	0.00	31.69	166	17.30	177	0.08	105	298.95	106	22.23	101	0.35	158
0	-1181	-1659	Max	22.30	32.92	166	17.30	177	3.70	121	298.95	106	33.35	106	0.35	158
0	-1181	-1659	Min.	0.00	-807.75	105	-14.65	106	-0.34	177	-202.84	101	-33.31	106	-0.05	105
0	-1181	-1659	Min.	22.30	-806.08	105	-14.65	106	-3.19	106	-202.84	101	-23.01	101	-0.05	105
0	-1217	-1681	Max	0.00	1490.74	97	55.25	121	-0.22	142	470.53	98	3.17	49	0.49	121
0	-1217	-1681	Max	22.30	1492.41	97	55.25	121	9.12	121	470.53	98	51.96	98	0.49	121
0	-1217	-1681	Min.	0.00	108.76	17	-6.63	106	-3.20	121	-29.80	49	-52.97	98	-0.04	106
0	-1217	-1681	Min.	22.30	110.00	17	-6.63	106	-1.89	106	-29.80	49	-3.48	49	-0.04	106
0	426	427	Max	0.00	4271.98	161	80.79	101	922.01	158	25.94	162	79.31	97	0.14	65
0	426	427	Max	21.63					66.56	21			24.46	21		
0	426	427	Max	199.50	4271.98	161	36.00	49	47.91	49	25.94	162	59.05	158	0.14	65
0	426	427	Min.	0.00	-1772.59	106	-993.10	158	-65.25	101	-30.60	97	-15.50	130	-0.17	173
0	426	427	Min.	21.39					24.01	69			-1.90	69		
0	426	427	Min.	199.50	-1772.59	106	-1032.78	158	-1098.79	158	-30.60	97	-13.26	65	-0.17	173
0	-880	-1418	Max	0.00	481.11	97	86.82	173	22.99	177	643.29	130	66.34	101	2.57	177
0	-880	-1418	Max	22.30	482.78	97	86.82	173	14.74	173	643.29	130	71.58	130	2.57	177
0	-880	-1418	Min.	0.00	-910.93	106	-433.40	177	-4.62	173	-593.79	101	-71.88	130	-0.50	173
0	-880	-1418	Min.	22.30	-909.26	106	-433.40	177	-73.66	177	-593.79	101	-66.08	101	-0.50	173
0	-966	-1634	Max	0.00	-54.59	154	19.54	173	0.35	173	569.75	130	63.33	101	2.26	177
0	-966	-1634	Max	22.30	-53.35	154	19.54	173	4.71	173	569.75	130	63.76	130	2.26	177
0	-966	-1634	Min.	0.00	-273.65	97	-84.97	177	-1.46	177	-570.33	101	-63.29	130	-0.55	173
0	-966	-1634	Min.	22.30	-271.98	97	-84.97	177	-20.41	177	-570.33	101	-63.85	101	-0.55	173
0	-1008	-1642	Max	0.00	-40.07	1	7.16	173	0.50	173	514.80	130	58.50	101	1.29	177
0	-1008	-1642	Max	22.30	-38.83	1	7.16	173	2.10	173	514.80	130	57.51	130	1.29	177
0	-1008	-1642	Min.	0.00	-222.68	98	-24.85	177	-1.69	177	-527.50	101	-57.29	130	-0.32	173
0	-1008	-1642	Min.	22.30	-221.01	98	-24.85	177	-7.23	177	-527.50	101	-59.14	101	-0.32	173
0	-1097	-1650	Max	0.00	-34.16	154	3.55	157	0.47	173	443.04	130	50.08	101	0.57	177
0	-1097	-1650	Max	22.30	-32.93	154	3.55	157	1.05	121	443.04	130	49.38	130	0.57	177
0	-1097	-1650	Min.	0.00	-274.95	97	0.17	65	-1.16	177	-452.39	101	-49.42	130	-0.10	17
0	-1097	-1650	Min.	22.30	-273.28	97	0.17	65	-0.47	177	-452.39	101	-50.81	101	-0.10	17
0	-922	-1668	Max	0.00	124.62	130	41.35	173	2.08	177	614.49	130	65.57	101	3.05	177
0	-922	-1668	Max	22.30	126.29	130	41.35	173	8.79	173	614.49	130	68.77	130	3.05	177
0	-922	-1668	Min.	0.00	-328.21	97	-196.96	177	-0.43	173	-589.36	101	-68.26	130	-0.66	173
0	-922	-1668	Min.	22.30	-326.54	97	-196.96	177	-41.85	177	-589.36	101	-65.86	101	-0.66	173
0	-1182	-1658	Max	0.00	180.35	158	13.01	177	0.39	121	347.13	130	37.29	101	0.21	166
0	-1182	-1658	Max	22.30	181.59	158	13.01	177	2.31	177	347.13	130	38.64	130	0.21	166
0	-1182	-1658	Min.	0.00	-207.91	101	-7.80	106	-0.59	177	-338.02	101	-38.77	130	-0.07	17
0	-1182	-1658	Min.	22.30	-206.24	101	-7.80	106	-1.79	106	-338.02	101	-38.09	101	-0.07	17
0	-1219	-1680	Max	0.00	353.74	97	18.35	177	0.07	173	315.65	106	19.43	101	0.37	158
0	-1219	-1680	Max	22.30	355.41	97	18.35	177	3.71	177	315.65	106	34.83	106	0.37	158
0	-1219	-1680	Min.	0.00	-276.79	106	-11.01	106	-0.38	177	-179.38	101	-35.56	106	-0.03	141
0	-1219	-1680	Min.	22.30	-275.12	106	-11.01	106	-2.50	106	-179.38	101	-20.57	101	-0.03	141
0	-967	-1633	Max	0.00	109.76	130	43.33	173	2.06	177	617.64	130	65.39	101	3.02	177
0	-967	-1633	Max	22.30	111.43	130	43.33	173	9.20	173	617.64	130	69.12	130	3.02	177
0	-967	-1633	Min.	0.00	-320.33	97	-195.71	177	-0.46	173	-587.83	101	-68.61	130	-0.71	173
0	-967	-1633	Min.	22.30	-318.65	97	-195.71	177	-41.59	177	-587.83	101	-65.69	101	-0.71	173
0	-1009	-1641	Max	0.00	-54.00	17	20.39	173	0.36	173	577.58	130	62.65	101	2.22	177
0	-1009	-1641	Max	22.30	-52.76	17	20.39	173	4.91	173	577.58	130	64.61	130	2.22	177
0	-1009	-1641	Min.	0.00	-263.75	97	-84.08	177	-1.45	177	-564.14	101	-64.19	130	-0.59	173
0	-1009	-1641	Min.	22.30	-262.08	97	-84.08	177	-20.20	177	-564.14	101	-63.15	101	-0.59	173
0	-1098	-1649	Max	0.00	-33.55	1	7.25	173	0.51	173	517.13	130	57.28	101	1.26	177
0	-1098	-1649	Max	22.30	-32.31	1	7.25	173	2.13	173	517.13	130	57.75	130	1.26	177
0	-1098	-1649	Min.	0.00	-278.67	122	-24.54	177	-1.66	177	-516.38	101	-57.57	130	-0.33	173
0	-1098	-1649	Min.	22.30	-277.00	122	-24.54	177	-7.13	177	-516.38	101	-57.87	101	-0.33	173
0	-923	-1424	Max	0.00	496.40	97	89.67	173	22.98	177	639.33	130	66.51	101	2.58	177
0	-923	-1424	Max	22.30	498.07	97	89.67	173	15.26	173	639.33	130	71.12	130	2.58	177
0	-923	-1424	Min.	0.00	-915.87	106	-432.88	177	-4.73	173	-595.24	101	-71.44	130	-0.54	173
0	-923	-1424	Min.	22.30	-914.20	106	-432.88	177	-73.56	177	-595.24	101	-66.23	101	-0.54	173
0	-1183	-1657	Max	0.00	-18.38	1	4.89	160	0.48	173	419.16	130	47.89	101	0.55	177
0	-1183	-1657	Max	22.30	-17.14	1	4.89	160	1.38	157	419.16	130	46.51	130	0.55	177

0	-1183	-1657	Min.	0.00	-275.22	162	0.10	65	-1.14	177	-431.93	101	-46.97	130	-0.13	101
0	-1183	-1657	Min.	22.30	-273.98	162	0.10	65	-0.50	177	-431.93	101	-48.43	101	-0.13	101
0	-1220	-1679	Max	0.00	1160.60	158	13.06	177	0.48	122	359.63	130	35.88	101	0.24	166
0	-1220	-1679	Max	22.30	1161.83	158	13.06	177	2.32	177	359.63	130	40.84	130	0.24	166
0	-1220	-1679	Min.	0.00	-594.18	101	-11.27	106	-0.60	177	-329.31	101	-39.36	130	-0.08	101
0	-1220	-1679	Min.	22.30	-592.51	101	-11.27	106	-2.45	106	-329.31	101	-37.55	101	-0.08	101
0	-968	-1419	Max	0.00	479.37	97	91.94	173	22.92	177	643.01	130	66.35	101	2.56	177
0	-968	-1419	Max	22.30	481.04	97	91.94	173	15.69	173	643.01	130	71.55	130	2.56	177
0	-968	-1419	Min.	0.00	-907.29	106	-431.49	177	-4.82	173	-593.90	101	-71.85	130	-0.56	173
0	-968	-1419	Min.	22.30	-905.62	106	-431.49	177	-73.30	177	-593.90	101	-66.09	101	-0.56	173
0	-1010	-1640	Max	0.00	88.58	130	44.54	173	2.04	177	627.79	130	64.81	101	2.99	177
0	-1010	-1640	Max	22.30	90.25	130	44.54	173	9.45	173	627.79	130	70.25	130	2.99	177
0	-1010	-1640	Min.	0.00	-311.36	97	-194.39	177	-0.49	173	-582.64	101	-69.74	130	-0.75	173
0	-1010	-1640	Min.	22.30	-309.69	97	-194.39	177	-41.31	177	-582.64	101	-65.12	101	-0.75	173
0	-1099	-1648	Max	0.00	-46.84	17	20.59	173	0.36	173	587.77	130	61.63	101	2.19	177
0	-1099	-1648	Max	22.30	-45.60	17	20.59	173	4.96	173	587.77	130	65.77	130	2.19	177
0	-1099	-1648	Min.	0.00	-254.27	97	-83.28	177	-1.44	177	-554.93	101	-65.31	130	-0.59	173
0	-1099	-1648	Min.	22.30	-252.60	97	-83.28	177	-20.01	177	-554.93	101	-62.12	101	-0.59	173
0	-1184	-1656	Max	0.00	25.54	49	10.13	130	0.51	173	514.69	130	55.55	101	1.24	177
0	-1184	-1656	Max	22.30	26.77	49	10.13	130	2.29	130	514.69	130	57.51	130	1.24	177
0	-1184	-1656	Min.	0.00	-555.07	130	-24.47	177	-1.64	177	-500.77	101	-57.27	130	-0.32	173
0	-1184	-1656	Min.	22.30	-553.40	130	-24.47	177	-7.09	177	-500.77	101	-56.13	101	-0.32	173
0	327	-1678	Max	0.00	-40.25	17	3.93	157	0.46	173	331.80	130	44.49	101	0.53	177
0	327	-1678	Max	21.18					0.01	118			23.22	118		
0	327	-1678	Max	22.30	-39.01	17	3.93	157	1.20	157	331.80	130	34.36	106	0.53	177
0	327	-1678	Min.	0.00	-690.03	157	-0.69	106	-1.09	177	-393.39	101	-40.09	130	-0.18	101
0	327	-1678	Min.	21.18					0.01	118			23.22	118		
0	327	-1678	Min.	22.30	-688.79	157	-0.69	106	-0.77	177	-393.39	101	-43.24	101	-0.18	101
0	-1011	-1420	Max	0.00	454.33	97	92.89	173	22.81	177	653.89	130	65.76	101	2.53	177
0	-1011	-1420	Max	22.30	456.00	97	92.89	173	15.87	173	653.89	130	72.72	130	2.53	177
0	-1011	-1420	Min.	0.00	-928.24	106	-428.86	177	-4.85	173	-588.47	101	-73.10	130	-0.59	173
0	-1011	-1420	Min.	22.30	-926.57	106	-428.86	177	-72.83	177	-588.47	101	-65.47	101	-0.59	173
0	-1100	-1647	Max	0.00	92.57	130	44.86	173	2.04	177	644.35	130	63.99	101	2.95	177
0	-1100	-1647	Max	22.30	94.24	130	44.86	173	9.52	173	644.35	130	72.13	130	2.95	177
0	-1100	-1647	Min.	0.00	-293.68	97	-192.99	177	-0.49	173	-575.32	101	-71.56	130	-0.76	173
0	-1100	-1647	Min.	22.30	-292.01	97	-192.99	177	-41.00	177	-575.32	101	-64.31	101	-0.76	173
0	-1185	-1655	Max	0.00	-36.51	1	20.66	173	0.37	173	603.45	130	60.45	101	2.15	177
0	-1185	-1655	Max	22.30	-35.27	1	20.66	173	4.97	173	603.45	130	67.64	130	2.15	177
0	-1185	-1655	Min.	0.00	-228.83	122	-82.44	177	-1.42	177	-544.70	101	-66.93	130	-0.59	173
0	-1185	-1655	Min.	22.30	-227.16	122	-82.44	177	-19.81	177	-544.70	101	-61.02	101	-0.59	173
0	-1221	-1677	Max	0.00	296.70	101	14.46	130	0.48	173	548.28	130	55.13	101	1.21	177
0	-1221	-1677	Max	22.30	298.37	101	14.46	130	3.15	130	548.28	130	62.40	130	1.21	177
0	-1221	-1677	Min.	0.00	-1688.06	130	-23.89	177	-1.64	177	-500.04	101	-59.87	130	-0.32	173
0	-1221	-1677	Min.	22.30	-1686.39	130	-23.89	177	-6.97	177	-500.04	101	-56.38	101	-0.32	173
0	427	-1678	Max	0.00	-10.86	17	2375.63	130	301.46	101	53.05	162	0.22	173	0.18	173
0	427	-1678	Max	127.70	-53.92	17	2375.63	130	2161.37	130	53.05	162	67.90	162	0.18	173
0	427	-1678	Min.	0.00	-2571.59	158	-792.35	101	-872.32	130	-23.36	101	-0.08	177	-0.51	177
0	427	-1678	Min.	127.70	-2614.65	158	-792.35	101	-710.38	101	-23.36	101	-29.78	101	-0.51	177
0	-1101	-1421	Max	0.00	397.87	97	93.56	173	22.69	177	672.91	130	64.97	101	2.49	177
0	-1101	-1421	Max	22.30	399.54	97	93.56	173	15.98	173	672.91	130	74.79	130	2.49	177
0	-1101	-1421	Min.	0.00	-927.19	106	-425.97	177	-4.88	173	-581.29	101	-75.27	130	-0.58	173
0	-1101	-1421	Min.	22.30	-925.52	106	-425.97	177	-72.30	177	-581.29	101	-64.66	101	-0.58	173
0	-1186	-1654	Max	0.00	199.79	130	45.16	173	2.02	177	667.44	130	63.07	101	2.89	177
0	-1186	-1654	Max	22.30	201.47	130	45.16	173	9.58	173	667.44	130	74.71	130	2.89	177
0	-1186	-1654	Min.	0.00	-272.52	101	-191.02	177	-0.49	173	-567.28	101	-74.13	130	-0.75	173
0	-1186	-1654	Min.	22.30	-270.85	101	-191.02	177	-40.58	177	-567.28	101	-63.43	101	-0.75	173
0	-1222	-1676	Max	0.00	300.13	158	20.75	173	0.36	173	627.12	130	60.16	101	2.12	177
0	-1222	-1676	Max	22.30	301.36	158	20.75	173	4.99	173	627.12	130	70.20	130	2.12	177
0	-1222	-1676	Min.	0.00	-236.00	101	-81.47	177	-1.41	177	-541.97	101	-69.65	130	-0.58	173
0	-1222	-1676	Min.	22.30	-234.33	101	-81.47	177	-19.58	177	-541.97	101	-60.70	101	-0.58	173
0	-1187	-1422	Max	0.00	265.84	97	94.23	173	22.52	177	700.65	130	64.13	101	2.42	177
0	-1187	-1422	Max	22.30	267.51	97	94.23	173	16.11	173	700.65	130	77.79	130	2.42	177
0	-1187	-1422	Min.	0.00	-1040.04	130	-422.12	177	-4.90	173	-573.78	101	-78.46	130	-0.57	173
0	-1187	-1422	Min.	22.30	-1038.37	130	-422.12	177	-71.61	177	-573.78	101	-63.83	101	-0.57	173
0	-1223	-1675	Max	0.00	330.17	130	45.71	173	2.02	177	704.38	130	63.15	101	2.86	177
0	-1223	-1675	Max	22.30	331.83	130	45.71	173	9.69	173	704.38	130	78.83	130	2.86	177
0	-1223	-1675	Min.	0.00	-286.35	101	-188.84	177	-0.50	173	-568.37	101	-78.25	130	-0.75	173
0	-1223	-1675	Min.	22.30	-284.68	101	-188.84	177	-40.09	177	-568.37	101	-63.60	101	-0.75	173
0	-1224	-1425	Max	0.00	136.76	101	95.28	173	22.29	177	742.14	130	64.14	101	2.37	177
0	-1224	-1425	Max	22.30	138.43	101	95.28	173	16.31	173	742.14	130	82.18	130	2.37	177
0	-1224	-1425	Min.	0.00	-1502.32	130	-416.29	177	-4.94	173	-574.30	101	-83.32	130	-0.56	173
0	-1224	-1425	Min.	22.30	-1500.65	130	-416.29	177	-70.54	177	-574.30	101	-63.92	101	-0.56	173
0	427	428	Max	0.00	5997.20	159	1556.22	157	392.38	106	6.64	65	59.28	158	0.17	121
0	427	428	Max	7.16					2.07	169			5.69	169		
0	427	428	Max	190.50	5997.20	159	1518.33	157	2371.34	157	6.64	65	0.24	106	0.17	121
0	427	428	Min.	0.00	-180.41	108	-294.55	106	-557.16	157	-31.44	158	-12.87	65	-0.05	106
0	427	428	Min.	183.15					-7.19	111			0.41	111		
0	427	428	Min.	190.50	-180.41	108	-345.70	106	-217.45	106	-31.44	158	-0.83	177	-0.05	106
0	428	328	Max	0.00	1518.33	157	180.41	108	2371.34	157	6.64	65	0.05	106	0.24	106

0	428	328	Max	0.38					14.29	53			-0.05	53		
0	428	328	Max	150.00	1467.75	157	180.41	108	270.65	101	6.64	65	9.87	65	0.24	106
0	428	328	Min.	0.00	-345.70	106	-5997.20	159	-217.45	106	-31.44	158	-0.17	121	-0.83	177
0	428	328	Min.	0.38					-78.32	53			-0.08	53		
0	428	328	Min.	150.00	-413.99	106	-5997.20	159	-6635.25	162	-31.44	158	-47.31	158	-0.83	177
2	-1603	302	Max	0.00	398.34	161	396.70	130	34.60	101	273.74	177	0.50	110	0.09	101
2	-1603	302	Max	22.30	397.11	161	396.70	130	46.33	130	273.74	177	4.12	177	0.09	101
2	-1603	302	Min.	0.00	-357.52	102	-326.38	101	-43.26	106	-1.33	1	-56.93	177	-0.21	130
2	-1603	302	Min.	22.30	-359.19	102	-326.38	101	-38.18	101	-1.33	1	-0.11	125	-0.21	130
3	-1822	303	Max	0.00	1469.75	98	-35.61	17	105.73	98	95.57	177	8.51	173	0.25	101
3	-1822	303	Max	22.30	1468.08	98	-35.61	17	-4.10	17	95.57	177	0.24	177	0.25	101
3	-1822	303	Min.	0.00	123.92	17	-973.56	98	3.85	17	-52.97	173	-21.07	177	-1.88	177
3	-1822	303	Min.	22.30	122.68	17	-973.56	98	-111.37	98	-52.97	173	-3.30	173	-1.88	177
4	-1817	304	Max	0.00	302.01	177	21.26	1	127.67	98	294.01	177	2.81	173	0.71	98
4	-1817	304	Max	17.84					-30.22	163			-0.01	163		
4	-1817	304	Max	22.30	300.78	177	21.26	1	2.35	1	294.01	177	1.29	177	0.71	98
4	-1817	304	Min.	0.00	-298.90	173	-1170.60	98	-2.39	1	-14.14	173	-64.27	177	-0.44	173
4	-1817	304	Min.	17.84					-29.72	168			-0.01	168		
4	-1817	304	Min.	22.30	-300.14	173	-1170.60	98	-133.37	98	-14.14	173	-0.35	173	-0.44	173
5	-1533	305	Max	0.00	206.77	177	419.19	101	57.60	130	238.10	177	12.06	173	0.16	106
5	-1533	305	Max	22.30	205.53	177	419.19	101	48.00	101	238.10	177	0.30	177	0.16	106
5	-1533	305	Min.	0.00	-1407.69	173	-513.10	130	-45.48	101	-63.50	173	-52.80	177	-0.16	101
5	-1533	305	Min.	22.30	-1408.93	173	-513.10	130	-56.82	130	-63.50	173	-2.10	173	-0.16	101
6	-1808	306	Max	0.00	302.01	177	1170.60	97	13.53	130	294.01	177	3.05	173	0.41	173
6	-1808	306	Max	22.30	300.78	177	1170.60	97	133.37	97	294.01	177	1.29	177	0.41	173
6	-1808	306	Min.	0.00	-247.27	97	-106.74	130	-127.67	97	-15.15	173	-64.27	177	-0.71	97
6	-1808	306	Min.	22.30	-248.94	97	-106.74	130	-10.28	130	-15.15	173	-0.32	173	-0.71	97
7	-1803	307	Max	0.00	1469.77	97	973.57	97	-3.75	166	95.57	177	8.60	173	1.88	177
7	-1803	307	Max	22.30	1468.10	97	973.57	97	111.37	97	95.57	177	0.24	177	1.88	177
7	-1803	307	Min.	0.00	123.92	65	35.61	65	-105.74	97	-53.60	173	-21.07	177	-0.25	106
7	-1803	307	Min.	22.30	122.68	65	35.61	65	4.10	65	-53.60	173	-3.35	173	-0.25	106
8	-1622	308	Max	0.00	279.25	177	334.35	130	43.26	101	273.75	177	1.16	157	0.18	101
8	-1622	308	Max	22.30	278.01	177	334.35	130	40.32	130	273.75	177	4.12	177	0.18	101
8	-1622	308	Min.	0.00	-679.32	157	-393.45	101	-34.60	106	-3.76	157	-56.93	177	-0.15	130
8	-1622	308	Min.	22.30	-680.56	157	-393.45	101	-44.48	101	-3.76	157	-0.06	106	-0.15	130
10	10	310	Max	0.00	-2204.85	17	4.84	101	13.88	101	0.00	157	0.00	173	0.19	101
10	10	310	Max	20.00	-2201.51	17	4.84	101	14.85	101	0.00	157	0.00	158	0.19	101
10	10	310	Min.	0.00	-21872.60	98	-26.49	177	-41.34	173	0.00	1	0.00	105	-1.26	177
10	10	310	Min.	20.00	-21868.10	98	-26.49	177	-44.28	173	0.00	1	0.00	105	-1.26	177
11	11	311	Max	0.00	-2204.85	65	4.84	106	13.88	106	0.00	158	0.00	105	1.26	177
11	11	311	Max	20.00	-2201.51	65	4.84	106	14.84	106	0.00	158	0.00	158	1.26	177
11	11	311	Min.	0.00	-21872.60	97	-26.49	177	-42.80	173	0.00	97	0.00	162	-0.19	106
11	11	311	Min.	20.00	-21868.10	97	-26.49	177	-45.86	173	0.00	97	0.00	161	-0.19	106
12	12	312	Max	0.00	-2820.00	17	-0.28	65	4.62	65	0.00	157	0.00	157	0.07	65
12	12	312	Max	20.00	-2816.66	17	-0.28	65	4.56	65	0.00	157	0.00	157	0.07	65
12	12	312	Min.	0.00	-20663.10	102	-28.14	177	-21.57	173	0.00	1	0.00	102	-1.35	177
12	12	312	Min.	20.00	-20658.60	102	-28.14	177	-22.38	173	0.00	1	0.00	102	-1.35	177
13	13	313	Max	0.00	-2820.00	65	-0.28	17	4.62	17	0.00	157	0.00	105	1.35	177
13	13	313	Max	20.00	-2816.66	65	-0.28	17	4.56	17	0.00	157	0.00	157	1.35	177
13	13	313	Min.	0.00	-20662.50	105	-28.14	177	-22.50	173	0.00	1	0.00	161	-0.07	17
13	13	313	Min.	20.00	-20658.00	105	-28.14	177	-23.36	173	0.00	1	0.00	1	-0.07	17
14	14	314	Max	0.00	-3186.85	33	3.75	173	8.12	65	0.00	157	0.00	161	0.15	65
14	14	314	Max	16.00					-0.00	140			0.00	140		
14	14	314	Max	20.00	-3183.51	33	3.75	173	8.47	65	0.00	157	0.00	157	0.15	65
14	14	314	Min.	0.00	-19550.90	102	-26.89	177	-8.18	17	0.00	161	0.00	105	-1.30	177
14	14	314	Min.	16.00					-0.00	140			0.00	140		
14	14	314	Min.	20.00	-19546.40	102	-26.89	177	-10.26	177	0.00	161	0.00	105	-1.30	177
15	15	315	Max	0.00	-3186.48	33	3.48	173	8.12	17	0.00	161	0.00	165	1.30	177
15	15	315	Max	16.00					-0.00	124			0.00	124		
15	15	315	Max	20.00	-3183.15	33	3.48	173	8.47	17	0.00	161	0.00	165	1.30	177
15	15	315	Min.	0.00	-19550.40	105	-26.89	177	-9.01	173	0.00	1	0.00	105	-0.15	17
15	15	315	Min.	16.00					-0.00	144			0.00	144		
15	15	315	Min.	20.00	-19545.90	105	-26.89	177	-10.26	177	0.00	1	0.00	105	-0.15	17
16	16	316	Max	0.00	-2764.12	65	8.33	173	16.04	65	0.00	157	0.00	101	0.33	65
16	16	316	Max	20.00	-2760.78	65	8.33	173	17.31	65	0.00	157	0.00	161	0.33	65
16	16	316	Min.	0.00	-20600.00	102	-23.96	177	-4.75	17	0.00	1	0.00	157	-1.18	177
16	16	316	Min.	20.00	-20595.50	102	-23.96	177	-5.12	177	0.00	1	0.00	105	-1.18	177
17	17	317	Max	0.00	-2764.11	17	7.91	173	16.04	17	0.00	161	0.00	97	1.18	177
17	17	317	Max	20.00	-2760.78	17	7.91	173	17.31	17	0.00	161	0.00	157	1.18	177
17	17	317	Min.	0.00	-20599.40	105	-23.96	177	-4.75	65	0.00	1	0.00	161	-0.33	17
17	17	317	Min.	20.00	-20594.90	105	-23.96	177	-5.12	177	0.00	1	0.00	101	-0.33	17
18	18	318	Max	0.00	-2120.69	65	14.97	98	28.12	65	0.00	157	0.00	49	0.64	98
18	18	318	Max	20.00	-2117.36	65	14.97	98	30.70	65	0.00	157	0.00	161	0.64	98
18	18	318	Min.	0.00	-21762.70	98	-20.40	177	-14.23	101	0.00	1	0.00	1	-1.03	177
18	18	318	Min.	20.00	-21758.20	98	-20.40	177	-15.22	101	0.00	1	0.00	1	-1.03	177
19	19	319	Max	0.00	-2120.69	17	15.63	121	30.59	121	0.00	157	0.00	166	1.03	177
19	19	319	Max	20.00	-2117.36	17	15.63	121	33.72	121	0.00	157	0.00	162	1.03	177
19	19	319	Min.	0.00	-21762.70	97	-20.40	177	-14.23	106	0.00	1	0.00	157	-0.70	121
19	19	319	Min.	20.00	-21758.20	97	-20.40	177	-15.22	106	0.00	1	0.00	1	-0.70	121

24	-1689	324	Max	0.00	-7.08	17	418.20	101	57.57	130	0.83	100	0.18	173	0.16	101
24	-1689	324	Max	22.30	-8.32	17	418.20	101	47.91	101	0.83	100	0.26	99	0.16	101
24	-1689	324	Min.	0.00	-249.14	99	-512.75	130	-45.35	101	0.02	17	-0.07	17	-0.16	106
24	-1689	324	Min.	22.30	-250.81	99	-512.75	130	-56.78	130	0.02	17	-0.06	17	-0.16	106
301	301	-582	Max	0.00	0.00	1	106.00	173	502.21	177	1390.24	101	0.00	1	3.68	173
301	301	-582	Max	31.00	0.00	1	106.00	173	152.14	177	1377.39	101	428.98	101	3.68	173
301	301	-582	Min.	0.00	0.00	1	-1231.73	177	-36.72	173	-1483.49	158	0.00	1	-15.21	177
301	301	-582	Min.	31.00	0.00	1	-1026.79	177	-3.86	173	-1493.01	158	-461.36	158	-15.21	177
301	-582	-583	Max	0.00	593.61	101	34.03	173	156.60	177	557.82	101	362.52	101	8.16	177
301	-582	-583	Max	4.23					5.73	34			133.95	34		
301	-582	-583	Max	39.88	593.61	101	34.03	173	9.32	173	541.29	101	581.65	101	8.16	177
301	-582	-583	Min.	0.00	-719.59	130	-632.24	177	-4.25	173	-626.80	122	-392.46	158	-0.38	173
301	-582	-583	Min.	4.23					4.76	34			76.41	34		
301	-582	-583	Min.	39.88	-719.59	130	-368.63	177	-42.95	177	-643.33	122	-631.99	158	-0.38	173
301	-583	-584	Max	0.00	1160.85	101	4.08	173	8.97	173	679.48	101	518.68	101	9.74	177
301	-583	-584	Max	32.06					-0.44	8			142.52	8		
301	-583	-584	Max	39.87	1160.85	101	4.08	173	10.60	173	662.95	101	786.32	101	9.74	177
301	-583	-584	Min.	0.00	-1421.62	130	-289.21	177	-37.50	177	-1030.30	158	-566.74	158	-0.64	173
301	-583	-584	Min.	32.06					-0.78	8			-0.24	8		
301	-583	-584	Min.	39.87	-1421.62	130	-25.60	177	-100.27	177	-1042.54	158	-980.01	158	-0.64	173
301	-584	-585	Max	0.00	1671.97	101	2.19	125	10.42	173	630.87	101	729.52	101	6.49	177
301	-584	-585	Max	39.88	1671.97	101	128.53	177	7.18	173	614.34	101	977.79	101	6.49	177
301	-584	-585	Min.	0.00	-2074.44	130	-135.07	177	-96.28	177	-1429.02	158	-921.88	158	-0.36	173
301	-584	-585	Min.	39.88	-2074.44	130	-8.57	98	-97.58	177	-1441.27	158	-1494.15	158	-0.36	173
301	-585	302	Max	0.00	2125.08	101	7.86	101	7.16	173	-44.11	161	927.91	101	2.83	177
301	-585	302	Max	39.88	2125.08	101	181.01	177	4.26	125	-56.36	161	744.15	101	2.83	177
301	-585	302	Min.	0.00	-2664.45	130	-82.60	177	-95.60	177	-1279.91	98	-1445.98	158	-0.09	173
301	-585	302	Min.	39.88	-2664.45	130	-11.01	173	-75.98	177	-1296.44	98	-1655.55	122	-0.09	173
301	302	-586	Max	0.00	2451.46	101	7.14	101	4.28	125	340.75	161	705.96	101	0.19	101
301	302	-586	Max	39.88	2451.46	101	170.88	177	4.58	101	328.51	161	372.57	101	0.19	101
301	302	-586	Min.	0.00	-3061.15	130	-92.73	177	-75.81	177	-1583.99	98	-1628.99	122	-1.29	177
301	302	-586	Min.	39.88	-3061.15	130	-11.17	130	-60.23	177	-1600.52	98	-2025.97	98	-1.29	177
301	-586	-587	Max	0.00	2795.28	101	2.15	65	4.54	101	-90.11	1	334.61	101	0.27	126
301	-586	-587	Max	39.88	2795.28	101	212.17	177	3.00	101	-102.36	1	178.29	1	0.27	126
301	-586	-587	Min.	0.00	-3422.71	130	-51.43	177	-61.53	177	-1557.93	106	-2024.77	98	-3.64	177
301	-586	-587	Min.	39.88	-3422.71	130	-5.84	158	-29.48	177	-1574.46	106	-2629.83	98	-3.64	177
301	-587	-588	Max	0.00	3112.12	101	56.13	177	3.02	101	-136.45	1	165.33	1	0.29	126
301	-587	-588	Max	19.94	3112.12	101	187.94	177	0.14	137	-142.57	1	132.44	1	0.29	126
301	-587	-588	Min.	0.00	-3629.40	130	-14.84	101	-31.82	177	-1358.80	106	-2651.71	98	-4.87	177
301	-587	-588	Min.	19.94	-3629.40	130	-14.84	101	-7.48	177	-1367.07	106	-2885.93	98	-4.87	177
301	-588	-589	Max	0.00	3112.12	101	187.93	177	0.14	137	-144.61	1	132.44	1	0.29	126
301	-588	-589	Max	19.94	3112.12	101	319.74	177	43.12	177	-150.74	1	98.37	1	0.29	126
301	-588	-589	Min.	0.00	-3629.40	130	-14.84	101	-7.49	177	-1367.07	106	-2885.93	98	-4.87	177
301	-588	-589	Min.	19.94	-3629.40	130	-14.84	101	-4.86	98	-1375.33	106	-3121.79	98	-4.87	177
301	-589	-590	Max	0.00	3445.93	101	249.56	177	40.80	177	304.34	97	85.90	1	3.24	173
301	-589	-590	Max	23.93					7.00	37			-441.80	37		
301	-589	-590	Max	39.88	3445.93	101	513.16	177	192.87	177	287.81	97	83.10	1	3.24	173
301	-589	-590	Min.	0.00	-3648.39	130	-21.13	101	-5.24	98	-450.42	130	-3173.42	98	-4.61	177
301	-589	-590	Min.	20.88					4.59	121			-2815.14	121		
301	-589	-590	Min.	39.88	-3648.39	130	-21.13	101	-11.28	101	-466.95	130	-3063.89	98	-4.61	177
301	-590	303	Max	0.00	3864.06	101	27.91	101	189.26	177	1323.04	158	69.97	1	4.41	177
301	-590	303	Max	40.00	3864.06	101	27.91	101	52.56	177	1310.76	158	113.53	1	4.41	177
301	-590	303	Min.	0.00	-3464.42	130	-473.98	177	-14.74	101	-75.34	177	-3151.46	98	-3.33	98
301	-590	303	Min.	40.00	-3464.42	130	-209.55	177	-5.03	97	-87.62	177	-2818.86	98	-3.33	98
301	303	-591	Max	0.00	4253.76	101	19.18	101	54.44	177	2291.29	98	101.45	1	4.17	177
301	303	-591	Max	20.00	4253.76	101	19.18	101	6.63	177	2283.00	98	161.66	1	4.17	177
301	303	-591	Min.	0.00	-3019.05	130	-305.12	177	-5.16	97	159.59	17	-2930.23	98	-0.30	101
301	303	-591	Min.	20.00	-3019.05	130	-172.90	177	-5.96	98	153.44	17	-2472.80	98	-0.30	101
301	-591	-592	Max	0.00	4253.76	101	19.18	101	6.63	177	2283.00	98	161.66	1	4.17	177
301	-591	-592	Max	20.00	4253.76	101	19.18	101	3.85	101	2274.71	98	382.01	101	4.17	177
301	-591	-592	Min.	0.00	-3019.05	130	-172.90	177	-5.96	98	155.10	17	-2472.80	98	-0.30	101
301	-591	-592	Min.	20.00	-3019.05	130	-40.69	177	-14.72	177	148.96	17	-2017.03	98	-0.30	101
301	-592	-593	Max	0.00	4705.43	101	4.33	101	3.60	101	3644.73	98	332.39	101	3.82	177
301	-592	-593	Max	5.38					-2.02	5			139.65	5		
301	-592	-593	Max	40.00	4705.43	101	80.89	177	5.33	101	3628.15	98	939.03	101	3.82	177
301	-592	-593	Min.	0.00	-2426.28	130	-183.54	177	-12.60	177	211.29	17	-2162.61	98	-0.35	101
301	-592	-593	Min.	5.38					-2.54	5			-720.40	5		
301	-592	-593	Min.	40.00	-2426.28	130	-7.90	173	-33.13	177	199.01	17	-1067.93	106	-0.35	101
301	-593	-594	Max	0.00	5117.30	101	4.11	158	5.17	101	3663.17	98	893.60	101	2.57	177
301	-593	-594	Max	40.00	5117.30	101	140.40	177	3.87	101	3646.59	98	1341.45	101	2.57	177
301	-593	-594	Min.	0.00	-1720.61	130	-124.03	177	-31.61	177	173.46	17	-1159.20	106	-0.51	97
301	-593	-594	Min.	40.00	-1720.61	130	-4.69	173	-28.34	177	161.18	17	-512.63	130	-0.51	97
301	-594	-595	Max	0.00	5447.45	101	4.77	122	3.80	101	3522.80	98	1304.90	101	1.28	177
301	-594	-595	Max	40.00	5447.45	101	160.07	177	1.82	101	3506.22	98	1874.05	97	1.28	177
301	-594	-595	Min.	0.00	-949.25	130	-104.36	177	-27.54	177	125.26	17	-598.17	130	-0.76	98
301	-594	-595	Min.	40.00	-949.25	130	-5.64	173	-16.40	177	112.98	17	-40.24	130	-0.76	98
301	-595	304	Max	0.00	6827.52	97	14.91	98	1.81	101	1609.74	122	1718.42	97	0.77	173
301	-595	304	Max	11.11					-23.28	177			293.31	177		
301	-595	304	Max	40.00	6827.52	97	163.84	177	1.80	65	1593.16	122	2311.17	97	0.77	173

301	-595	304	Min.	0.00	-149.19	130	-100.60	177	-16.18	177	3.59	177	-128.85	130	-0.60	98
301	-595	304	Min.	11.11					-23.28	177			293.31	177		
301	-595	304	Min.	40.00	-149.19	130	-3.36	125	-5.78	173	-8.69	177	29.82	49	-0.60	98
301	304	-596	Max	0.00	7970.47	97	15.96	98	1.56	65	1407.09	122	2180.94	97	1.12	173
301	304	-596	Max	40.00	7970.47	97	134.26	177	5.86	98	1390.50	122	2668.57	97	1.12	173
301	304	-596	Min.	0.00	154.92	65	-130.17	177	-5.34	173	-1.83	1	-2.00	49	-0.68	177
301	304	-596	Min.	40.00	154.92	65	-2.10	125	-2.86	177	-14.12	1	56.81	65	-0.68	177
301	-596	-597	Max	0.00	9048.32	97	6.18	97	5.20	98	2517.10	98	2550.32	97	0.62	173
301	-596	-597	Max	40.00	9048.32	97	138.40	177	7.65	98	2500.52	98	3534.92	97	0.62	173
301	-596	-597	Min.	0.00	262.22	65	-126.03	177	-3.24	177	-77.48	1	34.90	49	-0.91	177
301	-596	-597	Min.	40.00	262.22	65	-4.37	173	-2.09	17	-89.76	1	118.84	65	-0.91	177
301	-597	-1302	Max	0.00	9855.40	97	4.65	121	7.11	97	2326.89	173	3445.52	97	0.51	173
301	-597	-1302	Max	20.00	9855.40	97	25.11	177	7.92	97	2320.75	173	3777.40	97	0.51	173
301	-597	-1302	Min.	0.00	360.59	65	-107.11	177	-2.02	17	-258.10	125	107.93	65	-1.12	177
301	-597	-1302	Min.	20.00	360.59	65	-13.32	173	-9.55	177	-266.39	125	139.67	65	-1.12	177
301	-1302	-598	Max	0.00	9855.40	97	25.11	177	7.92	97	2320.75	173	3777.40	97	0.51	173
301	-1302	-598	Max	20.00	9855.40	97	157.32	177	8.74	97	2314.61	173	4107.62	97	0.51	173
301	-1302	-598	Min.	0.00	360.59	65	-13.32	173	-9.55	177	-266.39	125	139.67	65	-1.12	177
301	-1302	-598	Min.	20.00	360.59	65	-13.32	173	-6.96	173	-274.68	125	171.30	17	-1.12	177
301	-598	-1304	Max	0.00	10354.40	97	2.09	98	8.41	97	2435.70	173	4052.25	97	0.17	173
301	-598	-1304	Max	17.93					0.76	50			678.83	50		
301	-598	-1304	Max	20.00	10354.40	97	64.19	177	8.82	97	2429.56	173	4191.51	97	0.17	173
301	-598	-1304	Min.	0.00	447.82	65	-68.03	177	-6.66	173	-368.77	101	161.96	65	-0.88	177
301	-598	-1304	Min.	11.50					0.04	2			556.48	2		
301	-598	-1304	Min.	20.00	447.82	65	-20.79	173	-10.82	173	-377.06	101	182.78	17	-0.88	177
301	-1304	-599	Max	0.00	10354.40	97	64.19	177	8.82	97	2429.56	173	4191.51	97	0.17	173
301	-1304	-599	Max	8.00					1.02	55			801.35	55		
301	-1304	-599	Max	20.00	10354.40	97	196.40	177	33.75	177	2423.42	173	4336.70	98	0.17	173
301	-1304	-599	Min.	0.00	447.82	65	-20.79	173	-10.82	173	-377.06	101	182.78	17	-0.88	177
301	-1304	-599	Min.	7.38					-0.25	7			457.93	7		
301	-1304	-599	Min.	20.00	447.82	65	-20.79	173	-14.98	173	-385.36	101	182.69	17	-0.88	177
301	-599	305	Max	0.00	10510.00	97	3.11	106	33.39	177	1468.41	173	4315.46	98	0.15	177
301	-599	305	Max	19.00					3.33	69			1080.55	69		
301	-599	305	Max	20.00	10510.00	97	119.05	177	43.98	177	1462.27	173	4340.67	98	0.15	177
301	-599	305	Min.	0.00	519.96	65	-27.33	173	-14.86	173	-96.62	177	189.04	17	-0.94	173
301	-599	305	Min.	19.00					-2.61	21			196.89	21		
301	-599	305	Min.	20.00	519.96	65	-27.33	173	-20.33	173	-102.76	177	190.46	17	-0.94	173
301	305	-600	Max	0.00	10510.00	98	36.17	173	43.98	177	899.67	165	4340.67	97	1.16	173
301	305	-600	Max	1.00					3.33	21			1080.55	21		
301	305	-600	Max	20.00	10510.00	98	36.17	173	33.39	177	893.52	165	4315.46	97	1.16	173
301	305	-600	Min.	0.00	519.96	17	-119.05	177	-20.34	173	-131.31	98	190.46	65	-0.15	177
301	305	-600	Min.	1.00					-2.61	69			196.89	69		
301	305	-600	Min.	20.00	519.96	17	-4.83	125	-13.11	173	-139.60	98	189.04	65	-0.15	177
301	-600	-1306	Max	0.00	10354.40	98	21.26	173	33.75	177	385.33	106	4336.70	97	0.88	177
301	-600	-1306	Max	16.00					-0.03	161			949.39	161		
301	-600	-1306	Max	20.00	10354.40	98	21.26	173	8.82	98	377.04	106	4191.51	98	0.88	177
301	-600	-1306	Min.	0.00	447.82	17	-196.40	177	-13.24	173	-1598.62	173	182.69	65	-0.18	173
301	-600	-1306	Min.	12.25					-0.25	55			458.26	55		
301	-600	-1306	Min.	20.00	447.82	17	-64.19	177	-8.99	173	-1604.76	173	182.78	65	-0.18	173
301	-1306	-601	Max	0.00	10354.40	98	21.26	173	8.82	98	377.04	106	4191.51	98	0.88	177
301	-1306	-601	Max	5.78					0.08	166			953.52	166		
301	-1306	-601	Max	20.00	10354.40	98	68.03	177	8.41	98	368.75	106	4052.25	98	0.88	177
301	-1306	-601	Min.	0.00	447.82	17	-64.19	177	-8.99	173	-1604.76	173	182.78	65	-0.18	173
301	-1306	-601	Min.	8.00					0.04	50			557.26	50		
301	-1306	-601	Min.	20.00	447.82	17	-2.09	97	-4.74	173	-1610.90	173	161.96	17	-0.18	173
301	-601	-1308	Max	0.00	9855.40	98	9.12	173	8.74	98	242.74	106	4107.62	98	1.12	177
301	-601	-1308	Max	20.00	9855.40	98	9.12	173	7.92	98	234.45	106	3777.40	98	1.12	177
301	-601	-1308	Min.	0.00	360.59	17	-157.32	177	-5.02	173	-2449.14	173	171.30	65	-0.55	173
301	-601	-1308	Min.	20.00	360.59	17	-25.11	177	-9.55	177	-2455.28	173	139.67	17	-0.55	173
301	-1308	-602	Max	0.00	9855.40	98	9.12	173	7.92	98	234.45	106	3777.40	98	1.12	177
301	-1308	-602	Max	20.00	9855.40	98	107.11	177	7.11	98	226.16	106	3445.52	98	1.12	177
301	-1308	-602	Min.	0.00	360.59	17	-25.11	177	-9.55	177	-2455.28	173	139.67	17	-0.55	173
301	-1308	-602	Min.	20.00	360.59	17	-4.07	98	-2.02	65	-2461.42	173	107.93	17	-0.55	173
301	-602	-603	Max	0.00	9048.32	98	1.62	165	7.65	97	89.76	49	3534.92	98	0.91	177
301	-602	-603	Max	40.00	9048.32	98	126.03	177	5.20	97	77.48	49	2550.32	98	0.91	177
301	-602	-603	Min.	0.00	262.22	17	-138.40	177	-2.09	65	-2500.52	97	118.84	17	-0.58	173
301	-602	-603	Min.	40.00	262.22	17	-6.18	98	-3.24	177	-2517.10	97	34.90	1	-0.58	173
301	-603	306	Max	0.00	7970.47	98	0.46	142	5.86	97	523.21	166	2668.57	98	0.68	177
301	-603	306	Max	1.02					3.96	158			1469.12	158		
301	-603	306	Max	40.00	7970.47	98	130.17	177	1.56	17	510.93	166	2180.94	98	0.68	177
301	-603	306	Min.	0.00	154.92	17	-134.26	177	-2.86	177	-1224.15	97	56.81	17	-1.05	173
301	-603	306	Min.	1.02					3.96	158			1469.12	158		
301	-603	306	Min.	40.00	154.92	17	-15.96	97	-6.35	173	-1240.73	97	-2.00	1	-1.05	173
301	306	-604	Max	0.00	6827.51	98	2.69	173	1.80	17	407.81	166	2311.17	98	0.60	97
301	306	-604	Max	28.31					-23.42	177			293.31	177		
301	306	-604	Max	40.00	6827.51	98	100.60	177	1.81	106	395.53	166	1718.42	98	0.60	97
301	306	-604	Min.	0.00	-120.37	1	-163.84	177	-6.76	173	-1489.67	97	29.82	1	-0.73	173
301	306	-604	Min.	28.31					-23.42	177			293.31	177		
301	306	-604	Min.	40.00	-120.37	1	-14.91	97	-16.18	177	-1506.25	97	-61.91	1	-0.73	173

301	-604	-605	Max	0.00	5447.30	106	6.36	173	1.82	106	-112.98	65	1874.05	98	0.76	97
301	-604	-605	Max	40.00	5447.30	106	104.36	177	3.80	106	-125.26	65	1304.87	106	0.76	97
301	-604	-605	Min.	0.00	-426.17	1	-160.07	177	-16.40	177	-3506.22	97	-28.26	1	-1.28	177
301	-604	-605	Min.	40.00	-426.17	1	-3.75	97	-27.54	177	-3522.80	97	-418.92	101	-1.28	177
301	-605	-606	Max	0.00	5117.13	106	5.38	173	3.87	106	-161.18	65	1341.41	106	0.51	98
301	-605	-606	Max	40.00	5117.13	106	124.03	177	5.17	106	-173.46	65	902.91	130	0.51	98
301	-605	-606	Min.	0.00	-811.04	101	-140.40	177	-28.34	177	-3646.59	97	-320.70	101	-2.57	177
301	-605	-606	Min.	40.00	-811.04	101	-3.87	65	-31.61	177	-3663.18	97	-1159.25	101	-2.57	177
301	-606	-607	Max	0.00	4705.24	106	8.28	173	5.33	106	-199.01	65	938.99	106	0.35	106
301	-606	-607	Max	34.34					-2.02	53			141.54	53		
301	-606	-607	Max	40.00	4705.24	106	183.54	177	3.60	106	-211.29	65	421.85	130	0.35	106
301	-606	-607	Min.	0.00	-1636.63	101	-80.89	177	-33.13	177	-3628.15	97	-1067.98	101	-3.82	177
301	-606	-607	Min.	34.34					-2.54	53			-718.37	53		
301	-606	-607	Min.	40.00	-1636.63	101	-4.33	106	-12.60	177	-3644.73	97	-2162.61	97	-3.82	177
301	-607	-608	Max	0.00	4411.05	130	40.69	177	3.85	106	78.70	166	451.75	130	0.30	106
301	-607	-608	Max	20.00	4411.05	130	172.90	177	6.63	177	72.56	166	362.27	130	0.30	106
301	-607	-608	Min.	0.00	-2332.58	101	-19.18	106	-14.72	177	-2274.71	97	-2017.03	97	-4.17	177
301	-607	-608	Min.	20.00	-2332.58	101	-19.18	106	-5.96	97	-2283.00	97	-2472.80	97	-4.17	177
301	-608	307	Max	0.00	4411.05	130	172.90	177	6.63	177	72.56	166	362.27	130	0.30	106
301	-608	307	Max	20.00	4411.05	130	305.12	177	54.44	177	66.42	166	271.13	130	0.30	106
301	-608	307	Min.	0.00	-2332.58	101	-19.18	106	-5.96	97	-2283.00	97	-2472.80	97	-4.17	177
301	-608	307	Min.	20.00	-2332.58	101	-19.18	106	-5.16	98	-2291.29	97	-2930.23	97	-4.17	177
301	307	-609	Max	0.00	4216.01	130	209.55	177	52.56	177	616.92	166	295.66	130	3.33	97
301	307	-609	Max	40.00	4216.01	130	473.98	177	189.26	177	604.64	166	392.21	130	3.33	97
301	307	-609	Min.	0.00	-2795.51	101	-27.91	106	-5.03	98	-823.20	97	-2818.86	97	-4.41	177
301	307	-609	Min.	40.00	-2795.51	101	-27.91	106	-14.74	106	-839.78	97	-3151.46	97	-4.41	177
301	-609	-610	Max	0.00	3893.27	130	21.13	106	192.87	177	317.60	101	424.25	130	4.61	177
301	-609	-610	Max	28.01					3.77	37			-467.83	37		
301	-609	-610	Max	39.88	3893.27	130	21.13	106	40.80	177	301.07	101	367.11	130	4.61	177
301	-609	-610	Min.	0.00	-3062.65	101	-513.16	177	-11.28	106	-441.44	158	-3063.89	97	-3.32	173
301	-609	-610	Min.	28.01					3.89	37			-643.75	37		
301	-609	-610	Min.	39.88	-3062.65	101	-249.55	177	-5.24	97	-453.68	158	-3173.38	97	-3.32	173
301	-610	-611	Max	0.00	3618.74	130	14.84	106	43.11	177	1375.42	101	398.04	130	4.87	177
301	-610	-611	Max	19.94	3618.74	130	14.84	106	0.14	142	1367.15	101	466.56	130	4.87	177
301	-610	-611	Min.	0.00	-3082.05	101	-319.71	177	-4.86	97	127.93	162	-3121.77	97	-0.17	105
301	-610	-611	Min.	19.94	-3082.05	101	-187.90	177	-7.49	177	121.81	162	-2885.90	97	-0.17	105
301	-611	-612	Max	0.00	3618.74	130	14.84	106	0.14	142	1367.15	101	466.53	130	4.87	177
301	-611	-612	Max	19.94	3618.74	130	14.84	106	3.02	106	1358.89	101	533.40	130	4.87	177
301	-611	-612	Min.	0.00	-3082.05	101	-187.95	177	-7.48	177	121.81	162	-2885.98	97	-0.17	105
301	-611	-612	Min.	19.94	-3082.05	101	-56.15	177	-31.81	177	115.69	162	-2651.75	97	-0.17	105
301	-612	-613	Max	0.00	3320.94	130	5.57	173	3.00	106	1574.55	101	566.89	130	3.64	177
301	-612	-613	Max	39.88	3320.94	130	51.44	177	4.54	106	1558.02	101	624.86	130	3.64	177
301	-612	-613	Min.	0.00	-2903.41	101	-212.17	177	-29.48	177	102.34	49	-2629.83	97	-0.13	105
301	-612	-613	Min.	39.88	-2903.41	101	-5.24	166	-61.53	177	90.10	49	-2024.77	97	-0.13	105
301	-613	308	Max	0.00	2960.68	130	10.58	173	4.58	106	1793.31	121	664.31	130	1.29	177
301	-613	308	Max	39.88	2960.68	130	92.70	177	2.77	173	1776.78	121	1151.74	130	1.29	177
301	-613	308	Min.	0.00	-2574.91	101	-170.91	177	-60.23	177	116.06	177	-2026.05	97	-0.19	106
301	-613	308	Min.	39.88	-2574.91	101	-10.84	130	-75.82	177	103.81	177	-1391.14	97	-0.19	106
301	308	-614	Max	0.00	2626.32	130	10.76	173	2.70	173	1296.41	97	1192.13	130	0.07	173
301	308	-614	Max	39.88	2626.32	130	82.59	177	6.99	173	1279.88	97	1413.95	130	0.07	173
301	308	-614	Min.	0.00	-2181.46	101	-181.01	177	-75.98	177	115.07	65	-1409.78	97	-2.83	177
301	308	-614	Min.	39.88	-2181.46	101	-8.74	130	-95.60	177	102.83	65	-896.13	97	-2.83	177
301	-614	-615	Max	0.00	2077.70	130	11.40	121	7.01	173	999.08	101	1473.91	130	0.35	173
301	-614	-615	Max	3.48					-1.60	35			205.19	35		
301	-614	-615	Max	39.88	2077.70	130	135.10	177	10.38	173	982.55	101	1028.46	130	0.35	173
301	-614	-615	Min.	0.00	-1682.19	101	-128.50	177	-97.58	177	-1108.84	130	-924.88	97	-6.49	177
301	-614	-615	Min.	3.48					-3.01	35			-172.85	35		
301	-614	-615	Min.	39.88	-1682.19	101	0.06	142	-96.27	177	-1125.37	130	-557.31	97	-6.49	177
301	-615	-616	Max	0.00	1449.45	130	25.59	177	10.55	173	798.00	97	1098.29	130	0.63	173
301	-615	-616	Max	7.21					-0.47	56			142.52	56		
301	-615	-616	Max	39.87	1449.45	130	289.20	177	9.18	173	781.48	97	736.58	130	0.63	173
301	-615	-616	Min.	0.00	-1140.92	101	-3.44	173	-100.26	177	-898.84	130	-593.41	97	-9.74	177
301	-615	-616	Min.	7.21					-0.82	56			-1.14	56		
301	-615	-616	Min.	39.87	-1140.92	101	-3.44	173	-37.50	177	-915.37	130	-278.50	97	-9.74	177
301	-616	-617	Max	0.00	743.79	130	368.68	177	9.53	173	561.97	97	814.93	130	0.38	173
301	-616	-617	Max	37.30					5.59	34			131.57	34		
301	-616	-617	Max	39.88	743.79	130	632.28	177	156.63	177	545.44	97	578.98	130	0.38	173
301	-616	-617	Min.	0.00	-573.39	101	-33.06	173	-42.94	177	-583.46	130	-318.48	97	-8.16	177
301	-616	-617	Min.	37.30					4.59	34			74.99	34		
301	-616	-617	Min.	39.88	-573.39	101	-33.06	173	-3.65	173	-599.99	130	-107.43	101	-8.16	177
301	-617	309	Max	0.00	0.00	1	1026.79	177	152.14	177	559.62	101	662.51	130	15.21	177
301	-617	309	Max	24.80					22.68	110			-5.87	110		
301	-617	309	Max	31.00	0.00	1	1231.73	177	502.21	177	546.77	101	0.00	130	15.21	177
301	-617	309	Min.	0.00	0.00	1	-104.89	173	-3.26	173	-2130.72	130	-171.49	101	-3.70	173
301	-617	309	Min.	24.80					15.53	101			-33.98	101		
301	-617	309	Min.	31.00	0.00	1	-104.89	173	-35.77	173	-2143.57	130	0.00	101	-3.70	173
302	-618	-619	Max	0.00	0.00	1	114.94	173	289.04	177	1385.84	101	0.00	1	3.81	173
302	-618	-619	Max	31.00	0.00	1	114.94	173	75.91	177	1372.99	101	427.62	101	3.81	173
302	-618	-619	Min.	0.00	0.00	1	-687.50	177	-41.79	173	-1229.72	158	0.00	1	-18.87	177

302	-618	-619	Min.	31.00	0.00	1	-687.50	177	-6.15	173	-1239.24	158	-382.69	158	-18.87	177
302	-619	-620	Max	0.00	584.04	101	38.24	173	78.33	177	479.80	101	362.21	101	3.22	177
302	-619	-620	Max	24.22					2.48	170			46.13	170		
302	-619	-620	Max	39.88	584.04	101	38.24	173	8.70	173	463.26	101	550.23	101	3.22	177
302	-619	-620	Min.	0.00	-696.38	130	-265.46	177	-6.55	173	-616.57	158	-316.63	158	-0.40	173
302	-619	-620	Min.	24.22					2.48	170			46.13	170		
302	-619	-620	Min.	39.88	-696.38	130	-265.46	177	-27.52	177	-628.81	158	-564.93	158	-0.40	173
302	-620	-621	Max	0.00	1141.94	101	5.84	173	8.31	173	570.69	101	488.24	101	5.26	177
302	-620	-621	Max	14.81					2.36	126			116.10	126		
302	-620	-621	Max	39.87	1141.94	101	5.84	173	10.64	173	554.16	101	712.51	101	5.26	177
302	-620	-621	Min.	0.00	-1376.29	130	-71.02	177	-24.58	177	-942.88	158	-502.12	158	-0.69	173
302	-620	-621	Min.	37.89					-1.44	66			-3.79	66		
302	-620	-621	Min.	39.87	-1376.29	130	-71.02	177	-52.90	177	-955.13	158	-880.53	158	-0.69	173
302	-621	-622	Max	0.00	1650.27	101	13.41	177	10.43	173	378.41	101	656.05	101	3.85	177
302	-621	-622	Max	39.88	1650.27	101	13.41	177	7.45	173	361.88	101	803.65	101	3.85	177
302	-621	-622	Min.	0.00	-2015.28	130	-7.99	98	-50.68	177	-1055.64	122	-823.94	158	-0.40	173
302	-621	-622	Min.	39.88	-2015.28	130	-7.99	98	-45.33	177	-1072.18	122	-1224.28	158	-0.40	173
302	-622	-623	Max	0.00	2095.18	101	38.15	177	7.41	173	23.99	137	754.08	101	2.20	177
302	-622	-623	Max	32.03					1.28	101			756.23	101		
302	-622	-623	Max	39.88	2095.18	101	38.15	177	4.10	125	11.74	137	756.11	101	2.20	177
302	-622	-623	Min.	0.00	-2583.10	130	-11.20	173	-44.02	177	-1186.55	98	-1177.48	158	-0.13	173
302	-622	-623	Min.	13.80					-0.78	152			414.36	152		
302	-622	-623	Min.	39.88	-2583.10	130	-11.20	173	-28.81	177	-1203.08	98	-1534.32	122	-0.13	173
302	-623	-624	Max	0.00	2476.84	101	36.32	177	4.10	125	-19.96	125	713.41	101	1.10	177
302	-623	-624	Max	39.88	2476.84	101	36.32	177	4.79	101	-36.49	125	652.21	101	1.10	177
302	-623	-624	Min.	0.00	-3053.85	130	-10.20	173	-28.19	177	-1335.61	98	-1502.85	122	-0.18	65
302	-623	-624	Min.	39.88	-3053.85	130	-10.20	173	-13.70	177	-1352.14	98	-1898.92	98	-0.18	65
302	-624	-625	Max	0.00	2811.85	101	21.49	177	4.75	101	-138.32	149	614.84	101	0.45	177
302	-624	-625	Max	39.88	2811.85	101	21.49	177	4.71	101	-150.57	149	502.70	101	0.45	177
302	-624	-625	Min.	0.00	-3418.40	130	-5.11	162	-13.47	177	-1370.06	98	-1894.36	98	-0.31	65
302	-624	-625	Min.	39.88	-3418.40	130	-5.11	162	-7.53	98	-1386.59	98	-2443.97	98	-0.31	65
302	-625	-626	Max	0.00	3111.52	101	15.86	110	4.77	101	-203.46	17	469.31	101	0.23	125
302	-625	-626	Max	19.94	3111.52	101	15.86	110	1.83	101	-209.58	17	251.08	101	0.23	125
302	-625	-626	Min.	0.00	-3648.66	130	-14.71	101	-7.71	98	-1655.06	98	-2461.31	98	-0.31	98
302	-625	-626	Min.	19.94	-3648.66	130	-14.71	101	-4.75	98	-1663.33	98	-2792.11	98	-0.31	98
302	-626	-627	Max	0.00	3111.52	101	15.86	110	1.83	101	-209.04	17	251.09	101	0.23	125
302	-626	-627	Max	19.94	3111.52	101	15.86	110	1.27	49	-215.16	17	87.34	1	0.23	125
302	-626	-627	Min.	0.00	-3648.66	130	-14.71	101	-4.75	98	-1663.32	98	-2792.10	98	-0.31	98
302	-626	-627	Min.	19.94	-3648.66	130	-14.71	101	-3.53	177	-1671.59	98	-3124.55	98	-0.31	98
302	-627	310	Max	0.00	3399.28	101	52.53	98	1.09	49	-414.22	17	76.06	1	1.76	173
302	-627	310	Max	39.88	3399.28	101	52.53	98	19.83	110	-426.46	17	-218.56	1	1.76	173
302	-627	310	Min.	0.00	-3698.02	130	-37.89	101	-3.52	177	-3726.73	98	-3170.68	98	-1.11	177
302	-627	310	Min.	39.88	-3698.02	130	-37.89	101	-16.11	101	-3743.26	98	-4660.01	98	-1.11	177
302	310	-628	Max	0.00	3771.42	101	45.26	101	36.95	173	4976.21	98	-231.75	1	0.75	101
302	310	-628	Max	40.00	3771.42	101	45.26	101	9.84	173	4959.63	98	151.35	101	0.75	101
302	310	-628	Min.	0.00	-3470.84	130	-67.78	173	-20.45	101	470.77	17	-4747.27	98	-1.61	98
302	310	-628	Min.	40.00	-3470.84	130	-67.78	173	-4.86	97	458.49	17	-2760.10	98	-1.61	98
302	-628	-629	Max	0.00	4243.60	101	19.40	101	10.42	173	3103.21	98	108.76	137	1.03	173
302	-628	-629	Max	20.00	4243.60	101	19.40	101	5.25	173	3094.92	98	443.58	101	1.03	173
302	-628	-629	Min.	0.00	-3004.20	130	-25.89	173	-4.98	97	266.73	17	-2886.92	98	-0.31	177
302	-628	-629	Min.	20.00	-3004.20	130	-25.89	173	-6.02	98	260.58	17	-2267.11	98	-0.31	177
302	-629	-630	Max	0.00	4243.60	101	19.40	101	5.25	173	3094.92	98	443.58	101	1.03	173
302	-629	-630	Max	20.00	4243.60	101	19.40	101	5.13	101	3086.63	98	786.49	101	1.03	173
302	-629	-630	Min.	0.00	-3004.20	130	-25.89	173	-6.02	98	261.68	17	-2267.11	98	-0.31	177
302	-629	-630	Min.	20.00	-3004.20	130	-25.89	173	-7.12	98	255.54	17	-1648.95	98	-0.31	177
302	-630	-631	Max	0.00	4696.79	101	4.01	17	4.89	101	3086.12	98	736.19	101	1.16	173
302	-630	-631	Max	23.28					-1.88	35			46.35	35		
302	-630	-631	Max	40.00	4696.79	101	4.01	17	5.66	101	3069.54	98	1123.20	101	1.16	173
302	-630	-631	Min.	0.00	-2379.66	130	-10.70	173	-7.36	98	225.89	17	-1801.06	98	-0.43	177
302	-630	-631	Min.	23.28					-2.76	35			-261.83	35		
302	-630	-631	Min.	40.00	-2379.66	130	-10.70	173	-6.96	98	213.61	17	-972.62	130	-0.43	177
302	-631	-632	Max	0.00	5090.04	101	4.42	17	5.52	101	3189.93	98	1079.60	101	1.02	173
302	-631	-632	Max	40.00	5090.04	101	4.42	17	3.58	101	3173.35	98	1358.34	101	1.02	173
302	-631	-632	Min.	0.00	-1646.93	130	-4.86	101	-7.34	98	200.55	17	-1053.84	130	-0.52	97
302	-631	-632	Min.	40.00	-1646.93	130	-4.86	101	-6.24	98	188.26	17	-496.06	130	-0.52	97
302	-632	-633	Max	0.00	5452.07	97	5.41	98	3.53	101	2863.24	98	1324.35	101	0.87	173
302	-632	-633	Max	40.00	5452.07	97	5.41	98	1.60	101	2846.66	98	1554.45	97	0.87	173
302	-632	-633	Min.	0.00	-850.51	130	-4.83	101	-6.76	98	155.04	17	-584.39	130	-0.71	98
302	-632	-633	Min.	40.00	-850.51	130	-4.83	101	-4.66	173	142.75	17	-75.19	130	-0.71	98
302	-633	-634	Max	0.00	6893.69	97	12.15	98	1.61	101	2265.02	98	1507.06	101	0.86	173
302	-633	-634	Max	40.00	6893.69	97	12.15	98	2.02	65	2248.44	98	2285.84	97	0.86	173
302	-633	-634	Min.	0.00	-41.41	49	-2.34	125	-5.22	98	99.54	1	-166.35	130	-0.69	98
302	-633	-634	Min.	40.00	-41.41	49	-2.34	125	-2.94	173	87.25	1	46.50	49	-0.69	98
302	-634	-635	Max	0.00	8192.80	97	13.87	98	1.78	65	2102.15	98	2141.48	97	0.72	173
302	-634	-635	Max	40.00	8192.80	97	13.87	98	4.52	98	2085.56	98	2967.92	97	0.72	173
302	-634	-635	Min.	0.00	273.10	49	-1.13	125	-2.72	17	16.06	1	11.52	49	-0.68	98
302	-634	-635	Min.	40.00	273.10	49	-1.13	125	-2.42	173	3.77	1	138.61	65	-0.68	98
302	-635	-636	Max	0.00	9305.19	97	9.49	97	3.88	97	2237.47	98	2844.66	97	0.51	173
302	-635	-636	Max	28.89					0.26	149			933.39	149		

302	-635	-636	Max	40.00	9305.19	97	9.49	97	7.68	97	2220.88	98	3722.16	97	0.51	173
302	-635	-636	Min.	0.00	446.98	65	-5.72	173	-2.12	17	-58.74	1	115.25	49	-0.68	98
302	-635	-636	Min.	2.21					-0.56	3			210.75	3		
302	-635	-636	Min.	40.00	446.98	65	-5.72	173	-4.35	173	-71.03	1	191.24	65	-0.68	98
302	-636	-1303	Max	0.00	10162.90	97	6.16	97	7.16	97	1799.36	98	3627.37	97	0.37	173
302	-636	-1303	Max	20.00	10162.90	97	6.16	97	8.39	97	1791.07	98	3978.49	97	0.37	173
302	-636	-1303	Min.	0.00	560.92	65	-7.45	173	-4.06	173	-137.32	1	178.61	65	-0.50	98
302	-636	-1303	Min.	20.00	560.92	65	-7.45	173	-5.55	173	-143.46	1	208.90	65	-0.50	98
302	-1303	-637	Max	0.00	10162.90	97	6.16	97	8.39	97	1791.07	98	3978.49	97	0.37	173
302	-1303	-637	Max	20.00	10162.90	97	6.16	97	9.62	97	1782.77	98	4327.96	97	0.37	173
302	-1303	-637	Min.	0.00	560.92	65	-7.45	173	-5.55	173	-142.28	1	208.90	65	-0.50	98
302	-1303	-637	Min.	20.00	560.92	65	-7.45	173	-7.04	173	-148.42	1	239.16	65	-0.50	98
302	-637	-1305	Max	0.00	10689.30	97	2.19	98	9.29	97	1761.06	173	4269.56	97	0.26	173
302	-637	-1305	Max	0.75					0.86	126			1185.36	126		
302	-637	-1305	Max	20.00	10689.30	97	2.19	98	9.72	97	1754.92	173	4410.02	97	0.26	173
302	-637	-1305	Min.	0.00	657.75	65	-4.25	173	-6.82	173	-228.95	101	228.40	65	-0.29	98
302	-637	-1305	Min.	0.75					0.86	126			1185.36	126		
302	-637	-1305	Min.	20.00	657.75	65	-4.25	173	-7.67	173	-237.24	101	247.61	65	-0.29	98
302	-1305	-638	Max	0.00	10689.30	97	2.19	98	9.72	97	1754.92	173	4410.02	97	0.26	173
302	-1305	-638	Max	20.00	10689.30	97	2.19	98	10.15	97	1748.78	173	4548.90	98	0.26	173
302	-1305	-638	Min.	0.00	657.75	65	-4.25	173	-7.67	173	-237.24	101	247.61	65	-0.29	98
302	-1305	-638	Min.	20.00	657.75	65	-4.25	173	-8.52	173	-245.53	101	266.32	17	-0.29	98
302	-638	-639	Max	0.00	10853.40	99	1.68	106	10.04	97	1806.67	173	4530.54	97	0.11	101
302	-638	-639	Max	4.00					0.44	172			639.23	172		
302	-638	-639	Max	20.00	10853.40	99	1.68	106	10.03	100	1800.53	173	4529.38	99	0.11	101
302	-638	-639	Min.	0.00	734.43	17	-2.52	125	-8.42	173	-275.03	101	258.25	65	-0.12	130
302	-638	-639	Min.	4.00					0.44	172			639.23	172		
302	-638	-639	Min.	20.00	734.43	17	-2.52	125	-8.63	173	-283.32	101	268.21	17	-0.12	130
302	-639	-640	Max	0.00	10853.40	99	1.68	106	10.03	100	1800.53	173	4529.38	99	0.11	101
302	-639	-640	Max	20.00	10853.40	99	1.68	106	10.04	98	1794.39	173	4530.54	98	0.11	101
302	-639	-640	Min.	0.00	734.43	17	-2.52	125	-8.63	173	-283.32	101	268.21	17	-0.12	130
302	-639	-640	Min.	20.00	734.43	17	-2.52	125	-8.84	173	-291.62	101	258.25	17	-0.12	130
302	-640	-1307	Max	0.00	10689.30	98	2.56	173	10.15	98	327.00	130	4548.90	97	0.29	97
302	-640	-1307	Max	20.00	10689.30	98	2.56	173	9.72	98	318.71	130	4410.02	98	0.29	97
302	-640	-1307	Min.	0.00	657.75	17	-2.19	97	-8.89	173	-1806.36	173	266.32	65	-0.18	173
302	-640	-1307	Min.	20.00	657.75	17	-2.19	97	-8.38	173	-1812.50	173	247.60	17	-0.18	173
302	-1307	-641	Max	0.00	10689.30	98	2.56	173	9.72	98	318.71	130	4410.02	98	0.29	97
302	-1307	-641	Max	20.00	10689.30	98	2.56	173	9.29	98	310.42	130	4269.56	98	0.29	97
302	-1307	-641	Min.	0.00	657.75	17	-2.19	97	-8.38	173	-1812.50	173	247.60	17	-0.18	173
302	-1307	-641	Min.	20.00	657.75	17	-2.19	97	-7.87	173	-1818.65	173	228.40	17	-0.18	173
302	-641	-1309	Max	0.00	10162.90	98	6.90	173	9.62	98	148.68	130	4327.96	98	0.50	97
302	-641	-1309	Max	20.00	10162.90	98	6.90	173	8.39	98	142.28	49	3978.50	98	0.50	97
302	-641	-1309	Min.	0.00	560.92	17	-6.16	98	-8.03	173	-2265.15	173	239.16	17	-0.30	173
302	-641	-1309	Min.	20.00	560.92	17	-6.16	98	-6.65	173	-2271.29	173	208.90	17	-0.30	173
302	-1309	-642	Max	0.00	10162.90	98	6.90	173	8.39	98	143.46	49	3978.49	98	0.50	97
302	-1309	-642	Max	20.00	10162.90	98	6.90	173	7.16	98	137.32	49	3627.37	98	0.50	97
302	-1309	-642	Min.	0.00	560.92	17	-6.16	98	-6.65	173	-2271.29	173	208.90	17	-0.30	173
302	-1309	-642	Min.	20.00	560.92	17	-6.16	98	-5.27	173	-2277.44	173	178.61	17	-0.30	173
302	-642	-643	Max	0.00	9305.19	98	6.14	173	7.68	98	72.02	130	3722.16	98	0.68	97
302	-642	-643	Max	10.53					0.26	154			933.38	154		
302	-642	-643	Max	40.00	9305.19	98	6.14	173	3.88	98	58.74	49	2844.66	98	0.68	97
302	-642	-643	Min.	0.00	446.98	17	-9.49	98	-5.54	173	-2220.88	97	191.24	17	-0.47	173
302	-642	-643	Min.	37.39					-0.56	51			212.51	51		
302	-642	-643	Min.	40.00	446.98	17	-9.49	98	-3.08	173	-2237.47	97	115.25	1	-0.47	173
302	-643	-644	Max	0.00	8192.80	98	0.61	173	4.52	97	138.84	130	2967.92	98	0.68	97
302	-643	-644	Max	40.00	8192.80	98	0.61	173	1.78	17	122.25	130	2141.48	98	0.68	97
302	-643	-644	Min.	0.00	273.09	1	-13.87	97	-3.43	173	-2085.56	97	138.61	17	-0.70	173
302	-643	-644	Min.	40.00	273.09	1	-13.87	97	-3.19	173	-2102.15	97	11.52	1	-0.70	173
302	-644	-645	Max	0.00	6893.69	98	2.19	106	2.02	17	11.79	130	2285.84	98	0.69	97
302	-644	-645	Max	28.44					-0.00	130			1409.88	130		
302	-644	-645	Max	40.00	6893.69	98	2.19	106	1.61	106	-4.79	130	1507.03	106	0.69	97
302	-644	-645	Min.	0.00	-41.41	1	-12.15	97	-3.60	173	-2248.44	97	46.50	1	-0.87	173
302	-644	-645	Min.	28.44					-0.00	130			1409.88	130		
302	-644	-645	Min.	40.00	-41.41	1	-12.15	97	-5.22	97	-2265.02	97	-107.46	1	-0.87	173
302	-645	-646	Max	0.00	5452.06	98	4.83	106	1.60	106	-142.75	65	1554.45	98	0.71	97
302	-645	-646	Max	40.00	5452.06	98	4.83	106	3.53	106	-155.04	65	1324.32	106	0.71	97
302	-645	-646	Min.	0.00	-355.49	1	-5.41	97	-4.98	173	-2846.66	97	-72.60	1	-0.89	173
302	-645	-646	Min.	40.00	-355.49	1	-5.41	97	-6.76	97	-2863.24	97	-409.71	101	-0.89	173
302	-646	-647	Max	0.00	5089.87	106	4.97	173	3.58	106	-188.26	65	1358.31	106	0.52	98
302	-646	-647	Max	40.00	5089.87	106	4.97	173	5.52	106	-200.55	65	1089.21	130	0.52	98
302	-646	-647	Min.	0.00	-753.05	101	-4.42	65	-6.24	97	-3173.35	97	-308.88	101	-1.04	173
302	-646	-647	Min.	40.00	-753.05	101	-4.42	65	-7.34	97	-3189.93	97	-1040.43	101	-1.04	173
302	-647	-648	Max	0.00	4696.60	106	10.79	173	5.66	106	-213.61	65	1123.16	106	0.43	177
302	-647	-648	Max	17.75					-1.76	35			29.05	35		
302	-647	-648	Max	40.00	4696.60	106	10.79	173	4.89	106	-225.89	65	842.74	130	0.43	177
302	-647	-648	Min.	0.00	-1604.30	101	-4.01	65	-6.96	97	-3069.53	97	-946.17	101	-1.18	173
302	-647	-648	Min.	17.75					-2.61	35			-281.10	35		
302	-647	-648	Min.	40.00	-1604.30	101	-4.01	65	-7.36	97	-3086.11	97	-1801.05	97	-1.18	173
302	-648	-649	Max	0.00	4348.70	130	25.65	173	5.13	106	-255.54	65	872.54	130	0.31	177

302	-648	-649	Max	20.00	4348.70	130	25.65	173	5.27	173	-261.68	65	669.77	130	0.31	177
302	-648	-649	Min.	0.00	-2336.85	101	-19.40	106	-7.12	97	-3086.61	97	-1648.95	97	-1.05	173
302	-648	-649	Min.	20.00	-2336.85	101	-19.40	106	-6.02	97	-3094.90	97	-2267.10	97	-1.05	173
302	-649	-650	Max	0.00	4348.70	130	25.65	173	5.27	173	-260.58	65	669.77	130	0.31	177
302	-649	-650	Max	20.00	4348.70	130	25.65	173	10.40	173	-266.72	65	465.33	130	0.31	177
302	-649	-650	Min.	0.00	-2336.85	101	-19.40	106	-6.02	97	-3094.90	97	-2267.10	97	-1.05	173
302	-649	-650	Min.	20.00	-2336.85	101	-19.40	106	-4.98	98	-3103.20	97	-2886.91	97	-1.05	173
302	-650	311	Max	0.00	4046.88	130	67.53	173	9.81	173	-458.48	65	498.96	130	1.77	121
302	-650	311	Max	40.00	4046.88	130	67.53	173	36.82	173	-470.77	65	-231.74	49	1.77	121
302	-650	311	Min.	0.00	-2888.13	101	-45.25	106	-4.86	98	-4959.62	97	-2760.09	97	-0.75	106
302	-650	311	Min.	40.00	-2888.13	101	-45.25	106	-20.45	106	-4976.20	97	-4747.25	97	-0.75	106
302	311	-651	Max	0.00	3790.16	130	37.89	106	26.98	121	3742.99	97	-218.56	49	1.11	177
302	311	-651	Max	39.88	3790.16	130	37.89	106	2.33	162	3726.46	97	491.54	130	1.11	177
302	311	-651	Min.	0.00	-3168.60	101	-65.97	121	-16.11	106	426.44	65	-4659.99	97	-1.78	173
302	311	-651	Min.	39.88	-3168.60	101	-65.97	121	-3.52	177	414.19	65	-3170.77	97	-1.78	173
302	-651	-652	Max	0.00	3547.00	130	14.71	106	2.63	162	1671.58	97	518.90	130	0.51	121
302	-651	-652	Max	19.94	3547.00	130	14.71	106	1.83	106	1663.31	97	659.90	130	0.51	121
302	-651	-652	Min.	0.00	-3155.93	101	-22.46	121	-3.53	177	215.16	65	-3124.47	97	-0.11	106
302	-651	-652	Min.	19.94	-3155.93	101	-22.46	121	-4.75	97	209.04	65	-2792.02	97	-0.11	106
302	-652	-653	Max	0.00	3547.00	130	14.71	106	1.83	106	1663.31	97	659.85	130	0.51	121
302	-652	-653	Max	19.94	3547.00	130	14.71	106	4.77	106	1655.05	97	799.21	130	0.51	121
302	-652	-653	Min.	0.00	-3155.93	101	-22.46	121	-4.75	97	209.58	65	-2792.15	97	-0.11	106
302	-652	-653	Min.	19.94	-3155.93	101	-22.46	121	-7.85	121	203.46	65	-2461.35	97	-0.11	106
302	-653	-654	Max	0.00	3258.27	130	4.96	173	4.71	106	1386.60	97	831.35	130	0.49	121
302	-653	-654	Max	39.88	3258.27	130	4.96	173	4.75	106	1370.07	97	908.73	130	0.49	121
302	-653	-654	Min.	0.00	-2953.48	101	-21.49	177	-7.53	97	150.60	154	-2443.97	97	-0.45	177
302	-653	-654	Min.	39.88	-2953.48	101	-21.49	177	-13.46	177	138.35	154	-1894.35	97	-0.45	177
302	-654	-655	Max	0.00	2910.38	130	9.96	173	4.79	106	1352.12	97	947.58	130	0.18	17
302	-654	-655	Max	39.88	2910.38	130	9.96	173	2.97	173	1335.59	97	1037.40	130	0.18	17
302	-654	-655	Min.	0.00	-2615.78	101	-36.32	177	-13.70	177	82.11	154	-1898.98	97	-1.10	177
302	-654	-655	Min.	39.88	-2615.78	101	-36.32	177	-28.18	177	69.87	154	-1363.11	97	-1.10	177
302	-655	-656	Max	0.00	2490.32	130	11.04	173	2.91	173	1203.06	97	1084.47	130	0.12	173
302	-655	-656	Max	7.60					1.29	106			756.14	106		
302	-655	-656	Max	39.88	2490.32	130	11.04	173	7.31	173	1186.53	97	1068.95	130	0.12	173
302	-655	-656	Min.	0.00	-2184.15	101	-38.15	177	-28.81	177	-30.65	130	-1383.62	97	-2.20	177
302	-655	-656	Min.	24.13					-0.71	156			414.30	156		
302	-655	-656	Min.	39.88	-2184.15	101	-38.15	177	-44.02	177	-47.18	130	-907.19	97	-2.20	177
302	-656	-657	Max	0.00	1974.75	130	10.18	121	7.36	173	975.92	97	1126.32	130	0.38	173
302	-656	-657	Max	39.88	1974.75	130	10.18	121	10.41	173	959.39	97	883.60	130	0.38	173
302	-656	-657	Min.	0.00	-1683.80	101	-13.41	177	-45.33	177	-600.45	130	-938.60	97	-3.85	177
302	-656	-657	Min.	39.88	-1683.80	101	-13.41	177	-50.68	177	-616.98	130	-552.75	97	-3.85	177
302	-657	-658	Max	0.00	1370.36	130	71.02	177	10.62	173	733.03	97	950.66	130	0.68	173
302	-657	-658	Max	1.94					-0.66	18			99.41	18		
302	-657	-658	Max	39.87	1370.36	130	71.02	177	8.50	173	716.50	97	624.78	130	0.68	173
302	-657	-658	Min.	0.00	-1139.66	101	-5.33	173	-52.90	177	-808.99	130	-591.16	97	-5.26	177
302	-657	-658	Min.	1.94					-1.44	18			-3.83	18		
302	-657	-658	Min.	39.87	-1139.66	101	-5.33	173	-24.58	177	-825.52	130	-302.16	97	-5.26	177
302	-658	-659	Max	0.00	701.83	130	265.48	177	8.88	173	446.85	97	698.99	130	0.40	173
302	-658	-659	Max	15.95					4.60	125			78.41	125		
302	-658	-659	Max	39.88	701.83	130	265.48	177	78.34	177	430.32	97	445.57	130	0.40	173
302	-658	-659	Min.	0.00	-573.05	101	-37.51	173	-27.52	177	-627.26	130	-344.52	97	-3.22	177
302	-658	-659	Min.	13.65					2.29	169			46.13	169		
302	-658	-659	Min.	39.88	-573.05	101	-37.51	173	-6.08	173	-643.79	130	-169.64	97	-3.22	177
302	-659	-660	Max	0.00	0.00	1	687.50	177	75.91	177	696.26	97	524.19	130	18.87	177
302	-659	-660	Max	24.80					8.66	150			-16.04	150		
302	-659	-660	Max	31.00	0.00	1	687.50	177	289.04	177	683.41	97	0.00	130	18.87	177
302	-659	-660	Min.	0.00	0.00	1	-114.31	173	-5.67	173	-1684.51	130	-213.85	97	-3.83	173
302	-659	-660	Min.	24.80					20.48	97			-42.45	97		
302	-659	-660	Min.	31.00	0.00	1	-114.31	173	-41.11	173	-1697.36	130	0.00	97	-3.83	173
303	-704	-705	Max	0.00	0.00	1	123.90	173	293.56	177	1373.35	101	0.00	1	3.90	173
303	-704	-705	Max	31.00	0.00	1	123.90	173	77.19	177	1360.50	101	423.75	101	3.90	173
303	-704	-705	Min.	0.00	0.00	1	-697.99	177	-47.41	173	-1082.66	158	0.00	1	-19.48	177
303	-704	-705	Min.	31.00	0.00	1	-697.99	177	-9.00	173	-1092.18	158	-337.10	158	-19.48	177
303	-705	-706	Max	0.00	582.23	101	43.36	173	79.69	177	432.08	101	358.54	101	3.25	177
303	-705	-706	Max	39.88	582.23	101	43.36	173	7.87	173	415.55	101	527.53	101	3.25	177
303	-705	-706	Min.	0.00	-686.02	130	-269.32	177	-9.42	173	-574.09	158	-272.67	158	-0.46	173
303	-705	-706	Min.	39.88	-686.02	130	-269.32	177	-27.70	177	-586.33	158	-504.03	158	-0.46	173
303	-706	-707	Max	0.00	1138.94	101	8.51	173	7.43	173	469.66	101	465.66	101	5.34	177
303	-706	-707	Max	39.08					-0.57	66			74.51	66		
303	-706	-707	Max	39.87	1138.94	101	8.51	173	10.82	173	453.13	101	649.64	101	5.34	177
303	-706	-707	Min.	0.00	-1358.00	130	-73.43	177	-24.67	177	-831.46	122	-442.43	158	-0.79	173
303	-706	-707	Min.	39.08					-1.31	66			-13.38	66		
303	-706	-707	Min.	39.87	-1358.00	130	-73.43	177	-53.96	177	-847.99	122	-772.12	158	-0.79	173
303	-707	-708	Max	0.00	1648.45	101	11.85	177	10.56	173	298.44	101	592.98	101	3.90	177
303	-707	-708	Max	22.13					-0.10	65			171.39	65		
303	-707	-708	Max	39.88	1648.45	101	11.85	177	8.25	173	281.92	101	708.69	101	3.90	177
303	-707	-708	Min.	0.00	-1993.69	130	-6.83	98	-51.68	177	-985.31	122	-716.07	158	-0.48	173
303	-707	-708	Min.	22.13					-2.91	65			-159.79	65		
303	-707	-708	Min.	39.88	-1993.69	130	-6.83	98	-46.95	177	-1001.84	122	-1103.14	122	-0.48	173

303	-708	-709	Max	0.00	2103.21	101	37.87	177	8.16	173	79.88	101	658.01	101	2.22	177
303	-708	-709	Max	9.27					-1.37	114			451.23	114		
303	-708	-709	Max	39.88	2103.21	101	37.87	177	4.30	173	63.35	101	686.57	101	2.22	177
303	-708	-709	Min.	0.00	-2571.45	130	-9.69	173	-45.61	177	-1232.20	98	-1057.07	122	-0.19	173
303	-708	-709	Min.	9.27					-1.37	114			451.23	114		
303	-708	-709	Min.	39.88	-2571.45	130	-9.69	173	-30.51	177	-1248.73	98	-1491.92	122	-0.19	173
303	-709	-710	Max	0.00	2504.84	101	35.88	177	4.32	173	15.11	149	641.73	101	1.03	177
303	-709	-710	Max	39.88	2504.84	101	35.88	177	2.79	125	2.87	149	635.38	101	1.03	177
303	-709	-710	Min.	0.00	-3067.50	130	-8.49	173	-29.88	177	-1524.27	98	-1457.85	122	-0.18	65
303	-709	-710	Min.	39.88	-3067.50	130	-8.49	173	-15.58	177	-1540.80	98	-2000.91	98	-0.18	65
303	-710	-711	Max	0.00	2863.90	101	23.46	177	2.84	125	-133.44	149	595.41	101	0.36	177
303	-710	-711	Max	39.88	2863.90	101	23.46	177	3.01	101	-145.69	149	480.53	101	0.36	177
303	-710	-711	Min.	0.00	-3454.80	130	-4.09	173	-15.37	177	-1830.34	98	-1994.62	98	-0.30	65
303	-710	-711	Min.	39.88	-3454.80	130	-4.09	173	-6.02	177	-1846.87	98	-2727.77	98	-0.30	65
303	-711	-712	Max	0.00	3184.32	101	13.30	110	3.03	101	-253.15	17	444.68	101	0.16	125
303	-711	-712	Max	19.94	3184.32	101	13.30	110	1.19	101	-259.27	17	162.94	101	0.16	125
303	-711	-712	Min.	0.00	-3696.95	130	-9.28	125	-6.01	177	-1920.59	98	-2744.77	98	-0.30	17
303	-711	-712	Min.	19.94	-3696.95	130	-9.28	125	-4.38	177	-1928.86	98	-3128.51	98	-0.30	17
303	-712	-713	Max	0.00	3184.32	101	13.30	110	1.19	101	-259.13	17	162.95	101	0.16	125
303	-712	-713	Max	19.94	3184.32	101	13.30	110	1.27	173	-265.25	17	6.04	1	0.16	125
303	-712	-713	Min.	0.00	-3696.95	130	-9.28	125	-4.38	177	-1928.86	98	-3128.51	98	-0.30	17
303	-712	-713	Min.	19.94	-3696.95	130	-9.28	125	-2.75	177	-1937.12	98	-3513.89	98	-0.30	17
303	-713	-714	Max	0.00	3484.20	101	36.35	110	1.31	173	-119.77	17	-6.18	1	1.00	173
303	-713	-714	Max	39.88	3484.20	101	36.35	110	14.34	110	-132.01	17	-72.29	1	1.00	173
303	-713	-714	Min.	0.00	-3743.20	130	-27.09	101	-2.80	177	-1299.53	102	-3562.80	98	-0.78	177
303	-713	-714	Min.	39.88	-3743.20	130	-27.09	101	-11.41	101	-1316.06	102	-3887.88	98	-0.78	177
303	-714	-715	Max	0.00	3871.03	101	31.32	101	27.98	173	2200.24	98	-86.13	1	0.50	101
303	-714	-715	Max	40.00	3871.03	101	31.32	101	9.35	173	2183.66	98	56.36	137	0.50	101
303	-714	-715	Min.	0.00	-3538.56	130	-46.58	173	-13.73	101	224.15	17	-3976.87	98	-0.98	98
303	-714	-715	Min.	40.00	-3538.56	130	-46.58	173	-3.63	17	211.86	17	-3100.09	98	-0.98	98
303	-715	-716	Max	0.00	4342.78	101	12.20	101	9.86	173	3461.28	98	33.70	1	0.85	173
303	-715	-716	Max	20.00	4342.78	101	12.20	101	5.38	173	3452.99	98	380.78	101	0.85	173
303	-715	-716	Min.	0.00	-3092.49	130	-22.38	173	-3.78	17	359.79	17	-3227.64	98	-0.27	17
303	-715	-716	Min.	20.00	-3092.49	130	-22.38	173	-4.46	98	353.65	17	-2536.21	98	-0.27	17
303	-716	-717	Max	0.00	4342.78	101	12.20	101	5.38	173	3452.99	98	380.78	101	0.85	173
303	-716	-717	Max	20.00	4342.78	101	12.20	101	3.48	101	3444.70	98	786.45	101	0.85	173
303	-716	-717	Min.	0.00	-3092.49	130	-22.38	173	-4.46	98	354.22	17	-2536.21	98	-0.27	17
303	-716	-717	Min.	20.00	-3092.49	130	-22.38	173	-5.61	98	348.08	17	-1846.44	98	-0.27	17
303	-717	-718	Max	0.00	4780.58	101	4.17	17	3.30	101	3381.50	98	737.92	101	1.00	173
303	-717	-718	Max	40.00	4780.58	101	4.17	17	3.36	101	3364.92	98	1090.16	101	1.00	173
303	-717	-718	Min.	0.00	-2468.55	130	-9.88	173	-5.83	98	327.31	17	-2001.40	98	-0.31	17
303	-717	-718	Min.	40.00	-2468.55	130	-9.88	173	-5.41	98	315.03	17	-1054.61	130	-0.31	17
303	-718	-719	Max	0.00	5156.21	101	4.64	17	3.25	101	3133.92	98	1048.42	101	0.94	173
303	-718	-719	Max	4.50					-1.59	35			104.88	35		
303	-718	-719	Max	40.00	5156.21	101	4.64	17	2.16	101	3117.34	98	1296.30	101	0.94	173
303	-718	-719	Min.	0.00	-1728.43	130	-3.51	173	-5.74	98	270.49	17	-1136.57	130	-0.39	97
303	-718	-719	Min.	4.50					-2.39	35			-168.17	35		
303	-718	-719	Min.	40.00	-1728.43	130	-3.51	173	-4.35	98	258.21	17	-526.47	130	-0.39	97
303	-719	-720	Max	0.00	5474.93	97	5.47	98	2.11	101	2797.88	98	1263.37	101	0.86	173
303	-719	-720	Max	40.00	5474.93	97	5.47	98	1.27	101	2781.30	98	1485.57	101	0.86	173
303	-719	-720	Min.	0.00	-921.98	130	-2.10	101	-4.78	98	209.98	17	-615.92	130	-0.51	97
303	-719	-720	Min.	40.00	-921.98	130	-2.10	101	-3.21	17	197.70	17	-92.12	130	-0.51	97
303	-720	-721	Max	0.00	6969.88	97	7.40	98	1.24	101	2519.89	98	1463.69	101	0.79	173
303	-720	-721	Max	40.00	6969.88	97	7.40	98	2.13	65	2503.30	98	2243.12	97	0.79	173
303	-720	-721	Min.	0.00	-88.86	130	-0.91	101	-3.08	98	119.76	1	-184.62	130	-0.57	98
303	-720	-721	Min.	40.00	-88.86	130	-0.91	101	-2.94	17	107.47	1	64.62	49	-0.57	98
303	-721	-722	Max	0.00	8337.61	97	8.50	98	1.89	65	2448.81	98	2091.36	97	0.72	173
303	-721	-722	Max	40.00	8337.61	97	8.50	98	2.83	65	2432.23	98	3054.66	97	0.72	173
303	-721	-722	Min.	0.00	308.05	49	-0.94	173	-2.75	17	34.60	1	28.36	49	-0.57	98
303	-721	-722	Min.	40.00	308.05	49	-0.94	173	-2.68	17	22.32	1	191.71	49	-0.57	98
303	-722	-723	Max	0.00	9512.41	97	8.63	98	2.63	65	2521.63	98	2924.48	97	0.61	173
303	-722	-723	Max	8.00					0.87	3			752.55	3		
303	-722	-723	Max	40.00	9512.41	97	8.63	98	5.72	97	2505.05	98	3916.85	97	0.61	173
303	-722	-723	Min.	0.00	625.69	49	-4.47	173	-2.54	17	-38.47	1	156.43	49	-0.48	98
303	-722	-723	Min.	8.00					-0.71	3			276.23	3		
303	-722	-723	Min.	40.00	625.69	49	-4.47	173	-3.34	173	-50.75	1	265.63	65	-0.48	98
303	-723	-1298	Max	0.00	10423.20	97	6.50	98	5.30	97	2092.94	98	3816.26	97	0.47	173
303	-723	-1298	Max	20.00	10423.20	97	6.50	98	6.60	97	2084.65	98	4227.25	97	0.47	173
303	-723	-1298	Min.	0.00	757.77	65	-7.82	173	-2.99	173	-108.97	1	251.40	65	-0.34	98
303	-723	-1298	Min.	20.00	757.77	65	-7.82	173	-4.55	173	-115.11	1	282.27	65	-0.34	98
303	-1298	-724	Max	0.00	10423.20	97	6.50	98	6.60	97	2084.65	98	4227.25	97	0.47	173
303	-1298	-724	Max	20.00	10423.20	97	6.50	98	7.90	97	2076.36	98	4636.57	97	0.47	173
303	-1298	-724	Min.	0.00	757.77	65	-7.82	173	-4.55	173	-114.31	1	282.27	65	-0.34	98
303	-1298	-724	Min.	20.00	757.77	65	-7.82	173	-6.12	173	-120.45	1	312.86	65	-0.34	98
303	-724	-1299	Max	0.00	10977.40	97	0.57	17	7.64	97	1461.31	173	4575.07	97	0.24	173
303	-724	-1299	Max	20.00	10977.40	97	0.57	17	7.68	97	1455.17	173	4650.03	97	0.24	173
303	-724	-1299	Min.	0.00	863.25	65	-9.70	173	-5.83	173	-240.93	101	301.14	65	-0.28	98
303	-724	-1299	Min.	20.00	863.25	65	-9.70	173	-7.77	173	-249.22	101	322.81	65	-0.28	98
303	-1299	-725	Max	0.00	10977.40	97	0.57	17	7.68	97	1455.17	173	4650.03	97	0.24	173

303	-1299	-725	Max	20.00	10977.40	97	0.57	17	7.71	97	1449.02	173	4723.33	97	0.24	173
303	-1299	-725	Min.	0.00	863.25	65	-9.70	173	-7.77	173	-249.22	101	322.81	65	-0.28	98
303	-1299	-725	Min.	20.00	863.25	65	-9.70	173	-9.71	173	-257.51	101	344.09	17	-0.28	98
303	-725	-726	Max	0.00	11142.40	99	0.66	106	7.63	97	721.90	173	4704.70	97	0.12	101
303	-725	-726	Max	10.25					0.41	171			644.42	171		
303	-725	-726	Max	20.00	11142.40	99	0.66	106	7.62	100	715.76	173	4702.63	99	0.12	101
303	-725	-726	Min.	0.00	943.00	17	-5.90	173	-9.55	173	-392.04	101	335.33	65	-0.12	106
303	-725	-726	Min.	19.00					0.15	177			618.88	177		
303	-725	-726	Min.	20.00	943.00	17	-5.90	173	-10.73	173	-400.33	101	348.62	17	-0.12	106
303	-726	-727	Max	0.00	11142.40	99	0.66	106	7.62	100	715.76	173	4702.63	99	0.12	101
303	-726	-727	Max	10.25					0.41	171			644.41	171		
303	-726	-727	Max	20.00	11142.40	99	0.66	106	7.63	98	709.62	173	4704.70	98	0.12	101
303	-726	-727	Min.	0.00	943.00	17	-5.90	173	-10.73	173	-400.33	101	348.62	17	-0.12	106
303	-726	-727	Min.	19.00					0.15	177			618.32	177		
303	-726	-727	Min.	20.00	943.00	17	-5.90	173	-11.91	173	-408.63	101	335.33	17	-0.12	106
303	-727	-1300	Max	0.00	10977.40	98	5.83	173	7.71	98	337.25	130	4723.33	98	0.28	97
303	-727	-1300	Max	16.00					4.09	158			2623.46	158		
303	-727	-1300	Max	20.00	10977.40	98	5.83	173	7.68	98	328.96	130	4650.03	98	0.28	97
303	-727	-1300	Min.	0.00	863.24	17	-0.57	65	-11.94	173	-813.96	173	344.09	65	-0.10	106
303	-727	-1300	Min.	16.00					4.09	158			2623.46	158		
303	-727	-1300	Min.	20.00	863.24	17	-0.57	65	-10.77	173	-820.10	173	322.81	17	-0.10	106
303	-1300	-728	Max	0.00	10977.40	98	5.83	173	7.68	98	328.96	130	4650.03	98	0.28	97
303	-1300	-728	Max	20.00	10977.40	98	5.83	173	7.64	98	320.67	130	4575.07	98	0.28	97
303	-1300	-728	Min.	0.00	863.24	17	-0.57	65	-10.77	173	-820.10	173	322.81	17	-0.10	106
303	-1300	-728	Min.	20.00	863.24	17	-0.57	65	-9.61	173	-826.24	173	301.14	17	-0.10	106
303	-728	-1301	Max	0.00	10423.20	98	10.43	173	7.90	98	208.41	130	4636.58	98	0.34	97
303	-728	-1301	Max	20.00	10423.20	98	10.43	173	6.60	98	200.12	130	4227.25	98	0.34	97
303	-728	-1301	Min.	0.00	757.77	17	-6.50	97	-9.82	173	-2076.36	97	312.86	17	-0.31	173
303	-728	-1301	Min.	20.00	757.77	17	-6.50	97	-7.73	173	-2084.65	97	282.27	17	-0.31	173
303	-1301	-729	Max	0.00	10423.20	98	10.43	173	6.60	98	200.12	130	4227.25	98	0.34	97
303	-1301	-729	Max	20.00	10423.20	98	10.43	173	5.30	98	191.83	130	3816.26	98	0.34	97
303	-1301	-729	Min.	0.00	757.77	17	-6.50	97	-7.73	173	-2084.65	97	282.27	17	-0.31	173
303	-1301	-729	Min.	20.00	757.77	17	-6.50	97	-5.64	173	-2092.94	97	251.40	17	-0.31	173
303	-729	-730	Max	0.00	9512.40	98	7.80	173	5.72	98	100.95	130	3916.85	98	0.48	97
303	-729	-730	Max	31.32					0.88	51			752.55	51		
303	-729	-730	Max	40.00	9512.40	98	7.80	173	2.63	17	84.37	130	2924.48	98	0.48	97
303	-729	-730	Min.	0.00	625.68	1	-8.63	97	-5.97	173	-2505.05	97	265.63	17	-0.56	173
303	-729	-730	Min.	31.32					-0.71	51			279.06	51		
303	-729	-730	Min.	40.00	625.68	1	-8.63	97	-2.85	173	-2521.63	97	156.43	1	-0.56	173
303	-730	-731	Max	0.00	8337.60	98	3.38	173	2.83	17	7.28	130	3054.66	98	0.57	97
303	-730	-731	Max	16.00					0.43	130			1408.05	130		
303	-730	-731	Max	40.00	8337.60	98	3.38	173	1.89	17	-9.30	130	2091.36	98	0.57	97
303	-730	-731	Min.	0.00	308.05	1	-8.50	97	-3.26	173	-2432.23	97	191.71	1	-0.73	173
303	-730	-731	Min.	16.00					0.43	130			1408.05	130		
303	-730	-731	Min.	40.00	308.05	1	-8.50	97	-2.75	65	-2448.81	97	28.36	1	-0.73	173
303	-731	-732	Max	0.00	6969.88	98	0.91	106	2.13	17	-107.47	49	2243.12	98	0.57	97
303	-731	-732	Max	40.00	6969.88	98	0.91	106	1.24	106	-119.76	49	1463.66	106	0.57	97
303	-731	-732	Min.	0.00	-18.42	1	-7.40	97	-2.94	65	-2503.30	97	64.62	1	-0.84	173
303	-731	-732	Min.	40.00	-18.42	1	-7.40	97	-3.08	97	-2519.89	97	-116.34	1	-0.84	173
303	-732	-733	Max	0.00	5474.92	98	2.10	106	1.27	106	-197.70	65	1485.55	106	0.51	98
303	-732	-733	Max	40.00	5474.92	98	2.10	106	2.11	106	-209.98	65	1263.34	106	0.51	98
303	-732	-733	Min.	0.00	-343.28	1	-5.47	97	-3.21	65	-2781.30	97	-80.28	1	-0.91	173
303	-732	-733	Min.	40.00	-343.28	1	-5.47	97	-4.78	97	-2797.88	97	-458.04	101	-0.91	173
303	-733	-734	Max	0.00	5156.04	106	3.63	173	2.16	106	-258.21	65	1296.27	106	0.39	98
303	-733	-734	Max	34.85					-1.46	35			98.68	35		
303	-733	-734	Max	40.00	5156.04	106	3.63	173	3.25	106	-270.49	65	1101.38	130	0.39	98
303	-733	-734	Min.	0.00	-825.41	101	-4.64	65	-4.35	97	-3117.34	97	-355.85	101	-0.98	173
303	-733	-734	Min.	34.85					-2.25	35			-171.30	35		
303	-733	-734	Min.	40.00	-825.41	101	-4.64	65	-5.74	97	-3133.92	97	-1095.81	101	-0.98	173
303	-734	-735	Max	0.00	4780.39	106	9.82	173	3.36	106	-315.03	65	1122.39	130	0.31	65
303	-734	-735	Max	40.00	4780.39	106	9.82	173	3.30	106	-327.31	65	914.82	130	0.31	65
303	-734	-735	Min.	0.00	-1686.77	101	-4.17	65	-5.41	97	-3364.92	97	-1000.46	101	-1.03	173
303	-734	-735	Min.	40.00	-1686.77	101	-4.17	65	-5.83	97	-3381.50	97	-2001.39	97	-1.03	173
303	-735	-736	Max	0.00	4406.67	130	22.17	173	3.48	106	-348.08	65	943.36	130	0.27	65
303	-735	-736	Max	20.00	4406.67	130	22.17	173	5.64	173	-354.22	65	678.10	130	0.27	65
303	-735	-736	Min.	0.00	-2426.05	101	-12.20	106	-5.61	97	-3444.70	97	-1846.44	97	-0.86	173
303	-735	-736	Min.	20.00	-2426.05	101	-12.20	106	-4.46	97	-3452.99	97	-2536.21	97	-0.86	173
303	-736	-737	Max	0.00	4406.67	130	22.17	173	5.64	173	-353.65	65	678.10	130	0.27	65
303	-736	-737	Max	20.00	4406.67	130	22.17	173	10.08	173	-359.79	65	411.18	130	0.27	65
303	-736	-737	Min.	0.00	-2426.05	101	-12.20	106	-4.46	97	-3452.99	97	-2536.21	97	-0.86	173
303	-736	-737	Min.	20.00	-2426.05	101	-12.20	106	-3.78	65	-3461.28	97	-3227.64	97	-0.86	173
303	-737	-738	Max	0.00	4095.82	130	46.01	173	9.57	173	-211.86	65	445.03	130	1.15	121
303	-737	-738	Max	40.00	4095.82	130	46.01	173	27.97	173	-224.14	65	-44.83	130	1.15	121
303	-737	-738	Min.	0.00	-2969.87	101	-31.32	106	-3.63	65	-2183.65	97	-3100.09	97	-0.50	106
303	-737	-738	Min.	40.00	-2969.87	101	-31.32	106	-13.73	106	-2200.23	97	-3976.86	97	-0.50	106
303	-738	-739	Max	0.00	3813.20	130	27.08	106	19.74	121	1315.96	105	-13.08	130	0.78	177
303	-738	-739	Max	39.88	3813.20	130	27.08	106	1.85	168	1299.43	105	370.68	130	0.78	177
303	-738	-739	Min.	0.00	-3242.54	101	-47.12	121	-11.40	106	132.02	65	-3887.88	97	-0.99	173
303	-738	-739	Min.	39.88	-3242.54	101	-47.12	121	-2.80	177	119.78	65	-3562.77	97	-0.99	173

303	-739	-740	Max	0.00	3555.58	130	9.23	106	2.10	168	1937.17	97	400.22	130	0.38	121
303	-739	-740	Max	19.94	3555.58	130	9.23	106	1.19	106	1928.90	97	597.48	130	0.38	121
303	-739	-740	Min.	0.00	-3241.40	101	-18.84	121	-2.75	177	265.25	65	-3513.84	97	-0.14	173
303	-739	-740	Min.	19.94	-3241.40	101	-18.84	121	-4.38	177	259.13	65	-3128.44	97	-0.14	173
303	-740	-741	Max	0.00	3555.58	130	9.23	106	1.19	106	1928.90	97	597.40	130	0.38	121
303	-740	-741	Max	19.94	3555.58	130	9.23	106	3.03	106	1920.64	97	793.02	130	0.38	121
303	-740	-741	Min.	0.00	-3241.40	101	-18.84	121	-4.38	177	259.28	65	-3128.58	97	-0.14	173
303	-740	-741	Min.	19.94	-3241.40	101	-18.84	121	-6.21	121	253.15	65	-2744.83	97	-0.14	173
303	-741	-742	Max	0.00	3244.92	130	4.17	173	3.01	106	1846.92	97	827.74	130	0.36	121
303	-741	-742	Max	39.88	3244.92	130	4.17	173	2.25	106	1830.39	97	884.53	130	0.36	121
303	-741	-742	Min.	0.00	-3032.30	101	-23.46	177	-6.02	177	145.75	154	-2727.78	97	-0.36	177
303	-741	-742	Min.	39.88	-3032.30	101	-23.46	177	-15.37	177	133.51	154	-1994.61	97	-0.36	177
303	-742	-743	Max	0.00	2868.79	130	8.41	173	2.28	106	1540.81	97	926.40	130	0.18	17
303	-742	-743	Max	39.88	2868.79	130	8.41	173	4.38	173	1524.28	97	898.16	130	0.18	17
303	-742	-743	Min.	0.00	-2678.29	101	-35.88	177	-15.58	177	-62.56	130	-2000.98	97	-1.03	177
303	-742	-743	Min.	39.88	-2678.29	101	-35.88	177	-29.88	177	-79.09	130	-1389.88	97	-1.03	177
303	-743	-744	Max	0.00	2425.13	130	9.62	173	4.35	173	1248.71	97	947.65	130	0.18	173
303	-743	-744	Max	30.58					-1.37	117			451.17	117		
303	-743	-744	Max	39.88	2425.13	130	9.62	173	8.19	173	1232.18	97	866.21	130	0.18	173
303	-743	-744	Min.	0.00	-2226.16	101	-37.87	177	-30.51	177	-195.98	130	-1412.53	97	-2.22	177
303	-743	-744	Min.	30.58					-1.37	117			451.17	117		
303	-743	-744	Min.	39.88	-2226.16	101	-37.87	177	-45.61	177	-212.51	130	-917.90	97	-2.22	177
303	-744	-745	Max	0.00	1907.31	130	7.59	121	8.28	173	994.43	97	923.84	130	0.47	173
303	-744	-745	Max	15.95					-0.13	17			171.38	17		
303	-744	-745	Max	39.88	1907.31	130	7.59	121	10.62	173	977.90	97	735.46	130	0.47	173
303	-744	-745	Min.	0.00	-1710.11	101	-11.84	177	-46.95	177	-464.16	130	-951.62	97	-3.90	177
303	-744	-745	Min.	15.95					-2.97	17			-164.16	17		
303	-744	-745	Min.	39.88	-1710.11	101	-11.84	177	-51.68	177	-480.69	130	-558.39	97	-3.90	177
303	-745	-746	Max	0.00	1318.80	130	73.43	177	10.88	173	722.98	97	800.88	130	0.78	173
303	-745	-746	Max	0.40					-0.58	18			74.51	18		
303	-745	-746	Max	39.87	1318.80	130	73.43	177	7.60	173	706.45	97	536.16	130	0.78	173
303	-745	-746	Min.	0.00	-1155.59	101	-8.22	173	-53.95	177	-655.59	130	-599.20	97	-5.34	177
303	-745	-746	Min.	0.40					-1.33	18			-13.68	18		
303	-745	-746	Min.	39.87	-1155.59	101	-8.22	173	-24.67	177	-672.12	130	-314.21	97	-5.34	177
303	-746	-747	Max	0.00	673.66	130	269.33	177	8.04	173	412.83	97	607.78	130	0.46	173
303	-746	-747	Max	39.88	673.66	130	269.33	177	79.70	177	396.30	97	373.34	130	0.46	173
303	-746	-747	Min.	0.00	-580.75	101	-42.99	173	-27.69	177	-579.67	130	-358.98	97	-3.25	177
303	-746	-747	Min.	39.88	-580.75	101	-42.99	173	-9.10	173	-596.20	130	-197.66	97	-3.25	177
303	-747	-748	Max	0.00	0.00	1	697.99	177	77.19	177	794.94	97	448.73	130	19.48	177
303	-747	-748	Max	24.80					12.61	128			0.07	128		
303	-747	-748	Max	31.00	0.00	1	697.99	177	293.56	177	782.09	97	0.00	130	19.48	177
303	-747	-748	Min.	0.00	0.00	1	-123.82	173	-8.68	173	-1441.08	130	-244.44	97	-3.92	173
303	-747	-748	Min.	24.80					17.03	97			-48.57	97		
303	-747	-748	Min.	31.00	0.00	1	-123.82	173	-47.06	173	-1453.93	130	0.00	97	-3.92	173
304	-794	-795	Max	0.00	0.00	1	131.71	173	296.24	177	1364.56	101	0.00	1	3.95	173
304	-794	-795	Max	31.00	0.00	1	131.71	173	77.98	177	1351.71	101	421.02	101	3.95	173
304	-794	-795	Min.	0.00	0.00	1	-704.07	177	-52.29	173	-1024.99	122	0.00	1	-19.64	177
304	-794	-795	Min.	31.00	0.00	1	-704.07	177	-11.46	173	-1037.84	122	-319.74	122	-19.64	177
304	-795	-796	Max	0.00	582.58	101	48.02	173	80.53	177	421.52	101	355.80	101	3.28	177
304	-795	-796	Max	39.88	582.58	101	48.02	173	7.24	173	404.99	101	520.59	101	3.28	177
304	-795	-796	Min.	0.00	-680.24	130	-271.97	177	-11.91	173	-523.32	158	-256.93	122	-0.54	173
304	-795	-796	Min.	39.88	-680.24	130	-271.97	177	-27.91	177	-535.57	158	-462.14	122	-0.54	173
304	-796	-797	Max	0.00	1139.24	101	11.43	173	6.74	173	463.85	101	458.71	101	5.38	177
304	-796	-797	Max	18.32					0.25	34			57.23	34		
304	-796	-797	Max	39.87	1139.24	101	11.43	173	11.30	173	447.32	101	640.38	101	5.38	177
304	-796	-797	Min.	0.00	-1347.93	130	-74.70	177	-24.86	177	-800.90	122	-401.94	122	-0.90	173
304	-796	-797	Min.	18.32					0.07	34			-7.48	34		
304	-796	-797	Min.	39.87	-1347.93	130	-74.70	177	-54.64	177	-817.43	122	-724.59	122	-0.90	173
304	-797	-798	Max	0.00	1649.68	101	11.47	177	10.97	173	314.52	101	583.62	101	3.93	177
304	-797	-798	Max	21.54					1.69	125			205.07	125		
304	-797	-798	Max	39.88	1649.68	101	11.47	177	9.49	173	297.99	101	705.74	101	3.93	177
304	-797	-798	Min.	0.00	-1984.43	130	-5.30	98	-52.34	177	-1000.77	98	-669.41	122	-0.58	173
304	-797	-798	Min.	21.54					1.69	125			205.07	125		
304	-797	-798	Min.	39.88	-1984.43	130	-5.30	98	-47.77	177	-1017.30	98	-1066.95	122	-0.58	173
304	-798	-799	Max	0.00	2106.20	101	37.68	177	9.36	173	141.83	101	654.88	101	2.21	177
304	-798	-799	Max	24.28					-0.57	49			296.64	49		
304	-798	-799	Max	39.88	2106.20	101	37.68	177	6.24	173	125.30	101	708.14	101	2.21	177
304	-798	-799	Min.	0.00	-2569.58	130	-7.82	173	-46.41	177	-1240.00	98	-1019.76	122	-0.24	173
304	-798	-799	Min.	24.28					-2.56	49			-454.41	49		
304	-798	-799	Min.	39.88	-2569.58	130	-7.82	173	-31.39	177	-1256.53	98	-1469.63	122	-0.24	173
304	-799	-800	Max	0.00	2509.25	101	35.84	177	6.24	173	126.78	101	663.18	101	0.98	177
304	-799	-800	Max	39.88	2509.25	101	35.84	177	3.44	173	110.25	101	710.44	101	0.98	177
304	-799	-800	Min.	0.00	-3078.47	130	-7.02	173	-30.77	177	-1458.35	98	-1434.09	122	-0.17	65
304	-799	-800	Min.	39.88	-3078.47	130	-7.02	173	-16.48	177	-1474.88	98	-1997.82	98	-0.17	65
304	-800	-801	Max	0.00	2865.86	101	24.42	177	3.53	173	3.93	149	670.80	101	0.28	177
304	-800	-801	Max	12.78					-1.94	149			392.60	149		
304	-800	-801	Max	39.88	2865.86	101	24.42	177	1.65	173	-8.32	149	651.40	101	0.28	177
304	-800	-801	Min.	0.00	-3481.02	130	-4.71	173	-16.30	177	-1619.45	98	-1990.22	98	-0.29	17
304	-800	-801	Min.	12.78					-1.94	149			392.60	149		

304	-800	-801	Min.	39.88	-3481.02	130	-4.71	173	-6.56	177	-1635.98	98	-2639.27	98	-0.29	17
304	-801	-802	Max	0.00	3177.06	101	11.89	177	1.79	173	-284.29	17	616.83	101	0.23	173
304	-801	-802	Max	12.19					-1.86	71			-370.80	71		
304	-801	-802	Max	19.94	3177.06	101	11.89	177	1.41	173	-290.42	17	326.95	101	0.23	173
304	-801	-802	Min.	0.00	-3739.23	130	-1.90	173	-6.58	177	-1922.34	98	-2654.81	98	-0.29	17
304	-801	-802	Min.	12.19					0.50	71			-494.86	71		
304	-801	-802	Min.	19.94	-3739.23	130	-1.90	173	-4.21	177	-1930.60	98	-3038.90	98	-0.29	17
304	-802	-803	Max	0.00	3177.06	101	11.89	177	1.41	173	-290.57	17	326.96	101	0.23	173
304	-802	-803	Max	19.94	3177.06	101	11.89	177	1.03	173	-296.69	17	64.85	137	0.23	173
304	-802	-803	Min.	0.00	-3739.23	130	-1.90	173	-4.21	177	-1930.60	98	-3038.89	98	-0.29	17
304	-802	-803	Min.	19.94	-3739.23	130	-1.90	173	-1.84	177	-1938.87	98	-3424.63	98	-0.29	17
304	-803	312	Max	0.00	3454.67	101	24.83	17	1.16	173	-509.02	17	43.81	149	0.53	173
304	-803	312	Max	39.88	3454.67	101	24.83	17	10.44	17	-521.27	17	-247.74	1	0.53	173
304	-803	312	Min.	0.00	-3807.35	130	-1.25	177	-1.93	177	-4056.20	102	-3471.26	98	-0.62	177
304	-803	312	Min.	39.88	-3807.35	130	-1.25	177	-2.42	177	-4072.74	102	-4806.07	98	-0.62	177
304	312	-804	Max	0.00	3846.17	101	12.02	177	19.18	173	4787.56	98	-262.35	1	0.26	177
304	312	-804	Max	40.00	3846.17	101	12.02	177	8.31	173	4770.98	98	193.46	101	0.26	177
304	312	-804	Min.	0.00	-3609.30	130	-27.18	173	-5.54	177	650.53	17	-4896.42	98	-0.74	17
304	312	-804	Min.	40.00	-3609.30	130	-27.18	173	-3.87	17	638.24	17	-2984.71	98	-0.74	17
304	-804	-805	Max	0.00	4350.22	101	3.83	177	8.72	173	3483.42	98	138.87	137	0.71	173
304	-804	-805	Max	20.00	4350.22	101	3.83	177	5.50	173	3475.13	98	553.83	101	0.71	173
304	-804	-805	Min.	0.00	-3155.39	130	-16.11	173	-4.04	17	434.60	17	-3117.23	98	-0.29	17
304	-804	-805	Min.	20.00	-3155.39	130	-16.11	173	-3.67	17	428.46	17	-2421.37	98	-0.29	17
304	-805	-806	Max	0.00	4350.22	101	3.83	177	5.50	173	3475.13	98	553.83	101	0.71	173
304	-805	-806	Max	20.00	4350.22	101	3.83	177	2.28	173	3466.84	98	967.88	101	0.71	173
304	-805	-806	Min.	0.00	-3155.39	130	-16.11	173	-3.67	17	428.54	17	-2421.37	98	-0.29	17
304	-805	-806	Min.	20.00	-3155.39	130	-16.11	173	-3.40	17	422.40	17	-1727.18	98	-0.29	17
304	-806	-807	Max	0.00	4806.06	101	4.70	101	2.77	173	3137.51	98	917.09	101	0.85	173
304	-806	-807	Max	40.00	4806.06	101	4.70	101	0.83	177	3120.93	98	1174.21	101	0.85	173
304	-806	-807	Min.	0.00	-2527.76	130	-9.03	173	-3.63	17	334.48	149	-1885.99	98	-0.34	17
304	-806	-807	Min.	40.00	-2527.76	130	-9.03	173	-2.84	106	322.19	149	-1062.98	130	-0.34	17
304	-807	-808	Max	0.00	5192.16	101	4.88	102	0.70	177	3023.42	98	1131.23	101	0.84	173
304	-807	-808	Max	17.81					-1.03	35			164.11	35		
304	-807	-808	Max	40.00	5192.16	101	4.88	102	0.60	177	3006.84	98	1333.16	101	0.84	173
304	-807	-808	Min.	0.00	-1782.95	130	-4.79	173	-2.89	106	260.91	149	-1145.48	130	-0.40	17
304	-807	-808	Min.	17.81					-1.54	35			-81.82	35		
304	-807	-808	Min.	40.00	-1782.95	130	-4.79	173	-2.31	118	248.63	149	-550.59	130	-0.40	17
304	-808	-809	Max	0.00	5505.98	97	5.13	98	0.49	177	2834.08	98	1299.52	101	0.79	173
304	-808	-809	Max	40.00	5505.98	97	5.13	98	1.42	101	2817.50	98	1509.91	101	0.79	173
304	-808	-809	Min.	0.00	-969.82	130	-2.53	173	-2.36	106	232.98	1	-640.77	130	-0.42	17
304	-808	-809	Min.	40.00	-969.82	130	-2.53	173	-2.77	173	220.70	1	-109.57	130	-0.42	17
304	-809	-810	Max	0.00	7037.32	97	4.48	98	1.33	101	2653.16	98	1487.56	101	0.71	173
304	-809	-810	Max	40.00	7037.32	97	4.48	98	2.30	97	2636.58	98	2273.88	97	0.71	173
304	-809	-810	Min.	0.00	-128.12	130	-1.73	173	-2.45	17	140.56	1	-203.00	130	-0.41	17
304	-809	-810	Min.	40.00	-128.12	130	-1.73	173	-3.02	173	128.28	1	80.77	49	-0.41	17
304	-810	-811	Max	0.00	8442.01	97	2.54	17	2.05	97	2583.07	98	2118.09	97	0.63	173
304	-810	-811	Max	32.00					-0.06	169			513.48	169		
304	-810	-811	Max	40.00	8442.01	97	2.54	17	2.95	65	2566.49	98	3134.62	97	0.63	173
304	-810	-811	Min.	0.00	347.81	49	-2.03	173	-2.68	17	54.12	1	43.48	49	-0.36	17
304	-810	-811	Min.	32.00					-0.06	169			513.48	169		
304	-810	-811	Min.	40.00	347.81	49	-2.03	173	-3.44	173	41.83	1	217.34	49	-0.36	17
304	-811	-812	Max	0.00	9648.48	97	1.76	17	2.74	65	2591.78	98	3000.97	97	0.52	173
304	-811	-812	Max	20.77					0.97	3			738.80	3		
304	-811	-812	Max	40.00	9648.48	97	1.76	17	3.39	65	2575.20	98	4021.52	97	0.52	173
304	-811	-812	Min.	0.00	672.91	49	-2.98	173	-3.10	173	-21.40	1	181.23	49	-0.29	17
304	-811	-812	Min.	20.77					-0.84	3			355.37	3		
304	-811	-812	Min.	40.00	672.91	49	-2.98	173	-4.29	173	-33.68	1	328.13	33	-0.29	17
304	-812	-1295	Max	0.00	10582.30	97	1.11	17	3.24	65	2103.41	98	3918.39	97	0.38	173
304	-812	-1295	Max	20.00	10582.30	97	1.11	17	3.44	65	2095.12	98	4331.69	97	0.38	173
304	-812	-1295	Min.	0.00	960.63	33	-4.07	173	-4.02	173	-98.68	101	301.23	49	-0.21	17
304	-812	-1295	Min.	20.00	960.63	33	-4.07	173	-4.83	173	-106.97	101	344.42	33	-0.21	17
304	-1295	-813	Max	0.00	10582.30	97	1.11	17	3.44	65	2095.12	98	4331.69	97	0.38	173
304	-1295	-813	Max	20.00	10582.30	97	1.11	17	3.64	17	2086.83	98	4743.33	97	0.38	173
304	-1295	-813	Min.	0.00	960.63	33	-4.07	173	-4.83	173	-106.97	101	344.42	33	-0.21	17
304	-1295	-813	Min.	20.00	960.63	33	-4.07	173	-5.65	173	-115.26	101	375.23	33	-0.21	17
304	-813	-1293	Max	0.00	11150.80	97	1.85	98	3.55	65	1047.27	173	4680.26	97	0.20	173
304	-813	-1293	Max	20.00	11150.80	97	1.85	98	3.64	65	1041.13	173	4758.36	97	0.20	173
304	-813	-1293	Min.	0.00	1069.82	33	-4.36	173	-5.45	173	-259.58	101	363.10	33	-0.12	106
304	-813	-1293	Min.	20.00	1069.82	33	-4.36	173	-6.32	173	-267.87	101	385.48	33	-0.12	106
304	-1293	-814	Max	0.00	11150.80	97	1.85	98	3.64	65	1041.13	173	4758.36	97	0.20	173
304	-1293	-814	Max	19.75					0.63	50			686.27	50		
304	-1293	-814	Max	20.00	11150.80	97	1.85	98	3.74	17	1034.99	173	4834.81	97	0.20	173
304	-1293	-814	Min.	0.00	1069.82	33	-4.36	173	-6.32	173	-267.87	101	385.48	33	-0.12	106
304	-1293	-814	Min.	18.25					-0.04	2			616.57	2		
304	-1293	-814	Min.	20.00	1069.82	33	-4.36	173	-7.19	173	-276.16	101	407.23	33	-0.12	106
304	-814	-815	Max	0.00	11320.50	99	0.71	106	3.71	65	475.02	130	4815.65	97	0.09	101
304	-814	-815	Max	7.50					1.39	135			3536.07	135		
304	-814	-815	Max	20.00	11320.50	99	0.71	106	3.70	17	466.73	130	4813.38	99	0.09	101
304	-814	-815	Min.	0.00	1148.57	33	-1.86	173	-7.09	173	-421.06	101	398.47	33	-0.09	106

304	-814	-815	Min.	19.00					0.18	177			631.83	177		
304	-814	-815	Min.	20.00	1148.57	33	-1.86	173	-7.47	173	-429.35	101	412.28	33	-0.09	106
304	-815	-816	Max	0.00	11320.50	99	0.71	106	3.70	17	466.73	130	4813.38	99	0.09	101
304	-815	-816	Max	18.25					1.88	99			4812.69	99		
304	-815	-816	Max	20.00	11320.50	99	0.71	106	3.71	17	458.44	130	4815.65	98	0.09	101
304	-815	-816	Min.	0.00	1148.57	33	-1.86	173	-7.47	173	-429.35	101	412.28	33	-0.09	106
304	-815	-816	Min.	18.25					0.29	172			649.81	172		
304	-815	-816	Min.	20.00	1148.57	33	-1.86	173	-7.84	173	-437.64	101	398.19	33	-0.09	106
304	-816	-1288	Max	0.00	11150.80	98	1.71	173	3.74	65	351.05	130	4834.81	98	0.12	101
304	-816	-1288	Max	0.25					0.63	2			686.27	2		
304	-816	-1288	Max	20.00	11150.80	98	1.71	173	3.64	17	342.76	130	4758.36	98	0.12	101
304	-816	-1288	Min.	0.00	1066.84	33	-1.85	97	-7.86	173	-595.94	101	407.28	33	-0.13	173
304	-816	-1288	Min.	1.75					-0.04	50			616.57	50		
304	-816	-1288	Min.	20.00	1066.84	33	-1.85	97	-7.52	173	-604.24	101	385.22	33	-0.13	173
304	-1288	-817	Max	0.00	11150.80	98	1.71	173	3.64	17	342.76	130	4758.36	98	0.12	101
304	-1288	-817	Max	20.00	11150.80	98	1.71	173	3.55	17	334.47	130	4680.26	98	0.12	101
304	-1288	-817	Min.	0.00	1066.84	33	-1.85	97	-7.52	173	-604.24	101	385.22	33	-0.13	173
304	-1288	-817	Min.	20.00	1066.84	33	-1.85	97	-7.18	173	-612.53	101	362.53	33	-0.13	173
304	-817	-1286	Max	0.00	10582.30	98	4.49	173	3.64	65	230.02	130	4743.33	98	0.21	65
304	-817	-1286	Max	20.00	10582.30	98	4.49	173	3.44	17	221.73	130	4331.69	98	0.21	65
304	-817	-1286	Min.	0.00	954.67	33	-1.11	65	-7.32	173	-2086.83	97	375.00	33	-0.29	173
304	-817	-1286	Min.	20.00	954.67	33	-1.11	65	-6.43	173	-2095.12	97	343.83	33	-0.29	173
304	-1286	-818	Max	0.00	10582.30	98	4.49	173	3.44	17	221.73	130	4331.69	98	0.21	65
304	-1286	-818	Max	20.00	10582.30	98	4.49	173	3.24	17	213.44	130	3918.39	98	0.21	65
304	-1286	-818	Min.	0.00	954.67	33	-1.11	65	-6.43	173	-2095.12	97	343.83	33	-0.29	173
304	-1286	-818	Min.	20.00	954.67	33	-1.11	65	-5.53	173	-2103.41	97	301.23	1	-0.29	173
304	-818	-819	Max	0.00	9648.47	98	4.25	173	3.39	17	103.55	130	4021.52	98	0.29	65
304	-818	-819	Max	18.62					0.98	51			738.80	51		
304	-818	-819	Max	40.00	9648.47	98	4.25	173	2.74	17	86.97	130	3000.97	98	0.29	65
304	-818	-819	Min.	0.00	672.91	1	-1.76	65	-5.77	173	-2575.20	97	327.52	33	-0.47	173
304	-818	-819	Min.	18.62					-0.83	51			357.96	51		
304	-818	-819	Min.	40.00	672.91	1	-1.76	65	-4.07	173	-2591.78	97	181.23	1	-0.47	173
304	-819	-820	Max	0.00	8442.01	98	3.16	173	2.95	17	-13.06	130	3134.63	98	0.36	65
304	-819	-820	Max	40.00	8442.01	98	3.16	173	2.05	98	-29.64	130	2118.09	98	0.36	65
304	-819	-820	Min.	0.00	347.81	1	-2.54	65	-4.41	173	-2566.49	97	217.34	1	-0.62	173
304	-819	-820	Min.	40.00	347.81	1	-2.54	65	-3.14	173	-2583.07	97	43.48	1	-0.62	173
304	-820	-821	Max	0.00	7037.32	98	2.50	173	2.30	98	-128.28	49	2273.88	98	0.41	65
304	-820	-821	Max	40.00	7037.32	98	2.50	173	1.33	106	-140.56	49	1487.53	106	0.41	65
304	-820	-821	Min.	0.00	11.94	1	-4.48	97	-3.55	173	-2636.58	97	80.77	1	-0.73	173
304	-820	-821	Min.	40.00	11.94	1	-4.48	97	-2.55	173	-2653.16	97	-112.56	1	-0.73	173
304	-821	-822	Max	0.00	5505.97	98	3.04	173	1.42	106	-220.70	49	1509.89	106	0.42	65
304	-821	-822	Max	40.00	5505.97	98	3.04	173	0.49	177	-232.98	49	1299.49	106	0.42	65
304	-821	-822	Min.	0.00	-322.95	1	-5.13	97	-3.00	173	-2817.50	97	-75.39	1	-0.81	173
304	-821	-822	Min.	40.00	-322.95	1	-5.13	97	-2.36	101	-2834.08	97	-481.69	101	-0.81	173
304	-822	-823	Max	0.00	5191.98	106	5.15	173	0.60	177	-221.34	130	1333.13	106	0.40	65
304	-822	-823	Max	22.06					-0.89	35			160.03	35		
304	-822	-823	Max	40.00	5191.98	106	5.15	173	0.70	177	-237.92	130	1177.52	130	0.40	65
304	-822	-823	Min.	0.00	-873.63	101	-4.88	105	-2.31	113	-3006.83	97	-378.31	101	-0.86	173
304	-822	-823	Min.	22.06					-1.39	35			-86.06	35		
304	-822	-823	Min.	40.00	-873.63	101	-4.88	105	-2.89	101	-3023.42	97	-1082.53	101	-0.86	173
304	-823	-824	Max	0.00	4805.87	106	9.28	173	0.83	177	-316.45	130	1199.32	130	0.34	65
304	-823	-824	Max	40.00	4805.87	106	9.28	173	2.95	173	-333.04	130	1069.42	130	0.34	65
304	-823	-824	Min.	0.00	-1744.36	101	-4.69	106	-2.84	101	-3120.93	97	-986.09	101	-0.86	173
304	-823	-824	Min.	40.00	-1744.36	101	-4.69	106	-3.63	65	-3137.51	97	-1885.98	97	-0.86	173
304	-824	-825	Max	0.00	4398.54	130	16.14	173	2.44	173	-422.40	65	1099.75	130	0.29	65
304	-824	-825	Max	20.00	4398.54	130	16.14	173	5.67	173	-428.54	65	826.97	130	0.29	65
304	-824	-825	Min.	0.00	-2495.04	101	-3.83	177	-3.40	65	-3466.83	97	-1727.17	97	-0.73	173
304	-824	-825	Min.	20.00	-2495.04	101	-3.83	177	-3.67	65	-3475.12	97	-2421.37	97	-0.73	173
304	-825	-826	Max	0.00	4398.54	130	16.14	173	5.67	173	-428.46	65	826.97	130	0.29	65
304	-825	-826	Max	20.00	4398.54	130	16.14	173	8.90	173	-434.60	65	552.54	130	0.29	65
304	-825	-826	Min.	0.00	-2495.04	101	-3.83	177	-3.67	65	-3475.12	97	-2421.37	97	-0.73	173
304	-825	-826	Min.	20.00	-2495.04	101	-3.83	177	-4.04	65	-3483.41	97	-3117.22	97	-0.73	173
304	-826	313	Max	0.00	4060.03	130	26.60	173	8.48	173	-638.24	65	589.67	130	0.74	65
304	-826	313	Max	40.00	4060.03	130	26.60	173	19.12	173	-650.52	65	-262.35	49	0.74	65
304	-826	313	Min.	0.00	-3058.27	101	-12.02	177	-3.87	65	-4770.97	97	-2984.70	97	-0.26	177
304	-826	313	Min.	40.00	-3058.27	101	-12.02	177	-5.54	177	-4787.55	97	-4896.40	97	-0.26	177
304	313	-827	Max	0.00	3767.26	130	1.24	177	12.98	125	4072.26	105	-247.74	49	0.62	177
304	313	-827	Max	39.88	3767.26	130	1.24	177	1.37	161	4055.73	105	483.10	130	0.62	177
304	313	-827	Min.	0.00	-3332.11	101	-30.48	121	-2.42	177	521.24	65	-4806.05	97	-0.57	125
304	313	-827	Min.	39.88	-3332.11	101	-30.48	121	-1.93	177	508.99	65	-3471.33	97	-0.57	125
304	-827	-828	Max	0.00	3517.09	130	2.39	173	1.53	161	1938.87	97	511.64	130	0.29	65
304	-827	-828	Max	19.94	3517.09	130	2.39	173	1.46	173	1930.60	97	707.84	130	0.29	65
304	-827	-828	Min.	0.00	-3312.63	101	-13.16	121	-1.84	177	296.69	65	-3424.54	97	-0.25	173
304	-827	-828	Min.	19.94	-3312.63	101	-13.16	121	-4.21	177	290.56	65	-3038.81	97	-0.25	173
304	-828	-829	Max	0.00	3517.09	130	2.39	173	1.45	173	1930.61	97	707.77	130	0.29	65
304	-828	-829	Max	6.75					-1.77	23			-376.05	23		
304	-828	-829	Max	19.94	3517.09	130	2.39	173	1.93	173	1922.34	97	902.32	130	0.29	65
304	-828	-829	Min.	0.00	-3312.63	101	-13.16	121	-4.21	177	290.42	65	-3038.95	97	-0.25	173
304	-828	-829	Min.	6.75					0.50	23			-498.90	23		

304	-828	-829	Min.	19.94	-3312.63	101	-13.16	121	-6.58	177	284.30	65	-2654.86	97	-0.25	173
304	-829	-830	Max	0.00	3204.88	130	4.80	173	1.79	173	1636.00	97	937.03	130	0.29	65
304	-829	-830	Max	26.60					-1.95	154			392.53	154		
304	-829	-830	Max	39.88	3204.88	130	4.80	173	3.70	173	1619.47	97	905.03	130	0.29	65
304	-829	-830	Min.	0.00	-3091.61	101	-24.42	177	-6.56	177	-71.98	130	-2639.27	97	-0.28	177
304	-829	-830	Min.	26.60					-1.95	154			392.53	154		
304	-829	-830	Min.	39.88	-3091.61	101	-24.42	177	-16.30	177	-88.51	130	-1990.21	97	-0.28	177
304	-830	-831	Max	0.00	2823.65	130	6.96	173	3.60	173	1474.87	97	947.41	130	0.17	17
304	-830	-831	Max	39.88	2823.65	130	6.96	173	6.38	173	1458.34	97	853.76	130	0.17	17
304	-830	-831	Min.	0.00	-2725.83	101	-35.84	177	-16.48	177	-226.60	130	-1997.89	97	-0.98	177
304	-830	-831	Min.	39.88	-2725.83	101	-35.84	177	-30.77	177	-243.13	130	-1413.08	97	-0.98	177
304	-831	-832	Max	0.00	2376.06	130	7.75	173	6.37	173	1256.51	97	903.62	130	0.23	173
304	-831	-832	Max	16.39					-4.31	166			417.45	166		
304	-831	-832	Max	39.88	2376.06	130	7.75	173	9.46	173	1239.98	97	788.14	130	0.23	173
304	-831	-832	Min.	0.00	-2261.68	101	-37.68	177	-31.39	177	-281.34	130	-1437.17	97	-2.21	177
304	-831	-832	Min.	13.58					-2.58	1			-463.19	1		
304	-831	-832	Min.	39.88	-2261.68	101	-37.68	177	-46.41	177	-297.87	130	-939.43	97	-2.21	177
304	-832	-833	Max	0.00	1860.77	130	5.71	121	9.60	173	1017.30	97	845.47	130	0.57	173
304	-832	-833	Max	39.88	1860.77	130	5.71	121	11.08	173	1000.77	97	657.98	130	0.57	173
304	-832	-833	Min.	0.00	-1734.39	101	-11.46	177	-47.77	177	-461.92	130	-974.81	97	-3.93	177
304	-832	-833	Min.	39.88	-1734.39	101	-11.46	177	-52.34	177	-478.45	130	-572.46	97	-3.93	177
304	-833	-834	Max	0.00	1282.70	130	74.70	177	11.41	173	736.43	97	722.25	130	0.90	173
304	-833	-834	Max	23.93					0.17	34			56.55	34		
304	-833	-834	Max	39.87	1282.70	130	74.70	177	6.89	173	719.90	97	478.35	130	0.90	173
304	-833	-834	Min.	0.00	-1170.51	101	-11.32	173	-54.64	177	-603.40	130	-615.09	97	-5.38	177
304	-833	-834	Min.	23.93									-6.47	34		
304	-833	-834	Min.	39.87	-1170.51	101	-11.32	173	-24.85	177	-619.93	130	-324.73	97	-5.38	177
304	-834	-835	Max	0.00	654.40	130	271.98	177	7.39	173	408.44	97	548.11	130	0.54	173
304	-834	-835	Max	31.32					4.56	125			-26.49	125		
304	-834	-835	Max	39.88	654.40	130	271.98	177	80.55	177	391.91	97	355.76	106	0.54	173
304	-834	-835	Min.	0.00	-588.16	101	-47.96	173	-27.91	177	-531.19	130	-371.41	97	-3.28	177
304	-834	-835	Min.	31.32					4.56	125			-26.49	125		
304	-834	-835	Min.	39.88	-588.16	101	-47.96	173	-11.73	173	-547.72	130	-211.84	97	-3.28	177
304	-835	-836	Max	0.00	0.00	1	704.07	177	77.98	177	847.20	97	420.99	106	19.64	177
304	-835	-836	Max	24.80					10.69	160			-0.32	160		
304	-835	-836	Max	31.00	0.00	1	704.07	177	296.24	177	834.35	97	0.00	106	19.64	177
304	-835	-836	Min.	0.00	0.00	1	-132.09	173	-11.28	173	-1351.62	106	-260.64	97	-3.97	173
304	-835	-836	Min.	24.80					14.01	97			-51.81	97		
304	-835	-836	Min.	31.00	0.00	1	-132.09	173	-52.23	173	-1364.47	106	0.00	97	-3.97	173
305	-837	-838	Max	0.00	0.00	1	140.26	173	296.55	177	1368.78	101	0.00	1	3.97	173
305	-837	-838	Max	31.00	0.00	1	140.26	173	77.80	177	1355.93	101	422.33	101	3.97	173
305	-837	-838	Min.	0.00	0.00	1	-705.64	177	-58.12	173	-1004.13	122	0.00	1	-19.68	177
305	-837	-838	Min.	31.00	0.00	1	-705.64	177	-14.63	173	-1016.98	122	-313.27	122	-19.68	177
305	-838	-839	Max	0.00	583.46	101	54.02	173	80.37	177	444.94	101	357.04	101	3.30	177
305	-838	-839	Max	23.93					15.24	177			37.09	177		
305	-838	-839	Max	39.88	583.46	101	54.02	173	6.41	173	428.41	101	531.16	101	3.30	177
305	-838	-839	Min.	0.00	-677.87	130	-272.22	177	-15.13	173	-494.82	158	-250.23	122	-0.62	173
305	-838	-839	Min.	37.61					0.45	170			6.42	170		
305	-838	-839	Min.	39.88	-677.87	130	-272.22	177	-28.18	177	-507.07	158	-448.44	122	-0.62	173
305	-839	-840	Max	0.00	1139.92	101	15.18	173	5.83	173	513.41	101	469.33	101	5.39	177
305	-839	-840	Max	8.10					0.16	21			38.76	21		
305	-839	-840	Max	39.87	1139.92	101	15.18	173	11.89	173	496.88	101	670.75	101	5.39	177
305	-839	-840	Min.	0.00	-1343.83	130	-74.68	177	-25.11	177	-792.07	122	-387.95	122	-1.01	173
305	-839	-840	Min.	8.10					0.94	21			3.34	21		
305	-839	-840	Min.	39.87	-1343.83	130	-74.68	177	-54.89	177	-808.60	122	-707.08	122	-1.01	173
305	-840	-841	Max	0.00	1648.79	101	11.61	177	11.47	173	385.38	101	614.20	101	3.93	177
305	-840	-841	Max	17.29					0.19	33			150.69	33		
305	-840	-841	Max	39.88	1648.79	101	11.61	177	10.95	173	368.85	101	764.57	101	3.93	177
305	-840	-841	Min.	0.00	-1981.55	130	-3.23	17	-52.59	177	-1022.06	98	-651.42	122	-0.68	173
305	-840	-841	Min.	17.29					-0.95	33			-170.54	33		
305	-840	-841	Min.	39.88	-1981.55	130	-3.23	17	-47.96	177	-1038.59	98	-1053.37	122	-0.68	173
305	-841	-842	Max	0.00	2100.10	101	37.69	177	10.74	173	169.53	101	714.35	101	2.21	177
305	-841	-842	Max	8.10					0.06	1			274.56	1		
305	-841	-842	Max	39.88	2100.10	101	37.69	177	8.30	173	153.00	101	778.66	101	2.21	177
305	-841	-842	Min.	0.00	-2570.79	130	-6.12	173	-46.61	177	-1293.05	98	-1005.52	122	-0.29	173
305	-841	-842	Min.	8.10					-1.52	1			-380.30	1		
305	-841	-842	Min.	39.88	-2570.79	130	-6.12	173	-31.58	177	-1309.58	98	-1476.14	122	-0.29	173
305	-842	-843	Max	0.00	2491.75	101	35.69	177	8.28	173	-48.41	149	735.03	101	0.96	177
305	-842	-843	Max	39.88	2491.75	101	35.69	177	5.84	173	-60.66	149	676.23	101	0.96	177
305	-842	-843	Min.	0.00	-3086.02	130	-6.12	173	-30.96	177	-1598.43	98	-1450.94	98	-0.17	65
305	-842	-843	Min.	39.88	-3086.02	130	-6.12	173	-16.73	177	-1614.96	98	-2091.61	98	-0.17	65
305	-843	-844	Max	0.00	2828.81	101	24.44	177	5.95	173	-233.22	1	638.58	101	0.25	177
305	-843	-844	Max	39.88	2828.81	101	24.44	177	3.62	173	-245.47	1	347.48	101	0.25	177
305	-843	-844	Min.	0.00	-3494.44	130	-5.84	173	-16.56	177	-1904.26	98	-2083.79	98	-0.27	17
305	-843	-844	Min.	39.88	-3494.44	130	-5.84	173	-6.82	177	-1920.79	98	-2846.41	98	-0.27	17
305	-844	-845	Max	0.00	3127.34	101	12.69	177	3.81	173	-302.96	1	313.79	101	0.32	173
305	-844	-845	Max	15.95					-0.58	55			-104.75	55		
305	-844	-845	Max	19.94	3127.34	101	12.69	177	2.22	173	-309.08	1	48.93	149	0.32	173
305	-844	-845	Min.	0.00	-3755.01	130	-7.97	173	-6.86	177	-1996.09	98	-2862.91	98	-0.27	17

305	-844	-845	Min.	15.95					0.23	55			-880.06	55		
305	-844	-845	Min.	19.94	-3755.01	130	-7.97	173	-4.33	177	-2004.35	98	-3261.71	98	-0.27	17
305	-845	-846	Max	0.00	3127.34	101	12.69	177	2.22	173	-311.68	1	48.93	149	0.32	173
305	-845	-846	Max	19.94	3127.34	101	12.69	177	0.63	173	-317.81	1	-48.47	1	0.32	173
305	-845	-846	Min.	0.00	-3755.01	130	-7.97	173	-4.33	177	-2004.35	98	-3261.70	98	-0.27	17
305	-845	-846	Min.	19.94	-3755.01	130	-7.97	173	-1.80	177	-2012.62	98	-3662.14	98	-0.27	17
305	-846	-847	Max	0.00	3433.41	101	26.77	102	0.85	173	-126.00	1	-61.60	1	0.57	102
305	-846	-847	Max	39.88	3433.41	101	26.77	102	9.83	102	-138.24	1	-120.30	1	0.57	102
305	-846	-847	Min.	0.00	-3816.23	130	-14.31	173	-1.89	177	-980.59	102	-3711.83	98	-0.53	177
305	-846	-847	Min.	39.88	-3816.23	130	-14.31	173	-4.86	173	-997.12	102	-4019.26	98	-0.53	177
305	-847	-848	Max	0.00	3827.78	101	7.66	177	11.56	173	2240.59	98	-135.56	1	0.63	173
305	-847	-848	Max	40.00	3827.78	101	7.66	177	7.55	173	2224.00	98	8.01	1	0.63	173
305	-847	-848	Min.	0.00	-3622.38	130	-25.30	102	-3.02	177	300.54	33	-4110.49	98	-0.69	17
305	-847	-848	Min.	40.00	-3622.38	130	-25.30	102	-4.23	17	288.26	33	-3217.57	98	-0.69	17
305	-848	-849	Max	0.00	4310.02	101	2.99	17	7.90	173	3574.70	98	-9.15	1	0.61	173
305	-848	-849	Max	20.00	4310.02	101	2.99	17	5.79	173	3566.41	98	247.31	101	0.61	173
305	-848	-849	Min.	0.00	-3183.85	130	-10.59	173	-4.41	17	489.25	33	-3348.81	98	-0.32	17
305	-848	-849	Min.	20.00	-3183.85	130	-10.59	173	-3.82	17	483.10	33	-2634.70	98	-0.32	17
305	-849	-850	Max	0.00	4310.02	101	2.99	17	5.79	173	3566.41	98	247.31	101	0.61	173
305	-849	-850	Max	20.00	4310.02	101	2.99	17	3.67	173	3558.12	98	671.00	101	0.61	173
305	-849	-850	Min.	0.00	-3183.85	130	-10.59	173	-3.82	17	482.82	33	-2634.70	98	-0.32	17
305	-849	-850	Min.	20.00	-3183.85	130	-10.59	173	-3.83	102	476.68	33	-1922.24	98	-0.32	17
305	-850	-851	Max	0.00	4784.90	101	4.89	17	4.12	173	3434.54	98	618.64	101	0.72	173
305	-850	-851	Max	40.00	4784.90	101	4.89	17	0.67	173	3417.96	98	1151.32	101	0.72	173
305	-850	-851	Min.	0.00	-2561.21	130	-8.64	173	-3.82	102	435.30	33	-2081.77	98	-0.37	17
305	-850	-851	Min.	40.00	-2561.21	130	-8.64	173	-2.61	102	423.01	33	-1123.44	130	-0.37	17
305	-851	-852	Max	0.00	5196.05	101	5.35	102	1.16	173	3195.82	98	1105.75	101	0.76	173
305	-851	-852	Max	40.00	5196.05	101	5.35	102	0.42	97	3179.24	98	1417.29	101	0.76	173
305	-851	-852	Min.	0.00	-1816.05	130	-6.77	173	-2.67	102	356.36	33	-1205.94	130	-0.43	17
305	-851	-852	Min.	40.00	-1816.05	130	-6.77	173	-1.55	173	344.08	33	-578.26	130	-0.43	17
305	-852	-853	Max	0.00	5529.36	97	4.15	17	0.30	97	2966.92	98	1381.79	101	0.72	173
305	-852	-853	Max	40.00	5529.36	97	4.15	17	1.51	65	2950.34	98	1585.24	101	0.72	173
305	-852	-853	Min.	0.00	-999.05	130	-5.39	173	-1.18	106	259.33	1	-668.84	130	-0.44	17
305	-852	-853	Min.	40.00	-999.05	130	-5.39	173	-3.21	173	247.05	1	-122.52	130	-0.44	17
305	-853	-854	Max	0.00	7079.48	97	3.22	17	1.36	97	2790.26	98	1561.85	101	0.64	173
305	-853	-854	Max	40.00	7079.48	97	3.22	17	2.42	65	2773.67	98	2368.26	97	0.64	173
305	-853	-854	Min.	0.00	-151.93	130	-4.31	173	-2.76	173	160.05	1	-216.54	130	-0.42	17
305	-853	-854	Min.	40.00	-151.93	130	-4.31	173	-4.49	173	147.77	1	97.30	49	-0.42	17
305	-854	-855	Max	0.00	8497.64	97	2.35	17	2.17	65	2637.55	98	2211.07	97	0.52	173
305	-854	-855	Max	32.00					-0.06	143			607.66	143		
305	-854	-855	Max	40.00	8497.64	97	2.35	17	3.04	65	2620.96	98	3249.22	97	0.52	173
305	-854	-855	Min.	0.00	393.46	49	-3.07	173	-4.11	173	70.20	1	59.08	49	-0.37	17
305	-854	-855	Min.	32.00					-0.04	162			433.24	162		
305	-854	-855	Min.	40.00	393.46	49	-3.07	173	-5.33	173	57.92	1	239.36	49	-0.37	17
305	-855	-856	Max	0.00	9706.65	97	1.63	17	2.84	65	2367.60	98	3115.33	97	0.39	173
305	-855	-856	Max	16.00					0.91	3			721.02	3		
305	-855	-856	Max	40.00	9706.65	97	1.63	17	3.44	65	2351.02	98	4046.14	97	0.39	173
305	-855	-856	Min.	0.00	725.43	49	-3.19	97	-5.04	173	-8.98	1	202.50	49	-0.29	17
305	-855	-856	Min.	16.00					-0.93	3			357.36	3		
305	-855	-856	Min.	40.00	725.43	49	-3.19	97	-5.56	173	-21.26	1	353.53	33	-0.29	17
305	-856	-1297	Max	0.00	10630.70	97	1.03	17	3.29	65	1792.14	98	3943.89	97	0.27	173
305	-856	-1297	Max	20.00	10630.70	97	1.03	17	3.47	65	1783.85	98	4294.94	97	0.27	173
305	-856	-1297	Min.	0.00	1018.14	33	-2.85	97	-5.37	173	-111.33	101	326.10	49	-0.21	17
305	-856	-1297	Min.	20.00	1018.14	33	-2.85	97	-5.18	173	-119.62	101	370.52	33	-0.21	17
305	-1297	-857	Max	0.00	10630.70	97	1.03	17	3.47	65	1783.85	98	4294.94	97	0.27	173
305	-1297	-857	Max	20.00	10630.70	97	1.03	17	3.66	17	1775.56	98	4644.33	97	0.27	173
305	-1297	-857	Min.	0.00	1018.14	33	-2.85	97	-5.18	173	-119.62	101	370.52	33	-0.21	17
305	-1297	-857	Min.	20.00	1018.14	33	-2.85	97	-4.99	173	-127.91	101	402.69	33	-0.21	17
305	-857	-1296	Max	0.00	11200.20	97	2.41	173	3.57	65	1041.25	173	4581.21	97	0.17	173
305	-857	-1296	Max	20.00	11200.20	97	2.41	173	3.66	65	1035.11	173	4733.68	97	0.17	173
305	-857	-1296	Min.	0.00	1131.64	33	-0.64	101	-4.88	173	-270.53	101	390.07	33	-0.12	17
305	-857	-1296	Min.	20.00	1131.64	33	-0.64	101	-4.40	173	-278.82	101	413.22	33	-0.12	17
305	-1296	-858	Max	0.00	11200.20	97	2.41	173	3.66	65	1035.11	173	4733.68	97	0.17	173
305	-1296	-858	Max	12.00					3.69	19			687.61	19		
305	-1296	-858	Max	20.00	11200.20	97	2.41	173	3.75	17	1028.96	173	4884.49	97	0.17	173
305	-1296	-858	Min.	0.00	1131.64	33	-0.64	101	-4.40	173	-278.82	101	413.22	33	-0.12	17
305	-1296	-858	Min.	12.00					-3.40	19			615.17	19		
305	-1296	-858	Min.	20.00	1131.64	33	-0.64	101	-3.92	173	-287.11	101	435.65	33	-0.12	17
305	-858	-859	Max	0.00	11379.10	99	0.52	106	3.72	65	480.38	130	4864.59	97	0.05	101
305	-858	-859	Max	6.75					-0.57	135			3572.18	135		
305	-858	-859	Max	20.00	11379.10	99	0.52	106	3.71	17	472.09	130	4862.27	99	0.05	101
305	-858	-859	Min.	0.00	1212.40	33	-0.52	101	-3.89	173	-430.55	101	426.67	33	-0.05	106
305	-858	-859	Min.	6.75					0.15	172			654.22	172		
305	-858	-859	Min.	20.00	1212.40	33	-0.52	101	-3.80	173	-438.84	101	440.73	33	-0.05	106
305	-859	-860	Max	0.00	11379.10	99	0.52	106	3.71	17	472.09	130	4862.27	99	0.05	101
305	-859	-860	Max	6.75					-0.57	135			3572.38	135		
305	-859	-860	Max	20.00	11379.10	99	0.52	106	3.72	17	463.80	130	4864.59	98	0.05	101
305	-859	-860	Min.	0.00	1212.40	33	-0.52	101	-3.80	173	-438.84	101	440.73	33	-0.05	106
305	-859	-860	Min.	18.25					0.15	172			653.98	172		

305	-859	-860	Min.	20.00	1212.40	33	-0.52	101	-3.71	173	-447.13	101	426.52	33	-0.05	106
305	-860	-1289	Max	0.00	11200.20	98	0.64	106	3.75	65	359.83	130	4884.49	98	0.12	65
305	-860	-1289	Max	8.00					3.69	67			687.61	67		
305	-860	-1289	Max	20.00	11200.20	98	0.64	106	3.66	17	351.54	130	4733.68	98	0.12	65
305	-860	-1289	Min.	0.00	1130.13	33	-0.51	65	-3.74	173	-781.73	97	435.67	33	-0.11	17
305	-860	-1289	Min.	8.00					-3.40	67			615.17	67		
305	-860	-1289	Min.	20.00	1130.13	33	-0.51	65	-3.83	173	-790.02	97	413.10	33	-0.11	17
305	-1289	-861	Max	0.00	11200.20	98	0.64	106	3.66	17	351.54	130	4733.68	98	0.12	65
305	-1289	-861	Max	20.00	11200.20	98	0.64	106	3.57	17	343.25	130	4581.21	98	0.12	65
305	-1289	-861	Min.	0.00	1130.13	33	-0.51	65	-3.83	173	-790.02	97	413.10	33	-0.11	17
305	-1289	-861	Min.	20.00	1130.13	33	-0.51	65	-3.92	173	-798.31	97	389.80	33	-0.11	17
305	-861	-1287	Max	0.00	10630.70	98	2.85	98	3.66	65	242.54	130	4644.33	98	0.21	65
305	-861	-1287	Max	20.00	10630.70	98	2.85	98	3.47	17	234.25	130	4294.94	98	0.21	65
305	-861	-1287	Min.	0.00	1015.14	33	-2.28	173	-4.01	173	-1775.56	97	402.58	33	-0.27	173
305	-861	-1287	Min.	20.00	1015.14	33	-2.28	173	-4.47	173	-1783.85	97	370.25	33	-0.27	173
305	-1287	-862	Max	0.00	10630.70	98	2.85	98	3.47	17	234.25	130	4294.94	98	0.21	65
305	-1287	-862	Max	20.00	10630.70	98	2.85	98	3.29	17	225.96	130	3943.89	98	0.21	65
305	-1287	-862	Min.	0.00	1015.14	33	-2.28	173	-4.47	173	-1783.85	97	370.25	33	-0.27	173
305	-1287	-862	Min.	20.00	1015.14	33	-2.28	173	-4.92	173	-1792.14	97	326.10	1	-0.27	173
305	-862	-863	Max	0.00	9706.65	98	3.19	98	3.44	17	121.19	130	4046.13	98	0.29	65
305	-862	-863	Max	23.21					0.92	51			721.02	51		
305	-862	-863	Max	40.00	9706.65	98	3.19	98	2.84	17	104.60	130	3115.33	98	0.29	65
305	-862	-863	Min.	0.00	725.43	1	-1.63	65	-5.08	173	-2351.02	97	353.26	33	-0.37	173
305	-862	-863	Min.	23.21					-0.93	51			360.82	51		
305	-862	-863	Min.	40.00	725.43	1	-1.63	65	-5.33	173	-2367.60	97	202.50	1	-0.37	173
305	-863	-864	Max	0.00	8497.63	98	1.88	173	3.04	17	17.30	130	3249.22	98	0.37	65
305	-863	-864	Max	0.80					0.93	131			1440.26	131		
305	-863	-864	Max	40.00	8497.63	98	1.88	173	2.17	17	0.72	130	2211.07	98	0.37	65
305	-863	-864	Min.	0.00	393.46	1	-2.35	65	-5.58	173	-2620.96	97	239.36	1	-0.48	173
305	-863	-864	Min.	0.80					0.93	132			1440.26	132		
305	-863	-864	Min.	40.00	393.46	1	-2.35	65	-4.83	173	-2637.54	97	59.08	1	-0.48	173
305	-864	-865	Max	0.00	7079.47	98	4.03	173	2.42	17	-94.00	130	2368.26	98	0.42	65
305	-864	-865	Max	40.00	7079.47	98	4.03	173	1.36	98	-110.58	130	1561.82	106	0.42	65
305	-864	-865	Min.	0.00	49.11	1	-3.22	65	-5.19	173	-2773.67	97	97.30	1	-0.61	173
305	-864	-865	Min.	40.00	49.11	1	-3.22	65	-3.58	173	-2790.26	97	-104.28	1	-0.61	173
305	-865	-866	Max	0.00	5529.35	98	5.77	173	1.51	17	-216.81	130	1585.21	106	0.44	65
305	-865	-866	Max	40.00	5529.35	98	5.77	173	0.30	98	-233.39	130	1381.75	106	0.44	65
305	-865	-866	Min.	0.00	-295.20	1	-4.15	65	-4.01	173	-2950.34	97	-66.07	1	-0.71	173
305	-865	-866	Min.	40.00	-295.20	1	-4.15	65	-1.71	173	-2966.92	97	-508.12	101	-0.71	173
305	-866	-867	Max	0.00	5195.87	106	7.48	173	0.42	98	-346.85	33	1417.26	106	0.43	65
305	-866	-867	Max	40.00	5195.87	106	7.48	173	0.79	173	-359.13	33	1169.49	130	0.43	65
305	-866	-867	Min.	0.00	-904.11	101	-5.35	105	-2.20	173	-3179.24	97	-404.02	101	-0.76	173
305	-866	-867	Min.	40.00	-904.11	101	-5.35	105	-2.67	105	-3195.82	97	-1145.01	101	-0.76	173
305	-867	-868	Max	0.00	4784.70	106	9.40	173	0.50	177	-426.63	33	1193.22	130	0.37	65
305	-867	-868	Max	40.00	4784.70	106	9.40	173	4.05	173	-438.91	33	868.42	130	0.37	65
305	-867	-868	Min.	0.00	-1778.20	101	-4.89	65	-2.61	105	-3417.97	97	-1048.24	101	-0.73	173
305	-867	-868	Min.	40.00	-1778.20	101	-4.89	65	-3.82	105	-3434.55	97	-2081.77	97	-0.73	173
305	-868	-869	Max	0.00	4362.01	130	11.14	173	3.58	173	-480.92	33	900.21	130	0.32	65
305	-868	-869	Max	20.00	4362.01	130	11.14	173	5.81	173	-487.06	33	622.64	130	0.32	65
305	-868	-869	Min.	0.00	-2526.99	101	-2.99	65	-3.83	105	-3558.12	97	-1922.24	97	-0.63	173
305	-868	-869	Min.	20.00	-2526.99	101	-2.99	65	-3.82	65	-3566.41	97	-2634.70	97	-0.63	173
305	-869	-870	Max	0.00	4362.01	130	11.14	173	5.81	173	-487.35	33	622.64	130	0.32	65
305	-869	-870	Max	20.00	4362.01	130	11.14	173	8.04	173	-493.49	33	343.42	130	0.32	65
305	-869	-870	Min.	0.00	-2526.99	101	-2.99	65	-3.82	65	-3566.41	97	-2634.70	97	-0.63	173
305	-869	-870	Min.	20.00	-2526.99	101	-2.99	65	-4.41	65	-3574.70	97	-3348.81	97	-0.63	173
305	-870	-871	Max	0.00	4035.16	130	25.30	105	7.67	173	-290.67	33	379.22	130	0.69	65
305	-870	-871	Max	40.00	4035.16	130	25.30	105	11.62	173	-302.95	33	-36.71	130	0.69	65
305	-870	-871	Min.	0.00	-3076.68	101	-7.66	177	-4.23	65	-2223.99	97	-3217.57	97	-0.68	173
305	-870	-871	Min.	40.00	-3076.68	101	-7.66	177	-3.02	177	-2240.57	97	-4110.48	97	-0.68	173
305	-871	-872	Max	0.00	3735.87	130	15.83	173	10.76	129	997.07	105	-3.00	130	0.53	177
305	-871	-872	Max	39.88	3735.87	130	15.83	173	0.84	173	980.54	105	257.34	130	0.53	177
305	-871	-872	Min.	0.00	-3350.66	101	-27.10	129	-5.47	173	138.26	49	-4019.26	97	-0.57	105
305	-871	-872	Min.	39.88	-3350.66	101	-27.10	129	-1.89	177	126.01	49	-3711.80	97	-0.57	105
305	-872	-873	Max	0.00	3458.82	130	8.53	173	0.78	165	2012.66	97	288.79	130	0.27	65
305	-872	-873	Max	19.94	3458.82	130	8.53	173	2.31	173	2004.40	97	482.06	130	0.27	65
305	-872	-873	Min.	0.00	-3345.13	101	-12.69	177	-1.80	177	317.81	49	-3662.08	97	-0.34	173
305	-872	-873	Min.	19.94	-3345.13	101	-12.69	177	-4.33	177	311.69	49	-3261.63	97	-0.34	173
305	-873	-874	Max	0.00	3458.82	130	8.53	173	2.31	173	2004.40	97	481.99	130	0.27	65
305	-873	-874	Max	3.99					-0.58	7			-104.77	7		
305	-873	-874	Max	19.94	3458.82	130	8.53	173	4.01	173	1996.14	97	673.61	130	0.27	65
305	-873	-874	Min.	0.00	-3345.13	101	-12.69	177	-4.33	177	309.09	49	-3261.78	97	-0.34	173
305	-873	-874	Min.	3.99					0.23	7			-880.08	7		
305	-873	-874	Min.	19.94	-3345.13	101	-12.69	177	-6.86	177	302.97	49	-2862.97	97	-0.34	173
305	-874	-875	Max	0.00	3149.98	130	5.96	173	3.80	173	1920.85	97	708.31	130	0.27	65
305	-874	-875	Max	39.88	3149.98	130	5.96	173	6.18	173	1904.32	97	859.31	130	0.27	65
305	-874	-875	Min.	0.00	-3125.98	101	-24.44	177	-6.82	177	245.48	49	-2846.42	97	-0.26	173
305	-874	-875	Min.	39.88	-3125.98	101	-24.44	177	-16.56	177	233.23	49	-2083.78	97	-0.26	173
305	-875	-876	Max	0.00	2779.55	130	6.06	173	6.06	173	1614.96	97	900.59	130	0.17	17
305	-875	-876	Max	39.88	2779.55	130	6.06	173	8.48	173	1598.43	97	871.82	130	0.17	17

305	-875	-876	Min.	0.00	-2756.43	101	-35.68	177	-16.73	177	-63.87	130	-2091.69	97	-0.96	177
305	-875	-876	Min.	39.88	-2756.43	101	-35.68	177	-30.96	177	-80.40	130	-1451.02	97	-0.96	177
305	-876	-877	Max	0.00	2339.64	130	6.04	173	8.50	173	1309.55	97	920.77	130	0.28	173
305	-876	-877	Max	31.52					0.06	49			274.56	49		
305	-876	-877	Max	39.88	2339.64	130	6.04	173	10.91	173	1293.02	97	790.68	130	0.28	173
305	-876	-877	Min.	0.00	-2285.78	101	-37.68	177	-31.58	177	-317.99	130	-1475.90	97	-2.21	177
305	-876	-877	Min.	31.52					-1.52	49			-381.38	49		
305	-876	-877	Min.	39.88	-2285.78	101	-37.68	177	-46.61	177	-334.52	130	-957.01	97	-2.21	177
305	-877	-878	Max	0.00	1831.21	130	3.23	65	11.11	173	1038.59	97	847.20	130	0.68	173
305	-877	-878	Max	29.10									149.30	33		
305	-877	-878	Max	39.88	1831.21	130	3.23	65	11.62	173	1022.06	97	641.72	130	0.68	173
305	-877	-878	Min.	0.00	-1751.73	101	-11.60	177	-47.96	177	-507.06	130	-993.42	97	-3.93	177
305	-877	-878	Min.	29.10					-1.05	33			-155.40	33		
305	-877	-878	Min.	39.88	-1751.73	101	-11.60	177	-52.59	177	-523.59	130	-582.57	97	-3.93	177
305	-878	-879	Max	0.00	1261.20	130	74.68	177	12.03	173	747.70	97	705.07	130	1.01	173
305	-878	-879	Max	31.15					0.13	69			38.76	69		
305	-878	-879	Max	39.87	1261.20	130	74.68	177	5.96	173	731.17	97	469.30	106	1.01	173
305	-878	-879	Min.	0.00	-1181.50	101	-15.23	173	-54.89	177	-614.90	130	-626.38	97	-5.39	177
305	-878	-879	Min.	31.15					0.94	69			2.86	69		
305	-878	-879	Min.	39.87	-1181.50	101	-15.23	173	-25.11	177	-631.43	130	-331.52	97	-5.39	177
305	-879	-880	Max	0.00	643.29	130	272.24	177	6.54	173	410.33	97	531.11	106	0.62	173
305	-879	-880	Max	15.27					13.41	177			37.09	177		
305	-879	-880	Max	39.88	643.29	130	272.24	177	80.38	177	393.80	97	356.99	106	0.62	173
305	-879	-880	Min.	0.00	-593.79	101	-54.24	173	-28.17	177	-521.22	130	-379.44	97	-3.30	177
305	-879	-880	Min.	14.90					1.46	126			-28.28	126		
305	-879	-880	Min.	39.88	-593.79	101	-54.24	173	-15.08	173	-537.75	130	-219.11	97	-3.30	177
305	-880	-881	Max	0.00	0.00	1	705.64	177	77.80	177	874.91	97	422.30	106	19.68	177
305	-880	-881	Max	24.80					2.61	169			-0.13	169		
305	-880	-881	Max	31.00	0.00	1	705.64	177	296.54	177	862.06	97	0.00	106	19.68	177
305	-880	-881	Min.	0.00	0.00	1	-141.06	173	-14.58	173	-1355.84	106	-269.23	97	-4.00	173
305	-880	-881	Min.	24.80					8.14	97			-53.53	97		
305	-880	-881	Min.	31.00	0.00	1	-141.06	173	-58.31	173	-1368.69	106	0.00	97	-4.00	173
306	-882	-883	Max	0.00	0.00	1	148.99	173	294.77	177	1380.96	101	0.00	1	4.02	173
306	-882	-883	Max	31.00	0.00	1	148.99	173	76.70	177	1368.11	101	426.10	101	4.02	173
306	-882	-883	Min.	0.00	0.00	1	-703.46	177	-63.98	173	-1003.50	122	0.00	1	-19.68	177
306	-882	-883	Min.	31.00	0.00	1	-703.46	177	-17.79	173	-1016.35	122	-313.08	122	-19.68	177
306	-883	-884	Max	0.00	583.56	101	60.00	173	79.28	177	452.17	101	360.79	101	3.30	177
306	-883	-884	Max	31.90					-0.01	104			490.75	104		
306	-883	-884	Max	39.88	583.56	101	60.00	173	5.60	173	435.64	101	537.80	101	3.30	177
306	-883	-884	Min.	0.00	-676.63	130	-270.57	177	-18.33	173	-482.89	158	-249.99	122	-0.68	173
306	-883	-884	Min.	31.90					-0.00	122			-405.40	122		
306	-883	-884	Min.	39.88	-676.63	130	-270.57	177	-28.61	177	-497.11	122	-444.92	122	-0.68	173
306	-884	-885	Max	0.00	1140.01	101	18.91	173	4.95	173	537.51	101	475.97	101	5.37	177
306	-884	-885	Max	22.07					-0.91	69			45.43	69		
306	-884	-885	Max	39.87	1140.01	101	18.91	173	12.49	173	520.98	101	687.01	101	5.37	177
306	-884	-885	Min.	0.00	-1341.93	130	-73.61	177	-25.56	177	-791.76	122	-384.34	122	-1.11	173
306	-884	-885	Min.	22.07					0.46	69			-21.88	69		
306	-884	-885	Min.	39.87	-1341.93	130	-73.61	177	-54.91	177	-808.29	122	-703.36	122	-1.11	173
306	-885	-886	Max	0.00	1647.97	101	12.14	177	12.00	173	423.09	101	630.57	101	3.91	177
306	-885	-886	Max	31.90					-0.00	115			533.72	115		
306	-885	-886	Max	39.88	1647.97	101	12.14	177	12.35	173	406.56	101	795.98	101	3.91	177
306	-885	-886	Min.	0.00	-1979.74	130	-2.25	17	-52.63	177	-1031.76	98	-647.57	122	-0.77	173
306	-885	-886	Min.	31.90					-0.00	135			-661.16	135		
306	-885	-886	Min.	39.88	-1979.74	130	-2.25	17	-47.79	177	-1048.29	98	-1052.01	122	-0.77	173
306	-886	-887	Max	0.00	2096.37	101	37.89	177	12.09	173	201.80	101	746.10	101	2.18	177
306	-886	-887	Max	31.90					-0.00	103			778.61	103		
306	-886	-887	Max	39.88	2096.37	101	37.89	177	10.16	173	185.27	101	823.27	101	2.18	177
306	-886	-887	Min.	0.00	-2569.93	130	-4.86	173	-46.45	177	-1282.06	98	-1003.99	122	-0.33	173
306	-886	-887	Min.	7.38					-0.59	49			-375.22	49		
306	-886	-887	Min.	39.88	-2569.93	130	-4.86	173	-31.34	177	-1298.59	98	-1480.52	98	-0.33	173
306	-887	-888	Max	0.00	2481.31	101	35.73	177	10.11	173	-44.90	149	780.41	101	0.94	177
306	-887	-888	Max	7.98					-0.00	161			-610.42	161		
306	-887	-888	Max	39.88	2481.31	101	35.73	177	7.79	173	-57.15	149	724.81	101	0.94	177
306	-887	-888	Min.	0.00	-3086.66	130	-5.82	173	-30.74	177	-1507.07	98	-1455.35	98	-0.16	65
306	-887	-888	Min.	7.98					-0.00	166			-676.06	166		
306	-887	-888	Min.	39.88	-3086.66	130	-5.82	173	-16.49	177	-1523.60	98	-2059.58	98	-0.16	65
306	-888	-889	Max	0.00	2806.08	101	24.52	177	7.91	173	-195.41	49	688.50	101	0.31	173
306	-888	-889	Max	31.90					-0.00	167			-1047.24	167		
306	-888	-889	Max	39.88	2806.08	101	24.52	177	4.99	173	-207.66	49	442.84	101	0.31	173
306	-888	-889	Min.	0.00	-3497.72	130	-7.33	173	-16.33	177	-1655.29	98	-2051.47	98	-0.24	17
306	-888	-889	Min.	31.90					-0.00	167			-1047.24	167		
306	-888	-889	Min.	39.88	-3497.72	130	-7.33	173	-6.55	177	-1671.82	98	-2714.82	98	-0.24	17
306	-889	-890	Max	0.00	3090.83	101	13.01	177	5.23	173	-293.18	49	410.87	101	0.38	173
306	-889	-890	Max	19.94	3090.83	101	13.01	177	2.64	173	-299.30	49	137.75	101	0.38	173
306	-889	-890	Min.	0.00	-3763.25	130	-13.03	173	-6.59	177	-1891.65	98	-2730.52	98	-0.24	17
306	-889	-890	Min.	19.94	-3763.25	130	-13.03	173	-4.00	177	-1899.92	98	-3108.50	98	-0.24	17
306	-890	-891	Max	0.00	3090.83	101	13.01	177	2.64	173	-301.96	49	137.76	101	0.38	173
306	-890	-891	Max	19.94	3090.83	101	13.01	177	0.24	65	-308.08	49	-31.07	149	0.38	173
306	-890	-891	Min.	0.00	-3763.25	130	-13.03	173	-4.00	177	-1899.92	98	-3108.49	98	-0.24	17

306	-890	-891	Min.	19.94	-3763.25	130	-13.03	173	-1.40	177	-1908.18	98	-3488.11	98	-0.24	17
306	-891	314	Max	0.00	3379.97	101	16.80	17	0.32	173	-566.53	33	-47.25	49	0.17	17
306	-891	314	Max	39.88	3379.97	101	16.80	17	6.70	17	-578.78	33	-288.76	49	0.17	17
306	-891	314	Min.	0.00	-3836.26	130	-26.39	173	-1.49	177	-3425.54	102	-3535.68	98	-0.53	177
306	-891	314	Min.	39.88	-3836.26	130	-26.39	173	-10.20	173	-3442.07	102	-4803.22	98	-0.53	177
306	314	-892	Max	0.00	3775.80	101	7.94	177	6.15	173	4646.80	98	-304.55	49	0.87	173
306	314	-892	Max	40.00	3775.80	101	7.94	177	6.86	173	4630.22	98	57.53	149	0.87	173
306	314	-892	Min.	0.00	-3643.76	130	-1.89	17	-4.48	17	732.79	33	-4894.75	98	-0.58	17
306	314	-892	Min.	40.00	-3643.76	130	-1.89	17	-4.61	17	720.51	33	-3039.35	98	-0.58	17
306	-892	-893	Max	0.00	4277.03	101	4.68	17	7.18	173	3474.47	98	27.69	149	0.55	173
306	-892	-893	Max	20.00	4277.03	101	4.68	17	5.99	173	3466.17	98	369.61	101	0.55	173
306	-892	-893	Min.	0.00	-3196.46	130	-5.91	173	-4.81	17	493.33	33	-3173.30	98	-0.35	17
306	-892	-893	Min.	20.00	-3196.46	130	-5.91	173	-3.88	17	487.19	33	-2479.23	98	-0.35	17
306	-893	-894	Max	0.00	4277.03	101	4.68	17	5.99	173	3466.17	98	369.61	101	0.55	173
306	-893	-894	Max	20.00	4277.03	101	4.68	17	4.81	173	3457.88	98	769.16	101	0.55	173
306	-893	-894	Min.	0.00	-3196.46	130	-5.91	173	-3.88	17	486.78	33	-2479.23	98	-0.35	17
306	-893	-894	Min.	20.00	-3196.46	130	-5.91	173	-2.96	17	480.64	33	-1786.83	98	-0.35	17
306	-894	-895	Max	0.00	4767.72	101	5.40	17	5.23	173	3198.48	98	714.85	101	0.64	173
306	-894	-895	Max	40.00	4767.72	101	5.40	17	2.14	173	3181.90	98	1204.02	101	0.64	173
306	-894	-895	Min.	0.00	-2571.40	130	-7.73	173	-3.23	17	412.99	33	-1947.72	98	-0.41	17
306	-894	-895	Min.	40.00	-2571.40	130	-7.73	173	-1.08	17	400.70	33	-1105.46	130	-0.41	17
306	-895	-896	Max	0.00	5193.11	101	4.80	17	2.63	173	3129.37	98	1156.89	101	0.71	173
306	-895	-896	Max	40.00	5193.11	101	4.80	17	0.67	65	3112.78	98	1466.83	101	0.71	173
306	-895	-896	Min.	0.00	-1825.33	130	-7.81	173	-1.40	17	358.18	33	-1188.09	130	-0.45	17
306	-895	-896	Min.	40.00	-1825.33	130	-7.81	173	-0.66	17	345.89	33	-582.49	130	-0.45	17
306	-896	-897	Max	0.00	5538.89	97	3.81	17	0.37	65	2997.18	98	1430.39	101	0.71	173
306	-896	-897	Max	40.00	5538.89	97	3.81	17	1.80	65	2980.60	98	1622.14	101	0.71	173
306	-896	-897	Min.	0.00	-1007.53	130	-7.32	173	-0.36	17	248.82	149	-673.17	130	-0.46	17
306	-896	-897	Min.	40.00	-1007.53	130	-7.32	173	-2.91	173	236.54	149	-128.85	130	-0.46	17
306	-897	-898	Max	0.00	7093.83	97	2.83	17	1.51	65	2844.54	98	1598.27	101	0.63	173
306	-897	-898	Max	40.00	7093.83	97	2.83	17	2.59	65	2827.96	98	2413.28	97	0.63	173
306	-897	-898	Min.	0.00	-158.97	130	-6.44	173	-2.42	173	153.49	149	-223.03	130	-0.43	17
306	-897	-898	Min.	40.00	-158.97	130	-6.44	173	-5.00	173	141.21	149	110.90	1	-0.43	17
306	-898	-899	Max	0.00	8513.80	97	2.02	17	2.34	65	2632.20	98	2255.92	97	0.50	173
306	-898	-899	Max	40.00	8513.80	97	2.02	17	3.10	65	2615.62	98	3291.87	97	0.50	173
306	-898	-899	Min.	0.00	437.12	1	-4.82	173	-4.59	173	77.13	149	72.03	1	-0.37	17
306	-898	-899	Min.	40.00	437.12	1	-4.82	173	-6.51	173	64.85	149	256.06	1	-0.37	17
306	-899	-900	Max	0.00	9719.31	97	1.37	17	2.89	65	2245.51	98	3158.35	97	0.34	173
306	-899	-900	Max	29.18					-0.01	137			1298.51	137		
306	-899	-900	Max	40.00	9719.31	97	1.37	17	3.41	17	2228.93	98	4040.27	97	0.34	173
306	-899	-900	Min.	0.00	773.73	1	-1.90	173	-6.21	173	-1.51	49	218.68	1	-0.29	17
306	-899	-900	Min.	7.14					-0.88	51			334.44	51		
306	-899	-900	Min.	40.00	773.73	1	-1.90	173	-6.97	173	-13.79	49	372.36	33	-0.29	17
306	-900	-1317	Max	0.00	10636.40	97	2.54	173	3.26	65	1704.04	98	3938.72	97	0.21	65
306	-900	-1317	Max	16.00					-0.00	97			4205.58	97		
306	-900	-1317	Max	20.00	10636.40	97	2.54	173	3.42	65	1695.75	98	4272.13	97	0.21	65
306	-900	-1317	Min.	0.00	1067.93	33	-0.88	65	-6.78	173	-118.07	101	344.54	1	-0.20	17
306	-900	-1317	Min.	8.00					-0.00	134			2971.77	134		
306	-900	-1317	Min.	20.00	1067.93	33	-0.88	65	-6.28	173	-126.36	101	389.83	33	-0.20	17
306	-1317	-901	Max	0.00	10636.40	97	2.54	173	3.42	65	1695.75	98	4272.13	97	0.21	65
306	-1317	-901	Max	16.00					-0.00	145			2501.06	145		
306	-1317	-901	Max	20.00	10636.40	97	2.54	173	3.58	17	1687.45	98	4603.88	97	0.21	65
306	-1317	-901	Min.	0.00	1067.93	33	-0.88	65	-6.28	173	-126.36	101	389.83	33	-0.20	17
306	-1317	-901	Min.	12.00					-0.00	158			2371.07	158		
306	-1317	-901	Min.	20.00	1067.93	33	-0.88	65	-5.77	173	-134.65	101	422.93	33	-0.20	17
306	-901	-1316	Max	0.00	11203.80	97	7.43	173	3.49	65	1436.77	173	4541.00	97	0.16	173
306	-901	-1316	Max	20.00	11203.80	97	7.43	173	3.57	65	1430.63	173	4712.01	97	0.16	173
306	-901	-1316	Min.	0.00	1184.63	33	-0.44	65	-5.70	173	-274.23	101	409.96	33	-0.11	17
306	-901	-1316	Min.	20.00	1184.63	33	-0.44	65	-4.22	173	-282.52	101	433.63	33	-0.11	17
306	-1316	-902	Max	0.00	11203.80	97	7.43	173	3.57	65	1430.63	173	4712.00	97	0.16	173
306	-1316	-902	Max	15.27					0.34	2			677.72	2		
306	-1316	-902	Max	20.00	11203.80	97	7.43	173	3.65	17	1424.48	173	4881.35	97	0.16	173
306	-1316	-902	Min.	0.00	1184.63	33	-0.44	65	-4.22	173	-282.52	101	433.63	33	-0.11	17
306	-1316	-902	Min.	15.26					-0.37	50			632.04	50		
306	-1316	-902	Min.	20.00	1184.63	33	-0.44	65	-3.68	65	-290.81	101	456.52	33	-0.11	17
306	-902	-903	Max	0.00	11384.70	97	7.12	173	3.62	65	729.68	173	4861.31	97	0.15	173
306	-902	-903	Max	19.50					0.00	100			4858.98	100		
306	-902	-903	Max	20.00	11384.70	97	7.12	173	3.61	17	723.54	173	4858.98	97	0.15	173
306	-902	-903	Min.	0.00	1266.96	33	-0.04	49	-3.65	17	-432.83	101	447.36	33	-0.02	1
306	-902	-903	Min.	19.50					0.00	136			3569.99	136		
306	-902	-903	Min.	20.00	1266.96	33	-0.04	49	-3.64	17	-441.12	101	461.54	33	-0.02	1
306	-903	-904	Max	0.00	11384.70	97	7.12	173	3.61	17	723.54	173	4858.98	97	0.15	173
306	-903	-904	Max	19.50					0.00	100			4858.19	100		
306	-903	-904	Max	20.00	11384.70	97	7.12	173	3.62	17	717.40	173	4861.31	98	0.15	173
306	-903	-904	Min.	0.00	1266.96	33	-0.04	49	-3.64	17	-441.12	101	461.54	33	-0.02	1
306	-903	-904	Min.	19.00					-0.02	172			655.24	172		
306	-903	-904	Min.	20.00	1266.96	33	-0.04	49	-3.65	65	-449.41	101	447.36	33	-0.02	1
306	-904	-1315	Max	0.00	11203.80	98	0.44	17	3.65	65	362.82	130	4881.35	98	0.11	65
306	-904	-1315	Max	4.00					0.34	2			677.72	2		

306	-904	-1315	Max	20.00	11203.80	98	0.44	17	3.57	17	354.52	130	4712.00	98	0.11	65
306	-904	-1315	Min.	0.00	1184.64	33	-6.95	173	-3.68	17	-874.48	97	456.52	33	-0.25	173
306	-904	-1315	Min.	4.00					-0.37	2			633.05	2		
306	-904	-1315	Min.	20.00	1184.64	33	-6.95	173	-3.60	65	-882.77	97	433.63	33	-0.25	173
306	-1315	-905	Max	0.00	11203.80	98	0.44	17	3.57	17	354.52	130	4712.00	98	0.11	65
306	-1315	-905	Max	20.00	11203.80	98	0.44	17	3.49	17	346.23	130	4541.00	98	0.11	65
306	-1315	-905	Min.	0.00	1184.64	33	-6.95	173	-3.60	65	-882.77	97	433.63	33	-0.25	173
306	-1315	-905	Min.	20.00	1184.64	33	-6.95	173	-3.52	65	-891.06	97	409.96	33	-0.25	173
306	-905	-1314	Max	0.00	10636.40	98	0.88	17	3.58	65	247.59	130	4603.88	98	0.20	65
306	-905	-1314	Max	20.00	10636.40	98	0.88	17	3.42	17	239.30	130	4272.13	98	0.20	65
306	-905	-1314	Min.	0.00	1067.96	33	-7.12	173	-3.61	17	-1687.45	97	422.93	33	-0.26	173
306	-905	-1314	Min.	20.00	1067.96	33	-7.12	173	-4.19	173	-1695.75	97	389.83	33	-0.26	173
306	-1314	-906	Max	0.00	10636.40	98	0.88	17	3.42	17	239.30	130	4272.13	98	0.20	65
306	-1314	-906	Max	20.00	10636.40	98	0.88	17	3.26	17	231.01	130	3938.72	98	0.20	65
306	-1314	-906	Min.	0.00	1067.96	33	-7.12	173	-4.19	173	-1695.75	97	389.83	33	-0.26	173
306	-1314	-906	Min.	20.00	1067.96	33	-7.12	173	-5.61	173	-1704.04	97	344.54	49	-0.26	173
306	-906	-907	Max	0.00	9719.30	98	1.39	17	3.41	65	130.86	130	4040.27	98	0.29	65
306	-906	-907	Max	10.38					-0.01	142			1298.50	142		
306	-906	-907	Max	40.00	9719.30	98	1.39	17	2.89	17	114.27	130	3158.35	98	0.29	65
306	-906	-907	Min.	0.00	773.73	49	-2.05	173	-5.74	173	-2228.93	97	372.37	33	-0.30	173
306	-906	-907	Min.	32.30					-0.88	3			336.92	3		
306	-906	-907	Min.	40.00	773.73	49	-2.05	173	-6.56	173	-2245.51	97	218.68	49	-0.30	173
306	-907	-908	Max	0.00	8513.79	98	2.69	173	3.10	17	34.89	130	3291.87	98	0.37	65
306	-907	-908	Max	1.99					-0.02	129			1435.38	129		
306	-907	-908	Max	40.00	8513.79	98	2.69	173	2.34	17	18.31	130	2255.92	98	0.37	65
306	-907	-908	Min.	0.00	437.12	49	-2.02	65	-6.80	173	-2615.62	97	256.06	49	-0.43	173
306	-907	-908	Min.	1.99					-0.02	129			1435.38	129		
306	-907	-908	Min.	40.00	437.12	49	-2.02	65	-5.73	173	-2632.20	97	72.03	49	-0.43	173
306	-908	-909	Max	0.00	7093.82	98	5.96	173	2.59	17	-67.26	130	2413.29	98	0.43	65
306	-908	-909	Max	24.00					-0.00	166			749.59	166		
306	-908	-909	Max	40.00	7093.82	98	5.96	173	1.51	17	-83.84	130	1598.24	106	0.43	65
306	-908	-909	Min.	0.00	86.96	49	-2.83	65	-6.09	173	-2827.96	97	110.90	49	-0.57	173
306	-908	-909	Min.	24.00					-0.00	151			131.33	151		
306	-908	-909	Min.	40.00	86.96	49	-2.83	65	-3.71	173	-2844.54	97	-95.40	49	-0.57	173
306	-909	-910	Max	0.00	5538.88	98	7.89	173	1.80	17	-193.99	130	1622.12	106	0.46	65
306	-909	-910	Max	32.00					-0.00	154			821.61	154		
306	-909	-910	Max	40.00	5538.88	98	7.89	173	0.37	17	-210.57	130	1430.35	106	0.46	65
306	-909	-910	Min.	0.00	-264.04	49	-3.81	65	-4.17	173	-2980.60	97	-56.46	49	-0.67	173
306	-909	-910	Min.	32.00					-0.00	145			233.04	145		
306	-909	-910	Min.	40.00	-264.04	49	-3.81	65	-1.02	173	-2997.18	97	-510.19	101	-0.67	173
306	-910	-911	Max	0.00	5192.93	106	8.86	173	0.67	17	-345.86	33	1466.80	106	0.45	65
306	-910	-911	Max	24.00					-0.00	135			-231.66	135		
306	-910	-911	Max	40.00	5192.93	106	8.86	173	2.02	173	-358.14	33	1206.78	130	0.45	65
306	-910	-911	Min.	0.00	-912.11	101	-4.80	65	-1.53	173	-3112.78	97	-405.88	101	-0.70	173
306	-910	-911	Min.	24.00					-0.00	135			-231.66	135		
306	-910	-911	Min.	40.00	-912.11	101	-4.80	65	-1.40	65	-3129.36	97	-1119.35	101	-0.70	173
306	-911	-912	Max	0.00	4767.52	106	8.87	173	1.51	173	-400.66	33	1231.68	130	0.41	65
306	-911	-912	Max	40.00	4767.52	106	8.87	173	5.06	173	-412.95	33	934.00	130	0.41	65
306	-911	-912	Min.	0.00	-1788.49	101	-5.40	65	-1.08	65	-3181.89	97	-1022.30	101	-0.65	173
306	-911	-912	Min.	40.00	-1788.49	101	-5.40	65	-3.23	65	-3198.48	97	-1947.72	97	-0.65	173
306	-912	-913	Max	0.00	4335.27	130	6.87	173	4.62	173	-480.58	33	967.23	130	0.35	65
306	-912	-913	Max	20.00	4335.27	130	6.87	173	5.99	173	-486.72	33	707.41	130	0.35	65
306	-912	-913	Min.	0.00	-2541.78	101	-4.68	65	-2.96	65	-3457.87	97	-1786.82	97	-0.57	173
306	-912	-913	Min.	20.00	-2541.78	101	-4.68	65	-3.88	65	-3466.16	97	-2479.23	97	-0.57	173
306	-913	-914	Max	0.00	4335.27	130	6.87	173	5.99	173	-487.13	33	707.41	130	0.35	65
306	-913	-914	Max	20.00	4335.27	130	6.87	173	7.37	173	-493.27	33	445.93	130	0.35	65
306	-913	-914	Min.	0.00	-2541.78	101	-4.68	65	-3.88	65	-3466.16	97	-2479.23	97	-0.57	173
306	-913	-914	Min.	20.00	-2541.78	101	-4.68	65	-4.81	65	-3474.45	97	-3173.29	97	-0.57	173
306	-914	315	Max	0.00	3994.52	130	1.89	65	7.03	173	-720.41	33	483.64	130	0.58	65
306	-914	315	Max	40.00	3994.52	130	1.89	65	6.48	173	-732.70	33	-301.21	162	0.58	65
306	-914	315	Min.	0.00	-3104.11	101	-7.94	177	-4.61	65	-4630.20	97	-3039.34	97	-0.93	173
306	-914	315	Min.	40.00	-3104.11	101	-7.94	177	-4.48	65	-4646.78	97	-4894.73	97	-0.93	173
306	315	-915	Max	0.00	3692.29	130	27.78	173	6.70	65	3441.68	105	-280.20	162	0.53	177
306	315	-915	Max	31.90					-0.01	154			-192.33	154		
306	315	-915	Max	39.88	3692.29	130	27.78	173	0.36	173	3425.15	105	356.62	130	0.53	177
306	315	-915	Min.	0.00	-3378.41	101	-16.80	65	-10.72	173	578.65	33	-4803.21	97	-0.17	65
306	315	-915	Min.	31.90					-0.01	156			-246.59	156		
306	315	-915	Min.	39.88	-3378.41	101	-16.80	65	-1.49	177	566.41	33	-3535.75	97	-0.17	65
306	-915	-916	Max	0.00	3424.53	130	13.58	173	0.24	17	1908.19	97	386.75	130	0.24	65
306	-915	-916	Max	15.95					-0.00	171			-490.59	171		
306	-915	-916	Max	19.94	3424.53	130	13.58	173	2.76	173	1899.93	97	560.00	130	0.24	65
306	-915	-916	Min.	0.00	-3360.20	101	-13.01	177	-1.40	177	308.08	1	-3488.03	97	-0.41	173
306	-915	-916	Min.	15.95					-0.00	112			-2398.72	112		
306	-915	-916	Min.	19.94	-3360.20	101	-13.01	177	-4.00	177	301.96	1	-3108.40	97	-0.41	173
306	-916	-917	Max	0.00	3424.53	130	13.58	173	2.76	173	1899.93	97	559.93	130	0.24	65
306	-916	-917	Max	15.95					-0.00	135			-2026.84	135		
306	-916	-917	Max	19.94	3424.53	130	13.58	173	5.47	173	1891.67	97	731.54	130	0.24	65
306	-916	-917	Min.	0.00	-3360.20	101	-13.01	177	-4.00	177	299.31	1	-3108.55	97	-0.41	173
306	-916	-917	Min.	11.96					-0.00	99			-2835.81	99		

306	-916	-917	Min.	19.94	-3360.20	101	-13.01	177	-6.59	177	293.18	1	-2730.57	97	-0.41	173
306	-917	-918	Max	0.00	3123.60	130	7.46	173	5.21	173	1671.85	97	765.24	130	0.24	65
306	-917	-918	Max	39.88	3123.60	130	7.46	173	8.19	173	1655.32	97	884.38	130	0.24	65
306	-917	-918	Min.	0.00	-3136.47	101	-24.52	177	-6.55	177	207.66	1	-2714.82	97	-0.33	173
306	-917	-918	Min.	39.88	-3136.47	101	-24.52	177	-16.32	177	195.42	1	-2051.46	97	-0.33	173
306	-918	-919	Max	0.00	2760.94	130	5.78	173	8.05	173	1523.58	97	924.82	130	0.16	17
306	-918	-919	Max	39.88	2760.94	130	5.78	173	10.36	173	1507.05	97	893.14	130	0.16	17
306	-918	-919	Min.	0.00	-2764.69	101	-35.73	177	-16.49	177	-71.16	130	-2059.66	97	-0.94	177
306	-918	-919	Min.	39.88	-2764.69	101	-35.73	177	-30.73	177	-87.69	130	-1455.42	97	-0.94	177
306	-919	-920	Max	0.00	2325.92	130	4.78	173	10.40	173	1298.57	97	941.54	130	0.32	173
306	-919	-920	Max	21.38					0.03	163			321.35	163		
306	-919	-920	Max	39.88	2325.92	130	4.78	173	12.30	173	1282.04	97	801.14	130	0.32	173
306	-919	-920	Min.	0.00	-2292.45	101	-37.89	177	-31.34	177	-343.82	130	-1480.52	97	-2.18	177
306	-919	-920	Min.	31.90					-0.59	49			-377.79	49		
306	-919	-920	Min.	39.88	-2292.45	101	-37.89	177	-46.45	177	-360.35	130	-966.01	97	-2.18	177
306	-920	-921	Max	0.00	1820.78	130	2.25	65	12.56	173	1048.30	97	857.28	130	0.77	173
306	-920	-921	Max	39.88	1820.78	130	2.25	65	12.17	173	1031.77	97	641.61	130	0.77	173
306	-920	-921	Min.	0.00	-1756.58	101	-12.14	177	-47.79	177	-532.61	130	-1002.71	97	-3.91	177
306	-920	-921	Min.	39.88	-1756.58	101	-12.14	177	-52.63	177	-549.14	130	-588.00	97	-3.91	177
306	-921	-922	Max	0.00	1253.81	130	73.61	177	12.66	173	754.07	97	704.61	130	1.11	173
306	-921	-922	Max	15.95					-0.94	21			45.43	21		
306	-921	-922	Max	39.87	1253.81	130	73.61	177	5.06	173	737.54	97	475.94	106	1.11	173
306	-921	-922	Min.	0.00	-1184.60	101	-19.07	173	-54.91	177	-624.82	130	-632.15	97	-5.37	177
306	-921	-922	Min.	31.90					-0.00	139			-153.17	139		
306	-921	-922	Min.	39.87	-1184.60	101	-19.07	173	-25.56	177	-641.35	130	-334.76	97	-5.37	177
306	-922	-923	Max	0.00	639.33	130	270.58	177	5.71	173	409.33	97	537.74	106	0.68	173
306	-922	-923	Max	8.10					-0.00	169			3.93	169		
306	-922	-923	Max	39.88	639.33	130	270.58	177	79.29	177	392.80	97	360.75	106	0.68	173
306	-922	-923	Min.	0.00	-595.24	101	-60.42	173	-28.61	177	-516.73	130	-383.06	97	-3.30	177
306	-922	-923	Min.	31.90					-0.00	135			-181.15	135		
306	-922	-923	Min.	39.88	-595.24	101	-60.42	173	-18.38	173	-533.26	130	-223.13	97	-3.30	177
306	-923	-924	Max	0.00	0.00	1	703.46	177	76.70	177	889.20	97	426.07	106	19.68	177
306	-923	-924	Max	24.80					-0.05	169			-0.54	169		
306	-923	-924	Max	31.00	0.00	1	703.46	177	294.77	177	876.35	97	0.00	106	19.68	177
306	-923	-924	Min.	0.00	0.00	1	-150.08	173	-17.84	173	-1368.01	106	-273.66	97	-4.05	173
306	-923	-924	Min.	24.80					-0.06	97			-54.41	97		
306	-923	-924	Min.	31.00	0.00	1	-150.08	173	-64.37	173	-1380.86	106	0.00	97	-4.05	173
307	-925	-926	Max	0.00	0.00	1	156.23	173	291.99	177	1366.37	101	0.00	1	4.06	173
307	-925	-926	Max	31.00	0.00	1	156.23	173	75.23	177	1353.52	101	421.58	101	4.06	173
307	-925	-926	Min.	0.00	0.00	1	-699.24	177	-68.89	173	-1003.37	122	0.00	1	-19.65	177
307	-925	-926	Min.	31.00	0.00	1	-699.24	177	-20.46	173	-1016.22	122	-313.04	122	-19.65	177
307	-926	-927	Max	0.00	583.13	101	65.02	173	77.79	177	446.18	101	356.33	101	3.28	177
307	-926	-927	Max	31.90					-0.28	5			179.99	5		
307	-926	-927	Max	39.88	583.13	101	65.02	173	4.91	173	429.64	101	530.95	101	3.28	177
307	-926	-927	Min.	0.00	-677.96	130	-267.73	177	-21.01	173	-495.66	158	-249.97	122	-0.72	173
307	-926	-927	Min.	31.90					-0.21	5			-143.84	5		
307	-926	-927	Min.	39.88	-677.96	130	-267.73	177	-28.97	177	-507.91	158	-448.62	122	-0.72	173
307	-927	-928	Max	0.00	1139.28	101	22.01	173	4.20	173	513.96	101	469.14	101	5.33	177
307	-927	-928	Max	7.26					-0.94	69			38.78	69		
307	-927	-928	Max	39.87	1139.28	101	22.01	173	12.98	173	497.43	101	670.79	101	5.33	177
307	-927	-928	Min.	0.00	-1344.01	130	-72.02	177	-25.94	177	-792.62	122	-388.10	122	-1.19	173
307	-927	-928	Min.	7.26					-0.18	69			3.78	69		
307	-927	-928	Min.	39.87	-1344.01	130	-72.02	177	-54.66	177	-809.15	122	-707.46	122	-1.19	173
307	-928	-929	Max	0.00	1647.84	101	12.95	177	12.43	173	385.60	101	614.27	101	3.87	177
307	-928	-929	Max	11.43					1.08	33			149.02	33		
307	-928	-929	Max	39.88	1647.84	101	12.95	177	13.47	173	369.07	101	764.73	101	3.87	177
307	-928	-929	Min.	0.00	-1981.80	130	-1.14	17	-52.40	177	-1021.86	98	-651.77	122	-0.84	173
307	-928	-929	Min.	11.43					0.01	33			-157.09	33		
307	-928	-929	Min.	39.88	-1981.80	130	-1.14	17	-47.24	177	-1038.39	98	-1053.63	122	-0.84	173
307	-929	-930	Max	0.00	2098.84	101	38.20	177	13.17	173	170.11	101	714.55	101	2.16	177
307	-929	-930	Max	13.21					1.60	49			274.50	49		
307	-929	-930	Max	39.88	2098.84	101	38.20	177	11.57	173	153.58	101	779.09	101	2.16	177
307	-929	-930	Min.	0.00	-2571.09	130	-4.01	173	-45.92	177	-1292.34	98	-1005.76	122	-0.37	173
307	-929	-930	Min.	13.21					-0.03	49			-402.74	49		
307	-929	-930	Min.	39.88	-2571.09	130	-4.01	173	-30.69	177	-1308.87	98	-1476.10	122	-0.37	173
307	-930	-931	Max	0.00	2490.16	101	35.63	177	11.51	173	-47.80	149	735.49	101	0.94	177
307	-930	-931	Max	39.88	2490.16	101	35.63	177	9.21	173	-60.05	149	677.06	101	0.94	177
307	-930	-931	Min.	0.00	-3086.37	130	-5.76	173	-30.10	177	-1597.28	98	-1450.79	98	-0.15	65
307	-930	-931	Min.	39.88	-3086.37	130	-5.76	173	-15.89	177	-1613.81	98	-2091.00	98	-0.15	65
307	-931	-932	Max	0.00	2826.85	101	23.81	177	9.34	173	-231.56	49	639.45	101	0.36	173
307	-931	-932	Max	39.88	2826.85	101	23.81	177	5.94	173	-243.80	49	348.55	101	0.36	173
307	-931	-932	Min.	0.00	-3494.87	130	-8.53	173	-15.72	177	-1903.65	98	-2083.15	98	-0.20	17
307	-931	-932	Min.	39.88	-3494.87	130	-8.53	173	-6.23	177	-1920.18	98	-2845.53	98	-0.20	17
307	-932	-933	Max	0.00	3124.91	101	11.31	177	6.22	173	-301.91	49	314.91	101	0.43	173
307	-932	-933	Max	19.94	3124.91	101	11.31	177	2.90	173	-308.04	49	49.24	149	0.43	173
307	-932	-933	Min.	0.00	-3755.61	130	-16.64	173	-6.26	177	-1999.73	98	-2861.98	98	-0.21	17
307	-932	-933	Min.	19.94	-3755.61	130	-16.64	173	-4.00	177	-2008.00	98	-3261.50	98	-0.21	17
307	-933	-934	Max	0.00	3124.91	101	11.31	177	2.90	173	-310.63	49	49.25	149	0.43	173
307	-933	-934	Max	19.94	3124.91	101	11.31	177	0.74	101	-316.76	49	-46.03	49	0.43	173

307	-933	-934	Min.	0.00	-3755.61	130	-16.64	173	-4.00	177	-2008.00	98	-3261.49	98	-0.21	17
307	-933	-934	Min.	19.94	-3755.61	130	-16.64	173	-1.75	177	-2016.26	98	-3662.66	98	-0.21	17
307	-934	-935	Max	0.00	3430.37	101	10.60	17	0.85	101	-127.01	49	-59.11	49	0.05	17
307	-934	-935	Max	39.88	3430.37	101	10.60	17	3.98	17	-139.26	49	-118.12	49	0.05	17
307	-934	-935	Min.	0.00	-3817.16	130	-35.11	173	-1.82	177	-989.94	102	-3712.30	98	-0.57	102
307	-934	-935	Min.	39.88	-3817.16	130	-35.11	173	-14.08	173	-1006.47	102	-4022.97	98	-0.57	102
307	-935	-936	Max	0.00	3824.51	101	25.06	102	2.44	65	2248.61	98	-133.31	49	1.06	173
307	-935	-936	Max	40.00	3824.51	101	25.06	102	6.38	173	2232.03	98	10.08	49	1.06	173
307	-935	-936	Min.	0.00	-3623.64	130	1.74	157	-8.94	102	302.88	33	-4114.16	98	-0.46	17
307	-935	-936	Min.	40.00	-3623.64	130	1.74	157	-5.14	17	290.60	33	-3218.03	98	-0.46	17
307	-936	-937	Max	0.00	4306.77	101	7.51	17	6.66	173	3578.36	98	-6.98	49	0.49	173
307	-936	-937	Max	20.00	4306.77	101	7.51	17	6.21	173	3570.07	98	247.58	101	0.49	173
307	-936	-937	Min.	0.00	-3185.31	130	-3.03	65	-5.37	17	491.76	33	-3349.26	98	-0.39	17
307	-936	-937	Min.	20.00	-3185.31	130	-3.03	65	-3.88	17	485.62	33	-2634.41	98	-0.39	17
307	-937	-938	Max	0.00	4306.77	101	7.51	17	6.21	173	3570.07	98	247.58	101	0.49	173
307	-937	-938	Max	20.00	4306.77	101	7.51	17	5.76	173	3561.78	98	672.05	101	0.49	173
307	-937	-938	Min.	0.00	-3185.31	130	-3.03	65	-3.88	17	485.34	33	-2634.41	98	-0.39	17
307	-937	-938	Min.	20.00	-3185.31	130	-3.03	65	-2.44	17	479.20	33	-1921.23	98	-0.39	17
307	-938	-939	Max	0.00	4781.52	101	6.10	17	6.17	173	3433.68	98	619.71	101	0.58	173
307	-938	-939	Max	40.00	4781.52	101	6.10	17	3.66	173	3417.10	98	1152.07	101	0.58	173
307	-938	-939	Min.	0.00	-2563.01	130	-6.25	173	-2.74	17	436.60	33	-2080.73	98	-0.46	17
307	-938	-939	Min.	40.00	-2563.01	130	-6.25	173	-0.34	17	424.32	33	-1123.04	130	-0.46	17
307	-939	-940	Max	0.00	5192.47	101	4.51	17	4.16	173	3194.59	98	1106.52	101	0.70	173
307	-939	-940	Max	40.00	5192.47	101	4.51	17	1.36	65	3178.01	98	1417.58	101	0.70	173
307	-939	-940	Min.	0.00	-1818.27	130	-7.20	173	-0.67	17	357.04	33	-1205.49	130	-0.49	17
307	-939	-940	Min.	40.00	-1818.27	130	-7.20	173	-0.43	97	344.75	33	-578.37	130	-0.49	17
307	-940	-941	Max	0.00	5525.45	97	3.21	17	1.84	173	2966.06	98	1382.11	101	0.75	173
307	-940	-941	Max	40.00	5525.45	97	3.21	17	2.23	65	2949.48	98	1585.16	101	0.75	173
307	-940	-941	Min.	0.00	-1001.72	130	-6.91	173	-0.31	97	257.27	49	-668.91	130	-0.47	17
307	-940	-941	Min.	40.00	-1001.72	130	-6.91	173	-1.52	17	244.98	49	-123.00	130	-0.47	17
307	-941	-942	Max	0.00	7075.23	97	2.23	17	1.95	65	2789.74	98	1561.80	101	0.74	173
307	-941	-942	Max	40.00	7075.23	97	2.23	17	2.76	65	2773.16	98	2368.02	97	0.74	173
307	-941	-942	Min.	0.00	-155.04	130	-6.21	173	-1.37	97	158.50	49	-216.97	130	-0.42	17
307	-941	-942	Min.	40.00	-155.04	130	-6.21	173	-2.85	173	146.22	49	95.58	1	-0.42	17
307	-942	-943	Max	0.00	8493.07	97	1.54	17	2.53	65	2637.08	98	2210.86	97	0.68	173
307	-942	-943	Max	40.00	8493.07	97	1.54	17	3.08	65	2620.49	98	3248.82	97	0.68	173
307	-942	-943	Min.	0.00	387.60	1	-5.40	173	-2.32	173	69.07	49	57.46	1	-0.36	17
307	-942	-943	Min.	40.00	387.60	1	-5.40	173	-4.48	173	56.79	49	237.22	1	-0.36	17
307	-943	-944	Max	0.00	9701.81	97	3.19	97	2.90	65	2367.22	98	3114.96	97	0.57	173
307	-943	-944	Max	18.58					0.91	51			722.37	51		
307	-943	-944	Max	40.00	9701.81	97	3.19	97	3.27	65	2350.64	98	4045.62	97	0.57	173
307	-943	-944	Min.	0.00	718.75	1	-4.50	173	-4.02	173	-9.74	49	200.44	1	-0.28	17
307	-943	-944	Min.	18.58					-0.96	51			365.99	51		
307	-943	-944	Min.	40.00	718.75	1	-4.50	173	-5.82	173	-22.02	49	351.20	33	-0.28	17
307	-944	-1284	Max	0.00	10625.70	97	2.85	97	3.15	65	1791.88	98	3943.40	97	0.41	173
307	-944	-1284	Max	20.00	10625.70	97	2.85	97	3.26	65	1783.59	98	4294.39	97	0.41	173
307	-944	-1284	Min.	0.00	1009.14	33	-3.46	173	-5.45	173	-111.56	101	323.71	1	-0.19	17
307	-944	-1284	Min.	20.00	1009.14	33	-3.46	173	-6.14	173	-119.85	101	368.13	33	-0.19	17
307	-1284	-945	Max	0.00	10625.70	97	2.85	97	3.26	65	1783.59	98	4294.39	97	0.41	173
307	-1284	-945	Max	20.00	10625.70	97	2.85	97	3.39	17	1775.30	98	4643.73	97	0.41	173
307	-1284	-945	Min.	0.00	1009.14	33	-3.46	173	-6.14	173	-119.85	101	368.13	33	-0.19	17
307	-1284	-945	Min.	20.00	1009.14	33	-3.46	173	-6.84	173	-128.14	101	400.36	33	-0.19	17
307	-945	-1282	Max	0.00	11195.00	97	0.63	101	3.31	65	1642.88	173	4580.63	97	0.24	173
307	-945	-1282	Max	20.00	11195.00	97	0.63	101	3.36	65	1636.74	173	4733.05	97	0.24	173
307	-945	-1282	Min.	0.00	1123.82	33	-2.15	173	-6.59	173	-270.64	101	387.61	33	-0.11	17
307	-945	-1282	Min.	20.00	1123.82	33	-2.15	173	-7.02	173	-278.94	101	410.85	33	-0.11	17
307	-1282	-946	Max	0.00	11195.00	97	0.63	101	3.36	65	1636.74	173	4733.05	97	0.24	173
307	-1282	-946	Max	19.00					0.91	55			714.43	55		
307	-1282	-946	Max	20.00	11195.00	97	0.63	101	3.43	17	1630.60	173	4883.81	97	0.24	173
307	-1282	-946	Min.	0.00	1123.82	33	-2.15	173	-7.02	173	-278.94	101	410.85	33	-0.11	17
307	-1282	-946	Min.	19.00					-1.27	55			596.35	55		
307	-1282	-946	Min.	20.00	1123.82	33	-2.15	173	-7.45	173	-287.23	101	433.37	33	-0.11	17
307	-946	-947	Max	0.00	11373.80	100	0.52	101	3.40	65	1611.06	173	4863.91	97	0.05	173
307	-946	-947	Max	18.50					-0.36	177			670.67	177		
307	-946	-947	Max	20.00	11373.80	100	0.52	101	3.39	17	1604.92	173	4861.59	100	0.05	173
307	-946	-947	Min.	0.00	1205.96	33	-0.53	173	-7.34	173	-430.58	101	424.24	33	-0.05	101
307	-946	-947	Min.	18.50					-0.36	177			670.67	177		
307	-946	-947	Min.	20.00	1205.96	33	-0.53	173	-7.45	173	-438.87	101	438.43	33	-0.05	101
307	-947	-948	Max	0.00	11373.80	100	0.52	101	3.39	17	1604.92	173	4861.59	100	0.05	173
307	-947	-948	Max	18.25					0.46	148			2677.80	148		
307	-947	-948	Max	20.00	11373.80	100	0.52	101	3.40	17	1598.78	173	4863.91	98	0.05	173
307	-947	-948	Min.	0.00	1205.96	33	-0.53	173	-7.45	173	-438.87	101	438.43	33	-0.05	101
307	-947	-948	Min.	18.50					-0.36	177			670.15	177		
307	-947	-948	Min.	20.00	1205.96	33	-0.53	173	-7.56	173	-447.16	101	424.38	33	-0.05	101
307	-948	-1280	Max	0.00	11195.00	98	0.89	173	3.43	65	359.93	130	4883.81	98	0.11	65
307	-948	-1280	Max	2.25					-1.20	35			824.99	35		
307	-948	-1280	Max	20.00	11195.00	98	0.89	173	3.36	17	351.64	130	4733.05	98	0.11	65
307	-948	-1280	Min.	0.00	1125.33	33	-0.63	106	-7.59	173	-1746.78	173	433.34	33	-0.15	173
307	-948	-1280	Min.	2.25					0.84	35			484.14	35		

307	-948	-1280	Min.	20.00	1125.33	33	-0.63	106	-7.41	173	-1752.92	173	410.97	33	-0.15	173
307	-1280	-949	Max	0.00	11195.00	98	0.89	173	3.36	17	351.64	130	4733.05	98	0.11	65
307	-1280	-949	Max	20.00	11195.00	98	0.89	173	3.31	17	343.35	130	4580.63	98	0.11	65
307	-1280	-949	Min.	0.00	1125.33	33	-0.63	106	-7.41	173	-1752.92	173	410.97	33	-0.15	173
307	-1280	-949	Min.	20.00	1125.33	33	-0.63	106	-7.23	173	-1759.06	173	387.88	33	-0.15	173
307	-949	-1278	Max	0.00	10625.70	98	2.62	173	3.39	65	242.75	130	4643.73	98	0.19	65
307	-949	-1278	Max	20.00	10625.70	98	2.62	173	3.26	17	234.46	130	4294.39	98	0.19	65
307	-949	-1278	Min.	0.00	1012.14	33	-2.85	98	-7.42	173	-1790.93	173	400.46	33	-0.34	173
307	-949	-1278	Min.	20.00	1012.14	33	-2.85	98	-6.89	173	-1797.07	173	368.40	33	-0.34	173
307	-1278	-950	Max	0.00	10625.70	98	2.62	173	3.26	17	234.46	130	4294.39	98	0.19	65
307	-1278	-950	Max	20.00	10625.70	98	2.62	173	3.15	17	226.17	130	3943.40	98	0.19	65
307	-1278	-950	Min.	0.00	1012.14	33	-2.85	98	-6.89	173	-1797.07	173	368.40	33	-0.34	173
307	-1278	-950	Min.	20.00	1012.14	33	-2.85	98	-6.37	173	-1803.21	173	323.71	49	-0.34	173
307	-950	-951	Max	0.00	9701.80	98	4.10	173	3.27	17	121.48	130	4045.62	98	0.28	65
307	-950	-951	Max	20.85					0.91	3			722.37	3		
307	-950	-951	Max	40.00	9701.80	98	4.10	173	2.90	17	104.89	130	3114.96	98	0.28	65
307	-950	-951	Min.	0.00	718.75	49	-3.19	98	-6.69	173	-2350.64	97	351.47	33	-0.51	173
307	-950	-951	Min.	20.85					-0.96	3			368.45	3		
307	-950	-951	Min.	40.00	718.75	49	-3.19	98	-5.05	173	-2367.22	97	200.44	49	-0.51	173
307	-951	-952	Max	0.00	8493.06	98	5.41	173	3.08	17	17.79	130	3248.83	98	0.36	65
307	-951	-952	Max	1.99					-0.95	132			1439.59	132		
307	-951	-952	Max	40.00	8493.06	98	5.41	173	2.53	17	1.21	130	2210.86	98	0.36	65
307	-951	-952	Min.	0.00	387.60	49	-1.54	65	-5.48	173	-2620.49	97	237.22	49	-0.65	173
307	-951	-952	Min.	1.99					-0.95	131			1439.58	131		
307	-951	-952	Min.	40.00	387.60	49	-1.54	65	-3.31	173	-2637.08	97	57.46	49	-0.65	173
307	-952	-953	Max	0.00	7075.22	98	6.59	173	2.76	17	-93.32	130	2368.02	98	0.42	65
307	-952	-953	Max	40.00	7075.22	98	6.59	173	1.95	17	-109.90	130	1561.77	106	0.42	65
307	-952	-953	Min.	0.00	44.22	49	-2.23	65	-3.83	173	-2773.16	97	95.58	49	-0.74	173
307	-952	-953	Min.	40.00	44.22	49	-2.23	65	-1.37	98	-2789.74	97	-105.33	49	-0.74	173
307	-953	-954	Max	0.00	5525.44	98	7.55	173	2.23	17	-215.89	130	1585.14	106	0.47	65
307	-953	-954	Max	40.00	5525.44	98	7.55	173	1.26	173	-232.47	130	1382.07	106	0.47	65
307	-953	-954	Min.	0.00	-299.01	49	-3.21	65	-1.76	173	-2949.48	97	-67.24	49	-0.77	173
307	-953	-954	Min.	40.00	-299.01	49	-3.21	65	-0.31	98	-2966.06	97	-508.11	101	-0.77	173
307	-954	-955	Max	0.00	5192.29	106	8.00	173	1.36	17	-341.98	33	1417.55	106	0.49	65
307	-954	-955	Max	40.00	5192.29	106	8.00	173	3.89	173	-354.26	33	1170.02	130	0.49	65
307	-954	-955	Min.	0.00	-906.47	101	-4.51	65	-0.43	98	-3178.01	97	-404.06	101	-0.73	173
307	-954	-955	Min.	40.00	-906.47	101	-4.51	65	-0.67	65	-3194.59	97	-1144.46	101	-0.73	173
307	-955	-956	Max	0.00	4781.32	106	7.15	173	3.36	173	-420.69	33	1193.72	130	0.46	65
307	-955	-956	Max	40.00	4781.32	106	7.15	173	6.22	173	-432.97	33	869.34	130	0.46	65
307	-955	-956	Min.	0.00	-1780.17	101	-6.10	65	-0.34	65	-3417.11	97	-1047.74	101	-0.62	173
307	-955	-956	Min.	40.00	-1780.17	101	-6.10	65	-2.74	65	-3433.69	97	-2080.73	97	-0.62	173
307	-956	-957	Max	0.00	4359.17	130	3.15	173	5.78	173	-474.94	33	901.09	130	0.39	65
307	-956	-957	Max	20.00	4359.17	130	3.15	173	6.41	173	-481.08	33	623.10	130	0.39	65
307	-956	-957	Min.	0.00	-2528.66	101	-7.51	65	-2.44	65	-3561.78	97	-1921.23	97	-0.53	173
307	-956	-957	Min.	20.00	-2528.66	101	-7.51	65	-3.88	65	-3570.07	97	-2634.41	97	-0.53	173
307	-957	-958	Max	0.00	4359.17	130	3.15	173	6.41	173	-481.36	33	623.10	130	0.39	65
307	-957	-958	Max	20.00	4359.17	130	3.15	173	7.04	173	-487.50	33	343.45	130	0.39	65
307	-957	-958	Min.	0.00	-2528.66	101	-7.51	65	-3.88	65	-3570.07	97	-2634.41	97	-0.53	173
307	-957	-958	Min.	20.00	-2528.66	101	-7.51	65	-5.37	65	-3578.36	97	-3349.26	97	-0.53	173
307	-958	-959	Max	0.00	4032.45	130	-2.91	134	6.73	173	-288.17	33	379.23	130	0.46	65
307	-958	-959	Max	40.00	4032.45	130	-2.91	134	2.80	173	-300.45	33	-39.06	130	0.46	65
307	-958	-959	Min.	0.00	-3078.21	101	-25.05	105	-5.14	65	-2232.01	97	-3218.03	97	-1.11	173
307	-958	-959	Min.	40.00	-3078.21	101	-25.05	105	-9.33	129	-2248.59	97	-4114.15	97	-1.11	173
307	-959	-960	Max	0.00	3733.36	130	36.28	173	3.98	65	1006.42	105	-5.38	130	0.57	105
307	-959	-960	Max	39.88	3733.36	130	36.28	173	0.85	106	989.89	105	257.41	130	0.57	105
307	-959	-960	Min.	0.00	-3351.94	101	-10.60	65	-14.49	173	139.27	1	-4022.96	97	-0.05	65
307	-959	-960	Min.	39.88	-3351.94	101	-10.60	65	-1.82	177	127.03	1	-3712.26	97	-0.05	65
307	-960	-961	Max	0.00	3456.80	130	17.14	173	0.74	106	2016.31	97	288.81	130	0.21	65
307	-960	-961	Max	19.94	3456.80	130	17.14	173	3.04	173	2008.04	97	482.55	130	0.21	65
307	-960	-961	Min.	0.00	-3346.02	101	-11.31	177	-1.75	177	316.76	1	-3662.60	97	-0.45	173
307	-960	-961	Min.	19.94	-3346.02	101	-11.31	177	-4.01	177	310.64	1	-3261.42	97	-0.45	173
307	-961	-962	Max	0.00	3456.80	130	17.14	173	3.04	173	2008.05	97	482.48	130	0.21	65
307	-961	-962	Max	19.94	3456.80	130	17.14	173	6.46	173	1999.78	97	674.57	130	0.21	65
307	-961	-962	Min.	0.00	-3346.02	101	-11.31	177	-4.00	177	308.04	1	-3261.57	97	-0.45	173
307	-961	-962	Min.	19.94	-3346.02	101	-11.31	177	-6.26	177	301.92	1	-2862.04	97	-0.45	173
307	-962	-963	Max	0.00	3148.32	130	8.69	173	6.16	173	1920.24	97	709.23	130	0.20	65
307	-962	-963	Max	39.88	3148.32	130	8.69	173	9.62	173	1903.71	97	859.97	130	0.20	65
307	-962	-963	Min.	0.00	-3126.63	101	-23.81	177	-6.23	177	243.81	1	-2845.54	97	-0.38	173
307	-962	-963	Min.	39.88	-3126.63	101	-23.81	177	-15.72	177	231.56	1	-2083.14	97	-0.38	173
307	-963	-964	Max	0.00	2778.19	130	5.76	173	9.48	173	1613.81	97	901.21	130	0.15	17
307	-963	-964	Max	39.88	2778.19	130	5.76	173	11.77	173	1597.28	97	872.14	130	0.15	17
307	-963	-964	Min.	0.00	-2756.95	101	-35.62	177	-15.89	177	-64.65	130	-2091.09	97	-0.94	177
307	-963	-964	Min.	39.88	-2756.95	101	-35.62	177	-30.09	177	-81.18	130	-1450.87	97	-0.94	177
307	-964	-965	Max	0.00	2338.56	130	3.95	173	11.83	173	1308.85	97	921.06	130	0.36	173
307	-964	-965	Max	26.27					1.60	1			274.49	1		
307	-964	-965	Max	39.88	2338.56	130	3.95	173	13.40	173	1292.32	97	790.81	130	0.36	173
307	-964	-965	Min.	0.00	-2286.20	101	-38.20	177	-30.69	177	-318.37	130	-1475.78	97	-2.16	177
307	-964	-965	Min.	26.27					-0.03	1			-404.47	1		
307	-964	-965	Min.	39.88	-2286.20	101	-38.20	177	-45.92	177	-334.90	130	-957.18	97	-2.16	177

307	-965	-966	Max	0.00	1830.40	130	1.14	65	13.70	173	1038.39	97	847.30	130	0.84	173
307	-965	-966	Max	21.31					1.00	33			150.42	33		
307	-965	-966	Max	39.88	1830.40	130	1.14	65	12.63	173	1021.86	97	641.80	130	0.84	173
307	-965	-966	Min.	0.00	-1752.06	101	-12.95	177	-47.24	177	-507.09	130	-993.62	97	-3.87	177
307	-965	-966	Min.	21.31					-0.18	33			-173.79	33		
307	-965	-966	Min.	39.88	-1752.06	101	-12.95	177	-52.40	177	-523.62	130	-582.86	97	-3.87	177
307	-966	-967	Max	0.00	1260.65	130	72.03	177	13.17	173	748.21	97	705.12	130	1.19	173
307	-966	-967	Max	31.90					-0.93	21			38.78	21		
307	-966	-967	Max	39.87	1260.65	130	72.03	177	4.30	173	731.68	97	469.12	106	1.19	173
307	-966	-967	Min.	0.00	-1181.74	101	-22.24	173	-54.66	177	-615.18	130	-626.69	97	-5.33	177
307	-966	-967	Min.	31.90					-0.15	21			3.25	21		
307	-966	-967	Min.	39.87	-1181.74	101	-22.24	173	-25.94	177	-631.71	130	-331.64	97	-5.33	177
307	-967	-968	Max	0.00	643.01	130	267.74	177	5.02	173	411.35	97	530.89	106	0.73	173
307	-967	-968	Max	3.07					-0.47	169			6.36	169		
307	-967	-968	Max	39.88	643.01	130	267.74	177	77.80	177	394.82	97	356.28	106	0.73	173
307	-967	-968	Min.	0.00	-593.90	101	-65.57	173	-28.96	177	-521.95	130	-379.58	97	-3.28	177
307	-967	-968	Min.	16.08					-1.53	126			-28.23	126		
307	-967	-968	Min.	39.88	-593.90	101	-65.57	173	-21.13	173	-538.48	130	-218.85	97	-3.28	177
307	-968	-969	Max	0.00	0.00	1	699.24	177	75.22	177	874.19	97	421.55	106	19.64	177
307	-968	-969	Max	24.80					-2.65	169			-0.12	169		
307	-968	-969	Max	31.00	0.00	1	699.24	177	291.99	177	861.34	97	0.00	106	19.64	177
307	-968	-969	Min.	0.00	0.00	1	-157.51	173	-20.56	173	-1353.43	106	-269.01	97	-4.09	173
307	-968	-969	Min.	24.80					-8.14	97			-53.48	97		
307	-968	-969	Min.	31.00	0.00	1	-157.51	173	-69.39	173	-1366.28	106	0.00	97	-4.09	173
308	-970	-971	Max	0.00	0.00	1	160.19	173	288.70	177	1362.79	101	0.00	1	4.06	173
308	-970	-971	Max	31.00	0.00	1	160.19	173	73.71	177	1349.94	101	420.47	101	4.06	173
308	-970	-971	Min.	0.00	0.00	1	-693.52	177	-71.62	173	-1025.21	122	0.00	1	-19.58	177
308	-970	-971	Min.	31.00	0.00	1	-693.52	177	-21.96	173	-1038.06	122	-319.81	122	-19.58	177
308	-971	-972	Max	0.00	581.95	101	68.05	173	76.24	177	421.64	101	355.32	101	3.23	177
308	-971	-972	Max	39.88	581.95	101	68.05	173	4.59	173	405.11	101	520.15	101	3.23	177
308	-971	-972	Min.	0.00	-680.53	130	-264.65	177	-22.54	173	-524.25	158	-256.94	122	-0.75	173
308	-971	-972	Min.	39.88	-680.53	130	-264.65	177	-29.29	177	-536.50	158	-462.62	122	-0.75	173
308	-972	-973	Max	0.00	1137.99	101	23.86	173	3.84	173	463.95	101	458.35	101	5.27	177
308	-972	-973	Max	14.24					-0.05	34			56.28	34		
308	-972	-973	Max	39.87	1137.99	101	23.86	173	13.36	173	447.42	101	640.06	101	5.27	177
308	-972	-973	Min.	0.00	-1348.48	130	-70.27	177	-26.30	177	-801.75	122	-402.36	122	-1.24	173
308	-972	-973	Min.	14.24					-0.22	34			-5.40	34		
308	-972	-973	Min.	39.87	-1348.48	130	-70.27	177	-54.32	177	-818.28	122	-725.35	122	-1.24	173
308	-973	-974	Max	0.00	1647.85	101	13.81	177	12.77	173	314.69	101	583.36	101	3.82	177
308	-973	-974	Max	22.12					-1.67	125			204.61	125		
308	-973	-974	Max	39.88	1647.85	101	13.81	177	14.22	173	298.16	101	705.55	101	3.82	177
308	-973	-974	Min.	0.00	-1985.18	130	0.14	17	-52.10	177	-1001.04	98	-670.12	122	-0.89	173
308	-973	-974	Min.	22.12					-1.67	125			204.61	125		
308	-973	-974	Min.	39.88	-1985.18	130	0.14	17	-46.59	177	-1017.57	98	-1067.70	122	-0.89	173
308	-974	-975	Max	0.00	2103.81	101	38.66	177	13.89	173	142.15	101	654.75	101	2.13	177
308	-974	-975	Max	30.87					2.64	1			296.36	1		
308	-974	-975	Max	39.88	2103.81	101	38.66	177	12.52	173	125.62	101	708.14	101	2.13	177
308	-974	-975	Min.	0.00	-2570.48	130	-3.45	173	-45.30	177	-1239.80	98	-1020.46	122	-0.39	173
308	-974	-975	Min.	30.87					0.62	1			-483.36	1		
308	-974	-975	Min.	39.88	-2570.48	130	-3.45	173	-29.89	177	-1256.33	98	-1470.16	122	-0.39	173
308	-975	-976	Max	0.00	2506.32	101	35.82	177	12.44	173	126.83	101	663.25	101	0.94	177
308	-975	-976	Max	39.88	2506.32	101	35.82	177	10.18	173	110.30	101	710.52	101	0.94	177
308	-975	-976	Min.	0.00	-3079.48	130	-5.67	173	-29.31	177	-1458.26	98	-1434.57	122	-0.14	65
308	-975	-976	Min.	39.88	-3079.48	130	-5.67	173	-15.03	177	-1474.79	98	-1998.21	98	-0.14	65
308	-976	-977	Max	0.00	2862.39	101	23.52	177	10.32	173	3.63	149	670.95	101	0.39	173
308	-976	-977	Max	11.30					1.94	149			392.67	149		
308	-976	-977	Max	39.88	2862.39	101	23.52	177	6.61	173	-8.61	149	651.08	101	0.39	173
308	-976	-977	Min.	0.00	-3482.16	130	-9.31	173	-14.86	177	-1620.34	98	-1990.54	98	-0.15	17
308	-976	-977	Min.	11.30					1.94	149			392.67	149		
308	-976	-977	Min.	39.88	-3482.16	130	-9.31	173	-5.48	177	-1636.87	98	-2639.95	98	-0.15	17
308	-977	-978	Max	0.00	3173.02	101	9.75	177	6.91	173	-280.51	65	616.57	101	0.46	173
308	-977	-978	Max	19.94	3173.02	101	9.75	177	3.07	173	-286.63	65	326.43	101	0.46	173
308	-977	-978	Min.	0.00	-3740.57	130	-19.28	173	-5.49	177	-1923.29	98	-2655.43	98	-0.16	17
308	-977	-978	Min.	19.94	-3740.57	130	-19.28	173	-3.55	177	-1931.55	98	-3039.71	98	-0.16	17
308	-978	-979	Max	0.00	3173.02	101	9.75	177	3.07	173	-286.77	65	326.43	101	0.46	173
308	-978	-979	Max	19.94	3173.02	101	9.75	177	1.25	125	-292.90	65	64.20	137	0.46	173
308	-978	-979	Min.	0.00	-3740.57	130	-19.28	173	-3.55	177	-1931.55	98	-3039.70	98	-0.16	17
308	-978	-979	Min.	19.94	-3740.57	130	-19.28	173	-1.61	177	-1939.82	98	-3425.62	98	-0.16	17
308	-979	316	Max	0.00	3450.10	101	0.57	161	1.28	101	-500.27	65	43.77	149	-0.15	161
308	-979	316	Max	39.88	3450.10	101	0.57	161	0.92	161	-512.51	65	-242.77	49	-0.15	161
308	-979	316	Min.	0.00	-3808.97	130	-41.62	173	-1.65	177	-4047.01	102	-3472.20	98	-0.70	177
308	-979	316	Min.	39.88	-3808.97	130	-41.62	173	-17.00	173	-4063.54	102	-4803.43	98	-0.70	177
308	316	-980	Max	0.00	3841.03	101	21.49	118	1.13	65	4778.53	98	-257.30	49	1.19	173
308	316	-980	Max	40.00	3841.03	101	21.49	118	6.15	173	4761.94	98	192.63	101	1.19	173
308	316	-980	Min.	0.00	-3611.41	130	4.79	165	-12.26	17	637.16	65	-4893.71	98	-0.20	17
308	316	-980	Min.	40.00	-3611.41	130	4.79	165	-5.46	17	624.88	65	-2985.62	98	-0.20	17
308	-980	-981	Max	0.00	4344.46	101	10.88	17	6.42	173	3484.17	98	138.25	137	0.45	173
308	-980	-981	Max	20.00	4344.46	101	10.88	17	6.50	173	3475.88	98	553.25	101	0.45	173
308	-980	-981	Min.	0.00	-3158.23	130	-1.91	65	-5.73	17	426.12	65	-3118.06	98	-0.45	17

308	-980	-981	Min.	20.00	-3158.23	130	-1.91	65	-3.57	17	419.97	65	-2422.06	98	-0.45	17
308	-981	-982	Max	0.00	4344.46	101	10.88	17	6.50	173	3475.88	98	553.25	101	0.45	173
308	-981	-982	Max	20.00	4344.46	101	10.88	17	6.58	173	3467.59	98	967.46	101	0.45	173
308	-981	-982	Min.	0.00	-3158.23	130	-1.91	65	-3.57	17	420.10	65	-2422.06	98	-0.45	17
308	-981	-982	Min.	20.00	-3158.23	130	-1.91	65	-1.51	17	413.96	65	-1727.71	98	-0.45	17
308	-982	-983	Max	0.00	4799.73	101	6.56	17	6.98	173	3138.11	98	916.74	101	0.55	173
308	-982	-983	Max	40.00	4799.73	101	6.56	17	4.99	173	3121.53	98	1174.11	101	0.55	173
308	-982	-983	Min.	0.00	-2531.43	130	-4.97	173	-1.83	17	334.39	149	-1886.45	98	-0.53	17
308	-982	-983	Min.	40.00	-2531.43	130	-4.97	173	0.73	17	322.11	149	-1063.14	130	-0.53	17
308	-983	-984	Max	0.00	5185.25	101	3.85	17	5.51	173	3022.92	98	1131.20	101	0.71	173
308	-983	-984	Max	16.68					0.92	37			152.62	37		
308	-983	-984	Max	40.00	5185.25	101	3.85	17	2.99	173	3006.34	98	1332.88	101	0.71	173
308	-983	-984	Min.	0.00	-1787.51	130	-6.30	173	0.39	17	260.23	149	-1145.54	130	-0.52	17
308	-983	-984	Min.	16.68					1.38	37			-92.54	37		
308	-983	-984	Min.	40.00	-1787.51	130	-6.30	173	-0.43	101	247.95	149	-551.22	130	-0.52	17
308	-984	-985	Max	0.00	5498.03	97	2.25	17	3.59	173	2833.37	98	1299.30	101	0.82	173
308	-984	-985	Max	40.00	5498.03	97	2.25	17	2.69	65	2816.79	98	1509.29	101	0.82	173
308	-984	-985	Min.	0.00	-975.27	130	-6.14	173	-0.33	137	230.73	49	-641.30	130	-0.47	17
308	-984	-985	Min.	40.00	-975.27	130	-6.14	173	-1.44	101	218.44	49	-110.64	130	-0.47	17
308	-985	-986	Max	0.00	7028.78	97	1.35	17	2.44	65	2652.57	98	1487.00	101	0.87	173
308	-985	-986	Max	40.00	7028.78	97	1.35	17	2.87	65	2635.99	98	2273.15	97	0.87	173
308	-985	-986	Min.	0.00	-134.43	130	-5.81	173	-1.35	101	138.87	49	-203.97	130	-0.41	17
308	-985	-986	Min.	40.00	-134.43	130	-5.81	173	-2.31	97	126.59	49	78.80	1	-0.41	17
308	-986	-987	Max	0.00	8432.95	97	0.90	17	2.66	65	2582.66	98	2117.42	97	0.87	173
308	-986	-987	Max	40.00	8432.95	97	0.90	17	2.93	65	2566.08	98	3133.79	97	0.87	173
308	-986	-987	Min.	0.00	340.28	1	-6.09	173	-2.05	97	52.94	49	41.64	1	-0.33	17
308	-986	-987	Min.	40.00	340.28	1	-6.09	173	-2.96	17	40.65	49	214.89	1	-0.33	17
308	-987	-988	Max	0.00	9638.99	97	1.10	97	2.78	65	2591.49	98	3000.19	97	0.81	173
308	-987	-988	Max	23.39					0.81	51			739.66	51		
308	-987	-988	Max	40.00	9638.99	97	1.10	97	3.00	65	2574.91	98	4020.62	97	0.81	173
308	-987	-988	Min.	0.00	664.36	1	-7.43	173	-2.76	17	-22.15	49	178.90	1	-0.26	17
308	-987	-988	Min.	23.39					-1.02	51			363.10	51		
308	-987	-988	Min.	40.00	664.36	1	-7.43	173	-4.67	173	-34.43	49	325.49	33	-0.26	17
308	-988	-1285	Max	0.00	10572.50	97	2.21	97	2.90	65	2103.13	98	3917.52	97	0.64	173
308	-988	-1285	Max	20.00	10572.50	97	2.21	97	2.99	65	2094.84	98	4330.76	97	0.64	173
308	-988	-1285	Min.	0.00	940.12	17	-9.84	173	-4.11	173	-99.03	101	298.51	1	-0.18	17
308	-988	-1285	Min.	20.00	940.12	17	-9.84	173	-6.08	173	-107.32	101	341.74	33	-0.18	17
308	-1285	-989	Max	0.00	10572.50	97	2.21	97	2.99	65	2094.84	98	4330.76	97	0.64	173
308	-1285	-989	Max	20.00	10572.50	97	2.21	97	3.08	17	2086.54	98	4742.35	97	0.64	173
308	-1285	-989	Min.	0.00	940.12	17	-9.84	173	-6.08	173	-107.32	101	341.74	33	-0.18	17
308	-1285	-989	Min.	20.00	940.12	17	-9.84	173	-8.04	173	-115.61	101	372.81	33	-0.18	17
308	-989	-1283	Max	0.00	11140.80	97	0.75	101	3.02	65	1320.63	173	4679.30	97	0.33	173
308	-989	-1283	Max	20.00	11140.80	97	0.75	101	3.06	65	1314.48	173	4757.37	97	0.33	173
308	-989	-1283	Min.	0.00	1053.76	17	-12.11	173	-7.60	173	-259.78	101	360.38	33	-0.10	17
308	-989	-1283	Min.	20.00	1053.76	17	-12.11	173	-10.03	173	-268.07	101	383.01	33	-0.10	17
308	-1283	-990	Max	0.00	11140.80	97	0.75	101	3.06	65	1314.48	173	4757.37	97	0.33	173
308	-1283	-990	Max	19.75					0.02	2			685.55	2		
308	-1283	-990	Max	20.00	11140.80	97	0.75	101	3.12	17	1308.34	173	4833.78	97	0.33	173
308	-1283	-990	Min.	0.00	1053.76	17	-12.11	173	-10.03	173	-268.07	101	383.01	33	-0.10	17
308	-1283	-990	Min.	18.25					-0.66	50			614.55	50		
308	-1283	-990	Min.	20.00	1053.76	17	-12.11	173	-12.45	173	-276.36	101	405.00	33	-0.10	17
308	-990	-991	Max	0.00	11310.50	100	0.71	101	3.10	65	686.31	173	4814.63	97	0.09	106
308	-990	-991	Max	16.00					-0.58	177			674.62	177		
308	-990	-991	Max	20.00	11310.50	100	0.71	101	3.09	17	680.17	173	4812.36	100	0.09	106
308	-990	-991	Min.	0.00	1135.95	17	-8.84	173	-12.21	173	-421.11	101	395.93	33	-0.09	101
308	-990	-991	Min.	16.00					-0.58	177			674.62	177		
308	-990	-991	Min.	20.00	1135.95	17	-8.84	173	-13.98	173	-429.40	101	410.00	33	-0.09	101
308	-991	-992	Max	0.00	11310.50	100	0.71	101	3.09	17	680.17	173	4812.36	100	0.09	106
308	-991	-992	Max	18.00					-0.58	177			674.14	177		
308	-991	-992	Max	20.00	11310.50	100	0.71	101	3.10	17	674.02	173	4814.63	98	0.09	106
308	-991	-992	Min.	0.00	1135.95	17	-8.84	173	-13.98	173	-429.40	101	410.00	33	-0.09	101
308	-991	-992	Min.	18.00					-0.58	177			674.14	177		
308	-991	-992	Min.	20.00	1135.95	17	-8.84	173	-15.74	173	-437.69	101	396.22	33	-0.09	101
308	-992	-1281	Max	0.00	11140.80	98	9.28	173	3.12	65	351.21	130	4833.78	98	0.10	65
308	-992	-1281	Max	0.25					0.02	50			685.55	50		
308	-992	-1281	Max	20.00	11140.80	98	9.28	173	3.06	17	342.92	130	4757.37	98	0.10	65
308	-992	-1281	Min.	0.00	1053.76	65	-0.75	106	-15.78	173	-816.49	173	404.95	33	-0.12	101
308	-992	-1281	Min.	1.75					-0.66	2			614.55	2		
308	-992	-1281	Min.	20.00	1053.76	65	-0.75	106	-13.93	173	-822.63	173	383.26	33	-0.12	101
308	-1281	-993	Max	0.00	11140.80	98	9.28	173	3.06	17	342.92	130	4757.37	98	0.10	65
308	-1281	-993	Max	20.00	11140.80	98	9.28	173	3.02	17	334.63	130	4679.30	98	0.10	65
308	-1281	-993	Min.	0.00	1053.76	65	-0.75	106	-13.93	173	-822.63	173	383.26	33	-0.12	101
308	-1281	-993	Min.	20.00	1053.76	65	-0.75	106	-12.07	173	-828.77	173	360.94	33	-0.12	101
308	-993	-1279	Max	0.00	10572.50	98	12.68	173	3.08	65	230.36	130	4742.35	98	0.18	65
308	-993	-1279	Max	20.00	10572.50	98	12.68	173	2.99	17	222.07	130	4330.77	98	0.18	65
308	-993	-1279	Min.	0.00	940.12	65	-2.21	98	-12.39	173	-2086.54	97	373.04	33	-0.44	173
308	-993	-1279	Min.	20.00	940.12	65	-2.21	98	-9.85	173	-2094.84	97	342.33	33	-0.44	173
308	-1279	-994	Max	0.00	10572.50	98	12.68	173	2.99	17	222.07	130	4330.77	98	0.18	65
308	-1279	-994	Max	20.00	10572.50	98	12.68	173	2.90	17	213.78	130	3917.52	98	0.18	65

308	-1279	-994	Min.	0.00	940.12	65	-2.21	98	-9.85	173	-2094.84	97	342.33	33	-0.44	173
308	-1279	-994	Min.	20.00	940.12	65	-2.21	98	-7.32	173	-2103.13	97	298.51	49	-0.44	173
308	-994	-995	Max	0.00	9638.99	98	10.67	173	3.00	17	104.06	130	4020.62	98	0.26	65
308	-994	-995	Max	32.00					-0.11	101			897.72	101		
308	-994	-995	Max	40.00	9638.99	98	10.67	173	2.78	17	87.48	130	3000.19	98	0.26	65
308	-994	-995	Min.	0.00	664.36	49	-1.10	98	-7.84	173	-2574.91	97	326.10	33	-0.74	173
308	-994	-995	Min.	16.00					-1.02	3			365.66	3		
308	-994	-995	Min.	40.00	664.36	49	-1.10	98	-3.57	173	-2591.49	97	178.90	49	-0.74	173
308	-995	-996	Max	0.00	8432.95	98	8.48	173	2.93	17	-12.34	130	3133.79	98	0.33	65
308	-995	-996	Max	40.00	8432.95	98	8.48	173	2.66	17	-28.92	130	2117.42	98	0.33	65
308	-995	-996	Min.	0.00	340.28	49	-0.90	65	-4.20	173	-2566.08	97	214.89	49	-0.89	173
308	-995	-996	Min.	40.00	340.28	49	-0.90	65	-2.05	98	-2582.66	97	41.64	49	-0.89	173
308	-996	-997	Max	0.00	7028.78	98	7.27	173	2.87	17	-126.59	1	2273.15	98	0.41	65
308	-996	-997	Max	40.00	7028.78	98	7.27	173	2.44	17	-138.87	1	1486.97	106	0.41	65
308	-996	-997	Min.	0.00	5.60	49	-1.35	65	-2.31	98	-2635.99	97	78.80	49	-0.93	173
308	-996	-997	Min.	40.00	5.60	49	-1.35	65	-1.35	106	-2652.57	97	-113.76	49	-0.93	173
308	-997	-998	Max	0.00	5498.02	98	6.97	173	2.69	17	-218.44	1	1509.26	106	0.47	65
308	-997	-998	Max	40.00	5498.02	98	6.97	173	3.52	173	-230.73	1	1299.27	106	0.47	65
308	-997	-998	Min.	0.00	-327.98	49	-2.25	65	-1.44	106	-2816.79	97	-76.74	49	-0.89	173
308	-997	-998	Min.	40.00	-327.98	49	-2.25	65	-0.33	142	-2833.37	97	-482.17	101	-0.89	173
308	-998	-999	Max	0.00	5185.07	106	6.89	173	2.87	173	-220.26	130	1332.85	106	0.52	65
308	-998	-999	Max	24.00					1.07	37			154.86	37		
308	-998	-999	Max	40.00	5185.07	106	6.89	173	5.63	173	-236.84	130	1177.47	130	0.52	65
308	-998	-999	Min.	0.00	-878.53	101	-3.85	65	-0.43	106	-3006.34	97	-378.89	101	-0.78	173
308	-998	-999	Min.	24.00					1.53	37			-92.08	37		
308	-998	-999	Min.	40.00	-878.53	101	-3.85	65	0.39	65	-3022.92	97	-1082.61	101	-0.78	173
308	-999	-1000	Max	0.00	4799.53	106	5.60	173	5.07	173	-316.10	130	1199.19	130	0.53	65
308	-999	-1000	Max	40.00	4799.53	106	5.60	173	7.31	173	-332.68	130	1069.43	130	0.53	65
308	-999	-1000	Min.	0.00	-1748.43	101	-6.56	65	0.73	65	-3121.52	97	-986.27	101	-0.61	173
308	-999	-1000	Min.	40.00	-1748.43	101	-6.56	65	-1.83	65	-3138.10	97	-1886.44	97	-0.61	173
308	-1000	-1001	Max	0.00	4393.34	130	1.91	17	6.86	173	-413.95	17	1099.68	130	0.45	65
308	-1000	-1001	Max	20.00	4393.34	130	1.91	17	6.94	173	-420.10	17	826.99	130	0.45	65
308	-1000	-1001	Min.	0.00	-2498.34	101	-10.88	65	-1.51	65	-3467.57	97	-1727.71	97	-0.51	173
308	-1000	-1001	Min.	20.00	-2498.34	101	-10.88	65	-3.57	65	-3475.87	97	-2422.05	97	-0.51	173
308	-1001	-1002	Max	0.00	4393.34	130	1.91	17	6.94	173	-419.97	17	826.99	130	0.45	65
308	-1001	-1002	Max	20.00	4393.34	130	1.91	17	7.02	173	-426.11	17	552.64	130	0.45	65
308	-1001	-1002	Min.	0.00	-2498.34	101	-10.88	65	-3.57	65	-3475.87	97	-2422.05	97	-0.51	173
308	-1001	-1002	Min.	20.00	-2498.34	101	-10.88	65	-5.73	65	-3484.16	97	-3118.06	97	-0.51	173
308	-1002	317	Max	0.00	4055.54	130	-6.84	17	6.72	173	-624.88	17	589.70	130	0.20	65
308	-1002	317	Max	40.00	4055.54	130	-6.84	17	1.13	17	-637.16	17	-257.29	1	0.20	65
308	-1002	317	Min.	0.00	-3060.86	101	-24.76	125	-5.46	65	-4761.93	97	-2985.61	97	-1.23	173
308	-1002	317	Min.	40.00	-3060.86	101	-24.76	125	-12.26	65	-4778.51	97	-4893.69	97	-1.23	173
308	317	-1003	Max	0.00	3763.38	130	42.33	173	-0.32	65	4063.06	105	-242.77	1	0.70	177
308	317	-1003	Max	31.90					-1.27	145			-2077.76	145		
308	317	-1003	Max	39.88	3763.38	130	42.33	173	1.27	106	4046.53	105	483.25	130	0.70	177
308	317	-1003	Min.	0.00	-3334.18	101	-0.43	65	-17.19	173	512.48	17	-4803.42	97	0.20	65
308	317	-1003	Min.	31.90					-1.27	145			-2077.76	145		
308	317	-1003	Min.	39.88	-3334.18	101	-0.43	65	-1.65	177	500.24	17	-3472.26	97	0.20	65
308	-1003	-1004	Max	0.00	3513.70	130	19.65	173	1.17	106	1939.82	97	511.74	130	0.16	65
308	-1003	-1004	Max	19.94	3513.70	130	19.65	173	3.21	173	1931.55	97	707.97	130	0.16	65
308	-1003	-1004	Min.	0.00	-3314.37	101	-9.75	177	-1.61	177	292.90	17	-3425.54	97	-0.48	173
308	-1003	-1004	Min.	19.94	-3314.37	101	-9.75	177	-3.55	177	286.77	17	-3039.61	97	-0.48	173
308	-1004	-1005	Max	0.00	3513.70	130	19.65	173	3.21	173	1931.56	97	707.90	130	0.16	65
308	-1004	-1005	Max	19.94	3513.70	130	19.65	173	7.12	173	1923.29	97	902.48	130	0.16	65
308	-1004	-1005	Min.	0.00	-3314.37	101	-9.75	177	-3.55	177	286.64	17	-3039.76	97	-0.48	173
308	-1004	-1005	Min.	19.94	-3314.37	101	-9.75	177	-5.49	177	280.51	17	-2655.47	97	-0.48	173
308	-1005	-1006	Max	0.00	3201.96	130	9.47	173	6.80	173	1636.89	97	937.14	130	0.15	65
308	-1005	-1006	Max	28.22					1.94	154			392.61	154		
308	-1005	-1006	Max	39.88	3201.96	130	9.47	173	10.58	173	1620.36	97	905.25	130	0.15	65
308	-1005	-1006	Min.	0.00	-3093.08	101	-23.52	177	-5.48	177	-71.70	130	-2639.95	97	-0.42	173
308	-1005	-1006	Min.	28.22					1.94	154			392.61	154		
308	-1005	-1006	Min.	39.88	-3093.08	101	-23.52	177	-14.86	177	-88.23	130	-1990.54	97	-0.42	173
308	-1006	-1007	Max	0.00	2821.18	130	5.72	173	10.42	173	1474.78	97	947.58	130	0.14	17
308	-1006	-1007	Max	39.88	2821.18	130	5.72	173	12.70	173	1458.25	97	853.80	130	0.14	17
308	-1006	-1007	Min.	0.00	-2727.09	101	-35.82	177	-15.02	177	-226.91	130	-1998.27	97	-0.94	177
308	-1006	-1007	Min.	39.88	-2727.09	101	-35.82	177	-29.31	177	-243.44	130	-1413.50	97	-0.94	177
308	-1007	-1008	Max	0.00	2374.06	130	3.45	173	12.77	173	1256.31	97	903.61	130	0.38	173
308	-1007	-1008	Max	16.16					4.32	166			417.33	166		
308	-1007	-1008	Max	39.88	2374.06	130	3.45	173	14.14	173	1239.78	97	788.05	130	0.38	173
308	-1007	-1008	Min.	0.00	-2262.75	101	-38.66	177	-29.89	177	-281.52	130	-1437.65	97	-2.13	177
308	-1007	-1008	Min.	8.44					0.62	49			-485.83	49		
308	-1007	-1008	Min.	39.88	-2262.75	101	-38.66	177	-45.30	177	-298.05	130	-940.00	97	-2.13	177
308	-1008	-1009	Max	0.00	1859.26	130	-0.14	65	14.46	173	1017.58	97	845.33	130	0.89	173
308	-1008	-1009	Max	39.88	1859.26	130	-0.14	65	12.99	173	1001.05	97	657.90	130	0.89	173
308	-1008	-1009	Min.	0.00	-1735.25	101	-13.81	177	-46.59	177	-461.79	130	-975.44	97	-3.82	177
308	-1008	-1009	Min.	39.88	-1735.25	101	-13.81	177	-52.10	177	-478.32	130	-572.98	97	-3.82	177
308	-1009	-1010	Max	0.00	1281.68	130	70.27	177	13.57	173	737.30	97	722.11	130	1.24	173
308	-1009	-1010	Max	22.90					-0.11	34			56.94	34		
308	-1009	-1010	Max	39.87	1281.68	130	70.27	177	3.96	173	720.77	97	478.29	130	1.24	173

308	-1009	-1010	Min.	0.00	-1171.11	101	-24.10	173	-54.32	177	-603.18	130	-615.67	97	-5.27	177
308	-1009	-1010	Min.	22.90					-0.29	34			-6.68	34		
308	-1009	-1010	Min.	39.87	-1171.11	101	-24.10	173	-26.30	177	-619.71	130	-324.97	97	-5.27	177
308	-1010	-1011	Max	0.00	653.89	130	264.66	177	4.72	173	409.40	97	548.00	130	0.76	173
308	-1010	-1011	Max	0.40					-0.67	127			-14.79	127		
308	-1010	-1011	Max	39.88	653.89	130	264.66	177	76.25	177	392.87	97	355.28	106	0.76	173
308	-1010	-1011	Min.	0.00	-588.47	101	-68.64	173	-29.28	177	-531.13	130	-371.73	97	-3.23	177
308	-1010	-1011	Min.	33.08					-4.78	125			-26.27	125		
308	-1010	-1011	Min.	39.88	-588.47	101	-68.64	173	-22.65	173	-547.66	130	-211.77	97	-3.23	177
308	-1011	-1012	Max	0.00	0.00	1	693.52	177	73.71	177	847.21	97	420.44	106	19.58	177
308	-1011	-1012	Max	24.80					-10.76	159			-0.26	159		
308	-1011	-1012	Max	31.00	0.00	1	693.52	177	288.70	177	834.36	97	0.00	106	19.58	177
308	-1011	-1012	Min.	0.00	0.00	1	-161.53	173	-22.06	173	-1349.85	106	-260.64	97	-4.09	173
308	-1011	-1012	Min.	24.80					-14.07	97			-51.81	97		
308	-1011	-1012	Min.	31.00	0.00	1	-161.53	173	-72.14	173	-1362.70	106	0.00	97	-4.09	173
309	-1058	-1059	Max	0.00	0.00	1	161.69	173	285.70	177	1371.45	101	0.00	1	4.06	173
309	-1058	-1059	Max	31.00	0.00	1	161.69	173	72.50	177	1358.59	101	423.15	101	4.06	173
309	-1058	-1059	Min.	0.00	0.00	1	-687.73	177	-72.40	173	-1085.01	158	0.00	1	-19.52	177
309	-1058	-1059	Min.	31.00	0.00	1	-687.73	177	-22.27	173	-1094.53	158	-337.83	158	-19.52	177
309	-1059	-1060	Max	0.00	581.28	101	68.86	173	74.99	177	431.34	101	358.06	101	3.18	177
309	-1059	-1060	Max	39.88	581.28	101	68.86	173	4.60	173	414.81	101	526.76	101	3.18	177
309	-1059	-1060	Min.	0.00	-686.57	130	-261.75	177	-22.85	173	-575.18	158	-273.32	158	-0.78	173
309	-1059	-1060	Min.	39.88	-686.57	130	-261.75	177	-29.38	177	-587.43	158	-505.12	158	-0.78	173
309	-1060	-1061	Max	0.00	1137.07	101	24.35	173	3.84	173	469.18	101	464.99	101	5.21	177
309	-1060	-1061	Max	37.07					1.22	18			73.82	18		
309	-1060	-1061	Max	39.87	1137.07	101	24.35	173	13.55	173	452.65	101	648.78	101	5.21	177
309	-1060	-1061	Min.	0.00	-1359.00	130	-68.77	177	-26.43	177	-832.82	122	-443.45	158	-1.27	173
309	-1060	-1061	Min.	37.07					0.49	18			-12.42	18		
309	-1060	-1061	Min.	39.87	-1359.00	130	-68.77	177	-53.85	177	-849.35	122	-773.50	158	-1.27	173
309	-1061	-1062	Max	0.00	1645.74	101	14.51	177	12.96	173	298.14	101	592.21	101	3.77	177
309	-1061	-1062	Max	29.46					3.15	17			170.78	17		
309	-1061	-1062	Max	39.88	1645.74	101	14.51	177	14.54	173	281.61	101	707.80	101	3.77	177
309	-1061	-1062	Min.	0.00	-1995.04	130	-0.24	125	-51.67	177	-985.57	122	-717.39	158	-0.91	173
309	-1061	-1062	Min.	29.46					0.20	17			-178.57	17		
309	-1061	-1062	Min.	39.88	-1995.04	130	-0.24	125	-45.88	177	-1002.10	122	-1104.68	122	-0.91	173
309	-1062	-1063	Max	0.00	2099.73	101	39.05	177	14.20	173	80.37	101	657.21	101	2.11	177
309	-1062	-1063	Max	10.47					1.36	114			450.38	114		
309	-1062	-1063	Max	39.88	2099.73	101	39.05	177	12.94	173	63.84	101	685.96	101	2.11	177
309	-1062	-1063	Min.	0.00	-2573.02	130	-3.18	173	-44.62	177	-1232.17	98	-1058.54	122	-0.40	173
309	-1062	-1063	Min.	10.47					1.36	114			450.38	114		
309	-1062	-1063	Min.	39.88	-2573.02	130	-3.18	173	-29.05	177	-1248.70	98	-1493.21	122	-0.40	173
309	-1063	-1064	Max	0.00	2500.68	101	35.97	177	12.86	173	15.99	149	641.20	101	0.95	177
309	-1063	-1064	Max	39.88	2500.68	101	35.97	177	10.69	173	3.74	149	635.24	101	0.95	177
309	-1063	-1064	Min.	0.00	-3069.24	130	-5.44	173	-28.48	177	-1523.63	98	-1459.09	122	-0.12	65
309	-1063	-1064	Min.	39.88	-3069.24	130	-5.44	173	-14.14	177	-1540.16	98	-2001.84	98	-0.12	65
309	-1064	-1065	Max	0.00	2859.10	101	22.90	177	10.84	173	-132.32	149	595.33	101	0.41	173
309	-1064	-1065	Max	39.88	2859.10	101	22.90	177	7.10	173	-144.56	149	480.88	101	0.41	173
309	-1064	-1065	Min.	0.00	-3456.68	130	-9.39	173	-13.96	177	-1829.09	98	-1995.47	98	-0.22	125
309	-1064	-1065	Min.	39.88	-3456.68	130	-9.39	173	-4.83	177	-1845.62	98	-2728.12	98	-0.22	125
309	-1065	-1066	Max	0.00	3178.89	101	9.23	125	7.42	173	-248.16	65	445.09	101	0.48	173
309	-1065	-1066	Max	19.94	3178.89	101	9.23	125	3.35	173	-254.29	65	163.72	101	0.48	173
309	-1065	-1066	Min.	0.00	-3699.05	130	-20.39	173	-4.83	177	-1918.68	98	-2745.05	98	-0.16	125
309	-1065	-1066	Min.	19.94	-3699.05	130	-20.39	173	-3.41	177	-1926.94	98	-3128.41	98	-0.16	125
309	-1066	-1067	Max	0.00	3178.89	101	9.23	125	3.35	173	-254.14	65	163.73	101	0.48	173
309	-1066	-1067	Max	19.94	3178.89	101	9.23	125	1.68	157	-260.26	65	9.30	49	0.48	173
309	-1066	-1067	Min.	0.00	-3699.05	130	-20.39	173	-3.41	177	-1926.94	98	-3128.40	98	-0.16	125
309	-1066	-1067	Min.	19.94	-3699.05	130	-20.39	173	-1.99	177	-1935.21	98	-3513.40	98	-0.16	125
309	-1067	-1068	Max	0.00	3478.11	101	26.88	101	1.69	160	-117.74	65	-2.86	49	0.60	101
309	-1067	-1068	Max	39.88	3478.11	101	26.88	101	11.33	101	-129.99	65	-68.09	49	0.60	101
309	-1067	-1068	Min.	0.00	-3745.68	130	-45.50	173	-2.01	177	-1296.85	102	-3562.23	98	-0.82	177
309	-1067	-1068	Min.	39.88	-3745.68	130	-45.50	173	-18.46	173	-1313.38	102	-3886.39	98	-0.82	177
309	-1068	-1069	Max	0.00	3864.06	101	33.13	118	13.77	101	2197.53	98	-81.82	49	1.29	173
309	-1068	-1069	Max	40.00	3864.06	101	33.13	118	6.07	173	2180.95	98	57.04	137	1.29	173
309	-1068	-1069	Min.	0.00	-3541.77	130	-31.28	101	-17.45	17	217.57	65	-3975.27	98	-0.49	101
309	-1068	-1069	Min.	40.00	-3541.77	130	-31.28	101	-5.85	17	205.28	65	-3099.58	98	-0.49	101
309	-1069	-1070	Max	0.00	4334.78	101	14.85	17	6.32	173	3459.04	98	36.76	49	0.43	173
309	-1069	-1070	Max	20.00	4334.78	101	14.85	17	6.66	173	3450.75	98	381.46	101	0.43	173
309	-1069	-1070	Min.	0.00	-3096.79	130	-12.25	101	-6.16	17	350.03	65	-3227.01	98	-0.51	17
309	-1069	-1070	Min.	20.00	-3096.79	130	-12.25	101	-3.21	17	343.88	65	-2536.03	98	-0.51	17
309	-1070	-1071	Max	0.00	4334.78	101	14.85	17	6.66	173	3450.75	98	381.46	101	0.43	173
309	-1070	-1071	Max	20.00	4334.78	101	14.85	17	7.00	173	3442.46	98	786.63	101	0.43	173
309	-1070	-1071	Min.	0.00	-3096.79	130	-12.25	101	-3.21	17	344.50	65	-2536.03	98	-0.51	17
309	-1070	-1071	Min.	20.00	-3096.79	130	-12.25	101	-3.44	101	338.36	65	-1846.71	98	-0.51	17
309	-1071	-1072	Max	0.00	4771.52	101	7.06	17	7.40	173	3379.79	98	738.21	101	0.53	173
309	-1071	-1072	Max	38.00					2.17	53			380.68	53		
309	-1071	-1072	Max	40.00	4771.52	101	7.06	17	5.64	173	3363.21	98	1089.65	101	0.53	173
309	-1071	-1072	Min.	0.00	-2474.13	130	-4.40	173	-3.26	101	318.35	65	-2001.54	98	-0.60	17
309	-1071	-1072	Min.	38.00					1.90	53			-466.04	53		
309	-1071	-1072	Min.	40.00	-2474.13	130	-4.40	173	-3.35	101	306.07	65	-1054.99	130	-0.60	17

309	-1072	-1073	Max	0.00	5146.11	101	3.12	17	6.15	173	3133.01	98	1048.02	101	0.72	173
309	-1072	-1073	Max	1.15					2.15	53			378.65	53		
309	-1072	-1073	Max	40.00	5146.11	101	3.12	17	4.34	98	3116.43	98	1295.25	101	0.72	173
309	-1072	-1073	Min.	0.00	-1735.38	130	-6.08	173	-3.23	101	262.81	65	-1136.81	130	-0.55	17
309	-1072	-1073	Min.	1.29					1.75	5			-487.35	5		
309	-1072	-1073	Min.	40.00	-1735.38	130	-6.08	173	-2.17	101	250.53	65	-527.67	130	-0.55	17
309	-1073	-1074	Max	0.00	5463.07	97	2.06	101	4.77	98	2796.96	98	1262.43	101	0.85	173
309	-1073	-1074	Max	40.00	5463.07	97	2.06	101	3.19	65	2780.38	98	1484.11	101	0.85	173
309	-1073	-1074	Min.	0.00	-930.27	130	-6.68	173	-2.11	101	203.78	65	-616.98	130	-0.47	17
309	-1073	-1074	Min.	40.00	-930.27	130	-6.68	173	-1.28	101	191.50	65	-93.90	130	-0.47	17
309	-1074	-1075	Max	0.00	6957.17	97	0.88	101	3.08	98	2519.62	98	1462.32	101	0.90	173
309	-1074	-1075	Max	40.00	6957.17	97	0.88	101	2.91	65	2503.04	98	2241.78	97	0.90	173
309	-1074	-1075	Min.	0.00	-98.41	130	-7.40	98	-1.26	101	118.05	49	-186.25	130	-0.38	17
309	-1074	-1075	Min.	40.00	-98.41	130	-7.40	98	-2.15	17	105.77	49	62.41	1	-0.38	17
309	-1075	-1076	Max	0.00	8324.18	97	0.12	137	2.73	65	2448.81	98	2090.10	97	0.89	173
309	-1075	-1076	Max	24.00					2.62	19			691.85	19		
309	-1075	-1076	Max	40.00	8324.18	97	0.12	137	2.66	65	2432.23	98	3053.40	97	0.89	173
309	-1075	-1076	Min.	0.00	299.06	1	-8.50	98	-1.90	17	33.47	49	26.30	1	-0.30	17
309	-1075	-1076	Min.	24.00					-2.44	19			246.65	19		
309	-1075	-1076	Min.	40.00	299.06	1	-8.50	98	-3.07	173	21.19	49	189.02	1	-0.30	17
309	-1076	-1077	Max	0.00	9498.42	97	0.35	17	2.52	65	2521.45	98	2923.29	97	0.80	173
309	-1076	-1077	Max	10.59					0.68	51			752.80	51		
309	-1076	-1077	Max	40.00	9498.42	97	0.35	17	2.62	65	2504.86	98	3915.58	97	0.80	173
309	-1076	-1077	Min.	0.00	606.69	17	-8.72	173	-2.64	17	-39.19	49	153.87	1	-0.23	17
309	-1076	-1077	Min.	10.59					-0.92	51			283.31	51		
309	-1076	-1077	Min.	40.00	606.69	17	-8.72	173	-5.91	173	-51.47	49	257.52	17	-0.23	17
309	-1077	-1320	Max	0.00	10408.90	97	0.57	17	2.54	65	2092.82	98	3815.04	97	0.62	173
309	-1077	-1320	Max	20.00	10408.90	97	0.57	17	2.63	65	2084.53	98	4226.00	97	0.62	173
309	-1077	-1320	Min.	0.00	733.07	17	-9.46	173	-5.34	173	-109.34	49	243.49	17	-0.15	17
309	-1077	-1320	Min.	20.00	733.07	17	-9.46	173	-7.23	173	-115.48	49	273.93	17	-0.15	17
309	-1320	-1078	Max	0.00	10408.90	97	0.57	17	2.63	65	2084.53	98	4226.00	97	0.62	173
309	-1320	-1078	Max	20.00	10408.90	97	0.57	17	2.73	17	2076.24	98	4635.30	97	0.62	173
309	-1320	-1078	Min.	0.00	733.07	17	-9.46	173	-7.23	173	-114.66	49	273.93	17	-0.15	17
309	-1320	-1078	Min.	20.00	733.07	17	-9.46	173	-9.12	173	-120.80	49	304.11	17	-0.15	17
309	-1078	-1322	Max	0.00	10962.80	97	0.42	17	2.68	65	765.20	173	4573.82	97	0.35	173
309	-1078	-1322	Max	20.00	10962.80	97	0.42	17	2.74	65	759.06	173	4648.84	97	0.35	173
309	-1078	-1322	Min.	0.00	837.39	17	-8.58	173	-8.70	173	-241.07	101	292.51	17	-0.10	101
309	-1078	-1322	Min.	20.00	837.39	17	-8.58	173	-10.42	173	-249.36	101	313.95	17	-0.10	101
309	-1322	-1079	Max	0.00	10962.80	97	0.42	17	2.74	65	759.06	173	4648.84	97	0.35	173
309	-1322	-1079	Max	20.00	10962.80	97	0.42	17	2.80	17	752.92	173	4722.20	97	0.35	173
309	-1322	-1079	Min.	0.00	837.39	17	-8.58	173	-10.42	173	-249.36	101	313.95	17	-0.10	101
309	-1322	-1079	Min.	20.00	837.39	17	-8.58	173	-12.14	173	-257.65	101	335.03	65	-0.10	101
309	-1079	-1080	Max	0.00	11127.80	100	0.69	125	2.79	65	470.18	130	4703.57	97	0.12	106
309	-1079	-1080	Max	20.00	11127.80	100	0.69	125	2.76	17	461.89	130	4701.51	100	0.12	106
309	-1079	-1080	Min.	0.00	916.70	17	-3.49	173	-11.92	173	-392.16	101	326.31	17	-0.12	101
309	-1079	-1080	Min.	20.00	916.70	17	-3.49	173	-12.62	173	-400.45	101	339.57	17	-0.12	101
309	-1080	-1081	Max	0.00	11127.80	100	0.69	125	2.76	17	461.89	130	4701.51	100	0.12	106
309	-1080	-1081	Max	16.00					-0.77	177			674.73	177		
309	-1080	-1081	Max	20.00	11127.80	100	0.69	125	2.79	17	453.60	130	4703.57	98	0.12	106
309	-1080	-1081	Min.	0.00	916.70	17	-3.49	173	-12.62	173	-400.45	101	339.57	17	-0.12	101
309	-1080	-1081	Min.	16.00					-0.77	177			674.73	177		
309	-1080	-1081	Min.	20.00	916.70	17	-3.49	173	-13.32	173	-408.74	101	326.31	65	-0.12	101
309	-1081	-1275	Max	0.00	10962.80	98	3.82	173	2.80	65	337.41	130	4722.20	98	0.10	106
309	-1081	-1275	Max	16.00					-4.09	158			2622.29	158		
309	-1081	-1275	Max	20.00	10962.80	98	3.82	173	2.74	17	329.12	130	4648.84	98	0.10	106
309	-1081	-1275	Min.	0.00	837.38	65	-0.42	65	-13.36	173	-592.19	101	335.03	17	-0.28	97
309	-1081	-1275	Min.	16.00					-4.09	158			2622.29	158		
309	-1081	-1275	Min.	20.00	837.38	65	-0.42	65	-12.60	173	-600.48	101	313.95	65	-0.28	97
309	-1275	-1082	Max	0.00	10962.80	98	3.82	173	2.74	17	329.12	130	4648.84	98	0.10	106
309	-1275	-1082	Max	20.00	10962.80	98	3.82	173	2.68	17	320.83	130	4573.82	98	0.10	106
309	-1275	-1082	Min.	0.00	837.38	65	-0.42	65	-12.60	173	-600.48	101	313.95	65	-0.28	97
309	-1275	-1082	Min.	20.00	837.38	65	-0.42	65	-11.83	173	-608.77	101	292.51	65	-0.28	97
309	-1082	-1277	Max	0.00	10408.90	98	9.11	173	2.73	65	208.77	130	4635.30	98	0.15	65
309	-1082	-1277	Max	20.00	10408.90	98	9.11	173	2.63	17	200.48	130	4226.00	98	0.15	65
309	-1082	-1277	Min.	0.00	733.07	65	-0.57	65	-12.13	173	-2076.24	97	304.11	65	-0.46	173
309	-1082	-1277	Min.	20.00	733.07	65	-0.57	65	-10.30	173	-2084.53	97	273.93	65	-0.46	173
309	-1277	-1083	Max	0.00	10408.90	98	9.11	173	2.63	17	200.48	130	4226.00	98	0.15	65
309	-1277	-1083	Max	20.00	10408.90	98	9.11	173	2.54	17	192.19	130	3815.04	98	0.15	65
309	-1277	-1083	Min.	0.00	733.07	65	-0.57	65	-10.30	173	-2084.53	97	273.93	65	-0.46	173
309	-1277	-1083	Min.	20.00	733.07	65	-0.57	65	-8.48	173	-2092.82	97	243.49	65	-0.46	173
309	-1083	-1084	Max	0.00	9498.42	98	10.56	173	2.62	17	101.67	130	3915.58	98	0.23	65
309	-1083	-1084	Max	28.82					0.68	3			752.81	3		
309	-1083	-1084	Max	40.00	9498.42	98	10.56	173	2.52	17	85.08	130	2923.29	98	0.23	65
309	-1083	-1084	Min.	0.00	606.69	65	-0.35	65	-8.98	173	-2504.86	97	257.52	65	-0.71	173
309	-1083	-1084	Min.	28.82					-0.92	3			285.74	3		
309	-1083	-1084	Min.	40.00	606.69	65	-0.35	65	-4.76	173	-2521.45	97	153.87	49	-0.71	173
309	-1084	-1085	Max	0.00	8324.18	98	10.15	173	2.66	17	8.00	130	3053.40	98	0.30	65
309	-1084	-1085	Max	18.65					-0.44	130			1406.01	130		
309	-1084	-1085	Max	40.00	8324.18	98	10.15	173	2.73	17	-8.58	130	2090.10	98	0.30	65

309	-1084	-1085	Min.	0.00	299.06	49	-0.12	142	-5.39	173	-2432.23	97	189.02	49	-0.87	173
309	-1084	-1085	Min.	16.00					-2.44	67			246.65	67		
309	-1084	-1085	Min.	40.00	299.06	49	-0.12	142	-1.90	65	-2448.81	97	26.30	49	-0.87	173
309	-1085	-1086	Max	0.00	6957.16	98	9.06	173	2.91	17	-105.77	1	2241.78	98	0.38	65
309	-1085	-1086	Max	40.00	6957.16	98	9.06	173	3.08	97	-118.05	1	1462.29	106	0.38	65
309	-1085	-1086	Min.	0.00	-26.02	49	-0.88	106	-2.15	65	-2503.04	97	62.41	49	-0.94	173
309	-1085	-1086	Min.	40.00	-26.02	49	-0.88	106	-1.26	106	-2519.62	97	-117.75	49	-0.94	173
309	-1086	-1087	Max	0.00	5463.07	98	7.93	173	3.19	17	-191.50	17	1484.09	106	0.47	65
309	-1086	-1087	Max	40.00	5463.07	98	7.93	173	4.77	97	-203.78	17	1262.40	106	0.47	65
309	-1086	-1087	Min.	0.00	-349.35	49	-2.06	106	-1.28	106	-2780.38	97	-81.86	49	-0.91	173
309	-1086	-1087	Min.	40.00	-349.35	49	-2.06	106	-2.11	106	-2796.96	97	-459.07	101	-0.91	173
309	-1087	-1088	Max	0.00	5145.94	106	6.99	173	4.34	97	-250.53	17	1295.22	106	0.55	65
309	-1087	-1088	Max	38.45					2.15	5			380.36	5		
309	-1087	-1088	Max	40.00	5145.94	106	6.99	173	6.19	173	-262.81	17	1101.02	130	0.55	65
309	-1087	-1088	Min.	0.00	-832.85	101	-3.12	65	-2.17	106	-3116.43	97	-357.02	101	-0.80	173
309	-1087	-1088	Min.	38.31					1.74	53			-484.56	53		
309	-1087	-1088	Min.	40.00	-832.85	101	-3.12	65	-3.23	106	-3133.01	97	-1096.20	101	-0.80	173
309	-1088	-1089	Max	0.00	4771.33	106	5.27	173	5.62	173	-306.07	17	1121.90	130	0.60	65
309	-1088	-1089	Max	1.90					2.17	5			381.18	5		
309	-1088	-1089	Max	40.00	4771.33	106	5.27	173	7.73	173	-318.35	17	915.40	130	0.60	65
309	-1088	-1089	Min.	0.00	-1692.93	101	-7.06	65	-3.35	106	-3363.22	97	-1000.99	101	-0.61	173
309	-1088	-1089	Min.	1.90					1.90	5			-465.21	5		
309	-1088	-1089	Min.	40.00	-1692.93	101	-7.06	65	-3.26	106	-3379.80	97	-2001.54	97	-0.61	173
309	-1089	-1090	Max	0.00	4399.20	130	12.25	106	7.28	173	-338.36	17	943.81	130	0.51	65
309	-1089	-1090	Max	20.00	4399.20	130	12.25	106	7.18	173	-344.50	17	679.20	130	0.51	65
309	-1089	-1090	Min.	0.00	-2430.98	101	-14.85	65	-3.44	106	-3442.46	97	-1846.71	97	-0.50	173
309	-1089	-1090	Min.	20.00	-2430.98	101	-14.85	65	-3.21	65	-3450.75	97	-2536.03	97	-0.50	173
309	-1090	-1091	Max	0.00	4399.20	130	12.25	106	7.18	173	-343.88	17	679.20	130	0.51	65
309	-1090	-1091	Max	20.00	4399.20	130	12.25	106	7.07	173	-350.03	17	412.93	130	0.51	65
309	-1090	-1091	Min.	0.00	-2430.98	101	-14.85	65	-3.21	65	-3450.75	97	-2536.03	97	-0.50	173
309	-1090	-1091	Min.	20.00	-2430.98	101	-14.85	65	-6.16	65	-3459.05	97	-3227.01	97	-0.50	173
309	-1091	-1092	Max	0.00	4089.46	130	31.28	106	6.77	173	-205.28	17	446.65	130	0.49	106
309	-1091	-1092	Max	40.00	4089.46	130	31.28	106	13.77	106	-217.56	17	-41.92	130	0.49	106
309	-1091	-1092	Min.	0.00	-2973.71	101	-37.66	125	-5.85	65	-2180.93	97	-3099.58	97	-1.33	173
309	-1091	-1092	Min.	40.00	-2973.71	101	-37.66	125	-17.45	65	-2197.52	97	-3975.26	97	-1.33	173
309	-1092	-1093	Max	0.00	3807.79	130	47.18	121	11.33	106	1313.28	105	-10.28	130	0.90	125
309	-1092	-1093	Max	39.88	3807.79	130	47.18	121	0.97	100	1296.75	105	372.58	130	0.90	125
309	-1092	-1093	Min.	0.00	-3245.60	101	-26.87	106	-19.77	121	130.00	17	-3886.38	97	-0.60	106
309	-1092	-1093	Min.	39.88	-3245.60	101	-26.87	106	-2.01	177	117.75	17	-3562.20	97	-0.60	106
309	-1093	-1094	Max	0.00	3550.83	130	20.52	173	0.71	98	1935.25	97	402.04	130	0.10	65
309	-1093	-1094	Max	19.94	3550.83	130	20.52	173	3.49	173	1926.98	97	598.84	130	0.10	65
309	-1093	-1094	Min.	0.00	-3243.99	101	-9.17	106	-2.10	165	260.26	17	-3513.35	97	-0.50	173
309	-1093	-1094	Min.	19.94	-3243.99	101	-9.17	106	-3.41	177	254.14	17	-3128.33	97	-0.50	173
309	-1094	-1095	Max	0.00	3550.83	130	20.52	173	3.49	173	1926.99	97	598.76	130	0.10	65
309	-1094	-1095	Max	19.94	3550.83	130	20.52	173	7.58	173	1918.72	97	793.91	130	0.10	65
309	-1094	-1095	Min.	0.00	-3243.99	101	-9.17	106	-3.41	177	254.29	17	-3128.47	97	-0.50	173
309	-1094	-1095	Min.	19.94	-3243.99	101	-9.17	106	-4.83	177	248.17	17	-2745.11	97	-0.50	173
309	-1095	-1096	Max	0.00	3240.76	130	9.52	173	7.24	173	1845.67	97	828.57	130	0.17	106
309	-1095	-1096	Max	39.88	3240.76	130	9.52	173	11.03	173	1829.14	97	884.76	130	0.17	106
309	-1095	-1096	Min.	0.00	-3034.58	101	-22.89	177	-4.83	177	144.63	154	-2728.13	97	-0.43	173
309	-1095	-1096	Min.	39.88	-3034.58	101	-22.89	177	-13.96	177	132.39	154	-1995.46	97	-0.43	173
309	-1096	-1097	Max	0.00	2865.21	130	5.57	173	10.87	173	1540.16	97	926.57	130	0.12	17
309	-1096	-1097	Max	39.88	2865.21	130	5.57	173	13.09	173	1523.63	97	897.84	130	0.12	17
309	-1096	-1097	Min.	0.00	-2680.31	101	-35.97	177	-14.13	177	-63.81	130	-2001.91	97	-0.95	177
309	-1096	-1097	Min.	39.88	-2680.31	101	-35.97	177	-28.47	177	-80.34	130	-1391.07	97	-0.95	177
309	-1097	-1098	Max	0.00	2422.17	130	3.28	173	13.15	173	1248.68	97	947.25	130	0.40	173
309	-1097	-1098	Max	28.98					1.35	117			450.33	117		
309	-1097	-1098	Max	39.88	2422.17	130	3.28	173	14.46	173	1232.15	97	865.65	130	0.40	173
309	-1097	-1098	Min.	0.00	-2227.92	101	-39.05	177	-29.05	177	-196.39	130	-1413.80	97	-2.11	177
309	-1097	-1098	Min.	28.98					1.35	117			450.33	117		
309	-1097	-1098	Min.	39.88	-2227.92	101	-39.05	177	-44.62	177	-212.92	130	-919.18	97	-2.11	177
309	-1098	-1099	Max	0.00	1905.04	130	0.03	142	14.79	173	995.27	97	923.21	130	0.91	173
309	-1098	-1099	Max	8.40					3.22	65			170.78	65		
309	-1098	-1099	Max	39.88	1905.04	130	0.03	142	13.20	173	978.75	97	735.13	130	0.91	173
309	-1098	-1099	Min.	0.00	-1711.53	101	-14.51	177	-45.88	177	-463.39	130	-953.00	97	-3.77	177
309	-1098	-1099	Min.	8.40					0.23	65			-183.59	65		
309	-1098	-1099	Min.	39.88	-1711.53	101	-14.51	177	-51.67	177	-479.92	130	-559.43	97	-3.77	177
309	-1099	-1100	Max	0.00	1317.26	130	68.77	177	13.79	173	724.48	97	800.47	130	1.27	173
309	-1099	-1100	Max	2.40					1.24	66			73.82	66		
309	-1099	-1100	Max	39.87	1317.26	130	68.77	177	4.00	173	707.95	97	536.07	130	1.27	173
309	-1099	-1100	Min.	0.00	-1156.61	101	-24.57	173	-53.85	177	-654.79	130	-600.35	97	-5.21	177
309	-1099	-1100	Min.	2.40					0.51	66			-12.72	66		
309	-1099	-1100	Min.	39.87	-1156.61	101	-24.57	173	-26.43	177	-671.32	130	-314.76	97	-5.21	177
309	-1100	-1101	Max	0.00	672.91	130	261.76	177	4.76	173	414.27	97	607.60	130	0.79	173
309	-1100	-1101	Max	39.88	672.91	130	261.76	177	75.00	177	397.74	97	373.53	130	0.79	173
309	-1100	-1101	Min.	0.00	-581.29	101	-69.42	173	-29.37	177	-578.75	130	-359.64	97	-3.18	177
309	-1100	-1101	Min.	39.88	-581.29	101	-69.42	173	-22.92	173	-595.28	130	-197.75	97	-3.18	177
309	-1101	-1102	Max	0.00	0.00	1	687.73	177	72.50	177	795.61	97	448.83	130	19.52	177
309	-1101	-1102	Max	22.12					-11.98	127			0.16	127		

309	-1101	-1102	Max	31.00	0.00	1	687.73	177	285.69	177	782.76	97	0.00	130	19.52	177
309	-1101	-1102	Min.	0.00	0.00	1	-162.98	173	-22.34	173	-1441.42	130	-244.65	97	-4.09	173
309	-1101	-1102	Min.	24.80					-17.05	97			-48.61	97		
309	-1101	-1102	Min.	31.00	0.00	1	-162.98	173	-72.86	173	-1454.27	130	0.00	97	-4.09	173
310	-1146	-1147	Max	0.00	0.00	1	162.76	173	282.47	177	1380.72	101	0.00	1	4.08	173
310	-1146	-1147	Max	31.00	0.00	1	162.76	173	71.41	177	1367.87	101	426.03	101	4.08	173
310	-1146	-1147	Min.	0.00	0.00	1	-680.84	177	-72.88	173	-1234.17	158	0.00	1	-19.39	177
310	-1146	-1147	Min.	31.00	0.00	1	-680.84	177	-22.43	173	-1243.69	158	-384.07	158	-19.39	177
310	-1147	-1148	Max	0.00	582.66	101	69.23	173	73.83	177	479.50	101	360.77	101	3.13	177
310	-1147	-1148	Max	22.55					-2.61	170			45.45	170		
310	-1147	-1148	Max	39.88	582.66	101	69.23	173	4.61	173	462.97	101	548.68	101	3.13	177
310	-1147	-1148	Min.	0.00	-697.12	130	-258.71	177	-22.99	173	-617.42	158	-317.91	158	-0.79	173
310	-1147	-1148	Min.	22.55					-2.61	170			45.45	170		
310	-1147	-1148	Min.	39.88	-697.12	130	-258.71	177	-29.33	177	-629.67	158	-566.55	158	-0.79	173
310	-1148	-1149	Max	0.00	1139.30	101	24.38	173	3.86	173	570.90	101	486.83	101	5.15	177
310	-1148	-1149	Max	13.32					-2.34	126			114.22	126		
310	-1148	-1149	Max	39.87	1139.30	101	24.38	173	13.58	173	554.37	101	711.18	101	5.15	177
310	-1148	-1149	Min.	0.00	-1377.69	130	-67.71	177	-26.44	177	-944.66	158	-503.63	158	-1.28	173
310	-1148	-1149	Min.	36.28					0.57	18			-3.34	18		
310	-1148	-1149	Min.	39.87	-1377.69	130	-67.71	177	-53.43	177	-956.91	158	-882.76	158	-1.28	173
310	-1149	-1150	Max	0.00	1646.53	101	14.74	177	12.99	173	378.70	101	654.85	101	3.73	177
310	-1149	-1150	Max	39.88	1646.53	101	14.74	177	14.56	173	362.17	101	802.56	101	3.73	177
310	-1149	-1150	Min.	0.00	-2017.23	130	-2.36	125	-51.28	177	-1056.84	122	-826.08	158	-0.92	173
310	-1149	-1150	Min.	39.88	-2017.23	130	-2.36	125	-45.41	177	-1073.37	122	-1226.99	158	-0.92	173
310	-1150	-1151	Max	0.00	2090.46	101	39.21	177	14.24	173	23.71	137	753.11	101	2.09	177
310	-1150	-1151	Max	31.15					-1.21	101			755.16	101		
310	-1150	-1151	Max	39.88	2090.46	101	39.21	177	12.96	173	11.46	137	755.01	101	2.09	177
310	-1150	-1151	Min.	0.00	-2585.39	130	-6.96	101	-44.17	177	-1186.50	98	-1180.13	158	-0.42	173
310	-1150	-1151	Min.	14.18					0.77	151			413.62	151		
310	-1150	-1151	Min.	39.88	-2585.39	130	-6.96	101	-28.53	177	-1203.03	98	-1536.60	122	-0.42	173
310	-1151	-1152	Max	0.00	2471.22	101	36.35	177	12.89	173	-17.72	125	712.42	101	0.96	177
310	-1151	-1152	Max	39.88	2471.22	101	36.35	177	10.79	173	-34.25	125	651.33	101	0.96	177
310	-1151	-1152	Min.	0.00	-3056.25	130	-7.72	101	-27.98	177	-1335.41	98	-1505.06	122	-0.14	125
310	-1151	-1152	Min.	39.88	-3056.25	130	-7.72	101	-13.49	177	-1351.94	98	-1900.70	98	-0.14	125
310	-1152	-1153	Max	0.00	2805.48	101	23.34	177	10.94	173	-137.19	149	614.04	101	0.42	173
310	-1152	-1153	Max	39.88	2805.48	101	23.34	177	7.50	98	-149.43	149	502.40	101	0.42	173
310	-1152	-1153	Min.	0.00	-3420.94	130	-8.99	173	-13.32	177	-1370.05	98	-1896.05	98	-0.27	125
310	-1152	-1153	Min.	39.88	-3420.94	130	-8.99	173	-4.73	101	-1386.58	98	-2445.65	98	-0.27	125
310	-1153	-1154	Max	0.00	3104.44	101	14.72	101	7.69	98	-198.49	65	469.08	101	0.49	173
310	-1153	-1154	Max	19.94	3104.44	101	14.72	101	4.74	98	-204.61	65	251.63	101	0.49	173
310	-1153	-1154	Min.	0.00	-3651.47	130	-20.45	173	-4.78	101	-1651.20	98	-2462.90	98	-0.23	125
310	-1153	-1154	Min.	19.94	-3651.47	130	-20.45	173	-2.80	177	-1659.46	98	-2792.93	98	-0.23	125
310	-1154	-1155	Max	0.00	3104.44	101	14.72	101	4.74	98	-204.06	65	251.63	101	0.49	173
310	-1154	-1155	Max	19.94	3104.44	101	14.72	101	2.95	158	-210.18	65	90.11	49	0.49	173
310	-1154	-1155	Min.	0.00	-3651.47	130	-20.45	173	-2.80	177	-1659.46	98	-2792.92	98	-0.23	125
310	-1154	-1155	Min.	19.94	-3651.47	130	-20.45	173	-1.59	177	-1667.73	98	-3124.60	98	-0.23	125
310	-1155	318	Max	0.00	3391.50	101	37.97	101	2.96	158	-400.06	65	78.88	49	0.83	101
310	-1155	318	Max	39.88	3391.50	101	37.97	101	16.14	101	-412.30	65	-210.82	49	0.83	101
310	-1155	318	Min.	0.00	-3701.20	130	-52.37	98	-1.59	177	-3707.13	98	-3170.64	98	-1.34	98
310	-1155	318	Min.	39.88	-3701.20	130	-52.37	98	-19.76	110	-3723.66	98	-4652.16	98	-1.34	98
310	318	-1156	Max	0.00	3762.47	101	46.09	118	20.59	101	4955.40	98	-223.89	49	1.61	98
310	318	-1156	Max	40.00	3762.47	101	46.09	118	6.32	173	4938.82	98	152.38	101	1.61	98
310	318	-1156	Min.	0.00	-3474.97	130	-45.49	101	-22.53	17	452.38	65	-4739.28	98	-0.75	101
310	318	-1156	Min.	40.00	-3474.97	130	-45.49	101	-5.56	17	440.09	65	-2760.44	98	-0.75	101
310	-1156	-1157	Max	0.00	4233.02	101	17.21	17	6.57	173	3097.59	98	109.55	137	0.40	173
310	-1156	-1157	Max	20.00	4233.02	101	17.21	17	6.72	173	3089.30	98	443.82	101	0.40	173
310	-1156	-1157	Min.	0.00	-3009.88	130	-19.52	101	-5.92	17	256.97	65	-2887.07	98	-0.59	17
310	-1156	-1157	Min.	20.00	-3009.88	130	-19.52	101	-2.53	17	250.83	65	-2268.38	98	-0.59	17
310	-1157	-1158	Max	0.00	4233.02	101	17.21	17	6.72	173	3089.30	98	443.82	101	0.40	173
310	-1157	-1158	Max	20.00	4233.02	101	17.21	17	7.09	98	3081.01	98	785.76	101	0.40	173
310	-1157	-1158	Min.	0.00	-3009.88	130	-19.52	101	-2.53	17	251.96	65	-2268.38	98	-0.59	17
310	-1157	-1158	Min.	20.00	-3009.88	130	-19.52	101	-5.13	101	245.82	65	-1651.35	98	-0.59	17
310	-1158	-1159	Max	0.00	4684.65	101	6.87	17	7.33	98	3086.82	98	735.63	101	0.53	173
310	-1158	-1159	Max	40.00	4684.65	101	6.87	17	6.94	98	3070.23	98	1122.09	101	0.53	173
310	-1158	-1159	Min.	0.00	-2387.10	130	-4.43	173	-4.89	101	217.69	65	-1803.28	98	-0.66	17
310	-1158	-1159	Min.	40.00	-2387.10	130	-4.43	173	-5.66	101	205.41	65	-973.49	130	-0.66	17
310	-1159	-1160	Max	0.00	5076.42	101	4.85	101	7.32	98	3191.33	98	1078.65	101	0.73	173
310	-1159	-1160	Max	14.06					1.85	7			420.53	7		
310	-1159	-1160	Max	40.00	5076.42	101	4.85	101	6.25	98	3174.75	98	1356.68	101	0.73	173
310	-1159	-1160	Min.	0.00	-1656.20	130	-5.71	173	-5.53	101	192.68	65	-1054.51	130	-0.56	17
310	-1159	-1160	Min.	8.00					2.74	55			-403.01	55		
310	-1159	-1160	Min.	40.00	-1656.20	130	-5.71	173	-3.59	101	180.40	65	-497.81	130	-0.56	17
310	-1160	-1161	Max	0.00	5436.16	97	4.82	101	6.76	98	2863.24	98	1322.84	101	0.85	173
310	-1160	-1161	Max	40.00	5436.16	97	4.82	101	4.61	98	2846.66	98	1553.36	97	0.85	173
310	-1160	-1161	Min.	0.00	-861.57	130	-6.62	173	-3.54	101	148.45	65	-585.95	130	-0.44	17
310	-1160	-1161	Min.	40.00	-861.57	130	-6.62	173	-1.61	101	136.17	65	-77.53	130	-0.44	17
310	-1161	-1162	Max	0.00	6876.60	97	2.35	125	5.23	98	2262.72	98	1505.03	101	0.85	173
310	-1161	-1162	Max	40.00	6876.60	97	2.35	125	2.85	65	2246.14	98	2283.98	97	0.85	173
310	-1161	-1162	Min.	0.00	-50.23	1	-12.18	98	-1.61	101	97.92	49	-168.50	130	-0.37	17

310	-1161	-1162	Min.	40.00	-50.23	1	-12.18	98	-2.03	17	85.63	49	44.08	1	-0.37	17
310	-1162	-1163	Max	0.00	8174.63	97	1.14	125	2.70	65	2100.43	98	2139.74	97	0.82	173
310	-1162	-1163	Max	40.00	8174.63	97	1.14	125	2.22	65	2083.85	98	2965.50	97	0.82	173
310	-1162	-1163	Min.	0.00	262.66	1	-13.91	98	-1.80	17	15.07	49	9.27	1	-0.29	17
310	-1162	-1163	Min.	40.00	262.66	1	-13.91	98	-4.54	98	2.79	49	131.20	17	-0.29	17
310	-1163	-1164	Max	0.00	9286.28	97	0.54	17	2.11	65	2239.11	98	2842.32	97	0.76	173
310	-1163	-1164	Max	26.57					-0.27	149			931.29	149		
310	-1163	-1164	Max	40.00	9286.28	97	0.54	17	2.22	65	2222.52	98	3720.47	97	0.76	173
310	-1163	-1164	Min.	0.00	422.35	17	-9.48	97	-3.89	97	-59.56	49	112.40	1	-0.19	17
310	-1163	-1164	Min.	5.12					-1.04	51			219.31	51		
310	-1163	-1164	Min.	40.00	422.35	17	-9.48	97	-7.69	97	-71.84	49	182.90	17	-0.19	17
310	-1164	-1326	Max	0.00	10143.50	97	0.97	17	2.15	65	1800.70	98	3625.74	97	0.57	173
310	-1164	-1326	Max	20.00	10143.50	97	0.97	17	2.32	65	1792.41	98	3977.12	97	0.57	173
310	-1164	-1326	Min.	0.00	534.37	17	-6.55	173	-7.16	97	-137.85	49	170.48	17	-0.13	17
310	-1164	-1326	Min.	20.00	534.37	17	-6.55	173	-8.39	97	-144.00	49	200.31	17	-0.13	17
310	-1326	-1165	Max	0.00	10143.50	97	0.97	17	2.32	65	1792.41	98	3977.12	97	0.57	173
310	-1326	-1165	Max	20.00	10143.50	97	0.97	17	2.49	17	1784.12	98	4326.84	97	0.57	173
310	-1326	-1165	Min.	0.00	534.37	17	-6.55	173	-8.39	97	-142.79	49	200.31	17	-0.13	17
310	-1326	-1165	Min.	20.00	534.37	17	-6.55	173	-9.62	97	-148.93	49	230.12	17	-0.13	17
310	-1165	-1327	Max	0.00	10669.60	97	0.57	17	2.46	65	736.37	98	4268.48	97	0.33	173
310	-1165	-1327	Max	20.00	10669.60	97	0.57	17	2.54	65	728.08	98	4408.89	97	0.33	173
310	-1165	-1327	Min.	0.00	629.97	17	-5.19	173	-9.29	97	-229.19	101	219.50	17	-0.13	101
310	-1165	-1327	Min.	20.00	629.97	17	-5.19	173	-9.72	97	-237.48	101	238.47	17	-0.13	101
310	-1327	-1166	Max	0.00	10669.60	97	0.57	17	2.54	65	728.08	98	4408.89	97	0.33	173
310	-1327	-1166	Max	20.00	10669.60	97	0.57	17	2.63	17	719.79	98	4547.74	98	0.33	173
310	-1327	-1166	Min.	0.00	629.97	17	-5.19	173	-9.72	97	-237.48	101	238.47	17	-0.13	101
310	-1327	-1166	Min.	20.00	629.97	17	-5.19	173	-10.44	173	-245.77	101	256.97	65	-0.13	101
310	-1166	-1167	Max	0.00	10833.60	100	2.55	125	2.62	65	479.17	130	4529.37	97	0.12	130
310	-1166	-1167	Max	19.00					-0.85	177			674.96	177		
310	-1166	-1167	Max	20.00	10833.60	100	2.55	125	2.57	17	470.88	130	4528.22	100	0.12	130
310	-1166	-1167	Min.	0.00	706.15	17	-2.06	173	-10.26	173	-274.20	101	248.96	17	-0.11	101
310	-1166	-1167	Min.	19.00					-0.85	177			674.96	177		
310	-1166	-1167	Min.	20.00	706.15	17	-2.06	173	-10.67	173	-282.49	101	258.86	17	-0.11	101
310	-1167	-1168	Max	0.00	10833.60	100	2.55	125	2.57	17	470.88	130	4528.22	100	0.12	130
310	-1167	-1168	Max	19.00					-0.85	177			674.41	177		
310	-1167	-1168	Max	20.00	10833.60	100	2.55	125	2.62	17	462.59	130	4529.37	98	0.12	130
310	-1167	-1168	Min.	0.00	706.15	17	-2.06	173	-10.67	173	-282.49	101	258.86	17	-0.11	101
310	-1167	-1168	Min.	19.00					-0.85	177			674.41	177		
310	-1167	-1168	Min.	20.00	706.15	17	-2.06	173	-11.08	173	-290.78	101	248.96	65	-0.11	101
310	-1168	-1328	Max	0.00	10669.60	98	2.18	97	2.63	65	327.27	130	4547.74	97	0.13	106
310	-1168	-1328	Max	20.00	10669.60	98	2.18	97	2.54	17	318.98	130	4408.89	98	0.13	106
310	-1168	-1328	Min.	0.00	629.96	65	-0.57	65	-11.12	173	-719.79	97	256.97	17	-0.29	97
310	-1168	-1328	Min.	20.00	629.96	65	-0.57	65	-10.71	173	-728.08	97	238.47	65	-0.29	97
310	-1328	-1169	Max	0.00	10669.60	98	2.18	97	2.54	17	318.98	130	4408.89	98	0.13	106
310	-1328	-1169	Max	20.00	10669.60	98	2.18	97	2.46	17	310.69	130	4268.48	98	0.13	106
310	-1328	-1169	Min.	0.00	629.96	65	-0.57	65	-10.71	173	-728.08	97	238.47	65	-0.29	97
310	-1328	-1169	Min.	20.00	629.96	65	-0.57	65	-10.29	173	-736.37	97	219.50	65	-0.29	97
310	-1169	-1329	Max	0.00	10143.50	98	6.14	98	2.49	65	148.93	1	4326.84	98	0.13	65
310	-1169	-1329	Max	20.00	10143.50	98	6.14	98	2.32	17	142.79	1	3977.12	98	0.13	65
310	-1169	-1329	Min.	0.00	534.37	65	-1.73	125	-10.55	173	-1784.12	97	230.12	65	-0.50	97
310	-1169	-1329	Min.	20.00	534.37	65	-1.73	125	-9.48	173	-1792.41	97	200.31	65	-0.50	97
310	-1329	-1170	Max	0.00	10143.50	98	6.14	98	2.32	17	144.00	1	3977.12	98	0.13	65
310	-1329	-1170	Max	20.00	10143.50	98	6.14	98	2.15	17	137.85	1	3625.74	98	0.13	65
310	-1329	-1170	Min.	0.00	534.37	65	-1.73	125	-9.48	173	-1792.41	97	200.31	65	-0.50	97
310	-1329	-1170	Min.	20.00	534.37	65	-1.73	125	-8.40	173	-1800.70	97	170.48	65	-0.50	97
310	-1170	-1171	Max	0.00	9286.28	98	9.48	98	2.22	17	72.33	130	3720.47	98	0.19	65
310	-1170	-1171	Max	12.84					-0.27	154			931.29	154		
310	-1170	-1171	Max	40.00	9286.28	98	9.48	98	2.11	17	59.56	1	2842.32	98	0.19	65
310	-1170	-1171	Min.	0.00	422.35	65	-0.54	65	-8.85	173	-2222.52	97	182.90	65	-0.68	97
310	-1170	-1171	Min.	34.43					-1.05	3			221.25	3		
310	-1170	-1171	Min.	40.00	422.35	65	-0.54	65	-5.73	173	-2239.11	97	112.40	49	-0.68	97
310	-1171	-1172	Max	0.00	8174.62	98	13.91	97	2.22	17	140.48	130	2965.50	98	0.29	65
310	-1171	-1172	Max	32.00					-0.15	177			447.41	177		
310	-1171	-1172	Max	40.00	8174.62	98	13.91	97	2.70	17	123.90	130	2139.74	98	0.29	65
310	-1171	-1172	Min.	0.00	262.65	49	-0.36	142	-6.32	173	-2083.85	97	131.20	65	-0.79	173
310	-1171	-1172	Min.	32.00					-0.15	177			447.41	177		
310	-1171	-1172	Min.	40.00	262.65	49	-0.36	142	-2.15	173	-2100.43	97	9.27	49	-0.79	173
310	-1172	-1173	Max	0.00	6876.59	98	12.18	97	2.85	17	13.77	130	2283.98	98	0.37	65
310	-1172	-1173	Max	33.20					0.01	130			1407.85	130		
310	-1172	-1173	Max	40.00	6876.59	98	12.18	97	5.23	97	-2.81	130	1505.01	106	0.37	65
310	-1172	-1173	Min.	0.00	-50.23	49	-2.18	106	-2.82	173	-2246.14	97	44.08	49	-0.86	173
310	-1172	-1173	Min.	33.20					0.01	130			1407.85	130		
310	-1172	-1173	Min.	40.00	-50.23	49	-2.18	106	-1.61	106	-2262.72	97	-108.92	49	-0.86	173
310	-1173	-1174	Max	0.00	5436.15	98	7.83	173	4.78	121	-136.17	17	1553.36	98	0.44	65
310	-1173	-1174	Max	40.00	5436.15	98	7.83	173	6.76	97	-148.45	17	1322.81	106	0.44	65
310	-1173	-1174	Min.	0.00	-362.56	49	-4.82	106	-1.61	106	-2846.66	97	-74.26	49	-0.90	173
310	-1173	-1174	Min.	40.00	-362.56	49	-4.82	106	-3.54	106	-2863.24	97	-411.03	101	-0.90	173
310	-1174	-1175	Max	0.00	5076.25	106	6.74	173	6.25	97	-180.40	17	1356.65	106	0.56	65
310	-1174	-1175	Max	24.00					1.82	55			426.30	55		

310	-1174	-1175	Max	40.00	5076.25	106	6.74	173	7.32	97	-192.68	17	1088.18	130	0.56	65
310	-1174	-1175	Min.	0.00	-763.04	101	-4.88	130	-3.59	106	-3174.75	97	-310.39	101	-0.80	173
310	-1174	-1175	Min.	30.01					2.74	7			-388.42	7		
310	-1174	-1175	Min.	40.00	-763.04	101	-4.88	130	-5.52	106	-3191.33	97	-1041.57	101	-0.80	173
310	-1175	-1176	Max	0.00	4684.46	106	5.54	173	6.94	97	-205.41	17	1122.05	106	0.66	65
310	-1175	-1176	Max	40.00	4684.46	106	5.54	173	7.43	173	-217.69	17	842.06	130	0.66	65
310	-1175	-1176	Min.	0.00	-1612.57	101	-6.87	65	-5.66	106	-3070.23	97	-947.50	101	-0.61	173
310	-1175	-1176	Min.	40.00	-1612.57	101	-6.87	65	-4.89	106	-3086.81	97	-1803.27	97	-0.61	173
310	-1176	-1177	Max	0.00	4338.40	130	19.52	106	7.09	97	-245.82	17	871.68	130	0.59	65
310	-1176	-1177	Max	20.00	4338.40	130	19.52	106	7.18	173	-251.96	17	670.12	130	0.59	65
310	-1176	-1177	Min.	0.00	-2343.42	101	-17.21	65	-5.13	106	-3080.99	97	-1651.34	97	-0.47	173
310	-1176	-1177	Min.	20.00	-2343.42	101	-17.21	65	-2.53	65	-3089.28	97	-2268.37	97	-0.47	173
310	-1177	-1178	Max	0.00	4338.40	130	19.52	106	7.18	173	-250.82	17	670.11	130	0.59	65
310	-1177	-1178	Max	20.00	4338.40	130	19.52	106	7.36	173	-256.97	17	466.89	130	0.59	65
310	-1177	-1178	Min.	0.00	-2343.42	101	-17.21	65	-2.53	65	-3089.28	97	-2268.37	97	-0.47	173
310	-1177	-1178	Min.	20.00	-2343.42	101	-17.21	65	-5.92	65	-3097.57	97	-2887.06	97	-0.47	173
310	-1178	319	Max	0.00	4038.34	130	45.49	106	7.06	173	-440.09	17	500.32	130	0.75	106
310	-1178	319	Max	40.00	4038.34	130	45.49	106	20.59	106	-452.37	17	-223.88	1	0.75	106
310	-1178	319	Min.	0.00	-2893.05	101	-50.36	125	-5.56	65	-4938.81	97	-2760.43	97	-1.77	121
310	-1178	319	Min.	40.00	-2893.05	101	-50.36	125	-22.53	65	-4955.39	97	-4739.26	97	-1.77	121
310	319	-1179	Max	0.00	3782.92	130	65.80	121	16.14	106	3723.40	97	-210.82	1	1.46	121
310	319	-1179	Max	39.88	3782.92	130	65.80	121	2.10	97	3706.87	97	493.75	130	1.46	121
310	319	-1179	Min.	0.00	-3172.45	101	-37.96	106	-26.91	121	412.27	17	-4652.14	97	-0.83	106
310	319	-1179	Min.	39.88	-3172.45	101	-37.96	106	-2.33	162	400.03	17	-3170.73	97	-0.83	106
310	-1179	-1180	Max	0.00	3540.53	130	22.40	121	1.79	97	1667.71	97	521.01	130	0.11	106
310	-1179	-1180	Max	19.94	3540.53	130	22.40	121	4.74	97	1659.45	97	661.09	130	0.11	106
310	-1179	-1180	Min.	0.00	-3159.32	101	-14.72	106	-2.64	162	210.18	17	-3124.52	97	-0.52	173
310	-1179	-1180	Min.	19.94	-3159.32	101	-14.72	106	-2.80	177	204.06	17	-2792.84	97	-0.52	173
310	-1180	-1181	Max	0.00	3540.53	130	22.40	121	4.74	97	1659.45	97	661.03	130	0.11	106
310	-1180	-1181	Max	19.94	3540.53	130	22.40	121	7.83	121	1651.19	97	799.46	130	0.11	106
310	-1180	-1181	Min.	0.00	-3159.32	101	-14.72	106	-2.80	177	204.61	17	-2792.97	97	-0.52	173
310	-1180	-1181	Min.	19.94	-3159.32	101	-14.72	106	-4.77	106	198.49	17	-2462.94	97	-0.52	173
310	-1181	-1182	Max	0.00	3252.51	130	9.13	173	7.50	97	1386.58	97	831.52	130	0.19	106
310	-1181	-1182	Max	39.88	3252.51	130	9.13	173	11.04	173	1370.05	97	908.30	130	0.19	106
310	-1181	-1182	Min.	0.00	-2956.47	101	-23.34	177	-4.73	106	149.46	154	-2445.65	97	-0.49	121
310	-1181	-1182	Min.	39.88	-2956.47	101	-23.34	177	-13.32	177	137.21	154	-1896.04	97	-0.49	121
310	-1182	-1183	Max	0.00	2905.38	130	10.31	130	10.87	173	1351.92	97	947.06	130	0.14	106
310	-1182	-1183	Max	39.88	2905.38	130	10.31	130	13.09	173	1335.39	97	1037.13	130	0.14	106
310	-1182	-1183	Min.	0.00	-2618.46	101	-36.35	177	-13.49	177	81.60	154	-1900.76	97	-0.96	177
310	-1182	-1183	Min.	39.88	-2618.46	101	-36.35	177	-27.98	177	69.35	154	-1364.98	97	-0.96	177
310	-1183	-1184	Max	0.00	2486.23	130	6.95	106	13.15	173	1203.01	97	1084.10	130	0.41	173
310	-1183	-1184	Max	8.10					-1.25	106			755.07	106		
310	-1183	-1184	Max	39.88	2486.23	130	6.95	106	14.53	173	1186.48	97	1068.86	130	0.41	173
310	-1183	-1184	Min.	0.00	-2186.53	101	-39.21	177	-28.53	177	-29.97	130	-1385.59	97	-2.09	177
310	-1183	-1184	Min.	23.93					0.71	155			413.57	155		
310	-1183	-1184	Min.	39.88	-2186.53	101	-39.21	177	-44.17	177	-46.50	130	-909.18	97	-2.09	177
310	-1184	-1185	Max	0.00	1971.54	130	0.77	142	14.85	173	976.55	97	1126.12	130	0.92	173
310	-1184	-1185	Max	39.88	1971.54	130	0.77	142	13.28	173	960.02	97	882.95	130	0.92	173
310	-1184	-1185	Min.	0.00	-1685.76	101	-14.74	177	-45.41	177	-601.57	130	-940.71	97	-3.73	177
310	-1184	-1185	Min.	39.88	-1685.76	101	-14.74	177	-51.28	177	-618.10	130	-554.60	97	-3.73	177
310	-1185	-1186	Max	0.00	1368.09	130	67.71	177	13.87	173	734.79	97	949.91	130	1.28	173
310	-1185	-1186	Max	3.35					1.36	66			98.23	66		
310	-1185	-1186	Max	39.87	1368.09	130	67.71	177	4.07	173	718.26	97	623.92	130	1.28	173
310	-1185	-1186	Min.	0.00	-1141.06	101	-24.58	173	-53.43	177	-809.26	130	-593.16	97	-5.15	177
310	-1185	-1186	Min.	3.35					0.58	66			-3.56	66		
310	-1185	-1186	Min.	39.87	-1141.06	101	-24.58	173	-26.43	177	-825.79	130	-303.46	97	-5.15	177
310	-1186	-1187	Max	0.00	700.65	130	258.73	177	4.82	173	449.17	97	698.01	130	0.79	173
310	-1186	-1187	Max	21.77					-5.86	125			78.01	125		
310	-1186	-1187	Max	39.88	700.65	130	258.73	177	73.84	177	432.64	97	445.10	130	0.79	173
310	-1186	-1187	Min.	0.00	-573.78	101	-69.74	173	-29.32	177	-626.00	130	-345.97	97	-3.13	177
310	-1186	-1187	Min.	17.22					-2.60	169			45.45	169		
310	-1186	-1187	Min.	39.88	-573.78	101	-69.74	173	-22.99	173	-642.53	130	-170.16	97	-3.13	177
310	-1187	-1188	Max	0.00	0.00	1	680.84	177	71.41	177	698.48	97	523.59	130	19.39	177
310	-1187	-1188	Max	24.80					-8.60	150			-16.14	150		
310	-1187	-1188	Max	31.00	0.00	1	680.84	177	282.47	177	685.63	97	0.00	130	19.39	177
310	-1187	-1188	Min.	0.00	0.00	1	-163.97	173	-22.42	173	-1682.57	130	-214.54	97	-4.11	173
310	-1187	-1188	Min.	24.80					-20.44	97			-42.59	97		
310	-1187	-1188	Min.	31.00	0.00	1	-163.97	173	-73.25	173	-1695.42	130	0.00	97	-4.11	173
311	320	-1189	Max	0.00	0.00	1	164.24	173	278.79	177	1373.96	101	0.00	1	4.12	173
311	320	-1189	Max	31.00	0.00	1	164.24	173	70.43	177	1361.11	101	423.94	101	4.12	173
311	320	-1189	Min.	0.00	0.00	1	-672.11	177	-73.78	173	-1483.76	158	0.00	1	-19.20	177
311	320	-1189	Min.	31.00	0.00	1	-672.11	177	-22.86	173	-1493.28	158	-461.44	158	-19.20	177
311	-1189	-1190	Max	0.00	591.80	101	69.64	173	72.80	177	562.80	101	357.68	101	3.09	177
311	-1189	-1190	Max	18.53					-3.01	66			136.68	66		
311	-1189	-1190	Max	39.88	591.80	101	69.64	173	4.35	173	546.27	101	578.80	101	3.09	177
311	-1189	-1190	Min.	0.00	-720.51	130	-255.81	177	-23.42	173	-628.52	122	-392.41	158	-0.78	173
311	-1189	-1190	Min.	15.65					-4.32	18			58.94	18		
311	-1189	-1190	Min.	39.88	-720.51	130	-255.81	177	-29.20	177	-645.05	122	-633.07	158	-0.78	173
311	-1190	-1191	Max	0.00	1157.50	101	24.23	173	3.59	173	681.87	101	516.00	101	5.11	177

311	-1190	-1191	Max	37.97					1.18	56			140.78	56		
311	-1190	-1191	Max	39.87	1157.50	101	24.23	173	13.26	173	665.34	101	784.60	101	5.11	177
311	-1190	-1191	Min.	0.00	-1423.48	130	-66.98	177	-26.35	177	-1033.09	158	-567.69	158	-1.29	173
311	-1190	-1191	Min.	37.97					0.77	56			-10.32	56		
311	-1190	-1191	Min.	39.87	-1423.48	130	-66.98	177	-53.06	177	-1045.33	158	-982.07	158	-1.29	173
311	-1191	-1192	Max	0.00	1667.23	101	14.49	177	12.66	173	640.58	101	727.95	101	3.70	177
311	-1191	-1192	Max	39.88	1667.23	101	14.49	177	14.12	173	624.05	101	980.09	101	3.70	177
311	-1191	-1192	Min.	0.00	-2077.04	130	-2.33	125	-50.94	177	-1444.59	158	-923.82	158	-0.94	173
311	-1191	-1192	Min.	39.88	-2077.04	130	-2.33	125	-45.16	177	-1456.84	158	-1502.30	158	-0.94	173
311	-1192	321	Max	0.00	2119.45	101	38.38	177	13.79	173	-34.57	161	930.32	101	2.06	177
311	-1192	321	Max	39.88	2119.45	101	38.38	177	12.44	173	-46.81	161	743.79	101	2.06	177
311	-1192	321	Min.	0.00	-2668.19	130	-8.02	101	-43.95	177	-1278.90	98	-1453.99	158	-0.45	173
311	-1192	321	Min.	39.88	-2668.19	130	-8.02	101	-28.64	177	-1295.43	98	-1659.09	122	-0.45	173
311	321	-1193	Max	0.00	2443.92	101	36.95	177	12.35	173	358.37	161	705.80	101	0.97	177
311	321	-1193	Max	39.88	2443.92	101	36.95	177	10.48	173	346.13	161	369.53	101	0.97	177
311	321	-1193	Min.	0.00	-3063.94	130	-7.33	101	-28.11	177	-1585.59	98	-1632.50	122	-0.19	101
311	321	-1193	Min.	39.88	-3063.94	130	-7.33	101	-13.38	177	-1602.12	98	-2027.88	98	-0.19	101
311	-1193	-1194	Max	0.00	2786.95	101	23.89	177	10.62	173	-84.20	49	331.67	101	0.37	173
311	-1193	-1194	Max	39.88	2786.95	101	23.89	177	8.91	98	-96.45	49	180.25	49	0.37	173
311	-1193	-1194	Min.	0.00	-3426.30	130	-6.38	173	-13.23	177	-1562.05	106	-2026.54	98	-0.27	126
311	-1193	-1194	Min.	39.88	-3426.30	130	-6.38	173	-3.71	177	-1578.58	106	-2631.12	98	-0.27	126
311	-1194	-1195	Max	0.00	3102.62	101	14.96	101	9.09	98	-134.19	49	167.35	49	0.44	173
311	-1194	-1195	Max	19.94	3102.62	101	14.96	101	6.96	98	-140.32	49	134.99	49	0.44	173
311	-1194	-1195	Min.	0.00	-3633.52	130	-15.54	173	-3.71	177	-1356.79	106	-2652.87	98	-0.29	126
311	-1194	-1195	Min.	19.94	-3633.52	130	-15.54	173	-2.60	177	-1365.06	106	-2887.09	98	-0.29	126
311	-1195	-1196	Max	0.00	3102.62	101	14.96	101	6.96	98	-142.36	49	134.99	49	0.44	173
311	-1195	-1196	Max	19.94	3102.62	101	14.96	101	4.84	98	-148.48	49	101.44	49	0.44	173
311	-1195	-1196	Min.	0.00	-3633.52	130	-15.54	173	-2.60	177	-1365.06	106	-2887.08	98	-0.29	126
311	-1195	-1196	Min.	19.94	-3633.52	130	-15.54	173	-1.50	177	-1373.32	106	-3122.95	98	-0.29	126
311	-1196	-1197	Max	0.00	3435.14	101	21.59	101	5.22	98	324.97	97	89.06	49	-0.35	137
311	-1196	-1197	Max	4.11					-0.20	49			89.08	49		
311	-1196	-1197	Max	39.88	3435.14	101	21.59	101	11.46	101	308.44	97	87.61	49	-0.35	137
311	-1196	-1197	Min.	0.00	-3653.35	130	-62.27	98	-1.50	177	-450.90	130	-3174.44	98	-3.00	98
311	-1196	-1197	Min.	13.71					-1.46	123			-2866.24	123		
311	-1196	-1197	Min.	39.88	-3653.35	130	-62.27	98	-20.98	110	-467.43	130	-3056.68	98	-3.00	98
311	-1197	322	Max	0.00	3852.45	101	54.34	118	14.98	101	1324.60	158	74.61	49	3.31	98
311	-1197	322	Max	40.00	3852.45	101	54.34	118	5.02	97	1312.32	158	116.17	49	3.31	98
311	-1197	322	Min.	0.00	-3470.45	130	-28.44	101	-23.69	17	42.06	65	-3144.14	98	0.42	137
311	-1197	322	Min.	40.00	-3470.45	130	-28.44	101	-3.75	17	29.78	65	-2820.20	98	0.42	137
311	322	-1198	Max	0.00	4239.80	101	15.51	17	5.15	97	2282.79	98	104.26	49	0.48	173
311	322	-1198	Max	15.00					2.39	71			-364.28	71		
311	322	-1198	Max	20.00	4239.80	101	15.51	17	5.92	98	2274.50	98	163.47	49	0.48	173
311	322	-1198	Min.	0.00	-3026.25	130	-19.38	101	-4.14	17	152.07	65	-2931.27	98	-0.58	17
311	322	-1198	Min.	15.00					-1.56	71			-479.83	71		
311	322	-1198	Min.	20.00	-3026.25	130	-19.38	101	-1.18	17	145.93	65	-2475.54	98	-0.58	17
311	-1198	-1199	Max	0.00	4239.80	101	15.51	17	5.92	98	2274.50	98	163.47	49	0.48	173
311	-1198	-1199	Max	20.00	4239.80	101	15.51	17	6.78	122	2266.20	98	380.77	101	0.48	173
311	-1198	-1199	Min.	0.00	-3026.25	130	-19.38	101	-1.18	17	147.62	65	-2475.54	98	-0.58	17
311	-1198	-1199	Min.	20.00	-3026.25	130	-19.38	101	-3.90	101	141.48	65	-2021.47	98	-0.58	17
311	-1199	-1200	Max	0.00	4690.00	101	5.11	17	7.06	98	3652.58	98	331.32	101	0.53	173
311	-1199	-1200	Max	22.00					2.69	53			247.84	53		
311	-1199	-1200	Max	40.00	4690.00	101	5.11	17	6.52	98	3636.00	98	938.71	101	0.53	173
311	-1199	-1200	Min.	0.00	-2435.56	130	-4.31	101	-3.65	101	201.20	65	-2166.89	98	-0.67	17
311	-1199	-1200	Min.	22.00					2.15	53			-600.75	53		
311	-1199	-1200	Min.	40.00	-2435.56	130	-4.31	101	-5.37	101	188.92	65	-1068.88	106	-0.67	17
311	-1200	-1201	Max	0.00	5100.09	101	3.31	101	6.99	98	3659.87	98	893.47	101	0.69	173
311	-1200	-1201	Max	40.00	5100.09	101	3.31	101	6.00	98	3643.29	98	1340.04	101	0.69	173
311	-1200	-1201	Min.	0.00	-1732.06	130	-4.86	173	-5.21	101	163.47	65	-1159.92	106	-0.55	17
311	-1200	-1201	Min.	40.00	-1732.06	130	-4.86	173	-3.88	101	151.18	65	-514.87	130	-0.55	17
311	-1201	-1202	Max	0.00	5428.59	101	5.01	101	6.59	98	3541.68	98	1303.68	101	0.83	173
311	-1201	-1202	Max	40.00	5428.59	101	5.01	101	5.20	98	3525.10	98	1879.36	97	0.83	173
311	-1201	-1202	Min.	0.00	-962.87	130	-5.58	173	-3.81	101	116.79	65	-600.16	130	-0.40	17
311	-1201	-1202	Min.	40.00	-962.87	130	-5.58	173	-1.81	101	104.51	65	-42.41	130	-0.40	17
311	-1202	323	Max	0.00	6806.87	97	3.42	125	5.89	98	1601.98	122	1723.84	97	0.77	173
311	-1202	323	Max	40.00	6806.87	97	3.42	125	2.72	65	1585.40	122	2309.37	97	0.77	173
311	-1202	323	Min.	0.00	-164.75	130	-15.14	98	-1.80	101	52.23	65	-130.80	130	-0.37	17
311	-1202	323	Min.	40.00	-164.75	130	-15.14	98	-1.81	17	39.95	65	27.28	1	-0.37	17
311	323	-1203	Max	0.00	7946.99	97	2.15	125	2.58	65	1400.41	122	2179.40	97	0.74	173
311	323	-1203	Max	40.00	7946.99	97	2.15	125	1.89	65	1383.83	122	2660.36	97	0.74	173
311	323	-1203	Min.	0.00	132.01	17	-16.20	98	-1.58	17	-2.55	49	-4.32	1	-0.30	17
311	323	-1203	Min.	40.00	132.01	17	-16.20	98	-5.94	98	-14.83	49	49.11	17	-0.30	17
311	-1203	-1204	Max	0.00	9024.70	97	1.20	17	1.79	65	2536.57	98	2542.17	97	0.73	98
311	-1203	-1204	Max	40.00	9024.70	97	1.20	17	2.08	65	2519.99	98	3534.42	97	0.73	98
311	-1203	-1204	Min.	0.00	236.70	17	-6.11	121	-5.27	98	-78.54	49	30.79	1	-0.17	17
311	-1203	-1204	Min.	40.00	236.70	17	-6.11	121	-7.65	98	-90.82	49	110.20	17	-0.17	17
311	-1204	-1330	Max	0.00	9831.14	97	1.66	106	2.02	65	1711.25	98	3445.09	97	0.53	173
311	-1204	-1330	Max	20.00	9831.14	97	1.66	106	2.25	65	1702.95	98	3776.57	97	0.53	173
311	-1204	-1330	Min.	0.00	333.08	17	-4.94	173	-7.11	97	-261.45	125	99.51	17	-0.14	125
311	-1204	-1330	Min.	20.00	333.08	17	-4.94	173	-7.93	97	-269.74	125	130.72	17	-0.14	125

311	-1330	-1205	Max	0.00	9831.14	97	1.66	106	2.25	65	1702.95	98	3776.57	97	0.53	173
311	-1330	-1205	Max	20.00	9831.14	97	1.66	106	2.49	17	1694.66	98	4106.38	97	0.53	173
311	-1330	-1205	Min.	0.00	333.08	17	-4.94	173	-7.93	97	-269.74	125	130.72	17	-0.14	125
311	-1330	-1205	Min.	20.00	333.08	17	-4.94	173	-8.75	97	-278.03	125	161.83	65	-0.14	125
311	-1205	-1331	Max	0.00	10329.80	97	0.69	17	2.45	65	738.11	98	4051.06	97	0.33	173
311	-1205	-1331	Max	14.88					-0.05	2			676.14	2		
311	-1205	-1331	Max	20.00	10329.80	97	0.69	17	2.57	17	729.82	98	4189.91	97	0.33	173
311	-1205	-1331	Min.	0.00	419.04	17	-3.69	173	-8.42	97	-374.60	101	152.64	17	-0.16	101
311	-1205	-1331	Min.	8.00					-0.79	50			547.70	50		
311	-1205	-1331	Min.	20.00	419.04	17	-3.69	173	-8.83	97	-382.89	101	173.42	65	-0.16	101
311	-1331	-1206	Max	0.00	10329.80	97	0.69	17	2.57	17	729.82	98	4189.91	97	0.33	173
311	-1331	-1206	Max	7.38					0.23	7			799.84	7		
311	-1331	-1206	Max	20.00	10329.80	97	0.69	17	2.71	17	721.52	98	4334.85	98	0.33	173
311	-1331	-1206	Min.	0.00	419.04	17	-3.69	173	-8.83	97	-382.89	101	173.42	65	-0.16	101
311	-1331	-1206	Min.	7.38					-1.04	55			453.53	55		
311	-1331	-1206	Min.	20.00	419.04	17	-3.69	173	-9.25	97	-391.18	101	172.72	65	-0.16	101
311	-1206	324	Max	0.00	10485.10	97	5.26	125	2.69	17	1007.60	157	4313.63	98	0.19	173
311	-1206	324	Max	19.00					2.60	21			1083.77	21		
311	-1206	324	Max	20.00	10485.10	97	5.26	125	2.61	17	1001.46	157	4338.51	98	0.19	173
311	-1206	324	Min.	0.00	490.66	17	-3.30	106	-9.14	97	-83.18	106	179.09	65	-0.06	1
311	-1206	324	Min.	19.00					-3.36	69			187.34	69		
311	-1206	324	Min.	20.00	490.66	17	-3.30	106	-9.39	173	-91.47	106	180.92	65	-0.06	1
311	324	-1207	Max	0.00	10485.10	98	5.13	125	2.61	65	915.92	165	4338.51	97	0.12	129
311	324	-1207	Max	0.50					2.60	69			1083.88	69		
311	324	-1207	Max	20.00	10485.10	98	5.13	125	2.69	65	909.78	165	4313.63	97	0.12	129
311	324	-1207	Min.	0.00	490.66	65	-3.49	106	-9.33	173	-130.57	98	180.92	17	-0.13	98
311	324	-1207	Min.	0.50					-3.36	21			187.34	21		
311	324	-1207	Min.	20.00	490.66	65	-3.49	106	-9.70	173	-138.86	98	179.09	17	-0.13	98
311	-1207	-1332	Max	0.00	10329.80	98	2.10	97	2.71	65	391.16	106	4334.85	97	0.16	106
311	-1207	-1332	Max	8.12					0.10	166			952.67	166		
311	-1207	-1332	Max	20.00	10329.80	98	2.10	97	2.57	65	382.87	106	4189.91	98	0.16	106
311	-1207	-1332	Min.	0.00	419.04	65	-0.93	162	-9.74	173	-721.52	97	172.72	17	-0.26	97
311	-1207	-1332	Min.	12.25					-1.04	7			454.75	7		
311	-1207	-1332	Min.	20.00	419.04	65	-0.93	162	-9.49	173	-729.82	97	173.42	17	-0.26	97
311	-1332	-1208	Max	0.00	10329.80	98	2.10	97	2.57	65	382.87	106	4189.91	98	0.16	106
311	-1332	-1208	Max	4.12					-0.05	50			676.14	50		
311	-1332	-1208	Max	20.00	10329.80	98	2.10	97	2.45	17	374.57	106	4051.06	98	0.16	106
311	-1332	-1208	Min.	0.00	419.04	65	-0.93	162	-9.49	173	-729.82	97	173.42	17	-0.26	97
311	-1332	-1208	Min.	11.25					-0.79	2			548.87	2		
311	-1332	-1208	Min.	20.00	419.04	65	-0.93	162	-9.24	173	-738.11	97	152.64	65	-0.26	97
311	-1208	-1334	Max	0.00	9831.13	98	4.10	98	2.49	65	245.44	106	4106.38	98	0.13	106
311	-1208	-1334	Max	20.00	9831.13	98	4.10	98	2.25	17	237.15	106	3776.57	98	0.13	106
311	-1208	-1334	Min.	0.00	333.08	65	-2.81	125	-9.48	173	-1694.66	97	161.83	17	-0.48	97
311	-1208	-1334	Min.	20.00	333.08	65	-2.81	125	-8.72	173	-1702.95	97	130.72	65	-0.48	97
311	-1334	-1209	Max	0.00	9831.13	98	4.10	98	2.25	17	237.15	106	3776.57	98	0.13	106
311	-1334	-1209	Max	20.00	9831.13	98	4.10	98	2.02	17	228.86	106	3445.09	98	0.13	106
311	-1334	-1209	Min.	0.00	333.08	65	-2.81	125	-8.72	173	-1702.95	97	130.72	65	-0.48	97
311	-1334	-1209	Min.	20.00	333.08	65	-2.81	125	-7.96	173	-1711.25	97	99.51	65	-0.48	97
311	-1209	-1210	Max	0.00	9024.69	98	6.02	98	2.08	17	90.82	1	3534.42	98	0.17	65
311	-1209	-1210	Max	40.00	9024.69	98	6.02	98	1.79	17	78.54	1	2542.17	98	0.17	65
311	-1209	-1210	Min.	0.00	236.69	65	-1.78	165	-8.39	173	-2519.99	97	110.20	65	-0.73	97
311	-1209	-1210	Min.	40.00	236.69	65	-1.78	165	-6.00	173	-2536.57	97	30.79	49	-0.73	97
311	-1210	325	Max	0.00	7946.99	98	16.20	97	1.89	17	535.86	166	2660.37	98	0.30	65
311	-1210	325	Max	39.60					0.71	160			1444.98	160		
311	-1210	325	Max	40.00	7946.99	98	16.20	97	2.58	17	523.58	166	2179.40	98	0.30	65
311	-1210	325	Min.	0.00	132.01	65	-0.44	142	-6.57	173	-1207.12	97	49.11	65	-0.70	173
311	-1210	325	Min.	16.41					-2.16	157			1425.19	157		
311	-1210	325	Min.	40.00	132.01	65	-0.44	142	-2.21	173	-1223.70	97	-4.32	49	-0.70	173
311	325	-1211	Max	0.00	6806.87	98	15.14	97	2.72	17	420.58	166	2309.37	98	0.37	65
311	325	-1211	Max	40.00	6806.87	98	15.14	97	6.21	121	408.29	166	1723.84	98	0.37	65
311	325	-1211	Min.	0.00	-129.76	49	-2.24	106	-2.86	173	-1471.30	97	27.28	49	-0.78	173
311	325	-1211	Min.	40.00	-129.76	49	-2.24	106	-1.80	106	-1487.89	97	-62.43	49	-0.78	173
311	-1211	-1212	Max	0.00	5428.44	106	6.56	173	5.73	121	-104.51	17	1879.36	98	0.40	65
311	-1211	-1212	Max	40.00	5428.44	106	6.56	173	6.59	97	-116.79	17	1303.64	106	0.40	65
311	-1211	-1212	Min.	0.00	-433.76	49	-5.01	106	-1.81	106	-3525.10	97	-28.99	49	-0.86	173
311	-1211	-1212	Min.	40.00	-433.76	49	-5.01	106	-3.81	106	-3541.68	97	-421.40	101	-0.86	173
311	-1212	-1213	Max	0.00	5099.92	106	5.78	173	6.09	121	-151.18	17	1340.01	106	0.55	65
311	-1212	-1213	Max	40.00	5099.92	106	5.78	173	6.99	97	-163.47	17	902.64	130	0.55	65
311	-1212	-1213	Min.	0.00	-823.32	101	-4.05	130	-3.88	106	-3643.29	97	-323.40	101	-0.75	173
311	-1212	-1213	Min.	40.00	-823.32	101	-4.05	130	-5.21	106	-3659.87	97	-1159.97	101	-0.75	173
311	-1213	-1214	Max	0.00	4689.81	106	4.31	106	6.52	97	-188.92	17	938.66	106	0.67	65
311	-1213	-1214	Max	17.12					2.69	5			253.61	5		
311	-1213	-1214	Max	40.00	4689.81	106	4.31	106	7.06	97	-201.20	17	419.11	130	0.67	65
311	-1213	-1214	Min.	0.00	-1646.86	101	-5.11	65	-5.37	106	-3636.00	97	-1068.93	101	-0.60	173
311	-1213	-1214	Min.	17.12					2.17	5			-594.60	5		
311	-1213	-1214	Min.	40.00	-1646.86	101	-5.11	65	-3.65	106	-3652.58	97	-2166.89	97	-0.60	173
311	-1214	-1215	Max	0.00	4397.19	130	19.38	106	6.73	97	87.81	166	448.84	130	0.58	65
311	-1214	-1215	Max	16.00					-0.77	108			140.79	108		
311	-1214	-1215	Max	20.00	4397.19	130	19.38	106	5.92	97	81.67	166	361.24	130	0.58	65

311	-1214	-1215	Min.	0.00	-2341.13	101	-15.51	65	-3.90	106	-2266.21	97	-2021.47	97	-0.54	173
311	-1214	-1215	Min.	16.00					-0.77	107			140.71	107		
311	-1214	-1215	Min.	20.00	-2341.13	101	-15.51	65	-1.26	130	-2274.50	97	-2475.54	97	-0.54	173
311	-1215	326	Max	0.00	4397.19	130	19.38	106	5.92	97	81.67	166	361.24	130	0.58	65
311	-1215	326	Max	4.00					2.39	23			-361.72	23		
311	-1215	326	Max	20.00	4397.19	130	19.38	106	5.36	173	75.53	166	271.99	130	0.58	65
311	-1215	326	Min.	0.00	-2341.13	101	-15.51	65	-1.26	130	-2274.50	97	-2475.54	97	-0.54	173
311	-1215	326	Min.	4.00					-1.41	23			-472.77	23		
311	-1215	326	Min.	20.00	-2341.13	101	-15.51	65	-4.14	65	-2282.79	97	-2931.27	97	-0.54	173
311	326	-1216	Max	0.00	4205.29	130	28.44	106	5.03	173	636.28	166	296.22	130	-0.42	142
311	326	-1216	Max	22.38					-11.21	124			-1742.51	124		
311	326	-1216	Max	40.00	4205.29	130	28.44	106	14.98	106	624.00	166	400.55	130	-0.42	142
311	326	-1216	Min.	0.00	-2801.88	101	-60.45	125	-3.75	65	-801.53	97	-2820.20	97	-3.31	97
311	326	-1216	Min.	22.32					-11.18	123			-1742.61	123		
311	326	-1216	Min.	40.00	-2801.88	101	-60.45	125	-25.85	125	-818.11	97	-3144.13	97	-3.31	97
311	-1216	-1217	Max	0.00	3883.12	130	74.65	121	11.46	106	307.97	101	432.45	130	3.00	97
311	-1216	-1217	Max	35.30					-0.31	1			89.09	1		
311	-1216	-1217	Max	39.88	3883.12	130	74.65	121	5.22	97	291.44	101	368.74	130	3.00	97
311	-1216	-1217	Min.	0.00	-3068.33	101	-21.58	106	-27.92	121	-464.38	158	-3056.68	97	0.35	142
311	-1216	-1217	Min.	35.18					-3.16	126			-1321.06	126		
311	-1216	-1217	Min.	39.88	-3068.33	101	-21.58	106	-1.50	177	-476.62	158	-3174.40	97	0.35	142
311	-1217	-1218	Max	0.00	3609.94	130	20.02	125	4.84	97	1373.41	101	399.52	130	0.17	105
311	-1217	-1218	Max	19.94	3609.94	130	20.02	125	6.96	97	1365.14	101	468.15	130	0.17	105
311	-1217	-1218	Min.	0.00	-3086.75	101	-14.96	106	-1.74	162	128.75	162	-3122.94	97	-0.47	173
311	-1217	-1218	Min.	19.94	-3086.75	101	-14.96	106	-2.60	177	122.63	162	-2887.05	97	-0.47	173
311	-1218	-1219	Max	0.00	3609.94	130	20.02	125	6.96	97	1365.14	101	468.12	130	0.17	105
311	-1218	-1219	Max	19.94	3609.94	130	20.02	125	9.10	121	1356.88	101	535.11	130	0.17	105
311	-1218	-1219	Min.	0.00	-3086.75	101	-14.96	106	-2.60	177	122.63	162	-2887.14	97	-0.47	173
311	-1218	-1219	Min.	19.94	-3086.75	101	-14.96	106	-3.70	177	116.50	162	-2652.91	97	-0.47	173
311	-1219	-1220	Max	0.00	3313.36	130	6.34	173	8.91	97	1578.67	101	568.46	130	0.12	105
311	-1219	-1220	Max	39.88	3313.36	130	6.34	173	10.66	173	1562.14	101	620.58	130	0.12	105
311	-1219	-1220	Min.	0.00	-2907.37	101	-23.89	177	-3.71	177	96.43	1	-2631.12	97	-0.54	158
311	-1219	-1220	Min.	39.88	-2907.37	101	-23.89	177	-13.23	177	84.19	1	-2026.54	97	-0.54	158
311	-1220	327	Max	0.00	2953.72	130	11.14	130	10.50	173	1805.67	121	659.94	130	0.19	106
311	-1220	327	Max	39.88	2953.72	130	11.14	130	12.51	173	1789.14	121	1154.07	130	0.19	106
311	-1220	327	Min.	0.00	-2578.07	101	-36.95	177	-13.38	177	177.57	17	-2027.95	97	-0.97	177
311	-1220	327	Min.	39.88	-2578.07	101	-36.95	177	-28.11	177	165.33	17	-1392.41	97	-0.97	177
311	327	-1221	Max	0.00	2621.92	130	8.93	130	12.58	173	1295.40	97	1194.22	130	0.44	173
311	327	-1221	Max	39.88	2621.92	130	8.93	130	14.10	173	1278.87	97	1420.42	130	0.44	173
311	327	-1221	Min.	0.00	-2184.68	101	-38.38	177	-28.64	177	112.36	17	-1411.19	97	-2.06	177
311	327	-1221	Min.	39.88	-2184.68	101	-38.38	177	-43.95	177	100.11	17	-897.94	97	-2.06	177
311	-1221	-1222	Max	0.00	2073.64	130	-0.13	142	14.42	173	1003.77	101	1480.31	130	0.93	173
311	-1221	-1222	Max	36.45					5.82	124			73.15	124		
311	-1221	-1222	Max	39.88	2073.64	130	-0.13	142	12.97	173	987.24	101	1026.80	130	0.93	173
311	-1221	-1222	Min.	0.00	-1684.63	101	-14.49	177	-45.16	177	-1129.08	130	-926.84	97	-3.70	177
311	-1221	-1222	Min.	36.31					5.86	123			73.00	123		
311	-1221	-1222	Min.	39.88	-1684.63	101	-14.49	177	-50.94	177	-1145.61	130	-560.36	97	-3.70	177
311	-1222	-1223	Max	0.00	1446.53	130	66.99	177	13.55	173	798.20	97	1096.51	130	1.29	173
311	-1222	-1223	Max	1.91					1.18	8			140.78	8		
311	-1222	-1223	Max	39.87	1446.53	130	66.99	177	3.83	173	781.67	97	732.84	130	1.29	173
311	-1222	-1223	Min.	0.00	-1142.67	101	-24.39	173	-53.05	177	-903.76	130	-596.63	97	-5.11	177
311	-1222	-1223	Min.	1.91					0.77	8			-10.31	8		
311	-1222	-1223	Min.	39.87	-1142.67	101	-24.39	173	-26.34	177	-920.29	130	-281.64	97	-5.11	177
311	-1223	-1224	Max	0.00	742.14	130	255.82	177	4.57	173	562.33	97	811.04	130	0.79	173
311	-1223	-1224	Max	20.93					-2.97	18			136.69	18		
311	-1223	-1224	Max	39.88	742.14	130	255.82	177	72.81	177	545.80	97	572.43	130	0.79	173
311	-1223	-1224	Min.	0.00	-574.30	101	-70.10	173	-29.20	177	-590.13	130	-321.82	97	-3.09	177
311	-1223	-1224	Min.	23.93					-4.28	66			58.76	66		
311	-1223	-1224	Min.	39.88	-574.30	101	-70.10	173	-23.38	173	-606.66	130	-110.11	101	-3.09	177
311	-1224	328	Max	0.00	0.00	1	672.11	177	70.43	177	568.59	101	655.78	130	19.20	177
311	-1224	328	Max	24.80					-63.83	173			-5.69	173		
311	-1224	328	Max	31.00	0.00	1	672.11	177	278.79	177	555.74	101	0.00	130	19.20	177
311	-1224	328	Min.	0.00	0.00	1	-165.39	173	-22.82	173	-2108.98	130	-174.27	101	-4.15	173
311	-1224	328	Min.	24.80					-15.34	101			-34.54	101		
311	-1224	328	Min.	31.00	0.00	1	-165.39	173	-74.09	173	-2121.83	130	0.00	97	-4.15	173
313	-590	310	Max	0.00	27.97	137	50.06	173	5.93	17	-9.40	177	33.56	98	0.04	17
313	-590	310	Max	40.00	27.97	137	50.06	173	9.63	173	-13.55	177	-21.98	177	0.04	17
313	-590	310	Min.	0.00	-906.89	177	-28.60	17	-10.39	173	-877.44	98	-17.39	177	-0.06	173
313	-590	310	Min.	40.00	-906.89	177	-28.60	17	-5.51	17	-883.04	98	-318.54	98	-0.06	173
313	310	329	Max	0.00	167.05	101	44.05	173	5.12	17	1382.48	102	-24.52	17	0.04	17
313	310	329	Max	14.42	167.05	101	44.05	173	1.41	17	1380.46	102	6.81	177	0.04	17
313	310	329	Min.	0.00	-748.46	177	-25.78	17	-8.82	173	118.61	17	-274.03	98	-0.06	173
313	310	329	Min.	14.42	-748.46	177	-25.78	17	-2.46	173	117.12	17	-109.94	98	-0.06	173
313	329	-714	Max	0.00	167.05	101	44.05	173	1.41	17	1380.46	102	6.81	177	0.04	17
313	329	-714	Max	25.58	167.05	101	44.05	173	8.80	173	1376.88	102	295.14	102	0.04	17
313	329	-714	Min.	0.00	-748.46	177	-25.78	17	-2.46	173	117.25	17	-109.94	98	-0.06	173
313	329	-714	Min.	25.58	-748.46	177	-25.78	17	-5.19	17	114.60	17	21.91	17	-0.06	173
313	-714	-759	Max	0.00	270.15	101	42.51	173	5.28	17	-157.80	17	289.47	102	0.04	17
313	-714	-759	Max	20.00	270.15	101	42.51	173	0.12	97	-159.87	17	61.29	101	0.04	17

313	-714	-759	Min.	0.00	-717.48	173	-26.46	17	-8.48	173	-1142.44	102	27.40	17	-0.06	173
313	-714	-759	Min.	20.00	-717.48	173	-26.46	17	-0.11	162	-1145.24	102	-39.36	173	-0.06	173
313	-759	312	Max	0.00	270.15	101	42.51	173	0.12	97	-159.87	17	61.29	101	0.04	17
313	-759	312	Max	20.00	270.15	101	42.51	173	8.52	173	-161.94	17	-36.50	17	0.04	17
313	-759	312	Min.	0.00	-717.48	173	-26.46	17	-0.11	162	-1145.24	102	-39.36	173	-0.06	173
313	-759	312	Min.	20.00	-717.48	173	-26.46	17	-5.31	17	-1148.04	102	-246.09	98	-0.06	173
313	312	-847	Max	0.00	204.42	101	41.14	173	5.41	17	995.67	98	-34.37	17	0.04	17
313	312	-847	Max	40.00	204.42	101	41.14	173	8.24	173	990.07	98	182.32	102	0.04	17
313	312	-847	Min.	0.00	-766.05	173	-27.10	17	-8.21	173	143.30	17	-229.37	98	-0.06	173
313	312	-847	Min.	40.00	-766.05	173	-27.10	17	-5.43	17	139.16	17	20.69	33	-0.06	173
313	-847	314	Max	0.00	107.11	137	39.53	173	5.47	17	-162.56	33	188.55	102	0.04	17
313	-847	314	Max	40.47	107.11	137	39.53	173	8.01	173	-166.75	33	-43.63	33	0.04	17
313	-847	314	Min.	0.00	-763.08	98	-27.03	17	-7.99	173	-1100.17	102	22.49	33	-0.06	173
313	-847	314	Min.	40.47	-763.08	98	-27.03	17	-5.47	17	-1105.84	102	-257.84	102	-0.06	173
313	314	-935	Max	0.00	107.34	137	40.69	173	5.64	17	1132.04	102	-42.67	33	0.04	17
313	314	-935	Max	39.53	107.34	137	40.69	173	8.04	173	1126.51	102	188.53	102	0.04	17
313	314	-935	Min.	0.00	-763.10	98	-28.50	17	-8.05	173	167.78	33	-257.87	102	-0.06	173
313	314	-935	Min.	39.53	-763.10	98	-28.50	17	-5.62	17	163.68	33	22.46	33	-0.06	173
313	-935	316	Max	0.00	204.59	101	40.06	173	5.65	17	-136.65	65	182.26	102	0.04	17
313	-935	316	Max	40.00	204.59	101	40.06	173	7.99	173	-140.80	65	-33.73	65	0.04	17
313	-935	316	Min.	0.00	-734.15	98	-28.26	17	-8.03	173	-988.78	98	20.72	33	-0.06	173
313	-935	316	Min.	40.00	-734.15	98	-28.26	17	-5.65	17	-994.38	98	-228.79	98	-0.06	173
313	316	-1023	Max	0.00	271.35	101	40.14	173	5.70	17	1144.76	102	-35.73	65	0.04	17
313	316	-1023	Max	20.00	271.35	101	40.14	173	0.12	97	1141.96	102	61.22	101	0.04	17
313	316	-1023	Min.	0.00	-665.60	98	-28.35	17	-8.01	173	158.73	65	-245.27	98	-0.06	173
313	316	-1023	Min.	20.00	-665.60	98	-28.35	17	-0.11	162	156.66	65	-27.88	98	-0.06	173
313	-1023	-1068	Max	0.00	271.35	101	40.14	173	0.12	97	1141.96	102	61.22	101	0.04	17
313	-1023	-1068	Max	20.00	271.35	101	40.14	173	8.05	173	1139.16	102	288.75	102	0.04	17
313	-1023	-1068	Min.	0.00	-665.60	98	-28.35	17	-0.11	162	156.66	65	-27.88	98	-0.06	173
313	-1023	-1068	Min.	20.00	-665.60	98	-28.35	17	-5.64	17	154.59	65	26.88	65	-0.06	173
313	-1068	331	Max	0.00	168.87	101	40.15	173	5.66	17	-110.63	65	294.36	102	0.04	17
313	-1068	331	Max	26.52	168.87	101	40.15	173	2.60	173	-113.38	65	-7.41	65	0.04	17
313	-1068	331	Min.	0.00	-537.47	98	-28.20	17	-8.04	173	-1370.46	102	21.37	65	-0.06	173
313	-1068	331	Min.	26.52	-537.47	98	-28.20	17	-1.82	17	-1374.18	102	-120.00	98	-0.06	173
313	331	318	Max	0.00	168.87	101	40.15	173	2.60	173	-113.24	65	-7.41	65	0.04	17
313	331	318	Max	13.48	168.87	101	40.15	173	8.02	173	-114.64	65	-23.54	65	0.04	17
313	331	318	Min.	0.00	-537.47	98	-28.20	17	-1.82	17	-1374.17	102	-120.00	98	-0.06	173
313	331	318	Min.	13.48	-537.47	98	-28.20	17	-5.62	17	-1376.06	102	-272.76	98	-0.06	173
313	318	-1197	Max	0.00	28.97	137	43.07	173	6.01	17	878.67	98	-26.09	65	0.04	17
313	318	-1197	Max	40.00	28.97	137	43.07	173	8.99	173	873.07	98	33.50	98	0.04	17
313	318	-1197	Min.	0.00	-340.51	98	-31.12	17	-8.24	173	82.64	65	-316.84	98	-0.07	173
313	318	-1197	Min.	40.00	-340.51	98	-31.12	17	-6.44	17	78.49	65	3.33	137	-0.07	173
314	-609	311	Max	0.00	27.95	142	32.63	158	9.80	173	-9.40	177	33.56	97	0.06	173
314	-609	311	Max	40.00	27.95	142	32.63	158	6.28	158	-13.55	177	-21.98	177	0.06	173
314	-609	311	Min.	0.00	-906.88	177	-47.04	173	-6.77	158	-877.45	97	-17.39	177	-0.05	158
314	-609	311	Min.	40.00	-906.88	177	-47.04	173	-9.01	173	-883.05	97	-318.54	97	-0.05	158
314	311	330	Max	0.00	167.01	106	25.78	65	9.08	173	1382.45	105	-24.52	65	0.06	173
314	311	330	Max	14.42	167.01	106	25.78	65	2.56	173	1380.43	105	6.81	177	0.06	173
314	311	330	Min.	0.00	-748.46	177	-45.19	173	-5.12	65	118.62	65	-274.04	97	-0.04	158
314	311	330	Min.	14.42	-748.46	177	-45.19	173	-1.41	65	117.12	65	-109.94	97	-0.04	158
314	330	-738	Max	0.00	167.01	106	25.78	65	2.56	173	1380.43	105	6.81	177	0.06	173
314	330	-738	Max	25.58	167.01	106	25.78	65	5.19	65	1376.85	105	295.13	105	0.06	173
314	330	-738	Min.	0.00	-748.46	177	-45.19	173	-1.41	65	117.25	65	-109.94	97	-0.04	158
314	330	-738	Min.	25.58	-748.46	177	-45.19	173	-9.00	173	114.60	65	21.91	65	-0.04	158
314	-738	-783	Max	0.00	270.11	106	26.46	65	8.70	173	-157.80	65	289.46	105	0.07	173
314	-738	-783	Max	20.00	270.11	106	26.46	65	0.02	17	-159.87	65	61.28	106	0.07	173
314	-738	-783	Min.	0.00	-763.99	121	-43.65	173	-5.28	65	-1142.43	105	27.40	65	-0.04	65
314	-738	-783	Min.	20.00	-763.99	121	-43.65	173	-0.18	158	-1145.23	105	-40.12	173	-0.04	65
314	-783	313	Max	0.00	270.11	106	26.46	65	0.02	17	-159.87	65	61.28	106	0.07	173
314	-783	313	Max	20.00	270.11	106	26.46	65	5.31	65	-161.95	65	-36.50	65	0.07	173
314	-783	313	Min.	0.00	-763.99	121	-43.65	173	-0.18	158	-1145.23	105	-40.12	173	-0.04	65
314	-783	313	Min.	20.00	-763.99	121	-43.65	173	-8.76	173	-1148.03	105	-246.09	97	-0.04	65
314	313	-871	Max	0.00	204.38	106	27.10	65	8.49	173	995.69	97	-34.37	65	0.07	173
314	313	-871	Max	40.00	204.38	106	27.10	65	5.43	65	990.09	97	182.32	105	0.07	173
314	313	-871	Min.	0.00	-858.51	121	-42.61	173	-5.41	65	143.31	65	-229.37	97	-0.04	65
314	313	-871	Min.	40.00	-858.51	121	-42.61	173	-8.55	173	139.16	65	18.05	162	-0.04	65
314	-871	315	Max	0.00	107.09	142	27.03	65	8.35	173	-160.09	33	188.55	105	0.07	173
314	-871	315	Max	32.38					-0.01	154			-93.69	154		
314	-871	315	Max	40.47	107.09	142	27.03	65	5.47	65	-164.29	33	-42.80	33	0.07	173
314	-871	315	Min.	0.00	-902.87	121	-41.39	173	-5.47	65	-1100.15	105	20.09	162	-0.04	65
314	-871	315	Min.	32.38					-0.01	154			-93.69	154		
314	-871	315	Min.	40.47	-902.87	121	-41.39	173	-8.40	173	-1105.82	105	-257.83	105	-0.04	65
314	315	-959	Max	0.00	107.31	142	28.50	65	8.50	173	1132.02	105	-43.50	33	0.07	173
314	315	-959	Max	39.53	107.31	142	28.50	65	5.62	65	1126.49	105	188.53	105	0.07	173
314	315	-959	Min.	0.00	-902.45	121	-43.04	173	-5.64	65	170.27	33	-257.86	105	-0.04	65
314	315	-959	Min.	39.53	-902.45	121	-43.04	173	-8.51	173	166.17	33	20.14	162	-0.04	65
314	-959	317	Max	0.00	204.54	106	28.26	65	8.55	173	-136.66	17	182.25	105	0.07	173
314	-959	317	Max	40.00	204.54	106	28.26	65	5.65	65	-140.80	17	-33.73	17	0.07	173
314	-959	317	Min.	0.00	-857.61	121	-42.73	173	-5.65	65	-988.80	97	18.06	162	-0.04	65

314	-959	317	Min.	40.00	-857.61	121	-42.73	173	-8.54	173	-994.40	97	-228.79	97	-0.04	65
314	317	-1047	Max	0.00	271.31	106	28.35	65	8.60	173	1144.75	105	-35.73	17	0.07	173
314	317	-1047	Max	20.00	271.31	106	28.35	65	0.03	177	1141.95	105	61.22	106	0.07	173
314	317	-1047	Min.	0.00	-762.37	121	-43.15	173	-5.70	65	158.73	17	-245.28	97	-0.04	65
314	317	-1047	Min.	20.00	-762.37	121	-43.15	173	-0.18	158	156.66	17	-33.88	121	-0.04	65
314	-1047	-1092	Max	0.00	271.31	106	28.35	65	0.03	177	1141.95	105	61.22	106	0.07	173
314	-1047	-1092	Max	20.00	271.31	106	28.35	65	5.64	65	1139.15	105	288.74	105	0.07	173
314	-1047	-1092	Min.	0.00	-762.37	121	-43.15	173	-0.18	158	156.67	17	-33.88	121	-0.04	65
314	-1047	-1092	Min.	20.00	-762.37	121	-43.15	173	-8.66	173	154.59	17	26.88	17	-0.04	65
314	-1092	332	Max	0.00	168.83	106	28.20	65	8.69	173	-110.63	17	294.35	105	0.07	173
314	-1092	332	Max	21.22					-0.03	149			-28.71	149		
314	-1092	332	Max	26.52	168.83	106	28.20	65	1.82	65	-113.38	17	-7.41	17	0.07	173
314	-1092	332	Min.	0.00	-597.62	121	-43.36	173	-5.66	65	-1370.43	105	21.37	17	-0.04	65
314	-1092	332	Min.	21.22					-0.03	149			-28.71	149		
314	-1092	332	Min.	26.52	-597.62	121	-43.36	173	-2.81	173	-1374.14	105	-120.00	97	-0.04	65
314	332	319	Max	0.00	168.83	106	28.20	65	1.82	65	-113.24	17	-7.41	17	0.07	173
314	332	319	Max	13.48	168.83	106	28.20	65	5.62	65	-114.64	17	-23.54	17	0.07	173
314	332	319	Min.	0.00	-597.62	121	-43.36	173	-2.81	173	-1374.14	105	-120.00	97	-0.04	65
314	332	319	Min.	13.48	-597.62	121	-43.36	173	-8.65	173	-1376.03	105	-272.76	97	-0.04	65
314	319	-1216	Max	0.00	28.96	142	31.12	65	9.15	173	878.67	97	-26.09	17	0.07	173
314	319	-1216	Max	40.00	28.96	142	31.12	65	6.44	65	873.08	97	33.50	97	0.07	173
314	319	-1216	Min.	0.00	-362.15	121	-47.75	173	-6.01	65	82.64	17	-316.85	97	-0.04	65
314	319	-1216	Min.	40.00	-362.15	121	-47.75	173	-9.95	173	78.49	17	3.33	142	-0.04	65
602	-503	-375	Max	0.00	438.65	98	4.03	17	46.14	177	39.83	97	0.00	1	0.02	65
602	-503	-375	Max	114.38					2.84	97			22.95	97		
602	-503	-375	Max	230.49	370.37	98	4.03	17	2.46	17	-29.51	1	0.00	1	0.02	65
602	-503	-375	Min.	0.00	132.36	17	-27.06	177	-6.95	65	29.51	1	0.00	1	-0.14	177
602	-503	-375	Min.	114.38					1.84	1			17.00	1		
602	-503	-375	Min.	230.49	81.78	17	-27.06	177	-16.23	177	-39.83	97	0.00	97	-0.14	177
604	-511	-377	Max	0.00	413.70	102	4.82	17	35.93	177	39.83	97	0.00	1	0.02	65
604	-511	-377	Max	114.38					1.82	97			22.95	97		
604	-511	-377	Max	230.49	345.42	102	4.82	17	4.31	17	-29.51	1	0.00	1	0.02	65
604	-511	-377	Min.	0.00	154.34	1	-24.75	177	-6.81	17	29.51	1	0.00	1	-0.22	177
604	-511	-377	Min.	114.38					1.30	1			17.00	1		
604	-511	-377	Min.	230.49	103.76	1	-24.75	177	-21.12	177	-39.83	97	0.00	97	-0.22	177
606	-515	-379	Max	0.00	404.82	102	4.94	17	32.26	177	39.83	97	0.00	1	0.04	65
606	-515	-379	Max	114.38					0.03	97			22.95	97		
606	-515	-379	Max	230.49	336.54	102	4.94	17	4.02	17	-29.51	1	0.00	1	0.04	65
606	-515	-379	Min.	0.00	153.54	1	-21.81	177	-7.37	17	29.51	1	0.00	1	-0.22	177
606	-515	-379	Min.	114.38					0.71	1			17.00	1		
606	-515	-379	Min.	230.49	102.95	1	-21.81	177	-18.00	177	-39.83	97	0.00	97	-0.22	177
608	-519	-381	Max	0.00	412.95	102	9.58	127	30.99	177	39.83	97	0.00	1	0.06	65
608	-519	-381	Max	114.38					-1.78	97			22.95	97		
608	-519	-381	Max	230.49	344.67	102	9.58	127	9.53	127	-29.51	1	0.00	1	0.06	65
608	-519	-381	Min.	0.00	153.92	49	-21.42	177	-12.54	127	29.51	1	0.00	1	-0.20	177
608	-519	-381	Min.	114.38					0.22	1			17.00	1		
608	-519	-381	Min.	230.49	103.33	49	-21.42	177	-18.38	177	-39.83	97	0.00	97	-0.20	177
610	-527	-383	Max	0.00	437.34	98	12.43	127	26.73	177	39.83	97	0.00	1	0.09	65
610	-527	-383	Max	114.38					-2.77	97			22.95	97		
610	-527	-383	Max	230.49	369.05	98	12.43	127	10.48	127	-29.51	1	0.00	1	0.09	65
610	-527	-383	Min.	0.00	131.24	65	-16.40	177	-18.19	126	29.51	1	0.00	1	-0.17	177
610	-527	-383	Min.	114.38					0.50	1			17.00	1		
610	-527	-383	Min.	230.49	80.65	65	-16.40	177	-11.07	177	-39.83	97	0.00	97	-0.17	177
612	-375	-377	Max	0.00	27.87	125	1.01	17	16.12	177	-5.36	1	0.00	1	0.04	101
612	-375	-377	Max	80.00	27.87	125	13.79	17	3.49	17	7.24	97	0.00	1	0.04	101
612	-375	-377	Min.	0.00	-36.10	173	-40.62	177	-2.43	17	-7.24	97	0.00	1	-0.14	173
612	-375	-377	Min.	80.00	-36.10	173	-27.83	177	-11.26	177	5.36	1	0.00	97	-0.14	173
612	-377	-379	Max	0.00	34.34	125	-2.13	17	9.84	177	-5.40	1	0.00	97	0.04	65
612	-377	-379	Max	80.47	34.34	125	10.73	17	2.63	17	7.28	97	0.00	1	0.04	65
612	-377	-379	Min.	0.00	-46.36	173	-29.36	177	-0.83	17	-7.28	97	0.00	1	-0.07	173
612	-377	-379	Min.	80.47	-46.36	173	-16.50	177	-8.61	177	5.40	1	0.00	97	-0.07	173
612	-379	-381	Max	0.00	34.45	125	-0.51	17	9.38	177	-5.33	1	0.00	1	0.06	65
612	-379	-381	Max	79.53	34.45	125	14.12	123	3.16	17	7.20	97	0.00	1	0.06	65
612	-379	-381	Min.	0.00	-41.02	110	-27.57	177	-1.77	159	-7.20	97	0.00	1	-0.04	17
612	-379	-381	Min.	79.53	-41.02	110	-14.86	177	-7.49	177	5.33	1	0.00	97	-0.04	17
612	-381	-383	Max	0.00	28.03	125	13.00	127	10.80	177	-5.36	1	0.00	1	0.10	65
612	-381	-383	Max	80.00	28.03	125	30.26	127	10.26	127	7.24	97	0.00	1	0.10	65
612	-381	-383	Min.	0.00	-30.00	110	-33.52	177	-7.05	127	-7.24	97	0.00	1	-0.04	101
612	-381	-383	Min.	80.00	-30.00	110	-20.73	177	-10.90	177	5.36	1	0.00	97	-0.04	101
615	-378	-376	Max	0.00	27.46	106	27.83	177	6.32	167	-5.36	1	0.00	1	0.15	173
615	-378	-376	Max	80.00	27.46	106	40.62	177	16.11	177	7.24	97	0.00	1	0.15	173
615	-378	-376	Min.	0.00	-44.35	121	-21.32	167	-11.26	177	-7.24	97	0.00	1	-0.04	106
615	-378	-376	Min.	80.00	-44.35	121	-8.54	167	-5.63	167	5.36	1	0.00	97	-0.04	106
615	-380	-378	Max	0.00	30.82	106	16.50	177	2.63	65	-5.40	1	0.00	97	0.08	173
615	-380	-378	Max	80.47	30.82	106	29.36	177	9.84	177	7.28	97	0.00	1	0.08	173
615	-380	-378	Min.	0.00	-63.45	121	-10.73	65	-8.61	177	-7.28	97	0.00	1	-0.04	17
615	-380	-378	Min.	80.47	-63.45	121	2.13	65	-0.83	65	5.40	1	0.00	97	-0.04	17
615	-382	-380	Max	0.00	30.93	106	14.86	177	3.16	65	-5.33	1	0.00	1	0.04	173
615	-382	-380	Max	79.53	30.93	106	27.57	177	9.38	177	7.20	97	0.00	1	0.04	173

615	-382	-380	Min.	0.00	-63.31	121	-13.93	99	-7.49	177	-7.20	97	0.00	1	-0.06	17
615	-382	-380	Min.	79.53	-63.31	121	0.51	65	-1.49	65	5.33	1	0.00	97	-0.06	17
615	-384	-382	Max	0.00	27.58	106	20.73	177	8.05	107	-5.36	1	0.00	1	0.04	106
615	-384	-382	Max	80.00	27.58	106	33.52	177	10.80	177	7.24	97	0.00	1	0.04	106
615	-384	-382	Min.	0.00	-44.22	121	-25.26	107	-10.90	177	-7.24	97	0.00	1	-0.10	17
615	-384	-382	Min.	80.00	-44.22	121	-8.00	107	-5.25	107	5.36	1	0.00	97	-0.10	17
617	-41	-375	Max	0.00	-3626.72	17	10.74	98	6.95	177	9.80	17	0.00	1	0.08	177
617	-41	-375	Max	38.26					5.49	17			1.87	17		
617	-41	-375	Max	230.49	-3576.14	17	10.74	98	31.07	177	-49.22	17	-45.43	17	0.08	177
617	-41	-375	Min.	0.00	-33863.10	98	-5.38	101	-11.69	65	-92.98	98	0.00	1	-0.04	65
617	-41	-375	Min.	38.26					-5.54	17			-12.49	17		
617	-41	-375	Min.	230.49	-33794.90	98	-5.38	101	-7.96	101	-172.64	98	-306.11	98	-0.04	65
617	-375	10	Max	0.00	-3527.78	17	13.14	101	28.56	177	172.67	98	-45.41	17	0.62	173
617	-375	10	Max	184.39					4.23	17			1.80	17		
617	-375	10	Max	230.49	-3477.20	17	13.14	101	20.98	101	93.01	98	0.00	140	0.62	173
617	-375	10	Min.	0.00	-33691.40	98	-32.97	173	-9.30	101	49.21	17	-306.18	98	-0.16	101
617	-375	10	Min.	184.39					-27.14	98			-46.55	98		
617	-375	10	Min.	230.49	-33623.20	98	-32.97	173	-62.16	173	-9.80	17	0.00	173	-0.16	101
619	12	-511	Max	0.00	24068.30	102	10.47	173	5.09	65	79.67	97	0.00	1	0.24	173
619	12	-511	Max	173.69					-6.24	97			69.70	97		
619	12	-511	Max	350.00	24068.30	102	10.47	173	12.48	173	-59.01	1	0.00	1	0.24	173
619	12	-511	Min.	0.00	3372.49	17	-11.03	177	-24.18	173	59.01	1	0.00	1	-0.07	65
619	12	-511	Min.	173.69					-1.64	1			51.63	1		
619	12	-511	Min.	350.00	3372.49	17	-11.03	177	-44.07	177	-79.67	97	0.00	97	-0.07	65
621	22	-379	Max	0.00	-5163.18	33	11.01	177	9.91	17	4.39	33	0.00	1	0.04	177
621	22	-379	Max	16.31					4.10	33			0.38	33		
621	22	-379	Max	230.49	-5112.60	33	11.01	177	31.86	177	-54.62	33	-57.88	33	0.04	177
621	22	-379	Min.	0.00	-30313.70	102	-7.01	173	-9.74	65	-79.24	102	0.00	1	-0.03	65
621	22	-379	Min.	16.31					-0.49	33			-1.09	33		
621	22	-379	Min.	230.49	-30245.40	102	-7.01	173	-7.82	173	-158.91	102	-274.46	102	-0.03	65
621	-379	14	Max	0.00	-5051.28	33	4.70	65	29.13	177	158.89	102	-57.87	33	0.20	177
621	-379	14	Max	184.39					2.25	33			-0.69	33		
621	-379	14	Max	230.49	-5000.70	33	4.70	65	12.15	65	79.22	102	0.00	173	0.20	177
621	-379	14	Min.	0.00	-30140.00	102	-15.80	177	-7.97	173	54.61	33	-274.41	102	-0.15	65
621	-379	14	Min.	184.39					-0.06	102			-40.19	102		
621	-379	14	Min.	230.49	-30071.70	102	-15.80	177	-12.24	17	-4.40	33	0.00	105	-0.15	65
623	16	-519	Max	0.00	23995.20	102	2.87	173	17.78	65	79.67	97	0.00	1	0.07	17
623	16	-519	Max	173.69					6.15	97			69.70	97		
623	16	-519	Max	350.00	23995.20	102	2.87	173	9.30	173	-59.01	1	0.00	1	0.07	17
623	16	-519	Min.	0.00	3307.39	65	-12.55	177	-5.23	17	59.01	1	0.00	1	-0.17	65
623	16	-519	Min.	173.69					3.74	1			51.63	1		
623	16	-519	Min.	350.00	3307.39	65	-12.55	177	-43.00	177	-79.67	97	0.00	97	-0.17	65
625	-179	-383	Max	0.00	-3497.09	65	5.83	177	12.20	173	10.27	65	0.00	1	0.07	177
625	-179	-383	Max	40.10					5.55	65			2.06	65		
625	-179	-383	Max	230.49	-3446.50	65	5.83	177	23.52	177	-48.74	65	-44.34	65	0.07	177
625	-179	-383	Min.	0.00	-33694.80	98	-12.45	173	-4.38	65	-92.36	98	0.00	1	-0.04	65
625	-179	-383	Min.	40.10					-5.49	65			-13.12	65		
625	-179	-383	Min.	230.49	-33626.50	98	-12.45	173	-16.99	98	-172.03	98	-304.70	98	-0.04	65
625	-383	18	Max	0.00	-3398.51	65	23.47	65	21.88	177	172.06	98	-44.32	65	0.16	101
625	-383	18	Max	184.39					31.44	65			2.02	65		
625	-383	18	Max	230.49	-3347.93	65	23.47	65	42.26	65	92.39	98	0.00	65	0.16	101
625	-383	18	Min.	0.00	-33523.30	98	-13.38	101	-16.59	173	48.74	65	-304.76	98	-0.44	65
625	-383	18	Min.	184.39					26.68	98			-46.26	98		
625	-383	18	Min.	230.49	-33455.00	98	-13.38	101	-21.51	101	-10.28	65	0.00	17	-0.44	65
632	10	-503	Max	0.00	25468.10	98	18.25	173	15.64	101	79.67	97	0.00	1	0.42	173
632	10	-503	Max	173.69					-12.74	97			69.70	97		
632	10	-503	Max	350.00	25468.10	98	18.25	173	17.72	173	-59.01	1	0.00	1	0.42	173
632	10	-503	Min.	0.00	2646.47	17	-13.02	177	-46.16	173	59.01	1	0.00	1	-0.10	101
632	10	-503	Min.	173.69					-3.25	1			51.63	1		
632	10	-503	Min.	350.00	2646.47	17	-13.02	177	-46.11	177	-79.67	97	0.00	97	-0.10	101
634	20	-377	Max	0.00	-4599.51	17	12.04	177	7.73	17	6.42	17	0.00	1	0.03	177
634	20	-377	Max	25.06					7.31	17			0.80	17		
634	20	-377	Max	230.49	-4548.93	17	12.04	177	33.51	177	-52.60	17	-53.22	17	0.03	177
634	20	-377	Min.	0.00	-32016.60	102	-1.68	17	-10.95	65	-85.59	102	0.00	1	-0.03	65
634	20	-377	Min.	25.06					-5.96	17			-3.52	17		
634	20	-377	Min.	230.49	-31948.30	102	-1.68	17	1.19	173	-165.26	102	-289.09	102	-0.03	65
634	-377	12	Max	0.00	-4486.92	17	1.37	65	30.27	177	165.29	102	-53.21	17	0.33	173
634	-377	12	Max	184.39					5.14	17			0.24	17		
634	-377	12	Max	230.49	-4436.34	17	1.37	65	6.88	65	85.62	102	0.00	17	0.33	173
634	-377	12	Min.	0.00	-31841.50	102	-17.11	177	0.25	161	52.59	17	-289.15	102	-0.09	65
634	-377	12	Min.	46.44					-1.80	19			-58.31	19		
634	-377	12	Min.	230.49	-31773.20	102	-17.11	177	-32.39	173	-6.42	17	0.00	100	-0.09	65
636	14	-515	Max	0.00	22780.60	102	5.51	173	8.98	65	79.67	97	0.00	1	0.12	173
636	14	-515	Max	173.69					-0.02	97			69.70	97		
636	14	-515	Max	350.00	22780.60	102	5.51	173	10.12	173	-59.01	1	0.00	1	0.12	173
636	14	-515	Min.	0.00	3799.67	33	-11.09	177	-9.18	173	59.01	1	0.00	1	-0.10	65
636	14	-515	Min.	210.00					-0.00	156			49.57	156		
636	14	-515	Min.	350.00	3799.67	33	-11.09	177	-42.92	177	-79.67	97	0.00	97	-0.10	65
638	24	-381	Max	0.00	-4513.09	65	9.04	177	11.12	17	6.73	65	0.00	1	0.04	177

638	24	-381	Max	26.29					6.04	65			0.88	65		
638	24	-381	Max	230.49	-4462.51	65	9.04	177	28.65	177	-52.28	65	-52.50	65	0.04	177
638	24	-381	Min.	0.00	-31919.80	102	-10.29	173	-7.64	65	-85.24	102	0.00	1	-0.03	65
638	24	-381	Min.	26.29					-7.21	65			-3.74	65		
638	24	-381	Min.	230.49	-31851.50	102	-10.29	173	-13.07	173	-164.91	102	-288.28	102	-0.03	65
638	-381	16	Max	0.00	-4400.90	65	12.18	65	25.85	177	164.93	102	-52.49	65	0.13	177
638	-381	16	Max	184.39					18.47	65			0.38	65		
638	-381	16	Max	230.49	-4350.32	65	12.18	65	24.08	65	85.27	102	0.00	134	0.13	177
638	-381	16	Min.	0.00	-31745.00	102	-11.41	177	-13.20	173	52.28	65	-288.34	102	-0.27	65
638	-381	16	Min.	184.39					3.69	102			-42.98	102		
638	-381	16	Min.	230.49	-31676.70	102	-11.41	177	-7.07	17	-6.73	65	0.00	101	-0.27	65
640	18	-527	Max	0.00	25340.80	98	8.69	125	31.20	65	79.67	97	0.00	1	0.11	101
640	18	-527	Max	173.69					12.61	97			69.70	97		
640	18	-527	Max	350.00	25340.80	98	8.69	125	16.65	125	-59.01	1	0.00	1	0.11	101
640	18	-527	Min.	0.00	2548.63	65	-15.13	177	-16.04	101	59.01	1	0.00	1	-0.28	65
640	18	-527	Min.	173.69					7.59	1			51.63	1		
640	18	-527	Min.	350.00	2548.63	65	-15.13	177	-44.54	177	-79.67	97	0.00	97	-0.28	65
647	11	-504	Max	0.00	25468.10	97	13.02	177	47.77	173	79.67	97	0.00	1	0.10	106
647	11	-504	Max	173.69					12.99	97			69.70	97		
647	11	-504	Max	350.00	25468.10	97	13.02	177	46.11	177	-59.01	1	0.00	1	0.10	106
647	11	-504	Min.	0.00	2646.46	65	-18.72	173	-15.64	106	59.01	1	0.00	1	-0.43	173
647	11	-504	Min.	173.69					7.76	1			51.63	1		
647	11	-504	Min.	350.00	2646.46	65	-18.72	173	-17.76	173	-79.67	97	0.00	97	-0.43	173
649	13	-512	Max	0.00	24067.60	105	11.03	177	25.20	173	79.67	97	0.00	1	0.07	17
649	13	-512	Max	173.69					6.39	97			69.70	97		
649	13	-512	Max	350.00	24067.60	105	11.03	177	44.07	177	-59.01	1	0.00	1	0.07	17
649	13	-512	Min.	0.00	3372.49	65	-10.76	173	-5.09	17	59.01	1	0.00	1	-0.25	173
649	13	-512	Min.	173.69					3.84	1			51.63	1		
649	13	-512	Min.	350.00	3372.49	65	-10.76	173	-12.45	173	-79.67	97	0.00	97	-0.25	173
651	-380	15	Max	0.00	-5050.72	33	15.80	177	8.03	173	158.88	105	-57.86	33	0.15	17
651	-380	15	Max	184.39					2.34	33			-0.69	33		
651	-380	15	Max	230.49	-5000.14	33	15.80	177	13.48	173	79.22	105	0.00	149	0.15	17
651	-380	15	Min.	0.00	-30139.20	105	-4.70	17	-29.13	177	54.61	33	-274.40	105	-0.20	177
651	-380	15	Min.	184.39					0.06	105			-40.19	105		
651	-380	15	Min.	230.49	-30070.90	105	-4.70	17	-12.15	17	-4.40	33	0.00	106	-0.20	177
651	23	-380	Max	0.00	-5162.63	33	7.61	173	9.74	17	4.39	33	0.00	1	0.03	17
651	23	-380	Max	16.32					3.95	33			0.38	33		
651	23	-380	Max	230.49	-5112.05	33	7.61	173	7.85	173	-54.62	33	-57.88	33	0.03	17
651	23	-380	Min.	0.00	-30312.90	105	-11.01	177	-9.91	65	-79.24	105	0.00	1	-0.04	177
651	23	-380	Min.	16.32					-0.64	33			-1.09	33		
651	23	-380	Min.	230.49	-30244.60	105	-11.01	177	-31.86	177	-158.91	105	-274.45	105	-0.04	177
653	17	-520	Max	0.00	23994.50	105	12.55	177	5.23	65	79.67	97	0.00	1	0.17	17
653	17	-520	Max	173.69					-6.29	97			69.70	97		
653	17	-520	Max	350.00	23994.50	105	12.55	177	42.99	177	-59.01	1	0.00	1	0.17	17
653	17	-520	Min.	0.00	3307.39	17	-3.36	173	-17.78	17	59.01	1	0.00	1	-0.07	65
653	17	-520	Min.	173.69					-1.60	1			51.63	1		
653	17	-520	Min.	350.00	3307.39	17	-3.36	173	-9.57	173	-79.67	97	0.00	97	-0.07	65
655	-384	19	Max	0.00	-3398.51	17	13.38	106	20.32	121	172.06	97	-44.32	17	0.44	17
655	-384	19	Max	184.39					4.46	17			2.02	17		
655	-384	19	Max	230.49	-3347.93	17	13.38	106	21.51	106	92.39	97	0.00	65	0.44	17
655	-384	19	Min.	0.00	-33523.30	97	-28.82	121	-21.88	177	48.74	17	-304.76	97	-0.16	106
655	-384	19	Min.	184.39					-26.68	97			-46.26	97		
655	-384	19	Min.	230.49	-33455.00	97	-28.82	121	-46.11	121	-10.28	17	0.00	17	-0.16	106
655	-182	-384	Max	0.00	-3497.08	17	12.74	173	4.38	17	10.27	17	0.00	1	0.04	17
655	-182	-384	Max	40.10					5.49	17			2.06	17		
655	-182	-384	Max	230.49	-3446.50	17	12.74	173	19.77	121	-48.74	17	-44.34	17	0.04	17
655	-182	-384	Min.	0.00	-33694.80	97	-5.83	177	-13.33	173	-92.36	97	0.00	1	-0.07	177
655	-182	-384	Min.	40.10					-5.55	17			-13.12	17		
655	-182	-384	Min.	230.49	-33626.50	97	-5.83	177	-23.52	177	-172.03	97	-304.70	97	-0.07	177
662	-376	11	Max	0.00	-3527.77	65	34.03	173	9.30	106	172.67	97	-45.41	65	0.16	106
662	-376	11	Max	184.39					31.86	65			1.80	65		
662	-376	11	Max	230.49	-3477.19	65	34.03	173	64.34	173	93.01	97	0.00	17	0.16	106
662	-376	11	Min.	0.00	-33691.50	97	-13.14	106	-28.56	177	49.21	65	-306.18	97	-0.65	173
662	-376	11	Min.	184.39					27.14	97			-46.55	97		
662	-376	11	Min.	230.49	-33623.20	97	-13.14	106	-20.98	106	-9.80	65	0.00	173	-0.65	173
662	-44	-376	Max	0.00	-3626.72	65	5.38	106	11.69	17	9.80	65	0.00	1	0.04	17
662	-44	-376	Max	38.26					5.54	65			1.87	65		
662	-44	-376	Max	230.49	-3576.14	65	5.38	106	7.95	106	-49.22	65	-45.43	65	0.04	17
662	-44	-376	Min.	0.00	-33863.10	97	-12.59	121	-6.95	177	-92.98	97	0.00	1	-0.08	177
662	-44	-376	Min.	38.26					-5.49	65			-12.49	65		
662	-44	-376	Min.	230.49	-33794.90	97	-12.59	121	-31.07	177	-172.64	97	-306.11	97	-0.08	177
664	-378	13	Max	0.00	-4486.92	65	17.11	177	-0.80	142	165.28	105	-53.21	65	0.09	17
664	-378	13	Max	184.39					18.73	65			0.24	65		
664	-378	13	Max	230.49	-4436.34	65	17.11	177	33.78	173	85.62	105	0.00	160	0.09	17
664	-378	13	Min.	0.00	-31840.60	105	-1.37	17	-30.27	177	52.59	65	-289.15	105	-0.35	173
664	-378	13	Min.	184.39					4.03	105			-43.14	105		
664	-378	13	Min.	230.49	-31772.30	105	-1.37	17	-6.88	17	-6.42	65	0.00	103	-0.35	173
664	21	-378	Max	0.00	-4599.51	65	1.88	173	10.95	17	6.42	65	0.00	1	0.03	17
664	21	-378	Max	25.06					5.96	65			0.80	65		

664	21	-378	Max	230.49	-4548.93	65	1.88	173	-1.17	173	-52.60	65	-53.22	65	0.03	17
664	21	-378	Min.	0.00	-32015.60	105	-12.04	177	-7.73	65	-85.59	105	0.00	1	-0.03	177
664	21	-378	Min.	25.06					-7.31	65			-3.52	65		
664	21	-378	Min.	230.49	-31947.40	105	-12.04	177	-33.51	177	-165.26	105	-289.08	105	-0.03	177
666	15	-516	Max	0.00	22780.00	105	11.09	177	10.23	173	79.67	97	0.00	1	0.10	17
666	15	-516	Max	173.69					0.02	97			69.70	97		
666	15	-516	Max	350.00	22780.00	105	11.09	177	42.92	177	-59.01	1	0.00	1	0.10	17
666	15	-516	Min.	0.00	3799.25	33	-5.85	173	-8.98	17	59.01	1	0.00	1	-0.13	173
666	15	-516	Min.	280.00					-0.00	132			44.61	132		
666	15	-516	Min.	350.00	3799.25	33	-5.85	173	-10.23	173	-79.67	97	0.00	97	-0.13	173
668	-382	17	Max	0.00	-4400.90	17	11.41	177	13.03	173	164.93	105	-52.49	17	0.27	17
668	-382	17	Max	184.39					5.30	17			0.38	17		
668	-382	17	Max	230.49	-4350.32	17	11.41	177	7.07	65	85.26	105	0.00	17	0.27	17
668	-382	17	Min.	0.00	-31744.10	105	-12.45	121	-25.85	177	52.28	17	-288.33	105	-0.13	177
668	-382	17	Min.	68.12					-4.32	19			-47.05	19		
668	-382	17	Min.	230.49	-31675.80	105	-12.45	121	-24.08	17	-6.73	17	0.00	106	-0.13	177
668	25	-382	Max	0.00	-4513.09	17	10.76	173	7.64	17	6.73	17	0.00	1	0.03	17
668	25	-382	Max	26.29					7.21	17			0.88	17		
668	25	-382	Max	230.49	-4462.51	17	10.76	173	12.89	173	-52.28	17	-52.50	17	0.03	17
668	25	-382	Min.	0.00	-31918.90	105	-9.04	177	-11.92	173	-85.24	105	0.00	1	-0.04	177
668	25	-382	Min.	26.29					-6.04	17			-3.74	17		
668	25	-382	Min.	230.49	-31850.60	105	-9.04	177	-28.65	177	-164.90	105	-288.27	105	-0.04	177
670	19	-528	Max	0.00	25340.80	97	15.13	177	16.03	106	79.67	97	0.00	1	0.28	17
670	19	-528	Max	173.69					-12.86	97			69.70	97		
670	19	-528	Max	350.00	25340.80	97	15.13	177	44.54	177	-59.01	1	0.00	1	0.28	17
670	19	-528	Min.	0.00	2548.62	17	-8.45	106	-34.02	121	59.01	1	0.00	1	-0.11	106
670	19	-528	Min.	173.69					-3.19	1			51.63	1		
670	19	-528	Min.	350.00	2548.62	17	-8.45	106	-13.54	106	-79.67	97	0.00	97	-0.11	106
677	-376	-504	Max	0.00	370.37	97	27.06	177	5.99	167	39.83	97	0.00	1	0.14	177
677	-376	-504	Max	114.38					2.81	97			22.95	97		
677	-376	-504	Max	230.49	438.65	97	27.06	177	46.14	177	-29.51	1	0.00	1	0.14	177
677	-376	-504	Min.	0.00	81.78	65	-7.24	163	-16.23	177	29.51	1	0.00	1	-0.02	17
677	-376	-504	Min.	114.38					1.58	1			17.00	1		
677	-376	-504	Min.	230.49	132.36	65	-7.24	163	-10.71	162	-39.83	97	0.00	97	-0.02	17
679	-378	-512	Max	0.00	345.41	105	24.75	177	5.86	167	39.83	97	0.00	1	0.22	177
679	-378	-512	Max	114.38					1.76	97			22.95	97		
679	-378	-512	Max	230.49	413.70	105	24.75	177	35.93	177	-29.51	1	0.00	1	0.22	177
679	-378	-512	Min.	0.00	103.76	49	-5.02	163	-21.12	177	29.51	1	0.00	1	-0.02	17
679	-378	-512	Min.	114.38					1.03	1			17.00	1		
679	-378	-512	Min.	230.49	154.34	49	-5.02	163	-6.81	65	-39.83	97	0.00	97	-0.02	17
681	-380	-516	Max	0.00	336.53	105	21.81	177	4.02	65	39.83	97	0.00	1	0.22	177
681	-380	-516	Max	114.38					0.03	97			22.95	97		
681	-380	-516	Max	230.49	404.82	105	21.81	177	32.26	177	-29.51	1	0.00	1	0.22	177
681	-380	-516	Min.	0.00	102.95	49	-4.94	65	-18.00	177	29.51	1	0.00	1	-0.04	17
681	-380	-516	Min.	114.38					0.44	1			17.00	1		
681	-380	-516	Min.	230.49	153.54	49	-4.94	65	-7.37	65	-39.83	97	0.00	97	-0.04	17
683	-382	-520	Max	0.00	344.66	105	21.42	177	7.65	107	39.83	97	0.00	1	0.20	177
683	-382	-520	Max	114.38					-1.72	97			22.95	97		
683	-382	-520	Max	230.49	412.94	105	21.42	177	30.99	177	-29.51	1	0.00	1	0.20	177
683	-382	-520	Min.	0.00	103.33	1	-7.82	107	-18.38	177	29.51	1	0.00	1	-0.06	17
683	-382	-520	Min.	114.38					-0.03	1			17.00	1		
683	-382	-520	Min.	230.49	153.92	1	-7.82	107	-10.37	107	-39.83	97	0.00	97	-0.06	17
685	-384	-528	Max	0.00	369.05	97	16.40	177	8.30	107	39.83	97	0.00	1	0.17	177
685	-384	-528	Max	114.38					-2.74	97			22.95	97		
685	-384	-528	Max	230.49	437.34	97	16.40	177	26.73	177	-29.51	1	0.00	1	0.17	177
685	-384	-528	Min.	0.00	80.65	17	-8.94	107	-11.07	177	29.51	1	0.00	1	-0.09	17
685	-384	-528	Min.	114.38					0.27	1			17.00	1		
685	-384	-528	Min.	230.49	131.24	17	-8.94	107	-12.32	105	-39.83	97	0.00	97	-0.09	17

Sollecitazioni elementi bidimensionali

Simbologia

Bid. = Numero del muro/elemento bidimensionale
Nodo = Numero del nodo
σ_{xx} = Tensione normale sulle facce perp. all'asse X
CC = Numero della combinazione delle condizioni di carico elementari
σ_{zz} = Tensione normale sulle facce perp. all'asse Z
τ_{xz} = Tensione in dir. Z sulle facce perp. all'asse X
Mxx = Momento che provoca variazione di tensione sulle facce perp. all'asse X
Mzz = Momento che provoca variazione di tensione sulle facce perp. all'asse Z
Mxz = Momento che provoca variazione di tensione tangenziale sulle facce perp. all'asse X
τ_{zy} = Tensione in dir. Y sulle facce perp. all'asse Z
τ_{xy} = Tensione in dir. Y sulle facce perp. all'asse X

Bid.		Nodo	σ_{xx} <daN/mq>	CC	σ_{zz} <daN/mq>	CC	τ_{xz} <daN/mq>	CC	Mxx <daNm/m>	CC	Mzz <daNm/m>	CC	Mxz <daNm/m>	CC	τ_{zy} <daN/mq>	CC	τ_{xy} <daN/mq>	CC
0	Max	-1532	-12792.30	177	2722.48	173	6705.02	158	-462.67	33	145.18	17	482.88	173	27795.00	173	37213.80	173
0	Max	-1833	-12792.30	177	2722.48	173	6705.02	158	-462.67	33	145.18	17	482.88	173	27795.00	173	37213.80	173
0	Max	-1466	-12792.30	177	2722.48	173	6705.02	158	-462.67	33	145.18	17	482.88	173	27795.00	173	37213.80	173
0	Max	-1867	-12792.30	177	2722.48	173	6705.02	158	-462.67	33	145.18	17	482.88	173	27795.00	173	37213.80	173
0	Min.	-1532	-174775.00	97	-1969.32	177	-1809.77	161	-5496.17	97	-1818.31	97	-62.90	101	-16335.90	98	-4699.64	101

0	Min.	-1833	-174775.00	97	-1969.32	177	-1809.77	161	-5496.17	97	-1818.31	97	-62.90	101	-16335.90	98	-4699.64	101
0	Min.	-1466	-174775.00	97	-1969.32	177	-1809.77	161	-5496.17	97	-1818.31	97	-62.90	101	-16335.90	98	-4699.64	101
0	Min.	-1867	-174775.00	97	-1969.32	177	-1809.77	161	-5496.17	97	-1818.31	97	-62.90	101	-16335.90	98	-4699.64	101
0	Max	-1832	-12792.30	177	2949.00	173	6641.43	158	-462.96	33	145.18	65	261.25	173	87090.20	173	59209.10	173
0	Max	-1532	-12792.30	177	2949.00	173	6641.43	158	-462.96	33	145.18	65	261.25	173	87090.20	173	59209.10	173
0	Max	-1867	-12792.30	177	2949.00	173	6641.43	158	-462.96	33	145.18	65	261.25	173	87090.20	173	59209.10	173
0	Max	-1465	-12792.30	177	2949.00	173	6641.43	158	-462.96	33	145.18	65	261.25	173	87090.20	173	59209.10	173
0	Min.	-1832	-174775.00	98	-1969.32	177	-1835.03	165	-5496.17	98	-2008.49	173	-88.85	97	-16335.90	97	-7179.09	101
0	Min.	-1532	-174775.00	98	-1969.32	177	-1835.03	165	-5496.17	98	-2008.49	173	-88.85	97	-16335.90	97	-7179.09	101
0	Min.	-1867	-174775.00	98	-1969.32	177	-1835.03	165	-5496.17	98	-2008.49	173	-88.85	97	-16335.90	97	-7179.09	101
0	Min.	-1465	-174775.00	98	-1969.32	177	-1835.03	165	-5496.17	98	-2008.49	173	-88.85	97	-16335.90	97	-7179.09	101
0	Max	-1831	-12351.80	177	2493.49	173	4815.40	158	-426.20	33	149.88	65	115.28	65	27706.70	173	3888.66	130
0	Max	-1547	-12351.80	177	2493.49	173	4815.40	158	-426.20	33	149.88	65	115.28	65	27706.70	173	3888.66	130
0	Max	-2083	-12351.80	177	2493.49	173	4815.40	158	-426.20	33	149.88	65	115.28	65	27706.70	173	3888.66	130
0	Max	-1464	-12351.80	177	2493.49	173	4815.40	158	-426.20	33	149.88	65	115.28	65	27706.70	173	3888.66	130
0	Min.	-1831	-171174.00	98	-2017.85	177	-2210.18	165	-5790.00	98	-1700.93	98	-576.43	173	-31592.60	97	-38604.10	173
0	Min.	-1547	-171174.00	98	-2017.85	177	-2210.18	165	-5790.00	98	-1700.93	98	-576.43	173	-31592.60	97	-38604.10	173
0	Min.	-2083	-171174.00	98	-2017.85	177	-2210.18	165	-5790.00	98	-1700.93	98	-576.43	173	-31592.60	97	-38604.10	173
0	Min.	-1464	-171174.00	98	-2017.85	177	-2210.18	165	-5790.00	98	-1700.93	98	-576.43	173	-31592.60	97	-38604.10	173
0	Max	-1830	-11254.10	177	3477.97	158	5826.95	158	-378.14	33	154.67	65	189.72	65	6517.43	173	2446.73	130
0	Max	-1699	-11254.10	177	3477.97	158	5826.95	158	-378.14	33	154.67	65	189.72	65	6517.43	173	2446.73	130
0	Max	-1762	-11254.10	177	3477.97	158	5826.95	158	-378.14	33	154.67	65	189.72	65	6517.43	173	2446.73	130
0	Max	-1463	-11254.10	177	3477.97	158	5826.95	158	-378.14	33	154.67	65	189.72	65	6517.43	173	2446.73	130
0	Min.	-1830	-161767.00	98	-1978.54	177	-2500.11	165	-4986.08	98	-1548.43	98	-572.86	173	-20931.10	97	-33961.70	97
0	Min.	-1699	-161767.00	98	-1978.54	177	-2500.11	165	-4986.08	98	-1548.43	98	-572.86	173	-20931.10	97	-33961.70	97
0	Min.	-1762	-161767.00	98	-1978.54	177	-2500.11	165	-4986.08	98	-1548.43	98	-572.86	173	-20931.10	97	-33961.70	97
0	Min.	-1463	-161767.00	98	-1978.54	177	-2500.11	165	-4986.08	98	-1548.43	98	-572.86	173	-20931.10	97	-33961.70	97
0	Max	-1829	-9630.42	177	2733.51	97	2893.55	177	-302.47	49	158.67	65	241.05	65	3817.87	173	2200.36	130
0	Max	-1830	-9630.42	177	2733.51	97	2893.55	177	-302.47	49	158.67	65	241.05	65	3817.87	173	2200.36	130
0	Max	-1463	-9630.42	177	2733.51	97	2893.55	177	-302.47	49	158.67	65	241.05	65	3817.87	173	2200.36	130
0	Max	-1462	-9630.42	177	2733.51	97	2893.55	177	-302.47	49	158.67	65	241.05	65	3817.87	173	2200.36	130
0	Min.	-1829	-148796.00	98	-1836.42	177	-2704.28	173	-4108.54	98	-1348.41	98	-638.95	173	-8436.29	97	-27502.30	97
0	Min.	-1830	-148796.00	98	-1836.42	177	-2704.28	173	-4108.54	98	-1348.41	98	-638.95	173	-8436.29	97	-27502.30	97
0	Min.	-1463	-148796.00	98	-1836.42	177	-2704.28	173	-4108.54	98	-1348.41	98	-638.95	173	-8436.29	97	-27502.30	97
0	Min.	-1462	-148796.00	98	-1836.42	177	-2704.28	173	-4108.54	98	-1348.41	98	-638.95	173	-8436.29	97	-27502.30	97
0	Max	-1828	-5465.70	49	1673.10	173	3897.40	177	-149.97	49	170.35	49	305.47	65	1238.58	173	491.85	130
0	Max	-1829	-5465.70	49	1673.10	173	3897.40	177	-149.97	49	170.35	49	305.47	65	1238.58	173	491.85	130
0	Max	-1462	-5465.70	49	1673.10	173	3897.40	177	-149.97	49	170.35	49	305.47	65	1238.58	173	491.85	130
0	Max	-1460	-5465.70	49	1673.10	173	3897.40	177	-149.97	49	170.35	49	305.47	65	1238.58	173	491.85	130
0	Min.	-1828	-129343.00	98	-1980.19	177	-3231.30	173	-3099.76	98	-1025.59	98	-724.39	173	-1836.17	97	-27698.50	97
0	Min.	-1829	-129343.00	98	-1980.19	177	-3231.30	173	-3099.76	98	-1025.59	98	-724.39	173	-1836.17	97	-27698.50	97
0	Min.	-1462	-129343.00	98	-1980.19	177	-3231.30	173	-3099.76	98	-1025.59	98	-724.39	173	-1836.17	97	-27698.50	97
0	Min.	-1460	-129343.00	98	-1980.19	177	-3231.30	173	-3099.76	98	-1025.59	98	-724.39	173	-1836.17	97	-27698.50	97
0	Max	-1875	30290.90	101	8860.13	166	6678.48	177	1580.72	101	441.88	113	403.32	65	14658.10	106	12033.20	106
0	Max	-1876	30290.90	101	8860.13	166	6678.48	177	1580.72	101	441.88	113	403.32	65	14658.10	106	12033.20	106
0	Max	-1478	30290.90	101	8860.13	166	6678.48	177	1580.72	101	441.88	113	403.32	65	14658.10	106	12033.20	106
0	Max	-1477	30290.90	101	8860.13	166	6678.48	177	1580.72	101	441.88	113	403.32	65	14658.10	106	12033.20	106
0	Min.	-1875	-102403.00	130	-143.62	177	-9526.96	166	-1295.61	130	-1207.78	106	-796.55	173	-2551.37	173	-31352.60	97
0	Min.	-1876	-102403.00	130	-143.62	177	-9526.96	166	-1295.61	130	-1207.78	106	-796.55	173	-2551.37	173	-31352.60	97
0	Min.	-1478	-102403.00	130	-143.62	177	-9526.96	166	-1295.61	130	-1207.78	106	-796.55	173	-2551.37	173	-31352.60	97
0	Min.	-1477	-102403.00	130	-143.62	177	-9526.96	166	-1295.61	130	-1207.78	106	-796.55	173	-2551.37	173	-31352.60	97
0	Max	-1876	16543.80	101	4733.61	166	5758.41	177	784.82	101	354.42	113	400.77	65	1754.37	98	-1546.41	130
0	Max	-1877	16543.80	101	4733.61	166	5758.41	177	784.82	101	354.42	113	400.77	65	1754.37	98	-1546.41	130
0	Max	-1479	16543.80	101	4733.61	166	5758.41	177	784.82	101	354.42	113	400.77	65	1754.37	98	-1546.41	130
0	Max	-1478	16543.80	101	4733.61	166	5758.41	177	784.82	101	354.42	113	400.77	65	1754.37	98	-1546.41	130
0	Min.	-1876	-98187.00	130	-745.62	177	-6058.03	166	-1310.30	106	-737.35	106	-839.51	173	-1108.44	173	-29216.80	97
0	Min.	-1877	-98187.00	130	-745.62	177	-6058.03	166	-1310.30	106	-737.35	106	-839.51	173	-1108.44	173	-29216.80	97
0	Min.	-1479	-98187.00	130	-745.62	177	-6058.03	166	-1310.30	106	-737.35	106	-839.51	173	-1108.44	173	-29216.80	97
0	Min.	-1478	-98187.00	130	-745.62	177	-6058.03	166	-1310.30	106	-737.35	106	-839.51	173	-1108.44	173	-29216.80	97
0	Max	-1877	10747.00	177	1234.65	166	5228.77	177	207.71	49	276.35	125	361.56	65	2612.81	98	-564.51	130
0	Max	-1878	10747.00	177	1234.65	166	5228.77	177	207.71	49	276.35	125	361.56	65	2612.81	98	-564.51	130
0	Max	-1480	10747.00	177	1234.65	166	5228.77	177	207.71	49	276.35	125	361.56	65	2612.81	98	-564.51	130
0	Max	-1479	10747.00	177	1234.65	166	5228.77	177	207.71	49	276.35	125	361.56	65	2612.81	98	-564.51	130
0	Min.	-1877	-96885.60	130	-2630.31	157	-5225.27	166	-1635.02	106	-530.66	106	-886.10	173	-921.84	17	-27692.30	97
0	Min.	-1878	-96885.60	130	-2630.31	157	-5225.27	166	-1635.02	106	-530.66	106	-886.10	173	-921.84	17	-27692.30	97
0	Min.	-1480	-96885.60	130	-2630.31	157	-5225.27	166	-1635.02	106	-530.66	106	-886.10	173	-921.84	17	-27692.30	97
0	Min.	-1479	-96885.60	130	-2630.31	157	-5225.27	166	-1635.02	106	-530.66	106	-886.10	173	-921.84	17	-27692.30	97
0	Max	-1878	7867.44	177	457.62	130	4694.91	177	30.57	49	178.67	125	309.82	65	3553.65	98	-410.91	130
0	Max	-1879	7867.44	177	457.62	130	4694.91	177	30.57	49	178.67	125	309.82	65	3553.65	98	-410.91	130
0	Max	-1481	7867.44	177	457.62	130	4694.91	177	30.57	49	178.67	125	309.82	65	3553.65	98	-410.91	130
0	Max	-1480	7867.44	177	457.62	130	4694.91	177	30.57	49	178.67	125	309.82	65	3553.65	98	-410.91	130
0	Min.	-1878	-105686.00	98	-2913.32	157	-4050.19	166	-2069.56	98	-626.80	98	-912.47	173	-1169.82	17	-27523.70	97
0	Min.	-1879	-105686.00	98	-2913.32	157	-4050.19	166	-2069.56	98	-626.80	98	-912.47	173	-1169.82	17	-27523.70	97
0	Min.	-1481	-105686.00	98	-2913.32	157	-4050.19	166	-2069.56	98	-626.80	98	-912.47	173	-1169.82	17	-27523.70	97
0	Min.	-1480	-105686.00	98	-2913.32	157	-4050.19	166	-2069.56	98	-626.80	98	-912.47	173	-1169.82	17	-27523.70	97
0	Max	-1879	5198.57	177	2057.57	97	4145.82	97	-122.27	49	141.75	65	258.71	65	3736.38	173	396.83	130
0	Max	-1880	5198.57	177	2057.57	97	4145.82	97	-122.27	49	141.75	65	258.71	65	3736.38	173	396.83	130
0	Max	-1482	5198.57	177	2057.57	97	4145.82	97	-122.27	49	141.75	65	258.71	65	3736.38	173	396.83	130
0	Max	-1481	5198.57	177	2057.57	97	4145.82	97	-122.27	49	141.75	65	258.71	65	3736.38	173	396.83	130
0	Min.	-1879	-128269.00	98	-1307.59	158	-3919.81	166	-2970.64	98	-1105.78	98	-896.87	173	-1486.20	17	-27135.60	97
0	Min.	-1880	-128269.00	98	-1307.59	158	-3919.81	166	-2970.64	98	-1105.78	98	-896.87	173	-1486.20	17	-27135.60	97
0	Min.	-1482	-128269.00	98	-1307.59	158	-3919.81	166	-2970.64	98	-1105.78	98	-896.87	173	-1486.20	17	-27135.60	97
0	Min.	-1481	-128269.00	98	-1307.59	158	-3919.81	166	-2970.64	98	-1105.78	98	-896.87	173	-1486.20	17	-27135.60	97
0	Max	-1880	3086.69	177	3325.97	97	3133.60	97	-263.39	65	142.28	65	210.12	65	9075.16	98	1840.33	130
0	Max	-1881	3086.69	177	3325.97	97	3133.60	97	-263.39	65	142.28	65	210.12	65	9075.16	98	1840.33	130
0	Max	-1491	3086.69	177	3325.97	97	3133.60	97	-263.39	65	142.28	65	210.12	65	9075.16	98	1840.33	130
0	Max	-1482	3086.69	177	3325.97	97	3133.60	97	-263.39	65	142.28	65	210.12	65	9075.16	98	1840.33	130
0	Min.	-1880	-147004.00	98	-2412.50	158	-5809.35	158	-3916.17	98	-1732.96	98	-837.58	173	-1435.73	17	-30745.70	97
0	Min.	-1881	-147004.00	98	-2412.50	158	-5809.35	158	-3916.17	98	-1732.96	98	-837.58	173	-1435.73	17	-30745.70	97
0	Min.	-1491	-147004.00	98	-2412.50	158	-5809.35	158	-3916.17	98	-1732.96	98	-837.58	173	-1435.73	17	-30745.70	97
0	Min.	-1482	-147004.00	98	-2412.50	158	-5809.35	158	-3916.17	98	-1732.96	98	-837.58	173	-1435.73	17	-30745.70	97
0	Max	-1881	1413.77	177	2795.28	97	1855.95	177	-305.95	65	146.41	65	174.58	65	20415.70	98	2185.87	130
0	Max	-1974	1413.77	177	2795.28	97	1855.95	177	-305.95	65	146.41	65	174.58	65	20415.70	98	2185.87	130
0	Max	-1973	1413.77	177	2795.28	97	1855.95	177	-305.95	65	146.41	65	174.58	65	20415.70	98	2185.87	130
0	Max	-1491	1413.77	177	2795.28	97	1855.95	177	-305.95	65	146.41	65	174.58	65	20415.70	98	2185.87	130
0	Min.	-1881	-161382.00	98	-6301.33	158	-11836.20	158	-4965.62	98	-2354.42	98	-766.35	173	-1576.73	17	-54749.60	97
0	Min.	-1974	-161382.00	98	-6301.33	158	-11836.20	158	-4965.62	98	-2354.42	98	-766.35	173	-1576.73	17	-54749.60	97
0	Min.	-1973	-161382.00	98	-6301.33	158	-11836.20	158	-4965.62	98	-2354.42	98	-766.35	173	-1576.73	17	-54749.60	97
0	Min.	-1491	-161382.00	98	-6301.33	158	-11836.20	158	-4965.62	98	-2354.42	98	-766.35	173	-1576.73	17	-54749.60	97
0	Max	-1882	573.26	177	2029.97	98	1387.65	101	-354.48	65	150.84	65	107.46	65	43021.40	98	7468.91	98
0	Max	-1911	573.26	177	2029.97	98	1387.65	101	-354.48	65	150.84	65	107.46	65	43021.40	98	7468.91	98
0	Max	-1912	573.26	177	2029.97	98	1387.65	101	-354.48	65	150.84	65	107.46	65	43021.40	98	7468.91	98
0	Max	-1492	573.26	177	2029.97	98	1387.65	101	-354.48	65	150.84	65	107.46	65	43021.40	98	7468.91	98
0	Min.	-1882	-169680.00	98	-6221.27	157	-32355.10	158	-6118.70	98	-2907.15	98	-495.03	173	-1417.40	17	-7432.18	101
0	Min.	-1911	-169680.00	98	-6221.27	157	-32355.10	158	-6118.70	98	-2907.15	98	-495.03	173	-1417.40	17	-7432.18	101

0	Min.	-1912	-169680.00	98	-6221.27	157	-32355.10	158	-6118.70	98	-2907.15	98	-495.03	173	-1417.40	17	-7432.18	101
0	Min.	-1492	-169680.00	98	-6221.27	157	-32355.10	158	-6118.70	98	-2907.15	98	-495.03	173	-1417.40	17	-7432.18	101
0	Max	-1834	-9193.66	162	4179.29	122	4976.84	158	-423.82	33	149.89	17	525.45	173	4813.68	173	15230.10	173
0	Max	-2080	-9193.66	162	4179.29	122	4976.84	158	-423.82	33	149.89	17	525.45	173	4813.68	173	15230.10	173
0	Max	-2079	-9193.66	162	4179.29	122	4976.84	158	-423.82	33	149.89	17	525.45	173	4813.68	173	15230.10	173
0	Max	-1467	-9193.66	162	4179.29	122	4976.84	158	-423.82	33	149.89	17	525.45	173	4813.68	173	15230.10	173
0	Min.	-1834	-164689.00	97	-1700.59	177	-2077.85	161	-5676.02	97	-1635.46	97	-153.26	17	-30565.30	98	-3467.02	101
0	Min.	-2080	-164689.00	97	-1700.59	177	-2077.85	161	-5676.02	97	-1635.46	97	-153.26	17	-30565.30	98	-3467.02	101
0	Min.	-2079	-164689.00	97	-1700.59	177	-2077.85	161	-5676.02	97	-1635.46	97	-153.26	17	-30565.30	98	-3467.02	101
0	Min.	-1467	-164689.00	97	-1700.59	177	-2077.85	161	-5676.02	97	-1635.46	97	-153.26	17	-30565.30	98	-3467.02	101
0	Max	-1348	50637.70	130	5148.60	162	3049.26	173	1904.85	98	568.44	173	176.50	173	2284.21	177	1881.50	101
0	Max	-1349	50637.70	130	5148.60	162	3049.26	173	1904.85	98	568.44	173	176.50	173	2284.21	177	1881.50	101
0	Max	-1561	50637.70	130	5148.60	162	3049.26	173	1904.85	98	568.44	173	176.50	173	2284.21	177	1881.50	101
0	Max	-1560	50637.70	130	5148.60	162	3049.26	173	1904.85	98	568.44	173	176.50	173	2284.21	177	1881.50	101
0	Min.	-1348	-40239.70	101	-5972.03	177	-12526.90	177	-707.86	101	-533.87	101	-53.28	65	-821.12	161	-12321.00	98
0	Min.	-1349	-40239.70	101	-5972.03	177	-12526.90	177	-707.86	101	-533.87	101	-53.28	65	-821.12	161	-12321.00	98
0	Min.	-1561	-40239.70	101	-5972.03	177	-12526.90	177	-707.86	101	-533.87	101	-53.28	65	-821.12	161	-12321.00	98
0	Min.	-1560	-40239.70	101	-5972.03	177	-12526.90	177	-707.86	101	-533.87	101	-53.28	65	-821.12	161	-12321.00	98
0	Max	-1347	56896.80	130	7749.38	162	2915.67	130	2674.12	98	697.48	173	211.21	173	16951.90	102	16288.00	101
0	Max	-1348	56896.80	130	7749.38	162	2915.67	130	2674.12	98	697.48	173	211.21	173	16951.90	102	16288.00	101
0	Max	-1560	56896.80	130	7749.38	162	2915.67	130	2674.12	98	697.48	173	211.21	173	16951.90	102	16288.00	101
0	Max	-1559	56896.80	130	7749.38	162	2915.67	130	2674.12	98	697.48	173	211.21	173	16951.90	102	16288.00	101
0	Min.	-1347	-45634.40	101	-5055.99	177	-11427.80	177	-824.57	101	-1019.99	101	-99.95	65	-534.25	65	-15967.60	98
0	Min.	-1348	-45634.40	101	-5055.99	177	-11427.80	177	-824.57	101	-1019.99	101	-99.95	65	-534.25	65	-15967.60	98
0	Min.	-1560	-45634.40	101	-5055.99	177	-11427.80	177	-824.57	101	-1019.99	101	-99.95	65	-534.25	65	-15967.60	98
0	Min.	-1559	-45634.40	101	-5055.99	177	-11427.80	177	-824.57	101	-1019.99	101	-99.95	65	-534.25	65	-15967.60	98
0	Max	-1346	73151.10	162	8722.86	162	2658.92	166	3888.66	98	974.89	98	320.07	173	37427.80	102	-3208.93	17
0	Max	-1915	73151.10	162	8722.86	162	2658.92	166	3888.66	98	974.89	98	320.07	173	37427.80	102	-3208.93	17
0	Max	-1916	73151.10	162	8722.86	162	2658.92	166	3888.66	98	974.89	98	320.07	173	37427.80	102	-3208.93	17
0	Max	-1558	73151.10	162	8722.86	162	2658.92	166	3888.66	98	974.89	98	320.07	173	37427.80	102	-3208.93	17
0	Min.	-1346	-49059.90	101	-4238.89	177	-26281.50	161	-836.21	101	-1334.81	101	-170.43	17	-1440.56	173	-49434.10	102
0	Min.	-1915	-49059.90	101	-4238.89	177	-26281.50	161	-836.21	101	-1334.81	101	-170.43	17	-1440.56	173	-49434.10	102
0	Min.	-1916	-49059.90	101	-4238.89	177	-26281.50	161	-836.21	101	-1334.81	101	-170.43	17	-1440.56	173	-49434.10	102
0	Min.	-1558	-49059.90	101	-4238.89	177	-26281.50	161	-836.21	101	-1334.81	101	-170.43	17	-1440.56	173	-49434.10	102
0	Max	-1385	60344.40	130	1717.40	130	2243.78	166	5066.12	98	1366.20	98	413.27	173	56484.20	102	-4537.53	17
0	Max	-1346	60344.40	130	1717.40	130	2243.78	166	5066.12	98	1366.20	98	413.27	173	56484.20	102	-4537.53	17
0	Max	-1558	60344.40	130	1717.40	130	2243.78	166	5066.12	98	1366.20	98	413.27	173	56484.20	102	-4537.53	17
0	Max	440	60344.40	130	1717.40	130	2243.78	166	5066.12	98	1366.20	98	413.27	173	56484.20	102	-4537.53	17
0	Min.	-1385	-53275.70	101	-4724.73	177	-10897.00	177	207.06	1	-630.06	101	-234.59	17	6733.83	33	-54188.20	102
0	Min.	-1346	-53275.70	101	-4724.73	177	-10897.00	177	207.06	1	-630.06	101	-234.59	17	6733.83	33	-54188.20	102
0	Min.	-1558	-53275.70	101	-4724.73	177	-10897.00	177	207.06	1	-630.06	101	-234.59	17	6733.83	33	-54188.20	102
0	Min.	440	-53275.70	101	-4724.73	177	-10897.00	177	207.06	1	-630.06	101	-234.59	17	6733.83	33	-54188.20	102
0	Max	-1344	60329.30	130	2245.30	130	2738.99	173	4859.33	98	612.64	98	343.21	173	-2414.58	17	-2157.58	65
0	Max	-1345	60329.30	130	2245.30	130	2738.99	173	4859.33	98	612.64	98	343.21	173	-2414.58	17	-2157.58	65
0	Max	-1572	60329.30	130	2245.30	130	2738.99	173	4859.33	98	612.64	98	343.21	173	-2414.58	17	-2157.58	65
0	Max	-1537	60329.30	130	2245.30	130	2738.99	173	4859.33	98	612.64	98	343.21	173	-2414.58	17	-2157.58	65
0	Min.	-1344	-53938.30	101	-1533.54	101	-9202.49	162	158.49	49	-1482.86	101	-259.20	17	-18739.60	98	-36946.60	102
0	Min.	-1345	-53938.30	101	-1533.54	101	-9202.49	162	158.49	49	-1482.86	101	-259.20	17	-18739.60	98	-36946.60	102
0	Min.	-1572	-53938.30	101	-1533.54	101	-9202.49	162	158.49	49	-1482.86	101	-259.20	17	-18739.60	98	-36946.60	102
0	Min.	-1537	-53938.30	101	-1533.54	101	-9202.49	162	158.49	49	-1482.86	101	-259.20	17	-18739.60	98	-36946.60	102
0	Max	-1345	72925.00	162	8673.47	162	3317.37	173	3921.54	98	774.84	98	225.42	173	20904.10	101	-2649.72	65
0	Max	-1913	72925.00	162	8673.47	162	3317.37	173	3921.54	98	774.84	98	225.42	173	20904.10	101	-2649.72	65
0	Max	-1914	72925.00	162	8673.47	162	3317.37	173	3921.54	98	774.84	98	225.42	173	20904.10	101	-2649.72	65
0	Max	-1572	72925.00	162	8673.47	162	3317.37	173	3921.54	98	774.84	98	225.42	173	20904.10	101	-2649.72	65
0	Min.	-1345	-49583.00	101	-980.27	101	-31363.10	162	-766.79	101	-1618.24	101	-207.49	17	-9753.80	98	-47712.50	102
0	Min.	-1913	-49583.00	101	-980.27	101	-31363.10	162	-766.79	101	-1618.24	101	-207.49	17	-9753.80	98	-47712.50	102
0	Min.	-1914	-49583.00	101	-980.27	101	-31363.10	162	-766.79	101	-1618.24	101	-207.49	17	-9753.80	98	-47712.50	102
0	Min.	-1572	-49583.00	101	-980.27	101	-31363.10	162	-766.79	101	-1618.24	101	-207.49	17	-9753.80	98	-47712.50	102
0	Max	-1343	57189.00	130	6984.82	161	3718.99	173	2632.36	98	654.78	98	136.76	101	13863.30	101	18754.80	101
0	Max	-1342	57189.00	130	6984.82	161	3718.99	173	2632.36	98	654.78	98	136.76	101	13863.30	101	18754.80	101
0	Max	-1574	57189.00	130	6984.82	161	3718.99	173	2632.36	98	654.78	98	136.76	101	13863.30	101	18754.80	101
0	Max	-1573	57189.00	130	6984.82	161	3718.99	173	2632.36	98	654.78	98	136.76	101	13863.30	101	18754.80	101
0	Min.	-1343	-45939.30	101	-388.71	177	-10636.40	177	-819.09	101	-1077.12	101	-198.06	130	-3092.08	173	-14956.50	98
0	Min.	-1342	-45939.30	101	-388.71	177	-10636.40	177	-819.09	101	-1077.12	101	-198.06	130	-3092.08	173	-14956.50	98
0	Min.	-1574	-45939.30	101	-388.71	177	-10636.40	177	-819.09	101	-1077.12	101	-198.06	130	-3092.08	173	-14956.50	98
0	Min.	-1573	-45939.30	101	-388.71	177	-10636.40	177	-819.09	101	-1077.12	101	-198.06	130	-3092.08	173	-14956.50	98
0	Max	-1342	51178.60	130	5021.58	162	4012.46	173	1891.22	122	506.43	98	107.46	101	1455.02	161	2877.15	101
0	Max	-1868	51178.60	130	5021.58	162	4012.46	173	1891.22	122	506.43	98	107.46	101	1455.02	161	2877.15	101
0	Max	-1575	51178.60	130	5021.58	162	4012.46	173	1891.22	122	506.43	98	107.46	101	1455.02	161	2877.15	101
0	Max	-1574	51178.60	130	5021.58	162	4012.46	173	1891.22	122	506.43	98	107.46	101	1455.02	161	2877.15	101
0	Min.	-1342	-40711.70	101	-654.65	177	-11423.70	177	-691.81	101	-562.30	101	-215.58	130	-2402.21	173	-12966.60	98
0	Min.	-1868	-40711.70	101	-654.65	177	-11423.70	177	-691.81	101	-562.30	101	-215.58	130	-2402.21	173	-12966.60	98
0	Min.	-1575	-40711.70	101	-654.65	177	-11423.70	177	-691.81	101	-562.30	101	-215.58	130	-2402.21	173	-12966.60	98
0	Min.	-1574	-40711.70	101	-654.65	177	-11423.70	177	-691.81	101	-562.30	101	-215.58	130	-2402.21	173	-12966.60	98
0	Max	-1868	42840.90	130	4561.69	162	4152.22	173	1414.75	122	374.34	98	78.97	101	1347.74	161	4225.48	101
0	Max	-1869	42840.90	130	4561.69	162	4152.22	173	1414.75	122	374.34	98	78.97	101	1347.74	161	4225.48	101
0	Max	-1576	42840.90	130	4561.69	162	4152.22	173	1414.75	122	374.34	98	78.97	101	1347.74	161	4225.48	101
0	Max	-1575	42840.90	130	4561.69	162	4152.22	173	1414.75	122	374.34	98	78.97	101	1347.74	161	4225.48	101
0	Min.	-1868	-34276.10	101	-1708.26	101	-12045.20	177	-829.11	101	-351.76	125	-171.39	106	-2070.47	173	-10787.50	98
0	Min.	-1869	-34276.10	101	-1708.26	101	-12045.20	177	-829.11	101	-351.76	125	-171.39	106	-2070.47	173	-10787.50	98
0	Min.	-1576	-34276.10	101	-1708.26	101	-12045.20	177	-829.11	101	-351.76	125	-171.39	106	-2070.47	173	-10787.50	98
0	Min.	-1575	-34276.10	101	-1708.26	101	-12045.20	177	-829.11	101	-351.76	125	-171.39	106	-2070.47	173	-10787.50	98
0	Max	-1869	33231.10	130	3950.24	162	4143.86	173	1001.60	122	266.08	110	77.28	125	1177.54	165	4534.40	101
0	Max	-1870	33231.10	130	3950.24	162	4143.86	173	1001.60	122	266.08	110	77.28	125	1177.54	165	4534.40	101
0	Max	-1577	33231.10	130	3950.24	162	4143.86	173	1001.60	122	266.08	110	77.28	125	1177.54	165	4534.40	101
0	Max	-1576	33231.10	130	3950.24	162	4143.86	173	1001.60	122	266.08	110	77.28	125	1177.54	165	4534.40	101
0	Min.	-1869	-26990.90	101	-2719.33	177	-12186.20	177	-814.35	101	-258.49	125	-184.98	98	-1522.80	173	-9182.74	98
0	Min.	-1870	-26990.90	101	-2719.33	177	-12186.20	177	-814.35	101	-258.49	125	-184.98	98	-1522.80	173	-9182.74	98
0	Min.	-1577	-26990.90	101	-2719.33	177	-12186.20	177	-814.35	101	-258.49	125	-184.98	98	-1522.80	173	-9182.74	98
0	Min.	-1576	-26990.90	101	-2719.33	177	-12186.20	177	-814.35	101	-258.49	125	-184.98	98	-1522.80	173	-9182.74	98
0	Max	-1870	22668.60	130	2571.37	162	3697.03	173	615.05	158	185.27	111	122.07	161	2289.97	162	6961.19	101
0	Max	-1871	22668.60	130	2571.37	162	3697.03	173	615.05	158	185.27	111	122.07	161	2289.97	162	6961.19	101
0	Max	-1578	22668.60	130	2571.37	162	3697.03	173	615.05	158	185.27	111	122.07	161	2289.97	162	6961.19	101
0	Max	-1577	22668.60	130	2571.37	162	3697.03	173	615.05	158	185.27	111	122.07	161	2289.97	162	6961.19	101
0	Min.	-1870	-18773.60	101	-5213.10	177	-11437.30	177	-648.62	101	-177.82	128	-196.68	110	-1649.01	49	-8719.87	122
0	Min.	-1871	-18773.60	101	-5213.10	177	-11437.30	177	-648.62	101	-177.82	128	-196.68	110	-1649.01	49	-8719.87	122
0	Min.	-1578	-18773.60	101	-5213.10	177	-11437.30	177	-648.62	101	-177.82	128	-196.68	110	-1649.01	49	-8719.87	122
0	Min.	-1577	-18773.60	101	-5213.10	177	-11437.30	177	-648.62	101	-177.82	128	-196.68	110	-1649.01	49	-8719.87	122
0	Max	-1871	11585.90	130	1405.62	125	3812.13	130	171.07	158	153.18	177	144.44	161	6812.23	177	12423.30	101
0	Max	-1872	11585.90	130	1405.62	125	3812.13	130	171.07	158	153.18	177	144.44	161	6812.23	177	12423.30	101
0	Max	-1613	11585.90	130	1405.62	125	3812.13	130	171.07	158	153.18	177	144.44	161	6812.23	177	12423.30	101
0	Max	-1578	11585.90	130	1405.62	125	3812.13	130	171.07	158	153.18	177	144.44	161	6812.23	177	12423.30	101
0	Min.	-1871	-9742.46	101	-6895.23	177	-8046.36	177	-220.42	101	-123.74	162	-197.70	110	-3914.30	158	-10136.40	122
0	Min.	-1872	-9742.46	101	-6895.23	177	-8046.36	177	-220.42	101	-123.74	162	-197.70	110	-3914.30	158	-10136.40	122
0	Min.	-1613	-9742.46	101	-6895.23	177	-8046.36	177	-220.42	101	-123.74	162	-197.70	110	-3914.30	158	-10136.40	122

0	Min.	-1578	-9742.46	101	-6895.23	177	-8046.36	177	-220.42	101	-123.74	162	-197.70	110	-3914.30	158	-10136.40	122
0	Max	-1874	51101.80	101	1574.30	113	8246.39	177	4623.09	97	515.00	97	308.43	65	-2501.14	65	-2967.43	17
0	Max	-1873	51101.80	101	1574.30	113	8246.39	177	4623.09	97	515.00	97	308.43	65	-2501.14	65	-2967.43	17
0	Max	-1476	51101.80	101	1574.30	113	8246.39	177	4623.09	97	515.00	97	308.43	65	-2501.14	65	-2967.43	17
0	Max	-1848	51101.80	101	1574.30	113	8246.39	177	4623.09	97	515.00	97	308.43	65	-2501.14	65	-2967.43	17
0	Min.	-1874	-67657.00	130	-2368.07	130	-8366.54	166	132.33	1	-1520.39	106	-603.23	173	-18312.20	97	-43983.60	105
0	Min.	-1873	-67657.00	130	-2368.07	130	-8366.54	166	132.33	1	-1520.39	106	-603.23	173	-18312.20	97	-43983.60	105
0	Min.	-1476	-67657.00	130	-2368.07	130	-8366.54	166	132.33	1	-1520.39	106	-603.23	173	-18312.20	97	-43983.60	105
0	Min.	-1848	-67657.00	130	-2368.07	130	-8366.54	166	132.33	1	-1520.39	106	-603.23	173	-18312.20	97	-43983.60	105
0	Max	-1858	17703.30	162	1777.94	157	7494.70	158	28.56	49	451.45	173	553.07	173	1292.00	177	27643.20	98
0	Max	-1851	17703.30	162	1777.94	157	7494.70	158	28.56	49	451.45	173	553.07	173	1292.00	177	27643.20	98
0	Max	-1380	17703.30	162	1777.94	157	7494.70	158	28.56	49	451.45	173	553.07	173	1292.00	177	27643.20	98
0	Max	-1379	17703.30	162	1777.94	157	7494.70	158	28.56	49	451.45	173	553.07	173	1292.00	177	27643.20	98
0	Min.	-1858	-105063.00	97	-7322.67	177	-3843.71	177	-2071.02	97	-626.85	97	-566.72	98	-3560.87	97	977.53	1
0	Min.	-1851	-105063.00	97	-7322.67	177	-3843.71	177	-2071.02	97	-626.85	97	-566.72	98	-3560.87	97	977.53	1
0	Min.	-1380	-105063.00	97	-7322.67	177	-3843.71	177	-2071.02	97	-626.85	97	-566.72	98	-3560.87	97	977.53	1
0	Min.	-1379	-105063.00	97	-7322.67	177	-3843.71	177	-2071.02	97	-626.85	97	-566.72	98	-3560.87	97	977.53	1
0	Max	-1856	8706.55	162	4322.62	173	7697.86	158	-124.81	49	376.68	173	541.68	173	1507.72	17	27245.50	98
0	Max	-1858	8706.55	162	4322.62	173	7697.86	158	-124.81	49	376.68	173	541.68	173	1507.72	17	27245.50	98
0	Max	-1379	8706.55	162	4322.62	173	7697.86	158	-124.81	49	376.68	173	541.68	173	1507.72	17	27245.50	98
0	Max	-1378	8706.55	162	4322.62	173	7697.86	158	-124.81	49	376.68	173	541.68	173	1507.72	17	27245.50	98
0	Min.	-1856	-127466.00	97	-6980.68	177	-2187.50	177	-2971.86	97	-1105.99	97	-555.97	98	-3534.56	97	229.53	1
0	Min.	-1858	-127466.00	97	-6980.68	177	-2187.50	177	-2971.86	97	-1105.99	97	-555.97	98	-3534.56	97	229.53	1
0	Min.	-1379	-127466.00	97	-6980.68	177	-2187.50	177	-2971.86	97	-1105.99	97	-555.97	98	-3534.56	97	229.53	1
0	Min.	-1378	-127466.00	97	-6980.68	177	-2187.50	177	-2971.86	97	-1105.99	97	-555.97	98	-3534.56	97	229.53	1
0	Max	-1695	275.56	162	6097.29	158	9292.35	158	-267.46	49	372.08	173	546.87	173	1458.07	17	30873.30	98
0	Max	-1856	275.56	162	6097.29	158	9292.35	158	-267.46	49	372.08	173	546.87	173	1458.07	17	30873.30	98
0	Max	-1378	275.56	162	6097.29	158	9292.35	158	-267.46	49	372.08	173	546.87	173	1458.07	17	30873.30	98
0	Max	-1377	275.56	162	6097.29	158	9292.35	158	-267.46	49	372.08	173	546.87	173	1458.07	17	30873.30	98
0	Min.	-1695	-146078.00	97	-5582.28	177	-1428.64	177	-3917.40	97	-1732.49	97	-508.86	98	-9133.09	97	-534.14	1
0	Min.	-1856	-146078.00	97	-5582.28	177	-1428.64	177	-3917.40	97	-1732.49	97	-508.86	98	-9133.09	97	-534.14	1
0	Min.	-1378	-146078.00	97	-5582.28	177	-1428.64	177	-3917.40	97	-1732.49	97	-508.86	98	-9133.09	97	-534.14	1
0	Min.	-1377	-146078.00	97	-5582.28	177	-1428.64	177	-3917.40	97	-1732.49	97	-508.86	98	-9133.09	97	-534.14	1
0	Max	-1694	-7975.33	162	5185.71	173	33348.00	158	-356.58	65	451.87	173	529.01	173	3883.47	173	32511.10	98
0	Max	-2061	-7975.33	162	5185.71	173	33348.00	158	-356.58	65	451.87	173	529.01	173	3883.47	173	32511.10	98
0	Max	-2068	-7975.33	162	5185.71	173	33348.00	158	-356.58	65	451.87	173	529.01	173	3883.47	173	32511.10	98
0	Max	-1376	-7975.33	162	5185.71	173	33348.00	158	-356.58	65	451.87	173	529.01	173	3883.47	173	32511.10	98
0	Min.	-1694	-159661.00	97	-5597.07	177	-1772.74	177	-5987.61	97	-2793.12	97	-335.44	98	-41837.70	97	-2684.75	101
0	Min.	-2061	-159661.00	97	-5597.07	177	-1772.74	177	-5987.61	97	-2793.12	97	-335.44	98	-41837.70	97	-2684.75	101
0	Min.	-2068	-159661.00	97	-5597.07	177	-1772.74	177	-5987.61	97	-2793.12	97	-335.44	98	-41837.70	97	-2684.75	101
0	Min.	-1376	-159661.00	97	-5597.07	177	-1772.74	177	-5987.61	97	-2793.12	97	-335.44	98	-41837.70	97	-2684.75	101
0	Max	-1693	-14949.10	162	7488.93	173	11921.40	158	-394.61	17	558.54	173	532.58	173	8809.49	173	8624.02	173
0	Max	-2084	-14949.10	162	7488.93	173	11921.40	158	-394.61	17	558.54	173	532.58	173	8809.49	173	8624.02	173
0	Max	-2072	-14949.10	162	7488.93	173	11921.40	158	-394.61	17	558.54	173	532.58	173	8809.49	173	8624.02	173
0	Max	-1375	-14949.10	162	7488.93	173	11921.40	158	-394.61	17	558.54	173	532.58	173	8809.49	173	8624.02	173
0	Min.	-1693	-168470.00	97	-6822.79	177	-1451.60	101	-5683.45	97	-2729.77	97	-138.41	106	-21781.90	97	-28642.20	97
0	Min.	-2084	-168470.00	97	-6822.79	177	-1451.60	101	-5683.45	97	-2729.77	97	-138.41	106	-21781.90	97	-28642.20	97
0	Min.	-2072	-168470.00	97	-6822.79	177	-1451.60	101	-5683.45	97	-2729.77	97	-138.41	106	-21781.90	97	-28642.20	97
0	Min.	-1375	-168470.00	97	-6822.79	177	-1451.60	101	-5683.45	97	-2729.77	97	-138.41	106	-21781.90	97	-28642.20	97
0	Max	-1862	-16814.00	17	8418.41	173	8087.67	158	-397.45	65	728.67	173	441.72	173	15029.90	173	11393.60	173
0	Max	-1693	-16814.00	17	8418.41	173	8087.67	158	-397.45	65	728.67	173	441.72	173	15029.90	173	11393.60	173
0	Max	-1375	-16814.00	17	8418.41	173	8087.67	158	-397.45	65	728.67	173	441.72	173	15029.90	173	11393.60	173
0	Max	-1374	-16814.00	17	8418.41	173	8087.67	158	-397.45	65	728.67	173	441.72	173	15029.90	173	11393.60	173
0	Min.	-1862	-171208.00	98	-7360.87	177	-1381.81	101	-5237.55	97	-2543.81	97	-139.61	106	-13344.70	98	-5591.19	97
0	Min.	-1693	-171208.00	98	-7360.87	177	-1381.81	101	-5237.55	97	-2543.81	97	-139.61	106	-13344.70	98	-5591.19	97
0	Min.	-1375	-171208.00	98	-7360.87	177	-1381.81	101	-5237.55	97	-2543.81	97	-139.61	106	-13344.70	98	-5591.19	97
0	Min.	-1374	-171208.00	98	-7360.87	177	-1381.81	101	-5237.55	97	-2543.81	97	-139.61	106	-13344.70	98	-5591.19	97
0	Max	-1866	-16814.10	65	8534.06	173	7591.75	158	-397.45	17	877.10	173	150.88	173	15020.50	173	5591.19	98
0	Max	-1862	-16814.10	65	8534.06	173	7591.75	158	-397.45	17	877.10	173	150.88	173	15020.50	173	5591.19	98
0	Max	-1374	-16814.10	65	8534.06	173	7591.75	158	-397.45	17	877.10	173	150.88	173	15020.50	173	5591.19	98
0	Max	-1373	-16814.10	65	8534.06	173	7591.75	158	-397.45	17	877.10	173	150.88	173	15020.50	173	5591.19	98
0	Min.	-1866	-171208.00	97	-7360.87	177	-1655.20	101	-5237.55	98	-2543.81	98	-126.33	106	-13344.70	97	-6112.56	101
0	Min.	-1862	-171208.00	97	-7360.87	177	-1655.20	101	-5237.55	98	-2543.81	98	-126.33	106	-13344.70	97	-6112.56	101
0	Min.	-1374	-171208.00	97	-7360.87	177	-1655.20	101	-5237.55	98	-2543.81	98	-126.33	106	-13344.70	97	-6112.56	101
0	Min.	-1373	-171208.00	97	-7360.87	177	-1655.20	101	-5237.55	98	-2543.81	98	-126.33	106	-13344.70	97	-6112.56	101
0	Max	-1865	-15494.20	17	6148.69	173	32319.30	158	-364.26	17	739.36	173	138.46	101	15711.60	173	7380.95	98
0	Max	-2085	-15494.20	17	6148.69	173	32319.30	158	-364.26	17	739.36	173	138.46	101	15711.60	173	7380.95	98
0	Max	-2073	-15494.20	17	6148.69	173	32319.30	158	-364.26	17	739.36	173	138.46	101	15711.60	173	7380.95	98
0	Max	-1372	-15494.20	17	6148.69	173	32319.30	158	-364.26	17	739.36	173	138.46	101	15711.60	173	7380.95	98
0	Min.	-1865	-168679.00	98	-6115.21	157	-3551.20	173	-6119.39	98	-2907.32	98	-520.23	173	-43048.70	98	-12369.40	173
0	Min.	-2085	-168679.00	98	-6115.21	157	-3551.20	173	-6119.39	98	-2907.32	98	-520.23	173	-43048.70	98	-12369.40	173
0	Min.	-2073	-168679.00	98	-6115.21	157	-3551.20	173	-6119.39	98	-2907.32	98	-520.23	173	-43048.70	98	-12369.40	173
0	Min.	-1372	-168679.00	98	-6115.21	157	-3551.20	173	-6119.39	98	-2907.32	98	-520.23	173	-43048.70	98	-12369.40	173
0	Max	-1864	-13787.20	17	4597.88	173	11787.80	158	-315.11	17	448.64	173	448.02	97	7716.36	173	2190.39	130
0	Max	-2086	-13787.20	17	4597.88	173	11787.80	158	-315.11	17	448.64	173	448.02	97	7716.36	173	2190.39	130
0	Max	-2074	-13787.20	17	4597.88	173	11787.80	158	-315.11	17	448.64	173	448.02	97	7716.36	173	2190.39	130
0	Max	-1371	-13787.20	17	4597.88	173	11787.80	158	-315.11	17	448.64	173	448.02	97	7716.36	173	2190.39	130
0	Min.	-1864	-160440.00	98	-6267.54	158	-3344.00	173	-4966.29	98	-2353.87	98	-651.93	173	-20447.30	98	-54926.70	97
0	Min.	-2086	-160440.00	98	-6267.54	158	-3344.00	173	-4966.29	98	-2353.87	98	-651.93	173	-20447.30	98	-54926.70	97
0	Min.	-2074	-160440.00	98	-6267.54	158	-3344.00	173	-4966.29	98	-2353.87	98	-651.93	173	-20447.30	98	-54926.70	97
0	Min.	-1371	-160440.00	98	-6267.54	158	-3344.00	173	-4966.29	98	-2353.87	98	-651.93	173	-20447.30	98	-54926.70	97
0	Max	-1861	-9749.29	1	4675.71	173	5755.91	158	-267.46	1	375.19	173	508.86	97	4021.87	173	1852.65	130
0	Max	-1864	-9749.29	1	4675.71	173	5755.91	158	-267.46	1	375.19	173	508.86	97	4021.87	173	1852.65	130
0	Max	-1371	-9749.29	1	4675.71	173	5755.91	158	-267.46	1	375.19	173	508.86	97	4021.87	173	1852.65	130
0	Max	-1370	-9749.29	1	4675.71	173	5755.91	158	-267.46	1	375.19	173	508.86	97	4021.87	173	1852.65	130
0	Min.	-1861	-146078.00	98	-5582.28	177	-4665.39	173	-3917.40	98	-1732.49	98	-620.53	173	-9133.09	98	-30873.30	97
0	Min.	-1864	-146078.00	98	-5582.28	177	-4665.39	173	-3917.40	98	-1732.49	98	-620.53	173	-9133.09	98	-30873.30	97
0	Min.	-1371	-146078.00	98	-5582.28	177	-4665.39	173	-3917.40	98	-1732.49	98	-620.53	173	-9133.09	98	-30873.30	97
0	Min.	-1370	-146078.00	98	-5582.28	177	-4665.39	173	-3917.40	98	-1732.49	98	-620.53	173	-9133.09	98	-30873.30	97
0	Max	-1857	-4617.77	1	4253.51	173	3957.77	166	-124.81	1	364.11	173	555.97	97	1507.72	65	402.25	130
0	Max	-1861	-4617.77	1	4253.51	173	3957.77	166	-124.81	1	364.11	173	555.97	97	1507.72	65	402.25	130
0	Max	-1370	-4617.77	1	4253.51	173	3957.77	166	-124.81	1	364.11	173	555.97	97	1507.72	65	402.25	130
0	Max	-1369	-4617.77	1	4253.51	173	3957.77	166	-124.81	1	364.11	173	555.97	97	1507.72	65	402.25	130
0	Min.	-1857	-127466.00	98	-6980.68	177	-5636.60	173	-2971.87	98	-1105.99	98	-589.52	173	-3534.56	98	-27245.50	97
0	Min.	-1861	-127466.00	98	-6980.68	177	-5636.60	173	-2971.87	98	-1105.99	98	-589.52	173	-3534.56	98	-27245.50	97
0	Min.	-1370	-127466.00	98	-6980.68	177	-5636.60	173	-2971.87	98	-1105.99	98	-589.52	173	-3534.56	98	-27245.50	97
0	Min.	-1369	-127466.00	98	-6980.68	177	-5636.60	173	-2971.87	98	-1105.99	98	-589.52	173	-3534.56	98	-27245.50	97
0	Max	-1845	818.79	1	1770.57	173	4078.35	166	28.56	1	431.45	173	566.72	97	1292.00	177	-414.17	130
0	Max	-1857	818.79	1	1770.57	173	4078.35	166	28.56	1	431.45	173	566.72	97	1292.00	177	-414.17	130
0	Max	-1369	818.79	1	1770.57	173	4078.35	166	28.56	1	431.45	173	566.72	97	1292.00	177	-414.17	130
0	Max	-1368	818.79	1	1770.57	173	4078.35	166	28.56	1	431.45	173	566.72	97	1292.00	177	-414.17	130
0	Min.	-1845	-105063.00	98	-7322.67	177	-6536.87	173	-2071.02	98	-626.85	98	-586.00	173	-3560.86	98	-27643.20	97
0	Min.	-1857	-105063.00	98	-7322.67	177	-6536.87	173	-2071.02	98	-626.85	98	-586.00	173	-3560.86	98	-27643.20	97
0	Min.	-1369	-105063.00	98	-7322.67	177	-6536.87	173	-2071.02	98	-626.85	98	-586.00	173	-3560.86	98	-27643.20	97
0	Min.	-1368	-105063.00	98	-7322.67	177	-6536.87	173	-2071.02	98	-626.85	98	-586.00	173	-3560.86	98	-27643.20	97

0	Max	-1844	6111.75	1	1360.12	166	5180.34	166	206.59	1	516.83	173	507.37	97	1170.48	177	-591.69	130
0	Max	-1845	6111.75	1	1360.12	166	5180.34	166	206.59	1	516.83	173	507.37	97	1170.48	177	-591.69	130
0	Max	-1368	6111.75	1	1360.12	166	5180.34	166	206.59	1	516.83	173	507.37	97	1170.48	177	-591.69	130
0	Max	-1361	6111.75	1	1360.12	166	5180.34	166	206.59	1	516.83	173	507.37	97	1170.48	177	-591.69	130
0	Min.	-1844	-96358.70	130	-5920.05	177	-5842.71	173	-1636.20	106	-530.82	106	-632.28	173	-2610.21	98	-27855.20	97
0	Min.	-1845	-96358.70	130	-5920.05	177	-5842.71	173	-1636.20	106	-530.82	106	-632.28	173	-2610.21	98	-27855.20	97
0	Min.	-1368	-96358.70	130	-5920.05	177	-5842.71	173	-1636.20	106	-530.82	106	-632.28	173	-2610.21	98	-27855.20	97
0	Min.	-1361	-96358.70	130	-5920.05	177	-5842.71	173	-1636.20	106	-530.82	106	-632.28	173	-2610.21	98	-27855.20	97
0	Max	-1843	16365.90	101	4773.31	166	5995.71	166	784.20	101	578.27	173	436.38	65	1284.49	177	-1572.57	130
0	Max	-1844	16365.90	101	4773.31	166	5995.71	166	784.20	101	578.27	173	436.38	65	1284.49	177	-1572.57	130
0	Max	-1361	16365.90	101	4773.31	166	5995.71	166	784.20	101	578.27	173	436.38	65	1284.49	177	-1572.57	130
0	Max	-1360	16365.90	101	4773.31	166	5995.71	166	784.20	101	578.27	173	436.38	65	1284.49	177	-1572.57	130
0	Min.	-1843	-97624.40	130	-4724.62	177	-4878.69	173	-1311.02	106	-737.08	106	-679.79	173	-1770.50	98	-29363.10	97
0	Min.	-1844	-97624.40	130	-4724.62	177	-4878.69	173	-1311.02	106	-737.08	106	-679.79	173	-1770.50	98	-29363.10	97
0	Min.	-1361	-97624.40	130	-4724.62	177	-4878.69	173	-1311.02	106	-737.08	106	-679.79	173	-1770.50	98	-29363.10	97
0	Min.	-1360	-97624.40	130	-4724.62	177	-4878.69	173	-1311.02	106	-737.08	106	-679.79	173	-1770.50	98	-29363.10	97
0	Max	-1839	30039.20	101	8745.25	166	9496.10	166	1580.99	101	651.17	173	432.84	65	1793.22	177	11994.30	106
0	Max	-1843	30039.20	101	8745.25	166	9496.10	166	1580.99	101	651.17	173	432.84	65	1793.22	177	11994.30	106
0	Max	-1360	30039.20	101	8745.25	166	9496.10	166	1580.99	101	651.17	173	432.84	65	1793.22	177	11994.30	106
0	Max	-1359	30039.20	101	8745.25	166	9496.10	166	1580.99	101	651.17	173	432.84	65	1793.22	177	11994.30	106
0	Min.	-1839	-101835.00	130	-4621.81	177	-5517.97	173	-1295.24	130	-1206.82	106	-651.08	173	-14767.90	106	-31529.80	97
0	Min.	-1843	-101835.00	130	-4621.81	177	-5517.97	173	-1295.24	130	-1206.82	106	-651.08	173	-14767.90	106	-31529.80	97
0	Min.	-1360	-101835.00	130	-4621.81	177	-5517.97	173	-1295.24	130	-1206.82	106	-651.08	173	-14767.90	106	-31529.80	97
0	Min.	-1359	-101835.00	130	-4621.81	177	-5517.97	173	-1295.24	130	-1206.82	106	-651.08	173	-14767.90	106	-31529.80	97
0	Max	-1836	41582.60	101	8823.42	165	30925.20	166	3453.88	97	772.73	173	396.69	65	8515.24	97	-3456.19	65
0	Max	-1948	41582.60	101	8823.42	165	30925.20	166	3453.88	97	772.73	173	396.69	65	8515.24	97	-3456.19	65
0	Max	-1947	41582.60	101	8823.42	165	30925.20	166	3453.88	97	772.73	173	396.69	65	8515.24	97	-3456.19	65
0	Max	-1358	41582.60	101	8823.42	165	30925.20	166	3453.88	97	772.73	173	396.69	65	8515.24	97	-3456.19	65
0	Min.	-1836	-67237.00	106	-5948.42	177	-4152.13	173	-1152.89	130	-1698.01	106	-551.65	173	-21582.20	106	-54112.20	105
0	Min.	-1948	-67237.00	106	-5948.42	177	-4152.13	173	-1152.89	130	-1698.01	106	-551.65	173	-21582.20	106	-54112.20	105
0	Min.	-1947	-67237.00	106	-5948.42	177	-4152.13	173	-1152.89	130	-1698.01	106	-551.65	173	-21582.20	106	-54112.20	105
0	Min.	-1358	-67237.00	106	-5948.42	177	-4152.13	173	-1152.89	130	-1698.01	106	-551.65	173	-21582.20	106	-54112.20	105
0	Max	-1850	50735.90	101	1598.76	173	8418.88	166	4625.15	97	723.75	173	342.10	65	18194.90	97	-3066.49	65
0	Max	-1836	50735.90	101	1598.76	173	8418.88	166	4625.15	97	723.75	173	342.10	65	18194.90	97	-3066.49	65
0	Max	-1358	50735.90	101	1598.76	173	8418.88	166	4625.15	97	723.75	173	342.10	65	18194.90	97	-3066.49	65
0	Max	-1357	50735.90	101	1598.76	173	8418.88	166	4625.15	97	723.75	173	342.10	65	18194.90	97	-3066.49	65
0	Min.	-1850	-67168.80	130	-5966.02	177	-5320.36	173	137.62	49	-1513.05	106	-453.23	173	2419.63	17	-44132.80	105
0	Min.	-1836	-67168.80	130	-5966.02	177	-5320.36	173	137.62	49	-1513.05	106	-453.23	173	2419.63	17	-44132.80	105
0	Min.	-1358	-67168.80	130	-5966.02	177	-5320.36	173	137.62	49	-1513.05	106	-453.23	173	2419.63	17	-44132.80	105
0	Min.	-1357	-67168.80	130	-5966.02	177	-5320.36	173	137.62	49	-1513.05	106	-453.23	173	2419.63	17	-44132.80	105
0	Max	-1863	52070.60	101	2050.10	173	10692.30	177	4803.07	97	790.81	105	350.29	65	40324.20	105	-5574.23	33
0	Max	-1783	52070.60	101	2050.10	173	10692.30	177	4803.07	97	790.81	105	350.29	65	40324.20	105	-5574.23	33
0	Max	-1428	52070.60	101	2050.10	173	10692.30	177	4803.07	97	790.81	105	350.29	65	40324.20	105	-5574.23	33
0	Max	441	52070.60	101	2050.10	173	10692.30	177	4803.07	97	790.81	105	350.29	65	40324.20	105	-5574.23	33
0	Min.	-1863	-75764.30	130	-3180.49	177	-4478.89	173	213.42	49	151.67	177	-537.91	173	3148.68	17	-38543.40	97
0	Min.	-1783	-75764.30	130	-3180.49	177	-4478.89	173	213.42	49	151.67	177	-537.91	173	3148.68	17	-38543.40	97
0	Min.	-1428	-75764.30	130	-3180.49	177	-4478.89	173	213.42	49	151.67	177	-537.91	173	3148.68	17	-38543.40	97
0	Min.	441	-75764.30	130	-3180.49	177	-4478.89	173	213.42	49	151.67	177	-537.91	173	3148.68	17	-38543.40	97
0	Max	-1783	42819.90	101	1437.39	173	9768.41	177	3489.53	97	680.41	105	415.43	65	9017.22	105	-4770.39	33
0	Max	-1946	42819.90	101	1437.39	173	9768.41	177	3489.53	97	680.41	105	415.43	65	9017.22	105	-4770.39	33
0	Max	-1949	42819.90	101	1437.39	173	9768.41	177	3489.53	97	680.41	105	415.43	65	9017.22	105	-4770.39	33
0	Max	-1428	42819.90	101	1437.39	173	9768.41	177	3489.53	97	680.41	105	415.43	65	9017.22	105	-4770.39	33
0	Min.	-1783	-82242.10	130	-3369.07	177	-4254.91	173	-577.68	130	118.18	177	-646.40	173	-3014.68	173	-34776.50	97
0	Min.	-1946	-82242.10	130	-3369.07	177	-4254.91	173	-577.68	130	118.18	177	-646.40	173	-3014.68	173	-34776.50	97
0	Min.	-1949	-82242.10	130	-3369.07	177	-4254.91	173	-577.68	130	118.18	177	-646.40	173	-3014.68	173	-34776.50	97
0	Min.	-1428	-82242.10	130	-3369.07	177	-4254.91	173	-577.68	130	118.18	177	-646.40	173	-3014.68	173	-34776.50	97
0	Max	-1784	31305.10	101	1764.68	173	8449.92	177	1635.29	101	480.46	113	459.43	65	6004.84	105	-3756.80	33
0	Max	-1785	31305.10	101	1764.68	173	8449.92	177	1635.29	101	480.46	113	459.43	65	6004.84	105	-3756.80	33
0	Max	-1430	31305.10	101	1764.68	173	8449.92	177	1635.29	101	480.46	113	459.43	65	6004.84	105	-3756.80	33
0	Max	-1429	31305.10	101	1764.68	173	8449.92	177	1635.29	101	480.46	113	459.43	65	6004.84	105	-3756.80	33
0	Min.	-1784	-90367.80	130	-3289.30	177	-4055.05	173	-1248.23	130	65.19	177	-732.17	173	-2562.24	173	-32466.40	97
0	Min.	-1785	-90367.80	130	-3289.30	177	-4055.05	173	-1248.23	130	65.19	177	-732.17	173	-2562.24	173	-32466.40	97
0	Min.	-1430	-90367.80	130	-3289.30	177	-4055.05	173	-1248.23	130	65.19	177	-732.17	173	-2562.24	173	-32466.40	97
0	Min.	-1429	-90367.80	130	-3289.30	177	-4055.05	173	-1248.23	130	65.19	177	-732.17	173	-2562.24	173	-32466.40	97
0	Max	-1512	36716.00	130	2525.07	162	3817.02	98	1164.36	158	166.20	97	171.75	125	3846.41	162	5165.46	101
0	Max	-1511	36716.00	130	2525.07	162	3817.02	98	1164.36	158	166.20	97	171.75	125	3846.41	162	5165.46	101
0	Max	-1570	36716.00	130	2525.07	162	3817.02	98	1164.36	158	166.20	97	171.75	125	3846.41	162	5165.46	101
0	Max	-1569	36716.00	130	2525.07	162	3817.02	98	1164.36	158	166.20	97	171.75	125	3846.41	162	5165.46	101
0	Min.	-1512	-29862.80	101	-2148.59	177	-7552.49	177	-913.52	101	-195.70	126	-235.80	98	-1571.59	173	-9657.97	122
0	Min.	-1511	-29862.80	101	-2148.59	177	-7552.49	177	-913.52	101	-195.70	126	-235.80	98	-1571.59	173	-9657.97	122
0	Min.	-1570	-29862.80	101	-2148.59	177	-7552.49	177	-913.52	101	-195.70	126	-235.80	98	-1571.59	173	-9657.97	122
0	Min.	-1569	-29862.80	101	-2148.59	177	-7552.49	177	-913.52	101	-195.70	126	-235.80	98	-1571.59	173	-9657.97	122
0	Max	-1513	44875.80	130	3309.36	162	3364.39	173	1552.84	158	229.98	98	287.86	101	3512.34	125	3306.94	101
0	Max	-1512	44875.80	130	3309.36	162	3364.39	173	1552.84	158	229.98	98	287.86	101	3512.34	125	3306.94	101
0	Max	-1569	44875.80	130	3309.36	162	3364.39	173	1552.84	158	229.98	98	287.86	101	3512.34	125	3306.94	101
0	Max	-1568	44875.80	130	3309.36	162	3364.39	173	1552.84	158	229.98	98	287.86	101	3512.34	125	3306.94	101
0	Min.	-1513	-35949.90	101	-1903.49	101	-7475.13	177	-928.64	101	-266.92	125	-314.13	130	-2345.46	110	-10159.20	98
0	Min.	-1512	-35949.90	101	-1903.49	101	-7475.13	177	-928.64	101	-266.92	125	-314.13	130	-2345.46	110	-10159.20	98
0	Min.	-1569	-35949.90	101	-1903.49	101	-7475.13	177	-928.64	101	-266.92	125	-314.13	130	-2345.46	110	-10159.20	98
0	Min.	-1568	-35949.90	101	-1903.49	101	-7475.13	177	-928.64	101	-266.92	125	-314.13	130	-2345.46	110	-10159.20	98
0	Max	-1514	51175.30	130	1787.11	125	3111.90	173	1869.63	122	305.83	98	370.78	101	5593.50	101	2226.25	101
0	Max	-1513	51175.30	130	1787.11	125	3111.90	173	1869.63	122	305.83	98	370.78	101	5593.50	101	2226.25	101
0	Max	-1568	51175.30	130	1787.11	125	3111.90	173	1869.63	122	305.83	98	370.78	101	5593.50	101	2226.25	101
0	Max	-1567	51175.30	130	1787.11	125	3111.90	173	1869.63	122	305.83	98	370.78	101	5593.50	101	2226.25	101
0	Min.	-1514	-40803.00	101	-785.62	130	-7250.28	177	-731.62	101	-300.10	101	-428.62	130	-3692.36	110	-11587.00	98
0	Min.	-1513	-40803.00	101	-785.62	130	-7250.28	177	-731.62	101	-300.10	101	-428.62	130	-3692.36	110	-11587.00	98
0	Min.	-1568	-40803.00	101	-785.62	130	-7250.28	177	-731.62	101	-300.10	101	-428.62	130	-3692.36	110	-11587.00	98
0	Min.	-1567	-40803.00	101	-785.62	130	-7250.28	177	-731.62	101	-300.10	101	-428.62	130	-3692.36	110	-11587.00	98
0	Max	-1515	55774.70	130	1122.79	101	2651.56	173	2563.85	98	490.87	98	251.95	101	18112.70	101	-1540.50	149
0	Max	-1514	55774.70	130	1122.79	101	2651.56	173	2563.85	98	490.87	98	251.95	101	18112.70	101	-1540.50	149
0	Max	-1567	55774.70	130	1122.79	101	2651.56	173	2563.85	98	490.87	98	251.95	101	18112.70	101	-1540.50	149
0	Max	-1566	55774.70	130	1122.79	101	2651.56	173	2563.85	98	490.87	98	251.95	101	18112.70	101	-1540.50	149
0	Min.	-1515	-45030.30	101	-904.02	130	-7987.98	161	-656.47	101	-171.60	101	-288.18	130	-3298.29	110	-16030.20	98
0	Min.	-1514	-45030.30	101	-904.02	130	-7987.98	161	-656.47	101	-171.60	101	-288.18	130	-3298.29	110	-16030.20	98
0	Min.	-1567	-45030.30	101	-904.02	130	-7987.98	161	-656.47	101	-171.60	101	-288.18	130	-3298.29	110	-16030.20	98
0	Min.	-1566	-45030.30	101	-904.02	130	-7987.98	161	-656.47	101	-171.60	101	-288.18	130	-3298.29	110	-16030.20	98
0	Max	-1516	59320.30	130	1820.55	130	2394.39	173	3613.31	98	1042.49	98	218.58	173	18856.80	101	-2746.08	65
0	Max	-1925	59320.30	130	1820.55	130	2394.39	173	3613.31	98	1042.49	98	218.58	173	18856.80	101	-2746.08	65
0	Max	-1921	59320.30	130	1820.55	130	2394.39	173	3613.31	98	1042.49	98	218.58	173	18856.80	101	-2746.08	65
0	Max	-1565	59320.30	130	1820.55	130	2394.39	173	3613.31	98	1042.49	98	218.58	173	18856.80	101	-2746.08	65
0	Min.	-1516	-49486.40	101	-1583.64	101	-9059.31	162	-290.71	101	35.11	65	-259.56	17	-5120.36	98	-24410.10	102
0	Min.	-1925	-49486.40	101	-1583.64	101	-9059.31	162	-290.71	101	35.11	65	-259.56	17	-5120.36	98	-24410.10	102
0	Min.	-1921	-49486.40	101	-1583.64	101	-9059.31	162	-290.71	101	35.11	65	-259.56	17	-5120.36	98	-24410.10	102
0	Min.	-1565	-49486.40	101	-1583.64	101	-9059.31	162	-290.71	101	35.11	65	-259.56	17	-5120.36	98	-24410.10	102
0	Max	-1578	10602.10	130	2119.95	173	3314.05	101	181.53	158	100.73	109	199.69	162	6763.18	177	12414.20	101

0	Max	-1613	10602.10	130	2119.95	173	3314.05	101	181.53	158	100.73	109	199.69	162	6763.18	177	12414.20	101
0	Max	-1509	10602.10	130	2119.95	173	3314.05	101	181.53	158	100.73	109	199.69	162	6763.18	177	12414.20	101
0	Max	-1510	10602.10	130	2119.95	173	3314.05	101	181.53	158	100.73	109	199.69	162	6763.18	177	12414.20	101
0	Min.	-1578	-8898.13	101	-12576.20	177	-7441.22	177	-221.28	101	-117.46	162	-201.10	109	-4548.39	125	-10269.00	158
0	Min.	-1613	-8898.13	101	-12576.20	177	-7441.22	177	-221.28	101	-117.46	162	-201.10	109	-4548.39	125	-10269.00	158
0	Min.	-1509	-8898.13	101	-12576.20	177	-7441.22	177	-221.28	101	-117.46	162	-201.10	109	-4548.39	125	-10269.00	158
0	Min.	-1510	-8898.13	101	-12576.20	177	-7441.22	177	-221.28	101	-117.46	162	-201.10	109	-4548.39	125	-10269.00	158
0	Max	-1577	23284.90	130	2312.91	162	2581.38	101	653.07	158	153.95	109	172.69	162	2695.02	161	7117.84	101
0	Max	-1578	23284.90	130	2312.91	162	2581.38	101	653.07	158	153.95	109	172.69	162	2695.02	161	7117.84	101
0	Max	-1510	23284.90	130	2312.91	162	2581.38	101	653.07	158	153.95	109	172.69	162	2695.02	161	7117.84	101
0	Max	-1511	23284.90	130	2312.91	162	2581.38	101	653.07	158	153.95	109	172.69	162	2695.02	161	7117.84	101
0	Min.	-1577	-19210.30	101	-3229.93	177	-9395.96	177	-660.85	101	-159.68	126	-209.40	109	-3287.74	110	-8866.23	122
0	Min.	-1578	-19210.30	101	-3229.93	177	-9395.96	177	-660.85	101	-159.68	126	-209.40	109	-3287.74	110	-8866.23	122
0	Min.	-1510	-19210.30	101	-3229.93	177	-9395.96	177	-660.85	101	-159.68	126	-209.40	109	-3287.74	110	-8866.23	122
0	Min.	-1511	-19210.30	101	-3229.93	177	-9395.96	177	-660.85	101	-159.68	126	-209.40	109	-3287.74	110	-8866.23	122
0	Max	-1576	34340.40	130	3936.50	162	2665.79	101	1071.89	158	217.52	97	116.74	125	2613.49	162	4266.41	101
0	Max	-1577	34340.40	130	3936.50	162	2665.79	101	1071.89	158	217.52	97	116.74	125	2613.49	162	4266.41	101
0	Max	-1511	34340.40	130	3936.50	162	2665.79	101	1071.89	158	217.52	97	116.74	125	2613.49	162	4266.41	101
0	Max	-1512	34340.40	130	3936.50	162	2665.79	101	1071.89	158	217.52	97	116.74	125	2613.49	162	4266.41	101
0	Min.	-1576	-27849.70	101	-2660.99	101	-9857.95	177	-855.80	101	-235.52	126	-193.33	98	-2372.56	109	-8798.93	98
0	Min.	-1577	-27849.70	101	-2660.99	101	-9857.95	177	-855.80	101	-235.52	126	-193.33	98	-2372.56	109	-8798.93	98
0	Min.	-1511	-27849.70	101	-2660.99	101	-9857.95	177	-855.80	101	-235.52	126	-193.33	98	-2372.56	109	-8798.93	98
0	Min.	-1512	-27849.70	101	-2660.99	101	-9857.95	177	-855.80	101	-235.52	126	-193.33	98	-2372.56	109	-8798.93	98
0	Max	-1575	43415.40	130	4135.04	162	2719.06	173	1468.17	122	306.27	98	167.14	101	2275.54	161	3326.31	101
0	Max	-1576	43415.40	130	4135.04	162	2719.06	173	1468.17	122	306.27	98	167.14	101	2275.54	161	3326.31	101
0	Max	-1512	43415.40	130	4135.04	162	2719.06	173	1468.17	122	306.27	98	167.14	101	2275.54	161	3326.31	101
0	Max	-1513	43415.40	130	4135.04	162	2719.06	173	1468.17	122	306.27	98	167.14	101	2275.54	161	3326.31	101
0	Min.	-1575	-34779.60	101	-2070.59	101	-9782.36	177	-862.08	101	-319.61	125	-209.32	130	-3399.32	98	-10454.00	98
0	Min.	-1576	-34779.60	101	-2070.59	101	-9782.36	177	-862.08	101	-319.61	125	-209.32	130	-3399.32	98	-10454.00	98
0	Min.	-1512	-34779.60	101	-2070.59	101	-9782.36	177	-862.08	101	-319.61	125	-209.32	130	-3399.32	98	-10454.00	98
0	Min.	-1513	-34779.60	101	-2070.59	101	-9782.36	177	-862.08	101	-319.61	125	-209.32	130	-3399.32	98	-10454.00	98
0	Max	-1574	51149.50	130	1860.33	161	2939.64	173	1886.55	122	421.56	98	252.84	101	3971.99	125	2751.82	101
0	Max	-1575	51149.50	130	1860.33	161	2939.64	173	1886.55	122	421.56	98	252.84	101	3971.99	125	2751.82	101
0	Max	-1513	51149.50	130	1860.33	161	2939.64	173	1886.55	122	421.56	98	252.84	101	3971.99	125	2751.82	101
0	Max	-1514	51149.50	130	1860.33	161	2939.64	173	1886.55	122	421.56	98	252.84	101	3971.99	125	2751.82	101
0	Min.	-1574	-40863.70	101	-351.31	177	-9319.87	177	-725.27	101	-449.57	101	-289.65	130	-4327.61	98	-12564.50	98
0	Min.	-1575	-40863.70	101	-351.31	177	-9319.87	177	-725.27	101	-449.57	101	-289.65	130	-4327.61	98	-12564.50	98
0	Min.	-1513	-40863.70	101	-351.31	177	-9319.87	177	-725.27	101	-449.57	101	-289.65	130	-4327.61	98	-12564.50	98
0	Min.	-1514	-40863.70	101	-351.31	177	-9319.87	177	-725.27	101	-449.57	101	-289.65	130	-4327.61	98	-12564.50	98
0	Max	-1573	56510.10	130	1212.97	97	3608.80	101	2591.80	98	588.84	98	272.65	101	15320.50	101	6248.72	101
0	Max	-1574	56510.10	130	1212.97	97	3608.80	101	2591.80	98	588.84	98	272.65	101	15320.50	101	6248.72	101
0	Max	-1514	56510.10	130	1212.97	97	3608.80	101	2591.80	98	588.84	98	272.65	101	15320.50	101	6248.72	101
0	Max	-1515	56510.10	130	1212.97	97	3608.80	101	2591.80	98	588.84	98	272.65	101	15320.50	101	6248.72	101
0	Min.	-1573	-45666.80	101	-331.15	162	-11927.30	162	-754.28	101	-596.57	101	-233.41	130	-4010.83	98	-15295.30	98
0	Min.	-1574	-45666.80	101	-331.15	162	-11927.30	162	-754.28	101	-596.57	101	-233.41	130	-4010.83	98	-15295.30	98
0	Min.	-1514	-45666.80	101	-331.15	162	-11927.30	162	-754.28	101	-596.57	101	-233.41	130	-4010.83	98	-15295.30	98
0	Min.	-1515	-45666.80	101	-331.15	162	-11927.30	162	-754.28	101	-596.57	101	-233.41	130	-4010.83	98	-15295.30	98
0	Max	-1572	59554.50	130	1454.55	165	4059.60	97	3800.06	98	843.60	98	249.88	173	42028.40	102	-2313.64	65
0	Max	-1914	59554.50	130	1454.55	165	4059.60	97	3800.06	98	843.60	98	249.88	173	42028.40	102	-2313.64	65
0	Max	-1925	59554.50	130	1454.55	165	4059.60	97	3800.06	98	843.60	98	249.88	173	42028.40	102	-2313.64	65
0	Max	-1516	59554.50	130	1454.55	165	4059.60	97	3800.06	98	843.60	98	249.88	173	42028.40	102	-2313.64	65
0	Min.	-1572	-50617.30	101	-357.65	102	-11607.40	162	-470.80	101	-614.47	101	-198.02	17	-878.37	65	-31096.80	102
0	Min.	-1914	-50617.30	101	-357.65	102	-11607.40	162	-470.80	101	-614.47	101	-198.02	17	-878.37	65	-31096.80	102
0	Min.	-1925	-50617.30	101	-357.65	102	-11607.40	162	-470.80	101	-614.47	101	-198.02	17	-878.37	65	-31096.80	102
0	Min.	-1516	-50617.30	101	-357.65	102	-11607.40	162	-470.80	101	-614.47	101	-198.02	17	-878.37	65	-31096.80	102
0	Max	430	61047.30	130	2244.99	130	4367.58	173	5062.27	98	844.02	102	352.47	173	-3110.24	17	-3839.17	49
0	Max	-1551	61047.30	130	2244.99	130	4367.58	173	5062.27	98	844.02	102	352.47	173	-3110.24	17	-3839.17	49
0	Max	-1586	61047.30	130	2244.99	130	4367.58	173	5062.27	98	844.02	102	352.47	173	-3110.24	17	-3839.17	49
0	Max	-1534	61047.30	130	2244.99	130	4367.58	173	5062.27	98	844.02	102	352.47	173	-3110.24	17	-3839.17	49
0	Min.	430	-53686.70	101	-2056.22	177	-12129.70	177	245.99	49	197.93	33	-245.64	17	-40776.80	102	-23521.00	102
0	Min.	-1551	-53686.70	101	-2056.22	177	-12129.70	177	245.99	49	197.93	33	-245.64	17	-40776.80	102	-23521.00	102
0	Min.	-1586	-53686.70	101	-2056.22	177	-12129.70	177	245.99	49	197.93	33	-245.64	17	-40776.80	102	-23521.00	102
0	Min.	-1534	-53686.70	101	-2056.22	177	-12129.70	177	245.99	49	197.93	33	-245.64	17	-40776.80	102	-23521.00	102
0	Max	-1551	59823.20	130	2047.99	130	4312.47	173	4000.72	98	785.57	98	247.81	173	2456.46	17	-3076.62	49
0	Max	-1926	59823.20	130	2047.99	130	4312.47	173	4000.72	98	785.57	98	247.81	173	2456.46	17	-3076.62	49
0	Max	-1927	59823.20	130	2047.99	130	4312.47	173	4000.72	98	785.57	98	247.81	173	2456.46	17	-3076.62	49
0	Max	-1586	59823.20	130	2047.99	130	4312.47	173	4000.72	98	785.57	98	247.81	173	2456.46	17	-3076.62	49
0	Min.	-1551	-49455.50	101	-2149.78	177	-13100.90	177	1.71	149	122.20	161	-170.37	17	-9085.82	102	-19870.60	102
0	Min.	-1926	-49455.50	101	-2149.78	177	-13100.90	177	1.71	149	122.20	161	-170.37	17	-9085.82	102	-19870.60	102
0	Min.	-1927	-49455.50	101	-2149.78	177	-13100.90	177	1.71	149	122.20	161	-170.37	17	-9085.82	102	-19870.60	102
0	Min.	-1586	-49455.50	101	-2149.78	177	-13100.90	177	1.71	149	122.20	161	-170.37	17	-9085.82	102	-19870.60	102
0	Max	-1552	56846.90	130	1848.33	130	4288.78	173	2750.61	98	696.32	98	129.91	173	2055.48	17	-1550.08	49
0	Max	-1553	56846.90	130	1848.33	130	4288.78	173	2750.61	98	696.32	98	129.91	173	2055.48	17	-1550.08	49
0	Max	-1588	56846.90	130	1848.33	130	4288.78	173	2750.61	98	696.32	98	129.91	173	2055.48	17	-1550.08	49
0	Max	-1587	56846.90	130	1848.33	130	4288.78	173	2750.61	98	696.32	98	129.91	173	2055.48	17	-1550.08	49
0	Min.	-1552	-45073.80	101	-2492.09	177	-14648.00	177	-688.13	101	10.09	161	-124.88	102	-6189.27	104	-14621.00	98
0	Min.	-1553	-45073.80	101	-2492.09	177	-14648.00	177	-688.13	101	10.09	161	-124.88	102	-6189.27	104	-14621.00	98
0	Min.	-1588	-45073.80	101	-2492.09	177	-14648.00	177	-688.13	101	10.09	161	-124.88	102	-6189.27	104	-14621.00	98
0	Min.	-1587	-45073.80	101	-2492.09	177	-14648.00	177	-688.13	101	10.09	161	-124.88	102	-6189.27	104	-14621.00	98
0	Max	-1553	50307.80	130	2097.88	166	4286.25	173	1971.74	98	602.91	98	60.02	173	1653.82	17	-676.57	49
0	Max	-1554	50307.80	130	2097.88	166	4286.25	173	1971.74	98	602.91	98	60.02	173	1653.82	17	-676.57	49
0	Max	-1589	50307.80	130	2097.88	166	4286.25	173	1971.74	98	602.91	98	60.02	173	1653.82	17	-676.57	49
0	Max	-1588	50307.80	130	2097.88	166	4286.25	173	1971.74	98	602.91	98	60.02	173	1653.82	17	-676.57	49
0	Min.	-1553	-39891.80	101	-2670.81	177	-15912.90	177	-876.02	101	-64.04	161	-107.91	102	-3167.52	101	-12752.20	98
0	Min.	-1554	-39891.80	101	-2670.81	177	-15912.90	177	-876.02	101	-64.04	161	-107.91	102	-3167.52	101	-12752.20	98
0	Min.	-1589	-39891.80	101	-2670.81	177	-15912.90	177	-876.02	101	-64.04	161	-107.91	102	-3167.52	101	-12752.20	98
0	Min.	-1588	-39891.80	101	-2670.81	177	-15912.90	177	-876.02	101	-64.04	161	-107.91	102	-3167.52	101	-12752.20	98
0	Max	-1554	41802.10	130	2514.66	162	4245.70	173	1379.64	122	494.54	98	33.22	17	1138.39	17	749.67	101
0	Max	-1555	41802.10	130	2514.66	162	4245.70	173	1379.64	122	494.54	98	33.22	17	1138.39	17	749.67	101
0	Max	-1590	41802.10	130	2514.66	162	4245.70	173	1379.64	122	494.54	98	33.22	17	1138.39	17	749.67	101
0	Max	-1589	41802.10	130	2514.66	162	4245.70	173	1379.64	122	494.54	98	33.22	17	1138.39	17	749.67	101
0	Min.	-1554	-33607.40	101	-2756.46	177	-16894.30	177	-897.60	101	-114.98	161	-53.65	65	-1916.34	173	-11356.60	98
0	Min.	-1555	-33607.40	101	-2756.46	177	-16894.30	177	-897.60	101	-114.98	161	-53.65	65	-1916.34	173	-11356.60	98
0	Min.	-1590	-33607.40	101	-2756.46	177	-16894.30	177	-897.60	101	-114.98	161	-53.65	65	-1916.34	173	-11356.60	98
0	Min.	-1589	-33607.40	101	-2756.46	177	-16894.30	177	-897.60	101	-114.98	161	-53.65	65	-1916.34	173	-11356.60	98
0	Max	-1555	32126.90	130	3067.55	162	4004.91	173	944.52	122	378.29	98	28.35	17	1285.73	177	3260.47	101
0	Max	-1556	32126.90	130	3067.55	162	4004.91	173	944.52	122	378.29	98	28.35	17	1285.73	177	3260.47	101
0	Max	-1591	32126.90	130	3067.55	162	4004.91	173	944.52	122	378.29	98	28.35	17	1285.73	177	3260.47	101
0	Max	-1590	32126.90	130	3067.55	162	4004.91	173	944.52	122	378.29	98	28.35	17	1285.73	177	3260.47	101
0	Min.	-1555	-26368.00	101	-2783.64	177	-16981.90	177	-842.15	101	-146.47	125	-57.08	65	-1530.76	173	-9897.33	98
0	Min.	-1556	-26368.00	101	-2783.64	177	-16981.90	177	-842.15	101	-146.47	125	-57.08	65	-1530.76	173	-9897.33	98
0	Min.	-1591	-26368.00	101	-2783.64	177	-16981.90	177	-842.15	101	-146.47	125	-57.08	65	-1530.76	173	-9897.33	98
0	Min.	-1590	-26368.00	101	-2783.64	177	-16981.90	177	-842.15	101	-146.47	125	-57.08	65	-1530.76	173	-9897.33	98
0	Max	-1556	21938.00	130	2917.95	162	3395.34	173	561.58	122	257.51	98	36.13	17	1187.68	177	6649.14	101
0	Max	-1557	21938.00	130	2917.95	162	3395.34	173	561.58	122	257.51	98	36.13	17	1187.68	177	6649.14	101

0	Max	-1592	21938.00	130	2917.95	162	3395.34	173	561.58	122	257.51	98	36.13	17	1187.68	177	6649.14	101
0	Max	-1591	21938.00	130	2917.95	162	3395.34	173	561.58	122	257.51	98	36.13	17	1187.68	177	6649.14	101
0	Min.	-1556	-18418.40	101	-3006.07	177	-15030.50	177	-663.13	101	-137.16	125	-71.84	65	-1446.10	173	-9177.62	98
0	Min.	-1557	-18418.40	101	-3006.07	177	-15030.50	177	-663.13	101	-137.16	125	-71.84	65	-1446.10	173	-9177.62	98
0	Min.	-1592	-18418.40	101	-3006.07	177	-15030.50	177	-663.13	101	-137.16	125	-71.84	65	-1446.10	173	-9177.62	98
0	Min.	-1591	-18418.40	101	-3006.07	177	-15030.50	177	-663.13	101	-137.16	125	-71.84	65	-1446.10	173	-9177.62	98
0	Max	-1557	11493.00	130	2592.80	161	2029.41	173	149.36	122	142.13	110	40.00	17	5298.97	177	12725.20	101
0	Max	-1610	11493.00	130	2592.80	161	2029.41	173	149.36	122	142.13	110	40.00	17	5298.97	177	12725.20	101
0	Max	-1615	11493.00	130	2592.80	161	2029.41	173	149.36	122	142.13	110	40.00	17	5298.97	177	12725.20	101
0	Max	-1592	11493.00	130	2592.80	161	2029.41	173	149.36	122	142.13	110	40.00	17	5298.97	177	12725.20	101
0	Min.	-1557	-9841.04	101	-3712.40	177	-9290.50	177	-227.05	101	-90.32	161	-76.97	65	-1008.66	17	-10255.20	122
0	Min.	-1610	-9841.04	101	-3712.40	177	-9290.50	177	-227.05	101	-90.32	161	-76.97	65	-1008.66	17	-10255.20	122
0	Min.	-1615	-9841.04	101	-3712.40	177	-9290.50	177	-227.05	101	-90.32	161	-76.97	65	-1008.66	17	-10255.20	122
0	Min.	-1592	-9841.04	101	-3712.40	177	-9290.50	177	-227.05	101	-90.32	161	-76.97	65	-1008.66	17	-10255.20	122
0	Max	-1534	60628.60	130	4572.76	162	7950.57	161	5061.72	98	924.60	98	376.81	173	31991.20	98	-3928.22	65
0	Max	-1586	60628.60	130	4572.76	162	7950.57	161	5061.72	98	924.60	98	376.81	173	31991.20	98	-3928.22	65
0	Max	-1579	60628.60	130	4572.76	162	7950.57	161	5061.72	98	924.60	98	376.81	173	31991.20	98	-3928.22	65
0	Max	433	60628.60	130	4572.76	162	7950.57	161	5061.72	98	924.60	98	376.81	173	31991.20	98	-3928.22	65
0	Min.	-1534	-53943.50	101	-972.44	177	-11097.30	177	217.17	49	-81.60	137	-231.06	17	2107.32	65	-35492.10	102
0	Min.	-1586	-53943.50	101	-972.44	177	-11097.30	177	217.17	49	-81.60	137	-231.06	17	2107.32	65	-35492.10	102
0	Min.	-1579	-53943.50	101	-972.44	177	-11097.30	177	217.17	49	-81.60	137	-231.06	17	2107.32	65	-35492.10	102
0	Min.	433	-53943.50	101	-972.44	177	-11097.30	177	217.17	49	-81.60	137	-231.06	17	2107.32	65	-35492.10	102
0	Max	-1586	60104.70	130	2149.22	162	5302.07	161	3942.07	98	859.40	98	271.46	173	3756.74	17	-3120.84	65
0	Max	-1927	60104.70	130	2149.22	162	5302.07	161	3942.07	98	859.40	98	271.46	173	3756.74	17	-3120.84	65
0	Max	-1928	60104.70	130	2149.22	162	5302.07	161	3942.07	98	859.40	98	271.46	173	3756.74	17	-3120.84	65
0	Max	-1579	60104.70	130	2149.22	162	5302.07	161	3942.07	98	859.40	98	271.46	173	3756.74	17	-3120.84	65
0	Min.	-1586	-50077.40	101	-1156.10	177	-12016.70	177	-362.23	101	-150.44	101	-161.24	17	-29475.40	101	-31632.60	102
0	Min.	-1927	-50077.40	101	-1156.10	177	-12016.70	177	-362.23	101	-150.44	101	-161.24	17	-29475.40	101	-31632.60	102
0	Min.	-1928	-50077.40	101	-1156.10	177	-12016.70	177	-362.23	101	-150.44	101	-161.24	17	-29475.40	101	-31632.60	102
0	Min.	-1579	-50077.40	101	-1156.10	177	-12016.70	177	-362.23	101	-150.44	101	-161.24	17	-29475.40	101	-31632.60	102
0	Max	-1587	56886.70	130	1618.90	158	5689.53	161	2712.62	98	710.27	98	122.55	173	1658.78	17	2780.70	101
0	Max	-1588	56886.70	130	1618.90	158	5689.53	161	2712.62	98	710.27	98	122.55	173	1658.78	17	2780.70	101
0	Max	-1581	56886.70	130	1618.90	158	5689.53	161	2712.62	98	710.27	98	122.55	173	1658.78	17	2780.70	101
0	Max	-1580	56886.70	130	1618.90	158	5689.53	161	2712.62	98	710.27	98	122.55	173	1658.78	17	2780.70	101
0	Min.	-1587	-45388.40	101	-1398.54	177	-13529.00	177	-771.85	101	-218.31	101	-274.46	102	-18113.70	102	-14987.20	98
0	Min.	-1588	-45388.40	101	-1398.54	177	-13529.00	177	-771.85	101	-218.31	101	-274.46	102	-18113.70	102	-14987.20	98
0	Min.	-1581	-45388.40	101	-1398.54	177	-13529.00	177	-771.85	101	-218.31	101	-274.46	102	-18113.70	102	-14987.20	98
0	Min.	-1580	-45388.40	101	-1398.54	177	-13529.00	177	-771.85	101	-218.31	101	-274.46	102	-18113.70	102	-14987.20	98
0	Max	-1588	50473.20	130	3061.15	162	4236.01	173	1942.49	98	588.03	98	54.37	17	878.23	17	1444.56	101
0	Max	-1589	50473.20	130	3061.15	162	4236.01	173	1942.49	98	588.03	98	54.37	17	878.23	17	1444.56	101
0	Max	-1582	50473.20	130	3061.15	162	4236.01	173	1942.49	98	588.03	98	54.37	17	878.23	17	1444.56	101
0	Max	-1581	50473.20	130	3061.15	162	4236.01	173	1942.49	98	588.03	98	54.37	17	878.23	17	1444.56	101
0	Min.	-1588	-40110.90	101	-1686.52	177	-14664.80	177	-791.55	101	-240.72	125	-185.28	102	-7195.27	102	-13049.70	98
0	Min.	-1589	-40110.90	101	-1686.52	177	-14664.80	177	-791.55	101	-240.72	125	-185.28	102	-7195.27	102	-13049.70	98
0	Min.	-1582	-40110.90	101	-1686.52	177	-14664.80	177	-791.55	101	-240.72	125	-185.28	102	-7195.27	102	-13049.70	98
0	Min.	-1581	-40110.90	101	-1686.52	177	-14664.80	177	-791.55	101	-240.72	125	-185.28	102	-7195.27	102	-13049.70	98
0	Max	-1589	41968.30	130	3693.66	162	4132.24	173	1384.79	122	467.72	98	22.23	17	561.62	17	2748.60	101
0	Max	-1590	41968.30	130	3693.66	162	4132.24	173	1384.79	122	467.72	98	22.23	17	561.62	17	2748.60	101
0	Max	-1583	41968.30	130	3693.66	162	4132.24	173	1384.79	122	467.72	98	22.23	17	561.62	17	2748.60	101
0	Max	-1582	41968.30	130	3693.66	162	4132.24	173	1384.79	122	467.72	98	22.23	17	561.62	17	2748.60	101
0	Min.	-1589	-33666.00	101	-2006.03	177	-15535.60	177	-853.78	101	-225.89	125	-87.21	65	-2348.86	173	-11601.90	98
0	Min.	-1590	-33666.00	101	-2006.03	177	-15535.60	177	-853.78	101	-225.89	125	-87.21	65	-2348.86	173	-11601.90	98
0	Min.	-1583	-33666.00	101	-2006.03	177	-15535.60	177	-853.78	101	-225.89	125	-87.21	65	-2348.86	173	-11601.90	98
0	Min.	-1582	-33666.00	101	-2006.03	177	-15535.60	177	-853.78	101	-225.89	125	-87.21	65	-2348.86	173	-11601.90	98
0	Max	-1590	32304.30	130	3522.52	162	3865.98	173	955.03	122	351.77	98	16.34	161	893.57	177	4688.92	101
0	Max	-1591	32304.30	130	3522.52	162	3865.98	173	955.03	122	351.77	98	16.34	161	893.57	177	4688.92	101
0	Max	-1584	32304.30	130	3522.52	162	3865.98	173	955.03	122	351.77	98	16.34	161	893.57	177	4688.92	101
0	Max	-1583	32304.30	130	3522.52	162	3865.98	173	955.03	122	351.77	98	16.34	161	893.57	177	4688.92	101
0	Min.	-1590	-26385.10	101	-2656.27	177	-15616.80	177	-818.62	101	-199.39	125	-101.23	98	-1758.97	173	-10261.00	98
0	Min.	-1591	-26385.10	101	-2656.27	177	-15616.80	177	-818.62	101	-199.39	125	-101.23	98	-1758.97	173	-10261.00	98
0	Min.	-1584	-26385.10	101	-2656.27	177	-15616.80	177	-818.62	101	-199.39	125	-101.23	98	-1758.97	173	-10261.00	98
0	Min.	-1583	-26385.10	101	-2656.27	177	-15616.80	177	-818.62	101	-199.39	125	-101.23	98	-1758.97	173	-10261.00	98
0	Max	-1591	21785.30	130	2798.18	162	3203.76	173	575.29	122	238.97	98	60.52	161	644.71	161	7137.06	101
0	Max	-1592	21785.30	130	2798.18	162	3203.76	173	575.29	122	238.97	98	60.52	161	644.71	161	7137.06	101
0	Max	-1585	21785.30	130	2798.18	162	3203.76	173	575.29	122	238.97	98	60.52	161	644.71	161	7137.06	101
0	Max	-1584	21785.30	130	2798.18	162	3203.76	173	575.29	122	238.97	98	60.52	161	644.71	161	7137.06	101
0	Min.	-1591	-18171.30	101	-4205.04	177	-14016.70	177	-654.56	101	-156.04	125	-115.86	65	-1736.30	173	-9432.70	122
0	Min.	-1592	-18171.30	101	-4205.04	177	-14016.70	177	-654.56	101	-156.04	125	-115.86	65	-1736.30	173	-9432.70	122
0	Min.	-1585	-18171.30	101	-4205.04	177	-14016.70	177	-654.56	101	-156.04	125	-115.86	65	-1736.30	173	-9432.70	122
0	Min.	-1584	-18171.30	101	-4205.04	177	-14016.70	177	-654.56	101	-156.04	125	-115.86	65	-1736.30	173	-9432.70	122
0	Max	-1592	10821.00	130	2347.82	163	2025.43	173	149.38	122	128.46	111	79.58	161	5983.74	177	14427.90	101
0	Max	-1615	10821.00	130	2347.82	163	2025.43	173	149.38	122	128.46	111	79.58	161	5983.74	177	14427.90	101
0	Max	-1614	10821.00	130	2347.82	163	2025.43	173	149.38	122	128.46	111	79.58	161	5983.74	177	14427.90	101
0	Max	-1585	10821.00	130	2347.82	163	2025.43	173	149.38	122	128.46	111	79.58	161	5983.74	177	14427.90	101
0	Min.	-1592	-9185.32	101	-6573.83	177	-9034.98	177	-219.17	101	-105.16	164	-120.51	65	-2001.78	162	-11804.80	122
0	Min.	-1615	-9185.32	101	-6573.83	177	-9034.98	177	-219.17	101	-105.16	164	-120.51	65	-2001.78	162	-11804.80	122
0	Min.	-1614	-9185.32	101	-6573.83	177	-9034.98	177	-219.17	101	-105.16	164	-120.51	65	-2001.78	162	-11804.80	122
0	Min.	-1585	-9185.32	101	-6573.83	177	-9034.98	177	-219.17	101	-105.16	164	-120.51	65	-2001.78	162	-11804.80	122
0	Max	440	60383.70	130	4546.33	162	3437.66	173	5058.52	98	915.97	98	333.11	173	-2302.59	17	-3951.16	17
0	Max	-1558	60383.70	130	4546.33	162	3437.66	173	5058.52	98	915.97	98	333.11	173	-2302.59	17	-3951.16	17
0	Max	-1593	60383.70	130	4546.33	162	3437.66	173	5058.52	98	915.97	98	333.11	173	-2302.59	17	-3951.16	17
0	Max	-1531	60383.70	130	4546.33	162	3437.66	173	5058.52	98	915.97	98	333.11	173	-2302.59	17	-3951.16	17
0	Min.	440	-53761.10	101	-4128.87	177	-11543.20	177	220.85	1	-93.92	101	-251.75	17	-32541.80	98	-35349.40	102
0	Min.	-1558	-53761.10	101	-4128.87	177	-11543.20	177	220.85	1	-93.92	101	-251.75	17	-32541.80	98	-35349.40	102
0	Min.	-1593	-53761.10	101	-4128.87	177	-11543.20	177	220.85	1	-93.92	101	-251.75	17	-32541.80	98	-35349.40	102
0	Min.	-1531	-53761.10	101	-4128.87	177	-11543.20	177	220.85	1	-93.92	101	-251.75	17	-32541.80	98	-35349.40	102
0	Max	-1558	59845.30	130	2134.57	162	3176.13	173	3942.80	98	853.54	98	231.90	173	29268.10	101	-3140.35	17
0	Max	-1916	59845.30	130	2134.57	162	3176.13	173	3942.80	98	853.54	98	231.90	173	29268.10	101	-3140.35	17
0	Max	-1929	59845.30	130	2134.57	162	3176.13	173	3942.80	98	853.54	98	231.90	173	29268.10	101	-3140.35	17
0	Max	-1593	59845.30	130	2134.57	162	3176.13	173	3942.80	98	853.54	98	231.90	173	29268.10	101	-3140.35	17
0	Min.	-1558	-49895.60	101	-4023.71	177	-12288.50	177	-361.56	101	-160.41	101	-184.55	17	-5893.75	173	-31508.10	102
0	Min.	-1916	-49895.60	101	-4023.71	177	-12288.50	177	-361.56	101	-160.41	101	-184.55	17	-5893.75	173	-31508.10	102
0	Min.	-1929	-49895.60	101	-4023.71	177	-12288.50	177	-361.56	101	-160.41	101	-184.55	17	-5893.75	173	-31508.10	102
0	Min.	-1593	-49895.60	101	-4023.71	177	-12288.50	177	-361.56	101	-160.41	101	-184.55	17	-5893.75	173	-31508.10	102
0	Max	-1559	56642.10	130	1597.55	158	3306.47	173	2712.88	98	708.15	98	276.76	102	18049.60	102	2805.25	101
0	Max	-1560	56642.10	130	1597.55	158	3306.47	173	2712.88	98	708.15	98	276.76	102	18049.60	102	2805.25	101
0	Max	-1595	56642.10	130	1597.55	158	3306.47	173	2712.88	98	708.15	98	276.76	102	18049.60	102	2805.25	101
0	Max	-1594	56642.10	130	1597.55	158	3306.47	173	2712.88	98	708.15	98	276.76	102	18049.60	102	2805.25	101
0	Min.	-1559	-45220.50	101	-4566.89	177	-13303.30	177	-771.64	101	-223.78	101	-99.72	65	-2225.82	173	-14964.70	98
0	Min.	-1560	-45220.50	101	-4566.89	177	-13303.30	177	-771.64	101	-223.78	101	-99.72	65	-2225.82	173	-14964.70	98
0	Min.	-1595	-45220.50	101	-4566.89	177	-13303.30	177	-771.64	101	-223.78	101	-99.72	65	-2225.82	173	-14964.70	98
0	Min.	-1594	-45220.50	101	-4566.89	177	-13303.30	177	-771.64	101	-223.78	101	-99.72	65	-2225.82	173	-14964.70	98
0	Max	-1560	50266.10	130	3054.98	162	3319.58	173	1942.33	98	587.38	98	187.78	102	7163.15	102	1456.61	101
0	Max	-1561	50266.10	130	3054.98	162	3319.58	173	1942.33	98	587.38	98	187.78	102	7163.15	102	1456.61	101
0	Max	-1596	50266.10	130	3054.98	162	3319.58	173	1942.33	98	587.38	98	187.78	102	7163.15	102	1456.61	101

0	Max	-1595	50266.10	130	3054.98	162	3319.58	173	1942.33	98	587.38	98	187.78	102	7163.15	102	1456.61	101
0	Min.	-1560	-39972.00	101	-4989.09	177	-14558.10	177	-791.54	101	-241.83	125	-53.31	65	-918.97	173	-13032.90	98
0	Min.	-1561	-39972.00	101	-4989.09	177	-14558.10	177	-791.54	101	-241.83	125	-53.31	65	-918.97	173	-13032.90	98
0	Min.	-1596	-39972.00	101	-4989.09	177	-14558.10	177	-791.54	101	-241.83	125	-53.31	65	-918.97	173	-13032.90	98
0	Min.	-1595	-39972.00	101	-4989.09	177	-14558.10	177	-791.54	101	-241.83	125	-53.31	65	-918.97	173	-13032.90	98
0	Max	-1561	41815.00	130	3666.65	162	3373.27	173	1384.41	122	467.75	98	113.04	173	2237.71	102	2748.86	101
0	Max	-1562	41815.00	130	3666.65	162	3373.27	173	1384.41	122	467.75	98	113.04	173	2237.71	102	2748.86	101
0	Max	-1597	41815.00	130	3666.65	162	3373.27	173	1384.41	122	467.75	98	113.04	173	2237.71	102	2748.86	101
0	Max	-1596	41815.00	130	3666.65	162	3373.27	173	1384.41	122	467.75	98	113.04	173	2237.71	102	2748.86	101
0	Min.	-1561	-33569.30	101	-4671.88	177	-15879.60	177	-853.93	101	-225.91	125	-20.92	65	-580.98	65	-11589.10	98
0	Min.	-1562	-33569.30	101	-4671.88	177	-15879.60	177	-853.93	101	-225.91	125	-20.92	65	-580.98	65	-11589.10	98
0	Min.	-1597	-33569.30	101	-4671.88	177	-15879.60	177	-853.93	101	-225.91	125	-20.92	65	-580.98	65	-11589.10	98
0	Min.	-1596	-33569.30	101	-4671.88	177	-15879.60	177	-853.93	101	-225.91	125	-20.92	65	-580.98	65	-11589.10	98
0	Max	-1562	32200.30	130	3499.20	162	3297.38	173	954.46	122	357.28	173	104.88	98	2019.21	177	4685.10	101
0	Max	-1563	32200.30	130	3499.20	162	3297.38	173	954.46	122	357.28	173	104.88	98	2019.21	177	4685.10	101
0	Max	-1598	32200.30	130	3499.20	162	3297.38	173	954.46	122	357.28	173	104.88	98	2019.21	177	4685.10	101
0	Max	-1597	32200.30	130	3499.20	162	3297.38	173	954.46	122	357.28	173	104.88	98	2019.21	177	4685.10	101
0	Min.	-1562	-26323.60	101	-3140.03	177	-16296.00	177	-818.90	101	-198.87	125	-14.47	161	-553.34	173	-10248.30	98
0	Min.	-1563	-26323.60	101	-3140.03	177	-16296.00	177	-818.90	101	-198.87	125	-14.47	161	-553.34	173	-10248.30	98
0	Min.	-1598	-26323.60	101	-3140.03	177	-16296.00	177	-818.90	101	-198.87	125	-14.47	161	-553.34	173	-10248.30	98
0	Min.	-1597	-26323.60	101	-3140.03	177	-16296.00	177	-818.90	101	-198.87	125	-14.47	161	-553.34	173	-10248.30	98
0	Max	-1563	21707.70	130	2816.49	162	2973.75	173	574.63	122	252.38	173	118.14	17	1774.69	177	7132.40	101
0	Max	-1564	21707.70	130	2816.49	162	2973.75	173	574.63	122	252.38	173	118.14	17	1774.69	177	7132.40	101
0	Max	-1599	21707.70	130	2816.49	162	2973.75	173	574.63	122	252.38	173	118.14	17	1774.69	177	7132.40	101
0	Max	-1598	21707.70	130	2816.49	162	2973.75	173	574.63	122	252.38	173	118.14	17	1774.69	177	7132.40	101
0	Min.	-1563	-18123.60	101	-1313.42	97	-14651.20	177	-654.64	101	-155.47	125	-58.22	161	-648.40	161	-9420.11	122
0	Min.	-1564	-18123.60	101	-1313.42	97	-14651.20	177	-654.64	101	-155.47	125	-58.22	161	-648.40	161	-9420.11	122
0	Min.	-1599	-18123.60	101	-1313.42	97	-14651.20	177	-654.64	101	-155.47	125	-58.22	161	-648.40	161	-9420.11	122
0	Min.	-1598	-18123.60	101	-1313.42	97	-14651.20	177	-654.64	101	-155.47	125	-58.22	161	-648.40	161	-9420.11	122
0	Max	-1564	10830.00	130	3250.25	177	1772.91	173	149.31	122	138.51	173	122.79	17	5275.44	177	14401.00	101
0	Max	-1611	10830.00	130	3250.25	177	1772.91	173	149.31	122	138.51	173	122.79	17	5275.44	177	14401.00	101
0	Max	-1616	10830.00	130	3250.25	177	1772.91	173	149.31	122	138.51	173	122.79	17	5275.44	177	14401.00	101
0	Max	-1599	10830.00	130	3250.25	177	1772.91	173	149.31	122	138.51	173	122.79	17	5275.44	177	14401.00	101
0	Min.	-1564	-9203.88	101	-1966.11	173	-9313.83	177	-219.31	101	-104.19	163	-77.08	161	-2829.80	17	-11769.90	122
0	Min.	-1611	-9203.88	101	-1966.11	173	-9313.83	177	-219.31	101	-104.19	163	-77.08	161	-2829.80	17	-11769.90	122
0	Min.	-1616	-9203.88	101	-1966.11	173	-9313.83	177	-219.31	101	-104.19	163	-77.08	161	-2829.80	17	-11769.90	122
0	Min.	-1599	-9203.88	101	-1966.11	173	-9313.83	177	-219.31	101	-104.19	163	-77.08	161	-2829.80	17	-11769.90	122
0	Max	-1840	11552.10	130	4190.42	177	3125.69	101	170.41	158	158.68	173	202.13	110	4651.13	177	12543.70	101
0	Max	-1607	11552.10	130	4190.42	177	3125.69	101	170.41	158	158.68	173	202.13	110	4651.13	177	12543.70	101
0	Max	-1354	11552.10	130	4190.42	177	3125.69	101	170.41	158	158.68	173	202.13	110	4651.13	177	12543.70	101
0	Max	-1353	11552.10	130	4190.42	177	3125.69	101	170.41	158	158.68	173	202.13	110	4651.13	177	12543.70	101
0	Min.	-1840	-9735.60	101	-2550.47	173	-8802.36	177	-220.39	101	-165.31	177	-141.15	161	-4701.95	1	-10218.70	122
0	Min.	-1607	-9735.60	101	-2550.47	173	-8802.36	177	-220.39	101	-165.31	177	-141.15	161	-4701.95	1	-10218.70	122
0	Min.	-1354	-9735.60	101	-2550.47	173	-8802.36	177	-220.39	101	-165.31	177	-141.15	161	-4701.95	1	-10218.70	122
0	Min.	-1353	-9735.60	101	-2550.47	173	-8802.36	177	-220.39	101	-165.31	177	-141.15	161	-4701.95	1	-10218.70	122
0	Max	-1697	22574.10	130	2566.99	162	1159.88	125	614.03	158	237.43	173	200.93	110	1765.12	177	6999.78	101
0	Max	-1840	22574.10	130	2566.99	162	1159.88	125	614.03	158	237.43	173	200.93	110	1765.12	177	6999.78	101
0	Max	-1353	22574.10	130	2566.99	162	1159.88	125	614.03	158	237.43	173	200.93	110	1765.12	177	6999.78	101
0	Max	-1351	22574.10	130	2566.99	162	1159.88	125	614.03	158	237.43	173	200.93	110	1765.12	177	6999.78	101
0	Min.	-1697	-18734.10	101	-1371.84	173	-12823.10	177	-649.42	101	-175.97	127	-119.04	161	-2278.05	162	-8748.43	122
0	Min.	-1840	-18734.10	101	-1371.84	173	-12823.10	177	-649.42	101	-175.97	127	-119.04	161	-2278.05	162	-8748.43	122
0	Min.	-1353	-18734.10	101	-1371.84	173	-12823.10	177	-649.42	101	-175.97	127	-119.04	161	-2278.05	162	-8748.43	122
0	Min.	-1351	-18734.10	101	-1371.84	173	-12823.10	177	-649.42	101	-175.97	127	-119.04	161	-2278.05	162	-8748.43	122
0	Max	-1696	33051.50	130	3867.43	162	1573.57	125	1000.19	122	330.70	173	194.98	173	2099.67	177	4594.71	101
0	Max	-1697	33051.50	130	3867.43	162	1573.57	125	1000.19	122	330.70	173	194.98	173	2099.67	177	4594.71	101
0	Max	-1351	33051.50	130	3867.43	162	1573.57	125	1000.19	122	330.70	173	194.98	173	2099.67	177	4594.71	101
0	Max	-1350	33051.50	130	3867.43	162	1573.57	125	1000.19	122	330.70	173	194.98	173	2099.67	177	4594.71	101
0	Min.	-1696	-26898.50	101	-3233.67	177	-13877.80	177	-815.12	101	-256.38	125	-74.59	125	-1191.98	165	-9206.27	98
0	Min.	-1697	-26898.50	101	-3233.67	177	-13877.80	177	-815.12	101	-256.38	125	-74.59	125	-1191.98	165	-9206.27	98
0	Min.	-1351	-26898.50	101	-3233.67	177	-13877.80	177	-815.12	101	-256.38	125	-74.59	125	-1191.98	165	-9206.27	98
0	Min.	-1350	-26898.50	101	-3233.67	177	-13877.80	177	-815.12	101	-256.38	125	-74.59	125	-1191.98	165	-9206.27	98
0	Max	-1690	42545.80	130	4507.16	162	1899.11	125	1413.69	122	433.27	173	201.24	173	2021.99	177	4258.45	101
0	Max	-1696	42545.80	130	4507.16	162	1899.11	125	1413.69	122	433.27	173	201.24	173	2021.99	177	4258.45	101
0	Max	-1350	42545.80	130	4507.16	162	1899.11	125	1413.69	122	433.27	173	201.24	173	2021.99	177	4258.45	101
0	Max	-1349	42545.80	130	4507.16	162	1899.11	125	1413.69	122	433.27	173	201.24	173	2021.99	177	4258.45	101
0	Min.	-1690	-34097.80	101	-6486.97	177	-13040.60	177	-829.91	101	-349.57	125	-77.17	101	-1363.21	161	-10807.50	98
0	Min.	-1696	-34097.80	101	-6486.97	177	-13040.60	177	-829.91	101	-349.57	125	-77.17	101	-1363.21	161	-10807.50	98
0	Min.	-1350	-34097.80	101	-6486.97	177	-13040.60	177	-829.91	101	-349.57	125	-77.17	101	-1363.21	161	-10807.50	98
0	Min.	-1349	-34097.80	101	-6486.97	177	-13040.60	177	-829.91	101	-349.57	125	-77.17	101	-1363.21	161	-10807.50	98
0	Max	-1685	50781.70	130	5054.48	162	2236.21	125	1890.49	122	555.10	173	221.13	173	2030.14	177	2908.66	101
0	Max	-1690	50781.70	130	5054.48	162	2236.21	125	1890.49	122	555.10	173	221.13	173	2030.14	177	2908.66	101
0	Max	-1349	50781.70	130	5054.48	162	2236.21	125	1890.49	122	555.10	173	221.13	173	2030.14	177	2908.66	101
0	Max	-1348	50781.70	130	5054.48	162	2236.21	125	1890.49	122	555.10	173	221.13	173	2030.14	177	2908.66	101
0	Min.	-1685	-40451.10	101	-6875.47	177	-11131.20	177	-692.00	101	-561.92	101	-106.30	101	-1478.29	161	-12984.90	98
0	Min.	-1690	-40451.10	101	-6875.47	177	-11131.20	177	-692.00	101	-561.92	101	-106.30	101	-1478.29	161	-12984.90	98
0	Min.	-1349	-40451.10	101	-6875.47	177	-11131.20	177	-692.00	101	-561.92	101	-106.30	101	-1478.29	161	-12984.90	98
0	Min.	-1348	-40451.10	101	-6875.47	177	-11131.20	177	-692.00	101	-561.92	101	-106.30	101	-1478.29	161	-12984.90	98
0	Max	-1414	56748.70	130	6965.74	161	7464.68	161	2631.79	98	691.70	173	247.94	173	1950.24	177	18815.30	101
0	Max	-1685	56748.70	130	6965.74	161	7464.68	161	2631.79	98	691.70	173	247.94	173	1950.24	177	18815.30	101
0	Max	-1348	56748.70	130	6965.74	161	7464.68	161	2631.79	98	691.70	173	247.94	173	1950.24	177	18815.30	101
0	Max	-1347	56748.70	130	6965.74	161	7464.68	161	2631.79	98	691.70	173	247.94	173	1950.24	177	18815.30	101
0	Min.	-1414	-45623.80	101	-5246.84	177	-9951.24	177	-818.70	101	-1076.07	101	-136.11	101	-13976.90	101	-14950.20	98
0	Min.	-1685	-45623.80	101	-5246.84	177	-9951.24	177	-818.70	101	-1076.07	101	-136.11	101	-13976.90	101	-14950.20	98
0	Min.	-1348	-45623.80	101	-5246.84	177	-9951.24	177	-818.70	101	-1076.07	101	-136.11	101	-13976.90	101	-14950.20	98
0	Min.	-1347	-45623.80	101	-5246.84	177	-9951.24	177	-818.70	101	-1076.07	101	-136.11	101	-13976.90	101	-14950.20	98
0	Max	-1618	72564.80	162	8619.52	162	31286.40	162	3921.01	98	817.90	173	326.81	173	9726.32	98	-2697.26	17
0	Max	-1930	72564.80	162	8619.52	162	31286.40	162	3921.01	98	817.90	173	326.81	173	9726.32	98	-2697.26	17
0	Max	-1915	72564.80	162	8619.52	162	31286.40	162	3921.01	98	817.90	173	326.81	173	9726.32	98	-2697.26	17
0	Max	-1346	72564.80	162	8619.52	162	31286.40	162	3921.01	98	817.90	173	326.81	173	9726.32	98	-2697.26	17
0	Min.	-1618	-49243.80	101	-4386.86	177	-9831.99	177	-767.08	101	-1615.97	101	-170.29	17	-20924.80	101	-47781.60	102
0	Min.	-1930	-49243.80	101	-4386.86	177	-9831.99	177	-767.08	101	-1615.97	101	-170.29	17	-20924.80	101	-47781.60	102
0	Min.	-1915	-49243.80	101	-4386.86	177	-9831.99	177	-767.08	101	-1615.97	101	-170.29	17	-20924.80	101	-47781.60	102
0	Min.	-1346	-49243.80	101	-4386.86	177	-9831.99	177	-767.08	101	-1615.97	101	-170.29	17	-20924.80	101	-47781.60	102
0	Max	-1536	59898.60	130	2167.86	130	9210.17	162	4861.92	98	744.66	173	393.74	173	18628.40	98	-2195.68	17
0	Max	-1618	59898.60	130	2167.86	130	9210.17	162	4861.92	98	744.66	173	393.74	173	18628.40	98	-2195.68	17
0	Max	-1346	59898.60	130	2167.86	130	9210.17	162	4861.92	98	744.66	173	393.74	173	18628.40	98	-2195.68	17
0	Max	-1385	59898.60	130	2167.86	130	9210.17	162	4861.92	98	744.66	173	393.74	173	18628.40	98	-2195.68	17
0	Min.	-1536	-53598.30	101	-4765.17	177	-9515.23	177	164.08	1	-1475.58	101	-234.70	17	2332.98	65	-37011.90	102
0	Min.	-1618	-53598.30	101	-4765.17	177	-9515.23	177	164.08	1	-1475.58	101	-234.70	17	2332.98	65	-37011.90	102
0	Min.	-1346	-53598.30	101	-4765.17	177	-9515.23	177	164.08	1	-1475.58	101	-234.70	17	2332.98	65	-37011.90	102
0	Min.	-1385	-53598.30	101	-4765.17	177	-9515.23	177	164.08	1	-1475.58	101	-234.70	17	2332.98	65	-37011.90	102
0	Max	433	60687.30	130	1790.84	130	5322.87	173	5064.88	98	1360.00	98	331.28	173	-6706.44	33	-4450.31	65
0	Max	-1579	60687.30	130	1790.84	130	5322.87	173	5064.88	98	1360.00	98	331.28	173	-6706.44	33	-4450.31	65
0	Max	-1345	60687.30	130	1790.84	130	5322.87	173	5064.88	98	1360.00	98	331.28	173	-6706.44	33	-4450.31	65
0	Max	-1344	60687.30	130	1790.84	130	5322.87	173	5064.88	98	1360.00	98	331.28	173	-6706.44	33	-4450.31	65

0	Min.	433	-53561.40	101	-1773.10	125	-9395.79	177	201.90	49	-634.26	101	-270.23	17	-56585.40	102	-54036.30	102
0	Min.	-1579	-53561.40	101	-1773.10	125	-9395.79	177	201.90	49	-634.26	101	-270.23	17	-56585.40	102	-54036.30	102
0	Min.	-1345	-53561.40	101	-1773.10	125	-9395.79	177	201.90	49	-634.26	101	-270.23	17	-56585.40	102	-54036.30	102
0	Min.	-1344	-53561.40	101	-1773.10	125	-9395.79	177	201.90	49	-634.26	101	-270.23	17	-56585.40	102	-54036.30	102
0	Max	-1579	73380.90	162	8752.14	162	26246.40	161	3889.49	98	972.93	98	225.08	173	1216.79	17	-3154.88	65
0	Max	-1928	73380.90	162	8752.14	162	26246.40	161	3889.49	98	972.93	98	225.08	173	1216.79	17	-3154.88	65
0	Max	-1913	73380.90	162	8752.14	162	26246.40	161	3889.49	98	972.93	98	225.08	173	1216.79	17	-3154.88	65
0	Max	-1345	73380.90	162	8752.14	162	26246.40	161	3889.49	98	972.93	98	225.08	173	1216.79	17	-3154.88	65
0	Min.	-1579	-49334.10	101	-1477.82	101	-10484.30	177	-835.31	101	-1334.67	101	-206.07	17	-37609.50	102	-49393.40	102
0	Min.	-1928	-49334.10	101	-1477.82	101	-10484.30	177	-835.31	101	-1334.67	101	-206.07	17	-37609.50	102	-49393.40	102
0	Min.	-1913	-49334.10	101	-1477.82	101	-10484.30	177	-835.31	101	-1334.67	101	-206.07	17	-37609.50	102	-49393.40	102
0	Min.	-1345	-49334.10	101	-1477.82	101	-10484.30	177	-835.31	101	-1334.67	101	-206.07	17	-37609.50	102	-49393.40	102
0	Max	-1580	57250.90	130	7747.08	162	4117.18	173	2674.24	98	689.15	98	110.51	173	503.33	17	16287.00	101
0	Max	-1581	57250.90	130	7747.08	162	4117.18	173	2674.24	98	689.15	98	110.51	173	503.33	17	16287.00	101
0	Max	-1342	57250.90	130	7747.08	162	4117.18	173	2674.24	98	689.15	98	110.51	173	503.33	17	16287.00	101
0	Max	-1343	57250.90	130	7747.08	162	4117.18	173	2674.24	98	689.15	98	110.51	173	503.33	17	16287.00	101
0	Min.	-1580	-45886.80	101	-852.94	177	-11866.50	177	-824.97	101	-1017.94	101	-199.78	126	-17033.00	102	-15967.20	98
0	Min.	-1581	-45886.80	101	-852.94	177	-11866.50	177	-824.97	101	-1017.94	101	-199.78	126	-17033.00	102	-15967.20	98
0	Min.	-1342	-45886.80	101	-852.94	177	-11866.50	177	-824.97	101	-1017.94	101	-199.78	126	-17033.00	102	-15967.20	98
0	Min.	-1343	-45886.80	101	-852.94	177	-11866.50	177	-824.97	101	-1017.94	101	-199.78	126	-17033.00	102	-15967.20	98
0	Max	-1581	50949.70	130	5149.23	162	3609.23	173	1905.39	98	536.24	98	54.36	17	797.09	161	1877.73	101
0	Max	-1582	50949.70	130	5149.23	162	3609.23	173	1905.39	98	536.24	98	54.36	17	797.09	161	1877.73	101
0	Max	-1868	50949.70	130	5149.23	162	3609.23	173	1905.39	98	536.24	98	54.36	17	797.09	161	1877.73	101
0	Max	-1342	50949.70	130	5149.23	162	3609.23	173	1905.39	98	536.24	98	54.36	17	797.09	161	1877.73	101
0	Min.	-1581	-40450.30	101	-1168.69	177	-13000.60	177	-707.78	101	-532.55	101	-138.84	130	-2700.50	173	-12329.30	98
0	Min.	-1582	-40450.30	101	-1168.69	177	-13000.60	177	-707.78	101	-532.55	101	-138.84	130	-2700.50	173	-12329.30	98
0	Min.	-1868	-40450.30	101	-1168.69	177	-13000.60	177	-707.78	101	-532.55	101	-138.84	130	-2700.50	173	-12329.30	98
0	Min.	-1342	-40450.30	101	-1168.69	177	-13000.60	177	-707.78	101	-532.55	101	-138.84	130	-2700.50	173	-12329.30	98
0	Max	-1582	42498.70	130	4391.85	162	3238.73	173	1395.98	122	411.57	98	18.45	17	805.05	161	2964.54	101
0	Max	-1583	42498.70	130	4391.85	162	3238.73	173	1395.98	122	411.57	98	18.45	17	805.05	161	2964.54	101
0	Max	-1869	42498.70	130	4391.85	162	3238.73	173	1395.98	122	411.57	98	18.45	17	805.05	161	2964.54	101
0	Max	-1868	42498.70	130	4391.85	162	3238.73	173	1395.98	122	411.57	98	18.45	17	805.05	161	2964.54	101
0	Min.	-1582	-34021.50	101	-1548.39	101	-13790.50	177	-826.71	101	-334.81	125	-122.20	98	-2523.09	173	-10582.70	98
0	Min.	-1583	-34021.50	101	-1548.39	101	-13790.50	177	-826.71	101	-334.81	125	-122.20	98	-2523.09	173	-10582.70	98
0	Min.	-1869	-34021.50	101	-1548.39	101	-13790.50	177	-826.71	101	-334.81	125	-122.20	98	-2523.09	173	-10582.70	98
0	Min.	-1868	-34021.50	101	-1548.39	101	-13790.50	177	-826.71	101	-334.81	125	-122.20	98	-2523.09	173	-10582.70	98
0	Max	-1583	32758.00	130	3888.57	162	2933.35	101	976.39	122	301.45	98	31.42	165	436.83	161	3376.86	101
0	Max	-1584	32758.00	130	3888.57	162	2933.35	101	976.39	122	301.45	98	31.42	165	436.83	161	3376.86	101
0	Max	-1870	32758.00	130	3888.57	162	2933.35	101	976.39	122	301.45	98	31.42	165	436.83	161	3376.86	101
0	Max	-1869	32758.00	130	3888.57	162	2933.35	101	976.39	122	301.45	98	31.42	165	436.83	161	3376.86	101
0	Min.	-1583	-26674.90	101	-1942.67	101	-13946.00	177	-807.73	101	-248.86	125	-139.59	98	-2071.82	173	-8665.91	98
0	Min.	-1584	-26674.90	101	-1942.67	101	-13946.00	177	-807.73	101	-248.86	125	-139.59	98	-2071.82	173	-8665.91	98
0	Min.	-1870	-26674.90	101	-1942.67	101	-13946.00	177	-807.73	101	-248.86	125	-139.59	98	-2071.82	173	-8665.91	98
0	Min.	-1869	-26674.90	101	-1942.67	101	-13946.00	177	-807.73	101	-248.86	125	-139.59	98	-2071.82	173	-8665.91	98
0	Max	-1584	22626.20	130	2620.85	162	3289.01	101	584.18	122	205.69	110	100.87	161	1121.97	125	6324.07	101
0	Max	-1585	22626.20	130	2620.85	162	3289.01	101	584.18	122	205.69	110	100.87	161	1121.97	125	6324.07	101
0	Max	-1871	22626.20	130	2620.85	162	3289.01	101	584.18	122	205.69	110	100.87	161	1121.97	125	6324.07	101
0	Max	-1870	22626.20	130	2620.85	162	3289.01	101	584.18	122	205.69	110	100.87	161	1121.97	125	6324.07	101
0	Min.	-1584	-18833.60	101	-3667.97	177	-12677.60	177	-641.39	101	-173.57	125	-160.77	110	-3130.99	98	-8184.61	122
0	Min.	-1585	-18833.60	101	-3667.97	177	-12677.60	177	-641.39	101	-173.57	125	-160.77	110	-3130.99	98	-8184.61	122
0	Min.	-1871	-18833.60	101	-3667.97	177	-12677.60	177	-641.39	101	-173.57	125	-160.77	110	-3130.99	98	-8184.61	122
0	Min.	-1870	-18833.60	101	-3667.97	177	-12677.60	177	-641.39	101	-173.57	125	-160.77	110	-3130.99	98	-8184.61	122
0	Max	-1585	11344.50	130	1760.47	125	4326.48	101	168.47	158	125.29	111	137.01	162	5860.92	177	10162.20	101
0	Max	-1614	11344.50	130	1760.47	125	4326.48	101	168.47	158	125.29	111	137.01	162	5860.92	177	10162.20	101
0	Max	-1872	11344.50	130	1760.47	125	4326.48	101	168.47	158	125.29	111	137.01	162	5860.92	177	10162.20	101
0	Max	-1871	11344.50	130	1760.47	125	4326.48	101	168.47	158	125.29	111	137.01	162	5860.92	177	10162.20	101
0	Min.	-1585	-9678.78	101	-10488.90	177	-8516.20	177	-227.50	101	-117.26	164	-158.61	109	-4273.70	125	-8063.36	122
0	Min.	-1614	-9678.78	101	-10488.90	177	-8516.20	177	-227.50	101	-117.26	164	-158.61	109	-4273.70	125	-8063.36	122
0	Min.	-1872	-9678.78	101	-10488.90	177	-8516.20	177	-227.50	101	-117.26	164	-158.61	109	-4273.70	125	-8063.36	122
0	Min.	-1871	-9678.78	101	-10488.90	177	-8516.20	177	-227.50	101	-117.26	164	-158.61	109	-4273.70	125	-8063.36	122
0	Max	-1531	60891.60	130	2271.89	130	4185.23	173	5058.79	98	828.80	102	362.24	173	40404.50	102	-3824.48	1
0	Max	-1593	60891.60	130	2271.89	130	4185.23	173	5058.79	98	828.80	102	362.24	173	40404.50	102	-3824.48	1
0	Max	-1551	60891.60	130	2271.89	130	4185.23	173	5058.79	98	828.80	102	362.24	173	40404.50	102	-3824.48	1
0	Max	430	60891.60	130	2271.89	130	4185.23	173	5058.79	98	828.80	102	362.24	173	40404.50	102	-3824.48	1
0	Min.	-1531	-53650.10	101	-3139.25	177	-12204.00	177	249.06	1	161.32	177	-241.77	17	2965.47	65	-23338.70	102
0	Min.	-1593	-53650.10	101	-3139.25	177	-12204.00	177	249.06	1	161.32	177	-241.77	17	2965.47	65	-23338.70	102
0	Min.	-1551	-53650.10	101	-3139.25	177	-12204.00	177	249.06	1	161.32	177	-241.77	17	2965.47	65	-23338.70	102
0	Min.	430	-53650.10	101	-3139.25	177	-12204.00	177	249.06	1	161.32	177	-241.77	17	2965.47	65	-23338.70	102
0	Max	-1593	59719.70	130	2039.42	130	3998.52	173	4002.07	98	779.43	98	252.75	173	9133.45	102	-3081.44	1
0	Max	-1929	59719.70	130	2039.42	130	3998.52	173	4002.07	98	779.43	98	252.75	173	9133.45	102	-3081.44	1
0	Max	-1926	59719.70	130	2039.42	130	3998.52	173	4002.07	98	779.43	98	252.75	173	9133.45	102	-3081.44	1
0	Max	-1551	59719.70	130	2039.42	130	3998.52	173	4002.07	98	779.43	98	252.75	173	9133.45	102	-3081.44	1
0	Min.	-1593	-49480.80	101	-3192.03	177	-13149.00	177	2.53	149	120.55	161	-170.20	17	-3076.74	173	-19779.40	102
0	Min.	-1929	-49480.80	101	-3192.03	177	-13149.00	177	2.53	149	120.55	161	-170.20	17	-3076.74	173	-19779.40	102
0	Min.	-1926	-49480.80	101	-3192.03	177	-13149.00	177	2.53	149	120.55	161	-170.20	17	-3076.74	173	-19779.40	102
0	Min.	-1551	-49480.80	101	-3192.03	177	-13149.00	177	2.53	149	120.55	161	-170.20	17	-3076.74	173	-19779.40	102
0	Max	-1594	56730.40	130	1863.25	130	3982.21	173	2750.84	98	694.53	98	138.53	173	6154.88	103	-1564.10	1
0	Max	-1595	56730.40	130	1863.25	130	3982.21	173	2750.84	98	694.53	98	138.53	173	6154.88	103	-1564.10	1
0	Max	-1553	56730.40	130	1863.25	130	3982.21	173	2750.84	98	694.53	98	138.53	173	6154.88	103	-1564.10	1
0	Max	-1552	56730.40	130	1863.25	130	3982.21	173	2750.84	98	694.53	98	138.53	173	6154.88	103	-1564.10	1
0	Min.	-1594	-45012.40	101	-3567.88	177	-14590.40	177	-688.11	101	10.10	161	-97.03	65	-2913.78	173	-14606.90	98
0	Min.	-1595	-45012.40	101	-3567.88	177	-14590.40	177	-688.11	101	10.10	161	-97.03	65	-2913.78	173	-14606.90	98
0	Min.	-1553	-45012.40	101	-3567.88	177	-14590.40	177	-688.11	101	10.10	161	-97.03	65	-2913.78	173	-14606.90	98
0	Min.	-1552	-45012.40	101	-3567.88	177	-14590.40	177	-688.11	101	10.10	161	-97.03	65	-2913.78	173	-14606.90	98
0	Max	-1595	50205.60	130	2101.20	166	3998.69	173	1971.77	98	602.19	98	109.42	102	3158.74	101	-691.13	1
0	Max	-1596	50205.60	130	2101.20	166	3998.69	173	1971.77	98	602.19	98	109.42	102	3158.74	101	-691.13	1
0	Max	-1554	50205.60	130	2101.20	166	3998.69	173	1971.77	98	602.19	98	109.42	102	3158.74	101	-691.13	1
0	Max	-1553	50205.60	130	2101.20	166	3998.69	173	1971.77	98	602.19	98	109.42	102	3158.74	101	-691.13	1
0	Min.	-1595	-39829.30	101	-3780.94	177	-15898.70	177	-875.97	101	-63.63	161	-56.23	65	-2398.86	173	-12740.60	98
0	Min.	-1596	-39829.30	101	-3780.94	177	-15898.70	177	-875.97	101	-63.63	161	-56.23	65	-2398.86	173	-12740.60	98
0	Min.	-1554	-39829.30	101	-3780.94	177	-15898.70	177	-875.97	101	-63.63	161	-56.23	65	-2398.86	173	-12740.60	98
0	Min.	-1553	-39829.30	101	-3780.94	177	-15898.70	177	-875.97	101	-63.63	161	-56.23	65	-2398.86	173	-12740.60	98
0	Max	-1596	41728.00	130	2511.51	162	3982.04	173	1379.55	122	494.14	98	54.63	17	1278.64	17	734.71	101
0	Max	-1597	41728.00	130	2511.51	162	3982.04	173	1379.55	122	494.14	98	54.63	17	1278.64	17	734.71	101
0	Max	-1555	41728.00	130	2511.51	162	3982.04	173	1379.55	122	494.14	98	54.63	17	1278.64	17	734.71	101
0	Max	-1554	41728.00	130	2511.51	162	3982.04	173	1379.55	122	494.14	98	54.63	17	1278.64	17	734.71	101
0	Min.	-1596	-33556.00	101	-3618.17	177	-17011.50	177	-897.59	101	-114.48	161	-32.24	65	-1608.70	173	-11344.20	98
0	Min.	-1597	-33556.00	101	-3618.17	177	-17011.50	177	-897.59	101	-114.48	161	-32.24	65	-1608.70	173	-11344.20	98
0	Min.	-1555	-33556.00	101	-3618.17	177	-17011.50	177	-897.59	101	-114.48	161	-32.24	65	-1608.70	173	-11344.20	98
0	Min.	-1554	-33556.00	101	-3618.17	177	-17011.50	177	-897.59	101	-114.48	161	-32.24	65	-1608.70	173	-11344.20	98
0	Max	-1597	32074.40	130	3067.09	162	3851.87	173	944.35	122	377.94	98	58.42	17	1657.36	177	3242.86	101
0	Max	-1598	32074.40	130	3067.09	162	3851.87	173	944.35	122	377.94	98	58.42	17	1657.36	177	3242.86	101
0	Max	-1556	32074.40	130	3067.09	162	3851.87	173	944.35	122	377.94	98	58.42	17	1657.36	177	3242.86	101
0	Max	-1555	32074.40	130	3067.09	162	3851.87	173	944.35	122	377.94	98	58.42	17	1657.36	177	3242.86	101
0	Min.	-1597	-26326.80	101	-2889.46	177	-17200.20	177	-842.24	101	-146.40	125	-27.59	65	-1214.85	173	-9882.68	98

0	Min.	-1598	-26326.80	101	-2889.46	177	-17200.20	177	-842.24	101	-146.40	125	-27.59	65	-1214.85	173	-9882.68	98
0	Min.	-1556	-26326.80	101	-2889.46	177	-17200.20	177	-842.24	101	-146.40	125	-27.59	65	-1214.85	173	-9882.68	98
0	Min.	-1555	-26326.80	101	-2889.46	177	-17200.20	177	-842.24	101	-146.40	125	-27.59	65	-1214.85	173	-9882.68	98
0	Max	-1598	21875.00	130	2930.91	162	3301.63	173	561.25	122	257.24	98	73.35	17	1596.69	177	6636.03	101
0	Max	-1599	21875.00	130	2930.91	162	3301.63	173	561.25	122	257.24	98	73.35	17	1596.69	177	6636.03	101
0	Max	-1557	21875.00	130	2930.91	162	3301.63	173	561.25	122	257.24	98	73.35	17	1596.69	177	6636.03	101
0	Max	-1556	21875.00	130	2930.91	162	3301.63	173	561.25	122	257.24	98	73.35	17	1596.69	177	6636.03	101
0	Min.	-1598	-18363.80	101	-1640.55	177	-15252.90	177	-663.00	101	-137.10	125	-35.30	65	-724.86	173	-9163.50	98
0	Min.	-1599	-18363.80	101	-1640.55	177	-15252.90	177	-663.00	101	-137.10	125	-35.30	65	-724.86	173	-9163.50	98
0	Min.	-1557	-18363.80	101	-1640.55	177	-15252.90	177	-663.00	101	-137.10	125	-35.30	65	-724.86	173	-9163.50	98
0	Min.	-1556	-18363.80	101	-1640.55	177	-15252.90	177	-663.00	101	-137.10	125	-35.30	65	-724.86	173	-9163.50	98
0	Max	-1599	11224.60	130	2624.56	161	1942.44	173	149.44	122	142.60	110	78.44	17	5046.01	177	12675.10	101
0	Max	-1616	11224.60	130	2624.56	161	1942.44	173	149.44	122	142.60	110	78.44	17	5046.01	177	12675.10	101
0	Max	-1610	11224.60	130	2624.56	161	1942.44	173	149.44	122	142.60	110	78.44	17	5046.01	177	12675.10	101
0	Max	-1557	11224.60	130	2624.56	161	1942.44	173	149.44	122	142.60	110	78.44	17	5046.01	177	12675.10	101
0	Min.	-1599	-9610.01	101	-2006.07	98	-9377.91	177	-227.20	101	-90.23	161	-39.21	65	-1803.17	17	-10209.80	122
0	Min.	-1616	-9610.01	101	-2006.07	98	-9377.91	177	-227.20	101	-90.23	161	-39.21	65	-1803.17	17	-10209.80	122
0	Min.	-1610	-9610.01	101	-2006.07	98	-9377.91	177	-227.20	101	-90.23	161	-39.21	65	-1803.17	17	-10209.80	122
0	Min.	-1557	-9610.01	101	-2006.07	98	-9377.91	177	-227.20	101	-90.23	161	-39.21	65	-1803.17	17	-10209.80	122
0	Max	-1408	10699.00	130	10595.70	177	3890.56	130	180.72	158	127.22	173	205.33	109	6017.64	177	12457.50	101
0	Max	-1407	10699.00	130	10595.70	177	3890.56	130	180.72	158	127.22	173	205.33	109	6017.64	177	12457.50	101
0	Max	-1607	10699.00	130	10595.70	177	3890.56	130	180.72	158	127.22	173	205.33	109	6017.64	177	12457.50	101
0	Max	-1840	10699.00	130	10595.70	177	3890.56	130	180.72	158	127.22	173	205.33	109	6017.64	177	12457.50	101
0	Min.	-1408	-9008.60	101	-3097.31	173	-7679.96	177	-221.54	101	-116.16	162	-196.56	162	-6194.34	173	-10257.50	158
0	Min.	-1407	-9008.60	101	-3097.31	173	-7679.96	177	-221.54	101	-116.16	162	-196.56	162	-6194.34	173	-10257.50	158
0	Min.	-1607	-9008.60	101	-3097.31	173	-7679.96	177	-221.54	101	-116.16	162	-196.56	162	-6194.34	173	-10257.50	158
0	Min.	-1840	-9008.60	101	-3097.31	173	-7679.96	177	-221.54	101	-116.16	162	-196.56	162	-6194.34	173	-10257.50	158
0	Max	-1409	23146.90	130	2312.69	162	2780.94	130	651.13	158	204.48	173	213.87	173	3351.14	110	7143.41	101
0	Max	-1408	23146.90	130	2312.69	162	2780.94	130	651.13	158	204.48	173	213.87	173	3351.14	110	7143.41	101
0	Max	-1840	23146.90	130	2312.69	162	2780.94	130	651.13	158	204.48	173	213.87	173	3351.14	110	7143.41	101
0	Max	-1697	23146.90	130	2312.69	162	2780.94	130	651.13	158	204.48	173	213.87	173	3351.14	110	7143.41	101
0	Min.	-1409	-19151.60	101	-1454.45	101	-10632.90	177	-661.65	101	-159.37	177	-168.69	162	-2615.76	161	-8873.61	122
0	Min.	-1408	-19151.60	101	-1454.45	101	-10632.90	177	-661.65	101	-159.37	177	-168.69	162	-2615.76	161	-8873.61	122
0	Min.	-1840	-19151.60	101	-1454.45	101	-10632.90	177	-661.65	101	-159.37	177	-168.69	162	-2615.76	161	-8873.61	122
0	Min.	-1697	-19151.60	101	-1454.45	101	-10632.90	177	-661.65	101	-159.37	177	-168.69	162	-2615.76	161	-8873.61	122
0	Max	-1437	34019.30	130	3830.16	162	3469.95	162	1067.75	158	277.86	173	214.91	173	2753.90	177	4276.49	101
0	Max	-1409	34019.30	130	3830.16	162	3469.95	162	1067.75	158	277.86	173	214.91	173	2753.90	177	4276.49	101
0	Max	-1697	34019.30	130	3830.16	162	3469.95	162	1067.75	158	277.86	173	214.91	173	2753.90	177	4276.49	101
0	Max	-1696	34019.30	130	3830.16	162	3469.95	162	1067.75	158	277.86	173	214.91	173	2753.90	177	4276.49	101
0	Min.	-1437	-27661.20	101	-4860.60	177	-11699.60	177	-855.42	101	-234.08	126	-112.40	125	-2589.69	162	-8812.76	98
0	Min.	-1409	-27661.20	101	-4860.60	177	-11699.60	177	-855.42	101	-234.08	126	-112.40	125	-2589.69	162	-8812.76	98
0	Min.	-1697	-27661.20	101	-4860.60	177	-11699.60	177	-855.42	101	-234.08	126	-112.40	125	-2589.69	162	-8812.76	98
0	Min.	-1696	-27661.20	101	-4860.60	177	-11699.60	177	-855.42	101	-234.08	126	-112.40	125	-2589.69	162	-8812.76	98
0	Max	-1440	43020.00	130	4008.60	162	3804.39	162	1464.23	122	366.69	173	231.94	173	3860.19	177	3336.51	101
0	Max	-1437	43020.00	130	4008.60	162	3804.39	162	1464.23	122	366.69	173	231.94	173	3860.19	177	3336.51	101
0	Max	-1696	43020.00	130	4008.60	162	3804.39	162	1464.23	122	366.69	173	231.94	173	3860.19	177	3336.51	101
0	Max	-1690	43020.00	130	4008.60	162	3804.39	162	1464.23	122	366.69	173	231.94	173	3860.19	177	3336.51	101
0	Min.	-1440	-34539.10	101	-7851.06	177	-10866.30	177	-861.24	101	-317.76	125	-162.26	101	-2284.73	161	-10468.80	98
0	Min.	-1437	-34539.10	101	-7851.06	177	-10866.30	177	-861.24	101	-317.76	125	-162.26	101	-2284.73	161	-10468.80	98
0	Min.	-1696	-34539.10	101	-7851.06	177	-10866.30	177	-861.24	101	-317.76	125	-162.26	101	-2284.73	161	-10468.80	98
0	Min.	-1690	-34539.10	101	-7851.06	177	-10866.30	177	-861.24	101	-317.76	125	-162.26	101	-2284.73	161	-10468.80	98
0	Max	-1444	50654.40	130	1888.65	161	5801.22	162	1885.97	122	479.73	173	288.08	130	4330.57	98	2762.93	101
0	Max	-1440	50654.40	130	1888.65	161	5801.22	162	1885.97	122	479.73	173	288.08	130	4330.57	98	2762.93	101
0	Max	-1690	50654.40	130	1888.65	161	5801.22	162	1885.97	122	479.73	173	288.08	130	4330.57	98	2762.93	101
0	Max	-1685	50654.40	130	1888.65	161	5801.22	162	1885.97	122	479.73	173	288.08	130	4330.57	98	2762.93	101
0	Min.	-1444	-40531.40	101	-7748.17	177	-8308.63	177	-725.90	101	-451.34	101	-248.50	101	-3961.47	125	-12607.10	98
0	Min.	-1440	-40531.40	101	-7748.17	177	-8308.63	177	-725.90	101	-451.34	101	-248.50	101	-3961.47	125	-12607.10	98
0	Min.	-1690	-40531.40	101	-7748.17	177	-8308.63	177	-725.90	101	-451.34	101	-248.50	101	-3961.47	125	-12607.10	98
0	Min.	-1685	-40531.40	101	-7748.17	177	-8308.63	177	-725.90	101	-451.34	101	-248.50	101	-3961.47	125	-12607.10	98
0	Max	-1447	56006.80	130	1064.74	97	12011.60	162	2591.56	98	637.17	173	311.35	173	3988.88	98	6420.35	101
0	Max	-1444	56006.80	130	1064.74	97	12011.60	162	2591.56	98	637.17	173	311.35	173	3988.88	98	6420.35	101
0	Max	-1685	56006.80	130	1064.74	97	12011.60	162	2591.56	98	637.17	173	311.35	173	3988.88	98	6420.35	101
0	Max	-1414	56006.80	130	1064.74	97	12011.60	162	2591.56	98	637.17	173	311.35	173	3988.88	98	6420.35	101
0	Min.	-1447	-45313.20	101	-5136.64	177	-7457.34	177	-756.90	101	-602.54	101	-272.19	101	-15328.30	101	-15294.00	98
0	Min.	-1444	-45313.20	101	-5136.64	177	-7457.34	177	-756.90	101	-602.54	101	-272.19	101	-15328.30	101	-15294.00	98
0	Min.	-1685	-45313.20	101	-5136.64	177	-7457.34	177	-756.90	101	-602.54	101	-272.19	101	-15328.30	101	-15294.00	98
0	Min.	-1414	-45313.20	101	-5136.64	177	-7457.34	177	-756.90	101	-602.54	101	-272.19	101	-15328.30	101	-15294.00	98
0	Max	-1451	59035.40	130	1405.18	165	11631.30	162	3805.43	98	881.70	173	319.00	173	840.72	17	-2376.73	17
0	Max	-1931	59035.40	130	1405.18	165	11631.30	162	3805.43	98	881.70	173	319.00	173	840.72	17	-2376.73	17
0	Max	-1930	59035.40	130	1405.18	165	11631.30	162	3805.43	98	881.70	173	319.00	173	840.72	17	-2376.73	17
0	Max	-1618	59035.40	130	1405.18	165	11631.30	162	3805.43	98	881.70	173	319.00	173	840.72	17	-2376.73	17
0	Min.	-1451	-50122.70	101	-3709.57	177	-8486.34	177	-471.94	101	-629.63	101	-183.84	17	-42635.50	102	-31290.40	102
0	Min.	-1931	-50122.70	101	-3709.57	177	-8486.34	177	-471.94	101	-629.63	101	-183.84	17	-42635.50	102	-31290.40	102
0	Min.	-1930	-50122.70	101	-3709.57	177	-8486.34	177	-471.94	101	-629.63	101	-183.84	17	-42635.50	102	-31290.40	102
0	Min.	-1618	-50122.70	101	-3709.57	177	-8486.34	177	-471.94	101	-629.63	101	-183.84	17	-42635.50	102	-31290.40	102
0	Max	-1543	12974.50	130	3105.42	101	4432.34	101	190.00	158	150.15	173	236.78	110	5556.72	158	13632.20	101
0	Max	-1608	12974.50	130	3105.42	101	4432.34	101	190.00	158	150.15	173	236.78	110	5556.72	158	13632.20	101
0	Max	-1407	12974.50	130	3105.42	101	4432.34	101	190.00	158	150.15	173	236.78	110	5556.72	158	13632.20	101
0	Max	-1408	12974.50	130	3105.42	101	4432.34	101	190.00	158	150.15	173	236.78	110	5556.72	158	13632.20	101
0	Min.	-1543	-10883.00	101	-3683.16	130	-7214.70	177	-222.71	101	-201.80	177	-177.51	161	-6225.13	1	-12269.80	158
0	Min.	-1608	-10883.00	101	-3683.16	130	-7214.70	177	-222.71	101	-201.80	177	-177.51	161	-6225.13	1	-12269.80	158
0	Min.	-1407	-10883.00	101	-3683.16	130	-7214.70	177	-222.71	101	-201.80	177	-177.51	161	-6225.13	1	-12269.80	158
0	Min.	-1408	-10883.00	101	-3683.16	130	-7214.70	177	-222.71	101	-201.80	177	-177.51	161	-6225.13	1	-12269.80	158
0	Max	-1542	24975.40	130	1196.78	162	1563.90	101	673.32	158	166.65	173	239.52	173	2935.66	1	7656.72	101
0	Max	-1543	24975.40	130	1196.78	162	1563.90	101	673.32	158	166.65	173	239.52	173	2935.66	1	7656.72	101
0	Max	-1408	24975.40	130	1196.78	162	1563.90	101	673.32	158	166.65	173	239.52	173	2935.66	1	7656.72	101
0	Max	-1409	24975.40	130	1196.78	162	1563.90	101	673.32	158	166.65	173	239.52	173	2935.66	1	7656.72	101
0	Min.	-1542	-20720.00	101	-829.14	173	-9183.94	177	-668.24	101	-186.29	177	-182.55	164	-4428.22	162	-9337.58	158
0	Min.	-1543	-20720.00	101	-829.14	173	-9183.94	177	-668.24	101	-186.29	177	-182.55	164	-4428.22	162	-9337.58	158
0	Min.	-1408	-20720.00	101	-829.14	173	-9183.94	177	-668.24	101	-186.29	177	-182.55	164	-4428.22	162	-9337.58	158
0	Min.	-1409	-20720.00	101	-829.14	173	-9183.94	177	-668.24	101	-186.29	177	-182.55	164	-4428.22	162	-9337.58	158
0	Max	-1541	36178.10	130	2584.36	162	2113.87	125	1159.55	158	216.31	173	252.50	173	2149.00	177	5091.15	101
0	Max	-1542	36178.10	130	2584.36	162	2113.87	125	1159.55	158	216.31	173	252.50	173	2149.00	177	5091.15	101
0	Max	-1409	36178.10	130	2584.36	162	2113.87	125	1159.55	158	216.31	173	252.50	173	2149.00	177	5091.15	101
0	Max	-1437	36178.10	130	2584.36	162	2113.87	125	1159.55	158	216.31	173	252.50	173	2149.00	177	5091.15	101
0	Min.	-1541	-29513.60	101	-3008.46	177	-10288.80	177	-913.23	101	-306.25	177	-166.55	125	-3829.60	162	-9582.64	122
0	Min.	-1542	-29513.60	101	-3008.46	177	-10288.80	177	-913.23	101	-306.25	177	-166.55	125	-3829.60	162	-9582.64	122
0	Min.	-1409	-29513.60	101	-3008.46	177	-10288.80	177	-913.23	101	-306.25	177	-166.55	125	-3829.60	162	-9582.64	122
0	Min.	-1437	-29513.60	101	-3008.46	177	-10288.80	177	-913.23	101	-306.25	177	-166.55	125	-3829.60	162	-9582.64	122
0	Max	-1860	44292.40	130	3237.71	162	2851.72	125	1546.64	158	279.71	173	312.51	130	4335.95	177	3223.05	101
0	Max	-1541	44292.40	130	3237.71	162	2851.72	125	1546.64	158	279.71	173	312.51	130	4335.95	177	3223.05	101
0	Max	-1437	44292.40	130	3237.71	162	2851.72	125	1546.64	158	279.71	173	312.51	130	4335.95	177	3223.05	101
0	Max	-1440	44292.40	130	3237.71	162	2851.72	125	1546.64	158	279.71	173	312.51	130	4335.95	177	3223.05	101
0	Min.	-1860	-35587.50	101	-8651.91	177	-9638.68	177	-927.59	101	-337.21	177	-281.25	101	-3483.19	125	-10143.60	98
0	Min.	-1541	-35587.50	101	-8651.91	177	-9638.68	177	-927.59	101	-337.21	177	-281.25	101	-3483.19	125	-10143.60	98

0	Min.	-1437	-35587.50	101	-8651.91	177	-9638.68	177	-927.59	101	-337.21	177	-281.25	101	-3483.19	125	-10143.60	98
0	Min.	-1440	-35587.50	101	-8651.91	177	-9638.68	177	-927.59	101	-337.21	177	-281.25	101	-3483.19	125	-10143.60	98
0	Max	-1855	50547.30	130	1680.68	125	5314.07	161	1869.14	122	363.11	173	425.10	130	4528.32	177	2132.45	101
0	Max	-1860	50547.30	130	1680.68	125	5314.07	161	1869.14	122	363.11	173	425.10	130	4528.32	177	2132.45	101
0	Max	-1440	50547.30	130	1680.68	125	5314.07	161	1869.14	122	363.11	173	425.10	130	4528.32	177	2132.45	101
0	Max	-1444	50547.30	130	1680.68	125	5314.07	161	1869.14	122	363.11	173	425.10	130	4528.32	177	2132.45	101
0	Min.	-1855	-40410.40	101	-9034.54	177	-6122.15	177	-732.84	101	-336.13	177	-364.88	101	-5607.57	101	-11623.60	98
0	Min.	-1860	-40410.40	101	-9034.54	177	-6122.15	177	-732.84	101	-336.13	177	-364.88	101	-5607.57	101	-11623.60	98
0	Min.	-1440	-40410.40	101	-9034.54	177	-6122.15	177	-732.84	101	-336.13	177	-364.88	101	-5607.57	101	-11623.60	98
0	Min.	-1444	-40410.40	101	-9034.54	177	-6122.15	177	-732.84	101	-336.13	177	-364.88	101	-5607.57	101	-11623.60	98
0	Max	-1854	55154.80	130	1031.05	101	8025.27	161	2563.89	98	535.46	173	375.37	173	3292.68	110	-1517.30	149
0	Max	-1855	55154.80	130	1031.05	101	8025.27	161	2563.89	98	535.46	173	375.37	173	3292.68	110	-1517.30	149
0	Max	-1444	55154.80	130	1031.05	101	8025.27	161	2563.89	98	535.46	173	375.37	173	3292.68	110	-1517.30	149
0	Max	-1447	55154.80	130	1031.05	101	8025.27	161	2563.89	98	535.46	173	375.37	173	3292.68	110	-1517.30	149
0	Min.	-1854	-44643.50	101	-4644.94	177	-5294.89	177	-658.84	101	-277.66	177	-250.54	101	-18100.40	101	-16085.00	98
0	Min.	-1855	-44643.50	101	-4644.94	177	-5294.89	177	-658.84	101	-277.66	177	-250.54	101	-18100.40	101	-16085.00	98
0	Min.	-1444	-44643.50	101	-4644.94	177	-5294.89	177	-658.84	101	-277.66	177	-250.54	101	-18100.40	101	-16085.00	98
0	Min.	-1447	-44643.50	101	-4644.94	177	-5294.89	177	-658.84	101	-277.66	177	-250.54	101	-18100.40	101	-16085.00	98
0	Max	-1841	58584.50	130	1767.20	130	9164.69	162	3617.99	98	1046.64	98	427.02	173	4692.32	98	-2835.85	17
0	Max	-1932	58584.50	130	1767.20	130	9164.69	162	3617.99	98	1046.64	98	427.02	173	4692.32	98	-2835.85	17
0	Max	-1931	58584.50	130	1767.20	130	9164.69	162	3617.99	98	1046.64	98	427.02	173	4692.32	98	-2835.85	17
0	Max	-1451	58584.50	130	1767.20	130	9164.69	162	3617.99	98	1046.64	98	427.02	173	4692.32	98	-2835.85	17
0	Min.	-1841	-49072.10	101	-3588.73	177	-6855.80	177	-291.59	101	-98.37	177	-178.88	17	-19594.80	101	-24662.30	102
0	Min.	-1932	-49072.10	101	-3588.73	177	-6855.80	177	-291.59	101	-98.37	177	-178.88	17	-19594.80	101	-24662.30	102
0	Min.	-1931	-49072.10	101	-3588.73	177	-6855.80	177	-291.59	101	-98.37	177	-178.88	17	-19594.80	101	-24662.30	102
0	Min.	-1451	-49072.10	101	-3588.73	177	-6855.80	177	-291.59	101	-98.37	177	-178.88	17	-19594.80	101	-24662.30	102
0	Max	-1606	13381.50	130	585.93	130	5240.43	101	208.13	158	102.73	173	200.44	109	4669.77	158	13836.60	101
0	Max	-1617	13381.50	130	585.93	130	5240.43	101	208.13	158	102.73	173	200.44	109	4669.77	158	13836.60	101
0	Max	-2127	13381.50	130	585.93	130	5240.43	101	208.13	158	102.73	173	200.44	109	4669.77	158	13836.60	101
0	Max	-2128	13381.50	130	585.93	130	5240.43	101	208.13	158	102.73	173	200.44	109	4669.77	158	13836.60	101
0	Min.	-1606	-11078.00	101	-1922.50	177	-6515.25	130	-236.37	101	-164.47	177	-182.80	162	-5396.26	1	-14317.20	158
0	Min.	-1617	-11078.00	101	-1922.50	177	-6515.25	130	-236.37	101	-164.47	177	-182.80	162	-5396.26	1	-14317.20	158
0	Min.	-2127	-11078.00	101	-1922.50	177	-6515.25	130	-236.37	101	-164.47	177	-182.80	162	-5396.26	1	-14317.20	158
0	Min.	-2128	-11078.00	101	-1922.50	177	-6515.25	130	-236.37	101	-164.47	177	-182.80	162	-5396.26	1	-14317.20	158
0	Max	-1605	28675.30	130	835.27	130	3015.38	101	733.22	158	48.46	173	216.78	173	2789.98	17	8133.74	101
0	Max	-1606	28675.30	130	835.27	130	3015.38	101	733.22	158	48.46	173	216.78	173	2789.98	17	8133.74	101
0	Max	-2128	28675.30	130	835.27	130	3015.38	101	733.22	158	48.46	173	216.78	173	2789.98	17	8133.74	101
0	Max	-2129	28675.30	130	835.27	130	3015.38	101	733.22	158	48.46	173	216.78	173	2789.98	17	8133.74	101
0	Min.	-1605	-23826.70	101	-1232.42	177	-4156.89	130	-710.15	101	-61.20	177	-170.90	125	-2073.45	168	-10934.00	158
0	Min.	-1606	-23826.70	101	-1232.42	177	-4156.89	130	-710.15	101	-61.20	177	-170.90	125	-2073.45	168	-10934.00	158
0	Min.	-2128	-23826.70	101	-1232.42	177	-4156.89	130	-710.15	101	-61.20	177	-170.90	125	-2073.45	168	-10934.00	158
0	Min.	-2129	-23826.70	101	-1232.42	177	-4156.89	130	-710.15	101	-61.20	177	-170.90	125	-2073.45	168	-10934.00	158
0	Max	-1604	41935.70	130	2116.55	130	2148.23	101	1084.43	158	63.62	173	270.38	173	2229.07	1	1097.51	125
0	Max	-1605	41935.70	130	2116.55	130	2148.23	101	1084.43	158	63.62	173	270.38	173	2229.07	1	1097.51	125
0	Max	-2129	41935.70	130	2116.55	130	2148.23	101	1084.43	158	63.62	173	270.38	173	2229.07	1	1097.51	125
0	Max	-2130	41935.70	130	2116.55	130	2148.23	101	1084.43	158	63.62	173	270.38	173	2229.07	1	1097.51	125
0	Min.	-1604	-34617.10	101	-3796.71	177	-4582.87	177	-858.06	101	-69.38	162	-307.46	162	-13972.40	177	-8616.15	98
0	Min.	-1605	-34617.10	101	-3796.71	177	-4582.87	177	-858.06	101	-69.38	162	-307.46	162	-13972.40	177	-8616.15	98
0	Min.	-2129	-34617.10	101	-3796.71	177	-4582.87	177	-858.06	101	-69.38	162	-307.46	162	-13972.40	177	-8616.15	98
0	Min.	-2130	-34617.10	101	-3796.71	177	-4582.87	177	-858.06	101	-69.38	162	-307.46	162	-13972.40	177	-8616.15	98
0	Max	-1603	57377.60	130	2941.40	130	7035.80	162	2726.71	158	161.49	158	715.78	130	18355.10	177	38702.60	101
0	Max	-1604	57377.60	130	2941.40	130	7035.80	162	2726.71	158	161.49	158	715.78	130	18355.10	177	38702.60	101
0	Max	-2130	57377.60	130	2941.40	130	7035.80	162	2726.71	158	161.49	158	715.78	130	18355.10	177	38702.60	101
0	Max	-2131	57377.60	130	2941.40	130	7035.80	162	2726.71	158	161.49	158	715.78	130	18355.10	177	38702.60	101
0	Min.	-1603	-47303.00	101	-9339.90	177	-8530.25	177	-1765.35	101	-1069.38	177	-596.19	101	-19323.60	162	-65913.00	130
0	Min.	-1604	-47303.00	101	-9339.90	177	-8530.25	177	-1765.35	101	-1069.38	177	-596.19	101	-19323.60	162	-65913.00	130
0	Min.	-2130	-47303.00	101	-9339.90	177	-8530.25	177	-1765.35	101	-1069.38	177	-596.19	101	-19323.60	162	-65913.00	130
0	Min.	-2131	-47303.00	101	-9339.90	177	-8530.25	177	-1765.35	101	-1069.38	177	-596.19	101	-19323.60	162	-65913.00	130
0	Max	-1602	38515.00	130	1709.22	101	7801.81	162	1997.35	98	114.92	98	857.83	130	17511.40	177	34161.40	101
0	Max	-1603	38515.00	130	1709.22	101	7801.81	162	1997.35	98	114.92	98	857.83	130	17511.40	177	34161.40	101
0	Max	-2131	38515.00	130	1709.22	101	7801.81	162	1997.35	98	114.92	98	857.83	130	17511.40	177	34161.40	101
0	Max	-2132	38515.00	130	1709.22	101	7801.81	162	1997.35	98	114.92	98	857.83	130	17511.40	177	34161.40	101
0	Min.	-1602	-29461.20	101	-9420.93	177	-5615.52	101	-108.44	125	-1061.80	177	-605.46	101	-10364.20	101	-51810.60	130
0	Min.	-1603	-29461.20	101	-9420.93	177	-5615.52	101	-108.44	125	-1061.80	177	-605.46	101	-10364.20	101	-51810.60	130
0	Min.	-2131	-29461.20	101	-9420.93	177	-5615.52	101	-108.44	125	-1061.80	177	-605.46	101	-10364.20	101	-51810.60	130
0	Min.	-2132	-29461.20	101	-9420.93	177	-5615.52	101	-108.44	125	-1061.80	177	-605.46	101	-10364.20	101	-51810.60	130
0	Max	-1601	50439.30	130	1135.84	97	3015.36	161	2545.80	98	168.11	173	505.95	173	8414.67	130	94.68	161
0	Max	-1602	50439.30	130	1135.84	97	3015.36	161	2545.80	98	168.11	173	505.95	173	8414.67	130	94.68	161
0	Max	-2132	50439.30	130	1135.84	97	3015.36	161	2545.80	98	168.11	173	505.95	173	8414.67	130	94.68	161
0	Max	-2133	50439.30	130	1135.84	97	3015.36	161	2545.80	98	168.11	173	505.95	173	8414.67	130	94.68	161
0	Min.	-1601	-40798.00	101	-4331.31	177	-1897.81	177	-586.16	101	-18.99	17	-97.26	65	-13697.30	177	-11915.70	98
0	Min.	-1602	-40798.00	101	-4331.31	177	-1897.81	177	-586.16	101	-18.99	17	-97.26	65	-13697.30	177	-11915.70	98
0	Min.	-2132	-40798.00	101	-4331.31	177	-1897.81	177	-586.16	101	-18.99	17	-97.26	65	-13697.30	177	-11915.70	98
0	Min.	-2133	-40798.00	101	-4331.31	177	-1897.81	177	-586.16	101	-18.99	17	-97.26	65	-13697.30	177	-11915.70	98
0	Max	-1600	57685.20	130	2216.25	98	4440.08	161	3608.13	98	301.26	173	683.87	173	17628.30	122	-1847.94	17
0	Max	-1933	57685.20	130	2216.25	98	4440.08	161	3608.13	98	301.26	173	683.87	173	17628.30	122	-1847.94	17
0	Max	-2134	57685.20	130	2216.25	98	4440.08	161	3608.13	98	301.26	173	683.87	173	17628.30	122	-1847.94	17
0	Max	-2135	57685.20	130	2216.25	98	4440.08	161	3608.13	98	301.26	173	683.87	173	17628.30	122	-1847.94	17
0	Min.	-1600	-50460.10	101	-1853.92	177	-2902.45	177	-116.88	1	-59.96	177	-146.99	17	1685.84	17	-13164.70	102
0	Min.	-1933	-50460.10	101	-1853.92	177	-2902.45	177	-116.88	1	-59.96	177	-146.99	17	1685.84	17	-13164.70	102
0	Min.	-2134	-50460.10	101	-1853.92	177	-2902.45	177	-116.88	1	-59.96	177	-146.99	17	1685.84	17	-13164.70	102
0	Min.	-2135	-50460.10	101	-1853.92	177	-2902.45	177	-116.88	1	-59.96	177	-146.99	17	1685.84	17	-13164.70	102
0	Max	-1822	59384.80	130	2519.36	166	12421.00	162	3331.20	130	145.34	173	387.50	162	61601.90	98	109017.00	98
0	Max	-1539	59384.80	130	2519.36	166	12421.00	162	3331.20	130	145.34	173	387.50	162	61601.90	98	109017.00	98
0	Max	-2136	59384.80	130	2519.36	166	12421.00	162	3331.20	130	145.34	173	387.50	162	61601.90	98	109017.00	98
0	Max	-2137	59384.80	130	2519.36	166	12421.00	162	3331.20	130	145.34	173	387.50	162	61601.90	98	109017.00	98
0	Min.	-1822	-70354.40	101	-6453.58	177	-10464.40	97	-230.53	1	-1334.53	177	-1414.43	97	5706.01	17	-20649.20	161
0	Min.	-1539	-70354.40	101	-6453.58	177	-10464.40	97	-230.53	1	-1334.53	177	-1414.43	97	5706.01	17	-20649.20	161
0	Min.	-2136	-70354.40	101	-6453.58	177	-10464.40	97	-230.53	1	-1334.53	177	-1414.43	97	5706.01	17	-20649.20	161
0	Min.	-2137	-70354.40	101	-6453.58	177	-10464.40	97	-230.53	1	-1334.53	177	-1414.43	97	5706.01	17	-20649.20	161
0	Max	-1821	46136.80	106	3280.68	98	7807.44	162	2991.55	98	197.64	173	492.68	173	15208.90	162	58748.90	98
0	Max	-1934	46136.80	106	3280.68	98	7807.44	162	2991.55	98	197.64	173	492.68	173	15208.90	162	58748.90	98
0	Max	-2138	46136.80	106	3280.68	98	7807.44	162	2991.55	98	197.64	173	492.68	173	15208.90	162	58748.90	98
0	Max	-2139	46136.80	106	3280.68	98	7807.44	162	2991.55	98	197.64	173	492.68	173	15208.90	162	58748.90	98
0	Min.	-1821	-57347.50	101	-4508.89	177	-1236.30	101	-240.28	101	-325.81	177	-557.82	98	-26167.30	177	-4689.64	161
0	Min.	-1934	-57347.50	101	-4508.89	177	-1236.30	101	-240.28	101	-325.81	177	-557.82	98	-26167.30	177	-4689.64	161
0	Min.	-2138	-57347.50	101	-4508.89	177	-1236.30	101	-240.28	101	-325.81	177	-557.82	98	-26167.30	177	-4689.64	161
0	Min.	-2139	-57347.50	101	-4508.89	177	-1236.30	101	-240.28	101	-325.81	177	-557.82	98	-26167.30	177	-4689.64	161
0	Max	-1820	32769.60	130	1894.40	98	8037.66	158	1609.07	106	167.39	173	639.17	173	12070.10	173	31320.00	98
0	Max	-1821	32769.60	130	1894.40	98	8037.66	158	1609.07	106	167.39	173	639.17	173	12070.10	173	31320.00	98
0	Max	-2139	32769.60	130	1894.40	98	8037.66	158	1609.07	106	167.39	173	639.17	173	12070.10	173	31320.00	98
0	Max	-2140	32769.60	130	1894.40	98	8037.66	158	1609.07	106	167.39	173	639.17	173	12070.10	173	31320.00	98
0	Min.	-1820	-67235.50	101	-2815.46	177	-477.30	177	-920.59	101	-128.88	177	-499.32	98	-3255.67	177	973.11	17
0	Min.	-1821	-67235.50	101	-2815.46	177	-477.30	177	-920.59	101	-128.88	177	-499.32	98	-3255.67	177	973.11	17
0	Min.	-2139	-67235.50	101	-2815.46	177	-477.30	177	-920.59	101	-128.88	177	-499.32	98	-3255.67	177	973.11	17

0	Min.	-2140	-67235.50	101	-2815.46	177	-477.30	177	-920.59	101	-128.88	177	-499.32	98	-3255.67	177	973.11	17
0	Max	-1819	28586.80	162	623.46	173	7572.13	122	893.43	130	141.27	173	726.95	173	2668.49	162	28995.40	98
0	Max	-1820	28586.80	162	623.46	173	7572.13	122	893.43	130	141.27	173	726.95	173	2668.49	162	28995.40	98
0	Max	-2140	28586.80	162	623.46	173	7572.13	122	893.43	130	141.27	173	726.95	173	2668.49	162	28995.40	98
0	Max	-2141	28586.80	162	623.46	173	7572.13	122	893.43	130	141.27	173	726.95	173	2668.49	162	28995.40	98
0	Min.	-1819	-77002.90	101	-4247.34	177	-623.81	177	-1391.52	101	-46.03	101	-546.04	98	-6147.98	97	496.70	17
0	Min.	-1820	-77002.90	101	-4247.34	177	-623.81	177	-1391.52	101	-46.03	101	-546.04	98	-6147.98	97	496.70	17
0	Min.	-2140	-77002.90	101	-4247.34	177	-623.81	177	-1391.52	101	-46.03	101	-546.04	98	-6147.98	97	496.70	17
0	Min.	-2141	-77002.90	101	-4247.34	177	-623.81	177	-1391.52	101	-46.03	101	-546.04	98	-6147.98	97	496.70	17
0	Max	-1818	25299.60	162	908.08	165	7864.50	122	373.62	130	177.27	173	1131.38	173	17826.50	173	16588.40	98
0	Max	-1819	25299.60	162	908.08	165	7864.50	122	373.62	130	177.27	173	1131.38	173	17826.50	173	16588.40	98
0	Max	-2141	25299.60	162	908.08	165	7864.50	122	373.62	130	177.27	173	1131.38	173	17826.50	173	16588.40	98
0	Max	-2142	25299.60	162	908.08	165	7864.50	122	373.62	130	177.27	173	1131.38	173	17826.50	173	16588.40	98
0	Min.	-1818	-91535.40	97	-6149.63	177	-1266.95	177	-1655.00	101	-68.27	101	-371.98	17	-13957.30	177	28.09	17
0	Min.	-1819	-91535.40	97	-6149.63	177	-1266.95	177	-1655.00	101	-68.27	101	-371.98	17	-13957.30	177	28.09	17
0	Min.	-2141	-91535.40	97	-6149.63	177	-1266.95	177	-1655.00	101	-68.27	101	-371.98	17	-13957.30	177	28.09	17
0	Min.	-2142	-91535.40	97	-6149.63	177	-1266.95	177	-1655.00	101	-68.27	101	-371.98	17	-13957.30	177	28.09	17
0	Max	-1817	22293.70	162	1162.42	165	9507.03	161	275.62	162	810.87	173	265.31	173	18864.20	177	97158.10	98
0	Max	-1818	22293.70	162	1162.42	165	9507.03	161	275.62	162	810.87	173	265.31	173	18864.20	177	97158.10	98
0	Max	-2142	22293.70	162	1162.42	165	9507.03	161	275.62	162	810.87	173	265.31	173	18864.20	177	97158.10	98
0	Max	-2143	22293.70	162	1162.42	165	9507.03	161	275.62	162	810.87	173	265.31	173	18864.20	177	97158.10	98
0	Min.	-1817	-128325.00	97	-10617.60	177	-7304.23	98	-3873.70	97	-1052.70	177	-1548.95	98	-5772.19	125	-15693.90	161
0	Min.	-1818	-128325.00	97	-10617.60	177	-7304.23	98	-3873.70	97	-1052.70	177	-1548.95	98	-5772.19	125	-15693.90	161
0	Min.	-2142	-128325.00	97	-10617.60	177	-7304.23	98	-3873.70	97	-1052.70	177	-1548.95	98	-5772.19	125	-15693.90	161
0	Min.	-2143	-128325.00	97	-10617.60	177	-7304.23	98	-3873.70	97	-1052.70	177	-1548.95	98	-5772.19	125	-15693.90	161
0	Max	-1816	2225.19	49	7322.51	173	8927.27	161	353.93	106	938.59	173	243.71	125	14234.70	177	96897.00	98
0	Max	-1817	2225.19	49	7322.51	173	8927.27	161	353.93	106	938.59	173	243.71	125	14234.70	177	96897.00	98
0	Max	-2143	2225.19	49	7322.51	173	8927.27	161	353.93	106	938.59	173	243.71	125	14234.70	177	96897.00	98
0	Max	-2144	2225.19	49	7322.51	173	8927.27	161	353.93	106	938.59	173	243.71	125	14234.70	177	96897.00	98
0	Min.	-1816	-101026.00	97	-9201.08	177	-8954.83	173	-1685.94	125	-1031.66	177	-1573.63	98	-24276.10	173	-15601.90	161
0	Min.	-1817	-101026.00	97	-9201.08	177	-8954.83	173	-1685.94	125	-1031.66	177	-1573.63	98	-24276.10	173	-15601.90	161
0	Min.	-2143	-101026.00	97	-9201.08	177	-8954.83	173	-1685.94	125	-1031.66	177	-1573.63	98	-24276.10	173	-15601.90	161
0	Min.	-2144	-101026.00	97	-9201.08	177	-8954.83	173	-1685.94	125	-1031.66	177	-1573.63	98	-24276.10	173	-15601.90	161
0	Max	-1815	-794.14	162	2813.40	173	8399.79	158	-135.62	65	37.07	65	784.06	173	7295.37	173	11384.90	173
0	Max	-1816	-794.14	162	2813.40	173	8399.79	158	-135.62	65	37.07	65	784.06	173	7295.37	173	11384.90	173
0	Max	-2144	-794.14	162	2813.40	173	8399.79	158	-135.62	65	37.07	65	784.06	173	7295.37	173	11384.90	173
0	Max	-2145	-794.14	162	2813.40	173	8399.79	158	-135.62	65	37.07	65	784.06	173	7295.37	173	11384.90	173
0	Min.	-1815	-130730.00	97	-4645.98	177	-980.72	101	-3867.86	97	-203.59	98	-391.21	121	-16505.90	177	-1737.72	101
0	Min.	-1816	-130730.00	97	-4645.98	177	-980.72	101	-3867.86	97	-203.59	98	-391.21	121	-16505.90	177	-1737.72	101
0	Min.	-2144	-130730.00	97	-4645.98	177	-980.72	101	-3867.86	97	-203.59	98	-391.21	121	-16505.90	177	-1737.72	101
0	Min.	-2145	-130730.00	97	-4645.98	177	-980.72	101	-3867.86	97	-203.59	98	-391.21	121	-16505.90	177	-1737.72	101
0	Max	-1814	-2977.75	162	725.77	158	7390.61	158	-199.67	65	74.04	173	662.13	173	3082.53	173	14860.80	173
0	Max	-2087	-2977.75	162	725.77	158	7390.61	158	-199.67	65	74.04	173	662.13	173	3082.53	173	14860.80	173
0	Max	-2146	-2977.75	162	725.77	158	7390.61	158	-199.67	65	74.04	173	662.13	173	3082.53	173	14860.80	173
0	Max	-2147	-2977.75	162	725.77	158	7390.61	158	-199.67	65	74.04	173	662.13	173	3082.53	173	14860.80	173
0	Min.	-1814	-149974.00	97	-4073.07	177	-1546.92	177	-4783.77	97	-97.44	97	-404.51	98	-16356.90	98	-3958.72	101
0	Min.	-2087	-149974.00	97	-4073.07	177	-1546.92	177	-4783.77	97	-97.44	97	-404.51	98	-16356.90	98	-3958.72	101
0	Min.	-2146	-149974.00	97	-4073.07	177	-1546.92	177	-4783.77	97	-97.44	97	-404.51	98	-16356.90	98	-3958.72	101
0	Min.	-2147	-149974.00	97	-4073.07	177	-1546.92	177	-4783.77	97	-97.44	97	-404.51	98	-16356.90	98	-3958.72	101
0	Max	-1813	-4784.33	162	5255.75	173	9276.63	158	-214.99	17	326.15	173	547.61	173	42329.60	173	7794.87	106
0	Max	-2089	-4784.33	162	5255.75	173	9276.63	158	-214.99	17	326.15	173	547.61	173	42329.60	173	7794.87	106
0	Max	-2148	-4784.33	162	5255.75	173	9276.63	158	-214.99	17	326.15	173	547.61	173	42329.60	173	7794.87	106
0	Max	-2149	-4784.33	162	5255.75	173	9276.63	158	-214.99	17	326.15	173	547.61	173	42329.60	173	7794.87	106
0	Min.	-1813	-160881.00	97	-6474.87	177	-4023.85	177	-5058.72	98	-243.99	177	-249.45	177	-21267.50	177	-8390.49	101
0	Min.	-2089	-160881.00	97	-6474.87	177	-4023.85	177	-5058.72	98	-243.99	177	-249.45	177	-21267.50	177	-8390.49	101
0	Min.	-2148	-160881.00	97	-6474.87	177	-4023.85	177	-5058.72	98	-243.99	177	-249.45	177	-21267.50	177	-8390.49	101
0	Min.	-2149	-160881.00	97	-6474.87	177	-4023.85	177	-5058.72	98	-243.99	177	-249.45	177	-21267.50	177	-8390.49	101
0	Max	-1533	-5720.66	161	26394.50	173	17659.40	157	283.72	161	3199.34	173	841.97	125	35170.20	177	40812.70	106
0	Max	-1813	-5720.66	161	26394.50	173	17659.40	157	283.72	161	3199.34	173	841.97	125	35170.20	177	40812.70	106
0	Max	-2149	-5720.66	161	26394.50	173	17659.40	157	283.72	161	3199.34	173	841.97	125	35170.20	177	40812.70	106
0	Max	-2150	-5720.66	161	26394.50	173	17659.40	157	283.72	161	3199.34	173	841.97	125	35170.20	177	40812.70	106
0	Min.	-1533	-164240.00	98	-17705.50	177	-6478.08	177	-4930.80	98	-1413.58	177	-611.86	106	-132279.00	173	-66745.80	125
0	Min.	-1813	-164240.00	98	-17705.50	177	-6478.08	177	-4930.80	98	-1413.58	177	-611.86	106	-132279.00	173	-66745.80	125
0	Min.	-2149	-164240.00	98	-17705.50	177	-6478.08	177	-4930.80	98	-1413.58	177	-611.86	106	-132279.00	173	-66745.80	125
0	Min.	-2150	-164240.00	98	-17705.50	177	-6478.08	177	-4930.80	98	-1413.58	177	-611.86	106	-132279.00	173	-66745.80	125
0	Max	-1812	-9291.29	65	26968.90	173	15863.40	157	-109.09	65	3412.58	173	861.61	125	35170.30	177	78990.00	173
0	Max	-1533	-9291.29	65	26968.90	173	15863.40	157	-109.09	65	3412.58	173	861.61	125	35170.30	177	78990.00	173
0	Max	-2150	-9291.29	65	26968.90	173	15863.40	157	-109.09	65	3412.58	173	861.61	125	35170.30	177	78990.00	173
0	Max	-2151	-9291.29	65	26968.90	173	15863.40	157	-109.09	65	3412.58	173	861.61	125	35170.30	177	78990.00	173
0	Min.	-1812	-164240.00	97	-17705.50	177	-15885.80	173	-4982.91	173	-1413.58	177	-1609.09	173	-149398.00	173	-64104.90	125
0	Min.	-1533	-164240.00	97	-17705.50	177	-15885.80	173	-4982.91	173	-1413.58	177	-1609.09	173	-149398.00	173	-64104.90	125
0	Min.	-2150	-164240.00	97	-17705.50	177	-15885.80	173	-4982.91	173	-1413.58	177	-1609.09	173	-149398.00	173	-64104.90	125
0	Min.	-2151	-164240.00	97	-17705.50	177	-15885.80	173	-4982.91	173	-1413.58	177	-1609.09	173	-149398.00	173	-64104.90	125
0	Max	-1811	-9141.93	17	433.10	106	5804.09	158	-214.69	65	50.45	17	285.45	97	575.09	49	5750.75	106
0	Max	-2091	-9141.93	17	433.10	106	5804.09	158	-214.69	65	50.45	17	285.45	97	575.09	49	5750.75	106
0	Max	-2152	-9141.93	17	433.10	106	5804.09	158	-214.69	65	50.45	17	285.45	97	575.09	49	5750.75	106
0	Max	-2153	-9141.93	17	433.10	106	5804.09	158	-214.69	65	50.45	17	285.45	97	575.09	49	5750.75	106
0	Min.	-1811	-160167.00	98	-4061.92	177	-4177.25	173	-4892.32	98	-146.73	177	-300.79	173	-23326.00	173	-38230.50	173
0	Min.	-2091	-160167.00	98	-4061.92	177	-4177.25	173	-4892.32	98	-146.73	177	-300.79	173	-23326.00	173	-38230.50	173
0	Min.	-2152	-160167.00	98	-4061.92	177	-4177.25	173	-4892.32	98	-146.73	177	-300.79	173	-23326.00	173	-38230.50	173
0	Min.	-2153	-160167.00	98	-4061.92	177	-4177.25	173	-4892.32	98	-146.73	177	-300.79	173	-23326.00	173	-38230.50	173
0	Max	-1810	-7077.74	17	104.70	49	4859.45	158	-160.01	17	47.11	17	562.76	97	5132.79	125	969.35	49
0	Max	-2093	-7077.74	17	104.70	49	4859.45	158	-160.01	17	47.11	17	562.76	97	5132.79	125	969.35	49
0	Max	-2154	-7077.74	17	104.70	49	4859.45	158	-160.01	17	47.11	17	562.76	97	5132.79	125	969.35	49
0	Max	-2155	-7077.74	17	104.70	49	4859.45	158	-160.01	17	47.11	17	562.76	97	5132.79	125	969.35	49
0	Min.	-1810	-147231.00	98	-4680.59	177	-2558.94	173	-4367.56	98	-82.15	98	-427.98	173	-3742.65	98	-21290.20	173
0	Min.	-2093	-147231.00	98	-4680.59	177	-2558.94	173	-4367.56	98	-82.15	98	-427.98	173	-3742.65	98	-21290.20	173
0	Min.	-2154	-147231.00	98	-4680.59	177	-2558.94	173	-4367.56	98	-82.15	98	-427.98	173	-3742.65	98	-21290.20	173
0	Min.	-2155	-147231.00	98	-4680.59	177	-2558.94	173	-4367.56	98	-82.15	98	-427.98	173	-3742.65	98	-21290.20	173
0	Max	-1809	-5026.24	17	2673.56	173	4118.55	130	-135.62	17	37.07	17	353.04	98	4969.25	173	5080.50	130
0	Max	-1810	-5026.24	17	2673.56	173	4118.55	130	-135.62	17	37.07	17	353.04	98	4969.25	173	5080.50	130
0	Max	-2155	-5026.24	17	2673.56	173	4118.55	130	-135.62	17	37.07	17	353.04	98	4969.25	173	5080.50	130
0	Max	-2156	-5026.24	17	2673.56	173	4118.55	130	-135.62	17	37.07	17	353.04	98	4969.25	173	5080.50	130
0	Min.	-1809	-130730.00	98	-4645.98	177	-3998.70	97	-3867.87	98	-203.59	97	-692.51	173	-16505.90	177	-13070.30	173
0	Min.	-1810	-130730.00	98	-4645.98	177	-3998.70	97	-3867.87	98	-203.59	97	-692.51	173	-16505.90	177	-13070.30	173
0	Min.	-2155	-130730.00	98	-4645.98	177	-3998.70	97	-3867.87	98	-203.59	97	-692.51	173	-16505.90	177	-13070.30	173
0	Min.	-2156	-130730.00	98	-4645.98	177	-3998.70	97	-3867.87	98	-203.59	97	-692.51	173	-16505.90	177	-13070.30	173
0	Max	-1808	2225.25	1	7087.19	173	16315.30	157	699.49	125	886.05	173	1573.63	97	14234.70	177	2085.27	177
0	Max	-1809	2225.25	1	7087.19	173	16315.30	157	699.49	125	886.05	173	1573.63	97	14234.70	177	2085.27	177
0	Max	-2156	2225.25	1	7087.19	173	16315.30	157	699.49	125	886.05	173	1573.63	97	14234.70	177	2085.27	177
0	Max	-2157	2225.25	1	7087.19	173	16315.30	157	699.49	125	886.05	173	1573.63	97	14234.70	177	2085.27	177
0	Min.	-1808	-101026.00	98	-9201.08	177	-2349.87	177	-1639.82	106	-1031.66	177	-156.09	177	-24809.70	173	-97061.90	121
0	Min.	-1809	-101026.00	98	-9201.08	177	-2349.87	177	-1639.82	106	-1031.66	177	-156.09	177	-24809.70	173	-97061.90	121
0	Min.	-2156	-101026.00	98	-9201.08	177	-2349.87	177	-1639.82	106	-1031.66	177	-156.09	177	-24809.70	173	-97061.90	121
0	Min.	-2157	-101026.00	98	-9201.08	177	-2349.87	177	-1639.82	106	-1031.66	177	-156.09	177	-24809.70	173	-97061.90	121

0	Max	-1807	-3538.01	1	20.30	65	15071.90	157	-164.29	65	786.01	173	1548.95	97	18864.20	177	-566.77	65
0	Max	-1808	-3538.01	1	20.30	65	15071.90	157	-164.29	65	786.01	173	1548.95	97	18864.20	177	-566.77	65
0	Max	-2157	-3538.01	1	20.30	65	15071.90	157	-164.29	65	786.01	173	1548.95	97	18864.20	177	-566.77	65
0	Max	-2158	-3538.01	1	20.30	65	15071.90	157	-164.29	65	786.01	173	1548.95	97	18864.20	177	-566.77	65
0	Min.	-1807	-128325.00	98	-10617.60	177	82.26	65	-3873.70	98	-1052.70	177	-278.67	173	-1924.96	106	-97886.20	121
0	Min.	-1808	-128325.00	98	-10617.60	177	82.26	65	-3873.70	98	-1052.70	177	-278.67	173	-1924.96	106	-97886.20	121
0	Min.	-2157	-128325.00	98	-10617.60	177	82.26	65	-3873.70	98	-1052.70	177	-278.67	173	-1924.96	106	-97886.20	121
0	Min.	-2158	-128325.00	98	-10617.60	177	82.26	65	-3873.70	98	-1052.70	177	-278.67	173	-1924.96	106	-97886.20	121
0	Max	-1806	4220.41	1	-52.36	65	3762.29	166	232.54	1	168.09	173	371.98	65	17579.00	173	1697.07	166
0	Max	-1807	4220.41	1	-52.36	65	3762.29	166	232.54	1	168.09	173	371.98	65	17579.00	173	1697.07	166
0	Max	-2158	4220.41	1	-52.36	65	3762.29	166	232.54	1	168.09	173	371.98	65	17579.00	173	1697.07	166
0	Max	-2159	4220.41	1	-52.36	65	3762.29	166	232.54	1	168.09	173	371.98	65	17579.00	173	1697.07	166
0	Min.	-1806	-95947.10	130	-6149.63	177	-6569.82	173	-1654.97	106	-68.27	106	-1142.41	173	-13957.30	177	-16588.40	97
0	Min.	-1807	-95947.10	130	-6149.63	177	-6569.82	173	-1654.97	106	-68.27	106	-1142.41	173	-13957.30	177	-16588.40	97
0	Min.	-2158	-95947.10	130	-6149.63	177	-6569.82	173	-1654.97	106	-68.27	106	-1142.41	173	-13957.30	177	-16588.40	97
0	Min.	-2159	-95947.10	130	-6149.63	177	-6569.82	173	-1654.97	106	-68.27	106	-1142.41	173	-13957.30	177	-16588.40	97
0	Max	-1805	12969.10	101	571.14	173	4174.47	166	784.65	101	138.70	173	546.04	97	213.64	33	-496.70	65
0	Max	-1806	12969.10	101	571.14	173	4174.47	166	784.65	101	138.70	173	546.04	97	213.64	33	-496.70	65
0	Max	-2159	12969.10	101	571.14	173	4174.47	166	784.65	101	138.70	173	546.04	97	213.64	33	-496.70	65
0	Max	-2160	12969.10	101	571.14	173	4174.47	166	784.65	101	138.70	173	546.04	97	213.64	33	-496.70	65
0	Min.	-1805	-87586.80	130	-4247.34	177	-6132.54	97	-1391.47	106	-46.02	106	-747.31	173	-6312.90	122	-28995.40	97
0	Min.	-1806	-87586.80	130	-4247.34	177	-6132.54	97	-1391.47	106	-46.02	106	-747.31	173	-6312.90	122	-28995.40	97
0	Min.	-2159	-87586.80	130	-4247.34	177	-6132.54	97	-1391.47	106	-46.02	106	-747.31	173	-6312.90	122	-28995.40	97
0	Min.	-2160	-87586.80	130	-4247.34	177	-6132.54	97	-1391.47	106	-46.02	106	-747.31	173	-6312.90	122	-28995.40	97
0	Max	-1804	31789.00	101	1945.08	121	5203.94	166	1609.13	101	168.58	173	499.32	97	12917.20	121	-973.10	65
0	Max	-1805	31789.00	101	1945.08	121	5203.94	166	1609.13	101	168.58	173	499.32	97	12917.20	121	-973.10	65
0	Max	-2160	31789.00	101	1945.08	121	5203.94	166	1609.13	101	168.58	173	499.32	97	12917.20	121	-973.10	65
0	Max	-2161	31789.00	101	1945.08	121	5203.94	166	1609.13	101	168.58	173	499.32	97	12917.20	121	-973.10	65
0	Min.	-1804	-75803.60	130	-2815.46	177	-5581.85	97	-967.63	130	-128.88	177	-657.17	173	-3255.66	177	-31320.00	97
0	Min.	-1805	-75803.60	130	-2815.46	177	-5581.85	97	-967.63	130	-128.88	177	-657.17	173	-3255.66	177	-31320.00	97
0	Min.	-2160	-75803.60	130	-2815.46	177	-5581.85	97	-967.63	130	-128.88	177	-657.17	173	-3255.66	177	-31320.00	97
0	Min.	-2161	-75803.60	130	-2815.46	177	-5581.85	97	-967.63	130	-128.88	177	-657.17	173	-3255.66	177	-31320.00	97
0	Max	-1803	49316.60	101	6970.07	158	21546.60	158	5543.40	97	354.50	129	2016.93	121	29387.20	177	11222.20	177
0	Max	-1950	49316.60	101	6970.07	158	21546.60	158	5543.40	97	354.50	129	2016.93	121	29387.20	177	11222.20	177
0	Max	-2162	49316.60	101	6970.07	158	21546.60	158	5543.40	97	354.50	129	2016.93	121	29387.20	177	11222.20	177
0	Max	-2163	49316.60	101	6970.07	158	21546.60	158	5543.40	97	354.50	129	2016.93	121	29387.20	177	11222.20	177
0	Min.	-1803	-58503.40	130	-14807.60	177	-3370.90	177	174.38	65	-1538.23	177	-178.26	177	-24022.00	158	-115846.00	122
0	Min.	-1950	-58503.40	130	-14807.60	177	-3370.90	177	174.38	65	-1538.23	177	-178.26	177	-24022.00	158	-115846.00	122
0	Min.	-2162	-58503.40	130	-14807.60	177	-3370.90	177	174.38	65	-1538.23	177	-178.26	177	-24022.00	158	-115846.00	122
0	Min.	-2163	-58503.40	130	-14807.60	177	-3370.90	177	174.38	65	-1538.23	177	-178.26	177	-24022.00	158	-115846.00	122
0	Max	-1782	55721.70	130	1575.91	130	12756.10	162	4566.37	98	1728.26	98	371.96	173	-3177.02	17	60417.70	98
0	Max	431	55721.70	130	1575.91	130	12756.10	162	4566.37	98	1728.26	98	371.96	173	-3177.02	17	60417.70	98
0	Max	438	55721.70	130	1575.91	130	12756.10	162	4566.37	98	1728.26	98	371.96	173	-3177.02	17	60417.70	98
0	Max	-1387	55721.70	130	1575.91	130	12756.10	162	4566.37	98	1728.26	98	371.96	173	-3177.02	17	60417.70	98
0	Min.	-1782	-59650.00	101	-7832.81	177	-6015.81	177	126.91	1	-78.63	177	-449.22	97	-64285.60	102	5207.83	17
0	Min.	431	-59650.00	101	-7832.81	177	-6015.81	177	126.91	1	-78.63	177	-449.22	97	-64285.60	102	5207.83	17
0	Min.	438	-59650.00	101	-7832.81	177	-6015.81	177	126.91	1	-78.63	177	-449.22	97	-64285.60	102	5207.83	17
0	Min.	-1387	-59650.00	101	-7832.81	177	-6015.81	177	126.91	1	-78.63	177	-449.22	97	-64285.60	102	5207.83	17
0	Max	-1781	48070.70	130	2533.87	173	9951.18	162	2474.29	98	604.06	173	466.27	173	6176.85	177	30880.30	98
0	Max	-1935	48070.70	130	2533.87	173	9951.18	162	2474.29	98	604.06	173	466.27	173	6176.85	177	30880.30	98
0	Max	-1936	48070.70	130	2533.87	173	9951.18	162	2474.29	98	604.06	173	466.27	173	6176.85	177	30880.30	98
0	Max	-1388	48070.70	130	2533.87	173	9951.18	162	2474.29	98	604.06	173	466.27	173	6176.85	177	30880.30	98
0	Min.	-1781	-64425.00	101	-6536.35	177	-2469.47	177	-852.85	101	-363.85	177	-601.97	98	-22300.40	101	-551.85	177
0	Min.	-1935	-64425.00	101	-6536.35	177	-2469.47	177	-852.85	101	-363.85	177	-601.97	98	-22300.40	101	-551.85	177
0	Min.	-1936	-64425.00	101	-6536.35	177	-2469.47	177	-852.85	101	-363.85	177	-601.97	98	-22300.40	101	-551.85	177
0	Min.	-1388	-64425.00	101	-6536.35	177	-2469.47	177	-852.85	101	-363.85	177	-601.97	98	-22300.40	101	-551.85	177
0	Max	-1780	38364.40	162	2356.15	97	12477.10	162	1586.91	106	489.42	173	598.34	173	2655.30	130	34474.90	98
0	Max	-1781	38364.40	162	2356.15	97	12477.10	162	1586.91	106	489.42	173	598.34	173	2655.30	130	34474.90	98
0	Max	-1388	38364.40	162	2356.15	97	12477.10	162	1586.91	106	489.42	173	598.34	173	2655.30	130	34474.90	98
0	Max	-1389	38364.40	162	2356.15	97	12477.10	162	1586.91	106	489.42	173	598.34	173	2655.30	130	34474.90	98
0	Min.	-1780	-72073.60	101	-4145.30	177	-2367.88	177	-1094.11	101	-313.65	177	-539.86	98	-19029.10	101	2076.79	17
0	Min.	-1781	-72073.60	101	-4145.30	177	-2367.88	177	-1094.11	101	-313.65	177	-539.86	98	-19029.10	101	2076.79	17
0	Min.	-1388	-72073.60	101	-4145.30	177	-2367.88	177	-1094.11	101	-313.65	177	-539.86	98	-19029.10	101	2076.79	17
0	Min.	-1389	-72073.60	101	-4145.30	177	-2367.88	177	-1094.11	101	-313.65	177	-539.86	98	-19029.10	101	2076.79	17
0	Max	-1779	34198.70	162	693.43	101	10977.00	162	887.79	130	451.88	173	726.26	173	3803.34	173	29599.80	98
0	Max	-1780	34198.70	162	693.43	101	10977.00	162	887.79	130	451.88	173	726.26	173	3803.34	173	29599.80	98
0	Max	-1389	34198.70	162	693.43	101	10977.00	162	887.79	130	451.88	173	726.26	173	3803.34	173	29599.80	98
0	Max	-1390	34198.70	162	693.43	101	10977.00	162	887.79	130	451.88	173	726.26	173	3803.34	173	29599.80	98
0	Min.	-1779	-78730.80	101	-4140.08	177	-3521.44	177	-1402.83	101	-350.27	101	-498.40	98	-7278.51	101	1356.74	17
0	Min.	-1780	-78730.80	101	-4140.08	177	-3521.44	177	-1402.83	101	-350.27	101	-498.40	98	-7278.51	101	1356.74	17
0	Min.	-1389	-78730.80	101	-4140.08	177	-3521.44	177	-1402.83	101	-350.27	101	-498.40	98	-7278.51	101	1356.74	17
0	Min.	-1390	-78730.80	101	-4140.08	177	-3521.44	177	-1402.83	101	-350.27	101	-498.40	98	-7278.51	101	1356.74	17
0	Max	-1778	25958.40	162	632.65	165	9062.14	162	345.71	130	582.58	173	673.45	173	2078.64	65	27752.80	98
0	Max	-1779	25958.40	162	632.65	165	9062.14	162	345.71	130	582.58	173	673.45	173	2078.64	65	27752.80	98
0	Max	-1390	25958.40	162	632.65	165	9062.14	162	345.71	130	582.58	173	673.45	173	2078.64	65	27752.80	98
0	Max	-1391	25958.40	162	632.65	165	9062.14	162	345.71	130	582.58	173	673.45	173	2078.64	65	27752.80	98
0	Min.	-1778	-84213.50	101	-5695.40	177	-4252.64	177	-1655.40	101	-320.72	177	-612.84	98	-4094.21	101	920.28	17
0	Min.	-1779	-84213.50	101	-5695.40	177	-4252.64	177	-1655.40	101	-320.72	177	-612.84	98	-4094.21	101	920.28	17
0	Min.	-1390	-84213.50	101	-5695.40	177	-4252.64	177	-1655.40	101	-320.72	177	-612.84	98	-4094.21	101	920.28	17
0	Min.	-1391	-84213.50	101	-5695.40	177	-4252.64	177	-1655.40	101	-320.72	177	-612.84	98	-4094.21	101	920.28	17
0	Max	-1777	16894.00	162	1668.02	173	9483.92	158	8.02	49	565.35	173	428.40	173	3203.66	177	26132.30	98
0	Max	-1778	16894.00	162	1668.02	173	9483.92	158	8.02	49	565.35	173	428.40	173	3203.66	177	26132.30	98
0	Max	-1391	16894.00	162	1668.02	173	9483.92	158	8.02	49	565.35	173	428.40	173	3203.66	177	26132.30	98
0	Max	-1392	16894.00	162	1668.02	173	9483.92	158	8.02	49	565.35	173	428.40	173	3203.66	177	26132.30	98
0	Min.	-1777	-105882.00	97	-9642.40	177	-3364.49	177	-2225.53	97	-366.29	177	-930.70	98	-5318.27	97	613.63	17
0	Min.	-1778	-105882.00	97	-9642.40	177	-3364.49	177	-2225.53	97	-366.29	177	-930.70	98	-5318.27	97	613.63	17
0	Min.	-1391	-105882.00	97	-9642.40	177	-3364.49	177	-2225.53	97	-366.29	177	-930.70	98	-5318.27	97	613.63	17
0	Min.	-1392	-105882.00	97	-9642.40	177	-3364.49	177	-2225.53	97	-366.29	177	-930.70	98	-5318.27	97	613.63	17
0	Max	-1776	8214.71	162	6607.50	173	10380.90	158	-73.25	49	346.33	173	467.03	173	3016.86	177	24237.30	98
0	Max	-1777	8214.71	162	6607.50	173	10380.90	158	-73.25	49	346.33	173	467.03	173	3016.86	177	24237.30	98
0	Max	-1392	8214.71	162	6607.50	173	10380.90	158	-73.25	49	346.33	173	467.03	173	3016.86	177	24237.30	98
0	Max	-1393	8214.71	162	6607.50	173	10380.90	158	-73.25	49	346.33	173	467.03	173	3016.86	177	24237.30	98
0	Min.	-1776	-124938.00	97	-8839.28	177	-279.24	1	-2821.45	97	-720.19	97	-984.38	98	-8885.46	97	-20.79	1
0	Min.	-1777	-124938.00	97	-8839.28	177	-279.24	1	-2821.45	97	-720.19	97	-984.38	98	-8885.46	97	-20.79	1
0	Min.	-1392	-124938.00	97	-8839.28	177	-279.24	1	-2821.45	97	-720.19	97	-984.38	98	-8885.46	97	-20.79	1
0	Min.	-1393	-124938.00	97	-8839.28	177	-279.24	1	-2821.45	97	-720.19	97	-984.38	98	-8885.46	97	-20.79	1
0	Max	-1775	205.28	162	4222.10	173	13115.80	158	-182.02	65	284.83	173	629.56	173	419.38	17	23884.90	98
0	Max	-1776	205.28	162	4222.10	173	13115.80	158	-182.02	65	284.83	173	629.56	173	419.38	17	23884.90	98
0	Max	-1393	205.28	162	4222.10	173	13115.80	158	-182.02	65	284.83	173	629.56	173	419.38	17	23884.90	98
0	Max	-1394	205.28	162	4222.10	173	13115.80	158	-182.02	65	284.83	173	629.56	173	419.38	17	23884.90	98
0	Min.	-1775	-140753.00	97	-5015.49	177	-1045.90	101	-3755.45	97	-883.78	97	-760.60	98	-20906.60	97	-816.19	177
0	Min.	-1776	-140753.00	97	-5015.49	177	-1045.90	101	-3755.45	97	-883.78	97	-760.60	98	-20906.60	97	-816.19	177
0	Min.	-1393	-140753.00	97	-5015.49	177	-1045.90	101	-3755.45	97	-883.78	97	-760.60	98	-20906.60	97	-816.19	177
0	Min.	-1394	-140753.00	97	-5015.49	177	-1045.90	101	-3755.45	97	-883.78	97	-760.60	98	-20906.60	97	-816.19	177
0	Max	-1774	-5815.84	162	2317.58	173	11684.20	158	-271.80	65	270.71	173	569.23	173	5874.01	173	11878.40	173

0	Max	-2088	-5815.84	162	2317.58	173	11684.20	158	-271.80	65	270.71	173	569.23	173	5874.01	173	11878.40	173
0	Max	-2095	-5815.84	162	2317.58	173	11684.20	158	-271.80	65	270.71	173	569.23	173	5874.01	173	11878.40	173
0	Max	-1395	-5815.84	162	2317.58	173	11684.20	158	-271.80	65	270.71	173	569.23	173	5874.01	173	11878.40	173
0	Min.	-1774	-153527.00	97	-5380.62	177	-1536.80	177	-5181.04	97	-776.04	97	-482.26	98	-31698.80	97	-3322.72	101
0	Min.	-2088	-153527.00	97	-5380.62	177	-1536.80	177	-5181.04	97	-776.04	97	-482.26	98	-31698.80	97	-3322.72	101
0	Min.	-2095	-153527.00	97	-5380.62	177	-1536.80	177	-5181.04	97	-776.04	97	-482.26	98	-31698.80	97	-3322.72	101
0	Min.	-1395	-153527.00	97	-5380.62	177	-1536.80	177	-5181.04	97	-776.04	97	-482.26	98	-31698.80	97	-3322.72	101
0	Max	-1773	-11786.30	65	8013.96	173	12946.70	158	-308.47	17	126.55	65	263.60	173	2142.70	177	15560.00	173
0	Max	-2090	-11786.30	65	8013.96	173	12946.70	158	-308.47	17	126.55	65	263.60	173	2142.70	177	15560.00	173
0	Max	-2096	-11786.30	65	8013.96	173	12946.70	158	-308.47	17	126.55	65	263.60	173	2142.70	177	15560.00	173
0	Max	-1396	-11786.30	65	8013.96	173	12946.70	158	-308.47	17	126.55	65	263.60	173	2142.70	177	15560.00	173
0	Min.	-1773	-163906.00	97	-8120.04	177	-2641.14	177	-5334.02	98	-942.57	97	-181.12	106	-31604.80	97	-2952.79	101
0	Min.	-2090	-163906.00	97	-8120.04	177	-2641.14	177	-5334.02	98	-942.57	97	-181.12	106	-31604.80	97	-2952.79	101
0	Min.	-2096	-163906.00	97	-8120.04	177	-2641.14	177	-5334.02	98	-942.57	97	-181.12	106	-31604.80	97	-2952.79	101
0	Min.	-1396	-163906.00	97	-8120.04	177	-2641.14	177	-5334.02	98	-942.57	97	-181.12	106	-31604.80	97	-2952.79	101
0	Max	-1413	-13092.70	17	13850.30	173	14208.80	158	-304.61	17	122.74	65	333.22	173	2592.19	177	47530.90	173
0	Max	-1773	-13092.70	17	13850.30	173	14208.80	158	-304.61	17	122.74	65	333.22	173	2592.19	177	47530.90	173
0	Max	-1396	-13092.70	17	13850.30	173	14208.80	158	-304.61	17	122.74	65	333.22	173	2592.19	177	47530.90	173
0	Max	-1386	-13092.70	17	13850.30	173	14208.80	158	-304.61	17	122.74	65	333.22	173	2592.19	177	47530.90	173
0	Min.	-1413	-167661.00	98	-10676.30	177	-1762.29	101	-5200.55	97	-1050.21	97	-244.62	106	-30243.70	98	-4939.53	101
0	Min.	-1773	-167661.00	98	-10676.30	177	-1762.29	101	-5200.55	97	-1050.21	97	-244.62	106	-30243.70	98	-4939.53	101
0	Min.	-1396	-167661.00	98	-10676.30	177	-1762.29	101	-5200.55	97	-1050.21	97	-244.62	106	-30243.70	98	-4939.53	101
0	Min.	-1386	-167661.00	98	-10676.30	177	-1762.29	101	-5200.55	97	-1050.21	97	-244.62	106	-30243.70	98	-4939.53	101
0	Max	-1772	-13092.70	65	13657.40	173	13204.80	158	-304.61	65	122.74	17	356.22	173	112469.00	173	115032.00	173
0	Max	-1413	-13092.70	65	13657.40	173	13204.80	158	-304.61	65	122.74	17	356.22	173	112469.00	173	115032.00	173
0	Max	-1386	-13092.70	65	13657.40	173	13204.80	158	-304.61	65	122.74	17	356.22	173	112469.00	173	115032.00	173
0	Max	-1397	-13092.70	65	13657.40	173	13204.80	158	-304.61	65	122.74	17	356.22	173	112469.00	173	115032.00	173
0	Min.	-1772	-167661.00	97	-10676.30	177	-2388.83	173	-5669.27	173	-1607.90	173	-225.26	106	-30243.70	97	-7363.42	101
0	Min.	-1413	-167661.00	97	-10676.30	177	-2388.83	173	-5669.27	173	-1607.90	173	-225.26	106	-30243.70	97	-7363.42	101
0	Min.	-1386	-167661.00	97	-10676.30	177	-2388.83	173	-5669.27	173	-1607.90	173	-225.26	106	-30243.70	97	-7363.42	101
0	Min.	-1397	-167661.00	97	-10676.30	177	-2388.83	173	-5669.27	173	-1607.90	173	-225.26	106	-30243.70	97	-7363.42	101
0	Max	-1771	-12134.30	17	5574.95	173	10687.80	158	-279.87	17	124.80	17	264.94	97	3216.59	173	3712.91	106
0	Max	-2092	-12134.30	17	5574.95	173	10687.80	158	-279.87	17	124.80	17	264.94	97	3216.59	173	3712.91	106
0	Max	-2097	-12134.30	17	5574.95	173	10687.80	158	-279.87	17	124.80	17	264.94	97	3216.59	173	3712.91	106
0	Max	-1398	-12134.30	17	5574.95	173	10687.80	158	-279.87	17	124.80	17	264.94	97	3216.59	173	3712.91	106
0	Min.	-1771	-164873.00	98	-6139.13	177	-6455.23	173	-5280.42	98	-810.51	98	-548.50	173	-35294.00	98	-37019.10	173
0	Min.	-2092	-164873.00	98	-6139.13	177	-6455.23	173	-5280.42	98	-810.51	98	-548.50	173	-35294.00	98	-37019.10	173
0	Min.	-2097	-164873.00	98	-6139.13	177	-6455.23	173	-5280.42	98	-810.51	98	-548.50	173	-35294.00	98	-37019.10	173
0	Min.	-1398	-164873.00	98	-6139.13	177	-6455.23	173	-5280.42	98	-810.51	98	-548.50	173	-35294.00	98	-37019.10	173
0	Max	-1770	-10461.30	17	3553.65	173	11374.20	158	-230.31	17	113.40	17	620.83	97	8654.51	173	1349.90	130
0	Max	-2094	-10461.30	17	3553.65	173	11374.20	158	-230.31	17	113.40	17	620.83	97	8654.51	173	1349.90	130
0	Max	-2098	-10461.30	17	3553.65	173	11374.20	158	-230.31	17	113.40	17	620.83	97	8654.51	173	1349.90	130
0	Max	-1399	-10461.30	17	3553.65	173	11374.20	158	-230.31	17	113.40	17	620.83	97	8654.51	173	1349.90	130
0	Min.	-1770	-155890.00	98	-4617.84	177	-2486.26	173	-4660.89	98	-800.19	98	-648.57	173	-25436.30	98	-22712.60	97
0	Min.	-2094	-155890.00	98	-4617.84	177	-2486.26	173	-4660.89	98	-800.19	98	-648.57	173	-25436.30	98	-22712.60	97
0	Min.	-2098	-155890.00	98	-4617.84	177	-2486.26	173	-4660.89	98	-800.19	98	-648.57	173	-25436.30	98	-22712.60	97
0	Min.	-1399	-155890.00	98	-4617.84	177	-2486.26	173	-4660.89	98	-800.19	98	-648.57	173	-25436.30	98	-22712.60	97
0	Max	-1769	-8126.46	1	4176.85	173	10598.60	158	-182.02	17	98.60	17	760.60	97	2220.04	173	1566.60	130
0	Max	-1770	-8126.46	1	4176.85	173	10598.60	158	-182.02	17	98.60	17	760.60	97	2220.04	173	1566.60	130
0	Max	-1399	-8126.46	1	4176.85	173	10598.60	158	-182.02	17	98.60	17	760.60	97	2220.04	173	1566.60	130
0	Max	-1400	-8126.46	1	4176.85	173	10598.60	158	-182.02	17	98.60	17	760.60	97	2220.04	173	1566.60	130
0	Min.	-1769	-140753.00	98	-5015.49	177	-2974.43	173	-3755.45	98	-883.78	98	-646.50	173	-20906.60	98	-23884.90	97
0	Min.	-1770	-140753.00	98	-5015.49	177	-2974.43	173	-3755.45	98	-883.78	98	-646.50	173	-20906.60	98	-23884.90	97
0	Min.	-1399	-140753.00	98	-5015.49	177	-2974.43	173	-3755.45	98	-883.78	98	-646.50	173	-20906.60	98	-23884.90	97
0	Min.	-1400	-140753.00	98	-5015.49	177	-2974.43	173	-3755.45	98	-883.78	98	-646.50	173	-20906.60	98	-23884.90	97
0	Max	-1768	-3558.83	1	6563.21	173	6251.23	158	-73.25	1	254.50	173	984.38	97	3016.86	177	564.15	130
0	Max	-1769	-3558.83	1	6563.21	173	6251.23	158	-73.25	1	254.50	173	984.38	97	3016.86	177	564.15	130
0	Max	-1400	-3558.83	1	6563.21	173	6251.23	158	-73.25	1	254.50	173	984.38	97	3016.86	177	564.15	130
0	Max	-1401	-3558.83	1	6563.21	173	6251.23	158	-73.25	1	254.50	173	984.38	97	3016.86	177	564.15	130
0	Min.	-1768	-124938.00	98	-8839.27	177	-4075.01	173	-2821.45	98	-720.19	98	-491.86	173	-8885.46	98	-24237.30	97
0	Min.	-1769	-124938.00	98	-8839.27	177	-4075.01	173	-2821.45	98	-720.19	98	-491.86	173	-8885.46	98	-24237.30	97
0	Min.	-1400	-124938.00	98	-8839.27	177	-4075.01	173	-2821.45	98	-720.19	98	-491.86	173	-8885.46	98	-24237.30	97
0	Min.	-1401	-124938.00	98	-8839.27	177	-4075.01	173	-2821.45	98	-720.19	98	-491.86	173	-8885.46	98	-24237.30	97
0	Max	-1767	1067.08	1	1735.81	173	5662.18	166	8.02	1	521.35	173	930.70	97	3203.66	177	-596.52	130
0	Max	-1768	1067.08	1	1735.81	173	5662.18	166	8.02	1	521.35	173	930.70	97	3203.66	177	-596.52	130
0	Max	-1401	1067.08	1	1735.81	173	5662.18	166	8.02	1	521.35	173	930.70	97	3203.66	177	-596.52	130
0	Max	-1402	1067.08	1	1735.81	173	5662.18	166	8.02	1	521.35	173	930.70	97	3203.66	177	-596.52	130
0	Min.	-1767	-105882.00	98	-9642.40	177	-6589.14	173	-2225.53	98	-366.29	177	-454.42	173	-5318.27	98	-26132.30	97
0	Min.	-1768	-105882.00	98	-9642.40	177	-6589.14	173	-2225.53	98	-366.29	177	-454.42	173	-5318.27	98	-26132.30	97
0	Min.	-1401	-105882.00	98	-9642.40	177	-6589.14	173	-2225.53	98	-366.29	177	-454.42	173	-5318.27	98	-26132.30	97
0	Min.	-1402	-105882.00	98	-9642.40	177	-6589.14	173	-2225.53	98	-366.29	177	-454.42	173	-5318.27	98	-26132.30	97
0	Max	-1766	5759.66	1	222.62	49	7642.90	166	179.29	1	560.88	173	612.84	97	2234.16	125	-920.28	65
0	Max	-1767	5759.66	1	222.62	49	7642.90	166	179.29	1	560.88	173	612.84	97	2234.16	125	-920.28	65
0	Max	-1402	5759.66	1	222.62	49	7642.90	166	179.29	1	560.88	173	612.84	97	2234.16	125	-920.28	65
0	Max	-1403	5759.66	1	222.62	49	7642.90	166	179.29	1	560.88	173	612.84	97	2234.16	125	-920.28	65
0	Min.	-1766	-94999.60	130	-5695.40	177	-5530.31	173	-1655.37	106	-320.72	177	-694.32	173	-4094.12	106	-27752.80	97
0	Min.	-1767	-94999.60	130	-5695.40	177	-5530.31	173	-1655.37	106	-320.72	177	-694.32	173	-4094.12	106	-27752.80	97
0	Min.	-1402	-94999.60	130	-5695.40	177	-5530.31	173	-1655.37	106	-320.72	177	-694.32	173	-4094.12	106	-27752.80	97
0	Min.	-1403	-94999.60	130	-5695.40	177	-5530.31	173	-1655.37	106	-320.72	177	-694.32	173	-4094.12	106	-27752.80	97
0	Max	-1765	14692.70	101	2546.58	166	9739.73	166	765.95	101	442.53	173	498.40	97	3639.17	173	-1356.74	65
0	Max	-1766	14692.70	101	2546.58	166	9739.73	166	765.95	101	442.53	173	498.40	97	3639.17	173	-1356.74	65
0	Max	-1403	14692.70	101	2546.58	166	9739.73	166	765.95	101	442.53	173	498.40	97	3639.17	173	-1356.74	65
0	Max	-1404	14692.70	101	2546.58	166	9739.73	166	765.95	101	442.53	173	498.40	97	3639.17	173	-1356.74	65
0	Min.	-1765	-92744.50	130	-4140.07	177	-4592.71	173	-1402.79	106	-350.25	106	-746.31	173	-7278.41	106	-29599.80	97
0	Min.	-1766	-92744.50	130	-4140.07	177	-4592.71	173	-1402.79	106	-350.25	106	-746.31	173	-7278.41	106	-29599.80	97
0	Min.	-1403	-92744.50	130	-4140.07	177	-4592.71	173	-1402.79	106	-350.25	106	-746.31	173	-7278.41	106	-29599.80	97
0	Min.	-1404	-92744.50	130	-4140.07	177	-4592.71	173	-1402.79	106	-350.25	106	-746.31	173	-7278.41	106	-29599.80	97
0	Max	-1764	29893.20	101	3332.28	166	10917.20	166	1586.97	101	486.64	173	539.86	97	1577.27	113	-2076.79	65
0	Max	-1765	29893.20	101	3332.28	166	10917.20	166	1586.97	101	486.64	173	539.86	97	1577.27	113	-2076.79	65
0	Max	-1404	29893.20	101	3332.28	166	10917.20	166	1586.97	101	486.64	173	539.86	97	1577.27	113	-2076.79	65
0	Max	-1405	29893.20	101	3332.28	166	10917.20	166	1586.97	101	486.64	173	539.86	97	1577.27	113	-2076.79	65
0	Min.	-1764	-86534.10	130	-4145.30	177	-4931.44	173	-1118.01	130	-313.65	177	-615.57	173	-19028.80	106	-34474.90	97
0	Min.	-1765	-86534.10	130	-4145.30	177	-4931.44	173	-1118.01	130	-313.65	177	-615.57	173	-19028.80	106	-34474.90	97
0	Min.	-1404	-86534.10	130	-4145.30	177	-4931.44	173	-1118.01	130	-313.65	177	-615.57	173	-19028.80	106	-34474.90	97
0	Min.	-1405	-86534.10	130	-4145.30	177	-4931.44	173	-1118.01	130	-313.65	177	-615.57	173	-19028.80	106	-34474.90	97
0	Max	-1763	40041.10	101	5235.56	121	9271.26	166	3287.04	97	923.08	173	644.94	98	6765.93	177	-3333.13	65
0	Max	-1951	40041.10	101	5235.56	121	9271.26	166	3287.04	97	923.08	173	644.94	98	6765.93	177	-3333.13	65
0	Max	-1952	40041.10	101	5235.56	121	9271.26	166	3287.04	97	923.08	173	644.94	98	6765.93	177	-3333.13	65
0	Max	-1406	40041.10	101	5235.56	121	9271.26	166	3287.04	97	923.08	173	644.94	98	6765.93	177	-3333.13	65
0	Min.	-1763	-81910.80	130	-8381.54	177	-2941.95	173	-616.76	130	-253.94	177	-366.66	173	-20975.00	106	-40504.00	97
0	Min.	-1951	-81910.80	130	-8381.54	177	-2941.95	173	-616.76	130	-253.94	177	-366.66	173	-20975.00	106	-40504.00	97
0	Min.	-1952	-81910.80	130	-8381.54	177	-2941.95	173	-616.76	130	-253.94	177	-366.66	173	-20975.00	106	-40504.00	97
0	Min.	-1406	-81910.80	130	-8381.54	177	-2941.95	173	-616.76	130	-253.94	177	-366.66	173	-20975.00	106	-40504.00	97
0	Max	-1387	55278.40	130	2382.41	130	12438.80	162	4567.94	98	902.36	173	523.55	173	-537.59	17	33692.40	102
0	Max	438	55278.40	130	2382.41	130	12438.80	162	4567.94	98	902.36	173	523.55	173	-537.59	17	33692.40	102

0	Max	-1536	55278.40	130	2382.41	130	12438.80	162	4567.94	98	902.36	173	523.55	173	-537.59	17	33692.40	102
0	Max	-1838	55278.40	130	2382.41	130	12438.80	162	4567.94	98	902.36	173	523.55	173	-537.59	17	33692.40	102
0	Min.	-1387	-59321.40	101	-6638.61	177	-8078.27	177	125.75	1	-726.33	101	-315.34	17	-40947.10	102	2921.93	17
0	Min.	438	-59321.40	101	-6638.61	177	-8078.27	177	125.75	1	-726.33	101	-315.34	17	-40947.10	102	2921.93	17
0	Min.	-1536	-59321.40	101	-6638.61	177	-8078.27	177	125.75	1	-726.33	101	-315.34	17	-40947.10	102	2921.93	17
0	Min.	-1838	-59321.40	101	-6638.61	177	-8078.27	177	125.75	1	-726.33	101	-315.34	17	-40947.10	102	2921.93	17
0	Max	-1388	47168.30	162	5497.49	98	9940.61	161	2449.22	98	697.70	173	579.13	173	3904.23	177	33736.70	98
0	Max	-1936	47168.30	162	5497.49	98	9940.61	161	2449.22	98	697.70	173	579.13	173	3904.23	177	33736.70	98
0	Max	-1924	47168.30	162	5497.49	98	9940.61	161	2449.22	98	697.70	173	579.13	173	3904.23	177	33736.70	98
0	Max	-1837	47168.30	162	5497.49	98	9940.61	161	2449.22	98	697.70	173	579.13	173	3904.23	177	33736.70	98
0	Min.	-1388	-67456.80	101	-5531.64	177	-6463.45	98	-1211.84	101	-741.20	101	-430.87	97	-35365.40	101	1284.23	149
0	Min.	-1936	-67456.80	101	-5531.64	177	-6463.45	98	-1211.84	101	-741.20	101	-430.87	97	-35365.40	101	1284.23	149
0	Min.	-1924	-67456.80	101	-5531.64	177	-6463.45	98	-1211.84	101	-741.20	101	-430.87	97	-35365.40	101	1284.23	149
0	Min.	-1837	-67456.80	101	-5531.64	177	-6463.45	98	-1211.84	101	-741.20	101	-430.87	97	-35365.40	101	1284.23	149
0	Max	-1389	46318.50	162	3377.82	97	11037.80	161	1577.79	106	599.94	173	679.72	173	3368.47	130	30751.10	98
0	Max	-1388	46318.50	162	3377.82	97	11037.80	161	1577.79	106	599.94	173	679.72	173	3368.47	130	30751.10	98
0	Max	-1837	46318.50	162	3377.82	97	11037.80	161	1577.79	106	599.94	173	679.72	173	3368.47	130	30751.10	98
0	Max	-1853	46318.50	162	3377.82	97	11037.80	161	1577.79	106	599.94	173	679.72	173	3368.47	130	30751.10	98
0	Min.	-1389	-73427.10	101	-4481.23	177	-9975.34	98	-1183.83	101	-699.40	101	-415.98	17	-16406.50	101	-408.07	137
0	Min.	-1388	-73427.10	101	-4481.23	177	-9975.34	98	-1183.83	101	-699.40	101	-415.98	17	-16406.50	101	-408.07	137
0	Min.	-1837	-73427.10	101	-4481.23	177	-9975.34	98	-1183.83	101	-699.40	101	-415.98	17	-16406.50	101	-408.07	137
0	Min.	-1853	-73427.10	101	-4481.23	177	-9975.34	98	-1183.83	101	-699.40	101	-415.98	17	-16406.50	101	-408.07	137
0	Max	-1390	36324.30	162	649.75	173	6349.98	161	902.84	130	557.68	173	734.96	173	3492.22	130	29241.90	98
0	Max	-1389	36324.30	162	649.75	173	6349.98	161	902.84	130	557.68	173	734.96	173	3492.22	130	29241.90	98
0	Max	-1853	36324.30	162	649.75	173	6349.98	161	902.84	130	557.68	173	734.96	173	3492.22	130	29241.90	98
0	Max	-1852	36324.30	162	649.75	173	6349.98	161	902.84	130	557.68	173	734.96	173	3492.22	130	29241.90	98
0	Min.	-1390	-79285.40	101	-4655.26	177	-9765.32	98	-1356.38	101	-571.17	101	-420.19	17	-5037.74	101	1717.29	17
0	Min.	-1389	-79285.40	101	-4655.26	177	-9765.32	98	-1356.38	101	-571.17	101	-420.19	17	-5037.74	101	1717.29	17
0	Min.	-1853	-79285.40	101	-4655.26	177	-9765.32	98	-1356.38	101	-571.17	101	-420.19	17	-5037.74	101	1717.29	17
0	Min.	-1852	-79285.40	101	-4655.26	177	-9765.32	98	-1356.38	101	-571.17	101	-420.19	17	-5037.74	101	1717.29	17
0	Max	-1391	26501.10	162	685.82	165	4377.62	161	366.46	130	566.59	173	671.38	173	2748.59	118	26325.00	98
0	Max	-1390	26501.10	162	685.82	165	4377.62	161	366.46	130	566.59	173	671.38	173	2748.59	118	26325.00	98
0	Max	-1852	26501.10	162	685.82	165	4377.62	161	366.46	130	566.59	173	671.38	173	2748.59	118	26325.00	98
0	Max	-1851	26501.10	162	685.82	165	4377.62	161	366.46	130	566.59	173	671.38	173	2748.59	118	26325.00	98
0	Min.	-1391	-84161.30	101	-6264.70	177	-9074.09	98	-1638.55	101	-436.57	101	-509.35	98	-2231.57	101	1231.46	17
0	Min.	-1390	-84161.30	101	-6264.70	177	-9074.09	98	-1638.55	101	-436.57	101	-509.35	98	-2231.57	101	1231.46	17
0	Min.	-1852	-84161.30	101	-6264.70	177	-9074.09	98	-1638.55	101	-436.57	101	-509.35	98	-2231.57	101	1231.46	17
0	Min.	-1851	-84161.30	101	-6264.70	177	-9074.09	98	-1638.55	101	-436.57	101	-509.35	98	-2231.57	101	1231.46	17
0	Max	-1392	17268.30	162	1317.69	173	3180.57	161	24.54	49	497.53	173	560.35	173	2936.85	177	25906.00	98
0	Max	-1391	17268.30	162	1317.69	173	3180.57	161	24.54	49	497.53	173	560.35	173	2936.85	177	25906.00	98
0	Max	-1851	17268.30	162	1317.69	173	3180.57	161	24.54	49	497.53	173	560.35	173	2936.85	177	25906.00	98
0	Max	-1858	17268.30	162	1317.69	173	3180.57	161	24.54	49	497.53	173	560.35	173	2936.85	177	25906.00	98
0	Min.	-1392	-104685.00	97	-8522.06	177	-6699.89	98	-2118.46	97	-473.04	97	-676.65	98	-2955.41	97	893.72	1
0	Min.	-1391	-104685.00	97	-8522.06	177	-6699.89	98	-2118.46	97	-473.04	97	-676.65	98	-2955.41	97	893.72	1
0	Min.	-1851	-104685.00	97	-8522.06	177	-6699.89	98	-2118.46	97	-473.04	97	-676.65	98	-2955.41	97	893.72	1
0	Min.	-1858	-104685.00	97	-8522.06	177	-6699.89	98	-2118.46	97	-473.04	97	-676.65	98	-2955.41	97	893.72	1
0	Max	-1393	8686.75	162	4929.65	173	2993.09	161	-103.94	49	369.00	173	564.40	173	2673.56	177	25020.30	98
0	Max	-1392	8686.75	162	4929.65	173	2993.09	161	-103.94	49	369.00	173	564.40	173	2673.56	177	25020.30	98
0	Max	-1858	8686.75	162	4929.65	173	2993.09	161	-103.94	49	369.00	173	564.40	173	2673.56	177	25020.30	98
0	Max	-1856	8686.75	162	4929.65	173	2993.09	161	-103.94	49	369.00	173	564.40	173	2673.56	177	25020.30	98
0	Min.	-1393	-126071.00	97	-7945.74	177	-5693.42	98	-2916.20	97	-927.44	97	-721.72	98	-7304.33	97	141.87	1
0	Min.	-1392	-126071.00	97	-7945.74	177	-5693.42	98	-2916.20	97	-927.44	97	-721.72	98	-7304.33	97	141.87	1
0	Min.	-1858	-126071.00	97	-7945.74	177	-5693.42	98	-2916.20	97	-927.44	97	-721.72	98	-7304.33	97	141.87	1
0	Min.	-1856	-126071.00	97	-7945.74	177	-5693.42	98	-2916.20	97	-927.44	97	-721.72	98	-7304.33	97	141.87	1
0	Max	-1394	542.00	162	4588.92	173	5711.09	157	-224.58	65	328.51	173	641.88	173	1705.86	17	26505.60	98
0	Max	-1393	542.00	162	4588.92	173	5711.09	157	-224.58	65	328.51	173	641.88	173	1705.86	17	26505.60	98
0	Max	-1856	542.00	162	4588.92	173	5711.09	157	-224.58	65	328.51	173	641.88	173	1705.86	17	26505.60	98
0	Max	-1695	542.00	162	4588.92	173	5711.09	157	-224.58	65	328.51	173	641.88	173	1705.86	17	26505.60	98
0	Min.	-1394	-143325.00	97	-5631.84	177	-6635.92	98	-3851.94	97	-1336.51	97	-659.09	98	-14675.10	97	-538.02	1
0	Min.	-1393	-143325.00	97	-5631.84	177	-6635.92	98	-3851.94	97	-1336.51	97	-659.09	98	-14675.10	97	-538.02	1
0	Min.	-1856	-143325.00	97	-5631.84	177	-6635.92	98	-3851.94	97	-1336.51	97	-659.09	98	-14675.10	97	-538.02	1
0	Min.	-1695	-143325.00	97	-5631.84	177	-6635.92	98	-3851.94	97	-1336.51	97	-659.09	98	-14675.10	97	-538.02	1
0	Max	-1395	-7970.81	162	6114.79	158	9852.39	157	-309.70	65	351.25	173	585.66	173	4628.02	173	16462.90	98
0	Max	-2095	-7970.81	162	6114.79	158	9852.39	157	-309.70	65	351.25	173	585.66	173	4628.02	173	16462.90	98
0	Max	-2061	-7970.81	162	6114.79	158	9852.39	157	-309.70	65	351.25	173	585.66	173	4628.02	173	16462.90	98
0	Max	-1694	-7970.81	162	6114.79	158	9852.39	157	-309.70	65	351.25	173	585.66	173	4628.02	173	16462.90	98
0	Min.	-1395	-157897.00	97	-5343.18	177	-3996.12	98	-5550.26	97	-1661.96	97	-436.79	98	-40812.60	97	-2737.84	101
0	Min.	-2095	-157897.00	97	-5343.18	177	-3996.12	98	-5550.26	97	-1661.96	97	-436.79	98	-40812.60	97	-2737.84	101
0	Min.	-2061	-157897.00	97	-5343.18	177	-3996.12	98	-5550.26	97	-1661.96	97	-436.79	98	-40812.60	97	-2737.84	101
0	Min.	-1694	-157897.00	97	-5343.18	177	-3996.12	98	-5550.26	97	-1661.96	97	-436.79	98	-40812.60	97	-2737.84	101
0	Max	-1396	-13699.80	65	8577.62	173	14177.50	157	-345.77	17	172.01	173	533.23	173	11416.80	173	13811.00	173
0	Max	-2096	-13699.80	65	8577.62	173	14177.50	157	-345.77	17	172.01	173	533.23	173	11416.80	173	13811.00	173
0	Max	-2084	-13699.80	65	8577.62	173	14177.50	157	-345.77	17	172.01	173	533.23	173	11416.80	173	13811.00	173
0	Max	-1693	-13699.80	65	8577.62	173	14177.50	157	-345.77	17	172.01	173	533.23	173	11416.80	173	13811.00	173
0	Min.	-1396	-166395.00	97	-7562.16	177	-2718.86	106	-5523.00	97	-1828.05	97	-139.33	106	-33876.30	97	-11446.70	97
0	Min.	-2096	-166395.00	97	-7562.16	177	-2718.86	106	-5523.00	97	-1828.05	97	-139.33	106	-33876.30	97	-11446.70	97
0	Min.	-2084	-166395.00	97	-7562.16	177	-2718.86	106	-5523.00	97	-1828.05	97	-139.33	106	-33876.30	97	-11446.70	97
0	Min.	-1693	-166395.00	97	-7562.16	177	-2718.86	106	-5523.00	97	-1828.05	97	-139.33	106	-33876.30	97	-11446.70	97
0	Max	-1386	-14750.80	65	10039.10	173	11262.50	157	-346.23	65	136.03	65	591.46	173	32255.40	173	34174.00	173
0	Max	-1396	-14750.80	65	10039.10	173	11262.50	157	-346.23	65	136.03	65	591.46	173	32255.40	173	34174.00	173
0	Max	-1693	-14750.80	65	10039.10	173	11262.50	157	-346.23	65	136.03	65	591.46	173	32255.40	173	34174.00	173
0	Max	-1862	-14750.80	65	10039.10	173	11262.50	157	-346.23	65	136.03	65	591.46	173	32255.40	173	34174.00	173
0	Min.	-1386	-168643.00	97	-8762.93	177	-2337.89	106	-5233.80	97	-1848.23	97	-149.81	106	-22962.20	97	-3716.31	101
0	Min.	-1396	-168643.00	97	-8762.93	177	-2337.89	106	-5233.80	97	-1848.23	97	-149.81	106	-22962.20	97	-3716.31	101
0	Min.	-1693	-168643.00	97	-8762.93	177	-2337.89	106	-5233.80	97	-1848.23	97	-149.81	106	-22962.20	97	-3716.31	101
0	Min.	-1862	-168643.00	97	-8762.93	177	-2337.89	106	-5233.80	97	-1848.23	97	-149.81	106	-22962.20	97	-3716.31	101
0	Max	-1397	-14750.80	17	10288.60	173	12162.50	157	-346.23	17	136.03	17	347.33	173	55264.80	173	13649.20	173
0	Max	-1386	-14750.80	17	10288.60	173	12162.50	157	-346.23	17	136.03	17	347.33	173	55264.80	173	13649.20	173
0	Max	-1862	-14750.80	17	10288.60	173	12162.50	157	-346.23	17	136.03	17	347.33	173	55264.80	173	13649.20	173
0	Max	-1866	-14750.80	17	10288.60	173	12162.50	157	-346.23	17	136.03	17	347.33	173	55264.80	173	13649.20	173
0	Min.	-1397	-168643.00	98	-8762.93	177	-1737.04	106	-5233.80	98	-1848.23	98	-144.61	106	-22962.20	98	-5577.59	101
0	Min.	-1386	-168643.00	98	-8762.93	177	-1737.04	106	-5233.80	98	-1848.23	98	-144.61	106	-22962.20	98	-5577.59	101
0	Min.	-1862	-168643.00	98	-8762.93	177	-1737.04	106	-5233.80	98	-1848.23	98	-144.61	106	-22962.20	98	-5577.59	101
0	Min.	-1866	-168643.00	98	-8762.93	177	-1737.04	106	-5233.80	98	-1848.23	98	-144.61	106	-22962.20	98	-5577.59	101
0	Max	-1398	-13388.40	17	5412.66	173	13733.50	157	-318.11	17	140.10	17	139.00	97	36478.40	173	3127.38	130
0	Max	-2097	-13388.40	17	5412.66	173	13733.50	157	-318.11	17	140.10	17	139.00	97	36478.40	173	3127.38	130
0	Max	-2085	-13388.40	17	5412.66	173	13733.50	157	-318.11	17	140.10	17	139.00	97	36478.40	173	3127.38	130
0	Max	-1865	-13388.40	17	5412.66	173	13733.50	157	-318.11	17	140.10	17	139.00	97	36478.40	173	3127.38	130
0	Min.	-1398	-165091.00	98	-6431.37	177	-1889.60	173	-5678.25	98	-1743.96	98	-695.80	173	-41832.10	98	-34038.20	173
0	Min.	-2097	-165091.00	98	-6431.37	177	-1889.60	173	-5678.25	98	-1743.96	98	-695.80	173	-41832.10	98	-34038.20	173
0	Min.	-2085	-165091.00	98	-6431.37	177	-1889.60	173	-5678.25	98	-1743.96	98	-695.80	173	-41832.10	98	-34038.20	173
0	Min.	-1865	-165091.00	98	-6431.37	177	-1889.60	173	-5678.25	98	-1743.96	98	-695.80	173	-41832.10	98	-34038.20	173
0	Max	-1399	-11651.00	17	3328.77	173	17539.00	157	-268.53	17	168.27	173	623.26	97	8082.59	173	1839.20	130
0	Max	-2098	-11651.00	17	3328.77	173	17539.00	157	-268.53	17	168.27	173	623.26	97	8082.59	173	1839.20	130
0	Max	-2086	-11651.00	17	3328.77	173	17539.00	157	-268.53	17	168.27	173	623.26	97	8082.59	173	1839.20	130

0	Max	-1864	-11651.00	17	3328.77	173	17539.00	157	-268.53	17	168.27	173	623.26	97	8082.59	173	1839.20	130
0	Min.	-1399	-155688.00	98	-5224.24	177	-526.71	106	-4819.32	98	-1558.24	98	-712.59	173	-30317.80	98	-36225.30	97
0	Min.	-2098	-155688.00	98	-5224.24	177	-526.71	106	-4819.32	98	-1558.24	98	-712.59	173	-30317.80	98	-36225.30	97
0	Min.	-2086	-155688.00	98	-5224.24	177	-526.71	106	-4819.32	98	-1558.24	98	-712.59	173	-30317.80	98	-36225.30	97
0	Min.	-1864	-155688.00	98	-5224.24	177	-526.71	106	-4819.32	98	-1558.24	98	-712.59	173	-30317.80	98	-36225.30	97
0	Max	-1400	-8950.78	1	4446.17	173	12878.50	157	-224.58	17	211.73	173	659.09	97	3717.67	173	1784.19	130
0	Max	-1399	-8950.78	1	4446.17	173	12878.50	157	-224.58	17	211.73	173	659.09	97	3717.67	173	1784.19	130
0	Max	-1864	-8950.78	1	4446.17	173	12878.50	157	-224.58	17	211.73	173	659.09	97	3717.67	173	1784.19	130
0	Max	-1861	-8950.78	1	4446.17	173	12878.50	157	-224.58	17	211.73	173	659.09	97	3717.67	173	1784.19	130
0	Min.	-1400	-143325.00	98	-5631.84	177	-389.21	106	-3851.94	98	-1336.51	98	-698.14	173	-14675.10	98	-26505.60	97
0	Min.	-1399	-143325.00	98	-5631.84	177	-389.21	106	-3851.94	98	-1336.51	98	-698.14	173	-14675.10	98	-26505.60	97
0	Min.	-1864	-143325.00	98	-5631.84	177	-389.21	106	-3851.94	98	-1336.51	98	-698.14	173	-14675.10	98	-26505.60	97
0	Min.	-1861	-143325.00	98	-5631.84	177	-389.21	106	-3851.94	98	-1336.51	98	-698.14	173	-14675.10	98	-26505.60	97
0	Max	-1401	-4120.59	1	4777.61	173	8726.67	157	-103.94	1	306.10	173	721.72	97	2673.57	177	621.54	130
0	Max	-1400	-4120.59	1	4777.61	173	8726.67	157	-103.94	1	306.10	173	721.72	97	2673.57	177	621.54	130
0	Max	-1861	-4120.59	1	4777.61	173	8726.67	157	-103.94	1	306.10	173	721.72	97	2673.57	177	621.54	130
0	Max	-1857	-4120.59	1	4777.61	173	8726.67	157	-103.94	1	306.10	173	721.72	97	2673.57	177	621.54	130
0	Min.	-1401	-126071.00	98	-7945.74	177	27.97	49	-2916.20	98	-927.44	98	-607.12	173	-7304.33	98	-25020.30	97
0	Min.	-1400	-126071.00	98	-7945.74	177	27.97	49	-2916.20	98	-927.44	98	-607.12	173	-7304.33	98	-25020.30	97
0	Min.	-1861	-126071.00	98	-7945.74	177	27.97	49	-2916.20	98	-927.44	98	-607.12	173	-7304.33	98	-25020.30	97
0	Min.	-1857	-126071.00	98	-7945.74	177	27.97	49	-2916.20	98	-927.44	98	-607.12	173	-7304.33	98	-25020.30	97
0	Max	-1402	1049.80	1	1278.49	173	8298.07	121	24.54	1	461.51	173	676.65	97	2936.85	177	-283.41	130
0	Max	-1401	1049.80	1	1278.49	173	8298.07	121	24.54	1	461.51	173	676.65	97	2936.85	177	-283.41	130
0	Max	-1857	1049.80	1	1278.49	173	8298.07	121	24.54	1	461.51	173	676.65	97	2936.85	177	-283.41	130
0	Max	-1845	1049.80	1	1278.49	173	8298.07	121	24.54	1	461.51	173	676.65	97	2936.85	177	-283.41	130
0	Min.	-1402	-104684.00	98	-8522.06	177	258.11	49	-2118.46	98	-473.04	98	-592.07	173	-2955.41	98	-25906.00	97
0	Min.	-1401	-104684.00	98	-8522.06	177	258.11	49	-2118.46	98	-473.04	98	-592.07	173	-2955.41	98	-25906.00	97
0	Min.	-1857	-104684.00	98	-8522.06	177	258.11	49	-2118.46	98	-473.04	98	-592.07	173	-2955.41	98	-25906.00	97
0	Min.	-1845	-104684.00	98	-8522.06	177	258.11	49	-2118.46	98	-473.04	98	-592.07	173	-2955.41	98	-25906.00	97
0	Max	-1403	6079.47	1	90.80	49	10493.00	121	195.38	1	543.95	173	509.35	97	2837.64	125	-832.93	130
0	Max	-1402	6079.47	1	90.80	49	10493.00	121	195.38	1	543.95	173	509.35	97	2837.64	125	-832.93	130
0	Max	-1845	6079.47	1	90.80	49	10493.00	121	195.38	1	543.95	173	509.35	97	2837.64	125	-832.93	130
0	Max	-1844	6079.47	1	90.80	49	10493.00	121	195.38	1	543.95	173	509.35	97	2837.64	125	-832.93	130
0	Min.	-1403	-94956.50	130	-6264.70	177	547.14	65	-1638.51	106	-436.56	106	-696.41	173	-2231.51	106	-26325.00	97
0	Min.	-1402	-94956.50	130	-6264.70	177	547.14	65	-1638.51	106	-436.56	106	-696.41	173	-2231.51	106	-26325.00	97
0	Min.	-1845	-94956.50	130	-6264.70	177	547.14	65	-1638.51	106	-436.56	106	-696.41	173	-2231.51	106	-26325.00	97
0	Min.	-1844	-94956.50	130	-6264.70	177	547.14	65	-1638.51	106	-436.56	106	-696.41	173	-2231.51	106	-26325.00	97
0	Max	-1404	15499.70	101	1925.24	166	11225.20	121	769.23	101	543.76	173	420.19	65	3198.35	113	-1717.29	65
0	Max	-1403	15499.70	101	1925.24	166	11225.20	121	769.23	101	543.76	173	420.19	65	3198.35	113	-1717.29	65
0	Max	-1844	15499.70	101	1925.24	166	11225.20	121	769.23	101	543.76	173	420.19	65	3198.35	113	-1717.29	65
0	Max	-1843	15499.70	101	1925.24	166	11225.20	121	769.23	101	543.76	173	420.19	65	3198.35	113	-1717.29	65
0	Min.	-1404	-94600.70	130	-4655.26	177	706.06	65	-1356.34	106	-571.15	106	-757.17	173	-5037.66	106	-29241.90	97
0	Min.	-1403	-94600.70	130	-4655.26	177	706.06	65	-1356.34	106	-571.15	106	-757.17	173	-5037.66	106	-29241.90	97
0	Min.	-1844	-94600.70	130	-4655.26	177	706.06	65	-1356.34	106	-571.15	106	-757.17	173	-5037.66	106	-29241.90	97
0	Min.	-1843	-94600.70	130	-4655.26	177	706.06	65	-1356.34	106	-571.15	106	-757.17	173	-5037.66	106	-29241.90	97
0	Max	-1405	29365.60	101	3943.73	122	15198.30	165	1577.85	101	593.17	173	415.98	65	2434.34	113	1290.73	130
0	Max	-1404	29365.60	101	3943.73	122	15198.30	165	1577.85	101	593.17	173	415.98	65	2434.34	113	1290.73	130
0	Max	-1843	29365.60	101	3943.73	122	15198.30	165	1577.85	101	593.17	173	415.98	65	2434.34	113	1290.73	130
0	Max	-1839	29365.60	101	3943.73	122	15198.30	165	1577.85	101	593.17	173	415.98	65	2434.34	113	1290.73	130
0	Min.	-1405	-93634.00	130	-4481.23	177	914.09	65	-1217.42	130	-699.37	106	-700.16	173	-16406.30	106	-30751.10	97
0	Min.	-1404	-93634.00	130	-4481.23	177	914.09	65	-1217.42	130	-699.37	106	-700.16	173	-16406.30	106	-30751.10	97
0	Min.	-1843	-93634.00	130	-4481.23	177	914.09	65	-1217.42	130	-699.37	106	-700.16	173	-16406.30	106	-30751.10	97
0	Min.	-1839	-93634.00	130	-4481.23	177	914.09	65	-1217.42	130	-699.37	106	-700.16	173	-16406.30	106	-30751.10	97
0	Max	-1406	42141.90	101	1885.43	125	12330.60	165	3375.87	97	829.67	173	372.58	65	2689.12	177	-3019.60	65
0	Max	-1952	42141.90	101	1885.43	125	12330.60	165	3375.87	97	829.67	173	372.58	65	2689.12	177	-3019.60	65
0	Max	-1948	42141.90	101	1885.43	125	12330.60	165	3375.87	97	829.67	173	372.58	65	2689.12	177	-3019.60	65
0	Max	-1836	42141.90	101	1885.43	125	12330.60	165	3375.87	97	829.67	173	372.58	65	2689.12	177	-3019.60	65
0	Min.	-1406	-79685.00	130	-7054.60	177	717.90	173	-875.17	130	-710.30	106	-577.16	173	-43416.40	105	-37451.50	105
0	Min.	-1952	-79685.00	130	-7054.60	177	717.90	173	-875.17	130	-710.30	106	-577.16	173	-43416.40	105	-37451.50	105
0	Min.	-1948	-79685.00	130	-7054.60	177	717.90	173	-875.17	130	-710.30	106	-577.16	173	-43416.40	105	-37451.50	105
0	Min.	-1836	-79685.00	130	-7054.60	177	717.90	173	-875.17	130	-710.30	106	-577.16	173	-43416.40	105	-37451.50	105
0	Max	441	52226.40	101	1847.24	113	10551.00	177	4806.33	97	806.02	105	349.78	65	-3292.53	65	-5571.64	33
0	Max	-1428	52226.40	101	1847.24	113	10551.00	177	4806.33	97	806.02	105	349.78	65	-3292.53	65	-5571.64	33
0	Max	-1823	52226.40	101	1847.24	113	10551.00	177	4806.33	97	806.02	105	349.78	65	-3292.53	65	-5571.64	33
0	Max	-1859	52226.40	101	1847.24	113	10551.00	177	4806.33	97	806.02	105	349.78	65	-3292.53	65	-5571.64	33
0	Min.	441	-75852.30	130	-2034.82	177	-4906.58	173	210.56	1	192.72	33	-550.56	173	-40693.20	105	-38776.10	97
0	Min.	-1428	-75852.30	130	-2034.82	177	-4906.58	173	210.56	1	192.72	33	-550.56	173	-40693.20	105	-38776.10	97
0	Min.	-1823	-75852.30	130	-2034.82	177	-4906.58	173	210.56	1	192.72	33	-550.56	173	-40693.20	105	-38776.10	97
0	Min.	-1859	-75852.30	130	-2034.82	177	-4906.58	173	210.56	1	192.72	33	-550.56	173	-40693.20	105	-38776.10	97
0	Max	-1428	42771.10	101	1395.05	125	9554.22	177	3488.88	97	689.75	105	419.28	65	2017.09	65	-4737.29	33
0	Max	-1949	42771.10	101	1395.05	125	9554.22	177	3488.88	97	689.75	105	419.28	65	2017.09	65	-4737.29	33
0	Max	-1953	42771.10	101	1395.05	125	9554.22	177	3488.88	97	689.75	105	419.28	65	2017.09	65	-4737.29	33
0	Max	-1823	42771.10	101	1395.05	125	9554.22	177	3488.88	97	689.75	105	419.28	65	2017.09	65	-4737.29	33
0	Min.	-1428	-82458.60	130	-2262.05	177	-4986.48	173	-578.54	130	172.97	33	-655.26	173	-8965.55	105	-34890.10	97
0	Min.	-1949	-82458.60	130	-2262.05	177	-4986.48	173	-578.54	130	172.97	33	-655.26	173	-8965.55	105	-34890.10	97
0	Min.	-1953	-82458.60	130	-2262.05	177	-4986.48	173	-578.54	130	172.97	33	-655.26	173	-8965.55	105	-34890.10	97
0	Min.	-1823	-82458.60	130	-2262.05	177	-4986.48	173	-578.54	130	172.97	33	-655.26	173	-8965.55	105	-34890.10	97
0	Max	-1429	31373.80	101	1536.55	173	8259.58	177	1635.10	101	480.96	113	464.53	65	1141.88	65	-3724.94	33
0	Max	-1430	31373.80	101	1536.55	173	8259.58	177	1635.10	101	480.96	113	464.53	65	1141.88	65	-3724.94	33
0	Max	-1825	31373.80	101	1536.55	173	8259.58	177	1635.10	101	480.96	113	464.53	65	1141.88	65	-3724.94	33
0	Max	-1824	31373.80	101	1536.55	173	8259.58	177	1635.10	101	480.96	113	464.53	65	1141.88	65	-3724.94	33
0	Min.	-1429	-90506.30	130	-2306.88	177	-4668.32	173	-1248.21	130	106.61	134	-743.13	173	-6034.57	105	-32545.50	97
0	Min.	-1430	-90506.30	130	-2306.88	177	-4668.32	173	-1248.21	130	106.61	134	-743.13	173	-6034.57	105	-32545.50	97
0	Min.	-1825	-90506.30	130	-2306.88	177	-4668.32	173	-1248.21	130	106.61	134	-743.13	173	-6034.57	105	-32545.50	97
0	Min.	-1824	-90506.30	130	-2306.88	177	-4668.32	173	-1248.21	130	106.61	134	-743.13	173	-6034.57	105	-32545.50	97
0	Max	-1430	17494.70	101	1177.85	173	7270.47	177	840.75	101	402.46	113	461.51	65	1057.13	177	-3038.29	33
0	Max	-1431	17494.70	101	1177.85	173	7270.47	177	840.75	101	402.46	113	461.51	65	1057.13	177	-3038.29	33
0	Max	-1826	17494.70	101	1177.85	173	7270.47	177	840.75	101	402.46	113	461.51	65	1057.13	177	-3038.29	33
0	Max	-1825	17494.70	101	1177.85	173	7270.47	177	840.75	101	402.46	113	461.51	65	1057.13	177	-3038.29	33
0	Min.	-1430	-95162.90	130	-2596.47	177	-4446.30	173	-1519.13	106	-114.88	98	-768.81	173	-2935.10	105	-30559.90	97
0	Min.	-1431	-95162.90	130	-2596.47	177	-4446.30	173	-1519.13	106	-114.88	98	-768.81	173	-2935.10	105	-30559.90	97
0	Min.	-1826	-95162.90	130	-2596.47	177	-4446.30	173	-1519.13	106	-114.88	98	-768.81	173	-2935.10	105	-30559.90	97
0	Min.	-1825	-95162.90	130	-2596.47	177	-4446.30	173	-1519.13	106	-114.88	98	-768.81	173	-2935.10	105	-30559.90	97
0	Max	-1431	5287.33	49	1108.07	173	6313.30	177	204.07	49	317.52	113	433.89	65	875.91	177	-2246.60	1
0	Max	-1432	5287.33	49	1108.07	173	6313.30	177	204.07	49	317.52	113	433.89	65	875.91	177	-2246.60	1
0	Max	-1827	5287.33	49	1108.07	173	6313.30	177	204.07	49	317.52	113	433.89	65	875.91	177	-2246.60	1
0	Max	-1826	5287.33	49	1108.07	173	6313.30	177	204.07	49	317.52	113	433.89	65	875.91	177	-2246.60	1
0	Min.	-1431	-96760.20	130	-2877.06	177	-4146.68	173	-1748.07	106	-397.74	98	-746.43	173	-932.16	173	-28950.60	97
0	Min.	-1432	-96760.20	130	-2877.06	177	-4146.68	173	-1748.07	106	-397.74	98	-746.43	173	-932.16	173	-28950.60	97
0	Min.	-1827	-96760.20	130	-2877.06	177	-4146.68	173	-1748.07	106	-397.74	98	-746.43	173	-932.16	173	-28950.60	97
0	Min.	-1826	-96760.20	130	-2877.06	177	-4146.68	173	-1748.07	106	-397.74	98	-746.43	173	-932.16	173	-28950.60	97
0	Max	-1432	-424.13	49	1482.55	173	5334.63	177	4.99	49	228.79	113	387.59	65	867.84	65	-1325.47	130
0	Max	-1433	-424.13	49	1482.55	173	5334.63	177	4.99	49	228.79	113	387.59	65	867.84	65	-1325.47	130
0	Max	-1828	-424.13	49	1482.55	173	5334.63	177	4.99	49	228.79	113	387.59	65	867.84	65	-1325.47	130
0	Max	-1827	-424.13	49	1482.55	173	5334.63	177	4.99	49	228.79	113	387.59	65	867.84	65	-1325.47	130

0	Min.	-1432	-106768.00	98	-3030.93	177	-3701.31	173	-2147.64	98	-648.05	98	-676.02	173	-1068.49	17	-26911.90	97
0	Min.	-1433	-106768.00	98	-3030.93	177	-3701.31	173	-2147.64	98	-648.05	98	-676.02	173	-1068.49	17	-26911.90	97
0	Min.	-1828	-106768.00	98	-3030.93	177	-3701.31	173	-2147.64	98	-648.05	98	-676.02	173	-1068.49	17	-26911.90	97
0	Min.	-1827	-106768.00	98	-3030.93	177	-3701.31	173	-2147.64	98	-648.05	98	-676.02	173	-1068.49	17	-26911.90	97
0	Max	-1433	-6178.23	49	2230.09	173	4290.68	177	-171.49	49	182.23	33	327.94	65	1319.57	65	293.13	130
0	Max	-1434	-6178.23	49	2230.09	173	4290.68	177	-171.49	49	182.23	33	327.94	65	1319.57	65	293.13	130
0	Max	-1829	-6178.23	49	2230.09	173	4290.68	177	-171.49	49	182.23	33	327.94	65	1319.57	65	293.13	130
0	Max	-1828	-6178.23	49	2230.09	173	4290.68	177	-171.49	49	182.23	33	327.94	65	1319.57	65	293.13	130
0	Min.	-1433	-129921.00	98	-2996.17	177	-3163.23	173	-3194.25	98	-813.95	98	-551.69	173	-1645.85	97	-24055.20	97
0	Min.	-1434	-129921.00	98	-2996.17	177	-3163.23	173	-3194.25	98	-813.95	98	-551.69	173	-1645.85	97	-24055.20	97
0	Min.	-1829	-129921.00	98	-2996.17	177	-3163.23	173	-3194.25	98	-813.95	98	-551.69	173	-1645.85	97	-24055.20	97
0	Min.	-1828	-129921.00	98	-2996.17	177	-3163.23	173	-3194.25	98	-813.95	98	-551.69	173	-1645.85	97	-24055.20	97
0	Max	-1434	-11699.80	49	3005.23	173	3207.81	177	-327.65	49	158.47	33	258.38	65	1654.81	65	1765.58	130
0	Max	-1435	-11699.80	49	3005.23	173	3207.81	177	-327.65	49	158.47	33	258.38	65	1654.81	65	1765.58	130
0	Max	-1830	-11699.80	49	3005.23	173	3207.81	177	-327.65	49	158.47	33	258.38	65	1654.81	65	1765.58	130
0	Max	-1829	-11699.80	49	3005.23	173	3207.81	177	-327.65	49	158.47	33	258.38	65	1654.81	65	1765.58	130
0	Min.	-1434	-149701.00	98	-2898.44	177	-2560.91	173	-4202.75	98	-841.33	98	-371.63	173	-4565.25	97	-19955.70	97
0	Min.	-1435	-149701.00	98	-2898.44	177	-2560.91	173	-4202.75	98	-841.33	98	-371.63	173	-4565.25	97	-19955.70	97
0	Min.	-1830	-149701.00	98	-2898.44	177	-2560.91	173	-4202.75	98	-841.33	98	-371.63	173	-4565.25	97	-19955.70	97
0	Min.	-1829	-149701.00	98	-2898.44	177	-2560.91	173	-4202.75	98	-841.33	98	-371.63	173	-4565.25	97	-19955.70	97
0	Max	-1435	-16577.10	33	3026.68	173	2385.55	177	-407.64	33	144.16	33	202.06	65	1866.54	65	2288.14	130
0	Max	-2099	-16577.10	33	3026.68	173	2385.55	177	-407.64	33	144.16	33	202.06	65	1866.54	65	2288.14	130
0	Max	-1699	-16577.10	33	3026.68	173	2385.55	177	-407.64	33	144.16	33	202.06	65	1866.54	65	2288.14	130
0	Max	-1830	-16577.10	33	3026.68	173	2385.55	177	-407.64	33	144.16	33	202.06	65	1866.54	65	2288.14	130
0	Min.	-1435	-163769.00	98	-2969.78	177	-2067.31	173	-4890.46	98	-784.37	98	-210.88	17	-5937.80	97	-16936.10	97
0	Min.	-2099	-163769.00	98	-2969.78	177	-2067.31	173	-4890.46	98	-784.37	98	-210.88	17	-5937.80	97	-16936.10	97
0	Min.	-1699	-163769.00	98	-2969.78	177	-2067.31	173	-4890.46	98	-784.37	98	-210.88	17	-5937.80	97	-16936.10	97
0	Min.	-1830	-163769.00	98	-2969.78	177	-2067.31	173	-4890.46	98	-784.37	98	-210.88	17	-5937.80	97	-16936.10	97
0	Max	-1436	-18497.80	33	3609.84	173	1333.98	177	-458.06	33	130.00	33	186.21	173	2036.66	65	3524.43	130
0	Max	-2100	-18497.80	33	3609.84	173	1333.98	177	-458.06	33	130.00	33	186.21	173	2036.66	65	3524.43	130
0	Max	-1547	-18497.80	33	3609.84	173	1333.98	177	-458.06	33	130.00	33	186.21	173	2036.66	65	3524.43	130
0	Max	-1831	-18497.80	33	3609.84	173	1333.98	177	-458.06	33	130.00	33	186.21	173	2036.66	65	3524.43	130
0	Min.	-1436	-173321.00	98	-2944.41	177	-1192.24	173	-5467.35	98	-1395.56	173	-126.30	17	-26575.30	173	-35811.40	173
0	Min.	-2100	-173321.00	98	-2944.41	177	-1192.24	173	-5467.35	98	-1395.56	173	-126.30	17	-26575.30	173	-35811.40	173
0	Min.	-1547	-173321.00	98	-2944.41	177	-1192.24	173	-5467.35	98	-1395.56	173	-126.30	17	-26575.30	173	-35811.40	173
0	Min.	-1831	-173321.00	98	-2944.41	177	-1192.24	173	-5467.35	98	-1395.56	173	-126.30	17	-26575.30	173	-35811.40	173
0	Max	-1438	-19808.40	33	3968.01	173	2844.93	158	-495.31	33	121.93	33	37.93	65	2105.87	65	61736.40	173
0	Max	-1846	-19808.40	33	3968.01	173	2844.93	158	-495.31	33	121.93	33	37.93	65	2105.87	65	61736.40	173
0	Max	-1532	-19808.40	33	3968.01	173	2844.93	158	-495.31	33	121.93	33	37.93	65	2105.87	65	61736.40	173
0	Max	-1832	-19808.40	33	3968.01	173	2844.93	158	-495.31	33	121.93	33	37.93	65	2105.87	65	61736.40	173
0	Min.	-1438	-176092.00	97	-2951.17	177	-636.86	165	-5649.45	98	-1832.91	173	-248.87	173	-87275.80	173	-6326.24	101
0	Min.	-1846	-176092.00	97	-2951.17	177	-636.86	165	-5649.45	98	-1832.91	173	-248.87	173	-87275.80	173	-6326.24	101
0	Min.	-1532	-176092.00	97	-2951.17	177	-636.86	165	-5649.45	98	-1832.91	173	-248.87	173	-87275.80	173	-6326.24	101
0	Min.	-1832	-176092.00	97	-2951.17	177	-636.86	165	-5649.45	98	-1832.91	173	-248.87	173	-87275.80	173	-6326.24	101
0	Max	-1846	-19806.70	33	3851.71	173	2897.82	158	-495.25	33	121.98	33	38.72	65	2105.87	17	34432.80	173
0	Max	-1439	-19806.70	33	3851.71	173	2897.82	158	-495.25	33	121.98	33	38.72	65	2105.87	17	34432.80	173
0	Max	-1833	-19806.70	33	3851.71	173	2897.82	158	-495.25	33	121.98	33	38.72	65	2105.87	17	34432.80	173
0	Max	-1532	-19806.70	33	3851.71	173	2897.82	158	-495.25	33	121.98	33	38.72	65	2105.87	17	34432.80	173
0	Min.	-1846	-176092.00	98	-2951.17	177	-618.04	161	-5649.45	97	-1405.73	173	-274.92	173	-26543.30	173	-4347.89	101
0	Min.	-1439	-176092.00	98	-2951.17	177	-618.04	161	-5649.45	97	-1405.73	173	-274.92	173	-26543.30	173	-4347.89	101
0	Min.	-1833	-176092.00	98	-2951.17	177	-618.04	161	-5649.45	97	-1405.73	173	-274.92	173	-26543.30	173	-4347.89	101
0	Min.	-1532	-176092.00	98	-2951.17	177	-618.04	161	-5649.45	97	-1405.73	173	-274.92	173	-26543.30	173	-4347.89	101
0	Max	-1439	-15455.70	162	4214.41	173	2100.12	158	-490.62	33	123.87	33	82.84	65	2084.44	17	18870.20	173
0	Max	-2101	-15455.70	162	4214.41	173	2100.12	158	-490.62	33	123.87	33	82.84	65	2084.44	17	18870.20	173
0	Max	-2082	-15455.70	162	4214.41	173	2100.12	158	-490.62	33	123.87	33	82.84	65	2084.44	17	18870.20	173
0	Max	-1833	-15455.70	162	4214.41	173	2100.12	158	-490.62	33	123.87	33	82.84	65	2084.44	17	18870.20	173
0	Min.	-1439	-173200.00	97	-2890.59	177	-803.35	177	-5638.35	97	-1036.11	173	-79.62	17	-8819.46	173	-4614.84	101
0	Min.	-2101	-173200.00	97	-2890.59	177	-803.35	177	-5638.35	97	-1036.11	173	-79.62	17	-8819.46	173	-4614.84	101
0	Min.	-2082	-173200.00	97	-2890.59	177	-803.35	177	-5638.35	97	-1036.11	173	-79.62	17	-8819.46	173	-4614.84	101
0	Min.	-1833	-173200.00	97	-2890.59	177	-803.35	177	-5638.35	97	-1036.11	173	-79.62	17	-8819.46	173	-4614.84	101
0	Max	-1441	-8489.65	162	4100.62	173	1674.27	173	-450.97	33	134.54	33	232.34	173	1969.86	17	14491.10	173
0	Max	-2102	-8489.65	162	4100.62	173	1674.27	173	-450.97	33	134.54	33	232.34	173	1969.86	17	14491.10	173
0	Max	-2080	-8489.65	162	4100.62	173	1674.27	173	-450.97	33	134.54	33	232.34	173	1969.86	17	14491.10	173
0	Max	-1834	-8489.65	162	4100.62	173	1674.27	173	-450.97	33	134.54	33	232.34	173	1969.86	17	14491.10	173
0	Min.	-1441	-164061.00	97	-2783.47	177	-1857.25	177	-5315.52	97	-755.56	97	-161.99	17	-6086.41	98	-2943.53	101
0	Min.	-2102	-164061.00	97	-2783.47	177	-1857.25	177	-5315.52	97	-755.56	97	-161.99	17	-6086.41	98	-2943.53	101
0	Min.	-2080	-164061.00	97	-2783.47	177	-1857.25	177	-5315.52	97	-755.56	97	-161.99	17	-6086.41	98	-2943.53	101
0	Min.	-1834	-164061.00	97	-2783.47	177	-1857.25	177	-5315.52	97	-755.56	97	-161.99	17	-6086.41	98	-2943.53	101
0	Max	-1442	-198.09	162	2956.64	173	2600.31	173	-327.65	1	159.13	33	470.17	173	1654.80	17	19955.70	98
0	Max	-1443	-198.09	162	2956.64	173	2600.31	173	-327.65	1	159.13	33	470.17	173	1654.80	17	19955.70	98
0	Max	-1412	-198.09	162	2956.64	173	2600.31	173	-327.65	1	159.13	33	470.17	173	1654.80	17	19955.70	98
0	Max	-1835	-198.09	162	2956.64	173	2600.31	173	-327.65	1	159.13	33	470.17	173	1654.80	17	19955.70	98
0	Min.	-1442	-149701.00	97	-2898.44	177	-3207.81	177	-4202.75	97	-841.33	97	-258.38	17	-4565.25	98	-348.83	149
0	Min.	-1443	-149701.00	97	-2898.44	177	-3207.81	177	-4202.75	97	-841.33	97	-258.38	17	-4565.25	98	-348.83	149
0	Min.	-1412	-149701.00	97	-2898.44	177	-3207.81	177	-4202.75	97	-841.33	97	-258.38	17	-4565.25	98	-348.83	149
0	Min.	-1835	-149701.00	97	-2898.44	177	-3207.81	177	-4202.75	97	-841.33	97	-258.38	17	-4565.25	98	-348.83	149
0	Max	-1443	8522.29	162	2172.67	173	3214.53	173	-171.49	1	183.18	33	602.96	173	1319.57	17	24055.20	98
0	Max	-1445	8522.29	162	2172.67	173	3214.53	173	-171.49	1	183.18	33	602.96	173	1319.57	17	24055.20	98
0	Max	-1410	8522.29	162	2172.67	173	3214.53	173	-171.49	1	183.18	33	602.96	173	1319.57	17	24055.20	98
0	Max	-1412	8522.29	162	2172.67	173	3214.53	173	-171.49	1	183.18	33	602.96	173	1319.57	17	24055.20	98
0	Min.	-1443	-129921.00	97	-2996.17	177	-4290.68	177	-3194.25	97	-813.95	97	-327.94	17	-1645.85	98	624.49	49
0	Min.	-1445	-129921.00	97	-2996.17	177	-4290.68	177	-3194.25	97	-813.95	97	-327.94	17	-1645.85	98	624.49	49
0	Min.	-1410	-129921.00	97	-2996.17	177	-4290.68	177	-3194.25	97	-813.95	97	-327.94	17	-1645.85	98	624.49	49
0	Min.	-1412	-129921.00	97	-2996.17	177	-4290.68	177	-3194.25	97	-813.95	97	-327.94	17	-1645.85	98	624.49	49
0	Max	-1445	17591.00	162	1392.72	173	3757.85	173	4.99	1	254.07	130	688.70	173	867.84	17	26911.90	98
0	Max	-1446	17591.00	162	1392.72	173	3757.85	173	4.99	1	254.07	130	688.70	173	867.84	17	26911.90	98
0	Max	-1411	17591.00	162	1392.72	173	3757.85	173	4.99	1	254.07	130	688.70	173	867.84	17	26911.90	98
0	Max	-1410	17591.00	162	1392.72	173	3757.85	173	4.99	1	254.07	130	688.70	173	867.84	17	26911.90	98
0	Min.	-1445	-106768.00	97	-3030.93	177	-5334.63	177	-2147.64	97	-648.05	97	-387.59	17	-1068.49	65	1443.77	49
0	Min.	-1446	-106768.00	97	-3030.93	177	-5334.63	177	-2147.64	97	-648.05	97	-387.59	17	-1068.49	65	1443.77	49
0	Min.	-1411	-106768.00	97	-3030.93	177	-5334.63	177	-2147.64	97	-648.05	97	-387.59	17	-1068.49	65	1443.77	49
0	Min.	-1410	-106768.00	97	-3030.93	177	-5334.63	177	-2147.64	97	-648.05	97	-387.59	17	-1068.49	65	1443.77	49
0	Max	-1446	26627.00	162	997.69	173	4194.81	173	439.52	130	341.90	130	732.09	173	875.91	177	28950.60	98
0	Max	-1448	26627.00	162	997.69	173	4194.81	173	439.52	130	341.90	130	732.09	173	875.91	177	28950.60	98
0	Max	-1688	26627.00	162	997.69	173	4194.81	173	439.52	130	341.90	130	732.09	173	875.91	177	28950.60	98
0	Max	-1411	26627.00	162	997.69	173	4194.81	173	439.52	130	341.90	130	732.09	173	875.91	177	28950.60	98
0	Min.	-1446	-86553.60	101	-2877.06	177	-6313.30	177	-1748.10	101	-397.74	97	-433.89	17	-1019.92	173	2246.60	49
0	Min.	-1448	-86553.60	101	-2877.06	177	-6313.30	177	-1748.10	101	-397.74	97	-433.89	17	-1019.92	173	2246.60	49
0	Min.	-1688	-86553.60	101	-2877.06	177	-6313.30	177	-1748.10	101	-397.74	97	-433.89	17	-1019.92	173	2246.60	49
0	Min.	-1411	-86553.60	101	-2877.06	177	-6313.30	177	-1748.10	101	-397.74	97	-433.89	17	-1019.92	173	2246.60	49
0	Max	-1448	34733.40	162	1067.44	173	4481.47	173	995.27	130	422.75	130	737.55	173	1057.13	177	30559.90	98
0	Max	-1449	34733.40	162	1067.44	173	4481.47	173	995.27	130	422.75	130	737.55	173	1057.13	177	30559.90	98
0	Max	-1691	34733.40	162	1067.44	173	4481.47	173	995.27	130	422.75	130	737.55	173	1057.13	177	30559.90	98
0	Max	-1688	34733.40	162	1067.44	173	4481.47	173	995.27	130	422.75	130	737.55	173	1057.13	177	30559.90	98
0	Min.	-1448	-81684.80	101	-2596.47	177	-7270.48	177	-1519.17	101	-114.88	97	-461.51	17	-2935.11	102	3055.16	33

0	Min.	-1449	-81684.80	101	-2596.47	177	-7270.48	177	-1519.17	101	-114.88	97	-461.51	17	-2935.11	102	3055.16	33
0	Min.	-1691	-81684.80	101	-2596.47	177	-7270.48	177	-1519.17	101	-114.88	97	-461.51	17	-2935.11	102	3055.16	33
0	Min.	-1688	-81684.80	101	-2596.47	177	-7270.48	177	-1519.17	101	-114.88	97	-461.51	17	-2935.11	102	3055.16	33
0	Max	-1449	40162.90	162	1441.32	173	4681.61	173	1661.00	130	492.19	130	703.49	173	1141.87	17	32545.50	98
0	Max	-1450	40162.90	162	1441.32	173	4681.61	173	1661.00	130	492.19	130	703.49	173	1141.87	17	32545.50	98
0	Max	-1692	40162.90	162	1441.32	173	4681.61	173	1661.00	130	492.19	130	703.49	173	1141.87	17	32545.50	98
0	Max	-1691	40162.90	162	1441.32	173	4681.61	173	1661.00	130	492.19	130	703.49	173	1141.87	17	32545.50	98
0	Min.	-1449	-75246.00	101	-2306.88	177	-8259.58	177	-1134.14	101	106.61	133	-464.53	17	-6034.70	102	3743.22	33
0	Min.	-1450	-75246.00	101	-2306.88	177	-8259.58	177	-1134.14	101	106.61	133	-464.53	17	-6034.70	102	3743.22	33
0	Min.	-1692	-75246.00	101	-2306.88	177	-8259.58	177	-1134.14	101	106.61	133	-464.53	17	-6034.70	102	3743.22	33
0	Min.	-1691	-75246.00	101	-2306.88	177	-8259.58	177	-1134.14	101	106.61	133	-464.53	17	-6034.70	102	3743.22	33
0	Max	-1450	48693.70	130	2883.49	98	4851.86	173	2519.48	98	568.71	102	654.38	173	1989.56	17	32852.20	98
0	Max	-1937	48693.70	130	2883.49	98	4851.86	173	2519.48	98	568.71	102	654.38	173	1989.56	17	32852.20	98
0	Max	-1917	48693.70	130	2883.49	98	4851.86	173	2519.48	98	568.71	102	654.38	173	1989.56	17	32852.20	98
0	Max	-1692	48693.70	130	2883.49	98	4851.86	173	2519.48	98	568.71	102	654.38	173	1989.56	17	32852.20	98
0	Min.	-1450	-67623.30	101	-1967.07	177	-9031.09	177	-718.35	101	160.19	177	-449.84	17	-5367.01	101	4050.33	33
0	Min.	-1937	-67623.30	101	-1967.07	177	-9031.09	177	-718.35	101	160.19	177	-449.84	17	-5367.01	101	4050.33	33
0	Min.	-1917	-67623.30	101	-1967.07	177	-9031.09	177	-718.35	101	160.19	177	-449.84	17	-5367.01	101	4050.33	33
0	Min.	-1692	-67623.30	101	-1967.07	177	-9031.09	177	-718.35	101	160.19	177	-449.84	17	-5367.01	101	4050.33	33
0	Max	-1452	57269.80	130	1985.83	122	4869.29	173	4806.32	98	806.04	102	514.79	173	-3292.61	17	38775.80	98
0	Max	430	57269.80	130	1985.83	122	4869.29	173	4806.32	98	806.04	102	514.79	173	-3292.61	17	38775.80	98
0	Max	-1534	57269.80	130	1985.83	122	4869.29	173	4806.32	98	806.04	102	514.79	173	-3292.61	17	38775.80	98
0	Max	-1698	57269.80	130	1985.83	122	4869.29	173	4806.32	98	806.04	102	514.79	173	-3292.61	17	38775.80	98
0	Min.	-1452	-59815.70	101	-2034.81	177	-10551.00	177	210.56	49	194.93	33	-349.78	17	-40695.00	102	5584.81	33
0	Min.	430	-59815.70	101	-2034.81	177	-10551.00	177	210.56	49	194.93	33	-349.78	17	-40695.00	102	5584.81	33
0	Min.	-1534	-59815.70	101	-2034.81	177	-10551.00	177	210.56	49	194.93	33	-349.78	17	-40695.00	102	5584.81	33
0	Min.	-1698	-59815.70	101	-2034.81	177	-10551.00	177	210.56	49	194.93	33	-349.78	17	-40695.00	102	5584.81	33
0	Max	439	51347.70	101	1224.90	113	7518.71	177	4829.45	97	1263.53	97	323.55	65	-6708.20	33	-5188.70	17
0	Max	-1453	51347.70	101	1224.90	113	7518.71	177	4829.45	97	1263.53	97	323.55	65	-6708.20	33	-5188.70	17
0	Max	-1873	51347.70	101	1224.90	113	7518.71	177	4829.45	97	1263.53	97	323.55	65	-6708.20	33	-5188.70	17
0	Max	-1874	51347.70	101	1224.90	113	7518.71	177	4829.45	97	1263.53	97	323.55	65	-6708.20	33	-5188.70	17
0	Min.	439	-67872.50	130	-2663.48	130	-7044.96	173	174.24	1	-671.14	106	-571.22	173	-56531.20	105	-59453.60	105
0	Min.	-1453	-67872.50	130	-2663.48	130	-7044.96	173	174.24	1	-671.14	106	-571.22	173	-56531.20	105	-59453.60	105
0	Min.	-1873	-67872.50	130	-2663.48	130	-7044.96	173	174.24	1	-671.14	106	-571.22	173	-56531.20	105	-59453.60	105
0	Min.	-1874	-67872.50	130	-2663.48	130	-7044.96	173	174.24	1	-671.14	106	-571.22	173	-56531.20	105	-59453.60	105
0	Max	-1453	41988.50	101	8818.03	165	25180.20	166	3366.30	97	742.33	97	383.08	65	848.31	65	-3908.87	17
0	Max	-1954	41988.50	101	8818.03	165	25180.20	166	3366.30	97	742.33	97	383.08	65	848.31	65	-3908.87	17
0	Max	-1943	41988.50	101	8818.03	165	25180.20	166	3366.30	97	742.33	97	383.08	65	848.31	65	-3908.87	17
0	Max	-1873	41988.50	101	8818.03	165	25180.20	166	3366.30	97	742.33	97	383.08	65	848.31	65	-3908.87	17
0	Min.	-1453	-68325.10	106	118.30	177	-6619.82	173	-1238.76	130	-1421.03	106	-682.92	173	-37425.80	105	-54910.90	105
0	Min.	-1954	-68325.10	106	118.30	177	-6619.82	173	-1238.76	130	-1421.03	106	-682.92	173	-37425.80	105	-54910.90	105
0	Min.	-1943	-68325.10	106	118.30	177	-6619.82	173	-1238.76	130	-1421.03	106	-682.92	173	-37425.80	105	-54910.90	105
0	Min.	-1873	-68325.10	106	118.30	177	-6619.82	173	-1238.76	130	-1421.03	106	-682.92	173	-37425.80	105	-54910.90	105
0	Max	-1454	30854.90	101	8830.01	166	5070.95	177	1593.53	101	470.48	113	441.50	65	-198.03	65	11034.40	106
0	Max	-1455	30854.90	101	8830.01	166	5070.95	177	1593.53	101	470.48	113	441.50	65	-198.03	65	11034.40	106
0	Max	-1876	30854.90	101	8830.01	166	5070.95	177	1593.53	101	470.48	113	441.50	65	-198.03	65	11034.40	106
0	Max	-1875	30854.90	101	8830.01	166	5070.95	177	1593.53	101	470.48	113	441.50	65	-198.03	65	11034.40	106
0	Min.	-1454	-102905.00	130	-479.61	177	-10440.10	97	-1322.85	130	-1172.50	106	-756.27	173	-16149.60	105	-29277.80	97
0	Min.	-1455	-102905.00	130	-479.61	177	-10440.10	97	-1322.85	130	-1172.50	106	-756.27	173	-16149.60	105	-29277.80	97
0	Min.	-1876	-102905.00	130	-479.61	177	-10440.10	97	-1322.85	130	-1172.50	106	-756.27	173	-16149.60	105	-29277.80	97
0	Min.	-1875	-102905.00	130	-479.61	177	-10440.10	97	-1322.85	130	-1172.50	106	-756.27	173	-16149.60	105	-29277.80	97
0	Max	-1455	16868.30	101	4613.04	166	4344.82	177	799.30	101	370.66	113	430.62	65	112.58	134	-1546.79	130
0	Max	-1456	16868.30	101	4613.04	166	4344.82	177	799.30	101	370.66	113	430.62	65	112.58	134	-1546.79	130
0	Max	-1877	16868.30	101	4613.04	166	4344.82	177	799.30	101	370.66	113	430.62	65	112.58	134	-1546.79	130
0	Max	-1876	16868.30	101	4613.04	166	4344.82	177	799.30	101	370.66	113	430.62	65	112.58	134	-1546.79	130
0	Min.	-1455	-98925.10	130	-1032.27	177	-10342.40	97	-1330.08	106	-740.82	106	-810.01	173	-1731.85	173	-26547.80	97
0	Min.	-1456	-98925.10	130	-1032.27	177	-10342.40	97	-1330.08	106	-740.82	106	-810.01	173	-1731.85	173	-26547.80	97
0	Min.	-1877	-98925.10	130	-1032.27	177	-10342.40	97	-1330.08	106	-740.82	106	-810.01	173	-1731.85	173	-26547.80	97
0	Min.	-1876	-98925.10	130	-1032.27	177	-10342.40	97	-1330.08	106	-740.82	106	-810.01	173	-1731.85	173	-26547.80	97
0	Max	-1456	6109.76	49	1641.06	166	3732.48	177	211.27	49	283.06	113	395.50	65	691.78	98	-830.30	130
0	Max	-1459	6109.76	49	1641.06	166	3732.48	177	211.27	49	283.06	113	395.50	65	691.78	98	-830.30	130
0	Max	-1878	6109.76	49	1641.06	166	3732.48	177	211.27	49	283.06	113	395.50	65	691.78	98	-830.30	130
0	Max	-1877	6109.76	49	1641.06	166	3732.48	177	211.27	49	283.06	113	395.50	65	691.78	98	-830.30	130
0	Min.	-1456	-97431.40	130	-1911.85	157	-9540.53	97	-1648.88	106	-551.00	106	-838.41	173	-1478.90	17	-25379.80	97
0	Min.	-1459	-97431.40	130	-1911.85	157	-9540.53	97	-1648.88	106	-551.00	106	-838.41	173	-1478.90	17	-25379.80	97
0	Min.	-1878	-97431.40	130	-1911.85	157	-9540.53	97	-1648.88	106	-551.00	106	-838.41	173	-1478.90	17	-25379.80	97
0	Min.	-1877	-97431.40	130	-1911.85	157	-9540.53	97	-1648.88	106	-551.00	106	-838.41	173	-1478.90	17	-25379.80	97
0	Max	-1459	2968.65	177	959.50	130	3242.73	177	27.54	49	189.77	113	343.26	65	879.67	98	-564.68	130
0	Max	-1460	2968.65	177	959.50	130	3242.73	177	27.54	49	189.77	113	343.26	65	879.67	98	-564.68	130
0	Max	-1879	2968.65	177	959.50	130	3242.73	177	27.54	49	189.77	113	343.26	65	879.67	98	-564.68	130
0	Max	-1878	2968.65	177	959.50	130	3242.73	177	27.54	49	189.77	113	343.26	65	879.67	98	-564.68	130
0	Min.	-1459	-106046.00	98	-2200.13	157	-7788.50	97	-2072.06	98	-695.27	98	-848.11	173	-1914.52	17	-24922.70	97
0	Min.	-1460	-106046.00	98	-2200.13	157	-7788.50	97	-2072.06	98	-695.27	98	-848.11	173	-1914.52	17	-24922.70	97
0	Min.	-1879	-106046.00	98	-2200.13	157	-7788.50	97	-2072.06	98	-695.27	98	-848.11	173	-1914.52	17	-24922.70	97
0	Min.	-1878	-106046.00	98	-2200.13	157	-7788.50	97	-2072.06	98	-695.27	98	-848.11	173	-1914.52	17	-24922.70	97
0	Max	-1460	156.43	177	1972.28	98	2614.23	177	-134.93	49	155.02	65	286.97	65	3264.63	173	225.81	130
0	Max	-1462	156.43	177	1972.28	98	2614.23	177	-134.93	49	155.02	65	286.97	65	3264.63	173	225.81	130
0	Max	-1880	156.43	177	1972.28	98	2614.23	177	-134.93	49	155.02	65	286.97	65	3264.63	173	225.81	130
0	Max	-1879	156.43	177	1972.28	98	2614.23	177	-134.93	49	155.02	65	286.97	65	3264.63	173	225.81	130
0	Min.	-1460	-128852.00	98	-1433.03	157	-6571.70	97	-3015.33	98	-1151.21	98	-831.77	173	-2085.34	17	-24652.00	97
0	Min.	-1462	-128852.00	98	-1433.03	157	-6571.70	97	-3015.33	98	-1151.21	98	-831.77	173	-2085.34	17	-24652.00	97
0	Min.	-1880	-128852.00	98	-1433.03	157	-6571.70	97	-3015.33	98	-1151.21	98	-831.77	173	-2085.34	17	-24652.00	97
0	Min.	-1879	-128852.00	98	-1433.03	157	-6571.70	97	-3015.33	98	-1151.21	98	-831.77	173	-2085.34	17	-24652.00	97
0	Max	-1462	-2170.58	177	2983.64	97	1764.57	177	-279.76	49	153.21	65	230.60	65	7402.52	173	1098.59	130
0	Max	-1463	-2170.58	177	2983.64	97	1764.57	177	-279.76	49	153.21	65	230.60	65	7402.52	173	1098.59	130
0	Max	-1881	-2170.58	177	2983.64	97	1764.57	177	-279.76	49	153.21	65	230.60	65	7402.52	173	1098.59	130
0	Max	-1880	-2170.58	177	2983.64	97	1764.57	177	-279.76	49	153.21	65	230.60	65	7402.52	173	1098.59	130
0	Min.	-1462	-148425.00	98	-2562.58	158	-6551.96	97	-3983.09	98	-1776.98	98	-790.30	173	-2378.63	109	-28616.50	97
0	Min.	-1463	-148425.00	98	-2562.58	158	-6551.96	97	-3983.09	98	-1776.98	98	-790.30	173	-2378.63	109	-28616.50	97
0	Min.	-1881	-148425.00	98	-2562.58	158	-6551.96	97	-3983.09	98	-1776.98	98	-790.30	173	-2378.63	109	-28616.50	97
0	Min.	-1880	-148425.00	98	-2562.58	158	-6551.96	97	-3983.09	98	-1776.98	98	-790.30	173	-2378.63	109	-28616.50	97
0	Max	-1463	-4030.06	177	4554.13	97	1809.44	158	-351.37	65	153.82	65	181.76	65	11826.70	173	1914.03	130
0	Max	-1762	-4030.06	177	4554.13	97	1809.44	158	-351.37	65	153.82	65	181.76	65	11826.70	173	1914.03	130
0	Max	-1974	-4030.06	177	4554.13	97	1809.44	158	-351.37	65	153.82	65	181.76	65	11826.70	173	1914.03	130
0	Max	-1881	-4030.06	177	4554.13	97	1809.44	158	-351.37	65	153.82	65	181.76	65	11826.70	173	1914.03	130
0	Min.	-1463	-163831.00	98	-5913.40	158	-4818.83	125	-5048.77	98	-2406.16	98	-768.08	173	-13282.40	97	-52082.00	97
0	Min.	-1762	-163831.00	98	-5913.40	158	-4818.83	125	-5048.77	98	-2406.16	98	-768.08	173	-13282.40	97	-52082.00	97
0	Min.	-1974	-163831.00	98	-5913.40	158	-4818.83	125	-5048.77	98	-2406.16	98	-768.08	173	-13282.40	97	-52082.00	97
0	Min.	-1881	-163831.00	98	-5913.40	158	-4818.83	125	-5048.77	98	-2406.16	98	-768.08	173	-13282.40	97	-52082.00	97
0	Max	-1464	-4861.61	177	4002.24	97	25045.00	158	-402.28	65	153.61	65	112.93	65	29056.20	173	9507.25	98
0	Max	-2083	-4861.61	177	4002.24	97	25045.00	158	-402.28	65	153.61	65	112.93	65	29056.20	173	9507.25	98
0	Max	-1911	-4861.61	177	4002.24	97	25045.00	158	-402.28	65	153.61	65	112.93	65	29056.20	173	9507.25	98
0	Max	-1882	-4861.61	177	4002.24	97	25045.00	158	-402.28	65	153.61	65	112.93	65	29056.20	173	9507.25	98
0	Min.	-1464	-171760.00	98	-5413.78	158	-4513.42	125	-6196.96	98	-2968.44	98	-683.30	173	-35558.50	97	-17016.50	173
0	Min.	-2083	-171760.00	98	-5413.78	158	-4513.42	125	-6196.96	98	-2968.44	98	-683.30	173	-35558.50	97	-17016.50	173

0	Min.	-1911	-171760.00	98	-5413.78	158	-4513.42	125	-6196.96	98	-2968.44	98	-683.30	173	-35558.50	97	-17016.50	173
0	Min.	-1882	-171760.00	98	-5413.78	158	-4513.42	125	-6196.96	98	-2968.44	98	-683.30	173	-35558.50	97	-17016.50	173
0	Max	-1465	-5071.97	177	2571.10	97	2318.01	106	-437.20	65	150.30	65	234.30	173	14428.20	173	6591.44	98
0	Max	-1867	-5071.97	177	2571.10	97	2318.01	106	-437.20	65	150.30	65	234.30	173	14428.20	173	6591.44	98
0	Max	-1884	-5071.97	177	2571.10	97	2318.01	106	-437.20	65	150.30	65	234.30	173	14428.20	173	6591.44	98
0	Max	-1883	-5071.97	177	2571.10	97	2318.01	106	-437.20	65	150.30	65	234.30	173	14428.20	173	6591.44	98
0	Min.	-1465	-173868.00	97	-1266.68	177	-3440.72	125	-5313.74	98	-2615.33	98	-90.63	101	-4468.86	97	-13947.60	173
0	Min.	-1867	-173868.00	97	-1266.68	177	-3440.72	125	-5313.74	98	-2615.33	98	-90.63	101	-4468.86	97	-13947.60	173
0	Min.	-1884	-173868.00	97	-1266.68	177	-3440.72	125	-5313.74	98	-2615.33	98	-90.63	101	-4468.86	97	-13947.60	173
0	Min.	-1883	-173868.00	97	-1266.68	177	-3440.72	125	-5313.74	98	-2615.33	98	-90.63	101	-4468.86	97	-13947.60	173
0	Max	-1867	-5071.97	177	2675.99	173	3053.78	158	-437.20	17	150.30	17	591.43	173	29256.40	173	16073.90	173
0	Max	-1466	-5071.97	177	2675.99	173	3053.78	158	-437.20	17	150.30	17	591.43	173	29256.40	173	16073.90	173
0	Max	-1885	-5071.97	177	2675.99	173	3053.78	158	-437.20	17	150.30	17	591.43	173	29256.40	173	16073.90	173
0	Max	-1884	-5071.97	177	2675.99	173	3053.78	158	-437.20	17	150.30	17	591.43	173	29256.40	173	16073.90	173
0	Min.	-1867	-173868.00	98	-1266.68	177	-2961.50	125	-5313.74	97	-2615.33	97	-85.81	101	-4468.86	98	-6591.44	97
0	Min.	-1466	-173868.00	98	-1266.68	177	-2961.50	125	-5313.74	97	-2615.33	97	-85.81	101	-4468.86	98	-6591.44	97
0	Min.	-1885	-173868.00	98	-1266.68	177	-2961.50	125	-5313.74	97	-2615.33	97	-85.81	101	-4468.86	98	-6591.44	97
0	Min.	-1884	-173868.00	98	-1266.68	177	-2961.50	125	-5313.74	97	-2615.33	97	-85.81	101	-4468.86	98	-6591.44	97
0	Max	-1466	-4620.57	177	2164.34	101	6778.43	158	-427.88	17	151.68	17	686.94	173	16959.10	173	11559.50	173
0	Max	-2081	-4620.57	177	2164.34	101	6778.43	158	-427.88	17	151.68	17	686.94	173	16959.10	173	11559.50	173
0	Max	-2103	-4620.57	177	2164.34	101	6778.43	158	-427.88	17	151.68	17	686.94	173	16959.10	173	11559.50	173
0	Max	-1885	-4620.57	177	2164.34	101	6778.43	158	-427.88	17	151.68	17	686.94	173	16959.10	173	11559.50	173
0	Min.	-1466	-170740.00	97	-3911.30	158	-2992.29	125	-5742.97	97	-2793.92	97	-73.60	17	-13686.80	98	-26813.10	97
0	Min.	-2081	-170740.00	97	-3911.30	158	-2992.29	125	-5742.97	97	-2793.92	97	-73.60	17	-13686.80	98	-26813.10	97
0	Min.	-2103	-170740.00	97	-3911.30	158	-2992.29	125	-5742.97	97	-2793.92	97	-73.60	17	-13686.80	98	-26813.10	97
0	Min.	-1885	-170740.00	97	-3911.30	158	-2992.29	125	-5742.97	97	-2793.92	97	-73.60	17	-13686.80	98	-26813.10	97
0	Max	-1467	-3527.87	177	1819.12	101	28592.40	158	-387.94	17	152.94	17	691.64	173	8857.42	173	32211.60	98
0	Max	-2079	-3527.87	177	1819.12	101	28592.40	158	-387.94	17	152.94	17	691.64	173	8857.42	173	32211.60	98
0	Max	-2104	-3527.87	177	1819.12	101	28592.40	158	-387.94	17	152.94	17	691.64	173	8857.42	173	32211.60	98
0	Max	-1886	-3527.87	177	1819.12	101	28592.40	158	-387.94	17	152.94	17	691.64	173	8857.42	173	32211.60	98
0	Min.	-1467	-161503.00	97	-3140.55	158	-2941.46	125	-6029.84	97	-2849.09	97	-149.34	17	-34628.80	98	-2015.43	101
0	Min.	-2079	-161503.00	97	-3140.55	158	-2941.46	125	-6029.84	97	-2849.09	97	-149.34	17	-34628.80	98	-2015.43	101
0	Min.	-2104	-161503.00	97	-3140.55	158	-2941.46	125	-6029.84	97	-2849.09	97	-149.34	17	-34628.80	98	-2015.43	101
0	Min.	-1886	-161503.00	97	-3140.55	158	-2941.46	125	-6029.84	97	-2849.09	97	-149.34	17	-34628.80	98	-2015.43	101
0	Max	-1468	30.74	162	5815.50	158	6551.96	98	-279.76	1	153.21	17	744.25	173	3546.76	173	28616.50	98
0	Max	-1469	30.74	162	5815.50	158	6551.96	98	-279.76	1	153.21	17	744.25	173	3546.76	173	28616.50	98
0	Max	-1888	30.74	162	5815.50	158	6551.96	98	-279.76	1	153.21	17	744.25	173	3546.76	173	28616.50	98
0	Max	-1887	30.74	162	5815.50	158	6551.96	98	-279.76	1	153.21	17	744.25	173	3546.76	173	28616.50	98
0	Min.	-1468	-148425.00	97	-1060.40	177	-2304.96	125	-3983.08	97	-1776.98	97	-230.60	17	-2456.40	122	-228.61	49
0	Min.	-1469	-148425.00	97	-1060.40	177	-2304.96	125	-3983.08	97	-1776.98	97	-230.60	17	-2456.40	122	-228.61	49
0	Min.	-1888	-148425.00	97	-1060.40	177	-2304.96	125	-3983.08	97	-1776.98	97	-230.60	17	-2456.40	122	-228.61	49
0	Min.	-1887	-148425.00	97	-1060.40	177	-2304.96	125	-3983.08	97	-1776.98	97	-230.60	17	-2456.40	122	-228.61	49
0	Max	-1469	8868.99	162	3584.35	157	6571.70	98	-134.93	1	155.02	17	786.31	173	1668.93	97	24652.00	98
0	Max	-1470	8868.99	162	3584.35	157	6571.70	98	-134.93	1	155.02	17	786.31	173	1668.93	97	24652.00	98
0	Max	-1889	8868.99	162	3584.35	157	6571.70	98	-134.93	1	155.02	17	786.31	173	1668.93	97	24652.00	98
0	Max	-1888	8868.99	162	3584.35	157	6571.70	98	-134.93	1	155.02	17	786.31	173	1668.93	97	24652.00	98
0	Min.	-1469	-128852.00	97	-1169.30	177	-2614.23	177	-3015.33	97	-1151.21	97	-286.97	17	-2085.34	65	347.54	49
0	Min.	-1470	-128852.00	97	-1169.30	177	-2614.23	177	-3015.33	97	-1151.21	97	-286.97	17	-2085.34	65	347.54	49
0	Min.	-1889	-128852.00	97	-1169.30	177	-2614.23	177	-3015.33	97	-1151.21	97	-286.97	17	-2085.34	65	347.54	49
0	Min.	-1888	-128852.00	97	-1169.30	177	-2614.23	177	-3015.33	97	-1151.21	97	-286.97	17	-2085.34	65	347.54	49
0	Max	-1470	18048.90	162	1930.35	157	7788.49	98	27.53	1	201.77	130	800.48	173	879.67	97	24922.70	98
0	Max	-1471	18048.90	162	1930.35	157	7788.49	98	27.53	1	201.77	130	800.48	173	879.67	97	24922.70	98
0	Max	-1890	18048.90	162	1930.35	157	7788.49	98	27.53	1	201.77	130	800.48	173	879.67	97	24922.70	98
0	Max	-1889	18048.90	162	1930.35	157	7788.49	98	27.53	1	201.77	130	800.48	173	879.67	97	24922.70	98
0	Min.	-1470	-106046.00	97	-1448.10	177	-3242.74	177	-2072.06	97	-695.27	97	-343.26	17	-1914.51	65	1015.69	149
0	Min.	-1471	-106046.00	97	-1448.10	177	-3242.74	177	-2072.06	97	-695.27	97	-343.26	17	-1914.51	65	1015.69	149
0	Min.	-1890	-106046.00	97	-1448.10	177	-3242.74	177	-2072.06	97	-695.27	97	-343.26	17	-1914.51	65	1015.69	149
0	Min.	-1889	-106046.00	97	-1448.10	177	-3242.74	177	-2072.06	97	-695.27	97	-343.26	17	-1914.51	65	1015.69	149
0	Max	-1471	28308.00	162	916.74	157	9540.52	98	404.92	130	292.38	130	787.93	173	691.78	97	25379.80	98
0	Max	-1472	28308.00	162	916.74	157	9540.52	98	404.92	130	292.38	130	787.93	173	691.78	97	25379.80	98
0	Max	-1891	28308.00	162	916.74	157	9540.52	98	404.92	130	292.38	130	787.93	173	691.78	97	25379.80	98
0	Max	-1890	28308.00	162	916.74	157	9540.52	98	404.92	130	292.38	130	787.93	173	691.78	97	25379.80	98
0	Min.	-1471	-85837.00	101	-1802.36	162	-3732.48	177	-1648.91	101	-551.02	101	-395.50	17	-1607.27	130	1270.68	149
0	Min.	-1472	-85837.00	101	-1802.36	162	-3732.48	177	-1648.91	101	-551.02	101	-395.50	17	-1607.27	130	1270.68	149
0	Min.	-1891	-85837.00	101	-1802.36	162	-3732.48	177	-1648.91	101	-551.02	101	-395.50	17	-1607.27	130	1270.68	149
0	Min.	-1890	-85837.00	101	-1802.36	162	-3732.48	177	-1648.91	101	-551.02	101	-395.50	17	-1607.27	130	1270.68	149
0	Max	-1472	40397.80	162	881.44	101	10342.40	98	945.13	130	388.51	130	756.39	173	112.58	133	26547.80	98
0	Max	-1473	40397.80	162	881.44	101	10342.40	98	945.13	130	388.51	130	756.39	173	112.58	133	26547.80	98
0	Max	-1892	40397.80	162	881.44	101	10342.40	98	945.13	130	388.51	130	756.39	173	112.58	133	26547.80	98
0	Max	-1891	40397.80	162	881.44	101	10342.40	98	945.13	130	388.51	130	756.39	173	112.58	133	26547.80	98
0	Min.	-1472	-81183.00	101	-3963.65	162	-4344.82	177	-1330.12	101	-740.85	101	-430.62	17	-1986.87	173	1862.05	149
0	Min.	-1473	-81183.00	101	-3963.65	162	-4344.82	177	-1330.12	101	-740.85	101	-430.62	17	-1986.87	173	1862.05	149
0	Min.	-1892	-81183.00	101	-3963.65	162	-4344.82	177	-1330.12	101	-740.85	101	-430.62	17	-1986.87	173	1862.05	149
0	Min.	-1891	-81183.00	101	-3963.65	162	-4344.82	177	-1330.12	101	-740.85	101	-430.62	17	-1986.87	173	1862.05	149
0	Max	-1473	57661.00	162	2582.90	97	10440.10	98	1603.40	130	494.03	130	701.84	173	-198.05	17	29277.80	98
0	Max	-1474	57661.00	162	2582.90	97	10440.10	98	1603.40	130	494.03	130	701.84	173	-198.05	17	29277.80	98
0	Max	-1893	57661.00	162	2582.90	97	10440.10	98	1603.40	130	494.03	130	701.84	173	-198.05	17	29277.80	98
0	Max	-1892	57661.00	162	2582.90	97	10440.10	98	1603.40	130	494.03	130	701.84	173	-198.05	17	29277.80	98
0	Min.	-1473	-74972.50	101	-7059.14	162	-5070.96	177	-1260.33	101	-1172.53	101	-441.50	17	-16149.70	102	-11034.80	101
0	Min.	-1474	-74972.50	101	-7059.14	162	-5070.96	177	-1260.33	101	-1172.53	101	-441.50	17	-16149.70	102	-11034.80	101
0	Min.	-1893	-74972.50	101	-7059.14	162	-5070.96	177	-1260.33	101	-1172.53	101	-441.50	17	-16149.70	102	-11034.80	101
0	Min.	-1892	-74972.50	101	-7059.14	162	-5070.96	177	-1260.33	101	-1172.53	101	-441.50	17	-16149.70	102	-11034.80	101
0	Max	-1474	83903.70	162	2927.83	161	27565.80	162	2482.21	98	578.15	106	659.71	173	884.72	17	29988.90	98
0	Max	-1918	83903.70	162	2927.83	161	27565.80	162	2482.21	98	578.15	106	659.71	173	884.72	17	29988.90	98
0	Max	-1938	83903.70	162	2927.83	161	27565.80	162	2482.21	98	578.15	106	659.71	173	884.72	17	29988.90	98
0	Max	-1893	83903.70	162	2927.83	161	27565.80	162	2482.21	98	578.15	106	659.71	173	884.72	17	29988.90	98
0	Min.	-1474	-67263.20	101	-850.48	177	-6286.54	177	-1600.64	101	-1554.77	101	-424.26	17	-34804.50	102	-14135.80	101
0	Min.	-1918	-67263.20	101	-850.48	177	-6286.54	177	-1600.64	101	-1554.77	101	-424.26	17	-34804.50	102	-14135.80	101
0	Min.	-1938	-67263.20	101	-850.48	177	-6286.54	177	-1600.64	101	-1554.77	101	-424.26	17	-34804.50	102	-14135.80	101
0	Min.	-1893	-67263.20	101	-850.48	177	-6286.54	177	-1600.64	101	-1554.77	101	-424.26	17	-34804.50	102	-14135.80	101
0	Max	-1475	56614.40	130	3758.80	162	6892.59	97	4829.44	98	1263.53	98	527.32	173	-6686.61	33	59452.80	102
0	Max	433	56614.40	130	3758.80	162	6892.59	97	4829.44	98	1263.53	98	527.32	173	-6686.61	33	59452.80	102
0	Max	-1344	56614.40	130	3758.80	162	6892.59	97	4829.44	98	1263.53	98	527.32	173	-6686.61	33	59452.80	102
0	Max	-1894	56614.40	130	3758.80	162	6892.59	97	4829.44	98	1263.53	98	527.32	173	-6686.61	33	59452.80	102
0	Min.	-1475	-59910.00	101	-1180.06	101	-7518.70	177	174.23	49	-671.22	101	-323.54	17	-56533.40	102	5188.69	65
0	Min.	433	-59910.00	101	-1180.06	101	-7518.70	177	174.23	49	-671.22	101	-323.54	17	-56533.40	102	5188.69	65
0	Min.	-1344	-59910.00	101	-1180.06	101	-7518.70	177	174.23	49	-671.22	101	-323.54	17	-56533.40	102	5188.69	65
0	Min.	-1894	-59910.00	101	-1180.06	101	-7518.70	177	174.23	49	-671.22	101	-323.54	17	-56533.40	102	5188.69	65
0	Max	-1859	51752.00	101	3615.66	165	9661.57	177	4801.91	97	823.82	97	361.29	65	32104.70	97	-5642.38	17
0	Max	-1823	51752.00	101	3615.66	165	9661.57	177	4801.91	97	823.82	97	361.29	65	32104.70	97	-5642.38	17
0	Max	-1453	51752.00	101	3615.66	165	9661.57	177	4801.91	97	823.82	97	361.29	65	32104.70	97	-5642.38	17
0	Max	439	51752.00	101	3615.66	165	9661.57	177	4801.91	97	823.82	97	361.29	65	32104.70	97	-5642.38	17
0	Min.	-1859	-73834.60	130	-815.84	177	-4884.07	173	183.69	1	-118.59	106	-535.92	173	2296.23	17	-44306.00	97
0	Min.	-1823	-73834.60	130	-815.84	177	-4884.07	173	183.69	1	-118.59	106	-535.92	173	2296.23	17	-44306.00	97
0	Min.	-1453	-73834.60	130	-815.84	177	-4884.07	173	183.69	1	-118.59	106	-535.92	173	2296.23	17	-44306.00	97

0	Min.	439	-73834.60	130	-815.84	177	-4884.07	173	183.69	1	-118.59	106	-535.92	173	2296.23	17	-44306.00	97
0	Max	-1823	43564.50	101	1617.06	165	8675.62	177	3462.60	97	653.44	101	428.19	65	3727.22	97	-4573.39	17
0	Max	-1953	43564.50	101	1617.06	165	8675.62	177	3462.60	97	653.44	101	428.19	65	3727.22	97	-4573.39	17
0	Max	-1954	43564.50	101	1617.06	165	8675.62	177	3462.60	97	653.44	101	428.19	65	3727.22	97	-4573.39	17
0	Max	-1453	43564.50	101	1617.06	165	8675.62	177	3462.60	97	653.44	101	428.19	65	3727.22	97	-4573.39	17
0	Min.	-1823	-80709.10	130	-1345.00	177	-5132.32	173	-888.40	130	-236.77	106	-639.96	173	-29366.60	106	-39094.50	105
0	Min.	-1953	-80709.10	130	-1345.00	177	-5132.32	173	-888.40	130	-236.77	106	-639.96	173	-29366.60	106	-39094.50	105
0	Min.	-1954	-80709.10	130	-1345.00	177	-5132.32	173	-888.40	130	-236.77	106	-639.96	173	-29366.60	106	-39094.50	105
0	Min.	-1453	-80709.10	130	-1345.00	177	-5132.32	173	-888.40	130	-236.77	106	-639.96	173	-29366.60	106	-39094.50	105
0	Max	-1824	30902.90	101	1589.93	122	7400.23	177	1618.00	101	488.62	113	452.11	65	842.12	65	-2629.84	130
0	Max	-1825	30902.90	101	1589.93	122	7400.23	177	1618.00	101	488.62	113	452.11	65	842.12	65	-2629.84	130
0	Max	-1455	30902.90	101	1589.93	122	7400.23	177	1618.00	101	488.62	113	452.11	65	842.12	65	-2629.84	130
0	Max	-1454	30902.90	101	1589.93	122	7400.23	177	1618.00	101	488.62	113	452.11	65	842.12	65	-2629.84	130
0	Min.	-1824	-94595.20	130	-1353.72	177	-4938.07	173	-1296.40	130	-393.65	106	-761.13	173	-17651.40	105	-35095.40	97
0	Min.	-1825	-94595.20	130	-1353.72	177	-4938.07	173	-1296.40	130	-393.65	106	-761.13	173	-17651.40	105	-35095.40	97
0	Min.	-1455	-94595.20	130	-1353.72	177	-4938.07	173	-1296.40	130	-393.65	106	-761.13	173	-17651.40	105	-35095.40	97
0	Min.	-1454	-94595.20	130	-1353.72	177	-4938.07	173	-1296.40	130	-393.65	106	-761.13	173	-17651.40	105	-35095.40	97
0	Max	-1825	17290.20	101	1979.98	166	6412.78	177	821.71	101	397.98	113	444.05	65	334.73	177	-2917.84	17
0	Max	-1826	17290.20	101	1979.98	166	6412.78	177	821.71	101	397.98	113	444.05	65	334.73	177	-2917.84	17
0	Max	-1456	17290.20	101	1979.98	166	6412.78	177	821.71	101	397.98	113	444.05	65	334.73	177	-2917.84	17
0	Max	-1455	17290.20	101	1979.98	166	6412.78	177	821.71	101	397.98	113	444.05	65	334.73	177	-2917.84	17
0	Min.	-1825	-96775.40	130	-1674.65	177	-4900.75	173	-1426.37	106	-445.35	106	-803.72	173	-6472.72	105	-32275.10	97
0	Min.	-1826	-96775.40	130	-1674.65	177	-4900.75	173	-1426.37	106	-445.35	106	-803.72	173	-6472.72	105	-32275.10	97
0	Min.	-1456	-96775.40	130	-1674.65	177	-4900.75	173	-1426.37	106	-445.35	106	-803.72	173	-6472.72	105	-32275.10	97
0	Min.	-1455	-96775.40	130	-1674.65	177	-4900.75	173	-1426.37	106	-445.35	106	-803.72	173	-6472.72	105	-32275.10	97
0	Max	-1826	5763.17	49	1300.80	166	5610.56	177	210.60	49	308.31	113	410.99	65	724.68	98	-2120.99	1
0	Max	-1827	5763.17	49	1300.80	166	5610.56	177	210.60	49	308.31	113	410.99	65	724.68	98	-2120.99	1
0	Max	-1459	5763.17	49	1300.80	166	5610.56	177	210.60	49	308.31	113	410.99	65	724.68	98	-2120.99	1
0	Max	-1456	5763.17	49	1300.80	166	5610.56	177	210.60	49	308.31	113	410.99	65	724.68	98	-2120.99	1
0	Min.	-1826	-97172.10	130	-2004.17	177	-4408.33	173	-1690.71	106	-450.14	106	-811.58	173	-1426.84	105	-31040.70	97
0	Min.	-1827	-97172.10	130	-2004.17	177	-4408.33	173	-1690.71	106	-450.14	106	-811.58	173	-1426.84	105	-31040.70	97
0	Min.	-1459	-97172.10	130	-2004.17	177	-4408.33	173	-1690.71	106	-450.14	106	-811.58	173	-1426.84	105	-31040.70	97
0	Min.	-1456	-97172.10	130	-2004.17	177	-4408.33	173	-1690.71	106	-450.14	106	-811.58	173	-1426.84	105	-31040.70	97
0	Max	-1827	205.26	49	936.38	173	4815.53	177	19.14	49	216.14	113	363.22	65	693.24	65	-796.38	130
0	Max	-1828	205.26	49	936.38	173	4815.53	177	19.14	49	216.14	113	363.22	65	693.24	65	-796.38	130
0	Max	-1460	205.26	49	936.38	173	4815.53	177	19.14	49	216.14	113	363.22	65	693.24	65	-796.38	130
0	Max	-1459	205.26	49	936.38	173	4815.53	177	19.14	49	216.14	113	363.22	65	693.24	65	-796.38	130
0	Min.	-1827	-106267.00	98	-2095.26	177	-3766.90	173	-2105.10	98	-689.17	98	-783.96	173	-1323.85	17	-29609.10	97
0	Min.	-1828	-106267.00	98	-2095.26	177	-3766.90	173	-2105.10	98	-689.17	98	-783.96	173	-1323.85	17	-29609.10	97
0	Min.	-1460	-106267.00	98	-2095.26	177	-3766.90	173	-2105.10	98	-689.17	98	-783.96	173	-1323.85	17	-29609.10	97
0	Min.	-1459	-106267.00	98	-2095.26	177	-3766.90	173	-2105.10	98	-689.17	98	-783.96	173	-1323.85	17	-29609.10	97
0	Max	-1785	17441.90	101	1377.26	173	7525.27	177	840.77	101	402.42	113	462.96	65	2935.39	105	-3069.14	33
0	Max	-1786	17441.90	101	1377.26	173	7525.27	177	840.77	101	402.42	113	462.96	65	2935.39	105	-3069.14	33
0	Max	-1431	17441.90	101	1377.26	173	7525.27	177	840.77	101	402.42	113	462.96	65	2935.39	105	-3069.14	33
0	Max	-1430	17441.90	101	1377.26	173	7525.27	177	840.77	101	402.42	113	462.96	65	2935.39	105	-3069.14	33
0	Min.	-1785	-95006.40	130	-3535.75	177	-3858.52	173	-1519.12	106	-115.72	98	-738.42	173	-1979.53	173	-30494.10	97
0	Min.	-1786	-95006.40	130	-3535.75	177	-3858.52	173	-1519.12	106	-115.72	98	-738.42	173	-1979.53	173	-30494.10	97
0	Min.	-1431	-95006.40	130	-3535.75	177	-3858.52	173	-1519.12	106	-115.72	98	-738.42	173	-1979.53	173	-30494.10	97
0	Min.	-1430	-95006.40	130	-3535.75	177	-3858.52	173	-1519.12	106	-115.72	98	-738.42	173	-1979.53	173	-30494.10	97
0	Max	-1786	5208.41	1	1336.90	173	6579.38	177	203.03	1	317.53	113	439.99	65	1112.30	177	-2263.53	49
0	Max	-1787	5208.41	1	1336.90	173	6579.38	177	203.03	1	317.53	113	439.99	65	1112.30	177	-2263.53	49
0	Max	-1432	5208.41	1	1336.90	173	6579.38	177	203.03	1	317.53	113	439.99	65	1112.30	177	-2263.53	49
0	Max	-1431	5208.41	1	1336.90	173	6579.38	177	203.03	1	317.53	113	439.99	65	1112.30	177	-2263.53	49
0	Min.	-1786	-96623.30	130	-3874.05	177	-3704.55	173	-1748.15	106	-398.33	98	-699.71	173	-1177.69	173	-28888.80	97
0	Min.	-1787	-96623.30	130	-3874.05	177	-3704.55	173	-1748.15	106	-398.33	98	-699.71	173	-1177.69	173	-28888.80	97
0	Min.	-1432	-96623.30	130	-3874.05	177	-3704.55	173	-1748.15	106	-398.33	98	-699.71	173	-1177.69	173	-28888.80	97
0	Min.	-1431	-96623.30	130	-3874.05	177	-3704.55	173	-1748.15	106	-398.33	98	-699.71	173	-1177.69	173	-28888.80	97
0	Max	-1787	-507.81	1	1815.70	173	5492.34	177	3.27	1	228.73	113	396.85	65	1073.24	65	-1328.87	130
0	Max	-1788	-507.81	1	1815.70	173	5492.34	177	3.27	1	228.73	113	396.85	65	1073.24	65	-1328.87	130
0	Max	-1433	-507.81	1	1815.70	173	5492.34	177	3.27	1	228.73	113	396.85	65	1073.24	65	-1328.87	130
0	Max	-1432	-507.81	1	1815.70	173	5492.34	177	3.27	1	228.73	113	396.85	65	1073.24	65	-1328.87	130
0	Min.	-1787	-106615.00	98	-4127.97	177	-3523.03	173	-2147.81	98	-648.77	98	-611.93	173	-1082.21	173	-26852.30	97
0	Min.	-1788	-106615.00	98	-4127.97	177	-3523.03	173	-2147.81	98	-648.77	98	-611.93	173	-1082.21	173	-26852.30	97
0	Min.	-1433	-106615.00	98	-4127.97	177	-3523.03	173	-2147.81	98	-648.77	98	-611.93	173	-1082.21	173	-26852.30	97
0	Min.	-1432	-106615.00	98	-4127.97	177	-3523.03	173	-2147.81	98	-648.77	98	-611.93	173	-1082.21	173	-26852.30	97
0	Max	-1788	-6266.24	1	2690.41	173	4337.50	177	-173.75	1	182.63	33	337.87	65	1659.40	97	286.17	130
0	Max	-1789	-6266.24	1	2690.41	173	4337.50	177	-173.75	1	182.63	33	337.87	65	1659.40	97	286.17	130
0	Max	-1434	-6266.24	1	2690.41	173	4337.50	177	-173.75	1	182.63	33	337.87	65	1659.40	97	286.17	130
0	Max	-1433	-6266.24	1	2690.41	173	4337.50	177	-173.75	1	182.63	33	337.87	65	1659.40	97	286.17	130
0	Min.	-1788	-129714.00	98	-4121.20	177	-3127.41	173	-3194.52	98	-815.10	98	-468.39	173	-2325.81	173	-24004.40	97
0	Min.	-1789	-129714.00	98	-4121.20	177	-3127.41	173	-3194.52	98	-815.10	98	-468.39	173	-2325.81	173	-24004.40	97
0	Min.	-1434	-129714.00	98	-4121.20	177	-3127.41	173	-3194.52	98	-815.10	98	-468.39	173	-2325.81	173	-24004.40	97
0	Min.	-1433	-129714.00	98	-4121.20	177	-3127.41	173	-3194.52	98	-815.10	98	-468.39	173	-2325.81	173	-24004.40	97
0	Max	-1789	-11794.50	1	3540.49	173	3244.40	177	-330.29	1	158.34	33	267.15	65	4537.65	97	1752.55	130
0	Max	-1790	-11794.50	1	3540.49	173	3244.40	177	-330.29	1	158.34	33	267.15	65	4537.65	97	1752.55	130
0	Max	-1435	-11794.50	1	3540.49	173	3244.40	177	-330.29	1	158.34	33	267.15	65	4537.65	97	1752.55	130
0	Max	-1434	-11794.50	1	3540.49	173	3244.40	177	-330.29	1	158.34	33	267.15	65	4537.65	97	1752.55	130
0	Min.	-1789	-149467.00	98	-3964.89	177	-2511.94	173	-4203.24	98	-843.18	98	-261.95	173	-5713.74	173	-19912.40	97
0	Min.	-1790	-149467.00	98	-3964.89	177	-2511.94	173	-4203.24	98	-843.18	98	-261.95	173	-5713.74	173	-19912.40	97
0	Min.	-1435	-149467.00	98	-3964.89	177	-2511.94	173	-4203.24	98	-843.18	98	-261.95	173	-5713.74	173	-19912.40	97
0	Min.	-1434	-149467.00	98	-3964.89	177	-2511.94	173	-4203.24	98	-843.18	98	-261.95	173	-5713.74	173	-19912.40	97
0	Max	-1790	-16601.90	33	3667.92	173	2483.47	177	-410.10	33	143.71	33	209.04	65	5882.71	97	2277.91	130
0	Max	-2077	-16601.90	33	3667.92	173	2483.47	177	-410.10	33	143.71	33	209.04	65	5882.71	97	2277.91	130
0	Max	-2099	-16601.90	33	3667.92	173	2483.47	177	-410.10	33	143.71	33	209.04	65	5882.71	97	2277.91	130
0	Max	-1435	-16601.90	33	3667.92	173	2483.47	177	-410.10	33	143.71	33	209.04	65	5882.71	97	2277.91	130
0	Min.	-1790	-163288.00	98	-4019.15	177	-1934.27	173	-4891.25	98	-786.85	98	-203.55	17	-9789.94	173	-16892.50	97
0	Min.	-2077	-163288.00	98	-4019.15	177	-1934.27	173	-4891.25	98	-786.85	98	-203.55	17	-9789.94	173	-16892.50	97
0	Min.	-2099	-163288.00	98	-4019.15	177	-1934.27	173	-4891.25	98	-786.85	98	-203.55	17	-9789.94	173	-16892.50	97
0	Min.	-1435	-163288.00	98	-4019.15	177	-1934.27	173	-4891.25	98	-786.85	98	-203.55	17	-9789.94	173	-16892.50	97
0	Max	-1791	-18538.20	33	4487.66	173	1439.39	177	-460.81	33	264.78	173	179.02	173	6630.84	97	3510.44	130
0	Max	-2075	-18538.20	33	4487.66	173	1439.39	177	-460.81	33	264.78	173	179.02	173	6630.84	97	3510.44	130
0	Max	-2100	-18538.20	33	4487.66	173	1439.39	177	-460.81	33	264.78	173	179.02	173	6630.84	97	3510.44	130
0	Max	-1436	-18538.20	33	4487.66	173	1439.39	177	-460.81	33	264.78	173	179.02	173	6630.84	97	3510.44	130
0	Min.	-1791	-172893.00	98	-4026.42	177	-1266.53	158	-5468.29	98	-758.78	98	-122.18	17	-22711.70	173	-15435.20	173
0	Min.	-2075	-172893.00	98	-4026.42	177	-1266.53	158	-5468.29	98	-758.78	98	-122.18	17	-22711.70	173	-15435.20	173
0	Min.	-2100	-172893.00	98	-4026.42	177	-1266.53	158	-5468.29	98	-758.78	98	-122.18	17	-22711.70	173	-15435.20	173
0	Min.	-1436	-172893.00	98	-4026.42	177	-1266.53	158	-5468.29	98	-758.78	98	-122.18	17	-22711.70	173	-15435.20	173
0	Max	-1792	-19877.80	33	5063.89	173	652.88	165	-498.21	33	526.83	173	38.30	65	9042.81	97	4754.72	130
0	Max	-1535	-19877.80	33	5063.89	173	652.88	165	-498.21	33	526.83	173	38.30	65	9042.81	97	4754.72	130
0	Max	-1846	-19877.80	33	5063.89	173	652.88	165	-498.21	33	526.83	173	38.30	65	9042.81	97	4754.72	130
0	Max	-1438	-19877.80	33	5063.89	173	652.88	165	-498.21	33	526.83	173	38.30	65	9042.81	97	4754.72	130
0	Min.	-1792	-175772.00	98	-4087.41	177	-2786.73	158	-5650.31	98	-857.43	98	-161.31	173	-12524.00	173	-11305.00	173
0	Min.	-1535	-175772.00	98	-4087.41	177	-2786.73	158	-5650.31	98	-857.43	98	-161.31	173	-12524.00	173	-11305.00	173
0	Min.	-1846	-175772.00	98	-4087.41	177	-2786.73	158	-5650.31	98	-857.43	98	-161.31	173	-12524.00	173	-11305.00	173
0	Min.	-1438	-175772.00	98	-4087.41	177	-2786.73	158	-5650.31	98	-857.43	98	-161.31	173	-12524.00	173	-11305.00	173

0	Max	-1535	-19879.50	33	4896.86	173	636.73	161	-498.26	33	254.53	173	37.89	65	9042.81	98	14070.30	173
0	Max	-1793	-19879.50	33	4896.86	173	636.73	161	-498.26	33	254.53	173	37.89	65	9042.81	98	14070.30	173
0	Max	-1439	-19879.50	33	4896.86	173	636.73	161	-498.26	33	254.53	173	37.89	65	9042.81	98	14070.30	173
0	Max	-1846	-19879.50	33	4896.86	173	636.73	161	-498.26	33	254.53	173	37.89	65	9042.81	98	14070.30	173
0	Min.	-1535	-175772.00	97	-4087.41	177	-2832.50	158	-5650.31	97	-857.43	97	-260.93	173	-22782.90	173	-4334.21	101
0	Min.	-1793	-175772.00	97	-4087.41	177	-2832.50	158	-5650.31	97	-857.43	97	-260.93	173	-22782.90	173	-4334.21	101
0	Min.	-1439	-175772.00	97	-4087.41	177	-2832.50	158	-5650.31	97	-857.43	97	-260.93	173	-22782.90	173	-4334.21	101
0	Min.	-1846	-175772.00	97	-4087.41	177	-2832.50	158	-5650.31	97	-857.43	97	-260.93	173	-22782.90	173	-4334.21	101
0	Max	-1793	-15523.40	162	5123.13	173	647.17	161	-493.50	33	122.66	33	79.97	65	7920.34	98	7910.71	173
0	Max	-2064	-15523.40	162	5123.13	173	647.17	161	-493.50	33	122.66	33	79.97	65	7920.34	98	7910.71	173
0	Max	-2101	-15523.40	162	5123.13	173	647.17	161	-493.50	33	122.66	33	79.97	65	7920.34	98	7910.71	173
0	Max	-1439	-15523.40	162	5123.13	173	647.17	161	-493.50	33	122.66	33	79.97	65	7920.34	98	7910.71	173
0	Min.	-1793	-172996.00	97	-4008.52	177	-2049.44	158	-5638.88	97	-811.38	97	-187.14	173	-15692.30	173	-4593.49	101
0	Min.	-2064	-172996.00	97	-4008.52	177	-2049.44	158	-5638.88	97	-811.38	97	-187.14	173	-15692.30	173	-4593.49	101
0	Min.	-2101	-172996.00	97	-4008.52	177	-2049.44	158	-5638.88	97	-811.38	97	-187.14	173	-15692.30	173	-4593.49	101
0	Min.	-1439	-172996.00	97	-4008.52	177	-2049.44	158	-5638.88	97	-811.38	97	-187.14	173	-15692.30	173	-4593.49	101
0	Max	-1794	-8588.65	162	4926.73	173	1539.07	173	-453.81	33	133.21	33	163.14	65	6033.15	98	9457.30	173
0	Max	-2062	-8588.65	162	4926.73	173	1539.07	173	-453.81	33	133.21	33	163.14	65	6033.15	98	9457.30	173
0	Max	-2102	-8588.65	162	4926.73	173	1539.07	173	-453.81	33	133.21	33	163.14	65	6033.15	98	9457.30	173
0	Max	-1441	-8588.65	162	4926.73	173	1539.07	173	-453.81	33	133.21	33	163.14	65	6033.15	98	9457.30	173
0	Min.	-1794	-163995.00	97	-3845.09	177	-1976.72	177	-5315.75	97	-758.40	97	-167.70	17	-6528.27	173	-2927.08	101
0	Min.	-2062	-163995.00	97	-3845.09	177	-1976.72	177	-5315.75	97	-758.40	97	-167.70	17	-6528.27	173	-2927.08	101
0	Min.	-2102	-163995.00	97	-3845.09	177	-1976.72	177	-5315.75	97	-758.40	97	-167.70	17	-6528.27	173	-2927.08	101
0	Min.	-1441	-163995.00	97	-3845.09	177	-1976.72	177	-5315.75	97	-758.40	97	-167.70	17	-6528.27	173	-2927.08	101
0	Max	-1795	-203.00	162	3564.11	173	2539.20	173	-330.29	49	157.67	33	386.29	173	4537.65	98	19912.40	98
0	Max	-1796	-203.00	162	3564.11	173	2539.20	173	-330.29	49	157.67	33	386.29	173	4537.65	98	19912.40	98
0	Max	-1443	-203.00	162	3564.11	173	2539.20	173	-330.29	49	157.67	33	386.29	173	4537.65	98	19912.40	98
0	Max	-1442	-203.00	162	3564.11	173	2539.20	173	-330.29	49	157.67	33	386.29	173	4537.65	98	19912.40	98
0	Min.	-1795	-149467.00	97	-3964.89	177	-3244.40	177	-4203.24	97	-843.18	97	-267.15	17	-2355.32	173	-343.95	149
0	Min.	-1796	-149467.00	97	-3964.89	177	-3244.40	177	-4203.24	97	-843.18	97	-267.15	17	-2355.32	173	-343.95	149
0	Min.	-1443	-149467.00	97	-3964.89	177	-3244.40	177	-4203.24	97	-843.18	97	-267.15	17	-2355.32	173	-343.95	149
0	Min.	-1442	-149467.00	97	-3964.89	177	-3244.40	177	-4203.24	97	-843.18	97	-267.15	17	-2355.32	173	-343.95	149
0	Max	-1796	8510.52	162	2686.84	173	3178.56	173	-173.75	49	181.66	33	535.74	173	1659.40	98	24004.40	98
0	Max	-1797	8510.52	162	2686.84	173	3178.56	173	-173.75	49	181.66	33	535.74	173	1659.40	98	24004.40	98
0	Max	-1445	8510.52	162	2686.84	173	3178.56	173	-173.75	49	181.66	33	535.74	173	1659.40	98	24004.40	98
0	Max	-1443	8510.52	162	2686.84	173	3178.56	173	-173.75	49	181.66	33	535.74	173	1659.40	98	24004.40	98
0	Min.	-1796	-129714.00	97	-4121.20	177	-4337.50	177	-3194.52	97	-815.10	97	-337.87	17	-1318.42	65	638.34	1
0	Min.	-1797	-129714.00	97	-4121.20	177	-4337.50	177	-3194.52	97	-815.10	97	-337.87	17	-1318.42	65	638.34	1
0	Min.	-1445	-129714.00	97	-4121.20	177	-4337.50	177	-3194.52	97	-815.10	97	-337.87	17	-1318.42	65	638.34	1
0	Min.	-1443	-129714.00	97	-4121.20	177	-4337.50	177	-3194.52	97	-815.10	97	-337.87	17	-1318.42	65	638.34	1
0	Max	-1797	17567.90	162	1755.23	173	3575.68	173	3.27	49	253.94	130	636.02	173	1073.24	17	26852.30	98
0	Max	-1798	17567.90	162	1755.23	173	3575.68	173	3.27	49	253.94	130	636.02	173	1073.24	17	26852.30	98
0	Max	-1446	17567.90	162	1755.23	173	3575.68	173	3.27	49	253.94	130	636.02	173	1073.24	17	26852.30	98
0	Max	-1445	17567.90	162	1755.23	173	3575.68	173	3.27	49	253.94	130	636.02	173	1073.24	17	26852.30	98
0	Min.	-1797	-106615.00	97	-4127.97	177	-5492.34	177	-2147.81	97	-648.77	97	-396.85	17	-868.77	65	1459.17	1
0	Min.	-1798	-106615.00	97	-4127.97	177	-5492.34	177	-2147.81	97	-648.77	97	-396.85	17	-868.77	65	1459.17	1
0	Min.	-1446	-106615.00	97	-4127.97	177	-5492.34	177	-2147.81	97	-648.77	97	-396.85	17	-868.77	65	1459.17	1
0	Min.	-1445	-106615.00	97	-4127.97	177	-5492.34	177	-2147.81	97	-648.77	97	-396.85	17	-868.77	65	1459.17	1
0	Max	-1798	26578.50	162	1232.59	173	3754.86	173	439.31	130	341.83	130	694.32	173	1112.30	177	28888.80	98
0	Max	-1799	26578.50	162	1232.59	173	3754.86	173	439.31	130	341.83	130	694.32	173	1112.30	177	28888.80	98
0	Max	-1448	26578.50	162	1232.59	173	3754.86	173	439.31	130	341.83	130	694.32	173	1112.30	177	28888.80	98
0	Max	-1446	26578.50	162	1232.59	173	3754.86	173	439.31	130	341.83	130	694.32	173	1112.30	177	28888.80	98
0	Min.	-1798	-86428.40	101	-3874.05	177	-6579.38	177	-1748.18	101	-398.33	97	-439.99	17	-1141.71	173	2263.53	1
0	Min.	-1799	-86428.40	101	-3874.05	177	-6579.38	177	-1748.18	101	-398.33	97	-439.99	17	-1141.71	173	2263.53	1
0	Min.	-1448	-86428.40	101	-3874.05	177	-6579.38	177	-1748.18	101	-398.33	97	-439.99	17	-1141.71	173	2263.53	1
0	Min.	-1446	-86428.40	101	-3874.05	177	-6579.38	177	-1748.18	101	-398.33	97	-439.99	17	-1141.71	173	2263.53	1
0	Max	-1799	34646.30	162	1254.04	173	3890.88	173	995.29	130	423.64	173	715.38	173	2935.40	102	30494.10	98
0	Max	-1800	34646.30	162	1254.04	173	3890.88	173	995.29	130	423.64	173	715.38	173	2935.40	102	30494.10	98
0	Max	-1449	34646.30	162	1254.04	173	3890.88	173	995.29	130	423.64	173	715.38	173	2935.40	102	30494.10	98
0	Max	-1448	34646.30	162	1254.04	173	3890.88	173	995.29	130	423.64	173	715.38	173	2935.40	102	30494.10	98
0	Min.	-1799	-81563.80	101	-3535.75	177	-7525.27	177	-1519.17	101	-115.72	97	-462.96	17	-1993.22	173	3052.73	33
0	Min.	-1800	-81563.80	101	-3535.75	177	-7525.27	177	-1519.17	101	-115.72	97	-462.96	17	-1993.22	173	3052.73	33
0	Min.	-1449	-81563.80	101	-3535.75	177	-7525.27	177	-1519.17	101	-115.72	97	-462.96	17	-1993.22	173	3052.73	33
0	Min.	-1448	-81563.80	101	-3535.75	177	-7525.27	177	-1519.17	101	-115.72	97	-462.96	17	-1993.22	173	3052.73	33
0	Max	-1800	40086.20	162	1644.81	173	4063.66	173	1661.20	130	507.84	173	700.23	173	6004.96	102	32466.40	98
0	Max	-1801	40086.20	162	1644.81	173	4063.66	173	1661.20	130	507.84	173	700.23	173	6004.96	102	32466.40	98
0	Max	-1450	40086.20	162	1644.81	173	4063.66	173	1661.20	130	507.84	173	700.23	173	6004.96	102	32466.40	98
0	Max	-1449	40086.20	162	1644.81	173	4063.66	173	1661.20	130	507.84	173	700.23	173	6004.96	102	32466.40	98
0	Min.	-1800	-75134.50	101	-3289.30	177	-8449.92	177	-1134.24	101	65.19	177	-459.43	17	-2533.73	173	3739.13	33
0	Min.	-1801	-75134.50	101	-3289.30	177	-8449.92	177	-1134.24	101	65.19	177	-459.43	17	-2533.73	173	3739.13	33
0	Min.	-1450	-75134.50	101	-3289.30	177	-8449.92	177	-1134.24	101	65.19	177	-459.43	17	-2533.73	173	3739.13	33
0	Min.	-1449	-75134.50	101	-3289.30	177	-8449.92	177	-1134.24	101	65.19	177	-459.43	17	-2533.73	173	3739.13	33
0	Max	-1801	48427.60	130	2917.87	98	4144.10	173	2521.05	98	562.49	102	666.40	173	5375.07	101	32808.50	98
0	Max	-1923	48427.60	130	2917.87	98	4144.10	173	2521.05	98	562.49	102	666.40	173	5375.07	101	32808.50	98
0	Max	-1937	48427.60	130	2917.87	98	4144.10	173	2521.05	98	562.49	102	666.40	173	5375.07	101	32808.50	98
0	Max	-1450	48427.60	130	2917.87	98	4144.10	173	2521.05	98	562.49	102	666.40	173	5375.07	101	32808.50	98
0	Min.	-1801	-67668.90	101	-3031.77	177	-9231.70	177	-717.26	101	94.79	177	-439.06	17	-3566.35	173	4048.35	33
0	Min.	-1923	-67668.90	101	-3031.77	177	-9231.70	177	-717.26	101	94.79	177	-439.06	17	-3566.35	173	4048.35	33
0	Min.	-1937	-67668.90	101	-3031.77	177	-9231.70	177	-717.26	101	94.79	177	-439.06	17	-3566.35	173	4048.35	33
0	Min.	-1450	-67668.90	101	-3031.77	177	-9231.70	177	-717.26	101	94.79	177	-439.06	17	-3566.35	173	4048.35	33
0	Max	-1705	55767.30	130	2527.83	130	6302.99	97	4564.58	98	775.20	98	498.41	173	41371.00	102	33947.50	102
0	Max	-1537	55767.30	130	2527.83	130	6302.99	97	4564.58	98	775.20	98	498.41	173	41371.00	102	33947.50	102
0	Max	437	55767.30	130	2527.83	130	6302.99	97	4564.58	98	775.20	98	498.41	173	41371.00	102	33947.50	102
0	Max	-1458	55767.30	130	2527.83	130	6302.99	97	4564.58	98	775.20	98	498.41	173	41371.00	102	33947.50	102
0	Min.	-1705	-59804.10	101	-1090.35	101	-12400.20	162	119.85	49	-697.13	101	-344.75	17	504.64	65	2860.32	65
0	Min.	-1537	-59804.10	101	-1090.35	101	-12400.20	162	119.85	49	-697.13	101	-344.75	17	504.64	65	2860.32	65
0	Min.	437	-59804.10	101	-1090.35	101	-12400.20	162	119.85	49	-697.13	101	-344.75	17	504.64	65	2860.32	65
0	Min.	-1458	-59804.10	101	-1090.35	101	-12400.20	162	119.85	49	-697.13	101	-344.75	17	504.64	65	2860.32	65
0	Max	-1704	47447.30	162	5911.47	98	6284.88	98	2451.46	98	536.31	130	679.54	173	34912.70	101	33593.20	98
0	Max	-1939	47447.30	162	5911.47	98	6284.88	98	2451.46	98	536.31	130	679.54	173	34912.70	101	33593.20	98
0	Max	-1940	47447.30	162	5911.47	98	6284.88	98	2451.46	98	536.31	130	679.54	173	34912.70	101	33593.20	98
0	Max	-1461	47447.30	162	5911.47	98	6284.88	98	2451.46	98	536.31	130	679.54	173	34912.70	101	33593.20	98
0	Min.	-1704	-68120.10	101	-3783.14	161	-9892.59	161	-1204.22	101	-731.26	101	-369.04	17	-2748.75	130	1335.94	149
0	Min.	-1939	-68120.10	101	-3783.14	161	-9892.59	161	-1204.22	101	-731.26	101	-369.04	17	-2748.75	130	1335.94	149
0	Min.	-1940	-68120.10	101	-3783.14	161	-9892.59	161	-1204.22	101	-731.26	101	-369.04	17	-2748.75	130	1335.94	149
0	Min.	-1461	-68120.10	101	-3783.14	161	-9892.59	161	-1204.22	101	-731.26	101	-369.04	17	-2748.75	130	1335.94	149
0	Max	-1703	46402.20	162	3589.13	98	9707.10	98	1578.23	106	431.10	130	698.54	173	16399.80	101	30684.20	98
0	Max	-1704	46402.20	162	3589.13	98	9707.10	98	1578.23	106	431.10	130	698.54	173	16399.80	101	30684.20	98
0	Max	-1461	46402.20	162	3589.13	98	9707.10	98	1578.23	106	431.10	130	698.54	173	16399.80	101	30684.20	98
0	Max	-1483	46402.20	162	3589.13	98	9707.10	98	1578.23	106	431.10	130	698.54	173	16399.80	101	30684.20	98
0	Min.	-1703	-73973.20	101	-1029.07	165	-11075.00	161	-1181.25	101	-692.24	101	-396.36	17	-3377.65	130	-293.16	137
0	Min.	-1704	-73973.20	101	-1029.07	165	-11075.00	161	-1181.25	101	-692.24	101	-396.36	17	-3377.65	130	-293.16	137
0	Min.	-1461	-73973.20	101	-1029.07	165	-11075.00	161	-1181.25	101	-692.24	101	-396.36	17	-3377.65	130	-293.16	137
0	Min.	-1483	-73973.20	101	-1029.07	165	-11075.00	161	-1181.25	101	-692.24	101	-396.36	17	-3377.65	130	-293.16	137
0	Max	-1702	36511.80	162	401.02	49	9548.61	98	903.45	130	307.31	130	737.64	173	5068.57	101	29168.70	98

0	Max	-1703	36511.80	162	401.02	49	9548.61	98	903.45	130	307.31	130	737.64	173	5068.57	101	29168.70	98
0	Max	-1483	36511.80	162	401.02	49	9548.61	98	903.45	130	307.31	130	737.64	173	5068.57	101	29168.70	98
0	Max	-1484	36511.80	162	401.02	49	9548.61	98	903.45	130	307.31	130	737.64	173	5068.57	101	29168.70	98
0	Min.	-1702	-79847.90	101	-1630.37	162	-6498.27	161	-1356.49	101	-567.29	101	-401.66	17	-3480.95	130	1637.96	65
0	Min.	-1703	-79847.90	101	-1630.37	162	-6498.27	161	-1356.49	101	-567.29	101	-401.66	17	-3480.95	130	1637.96	65
0	Min.	-1483	-79847.90	101	-1630.37	162	-6498.27	161	-1356.49	101	-567.29	101	-401.66	17	-3480.95	130	1637.96	65
0	Min.	-1484	-79847.90	101	-1630.37	162	-6498.27	161	-1356.49	101	-567.29	101	-401.66	17	-3480.95	130	1637.96	65
0	Max	-1701	26725.20	162	742.91	165	8842.74	98	367.68	130	244.60	118	795.63	173	2262.28	101	26266.60	98
0	Max	-1702	26725.20	162	742.91	165	8842.74	98	367.68	130	244.60	118	795.63	173	2262.28	101	26266.60	98
0	Max	-1484	26725.20	162	742.91	165	8842.74	98	367.68	130	244.60	118	795.63	173	2262.28	101	26266.60	98
0	Max	-1485	26725.20	162	742.91	165	8842.74	98	367.68	130	244.60	118	795.63	173	2262.28	101	26266.60	98
0	Min.	-1701	-84753.30	101	-3021.18	98	-4515.22	161	-1637.44	101	-434.00	101	-361.04	17	-2718.08	118	1167.19	65
0	Min.	-1702	-84753.30	101	-3021.18	98	-4515.22	161	-1637.44	101	-434.00	101	-361.04	17	-2718.08	118	1167.19	65
0	Min.	-1484	-84753.30	101	-3021.18	98	-4515.22	161	-1637.44	101	-434.00	101	-361.04	17	-2718.08	118	1167.19	65
0	Min.	-1485	-84753.30	101	-3021.18	98	-4515.22	161	-1637.44	101	-434.00	101	-361.04	17	-2718.08	118	1167.19	65
0	Max	-1700	17452.80	162	1080.13	157	6339.45	98	26.19	1	159.75	118	861.37	173	3038.37	97	25840.50	98
0	Max	-1701	17452.80	162	1080.13	157	6339.45	98	26.19	1	159.75	118	861.37	173	3038.37	97	25840.50	98
0	Max	-1485	17452.80	162	1080.13	157	6339.45	98	26.19	1	159.75	118	861.37	173	3038.37	97	25840.50	98
0	Max	-1486	17452.80	162	1080.13	157	6339.45	98	26.19	1	159.75	118	861.37	173	3038.37	97	25840.50	98
0	Min.	-1700	-105422.00	97	-2515.80	98	-3255.93	161	-2119.79	97	-467.72	97	-288.98	17	-2158.28	65	845.01	65
0	Min.	-1701	-105422.00	97	-2515.80	98	-3255.93	161	-2119.79	97	-467.72	97	-288.98	17	-2158.28	65	845.01	65
0	Min.	-1485	-105422.00	97	-2515.80	98	-3255.93	161	-2119.79	97	-467.72	97	-288.98	17	-2158.28	65	845.01	65
0	Min.	-1486	-105422.00	97	-2515.80	98	-3255.93	161	-2119.79	97	-467.72	97	-288.98	17	-2158.28	65	845.01	65
0	Max	-1497	11290.50	177	2321.05	122	5373.77	98	-100.44	1	118.40	17	855.03	173	7307.44	97	24951.20	98
0	Max	-1700	11290.50	177	2321.05	122	5373.77	98	-100.44	1	118.40	17	855.03	173	7307.44	97	24951.20	98
0	Max	-1486	11290.50	177	2321.05	122	5373.77	98	-100.44	1	118.40	17	855.03	173	7307.44	97	24951.20	98
0	Max	-1487	11290.50	177	2321.05	122	5373.77	98	-100.44	1	118.40	17	855.03	173	7307.44	97	24951.20	98
0	Min.	-1497	-127026.00	97	-987.57	161	-3057.79	161	-2911.93	97	-923.23	97	-238.43	17	-1909.78	65	124.77	49
0	Min.	-1700	-127026.00	97	-987.57	161	-3057.79	161	-2911.93	97	-923.23	97	-238.43	17	-1909.78	65	124.77	49
0	Min.	-1486	-127026.00	97	-987.57	161	-3057.79	161	-2911.93	97	-923.23	97	-238.43	17	-1909.78	65	124.77	49
0	Min.	-1487	-127026.00	97	-987.57	161	-3057.79	161	-2911.93	97	-923.23	97	-238.43	17	-1909.78	65	124.77	49
0	Max	-1496	9498.11	177	3271.74	98	6482.59	98	-214.96	17	121.14	17	764.63	173	14787.40	97	26396.30	98
0	Max	-1497	9498.11	177	3271.74	98	6482.59	98	-214.96	17	121.14	17	764.63	173	14787.40	97	26396.30	98
0	Max	-1487	9498.11	177	3271.74	98	6482.59	98	-214.96	17	121.14	17	764.63	173	14787.40	97	26396.30	98
0	Max	-1488	9498.11	177	3271.74	98	6482.59	98	-214.96	17	121.14	17	764.63	173	14787.40	97	26396.30	98
0	Min.	-1496	-144326.00	97	-712.60	161	-5890.35	157	-3847.24	97	-1327.37	97	-215.78	17	-1650.88	65	-543.96	49
0	Min.	-1497	-144326.00	97	-712.60	161	-5890.35	157	-3847.24	97	-1327.37	97	-215.78	17	-1650.88	65	-543.96	49
0	Min.	-1487	-144326.00	97	-712.60	161	-5890.35	157	-3847.24	97	-1327.37	97	-215.78	17	-1650.88	65	-543.96	49
0	Min.	-1488	-144326.00	97	-712.60	161	-5890.35	157	-3847.24	97	-1327.37	97	-215.78	17	-1650.88	65	-543.96	49
0	Max	-1495	8043.84	177	6003.61	158	3927.52	98	-298.82	17	134.52	17	647.79	173	40526.70	97	16289.90	98
0	Max	-2105	8043.84	177	6003.61	158	3927.52	98	-298.82	17	134.52	17	647.79	173	40526.70	97	16289.90	98
0	Max	-2106	8043.84	177	6003.61	158	3927.52	98	-298.82	17	134.52	17	647.79	173	40526.70	97	16289.90	98
0	Max	-1489	8043.84	177	6003.61	158	3927.52	98	-298.82	17	134.52	17	647.79	173	40526.70	97	16289.90	98
0	Min.	-1495	-159177.00	97	-307.40	177	-9887.23	157	-5541.01	97	-1643.72	97	-149.57	17	-1877.55	17	-2734.30	101
0	Min.	-2105	-159177.00	97	-307.40	177	-9887.23	157	-5541.01	97	-1643.72	97	-149.57	17	-1877.55	17	-2734.30	101
0	Min.	-2106	-159177.00	97	-307.40	177	-9887.23	157	-5541.01	97	-1643.72	97	-149.57	17	-1877.55	17	-2734.30	101
0	Min.	-1489	-159177.00	97	-307.40	177	-9887.23	157	-5541.01	97	-1643.72	97	-149.57	17	-1877.55	17	-2734.30	101
0	Max	-1494	7096.24	177	7488.07	158	2602.56	106	-334.55	65	140.53	173	456.21	173	33781.70	97	5256.36	130
0	Max	-2107	7096.24	177	7488.07	158	2602.56	106	-334.55	65	140.53	173	456.21	173	33781.70	97	5256.36	130
0	Max	-2108	7096.24	177	7488.07	158	2602.56	106	-334.55	65	140.53	173	456.21	173	33781.70	97	5256.36	130
0	Max	-1498	7096.24	177	7488.07	158	2602.56	106	-334.55	65	140.53	173	456.21	173	33781.70	97	5256.36	130
0	Min.	-1494	-167660.00	97	-556.98	177	-14105.80	157	-5516.96	97	-1809.43	97	-113.75	101	-1930.00	17	-11232.40	97
0	Min.	-2107	-167660.00	97	-556.98	177	-14105.80	157	-5516.96	97	-1809.43	97	-113.75	101	-1930.00	17	-11232.40	97
0	Min.	-2108	-167660.00	97	-556.98	177	-14105.80	157	-5516.96	97	-1809.43	97	-113.75	101	-1930.00	17	-11232.40	97
0	Min.	-1498	-167660.00	97	-556.98	177	-14105.80	157	-5516.96	97	-1809.43	97	-113.75	101	-1930.00	17	-11232.40	97
0	Max	-1842	6802.11	177	1374.06	157	2202.22	106	-334.97	17	212.13	173	275.16	173	23098.60	97	5565.87	106
0	Max	-1494	6802.11	177	1374.06	157	2202.22	106	-334.97	17	212.13	173	275.16	173	23098.60	97	5565.87	106
0	Max	-1498	6802.11	177	1374.06	157	2202.22	106	-334.97	17	212.13	173	275.16	173	23098.60	97	5565.87	106
0	Max	-1457	6802.11	177	1374.06	157	2202.22	106	-334.97	17	212.13	173	275.16	173	23098.60	97	5565.87	106
0	Min.	-1842	-169843.00	97	-920.65	106	-11282.50	157	-5231.16	97	-1831.04	97	-148.90	125	-1936.19	17	-3717.29	101
0	Min.	-1494	-169843.00	97	-920.65	106	-11282.50	157	-5231.16	97	-1831.04	97	-148.90	125	-1936.19	17	-3717.29	101
0	Min.	-1498	-169843.00	97	-920.65	106	-11282.50	157	-5231.16	97	-1831.04	97	-148.90	125	-1936.19	17	-3717.29	101
0	Min.	-1457	-169843.00	97	-920.65	106	-11282.50	157	-5231.16	97	-1831.04	97	-148.90	125	-1936.19	17	-3717.29	101
0	Max	-1493	6802.11	177	1170.37	173	1627.01	106	-334.97	65	253.13	173	146.26	106	23098.60	98	4185.29	130
0	Max	-1842	6802.11	177	1170.37	173	1627.01	106	-334.97	65	253.13	173	146.26	106	23098.60	98	4185.29	130
0	Max	-1457	6802.11	177	1170.37	173	1627.01	106	-334.97	65	253.13	173	146.26	106	23098.60	98	4185.29	130
0	Max	-1499	6802.11	177	1170.37	173	1627.01	106	-334.97	65	253.13	173	146.26	106	23098.60	98	4185.29	130
0	Min.	-1493	-169843.00	98	-920.71	101	-12139.80	157	-5231.16	98	-1831.04	98	-152.09	101	-1936.19	65	-5566.10	101
0	Min.	-1842	-169843.00	98	-920.71	101	-12139.80	157	-5231.16	98	-1831.04	98	-152.09	101	-1936.19	65	-5566.10	101
0	Min.	-1457	-169843.00	98	-920.71	101	-12139.80	157	-5231.16	98	-1831.04	98	-152.09	101	-1936.19	65	-5566.10	101
0	Min.	-1499	-169843.00	98	-920.71	101	-12139.80	157	-5231.16	98	-1831.04	98	-152.09	101	-1936.19	65	-5566.10	101
0	Max	-1492	7197.66	177	1430.79	106	1265.39	106	-307.29	65	209.97	173	110.65	65	41604.90	98	3119.62	130
0	Max	-1912	7197.66	177	1430.79	106	1265.39	106	-307.29	65	209.97	173	110.65	65	41604.90	98	3119.62	130
0	Max	-2109	7197.66	177	1430.79	106	1265.39	106	-307.29	65	209.97	173	110.65	65	41604.90	98	3119.62	130
0	Max	-1500	7197.66	177	1430.79	106	1265.39	106	-307.29	65	209.97	173	110.65	65	41604.90	98	3119.62	130
0	Min.	-1492	-166125.00	98	-1867.32	125	-13666.40	157	-5668.98	98	-1724.80	98	-358.81	173	-1990.73	65	-7152.45	101
0	Min.	-1912	-166125.00	98	-1867.32	125	-13666.40	157	-5668.98	98	-1724.80	98	-358.81	173	-1990.73	65	-7152.45	101
0	Min.	-2109	-166125.00	98	-1867.32	125	-13666.40	157	-5668.98	98	-1724.80	98	-358.81	173	-1990.73	65	-7152.45	101
0	Min.	-1500	-166125.00	98	-1867.32	125	-13666.40	157	-5668.98	98	-1724.80	98	-358.81	173	-1990.73	65	-7152.45	101
0	Max	-1491	8166.11	177	3213.18	158	821.52	177	-258.33	65	130.77	65	184.19	65	30210.10	98	1835.35	130
0	Max	-1973	8166.11	177	3213.18	158	821.52	177	-258.33	65	130.77	65	184.19	65	30210.10	98	1835.35	130
0	Max	-2110	8166.11	177	3213.18	158	821.52	177	-258.33	65	130.77	65	184.19	65	30210.10	98	1835.35	130
0	Max	-1501	8166.11	177	3213.18	158	821.52	177	-258.33	65	130.77	65	184.19	65	30210.10	98	1835.35	130
0	Min.	-1491	-156534.00	98	-467.63	177	-17473.10	157	-4814.77	98	-1542.38	98	-651.59	173	-1488.42	17	-35963.80	97
0	Min.	-1973	-156534.00	98	-467.63	177	-17473.10	157	-4814.77	98	-1542.38	98	-651.59	173	-1488.42	17	-35963.80	97
0	Min.	-2110	-156534.00	98	-467.63	177	-17473.10	157	-4814.77	98	-1542.38	98	-651.59	173	-1488.42	17	-35963.80	97
0	Min.	-1501	-156534.00	98	-467.63	177	-17473.10	157	-4814.77	98	-1542.38	98	-651.59	173	-1488.42	17	-35963.80	97
0	Max	-1482	9498.12	177	3271.74	97	1052.19	177	-214.96	65	121.14	65	215.78	65	14787.40	98	1768.40	130
0	Max	-1491	9498.12	177	3271.74	97	1052.19	177	-214.96	65	121.14	65	215.78	65	14787.40	98	1768.40	130
0	Max	-1501	9498.12	177	3271.74	97	1052.19	177	-214.96	65	121.14	65	215.78	65	14787.40	98	1768.40	130
0	Max	-1502	9498.12	177	3271.74	97	1052.19	177	-214.96	65	121.14	65	215.78	65	14787.40	98	1768.40	130
0	Min.	-1482	-144326.00	98	-150.96	177	-12890.90	157	-3847.24	98	-1327.37	98	-768.88	173	-1650.88	17	-26396.30	97
0	Min.	-1491	-144326.00	98	-150.96	177	-12890.90	157	-3847.24	98	-1327.37	98	-768.88	173	-1650.88	17	-26396.30	97
0	Min.	-1501	-144326.00	98	-150.96	177	-12890.90	157	-3847.24	98	-1327.37	98	-768.88	173	-1650.88	17	-26396.30	97
0	Min.	-1502	-144326.00	98	-150.96	177	-12890.90	157	-3847.24	98	-1327.37	98	-768.88	173	-1650.88	17	-26396.30	97
0	Max	-1481	11290.50	177	2101.08	97	1856.24	177	-100.44	49	118.40	65	238.43	65	7307.44	98	632.96	130
0	Max	-1482	11290.50	177	2101.08	97	1856.24	177	-100.44	49	118.40	65	238.43	65	7307.44	98	632.96	130
0	Max	-1502	11290.50	177	2101.08	97	1856.24	177	-100.44	49	118.40	65	238.43	65	7307.44	98	632.96	130
0	Max	-1503	11290.50	177	2101.08	97	1856.24	177	-100.44	49	118.40	65	238.43	65	7307.44	98	632.96	130
0	Min.	-1481	-127026.00	98	-309.05	177	-8574.87	157	-2911.93	98	-923.23	98	-890.08	173	-1909.78	17	-24951.20	97
0	Min.	-1482	-127026.00	98	-309.05	177	-8574.87	157	-2911.93	98	-923.23	98	-890.08	173	-1909.78	17	-24951.20	97
0	Min.	-1502	-127026.00	98	-309.05	177	-8574.87	157	-2911.93	98	-923.23	98	-890.08	173	-1909.78	17	-24951.20	97
0	Min.	-1503	-127026.00	98	-309.05	177	-8574.87	157	-2911.93	98	-923.23	98	-890.08	173	-1909.78	17	-24951.20	97
0	Max	-1480	13677.50	177	25.23	17	2309.31	177	26.19	49	177.98	125	288.98	65	3038.37	98	-272.57	130
0	Max	-1481	13677.50	177	25.23	17	2309.31	177	26.19	49	177.98	125	288.98	65	3038.37	98	-272.57	130

0	Max	-1503	13677.50	177	25.23	17	2309.31	177	26.19	49	177.98	125	288.98	65	3038.37	98	-272.57	130
0	Max	-1504	13677.50	177	25.23	17	2309.31	177	26.19	49	177.98	125	288.98	65	3038.37	98	-272.57	130
0	Min.	-1480	-105422.00	98	-3834.68	157	-8071.60	157	-2119.79	98	-467.72	98	-912.27	173	-2158.29	17	-25840.50	97
0	Min.	-1481	-105422.00	98	-3834.68	157	-8071.60	157	-2119.79	98	-467.72	98	-912.27	173	-2158.29	17	-25840.50	97
0	Min.	-1503	-105422.00	98	-3834.68	157	-8071.60	157	-2119.79	98	-467.72	98	-912.27	173	-2158.29	17	-25840.50	97
0	Min.	-1504	-105422.00	98	-3834.68	157	-8071.60	157	-2119.79	98	-467.72	98	-912.27	173	-2158.29	17	-25840.50	97
0	Max	-1479	16258.30	177	66.52	1	2446.98	177	196.13	49	266.33	125	361.04	65	2262.22	106	-818.74	130
0	Max	-1480	16258.30	177	66.52	1	2446.98	177	196.13	49	266.33	125	361.04	65	2262.22	106	-818.74	130
0	Max	-1504	16258.30	177	66.52	1	2446.98	177	196.13	49	266.33	125	361.04	65	2262.22	106	-818.74	130
0	Max	-1505	16258.30	177	66.52	1	2446.98	177	196.13	49	266.33	125	361.04	65	2262.22	106	-818.74	130
0	Min.	-1479	-95598.70	130	-3688.34	121	-10370.20	121	-1637.41	106	-433.99	106	-853.85	173	-2806.63	125	-26266.60	97
0	Min.	-1480	-95598.70	130	-3688.34	121	-10370.20	121	-1637.41	106	-433.99	106	-853.85	173	-2806.63	125	-26266.60	97
0	Min.	-1504	-95598.70	130	-3688.34	121	-10370.20	121	-1637.41	106	-433.99	106	-853.85	173	-2806.63	125	-26266.60	97
0	Min.	-1505	-95598.70	130	-3688.34	121	-10370.20	121	-1637.41	106	-433.99	106	-853.85	173	-2806.63	125	-26266.60	97
0	Max	-1478	18982.40	177	1921.31	166	2829.94	177	770.15	101	297.21	113	401.66	65	5068.48	106	-1637.96	17
0	Max	-1479	18982.40	177	1921.31	166	2829.94	177	770.15	101	297.21	113	401.66	65	5068.48	106	-1637.96	17
0	Max	-1505	18982.40	177	1921.31	166	2829.94	177	770.15	101	297.21	113	401.66	65	5068.48	106	-1637.96	17
0	Max	-1506	18982.40	177	1921.31	166	2829.94	177	770.15	101	297.21	113	401.66	65	5068.48	106	-1637.96	17
0	Min.	-1478	-95179.40	130	-437.52	177	-11116.90	121	-1356.45	106	-567.27	106	-797.10	173	-3187.01	113	-29168.70	97
0	Min.	-1479	-95179.40	130	-437.52	177	-11116.90	121	-1356.45	106	-567.27	106	-797.10	173	-3187.01	113	-29168.70	97
0	Min.	-1505	-95179.40	130	-437.52	177	-11116.90	121	-1356.45	106	-567.27	106	-797.10	173	-3187.01	113	-29168.70	97
0	Min.	-1506	-95179.40	130	-437.52	177	-11116.90	121	-1356.45	106	-567.27	106	-797.10	173	-3187.01	113	-29168.70	97
0	Max	-1477	29659.60	101	4175.63	121	3255.28	177	1578.29	101	389.15	101	396.36	65	16399.60	106	1175.32	130
0	Max	-1478	29659.60	101	4175.63	121	3255.28	177	1578.29	101	389.15	101	396.36	65	16399.60	106	1175.32	130
0	Max	-1506	29659.60	101	4175.63	121	3255.28	177	1578.29	101	389.15	101	396.36	65	16399.60	106	1175.32	130
0	Max	-1507	29659.60	101	4175.63	121	3255.28	177	1578.29	101	389.15	101	396.36	65	16399.60	106	1175.32	130
0	Min.	-1477	-94109.50	130	313.62	17	-15118.20	165	-1214.66	130	-692.22	106	-756.48	173	-2442.80	113	-30684.20	97
0	Min.	-1478	-94109.50	130	313.62	17	-15118.20	165	-1214.66	130	-692.22	106	-756.48	173	-2442.80	113	-30684.20	97
0	Min.	-1506	-94109.50	130	313.62	17	-15118.20	165	-1214.66	130	-692.22	106	-756.48	173	-2442.80	113	-30684.20	97
0	Min.	-1507	-94109.50	130	313.62	17	-15118.20	165	-1214.66	130	-692.22	106	-756.48	173	-2442.80	113	-30684.20	97
0	Max	-1476	42661.80	101	1973.84	125	4790.45	177	3371.82	97	628.86	97	372.11	65	42817.00	105	-2910.88	17
0	Max	-1944	42661.80	101	1973.84	125	4790.45	177	3371.82	97	628.86	97	372.11	65	42817.00	105	-2910.88	17
0	Max	-1955	42661.80	101	1973.84	125	4790.45	177	3371.82	97	628.86	97	372.11	65	42817.00	105	-2910.88	17
0	Max	-1508	42661.80	101	1973.84	125	4790.45	177	3371.82	97	628.86	97	372.11	65	42817.00	105	-2910.88	17
0	Min.	-1476	-80237.70	130	-189.53	106	-12153.10	165	-872.43	130	-695.62	106	-677.25	173	-693.26	17	-37224.60	105
0	Min.	-1944	-80237.70	130	-189.53	106	-12153.10	165	-872.43	130	-695.62	106	-677.25	173	-693.26	17	-37224.60	105
0	Min.	-1955	-80237.70	130	-189.53	106	-12153.10	165	-872.43	130	-695.62	106	-677.25	173	-693.26	17	-37224.60	105
0	Min.	-1508	-80237.70	130	-189.53	106	-12153.10	165	-872.43	130	-695.62	106	-677.25	173	-693.26	17	-37224.60	105
0	Max	-1458	56404.30	130	1606.61	166	1225.68	173	4560.06	98	1744.57	98	573.36	173	64667.30	102	61084.80	98
0	Max	437	56404.30	130	1606.61	166	1225.68	173	4560.06	98	1744.57	98	573.36	173	64667.30	102	61084.80	98
0	Max	432	56404.30	130	1606.61	166	1225.68	173	4560.06	98	1744.57	98	573.36	173	64667.30	102	61084.80	98
0	Max	-1745	56404.30	130	1606.61	166	1225.68	173	4560.06	98	1744.57	98	573.36	173	64667.30	102	61084.80	98
0	Min.	-1458	-60205.70	101	-1651.08	101	-12756.40	162	120.10	49	106.27	65	-273.78	17	3082.22	65	5052.61	65
0	Min.	437	-60205.70	101	-1651.08	101	-12756.40	162	120.10	49	106.27	65	-273.78	17	3082.22	65	5052.61	65
0	Min.	432	-60205.70	101	-1651.08	101	-12756.40	162	120.10	49	106.27	65	-273.78	17	3082.22	65	5052.61	65
0	Min.	-1745	-60205.70	101	-1651.08	101	-12756.40	162	120.10	49	106.27	65	-273.78	17	3082.22	65	5052.61	65
0	Max	-1461	48881.40	130	1554.25	97	1737.09	173	2475.76	98	530.75	130	725.07	173	22036.40	101	30827.80	98
0	Max	-1940	48881.40	130	1554.25	97	1737.09	173	2475.76	98	530.75	130	725.07	173	22036.40	101	30827.80	98
0	Max	-1941	48881.40	130	1554.25	97	1737.09	173	2475.76	98	530.75	130	725.07	173	22036.40	101	30827.80	98
0	Max	-1744	48881.40	130	1554.25	97	1737.09	173	2475.76	98	530.75	130	725.07	173	22036.40	101	30827.80	98
0	Min.	-1461	-64877.00	101	-3199.56	162	-9907.66	162	-845.86	101	-31.13	137	-299.09	17	-3971.01	130	1876.49	65
0	Min.	-1940	-64877.00	101	-3199.56	162	-9907.66	162	-845.86	101	-31.13	137	-299.09	17	-3971.01	130	1876.49	65
0	Min.	-1941	-64877.00	101	-3199.56	162	-9907.66	162	-845.86	101	-31.13	137	-299.09	17	-3971.01	130	1876.49	65
0	Min.	-1744	-64877.00	101	-3199.56	162	-9907.66	162	-845.86	101	-31.13	137	-299.09	17	-3971.01	130	1876.49	65
0	Max	-1483	38592.30	162	2209.61	97	283.04	173	1587.56	106	359.79	130	737.24	173	19039.40	101	34683.80	98
0	Max	-1461	38592.30	162	2209.61	97	283.04	173	1587.56	106	359.79	130	737.24	173	19039.40	101	34683.80	98
0	Max	-1744	38592.30	162	2209.61	97	283.04	173	1587.56	106	359.79	130	737.24	173	19039.40	101	34683.80	98
0	Max	-1743	38592.30	162	2209.61	97	283.04	173	1587.56	106	359.79	130	737.24	173	19039.40	101	34683.80	98
0	Min.	-1483	-72674.50	101	-2266.47	162	-12611.60	162	-1091.57	101	-224.41	101	-339.10	17	-2630.56	130	1971.23	65
0	Min.	-1461	-72674.50	101	-2266.47	162	-12611.60	162	-1091.57	101	-224.41	101	-339.10	17	-2630.56	130	1971.23	65
0	Min.	-1744	-72674.50	101	-2266.47	162	-12611.60	162	-1091.57	101	-224.41	101	-339.10	17	-2630.56	130	1971.23	65
0	Min.	-1743	-72674.50	101	-2266.47	162	-12611.60	162	-1091.57	101	-224.41	101	-339.10	17	-2630.56	130	1971.23	65
0	Max	-1484	34482.00	162	740.28	101	544.57	173	888.68	130	217.56	130	753.94	173	7271.32	101	29739.80	98
0	Max	-1483	34482.00	162	740.28	101	544.57	173	888.68	130	217.56	130	753.94	173	7271.32	101	29739.80	98
0	Max	-1743	34482.00	162	740.28	101	544.57	173	888.68	130	217.56	130	753.94	173	7271.32	101	29739.80	98
0	Max	-1742	34482.00	162	740.28	101	544.57	173	888.68	130	217.56	130	753.94	173	7271.32	101	29739.80	98
0	Min.	-1484	-79406.20	101	-2287.30	162	-11122.10	162	-1402.97	101	-347.78	101	-367.96	17	-2828.11	130	1269.71	65
0	Min.	-1483	-79406.20	101	-2287.30	162	-11122.10	162	-1402.97	101	-347.78	101	-367.96	17	-2828.11	130	1269.71	65
0	Min.	-1743	-79406.20	101	-2287.30	162	-11122.10	162	-1402.97	101	-347.78	101	-367.96	17	-2828.11	130	1269.71	65
0	Min.	-1742	-79406.20	101	-2287.30	162	-11122.10	162	-1402.97	101	-347.78	101	-367.96	17	-2828.11	130	1269.71	65
0	Max	-1485	26251.70	162	650.16	165	229.92	173	347.22	130	209.66	118	812.66	173	4141.66	101	27927.40	98
0	Max	-1484	26251.70	162	650.16	165	229.92	173	347.22	130	209.66	118	812.66	173	4141.66	101	27927.40	98
0	Max	-1742	26251.70	162	650.16	165	229.92	173	347.22	130	209.66	118	812.66	173	4141.66	101	27927.40	98
0	Max	-1741	26251.70	162	650.16	165	229.92	173	347.22	130	209.66	118	812.66	173	4141.66	101	27927.40	98
0	Min.	-1485	-84971.80	101	-2241.07	98	-9212.77	162	-1653.84	101	-310.52	101	-335.39	17	-2042.94	17	845.82	65
0	Min.	-1484	-84971.80	101	-2241.07	98	-9212.77	162	-1653.84	101	-310.52	101	-335.39	17	-2042.94	17	845.82	65
0	Min.	-1742	-84971.80	101	-2241.07	98	-9212.77	162	-1653.84	101	-310.52	101	-335.39	17	-2042.94	17	845.82	65
0	Min.	-1741	-84971.80	101	-2241.07	98	-9212.77	162	-1653.84	101	-310.52	101	-335.39	17	-2042.94	17	845.82	65
0	Max	-1486	18504.90	177	982.48	165	138.28	49	9.63	1	155.43	118	942.20	98	5392.93	97	26336.40	98
0	Max	-1485	18504.90	177	982.48	165	138.28	49	9.63	1	155.43	118	942.20	98	5392.93	97	26336.40	98
0	Max	-1741	18504.90	177	982.48	165	138.28	49	9.63	1	155.43	118	942.20	98	5392.93	97	26336.40	98
0	Max	-1740	18504.90	177	982.48	165	138.28	49	9.63	1	155.43	118	942.20	98	5392.93	97	26336.40	98
0	Min.	-1486	-106890.00	97	-2456.92	98	-9746.53	158	-2227.63	97	-270.34	97	-240.10	17	-1284.51	65	550.82	65
0	Min.	-1485	-106890.00	97	-2456.92	98	-9746.53	158	-2227.63	97	-270.34	97	-240.10	17	-1284.51	65	550.82	65
0	Min.	-1741	-106890.00	97	-2456.92	98	-9746.53	158	-2227.63	97	-270.34	97	-240.10	17	-1284.51	65	550.82	65
0	Min.	-1740	-106890.00	97	-2456.92	98	-9746.53	158	-2227.63	97	-270.34	97	-240.10	17	-1284.51	65	550.82	65
0	Max	-1487	16633.70	177	4020.80	98	297.32	49	-69.48	1	91.14	17	995.28	98	8885.72	97	24403.60	98
0	Max	-1486	16633.70	177	4020.80	98	297.32	49	-69.48	1	91.14	17	995.28	98	8885.72	97	24403.60	98
0	Max	-1740	16633.70	177	4020.80	98	297.32	49	-69.48	1	91.14	17	995.28	98	8885.72	97	24403.60	98
0	Max	-1739	16633.70	177	4020.80	98	297.32	49	-69.48	1	91.14	17	995.28	98	8885.72	97	24403.60	98
0	Min.	-1487	-126124.00	97	-730.55	161	-10606.40	158	-2815.76	97	-718.38	97	-194.46	17	-1211.13	17	-46.52	49
0	Min.	-1486	-126124.00	97	-730.55	161	-10606.40	158	-2815.76	97	-718.38	97	-194.46	17	-1211.13	17	-46.52	49
0	Min.	-1740	-126124.00	97	-730.55	161	-10606.40	158	-2815.76	97	-718.38	97	-194.46	17	-1211.13	17	-46.52	49
0	Min.	-1739	-126124.00	97	-730.55	161	-10606.40	158	-2815.76	97	-718.38	97	-194.46	17	-1211.13	17	-46.52	49
0	Max	-1488	15186.10	177	4293.26	98	1107.87	101	-172.47	17	97.10	17	763.40	98	21022.70	97	23992.10	98
0	Max	-1487	15186.10	177	4293.26	98	1107.87	101	-172.47	17	97.10	17	763.40	98	21022.70	97	23992.10	98
0	Max	-1739	15186.10	177	4293.26	98	1107.87	101	-172.47	17	97.10	17	763.40	98	21022.70	97	23992.10	98
0	Max	-1738	15186.10	177	4293.26	98	1107.87	101	-172.47	17	97.10	17	763.40	98	21022.70	97	23992.10	98
0	Min.	-1488	-141993.00	97	-221.10	161	-13333.10	158	-3750.30	97	-877.13	97	-202.84	17	-346.37	65	-808.57	49
0	Min.	-1487	-141993.00	97	-221.10	161	-13333.10	158	-3750.30	97	-877.13	97	-202.84	17	-346.37	65	-808.57	49
0	Min.	-1739	-141993.00	97	-221.10	161	-13333.10	158	-3750.30	97	-877.13	97	-202.84	17	-346.37	65	-808.57	49
0	Min.	-1738	-141993.00	97	-221.10	161	-13333.10	158	-3750.30	97	-877.13	97	-202.84	17	-346.37	65	-808.57	49
0	Max	-1489	14096.50	177	1317.75	125	1346.03	101	-261.02	17	116.18	17	597.96	173	31487.50	97	8046.57	98
0	Max	-2106	14096.50	177	1317.75	125	1346.03	101	-261.02	17	116.18	17	597.96	173	31487.50	97	8046.57	98
0	Max	-2111	14096.50	177	1317.75	125	1346.03	101	-261.02	17	116.18	17	597.96	173	31487.50	97	8046.57	98

0	Max	-1737	14096.50	177	1317.75	125	1346.03	101	-261.02	17	116.18	17	597.96	173	31487.50	97	8046.57	98
0	Min.	-1489	-154774.00	97	-1445.04	106	-11777.60	158	-5173.91	97	-758.25	97	-139.50	17	-1172.87	17	-3383.81	101
0	Min.	-2106	-154774.00	97	-1445.04	106	-11777.60	158	-5173.91	97	-758.25	97	-139.50	17	-1172.87	17	-3383.81	101
0	Min.	-2111	-154774.00	97	-1445.04	106	-11777.60	158	-5173.91	97	-758.25	97	-139.50	17	-1172.87	17	-3383.81	101
0	Min.	-1737	-154774.00	97	-1445.04	106	-11777.60	158	-5173.91	97	-758.25	97	-139.50	17	-1172.87	17	-3383.81	101
0	Max	-1498	12825.90	177	2198.37	125	1836.32	101	-297.41	65	231.06	173	385.38	173	31486.70	97	5745.31	130
0	Max	-2108	12825.90	177	2198.37	125	1836.32	101	-297.41	65	231.06	173	385.38	173	31486.70	97	5745.31	130
0	Max	-2112	12825.90	177	2198.37	125	1836.32	101	-297.41	65	231.06	173	385.38	173	31486.70	97	5745.31	130
0	Max	-1736	12825.90	177	2198.37	125	1836.32	101	-297.41	65	231.06	173	385.38	173	31486.70	97	5745.31	130
0	Min.	-1498	-165394.00	97	-1844.97	106	-13000.20	158	-5329.13	98	-925.81	97	-149.61	101	-983.65	17	-2986.74	101
0	Min.	-2108	-165394.00	97	-1844.97	106	-13000.20	158	-5329.13	98	-925.81	97	-149.61	101	-983.65	17	-2986.74	101
0	Min.	-2112	-165394.00	97	-1844.97	106	-13000.20	158	-5329.13	98	-925.81	97	-149.61	101	-983.65	17	-2986.74	101
0	Min.	-1736	-165394.00	97	-1844.97	106	-13000.20	158	-5329.13	98	-925.81	97	-149.61	101	-983.65	17	-2986.74	101
0	Max	-1457	12278.00	177	2812.22	158	1914.34	101	-293.13	65	274.67	173	248.95	106	30311.80	98	7502.07	106
0	Max	-1498	12278.00	177	2812.22	158	1914.34	101	-293.13	65	274.67	173	248.95	106	30311.80	98	7502.07	106
0	Max	-1736	12278.00	177	2812.22	158	1914.34	101	-293.13	65	274.67	173	248.95	106	30311.80	98	7502.07	106
0	Max	-1847	12278.00	177	2812.22	158	1914.34	101	-293.13	65	274.67	173	248.95	106	30311.80	98	7502.07	106
0	Min.	-1457	-169296.00	98	-629.53	101	-14189.10	158	-5197.49	97	-1035.75	97	-247.24	125	-960.52	65	-5016.97	101
0	Min.	-1498	-169296.00	98	-629.53	101	-14189.10	158	-5197.49	97	-1035.75	97	-247.24	125	-960.52	65	-5016.97	101
0	Min.	-1736	-169296.00	98	-629.53	101	-14189.10	158	-5197.49	97	-1035.75	97	-247.24	125	-960.52	65	-5016.97	101
0	Min.	-1847	-169296.00	98	-629.53	101	-14189.10	158	-5197.49	97	-1035.75	97	-247.24	125	-960.52	65	-5016.97	101
0	Max	-1499	12278.00	177	985.12	97	2500.35	101	-293.13	17	295.64	173	228.56	106	30311.80	97	5016.65	106
0	Max	-1457	12278.00	177	985.12	97	2500.35	101	-293.13	17	295.64	173	228.56	106	30311.80	97	5016.65	106
0	Max	-1847	12278.00	177	985.12	97	2500.35	101	-293.13	17	295.64	173	228.56	106	30311.80	97	5016.65	106
0	Max	-1735	12278.00	177	985.12	97	2500.35	101	-293.13	17	295.64	173	228.56	106	30311.80	97	5016.65	106
0	Min.	-1499	-169296.00	97	-1777.18	158	-13112.90	158	-5197.49	98	-1035.75	98	-260.41	125	-960.52	17	-7502.39	101
0	Min.	-1457	-169296.00	97	-1777.18	158	-13112.90	158	-5197.49	98	-1035.75	98	-260.41	125	-960.52	17	-7502.39	101
0	Min.	-1847	-169296.00	97	-1777.18	158	-13112.90	158	-5197.49	98	-1035.75	98	-260.41	125	-960.52	17	-7502.39	101
0	Min.	-1735	-169296.00	97	-1777.18	158	-13112.90	158	-5197.49	98	-1035.75	98	-260.41	125	-960.52	17	-7502.39	101
0	Max	-1500	12470.70	177	1793.72	97	2113.33	101	-268.71	65	275.12	173	102.37	130	35155.80	98	3775.19	106
0	Max	-2109	12470.70	177	1793.72	97	2113.33	101	-268.71	65	275.12	173	102.37	130	35155.80	98	3775.19	106
0	Max	-2113	12470.70	177	1793.72	97	2113.33	101	-268.71	65	275.12	173	102.37	130	35155.80	98	3775.19	106
0	Max	-1734	12470.70	177	1793.72	97	2113.33	101	-268.71	65	275.12	173	102.37	130	35155.80	98	3775.19	106
0	Min.	-1500	-166549.00	98	-2528.47	158	-10605.60	158	-5269.86	98	-791.85	98	-316.71	173	-811.40	65	-12581.10	97
0	Min.	-2109	-166549.00	98	-2528.47	158	-10605.60	158	-5269.86	98	-791.85	98	-316.71	173	-811.40	65	-12581.10	97
0	Min.	-2113	-166549.00	98	-2528.47	158	-10605.60	158	-5269.86	98	-791.85	98	-316.71	173	-811.40	65	-12581.10	97
0	Min.	-1734	-166549.00	98	-2528.47	158	-10605.60	158	-5269.86	98	-791.85	98	-316.71	173	-811.40	65	-12581.10	97
0	Max	-1501	13399.10	177	3690.17	97	1203.01	177	-219.79	65	154.13	173	185.13	65	25198.30	98	1348.38	130
0	Max	-2110	13399.10	177	3690.17	97	1203.01	177	-219.79	65	154.13	173	185.13	65	25198.30	98	1348.38	130
0	Max	-2114	13399.10	177	3690.17	97	1203.01	177	-219.79	65	154.13	173	185.13	65	25198.30	98	1348.38	130
0	Max	-1733	13399.10	177	3690.17	97	1203.01	177	-219.79	65	154.13	173	185.13	65	25198.30	98	1348.38	130
0	Min.	-1501	-157506.00	98	-354.92	130	-11359.40	158	-4655.72	98	-784.80	98	-620.29	97	-984.71	65	-22637.50	97
0	Min.	-2110	-157506.00	98	-354.92	130	-11359.40	158	-4655.72	98	-784.80	98	-620.29	97	-984.71	65	-22637.50	97
0	Min.	-2114	-157506.00	98	-354.92	130	-11359.40	158	-4655.72	98	-784.80	98	-620.29	97	-984.71	65	-22637.50	97
0	Min.	-1733	-157506.00	98	-354.92	130	-11359.40	158	-4655.72	98	-784.80	98	-620.29	97	-984.71	65	-22637.50	97
0	Max	-1502	15186.10	177	4293.26	97	2626.31	101	-172.47	65	97.10	65	202.83	65	21022.70	98	1606.83	130
0	Max	-1501	15186.10	177	4293.26	97	2626.31	101	-172.47	65	97.10	65	202.83	65	21022.70	98	1606.83	130
0	Max	-1733	15186.10	177	4293.26	97	2626.31	101	-172.47	65	97.10	65	202.83	65	21022.70	98	1606.83	130
0	Max	-1732	15186.10	177	4293.26	97	2626.31	101	-172.47	65	97.10	65	202.83	65	21022.70	98	1606.83	130
0	Min.	-1502	-141993.00	98	157.84	1	-10605.70	158	-3750.30	98	-877.13	98	-763.40	97	-346.37	17	-23992.10	97
0	Min.	-1501	-141993.00	98	157.84	1	-10605.70	158	-3750.30	98	-877.13	98	-763.40	97	-346.37	17	-23992.10	97
0	Min.	-1733	-141993.00	98	157.84	1	-10605.70	158	-3750.30	98	-877.13	98	-763.40	97	-346.37	17	-23992.10	97
0	Min.	-1732	-141993.00	98	157.84	1	-10605.70	158	-3750.30	98	-877.13	98	-763.40	97	-346.37	17	-23992.10	97
0	Max	-1503	16633.70	177	4020.79	97	4149.56	97	-69.48	49	91.14	65	194.46	65	8885.72	98	572.84	130
0	Max	-1502	16633.70	177	4020.79	97	4149.56	97	-69.48	49	91.14	65	194.46	65	8885.72	98	572.84	130
0	Max	-1732	16633.70	177	4020.79	97	4149.56	97	-69.48	49	91.14	65	194.46	65	8885.72	98	572.84	130
0	Max	-1731	16633.70	177	4020.79	97	4149.56	97	-69.48	49	91.14	65	194.46	65	8885.72	98	572.84	130
0	Min.	-1503	-126124.00	98	220.19	17	-6049.30	158	-2815.76	98	-718.38	98	-995.28	97	-1211.13	65	-24403.60	97
0	Min.	-1502	-126124.00	98	220.19	17	-6049.30	158	-2815.76	98	-718.38	98	-995.28	97	-1211.13	65	-24403.60	97
0	Min.	-1732	-126124.00	98	220.19	17	-6049.30	158	-2815.76	98	-718.38	98	-995.28	97	-1211.13	65	-24403.60	97
0	Min.	-1731	-126124.00	98	220.19	17	-6049.30	158	-2815.76	98	-718.38	98	-995.28	97	-1211.13	65	-24403.60	97
0	Max	-1504	18504.90	177	225.25	1	4995.25	97	9.63	49	195.99	125	240.10	65	5392.93	98	-550.82	17
0	Max	-1503	18504.90	177	225.25	1	4995.25	97	9.63	49	195.99	125	240.10	65	5392.93	98	-550.82	17
0	Max	-1731	18504.90	177	225.25	1	4995.25	97	9.63	49	195.99	125	240.10	65	5392.93	98	-550.82	17
0	Max	-1730	18504.90	177	225.25	1	4995.25	97	9.63	49	195.99	125	240.10	65	5392.93	98	-550.82	17
0	Min.	-1504	-106890.00	98	-3182.88	157	-5583.98	166	-2227.63	98	-270.34	98	-973.97	173	-1284.51	17	-26336.40	97
0	Min.	-1503	-106890.00	98	-3182.88	157	-5583.98	166	-2227.63	98	-270.34	98	-973.97	173	-1284.51	17	-26336.40	97
0	Min.	-1731	-106890.00	98	-3182.88	157	-5583.98	166	-2227.63	98	-270.34	98	-973.97	173	-1284.51	17	-26336.40	97
0	Min.	-1730	-106890.00	98	-3182.88	157	-5583.98	166	-2227.63	98	-270.34	98	-973.97	173	-1284.51	17	-26336.40	97
0	Max	-1505	20782.10	177	254.40	1	3762.16	177	180.06	49	251.63	125	335.39	65	4141.57	106	-845.82	17
0	Max	-1504	20782.10	177	254.40	1	3762.16	177	180.06	49	251.63	125	335.39	65	4141.57	106	-845.82	17
0	Max	-1730	20782.10	177	254.40	1	3762.16	177	180.06	49	251.63	125	335.39	65	4141.57	106	-845.82	17
0	Max	-1729	20782.10	177	254.40	1	3762.16	177	180.06	49	251.63	125	335.39	65	4141.57	106	-845.82	17
0	Min.	-1505	-95844.80	130	-2532.50	121	-7674.13	166	-1653.81	106	-310.51	106	-868.92	173	-2199.40	125	-27927.40	97
0	Min.	-1504	-95844.80	130	-2532.50	121	-7674.13	166	-1653.81	106	-310.51	106	-868.92	173	-2199.40	125	-27927.40	97
0	Min.	-1730	-95844.80	130	-2532.50	121	-7674.13	166	-1653.81	106	-310.51	106	-868.92	173	-2199.40	125	-27927.40	97
0	Min.	-1729	-95844.80	130	-2532.50	121	-7674.13	166	-1653.81	106	-310.51	106	-868.92	173	-2199.40	125	-27927.40	97
0	Max	-1506	23669.40	177	2722.91	166	4147.30	177	767.14	101	210.97	113	367.96	65	7271.22	106	-1269.70	17
0	Max	-1505	23669.40	177	2722.91	166	4147.30	177	767.14	101	210.97	113	367.96	65	7271.22	106	-1269.70	17
0	Max	-1729	23669.40	177	2722.91	166	4147.30	177	767.14	101	210.97	113	367.96	65	7271.22	106	-1269.70	17
0	Max	-1728	23669.40	177	2722.91	166	4147.30	177	767.14	101	210.97	113	367.96	65	7271.22	106	-1269.70	17
0	Min.	-1506	-93480.50	130	-112.45	177	-9755.29	166	-1402.93	106	-347.77	106	-812.28	173	-2546.85	113	-29739.80	97
0	Min.	-1505	-93480.50	130	-112.45	177	-9755.29	166	-1402.93	106	-347.77	106	-812.28	173	-2546.85	113	-29739.80	97
0	Min.	-1729	-93480.50	130	-112.45	177	-9755.29	166	-1402.93	106	-347.77	106	-812.28	173	-2546.85	113	-29739.80	97
0	Min.	-1728	-93480.50	130	-112.45	177	-9755.29	166	-1402.93	106	-347.77	106	-812.28	173	-2546.85	113	-29739.80	97
0	Max	-1507	30346.30	101	3581.13	166	4770.61	177	1587.63	101	318.78	101	339.10	65	19039.20	106	-1971.23	17
0	Max	-1506	30346.30	101	3581.13	166	4770.61	177	1587.63	101	318.78	101	339.10	65	19039.20	106	-1971.23	17
0	Max	-1728	30346.30	101	3581.13	166	4770.61	177	1587.63	101	318.78	101	339.10	65	19039.20	106	-1971.23	17
0	Max	-1727	30346.30	101	3581.13	166	4770.61	177	1587.63	101	318.78	101	339.10	65	19039.20	106	-1971.23	17
0	Min.	-1507	-87129.60	130	92.94	17	-10901.30	166	-1115.12	130	-224.39	106	-794.56	173	-1746.83	173	-34683.80	97
0	Min.	-1506	-87129.60	130	92.94	17	-10901.30	166	-1115.12	130	-224.39	106	-794.56	173	-1746.83	173	-34683.80	97
0	Min.	-1728	-87129.60	130	92.94	17	-10901.30	166	-1115.12	130	-224.39	106	-794.56	173	-1746.83	173	-34683.80	97
0	Min.	-1727	-87129.60	130	92.94	17	-10901.30	166	-1115.12	130	-224.39	106	-794.56	173	-1746.83	173	-34683.80	97
0	Max	-1508	40488.80	101	5925.69	97	4678.53	177	3287.34	97	824.21	97	272.25	65	20244.90	106	-3183.61	17
0	Max	-1955	40488.80	101	5925.69	97	4678.53	177	3287.34	97	824.21	97	272.25	65	20244.90	106	-3183.61	17
0	Max	-1956	40488.80	101	5925.69	97	4678.53	177	3287.34	97	824.21	97	272.25	65	20244.90	106	-3183.61	17
0	Max	-1726	40488.80	101	5925.69	97	4678.53	177	3287.34	97	824.21	97	272.25	65	20244.90	106	-3183.61	17
0	Min.	-1508	-82816.30	130	627.07	17	-8980.14	166	-611.92	130	45.14	17	-768.98	173	-3764.85	173	-40430.80	97
0	Min.	-1955	-82816.30	130	627.07	17	-8980.14	166	-611.92	130	45.14	17	-768.98	173	-3764.85	173	-40430.80	97
0	Min.	-1956	-82816.30	130	627.07	17	-8980.14	166	-611.92	130	45.14	17	-768.98	173	-3764.85	173	-40430.80	97
0	Min.	-1726	-82816.30	130	627.07	17	-8980.14	166	-611.92	130	45.14	17	-768.98	173	-3764.85	173	-40430.80	97
0	Max	-2069	64149.70	130	4333.61	98	3884.71	166	3317.27	130	32.50	161	195.08	162	5942.15	98	61711.60	98
0	Max	-1540	64149.70	130	4333.61	98	3884.71	166	3317.27	130	32.50	161	195.08	162	5942.15	98	61711.60	98
0	Max	-1976	64149.70	130	4333.61	98	3884.71	166	3317.27	130	32.50	161	195.08	162	5942.15	98	61711.60	98
0	Max	-2013	64149.70	130	4333.61	98	3884.71	166	3317.27	130	32.50	161	195.08	162	5942.15	98	61711.60	98

0	Min.	-2069	-78377.20	101	-1744.72	161	-1807.26	97	-695.81	101	-142.06	98	-299.12	17	-1149.75	161	-17880.30	65
0	Min.	-1540	-78377.20	101	-1744.72	161	-1807.26	97	-695.81	101	-142.06	98	-299.12	17	-1149.75	161	-17880.30	65
0	Min.	-1976	-78377.20	101	-1744.72	161	-1807.26	97	-695.81	101	-142.06	98	-299.12	17	-1149.75	161	-17880.30	65
0	Min.	-2013	-78377.20	101	-1744.72	161	-1807.26	97	-695.81	101	-142.06	98	-299.12	17	-1149.75	161	-17880.30	65
0	Max	-1744	45742.60	130	8044.01	98	10355.30	97	2818.60	98	385.15	106	724.50	173	13872.20	101	40984.90	98
0	Max	-1941	45742.60	130	8044.01	98	10355.30	97	2818.60	98	385.15	106	724.50	173	13872.20	101	40984.90	98
0	Max	-2182	45742.60	130	8044.01	98	10355.30	97	2818.60	98	385.15	106	724.50	173	13872.20	101	40984.90	98
0	Max	-2183	45742.60	130	8044.01	98	10355.30	97	2818.60	98	385.15	106	724.50	173	13872.20	101	40984.90	98
0	Min.	-1744	-63590.30	101	-2778.76	161	-8057.19	162	-494.74	101	8.59	65	-259.77	17	-12030.50	162	2431.83	65
0	Min.	-1941	-63590.30	101	-2778.76	161	-8057.19	162	-494.74	101	8.59	65	-259.77	17	-12030.50	162	2431.83	65
0	Min.	-2182	-63590.30	101	-2778.76	161	-8057.19	162	-494.74	101	8.59	65	-259.77	17	-12030.50	162	2431.83	65
0	Min.	-2183	-63590.30	101	-2778.76	161	-8057.19	162	-494.74	101	8.59	65	-259.77	17	-12030.50	162	2431.83	65
0	Max	-1743	34724.40	130	3808.61	98	11522.00	98	1587.47	106	256.40	130	667.95	173	6564.95	101	36846.90	98
0	Max	-1744	34724.40	130	3808.61	98	11522.00	98	1587.47	106	256.40	130	667.95	173	6564.95	101	36846.90	98
0	Max	-2183	34724.40	130	3808.61	98	11522.00	98	1587.47	106	256.40	130	667.95	173	6564.95	101	36846.90	98
0	Max	-2184	34724.40	130	3808.61	98	11522.00	98	1587.47	106	256.40	130	667.95	173	6564.95	101	36846.90	98
0	Min.	-1743	-70828.70	101	-1072.10	165	-6050.03	161	-1008.40	101	-23.72	137	-357.74	17	-5987.15	130	2225.28	65
0	Min.	-1744	-70828.70	101	-1072.10	165	-6050.03	161	-1008.40	101	-23.72	137	-357.74	17	-5987.15	130	2225.28	65
0	Min.	-2183	-70828.70	101	-1072.10	165	-6050.03	161	-1008.40	101	-23.72	137	-357.74	17	-5987.15	130	2225.28	65
0	Min.	-2184	-70828.70	101	-1072.10	165	-6050.03	161	-1008.40	101	-23.72	137	-357.74	17	-5987.15	130	2225.28	65
0	Max	-1742	31424.30	162	119.02	49	9472.44	98	897.33	130	143.34	130	697.21	173	5129.94	101	23854.50	98
0	Max	-1743	31424.30	162	119.02	49	9472.44	98	897.33	130	143.34	130	697.21	173	5129.94	101	23854.50	98
0	Max	-2184	31424.30	162	119.02	49	9472.44	98	897.33	130	143.34	130	697.21	173	5129.94	101	23854.50	98
0	Max	-2185	31424.30	162	119.02	49	9472.44	98	897.33	130	143.34	130	697.21	173	5129.94	101	23854.50	98
0	Min.	-1742	-78593.60	101	-328.00	162	-5466.22	161	-1405.45	101	-182.97	101	-388.74	17	-2513.04	130	1318.50	65
0	Min.	-1743	-78593.60	101	-328.00	162	-5466.22	161	-1405.45	101	-182.97	101	-388.74	17	-2513.04	130	1318.50	65
0	Min.	-2184	-78593.60	101	-328.00	162	-5466.22	161	-1405.45	101	-182.97	101	-388.74	17	-2513.04	130	1318.50	65
0	Min.	-2185	-78593.60	101	-328.00	162	-5466.22	161	-1405.45	101	-182.97	101	-388.74	17	-2513.04	130	1318.50	65
0	Max	-1741	26256.00	162	740.33	165	11401.70	98	326.87	130	131.56	118	728.55	173	3628.16	125	39968.10	98
0	Max	-1742	26256.00	162	740.33	165	11401.70	98	326.87	130	131.56	118	728.55	173	3628.16	125	39968.10	98
0	Max	-2185	26256.00	162	740.33	165	11401.70	98	326.87	130	131.56	118	728.55	173	3628.16	125	39968.10	98
0	Max	-2186	26256.00	162	740.33	165	11401.70	98	326.87	130	131.56	118	728.55	173	3628.16	125	39968.10	98
0	Min.	-1741	-89255.70	97	-2976.93	98	-4670.05	161	-1682.61	101	-201.02	101	-381.66	17	-8044.35	98	1215.96	65
0	Min.	-1742	-89255.70	97	-2976.93	98	-4670.05	161	-1682.61	101	-201.02	101	-381.66	17	-8044.35	98	1215.96	65
0	Min.	-2185	-89255.70	97	-2976.93	98	-4670.05	161	-1682.61	101	-201.02	101	-381.66	17	-8044.35	98	1215.96	65
0	Min.	-2186	-89255.70	97	-2976.93	98	-4670.05	161	-1682.61	101	-201.02	101	-381.66	17	-8044.35	98	1215.96	65
0	Max	-2067	26865.20	162	1346.10	106	1872.04	165	485.11	161	34.12	161	283.95	173	142.25	98	57591.30	98
0	Max	-1758	26865.20	162	1346.10	106	1872.04	165	485.11	161	34.12	161	283.95	173	142.25	98	57591.30	98
0	Max	-2009	26865.20	162	1346.10	106	1872.04	165	485.11	161	34.12	161	283.95	173	142.25	98	57591.30	98
0	Max	-2008	26865.20	162	1346.10	106	1872.04	165	485.11	161	34.12	161	283.95	173	142.25	98	57591.30	98
0	Min.	-2067	-146162.00	97	-980.83	125	-1555.53	98	-4660.21	98	-130.90	98	-315.70	17	-321.06	17	-20463.40	65
0	Min.	-1758	-146162.00	97	-980.83	125	-1555.53	98	-4660.21	98	-130.90	98	-315.70	17	-321.06	17	-20463.40	65
0	Min.	-2009	-146162.00	97	-980.83	125	-1555.53	98	-4660.21	98	-130.90	98	-315.70	17	-321.06	17	-20463.40	65
0	Min.	-2008	-146162.00	97	-980.83	125	-1555.53	98	-4660.21	98	-130.90	98	-315.70	17	-321.06	17	-20463.40	65
0	Max	-1757	37177.70	177	972.86	161	1804.74	165	858.76	106	118.48	98	273.79	173	254.07	65	55791.80	98
0	Max	-2067	37177.70	177	972.86	161	1804.74	165	858.76	106	118.48	98	273.79	173	254.07	65	55791.80	98
0	Max	-2008	37177.70	177	972.86	161	1804.74	165	858.76	106	118.48	98	273.79	173	254.07	65	55791.80	98
0	Max	-2007	37177.70	177	972.86	161	1804.74	165	858.76	106	118.48	98	273.79	173	254.07	65	55791.80	98
0	Min.	-1757	-87447.30	97	-5101.36	98	-2069.47	98	-1862.51	125	-33.45	161	-282.38	17	-532.77	173	-19198.10	65
0	Min.	-2067	-87447.30	97	-5101.36	98	-2069.47	98	-1862.51	125	-33.45	161	-282.38	17	-532.77	173	-19198.10	65
0	Min.	-2008	-87447.30	97	-5101.36	98	-2069.47	98	-1862.51	125	-33.45	161	-282.38	17	-532.77	173	-19198.10	65
0	Min.	-2007	-87447.30	97	-5101.36	98	-2069.47	98	-1862.51	125	-33.45	161	-282.38	17	-532.77	173	-19198.10	65
0	Max	-1738	20708.80	177	1966.86	98	9580.84	98	-134.42	17	74.52	17	661.02	173	18403.30	98	32563.40	98
0	Max	-1739	20708.80	177	1966.86	98	9580.84	98	-134.42	17	74.52	17	661.02	173	18403.30	98	32563.40	98
0	Max	-2187	20708.80	177	1966.86	98	9580.84	98	-134.42	17	74.52	17	661.02	173	18403.30	98	32563.40	98
0	Max	-2188	20708.80	177	1966.86	98	9580.84	98	-134.42	17	74.52	17	661.02	173	18403.30	98	32563.40	98
0	Min.	-1738	-135911.00	97	-803.44	161	-3693.68	125	-3593.28	97	-493.91	97	-244.96	17	-2991.01	161	-1775.15	125
0	Min.	-1739	-135911.00	97	-803.44	161	-3693.68	125	-3593.28	97	-493.91	97	-244.96	17	-2991.01	161	-1775.15	125
0	Min.	-2187	-135911.00	97	-803.44	161	-3693.68	125	-3593.28	97	-493.91	97	-244.96	17	-2991.01	161	-1775.15	125
0	Min.	-2188	-135911.00	97	-803.44	161	-3693.68	125	-3593.28	97	-493.91	97	-244.96	17	-2991.01	161	-1775.15	125
0	Max	-1737	18838.00	177	1719.53	158	3969.83	106	-227.44	17	117.53	173	527.29	173	13647.40	97	6192.92	98
0	Max	-2111	18838.00	177	1719.53	158	3969.83	106	-227.44	17	117.53	173	527.29	173	13647.40	97	6192.92	98
0	Max	-2189	18838.00	177	1719.53	158	3969.83	106	-227.44	17	117.53	173	527.29	173	13647.40	97	6192.92	98
0	Max	-2190	18838.00	177	1719.53	158	3969.83	106	-227.44	17	117.53	173	527.29	173	13647.40	97	6192.92	98
0	Min.	-1737	-153786.00	97	-106.73	177	-5529.42	157	-4954.97	97	-367.61	97	-152.45	17	-1673.12	17	-3466.52	101
0	Min.	-2111	-153786.00	97	-106.73	177	-5529.42	157	-4954.97	97	-367.61	97	-152.45	17	-1673.12	17	-3466.52	101
0	Min.	-2189	-153786.00	97	-106.73	177	-5529.42	157	-4954.97	97	-367.61	97	-152.45	17	-1673.12	17	-3466.52	101
0	Min.	-2190	-153786.00	97	-106.73	177	-5529.42	157	-4954.97	97	-367.61	97	-152.45	17	-1673.12	17	-3466.52	101
0	Max	-1736	17621.70	177	4759.79	157	3633.21	106	-247.27	65	236.53	173	334.22	173	18683.80	97	7532.81	106
0	Max	-2112	17621.70	177	4759.79	157	3633.21	106	-247.27	65	236.53	173	334.22	173	18683.80	97	7532.81	106
0	Max	-2191	17621.70	177	4759.79	157	3633.21	106	-247.27	65	236.53	173	334.22	173	18683.80	97	7532.81	106
0	Max	-2192	17621.70	177	4759.79	157	3633.21	106	-247.27	65	236.53	173	334.22	173	18683.80	97	7532.81	106
0	Min.	-1736	-164036.00	97	-1042.62	106	-9798.35	157	-5186.32	98	-420.73	97	-130.46	125	-4474.49	106	-7776.61	101
0	Min.	-2112	-164036.00	97	-1042.62	106	-9798.35	157	-5186.32	98	-420.73	97	-130.46	125	-4474.49	106	-7776.61	101
0	Min.	-2191	-164036.00	97	-1042.62	106	-9798.35	157	-5186.32	98	-420.73	97	-130.46	125	-4474.49	106	-7776.61	101
0	Min.	-2192	-164036.00	97	-1042.62	106	-9798.35	157	-5186.32	98	-420.73	97	-130.46	125	-4474.49	106	-7776.61	101
0	Max	-1847	17176.00	177	647.88	173	2946.60	106	-249.26	17	261.12	173	218.94	106	19528.30	97	20235.00	125
0	Max	-1736	17176.00	177	647.88	173	2946.60	106	-249.26	17	261.12	173	218.94	106	19528.30	97	20235.00	125
0	Max	-2192	17176.00	177	647.88	173	2946.60	106	-249.26	17	261.12	173	218.94	106	19528.30	97	20235.00	125
0	Max	-2193	17176.00	177	647.88	173	2946.60	106	-249.26	17	261.12	173	218.94	106	19528.30	97	20235.00	125
0	Min.	-1847	-167501.00	98	-482.41	130	-9136.99	157	-5083.70	97	-500.92	97	-244.86	125	-3167.23	118	-7490.67	106
0	Min.	-1736	-167501.00	98	-482.41	130	-9136.99	157	-5083.70	97	-500.92	97	-244.86	125	-3167.23	118	-7490.67	106
0	Min.	-2192	-167501.00	98	-482.41	130	-9136.99	157	-5083.70	97	-500.92	97	-244.86	125	-3167.23	118	-7490.67	106
0	Min.	-2193	-167501.00	98	-482.41	130	-9136.99	157	-5083.70	97	-500.92	97	-244.86	125	-3167.23	118	-7490.67	106
0	Max	-2065	27169.00	177	2625.54	125	5621.52	165	-4.90	1	32.90	106	394.24	125	5918.50	125	30599.10	106
0	Max	-1689	27169.00	177	2625.54	125	5621.52	165	-4.90	1	32.90	106	394.24	125	5918.50	125	30599.10	106
0	Max	-1993	27169.00	177	2625.54	125	5621.52	165	-4.90	1	32.90	106	394.24	125	5918.50	125	30599.10	106
0	Max	-2003	27169.00	177	2625.54	125	5621.52	165	-4.90	1	32.90	106	394.24	125	5918.50	125	30599.10	106
0	Min.	-2065	-167071.00	97	-2113.88	106	-1265.79	106	-4856.80	97	-35.71	125	-208.88	106	-5400.89	106	-43931.50	125
0	Min.	-1689	-167071.00	97	-2113.88	106	-1265.79	106	-4856.80	97	-35.71	125	-208.88	106	-5400.89	106	-43931.50	125
0	Min.	-1993	-167071.00	97	-2113.88	106	-1265.79	106	-4856.80	97	-35.71	125	-208.88	106	-5400.89	106	-43931.50	125
0	Min.	-2003	-167071.00	97	-2113.88	106	-1265.79	106	-4856.80	97	-35.71	125	-208.88	106	-5400.89	106	-43931.50	125
0	Max	-1753	27400.30	177	1241.86	101	775.58	106	-177.38	65	35.72	173	78.82	65	2934.01	106	9734.19	173
0	Max	-2117	27400.30	177	1241.86	101	775.58	106	-177.38	65	35.72	173	78.82	65	2934.01	106	9734.19	173
0	Max	-2118	27400.30	177	1241.86	101	775.58	106	-177.38	65	35.72	173	78.82	65	2934.01	106	9734.19	173
0	Max	-2002	27400.30	177	1241.86	101	775.58	106	-177.38	65	35.72	173	78.82	65	2934.01	106	9734.19	173
0	Min.	-1753	-164039.00	98	-1335.57	130	-2008.75	101	-4791.84	98	-7.81	165	-135.63	98	-4627.16	125	-14388.00	125
0	Min.	-2117	-164039.00	98	-1335.57	130	-2008.75	101	-4791.84	98	-7.81	165	-135.63	98	-4627.16	125	-14388.00	125
0	Min.	-2118	-164039.00	98	-1335.57	130	-2008.75	101	-4791.84	98	-7.81	165	-135.63	98	-4627.16	125	-14388.00	125
0	Min.	-2002	-164039.00	98	-1335.57	130	-2008.75	101	-4791.84	98	-7.81	165	-135.63	98	-4627.16	125	-14388.00	125
0	Max	-1733	18636.90	177	547.40	158	441.49	106	-196.34	65	147.45	173	201.35	65	12137.60	98	3538.73	130
0	Max	-2114	18636.90	177	547.40	158	441.49	106	-196.34	65	147.45	173	201.35	65	12137.60	98	3538.73	130
0	Max	-2194	18636.90	177	547.40	158	441.49	106	-196.34	65	147.45	173	201.35	65	12137.60	98	3538.73	130
0	Max	-2195	18636.90	177	547.40	158	441.49	106	-196.34	65	147.45	173	201.35	65	12137.60	98	3538.73	130
0	Min.	-1733	-152860.00	98	-96.00	177	-9933.32	157	-4625.29	98	-403.84	98	-502.23	98	-2023.31	125	-14111.50	97

0	Min.	-2114	-152860.00	98	-96.00	177	-9933.32	157	-4625.29	98	-403.84	98	-502.23	98	-2023.31	125	-14111.50	97
0	Min.	-2194	-152860.00	98	-96.00	177	-9933.32	157	-4625.29	98	-403.84	98	-502.23	98	-2023.31	125	-14111.50	97
0	Min.	-2195	-152860.00	98	-96.00	177	-9933.32	157	-4625.29	98	-403.84	98	-502.23	98	-2023.31	125	-14111.50	97
0	Max	-1732	20708.80	177	2340.24	121	372.22	1	-134.42	65	74.52	65	244.96	65	18403.30	97	643.86	1
0	Max	-1733	20708.80	177	2340.24	121	372.22	1	-134.42	65	74.52	65	244.96	65	18403.30	97	643.86	1
0	Max	-2195	20708.80	177	2340.24	121	372.22	1	-134.42	65	74.52	65	244.96	65	18403.30	97	643.86	1
0	Max	-2196	20708.80	177	2340.24	121	372.22	1	-134.42	65	74.52	65	244.96	65	18403.30	97	643.86	1
0	Min.	-1732	-135911.00	98	-50.75	1	-13315.70	157	-3593.28	98	-493.91	98	-626.73	173	-489.08	1	-32563.40	97
0	Min.	-1733	-135911.00	98	-50.75	1	-13315.70	157	-3593.28	98	-493.91	98	-626.73	173	-489.08	1	-32563.40	97
0	Min.	-2195	-135911.00	98	-50.75	1	-13315.70	157	-3593.28	98	-493.91	98	-626.73	173	-489.08	1	-32563.40	97
0	Min.	-2196	-135911.00	98	-50.75	1	-13315.70	157	-3593.28	98	-493.91	98	-626.73	173	-489.08	1	-32563.40	97
0	Max	-1731	21657.70	177	4120.44	121	14.20	177	-28.11	49	73.24	65	198.92	65	18325.90	97	12698.60	165
0	Max	-1732	21657.70	177	4120.44	121	14.20	177	-28.11	49	73.24	65	198.92	65	18325.90	97	12698.60	165
0	Max	-2196	21657.70	177	4120.44	121	14.20	177	-28.11	49	73.24	65	198.92	65	18325.90	97	12698.60	165
0	Max	-2197	21657.70	177	4120.44	121	14.20	177	-28.11	49	73.24	65	198.92	65	18325.90	97	12698.60	165
0	Min.	-1731	-122751.00	98	-84.36	1	-12305.20	157	-2661.81	98	-436.71	98	-950.15	97	-401.68	1	-1040.00	98
0	Min.	-1732	-122751.00	98	-84.36	1	-12305.20	157	-2661.81	98	-436.71	98	-950.15	97	-401.68	1	-1040.00	98
0	Min.	-2196	-122751.00	98	-84.36	1	-12305.20	157	-2661.81	98	-436.71	98	-950.15	97	-401.68	1	-1040.00	98
0	Min.	-2197	-122751.00	98	-84.36	1	-12305.20	157	-2661.81	98	-436.71	98	-950.15	97	-401.68	1	-1040.00	98
0	Max	-2063	25740.20	177	1600.61	125	2909.10	157	-205.92	17	2.35	17	315.70	65	142.25	97	20463.30	17
0	Max	-1750	25740.20	177	1600.61	125	2909.10	157	-205.92	17	2.35	17	315.70	65	142.25	97	20463.30	17
0	Max	-1999	25740.20	177	1600.61	125	2909.10	157	-205.92	17	2.35	17	315.70	65	142.25	97	20463.30	17
0	Max	-1998	25740.20	177	1600.61	125	2909.10	157	-205.92	17	2.35	17	315.70	65	142.25	97	20463.30	17
0	Min.	-2063	-146162.00	98	-693.72	106	86.06	1	-4660.21	97	-140.56	121	-301.69	173	-364.09	173	-68225.20	121
0	Min.	-1750	-146162.00	98	-693.72	106	86.06	1	-4660.21	97	-140.56	121	-301.69	173	-364.09	173	-68225.20	121
0	Min.	-1999	-146162.00	98	-693.72	106	86.06	1	-4660.21	97	-140.56	121	-301.69	173	-364.09	173	-68225.20	121
0	Min.	-1998	-146162.00	98	-693.72	106	86.06	1	-4660.21	97	-140.56	121	-301.69	173	-364.09	173	-68225.20	121
0	Max	-1749	31745.90	177	-266.02	17	-126.94	17	295.40	101	120.08	121	214.37	65	467.98	106	36402.50	173
0	Max	-2063	31745.90	177	-266.02	17	-126.94	17	295.40	101	120.08	121	214.37	65	467.98	106	36402.50	173
0	Max	-1998	31745.90	177	-266.02	17	-126.94	17	295.40	101	120.08	121	214.37	65	467.98	106	36402.50	173
0	Max	-1997	31745.90	177	-266.02	17	-126.94	17	295.40	101	120.08	121	214.37	65	467.98	106	36402.50	173
0	Min.	-1749	-99642.70	130	-4522.10	121	-6430.99	97	-1633.14	106	3.15	1	-462.23	173	-1579.06	125	-33503.00	65
0	Min.	-2063	-99642.70	130	-4522.10	121	-6430.99	97	-1633.14	106	3.15	1	-462.23	173	-1579.06	125	-33503.00	65
0	Min.	-1998	-99642.70	130	-4522.10	121	-6430.99	97	-1633.14	106	3.15	1	-462.23	173	-1579.06	125	-33503.00	65
0	Min.	-1997	-99642.70	130	-4522.10	121	-6430.99	97	-1633.14	106	3.15	1	-462.23	173	-1579.06	125	-33503.00	65
0	Max	-1728	27733.40	177	353.67	166	944.46	177	808.26	101	142.67	113	388.74	65	5129.83	106	-1318.50	17
0	Max	-1729	27733.40	177	353.67	166	944.46	177	808.26	101	142.67	113	388.74	65	5129.83	106	-1318.50	17
0	Max	-2198	27733.40	177	353.67	166	944.46	177	808.26	101	142.67	113	388.74	65	5129.83	106	-1318.50	17
0	Max	-2199	27733.40	177	353.67	166	944.46	177	808.26	101	142.67	113	388.74	65	5129.83	106	-1318.50	17
0	Min.	-1728	-90722.50	130	-187.35	101	-10605.40	121	-1405.40	106	-182.96	106	-753.47	173	-2148.92	65	-23854.50	97
0	Min.	-1729	-90722.50	130	-187.35	101	-10605.40	121	-1405.40	106	-182.96	106	-753.47	173	-2148.92	65	-23854.50	97
0	Min.	-2198	-90722.50	130	-187.35	101	-10605.40	121	-1405.40	106	-182.96	106	-753.47	173	-2148.92	65	-23854.50	97
0	Min.	-2199	-90722.50	130	-187.35	101	-10605.40	121	-1405.40	106	-182.96	106	-753.47	173	-2148.92	65	-23854.50	97
0	Max	-1727	30794.20	177	4360.42	121	755.87	177	1587.54	101	243.50	101	357.74	65	7005.39	130	-2225.28	17
0	Max	-1728	30794.20	177	4360.42	121	755.87	177	1587.54	101	243.50	101	357.74	65	7005.39	130	-2225.28	17
0	Max	-2199	30794.20	177	4360.42	121	755.87	177	1587.54	101	243.50	101	357.74	65	7005.39	130	-2225.28	17
0	Max	-2200	30794.20	177	4360.42	121	755.87	177	1587.54	101	243.50	101	357.74	65	7005.39	130	-2225.28	17
0	Min.	-1727	-82581.70	130	249.73	17	-12770.70	121	-1043.49	130	-23.71	142	-721.34	173	-2967.80	113	-36846.90	97
0	Min.	-1728	-82581.70	130	249.73	17	-12770.70	121	-1043.49	130	-23.71	142	-721.34	173	-2967.80	113	-36846.90	97
0	Min.	-2199	-82581.70	130	249.73	17	-12770.70	121	-1043.49	130	-23.71	142	-721.34	173	-2967.80	113	-36846.90	97
0	Min.	-2200	-82581.70	130	249.73	17	-12770.70	121	-1043.49	130	-23.71	142	-721.34	173	-2967.80	113	-36846.90	97
0	Max	-1726	42339.70	101	2482.20	165	1570.99	177	3221.52	97	674.66	97	148.41	65	10066.60	130	18660.00	158
0	Max	-1956	42339.70	101	2482.20	165	1570.99	177	3221.52	97	674.66	97	148.41	65	10066.60	130	18660.00	158
0	Max	-2201	42339.70	101	2482.20	165	1570.99	177	3221.52	97	674.66	97	148.41	65	10066.60	130	18660.00	158
0	Max	-2202	42339.70	101	2482.20	165	1570.99	177	3221.52	97	674.66	97	148.41	65	10066.60	130	18660.00	158
0	Min.	-1726	-79441.60	130	-45.34	17	-10832.20	165	-475.49	130	25.71	17	-965.73	97	-7640.29	101	-14286.20	105
0	Min.	-1956	-79441.60	130	-45.34	17	-10832.20	165	-475.49	130	25.71	17	-965.73	97	-7640.29	101	-14286.20	105
0	Min.	-2201	-79441.60	130	-45.34	17	-10832.20	165	-475.49	130	25.71	17	-965.73	97	-7640.29	101	-14286.20	105
0	Min.	-2202	-79441.60	130	-45.34	17	-10832.20	165	-475.49	130	25.71	17	-965.73	97	-7640.29	101	-14286.20	105
0	Max	-1539	60438.70	130	2527.99	162	5521.04	161	4471.58	98	365.63	98	879.54	173	39140.70	98	-628.30	161
0	Max	-1600	60438.70	130	2527.99	162	5521.04	161	4471.58	98	365.63	98	879.54	173	39140.70	98	-628.30	161
0	Max	-2135	60438.70	130	2527.99	162	5521.04	161	4471.58	98	365.63	98	879.54	173	39140.70	98	-628.30	161
0	Max	-2136	60438.70	130	2527.99	162	5521.04	161	4471.58	98	365.63	98	879.54	173	39140.70	98	-628.30	161
0	Min.	-1539	-57860.70	101	-2410.63	177	-3143.32	177	64.36	1	-3.01	17	-195.65	17	-8651.06	177	-20080.10	98
0	Min.	-1600	-57860.70	101	-2410.63	177	-3143.32	177	64.36	1	-3.01	17	-195.65	17	-8651.06	177	-20080.10	98
0	Min.	-2135	-57860.70	101	-2410.63	177	-3143.32	177	64.36	1	-3.01	17	-195.65	17	-8651.06	177	-20080.10	98
0	Min.	-2136	-57860.70	101	-2410.63	177	-3143.32	177	64.36	1	-3.01	17	-195.65	17	-8651.06	177	-20080.10	98
0	Max	-1687	40988.90	101	269.48	1	18369.90	158	2683.33	101	152.67	173	1527.24	122	61601.40	97	-5272.44	65
0	Max	-1803	40988.90	101	269.48	1	18369.90	158	2683.33	101	152.67	173	1527.24	122	61601.40	97	-5272.44	65
0	Max	-2163	40988.90	101	269.48	1	18369.90	158	2683.33	101	152.67	173	1527.24	122	61601.40	97	-5272.44	65
0	Max	-2164	40988.90	101	269.48	1	18369.90	158	2683.33	101	152.67	173	1527.24	122	61601.40	97	-5272.44	65
0	Min.	-1687	-92963.20	130	-6453.61	177	776.22	65	-1409.95	130	-1334.53	177	9.57	17	5705.97	65	-115644.00	121
0	Min.	-1803	-92963.20	130	-6453.61	177	776.22	65	-1409.95	130	-1334.53	177	9.57	17	5705.97	65	-115644.00	121
0	Min.	-2163	-92963.20	130	-6453.61	177	776.22	65	-1409.95	130	-1334.53	177	9.57	17	5705.97	65	-115644.00	121
0	Min.	-2164	-92963.20	130	-6453.61	177	776.22	65	-1409.95	130	-1334.53	177	9.57	17	5705.97	65	-115644.00	121
0	Max	438	59098.10	130	4371.94	162	13956.70	162	4796.21	98	928.38	173	351.15	173	-436.45	17	-2207.50	17
0	Max	-1451	59098.10	130	4371.94	162	13956.70	162	4796.21	98	928.38	173	351.15	173	-436.45	17	-2207.50	17
0	Max	-1618	59098.10	130	4371.94	162	13956.70	162	4796.21	98	928.38	173	351.15	173	-436.45	17	-2207.50	17
0	Max	-1536	59098.10	130	4371.94	162	13956.70	162	4796.21	98	928.38	173	351.15	173	-436.45	17	-2207.50	17
0	Min.	438	-53815.80	101	-4415.04	177	-9072.53	177	149.07	1	-691.46	101	-247.24	17	-40601.50	102	-27282.20	102
0	Min.	-1451	-53815.80	101	-4415.04	177	-9072.53	177	149.07	1	-691.46	101	-247.24	17	-40601.50	102	-27282.20	102
0	Min.	-1618	-53815.80	101	-4415.04	177	-9072.53	177	149.07	1	-691.46	101	-247.24	17	-40601.50	102	-27282.20	102
0	Min.	-1536	-53815.80	101	-4415.04	177	-9072.53	177	149.07	1	-691.46	101	-247.24	17	-40601.50	102	-27282.20	102
0	Max	431	59668.70	130	3172.46	162	12367.40	161	4826.17	98	1790.43	98	406.33	173	-3085.47	17	-4520.98	17
0	Max	-1841	59668.70	130	3172.46	162	12367.40	161	4826.17	98	1790.43	98	406.33	173	-3085.47	17	-4520.98	17
0	Max	-1451	59668.70	130	3172.46	162	12367.40	161	4826.17	98	1790.43	98	406.33	173	-3085.47	17	-4520.98	17
0	Max	438	59668.70	130	3172.46	162	12367.40	161	4826.17	98	1790.43	98	406.33	173	-3085.47	17	-4520.98	17
0	Min.	431	-54442.90	101	-3853.93	177	-7751.93	177	153.31	1	-35.06	177	-244.29	17	-63776.70	102	-40675.90	102
0	Min.	-1841	-54442.90	101	-3853.93	177	-7751.93	177	153.31	1	-35.06	177	-244.29	17	-63776.70	102	-40675.90	102
0	Min.	-1451	-54442.90	101	-3853.93	177	-7751.93	177	153.31	1	-35.06	177	-244.29	17	-63776.70	102	-40675.90	102
0	Min.	438	-54442.90	101	-3853.93	177	-7751.93	177	153.31	1	-35.06	177	-244.29	17	-63776.70	102	-40675.90	102
0	Max	436	49694.50	101	658.22	113	11917.00	166	4566.38	97	1728.26	97	505.20	122	-3176.97	65	-5207.83	65
0	Max	-1763	49694.50	101	658.22	113	11917.00	166	4566.38	97	1728.26	97	505.20	122	-3176.97	65	-5207.83	65
0	Max	-1406	49694.50	101	658.22	113	11917.00	166	4566.38	97	1728.26	97	505.20	122	-3176.97	65	-5207.83	65
0	Max	429	49694.50	101	658.22	113	11917.00	166	4566.38	97	1728.26	97	505.20	122	-3176.97	65	-5207.83	65
0	Min.	436	-75687.80	130	-7832.78	177	-4015.67	173	126.92	49	-78.63	177	-377.53	173	-64283.00	105	-60417.80	97
0	Min.	-1763	-75687.80	130	-7832.78	177	-4015.67	173	126.92	49	-78.63	177	-377.53	173	-64283.00	105	-60417.80	97
0	Min.	-1406	-75687.80	130	-7832.78	177	-4015.67	173	126.92	49	-78.63	177	-377.53	173	-64283.00	105	-60417.80	97
0	Min.	429	-75687.80	130	-7832.78	177	-4015.67	173	126.92	49	-78.63	177	-377.53	173	-64283.00	105	-60417.80	97
0	Max	429	49712.40	101	1664.38	101	15288.00	166	4567.95	97	917.45	173	315.34	65	-537.58	65	-2921.98	65
0	Max	-1406	49712.40	101	1664.38	101	15288.00	166	4567.95	97	917.45	173	315.34	65	-537.58	65	-2921.98	65
0	Max	-1836	49712.40	101	1664.38	101	15288.00	166	4567.95	97	917.45	173	315.34	65	-537.58	65	-2921.98	65
0	Max	-1850	49712.40	101	1664.38	101	15288.00	166	4567.95	97	917.45	173	315.34	65	-537.58	65	-2921.98	65
0	Min.	429	-71756.00	130	-6638.60	177	783.02	33	125.75	49	-726.26	106	-538.19	173	-40945.50	105	-33693.70	105
0	Min.	-1406	-71756.00	130	-6638.60	177	783.02	33	125.75	49	-726.26	106	-538.19	173	-40945.50	105	-33693.70	105

0	Min.	-1836	-71756.00	130	-6638.60	177	783.02	33	125.75	49	-726.26	106	-538.19	173	-40945.50	105	-33693.70	105
0	Min.	-1850	-71756.00	130	-6638.60	177	783.02	33	125.75	49	-726.26	106	-538.19	173	-40945.50	105	-33693.70	105
0	Max	-1802	57116.40	130	2034.65	122	4450.16	173	4803.06	98	790.84	102	508.58	173	40326.00	102	38543.20	98
0	Max	-1531	57116.40	130	2034.65	122	4450.16	173	4803.06	98	790.84	102	508.58	173	40326.00	102	38543.20	98
0	Max	430	57116.40	130	2034.65	122	4450.16	173	4803.06	98	790.84	102	508.58	173	40326.00	102	38543.20	98
0	Max	-1452	57116.40	130	2034.65	122	4450.16	173	4803.06	98	790.84	102	508.58	173	40326.00	102	38543.20	98
0	Min.	-1802	-59779.70	101	-3180.49	177	-10692.30	177	213.42	1	151.67	177	-350.29	17	3148.76	65	5562.25	33
0	Min.	-1531	-59779.70	101	-3180.49	177	-10692.30	177	213.42	1	151.67	177	-350.29	17	3148.76	65	5562.25	33
0	Min.	430	-59779.70	101	-3180.49	177	-10692.30	177	213.42	1	151.67	177	-350.29	17	3148.76	65	5562.25	33
0	Min.	-1452	-59779.70	101	-3180.49	177	-10692.30	177	213.42	1	151.67	177	-350.29	17	3148.76	65	5562.25	33
0	Max	-1537	59604.60	130	4637.64	162	4982.93	97	4793.46	98	863.79	98	375.86	173	41017.30	102	-2195.08	65
0	Max	-1572	59604.60	130	4637.64	162	4982.93	97	4793.46	98	863.79	98	375.86	173	41017.30	102	-2195.08	65
0	Max	-1516	59604.60	130	4637.64	162	4982.93	97	4793.46	98	863.79	98	375.86	173	41017.30	102	-2195.08	65
0	Max	437	59604.60	130	4637.64	162	4982.93	97	4793.46	98	863.79	98	375.86	173	41017.30	102	-2195.08	65
0	Min.	-1537	-54287.30	101	-1495.07	101	-13938.20	162	143.01	49	-662.36	101	-228.21	17	406.82	65	-27555.90	102
0	Min.	-1572	-54287.30	101	-1495.07	101	-13938.20	162	143.01	49	-662.36	101	-228.21	17	406.82	65	-27555.90	102
0	Min.	-1516	-54287.30	101	-1495.07	101	-13938.20	162	143.01	49	-662.36	101	-228.21	17	406.82	65	-27555.90	102
0	Min.	437	-54287.30	101	-1495.07	101	-13938.20	162	143.01	49	-662.36	101	-228.21	17	406.82	65	-27555.90	102
0	Max	-1848	50155.00	101	1748.73	101	5174.52	177	4564.59	97	775.21	97	344.75	65	41369.30	105	-2860.36	17
0	Max	-1476	50155.00	101	1748.73	101	5174.52	177	4564.59	97	775.21	97	344.75	65	41369.30	105	-2860.36	17
0	Max	-1508	50155.00	101	1748.73	101	5174.52	177	4564.59	97	775.21	97	344.75	65	41369.30	105	-2860.36	17
0	Max	435	50155.00	101	1748.73	101	5174.52	177	4564.59	97	775.21	97	344.75	65	41369.30	105	-2860.36	17
0	Min.	-1848	-72430.10	130	-1090.19	106	-15121.60	166	119.85	1	-697.05	106	-546.04	173	504.63	17	-33948.80	105
0	Min.	-1476	-72430.10	130	-1090.19	106	-15121.60	166	119.85	1	-697.05	106	-546.04	173	504.63	17	-33948.80	105
0	Min.	-1508	-72430.10	130	-1090.19	106	-15121.60	166	119.85	1	-697.05	106	-546.04	173	504.63	17	-33948.80	105
0	Min.	435	-72430.10	130	-1090.19	106	-15121.60	166	119.85	1	-697.05	106	-546.04	173	504.63	17	-33948.80	105
0	Max	437	60392.50	130	3049.31	162	2110.33	173	4821.96	98	1806.15	98	360.73	173	64185.70	102	-4420.90	65
0	Max	-1516	60392.50	130	3049.31	162	2110.33	173	4821.96	98	1806.15	98	360.73	173	64185.70	102	-4420.90	65
0	Max	-1565	60392.50	130	3049.31	162	2110.33	173	4821.96	98	1806.15	98	360.73	173	64185.70	102	-4420.90	65
0	Max	432	60392.50	130	3049.31	162	2110.33	173	4821.96	98	1806.15	98	360.73	173	64185.70	102	-4420.90	65
0	Min.	437	-54989.10	101	-1893.72	101	-12400.80	161	146.54	49	99.95	65	-259.05	17	2993.79	65	-40830.40	102
0	Min.	-1516	-54989.10	101	-1893.72	101	-12400.80	161	146.54	49	99.95	65	-259.05	17	2993.79	65	-40830.40	102
0	Min.	-1565	-54989.10	101	-1893.72	101	-12400.80	161	146.54	49	99.95	65	-259.05	17	2993.79	65	-40830.40	102
0	Min.	432	-54989.10	101	-1893.72	101	-12400.80	161	146.54	49	99.95	65	-259.05	17	2993.79	65	-40830.40	102
0	Max	435	50311.00	101	538.01	65	5505.41	177	4560.07	97	1744.56	97	273.78	65	64664.70	105	-5052.62	17
0	Max	-1508	50311.00	101	538.01	65	5505.41	177	4560.07	97	1744.56	97	273.78	65	64664.70	105	-5052.62	17
0	Max	-1726	50311.00	101	538.01	65	5505.41	177	4560.07	97	1744.56	97	273.78	65	64664.70	105	-5052.62	17
0	Max	434	50311.00	101	538.01	65	5505.41	177	4560.07	97	1744.56	97	273.78	65	64664.70	105	-5052.62	17
0	Min.	435	-76446.50	130	-1974.47	158	-11770.80	166	120.10	1	106.27	17	-623.73	173	3082.16	17	-61084.90	97
0	Min.	-1508	-76446.50	130	-1974.47	158	-11770.80	166	120.10	1	106.27	17	-623.73	173	3082.16	17	-61084.90	97
0	Min.	-1726	-76446.50	130	-1974.47	158	-11770.80	166	120.10	1	106.27	17	-623.73	173	3082.16	17	-61084.90	97
0	Min.	434	-76446.50	130	-1974.47	158	-11770.80	166	120.10	1	106.27	17	-623.73	173	3082.16	17	-61084.90	97
0	Max	432	60558.90	130	2770.85	162	7168.12	97	4531.85	98	1498.87	98	242.35	173	-6453.77	65	-3166.80	65
0	Max	-1565	60558.90	130	2770.85	162	7168.12	97	4531.85	98	1498.87	98	242.35	173	-6453.77	65	-3166.80	65
0	Max	-2181	60558.90	130	2770.85	162	7168.12	97	4531.85	98	1498.87	98	242.35	173	-6453.77	65	-3166.80	65
0	Max	-2203	60558.90	130	2770.85	162	7168.12	97	4531.85	98	1498.87	98	242.35	173	-6453.77	65	-3166.80	65
0	Min.	432	-57254.40	101	-834.61	101	-9344.62	162	92.11	49	83.68	65	-392.39	17	-63865.30	98	-30390.30	126
0	Min.	-1565	-57254.40	101	-834.61	101	-9344.62	162	92.11	49	83.68	65	-392.39	17	-63865.30	98	-30390.30	126
0	Min.	-2181	-57254.40	101	-834.61	101	-9344.62	162	92.11	49	83.68	65	-392.39	17	-63865.30	98	-30390.30	126
0	Min.	-2203	-57254.40	101	-834.61	101	-9344.62	162	92.11	49	83.68	65	-392.39	17	-63865.30	98	-30390.30	126
0	Max	434	48776.10	101	743.25	113	1514.03	177	4276.58	97	1435.65	97	199.51	65	-6952.22	17	8573.34	166
0	Max	-1726	48776.10	101	743.25	113	1514.03	177	4276.58	97	1435.65	97	199.51	65	-6952.22	17	8573.34	166
0	Max	-2202	48776.10	101	743.25	113	1514.03	177	4276.58	97	1435.65	97	199.51	65	-6952.22	17	8573.34	166
0	Max	-2204	48776.10	101	743.25	113	1514.03	177	4276.58	97	1435.65	97	199.51	65	-6952.22	17	8573.34	166
0	Min.	434	-77690.20	130	-2637.13	158	-12653.60	165	42.37	130	83.39	17	-666.96	173	-68678.40	97	-33258.20	97
0	Min.	-1726	-77690.20	130	-2637.13	158	-12653.60	165	42.37	130	83.39	17	-666.96	173	-68678.40	97	-33258.20	97
0	Min.	-2202	-77690.20	130	-2637.13	158	-12653.60	165	42.37	130	83.39	17	-666.96	173	-68678.40	97	-33258.20	97
0	Min.	-2204	-77690.20	130	-2637.13	158	-12653.60	165	42.37	130	83.39	17	-666.96	173	-68678.40	97	-33258.20	97
0	Max	-1529	53467.50	101	1307.40	113	15513.10	166	4796.13	97	948.91	173	247.23	65	-436.33	65	27281.20	105
0	Max	429	53467.50	101	1307.40	113	15513.10	166	4796.13	97	948.91	173	247.23	65	-436.33	65	27281.20	105
0	Max	-1850	53467.50	101	1307.40	113	15513.10	166	4796.13	97	948.91	173	247.23	65	-436.33	65	27281.20	105
0	Max	-1416	53467.50	101	1307.40	113	15513.10	166	4796.13	97	948.91	173	247.23	65	-436.33	65	27281.20	105
0	Min.	-1529	-70629.30	130	-4414.97	177	-24.39	1	149.05	49	-691.36	106	-363.63	173	-40597.80	105	2207.63	65
0	Min.	429	-70629.30	130	-4414.97	177	-24.39	1	149.05	49	-691.36	106	-363.63	173	-40597.80	105	2207.63	65
0	Min.	-1850	-70629.30	130	-4414.97	177	-24.39	1	149.05	49	-691.36	106	-363.63	173	-40597.80	105	2207.63	65
0	Min.	-1416	-70629.30	130	-4414.97	177	-24.39	1	149.05	49	-691.36	106	-363.63	173	-40597.80	105	2207.63	65
0	Max	-1530	53000.70	101	610.39	113	12235.60	166	3269.67	97	803.11	173	187.01	130	3326.40	121	18458.30	97
0	Max	-1958	53000.70	101	610.39	113	12235.60	166	3269.67	97	803.11	173	187.01	130	3326.40	121	18458.30	97
0	Max	-1959	53000.70	101	610.39	113	12235.60	166	3269.67	97	803.11	173	187.01	130	3326.40	121	18458.30	97
0	Max	-1415	53000.70	101	610.39	113	12235.60	166	3269.67	97	803.11	173	187.01	130	3326.40	121	18458.30	97
0	Min.	-1530	-56835.70	130	-3966.60	177	-510.39	173	-1175.84	130	-630.52	106	-352.23	173	-34505.60	106	-3899.41	130
0	Min.	-1958	-56835.70	130	-3966.60	177	-510.39	173	-1175.84	130	-630.52	106	-352.23	173	-34505.60	106	-3899.41	130
0	Min.	-1959	-56835.70	130	-3966.60	177	-510.39	173	-1175.84	130	-630.52	106	-352.23	173	-34505.60	106	-3899.41	130
0	Min.	-1415	-56835.70	130	-3966.60	177	-510.39	173	-1175.84	130	-630.52	106	-352.23	173	-34505.60	106	-3899.41	130
0	Max	-1490	50115.20	101	1209.65	122	12709.00	166	2591.62	97	649.17	173	303.69	130	4668.67	121	15293.90	97
0	Max	-1530	50115.20	101	1209.65	122	12709.00	166	2591.62	97	649.17	173	303.69	130	4668.67	121	15293.90	97
0	Max	-1415	50115.20	101	1209.65	122	12709.00	166	2591.62	97	649.17	173	303.69	130	4668.67	121	15293.90	97
0	Max	-1367	50115.20	101	1209.65	122	12709.00	166	2591.62	97	649.17	173	303.69	130	4668.67	121	15293.90	97
0	Min.	-1490	-48848.30	130	-5136.60	177	-811.50	173	-1038.44	130	-602.47	106	-322.03	173	-15328.10	106	-6419.68	106
0	Min.	-1530	-48848.30	130	-5136.60	177	-811.50	173	-1038.44	130	-602.47	106	-322.03	173	-15328.10	106	-6419.68	106
0	Min.	-1415	-48848.30	130	-5136.60	177	-811.50	173	-1038.44	130	-602.47	106	-322.03	173	-15328.10	106	-6419.68	106
0	Min.	-1367	-48848.30	130	-5136.60	177	-811.50	173	-1038.44	130	-602.47	106	-322.03	173	-15328.10	106	-6419.68	106
0	Max	-1538	44743.80	101	857.15	98	8308.61	177	1860.01	97	502.93	121	288.33	130	5955.04	121	12607.60	97
0	Max	-1490	44743.80	101	857.15	98	8308.61	177	1860.01	97	502.93	121	288.33	130	5955.04	121	12607.60	97
0	Max	-1367	44743.80	101	857.15	98	8308.61	177	1860.01	97	502.93	121	288.33	130	5955.04	121	12607.60	97
0	Max	-1366	44743.80	101	857.15	98	8308.61	177	1860.01	97	502.93	121	288.33	130	5955.04	121	12607.60	97
0	Min.	-1538	-45257.00	130	-7748.00	177	-1631.25	173	-1028.43	130	-451.30	106	-265.86	173	-3583.93	106	-3441.21	130
0	Min.	-1490	-45257.00	130	-7748.00	177	-1631.25	173	-1028.43	130	-451.30	106	-265.86	173	-3583.93	106	-3441.21	130
0	Min.	-1367	-45257.00	130	-7748.00	177	-1631.25	173	-1028.43	130	-451.30	106	-265.86	173	-3583.93	106	-3441.21	130
0	Min.	-1366	-45257.00	130	-7748.00	177	-1631.25	173	-1028.43	130	-451.30	106	-265.86	173	-3583.93	106	-3441.21	130
0	Max	-1525	37497.00	101	1239.33	101	10866.40	177	1274.47	97	486.32	121	162.23	106	5977.20	157	10468.80	97
0	Max	-1538	37497.00	101	1239.33	101	10866.40	177	1274.47	97	486.32	121	162.23	106	5977.20	157	10468.80	97
0	Max	-1366	37497.00	101	1239.33	101	10866.40	177	1274.47	97	486.32	121	162.23	106	5977.20	157	10468.80	97
0	Max	-1365	37497.00	101	1239.33	101	10866.40	177	1274.47	97	486.32	121	162.23	106	5977.20	157	10468.80	97
0	Min.	-1525	-39579.50	130	-7850.79	177	-1863.00	173	-1155.89	130	-240.02	106	-235.44	173	-322.35	142	-4066.80	130
0	Min.	-1538	-39579.50	130	-7850.79	177	-1863.00	173	-1155.89	130	-240.02	106	-235.44	173	-322.35	142	-4066.80	130
0	Min.	-1366	-39579.50	130	-7850.79	177	-1863.00	173	-1155.89	130	-240.02	106	-235.44	173	-322.35	142	-4066.80	130
0	Min.	-1365	-39579.50	130	-7850.79	177	-1863.00	173	-1155.89	130	-240.02	106	-235.44	173	-322.35	142	-4066.80	130
0	Max	-1526	29069.70	101	1315.03	101	11699.50	177	818.11	97	429.81	158	63.07	106	5205.47	158	8812.37	97
0	Max	-1525	29069.70	101	1315.03	101	11699.50	177	818.11	97	429.81	158	63.07	106	5205.47	158	8812.37	97
0	Max	-1365	29069.70	101	1315.03	101	11699.50	177	818.11	97	429.81	158	63.07	106	5205.47	158	8812.37	97
0	Max	-1364	29069.70	101	1315.03	101	11699.50	177	818.11	97	429.81	158	63.07	106	5205.47	158	8812.37	97
0	Min.	-1526	-32244.70	130	-4860.40	177	-1877.85	173	-1082.75	130	-208.77	177	-287.58	121	438.48	141	-4943.77	130
0	Min.	-1525	-32244.70	130	-4860.40	177	-1877.85	173	-1082.75	130	-208.77	177	-287.58	121	438.48	141	-4943.77	130
0	Min.	-1365	-32244.70	130	-4860.40	177	-1877.85	173	-1082.75	130	-208.77	177	-287.58	121	438.48	141	-4943.77	130

0	Min.	-1364	-32244.70	130	-4860.40	177	-1877.85	173	-1082.75	130	-208.77	177	-287.58	121	438.48	141	-4943.77	130
0	Max	-1527	19447.10	101	492.45	101	10632.90	177	454.49	97	317.53	158	26.68	177	6042.57	157	7713.65	97
0	Max	-1526	19447.10	101	492.45	101	10632.90	177	454.49	97	317.53	158	26.68	177	6042.57	157	7713.65	97
0	Max	-1364	19447.10	101	492.45	101	10632.90	177	454.49	97	317.53	158	26.68	177	6042.57	157	7713.65	97
0	Max	-1363	19447.10	101	492.45	101	10632.90	177	454.49	97	317.53	158	26.68	177	6042.57	157	7713.65	97
0	Min.	-1527	-22547.10	130	-2740.64	130	-1945.40	173	-782.34	130	-159.37	177	-408.99	158	-275.47	142	-8250.74	130
0	Min.	-1526	-22547.10	130	-2740.64	130	-1945.40	173	-782.34	130	-159.37	177	-408.99	158	-275.47	142	-8250.74	130
0	Min.	-1364	-22547.10	130	-2740.64	130	-1945.40	173	-782.34	130	-159.37	177	-408.99	158	-275.47	142	-8250.74	130
0	Min.	-1363	-22547.10	130	-2740.64	130	-1945.40	173	-782.34	130	-159.37	177	-408.99	158	-275.47	142	-8250.74	130
0	Max	-1528	8960.90	101	10595.50	177	7679.72	177	115.70	97	229.08	158	34.11	177	6018.31	177	7837.69	97
0	Max	-1527	8960.90	101	10595.50	177	7679.72	177	115.70	97	229.08	158	34.11	177	6018.31	177	7837.69	97
0	Max	-1363	8960.90	101	10595.50	177	7679.72	177	115.70	97	229.08	158	34.11	177	6018.31	177	7837.69	97
0	Max	-1427	8960.90	101	10595.50	177	7679.72	177	115.70	97	229.08	158	34.11	177	6018.31	177	7837.69	97
0	Min.	-1528	-10569.20	130	-3022.54	173	-2925.37	101	-249.83	130	-62.17	177	-428.71	158	-8497.07	121	-13235.40	130
0	Min.	-1527	-10569.20	130	-3022.54	173	-2925.37	101	-249.83	130	-62.17	177	-428.71	158	-8497.07	121	-13235.40	130
0	Min.	-1363	-10569.20	130	-3022.54	173	-2925.37	101	-249.83	130	-62.17	177	-428.71	158	-8497.07	121	-13235.40	130
0	Min.	-1427	-10569.20	130	-3022.54	173	-2925.37	101	-249.83	130	-62.17	177	-428.71	158	-8497.07	121	-13235.40	130
0	Max	-1362	52971.00	101	520.23	113	12398.60	165	4826.07	97	1790.37	97	244.29	65	-3085.06	65	40674.10	105
0	Max	436	52971.00	101	520.23	113	12398.60	165	4826.07	97	1790.37	97	244.29	65	-3085.06	65	40674.10	105
0	Max	429	52971.00	101	520.23	113	12398.60	165	4826.07	97	1790.37	97	244.29	65	-3085.06	65	40674.10	105
0	Max	-1529	52971.00	101	520.23	113	12398.60	165	4826.07	97	1790.37	97	244.29	65	-3085.06	65	40674.10	105
0	Min.	-1362	-68341.80	130	-3853.67	177	-2104.47	173	153.28	49	-35.07	177	-418.95	173	-63769.50	105	4520.94	65
0	Min.	436	-68341.80	130	-3853.67	177	-2104.47	173	153.28	49	-35.07	177	-418.95	173	-63769.50	105	4520.94	65
0	Min.	429	-68341.80	130	-3853.67	177	-2104.47	173	153.28	49	-35.07	177	-418.95	173	-63769.50	105	4520.94	65
0	Min.	-1529	-68341.80	130	-3853.67	177	-2104.47	173	153.28	49	-35.07	177	-418.95	173	-63769.50	105	4520.94	65
0	Max	-1356	52521.30	101	1195.26	173	8725.68	166	3202.24	97	773.13	173	135.20	65	2746.11	109	17109.90	97
0	Max	-1960	52521.30	101	1195.26	173	8725.68	166	3202.24	97	773.13	173	135.20	65	2746.11	109	17109.90	97
0	Max	-1958	52521.30	101	1195.26	173	8725.68	166	3202.24	97	773.13	173	135.20	65	2746.11	109	17109.90	97
0	Max	-1530	52521.30	101	1195.26	173	8725.68	166	3202.24	97	773.13	173	135.20	65	2746.11	109	17109.90	97
0	Min.	-1356	-60803.30	130	-3561.59	177	-844.93	173	-952.03	130	-151.14	177	-457.98	173	-21675.40	106	1760.76	65
0	Min.	-1960	-60803.30	130	-3561.59	177	-844.93	173	-952.03	130	-151.14	177	-457.98	173	-21675.40	106	1760.76	65
0	Min.	-1958	-60803.30	130	-3561.59	177	-844.93	173	-952.03	130	-151.14	177	-457.98	173	-21675.40	106	1760.76	65
0	Min.	-1530	-60803.30	130	-3561.59	177	-844.93	173	-952.03	130	-151.14	177	-457.98	173	-21675.40	106	1760.76	65
0	Max	-1355	49328.80	101	1056.03	158	8732.62	165	2563.95	97	544.42	173	289.09	130	4204.68	121	16085.00	97
0	Max	-1356	49328.80	101	1056.03	158	8732.62	165	2563.95	97	544.42	173	289.09	130	4204.68	121	16085.00	97
0	Max	-1530	49328.80	101	1056.03	158	8732.62	165	2563.95	97	544.42	173	289.09	130	4204.68	121	16085.00	97
0	Max	-1490	49328.80	101	1056.03	158	8732.62	165	2563.95	97	544.42	173	289.09	130	4204.68	121	16085.00	97
0	Min.	-1355	-53010.30	130	-4644.88	177	-1088.28	173	-943.07	130	-277.65	177	-386.81	173	-18099.30	106	1409.56	130
0	Min.	-1356	-53010.30	130	-4644.88	177	-1088.28	173	-943.07	130	-277.65	177	-386.81	173	-18099.30	106	1409.56	130
0	Min.	-1530	-53010.30	130	-4644.88	177	-1088.28	173	-943.07	130	-277.65	177	-386.81	173	-18099.30	106	1409.56	130
0	Min.	-1490	-53010.30	130	-4644.88	177	-1088.28	173	-943.07	130	-277.65	177	-386.81	173	-18099.30	106	1409.56	130
0	Max	-1352	44477.40	101	987.69	106	6181.56	165	1843.45	97	369.17	173	443.58	130	5903.69	121	11624.10	97
0	Max	-1355	44477.40	101	987.69	106	6181.56	165	1843.45	97	369.17	173	443.58	130	5903.69	121	11624.10	97
0	Max	-1490	44477.40	101	987.69	106	6181.56	165	1843.45	97	369.17	173	443.58	130	5903.69	121	11624.10	97
0	Max	-1538	44477.40	101	987.69	106	6181.56	165	1843.45	97	369.17	173	443.58	130	5903.69	121	11624.10	97
0	Min.	-1352	-46602.40	130	-9033.98	177	-498.89	49	-1042.39	130	-336.13	177	-303.04	173	-5607.79	106	-3013.85	130
0	Min.	-1355	-46602.40	130	-9033.98	177	-498.89	49	-1042.39	130	-336.13	177	-303.04	173	-5607.79	106	-3013.85	130
0	Min.	-1490	-46602.40	130	-9033.98	177	-498.89	49	-1042.39	130	-336.13	177	-303.04	173	-5607.79	106	-3013.85	130
0	Min.	-1538	-46602.40	130	-9033.98	177	-498.89	49	-1042.39	130	-336.13	177	-303.04	173	-5607.79	106	-3013.85	130
0	Max	-1684	37962.70	101	1120.56	101	9638.66	177	1254.08	97	421.63	157	281.21	106	5380.07	157	10143.70	97
0	Max	-1352	37962.70	101	1120.56	101	9638.66	177	1254.08	97	421.63	157	281.21	106	5380.07	157	10143.70	97
0	Max	-1538	37962.70	101	1120.56	101	9638.66	177	1254.08	97	421.63	157	281.21	106	5380.07	157	10143.70	97
0	Max	-1525	37962.70	101	1120.56	101	9638.66	177	1254.08	97	421.63	157	281.21	106	5380.07	157	10143.70	97
0	Min.	-1684	-42011.70	130	-8651.57	177	-896.60	106	-1318.57	130	-337.21	177	-276.95	101	-2366.03	106	-4220.61	130
0	Min.	-1352	-42011.70	130	-8651.57	177	-896.60	106	-1318.57	130	-337.21	177	-276.95	101	-2366.03	106	-4220.61	130
0	Min.	-1538	-42011.70	130	-8651.57	177	-896.60	106	-1318.57	130	-337.21	177	-276.95	101	-2366.03	106	-4220.61	130
0	Min.	-1525	-42011.70	130	-8651.57	177	-896.60	106	-1318.57	130	-337.21	177	-276.95	101	-2366.03	106	-4220.61	130
0	Max	-1683	30048.90	101	1102.27	101	10288.60	177	805.29	97	362.61	158	103.25	106	5022.98	158	8491.31	97
0	Max	-1684	30048.90	101	1102.27	101	10288.60	177	805.29	97	362.61	158	103.25	106	5022.98	158	8491.31	97
0	Max	-1525	30048.90	101	1102.27	101	10288.60	177	805.29	97	362.61	158	103.25	106	5022.98	158	8491.31	97
0	Max	-1526	30048.90	101	1102.27	101	10288.60	177	805.29	97	362.61	158	103.25	106	5022.98	158	8491.31	97
0	Min.	-1683	-35646.90	130	-3347.01	130	-1089.18	106	-1210.75	130	-306.25	177	-346.13	121	-1079.09	101	-6908.04	130
0	Min.	-1684	-35646.90	130	-3347.01	130	-1089.18	106	-1210.75	130	-306.25	177	-346.13	121	-1079.09	101	-6908.04	130
0	Min.	-1525	-35646.90	130	-3347.01	130	-1089.18	106	-1210.75	130	-306.25	177	-346.13	121	-1079.09	101	-6908.04	130
0	Min.	-1526	-35646.90	130	-3347.01	130	-1089.18	106	-1210.75	130	-306.25	177	-346.13	121	-1079.09	101	-6908.04	130
0	Max	-1682	20419.00	101	142.15	113	9183.98	177	453.99	97	236.36	158	62.09	177	6241.98	158	7564.12	97
0	Max	-1683	20419.00	101	142.15	113	9183.98	177	453.99	97	236.36	158	62.09	177	6241.98	158	7564.12	97
0	Max	-1526	20419.00	101	142.15	113	9183.98	177	453.99	97	236.36	158	62.09	177	6241.98	158	7564.12	97
0	Max	-1527	20419.00	101	142.15	113	9183.98	177	453.99	97	236.36	158	62.09	177	6241.98	158	7564.12	97
0	Min.	-1682	-25140.20	130	-1254.33	166	-1563.76	106	-817.15	130	-186.29	177	-444.70	159	-1234.79	101	-9399.08	130
0	Min.	-1683	-25140.20	130	-1254.33	166	-1563.76	106	-817.15	130	-186.29	177	-444.70	159	-1234.79	101	-9399.08	130
0	Min.	-1526	-25140.20	130	-1254.33	166	-1563.76	106	-817.15	130	-186.29	177	-444.70	159	-1234.79	101	-9399.08	130
0	Min.	-1527	-25140.20	130	-1254.33	166	-1563.76	106	-817.15	130	-186.29	177	-444.70	159	-1234.79	101	-9399.08	130
0	Max	-1426	10637.50	101	3610.98	130	7214.61	177	112.96	97	225.45	158	42.88	177	4925.61	177	7793.25	97
0	Max	-1682	10637.50	101	3610.98	130	7214.61	177	112.96	97	225.45	158	42.88	177	4925.61	177	7793.25	97
0	Max	-1527	10637.50	101	3610.98	130	7214.61	177	112.96	97	225.45	158	42.88	177	4925.61	177	7793.25	97
0	Max	-1528	10637.50	101	3610.98	130	7214.61	177	112.96	97	225.45	158	42.88	177	4925.61	177	7793.25	97
0	Min.	-1426	-13088.00	130	-3235.69	101	-4974.22	130	-264.65	130	-201.81	177	-439.64	157	-11157.10	162	-16133.70	130
0	Min.	-1682	-13088.00	130	-3235.69	101	-4974.22	130	-264.65	130	-201.81	177	-439.64	157	-11157.10	162	-16133.70	130
0	Min.	-1527	-13088.00	130	-3235.69	101	-4974.22	130	-264.65	130	-201.81	177	-439.64	157	-11157.10	162	-16133.70	130
0	Min.	-1528	-13088.00	130	-3235.69	101	-4974.22	130	-264.65	130	-201.81	177	-439.64	157	-11157.10	162	-16133.70	130
0	Max	-1625	49693.40	101	798.09	113	4252.57	165	4471.51	97	370.86	173	195.65	65	39138.50	97	20080.50	97
0	Max	-1687	49693.40	101	798.09	113	4252.57	165	4471.51	97	370.86	173	195.65	65	39138.50	97	20080.50	97
0	Max	-2164	49693.40	101	798.09	113	4252.57	165	4471.51	97	370.86	173	195.65	65	39138.50	97	20080.50	97
0	Max	-2165	49693.40	101	798.09	113	4252.57	165	4471.51	97	370.86	173	195.65	65	39138.50	97	20080.50	97
0	Min.	-1625	-74709.30	130	-2465.20	130	-3166.79	173	64.35	49	-3.01	65	-915.58	173	-8650.03	177	2479.79	65
0	Min.	-1687	-74709.30	130	-2465.20	130	-3166.79	173	64.35	49	-3.01	65	-915.58	173	-8650.03	177	2479.79	65
0	Min.	-2164	-74709.30	130	-2465.20	130	-3166.79	173	64.35	49	-3.01	65	-915.58	173	-8650.03	177	2479.79	65
0	Min.	-2165	-74709.30	130	-2465.20	130	-3166.79	173	64.35	49	-3.01	65	-915.58	173	-8650.03	177	2479.79	65
0	Max	-1624	49075.80	101	784.82	101	3683.55	165	3200.77	97	271.95	173	124.31	65	16078.90	122	17619.20	97
0	Max	-1961	49075.80	101	784.82	101	3683.55	165	3200.77	97	271.95	173	124.31	65	16078.90	122	17619.20	97
0	Max	-2166	49075.80	101	784.82	101	3683.55	165	3200.77	97	271.95	173	124.31	65	16078.90	122	17619.20	97
0	Max	-2167	49075.80	101	784.82	101	3683.55	165	3200.77	97	271.95	173	124.31	65	16078.90	122	17619.20	97
0	Min.	-1624	-60202.30	130	-2513.00	177	-952.96	173	-681.56	130	-40.76	177	-642.20	173	951.11	65	1836.80	49
0	Min.	-1961	-60202.30	130	-2513.00	177	-952.96	173	-681.56	130	-40.76	177	-642.20	173	951.11	65	1836.80	49
0	Min.	-2166	-60202.30	130	-2513.00	177	-952.96	173	-681.56	130	-40.76	177	-642.20	173	951.11	65	1836.80	49
0	Min.	-2167	-60202.30	130	-2513.00	177	-952.96	173	-681.56	130	-40.76	177	-642.20	173	951.11	65	1836.80	49
0	Max	-1623	46163.90	101	1740.99	158	3185.88	165	2545.85	97	170.12	173	97.26	17	6469.80	101	11975.10	121
0	Max	-1624	46163.90	101	1740.99	158	3185.88	165	2545.85	97	170.12	173	97.26	17	6469.80	101	11975.10	121
0	Max	-2167	46163.90	101	1740.99	158	3185.88	165	2545.85	97	170.12	173	97.26	17	6469.80	101	11975.10	121
0	Max	-2168	46163.90	101	1740.99	158	3185.88	165	2545.85	97	170.12	173	97.26	17	6469.80	101	11975.10	121
0	Min.	-1623	-50518.00	130	-4332.12	177	-995.63	173	-979.31	130	-18.99	65	-533.64	173	-13697.30	177	1779.30	65
0	Min.	-1624	-50518.00	130	-4332.12	177	-995.63	173	-979.31	130	-18.99	65	-533.64	173	-13697.30	177	1779.30	65
0	Min.	-2167	-50518.00	130	-4332.12	177	-995.63	173	-979.31	130	-18.99	65	-533.64	173	-13697.30	177	1779.30	65
0	Min.	-2168	-50518.00	130	-4332.12	177	-995.63	173	-979.31	130	-18.99	65	-533.64	173	-13697.30	177	1779.30	65

0	Max	-1622	38403.80	101	2264.73	130	10434.90	130	1997.39	97	114.92	97	923.19	130	17507.30	177	30922.10	101
0	Max	-1623	38403.80	101	2264.73	130	10434.90	130	1997.39	97	114.92	97	923.19	130	17507.30	177	30922.10	101
0	Max	-2168	38403.80	101	2264.73	130	10434.90	130	1997.39	97	114.92	97	923.19	130	17507.30	177	30922.10	101
0	Max	-2169	38403.80	101	2264.73	130	10434.90	130	1997.39	97	114.92	97	923.19	130	17507.30	177	30922.10	101
0	Min.	-1622	-34130.90	130	-9419.06	177	-1026.76	177	-106.73	65	-1061.71	177	-470.15	101	-10363.10	106	-54289.60	130
0	Min.	-1623	-34130.90	130	-9419.06	177	-1026.76	177	-106.73	65	-1061.71	177	-470.15	101	-10363.10	106	-54289.60	130
0	Min.	-2168	-34130.90	130	-9419.06	177	-1026.76	177	-106.73	65	-1061.71	177	-470.15	101	-10363.10	106	-54289.60	130
0	Min.	-2169	-34130.90	130	-9419.06	177	-1026.76	177	-106.73	65	-1061.71	177	-470.15	101	-10363.10	106	-54289.60	130
0	Max	-1621	43626.40	101	1456.73	101	9463.13	130	1431.57	101	87.14	101	774.23	130	23573.40	158	28748.10	101
0	Max	-1622	43626.40	101	1456.73	101	9463.13	130	1431.57	101	87.14	101	774.23	130	23573.40	158	28748.10	101
0	Max	-2169	43626.40	101	1456.73	101	9463.13	130	1431.57	101	87.14	101	774.23	130	23573.40	158	28748.10	101
0	Max	-2170	43626.40	101	1456.73	101	9463.13	130	1431.57	101	87.14	101	774.23	130	23573.40	158	28748.10	101
0	Min.	-1621	-61765.60	130	-9337.97	177	-455.04	1	-2903.19	130	-1069.29	177	-454.04	101	-3615.87	101	-74261.30	130
0	Min.	-1622	-61765.60	130	-9337.97	177	-455.04	1	-2903.19	130	-1069.29	177	-454.04	101	-3615.87	101	-74261.30	130
0	Min.	-2169	-61765.60	130	-9337.97	177	-455.04	1	-2903.19	130	-1069.29	177	-454.04	101	-3615.87	101	-74261.30	130
0	Min.	-2170	-61765.60	130	-9337.97	177	-455.04	1	-2903.19	130	-1069.29	177	-454.04	101	-3615.87	101	-74261.30	130
0	Max	-1620	32800.70	101	1068.68	101	4582.69	177	842.94	97	106.96	158	205.17	177	6887.30	158	8616.17	97
0	Max	-1621	32800.70	101	1068.68	101	4582.69	177	842.94	97	106.96	158	205.17	177	6887.30	158	8616.17	97
0	Max	-2170	32800.70	101	1068.68	101	4582.69	177	842.94	97	106.96	158	205.17	177	6887.30	158	8616.17	97
0	Max	-2171	32800.70	101	1068.68	101	4582.69	177	842.94	97	106.96	158	205.17	177	6887.30	158	8616.17	97
0	Min.	-1620	-44111.90	130	-3797.46	177	-2148.36	106	-1122.11	130	-14.65	65	-582.84	158	-13972.60	177	-198.89	49
0	Min.	-1621	-44111.90	130	-3797.46	177	-2148.36	106	-1122.11	130	-14.65	65	-582.84	158	-13972.60	177	-198.89	49
0	Min.	-2170	-44111.90	130	-3797.46	177	-2148.36	106	-1122.11	130	-14.65	65	-582.84	158	-13972.60	177	-198.89	49
0	Min.	-2171	-44111.90	130	-3797.46	177	-2148.36	106	-1122.11	130	-14.65	65	-582.84	158	-13972.60	177	-198.89	49
0	Max	-1619	22546.20	101	615.09	101	3836.94	101	458.56	97	49.96	173	80.05	177	4478.11	159	7600.01	101
0	Max	-1620	22546.20	101	615.09	101	3836.94	101	458.56	97	49.96	173	80.05	177	4478.11	159	7600.01	101
0	Max	-2171	22546.20	101	615.09	101	3836.94	101	458.56	97	49.96	173	80.05	177	4478.11	159	7600.01	101
0	Max	-2172	22546.20	101	615.09	101	3836.94	101	458.56	97	49.96	173	80.05	177	4478.11	159	7600.01	101
0	Min.	-1619	-30050.00	130	-1232.65	177	-3386.99	130	-914.81	130	-61.20	177	-392.80	157	-947.75	108	-11448.30	130
0	Min.	-1620	-30050.00	130	-1232.65	177	-3386.99	130	-914.81	130	-61.20	177	-392.80	157	-947.75	108	-11448.30	130
0	Min.	-2171	-30050.00	130	-1232.65	177	-3386.99	130	-914.81	130	-61.20	177	-392.80	157	-947.75	108	-11448.30	130
0	Min.	-2172	-30050.00	130	-1232.65	177	-3386.99	130	-914.81	130	-61.20	177	-392.80	157	-947.75	108	-11448.30	130
0	Max	-1417	10670.80	101	432.15	101	5318.50	101	114.02	97	155.75	158	29.78	177	4522.18	177	7169.69	101
0	Max	-1619	10670.80	101	432.15	101	5318.50	101	114.02	97	155.75	158	29.78	177	4522.18	177	7169.69	101
0	Max	-2172	10670.80	101	432.15	101	5318.50	101	114.02	97	155.75	158	29.78	177	4522.18	177	7169.69	101
0	Max	-2173	10670.80	101	432.15	101	5318.50	101	114.02	97	155.75	158	29.78	177	4522.18	177	7169.69	101
0	Min.	-1417	-13804.70	130	-1920.32	177	-6459.45	130	-299.39	130	-164.48	177	-410.86	158	-9339.27	162	-19589.60	130
0	Min.	-1619	-13804.70	130	-1920.32	177	-6459.45	130	-299.39	130	-164.48	177	-410.86	158	-9339.27	162	-19589.60	130
0	Min.	-2172	-13804.70	130	-1920.32	177	-6459.45	130	-299.39	130	-164.48	177	-410.86	158	-9339.27	162	-19589.60	130
0	Min.	-2173	-13804.70	130	-1920.32	177	-6459.45	130	-299.39	130	-164.48	177	-410.86	158	-9339.27	162	-19589.60	130
0	Max	-1521	53571.00	101	424.30	33	6031.50	177	4821.86	97	1806.08	97	259.05	65	64178.40	105	40828.50	105
0	Max	435	53571.00	101	424.30	33	6031.50	177	4821.86	97	1806.08	97	259.05	65	64178.40	105	40828.50	105
0	Max	434	53571.00	101	424.30	33	6031.50	177	4821.86	97	1806.08	97	259.05	65	64178.40	105	40828.50	105
0	Max	-1660	53571.00	101	424.30	33	6031.50	177	4821.86	97	1806.08	97	259.05	65	64178.40	105	40828.50	105
0	Min.	-1521	-69044.10	130	-3241.63	130	-12412.60	165	146.52	1	99.95	17	-396.86	173	2993.38	17	4420.86	17
0	Min.	435	-69044.10	130	-3241.63	130	-12412.60	165	146.52	1	99.95	17	-396.86	173	2993.38	17	4420.86	17
0	Min.	434	-69044.10	130	-3241.63	130	-12412.60	165	146.52	1	99.95	17	-396.86	173	2993.38	17	4420.86	17
0	Min.	-1660	-69044.10	130	-3241.63	130	-12412.60	165	146.52	1	99.95	17	-396.86	173	2993.38	17	4420.86	17
0	Max	-1522	53177.70	101	1164.69	98	6262.85	177	3201.99	97	741.75	97	265.87	65	21393.40	106	17027.30	97
0	Max	-1962	53177.70	101	1164.69	98	6262.85	177	3201.99	97	741.75	97	265.87	65	21393.40	106	17027.30	97
0	Max	-1963	53177.70	101	1164.69	98	6262.85	177	3201.99	97	741.75	97	265.87	65	21393.40	106	17027.30	97
0	Max	-1659	53177.70	101	1164.69	98	6262.85	177	3201.99	97	741.75	97	265.87	65	21393.40	106	17027.30	97
0	Min.	-1522	-61553.10	130	-488.45	165	-8594.37	166	-948.74	130	11.32	17	-161.15	173	-2845.64	173	1701.84	17
0	Min.	-1962	-61553.10	130	-488.45	165	-8594.37	166	-948.74	130	11.32	17	-161.15	173	-2845.64	173	1701.84	17
0	Min.	-1963	-61553.10	130	-488.45	165	-8594.37	166	-948.74	130	11.32	17	-161.15	173	-2845.64	173	1701.84	17
0	Min.	-1659	-61553.10	130	-488.45	165	-8594.37	166	-948.74	130	11.32	17	-161.15	173	-2845.64	173	1701.84	17
0	Max	-1523	49888.50	101	1122.66	106	6832.20	177	2563.90	97	490.89	97	233.92	65	18111.60	106	16030.20	97
0	Max	-1522	49888.50	101	1122.66	106	6832.20	177	2563.90	97	490.89	97	233.92	65	18111.60	106	16030.20	97
0	Max	-1659	49888.50	101	1122.66	106	6832.20	177	2563.90	97	490.89	97	233.92	65	18111.60	106	16030.20	97
0	Max	-1658	49888.50	101	1122.66	106	6832.20	177	2563.90	97	490.89	97	233.92	65	18111.60	106	16030.20	97
0	Min.	-1523	-53613.30	130	-526.07	101	-8694.25	165	-940.71	130	-171.56	106	-291.16	130	-4212.42	121	1424.54	130
0	Min.	-1522	-53613.30	130	-526.07	101	-8694.25	165	-940.71	130	-171.56	106	-291.16	130	-4212.42	121	1424.54	130
0	Min.	-1659	-53613.30	130	-526.07	101	-8694.25	165	-940.71	130	-171.56	106	-291.16	130	-4212.42	121	1424.54	130
0	Min.	-1658	-53613.30	130	-526.07	101	-8694.25	165	-940.71	130	-171.56	106	-291.16	130	-4212.42	121	1424.54	130
0	Max	-1524	45020.80	101	1153.80	106	7250.25	177	1844.67	97	339.12	121	296.76	101	5593.73	106	11587.50	97
0	Max	-1523	45020.80	101	1153.80	106	7250.25	177	1844.67	97	339.12	121	296.76	101	5593.73	106	11587.50	97
0	Max	-1658	45020.80	101	1153.80	106	7250.25	177	1844.67	97	339.12	121	296.76	101	5593.73	106	11587.50	97
0	Max	-1657	45020.80	101	1153.80	106	7250.25	177	1844.67	97	339.12	121	296.76	101	5593.73	106	11587.50	97
0	Min.	-1524	-47173.50	130	-1091.29	165	-6094.72	165	-1041.41	130	-300.06	106	-452.09	130	-5888.95	121	-3129.37	130
0	Min.	-1523	-47173.50	130	-1091.29	165	-6094.72	165	-1041.41	130	-300.06	106	-452.09	130	-5888.95	121	-3129.37	130
0	Min.	-1658	-47173.50	130	-1091.29	165	-6094.72	165	-1041.41	130	-300.06	106	-452.09	130	-5888.95	121	-3129.37	130
0	Min.	-1657	-47173.50	130	-1091.29	165	-6094.72	165	-1041.41	130	-300.06	106	-452.09	130	-5888.95	121	-3129.37	130
0	Max	-1517	38449.30	101	1136.05	101	7475.14	177	1255.51	97	423.06	157	277.10	101	2420.91	106	10159.20	97
0	Max	-1524	38449.30	101	1136.05	101	7475.14	177	1255.51	97	423.06	157	277.10	101	2420.91	106	10159.20	97
0	Max	-1657	38449.30	101	1136.05	101	7475.14	177	1255.51	97	423.06	157	277.10	101	2420.91	106	10159.20	97
0	Max	-1656	38449.30	101	1136.05	101	7475.14	177	1255.51	97	423.06	157	277.10	101	2420.91	106	10159.20	97
0	Min.	-1517	-42525.60	130	-3898.54	130	-3290.00	165	-1323.22	130	-144.77	106	-287.81	106	-5324.36	157	-4321.06	130
0	Min.	-1524	-42525.60	130	-3898.54	130	-3290.00	165	-1323.22	130	-144.77	106	-287.81	106	-5324.36	157	-4321.06	130
0	Min.	-1657	-42525.60	130	-3898.54	130	-3290.00	165	-1323.22	130	-144.77	106	-287.81	106	-5324.36	157	-4321.06	130
0	Min.	-1656	-42525.60	130	-3898.54	130	-3290.00	165	-1323.22	130	-144.77	106	-287.81	106	-5324.36	157	-4321.06	130
0	Max	-1518	30463.90	101	1081.72	101	7552.45	177	807.01	97	361.86	158	346.07	121	1115.85	101	8537.50	97
0	Max	-1517	30463.90	101	1081.72	101	7552.45	177	807.01	97	361.86	158	346.07	121	1115.85	101	8537.50	97
0	Max	-1656	30463.90	101	1081.72	101	7552.45	177	807.01	97	361.86	158	346.07	121	1115.85	101	8537.50	97
0	Max	-1655	30463.90	101	1081.72	101	7552.45	177	807.01	97	361.86	158	346.07	121	1115.85	101	8537.50	97
0	Min.	-1518	-36144.40	130	-3274.77	130	-3817.06	97	-1213.51	130	-68.34	105	-106.67	106	-4992.16	158	-7007.99	130
0	Min.	-1517	-36144.40	130	-3274.77	130	-3817.06	97	-1213.51	130	-68.34	105	-106.67	106	-4992.16	158	-7007.99	130
0	Min.	-1656	-36144.40	130	-3274.77	130	-3817.06	97	-1213.51	130	-68.34	105	-106.67	106	-4992.16	158	-7007.99	130
0	Min.	-1655	-36144.40	130	-3274.77	130	-3817.06	97	-1213.51	130	-68.34	105	-106.67	106	-4992.16	158	-7007.99	130
0	Max	-1519	20659.10	101	148.80	173	7627.74	177	455.84	97	230.74	158	444.05	160	1331.85	101	7614.02	97
0	Max	-1518	20659.10	101	148.80	173	7627.74	177	455.84	97	230.74	158	444.05	160	1331.85	101	7614.02	97
0	Max	-1655	20659.10	101	148.80	173	7627.74	177	455.84	97	230.74	158	444.05	160	1331.85	101	7614.02	97
0	Max	-1654	20659.10	101	148.80	173	7627.74	177	455.84	97	230.74	158	444.05	160	1331.85	101	7614.02	97
0	Min.	-1519	-25446.10	130	-2596.56	177	-3198.46	97	-816.85	130	-69.28	105	-36.40	107	-6312.23	166	-9419.70	130
0	Min.	-1518	-25446.10	130	-2596.56	177	-3198.46	97	-816.85	130	-69.28	105	-36.40	107	-6312.23	166	-9419.70	130
0	Min.	-1655	-25446.10	130	-2596.56	177	-3198.46	97	-816.85	130	-69.28	105	-36.40	107	-6312.23	166	-9419.70	130
0	Min.	-1654	-25446.10	130	-2596.56	177	-3198.46	97	-816.85	130	-69.28	105	-36.40	107	-6312.23	166	-9419.70	130
0	Max	-1520	10810.10	101	4486.34	130	6500.58	177	113.17	97	220.98	158	436.61	157	11167.80	162	7909.38	97
0	Max	-1519	10810.10	101	4486.34	130	6500.58	177	113.17	97	220.98	158	436.61	157	11167.80	162	7909.38	97
0	Max	-1654	10810.10	101	4486.34	130	6500.58	177	113.17	97	220.98	158	436.61	157	11167.80	162	7909.38	97
0	Max	-1422	10810.10	101	4486.34	130	6500.58	177	113.17	97	220.98	158	436.61	157	11167.80	162	7909.38	97
0	Min.	-1520	-13299.90	130	-3907.61	101	-5087.01	101	-264.27	130	-23.24	105	-44.95	106	-164.06	49	-16346.90	130
0	Min.	-1519	-13299.90	130	-3907.61	101	-5087.01	101	-264.27	130	-23.24	105	-44.95	106	-164.06	49	-16346.90	130
0	Min.	-1654	-13299.90	130	-3907.61	101	-5087.01	101	-264.27	130	-23.24	105	-44.95	106	-164.06	49	-16346.90	130
0	Min.	-1422	-13299.90	130	-3907.61	101	-5087.01	101	-264.27	130	-23.24	105	-44.95	106	-164.06	49	-16346.90	130
0	Max	-1422	9810.39	101	2556.35	173	5144.65	177	111.31	97	182.36	158	452.52	158	5904.08	121	7352.42	101

0	Max	-1654	9810.39	101	2556.35	173	5144.65	177	111.31	97	182.36	158	452.52	158	5904.08	121	7352.42	101
0	Max	-2205	9810.39	101	2556.35	173	5144.65	177	111.31	97	182.36	158	452.52	158	5904.08	121	7352.42	101
0	Max	-2206	9810.39	101	2556.35	173	5144.65	177	111.31	97	182.36	158	452.52	158	5904.08	121	7352.42	101
0	Min.	-1422	-12376.30	130	-13231.50	177	-4944.41	130	-303.06	130	-17.32	105	2.41	141	-3716.56	106	-16742.90	130
0	Min.	-1654	-12376.30	130	-13231.50	177	-4944.41	130	-303.06	130	-17.32	105	2.41	141	-3716.56	106	-16742.90	130
0	Min.	-2205	-12376.30	130	-13231.50	177	-4944.41	130	-303.06	130	-17.32	105	2.41	141	-3716.56	106	-16742.90	130
0	Min.	-2206	-12376.30	130	-13231.50	177	-4944.41	130	-303.06	130	-17.32	105	2.41	141	-3716.56	106	-16742.90	130
0	Max	-1654	21302.20	101	851.59	101	5217.82	177	463.99	97	170.21	158	464.44	158	1775.99	106	7766.73	97
0	Max	-1655	21302.20	101	851.59	101	5217.82	177	463.99	97	170.21	158	464.44	158	1775.99	106	7766.73	97
0	Max	-2207	21302.20	101	851.59	101	5217.82	177	463.99	97	170.21	158	464.44	158	1775.99	106	7766.73	97
0	Max	-2205	21302.20	101	851.59	101	5217.82	177	463.99	97	170.21	158	464.44	158	1775.99	106	7766.73	97
0	Min.	-1654	-27218.70	130	-2151.27	130	-2722.53	130	-805.60	130	-46.79	105	-13.57	141	-4781.50	121	-5940.31	130
0	Min.	-1655	-27218.70	130	-2151.27	130	-2722.53	130	-805.60	130	-46.79	105	-13.57	141	-4781.50	121	-5940.31	130
0	Min.	-2207	-27218.70	130	-2151.27	130	-2722.53	130	-805.60	130	-46.79	105	-13.57	141	-4781.50	121	-5940.31	130
0	Min.	-2205	-27218.70	130	-2151.27	130	-2722.53	130	-805.60	130	-46.79	105	-13.57	141	-4781.50	121	-5940.31	130
0	Max	-1655	31989.80	101	1259.18	101	5341.35	177	800.34	97	213.64	158	406.77	158	1524.31	101	11432.60	101
0	Max	-1656	31989.80	101	1259.18	101	5341.35	177	800.34	97	213.64	158	406.77	158	1524.31	101	11432.60	101
0	Max	-2208	31989.80	101	1259.18	101	5341.35	177	800.34	97	213.64	158	406.77	158	1524.31	101	11432.60	101
0	Max	-2207	31989.80	101	1259.18	101	5341.35	177	800.34	97	213.64	158	406.77	158	1524.31	101	11432.60	101
0	Min.	-1655	-40855.70	130	-3459.06	130	-6114.18	130	-1349.52	130	-54.05	105	-52.40	105	-12458.50	158	-17443.70	130
0	Min.	-1656	-40855.70	130	-3459.06	130	-6114.18	130	-1349.52	130	-54.05	105	-52.40	105	-12458.50	158	-17443.70	130
0	Min.	-2208	-40855.70	130	-3459.06	130	-6114.18	130	-1349.52	130	-54.05	105	-52.40	105	-12458.50	158	-17443.70	130
0	Min.	-2207	-40855.70	130	-3459.06	130	-6114.18	130	-1349.52	130	-54.05	105	-52.40	105	-12458.50	158	-17443.70	130
0	Max	-1656	39113.50	101	1792.91	101	5255.26	177	1230.60	97	260.04	157	258.99	101	1538.92	101	15872.20	158
0	Max	-1657	39113.50	101	1792.91	101	5255.26	177	1230.60	97	260.04	157	258.99	101	1538.92	101	15872.20	158
0	Max	-2209	39113.50	101	1792.91	101	5255.26	177	1230.60	97	260.04	157	258.99	101	1538.92	101	15872.20	158
0	Max	-2208	39113.50	101	1792.91	101	5255.26	177	1230.60	97	260.04	157	258.99	101	1538.92	101	15872.20	158
0	Min.	-1656	-45889.10	130	-4860.16	130	-7136.30	130	-1550.73	130	-98.11	106	-293.16	106	-17724.50	158	268.42	65
0	Min.	-1657	-45889.10	130	-4860.16	130	-7136.30	130	-1550.73	130	-98.11	106	-293.16	106	-17724.50	158	268.42	65
0	Min.	-2209	-45889.10	130	-4860.16	130	-7136.30	130	-1550.73	130	-98.11	106	-293.16	106	-17724.50	158	268.42	65
0	Min.	-2208	-45889.10	130	-4860.16	130	-7136.30	130	-1550.73	130	-98.11	106	-293.16	106	-17724.50	158	268.42	65
0	Max	-1657	44051.50	101	2219.55	158	5200.30	177	1852.54	97	227.57	121	292.39	101	8886.79	106	22482.30	158
0	Max	-1658	44051.50	101	2219.55	158	5200.30	177	1852.54	97	227.57	121	292.39	101	8886.79	106	22482.30	158
0	Max	-2210	44051.50	101	2219.55	158	5200.30	177	1852.54	97	227.57	121	292.39	101	8886.79	106	22482.30	158
0	Max	-2209	44051.50	101	2219.55	158	5200.30	177	1852.54	97	227.57	121	292.39	101	8886.79	106	22482.30	158
0	Min.	-1657	-47457.00	130	-352.40	101	-8162.62	130	-986.01	130	-146.90	106	-456.49	130	-5215.48	101	748.59	49
0	Min.	-1658	-47457.00	130	-352.40	101	-8162.62	130	-986.01	130	-146.90	106	-456.49	130	-5215.48	101	748.59	49
0	Min.	-2210	-47457.00	130	-352.40	101	-8162.62	130	-986.01	130	-146.90	106	-456.49	130	-5215.48	101	748.59	49
0	Min.	-2209	-47457.00	130	-352.40	101	-8162.62	130	-986.01	130	-146.90	106	-456.49	130	-5215.48	101	748.59	49
0	Max	-1658	47996.00	101	1547.14	122	4670.55	177	2567.95	97	372.26	97	272.19	65	7099.36	106	17967.90	101
0	Max	-1659	47996.00	101	1547.14	122	4670.55	177	2567.95	97	372.26	97	272.19	65	7099.36	106	17967.90	101
0	Max	-2211	47996.00	101	1547.14	122	4670.55	177	2567.95	97	372.26	97	272.19	65	7099.36	106	17967.90	101
0	Max	-2210	47996.00	101	1547.14	122	4670.55	177	2567.95	97	372.26	97	272.19	65	7099.36	106	17967.90	101
0	Min.	-1658	-51950.00	130	-27.25	49	-9173.99	130	-784.58	130	-14.67	17	-146.17	130	-7622.78	101	-6002.25	130
0	Min.	-1659	-51950.00	130	-27.25	49	-9173.99	130	-784.58	130	-14.67	17	-146.17	130	-7622.78	101	-6002.25	130
0	Min.	-2211	-51950.00	130	-27.25	49	-9173.99	130	-784.58	130	-14.67	17	-146.17	130	-7622.78	101	-6002.25	130
0	Min.	-2210	-51950.00	130	-27.25	49	-9173.99	130	-784.58	130	-14.67	17	-146.17	130	-7622.78	101	-6002.25	130
0	Max	-1659	51726.20	101	654.15	97	4382.22	177	3159.66	97	580.30	97	322.00	65	3732.03	106	17688.30	97
0	Max	-1963	51726.20	101	654.15	97	4382.22	177	3159.66	97	580.30	97	322.00	65	3732.03	106	17688.30	97
0	Max	-2212	51726.20	101	654.15	97	4382.22	177	3159.66	97	580.30	97	322.00	65	3732.03	106	17688.30	97
0	Max	-2211	51726.20	101	654.15	97	4382.22	177	3159.66	97	580.30	97	322.00	65	3732.03	106	17688.30	97
0	Min.	-1659	-61329.90	130	-32.59	130	-7488.41	166	-916.30	130	3.64	17	-131.08	17	-8321.56	97	1884.31	17
0	Min.	-1963	-61329.90	130	-32.59	130	-7488.41	166	-916.30	130	3.64	17	-131.08	17	-8321.56	97	1884.31	17
0	Min.	-2212	-61329.90	130	-32.59	130	-7488.41	166	-916.30	130	3.64	17	-131.08	17	-8321.56	97	1884.31	17
0	Min.	-2211	-61329.90	130	-32.59	130	-7488.41	166	-916.30	130	3.64	17	-131.08	17	-8321.56	97	1884.31	17
0	Max	-1653	53898.60	101	1362.97	113	6669.66	177	4793.38	97	863.79	97	228.20	65	41013.50	105	27555.00	105
0	Max	-1848	53898.60	101	1362.97	113	6669.66	177	4793.38	97	863.79	97	228.20	65	41013.50	105	27555.00	105
0	Max	435	53898.60	101	1362.97	113	6669.66	177	4793.38	97	863.79	97	228.20	65	41013.50	105	27555.00	105
0	Max	-1521	53898.60	101	1362.97	113	6669.66	177	4793.38	97	863.79	97	228.20	65	41013.50	105	27555.00	105
0	Min.	-1653	-71133.50	130	-3702.14	130	-15470.10	166	143.00	1	-662.27	106	-409.34	173	406.70	17	2195.21	17
0	Min.	-1848	-71133.50	130	-3702.14	130	-15470.10	166	143.00	1	-662.27	106	-409.34	173	406.70	17	2195.21	17
0	Min.	435	-71133.50	130	-3702.14	130	-15470.10	166	143.00	1	-662.27	106	-409.34	173	406.70	17	2195.21	17
0	Min.	-1521	-71133.50	130	-3702.14	130	-15470.10	166	143.00	1	-662.27	106	-409.34	173	406.70	17	2195.21	17
0	Max	-1652	53383.20	101	656.96	113	7866.80	177	3268.40	97	749.02	97	207.95	65	34083.30	106	18370.10	97
0	Max	-1965	53383.20	101	656.96	113	7866.80	177	3268.40	97	749.02	97	207.95	65	34083.30	106	18370.10	97
0	Max	-1962	53383.20	101	656.96	113	7866.80	177	3268.40	97	749.02	97	207.95	65	34083.30	106	18370.10	97
0	Max	-1522	53383.20	101	656.96	113	7866.80	177	3268.40	97	749.02	97	207.95	65	34083.30	106	18370.10	97
0	Min.	-1652	-57268.80	130	-3387.36	166	-12184.60	166	-1172.60	130	-619.73	106	-188.27	173	-3382.49	173	-3818.99	130
0	Min.	-1965	-57268.80	130	-3387.36	166	-12184.60	166	-1172.60	130	-619.73	106	-188.27	173	-3382.49	173	-3818.99	130
0	Min.	-1962	-57268.80	130	-3387.36	166	-12184.60	166	-1172.60	130	-619.73	106	-188.27	173	-3382.49	173	-3818.99	130
0	Min.	-1522	-57268.80	130	-3387.36	166	-12184.60	166	-1172.60	130	-619.73	106	-188.27	173	-3382.49	173	-3818.99	130
0	Max	-1651	50541.80	101	1370.33	122	8518.18	177	2591.86	97	588.85	97	195.25	17	15320.20	106	15295.20	97
0	Max	-1652	50541.80	101	1370.33	122	8518.18	177	2591.86	97	588.85	97	195.25	17	15320.20	106	15295.20	97
0	Max	-1522	50541.80	101	1370.33	122	8518.18	177	2591.86	97	588.85	97	195.25	17	15320.20	106	15295.20	97
0	Max	-1523	50541.80	101	1370.33	122	8518.18	177	2591.86	97	588.85	97	195.25	17	15320.20	106	15295.20	97
0	Min.	-1651	-49484.70	130	7.21	49	-12620.70	166	-1036.14	130	-596.50	106	-305.00	130	-4686.75	121	-6248.04	106
0	Min.	-1652	-49484.70	130	7.21	49	-12620.70	166	-1036.14	130	-596.50	106	-305.00	130	-4686.75	121	-6248.04	106
0	Min.	-1522	-49484.70	130	7.21	49	-12620.70	166	-1036.14	130	-596.50	106	-305.00	130	-4686.75	121	-6248.04	106
0	Min.	-1523	-49484.70	130	7.21	49	-12620.70	166	-1036.14	130	-596.50	106	-305.00	130	-4686.75	121	-6248.04	106
0	Max	-1650	45156.60	101	986.34	98	9319.82	177	1860.90	97	496.98	121	210.69	101	3591.59	106	12565.00	97
0	Max	-1651	45156.60	101	986.34	98	9319.82	177	1860.90	97	496.98	121	210.69	101	3591.59	106	12565.00	97
0	Max	-1523	45156.60	101	986.34	98	9319.82	177	1860.90	97	496.98	121	210.69	101	3591.59	106	12565.00	97
0	Max	-1524	45156.60	101	986.34	98	9319.82	177	1860.90	97	496.98	121	210.69	101	3591.59	106	12565.00	97
0	Min.	-1650	-45776.80	130	-1381.94	165	-6013.86	166	-1028.24	130	-449.53	106	-294.19	130	-5955.82	121	-3434.25	130
0	Min.	-1651	-45776.80	130	-1381.94	165	-6013.86	166	-1028.24	130	-449.53	106	-294.19	130	-5955.82	121	-3434.25	130
0	Min.	-1523	-45776.80	130	-1381.94	165	-6013.86	166	-1028.24	130	-449.53	106	-294.19	130	-5955.82	121	-3434.25	130
0	Min.	-1524	-45776.80	130	-1381.94	165	-6013.86	166	-1028.24	130	-449.53	106	-294.19	130	-5955.82	121	-3434.25	130
0	Max	-1649	37838.70	101	1350.05	101	9782.37	177	1275.66	97	483.29	121	201.02	101	358.55	142	10454.00	97
0	Max	-1650	37838.70	101	1350.05	101	9782.37	177	1275.66	97	483.29	121	201.02	101	358.55	142	10454.00	97
0	Max	-1524	37838.70	101	1350.05	101	9782.37	177	1275.66	97	483.29	121	201.02	101	358.55	142	10454.00	97
0	Max	-1517	37838.70	101	1350.05	101	9782.37	177	1275.66	97	483.29	121	201.02	101	358.55	142	10454.00	97
0	Min.	-1649	-39924.00	130	-4571.63	130	-4114.12	130	-1159.59	130	-238.28	106	-167.11	106	-5917.90	157	-4052.37	130
0	Min.	-1650	-39924.00	130	-4571.63	130	-4114.12	130	-1159.59	130	-238.28	106	-167.11	106	-5917.90	157	-4052.37	130
0	Min.	-1524	-39924.00	130	-4571.63	130	-4114.12	130	-1159.59	130	-238.28	106	-167.11	106	-5917.90	157	-4052.37	130
0	Min.	-1517	-39924.00	130	-4571.63	130	-4114.12	130	-1159.59	130	-238.28	106	-167.11	106	-5917.90	157	-4052.37	130
0	Max	-1648	29331.80	101	1420.06	101	9857.90	177	819.45	97	428.00	158	286.21	121	-403.15	141	8798.53	97
0	Max	-1649	29331.80	101	1420.06	101	9857.90	177	819.45	97	428.00	158	286.21	121	-403.15	141	8798.53	97
0	Max	-1517	29331.80	101	1420.06	101	9857.90	177	819.45	97	428.00	158	286.21	121	-403.15	141	8798.53	97
0	Max	-1518	29331.80	101	1420.06	101	9857.90	177	819.45	97	428.00	158	286.21	121	-403.15	141	8798.53	97
0	Min.	-1648	-32519.70	130	-4931.34	130	-4430.07	130	-1085.40	130	-116.24	105	-66.39	106	-5188.28	158	-4939.70	130
0	Min.	-1649	-32519.70	130	-4931.34	130	-4430.07	130	-1085.40	130	-116.24	105	-66.39	106	-5188.28	158	-4939.70	130
0	Min.	-1517	-32519.70	130	-4931.34	130	-4430.07	130	-1085.40	130	-116.24	105	-66.39	106	-5188.28	158	-4939.70	130
0	Min.	-1518	-32519.70	130	-4931.34	130	-4430.07	130	-1085.40	130	-116.24	105	-66.39	106	-5188.28	158	-4939.70	130
0	Max	-1647	19552.20	101	506.40	101	9396.04	177	455.75	97	313.91	158	407.99	158	266.69	142	7712.88	97
0	Max	-1648	19552.20	101	506.40	101	9396.04	177	455.75	97	313.91	158	407.99	158	266.69	142	7712.88	97

0	Max	-1518	19552.20	101	506.40	101	9396.04	177	455.75	97	313.91	158	407.99	158	266.69	142	7712.88	97
0	Max	-1519	19552.20	101	506.40	101	9396.04	177	455.75	97	313.91	158	407.99	158	266.69	142	7712.88	97
0	Min.	-1647	-22652.90	130	-3230.46	177	-3852.83	130	-782.67	130	-73.95	105	-16.96	141	-6061.20	157	-8224.75	130
0	Min.	-1648	-22652.90	130	-3230.46	177	-3852.83	130	-782.67	130	-73.95	105	-16.96	141	-6061.20	157	-8224.75	130
0	Min.	-1518	-22652.90	130	-3230.46	177	-3852.83	130	-782.67	130	-73.95	105	-16.96	141	-6061.20	157	-8224.75	130
0	Min.	-1519	-22652.90	130	-3230.46	177	-3852.83	130	-782.67	130	-73.95	105	-16.96	141	-6061.20	157	-8224.75	130
0	Max	-1421	8880.33	101	2188.09	173	7441.06	177	116.05	97	226.93	158	426.55	158	8390.86	157	7816.91	97
0	Max	-1647	8880.33	101	2188.09	173	7441.06	177	116.05	97	226.93	158	426.55	158	8390.86	157	7816.91	97
0	Max	-1519	8880.33	101	2188.09	173	7441.06	177	116.05	97	226.93	158	426.55	158	8390.86	157	7816.91	97
0	Max	-1520	8880.33	101	2188.09	173	7441.06	177	116.05	97	226.93	158	426.55	158	8390.86	157	7816.91	97
0	Min.	-1421	-10449.90	130	-12576.10	177	-4212.77	130	-250.16	130	-25.72	105	-4.59	141	-2866.86	106	-13233.50	130
0	Min.	-1647	-10449.90	130	-12576.10	177	-4212.77	130	-250.16	130	-25.72	105	-4.59	141	-2866.86	106	-13233.50	130
0	Min.	-1519	-10449.90	130	-12576.10	177	-4212.77	130	-250.16	130	-25.72	105	-4.59	141	-2866.86	106	-13233.50	130
0	Min.	-1520	-10449.90	130	-12576.10	177	-4212.77	130	-250.16	130	-25.72	105	-4.59	141	-2866.86	106	-13233.50	130
0	Max	-1424	10073.70	101	704.67	1	9290.08	177	123.26	97	240.61	121	76.97	17	5299.48	177	9378.90	97
0	Max	-1668	10073.70	101	704.67	1	9290.08	177	123.26	97	240.61	121	76.97	17	5299.48	177	9378.90	97
0	Max	-1633	10073.70	101	704.67	1	9290.08	177	123.26	97	240.61	121	76.97	17	5299.48	177	9378.90	97
0	Max	-1419	10073.70	101	704.67	1	9290.08	177	123.26	97	240.61	121	76.97	17	5299.48	177	9378.90	97
0	Min.	-1424	-10851.70	130	-3712.47	177	-2043.66	173	-227.00	106	-28.53	106	-40.00	65	-1008.76	65	-12724.50	106
0	Min.	-1668	-10851.70	130	-3712.47	177	-2043.66	173	-227.00	106	-28.53	106	-40.00	65	-1008.76	65	-12724.50	106
0	Min.	-1633	-10851.70	130	-3712.47	177	-2043.66	173	-227.00	106	-28.53	106	-40.00	65	-1008.76	65	-12724.50	106
0	Min.	-1419	-10851.70	130	-3712.47	177	-2043.66	173	-227.00	106	-28.53	106	-40.00	65	-1008.76	65	-12724.50	106
0	Max	-1668	19478.80	101	193.48	33	15030.30	177	485.73	97	398.39	121	71.84	17	1187.75	177	9177.95	97
0	Max	-1669	19478.80	101	193.48	33	15030.30	177	485.73	97	398.39	121	71.84	17	1187.75	177	9177.95	97
0	Max	-1634	19478.80	101	193.48	33	15030.30	177	485.73	97	398.39	121	71.84	17	1187.75	177	9177.95	97
0	Max	-1633	19478.80	101	193.48	33	15030.30	177	485.73	97	398.39	121	71.84	17	1187.75	177	9177.95	97
0	Min.	-1668	-20256.90	130	-3085.20	166	-3422.20	173	-663.04	106	-61.60	106	-36.13	65	-1492.32	173	-6649.09	106
0	Min.	-1669	-20256.90	130	-3085.20	166	-3422.20	173	-663.04	106	-61.60	106	-36.13	65	-1492.32	173	-6649.09	106
0	Min.	-1634	-20256.90	130	-3085.20	166	-3422.20	173	-663.04	106	-61.60	106	-36.13	65	-1492.32	173	-6649.09	106
0	Min.	-1633	-20256.90	130	-3085.20	166	-3422.20	173	-663.04	106	-61.60	106	-36.13	65	-1492.32	173	-6649.09	106
0	Max	-1669	28859.70	101	426.48	101	16981.80	177	875.04	97	541.65	121	57.08	17	1285.73	177	9896.92	97
0	Max	-1670	28859.70	101	426.48	101	16981.80	177	875.04	97	541.65	121	57.08	17	1285.73	177	9896.92	97
0	Max	-1635	28859.70	101	426.48	101	16981.80	177	875.04	97	541.65	121	57.08	17	1285.73	177	9896.92	97
0	Max	-1634	28859.70	101	426.48	101	16981.80	177	875.04	97	541.65	121	57.08	17	1285.73	177	9896.92	97
0	Min.	-1669	-29070.10	130	-3362.59	130	-4032.19	173	-862.77	130	-52.21	106	-28.35	65	-1616.51	173	-3813.15	130
0	Min.	-1670	-29070.10	130	-3362.59	130	-4032.19	173	-862.77	130	-52.21	106	-28.35	65	-1616.51	173	-3813.15	130
0	Min.	-1635	-29070.10	130	-3362.59	130	-4032.19	173	-862.77	130	-52.21	106	-28.35	65	-1616.51	173	-3813.15	130
0	Min.	-1634	-29070.10	130	-3362.59	130	-4032.19	173	-862.77	130	-52.21	106	-28.35	65	-1616.51	173	-3813.15	130
0	Max	-1670	37918.20	101	649.47	101	16894.30	177	1358.24	97	651.14	121	53.65	17	1138.37	65	11356.60	97
0	Max	-1671	37918.20	101	649.47	101	16894.30	177	1358.24	97	651.14	121	53.65	17	1138.37	65	11356.60	97
0	Max	-1636	37918.20	101	649.47	101	16894.30	177	1358.24	97	651.14	121	53.65	17	1138.37	65	11356.60	97
0	Max	-1635	37918.20	101	649.47	101	16894.30	177	1358.24	97	651.14	121	53.65	17	1138.37	65	11356.60	97
0	Min.	-1670	-37392.80	130	-2874.64	130	-4267.56	173	-976.63	130	0.52	142	-33.22	65	-2026.01	173	-2262.89	130
0	Min.	-1671	-37392.80	130	-2874.64	130	-4267.56	173	-976.63	130	0.52	142	-33.22	65	-2026.01	173	-2262.89	130
0	Min.	-1636	-37392.80	130	-2874.64	130	-4267.56	173	-976.63	130	0.52	142	-33.22	65	-2026.01	173	-2262.89	130
0	Min.	-1635	-37392.80	130	-2874.64	130	-4267.56	173	-976.63	130	0.52	142	-33.22	65	-2026.01	173	-2262.89	130
0	Max	-1671	46045.80	101	679.12	101	15912.80	177	1971.80	97	725.86	121	107.90	105	1653.85	65	12752.70	97
0	Max	-1672	46045.80	101	679.12	101	15912.80	177	1971.80	97	725.86	121	107.90	105	1653.85	65	12752.70	97
0	Max	-1637	46045.80	101	679.12	101	15912.80	177	1971.80	97	725.86	121	107.90	105	1653.85	65	12752.70	97
0	Max	-1636	46045.80	101	679.12	101	15912.80	177	1971.80	97	725.86	121	107.90	105	1653.85	65	12752.70	97
0	Min.	-1671	-45238.90	130	-2670.81	177	-4307.13	173	-1028.30	130	128.84	142	-68.01	173	-3167.40	106	-158.40	130
0	Min.	-1672	-45238.90	130	-2670.81	177	-4307.13	173	-1028.30	130	128.84	142	-68.01	173	-3167.40	106	-158.40	130
0	Min.	-1637	-45238.90	130	-2670.81	177	-4307.13	173	-1028.30	130	128.84	142	-68.01	173	-3167.40	106	-158.40	130
0	Min.	-1636	-45238.90	130	-2670.81	177	-4307.13	173	-1028.30	130	128.84	142	-68.01	173	-3167.40	106	-158.40	130
0	Max	-1672	52487.00	101	778.34	113	14647.90	177	2750.67	97	765.32	121	124.86	105	2055.54	65	14620.70	97
0	Max	-1673	52487.00	101	778.34	113	14647.90	177	2750.67	97	765.32	121	124.86	105	2055.54	65	14620.70	97
0	Max	-1638	52487.00	101	778.34	113	14647.90	177	2750.67	97	765.32	121	124.86	105	2055.54	65	14620.70	97
0	Max	-1637	52487.00	101	778.34	113	14647.90	177	2750.67	97	765.32	121	124.86	105	2055.54	65	14620.70	97
0	Min.	-1672	-53142.80	130	-2492.08	177	-4314.48	173	-953.75	130	163.81	33	-141.76	173	-6188.67	108	1235.91	162
0	Min.	-1673	-53142.80	130	-2492.08	177	-4314.48	173	-953.75	130	163.81	33	-141.76	173	-6188.67	108	1235.91	162
0	Min.	-1638	-53142.80	130	-2492.08	177	-4314.48	173	-953.75	130	163.81	33	-141.76	173	-6188.67	108	1235.91	162
0	Min.	-1637	-53142.80	130	-2492.08	177	-4314.48	173	-953.75	130	163.81	33	-141.76	173	-6188.67	108	1235.91	162
0	Max	-1673	55664.00	101	1221.78	113	13620.20	177	3469.16	97	778.03	121	131.85	17	2648.69	65	15908.80	97
0	Max	-1966	55664.00	101	1221.78	113	13620.20	177	3469.16	97	778.03	121	131.85	17	2648.69	65	15908.80	97
0	Max	-1967	55664.00	101	1221.78	113	13620.20	177	3469.16	97	778.03	121	131.85	17	2648.69	65	15908.80	97
0	Max	-1638	55664.00	101	1221.78	113	13620.20	177	3469.16	97	778.03	121	131.85	17	2648.69	65	15908.80	97
0	Min.	-1673	-59133.20	130	-2344.23	177	-4412.26	173	-750.96	130	172.91	33	-214.83	173	-5468.37	106	1693.78	162
0	Min.	-1966	-59133.20	130	-2344.23	177	-4412.26	173	-750.96	130	172.91	33	-214.83	173	-5468.37	106	1693.78	162
0	Min.	-1967	-59133.20	130	-2344.23	177	-4412.26	173	-750.96	130	172.91	33	-214.83	173	-5468.37	106	1693.78	162
0	Min.	-1638	-59133.20	130	-2344.23	177	-4412.26	173	-750.96	130	172.91	33	-214.83	173	-5468.37	106	1693.78	162
0	Max	-1674	56636.80	101	1741.85	113	12129.70	177	5062.18	97	843.97	105	245.63	65	-3109.75	65	23520.60	105
0	Max	441	56636.80	101	1741.85	113	12129.70	177	5062.18	97	843.97	105	245.63	65	-3109.75	65	23520.60	105
0	Max	-1859	56636.80	101	1741.85	113	12129.70	177	5062.18	97	843.97	105	245.63	65	-3109.75	65	23520.60	105
0	Max	-1639	56636.80	101	1741.85	113	12129.70	177	5062.18	97	843.97	105	245.63	65	-3109.75	65	23520.60	105
0	Min.	-1674	-67001.80	130	-2056.27	177	-4395.89	173	245.97	1	195.73	33	-378.31	173	-40772.50	105	3484.38	162
0	Min.	441	-67001.80	130	-2056.27	177	-4395.89	173	245.97	1	195.73	33	-378.31	173	-40772.50	105	3484.38	162
0	Min.	-1859	-67001.80	130	-2056.27	177	-4395.89	173	245.97	1	195.73	33	-378.31	173	-40772.50	105	3484.38	162
0	Min.	-1639	-67001.80	130	-2056.27	177	-4395.89	173	245.97	1	195.73	33	-378.31	173	-40772.50	105	3484.38	162
0	Max	-1419	9438.41	101	609.55	1	9034.67	177	117.66	97	243.49	159	205.91	157	5984.41	177	10325.60	97
0	Max	-1633	9438.41	101	609.55	1	9034.67	177	117.66	97	243.49	159	205.91	157	5984.41	177	10325.60	97
0	Max	-1640	9438.41	101	609.55	1	9034.67	177	117.66	97	243.49	159	205.91	157	5984.41	177	10325.60	97
0	Max	-1420	9438.41	101	609.55	1	9034.67	177	117.66	97	243.49	159	205.91	157	5984.41	177	10325.60	97
0	Min.	-1419	-10214.90	130	-6574.25	177	-2052.87	173	-219.11	106	-13.02	144	-10.55	65	-467.24	65	-14427.30	106
0	Min.	-1633	-10214.90	130	-6574.25	177	-2052.87	173	-219.11	106	-13.02	144	-10.55	65	-467.24	65	-14427.30	106
0	Min.	-1640	-10214.90	130	-6574.25	177	-2052.87	173	-219.11	106	-13.02	144	-10.55	65	-467.24	65	-14427.30	106
0	Min.	-1420	-10214.90	130	-6574.25	177	-2052.87	173	-219.11	106	-13.02	144	-10.55	65	-467.24	65	-14427.30	106
0	Max	-1633	19215.10	101	158.46	33	14016.60	177	480.03	97	393.80	121	189.21	121	565.99	177	9291.29	97
0	Max	-1634	19215.10	101	158.46	33	14016.60	177	480.03	97	393.80	121	189.21	121	565.99	177	9291.29	97
0	Max	-1641	19215.10	101	158.46	33	14016.60	177	480.03	97	393.80	121	189.21	121	565.99	177	9291.29	97
0	Max	-1640	19215.10	101	158.46	33	14016.60	177	480.03	97	393.80	121	189.21	121	565.99	177	9291.29	97
0	Min.	-1633	-20103.30	130	-4205.08	177	-3267.24	173	-665.65	130	-73.20	106	-8.70	65	-1873.76	121	-7137.01	106
0	Min.	-1634	-20103.30	130	-4205.08	177	-3267.24	173	-665.65	130	-73.20	106	-8.70	65	-1873.76	121	-7137.01	106
0	Min.	-1641	-20103.30	130	-4205.08	177	-3267.24	173	-665.65	130	-73.20	106	-8.70	65	-1873.76	121	-7137.01	106
0	Min.	-1640	-20103.30	130	-4205.08	177	-3267.24	173	-665.65	130	-73.20	106	-8.70	65	-1873.76	121	-7137.01	106
0	Max	-1634	28815.00	101	638.87	101	15616.70	177	861.12	97	530.63	121	135.47	121	893.60	177	10260.60	97
0	Max	-1635	28815.00	101	638.87	101	15616.70	177	861.12	97	530.63	121	135.47	121	893.60	177	10260.60	97
0	Max	-1642	28815.00	101	638.87	101	15616.70	177	861.12	97	530.63	121	135.47	121	893.60	177	10260.60	97
0	Max	-1641	28815.00	101	638.87	101	15616.70	177	861.12	97	530.63	121	135.47	121	893.60	177	10260.60	97
0	Min.	-1634	-29059.50	130	-3872.04	130	-3910.34	173	-878.12	130	-105.86	106	-8.07	65	-1837.75	173	-5256.94	130
0	Min.	-1635	-29059.50	130	-3872.04	130	-3910.34	173	-878.12	130	-105.86	106	-8.07	65	-1837.75	173	-5256.94	130
0	Min.	-1642	-29059.50	130	-3872.04	130	-3910.34	173	-878.12	130	-105.86	106	-8.07	65	-1837.75	173	-5256.94	130
0	Min.	-1641	-29059.50	130	-3872.04	130	-3910.34	173	-878.12	130	-105.86	106	-8.07	65	-1837.75	173	-5256.94	130
0	Max	-1635	37796.70	101	793.11	101	15535.60	177	1338.11	97	634.46	121	87.21	17	561.60	65	11601.90	97
0	Max	-1636	37796.70	101	793.11	101	15535.60	177	1338.11	97	634.46	121	87.21	17	561.60	65	11601.90	97
0	Max	-1643	37796.70	101	793.11	101	15535.60	177	1338.11	97	634.46	121	87.21	17	561.60	65	11601.90	97

0	Max	-1642	37796.70	101	793.11	101	15535.60	177	1338.11	97	634.46	121	87.21	17	561.60	65	11601.90	97
0	Min.	-1635	-36929.10	130	-3807.37	130	-4159.77	173	-975.82	130	-148.34	106	-22.23	65	-2458.00	173	-4016.16	130
0	Min.	-1636	-36929.10	130	-3807.37	130	-4159.77	173	-975.82	130	-148.34	106	-22.23	65	-2458.00	173	-4016.16	130
0	Min.	-1643	-36929.10	130	-3807.37	130	-4159.77	173	-975.82	130	-148.34	106	-22.23	65	-2458.00	173	-4016.16	130
0	Min.	-1642	-36929.10	130	-3807.37	130	-4159.77	173	-975.82	130	-148.34	106	-22.23	65	-2458.00	173	-4016.16	130
0	Max	-1636	45851.00	101	676.85	101	14664.70	177	1942.54	97	710.08	121	185.27	105	878.26	65	13050.10	97
0	Max	-1637	45851.00	101	676.85	101	14664.70	177	1942.54	97	710.08	121	185.27	105	878.26	65	13050.10	97
0	Max	-1644	45851.00	101	676.85	101	14664.70	177	1942.54	97	710.08	121	185.27	105	878.26	65	13050.10	97
0	Max	-1643	45851.00	101	676.85	101	14664.70	177	1942.54	97	710.08	121	185.27	105	878.26	65	13050.10	97
0	Min.	-1636	-43806.70	130	-2816.78	166	-4267.93	173	-989.50	130	-204.94	106	-54.37	65	-7195.44	105	-3153.56	130
0	Min.	-1637	-43806.70	130	-2816.78	166	-4267.93	173	-989.50	130	-204.94	106	-54.37	65	-7195.44	105	-3153.56	130
0	Min.	-1644	-43806.70	130	-2816.78	166	-4267.93	173	-989.50	130	-204.94	106	-54.37	65	-7195.44	105	-3153.56	130
0	Min.	-1643	-43806.70	130	-2816.78	166	-4267.93	173	-989.50	130	-204.94	106	-54.37	65	-7195.44	105	-3153.56	130
0	Max	-1637	52169.60	101	724.25	113	13528.90	177	2712.68	97	766.74	121	274.44	105	1658.81	65	14986.90	97
0	Max	-1638	52169.60	101	724.25	113	13528.90	177	2712.68	97	766.74	121	274.44	105	1658.81	65	14986.90	97
0	Max	-1645	52169.60	101	724.25	113	13528.90	177	2712.68	97	766.74	121	274.44	105	1658.81	65	14986.90	97
0	Max	-1644	52169.60	101	724.25	113	13528.90	177	2712.68	97	766.74	121	274.44	105	1658.81	65	14986.90	97
0	Min.	-1637	-49584.60	130	-1398.54	177	-4300.95	173	-1030.48	130	-218.26	106	-137.19	173	-18113.40	105	-4165.01	130
0	Min.	-1638	-49584.60	130	-1398.54	177	-4300.95	173	-1030.48	130	-218.26	106	-137.19	173	-18113.40	105	-4165.01	130
0	Min.	-1645	-49584.60	130	-1398.54	177	-4300.95	173	-1030.48	130	-218.26	106	-137.19	173	-18113.40	105	-4165.01	130
0	Min.	-1644	-49584.60	130	-1398.54	177	-4300.95	173	-1030.48	130	-218.26	106	-137.19	173	-18113.40	105	-4165.01	130
0	Max	-1638	55217.80	101	1109.61	113	12543.90	177	3428.47	97	808.09	121	162.72	105	2095.14	65	16298.60	97
0	Max	-1967	55217.80	101	1109.61	113	12543.90	177	3428.47	97	808.09	121	162.72	105	2095.14	65	16298.60	97
0	Max	-1968	55217.80	101	1109.61	113	12543.90	177	3428.47	97	808.09	121	162.72	105	2095.14	65	16298.60	97
0	Max	-1645	55217.80	101	1109.61	113	12543.90	177	3428.47	97	808.09	121	162.72	105	2095.14	65	16298.60	97
0	Min.	-1638	-55776.50	130	-2094.54	130	-4478.99	173	-1082.22	130	-185.03	106	-215.31	173	-33133.70	105	-3361.73	130
0	Min.	-1967	-55776.50	130	-2094.54	130	-4478.99	173	-1082.22	130	-185.03	106	-215.31	173	-33133.70	105	-3361.73	130
0	Min.	-1968	-55776.50	130	-2094.54	130	-4478.99	173	-1082.22	130	-185.03	106	-215.31	173	-33133.70	105	-3361.73	130
0	Min.	-1645	-55776.50	130	-2094.54	130	-4478.99	173	-1082.22	130	-185.03	106	-215.31	173	-33133.70	105	-3361.73	130
0	Max	-1639	56056.80	101	1783.92	113	11097.40	177	5061.63	97	924.60	97	231.05	65	31988.70	97	35490.50	105
0	Max	-1859	56056.80	101	1783.92	113	11097.40	177	5061.63	97	924.60	97	231.05	65	31988.70	97	35490.50	105
0	Max	439	56056.80	101	1783.92	113	11097.40	177	5061.63	97	924.60	97	231.05	65	31988.70	97	35490.50	105
0	Max	-1646	56056.80	101	1783.92	113	11097.40	177	5061.63	97	924.60	97	231.05	65	31988.70	97	35490.50	105
0	Min.	-1639	-69156.30	130	-2759.72	166	-4492.31	173	217.15	1	-81.57	142	-407.12	173	2106.96	17	3928.32	17
0	Min.	-1859	-69156.30	130	-2759.72	166	-4492.31	173	217.15	1	-81.57	142	-407.12	173	2106.96	17	3928.32	17
0	Min.	439	-69156.30	130	-2759.72	166	-4492.31	173	217.15	1	-81.57	142	-407.12	173	2106.96	17	3928.32	17
0	Min.	-1646	-69156.30	130	-2759.72	166	-4492.31	173	217.15	1	-81.57	142	-407.12	173	2106.96	17	3928.32	17
0	Max	-1416	54948.70	101	1309.90	165	9515.24	177	4861.84	97	755.03	173	234.69	65	18627.50	97	37009.20	105
0	Max	-1850	54948.70	101	1309.90	165	9515.24	177	4861.84	97	755.03	173	234.69	65	18627.50	97	37009.20	105
0	Max	-1357	54948.70	101	1309.90	165	9515.24	177	4861.84	97	755.03	173	234.69	65	18627.50	97	37009.20	105
0	Max	-1895	54948.70	101	1309.90	165	9515.24	177	4861.84	97	755.03	173	234.69	65	18627.50	97	37009.20	105
0	Min.	-1416	-74892.60	130	-4765.06	177	-3895.41	173	164.06	49	-1475.41	106	-406.86	173	2332.77	17	2195.84	65
0	Min.	-1850	-74892.60	130	-4765.06	177	-3895.41	173	164.06	49	-1475.41	106	-406.86	173	2332.77	17	2195.84	65
0	Min.	-1357	-74892.60	130	-4765.06	177	-3895.41	173	164.06	49	-1475.41	106	-406.86	173	2332.77	17	2195.84	65
0	Min.	-1895	-74892.60	130	-4765.06	177	-3895.41	173	164.06	49	-1475.41	106	-406.86	173	2332.77	17	2195.84	65
0	Max	-1415	54574.10	101	3422.32	166	31407.50	165	3341.89	97	811.39	173	140.85	65	2208.05	121	18552.60	97
0	Max	-1959	54574.10	101	3422.32	166	31407.50	165	3341.89	97	811.39	173	140.85	65	2208.05	121	18552.60	97
0	Max	-1969	54574.10	101	3422.32	166	31407.50	165	3341.89	97	811.39	173	140.85	65	2208.05	121	18552.60	97
0	Max	-1896	54574.10	101	3422.32	166	31407.50	165	3341.89	97	811.39	173	140.85	65	2208.05	121	18552.60	97
0	Min.	-1415	-50038.50	106	-4462.60	177	-2006.09	173	-1435.42	130	-1547.68	106	-292.62	173	-30517.30	106	-19768.30	106
0	Min.	-1959	-50038.50	106	-4462.60	177	-2006.09	173	-1435.42	130	-1547.68	106	-292.62	173	-30517.30	106	-19768.30	106
0	Min.	-1969	-50038.50	106	-4462.60	177	-2006.09	173	-1435.42	130	-1547.68	106	-292.62	173	-30517.30	106	-19768.30	106
0	Min.	-1896	-50038.50	106	-4462.60	177	-2006.09	173	-1435.42	130	-1547.68	106	-292.62	173	-30517.30	106	-19768.30	106
0	Max	-1367	51211.90	101	676.34	173	9951.23	177	2631.85	97	705.18	173	194.50	130	2586.05	121	14950.00	97
0	Max	-1415	51211.90	101	676.34	173	9951.23	177	2631.85	97	705.18	173	194.50	130	2586.05	121	14950.00	97
0	Max	-1896	51211.90	101	676.34	173	9951.23	177	2631.85	97	705.18	173	194.50	130	2586.05	121	14950.00	97
0	Max	-1897	51211.90	101	676.34	173	9951.23	177	2631.85	97	705.18	173	194.50	130	2586.05	121	14950.00	97
0	Min.	-1367	-45620.30	106	-6324.98	165	-2195.88	173	-1089.73	130	-1075.99	106	-254.69	173	-13977.20	106	-18815.50	106
0	Min.	-1415	-45620.30	106	-6324.98	165	-2195.88	173	-1089.73	130	-1075.99	106	-254.69	173	-13977.20	106	-18815.50	106
0	Min.	-1896	-45620.30	106	-6324.98	165	-2195.88	173	-1089.73	130	-1075.99	106	-254.69	173	-13977.20	106	-18815.50	106
0	Min.	-1897	-45620.30	106	-6324.98	165	-2195.88	173	-1089.73	130	-1075.99	106	-254.69	173	-13977.20	106	-18815.50	106
0	Max	-1366	45295.40	101	363.24	173	11131.10	177	1884.76	97	614.12	121	146.49	130	2593.92	157	12985.40	97
0	Max	-1367	45295.40	101	363.24	173	11131.10	177	1884.76	97	614.12	121	146.49	130	2593.92	157	12985.40	97
0	Max	-1897	45295.40	101	363.24	173	11131.10	177	1884.76	97	614.12	121	146.49	130	2593.92	157	12985.40	97
0	Max	-1898	45295.40	101	363.24	173	11131.10	177	1884.76	97	614.12	121	146.49	130	2593.92	157	12985.40	97
0	Min.	-1366	-42705.50	130	-6875.33	177	-1860.05	173	-974.52	130	-561.89	106	-225.13	173	-385.53	17	-3968.22	130
0	Min.	-1367	-42705.50	130	-6875.33	177	-1860.05	173	-974.52	130	-561.89	106	-225.13	173	-385.53	17	-3968.22	130
0	Min.	-1897	-42705.50	130	-6875.33	177	-1860.05	173	-974.52	130	-561.89	106	-225.13	173	-385.53	17	-3968.22	130
0	Min.	-1898	-42705.50	130	-6875.33	177	-1860.05	173	-974.52	130	-561.89	106	-225.13	173	-385.53	17	-3968.22	130
0	Max	-1365	37554.80	101	954.96	101	13040.60	177	1294.23	97	556.69	121	77.16	106	2442.32	157	10807.50	97
0	Max	-1366	37554.80	101	954.96	101	13040.60	177	1294.23	97	556.69	121	77.16	106	2442.32	157	10807.50	97
0	Max	-1898	37554.80	101	954.96	101	13040.60	177	1294.23	97	556.69	121	77.16	106	2442.32	157	10807.50	97
0	Max	-1899	37554.80	101	954.96	101	13040.60	177	1294.23	97	556.69	121	77.16	106	2442.32	157	10807.50	97
0	Min.	-1365	-37687.20	130	-6486.84	177	-1633.49	173	-1048.89	130	-294.80	106	-204.78	173	-790.11	106	-5040.37	130
0	Min.	-1366	-37687.20	130	-6486.84	177	-1633.49	173	-1048.89	130	-294.80	106	-204.78	173	-790.11	106	-5040.37	130
0	Min.	-1898	-37687.20	130	-6486.84	177	-1633.49	173	-1048.89	130	-294.80	106	-204.78	173	-790.11	106	-5040.37	130
0	Min.	-1899	-37687.20	130	-6486.84	177	-1633.49	173	-1048.89	130	-294.80	106	-204.78	173	-790.11	106	-5040.37	130
0	Max	-1364	28788.50	101	1029.57	101	13877.80	177	832.55	97	476.22	157	53.88	106	2099.67	177	9205.90	97
0	Max	-1365	28788.50	101	1029.57	101	13877.80	177	832.55	97	476.22	157	53.88	106	2099.67	177	9205.90	97
0	Max	-1899	28788.50	101	1029.57	101	13877.80	177	832.55	97	476.22	157	53.88	106	2099.67	177	9205.90	97
0	Max	-1900	28788.50	101	1029.57	101	13877.80	177	832.55	97	476.22	157	53.88	106	2099.67	177	9205.90	97
0	Min.	-1364	-30451.30	130	-4408.16	130	-1293.36	173	-972.60	130	-152.37	177	-243.16	121	-953.37	106	-5118.52	130
0	Min.	-1365	-30451.30	130	-4408.16	130	-1293.36	173	-972.60	130	-152.37	177	-243.16	121	-953.37	106	-5118.52	130
0	Min.	-1899	-30451.30	130	-4408.16	130	-1293.36	173	-972.60	130	-152.37	177	-243.16	121	-953.37	106	-5118.52	130
0	Min.	-1900	-30451.30	130	-4408.16	130	-1293.36	173	-972.60	130	-152.37	177	-243.16	121	-953.37	106	-5118.52	130
0	Max	-1363	19379.20	101	1133.72	177	12823.10	177	458.58	97	361.44	160	23.34	142	3392.75	158	8246.49	97
0	Max	-1364	19379.20	101	1133.72	177	12823.10	177	458.58	97	361.44	160	23.34	142	3392.75	158	8246.49	97
0	Max	-1900	19379.20	101	1133.72	177	12823.10	177	458.58	97	361.44	160	23.34	142	3392.75	158	8246.49	97
0	Max	-1901	19379.20	101	1133.72	177	12823.10	177	458.58	97	361.44	160	23.34	142	3392.75	158	8246.49	97
0	Min.	-1363	-21438.20	130	-2731.35	166	-1139.15	173	-731.54	130	-142.48	177	-342.28	121	-362.12	101	-7352.82	130
0	Min.	-1364	-21438.20	130	-2731.35	166	-1139.15	173	-731.54	130	-142.48	177	-342.28	121	-362.12	101	-7352.82	130
0	Min.	-1900	-21438.20	130	-2731.35	166	-1139.15	173	-731.54	130	-142.48	177	-342.28	121	-362.12	101	-7352.82	130
0	Min.	-1901	-21438.20	130	-2731.35	166	-1139.15	173	-731.54	130	-142.48	177	-342.28	121	-362.12	101	-7352.82	130
0	Max	-1427	9815.81	101	4192.18	177	8802.08	177	116.05	97	241.19	158	21.62	142	4651.53	177	8206.01	97
0	Max	-1363	9815.81	101	4192.18	177	8802.08	177	116.05	97	241.19	158	21.62	142	4651.53	177	8206.01	97
0	Max	-1901	9815.81	101	4192.18	177	8802.08	177	116.05	97	241.19	158	21.62	142	4651.53	177	8206.01	97
0	Max	-1902	9815.81	101	4192.18	177	8802.08	177	116.05	97	241.19	158	21.62	142	4651.53	177	8206.01	97
0	Min.	-1427	-11189.40	130	-2430.65	173	-3239.22	130	-235.56	130	-165.32	177	-364.38	157	-7901.08	162	-12741.10	130
0	Min.	-1363	-11189.40	130	-2430.65	173	-3239.22	130	-235.56	130	-165.32	177	-364.38	157	-7901.08	162	-12741.10	130
0	Min.	-1901	-11189.40	130	-2430.65	173	-3239.22	130	-235.56	130	-165.32	177	-364.38	157	-7901.08	162	-12741.10	130
0	Min.	-1902	-11189.40	130	-2430.65	173	-3239.22	130	-235.56	130	-165.32	177	-364.38	157	-7901.08	162	-12741.10	130
0	Max	-1423	9444.21	101	3250.71	177	9313.48	177	117.61	97	243.22	160	9.30	17	5275.92	177	10292.30	97
0	Max	-1661	9444.21	101	3250.71	177	9313.48	177	117.61	97	243.22	160	9.30	17	5275.92	177	10292.30	97
0	Max	-1626	9444.21	101	3250.71	177	9313.48	177	117.61	97	243.22	160	9.30	17	5275.92	177	10292.30	97
0	Max	-1418	9444.21	101	3250.71	177	9313.48	177	117.61	97	243.22	160	9.30	17	5275.92	177	10292.30	97

0	Min.	-1423	-10233.80	130	-2366.70	167	-1766.87	173	-219.26	106	-30.24	177	-207.65	157	-4376.43	158	-14400.40	106
0	Min.	-1661	-10233.80	130	-2366.70	167	-1766.87	173	-219.26	106	-30.24	177	-207.65	157	-4376.43	158	-14400.40	106
0	Min.	-1626	-10233.80	130	-2366.70	167	-1766.87	173	-219.26	106	-30.24	177	-207.65	157	-4376.43	158	-14400.40	106
0	Min.	-1418	-10233.80	130	-2366.70	167	-1766.87	173	-219.26	106	-30.24	177	-207.65	157	-4376.43	158	-14400.40	106
0	Max	-1661	19142.10	101	163.94	33	14651.00	177	479.45	97	394.07	121	7.42	17	1869.23	121	9276.15	97
0	Max	-1662	19142.10	101	163.94	33	14651.00	177	479.45	97	394.07	121	7.42	17	1869.23	121	9276.15	97
0	Max	-1627	19142.10	101	163.94	33	14651.00	177	479.45	97	394.07	121	7.42	17	1869.23	121	9276.15	97
0	Max	-1626	19142.10	101	163.94	33	14651.00	177	479.45	97	394.07	121	7.42	17	1869.23	121	9276.15	97
0	Min.	-1661	-20046.50	130	-3015.61	166	-2940.55	173	-665.56	130	-73.80	106	-192.39	121	-179.97	17	-7132.35	106
0	Min.	-1662	-20046.50	130	-3015.61	166	-2940.55	173	-665.56	130	-73.80	106	-192.39	121	-179.97	17	-7132.35	106
0	Min.	-1627	-20046.50	130	-3015.61	166	-2940.55	173	-665.56	130	-73.80	106	-192.39	121	-179.97	17	-7132.35	106
0	Min.	-1626	-20046.50	130	-3015.61	166	-2940.55	173	-665.56	130	-73.80	106	-192.39	121	-179.97	17	-7132.35	106
0	Max	-1662	28717.40	101	618.53	101	16295.90	177	860.56	97	530.99	121	6.88	17	2019.22	177	10247.90	97
0	Max	-1663	28717.40	101	618.53	101	16295.90	177	860.56	97	530.99	121	6.88	17	2019.22	177	10247.90	97
0	Max	-1628	28717.40	101	618.53	101	16295.90	177	860.56	97	530.99	121	6.88	17	2019.22	177	10247.90	97
0	Max	-1627	28717.40	101	618.53	101	16295.90	177	860.56	97	530.99	121	6.88	17	2019.22	177	10247.90	97
0	Min.	-1662	-28982.50	130	-3837.35	130	-3290.89	173	-878.30	130	-106.79	106	-138.45	121	-609.27	173	-5249.33	130
0	Min.	-1663	-28982.50	130	-3837.35	130	-3290.89	173	-878.30	130	-106.79	106	-138.45	121	-609.27	173	-5249.33	130
0	Min.	-1628	-28982.50	130	-3837.35	130	-3290.89	173	-878.30	130	-106.79	106	-138.45	121	-609.27	173	-5249.33	130
0	Min.	-1627	-28982.50	130	-3837.35	130	-3290.89	173	-878.30	130	-106.79	106	-138.45	121	-609.27	173	-5249.33	130
0	Max	-1663	37658.20	101	759.43	101	15879.70	177	1337.68	97	634.81	121	20.92	17	2357.92	129	11589.10	97
0	Max	-1664	37658.20	101	759.43	101	15879.70	177	1337.68	97	634.81	121	20.92	17	2357.92	129	11589.10	97
0	Max	-1629	37658.20	101	759.43	101	15879.70	177	1337.68	97	634.81	121	20.92	17	2357.92	129	11589.10	97
0	Max	-1628	37658.20	101	759.43	101	15879.70	177	1337.68	97	634.81	121	20.92	17	2357.92	129	11589.10	97
0	Min.	-1663	-36803.00	130	-4671.81	177	-3388.00	173	-975.97	130	-150.15	106	-117.87	173	-580.97	17	-4009.87	130
0	Min.	-1664	-36803.00	130	-4671.81	177	-3388.00	173	-975.97	130	-150.15	106	-117.87	173	-580.97	17	-4009.87	130
0	Min.	-1629	-36803.00	130	-4671.81	177	-3388.00	173	-975.97	130	-150.15	106	-117.87	173	-580.97	17	-4009.87	130
0	Min.	-1628	-36803.00	130	-4671.81	177	-3388.00	173	-975.97	130	-150.15	106	-117.87	173	-580.97	17	-4009.87	130
0	Max	-1664	45670.50	101	651.44	101	14558.00	177	1942.39	97	710.14	121	53.31	17	7163.32	105	13033.30	97
0	Max	-1665	45670.50	101	651.44	101	14558.00	177	1942.39	97	710.14	121	53.31	17	7163.32	105	13033.30	97
0	Max	-1630	45670.50	101	651.44	101	14558.00	177	1942.39	97	710.14	121	53.31	17	7163.32	105	13033.30	97
0	Max	-1629	45670.50	101	651.44	101	14558.00	177	1942.39	97	710.14	121	53.31	17	7163.32	105	13033.30	97
0	Min.	-1664	-43618.30	130	-4989.09	177	-3325.96	173	-989.48	130	-208.26	106	-187.78	105	-995.65	173	-3153.64	130
0	Min.	-1665	-43618.30	130	-4989.09	177	-3325.96	173	-989.48	130	-208.26	106	-187.78	105	-995.65	173	-3153.64	130
0	Min.	-1630	-43618.30	130	-4989.09	177	-3325.96	173	-989.48	130	-208.26	106	-187.78	105	-995.65	173	-3153.64	130
0	Min.	-1629	-43618.30	130	-4989.09	177	-3325.96	173	-989.48	130	-208.26	106	-187.78	105	-995.65	173	-3153.64	130
0	Max	-1665	51955.50	101	750.83	173	13303.30	177	2712.94	97	766.00	121	99.72	17	18049.30	105	14964.40	97
0	Max	-1666	51955.50	101	750.83	173	13303.30	177	2712.94	97	766.00	121	99.72	17	18049.30	105	14964.40	97
0	Max	-1631	51955.50	101	750.83	173	13303.30	177	2712.94	97	766.00	121	99.72	17	18049.30	105	14964.40	97
0	Max	-1630	51955.50	101	750.83	173	13303.30	177	2712.94	97	766.00	121	99.72	17	18049.30	105	14964.40	97
0	Min.	-1665	-49354.70	130	-4566.87	177	-5495.00	165	-1030.13	130	-223.74	106	-276.73	105	-2358.04	173	-4171.76	130
0	Min.	-1666	-49354.70	130	-4566.87	177	-5495.00	165	-1030.13	130	-223.74	106	-276.73	105	-2358.04	173	-4171.76	130
0	Min.	-1631	-49354.70	130	-4566.87	177	-5495.00	165	-1030.13	130	-223.74	106	-276.73	105	-2358.04	173	-4171.76	130
0	Min.	-1630	-49354.70	130	-4566.87	177	-5495.00	165	-1030.13	130	-223.74	106	-276.73	105	-2358.04	173	-4171.76	130
0	Max	-1666	54992.40	101	1096.97	113	12550.50	177	3429.35	97	806.30	121	142.14	17	33061.30	105	16274.00	97
0	Max	-1970	54992.40	101	1096.97	113	12550.50	177	3429.35	97	806.30	121	142.14	17	33061.30	105	16274.00	97
0	Max	-1971	54992.40	101	1096.97	113	12550.50	177	3429.35	97	806.30	121	142.14	17	33061.30	105	16274.00	97
0	Max	-1631	54992.40	101	1096.97	113	12550.50	177	3429.35	97	806.30	121	142.14	17	33061.30	105	16274.00	97
0	Min.	-1666	-55549.30	130	-4149.56	177	-4583.47	165	-1081.16	130	-192.66	106	-219.15	173	-3101.75	173	-3361.73	130
0	Min.	-1970	-55549.30	130	-4149.56	177	-4583.47	165	-1081.16	130	-192.66	106	-219.15	173	-3101.75	173	-3361.73	130
0	Min.	-1971	-55549.30	130	-4149.56	177	-4583.47	165	-1081.16	130	-192.66	106	-219.15	173	-3101.75	173	-3361.73	130
0	Min.	-1631	-55549.30	130	-4149.56	177	-4583.47	165	-1081.16	130	-192.66	106	-219.15	173	-3101.75	173	-3361.73	130
0	Max	-1667	55827.00	101	1769.65	113	11543.30	177	5058.43	97	915.96	97	251.75	65	-2302.22	65	35347.70	105
0	Max	442	55827.00	101	1769.65	113	11543.30	177	5058.43	97	915.96	97	251.75	65	-2302.22	65	35347.70	105
0	Max	-1863	55827.00	101	1769.65	113	11543.30	177	5058.43	97	915.96	97	251.75	65	-2302.22	65	35347.70	105
0	Max	-1632	55827.00	101	1769.65	113	11543.30	177	5058.43	97	915.96	97	251.75	65	-2302.22	65	35347.70	105
0	Min.	-1667	-68921.20	130	-4128.89	177	-7641.56	165	220.83	49	-93.88	106	-349.26	173	-32539.40	97	3951.26	65
0	Min.	442	-68921.20	130	-4128.89	177	-7641.56	165	220.83	49	-93.88	106	-349.26	173	-32539.40	97	3951.26	65
0	Min.	-1863	-68921.20	130	-4128.89	177	-7641.56	165	220.83	49	-93.88	106	-349.26	173	-32539.40	97	3951.26	65
0	Min.	-1632	-68921.20	130	-4128.89	177	-7641.56	165	220.83	49	-93.88	106	-349.26	173	-32539.40	97	3951.26	65
0	Max	-1420	9757.15	101	1328.18	1	8515.83	177	122.50	97	245.69	159	312.66	158	6818.50	121	7009.91	97
0	Max	-1640	9757.15	101	1328.18	1	8515.83	177	122.50	97	245.69	159	312.66	158	6818.50	121	7009.91	97
0	Max	-1904	9757.15	101	1328.18	1	8515.83	177	122.50	97	245.69	159	312.66	158	6818.50	121	7009.91	97
0	Max	-1903	9757.15	101	1328.18	1	8515.83	177	122.50	97	245.69	159	312.66	158	6818.50	121	7009.91	97
0	Min.	-1420	-10926.10	130	-10488.40	177	-5213.39	130	-232.91	130	-44.38	108	-5.20	141	-3649.86	106	-10161.50	106
0	Min.	-1640	-10926.10	130	-10488.40	177	-5213.39	130	-232.91	130	-44.38	108	-5.20	141	-3649.86	106	-10161.50	106
0	Min.	-1904	-10926.10	130	-10488.40	177	-5213.39	130	-232.91	130	-44.38	108	-5.20	141	-3649.86	106	-10161.50	106
0	Min.	-1903	-10926.10	130	-10488.40	177	-5213.39	130	-232.91	130	-44.38	108	-5.20	141	-3649.86	106	-10161.50	106
0	Max	-1640	19675.50	101	136.56	33	12677.60	177	464.49	97	376.97	157	279.94	157	363.24	106	8136.02	97
0	Max	-1641	19675.50	101	136.56	33	12677.60	177	464.49	97	376.97	157	279.94	157	363.24	106	8136.02	97
0	Max	-1905	19675.50	101	136.56	33	12677.60	177	464.49	97	376.97	157	279.94	157	363.24	106	8136.02	97
0	Max	-1904	19675.50	101	136.56	33	12677.60	177	464.49	97	376.97	157	279.94	157	363.24	106	8136.02	97
0	Min.	-1640	-21168.20	130	-3668.43	177	-4381.50	130	-689.88	130	-81.82	106	-5.59	142	-4209.40	121	-6323.97	106
0	Min.	-1641	-21168.20	130	-3668.43	177	-4381.50	130	-689.88	130	-81.82	106	-5.59	142	-4209.40	121	-6323.97	106
0	Min.	-1905	-21168.20	130	-3668.43	177	-4381.50	130	-689.88	130	-81.82	106	-5.59	142	-4209.40	121	-6323.97	106
0	Min.	-1904	-21168.20	130	-3668.43	177	-4381.50	130	-689.88	130	-81.82	106	-5.59	142	-4209.40	121	-6323.97	106
0	Max	-1641	28863.40	101	888.55	101	13945.90	177	846.40	97	498.57	121	196.99	121	88.28	177	8665.51	97
0	Max	-1642	28863.40	101	888.55	101	13945.90	177	846.40	97	498.57	121	196.99	121	88.28	177	8665.51	97
0	Max	-1906	28863.40	101	888.55	101	13945.90	177	846.40	97	498.57	121	196.99	121	88.28	177	8665.51	97
0	Max	-1905	28863.40	101	888.55	101	13945.90	177	846.40	97	498.57	121	196.99	121	88.28	177	8665.51	97
0	Min.	-1641	-29701.90	130	-4287.57	130	-4052.12	130	-917.74	130	-154.96	106	-0.07	65	-2710.71	121	-3713.05	130
0	Min.	-1642	-29701.90	130	-4287.57	130	-4052.12	130	-917.74	130	-154.96	106	-0.07	65	-2710.71	121	-3713.05	130
0	Min.	-1906	-29701.90	130	-4287.57	130	-4052.12	130	-917.74	130	-154.96	106	-0.07	65	-2710.71	121	-3713.05	130
0	Min.	-1905	-29701.90	130	-4287.57	130	-4052.12	130	-917.74	130	-154.96	106	-0.07	65	-2710.71	121	-3713.05	130
0	Max	-1642	37855.10	101	866.13	101	13790.50	177	1314.22	97	590.46	121	122.20	97	-146.37	65	10582.70	97
0	Max	-1643	37855.10	101	866.13	101	13790.50	177	1314.22	97	590.46	121	122.20	97	-146.37	65	10582.70	97
0	Max	-1907	37855.10	101	866.13	101	13790.50	177	1314.22	97	590.46	121	122.20	97	-146.37	65	10582.70	97
0	Max	-1906	37855.10	101	866.13	101	13790.50	177	1314.22	97	590.46	121	122.20	97	-146.37	65	10582.70	97
0	Min.	-1642	-37186.80	130	-4521.89	166	-3400.14	173	-999.79	130	-283.29	106	-18.45	65	-3416.64	121	-3689.90	130
0	Min.	-1643	-37186.80	130	-4521.89	166	-3400.14	173	-999.79	130	-283.29	106	-18.45	65	-3416.64	121	-3689.90	130
0	Min.	-1907	-37186.80	130	-4521.89	166	-3400.14	173	-999.79	130	-283.29	106	-18.45	65	-3416.64	121	-3689.90	130
0	Min.	-1906	-37186.80	130	-4521.89	166	-3400.14	173	-999.79	130	-283.29	106	-18.45	65	-3416.64	121	-3689.90	130
0	Max	-1643	45810.20	101	415.31	101	13000.60	177	1905.44	97	658.13	121	120.44	17	256.53	65	12329.80	97
0	Max	-1644	45810.20	101	415.31	101	13000.60	177	1905.44	97	658.13	121	120.44	17	256.53	65	12329.80	97
0	Max	-1908	45810.20	101	415.31	101	13000.60	177	1905.44	97	658.13	121	120.44	17	256.53	65	12329.80	97
0	Max	-1907	45810.20	101	415.31	101	13000.60	177	1905.44	97	658.13	121	120.44	17	256.53	65	12329.80	97
0	Min.	-1643	-42267.70	130	-4927.11	166	-3772.85	173	-958.59	130	-532.51	106	-54.36	65	-2973.06	121	-2964.46	130
0	Min.	-1644	-42267.70	130	-4927.11	166	-3772.85	173	-958.59	130	-532.51	106	-54.36	65	-2973.06	121	-2964.46	130
0	Min.	-1908	-42267.70	130	-4927.11	166	-3772.85	173	-958.59	130	-532.51	106	-54.36	65	-2973.06	121	-2964.46	130
0	Min.	-1907	-42267.70	130	-4927.11	166	-3772.85	173	-958.59	130	-532.51	106	-54.36	65	-2973.06	121	-2964.46	130
0	Max	-1644	52031.50	101	503.12	1	11866.50	177	2674.30	97	732.50	121	166.02	105	503.36	65	15967.10	97
0	Max	-1645	52031.50	101	503.12	1	11866.50	177	2674.30	97	732.50	121	166.02	105	503.36	65	15967.10	97
0	Max	-1909	52031.50	101	503.12	1	11866.50	177	2674.30	97	732.50	121	166.02	105	503.36	65	15967.10	97
0	Max	-1908	52031.50	101	503.12	1	11866.50	177	2674.30	97	732.50	121	166.02	105	503.36	65	15967.10	97
0	Min.	-1644	-45883.20	106	-7155.43	166	-4333.66	173	-1086.08	130	-1017.87	106	-126.41	173	-17033.20	105	-16287.20	106

0	Min.	-1645	-45883.20	106	-7155.43	166	-4333.66	173	-1086.08	130	-1017.87	106	-126.41	173	-17033.20	105	-16287.20	106
0	Min.	-1909	-45883.20	106	-7155.43	166	-4333.66	173	-1086.08	130	-1017.87	106	-126.41	173	-17033.20	105	-16287.20	106
0	Min.	-1908	-45883.20	106	-7155.43	166	-4333.66	173	-1086.08	130	-1017.87	106	-126.41	173	-17033.20	105	-16287.20	106
0	Max	-1645	55884.00	101	3555.98	166	25232.90	165	3366.09	97	818.93	97	161.07	17	1293.73	65	15903.60	97
0	Max	-1968	55884.00	101	3555.98	166	25232.90	165	3366.09	97	818.93	97	161.07	17	1293.73	65	15903.60	97
0	Max	-1972	55884.00	101	3555.98	166	25232.90	165	3366.09	97	818.93	97	161.07	17	1293.73	65	15903.60	97
0	Max	-1909	55884.00	101	3555.98	166	25232.90	165	3366.09	97	818.93	97	161.07	17	1293.73	65	15903.60	97
0	Min.	-1645	-50516.50	106	-662.62	177	-4555.08	173	-1446.72	130	-1434.10	106	-205.36	173	-35510.20	105	-19694.50	106
0	Min.	-1968	-50516.50	106	-662.62	177	-4555.08	173	-1446.72	130	-1434.10	106	-205.36	173	-35510.20	105	-19694.50	106
0	Min.	-1972	-50516.50	106	-662.62	177	-4555.08	173	-1446.72	130	-1434.10	106	-205.36	173	-35510.20	105	-19694.50	106
0	Min.	-1909	-50516.50	106	-662.62	177	-4555.08	173	-1446.72	130	-1434.10	106	-205.36	173	-35510.20	105	-19694.50	106
0	Max	-1646	55969.90	101	2227.16	165	9395.88	177	5064.78	97	1359.97	97	270.22	65	-6729.19	33	54032.00	105
0	Max	439	55969.90	101	2227.16	165	9395.88	177	5064.78	97	1359.97	97	270.22	65	-6729.19	33	54032.00	105
0	Max	-1874	55969.90	101	2227.16	165	9395.88	177	5064.78	97	1359.97	97	270.22	65	-6729.19	33	54032.00	105
0	Max	-1910	55969.90	101	2227.16	165	9395.88	177	5064.78	97	1359.97	97	270.22	65	-6729.19	33	54032.00	105
0	Min.	-1646	-75022.10	130	-1338.68	106	-5546.65	173	201.88	1	-634.17	106	-362.85	173	-56578.90	105	4450.31	17
0	Min.	439	-75022.10	130	-1338.68	106	-5546.65	173	201.88	1	-634.17	106	-362.85	173	-56578.90	105	4450.31	17
0	Min.	-1874	-75022.10	130	-1338.68	106	-5546.65	173	201.88	1	-634.17	106	-362.85	173	-56578.90	105	4450.31	17
0	Min.	-1910	-75022.10	130	-1338.68	106	-5546.65	173	201.88	1	-634.17	106	-362.85	173	-56578.90	105	4450.31	17
0	Max	-1418	9838.90	101	687.92	1	9377.47	177	123.31	97	241.01	121	39.21	17	5046.45	177	9337.57	97
0	Max	-1626	9838.90	101	687.92	1	9377.47	177	123.31	97	241.01	121	39.21	17	5046.45	177	9337.57	97
0	Max	-1668	9838.90	101	687.92	1	9377.47	177	123.31	97	241.01	121	39.21	17	5046.45	177	9337.57	97
0	Max	-1424	9838.90	101	687.92	1	9377.47	177	123.31	97	241.01	121	39.21	17	5046.45	177	9337.57	97
0	Min.	-1418	-10596.80	130	-2596.39	165	-1946.07	173	-227.15	106	-29.54	106	-78.44	65	-1803.39	65	-12674.40	106
0	Min.	-1626	-10596.80	130	-2596.39	165	-1946.07	173	-227.15	106	-29.54	106	-78.44	65	-1803.39	65	-12674.40	106
0	Min.	-1668	-10596.80	130	-2596.39	165	-1946.07	173	-227.15	106	-29.54	106	-78.44	65	-1803.39	65	-12674.40	106
0	Min.	-1424	-10596.80	130	-2596.39	165	-1946.07	173	-227.15	106	-29.54	106	-78.44	65	-1803.39	65	-12674.40	106
0	Max	-1626	19425.00	101	194.20	33	15252.80	177	485.40	97	398.17	121	35.30	17	1596.73	177	9163.83	97
0	Max	-1627	19425.00	101	194.20	33	15252.80	177	485.40	97	398.17	121	35.30	17	1596.73	177	9163.83	97
0	Max	-1669	19425.00	101	194.20	33	15252.80	177	485.40	97	398.17	121	35.30	17	1596.73	177	9163.83	97
0	Max	-1668	19425.00	101	194.20	33	15252.80	177	485.40	97	398.17	121	35.30	17	1596.73	177	9163.83	97
0	Min.	-1626	-20195.30	130	-3097.82	166	-3299.69	173	-662.92	106	-62.08	106	-73.35	65	-762.27	173	-6635.97	106
0	Min.	-1627	-20195.30	130	-3097.82	166	-3299.69	173	-662.92	106	-62.08	106	-73.35	65	-762.27	173	-6635.97	106
0	Min.	-1669	-20195.30	130	-3097.82	166	-3299.69	173	-662.92	106	-62.08	106	-73.35	65	-762.27	173	-6635.97	106
0	Min.	-1668	-20195.30	130	-3097.82	166	-3299.69	173	-662.92	106	-62.08	106	-73.35	65	-762.27	173	-6635.97	106
0	Max	-1627	28814.10	101	424.93	101	17200.20	177	874.85	97	541.38	121	27.59	17	1657.36	177	9882.27	97
0	Max	-1628	28814.10	101	424.93	101	17200.20	177	874.85	97	541.38	121	27.59	17	1657.36	177	9882.27	97
0	Max	-1670	28814.10	101	424.93	101	17200.20	177	874.85	97	541.38	121	27.59	17	1657.36	177	9882.27	97
0	Max	-1669	28814.10	101	424.93	101	17200.20	177	874.85	97	541.38	121	27.59	17	1657.36	177	9882.27	97
0	Min.	-1627	-29022.40	130	-3362.82	130	-3856.76	173	-862.84	130	-52.80	106	-58.42	65	-1292.77	173	-3792.89	130
0	Min.	-1628	-29022.40	130	-3362.82	130	-3856.76	173	-862.84	130	-52.80	106	-58.42	65	-1292.77	173	-3792.89	130
0	Min.	-1670	-29022.40	130	-3362.82	130	-3856.76	173	-862.84	130	-52.80	106	-58.42	65	-1292.77	173	-3792.89	130
0	Min.	-1669	-29022.40	130	-3362.82	130	-3856.76	173	-862.84	130	-52.80	106	-58.42	65	-1292.77	173	-3792.89	130
0	Max	-1628	37853.70	101	644.95	101	17011.60	177	1358.12	97	650.89	121	32.23	17	1278.62	65	11344.20	97
0	Max	-1629	37853.70	101	644.95	101	17011.60	177	1358.12	97	650.89	121	32.23	17	1278.62	65	11344.20	97
0	Max	-1671	37853.70	101	644.95	101	17011.60	177	1358.12	97	650.89	121	32.23	17	1278.62	65	11344.20	97
0	Max	-1670	37853.70	101	644.95	101	17011.60	177	1358.12	97	650.89	121	32.23	17	1278.62	65	11344.20	97
0	Min.	-1628	-37336.90	130	-3618.13	177	-3996.24	173	-976.65	130	-0.28	142	-59.27	173	-1709.78	173	-2244.17	130
0	Min.	-1629	-37336.90	130	-3618.13	177	-3996.24	173	-976.65	130	-0.28	142	-59.27	173	-1709.78	173	-2244.17	130
0	Min.	-1671	-37336.90	130	-3618.13	177	-3996.24	173	-976.65	130	-0.28	142	-59.27	173	-1709.78	173	-2244.17	130
0	Min.	-1670	-37336.90	130	-3618.13	177	-3996.24	173	-976.65	130	-0.28	142	-59.27	173	-1709.78	173	-2244.17	130
0	Max	-1629	45955.80	101	682.92	101	15898.60	177	1971.83	97	725.46	121	56.23	17	3158.62	106	12741.10	97
0	Max	-1630	45955.80	101	682.92	101	15898.60	177	1971.83	97	725.46	121	56.23	17	3158.62	106	12741.10	97
0	Max	-1672	45955.80	101	682.92	101	15898.60	177	1971.83	97	725.46	121	56.23	17	3158.62	106	12741.10	97
0	Max	-1671	45955.80	101	682.92	101	15898.60	177	1971.83	97	725.46	121	56.23	17	3158.62	106	12741.10	97
0	Min.	-1629	-45179.80	130	-3780.94	177	-4013.15	173	-1028.28	130	96.80	177	-109.42	105	-2538.06	173	-145.17	130
0	Min.	-1630	-45179.80	130	-3780.94	177	-4013.15	173	-1028.28	130	96.80	177	-109.42	105	-2538.06	173	-145.17	130
0	Min.	-1672	-45179.80	130	-3780.94	177	-4013.15	173	-1028.28	130	96.80	177	-109.42	105	-2538.06	173	-145.17	130
0	Min.	-1671	-45179.80	130	-3780.94	177	-4013.15	173	-1028.28	130	96.80	177	-109.42	105	-2538.06	173	-145.17	130
0	Max	-1630	52380.10	101	789.88	113	14590.30	177	2750.91	97	764.30	121	97.03	17	6154.29	107	14606.60	97
0	Max	-1631	52380.10	101	789.88	113	14590.30	177	2750.91	97	764.30	121	97.03	17	6154.29	107	14606.60	97
0	Max	-1673	52380.10	101	789.88	113	14590.30	177	2750.91	97	764.30	121	97.03	17	6154.29	107	14606.60	97
0	Max	-1672	52380.10	101	789.88	113	14590.30	177	2750.91	97	764.30	121	97.03	17	6154.29	107	14606.60	97
0	Min.	-1630	-53064.70	130	-3567.87	177	-3988.00	173	-953.69	130	116.67	177	-148.10	173	-3084.29	173	1243.33	162
0	Min.	-1631	-53064.70	130	-3567.87	177	-3988.00	173	-953.69	130	116.67	177	-148.10	173	-3084.29	173	1243.33	162
0	Min.	-1673	-53064.70	130	-3567.87	177	-3988.00	173	-953.69	130	116.67	177	-148.10	173	-3084.29	173	1243.33	162
0	Min.	-1672	-53064.70	130	-3567.87	177	-3988.00	173	-953.69	130	116.67	177	-148.10	173	-3084.29	173	1243.33	162
0	Max	-1631	55494.50	101	1226.56	113	13625.30	177	3469.96	97	775.94	121	137.63	17	5475.68	106	15913.80	97
0	Max	-1971	55494.50	101	1226.56	113	13625.30	177	3469.96	97	775.94	121	137.63	17	5475.68	106	15913.80	97
0	Max	-1966	55494.50	101	1226.56	113	13625.30	177	3469.96	97	775.94	121	137.63	17	5475.68	106	15913.80	97
0	Max	-1673	55494.50	101	1226.56	113	13625.30	177	3469.96	97	775.94	121	137.63	17	5475.68	106	15913.80	97
0	Min.	-1631	-58952.60	130	-3360.80	177	-3985.31	173	-750.35	130	130.94	177	-203.62	173	-4090.68	173	1705.70	162
0	Min.	-1971	-58952.60	130	-3360.80	177	-3985.31	173	-750.35	130	130.94	177	-203.62	173	-4090.68	173	1705.70	162
0	Min.	-1966	-58952.60	130	-3360.80	177	-3985.31	173	-750.35	130	130.94	177	-203.62	173	-4090.68	173	1705.70	162
0	Min.	-1673	-58952.60	130	-3360.80	177	-3985.31	173	-750.35	130	130.94	177	-203.62	173	-4090.68	173	1705.70	162
0	Max	-1660	50796.00	101	1398.58	101	3282.07	177	4531.78	97	1498.82	97	392.39	65	-6453.37	17	29471.80	105
0	Max	434	50796.00	101	1398.58	101	3282.07	177	4531.78	97	1498.82	97	392.39	65	-6453.37	17	29471.80	105
0	Max	-2204	50796.00	101	1398.58	101	3282.07	177	4531.78	97	1498.82	97	392.39	65	-6453.37	17	29471.80	105
0	Max	-2213	50796.00	101	1398.58	101	3282.07	177	4531.78	97	1498.82	97	392.39	65	-6453.37	17	29471.80	105
0	Min.	-1660	-73562.90	130	-1950.09	130	-11721.70	166	24.11	130	83.68	17	-277.25	173	-63860.90	97	-710.91	162
0	Min.	434	-73562.90	130	-1950.09	130	-11721.70	166	24.11	130	83.68	17	-277.25	173	-63860.90	97	-710.91	162
0	Min.	-2204	-73562.90	130	-1950.09	130	-11721.70	166	24.11	130	83.68	17	-277.25	173	-63860.90	97	-710.91	162
0	Min.	-2213	-73562.90	130	-1950.09	130	-11721.70	166	24.11	130	83.68	17	-277.25	173	-63860.90	97	-710.91	162
0	Max	-1632	56479.60	101	1770.17	113	12204.10	177	5058.70	97	828.75	105	241.77	65	40400.20	105	23338.20	105
0	Max	-1863	56479.60	101	1770.17	113	12204.10	177	5058.70	97	828.75	105	241.77	65	40400.20	105	23338.20	105
0	Max	441	56479.60	101	1770.17	113	12204.10	177	5058.70	97	828.75	105	241.77	65	40400.20	105	23338.20	105
0	Max	-1674	56479.60	101	1770.17	113	12204.10	177	5058.70	97	828.75	105	241.77	65	40400.20	105	23338.20	105
0	Min.	-1632	-66940.30	130	-3139.29	177	-4189.43	173	249.04	49	161.32	177	-384.11	173	2964.99	17	3456.63	162
0	Min.	-1863	-66940.30	130	-3139.29	177	-4189.43	173	249.04	49	161.32	177	-384.11	173	2964.99	17	3456.63	162
0	Min.	441	-66940.30	130	-3139.29	177	-4189.43	173	249.04	49	161.32	177	-384.11	173	2964.99	17	3456.63	162
0	Min.	-1674	-66940.30	130	-3139.29	177	-4189.43	173	249.04	49	161.32	177	-384.11	173	2964.99	17	3456.63	162
0	Max	-1885	717.31	177	1707.16	97	1430.68	101	-384.30	65	148.61	17	594.58	173	21734.10	97	5446.78	130
0	Max	-2103	717.31	177	1707.16	97	1430.68	101	-384.30	65	148.61	17	594.58	173	21734.10	97	5446.78	130
0	Max	-2107	717.31	177	1707.16	97	1430.68	101	-384.30	65	148.61	17	594.58	173	21734.10	97	5446.78	130
0	Max	-1494	717.31	177	1707.16	97	1430.68	101	-384.30	65	148.61	17	594.58	173	21734.10	97	5446.78	130
0	Min.	-1885	-169484.00	97	-2464.32	158	-11844.70	158	-5681.94	97	-2730.01	97	-111.16	101	-1469.48	65	-28555.00	97
0	Min.	-2103	-169484.00	97	-2464.32	158	-11844.70	158	-5681.94	97	-2730.01	97	-111.16	101	-1469.48	65	-28555.00	97
0	Min.	-2107	-169484.00	97	-2464.32	158	-11844.70	158	-5681.94	97	-2730.01	97	-111.16	101	-1469.48	65	-28555.00	97
0	Min.	-1494	-169484.00	97	-2464.32	158	-11844.70	158	-5681.94	97	-2730.01	97	-111.16	101	-1469.48	65	-28555.00	97
0	Max	-1886	1741.10	177	2080.31	97	981.07	101	-346.66	17	148.19	17	719.59	173	41828.40	97	32492.60	98
0	Max	-2104	1741.10	177	2080.31	97	981.07	101	-346.66	17	148.19	17	719.59	173	41828.40	97	32492.60	98
0	Max	-2105	1741.10	177	2080.31	97	981.07	101	-346.66	17	148.19	17	719.59	173	41828.40	97	32492.60	98
0	Max	-1495	1741.10	177	2080.31	97	981.07	101	-346.66	17	148.19	17	719.59	173	41828.40	97	32492.60	98
0	Min.	-1886	-160608.00	97	-1319.35	158	-33309.40	158	-5985.45	97	-2792.77	97	-141.96	17	-1532.84	65	-2650.41	101
0	Min.	-2104	-160608.00	97	-1319.35	158	-33309.40	158	-5985.45	97	-2792.77	97	-141.96	17	-1532.84	65	-2650.41	101

0	Min.	-2105	-160608.00	97	-1319.35	158	-33309.40	158	-5985.45	97	-2792.77	97	-141.96	17	-1532.84	65	-2650.41	101
0	Min.	-1495	-160608.00	97	-1319.35	158	-33309.40	158	-5985.45	97	-2792.77	97	-141.96	17	-1532.84	65	-2650.41	101
0	Max	-1887	3086.67	177	6035.38	158	518.86	101	-263.39	17	142.28	17	803.95	173	9075.16	97	30745.70	98
0	Max	-1888	3086.67	177	6035.38	158	518.86	101	-263.39	17	142.28	17	803.95	173	9075.16	97	30745.70	98
0	Max	-1497	3086.67	177	6035.38	158	518.86	101	-263.39	17	142.28	17	803.95	173	9075.16	97	30745.70	98
0	Max	-1496	3086.67	177	6035.38	158	518.86	101	-263.39	17	142.28	17	803.95	173	9075.16	97	30745.70	98
0	Min.	-1887	-147004.00	97	-586.42	177	-9250.24	158	-3916.17	97	-1732.96	97	-210.13	17	-1435.72	65	-534.69	49
0	Min.	-1888	-147004.00	97	-586.42	177	-9250.24	158	-3916.17	97	-1732.96	97	-210.13	17	-1435.72	65	-534.69	49
0	Min.	-1497	-147004.00	97	-586.42	177	-9250.24	158	-3916.17	97	-1732.96	97	-210.13	17	-1435.72	65	-534.69	49
0	Min.	-1496	-147004.00	97	-586.42	177	-9250.24	158	-3916.17	97	-1732.96	97	-210.13	17	-1435.72	65	-534.69	49
0	Max	-1888	8841.01	162	3546.59	158	247.44	173	-122.27	1	141.75	17	848.84	173	3529.98	97	27135.60	98
0	Max	-1889	8841.01	162	3546.59	158	247.44	173	-122.27	1	141.75	17	848.84	173	3529.98	97	27135.60	98
0	Max	-1700	8841.01	162	3546.59	158	247.44	173	-122.27	1	141.75	17	848.84	173	3529.98	97	27135.60	98
0	Max	-1497	8841.01	162	3546.59	158	247.44	173	-122.27	1	141.75	17	848.84	173	3529.98	97	27135.60	98
0	Min.	-1888	-128269.00	97	-767.48	161	-7647.99	158	-2970.64	97	-1105.78	97	-258.71	17	-1486.20	65	215.21	49
0	Min.	-1889	-128269.00	97	-767.48	161	-7647.99	158	-2970.64	97	-1105.78	97	-258.71	17	-1486.20	65	215.21	49
0	Min.	-1700	-128269.00	97	-767.48	161	-7647.99	158	-2970.64	97	-1105.78	97	-258.71	17	-1486.20	65	215.21	49
0	Min.	-1497	-128269.00	97	-767.48	161	-7647.99	158	-2970.64	97	-1105.78	97	-258.71	17	-1486.20	65	215.21	49
0	Max	-1889	17850.70	162	1730.31	157	471.78	173	30.57	1	177.73	130	859.19	173	3553.65	97	27523.70	98
0	Max	-1890	17850.70	162	1730.31	157	471.78	173	30.57	1	177.73	130	859.19	173	3553.65	97	27523.70	98
0	Max	-1701	17850.70	162	1730.31	157	471.78	173	30.57	1	177.73	130	859.19	173	3553.65	97	27523.70	98
0	Max	-1700	17850.70	162	1730.31	157	471.78	173	30.57	1	177.73	130	859.19	173	3553.65	97	27523.70	98
0	Min.	-1889	-105686.00	97	-1186.94	177	-7430.42	158	-2069.56	97	-626.80	97	-309.82	17	-1169.81	65	954.92	49
0	Min.	-1890	-105686.00	97	-1186.94	177	-7430.42	158	-2069.56	97	-626.80	97	-309.82	17	-1169.81	65	954.92	49
0	Min.	-1701	-105686.00	97	-1186.94	177	-7430.42	158	-2069.56	97	-626.80	97	-309.82	17	-1169.81	65	954.92	49
0	Min.	-1700	-105686.00	97	-1186.94	177	-7430.42	158	-2069.56	97	-626.80	97	-309.82	17	-1169.81	65	954.92	49
0	Max	-1890	28027.50	162	773.83	157	1294.21	173	388.88	130	273.02	118	829.44	173	2612.81	97	27692.30	98
0	Max	-1891	28027.50	162	773.83	157	1294.21	173	388.88	130	273.02	118	829.44	173	2612.81	97	27692.30	98
0	Max	-1702	28027.50	162	773.83	157	1294.21	173	388.88	130	273.02	118	829.44	173	2612.81	97	27692.30	98
0	Max	-1701	28027.50	162	773.83	157	1294.21	173	388.88	130	273.02	118	829.44	173	2612.81	97	27692.30	98
0	Min.	-1890	-85358.40	101	-1761.66	98	-7068.68	158	-1635.05	101	-530.68	101	-361.56	17	-921.84	65	1256.47	149
0	Min.	-1891	-85358.40	101	-1761.66	98	-7068.68	158	-1635.05	101	-530.68	101	-361.56	17	-921.84	65	1256.47	149
0	Min.	-1702	-85358.40	101	-1761.66	98	-7068.68	158	-1635.05	101	-530.68	101	-361.56	17	-921.84	65	1256.47	149
0	Min.	-1701	-85358.40	101	-1761.66	98	-7068.68	158	-1635.05	101	-530.68	101	-361.56	17	-921.84	65	1256.47	149
0	Max	-1891	39973.20	162	644.43	101	1985.09	173	925.37	130	369.65	130	781.43	173	1754.35	97	29216.70	98
0	Max	-1892	39973.20	162	644.43	101	1985.09	173	925.37	130	369.65	130	781.43	173	1754.35	97	29216.70	98
0	Max	-1703	39973.20	162	644.43	101	1985.09	173	925.37	130	369.65	130	781.43	173	1754.35	97	29216.70	98
0	Max	-1702	39973.20	162	644.43	101	1985.09	173	925.37	130	369.65	130	781.43	173	1754.35	97	29216.70	98
0	Min.	-1891	-80626.30	101	-4267.72	162	-6876.01	162	-1310.34	101	-737.37	101	-400.77	17	-1410.48	173	1867.94	65
0	Min.	-1892	-80626.30	101	-4267.72	162	-6876.01	162	-1310.34	101	-737.37	101	-400.77	17	-1410.48	173	1867.94	65
0	Min.	-1703	-80626.30	101	-4267.72	162	-6876.01	162	-1310.34	101	-737.37	101	-400.77	17	-1410.48	173	1867.94	65
0	Min.	-1702	-80626.30	101	-4267.72	162	-6876.01	162	-1310.34	101	-737.37	101	-400.77	17	-1410.48	173	1867.94	65
0	Max	-1892	57115.20	162	2677.78	97	1738.02	173	1580.65	106	476.78	130	738.38	173	14658.00	101	31352.60	98
0	Max	-1893	57115.20	162	2677.78	97	1738.02	173	1580.65	106	476.78	130	738.38	173	14658.00	101	31352.60	98
0	Max	-1704	57115.20	162	2677.78	97	1738.02	173	1580.65	106	476.78	130	738.38	173	14658.00	101	31352.60	98
0	Max	-1703	57115.20	162	2677.78	97	1738.02	173	1580.65	106	476.78	130	738.38	173	14658.00	101	31352.60	98
0	Min.	-1892	-74759.60	101	-7135.59	162	-10792.50	162	-1245.71	101	-1207.82	101	-403.32	17	-2655.97	173	-12033.70	101
0	Min.	-1893	-74759.60	101	-7135.59	162	-10792.50	162	-1245.71	101	-1207.82	101	-403.32	17	-2655.97	173	-12033.70	101
0	Min.	-1704	-74759.60	101	-7135.59	162	-10792.50	162	-1245.71	101	-1207.82	101	-403.32	17	-2655.97	173	-12033.70	101
0	Min.	-1703	-74759.60	101	-7135.59	162	-10792.50	162	-1245.71	101	-1207.82	101	-403.32	17	-2655.97	173	-12033.70	101
0	Max	-1893	82669.40	162	3176.20	162	2783.29	173	2453.79	98	544.62	130	684.61	173	30825.30	101	34309.50	98
0	Max	-1938	82669.40	162	3176.20	162	2783.29	173	2453.79	98	544.62	130	684.61	173	30825.30	101	34309.50	98
0	Max	-1939	82669.40	162	3176.20	162	2783.29	173	2453.79	98	544.62	130	684.61	173	30825.30	101	34309.50	98
0	Max	-1704	82669.40	162	3176.20	162	2783.29	173	2453.79	98	544.62	130	684.61	173	30825.30	101	34309.50	98
0	Min.	-1893	-67533.90	101	-344.92	165	-31804.90	162	-1589.23	101	-1660.11	101	-395.35	17	-3275.69	173	-13351.80	101
0	Min.	-1938	-67533.90	101	-344.92	165	-31804.90	162	-1589.23	101	-1660.11	101	-395.35	17	-3275.69	173	-13351.80	101
0	Min.	-1939	-67533.90	101	-344.92	165	-31804.90	162	-1589.23	101	-1660.11	101	-395.35	17	-3275.69	173	-13351.80	101
0	Min.	-1704	-67533.90	101	-344.92	165	-31804.90	162	-1589.23	101	-1660.11	101	-395.35	17	-3275.69	173	-13351.80	101
0	Max	-1894	56439.80	130	3444.39	162	2312.98	173	4623.08	98	515.00	98	555.97	173	-2501.16	17	43981.80	102
0	Max	-1344	56439.80	130	3444.39	162	2312.98	173	4623.08	98	515.00	98	555.97	173	-2501.16	17	43981.80	102
0	Max	-1537	56439.80	130	3444.39	162	2312.98	173	4623.08	98	515.00	98	555.97	173	-2501.16	17	43981.80	102
0	Max	-1705	56439.80	130	3444.39	162	2312.98	173	4623.08	98	515.00	98	555.97	173	-2501.16	17	43981.80	102
0	Min.	-1894	-59863.90	101	-1213.27	101	-9388.10	162	132.33	49	-1520.50	101	-308.43	17	-18312.30	98	2967.38	65
0	Min.	-1344	-59863.90	101	-1213.27	101	-9388.10	162	132.33	49	-1520.50	101	-308.43	17	-18312.30	98	2967.38	65
0	Min.	-1537	-59863.90	101	-1213.27	101	-9388.10	162	132.33	49	-1520.50	101	-308.43	17	-18312.30	98	2967.38	65
0	Min.	-1705	-59863.90	101	-1213.27	101	-9388.10	162	132.33	49	-1520.50	101	-308.43	17	-18312.30	98	2967.38	65
0	Max	-1895	55652.90	101	2272.89	165	10897.00	177	5066.02	97	1366.16	97	234.58	65	56477.70	105	54183.80	105
0	Max	-1357	55652.90	101	2272.89	165	10897.00	177	5066.02	97	1366.16	97	234.58	65	56477.70	105	54183.80	105
0	Max	442	55652.90	101	2272.89	165	10897.00	177	5066.02	97	1366.16	97	234.58	65	56477.70	105	54183.80	105
0	Max	-1667	55652.90	101	2272.89	165	10897.00	177	5066.02	97	1366.16	97	234.58	65	56477.70	105	54183.80	105
0	Min.	-1895	-74658.50	130	-4724.77	177	-2451.79	165	207.04	49	-629.97	106	-429.91	173	6709.23	33	4537.53	65
0	Min.	-1357	-74658.50	130	-4724.77	177	-2451.79	165	207.04	49	-629.97	106	-429.91	173	6709.23	33	4537.53	65
0	Min.	442	-74658.50	130	-4724.77	177	-2451.79	165	207.04	49	-629.97	106	-429.91	173	6709.23	33	4537.53	65
0	Min.	-1667	-74658.50	130	-4724.77	177	-2451.79	165	207.04	49	-629.97	106	-429.91	173	6709.23	33	4537.53	65
0	Max	-1896	55569.80	101	3568.01	166	11071.20	177	3365.91	97	819.16	97	141.94	17	35383.10	105	15884.00	97
0	Max	-1969	55569.80	101	3568.01	166	11071.20	177	3365.91	97	819.16	97	141.94	17	35383.10	105	15884.00	97
0	Max	-1970	55569.80	101	3568.01	166	11071.20	177	3365.91	97	819.16	97	141.94	17	35383.10	105	15884.00	97
0	Max	-1666	55569.80	101	3568.01	166	11071.20	177	3365.91	97	819.16	97	141.94	17	35383.10	105	15884.00	97
0	Min.	-1896	-50256.70	106	-4260.80	177	-25300.30	165	-1446.14	130	-1436.00	106	-257.97	173	-1817.95	173	-19725.40	106
0	Min.	-1969	-50256.70	106	-4260.80	177	-25300.30	165	-1446.14	130	-1436.00	106	-257.97	173	-1817.95	173	-19725.40	106
0	Min.	-1970	-50256.70	106	-4260.80	177	-25300.30	165	-1446.14	130	-1436.00	106	-257.97	173	-1817.95	173	-19725.40	106
0	Min.	-1666	-50256.70	106	-4260.80	177	-25300.30	165	-1446.14	130	-1436.00	106	-257.97	173	-1817.95	173	-19725.40	106
0	Max	-1897	51727.10	101	493.07	49	11427.70	177	2674.18	97	733.55	121	99.95	17	16952.00	105	15967.50	97
0	Max	-1896	51727.10	101	493.07	49	11427.70	177	2674.18	97	733.55	121	99.95	17	16952.00	105	15967.50	97
0	Max	-1666	51727.10	101	493.07	49	11427.70	177	2674.18	97	733.55	121	99.95	17	16952.00	105	15967.50	97
0	Max	-1665	51727.10	101	493.07	49	11427.70	177	2674.18	97	733.55	121	99.95	17	16952.00	105	15967.50	97
0	Min.	-1897	-45630.80	106	-7181.92	166	-2139.38	173	-1085.44	130	-1019.92	106	-219.53	173	-534.28	17	-16288.20	106
0	Min.	-1896	-45630.80	106	-7181.92	166	-2139.38	173	-1085.44	130	-1019.92	106	-219.53	173	-534.28	17	-16288.20	106
0	Min.	-1666	-45630.80	106	-7181.92	166	-2139.38	173	-1085.44	130	-1019.92	106	-219.53	173	-534.28	17	-16288.20	106
0	Min.	-1665	-45630.80	106	-7181.92	166	-2139.38	173	-1085.44	130	-1019.92	106	-219.53	173	-534.28	17	-16288.20	106
0	Max	-1898	45542.30	101	372.76	101	12526.90	177	1904.91	97	659.25	121	53.29	17	2955.81	121	12321.50	97
0	Max	-1897	45542.30	101	372.76	101	12526.90	177	1904.91	97	659.25	121	53.29	17	2955.81	121	12321.50	97
0	Max	-1665	45542.30	101	372.76	101	12526.90	177	1904.91	97	659.25	121	53.29	17	2955.81	121	12321.50	97
0	Max	-1664	45542.30	101	372.76	101	12526.90	177	1904.91	97	659.25	121	53.29	17	2955.81	121	12321.50	97
0	Min.	-1898	-41984.30	130	-5972.00	177	-2908.14	173	-958.57	130	-533.84	106	-182.32	173	-278.20	17	-2961.73	130
0	Min.	-1897	-41984.30	130	-5972.00	177	-2908.14	173	-958.57	130	-533.84	106	-182.32	173	-278.20	17	-2961.73	130
0	Min.	-1665	-41984.30	130	-5972.00	177	-2908.14	173	-958.57	130	-533.84	106	-182.32	173	-278.20	17	-2961.73	130
0	Min.	-1664	-41984.30	130	-5972.00	177	-2908.14	173	-958.57	130	-533.84	106	-182.32	173	-278.20	17	-2961.73	130
0	Max	-1899	37650.70	101	801.36	101	14087.30	177	1313.43	97	591.79	121	17.07	17	3408.38	121	10577.80	97
0	Max	-1898	37650.70	101	801.36	101	14087.30	177	1313.43	97	591.79	121	17.07	17	3408.38	121	10577.80	97
0	Max	-1664	37650.70	101	801.36	101	14087.30	177	1313.43	97	591.79	121	17.07	17	3408.38	121	10577.80	97
0	Max	-1663	37650.70	101	801.36	101	14087.30	177	1313.43	97	591.79	121	17.07	17	3408.38	121	10577.80	97
0	Min.	-1899	-37000.30	130	-5769.06	177	-3320.33	173	-1000.18	130	-283.93	106	-164.78	173	131.96	17	-3695.48	130
0	Min.	-1898	-37000.30	130	-5769.06	177	-3320.33	173	-1000.18	130	-283.93	106	-164.78	173	131.96	17	-3695.48	130
0	Min.	-1664	-37000.30	130	-5769.06	177	-3320.33	173	-1000.18	130	-283.93	106	-164.78	173	131.96	17	-3695.48	130

0	Min.	-1663	-37000.30	130	-5769.06	177	-3320.33	173	-1000.18	130	-283.93	106	-164.78	173	131.96	17	-3695.48	130
0	Max	-1900	28728.70	101	835.54	101	14782.50	177	845.53	97	499.90	121	-1.19	17	2697.73	121	8660.75	97
0	Max	-1899	28728.70	101	835.54	101	14782.50	177	845.53	97	499.90	121	-1.19	17	2697.73	121	8660.75	97
0	Max	-1663	28728.70	101	835.54	101	14782.50	177	845.53	97	499.90	121	-1.19	17	2697.73	121	8660.75	97
0	Max	-1662	28728.70	101	835.54	101	14782.50	177	845.53	97	499.90	121	-1.19	17	2697.73	121	8660.75	97
0	Min.	-1900	-29595.30	130	-4203.23	130	-3483.62	173	-918.06	130	-155.20	106	-200.07	121	200.01	17	-3711.69	130
0	Min.	-1899	-29595.30	130	-4203.23	130	-3483.62	173	-918.06	130	-155.20	106	-200.07	121	200.01	17	-3711.69	130
0	Min.	-1663	-29595.30	130	-4203.23	130	-3483.62	173	-918.06	130	-155.20	106	-200.07	121	200.01	17	-3711.69	130
0	Min.	-1662	-29595.30	130	-4203.23	130	-3483.62	173	-918.06	130	-155.20	106	-200.07	121	200.01	17	-3711.69	130
0	Max	-1901	19618.30	101	145.21	33	13418.30	177	463.93	97	377.20	157	3.09	142	4214.91	121	8131.32	97
0	Max	-1900	19618.30	101	145.21	33	13418.30	177	463.93	97	377.20	157	3.09	142	4214.91	121	8131.32	97
0	Max	-1662	19618.30	101	145.21	33	13418.30	177	463.93	97	377.20	157	3.09	142	4214.91	121	8131.32	97
0	Max	-1661	19618.30	101	145.21	33	13418.30	177	463.93	97	377.20	157	3.09	142	4214.91	121	8131.32	97
0	Min.	-1901	-21136.50	130	-2822.44	166	-3316.35	173	-690.00	130	-81.71	106	-282.68	121	-357.71	106	-6332.09	106
0	Min.	-1900	-21136.50	130	-2822.44	166	-3316.35	173	-690.00	130	-81.71	106	-282.68	121	-357.71	106	-6332.09	106
0	Min.	-1662	-21136.50	130	-2822.44	166	-3316.35	173	-690.00	130	-81.71	106	-282.68	121	-357.71	106	-6332.09	106
0	Min.	-1661	-21136.50	130	-2822.44	166	-3316.35	173	-690.00	130	-81.71	106	-282.68	121	-357.71	106	-6332.09	106
0	Max	-1902	9739.94	101	7499.86	177	8654.30	177	122.35	97	245.60	160	4.82	177	5904.71	177	7011.40	97
0	Max	-1901	9739.94	101	7499.86	177	8654.30	177	122.35	97	245.60	160	4.82	177	5904.71	177	7011.40	97
0	Max	-1661	9739.94	101	7499.86	177	8654.30	177	122.35	97	245.60	160	4.82	177	5904.71	177	7011.40	97
0	Max	-1423	9739.94	101	7499.86	177	8654.30	177	122.35	97	245.60	160	4.82	177	5904.71	177	7011.40	97
0	Min.	-1902	-10920.60	130	-3438.70	173	-3912.03	101	-232.87	130	-43.73	107	-314.60	158	-6918.15	121	-10176.20	106
0	Min.	-1901	-10920.60	130	-3438.70	173	-3912.03	101	-232.87	130	-43.73	107	-314.60	158	-6918.15	121	-10176.20	106
0	Min.	-1661	-10920.60	130	-3438.70	173	-3912.03	101	-232.87	130	-43.73	107	-314.60	158	-6918.15	121	-10176.20	106
0	Min.	-1423	-10920.60	130	-3438.70	173	-3912.03	101	-232.87	130	-43.73	107	-314.60	158	-6918.15	121	-10176.20	106
0	Max	-1903	9844.11	101	1220.86	1	8046.10	177	116.42	97	240.56	158	362.36	157	7839.80	162	8141.51	97
0	Max	-1904	9844.11	101	1220.86	1	8046.10	177	116.42	97	240.56	158	362.36	157	7839.80	162	8141.51	97
0	Max	-1647	9844.11	101	1220.86	1	8046.10	177	116.42	97	240.56	158	362.36	157	7839.80	162	8141.51	97
0	Max	-1421	9844.11	101	1220.86	1	8046.10	177	116.42	97	240.56	158	362.36	157	7839.80	162	8141.51	97
0	Min.	-1903	-11204.00	130	-6896.92	177	-3605.97	101	-235.89	130	-34.90	105	-23.64	142	-144.76	49	-12627.30	130
0	Min.	-1904	-11204.00	130	-6896.92	177	-3605.97	101	-235.89	130	-34.90	105	-23.64	142	-144.76	49	-12627.30	130
0	Min.	-1647	-11204.00	130	-6896.92	177	-3605.97	101	-235.89	130	-34.90	105	-23.64	142	-144.76	49	-12627.30	130
0	Min.	-1421	-11204.00	130	-6896.92	177	-3605.97	101	-235.89	130	-34.90	105	-23.64	142	-144.76	49	-12627.30	130
0	Max	-1904	19462.00	101	501.52	173	11437.30	177	459.25	97	360.87	159	338.77	121	363.34	101	8230.70	97
0	Max	-1905	19462.00	101	501.52	173	11437.30	177	459.25	97	360.87	159	338.77	121	363.34	101	8230.70	97
0	Max	-1648	19462.00	101	501.52	173	11437.30	177	459.25	97	360.87	159	338.77	121	363.34	101	8230.70	97
0	Max	-1647	19462.00	101	501.52	173	11437.30	177	459.25	97	360.87	159	338.77	121	363.34	101	8230.70	97
0	Min.	-1904	-21499.50	130	-5212.88	177	-3644.26	173	-731.25	130	-84.77	108	-25.50	142	-3399.83	158	-7311.41	130
0	Min.	-1905	-21499.50	130	-5212.88	177	-3644.26	173	-731.25	130	-84.77	108	-25.50	142	-3399.83	158	-7311.41	130
0	Min.	-1648	-21499.50	130	-5212.88	177	-3644.26	173	-731.25	130	-84.77	108	-25.50	142	-3399.83	158	-7311.41	130
0	Min.	-1647	-21499.50	130	-5212.88	177	-3644.26	173	-731.25	130	-84.77	108	-25.50	142	-3399.83	158	-7311.41	130
0	Max	-1905	28951.60	101	1116.55	101	12186.20	177	833.75	97	475.60	157	239.98	121	939.79	106	9182.37	97
0	Max	-1906	28951.60	101	1116.55	101	12186.20	177	833.75	97	475.60	157	239.98	121	939.79	106	9182.37	97
0	Max	-1649	28951.60	101	1116.55	101	12186.20	177	833.75	97	475.60	157	239.98	121	939.79	106	9182.37	97
0	Max	-1648	28951.60	101	1116.55	101	12186.20	177	833.75	97	475.60	157	239.98	121	939.79	106	9182.37	97
0	Min.	-1905	-30586.00	130	-4544.20	130	-4057.88	173	-972.16	130	-152.19	106	-56.45	106	-1711.97	157	-5040.21	130
0	Min.	-1906	-30586.00	130	-4544.20	130	-4057.88	173	-972.16	130	-152.19	106	-56.45	106	-1711.97	157	-5040.21	130
0	Min.	-1649	-30586.00	130	-4544.20	130	-4057.88	173	-972.16	130	-152.19	106	-56.45	106	-1711.97	157	-5040.21	130
0	Min.	-1648	-30586.00	130	-4544.20	130	-4057.88	173	-972.16	130	-152.19	106	-56.45	106	-1711.97	157	-5040.21	130
0	Max	-1906	37817.40	101	1039.03	101	12045.20	177	1295.41	97	554.81	121	171.39	101	773.57	106	10787.50	97
0	Max	-1907	37817.40	101	1039.03	101	12045.20	177	1295.41	97	554.81	121	171.39	101	773.57	106	10787.50	97
0	Max	-1650	37817.40	101	1039.03	101	12045.20	177	1295.41	97	554.81	121	171.39	101	773.57	106	10787.50	97
0	Max	-1649	37817.40	101	1039.03	101	12045.20	177	1295.41	97	554.81	121	171.39	101	773.57	106	10787.50	97
0	Min.	-1906	-37937.20	130	-4696.70	166	-4038.18	173	-1048.17	130	-295.10	106	-78.95	106	-2442.09	157	-5008.86	130
0	Min.	-1907	-37937.20	130	-4696.70	166	-4038.18	173	-1048.17	130	-295.10	106	-78.95	106	-2442.09	157	-5008.86	130
0	Min.	-1650	-37937.20	130	-4696.70	166	-4038.18	173	-1048.17	130	-295.10	106	-78.95	106	-2442.09	157	-5008.86	130
0	Min.	-1649	-37937.20	130	-4696.70	166	-4038.18	173	-1048.17	130	-295.10	106	-78.95	106	-2442.09	157	-5008.86	130
0	Max	-1907	45636.00	101	375.84	97	11423.70	177	1885.59	97	612.30	121	168.52	101	366.51	65	12967.10	97
0	Max	-1908	45636.00	101	375.84	97	11423.70	177	1885.59	97	612.30	121	168.52	101	366.51	65	12967.10	97
0	Max	-1651	45636.00	101	375.84	97	11423.70	177	1885.59	97	612.30	121	168.52	101	366.51	65	12967.10	97
0	Max	-1650	45636.00	101	375.84	97	11423.70	177	1885.59	97	612.30	121	168.52	101	366.51	65	12967.10	97
0	Min.	-1907	-43053.30	130	-4698.56	166	-3915.13	173	-974.55	130	-562.27	106	-147.85	130	-2598.59	157	-3950.61	130
0	Min.	-1908	-43053.30	130	-4698.56	166	-3915.13	173	-974.55	130	-562.27	106	-147.85	130	-2598.59	157	-3950.61	130
0	Min.	-1651	-43053.30	130	-4698.56	166	-3915.13	173	-974.55	130	-562.27	106	-147.85	130	-2598.59	157	-3950.61	130
0	Min.	-1650	-43053.30	130	-4698.56	166	-3915.13	173	-974.55	130	-562.27	106	-147.85	130	-2598.59	157	-3950.61	130
0	Max	-1908	51587.80	101	656.42	1	10636.30	177	2632.42	97	675.81	121	161.68	17	13863.60	106	14956.20	97
0	Max	-1909	51587.80	101	656.42	1	10636.30	177	2632.42	97	675.81	121	161.68	17	13863.60	106	14956.20	97
0	Max	-1652	51587.80	101	656.42	1	10636.30	177	2632.42	97	675.81	121	161.68	17	13863.60	106	14956.20	97
0	Max	-1651	51587.80	101	656.42	1	10636.30	177	2632.42	97	675.81	121	161.68	17	13863.60	106	14956.20	97
0	Min.	-1908	-45935.70	106	-6316.06	165	-7994.76	165	-1090.44	130	-1077.04	106	-195.76	130	-3248.84	173	-18755.10	106
0	Min.	-1909	-45935.70	106	-6316.06	165	-7994.76	165	-1090.44	130	-1077.04	106	-195.76	130	-3248.84	173	-18755.10	106
0	Min.	-1652	-45935.70	106	-6316.06	165	-7994.76	165	-1090.44	130	-1077.04	106	-195.76	130	-3248.84	173	-18755.10	106
0	Min.	-1651	-45935.70	106	-6316.06	165	-7994.76	165	-1090.44	130	-1077.04	106	-195.76	130	-3248.84	173	-18755.10	106
0	Max	-1909	54948.40	101	3429.03	165	9845.03	177	3341.88	97	768.72	97	179.31	65	30448.80	106	18557.40	97
0	Max	-1972	54948.40	101	3429.03	165	9845.03	177	3341.88	97	768.72	97	179.31	65	30448.80	106	18557.40	97
0	Max	-1965	54948.40	101	3429.03	165	9845.03	177	3341.88	97	768.72	97	179.31	65	30448.80	106	18557.40	97
0	Max	-1652	54948.40	101	3429.03	165	9845.03	177	3341.88	97	768.72	97	179.31	65	30448.80	106	18557.40	97
0	Min.	-1909	-50366.70	106	-393.74	106	-31491.70	166	-1436.41	130	-1548.85	106	-197.15	173	-3596.16	173	-19634.80	106
0	Min.	-1972	-50366.70	106	-393.74	106	-31491.70	166	-1436.41	130	-1548.85	106	-197.15	173	-3596.16	173	-19634.80	106
0	Min.	-1965	-50366.70	106	-393.74	106	-31491.70	166	-1436.41	130	-1548.85	106	-197.15	173	-3596.16	173	-19634.80	106
0	Min.	-1652	-50366.70	106	-393.74	106	-31491.70	166	-1436.41	130	-1548.85	106	-197.15	173	-3596.16	173	-19634.80	106
0	Max	-1910	55348.90	101	1297.31	165	9188.09	177	4859.25	97	614.50	121	259.19	65	-2414.36	65	36943.90	105
0	Max	-1874	55348.90	101	1297.31	165	9188.09	177	4859.25	97	614.50	121	259.19	65	-2414.36	65	36943.90	105
0	Max	-1848	55348.90	101	1297.31	165	9188.09	177	4859.25	97	614.50	121	259.19	65	-2414.36	65	36943.90	105
0	Max	-1653	55348.90	101	1297.31	165	9188.09	177	4859.25	97	614.50	121	259.19	65	-2414.36	65	36943.90	105
0	Min.	-1910	-75328.20	130	-1533.31	106	-8777.04	166	158.48	1	-1482.69	106	-376.98	173	-18738.80	97	2157.74	17
0	Min.	-1874	-75328.20	130	-1533.31	106	-8777.04	166	158.48	1	-1482.69	106	-376.98	173	-18738.80	97	2157.74	17
0	Min.	-1848	-75328.20	130	-1533.31	106	-8777.04	166	158.48	1	-1482.69	106	-376.98	173	-18738.80	97	2157.74	17
0	Min.	-1653	-75328.20	130	-1533.31	106	-8777.04	166	158.48	1	-1482.69	106	-376.98	173	-18738.80	97	2157.74	17
0	Max	-1547	-12527.00	177	3312.33	97	7997.38	158	-462.01	33	145.73	65	76.84	65	87055.20	173	9490.58	98
0	Max	-1832	-12527.00	177	3312.33	97	7997.38	158	-462.01	33	145.73	65	76.84	65	87055.20	173	9490.58	98
0	Max	-1465	-12527.00	177	3312.33	97	7997.38	158	-462.01	33	145.73	65	76.84	65	87055.20	173	9490.58	98
0	Max	-2083	-12527.00	177	3312.33	97	7997.38	158	-462.01	33	145.73	65	76.84	65	87055.20	173	9490.58	98
0	Min.	-1547	-172793.00	98	-2871.67	158	-2034.69	165	-5732.80	98	-2007.41	173	-354.93	173	-24738.00	97	-60570.00	173
0	Min.	-1832	-172793.00	98	-2871.67	158	-2034.69	165	-5732.80	98	-2007.41	173	-354.93	173	-24738.00	97	-60570.00	173
0	Min.	-1465	-172793.00	98	-2871.67	158	-2034.69	165	-5732.80	98	-2007.41	173	-354.93	173	-24738.00	97	-60570.00	173
0	Min.	-2083	-172793.00	98	-2871.67	158	-2034.69	165	-5732.80	98	-2007.41	173	-354.93	173	-24738.00	97	-60570.00	173
0	Max	-1699	-11545.20	177	4058.42	97	4032.77	158	-424.04	33	149.89	65	153.26	65	10526.10	173	4283.56	130
0	Max	-1831	-11545.20	177	4058.42	97	4032.77	158	-424.04	33	149.89	65	153.26	65	10526.10	173	4283.56	130
0	Max	-1464	-11545.20	177	4058.42	97	4032.77	158	-424.04	33	149.89	65	153.26	65	10526.10	173	4283.56	130
0	Max	-1762	-11545.20	177	4058.42	97	4032.77	158	-424.04	33	149.89	65	153.26	65	10526.10	173	4283.56	130
0	Min.	-1699	-164689.00	98	-1700.59	177	-2429.52	165	-5676.02	98	-1635.46	98	-555.30	173	-30565.30	97	-20416.90	173
0	Min.	-1831	-164689.00	98	-1700.59	177	-2429.52	165	-5676.02	98	-1635.46	98	-555.30	173	-30565.30	97	-20416.90	173
0	Min.	-1464	-164689.00	98	-1700.59	177	-2429.52	165	-5676.02	98	-1635.46	98	-555.30	173	-30565.30	97	-20416.90	173
0	Min.	-1762	-164689.00	98	-1700.59	177	-2429.52	165	-5676.02	98	-1635.46	98	-555.30	173	-30565.30	97	-20416.90	173

0	Max	-1974	1741.10	177	3569.00	158	1435.26	177	-346.66	65	148.19	65	141.96	65	41828.40	98	3510.40	130
0	Max	-1882	1741.10	177	3569.00	158	1435.26	177	-346.66	65	148.19	65	141.96	65	41828.40	98	3510.40	130
0	Max	-1492	1741.10	177	3569.00	158	1435.26	177	-346.66	65	148.19	65	141.96	65	41828.40	98	3510.40	130
0	Max	-1973	1741.10	177	3569.00	158	1435.26	177	-346.66	65	148.19	65	141.96	65	41828.40	98	3510.40	130
0	Min.	-1974	-160608.00	98	-806.72	177	-32885.20	158	-5985.45	98	-2792.77	98	-685.95	173	-1532.84	17	-32492.60	97
0	Min.	-1882	-160608.00	98	-806.72	177	-32885.20	158	-5985.45	98	-2792.77	98	-685.95	173	-1532.84	17	-32492.60	97
0	Min.	-1492	-160608.00	98	-806.72	177	-32885.20	158	-5985.45	98	-2792.77	98	-685.95	173	-1532.84	17	-32492.60	97
0	Min.	-1973	-160608.00	98	-806.72	177	-32885.20	158	-5985.45	98	-2792.77	98	-685.95	173	-1532.84	17	-32492.60	97
0	Max	-1911	717.32	177	4293.50	158	1331.36	101	-384.30	17	148.61	65	111.15	106	21734.10	98	28555.00	98
0	Max	-1883	717.32	177	4293.50	158	1331.36	101	-384.30	17	148.61	65	111.15	106	21734.10	98	28555.00	98
0	Max	-1493	717.32	177	4293.50	158	1331.36	101	-384.30	17	148.61	65	111.15	106	21734.10	98	28555.00	98
0	Max	-1912	717.32	177	4293.50	158	1331.36	101	-384.30	17	148.61	65	111.15	106	21734.10	98	28555.00	98
0	Min.	-1911	-169484.00	98	-935.32	177	-11848.10	158	-5681.94	98	-2730.01	98	-184.25	173	-1469.48	17	-5292.33	101
0	Min.	-1883	-169484.00	98	-935.32	177	-11848.10	158	-5681.94	98	-2730.01	98	-184.25	173	-1469.48	17	-5292.33	101
0	Min.	-1493	-169484.00	98	-935.32	177	-11848.10	158	-5681.94	98	-2730.01	98	-184.25	173	-1469.48	17	-5292.33	101
0	Min.	-1912	-169484.00	98	-935.32	177	-11848.10	158	-5681.94	98	-2730.01	98	-184.25	173	-1469.48	17	-5292.33	101
0	Max	-2076	-17722.30	33	6162.15	173	2085.80	165	-464.65	33	963.02	173	185.65	97	24679.70	97	9472.03	98
0	Max	-1715	-17722.30	33	6162.15	173	2085.80	165	-464.65	33	963.02	173	185.65	97	24679.70	97	9472.03	98
0	Max	-1792	-17722.30	33	6162.15	173	2085.80	165	-464.65	33	963.02	173	185.65	97	24679.70	97	9472.03	98
0	Max	-2075	-17722.30	33	6162.15	173	2085.80	165	-464.65	33	963.02	173	185.65	97	24679.70	97	9472.03	98
0	Min.	-2076	-172206.00	98	-5150.07	177	-7988.59	158	-5734.07	98	-1791.01	98	-97.76	173	-3269.97	173	-6383.18	101
0	Min.	-1715	-172206.00	98	-5150.07	177	-7988.59	158	-5734.07	98	-1791.01	98	-97.76	173	-3269.97	173	-6383.18	101
0	Min.	-1792	-172206.00	98	-5150.07	177	-7988.59	158	-5734.07	98	-1791.01	98	-97.76	173	-3269.97	173	-6383.18	101
0	Min.	-2075	-172206.00	98	-5150.07	177	-7988.59	158	-5734.07	98	-1791.01	98	-97.76	173	-3269.97	173	-6383.18	101
0	Max	-2078	-15950.90	33	5731.27	173	2449.58	165	-426.28	33	793.32	173	169.28	65	30524.70	97	4269.65	130
0	Max	-1714	-15950.90	33	5731.27	173	2449.58	165	-426.28	33	793.32	173	169.28	65	30524.70	97	4269.65	130
0	Max	-1791	-15950.90	33	5731.27	173	2449.58	165	-426.28	33	793.32	173	169.28	65	30524.70	97	4269.65	130
0	Max	-2077	-15950.90	33	5731.27	173	2449.58	165	-426.28	33	793.32	173	169.28	65	30524.70	97	4269.65	130
0	Min.	-2078	-164109.00	98	-4750.40	177	-4079.64	158	-5676.97	98	-1638.87	98	-217.13	173	-1718.91	17	-14858.90	97
0	Min.	-1714	-164109.00	98	-4750.40	177	-4079.64	158	-5676.97	98	-1638.87	98	-217.13	173	-1718.91	17	-14858.90	97
0	Min.	-1791	-164109.00	98	-4750.40	177	-4079.64	158	-5676.97	98	-1638.87	98	-217.13	173	-1718.91	17	-14858.90	97
0	Min.	-2077	-164109.00	98	-4750.40	177	-4079.64	158	-5676.97	98	-1638.87	98	-217.13	173	-1718.91	17	-14858.90	97
0	Max	-2080	-6871.64	162	2100.82	173	7126.65	158	-377.32	33	154.67	17	573.79	173	2982.19	173	33961.70	98
0	Max	-1835	-6871.64	162	2100.82	173	7126.65	158	-377.32	33	154.67	17	573.79	173	2982.19	173	33961.70	98
0	Max	-1468	-6871.64	162	2100.82	173	7126.65	158	-377.32	33	154.67	17	573.79	173	2982.19	173	33961.70	98
0	Max	-2079	-6871.64	162	2100.82	173	7126.65	158	-377.32	33	154.67	17	573.79	173	2982.19	173	33961.70	98
0	Min.	-2080	-161767.00	97	-1978.54	177	-2070.62	177	-4986.08	97	-1548.43	97	-189.72	17	-20931.10	98	-1030.29	101
0	Min.	-1835	-161767.00	97	-1978.54	177	-2070.62	177	-4986.08	97	-1548.43	97	-189.72	17	-20931.10	98	-1030.29	101
0	Min.	-1468	-161767.00	97	-1978.54	177	-2070.62	177	-4986.08	97	-1548.43	97	-189.72	17	-20931.10	98	-1030.29	101
0	Min.	-2079	-161767.00	97	-1978.54	177	-2070.62	177	-4986.08	97	-1548.43	97	-189.72	17	-20931.10	98	-1030.29	101
0	Max	-2082	-12351.80	177	2349.70	173	5453.18	158	-425.66	33	149.88	17	481.50	173	6828.27	173	13864.50	173
0	Max	-1834	-12351.80	177	2349.70	173	5453.18	158	-425.66	33	149.88	17	481.50	173	6828.27	173	13864.50	173
0	Max	-1467	-12351.80	177	2349.70	173	5453.18	158	-425.66	33	149.88	17	481.50	173	6828.27	173	13864.50	173
0	Max	-2081	-12351.80	177	2349.70	173	5453.18	158	-425.66	33	149.88	17	481.50	173	6828.27	173	13864.50	173
0	Min.	-2082	-171174.00	97	-2017.85	177	-1982.12	161	-5790.00	97	-1700.93	97	-115.28	17	-31592.60	98	-2856.87	101
0	Min.	-1834	-171174.00	97	-2017.85	177	-1982.12	161	-5790.00	97	-1700.93	97	-115.28	17	-31592.60	98	-2856.87	101
0	Min.	-1467	-171174.00	97	-2017.85	177	-1982.12	161	-5790.00	97	-1700.93	97	-115.28	17	-31592.60	98	-2856.87	101
0	Min.	-2081	-171174.00	97	-2017.85	177	-1982.12	161	-5790.00	97	-1700.93	97	-115.28	17	-31592.60	98	-2856.87	101
0	Max	-1913	60496.10	130	1222.59	130	3794.10	173	3341.84	98	768.72	98	175.66	173	30450.70	101	19645.90	101
0	Max	-1343	60496.10	130	1222.59	130	3794.10	173	3341.84	98	768.72	98	175.66	173	30450.70	101	19645.90	101
0	Max	-1573	60496.10	130	1222.59	130	3794.10	173	3341.84	98	768.72	98	175.66	173	30450.70	101	19645.90	101
0	Max	-1914	60496.10	130	1222.59	130	3794.10	173	3341.84	98	768.72	98	175.66	173	30450.70	101	19645.90	101
0	Min.	-1913	-50370.50	101	-2438.30	161	-30871.70	162	-1248.41	101	-1549.01	101	-179.31	17	-3426.39	173	-18557.70	98
0	Min.	-1343	-50370.50	101	-2438.30	161	-30871.70	162	-1248.41	101	-1549.01	101	-179.31	17	-3426.39	173	-18557.70	98
0	Min.	-1573	-50370.50	101	-2438.30	161	-30871.70	162	-1248.41	101	-1549.01	101	-179.31	17	-3426.39	173	-18557.70	98
0	Min.	-1914	-50370.50	101	-2438.30	161	-30871.70	162	-1248.41	101	-1549.01	101	-179.31	17	-3426.39	173	-18557.70	98
0	Max	-1915	60722.10	130	1582.62	121	2825.78	166	3365.88	98	819.15	98	247.76	173	35384.30	102	19736.30	101
0	Max	-1347	60722.10	130	1582.62	121	2825.78	166	3365.88	98	819.15	98	247.76	173	35384.30	102	19736.30	101
0	Max	-1559	60722.10	130	1582.62	121	2825.78	166	3365.88	98	819.15	98	247.76	173	35384.30	102	19736.30	101
0	Max	-1916	60722.10	130	1582.62	121	2825.78	166	3365.88	98	819.15	98	247.76	173	35384.30	102	19736.30	101
0	Min.	-1915	-50260.50	101	-4260.64	177	-25896.40	161	-1265.79	101	-1436.17	101	-141.94	65	-1694.36	173	-15883.80	98
0	Min.	-1347	-50260.50	101	-4260.64	177	-25896.40	161	-1265.79	101	-1436.17	101	-141.94	65	-1694.36	173	-15883.80	98
0	Min.	-1559	-50260.50	101	-4260.64	177	-25896.40	161	-1265.79	101	-1436.17	101	-141.94	65	-1694.36	173	-15883.80	98
0	Min.	-1916	-50260.50	101	-4260.64	177	-25896.40	161	-1265.79	101	-1436.17	101	-141.94	65	-1694.36	173	-15883.80	98
0	Max	-1917	49825.80	130	1052.63	1	5529.55	161	3462.60	98	653.42	106	592.96	173	3727.05	98	39094.30	102
0	Max	-1698	49825.80	130	1052.63	1	5529.55	161	3462.60	98	653.42	106	592.96	173	3727.05	98	39094.30	102
0	Max	-1475	49825.80	130	1052.63	1	5529.55	161	3462.60	98	653.42	106	592.96	173	3727.05	98	39094.30	102
0	Max	-1918	49825.80	130	1052.63	1	5529.55	161	3462.60	98	653.42	106	592.96	173	3727.05	98	39094.30	102
0	Min.	-1917	-66921.70	101	-1344.99	177	-8675.63	177	-526.58	101	-236.80	101	-428.19	17	-29367.20	101	4573.38	65
0	Min.	-1698	-66921.70	101	-1344.99	177	-8675.63	177	-526.58	101	-236.80	101	-428.19	17	-29367.20	101	4573.38	65
0	Min.	-1475	-66921.70	101	-1344.99	177	-8675.63	177	-526.58	101	-236.80	101	-428.19	17	-29367.20	101	4573.38	65
0	Min.	-1918	-66921.70	101	-1344.99	177	-8675.63	177	-526.58	101	-236.80	101	-428.19	17	-29367.20	101	4573.38	65
0	Max	-1919	48282.30	130	4890.37	98	1145.31	165	3365.65	98	872.09	173	566.51	173	37243.30	102	54960.60	102
0	Max	-1384	48282.30	130	4890.37	98	1145.31	165	3365.65	98	872.09	173	566.51	173	37243.30	102	54960.60	102
0	Max	-1725	48282.30	130	4890.37	98	1145.31	165	3365.65	98	872.09	173	566.51	173	37243.30	102	54960.60	102
0	Max	-1920	48282.30	130	4890.37	98	1145.31	165	3365.65	98	872.09	173	566.51	173	37243.30	102	54960.60	102
0	Min.	-1919	-67981.80	101	-5733.26	161	-27705.70	162	-1023.14	101	-1421.28	101	-399.04	17	-1139.68	173	4002.19	17
0	Min.	-1384	-67981.80	101	-5733.26	161	-27705.70	162	-1023.14	101	-1421.28	101	-399.04	17	-1139.68	173	4002.19	17
0	Min.	-1725	-67981.80	101	-5733.26	161	-27705.70	162	-1023.14	101	-1421.28	101	-399.04	17	-1139.68	173	4002.19	17
0	Min.	-1920	-67981.80	101	-5733.26	161	-27705.70	162	-1023.14	101	-1421.28	101	-399.04	17	-1139.68	173	4002.19	17
0	Max	-1921	58378.20	130	654.30	98	3022.03	101	3159.62	98	580.28	98	131.08	65	3733.17	101	-1884.24	65
0	Max	-1566	58378.20	130	654.30	98	3022.03	101	3159.62	98	580.28	98	131.08	65	3733.17	101	-1884.24	65
0	Max	-2179	58378.20	130	654.30	98	3022.03	101	3159.62	98	580.28	98	131.08	65	3733.17	101	-1884.24	65
0	Max	-2180	58378.20	130	654.30	98	3022.03	101	3159.62	98	580.28	98	131.08	65	3733.17	101	-1884.24	65
0	Min.	-1921	-49641.90	101	69.18	137	-6727.89	162	-483.57	101	3.64	65	-321.99	17	-8321.33	98	-17687.30	98
0	Min.	-1566	-49641.90	101	69.18	137	-6727.89	162	-483.57	101	3.64	65	-321.99	17	-8321.33	98	-17687.30	98
0	Min.	-2179	-49641.90	101	69.18	137	-6727.89	162	-483.57	101	3.64	65	-321.99	17	-8321.33	98	-17687.30	98
0	Min.	-2180	-49641.90	101	69.18	137	-6727.89	162	-483.57	101	3.64	65	-321.99	17	-8321.33	98	-17687.30	98
0	Max	-1920	49586.80	130	1179.19	173	3436.70	173	3462.99	98	756.05	173	636.24	173	29160.60	101	38957.70	102
0	Max	-1725	49586.80	130	1179.19	173	3436.70	173	3462.99	98	756.05	173	636.24	173	29160.60	101	38957.70	102
0	Max	-1802	49586.80	130	1179.19	173	3436.70	173	3462.99	98	756.05	173	636.24	173	29160.60	101	38957.70	102
0	Max	-1923	49586.80	130	1179.19	173	3436.70	173	3462.99	98	756.05	173	636.24	173	29160.60	101	38957.70	102
0	Min.	-1920	-66703.10	101	-4564.50	177	-9090.52	177	-526.12	101	-246.82	101	-395.74	17	-5673.83	173	4635.84	17
0	Min.	-1725	-66703.10	101	-4564.50	177	-9090.52	177	-526.12	101	-246.82	101	-395.74	17	-5673.83	173	4635.84	17
0	Min.	-1802	-66703.10	101	-4564.50	177	-9090.52	177	-526.12	101	-246.82	101	-395.74	17	-5673.83	173	4635.84	17
0	Min.	-1923	-66703.10	101	-4564.50	177	-9090.52	177	-526.12	101	-246.82	101	-395.74	17	-5673.83	173	4635.84	17
0	Max	-1924	48125.30	130	2741.70	173	31221.70	162	3453.88	98	772.67	173	535.38	173	8515.16	98	54111.60	102
0	Max	-1838	48125.30	130	2741.70	173	31221.70	162	3453.88	98	772.67	173	535.38	173	8515.16	98	54111.60	102
0	Max	-1384	48125.30	130	2741.70	173	31221.70	162	3453.88	98	772.67	173	535.38	173	8515.16	98	54111.60	102
0	Max	-1919	48125.30	130	2741.70	173	31221.70	162	3453.88	98	772.67	173	535.38	173	8515.16	98	54111.60	102
0	Min.	-1924	-67240.40	101	-6597.97	161	-6676.36	177	-926.07	101	-1698.07	101	-396.69	17	-21582.00	101	3456.19	17
0	Min.	-1838	-67240.40	101	-6597.97	161	-6676.36	177	-926.07	101	-1698.07	101	-396.69	17	-21582.00	101	3456.19	17
0	Min.	-1384	-67240.40	101	-6597.97	161	-6676.36	177	-926.07	101	-1698.07	101	-396.69	17	-21582.00	101	3456.19	17
0	Min.	-1919	-67240.40	101	-6597.97	161	-6676.36	177	-926.07	101	-1698.07	101	-396.69	17	-21582.00	101	3456.19	17
0	Max	-1925	59565.40	130	1467.23	161	2689.45	173	3201.97	98	741.73	98	138.28	173	21395.40	101	-1701.79	65

0	Max	-1515	59565.40	130	1467.23	161	2689.45	173	3201.97	98	741.73	98	138.28	173	21395.40	101	-1701.79	65
0	Max	-1566	59565.40	130	1467.23	161	2689.45	173	3201.97	98	741.73	98	138.28	173	21395.40	101	-1701.79	65
0	Max	-1921	59565.40	130	1467.23	161	2689.45	173	3201.97	98	741.73	98	138.28	173	21395.40	101	-1701.79	65
0	Min.	-1925	-50292.40	101	65.10	1	-7880.78	162	-598.54	101	11.32	65	-265.87	17	-2843.96	173	-17027.00	98
0	Min.	-1515	-50292.40	101	65.10	1	-7880.78	162	-598.54	101	11.32	65	-265.87	17	-2843.96	173	-17027.00	98
0	Min.	-1566	-50292.40	101	65.10	1	-7880.78	162	-598.54	101	11.32	65	-265.87	17	-2843.96	173	-17027.00	98
0	Min.	-1921	-50292.40	101	65.10	1	-7880.78	162	-598.54	101	11.32	65	-265.87	17	-2843.96	173	-17027.00	98
0	Max	-1914	59373.70	130	4128.26	162	3624.31	173	3268.37	98	749.01	98	166.93	173	34085.00	101	3593.45	101
0	Max	-1573	59373.70	130	4128.26	162	3624.31	173	3268.37	98	749.01	98	166.93	173	34085.00	101	3593.45	101
0	Max	-1515	59373.70	130	4128.26	162	3624.31	173	3268.37	98	749.01	98	166.93	173	34085.00	101	3593.45	101
0	Max	-1925	59373.70	130	4128.26	162	3624.31	173	3268.37	98	749.01	98	166.93	173	34085.00	101	3593.45	101
0	Min.	-1914	-49743.80	101	-415.76	101	-11251.70	162	-899.46	101	-619.83	101	-207.95	17	-3312.36	173	-18370.50	98
0	Min.	-1573	-49743.80	101	-415.76	101	-11251.70	162	-899.46	101	-619.83	101	-207.95	17	-3312.36	173	-18370.50	98
0	Min.	-1515	-49743.80	101	-415.76	101	-11251.70	162	-899.46	101	-619.83	101	-207.95	17	-3312.36	173	-18370.50	98
0	Min.	-1925	-49743.80	101	-415.76	101	-11251.70	162	-899.46	101	-619.83	101	-207.95	17	-3312.36	173	-18370.50	98
0	Max	-1926	60158.20	130	2187.01	130	4375.48	173	3469.13	98	756.55	98	199.07	173	2648.75	17	-2081.99	49
0	Max	-1552	60158.20	130	2187.01	130	4375.48	173	3469.13	98	756.55	98	199.07	173	2648.75	17	-2081.99	49
0	Max	-1587	60158.20	130	2187.01	130	4375.48	173	3469.13	98	756.55	98	199.07	173	2648.75	17	-2081.99	49
0	Max	-1927	60158.20	130	2187.01	130	4375.48	173	3469.13	98	756.55	98	199.07	173	2648.75	17	-2081.99	49
0	Min.	-1926	-49421.10	101	-2344.21	177	-13620.30	177	-355.28	101	74.33	161	-131.85	65	-5468.70	101	-15909.10	98
0	Min.	-1552	-49421.10	101	-2344.21	177	-13620.30	177	-355.28	101	74.33	161	-131.85	65	-5468.70	101	-15909.10	98
0	Min.	-1587	-49421.10	101	-2344.21	177	-13620.30	177	-355.28	101	74.33	161	-131.85	65	-5468.70	101	-15909.10	98
0	Min.	-1927	-49421.10	101	-2344.21	177	-13620.30	177	-355.28	101	74.33	161	-131.85	65	-5468.70	101	-15909.10	98
0	Max	-1927	59946.00	130	2945.45	162	4867.19	161	3428.44	98	807.65	98	196.63	173	2095.01	17	1773.39	101
0	Max	-1587	59946.00	130	2945.45	162	4867.19	161	3428.44	98	807.65	98	196.63	173	2095.01	17	1773.39	101
0	Max	-1580	59946.00	130	2945.45	162	4867.19	161	3428.44	98	807.65	98	196.63	173	2095.01	17	1773.39	101
0	Max	-1928	59946.00	130	2945.45	162	4867.19	161	3428.44	98	807.65	98	196.63	173	2095.01	17	1773.39	101
0	Min.	-1927	-49323.30	101	-1389.23	177	-12543.90	177	-790.30	101	-185.08	101	-177.38	126	-33136.60	102	-16298.80	98
0	Min.	-1587	-49323.30	101	-1389.23	177	-12543.90	177	-790.30	101	-185.08	101	-177.38	126	-33136.60	102	-16298.80	98
0	Min.	-1580	-49323.30	101	-1389.23	177	-12543.90	177	-790.30	101	-185.08	101	-177.38	126	-33136.60	102	-16298.80	98
0	Min.	-1928	-49323.30	101	-1389.23	177	-12543.90	177	-790.30	101	-185.08	101	-177.38	126	-33136.60	102	-16298.80	98
0	Max	-1916	59696.60	130	2931.67	162	3260.00	173	3429.32	98	803.74	98	208.94	173	33064.10	102	1789.11	101
0	Max	-1559	59696.60	130	2931.67	162	3260.00	173	3429.32	98	803.74	98	208.94	173	33064.10	102	1789.11	101
0	Max	-1594	59696.60	130	2931.67	162	3260.00	173	3429.32	98	803.74	98	208.94	173	33064.10	102	1789.11	101
0	Max	-1929	59696.60	130	2931.67	162	3260.00	173	3429.32	98	803.74	98	208.94	173	33064.10	102	1789.11	101
0	Min.	-1916	-49155.20	101	-4149.50	177	-12550.50	177	-789.35	101	-192.71	101	-142.14	65	-2933.39	173	-16274.30	98
0	Min.	-1559	-49155.20	101	-4149.50	177	-12550.50	177	-789.35	101	-192.71	101	-142.14	65	-2933.39	173	-16274.30	98
0	Min.	-1594	-49155.20	101	-4149.50	177	-12550.50	177	-789.35	101	-192.71	101	-142.14	65	-2933.39	173	-16274.30	98
0	Min.	-1929	-49155.20	101	-4149.50	177	-12550.50	177	-789.35	101	-192.71	101	-142.14	65	-2933.39	173	-16274.30	98
0	Max	-1930	60067.80	130	1176.13	129	30810.70	161	3341.85	98	796.06	173	282.37	173	1953.06	17	19779.40	101
0	Max	-1414	60067.80	130	1176.13	129	30810.70	161	3341.85	98	796.06	173	282.37	173	1953.06	17	19779.40	101
0	Max	-1347	60067.80	130	1176.13	129	30810.70	161	3341.85	98	796.06	173	282.37	173	1953.06	17	19779.40	101
0	Max	-1915	60067.80	130	1176.13	129	30810.70	161	3341.85	98	796.06	173	282.37	173	1953.06	17	19779.40	101
0	Min.	-1930	-50042.30	101	-4462.57	177	-9720.91	177	-1248.11	101	-1547.84	101	-140.85	17	-30519.30	101	-18552.80	98
0	Min.	-1414	-50042.30	101	-4462.57	177	-9720.91	177	-1248.11	101	-1547.84	101	-140.85	17	-30519.30	101	-18552.80	98
0	Min.	-1347	-50042.30	101	-4462.57	177	-9720.91	177	-1248.11	101	-1547.84	101	-140.85	17	-30519.30	101	-18552.80	98
0	Min.	-1915	-50042.30	101	-4462.57	177	-9720.91	177	-1248.11	101	-1547.84	101	-140.85	17	-30519.30	101	-18552.80	98
0	Max	-1928	61078.80	130	1634.35	121	25850.10	161	3366.05	98	818.91	98	185.24	173	1293.73	17	19705.40	101
0	Max	-1580	61078.80	130	1634.35	121	25850.10	161	3366.05	98	818.91	98	185.24	173	1293.73	17	19705.40	101
0	Max	-1343	61078.80	130	1634.35	121	25850.10	161	3366.05	98	818.91	98	185.24	173	1293.73	17	19705.40	101
0	Max	-1913	61078.80	130	1634.35	121	25850.10	161	3366.05	98	818.91	98	185.24	173	1293.73	17	19705.40	101
0	Min.	-1928	-50520.40	101	-2423.48	162	-11014.40	177	-1265.71	101	-1434.27	101	-171.27	126	-35511.50	102	-15903.50	98
0	Min.	-1580	-50520.40	101	-2423.48	162	-11014.40	177	-1265.71	101	-1434.27	101	-171.27	126	-35511.50	102	-15903.50	98
0	Min.	-1343	-50520.40	101	-2423.48	162	-11014.40	177	-1265.71	101	-1434.27	101	-171.27	126	-35511.50	102	-15903.50	98
0	Min.	-1913	-50520.40	101	-2423.48	162	-11014.40	177	-1265.71	101	-1434.27	101	-171.27	126	-35511.50	102	-15903.50	98
0	Max	-1929	59971.30	130	2192.01	130	3987.95	173	3469.93	98	753.08	98	191.00	173	5476.01	101	-2100.94	1
0	Max	-1594	59971.30	130	2192.01	130	3987.95	173	3469.93	98	753.08	98	191.00	173	5476.01	101	-2100.94	1
0	Max	-1552	59971.30	130	2192.01	130	3987.95	173	3469.93	98	753.08	98	191.00	173	5476.01	101	-2100.94	1
0	Max	-1926	59971.30	130	2192.01	130	3987.95	173	3469.93	98	753.08	98	191.00	173	5476.01	101	-2100.94	1
0	Min.	-1929	-49287.00	101	-3360.77	177	-13625.30	177	-354.52	101	73.71	161	-137.63	65	-3881.50	173	-15914.10	98
0	Min.	-1594	-49287.00	101	-3360.77	177	-13625.30	177	-354.52	101	73.71	161	-137.63	65	-3881.50	173	-15914.10	98
0	Min.	-1552	-49287.00	101	-3360.77	177	-13625.30	177	-354.52	101	73.71	161	-137.63	65	-3881.50	173	-15914.10	98
0	Min.	-1926	-49287.00	101	-3360.77	177	-13625.30	177	-354.52	101	73.71	161	-137.63	65	-3881.50	173	-15914.10	98
0	Max	-1931	58913.60	130	4288.77	162	11300.90	162	3269.64	98	785.95	173	338.37	173	3141.27	98	3713.08	101
0	Max	-1447	58913.60	130	4288.77	162	11300.90	162	3269.64	98	785.95	173	338.37	173	3141.27	98	3713.08	101
0	Max	-1414	58913.60	130	4288.77	162	11300.90	162	3269.64	98	785.95	173	338.37	173	3141.27	98	3713.08	101
0	Max	-1930	58913.60	130	4288.77	162	11300.90	162	3269.64	98	785.95	173	338.37	173	3141.27	98	3713.08	101
0	Min.	-1931	-49429.80	101	-3966.53	177	-7870.35	177	-904.75	101	-630.62	101	-141.76	101	-34507.30	101	-18458.60	98
0	Min.	-1447	-49429.80	101	-3966.53	177	-7870.35	177	-904.75	101	-630.62	101	-141.76	101	-34507.30	101	-18458.60	98
0	Min.	-1414	-49429.80	101	-3966.53	177	-7870.35	177	-904.75	101	-630.62	101	-141.76	101	-34507.30	101	-18458.60	98
0	Min.	-1930	-49429.80	101	-3966.53	177	-7870.35	177	-904.75	101	-630.62	101	-141.76	101	-34507.30	101	-18458.60	98
0	Max	-1932	58832.90	130	1429.45	161	7999.34	162	3202.21	98	754.02	173	440.57	173	2746.25	110	-1760.71	17
0	Max	-1854	58832.90	130	1429.45	161	7999.34	162	3202.21	98	754.02	173	440.57	173	2746.25	110	-1760.71	17
0	Max	-1447	58832.90	130	1429.45	161	7999.34	162	3202.21	98	754.02	173	440.57	173	2746.25	110	-1760.71	17
0	Max	-1931	58832.90	130	1429.45	161	7999.34	162	3202.21	98	754.02	173	440.57	173	2746.25	110	-1760.71	17
0	Min.	-1932	-49787.50	101	-3561.56	177	-5927.43	177	-603.89	101	-151.15	177	-135.20	17	-21677.40	101	-17109.60	98
0	Min.	-1854	-49787.50	101	-3561.56	177	-5927.43	177	-603.89	101	-151.15	177	-135.20	17	-21677.40	101	-17109.60	98
0	Min.	-1447	-49787.50	101	-3561.56	177	-5927.43	177	-603.89	101	-151.15	177	-135.20	17	-21677.40	101	-17109.60	98
0	Min.	-1931	-49787.50	101	-3561.56	177	-5927.43	177	-603.89	101	-151.15	177	-135.20	17	-21677.40	101	-17109.60	98
0	Max	-1933	55559.70	130	841.49	130	3581.02	161	3200.75	98	263.29	173	620.98	173	13222.10	97	-1836.90	1
0	Max	-1601	55559.70	130	841.49	130	3581.02	161	3200.75	98	263.29	173	620.98	173	13222.10	97	-1836.90	1
0	Max	-2133	55559.70	130	841.49	130	3581.02	161	3200.75	98	263.29	173	620.98	173	13222.10	97	-1836.90	1
0	Max	-2134	55559.70	130	841.49	130	3581.02	161	3200.75	98	263.29	173	620.98	173	13222.10	97	-1836.90	1
0	Min.	-1933	-48050.00	101	-2512.81	177	-1909.78	177	-243.61	101	-40.76	177	-124.31	17	-3577.91	162	-17620.90	98
0	Min.	-1601	-48050.00	101	-2512.81	177	-1909.78	177	-243.61	101	-40.76	177	-124.31	17	-3577.91	162	-17620.90	98
0	Min.	-2133	-48050.00	101	-2512.81	177	-1909.78	177	-243.61	101	-40.76	177	-124.31	17	-3577.91	162	-17620.90	98
0	Min.	-2134	-48050.00	101	-2512.81	177	-1909.78	177	-243.61	101	-40.76	177	-124.31	17	-3577.91	162	-17620.90	98
0	Max	-1934	49313.60	106	4496.77	97	13190.90	162	5543.40	98	321.90	173	447.95	161	29387.40	177	102505.00	97
0	Max	-1822	49313.60	106	4496.77	97	13190.90	162	5543.40	98	321.90	173	447.95	161	29387.40	177	102505.00	97
0	Max	-2137	49313.60	106	4496.77	97	13190.90	162	5543.40	98	321.90	173	447.95	161	29387.40	177	102505.00	97
0	Max	-2138	49313.60	106	4496.77	97	13190.90	162	5543.40	98	321.90	173	447.95	161	29387.40	177	102505.00	97
0	Min.	-1934	-54167.60	101	-14807.60	177	-12804.50	97	61.59	161	-1538.24	177	-1891.28	98	-4211.44	101	-29486.60	162
0	Min.	-1822	-54167.60	101	-14807.60	177	-12804.50	97	61.59	161	-1538.24	177	-1891.28	98	-4211.44	101	-29486.60	162
0	Min.	-2137	-54167.60	101	-14807.60	177	-12804.50	97	61.59	161	-1538.24	177	-1891.28	98	-4211.44	101	-29486.60	162
0	Min.	-2138	-54167.60	101	-14807.60	177	-12804.50	97	61.59	161	-1538.24	177	-1891.28	98	-4211.44	101	-29486.60	162
0	Max	-1935	46318.80	130	5165.48	98	9463.96	162	3287.04	98	907.95	173	362.46	173	6765.99	177	40503.80	98
0	Max	-1782	46318.80	130	5165.48	98	9463.96	162	3287.04	98	907.95	173	362.46	173	6765.99	177	40503.80	98
0	Max	-1387	46318.80	130	5165.48	98	9463.96	162	3287.04	98	907.95	173	362.46	173	6765.99	177	40503.80	98
0	Max	-1936	46318.80	130	5165.48	98	9463.96	162	3287.04	98	907.95	173	362.46	173	6765.99	177	40503.80	98
0	Min.	-1935	-67112.10	101	-8381.57	177	-3471.22	177	-358.53	101	-253.95	177	-644.94	97	-20975.40	101	3333.11	17
0	Min.	-1782	-67112.10	101	-8381.57	177	-3471.22	177	-358.53	101	-253.95	177	-644.94	97	-20975.40	101	3333.11	17
0	Min.	-1387	-67112.10	101	-8381.57	177	-3471.22	177	-358.53	101	-253.95	177	-644.94	97	-20975.40	101	3333.11	17
0	Min.	-1936	-67112.10	101	-8381.57	177	-3471.22	177	-358.53	101	-253.95	177	-644.94	97	-20975.40	101	3333.11	17
0	Max	-1936	48487.40	130	1604.47	173	9933.88	161	3375.87	98	822.37	173	562.50	173	2689.17	177	37450.90	102
0	Max	-1387	48487.40	130	1604.47	173	9933.88	161	3375.87	98	822.37	173	562.50	173	2689.17	177	37450.90	102

0	Max	-1838	48487.40	130	1604.47	173	9933.88	161	3375.87	98	822.37	173	562.50	173	2689.17	177	37450.90	102
0	Max	-1924	48487.40	130	1604.47	173	9933.88	161	3375.87	98	822.37	173	562.50	173	2689.17	177	37450.90	102
0	Min.	-1936	-66232.70	101	-7054.60	177	-6051.07	177	-603.91	101	-710.35	101	-372.58	17	-43417.00	102	3019.60	17
0	Min.	-1387	-66232.70	101	-7054.60	177	-6051.07	177	-603.91	101	-710.35	101	-372.58	17	-43417.00	102	3019.60	17
0	Min.	-1838	-66232.70	101	-7054.60	177	-6051.07	177	-603.91	101	-710.35	101	-372.58	17	-43417.00	102	3019.60	17
0	Min.	-1924	-66232.70	101	-7054.60	177	-6051.07	177	-603.91	101	-710.35	101	-372.58	17	-43417.00	102	3019.60	17
0	Max	-1937	49113.80	130	1265.02	173	4958.79	173	3488.87	98	689.75	102	614.29	173	2017.12	17	34890.10	98
0	Max	-1452	49113.80	130	1265.02	173	4958.79	173	3488.87	98	689.75	102	614.29	173	2017.12	17	34890.10	98
0	Max	-1698	49113.80	130	1265.02	173	4958.79	173	3488.87	98	689.75	102	614.29	173	2017.12	17	34890.10	98
0	Max	-1917	49113.80	130	1265.02	173	4958.79	173	3488.87	98	689.75	102	614.29	173	2017.12	17	34890.10	98
0	Min.	-1937	-67662.40	101	-2262.05	177	-9554.22	177	-113.89	137	174.50	49	-419.28	17	-8965.78	102	4762.25	33
0	Min.	-1452	-67662.40	101	-2262.05	177	-9554.22	177	-113.89	137	174.50	49	-419.28	17	-8965.78	102	4762.25	33
0	Min.	-1698	-67662.40	101	-2262.05	177	-9554.22	177	-113.89	137	174.50	49	-419.28	17	-8965.78	102	4762.25	33
0	Min.	-1917	-67662.40	101	-2262.05	177	-9554.22	177	-113.89	137	174.50	49	-419.28	17	-8965.78	102	4762.25	33
0	Max	-1918	48602.30	130	4968.37	98	27759.60	162	3366.30	98	742.33	98	631.60	173	848.34	17	54910.30	102
0	Max	-1475	48602.30	130	4968.37	98	27759.60	162	3366.30	98	742.33	98	631.60	173	848.34	17	54910.30	102
0	Max	-1894	48602.30	130	4968.37	98	27759.60	162	3366.30	98	742.33	98	631.60	173	848.34	17	54910.30	102
0	Max	-1938	48602.30	130	4968.37	98	27759.60	162	3366.30	98	742.33	98	631.60	173	848.34	17	54910.30	102
0	Min.	-1918	-68328.50	101	-5723.63	161	-6872.50	177	-1022.25	101	-1421.08	101	-383.08	17	-37425.90	102	3908.84	65
0	Min.	-1475	-68328.50	101	-5723.63	161	-6872.50	177	-1022.25	101	-1421.08	101	-383.08	17	-37425.90	102	3908.84	65
0	Min.	-1894	-68328.50	101	-5723.63	161	-6872.50	177	-1022.25	101	-1421.08	101	-383.08	17	-37425.90	102	3908.84	65
0	Min.	-1938	-68328.50	101	-5723.63	161	-6872.50	177	-1022.25	101	-1421.08	101	-383.08	17	-37425.90	102	3908.84	65
0	Max	-1923	49124.60	130	1400.01	173	4239.36	173	3489.53	98	680.41	102	612.85	173	9017.45	102	34776.40	98
0	Max	-1802	49124.60	130	1400.01	173	4239.36	173	3489.53	98	680.41	102	612.85	173	9017.45	102	34776.40	98
0	Max	-1452	49124.60	130	1400.01	173	4239.36	173	3489.53	98	680.41	102	612.85	173	9017.45	102	34776.40	98
0	Max	-1937	49124.60	130	1400.01	173	4239.36	173	3489.53	98	680.41	102	612.85	173	9017.45	102	34776.40	98
0	Min.	-1923	-67459.50	101	-3369.07	177	-9768.42	177	-113.24	137	118.18	177	-415.43	17	-2890.04	173	4746.48	33
0	Min.	-1802	-67459.50	101	-3369.07	177	-9768.42	177	-113.24	137	118.18	177	-415.43	17	-2890.04	173	4746.48	33
0	Min.	-1452	-67459.50	101	-3369.07	177	-9768.42	177	-113.24	137	118.18	177	-415.43	17	-2890.04	173	4746.48	33
0	Min.	-1937	-67459.50	101	-3369.07	177	-9768.42	177	-113.24	137	118.18	177	-415.43	17	-2890.04	173	4746.48	33
0	Max	-1939	49069.70	130	1167.25	17	5063.82	98	3371.82	98	628.86	98	621.59	173	42817.60	102	37224.00	102
0	Max	-1705	49069.70	130	1167.25	17	5063.82	98	3371.82	98	628.86	98	621.59	173	42817.60	102	37224.00	102
0	Max	-1458	49069.70	130	1167.25	17	5063.82	98	3371.82	98	628.86	98	621.59	173	42817.60	102	37224.00	102
0	Max	-1940	49069.70	130	1167.25	17	5063.82	98	3371.82	98	628.86	98	621.59	173	42817.60	102	37224.00	102
0	Min.	-1939	-66641.30	101	-565.75	165	-9863.16	161	-601.49	101	-695.66	101	-372.11	17	-693.27	65	2910.88	65
0	Min.	-1705	-66641.30	101	-565.75	165	-9863.16	161	-601.49	101	-695.66	101	-372.11	17	-693.27	65	2910.88	65
0	Min.	-1458	-66641.30	101	-565.75	165	-9863.16	161	-601.49	101	-695.66	101	-372.11	17	-693.27	65	2910.88	65
0	Min.	-1940	-66641.30	101	-565.75	165	-9863.16	161	-601.49	101	-695.66	101	-372.11	17	-693.27	65	2910.88	65
0	Max	-1940	46839.60	130	5925.63	98	1746.53	173	3287.34	98	824.21	98	711.32	173	20245.30	101	40430.50	98
0	Max	-1458	46839.60	130	5925.63	98	1746.53	173	3287.34	98	824.21	98	711.32	173	20245.30	101	40430.50	98
0	Max	-1745	46839.60	130	5925.63	98	1746.53	173	3287.34	98	824.21	98	711.32	173	20245.30	101	40430.50	98
0	Max	-1941	46839.60	130	5925.63	98	1746.53	173	3287.34	98	824.21	98	711.32	173	20245.30	101	40430.50	98
0	Min.	-1940	-67854.80	101	54.64	161	-9315.24	162	-354.43	101	45.14	65	-272.25	17	-4037.39	122	3183.59	65
0	Min.	-1458	-67854.80	101	54.64	161	-9315.24	162	-354.43	101	45.14	65	-272.25	17	-4037.39	122	3183.59	65
0	Min.	-1745	-67854.80	101	54.64	161	-9315.24	162	-354.43	101	45.14	65	-272.25	17	-4037.39	122	3183.59	65
0	Min.	-1941	-67854.80	101	54.64	161	-9315.24	162	-354.43	101	45.14	65	-272.25	17	-4037.39	122	3183.59	65
0	Max	-1942	55882.90	106	1158.87	162	2646.66	166	6613.65	98	178.86	97	190.22	65	5567.65	162	46856.00	97
0	Max	-2069	55882.90	106	1158.87	162	2646.66	166	6613.65	98	178.86	97	190.22	65	5567.65	162	46856.00	97
0	Max	-2013	55882.90	106	1158.87	162	2646.66	166	6613.65	98	178.86	97	190.22	65	5567.65	162	46856.00	97
0	Max	-2015	55882.90	106	1158.87	162	2646.66	166	6613.65	98	178.86	97	190.22	65	5567.65	162	46856.00	97
0	Min.	-1942	-46987.00	101	-1145.27	97	-5410.49	97	-373.65	161	-87.45	162	-250.58	17	-12925.90	97	-22381.40	162
0	Min.	-2069	-46987.00	101	-1145.27	97	-5410.49	97	-373.65	161	-87.45	162	-250.58	17	-12925.90	97	-22381.40	162
0	Min.	-2013	-46987.00	101	-1145.27	97	-5410.49	97	-373.65	161	-87.45	162	-250.58	17	-12925.90	97	-22381.40	162
0	Min.	-2015	-46987.00	101	-1145.27	97	-5410.49	97	-373.65	161	-87.45	162	-250.58	17	-12925.90	97	-22381.40	162
0	Max	-1938	48497.70	130	2899.53	98	3033.72	173	3452.71	98	567.53	106	652.71	173	21556.20	101	54002.40	102
0	Max	-1894	48497.70	130	2899.53	98	3033.72	173	3452.71	98	567.53	106	652.71	173	21556.20	101	54002.40	102
0	Max	-1705	48497.70	130	2899.53	98	3033.72	173	3452.71	98	567.53	106	652.71	173	21556.20	101	54002.40	102
0	Max	-1939	48497.70	130	2899.53	98	3033.72	173	3452.71	98	567.53	106	652.71	173	21556.20	101	54002.40	102
0	Min.	-1938	-67686.60	101	-6580.28	161	-31190.10	162	-926.55	101	-1700.39	101	-366.80	17	-8551.81	98	3361.07	65
0	Min.	-1894	-67686.60	101	-6580.28	161	-31190.10	162	-926.55	101	-1700.39	101	-366.80	17	-8551.81	98	3361.07	65
0	Min.	-1705	-67686.60	101	-6580.28	161	-31190.10	162	-926.55	101	-1700.39	101	-366.80	17	-8551.81	98	3361.07	65
0	Min.	-1939	-67686.60	101	-6580.28	161	-31190.10	162	-926.55	101	-1700.39	101	-366.80	17	-8551.81	98	3361.07	65
0	Max	-1943	42343.40	101	3473.85	121	6893.06	177	2453.79	97	535.31	101	395.35	65	30825.30	106	13351.50	106
0	Max	-1875	42343.40	101	3473.85	121	6893.06	177	2453.79	97	535.31	101	395.35	65	30825.30	106	13351.50	106
0	Max	-1477	42343.40	101	3473.85	121	6893.06	177	2453.79	97	535.31	101	395.35	65	30825.30	106	13351.50	106
0	Max	-1944	42343.40	101	3473.85	121	6893.06	177	2453.79	97	535.31	101	395.35	65	30825.30	106	13351.50	106
0	Min.	-1943	-111892.00	130	-1030.84	166	-31359.80	166	-1595.53	130	-1660.06	106	-741.26	173	-3295.79	173	-34309.60	97
0	Min.	-1875	-111892.00	130	-1030.84	166	-31359.80	166	-1595.53	130	-1660.06	106	-741.26	173	-3295.79	173	-34309.60	97
0	Min.	-1477	-111892.00	130	-1030.84	166	-31359.80	166	-1595.53	130	-1660.06	106	-741.26	173	-3295.79	173	-34309.60	97
0	Min.	-1944	-111892.00	130	-1030.84	166	-31359.80	166	-1595.53	130	-1660.06	106	-741.26	173	-3295.79	173	-34309.60	97
0	Max	-1945	41140.40	101	3697.79	97	8607.23	177	2469.94	97	672.49	173	427.38	65	32859.90	105	-2735.65	154
0	Max	-1707	41140.40	101	3697.79	97	8607.23	177	2469.94	97	672.49	173	427.38	65	32859.90	105	-2735.65	154
0	Max	-1784	41140.40	101	3697.79	97	8607.23	177	2469.94	97	672.49	173	427.38	65	32859.90	105	-2735.65	154
0	Max	-1946	41140.40	101	3697.79	97	8607.23	177	2469.94	97	672.49	173	427.38	65	32859.90	105	-2735.65	154
0	Min.	-1945	-88325.30	130	-3968.68	177	-4263.18	166	-1309.05	130	-325.60	106	-683.20	173	-2767.73	173	-34277.60	97
0	Min.	-1707	-88325.30	130	-3968.68	177	-4263.18	166	-1309.05	130	-325.60	106	-683.20	173	-2767.73	173	-34277.60	97
0	Min.	-1784	-88325.30	130	-3968.68	177	-4263.18	166	-1309.05	130	-325.60	106	-683.20	173	-2767.73	173	-34277.60	97
0	Min.	-1946	-88325.30	130	-3968.68	177	-4263.18	166	-1309.05	130	-325.60	106	-683.20	173	-2767.73	173	-34277.60	97
0	Max	-1947	43255.40	101	1468.48	162	8232.50	177	2482.17	97	746.19	173	416.96	65	34681.40	105	14157.40	106
0	Max	-1359	43255.40	101	1468.48	162	8232.50	177	2482.17	97	746.19	173	416.96	65	34681.40	105	14157.40	106
0	Max	-1707	43255.40	101	1468.48	162	8232.50	177	2482.17	97	746.19	173	416.96	65	34681.40	105	14157.40	106
0	Max	-1945	43255.40	101	1468.48	162	8232.50	177	2482.17	97	746.19	173	416.96	65	34681.40	105	14157.40	106
0	Min.	-1947	-111857.00	130	-5318.08	177	-24638.90	166	-1624.74	130	-1556.79	106	-665.16	173	-2060.57	173	-29982.90	97
0	Min.	-1359	-111857.00	130	-5318.08	177	-24638.90	166	-1624.74	130	-1556.79	106	-665.16	173	-2060.57	173	-29982.90	97
0	Min.	-1707	-111857.00	130	-5318.08	177	-24638.90	166	-1624.74	130	-1556.79	106	-665.16	173	-2060.57	173	-29982.90	97
0	Min.	-1945	-111857.00	130	-5318.08	177	-24638.90	166	-1624.74	130	-1556.79	106	-665.16	173	-2060.57	173	-29982.90	97
0	Max	-1948	42048.90	101	3294.37	121	31349.40	166	2452.66	97	730.36	173	414.33	65	2648.34	177	13428.30	106
0	Max	-1839	42048.90	101	3294.37	121	31349.40	166	2452.66	97	730.36	173	414.33	65	2648.34	177	13428.30	106
0	Max	-1359	42048.90	101	3294.37	121	31349.40	166	2452.66	97	730.36	173	414.33	65	2648.34	177	13428.30	106
0	Max	-1947	42048.90	101	3294.37	121	31349.40	166	2452.66	97	730.36	173	414.33	65	2648.34	177	13428.30	106
0	Min.	-1948	-111308.00	130	-5438.13	177	-4294.21	173	-1595.11	130	-1659.27	106	-616.09	173	-30890.60	106	-34407.10	97
0	Min.	-1839	-111308.00	130	-5438.13	177	-4294.21	173	-1595.11	130	-1659.27	106	-616.09	173	-30890.60	106	-34407.10	97
0	Min.	-1359	-111308.00	130	-5438.13	177	-4294.21	173	-1595.11	130	-1659.27	106	-616.09	173	-30890.60	106	-34407.10	97
0	Min.	-1947	-111308.00	130	-5438.13	177	-4294.21	173	-1595.11	130	-1659.27	106	-616.09	173	-30890.60	106	-34407.10	97
0	Max	-1946	42438.50	101	2917.87	97	9231.70	177	2521.05	97	562.50	105	439.06	65	5374.94	106	-4070.09	33
0	Max	-1784	42438.50	101	2917.87	97	9231.70	177	2521.05	97	562.50	105	439.06	65	5374.94	106	-4070.09	33
0	Max	-1429	42438.50	101	2917.87	97	9231.70	177	2521.05	97	562.50	105	439.06	65	5374.94	106	-4070.09	33
0	Max	-1949	42438.50	101	2917.87	97	9231.70	177	2521.05	97	562.50	105	439.06	65	5374.94	106	-4070.09	33
0	Min.	-1946	-84571.20	130	-3031.77	177	-4147.91	173	-990.56	130	94.79	177	-700.99	173	-3670.16	173	-32808.60	97
0	Min.	-1784	-84571.20	130	-3031.77	177	-4147.91	173	-990.56	130	94.79	177	-700.99	173	-3670.16	173	-32808.60	97
0	Min.	-1429	-84571.20	130	-3031.77	177	-4147.91	173	-990.56	130	94.79	177	-700.99	173	-3670.16	173	-32808.60	97
0	Min.	-1949	-84571.20	130	-3031.77	177	-4147.91	173	-990.56	130	94.79	177	-700.99	173	-3670.16	173	-32808.60	97
0	Max	-1950	46139.80	101	3280.68	97	8253.03	166	2991.56	97	201.14	173	557.82	97	-436.12	17	-1915.50	177
0	Max	-1804	46139.80	101	3280.68	97	8253.03	166	2991.56	97	201.14	173	557.82	97	-436.12	17	-1915.50	177
0	Max	-2161	46139.80	101	3280.68	97	8253.03	166	2991.56	97	201.14	173	557.82	97	-436.12	17	-1915.50	177

0	Max	-2162	46139.80	101	3280.68	97	8253.03	166	2991.56	97	201.14	173	557.82	97	-436.12	17	-1915.50	177
0	Min.	-1950	-65344.40	130	-4508.89	177	-401.57	101	-240.22	106	-325.81	177	-508.28	173	-31542.80	158	-58749.00	97
0	Min.	-1804	-65344.40	130	-4508.89	177	-401.57	101	-240.22	106	-325.81	177	-508.28	173	-31542.80	158	-58749.00	97
0	Min.	-2161	-65344.40	130	-4508.89	177	-401.57	101	-240.22	106	-325.81	177	-508.28	173	-31542.80	158	-58749.00	97
0	Min.	-2162	-65344.40	130	-4508.89	177	-401.57	101	-240.22	106	-325.81	177	-508.28	173	-31542.80	158	-58749.00	97
0	Max	-1951	43298.90	101	4396.38	166	9773.19	166	2474.29	97	606.32	173	601.97	97	6176.86	177	551.83	177
0	Max	-1764	43298.90	101	4396.38	166	9773.19	166	2474.29	97	606.32	173	601.97	97	6176.86	177	551.83	177
0	Max	-1405	43298.90	101	4396.38	166	9773.19	166	2474.29	97	606.32	173	601.97	97	6176.86	177	551.83	177
0	Max	-1952	43298.90	101	4396.38	166	9773.19	166	2474.29	97	606.32	173	601.97	97	6176.86	177	551.83	177
0	Min.	-1951	-80276.40	130	-6536.33	177	-2715.37	173	-919.09	130	-363.85	177	-477.57	173	-22300.00	106	-30880.40	97
0	Min.	-1764	-80276.40	130	-6536.33	177	-2715.37	173	-919.09	130	-363.85	177	-477.57	173	-22300.00	106	-30880.40	97
0	Min.	-1405	-80276.40	130	-6536.33	177	-2715.37	173	-919.09	130	-363.85	177	-477.57	173	-22300.00	106	-30880.40	97
0	Min.	-1952	-80276.40	130	-6536.33	177	-2715.37	173	-919.09	130	-363.85	177	-477.57	173	-22300.00	106	-30880.40	97
0	Max	-1952	40107.20	101	6913.09	165	12712.90	165	2449.21	97	697.48	173	430.86	98	3904.22	177	-1083.27	130
0	Max	-1405	40107.20	101	6913.09	165	12712.90	165	2449.21	97	697.48	173	430.86	98	3904.22	177	-1083.27	130
0	Max	-1839	40107.20	101	6913.09	165	12712.90	165	2449.21	97	697.48	173	430.86	98	3904.22	177	-1083.27	130
0	Max	-1948	40107.20	101	6913.09	165	12712.90	165	2449.21	97	697.48	173	430.86	98	3904.22	177	-1083.27	130
0	Min.	-1952	-86623.20	130	-5531.64	177	793.39	33	-1262.51	130	-741.15	106	-595.26	173	-35365.20	106	-33736.70	97
0	Min.	-1405	-86623.20	130	-5531.64	177	793.39	33	-1262.51	130	-741.15	106	-595.26	173	-35365.20	106	-33736.70	97
0	Min.	-1839	-86623.20	130	-5531.64	177	793.39	33	-1262.51	130	-741.15	106	-595.26	173	-35365.20	106	-33736.70	97
0	Min.	-1948	-86623.20	130	-5531.64	177	793.39	33	-1262.51	130	-741.15	106	-595.26	173	-35365.20	106	-33736.70	97
0	Max	-1949	42726.40	101	2883.49	97	9031.08	177	2519.48	97	568.72	105	449.84	65	1989.56	65	-4027.97	33
0	Max	-1429	42726.40	101	2883.49	97	9031.08	177	2519.48	97	568.72	105	449.84	65	1989.56	65	-4027.97	33
0	Max	-1824	42726.40	101	2883.49	97	9031.08	177	2519.48	97	568.72	105	449.84	65	1989.56	65	-4027.97	33
0	Max	-1953	42726.40	101	2883.49	97	9031.08	177	2519.48	97	568.72	105	449.84	65	1989.56	65	-4027.97	33
0	Min.	-1949	-84585.00	130	-1967.07	177	-4863.08	173	-991.44	130	160.19	177	-696.18	173	-5366.88	106	-32852.20	97
0	Min.	-1429	-84585.00	130	-1967.07	177	-4863.08	173	-991.44	130	160.19	177	-696.18	173	-5366.88	106	-32852.20	97
0	Min.	-1824	-84585.00	130	-1967.07	177	-4863.08	173	-991.44	130	160.19	177	-696.18	173	-5366.88	106	-32852.20	97
0	Min.	-1953	-84585.00	130	-1967.07	177	-4863.08	173	-991.44	130	160.19	177	-696.18	173	-5366.88	106	-32852.20	97
0	Max	-1954	43482.60	101	1529.41	162	24622.10	166	2482.21	97	578.16	101	424.26	65	884.73	65	14135.40	106
0	Max	-1454	43482.60	101	1529.41	162	24622.10	166	2482.21	97	578.16	101	424.26	65	884.73	65	14135.40	106
0	Max	-1875	43482.60	101	1529.41	162	24622.10	166	2482.21	97	578.16	101	424.26	65	884.73	65	14135.40	106
0	Max	-1943	43482.60	101	1529.41	162	24622.10	166	2482.21	97	578.16	101	424.26	65	884.73	65	14135.40	106
0	Min.	-1954	-112310.00	130	-2096.61	165	-7277.00	121	-1625.19	130	-1554.73	106	-713.38	173	-34804.40	105	-29989.00	97
0	Min.	-1454	-112310.00	130	-2096.61	165	-7277.00	121	-1625.19	130	-1554.73	106	-713.38	173	-34804.40	105	-29989.00	97
0	Min.	-1875	-112310.00	130	-2096.61	165	-7277.00	121	-1625.19	130	-1554.73	106	-713.38	173	-34804.40	105	-29989.00	97
0	Min.	-1943	-112310.00	130	-2096.61	165	-7277.00	121	-1625.19	130	-1554.73	106	-713.38	173	-34804.40	105	-29989.00	97
0	Max	-1953	41300.00	101	3762.16	97	8122.02	177	2468.50	97	573.19	101	441.04	65	1494.62	65	-2746.08	154
0	Max	-1824	41300.00	101	3762.16	97	8122.02	177	2468.50	97	573.19	101	441.04	65	1494.62	65	-2746.08	154
0	Max	-1454	41300.00	101	3762.16	97	8122.02	177	2468.50	97	573.19	101	441.04	65	1494.62	65	-2746.08	154
0	Max	-1954	41300.00	101	3762.16	97	8122.02	177	2468.50	97	573.19	101	441.04	65	1494.62	65	-2746.08	154
0	Min.	-1953	-88638.20	130	-798.56	177	-5167.34	173	-1310.17	130	-317.98	106	-706.39	173	-32927.10	105	-34331.80	97
0	Min.	-1824	-88638.20	130	-798.56	177	-5167.34	173	-1310.17	130	-317.98	106	-706.39	173	-32927.10	105	-34331.80	97
0	Min.	-1454	-88638.20	130	-798.56	177	-5167.34	173	-1310.17	130	-317.98	106	-706.39	173	-32927.10	105	-34331.80	97
0	Min.	-1954	-88638.20	130	-798.56	177	-5167.34	173	-1310.17	130	-317.98	106	-706.39	173	-32927.10	105	-34331.80	97
0	Max	-1944	40262.40	101	6952.57	165	4293.01	177	2451.46	97	512.05	101	369.04	65	34912.40	106	-1160.68	130
0	Max	-1477	40262.40	101	6952.57	165	4293.01	177	2451.46	97	512.05	101	369.04	65	34912.40	106	-1160.68	130
0	Max	-1507	40262.40	101	6952.57	165	4293.01	177	2451.46	97	512.05	101	369.04	65	34912.40	106	-1160.68	130
0	Max	-1955	40262.40	101	6952.57	165	4293.01	177	2451.46	97	512.05	101	369.04	65	34912.40	106	-1160.68	130
0	Min.	-1944	-87381.90	130	544.39	17	-12589.10	165	-1255.10	130	-731.23	106	-736.87	173	-2604.14	173	-33593.30	97
0	Min.	-1477	-87381.90	130	544.39	17	-12589.10	165	-1255.10	130	-731.23	106	-736.87	173	-2604.14	173	-33593.30	97
0	Min.	-1507	-87381.90	130	544.39	17	-12589.10	165	-1255.10	130	-731.23	106	-736.87	173	-2604.14	173	-33593.30	97
0	Min.	-1955	-87381.90	130	544.39	17	-12589.10	165	-1255.10	130	-731.23	106	-736.87	173	-2604.14	173	-33593.30	97
0	Max	-1955	44122.30	101	4537.58	166	4456.57	177	2475.75	97	478.56	101	299.09	65	22036.00	106	-1876.50	17
0	Max	-1507	44122.30	101	4537.58	166	4456.57	177	2475.75	97	478.56	101	299.09	65	22036.00	106	-1876.50	17
0	Max	-1727	44122.30	101	4537.58	166	4456.57	177	2475.75	97	478.56	101	299.09	65	22036.00	106	-1876.50	17
0	Max	-1956	44122.30	101	4537.58	166	4456.57	177	2475.75	97	478.56	101	299.09	65	22036.00	106	-1876.50	17
0	Min.	-1955	-80813.00	130	14.01	17	-9625.66	166	-911.43	130	-50.53	130	-782.09	173	-2697.19	173	-30828.00	97
0	Min.	-1507	-80813.00	130	14.01	17	-9625.66	166	-911.43	130	-50.53	130	-782.09	173	-2697.19	173	-30828.00	97
0	Min.	-1727	-80813.00	130	14.01	17	-9625.66	166	-911.43	130	-50.53	130	-782.09	173	-2697.19	173	-30828.00	97
0	Min.	-1956	-80813.00	130	14.01	17	-9625.66	166	-911.43	130	-50.53	130	-782.09	173	-2697.19	173	-30828.00	97
0	Max	-1956	43501.10	101	9268.80	121	1159.31	177	2818.60	97	385.16	101	259.77	65	18585.80	130	-2431.84	17
0	Max	-1727	43501.10	101	9268.80	121	1159.31	177	2818.60	97	385.16	101	259.77	65	18585.80	130	-2431.84	17
0	Max	-2200	43501.10	101	9268.80	121	1159.31	177	2818.60	97	385.16	101	259.77	65	18585.80	130	-2431.84	17
0	Max	-2201	43501.10	101	9268.80	121	1159.31	177	2818.60	97	385.16	101	259.77	65	18585.80	130	-2431.84	17
0	Min.	-1956	-76505.70	130	414.22	17	-13265.40	122	-494.68	106	8.59	17	-778.69	173	-1160.18	65	-40985.00	97
0	Min.	-1727	-76505.70	130	414.22	17	-13265.40	122	-494.68	106	8.59	17	-778.69	173	-1160.18	65	-40985.00	97
0	Min.	-2200	-76505.70	130	414.22	17	-13265.40	122	-494.68	106	8.59	17	-778.69	173	-1160.18	65	-40985.00	97
0	Min.	-2201	-76505.70	130	414.22	17	-13265.40	122	-494.68	106	8.59	17	-778.69	173	-1160.18	65	-40985.00	97
0	Max	-1958	53386.60	101	816.46	173	12731.10	166	3805.38	97	901.77	173	183.84	65	840.75	65	31291.80	105
0	Max	-1529	53386.60	101	816.46	173	12731.10	166	3805.38	97	901.77	173	183.84	65	840.75	65	31291.80	105
0	Max	-1416	53386.60	101	816.46	173	12731.10	166	3805.38	97	901.77	173	183.84	65	840.75	65	31291.80	105
0	Max	-1959	53386.60	101	816.46	173	12731.10	166	3805.38	97	901.77	173	183.84	65	840.75	65	31291.80	105
0	Min.	-1958	-63852.10	130	-3709.67	177	-227.72	1	-897.35	130	-629.53	106	-332.13	173	-42631.60	105	2376.70	65
0	Min.	-1529	-63852.10	130	-3709.67	177	-227.72	1	-897.35	130	-629.53	106	-332.13	173	-42631.60	105	2376.70	65
0	Min.	-1416	-63852.10	130	-3709.67	177	-227.72	1	-897.35	130	-629.53	106	-332.13	173	-42631.60	105	2376.70	65
0	Min.	-1959	-63852.10	130	-3709.67	177	-227.72	1	-897.35	130	-629.53	106	-332.13	173	-42631.60	105	2376.70	65
0	Max	-1960	51877.80	101	1185.25	113	9550.24	166	3617.90	97	1046.60	97	178.88	65	5434.24	121	24659.60	105
0	Max	-1362	51877.80	101	1185.25	113	9550.24	166	3617.90	97	1046.60	97	178.88	65	5434.24	121	24659.60	105
0	Max	-1529	51877.80	101	1185.25	113	9550.24	166	3617.90	97	1046.60	97	178.88	65	5434.24	121	24659.60	105
0	Max	-1958	51877.80	101	1185.25	113	9550.24	166	3617.90	97	1046.60	97	178.88	65	5434.24	121	24659.60	105
0	Min.	-1960	-61766.00	130	-3589.04	177	-1254.81	173	-758.67	130	-98.37	177	-443.50	173	-19589.60	106	2835.66	65
0	Min.	-1362	-61766.00	130	-3589.04	177	-1254.81	173	-758.67	130	-98.37	177	-443.50	173	-19589.60	106	2835.66	65
0	Min.	-1529	-61766.00	130	-3589.04	177	-1254.81	173	-758.67	130	-98.37	177	-443.50	173	-19589.60	106	2835.66	65
0	Min.	-1958	-61766.00	130	-3589.04	177	-1254.81	173	-758.67	130	-98.37	177	-443.50	173	-19589.60	106	2835.66	65
0	Max	-1961	49053.30	101	2216.38	97	4096.42	165	3608.07	97	309.32	173	146.98	65	15773.70	97	13163.90	105
0	Max	-1625	49053.30	101	2216.38	97	4096.42	165	3608.07	97	309.32	173	146.98	65	15773.70	97	13163.90	105
0	Max	-2165	49053.30	101	2216.38	97	4096.42	165	3608.07	97	309.32	173	146.98	65	15773.70	97	13163.90	105
0	Max	-2166	49053.30	101	2216.38	97	4096.42	165	3608.07	97	309.32	173	146.98	65	15773.70	97	13163.90	105
0	Min.	-1961	-65292.20	130	-1853.66	177	-1455.11	173	-511.60	130	-59.96	177	-708.22	173	-1408.75	166	1604.23	162
0	Min.	-1625	-65292.20	130	-1853.66	177	-1455.11	173	-511.60	130	-59.96	177	-708.22	173	-1408.75	166	1604.23	162
0	Min.	-2165	-65292.20	130	-1853.66	177	-1455.11	173	-511.60	130	-59.96	177	-708.22	173	-1408.75	166	1604.23	162
0	Min.	-2166	-65292.20	130	-1853.66	177	-1455.11	173	-511.60	130	-59.96	177	-708.22	173	-1408.75	166	1604.23	162
0	Max	-1962	52475.60	101	1240.53	113	6286.81	177	3613.22	97	1042.46	97	259.56	65	18851.50	106	24407.40	105
0	Max	-1521	52475.60	101	1240.53	113	6286.81	177	3613.22	97	1042.46	97	259.56	65	18851.50	106	24407.40	105
0	Max	-1660	52475.60	101	1240.53	113	6286.81	177	3613.22	97	1042.46	97	259.56	65	18851.50	106	24407.40	105
0	Max	-1963	52475.60	101	1240.53	113	6286.81	177	3613.22	97	1042.46	97	259.56	65	18851.50	106	24407.40	105
0	Min.	-1962	-62331.90	130	-1583.68	106	-9423.75	166	-759.17	130	35.10	17	-245.71	173	-5768.23	121	2745.90	17
0	Min.	-1521	-62331.90	130	-1583.68	106	-9423.75	166	-759.17	130	35.10	17	-245.71	173	-5768.23	121	2745.90	17
0	Min.	-1660	-62331.90	130	-1583.68	106	-9423.75	166	-759.17	130	35.10	17	-245.71	173	-5768.23	121	2745.90	17
0	Min.	-1963	-62331.90	130	-1583.68	106	-9423.75	166	-759.17	130	35.10	17	-245.71	173	-5768.23	121	2745.90	17
0	Max	-1963	51839.30	101	388.64	113	4349.39	177	3687.25	97	869.23	97	395.43	65	2291.42	106	29132.00	97
0	Max	-1660	51839.30	101	388.64	113	4349.39	177	3687.25	97	869.23	97	395.43	65	2291.42	106	29132.00	97
0	Max	-2213	51839.30	101	388.64	113	4349.39	177	3687.25	97	869.23	97	395.43	65	2291.42	106	29132.00	97
0	Max	-2212	51839.30	101	388.64	113	4349.39	177	3687.25	97	869.23	97	395.43	65	2291.42	106	29132.00	97

0	Min.	-1963	-63689.50	130	-1363.66	166	-8018.84	166	-548.28	130	27.79	17	-154.67	17	-10320.70	97	2904.46	17
0	Min.	-1660	-63689.50	130	-1363.66	166	-8018.84	166	-548.28	130	27.79	17	-154.67	17	-10320.70	97	2904.46	17
0	Min.	-2213	-63689.50	130	-1363.66	166	-8018.84	166	-548.28	130	27.79	17	-154.67	17	-10320.70	97	2904.46	17
0	Min.	-2212	-63689.50	130	-1363.66	166	-8018.84	166	-548.28	130	27.79	17	-154.67	17	-10320.70	97	2904.46	17
0	Max	-1965	53814.70	101	786.10	49	7486.50	177	3800.01	97	843.60	97	198.02	65	42024.50	105	31098.10	105
0	Max	-1653	53814.70	101	786.10	49	7486.50	177	3800.01	97	843.60	97	198.02	65	42024.50	105	31098.10	105
0	Max	-1521	53814.70	101	786.10	49	7486.50	177	3800.01	97	843.60	97	198.02	65	42024.50	105	31098.10	105
0	Max	-1962	53814.70	101	786.10	49	7486.50	177	3800.01	97	843.60	97	198.02	65	42024.50	105	31098.10	105
0	Min.	-1965	-64497.20	130	-680.27	157	-12712.10	166	-897.65	130	-614.37	106	-274.73	173	-878.41	17	2313.61	17
0	Min.	-1653	-64497.20	130	-680.27	157	-12712.10	166	-897.65	130	-614.37	106	-274.73	173	-878.41	17	2313.61	17
0	Min.	-1521	-64497.20	130	-680.27	157	-12712.10	166	-897.65	130	-614.37	106	-274.73	173	-878.41	17	2313.61	17
0	Min.	-1962	-64497.20	130	-680.27	157	-12712.10	166	-897.65	130	-614.37	106	-274.73	173	-878.41	17	2313.61	17
0	Max	-1966	55671.70	101	1360.57	113	13100.90	177	4000.66	97	785.57	97	170.37	65	2456.78	65	19869.10	105
0	Max	-1674	55671.70	101	1360.57	113	13100.90	177	4000.66	97	785.57	97	170.37	65	2456.78	65	19869.10	105
0	Max	-1639	55671.70	101	1360.57	113	13100.90	177	4000.66	97	785.57	97	170.37	65	2456.78	65	19869.10	105
0	Max	-1967	55671.70	101	1360.57	113	13100.90	177	4000.66	97	785.57	97	170.37	65	2456.78	65	19869.10	105
0	Min.	-1966	-61464.00	130	-2149.80	177	-4346.64	173	-470.99	130	178.67	33	-266.79	173	-9083.29	105	2828.41	162
0	Min.	-1674	-61464.00	130	-2149.80	177	-4346.64	173	-470.99	130	178.67	33	-266.79	173	-9083.29	105	2828.41	162
0	Min.	-1639	-61464.00	130	-2149.80	177	-4346.64	173	-470.99	130	178.67	33	-266.79	173	-9083.29	105	2828.41	162
0	Min.	-1967	-61464.00	130	-2149.80	177	-4346.64	173	-470.99	130	178.67	33	-266.79	173	-9083.29	105	2828.41	162
0	Max	-1967	55669.20	101	1110.04	109	12016.70	177	3942.01	97	859.40	97	161.23	65	3756.31	65	31632.60	105
0	Max	-1639	55669.20	101	1110.04	109	12016.70	177	3942.01	97	859.40	97	161.23	65	3756.31	65	31632.60	105
0	Max	-1646	55669.20	101	1110.04	109	12016.70	177	3942.01	97	859.40	97	161.23	65	3756.31	65	31632.60	105
0	Max	-1968	55669.20	101	1110.04	109	12016.70	177	3942.01	97	859.40	97	161.23	65	3756.31	65	31632.60	105
0	Min.	-1967	-63512.10	130	-1156.20	177	-4491.19	173	-804.26	130	-150.39	106	-294.10	173	-29473.80	106	3120.72	17
0	Min.	-1639	-63512.10	130	-1156.20	177	-4491.19	173	-804.26	130	-150.39	106	-294.10	173	-29473.80	106	3120.72	17
0	Min.	-1646	-63512.10	130	-1156.20	177	-4491.19	173	-804.26	130	-150.39	106	-294.10	173	-29473.80	106	3120.72	17
0	Min.	-1968	-63512.10	130	-1156.20	177	-4491.19	173	-804.26	130	-150.39	106	-294.10	173	-29473.80	106	3120.72	17
0	Max	-1959	54514.40	101	1102.40	113	31439.60	166	3920.97	97	832.93	173	170.28	65	9726.32	97	47788.20	105
0	Max	-1416	54514.40	101	1102.40	113	31439.60	166	3920.97	97	832.93	173	170.28	65	9726.32	97	47788.20	105
0	Max	-1895	54514.40	101	1102.40	113	31439.60	166	3920.97	97	832.93	173	170.28	65	9726.32	97	47788.20	105
0	Max	-1969	54514.40	101	1102.40	113	31439.60	166	3920.97	97	832.93	173	170.28	65	9726.32	97	47788.20	105
0	Min.	-1959	-85635.10	130	-7465.02	166	-2653.72	173	-1111.84	130	-1615.78	106	-338.94	173	-20922.70	106	2697.27	65
0	Min.	-1416	-85635.10	130	-7465.02	166	-2653.72	173	-1111.84	130	-1615.78	106	-338.94	173	-20922.70	106	2697.27	65
0	Min.	-1895	-85635.10	130	-7465.02	166	-2653.72	173	-1111.84	130	-1615.78	106	-338.94	173	-20922.70	106	2697.27	65
0	Min.	-1969	-85635.10	130	-7465.02	166	-2653.72	173	-1111.84	130	-1615.78	106	-338.94	173	-20922.70	106	2697.27	65
0	Max	-1970	55431.10	101	1420.60	173	12288.50	177	3942.74	97	853.53	97	184.55	65	29266.40	106	31508.10	105
0	Max	-1667	55431.10	101	1420.60	173	12288.50	177	3942.74	97	853.53	97	184.55	65	29266.40	106	31508.10	105
0	Max	-1632	55431.10	101	1420.60	173	12288.50	177	3942.74	97	853.53	97	184.55	65	29266.40	106	31508.10	105
0	Max	-1971	55431.10	101	1420.60	173	12288.50	177	3942.74	97	853.53	97	184.55	65	29266.40	106	31508.10	105
0	Min.	-1970	-63274.00	130	-4023.72	177	-4963.74	165	-803.19	130	-160.36	106	-243.66	173	-6170.56	173	3140.22	65
0	Min.	-1667	-63274.00	130	-4023.72	177	-4963.74	165	-803.19	130	-160.36	106	-243.66	173	-6170.56	173	3140.22	65
0	Min.	-1632	-63274.00	130	-4023.72	177	-4963.74	165	-803.19	130	-160.36	106	-243.66	173	-6170.56	173	3140.22	65
0	Min.	-1971	-63274.00	130	-4023.72	177	-4963.74	165	-803.19	130	-160.36	106	-243.66	173	-6170.56	173	3140.22	65
0	Max	-1968	55716.50	101	1216.45	113	25402.60	165	3889.42	97	972.91	97	206.07	65	1217.38	65	49398.40	105
0	Max	-1646	55716.50	101	1216.45	113	25402.60	165	3889.42	97	972.91	97	206.07	65	1217.38	65	49398.40	105
0	Max	-1910	55716.50	101	1216.45	113	25402.60	165	3889.42	97	972.91	97	206.07	65	1217.38	65	49398.40	105
0	Max	-1972	55716.50	101	1216.45	113	25402.60	165	3889.42	97	972.91	97	206.07	65	1217.38	65	49398.40	105
0	Min.	-1968	-85959.80	130	-7831.39	166	-4858.31	158	-1155.59	130	-1334.53	106	-248.77	173	-37604.50	105	3154.76	17
0	Min.	-1646	-85959.80	130	-7831.39	166	-4858.31	158	-1155.59	130	-1334.53	106	-248.77	173	-37604.50	105	3154.76	17
0	Min.	-1910	-85959.80	130	-7831.39	166	-4858.31	158	-1155.59	130	-1334.53	106	-248.77	173	-37604.50	105	3154.76	17
0	Min.	-1972	-85959.80	130	-7831.39	166	-4858.31	158	-1155.59	130	-1334.53	106	-248.77	173	-37604.50	105	3154.76	17
0	Max	-1971	55558.70	101	1460.14	173	13149.00	177	4002.01	97	779.43	97	170.19	65	9130.96	105	19777.90	105
0	Max	-1632	55558.70	101	1460.14	173	13149.00	177	4002.01	97	779.43	97	170.19	65	9130.96	105	19777.90	105
0	Max	-1674	55558.70	101	1460.14	173	13149.00	177	4002.01	97	779.43	97	170.19	65	9130.96	105	19777.90	105
0	Max	-1966	55558.70	101	1460.14	173	13149.00	177	4002.01	97	779.43	97	170.19	65	9130.96	105	19777.90	105
0	Min.	-1971	-61484.50	130	-3192.04	177	-3990.36	173	-469.87	130	140.71	177	-268.68	173	-3269.82	173	2821.64	162
0	Min.	-1632	-61484.50	130	-3192.04	177	-3990.36	173	-469.87	130	140.71	177	-268.68	173	-3269.82	173	2821.64	162
0	Min.	-1674	-61484.50	130	-3192.04	177	-3990.36	173	-469.87	130	140.71	177	-268.68	173	-3269.82	173	2821.64	162
0	Min.	-1966	-61484.50	130	-3192.04	177	-3990.36	173	-469.87	130	140.71	177	-268.68	173	-3269.82	173	2821.64	162
0	Max	-1969	55399.60	101	1189.74	113	11118.40	177	3888.59	97	974.87	97	170.42	65	37422.80	105	49439.00	105
0	Max	-1895	55399.60	101	1189.74	113	11118.40	177	3888.59	97	974.87	97	170.42	65	37422.80	105	49439.00	105
0	Max	-1667	55399.60	101	1189.74	113	11118.40	177	3888.59	97	974.87	97	170.42	65	37422.80	105	49439.00	105
0	Max	-1970	55399.60	101	1189.74	113	11118.40	177	3888.59	97	974.87	97	170.42	65	37422.80	105	49439.00	105
0	Min.	-1969	-85609.00	130	-7816.87	166	-25462.50	165	-1155.33	130	-1334.66	106	-333.20	173	-1579.48	173	3208.80	65
0	Min.	-1895	-85609.00	130	-7816.87	166	-25462.50	165	-1155.33	130	-1334.66	106	-333.20	173	-1579.48	173	3208.80	65
0	Min.	-1667	-85609.00	130	-7816.87	166	-25462.50	165	-1155.33	130	-1334.66	106	-333.20	173	-1579.48	173	3208.80	65
0	Min.	-1970	-85609.00	130	-7816.87	166	-25462.50	165	-1155.33	130	-1334.66	106	-333.20	173	-1579.48	173	3208.80	65
0	Max	-1972	54885.10	101	1150.07	113	9661.89	177	3921.50	97	774.85	97	207.49	65	20902.00	106	47719.00	105
0	Max	-1910	54885.10	101	1150.07	113	9661.89	177	3921.50	97	774.85	97	207.49	65	20902.00	106	47719.00	105
0	Max	-1653	54885.10	101	1150.07	113	9661.89	177	3921.50	97	774.85	97	207.49	65	20902.00	106	47719.00	105
0	Max	-1965	54885.10	101	1150.07	113	9661.89	177	3921.50	97	774.85	97	207.49	65	20902.00	106	47719.00	105
0	Min.	-1972	-86125.60	130	-7493.21	166	-31538.60	166	-1112.73	130	-1618.05	106	-250.11	173	-9753.80	97	2649.73	17
0	Min.	-1910	-86125.60	130	-7493.21	166	-31538.60	166	-1112.73	130	-1618.05	106	-250.11	173	-9753.80	97	2649.73	17
0	Min.	-1653	-86125.60	130	-7493.21	166	-31538.60	166	-1112.73	130	-1618.05	106	-250.11	173	-9753.80	97	2649.73	17
0	Min.	-1965	-86125.60	130	-7493.21	166	-31538.60	166	-1112.73	130	-1618.05	106	-250.11	173	-9753.80	97	2649.73	17
0	Max	-2036	37073.20	101	4721.56	121	4132.46	177	2277.07	101	234.82	177	554.71	177	16788.30	177	57700.10	177
0	Max	-2037	37073.20	101	4721.56	121	4132.46	177	2277.07	101	234.82	177	554.71	177	16788.30	177	57700.10	177
0	Max	-1803	37073.20	101	4721.56	121	4132.46	177	2277.07	101	234.82	177	554.71	177	16788.30	177	57700.10	177
0	Max	-1687	37073.20	101	4721.56	121	4132.46	177	2277.07	101	234.82	177	554.71	177	16788.30	177	57700.10	177
0	Min.	-2036	-103449.00	130	-6364.96	177	-5217.28	158	-2040.79	130	-157.87	121	-602.76	173	-7895.45	121	-87556.60	173
0	Min.	-2037	-103449.00	130	-6364.96	177	-5217.28	158	-2040.79	130	-157.87	121	-602.76	173	-7895.45	121	-87556.60	173
0	Min.	-1803	-103449.00	130	-6364.96	177	-5217.28	158	-2040.79	130	-157.87	121	-602.76	173	-7895.45	121	-87556.60	173
0	Min.	-1687	-103449.00	130	-6364.96	177	-5217.28	158	-2040.79	130	-157.87	121	-602.76	173	-7895.45	121	-87556.60	173
0	Max	-2020	62251.90	130	2954.77	162	2342.69	162	4382.07	98	58.78	173	368.32	173	1899.58	173	41283.00	173
0	Max	-2021	62251.90	130	2954.77	162	2342.69	162	4382.07	98	58.78	173	368.32	173	1899.58	173	41283.00	173
0	Max	-1600	62251.90	130	2954.77	162	2342.69	162	4382.07	98	58.78	173	368.32	173	1899.58	173	41283.00	173
0	Max	-1539	62251.90	130	2954.77	162	2342.69	162	4382.07	98	58.78	173	368.32	173	1899.58	173	41283.00	173
0	Min.	-2020	-60646.10	101	-1625.74	101	-3884.77	97	39.43	1	-174.90	177	-139.45	17	-12494.60	177	-14282.90	17
0	Min.	-2021	-60646.10	101	-1625.74	101	-3884.77	97	39.43	1	-174.90	177	-139.45	17	-12494.60	177	-14282.90	17
0	Min.	-1600	-60646.10	101	-1625.74	101	-3884.77	97	39.43	1	-174.90	177	-139.45	17	-12494.60	177	-14282.90	17
0	Min.	-1539	-60646.10	101	-1625.74	101	-3884.77	97	39.43	1	-174.90	177	-139.45	17	-12494.60	177	-14282.90	17
0	Max	-1883	316.51	177	1850.93	122	1624.45	101	-387.30	65	147.35	65	125.90	106	19025.60	173	5626.33	98
0	Max	-1884	316.51	177	1850.93	122	1624.45	101	-387.30	65	147.35	65	125.90	106	19025.60	173	5626.33	98
0	Max	-1842	316.51	177	1850.93	122	1624.45	101	-387.30	65	147.35	65	125.90	106	19025.60	173	5626.33	98
0	Max	-1493	316.51	177	1850.93	122	1624.45	101	-387.30	65	147.35	65	125.90	106	19025.60	173	5626.33	98
0	Min.	-1883	-172237.00	100	-960.13	177	-7560.78	158	-5236.65	98	-2544.53	98	-139.50	101	-1467.17	17	-6057.56	101
0	Min.	-1884	-172237.00	100	-960.13	177	-7560.78	158	-5236.65	98	-2544.53	98	-139.50	101	-1467.17	17	-6057.56	101
0	Min.	-1842	-172237.00	100	-960.13	177	-7560.78	158	-5236.65	98	-2544.53	98	-139.50	101	-1467.17	17	-6057.56	101
0	Min.	-1493	-172237.00	100	-960.13	177	-7560.78	158	-5236.65	98	-2544.53	98	-139.50	101	-1467.17	17	-6057.56	101
0	Max	-1873	41889.80	101	8865.93	165	7208.81	177	3452.71	97	567.55	101	366.80	65	21556.40	106	-3361.07	17
0	Max	-1943	41889.80	101	8865.93	165	7208.81	177	3452.71	97	567.55	101	366.80	65	21556.40	106	-3361.07	17
0	Max	-1944	41889.80	101	8865.93	165	7208.81	177	3452.71	97	567.55	101	366.80	65	21556.40	106	-3361.07	17
0	Max	-1476	41889.80	101	8865.93	165	7208.81	177	3452.71	97	567.55	101	366.80	65	21556.40	106	-3361.07	17
0	Min.	-1873	-67683.20	106	-20.75	142	-30919.10	166	-1154.35	130	-1700.33	106	-707.38	173	-8551.89	97	-54003.00	105

0	Min.	-1943	-67683.20	106	-20.75	142	-30919.10	166	-1154.35	130	-1700.33	106	-707.38	173	-8551.89	97	-54003.00	105
0	Min.	-1944	-67683.20	106	-20.75	142	-30919.10	166	-1154.35	130	-1700.33	106	-707.38	173	-8551.89	97	-54003.00	105
0	Min.	-1476	-67683.20	106	-20.75	142	-30919.10	166	-1154.35	130	-1700.33	106	-707.38	173	-8551.89	97	-54003.00	105
0	Max	-1833	-12527.00	177	6429.48	158	8595.60	158	-462.07	33	145.73	17	461.83	173	10732.00	173	19178.90	173
0	Max	-2082	-12527.00	177	6429.48	158	8595.60	158	-462.07	33	145.73	17	461.83	173	10732.00	173	19178.90	173
0	Max	-2081	-12527.00	177	6429.48	158	8595.60	158	-462.07	33	145.73	17	461.83	173	10732.00	173	19178.90	173
0	Max	-1466	-12527.00	177	6429.48	158	8595.60	158	-462.07	33	145.73	17	461.83	173	10732.00	173	19178.90	173
0	Min.	-1833	-172793.00	97	-1849.77	177	-1832.31	161	-5732.80	97	-1786.87	97	-76.84	17	-24738.00	98	-9490.59	97
0	Min.	-2082	-172793.00	97	-1849.77	177	-1832.31	161	-5732.80	97	-1786.87	97	-76.84	17	-24738.00	98	-9490.59	97
0	Min.	-2081	-172793.00	97	-1849.77	177	-1832.31	161	-5732.80	97	-1786.87	97	-76.84	17	-24738.00	98	-9490.59	97
0	Min.	-1466	-172793.00	97	-1849.77	177	-1832.31	161	-5732.80	97	-1786.87	97	-76.84	17	-24738.00	98	-9490.59	97
0	Max	-1884	316.51	177	1746.72	173	1361.44	101	-387.30	17	147.35	17	402.96	173	17995.70	173	6057.31	106
0	Max	-1885	316.51	177	1746.72	173	1361.44	101	-387.30	17	147.35	17	402.96	173	17995.70	173	6057.31	106
0	Max	-1494	316.51	177	1746.72	173	1361.44	101	-387.30	17	147.35	17	402.96	173	17995.70	173	6057.31	106
0	Max	-1842	316.51	177	1746.72	173	1361.44	101	-387.30	17	147.35	17	402.96	173	17995.70	173	6057.31	106
0	Min.	-1884	-172237.00	100	-960.13	177	-8041.15	158	-5236.65	97	-2544.53	97	-125.90	101	-1467.17	65	-5626.34	97
0	Min.	-1885	-172237.00	100	-960.13	177	-8041.15	158	-5236.65	97	-2544.53	97	-125.90	101	-1467.17	65	-5626.34	97
0	Min.	-1494	-172237.00	100	-960.13	177	-8041.15	158	-5236.65	97	-2544.53	97	-125.90	101	-1467.17	65	-5626.34	97
0	Min.	-1842	-172237.00	100	-960.13	177	-8041.15	158	-5236.65	97	-2544.53	97	-125.90	101	-1467.17	65	-5626.34	97
0	Max	-2215	23451.70	177	64.13	49	1814.58	101	-203.71	17	146.44	173	106.32	130	11224.90	106	8435.16	106
0	Max	-2217	23451.70	177	64.13	49	1814.58	101	-203.71	17	146.44	173	106.32	130	11224.90	106	8435.16	106
0	Max	-2065	23451.70	177	64.13	49	1814.58	101	-203.71	17	146.44	173	106.32	130	11224.90	106	8435.16	106
0	Max	-2117	23451.70	177	64.13	49	1814.58	101	-203.71	17	146.44	173	106.32	130	11224.90	106	8435.16	106
0	Min.	-2215	-163039.00	98	-1286.03	158	-8216.75	158	-5059.44	97	-97.81	98	-173.84	97	-14653.50	125	-7931.87	125
0	Min.	-2217	-163039.00	98	-1286.03	158	-8216.75	158	-5059.44	97	-97.81	98	-173.84	97	-14653.50	125	-7931.87	125
0	Min.	-2065	-163039.00	98	-1286.03	158	-8216.75	158	-5059.44	97	-97.81	98	-173.84	97	-14653.50	125	-7931.87	125
0	Min.	-2117	-163039.00	98	-1286.03	158	-8216.75	158	-5059.44	97	-97.81	98	-173.84	97	-14653.50	125	-7931.87	125
0	Max	-2194	24793.20	177	374.40	101	3226.34	101	-189.14	65	103.95	173	142.07	65	16451.80	97	3876.20	106
0	Max	-2216	24793.20	177	374.40	101	3226.34	101	-189.14	65	103.95	173	142.07	65	16451.80	97	3876.20	106
0	Max	-1753	24793.20	177	374.40	101	3226.34	101	-189.14	65	103.95	173	142.07	65	16451.80	97	3876.20	106
0	Max	-2119	24793.20	177	374.40	101	3226.34	101	-189.14	65	103.95	173	142.07	65	16451.80	97	3876.20	106
0	Min.	-2194	-151996.00	98	-646.91	158	-4659.88	158	-4781.54	98	-103.17	98	-405.68	97	-123.07	17	-6070.23	101
0	Min.	-2216	-151996.00	98	-646.91	158	-4659.88	158	-4781.54	98	-103.17	98	-405.68	97	-123.07	17	-6070.23	101
0	Min.	-1753	-151996.00	98	-646.91	158	-4659.88	158	-4781.54	98	-103.17	98	-405.68	97	-123.07	17	-6070.23	101
0	Min.	-2119	-151996.00	98	-646.91	158	-4659.88	158	-4781.54	98	-103.17	98	-405.68	97	-123.07	17	-6070.23	101
0	Max	-2191	23387.30	177	895.18	125	945.08	101	-204.03	65	102.80	173	389.08	173	13205.60	98	11853.80	106
0	Max	-2190	23387.30	177	895.18	125	945.08	101	-204.03	65	102.80	173	389.08	173	13205.60	98	11853.80	106
0	Max	-1755	23387.30	177	895.18	125	945.08	101	-204.03	65	102.80	173	389.08	173	13205.60	98	11853.80	106
0	Max	-2116	23387.30	177	895.18	125	945.08	101	-204.03	65	102.80	173	389.08	173	13205.60	98	11853.80	106
0	Min.	-2191	-162270.00	97	-1048.62	106	-8743.10	158	-4891.64	97	-83.14	97	-104.75	17	-1116.94	161	-7159.25	125
0	Min.	-2190	-162270.00	97	-1048.62	106	-8743.10	158	-4891.64	97	-83.14	97	-104.75	17	-1116.94	161	-7159.25	125
0	Min.	-1755	-162270.00	97	-1048.62	106	-8743.10	158	-4891.64	97	-83.14	97	-104.75	17	-1116.94	161	-7159.25	125
0	Min.	-2116	-162270.00	97	-1048.62	106	-8743.10	158	-4891.64	97	-83.14	97	-104.75	17	-1116.94	161	-7159.25	125
0	Max	-2189	24844.30	177	110.41	49	846.59	101	-150.59	17	59.48	173	587.75	173	4613.96	157	18455.60	98
0	Max	-2188	24844.30	177	110.41	49	846.59	101	-150.59	17	59.48	173	587.75	173	4613.96	157	18455.60	98
0	Max	-1756	24844.30	177	110.41	49	846.59	101	-150.59	17	59.48	173	587.75	173	4613.96	157	18455.60	98
0	Max	-2115	24844.30	177	110.41	49	846.59	101	-150.59	17	59.48	173	587.75	173	4613.96	157	18455.60	98
0	Min.	-2189	-149062.00	97	-1695.27	98	-6493.17	158	-4370.97	97	-81.75	97	-161.37	17	-3003.22	118	-1151.57	49
0	Min.	-2188	-149062.00	97	-1695.27	98	-6493.17	158	-4370.97	97	-81.75	97	-161.37	17	-3003.22	118	-1151.57	49
0	Min.	-1756	-149062.00	97	-1695.27	98	-6493.17	158	-4370.97	97	-81.75	97	-161.37	17	-3003.22	118	-1151.57	49
0	Min.	-2115	-149062.00	97	-1695.27	98	-6493.17	158	-4370.97	97	-81.75	97	-161.37	17	-3003.22	118	-1151.57	49
0	Max	-2220	58519.20	130	3508.26	130	4932.18	101	2752.77	158	150.32	158	604.40	101	19427.70	162	38540.10	101
0	Max	-2177	58519.20	130	3508.26	130	4932.18	101	2752.77	158	150.32	158	604.40	101	19427.70	162	38540.10	101
0	Max	-1548	58519.20	130	3508.26	130	4932.18	101	2752.77	158	150.32	158	604.40	101	19427.70	162	38540.10	101
0	Max	-2071	58519.20	130	3508.26	130	4932.18	101	2752.77	158	150.32	158	604.40	101	19427.70	162	38540.10	101
0	Min.	-2220	-48065.10	101	-2720.63	101	-7032.40	162	-1778.95	101	-91.54	101	-719.90	130	-5192.08	101	-66046.20	130
0	Min.	-2177	-48065.10	101	-2720.63	101	-7032.40	162	-1778.95	101	-91.54	101	-719.90	130	-5192.08	101	-66046.20	130
0	Min.	-1548	-48065.10	101	-2720.63	101	-7032.40	162	-1778.95	101	-91.54	101	-719.90	130	-5192.08	101	-66046.20	130
0	Min.	-2071	-48065.10	101	-2720.63	101	-7032.40	162	-1778.95	101	-91.54	101	-719.90	130	-5192.08	101	-66046.20	130
0	Max	-2178	38987.40	130	2191.07	101	5595.11	101	2000.29	98	111.76	98	614.98	101	10420.10	101	34006.40	101
0	Max	-2220	38987.40	130	2191.07	101	5595.11	101	2000.29	98	111.76	98	614.98	101	10420.10	101	34006.40	101
0	Max	-2071	38987.40	130	2191.07	101	5595.11	101	2000.29	98	111.76	98	614.98	101	10420.10	101	34006.40	101
0	Max	-1546	38987.40	130	2191.07	101	5595.11	101	2000.29	98	111.76	98	614.98	101	10420.10	101	34006.40	101
0	Min.	-2178	-29671.80	101	-1729.40	130	-7801.76	162	-112.03	125	-28.10	65	-863.75	130	-5867.51	106	-51628.70	130
0	Min.	-2220	-29671.80	101	-1729.40	130	-7801.76	162	-112.03	125	-28.10	65	-863.75	130	-5867.51	106	-51628.70	130
0	Min.	-2071	-29671.80	101	-1729.40	130	-7801.76	162	-112.03	125	-28.10	65	-863.75	130	-5867.51	106	-51628.70	130
0	Min.	-1546	-29671.80	101	-1729.40	130	-7801.76	162	-112.03	125	-28.10	65	-863.75	130	-5867.51	106	-51628.70	130
0	Max	-2219	60462.00	130	3032.87	166	10341.30	97	3334.96	130	149.50	102	1428.78	97	-5481.15	65	108520.00	98
0	Max	-2203	60462.00	130	3032.87	166	10341.30	97	3334.96	130	149.50	102	1428.78	97	-5481.15	65	108520.00	98
0	Max	-1540	60462.00	130	3032.87	166	10341.30	97	3334.96	130	149.50	102	1428.78	97	-5481.15	65	108520.00	98
0	Max	-2069	60462.00	130	3032.87	166	10341.30	97	3334.96	130	149.50	102	1428.78	97	-5481.15	65	108520.00	98
0	Min.	-2219	-71276.90	101	-3523.29	97	-12513.00	162	-237.87	49	-57.48	173	-393.30	162	-61359.50	98	-20764.40	161
0	Min.	-2203	-71276.90	101	-3523.29	97	-12513.00	162	-237.87	49	-57.48	173	-393.30	162	-61359.50	98	-20764.40	161
0	Min.	-1540	-71276.90	101	-3523.29	97	-12513.00	162	-237.87	49	-57.48	173	-393.30	162	-61359.50	98	-20764.40	161
0	Min.	-2069	-71276.90	101	-3523.29	97	-12513.00	162	-237.87	49	-57.48	173	-393.30	162	-61359.50	98	-20764.40	161
0	Max	-2182	50204.40	106	5175.36	97	12654.10	97	5588.08	98	287.81	102	1911.11	98	4386.41	101	101314.00	97
0	Max	-2219	50204.40	106	5175.36	97	12654.10	97	5588.08	98	287.81	102	1911.11	98	4386.41	101	101314.00	97
0	Max	-2069	50204.40	106	5175.36	97	12654.10	97	5588.08	98	287.81	102	1911.11	98	4386.41	101	101314.00	97
0	Max	-1942	50204.40	106	5175.36	97	12654.10	97	5588.08	98	287.81	102	1911.11	98	4386.41	101	101314.00	97
0	Min.	-2182	-54790.00	101	-3747.24	162	-13394.80	162	35.10	161	-38.06	161	-460.10	161	-25103.90	162	-29582.00	162
0	Min.	-2219	-54790.00	101	-3747.24	162	-13394.80	162	35.10	161	-38.06	161	-460.10	161	-25103.90	162	-29582.00	162
0	Min.	-2069	-54790.00	101	-3747.24	162	-13394.80	162	35.10	161	-38.06	161	-460.10	161	-25103.90	162	-29582.00	162
0	Min.	-1942	-54790.00	101	-3747.24	162	-13394.80	162	35.10	161	-38.06	161	-460.10	161	-25103.90	162	-29582.00	162
0	Max	-2218	24354.10	177	1466.39	161	7125.67	98	288.98	162	40.71	17	1560.16	98	5845.94	125	96463.50	98
0	Max	-2186	24354.10	177	1466.39	161	7125.67	98	288.98	162	40.71	17	1560.16	98	5845.94	125	96463.50	98
0	Max	-1758	24354.10	177	1466.39	161	7125.67	98	288.98	162	40.71	17	1560.16	98	5845.94	125	96463.50	98
0	Max	-2067	24354.10	177	1466.39	161	7125.67	98	288.98	162	40.71	17	1560.16	98	5845.94	125	96463.50	98
0	Min.	-2218	-130232.00	97	-5665.63	98	-9670.91	161	-3903.59	97	-173.75	97	-260.46	125	-10300.10	98	-15921.20	161
0	Min.	-2186	-130232.00	97	-5665.63	98	-9670.91	161	-3903.59	97	-173.75	97	-260.46	125	-10300.10	98	-15921.20	161
0	Min.	-1758	-130232.00	97	-5665.63	98	-9670.91	161	-3903.59	97	-173.75	97	-260.46	125	-10300.10	98	-15921.20	161
0	Min.	-2067	-130232.00	97	-5665.63	98	-9670.91	161	-3903.59	97	-173.75	97	-260.46	125	-10300.10	98	-15921.20	161
0	Max	-2187	30598.80	177	4142.99	98	8295.48	98	376.43	106	71.36	106	1584.01	98	23437.60	98	96209.70	98
0	Max	-2218	30598.80	177	4142.99	98	8295.48	98	376.43	106	71.36	106	1584.01	98	23437.60	98	96209.70	98
0	Max	-2067	30598.80	177	4142.99	98	8295.48	98	376.43	106	71.36	106	1584.01	98	23437.60	98	96209.70	98
0	Max	-1757	30598.80	177	4142.99	98	8295.48	98	376.43	106	71.36	106	1584.01	98	23437.60	98	96209.70	98
0	Min.	-2187	-101976.00	97	-1517.06	165	-9095.02	161	-1692.39	125	-55.79	157	-244.37	125	-3846.57	161	-15850.80	161
0	Min.	-2218	-101976.00	97	-1517.06	165	-9095.02	161	-1692.39	125	-55.79	157	-244.37	125	-3846.57	161	-15850.80	161
0	Min.	-2067	-101976.00	97	-1517.06	165	-9095.02	161	-1692.39	125	-55.79	157	-244.37	125	-3846.57	161	-15850.80	161
0	Min.	-1757	-101976.00	97	-1517.06	165	-9095.02	161	-1692.39	125	-55.79	157	-244.37	125	-3846.57	161	-15850.80	161
0	Max	-2217	22983.10	177	1798.44	106	1804.16	106	-97.47	17	295.14	173	591.00	106	26991.60	98	44774.40	106
0	Max	-2193	22983.10	177	1798.44	106	1804.16	106	-97.47	17	295.14	173	591.00	106	26991.60	98	44774.40	106
0	Max	-1689	22983.10	177	1798.44	106	1804.16	106	-97.47	17	295.14	173	591.00	106	26991.60	98	44774.40	106
0	Max	-2065	22983.10	177	1798.44	106	1804.16	106	-97.47	17	295.14	173	591.00	106	26991.60	98	44774.40	106
0	Min.	-2217	-166419.00	97	-4473.07	125	-15922.30	157	-4929.10	97	-70.94	65	-877.79	125	-14286.90	125	-64229.10	125
0	Min.	-2193	-166419.00	97	-4473.07	125	-15922.30	157	-4929.10	97	-70.94	65	-877.79	125	-14286.90	125	-64229.10	125

0	Min.	-1689	-166419.00	97	-4473.07	125	-15922.30	157	-4929.10	97	-70.94	65	-877.79	125	-14286.90	125	-64229.10	125
0	Min.	-2065	-166419.00	97	-4473.07	125	-15922.30	157	-4929.10	97	-70.94	65	-877.79	125	-14286.90	125	-64229.10	125
0	Max	-2216	23387.30	177	439.61	106	2794.70	101	-204.03	17	133.54	173	109.05	130	13205.60	97	5705.86	106
0	Max	-2215	23387.30	177	439.61	106	2794.70	101	-204.03	17	133.54	173	109.05	130	13205.60	97	5705.86	106
0	Max	-2117	23387.30	177	439.61	106	2794.70	101	-204.03	17	133.54	173	109.05	130	13205.60	97	5705.86	106
0	Max	-1753	23387.30	177	439.61	106	2794.70	101	-204.03	17	133.54	173	109.05	130	13205.60	97	5705.86	106
0	Min.	-2216	-162270.00	98	-1450.58	157	-5771.91	158	-4891.64	98	-83.14	98	-284.88	97	-575.98	1	-11854.30	101
0	Min.	-2215	-162270.00	98	-1450.58	157	-5771.91	158	-4891.64	98	-83.14	98	-284.88	97	-575.98	1	-11854.30	101
0	Min.	-2117	-162270.00	98	-1450.58	157	-5771.91	158	-4891.64	98	-83.14	98	-284.88	97	-575.98	1	-11854.30	101
0	Min.	-1753	-162270.00	98	-1450.58	157	-5771.91	158	-4891.64	98	-83.14	98	-284.88	97	-575.98	1	-11854.30	101
0	Max	-2214	24354.10	177	15.08	17	39.69	177	-156.31	17	40.71	65	99.33	65	1938.80	106	199.34	17
0	Max	-2197	24354.10	177	15.08	17	39.69	177	-156.31	17	40.71	65	99.33	65	1938.80	106	199.34	17
0	Max	-1750	24354.10	177	15.08	17	39.69	177	-156.31	17	40.71	65	99.33	65	1938.80	106	199.34	17
0	Max	-2063	24354.10	177	15.08	17	39.69	177	-156.31	17	40.71	65	99.33	65	1938.80	106	199.34	17
0	Min.	-2214	-130232.00	98	-6155.28	121	-15091.20	157	-3903.59	98	-173.75	98	-1560.16	97	-13879.50	121	-97484.70	121
0	Min.	-2197	-130232.00	98	-6155.28	121	-15091.20	157	-3903.59	98	-173.75	98	-1560.16	97	-13879.50	121	-97484.70	121
0	Min.	-1750	-130232.00	98	-6155.28	121	-15091.20	157	-3903.59	98	-173.75	98	-1560.16	97	-13879.50	121	-97484.70	121
0	Min.	-2063	-130232.00	98	-6155.28	121	-15091.20	157	-3903.59	98	-173.75	98	-1560.16	97	-13879.50	121	-97484.70	121
0	Max	-2198	28831.50	177	-53.53	17	6696.23	97	235.73	49	99.51	125	430.53	65	2931.57	106	1432.88	166
0	Max	-2214	28831.50	177	-53.53	17	6696.23	97	235.73	49	99.51	125	430.53	65	2931.57	106	1432.88	166
0	Max	-2063	28831.50	177	-53.53	17	6696.23	97	235.73	49	99.51	125	430.53	65	2931.57	106	1432.88	166
0	Max	-1749	28831.50	177	-53.53	17	6696.23	97	235.73	49	99.51	125	430.53	65	2931.57	106	1432.88	166
0	Min.	-2198	-97215.80	130	-3777.41	121	-3667.66	166	-1651.84	106	-67.59	106	-679.52	173	-7186.03	121	-16283.90	97
0	Min.	-2214	-97215.80	130	-3777.41	121	-3667.66	166	-1651.84	106	-67.59	106	-679.52	173	-7186.03	121	-16283.90	97
0	Min.	-2063	-97215.80	130	-3777.41	121	-3667.66	166	-1651.84	106	-67.59	106	-679.52	173	-7186.03	121	-16283.90	97
0	Min.	-1749	-97215.80	130	-3777.41	121	-3667.66	166	-1651.84	106	-67.59	106	-679.52	173	-7186.03	121	-16283.90	97
0	Max	-2212	49878.00	101	2472.44	97	2845.75	177	3613.66	97	292.43	97	412.25	65	1624.82	166	12908.10	105
0	Max	-2213	49878.00	101	2472.44	97	2845.75	177	3613.66	97	292.43	97	412.25	65	1624.82	166	12908.10	105
0	Max	-1681	49878.00	101	2472.44	97	2845.75	177	3613.66	97	292.43	97	412.25	65	1624.82	166	12908.10	105
0	Max	-1964	49878.00	101	2472.44	97	2845.75	177	3613.66	97	292.43	97	412.25	65	1624.82	166	12908.10	105
0	Min.	-2212	-66161.20	130	263.81	17	-3868.85	165	-508.51	130	-4.76	17	-149.14	17	-15555.50	97	1720.78	162
0	Min.	-2213	-66161.20	130	263.81	17	-3868.85	165	-508.51	130	-4.76	17	-149.14	17	-15555.50	97	1720.78	162
0	Min.	-1681	-66161.20	130	263.81	17	-3868.85	165	-508.51	130	-4.76	17	-149.14	17	-15555.50	97	1720.78	162
0	Min.	-1964	-66161.20	130	263.81	17	-3868.85	165	-508.51	130	-4.76	17	-149.14	17	-15555.50	97	1720.78	162
0	Max	-2201	46990.80	101	4097.95	121	1603.36	177	3006.82	97	143.54	101	257.23	65	31916.30	158	-1926.81	17
0	Max	-2200	46990.80	101	4097.95	121	1603.36	177	3006.82	97	143.54	101	257.23	65	31916.30	158	-1926.81	17
0	Max	-1747	46990.80	101	4097.95	121	1603.36	177	3006.82	97	143.54	101	257.23	65	31916.30	158	-1926.81	17
0	Max	-1957	46990.80	101	4097.95	121	1603.36	177	3006.82	97	143.54	101	257.23	65	31916.30	158	-1926.81	17
0	Min.	-2201	-65841.70	130	142.78	17	-8347.68	166	-235.52	106	-6.29	17	-697.20	173	439.08	65	-59040.10	97
0	Min.	-2200	-65841.70	130	142.78	17	-8347.68	166	-235.52	106	-6.29	17	-697.20	173	439.08	65	-59040.10	97
0	Min.	-1747	-65841.70	130	142.78	17	-8347.68	166	-235.52	106	-6.29	17	-697.20	173	439.08	65	-59040.10	97
0	Min.	-1957	-65841.70	130	142.78	17	-8347.68	166	-235.52	106	-6.29	17	-697.20	173	439.08	65	-59040.10	97
0	Max	-2180	56443.10	130	961.90	130	837.70	173	3198.33	98	256.12	98	126.31	65	3735.17	162	-1766.02	49
0	Max	-2179	56443.10	130	961.90	130	837.70	173	3198.33	98	256.12	98	126.31	65	3735.17	162	-1766.02	49
0	Max	-1545	56443.10	130	961.90	130	837.70	173	3198.33	98	256.12	98	126.31	65	3735.17	162	-1766.02	49
0	Max	-1922	56443.10	130	961.90	130	837.70	173	3198.33	98	256.12	98	126.31	65	3735.17	162	-1766.02	49
0	Min.	-2180	-48580.60	101	-765.78	101	-3443.26	161	-249.03	101	-6.45	65	-418.94	122	-13348.80	97	-17003.30	98
0	Min.	-2179	-48580.60	101	-765.78	101	-3443.26	161	-249.03	101	-6.45	65	-418.94	122	-13348.80	97	-17003.30	98
0	Min.	-1545	-48580.60	101	-765.78	101	-3443.26	161	-249.03	101	-6.45	65	-418.94	122	-13348.80	97	-17003.30	98
0	Min.	-1922	-48580.60	101	-765.78	101	-3443.26	161	-249.03	101	-6.45	65	-418.94	122	-13348.80	97	-17003.30	98
0	Max	-2213	50499.90	101	832.92	113	3102.21	177	4479.40	97	379.68	97	501.17	97	-3306.82	17	19528.30	97
0	Max	-2204	50499.90	101	832.92	113	3102.21	177	4479.40	97	379.68	97	501.17	97	-3306.82	17	19528.30	97
0	Max	-1686	50499.90	101	832.92	113	3102.21	177	4479.40	97	379.68	97	501.17	97	-3306.82	17	19528.30	97
0	Max	-1681	50499.90	101	832.92	113	3102.21	177	4479.40	97	379.68	97	501.17	97	-3306.82	17	19528.30	97
0	Min.	-2213	-75849.00	130	-2569.53	130	-4154.36	165	60.28	1	-1.48	17	-197.06	17	-38498.50	97	2720.46	17
0	Min.	-2204	-75849.00	130	-2569.53	130	-4154.36	165	60.28	1	-1.48	17	-197.06	17	-38498.50	97	2720.46	17
0	Min.	-1686	-75849.00	130	-2569.53	130	-4154.36	165	60.28	1	-1.48	17	-197.06	17	-38498.50	97	2720.46	17
0	Min.	-1681	-75849.00	130	-2569.53	130	-4154.36	165	60.28	1	-1.48	17	-197.06	17	-38498.50	97	2720.46	17
0	Max	-2211	49875.20	101	872.30	101	2604.27	177	3198.35	97	256.12	97	375.23	97	-895.26	17	17001.60	97
0	Max	-2212	49875.20	101	872.30	101	2604.27	177	3198.35	97	256.12	97	375.23	97	-895.26	17	17001.60	97
0	Max	-1964	49875.20	101	872.30	101	2604.27	177	3198.35	97	256.12	97	375.23	97	-895.26	17	17001.60	97
0	Max	-1680	49875.20	101	872.30	101	2604.27	177	3198.35	97	256.12	97	375.23	97	-895.26	17	17001.60	97
0	Min.	-2211	-60930.10	130	-768.10	130	-3491.13	165	-689.90	130	-6.45	17	-126.31	17	-16267.80	122	1765.93	1
0	Min.	-2212	-60930.10	130	-768.10	130	-3491.13	165	-689.90	130	-6.45	17	-126.31	17	-16267.80	122	1765.93	1
0	Min.	-1964	-60930.10	130	-768.10	130	-3491.13	165	-689.90	130	-6.45	17	-126.31	17	-16267.80	122	1765.93	1
0	Min.	-1680	-60930.10	130	-768.10	130	-3491.13	165	-689.90	130	-6.45	17	-126.31	17	-16267.80	122	1765.93	1
0	Max	-2210	46859.10	101	1848.71	158	2854.31	177	2545.61	97	140.41	101	320.03	98	6434.22	130	11517.40	121
0	Max	-2211	46859.10	101	1848.71	158	2854.31	177	2545.61	97	140.41	101	320.03	98	6434.22	130	11517.40	121
0	Max	-1680	46859.10	101	1848.71	158	2854.31	177	2545.61	97	140.41	101	320.03	98	6434.22	130	11517.40	121
0	Max	-1679	46859.10	101	1848.71	158	2854.31	177	2545.61	97	140.41	101	320.03	98	6434.22	130	11517.40	121
0	Min.	-2210	-50954.60	130	-120.64	49	-3088.05	165	-987.03	130	-18.54	17	-99.16	65	-6448.11	101	1851.76	17
0	Min.	-2211	-50954.60	130	-120.64	49	-3088.05	165	-987.03	130	-18.54	17	-99.16	65	-6448.11	101	1851.76	17
0	Min.	-1680	-50954.60	130	-120.64	49	-3088.05	165	-987.03	130	-18.54	17	-99.16	65	-6448.11	101	1851.76	17
0	Min.	-1679	-50954.60	130	-120.64	49	-3088.05	165	-987.03	130	-18.54	17	-99.16	65	-6448.11	101	1851.76	17
0	Max	-2209	38967.70	101	2989.27	130	2567.69	177	2000.33	97	111.76	97	468.56	101	10419.00	106	30743.70	101
0	Max	-2210	38967.70	101	2989.27	130	2567.69	177	2000.33	97	111.76	97	468.56	101	10419.00	106	30743.70	101
0	Max	-1679	38967.70	101	2989.27	130	2567.69	177	2000.33	97	111.76	97	468.56	101	10419.00	106	30743.70	101
0	Max	-1678	38967.70	101	2989.27	130	2567.69	177	2000.33	97	111.76	97	468.56	101	10419.00	106	30743.70	101
0	Min.	-2209	-34360.60	130	-534.96	101	-10426.50	130	-108.31	17	-28.10	17	-939.15	130	-5867.69	101	-54192.90	130
0	Min.	-2210	-34360.60	130	-534.96	101	-10426.50	130	-108.31	17	-28.10	17	-939.15	130	-5867.69	101	-54192.90	130
0	Min.	-1679	-34360.60	130	-534.96	101	-10426.50	130	-108.31	17	-28.10	17	-939.15	130	-5867.69	101	-54192.90	130
0	Min.	-1678	-34360.60	130	-534.96	101	-10426.50	130	-108.31	17	-28.10	17	-939.15	130	-5867.69	101	-54192.90	130
0	Max	-2208	44459.20	101	1719.47	101	2235.68	177	1443.21	101	82.98	101	454.27	101	3693.67	101	28574.90	101
0	Max	-2209	44459.20	101	1719.47	101	2235.68	177	1443.21	101	82.98	101	454.27	101	3693.67	101	28574.90	101
0	Max	-1678	44459.20	101	1719.47	101	2235.68	177	1443.21	101	82.98	101	454.27	101	3693.67	101	28574.90	101
0	Max	-1677	44459.20	101	1719.47	101	2235.68	177	1443.21	101	82.98	101	454.27	101	3693.67	101	28574.90	101
0	Min.	-2208	-62850.00	130	-4438.49	130	-9447.72	130	-2931.72	130	-153.98	130	-786.01	130	-23613.40	158	-74481.70	130
0	Min.	-2209	-62850.00	130	-4438.49	130	-9447.72	130	-2931.72	130	-153.98	130	-786.01	130	-23613.40	158	-74481.70	130
0	Min.	-1678	-62850.00	130	-4438.49	130	-9447.72	130	-2931.72	130	-153.98	130	-786.01	130	-23613.40	158	-74481.70	130
0	Min.	-1677	-62850.00	130	-4438.49	130	-9447.72	130	-2931.72	130	-153.98	130	-786.01	130	-23613.40	158	-74481.70	130
0	Max	-2207	33483.60	101	1114.62	101	2931.96	177	846.85	97	113.24	158	591.63	158	2015.83	101	8288.95	97
0	Max	-2208	33483.60	101	1114.62	101	2931.96	177	846.85	97	113.24	158	591.63	158	2015.83	101	8288.95	97
0	Max	-1677	33483.60	101	1114.62	101	2931.96	177	846.85	97	113.24	158	591.63	158	2015.83	101	8288.95	97
0	Max	-1676	33483.60	101	1114.62	101	2931.96	177	846.85	97	113.24	158	591.63	158	2015.83	101	8288.95	97
0	Min.	-2207	-44986.90	130	-2766.57	130	-3727.50	101	-1112.43	130	-14.17	17	-14.08	65	-6797.91	158	-442.27	1
0	Min.	-2208	-44986.90	130	-2766.57	130	-3727.50	101	-1112.43	130	-14.17	17	-14.08	65	-6797.91	158	-442.27	1
0	Min.	-1677	-44986.90	130	-2766.57	130	-3727.50	101	-1112.43	130	-14.17	17	-14.08	65	-6797.91	158	-442.27	1
0	Min.	-1676	-44986.90	130	-2766.57	130	-3727.50	101	-1112.43	130	-14.17	17	-14.08	65	-6797.91	158	-442.27	1
0	Max	-2205	23096.10	101	640.85	173	3785.21	130	461.38	97	54.23	177	389.74	157	1039.24	107	7465.23	101
0	Max	-2207	23096.10	101	640.85	173	3785.21	130	461.38	97	54.23	177	389.74	157	1039.24	107	7465.23	101
0	Max	-1676	23096.10	101	640.85	173	3785.21	130	461.38	97	54.23	177	389.74	157	1039.24	107	7465.23	101
0	Max	-1675	23096.10	101	640.85	173	3785.21	130	461.38	97	54.23	177	389.74	157	1039.24	107	7465.23	101
0	Min.	-2205	-30668.80	130	-2121.86	177	-4122.19	101	-913.28	130	-42.40	106	-60.33	106	-4336.50	160	-11703.20	130
0	Min.	-2207	-30668.80	130	-2121.86	177	-4122.19	101	-913.28	130	-42.40	106	-60.33	106	-4336.50	160	-11703.20	130
0	Min.	-1676	-30668.80	130	-2121.86	177	-4122.19	101	-913.28	130	-42.40	106	-60.33	106	-4336.50	160	-11703.20	130

0	Min.	-1675	-30668.80	130	-2121.86	177	-4122.19	101	-913.28	130	-42.40	106	-60.33	106	-4336.50	160	-11703.20	130
0	Max	-2206	10863.80	101	875.21	177	6673.06	130	114.29	97	191.38	177	412.59	158	9047.39	162	7236.15	101
0	Max	-2205	10863.80	101	875.21	177	6673.06	130	114.29	97	191.38	177	412.59	158	9047.39	162	7236.15	101
0	Max	-1675	10863.80	101	875.21	177	6673.06	130	114.29	97	191.38	177	412.59	158	9047.39	162	7236.15	101
0	Max	-1425	10863.80	101	875.21	177	6673.06	130	114.29	97	191.38	177	412.59	158	9047.39	162	7236.15	101
0	Min.	-2206	-14016.40	130	-852.84	130	-5490.36	101	-300.25	130	-11.95	105	-16.28	141	161.28	49	-19750.30	130
0	Min.	-2205	-14016.40	130	-852.84	130	-5490.36	101	-300.25	130	-11.95	105	-16.28	141	161.28	49	-19750.30	130
0	Min.	-1675	-14016.40	130	-852.84	130	-5490.36	101	-300.25	130	-11.95	105	-16.28	141	161.28	49	-19750.30	130
0	Min.	-1425	-14016.40	130	-852.84	130	-5490.36	101	-300.25	130	-11.95	105	-16.28	141	161.28	49	-19750.30	130
0	Max	-2204	41717.00	101	231.33	65	236.46	177	2669.55	101	149.50	105	-17.73	65	-5481.12	17	-4460.13	17
0	Max	-2202	41717.00	101	231.33	65	236.46	177	2669.55	101	149.50	105	-17.73	65	-5481.12	17	-4460.13	17
0	Max	-1746	41717.00	101	231.33	65	236.46	177	2669.55	101	149.50	105	-17.73	65	-5481.12	17	-4460.13	17
0	Max	-1686	41717.00	101	231.33	65	236.46	177	2669.55	101	149.50	105	-17.73	65	-5481.12	17	-4460.13	17
0	Min.	-2204	-94274.80	130	-5232.82	158	-18422.70	158	-1439.26	130	-75.25	173	-1545.76	122	-61359.00	97	-115234.00	121
0	Min.	-2202	-94274.80	130	-5232.82	158	-18422.70	158	-1439.26	130	-75.25	173	-1545.76	122	-61359.00	97	-115234.00	121
0	Min.	-1746	-94274.80	130	-5232.82	158	-18422.70	158	-1439.26	130	-75.25	173	-1545.76	122	-61359.00	97	-115234.00	121
0	Min.	-1686	-94274.80	130	-5232.82	158	-18422.70	158	-1439.26	130	-75.25	173	-1545.76	122	-61359.00	97	-115234.00	121
0	Max	-2203	61525.70	130	2621.09	162	44.01	17	4479.47	98	379.69	98	197.06	65	-3306.98	65	-407.46	161
0	Max	-2181	61525.70	130	2621.09	162	44.01	17	4479.47	98	379.69	98	197.06	65	-3306.98	65	-407.46	161
0	Max	-1544	61525.70	130	2621.09	162	44.01	17	4479.47	98	379.69	98	197.06	65	-3306.98	65	-407.46	161
0	Max	-1540	61525.70	130	2621.09	162	44.01	17	4479.47	98	379.69	98	197.06	65	-3306.98	65	-407.46	161
0	Min.	-2203	-58657.20	101	-1387.51	101	-5485.21	161	60.29	49	-1.48	65	-501.18	98	-38500.70	98	-19527.90	98
0	Min.	-2181	-58657.20	101	-1387.51	101	-5485.21	161	60.29	49	-1.48	65	-501.18	98	-38500.70	98	-19527.90	98
0	Min.	-1544	-58657.20	101	-1387.51	101	-5485.21	161	60.29	49	-1.48	65	-501.18	98	-38500.70	98	-19527.90	98
0	Min.	-1540	-58657.20	101	-1387.51	101	-5485.21	161	60.29	49	-1.48	65	-501.18	98	-38500.70	98	-19527.90	98
0	Max	-2202	50207.40	101	7983.22	158	-480.72	17	5588.08	97	337.05	129	-142.67	65	24428.30	158	-2462.44	17
0	Max	-2201	50207.40	101	7983.22	158	-480.72	17	5588.08	97	337.05	129	-142.67	65	24428.30	158	-2462.44	17
0	Max	-1957	50207.40	101	7983.22	158	-480.72	17	5588.08	97	337.05	129	-142.67	65	24428.30	158	-2462.44	17
0	Max	-1746	50207.40	101	7983.22	158	-480.72	17	5588.08	97	337.05	129	-142.67	65	24428.30	158	-2462.44	17
0	Min.	-2202	-59206.30	130	52.61	17	-21656.20	158	163.07	17	-23.34	17	-2044.89	121	-9171.19	101	-114760.00	122
0	Min.	-2201	-59206.30	130	52.61	17	-21656.20	158	163.07	17	-23.34	17	-2044.89	121	-9171.19	101	-114760.00	122
0	Min.	-1957	-59206.30	130	52.61	17	-21656.20	158	163.07	17	-23.34	17	-2044.89	121	-9171.19	101	-114760.00	122
0	Min.	-1746	-59206.30	130	52.61	17	-21656.20	158	163.07	17	-23.34	17	-2044.89	121	-9171.19	101	-114760.00	122
0	Max	-2200	36516.90	177	1997.71	121	6020.27	97	1604.80	101	102.83	101	313.70	65	439.90	142	-251.51	17
0	Max	-2199	36516.90	177	1997.71	121	6020.27	97	1604.80	101	102.83	101	313.70	65	439.90	142	-251.51	17
0	Max	-1748	36516.90	177	1997.71	121	6020.27	97	1604.80	101	102.83	101	313.70	65	439.90	142	-251.51	17
0	Max	-1747	36516.90	177	1997.71	121	6020.27	97	1604.80	101	102.83	101	313.70	65	439.90	142	-251.51	17
0	Min.	-2200	-76463.50	130	70.65	17	-5078.75	166	-975.97	130	-0.33	17	-725.45	173	-13147.60	121	-30667.30	97
0	Min.	-2199	-76463.50	130	70.65	17	-5078.75	166	-975.97	130	-0.33	17	-725.45	173	-13147.60	121	-30667.30	97
0	Min.	-1748	-76463.50	130	70.65	17	-5078.75	166	-975.97	130	-0.33	17	-725.45	173	-13147.60	121	-30667.30	97
0	Min.	-1747	-76463.50	130	70.65	17	-5078.75	166	-975.97	130	-0.33	17	-725.45	173	-13147.60	121	-30667.30	97
0	Max	-2199	32642.60	177	332.87	101	6771.52	97	786.85	101	43.97	113	331.32	65	6401.88	122	211.57	17
0	Max	-2198	32642.60	177	332.87	101	6771.52	97	786.85	101	43.97	113	331.32	65	6401.88	122	211.57	17
0	Max	-1749	32642.60	177	332.87	101	6771.52	97	786.85	101	43.97	113	331.32	65	6401.88	122	211.57	17
0	Max	-1748	32642.60	177	332.87	101	6771.52	97	786.85	101	43.97	113	331.32	65	6401.88	122	211.57	17
0	Min.	-2199	-88576.00	130	-372.96	106	-3936.53	166	-1390.40	106	-49.51	106	-785.37	173	-174.79	33	-28170.40	97
0	Min.	-2198	-88576.00	130	-372.96	106	-3936.53	166	-1390.40	106	-49.51	106	-785.37	173	-174.79	33	-28170.40	97
0	Min.	-1749	-88576.00	130	-372.96	106	-3936.53	166	-1390.40	106	-49.51	106	-785.37	173	-174.79	33	-28170.40	97
0	Min.	-1748	-88576.00	130	-372.96	106	-3936.53	166	-1390.40	106	-49.51	106	-785.37	173	-174.79	33	-28170.40	97
0	Max	-2197	30598.90	177	4729.04	121	-288.97	17	728.98	125	88.79	125	56.33	65	23437.60	97	-428.06	17
0	Max	-2196	30598.90	177	4729.04	121	-288.97	17	728.98	125	88.79	125	56.33	65	23437.60	97	-428.06	17
0	Max	-1751	30598.90	177	4729.04	121	-288.97	17	728.98	125	88.79	125	56.33	65	23437.60	97	-428.06	17
0	Max	-1750	30598.90	177	4729.04	121	-288.97	17	728.98	125	88.79	125	56.33	65	23437.60	97	-428.06	17
0	Min.	-2197	-101976.00	98	-163.90	1	-16352.60	157	-1633.23	106	-50.39	106	-1584.01	97	456.37	17	-96667.20	121
0	Min.	-2196	-101976.00	98	-163.90	1	-16352.60	157	-1633.23	106	-50.39	106	-1584.01	97	456.37	17	-96667.20	121
0	Min.	-1751	-101976.00	98	-163.90	1	-16352.60	157	-1633.23	106	-50.39	106	-1584.01	97	456.37	17	-96667.20	121
0	Min.	-1750	-101976.00	98	-163.90	1	-16352.60	157	-1633.23	106	-50.39	106	-1584.01	97	456.37	17	-96667.20	121
0	Max	-2196	26898.00	177	2540.83	157	4262.46	97	-127.18	65	34.39	65	296.66	65	15782.20	97	4827.47	130
0	Max	-2195	26898.00	177	2540.83	157	4262.46	97	-127.18	65	34.39	65	296.66	65	15782.20	97	4827.47	130
0	Max	-1752	26898.00	177	2540.83	157	4262.46	97	-127.18	65	34.39	65	296.66	65	15782.20	97	4827.47	130
0	Max	-1751	26898.00	177	2540.83	157	4262.46	97	-127.18	65	34.39	65	296.66	65	15782.20	97	4827.47	130
0	Min.	-2196	-132138.00	98	-95.30	1	-4180.98	130	-3874.98	98	-212.27	97	-509.31	173	-214.90	17	-8015.60	97
0	Min.	-2195	-132138.00	98	-95.30	1	-4180.98	130	-3874.98	98	-212.27	97	-509.31	173	-214.90	17	-8015.60	97
0	Min.	-1752	-132138.00	98	-95.30	1	-4180.98	130	-3874.98	98	-212.27	97	-509.31	173	-214.90	17	-8015.60	97
0	Min.	-1751	-132138.00	98	-95.30	1	-4180.98	130	-3874.98	98	-212.27	97	-509.31	173	-214.90	17	-8015.60	97
0	Max	-2195	24844.30	177	110.41	1	2044.64	101	-150.59	65	96.79	173	161.37	65	3629.32	98	1151.56	1
0	Max	-2194	24844.30	177	110.41	1	2044.64	101	-150.59	65	96.79	173	161.37	65	3629.32	98	1151.56	1
0	Max	-2119	24844.30	177	110.41	1	2044.64	101	-150.59	65	96.79	173	161.37	65	3629.32	98	1151.56	1
0	Max	-1752	24844.30	177	110.41	1	2044.64	101	-150.59	65	96.79	173	161.37	65	3629.32	98	1151.56	1
0	Min.	-2195	-149062.00	98	-1695.27	97	-4574.16	158	-4370.97	98	-81.75	98	-566.08	97	-5178.53	125	-18455.60	97
0	Min.	-2194	-149062.00	98	-1695.27	97	-4574.16	158	-4370.97	98	-81.75	98	-566.08	97	-5178.53	125	-18455.60	97
0	Min.	-2119	-149062.00	98	-1695.27	97	-4574.16	158	-4370.97	98	-81.75	98	-566.08	97	-5178.53	125	-18455.60	97
0	Min.	-1752	-149062.00	98	-1695.27	97	-4574.16	158	-4370.97	98	-81.75	98	-566.08	97	-5178.53	125	-18455.60	97
0	Max	-2193	22983.10	177	4538.26	157	1071.25	106	307.14	161	282.88	173	621.22	106	28430.50	121	40760.00	106
0	Max	-2192	22983.10	177	4538.26	157	1071.25	106	307.14	161	282.88	173	621.22	106	28430.50	121	40760.00	106
0	Max	-1754	22983.10	177	4538.26	157	1071.25	106	307.14	161	282.88	173	621.22	106	28430.50	121	40760.00	106
0	Max	-1689	22983.10	177	4538.26	157	1071.25	106	307.14	161	282.88	173	621.22	106	28430.50	121	40760.00	106
0	Min.	-2193	-166419.00	98	-2144.38	106	-17779.20	157	-4929.10	98	-70.94	17	-857.35	125	-5694.61	106	-66906.10	125
0	Min.	-2192	-166419.00	98	-2144.38	106	-17779.20	157	-4929.10	98	-70.94	17	-857.35	125	-5694.61	106	-66906.10	125
0	Min.	-1754	-166419.00	98	-2144.38	106	-17779.20	157	-4929.10	98	-70.94	17	-857.35	125	-5694.61	106	-66906.10	125
0	Min.	-1689	-166419.00	98	-2144.38	106	-17779.20	157	-4929.10	98	-70.94	17	-857.35	125	-5694.61	106	-66906.10	125
0	Max	-2192	23451.70	177	1153.25	158	1188.26	101	-203.71	65	129.48	173	277.62	173	16459.30	157	7797.85	106
0	Max	-2191	23451.70	177	1153.25	158	1188.26	101	-203.71	65	129.48	173	277.62	173	16459.30	157	7797.85	106
0	Max	-2116	23451.70	177	1153.25	158	1188.26	101	-203.71	65	129.48	173	277.62	173	16459.30	157	7797.85	106
0	Max	-1754	23451.70	177	1153.25	158	1188.26	101	-203.71	65	129.48	173	277.62	173	16459.30	157	7797.85	106
0	Min.	-2192	-163039.00	97	-243.52	101	-9434.24	158	-5059.44	98	-97.81	97	-65.16	17	-7730.43	106	-8435.58	101
0	Min.	-2191	-163039.00	97	-243.52	101	-9434.24	158	-5059.44	98	-97.81	97	-65.16	17	-7730.43	106	-8435.58	101
0	Min.	-2116	-163039.00	97	-243.52	101	-9434.24	158	-5059.44	98	-97.81	97	-65.16	17	-7730.43	106	-8435.58	101
0	Min.	-1754	-163039.00	97	-243.52	101	-9434.24	158	-5059.44	98	-97.81	97	-65.16	17	-7730.43	106	-8435.58	101
0	Max	-2190	24793.20	177	742.11	158	1409.44	101	-189.14	17	67.26	173	487.33	173	16451.90	98	6069.98	106
0	Max	-2189	24793.20	177	742.11	158	1409.44	101	-189.14	17	67.26	173	487.33	173	16451.90	98	6069.98	106
0	Max	-2115	24793.20	177	742.11	158	1409.44	101	-189.14	17	67.26	173	487.33	173	16451.90	98	6069.98	106
0	Max	-1755	24793.20	177	742.11	158	1409.44	101	-189.14	17	67.26	173	487.33	173	16451.90	98	6069.98	106
0	Min.	-2190	-151996.00	97	-262.24	101	-7499.81	158	-4781.54	97	-103.17	97	-142.07	17	-1014.18	161	-3876.45	101
0	Min.	-2189	-151996.00	97	-262.24	101	-7499.81	158	-4781.54	97	-103.17	97	-142.07	17	-1014.18	161	-3876.45	101
0	Min.	-2115	-151996.00	97	-262.24	101	-7499.81	158	-4781.54	97	-103.17	97	-142.07	17	-1014.18	161	-3876.45	101
0	Min.	-1755	-151996.00	97	-262.24	101	-7499.81	158	-4781.54	97	-103.17	97	-142.07	17	-1014.18	161	-3876.45	101
0	Max	-2188	26897.90	177	1951.54	98	1034.24	101	-127.18	17	34.39	17	549.26	173	15782.20	98	9701.21	122
0	Max	-2187	26897.90	177	1951.54	98	1034.24	101	-127.18	17	34.39	17	549.26	173	15782.20	98	9701.21	122
0	Max	-1757	26897.90	177	1951.54	98	1034.24	101	-127.18	17	34.39	17	549.26	173	15782.20	98	9701.21	122
0	Max	-1756	26897.90	177	1951.54	98	1034.24	101	-127.18	17	34.39	17	549.26	173	15782.20	98	9701.21	122
0	Min.	-2188	-132138.00	97	-1046.60	165	-8530.63	158	-3874.98	97	-212.27	98	-296.66	17	-995.29	161	-1609.27	101
0	Min.	-2187	-132138.00	97	-1046.60	165	-8530.63	158	-3874.98	97	-212.27	98	-296.66	17	-995.29	161	-1609.27	101
0	Min.	-1757	-132138.00	97	-1046.60	165	-8530.63	158	-3874.98	97	-212.27	98	-296.66	17	-995.29	161	-1609.27	101
0	Min.	-1756	-132138.00	97	-1046.60	165	-8530.63	158	-3874.98	97	-212.27	98	-296.66	17	-995.29	161	-1609.27	101

0	Max	-2186	28831.50	177	957.69	165	-80.34	65	377.30	130	79.64	106	628.61	173	3803.26	125	16283.90	98
0	Max	-2185	28831.50	177	957.69	165	-80.34	65	377.30	130	79.64	106	628.61	173	3803.26	125	16283.90	98
0	Max	-1759	28831.50	177	957.69	165	-80.34	65	377.30	130	79.64	106	628.61	173	3803.26	125	16283.90	98
0	Max	-1758	28831.50	177	957.69	165	-80.34	65	377.30	130	79.64	106	628.61	173	3803.26	125	16283.90	98
0	Min.	-2186	-92887.80	97	-3439.93	98	-8200.53	122	-1651.87	101	-68.28	125	-430.53	17	-5481.32	98	-613.67	65
0	Min.	-2185	-92887.80	97	-3439.93	98	-8200.53	122	-1651.87	101	-68.28	125	-430.53	17	-5481.32	98	-613.67	65
0	Min.	-1759	-92887.80	97	-3439.93	98	-8200.53	122	-1651.87	101	-68.28	125	-430.53	17	-5481.32	98	-613.67	65
0	Min.	-1758	-92887.80	97	-3439.93	98	-8200.53	122	-1651.87	101	-68.28	125	-430.53	17	-5481.32	98	-613.67	65
0	Max	-2185	32642.60	177	332.86	106	-63.72	65	894.72	130	51.04	130	734.13	173	6218.83	97	28170.40	98
0	Max	-2184	32642.60	177	332.86	106	-63.72	65	894.72	130	51.04	130	734.13	173	6218.83	97	28170.40	98
0	Max	-1760	32642.60	177	332.86	106	-63.72	65	894.72	130	51.04	130	734.13	173	6218.83	97	28170.40	98
0	Max	-1759	32642.60	177	332.86	106	-63.72	65	894.72	130	51.04	130	734.13	173	6218.83	97	28170.40	98
0	Min.	-2185	-77891.00	101	-372.98	101	-7996.43	122	-1390.44	101	-49.52	101	-331.32	17	-2676.95	162	-211.57	65
0	Min.	-2184	-77891.00	101	-372.98	101	-7996.43	122	-1390.44	101	-49.52	101	-331.32	17	-2676.95	162	-211.57	65
0	Min.	-1760	-77891.00	101	-372.98	101	-7996.43	122	-1390.44	101	-49.52	101	-331.32	17	-2676.95	162	-211.57	65
0	Min.	-1759	-77891.00	101	-372.98	101	-7996.43	122	-1390.44	101	-49.52	101	-331.32	17	-2676.95	162	-211.57	65
0	Max	-2184	36516.80	177	1977.41	98	11.41	65	1604.74	106	102.83	106	674.67	173	2612.20	125	30667.30	98
0	Max	-2183	36516.80	177	1977.41	98	11.41	65	1604.74	106	102.83	106	674.67	173	2612.20	125	30667.30	98
0	Max	-1761	36516.80	177	1977.41	98	11.41	65	1604.74	106	102.83	106	674.67	173	2612.20	125	30667.30	98
0	Max	-1760	36516.80	177	1977.41	98	11.41	65	1604.74	106	102.83	106	674.67	173	2612.20	125	30667.30	98
0	Min.	-2184	-67895.50	101	-204.87	165	-8289.39	158	-925.99	101	-0.33	65	-313.70	17	-12180.80	98	251.51	65
0	Min.	-2183	-67895.50	101	-204.87	165	-8289.39	158	-925.99	101	-0.33	65	-313.70	17	-12180.80	98	251.51	65
0	Min.	-1761	-67895.50	101	-204.87	165	-8289.39	158	-925.99	101	-0.33	65	-313.70	17	-12180.80	98	251.51	65
0	Min.	-1760	-67895.50	101	-204.87	165	-8289.39	158	-925.99	101	-0.33	65	-313.70	17	-12180.80	98	251.51	65
0	Max	-2183	46987.80	106	4069.06	98	1226.13	101	3006.82	98	151.84	130	651.32	173	24042.40	97	59040.00	98
0	Max	-2182	46987.80	106	4069.06	98	1226.13	101	3006.82	98	151.84	130	651.32	173	24042.40	97	59040.00	98
0	Max	-1942	46987.80	106	4069.06	98	1226.13	101	3006.82	98	151.84	130	651.32	173	24042.40	97	59040.00	98
0	Max	-1761	46987.80	106	4069.06	98	1226.13	101	3006.82	98	151.84	130	651.32	173	24042.40	97	59040.00	98
0	Min.	-2183	-57899.20	101	-396.89	161	-7972.94	162	-235.59	101	-6.29	65	-257.23	17	-15303.60	162	-5325.63	161
0	Min.	-2182	-57899.20	101	-396.89	161	-7972.94	162	-235.59	101	-6.29	65	-257.23	17	-15303.60	162	-5325.63	161
0	Min.	-1942	-57899.20	101	-396.89	161	-7972.94	162	-235.59	101	-6.29	65	-257.23	17	-15303.60	162	-5325.63	161
0	Min.	-1761	-57899.20	101	-396.89	161	-7972.94	162	-235.59	101	-6.29	65	-257.23	17	-15303.60	162	-5325.63	161
0	Max	-2181	58636.40	130	2472.32	98	557.36	173	3613.72	98	292.44	98	149.14	65	-1583.07	65	-1992.72	65
0	Max	-2180	58636.40	130	2472.32	98	557.36	173	3613.72	98	292.44	98	149.14	65	-1583.07	65	-1992.72	65
0	Max	-1922	58636.40	130	2472.32	98	557.36	173	3613.72	98	292.44	98	149.14	65	-1583.07	65	-1992.72	65
0	Max	-1544	58636.40	130	2472.32	98	557.36	173	3613.72	98	292.44	98	149.14	65	-1583.07	65	-1992.72	65
0	Min.	-2181	-51101.70	101	263.79	65	-4297.00	161	-119.18	49	-4.76	65	-428.06	130	-17521.50	122	-12908.80	102
0	Min.	-2180	-51101.70	101	263.79	65	-4297.00	161	-119.18	49	-4.76	65	-428.06	130	-17521.50	122	-12908.80	102
0	Min.	-1922	-51101.70	101	263.79	65	-4297.00	161	-119.18	49	-4.76	65	-428.06	130	-17521.50	122	-12908.80	102
0	Min.	-1544	-51101.70	101	263.79	65	-4297.00	161	-119.18	49	-4.76	65	-428.06	130	-17521.50	122	-12908.80	102
0	Max	-2179	51097.50	130	1220.62	97	1455.32	106	2545.56	98	140.40	106	99.16	17	5489.51	101	325.11	161
0	Max	-2178	51097.50	130	1220.62	97	1455.32	106	2545.56	98	140.40	106	99.16	17	5489.51	101	325.11	161
0	Max	-1546	51097.50	130	1220.62	97	1455.32	106	2545.56	98	140.40	106	99.16	17	5489.51	101	325.11	161
0	Max	-1545	51097.50	130	1220.62	97	1455.32	106	2545.56	98	140.40	106	99.16	17	5489.51	101	325.11	161
0	Min.	-2179	-41144.00	101	-936.89	162	-2929.19	161	-591.82	101	-18.55	65	-320.01	97	-8355.16	130	-11353.80	98
0	Min.	-2178	-41144.00	101	-936.89	162	-2929.19	161	-591.82	101	-18.55	65	-320.01	97	-8355.16	130	-11353.80	98
0	Min.	-1546	-41144.00	101	-936.89	162	-2929.19	161	-591.82	101	-18.55	65	-320.01	97	-8355.16	130	-11353.80	98
0	Min.	-1545	-41144.00	101	-936.89	162	-2929.19	161	-591.82	101	-18.55	65	-320.01	97	-8355.16	130	-11353.80	98
0	Max	-2177	42856.30	130	2199.86	130	3727.13	106	1080.31	158	43.29	97	320.56	162	5093.39	162	796.37	125
0	Max	-2176	42856.30	130	2199.86	130	3727.13	106	1080.31	158	43.29	97	320.56	162	5093.39	162	796.37	125
0	Max	-1549	42856.30	130	2199.86	130	3727.13	106	1080.31	158	43.29	97	320.56	162	5093.39	162	796.37	125
0	Max	-1548	42856.30	130	2199.86	130	3727.13	106	1080.31	158	43.29	97	320.56	162	5093.39	162	796.37	125
0	Min.	-2177	-35255.80	101	-1800.26	101	-2932.03	177	-852.14	101	-77.34	162	-267.08	97	-2169.37	49	-8288.93	98
0	Min.	-2176	-35255.80	101	-1800.26	101	-2932.03	177	-852.14	101	-77.34	162	-267.08	97	-2169.37	49	-8288.93	98
0	Min.	-1549	-35255.80	101	-1800.26	101	-2932.03	177	-852.14	101	-77.34	162	-267.08	97	-2169.37	49	-8288.93	98
0	Min.	-1548	-35255.80	101	-1800.26	101	-2932.03	177	-852.14	101	-77.34	162	-267.08	97	-2169.37	49	-8288.93	98
0	Max	-2176	29362.10	130	846.76	130	4534.59	130	735.21	158	54.22	177	173.99	125	2068.85	167	8023.99	101
0	Max	-2175	29362.10	130	846.76	130	4534.59	130	735.21	158	54.22	177	173.99	125	2068.85	167	8023.99	101
0	Max	-1550	29362.10	130	846.76	130	4534.59	130	735.21	158	54.22	177	173.99	125	2068.85	167	8023.99	101
0	Max	-1549	29362.10	130	846.76	130	4534.59	130	735.21	158	54.22	177	173.99	125	2068.85	167	8023.99	101
0	Min.	-2176	-24297.60	101	-2122.54	177	-3313.89	101	-708.65	101	-42.41	101	-202.76	110	-2670.86	65	-11131.10	158
0	Min.	-2175	-24297.60	101	-2122.54	177	-3313.89	101	-708.65	101	-42.41	101	-202.76	110	-2670.86	65	-11131.10	158
0	Min.	-1550	-24297.60	101	-2122.54	177	-3313.89	101	-708.65	101	-42.41	101	-202.76	110	-2670.86	65	-11131.10	158
0	Min.	-1549	-24297.60	101	-2122.54	177	-3313.89	101	-708.65	101	-42.41	101	-202.76	110	-2670.86	65	-11131.10	158
0	Max	-2175	13625.80	130	877.66	177	6736.06	130	209.69	158	191.37	177	188.64	162	7985.25	177	13792.00	101
0	Max	-2174	13625.80	130	877.66	177	6736.06	130	209.69	158	191.37	177	188.64	162	7985.25	177	13792.00	101
0	Max	-1609	13625.80	130	877.66	177	6736.06	130	209.69	158	191.37	177	188.64	162	7985.25	177	13792.00	101
0	Max	-1550	13625.80	130	877.66	177	6736.06	130	209.69	158	191.37	177	188.64	162	7985.25	177	13792.00	101
0	Min.	-2175	-11232.50	101	-629.98	101	-5400.73	101	-236.47	101	-79.28	162	-196.77	109	-4624.33	158	-14540.80	158
0	Min.	-2174	-11232.50	101	-629.98	101	-5400.73	101	-236.47	101	-79.28	162	-196.77	109	-4624.33	158	-14540.80	158
0	Min.	-1609	-11232.50	101	-629.98	101	-5400.73	101	-236.47	101	-79.28	162	-196.77	109	-4624.33	158	-14540.80	158
0	Min.	-1550	-11232.50	101	-629.98	101	-5400.73	101	-236.47	101	-79.28	162	-196.77	109	-4624.33	158	-14540.80	158
0	Max	-2154	-8881.30	17	1410.54	173	9411.09	157	-237.71	17	89.35	17	416.25	98	6009.12	173	3952.05	130
0	Max	-2153	-8881.30	17	1410.54	173	9411.09	157	-237.71	17	89.35	17	416.25	98	6009.12	173	3952.05	130
0	Max	-1771	-8881.30	17	1410.54	173	9411.09	157	-237.71	17	89.35	17	416.25	98	6009.12	173	3952.05	130
0	Max	-2094	-8881.30	17	1410.54	173	9411.09	157	-237.71	17	89.35	17	416.25	98	6009.12	173	3952.05	130
0	Min.	-2154	-152139.00	98	-4407.40	177	-1576.90	106	-4955.09	98	-364.43	98	-478.48	173	-13764.50	98	-22043.60	173
0	Min.	-2153	-152139.00	98	-4407.40	177	-1576.90	106	-4955.09	98	-364.43	98	-478.48	173	-13764.50	98	-22043.60	173
0	Min.	-1771	-152139.00	98	-4407.40	177	-1576.90	106	-4955.09	98	-364.43	98	-478.48	173	-13764.50	98	-22043.60	173
0	Min.	-2094	-152139.00	98	-4407.40	177	-1576.90	106	-4955.09	98	-364.43	98	-478.48	173	-13764.50	98	-22043.60	173
0	Max	-2152	-10589.60	17	8964.46	173	10610.90	157	-258.15	65	101.13	17	161.31	101	9995.70	125	7769.55	106
0	Max	-2151	-10589.60	17	8964.46	173	10610.90	157	-258.15	65	101.13	17	161.31	101	9995.70	125	7769.55	106
0	Max	-1772	-10589.60	17	8964.46	173	10610.90	157	-258.15	65	101.13	17	161.31	101	9995.70	125	7769.55	106
0	Max	-2092	-10589.60	17	8964.46	173	10610.90	157	-258.15	65	101.13	17	161.31	101	9995.70	125	7769.55	106
0	Min.	-2152	-162251.00	98	-8413.36	177	-7547.93	173	-5983.65	173	-861.11	173	-126.21	106	-115090.00	173	-85716.30	173
0	Min.	-2151	-162251.00	98	-8413.36	177	-7547.93	173	-5983.65	173	-861.11	173	-126.21	106	-115090.00	173	-85716.30	173
0	Min.	-1772	-162251.00	98	-8413.36	177	-7547.93	173	-5983.65	173	-861.11	173	-126.21	106	-115090.00	173	-85716.30	173
0	Min.	-2092	-162251.00	98	-8413.36	177	-7547.93	173	-5983.65	173	-861.11	173	-126.21	106	-115090.00	173	-85716.30	173
0	Max	-2148	-10576.00	65	2776.83	173	6625.44	157	-249.51	17	270.24	173	535.77	173	6626.83	173	12285.40	98
0	Max	-2147	-10576.00	65	2776.83	173	6625.44	157	-249.51	17	270.24	173	535.77	173	6626.83	173	12285.40	98
0	Max	-1774	-10576.00	65	2776.83	173	6625.44	157	-249.51	17	270.24	173	535.77	173	6626.83	173	12285.40	98
0	Max	-2090	-10576.00	65	2776.83	173	6625.44	157	-249.51	17	270.24	173	535.77	173	6626.83	173	12285.40	98
0	Min.	-2148	-161837.00	97	-5509.38	177	-4033.45	106	-5068.55	97	-372.69	97	-254.97	98	-14273.10	97	-4838.01	101
0	Min.	-2147	-161837.00	97	-5509.38	177	-4033.45	106	-5068.55	97	-372.69	97	-254.97	98	-14273.10	97	-4838.01	101
0	Min.	-1774	-161837.00	97	-5509.38	177	-4033.45	106	-5068.55	97	-372.69	97	-254.97	98	-14273.10	97	-4838.01	101
0	Min.	-2090	-161837.00	97	-5509.38	177	-4033.45	106	-5068.55	97	-372.69	97	-254.97	98	-14273.10	97	-4838.01	101
0	Max	-2146	-5522.07	162	1197.34	173	5177.24	157	-206.09	65	192.15	173	696.52	173	6888.54	173	14073.10	98
0	Max	-2145	-5522.07	162	1197.34	173	5177.24	157	-206.09	65	192.15	173	696.52	173	6888.54	173	14073.10	98
0	Max	-1775	-5522.07	162	1197.34	173	5177.24	157	-206.09	65	192.15	173	696.52	173	6888.54	173	14073.10	98
0	Max	-2088	-5522.07	162	1197.34	173	5177.24	157	-206.09	65	192.15	173	696.52	173	6888.54	173	14073.10	98
0	Min.	-2146	-151341.00	97	-4580.09	177	-4465.50	98	-4622.77	97	-401.23	97	-501.62	97	-12210.00	97	-1461.91	101
0	Min.	-2145	-151341.00	97	-4580.09	177	-4465.50	98	-4622.77	97	-401.23	97	-501.62	97	-12210.00	97	-1461.91	101
0	Min.	-1775	-151341.00	97	-4580.09	177	-4465.50	98	-4622.77	97	-401.23	97	-501.62	97	-12210.00	97	-1461.91	101
0	Min.	-2088	-151341.00	97	-4580.09	177	-4465.50	98	-4622.77	97	-401.23	97	-501.62	97	-12210.00	97	-1461.91	101
0	Max	-2166	51168.10	101	341.68	113	8107.75	166	3682.65	97	875.99	97	151.53	65	10480.30	97	28974.50	97

0	Max	-2165	51168.10	101	341.68	113	8107.75	166	3682.65	97	875.99	97	151.53	65	10480.30	97	28974.50	97
0	Max	-1362	51168.10	101	341.68	113	8107.75	166	3682.65	97	875.99	97	151.53	65	10480.30	97	28974.50	97
0	Max	-1960	51168.10	101	341.68	113	8107.75	166	3682.65	97	875.99	97	151.53	65	10480.30	97	28974.50	97
0	Min.	-2166	-62932.50	130	-2198.50	177	-339.34	1	-549.12	130	-42.03	177	-704.62	173	-2269.22	106	3027.63	65
0	Min.	-2165	-62932.50	130	-2198.50	177	-339.34	1	-549.12	130	-42.03	177	-704.62	173	-2269.22	106	3027.63	65
0	Min.	-1362	-62932.50	130	-2198.50	177	-339.34	1	-549.12	130	-42.03	177	-704.62	173	-2269.22	106	3027.63	65
0	Min.	-1960	-62932.50	130	-2198.50	177	-339.34	1	-549.12	130	-42.03	177	-704.62	173	-2269.22	106	3027.63	65
0	Max	-2162	42924.10	101	8609.30	121	13351.70	122	2810.21	97	493.44	173	657.95	97	2332.66	177	5124.96	177
0	Max	-2161	42924.10	101	8609.30	121	13351.70	122	2810.21	97	493.44	173	657.95	97	2332.66	177	5124.96	177
0	Max	-1764	42924.10	101	8609.30	121	13351.70	122	2810.21	97	493.44	173	657.95	97	2332.66	177	5124.96	177
0	Max	-1951	42924.10	101	8609.30	121	13351.70	122	2810.21	97	493.44	173	657.95	97	2332.66	177	5124.96	177
0	Min.	-2162	-75735.70	130	-5691.35	177	725.18	65	-497.01	106	-554.22	177	-436.69	173	-18593.30	130	-40921.40	97
0	Min.	-2161	-75735.70	130	-5691.35	177	725.18	65	-497.01	106	-554.22	177	-436.69	173	-18593.30	130	-40921.40	97
0	Min.	-1764	-75735.70	130	-5691.35	177	725.18	65	-497.01	106	-554.22	177	-436.69	173	-18593.30	130	-40921.40	97
0	Min.	-1951	-75735.70	130	-5691.35	177	725.18	65	-497.01	106	-554.22	177	-436.69	173	-18593.30	130	-40921.40	97
0	Max	-2138	46633.50	130	1226.20	173	7044.07	161	3216.62	98	720.94	173	151.46	65	17557.70	177	26983.60	126
0	Max	-2137	46633.50	130	1226.20	173	7044.07	161	3216.62	98	720.94	173	151.46	65	17557.70	177	26983.60	126
0	Max	-1782	46633.50	130	1226.20	173	7044.07	161	3216.62	98	720.94	173	151.46	65	17557.70	177	26983.60	126
0	Max	-1935	46633.50	130	1226.20	173	7044.07	161	3216.62	98	720.94	173	151.46	65	17557.70	177	26983.60	126
0	Min.	-2138	-65321.70	101	-10127.40	177	-8560.44	98	-211.04	101	-596.93	177	-959.61	98	-6540.36	101	-19813.80	177
0	Min.	-2137	-65321.70	101	-10127.40	177	-8560.44	98	-211.04	101	-596.93	177	-959.61	98	-6540.36	101	-19813.80	177
0	Min.	-1782	-65321.70	101	-10127.40	177	-8560.44	98	-211.04	101	-596.93	177	-959.61	98	-6540.36	101	-19813.80	177
0	Min.	-1935	-65321.70	101	-10127.40	177	-8560.44	98	-211.04	101	-596.93	177	-959.61	98	-6540.36	101	-19813.80	177
0	Max	-2134	57642.50	130	707.66	173	6775.05	162	3158.82	98	586.65	98	540.85	173	8365.01	98	-1953.99	17
0	Max	-2133	57642.50	130	707.66	173	6775.05	162	3158.82	98	586.65	98	540.85	173	8365.01	98	-1953.99	17
0	Max	-1854	57642.50	130	707.66	173	6775.05	162	3158.82	98	586.65	98	540.85	173	8365.01	98	-1953.99	17
0	Max	-1932	57642.50	130	707.66	173	6775.05	162	3158.82	98	586.65	98	540.85	173	8365.01	98	-1953.99	17
0	Min.	-2134	-49162.50	101	-2785.66	177	-3959.37	177	-480.74	101	-93.64	177	-128.64	17	-3811.87	101	-17507.30	98
0	Min.	-2133	-49162.50	101	-2785.66	177	-3959.37	177	-480.74	101	-93.64	177	-128.64	17	-3811.87	101	-17507.30	98
0	Min.	-1854	-49162.50	101	-2785.66	177	-3959.37	177	-480.74	101	-93.64	177	-128.64	17	-3811.87	101	-17507.30	98
0	Min.	-1932	-49162.50	101	-2785.66	177	-3959.37	177	-480.74	101	-93.64	177	-128.64	17	-3811.87	101	-17507.30	98
0	Max	-2173	9781.50	101	11560.90	177	5202.89	177	110.68	97	191.34	158	58.91	177	6030.86	177	7258.86	101
0	Max	-2172	9781.50	101	11560.90	177	5202.89	177	110.68	97	191.34	158	58.91	177	6030.86	177	7258.86	101
0	Max	-1682	9781.50	101	11560.90	177	5202.89	177	110.68	97	191.34	158	58.91	177	6030.86	177	7258.86	101
0	Max	-1426	9781.50	101	11560.90	177	5202.89	177	110.68	97	191.34	158	58.91	177	6030.86	177	7258.86	101
0	Min.	-2173	-12387.30	130	-2883.33	173	-3459.65	101	-303.00	130	-41.96	177	-454.10	158	-6171.62	121	-16848.50	130
0	Min.	-2172	-12387.30	130	-2883.33	173	-3459.65	101	-303.00	130	-41.96	177	-454.10	158	-6171.62	121	-16848.50	130
0	Min.	-1682	-12387.30	130	-2883.33	173	-3459.65	101	-303.00	130	-41.96	177	-454.10	158	-6171.62	121	-16848.50	130
0	Min.	-1426	-12387.30	130	-2883.33	173	-3459.65	101	-303.00	130	-41.96	177	-454.10	158	-6171.62	121	-16848.50	130
0	Max	-2172	20986.60	101	769.49	101	6094.47	177	461.62	97	175.16	158	86.75	177	4833.16	121	7673.36	97
0	Max	-2171	20986.60	101	769.49	101	6094.47	177	461.62	97	175.16	158	86.75	177	4833.16	121	7673.36	97
0	Max	-1683	20986.60	101	769.49	101	6094.47	177	461.62	97	175.16	158	86.75	177	4833.16	121	7673.36	97
0	Max	-1682	20986.60	101	769.49	101	6094.47	177	461.62	97	175.16	158	86.75	177	4833.16	121	7673.36	97
0	Min.	-2172	-26863.20	130	-2039.52	130	-972.92	101	-808.89	130	-112.55	177	-463.38	158	-1902.45	177	-6123.29	130
0	Min.	-2171	-26863.20	130	-2039.52	130	-972.92	101	-808.89	130	-112.55	177	-463.38	158	-1902.45	177	-6123.29	130
0	Min.	-1683	-26863.20	130	-2039.52	130	-972.92	101	-808.89	130	-112.55	177	-463.38	158	-1902.45	177	-6123.29	130
0	Min.	-1682	-26863.20	130	-2039.52	130	-972.92	101	-808.89	130	-112.55	177	-463.38	158	-1902.45	177	-6123.29	130
0	Max	-2171	31476.30	101	1164.24	101	7679.22	177	797.89	97	211.32	158	109.17	177	12495.80	158	11367.30	101
0	Max	-2170	31476.30	101	1164.24	101	7679.22	177	797.89	97	211.32	158	109.17	177	12495.80	158	11367.30	101
0	Max	-1684	31476.30	101	1164.24	101	7679.22	177	797.89	97	211.32	158	109.17	177	12495.80	158	11367.30	101
0	Max	-1683	31476.30	101	1164.24	101	7679.22	177	797.89	97	211.32	158	109.17	177	12495.80	158	11367.30	101
0	Min.	-2171	-40231.90	130	-4907.46	177	-1926.70	101	-1349.03	130	-286.34	177	-403.17	158	-1988.40	177	-17449.50	130
0	Min.	-2170	-40231.90	130	-4907.46	177	-1926.70	101	-1349.03	130	-286.34	177	-403.17	158	-1988.40	177	-17449.50	130
0	Min.	-1684	-40231.90	130	-4907.46	177	-1926.70	101	-1349.03	130	-286.34	177	-403.17	158	-1988.40	177	-17449.50	130
0	Min.	-1683	-40231.90	130	-4907.46	177	-1926.70	101	-1349.03	130	-286.34	177	-403.17	158	-1988.40	177	-17449.50	130
0	Max	-2170	38569.00	101	1628.58	101	8064.44	177	1228.94	97	254.72	157	288.33	106	17773.30	158	15790.60	158
0	Max	-2169	38569.00	101	1628.58	101	8064.44	177	1228.94	97	254.72	157	288.33	106	17773.30	158	15790.60	158
0	Max	-1352	38569.00	101	1628.58	101	8064.44	177	1228.94	97	254.72	157	288.33	106	17773.30	158	15790.60	158
0	Max	-1684	38569.00	101	1628.58	101	8064.44	177	1228.94	97	254.72	157	288.33	106	17773.30	158	15790.60	158
0	Min.	-2170	-45358.00	130	-10489.60	177	-1970.01	101	-1546.70	130	-541.24	177	-265.20	173	-1505.72	101	-15651.00	177
0	Min.	-2169	-45358.00	130	-10489.60	177	-1970.01	101	-1546.70	130	-541.24	177	-265.20	173	-1505.72	101	-15651.00	177
0	Min.	-1352	-45358.00	130	-10489.60	177	-1970.01	101	-1546.70	130	-541.24	177	-265.20	173	-1505.72	101	-15651.00	177
0	Min.	-1684	-45358.00	130	-10489.60	177	-1970.01	101	-1546.70	130	-541.24	177	-265.20	173	-1505.72	101	-15651.00	177
0	Max	-2169	43444.40	101	1925.92	158	8327.79	130	1850.74	97	246.18	173	448.88	130	9656.39	177	22508.50	158
0	Max	-2168	43444.40	101	1925.92	158	8327.79	130	1850.74	97	246.18	173	448.88	130	9656.39	177	22508.50	158
0	Max	-1355	43444.40	101	1925.92	158	8327.79	130	1850.74	97	246.18	173	448.88	130	9656.39	177	22508.50	158
0	Max	-1352	43444.40	101	1925.92	158	8327.79	130	1850.74	97	246.18	173	448.88	130	9656.39	177	22508.50	158
0	Min.	-2169	-46892.10	130	-9888.36	177	-1806.23	101	-989.27	130	-543.84	177	-320.55	173	-8899.33	106	764.10	1
0	Min.	-2168	-46892.10	130	-9888.36	177	-1806.23	101	-989.27	130	-543.84	177	-320.55	173	-8899.33	106	764.10	1
0	Min.	-1355	-46892.10	130	-9888.36	177	-1806.23	101	-989.27	130	-543.84	177	-320.55	173	-8899.33	106	764.10	1
0	Min.	-1352	-46892.10	130	-9888.36	177	-1806.23	101	-989.27	130	-543.84	177	-320.55	173	-8899.33	106	764.10	1
0	Max	-2168	47394.20	101	1444.07	130	9168.43	130	2567.54	97	404.73	173	143.68	130	7617.37	101	17919.20	101
0	Max	-2167	47394.20	101	1444.07	130	9168.43	130	2567.54	97	404.73	173	143.68	130	7617.37	101	17919.20	101
0	Max	-1356	47394.20	101	1444.07	130	9168.43	130	2567.54	97	404.73	173	143.68	130	7617.37	101	17919.20	101
0	Max	-1355	47394.20	101	1444.07	130	9168.43	130	2567.54	97	404.73	173	143.68	130	7617.37	101	17919.20	101
0	Min.	-2168	-51466.30	130	-3934.64	177	-1656.60	101	-784.92	130	-288.32	177	-474.53	173	-7135.64	106	-5848.22	130
0	Min.	-2167	-51466.30	130	-3934.64	177	-1656.60	101	-784.92	130	-288.32	177	-474.53	173	-7135.64	106	-5848.22	130
0	Min.	-1356	-51466.30	130	-3934.64	177	-1656.60	101	-784.92	130	-288.32	177	-474.53	173	-7135.64	106	-5848.22	130
0	Min.	-1355	-51466.30	130	-3934.64	177	-1656.60	101	-784.92	130	-288.32	177	-474.53	173	-7135.64	106	-5848.22	130
0	Max	-2167	51062.90	101	732.30	173	7569.46	166	3158.86	97	596.92	173	128.65	65	8365.23	97	17508.30	97
0	Max	-2166	51062.90	101	732.30	173	7569.46	166	3158.86	97	596.92	173	128.65	65	8365.23	97	17508.30	97
0	Max	-1960	51062.90	101	732.30	173	7569.46	166	3158.86	97	596.92	173	128.65	65	8365.23	97	17508.30	97
0	Max	-1356	51062.90	101	732.30	173	7569.46	166	3158.86	97	596.92	173	128.65	65	8365.23	97	17508.30	97
0	Min.	-2167	-60683.60	130	-2785.55	177	-423.25	101	-911.80	130	-93.63	177	-563.88	173	-3810.73	106	1954.06	65
0	Min.	-2166	-60683.60	130	-2785.55	177	-423.25	101	-911.80	130	-93.63	177	-563.88	173	-3810.73	106	1954.06	65
0	Min.	-1960	-60683.60	130	-2785.55	177	-423.25	101	-911.80	130	-93.63	177	-563.88	173	-3810.73	106	1954.06	65
0	Min.	-1356	-60683.60	130	-2785.55	177	-423.25	101	-911.80	130	-93.63	177	-563.88	173	-3810.73	106	1954.06	65
0	Max	-2165	50138.60	101	1332.92	101	11666.40	166	4537.84	97	1502.43	97	213.86	65	64421.80	97	29513.90	105
0	Max	-2164	50138.60	101	1332.92	101	11666.40	166	4537.84	97	1502.43	97	213.86	65	64421.80	97	29513.90	105
0	Max	436	50138.60	101	1332.92	101	11666.40	166	4537.84	97	1502.43	97	213.86	65	64421.80	97	29513.90	105
0	Max	-1362	50138.60	101	1332.92	101	11666.40	166	4537.84	97	1502.43	97	213.86	65	64421.80	97	29513.90	105
0	Min.	-2165	-72652.40	130	-2404.18	177	97.68	1	32.03	130	-113.50	177	-686.53	173	6746.91	65	-606.59	162
0	Min.	-2164	-72652.40	130	-2404.18	177	97.68	1	32.03	130	-113.50	177	-686.53	173	6746.91	65	-606.59	162
0	Min.	436	-72652.40	130	-2404.18	177	97.68	1	32.03	130	-113.50	177	-686.53	173	6746.91	65	-606.59	162
0	Min.	-1362	-72652.40	130	-2404.18	177	97.68	1	32.03	130	-113.50	177	-686.53	173	6746.91	65	-606.59	162
0	Max	-2164	48072.10	101	790.07	113	12772.10	165	4284.96	97	1440.14	97	638.54	124	69171.90	97	8545.79	166
0	Max	-2163	48072.10	101	790.07	113	12772.10	165	4284.96	97	1440.14	97	638.54	124	69171.90	97	8545.79	166
0	Max	-1763	48072.10	101	790.07	113	12772.10	165	4284.96	97	1440.14	97	638.54	124	69171.90	97	8545.79	166
0	Max	436	48072.10	101	790.07	113	12772.10	165	4284.96	97	1440.14	97	638.54	124	69171.90	97	8545.79	166
0	Min.	-2164	-76855.80	130	-8565.15	177	978.02	65	51.80	130	-344.50	177	-258.44	173	7241.90	65	-33105.60	97
0	Min.	-2163	-76855.80	130	-8565.15	177	978.02	65	51.80	130	-344.50	177	-258.44	173	7241.90	65	-33105.60	97
0	Min.	-1763	-76855.80	130	-8565.15	177	978.02	65	51.80	130	-344.50	177	-258.44	173	7241.90	65	-33105.60	97
0	Min.	436	-76855.80	130	-8565.15	177	978.02	65	51.80	130	-344.50	177	-258.44	173	7241.90	65	-33105.60	97
0	Max	-2136	59709.60	130	2671.32	162	9286.56	162	4537.91	98	1502.48	98	661.45	173	64426.20	98	-3313.44	17
0	Max	-2135	59709.60	130	2671.32	162	9286.56	162	4537.91	98	1502.48	98	661.45	173	64426.20	98	-3313.44	17

0	Max	-1841	59709.60	130	2671.32	162	9286.56	162	4537.91	98	1502.48	98	661.45	173	64426.20	98	-3313.44	17
0	Max	431	59709.60	130	2671.32	162	9286.56	162	4537.91	98	1502.48	98	661.45	173	64426.20	98	-3313.44	17
0	Min.	-2136	-56582.50	101	-2404.36	177	-7167.10	97	98.79	1	-113.51	177	-213.86	17	6747.33	17	-30404.10	126
0	Min.	-2135	-56582.50	101	-2404.36	177	-7167.10	97	98.79	1	-113.51	177	-213.86	17	6747.33	17	-30404.10	126
0	Min.	-1841	-56582.50	101	-2404.36	177	-7167.10	97	98.79	1	-113.51	177	-213.86	17	6747.33	17	-30404.10	126
0	Min.	431	-56582.50	101	-2404.36	177	-7167.10	97	98.79	1	-113.51	177	-213.86	17	6747.33	17	-30404.10	126
0	Max	-2163	41716.30	101	2245.60	165	11053.00	165	3216.62	97	737.05	173	959.61	97	17557.70	177	19813.80	177
0	Max	-2162	41716.30	101	2245.60	165	11053.00	165	3216.62	97	737.05	173	959.61	97	17557.70	177	19813.80	177
0	Max	-1951	41716.30	101	2245.60	165	11053.00	165	3216.62	97	737.05	173	959.61	97	17557.70	177	19813.80	177
0	Max	-1763	41716.30	101	2245.60	165	11053.00	165	3216.62	97	737.05	173	959.61	97	17557.70	177	19813.80	177
0	Min.	-2163	-78590.90	130	-10127.40	177	782.44	65	-477.51	130	-596.93	177	-151.46	17	-10071.00	130	-14227.50	105
0	Min.	-2162	-78590.90	130	-10127.40	177	782.44	65	-477.51	130	-596.93	177	-151.46	17	-10071.00	130	-14227.50	105
0	Min.	-1951	-78590.90	130	-10127.40	177	782.44	65	-477.51	130	-596.93	177	-151.46	17	-10071.00	130	-14227.50	105
0	Min.	-1763	-78590.90	130	-10127.40	177	782.44	65	-477.51	130	-596.93	177	-151.46	17	-10071.00	130	-14227.50	105
0	Max	-2161	30201.70	101	4098.69	121	12834.70	121	1588.50	101	373.81	173	417.19	97	3001.22	113	-2226.97	65
0	Max	-2160	30201.70	101	4098.69	121	12834.70	121	1588.50	101	373.81	173	417.19	97	3001.22	113	-2226.97	65
0	Max	-1765	30201.70	101	4098.69	121	12834.70	121	1588.50	101	373.81	173	417.19	97	3001.22	113	-2226.97	65
0	Max	-1764	30201.70	101	4098.69	121	12834.70	121	1588.50	101	373.81	173	417.19	97	3001.22	113	-2226.97	65
0	Min.	-2161	-81884.90	130	-3589.07	177	805.26	65	-1041.86	130	-293.57	177	-717.26	173	-6999.19	130	-36633.90	97
0	Min.	-2160	-81884.90	130	-3589.07	177	805.26	65	-1041.86	130	-293.57	177	-717.26	173	-6999.19	130	-36633.90	97
0	Min.	-1765	-81884.90	130	-3589.07	177	805.26	65	-1041.86	130	-293.57	177	-717.26	173	-6999.19	130	-36633.90	97
0	Min.	-1764	-81884.90	130	-3589.07	177	805.26	65	-1041.86	130	-293.57	177	-717.26	173	-6999.19	130	-36633.90	97
0	Max	-2160	13975.20	101	401.99	166	10786.50	121	805.90	101	314.40	173	401.62	65	3370.56	173	-1285.50	65
0	Max	-2159	13975.20	101	401.99	166	10786.50	121	805.90	101	314.40	173	401.62	65	3370.56	173	-1285.50	65
0	Max	-1766	13975.20	101	401.99	166	10786.50	121	805.90	101	314.40	173	401.62	65	3370.56	173	-1285.50	65
0	Max	-1765	13975.20	101	401.99	166	10786.50	121	805.90	101	314.40	173	401.62	65	3370.56	173	-1285.50	65
0	Min.	-2160	-89841.20	130	-4125.29	177	541.52	65	-1406.24	106	-179.38	106	-852.41	173	-5152.84	106	-23859.90	97
0	Min.	-2159	-89841.20	130	-4125.29	177	541.52	65	-1406.24	106	-179.38	106	-852.41	173	-5152.84	106	-23859.90	97
0	Min.	-1766	-89841.20	130	-4125.29	177	541.52	65	-1406.24	106	-179.38	106	-852.41	173	-5152.84	106	-23859.90	97
0	Min.	-1765	-89841.20	130	-4125.29	177	541.52	65	-1406.24	106	-179.38	106	-852.41	173	-5152.84	106	-23859.90	97
0	Max	-2159	4833.07	1	-38.44	65	12711.90	121	157.62	1	450.55	173	451.80	100	11781.60	173	-1208.60	65
0	Max	-2158	4833.07	1	-38.44	65	12711.90	121	157.62	1	450.55	173	451.80	100	11781.60	173	-1208.60	65
0	Max	-1767	4833.07	1	-38.44	65	12711.90	121	157.62	1	450.55	173	451.80	100	11781.60	173	-1208.60	65
0	Max	-1766	4833.07	1	-38.44	65	12711.90	121	157.62	1	450.55	173	451.80	100	11781.60	173	-1208.60	65
0	Min.	-2159	-95693.10	130	-5406.02	177	402.40	65	-1684.80	106	-304.90	177	-908.18	173	-2067.74	106	-39778.60	97
0	Min.	-2158	-95693.10	130	-5406.02	177	402.40	65	-1684.80	106	-304.90	177	-908.18	173	-2067.74	106	-39778.60	97
0	Min.	-1767	-95693.10	130	-5406.02	177	402.40	65	-1684.80	106	-304.90	177	-908.18	173	-2067.74	106	-39778.60	97
0	Min.	-1766	-95693.10	130	-5406.02	177	402.40	65	-1684.80	106	-304.90	177	-908.18	173	-2067.74	106	-39778.60	97
0	Max	-2158	681.19	1	607.82	173	12402.90	121	-23.64	1	573.68	173	886.11	97	10559.70	125	13636.40	173
0	Max	-2157	681.19	1	607.82	173	12402.90	121	-23.64	1	573.68	173	886.11	97	10559.70	125	13636.40	173
0	Max	-1768	681.19	1	607.82	173	12402.90	121	-23.64	1	573.68	173	886.11	97	10559.70	125	13636.40	173
0	Max	-1767	681.19	1	607.82	173	12402.90	121	-23.64	1	573.68	173	886.11	97	10559.70	125	13636.40	173
0	Min.	-2158	-108186.00	98	-11017.20	177	162.58	49	-2397.01	98	-550.12	177	-538.25	173	-1273.60	106	-17181.60	177
0	Min.	-2157	-108186.00	98	-11017.20	177	162.58	49	-2397.01	98	-550.12	177	-538.25	173	-1273.60	106	-17181.60	177
0	Min.	-1768	-108186.00	98	-11017.20	177	162.58	49	-2397.01	98	-550.12	177	-538.25	173	-1273.60	106	-17181.60	177
0	Min.	-1767	-108186.00	98	-11017.20	177	162.58	49	-2397.01	98	-550.12	177	-538.25	173	-1273.60	106	-17181.60	177
0	Max	-2157	-2622.56	1	7374.34	173	12521.80	121	-31.75	1	402.44	173	943.99	97	7157.73	177	17944.50	177
0	Max	-2156	-2622.56	1	7374.34	173	12521.80	121	-31.75	1	402.44	173	943.99	97	7157.73	177	17944.50	177
0	Max	-1769	-2622.56	1	7374.34	173	12521.80	121	-31.75	1	402.44	173	943.99	97	7157.73	177	17944.50	177
0	Max	-1768	-2622.56	1	7374.34	173	12521.80	121	-31.75	1	402.44	173	943.99	97	7157.73	177	17944.50	177
0	Min.	-2157	-121448.00	98	-9785.45	177	2.85	49	-2668.59	98	-577.27	177	-499.86	173	-18308.30	97	-11839.70	173
0	Min.	-2156	-121448.00	98	-9785.45	177	2.85	49	-2668.59	98	-577.27	177	-499.86	173	-18308.30	97	-11839.70	173
0	Min.	-1769	-121448.00	98	-9785.45	177	2.85	49	-2668.59	98	-577.27	177	-499.86	173	-18308.30	97	-11839.70	173
0	Min.	-1768	-121448.00	98	-9785.45	177	2.85	49	-2668.59	98	-577.27	177	-499.86	173	-18308.30	97	-11839.70	173
0	Max	-2156	-6647.95	1	2280.15	173	13240.00	157	-142.94	17	80.43	173	582.45	98	491.89	49	644.43	49
0	Max	-2155	-6647.95	1	2280.15	173	13240.00	157	-142.94	17	80.43	173	582.45	98	491.89	49	644.43	49
0	Max	-1770	-6647.95	1	2280.15	173	13240.00	157	-142.94	17	80.43	173	582.45	98	491.89	49	644.43	49
0	Max	-1769	-6647.95	1	2280.15	173	13240.00	157	-142.94	17	80.43	173	582.45	98	491.89	49	644.43	49
0	Min.	-2156	-134643.00	98	-4710.38	177	-385.45	49	-3596.76	98	-487.97	98	-658.32	173	-18395.90	97	-32306.30	97
0	Min.	-2155	-134643.00	98	-4710.38	177	-385.45	49	-3596.76	98	-487.97	98	-658.32	173	-18395.90	97	-32306.30	97
0	Min.	-1770	-134643.00	98	-4710.38	177	-385.45	49	-3596.76	98	-487.97	98	-658.32	173	-18395.90	97	-32306.30	97
0	Min.	-1769	-134643.00	98	-4710.38	177	-385.45	49	-3596.76	98	-487.97	98	-658.32	173	-18395.90	97	-32306.30	97
0	Max	-2155	-8779.63	17	1171.06	173	9995.51	157	-206.09	17	85.43	17	501.62	98	4176.43	173	3480.20	130
0	Max	-2154	-8779.63	17	1171.06	173	9995.51	157	-206.09	17	85.43	17	501.62	98	4176.43	173	3480.20	130
0	Max	-2094	-8779.63	17	1171.06	173	9995.51	157	-206.09	17	85.43	17	501.62	98	4176.43	173	3480.20	130
0	Max	-1770	-8779.63	17	1171.06	173	9995.51	157	-206.09	17	85.43	17	501.62	98	4176.43	173	3480.20	130
0	Min.	-2155	-151341.00	98	-4580.09	177	-481.29	106	-4622.77	98	-401.23	98	-597.72	173	-12210.00	98	-14609.80	173
0	Min.	-2154	-151341.00	98	-4580.09	177	-481.29	106	-4622.77	98	-401.23	98	-597.72	173	-12210.00	98	-14609.80	173
0	Min.	-2094	-151341.00	98	-4580.09	177	-481.29	106	-4622.77	98	-401.23	98	-597.72	173	-12210.00	98	-14609.80	173
0	Min.	-1770	-151341.00	98	-4580.09	177	-481.29	106	-4622.77	98	-401.23	98	-597.72	173	-12210.00	98	-14609.80	173
0	Max	-2153	-10576.00	17	2937.03	173	9936.00	157	-249.51	65	97.00	17	254.97	97	4264.67	125	4837.63	106
0	Max	-2152	-10576.00	17	2937.03	173	9936.00	157	-249.51	65	97.00	17	254.97	97	4264.67	125	4837.63	106
0	Max	-2092	-10576.00	17	2937.03	173	9936.00	157	-249.51	65	97.00	17	254.97	97	4264.67	125	4837.63	106
0	Max	-1771	-10576.00	17	2937.03	173	9936.00	157	-249.51	65	97.00	17	254.97	97	4264.67	125	4837.63	106
0	Min.	-2153	-161837.00	98	-5509.38	177	-2315.67	173	-5068.55	98	-575.32	173	-203.07	173	-14273.10	98	-37135.90	173
0	Min.	-2152	-161837.00	98	-5509.38	177	-2315.67	173	-5068.55	98	-575.32	173	-203.07	173	-14273.10	98	-37135.90	173
0	Min.	-2092	-161837.00	98	-5509.38	177	-2315.67	173	-5068.55	98	-575.32	173	-203.07	173	-14273.10	98	-37135.90	173
0	Min.	-1771	-161837.00	98	-5509.38	177	-2315.67	173	-5068.55	98	-575.32	173	-203.07	173	-14273.10	98	-37135.90	173
0	Max	-2151	-11659.30	65	17634.90	173	10063.90	157	-259.67	17	99.04	17	250.82	125	10565.00	177	149111.00	173
0	Max	-2150	-11659.30	65	17634.90	173	10063.90	157	-259.67	17	99.04	17	250.82	125	10565.00	177	149111.00	173
0	Max	-1413	-11659.30	65	17634.90	173	10063.90	157	-259.67	17	99.04	17	250.82	125	10565.00	177	149111.00	173
0	Max	-1772	-11659.30	65	17634.90	173	10063.90	157	-259.67	17	99.04	17	250.82	125	10565.00	177	149111.00	173
0	Min.	-2151	-165664.00	97	-13007.90	177	-4244.41	173	-5600.90	173	-832.60	173	-201.56	106	-133199.00	173	-17521.30	177
0	Min.	-2150	-165664.00	97	-13007.90	177	-4244.41	173	-5600.90	173	-832.60	173	-201.56	106	-133199.00	173	-17521.30	177
0	Min.	-1413	-165664.00	97	-13007.90	177	-4244.41	173	-5600.90	173	-832.60	173	-201.56	106	-133199.00	173	-17521.30	177
0	Min.	-1772	-165664.00	97	-13007.90	177	-4244.41	173	-5600.90	173	-832.60	173	-201.56	106	-133199.00	173	-17521.30	177
0	Max	-2150	-11659.30	17	17557.00	173	9210.74	157	-259.67	65	99.04	65	242.33	125	10565.00	177	20274.30	125
0	Max	-2149	-11659.30	17	17557.00	173	9210.74	157	-259.67	65	99.04	65	242.33	125	10565.00	177	20274.30	125
0	Max	-1773	-11659.30	17	17557.00	173	9210.74	157	-259.67	65	99.04	65	242.33	125	10565.00	177	20274.30	125
0	Max	-1413	-11659.30	17	17557.00	173	9210.74	157	-259.67	65	99.04	65	242.33	125	10565.00	177	20274.30	125
0	Min.	-2150	-165664.00	98	-13007.90	177	-3075.89	106	-5085.45	97	-551.44	177	-346.66	173	-35092.60	173	-7569.17	106
0	Min.	-2149	-165664.00	98	-13007.90	177	-3075.89	106	-5085.45	97	-551.44	177	-346.66	173	-35092.60	173	-7569.17	106
0	Min.	-1773	-165664.00	98	-13007.90	177	-3075.89	106	-5085.45	97	-551.44	177	-346.66	173	-35092.60	173	-7569.17	106
0	Min.	-1413	-165664.00	98	-13007.90	177	-3075.89	106	-5085.45	97	-551.44	177	-346.66	173	-35092.60	173	-7569.17	106
0	Max	-2149	-10487.60	162	8779.63	173	9725.74	157	-258.15	17	473.08	173	264.77	173	4491.93	106	8345.54	177
0	Max	-2148	-10487.60	162	8779.63	173	9725.74	157	-258.15	17	473.08	173	264.77	173	4491.93	106	8345.54	177
0	Max	-2090	-10487.60	162	8779.63	173	9725.74	157	-258.15	17	473.08	173	264.77	173	4491.93	106	8345.54	177
0	Max	-1773	-10487.60	162	8779.63	173	9725.74	157	-258.15	17	473.08	173	264.77	173	4491.93	106	8345.54	177
0	Min.	-2149	-162251.00	97	-8413.36	177	-4131.38	177	-5186.78	98	-526.79	177	-161.30	106	-18751.70	97	-7769.95	101
0	Min.	-2148	-162251.00	97	-8413.36	177	-4131.38	177	-5186.78	98	-526.79	177	-161.30	106	-18751.70	97	-7769.95	101
0	Min.	-2090	-162251.00	97	-8413.36	177	-4131.38	177	-5186.78	98	-526.79	177	-161.30	106	-18751.70	97	-7769.95	101
0	Min.	-1773	-162251.00	97	-8413.36	177	-4131.38	177	-5186.78	98	-526.79	177	-161.30	106	-18751.70	97	-7769.95	101
0	Max	-2147	-4956.83	162	1698.92	158	5406.84	157	-237.71	65	209.37	173	641.45	173	4766.19	173	11805.60	173
0	Max	-2146	-4956.83	162	1698.92	158	5406.84	157	-237.71	65	209.37	173	641.45	173	4766.19	173	11805.60	173
0	Max	-2088	-4956.83	162	1698.92	158	5406.84	157	-237.71	65	209.37	173	641.45	173	4766.19	173	11805.60	173

0	Max	-1774	-4956.83	162	1698.92	158	5406.84	157	-237.71	65	209.37	173	641.45	173	4766.19	173	11805.60	173
0	Min.	-2147	-152139.00	97	-4407.40	177	-4104.27	106	-4955.09	97	-364.43	97	-416.25	97	-13764.50	97	-3448.65	101
0	Min.	-2146	-152139.00	97	-4407.40	177	-4104.27	106	-4955.09	97	-364.43	97	-416.25	97	-13764.50	97	-3448.65	101
0	Min.	-2088	-152139.00	97	-4407.40	177	-4104.27	106	-4955.09	97	-364.43	97	-416.25	97	-13764.50	97	-3448.65	101
0	Min.	-1774	-152139.00	97	-4407.40	177	-4104.27	106	-4955.09	97	-364.43	97	-416.25	97	-13764.50	97	-3448.65	101
0	Max	-2145	-431.32	162	2394.02	173	3648.28	125	-142.94	65	274.91	173	706.55	173	2989.70	161	32306.30	98
0	Max	-2144	-431.32	162	2394.02	173	3648.28	125	-142.94	65	274.91	173	706.55	173	2989.70	161	32306.30	98
0	Max	-1776	-431.32	162	2394.02	173	3648.28	125	-142.94	65	274.91	173	706.55	173	2989.70	161	32306.30	98
0	Max	-1775	-431.32	162	2394.02	173	3648.28	125	-142.94	65	274.91	173	706.55	173	2989.70	161	32306.30	98
0	Min.	-2145	-134643.00	97	-4710.38	177	-9580.10	98	-3596.76	97	-487.97	97	-582.45	97	-18395.90	98	-1740.67	125
0	Min.	-2144	-134643.00	97	-4710.38	177	-9580.10	98	-3596.76	97	-487.97	97	-582.45	97	-18395.90	98	-1740.67	125
0	Min.	-1776	-134643.00	97	-4710.38	177	-9580.10	98	-3596.76	97	-487.97	97	-582.45	97	-18395.90	98	-1740.67	125
0	Min.	-1775	-134643.00	97	-4710.38	177	-9580.10	98	-3596.76	97	-487.97	97	-582.45	97	-18395.90	98	-1740.67	125
0	Max	-2144	7570.36	162	7585.05	173	3424.54	161	-31.75	49	488.42	173	499.38	173	7157.73	177	12355.80	157
0	Max	-2143	7570.36	162	7585.05	173	3424.54	161	-31.75	49	488.42	173	499.38	173	7157.73	177	12355.80	157
0	Max	-1777	7570.36	162	7585.05	173	3424.54	161	-31.75	49	488.42	173	499.38	173	7157.73	177	12355.80	157
0	Max	-1776	7570.36	162	7585.05	173	3424.54	161	-31.75	49	488.42	173	499.38	173	7157.73	177	12355.80	157
0	Min.	-2144	-121448.00	97	-9785.45	177	-9988.83	98	-2668.59	97	-577.27	177	-943.99	98	-18308.30	98	-17944.50	177
0	Min.	-2143	-121448.00	97	-9785.45	177	-9988.83	98	-2668.59	97	-577.27	177	-943.99	98	-18308.30	98	-17944.50	177
0	Min.	-1777	-121448.00	97	-9785.45	177	-9988.83	98	-2668.59	97	-577.27	177	-943.99	98	-18308.30	98	-17944.50	177
0	Min.	-1776	-121448.00	97	-9785.45	177	-9988.83	98	-2668.59	97	-577.27	177	-943.99	98	-18308.30	98	-17944.50	177
0	Max	-2143	17226.90	162	1227.74	165	3685.26	161	-23.64	49	613.71	173	522.24	173	10555.60	177	17181.60	177
0	Max	-2142	17226.90	162	1227.74	165	3685.26	161	-23.64	49	613.71	173	522.24	173	10555.60	177	17181.60	177
0	Max	-1778	17226.90	162	1227.74	165	3685.26	161	-23.64	49	613.71	173	522.24	173	10555.60	177	17181.60	177
0	Max	-1777	17226.90	162	1227.74	165	3685.26	161	-23.64	49	613.71	173	522.24	173	10555.60	177	17181.60	177
0	Min.	-2143	-108186.00	97	-11017.20	177	-10811.70	98	-2397.01	97	-550.12	177	-886.11	98	-3469.55	125	-15363.80	173
0	Min.	-2142	-108186.00	97	-11017.20	177	-10811.70	98	-2397.01	97	-550.12	177	-886.11	98	-3469.55	125	-15363.80	173
0	Min.	-1778	-108186.00	97	-11017.20	177	-10811.70	98	-2397.01	97	-550.12	177	-886.11	98	-3469.55	125	-15363.80	173
0	Min.	-1777	-108186.00	97	-11017.20	177	-10811.70	98	-2397.01	97	-550.12	177	-886.11	98	-3469.55	125	-15363.80	173
0	Max	-2142	25859.90	162	682.55	165	4582.94	161	324.70	130	467.65	173	890.16	173	12018.20	173	39778.60	98
0	Max	-2141	25859.90	162	682.55	165	4582.94	161	324.70	130	467.65	173	890.16	173	12018.20	173	39778.60	98
0	Max	-1779	25859.90	162	682.55	165	4582.94	161	324.70	130	467.65	173	890.16	173	12018.20	173	39778.60	98
0	Max	-1778	25859.90	162	682.55	165	4582.94	161	324.70	130	467.65	173	890.16	173	12018.20	173	39778.60	98
0	Min.	-2142	-88198.50	97	-5406.02	177	-11513.10	98	-1684.83	101	-304.90	177	-451.80	100	-3586.04	125	1208.59	17
0	Min.	-2141	-88198.50	97	-5406.02	177	-11513.10	98	-1684.83	101	-304.90	177	-451.80	100	-3586.04	125	1208.59	17
0	Min.	-1779	-88198.50	97	-5406.02	177	-11513.10	98	-1684.83	101	-304.90	177	-451.80	100	-3586.04	125	1208.59	17
0	Min.	-1778	-88198.50	97	-5406.02	177	-11513.10	98	-1684.83	101	-304.90	177	-451.80	100	-3586.04	125	1208.59	17
0	Max	-2141	31042.00	162	136.73	1	5406.32	161	895.67	130	320.64	173	831.40	173	3408.42	173	23859.90	98
0	Max	-2140	31042.00	162	136.73	1	5406.32	161	895.67	130	320.64	173	831.40	173	3408.42	173	23859.90	98
0	Max	-1780	31042.00	162	136.73	1	5406.32	161	895.67	130	320.64	173	831.40	173	3408.42	173	23859.90	98
0	Max	-1779	31042.00	162	136.73	1	5406.32	161	895.67	130	320.64	173	831.40	173	3408.42	173	23859.90	98
0	Min.	-2141	-77823.60	101	-4125.29	177	-9722.35	98	-1406.29	101	-179.39	101	-401.62	17	-5152.94	101	1285.51	17
0	Min.	-2140	-77823.60	101	-4125.29	177	-9722.35	98	-1406.29	101	-179.39	101	-401.62	17	-5152.94	101	1285.51	17
0	Min.	-1780	-77823.60	101	-4125.29	177	-9722.35	98	-1406.29	101	-179.39	101	-401.62	17	-5152.94	101	1285.51	17
0	Min.	-1779	-77823.60	101	-4125.29	177	-9722.35	98	-1406.29	101	-179.39	101	-401.62	17	-5152.94	101	1285.51	17
0	Max	-2140	34329.30	162	3538.20	98	5970.37	161	1588.44	106	373.57	173	695.69	173	6006.28	130	36633.90	98
0	Max	-2139	34329.30	162	3538.20	98	5970.37	161	1588.44	106	373.57	173	695.69	173	6006.28	130	36633.90	98
0	Max	-1781	34329.30	162	3538.20	98	5970.37	161	1588.44	106	373.57	173	695.69	173	6006.28	130	36633.90	98
0	Max	-1780	34329.30	162	3538.20	98	5970.37	161	1588.44	106	373.57	173	695.69	173	6006.28	130	36633.90	98
0	Min.	-2140	-70171.30	101	-3589.07	177	-11670.00	98	-1007.16	101	-293.58	177	-417.19	98	-6586.45	101	2226.97	17
0	Min.	-2139	-70171.30	101	-3589.07	177	-11670.00	98	-1007.16	101	-293.58	177	-417.19	98	-6586.45	101	2226.97	17
0	Min.	-1781	-70171.30	101	-3589.07	177	-11670.00	98	-1007.16	101	-293.58	177	-417.19	98	-6586.45	101	2226.97	17
0	Min.	-1780	-70171.30	101	-3589.07	177	-11670.00	98	-1007.16	101	-293.58	177	-417.19	98	-6586.45	101	2226.97	17
0	Max	-2139	45158.80	130	7438.80	98	7947.29	162	2810.22	98	486.57	173	426.91	173	12008.10	162	40921.30	98
0	Max	-2138	45158.80	130	7438.80	98	7947.29	162	2810.22	98	486.57	173	426.91	173	12008.10	162	40921.30	98
0	Max	-1935	45158.80	130	7438.80	98	7947.29	162	2810.22	98	486.57	173	426.91	173	12008.10	162	40921.30	98
0	Max	-1781	45158.80	130	7438.80	98	7947.29	162	2810.22	98	486.57	173	426.91	173	12008.10	162	40921.30	98
0	Min.	-2139	-62916.10	101	-5691.35	177	-10553.30	97	-497.07	101	-554.22	177	-657.95	98	-13934.50	101	-5125.00	177
0	Min.	-2138	-62916.10	101	-5691.35	177	-10553.30	97	-497.07	101	-554.22	177	-657.95	98	-13934.50	101	-5125.00	177
0	Min.	-1935	-62916.10	101	-5691.35	177	-10553.30	97	-497.07	101	-554.22	177	-657.95	98	-13934.50	101	-5125.00	177
0	Min.	-1781	-62916.10	101	-5691.35	177	-10553.30	97	-497.07	101	-554.22	177	-657.95	98	-13934.50	101	-5125.00	177
0	Max	-2137	55441.60	130	2027.80	130	7772.04	161	4284.95	98	1440.14	98	255.59	173	69172.80	98	39551.80	122
0	Max	-2136	55441.60	130	2027.80	130	7772.04	161	4284.95	98	1440.14	98	255.59	173	69172.80	98	39551.80	122
0	Max	431	55441.60	130	2027.80	130	7772.04	161	4284.95	98	1440.14	98	255.59	173	69172.80	98	39551.80	122
0	Max	-1782	55441.60	130	2027.80	130	7772.04	161	4284.95	98	1440.14	98	255.59	173	69172.80	98	39551.80	122
0	Min.	-2137	-60514.30	101	-8565.22	177	-11145.80	98	75.84	1	-344.51	177	-611.71	100	7241.99	17	3914.62	17
0	Min.	-2136	-60514.30	101	-8565.22	177	-11145.80	98	75.84	1	-344.51	177	-611.71	100	7241.99	17	3914.62	17
0	Min.	431	-60514.30	101	-8565.22	177	-11145.80	98	75.84	1	-344.51	177	-611.71	100	7241.99	17	3914.62	17
0	Min.	-1782	-60514.30	101	-8565.22	177	-11145.80	98	75.84	1	-344.51	177	-611.71	100	7241.99	17	3914.62	17
0	Max	-2135	58165.00	130	1732.79	162	7374.30	162	3682.69	98	876.02	98	678.03	173	10483.20	98	-3027.73	17
0	Max	-2134	58165.00	130	1732.79	162	7374.30	162	3682.69	98	876.02	98	678.03	173	10483.20	98	-3027.73	17
0	Max	-1932	58165.00	130	1732.79	162	7374.30	162	3682.69	98	876.02	98	678.03	173	10483.20	98	-3027.73	17
0	Max	-1841	58165.00	130	1732.79	162	7374.30	162	3682.69	98	876.02	98	678.03	173	10483.20	98	-3027.73	17
0	Min.	-2135	-49955.00	101	-2198.20	177	-5323.20	177	-107.87	137	-42.04	177	-151.53	17	-2267.85	101	-28975.00	98
0	Min.	-2134	-49955.00	101	-2198.20	177	-5323.20	177	-107.87	137	-42.04	177	-151.53	17	-2267.85	101	-28975.00	98
0	Min.	-1932	-49955.00	101	-2198.20	177	-5323.20	177	-107.87	137	-42.04	177	-151.53	17	-2267.85	101	-28975.00	98
0	Min.	-1841	-49955.00	101	-2198.20	177	-5323.20	177	-107.87	137	-42.04	177	-151.53	17	-2267.85	101	-28975.00	98
0	Max	-2133	52299.40	130	1044.49	97	7556.17	162	2567.49	98	396.82	173	455.00	173	9104.92	130	460.43	1
0	Max	-2132	52299.40	130	1044.49	97	7556.17	162	2567.49	98	396.82	173	455.00	173	9104.92	130	460.43	1
0	Max	-1855	52299.40	130	1044.49	97	7556.17	162	2567.49	98	396.82	173	455.00	173	9104.92	130	460.43	1
0	Max	-1854	52299.40	130	1044.49	97	7556.17	162	2567.49	98	396.82	173	455.00	173	9104.92	130	460.43	1
0	Min.	-2133	-42334.30	101	-3934.53	177	-4769.85	101	-521.66	101	-288.34	177	-93.76	101	-7136.44	101	-20058.50	130
0	Min.	-2132	-42334.30	101	-3934.53	177	-4769.85	101	-521.66	101	-288.34	177	-93.76	101	-7136.44	101	-20058.50	130
0	Min.	-1855	-42334.30	101	-3934.53	177	-4769.85	101	-521.66	101	-288.34	177	-93.76	101	-7136.44	101	-20058.50	130
0	Min.	-1854	-42334.30	101	-3934.53	177	-4769.85	101	-521.66	101	-288.34	177	-93.76	101	-7136.44	101	-20058.50	130
0	Max	-2132	49069.80	130	1593.69	101	6947.57	162	1856.59	122	240.78	173	452.24	130	9657.22	177	11069.00	162
0	Max	-2131	49069.80	130	1593.69	101	6947.57	162	1856.59	122	240.78	173	452.24	130	9657.22	177	11069.00	162
0	Max	-1860	49069.80	130	1593.69	101	6947.57	162	1856.59	122	240.78	173	452.24	130	9657.22	177	11069.00	162
0	Max	-1855	49069.80	130	1593.69	101	6947.57	162	1856.59	122	240.78	173	452.24	130	9657.22	177	11069.00	162
0	Min.	-2132	-39157.50	101	-9889.05	177	-4322.95	101	-672.22	101	-543.84	177	-337.47	101	-8899.94	101	-20283.50	177
0	Min.	-2131	-39157.50	101	-9889.05	177	-4322.95	101	-672.22	101	-543.84	177	-337.47	101	-8899.94	101	-20283.50	177
0	Min.	-1860	-39157.50	101	-9889.05	177	-4322.95	101	-672.22	101	-543.84	177	-337.47	101	-8899.94	101	-20283.50	177
0	Min.	-1855	-39157.50	101	-9889.05	177	-4322.95	101	-672.22	101	-543.84	177	-337.47	101	-8899.94	101	-20283.50	177
0	Max	-2131	46009.80	130	3451.71	162	5757.98	162	1728.46	158	176.22	173	286.43	130	10230.10	177	15652.10	177
0	Max	-2130	46009.80	130	3451.71	162	5757.98	162	1728.46	158	176.22	173	286.43	130	10230.10	177	15652.10	177
0	Max	-1541	46009.80	130	3451.71	162	5757.98	162	1728.46	158	176.22	173	286.43	130	10230.10	177	15652.10	177
0	Max	-1860	46009.80	130	3451.71	162	5757.98	162	1728.46	158	176.22	173	286.43	130	10230.10	177	15652.10	177
0	Min.	-2131	-37140.10	101	-10490.40	177	-8064.54	177	-1028.40	101	-541.24	177	-288.37	101	-12919.00	162	-12145.50	97
0	Min.	-2130	-37140.10	101	-10490.40	177	-8064.54	177	-1028.40	101	-541.24	177	-288.37	101	-12919.00	162	-12145.50	97
0	Min.	-1541	-37140.10	101	-10490.40	177	-8064.54	177	-1028.40	101	-541.24	177	-288.37	101	-12919.00	162	-12145.50	97
0	Min.	-1860	-37140.10	101	-10490.40	177	-8064.54	177	-1028.40	101	-541.24	177	-288.37	101	-12919.00	162	-12145.50	97
0	Max	-2130	39319.20	130	2372.98	162	4472.61	162	1254.13	158	135.62	173	242.69	173	4404.41	101	10813.60	101
0	Max	-2129	39319.20	130	2372.98	162	4472.61	162	1254.13	158	135.62	173	242.69	173	4404.41	101	10813.60	101
0	Max	-1542	39319.20	130	2372.98	162	4472.61	162	1254.13	158	135.62	173	242.69	173	4404.41	101	10813.60	101
0	Max	-1541	39319.20	130	2372.98	162	4472.61	162	1254.13	158	135.62	173	242.69	173	4404.41	101	10813.60	101

0	Min.	-2130	-32266.90	101	-4907.34	177	-7679.47	177	-987.27	101	-286.36	177	-182.33	126	-8637.07	162	-17936.20	130
0	Min.	-2129	-32266.90	101	-4907.34	177	-7679.47	177	-987.27	101	-286.36	177	-182.33	126	-8637.07	162	-17936.20	130
0	Min.	-1542	-32266.90	101	-4907.34	177	-7679.47	177	-987.27	101	-286.36	177	-182.33	126	-8637.07	162	-17936.20	130
0	Min.	-1541	-32266.90	101	-4907.34	177	-7679.47	177	-987.27	101	-286.36	177	-182.33	126	-8637.07	162	-17936.20	130
0	Max	-2129	26153.10	130	1522.13	130	2065.30	162	663.18	158	119.11	173	224.05	173	3425.63	110	5525.10	101
0	Max	-2128	26153.10	130	1522.13	130	2065.30	162	663.18	158	119.11	173	224.05	173	3425.63	110	5525.10	101
0	Max	-1543	26153.10	130	1522.13	130	2065.30	162	663.18	158	119.11	173	224.05	173	3425.63	110	5525.10	101
0	Max	-1542	26153.10	130	1522.13	130	2065.30	162	663.18	158	119.11	173	224.05	173	3425.63	110	5525.10	101
0	Min.	-2129	-21692.00	101	-1318.08	177	-6094.28	177	-655.24	101	-112.55	177	-214.53	162	-1902.76	177	-7673.13	98
0	Min.	-2128	-21692.00	101	-1318.08	177	-6094.28	177	-655.24	101	-112.55	177	-214.53	162	-1902.76	177	-7673.13	98
0	Min.	-1543	-21692.00	101	-1318.08	177	-6094.28	177	-655.24	101	-112.55	177	-214.53	162	-1902.76	177	-7673.13	98
0	Min.	-1542	-21692.00	101	-1318.08	177	-6094.28	177	-655.24	101	-112.55	177	-214.53	162	-1902.76	177	-7673.13	98
0	Max	-2128	12076.30	130	11561.30	177	4505.62	130	215.56	158	100.50	173	209.79	17	6030.11	177	13493.00	101
0	Max	-2127	12076.30	130	11561.30	177	4505.62	130	215.56	158	100.50	173	209.79	17	6030.11	177	13493.00	101
0	Max	-1608	12076.30	130	11561.30	177	4505.62	130	215.56	158	100.50	173	209.79	17	6030.11	177	13493.00	101
0	Max	-1543	12076.30	130	11561.30	177	4505.62	130	215.56	158	100.50	173	209.79	17	6030.11	177	13493.00	101
0	Min.	-2128	-10124.10	101	-2963.88	173	-5202.98	177	-239.29	101	-96.15	162	-222.48	166	-5107.24	173	-12689.80	158
0	Min.	-2127	-10124.10	101	-2963.88	173	-5202.98	177	-239.29	101	-96.15	162	-222.48	166	-5107.24	173	-12689.80	158
0	Min.	-1608	-10124.10	101	-2963.88	173	-5202.98	177	-239.29	101	-96.15	162	-222.48	166	-5107.24	173	-12689.80	158
0	Min.	-1543	-10124.10	101	-2963.88	173	-5202.98	177	-239.29	101	-96.15	162	-222.48	166	-5107.24	173	-12689.80	158
0	Max	-1835	61.80	162	2733.51	98	2703.85	173	-302.47	1	158.67	17	642.30	173	1533.08	173	27502.30	98
0	Max	-1412	61.80	162	2733.51	98	2703.85	173	-302.47	1	158.67	17	642.30	173	1533.08	173	27502.30	98
0	Max	-1469	61.80	162	2733.51	98	2703.85	173	-302.47	1	158.67	17	642.30	173	1533.08	173	27502.30	98
0	Max	-1468	61.80	162	2733.51	98	2703.85	173	-302.47	1	158.67	17	642.30	173	1533.08	173	27502.30	98
0	Min.	-1835	-148796.00	97	-1836.42	177	-2893.56	177	-4108.54	97	-1348.41	97	-241.05	17	-8436.29	98	-536.26	137
0	Min.	-1412	-148796.00	97	-1836.42	177	-2893.56	177	-4108.54	97	-1348.41	97	-241.05	17	-8436.29	98	-536.26	137
0	Min.	-1469	-148796.00	97	-1836.42	177	-2893.56	177	-4108.54	97	-1348.41	97	-241.05	17	-8436.29	98	-536.26	137
0	Min.	-1468	-148796.00	97	-1836.42	177	-2893.56	177	-4108.54	97	-1348.41	97	-241.05	17	-8436.29	98	-536.26	137
0	Max	-1412	8716.59	162	2084.67	157	3246.46	173	-149.97	1	170.95	33	716.21	173	1137.73	101	27698.50	98
0	Max	-1410	8716.59	162	2084.67	157	3246.46	173	-149.97	1	170.95	33	716.21	173	1137.73	101	27698.50	98
0	Max	-1470	8716.59	162	2084.67	157	3246.46	173	-149.97	1	170.95	33	716.21	173	1137.73	101	27698.50	98
0	Max	-1469	8716.59	162	2084.67	157	3246.46	173	-149.97	1	170.95	33	716.21	173	1137.73	101	27698.50	98
0	Min.	-1412	-129343.00	97	-1980.19	177	-3897.40	177	-3099.76	97	-1025.59	97	-305.47	17	-1857.93	122	435.35	49
0	Min.	-1410	-129343.00	97	-1980.19	177	-3897.40	177	-3099.76	97	-1025.59	97	-305.47	17	-1857.93	122	435.35	49
0	Min.	-1470	-129343.00	97	-1980.19	177	-3897.40	177	-3099.76	97	-1025.59	97	-305.47	17	-1857.93	122	435.35	49
0	Min.	-1469	-129343.00	97	-1980.19	177	-3897.40	177	-3099.76	97	-1025.59	97	-305.47	17	-1857.93	122	435.35	49
0	Max	-1410	18008.60	162	1427.33	157	3785.89	173	19.14	1	235.90	130	762.04	173	693.24	17	29609.10	98
0	Max	-1411	18008.60	162	1427.33	157	3785.89	173	19.14	1	235.90	130	762.04	173	693.24	17	29609.10	98
0	Max	-1471	18008.60	162	1427.33	157	3785.89	173	19.14	1	235.90	130	762.04	173	693.24	17	29609.10	98
0	Max	-1470	18008.60	162	1427.33	157	3785.89	173	19.14	1	235.90	130	762.04	173	693.24	17	29609.10	98
0	Min.	-1410	-106267.00	97	-2095.26	177	-4815.54	177	-2105.10	97	-689.17	97	-363.22	17	-1323.85	65	1264.46	49
0	Min.	-1411	-106267.00	97	-2095.26	177	-4815.54	177	-2105.10	97	-689.17	97	-363.22	17	-1323.85	65	1264.46	49
0	Min.	-1471	-106267.00	97	-2095.26	177	-4815.54	177	-2105.10	97	-689.17	97	-363.22	17	-1323.85	65	1264.46	49
0	Min.	-1470	-106267.00	97	-2095.26	177	-4815.54	177	-2105.10	97	-689.17	97	-363.22	17	-1323.85	65	1264.46	49
0	Max	-1411	27676.50	162	885.93	157	4432.36	173	424.64	130	327.12	130	776.77	173	724.68	97	31040.70	98
0	Max	-1688	27676.50	162	885.93	157	4432.36	173	424.64	130	327.12	130	776.77	173	724.68	97	31040.70	98
0	Max	-1472	27676.50	162	885.93	157	4432.36	173	424.64	130	327.12	130	776.77	173	724.68	97	31040.70	98
0	Max	-1471	27676.50	162	885.93	157	4432.36	173	424.64	130	327.12	130	776.77	173	724.68	97	31040.70	98
0	Min.	-1411	-86122.50	101	-2004.17	177	-5610.57	177	-1690.75	101	-450.16	101	-410.99	17	-1611.23	126	2120.99	49
0	Min.	-1688	-86122.50	101	-2004.17	177	-5610.57	177	-1690.75	101	-450.16	101	-410.99	17	-1611.23	126	2120.99	49
0	Min.	-1472	-86122.50	101	-2004.17	177	-5610.57	177	-1690.75	101	-450.16	101	-410.99	17	-1611.23	126	2120.99	49
0	Min.	-1471	-86122.50	101	-2004.17	177	-5610.57	177	-1690.75	101	-450.16	101	-410.99	17	-1611.23	126	2120.99	49
0	Max	-1688	37362.70	162	836.51	173	4919.66	173	972.40	130	417.58	130	759.72	173	334.73	177	32275.10	98
0	Max	-1691	37362.70	162	836.51	173	4919.66	173	972.40	130	417.58	130	759.72	173	334.73	177	32275.10	98
0	Max	-1473	37362.70	162	836.51	173	4919.66	173	972.40	130	417.58	130	759.72	173	334.73	177	32275.10	98
0	Max	-1472	37362.70	162	836.51	173	4919.66	173	972.40	130	417.58	130	759.72	173	334.73	177	32275.10	98
0	Min.	-1688	-81320.90	101	-1674.65	177	-6412.79	177	-1426.41	101	-445.37	101	-444.05	17	-6472.73	102	2917.84	65
0	Min.	-1691	-81320.90	101	-1674.65	177	-6412.79	177	-1426.41	101	-445.37	101	-444.05	17	-6472.73	102	2917.84	65
0	Min.	-1473	-81320.90	101	-1674.65	177	-6412.79	177	-1426.41	101	-445.37	101	-444.05	17	-6472.73	102	2917.84	65
0	Min.	-1472	-81320.90	101	-1674.65	177	-6412.79	177	-1426.41	101	-445.37	101	-444.05	17	-6472.73	102	2917.84	65
0	Max	-1691	45728.20	162	1399.84	97	5238.86	162	1637.89	130	504.72	130	712.53	173	842.13	17	35095.40	98
0	Max	-1692	45728.20	162	1399.84	97	5238.86	162	1637.89	130	504.72	130	712.53	173	842.13	17	35095.40	98
0	Max	-1474	45728.20	162	1399.84	97	5238.86	162	1637.89	130	504.72	130	712.53	173	842.13	17	35095.40	98
0	Max	-1473	45728.20	162	1399.84	97	5238.86	162	1637.89	130	504.72	130	712.53	173	842.13	17	35095.40	98
0	Min.	-1691	-75266.60	101	-1353.72	177	-7400.23	177	-1208.44	101	-393.68	101	-452.11	17	-17651.50	102	2745.81	149
0	Min.	-1692	-75266.60	101	-1353.72	177	-7400.23	177	-1208.44	101	-393.68	101	-452.11	17	-17651.50	102	2745.81	149
0	Min.	-1474	-75266.60	101	-1353.72	177	-7400.23	177	-1208.44	101	-393.68	101	-452.11	17	-17651.50	102	2745.81	149
0	Min.	-1473	-75266.60	101	-1353.72	177	-7400.23	177	-1208.44	101	-393.68	101	-452.11	17	-17651.50	102	2745.81	149
0	Max	-1692	48627.80	162	3762.14	98	5147.50	173	2468.50	98	573.18	106	657.36	173	1494.61	17	34331.70	98
0	Max	-1917	48627.80	162	3762.14	98	5147.50	173	2468.50	98	573.18	106	657.36	173	1494.61	17	34331.70	98
0	Max	-1918	48627.80	162	3762.14	98	5147.50	173	2468.50	98	573.18	106	657.36	173	1494.61	17	34331.70	98
0	Max	-1474	48627.80	162	3762.14	98	5147.50	173	2468.50	98	573.18	106	657.36	173	1494.61	17	34331.70	98
0	Min.	-1692	-68586.20	101	-798.56	177	-8122.02	177	-1159.83	101	-318.00	101	-441.04	17	-32927.40	102	2745.96	149
0	Min.	-1917	-68586.20	101	-798.56	177	-8122.02	177	-1159.83	101	-318.00	101	-441.04	17	-32927.40	102	2745.96	149
0	Min.	-1918	-68586.20	101	-798.56	177	-8122.02	177	-1159.83	101	-318.00	101	-441.04	17	-32927.40	102	2745.96	149
0	Min.	-1474	-68586.20	101	-798.56	177	-8122.02	177	-1159.83	101	-318.00	101	-441.04	17	-32927.40	102	2745.96	149
0	Max	-1698	56894.20	130	2473.21	122	7980.23	161	4801.90	98	823.82	98	495.17	173	32105.10	98	44305.70	98
0	Max	-1534	56894.20	130	2473.21	122	7980.23	161	4801.90	98	823.82	98	495.17	173	32105.10	98	44305.70	98
0	Max	433	56894.20	130	2473.21	122	7980.23	161	4801.90	98	823.82	98	495.17	173	32105.10	98	44305.70	98
0	Max	-1475	56894.20	130	2473.21	122	7980.23	161	4801.90	98	823.82	98	495.17	173	32105.10	98	44305.70	98
0	Min.	-1698	-59868.30	101	-1314.92	161	-9661.57	177	183.69	49	-118.63	101	-361.29	17	2296.28	65	5642.34	65
0	Min.	-1534	-59868.30	101	-1314.92	161	-9661.57	177	183.69	49	-118.63	101	-361.29	17	2296.28	65	5642.34	65
0	Min.	433	-59868.30	101	-1314.92	161	-9661.57	177	183.69	49	-118.63	101	-361.29	17	2296.28	65	5642.34	65
0	Min.	-1475	-59868.30	101	-1314.92	161	-9661.57	177	183.69	49	-118.63	101	-361.29	17	2296.28	65	5642.34	65
0	Max	442	51540.90	101	3636.16	165	10003.90	177	4798.87	97	837.56	173	335.47	65	-2491.87	65	-5714.35	65
0	Max	-1706	51540.90	101	3636.16	165	10003.90	177	4798.87	97	837.56	173	335.47	65	-2491.87	65	-5714.35	65
0	Max	-1783	51540.90	101	3636.16	165	10003.90	177	4798.87	97	837.56	173	335.47	65	-2491.87	65	-5714.35	65
0	Max	-1863	51540.90	101	3636.16	165	10003.90	177	4798.87	97	837.56	173	335.47	65	-2491.87	65	-5714.35	65
0	Min.	442	-73568.10	130	-4262.69	177	-7572.21	165	187.16	49	-131.98	106	-558.12	173	-32657.10	97	-44143.10	97
0	Min.	-1706	-73568.10	130	-4262.69	177	-7572.21	165	187.16	49	-131.98	106	-558.12	173	-32657.10	97	-44143.10	97
0	Min.	-1783	-73568.10	130	-4262.69	177	-7572.21	165	187.16	49	-131.98	106	-558.12	173	-32657.10	97	-44143.10	97
0	Min.	-1863	-73568.10	130	-4262.69	177	-7572.21	165	187.16	49	-131.98	106	-558.12	173	-32657.10	97	-44143.10	97
0	Max	-1706	43354.60	101	1610.99	165	9090.51	177	3462.99	97	746.01	173	395.74	65	29160.00	106	-4635.85	65
0	Max	-1945	43354.60	101	1610.99	165	9090.51	177	3462.99	97	746.01	173	395.74	65	29160.00	106	-4635.85	65
0	Max	-1946	43354.60	101	1610.99	165	9090.51	177	3462.99	97	746.01	173	395.74	65	29160.00	106	-4635.85	65
0	Max	-1783	43354.60	101	1610.99	165	9090.51	177	3462.99	97	746.01	173	395.74	65	29160.00	106	-4635.85	65
0	Min.	-1706	-80424.40	130	-4564.50	177	-4827.02	165	-887.47	130	-246.79	106	-663.60	173	-5945.10	173	-38958.00	105
0	Min.	-1945	-80424.40	130	-4564.50	177	-4827.02	165	-887.47	130	-246.79	106	-663.60	173	-5945.10	173	-38958.00	105
0	Min.	-1946	-80424.40	130	-4564.50	177	-4827.02	165	-887.47	130	-246.79	106	-663.60	173	-5945.10	173	-38958.00	105
0	Min.	-1783	-80424.40	130	-4564.50	177	-4827.02	165	-887.47	130	-246.79	106	-663.60	173	-5945.10	173	-38958.00	105
0	Max	-1707	30754.90	101	1863.18	173	7884.33	177	1618.48	101	594.32	173	448.31	65	17591.60	105	-2613.39	130
0	Max	-1708	30754.90	101	1863.18	173	7884.33	177	1618.48	101	594.32	173	448.31	65	17591.60	105	-2613.39	130
0	Max	-1785	30754.90	101	1863.18	173	7884.33	177	1618.48	101	594.32	173	448.31	65	17591.60	105	-2613.39	130
0	Max	-1784	30754.90	101	1863.18	173	7884.33	177	1618.48	101	594.32	173	448.31	65	17591.60	105	-2613.39	130
0	Min.	-1707	-94284.70	130	-4192.61	177	-4462.89	166	-1296.19	130	-399.18	106	-707.96	173	-2124.46	173	-35040.70	97

0	Min.	-1708	-94284.70	130	-4192.61	177	-4462.89	166	-1296.19	130	-399.18	106	-707.96	173	-2124.46	173	-35040.70	97
0	Min.	-1785	-94284.70	130	-4192.61	177	-4462.89	166	-1296.19	130	-399.18	106	-707.96	173	-2124.46	173	-35040.70	97
0	Min.	-1784	-94284.70	130	-4192.61	177	-4462.89	166	-1296.19	130	-399.18	106	-707.96	173	-2124.46	173	-35040.70	97
0	Max	-1708	17182.60	101	1988.79	166	7266.04	177	821.58	101	490.84	173	454.35	65	6444.32	105	-2981.09	65
0	Max	-1709	17182.60	101	1988.79	166	7266.04	177	821.58	101	490.84	173	454.35	65	6444.32	105	-2981.09	65
0	Max	-1786	17182.60	101	1988.79	166	7266.04	177	821.58	101	490.84	173	454.35	65	6444.32	105	-2981.09	65
0	Max	-1785	17182.60	101	1988.79	166	7266.04	177	821.58	101	490.84	173	454.35	65	6444.32	105	-2981.09	65
0	Min.	-1708	-96466.70	130	-4342.01	177	-2781.68	173	-1426.55	106	-448.78	106	-707.98	173	-1087.22	173	-32230.20	97
0	Min.	-1709	-96466.70	130	-4342.01	177	-2781.68	173	-1426.55	106	-448.78	106	-707.98	173	-1087.22	173	-32230.20	97
0	Min.	-1786	-96466.70	130	-4342.01	177	-2781.68	173	-1426.55	106	-448.78	106	-707.98	173	-1087.22	173	-32230.20	97
0	Min.	-1785	-96466.70	130	-4342.01	177	-2781.68	173	-1426.55	106	-448.78	106	-707.98	173	-1087.22	173	-32230.20	97
0	Max	-1709	5665.27	1	1337.42	166	6457.44	177	209.63	1	399.06	173	435.38	65	1462.36	177	-2143.23	49
0	Max	-1710	5665.27	1	1337.42	166	6457.44	177	209.63	1	399.06	173	435.38	65	1462.36	177	-2143.23	49
0	Max	-1787	5665.27	1	1337.42	166	6457.44	177	209.63	1	399.06	173	435.38	65	1462.36	177	-2143.23	49
0	Max	-1786	5665.27	1	1337.42	166	6457.44	177	209.63	1	399.06	173	435.38	65	1462.36	177	-2143.23	49
0	Min.	-1709	-96869.80	130	-4893.71	177	-3071.56	173	-1691.14	106	-452.15	106	-667.27	173	-869.12	173	-31005.00	97
0	Min.	-1710	-96869.80	130	-4893.71	177	-3071.56	173	-1691.14	106	-452.15	106	-667.27	173	-869.12	173	-31005.00	97
0	Min.	-1787	-96869.80	130	-4893.71	177	-3071.56	173	-1691.14	106	-452.15	106	-667.27	173	-869.12	173	-31005.00	97
0	Min.	-1786	-96869.80	130	-4893.71	177	-3071.56	173	-1691.14	106	-452.15	106	-667.27	173	-869.12	173	-31005.00	97
0	Max	-1710	110.14	1	1903.61	173	5287.60	177	17.41	1	332.89	173	395.48	65	1323.24	65	-802.50	130
0	Max	-1711	110.14	1	1903.61	173	5287.60	177	17.41	1	332.89	173	395.48	65	1323.24	65	-802.50	130
0	Max	-1788	110.14	1	1903.61	173	5287.60	177	17.41	1	332.89	173	395.48	65	1323.24	65	-802.50	130
0	Max	-1787	110.14	1	1903.61	173	5287.60	177	17.41	1	332.89	173	395.48	65	1323.24	65	-802.50	130
0	Min.	-1710	-105919.00	98	-5363.69	177	-3308.70	173	-2105.71	98	-690.48	98	-599.80	173	-846.28	173	-29577.50	97
0	Min.	-1711	-105919.00	98	-5363.69	177	-3308.70	173	-2105.71	98	-690.48	98	-599.80	173	-846.28	173	-29577.50	97
0	Min.	-1788	-105919.00	98	-5363.69	177	-3308.70	173	-2105.71	98	-690.48	98	-599.80	173	-846.28	173	-29577.50	97
0	Min.	-1787	-105919.00	98	-5363.69	177	-3308.70	173	-2105.71	98	-690.48	98	-599.80	173	-846.28	173	-29577.50	97
0	Max	-1711	-5552.71	1	3089.91	173	3985.94	177	-152.30	1	331.57	173	338.90	65	1817.25	97	482.43	130
0	Max	-1712	-5552.71	1	3089.91	173	3985.94	177	-152.30	1	331.57	173	338.90	65	1817.25	97	482.43	130
0	Max	-1789	-5552.71	1	3089.91	173	3985.94	177	-152.30	1	331.57	173	338.90	65	1817.25	97	482.43	130
0	Max	-1788	-5552.71	1	3089.91	173	3985.94	177	-152.30	1	331.57	173	338.90	65	1817.25	97	482.43	130
0	Min.	-1711	-128896.00	98	-5316.28	177	-3009.63	173	-3100.56	98	-1027.60	98	-507.99	173	-1137.97	106	-27674.50	97
0	Min.	-1712	-128896.00	98	-5316.28	177	-3009.63	173	-3100.56	98	-1027.60	98	-507.99	173	-1137.97	106	-27674.50	97
0	Min.	-1789	-128896.00	98	-5316.28	177	-3009.63	173	-3100.56	98	-1027.60	98	-507.99	173	-1137.97	106	-27674.50	97
0	Min.	-1788	-128896.00	98	-5316.28	177	-3009.63	173	-3100.56	98	-1027.60	98	-507.99	173	-1137.97	106	-27674.50	97
0	Max	-1712	-10882.10	1	4144.38	173	2955.77	177	-305.26	1	448.02	173	269.12	65	8396.09	97	2188.72	130
0	Max	-1713	-10882.10	1	4144.38	173	2955.77	177	-305.26	1	448.02	173	269.12	65	8396.09	97	2188.72	130
0	Max	-1790	-10882.10	1	4144.38	173	2955.77	177	-305.26	1	448.02	173	269.12	65	8396.09	97	2188.72	130
0	Max	-1789	-10882.10	1	4144.38	173	2955.77	177	-305.26	1	448.02	173	269.12	65	8396.09	97	2188.72	130
0	Min.	-1712	-148270.00	98	-4928.50	177	-2492.47	173	-4109.60	98	-1351.23	98	-387.93	173	-1473.63	173	-27483.80	97
0	Min.	-1713	-148270.00	98	-4928.50	177	-2492.47	173	-4109.60	98	-1351.23	98	-387.93	173	-1473.63	173	-27483.80	97
0	Min.	-1790	-148270.00	98	-4928.50	177	-2492.47	173	-4109.60	98	-1351.23	98	-387.93	173	-1473.63	173	-27483.80	97
0	Min.	-1789	-148270.00	98	-4928.50	177	-2492.47	173	-4109.60	98	-1351.23	98	-387.93	173	-1473.63	173	-27483.80	97
0	Max	-1713	-15286.00	1	4098.18	173	2511.81	165	-379.71	33	623.82	173	210.79	65	20894.50	97	2435.77	130
0	Max	-2078	-15286.00	1	4098.18	173	2511.81	165	-379.71	33	623.82	173	210.79	65	20894.50	97	2435.77	130
0	Max	-2077	-15286.00	1	4098.18	173	2511.81	165	-379.71	33	623.82	173	210.79	65	20894.50	97	2435.77	130
0	Max	-1790	-15286.00	1	4098.18	173	2511.81	165	-379.71	33	623.82	173	210.79	65	20894.50	97	2435.77	130
0	Min.	-1713	-161227.00	98	-4940.68	177	-5885.00	158	-4987.32	98	-1551.68	98	-283.39	173	-1850.72	173	-33933.30	97
0	Min.	-2078	-161227.00	98	-4940.68	177	-5885.00	158	-4987.32	98	-1551.68	98	-283.39	173	-1850.72	173	-33933.30	97
0	Min.	-2077	-161227.00	98	-4940.68	177	-5885.00	158	-4987.32	98	-1551.68	98	-283.39	173	-1850.72	173	-33933.30	97
0	Min.	-1790	-161227.00	98	-4940.68	177	-5885.00	158	-4987.32	98	-1551.68	98	-283.39	173	-1850.72	173	-33933.30	97
0	Max	-1714	-17282.20	33	5097.72	173	2245.41	165	-428.23	33	942.03	173	126.92	65	31543.10	97	3877.06	130
0	Max	-2076	-17282.20	33	5097.72	173	2245.41	165	-428.23	33	942.03	173	126.92	65	31543.10	97	3877.06	130
0	Max	-2075	-17282.20	33	5097.72	173	2245.41	165	-428.23	33	942.03	173	126.92	65	31543.10	97	3877.06	130
0	Max	-1791	-17282.20	33	5097.72	173	2245.41	165	-428.23	33	942.03	173	126.92	65	31543.10	97	3877.06	130
0	Min.	-1714	-170607.00	98	-5145.73	177	-4836.76	158	-5791.49	98	-1704.70	98	-161.41	173	-1784.52	17	-9937.44	97
0	Min.	-2076	-170607.00	98	-5145.73	177	-4836.76	158	-5791.49	98	-1704.70	98	-161.41	173	-1784.52	17	-9937.44	97
0	Min.	-2075	-170607.00	98	-5145.73	177	-4836.76	158	-5791.49	98	-1704.70	98	-161.41	173	-1784.52	17	-9937.44	97
0	Min.	-1791	-170607.00	98	-5145.73	177	-4836.76	158	-5791.49	98	-1704.70	98	-161.41	173	-1784.52	17	-9937.44	97
0	Max	-1715	-18677.10	33	6199.30	173	1900.53	165	-465.32	33	960.39	173	88.82	97	16262.20	97	5226.67	130
0	Max	-1849	-18677.10	33	6199.30	173	1900.53	165	-465.32	33	960.39	173	88.82	97	16262.20	97	5226.67	130
0	Max	-1535	-18677.10	33	6199.30	173	1900.53	165	-465.32	33	960.39	173	88.82	97	16262.20	97	5226.67	130
0	Max	-1792	-18677.10	33	6199.30	173	1900.53	165	-465.32	33	960.39	173	88.82	97	16262.20	97	5226.67	130
0	Min.	-1715	-174193.00	98	-5356.11	177	-6597.55	158	-5497.71	98	-1822.78	98	-63.10	106	-3344.38	173	-7162.90	101
0	Min.	-1849	-174193.00	98	-5356.11	177	-6597.55	158	-5497.71	98	-1822.78	98	-63.10	106	-3344.38	173	-7162.90	101
0	Min.	-1535	-174193.00	98	-5356.11	177	-6597.55	158	-5497.71	98	-1822.78	98	-63.10	106	-3344.38	173	-7162.90	101
0	Min.	-1792	-174193.00	98	-5356.11	177	-6597.55	158	-5497.71	98	-1822.78	98	-63.10	106	-3344.38	173	-7162.90	101
0	Max	-1849	-18686.50	33	5970.42	173	1882.13	161	-465.61	33	931.40	173	85.18	173	16262.20	98	7162.61	106
0	Max	-1716	-18686.50	33	5970.42	173	1882.13	161	-465.61	33	931.40	173	85.18	173	16262.20	98	7162.61	106
0	Max	-1793	-18686.50	33	5970.42	173	1882.13	161	-465.61	33	931.40	173	85.18	173	16262.20	98	7162.61	106
0	Max	-1535	-18686.50	33	5970.42	173	1882.13	161	-465.61	33	931.40	173	85.18	173	16262.20	98	7162.61	106
0	Min.	-1849	-174193.00	97	-5356.10	177	-6640.68	158	-5497.71	97	-1822.78	97	-88.82	98	-1850.22	65	-4689.82	101
0	Min.	-1716	-174193.00	97	-5356.10	177	-6640.68	158	-5497.71	97	-1822.78	97	-88.82	98	-1850.22	65	-4689.82	101
0	Min.	-1793	-174193.00	97	-5356.10	177	-6640.68	158	-5497.71	97	-1822.78	97	-88.82	98	-1850.22	65	-4689.82	101
0	Min.	-1535	-174193.00	97	-5356.10	177	-6640.68	158	-5497.71	97	-1822.78	97	-88.82	98	-1850.22	65	-4689.82	101
0	Max	-1349	42270.50	130	4339.46	162	3448.86	173	1395.26	122	454.74	173	159.31	173	2388.10	177	2974.82	101
0	Max	-1350	42270.50	130	4339.46	162	3448.86	173	1395.26	122	454.74	173	159.31	173	2388.10	177	2974.82	101
0	Max	-1562	42270.50	130	4339.46	162	3448.86	173	1395.26	122	454.74	173	159.31	173	2388.10	177	2974.82	101
0	Max	-1561	42270.50	130	4339.46	162	3448.86	173	1395.26	122	454.74	173	159.31	173	2388.10	177	2974.82	101
0	Min.	-1349	-33881.90	101	-5769.14	177	-14087.20	177	-827.16	101	-333.56	125	-17.07	65	-818.03	161	-10577.80	98
0	Min.	-1350	-33881.90	101	-5769.14	177	-14087.20	177	-827.16	101	-333.56	125	-17.07	65	-818.03	161	-10577.80	98
0	Min.	-1562	-33881.90	101	-5769.14	177	-14087.20	177	-827.16	101	-333.56	125	-17.07	65	-818.03	161	-10577.80	98
0	Min.	-1561	-33881.90	101	-5769.14	177	-14087.20	177	-827.16	101	-333.56	125	-17.07	65	-818.03	161	-10577.80	98
0	Max	-1350	32613.00	130	3836.66	162	3645.45	173	975.43	122	348.43	173	149.16	173	2508.14	177	3378.54	101
0	Max	-1351	32613.00	130	3836.66	162	3645.45	173	975.43	122	348.43	173	149.16	173	2508.14	177	3378.54	101
0	Max	-1563	32613.00	130	3836.66	162	3645.45	173	975.43	122	348.43	173	149.16	173	2508.14	177	3378.54	101
0	Max	-1562	32613.00	130	3836.66	162	3645.45	173	975.43	122	348.43	173	149.16	173	2508.14	177	3378.54	101
0	Min.	-1350	-26597.40	101	-4030.92	177	-14782.60	177	-808.25	101	-247.43	125	-29.50	165	-450.92	161	-8661.15	98
0	Min.	-1351	-26597.40	101	-4030.92	177	-14782.60	177	-808.25	101	-247.43	125	-29.50	165	-450.92	161	-8661.15	98
0	Min.	-1563	-26597.40	101	-4030.92	177	-14782.60	177	-808.25	101	-247.43	125	-29.50	165	-450.92	161	-8661.15	98
0	Min.	-1562	-26597.40	101	-4030.92	177	-14782.60	177	-808.25	101	-247.43	125	-29.50	165	-450.92	161	-8661.15	98
0	Max	-1351	22566.40	130	2633.74	162	3581.96	130	583.39	122	242.80	173	164.61	110	3141.67	98	6332.19	101
0	Max	-1353	22566.40	130	2633.74	162	3581.96	130	583.39	122	242.80	173	164.61	110	3141.67	98	6332.19	101
0	Max	-1564	22566.40	130	2633.74	162	3581.96	130	583.39	122	242.80	173	164.61	110	3141.67	98	6332.19	101
0	Max	-1563	22566.40	130	2633.74	162	3581.96	130	583.39	122	242.80	173	164.61	110	3141.67	98	6332.19	101
0	Min.	-1351	-18815.00	101	-1263.60	97	-13418.30	177	-641.89	101	-172.12	125	-98.32	161	-1110.02	125	-8186.76	122
0	Min.	-1353	-18815.00	101	-1263.60	97	-13418.30	177	-641.89	101	-172.12	125	-98.32	161	-1110.02	125	-8186.76	122
0	Min.	-1564	-18815.00	101	-1263.60	97	-13418.30	177	-641.89	101	-172.12	125	-98.32	161	-1110.02	125	-8186.76	122
0	Min.	-1563	-18815.00	101	-1263.60	97	-13418.30	177	-641.89	101	-172.12	125	-98.32	161	-1110.02	125	-8186.76	122
0	Max	-1353	11326.30	130	7500.33	177	4874.77	130	168.14	158	141.52	173	162.37	109	5904.21	177	10176.90	101
0	Max	-1354	11326.30	130	7500.33	177	4874.77	130	168.14	158	141.52	173	162.37	109	5904.21	177	10176.90	101
0	Max	-1611	11326.30	130	7500.33	177	4874.77	130	168.14	158	141.52	173	162.37	109	5904.21	177	10176.90	101
0	Max	-1564	11326.30	130	7500.33	177	4874.77	130	168.14	158	141.52	173	162.37	109	5904.21	177	10176.90	101
0	Min.	-1353	-9677.60	101	-3558.82	173	-8654.74	177	-227.66	101	-115.63	163	-134.24	162	-5452.82	173	-8064.03	122
0	Min.	-1354	-9677.60	101	-3558.82	173	-8654.74	177	-227.66	101	-115.63	163	-134.24	162	-5452.82	173	-8064.03	122

0	Min.	-1611	-9677.60	101	-3558.82	173	-8654.74	177	-227.66	101	-115.63	163	-134.24	162	-5452.82	173	-8064.03	122
0	Min.	-1564	-9677.60	101	-3558.82	173	-8654.74	177	-227.66	101	-115.63	163	-134.24	162	-5452.82	173	-8064.03	122
0	Max	-1357	51049.80	101	1364.97	173	9874.75	177	4830.73	97	1269.71	97	340.95	65	56427.90	105	-5314.82	65
0	Max	-1358	51049.80	101	1364.97	173	9874.75	177	4830.73	97	1269.71	97	340.95	65	56427.90	105	-5314.82	65
0	Max	-1706	51049.80	101	1364.97	173	9874.75	177	4830.73	97	1269.71	97	340.95	65	56427.90	105	-5314.82	65
0	Max	442	51049.80	101	1364.97	173	9874.75	177	4830.73	97	1269.71	97	340.95	65	56427.90	105	-5314.82	65
0	Min.	-1357	-67482.00	130	-5392.44	177	-2174.62	165	179.18	49	-666.94	106	-495.44	173	6692.65	33	-59603.60	105
0	Min.	-1358	-67482.00	130	-5392.44	177	-2174.62	165	179.18	49	-666.94	106	-495.44	173	6692.65	33	-59603.60	105
0	Min.	-1706	-67482.00	130	-5392.44	177	-2174.62	165	179.18	49	-666.94	106	-495.44	173	6692.65	33	-59603.60	105
0	Min.	442	-67482.00	130	-5392.44	177	-2174.62	165	179.18	49	-666.94	106	-495.44	173	6692.65	33	-59603.60	105
0	Max	-1358	41719.00	101	8804.19	165	8667.19	177	3365.65	97	870.89	173	399.04	65	37243.20	105	-4002.21	65
0	Max	-1947	41719.00	101	8804.19	165	8667.19	177	3365.65	97	870.89	173	399.04	65	37243.20	105	-4002.21	65
0	Max	-1945	41719.00	101	8804.19	165	8667.19	177	3365.65	97	870.89	173	399.04	65	37243.20	105	-4002.21	65
0	Max	-1706	41719.00	101	8804.19	165	8667.19	177	3365.65	97	870.89	173	399.04	65	37243.20	105	-4002.21	65
0	Min.	-1358	-67978.40	106	-4715.90	177	-25170.60	166	-1238.50	130	-1421.22	106	-587.06	173	-1320.54	173	-54961.20	105
0	Min.	-1947	-67978.40	106	-4715.90	177	-25170.60	166	-1238.50	130	-1421.22	106	-587.06	173	-1320.54	173	-54961.20	105
0	Min.	-1945	-67978.40	106	-4715.90	177	-25170.60	166	-1238.50	130	-1421.22	106	-587.06	173	-1320.54	173	-54961.20	105
0	Min.	-1706	-67978.40	106	-4715.90	177	-25170.60	166	-1238.50	130	-1421.22	106	-587.06	173	-1320.54	173	-54961.20	105
0	Max	-1359	30654.70	101	8779.64	166	10232.40	97	1593.93	101	652.59	173	434.50	65	16070.90	105	11039.60	106
0	Max	-1360	30654.70	101	8779.64	166	10232.40	97	1593.93	101	652.59	173	434.50	65	16070.90	105	11039.60	106
0	Max	-1708	30654.70	101	8779.64	166	10232.40	97	1593.93	101	652.59	173	434.50	65	16070.90	105	11039.60	106
0	Max	-1707	30654.70	101	8779.64	166	10232.40	97	1593.93	101	652.59	173	434.50	65	16070.90	105	11039.60	106
0	Min.	-1359	-102438.00	130	-4491.30	177	-193.58	166	-1322.47	130	-1174.65	106	-713.80	173	-710.09	173	-29272.80	97
0	Min.	-1360	-102438.00	130	-4491.30	177	-193.58	166	-1322.47	130	-1174.65	106	-713.80	173	-710.09	173	-29272.80	97
0	Min.	-1708	-102438.00	130	-4491.30	177	-193.58	166	-1322.47	130	-1174.65	106	-713.80	173	-710.09	173	-29272.80	97
0	Min.	-1707	-102438.00	130	-4491.30	177	-193.58	166	-1322.47	130	-1174.65	106	-713.80	173	-710.09	173	-29272.80	97
0	Max	-1360	16713.80	101	4632.46	166	10100.00	97	798.92	101	550.75	173	441.17	65	1764.20	177	-1561.20	130
0	Max	-1361	16713.80	101	4632.46	166	10100.00	97	798.92	101	550.75	173	441.17	65	1764.20	177	-1561.20	130
0	Max	-1709	16713.80	101	4632.46	166	10100.00	97	798.92	101	550.75	173	441.17	65	1764.20	177	-1561.20	130
0	Max	-1708	16713.80	101	4632.46	166	10100.00	97	798.92	101	550.75	173	441.17	65	1764.20	177	-1561.20	130
0	Min.	-1360	-98470.10	130	-4651.06	177	906.03	49	-1330.49	106	-742.29	106	-713.95	173	-589.67	173	-26556.30	97
0	Min.	-1361	-98470.10	130	-4651.06	177	906.03	49	-1330.49	106	-742.29	106	-713.95	173	-589.67	173	-26556.30	97
0	Min.	-1709	-98470.10	130	-4651.06	177	906.03	49	-1330.49	106	-742.29	106	-713.95	173	-589.67	173	-26556.30	97
0	Min.	-1708	-98470.10	130	-4651.06	177	906.03	49	-1330.49	106	-742.29	106	-713.95	173	-589.67	173	-26556.30	97
0	Max	-1361	5993.38	1	1714.82	166	9331.54	97	210.22	1	471.76	173	423.47	65	1691.24	177	-832.02	130
0	Max	-1368	5993.38	1	1714.82	166	9331.54	97	210.22	1	471.76	173	423.47	65	1691.24	177	-832.02	130
0	Max	-1710	5993.38	1	1714.82	166	9331.54	97	210.22	1	471.76	173	423.47	65	1691.24	177	-832.02	130
0	Max	-1709	5993.38	1	1714.82	166	9331.54	97	210.22	1	471.76	173	423.47	65	1691.24	177	-832.02	130
0	Min.	-1361	-96991.80	130	-5543.47	177	645.94	49	-1649.73	106	-552.00	106	-679.93	173	-694.39	98	-25375.00	97
0	Min.	-1368	-96991.80	130	-5543.47	177	645.94	49	-1649.73	106	-552.00	106	-679.93	173	-694.39	98	-25375.00	97
0	Min.	-1710	-96991.80	130	-5543.47	177	645.94	49	-1649.73	106	-552.00	106	-679.93	173	-694.39	98	-25375.00	97
0	Min.	-1709	-96991.80	130	-5543.47	177	645.94	49	-1649.73	106	-552.00	106	-679.93	173	-694.39	98	-25375.00	97
0	Max	-1368	553.44	1	1999.95	173	7656.33	97	25.67	1	407.48	173	386.74	65	1919.86	65	-572.61	130
0	Max	-1369	553.44	1	1999.95	173	7656.33	97	25.67	1	407.48	173	386.74	65	1919.86	65	-572.61	130
0	Max	-1711	553.44	1	1999.95	173	7656.33	97	25.67	1	407.48	173	386.74	65	1919.86	65	-572.61	130
0	Max	-1710	553.44	1	1999.95	173	7656.33	97	25.67	1	407.48	173	386.74	65	1919.86	65	-572.61	130
0	Min.	-1368	-105538.00	98	-6418.57	177	331.92	49	-2073.09	98	-695.87	98	-631.00	173	-885.75	98	-24930.30	97
0	Min.	-1369	-105538.00	98	-6418.57	177	331.92	49	-2073.09	98	-695.87	98	-631.00	173	-885.75	98	-24930.30	97
0	Min.	-1711	-105538.00	98	-6418.57	177	331.92	49	-2073.09	98	-695.87	98	-631.00	173	-885.75	98	-24930.30	97
0	Min.	-1710	-105538.00	98	-6418.57	177	331.92	49	-2073.09	98	-695.87	98	-631.00	173	-885.75	98	-24930.30	97
0	Max	-1369	-4954.53	1	3833.88	173	6470.59	97	-137.42	1	397.99	173	332.62	65	2097.50	65	219.84	130
0	Max	-1370	-4954.53	1	3833.88	173	6470.59	97	-137.42	1	397.99	173	332.62	65	2097.50	65	219.84	130
0	Max	-1712	-4954.53	1	3833.88	173	6470.59	97	-137.42	1	397.99	173	332.62	65	2097.50	65	219.84	130
0	Max	-1711	-4954.53	1	3833.88	173	6470.59	97	-137.42	1	397.99	173	332.62	65	2097.50	65	219.84	130
0	Min.	-1369	-128194.00	98	-6229.00	177	9.39	154	-3016.45	98	-1152.01	98	-596.75	173	-1685.76	98	-24656.90	97
0	Min.	-1370	-128194.00	98	-6229.00	177	9.39	154	-3016.45	98	-1152.01	98	-596.75	173	-1685.76	98	-24656.90	97
0	Min.	-1712	-128194.00	98	-6229.00	177	9.39	154	-3016.45	98	-1152.01	98	-596.75	173	-1685.76	98	-24656.90	97
0	Min.	-1711	-128194.00	98	-6229.00	177	9.39	154	-3016.45	98	-1152.01	98	-596.75	173	-1685.76	98	-24656.90	97
0	Max	-1370	-10353.50	1	4510.10	173	6428.39	97	-282.75	1	500.72	173	265.08	65	4131.63	173	1094.24	130
0	Max	-1371	-10353.50	1	4510.10	173	6428.39	97	-282.75	1	500.72	173	265.08	65	4131.63	173	1094.24	130
0	Max	-1713	-10353.50	1	4510.10	173	6428.39	97	-282.75	1	500.72	173	265.08	65	4131.63	173	1094.24	130
0	Max	-1712	-10353.50	1	4510.10	173	6428.39	97	-282.75	1	500.72	173	265.08	65	4131.63	173	1094.24	130
0	Min.	-1370	-147674.00	98	-5432.18	177	-631.91	106	-3984.13	98	-1777.94	98	-572.12	173	-1026.71	106	-28604.80	97
0	Min.	-1371	-147674.00	98	-5432.18	177	-631.91	106	-3984.13	98	-1777.94	98	-572.12	173	-1026.71	106	-28604.80	97
0	Min.	-1713	-147674.00	98	-5432.18	177	-631.91	106	-3984.13	98	-1777.94	98	-572.12	173	-1026.71	106	-28604.80	97
0	Min.	-1712	-147674.00	98	-5432.18	177	-631.91	106	-3984.13	98	-1777.94	98	-572.12	173	-1026.71	106	-28604.80	97
0	Max	-1371	-15128.80	33	5829.35	173	4744.18	125	-360.56	17	654.96	173	208.39	65	13229.70	97	1910.95	130
0	Max	-2074	-15128.80	33	5829.35	173	4744.18	125	-360.56	17	654.96	173	208.39	65	13229.70	97	1910.95	130
0	Max	-2078	-15128.80	33	5829.35	173	4744.18	125	-360.56	17	654.96	173	208.39	65	13229.70	97	1910.95	130
0	Max	-1713	-15128.80	33	5829.35	173	4744.18	125	-360.56	17	654.96	173	208.39	65	13229.70	97	1910.95	130
0	Min.	-1371	-163057.00	98	-5884.49	158	-1868.18	158	-5050.01	98	-2407.21	98	-540.85	173	-1258.90	106	-52097.60	97
0	Min.	-2074	-163057.00	98	-5884.49	158	-1868.18	158	-5050.01	98	-2407.21	98	-540.85	173	-1258.90	106	-52097.60	97
0	Min.	-2078	-163057.00	98	-5884.49	158	-1868.18	158	-5050.01	98	-2407.21	98	-540.85	173	-1258.90	106	-52097.60	97
0	Min.	-1713	-163057.00	98	-5884.49	158	-1868.18	158	-5050.01	98	-2407.21	98	-540.85	173	-1258.90	106	-52097.60	97
0	Max	-1372	-16831.50	33	6866.78	173	4465.35	125	-411.56	33	938.29	173	166.02	97	35516.10	97	9507.21	98
0	Max	-2073	-16831.50	33	6866.78	173	4465.35	125	-411.56	33	938.29	173	166.02	97	35516.10	97	9507.21	98
0	Max	-2076	-16831.50	33	6866.78	173	4465.35	125	-411.56	33	938.29	173	166.02	97	35516.10	97	9507.21	98
0	Max	-1714	-16831.50	33	6866.78	173	4465.35	125	-411.56	33	938.29	173	166.02	97	35516.10	97	9507.21	98
0	Min.	-1372	-170954.00	98	-5548.45	177	-25074.90	158	-6198.43	98	-2969.73	98	-354.08	173	-1256.94	17	-5994.22	101
0	Min.	-2073	-170954.00	98	-5548.45	177	-25074.90	158	-6198.43	98	-2969.73	98	-354.08	173	-1256.94	17	-5994.22	101
0	Min.	-2076	-170954.00	98	-5548.45	177	-25074.90	158	-6198.43	98	-2969.73	98	-354.08	173	-1256.94	17	-5994.22	101
0	Min.	-1714	-170954.00	98	-5548.45	177	-25074.90	158	-6198.43	98	-2969.73	98	-354.08	173	-1256.94	17	-5994.22	101
0	Max	-1373	-17971.90	33	7312.51	173	3438.68	125	-445.79	33	1046.45	173	90.36	101	14425.40	173	6592.84	98
0	Max	-1374	-17971.90	33	7312.51	173	3438.68	125	-445.79	33	1046.45	173	90.36	101	14425.40	173	6592.84	98
0	Max	-1849	-17971.90	33	7312.51	173	3438.68	125	-445.79	33	1046.45	173	90.36	101	14425.40	173	6592.84	98
0	Max	-1715	-17971.90	33	7312.51	173	3438.68	125	-445.79	33	1046.45	173	90.36	101	14425.40	173	6592.84	98
0	Min.	-1373	-173036.00	97	-6414.35	177	-2265.21	106	-5314.93	98	-2616.66	98	-85.97	106	-1335.95	17	-4768.51	101
0	Min.	-1374	-173036.00	97	-6414.35	177	-2265.21	106	-5314.93	98	-2616.66	98	-85.97	106	-1335.95	17	-4768.51	101
0	Min.	-1849	-173036.00	97	-6414.35	177	-2265.21	106	-5314.93	98	-2616.66	98	-85.97	106	-1335.95	17	-4768.51	101
0	Min.	-1715	-173036.00	97	-6414.35	177	-2265.21	106	-5314.93	98	-2616.66	98	-85.97	106	-1335.95	17	-4768.51	101
0	Max	-1374	-17968.10	33	7827.53	173	2967.91	125	-445.96	33	928.98	173	276.70	173	10748.10	173	4768.32	106
0	Max	-1375	-17968.10	33	7827.53	173	2967.91	125	-445.96	33	928.98	173	276.70	173	10748.10	173	4768.32	106
0	Max	-1716	-17968.10	33	7827.53	173	2967.91	125	-445.96	33	928.98	173	276.70	173	10748.10	173	4768.32	106
0	Max	-1849	-17968.10	33	7827.53	173	2967.91	125	-445.96	33	928.98	173	276.70	173	10748.10	173	4768.32	106
0	Min.	-1374	-173036.00	98	-6414.35	177	-2990.40	158	-5314.93	97	-2616.66	97	-90.36	106	-1335.95	65	-6592.84	97
0	Min.	-1375	-173036.00	98	-6414.35	177	-2990.40	158	-5314.93	97	-2616.66	97	-90.36	106	-1335.95	65	-6592.84	97
0	Min.	-1716	-173036.00	98	-6414.35	177	-2990.40	158	-5314.93	97	-2616.66	97	-90.36	106	-1335.95	65	-6592.84	97
0	Min.	-1849	-173036.00	98	-6414.35	177	-2990.40	158	-5314.93	97	-2616.66	97	-90.36	106	-1335.95	65	-6592.84	97
0	Max	-1375	-14858.50	162	5898.33	173	2996.12	125	-436.74	33	792.06	173	398.58	173	13629.70	98	4754.90	106
0	Max	-2072	-14858.50	162	5898.33	173	2996.12	125	-436.74	33	792.06	173	398.58	173	13629.70	98	4754.90	106
0	Max	-2070	-14858.50	162	5898.33	173	2996.12	125	-436.74	33	792.06	173	398.58	173	13629.70	98	4754.90	106
0	Max	-1716	-14858.50	162	5898.33	173	2996.12	125	-436.74	33	792.06	173	398.58	173	13629.70	98	4754.90	106
0	Min.	-1375	-169909.00	97	-6278.45	177	-6709.79	158	-5744.28	97	-2795.26	97	-184.00	98	-1315.03	65	-26809.40	97
0	Min.	-2072	-169909.00	97	-6278.45	177	-6709.79	158	-5744.28	97	-2795.26	97	-184.00	98	-1315.03	65	-26809.40	97
0	Min.	-2070	-169909.00	97	-6278.45	177	-6709.79	158	-5744.28	97	-2795.26	97	-184.00	98	-1315.03	65	-26809.40	97

0	Min.	-1716	-169909.00	97	-6278.45	177	-6709.79	158	-5744.28	97	-2795.26	97	-184.00	98	-1315.03	65	-26809.40	97
0	Max	-1376	-7867.59	162	3813.05	173	2928.57	125	-397.58	65	548.50	173	467.64	173	34591.30	98	32217.30	98
0	Max	-2068	-7867.59	162	3813.05	173	2928.57	125	-397.58	65	548.50	173	467.64	173	34591.30	98	32217.30	98
0	Max	-2066	-7867.59	162	3813.05	173	2928.57	125	-397.58	65	548.50	173	467.64	173	34591.30	98	32217.30	98
0	Max	-1717	-7867.59	162	3813.05	173	2928.57	125	-397.58	65	548.50	173	467.64	173	34591.30	98	32217.30	98
0	Min.	-1376	-160694.00	97	-5682.42	177	-28534.60	158	-6031.25	97	-2850.27	97	-167.44	17	-1248.95	65	-2012.88	101
0	Min.	-2068	-160694.00	97	-5682.42	177	-28534.60	158	-6031.25	97	-2850.27	97	-167.44	17	-1248.95	65	-2012.88	101
0	Min.	-2066	-160694.00	97	-5682.42	177	-28534.60	158	-6031.25	97	-2850.27	97	-167.44	17	-1248.95	65	-2012.88	101
0	Min.	-1717	-160694.00	97	-5682.42	177	-28534.60	158	-6031.25	97	-2850.27	97	-167.44	17	-1248.95	65	-2012.88	101
0	Max	-1377	-36.79	162	5852.38	158	2303.89	125	-282.75	49	390.43	173	531.57	173	2436.77	122	28604.80	98
0	Max	-1378	-36.79	162	5852.38	158	2303.89	125	-282.75	49	390.43	173	531.57	173	2436.77	122	28604.80	98
0	Max	-1719	-36.79	162	5852.38	158	2303.89	125	-282.75	49	390.43	173	531.57	173	2436.77	122	28604.80	98
0	Max	-1718	-36.79	162	5852.38	158	2303.89	125	-282.75	49	390.43	173	531.57	173	2436.77	122	28604.80	98
0	Min.	-1377	-147674.00	97	-5432.18	177	-6428.38	98	-3984.13	97	-1777.94	97	-265.08	17	-1026.74	101	-218.69	1
0	Min.	-1378	-147674.00	97	-5432.18	177	-6428.38	98	-3984.13	97	-1777.94	97	-265.08	17	-1026.74	101	-218.69	1
0	Min.	-1719	-147674.00	97	-5432.18	177	-6428.38	98	-3984.13	97	-1777.94	97	-265.08	17	-1026.74	101	-218.69	1
0	Min.	-1718	-147674.00	97	-5432.18	177	-6428.38	98	-3984.13	97	-1777.94	97	-265.08	17	-1026.74	101	-218.69	1
0	Max	-1378	8768.42	162	3831.65	173	1628.54	125	-137.42	49	363.52	173	567.31	173	2097.50	17	24656.90	98
0	Max	-1379	8768.42	162	3831.65	173	1628.54	125	-137.42	49	363.52	173	567.31	173	2097.50	17	24656.90	98
0	Max	-1720	8768.42	162	3831.65	173	1628.54	125	-137.42	49	363.52	173	567.31	173	2097.50	17	24656.90	98
0	Max	-1719	8768.42	162	3831.65	173	1628.54	125	-137.42	49	363.52	173	567.31	173	2097.50	17	24656.90	98
0	Min.	-1378	-128194.00	97	-6229.00	177	-6470.58	98	-3016.45	97	-1152.01	97	-332.62	17	-1685.76	97	361.17	1
0	Min.	-1379	-128194.00	97	-6229.00	177	-6470.58	98	-3016.45	97	-1152.01	97	-332.62	17	-1685.76	97	361.17	1
0	Min.	-1720	-128194.00	97	-6229.00	177	-6470.58	98	-3016.45	97	-1152.01	97	-332.62	17	-1685.76	97	361.17	1
0	Min.	-1719	-128194.00	97	-6229.00	177	-6470.58	98	-3016.45	97	-1152.01	97	-332.62	17	-1685.76	97	361.17	1
0	Max	-1379	17927.10	162	1968.72	157	1210.49	161	25.67	49	413.75	173	608.76	173	1919.86	17	24930.30	98
0	Max	-1380	17927.10	162	1968.72	157	1210.49	161	25.67	49	413.75	173	608.76	173	1919.86	17	24930.30	98
0	Max	-1721	17927.10	162	1968.72	157	1210.49	161	25.67	49	413.75	173	608.76	173	1919.86	17	24930.30	98
0	Max	-1720	17927.10	162	1968.72	157	1210.49	161	25.67	49	413.75	173	608.76	173	1919.86	17	24930.30	98
0	Min.	-1379	-105539.00	97	-6418.57	177	-7656.32	98	-2073.08	97	-695.87	97	-386.74	17	-885.75	97	1019.79	149
0	Min.	-1380	-105539.00	97	-6418.57	177	-7656.32	98	-2073.08	97	-695.87	97	-386.74	17	-885.75	97	1019.79	149
0	Min.	-1721	-105539.00	97	-6418.57	177	-7656.32	98	-2073.08	97	-695.87	97	-386.74	17	-885.75	97	1019.79	149
0	Min.	-1720	-105539.00	97	-6418.57	177	-7656.32	98	-2073.08	97	-695.87	97	-386.74	17	-885.75	97	1019.79	149
0	Max	-1380	28153.00	162	939.73	157	1144.77	161	403.89	130	494.35	173	659.00	173	1691.25	177	25375.00	98
0	Max	-1381	28153.00	162	939.73	157	1144.77	161	403.89	130	494.35	173	659.00	173	1691.25	177	25375.00	98
0	Max	-1722	28153.00	162	939.73	157	1144.77	161	403.89	130	494.35	173	659.00	173	1691.25	177	25375.00	98
0	Max	-1721	28153.00	162	939.73	157	1144.77	161	403.89	130	494.35	173	659.00	173	1691.25	177	25375.00	98
0	Min.	-1380	-85425.60	101	-5543.47	177	-9331.53	98	-1649.77	101	-552.01	101	-423.47	17	-694.39	97	1271.65	149
0	Min.	-1381	-85425.60	101	-5543.47	177	-9331.53	98	-1649.77	101	-552.01	101	-423.47	17	-694.39	97	1271.65	149
0	Min.	-1722	-85425.60	101	-5543.47	177	-9331.53	98	-1649.77	101	-552.01	101	-423.47	17	-694.39	97	1271.65	149
0	Min.	-1721	-85425.60	101	-5543.47	177	-9331.53	98	-1649.77	101	-552.01	101	-423.47	17	-694.39	97	1271.65	149
0	Max	-1381	40201.70	162	1156.41	173	1161.19	165	944.77	130	574.85	173	692.06	173	1764.20	177	26556.30	98
0	Max	-1382	40201.70	162	1156.41	173	1161.19	165	944.77	130	574.85	173	692.06	173	1764.20	177	26556.30	98
0	Max	-1723	40201.70	162	1156.41	173	1161.19	165	944.77	130	574.85	173	692.06	173	1764.20	177	26556.30	98
0	Max	-1722	40201.70	162	1156.41	173	1161.19	165	944.77	130	574.85	173	692.06	173	1764.20	177	26556.30	98
0	Min.	-1381	-80781.20	101	-4651.06	177	-10100.00	98	-1330.53	101	-742.32	101	-441.17	17	-393.94	173	1868.97	149
0	Min.	-1382	-80781.20	101	-4651.06	177	-10100.00	98	-1330.53	101	-742.32	101	-441.17	17	-393.94	173	1868.97	149
0	Min.	-1723	-80781.20	101	-4651.06	177	-10100.00	98	-1330.53	101	-742.32	101	-441.17	17	-393.94	173	1868.97	149
0	Min.	-1722	-80781.20	101	-4651.06	177	-10100.00	98	-1330.53	101	-742.32	101	-441.17	17	-393.94	173	1868.97	149
0	Max	-1382	57430.50	162	2481.32	97	799.70	165	1603.92	130	669.80	173	690.58	173	16070.90	102	29272.80	98
0	Max	-1383	57430.50	162	2481.32	97	799.70	165	1603.92	130	669.80	173	690.58	173	16070.90	102	29272.80	98
0	Max	-1724	57430.50	162	2481.32	97	799.70	165	1603.92	130	669.80	173	690.58	173	16070.90	102	29272.80	98
0	Max	-1723	57430.50	162	2481.32	97	799.70	165	1603.92	130	669.80	173	690.58	173	16070.90	102	29272.80	98
0	Min.	-1382	-74580.80	101	-7044.19	162	-10232.40	98	-1260.13	101	-1174.69	101	-434.50	17	-507.81	173	-11039.90	101
0	Min.	-1383	-74580.80	101	-7044.19	162	-10232.40	98	-1260.13	101	-1174.69	101	-434.50	17	-507.81	173	-11039.90	101
0	Min.	-1724	-74580.80	101	-7044.19	162	-10232.40	98	-1260.13	101	-1174.69	101	-434.50	17	-507.81	173	-11039.90	101
0	Min.	-1723	-74580.80	101	-7044.19	162	-10232.40	98	-1260.13	101	-1174.69	101	-434.50	17	-507.81	173	-11039.90	101
0	Max	-1383	83677.40	162	2936.81	161	1120.06	165	2482.17	98	755.45	173	642.63	173	34681.50	102	29982.80	98
0	Max	-1919	83677.40	162	2936.81	161	1120.06	165	2482.17	98	755.45	173	642.63	173	34681.50	102	29982.80	98
0	Max	-1920	83677.40	162	2936.81	161	1120.06	165	2482.17	98	755.45	173	642.63	173	34681.50	102	29982.80	98
0	Max	-1724	83677.40	162	2936.81	161	1120.06	165	2482.17	98	755.45	173	642.63	173	34681.50	102	29982.80	98
0	Min.	-1383	-66884.90	101	-5318.08	177	-27524.80	162	-1600.82	101	-1556.84	101	-416.96	17	-1847.74	173	-14157.80	101
0	Min.	-1919	-66884.90	101	-5318.08	177	-27524.80	162	-1600.82	101	-1556.84	101	-416.96	17	-1847.74	173	-14157.80	101
0	Min.	-1920	-66884.90	101	-5318.08	177	-27524.80	162	-1600.82	101	-1556.84	101	-416.96	17	-1847.74	173	-14157.80	101
0	Min.	-1724	-66884.90	101	-5318.08	177	-27524.80	162	-1600.82	101	-1556.84	101	-416.96	17	-1847.74	173	-14157.80	101
0	Max	-1384	56285.70	130	3699.24	162	1006.09	166	4830.72	98	1269.71	98	477.31	173	56430.20	102	59602.70	102
0	Max	-1385	56285.70	130	3699.24	162	1006.09	166	4830.72	98	1269.71	98	477.31	173	56430.20	102	59602.70	102
0	Max	440	56285.70	130	3699.24	162	1006.09	166	4830.72	98	1269.71	98	477.31	173	56430.20	102	59602.70	102
0	Max	-1725	56285.70	130	3699.24	162	1006.09	166	4830.72	98	1269.71	98	477.31	173	56430.20	102	59602.70	102
0	Min.	-1384	-59594.20	101	-5392.43	177	-9874.76	177	179.18	1	-667.02	101	-340.95	17	6715.25	33	5314.81	17
0	Min.	-1385	-59594.20	101	-5392.43	177	-9874.76	177	179.18	1	-667.02	101	-340.95	17	6715.25	33	5314.81	17
0	Min.	440	-59594.20	101	-5392.43	177	-9874.76	177	179.18	1	-667.02	101	-340.95	17	6715.25	33	5314.81	17
0	Min.	-1725	-59594.20	101	-5392.43	177	-9874.76	177	179.18	1	-667.02	101	-340.95	17	6715.25	33	5314.81	17
0	Max	-1571	12105.40	130	2470.11	173	3925.29	101	216.66	158	81.25	65	226.78	166	5543.88	177	13462.80	101
0	Max	-1612	12105.40	130	2470.11	173	3925.29	101	216.66	158	81.25	65	226.78	166	5543.88	177	13462.80	101
0	Max	-2174	12105.40	130	2470.11	173	3925.29	101	216.66	158	81.25	65	226.78	166	5543.88	177	13462.80	101
0	Max	-2175	12105.40	130	2470.11	173	3925.29	101	216.66	158	81.25	65	226.78	166	5543.88	177	13462.80	101
0	Min.	-1571	-10109.80	101	-13231.80	177	-5144.66	177	-239.04	101	-94.09	162	-206.30	65	-4402.07	125	-12694.20	158
0	Min.	-1612	-10109.80	101	-13231.80	177	-5144.66	177	-239.04	101	-94.09	162	-206.30	65	-4402.07	125	-12694.20	158
0	Min.	-2174	-10109.80	101	-13231.80	177	-5144.66	177	-239.04	101	-94.09	162	-206.30	65	-4402.07	125	-12694.20	158
0	Min.	-2175	-10109.80	101	-13231.80	177	-5144.66	177	-239.04	101	-94.09	162	-206.30	65	-4402.07	125	-12694.20	158
0	Max	-1570	26558.80	130	1630.91	130	1778.19	101	663.39	158	80.25	109	220.30	162	1776.15	101	5481.22	101
0	Max	-1571	26558.80	130	1630.91	130	1778.19	101	663.39	158	80.25	109	220.30	162	1776.15	101	5481.22	101
0	Max	-2175	26558.80	130	1630.91	130	1778.19	101	663.39	158	80.25	109	220.30	162	1776.15	101	5481.22	101
0	Max	-2176	26558.80	130	1630.91	130	1778.19	101	663.39	158	80.25	109	220.30	162	1776.15	101	5481.22	101
0	Min.	-1570	-21950.90	101	-1804.23	177	-5217.64	177	-652.73	101	-96.76	126	-214.65	109	-3372.78	110	-7766.51	98
0	Min.	-1571	-21950.90	101	-1804.23	177	-5217.64	177	-652.73	101	-96.76	126	-214.65	109	-3372.78	110	-7766.51	98
0	Min.	-2175	-21950.90	101	-1804.23	177	-5217.64	177	-652.73	101	-96.76	126	-214.65	109	-3372.78	110	-7766.51	98
0	Min.	-2176	-21950.90	101	-1804.23	177	-5217.64	177	-652.73	101	-96.76	126	-214.65	109	-3372.78	110	-7766.51	98
0	Max	-1569	39995.20	130	2516.33	130	3780.47	101	1257.71	158	109.18	97	187.65	126	8653.42	162	10863.60	101
0	Max	-1570	39995.20	130	2516.33	130	3780.47	101	1257.71	158	109.18	97	187.65	126	8653.42	162	10863.60	101
0	Max	-2176	39995.20	130	2516.33	130	3780.47	101	1257.71	158	109.18	97	187.65	126	8653.42	162	10863.60	101
0	Max	-2177	39995.20	130	2516.33	130	3780.47	101	1257.71	158	109.18	97	187.65	126	8653.42	162	10863.60	101
0	Min.	-1569	-32714.00	101	-2102.51	101	-5341.44	177	-986.63	101	-124.86	126	-219.54	97	-4368.63	101	-17962.90	130
0	Min.	-1570	-32714.00	101	-2102.51	101	-5341.44	177	-986.63	101	-124.86	126	-219.54	97	-4368.63	101	-17962.90	130
0	Min.	-2176	-32714.00	101	-2102.51	101	-5341.44	177	-986.63	101	-124.86	126	-219.54	97	-4368.63	101	-17962.90	130
0	Min.	-2177	-32714.00	101	-2102.51	101	-5341.44	177	-986.63	101	-124.86	126	-219.54	97	-4368.63	101	-17962.90	130
0	Max	-2071	67261.70	130	1699.49	98	1115.23	166	3257.51	158	112.56	162	219.60	162	492.97	173	26650.70	101
0	Max	-1548	67261.70	130	1699.49	98	1115.23	166	3257.51	158	112.56	162	219.60	162	492.97	173	26650.70	101
0	Max	-1981	67261.70	130	1699.49	98	1115.23	166	3257.51	158	112.56	162	219.60	162	492.97	173	26650.70	101
0	Max	-1980	67261.70	130	1699.49	98	1115.23	166	3257.51	158	112.56	162	219.60	162	492.97	173	26650.70	101
0	Min.	-2071	-55813.90	101	-241.06	161	-1254.52	101	-2155.50	101	-66.70	101	-177.11	97	-2937.54	162	-59742.60	162
0	Min.	-1548	-55813.90	101	-241.06	161	-1254.52	101	-2155.50	101	-66.70	101	-177.11	97	-2937.54	162	-59742.60	162
0	Min.	-1981	-55813.90	101	-241.06	161	-1254.52	101	-2155.50	101	-66.70	101	-177.11	97	-2937.54	162	-59742.60	162
0	Min.	-1980	-55813.90	101	-241.06	161	-1254.52	101	-2155.50	101	-66.70	101	-177.11	97	-2937.54	162	-59742.60	162

0	Max	-1546	35423.50	106	3151.88	130	1791.61	166	2070.87	100	62.32	101	136.59	162	427.90	173	21340.80	101
0	Max	-2071	35423.50	106	3151.88	130	1791.61	166	2070.87	100	62.32	101	136.59	162	427.90	173	21340.80	101
0	Max	-1980	35423.50	106	3151.88	130	1791.61	166	2070.87	100	62.32	101	136.59	162	427.90	173	21340.80	101
0	Max	-1979	35423.50	106	3151.88	130	1791.61	166	2070.87	100	62.32	101	136.59	162	427.90	173	21340.80	101
0	Min.	-1546	-22322.50	101	-2308.55	101	-1376.25	101	-353.70	163	-53.14	130	-167.54	65	-2768.34	162	-34148.00	130
0	Min.	-2071	-22322.50	101	-2308.55	101	-1376.25	101	-353.70	163	-53.14	130	-167.54	65	-2768.34	162	-34148.00	130
0	Min.	-1980	-22322.50	101	-2308.55	101	-1376.25	101	-353.70	163	-53.14	130	-167.54	65	-2768.34	162	-34148.00	130
0	Min.	-1979	-22322.50	101	-2308.55	101	-1376.25	101	-353.70	163	-53.14	130	-167.54	65	-2768.34	162	-34148.00	130
0	Max	-1566	52916.90	130	1155.79	97	4762.91	101	2567.90	98	372.25	98	96.33	101	7100.16	101	500.36	49
0	Max	-1567	52916.90	130	1155.79	97	4762.91	101	2567.90	98	372.25	98	96.33	101	7100.16	101	500.36	49
0	Max	-2178	52916.90	130	1155.79	97	4762.91	101	2567.90	98	372.25	98	96.33	101	7100.16	101	500.36	49
0	Max	-2179	52916.90	130	1155.79	97	4762.91	101	2567.90	98	372.25	98	96.33	101	7100.16	101	500.36	49
0	Min.	-1566	-42696.00	101	-775.59	162	-7570.54	162	-522.02	101	-14.67	65	-306.01	122	-9106.11	130	-20162.80	130
0	Min.	-1567	-42696.00	101	-775.59	162	-7570.54	162	-522.02	101	-14.67	65	-306.01	122	-9106.11	130	-20162.80	130
0	Min.	-2178	-42696.00	101	-775.59	162	-7570.54	162	-522.02	101	-14.67	65	-306.01	122	-9106.11	130	-20162.80	130
0	Min.	-2179	-42696.00	101	-775.59	162	-7570.54	162	-522.02	101	-14.67	65	-306.01	122	-9106.11	130	-20162.80	130
0	Max	-1565	58942.40	130	1760.00	162	3174.86	97	3687.29	98	869.26	98	154.67	65	2290.06	101	-2904.55	65
0	Max	-1921	58942.40	130	1760.00	162	3174.86	97	3687.29	98	869.26	98	154.67	65	2290.06	101	-2904.55	65
0	Max	-2180	58942.40	130	1760.00	162	3174.86	97	3687.29	98	869.26	98	154.67	65	2290.06	101	-2904.55	65
0	Max	-2181	58942.40	130	1760.00	162	3174.86	97	3687.29	98	869.26	98	154.67	65	2290.06	101	-2904.55	65
0	Min.	-1565	-50521.60	101	-233.03	101	-7332.30	162	-107.42	137	27.79	65	-395.42	17	-10323.60	98	-29132.40	98
0	Min.	-1921	-50521.60	101	-233.03	101	-7332.30	162	-107.42	137	27.79	65	-395.42	17	-10323.60	98	-29132.40	98
0	Min.	-2180	-50521.60	101	-233.03	101	-7332.30	162	-107.42	137	27.79	65	-395.42	17	-10323.60	98	-29132.40	98
0	Min.	-2181	-50521.60	101	-233.03	101	-7332.30	162	-107.42	137	27.79	65	-395.42	17	-10323.60	98	-29132.40	98
0	Max	-1510	13198.80	130	3813.55	101	5727.68	130	190.44	158	201.56	177	179.58	161	8082.28	177	13759.80	101
0	Max	-1509	13198.80	130	3813.55	101	5727.68	130	190.44	158	201.56	177	179.58	161	8082.28	177	13759.80	101
0	Max	-1612	13198.80	130	3813.55	101	5727.68	130	190.44	158	201.56	177	179.58	161	8082.28	177	13759.80	101
0	Max	-1571	13198.80	130	3813.55	101	5727.68	130	190.44	158	201.56	177	179.58	161	8082.28	177	13759.80	101
0	Min.	-1510	-11040.60	101	-4529.27	130	-6500.63	177	-221.88	101	-115.75	162	-233.16	110	-5738.66	158	-12486.90	158
0	Min.	-1509	-11040.60	101	-4529.27	130	-6500.63	177	-221.88	101	-115.75	162	-233.16	110	-5738.66	158	-12486.90	158
0	Min.	-1612	-11040.60	101	-4529.27	130	-6500.63	177	-221.88	101	-115.75	162	-233.16	110	-5738.66	158	-12486.90	158
0	Min.	-1571	-11040.60	101	-4529.27	130	-6500.63	177	-221.88	101	-115.75	162	-233.16	110	-5738.66	158	-12486.90	158
0	Max	-1511	25303.40	130	1046.47	162	3226.46	173	675.34	158	113.83	109	186.69	163	4554.04	158	7678.27	101
0	Max	-1510	25303.40	130	1046.47	162	3226.46	173	675.34	158	113.83	109	186.69	163	4554.04	158	7678.27	101
0	Max	-1571	25303.40	130	1046.47	162	3226.46	173	675.34	158	113.83	109	186.69	163	4554.04	158	7678.27	101
0	Max	-1570	25303.40	130	1046.47	162	3226.46	173	675.34	158	113.83	109	186.69	163	4554.04	158	7678.27	101
0	Min.	-1511	-20929.20	101	-2596.82	177	-7627.66	177	-667.05	101	-128.31	126	-231.19	112	-2945.87	49	-9387.16	122
0	Min.	-1510	-20929.20	101	-2596.82	177	-7627.66	177	-667.05	101	-128.31	126	-231.19	112	-2945.87	49	-9387.16	122
0	Min.	-1571	-20929.20	101	-2596.82	177	-7627.66	177	-667.05	101	-128.31	126	-231.19	112	-2945.87	49	-9387.16	122
0	Min.	-1570	-20929.20	101	-2596.82	177	-7627.66	177	-667.05	101	-128.31	126	-231.19	112	-2945.87	49	-9387.16	122
0	Max	-1716	-16013.70	162	6450.66	158	1905.94	161	-464.59	33	783.15	173	134.97	173	24679.70	98	6496.29	130
0	Max	-2070	-16013.70	162	6450.66	158	1905.94	161	-464.59	33	783.15	173	134.97	173	24679.70	98	6496.29	130
0	Max	-2064	-16013.70	162	6450.66	158	1905.94	161	-464.59	33	783.15	173	134.97	173	24679.70	98	6496.29	130
0	Max	-1793	-16013.70	162	6450.66	158	1905.94	161	-464.59	33	783.15	173	134.97	173	24679.70	98	6496.29	130
0	Min.	-1716	-172206.00	97	-5150.07	177	-8518.65	158	-5734.07	97	-1791.01	97	-185.65	98	-2006.03	173	-9472.04	97
0	Min.	-2070	-172206.00	97	-5150.07	177	-8518.65	158	-5734.07	97	-1791.01	97	-185.65	98	-2006.03	173	-9472.04	97
0	Min.	-2064	-172206.00	97	-5150.07	177	-8518.65	158	-5734.07	97	-1791.01	97	-185.65	98	-2006.03	173	-9472.04	97
0	Min.	-1793	-172206.00	97	-5150.07	177	-8518.65	158	-5734.07	97	-1791.01	97	-185.65	98	-2006.03	173	-9472.04	97
0	Max	-1717	-9184.00	162	5989.42	173	2145.04	161	-426.50	33	466.62	173	268.88	173	30524.70	98	14858.90	98
0	Max	-2066	-9184.00	162	5989.42	173	2145.04	161	-426.50	33	466.62	173	268.88	173	30524.70	98	14858.90	98
0	Max	-2062	-9184.00	162	5989.42	173	2145.04	161	-426.50	33	466.62	173	268.88	173	30524.70	98	14858.90	98
0	Max	-1794	-9184.00	162	5989.42	173	2145.04	161	-426.50	33	466.62	173	268.88	173	30524.70	98	14858.90	98
0	Min.	-1717	-164109.00	97	-4750.40	177	-4882.53	158	-5676.97	97	-1638.87	97	-169.28	17	-1920.21	173	-3455.11	101
0	Min.	-2066	-164109.00	97	-4750.40	177	-4882.53	158	-5676.97	97	-1638.87	97	-169.28	17	-1920.21	173	-3455.11	101
0	Min.	-2062	-164109.00	97	-4750.40	177	-4882.53	158	-5676.97	97	-1638.87	97	-169.28	17	-1920.21	173	-3455.11	101
0	Min.	-1794	-164109.00	97	-4750.40	177	-4882.53	158	-5676.97	97	-1638.87	97	-169.28	17	-1920.21	173	-3455.11	101
0	Max	-1718	25.96	162	4255.34	173	2452.55	173	-305.26	49	305.73	173	429.09	173	8396.09	98	27483.80	98
0	Max	-1719	25.96	162	4255.34	173	2452.55	173	-305.26	49	305.73	173	429.09	173	8396.09	98	27483.80	98
0	Max	-1796	25.96	162	4255.34	173	2452.55	173	-305.26	49	305.73	173	429.09	173	8396.09	98	27483.80	98
0	Max	-1795	25.96	162	4255.34	173	2452.55	173	-305.26	49	305.73	173	429.09	173	8396.09	98	27483.80	98
0	Min.	-1718	-148270.00	97	-4928.50	177	-2955.77	177	-4109.60	97	-1351.23	97	-269.12	17	-1430.90	65	-531.31	137
0	Min.	-1719	-148270.00	97	-4928.50	177	-2955.77	177	-4109.60	97	-1351.23	97	-269.12	17	-1430.90	65	-531.31	137
0	Min.	-1796	-148270.00	97	-4928.50	177	-2955.77	177	-4109.60	97	-1351.23	97	-269.12	17	-1430.90	65	-531.31	137
0	Min.	-1795	-148270.00	97	-4928.50	177	-2955.77	177	-4109.60	97	-1351.23	97	-269.12	17	-1430.90	65	-531.31	137
0	Max	-1719	8653.31	162	3132.16	173	2976.86	173	-152.30	49	290.88	173	528.07	173	1845.08	122	27674.50	98
0	Max	-1720	8653.31	162	3132.16	173	2976.86	173	-152.30	49	290.88	173	528.07	173	1845.08	122	27674.50	98
0	Max	-1797	8653.31	162	3132.16	173	2976.86	173	-152.30	49	290.88	173	528.07	173	1845.08	122	27674.50	98
0	Max	-1796	8653.31	162	3132.16	173	2976.86	173	-152.30	49	290.88	173	528.07	173	1845.08	122	27674.50	98
0	Min.	-1719	-128896.00	97	-5316.28	177	-3985.94	177	-3100.56	97	-1027.60	97	-338.90	17	-1138.00	101	451.13	1
0	Min.	-1720	-128896.00	97	-5316.28	177	-3985.94	177	-3100.56	97	-1027.60	97	-338.90	17	-1138.00	101	451.13	1
0	Min.	-1797	-128896.00	97	-5316.28	177	-3985.94	177	-3100.56	97	-1027.60	97	-338.90	17	-1138.00	101	451.13	1
0	Min.	-1796	-128896.00	97	-5316.28	177	-3985.94	177	-3100.56	97	-1027.60	97	-338.90	17	-1138.00	101	451.13	1
0	Max	-1720	17925.60	162	1878.02	173	3312.16	173	17.41	49	344.55	173	602.14	173	1323.24	17	29577.50	98
0	Max	-1721	17925.60	162	1878.02	173	3312.16	173	17.41	49	344.55	173	602.14	173	1323.24	17	29577.50	98
0	Max	-1798	17925.60	162	1878.02	173	3312.16	173	17.41	49	344.55	173	602.14	173	1323.24	17	29577.50	98
0	Max	-1797	17925.60	162	1878.02	173	3312.16	173	17.41	49	344.55	173	602.14	173	1323.24	17	29577.50	98
0	Min.	-1720	-105919.00	97	-5363.69	177	-5287.60	177	-2105.71	97	-690.48	97	-395.48	17	-722.27	173	1283.38	1
0	Min.	-1721	-105919.00	97	-5363.69	177	-5287.60	177	-2105.71	97	-690.48	97	-395.48	17	-722.27	173	1283.38	1
0	Min.	-1798	-105919.00	97	-5363.69	177	-5287.60	177	-2105.71	97	-690.48	97	-395.48	17	-722.27	173	1283.38	1
0	Min.	-1797	-105919.00	97	-5363.69	177	-5287.60	177	-2105.71	97	-690.48	97	-395.48	17	-722.27	173	1283.38	1
0	Max	-1721	27571.30	162	1113.86	173	3092.10	173	423.99	130	430.61	173	655.90	173	1602.70	126	31005.00	98
0	Max	-1722	27571.30	162	1113.86	173	3092.10	173	423.99	130	430.61	173	655.90	173	1602.70	126	31005.00	98
0	Max	-1799	27571.30	162	1113.86	173	3092.10	173	423.99	130	430.61	173	655.90	173	1602.70	126	31005.00	98
0	Max	-1798	27571.30	162	1113.86	173	3092.10	173	423.99	130	430.61	173	655.90	173	1602.70	126	31005.00	98
0	Min.	-1721	-85839.10	101	-4893.71	177	-6457.44	177	-1691.17	101	-452.16	101	-435.38	17	-790.41	173	2143.22	1
0	Min.	-1722	-85839.10	101	-4893.71	177	-6457.44	177	-1691.17	101	-452.16	101	-435.38	17	-790.41	173	2143.22	1
0	Min.	-1799	-85839.10	101	-4893.71	177	-6457.44	177	-1691.17	101	-452.16	101	-435.38	17	-790.41	173	2143.22	1
0	Min.	-1798	-85839.10	101	-4893.71	177	-6457.44	177	-1691.17	101	-452.16	101	-435.38	17	-790.41	173	2143.22	1
0	Max	-1722	37233.70	162	1323.94	173	2801.07	173	972.27	130	523.84	173	687.19	173	6444.34	102	32230.20	98
0	Max	-1723	37233.70	162	1323.94	173	2801.07	173	972.27	130	523.84	173	687.19	173	6444.34	102	32230.20	98
0	Max	-1800	37233.70	162	1323.94	173	2801.07	173	972.27	130	523.84	173	687.19	173	6444.34	102	32230.20	98
0	Max	-1799	37233.70	162	1323.94	173	2801.07	173	972.27	130	523.84	173	687.19	173	6444.34	102	32230.20	98
0	Min.	-1722	-81044.80	101	-4342.02	177	-7266.04	177	-1426.59	101	-448.80	101	-454.35	17	-1009.93	173	2981.09	17
0	Min.	-1723	-81044.80	101	-4342.02	177	-7266.04	177	-1426.59	101	-448.80	101	-454.35	17	-1009.93	173	2981.09	17
0	Min.	-1800	-81044.80	101	-4342.02	177	-7266.04	177	-1426.59	101	-448.80	101	-454.35	17	-1009.93	173	2981.09	17
0	Min.	-1799	-81044.80	101	-4342.02	177	-7266.04	177	-1426.59	101	-448.80	101	-454.35	17	-1009.93	173	2981.09	17
0	Max	-1723	45573.20	162	1729.71	173	3115.14	173	1638.41	130	619.53	173	682.17	173	17591.70	102	35040.70	98
0	Max	-1724	45573.20	162	1729.71	173	3115.14	173	1638.41	130	619.53	173	682.17	173	17591.70	102	35040.70	98
0	Max	-1801	45573.20	162	1729.71	173	3115.14	173	1638.41	130	619.53	173	682.17	173	17591.70	102	35040.70	98
0	Max	-1800	45573.20	162	1729.71	173	3115.14	173	1638.41	130	619.53	173	682.17	173	17591.70	102	35040.70	98
0	Min.	-1723	-75004.60	101	-4192.61	177	-7884.33	177	-1208.38	101	-399.20	101	-448.31	17	-2004.12	173	2730.21	149
0	Min.	-1724	-75004.60	101	-4192.61	177	-7884.33	177	-1208.38	101	-399.20	101	-448.31	17	-2004.12	173	2730.21	149
0	Min.	-1801	-75004.60	101	-4192.61	177	-7884.33	177	-1208.38	101	-399.20	101	-448.31	17	-2004.12	173	2730.21	149
0	Min.	-1800	-75004.60	101	-4192.61	177	-7884.33	177	-1208.38	101	-399.20	101	-448.31	17	-2004.12	173	2730.21	149
0	Max	-1724	48466.00	162	3697.78	98	3160.97	173	2469.94	98	689.46	173	655.86	173	32860.10	102	34277.50	98

0	Max	-1920	48466.00	162	3697.78	98	3160.97	173	2469.94	98	689.46	173	655.86	173	32860.10	102	34277.50	98
0	Max	-1923	48466.00	162	3697.78	98	3160.97	173	2469.94	98	689.46	173	655.86	173	32860.10	102	34277.50	98
0	Max	-1801	48466.00	162	3697.78	98	3160.97	173	2469.94	98	689.46	173	655.86	173	32860.10	102	34277.50	98
0	Min.	-1724	-68327.60	101	-3968.68	177	-8607.23	177	-1158.75	101	-325.63	101	-427.38	17	-2613.70	173	2735.54	149
0	Min.	-1920	-68327.60	101	-3968.68	177	-8607.23	177	-1158.75	101	-325.63	101	-427.38	17	-2613.70	173	2735.54	149
0	Min.	-1923	-68327.60	101	-3968.68	177	-8607.23	177	-1158.75	101	-325.63	101	-427.38	17	-2613.70	173	2735.54	149
0	Min.	-1801	-68327.60	101	-3968.68	177	-8607.23	177	-1158.75	101	-325.63	101	-427.38	17	-2613.70	173	2735.54	149
0	Max	-1725	56661.90	130	2494.79	173	3836.92	173	4798.87	98	838.27	173	534.17	173	-2491.93	17	44142.90	98
0	Max	440	56661.90	130	2494.79	173	3836.92	173	4798.87	98	838.27	173	534.17	173	-2491.93	17	44142.90	98
0	Max	-1531	56661.90	130	2494.79	173	3836.92	173	4798.87	98	838.27	173	534.17	173	-2491.93	17	44142.90	98
0	Max	-1802	56661.90	130	2494.79	173	3836.92	173	4798.87	98	838.27	173	534.17	173	-2491.93	17	44142.90	98
0	Min.	-1725	-59660.30	101	-4262.69	177	-10003.90	177	187.16	1	-132.02	101	-335.47	17	-32657.50	98	5714.31	17
0	Min.	440	-59660.30	101	-4262.69	177	-10003.90	177	187.16	1	-132.02	101	-335.47	17	-32657.50	98	5714.31	17
0	Min.	-1531	-59660.30	101	-4262.69	177	-10003.90	177	187.16	1	-132.02	101	-335.47	17	-32657.50	98	5714.31	17
0	Min.	-1802	-59660.30	101	-4262.69	177	-10003.90	177	187.16	1	-132.02	101	-335.47	17	-32657.50	98	5714.31	17
0	Max	-1838	56036.30	130	3316.51	162	9460.62	162	4625.14	98	719.95	173	439.63	173	18195.00	98	44131.10	102
0	Max	-1536	56036.30	130	3316.51	162	9460.62	162	4625.14	98	719.95	173	439.63	173	18195.00	98	44131.10	102
0	Max	-1385	56036.30	130	3316.51	162	9460.62	162	4625.14	98	719.95	173	439.63	173	18195.00	98	44131.10	102
0	Max	-1384	56036.30	130	3316.51	162	9460.62	162	4625.14	98	719.95	173	439.63	173	18195.00	98	44131.10	102
0	Min.	-1838	-59467.80	101	-5966.03	177	-7749.73	177	137.62	1	-1513.16	101	-342.10	17	2419.65	65	3066.44	17
0	Min.	-1536	-59467.80	101	-5966.03	177	-7749.73	177	137.62	1	-1513.16	101	-342.10	17	2419.65	65	3066.44	17
0	Min.	-1385	-59467.80	101	-5966.03	177	-7749.73	177	137.62	1	-1513.16	101	-342.10	17	2419.65	65	3066.44	17
0	Min.	-1384	-59467.80	101	-5966.03	177	-7749.73	177	137.62	1	-1513.16	101	-342.10	17	2419.65	65	3066.44	17
0	Max	-1837	82335.20	162	3199.30	162	31828.90	162	2452.67	98	735.31	173	597.58	173	2648.35	177	34407.00	98
0	Max	-1924	82335.20	162	3199.30	162	31828.90	162	2452.67	98	735.31	173	597.58	173	2648.35	177	34407.00	98
0	Max	-1919	82335.20	162	3199.30	162	31828.90	162	2452.67	98	735.31	173	597.58	173	2648.35	177	34407.00	98
0	Max	-1383	82335.20	162	3199.30	162	31828.90	162	2452.67	98	735.31	173	597.58	173	2648.35	177	34407.00	98
0	Min.	-1837	-67078.60	101	-5438.13	177	-5966.71	177	-1589.65	101	-1659.32	101	-414.33	17	-30890.60	101	-13428.70	101
0	Min.	-1924	-67078.60	101	-5438.13	177	-5966.71	177	-1589.65	101	-1659.32	101	-414.33	17	-30890.60	101	-13428.70	101
0	Min.	-1919	-67078.60	101	-5438.13	177	-5966.71	177	-1589.65	101	-1659.32	101	-414.33	17	-30890.60	101	-13428.70	101
0	Min.	-1383	-67078.60	101	-5438.13	177	-5966.71	177	-1589.65	101	-1659.32	101	-414.33	17	-30890.60	101	-13428.70	101
0	Max	-1853	56825.00	162	2530.42	97	10830.10	162	1580.93	106	662.95	173	631.57	173	1793.22	177	31529.80	98
0	Max	-1837	56825.00	162	2530.42	97	10830.10	162	1580.93	106	662.95	173	631.57	173	1793.22	177	31529.80	98
0	Max	-1383	56825.00	162	2530.42	97	10830.10	162	1580.93	106	662.95	173	631.57	173	1793.22	177	31529.80	98
0	Max	-1382	56825.00	162	2530.42	97	10830.10	162	1580.93	106	662.95	173	631.57	173	1793.22	177	31529.80	98
0	Min.	-1853	-74289.00	101	-7073.76	162	-5179.45	177	-1245.43	101	-1206.86	101	-432.84	17	-14767.90	101	-11994.70	101
0	Min.	-1837	-74289.00	101	-7073.76	162	-5179.45	177	-1245.43	101	-1206.86	101	-432.84	17	-14767.90	101	-11994.70	101
0	Min.	-1383	-74289.00	101	-7073.76	162	-5179.45	177	-1245.43	101	-1206.86	101	-432.84	17	-14767.90	101	-11994.70	101
0	Min.	-1382	-74289.00	101	-7073.76	162	-5179.45	177	-1245.43	101	-1206.86	101	-432.84	17	-14767.90	101	-11994.70	101
0	Max	-1852	39731.00	162	883.39	173	6892.87	162	924.77	130	596.99	173	658.18	173	1284.49	177	29363.10	98
0	Max	-1853	39731.00	162	883.39	173	6892.87	162	924.77	130	596.99	173	658.18	173	1284.49	177	29363.10	98
0	Max	-1382	39731.00	162	883.39	173	6892.87	162	924.77	130	596.99	173	658.18	173	1284.49	177	29363.10	98
0	Max	-1381	39731.00	162	883.39	173	6892.87	162	924.77	130	596.99	173	658.18	173	1284.49	177	29363.10	98
0	Min.	-1852	-80132.90	101	-4724.62	177	-5333.77	177	-1311.06	101	-737.11	101	-436.38	17	-1770.49	97	1943.78	17
0	Min.	-1853	-80132.90	101	-4724.62	177	-5333.77	177	-1311.06	101	-737.11	101	-436.38	17	-1770.49	97	1943.78	17
0	Min.	-1382	-80132.90	101	-4724.62	177	-5333.77	177	-1311.06	101	-737.11	101	-436.38	17	-1770.49	97	1943.78	17
0	Min.	-1381	-80132.90	101	-4724.62	177	-5333.77	177	-1311.06	101	-737.11	101	-436.38	17	-1770.49	97	1943.78	17
0	Max	-1851	27852.30	162	798.46	157	7145.97	158	387.56	130	538.55	173	607.91	173	1170.48	177	27855.20	98
0	Max	-1852	27852.30	162	798.46	157	7145.97	158	387.56	130	538.55	173	607.91	173	1170.48	177	27855.20	98
0	Max	-1381	27852.30	162	798.46	157	7145.97	158	387.56	130	538.55	173	607.91	173	1170.48	177	27855.20	98
0	Max	-1380	27852.30	162	798.46	157	7145.97	158	387.56	130	538.55	173	607.91	173	1170.48	177	27855.20	98
0	Min.	-1851	-84856.80	101	-5920.05	177	-5054.28	177	-1636.24	101	-530.83	101	-507.37	98	-2610.21	97	1276.56	149
0	Min.	-1852	-84856.80	101	-5920.05	177	-5054.28	177	-1636.24	101	-530.83	101	-507.37	98	-2610.21	97	1276.56	149
0	Min.	-1381	-84856.80	101	-5920.05	177	-5054.28	177	-1636.24	101	-530.83	101	-507.37	98	-2610.21	97	1276.56	149
0	Min.	-1380	-84856.80	101	-5920.05	177	-5054.28	177	-1636.24	101	-530.83	101	-507.37	98	-2610.21	97	1276.56	149
0	Max	-1686	37304.80	101	5618.67	121	5099.21	158	2234.37	101	-9.03	65	384.07	158	6170.85	121	17880.30	17
0	Max	-1746	37304.80	101	5618.67	121	5099.21	158	2234.37	101	-9.03	65	384.07	158	6170.85	121	17880.30	17
0	Max	-1994	37304.80	101	5618.67	121	5099.21	158	2234.37	101	-9.03	65	384.07	158	6170.85	121	17880.30	17
0	Max	-1992	37304.80	101	5618.67	121	5099.21	158	2234.37	101	-9.03	65	384.07	158	6170.85	121	17880.30	17
0	Min.	-1686	-106563.00	130	261.51	17	-217.90	65	-2140.13	130	-153.60	121	-186.36	17	386.37	65	-72426.90	121
0	Min.	-1746	-106563.00	130	261.51	17	-217.90	65	-2140.13	130	-153.60	121	-186.36	17	386.37	65	-72426.90	121
0	Min.	-1994	-106563.00	130	261.51	17	-217.90	65	-2140.13	130	-153.60	121	-186.36	17	386.37	65	-72426.90	121
0	Min.	-1992	-106563.00	130	261.51	17	-217.90	65	-2140.13	130	-153.60	121	-186.36	17	386.37	65	-72426.90	121
0	Max	-1746	55885.80	101	-28.62	49	6722.88	122	6613.65	97	224.08	122	290.63	158	-378.66	17	19192.40	17
0	Max	-1957	55885.80	101	-28.62	49	6722.88	122	6613.65	97	224.08	122	290.63	158	-378.66	17	19192.40	17
0	Max	-2016	55885.80	101	-28.62	49	6722.88	122	6613.65	97	224.08	122	290.63	158	-378.66	17	19192.40	17
0	Max	-1994	55885.80	101	-28.62	49	6722.88	122	6613.65	97	224.08	122	290.63	158	-378.66	17	19192.40	17
0	Min.	-1746	-46983.60	106	-2139.96	158	297.26	65	212.48	17	3.41	17	-197.38	173	-15773.00	122	-60682.40	122
0	Min.	-1957	-46983.60	106	-2139.96	158	297.26	65	212.48	17	3.41	17	-197.38	173	-15773.00	122	-60682.40	122
0	Min.	-2016	-46983.60	106	-2139.96	158	297.26	65	212.48	17	3.41	17	-197.38	173	-15773.00	122	-60682.40	122
0	Min.	-1994	-46983.60	106	-2139.96	158	297.26	65	212.48	17	3.41	17	-197.38	173	-15773.00	122	-60682.40	122
0	Max	-1957	55036.40	101	5617.93	121	-220.16	17	3241.67	97	-3.91	49	105.07	65	186.12	17	19636.50	17
0	Max	-1747	55036.40	101	5617.93	121	-220.16	17	3241.67	97	-3.91	49	105.07	65	186.12	17	19636.50	17
0	Max	-1995	55036.40	101	5617.93	121	-220.16	17	3241.67	97	-3.91	49	105.07	65	186.12	17	19636.50	17
0	Max	-2016	55036.40	101	5617.93	121	-220.16	17	3241.67	97	-3.91	49	105.07	65	186.12	17	19636.50	17
0	Min.	-1957	-53073.60	130	250.17	17	-5454.61	121	-127.29	1	-106.23	122	-493.80	97	-7884.87	121	-75234.30	122
0	Min.	-1747	-53073.60	130	250.17	17	-5454.61	121	-127.29	1	-106.23	122	-493.80	97	-7884.87	121	-75234.30	122
0	Min.	-1995	-53073.60	130	250.17	17	-5454.61	121	-127.29	1	-106.23	122	-493.80	97	-7884.87	121	-75234.30	122
0	Min.	-2016	-53073.60	130	250.17	17	-5454.61	121	-127.29	1	-106.23	122	-493.80	97	-7884.87	121	-75234.30	122
0	Max	-1747	40647.70	177	2593.04	97	-215.38	17	1606.36	101	21.34	105	227.22	65	10094.70	122	32001.90	173
0	Max	-1748	40647.70	177	2593.04	97	-215.38	17	1606.36	101	21.34	105	227.22	65	10094.70	122	32001.90	173
0	Max	-1996	40647.70	177	2593.04	97	-215.38	17	1606.36	101	21.34	105	227.22	65	10094.70	122	32001.90	173
0	Max	-1995	40647.70	177	2593.04	97	-215.38	17	1606.36	101	21.34	105	227.22	65	10094.70	122	32001.90	173
0	Min.	-1747	-72763.60	130	68.59	17	-5488.46	97	-968.06	130	-0.76	173	-379.65	173	279.50	65	-32652.20	65
0	Min.	-1748	-72763.60	130	68.59	17	-5488.46	97	-968.06	130	-0.76	173	-379.65	173	279.50	65	-32652.20	65
0	Min.	-1996	-72763.60	130	68.59	17	-5488.46	97	-968.06	130	-0.76	173	-379.65	173	279.50	65	-32652.20	65
0	Min.	-1995	-72763.60	130	68.59	17	-5488.46	97	-968.06	130	-0.76	173	-379.65	173	279.50	65	-32652.20	65
0	Max	-1748	36362.40	177	20.70	49	-89.80	17	778.74	101	0.80	49	251.54	65	-246.20	17	34623.30	173
0	Max	-1749	36362.40	177	20.70	49	-89.80	17	778.74	101	0.80	49	251.54	65	-246.20	17	34623.30	173
0	Max	-1997	36362.40	177	20.70	49	-89.80	17	778.74	101	0.80	49	251.54	65	-246.20	17	34623.30	173
0	Max	-1996	36362.40	177	20.70	49	-89.80	17	778.74	101	0.80	49	251.54	65	-246.20	17	34623.30	173
0	Min.	-1748	-87687.30	130	-1419.64	130	-2928.40	97	-1371.44	106	-39.82	121	-403.10	173	-3889.37	121	-34280.90	65
0	Min.	-1749	-87687.30	130	-1419.64	130	-2928.40	97	-1371.44	106	-39.82	121	-403.10	173	-3889.37	121	-34280.90	65
0	Min.	-1997	-87687.30	130	-1419.64	130	-2928.40	97	-1371.44	106	-39.82	121	-403.10	173	-3889.37	121	-34280.90	65
0	Min.	-1996	-87687.30	130	-1419.64	130	-2928.40	97	-1371.44	106	-39.82	121	-403.10	173	-3889.37	121	-34280.90	65
0	Max	-1729	24265.40	177	-43.55	17	387.66	177	158.81	49	157.04	125	381.66	65	2098.53	106	-1215.96	17
0	Max	-1730	24265.40	177	-43.55	17	387.66	177	158.81	49	157.04	125	381.66	65	2098.53	106	-1215.96	17
0	Max	-2214	24265.40	177	-43.55	17	387.66	177	158.81	49	157.04	125	381.66	65	2098.53	106	-1215.96	17
0	Max	-2198	24265.40	177	-43.55	17	387.66	177	158.81	49	157.04	125	381.66	65	2098.53	106	-1215.96	17
0	Min.	-1729	-96714.40	130	-3353.25	121	-12676.80	121	-1682.58	106	-201.01	106	-781.37	173	-10181.20	121	-39968.10	97
0	Min.	-1730	-96714.40	130	-3353.25	121	-12676.80	121	-1682.58	106	-201.01	106	-781.37	173	-10181.20	121	-39968.10	97
0	Min.	-2214	-96714.40	130	-3353.25	121	-12676.80	121	-1682.58	106	-201.01	106	-781.37	173	-10181.20	121	-39968.10	97
0	Min.	-2198	-96714.40	130	-3353.25	121	-12676.80	121	-1682.58	106	-201.01	106	-781.37	173	-10181.20	121	-39968.10	97
0	Max	-1730	22473.10	177	-8.24	17	256.03	177	-22.10	49	122.64	125	248.29	65	1305.55	106	12222.10	165
0	Max	-1731	22473.10	177	-8.24	17	256.03	177	-22.10	49	122.64	125	248.29	65	1305.55	106	12222.10	165

0	Max	-2197	22473.10	177	-8.24	17	256.03	177	-22.10	49	122.64	125	248.29	65	1305.55	106	12222.10	165
0	Max	-2214	22473.10	177	-8.24	17	256.03	177	-22.10	49	122.64	125	248.29	65	1305.55	106	12222.10	165
0	Min.	-1730	-109289.00	98	-5907.75	121	-12143.80	121	-2399.80	98	-189.61	98	-924.49	173	-10528.40	125	-2296.00	98
0	Min.	-1731	-109289.00	98	-5907.75	121	-12143.80	121	-2399.80	98	-189.61	98	-924.49	173	-10528.40	125	-2296.00	98
0	Min.	-2197	-109289.00	98	-5907.75	121	-12143.80	121	-2399.80	98	-189.61	98	-924.49	173	-10528.40	125	-2296.00	98
0	Min.	-2214	-109289.00	98	-5907.75	121	-12143.80	121	-2399.80	98	-189.61	98	-924.49	173	-10528.40	125	-2296.00	98
0	Max	-1750	37177.70	177	-58.61	17	3040.75	157	1348.40	125	129.64	121	282.38	65	254.07	17	19198.10	17
0	Max	-1751	37177.70	177	-58.61	17	3040.75	157	1348.40	125	129.64	121	282.38	65	254.07	17	19198.10	17
0	Max	-2000	37177.70	177	-58.61	17	3040.75	157	1348.40	125	129.64	121	282.38	65	254.07	17	19198.10	17
0	Max	-1999	37177.70	177	-58.61	17	3040.75	157	1348.40	125	129.64	121	282.38	65	254.07	17	19198.10	17
0	Min.	-1750	-87447.30	98	-5130.99	121	-9.71	17	-1518.03	106	2.22	1	-290.06	173	-749.31	173	-66059.60	121
0	Min.	-1751	-87447.30	98	-5130.99	121	-9.71	17	-1518.03	106	2.22	1	-290.06	173	-749.31	173	-66059.60	121
0	Min.	-2000	-87447.30	98	-5130.99	121	-9.71	17	-1518.03	106	2.22	1	-290.06	173	-749.31	173	-66059.60	121
0	Min.	-1999	-87447.30	98	-5130.99	121	-9.71	17	-1518.03	106	2.22	1	-290.06	173	-749.31	173	-66059.60	121
0	Max	-1751	31930.90	177	1607.38	161	291.20	1	-124.19	65	8.86	17	133.09	65	1992.97	157	30288.60	173
0	Max	-1752	31930.90	177	1607.38	161	291.20	1	-124.19	65	8.86	17	133.09	65	1992.97	157	30288.60	173
0	Max	-2001	31930.90	177	1607.38	161	291.20	1	-124.19	65	8.86	17	133.09	65	1992.97	157	30288.60	173
0	Max	-2000	31930.90	177	1607.38	161	291.20	1	-124.19	65	8.86	17	133.09	65	1992.97	157	30288.60	173
0	Min.	-1751	-127251.00	98	-125.34	106	-5799.18	97	-4028.55	98	-108.83	121	-359.61	173	-910.54	173	-20744.00	65
0	Min.	-1752	-127251.00	98	-125.34	106	-5799.18	97	-4028.55	98	-108.83	121	-359.61	173	-910.54	173	-20744.00	65
0	Min.	-2001	-127251.00	98	-125.34	106	-5799.18	97	-4028.55	98	-108.83	121	-359.61	173	-910.54	173	-20744.00	65
0	Min.	-2000	-127251.00	98	-125.34	106	-5799.18	97	-4028.55	98	-108.83	121	-359.61	173	-910.54	173	-20744.00	65
0	Max	-1752	28553.90	177	263.02	125	132.23	106	-125.84	65	48.33	121	139.98	65	1031.14	98	22195.90	173
0	Max	-2119	28553.90	177	263.02	125	132.23	106	-125.84	65	48.33	121	139.98	65	1031.14	98	22195.90	173
0	Max	-2120	28553.90	177	263.02	125	132.23	106	-125.84	65	48.33	121	139.98	65	1031.14	98	22195.90	173
0	Max	-2001	28553.90	177	263.02	125	132.23	106	-125.84	65	48.33	121	139.98	65	1031.14	98	22195.90	173
0	Min.	-1752	-152499.00	98	-666.59	106	-737.70	157	-4250.62	98	-1.19	1	-238.12	173	-1130.69	173	-16976.60	65
0	Min.	-2119	-152499.00	98	-666.59	106	-737.70	157	-4250.62	98	-1.19	1	-238.12	173	-1130.69	173	-16976.60	65
0	Min.	-2120	-152499.00	98	-666.59	106	-737.70	157	-4250.62	98	-1.19	1	-238.12	173	-1130.69	173	-16976.60	65
0	Min.	-2001	-152499.00	98	-666.59	106	-737.70	157	-4250.62	98	-1.19	1	-238.12	173	-1130.69	173	-16976.60	65
0	Max	-1734	17528.90	177	847.10	106	1835.47	106	-239.13	17	241.23	173	117.43	65	14176.10	98	4860.07	106
0	Max	-2113	17528.90	177	847.10	106	1835.47	106	-239.13	17	241.23	173	117.43	65	14176.10	98	4860.07	106
0	Max	-2215	17528.90	177	847.10	106	1835.47	106	-239.13	17	241.23	173	117.43	65	14176.10	98	4860.07	106
0	Max	-2216	17528.90	177	847.10	106	1835.47	106	-239.13	17	241.23	173	117.43	65	14176.10	98	4860.07	106
0	Min.	-1734	-163614.00	98	-2694.58	157	-9969.95	157	-5067.01	98	-377.07	98	-261.59	173	-4231.97	125	-12457.40	97
0	Min.	-2113	-163614.00	98	-2694.58	157	-9969.95	157	-5067.01	98	-377.07	98	-261.59	173	-4231.97	125	-12457.40	97
0	Min.	-2215	-163614.00	98	-2694.58	157	-9969.95	157	-5067.01	98	-377.07	98	-261.59	173	-4231.97	125	-12457.40	97
0	Min.	-2216	-163614.00	98	-2694.58	157	-9969.95	157	-5067.01	98	-377.07	98	-261.59	173	-4231.97	125	-12457.40	97
0	Max	-1735	17176.00	177	727.32	173	2297.10	106	-249.26	65	275.78	173	202.77	106	19528.30	98	18798.40	125
0	Max	-1847	17176.00	177	727.32	173	2297.10	106	-249.26	65	275.78	173	202.77	106	19528.30	98	18798.40	125
0	Max	-2193	17176.00	177	727.32	173	2297.10	106	-249.26	65	275.78	173	202.77	106	19528.30	98	18798.40	125
0	Max	-2217	17176.00	177	727.32	173	2297.10	106	-249.26	65	275.78	173	202.77	106	19528.30	98	18798.40	125
0	Min.	-1735	-167501.00	97	-478.47	101	-9972.73	157	-5083.70	98	-500.92	98	-253.88	125	-7515.08	125	-9364.12	106
0	Min.	-1847	-167501.00	97	-478.47	101	-9972.73	157	-5083.70	98	-500.92	98	-253.88	125	-7515.08	125	-9364.12	106
0	Min.	-2193	-167501.00	97	-478.47	101	-9972.73	157	-5083.70	98	-500.92	98	-253.88	125	-7515.08	125	-9364.12	106
0	Min.	-2217	-167501.00	97	-478.47	101	-9972.73	157	-5083.70	98	-500.92	98	-253.88	125	-7515.08	125	-9364.12	106
0	Max	-1689	27169.00	177	2013.66	106	5846.68	161	689.55	161	50.65	125	388.01	125	3008.30	106	24902.00	106
0	Max	-1754	27169.00	177	2013.66	106	5846.68	161	689.55	161	50.65	125	388.01	125	3008.30	106	24902.00	106
0	Max	-2004	27169.00	177	2013.66	106	5846.68	161	689.55	161	50.65	125	388.01	125	3008.30	106	24902.00	106
0	Max	-1993	27169.00	177	2013.66	106	5846.68	161	689.55	161	50.65	125	388.01	125	3008.30	106	24902.00	106
0	Min.	-1689	-167071.00	98	-2697.55	125	-782.63	106	-4856.80	98	-12.45	106	-216.89	106	-7734.04	125	-47777.40	125
0	Min.	-1754	-167071.00	98	-2697.55	125	-782.63	106	-4856.80	98	-12.45	106	-216.89	106	-7734.04	125	-47777.40	125
0	Min.	-2004	-167071.00	98	-2697.55	125	-782.63	106	-4856.80	98	-12.45	106	-216.89	106	-7734.04	125	-47777.40	125
0	Min.	-1993	-167071.00	98	-2697.55	125	-782.63	106	-4856.80	98	-12.45	106	-216.89	106	-7734.04	125	-47777.40	125
0	Max	-1754	27837.60	177	3480.00	125	1904.81	106	-168.80	65	53.57	173	158.01	173	1376.97	106	13489.20	106
0	Max	-2116	27837.60	177	3480.00	125	1904.81	106	-168.80	65	53.57	173	158.01	173	1376.97	106	13489.20	106
0	Max	-2121	27837.60	177	3480.00	125	1904.81	106	-168.80	65	53.57	173	158.01	173	1376.97	106	13489.20	106
0	Max	-2004	27837.60	177	3480.00	125	1904.81	106	-168.80	65	53.57	173	158.01	173	1376.97	106	13489.20	106
0	Min.	-1754	-162677.00	97	-2914.72	106	-2603.46	125	-5022.73	98	-75.40	125	-137.41	125	-3275.65	173	-24919.50	125
0	Min.	-2116	-162677.00	97	-2914.72	106	-2603.46	125	-5022.73	98	-75.40	125	-137.41	125	-3275.65	173	-24919.50	125
0	Min.	-2121	-162677.00	97	-2914.72	106	-2603.46	125	-5022.73	98	-75.40	125	-137.41	125	-3275.65	173	-24919.50	125
0	Min.	-2004	-162677.00	97	-2914.72	106	-2603.46	125	-5022.73	98	-75.40	125	-137.41	125	-3275.65	173	-24919.50	125
0	Max	-1755	29459.90	177	389.33	101	2067.46	106	-172.35	17	18.58	173	274.57	173	111.78	161	12546.20	17
0	Max	-2115	29459.90	177	389.33	101	2067.46	106	-172.35	17	18.58	173	274.57	173	111.78	161	12546.20	17
0	Max	-2122	29459.90	177	389.33	101	2067.46	106	-172.35	17	18.58	173	274.57	173	111.78	161	12546.20	17
0	Max	-2005	29459.90	177	389.33	101	2067.46	106	-172.35	17	18.58	173	274.57	173	111.78	161	12546.20	17
0	Min.	-1755	-149897.00	97	-2116.97	122	-880.27	101	-4701.83	97	-15.69	125	-94.62	17	-2911.41	98	-26569.80	173
0	Min.	-2115	-149897.00	97	-2116.97	122	-880.27	101	-4701.83	97	-15.69	125	-94.62	17	-2911.41	98	-26569.80	173
0	Min.	-2122	-149897.00	97	-2116.97	122	-880.27	101	-4701.83	97	-15.69	125	-94.62	17	-2911.41	98	-26569.80	173
0	Min.	-2005	-149897.00	97	-2116.97	122	-880.27	101	-4701.83	97	-15.69	125	-94.62	17	-2911.41	98	-26569.80	173
0	Max	-1756	31930.90	177	188.12	177	5799.18	98	-124.19	17	27.90	161	385.87	173	1456.67	98	20744.00	17
0	Max	-1757	31930.90	177	188.12	177	5799.18	98	-124.19	17	27.90	161	385.87	173	1456.67	98	20744.00	17
0	Max	-2007	31930.90	177	188.12	177	5799.18	98	-124.19	17	27.90	161	385.87	173	1456.67	98	20744.00	17
0	Max	-2006	31930.90	177	188.12	177	5799.18	98	-124.19	17	27.90	161	385.87	173	1456.67	98	20744.00	17
0	Min.	-1756	-127251.00	97	-1621.93	165	-847.44	125	-4028.55	97	-100.90	98	-133.09	17	-1085.40	161	-32319.40	173
0	Min.	-1757	-127251.00	97	-1621.93	165	-847.44	125	-4028.55	97	-100.90	98	-133.09	17	-1085.40	161	-32319.40	173
0	Min.	-2007	-127251.00	97	-1621.93	165	-847.44	125	-4028.55	97	-100.90	98	-133.09	17	-1085.40	161	-32319.40	173
0	Min.	-2006	-127251.00	97	-1621.93	165	-847.44	125	-4028.55	97	-100.90	98	-133.09	17	-1085.40	161	-32319.40	173
0	Max	-1739	21657.60	177	3969.20	98	9717.29	98	-28.12	1	73.24	17	950.15	98	18325.90	98	12495.00	157
0	Max	-1740	21657.60	177	3969.20	98	9717.29	98	-28.12	1	73.24	17	950.15	98	18325.90	98	12495.00	157
0	Max	-2218	21657.60	177	3969.20	98	9717.29	98	-28.12	1	73.24	17	950.15	98	18325.90	98	12495.00	157
0	Max	-2187	21657.60	177	3969.20	98	9717.29	98	-28.12	1	73.24	17	950.15	98	18325.90	98	12495.00	157
0	Min.	-1739	-122751.00	97	-1460.52	161	-3457.15	161	-2661.81	97	-436.71	97	-198.92	17	-3273.75	161	-2315.20	106
0	Min.	-1740	-122751.00	97	-1460.52	161	-3457.15	161	-2661.81	97	-436.71	97	-198.92	17	-3273.75	161	-2315.20	106
0	Min.	-2218	-122751.00	97	-1460.52	161	-3457.15	161	-2661.81	97	-436.71	97	-198.92	17	-3273.75	161	-2315.20	106
0	Min.	-2187	-122751.00	97	-1460.52	161	-3457.15	161	-2661.81	97	-436.71	97	-198.92	17	-3273.75	161	-2315.20	106
0	Max	-1740	22473.00	177	1364.63	165	10506.50	98	-22.10	1	99.16	118	891.95	98	3513.25	125	13185.70	157
0	Max	-1741	22473.00	177	1364.63	165	10506.50	98	-22.10	1	99.16	118	891.95	98	3513.25	125	13185.70	157
0	Max	-2186	22473.00	177	1364.63	165	10506.50	98	-22.10	1	99.16	118	891.95	98	3513.25	125	13185.70	157
0	Max	-2218	22473.00	177	1364.63	165	10506.50	98	-22.10	1	99.16	118	891.95	98	3513.25	125	13185.70	157
0	Min.	-1740	-109289.00	97	-5167.82	98	-3714.80	161	-2399.80	97	-189.61	97	-248.29	17	-7724.91	106	-1661.92	106
0	Min.	-1741	-109289.00	97	-5167.82	98	-3714.80	161	-2399.80	97	-189.61	97	-248.29	17	-7724.91	106	-1661.92	106
0	Min.	-2186	-109289.00	97	-5167.82	98	-3714.80	161	-2399.80	97	-189.61	97	-248.29	17	-7724.91	106	-1661.92	106
0	Min.	-2218	-109289.00	97	-5167.82	98	-3714.80	161	-2399.80	97	-189.61	97	-248.29	17	-7724.91	106	-1661.92	106
0	Max	-1758	31745.90	177	1383.34	161	6430.99	98	410.02	130	107.18	98	436.29	173	617.70	125	33503.00	17
0	Max	-1759	31745.90	177	1383.34	161	6430.99	98	410.02	130	107.18	98	436.29	173	617.70	125	33503.00	17
0	Max	-2010	31745.90	177	1383.34	161	6430.99	98	410.02	130	107.18	98	436.29	173	617.70	125	33503.00	17
0	Max	-2009	31745.90	177	1383.34	161	6430.99	98	410.02	130	107.18	98	436.29	173	617.70	125	33503.00	17
0	Min.	-1758	-98730.40	97	-4105.32	98	-518.77	161	-1633.18	101	-29.80	125	-214.37	17	-1535.46	106	-33506.40	173
0	Min.	-1759	-98730.40	97	-4105.32	98	-518.77	161	-1633.18	101	-29.80	125	-214.37	17	-1535.46	106	-33506.40	173
0	Min.	-2010	-98730.40	97	-4105.32	98	-518.77	161	-1633.18	101	-29.80	125	-214.37	17	-1535.46	106	-33506.40	173
0	Min.	-2009	-98730.40	97	-4105.32	98	-518.77	161	-1633.18	101	-29.80	125	-214.37	17	-1535.46	106	-33506.40	173
0	Max	-1759	36362.40	177	865.88	166	2928.39	98	890.72	130	11.03	161	371.08	173	824.98	161	34280.90	17
0	Max	-1760	36362.40	177	865.88	166	2928.39	98	890.72	130	11.03	161	371.08	173	824.98	161	34280.90	17
0	Max	-2011	36362.40	177	865.88	166	2928.39	98	890.72	130	11.03	161	371.08	173	824.98	161	34280.90	17

0	Max	-2010	36362.40	177	865.88	166	2928.39	98	890.72	130	11.03	161	371.08	173	824.98	161	34280.90	17
0	Min.	-1759	-77873.50	101	-932.26	97	89.80	65	-1371.49	101	-38.58	98	-251.54	17	-3340.65	98	-31541.40	173
0	Min.	-1760	-77873.50	101	-932.26	97	89.80	65	-1371.49	101	-38.58	98	-251.54	17	-3340.65	98	-31541.40	173
0	Min.	-2011	-77873.50	101	-932.26	97	89.80	65	-1371.49	101	-38.58	98	-251.54	17	-3340.65	98	-31541.40	173
0	Min.	-2010	-77873.50	101	-932.26	97	89.80	65	-1371.49	101	-38.58	98	-251.54	17	-3340.65	98	-31541.40	173
0	Max	-1760	40647.60	177	2593.05	98	5488.45	98	1606.29	106	21.34	102	351.36	173	8341.48	97	32652.20	17
0	Max	-1761	40647.60	177	2593.05	98	5488.45	98	1606.29	106	21.34	102	351.36	173	8341.48	97	32652.20	17
0	Max	-2012	40647.60	177	2593.05	98	5488.45	98	1606.29	106	21.34	102	351.36	173	8341.48	97	32652.20	17
0	Max	-2011	40647.60	177	2593.05	98	5488.45	98	1606.29	106	21.34	102	351.36	173	8341.48	97	32652.20	17
0	Min.	-1760	-66263.70	101	68.59	65	82.28	161	-895.05	101	-0.44	65	-227.22	17	-4055.04	162	-29112.00	173
0	Min.	-1761	-66263.70	101	68.59	65	82.28	161	-895.05	101	-0.44	65	-227.22	17	-4055.04	162	-29112.00	173
0	Min.	-2012	-66263.70	101	68.59	65	82.28	161	-895.05	101	-0.44	65	-227.22	17	-4055.04	162	-29112.00	173
0	Min.	-2011	-66263.70	101	68.59	65	82.28	161	-895.05	101	-0.44	65	-227.22	17	-4055.04	162	-29112.00	173
0	Max	-1761	55033.40	106	4764.00	98	4915.44	98	3241.67	98	41.07	162	493.80	98	2171.82	161	61120.40	97
0	Max	-1942	55033.40	106	4764.00	98	4915.44	98	3241.67	98	41.07	162	493.80	98	2171.82	161	61120.40	97
0	Max	-2015	55033.40	106	4764.00	98	4915.44	98	3241.67	98	41.07	162	493.80	98	2171.82	161	61120.40	97
0	Max	-2012	55033.40	106	4764.00	98	4915.44	98	3241.67	98	41.07	162	493.80	98	2171.82	161	61120.40	97
0	Min.	-1761	-49879.20	101	-2060.63	161	-1700.89	161	-133.69	125	-91.44	97	-105.07	17	-6407.67	98	-23443.70	162
0	Min.	-1942	-49879.20	101	-2060.63	161	-1700.89	161	-133.69	125	-91.44	97	-105.07	17	-6407.67	98	-23443.70	162
0	Min.	-2015	-49879.20	101	-2060.63	161	-1700.89	161	-133.69	125	-91.44	97	-105.07	17	-6407.67	98	-23443.70	162
0	Min.	-2012	-49879.20	101	-2060.63	161	-1700.89	161	-133.69	125	-91.44	97	-105.07	17	-6407.67	98	-23443.70	162
0	Max	-1941	47340.70	130	1231.88	98	8161.76	98	3221.51	98	674.66	98	965.73	98	6534.45	101	27005.50	126
0	Max	-1745	47340.70	130	1231.88	98	8161.76	98	3221.51	98	674.66	98	965.73	98	6534.45	101	27005.50	126
0	Max	-2219	47340.70	130	1231.88	98	8161.76	98	3221.51	98	674.66	98	965.73	98	6534.45	101	27005.50	126
0	Max	-2182	47340.70	130	1231.88	98	8161.76	98	3221.51	98	674.66	98	965.73	98	6534.45	101	27005.50	126
0	Min.	-1941	-66005.10	101	-1545.38	161	-6996.07	161	-210.03	101	25.71	65	-148.41	17	-12845.40	130	827.61	65
0	Min.	-1745	-66005.10	101	-1545.38	161	-6996.07	161	-210.03	101	25.71	65	-148.41	17	-12845.40	130	827.61	65
0	Min.	-2219	-66005.10	101	-1545.38	161	-6996.07	161	-210.03	101	25.71	65	-148.41	17	-12845.40	130	827.61	65
0	Min.	-2182	-66005.10	101	-1545.38	161	-6996.07	161	-210.03	101	25.71	65	-148.41	17	-12845.40	130	827.61	65
0	Max	-1745	56225.90	130	2182.36	130	10946.50	98	4276.57	98	1435.65	98	618.57	173	-6952.29	65	39638.20	122
0	Max	432	56225.90	130	2182.36	130	10946.50	98	4276.57	98	1435.65	98	618.57	173	-6952.29	65	39638.20	122
0	Max	-2203	56225.90	130	2182.36	130	10946.50	98	4276.57	98	1435.65	98	618.57	173	-6952.29	65	39638.20	122
0	Max	-2219	56225.90	130	2182.36	130	10946.50	98	4276.57	98	1435.65	98	618.57	173	-6952.29	65	39638.20	122
0	Min.	-1745	-61150.00	101	-1661.03	101	-7744.20	161	69.00	49	83.39	65	-199.50	17	-68679.20	98	3890.20	65
0	Min.	432	-61150.00	101	-1661.03	101	-7744.20	161	69.00	49	83.39	65	-199.50	17	-68679.20	98	3890.20	65
0	Min.	-2203	-61150.00	101	-1661.03	101	-7744.20	161	69.00	49	83.39	65	-199.50	17	-68679.20	98	3890.20	65
0	Min.	-2219	-61150.00	101	-1661.03	101	-7744.20	161	69.00	49	83.39	65	-199.50	17	-68679.20	98	3890.20	65
0	Max	-1540	63582.20	130	2769.39	162	3673.39	97	4446.44	98	58.53	97	170.10	173	1653.99	162	24445.70	17
0	Max	-1544	63582.20	130	2769.39	162	3673.39	97	4446.44	98	58.53	97	170.10	173	1653.99	162	24445.70	17
0	Max	-1977	63582.20	130	2769.39	162	3673.39	97	4446.44	98	58.53	97	170.10	173	1653.99	162	24445.70	17
0	Max	-1976	63582.20	130	2769.39	162	3673.39	97	4446.44	98	58.53	97	170.10	173	1653.99	162	24445.70	17
0	Min.	-1540	-61457.80	101	-1449.71	101	-2299.62	162	44.52	49	-61.46	162	-220.68	17	-1283.45	17	-15619.40	173
0	Min.	-1544	-61457.80	101	-1449.71	101	-2299.62	162	44.52	49	-61.46	162	-220.68	17	-1283.45	17	-15619.40	173
0	Min.	-1977	-61457.80	101	-1449.71	101	-2299.62	162	44.52	49	-61.46	162	-220.68	17	-1283.45	17	-15619.40	173
0	Min.	-1976	-61457.80	101	-1449.71	101	-2299.62	162	44.52	49	-61.46	162	-220.68	17	-1283.45	17	-15619.40	173
0	Max	-1544	58560.70	130	816.96	166	401.70	101	3587.24	98	28.71	162	86.63	65	1072.66	162	23422.50	17
0	Max	-1922	58560.70	130	816.96	166	401.70	101	3587.24	98	28.71	162	86.63	65	1072.66	162	23422.50	17
0	Max	-2014	58560.70	130	816.96	166	401.70	101	3587.24	98	28.71	162	86.63	65	1072.66	162	23422.50	17
0	Max	-1977	58560.70	130	816.96	166	401.70	101	3587.24	98	28.71	162	86.63	65	1072.66	162	23422.50	17
0	Min.	-1544	-49223.10	101	-1071.72	97	-755.54	177	-125.28	49	-45.88	97	-356.84	98	-2441.74	101	-11611.60	65
0	Min.	-1922	-49223.10	101	-1071.72	97	-755.54	177	-125.28	49	-45.88	97	-356.84	98	-2441.74	101	-11611.60	65
0	Min.	-2014	-49223.10	101	-1071.72	97	-755.54	177	-125.28	49	-45.88	97	-356.84	98	-2441.74	101	-11611.60	65
0	Min.	-1977	-49223.10	101	-1071.72	97	-755.54	177	-125.28	49	-45.88	97	-356.84	98	-2441.74	101	-11611.60	65
0	Max	-1922	57694.00	130	493.08	158	512.00	97	3223.40	98	70.42	101	76.78	65	584.12	173	18915.50	17
0	Max	-1545	57694.00	130	493.08	158	512.00	97	3223.40	98	70.42	101	76.78	65	584.12	173	18915.50	17
0	Max	-1978	57694.00	130	493.08	158	512.00	97	3223.40	98	70.42	101	76.78	65	584.12	173	18915.50	17
0	Max	-2014	57694.00	130	493.08	158	512.00	97	3223.40	98	70.42	101	76.78	65	584.12	173	18915.50	17
0	Min.	-1922	-50060.00	101	-164.74	1	-544.33	177	-174.86	49	-20.82	162	-231.01	98	-2374.41	130	-10775.40	65
0	Min.	-1545	-50060.00	101	-164.74	1	-544.33	177	-174.86	49	-20.82	162	-231.01	98	-2374.41	130	-10775.40	65
0	Min.	-1978	-50060.00	101	-164.74	1	-544.33	177	-174.86	49	-20.82	162	-231.01	98	-2374.41	130	-10775.40	65
0	Min.	-2014	-50060.00	101	-164.74	1	-544.33	177	-174.86	49	-20.82	162	-231.01	98	-2374.41	130	-10775.40	65
0	Max	-1545	48271.50	130	874.11	97	2535.50	101	2542.21	98	79.04	130	59.20	65	433.27	65	15842.70	65
0	Max	-1546	48271.50	130	874.11	97	2535.50	101	2542.21	98	79.04	130	59.20	65	433.27	65	15842.70	65
0	Max	-1979	48271.50	130	874.11	97	2535.50	101	2542.21	98	79.04	130	59.20	65	433.27	65	15842.70	65
0	Max	-1978	48271.50	130	874.11	97	2535.50	101	2542.21	98	79.04	130	59.20	65	433.27	65	15842.70	65
0	Min.	-1545	-38462.80	101	-706.47	166	-2484.01	130	-628.39	101	-24.86	101	-237.98	122	-2039.92	106	-8490.24	17
0	Min.	-1546	-38462.80	101	-706.47	166	-2484.01	130	-628.39	101	-24.86	101	-237.98	122	-2039.92	106	-8490.24	17
0	Min.	-1979	-38462.80	101	-706.47	166	-2484.01	130	-628.39	101	-24.86	101	-237.98	122	-2039.92	106	-8490.24	17
0	Min.	-1978	-38462.80	101	-706.47	166	-2484.01	130	-628.39	101	-24.86	101	-237.98	122	-2039.92	106	-8490.24	17
0	Max	-1567	49756.40	130	1797.25	101	4197.74	101	1856.55	122	217.20	98	342.93	101	8887.39	101	11068.60	162
0	Max	-1568	49756.40	130	1797.25	101	4197.74	101	1856.55	122	217.20	98	342.93	101	8887.39	101	11068.60	162
0	Max	-2220	49756.40	130	1797.25	101	4197.74	101	1856.55	122	217.20	98	342.93	101	8887.39	101	11068.60	162
0	Max	-2178	49756.40	130	1797.25	101	4197.74	101	1856.55	122	217.20	98	342.93	101	8887.39	101	11068.60	162
0	Min.	-1567	-39580.20	101	-1240.02	130	-6852.98	162	-669.63	101	-146.93	101	-453.04	130	-5214.98	106	-13563.10	97
0	Min.	-1568	-39580.20	101	-1240.02	130	-6852.98	162	-669.63	101	-146.93	101	-453.04	130	-5214.98	106	-13563.10	97
0	Min.	-2220	-39580.20	101	-1240.02	130	-6852.98	162	-669.63	101	-146.93	101	-453.04	130	-5214.98	106	-13563.10	97
0	Min.	-2178	-39580.20	101	-1240.02	130	-6852.98	162	-669.63	101	-146.93	101	-453.04	130	-5214.98	106	-13563.10	97
0	Max	-1568	46649.90	130	3683.87	162	3983.32	101	1734.59	158	160.12	98	293.20	101	12928.50	162	6243.94	162
0	Max	-1569	46649.90	130	3683.87	162	3983.32	101	1734.59	158	160.12	98	293.20	101	12928.50	162	6243.94	162
0	Max	-2177	46649.90	130	3683.87	162	3983.32	101	1734.59	158	160.12	98	293.20	101	12928.50	162	6243.94	162
0	Max	-2220	46649.90	130	3683.87	162	3983.32	101	1734.59	158	160.12	98	293.20	101	12928.50	162	6243.94	162
0	Min.	-1568	-37529.10	101	-2761.83	101	-5639.70	162	-1029.28	101	-169.21	125	-285.35	130	-4632.58	49	-12204.70	97
0	Min.	-1569	-37529.10	101	-2761.83	101	-5639.70	162	-1029.28	101	-169.21	125	-285.35	130	-4632.58	49	-12204.70	97
0	Min.	-2177	-37529.10	101	-2761.83	101	-5639.70	162	-1029.28	101	-169.21	125	-285.35	130	-4632.58	49	-12204.70	97
0	Min.	-2220	-37529.10	101	-2761.83	101	-5639.70	162	-1029.28	101	-169.21	125	-285.35	130	-4632.58	49	-12204.70	97
0	Max	-1548	46454.20	130	2804.24	130	2535.44	101	987.52	122	50.67	101	109.97	125	1431.25	162	12512.60	49
0	Max	-1549	46454.20	130	2804.24	130	2535.44	101	987.52	122	50.67	101	109.97	125	1431.25	162	12512.60	49
0	Max	-1982	46454.20	130	2804.24	130	2535.44	101	987.52	122	50.67	101	109.97	125	1431.25	162	12512.60	49
0	Max	-1981	46454.20	130	2804.24	130	2535.44	101	987.52	122	50.67	101	109.97	125	1431.25	162	12512.60	49
0	Min.	-1548	-38500.10	101	-2358.73	101	-2844.12	130	-770.18	101	-73.39	130	-110.66	65	-1200.69	97	-18251.30	158
0	Min.	-1549	-38500.10	101	-2358.73	101	-2844.12	130	-770.18	101	-73.39	130	-110.66	65	-1200.69	97	-18251.30	158
0	Min.	-1982	-38500.10	101	-2358.73	101	-2844.12	130	-770.18	101	-73.39	130	-110.66	65	-1200.69	97	-18251.30	158
0	Min.	-1981	-38500.10	101	-2358.73	101	-2844.12	130	-770.18	101	-73.39	130	-110.66	65	-1200.69	97	-18251.30	158
0	Max	-1549	31525.60	130	1281.63	130	523.28	101	782.91	158	44.39	158	171.05	166	1207.04	101	15729.30	49
0	Max	-1550	31525.60	130	1281.63	130	523.28	101	782.91	158	44.39	158	171.05	166	1207.04	101	15729.30	49
0	Max	-1983	31525.60	130	1281.63	130	523.28	101	782.91	158	44.39	158	171.05	166	1207.04	101	15729.30	49
0	Max	-1982	31525.60	130	1281.63	130	523.28	101	782.91	158	44.39	158	171.05	166	1207.04	101	15729.30	49
0	Min.	-1549	-26037.30	101	-3842.54	177	-795.23	177	-747.77	101	-40.06	101	-131.75	49	-1446.95	158	-22289.00	158
0	Min.	-1550	-26037.30	101	-3842.54	177	-795.23	177	-747.77	101	-40.06	101	-131.75	49	-1446.95	158	-22289.00	158
0	Min.	-1983	-26037.30	101	-3842.54	177	-795.23	177	-747.77	101	-40.06	101	-131.75	49	-1446.95	158	-22289.00	158
0	Min.	-1982	-26037.30	101	-3842.54	177	-795.23	177	-747.77	101	-40.06	101	-131.75	49	-1446.95	158	-22289.00	158
0	Max	-1550	20212.70	130	1973.28	101	2495.96	101	194.59	158	46.26	49	126.85	166	3559.69	158	19338.00	49
0	Max	-1609	20212.70	130	1973.28	101	2495.96	101	194.59	158	46.26	49	126.85	166	3559.69	158	19338.00	49
0	Max	-1984	20212.70	130	1973.28	101	2495.96	101	194.59	158	46.26	49	126.85	166	3559.69	158	19338.00	49
0	Max	-1983	20212.70	130	1973.28	101	2495.96	101	194.59	158	46.26	49	126.85	166	3559.69	158	19338.00	49

0	Min.	-1550	-16713.80	101	-9299.69	177	-2990.63	130	-224.02	101	-57.42	158	-107.98	49	-3331.33	49	-26865.40	158
0	Min.	-1609	-16713.80	101	-9299.69	177	-2990.63	130	-224.02	101	-57.42	158	-107.98	49	-3331.33	49	-26865.40	158
0	Min.	-1984	-16713.80	101	-9299.69	177	-2990.63	130	-224.02	101	-57.42	158	-107.98	49	-3331.33	49	-26865.40	158
0	Min.	-1983	-16713.80	101	-9299.69	177	-2990.63	130	-224.02	101	-57.42	158	-107.98	49	-3331.33	49	-26865.40	158
0	Max	-1425	15879.50	101	2699.72	130	2362.68	101	108.04	97	91.51	162	219.12	158	126.90	49	7136.09	101
0	Max	-1675	15879.50	101	2699.72	130	2362.68	101	108.04	97	91.51	162	219.12	158	126.90	49	7136.09	101
0	Max	-1985	15879.50	101	2699.72	130	2362.68	101	108.04	97	91.51	162	219.12	158	126.90	49	7136.09	101
0	Max	-1975	15879.50	101	2699.72	130	2362.68	101	108.04	97	91.51	162	219.12	158	126.90	49	7136.09	101
0	Min.	-1425	-21249.10	130	-9299.04	177	-3166.31	130	-285.36	130	-5.64	137	-6.13	137	-6093.22	162	-38432.20	130
0	Min.	-1675	-21249.10	130	-9299.04	177	-3166.31	130	-285.36	130	-5.64	137	-6.13	137	-6093.22	162	-38432.20	130
0	Min.	-1985	-21249.10	130	-9299.04	177	-3166.31	130	-285.36	130	-5.64	137	-6.13	137	-6093.22	162	-38432.20	130
0	Min.	-1975	-21249.10	130	-9299.04	177	-3166.31	130	-285.36	130	-5.64	137	-6.13	137	-6093.22	162	-38432.20	130
0	Max	-1675	24682.90	101	1089.92	173	794.90	177	466.40	97	20.05	101	307.47	158	1909.92	130	3162.51	101
0	Max	-1676	24682.90	101	1089.92	173	794.90	177	466.40	97	20.05	101	307.47	158	1909.92	130	3162.51	101
0	Max	-1986	24682.90	101	1089.92	173	794.90	177	466.40	97	20.05	101	307.47	158	1909.92	130	3162.51	101
0	Max	-1985	24682.90	101	1089.92	173	794.90	177	466.40	97	20.05	101	307.47	158	1909.92	130	3162.51	101
0	Min.	-1675	-33095.70	130	-3842.27	177	-638.35	130	-980.81	130	-64.53	130	-1.21	49	-637.68	97	-32509.90	162
0	Min.	-1676	-33095.70	130	-3842.27	177	-638.35	130	-980.81	130	-64.53	130	-1.21	49	-637.68	97	-32509.90	162
0	Min.	-1986	-33095.70	130	-3842.27	177	-638.35	130	-980.81	130	-64.53	130	-1.21	49	-637.68	97	-32509.90	162
0	Min.	-1985	-33095.70	130	-3842.27	177	-638.35	130	-980.81	130	-64.53	130	-1.21	49	-637.68	97	-32509.90	162
0	Max	-1676	35321.50	101	1825.89	101	1736.51	101	874.48	97	93.76	130	186.81	157	268.97	177	2405.22	49
0	Max	-1677	35321.50	101	1825.89	101	1736.51	101	874.48	97	93.76	130	186.81	157	268.97	177	2405.22	49
0	Max	-1987	35321.50	101	1825.89	101	1736.51	101	874.48	97	93.76	130	186.81	157	268.97	177	2405.22	49
0	Max	-1986	35321.50	101	1825.89	101	1736.51	101	874.48	97	93.76	130	186.81	157	268.97	177	2405.22	49
0	Min.	-1676	-49879.20	130	-3137.10	130	-3562.65	130	-968.77	130	-21.66	101	-69.02	106	-2430.93	158	-26920.30	162
0	Min.	-1677	-49879.20	130	-3137.10	130	-3562.65	130	-968.77	130	-21.66	101	-69.02	106	-2430.93	158	-26920.30	162
0	Min.	-1987	-49879.20	130	-3137.10	130	-3562.65	130	-968.77	130	-21.66	101	-69.02	106	-2430.93	158	-26920.30	162
0	Min.	-1986	-49879.20	130	-3137.10	130	-3562.65	130	-968.77	130	-21.66	101	-69.02	106	-2430.93	158	-26920.30	162
0	Max	-1677	48465.40	101	1699.43	97	1906.99	158	1650.26	101	34.91	101	390.00	158	3060.10	158	15062.40	101
0	Max	-1678	48465.40	101	1699.43	97	1906.99	158	1650.26	101	34.91	101	390.00	158	3060.10	158	15062.40	101
0	Max	-1988	48465.40	101	1699.43	97	1906.99	158	1650.26	101	34.91	101	390.00	158	3060.10	158	15062.40	101
0	Max	-1987	48465.40	101	1699.43	97	1906.99	158	1650.26	101	34.91	101	390.00	158	3060.10	158	15062.40	101
0	Min.	-1677	-75091.00	130	-145.40	17	-184.87	49	-3620.97	130	-135.04	130	-38.24	65	-621.11	177	-76744.30	158
0	Min.	-1678	-75091.00	130	-145.40	17	-184.87	49	-3620.97	130	-135.04	130	-38.24	65	-621.11	177	-76744.30	158
0	Min.	-1988	-75091.00	130	-145.40	17	-184.87	49	-3620.97	130	-135.04	130	-38.24	65	-621.11	177	-76744.30	158
0	Min.	-1987	-75091.00	130	-145.40	17	-184.87	49	-3620.97	130	-135.04	130	-38.24	65	-621.11	177	-76744.30	158
0	Max	-1678	35425.30	101	1982.84	101	2413.24	158	2070.91	100	79.80	130	296.57	158	2485.83	158	19366.80	101
0	Max	-1679	35425.30	101	1982.84	101	2413.24	158	2070.91	100	79.80	130	296.57	158	2485.83	158	19366.80	101
0	Max	-1989	35425.30	101	1982.84	101	2413.24	158	2070.91	100	79.80	130	296.57	158	2485.83	158	19366.80	101
0	Max	-1988	35425.30	101	1982.84	101	2413.24	158	2070.91	100	79.80	130	296.57	158	2485.83	158	19366.80	101
0	Min.	-1678	-24422.70	130	-3557.18	130	-489.45	101	-72.63	65	-28.13	101	-48.09	65	-752.48	177	-38777.70	130
0	Min.	-1679	-24422.70	130	-3557.18	130	-489.45	101	-72.63	65	-28.13	101	-48.09	65	-752.48	177	-38777.70	130
0	Min.	-1989	-24422.70	130	-3557.18	130	-489.45	101	-72.63	65	-28.13	101	-48.09	65	-752.48	177	-38777.70	130
0	Min.	-1988	-24422.70	130	-3557.18	130	-489.45	101	-72.63	65	-28.13	101	-48.09	65	-752.48	177	-38777.70	130
0	Max	-1679	45544.60	101	1388.17	158	1355.27	101	2542.26	97	46.70	101	180.08	97	433.25	17	8490.10	65
0	Max	-1680	45544.60	101	1388.17	158	1355.27	101	2542.26	97	46.70	101	180.08	97	433.25	17	8490.10	65
0	Max	-1990	45544.60	101	1388.17	158	1355.27	101	2542.26	97	46.70	101	180.08	97	433.25	17	8490.10	65
0	Max	-1989	45544.60	101	1388.17	158	1355.27	101	2542.26	97	46.70	101	180.08	97	433.25	17	8490.10	65
0	Min.	-1679	-47948.30	130	54.63	65	-3529.92	130	-1093.50	130	-63.26	130	-104.48	130	-2040.21	101	-15843.00	17
0	Min.	-1680	-47948.30	130	54.63	65	-3529.92	130	-1093.50	130	-63.26	130	-104.48	130	-2040.21	101	-15843.00	17
0	Min.	-1990	-47948.30	130	54.63	65	-3529.92	130	-1093.50	130	-63.26	130	-104.48	130	-2040.21	101	-15843.00	17
0	Min.	-1989	-47948.30	130	54.63	65	-3529.92	130	-1093.50	130	-63.26	130	-104.48	130	-2040.21	101	-15843.00	17
0	Max	-1680	50848.80	101	262.96	177	544.35	177	3223.40	97	80.95	130	231.02	97	1847.25	158	11948.80	173
0	Max	-1964	50848.80	101	262.96	177	544.35	177	3223.40	97	80.95	130	231.02	97	1847.25	158	11948.80	173
0	Max	-2017	50848.80	101	262.96	177	544.35	177	3223.40	97	80.95	130	231.02	97	1847.25	158	11948.80	173
0	Max	-1990	50848.80	101	262.96	177	544.35	177	3223.40	97	80.95	130	231.02	97	1847.25	158	11948.80	173
0	Min.	-1680	-62949.20	130	-581.77	166	-654.05	166	-603.37	130	-4.30	17	-76.78	17	-1160.75	101	-18916.60	65
0	Min.	-1964	-62949.20	130	-581.77	166	-654.05	166	-603.37	130	-4.30	17	-76.78	17	-1160.75	101	-18916.60	65
0	Min.	-2017	-62949.20	130	-581.77	166	-654.05	166	-603.37	130	-4.30	17	-76.78	17	-1160.75	101	-18916.60	65
0	Min.	-1990	-62949.20	130	-581.77	166	-654.05	166	-603.37	130	-4.30	17	-76.78	17	-1160.75	101	-18916.60	65
0	Max	-1964	50635.40	101	-14.94	17	755.66	177	3587.18	97	-0.91	49	356.85	97	311.43	17	11611.40	17
0	Max	-1681	50635.40	101	-14.94	17	755.66	177	3587.18	97	-0.91	49	356.85	97	311.43	17	11611.40	17
0	Max	-1991	50635.40	101	-14.94	17	755.66	177	3587.18	97	-0.91	49	356.85	97	311.43	17	11611.40	17
0	Max	-2017	50635.40	101	-14.94	17	755.66	177	3587.18	97	-0.91	49	356.85	97	311.43	17	11611.40	17
0	Min.	-1964	-64150.00	130	-1791.48	158	-401.60	106	-465.96	130	-63.30	158	-86.63	17	-3121.58	130	-23422.40	65
0	Min.	-1681	-64150.00	130	-1791.48	158	-401.60	106	-465.96	130	-63.30	158	-86.63	17	-3121.58	130	-23422.40	65
0	Min.	-1991	-64150.00	130	-1791.48	158	-401.60	106	-465.96	130	-63.30	158	-86.63	17	-3121.58	130	-23422.40	65
0	Min.	-2017	-64150.00	130	-1791.48	158	-401.60	106	-465.96	130	-63.30	158	-86.63	17	-3121.58	130	-23422.40	65
0	Max	-1681	49336.40	101	588.15	113	124.98	65	4446.38	97	106.92	158	220.69	65	931.40	173	17395.20	173
0	Max	-1686	49336.40	101	588.15	113	124.98	65	4446.38	97	106.92	158	220.69	65	931.40	173	17395.20	173
0	Max	-1992	49336.40	101	588.15	113	124.98	65	4446.38	97	106.92	158	220.69	65	931.40	173	17395.20	173
0	Max	-1991	49336.40	101	588.15	113	124.98	65	4446.38	97	106.92	158	220.69	65	931.40	173	17395.20	173
0	Min.	-1681	-80842.50	130	-2993.37	158	-4452.25	122	44.51	1	-10.32	17	-191.96	173	-2189.72	158	-24445.10	65
0	Min.	-1686	-80842.50	130	-2993.37	158	-4452.25	122	44.51	1	-10.32	17	-191.96	173	-2189.72	158	-24445.10	65
0	Min.	-1992	-80842.50	130	-2993.37	158	-4452.25	122	44.51	1	-10.32	17	-191.96	173	-2189.72	158	-24445.10	65
0	Min.	-1991	-80842.50	130	-2993.37	158	-4452.25	122	44.51	1	-10.32	17	-191.96	173	-2189.72	158	-24445.10	65
0	Max	-2018	14812.20	101	10286.10	177	3409.91	130	108.83	97	101.42	162	1.60	1	6200.84	162	6476.86	101
0	Max	-2029	14812.20	101	10286.10	177	3409.91	130	108.83	97	101.42	162	1.60	1	6200.84	162	6476.86	101
0	Max	-1619	14812.20	101	10286.10	177	3409.91	130	108.83	97	101.42	162	1.60	1	6200.84	162	6476.86	101
0	Max	-1417	14812.20	101	10286.10	177	3409.91	130	108.83	97	101.42	162	1.60	1	6200.84	162	6476.86	101
0	Min.	-2018	-19911.50	130	-2336.07	173	-2536.51	101	-292.16	130	-8.03	177	-221.19	158	-429.16	177	-36089.50	130
0	Min.	-2029	-19911.50	130	-2336.07	173	-2536.51	101	-292.16	130	-8.03	177	-221.19	158	-429.16	177	-36089.50	130
0	Min.	-1619	-19911.50	130	-2336.07	173	-2536.51	101	-292.16	130	-8.03	177	-221.19	158	-429.16	177	-36089.50	130
0	Min.	-1417	-19911.50	130	-2336.07	173	-2536.51	101	-292.16	130	-8.03	177	-221.19	158	-429.16	177	-36089.50	130
0	Max	-2029	23992.90	101	5029.74	177	795.97	130	465.18	97	19.30	101	58.14	177	1449.28	177	5515.24	177
0	Max	-2030	23992.90	101	5029.74	177	795.97	130	465.18	97	19.30	101	58.14	177	1449.28	177	5515.24	177
0	Max	-1620	23992.90	101	5029.74	177	795.97	130	465.18	97	19.30	101	58.14	177	1449.28	177	5515.24	177
0	Max	-1619	23992.90	101	5029.74	177	795.97	130	465.18	97	19.30	101	58.14	177	1449.28	177	5515.24	177
0	Min.	-2029	-32317.50	130	-1416.26	130	-634.58	101	-965.98	130	-60.76	130	-326.11	158	-1417.54	130	-30396.00	162
0	Min.	-2030	-32317.50	130	-1416.26	130	-634.58	101	-965.98	130	-60.76	130	-326.11	158	-1417.54	130	-30396.00	162
0	Min.	-1620	-32317.50	130	-1416.26	130	-634.58	101	-965.98	130	-60.76	130	-326.11	158	-1417.54	130	-30396.00	162
0	Min.	-1619	-32317.50	130	-1416.26	130	-634.58	101	-965.98	130	-60.76	130	-326.11	158	-1417.54	130	-30396.00	162
0	Max	-2030	34531.80	101	1838.24	101	3776.50	130	866.49	97	83.84	158	134.50	177	2093.04	158	10345.70	177
0	Max	-2031	34531.80	101	1838.24	101	3776.50	130	866.49	97	83.84	158	134.50	177	2093.04	158	10345.70	177
0	Max	-1621	34531.80	101	1838.24	101	3776.50	130	866.49	97	83.84	158	134.50	177	2093.04	158	10345.70	177
0	Max	-1620	34531.80	101	1838.24	101	3776.50	130	866.49	97	83.84	158	134.50	177	2093.04	158	10345.70	177
0	Min.	-2030	-48956.30	130	-3425.93	130	-1862.44	101	-1017.92	130	-137.62	177	-193.24	121	-9656.20	177	-26847.00	162
0	Min.	-2031	-48956.30	130	-3425.93	130	-1862.44	101	-1017.92	130	-137.62	177	-193.24	121	-9656.20	177	-26847.00	162
0	Min.	-1621	-48956.30	130	-3425.93	130	-1862.44	101	-1017.92	130	-137.62	177	-193.24	121	-9656.20	177	-26847.00	162
0	Min.	-1620	-48956.30	130	-3425.93	130	-1862.44	101	-1017.92	130	-137.62	177	-193.24	121	-9656.20	177	-26847.00	162
0	Max	-2031	47026.40	101	1544.48	97	4930.15	177	1615.54	101	137.89	177	480.19	177	9632.28	177	59798.10	177
0	Max	-2032	47026.40	101	1544.48	97	4930.15	177	1615.54	101	137.89	177	480.19	177	9632.28	177	59798.10	177
0	Max	-1622	47026.40	101	1544.48	97	4930.15	177	1615.54	101	137.89	177	480.19	177	9632.28	177	59798.10	177
0	Max	-1621	47026.40	101	1544.48	97	4930.15	177	1615.54	101	137.89	177	480.19	177	9632.28	177	59798.10	177
0	Min.	-2031	-72488.10	130	-5808.30	177	-2035.97	158	-3523.74	130	-137.61	130	-377.09	158	-4137.98	158	-69716.90	158

0	Min.	-2032	-72488.10	130	-5808.30	177	-2035.97	158	-3523.74	130	-137.61	130	-377.09	158	-4137.98	158	-69716.90	158
0	Min.	-1622	-72488.10	130	-5808.30	177	-2035.97	158	-3523.74	130	-137.61	130	-377.09	158	-4137.98	158	-69716.90	158
0	Min.	-1621	-72488.10	130	-5808.30	177	-2035.97	158	-3523.74	130	-137.61	130	-377.09	158	-4137.98	158	-69716.90	158
0	Max	-2032	35209.80	101	1729.08	101	482.62	101	2060.61	97	142.12	177	48.17	17	9559.49	177	17412.40	101
0	Max	-2033	35209.80	101	1729.08	101	482.62	101	2060.61	97	142.12	177	48.17	17	9559.49	177	17412.40	101
0	Max	-1623	35209.80	101	1729.08	101	482.62	101	2060.61	97	142.12	177	48.17	17	9559.49	177	17412.40	101
0	Max	-1622	35209.80	101	1729.08	101	482.62	101	2060.61	97	142.12	177	48.17	17	9559.49	177	17412.40	101
0	Min.	-2032	-25533.40	130	-6141.22	177	-4186.95	177	-75.31	17	-26.64	101	-502.88	177	-1631.84	157	-60351.60	177
0	Min.	-2033	-25533.40	130	-6141.22	177	-4186.95	177	-75.31	17	-26.64	101	-502.88	177	-1631.84	157	-60351.60	177
0	Min.	-1623	-25533.40	130	-6141.22	177	-4186.95	177	-75.31	17	-26.64	101	-502.88	177	-1631.84	157	-60351.60	177
0	Min.	-1622	-25533.40	130	-6141.22	177	-4186.95	177	-75.31	17	-26.64	101	-502.88	177	-1631.84	157	-60351.60	177
0	Max	-2033	44669.40	101	1804.03	158	3705.31	130	2548.72	97	47.41	101	111.38	130	2114.07	101	8125.46	17
0	Max	-2034	44669.40	101	1804.03	158	3705.31	130	2548.72	97	47.41	101	111.38	130	2114.07	101	8125.46	17
0	Max	-1624	44669.40	101	1804.03	158	3705.31	130	2548.72	97	47.41	101	111.38	130	2114.07	101	8125.46	17
0	Max	-1623	44669.40	101	1804.03	158	3705.31	130	2548.72	97	47.41	101	111.38	130	2114.07	101	8125.46	17
0	Min.	-2033	-47413.50	130	-14.68	1	-1406.69	101	-1047.97	130	-138.89	177	-326.38	173	-9490.24	177	-24710.50	173
0	Min.	-2034	-47413.50	130	-14.68	1	-1406.69	101	-1047.97	130	-138.89	177	-326.38	173	-9490.24	177	-24710.50	173
0	Min.	-1624	-47413.50	130	-14.68	1	-1406.69	101	-1047.97	130	-138.89	177	-326.38	173	-9490.24	177	-24710.50	173
0	Min.	-1623	-47413.50	130	-14.68	1	-1406.69	101	-1047.97	130	-138.89	177	-326.38	173	-9490.24	177	-24710.50	173
0	Max	-2034	49726.10	101	2398.69	177	791.26	130	3221.18	97	76.29	130	80.31	65	1266.12	177	10191.20	65
0	Max	-2060	49726.10	101	2398.69	177	791.26	130	3221.18	97	76.29	130	80.31	65	1266.12	177	10191.20	65
0	Max	-1961	49726.10	101	2398.69	177	791.26	130	3221.18	97	76.29	130	80.31	65	1266.12	177	10191.20	65
0	Max	-1624	49726.10	101	2398.69	177	791.26	130	3221.18	97	76.29	130	80.31	65	1266.12	177	10191.20	65
0	Min.	-2034	-61989.80	130	-396.05	166	-38.69	1	-617.92	130	-4.66	65	-421.44	173	-2917.67	158	-30136.10	173
0	Min.	-2060	-61989.80	130	-396.05	166	-38.69	1	-617.92	130	-4.66	65	-421.44	173	-2917.67	158	-30136.10	173
0	Min.	-1961	-61989.80	130	-396.05	166	-38.69	1	-617.92	130	-4.66	65	-421.44	173	-2917.67	158	-30136.10	173
0	Min.	-1624	-61989.80	130	-396.05	166	-38.69	1	-617.92	130	-4.66	65	-421.44	173	-2917.67	158	-30136.10	173
0	Max	-2060	49611.30	101	3256.11	177	978.64	177	3614.56	97	21.74	177	89.61	65	4126.97	130	11018.90	65
0	Max	-2035	49611.30	101	3256.11	177	978.64	177	3614.56	97	21.74	177	89.61	65	4126.97	130	11018.90	65
0	Max	-1625	49611.30	101	3256.11	177	978.64	177	3614.56	97	21.74	177	89.61	65	4126.97	130	11018.90	65
0	Max	-1961	49611.30	101	3256.11	177	978.64	177	3614.56	97	21.74	177	89.61	65	4126.97	130	11018.90	65
0	Min.	-2060	-63538.20	130	-1402.65	158	-363.93	125	-438.61	130	-51.13	158	-559.66	173	-308.64	65	-38737.10	173
0	Min.	-2035	-63538.20	130	-1402.65	158	-363.93	125	-438.61	130	-51.13	158	-559.66	173	-308.64	65	-38737.10	173
0	Min.	-1625	-63538.20	130	-1402.65	158	-363.93	125	-438.61	130	-51.13	158	-559.66	173	-308.64	65	-38737.10	173
0	Min.	-1961	-63538.20	130	-1402.65	158	-363.93	125	-438.61	130	-51.13	158	-559.66	173	-308.64	65	-38737.10	173
0	Max	-2035	48267.70	101	375.13	113	4649.58	122	4382.02	97	93.85	158	139.44	65	2004.74	173	14282.70	65
0	Max	-2036	48267.70	101	375.13	113	4649.58	122	4382.02	97	93.85	158	139.44	65	2004.74	173	14282.70	65
0	Max	-1687	48267.70	101	375.13	113	4649.58	122	4382.02	97	93.85	158	139.44	65	2004.74	173	14282.70	65
0	Max	-1625	48267.70	101	375.13	113	4649.58	122	4382.02	97	93.85	158	139.44	65	2004.74	173	14282.70	65
0	Min.	-2035	-79661.20	130	-3604.87	158	-109.19	17	39.42	49	-174.88	177	-382.18	173	-12493.20	177	-43545.50	173
0	Min.	-2036	-79661.20	130	-3604.87	158	-109.19	17	39.42	49	-174.88	177	-382.18	173	-12493.20	177	-43545.50	173
0	Min.	-1687	-79661.20	130	-3604.87	158	-109.19	17	39.42	49	-174.88	177	-382.18	173	-12493.20	177	-43545.50	173
0	Min.	-1625	-79661.20	130	-3604.87	158	-109.19	17	39.42	49	-174.88	177	-382.18	173	-12493.20	177	-43545.50	173
0	Max	-2037	54083.20	101	-117.11	1	-294.28	17	6419.87	97	255.10	177	202.59	65	18443.60	122	17917.30	65
0	Max	-2059	54083.20	101	-117.11	1	-294.28	17	6419.87	97	255.10	177	202.59	65	18443.60	122	17917.30	65
0	Max	-1950	54083.20	101	-117.11	1	-294.28	17	6419.87	97	255.10	177	202.59	65	18443.60	122	17917.30	65
0	Max	-1803	54083.20	101	-117.11	1	-294.28	17	6419.87	97	255.10	177	202.59	65	18443.60	122	17917.30	65
0	Min.	-2037	-47537.40	106	-3651.47	177	-8020.49	177	218.52	65	3.63	65	-748.36	177	491.19	65	-86614.50	177
0	Min.	-2059	-47537.40	106	-3651.47	177	-8020.49	177	218.52	65	3.63	65	-748.36	177	491.19	65	-86614.50	177
0	Min.	-1950	-47537.40	106	-3651.47	177	-8020.49	177	218.52	65	3.63	65	-748.36	177	491.19	65	-86614.50	177
0	Min.	-1803	-47537.40	106	-3651.47	177	-8020.49	177	218.52	65	3.63	65	-748.36	177	491.19	65	-86614.50	177
0	Max	-2059	52966.40	101	5468.56	121	5332.59	121	3264.92	97	3.97	117	529.19	97	10100.50	121	18170.50	65
0	Max	-2038	52966.40	101	5468.56	121	5332.59	121	3264.92	97	3.97	117	529.19	97	10100.50	121	18170.50	65
0	Max	-1804	52966.40	101	5468.56	121	5332.59	121	3264.92	97	3.97	117	529.19	97	10100.50	121	18170.50	65
0	Max	-1950	52966.40	101	5468.56	121	5332.59	121	3264.92	97	3.97	117	529.19	97	10100.50	121	18170.50	65
0	Min.	-2059	-53741.00	130	256.35	65	235.80	65	-121.56	49	-299.82	177	-201.28	177	-19040.90	177	-99908.40	173
0	Min.	-2038	-53741.00	130	256.35	65	235.80	65	-121.56	49	-299.82	177	-201.28	177	-19040.90	177	-99908.40	173
0	Min.	-1804	-53741.00	130	256.35	65	235.80	65	-121.56	49	-299.82	177	-201.28	177	-19040.90	177	-99908.40	173
0	Min.	-1950	-53741.00	130	256.35	65	235.80	65	-121.56	49	-299.82	177	-201.28	177	-19040.90	177	-99908.40	173
0	Max	-2038	33010.20	101	2614.17	97	5847.27	97	1609.72	101	36.26	173	242.22	65	-325.46	17	22140.10	65
0	Max	-2039	33010.20	101	2614.17	97	5847.27	97	1609.72	101	36.26	173	242.22	65	-325.46	17	22140.10	65
0	Max	-1805	33010.20	101	2614.17	97	5847.27	97	1609.72	101	36.26	173	242.22	65	-325.46	17	22140.10	65
0	Max	-1804	33010.20	101	2614.17	97	5847.27	97	1609.72	101	36.26	173	242.22	65	-325.46	17	22140.10	65
0	Min.	-2038	-71879.90	130	76.69	65	240.85	65	-956.22	130	-34.93	177	-519.57	173	-10807.50	122	-68589.80	173
0	Min.	-2039	-71879.90	130	76.69	65	240.85	65	-956.22	130	-34.93	177	-519.57	173	-10807.50	122	-68589.80	173
0	Min.	-1805	-71879.90	130	76.69	65	240.85	65	-956.22	130	-34.93	177	-519.57	173	-10807.50	122	-68589.80	173
0	Min.	-1804	-71879.90	130	76.69	65	240.85	65	-956.22	130	-34.93	177	-519.57	173	-10807.50	122	-68589.80	173
0	Max	-2039	12760.00	101	1399.62	177	3350.93	97	787.16	101	1.38	1	245.04	65	4532.82	121	22526.20	65
0	Max	-2040	12760.00	101	1399.62	177	3350.93	97	787.16	101	1.38	1	245.04	65	4532.82	121	22526.20	65
0	Max	-1806	12760.00	101	1399.62	177	3350.93	97	787.16	101	1.38	1	245.04	65	4532.82	121	22526.20	65
0	Max	-1805	12760.00	101	1399.62	177	3350.93	97	787.16	101	1.38	1	245.04	65	4532.82	121	22526.20	65
0	Min.	-2039	-86450.30	130	-1925.78	173	105.63	65	-1370.22	106	-32.92	121	-629.22	173	277.15	65	-75649.10	173
0	Min.	-2040	-86450.30	130	-1925.78	173	105.63	65	-1370.22	106	-32.92	121	-629.22	173	277.15	65	-75649.10	173
0	Min.	-1806	-86450.30	130	-1925.78	173	105.63	65	-1370.22	106	-32.92	121	-629.22	173	277.15	65	-75649.10	173
0	Min.	-1805	-86450.30	130	-1925.78	173	105.63	65	-1370.22	106	-32.92	121	-629.22	173	277.15	65	-75649.10	173
0	Max	-2040	3138.72	1	916.42	177	6831.86	97	268.05	1	189.91	173	330.49	97	7957.22	173	21885.10	65
0	Max	-2041	3138.72	1	916.42	177	6831.86	97	268.05	1	189.91	173	330.49	97	7957.22	173	21885.10	65
0	Max	-1807	3138.72	1	916.42	177	6831.86	97	268.05	1	189.91	173	330.49	97	7957.22	173	21885.10	65
0	Max	-1806	3138.72	1	916.42	177	6831.86	97	268.05	1	189.91	173	330.49	97	7957.22	173	21885.10	65
0	Min.	-2040	-98186.20	130	-5065.35	121	144.25	65	-1642.33	106	-130.49	177	-593.69	173	-10076.30	177	-83197.30	173
0	Min.	-2041	-98186.20	130	-5065.35	121	144.25	65	-1642.33	106	-130.49	177	-593.69	173	-10076.30	177	-83197.30	173
0	Min.	-1807	-98186.20	130	-5065.35	121	144.25	65	-1642.33	106	-130.49	177	-593.69	173	-10076.30	177	-83197.30	173
0	Min.	-1806	-98186.20	130	-5065.35	121	144.25	65	-1642.33	106	-130.49	177	-593.69	173	-10076.30	177	-83197.30	173
0	Max	-2041	-4466.31	17	4649.80	173	4452.10	177	-208.98	65	118.74	177	470.13	177	9260.20	177	51864.60	177
0	Max	-2042	-4466.31	17	4649.80	173	4452.10	177	-208.98	65	118.74	177	470.13	177	9260.20	177	51864.60	177
0	Max	-1808	-4466.31	17	4649.80	173	4452.10	177	-208.98	65	118.74	177	470.13	177	9260.20	177	51864.60	177
0	Max	-1807	-4466.31	17	4649.80	173	4452.10	177	-208.98	65	118.74	177	470.13	177	9260.20	177	51864.60	177
0	Min.	-2041	-142076.00	98	-5214.82	177	-4548.44	173	-4548.61	98	-199.20	173	-1151.67	173	-7733.20	173	-159612.00	173
0	Min.	-2042	-142076.00	98	-5214.82	177	-4548.44	173	-4548.61	98	-199.20	173	-1151.67	173	-7733.20	173	-159612.00	173
0	Min.	-1808	-142076.00	98	-5214.82	177	-4548.44	173	-4548.61	98	-199.20	173	-1151.67	173	-7733.20	173	-159612.00	173
0	Min.	-1807	-142076.00	98	-5214.82	177	-4548.44	173	-4548.61	98	-199.20	173	-1151.67	173	-7733.20	173	-159612.00	173
0	Max	-2042	6084.24	125	-54.67	65	1519.81	173	1249.95	125	154.09	177	191.79	65	9530.66	177	17911.40	65
0	Max	-2043	6084.24	125	-54.67	65	1519.81	173	1249.95	125	154.09	177	191.79	65	9530.66	177	17911.40	65
0	Max	-1809	6084.24	125	-54.67	65	1519.81	173	1249.95	125	154.09	177	191.79	65	9530.66	177	17911.40	65
0	Max	-1808	6084.24	125	-54.67	65	1519.81	173	1249.95	125	154.09	177	191.79	65	9530.66	177	17911.40	65
0	Min.	-2042	-88136.60	98	-6558.88	177	-4593.29	177	-1536.88	106	-9.84	173	-484.60	177	-5816.61	173	-72146.20	173
0	Min.	-2043	-88136.60	98	-6558.88	177	-4593.29	177	-1536.88	106	-9.84	173	-484.60	177	-5816.61	173	-72146.20	173
0	Min.	-1809	-88136.60	98	-6558.88	177	-4593.29	177	-1536.88	106	-9.84	173	-484.60	177	-5816.61	173	-72146.20	173
0	Min.	-1808	-88136.60	98	-6558.88	177	-4593.29	177	-1536.88	106	-9.84	173	-484.60	177	-5816.61	173	-72146.20	173
0	Max	-2043	-3552.14	17	2123.82	157	6059.72	97	-128.42	17	10.25	65	376.81	97	3328.15	173	15084.10	65
0	Max	-2044	-3552.14	17	2123.82	157	6059.72	97	-128.42	17	10.25	65	376.81	97	3328.15	173	15084.10	65
0	Max	-1810	-3552.14	17	2123.82	157	6059.72	97	-128.42	17	10.25	65	376.81	97	3328.15	173	15084.10	65
0	Max	-1809	-3552.14	17	2123.82	157	6059.72	97	-128.42	17	10.25	65	376.81	97	3328.15	173	15084.10	65
0	Min.	-2043	-125429.00	98	-974.64	173	-300.83	49	-3975.84	98	-158.29	177	-309.54	173	-10055.80	177	-57252.90	173
0	Min.	-2044	-125429.00	98	-974.64	173	-300.83	49	-3975.84	98	-158.29	177	-309.54	173	-10055.80	177	-57252.90	173

0	Min.	-1810	-125429.00	98	-974.64	173	-300.83	49	-3975.84	98	-158.29	177	-309.54	173	-10055.80	177	-57252.90	173
0	Min.	-1809	-125429.00	98	-974.64	173	-300.83	49	-3975.84	98	-158.29	177	-309.54	173	-10055.80	177	-57252.90	173
0	Max	-2044	-6263.57	17	2609.24	177	964.88	121	-137.01	17	41.85	97	189.77	98	2220.22	177	12031.10	65
0	Max	-2123	-6263.57	17	2609.24	177	964.88	121	-137.01	17	41.85	97	189.77	98	2220.22	177	12031.10	65
0	Max	-2093	-6263.57	17	2609.24	177	964.88	121	-137.01	17	41.85	97	189.77	98	2220.22	177	12031.10	65
0	Max	-1810	-6263.57	17	2609.24	177	964.88	121	-137.01	17	41.85	97	189.77	98	2220.22	177	12031.10	65
0	Min.	-2044	-149688.00	98	-1405.58	173	-1202.26	177	-4277.17	98	-36.23	173	-382.86	173	-4676.21	173	-48187.50	173
0	Min.	-2123	-149688.00	98	-1405.58	173	-1202.26	177	-4277.17	98	-36.23	173	-382.86	173	-4676.21	173	-48187.50	173
0	Min.	-2093	-149688.00	98	-1405.58	173	-1202.26	177	-4277.17	98	-36.23	173	-382.86	173	-4676.21	173	-48187.50	173
0	Min.	-1810	-149688.00	98	-1405.58	173	-1202.26	177	-4277.17	98	-36.23	173	-382.86	173	-4676.21	173	-48187.50	173
0	Max	-2045	-8315.66	17	1189.97	101	2176.39	101	-188.11	17	33.08	98	193.76	177	5029.43	125	11768.90	177
0	Max	-2124	-8315.66	17	1189.97	101	2176.39	101	-188.11	17	33.08	98	193.76	177	5029.43	125	11768.90	177
0	Max	-2091	-8315.66	17	1189.97	101	2176.39	101	-188.11	17	33.08	98	193.76	177	5029.43	125	11768.90	177
0	Max	-1811	-8315.66	17	1189.97	101	2176.39	101	-188.11	17	33.08	98	193.76	177	5029.43	125	11768.90	177
0	Min.	-2045	-161277.00	98	-1136.45	130	-1020.08	177	-4793.65	98	-28.64	173	-327.87	173	-3277.03	106	-51796.60	173
0	Min.	-2124	-161277.00	98	-1136.45	130	-1020.08	177	-4793.65	98	-28.64	173	-327.87	173	-3277.03	106	-51796.60	173
0	Min.	-2091	-161277.00	98	-1136.45	130	-1020.08	177	-4793.65	98	-28.64	173	-327.87	173	-3277.03	106	-51796.60	173
0	Min.	-1811	-161277.00	98	-1136.45	130	-1020.08	177	-4793.65	98	-28.64	173	-327.87	173	-3277.03	106	-51796.60	173
0	Max	-2046	-7318.32	65	6737.04	173	5595.62	177	-37.32	49	372.48	177	712.53	177	26263.90	177	69564.80	177
0	Max	-2019	-7318.32	65	6737.04	173	5595.62	177	-37.32	49	372.48	177	712.53	177	26263.90	177	69564.80	177
0	Max	-1533	-7318.32	65	6737.04	173	5595.62	177	-37.32	49	372.48	177	712.53	177	26263.90	177	69564.80	177
0	Max	-1812	-7318.32	65	6737.04	173	5595.62	177	-37.32	49	372.48	177	712.53	177	26263.90	177	69564.80	177
0	Min.	-2046	-164451.00	97	-3837.25	177	-12702.70	173	-5550.83	173	-846.33	173	-1779.89	173	-57998.60	173	-159758.00	173
0	Min.	-2019	-164451.00	97	-3837.25	177	-12702.70	173	-5550.83	173	-846.33	173	-1779.89	173	-57998.60	173	-159758.00	173
0	Min.	-1533	-164451.00	97	-3837.25	177	-12702.70	173	-5550.83	173	-846.33	173	-1779.89	173	-57998.60	173	-159758.00	173
0	Min.	-1812	-164451.00	97	-3837.25	177	-12702.70	173	-5550.83	173	-846.33	173	-1779.89	173	-57998.60	173	-159758.00	173
0	Max	-2019	2998.23	161	7529.86	173	12935.00	173	595.10	161	372.48	177	1602.64	173	26263.90	177	164026.00	173
0	Max	-2047	2998.23	161	7529.86	173	12935.00	173	595.10	161	372.48	177	1602.64	173	26263.90	177	164026.00	173
0	Max	-1813	2998.23	161	7529.86	173	12935.00	173	595.10	161	372.48	177	1602.64	173	26263.90	177	164026.00	173
0	Max	-1533	2998.23	161	7529.86	173	12935.00	173	595.10	161	372.48	177	1602.64	173	26263.90	177	164026.00	173
0	Min.	-2019	-164451.00	98	-3837.25	177	-5939.01	161	-5670.61	173	-932.50	173	-712.53	177	-66096.20	173	-69564.80	177
0	Min.	-2047	-164451.00	98	-3837.25	177	-5939.01	161	-5670.61	173	-932.50	173	-712.53	177	-66096.20	173	-69564.80	177
0	Min.	-1813	-164451.00	98	-3837.25	177	-5939.01	161	-5670.61	173	-932.50	173	-712.53	177	-66096.20	173	-69564.80	177
0	Min.	-1533	-164451.00	98	-3837.25	177	-5939.01	161	-5670.61	173	-932.50	173	-712.53	177	-66096.20	173	-69564.80	177
0	Max	-2047	2455.97	162	3340.39	177	2373.90	125	-177.68	17	648.12	173	475.09	173	45637.20	173	95925.00	173
0	Max	-2125	2455.97	162	3340.39	177	2373.90	125	-177.68	17	648.12	173	475.09	173	45637.20	173	95925.00	173
0	Max	-2089	2455.97	162	3340.39	177	2373.90	125	-177.68	17	648.12	173	475.09	173	45637.20	173	95925.00	173
0	Max	-1813	2455.97	162	3340.39	177	2373.90	125	-177.68	17	648.12	173	475.09	173	45637.20	173	95925.00	173
0	Min.	-2047	-160260.00	97	-8047.74	173	-1946.54	106	-5013.62	98	-298.91	177	-201.21	177	-21120.90	177	-31730.00	177
0	Min.	-2125	-160260.00	97	-8047.74	173	-1946.54	106	-5013.62	98	-298.91	177	-201.21	177	-21120.90	177	-31730.00	177
0	Min.	-2089	-160260.00	97	-8047.74	173	-1946.54	106	-5013.62	98	-298.91	177	-201.21	177	-21120.90	177	-31730.00	177
0	Min.	-1813	-160260.00	97	-8047.74	173	-1946.54	106	-5013.62	98	-298.91	177	-201.21	177	-21120.90	177	-31730.00	177
0	Max	-2048	-581.12	162	339.98	101	948.88	125	-180.95	65	28.95	173	457.84	173	3399.05	98	63040.10	173
0	Max	-2126	-581.12	162	339.98	101	948.88	125	-180.95	65	28.95	173	457.84	173	3399.05	98	63040.10	173
0	Max	-2087	-581.12	162	339.98	101	948.88	125	-180.95	65	28.95	173	457.84	173	3399.05	98	63040.10	173
0	Max	-1814	-581.12	162	339.98	101	948.88	125	-180.95	65	28.95	173	457.84	173	3399.05	98	63040.10	173
0	Min.	-2048	-147936.00	97	-1830.04	122	-2199.29	106	-4695.40	97	-58.25	177	-224.28	97	-2591.51	177	-15381.50	97
0	Min.	-2126	-147936.00	97	-1830.04	122	-2199.29	106	-4695.40	97	-58.25	177	-224.28	97	-2591.51	177	-15381.50	97
0	Min.	-2087	-147936.00	97	-1830.04	122	-2199.29	106	-4695.40	97	-58.25	177	-224.28	97	-2591.51	177	-15381.50	97
0	Min.	-1814	-147936.00	97	-1830.04	122	-2199.29	106	-4695.40	97	-58.25	177	-224.28	97	-2591.51	177	-15381.50	97
0	Max	-2049	-2070.72	162	729.61	98	874.29	125	-128.42	65	25.85	161	378.62	173	4337.31	173	62911.30	173
0	Max	-2050	-2070.72	162	729.61	98	874.29	125	-128.42	65	25.85	161	378.62	173	4337.31	173	62911.30	173
0	Max	-1816	-2070.72	162	729.61	98	874.29	125	-128.42	65	25.85	161	378.62	173	4337.31	173	62911.30	173
0	Max	-1815	-2070.72	162	729.61	98	874.29	125	-128.42	65	25.85	161	378.62	173	4337.31	173	62911.30	173
0	Min.	-2049	-125429.00	97	-1734.87	165	-6059.72	98	-3975.84	97	-158.29	177	-376.81	98	-10055.80	177	-15084.10	17
0	Min.	-2050	-125429.00	97	-1734.87	165	-6059.72	98	-3975.84	97	-158.29	177	-376.81	98	-10055.80	177	-15084.10	17
0	Min.	-1816	-125429.00	97	-1734.87	165	-6059.72	98	-3975.84	97	-158.29	177	-376.81	98	-10055.80	177	-15084.10	17
0	Min.	-1815	-125429.00	97	-1734.87	165	-6059.72	98	-3975.84	97	-158.29	177	-376.81	98	-10055.80	177	-15084.10	17
0	Max	-2050	5472.41	49	861.58	161	4593.29	177	782.67	106	154.09	177	484.60	177	9530.66	177	71797.50	173
0	Max	-2051	5472.41	49	861.58	161	4593.29	177	782.67	106	154.09	177	484.60	177	9530.66	177	71797.50	173
0	Max	-1817	5472.41	49	861.58	161	4593.29	177	782.67	106	154.09	177	484.60	177	9530.66	177	71797.50	173
0	Max	-1816	5472.41	49	861.58	161	4593.29	177	782.67	106	154.09	177	484.60	177	9530.66	177	71797.50	173
0	Min.	-2050	-88136.70	97	-6558.88	177	-1942.45	165	-1836.99	125	-33.08	161	-191.79	17	-5285.49	173	-17911.40	17
0	Min.	-2051	-88136.70	97	-6558.88	177	-1942.45	165	-1836.99	125	-33.08	161	-191.79	17	-5285.49	173	-17911.40	17
0	Min.	-1817	-88136.70	97	-6558.88	177	-1942.45	165	-1836.99	125	-33.08	161	-191.79	17	-5285.49	173	-17911.40	17
0	Min.	-1816	-88136.70	97	-6558.88	177	-1942.45	165	-1836.99	125	-33.08	161	-191.79	17	-5285.49	173	-17911.40	17
0	Max	-2051	25738.10	162	4888.84	173	4650.43	173	448.36	162	118.74	177	1156.46	173	9260.20	177	159816.00	173
0	Max	-2052	25738.10	162	4888.84	173	4650.43	173	448.36	162	118.74	177	1156.46	173	9260.20	177	159816.00	173
0	Max	-1818	25738.10	162	4888.84	173	4650.43	173	448.36	162	118.74	177	1156.46	173	9260.20	177	159816.00	173
0	Max	-1817	25738.10	162	4888.84	173	4650.43	173	448.36	162	118.74	177	1156.46	173	9260.20	177	159816.00	173
0	Min.	-2051	-142076.00	97	-5214.82	177	-4452.10	177	-4548.61	97	-199.85	173	-470.13	177	-7754.10	173	-51864.60	177
0	Min.	-2052	-142076.00	97	-5214.82	177	-4452.10	177	-4548.61	97	-199.85	173	-470.13	177	-7754.10	173	-51864.60	177
0	Min.	-1818	-142076.00	97	-5214.82	177	-4452.10	177	-4548.61	97	-199.85	173	-470.13	177	-7754.10	173	-51864.60	177
0	Min.	-1817	-142076.00	97	-5214.82	177	-4452.10	177	-4548.61	97	-199.85	173	-470.13	177	-7754.10	173	-51864.60	177
0	Max	-2052	26068.80	162	1504.32	161	504.89	161	399.98	130	194.66	173	581.84	173	8256.99	173	80922.70	173
0	Max	-2053	26068.80	162	1504.32	161	504.89	161	399.98	130	194.66	173	581.84	173	8256.99	173	80922.70	173
0	Max	-1819	26068.80	162	1504.32	161	504.89	161	399.98	130	194.66	173	581.84	173	8256.99	173	80922.70	173
0	Max	-1818	26068.80	162	1504.32	161	504.89	161	399.98	130	194.66	173	581.84	173	8256.99	173	80922.70	173
0	Min.	-2052	-97316.30	97	-4621.10	98	-6831.85	98	-1642.37	101	-130.49	177	-330.49	98	-10076.30	177	-21885.10	17
0	Min.	-2053	-97316.30	97	-4621.10	98	-6831.85	98	-1642.37	101	-130.49	177	-330.49	98	-10076.30	177	-21885.10	17
0	Min.	-1819	-97316.30	97	-4621.10	98	-6831.85	98	-1642.37	101	-130.49	177	-330.49	98	-10076.30	177	-21885.10	17
0	Min.	-1818	-97316.30	97	-4621.10	98	-6831.85	98	-1642.37	101	-130.49	177	-330.49	98	-10076.30	177	-21885.10	17
0	Max	-2053	27073.70	162	1399.62	177	-105.63	17	892.94	130	10.32	125	615.32	173	3925.00	98	73032.00	173
0	Max	-2054	27073.70	162	1399.62	177	-105.63	17	892.94	130	10.32	125	615.32	173	3925.00	98	73032.00	173
0	Max	-1820	27073.70	162	1399.62	177	-105.63	17	892.94	130	10.32	125	615.32	173	3925.00	98	73032.00	173
0	Max	-1819	27073.70	162	1399.62	177	-105.63	17	892.94	130	10.32	125	615.32	173	3925.00	98	73032.00	173
0	Min.	-2053	-76807.60	101	-1834.03	173	-3350.93	98	-1370.27	101	-32.30	98	-245.04	17	-953.37	161	-22526.30	17
0	Min.	-2054	-76807.60	101	-1834.03	173	-3350.93	98	-1370.27	101	-32.30	98	-245.04	17	-953.37	161	-22526.30	17
0	Min.	-1820	-76807.60	101	-1834.03	173	-3350.93	98	-1370.27	101	-32.30	98	-245.04	17	-953.37	161	-22526.30	17
0	Min.	-1819	-76807.60	101	-1834.03	173	-3350.93	98	-1370.27	101	-32.30	98	-245.04	17	-953.37	161	-22526.30	17
0	Max	-2054	33007.40	106	2614.17	98	-58.83	161	1609.66	106	36.55	173	502.06	173	4304.67	162	65961.60	173
0	Max	-2055	33007.40	106	2614.17	98	-58.83	161	1609.66	106	36.55	173	502.06	173	4304.67	162	65961.60	173
0	Max	-1821	33007.40	106	2614.17	98	-58.83	161	1609.66	106	36.55	173	502.06	173	4304.67	162	65961.60	173
0	Max	-1820	33007.40	106	2614.17	98	-58.83	161	1609.66	106	36.55	173	502.06	173	4304.67	162	65961.60	173
0	Min.	-2054	-65441.70	101	76.69	17	-5847.26	98	-886.09	101	-34.93	177	-242.22	17	-8955.49	97	-22140.10	17
0	Min.	-2055	-65441.70	101	76.69	17	-5847.26	98	-886.09	101	-34.93	177	-242.22	17	-8955.49	97	-22140.10	17
0	Min.	-1821	-65441.70	101	76.69	17	-5847.26	98	-886.09	101	-34.93	177	-242.22	17	-8955.49	97	-22140.10	17
0	Min.	-1820	-65441.70	101	76.69	17	-5847.26	98	-886.09	101	-34.93	177	-242.22	17	-8955.49	97	-22140.10	17
0	Max	-2055	52963.40	106	4711.72	98	1498.86	161	3264.93	98	34.26	126	201.28	177	8158.34	98	95184.50	173
0	Max	-2058	52963.40	106	4711.72	98	1498.86	161	3264.93	98	34.26	126	201.28	177	8158.34	98	95184.50	173
0	Max	-1934	52963.40	106	4711.72	98	1498.86	161	3264.93	98	34.26	126	201.28	177	8158.34	98	95184.50	173
0	Max	-1821	52963.40	106	4711.72	98	1498.86	161	3264.93	98	34.26	126	201.28	177	8158.34	98	95184.50	173
0	Min.	-2055	-50220.90	101	-1913.73	161	-4944.18	98	-125.83	125	-299.82	177	-529.19	98	-19040.90	177	-21096.00	162
0	Min.	-2058	-50220.90	101	-1913.73	161	-4944.18	98	-125.83	125	-299.82	177	-529.19	98	-19040.90	177	-21096.00	162
0	Min.	-1934	-50220.90	101	-1913.73	161	-4944.18	98	-125.83	125	-299.82	177	-529.19	98	-19040.90	177	-21096.00	162

0	Min.	-1821	-50220.90	101	-1913.73	161	-4944.18	98	-125.83	125	-299.82	177	-529.19	98	-19040.90	177	-21096.00	162
0	Max	-2058	54080.30	106	1016.46	162	8020.53	177	6419.87	98	255.10	177	748.36	177	18439.60	177	86614.50	177
0	Max	-2056	54080.30	106	1016.46	162	8020.53	177	6419.87	98	255.10	177	748.36	177	18439.60	177	86614.50	177
0	Max	-1822	54080.30	106	1016.46	162	8020.53	177	6419.87	98	255.10	177	748.36	177	18439.60	177	86614.50	177
0	Max	-1934	54080.30	106	1016.46	162	8020.53	177	6419.87	98	255.10	177	748.36	177	18439.60	177	86614.50	177
0	Min.	-2058	-47540.80	101	-3651.48	177	-2900.57	166	-283.63	161	-88.53	162	-202.59	17	-6468.73	162	-19010.80	162
0	Min.	-2056	-47540.80	101	-3651.48	177	-2900.57	166	-283.63	161	-88.53	162	-202.59	17	-6468.73	162	-19010.80	162
0	Min.	-1822	-47540.80	101	-3651.48	177	-2900.57	166	-283.63	161	-88.53	162	-202.59	17	-6468.73	162	-19010.80	162
0	Min.	-1934	-47540.80	101	-3651.48	177	-2900.57	166	-283.63	161	-88.53	162	-202.59	17	-6468.73	162	-19010.80	162
0	Max	-2056	62417.60	130	3545.88	98	1850.71	97	3294.14	130	234.82	177	571.70	173	16787.80	177	83009.90	173
0	Max	-2020	62417.60	130	3545.88	98	1850.71	97	3294.14	130	234.82	177	571.70	173	16787.80	177	83009.90	173
0	Max	-1539	62417.60	130	3545.88	98	1850.71	97	3294.14	130	234.82	177	571.70	173	16787.80	177	83009.90	173
0	Max	-1822	62417.60	130	3545.88	98	1850.71	97	3294.14	130	234.82	177	571.70	173	16787.80	177	83009.90	173
0	Min.	-2056	-76472.00	101	-6364.81	177	-4132.45	177	-641.23	101	-148.04	98	-554.71	177	-7350.46	98	-57700.10	177
0	Min.	-2020	-76472.00	101	-6364.81	177	-4132.45	177	-641.23	101	-148.04	98	-554.71	177	-7350.46	98	-57700.10	177
0	Min.	-1539	-76472.00	101	-6364.81	177	-4132.45	177	-641.23	101	-148.04	98	-554.71	177	-7350.46	98	-57700.10	177
0	Min.	-1822	-76472.00	101	-6364.81	177	-4132.45	177	-641.23	101	-148.04	98	-554.71	177	-7350.46	98	-57700.10	177
0	Max	-2021	57481.10	130	3255.64	177	314.09	106	3614.60	98	23.88	162	537.05	173	3162.77	173	36714.90	173
0	Max	-2057	57481.10	130	3255.64	177	314.09	106	3614.60	98	23.88	162	537.05	173	3162.77	173	36714.90	173
0	Max	-1933	57481.10	130	3255.64	177	314.09	106	3614.60	98	23.88	162	537.05	173	3162.77	173	36714.90	173
0	Max	-1600	57481.10	130	3255.64	177	314.09	106	3614.60	98	23.88	162	537.05	173	3162.77	173	36714.90	173
0	Min.	-2021	-48863.60	101	-828.00	173	-978.48	177	-117.77	1	-36.83	97	-89.61	17	-1622.43	162	-11019.00	17
0	Min.	-2057	-48863.60	101	-828.00	173	-978.48	177	-117.77	1	-36.83	97	-89.61	17	-1622.43	162	-11019.00	17
0	Min.	-1933	-48863.60	101	-828.00	173	-978.48	177	-117.77	1	-36.83	97	-89.61	17	-1622.43	162	-11019.00	17
0	Min.	-1600	-48863.60	101	-828.00	173	-978.48	177	-117.77	1	-36.83	97	-89.61	17	-1622.43	162	-11019.00	17
0	Max	-2057	56506.10	130	2399.23	177	528.49	162	3221.17	98	70.14	101	401.88	173	2888.24	162	28430.10	173
0	Max	-2022	56506.10	130	2399.23	177	528.49	162	3221.17	98	70.14	101	401.88	173	2888.24	162	28430.10	173
0	Max	-1601	56506.10	130	2399.23	177	528.49	162	3221.17	98	70.14	101	401.88	173	2888.24	162	28430.10	173
0	Max	-1933	56506.10	130	2399.23	177	528.49	162	3221.17	98	70.14	101	401.88	173	2888.24	162	28430.10	173
0	Min.	-2057	-49260.60	101	-125.55	49	-602.48	97	-177.44	1	-13.97	162	-80.31	17	-578.59	97	-10191.30	17
0	Min.	-2022	-49260.60	101	-125.55	49	-602.48	97	-177.44	1	-13.97	162	-80.31	17	-578.59	97	-10191.30	17
0	Min.	-1601	-49260.60	101	-125.55	49	-602.48	97	-177.44	1	-13.97	162	-80.31	17	-578.59	97	-10191.30	17
0	Min.	-1933	-49260.60	101	-125.55	49	-602.48	97	-177.44	1	-13.97	162	-80.31	17	-578.59	97	-10191.30	17
0	Max	-2022	47425.70	130	908.61	97	2587.07	130	2548.67	98	76.17	130	314.94	173	2113.75	106	23042.50	173
0	Max	-2023	47425.70	130	908.61	97	2587.07	130	2548.67	98	76.17	130	314.94	173	2113.75	106	23042.50	173
0	Max	-1602	47425.70	130	908.61	97	2587.07	130	2548.67	98	76.17	130	314.94	173	2113.75	106	23042.50	173
0	Max	-1601	47425.70	130	908.61	97	2587.07	130	2548.67	98	76.17	130	314.94	173	2113.75	106	23042.50	173
0	Min.	-2022	-38036.80	101	-1067.91	166	-2656.74	101	-598.54	101	-138.90	177	-61.72	17	-9490.66	177	-8125.58	65
0	Min.	-2023	-38036.80	101	-1067.91	166	-2656.74	101	-598.54	101	-138.90	177	-61.72	17	-9490.66	177	-8125.58	65
0	Min.	-1602	-38036.80	101	-1067.91	166	-2656.74	101	-598.54	101	-138.90	177	-61.72	17	-9490.66	177	-8125.58	65
0	Min.	-1601	-38036.80	101	-1067.91	166	-2656.74	101	-598.54	101	-138.90	177	-61.72	17	-9490.66	177	-8125.58	65
0	Max	-2023	35208.00	106	2748.08	130	4187.26	177	2060.57	98	142.16	177	502.92	177	9562.33	177	60356.00	177
0	Max	-2024	35208.00	106	2748.08	130	4187.26	177	2060.57	98	142.16	177	502.92	177	9562.33	177	60356.00	177
0	Max	-1603	35208.00	106	2748.08	130	4187.26	177	2060.57	98	142.16	177	502.92	177	9562.33	177	60356.00	177
0	Max	-1602	35208.00	106	2748.08	130	4187.26	177	2060.57	98	142.16	177	502.92	177	9562.33	177	60356.00	177
0	Min.	-2023	-23772.40	177	-6140.66	177	-1851.40	166	-282.84	161	-48.64	130	-116.29	162	-215.07	17	-30006.30	130
0	Min.	-2024	-23772.40	177	-6140.66	177	-1851.40	166	-282.84	161	-48.64	130	-116.29	162	-215.07	17	-30006.30	130
0	Min.	-1603	-23772.40	177	-6140.66	177	-1851.40	166	-282.84	161	-48.64	130	-116.29	162	-215.07	17	-30006.30	130
0	Min.	-1602	-23772.40	177	-6140.66	177	-1851.40	166	-282.84	161	-48.64	130	-116.29	162	-215.07	17	-30006.30	130
0	Max	-2024	64908.10	130	1544.51	98	1298.95	101	3181.69	158	137.93	177	182.88	97	9635.12	177	23690.60	101
0	Max	-2025	64908.10	130	1544.51	98	1298.95	101	3181.69	158	137.93	177	182.88	97	9635.12	177	23690.60	101
0	Max	-1604	64908.10	130	1544.51	98	1298.95	101	3181.69	158	137.93	177	182.88	97	9635.12	177	23690.60	101
0	Max	-1603	64908.10	130	1544.51	98	1298.95	101	3181.69	158	137.93	177	182.88	97	9635.12	177	23690.60	101
0	Min.	-2024	-54024.70	101	-5807.79	177	-4930.40	177	-2102.59	101	-66.80	101	-480.23	177	-1123.49	101	-59802.40	177
0	Min.	-2025	-54024.70	101	-5807.79	177	-4930.40	177	-2102.59	101	-66.80	101	-480.23	177	-1123.49	101	-59802.40	177
0	Min.	-1604	-54024.70	101	-5807.79	177	-4930.40	177	-2102.59	101	-66.80	101	-480.23	177	-1123.49	101	-59802.40	177
0	Min.	-1603	-54024.70	101	-5807.79	177	-4930.40	177	-2102.59	101	-66.80	101	-480.23	177	-1123.49	101	-59802.40	177
0	Max	-2025	45428.70	130	2956.20	130	3022.40	130	1007.82	122	45.16	101	135.05	173	1185.29	97	12354.50	1
0	Max	-2026	45428.70	130	2956.20	130	3022.40	130	1007.82	122	45.16	101	135.05	173	1185.29	97	12354.50	1
0	Max	-1605	45428.70	130	2956.20	130	3022.40	130	1007.82	122	45.16	101	135.05	173	1185.29	97	12354.50	1
0	Max	-1604	45428.70	130	2956.20	130	3022.40	130	1007.82	122	45.16	101	135.05	173	1185.29	97	12354.50	1
0	Min.	-2025	-37796.50	101	-2550.81	101	-2690.90	101	-798.10	101	-137.63	177	-134.51	177	-9656.56	177	-18413.60	158
0	Min.	-2026	-37796.50	101	-2550.81	101	-2690.90	101	-798.10	101	-137.63	177	-134.51	177	-9656.56	177	-18413.60	158
0	Min.	-1605	-37796.50	101	-2550.81	101	-2690.90	101	-798.10	101	-137.63	177	-134.51	177	-9656.56	177	-18413.60	158
0	Min.	-1604	-37796.50	101	-2550.81	101	-2690.90	101	-798.10	101	-137.63	177	-134.51	177	-9656.56	177	-18413.60	158
0	Max	-2026	30663.50	130	5029.90	177	743.72	130	768.57	158	41.44	158	140.40	1	1449.59	177	15024.30	1
0	Max	-2027	30663.50	130	5029.90	177	743.72	130	768.57	158	41.44	158	140.40	1	1449.59	177	15024.30	1
0	Max	-1606	30663.50	130	5029.90	177	743.72	130	768.57	158	41.44	158	140.40	1	1449.59	177	15024.30	1
0	Max	-1605	30663.50	130	5029.90	177	743.72	130	768.57	158	41.44	158	140.40	1	1449.59	177	15024.30	1
0	Min.	-2026	-25428.70	101	-1216.62	101	-643.28	101	-740.32	101	-38.56	101	-178.25	166	-962.12	101	-20676.50	158
0	Min.	-2027	-25428.70	101	-1216.62	101	-643.28	101	-740.32	101	-38.56	101	-178.25	166	-962.12	101	-20676.50	158
0	Min.	-1606	-25428.70	101	-1216.62	101	-643.28	101	-740.32	101	-38.56	101	-178.25	166	-962.12	101	-20676.50	158
0	Min.	-1605	-25428.70	101	-1216.62	101	-643.28	101	-740.32	101	-38.56	101	-178.25	166	-962.12	101	-20676.50	158
0	Max	-2027	18864.90	130	10286.50	177	3212.20	130	198.94	158	52.32	1	109.19	1	3478.01	1	18274.00	1
0	Max	-2028	18864.90	130	10286.50	177	3212.20	130	198.94	158	52.32	1	109.19	1	3478.01	1	18274.00	1
0	Max	-1617	18864.90	130	10286.50	177	3212.20	130	198.94	158	52.32	1	109.19	1	3478.01	1	18274.00	1
0	Max	-1606	18864.90	130	10286.50	177	3212.20	130	198.94	158	52.32	1	109.19	1	3478.01	1	18274.00	1
0	Min.	-2027	-15667.90	101	-2462.82	173	-2687.91	101	-229.18	101	-61.07	158	-123.08	166	-3493.05	158	-24913.00	158
0	Min.	-2028	-15667.90	101	-2462.82	173	-2687.91	101	-229.18	101	-61.07	158	-123.08	166	-3493.05	158	-24913.00	158
0	Min.	-1617	-15667.90	101	-2462.82	173	-2687.91	101	-229.18	101	-61.07	158	-123.08	166	-3493.05	158	-24913.00	158
0	Min.	-1606	-15667.90	101	-2462.82	173	-2687.91	101	-229.18	101	-61.07	158	-123.08	166	-3493.05	158	-24913.00	158
0	Max	-2074	-14693.10	1	4107.74	173	4770.25	125	-397.58	17	794.49	173	167.44	65	34591.30	97	2661.63	130
0	Max	-1372	-14693.10	1	4107.74	173	4770.25	125	-397.58	17	794.49	173	167.44	65	34591.30	97	2661.63	130
0	Max	-1714	-14693.10	1	4107.74	173	4770.25	125	-397.58	17	794.49	173	167.44	65	34591.30	97	2661.63	130
0	Max	-2078	-14693.10	1	4107.74	173	4770.25	125	-397.58	17	794.49	173	167.44	65	34591.30	97	2661.63	130
0	Min.	-2074	-160694.00	98	-5682.42	177	-24353.10	158	-6031.25	98	-2850.27	98	-493.95	173	-1248.95	17	-32217.30	97
0	Min.	-1372	-160694.00	98	-5682.42	177	-24353.10	158	-6031.25	98	-2850.27	98	-493.95	173	-1248.95	17	-32217.30	97
0	Min.	-1714	-160694.00	98	-5682.42	177	-24353.10	158	-6031.25	98	-2850.27	98	-493.95	173	-1248.95	17	-32217.30	97
0	Min.	-2078	-160694.00	98	-5682.42	177	-24353.10	158	-6031.25	98	-2850.27	98	-493.95	173	-1248.95	17	-32217.30	97
0	Max	-2073	-16592.60	33	6399.61	173	3765.90	125	-436.62	33	1050.80	173	184.00	97	14590.60	173	26809.40	98
0	Max	-1373	-16592.60	33	6399.61	173	3765.90	125	-436.62	33	1050.80	173	184.00	97	14590.60	173	26809.40	98
0	Max	-1715	-16592.60	33	6399.61	173	3765.90	125	-436.62	33	1050.80	173	184.00	97	14590.60	173	26809.40	98
0	Max	-2076	-16592.60	33	6399.61	173	3765.90	125	-436.62	33	1050.80	173	184.00	97	14590.60	173	26809.40	98
0	Min.	-2073	-169909.00	98	-6278.45	177	-5045.29	158	-5744.28	98	-2795.26	98	-131.23	173	-1315.03	17	-4755.09	101
0	Min.	-1373	-169909.00	98	-6278.45	177	-5045.29	158	-5744.28	98	-2795.26	98	-131.23	173	-1315.03	17	-4755.09	101
0	Min.	-1715	-169909.00	98	-6278.45	177	-5045.29	158	-5744.28	98	-2795.26	98	-131.23	173	-1315.03	17	-4755.09	101
0	Min.	-2076	-169909.00	98	-6278.45	177	-5045.29	158	-5744.28	98	-2795.26	98	-131.23	173	-1315.03	17	-4755.09	101
0	Max	-2072	-14999.60	162	9753.41	158	2807.44	125	-412.08	33	663.08	173	446.40	173	35516.10	98	6078.17	173
0	Max	-1376	-14999.60	162	9753.41	158	2807.44	125	-412.08	33	663.08	173	446.40	173	35516.10	98	6078.17	173
0	Max	-1717	-14999.60	162	9753.41	158	2807.44	125	-412.08	33	663.08	173	446.40	173	35516.10	98	6078.17	173
0	Max	-2070	-14999.60	162	9753.41	158	2807.44	125	-412.08	33	663.08	173	446.40	173	35516.10	98	6078.17	173
0	Min.	-2072	-170954.00	97	-5548.45	177	-28812.40	158	-6198.43	97	-2969.73	97	-166.02	98	-1256.94	65	-9507.21	97
0	Min.	-1376	-170954.00	97	-5548.45	177	-28812.40	158	-6198.43	97	-2969.73	97	-166.02	98	-1256.94	65	-9507.21	97
0	Min.	-1717	-170954.00	97	-5548.45	177	-28812.40	158	-6198.43	97	-2969.73	97	-166.02	98	-1256.94	65	-9507.21	97
0	Min.	-2070	-170954.00	97	-5548.45	177	-28812.40	158	-6198.43	97	-2969.73	97	-166.02	98	-1256.94	65	-9507.21	97

0	Max	-2068	-8044.65	162	10898.40	158	2672.86	125	-360.56	65	466.12	173	487.63	173	13229.70	98	52097.60	98
0	Max	-1377	-8044.65	162	10898.40	158	2672.86	125	-360.56	65	466.12	173	487.63	173	13229.70	98	52097.60	98
0	Max	-1718	-8044.65	162	10898.40	158	2672.86	125	-360.56	65	466.12	173	487.63	173	13229.70	98	52097.60	98
0	Max	-2066	-8044.65	162	10898.40	158	2672.86	125	-360.56	65	466.12	173	487.63	173	13229.70	98	52097.60	98
0	Min.	-2068	-163057.00	97	-5042.70	177	-6718.28	158	-5050.01	97	-2407.21	97	-208.39	17	-1258.92	101	-781.35	101
0	Min.	-1377	-163057.00	97	-5042.70	177	-6718.28	158	-5050.01	97	-2407.21	97	-208.39	17	-1258.92	101	-781.35	101
0	Min.	-1718	-163057.00	97	-5042.70	177	-6718.28	158	-5050.01	97	-2407.21	97	-208.39	17	-1258.92	101	-781.35	101
0	Min.	-2066	-163057.00	97	-5042.70	177	-6718.28	158	-5050.01	97	-2407.21	97	-208.39	17	-1258.92	101	-781.35	101
0	Max	-2070	-13930.00	162	4869.13	173	2051.63	161	-428.77	33	613.84	173	195.04	173	31543.10	98	9937.44	98
0	Max	-1717	-13930.00	162	4869.13	173	2051.63	161	-428.77	33	613.84	173	195.04	173	31543.10	98	9937.44	98
0	Max	-1794	-13930.00	162	4869.13	173	2051.63	161	-428.77	33	613.84	173	195.04	173	31543.10	98	9937.44	98
0	Max	-2064	-13930.00	162	4869.13	173	2051.63	161	-428.77	33	613.84	173	195.04	173	31543.10	98	9937.44	98
0	Min.	-2070	-170607.00	97	-5145.73	177	-5371.57	158	-5791.49	97	-1704.70	97	-126.92	17	-2284.11	173	-2849.04	101
0	Min.	-1717	-170607.00	97	-5145.73	177	-5371.57	158	-5791.49	97	-1704.70	97	-126.92	17	-2284.11	173	-2849.04	101
0	Min.	-1794	-170607.00	97	-5145.73	177	-5371.57	158	-5791.49	97	-1704.70	97	-126.92	17	-2284.11	173	-2849.04	101
0	Min.	-2064	-170607.00	97	-5145.73	177	-5371.57	158	-5791.49	97	-1704.70	97	-126.92	17	-2284.11	173	-2849.04	101
0	Max	-2066	-6892.52	162	4002.14	173	2105.24	161	-380.53	33	376.46	173	340.63	173	20894.50	98	33933.30	98
0	Max	-1718	-6892.52	162	4002.14	173	2105.24	161	-380.53	33	376.46	173	340.63	173	20894.50	98	33933.30	98
0	Max	-1795	-6892.52	162	4002.14	173	2105.24	161	-380.53	33	376.46	173	340.63	173	20894.50	98	33933.30	98
0	Max	-2062	-6892.52	162	4002.14	173	2105.24	161	-380.53	33	376.46	173	340.63	173	20894.50	98	33933.30	98
0	Min.	-2066	-161228.00	97	-4940.68	177	-7018.12	158	-4987.32	97	-1551.68	97	-210.79	17	-1597.46	65	-1024.36	101
0	Min.	-1718	-161228.00	97	-4940.68	177	-7018.12	158	-4987.32	97	-1551.68	97	-210.79	17	-1597.46	65	-1024.36	101
0	Min.	-1795	-161228.00	97	-4940.68	177	-7018.12	158	-4987.32	97	-1551.68	97	-210.79	17	-1597.46	65	-1024.36	101
0	Min.	-2062	-161228.00	97	-4940.68	177	-7018.12	158	-4987.32	97	-1551.68	97	-210.79	17	-1597.46	65	-1024.36	101
0	Max	-2061	-7399.00	162	9389.62	158	12538.50	158	-315.11	65	421.31	173	553.11	173	2361.04	173	54926.60	98
0	Max	-1695	-7399.00	162	9389.62	158	12538.50	158	-315.11	65	421.31	173	553.11	173	2361.04	173	54926.60	98
0	Max	-1377	-7399.00	162	9389.62	158	12538.50	158	-315.11	65	421.31	173	553.11	173	2361.04	173	54926.60	98
0	Max	-2068	-7399.00	162	9389.62	158	12538.50	158	-315.11	65	421.31	173	553.11	173	2361.04	173	54926.60	98
0	Min.	-2061	-160440.00	97	-5330.86	177	-1693.04	177	-4966.29	97	-2353.87	97	-448.02	98	-20447.30	97	-873.40	101
0	Min.	-1695	-160440.00	97	-5330.86	177	-1693.04	177	-4966.29	97	-2353.87	97	-448.02	98	-20447.30	97	-873.40	101
0	Min.	-1377	-160440.00	97	-5330.86	177	-1693.04	177	-4966.29	97	-2353.87	97	-448.02	98	-20447.30	97	-873.40	101
0	Min.	-2068	-160440.00	97	-5330.86	177	-1693.04	177	-4966.29	97	-2353.87	97	-448.02	98	-20447.30	97	-873.40	101
0	Max	-2084	-14423.60	162	8413.46	157	33451.10	158	-364.26	65	490.10	173	517.76	173	5978.70	173	9623.80	173
0	Max	-1694	-14423.60	162	8413.46	157	33451.10	158	-364.26	65	490.10	173	517.76	173	5978.70	173	9623.80	173
0	Max	-1376	-14423.60	162	8413.46	157	33451.10	158	-364.26	65	490.10	173	517.76	173	5978.70	173	9623.80	173
0	Max	-2072	-14423.60	162	8413.46	157	33451.10	158	-364.26	65	490.10	173	517.76	173	5978.70	173	9623.80	173
0	Min.	-2084	-168679.00	97	-6106.45	177	-1587.69	177	-6119.39	97	-2907.32	97	-138.45	106	-43048.70	97	-7380.95	97
0	Min.	-1694	-168679.00	97	-6106.45	177	-1587.69	177	-6119.39	97	-2907.32	97	-138.45	106	-43048.70	97	-7380.95	97
0	Min.	-1376	-168679.00	97	-6106.45	177	-1587.69	177	-6119.39	97	-2907.32	97	-138.45	106	-43048.70	97	-7380.95	97
0	Min.	-2072	-168679.00	97	-6106.45	177	-1587.69	177	-6119.39	97	-2907.32	97	-138.45	106	-43048.70	97	-7380.95	97
0	Max	-2085	-15474.60	17	7535.89	173	11888.60	158	-394.61	65	882.96	173	138.42	101	15555.10	173	28642.20	98
0	Max	-1866	-15474.60	17	7535.89	173	11888.60	158	-394.61	65	882.96	173	138.42	101	15555.10	173	28642.20	98
0	Max	-1373	-15474.60	17	7535.89	173	11888.60	158	-394.61	65	882.96	173	138.42	101	15555.10	173	28642.20	98
0	Max	-2073	-15474.60	17	7535.89	173	11888.60	158	-394.61	65	882.96	173	138.42	101	15555.10	173	28642.20	98
0	Min.	-2085	-168470.00	98	-6822.79	177	-2057.55	173	-5683.45	98	-2729.77	98	-199.64	173	-21781.90	98	-5324.59	101
0	Min.	-1866	-168470.00	98	-6822.79	177	-2057.55	173	-5683.45	98	-2729.77	98	-199.64	173	-21781.90	98	-5324.59	101
0	Min.	-1373	-168470.00	98	-6822.79	177	-2057.55	173	-5683.45	98	-2729.77	98	-199.64	173	-21781.90	98	-5324.59	101
0	Min.	-2073	-168470.00	98	-6822.79	177	-2057.55	173	-5683.45	98	-2729.77	98	-199.64	173	-21781.90	98	-5324.59	101
0	Max	-2086	-13717.40	17	5211.17	173	32816.70	158	-356.58	17	550.65	173	335.44	97	10133.60	173	3546.97	130
0	Max	-1865	-13717.40	17	5211.17	173	32816.70	158	-356.58	17	550.65	173	335.44	97	10133.60	173	3546.97	130
0	Max	-1372	-13717.40	17	5211.17	173	32816.70	158	-356.58	17	550.65	173	335.44	97	10133.60	173	3546.97	130
0	Max	-2074	-13717.40	17	5211.17	173	32816.70	158	-356.58	17	550.65	173	335.44	97	10133.60	173	3546.97	130
0	Min.	-2086	-159661.00	98	-5597.07	177	-3436.36	173	-5987.61	98	-2793.12	98	-638.92	173	-41837.70	98	-32511.10	97
0	Min.	-1865	-159661.00	98	-5597.07	177	-3436.36	173	-5987.61	98	-2793.12	98	-638.92	173	-41837.70	98	-32511.10	97
0	Min.	-1372	-159661.00	98	-5597.07	177	-3436.36	173	-5987.61	98	-2793.12	98	-638.92	173	-41837.70	98	-32511.10	97
0	Min.	-2074	-159661.00	98	-5597.07	177	-3436.36	173	-5987.61	98	-2793.12	98	-638.92	173	-41837.70	98	-32511.10	97
0	Max	-2087	-4985.49	162	104.70	1	6395.28	158	-160.01	65	116.64	173	614.09	173	6601.30	173	19289.70	98
0	Max	-1815	-4985.49	162	104.70	1	6395.28	158	-160.01	65	116.64	173	614.09	173	6601.30	173	19289.70	98
0	Max	-2145	-4985.49	162	104.70	1	6395.28	158	-160.01	65	116.64	173	614.09	173	6601.30	173	19289.70	98
0	Max	-2146	-4985.49	162	104.70	1	6395.28	158	-160.01	65	116.64	173	614.09	173	6601.30	173	19289.70	98
0	Min.	-2087	-147231.00	97	-4680.59	177	-789.88	101	-4367.56	97	-82.15	97	-562.76	98	-4619.06	157	-969.35	1
0	Min.	-1815	-147231.00	97	-4680.59	177	-789.88	101	-4367.56	97	-82.15	97	-562.76	98	-4619.06	157	-969.35	1
0	Min.	-2145	-147231.00	97	-4680.59	177	-789.88	101	-4367.56	97	-82.15	97	-562.76	98	-4619.06	157	-969.35	1
0	Min.	-2146	-147231.00	97	-4680.59	177	-789.88	101	-4367.56	97	-82.15	97	-562.76	98	-4619.06	157	-969.35	1
0	Max	-2089	-6320.57	162	872.72	125	8600.27	158	-214.69	17	231.46	173	691.82	173	2480.89	173	15190.10	173
0	Max	-1814	-6320.57	162	872.72	125	8600.27	158	-214.69	17	231.46	173	691.82	173	2480.89	173	15190.10	173
0	Max	-2147	-6320.57	162	872.72	125	8600.27	158	-214.69	17	231.46	173	691.82	173	2480.89	173	15190.10	173
0	Max	-2148	-6320.57	162	872.72	125	8600.27	158	-214.69	17	231.46	173	691.82	173	2480.89	173	15190.10	173
0	Min.	-2089	-160167.00	97	-4061.92	177	-867.31	101	-4892.32	97	-146.73	177	-285.45	98	-13296.10	98	-7080.80	125
0	Min.	-1814	-160167.00	97	-4061.92	177	-867.31	101	-4892.32	97	-146.73	177	-285.45	98	-13296.10	98	-7080.80	125
0	Min.	-2147	-160167.00	97	-4061.92	177	-867.31	101	-4892.32	97	-146.73	177	-285.45	98	-13296.10	98	-7080.80	125
0	Min.	-2148	-160167.00	97	-4061.92	177	-867.31	101	-4892.32	97	-146.73	177	-285.45	98	-13296.10	98	-7080.80	125
0	Max	-2091	-9255.21	17	4980.08	173	8167.79	158	-214.99	65	371.12	173	249.45	177	14631.50	125	20234.30	173
0	Max	-1812	-9255.21	17	4980.08	173	8167.79	158	-214.99	65	371.12	173	249.45	177	14631.50	125	20234.30	173
0	Max	-2151	-9255.21	17	4980.08	173	8167.79	158	-214.99	65	371.12	173	249.45	177	14631.50	125	20234.30	173
0	Max	-2152	-9255.21	17	4980.08	173	8167.79	158	-214.99	65	371.12	173	249.45	177	14631.50	125	20234.30	173
0	Min.	-2091	-160880.00	98	-6474.87	177	-6552.24	173	-5411.23	173	-243.99	177	-438.38	173	-21267.50	177	-7795.28	101
0	Min.	-1812	-160880.00	98	-6474.87	177	-6552.24	173	-5411.23	173	-243.99	177	-438.38	173	-21267.50	177	-7795.28	101
0	Min.	-2151	-160880.00	98	-6474.87	177	-6552.24	173	-5411.23	173	-243.99	177	-438.38	173	-21267.50	177	-7795.28	101
0	Min.	-2152	-160880.00	98	-6474.87	177	-6552.24	173	-5411.23	173	-243.99	177	-438.38	173	-21267.50	177	-7795.28	101
0	Max	-2093	-7363.22	17	314.76	101	4819.04	158	-199.67	17	45.81	17	404.51	97	94.33	65	3977.54	130
0	Max	-1811	-7363.22	17	314.76	101	4819.04	158	-199.67	17	45.81	17	404.51	97	94.33	65	3977.54	130
0	Max	-2153	-7363.22	17	314.76	101	4819.04	158	-199.67	17	45.81	17	404.51	97	94.33	65	3977.54	130
0	Max	-2154	-7363.22	17	314.76	101	4819.04	158	-199.67	17	45.81	17	404.51	97	94.33	65	3977.54	130
0	Min.	-2093	-149974.00	98	-4073.07	177	-3364.99	173	-4783.77	98	-177.59	173	-354.77	173	-16356.90	97	-18905.60	173
0	Min.	-1811	-149974.00	98	-4073.07	177	-3364.99	173	-4783.77	98	-177.59	173	-354.77	173	-16356.90	97	-18905.60	173
0	Min.	-2153	-149974.00	98	-4073.07	177	-3364.99	173	-4783.77	98	-177.59	173	-354.77	173	-16356.90	97	-18905.60	173
0	Min.	-2154	-149974.00	98	-4073.07	177	-3364.99	173	-4783.77	98	-177.59	173	-354.77	173	-16356.90	97	-18905.60	173
0	Max	-2088	-7387.07	162	3700.93	173	11477.20	158	-230.31	65	298.03	173	646.17	173	3850.60	173	22712.60	98
0	Max	-1775	-7387.07	162	3700.93	173	11477.20	158	-230.31	65	298.03	173	646.17	173	3850.60	173	22712.60	98
0	Max	-1394	-7387.07	162	3700.93	173	11477.20	158	-230.31	65	298.03	173	646.17	173	3850.60	173	22712.60	98
0	Max	-2095	-7387.07	162	3700.93	173	11477.20	158	-230.31	65	298.03	173	646.17	173	3850.60	173	22712.60	98
0	Min.	-2088	-155890.00	97	-4617.84	177	-906.73	177	-4660.89	97	-800.19	97	-620.83	98	-25436.30	97	-917.14	1
0	Min.	-1775	-155890.00	97	-4617.84	177	-906.73	177	-4660.89	97	-800.19	97	-620.83	98	-25436.30	97	-917.14	1
0	Min.	-1394	-155890.00	97	-4617.84	177	-906.73	177	-4660.89	97	-800.19	97	-620.83	98	-25436.30	97	-917.14	1
0	Min.	-2095	-155890.00	97	-4617.84	177	-906.73	177	-4660.89	97	-800.19	97	-620.83	98	-25436.30	97	-917.14	1
0	Max	-2090	-12134.30	65	5604.96	173	12728.80	158	-279.87	65	256.37	173	448.32	173	3765.58	173	12317.80	98
0	Max	-1774	-12134.30	65	5604.96	173	12728.80	158	-279.87	65	256.37	173	448.32	173	3765.58	173	12317.80	98
0	Max	-1395	-12134.30	65	5604.96	173	12728.80	158	-279.87	65	256.37	173	448.32	173	3765.58	173	12317.80	98
0	Max	-2096	-12134.30	65	5604.96	173	12728.80	158	-279.87	65	256.37	173	448.32	173	3765.58	173	12317.80	98
0	Min.	-2090	-164873.00	97	-6139.13	177	-2403.31	177	-5280.42	97	-810.51	97	-264.94	98	-35294.00	97	-3713.24	101
0	Min.	-1774	-164873.00	97	-6139.13	177	-2403.31	177	-5280.42	97	-810.51	97	-264.94	98	-35294.00	97	-3713.24	101
0	Min.	-1395	-164873.00	97	-6139.13	177	-2403.31	177	-5280.42	97	-810.51	97	-264.94	98	-35294.00	97	-3713.24	101
0	Min.	-2096	-164873.00	97	-6139.13	177	-2403.31	177	-5280.42	97	-810.51	97	-264.94	98	-35294.00	97	-3713.24	101
0	Max	-2092	-11786.30	17	8444.48	173	12623.00	158	-308.47	65	126.55	17	181.13	101	113546.00	173	5223.75	130

0	Max	-1772	-11786.30	17	8444.48	173	12623.00	158	-308.47	65	126.55	17	181.13	101	113546.00	173	5223.75	130
0	Max	-1397	-11786.30	17	8444.48	173	12623.00	158	-308.47	65	126.55	17	181.13	101	113546.00	173	5223.75	130
0	Max	-2097	-11786.30	17	8444.48	173	12623.00	158	-308.47	65	126.55	17	181.13	101	113546.00	173	5223.75	130
0	Min.	-2092	-163906.00	98	-8120.04	177	-4951.87	173	-5884.44	173	-1577.66	173	-337.23	173	-31604.80	98	-112065.00	173
0	Min.	-1772	-163906.00	98	-8120.04	177	-4951.87	173	-5884.44	173	-1577.66	173	-337.23	173	-31604.80	98	-112065.00	173
0	Min.	-1397	-163906.00	98	-8120.04	177	-4951.87	173	-5884.44	173	-1577.66	173	-337.23	173	-31604.80	98	-112065.00	173
0	Min.	-2097	-163906.00	98	-8120.04	177	-4951.87	173	-5884.44	173	-1577.66	173	-337.23	173	-31604.80	98	-112065.00	173
0	Max	-2094	-10071.90	17	2559.10	173	10618.20	158	-271.80	17	117.73	17	482.26	97	6253.59	173	4192.39	130
0	Max	-1771	-10071.90	17	2559.10	173	10618.20	158	-271.80	17	117.73	17	482.26	97	6253.59	173	4192.39	130
0	Max	-1398	-10071.90	17	2559.10	173	10618.20	158	-271.80	17	117.73	17	482.26	97	6253.59	173	4192.39	130
0	Max	-2098	-10071.90	17	2559.10	173	10618.20	158	-271.80	17	117.73	17	482.26	97	6253.59	173	4192.39	130
0	Min.	-2094	-153527.00	98	-5380.62	177	-4324.01	173	-5181.04	98	-776.04	98	-561.90	173	-31698.80	98	-21098.30	173
0	Min.	-1771	-153527.00	98	-5380.62	177	-4324.01	173	-5181.04	98	-776.04	98	-561.90	173	-31698.80	98	-21098.30	173
0	Min.	-1398	-153527.00	98	-5380.62	177	-4324.01	173	-5181.04	98	-776.04	98	-561.90	173	-31698.80	98	-21098.30	173
0	Min.	-2098	-153527.00	98	-5380.62	177	-4324.01	173	-5181.04	98	-776.04	98	-561.90	173	-31698.80	98	-21098.30	173
0	Max	-2095	-6122.34	162	3250.86	173	12473.40	157	-268.53	65	355.13	173	631.96	173	2930.01	173	36225.30	98
0	Max	-1394	-6122.34	162	3250.86	173	12473.40	157	-268.53	65	355.13	173	631.96	173	2930.01	173	36225.30	98
0	Max	-1695	-6122.34	162	3250.86	173	12473.40	157	-268.53	65	355.13	173	631.96	173	2930.01	173	36225.30	98
0	Max	-2061	-6122.34	162	3250.86	173	12473.40	157	-268.53	65	355.13	173	631.96	173	2930.01	173	36225.30	98
0	Min.	-2095	-155688.00	97	-5224.24	177	-4703.32	98	-4819.32	97	-1558.24	97	-623.26	98	-30317.80	97	-795.36	1
0	Min.	-1394	-155688.00	97	-5224.24	177	-4703.32	98	-4819.32	97	-1558.24	97	-623.26	98	-30317.80	97	-795.36	1
0	Min.	-1695	-155688.00	97	-5224.24	177	-4703.32	98	-4819.32	97	-1558.24	97	-623.26	98	-30317.80	97	-795.36	1
0	Min.	-2061	-155688.00	97	-5224.24	177	-4703.32	98	-4819.32	97	-1558.24	97	-623.26	98	-30317.80	97	-795.36	1
0	Max	-2096	-13207.20	162	5187.75	173	10262.00	157	-318.11	65	306.19	173	531.93	173	5397.84	173	10871.60	173
0	Max	-1395	-13207.20	162	5187.75	173	10262.00	157	-318.11	65	306.19	173	531.93	173	5397.84	173	10871.60	173
0	Max	-1694	-13207.20	162	5187.75	173	10262.00	157	-318.11	65	306.19	173	531.93	173	5397.84	173	10871.60	173
0	Max	-2084	-13207.20	162	5187.75	173	10262.00	157	-318.11	65	306.19	173	531.93	173	5397.84	173	10871.60	173
0	Min.	-2096	-165091.00	97	-6431.37	177	-3564.53	106	-5678.25	97	-1743.96	97	-139.00	98	-41832.10	97	-2443.68	101
0	Min.	-1395	-165091.00	97	-6431.37	177	-3564.53	106	-5678.25	97	-1743.96	97	-139.00	98	-41832.10	97	-2443.68	101
0	Min.	-1694	-165091.00	97	-6431.37	177	-3564.53	106	-5678.25	97	-1743.96	97	-139.00	98	-41832.10	97	-2443.68	101
0	Min.	-2084	-165091.00	97	-6431.37	177	-3564.53	106	-5678.25	97	-1743.96	97	-139.00	98	-41832.10	97	-2443.68	101
0	Max	-2097	-13699.80	17	8369.34	173	15649.10	157	-345.77	65	138.70	17	139.34	101	56877.60	173	11446.70	98
0	Max	-1397	-13699.80	17	8369.34	173	15649.10	157	-345.77	65	138.70	17	139.34	101	56877.60	173	11446.70	98
0	Max	-1866	-13699.80	17	8369.34	173	15649.10	157	-345.77	65	138.70	17	139.34	101	56877.60	173	11446.70	98
0	Max	-2085	-13699.80	17	8369.34	173	15649.10	157	-345.77	65	138.70	17	139.34	101	56877.60	173	11446.70	98
0	Min.	-2097	-166395.00	98	-7562.16	177	-2761.46	173	-5523.00	98	-1828.05	98	-386.25	173	-33876.30	98	-10904.10	173
0	Min.	-1397	-166395.00	98	-7562.16	177	-2761.46	173	-5523.00	98	-1828.05	98	-386.25	173	-33876.30	98	-10904.10	173
0	Min.	-1866	-166395.00	98	-7562.16	177	-2761.46	173	-5523.00	98	-1828.05	98	-386.25	173	-33876.30	98	-10904.10	173
0	Min.	-2085	-166395.00	98	-7562.16	177	-2761.46	173	-5523.00	98	-1828.05	98	-386.25	173	-33876.30	98	-10904.10	173
0	Max	-2098	-12034.60	17	4953.05	173	14127.60	157	-309.70	17	135.29	17	436.79	97	16169.30	173	3316.44	130
0	Max	-1398	-12034.60	17	4953.05	173	14127.60	157	-309.70	17	135.29	17	436.79	97	16169.30	173	3316.44	130
0	Max	-1865	-12034.60	17	4953.05	173	14127.60	157	-309.70	17	135.29	17	436.79	97	16169.30	173	3316.44	130
0	Max	-2086	-12034.60	17	4953.05	173	14127.60	157	-309.70	17	135.29	17	436.79	97	16169.30	173	3316.44	130
0	Min.	-2098	-157897.00	98	-5343.17	177	-1239.46	106	-5550.26	98	-1661.96	98	-718.08	173	-40812.60	98	-16462.90	97
0	Min.	-1398	-157897.00	98	-5343.17	177	-1239.46	106	-5550.26	98	-1661.96	98	-718.08	173	-40812.60	98	-16462.90	97
0	Min.	-1865	-157897.00	98	-5343.17	177	-1239.46	106	-5550.26	98	-1661.96	98	-718.08	173	-40812.60	98	-16462.90	97
0	Min.	-2086	-157897.00	98	-5343.17	177	-1239.46	106	-5550.26	98	-1661.96	98	-718.08	173	-40812.60	98	-16462.90	97
0	Max	-2099	-16606.00	33	4037.33	173	1857.24	177	-451.09	33	134.19	33	161.99	65	1969.86	65	3662.73	130
0	Max	-1436	-16606.00	33	4037.33	173	1857.24	177	-451.09	33	134.19	33	161.99	65	1969.86	65	3662.73	130
0	Max	-1831	-16606.00	33	4037.33	173	1857.24	177	-451.09	33	134.19	33	161.99	65	1969.86	65	3662.73	130
0	Max	-1699	-16606.00	33	4037.33	173	1857.24	177	-451.09	33	134.19	33	161.99	65	1969.86	65	3662.73	130
0	Min.	-2099	-164061.00	98	-2783.47	177	-1655.72	173	-5315.53	98	-1021.56	173	-169.18	17	-8820.89	173	-20082.10	173
0	Min.	-1436	-164061.00	98	-2783.47	177	-1655.72	173	-5315.53	98	-1021.56	173	-169.18	17	-8820.89	173	-20082.10	173
0	Min.	-1831	-164061.00	98	-2783.47	177	-1655.72	173	-5315.53	98	-1021.56	173	-169.18	17	-8820.89	173	-20082.10	173
0	Min.	-1699	-164061.00	98	-2783.47	177	-1655.72	173	-5315.53	98	-1021.56	173	-169.18	17	-8820.89	173	-20082.10	173
0	Max	-2100	-18468.60	33	3974.52	173	1967.09	158	-490.65	33	123.72	33	160.35	173	2084.44	65	4940.94	130
0	Max	-1438	-18468.60	33	3974.52	173	1967.09	158	-490.65	33	123.72	33	160.35	173	2084.44	65	4940.94	130
0	Max	-1832	-18468.60	33	3974.52	173	1967.09	158	-490.65	33	123.72	33	160.35	173	2084.44	65	4940.94	130
0	Max	-1547	-18468.60	33	3974.52	173	1967.09	158	-490.65	33	123.72	33	160.35	173	2084.44	65	4940.94	130
0	Min.	-2100	-173200.00	98	-2890.59	177	-720.01	173	-5638.35	98	-1830.46	173	-82.84	17	-87281.00	173	-63085.30	173
0	Min.	-1438	-173200.00	98	-2890.59	177	-720.01	173	-5638.35	98	-1830.46	173	-82.84	17	-87281.00	173	-63085.30	173
0	Min.	-1832	-173200.00	98	-2890.59	177	-720.01	173	-5638.35	98	-1830.46	173	-82.84	17	-87281.00	173	-63085.30	173
0	Min.	-1547	-173200.00	98	-2890.59	177	-720.01	173	-5638.35	98	-1830.46	173	-82.84	17	-87281.00	173	-63085.30	173
0	Max	-2101	-14886.30	162	3586.26	173	1501.75	158	-457.92	33	130.25	33	126.30	65	2036.66	17	12913.90	173
0	Max	-1441	-14886.30	162	3586.26	173	1501.75	158	-457.92	33	130.25	33	126.30	65	2036.66	17	12913.90	173
0	Max	-1834	-14886.30	162	3586.26	173	1501.75	158	-457.92	33	130.25	33	126.30	65	2036.66	17	12913.90	173
0	Max	-2082	-14886.30	162	3586.26	173	1501.75	158	-457.92	33	130.25	33	126.30	65	2036.66	17	12913.90	173
0	Min.	-2101	-173321.00	97	-2944.41	177	-1333.98	177	-5467.35	97	-762.77	173	-121.44	17	-6686.16	98	-2671.30	101
0	Min.	-1441	-173321.00	97	-2944.41	177	-1333.98	177	-5467.35	97	-762.77	173	-121.44	17	-6686.16	98	-2671.30	101
0	Min.	-1834	-173321.00	97	-2944.41	177	-1333.98	177	-5467.35	97	-762.77	173	-121.44	17	-6686.16	98	-2671.30	101
0	Min.	-2082	-173321.00	97	-2944.41	177	-1333.98	177	-5467.35	97	-762.77	173	-121.44	17	-6686.16	98	-2671.30	101
0	Max	-2102	-7691.48	162	2977.76	173	2095.47	173	-407.40	33	144.64	33	340.88	173	1866.54	17	16936.10	98
0	Max	-1442	-7691.48	162	2977.76	173	2095.47	173	-407.40	33	144.64	33	340.88	173	1866.54	17	16936.10	98
0	Max	-1835	-7691.48	162	2977.76	173	2095.47	173	-407.40	33	144.64	33	340.88	173	1866.54	17	16936.10	98
0	Max	-2080	-7691.48	162	2977.76	173	2095.47	173	-407.40	33	144.64	33	340.88	173	1866.54	17	16936.10	98
0	Min.	-2102	-163769.00	97	-2969.78	177	-2385.55	177	-4890.46	97	-784.37	97	-202.06	17	-5937.80	98	-1034.95	101
0	Min.	-1442	-163769.00	97	-2969.78	177	-2385.55	177	-4890.46	97	-784.37	97	-202.06	17	-5937.80	98	-1034.95	101
0	Min.	-1835	-163769.00	97	-2969.78	177	-2385.55	177	-4890.46	97	-784.37	97	-202.06	17	-5937.80	98	-1034.95	101
0	Min.	-2080	-163769.00	97	-2969.78	177	-2385.55	177	-4890.46	97	-784.37	97	-202.06	17	-5937.80	98	-1034.95	101
0	Max	-1762	-3527.86	177	3635.95	158	24297.50	158	-387.94	65	152.94	65	149.34	65	16842.40	173	2667.02	130
0	Max	-1464	-3527.86	177	3635.95	158	24297.50	158	-387.94	65	152.94	65	149.34	65	16842.40	173	2667.02	130
0	Max	-1882	-3527.86	177	3635.95	158	24297.50	158	-387.94	65	152.94	65	149.34	65	16842.40	173	2667.02	130
0	Max	-1974	-3527.86	177	3635.95	158	24297.50	158	-387.94	65	152.94	65	149.34	65	16842.40	173	2667.02	130
0	Min.	-1762	-161503.00	98	-1457.93	177	-4837.48	125	-6029.84	98	-2849.09	98	-776.93	173	-34628.80	97	-32211.60	97
0	Min.	-1464	-161503.00	98	-1457.93	177	-4837.48	125	-6029.84	98	-2849.09	98	-776.93	173	-34628.80	97	-32211.60	97
0	Min.	-1882	-161503.00	98	-1457.93	177	-4837.48	125	-6029.84	98	-2849.09	98	-776.93	173	-34628.80	97	-32211.60	97
0	Min.	-1974	-161503.00	98	-1457.93	177	-4837.48	125	-6029.84	98	-2849.09	98	-776.93	173	-34628.80	97	-32211.60	97
0	Max	-2083	-4620.57	177	5332.44	158	5059.26	158	-427.88	65	151.68	65	73.60	65	14392.60	173	26813.10	98
0	Max	-1465	-4620.57	177	5332.44	158	5059.26	158	-427.88	65	151.68	65	73.60	65	14392.60	173	26813.10	98
0	Max	-1883	-4620.57	177	5332.44	158	5059.26	158	-427.88	65	151.68	65	73.60	65	14392.60	173	26813.10	98
0	Max	-1911	-4620.57	177	5332.44	158	5059.26	158	-427.88	65	151.68	65	73.60	65	14392.60	173	26813.10	98
0	Min.	-2083	-170740.00	98	-1411.47	177	-3788.25	125	-5742.97	98	-2793.92	98	-326.81	173	-13686.80	97	-4754.66	101
0	Min.	-1465	-170740.00	98	-1411.47	177	-3788.25	125	-5742.97	98	-2793.92	98	-326.81	173	-13686.80	97	-4754.66	101
0	Min.	-1883	-170740.00	98	-1411.47	177	-3788.25	125	-5742.97	98	-2793.92	98	-326.81	173	-13686.80	97	-4754.66	101
0	Min.	-1911	-170740.00	98	-1411.47	177	-3788.25	125	-5742.97	98	-2793.92	98	-326.81	173	-13686.80	97	-4754.66	101
0	Max	-2081	-4861.61	177	9719.97	158	28874.60	158	-402.28	17	153.61	17	673.24	173	11988.00	173	10059.00	173
0	Max	-1467	-4861.61	177	9719.97	158	28874.60	158	-402.28	17	153.61	17	673.24	173	11988.00	173	10059.00	173
0	Max	-1886	-4861.61	177	9719.97	158	28874.60	158	-402.28	17	153.61	17	673.24	173	11988.00	173	10059.00	173
0	Max	-2103	-4861.61	177	9719.97	158	28874.60	158	-402.28	17	153.61	17	673.24	173	11988.00	173	10059.00	173
0	Min.	-2081	-171760.00	97	-1015.42	177	-2811.96	125	-6196.96	97	-2968.44	97	-112.93	17	-35558.50	98	-9507.25	97
0	Min.	-1467	-171760.00	97	-1015.42	177	-2811.96	125	-6196.96	97	-2968.44	97	-112.93	17	-35558.50	98	-9507.25	97
0	Min.	-1886	-171760.00	97	-1015.42	177	-2811.96	125	-6196.96	97	-2968.44	97	-112.93	17	-35558.50	98	-9507.25	97
0	Min.	-2103	-171760.00	97	-1015.42	177	-2811.96	125	-6196.96	97	-2968.44	97	-112.93	17	-35558.50	98	-9507.25	97
0	Max	-2079	-4030.08	177	10845.90	158	6787.21	158	-351.37	17	153.82	17	714.30	173	6281.19	173	52082.00	98
0	Max	-1468	-4030.08	177	10845.90	158	6787.21	158	-351.37	17	153.82	17	714.30	173	6281.19	173	52082.00	98

0	Max	-1887	-4030.08	177	10845.90	158	6787.21	158	-351.37	17	153.82	17	714.30	173	6281.19	173	52082.00	98
0	Max	-2104	-4030.08	177	10845.90	158	6787.21	158	-351.37	17	153.82	17	714.30	173	6281.19	173	52082.00	98
0	Min.	-2079	-163831.00	97	-875.31	177	-2686.86	125	-5048.77	97	-2406.16	97	-181.76	17	-13282.40	98	-782.49	101
0	Min.	-1468	-163831.00	97	-875.31	177	-2686.86	125	-5048.77	97	-2406.16	97	-181.76	17	-13282.40	98	-782.49	101
0	Min.	-1887	-163831.00	97	-875.31	177	-2686.86	125	-5048.77	97	-2406.16	97	-181.76	17	-13282.40	98	-782.49	101
0	Min.	-2104	-163831.00	97	-875.31	177	-2686.86	125	-5048.77	97	-2406.16	97	-181.76	17	-13282.40	98	-782.49	101
0	Max	-2077	-16707.80	33	4785.48	173	1976.71	177	-453.69	33	133.57	33	167.70	65	6033.15	97	3644.13	130
0	Max	-1791	-16707.80	33	4785.48	173	1976.71	177	-453.69	33	133.57	33	167.70	65	6033.15	97	3644.13	130
0	Max	-1436	-16707.80	33	4785.48	173	1976.71	177	-453.69	33	133.57	33	167.70	65	6033.15	97	3644.13	130
0	Max	-2099	-16707.80	33	4785.48	173	1976.71	177	-453.69	33	133.57	33	167.70	65	6033.15	97	3644.13	130
0	Min.	-2077	-163995.00	98	-3845.09	177	-1569.38	173	-5315.75	98	-758.40	98	-163.14	17	-15511.70	173	-8975.71	173
0	Min.	-1791	-163995.00	98	-3845.09	177	-1569.38	173	-5315.75	98	-758.40	98	-163.14	17	-15511.70	173	-8975.71	173
0	Min.	-1436	-163995.00	98	-3845.09	177	-1569.38	173	-5315.75	98	-758.40	98	-163.14	17	-15511.70	173	-8975.71	173
0	Min.	-2099	-163995.00	98	-3845.09	177	-1569.38	173	-5315.75	98	-758.40	98	-163.14	17	-15511.70	173	-8975.71	173
0	Max	-2075	-18571.90	33	5040.01	173	879.69	177	-493.47	33	529.43	173	82.05	65	7920.34	97	9939.72	173
0	Max	-1792	-18571.90	33	5040.01	173	879.69	177	-493.47	33	529.43	173	82.05	65	7920.34	97	9939.72	173
0	Max	-1438	-18571.90	33	5040.01	173	879.69	177	-493.47	33	529.43	173	82.05	65	7920.34	97	9939.72	173
0	Max	-2100	-18571.90	33	5040.01	173	879.69	177	-493.47	33	529.43	173	82.05	65	7920.34	97	9939.72	173
0	Min.	-2075	-172996.00	98	-4008.52	177	-1929.59	158	-5638.88	98	-811.38	98	-79.97	17	-12514.50	173	-5921.26	101
0	Min.	-1792	-172996.00	98	-4008.52	177	-1929.59	158	-5638.88	98	-811.38	98	-79.97	17	-12514.50	173	-5921.26	101
0	Min.	-1438	-172996.00	98	-4008.52	177	-1929.59	158	-5638.88	98	-811.38	98	-79.97	17	-12514.50	173	-5921.26	101
0	Min.	-2100	-172996.00	98	-4008.52	177	-1929.59	158	-5638.88	98	-811.38	98	-79.97	17	-12514.50	173	-5921.26	101
0	Max	-2064	-14764.10	162	4420.21	173	1091.73	173	-460.94	33	128.96	33	122.18	65	6630.84	98	12475.50	98
0	Max	-1794	-14764.10	162	4420.21	173	1091.73	173	-460.94	33	128.96	33	122.18	65	6630.84	98	12475.50	98
0	Max	-1441	-14764.10	162	4420.21	173	1091.73	173	-460.94	33	128.96	33	122.18	65	6630.84	98	12475.50	98
0	Max	-2101	-14764.10	162	4420.21	173	1091.73	173	-460.94	33	128.96	33	122.18	65	6630.84	98	12475.50	98
0	Min.	-2064	-172893.00	97	-4026.42	177	-1459.49	158	-5468.29	97	-758.78	97	-125.15	17	-9831.86	173	-2662.27	101
0	Min.	-1794	-172893.00	97	-4026.42	177	-1459.49	158	-5468.29	97	-758.78	97	-125.15	17	-9831.86	173	-2662.27	101
0	Min.	-1441	-172893.00	97	-4026.42	177	-1459.49	158	-5468.29	97	-758.78	97	-125.15	17	-9831.86	173	-2662.27	101
0	Min.	-2101	-172893.00	97	-4026.42	177	-1459.49	158	-5468.29	97	-758.78	97	-125.15	17	-9831.86	173	-2662.27	101
0	Max	-2062	-7578.99	162	3639.40	173	1914.16	173	-410.34	33	143.23	33	240.30	173	5882.71	98	16892.50	98
0	Max	-1795	-7578.99	162	3639.40	173	1914.16	173	-410.34	33	143.23	33	240.30	173	5882.71	98	16892.50	98
0	Max	-1442	-7578.99	162	3639.40	173	1914.16	173	-410.34	33	143.23	33	240.30	173	5882.71	98	16892.50	98
0	Max	-2102	-7578.99	162	3639.40	173	1914.16	173	-410.34	33	143.23	33	240.30	173	5882.71	98	16892.50	98
0	Min.	-2062	-163288.00	97	-4019.15	177	-2483.47	177	-4891.25	97	-786.85	97	-209.04	17	-4332.20	173	-1029.93	101
0	Min.	-1795	-163288.00	97	-4019.15	177	-2483.47	177	-4891.25	97	-786.85	97	-209.04	17	-4332.20	173	-1029.93	101
0	Min.	-1442	-163288.00	97	-4019.15	177	-2483.47	177	-4891.25	97	-786.85	97	-209.04	17	-4332.20	173	-1029.93	101
0	Min.	-2102	-163288.00	97	-4019.15	177	-2483.47	177	-4891.25	97	-786.85	97	-209.04	17	-4332.20	173	-1029.93	101
0	Max	-2105	8166.09	177	1347.60	97	4674.07	98	-258.33	17	130.77	17	696.78	173	30210.10	97	35963.80	98
0	Max	-1496	8166.09	177	1347.60	97	4674.07	98	-258.33	17	130.77	17	696.78	173	30210.10	97	35963.80	98
0	Max	-1488	8166.09	177	1347.60	97	4674.07	98	-258.33	17	130.77	17	696.78	173	30210.10	97	35963.80	98
0	Max	-2106	8166.09	177	1347.60	97	4674.07	98	-258.33	17	130.77	17	696.78	173	30210.10	97	35963.80	98
0	Min.	-2105	-156534.00	97	-1770.56	158	-12439.20	157	-4814.77	97	-1542.38	97	-184.19	17	-1488.42	65	-804.46	49
0	Min.	-1496	-156534.00	97	-1770.56	158	-12439.20	157	-4814.77	97	-1542.38	97	-184.19	17	-1488.42	65	-804.46	49
0	Min.	-1488	-156534.00	97	-1770.56	158	-12439.20	157	-4814.77	97	-1542.38	97	-184.19	17	-1488.42	65	-804.46	49
0	Min.	-2106	-156534.00	97	-1770.56	158	-12439.20	157	-4814.77	97	-1542.38	97	-184.19	17	-1488.42	65	-804.46	49
0	Max	-2107	7197.66	177	1849.20	125	3444.13	106	-307.29	17	139.43	17	573.87	173	41604.90	97	7152.21	106
0	Max	-1495	7197.66	177	1849.20	125	3444.13	106	-307.29	17	139.43	17	573.87	173	41604.90	97	7152.21	106
0	Max	-1489	7197.66	177	1849.20	125	3444.13	106	-307.29	17	139.43	17	573.87	173	41604.90	97	7152.21	106
0	Max	-2108	7197.66	177	1849.20	125	3444.13	106	-307.29	17	139.43	17	573.87	173	41604.90	97	7152.21	106
0	Min.	-2107	-166125.00	97	-1280.81	106	-10306.00	157	-5668.98	97	-1724.80	97	-110.65	17	-1990.73	17	-2465.78	101
0	Min.	-1495	-166125.00	97	-1280.81	106	-10306.00	157	-5668.98	97	-1724.80	97	-110.65	17	-1990.73	17	-2465.78	101
0	Min.	-1489	-166125.00	97	-1280.81	106	-10306.00	157	-5668.98	97	-1724.80	97	-110.65	17	-1990.73	17	-2465.78	101
0	Min.	-2108	-166125.00	97	-1280.81	106	-10306.00	157	-5668.98	97	-1724.80	97	-110.65	17	-1990.73	17	-2465.78	101
0	Max	-1912	7096.25	177	1463.83	97	1604.45	106	-334.55	17	252.22	173	113.74	106	33781.70	98	11232.40	98
0	Max	-1493	7096.25	177	1463.83	97	1604.45	106	-334.55	17	252.22	173	113.74	106	33781.70	98	11232.40	98
0	Max	-1499	7096.25	177	1463.83	97	1604.45	106	-334.55	17	252.22	173	113.74	106	33781.70	98	11232.40	98
0	Max	-2109	7096.25	177	1463.83	97	1604.45	106	-334.55	17	252.22	173	113.74	106	33781.70	98	11232.40	98
0	Min.	-1912	-167660.00	98	-5914.37	158	-15540.50	157	-5516.96	98	-1809.43	98	-157.12	173	-1930.00	65	-4795.66	101
0	Min.	-1493	-167660.00	98	-5914.37	158	-15540.50	157	-5516.96	98	-1809.43	98	-157.12	173	-1930.00	65	-4795.66	101
0	Min.	-1499	-167660.00	98	-5914.37	158	-15540.50	157	-5516.96	98	-1809.43	98	-157.12	173	-1930.00	65	-4795.66	101
0	Min.	-2109	-167660.00	98	-5914.37	158	-15540.50	157	-5516.96	98	-1809.43	98	-157.12	173	-1930.00	65	-4795.66	101
0	Max	-1973	8043.85	177	2769.81	97	1184.29	106	-298.82	65	134.52	65	149.57	65	40526.70	98	3315.49	130
0	Max	-1492	8043.85	177	2769.81	97	1184.29	106	-298.82	65	134.52	65	149.57	65	40526.70	98	3315.49	130
0	Max	-1500	8043.85	177	2769.81	97	1184.29	106	-298.82	65	134.52	65	149.57	65	40526.70	98	3315.49	130
0	Max	-2110	8043.85	177	2769.81	97	1184.29	106	-298.82	65	134.52	65	149.57	65	40526.70	98	3315.49	130
0	Min.	-1973	-159177.00	98	-2997.12	158	-14089.00	157	-5541.01	98	-1643.72	98	-531.18	173	-1877.55	65	-16289.90	97
0	Min.	-1492	-159177.00	98	-2997.12	158	-14089.00	157	-5541.01	98	-1643.72	98	-531.18	173	-1877.55	65	-16289.90	97
0	Min.	-1500	-159177.00	98	-2997.12	158	-14089.00	157	-5541.01	98	-1643.72	98	-531.18	173	-1877.55	65	-16289.90	97
0	Min.	-2110	-159177.00	98	-2997.12	158	-14089.00	157	-5541.01	98	-1643.72	98	-531.18	173	-1877.55	65	-16289.90	97
0	Max	-2106	13399.10	177	4046.73	122	654.01	173	-219.79	17	111.79	17	648.92	173	25198.30	97	22637.50	98
0	Max	-1488	13399.10	177	4046.73	122	654.01	173	-219.79	17	111.79	17	648.92	173	25198.30	97	22637.50	98
0	Max	-1738	13399.10	177	4046.73	122	654.01	173	-219.79	17	111.79	17	648.92	173	25198.30	97	22637.50	98
0	Max	-2111	13399.10	177	4046.73	122	654.01	173	-219.79	17	111.79	17	648.92	173	25198.30	97	22637.50	98
0	Min.	-2106	-157506.00	97	-95.28	49	-11567.40	158	-4655.72	97	-784.80	97	-185.13	17	-984.71	17	-934.48	49
0	Min.	-1488	-157506.00	97	-95.28	49	-11567.40	158	-4655.72	97	-784.80	97	-185.13	17	-984.71	17	-934.48	49
0	Min.	-1738	-157506.00	97	-95.28	49	-11567.40	158	-4655.72	97	-784.80	97	-185.13	17	-984.71	17	-934.48	49
0	Min.	-2111	-157506.00	97	-95.28	49	-11567.40	158	-4655.72	97	-784.80	97	-185.13	17	-984.71	17	-934.48	49
0	Max	-2108	12470.70	177	4471.47	158	959.50	101	-268.71	17	178.99	173	512.10	173	35155.80	97	12581.10	98
0	Max	-1489	12470.70	177	4471.47	158	959.50	101	-268.71	17	178.99	173	512.10	173	35155.80	97	12581.10	98
0	Max	-1737	12470.70	177	4471.47	158	959.50	101	-268.71	17	178.99	173	512.10	173	35155.80	97	12581.10	98
0	Max	-2112	12470.70	177	4471.47	158	959.50	101	-268.71	17	178.99	173	512.10	173	35155.80	97	12581.10	98
0	Min.	-2108	-166549.00	97	-156.03	177	-12833.30	158	-5269.86	97	-791.85	97	-98.61	17	-811.40	17	-3775.52	101
0	Min.	-1489	-166549.00	97	-156.03	177	-12833.30	158	-5269.86	97	-791.85	97	-98.61	17	-811.40	17	-3775.52	101
0	Min.	-1737	-166549.00	97	-156.03	177	-12833.30	158	-5269.86	97	-791.85	97	-98.61	17	-811.40	17	-3775.52	101
0	Min.	-2112	-166549.00	97	-156.03	177	-12833.30	158	-5269.86	97	-791.85	97	-98.61	17	-811.40	17	-3775.52	101
0	Max	-2109	12825.90	177	1598.46	106	1920.49	101	-297.41	17	297.22	173	149.60	106	31486.70	98	5308.43	130
0	Max	-1499	12825.90	177	1598.46	106	1920.49	101	-297.41	17	297.22	173	149.60	106	31486.70	98	5308.43	130
0	Max	-1735	12825.90	177	1598.46	106	1920.49	101	-297.41	17	297.22	173	149.60	106	31486.70	98	5308.43	130
0	Max	-2113	12825.90	177	1598.46	106	1920.49	101	-297.41	17	297.22	173	149.60	106	31486.70	98	5308.43	130
0	Min.	-2109	-165394.00	98	-2448.26	125	-12618.00	158	-5329.13	97	-925.81	98	-183.26	101	-983.65	65	-3512.48	101
0	Min.	-1499	-165394.00	98	-2448.26	125	-12618.00	158	-5329.13	97	-925.81	98	-183.26	101	-983.65	65	-3512.48	101
0	Min.	-1735	-165394.00	98	-2448.26	125	-12618.00	158	-5329.13	97	-925.81	98	-183.26	101	-983.65	65	-3512.48	101
0	Min.	-2113	-165394.00	98	-2448.26	125	-12618.00	158	-5329.13	97	-925.81	98	-183.26	101	-983.65	65	-3512.48	101
0	Max	-2110	14096.50	177	1235.46	106	1952.35	101	-261.02	65	215.43	173	139.50	65	31487.50	98	4282.25	130
0	Max	-1500	14096.50	177	1235.46	106	1952.35	101	-261.02	65	215.43	173	139.50	65	31487.50	98	4282.25	130
0	Max	-1734	14096.50	177	1235.46	106	1952.35	101	-261.02	65	215.43	173	139.50	65	31487.50	98	4282.25	130
0	Max	-2114	14096.50	177	1235.46	106	1952.35	101	-261.02	65	215.43	173	139.50	65	31487.50	98	4282.25	130
0	Min.	-2110	-154774.00	98	-1546.03	125	-10541.20	158	-5173.91	98	-758.25	98	-484.11	97	-1172.87	65	-8046.57	97
0	Min.	-1500	-154774.00	98	-1546.03	125	-10541.20	158	-5173.91	98	-758.25	98	-484.11	97	-1172.87	65	-8046.57	97
0	Min.	-1734	-154774.00	98	-1546.03	125	-10541.20	158	-5173.91	98	-758.25	98	-484.11	97	-1172.87	65	-8046.57	97
0	Min.	-2114	-154774.00	98	-1546.03	125	-10541.20	158	-5173.91	98	-758.25	98	-484.11	97	-1172.87	65	-8046.57	97
0	Max	-2111	18636.90	177	412.06	101	4309.64	98	-196.34	17	83.46	17	583.32	173	12137.60	97	14111.50	98
0	Max	-1738	18636.90	177	412.06	101	4309.64	98	-196.34	17	83.46	17	583.32	173	12137.60	97	14111.50	98
0	Max	-2188	18636.90	177	412.06	101	4309.64	98	-196.34	17	83.46	17	583.32	173	12137.60	97	14111.50	98

0	Max	-2189	18636.90	177	412.06	101	4309.64	98	-196.34	17	83.46	17	583.32	173	12137.60	97	14111.50	98
0	Min.	-2111	-152860.00	97	-229.66	162	-5283.98	157	-4625.29	97	-403.84	97	-201.35	17	-1958.32	17	-1472.27	101
0	Min.	-1738	-152860.00	97	-229.66	162	-5283.98	157	-4625.29	97	-403.84	97	-201.35	17	-1958.32	17	-1472.27	101
0	Min.	-2188	-152860.00	97	-229.66	162	-5283.98	157	-4625.29	97	-403.84	97	-201.35	17	-1958.32	17	-1472.27	101
0	Min.	-2189	-152860.00	97	-229.66	162	-5283.98	157	-4625.29	97	-403.84	97	-201.35	17	-1958.32	17	-1472.27	101
0	Max	-2112	17528.90	177	2267.14	157	3934.51	106	-239.13	65	174.31	173	431.72	173	14176.10	97	12457.40	98
0	Max	-1737	17528.90	177	2267.14	157	3934.51	106	-239.13	65	174.31	173	431.72	173	14176.10	97	12457.40	98
0	Max	-2190	17528.90	177	2267.14	157	3934.51	106	-239.13	65	174.31	173	431.72	173	14176.10	97	12457.40	98
0	Max	-2191	17528.90	177	2267.14	157	3934.51	106	-239.13	65	174.31	173	431.72	173	14176.10	97	12457.40	98
0	Min.	-2112	-163614.00	97	-1175.58	106	-6751.20	157	-5067.01	97	-377.07	97	-117.43	17	-2231.23	1	-4860.46	101
0	Min.	-1737	-163614.00	97	-1175.58	106	-6751.20	157	-5067.01	97	-377.07	97	-117.43	17	-2231.23	1	-4860.46	101
0	Min.	-2190	-163614.00	97	-1175.58	106	-6751.20	157	-5067.01	97	-377.07	97	-117.43	17	-2231.23	1	-4860.46	101
0	Min.	-2191	-163614.00	97	-1175.58	106	-6751.20	157	-5067.01	97	-377.07	97	-117.43	17	-2231.23	1	-4860.46	101
0	Max	-2117	27837.60	177	2062.48	106	1758.05	106	-168.80	17	75.24	157	101.61	106	1482.70	125	16385.40	106
0	Max	-2065	27837.60	177	2062.48	106	1758.05	106	-168.80	17	75.24	157	101.61	106	1482.70	125	16385.40	106
0	Max	-2003	27837.60	177	2062.48	106	1758.05	106	-168.80	17	75.24	157	101.61	106	1482.70	125	16385.40	106
0	Max	-2118	27837.60	177	2062.48	106	1758.05	106	-168.80	17	75.24	157	101.61	106	1482.70	125	16385.40	106
0	Min.	-2117	-162677.00	98	-4114.50	125	-2704.99	125	-5022.73	97	-45.38	106	-145.94	125	-3644.81	173	-23365.20	125
0	Min.	-2065	-162677.00	98	-4114.50	125	-2704.99	125	-5022.73	97	-45.38	106	-145.94	125	-3644.81	173	-23365.20	125
0	Min.	-2003	-162677.00	98	-4114.50	125	-2704.99	125	-5022.73	97	-45.38	106	-145.94	125	-3644.81	173	-23365.20	125
0	Min.	-2118	-162677.00	98	-4114.50	125	-2704.99	125	-5022.73	97	-45.38	106	-145.94	125	-3644.81	173	-23365.20	125
0	Max	-2114	18838.00	177	702.67	97	1551.42	106	-227.44	65	198.08	173	152.45	65	13647.40	98	4023.69	130
0	Max	-1734	18838.00	177	702.67	97	1551.42	106	-227.44	65	198.08	173	152.45	65	13647.40	98	4023.69	130
0	Max	-2216	18838.00	177	702.67	97	1551.42	106	-227.44	65	198.08	173	152.45	65	13647.40	98	4023.69	130
0	Max	-2194	18838.00	177	702.67	97	1551.42	106	-227.44	65	198.08	173	152.45	65	13647.40	98	4023.69	130
0	Min.	-2114	-153786.00	98	-987.15	162	-9375.62	157	-4954.97	98	-367.61	98	-418.18	98	-1981.15	125	-6192.92	97
0	Min.	-1734	-153786.00	98	-987.15	162	-9375.62	157	-4954.97	98	-367.61	98	-418.18	98	-1981.15	125	-6192.92	97
0	Min.	-2216	-153786.00	98	-987.15	162	-9375.62	157	-4954.97	98	-367.61	98	-418.18	98	-1981.15	125	-6192.92	97
0	Min.	-2194	-153786.00	98	-987.15	162	-9375.62	157	-4954.97	98	-367.61	98	-418.18	98	-1981.15	125	-6192.92	97
0	Max	-2103	573.25	177	8412.31	157	974.21	101	-354.48	17	150.84	17	682.28	173	43021.40	97	7801.05	173
0	Max	-1886	573.25	177	8412.31	157	974.21	101	-354.48	17	150.84	17	682.28	173	43021.40	97	7801.05	173
0	Max	-1495	573.25	177	8412.31	157	974.21	101	-354.48	17	150.84	17	682.28	173	43021.40	97	7801.05	173
0	Max	-2107	573.25	177	8412.31	157	974.21	101	-354.48	17	150.84	17	682.28	173	43021.40	97	7801.05	173
0	Min.	-2103	-169680.00	97	-863.58	177	-33412.30	158	-6118.70	97	-2907.15	97	-107.46	17	-1417.40	65	-7468.92	97
0	Min.	-1886	-169680.00	97	-863.58	177	-33412.30	158	-6118.70	97	-2907.15	97	-107.46	17	-1417.40	65	-7468.92	97
0	Min.	-1495	-169680.00	97	-863.58	177	-33412.30	158	-6118.70	97	-2907.15	97	-107.46	17	-1417.40	65	-7468.92	97
0	Min.	-2107	-169680.00	97	-863.58	177	-33412.30	158	-6118.70	97	-2907.15	97	-107.46	17	-1417.40	65	-7468.92	97
0	Max	-2104	1413.75	177	9341.98	158	1029.46	173	-305.95	17	146.41	17	748.44	173	20415.70	97	54749.60	98
0	Max	-1887	1413.75	177	9341.98	158	1029.46	173	-305.95	17	146.41	17	748.44	173	20415.70	97	54749.60	98
0	Max	-1496	1413.75	177	9341.98	158	1029.46	173	-305.95	17	146.41	17	748.44	173	20415.70	97	54749.60	98
0	Max	-2105	1413.75	177	9341.98	158	1029.46	173	-305.95	17	146.41	17	748.44	173	20415.70	97	54749.60	98
0	Min.	-2104	-161382.00	97	-687.12	177	-12478.40	158	-4965.62	97	-2354.42	97	-174.58	17	-1576.73	65	-870.98	101
0	Min.	-1887	-161382.00	97	-687.12	177	-12478.40	158	-4965.62	97	-2354.42	97	-174.58	17	-1576.73	65	-870.98	101
0	Min.	-1496	-161382.00	97	-687.12	177	-12478.40	158	-4965.62	97	-2354.42	97	-174.58	17	-1576.73	65	-870.98	101
0	Min.	-2105	-161382.00	97	-687.12	177	-12478.40	158	-4965.62	97	-2354.42	97	-174.58	17	-1576.73	65	-870.98	101
0	Max	-2119	29459.90	177	945.05	130	880.19	106	-172.35	65	26.26	173	94.62	65	75.97	17	20256.80	173
0	Max	-1753	29459.90	177	945.05	130	880.19	106	-172.35	65	26.26	173	94.62	65	75.97	17	20256.80	173
0	Max	-2002	29459.90	177	945.05	130	880.19	106	-172.35	65	26.26	173	94.62	65	75.97	17	20256.80	173
0	Max	-2120	29459.90	177	945.05	130	880.19	106	-172.35	65	26.26	173	94.62	65	75.97	17	20256.80	173
0	Min.	-2119	-149897.00	98	-1943.27	97	-2067.54	101	-4701.83	98	-13.98	17	-213.58	98	-2911.41	97	-12546.20	65
0	Min.	-1753	-149897.00	98	-1943.27	97	-2067.54	101	-4701.83	98	-13.98	17	-213.58	98	-2911.41	97	-12546.20	65
0	Min.	-2002	-149897.00	98	-1943.27	97	-2067.54	101	-4701.83	98	-13.98	17	-213.58	98	-2911.41	97	-12546.20	65
0	Min.	-2120	-149897.00	98	-1943.27	97	-2067.54	101	-4701.83	98	-13.98	17	-213.58	98	-2911.41	97	-12546.20	65
0	Max	-2113	17621.70	177	922.75	106	2938.16	106	-247.27	17	282.20	173	125.64	106	18683.80	98	7776.22	106
0	Max	-1735	17621.70	177	922.75	106	2938.16	106	-247.27	17	282.20	173	125.64	106	18683.80	98	7776.22	106
0	Max	-2217	17621.70	177	922.75	106	2938.16	106	-247.27	17	282.20	173	125.64	106	18683.80	98	7776.22	106
0	Max	-2215	17621.70	177	922.75	106	2938.16	106	-247.27	17	282.20	173	125.64	106	18683.80	98	7776.22	106
0	Min.	-2113	-164036.00	98	-4486.56	157	-10602.30	157	-5186.32	97	-420.73	98	-162.14	101	-9983.60	125	-7533.20	101
0	Min.	-1735	-164036.00	98	-4486.56	157	-10602.30	157	-5186.32	97	-420.73	98	-162.14	101	-9983.60	125	-7533.20	101
0	Min.	-2217	-164036.00	98	-4486.56	157	-10602.30	157	-5186.32	97	-420.73	98	-162.14	101	-9983.60	125	-7533.20	101
0	Min.	-2215	-164036.00	98	-4486.56	157	-10602.30	157	-5186.32	97	-420.73	98	-162.14	101	-9983.60	125	-7533.20	101
0	Max	-2116	27400.30	177	1633.97	130	2008.67	106	-177.38	17	29.86	121	207.10	173	4564.75	125	11968.40	1
0	Max	-1755	27400.30	177	1633.97	130	2008.67	106	-177.38	17	29.86	121	207.10	173	4564.75	125	11968.40	1
0	Max	-2005	27400.30	177	1633.97	130	2008.67	106	-177.38	17	29.86	121	207.10	173	4564.75	125	11968.40	1
0	Max	-2121	27400.30	177	1633.97	130	2008.67	106	-177.38	17	29.86	121	207.10	173	4564.75	125	11968.40	1
0	Min.	-2116	-164039.00	97	-829.74	101	-1035.78	125	-4791.84	97	-6.48	65	-78.82	17	-2887.62	106	-17750.70	173
0	Min.	-1755	-164039.00	97	-829.74	101	-1035.78	125	-4791.84	97	-6.48	65	-78.82	17	-2887.62	106	-17750.70	173
0	Min.	-2005	-164039.00	97	-829.74	101	-1035.78	125	-4791.84	97	-6.48	65	-78.82	17	-2887.62	106	-17750.70	173
0	Min.	-2121	-164039.00	97	-829.74	101	-1035.78	125	-4791.84	97	-6.48	65	-78.82	17	-2887.62	106	-17750.70	173
0	Max	-2115	28553.80	177	150.41	106	552.49	98	-125.84	17	47.61	98	289.51	173	1031.14	97	16976.60	17
0	Max	-1756	28553.80	177	150.41	106	552.49	98	-125.84	17	47.61	98	289.51	173	1031.14	97	16976.60	17
0	Max	-2006	28553.80	177	150.41	106	552.49	98	-125.84	17	47.61	98	289.51	173	1031.14	97	16976.60	17
0	Max	-2122	28553.80	177	150.41	106	552.49	98	-125.84	17	47.61	98	289.51	173	1031.14	97	16976.60	17
0	Min.	-2115	-152499.00	97	-666.61	101	-272.26	125	-4250.62	97	-11.82	125	-139.98	17	-663.11	173	-27296.30	173
0	Min.	-1756	-152499.00	97	-666.61	101	-272.26	125	-4250.62	97	-11.82	125	-139.98	17	-663.11	173	-27296.30	173
0	Min.	-2006	-152499.00	97	-666.61	101	-272.26	125	-4250.62	97	-11.82	125	-139.98	17	-663.11	173	-27296.30	173
0	Min.	-2122	-152499.00	97	-666.61	101	-272.26	125	-4250.62	97	-11.82	125	-139.98	17	-663.11	173	-27296.30	173
0	Max	-2123	-5999.11	17	811.72	130	2199.37	101	-180.95	17	17.69	157	224.28	98	3419.34	173	15381.50	98
0	Max	-2045	-5999.11	17	811.72	130	2199.37	101	-180.95	17	17.69	157	224.28	98	3419.34	173	15381.50	98
0	Max	-1811	-5999.11	17	811.72	130	2199.37	101	-180.95	17	17.69	157	224.28	98	3419.34	173	15381.50	98
0	Max	-2093	-5999.11	17	811.72	130	2199.37	101	-180.95	17	17.69	157	224.28	98	3419.34	173	15381.50	98
0	Min.	-2123	-147936.00	98	-1687.42	97	-929.26	106	-4695.40	98	-58.25	177	-249.11	173	-2591.51	177	-45767.20	173
0	Min.	-2045	-147936.00	98	-1687.42	97	-929.26	106	-4695.40	98	-58.25	177	-249.11	173	-2591.51	177	-45767.20	173
0	Min.	-1811	-147936.00	98	-1687.42	97	-929.26	106	-4695.40	98	-58.25	177	-249.11	173	-2591.51	177	-45767.20	173
0	Min.	-2093	-147936.00	98	-1687.42	97	-929.26	106	-4695.40	98	-58.25	177	-249.11	173	-2591.51	177	-45767.20	173
0	Max	-2124	-8204.22	17	3340.39	177	2536.46	125	-177.68	65	729.89	173	201.21	177	49398.80	173	31730.00	177
0	Max	-2046	-8204.22	17	3340.39	177	2536.46	125	-177.68	65	729.89	173	201.21	177	49398.80	173	31730.00	177
0	Max	-1812	-8204.22	17	3340.39	177	2536.46	125	-177.68	65	729.89	173	201.21	177	49398.80	173	31730.00	177
0	Max	-2091	-8204.22	17	3340.39	177	2536.46	125	-177.68	65	729.89	173	201.21	177	49398.80	173	31730.00	177
0	Min.	-2124	-160260.00	98	-7282.60	173	-1720.49	106	-5146.79	173	-298.91	177	-574.12	173	-21120.90	177	-71157.60	173
0	Min.	-2046	-160260.00	98	-7282.60	173	-1720.49	106	-5146.79	173	-298.91	177	-574.12	173	-21120.90	177	-71157.60	173
0	Min.	-1812	-160260.00	98	-7282.60	173	-1720.49	106	-5146.79	173	-298.91	177	-574.12	173	-21120.90	177	-71157.60	173
0	Min.	-2091	-160260.00	98	-7282.60	173	-1720.49	106	-5146.79	173	-298.91	177	-574.12	173	-21120.90	177	-71157.60	173
0	Max	-2125	-4660.77	162	1436.38	130	1163.13	125	-188.11	65	33.08	97	563.73	173	3113.68	106	59208.20	173
0	Max	-2048	-4660.77	162	1436.38	130	1163.13	125	-188.11	65	33.08	97	563.73	173	3113.68	106	59208.20	173
0	Max	-1814	-4660.77	162	1436.38	130	1163.13	125	-188.11	65	33.08	97	563.73	173	3113.68	106	59208.20	173
0	Max	-2089	-4660.77	162	1436.38	130	1163.13	125	-188.11	65	33.08	97	563.73	173	3113.68	106	59208.20	173
0	Min.	-2125	-161277.00	97	-780.81	101	-2176.30	106	-4793.65	97	-65.62	173	-193.76	177	-5046.15	125	-11768.90	177
0	Min.	-2048	-161277.00	97	-780.81	101	-2176.30	106	-4793.65	97	-65.62	173	-193.76	177	-5046.15	125	-11768.90	177
0	Min.	-1814	-161277.00	97	-780.81	101	-2176.30	106	-4793.65	97	-65.62	173	-193.76	177	-5046.15	125	-11768.90	177
0	Min.	-2089	-161277.00	97	-780.81	101	-2176.30	106	-4793.65	97	-65.62	173	-193.76	177	-5046.15	125	-11768.90	177
0	Max	-2126	-5200.92	162	2609.24	177	1202.26	177	-137.01	65	41.85	98	523.83	173	2220.22	177	57557.00	173
0	Max	-2049	-5200.92	162	2609.24	177	1202.26	177	-137.01	65	41.85	98	523.83	173	2220.22	177	57557.00	173
0	Max	-1815	-5200.92	162	2609.24	177	1202.26	177	-137.01	65	41.85	98	523.83	173	2220.22	177	57557.00	173
0	Max	-2087	-5200.92	162	2609.24	177	1202.26	177	-137.01	65	41.85	98	523.83	173	2220.22	177	57557.00	173

0	Min.	-2126	-149688.00	97	-1227.11	173	-840.01	98	-4277.17	97	-10.84	125	-195.62	121	-2162.41	173	-12031.10	17
0	Min.	-2049	-149688.00	97	-1227.11	173	-840.01	98	-4277.17	97	-10.84	125	-195.62	121	-2162.41	173	-12031.10	17
0	Min.	-1815	-149688.00	97	-1227.11	173	-840.01	98	-4277.17	97	-10.84	125	-195.62	121	-2162.41	173	-12031.10	17
0	Min.	-2087	-149688.00	97	-1227.11	173	-840.01	98	-4277.17	97	-10.84	125	-195.62	121	-2162.41	173	-12031.10	17
106	Max	-203	1997.27	108	11970.80	17	4593.05	104	1001.44	130	16428.60	130	433.09	65	5207.74	49	1481.80	130
106	Max	-191	1997.27	108	11970.80	17	4593.05	104	1001.44	130	16428.60	130	433.09	65	5207.74	49	1481.80	130
106	Max	-255	1997.27	108	11970.80	17	4593.05	104	1001.44	130	16428.60	130	433.09	65	5207.74	49	1481.80	130
106	Max	-257	1997.27	108	11970.80	17	4593.05	104	1001.44	130	16428.60	130	433.09	65	5207.74	49	1481.80	130
106	Min.	-203	-243.76	65	-15355.60	65	1029.89	65	-179.85	49	-2863.00	49	-322.25	17	-5444.05	1	-407.14	101
106	Min.	-191	-243.76	65	-15355.60	65	1029.89	65	-179.85	49	-2863.00	49	-322.25	17	-5444.05	1	-407.14	101
106	Min.	-255	-243.76	65	-15355.60	65	1029.89	65	-179.85	49	-2863.00	49	-322.25	17	-5444.05	1	-407.14	101
106	Min.	-257	-243.76	65	-15355.60	65	1029.89	65	-179.85	49	-2863.00	49	-322.25	17	-5444.05	1	-407.14	101
106	Max	-179	833.28	17	5933.44	17	15263.00	100	1621.76	130	18366.90	130	615.28	49	4654.57	49	1042.82	130
106	Max	-167	833.28	17	5933.44	17	15263.00	100	1621.76	130	18366.90	130	615.28	49	4654.57	49	1042.82	130
106	Max	-251	833.28	17	5933.44	17	15263.00	100	1621.76	130	18366.90	130	615.28	49	4654.57	49	1042.82	130
106	Max	-253	833.28	17	5933.44	17	15263.00	100	1621.76	130	18366.90	130	615.28	49	4654.57	49	1042.82	130
106	Min.	-179	-1467.70	99	-15523.60	65	753.97	65	-261.87	49	-2987.34	49	-684.88	1	-8381.53	106	-202.00	1
106	Min.	-167	-1467.70	99	-15523.60	65	753.97	65	-261.87	49	-2987.34	49	-684.88	1	-8381.53	106	-202.00	1
106	Min.	-251	-1467.70	99	-15523.60	65	753.97	65	-261.87	49	-2987.34	49	-684.88	1	-8381.53	106	-202.00	1
106	Min.	-253	-1467.70	99	-15523.60	65	753.97	65	-261.87	49	-2987.34	49	-684.88	1	-8381.53	106	-202.00	1
106	Max	-237	1746.01	177	-3778.04	159	2528.54	17	1625.02	130	16296.10	130	644.41	49	2109.45	1	593.84	132
106	Max	-235	1746.01	177	-3778.04	159	2528.54	17	1625.02	130	16296.10	130	644.41	49	2109.45	1	593.84	132
106	Max	-273	1746.01	177	-3778.04	159	2528.54	17	1625.02	130	16296.10	130	644.41	49	2109.45	1	593.84	132
106	Max	-275	1746.01	177	-3778.04	159	2528.54	17	1625.02	130	16296.10	130	644.41	49	2109.45	1	593.84	132
106	Min.	-237	-643.15	17	-15156.70	104	-8023.22	65	-153.82	1	-1591.90	101	-613.14	1	-10546.00	106	-991.85	17
106	Min.	-235	-643.15	17	-15156.70	104	-8023.22	65	-153.82	1	-1591.90	101	-613.14	1	-10546.00	106	-991.85	17
106	Min.	-273	-643.15	17	-15156.70	104	-8023.22	65	-153.82	1	-1591.90	101	-613.14	1	-10546.00	106	-991.85	17
106	Min.	-275	-643.15	17	-15156.70	104	-8023.22	65	-153.82	1	-1591.90	101	-613.14	1	-10546.00	106	-991.85	17
106	Max	-333	518.42	17	6444.14	17	2000.32	103	722.41	130	12652.00	130	479.48	49	2174.32	49	834.03	130
106	Max	-331	518.42	17	6444.14	17	2000.32	103	722.41	130	12652.00	130	479.48	49	2174.32	49	834.03	130
106	Max	-369	518.42	17	6444.14	17	2000.32	103	722.41	130	12652.00	130	479.48	49	2174.32	49	834.03	130
106	Max	-371	518.42	17	6444.14	17	2000.32	103	722.41	130	12652.00	130	479.48	49	2174.32	49	834.03	130
106	Min.	-333	-973.21	65	-12754.90	177	1087.91	17	-257.03	101	-3418.54	101	-572.67	1	-11629.60	106	-65.38	1
106	Min.	-331	-973.21	65	-12754.90	177	1087.91	17	-257.03	101	-3418.54	101	-572.67	1	-11629.60	106	-65.38	1
106	Min.	-369	-973.21	65	-12754.90	177	1087.91	17	-257.03	101	-3418.54	101	-572.67	1	-11629.60	106	-65.38	1
106	Min.	-371	-973.21	65	-12754.90	177	1087.91	17	-257.03	101	-3418.54	101	-572.67	1	-11629.60	106	-65.38	1
106	Max	-255	669.39	17	7151.52	17	4307.48	17	761.23	130	16013.30	130	524.72	49	3051.98	49	3006.39	130
106	Max	-253	669.39	17	7151.52	17	4307.48	17	761.23	130	16013.30	130	524.72	49	3051.98	49	3006.39	130
106	Max	-291	669.39	17	7151.52	17	4307.48	17	761.23	130	16013.30	130	524.72	49	3051.98	49	3006.39	130
106	Max	-293	669.39	17	7151.52	17	4307.48	17	761.23	130	16013.30	130	524.72	49	3051.98	49	3006.39	130
106	Min.	-255	-936.04	99	-13535.60	65	276.98	65	-83.72	49	-2058.05	101	-538.82	1	-7999.55	106	-466.88	1
106	Min.	-253	-936.04	99	-13535.60	65	276.98	65	-83.72	49	-2058.05	101	-538.82	1	-7999.55	106	-466.88	1
106	Min.	-291	-936.04	99	-13535.60	65	276.98	65	-83.72	49	-2058.05	101	-538.82	1	-7999.55	106	-466.88	1
106	Min.	-293	-936.04	99	-13535.60	65	276.98	65	-83.72	49	-2058.05	101	-538.82	1	-7999.55	106	-466.88	1
106	Max	-329	341.34	17	1596.50	17	5771.44	17	1201.85	130	13031.80	130	744.10	65	410.09	49	824.71	130
106	Max	-327	341.34	17	1596.50	17	5771.44	17	1201.85	130	13031.80	130	744.10	65	410.09	49	824.71	130
106	Max	-365	341.34	17	1596.50	17	5771.44	17	1201.85	130	13031.80	130	744.10	65	410.09	49	824.71	130
106	Max	-367	341.34	17	1596.50	17	5771.44	17	1201.85	130	13031.80	130	744.10	65	410.09	49	824.71	130
106	Min.	-329	-922.80	103	-10897.90	103	-514.08	65	-306.09	101	-3187.87	101	-693.19	17	-9882.33	106	-56.89	1
106	Min.	-327	-922.80	103	-10897.90	103	-514.08	65	-306.09	101	-3187.87	101	-693.19	17	-9882.33	106	-56.89	1
106	Min.	-365	-922.80	103	-10897.90	103	-514.08	65	-306.09	101	-3187.87	101	-693.19	17	-9882.33	106	-56.89	1
106	Min.	-367	-922.80	103	-10897.90	103	-514.08	65	-306.09	101	-3187.87	101	-693.19	17	-9882.33	106	-56.89	1
106	Max	-155	1229.33	100	-2644.46	17	7335.34	17	1899.50	130	18176.60	130	572.04	65	3398.30	49	701.75	65
106	Max	-143	1229.33	100	-2644.46	17	7335.34	17	1899.50	130	18176.60	130	572.04	65	3398.30	49	701.75	65
106	Max	-247	1229.33	100	-2644.46	17	7335.34	17	1899.50	130	18176.60	130	572.04	65	3398.30	49	701.75	65
106	Max	-249	1229.33	100	-2644.46	17	7335.34	17	1899.50	130	18176.60	130	572.04	65	3398.30	49	701.75	65
106	Min.	-155	-833.84	65	-20392.90	103	-1378.64	65	-263.62	49	-2372.01	49	-714.34	17	-8031.80	106	-319.77	17
106	Min.	-143	-833.84	65	-20392.90	103	-1378.64	65	-263.62	49	-2372.01	49	-714.34	17	-8031.80	106	-319.77	17
106	Min.	-247	-833.84	65	-20392.90	103	-1378.64	65	-263.62	49	-2372.01	49	-714.34	17	-8031.80	106	-319.77	17
106	Min.	-249	-833.84	65	-20392.90	103	-1378.64	65	-263.62	49	-2372.01	49	-714.34	17	-8031.80	106	-319.77	17
106	Max	-143	423.23	17	-2876.16	160	6757.35	17	1897.07	130	19168.10	130	623.34	49	3780.59	49	657.35	65
106	Max	24	423.23	17	-2876.16	160	6757.35	17	1897.07	130	19168.10	130	623.34	49	3780.59	49	657.35	65
106	Max	-245	423.23	17	-2876.16	160	6757.35	17	1897.07	130	19168.10	130	623.34	49	3780.59	49	657.35	65
106	Max	-247	423.23	17	-2876.16	160	6757.35	17	1897.07	130	19168.10	130	623.34	49	3780.59	49	657.35	65
106	Min.	-143	-1065.23	103	-14742.90	65	-4139.36	99	-234.60	49	-2453.02	49	-774.09	1	-10487.90	106	-361.93	17
106	Min.	24	-1065.23	103	-14742.90	65	-4139.36	99	-234.60	49	-2453.02	49	-774.09	1	-10487.90	106	-361.93	17
106	Min.	-245	-1065.23	103	-14742.90	65	-4139.36	99	-234.60	49	-2453.02	49	-774.09	1	-10487.90	106	-361.93	17
106	Min.	-247	-1065.23	103	-14742.90	65	-4139.36	99	-234.60	49	-2453.02	49	-774.09	1	-10487.90	106	-361.93	17
106	Max	-249	1050.29	17	-1915.41	17	7229.91	17	1714.20	130	16347.00	130	605.44	65	2126.29	49	1107.98	65
106	Max	-247	1050.29	17	-1915.41	17	7229.91	17	1714.20	130	16347.00	130	605.44	65	2126.29	49	1107.98	65
106	Max	-285	1050.29	17	-1915.41	17	7229.91	17	1714.20	130	16347.00	130	605.44	65	2126.29	49	1107.98	65
106	Max	-287	1050.29	17	-1915.41	17	7229.91	17	1714.20	130	16347.00	130	605.44	65	2126.29	49	1107.98	65
106	Min.	-249	-528.02	65	-14755.10	103	-1893.92	65	-213.78	101	-1761.85	101	-633.35	17	-9570.61	106	-458.39	17
106	Min.	-247	-528.02	65	-14755.10	103	-1893.92	65	-213.78	101	-1761.85	101	-633.35	17	-9570.61	106	-458.39	17
106	Min.	-285	-528.02	65	-14755.10	103	-1893.92	65	-213.78	101	-1761.85	101	-633.35	17	-9570.61	106	-458.39	17
106	Min.	-287	-528.02	65	-14755.10	103	-1893.92	65	-213.78	101	-1761.85	101	-633.35	17	-9570.61	106	-458.39	17
106	Max	-247	1102.14	17	-3784.09	160	8023.45	17	1624.82	130	16291.20	130	608.38	65	2080.81	49	988.67	65
106	Max	-245	1102.14	17	-3784.09	160	8023.45	17	1624.82	130	16291.20	130	608.38	65	2080.81	49	988.67	65
106	Max	-283	1102.14	17	-3784.09	160	8023.45	17	1624.82	130	16291.20	130	608.38	65	2080.81	49	988.67	65
106	Max	-285	1102.14	17	-3784.09	160	8023.45	17	1624.82	130	16291.20	130	608.38	65	2080.81	49	988.67	65
106	Min.	-247	-638.27	65	-15192.70	103	-2525.88	65	-155.56	49	-1605.12	101	-640.65	17	-10584.90	106	-591.72	131
106	Min.	-245	-638.27	65	-15192.70	103	-2525.88	65	-155.56	49	-1605.12	101	-640.65	17	-10584.90	106	-591.72	131
106	Min.	-283	-638.27	65	-15192.70	103	-2525.88	65	-155.56	49	-1605.12	101	-640.65	17	-10584.90	106	-591.72	131
106	Min.	-285	-638.27	65	-15192.70	103	-2525.88	65	-155.56	49	-1605.12	101	-640.65	17	-10584.90	106	-591.72	131
106	Max	-243	330.27	160	-5151.54	158	9440.02	17	1437.58	130	15341.10	130	620.52	65	2088.64	49	938.87	65
106	Max	-241	330.27	160	-5151.54	158	9440.02	17	1437.58	130	15341.10	130	620.52	65	2088.64	49	938.87	65
106	Max	-279	330.27	160	-5151.54	158	9440.02	17	1437.58	130	15341.10	130	620.52	65	2088.64	49	938.87	65
106	Max	-281	330.27	160	-5151.54	158	9440.02	17	1437.58	130	15341.10	130	620.52	65	2088.64	49	938.87	65
106	Min.	-243	-1386.62	103	-13711.30	101	-7286.78	65	-93.91	49	-1179.81	101	-645.09	17	-16443.40	106	-1597.28	131
106	Min.	-241	-1386.62	103	-13711.30	101	-7286.78	65	-93.91	49	-1179.81	101	-645.09	17	-16443.40	106	-1597.28	131
106	Min.	-279	-1386.62	103	-13711.30	101	-7286.78	65	-93.91	49	-1179.81	101	-645.09	17	-16443.40	106	-1597.28	131
106	Min.	-281	-1386.62	103	-13711.30	101	-7286.78	65	-93.91	49	-1179.81	101	-645.09	17	-16443.40	106	-1597.28	131
106	Max	-239	1235.27	177	-4758.23	158	4434.13	17	1535.49	130	15919.50	130	675.10	49	2084.95	1	2481.29	132
106	Max	-237	1235.27	177	-4758.23	158	4434.13	17	1535.49	130	15919.50	130	675.10	49	2084.95	1	2481.29	132
106	Max	-275	1235.27	177	-4758.23	158	4434.13	17	1535.49	130	15919.50	130	675.10	49	2084.95	1	2481.29	132
106	Max	-277	1235.27	177	-4758.23	158	4434.13	17	1535.49	130	15919.50	130	675.10	49	2084.95	1	2481.29	132
106	Min.	-239	-1083.33	17	-15063.50	101	-9082.97	65	-128.35	1	-1386.52	1	-630.52	1	-13046.20	106	-1162.14	103
106	Min.	-237	-1083.33	17	-15063.50	101	-9082.97	65	-128.35	1	-1386.52	1	-630.52	1	-13046.20	106	-1162.14	103
106	Min.	-275	-1083.33	17	-15063.50	101	-9082.97	65	-128.35	1	-1386.52	1	-630.52	1	-13046.20	106	-1162.14	103
106	Min.	-277	-1083.33	17	-15063.50	101	-9082.97	65	-128.35	1	-1386.52	1	-630.52	1	-13046.20	106	-1162.14	103
106	Max	-229	657.15	65	7143.86	65	-264.84	17	760.41	130	16018.00	130	549.42	49	3097.24	1	459.99	49
106	Max	-227	657.15	65	7143.86	65	-264.84	17	760.41	130	16018.00	130	549.42	49	3097.24	1	459.99	49
106	Max	-265	657.15	65	7143.86	65	-264.84	17	760.41	130	16018.00	130	549.42	49	3097.24	1	459.99	49
106	Max	-267	657.15	65	7143.86	65	-264.84	17	760.41	130	16018.00	130	549.42	49	3097.24	1	459.99	49
106	Min.	-229	-941.20	100	-13570.80	17	-4289.62	65	-83.54	1	-2048.38	101	-535.55	1	-7994.56	106	-3007.91	130

106	Min.	-227	-941.20	100	-13570.80	17	-4289.62	65	-83.54	1	-2048.38	101	-535.55	1	-7994.56	106	-3007.91	130
106	Min.	-265	-941.20	100	-13570.80	17	-4289.62	65	-83.54	1	-2048.38	101	-535.55	1	-7994.56	106	-3007.91	130
106	Min.	-267	-941.20	100	-13570.80	17	-4289.62	65	-83.54	1	-2048.38	101	-535.55	1	-7994.56	106	-3007.91	130
106	Max	-235	1579.09	177	-1905.30	65	1898.60	17	1713.88	130	16351.90	130	641.57	49	2154.75	1	452.27	65
106	Max	-233	1579.09	177	-1905.30	65	1898.60	17	1713.88	130	16351.90	130	641.57	49	2154.75	1	452.27	65
106	Max	-271	1579.09	177	-1905.30	65	1898.60	17	1713.88	130	16351.90	130	641.57	49	2154.75	1	452.27	65
106	Max	-273	1579.09	177	-1905.30	65	1898.60	17	1713.88	130	16351.90	130	641.57	49	2154.75	1	452.27	65
106	Min.	-235	-528.83	17	-14736.40	104	-7223.61	65	-210.75	101	-1749.18	101	-614.73	1	-9539.85	106	-1108.62	17
106	Min.	-233	-528.83	17	-14736.40	104	-7223.61	65	-210.75	101	-1749.18	101	-614.73	1	-9539.85	106	-1108.62	17
106	Min.	-271	-528.83	17	-14736.40	104	-7223.61	65	-210.75	101	-1749.18	101	-614.73	1	-9539.85	106	-1108.62	17
106	Min.	-273	-528.83	17	-14736.40	104	-7223.61	65	-210.75	101	-1749.18	101	-614.73	1	-9539.85	106	-1108.62	17
106	Max	-325	198.30	17	-1092.35	160	7195.86	17	1364.52	130	13385.70	130	792.60	65	210.68	49	658.13	104
106	Max	-323	198.30	17	-1092.35	160	7195.86	17	1364.52	130	13385.70	130	792.60	65	210.68	49	658.13	104
106	Max	-361	198.30	17	-1092.35	160	7195.86	17	1364.52	130	13385.70	130	792.60	65	210.68	49	658.13	104
106	Max	-363	198.30	17	-1092.35	160	7195.86	17	1364.52	130	13385.70	130	792.60	65	210.68	49	658.13	104
106	Min.	-325	-820.24	103	-12803.30	103	-1857.47	65	-257.11	101	-2705.62	101	-694.78	17	-9617.44	106	-49.81	17
106	Min.	-323	-820.24	103	-12803.30	103	-1857.47	65	-257.11	101	-2705.62	101	-694.78	17	-9617.44	106	-49.81	17
106	Min.	-361	-820.24	103	-12803.30	103	-1857.47	65	-257.11	101	-2705.62	101	-694.78	17	-9617.44	106	-49.81	17
106	Min.	-363	-820.24	103	-12803.30	103	-1857.47	65	-257.11	101	-2705.62	101	-694.78	17	-9617.44	106	-49.81	17
106	Max	-323	323.55	17	-1715.38	158	7313.89	17	1272.53	130	13891.70	130	824.80	65	135.66	49	822.47	104
106	Max	-321	323.55	17	-1715.38	158	7313.89	17	1272.53	130	13891.70	130	824.80	65	135.66	49	822.47	104
106	Max	-359	323.55	17	-1715.38	158	7313.89	17	1272.53	130	13891.70	130	824.80	65	135.66	49	822.47	104
106	Max	-361	323.55	17	-1715.38	158	7313.89	17	1272.53	130	13891.70	130	824.80	65	135.66	49	822.47	104
106	Min.	-323	-1166.70	103	-13338.60	101	-2209.96	65	-215.52	101	-2319.71	101	-670.33	17	-8522.34	106	-751.52	131
106	Min.	-321	-1166.70	103	-13338.60	101	-2209.96	65	-215.52	101	-2319.71	101	-670.33	17	-8522.34	106	-751.52	131
106	Min.	-359	-1166.70	103	-13338.60	101	-2209.96	65	-215.52	101	-2319.71	101	-670.33	17	-8522.34	106	-751.52	131
106	Min.	-361	-1166.70	103	-13338.60	101	-2209.96	65	-215.52	101	-2319.71	101	-670.33	17	-8522.34	106	-751.52	131
106	Max	-121	-402.46	160	-7707.64	160	7953.17	17	1871.96	130	19483.90	130	651.29	65	3298.38	49	564.36	65
106	Max	22	-402.46	160	-7707.64	160	7953.17	17	1871.96	130	19483.90	130	651.29	65	3298.38	49	564.36	65
106	Max	-241	-402.46	160	-7707.64	160	7953.17	17	1871.96	130	19483.90	130	651.29	65	3298.38	49	564.36	65
106	Max	-243	-402.46	160	-7707.64	160	7953.17	17	1871.96	130	19483.90	130	651.29	65	3298.38	49	564.36	65
106	Min.	-121	-1936.54	103	-18301.50	103	-7404.45	65	-178.06	49	-1889.99	49	-705.72	17	-13319.80	106	-515.88	17
106	Min.	22	-1936.54	103	-18301.50	103	-7404.45	65	-178.06	49	-1889.99	49	-705.72	17	-13319.80	106	-515.88	17
106	Min.	-241	-1936.54	103	-18301.50	103	-7404.45	65	-178.06	49	-1889.99	49	-705.72	17	-13319.80	106	-515.88	17
106	Min.	-243	-1936.54	103	-18301.50	103	-7404.45	65	-178.06	49	-1889.99	49	-705.72	17	-13319.80	106	-515.88	17
106	Max	-295	501.56	17	8295.10	17	1930.87	104	177.49	130	14426.60	130	438.43	49	2869.22	49	1862.43	130
106	Max	-293	501.56	17	8295.10	17	1930.87	104	177.49	130	14426.60	130	438.43	49	2869.22	49	1862.43	130
106	Max	-331	501.56	17	8295.10	17	1930.87	104	177.49	130	14426.60	130	438.43	49	2869.22	49	1862.43	130
106	Max	-333	501.56	17	8295.10	17	1930.87	104	177.49	130	14426.60	130	438.43	49	2869.22	49	1862.43	130
106	Min.	-295	-277.20	65	-13443.20	65	879.56	65	-62.41	101	-2696.83	101	-487.16	1	-10101.60	106	-159.11	1
106	Min.	-293	-277.20	65	-13443.20	65	879.56	65	-62.41	101	-2696.83	101	-487.16	1	-10101.60	106	-159.11	1
106	Min.	-331	-277.20	65	-13443.20	65	879.56	65	-62.41	101	-2696.83	101	-487.16	1	-10101.60	106	-159.11	1
106	Min.	-333	-277.20	65	-13443.20	65	879.56	65	-62.41	101	-2696.83	101	-487.16	1	-10101.60	106	-159.11	1
106	Max	-301	833.30	65	9433.16	177	-35.78	177	537.56	130	12656.30	130	423.03	130	4061.94	1	25.72	49
106	Max	-299	833.30	65	9433.16	177	-35.78	177	537.56	130	12656.30	130	423.03	130	4061.94	1	25.72	49
106	Max	-337	833.30	65	9433.16	177	-35.78	177	537.56	130	12656.30	130	423.03	130	4061.94	1	25.72	49
106	Max	-339	833.30	65	9433.16	177	-35.78	177	537.56	130	12656.30	130	423.03	130	4061.94	1	25.72	49
106	Min.	-301	-1642.57	17	-14658.60	17	-1485.95	17	-201.42	101	-3597.16	101	-277.15	1	-14679.60	106	-428.95	130
106	Min.	-299	-1642.57	17	-14658.60	17	-1485.95	17	-201.42	101	-3597.16	101	-277.15	1	-14679.60	106	-428.95	130
106	Min.	-337	-1642.57	17	-14658.60	17	-1485.95	17	-201.42	101	-3597.16	101	-277.15	1	-14679.60	106	-428.95	130
106	Min.	-339	-1642.57	17	-14658.60	17	-1485.95	17	-201.42	101	-3597.16	101	-277.15	1	-14679.60	106	-428.95	130
106	Max	-311	1433.40	177	-1097.32	159	1862.00	17	1366.54	130	13403.10	130	696.32	65	239.53	1	43.75	65
106	Max	-309	1433.40	177	-1097.32	159	1862.00	17	1366.54	130	13403.10	130	696.32	65	239.53	1	43.75	65
106	Max	-347	1433.40	177	-1097.32	159	1862.00	17	1366.54	130	13403.10	130	696.32	65	239.53	1	43.75	65
106	Max	-349	1433.40	177	-1097.32	159	1862.00	17	1366.54	130	13403.10	130	696.32	65	239.53	1	43.75	65
106	Min.	-311	-825.67	104	-12805.00	104	-7192.18	65	-254.21	101	-2689.17	101	-800.08	17	-9584.17	106	-669.63	103
106	Min.	-309	-825.67	104	-12805.00	104	-7192.18	65	-254.21	101	-2689.17	101	-800.08	17	-9584.17	106	-669.63	103
106	Min.	-347	-825.67	104	-12805.00	104	-7192.18	65	-254.21	101	-2689.17	101	-800.08	17	-9584.17	106	-669.63	103
106	Min.	-349	-825.67	104	-12805.00	104	-7192.18	65	-254.21	101	-2689.17	101	-800.08	17	-9584.17	106	-669.63	103
106	Max	-319	80.89	65	-1076.39	65	12384.00	17	814.97	130	6124.67	130	897.85	49	1050.71	49	547.22	101
106	Max	-317	80.89	65	-1076.39	65	12384.00	17	814.97	130	6124.67	130	897.85	49	1050.71	49	547.22	101
106	Max	-355	80.89	65	-1076.39	65	12384.00	17	814.97	130	6124.67	130	897.85	49	1050.71	49	547.22	101
106	Max	-357	80.89	65	-1076.39	65	12384.00	17	814.97	130	6124.67	130	897.85	49	1050.71	49	547.22	101
106	Min.	-319	-1932.37	104	-5080.62	104	-8156.95	65	-65.03	101	-598.98	101	-1976.79	130	-25550.60	130	-2905.64	130
106	Min.	-317	-1932.37	104	-5080.62	104	-8156.95	65	-65.03	101	-598.98	101	-1976.79	130	-25550.60	130	-2905.64	130
106	Min.	-355	-1932.37	104	-5080.62	104	-8156.95	65	-65.03	101	-598.98	101	-1976.79	130	-25550.60	130	-2905.64	130
106	Min.	-357	-1932.37	104	-5080.62	104	-8156.95	65	-65.03	101	-598.98	101	-1976.79	130	-25550.60	130	-2905.64	130
106	Max	-257	81.02	17	10773.20	17	2211.69	17	222.66	130	15864.60	130	389.83	49	3848.39	49	2510.20	130
106	Max	-255	81.02	17	10773.20	17	2211.69	17	222.66	130	15864.60	130	389.83	49	3848.39	49	2510.20	130
106	Max	-293	81.02	17	10773.20	17	2211.69	17	222.66	130	15864.60	130	389.83	49	3848.39	49	2510.20	130
106	Max	-295	81.02	17	10773.20	17	2211.69	17	222.66	130	15864.60	130	389.83	49	3848.39	49	2510.20	130
106	Min.	-257	-680.62	99	-13749.20	65	-81.36	65	-33.13	101	-2079.98	101	-405.23	1	-7571.85	1	-475.76	101
106	Min.	-255	-680.62	99	-13749.20	65	-81.36	65	-33.13	101	-2079.98	101	-405.23	1	-7571.85	1	-475.76	101
106	Min.	-293	-680.62	99	-13749.20	65	-81.36	65	-33.13	101	-2079.98	101	-405.23	1	-7571.85	1	-475.76	101
106	Min.	-295	-680.62	99	-13749.20	65	-81.36	65	-33.13	101	-2079.98	101	-405.23	1	-7571.85	1	-475.76	101
106	Max	-315	1009.27	177	-1838.39	160	3320.42	17	1010.46	130	12214.70	130	1409.15	130	322.27	1	3076.05	130
106	Max	-313	1009.27	177	-1838.39	160	3320.42	17	1010.46	130	12214.70	130	1409.15	130	322.27	1	3076.05	130
106	Max	-351	1009.27	177	-1838.39	160	3320.42	17	1010.46	130	12214.70	130	1409.15	130	322.27	1	3076.05	130
106	Max	-353	1009.27	177	-1838.39	160	3320.42	17	1010.46	130	12214.70	130	1409.15	130	322.27	1	3076.05	130
106	Min.	-315	-120.39	17	-15292.40	103	-8763.05	65	-132.01	101	-1585.99	101	-843.43	1	-12240.70	106	-861.06	101
106	Min.	-313	-120.39	17	-15292.40	103	-8763.05	65	-132.01	101	-1585.99	101	-843.43	1	-12240.70	106	-861.06	101
106	Min.	-351	-120.39	17	-15292.40	103	-8763.05	65	-132.01	101	-1585.99	101	-843.43	1	-12240.70	106	-861.06	101
106	Min.	-353	-120.39	17	-15292.40	103	-8763.05	65	-132.01	101	-1585.99	101	-843.43	1	-12240.70	106	-861.06	101
106	Max	-327	221.36	17	-10.31	17	6604.88	17	1298.46	130	13204.00	130	772.43	65	320.66	49	565.68	130
106	Max	-325	221.36	17	-10.31	17	6604.88	17	1298.46	130	13204.00	130	772.43	65	320.66	49	565.68	130
106	Max	-363	221.36	17	-10.31	17	6604.88	17	1298.46	130	13204.00	130	772.43	65	320.66	49	565.68	130
106	Max	-365	221.36	17	-10.31	17	6604.88	17	1298.46	130	13204.00	130	772.43	65	320.66	49	565.68	130
106	Min.	-327	-871.45	103	-11773.80	103	-1183.45	65	-293.33	101	-2971.50	101	-687.87	17	-9922.17	106	-20.90	1
106	Min.	-325	-871.45	103	-11773.80	103	-1183.45	65	-293.33	101	-2971.50	101	-687.87	17	-9922.17	106	-20.90	1
106	Min.	-363	-871.45	103	-11773.80	103	-1183.45	65	-293.33	101	-2971.50	101	-687.87	17	-9922.17	106	-20.90	1
106	Min.	-365	-871.45	103	-11773.80	103	-1183.45	65	-293.33	101	-2971.50	101	-687.87	17	-9922.17	106	-20.90	1
106	Max	-313	1130.67	177	-1721.51	158	2212.03	17	1273.77	130	13924.80	130	670.39	65	182.73	1	745.24	132
106	Max	-311	1130.67	177	-1721.51	158	2212.03	17	1273.77	130	13924.80	130	670.39	65	182.73	1	745.24	132
106	Max	-349	1130.67	177	-1721.51	158	2212.03	17	1273.77	130	13924.80	130	670.39	65	182.73	1	745.24	132
106	Max	-351	1130.67	177	-1721.51	158	2212.03	17	1273.77	130	13924.80	130	670.39	65	182.73	1	745.24	132
106	Min.	-313	-1171.36	104	-13335.20	101	-7313.78	65	-212.36	101	-2290.57	101	-834.02	17	-8455.08	106	-833.22	103
106	Min.	-311	-1171.36	104	-13335.20	101	-7313.78	65	-212.36	101	-2290.57	101	-834.02	17	-8455.08	106	-833.22	103
106	Min.	-349	-1171.36	104	-13335.20	101	-7313.78	65	-212.36	101	-2290.57	101	-834.02	17	-8455.08	106	-833.22	103
106	Min.	-351	-1171.36	104	-13335.20	101	-7313.78	65	-212.36	101	-2290.57	101	-834.02	17	-8455.08	106	-833.22	103
106	Max	-307	3420.42	177	1559.91	65	540.31	17	1205.41	130	13045.10	130	696.61	65	428.40	1	51.64	49
106	Max	-305	3420.42	177	1559.91	65	540.31	17	1205.41	130	13045.10	130	696.61	65	428.40	1	51.64	49
106	Max	-343	3420.42	177	1559.91	65	540.31	17	1205.41	130	13045.10	130	696.61	65	428.40	1	51.64	49
106	Max	-345	3420.42	177	1559.91	65	540.31	17	1205.41	130	13045.10	130	696.61	65	428.40	1	51.64	49
106	Min.	-307	-934.35	104	-10928.90	104	-5785.91	65	-304.83	101	-3174.52	101	-750.34	17	-9875.04	106	-823.88	130
106	Min.	-305	-934.35	104	-10928.90	104	-5785.91	65	-304.83	101	-3174.52	101	-750.34	17	-9875.04	106	-823.88	130

106	Min.	-343	-934.35	104	-10928.90	104	-5785.91	65	-304.83	101	-3174.52	101	-750.34	17	-9875.04	106	-823.88	130
106	Min.	-345	-934.35	104	-10928.90	104	-5785.91	65	-304.83	101	-3174.52	101	-750.34	17	-9875.04	106	-823.88	130
106	Max	-41	1334.74	65	9088.49	65	2479.01	100	1330.30	130	17581.90	130	549.94	49	5102.56	1	337.77	49
106	Max	-29	1334.74	65	9088.49	65	2479.01	100	1330.30	130	17581.90	130	549.94	49	5102.56	1	337.77	49
106	Max	-227	1334.74	65	9088.49	65	2479.01	100	1330.30	130	17581.90	130	549.94	49	5102.56	1	337.77	49
106	Max	-229	1334.74	65	9088.49	65	2479.01	100	1330.30	130	17581.90	130	549.94	49	5102.56	1	337.77	49
106	Min.	-41	-979.72	17	-14991.20	17	-3681.20	65	-229.60	1	-3035.48	1	-510.23	1	-6236.76	106	-1786.88	130
106	Min.	-29	-979.72	17	-14991.20	17	-3681.20	65	-229.60	1	-3035.48	1	-510.23	1	-6236.76	106	-1786.88	130
106	Min.	-227	-979.72	17	-14991.20	17	-3681.20	65	-229.60	1	-3035.48	1	-510.23	1	-6236.76	106	-1786.88	130
106	Min.	-229	-979.72	17	-14991.20	17	-3681.20	65	-229.60	1	-3035.48	1	-510.23	1	-6236.76	106	-1786.88	130
106	Max	-167	1020.85	17	308.57	17	6879.94	17	1791.76	130	17964.40	130	558.60	65	3794.58	49	725.71	108
106	Max	-155	1020.85	17	308.57	17	6879.94	17	1791.76	130	17964.40	130	558.60	65	3794.58	49	725.71	108
106	Max	-249	1020.85	17	308.57	17	6879.94	17	1791.76	130	17964.40	130	558.60	65	3794.58	49	725.71	108
106	Max	-251	1020.85	17	308.57	17	6879.94	17	1791.76	130	17964.40	130	558.60	65	3794.58	49	725.71	108
106	Min.	-167	-1290.85	65	-18294.80	103	-1505.91	65	-272.95	49	-2599.93	49	-672.16	17	-7471.91	106	-227.87	17
106	Min.	-155	-1290.85	65	-18294.80	103	-1505.91	65	-272.95	49	-2599.93	49	-672.16	17	-7471.91	106	-227.87	17
106	Min.	-249	-1290.85	65	-18294.80	103	-1505.91	65	-272.95	49	-2599.93	49	-672.16	17	-7471.91	106	-227.87	17
106	Min.	-251	-1290.85	65	-18294.80	103	-1505.91	65	-272.95	49	-2599.93	49	-672.16	17	-7471.91	106	-227.87	17
106	Max	24	353.86	17	-5859.14	160	9357.39	17	1912.19	130	19256.30	130	646.41	65	3509.99	49	600.68	65
106	Max	-121	353.86	17	-5859.14	160	9357.39	17	1912.19	130	19256.30	130	646.41	65	3509.99	49	600.68	65
106	Max	-243	353.86	17	-5859.14	160	9357.39	17	1912.19	130	19256.30	130	646.41	65	3509.99	49	600.68	65
106	Max	-245	353.86	17	-5859.14	160	9357.39	17	1912.19	130	19256.30	130	646.41	65	3509.99	49	600.68	65
106	Min.	24	-1634.81	65	-16763.10	103	-4214.61	65	-213.93	49	-2173.78	49	-699.10	17	-11754.30	106	-535.09	131
106	Min.	-121	-1634.81	65	-16763.10	103	-4214.61	65	-213.93	49	-2173.78	49	-699.10	17	-11754.30	106	-535.09	131
106	Min.	-243	-1634.81	65	-16763.10	103	-4214.61	65	-213.93	49	-2173.78	49	-699.10	17	-11754.30	106	-535.09	131
106	Min.	-245	-1634.81	65	-16763.10	103	-4214.61	65	-213.93	49	-2173.78	49	-699.10	17	-11754.30	106	-535.09	131
106	Max	22	-414.72	159	-7685.82	49	7390.04	17	1872.01	130	19474.30	130	707.61	65	3294.15	1	522.02	65
106	Max	-99	-414.72	159	-7685.82	49	7390.04	17	1872.01	130	19474.30	130	707.61	65	3294.15	1	522.02	65
106	Max	-239	-414.72	159	-7685.82	49	7390.04	17	1872.01	130	19474.30	130	707.61	65	3294.15	1	522.02	65
106	Max	-241	-414.72	159	-7685.82	49	7390.04	17	1872.01	130	19474.30	130	707.61	65	3294.15	1	522.02	65
106	Min.	22	-1961.81	104	-18212.20	104	-7982.42	65	-177.27	1	-1882.98	1	-657.34	17	-13286.20	106	-559.14	17
106	Min.	-99	-1961.81	104	-18212.20	104	-7982.42	65	-177.27	1	-1882.98	1	-657.34	17	-13286.20	106	-559.14	17
106	Min.	-239	-1961.81	104	-18212.20	104	-7982.42	65	-177.27	1	-1882.98	1	-657.34	17	-13286.20	106	-559.14	17
106	Min.	-241	-1961.81	104	-18212.20	104	-7982.42	65	-177.27	1	-1882.98	1	-657.34	17	-13286.20	106	-559.14	17
106	Max	20	1198.88	177	-2852.16	159	4160.95	100	1896.30	130	19164.00	130	785.02	49	3804.69	1	361.13	65
106	Max	-77	1198.88	177	-2852.16	159	4160.95	100	1896.30	130	19164.00	130	785.02	49	3804.69	1	361.13	65
106	Max	-235	1198.88	177	-2852.16	159	4160.95	100	1896.30	130	19164.00	130	785.02	49	3804.69	1	361.13	65
106	Max	-237	1198.88	177	-2852.16	159	4160.95	100	1896.30	130	19164.00	130	785.02	49	3804.69	1	361.13	65
106	Min.	20	-1088.72	104	-14734.20	17	-6738.83	65	-234.12	1	-2455.25	1	-635.99	1	-10457.50	106	-654.10	17
106	Min.	-77	-1088.72	104	-14734.20	17	-6738.83	65	-234.12	1	-2455.25	1	-635.99	1	-10457.50	106	-654.10	17
106	Min.	-235	-1088.72	104	-14734.20	17	-6738.83	65	-234.12	1	-2455.25	1	-635.99	1	-10457.50	106	-654.10	17
106	Min.	-237	-1088.72	104	-14734.20	17	-6738.83	65	-234.12	1	-2455.25	1	-635.99	1	-10457.50	106	-654.10	17
106	Max	-215	1665.76	17	17349.70	17	3008.34	108	782.08	130	16495.80	130	569.84	130	5831.16	49	697.62	130
106	Max	-203	1665.76	17	17349.70	17	3008.34	108	782.08	130	16495.80	130	569.84	130	5831.16	49	697.62	130
106	Max	-257	1665.76	17	17349.70	17	3008.34	108	782.08	130	16495.80	130	569.84	130	5831.16	49	697.62	130
106	Max	-259	1665.76	17	17349.70	17	3008.34	108	782.08	130	16495.80	130	569.84	130	5831.16	49	697.62	130
106	Min.	-215	-292.56	65	-14188.80	65	-286.63	65	-141.29	49	-2788.21	49	-217.29	1	-5474.65	1	-186.63	101
106	Min.	-203	-292.56	65	-14188.80	65	-286.63	65	-141.29	49	-2788.21	49	-217.29	1	-5474.65	1	-186.63	101
106	Min.	-257	-292.56	65	-14188.80	65	-286.63	65	-141.29	49	-2788.21	49	-217.29	1	-5474.65	1	-186.63	101
106	Min.	-259	-292.56	65	-14188.80	65	-286.63	65	-141.29	49	-2788.21	49	-217.29	1	-5474.65	1	-186.63	101
106	Max	-191	1338.48	17	9098.71	17	3711.72	17	1330.81	130	17580.10	130	499.78	49	5051.24	49	1786.62	130
106	Max	-179	1338.48	17	9098.71	17	3711.72	17	1330.81	130	17580.10	130	499.78	49	5051.24	49	1786.62	130
106	Max	-253	1338.48	17	9098.71	17	3711.72	17	1330.81	130	17580.10	130	499.78	49	5051.24	49	1786.62	130
106	Max	-255	1338.48	17	9098.71	17	3711.72	17	1330.81	130	17580.10	130	499.78	49	5051.24	49	1786.62	130
106	Min.	-191	-969.82	65	-14950.70	65	-2450.64	99	-228.81	49	-3023.76	49	-539.61	1	-6242.86	106	-341.37	1
106	Min.	-179	-969.82	65	-14950.70	65	-2450.64	99	-228.81	49	-3023.76	49	-539.61	1	-6242.86	106	-341.37	1
106	Min.	-253	-969.82	65	-14950.70	65	-2450.64	99	-228.81	49	-3023.76	49	-539.61	1	-6242.86	106	-341.37	1
106	Min.	-255	-969.82	65	-14950.70	65	-2450.64	99	-228.81	49	-3023.76	49	-539.61	1	-6242.86	106	-341.37	1
106	Max	-53	1752.97	177	5804.21	65	-643.18	17	1626.07	130	18355.80	130	673.80	49	4664.84	1	192.94	49
106	Max	-41	1752.97	177	5804.21	65	-643.18	17	1626.07	130	18355.80	130	673.80	49	4664.84	1	192.94	49
106	Max	-229	1752.97	177	5804.21	65	-643.18	17	1626.07	130	18355.80	130	673.80	49	4664.84	1	192.94	49
106	Max	-231	1752.97	177	5804.21	65	-643.18	17	1626.07	130	18355.80	130	673.80	49	4664.84	1	192.94	49
106	Min.	-53	-1402.66	100	-15521.40	17	-14919.70	99	-263.02	1	-2985.89	1	-603.98	1	-8344.30	106	-1025.59	130
106	Min.	-41	-1402.66	100	-15521.40	17	-14919.70	99	-263.02	1	-2985.89	1	-603.98	1	-8344.30	106	-1025.59	130
106	Min.	-229	-1402.66	100	-15521.40	17	-14919.70	99	-263.02	1	-2985.89	1	-603.98	1	-8344.30	106	-1025.59	130
106	Min.	-231	-1402.66	100	-15521.40	17	-14919.70	99	-263.02	1	-2985.89	1	-603.98	1	-8344.30	106	-1025.59	130
106	Max	-29	3002.15	177	12118.90	65	-943.31	17	992.08	130	16430.40	130	313.66	65	5304.48	1	398.45	101
106	Max	-17	3002.15	177	12118.90	65	-943.31	17	992.08	130	16430.40	130	313.66	65	5304.48	1	398.45	101
106	Max	-225	3002.15	177	12118.90	65	-943.31	17	992.08	130	16430.40	130	313.66	65	5304.48	1	398.45	101
106	Max	-227	3002.15	177	12118.90	65	-943.31	17	992.08	130	16430.40	130	313.66	65	5304.48	1	398.45	101
106	Min.	-29	-303.18	17	-15371.50	17	-4485.60	107	-178.84	1	-2874.72	1	-428.11	17	-5513.52	49	-1453.79	130
106	Min.	-17	-303.18	17	-15371.50	17	-4485.60	107	-178.84	1	-2874.72	1	-428.11	17	-5513.52	49	-1453.79	130
106	Min.	-225	-303.18	17	-15371.50	17	-4485.60	107	-178.84	1	-2874.72	1	-428.11	17	-5513.52	49	-1453.79	130
106	Min.	-227	-303.18	17	-15371.50	17	-4485.60	107	-178.84	1	-2874.72	1	-428.11	17	-5513.52	49	-1453.79	130
106	Max	-317	70.99	160	-1098.53	17	8179.57	17	814.68	130	6122.10	130	1936.88	130	1071.40	1	2855.54	130
106	Max	-315	70.99	160	-1098.53	17	8179.57	17	814.68	130	6122.10	130	1936.88	130	1071.40	1	2855.54	130
106	Max	-353	70.99	160	-1098.53	17	8179.57	17	814.68	130	6122.10	130	1936.88	130	1071.40	1	2855.54	130
106	Max	-355	70.99	160	-1098.53	17	8179.57	17	814.68	130	6122.10	130	1936.88	130	1071.40	1	2855.54	130
106	Min.	-317	-1945.14	103	-4956.85	103	-12333.60	65	-63.41	101	-581.90	101	-901.56	1	-25550.20	130	-509.80	101
106	Min.	-315	-1945.14	103	-4956.85	103	-12333.60	65	-63.41	101	-581.90	101	-901.56	1	-25550.20	130	-509.80	101
106	Min.	-353	-1945.14	103	-4956.85	103	-12333.60	65	-63.41	101	-581.90	101	-901.56	1	-25550.20	130	-509.80	101
106	Min.	-355	-1945.14	103	-4956.85	103	-12333.60	65	-63.41	101	-581.90	101	-901.56	1	-25550.20	130	-509.80	101
106	Max	-271	1578.26	177	291.78	65	1041.12	17	1398.73	130	14645.00	130	664.63	65	1156.43	1	115.10	49
106	Max	-269	1578.26	177	291.78	65	1041.12	17	1398.73	130	14645.00	130	664.63	65	1156.43	1	115.10	49
106	Max	-307	1578.26	177	291.78	65	1041.12	17	1398.73	130	14645.00	130	664.63	65	1156.43	1	115.10	49
106	Max	-309	1578.26	177	291.78	65	1041.12	17	1398.73	130	14645.00	130	664.63	65	1156.43	1	115.10	49
106	Min.	-271	-533.22	17	-12768.80	104	-6538.95	65	-214.81	101	-2269.88	101	-715.43	17	-9438.24	106	-1267.51	130
106	Min.	-269	-533.22	17	-12768.80	104	-6538.95	65	-214.81	101	-2269.88	101	-715.43	17	-9438.24	106	-1267.51	130
106	Min.	-307	-533.22	17	-12768.80	104	-6538.95	65	-214.81	101	-2269.88	101	-715.43	17	-9438.24	106	-1267.51	130
106	Min.	-309	-533.22	17	-12768.80	104	-6538.95	65	-214.81	101	-2269.88	101	-715.43	17	-9438.24	106	-1267.51	130
106	Max	-227	1119.61	177	10785.20	65	257.65	173	210.87	130	15857.70	130	408.35	49	3963.69	1	467.90	101
106	Max	-225	1119.61	177	10785.20	65	257.65	173	210.87	130	15857.70	130	408.35	49	3963.69	1	467.90	101
106	Max	-263	1119.61	177	10785.20	65	257.65	173	210.87	130	15857.70	130	408.35	49	3963.69	1	467.90	101
106	Max	-265	1119.61	177	10785.20	65	257.65	173	210.87	130	15857.70	130	408.35	49	3963.69	1	467.90	101
106	Min.	-227	-637.26	100	-13792.90	17	-2142.03	65	-31.42	101	-2067.76	101	-392.22	1	-7683.05	49	-2469.83	130
106	Min.	-225	-637.26	100	-13792.90	17	-2142.03	65	-31.42	101	-2067.76	101	-392.22	1	-7683.05	49	-2469.83	130
106	Min.	-263	-637.26	100	-13792.90	17	-2142.03	65	-31.42	101	-2067.76	101	-392.22	1	-7683.05	49	-2469.83	130
106	Min.	-265	-637.26	100	-13792.90	17	-2142.03	65	-31.42	101	-2067.76	101	-392.22	1	-7683.05	49	-2469.83	130
106	Max	-253	929.12	17	3405.98	17	5647.25	17	1272.24	130	16155.60	130	588.34	49	2513.19	49	2164.04	130
106	Max	-251	929.12	17	3405.98	17	5647.25	17	1272.24	130	16155.60	130	588.34	49	2513.19	49	2164.04	130
106	Max	-289	929.12	17	3405.98	17	5647.25	17	1272.24	130	16155.60	130	588.34	49	2513.19	49	2164.04	130
106	Max	-291	929.12	17	3405.98	17	5647.25	17	1272.24	130	16155.60	130	588.34	49	2513.19	49	2164.04	130
106	Min.	-253	-463.05	65	-13129.70	65	-524.46	65	-152.03	49	-2007.64	101	-612.97	1	-8708.56	106	-356.89	1
106	Min.	-251	-463.05	65	-13129.70	65	-524.46	65	-152.03	49	-2007.64	101	-612.97	1	-8708.56	106	-356.89	1
106	Min.	-289	-463.05	65	-13129.70	65	-524.46	65	-152.03	49	-2007.64	101	-612.97	1	-8708.56	106	-356.89	1

106	Min.	-291	-463.05	65	-13129.70	65	-524.46	65	-152.03	49	-2007.64	101	-612.97	1	-8708.56	106	-356.89	1
106	Max	-303	562.05	65	7576.05	177	-373.82	177	715.21	130	12659.60	130	573.98	49	2297.83	1	62.25	49
106	Max	-301	562.05	65	7576.05	177	-373.82	177	715.21	130	12659.60	130	573.98	49	2297.83	1	62.25	49
106	Max	-339	562.05	65	7576.05	177	-373.82	177	715.21	130	12659.60	130	573.98	49	2297.83	1	62.25	49
106	Max	-341	562.05	65	7576.05	177	-373.82	177	715.21	130	12659.60	130	573.98	49	2297.83	1	62.25	49
106	Min.	-303	-1111.95	17	-12483.60	17	-1973.53	104	-255.25	101	-3414.42	101	-482.30	1	-11734.70	106	-822.12	130
106	Min.	-301	-1111.95	17	-12483.60	17	-1973.53	104	-255.25	101	-3414.42	101	-482.30	1	-11734.70	106	-822.12	130
106	Min.	-339	-1111.95	17	-12483.60	17	-1973.53	104	-255.25	101	-3414.42	101	-482.30	1	-11734.70	106	-822.12	130
106	Min.	-341	-1111.95	17	-12483.60	17	-1973.53	104	-255.25	101	-3414.42	101	-482.30	1	-11734.70	106	-822.12	130
106	Max	-251	1062.73	17	885.21	17	6837.36	17	1573.67	130	16264.90	130	598.75	65	2305.01	49	1417.93	132
106	Max	-249	1062.73	17	885.21	17	6837.36	17	1573.67	130	16264.90	130	598.75	65	2305.01	49	1417.93	132
106	Max	-287	1062.73	17	885.21	17	6837.36	17	1573.67	130	16264.90	130	598.75	65	2305.01	49	1417.93	132
106	Max	-289	1062.73	17	885.21	17	6837.36	17	1573.67	130	16264.90	130	598.75	65	2305.01	49	1417.93	132
106	Min.	-251	-567.79	65	-13544.40	103	-742.32	65	-213.77	101	-1911.02	101	-621.58	17	-9015.33	106	-319.73	17
106	Min.	-249	-567.79	65	-13544.40	103	-742.32	65	-213.77	101	-1911.02	101	-621.58	17	-9015.33	106	-319.73	17
106	Min.	-287	-567.79	65	-13544.40	103	-742.32	65	-213.77	101	-1911.02	101	-621.58	17	-9015.33	106	-319.73	17
106	Min.	-289	-567.79	65	-13544.40	103	-742.32	65	-213.77	101	-1911.02	101	-621.58	17	-9015.33	106	-319.73	17
106	Max	-245	1114.42	17	-4746.20	158	9073.71	17	1534.30	130	15916.60	130	616.64	49	2064.20	49	1171.68	104
106	Max	-243	1114.42	17	-4746.20	158	9073.71	17	1534.30	130	15916.60	130	616.64	49	2064.20	49	1171.68	104
106	Max	-281	1114.42	17	-4746.20	158	9073.71	17	1534.30	130	15916.60	130	616.64	49	2064.20	49	1171.68	104
106	Max	-283	1114.42	17	-4746.20	158	9073.71	17	1534.30	130	15916.60	130	616.64	49	2064.20	49	1171.68	104
106	Min.	-245	-1073.35	65	-15091.50	101	-4438.45	65	-129.83	49	-1393.06	49	-661.48	1	-13096.20	106	-2475.35	131
106	Min.	-243	-1073.35	65	-15091.50	101	-4438.45	65	-129.83	49	-1393.06	49	-661.48	1	-13096.20	106	-2475.35	131
106	Min.	-281	-1073.35	65	-15091.50	101	-4438.45	65	-129.83	49	-1393.06	49	-661.48	1	-13096.20	106	-2475.35	131
106	Min.	-283	-1073.35	65	-15091.50	101	-4438.45	65	-129.83	49	-1393.06	49	-661.48	1	-13096.20	106	-2475.35	131
106	Max	-241	333.40	159	-5169.34	158	7304.77	17	1439.90	130	15342.00	130	649.13	65	2091.59	1	1570.24	132
106	Max	-239	333.40	159	-5169.34	158	7304.77	17	1439.90	130	15342.00	130	649.13	65	2091.59	1	1570.24	132
106	Max	-277	333.40	159	-5169.34	158	7304.77	17	1439.90	130	15342.00	130	649.13	65	2091.59	1	1570.24	132
106	Max	-279	333.40	159	-5169.34	158	7304.77	17	1439.90	130	15342.00	130	649.13	65	2091.59	1	1570.24	132
106	Min.	-241	-1397.07	104	-13692.80	101	-9445.55	65	-93.05	1	-1174.04	101	-624.06	17	-16414.70	106	-922.53	17
106	Min.	-239	-1397.07	104	-13692.80	101	-9445.55	65	-93.05	1	-1174.04	101	-624.06	17	-16414.70	106	-922.53	17
106	Min.	-277	-1397.07	104	-13692.80	101	-9445.55	65	-93.05	1	-1174.04	101	-624.06	17	-16414.70	106	-922.53	17
106	Min.	-279	-1397.07	104	-13692.80	101	-9445.55	65	-93.05	1	-1174.04	101	-624.06	17	-16414.70	106	-922.53	17
106	Max	-321	548.83	17	-1833.31	159	8755.74	17	1007.90	130	12194.50	130	830.64	49	269.37	49	867.83	101
106	Max	-319	548.83	17	-1833.31	159	8755.74	17	1007.90	130	12194.50	130	830.64	49	269.37	49	867.83	101
106	Max	-357	548.83	17	-1833.31	159	8755.74	17	1007.90	130	12194.50	130	830.64	49	269.37	49	867.83	101
106	Max	-359	548.83	17	-1833.31	159	8755.74	17	1007.90	130	12194.50	130	830.64	49	269.37	49	867.83	101
106	Min.	-321	-260.92	177	-15298.20	104	-3322.97	65	-134.94	101	-1622.13	101	-1398.74	130	-12290.80	106	-3070.79	130
106	Min.	-319	-260.92	177	-15298.20	104	-3322.97	65	-134.94	101	-1622.13	101	-1398.74	130	-12290.80	106	-3070.79	130
106	Min.	-357	-260.92	177	-15298.20	104	-3322.97	65	-134.94	101	-1622.13	101	-1398.74	130	-12290.80	106	-3070.79	130
106	Min.	-359	-260.92	177	-15298.20	104	-3322.97	65	-134.94	101	-1622.13	101	-1398.74	130	-12290.80	106	-3070.79	130
106	Max	-259	278.80	17	11625.70	17	714.97	17	17.63	49	15535.60	130	203.91	49	5198.52	49	1221.51	130
106	Max	-257	278.80	17	11625.70	17	714.97	17	17.63	49	15535.60	130	203.91	49	5198.52	49	1221.51	130
106	Max	-295	278.80	17	11625.70	17	714.97	17	17.63	49	15535.60	130	203.91	49	5198.52	49	1221.51	130
106	Max	-297	278.80	17	11625.70	17	714.97	17	17.63	49	15535.60	130	203.91	49	5198.52	49	1221.51	130
106	Min.	-259	-35.84	65	-13643.60	65	63.79	135	-23.18	1	-2014.03	101	-245.92	1	-8885.68	1	-246.68	101
106	Min.	-257	-35.84	65	-13643.60	65	63.79	135	-23.18	1	-2014.03	101	-245.92	1	-8885.68	1	-246.68	101
106	Min.	-295	-35.84	65	-13643.60	65	63.79	135	-23.18	1	-2014.03	101	-245.92	1	-8885.68	1	-246.68	101
106	Min.	-297	-35.84	65	-13643.60	65	63.79	135	-23.18	1	-2014.03	101	-245.92	1	-8885.68	1	-246.68	101
106	Max	-225	305.65	65	11626.90	65	17.83	173	19.72	1	15525.90	130	242.03	49	5350.40	1	234.84	101
106	Max	-223	305.65	65	11626.90	65	17.83	173	19.72	1	15525.90	130	242.03	49	5350.40	1	234.84	101
106	Max	-261	305.65	65	11626.90	65	17.83	173	19.72	1	15525.90	130	242.03	49	5350.40	1	234.84	101
106	Max	-263	305.65	65	11626.90	65	17.83	173	19.72	1	15525.90	130	242.03	49	5350.40	1	234.84	101
106	Min.	-225	-43.67	17	-13691.20	17	-649.54	65	-32.84	106	-2001.67	101	-198.62	1	-9032.10	49	-1159.36	130
106	Min.	-223	-43.67	17	-13691.20	17	-649.54	65	-32.84	106	-2001.67	101	-198.62	1	-9032.10	49	-1159.36	130
106	Min.	-261	-43.67	17	-13691.20	17	-649.54	65	-32.84	106	-2001.67	101	-198.62	1	-9032.10	49	-1159.36	130
106	Min.	-263	-43.67	17	-13691.20	17	-649.54	65	-32.84	106	-2001.67	101	-198.62	1	-9032.10	49	-1159.36	130
106	Max	-231	1716.95	177	3345.52	65	518.99	17	1280.02	130	16163.00	130	624.73	49	2536.15	1	341.48	49
106	Max	-229	1716.95	177	3345.52	65	518.99	17	1280.02	130	16163.00	130	624.73	49	2536.15	1	341.48	49
106	Max	-267	1716.95	177	3345.52	65	518.99	17	1280.02	130	16163.00	130	624.73	49	2536.15	1	341.48	49
106	Max	-269	1716.95	177	3345.52	65	518.99	17	1280.02	130	16163.00	130	624.73	49	2536.15	1	341.48	49
106	Min.	-231	-500.83	17	-13130.80	17	-5680.52	65	-152.98	1	-1994.75	101	-600.75	1	-8700.45	106	-2141.65	130
106	Min.	-229	-500.83	17	-13130.80	17	-5680.52	65	-152.98	1	-1994.75	101	-600.75	1	-8700.45	106	-2141.65	130
106	Min.	-267	-500.83	17	-13130.80	17	-5680.52	65	-152.98	1	-1994.75	101	-600.75	1	-8700.45	106	-2141.65	130
106	Min.	-269	-500.83	17	-13130.80	17	-5680.52	65	-152.98	1	-1994.75	101	-600.75	1	-8700.45	106	-2141.65	130
106	Max	-331	447.03	17	3841.90	17	3835.74	17	982.35	130	12824.50	130	652.59	49	1086.35	49	960.72	130
106	Max	-329	447.03	17	3841.90	17	3835.74	17	982.35	130	12824.50	130	652.59	49	1086.35	49	960.72	130
106	Max	-367	447.03	17	3841.90	17	3835.74	17	982.35	130	12824.50	130	652.59	49	1086.35	49	960.72	130
106	Max	-369	447.03	17	3841.90	17	3835.74	17	982.35	130	12824.50	130	652.59	49	1086.35	49	960.72	130
106	Min.	-331	-1101.27	65	-10662.70	177	380.94	65	-289.50	101	-3347.45	101	-676.70	1	-10426.60	106	-76.90	1
106	Min.	-329	-1101.27	65	-10662.70	177	380.94	65	-289.50	101	-3347.45	101	-676.70	1	-10426.60	106	-76.90	1
106	Min.	-367	-1101.27	65	-10662.70	177	380.94	65	-289.50	101	-3347.45	101	-676.70	1	-10426.60	106	-76.90	1
106	Min.	-369	-1101.27	65	-10662.70	177	380.94	65	-289.50	101	-3347.45	101	-676.70	1	-10426.60	106	-76.90	1
106	Max	-335	878.39	17	8302.97	17	1479.09	177	546.25	130	12647.90	130	282.39	49	3902.43	49	450.28	130
106	Max	-333	878.39	17	8302.97	17	1479.09	177	546.25	130	12647.90	130	282.39	49	3902.43	49	450.28	130
106	Max	-371	878.39	17	8302.97	17	1479.09	177	546.25	130	12647.90	130	282.39	49	3902.43	49	450.28	130
106	Max	-373	878.39	17	8302.97	17	1479.09	177	546.25	130	12647.90	130	282.39	49	3902.43	49	450.28	130
106	Min.	-335	-1694.47	65	-14736.80	177	97.85	17	-203.24	101	-3595.23	101	-428.37	130	-14551.90	106	-28.69	1
106	Min.	-333	-1694.47	65	-14736.80	177	97.85	17	-203.24	101	-3595.23	101	-428.37	130	-14551.90	106	-28.69	1
106	Min.	-371	-1694.47	65	-14736.80	177	97.85	17	-203.24	101	-3595.23	101	-428.37	130	-14551.90	106	-28.69	1
106	Min.	-373	-1694.47	65	-14736.80	177	97.85	17	-203.24	101	-3595.23	101	-428.37	130	-14551.90	106	-28.69	1
106	Max	-265	463.13	65	8307.17	65	-847.20	17	167.98	130	14426.70	130	487.70	49	2992.14	1	153.68	49
106	Max	-263	463.13	65	8307.17	65	-847.20	17	167.98	130	14426.70	130	487.70	49	2992.14	1	153.68	49
106	Max	-301	463.13	65	8307.17	65	-847.20	17	167.98	130	14426.70	130	487.70	49	2992.14	1	153.68	49
106	Max	-303	463.13	65	8307.17	65	-847.20	17	167.98	130	14426.70	130	487.70	49	2992.14	1	153.68	49
106	Min.	-265	-1422.56	177	-13462.80	17	-1855.69	103	-60.54	101	-2688.56	101	-439.65	1	-10161.70	106	-1838.16	130
106	Min.	-263	-1422.56	177	-13462.80	17	-1855.69	103	-60.54	101	-2688.56	101	-439.65	1	-10161.70	106	-1838.16	130
106	Min.	-301	-1422.56	177	-13462.80	17	-1855.69	103	-60.54	101	-2688.56	101	-439.65	1	-10161.70	106	-1838.16	130
106	Min.	-303	-1422.56	177	-13462.80	17	-1855.69	103	-60.54	101	-2688.56	101	-439.65	1	-10161.70	106	-1838.16	130
106	Max	-287	685.03	17	-1852.53	160	7247.06	17	1497.49	130	14738.70	130	724.68	65	1030.41	49	1289.36	104
106	Max	-285	685.03	17	-1852.53	160	7247.06	17	1497.49	130	14738.70	130	724.68	65	1030.41	49	1289.36	104
106	Max	-323	685.03	17	-1852.53	160	7247.06	17	1497.49	130	14738.70	130	724.68	65	1030.41	49	1289.36	104
106	Max	-325	685.03	17	-1852.53	160	7247.06	17	1497.49	130	14738.70	130	724.68	65	1030.41	49	1289.36	104
106	Min.	-287	-400.47	65	-13702.10	103	-1648.82	65	-183.25	101	-2060.99	101	-658.67	17	-9505.30	106	-200.90	17
106	Min.	-285	-400.47	65	-13702.10	103	-1648.82	65	-183.25	101	-2060.99	101	-658.67	17	-9505.30	106	-200.90	17
106	Min.	-323	-400.47	65	-13702.10	103	-1648.82	65	-183.25	101	-2060.99	101	-658.67	17	-9505.30	106	-200.90	17
106	Min.	-325	-400.47	65	-13702.10	103	-1648.82	65	-183.25	101	-2060.99	101	-658.67	17	-9505.30	106	-200.90	17
106	Max	-285	611.38	17	-2609.19	160	7588.28	17	1366.23	130	14674.30	130	716.22	65	949.38	49	1565.86	104
106	Max	-283	611.38	17	-2609.19	160	7588.28	17	1366.23	130	14674.30	130	716.22	65	949.38	49	1565.86	104
106	Max	-321	611.38	17	-2609.19	160	7588.28	17	1366.23	130	14674.30	130	716.22	65	949.38	49	1565.86	104
106	Max	-323	611.38	17	-2609.19	160	7588.28	17	1366.23	130	14674.30	130	716.22	65	949.38	49	1565.86	104
106	Min.	-285	-199.22	65	-13942.80	103	-2269.51	65	-168.02	101	-1806.99	101	-689.46	17	-9667.61	106	-1655.81	131
106	Min.	-283	-199.22	65	-13942.80	103	-2269.51	65	-168.02	101	-1806.99	101	-689.46	17	-9667.61	106	-1655.81	131
106	Min.	-321	-199.22	65	-13942.80	103	-2269.51	65	-168.02	101	-1806.99	101	-689.46	17	-9667.61	106	-1655.81	131
106	Min.	-323	-199.22	65	-13942.80	103	-2269.51	65	-168.02	101	-1806.99	101	-689.46	17	-9667.61	106	-1655.81	131

106	Max	-281	366.02	17	-3075.63	159	10666.80	17	1308.03	130	11256.40	130	741.00	49	1436.37	49	923.17	101
106	Max	-279	366.02	17	-3075.63	159	10666.80	17	1308.03	130	11256.40	130	741.00	49	1436.37	49	923.17	101
106	Max	-317	366.02	17	-3075.63	159	10666.80	17	1308.03	130	11256.40	130	741.00	49	1436.37	49	923.17	101
106	Max	-319	366.02	17	-3075.63	159	10666.80	17	1308.03	130	11256.40	130	741.00	49	1436.37	49	923.17	101
106	Min.	-281	-1851.38	103	-9535.84	104	-7868.78	65	-68.98	49	-884.59	101	-840.80	1	-20779.00	130	-4381.26	130
106	Min.	-279	-1851.38	103	-9535.84	104	-7868.78	65	-68.98	49	-884.59	101	-840.80	1	-20779.00	130	-4381.26	130
106	Min.	-317	-1851.38	103	-9535.84	104	-7868.78	65	-68.98	49	-884.59	101	-840.80	1	-20779.00	130	-4381.26	130
106	Min.	-319	-1851.38	103	-9535.84	104	-7868.78	65	-68.98	49	-884.59	101	-840.80	1	-20779.00	130	-4381.26	130
106	Max	-277	1527.52	177	-3299.72	160	3985.10	17	1093.67	130	13484.50	130	856.15	49	1101.16	1	5018.43	130
106	Max	-275	1527.52	177	-3299.72	160	3985.10	17	1093.67	130	13484.50	130	856.15	49	1101.16	1	5018.43	130
106	Max	-313	1527.52	177	-3299.72	160	3985.10	17	1093.67	130	13484.50	130	856.15	49	1101.16	1	5018.43	130
106	Max	-315	1527.52	177	-3299.72	160	3985.10	17	1093.67	130	13484.50	130	856.15	49	1101.16	1	5018.43	130
106	Min.	-277	-996.61	17	-14386.10	103	-9290.99	65	-81.81	1	-1360.30	101	-765.85	1	-13195.10	106	-1532.30	101
106	Min.	-275	-996.61	17	-14386.10	103	-9290.99	65	-81.81	1	-1360.30	101	-765.85	1	-13195.10	106	-1532.30	101
106	Min.	-313	-996.61	17	-14386.10	103	-9290.99	65	-81.81	1	-1360.30	101	-765.85	1	-13195.10	106	-1532.30	101
106	Min.	-315	-996.61	17	-14386.10	103	-9290.99	65	-81.81	1	-1360.30	101	-765.85	1	-13195.10	106	-1532.30	101
106	Max	-17	1571.29	65	17512.40	65	342.55	17	771.52	130	16500.60	130	206.84	49	5955.57	1	175.84	101
106	Max	-5	1571.29	65	17512.40	65	342.55	17	771.52	130	16500.60	130	206.84	49	5955.57	1	175.84	101
106	Max	-223	1571.29	65	17512.40	65	342.55	17	771.52	130	16500.60	130	206.84	49	5955.57	1	175.84	101
106	Max	-225	1571.29	65	17512.40	65	342.55	17	771.52	130	16500.60	130	206.84	49	5955.57	1	175.84	101
106	Min.	-17	-284.03	17	-14224.60	17	-2929.38	107	-139.86	1	-2798.98	1	-574.94	130	-5568.63	49	-659.64	130
106	Min.	-5	-284.03	17	-14224.60	17	-2929.38	107	-139.86	1	-2798.98	1	-574.94	130	-5568.63	49	-659.64	130
106	Min.	-223	-284.03	17	-14224.60	17	-2929.38	107	-139.86	1	-2798.98	1	-574.94	130	-5568.63	49	-659.64	130
106	Min.	-225	-284.03	17	-14224.60	17	-2929.38	107	-139.86	1	-2798.98	1	-574.94	130	-5568.63	49	-659.64	130
106	Max	-233	1283.99	177	832.19	65	764.17	17	1581.49	130	16271.80	130	622.95	65	2326.74	1	316.69	65
106	Max	-231	1283.99	177	832.19	65	764.17	17	1581.49	130	16271.80	130	622.95	65	2326.74	1	316.69	65
106	Max	-269	1283.99	177	832.19	65	764.17	17	1581.49	130	16271.80	130	622.95	65	2326.74	1	316.69	65
106	Max	-271	1283.99	177	832.19	65	764.17	17	1581.49	130	16271.80	130	622.95	65	2326.74	1	316.69	65
106	Min.	-233	-577.21	17	-13591.60	104	-6857.00	65	-213.79	101	-1896.91	101	-601.09	17	-8998.62	106	-1405.80	131
106	Min.	-231	-577.21	17	-13591.60	104	-6857.00	65	-213.79	101	-1896.91	101	-601.09	17	-8998.62	106	-1405.80	131
106	Min.	-269	-577.21	17	-13591.60	104	-6857.00	65	-213.79	101	-1896.91	101	-601.09	17	-8998.62	106	-1405.80	131
106	Min.	-271	-577.21	17	-13591.60	104	-6857.00	65	-213.79	101	-1896.91	101	-601.09	17	-8998.62	106	-1405.80	131
106	Max	-293	448.71	17	5480.63	17	3828.99	17	736.71	130	14497.10	130	606.81	49	1844.59	49	2180.49	130
106	Max	-291	448.71	17	5480.63	17	3828.99	17	736.71	130	14497.10	130	606.81	49	1844.59	49	2180.49	130
106	Max	-329	448.71	17	5480.63	17	3828.99	17	736.71	130	14497.10	130	606.81	49	1844.59	49	2180.49	130
106	Max	-331	448.71	17	5480.63	17	3828.99	17	736.71	130	14497.10	130	606.81	49	1844.59	49	2180.49	130
106	Min.	-293	-683.96	65	-12056.70	65	415.55	65	-161.08	101	-2565.70	101	-625.34	1	-9403.77	106	-202.40	1
106	Min.	-291	-683.96	65	-12056.70	65	415.55	65	-161.08	101	-2565.70	101	-625.34	1	-9403.77	106	-202.40	1
106	Min.	-329	-683.96	65	-12056.70	65	415.55	65	-161.08	101	-2565.70	101	-625.34	1	-9403.77	106	-202.40	1
106	Min.	-331	-683.96	65	-12056.70	65	415.55	65	-161.08	101	-2565.70	101	-625.34	1	-9403.77	106	-202.40	1
106	Max	-297	45.89	17	9470.08	17	748.98	17	10.09	17	14203.10	130	195.99	49	4554.62	49	974.17	130
106	Max	-295	45.89	17	9470.08	17	748.98	17	10.09	17	14203.10	130	195.99	49	4554.62	49	974.17	130
106	Max	-333	45.89	17	9470.08	17	748.98	17	10.09	17	14203.10	130	195.99	49	4554.62	49	974.17	130
106	Max	-335	45.89	17	9470.08	17	748.98	17	10.09	17	14203.10	130	195.99	49	4554.62	49	974.17	130
106	Min.	-297	-301.21	65	-13251.00	65	181.81	65	-4.59	65	-2659.14	101	-221.31	1	-11731.80	106	-79.11	1
106	Min.	-295	-301.21	65	-13251.00	65	181.81	65	-4.59	65	-2659.14	101	-221.31	1	-11731.80	106	-79.11	1
106	Min.	-333	-301.21	65	-13251.00	65	181.81	65	-4.59	65	-2659.14	101	-221.31	1	-11731.80	106	-79.11	1
106	Min.	-335	-301.21	65	-13251.00	65	181.81	65	-4.59	65	-2659.14	101	-221.31	1	-11731.80	106	-79.11	1
106	Max	-269	3417.63	177	2378.74	65	328.13	17	1230.67	130	14565.50	130	667.98	49	1233.45	1	200.26	49
106	Max	-267	3417.63	177	2378.74	65	328.13	17	1230.67	130	14565.50	130	667.98	49	1233.45	1	200.26	49
106	Max	-305	3417.63	177	2378.74	65	328.13	17	1230.67	130	14565.50	130	667.98	49	1233.45	1	200.26	49
106	Max	-307	3417.63	177	2378.74	65	328.13	17	1230.67	130	14565.50	130	667.98	49	1233.45	1	200.26	49
106	Min.	-269	-916.54	17	-11547.80	104	-5763.35	65	-234.09	101	-2413.49	101	-697.04	1	-9208.19	106	-1939.94	130
106	Min.	-267	-916.54	17	-11547.80	104	-5763.35	65	-234.09	101	-2413.49	101	-697.04	1	-9208.19	106	-1939.94	130
106	Min.	-305	-916.54	17	-11547.80	104	-5763.35	65	-234.09	101	-2413.49	101	-697.04	1	-9208.19	106	-1939.94	130
106	Min.	-307	-916.54	17	-11547.80	104	-5763.35	65	-234.09	101	-2413.49	101	-697.04	1	-9208.19	106	-1939.94	130
106	Max	-275	1464.41	177	-2612.66	159	2270.97	17	1365.74	130	14689.40	130	702.76	49	987.52	1	1648.38	132
106	Max	-273	1464.41	177	-2612.66	159	2270.97	17	1365.74	130	14689.40	130	702.76	49	987.52	1	1648.38	132
106	Max	-311	1464.41	177	-2612.66	159	2270.97	17	1365.74	130	14689.40	130	702.76	49	987.52	1	1648.38	132
106	Max	-313	1464.41	177	-2612.66	159	2270.97	17	1365.74	130	14689.40	130	702.76	49	987.52	1	1648.38	132
106	Min.	-275	-202.87	17	-13930.80	104	-7589.43	65	-164.94	101	-1786.99	101	-731.46	1	-9617.25	106	-1580.51	103
106	Min.	-273	-202.87	17	-13930.80	104	-7589.43	65	-164.94	101	-1786.99	101	-731.46	1	-9617.25	106	-1580.51	103
106	Min.	-311	-202.87	17	-13930.80	104	-7589.43	65	-164.94	101	-1786.99	101	-731.46	1	-9617.25	106	-1580.51	103
106	Min.	-313	-202.87	17	-13930.80	104	-7589.43	65	-164.94	101	-1786.99	101	-731.46	1	-9617.25	106	-1580.51	103
106	Max	-291	654.17	17	2424.94	17	5755.73	17	1225.84	130	14555.60	130	689.54	65	1211.40	49	1945.93	130
106	Max	-289	654.17	17	2424.94	17	5755.73	17	1225.84	130	14555.60	130	689.54	65	1211.40	49	1945.93	130
106	Max	-327	654.17	17	2424.94	17	5755.73	17	1225.84	130	14555.60	130	689.54	65	1211.40	49	1945.93	130
106	Max	-329	654.17	17	2424.94	17	5755.73	17	1225.84	130	14555.60	130	689.54	65	1211.40	49	1945.93	130
106	Min.	-291	-937.80	65	-11527.80	103	-301.14	65	-236.01	101	-2426.90	101	-662.23	17	-9214.46	106	-211.84	1
106	Min.	-289	-937.80	65	-11527.80	103	-301.14	65	-236.01	101	-2426.90	101	-662.23	17	-9214.46	106	-211.84	1
106	Min.	-327	-937.80	65	-11527.80	103	-301.14	65	-236.01	101	-2426.90	101	-662.23	17	-9214.46	106	-211.84	1
106	Min.	-329	-937.80	65	-11527.80	103	-301.14	65	-236.01	101	-2426.90	101	-662.23	17	-9214.46	106	-211.84	1
106	Max	-289	650.58	17	336.00	17	6528.54	17	1393.24	130	14633.20	130	709.83	65	1133.21	49	1274.26	130
106	Max	-287	650.58	17	336.00	17	6528.54	17	1393.24	130	14633.20	130	709.83	65	1133.21	49	1274.26	130
106	Max	-325	650.58	17	336.00	17	6528.54	17	1393.24	130	14633.20	130	709.83	65	1133.21	49	1274.26	130
106	Max	-327	650.58	17	336.00	17	6528.54	17	1393.24	130	14633.20	130	709.83	65	1133.21	49	1274.26	130
106	Min.	-289	-530.48	65	-12749.70	103	-1016.14	65	-217.58	101	-2284.87	101	-661.59	17	-9451.98	106	-130.94	1
106	Min.	-287	-530.48	65	-12749.70	103	-1016.14	65	-217.58	101	-2284.87	101	-661.59	17	-9451.98	106	-130.94	1
106	Min.	-325	-530.48	65	-12749.70	103	-1016.14	65	-217.58	101	-2284.87	101	-661.59	17	-9451.98	106	-130.94	1
106	Min.	-327	-530.48	65	-12749.70	103	-1016.14	65	-217.58	101	-2284.87	101	-661.59	17	-9451.98	106	-130.94	1
106	Max	-283	1355.12	17	-3292.01	159	9281.76	17	1091.58	130	13470.40	130	752.13	49	1064.70	49	1546.34	101
106	Max	-281	1355.12	17	-3292.01	159	9281.76	17	1091.58	130	13470.40	130	752.13	49	1064.70	49	1546.34	101
106	Max	-319	1355.12	17	-3292.01	159	9281.76	17	1091.58	130	13470.40	130	752.13	49	1064.70	49	1546.34	101
106	Max	-321	1355.12	17	-3292.01	159	9281.76	17	1091.58	130	13470.40	130	752.13	49	1064.70	49	1546.34	101
106	Min.	-283	-991.79	65	-14404.90	104	-3988.50	65	-83.29	101	-1379.70	101	-839.83	1	-13245.80	106	-5012.44	130
106	Min.	-281	-991.79	65	-14404.90	104	-3988.50	65	-83.29	101	-1379.70	101	-839.83	1	-13245.80	106	-5012.44	130
106	Min.	-319	-991.79	65	-14404.90	104	-3988.50	65	-83.29	101	-1379.70	101	-839.83	1	-13245.80	106	-5012.44	130
106	Min.	-321	-991.79	65	-14404.90	104	-3988.50	65	-83.29	101	-1379.70	101	-839.83	1	-13245.80	106	-5012.44	130
106	Max	-99	410.19	177	-5845.50	159	4215.26	17	1911.73	130	19244.30	130	694.23	65	3520.52	1	540.23	132
106	Max	20	410.19	177	-5845.50	159	4215.26	17	1911.73	130	19244.30	130	694.23	65	3520.52	1	540.23	132
106	Max	-237	410.19	177	-5845.50	159	4215.26	17	1911.73	130	19244.30	130	694.23	65	3520.52	1	540.23	132
106	Max	-239	410.19	177	-5845.50	159	4215.26	17	1911.73	130	19244.30	130	694.23	65	3520.52	1	540.23	132
106	Min.	-99	-1642.51	17	-16671.30	104	-9369.31	65	-213.27	1	-2171.53	1	-644.81	17	-11703.70	106	-599.48	17
106	Min.	20	-1642.51	17	-16671.30	104	-9369.31	65	-213.27	1	-2171.53	1	-644.81	17	-11703.70	106	-599.48	17
106	Min.	-237	-1642.51	17	-16671.30	104	-9369.31	65	-213.27	1	-2171.53	1	-644.81	17	-11703.70	106	-599.48	17
106	Min.	-239	-1642.51	17	-16671.30	104	-9369.31	65	-213.27	1	-2171.53	1	-644.81	17	-11703.70	106	-599.48	17
106	Max	-267	697.50	177	5472.57	65	-413.16	17	736.13	130	14503.70	130	638.13	49	1884.28	1	196.38	49
106	Max	-265	697.50	177	5472.57	65	-413.16	17	736.13	130	14503.70	130	638.13	49	1884.28	1	196.38	49
106	Max	-303	697.50	177	5472.57	65	-413.16	17	736.13	130	14503.70	130	638.13	49	1884.28	1	196.38	49
106	Max	-305	697.50	177	5472.57	65	-413.16	17	736.13	130	14503.70	130	638.13	49	1884.28	1	196.38	49
106	Min.	-267	-687.30	17	-12095.70	17	-3821.52	65	-160.37	101	-2556.09	101	-620.08	1	-9399.70	106	-2183.50	130
106	Min.	-265	-687.30	17	-12095.70	17	-3821.52	65	-160.37	101	-2556.09	101	-620.08	1	-9399.70	106	-2183.50	130
106	Min.	-303	-687.30	17	-12095.70	17	-3821.52	65	-160.37	101	-2556.09	101	-620.08	1	-9399.70	106	-2183.50	130
106	Min.	-305	-687.30	17	-12095.70	17	-3821.52	65	-160.37	101	-2556.09	101	-620.08	1	-9399.70	106	-2183.50	130
106	Max	-279	344.64	65	-3082.69	160	7902.03	17	1309.88	130	11262.90	130	856.52	49	1448.67	1	4310.51	130

106	Max	-277	344.64	65	-3082.69	160	7902.03	17	1309.88	130	11262.90	130	856.52	49	1448.67	1	4310.51	130
106	Max	-315	344.64	65	-3082.69	160	7902.03	17	1309.88	130	11262.90	130	856.52	49	1448.67	1	4310.51	130
106	Max	-317	344.64	65	-3082.69	160	7902.03	17	1309.88	130	11262.90	130	856.52	49	1448.67	1	4310.51	130
106	Min.	-279	-1859.91	104	-9483.09	103	-10662.60	65	-68.02	1	-876.08	101	-750.74	1	-20757.00	130	-856.01	101
106	Min.	-277	-1859.91	104	-9483.09	103	-10662.60	65	-68.02	1	-876.08	101	-750.74	1	-20757.00	130	-856.01	101
106	Min.	-315	-1859.91	104	-9483.09	103	-10662.60	65	-68.02	1	-876.08	101	-750.74	1	-20757.00	130	-856.01	101
106	Min.	-317	-1859.91	104	-9483.09	103	-10662.60	65	-68.02	1	-876.08	101	-750.74	1	-20757.00	130	-856.01	101
106	Max	-309	1168.06	177	-46.21	65	1204.13	17	1302.34	130	13219.70	130	690.64	65	339.74	1	15.25	65
106	Max	-307	1168.06	177	-46.21	65	1204.13	17	1302.34	130	13219.70	130	690.64	65	339.74	1	15.25	65
106	Max	-345	1168.06	177	-46.21	65	1204.13	17	1302.34	130	13219.70	130	690.64	65	339.74	1	15.25	65
106	Max	-347	1168.06	177	-46.21	65	1204.13	17	1302.34	130	13219.70	130	690.64	65	339.74	1	15.25	65
106	Min.	-309	-876.20	104	-11805.20	104	-6615.73	65	-291.22	101	-2955.75	101	-779.04	17	-9908.60	106	-565.44	130
106	Min.	-307	-876.20	104	-11805.20	104	-6615.73	65	-291.22	101	-2955.75	101	-779.04	17	-9908.60	106	-565.44	130
106	Min.	-345	-876.20	104	-11805.20	104	-6615.73	65	-291.22	101	-2955.75	101	-779.04	17	-9908.60	106	-565.44	130
106	Min.	-347	-876.20	104	-11805.20	104	-6615.73	65	-291.22	101	-2955.75	101	-779.04	17	-9908.60	106	-565.44	130
106	Max	-305	721.17	177	4459.82	177	-373.89	17	982.58	130	12833.20	130	690.21	49	1123.64	1	74.18	49
106	Max	-303	721.17	177	4459.82	177	-373.89	17	982.58	130	12833.20	130	690.21	49	1123.64	1	74.18	49
106	Max	-341	721.17	177	4459.82	177	-373.89	17	982.58	130	12833.20	130	690.21	49	1123.64	1	74.18	49
106	Max	-343	721.17	177	4459.82	177	-373.89	17	982.58	130	12833.20	130	690.21	49	1123.64	1	74.18	49
106	Min.	-305	-1104.79	17	-10495.00	17	-3826.72	65	-288.84	101	-3339.90	101	-666.49	1	-10426.00	106	-962.48	130
106	Min.	-303	-1104.79	17	-10495.00	17	-3826.72	65	-288.84	101	-3339.90	101	-666.49	1	-10426.00	106	-962.48	130
106	Min.	-341	-1104.79	17	-10495.00	17	-3826.72	65	-288.84	101	-3339.90	101	-666.49	1	-10426.00	106	-962.48	130
106	Min.	-343	-1104.79	17	-10495.00	17	-3826.72	65	-288.84	101	-3339.90	101	-666.49	1	-10426.00	106	-962.48	130
106	Max	-77	1470.09	177	-2635.61	65	1376.52	17	1898.65	130	18175.10	130	716.81	65	3425.66	1	318.25	65
106	Max	-65	1470.09	177	-2635.61	65	1376.52	17	1898.65	130	18175.10	130	716.81	65	3425.66	1	318.25	65
106	Max	-233	1470.09	177	-2635.61	65	1376.52	17	1898.65	130	18175.10	130	716.81	65	3425.66	1	318.25	65
106	Max	-235	1470.09	177	-2635.61	65	1376.52	17	1898.65	130	18175.10	130	716.81	65	3425.66	1	318.25	65
106	Min.	-77	-847.31	17	-20353.70	104	-7337.71	65	-263.44	1	-2376.35	1	-576.33	17	-8008.39	106	-699.56	17
106	Min.	-65	-847.31	17	-20353.70	104	-7337.71	65	-263.44	1	-2376.35	1	-576.33	17	-8008.39	106	-699.56	17
106	Min.	-233	-847.31	17	-20353.70	104	-7337.71	65	-263.44	1	-2376.35	1	-576.33	17	-8008.39	106	-699.56	17
106	Min.	-235	-847.31	17	-20353.70	104	-7337.71	65	-263.44	1	-2376.35	1	-576.33	17	-8008.39	106	-699.56	17
106	Max	-263	100.07	65	9643.03	177	-149.87	17	9.32	65	14199.90	130	211.93	49	4716.95	1	73.67	49
106	Max	-261	100.07	65	9643.03	177	-149.87	17	9.32	65	14199.90	130	211.93	49	4716.95	1	73.67	49
106	Max	-299	100.07	65	9643.03	177	-149.87	17	9.32	65	14199.90	130	211.93	49	4716.95	1	73.67	49
106	Max	-301	100.07	65	9643.03	177	-149.87	17	9.32	65	14199.90	130	211.93	49	4716.95	1	73.67	49
106	Min.	-263	-353.80	17	-13314.00	17	-697.39	65	-12.29	107	-2647.75	101	-188.29	1	-11803.30	106	-928.67	130
106	Min.	-261	-353.80	17	-13314.00	17	-697.39	65	-12.29	107	-2647.75	101	-188.29	1	-11803.30	106	-928.67	130
106	Min.	-299	-353.80	17	-13314.00	17	-697.39	65	-12.29	107	-2647.75	101	-188.29	1	-11803.30	106	-928.67	130
106	Min.	-301	-353.80	17	-13314.00	17	-697.39	65	-12.29	107	-2647.75	101	-188.29	1	-11803.30	106	-928.67	130
106	Max	-273	1838.54	177	-1854.65	159	1656.66	17	1498.96	130	14751.80	130	660.03	65	1060.74	1	192.31	65
106	Max	-271	1838.54	177	-1854.65	159	1656.66	17	1498.96	130	14751.80	130	660.03	65	1060.74	1	192.31	65
106	Max	-309	1838.54	177	-1854.65	159	1656.66	17	1498.96	130	14751.80	130	660.03	65	1060.74	1	192.31	65
106	Max	-311	1838.54	177	-1854.65	159	1656.66	17	1498.96	130	14751.80	130	660.03	65	1060.74	1	192.31	65
106	Min.	-273	-403.17	17	-13699.60	104	-7244.21	65	-179.80	101	-2045.22	101	-729.48	17	-9470.08	106	-1307.84	103
106	Min.	-271	-403.17	17	-13699.60	104	-7244.21	65	-179.80	101	-2045.22	101	-729.48	17	-9470.08	106	-1307.84	103
106	Min.	-309	-403.17	17	-13699.60	104	-7244.21	65	-179.80	101	-2045.22	101	-729.48	17	-9470.08	106	-1307.84	103
106	Min.	-311	-403.17	17	-13699.60	104	-7244.21	65	-179.80	101	-2045.22	101	-729.48	17	-9470.08	106	-1307.84	103
106	Max	-65	1382.33	177	201.05	65	1533.90	17	1795.55	130	17951.00	130	668.84	65	3799.70	1	228.09	65
106	Max	-53	1382.33	177	201.05	65	1533.90	17	1795.55	130	17951.00	130	668.84	65	3799.70	1	228.09	65
106	Max	-231	1382.33	177	201.05	65	1533.90	17	1795.55	130	17951.00	130	668.84	65	3799.70	1	228.09	65
106	Max	-233	1382.33	177	201.05	65	1533.90	17	1795.55	130	17951.00	130	668.84	65	3799.70	1	228.09	65
106	Min.	-65	-1275.82	17	-18426.00	104	-6857.88	65	-273.66	1	-2595.82	1	-555.27	17	-7424.04	106	-719.92	107
106	Min.	-53	-1275.82	17	-18426.00	104	-6857.88	65	-273.66	1	-2595.82	1	-555.27	17	-7424.04	106	-719.92	107
106	Min.	-231	-1275.82	17	-18426.00	104	-6857.88	65	-273.66	1	-2595.82	1	-555.27	17	-7424.04	106	-719.92	107
106	Min.	-233	-1275.82	17	-18426.00	104	-6857.88	65	-273.66	1	-2595.82	1	-555.27	17	-7424.04	106	-719.92	107
107	Max	-316	1009.27	177	-2635.35	65	3320.41	65	432.01	130	5324.86	130	843.43	49	12241.10	101	1864.20	130
107	Max	-314	1009.27	177	-2635.35	65	3320.41	65	432.01	130	5324.86	130	843.43	49	12241.10	101	1864.20	130
107	Max	-352	1009.27	177	-2635.35	65	3320.41	65	432.01	130	5324.86	130	843.43	49	12241.10	101	1864.20	130
107	Max	-354	1009.27	177	-2635.35	65	3320.41	65	432.01	130	5324.86	130	843.43	49	12241.10	101	1864.20	130
107	Min.	-316	-120.39	65	-15292.00	107	-8763.04	17	-880.91	101	-10594.80	101	-1166.15	101	-322.27	49	-2530.94	101
107	Min.	-314	-120.39	65	-15292.00	107	-8763.04	17	-880.91	101	-10594.80	101	-1166.15	101	-322.27	49	-2530.94	101
107	Min.	-352	-120.39	65	-15292.00	107	-8763.04	17	-880.91	101	-10594.80	101	-1166.15	101	-322.27	49	-2530.94	101
107	Min.	-354	-120.39	65	-15292.00	107	-8763.04	17	-880.91	101	-10594.80	101	-1166.15	101	-322.27	49	-2530.94	101
107	Max	-330	341.34	65	1596.48	65	5771.43	65	660.34	130	6943.08	130	693.20	65	9882.55	101	196.36	162
107	Max	-328	341.34	65	1596.48	65	5771.43	65	660.34	130	6943.08	130	693.20	65	9882.55	101	196.36	162
107	Max	-366	341.34	65	1596.48	65	5771.43	65	660.34	130	6943.08	130	693.20	65	9882.55	101	196.36	162
107	Max	-368	341.34	65	1596.48	65	5771.43	65	660.34	130	6943.08	130	693.20	65	9882.55	101	196.36	162
107	Min.	-330	-1011.11	131	-10897.50	107	-514.08	17	-1020.27	101	-11151.90	101	-744.12	17	-410.10	1	-726.75	101
107	Min.	-328	-1011.11	131	-10897.50	107	-514.08	17	-1020.27	101	-11151.90	101	-744.12	17	-410.10	1	-726.75	101
107	Min.	-366	-1011.11	131	-10897.50	107	-514.08	17	-1020.27	101	-11151.90	101	-744.12	17	-410.10	1	-726.75	101
107	Min.	-368	-1011.11	131	-10897.50	107	-514.08	17	-1020.27	101	-11151.90	101	-744.12	17	-410.10	1	-726.75	101
107	Max	-328	221.35	65	-10.33	65	6604.87	65	680.61	130	6854.33	130	687.88	65	9922.39	101	50.10	162
107	Max	-326	221.35	65	-10.33	65	6604.87	65	680.61	130	6854.33	130	687.88	65	9922.39	101	50.10	162
107	Max	-364	221.35	65	-10.33	65	6604.87	65	680.61	130	6854.33	130	687.88	65	9922.39	101	50.10	162
107	Max	-366	221.35	65	-10.33	65	6604.87	65	680.61	130	6854.33	130	687.88	65	9922.39	101	50.10	162
107	Min.	-328	-871.72	131	-11773.50	107	-1183.44	17	-1106.57	101	-11289.60	101	-772.44	17	-320.67	1	-526.51	101
107	Min.	-326	-871.72	131	-11773.50	107	-1183.44	17	-1106.57	101	-11289.60	101	-772.44	17	-320.67	1	-526.51	101
107	Min.	-364	-871.72	131	-11773.50	107	-1183.44	17	-1106.57	101	-11289.60	101	-772.44	17	-320.67	1	-526.51	101
107	Min.	-366	-871.72	131	-11773.50	107	-1183.44	17	-1106.57	101	-11289.60	101	-772.44	17	-320.67	1	-526.51	101
107	Max	-236	1579.08	177	-1905.32	17	1898.60	65	630.22	130	5698.64	130	614.72	49	9540.17	101	1108.63	65
107	Max	-234	1579.08	177	-1905.32	17	1898.60	65	630.22	130	5698.64	130	614.72	49	9540.17	101	1108.63	65
107	Max	-272	1579.08	177	-1905.32	17	1898.60	65	630.22	130	5698.64	130	614.72	49	9540.17	101	1108.63	65
107	Max	-274	1579.08	177	-1905.32	17	1898.60	65	630.22	130	5698.64	130	614.72	49	9540.17	101	1108.63	65
107	Min.	-236	-528.82	65	-14736.00	108	-7223.60	17	-1569.58	101	-15072.40	101	-641.57	1	-2154.75	49	-452.28	17
107	Min.	-234	-528.82	65	-14736.00	108	-7223.60	17	-1569.58	101	-15072.40	101	-641.57	1	-2154.75	49	-452.28	17
107	Min.	-272	-528.82	65	-14736.00	108	-7223.60	17	-1569.58	101	-15072.40	101	-641.57	1	-2154.75	49	-452.28	17
107	Min.	-274	-528.82	65	-14736.00	108	-7223.60	17	-1569.58	101	-15072.40	101	-641.57	1	-2154.75	49	-452.28	17
107	Max	-228	1119.61	177	10785.10	17	336.71	173	79.21	130	5860.67	130	392.22	49	7683.08	1	2245.13	101
107	Max	-226	1119.61	177	10785.10	17	336.71	173	79.21	130	5860.67	130	392.22	49	7683.08	1	2245.13	101
107	Max	-264	1119.61	177	10785.10	17	336.71	173	79.21	130	5860.67	130	392.22	49	7683.08	1	2245.13	101
107	Max	-266	1119.61	177	10785.10	17	336.71	173	79.21	130	5860.67	130	392.22	49	7683.08	1	2245.13	101
107	Min.	-228	-637.26	100	-13792.80	65	-2142.02	17	-191.21	101	-14583.70	101	-408.35	1	-3963.72	49	-1051.13	130
107	Min.	-226	-637.26	100	-13792.80	65	-2142.02	17	-191.21	101	-14583.70	101	-408.35	1	-3963.72	49	-1051.13	130
107	Min.	-264	-637.26	100	-13792.80	65	-2142.02	17	-191.21	101	-14583.70	101	-408.35	1	-3963.72	49	-1051.13	130
107	Min.	-266	-637.26	100	-13792.80	65	-2142.02	17	-191.21	101	-14583.70	101	-408.35	1	-3963.72	49	-1051.13	130
107	Max	-230	657.15	17	7143.82	17	-264.85	65	265.67	130	5886.96	130	535.54	49	7994.82	101	2749.58	101
107	Max	-228	657.15	17	7143.82	17	-264.85	65	265.67	130	5886.96	130	535.54	49	7994.82	101	2749.58	101
107	Max	-266	657.15	17	7143.82	17	-264.85	65	265.67	130	5886.96	130	535.54	49	7994.82	101	2749.58	101
107	Max	-268	657.15	17	7143.82	17	-264.85	65	265.67	130	5886.96	130	535.54	49	7994.82	101	2749.58	101
107	Min.	-230	-952.42	173	-13570.80	65	-4289.62	17	-695.48	101	-14730.20	101	-549.41	1	-3097.26	49	-1035.97	130
107	Min.	-228	-952.42	173	-13570.80	65	-4289.62	17	-695.48	101	-14730.20	101	-549.41	1	-3097.26	49	-1035.97	130
107	Min.	-266	-952.42	173	-13570.80	65	-4289.62	17	-695.48	101	-14730.20	101	-549.41	1	-3097.26	49	-1035.97	130
107	Min.	-268	-952.42	173	-13570.80	65	-4289.62	17	-695.48	101	-14730.20	101	-549.41	1	-3097.26	49	-1035.97	130
107	Max	-314	1130.67	177	-3078.70	133	2212.02	65	597.09	130	6553.84	130	834.03	65	8502.51	125	1013.32	131
107	Max	-312	1130.67	177	-3078.70	133	2212.02	65	597.09	130	6553.84	130	834.03	65	8502.51	125	1013.32	131

107	Max	-350	1130.67	177	-3078.70	133	2212.02	65	597.09	130	6553.84	130	834.03	65	8502.51	125	1013.32	131
107	Max	-352	1130.67	177	-3078.70	133	2212.02	65	597.09	130	6553.84	130	834.03	65	8502.51	125	1013.32	131
107	Min.	-314	-1191.59	132	-13334.80	106	-7313.77	17	-1096.96	101	-11965.30	101	-670.40	17	-182.74	49	-517.31	104
107	Min.	-312	-1191.59	132	-13334.80	106	-7313.77	17	-1096.96	101	-11965.30	101	-670.40	17	-182.74	49	-517.31	104
107	Min.	-350	-1191.59	132	-13334.80	106	-7313.77	17	-1096.96	101	-11965.30	101	-670.40	17	-182.74	49	-517.31	104
107	Min.	-352	-1191.59	132	-13334.80	106	-7313.77	17	-1096.96	101	-11965.30	101	-670.40	17	-182.74	49	-517.31	104
107	Max	-158	1229.33	100	-2644.47	65	7335.33	65	632.87	130	5659.31	130	714.32	65	8032.14	101	319.78	65
107	Max	-146	1229.33	100	-2644.47	65	7335.33	65	632.87	130	5659.31	130	714.32	65	8032.14	101	319.78	65
107	Max	-248	1229.33	100	-2644.47	65	7335.33	65	632.87	130	5659.31	130	714.32	65	8032.14	101	319.78	65
107	Max	-250	1229.33	100	-2644.47	65	7335.33	65	632.87	130	5659.31	130	714.32	65	8032.14	101	319.78	65
107	Min.	-158	-833.84	17	-20392.50	107	-1378.63	17	-1796.72	101	-17290.90	101	-572.02	17	-3398.31	1	-701.76	17
107	Min.	-146	-833.84	17	-20392.50	107	-1378.63	17	-1796.72	101	-17290.90	101	-572.02	17	-3398.31	1	-701.76	17
107	Min.	-248	-833.84	17	-20392.50	107	-1378.63	17	-1796.72	101	-17290.90	101	-572.02	17	-3398.31	1	-701.76	17
107	Min.	-250	-833.84	17	-20392.50	107	-1378.63	17	-1796.72	101	-17290.90	101	-572.02	17	-3398.31	1	-701.76	17
107	Max	-308	3420.42	177	1559.89	17	540.30	65	659.79	130	6932.19	130	750.35	65	9875.26	101	726.96	101
107	Max	-306	3420.42	177	1559.89	17	540.30	65	659.79	130	6932.19	130	750.35	65	9875.26	101	726.96	101
107	Max	-344	3420.42	177	1559.89	17	540.30	65	659.79	130	6932.19	130	750.35	65	9875.26	101	726.96	101
107	Max	-346	3420.42	177	1559.89	17	540.30	65	659.79	130	6932.19	130	750.35	65	9875.26	101	726.96	101
107	Min.	-308	-995.67	132	-10928.60	108	-5785.90	17	-1023.57	101	-11164.60	101	-696.62	17	-428.41	49	-190.12	162
107	Min.	-306	-995.67	132	-10928.60	108	-5785.90	17	-1023.57	101	-11164.60	101	-696.62	17	-428.41	49	-190.12	162
107	Min.	-344	-995.67	132	-10928.60	108	-5785.90	17	-1023.57	101	-11164.60	101	-696.62	17	-428.41	49	-190.12	162
107	Min.	-346	-995.67	132	-10928.60	108	-5785.90	17	-1023.57	101	-11164.60	101	-696.62	17	-428.41	49	-190.12	162
107	Max	-334	518.41	65	6444.10	65	2008.19	131	469.25	130	6906.73	130	572.68	49	11629.80	101	269.03	130
107	Max	-332	518.41	65	6444.10	65	2008.19	131	469.25	130	6906.73	130	572.68	49	11629.80	101	269.03	130
107	Max	-370	518.41	65	6444.10	65	2008.19	131	469.25	130	6906.73	130	572.68	49	11629.80	101	269.03	130
107	Max	-372	518.41	65	6444.10	65	2008.19	131	469.25	130	6906.73	130	572.68	49	11629.80	101	269.03	130
107	Min.	-334	-973.21	17	-12754.90	177	1087.91	65	-595.94	101	-10911.80	101	-479.48	1	-2174.35	1	-738.33	101
107	Min.	-332	-973.21	17	-12754.90	177	1087.91	65	-595.94	101	-10911.80	101	-479.48	1	-2174.35	1	-738.33	101
107	Min.	-370	-973.21	17	-12754.90	177	1087.91	65	-595.94	101	-10911.80	101	-479.48	1	-2174.35	1	-738.33	101
107	Min.	-372	-973.21	17	-12754.90	177	1087.91	65	-595.94	101	-10911.80	101	-479.48	1	-2174.35	1	-738.33	101
107	Max	-304	562.05	17	7576.05	177	-373.82	177	465.27	130	6901.56	130	482.30	49	11735.00	101	728.78	101
107	Max	-302	562.05	17	7576.05	177	-373.82	177	465.27	130	6901.56	130	482.30	49	11735.00	101	728.78	101
107	Max	-340	562.05	17	7576.05	177	-373.82	177	465.27	130	6901.56	130	482.30	49	11735.00	101	728.78	101
107	Max	-342	562.05	17	7576.05	177	-373.82	177	465.27	130	6901.56	130	482.30	49	11735.00	101	728.78	101
107	Min.	-304	-1111.95	65	-12483.60	65	-1977.98	132	-589.65	101	-10919.10	101	-573.99	1	-2297.86	49	-262.46	130
107	Min.	-302	-1111.95	65	-12483.60	65	-1977.98	132	-589.65	101	-10919.10	101	-573.99	1	-2297.86	49	-262.46	130
107	Min.	-340	-1111.95	65	-12483.60	65	-1977.98	132	-589.65	101	-10919.10	101	-573.99	1	-2297.86	49	-262.46	130
107	Min.	-342	-1111.95	65	-12483.60	65	-1977.98	132	-589.65	101	-10919.10	101	-573.99	1	-2297.86	49	-262.46	130
107	Max	-288	685.03	65	-2056.01	65	7247.06	65	593.12	130	6003.46	130	658.69	65	9505.57	101	200.90	65
107	Max	-286	685.03	65	-2056.01	65	7247.06	65	593.12	130	6003.46	130	658.69	65	9505.57	101	200.90	65
107	Max	-324	685.03	65	-2056.01	65	7247.06	65	593.12	130	6003.46	130	658.69	65	9505.57	101	200.90	65
107	Max	-326	685.03	65	-2056.01	65	7247.06	65	593.12	130	6003.46	130	658.69	65	9505.57	101	200.90	65
107	Min.	-288	-400.47	17	-13701.70	107	-1648.82	17	-1334.82	101	-13134.50	101	-724.69	17	-1030.42	1	-1289.31	108
107	Min.	-286	-400.47	17	-13701.70	107	-1648.82	17	-1334.82	101	-13134.50	101	-724.69	17	-1030.42	1	-1289.31	108
107	Min.	-324	-400.47	17	-13701.70	107	-1648.82	17	-1334.82	101	-13134.50	101	-724.69	17	-1030.42	1	-1289.31	108
107	Min.	-326	-400.47	17	-13701.70	107	-1648.82	17	-1334.82	101	-13134.50	101	-724.69	17	-1030.42	1	-1289.31	108
107	Max	-234	1283.99	177	832.18	17	764.16	65	601.70	130	5816.79	130	601.07	65	8998.92	101	1395.09	103
107	Max	-232	1283.99	177	832.18	17	764.16	65	601.70	130	5816.79	130	601.07	65	8998.92	101	1395.09	103
107	Max	-270	1283.99	177	832.18	17	764.16	65	601.70	130	5816.79	130	601.07	65	8998.92	101	1395.09	103
107	Max	-272	1283.99	177	832.18	17	764.16	65	601.70	130	5816.79	130	601.07	65	8998.92	101	1395.09	103
107	Min.	-234	-577.20	65	-13591.20	108	-6856.99	17	-1443.97	101	-14977.60	101	-622.93	17	-2326.75	49	-316.70	17
107	Min.	-232	-577.20	65	-13591.20	108	-6856.99	17	-1443.97	101	-14977.60	101	-622.93	17	-2326.75	49	-316.70	17
107	Min.	-270	-577.20	65	-13591.20	108	-6856.99	17	-1443.97	101	-14977.60	101	-622.93	17	-2326.75	49	-316.70	17
107	Min.	-272	-577.20	65	-13591.20	108	-6856.99	17	-1443.97	101	-14977.60	101	-622.93	17	-2326.75	49	-316.70	17
107	Max	-282	366.01	65	-3246.02	1	10666.70	65	400.73	130	3719.70	130	840.81	49	20342.40	101	3649.91	101
107	Max	-280	366.01	65	-3246.02	1	10666.70	65	400.73	130	3719.70	130	840.81	49	20342.40	101	3649.91	101
107	Max	-318	366.01	65	-3246.02	1	10666.70	65	400.73	130	3719.70	130	840.81	49	20342.40	101	3649.91	101
107	Max	-320	366.01	65	-3246.02	1	10666.70	65	400.73	130	3719.70	130	840.81	49	20342.40	101	3649.91	101
107	Min.	-282	-1851.32	107	-9535.65	108	-7868.76	17	-1194.88	101	-10291.30	101	-741.00	1	-4485.58	130	-2399.84	130
107	Min.	-280	-1851.32	107	-9535.65	108	-7868.76	17	-1194.88	101	-10291.30	101	-741.00	1	-4485.58	130	-2399.84	130
107	Min.	-318	-1851.32	107	-9535.65	108	-7868.76	17	-1194.88	101	-10291.30	101	-741.00	1	-4485.58	130	-2399.84	130
107	Min.	-320	-1851.32	107	-9535.65	108	-7868.76	17	-1194.88	101	-10291.30	101	-741.00	1	-4485.58	130	-2399.84	130
107	Max	-286	611.38	65	-3751.75	49	7588.27	65	524.98	130	5761.77	130	689.47	65	9667.89	101	1192.00	103
107	Max	-284	611.38	65	-3751.75	49	7588.27	65	524.98	130	5761.77	130	689.47	65	9667.89	101	1192.00	103
107	Max	-322	611.38	65	-3751.75	49	7588.27	65	524.98	130	5761.77	130	689.47	65	9667.89	101	1192.00	103
107	Max	-324	611.38	65	-3751.75	49	7588.27	65	524.98	130	5761.77	130	689.47	65	9667.89	101	1192.00	103
107	Min.	-286	-199.21	17	-13942.40	107	-2269.50	17	-1227.72	101	-13110.20	101	-716.23	17	-949.38	1	-2008.37	132
107	Min.	-284	-199.21	17	-13942.40	107	-2269.50	17	-1227.72	101	-13110.20	101	-716.23	17	-949.38	1	-2008.37	132
107	Min.	-322	-199.21	17	-13942.40	107	-2269.50	17	-1227.72	101	-13110.20	101	-716.23	17	-949.38	1	-2008.37	132
107	Min.	-324	-199.21	17	-13942.40	107	-2269.50	17	-1227.72	101	-13110.20	101	-716.23	17	-949.38	1	-2008.37	132
107	Max	-322	548.83	65	-2632.42	17	8755.73	65	435.03	130	5366.48	130	1155.16	101	12291.20	101	2525.41	101
107	Max	-320	548.83	65	-2632.42	17	8755.73	65	435.03	130	5366.48	130	1155.16	101	12291.20	101	2525.41	101
107	Max	-358	548.83	65	-2632.42	17	8755.73	65	435.03	130	5366.48	130	1155.16	101	12291.20	101	2525.41	101
107	Max	-360	548.83	65	-2632.42	17	8755.73	65	435.03	130	5366.48	130	1155.16	101	12291.20	101	2525.41	101
107	Min.	-322	-260.92	177	-15297.80	108	-3322.95	17	-878.31	101	-10571.90	101	-836.86	130	-269.37	1	-1871.74	130
107	Min.	-320	-260.92	177	-15297.80	108	-3322.95	17	-878.31	101	-10571.90	101	-836.86	130	-269.37	1	-1871.74	130
107	Min.	-358	-260.92	177	-15297.80	108	-3322.95	17	-878.31	101	-10571.90	101	-836.86	130	-269.37	1	-1871.74	130
107	Min.	-360	-260.92	177	-15297.80	108	-3322.95	17	-878.31	101	-10571.90	101	-836.86	130	-269.37	1	-1871.74	130
107	Max	-290	650.58	65	335.98	65	6528.53	65	597.86	130	6151.18	130	661.60	65	9452.24	101	130.94	49
107	Max	-288	650.58	65	335.98	65	6528.53	65	597.86	130	6151.18	130	661.60	65	9452.24	101	130.94	49
107	Max	-326	650.58	65	335.98	65	6528.53	65	597.86	130	6151.18	130	661.60	65	9452.24	101	130.94	49
107	Max	-328	650.58	65	335.98	65	6528.53	65	597.86	130	6151.18	130	661.60	65	9452.24	101	130.94	49
107	Min.	-290	-530.47	17	-12749.40	107	-1016.13	17	-1231.42	101	-13025.70	101	-709.84	17	-1133.22	1	-1212.36	101
107	Min.	-288	-530.47	17	-12749.40	107	-1016.13	17	-1231.42	101	-13025.70	101	-709.84	17	-1133.22	1	-1212.36	101
107	Min.	-326	-530.47	17	-12749.40	107	-1016.13	17	-1231.42	101	-13025.70	101	-709.84	17	-1133.22	1	-1212.36	101
107	Min.	-328	-530.47	17	-12749.40	107	-1016.13	17	-1231.42	101	-13025.70	101	-709.84	17	-1133.22	1	-1212.36	101
107	Max	-264	100.07	17	9643.02	177	-149.87	65	12.30	103	6266.90	130	188.29	49	11803.60	101	838.13	101
107	Max	-262	100.07	17	9643.02	177	-149.87	65	12.30	103	6266.90	130	188.29	49	11803.60	101	838.13	101
107	Max	-300	100.07	17	9643.02	177	-149.87	65	12.30	103	6266.90	130	188.29	49	11803.60	101	838.13	101
107	Max	-302	100.07	17	9643.02	177	-149.87	65	12.30	103	6266.90	130	188.29	49	11803.60	101	838.13	101
107	Min.	-264	-353.80	65	-13314.00	65	-697.39	17	-9.61	132	-12662.10	101	-211.93	1	-4716.99	49	-315.84	130
107	Min.	-262	-353.80	65	-13314.00	65	-697.39	17	-9.61	132	-12662.10	101	-211.93	1	-4716.99	49	-315.84	130
107	Min.	-300	-353.80	65	-13314.00	65	-697.39	17	-9.61	132	-12662.10	101	-211.93	1	-4716.99	49	-315.84	130
107	Min.	-302	-353.80	65	-13314.00	65	-697.39	17	-9.61	132	-12662.10	101	-211.93	1	-4716.99	49	-315.84	130
107	Max	-318	61.48	65	-1098.53	65	8179.55	65	301.47	130	2278.75	130	975.18	130	24482.40	101	1467.12	130
107	Max	-316	61.48	65	-1098.53	65	8179.55	65	301.47	130	2278.75	130	975.18	130	24482.40	101	1467.12	130
107	Max	-354	61.48	65	-1098.53	65	8179.55	65	301.47	130	2278.75	130	975.18	130	24482.40	101	1467.12	130
107	Max	-356	61.48	65	-1098.53	65	8179.55	65	301.47	130	2278.75	130	975.18	130	24482.40	101	1467.12	130
107	Min.	-318	-1945.08	107	-4956.75	107	-12333.60	17	-722.28	101	-5464.36	101	-1626.86	101	-5555.22	130	-2393.23	101
107	Min.	-316	-1945.08	107	-4956.75	107	-12333.60	17	-722.28	101	-5464.36	101	-1626.86	101	-5555.22	130	-2393.23	101
107	Min.	-354	-1945.08	107	-4956.75	107	-12333.60	17	-722.28	101	-5464.36	101	-1626.86	101	-5555.22	130	-2393.23	101
107	Min.	-356	-1945.08	107	-4956.75	107	-12333.60	17	-722.28	101	-5464.36	101	-1626.86	101	-5555.22	130	-2393.23	101
107	Max	-326	198.30	65	-1976.50	65	7195.85	65	670.05	130	6729.34	130	694.79	65	9617.66	101	49.81	65
107	Max	-324	198.30	65	-1976.50	65	7195.85	65	670.05	130	6729.34	130	694.79	65	9617.66	101	49.81	65
107	Max	-362	198.30	65	-1976.50	65	7195.85	65	670.05	130	6729.34	130	694.79	65	9617.66	101	49.81	65

107	Max	-364	198.30	65	-1976.50	65	7195.85	65	670.05	130	6729.34	130	694.79	65	9617.66	101	49.81	65
107	Min.	-326	-859.16	131	-12802.90	107	-1857.46	17	-1170.13	101	-11440.40	101	-792.61	17	-210.69	1	-658.11	108
107	Min.	-324	-859.16	131	-12802.90	107	-1857.46	17	-1170.13	101	-11440.40	101	-792.61	17	-210.69	1	-658.11	108
107	Min.	-362	-859.16	131	-12802.90	107	-1857.46	17	-1170.13	101	-11440.40	101	-792.61	17	-210.69	1	-658.11	108
107	Min.	-364	-859.16	131	-12802.90	107	-1857.46	17	-1170.13	101	-11440.40	101	-792.61	17	-210.69	1	-658.11	108
107	Max	-256	669.39	65	7151.48	65	4307.47	65	266.72	130	5899.00	130	538.82	49	7999.81	101	1040.51	130
107	Max	-254	669.39	65	7151.48	65	4307.47	65	266.72	130	5899.00	130	538.82	49	7999.81	101	1040.51	130
107	Max	-292	669.39	65	7151.48	65	4307.47	65	266.72	130	5899.00	130	538.82	49	7999.81	101	1040.51	130
107	Max	-294	669.39	65	7151.48	65	4307.47	65	266.72	130	5899.00	130	538.82	49	7999.81	101	1040.51	130
107	Min.	-256	-936.04	99	-13535.50	17	276.99	17	-696.15	101	-14723.60	101	-524.72	1	-3052.00	1	-2748.41	101
107	Min.	-254	-936.04	99	-13535.50	17	276.99	17	-696.15	101	-14723.60	101	-524.72	1	-3052.00	1	-2748.41	101
107	Min.	-292	-936.04	99	-13535.50	17	276.99	17	-696.15	101	-14723.60	101	-524.72	1	-3052.00	1	-2748.41	101
107	Min.	-294	-936.04	99	-13535.50	17	276.99	17	-696.15	101	-14723.60	101	-524.72	1	-3052.00	1	-2748.41	101
107	Max	-260	278.80	65	11625.60	65	714.97	65	23.18	49	5739.98	130	245.92	49	8885.73	49	532.26	130
107	Max	-258	278.80	65	11625.60	65	714.97	65	23.18	49	5739.98	130	245.92	49	8885.73	49	532.26	130
107	Max	-296	278.80	65	11625.60	65	714.97	65	23.18	49	5739.98	130	245.92	49	8885.73	49	532.26	130
107	Max	-298	278.80	65	11625.60	65	714.97	65	23.18	49	5739.98	130	245.92	49	8885.73	49	532.26	130
107	Min.	-260	-35.84	17	-13643.50	17	63.79	135	-17.63	1	-14283.70	101	-203.91	1	-5198.57	1	-1109.79	101
107	Min.	-258	-35.84	17	-13643.50	17	63.79	135	-17.63	1	-14283.70	101	-203.91	1	-5198.57	1	-1109.79	101
107	Min.	-296	-35.84	17	-13643.50	17	63.79	135	-17.63	1	-14283.70	101	-203.91	1	-5198.57	1	-1109.79	101
107	Min.	-298	-35.84	17	-13643.50	17	63.79	135	-17.63	1	-14283.70	101	-203.91	1	-5198.57	1	-1109.79	101
107	Max	-272	1578.26	177	291.77	17	1041.11	65	596.00	130	6136.34	130	715.44	65	9438.49	101	1208.66	101
107	Max	-270	1578.26	177	291.77	17	1041.11	65	596.00	130	6136.34	130	715.44	65	9438.49	101	1208.66	101
107	Max	-308	1578.26	177	291.77	17	1041.11	65	596.00	130	6136.34	130	715.44	65	9438.49	101	1208.66	101
107	Max	-310	1578.26	177	291.77	17	1041.11	65	596.00	130	6136.34	130	715.44	65	9438.49	101	1208.66	101
107	Min.	-272	-533.22	65	-12768.40	108	-6538.94	17	-1236.73	101	-13038.00	101	-664.65	17	-1156.43	49	-115.10	1
107	Min.	-270	-533.22	65	-12768.40	108	-6538.94	17	-1236.73	101	-13038.00	101	-664.65	17	-1156.43	49	-115.10	1
107	Min.	-308	-533.22	65	-12768.40	108	-6538.94	17	-1236.73	101	-13038.00	101	-664.65	17	-1156.43	49	-115.10	1
107	Min.	-310	-533.22	65	-12768.40	108	-6538.94	17	-1236.73	101	-13038.00	101	-664.65	17	-1156.43	49	-115.10	1
107	Max	-312	1433.39	177	-1968.10	17	1861.99	65	666.86	130	6712.06	130	800.09	65	9584.39	101	669.61	107
107	Max	-310	1433.39	177	-1968.10	17	1861.99	65	666.86	130	6712.06	130	800.09	65	9584.39	101	669.61	107
107	Max	-348	1433.39	177	-1968.10	17	1861.99	65	666.86	130	6712.06	130	800.09	65	9584.39	101	669.61	107
107	Max	-350	1433.39	177	-1968.10	17	1861.99	65	666.86	130	6712.06	130	800.09	65	9584.39	101	669.61	107
107	Min.	-312	-863.94	132	-12804.60	108	-7192.17	17	-1172.27	101	-11457.80	101	-696.33	17	-239.53	49	-43.75	17
107	Min.	-310	-863.94	132	-12804.60	108	-7192.17	17	-1172.27	101	-11457.80	101	-696.33	17	-239.53	49	-43.75	17
107	Min.	-348	-863.94	132	-12804.60	108	-7192.17	17	-1172.27	101	-11457.80	101	-696.33	17	-239.53	49	-43.75	17
107	Min.	-350	-863.94	132	-12804.60	108	-7192.17	17	-1172.27	101	-11457.80	101	-696.33	17	-239.53	49	-43.75	17
107	Max	-182	833.28	65	5933.41	65	15263.00	100	535.22	130	6408.90	130	684.88	49	8381.92	101	202.00	49
107	Max	-170	833.28	65	5933.41	65	15263.00	100	535.22	130	6408.90	130	684.88	49	8381.92	101	202.00	49
107	Max	-252	833.28	65	5933.41	65	15263.00	100	535.22	130	6408.90	130	684.88	49	8381.92	101	202.00	49
107	Max	-254	833.28	65	5933.41	65	15263.00	100	535.22	130	6408.90	130	684.88	49	8381.92	101	202.00	49
107	Min.	-182	-1467.70	99	-15523.60	17	753.98	17	-1539.06	101	-17381.60	101	-615.27	1	-4654.58	1	-1007.49	101
107	Min.	-170	-1467.70	99	-15523.60	17	753.98	17	-1539.06	101	-17381.60	101	-615.27	1	-4654.58	1	-1007.49	101
107	Min.	-252	-1467.70	99	-15523.60	17	753.98	17	-1539.06	101	-17381.60	101	-615.27	1	-4654.58	1	-1007.49	101
107	Min.	-254	-1467.70	99	-15523.60	17	753.98	17	-1539.06	101	-17381.60	101	-615.27	1	-4654.58	1	-1007.49	101
107	Max	-320	80.88	17	-1076.39	17	12384.00	65	303.62	130	2301.98	130	1656.81	101	24488.10	101	2431.09	101
107	Max	-318	80.88	17	-1076.39	17	12384.00	65	303.62	130	2301.98	130	1656.81	101	24488.10	101	2431.09	101
107	Max	-356	80.88	17	-1076.39	17	12384.00	65	303.62	130	2301.98	130	1656.81	101	24488.10	101	2431.09	101
107	Max	-358	80.88	17	-1076.39	17	12384.00	65	303.62	130	2301.98	130	1656.81	101	24488.10	101	2431.09	101
107	Min.	-320	-1932.31	108	-5080.51	108	-8156.93	17	-722.32	101	-5463.94	101	-1012.27	130	-5509.80	130	-1529.38	130
107	Min.	-318	-1932.31	108	-5080.51	108	-8156.93	17	-722.32	101	-5463.94	101	-1012.27	130	-5509.80	130	-1529.38	130
107	Min.	-356	-1932.31	108	-5080.51	108	-8156.93	17	-722.32	101	-5463.94	101	-1012.27	130	-5509.80	130	-1529.38	130
107	Min.	-358	-1932.31	108	-5080.51	108	-8156.93	17	-722.32	101	-5463.94	101	-1012.27	130	-5509.80	130	-1529.38	130
107	Max	-102	410.19	177	-5890.66	17	4215.25	65	579.93	130	6068.99	130	644.80	65	11704.20	101	663.43	131
107	Max	21	410.19	177	-5890.66	17	4215.25	65	579.93	130	6068.99	130	644.80	65	11704.20	101	663.43	131
107	Max	-238	410.19	177	-5890.66	17	4215.25	65	579.93	130	6068.99	130	644.80	65	11704.20	101	663.43	131
107	Max	-240	410.19	177	-5890.66	17	4215.25	65	579.93	130	6068.99	130	644.80	65	11704.20	101	663.43	131
107	Min.	-102	-1642.51	65	-16671.00	108	-9369.30	17	-1821.21	101	-18288.80	101	-694.22	17	-4252.99	130	-482.57	17
107	Min.	21	-1642.51	65	-16671.00	108	-9369.30	17	-1821.21	101	-18288.80	101	-694.22	17	-4252.99	130	-482.57	17
107	Min.	-238	-1642.51	65	-16671.00	108	-9369.30	17	-1821.21	101	-18288.80	101	-694.22	17	-4252.99	130	-482.57	17
107	Min.	-240	-1642.51	65	-16671.00	108	-9369.30	17	-1821.21	101	-18288.80	101	-694.22	17	-4252.99	130	-482.57	17
107	Max	-232	1716.95	177	3345.50	17	518.98	65	462.00	130	5877.79	130	600.74	49	8700.75	101	2014.61	101
107	Max	-230	1716.95	177	3345.50	17	518.98	65	462.00	130	5877.79	130	600.74	49	8700.75	101	2014.61	101
107	Max	-268	1716.95	177	3345.50	17	518.98	65	462.00	130	5877.79	130	600.74	49	8700.75	101	2014.61	101
107	Max	-270	1716.95	177	3345.50	17	518.98	65	462.00	130	5877.79	130	600.74	49	8700.75	101	2014.61	101
107	Min.	-232	-500.82	65	-13130.80	65	-5680.51	17	-1169.97	101	-14866.50	101	-624.73	1	-2536.16	49	-341.48	1
107	Min.	-230	-500.82	65	-13130.80	65	-5680.51	17	-1169.97	101	-14866.50	101	-624.73	1	-2536.16	49	-341.48	1
107	Min.	-268	-500.82	65	-13130.80	65	-5680.51	17	-1169.97	101	-14866.50	101	-624.73	1	-2536.16	49	-341.48	1
107	Min.	-270	-500.82	65	-13130.80	65	-5680.51	17	-1169.97	101	-14866.50	101	-624.73	1	-2536.16	49	-341.48	1
107	Max	-32	3002.15	177	12118.80	17	-943.32	65	314.77	130	5224.36	130	428.11	65	5513.55	1	1333.37	101
107	Max	-20	3002.15	177	12118.80	17	-943.32	65	314.77	130	5224.36	130	428.11	65	5513.55	1	1333.37	101
107	Max	-226	3002.15	177	12118.80	17	-943.32	65	314.77	130	5224.36	130	428.11	65	5513.55	1	1333.37	101
107	Max	-228	3002.15	177	12118.80	17	-943.32	65	314.77	130	5224.36	130	428.11	65	5513.55	1	1333.37	101
107	Min.	-32	-303.17	65	-15371.40	65	-4485.64	103	-951.16	101	-15626.80	101	-313.66	17	-5304.51	49	-700.78	130
107	Min.	-20	-303.17	65	-15371.40	65	-4485.64	103	-951.16	101	-15626.80	101	-313.66	17	-5304.51	49	-700.78	130
107	Min.	-226	-303.17	65	-15371.40	65	-4485.64	103	-951.16	101	-15626.80	101	-313.66	17	-5304.51	49	-700.78	130
107	Min.	-228	-303.17	65	-15371.40	65	-4485.64	103	-951.16	101	-15626.80	101	-313.66	17	-5304.51	49	-700.78	130
107	Max	-280	344.64	17	-3245.03	49	7902.01	65	400.29	130	3710.52	130	750.74	49	20320.00	101	2295.29	130
107	Max	-278	344.64	17	-3245.03	49	7902.01	65	400.29	130	3710.52	130	750.74	49	20320.00	101	2295.29	130
107	Max	-316	344.64	17	-3245.03	49	7902.01	65	400.29	130	3710.52	130	750.74	49	20320.00	101	2295.29	130
107	Max	-318	344.64	17	-3245.03	49	7902.01	65	400.29	130	3710.52	130	750.74	49	20320.00	101	2295.29	130
107	Min.	-280	-1859.84	108	-9482.90	107	-10662.60	17	-1196.52	101	-10298.20	101	-856.52	1	-4506.91	130	-3598.26	101
107	Min.	-278	-1859.84	108	-9482.90	107	-10662.60	17	-1196.52	101	-10298.20	101	-856.52	1	-4506.91	130	-3598.26	101
107	Min.	-316	-1859.84	108	-9482.90	107	-10662.60	17	-1196.52	101	-10298.20	101	-856.52	1	-4506.91	130	-3598.26	101
107	Min.	-318	-1859.84	108	-9482.90	107	-10662.60	17	-1196.52	101	-10298.20	101	-856.52	1	-4506.91	130	-3598.26	101
107	Max	-146	423.23	65	-2942.51	65	6757.34	65	592.89	130	6279.60	130	774.09	49	10488.40	101	361.94	65
107	Max	25	423.23	65	-2942.51	65	6757.34	65	592.89	130	6279.60	130	774.09	49	10488.40	101	361.94	65
107	Max	-246	423.23	65	-2942.51	65	6757.34	65	592.89	130	6279.60	130	774.09	49	10488.40	101	361.94	65
107	Max	-248	423.23	65	-2942.51	65	6757.34	65	592.89	130	6279.60	130	774.09	49	10488.40	101	361.94	65
107	Min.	-146	-1065.18	107	-15559.30	131	-4139.36	99	-1800.35	101	-18188.60	101	-623.34	1	-3780.59	1	-657.35	17
107	Min.	25	-1065.18	107	-15559.30	131	-4139.36	99	-1800.35	101	-18188.60	101	-623.34	1	-3780.59	1	-657.35	17
107	Min.	-246	-1065.18	107	-15559.30	131	-4139.36	99	-1800.35	101	-18188.60	101	-623.34	1	-3780.59	1	-657.35	17
107	Min.	-248	-1065.18	107	-15559.30	131	-4139.36	99	-1800.35	101	-18188.60	101	-623.34	1	-3780.59	1	-657.35	17
107	Max	-292	654.16	65	2424.92	65	5755.72	65	565.84	130	6233.94	130	662.24	65	9214.69	101	430.53	162
107	Max	-290	654.16	65	2424.92	65	5755.72	65	565.84	130	6233.94	130	662.24	65	9214.69	101	430.53	162
107	Max	-328	654.16	65	2424.92	65	5755.72	65	565.84	130	6233.94	130	662.24	65	9214.69	101	430.53	162
107	Max	-330	654.16	65	2424.92	65	5755.72	65	565.84	130	6233.94	130	662.24	65	9214.69	101	430.53	162
107	Min.	-292	-937.79	17	-11527.40	107	-301.13	17	-1076.88	101	-12957.10	101	-689.55	17	-1211.41	1	-1753.33	101
107	Min.	-290	-937.79	17	-11527.40	107	-301.13	17	-1076.88	101	-12957.10	101	-689.55	17	-1211.41	1	-1753.33	101
107	Min.	-328	-937.79	17	-11527.40	107	-301.13	17	-1076.88	101	-12957.10	101	-689.55	17	-1211.41	1	-1753.33	101
107	Min.	-330	-937.79	17	-11527.40	107	-301.13	17	-1076.88	101	-12957.10	101	-689.55	17	-1211.41	1	-1753.33	101
107	Max	-336	878.39	65	8302.92	65	1479.09	177	363.38	130	7086.77	130	323.59	101	14552.30	101	132.19	130
107	Max	-334	878.39	65	8302.92	65	1479.09	177	363.38	130	7086.77	130	323.59	101	14552.30	101	132.19	130
107	Max	-372	878.39	65	8302.92	65	1479.09	177	363.38	130	7086.77	130	323.59	101	14552.30	101	132.19	130
107	Max	-374	878.39	65	8302.92	65	1479.09	177	363.38	130	7086.77	130	323.59	101	14552.30	101	132.19	130

107	Min.	-336	-1694.46	17	-14736.80	177	97.85	65	-448.71	101	-10844.90	101	-367.95	130	-3902.47	1	-411.97	101
107	Min.	-334	-1694.46	17	-14736.80	177	97.85	65	-448.71	101	-10844.90	101	-367.95	130	-3902.47	1	-411.97	101
107	Min.	-372	-1694.46	17	-14736.80	177	97.85	65	-448.71	101	-10844.90	101	-367.95	130	-3902.47	1	-411.97	101
107	Min.	-374	-1694.46	17	-14736.80	177	97.85	65	-448.71	101	-10844.90	101	-367.95	130	-3902.47	1	-411.97	101
107	Max	-270	3417.62	177	2378.72	17	328.13	65	564.89	130	6220.67	130	697.04	49	9208.43	101	1749.62	101
107	Max	-268	3417.62	177	2378.72	17	328.13	65	564.89	130	6220.67	130	697.04	49	9208.43	101	1749.62	101
107	Max	-306	3417.62	177	2378.72	17	328.13	65	564.89	130	6220.67	130	697.04	49	9208.43	101	1749.62	101
107	Max	-308	3417.62	177	2378.72	17	328.13	65	564.89	130	6220.67	130	697.04	49	9208.43	101	1749.62	101
107	Min.	-270	-916.54	65	-11547.40	108	-5763.34	17	-1081.48	101	-12967.50	101	-667.98	1	-1233.46	49	-417.10	162
107	Min.	-268	-916.54	65	-11547.40	108	-5763.34	17	-1081.48	101	-12967.50	101	-667.98	1	-1233.46	49	-417.10	162
107	Min.	-306	-916.54	65	-11547.40	108	-5763.34	17	-1081.48	101	-12967.50	101	-667.98	1	-1233.46	49	-417.10	162
107	Min.	-308	-916.54	65	-11547.40	108	-5763.34	17	-1081.48	101	-12967.50	101	-667.98	1	-1233.46	49	-417.10	162
107	Max	-242	225.50	17	-5564.96	49	7304.75	65	369.48	130	4778.00	130	624.04	65	16415.40	101	954.51	131
107	Max	-240	225.50	17	-5564.96	49	7304.75	65	369.48	130	4778.00	130	624.04	65	16415.40	101	954.51	131
107	Max	-278	225.50	17	-5564.96	49	7304.75	65	369.48	130	4778.00	130	624.04	65	16415.40	101	954.51	131
107	Max	-280	225.50	17	-5564.96	49	7304.75	65	369.48	130	4778.00	130	624.04	65	16415.40	101	954.51	131
107	Min.	-242	-1435.82	132	-13692.50	106	-9445.53	17	-1363.25	101	-14306.80	101	-649.11	17	-4059.23	130	-1277.21	104
107	Min.	-240	-1435.82	132	-13692.50	106	-9445.53	17	-1363.25	101	-14306.80	101	-649.11	17	-4059.23	130	-1277.21	104
107	Min.	-278	-1435.82	132	-13692.50	106	-9445.53	17	-1363.25	101	-14306.80	101	-649.11	17	-4059.23	130	-1277.21	104
107	Min.	-280	-1435.82	132	-13692.50	106	-9445.53	17	-1363.25	101	-14306.80	101	-649.11	17	-4059.23	130	-1277.21	104
107	Max	-206	1997.30	104	11970.70	65	4593.01	108	319.21	130	5241.57	130	322.24	65	5444.08	49	715.45	130
107	Max	-194	1997.30	104	11970.70	65	4593.01	108	319.21	130	5241.57	130	322.24	65	5444.08	49	715.45	130
107	Max	-256	1997.30	104	11970.70	65	4593.01	108	319.21	130	5241.57	130	322.24	65	5444.08	49	715.45	130
107	Max	-258	1997.30	104	11970.70	65	4593.01	108	319.21	130	5241.57	130	322.24	65	5444.08	49	715.45	130
107	Min.	-206	-243.76	17	-15355.50	17	1029.89	17	-959.77	101	-15621.00	101	-433.08	17	-5207.77	1	-1358.88	101
107	Min.	-194	-243.76	17	-15355.50	17	1029.89	17	-959.77	101	-15621.00	101	-433.08	17	-5207.77	1	-1358.88	101
107	Min.	-256	-243.76	17	-15355.50	17	1029.89	17	-959.77	101	-15621.00	101	-433.08	17	-5207.77	1	-1358.88	101
107	Min.	-258	-243.76	17	-15355.50	17	1029.89	17	-959.77	101	-15621.00	101	-433.08	17	-5207.77	1	-1358.88	101
107	Max	-268	697.50	177	5472.54	17	-413.16	65	361.42	130	6300.79	130	620.09	49	9399.95	101	1937.83	101
107	Max	-266	697.50	177	5472.54	17	-413.16	65	361.42	130	6300.79	130	620.09	49	9399.95	101	1937.83	101
107	Max	-304	697.50	177	5472.54	17	-413.16	65	361.42	130	6300.79	130	620.09	49	9399.95	101	1937.83	101
107	Max	-306	697.50	177	5472.54	17	-413.16	65	361.42	130	6300.79	130	620.09	49	9399.95	101	1937.83	101
107	Min.	-268	-687.30	65	-12095.70	65	-3821.52	17	-636.47	101	-12922.70	101	-638.13	1	-1884.30	49	-596.41	162
107	Min.	-266	-687.30	65	-12095.70	65	-3821.52	17	-636.47	101	-12922.70	101	-638.13	1	-1884.30	49	-596.41	162
107	Min.	-304	-687.30	65	-12095.70	65	-3821.52	17	-636.47	101	-12922.70	101	-638.13	1	-1884.30	49	-596.41	162
107	Min.	-306	-687.30	65	-12095.70	65	-3821.52	17	-636.47	101	-12922.70	101	-638.13	1	-1884.30	49	-596.41	162
107	Max	-274	1838.54	177	-2043.43	17	1656.65	65	589.10	130	5986.45	130	729.49	65	9470.34	101	1307.79	107
107	Max	-272	1838.54	177	-2043.43	17	1656.65	65	589.10	130	5986.45	130	729.49	65	9470.34	101	1307.79	107
107	Max	-310	1838.54	177	-2043.43	17	1656.65	65	589.10	130	5986.45	130	729.49	65	9470.34	101	1307.79	107
107	Max	-312	1838.54	177	-2043.43	17	1656.65	65	589.10	130	5986.45	130	729.49	65	9470.34	101	1307.79	107
107	Min.	-274	-403.16	65	-13699.20	108	-7244.20	17	-1336.58	101	-13148.30	101	-660.05	17	-1060.75	49	-192.31	17
107	Min.	-272	-403.16	65	-13699.20	108	-7244.20	17	-1336.58	101	-13148.30	101	-660.05	17	-1060.75	49	-192.31	17
107	Min.	-310	-403.16	65	-13699.20	108	-7244.20	17	-1336.58	101	-13148.30	101	-660.05	17	-1060.75	49	-192.31	17
107	Min.	-312	-403.16	65	-13699.20	108	-7244.20	17	-1336.58	101	-13148.30	101	-660.05	17	-1060.75	49	-192.31	17
107	Max	-248	1102.13	65	-3958.16	65	8023.44	65	525.32	130	5541.51	130	640.63	65	10585.30	101	588.46	65
107	Max	-246	1102.13	65	-3958.16	65	8023.44	65	525.32	130	5541.51	130	640.63	65	10585.30	101	588.46	65
107	Max	-284	1102.13	65	-3958.16	65	8023.44	65	525.32	130	5541.51	130	640.63	65	10585.30	101	588.46	65
107	Max	-286	1102.13	65	-3958.16	65	8023.44	65	525.32	130	5541.51	130	640.63	65	10585.30	101	588.46	65
107	Min.	-248	-638.27	17	-15192.40	107	-2525.87	17	-1500.49	101	-15044.90	101	-608.36	17	-2080.82	1	-1207.82	132
107	Min.	-246	-638.27	17	-15192.40	107	-2525.87	17	-1500.49	101	-15044.90	101	-608.36	17	-2080.82	1	-1207.82	132
107	Min.	-284	-638.27	17	-15192.40	107	-2525.87	17	-1500.49	101	-15044.90	101	-608.36	17	-2080.82	1	-1207.82	132
107	Min.	-286	-638.27	17	-15192.40	107	-2525.87	17	-1500.49	101	-15044.90	101	-608.36	17	-2080.82	1	-1207.82	132
107	Max	-250	1050.28	65	-1915.42	65	7229.90	65	633.95	130	5713.52	130	633.33	65	9570.94	101	458.40	65
107	Max	-248	1050.28	65	-1915.42	65	7229.90	65	633.95	130	5713.52	130	633.33	65	9570.94	101	458.40	65
107	Max	-286	1050.28	65	-1915.42	65	7229.90	65	633.95	130	5713.52	130	633.33	65	9570.94	101	458.40	65
107	Max	-288	1050.28	65	-1915.42	65	7229.90	65	633.95	130	5713.52	130	633.33	65	9570.94	101	458.40	65
107	Min.	-250	-528.02	17	-14754.80	107	-1893.91	17	-1569.51	101	-15065.90	101	-605.42	17	-2126.30	1	-1107.99	17
107	Min.	-248	-528.02	17	-14754.80	107	-1893.91	17	-1569.51	101	-15065.90	101	-605.42	17	-2126.30	1	-1107.99	17
107	Min.	-286	-528.02	17	-14754.80	107	-1893.91	17	-1569.51	101	-15065.90	101	-605.42	17	-2126.30	1	-1107.99	17
107	Min.	-288	-528.02	17	-14754.80	107	-1893.91	17	-1569.51	101	-15065.90	101	-605.42	17	-2126.30	1	-1107.99	17
107	Max	-20	1571.29	17	17512.30	17	342.55	65	229.56	130	5154.50	130	544.81	101	5568.67	1	608.73	101
107	Max	-8	1571.29	17	17512.30	17	342.55	65	229.56	130	5154.50	130	544.81	101	5568.67	1	608.73	101
107	Max	-224	1571.29	17	17512.30	17	342.55	65	229.56	130	5154.50	130	544.81	101	5568.67	1	608.73	101
107	Max	-226	1571.29	17	17512.30	17	342.55	65	229.56	130	5154.50	130	544.81	101	5568.67	1	608.73	101
107	Min.	-20	-284.03	65	-14224.50	65	-2929.43	103	-743.76	101	-15704.30	101	-206.84	1	-5955.61	49	-312.42	130
107	Min.	-8	-284.03	65	-14224.50	65	-2929.43	103	-743.76	101	-15704.30	101	-206.84	1	-5955.61	49	-312.42	130
107	Min.	-224	-284.03	65	-14224.50	65	-2929.43	103	-743.76	101	-15704.30	101	-206.84	1	-5955.61	49	-312.42	130
107	Min.	-226	-284.03	65	-14224.50	65	-2929.43	103	-743.76	101	-15704.30	101	-206.84	1	-5955.61	49	-312.42	130
107	Max	-252	1062.73	65	885.19	65	6837.35	65	600.41	130	5832.29	130	621.57	65	9015.63	101	319.74	65
107	Max	-250	1062.73	65	885.19	65	6837.35	65	600.41	130	5832.29	130	621.57	65	9015.63	101	319.74	65
107	Max	-288	1062.73	65	885.19	65	6837.35	65	600.41	130	5832.29	130	621.57	65	9015.63	101	319.74	65
107	Max	-290	1062.73	65	885.19	65	6837.35	65	600.41	130	5832.29	130	621.57	65	9015.63	101	319.74	65
107	Min.	-252	-567.78	17	-13544.10	107	-742.31	17	-1436.63	101	-14969.00	101	-598.74	17	-2305.02	1	-1405.32	104
107	Min.	-250	-567.78	17	-13544.10	107	-742.31	17	-1436.63	101	-14969.00	101	-598.74	17	-2305.02	1	-1405.32	104
107	Min.	-288	-567.78	17	-13544.10	107	-742.31	17	-1436.63	101	-14969.00	101	-598.74	17	-2305.02	1	-1405.32	104
107	Min.	-290	-567.78	17	-13544.10	107	-742.31	17	-1436.63	101	-14969.00	101	-598.74	17	-2305.02	1	-1405.32	104
107	Min.	-124	-491.45	49	-7707.92	49	7953.16	65	540.26	130	6043.92	130	705.71	65	13320.40	101	515.89	65
107	Max	23	-491.45	49	-7707.92	49	7953.16	65	540.26	130	6043.92	130	705.71	65	13320.40	101	515.89	65
107	Max	-242	-491.45	49	-7707.92	49	7953.16	65	540.26	130	6043.92	130	705.71	65	13320.40	101	515.89	65
107	Max	-244	-491.45	49	-7707.92	49	7953.16	65	540.26	130	6043.92	130	705.71	65	13320.40	101	515.89	65
107	Min.	-124	-1936.49	107	-18301.20	107	-7404.43	17	-1793.25	101	-18524.40	101	-651.27	17	-5134.99	130	-564.36	17
107	Min.	23	-1936.49	107	-18301.20	107	-7404.43	17	-1793.25	101	-18524.40	101	-651.27	17	-5134.99	130	-564.36	17
107	Min.	-242	-1936.49	107	-18301.20	107	-7404.43	17	-1793.25	101	-18524.40	101	-651.27	17	-5134.99	130	-564.36	17
107	Min.	-244	-1936.49	107	-18301.20	107	-7404.43	17	-1793.25	101	-18524.40	101	-651.27	17	-5134.99	130	-564.36	17
107	Max	-302	833.29	17	9433.15	177	-35.77	177	359.00	130	7088.41	130	373.67	130	14680.00	101	393.83	101
107	Max	-300	833.29	17	9433.15	177	-35.77	177	359.00	130	7088.41	130	373.67	130	14680.00	101	393.83	101
107	Max	-338	833.29	17	9433.15	177	-35.77	177	359.00	130	7088.41	130	373.67	130	14680.00	101	393.83	101
107	Max	-340	833.29	17	9433.15	177	-35.77	177	359.00	130	7088.41	130	373.67	130	14680.00	101	393.83	101
107	Min.	-302	-1642.56	65	-14658.60	65	-1485.94	65	-440.99	101	-10850.70	101	-315.63	101	-4061.98	49	-122.64	130
107	Min.	-300	-1642.56	65	-14658.60	65	-1485.94	65	-440.99	101	-10850.70	101	-315.63	101	-4061.98	49	-122.64	130
107	Min.	-338	-1642.56	65	-14658.60	65	-1485.94	65	-440.99	101	-10850.70	101	-315.63	101	-4061.98	49	-122.64	130
107	Min.	-340	-1642.56	65	-14658.60	65	-1485.94	65	-440.99	101	-10850.70	101	-315.63	101	-4061.98	49	-122.64	130
107	Max	21	1198.87	177	-2916.58	17	4160.95	100	590.42	130	6269.62	130	635.99	49	10458.00	101	654.11	65
107	Max	-80	1198.87	177	-2916.58	17	4160.95	100	590.42	130	6269.62	130	635.99	49	10458.00	101	654.11	65
107	Max	-236	1198.87	177	-2916.58	17	4160.95	100	590.42	130	6269.62	130	635.99	49	10458.00	101	654.11	65
107	Max	-238	1198.87	177	-2916.58	17	4160.95	100	590.42	130	6269.62	130	635.99	49	10458.00	101	654.11	65
107	Min.	21	-1088.67	108	-15508.30	132	-6738.82	17	-1799.91	101	-18186.30	101	-785.02	1	-3804.69	49	-361.14	17
107	Min.	-80	-1088.67	108	-15508.30	132	-6738.82	17	-1799.91	101	-18186.30	101	-785.02	1	-3804.69	49	-361.14	17
107	Min.	-236	-1088.67	108	-15508.30	132	-6738.82	17	-1799.91	101	-18186.30	101	-785.02	1	-3804.69	49	-361.14	17
107	Min.	-238	-1088.67	108	-15508.30	132	-6738.82	17	-1799.91	101	-18186.30	101	-785.02	1	-3804.69	49	-361.14	17
107	Max	-310	1168.05	177	-46.22	17	1204.12	65	679.15	130	6840.91	130	779.05	65	9908.83	101	527.66	101
107	Max	-308	1168.05	177	-46.22	17	1204.12	65	679.15	130	6840.91	130	779.05	65	9908.83	101	527.66	101
107	Max	-346	1168.05	177	-46.22	17	1204.12	65	679.15	130	6840.91	130	779.05	65	9908.83	101	527.66	101
107	Max	-348	1168.05	177	-46.22	17	1204.12	65	679.15	130	6840.91	130	779.05	65	9908.83	101	527.66	101
107	Min.	-310	-876.89	132	-11804.80	108	-6615.72	17	-1110.24	101	-11304.70	101	-690.65	17	-339.75	49	-41.05	162

107	Min.	-308	-876.89	132	-11804.80	108	-6615.72	17	-1110.24	101	-11304.70	101	-690.65	17	-339.75	49	-41.05	162
107	Min.	-346	-876.89	132	-11804.80	108	-6615.72	17	-1110.24	101	-11304.70	101	-690.65	17	-339.75	49	-41.05	162
107	Min.	-348	-876.89	132	-11804.80	108	-6615.72	17	-1110.24	101	-11304.70	101	-690.65	17	-339.75	49	-41.05	162
107	Max	-194	1338.47	65	9098.68	65	3711.72	65	430.54	130	6032.03	130	539.61	49	6243.15	101	720.04	130
107	Max	-182	1338.47	65	9098.68	65	3711.72	65	430.54	130	6032.03	130	539.61	49	6243.15	101	720.04	130
107	Max	-254	1338.47	65	9098.68	65	3711.72	65	430.54	130	6032.03	130	539.61	49	6243.15	101	720.04	130
107	Max	-256	1338.47	65	9098.68	65	3711.72	65	430.54	130	6032.03	130	539.61	49	6243.15	101	720.04	130
107	Min.	-194	-969.81	17	-14950.70	17	-2450.63	99	-1269.12	101	-16654.60	101	-499.78	1	-5051.26	1	-1648.76	101
107	Min.	-182	-969.81	17	-14950.70	17	-2450.63	99	-1269.12	101	-16654.60	101	-499.78	1	-5051.26	1	-1648.76	101
107	Min.	-254	-969.81	17	-14950.70	17	-2450.63	99	-1269.12	101	-16654.60	101	-499.78	1	-5051.26	1	-1648.76	101
107	Min.	-256	-969.81	17	-14950.70	17	-2450.63	99	-1269.12	101	-16654.60	101	-499.78	1	-5051.26	1	-1648.76	101
107	Max	-56	1752.97	177	5804.18	17	-643.19	65	535.87	130	6378.91	130	603.98	49	8344.68	101	991.96	101
107	Max	-44	1752.97	177	5804.18	17	-643.19	65	535.87	130	6378.91	130	603.98	49	8344.68	101	991.96	101
107	Max	-230	1752.97	177	5804.18	17	-643.19	65	535.87	130	6378.91	130	603.98	49	8344.68	101	991.96	101
107	Max	-232	1752.97	177	5804.18	17	-643.19	65	535.87	130	6378.91	130	603.98	49	8344.68	101	991.96	101
107	Min.	-56	-1424.68	173	-15521.40	65	-14919.70	99	-1543.28	101	-17375.80	101	-673.80	1	-4664.85	49	-192.94	1
107	Min.	-44	-1424.68	173	-15521.40	65	-14919.70	99	-1543.28	101	-17375.80	101	-673.80	1	-4664.85	49	-192.94	1
107	Min.	-230	-1424.68	173	-15521.40	65	-14919.70	99	-1543.28	101	-17375.80	101	-673.80	1	-4664.85	49	-192.94	1
107	Min.	-232	-1424.68	173	-15521.40	65	-14919.70	99	-1543.28	101	-17375.80	101	-673.80	1	-4664.85	49	-192.94	1
107	Max	-278	1527.52	177	-4220.79	49	3985.09	65	349.80	130	4931.40	130	765.85	49	13195.60	101	3182.96	130
107	Max	-276	1527.52	177	-4220.79	49	3985.09	65	349.80	130	4931.40	130	765.85	49	13195.60	101	3182.96	130
107	Max	-314	1527.52	177	-4220.79	49	3985.09	65	349.80	130	4931.40	130	765.85	49	13195.60	101	3182.96	130
107	Max	-316	1527.52	177	-4220.79	49	3985.09	65	349.80	130	4931.40	130	765.85	49	13195.60	101	3182.96	130
107	Min.	-278	-996.60	65	-14385.70	107	-9290.97	17	-1002.94	101	-12147.30	101	-856.15	1	-1101.16	49	-4094.02	101
107	Min.	-276	-996.60	65	-14385.70	107	-9290.97	17	-1002.94	101	-12147.30	101	-856.15	1	-1101.16	49	-4094.02	101
107	Min.	-314	-996.60	65	-14385.70	107	-9290.97	17	-1002.94	101	-12147.30	101	-856.15	1	-1101.16	49	-4094.02	101
107	Min.	-316	-996.60	65	-14385.70	107	-9290.97	17	-1002.94	101	-12147.30	101	-856.15	1	-1101.16	49	-4094.02	101
107	Max	-68	1382.33	177	201.04	17	1533.89	65	607.86	130	5751.49	130	555.26	65	7424.37	101	719.93	103
107	Max	-56	1382.33	177	201.04	17	1533.89	65	607.86	130	5751.49	130	555.26	65	7424.37	101	719.93	103
107	Max	-232	1382.33	177	201.04	17	1533.89	65	607.86	130	5751.49	130	555.26	65	7424.37	101	719.93	103
107	Max	-234	1382.33	177	201.04	17	1533.89	65	607.86	130	5751.49	130	555.26	65	7424.37	101	719.93	103
107	Min.	-68	-1275.82	65	-18425.60	108	-6857.87	17	-1698.79	101	-17057.30	101	-668.82	17	-3799.71	49	-228.09	17
107	Min.	-56	-1275.82	65	-18425.60	108	-6857.87	17	-1698.79	101	-17057.30	101	-668.82	17	-3799.71	49	-228.09	17
107	Min.	-232	-1275.82	65	-18425.60	108	-6857.87	17	-1698.79	101	-17057.30	101	-668.82	17	-3799.71	49	-228.09	17
107	Min.	-234	-1275.82	65	-18425.60	108	-6857.87	17	-1698.79	101	-17057.30	101	-668.82	17	-3799.71	49	-228.09	17
107	Max	-332	447.02	65	3841.87	65	3835.74	65	577.39	130	6955.66	130	676.70	49	10426.80	101	288.66	162
107	Max	-330	447.02	65	3841.87	65	3835.74	65	577.39	130	6955.66	130	676.70	49	10426.80	101	288.66	162
107	Max	-368	447.02	65	3841.87	65	3835.74	65	577.39	130	6955.66	130	676.70	49	10426.80	101	288.66	162
107	Max	-370	447.02	65	3841.87	65	3835.74	65	577.39	130	6955.66	130	676.70	49	10426.80	101	288.66	162
107	Min.	-332	-1101.27	17	-10662.70	177	380.94	17	-826.47	101	-11011.50	101	-652.59	1	-1086.37	1	-835.18	101
107	Min.	-330	-1101.27	17	-10662.70	177	380.94	17	-826.47	101	-11011.50	101	-652.59	1	-1086.37	1	-835.18	101
107	Min.	-368	-1101.27	17	-10662.70	177	380.94	17	-826.47	101	-11011.50	101	-652.59	1	-1086.37	1	-835.18	101
107	Min.	-370	-1101.27	17	-10662.70	177	380.94	17	-826.47	101	-11011.50	101	-652.59	1	-1086.37	1	-835.18	101
107	Max	-170	1020.85	65	308.55	65	6879.94	65	607.76	130	5781.53	130	672.15	65	7472.23	101	227.88	65
107	Max	-158	1020.85	65	308.55	65	6879.94	65	607.76	130	5781.53	130	672.15	65	7472.23	101	227.88	65
107	Max	-250	1020.85	65	308.55	65	6879.94	65	607.76	130	5781.53	130	672.15	65	7472.23	101	227.88	65
107	Max	-252	1020.85	65	308.55	65	6879.94	65	607.76	130	5781.53	130	672.15	65	7472.23	101	227.88	65
107	Min.	-170	-1290.84	17	-18294.40	107	-1505.90	17	-1695.05	101	-17065.60	101	-558.59	17	-3794.59	1	-725.73	104
107	Min.	-158	-1290.84	17	-18294.40	107	-1505.90	17	-1695.05	101	-17065.60	101	-558.59	17	-3794.59	1	-725.73	104
107	Min.	-250	-1290.84	17	-18294.40	107	-1505.90	17	-1695.05	101	-17065.60	101	-558.59	17	-3794.59	1	-725.73	104
107	Min.	-252	-1290.84	17	-18294.40	107	-1505.90	17	-1695.05	101	-17065.60	101	-558.59	17	-3794.59	1	-725.73	104
107	Max	25	353.86	65	-5922.83	65	9357.38	65	581.97	130	6082.99	130	699.09	65	11754.80	101	477.14	65
107	Max	-124	353.86	65	-5922.83	65	9357.38	65	581.97	130	6082.99	130	699.09	65	11754.80	101	477.14	65
107	Max	-244	353.86	65	-5922.83	65	9357.38	65	581.97	130	6082.99	130	699.09	65	11754.80	101	477.14	65
107	Max	-246	353.86	65	-5922.83	65	9357.38	65	581.97	130	6082.99	130	699.09	65	11754.80	101	477.14	65
107	Min.	25	-1634.81	17	-16762.80	107	-4214.60	17	-1821.44	101	-18298.60	101	-646.39	17	-4261.04	130	-667.00	132
107	Min.	-124	-1634.81	17	-16762.80	107	-4214.60	17	-1821.44	101	-18298.60	101	-646.39	17	-4261.04	130	-667.00	132
107	Min.	-244	-1634.81	17	-16762.80	107	-4214.60	17	-1821.44	101	-18298.60	101	-646.39	17	-4261.04	130	-667.00	132
107	Min.	-246	-1634.81	17	-16762.80	107	-4214.60	17	-1821.44	101	-18298.60	101	-646.39	17	-4261.04	130	-667.00	132
107	Max	23	-507.17	1	-7685.82	1	7390.02	65	539.55	130	6035.09	130	657.33	65	13286.80	101	559.15	65
107	Max	-102	-507.17	1	-7685.82	1	7390.02	65	539.55	130	6035.09	130	657.33	65	13286.80	101	559.15	65
107	Max	-240	-507.17	1	-7685.82	1	7390.02	65	539.55	130	6035.09	130	657.33	65	13286.80	101	559.15	65
107	Max	-242	-507.17	1	-7685.82	1	7390.02	65	539.55	130	6035.09	130	657.33	65	13286.80	101	559.15	65
107	Min.	23	-1961.76	108	-18211.90	108	-7982.40	17	-1793.34	101	-18516.10	101	-707.59	17	-5121.28	130	-522.02	17
107	Min.	-102	-1961.76	108	-18211.90	108	-7982.40	17	-1793.34	101	-18516.10	101	-707.59	17	-5121.28	130	-522.02	17
107	Min.	-240	-1961.76	108	-18211.90	108	-7982.40	17	-1793.34	101	-18516.10	101	-707.59	17	-5121.28	130	-522.02	17
107	Min.	-242	-1961.76	108	-18211.90	108	-7982.40	17	-1793.34	101	-18516.10	101	-707.59	17	-5121.28	130	-522.02	17
107	Max	-294	448.70	65	5480.60	65	3828.99	65	362.50	130	6311.90	130	625.34	49	9404.02	101	600.26	162
107	Max	-292	448.70	65	5480.60	65	3828.99	65	362.50	130	6311.90	130	625.34	49	9404.02	101	600.26	162
107	Max	-330	448.70	65	5480.60	65	3828.99	65	362.50	130	6311.90	130	625.34	49	9404.02	101	600.26	162
107	Max	-332	448.70	65	5480.60	65	3828.99	65	362.50	130	6311.90	130	625.34	49	9404.02	101	600.26	162
107	Min.	-294	-683.96	17	-12056.70	17	415.55	17	-636.93	101	-12914.90	101	-606.82	1	-1844.61	1	-1934.84	101
107	Min.	-292	-683.96	17	-12056.70	17	415.55	17	-636.93	101	-12914.90	101	-606.82	1	-1844.61	1	-1934.84	101
107	Min.	-330	-683.96	17	-12056.70	17	415.55	17	-636.93	101	-12914.90	101	-606.82	1	-1844.61	1	-1934.84	101
107	Min.	-332	-683.96	17	-12056.70	17	415.55	17	-636.93	101	-12914.90	101	-606.82	1	-1844.61	1	-1934.84	101
107	Max	-218	1665.76	65	17349.60	65	3008.39	104	234.24	130	5170.08	130	217.29	49	5474.70	49	331.28	130
107	Max	-206	1665.76	65	17349.60	65	3008.39	104	234.24	130	5170.08	130	217.29	49	5474.70	49	331.28	130
107	Max	-258	1665.76	65	17349.60	65	3008.39	104	234.24	130	5170.08	130	217.29	49	5474.70	49	331.28	130
107	Max	-260	1665.76	65	17349.60	65	3008.39	104	234.24	130	5170.08	130	217.29	49	5474.70	49	331.28	130
107	Min.	-218	-292.55	17	-14188.70	17	-286.62	17	-753.56	101	-15695.80	101	-540.19	101	-5831.21	1	-643.41	101
107	Min.	-206	-292.55	17	-14188.70	17	-286.62	17	-753.56	101	-15695.80	101	-540.19	101	-5831.21	1	-643.41	101
107	Min.	-258	-292.55	17	-14188.70	17	-286.62	17	-753.56	101	-15695.80	101	-540.19	101	-5831.21	1	-643.41	101
107	Min.	-260	-292.55	17	-14188.70	17	-286.62	17	-753.56	101	-15695.80	101	-540.19	101	-5831.21	1	-643.41	101
107	Max	-244	243.62	65	-5565.80	1	9440.00	65	369.63	130	4784.34	130	645.08	65	16444.00	101	1294.22	103
107	Max	-242	243.62	65	-5565.80	1	9440.00	65	369.63	130	4784.34	130	645.08	65	16444.00	101	1294.22	103
107	Max	-280	243.62	65	-5565.80	1	9440.00	65	369.63	130	4784.34	130	645.08	65	16444.00	101	1294.22	103
107	Max	-282	243.62	65	-5565.80	1	9440.00	65	369.63	130	4784.34	130	645.08	65	16444.00	101	1294.22	103
107	Min.	-244	-1419.74	131	-13711.10	106	-7286.76	17	-1361.17	101	-14305.40	101	-620.51	17	-4058.46	130	-1017.98	132
107	Min.	-242	-1419.74	131	-13711.10	106	-7286.76	17	-1361.17	101	-14305.40	101	-620.51	17	-4058.46	130	-1017.98	132
107	Min.	-280	-1419.74	131	-13711.10	106	-7286.76	17	-1361.17	101	-14305.40	101	-620.51	17	-4058.46	130	-1017.98	132
107	Min.	-282	-1419.74	131	-13711.10	106	-7286.76	17	-1361.17	101	-14305.40	101	-620.51	17	-4058.46	130	-1017.98	132
107	Max	-246	1114.41	65	-5356.54	1	9073.69	65	451.31	130	5197.62	130	661.47	49	13096.70	101	1945.00	103
107	Max	-244	1114.41	65	-5356.54	1	9073.69	65	451.31	130	5197.62	130	661.47	49	13096.70	101	1945.00	103
107	Max	-282	1114.41	65	-5356.54	1	9073.69	65	451.31	130	5197.62	130	661.47	49	13096.70	101	1945.00	103
107	Max	-284	1114.41	65	-5356.54	1	9073.69	65	451.31	130	5197.62	130	661.47	49	13096.70	101	1945.00	103
107	Min.	-246	-1073.34	17	-15091.10	106	-4438.44	17	-1434.47	101	-14762.70	101	-616.63	1	-2064.20	1	-1994.06	132
107	Min.	-244	-1073.34	17	-15091.10	106	-4438.44	17	-1434.47	101	-14762.70	101	-616.63	1	-2064.20	1	-1994.06	132
107	Min.	-282	-1073.34	17	-15091.10	106	-4438.44	17	-1434.47	101	-14762.70	101	-616.63	1	-2064.20	1	-1994.06	132
107	Min.	-284	-1073.34	17	-15091.10	106	-4438.44	17	-1434.47	101	-14762.70	101	-616.63	1	-2064.20	1	-1994.06	132
107	Max	-254	929.12	65	3405.95	65	5647.25	65	459.93	130	5892.03	130	612.97	49	8708.85	101	356.89	49
107	Max	-252	929.12	65	3405.95	65	5647.25	65	459.93	130	5892.03	130	612.97	49	8708.85	101	356.89	49
107	Max	-290	929.12	65	3405.95	65	5647.25	65	459.93	130	5892.03	130	612.97	49	8708.85	101	356.89	49
107	Max	-292	929.12	65	3405.95	65	5647.25	65	459.93	130	5892.03	130	612.97	49	8708.85	101	356.89	49
107	Min.	-254	-463.05	17	-13129.70	17	-524.46	17	-1162.71	101	-14857.30	101	-588.33	1	-2513.20	1	-2034.07	101
107	Min.	-252	-463.05	17	-13129.70	17	-524.46	17	-1162.71	101	-14857.30	101	-588.33	1	-2513.20	1	-2034.07	101

107	Min.	-290	-463.05	17	-13129.70	17	-524.46	17	-1162.71	101	-14857.30	101	-588.33	1	-2513.20	1	-2034.07	101
107	Min.	-292	-463.05	17	-13129.70	17	-524.46	17	-1162.71	101	-14857.30	101	-588.33	1	-2513.20	1	-2034.07	101
107	Max	-276	1464.41	177	-3748.72	1	2270.96	65	520.97	130	5740.07	130	731.46	49	9617.53	101	2023.73	131
107	Max	-274	1464.41	177	-3748.72	1	2270.96	65	520.97	130	5740.07	130	731.46	49	9617.53	101	2023.73	131
107	Max	-312	1464.41	177	-3748.72	1	2270.96	65	520.97	130	5740.07	130	731.46	49	9617.53	101	2023.73	131
107	Max	-314	1464.41	177	-3748.72	1	2270.96	65	520.97	130	5740.07	130	731.46	49	9617.53	101	2023.73	131
107	Min.	-276	-202.86	65	-13930.40	108	-7589.42	17	-1227.70	101	-13126.30	101	-702.76	1	-987.52	49	-1184.15	104
107	Min.	-274	-202.86	65	-13930.40	108	-7589.42	17	-1227.70	101	-13126.30	101	-702.76	1	-987.52	49	-1184.15	104
107	Min.	-312	-202.86	65	-13930.40	108	-7589.42	17	-1227.70	101	-13126.30	101	-702.76	1	-987.52	49	-1184.15	104
107	Min.	-314	-202.86	65	-13930.40	108	-7589.42	17	-1227.70	101	-13126.30	101	-702.76	1	-987.52	49	-1184.15	104
107	Max	-284	1355.11	65	-4217.26	1	9281.75	65	351.51	130	4952.57	130	839.83	49	13246.30	101	4086.56	101
107	Max	-282	1355.11	65	-4217.26	1	9281.75	65	351.51	130	4952.57	130	839.83	49	13246.30	101	4086.56	101
107	Max	-320	1355.11	65	-4217.26	1	9281.75	65	351.51	130	4952.57	130	839.83	49	13246.30	101	4086.56	101
107	Max	-322	1355.11	65	-4217.26	1	9281.75	65	351.51	130	4952.57	130	839.83	49	13246.30	101	4086.56	101
107	Min.	-284	-991.79	17	-14404.60	108	-3988.49	17	-1000.95	101	-12132.20	101	-752.13	1	-1064.70	1	-3200.18	130
107	Min.	-282	-991.79	17	-14404.60	108	-3988.49	17	-1000.95	101	-12132.20	101	-752.13	1	-1064.70	1	-3200.18	130
107	Min.	-320	-991.79	17	-14404.60	108	-3988.49	17	-1000.95	101	-12132.20	101	-752.13	1	-1064.70	1	-3200.18	130
107	Min.	-322	-991.79	17	-14404.60	108	-3988.49	17	-1000.95	101	-12132.20	101	-752.13	1	-1064.70	1	-3200.18	130
107	Max	-238	1746.01	177	-3939.70	17	2528.53	65	521.33	130	5526.14	130	613.13	49	10546.40	101	1211.70	131
107	Max	-236	1746.01	177	-3939.70	17	2528.53	65	521.33	130	5526.14	130	613.13	49	10546.40	101	1211.70	131
107	Max	-274	1746.01	177	-3939.70	17	2528.53	65	521.33	130	5526.14	130	613.13	49	10546.40	101	1211.70	131
107	Max	-276	1746.01	177	-3939.70	17	2528.53	65	521.33	130	5526.14	130	613.13	49	10546.40	101	1211.70	131
107	Min.	-238	-643.15	65	-15156.40	108	-8023.21	17	-1501.03	101	-15051.10	101	-644.41	1	-2109.45	49	-590.99	17
107	Min.	-236	-643.15	65	-15156.40	108	-8023.21	17	-1501.03	101	-15051.10	101	-644.41	1	-2109.45	49	-590.99	17
107	Min.	-274	-643.15	65	-15156.40	108	-8023.21	17	-1501.03	101	-15051.10	101	-644.41	1	-2109.45	49	-590.99	17
107	Min.	-276	-643.15	65	-15156.40	108	-8023.21	17	-1501.03	101	-15051.10	101	-644.41	1	-2109.45	49	-590.99	17
107	Max	-324	323.55	65	-3075.32	133	7313.88	65	600.85	130	6582.85	130	670.35	65	8560.77	125	524.12	103
107	Max	-322	323.55	65	-3075.32	133	7313.88	65	600.85	130	6582.85	130	670.35	65	8560.77	125	524.12	103
107	Max	-360	323.55	65	-3075.32	133	7313.88	65	600.85	130	6582.85	130	670.35	65	8560.77	125	524.12	103
107	Max	-362	323.55	65	-3075.32	133	7313.88	65	600.85	130	6582.85	130	670.35	65	8560.77	125	524.12	103
107	Min.	-324	-1186.76	131	-13338.20	106	-2209.95	17	-1095.45	101	-11932.50	101	-824.81	17	-135.67	1	-1001.76	132
107	Min.	-322	-1186.76	131	-13338.20	106	-2209.95	17	-1095.45	101	-11932.50	101	-824.81	17	-135.67	1	-1001.76	132
107	Min.	-360	-1186.76	131	-13338.20	106	-2209.95	17	-1095.45	101	-11932.50	101	-824.81	17	-135.67	1	-1001.76	132
107	Min.	-362	-1186.76	131	-13338.20	106	-2209.95	17	-1095.45	101	-11932.50	101	-824.81	17	-135.67	1	-1001.76	132
107	Max	-258	81.02	65	10773.10	65	2211.68	65	83.66	130	5877.82	130	405.23	49	7571.88	49	1069.08	130
107	Max	-256	81.02	65	10773.10	65	2211.68	65	83.66	130	5877.82	130	405.23	49	7571.88	49	1069.08	130
107	Max	-294	81.02	65	10773.10	65	2211.68	65	83.66	130	5877.82	130	405.23	49	7571.88	49	1069.08	130
107	Max	-296	81.02	65	10773.10	65	2211.68	65	83.66	130	5877.82	130	405.23	49	7571.88	49	1069.08	130
107	Min.	-258	-680.62	99	-13749.20	17	-81.36	17	-202.13	101	-14587.50	101	-389.83	1	-3848.42	1	-2282.01	101
107	Min.	-256	-680.62	99	-13749.20	17	-81.36	17	-202.13	101	-14587.50	101	-389.83	1	-3848.42	1	-2282.01	101
107	Min.	-294	-680.62	99	-13749.20	17	-81.36	17	-202.13	101	-14587.50	101	-389.83	1	-3848.42	1	-2282.01	101
107	Min.	-296	-680.62	99	-13749.20	17	-81.36	17	-202.13	101	-14587.50	101	-389.83	1	-3848.42	1	-2282.01	101
107	Max	-306	721.17	177	4459.82	177	-373.89	65	576.55	130	6947.66	130	666.50	49	10426.20	101	836.98	101
107	Max	-304	721.17	177	4459.82	177	-373.89	65	576.55	130	6947.66	130	666.50	49	10426.20	101	836.98	101
107	Max	-342	721.17	177	4459.82	177	-373.89	65	576.55	130	6947.66	130	666.50	49	10426.20	101	836.98	101
107	Max	-344	721.17	177	4459.82	177	-373.89	65	576.55	130	6947.66	130	666.50	49	10426.20	101	836.98	101
107	Min.	-306	-1104.79	65	-10495.00	65	-3826.71	17	-826.72	101	-11020.50	101	-690.21	1	-1123.66	49	-286.78	162
107	Min.	-304	-1104.79	65	-10495.00	65	-3826.71	17	-826.72	101	-11020.50	101	-690.21	1	-1123.66	49	-286.78	162
107	Min.	-342	-1104.79	65	-10495.00	65	-3826.71	17	-826.72	101	-11020.50	101	-690.21	1	-1123.66	49	-286.78	162
107	Min.	-344	-1104.79	65	-10495.00	65	-3826.71	17	-826.72	101	-11020.50	101	-690.21	1	-1123.66	49	-286.78	162
107	Max	-80	1470.09	177	-2635.62	17	1376.52	65	630.48	130	5649.23	130	576.32	65	8008.74	101	699.56	65
107	Max	-68	1470.09	177	-2635.62	17	1376.52	65	630.48	130	5649.23	130	576.32	65	8008.74	101	699.56	65
107	Max	-234	1470.09	177	-2635.62	17	1376.52	65	630.48	130	5649.23	130	576.32	65	8008.74	101	699.56	65
107	Max	-236	1470.09	177	-2635.62	17	1376.52	65	630.48	130	5649.23	130	576.32	65	8008.74	101	699.56	65
107	Min.	-80	-847.31	65	-20353.30	108	-7337.70	17	-1796.23	101	-17291.40	101	-716.80	17	-3425.67	49	-318.26	17
107	Min.	-68	-847.31	65	-20353.30	108	-7337.70	17	-1796.23	101	-17291.40	101	-716.80	17	-3425.67	49	-318.26	17
107	Min.	-234	-847.31	65	-20353.30	108	-7337.70	17	-1796.23	101	-17291.40	101	-716.80	17	-3425.67	49	-318.26	17
107	Min.	-236	-847.31	65	-20353.30	108	-7337.70	17	-1796.23	101	-17291.40	101	-716.80	17	-3425.67	49	-318.26	17
107	Max	-266	463.13	17	8307.13	17	-847.20	65	113.93	130	6380.05	130	439.65	49	10162.00	101	1640.54	101
107	Max	-264	463.13	17	8307.13	17	-847.20	65	113.93	130	6380.05	130	439.65	49	10162.00	101	1640.54	101
107	Max	-302	463.13	17	8307.13	17	-847.20	65	113.93	130	6380.05	130	439.65	49	10162.00	101	1640.54	101
107	Max	-304	463.13	17	8307.13	17	-847.20	65	113.93	130	6380.05	130	439.65	49	10162.00	101	1640.54	101
107	Min.	-266	-1422.55	177	-13462.80	65	-1855.68	107	-127.14	101	-12850.30	101	-487.70	1	-2992.16	49	-612.81	130
107	Min.	-264	-1422.55	177	-13462.80	65	-1855.68	107	-127.14	101	-12850.30	101	-487.70	1	-2992.16	49	-612.81	130
107	Min.	-302	-1422.55	177	-13462.80	65	-1855.68	107	-127.14	101	-12850.30	101	-487.70	1	-2992.16	49	-612.81	130
107	Min.	-304	-1422.55	177	-13462.80	65	-1855.68	107	-127.14	101	-12850.30	101	-487.70	1	-2992.16	49	-612.81	130
107	Max	-226	305.65	17	11626.90	17	33.19	173	32.84	101	5722.14	130	198.62	49	9032.14	1	1053.04	101
107	Max	-224	305.65	17	11626.90	17	33.19	173	32.84	101	5722.14	130	198.62	49	9032.14	1	1053.04	101
107	Max	-262	305.65	17	11626.90	17	33.19	173	32.84	101	5722.14	130	198.62	49	9032.14	1	1053.04	101
107	Max	-264	305.65	17	11626.90	17	33.19	173	32.84	101	5722.14	130	198.62	49	9032.14	1	1053.04	101
107	Min.	-226	-43.67	65	-13691.10	65	-649.54	17	-19.72	49	-14277.20	101	-242.03	1	-5350.44	49	-505.61	130
107	Min.	-224	-43.67	65	-13691.10	65	-649.54	17	-19.72	49	-14277.20	101	-242.03	1	-5350.44	49	-505.61	130
107	Min.	-262	-43.67	65	-13691.10	65	-649.54	17	-19.72	49	-14277.20	101	-242.03	1	-5350.44	49	-505.61	130
107	Min.	-264	-43.67	65	-13691.10	65	-649.54	17	-19.72	49	-14277.20	101	-242.03	1	-5350.44	49	-505.61	130
107	Max	-240	1235.27	177	-5350.70	49	4434.12	65	448.50	130	5183.36	130	630.52	49	13046.70	101	1980.88	131
107	Max	-238	1235.27	177	-5350.70	49	4434.12	65	448.50	130	5183.36	130	630.52	49	13046.70	101	1980.88	131
107	Max	-276	1235.27	177	-5350.70	49	4434.12	65	448.50	130	5183.36	130	630.52	49	13046.70	101	1980.88	131
107	Max	-278	1235.27	177	-5350.70	49	4434.12	65	448.50	130	5183.36	130	630.52	49	13046.70	101	1980.88	131
107	Min.	-240	-1083.33	65	-15063.20	106	-9082.95	17	-1435.79	101	-14766.80	101	-675.10	1	-2084.95	49	-1952.73	104
107	Min.	-238	-1083.33	65	-15063.20	106	-9082.95	17	-1435.79	101	-14766.80	101	-675.10	1	-2084.95	49	-1952.73	104
107	Min.	-276	-1083.33	65	-15063.20	106	-9082.95	17	-1435.79	101	-14766.80	101	-675.10	1	-2084.95	49	-1952.73	104
107	Min.	-278	-1083.33	65	-15063.20	106	-9082.95	17	-1435.79	101	-14766.80	101	-675.10	1	-2084.95	49	-1952.73	104
107	Max	-44	1334.73	17	9088.45	17	2479.01	100	429.30	130	6018.77	130	510.23	49	6237.04	101	1648.73	101
107	Max	-32	1334.73	17	9088.45	17	2479.01	100	429.30	130	6018.77	130	510.23	49	6237.04	101	1648.73	101
107	Max	-228	1334.73	17	9088.45	17	2479.01	100	429.30	130	6018.77	130	510.23	49	6237.04	101	1648.73	101
107	Max	-230	1334.73	17	9088.45	17	2479.01	100	429.30	130	6018.77	130	510.23	49	6237.04	101	1648.73	101
107	Min.	-44	-979.71	65	-14991.20	65	-3681.19	17	-1268.91	101	-16659.70	101	-549.94	1	-5102.58	49	-718.75	130
107	Min.	-32	-979.71	65	-14991.20	65	-3681.19	17	-1268.91	101	-16659.70	101	-549.94	1	-5102.58	49	-718.75	130
107	Min.	-228	-979.71	65	-14991.20	65	-3681.19	17	-1268.91	101	-16659.70	101	-549.94	1	-5102.58	49	-718.75	130
107	Min.	-230	-979.71	65	-14991.20	65	-3681.19	17	-1268.91	101	-16659.70	101	-549.94	1	-5102.58	49	-718.75	130
107	Max	-296	501.56	65	8295.06	65	1930.86	108	118.58	130	6391.84	130	487.16	49	10101.90	101	622.66	130
107	Max	-294	501.56	65	8295.06	65	1930.86	108	118.58	130	6391.84	130	487.16	49	10101.90	101	622.66	130
107	Max	-332	501.56	65	8295.06	65	1930.86	108	118.58	130	6391.84	130	487.16	49	10101.90	101	622.66	130
107	Max	-334	501.56	65	8295.06	65	1930.86	108	118.58	130	6391.84	130	487.16	49	10101.90	101	622.66	130
107	Min.	-296	-277.20	17	-13443.20	17	879.56	17	-135.33	101	-12848.50	101	-438.43	1	-2869.25	1	-1661.46	101
107	Min.	-294	-277.20	17	-13443.20	17	879.56	17	-135.33	101	-12848.50	101	-438.43	1	-2869.25	1	-1661.46	101
107	Min.	-332	-277.20	17	-13443.20	17	879.56	17	-135.33	101	-12848.50	101	-438.43	1	-2869.25	1	-1661.46	101
107	Min.	-334	-277.20	17	-13443.20	17	879.56	17	-135.33	101	-12848.50	101	-438.43	1	-2869.25	1	-1661.46	101
107	Max	-298	45.89	65	9470.04	65	748.98	65	4.59	17	6282.95	130	221.31	49	11732.10	101	333.16	130
107	Max	-296	45.89	65	9470.04	65	748.98	65	4.59	17	6282.95	130	221.31	49	11732.10	101	333.16	130
107	Max	-334	45.89	65	9470.04	65	748.98	65	4.59	17	6282.95	130	221.31	49	11732.10	101	333.16	130
107	Max	-336	45.89	65	9470.04	65	748.98	65	4.59	17	6282.95	130	221.31	49	11732.10	101	333.16	130
107	Min.	-298	-301.21	17	-13251.00	17	181.81	17	-10.09	65	-12662.10	101	-195.99	1	-4554.66	1	-878.35	101
107	Min.	-296	-301.21	17	-13251.00	17	181.81	17	-10.09	65	-12662.10	101	-195.99	1	-4554.66	1	-878.35	101
107	Min.	-334	-301.21	17	-13251.00	17	181.81	17	-10.09	65	-12662.10	101	-195.99	1	-4554.66	1	-878.35	101

107	Min.	-336	-301.21	17	-13251.00	17	181.81	17	-10.09	65	-12662.10	101	-195.99	1	-4554.66	1	-878.35	101
206	Max	-339	515.19	65	11691.10	177	2460.48	17	592.34	106	7428.90	130	416.78	101	-3967.83	17	1204.27	102
206	Max	-337	515.19	65	11691.10	177	2460.48	17	592.34	106	7428.90	130	416.78	101	-3967.83	17	1204.27	102
206	Max	-385	515.19	65	11691.10	177	2460.48	17	592.34	106	7428.90	130	416.78	101	-3967.83	17	1204.27	102
206	Max	-387	515.19	65	11691.10	177	2460.48	17	592.34	106	7428.90	130	416.78	101	-3967.83	17	1204.27	102
206	Min.	-339	-1285.27	177	-16642.30	17	-1828.12	65	-36.57	1	-7836.61	101	-180.63	162	-58027.30	106	-186.37	161
206	Min.	-337	-1285.27	177	-16642.30	17	-1828.12	65	-36.57	1	-7836.61	101	-180.63	162	-58027.30	106	-186.37	161
206	Min.	-385	-1285.27	177	-16642.30	17	-1828.12	65	-36.57	1	-7836.61	101	-180.63	162	-58027.30	106	-186.37	161
206	Min.	-387	-1285.27	177	-16642.30	17	-1828.12	65	-36.57	1	-7836.61	101	-180.63	162	-58027.30	106	-186.37	161
206	Max	-389	581.66	17	7672.58	177	3582.97	17	78.16	161	2599.11	161	252.97	158	-5028.44	1	2539.97	102
206	Max	-387	581.66	17	7672.58	177	3582.97	17	78.16	161	2599.11	161	252.97	158	-5028.44	1	2539.97	102
206	Max	-423	581.66	17	7672.58	177	3582.97	17	78.16	161	2599.11	161	252.97	158	-5028.44	1	2539.97	102
206	Max	-425	581.66	17	7672.58	177	3582.97	17	78.16	161	2599.11	161	252.97	158	-5028.44	1	2539.97	102
206	Min.	-389	-1019.01	65	-11296.90	101	-4661.45	65	-1054.20	102	-16084.40	102	-177.54	1	-56667.20	106	59.13	161
206	Min.	-387	-1019.01	65	-11296.90	101	-4661.45	65	-1054.20	102	-16084.40	102	-177.54	1	-56667.20	106	59.13	161
206	Min.	-423	-1019.01	65	-11296.90	101	-4661.45	65	-1054.20	102	-16084.40	102	-177.54	1	-56667.20	106	59.13	161
206	Min.	-425	-1019.01	65	-11296.90	101	-4661.45	65	-1054.20	102	-16084.40	102	-177.54	1	-56667.20	106	59.13	161
206	Max	-345	4476.75	177	1141.77	65	6975.16	17	757.44	130	7349.51	130	222.69	65	-6780.48	1	3228.80	102
206	Max	-343	4476.75	177	1141.77	65	6975.16	17	757.44	130	7349.51	130	222.69	65	-6780.48	1	3228.80	102
206	Max	-391	4476.75	177	1141.77	65	6975.16	17	757.44	130	7349.51	130	222.69	65	-6780.48	1	3228.80	102
206	Max	-393	4476.75	177	1141.77	65	6975.16	17	757.44	130	7349.51	130	222.69	65	-6780.48	1	3228.80	102
206	Min.	-345	-1731.35	104	-14119.10	104	-8748.06	65	-713.40	101	-7993.31	101	-285.30	17	-61281.80	106	327.79	65
206	Min.	-343	-1731.35	104	-14119.10	104	-8748.06	65	-713.40	101	-7993.31	101	-285.30	17	-61281.80	106	327.79	65
206	Min.	-391	-1731.35	104	-14119.10	104	-8748.06	65	-713.40	101	-7993.31	101	-285.30	17	-61281.80	106	327.79	65
206	Min.	-393	-1731.35	104	-14119.10	104	-8748.06	65	-713.40	101	-7993.31	101	-285.30	17	-61281.80	106	327.79	65
206	Max	-393	4401.19	177	888.95	159	6714.02	17	124.43	161	1130.75	161	583.88	126	-8145.17	1	3228.80	102
206	Max	-391	4401.19	177	888.95	159	6714.02	17	124.43	161	1130.75	161	583.88	126	-8145.17	1	3228.80	102
206	Max	-427	4401.19	177	888.95	159	6714.02	17	124.43	161	1130.75	161	583.88	126	-8145.17	1	3228.80	102
206	Max	-429	4401.19	177	888.95	159	6714.02	17	124.43	161	1130.75	161	583.88	126	-8145.17	1	3228.80	102
206	Min.	-393	-1657.83	103	-12619.20	104	-8847.21	65	-1718.18	102	-18045.20	102	-148.19	17	-63389.00	98	327.79	65
206	Min.	-391	-1657.83	103	-12619.20	104	-8847.21	65	-1718.18	102	-18045.20	102	-148.19	17	-63389.00	98	327.79	65
206	Min.	-427	-1657.83	103	-12619.20	104	-8847.21	65	-1718.18	102	-18045.20	102	-148.19	17	-63389.00	98	327.79	65
206	Min.	-429	-1657.83	103	-12619.20	104	-8847.21	65	-1718.18	102	-18045.20	102	-148.19	17	-63389.00	98	327.79	65
206	Max	-401	3142.66	65	1416.02	159	6796.39	17	-280.71	161	-2064.04	161	2027.62	102	-12987.20	49	3504.61	102
206	Max	-399	3142.66	65	1416.02	159	6796.39	17	-280.71	161	-2064.04	161	2027.62	102	-12987.20	49	3504.61	102
206	Max	-435	3142.66	65	1416.02	159	6796.39	17	-280.71	161	-2064.04	161	2027.62	102	-12987.20	49	3504.61	102
206	Max	-437	3142.66	65	1416.02	159	6796.39	17	-280.71	161	-2064.04	161	2027.62	102	-12987.20	49	3504.61	102
206	Min.	-401	-4689.18	17	-20463.80	104	-6930.66	65	-1786.30	102	-24202.20	102	186.04	33	-88702.00	98	345.55	65
206	Min.	-399	-4689.18	17	-20463.80	104	-6930.66	65	-1786.30	102	-24202.20	102	186.04	33	-88702.00	98	345.55	65
206	Min.	-435	-4689.18	17	-20463.80	104	-6930.66	65	-1786.30	102	-24202.20	102	186.04	33	-88702.00	98	345.55	65
206	Min.	-437	-4689.18	17	-20463.80	104	-6930.66	65	-1786.30	102	-24202.20	102	186.04	33	-88702.00	98	345.55	65
206	Max	-391	789.76	177	3366.68	177	5457.66	17	132.36	161	1951.83	161	445.98	158	-6697.17	1	3334.75	102
206	Max	-389	789.76	177	3366.68	177	5457.66	17	132.36	161	1951.83	161	445.98	158	-6697.17	1	3334.75	102
206	Max	-425	789.76	177	3366.68	177	5457.66	17	132.36	161	1951.83	161	445.98	158	-6697.17	1	3334.75	102
206	Max	-427	789.76	177	3366.68	177	5457.66	17	132.36	161	1951.83	161	445.98	158	-6697.17	1	3334.75	102
206	Min.	-391	-1283.87	103	-11890.90	104	-7113.22	65	-1428.63	102	-16957.30	102	-159.20	17	-59716.70	106	499.95	49
206	Min.	-389	-1283.87	103	-11890.90	104	-7113.22	65	-1428.63	102	-16957.30	102	-159.20	17	-59716.70	106	499.95	49
206	Min.	-425	-1283.87	103	-11890.90	104	-7113.22	65	-1428.63	102	-16957.30	102	-159.20	17	-59716.70	106	499.95	49
206	Min.	-427	-1283.87	103	-11890.90	104	-7113.22	65	-1428.63	102	-16957.30	102	-159.20	17	-59716.70	106	499.95	49
206	Max	-353	2636.51	17	-990.97	160	5476.71	17	811.32	130	8152.56	130	210.05	130	-11501.70	49	3504.61	102
206	Max	-351	2636.51	17	-990.97	160	5476.71	17	811.32	130	8152.56	130	210.05	130	-11501.70	49	3504.61	102
206	Max	-399	2636.51	17	-990.97	160	5476.71	17	811.32	130	8152.56	130	210.05	130	-11501.70	49	3504.61	102
206	Max	-401	2636.51	17	-990.97	160	5476.71	17	811.32	130	8152.56	130	210.05	130	-11501.70	49	3504.61	102
206	Min.	-353	-5946.58	65	-22323.20	103	-7929.43	65	-199.35	101	-8324.49	101	-787.47	101	-82868.40	98	345.55	65
206	Min.	-351	-5946.58	65	-22323.20	103	-7929.43	65	-199.35	101	-8324.49	101	-787.47	101	-82868.40	98	345.55	65
206	Min.	-399	-5946.58	65	-22323.20	103	-7929.43	65	-199.35	101	-8324.49	101	-787.47	101	-82868.40	98	345.55	65
206	Min.	-401	-5946.58	65	-22323.20	103	-7929.43	65	-199.35	101	-8324.49	101	-787.47	101	-82868.40	98	345.55	65
206	Max	-399	1350.80	177	751.18	158	8008.00	17	-126.60	161	-785.45	161	510.20	126	-9735.97	1	3520.51	102
206	Max	-397	1350.80	177	751.18	158	8008.00	17	-126.60	161	-785.45	161	510.20	126	-9735.97	1	3520.51	102
206	Max	-433	1350.80	177	751.18	158	8008.00	17	-126.60	161	-785.45	161	510.20	126	-9735.97	1	3520.51	102
206	Max	-435	1350.80	177	751.18	158	8008.00	17	-126.60	161	-785.45	161	510.20	126	-9735.97	1	3520.51	102
206	Min.	-399	-2147.23	104	-16244.90	101	-10124.60	65	-2018.96	102	-20358.70	102	-214.60	17	-70253.40	98	127.53	65
206	Min.	-397	-2147.23	104	-16244.90	101	-10124.60	65	-2018.96	102	-20358.70	102	-214.60	17	-70253.40	98	127.53	65
206	Min.	-433	-2147.23	104	-16244.90	101	-10124.60	65	-2018.96	102	-20358.70	102	-214.60	17	-70253.40	98	127.53	65
206	Min.	-435	-2147.23	104	-16244.90	101	-10124.60	65	-2018.96	102	-20358.70	102	-214.60	17	-70253.40	98	127.53	65
206	Max	-387	509.09	17	8467.41	177	1730.10	17	5.57	161	2531.02	161	50.45	161	-3346.42	1	1204.27	102
206	Max	-385	509.09	17	8467.41	177	1730.10	17	5.57	161	2531.02	161	50.45	161	-3346.42	1	1204.27	102
206	Max	-421	509.09	17	8467.41	177	1730.10	17	5.57	161	2531.02	161	50.45	161	-3346.42	1	1204.27	102
206	Max	-423	509.09	17	8467.41	177	1730.10	17	5.57	161	2531.02	161	50.45	161	-3346.42	1	1204.27	102
206	Min.	-387	-2313.21	177	-10963.50	103	-2472.78	65	-882.84	98	-16055.30	102	-398.34	102	-56395.80	106	-186.37	161
206	Min.	-385	-2313.21	177	-10963.50	103	-2472.78	65	-882.84	98	-16055.30	102	-398.34	102	-56395.80	106	-186.37	161
206	Min.	-421	-2313.21	177	-10963.50	103	-2472.78	65	-882.84	98	-16055.30	102	-398.34	102	-56395.80	106	-186.37	161
206	Min.	-423	-2313.21	177	-10963.50	103	-2472.78	65	-882.84	98	-16055.30	102	-398.34	102	-56395.80	106	-186.37	161
206	Max	-395	2225.48	177	979.88	159	7315.56	17	53.08	161	467.30	161	580.41	126	-8839.38	1	3115.36	126
206	Max	-393	2225.48	177	979.88	159	7315.56	17	53.08	161	467.30	161	580.41	126	-8839.38	1	3115.36	126
206	Max	-429	2225.48	177	979.88	159	7315.56	17	53.08	161	467.30	161	580.41	126	-8839.38	1	3115.36	126
206	Max	-431	2225.48	177	979.88	159	7315.56	17	53.08	161	467.30	161	580.41	126	-8839.38	1	3115.36	126
206	Min.	-395	-1871.00	101	-13420.60	104	-9661.34	65	-1829.94	102	-18900.30	102	-176.55	17	-66271.00	98	106.02	65
206	Min.	-393	-1871.00	101	-13420.60	104	-9661.34	65	-1829.94	102	-18900.30	102	-176.55	17	-66271.00	98	106.02	65
206	Min.	-429	-1871.00	101	-13420.60	104	-9661.34	65	-1829.94	102	-18900.30	102	-176.55	17	-66271.00	98	106.02	65
206	Min.	-431	-1871.00	101	-13420.60	104	-9661.34	65	-1829.94	102	-18900.30	102	-176.55	17	-66271.00	98	106.02	65
206	Max	-397	1856.21	177	922.13	159	7808.12	17	-38.71	161	-276.55	161	584.92	126	-9484.36	1	3095.69	126
206	Max	-395	1856.21	177	922.13	159	7808.12	17	-38.71	161	-276.55	161	584.92	126	-9484.36	1	3095.69	126
206	Max	-431	1856.21	177	922.13	159	7808.12	17	-38.71	161	-276.55	161	584.92	126	-9484.36	1	3095.69	126
206	Max	-433	1856.21	177	922.13	159	7808.12	17	-38.71	161	-276.55	161	584.92	126	-9484.36	1	3095.69	126
206	Min.	-397	-2094.44	101	-14645.10	104	-10181.00	65	-1922.16	102	-19824.70	102	-190.90	17	-68961.90	98	-27.24	65
206	Min.	-395	-2094.44	101	-14645.10	104	-10181.00	65	-1922.16	102	-19824.70	102	-190.90	17	-68961.90	98	-27.24	65
206	Min.	-431	-2094.44	101	-14645.10	104	-10181.00	65	-1922.16	102	-19824.70	102	-190.90	17	-68961.90	98	-27.24	65
206	Min.	-433	-2094.44	101	-14645.10	104	-10181.00	65	-1922.16	102	-19824.70	102	-190.90	17	-68961.90	98	-27.24	65
206	Max	-351	673.71	177	-766.89	158	8200.84	17	656.80	130	7096.03	130	232.19	65	-9855.91	1	3520.51	102
206	Max	-349	673.71	177	-766.89	158	8200.84	17	656.80	130	7096.03	130	232.19	65	-9855.91	1	3520.51	102
206	Max	-397	673.71	177	-766.89	158	8200.84	17	656.80	130	7096.03	130	232.19	65	-9855.91	1	3520.51	102
206	Max	-399	673.71	177	-766.89	158	8200.84	17	656.80	130	7096.03	130	232.19	65	-9855.91	1	3520.51	102
206	Min.	-351	-2355.15	101	-18254.80	101	-9926.08	65	-828.31	101	-8462.53	101	-300.68	17	-72542.10	98	127.53	65
206	Min.	-349	-2355.15	101	-18254.80	101	-9926.08	65	-828.31	101	-8462.53	101	-300.68	17	-72542.10	98	127.53	65
206	Min.	-397	-2355.15	101	-18254.80	101	-9926.08	65	-828.31	101	-8462.53	101	-300.68	17	-72542.10	98	127.53	65
206	Min.	-399	-2355.15	101	-18254.80	101	-9926.08	65	-828.31	101	-8462.53	101	-300.68	17	-72542.10	98	127.53	65
206	Max	-341	843.86	177	9038.45	177	4171.00	17	621.90	130	7325.27	130	230.34	49	-4807.10	1	2539.97	102
206	Max	-339	843.86	177	9038.45	177	4171.00	17	621.90	130	7325.27	130	230.34	49	-4807.10	1	2539.97	102
206	Max	-387	843.86	177	9038.45	177	4171.00	17	621.90	130	7325.27	130	230.34	49	-4807.10	1	2539.97	102
206	Max	-389	843.86	177	9038.45	177	4171.00	17	621.90	130	7325.27	130	230.34	49	-4807.10	1	2539.97	102
206	Min.	-341	-1380.07	17	-14133.90	17	-4075.90	65	-237.74	101	-7922.83	101	-173.24	162	-57455.40	106	59.13	161
206	Min.	-339	-1380.07	17	-14133.90	17	-4075.90	65	-237.74	101	-7922.83	101	-173.24	162	-57455.40	106	59.13	161
206	Min.	-387	-1380.07	17	-14133.90	17	-4075.90	65	-237.74	101	-7922.83	101	-173.24	162	-57455.40	106	59.13	161
206	Min.	-389	-1380.07	17	-14133.90	17	-4075.90	65	-237.74	101	-7922.83	101	-173.24	162	-57455.40	106	59.13	161

206	Max	-349	1494.97	177	-350.36	159	8037.14	17	729.76	130	7293.16	130	217.28	65	-8642.90	1	3095.69	126
206	Max	-347	1494.97	177	-350.36	159	8037.14	17	729.76	130	7293.16	130	217.28	65	-8642.90	1	3095.69	126
206	Max	-395	1494.97	177	-350.36	159	8037.14	17	729.76	130	7293.16	130	217.28	65	-8642.90	1	3095.69	126
206	Max	-397	1494.97	177	-350.36	159	8037.14	17	729.76	130	7293.16	130	217.28	65	-8642.90	1	3095.69	126
206	Min.	-349	-2259.15	101	-16392.00	104	-9949.41	65	-757.24	101	-8174.82	101	-310.84	17	-67873.60	98	-27.24	65
206	Min.	-347	-2259.15	101	-16392.00	104	-9949.41	65	-757.24	101	-8174.82	101	-310.84	17	-67873.60	98	-27.24	65
206	Min.	-395	-2259.15	101	-16392.00	104	-9949.41	65	-757.24	101	-8174.82	101	-310.84	17	-67873.60	98	-27.24	65
206	Min.	-397	-2259.15	101	-16392.00	104	-9949.41	65	-757.24	101	-8174.82	101	-310.84	17	-67873.60	98	-27.24	65
206	Max	-343	1011.20	177	5038.45	177	5890.60	17	704.91	130	7339.19	130	233.75	65	-5767.76	1	3334.75	102
206	Max	-341	1011.20	177	5038.45	177	5890.60	17	704.91	130	7339.19	130	233.75	65	-5767.76	1	3334.75	102
206	Max	-389	1011.20	177	5038.45	177	5890.60	17	704.91	130	7339.19	130	233.75	65	-5767.76	1	3334.75	102
206	Max	-391	1011.20	177	5038.45	177	5890.60	17	704.91	130	7339.19	130	233.75	65	-5767.76	1	3334.75	102
206	Min.	-343	-1565.21	104	-13190.40	104	-6845.43	65	-528.00	101	-7949.57	101	-237.35	17	-58947.30	106	499.95	49
206	Min.	-341	-1565.21	104	-13190.40	104	-6845.43	65	-528.00	101	-7949.57	101	-237.35	17	-58947.30	106	499.95	49
206	Min.	-389	-1565.21	104	-13190.40	104	-6845.43	65	-528.00	101	-7949.57	101	-237.35	17	-58947.30	106	499.95	49
206	Min.	-391	-1565.21	104	-13190.40	104	-6845.43	65	-528.00	101	-7949.57	101	-237.35	17	-58947.30	106	499.95	49
206	Max	-347	1558.86	177	164.93	159	7550.16	17	749.61	130	7326.29	130	221.69	65	-7612.75	1	3115.36	126
206	Max	-345	1558.86	177	164.93	159	7550.16	17	749.61	130	7326.29	130	221.69	65	-7612.75	1	3115.36	126
206	Max	-393	1558.86	177	164.93	159	7550.16	17	749.61	130	7326.29	130	221.69	65	-7612.75	1	3115.36	126
206	Max	-395	1558.86	177	164.93	159	7550.16	17	749.61	130	7326.29	130	221.69	65	-7612.75	1	3115.36	126
206	Min.	-347	-2011.76	104	-15016.60	104	-9497.54	65	-746.94	101	-8067.10	101	-298.34	17	-63928.80	98	106.02	65
206	Min.	-345	-2011.76	104	-15016.60	104	-9497.54	65	-746.94	101	-8067.10	101	-298.34	17	-63928.80	98	106.02	65
206	Min.	-393	-2011.76	104	-15016.60	104	-9497.54	65	-746.94	101	-8067.10	101	-298.34	17	-63928.80	98	106.02	65
206	Min.	-395	-2011.76	104	-15016.60	104	-9497.54	65	-746.94	101	-8067.10	101	-298.34	17	-63928.80	98	106.02	65
207	Max	-367	41.47	160	1174.93	17	8725.30	17	755.26	130	7353.43	130	283.09	65	-6664.64	49	-348.30	17
207	Max	-365	41.47	160	1174.93	17	8725.30	17	755.26	130	7353.43	130	283.09	65	-6664.64	49	-348.30	17
207	Max	-411	41.47	160	1174.93	17	8725.30	17	755.26	130	7353.43	130	283.09	65	-6664.64	49	-348.30	17
207	Max	-413	41.47	160	1174.93	17	8725.30	17	755.26	130	7353.43	130	283.09	65	-6664.64	49	-348.30	17
207	Min.	-367	-1703.76	103	-14072.10	103	-6958.12	65	-715.06	101	-7987.72	101	-222.99	17	-61115.80	106	-3256.80	102
207	Min.	-365	-1703.76	103	-14072.10	103	-6958.12	65	-715.06	101	-7987.72	101	-222.99	17	-61115.80	106	-3256.80	102
207	Min.	-411	-1703.76	103	-14072.10	103	-6958.12	65	-715.06	101	-7987.72	101	-222.99	17	-61115.80	106	-3256.80	102
207	Min.	-413	-1703.76	103	-14072.10	103	-6958.12	65	-715.06	101	-7987.72	101	-222.99	17	-61115.80	106	-3256.80	102
207	Max	-409	39.76	158	933.42	160	10185.10	17	-42.54	161	-258.21	161	193.15	65	-9449.00	49	43.85	17
207	Max	-407	39.76	158	933.42	160	10185.10	17	-42.54	161	-258.21	161	193.15	65	-9449.00	49	43.85	17
207	Max	-445	39.76	158	933.42	160	10185.10	17	-42.54	161	-258.21	161	193.15	65	-9449.00	49	43.85	17
207	Max	-447	39.76	158	933.42	160	10185.10	17	-42.54	161	-258.21	161	193.15	65	-9449.00	49	43.85	17
207	Min.	-409	-2095.25	101	-14631.90	103	-7811.05	65	-1929.03	102	-19804.50	102	-580.28	126	-68991.70	98	-3066.61	126
207	Min.	-407	-2095.25	101	-14631.90	103	-7811.05	65	-1929.03	102	-19804.50	102	-580.28	126	-68991.70	98	-3066.61	126
207	Min.	-445	-2095.25	101	-14631.90	103	-7811.05	65	-1929.03	102	-19804.50	102	-580.28	126	-68991.70	98	-3066.61	126
207	Min.	-447	-2095.25	101	-14631.90	103	-7811.05	65	-1929.03	102	-19804.50	102	-580.28	126	-68991.70	98	-3066.61	126
207	Max	-363	-43.26	158	-339.96	160	9948.30	17	721.84	130	7299.49	130	303.41	65	-8469.11	49	43.85	17
207	Max	-361	-43.26	158	-339.96	160	9948.30	17	721.84	130	7299.49	130	303.41	65	-8469.11	49	43.85	17
207	Max	-407	-43.26	158	-339.96	160	9948.30	17	721.84	130	7299.49	130	303.41	65	-8469.11	49	43.85	17
207	Max	-409	-43.26	158	-339.96	160	9948.30	17	721.84	130	7299.49	130	303.41	65	-8469.11	49	43.85	17
207	Min.	-363	-2256.77	101	-16382.60	103	-8035.86	65	-765.41	101	-8167.71	101	-221.34	17	-67680.60	98	-3066.61	126
207	Min.	-361	-2256.77	101	-16382.60	103	-8035.86	65	-765.41	101	-8167.71	101	-221.34	17	-67680.60	98	-3066.61	126
207	Min.	-407	-2256.77	101	-16382.60	103	-8035.86	65	-765.41	101	-8167.71	101	-221.34	17	-67680.60	98	-3066.61	126
207	Min.	-409	-2256.77	101	-16382.60	103	-8035.86	65	-765.41	101	-8167.71	101	-221.34	17	-67680.60	98	-3066.61	126
207	Max	-419	546.57	65	-243.03	159	2562.24	17	10.89	161	2553.50	161	380.19	102	-3364.68	49	185.69	161
207	Max	-417	546.57	65	-243.03	159	2562.24	17	10.89	161	2553.50	161	380.19	102	-3364.68	49	185.69	161
207	Max	-455	546.57	65	-243.03	159	2562.24	17	10.89	161	2553.50	161	380.19	102	-3364.68	49	185.69	161
207	Max	-457	546.57	65	-243.03	159	2562.24	17	10.89	161	2553.50	161	380.19	102	-3364.68	49	185.69	161
207	Min.	-419	-831.34	17	-11105.40	177	-1813.87	65	-887.91	98	-16027.90	102	-59.86	161	-56262.40	106	-1270.69	102
207	Min.	-417	-831.34	17	-11105.40	177	-1813.87	65	-887.91	98	-16027.90	102	-59.86	161	-56262.40	106	-1270.69	102
207	Min.	-455	-831.34	17	-11105.40	177	-1813.87	65	-887.91	98	-16027.90	102	-59.86	161	-56262.40	106	-1270.69	102
207	Min.	-457	-831.34	17	-11105.40	177	-1813.87	65	-887.91	98	-16027.90	102	-59.86	161	-56262.40	106	-1270.69	102
207	Max	-371	560.10	17	5080.70	17	4159.23	17	623.54	130	7325.33	130	172.42	162	-4757.76	49	-73.09	161
207	Max	-369	560.10	17	5080.70	17	4159.23	17	623.54	130	7325.33	130	172.42	162	-4757.76	49	-73.09	161
207	Max	-415	560.10	17	5080.70	17	4159.23	17	623.54	130	7325.33	130	172.42	162	-4757.76	49	-73.09	161
207	Max	-417	560.10	17	5080.70	17	4159.23	17	623.54	130	7325.33	130	172.42	162	-4757.76	49	-73.09	161
207	Min.	-371	-1280.86	65	-15786.20	177	-4226.87	65	-246.92	101	-7921.40	101	-234.27	1	-57304.50	106	-2585.15	102
207	Min.	-369	-1280.86	65	-15786.20	177	-4226.87	65	-246.92	101	-7921.40	101	-234.27	1	-57304.50	106	-2585.15	102
207	Min.	-415	-1280.86	65	-15786.20	177	-4226.87	65	-246.92	101	-7921.40	101	-234.27	1	-57304.50	106	-2585.15	102
207	Min.	-417	-1280.86	65	-15786.20	177	-4226.87	65	-246.92	101	-7921.40	101	-234.27	1	-57304.50	106	-2585.15	102
207	Max	-369	279.35	17	2867.02	17	6845.67	17	704.05	130	7341.92	130	238.66	65	-5680.48	49	-489.04	33
207	Max	-367	279.35	17	2867.02	17	6845.67	17	704.05	130	7341.92	130	238.66	65	-5680.48	49	-489.04	33
207	Max	-413	279.35	17	2867.02	17	6845.67	17	704.05	130	7341.92	130	238.66	65	-5680.48	49	-489.04	33
207	Max	-415	279.35	17	2867.02	17	6845.67	17	704.05	130	7341.92	130	238.66	65	-5680.48	49	-489.04	33
207	Min.	-369	-1618.33	177	-13147.00	103	-5891.45	65	-529.46	101	-7946.19	101	-235.34	17	-58825.30	106	-3346.70	102
207	Min.	-367	-1618.33	177	-13147.00	103	-5891.45	65	-529.46	101	-7946.19	101	-235.34	17	-58825.30	106	-3346.70	102
207	Min.	-413	-1618.33	177	-13147.00	103	-5891.45	65	-529.46	101	-7946.19	101	-235.34	17	-58825.30	106	-3346.70	102
207	Min.	-415	-1618.33	177	-13147.00	103	-5891.45	65	-529.46	101	-7946.19	101	-235.34	17	-58825.30	106	-3346.70	102
207	Max	-411	-33.56	158	992.63	160	9648.92	17	53.05	161	501.69	161	175.50	65	-8735.83	49	-121.90	17
207	Max	-409	-33.56	158	992.63	160	9648.92	17	53.05	161	501.69	161	175.50	65	-8735.83	49	-121.90	17
207	Max	-447	-33.56	158	992.63	160	9648.92	17	53.05	161	501.69	161	175.50	65	-8735.83	49	-121.90	17
207	Max	-449	-33.56	158	992.63	160	9648.92	17	53.05	161	501.69	161	175.50	65	-8735.83	49	-121.90	17
207	Min.	-411	-1857.76	101	-13377.20	103	-7304.59	65	-1830.87	102	-18857.70	102	-579.32	126	-66132.30	98	-3130.38	126
207	Min.	-409	-1857.76	101	-13377.20	103	-7304.59	65	-1830.87	102	-18857.70	102	-579.32	126	-66132.30	98	-3130.38	126
207	Min.	-447	-1857.76	101	-13377.20	103	-7304.59	65	-1830.87	102	-18857.70	102	-579.32	126	-66132.30	98	-3130.38	126
207	Min.	-449	-1857.76	101	-13377.20	103	-7304.59	65	-1830.87	102	-18857.70	102	-579.32	126	-66132.30	98	-3130.38	126
207	Max	-365	-103.23	160	187.48	160	9479.80	17	744.75	130	7331.11	130	294.12	65	-7478.20	49	-121.90	17
207	Max	-363	-103.23	160	187.48	160	9479.80	17	744.75	130	7331.11	130	294.12	65	-7478.20	49	-121.90	17
207	Max	-409	-103.23	160	187.48	160	9479.80	17	744.75	130	7331.11	130	294.12	65	-7478.20	49	-121.90	17
207	Max	-411	-103.23	160	187.48	160	9479.80	17	744.75	130	7331.11	130	294.12	65	-7478.20	49	-121.90	17
207	Min.	-365	-2001.08	103	-14972.80	103	-7535.94	65	-751.47	101	-8060.55	101	-223.35	17	-63737.50	98	-3130.38	126
207	Min.	-363	-2001.08	103	-14972.80	103	-7535.94	65	-751.47	101	-8060.55	101	-223.35	17	-63737.50	98	-3130.38	126
207	Min.	-409	-2001.08	103	-14972.80	103	-7535.94	65	-751.47	101	-8060.55	101	-223.35	17	-63737.50	98	-3130.38	126
207	Min.	-411	-2001.08	103	-14972.80	103	-7535.94	65	-751.47	101	-8060.55	101	-223.35	17	-63737.50	98	-3130.38	126
207	Max	-417	590.73	65	-35.54	158	4735.07	17	83.20	161	2619.67	161	173.04	49	-5012.34	49	-73.09	161
207	Max	-415	590.73	65	-35.54	158	4735.07	17	83.20	161	2619.67	161	173.04	49	-5012.34	49	-73.09	161
207	Max	-453	590.73	65	-35.54	158	4735.07	17	83.20	161	2619.67	161	173.04	49	-5012.34	49	-73.09	161
207	Max	-455	590.73	65	-35.54	158	4735.07	17	83.20	161	2619.67	161	173.04	49	-5012.34	49	-73.09	161
207	Min.	-417	-967.43	17	-11279.20	177	-3650.57	65	-1060.90	102	-16058.30	102	-262.64	158	-56538.10	106	-2585.15	102
207	Min.	-415	-967.43	17	-11279.20	177	-3650.57	65	-1060.90	102	-16058.30	102	-262.64	158	-56538.10	106	-2585.15	102
207	Min.	-453	-967.43	17	-11279.20	177	-3650.57	65	-1060.90	102	-16058.30	102	-262.64	158	-56538.10	106	-2585.15	102
207	Min.	-455	-967.43	17	-11279.20	177	-3650.57	65	-1060.90	102	-16058.30	102	-262.64	158	-56538.10	106	-2585.15	102
207	Max	-413	22.28	159	898.38	160	8829.95	17	126.36	161	1166.33	161	145.52	65	-8024.75	49	-348.30	17
207	Max	-411	22.28	159	898.38	160	8829.95	17	126.36	161	1166.33	161	145.52	65	-8024.75	49	-348.30	17
207	Max	-449	22.28	159	898.38	160	8829.95	17	126.36	161	1166.33	161	145.52	65	-8024.75	49	-348.30	17
207	Max	-451	22.28	159	898.38	160	8829.95	17	126.36	161	1166.33	161	145.52	65	-8024.75	49	-348.30	17
207	Min.	-413	-1638.60	104	-12572.50	103	-6701.32	65	-1715.88	102	-18000.00	102	-585.18	126	-63207.40	98	-3256.80	102
207	Min.	-411	-1638.60	104	-12572.50	103	-6701.32	65	-1715.88	102	-18000.00	102	-585.18	126	-63207.40	98	-3256.80	102
207	Min.	-449	-1638.60	104	-12572.50	103	-6701.32	65	-1715.88	102	-18000.00	102	-585.18	126	-63207.40	98	-3256.80	102
207	Min.	-451	-1638.60	104	-12572.50	103	-6701.32	65	-1715.88	102	-18000.00	102	-585.18	126	-63207.40	98	-3256.80	102
207	Max	-361	-10.93	158	-757.69	158	9924.90	17	652.22	130	7108.05	130	290.37	65	-9546.17	49	-29.74	17

207	Max	-359	-10.93	158	-757.69	158	9924.90	17	652.22	130	7108.05	130	290.37	65	-9546.17	49	-29.74	17
207	Max	-405	-10.93	158	-757.69	158	9924.90	17	652.22	130	7108.05	130	290.37	65	-9546.17	49	-29.74	17
207	Max	-407	-10.93	158	-757.69	158	9924.90	17	652.22	130	7108.05	130	290.37	65	-9546.17	49	-29.74	17
207	Min.	-361	-2354.32	101	-18252.10	101	-8199.85	65	-832.21	101	-8449.80	101	-238.94	17	-72145.00	98	-3357.84	102
207	Min.	-359	-2354.32	101	-18252.10	101	-8199.85	65	-832.21	101	-8449.80	101	-238.94	17	-72145.00	98	-3357.84	102
207	Min.	-405	-2354.32	101	-18252.10	101	-8199.85	65	-832.21	101	-8449.80	101	-238.94	17	-72145.00	98	-3357.84	102
207	Min.	-407	-2354.32	101	-18252.10	101	-8199.85	65	-832.21	101	-8449.80	101	-238.94	17	-72145.00	98	-3357.84	102
207	Max	-359	2637.40	65	-981.73	159	7928.29	17	810.33	130	8160.04	130	773.81	101	-10885.20	1	-299.25	17
207	Max	-357	2637.40	65	-981.73	159	7928.29	17	810.33	130	8160.04	130	773.81	101	-10885.20	1	-299.25	17
207	Max	-403	2637.40	65	-981.73	159	7928.29	17	810.33	130	8160.04	130	773.81	101	-10885.20	1	-299.25	17
207	Max	-405	2637.40	65	-981.73	159	7928.29	17	810.33	130	8160.04	130	773.81	101	-10885.20	1	-299.25	17
207	Min.	-359	-5944.17	17	-22327.40	104	-5477.19	65	-199.52	101	-8311.45	101	-219.47	130	-82029.80	98	-3406.49	102
207	Min.	-357	-5944.17	17	-22327.40	104	-5477.19	65	-199.52	101	-8311.45	101	-219.47	130	-82029.80	98	-3406.49	102
207	Min.	-403	-5944.17	17	-22327.40	104	-5477.19	65	-199.52	101	-8311.45	101	-219.47	130	-82029.80	98	-3406.49	102
207	Min.	-405	-5944.17	17	-22327.40	104	-5477.19	65	-199.52	101	-8311.45	101	-219.47	130	-82029.80	98	-3406.49	102
207	Max	-405	3139.80	17	1425.53	160	6933.62	17	-279.79	161	-2042.81	161	-197.04	65	-13246.90	1	-299.25	17
207	Max	-403	3139.80	17	1425.53	160	6933.62	17	-279.79	161	-2042.81	161	-197.04	65	-13246.90	1	-299.25	17
207	Max	-441	3139.80	17	1425.53	160	6933.62	17	-279.79	161	-2042.81	161	-197.04	65	-13246.90	1	-299.25	17
207	Max	-443	3139.80	17	1425.53	160	6933.62	17	-279.79	161	-2042.81	161	-197.04	65	-13246.90	1	-299.25	17
207	Min.	-405	-4685.96	65	-20473.90	103	-6798.18	65	-1784.16	102	-24166.20	102	-2010.62	102	-89167.90	98	-3406.49	102
207	Min.	-403	-4685.96	65	-20473.90	103	-6798.18	65	-1784.16	102	-24166.20	102	-2010.62	102	-89167.90	98	-3406.49	102
207	Min.	-441	-4685.96	65	-20473.90	103	-6798.18	65	-1784.16	102	-24166.20	102	-2010.62	102	-89167.90	98	-3406.49	102
207	Min.	-443	-4685.96	65	-20473.90	103	-6798.18	65	-1784.16	102	-24166.20	102	-2010.62	102	-89167.90	98	-3406.49	102
207	Max	-407	181.69	160	761.59	158	10128.30	17	-128.67	161	-766.61	161	219.84	65	-9814.08	49	-29.74	17
207	Max	-405	181.69	160	761.59	158	10128.30	17	-128.67	161	-766.61	161	219.84	65	-9814.08	49	-29.74	17
207	Max	-443	181.69	160	761.59	158	10128.30	17	-128.67	161	-766.61	161	219.84	65	-9814.08	49	-29.74	17
207	Max	-445	181.69	160	761.59	158	10128.30	17	-128.67	161	-766.61	161	219.84	65	-9814.08	49	-29.74	17
207	Min.	-407	-2148.59	103	-16241.60	101	-8010.19	65	-2022.26	102	-20340.00	102	-502.42	126	-70476.10	98	-3357.84	102
207	Min.	-405	-2148.59	103	-16241.60	101	-8010.19	65	-2022.26	102	-20340.00	102	-502.42	126	-70476.10	98	-3357.84	102
207	Min.	-443	-2148.59	103	-16241.60	101	-8010.19	65	-2022.26	102	-20340.00	102	-502.42	126	-70476.10	98	-3357.84	102
207	Min.	-445	-2148.59	103	-16241.60	101	-8010.19	65	-2022.26	102	-20340.00	102	-502.42	126	-70476.10	98	-3357.84	102
207	Max	-373	581.26	17	7213.75	17	1928.54	17	592.84	130	7427.37	130	181.17	162	-3854.86	65	185.69	161
207	Max	-371	581.26	17	7213.75	17	1928.54	17	592.84	130	7427.37	130	181.17	162	-3854.86	65	185.69	161
207	Max	-417	581.26	17	7213.75	17	1928.54	17	592.84	130	7427.37	130	181.17	162	-3854.86	65	185.69	161
207	Max	-419	581.26	17	7213.75	17	1928.54	17	592.84	130	7427.37	130	181.17	162	-3854.86	65	185.69	161
207	Min.	-373	-1297.19	65	-18264.10	177	-2533.45	65	-39.52	49	-7837.18	101	-408.10	101	-57864.40	106	-1270.69	102
207	Min.	-371	-1297.19	65	-18264.10	177	-2533.45	65	-39.52	49	-7837.18	101	-408.10	101	-57864.40	106	-1270.69	102
207	Min.	-417	-1297.19	65	-18264.10	177	-2533.45	65	-39.52	49	-7837.18	101	-408.10	101	-57864.40	106	-1270.69	102
207	Min.	-419	-1297.19	65	-18264.10	177	-2533.45	65	-39.52	49	-7837.18	101	-408.10	101	-57864.40	106	-1270.69	102
207	Max	-415	168.06	65	562.05	160	7115.87	17	133.90	161	1973.10	161	156.96	65	-6603.37	49	-489.04	33
207	Max	-413	168.06	65	562.05	160	7115.87	17	133.90	161	1973.10	161	156.96	65	-6603.37	49	-489.04	33
207	Max	-451	168.06	65	562.05	160	7115.87	17	133.90	161	1973.10	161	156.96	65	-6603.37	49	-489.04	33
207	Max	-453	168.06	65	562.05	160	7115.87	17	133.90	161	1973.10	161	156.96	65	-6603.37	49	-489.04	33
207	Min.	-415	-1271.95	104	-11850.60	103	-5459.21	65	-1427.56	102	-16928.60	102	-446.61	158	-59573.60	106	-3346.70	102
207	Min.	-413	-1271.95	104	-11850.60	103	-5459.21	65	-1427.56	102	-16928.60	102	-446.61	158	-59573.60	106	-3346.70	102
207	Min.	-451	-1271.95	104	-11850.60	103	-5459.21	65	-1427.56	102	-16928.60	102	-446.61	158	-59573.60	106	-3346.70	102
207	Min.	-453	-1271.95	104	-11850.60	103	-5459.21	65	-1427.56	102	-16928.60	102	-446.61	158	-59573.60	106	-3346.70	102
208	Max	-374	581.26	65	7213.69	65	1928.53	65	164.95	130	10464.60	130	501.74	130	57865.90	101	1319.99	129
208	Max	-372	581.26	65	7213.69	65	1928.53	65	164.95	130	10464.60	130	501.74	130	57865.90	101	1319.99	129
208	Max	-418	581.26	65	7213.69	65	1928.53	65	164.95	130	10464.60	130	501.74	130	57865.90	101	1319.99	129
208	Max	-420	581.26	65	7213.69	65	1928.53	65	164.95	130	10464.60	130	501.74	130	57865.90	101	1319.99	129
208	Min.	-374	-1297.19	17	-18264.10	177	-2533.44	17	-588.70	101	-3975.00	101	-71.36	1	3854.88	17	120.98	1
208	Min.	-372	-1297.19	17	-18264.10	177	-2533.44	17	-588.70	101	-3975.00	101	-71.36	1	3854.88	17	120.98	1
208	Min.	-418	-1297.19	17	-18264.10	177	-2533.44	17	-588.70	101	-3975.00	101	-71.36	1	3854.88	17	120.98	1
208	Min.	-420	-1297.19	17	-18264.10	177	-2533.44	17	-588.70	101	-3975.00	101	-71.36	1	3854.88	17	120.98	1
208	Max	-406	3139.79	65	-869.31	65	6933.60	65	1784.11	105	24165.50	105	2010.56	105	89167.90	97	3406.39	105
208	Max	-404	3139.79	65	-869.31	65	6933.60	65	1784.11	105	24165.50	105	2010.56	105	89167.90	97	3406.39	105
208	Max	-442	3139.79	65	-869.31	65	6933.60	65	1784.11	105	24165.50	105	2010.56	105	89167.90	97	3406.39	105
208	Max	-444	3139.79	65	-869.31	65	6933.60	65	1784.11	105	24165.50	105	2010.56	105	89167.90	97	3406.39	105
208	Min.	-406	-4685.95	17	-20473.20	107	-6798.15	17	316.94	33	3949.00	33	178.09	33	13246.90	49	299.25	65
208	Min.	-404	-4685.95	17	-20473.20	107	-6798.15	17	316.94	33	3949.00	33	178.09	33	13246.90	49	299.25	65
208	Min.	-442	-4685.95	17	-20473.20	107	-6798.15	17	316.94	33	3949.00	33	178.09	33	13246.90	49	299.25	65
208	Min.	-444	-4685.95	17	-20473.20	107	-6798.15	17	316.94	33	3949.00	33	178.09	33	13246.90	49	299.25	65
208	Max	-418	590.73	17	-355.80	49	4735.06	65	1100.82	129	17350.70	129	188.76	49	56539.60	101	2585.07	105
208	Max	-416	590.73	17	-355.80	49	4735.06	65	1100.82	129	17350.70	129	188.76	49	56539.60	101	2585.07	105
208	Max	-454	590.73	17	-355.80	49	4735.06	65	1100.82	129	17350.70	129	188.76	49	56539.60	101	2585.07	105
208	Max	-456	590.73	17	-355.80	49	4735.06	65	1100.82	129	17350.70	129	188.76	49	56539.60	101	2585.07	105
208	Min.	-418	-967.42	65	-11279.20	177	-3650.55	17	140.91	17	1863.16	17	-222.10	162	5012.33	1	315.19	1
208	Min.	-416	-967.42	65	-11279.20	177	-3650.55	17	140.91	17	1863.16	17	-222.10	162	5012.33	1	315.19	1
208	Min.	-454	-967.42	65	-11279.20	177	-3650.55	17	140.91	17	1863.16	17	-222.10	162	5012.33	1	315.19	1
208	Min.	-456	-967.42	65	-11279.20	177	-3650.55	17	140.91	17	1863.16	17	-222.10	162	5012.33	1	315.19	1
208	Max	-372	560.10	65	5080.65	65	4159.22	65	416.83	130	10513.70	130	308.08	130	57306.10	101	2585.07	105
208	Max	-370	560.10	65	5080.65	65	4159.22	65	416.83	130	10513.70	130	308.08	130	57306.10	101	2585.07	105
208	Max	-416	560.10	65	5080.65	65	4159.22	65	416.83	130	10513.70	130	308.08	130	57306.10	101	2585.07	105
208	Max	-418	560.10	65	5080.65	65	4159.22	65	416.83	130	10513.70	130	308.08	130	57306.10	101	2585.07	105
208	Min.	-372	-1280.85	17	-15786.20	177	-4226.85	17	-524.77	101	-3861.92	101	-167.06	1	4757.76	1	315.19	1
208	Min.	-370	-1280.85	17	-15786.20	177	-4226.85	17	-524.77	101	-3861.92	101	-167.06	1	4757.76	1	315.19	1
208	Min.	-416	-1280.85	17	-15786.20	177	-4226.85	17	-524.77	101	-3861.92	101	-167.06	1	4757.76	1	315.19	1
208	Min.	-418	-1280.85	17	-15786.20	177	-4226.85	17	-524.77	101	-3861.92	101	-167.06	1	4757.76	1	315.19	1
208	Max	-420	546.56	17	-354.87	139	2562.23	65	887.91	97	17280.10	129	42.63	65	56263.90	101	1319.99	129
208	Max	-418	546.56	17	-354.87	139	2562.23	65	887.91	97	17280.10	129	42.63	65	56263.90	101	1319.99	129
208	Max	-456	546.56	17	-354.87	139	2562.23	65	887.91	97	17280.10	129	42.63	65	56263.90	101	1319.99	129
208	Max	-458	546.56	17	-354.87	139	2562.23	65	887.91	97	17280.10	129	42.63	65	56263.90	101	1319.99	129
208	Min.	-420	-831.34	65	-11105.40	177	-1813.86	17	117.27	17	1863.92	17	-400.86	129	3364.67	1	120.98	1
208	Min.	-418	-831.34	65	-11105.40	177	-1813.86	17	117.27	17	1863.92	17	-400.86	129	3364.67	1	120.98	1
208	Min.	-456	-831.34	65	-11105.40	177	-1813.86	17	117.27	17	1863.92	17	-400.86	129	3364.67	1	120.98	1
208	Min.	-458	-831.34	65	-11105.40	177	-1813.86	17	117.27	17	1863.92	17	-400.86	129	3364.67	1	120.98	1
208	Max	-416	168.06	17	179.14	65	7115.84	65	1478.61	129	17703.10	129	339.82	105	59575.20	101	3346.59	105
208	Max	-414	168.06	17	179.14	65	7115.84	65	1478.61	129	17703.10	129	339.82	105	59575.20	101	3346.59	105
208	Max	-452	168.06	17	179.14	65	7115.84	65	1478.61	129	17703.10	129	339.82	105	59575.20	101	3346.59	105
208	Max	-454	168.06	17	179.14	65	7115.84	65	1478.61	129	17703.10	129	339.82	105	59575.20	101	3346.59	105
208	Min.	-416	-1271.91	108	-11850.20	107	-5459.18	17	180.94	17	2089.46	17	-176.95	162	6603.37	1	506.79	49
208	Min.	-414	-1271.91	108	-11850.20	107	-5459.18	17	180.94	17	2089.46	17	-176.95	162	6603.37	1	506.79	49
208	Min.	-452	-1271.91	108	-11850.20	107	-5459.18	17	180.94	17	2089.46	17	-176.95	162	6603.37	1	506.79	49
208	Min.	-454	-1271.91	108	-11850.20	107	-5459.18	17	180.94	17	2089.46	17	-176.95	162	6603.37	1	506.79	49
208	Max	-362	-357.68	49	-2927.24	49	9924.87	65	1042.71	130	10899.40	130	238.94	65	72145.00	97	3357.74	105
208	Max	-360	-357.68	49	-2927.24	49	9924.87	65	1042.71	130	10899.40	130	238.94	65	72145.00	97	3357.74	105
208	Max	-406	-357.68	49	-2927.24	49	9924.87	65	1042.71	130	10899.40	130	238.94	65	72145.00	97	3357.74	105
208	Max	-408	-357.68	49	-2927.24	49	9924.87	65	1042.71	130	10899.40	130	238.94	65	72145.00	97	3357.74	105
208	Min.	-362	-2354.25	106	-18251.50	106	-8199.82	17	-328.63	101	-3590.06	101	-290.37	17	9546.16	1	-254.10	162
208	Min.	-360	-2354.25	106	-18251.50	106	-8199.82	17	-328.63	101	-3590.06	101	-290.37	17	9546.16	1	-254.10	162
208	Min.	-406	-2354.25	106	-18251.50	106	-8199.82	17	-328.63	101	-3590.06	101	-290.37	17	9546.16	1	-254.10	162
208	Min.	-408	-2354.25	106	-18251.50	106	-8199.82	17	-328.63	101	-3590.06	101	-290.37	17	9546.16	1	-254.10	162
208	Max	-360	2637.38	17	-3052.98	1	7928.26	65	473.49	130	11121.40	130	170.42	49	82029.80	97	3406.39	105
208	Max	-358	2637.38	17	-3052.98	1	7928.26	65	473.49	130	11121.40	130	170.42	49	82029.80	97	3406.39	105

208	Max	-404	2637.38	17	-3052.98	1	7928.26	65	473.49	130	11121.40	130	170.42	49	82029.80	97	3406.39	105
208	Max	-406	2637.38	17	-3052.98	1	7928.26	65	473.49	130	11121.40	130	170.42	49	82029.80	97	3406.39	105
208	Min.	-360	-5944.16	65	-22326.80	108	-5477.16	17	-657.37	101	-4569.80	101	-815.47	130	10885.20	49	299.25	65
208	Min.	-358	-5944.16	65	-22326.80	108	-5477.16	17	-657.37	101	-4569.80	101	-815.47	130	10885.20	49	299.25	65
208	Min.	-404	-5944.16	65	-22326.80	108	-5477.16	17	-657.37	101	-4569.80	101	-815.47	130	10885.20	49	299.25	65
208	Min.	-406	-5944.16	65	-22326.80	108	-5477.16	17	-657.37	101	-4569.80	101	-815.47	130	10885.20	49	299.25	65
208	Max	-412	-287.63	49	-547.19	49	9648.88	65	1830.81	105	18857.10	105	527.17	105	66132.30	97	2915.67	105
208	Max	-410	-287.63	49	-547.19	49	9648.88	65	1830.81	105	18857.10	105	527.17	105	66132.30	97	2915.67	105
208	Max	-448	-287.63	49	-547.19	49	9648.88	65	1830.81	105	18857.10	105	527.17	105	66132.30	97	2915.67	105
208	Max	-450	-287.63	49	-547.19	49	9648.88	65	1830.81	105	18857.10	105	527.17	105	66132.30	97	2915.67	105
208	Min.	-412	-1865.40	130	-13376.70	107	-7304.56	17	250.76	17	2633.51	17	-175.50	17	8735.83	1	-646.85	162
208	Min.	-410	-1865.40	130	-13376.70	107	-7304.56	17	250.76	17	2633.51	17	-175.50	17	8735.83	1	-646.85	162
208	Min.	-448	-1865.40	130	-13376.70	107	-7304.56	17	250.76	17	2633.51	17	-175.50	17	8735.83	1	-646.85	162
208	Min.	-450	-1865.40	130	-13376.70	107	-7304.56	17	250.76	17	2633.51	17	-175.50	17	8735.83	1	-646.85	162
208	Max	-410	-268.19	49	-1105.89	49	10185.10	65	1928.98	105	19804.00	105	542.08	105	68991.70	97	2803.17	105
208	Max	-408	-268.19	49	-1105.89	49	10185.10	65	1928.98	105	19804.00	105	542.08	105	68991.70	97	2803.17	105
208	Max	-446	-268.19	49	-1105.89	49	10185.10	65	1928.98	105	19804.00	105	542.08	105	68991.70	97	2803.17	105
208	Max	-448	-268.19	49	-1105.89	49	10185.10	65	1928.98	105	19804.00	105	542.08	105	68991.70	97	2803.17	105
208	Min.	-410	-2114.63	130	-14631.40	107	-7811.01	17	288.71	17	2946.62	17	-193.15	17	9448.99	1	-716.03	162
208	Min.	-408	-2114.63	130	-14631.40	107	-7811.01	17	288.71	17	2946.62	17	-193.15	17	9448.99	1	-716.03	162
208	Min.	-446	-2114.63	130	-14631.40	107	-7811.01	17	288.71	17	2946.62	17	-193.15	17	9448.99	1	-716.03	162
208	Min.	-448	-2114.63	130	-14631.40	107	-7811.01	17	288.71	17	2946.62	17	-193.15	17	9448.99	1	-716.03	162
208	Max	-414	-221.98	1	-167.74	49	8829.92	65	1741.50	129	18125.20	129	539.08	105	63207.40	97	3256.69	105
208	Max	-412	-221.98	1	-167.74	49	8829.92	65	1741.50	129	18125.20	129	539.08	105	63207.40	97	3256.69	105
208	Max	-450	-221.98	1	-167.74	49	8829.92	65	1741.50	129	18125.20	129	539.08	105	63207.40	97	3256.69	105
208	Max	-452	-221.98	1	-167.74	49	8829.92	65	1741.50	129	18125.20	129	539.08	105	63207.40	97	3256.69	105
208	Min.	-414	-1752.39	132	-12572.00	107	-6701.29	17	219.79	17	2375.30	17	-145.52	17	8024.74	1	-246.90	162
208	Min.	-412	-1752.39	132	-12572.00	107	-6701.29	17	219.79	17	2375.30	17	-145.52	17	8024.74	1	-246.90	162
208	Min.	-450	-1752.39	132	-12572.00	107	-6701.29	17	219.79	17	2375.30	17	-145.52	17	8024.74	1	-246.90	162
208	Min.	-452	-1752.39	132	-12572.00	107	-6701.29	17	219.79	17	2375.30	17	-145.52	17	8024.74	1	-246.90	162
208	Max	-408	-85.33	49	-1578.75	133	10128.30	65	2022.20	105	20339.40	105	482.97	105	70476.10	97	3357.74	105
208	Max	-406	-85.33	49	-1578.75	133	10128.30	65	2022.20	105	20339.40	105	482.97	105	70476.10	97	3357.74	105
208	Max	-444	-85.33	49	-1578.75	133	10128.30	65	2022.20	105	20339.40	105	482.97	105	70476.10	97	3357.74	105
208	Max	-446	-85.33	49	-1578.75	133	10128.30	65	2022.20	105	20339.40	105	482.97	105	70476.10	97	3357.74	105
208	Min.	-408	-2148.52	107	-16241.00	106	-8010.16	17	328.16	33	3180.40	17	-219.84	17	9814.07	1	-254.10	162
208	Min.	-406	-2148.52	107	-16241.00	106	-8010.16	17	328.16	33	3180.40	17	-219.84	17	9814.07	1	-254.10	162
208	Min.	-444	-2148.52	107	-16241.00	106	-8010.16	17	328.16	33	3180.40	17	-219.84	17	9814.07	1	-254.10	162
208	Min.	-446	-2148.52	107	-16241.00	106	-8010.16	17	328.16	33	3180.40	17	-219.84	17	9814.07	1	-254.10	162
208	Max	-364	-332.88	49	-1949.42	49	9948.27	65	1009.91	130	10699.30	130	221.34	65	67680.60	97	2803.17	105
208	Max	-362	-332.88	49	-1949.42	49	9948.27	65	1009.91	130	10699.30	130	221.34	65	67680.60	97	2803.17	105
208	Max	-408	-332.88	49	-1949.42	49	9948.27	65	1009.91	130	10699.30	130	221.34	65	67680.60	97	2803.17	105
208	Max	-410	-332.88	49	-1949.42	49	9948.27	65	1009.91	130	10699.30	130	221.34	65	67680.60	97	2803.17	105
208	Min.	-364	-2271.08	130	-16382.00	107	-8035.83	17	-398.96	101	-3826.72	101	-303.42	17	8469.10	1	-716.03	162
208	Min.	-362	-2271.08	130	-16382.00	107	-8035.83	17	-398.96	101	-3826.72	101	-303.42	17	8469.10	1	-716.03	162
208	Min.	-408	-2271.08	130	-16382.00	107	-8035.83	17	-398.96	101	-3826.72	101	-303.42	17	8469.10	1	-716.03	162
208	Min.	-410	-2271.08	130	-16382.00	107	-8035.83	17	-398.96	101	-3826.72	101	-303.42	17	8469.10	1	-716.03	162
208	Max	-370	279.35	65	2866.99	65	6845.65	65	762.37	130	10539.30	130	235.34	65	58826.90	101	3346.59	105
208	Max	-368	279.35	65	2866.99	65	6845.65	65	762.37	130	10539.30	130	235.34	65	58826.90	101	3346.59	105
208	Max	-414	279.35	65	2866.99	65	6845.65	65	762.37	130	10539.30	130	235.34	65	58826.90	101	3346.59	105
208	Max	-416	279.35	65	2866.99	65	6845.65	65	762.37	130	10539.30	130	235.34	65	58826.90	101	3346.59	105
208	Min.	-370	-1618.33	177	-13146.60	107	-5891.43	17	-464.00	101	-3874.35	101	-238.66	17	5680.47	1	506.79	49
208	Min.	-368	-1618.33	177	-13146.60	107	-5891.43	17	-464.00	101	-3874.35	101	-238.66	17	5680.47	1	506.79	49
208	Min.	-414	-1618.33	177	-13146.60	107	-5891.43	17	-464.00	101	-3874.35	101	-238.66	17	5680.47	1	506.79	49
208	Min.	-416	-1618.33	177	-13146.60	107	-5891.43	17	-464.00	101	-3874.35	101	-238.66	17	5680.47	1	506.79	49
208	Max	-366	-257.19	49	-297.75	65	9479.77	65	1013.10	130	10620.00	130	223.35	65	63737.50	97	2915.67	105
208	Max	-364	-257.19	49	-297.75	65	9479.77	65	1013.10	130	10620.00	130	223.35	65	63737.50	97	2915.67	105
208	Max	-410	-257.19	49	-297.75	65	9479.77	65	1013.10	130	10620.00	130	223.35	65	63737.50	97	2915.67	105
208	Max	-412	-257.19	49	-297.75	65	9479.77	65	1013.10	130	10620.00	130	223.35	65	63737.50	97	2915.67	105
208	Min.	-366	-2001.02	107	-14972.30	107	-7535.90	17	-412.27	101	-3865.77	101	-294.12	17	7478.19	1	-646.85	162
208	Min.	-364	-2001.02	107	-14972.30	107	-7535.90	17	-412.27	101	-3865.77	101	-294.12	17	7478.19	1	-646.85	162
208	Min.	-410	-2001.02	107	-14972.30	107	-7535.90	17	-412.27	101	-3865.77	101	-294.12	17	7478.19	1	-646.85	162
208	Min.	-412	-2001.02	107	-14972.30	107	-7535.90	17	-412.27	101	-3865.77	101	-294.12	17	7478.19	1	-646.85	162
208	Max	-368	-153.24	49	1174.91	65	8725.27	65	986.61	130	10572.10	130	222.99	65	61117.40	101	3256.69	105
208	Max	-366	-153.24	49	1174.91	65	8725.27	65	986.61	130	10572.10	130	222.99	65	61117.40	101	3256.69	105
208	Max	-412	-153.24	49	1174.91	65	8725.27	65	986.61	130	10572.10	130	222.99	65	61117.40	101	3256.69	105
208	Max	-414	-153.24	49	1174.91	65	8725.27	65	986.61	130	10572.10	130	222.99	65	61117.40	101	3256.69	105
208	Min.	-368	-1832.94	131	-14071.60	107	-6958.09	17	-425.25	101	-3886.42	101	-283.09	17	6664.64	1	-246.90	162
208	Min.	-366	-1832.94	131	-14071.60	107	-6958.09	17	-425.25	101	-3886.42	101	-283.09	17	6664.64	1	-246.90	162
208	Min.	-412	-1832.94	131	-14071.60	107	-6958.09	17	-425.25	101	-3886.42	101	-283.09	17	6664.64	1	-246.90	162
208	Min.	-414	-1832.94	131	-14071.60	107	-6958.09	17	-425.25	101	-3886.42	101	-283.09	17	6664.64	1	-246.90	162
209	Max	-390	581.65	65	7672.57	177	3582.95	65	1092.22	129	17378.00	129	223.62	162	56668.70	101	-308.81	49
209	Max	-388	581.65	65	7672.57	177	3582.95	65	1092.22	129	17378.00	129	223.62	162	56668.70	101	-308.81	49
209	Max	-424	581.65	65	7672.57	177	3582.95	65	1092.22	129	17378.00	129	223.62	162	56668.70	101	-308.81	49
209	Max	-426	581.65	65	7672.57	177	3582.95	65	1092.22	129	17378.00	129	223.62	162	56668.70	101	-308.81	49
209	Min.	-390	-1019.01	17	-11296.50	106	-4661.43	17	143.30	65	1904.96	65	-186.78	1	5028.44	49	-2539.88	105
209	Min.	-388	-1019.01	17	-11296.50	106	-4661.43	17	143.30	65	1904.96	65	-186.78	1	5028.44	49	-2539.88	105
209	Min.	-424	-1019.01	17	-11296.50	106	-4661.43	17	143.30	65	1904.96	65	-186.78	1	5028.44	49	-2539.88	105
209	Min.	-426	-1019.01	17	-11296.50	106	-4661.43	17	143.30	65	1904.96	65	-186.78	1	5028.44	49	-2539.88	105
209	Max	-354	2636.50	65	-3060.84	49	5476.68	65	473.36	130	11136.10	130	829.32	130	82868.40	97	-345.55	17
209	Max	-352	2636.50	65	-3060.84	49	5476.68	65	473.36	130	11136.10	130	829.32	130	82868.40	97	-345.55	17
209	Max	-400	2636.50	65	-3060.84	49	5476.68	65	473.36	130	11136.10	130	829.32	130	82868.40	97	-345.55	17
209	Max	-402	2636.50	65	-3060.84	49	5476.68	65	473.36	130	11136.10	130	829.32	130	82868.40	97	-345.55	17
209	Min.	-354	-5946.56	17	-22322.50	107	-7929.41	17	-658.23	101	-4561.75	101	-167.66	1	11501.70	1	-3504.51	105
209	Min.	-352	-5946.56	17	-22322.50	107	-7929.41	17	-658.23	101	-4561.75	101	-167.66	1	11501.70	1	-3504.51	105
209	Min.	-400	-5946.56	17	-22322.50	107	-7929.41	17	-658.23	101	-4561.75	101	-167.66	1	11501.70	1	-3504.51	105
209	Min.	-402	-5946.56	17	-22322.50	107	-7929.41	17	-658.23	101	-4561.75	101	-167.66	1	11501.70	1	-3504.51	105
209	Max	-352	673.71	177	-2923.90	1	8200.81	65	1038.70	130	10912.10	130	300.68	65	72542.10	97	147.17	162
209	Max	-350	673.71	177	-2923.90	1	8200.81	65	1038.70	130	10912.10	130	300.68	65	72542.10	97	147.17	162
209	Max	-398	673.71	177	-2923.90	1	8200.81	65	1038.70	130	10912.10	130	300.68	65	72542.10	97	147.17	162
209	Max	-400	673.71	177	-2923.90	1	8200.81	65	1038.70	130	10912.10	130	300.68	65	72542.10	97	147.17	162
209	Min.	-352	-2355.07	106	-18254.20	106	-9926.05	17	-332.95	101	-3577.54	101	-232.19	17	9855.90	49	-3520.41	105
209	Min.	-350	-2355.07	106	-18254.20	106	-9926.05	17	-332.95	101	-3577.54	101	-232.19	17	9855.90	49	-3520.41	105
209	Min.	-398	-2355.07	106	-18254.20	106	-9926.05	17	-332.95	101	-3577.54	101	-232.19	17	9855.90	49	-3520.41	105
209	Min.	-400	-2355.07	106	-18254.20	106	-9926.05	17	-332.95	101	-3577.54	101	-232.19	17	9855.90	49	-3520.41	105
209	Max	-392	789.76	177	3366.67	177	5457.63	65	1479.49	129	17732.20	129	177.50	162	59718.20	101	-483.03	33
209	Max	-390	789.76	177	3366.67	177	5457.63	65	1479.49	129	17732.20	129	177.50	162	59718.20	101	-483.03	33
209	Max	-426	789.76	177	3366.67	177	5457.63	65	1479.49	129	17732.20	129	177.50	162	59718.20	101	-483.03	33
209	Max	-428	789.76	177	3366.67	177	5457.63	65	1479.49	129	17732.20	129	177.50	162	59718.20	101	-483.03	33
209	Min.	-392	-1283.83	107	-11890.40	108	-7113.19	17	184.05	65	2133.21	65	-337.73	105	6697.17	49	-3334.64	105
209	Min.	-390	-1283.83	107	-11890.40	108	-7113.19	17	184.05	65	2133.21	65	-337.73	105	6697.17	49	-3334.64	105
209	Min.	-426	-1283.83	107	-11890.40	108	-7113.19	17	184.05	65	2133.21	65	-337.73	105	6697.17	49	-3334.64	105
209	Min.	-428	-1283.83	107	-11890.40	108	-7113.19	17	184.05	65	2133.21	65	-337.73	105	6697.17	49	-3334.64	105
209	Max	-350	1494.97	177	-1947.13	1	8037.11	65	1001.82	130	10706.90	130	310.84	65	67873.60	97	693.96	162
209	Max	-348	1494.97	177	-1947.13	1	8037.11	65	1001.82	130	10706.90	130	310.84	65	67873.60	97	693.96	162
209	Max	-396	1494.97	177	-1947.13	1	8037.11	65	1001.82	130	10706.90	130	310.84	65	67873.60	97	693.96	162

209	Max	-398	1494.97	177	-1947.13	1	8037.11	65	1001.82	130	10706.90	130	310.84	65	67873.60	97	693.96	162
209	Min.	-350	-2273.06	130	-16391.40	108	-9949.38	17	-406.98	101	-3820.11	101	-217.28	17	8642.89	49	-2832.74	105
209	Min.	-348	-2273.06	130	-16391.40	108	-9949.38	17	-406.98	101	-3820.11	101	-217.28	17	8642.89	49	-2832.74	105
209	Min.	-396	-2273.06	130	-16391.40	108	-9949.38	17	-406.98	101	-3820.11	101	-217.28	17	8642.89	49	-2832.74	105
209	Min.	-398	-2273.06	130	-16391.40	108	-9949.38	17	-406.98	101	-3820.11	101	-217.28	17	8642.89	49	-2832.74	105
209	Max	-398	1856.21	177	-1103.07	1	7808.08	65	1922.11	105	19824.10	105	190.90	65	68961.90	97	693.96	162
209	Max	-396	1856.21	177	-1103.07	1	7808.08	65	1922.11	105	19824.10	105	190.90	65	68961.90	97	693.96	162
209	Max	-432	1856.21	177	-1103.07	1	7808.08	65	1922.11	105	19824.10	105	190.90	65	68961.90	97	693.96	162
209	Max	-434	1856.21	177	-1103.07	1	7808.08	65	1922.11	105	19824.10	105	190.90	65	68961.90	97	693.96	162
209	Min.	-398	-2114.15	130	-14644.50	108	-10181.00	17	287.74	65	2994.56	65	-546.56	105	9484.35	49	-2832.74	105
209	Min.	-396	-2114.15	130	-14644.50	108	-10181.00	17	287.74	65	2994.56	65	-546.56	105	9484.35	49	-2832.74	105
209	Min.	-432	-2114.15	130	-14644.50	108	-10181.00	17	287.74	65	2994.56	65	-546.56	105	9484.35	49	-2832.74	105
209	Min.	-434	-2114.15	130	-14644.50	108	-10181.00	17	287.74	65	2994.56	65	-546.56	105	9484.35	49	-2832.74	105
209	Max	-342	843.86	177	9038.44	177	4170.99	65	405.77	130	10516.50	130	159.78	49	57456.90	101	-308.81	49
209	Max	-340	843.86	177	9038.44	177	4170.99	65	405.77	130	10516.50	130	159.78	49	57456.90	101	-308.81	49
209	Max	-388	843.86	177	9038.44	177	4170.99	65	405.77	130	10516.50	130	159.78	49	57456.90	101	-308.81	49
209	Max	-390	843.86	177	9038.44	177	4170.99	65	405.77	130	10516.50	130	159.78	49	57456.90	101	-308.81	49
209	Min.	-342	-1380.06	65	-14133.80	65	-4075.88	17	-527.45	101	-3861.87	101	-316.23	130	4807.10	49	-2539.88	105
209	Min.	-340	-1380.06	65	-14133.80	65	-4075.88	17	-527.45	101	-3861.87	101	-316.23	130	4807.10	49	-2539.88	105
209	Min.	-388	-1380.06	65	-14133.80	65	-4075.88	17	-527.45	101	-3861.87	101	-316.23	130	4807.10	49	-2539.88	105
209	Min.	-390	-1380.06	65	-14133.80	65	-4075.88	17	-527.45	101	-3861.87	101	-316.23	130	4807.10	49	-2539.88	105
209	Max	-400	1350.80	177	-1586.01	133	8007.96	65	2018.90	105	20358.10	105	214.60	65	70253.40	97	147.17	162
209	Max	-398	1350.80	177	-1586.01	133	8007.96	65	2018.90	105	20358.10	105	214.60	65	70253.40	97	147.17	162
209	Max	-434	1350.80	177	-1586.01	133	8007.96	65	2018.90	105	20358.10	105	214.60	65	70253.40	97	147.17	162
209	Max	-436	1350.80	177	-1586.01	133	8007.96	65	2018.90	105	20358.10	105	214.60	65	70253.40	97	147.17	162
209	Min.	-400	-2147.15	108	-16244.30	106	-10124.50	17	333.67	65	3230.84	65	-490.35	105	9735.96	49	-3520.41	105
209	Min.	-398	-2147.15	108	-16244.30	106	-10124.50	17	333.67	65	3230.84	65	-490.35	105	9735.96	49	-3520.41	105
209	Min.	-434	-2147.15	108	-16244.30	106	-10124.50	17	333.67	65	3230.84	65	-490.35	105	9735.96	49	-3520.41	105
209	Min.	-436	-2147.15	108	-16244.30	106	-10124.50	17	333.67	65	3230.84	65	-490.35	105	9735.96	49	-3520.41	105
209	Max	-348	1558.86	177	-327.84	17	7550.12	65	1008.37	130	10626.40	130	298.34	65	63928.80	97	660.12	162
209	Max	-346	1558.86	177	-327.84	17	7550.12	65	1008.37	130	10626.40	130	298.34	65	63928.80	97	660.12	162
209	Max	-394	1558.86	177	-327.84	17	7550.12	65	1008.37	130	10626.40	130	298.34	65	63928.80	97	660.12	162
209	Max	-396	1558.86	177	-327.84	17	7550.12	65	1008.37	130	10626.40	130	298.34	65	63928.80	97	660.12	162
209	Min.	-348	-2011.70	108	-15016.10	108	-9497.50	17	-417.18	101	-3860.77	101	-221.69	17	7612.74	49	-2894.17	105
209	Min.	-346	-2011.70	108	-15016.10	108	-9497.50	17	-417.18	101	-3860.77	101	-221.69	17	7612.74	49	-2894.17	105
209	Min.	-394	-2011.70	108	-15016.10	108	-9497.50	17	-417.18	101	-3860.77	101	-221.69	17	7612.74	49	-2894.17	105
209	Min.	-396	-2011.70	108	-15016.10	108	-9497.50	17	-417.18	101	-3860.77	101	-221.69	17	7612.74	49	-2894.17	105
209	Max	-344	1011.20	177	5038.45	177	5890.58	65	760.73	130	10543.20	130	237.35	65	58948.90	101	-483.03	33
209	Max	-342	1011.20	177	5038.45	177	5890.58	65	760.73	130	10543.20	130	237.35	65	58948.90	101	-483.03	33
209	Max	-390	1011.20	177	5038.45	177	5890.58	65	760.73	130	10543.20	130	237.35	65	58948.90	101	-483.03	33
209	Max	-392	1011.20	177	5038.45	177	5890.58	65	760.73	130	10543.20	130	237.35	65	58948.90	101	-483.03	33
209	Min.	-344	-1565.17	108	-13190.00	108	-6845.40	17	-465.15	101	-3871.34	101	-233.75	17	5767.76	49	-3334.64	105
209	Min.	-342	-1565.17	108	-13190.00	108	-6845.40	17	-465.15	101	-3871.34	101	-233.75	17	5767.76	49	-3334.64	105
209	Min.	-390	-1565.17	108	-13190.00	108	-6845.40	17	-465.15	101	-3871.34	101	-233.75	17	5767.76	49	-3334.64	105
209	Min.	-392	-1565.17	108	-13190.00	108	-6845.40	17	-465.15	101	-3871.34	101	-233.75	17	5767.76	49	-3334.64	105
209	Max	-402	3142.65	17	-854.01	17	6796.36	65	1786.25	105	24201.50	105	-202.50	65	88702.00	97	-345.55	17
209	Max	-400	3142.65	17	-854.01	17	6796.36	65	1786.25	105	24201.50	105	-202.50	65	88702.00	97	-345.55	17
209	Max	-436	3142.65	17	-854.01	17	6796.36	65	1786.25	105	24201.50	105	-202.50	65	88702.00	97	-345.55	17
209	Max	-438	3142.65	17	-854.01	17	6796.36	65	1786.25	105	24201.50	105	-202.50	65	88702.00	97	-345.55	17
209	Min.	-402	-4689.17	65	-20463.10	108	-6930.64	17	334.40	33	4188.22	33	-2027.56	105	12987.20	1	-3504.51	105
209	Min.	-400	-4689.17	65	-20463.10	108	-6930.64	17	334.40	33	4188.22	33	-2027.56	105	12987.20	1	-3504.51	105
209	Min.	-436	-4689.17	65	-20463.10	108	-6930.64	17	334.40	33	4188.22	33	-2027.56	105	12987.20	1	-3504.51	105
209	Min.	-438	-4689.17	65	-20463.10	108	-6930.64	17	334.40	33	4188.22	33	-2027.56	105	12987.20	1	-3504.51	105
209	Max	-340	515.18	17	11691.10	177	2460.47	65	151.86	130	10465.90	130	64.25	49	58028.80	101	-114.03	49
209	Max	-338	515.18	17	11691.10	177	2460.47	65	151.86	130	10465.90	130	64.25	49	58028.80	101	-114.03	49
209	Max	-386	515.18	17	11691.10	177	2460.47	65	151.86	130	10465.90	130	64.25	49	58028.80	101	-114.03	49
209	Max	-388	515.18	17	11691.10	177	2460.47	65	151.86	130	10465.90	130	64.25	49	58028.80	101	-114.03	49
209	Min.	-340	-1285.26	177	-16642.20	65	-1828.11	17	-592.36	101	-3976.93	101	-509.72	130	3967.84	65	-1258.88	129
209	Min.	-338	-1285.26	177	-16642.20	65	-1828.11	17	-592.36	101	-3976.93	101	-509.72	130	3967.84	65	-1258.88	129
209	Min.	-386	-1285.26	177	-16642.20	65	-1828.11	17	-592.36	101	-3976.93	101	-509.72	130	3967.84	65	-1258.88	129
209	Min.	-388	-1285.26	177	-16642.20	65	-1828.11	17	-592.36	101	-3976.93	101	-509.72	130	3967.84	65	-1258.88	129
209	Max	-394	4401.18	177	-174.80	1	6713.98	65	1742.36	129	18158.90	129	148.19	65	63389.00	97	267.61	162
209	Max	-392	4401.18	177	-174.80	1	6713.98	65	1742.36	129	18158.90	129	148.19	65	63389.00	97	267.61	162
209	Max	-428	4401.18	177	-174.80	1	6713.98	65	1742.36	129	18158.90	129	148.19	65	63389.00	97	267.61	162
209	Max	-430	4401.18	177	-174.80	1	6713.98	65	1742.36	129	18158.90	129	148.19	65	63389.00	97	267.61	162
209	Min.	-394	-1735.35	131	-12618.70	108	-8847.18	17	222.91	65	2426.05	65	-537.49	105	8145.16	49	-3228.70	105
209	Min.	-392	-1735.35	131	-12618.70	108	-8847.18	17	222.91	65	2426.05	65	-537.49	105	8145.16	49	-3228.70	105
209	Min.	-428	-1735.35	131	-12618.70	108	-8847.18	17	222.91	65	2426.05	65	-537.49	105	8145.16	49	-3228.70	105
209	Min.	-430	-1735.35	131	-12618.70	108	-8847.18	17	222.91	65	2426.05	65	-537.49	105	8145.16	49	-3228.70	105
209	Max	-388	509.09	65	8467.40	177	1730.09	65	882.84	97	17307.30	129	411.72	129	56397.30	101	-114.03	49
209	Max	-386	509.09	65	8467.40	177	1730.09	65	882.84	97	17307.30	129	411.72	129	56397.30	101	-114.03	49
209	Max	-422	509.09	65	8467.40	177	1730.09	65	882.84	97	17307.30	129	411.72	129	56397.30	101	-114.03	49
209	Max	-424	509.09	65	8467.40	177	1730.09	65	882.84	97	17307.30	129	411.72	129	56397.30	101	-114.03	49
209	Min.	-388	-2313.20	177	-10963.10	107	-2472.78	17	118.57	65	1906.24	65	-35.12	17	3346.42	49	-1258.88	129
209	Min.	-386	-2313.20	177	-10963.10	107	-2472.78	17	118.57	65	1906.24	65	-35.12	17	3346.42	49	-1258.88	129
209	Min.	-422	-2313.20	177	-10963.10	107	-2472.78	17	118.57	65	1906.24	65	-35.12	17	3346.42	49	-1258.88	129
209	Min.	-424	-2313.20	177	-10963.10	107	-2472.78	17	118.57	65	1906.24	65	-35.12	17	3346.42	49	-1258.88	129
209	Max	-396	2225.48	177	-556.56	1	7315.53	65	1829.88	105	18899.70	105	176.55	65	66271.00	97	660.12	162
209	Max	-394	2225.48	177	-556.56	1	7315.53	65	1829.88	105	18899.70	105	176.55	65	66271.00	97	660.12	162
209	Max	-430	2225.48	177	-556.56	1	7315.53	65	1829.88	105	18899.70	105	176.55	65	66271.00	97	660.12	162
209	Max	-432	2225.48	177	-556.56	1	7315.53	65	1829.88	105	18899.70	105	176.55	65	66271.00	97	660.12	162
209	Min.	-396	-1879.37	130	-13420.10	108	-9661.31	17	252.24	65	2685.44	65	-527.92	105	8839.38	49	-2894.17	105
209	Min.	-394	-1879.37	130	-13420.10	108	-9661.31	17	252.24	65	2685.44	65	-527.92	105	8839.38	49	-2894.17	105
209	Min.	-430	-1879.37	130	-13420.10	108	-9661.31	17	252.24	65	2685.44	65	-527.92	105	8839.38	49	-2894.17	105
209	Min.	-432	-1879.37	130	-13420.10	108	-9661.31	17	252.24	65	2685.44	65	-527.92	105	8839.38	49	-2894.17	105
209	Max	-346	4476.74	177	1141.75	17	6975.13	65	984.63	130	10577.50	130	285.30	65	61283.50	101	267.61	162
209	Max	-344	4476.74	177	1141.75	17	6975.13	65	984.63	130	10577.50	130	285.30	65	61283.50	101	267.61	162
209	Max	-392	4476.74	177	1141.75	17	6975.13	65	984.63	130	10577.50	130	285.30	65	61283.50	101	267.61	162
209	Max	-394	4476.74	177	1141.75	17	6975.13	65	984.63	130	10577.50	130	285.30	65	61283.50	101	267.61	162
209	Min.	-346	-1821.84	132	-14118.60	108	-8748.03	17	-427.44	101	-3882.27	101	-222.69	17	6780.48	49	-3228.70	105
209	Min.	-344	-1821.84	132	-14118.60	108	-8748.03	17	-427.44	101	-3882.27	101	-222.69	17	6780.48	49	-3228.70	105
209	Min.	-392	-1821.84	132	-14118.60	108	-8748.03	17	-427.44	101	-3882.27	101	-222.69	17	6780.48	49	-3228.70	105
209	Min.	-394	-1821.84	132	-14118.60	108	-8748.03	17	-427.44	101	-3882.27	101	-222.69	17	6780.48	49	-3228.70	105
306	Max	-467	6654.27	177	2943.59	158	921.23	65	2287.48	158	1898.52	161	5398.18	158	73729.90	98	31832.60	98
306	Max	-465	6654.27	177	2943.59	158	921.23	65	2287.48	158	1898.52	161	5398.18	158	73729.90	98	31832.60	98
306	Max	-503	6654.27	177	2943.59	158	921.23	65	2287.48	158	1898.52	161	5398.18	158	73729.90	98	31832.60	98
306	Max	-505	6654.27	177	2943.59	158	921.23	65	2287.48	158	1898.52	161	5398.18	158	73729.90	98	31832.60	98
306	Min.	-467	-1274.97	65	-10412.40	101	-9734.54	177	-193.72	65	-7165.15	102	90.82	17	9602.11	17	3637.65	65
306	Min.	-465	-1274.97	65	-10412.40	101	-9734.54	177	-193.72	65	-7165.15	102	90.82	17	9602.11	17	3637.65	65
306	Min.	-503	-1274.97	65	-10412.40	101	-9734.54	177	-193.72	65	-7165.15	102	90.82	17	9602.11	17	3637.65	65
306	Min.	-505	-1274.97	65	-10412.40	101	-9734.54	177	-193.72	65	-7165.15	102	90.82	17	9602.11	17	3637.65	65
306	Max	-517	3322.27	123	4330.55	122	689.80	173	3529.42	126	285.61	126	509.92	65	175.42	17	28267.30	102
306	Max	-515	3322.27	123	4330.55	122	689.80	173	3529.42	126	285.61	126	509.92	65	175.42	17	28267.30	102
306	Max	-882	3322.27	123	4330.55	122	689.80	173	3529.42	126	285.61	126	509.92	65	175.42	17	28267.30	102
306	Max	-925	3322.27	123	4330.55	122	689.80	173	3529.42	126	285.61	126	509.92	65	175.42	17	28267.30	102

306	Min.	-517	-5002.39	104	-6662.61	101	-4856.10	177	450.06	33	4.78	17	-356.31	17	-3001.25	126	-2244.50	65
306	Min.	-515	-5002.39	104	-6662.61	101	-4856.10	177	450.06	33	4.78	17	-356.31	17	-3001.25	126	-2244.50	65
306	Min.	-882	-5002.39	104	-6662.61	101	-4856.10	177	450.06	33	4.78	17	-356.31	17	-3001.25	126	-2244.50	65
306	Min.	-925	-5002.39	104	-6662.61	101	-4856.10	177	450.06	33	4.78	17	-356.31	17	-3001.25	126	-2244.50	65
306	Max	-501	4232.22	17	79261.30	177	6262.50	101	1730.24	158	17598.30	162	712.45	102	19223.10	98	21041.80	161
306	Max	-499	4232.22	17	79261.30	177	6262.50	101	1730.24	158	17598.30	162	712.45	102	19223.10	98	21041.80	161
306	Max	-537	4232.22	17	79261.30	177	6262.50	101	1730.24	158	17598.30	162	712.45	102	19223.10	98	21041.80	161
306	Max	301	4232.22	17	79261.30	177	6262.50	101	1730.24	158	17598.30	162	712.45	102	19223.10	98	21041.80	161
306	Min.	-501	-82395.60	177	-17607.70	101	-12469.30	177	-52.43	65	-964.26	101	-8530.63	161	2405.91	17	-17070.70	98
306	Min.	-499	-82395.60	177	-17607.70	101	-12469.30	177	-52.43	65	-964.26	101	-8530.63	161	2405.91	17	-17070.70	98
306	Min.	-537	-82395.60	177	-17607.70	101	-12469.30	177	-52.43	65	-964.26	101	-8530.63	161	2405.91	17	-17070.70	98
306	Min.	301	-82395.60	177	-17607.70	101	-12469.30	177	-52.43	65	-964.26	101	-8530.63	161	2405.91	17	-17070.70	98
306	Max	-463	878.17	17	11868.80	177	2814.58	177	-5.37	17	8587.73	161	3132.23	126	31594.20	98	351.45	65
306	Max	-461	878.17	17	11868.80	177	2814.58	177	-5.37	17	8587.73	161	3132.23	126	31594.20	98	351.45	65
306	Max	-499	878.17	17	11868.80	177	2814.58	177	-5.37	17	8587.73	161	3132.23	126	31594.20	98	351.45	65
306	Max	-501	878.17	17	11868.80	177	2814.58	177	-5.37	17	8587.73	161	3132.23	126	31594.20	98	351.45	65
306	Min.	-463	-20642.60	177	-9354.48	103	-1240.68	17	-1644.55	158	-7492.61	98	333.74	177	3953.08	17	-9983.30	158
306	Min.	-461	-20642.60	177	-9354.48	103	-1240.68	17	-1644.55	158	-7492.61	98	333.74	177	3953.08	17	-9983.30	158
306	Min.	-499	-20642.60	177	-9354.48	103	-1240.68	17	-1644.55	158	-7492.61	98	333.74	177	3953.08	17	-9983.30	158
306	Min.	-501	-20642.60	177	-9354.48	103	-1240.68	17	-1644.55	158	-7492.61	98	333.74	177	3953.08	17	-9983.30	158
306	Max	-469	1741.02	17	3745.86	158	904.21	65	1069.30	161	357.71	161	4114.28	158	56258.70	98	11112.50	98
306	Max	-467	1741.02	17	3745.86	158	904.21	65	1069.30	161	357.71	161	4114.28	158	56258.70	98	11112.50	98
306	Max	-505	1741.02	17	3745.86	158	904.21	65	1069.30	161	357.71	161	4114.28	158	56258.70	98	11112.50	98
306	Max	-507	1741.02	17	3745.86	158	904.21	65	1069.30	161	357.71	161	4114.28	158	56258.70	98	11112.50	98
306	Min.	-469	-5535.36	177	-9758.64	101	-4945.07	177	-859.12	102	-7714.01	102	-122.36	17	7899.43	161	548.91	177
306	Min.	-467	-5535.36	177	-9758.64	101	-4945.07	177	-859.12	102	-7714.01	102	-122.36	17	7899.43	161	548.91	177
306	Min.	-505	-5535.36	177	-9758.64	101	-4945.07	177	-859.12	102	-7714.01	102	-122.36	17	7899.43	161	548.91	177
306	Min.	-507	-5535.36	177	-9758.64	101	-4945.07	177	-859.12	102	-7714.01	102	-122.36	17	7899.43	161	548.91	177
306	Max	-533	560.62	108	210.80	106	299.99	106	38.15	65	4747.32	161	1370.40	161	9489.49	98	4661.38	98
306	Max	-531	560.62	108	210.80	106	299.99	106	38.15	65	4747.32	161	1370.40	161	9489.49	98	4661.38	98
306	Max	-1225	560.62	108	210.80	106	299.99	106	38.15	65	4747.32	161	1370.40	161	9489.49	98	4661.38	98
306	Max	-1270	560.62	108	210.80	106	299.99	106	38.15	65	4747.32	161	1370.40	161	9489.49	98	4661.38	98
306	Min.	-533	-1266.36	177	-2127.98	177	-1199.36	177	-128.86	177	-840.75	102	-263.25	102	-24758.10	161	-14154.70	161
306	Min.	-531	-1266.36	177	-2127.98	177	-1199.36	177	-128.86	177	-840.75	102	-263.25	102	-24758.10	161	-14154.70	161
306	Min.	-1225	-1266.36	177	-2127.98	177	-1199.36	177	-128.86	177	-840.75	102	-263.25	102	-24758.10	161	-14154.70	161
306	Min.	-1270	-1266.36	177	-2127.98	177	-1199.36	177	-128.86	177	-840.75	102	-263.25	102	-24758.10	161	-14154.70	161
306	Max	-507	4127.52	17	3254.63	177	2396.24	103	1220.57	166	293.53	161	2228.92	158	11884.10	102	12340.50	173
306	Max	-505	4127.52	17	3254.63	177	2396.24	103	1220.57	166	293.53	161	2228.92	158	11884.10	102	12340.50	173
306	Max	-661	4127.52	17	3254.63	177	2396.24	103	1220.57	166	293.53	161	2228.92	158	11884.10	102	12340.50	173
306	Max	-704	4127.52	17	3254.63	177	2396.24	103	1220.57	166	293.53	161	2228.92	158	11884.10	102	12340.50	173
306	Min.	-507	-6719.67	177	-4765.41	101	-2213.61	124	-433.81	65	-362.00	102	-79.80	177	-3132.93	161	-30894.40	161
306	Min.	-505	-6719.67	177	-4765.41	101	-2213.61	124	-433.81	65	-362.00	102	-79.80	177	-3132.93	161	-30894.40	161
306	Min.	-661	-6719.67	177	-4765.41	101	-2213.61	124	-433.81	65	-362.00	102	-79.80	177	-3132.93	161	-30894.40	161
306	Min.	-704	-6719.67	177	-4765.41	101	-2213.61	124	-433.81	65	-362.00	102	-79.80	177	-3132.93	161	-30894.40	161
306	Max	-443	537.29	124	2874.10	160	1192.48	173	119.94	161	-3624.54	161	-27.76	65	75655.00	102	14811.60	102
306	Max	-441	537.29	124	2874.10	160	1192.48	173	119.94	161	-3624.54	161	-27.76	65	75655.00	102	14811.60	102
306	Max	-479	537.29	124	2874.10	160	1192.48	173	119.94	161	-3624.54	161	-27.76	65	75655.00	102	14811.60	102
306	Max	-481	537.29	124	2874.10	160	1192.48	173	119.94	161	-3624.54	161	-27.76	65	75655.00	102	14811.60	102
306	Min.	-443	-106.38	103	-15398.20	103	-5728.47	177	-1366.39	98	-19860.70	102	-3818.96	102	14109.20	33	2144.79	161
306	Min.	-441	-106.38	103	-15398.20	103	-5728.47	177	-1366.39	98	-19860.70	102	-3818.96	102	14109.20	33	2144.79	161
306	Min.	-479	-106.38	103	-15398.20	103	-5728.47	177	-1366.39	98	-19860.70	102	-3818.96	102	14109.20	33	2144.79	161
306	Min.	-481	-106.38	103	-15398.20	103	-5728.47	177	-1366.39	98	-19860.70	102	-3818.96	102	14109.20	33	2144.79	161
306	Max	-481	2505.61	65	3219.07	160	1398.39	173	1739.58	126	-711.74	161	489.76	65	61657.60	102	2439.24	173
306	Max	-479	2505.61	65	3219.07	160	1398.39	173	1739.58	126	-711.74	161	489.76	65	61657.60	102	2439.24	173
306	Max	-517	2505.61	65	3219.07	160	1398.39	173	1739.58	126	-711.74	161	489.76	65	61657.60	102	2439.24	173
306	Max	-519	2505.61	65	3219.07	160	1398.39	173	1739.58	126	-711.74	161	489.76	65	61657.60	102	2439.24	173
306	Min.	-481	-2192.35	17	-10105.00	103	-5720.86	177	-39.81	17	-6232.93	102	-2270.11	126	10236.20	65	-2155.99	161
306	Min.	-479	-2192.35	17	-10105.00	103	-5720.86	177	-39.81	17	-6232.93	102	-2270.11	126	10236.20	65	-2155.99	161
306	Min.	-517	-2192.35	17	-10105.00	103	-5720.86	177	-39.81	17	-6232.93	102	-2270.11	126	10236.20	65	-2155.99	161
306	Min.	-519	-2192.35	17	-10105.00	103	-5720.86	177	-39.81	17	-6232.93	102	-2270.11	126	10236.20	65	-2155.99	161
306	Max	-487	2370.13	177	3749.28	158	1872.33	65	1079.98	161	395.81	161	103.50	65	56554.80	98	-823.17	17
306	Max	-485	2370.13	177	3749.28	158	1872.33	65	1079.98	161	395.81	161	103.50	65	56554.80	98	-823.17	17
306	Max	-523	2370.13	177	3749.28	158	1872.33	65	1079.98	161	395.81	161	103.50	65	56554.80	98	-823.17	17
306	Max	-525	2370.13	177	3749.28	158	1872.33	65	1079.98	161	395.81	161	103.50	65	56554.80	98	-823.17	17
306	Min.	-487	-1692.44	17	-9732.46	101	-2451.53	177	-827.83	102	-7694.89	102	-4151.95	158	7918.81	161	-11475.30	98
306	Min.	-485	-1692.44	17	-9732.46	101	-2451.53	177	-827.83	102	-7694.89	102	-4151.95	158	7918.81	161	-11475.30	98
306	Min.	-523	-1692.44	17	-9732.46	101	-2451.53	177	-827.83	102	-7694.89	102	-4151.95	158	7918.81	161	-11475.30	98
306	Min.	-525	-1692.44	17	-9732.46	101	-2451.53	177	-827.83	102	-7694.89	102	-4151.95	158	7918.81	161	-11475.30	98
306	Max	-433	1797.24	177	2271.59	158	800.39	65	49.54	161	-2330.57	161	3313.07	126	75305.40	102	3531.72	158
306	Max	-431	1797.24	177	2271.59	158	800.39	65	49.54	161	-2330.57	161	3313.07	126	75305.40	102	3531.72	158
306	Max	-469	1797.24	177	2271.59	158	800.39	65	49.54	161	-2330.57	161	3313.07	126	75305.40	102	3531.72	158
306	Max	-471	1797.24	177	2271.59	158	800.39	65	49.54	161	-2330.57	161	3313.07	126	75305.40	102	3531.72	158
306	Min.	-433	-1065.51	103	-12950.70	101	-4650.30	177	-2069.05	98	-20799.10	102	-136.95	17	12240.30	17	-175.17	65
306	Min.	-431	-1065.51	103	-12950.70	101	-4650.30	177	-2069.05	98	-20799.10	102	-136.95	17	12240.30	17	-175.17	65
306	Min.	-469	-1065.51	103	-12950.70	101	-4650.30	177	-2069.05	98	-20799.10	102	-136.95	17	12240.30	17	-175.17	65
306	Min.	-471	-1065.51	103	-12950.70	101	-4650.30	177	-2069.05	98	-20799.10	102	-136.95	17	12240.30	17	-175.17	65
306	Max	-499	5429.37	177	4780.83	177	590.73	125	214.22	177	4346.79	161	239.06	102	9157.13	98	13600.90	161
306	Max	-497	5429.37	177	4780.83	177	590.73	125	214.22	177	4346.79	161	239.06	102	9157.13	98	13600.90	161
306	Max	-535	5429.37	177	4780.83	177	590.73	125	214.22	177	4346.79	161	239.06	102	9157.13	98	13600.90	161
306	Max	-537	5429.37	177	4780.83	177	590.73	125	214.22	177	4346.79	161	239.06	102	9157.13	98	13600.90	161
306	Min.	-499	-886.61	104	-1616.66	101	-2065.52	177	-140.89	161	-833.24	102	-1145.64	161	-25773.30	161	-4247.90	98
306	Min.	-497	-886.61	104	-1616.66	101	-2065.52	177	-140.89	161	-833.24	102	-1145.64	161	-25773.30	161	-4247.90	98
306	Min.	-535	-886.61	104	-1616.66	101	-2065.52	177	-140.89	161	-833.24	102	-1145.64	161	-25773.30	161	-4247.90	98
306	Min.	-537	-886.61	104	-1616.66	101	-2065.52	177	-140.89	161	-833.24	102	-1145.64	161	-25773.30	161	-4247.90	98
306	Max	-473	2268.56	17	3386.96	159	1570.24	103	1587.87	158	-590.96	161	3314.95	126	73516.00	102	-5088.53	33
306	Max	-471	2268.56	17	3386.96	159	1570.24	103	1587.87	158	-590.96	161	3314.95	126	73516.00	102	-5088.53	33
306	Max	-509	2268.56	17	3386.96	159	1570.24	103	1587.87	158	-590.96	161	3314.95	126	73516.00	102	-5088.53	33
306	Max	-511	2268.56	17	3386.96	159	1570.24	103	1587.87	158	-590.96	161	3314.95	126	73516.00	102	-5088.53	33
306	Min.	-473	-2945.19	177	-11047.20	104	-4343.87	177	-228.88	65	-7452.34	102	-268.09	17	11891.10	17	-33436.80	102
306	Min.	-471	-2945.19	177	-11047.20	104	-4343.87	177	-228.88	65	-7452.34	102	-268.09	17	11891.10	17	-33436.80	102
306	Min.	-509	-2945.19	177	-11047.20	104	-4343.87	177	-228.88	65	-7452.34	102	-268.09	17	11891.10	17	-33436.80	102
306	Min.	-511	-2945.19	177	-11047.20	104	-4343.87	177	-228.88	65	-7452.34	102	-268.09	17	11891.10	17	-33436.80	102
306	Max	-477	1806.56	160	2667.18	159	4219.78	17	2159.93	126	-475.73	161	1079.56	65	40934.60	102	-4997.58	33
306	Max	-475	1806.56	160	2667.18	159	4219.78	17	2159.93	126	-475.73	161	1079.56	65	40934.60	102	-4997.58	33
306	Max	-513	1806.56	160	2667.18	159	4219.78	17	2159.93	126	-475.73	161	1079.56	65	40934.60	102	-4997.58	33
306	Max	-515	1806.56	160	2667.18	159	4219.78	17	2159.93	126	-475.73	161	1079.56	65	40934.60	102	-4997.58	33
306	Min.	-477	-3307.88	103	-7346.55	104	-7101.27	177	234.33	49	-3954.40	102	-711.43	17	7084.76	33	-31249.50	102
306	Min.	-475	-3307.88	103	-7346.55	104	-7101.27	177	234.33	49	-3954.40	102	-711.43	17	7084.76	33	-31249.50	102
306	Min.	-513	-3307.88	103	-7346.55	104	-7101.27	177	234.33	49	-3954.40	102	-711.43	17	7084.76	33	-31249.50	102
306	Min.	-515	-3307.88	103	-7346.55	104	-7101.27	177	234.33	49	-3954.40	102	-711.43	17	7084.76	33	-31249.50	102
306	Max	-491	1237.77	65	1072.86	158	1823.72	65	908.24	98	5852.44	161	-542.84	49	60835.20	98	18573.90	98
306	Max	-489	1237.77	65	1072.86	158	1823.72	65	908.24	98	5852.44	161	-542.84	49	60835.20	98	18573.90	98
306	Max	-527	1237.77	65	1072.86	158	1823.72	65	908.24	98	5852.44	161	-542.84	49	60835.20	98	18573.90	98
306	Max	-529	1237.77	65	1072.86	158	1823.72	65	908.24	98	5852.44	161	-542.84	49	60835.20	98	18573.90	98
306	Min.	-491	-1138.42	17	-9962.71	101	-1416.48	17	-117.67	17	-7156.09	98	-5834.30	158	7533.42	65	132.05	161

306	Min.	-489	-1138.42	17	-9962.71	101	-1416.48	17	-117.67	17	-7156.09	98	-5834.30	158	7533.42	65	132.05	161
306	Min.	-527	-1138.42	17	-9962.71	101	-1416.48	17	-117.67	17	-7156.09	98	-5834.30	158	7533.42	65	132.05	161
306	Min.	-529	-1138.42	17	-9962.71	101	-1416.48	17	-117.67	17	-7156.09	98	-5834.30	158	7533.42	65	132.05	161
306	Max	-509	5058.32	17	5210.73	158	3077.25	158	1441.89	161	174.00	161	1760.94	158	14012.70	102	-206.97	17
306	Max	-507	5058.32	17	5210.73	158	3077.25	158	1441.89	161	174.00	161	1760.94	158	14012.70	102	-206.97	17
306	Max	-704	5058.32	17	5210.73	158	3077.25	158	1441.89	161	174.00	161	1760.94	158	14012.70	102	-206.97	17
306	Max	-749	5058.32	17	5210.73	158	3077.25	158	1441.89	161	174.00	161	1760.94	158	14012.70	102	-206.97	17
306	Min.	-509	-9015.36	177	-7441.56	101	-3537.60	101	-910.11	98	-499.45	98	-172.72	17	744.01	161	-42563.70	126
306	Min.	-507	-9015.36	177	-7441.56	101	-3537.60	101	-910.11	98	-499.45	98	-172.72	17	744.01	161	-42563.70	126
306	Min.	-704	-9015.36	177	-7441.56	101	-3537.60	101	-910.11	98	-499.45	98	-172.72	17	744.01	161	-42563.70	126
306	Min.	-749	-9015.36	177	-7441.56	101	-3537.60	101	-910.11	98	-499.45	98	-172.72	17	744.01	161	-42563.70	126
306	Max	-485	2248.11	177	3726.02	158	1186.79	65	974.97	161	-341.11	161	173.15	65	55280.60	102	10349.80	102
306	Max	-483	2248.11	177	3726.02	158	1186.79	65	974.97	161	-341.11	161	173.15	65	55280.60	102	10349.80	102
306	Max	-521	2248.11	177	3726.02	158	1186.79	65	974.97	161	-341.11	161	173.15	65	55280.60	102	10349.80	102
306	Max	-523	2248.11	177	3726.02	158	1186.79	65	974.97	161	-341.11	161	173.15	65	55280.60	102	10349.80	102
306	Min.	-485	-1748.69	17	-9974.25	101	-3311.26	177	-1247.81	98	-7924.85	102	-3761.56	126	8713.75	65	589.02	177
306	Min.	-483	-1748.69	17	-9974.25	101	-3311.26	177	-1247.81	98	-7924.85	102	-3761.56	126	8713.75	65	589.02	177
306	Min.	-521	-1748.69	17	-9974.25	101	-3311.26	177	-1247.81	98	-7924.85	102	-3761.56	126	8713.75	65	589.02	177
306	Min.	-523	-1748.69	17	-9974.25	101	-3311.26	177	-1247.81	98	-7924.85	102	-3761.56	126	8713.75	65	589.02	177
306	Max	-427	1070.31	177	813.34	158	1647.57	65	108.91	161	1227.26	161	3645.77	126	52612.80	98	8933.44	158
306	Max	-425	1070.31	177	813.34	158	1647.57	65	108.91	161	1227.26	161	3645.77	126	52612.80	98	8933.44	158
306	Max	-463	1070.31	177	813.34	158	1647.57	65	108.91	161	1227.26	161	3645.77	126	52612.80	98	8933.44	158
306	Max	-465	1070.31	177	813.34	158	1647.57	65	108.91	161	1227.26	161	3645.77	126	52612.80	98	8933.44	158
306	Min.	-427	-1103.98	65	-10791.10	101	-2169.10	177	-1439.72	102	-18413.80	98	437.81	33	6972.52	17	1150.73	65
306	Min.	-425	-1103.98	65	-10791.10	101	-2169.10	177	-1439.72	102	-18413.80	98	437.81	33	6972.52	17	1150.73	65
306	Min.	-463	-1103.98	65	-10791.10	101	-2169.10	177	-1439.72	102	-18413.80	98	437.81	33	6972.52	17	1150.73	65
306	Min.	-465	-1103.98	65	-10791.10	101	-2169.10	177	-1439.72	102	-18413.80	98	437.81	33	6972.52	17	1150.73	65
306	Max	-423	1675.20	17	10094.70	177	3168.83	177	-101.10	161	3081.79	161	2240.10	126	17956.60	98	1118.07	158
306	Max	-421	1675.20	17	10094.70	177	3168.83	177	-101.10	161	3081.79	161	2240.10	126	17956.60	98	1118.07	158
306	Max	-459	1675.20	17	10094.70	177	3168.83	177	-101.10	161	3081.79	161	2240.10	126	17956.60	98	1118.07	158
306	Max	-461	1675.20	17	10094.70	177	3168.83	177	-101.10	161	3081.79	161	2240.10	126	17956.60	98	1118.07	158
306	Min.	-423	-3720.81	177	-11328.30	103	-1654.42	17	-1022.31	98	-17028.60	98	333.49	33	-3397.88	161	-250.87	173
306	Min.	-421	-3720.81	177	-11328.30	103	-1654.42	17	-1022.31	98	-17028.60	98	333.49	33	-3397.88	161	-250.87	173
306	Min.	-459	-3720.81	177	-11328.30	103	-1654.42	17	-1022.31	98	-17028.60	98	333.49	33	-3397.88	161	-250.87	173
306	Min.	-461	-3720.81	177	-11328.30	103	-1654.42	17	-1022.31	98	-17028.60	98	333.49	33	-3397.88	161	-250.87	173
306	Max	-489	1341.46	65	2950.38	158	2183.94	65	2318.28	158	1947.62	161	-110.58	65	73944.70	98	-3601.34	17
306	Max	-487	1341.46	65	2950.38	158	2183.94	65	2318.28	158	1947.62	161	-110.58	65	73944.70	98	-3601.34	17
306	Max	-525	1341.46	65	2950.38	158	2183.94	65	2318.28	158	1947.62	161	-110.58	65	73944.70	98	-3601.34	17
306	Max	-527	1341.46	65	2950.38	158	2183.94	65	2318.28	158	1947.62	161	-110.58	65	73944.70	98	-3601.34	17
306	Min.	-489	-1241.94	17	-10411.90	101	-2526.83	177	-198.44	17	-7145.24	102	-5460.03	158	9398.13	65	-32306.10	98
306	Min.	-487	-1241.94	17	-10411.90	101	-2526.83	177	-198.44	17	-7145.24	102	-5460.03	158	9398.13	65	-32306.10	98
306	Min.	-525	-1241.94	17	-10411.90	101	-2526.83	177	-198.44	17	-7145.24	102	-5460.03	158	9398.13	65	-32306.10	98
306	Min.	-527	-1241.94	17	-10411.90	101	-2526.83	177	-198.44	17	-7145.24	102	-5460.03	158	9398.13	65	-32306.10	98
306	Max	-455	657.54	99	169.84	143	1932.19	65	327.17	161	2474.01	161	-499.52	65	43021.10	98	1087.54	98
306	Max	-453	657.54	99	169.84	143	1932.19	65	327.17	161	2474.01	161	-499.52	65	43021.10	98	1087.54	98
306	Max	-491	657.54	99	169.84	143	1932.19	65	327.17	161	2474.01	161	-499.52	65	43021.10	98	1087.54	98
306	Max	-493	657.54	99	169.84	143	1932.19	65	327.17	161	2474.01	161	-499.52	65	43021.10	98	1087.54	98
306	Min.	-455	-991.71	128	-10239.30	104	-2078.73	17	-1038.17	102	-16905.10	98	-3395.32	126	4631.34	65	-4315.31	161
306	Min.	-453	-991.71	128	-10239.30	104	-2078.73	17	-1038.17	102	-16905.10	98	-3395.32	126	4631.34	65	-4315.31	161
306	Min.	-491	-991.71	128	-10239.30	104	-2078.73	17	-1038.17	102	-16905.10	98	-3395.32	126	4631.34	65	-4315.31	161
306	Min.	-493	-991.71	128	-10239.30	104	-2078.73	17	-1038.17	102	-16905.10	98	-3395.32	126	4631.34	65	-4315.31	161
306	Max	-437	536.75	123	2867.30	159	3081.06	101	118.75	161	-3594.06	33	3812.43	102	75303.10	102	-2145.03	161
306	Max	-435	536.75	123	2867.30	159	3081.06	101	118.75	161	-3594.06	33	3812.43	102	75303.10	102	-2145.03	161
306	Max	-473	536.75	123	2867.30	159	3081.06	101	118.75	161	-3594.06	33	3812.43	102	75303.10	102	-2145.03	161
306	Max	-475	536.75	123	2867.30	159	3081.06	101	118.75	161	-3594.06	33	3812.43	102	75303.10	102	-2145.03	161
306	Min.	-437	-110.77	104	-15388.60	104	-4116.84	177	-1370.91	98	-19809.10	102	11.18	17	13598.50	33	-14793.40	102
306	Min.	-435	-110.77	104	-15388.60	104	-4116.84	177	-1370.91	98	-19809.10	102	11.18	17	13598.50	33	-14793.40	102
306	Min.	-473	-110.77	104	-15388.60	104	-4116.84	177	-1370.91	98	-19809.10	102	11.18	17	13598.50	33	-14793.40	102
306	Min.	-475	-110.77	104	-15388.60	104	-4116.84	177	-1370.91	98	-19809.10	102	11.18	17	13598.50	33	-14793.40	102
306	Max	-451	283.19	159	1536.13	158	1940.02	65	-53.96	161	84.26	161	-157.70	65	60898.60	98	4630.05	98
306	Max	-449	283.19	159	1536.13	158	1940.02	65	-53.96	161	84.26	161	-157.70	65	60898.60	98	4630.05	98
306	Max	-487	283.19	159	1536.13	158	1940.02	65	-53.96	161	84.26	161	-157.70	65	60898.60	98	4630.05	98
306	Max	-489	283.19	159	1536.13	158	1940.02	65	-53.96	161	84.26	161	-157.70	65	60898.60	98	4630.05	98
306	Min.	-451	-1419.95	104	-11239.60	101	-1418.04	177	-1768.31	102	-19725.10	98	-3528.65	126	8701.46	65	-5472.30	161
306	Min.	-449	-1419.95	104	-11239.60	101	-1418.04	177	-1768.31	102	-19725.10	98	-3528.65	126	8701.46	65	-5472.30	161
306	Min.	-487	-1419.95	104	-11239.60	101	-1418.04	177	-1768.31	102	-19725.10	98	-3528.65	126	8701.46	65	-5472.30	161
306	Min.	-489	-1419.95	104	-11239.60	101	-1418.04	177	-1768.31	102	-19725.10	98	-3528.65	126	8701.46	65	-5472.30	161
306	Max	-425	544.81	100	7617.33	177	2084.79	65	300.45	161	2478.10	161	3369.67	126	42323.10	98	4079.29	161
306	Max	-423	544.81	100	7617.33	177	2084.79	65	300.45	161	2478.10	161	3369.67	126	42323.10	98	4079.29	161
306	Max	-461	544.81	100	7617.33	177	2084.79	65	300.45	161	2478.10	161	3369.67	126	42323.10	98	4079.29	161
306	Max	-463	544.81	100	7617.33	177	2084.79	65	300.45	161	2478.10	161	3369.67	126	42323.10	98	4079.29	161
306	Min.	-425	-6368.77	177	-10310.20	103	-1931.08	17	-1040.20	102	-16939.80	98	449.94	33	4641.52	17	-1449.99	173
306	Min.	-423	-6368.77	177	-10310.20	103	-1931.08	17	-1040.20	102	-16939.80	98	449.94	33	4641.52	17	-1449.99	173
306	Min.	-461	-6368.77	177	-10310.20	103	-1931.08	17	-1040.20	102	-16939.80	98	449.94	33	4641.52	17	-1449.99	173
306	Min.	-463	-6368.77	177	-10310.20	103	-1931.08	17	-1040.20	102	-16939.80	98	449.94	33	4641.52	17	-1449.99	173
306	Max	-431	2502.29	177	1939.78	158	882.73	65	167.56	161	-1038.00	161	3487.08	126	69624.10	98	6394.02	158
306	Max	-429	2502.29	177	1939.78	158	882.73	65	167.56	161	-1038.00	161	3487.08	126	69624.10	98	6394.02	158
306	Max	-467	2502.29	177	1939.78	158	882.73	65	167.56	161	-1038.00	161	3487.08	126	69624.10	98	6394.02	158
306	Max	-469	2502.29	177	1939.78	158	882.73	65	167.56	161	-1038.00	161	3487.08	126	69624.10	98	6394.02	158
306	Min.	-431	-1147.75	103	-11918.60	101	-4160.02	177	-1890.17	102	-20057.20	98	-31.31	17	10558.80	17	377.75	65
306	Min.	-429	-1147.75	103	-11918.60	101	-4160.02	177	-1890.17	102	-20057.20	98	-31.31	17	10558.80	17	377.75	65
306	Min.	-467	-1147.75	103	-11918.60	101	-4160.02	177	-1890.17	102	-20057.20	98	-31.31	17	10558.80	17	377.75	65
306	Min.	-469	-1147.75	103	-11918.60	101	-4160.02	177	-1890.17	102	-20057.20	98	-31.31	17	10558.80	17	377.75	65
306	Max	-511	5417.16	17	6336.47	122	4135.53	101	2932.10	126	703.76	126	1263.32	158	-1209.41	65	-6027.28	17
306	Max	-509	5417.16	17	6336.47	122	4135.53	101	2932.10	126	703.76	126	1263.32	158	-1209.41	65	-6027.28	17
306	Max	-749	5417.16	17	6336.47	122	4135.53	101	2932.10	126	703.76	126	1263.32	158	-1209.41	65	-6027.28	17
306	Max	-794	5417.16	17	6336.47	122	4135.53	101	2932.10	126	703.76	126	1263.32	158	-1209.41	65	-6027.28	17
306	Min.	-511	-7809.29	177	-8879.03	101	-2268.89	177	-51.03	65	55.69	65	-310.71	17	-11089.20	102	-56796.50	102
306	Min.	-509	-7809.29	177	-8879.03	101	-2268.89	177	-51.03	65	55.69	65	-310.71	17	-11089.20	102	-56796.50	102
306	Min.	-749	-7809.29	177	-8879.03	101	-2268.89	177	-51.03	65	55.69	65	-310.71	17	-11089.20	102	-56796.50	102
306	Min.	-794	-7809.29	177	-8879.03	101	-2268.89	177	-51.03	65	55.69	65	-310.71	17	-11089.20	102	-56796.50	102
306	Max	-515	3292.81	124	4048.95	122	1234.56	173	3491.34	126	278.97	158	354.75	65	196.76	65	2419.54	17
306	Max	-513	3292.81	124	4048.95	122	1234.56	173	3491.34	126	278.97	158	354.75	65	196.76	65	2419.54	17
306	Max	-837	3292.81	124	4048.95	122	1234.56	173	3491.34	126	278.97	158	354.75	65	196.76	65	2419.54	17
306	Max	-882	3292.81	124	4048.95	122	1234.56	173	3491.34	126	278.97	158	354.75	65	196.76	65	2419.54	17
306	Min.	-515	-4919.14	103	-6274.15	101	-4312.56	177	468.24	33	2.00	65	-520.76	173	-2941.95	126	-28135.10	102
306	Min.	-513	-4919.14	103	-6274.15	101	-4312.56	177	468.24	33	2.00	65	-520.76	173	-2941.95	126	-28135.10	102
306	Min.	-837	-4919.14	103	-6274.15	101	-4312.56	177	468.24	33	2.00	65	-520.76	173	-2941.95	126	-28135.10	102
306	Min.	-882	-4919.14	103	-6274.15	101	-4312.56	177	468.24	33	2.00	65	-520.76	173	-2941.95	126	-28135.10	102
306	Max	-521	6168.60	177	6325.31	122	2009.11	158	2922.18	126	698.71	126	301.95	65	-1167.41	17	57094.70	102
306	Max	-519	6168.60	177	6325.31	122	2009.11	158	2922.18	126	698.71	126	301.95	65	-1167.41	17	57094.70	102
306	Max	-970	6168.60	177	6325.31	122	2009.11	158	2922.18	126	698.71	126	301.95	65	-1167.41	17	57094.70	102
306	Max	-1013	6168.60	177	6325.31	122	2009.11	158	2922.18	126	698.71	126	301.95	65	-1167.41	17	57094.70	102
306	Min.	-521	-3996.41	17	-8851.13	101	-4127.24	101	-60.44	17	53.16	17	-1273.43	158	-11008.30	102	6239.90	65
306	Min.	-519	-3996.41	17	-8851.13	101	-4127.24	101	-60.44	17	53.16	17	-1273.43	158	-11008.30	102	6239.90	65

306	Min.	-970	-3996.41	17	-8851.13	101	-4127.24	101	-60.44	17	53.16	17	-1273.43	158	-11008.30	102	6239.90	65
306	Min.	-1013	-3996.41	17	-8851.13	101	-4127.24	101	-60.44	17	53.16	17	-1273.43	158	-11008.30	102	6239.90	65
306	Max	-513	5230.36	17	2729.06	122	641.67	173	2789.47	126	444.28	126	1062.45	126	-245.07	65	15586.90	173
306	Max	-511	5230.36	17	2729.06	122	641.67	173	2789.47	126	444.28	126	1062.45	126	-245.07	65	15586.90	173
306	Max	-794	5230.36	17	2729.06	122	641.67	173	2789.47	126	444.28	126	1062.45	126	-245.07	65	15586.90	173
306	Max	-837	5230.36	17	2729.06	122	641.67	173	2789.47	126	444.28	126	1062.45	126	-245.07	65	15586.90	173
306	Min.	-513	-7163.56	177	-5116.91	101	-4516.07	177	40.44	65	18.27	65	-284.14	17	-5943.19	126	-6092.74	65
306	Min.	-511	-7163.56	177	-5116.91	101	-4516.07	177	40.44	65	18.27	65	-284.14	17	-5943.19	126	-6092.74	65
306	Min.	-794	-7163.56	177	-5116.91	101	-4516.07	177	40.44	65	18.27	65	-284.14	17	-5943.19	126	-6092.74	65
306	Min.	-837	-7163.56	177	-5116.91	101	-4516.07	177	40.44	65	18.27	65	-284.14	17	-5943.19	126	-6092.74	65
306	Max	-439	669.07	159	1383.10	159	6916.20	17	314.37	161	-1340.90	33	4786.65	102	17519.20	102	-1143.09	161
306	Max	-437	669.07	159	1383.10	159	6916.20	17	314.37	161	-1340.90	33	4786.65	102	17519.20	102	-1143.09	161
306	Max	-475	669.07	159	1383.10	159	6916.20	17	314.37	161	-1340.90	33	4786.65	102	17519.20	102	-1143.09	161
306	Max	-477	669.07	159	1383.10	159	6916.20	17	314.37	161	-1340.90	33	4786.65	102	17519.20	102	-1143.09	161
306	Min.	-439	-2537.05	104	-4159.40	104	-8479.62	177	-216.99	98	-7428.42	102	126.86	17	2764.42	33	-9368.42	102
306	Min.	-437	-2537.05	104	-4159.40	104	-8479.62	177	-216.99	98	-7428.42	102	126.86	17	2764.42	33	-9368.42	102
306	Min.	-475	-2537.05	104	-4159.40	104	-8479.62	177	-216.99	98	-7428.42	102	126.86	17	2764.42	33	-9368.42	102
306	Min.	-477	-2537.05	104	-4159.40	104	-8479.62	177	-216.99	98	-7428.42	102	126.86	17	2764.42	33	-9368.42	102
306	Max	-529	3493.62	177	3505.12	177	2163.44	127	2516.73	122	11980.80	158	-124.18	65	69.18	17	91245.60	158
306	Max	-527	3493.62	177	3505.12	177	2163.44	127	2516.73	122	11980.80	158	-124.18	65	69.18	17	91245.60	158
306	Max	-1146	3493.62	177	3505.12	177	2163.44	127	2516.73	122	11980.80	158	-124.18	65	69.18	17	91245.60	158
306	Max	320	3493.62	177	3505.12	177	2163.44	127	2516.73	122	11980.80	158	-124.18	65	69.18	17	91245.60	158
306	Min.	-529	-2369.17	104	-3165.52	162	-3325.31	177	24.02	17	-34.94	17	-7513.61	158	-6656.13	122	6203.00	65
306	Min.	-527	-2369.17	104	-3165.52	162	-3325.31	177	24.02	17	-34.94	17	-7513.61	158	-6656.13	122	6203.00	65
306	Min.	-1146	-2369.17	104	-3165.52	162	-3325.31	177	24.02	17	-34.94	17	-7513.61	158	-6656.13	122	6203.00	65
306	Min.	320	-2369.17	104	-3165.52	162	-3325.31	177	24.02	17	-34.94	17	-7513.61	158	-6656.13	122	6203.00	65
306	Max	-447	361.03	159	2278.25	158	1443.83	65	49.35	161	-2319.17	161	123.54	65	75290.50	102	146.87	17
306	Max	-445	361.03	159	2278.25	158	1443.83	65	49.35	161	-2319.17	161	123.54	65	75290.50	102	146.87	17
306	Max	-483	361.03	159	2278.25	158	1443.83	65	49.35	161	-2319.17	161	123.54	65	75290.50	102	146.87	17
306	Max	-485	361.03	159	2278.25	158	1443.83	65	49.35	161	-2319.17	161	123.54	65	75290.50	102	146.87	17
306	Min.	-447	-1080.60	104	-12936.60	101	-3280.83	177	-2070.08	98	-20790.20	102	-3329.78	126	12058.80	65	-3554.91	158
306	Min.	-445	-1080.60	104	-12936.60	101	-3280.83	177	-2070.08	98	-20790.20	102	-3329.78	126	12058.80	65	-3554.91	158
306	Min.	-483	-1080.60	104	-12936.60	101	-3280.83	177	-2070.08	98	-20790.20	102	-3329.78	126	12058.80	65	-3554.91	158
306	Min.	-485	-1080.60	104	-12936.60	101	-3280.83	177	-2070.08	98	-20790.20	102	-3329.78	126	12058.80	65	-3554.91	158
306	Max	-525	5517.43	177	2927.08	158	2113.41	123	1208.38	166	256.53	161	-38.18	65	11441.50	102	31175.20	161
306	Max	-523	5517.43	177	2927.08	158	2113.41	123	1208.38	166	256.53	161	-38.18	65	11441.50	102	31175.20	161
306	Max	-1058	5517.43	177	2927.08	158	2113.41	123	1208.38	166	256.53	161	-38.18	65	11441.50	102	31175.20	161
306	Max	-1103	5517.43	177	2927.08	158	2113.41	123	1208.38	166	256.53	161	-38.18	65	11441.50	102	31175.20	161
306	Min.	-525	-2677.15	17	-4933.43	177	-3046.71	177	-430.14	17	-339.78	102	-2226.92	158	-3450.21	161	-8899.28	65
306	Min.	-523	-2677.15	17	-4933.43	177	-3046.71	177	-430.14	17	-339.78	102	-2226.92	158	-3450.21	161	-8899.28	65
306	Min.	-1058	-2677.15	17	-4933.43	177	-3046.71	177	-430.14	17	-339.78	102	-2226.92	158	-3450.21	161	-8899.28	65
306	Min.	-1103	-2677.15	17	-4933.43	177	-3046.71	177	-430.14	17	-339.78	102	-2226.92	158	-3450.21	161	-8899.28	65
306	Max	-457	1784.07	65	800.98	49	1677.23	65	-87.31	161	3076.04	161	-357.98	65	18729.40	98	212.78	65
306	Max	-455	1784.07	65	800.98	49	1677.23	65	-87.31	161	3076.04	161	-357.98	65	18729.40	98	212.78	65
306	Max	-493	1784.07	65	800.98	49	1677.23	65	-87.31	161	3076.04	161	-357.98	65	18729.40	98	212.78	65
306	Max	-495	1784.07	65	800.98	49	1677.23	65	-87.31	161	3076.04	161	-357.98	65	18729.40	98	212.78	65
306	Min.	-457	-2614.14	17	-11166.20	104	-2023.04	17	-1021.69	98	-16986.90	98	-2305.20	126	-3042.30	161	-1232.67	158
306	Min.	-455	-2614.14	17	-11166.20	104	-2023.04	17	-1021.69	98	-16986.90	98	-2305.20	126	-3042.30	161	-1232.67	158
306	Min.	-493	-2614.14	17	-11166.20	104	-2023.04	17	-1021.69	98	-16986.90	98	-2305.20	126	-3042.30	161	-1232.67	158
306	Min.	-495	-2614.14	17	-11166.20	104	-2023.04	17	-1021.69	98	-16986.90	98	-2305.20	126	-3042.30	161	-1232.67	158
306	Max	-495	515.71	65	892.13	107	384.25	107	24.74	65	7789.77	161	-215.81	65	16478.80	98	5099.79	166
306	Max	-493	515.71	65	892.13	107	384.25	107	24.74	65	7789.77	161	-215.81	65	16478.80	98	5099.79	166
306	Max	-531	515.71	65	892.13	107	384.25	107	24.74	65	7789.77	161	-215.81	65	16478.80	98	5099.79	166
306	Max	-533	515.71	65	892.13	107	384.25	107	24.74	65	7789.77	161	-215.81	65	16478.80	98	5099.79	166
306	Min.	-495	-522.42	17	-7904.26	104	-749.92	104	-190.22	158	-7282.34	98	-1268.35	102	-6151.67	161	-386.60	101
306	Min.	-493	-522.42	17	-7904.26	104	-749.92	104	-190.22	158	-7282.34	98	-1268.35	102	-6151.67	161	-386.60	101
306	Min.	-531	-522.42	17	-7904.26	104	-749.92	104	-190.22	158	-7282.34	98	-1268.35	102	-6151.67	161	-386.60	101
306	Min.	-533	-522.42	17	-7904.26	104	-749.92	104	-190.22	158	-7282.34	98	-1268.35	102	-6151.67	161	-386.60	101
306	Max	-531	12686.00	177	6346.24	106	2364.94	106	1823.90	158	18153.30	162	8989.96	161	19604.80	98	17659.90	98
306	Max	-529	12686.00	177	6346.24	106	2364.94	106	1823.90	158	18153.30	162	8989.96	161	19604.80	98	17659.90	98
306	Max	320	12686.00	177	6346.24	106	2364.94	106	1823.90	158	18153.30	162	8989.96	161	19604.80	98	17659.90	98
306	Max	-1225	12686.00	177	6346.24	106	2364.94	106	1823.90	158	18153.30	162	8989.96	161	19604.80	98	17659.90	98
306	Min.	-531	-6345.01	158	-18308.70	101	-6582.84	101	-440.25	177	-964.85	101	-723.82	102	2398.24	65	-21121.00	161
306	Min.	-529	-6345.01	158	-18308.70	101	-6582.84	101	-440.25	177	-964.85	101	-723.82	102	2398.24	65	-21121.00	161
306	Min.	320	-6345.01	158	-18308.70	101	-6582.84	101	-440.25	177	-964.85	101	-723.82	102	2398.24	65	-21121.00	161
306	Min.	-1225	-6345.01	158	-18308.70	101	-6582.84	101	-440.25	177	-964.85	101	-723.82	102	2398.24	65	-21121.00	161
306	Max	-471	1991.03	17	3722.92	158	983.17	65	982.45	161	-340.73	161	3742.77	126	55353.20	102	-840.56	17
306	Max	-469	1991.03	17	3722.92	158	983.17	65	982.45	161	-340.73	161	3742.77	126	55353.20	102	-840.56	17
306	Max	-507	1991.03	17	3722.92	158	983.17	65	982.45	161	-340.73	161	3742.77	126	55353.20	102	-840.56	17
306	Max	-509	1991.03	17	3722.92	158	983.17	65	982.45	161	-340.73	161	3742.77	126	55353.20	102	-840.56	17
306	Min.	-471	-3873.28	177	-9992.28	101	-4174.51	177	-1236.75	98	-7924.60	102	-189.03	17	8848.80	17	-10285.80	102
306	Min.	-469	-3873.28	177	-9992.28	101	-4174.51	177	-1236.75	98	-7924.60	102	-189.03	17	8848.80	17	-10285.80	102
306	Min.	-507	-3873.28	177	-9992.28	101	-4174.51	177	-1236.75	98	-7924.60	102	-189.03	17	8848.80	17	-10285.80	102
306	Min.	-509	-3873.28	177	-9992.28	101	-4174.51	177	-1236.75	98	-7924.60	102	-189.03	17	8848.80	17	-10285.80	102
306	Max	-449	216.73	159	1949.64	158	1806.06	65	165.34	161	-991.65	161	15.53	65	69316.40	98	-355.92	17
306	Max	-447	216.73	159	1949.64	158	1806.06	65	165.34	161	-991.65	161	15.53	65	69316.40	98	-355.92	17
306	Max	-485	216.73	159	1949.64	158	1806.06	65	165.34	161	-991.65	161	15.53	65	69316.40	98	-355.92	17
306	Max	-487	216.73	159	1949.64	158	1806.06	65	165.34	161	-991.65	161	15.53	65	69316.40	98	-355.92	17
306	Min.	-449	-1139.16	104	-11862.30	101	-2394.14	177	-1887.97	102	-20028.70	98	-3502.97	126	10322.70	65	-6399.23	158
306	Min.	-447	-1139.16	104	-11862.30	101	-2394.14	177	-1887.97	102	-20028.70	98	-3502.97	126	10322.70	65	-6399.23	158
306	Min.	-485	-1139.16	104	-11862.30	101	-2394.14	177	-1887.97	102	-20028.70	98	-3502.97	126	10322.70	65	-6399.23	158
306	Min.	-487	-1139.16	104	-11862.30	101	-2394.14	177	-1887.97	102	-20028.70	98	-3502.97	126	10322.70	65	-6399.23	158
306	Max	-441	667.42	160	1424.38	160	4576.39	17	315.43	161	-1441.90	33	-174.91	65	17785.10	102	9573.62	102
306	Max	-439	667.42	160	1424.38	160	4576.39	17	315.43	161	-1441.90	33	-174.91	65	17785.10	102	9573.62	102
306	Max	-477	667.42	160	1424.38	160	4576.39	17	315.43	161	-1441.90	33	-174.91	65	17785.10	102	9573.62	102
306	Max	-479	667.42	160	1424.38	160	4576.39	17	315.43	161	-1441.90	33	-174.91	65	17785.10	102	9573.62	102
306	Min.	-441	-2528.57	103	-4334.63	103	-11152.00	177	-212.75	98	-7478.14	102	-4908.59	102	2800.55	65	1167.40	161
306	Min.	-439	-2528.57	103	-4334.63	103	-11152.00	177	-212.75	98	-7478.14	102	-4908.59	102	2800.55	65	1167.40	161
306	Min.	-477	-2528.57	103	-4334.63	103	-11152.00	177	-212.75	98	-7478.14	102	-4908.59	102	2800.55	65	1167.40	161
306	Min.	-479	-2528.57	103	-4334.63	103	-11152.00	177	-212.75	98	-7478.14	102	-4908.59	102	2800.55	65	1167.40	161
306	Max	-503	1565.51	160	1412.59	17	378.01	173	2541.01	122	11953.30	158	7500.28	158	42.32	65	-6342.54	17
306	Max	-501	1565.51	160	1412.59	17	378.01	173	2541.01	122	11953.30	158	7500.28	158	42.32	65	-6342.54	17
306	Max	301	1565.51	160	1412.59	17	378.01	173	2541.01	122	11953.30	158	7500.28	158	42.32	65	-6342.54	17
306	Max	-618	1565.51	160	1412.59	17	378.01	173	2541.01	122	11953.30	158	7500.28	158	42.32	65	-6342.54	17
306	Min.	-503	-10494.60	177	-58500.20	177	-10505.70	177	-114.26	177	-32.08	65	-467.86	177	-6739.68	122	-91387.30	158
306	Min.	-501	-10494.60	177	-58500.20	177	-10505.70	177	-114.26	177	-32.08	65	-467.86	177	-6739.68	122	-91387.30	158
306	Min.	301	-10494.60	177	-58500.20	177	-10505.70	177	-114.26	177	-32.08	65	-467.86	177	-6739.68	122	-91387.30	158
306	Min.	-618	-10494.60	177	-58500.20	177	-10505.70	177	-114.26	177	-32.08	65	-467.86	177	-6739.68	122	-91387.30	158
306	Max	-475	2501.98	17	3202.85	159	2250.65	104	1716.78	126	-711.61	161	2251.29	126	61500.70	102	2285.07	164
306	Max	-473	2501.98	17	3202.85	159	2250.65	104	1716.78	126	-711.61	161	2251.29	126	61500.70	102	2285.07	164
306	Max	-511	2501.98	17	3202.85	159	2250.65	104	1716.78	126	-711.61	161	2251.29	126	61500.70	102	2285.07	164
306	Max	-513	2501.98	17	3202.85	159	2250.65	104	1716.78	126	-711.61	161	2251.29	126	61500.70	102	2285.07	164
306	Min.	-475	-3596.06	177	-10079.50	104	-5037.04	177	-41.16	65	-6233.15	102	-506.65	17	10322.20	17	-1925.60	65
306	Min.	-473	-3596.06	177	-10079.50	104	-5037.04	177	-41.16	65	-6233.15	102	-506.65	17	10322.20	17	-1925.60	65
306	Min.	-511	-3596.06	177	-10079.50	104	-5037.04	177	-41.16	65	-6233.15	102	-506.65	17	10322.20	17	-1925.60	65

306	Min.	-513	-3596.06	177	-10079.50	104	-5037.04	177	-41.16	65	-6233.15	102	-506.65	17	10322.20	17	-1925.60	65
306	Max	-453	602.09	65	840.46	158	2075.69	65	109.40	161	1253.60	161	-495.99	65	52454.20	98	-1093.16	33
306	Max	-451	602.09	65	840.46	158	2075.69	65	109.40	161	1253.60	161	-495.99	65	52454.20	98	-1093.16	33
306	Max	-489	602.09	65	840.46	158	2075.69	65	109.40	161	1253.60	161	-495.99	65	52454.20	98	-1093.16	33
306	Max	-491	602.09	65	840.46	158	2075.69	65	109.40	161	1253.60	161	-495.99	65	52454.20	98	-1093.16	33
306	Min.	-453	-1101.48	17	-10764.10	101	-1650.93	17	-1441.65	102	-18374.70	98	-3653.11	126	6802.81	65	-8945.07	158
306	Min.	-451	-1101.48	17	-10764.10	101	-1650.93	17	-1441.65	102	-18374.70	98	-3653.11	126	6802.81	65	-8945.07	158
306	Min.	-489	-1101.48	17	-10764.10	101	-1650.93	17	-1441.65	102	-18374.70	98	-3653.11	126	6802.81	65	-8945.07	158
306	Min.	-491	-1101.48	17	-10764.10	101	-1650.93	17	-1441.65	102	-18374.70	98	-3653.11	126	6802.81	65	-8945.07	158
306	Max	-461	574.93	17	14667.00	177	751.58	103	35.80	173	7730.67	161	1197.74	102	15951.70	98	390.20	101
306	Max	-459	574.93	17	14667.00	177	751.58	103	35.80	173	7730.67	161	1197.74	102	15951.70	98	390.20	101
306	Max	-497	574.93	17	14667.00	177	751.58	103	35.80	173	7730.67	161	1197.74	102	15951.70	98	390.20	101
306	Max	-499	574.93	17	14667.00	177	751.58	103	35.80	173	7730.67	161	1197.74	102	15951.70	98	390.20	101
306	Min.	-461	-548.19	65	-7919.60	103	-377.93	108	-130.40	157	-7285.87	98	107.29	177	-7131.74	161	-4859.79	162
306	Min.	-459	-548.19	65	-7919.60	103	-377.93	108	-130.40	157	-7285.87	98	107.29	177	-7131.74	161	-4859.79	162
306	Min.	-497	-548.19	65	-7919.60	103	-377.93	108	-130.40	157	-7285.87	98	107.29	177	-7131.74	161	-4859.79	162
306	Min.	-499	-548.19	65	-7919.60	103	-377.93	108	-130.40	157	-7285.87	98	107.29	177	-7131.74	161	-4859.79	162
306	Max	-479	1789.82	159	2704.56	160	2935.02	17	2186.77	126	-474.51	161	695.90	65	41102.20	102	31697.20	102
306	Max	-477	1789.82	159	2704.56	160	2935.02	17	2186.77	126	-474.51	161	695.90	65	41102.20	102	31697.20	102
306	Max	-515	1789.82	159	2704.56	160	2935.02	17	2186.77	126	-474.51	161	695.90	65	41102.20	102	31697.20	102
306	Max	-517	1789.82	159	2704.56	160	2935.02	17	2186.77	126	-474.51	161	695.90	65	41102.20	102	31697.20	102
306	Min.	-479	-3245.78	104	-7443.33	103	-8452.87	177	223.91	33	-3949.40	102	-1283.44	173	7232.36	33	5481.88	65
306	Min.	-477	-3245.78	104	-7443.33	103	-8452.87	177	223.91	33	-3949.40	102	-1283.44	173	7232.36	33	5481.88	65
306	Min.	-515	-3245.78	104	-7443.33	103	-8452.87	177	223.91	33	-3949.40	102	-1283.44	173	7232.36	33	5481.88	65
306	Min.	-517	-3245.78	104	-7443.33	103	-8452.87	177	223.91	33	-3949.40	102	-1283.44	173	7232.36	33	5481.88	65
306	Max	-519	5216.96	65	2711.04	122	1235.75	173	2821.43	126	448.58	126	277.06	65	-231.23	17	6272.58	17
306	Max	-517	5216.96	65	2711.04	122	1235.75	173	2821.43	126	448.58	126	277.06	65	-231.23	17	6272.58	17
306	Max	-925	5216.96	65	2711.04	122	1235.75	173	2821.43	126	448.58	126	277.06	65	-231.23	17	6272.58	17
306	Max	-970	5216.96	65	2711.04	122	1235.75	173	2821.43	126	448.58	126	277.06	65	-231.23	17	6272.58	17
306	Min.	-519	-4286.98	17	-5093.63	101	-4469.05	177	41.23	17	18.61	17	-1068.23	126	-5928.08	126	-11025.40	65
306	Min.	-517	-4286.98	17	-5093.63	101	-4469.05	177	41.23	17	18.61	17	-1068.23	126	-5928.08	126	-11025.40	65
306	Min.	-925	-4286.98	17	-5093.63	101	-4469.05	177	41.23	17	18.61	17	-1068.23	126	-5928.08	126	-11025.40	65
306	Min.	-970	-4286.98	17	-5093.63	101	-4469.05	177	41.23	17	18.61	17	-1068.23	126	-5928.08	126	-11025.40	65
306	Max	-523	7405.49	177	5271.97	158	3556.35	101	1435.90	161	179.81	161	164.93	65	14082.30	102	42784.80	126
306	Max	-521	7405.49	177	5271.97	158	3556.35	101	1435.90	161	179.81	161	164.93	65	14082.30	102	42784.80	126
306	Max	-1013	7405.49	177	5271.97	158	3556.35	101	1435.90	161	179.81	161	164.93	65	14082.30	102	42784.80	126
306	Max	-1058	7405.49	177	5271.97	158	3556.35	101	1435.90	161	179.81	161	164.93	65	14082.30	102	42784.80	126
306	Min.	-523	-3552.51	17	-7485.61	101	-3095.84	158	-927.71	98	-505.62	98	-1771.58	158	763.94	161	376.78	65
306	Min.	-521	-3552.51	17	-7485.61	101	-3095.84	158	-927.71	98	-505.62	98	-1771.58	158	763.94	161	376.78	65
306	Min.	-1013	-3552.51	17	-7485.61	101	-3095.84	158	-927.71	98	-505.62	98	-1771.58	158	763.94	161	376.78	65
306	Min.	-1058	-3552.51	17	-7485.61	101	-3095.84	158	-927.71	98	-505.62	98	-1771.58	158	763.94	161	376.78	65
306	Max	-483	2264.75	65	3395.91	160	1048.47	173	1583.98	158	-591.59	161	251.34	65	73485.30	102	33478.10	102
306	Max	-481	2264.75	65	3395.91	160	1048.47	173	1583.98	158	-591.59	161	251.34	65	73485.30	102	33478.10	102
306	Max	-519	2264.75	65	3395.91	160	1048.47	173	1583.98	158	-591.59	161	251.34	65	73485.30	102	33478.10	102
306	Max	-521	2264.75	65	3395.91	160	1048.47	173	1583.98	158	-591.59	161	251.34	65	73485.30	102	33478.10	102
306	Min.	-483	-1784.72	17	-11041.80	103	-4373.97	177	-233.86	17	-7457.99	102	-3335.46	126	11736.10	65	5150.73	65
306	Min.	-481	-1784.72	17	-11041.80	103	-4373.97	177	-233.86	17	-7457.99	102	-3335.46	126	11736.10	65	5150.73	65
306	Min.	-519	-1784.72	17	-11041.80	103	-4373.97	177	-233.86	17	-7457.99	102	-3335.46	126	11736.10	65	5150.73	65
306	Min.	-521	-1784.72	17	-11041.80	103	-4373.97	177	-233.86	17	-7457.99	102	-3335.46	126	11736.10	65	5150.73	65
306	Max	-527	5574.29	127	9547.87	158	5885.08	101	3166.50	98	675.08	98	-266.08	65	-818.47	17	38841.60	161
306	Max	-525	5574.29	127	9547.87	158	5885.08	101	3166.50	98	675.08	98	-266.08	65	-818.47	17	38841.60	161
306	Max	-1103	5574.29	127	9547.87	158	5885.08	101	3166.50	98	675.08	98	-266.08	65	-818.47	17	38841.60	161
306	Max	-1146	5574.29	127	9547.87	158	5885.08	101	3166.50	98	675.08	98	-266.08	65	-818.47	17	38841.60	161
306	Min.	-527	-2474.30	17	-13699.00	101	-4575.53	158	-55.96	17	-2356.56	161	-1918.44	102	-24077.00	158	-23422.20	98
306	Min.	-525	-2474.30	17	-13699.00	101	-4575.53	158	-55.96	17	-2356.56	161	-1918.44	102	-24077.00	158	-23422.20	98
306	Min.	-1103	-2474.30	17	-13699.00	101	-4575.53	158	-55.96	17	-2356.56	161	-1918.44	102	-24077.00	158	-23422.20	98
306	Min.	-1146	-2474.30	17	-13699.00	101	-4575.53	158	-55.96	17	-2356.56	161	-1918.44	102	-24077.00	158	-23422.20	98
306	Max	-505	19317.60	177	8887.13	158	8880.04	177	3116.02	98	653.80	98	1901.08	102	-811.46	65	24434.60	173
306	Max	-503	19317.60	177	8887.13	158	8880.04	177	3116.02	98	653.80	98	1901.08	102	-811.46	65	24434.60	173
306	Max	-618	19317.60	177	8887.13	158	8880.04	177	3116.02	98	653.80	98	1901.08	102	-811.46	65	24434.60	173
306	Max	-661	19317.60	177	8887.13	158	8880.04	177	3116.02	98	653.80	98	1901.08	102	-811.46	65	24434.60	173
306	Min.	-505	-2421.63	65	-13125.30	101	-5654.96	101	-282.10	177	-2262.08	161	11.62	177	-23493.30	158	-38343.50	161
306	Min.	-503	-2421.63	65	-13125.30	101	-5654.96	101	-282.10	177	-2262.08	161	11.62	177	-23493.30	158	-38343.50	161
306	Min.	-618	-2421.63	65	-13125.30	101	-5654.96	101	-282.10	177	-2262.08	161	11.62	177	-23493.30	158	-38343.50	161
306	Min.	-661	-2421.63	65	-13125.30	101	-5654.96	101	-282.10	177	-2262.08	161	11.62	177	-23493.30	158	-38343.50	161
306	Max	-465	1232.93	17	1060.26	158	1414.68	65	1027.47	173	5854.14	161	5836.48	158	61016.90	98	-184.95	161
306	Max	-463	1232.93	17	1060.26	158	1414.68	65	1027.47	173	5854.14	161	5836.48	158	61016.90	98	-184.95	161
306	Max	-501	1232.93	17	1060.26	158	1414.68	65	1027.47	173	5854.14	161	5836.48	158	61016.90	98	-184.95	161
306	Max	-503	1232.93	17	1060.26	158	1414.68	65	1027.47	173	5854.14	161	5836.48	158	61016.90	98	-184.95	161
306	Min.	-465	-1130.37	65	-10020.70	101	-1833.82	17	-110.12	65	-7163.66	98	449.35	177	7732.38	17	-18687.20	98
306	Min.	-463	-1130.37	65	-10020.70	101	-1833.82	17	-110.12	65	-7163.66	98	449.35	177	7732.38	17	-18687.20	98
306	Min.	-501	-1130.37	65	-10020.70	101	-1833.82	17	-110.12	65	-7163.66	98	449.35	177	7732.38	17	-18687.20	98
306	Min.	-503	-1130.37	65	-10020.70	101	-1833.82	17	-110.12	65	-7163.66	98	449.35	177	7732.38	17	-18687.20	98
306	Max	-445	728.70	65	2388.87	160	1374.89	173	-23.34	161	-3391.58	161	201.35	65	79185.60	102	-473.69	17
306	Max	-443	728.70	65	2388.87	160	1374.89	173	-23.34	161	-3391.58	161	201.35	65	79185.60	102	-473.69	17
306	Max	-481	728.70	65	2388.87	160	1374.89	173	-23.34	161	-3391.58	161	201.35	65	79185.60	102	-473.69	17
306	Max	-483	728.70	65	2388.87	160	1374.89	173	-23.34	161	-3391.58	161	201.35	65	79185.60	102	-473.69	17
306	Min.	-445	-1602.03	104	-13491.60	103	-3707.76	177	-2166.03	98	-22198.40	102	-3050.25	126	13770.00	65	-4775.23	126
306	Min.	-443	-1602.03	104	-13491.60	103	-3707.76	177	-2166.03	98	-22198.40	102	-3050.25	126	13770.00	65	-4775.23	126
306	Min.	-481	-1602.03	104	-13491.60	103	-3707.76	177	-2166.03	98	-22198.40	102	-3050.25	126	13770.00	65	-4775.23	126
306	Min.	-483	-1602.03	104	-13491.60	103	-3707.76	177	-2166.03	98	-22198.40	102	-3050.25	126	13770.00	65	-4775.23	126
306	Max	-429	8584.50	177	1548.57	158	1128.81	65	-39.58	161	38.61	161	3519.09	126	61271.20	98	5522.52	161
306	Max	-427	8584.50	177	1548.57	158	1128.81	65	-39.58	161	38.61	161	3519.09	126	61271.20	98	5522.52	161
306	Max	-465	8584.50	177	1548.57	158	1128.81	65	-39.58	161	38.61	161	3519.09	126	61271.20	98	5522.52	161
306	Max	-467	8584.50	177	1548.57	158	1128.81	65	-39.58	161	38.61	161	3519.09	126	61271.20	98	5522.52	161
306	Min.	-429	-1428.88	103	-11271.70	101	-2547.86	177	-1767.84	102	-19763.30	98	140.99	17	8928.67	17	-4277.87	98
306	Min.	-427	-1428.88	103	-11271.70	101	-2547.86	177	-1767.84	102	-19763.30	98	140.99	17	8928.67	17	-4277.87	98
306	Min.	-465	-1428.88	103	-11271.70	101	-2547.86	177	-1767.84	102	-19763.30	98	140.99	17	8928.67	17	-4277.87	98
306	Min.	-467	-1428.88	103	-11271.70	101	-2547.86	177	-1767.84	102	-19763.30	98	140.99	17	8928.67	17	-4277.87	98
306	Max	-435	731.53	17	2376.30	159	1017.39	103	-22.42	161	-3394.37	161	3034.16	126	79094.50	102	4782.28	126
306	Max	-433	731.53	17	2376.30	159	1017.39	103	-22.42	161	-3394.37	161	3034.16	126	79094.50	102	4782.28	126
306	Max	-471	731.53	17	2376.30	159	1017.39	103	-22.42	161	-3394.37	161	3034.16	126	79094.50	102	4782.28	126
306	Max	-473	731.53	17	2376.30	159	1017.39	103	-22.42	161	-3394.37	161	3034.16	126	79094.50	102	4782.28	126
306	Min.	-435	-1590.57	103	-13489.40	104	-4201.54	177	-2164.65	98	-22197.40	102	-214.97	17	13909.00	17	457.79	65
306	Min.	-433	-1590.57	103	-13489.40	104	-4201.54	177	-2164.65	98	-22197.40	102	-214.97	17	13909.00	17	457.79	65
306	Min.	-471	-1590.57	103	-13489.40	104	-4201.54	177	-2164.65	98	-22197.40	102	-214.97	17	13909.00	17	457.79	65
306	Min.	-473	-1590.57	103	-13489.40	104	-4201.54	177	-2164.65	98	-22197.40	102	-214.97	17	13909.00	17	457.79	65
306	Max	-493	3585.78	177	1296.63	107	1287.04	65	-3.44	177	8631.38	161	-458.40	65	32036.40	98	10121.50	158
306	Max	-491	3585.78	177	1296.63	107	1287.04	65	-3.44	177	8631.38	161	-458.40	65	32036.40	98	10121.50	158
306	Max	-529	3585.78	177	1296.63	107	1287.04	65	-3.44	177	8631.38	161	-458.40	65	32036.40	98	10121.50	158
306	Max	-531	3585.78	177	1296.63	107	1287.04	65	-3.44	177	8631.38	161	-458.40	65	32036.40	98	10121.50	158
306	Min.	-493	-1144.36	166	-9349.40	104	-1158.33	17	-1728.01	158	-7485.45	98	-3245.78	126	3942.96	65	-368.92	17
306	Min.	-491	-1144.36	166	-9349.40	104	-1158.33	17	-1728.01	158	-7485.45	98	-3245.78	126	3942.96	65	-368.92	17
306	Min.	-529	-1144.36	166	-9349.40	104	-1158.33	17	-1728.01	158	-7485.45	98	-3245.78	126	3942.96	65	-368.92	17
306	Min.	-531	-1144.36	166	-9349.40	104	-1158.33	17	-1728.01	158	-7485.45	98	-3245.78	126	3942.96	65	-368.92	17

307	Max	-486	2248.11	177	1657.56	97	1186.79	17	2036.98	157	7924.65	105	2810.98	105	-8713.75	17	-589.02	177
307	Max	-484	2248.11	177	1657.56	97	1186.79	17	2036.98	157	7924.65	105	2810.98	105	-8713.75	17	-589.02	177
307	Max	-522	2248.11	177	1657.56	97	1186.79	17	2036.98	157	7924.65	105	2810.98	105	-8713.75	17	-589.02	177
307	Max	-524	2248.11	177	1657.56	97	1186.79	17	2036.98	157	7924.65	105	2810.98	105	-8713.75	17	-589.02	177
307	Min.	-486	-1748.68	65	-10116.00	130	-3311.26	177	74.27	17	1372.94	17	-1746.26	162	-55279.20	105	-10349.40	105
307	Min.	-484	-1748.68	65	-10116.00	130	-3311.26	177	74.27	17	1372.94	17	-1746.26	162	-55279.20	105	-10349.40	105
307	Min.	-522	-1748.68	65	-10116.00	130	-3311.26	177	74.27	17	1372.94	17	-1746.26	162	-55279.20	105	-10349.40	105
307	Min.	-524	-1748.68	65	-10116.00	130	-3311.26	177	74.27	17	1372.94	17	-1746.26	162	-55279.20	105	-10349.40	105
307	Max	-510	5058.30	65	3932.62	173	2422.78	173	2217.03	157	614.17	121	1078.02	162	-2306.41	65	35355.30	105
307	Max	-508	5058.30	65	3932.62	173	2422.78	173	2217.03	157	614.17	121	1078.02	162	-2306.41	65	35355.30	105
307	Max	-748	5058.30	65	3932.62	173	2422.78	173	2217.03	157	614.17	121	1078.02	162	-2306.41	65	35355.30	105
307	Max	-793	5058.30	65	3932.62	173	2422.78	173	2217.03	157	614.17	121	1078.02	162	-2306.41	65	35355.30	105
307	Min.	-510	-9015.36	177	-7868.64	130	-3915.65	130	-90.64	65	100.37	65	-1119.55	105	-14012.40	105	-15583.20	162
307	Min.	-508	-9015.36	177	-7868.64	130	-3915.65	130	-90.64	65	100.37	65	-1119.55	105	-14012.40	105	-15583.20	162
307	Min.	-748	-9015.36	177	-7868.64	130	-3915.65	130	-90.64	65	100.37	65	-1119.55	105	-14012.40	105	-15583.20	162
307	Min.	-793	-9015.36	177	-7868.64	130	-3915.65	130	-90.64	65	100.37	65	-1119.55	105	-14012.40	105	-15583.20	162
307	Max	-516	2332.70	100	3428.10	97	1254.79	173	772.85	162	176.46	162	576.87	173	2279.92	105	28134.40	105
307	Max	-514	2332.70	100	3428.10	97	1254.79	173	772.85	162	176.46	162	576.87	173	2279.92	105	28134.40	105
307	Max	-881	2332.70	100	3428.10	97	1254.79	173	772.85	162	176.46	162	576.87	173	2279.92	105	28134.40	105
307	Max	-924	2332.70	100	3428.10	97	1254.79	173	772.85	162	176.46	162	576.87	173	2279.92	105	28134.40	105
307	Min.	-516	-4918.85	107	-6273.74	106	-4312.56	177	-3268.08	105	-187.84	105	-354.75	17	-1491.73	162	-2419.54	65
307	Min.	-514	-4918.85	107	-6273.74	106	-4312.56	177	-3268.08	105	-187.84	105	-354.75	17	-1491.73	162	-2419.54	65
307	Min.	-881	-4918.85	107	-6273.74	106	-4312.56	177	-3268.08	105	-187.84	105	-354.75	17	-1491.73	162	-2419.54	65
307	Min.	-924	-4918.85	107	-6273.74	106	-4312.56	177	-3268.08	105	-187.84	105	-354.75	17	-1491.73	162	-2419.54	65
307	Max	-506	19317.50	177	5229.77	97	8880.00	177	282.09	177	6.98	17	110.55	162	14254.20	97	1363.89	17
307	Max	-504	19317.50	177	5229.77	97	8880.00	177	282.09	177	6.98	17	110.55	162	14254.20	97	1363.89	17
307	Max	-660	19317.50	177	5229.77	97	8880.00	177	282.09	177	6.98	17	110.55	162	14254.20	97	1363.89	17
307	Max	-703	19317.50	177	5229.77	97	8880.00	177	282.09	177	6.98	17	110.55	162	14254.20	97	1363.89	17
307	Min.	-506	-4094.44	159	-14918.40	130	-7298.89	130	-3131.31	173	-2844.33	157	-1901.02	105	-10724.60	162	-59736.50	157
307	Min.	-504	-4094.44	159	-14918.40	130	-7298.89	130	-3131.31	173	-2844.33	157	-1901.02	105	-10724.60	162	-59736.50	157
307	Min.	-660	-4094.44	159	-14918.40	130	-7298.89	130	-3131.31	173	-2844.33	157	-1901.02	105	-10724.60	162	-59736.50	157
307	Min.	-703	-4094.44	159	-14918.40	130	-7298.89	130	-3131.31	173	-2844.33	157	-1901.02	105	-10724.60	162	-59736.50	157
307	Max	-532	12685.80	177	6346.96	101	2365.19	101	1708.44	162	18813.20	158	9458.88	157	-2398.24	17	-1240.23	177
307	Max	-530	12685.80	177	6346.96	101	2365.19	101	1708.44	162	18813.20	158	9458.88	157	-2398.24	17	-1240.23	177
307	Max	328	12685.80	177	6346.96	101	2365.19	101	1708.44	162	18813.20	158	9458.88	157	-2398.24	17	-1240.23	177
307	Max	-1269	12685.80	177	6346.96	101	2365.19	101	1708.44	162	18813.20	158	9458.88	157	-2398.24	17	-1240.23	177
307	Min.	-532	-2619.63	101	-18382.60	130	-6582.51	106	-156.51	17	-19.88	1	14.45	1	-19604.80	97	-36297.60	157
307	Min.	-530	-2619.63	101	-18382.60	130	-6582.51	106	-156.51	17	-19.88	1	14.45	1	-19604.80	97	-36297.60	157
307	Min.	328	-2619.63	101	-18382.60	130	-6582.51	106	-156.51	17	-19.88	1	14.45	1	-19604.80	97	-36297.60	157
307	Min.	-1269	-2619.63	101	-18382.60	130	-6582.51	106	-156.51	17	-19.88	1	14.45	1	-19604.80	97	-36297.60	157
307	Max	-502	7245.03	130	79261.00	177	6262.19	106	1612.03	162	18263.60	158	573.56	177	-2405.91	65	35735.50	157
307	Max	-500	7245.03	130	79261.00	177	6262.19	106	1612.03	162	18263.60	158	573.56	177	-2405.91	65	35735.50	157
307	Max	-581	7245.03	130	79261.00	177	6262.19	106	1612.03	162	18263.60	158	573.56	177	-2405.91	65	35735.50	157
307	Max	309	7245.03	130	79261.00	177	6262.19	106	1612.03	162	18263.60	158	573.56	177	-2405.91	65	35735.50	157
307	Min.	-502	-82395.30	177	-17857.10	130	-12469.30	177	-795.85	177	-27.14	177	-8996.21	157	-19223.10	97	1994.60	65
307	Min.	-500	-82395.30	177	-17857.10	130	-12469.30	177	-795.85	177	-27.14	177	-8996.21	157	-19223.10	97	1994.60	65
307	Min.	-581	-82395.30	177	-17857.10	130	-12469.30	177	-795.85	177	-27.14	177	-8996.21	157	-19223.10	97	1994.60	65
307	Min.	309	-82395.30	177	-17857.10	130	-12469.30	177	-795.85	177	-27.14	177	-8996.21	157	-19223.10	97	1994.60	65
307	Max	-434	1797.24	177	-33.04	133	800.38	17	2069.05	97	20798.50	105	1139.14	162	-12240.30	65	2667.94	162
307	Max	-432	1797.24	177	-33.04	133	800.38	17	2069.05	97	20798.50	105	1139.14	162	-12240.30	65	2667.94	162
307	Max	-470	1797.24	177	-33.04	133	800.38	17	2069.05	97	20798.50	105	1139.14	162	-12240.30	65	2667.94	162
307	Max	-472	1797.24	177	-33.04	133	800.38	17	2069.05	97	20798.50	105	1139.14	162	-12240.30	65	2667.94	162
307	Min.	-434	-1156.84	131	-12950.20	106	-4650.29	177	426.82	33	3587.84	65	-2776.10	105	-75303.50	105	-1004.92	97
307	Min.	-432	-1156.84	131	-12950.20	106	-4650.29	177	426.82	33	3587.84	65	-2776.10	105	-75303.50	105	-1004.92	97
307	Min.	-470	-1156.84	131	-12950.20	106	-4650.29	177	426.82	33	3587.84	65	-2776.10	105	-75303.50	105	-1004.92	97
307	Min.	-472	-1156.84	131	-12950.20	106	-4650.29	177	426.82	33	3587.84	65	-2776.10	105	-75303.50	105	-1004.92	97
307	Max	-440	591.38	17	1302.11	17	6916.18	65	522.26	157	7428.22	105	-126.86	65	-207.18	162	9368.18	105
307	Max	-438	591.38	17	1302.11	17	6916.18	65	522.26	157	7428.22	105	-126.86	65	-207.18	162	9368.18	105
307	Max	-476	591.38	17	1302.11	17	6916.18	65	522.26	157	7428.22	105	-126.86	65	-207.18	162	9368.18	105
307	Max	-478	591.38	17	1302.11	17	6916.18	65	522.26	157	7428.22	105	-126.86	65	-207.18	162	9368.18	105
307	Min.	-440	-2536.95	108	-4159.21	108	-8479.62	177	58.19	177	1431.97	33	-4786.52	105	-17518.70	105	1664.24	65
307	Min.	-438	-2536.95	108	-4159.21	108	-8479.62	177	58.19	177	1431.97	33	-4786.52	105	-17518.70	105	1664.24	65
307	Min.	-476	-2536.95	108	-4159.21	108	-8479.62	177	58.19	177	1431.97	33	-4786.52	105	-17518.70	105	1664.24	65
307	Min.	-478	-2536.95	108	-4159.21	108	-8479.62	177	58.19	177	1431.97	33	-4786.52	105	-17518.70	105	1664.24	65
307	Max	-512	5417.13	65	5124.45	97	4135.29	106	1439.78	162	164.79	162	898.99	162	11088.90	105	56794.70	105
307	Max	-510	5417.13	65	5124.45	97	4135.29	106	1439.78	162	164.79	162	898.99	162	11088.90	105	56794.70	105
307	Max	-793	5417.13	65	5124.45	97	4135.29	106	1439.78	162	164.79	162	898.99	162	11088.90	105	56794.70	105
307	Max	-836	5417.13	65	5124.45	97	4135.29	106	1439.78	162	164.79	162	898.99	162	11088.90	105	56794.70	105
307	Min.	-512	-7809.25	177	-8878.45	106	-2268.91	177	-2097.04	105	-634.67	105	-691.94	105	-1025.09	162	-4255.34	162
307	Min.	-510	-7809.25	177	-8878.45	106	-2268.91	177	-2097.04	105	-634.67	105	-691.94	105	-1025.09	162	-4255.34	162
307	Min.	-793	-7809.25	177	-8878.45	106	-2268.91	177	-2097.04	105	-634.67	105	-691.94	105	-1025.09	162	-4255.34	162
307	Min.	-836	-7809.25	177	-8878.45	106	-2268.91	177	-2097.04	105	-634.67	105	-691.94	105	-1025.09	162	-4255.34	162
307	Max	-476	2501.97	65	1638.95	99	2250.54	108	1084.98	162	6232.99	105	719.76	162	-10322.20	65	2865.49	159
307	Max	-474	2501.97	65	1638.95	99	2250.54	108	1084.98	162	6232.99	105	719.76	162	-10322.20	65	2865.49	159
307	Max	-512	2501.97	65	1638.95	99	2250.54	108	1084.98	162	6232.99	105	719.76	162	-10322.20	65	2865.49	159
307	Max	-514	2501.97	65	1638.95	99	2250.54	108	1084.98	162	6232.99	105	719.76	162	-10322.20	65	2865.49	159
307	Min.	-476	-3596.05	177	-10079.00	108	-5037.04	177	-1091.28	105	1198.08	65	-1942.88	105	-61499.10	105	-2050.78	173
307	Min.	-474	-3596.05	177	-10079.00	108	-5037.04	177	-1091.28	105	1198.08	65	-1942.88	105	-61499.10	105	-2050.78	173
307	Min.	-512	-3596.05	177	-10079.00	108	-5037.04	177	-1091.28	105	1198.08	65	-1942.88	105	-61499.10	105	-2050.78	173
307	Min.	-514	-3596.05	177	-10079.00	108	-5037.04	177	-1091.28	105	1198.08	65	-1942.88	105	-61499.10	105	-2050.78	173
307	Max	-526	5517.42	177	2007.77	97	1896.67	99	1122.00	158	505.27	157	1536.35	105	-1880.33	17	34716.40	157
307	Max	-524	5517.42	177	2007.77	97	1896.67	99	1122.00	158	505.27	157	1536.35	105	-1880.33	17	34716.40	157
307	Max	-1102	5517.42	177	2007.77	97	1896.67	99	1122.00	158	505.27	157	1536.35	105	-1880.33	17	34716.40	157
307	Max	-1145	5517.42	177	2007.77	97	1896.67	99	1122.00	158	505.27	157	1536.35	105	-1880.33	17	34716.40	157
307	Min.	-526	-2677.13	65	-4933.38	177	-3046.71	177	-571.49	17	20.98	17	-1163.74	162	-13576.90	129	-5966.33	173
307	Min.	-524	-2677.13	65	-4933.38	177	-3046.71	177	-571.49	17	20.98	17	-1163.74	162	-13576.90	129	-5966.33	173
307	Min.	-1102	-2677.13	65	-4933.38	177	-3046.71	177	-571.49	17	20.98	17	-1163.74	162	-13576.90	129	-5966.33	173
307	Min.	-1145	-2677.13	65	-4933.38	177	-3046.71	177	-571.49	17	20.98	17	-1163.74	162	-13576.90	129	-5966.33	173
307	Max	-446	728.70	17	194.78	49	1365.41	173	2166.03	97	22197.80	105	2730.28	105	-13770.00	17	3655.01	105
307	Max	-444	728.70	17	194.78	49	1365.41	173	2166.03	97	22197.80	105	2730.28	105	-13770.00	17	3655.01	105
307	Max	-482	728.70	17	194.78	49	1365.41	173	2166.03	97	22197.80	105	2730.28	105	-13770.00	17	3655.01	105
307	Max	-484	728.70	17	194.78	49	1365.41	173	2166.03	97	22197.80	105	2730.28	105	-13770.00	17	3655.01	105
307	Min.	-446	-1705.48	132	-13491.00	107	-3707.76	177	407.65	33	3954.37	17	-818.02	162	-79183.50	105	-1899.96	162
307	Min.	-444	-1705.48	132	-13491.00	107	-3707.76	177	407.65	33	3954.37	17	-818.02	162	-79183.50	105	-1899.96	162
307	Min.	-482	-1705.48	132	-13491.00	107	-3707.76	177	407.65	33	3954.37	17	-818.02	162	-79183.50	105	-1899.96	162
307	Min.	-484	-1705.48	132	-13491.00	107	-3707.76	177	407.65	33	3954.37	17	-818.02	162	-79183.50	105	-1899.96	162
307	Max	-518	2355.14	99	3670.41	97	707.09	173	764.33	162	173.96	162	356.31	65	2353.89	105	2244.51	17
307	Max	-516	2355.14	99	3670.41	97	707.09	173	764.33	162	173.96	162	356.31	65	2353.89	105	2244.51	17
307	Max	-924	2355.14	99	3670.41	97	707.09	173	764.33	162	173.96	162	356.31	65	2353.89	105	2244.51	17
307	Max	-969	2355.14	99	3670.41	97	707.09	173	764.33	162	173.96	162	356.31	65	2353.89	105	2244.51	17
307	Min.	-518	-5002.10	108	-6662.17	106	-4856.10	177	-3316.62	105	-198.09	105	-509.92	17	-1472.62	162	-28266.50	105
307	Min.	-516	-5002.10	108	-6662.17	106	-4856.10	177	-3316.62	105	-198.09	105	-509.92	17	-1472.62	162	-28266.50	105
307	Min.	-924	-5002.10	108	-6662.17	106	-4856.10	177	-3316.62	105	-198.09	105	-509.92	17	-1472.62	162	-28266.50	105
307	Min.	-969	-5002.10	108	-6662.17	106	-4856.10	177	-3316.62	105	-198.09	105	-509.92	17	-1472.62	162	-28266.50	105
307	Max	-508	4127.50	65	3254.58	177	2396.06	107	1186.06	158	562.79	157	1186.03	162	-1957.96	65	6022.62	177

307	Max	-506	4127.50	65	3254.58	177	2396.06	107	1186.06	158	562.79	157	1186.03	162	-1957.96	65	6022.62	177
307	Max	-703	4127.50	65	3254.58	177	2396.06	107	1186.06	158	562.79	157	1186.03	162	-1957.96	65	6022.62	177
307	Max	-748	4127.50	65	3254.58	177	2396.06	107	1186.06	158	562.79	157	1186.03	162	-1957.96	65	6022.62	177
307	Min.	-508	-6719.65	177	-5014.28	130	-1966.35	100	-639.65	173	29.34	65	-1517.05	105	-13806.40	129	-34291.40	157
307	Min.	-506	-6719.65	177	-5014.28	130	-1966.35	100	-639.65	173	29.34	65	-1517.05	105	-13806.40	129	-34291.40	157
307	Min.	-703	-6719.65	177	-5014.28	130	-1966.35	100	-639.65	173	29.34	65	-1517.05	105	-13806.40	129	-34291.40	157
307	Min.	-748	-6719.65	177	-5014.28	130	-1966.35	100	-639.65	173	29.34	65	-1517.05	105	-13806.40	129	-34291.40	157
307	Max	-500	5429.35	177	4780.82	177	511.80	106	11.98	17	5032.66	157	237.49	177	-1054.79	65	17254.80	157
307	Max	-498	5429.35	177	4780.82	177	511.80	106	11.98	17	5032.66	157	237.49	177	-1054.79	65	17254.80	157
307	Max	-536	5429.35	177	4780.82	177	511.80	106	11.98	17	5032.66	157	237.49	177	-1054.79	65	17254.80	157
307	Max	-581	5429.35	177	4780.82	177	511.80	106	11.98	17	5032.66	157	237.49	177	-1054.79	65	17254.80	157
307	Min.	-500	-886.57	108	-1616.60	106	-2065.52	177	-214.22	177	12.70	177	-1328.62	157	-33615.60	157	392.08	65
307	Min.	-498	-886.57	108	-1616.60	106	-2065.52	177	-214.22	177	12.70	177	-1328.62	157	-33615.60	157	392.08	65
307	Min.	-536	-886.57	108	-1616.60	106	-2065.52	177	-214.22	177	12.70	177	-1328.62	157	-33615.60	157	392.08	65
307	Min.	-581	-886.57	108	-1616.60	106	-2065.52	177	-214.22	177	12.70	177	-1328.62	157	-33615.60	157	392.08	65
307	Max	-478	1000.65	173	1858.00	99	4219.77	65	767.65	162	3954.30	105	711.43	65	-7222.38	33	31248.70	105
307	Max	-476	1000.65	173	1858.00	99	4219.77	65	767.65	162	3954.30	105	711.43	65	-7222.38	33	31248.70	105
307	Max	-514	1000.65	173	1858.00	99	4219.77	65	767.65	162	3954.30	105	711.43	65	-7222.38	33	31248.70	105
307	Max	-516	1000.65	173	1858.00	99	4219.77	65	767.65	162	3954.30	105	711.43	65	-7222.38	33	31248.70	105
307	Min.	-478	-3307.70	107	-7346.16	108	-7101.27	177	-1828.20	105	772.83	33	-1079.56	17	-40933.50	105	5289.39	65
307	Min.	-476	-3307.70	107	-7346.16	108	-7101.27	177	-1828.20	105	772.83	33	-1079.56	17	-40933.50	105	5289.39	65
307	Min.	-514	-3307.70	107	-7346.16	108	-7101.27	177	-1828.20	105	772.83	33	-1079.56	17	-40933.50	105	5289.39	65
307	Min.	-516	-3307.70	107	-7346.16	108	-7101.27	177	-1828.20	105	772.83	33	-1079.56	17	-40933.50	105	5289.39	65
307	Max	-514	5230.34	65	2253.24	97	653.62	173	1254.13	162	149.19	162	535.63	162	5568.56	105	6092.75	17
307	Max	-512	5230.34	65	2253.24	97	653.62	173	1254.13	162	149.19	162	535.63	162	5568.56	105	6092.75	17
307	Max	-836	5230.34	65	2253.24	97	653.62	173	1254.13	162	149.19	162	535.63	162	5568.56	105	6092.75	17
307	Max	-881	5230.34	65	2253.24	97	653.62	173	1254.13	162	149.19	162	535.63	162	5568.56	105	6092.75	17
307	Min.	-514	-7163.55	177	-5116.60	106	-4516.07	177	-2121.40	105	-371.13	105	-789.25	105	-1117.99	162	-16667.20	173
307	Min.	-512	-7163.55	177	-5116.60	106	-4516.07	177	-2121.40	105	-371.13	105	-789.25	105	-1117.99	162	-16667.20	173
307	Min.	-836	-7163.55	177	-5116.60	106	-4516.07	177	-2121.40	105	-371.13	105	-789.25	105	-1117.99	162	-16667.20	173
307	Min.	-881	-7163.55	177	-5116.60	106	-4516.07	177	-2121.40	105	-371.13	105	-789.25	105	-1117.99	162	-16667.20	173
307	Max	-490	1341.46	17	952.13	97	2183.93	17	1166.18	162	8375.56	129	2764.79	105	-9398.12	17	32306.10	97
307	Max	-488	1341.46	17	952.13	97	2183.93	17	1166.18	162	8375.56	129	2764.79	105	-9398.12	17	32306.10	97
307	Max	-526	1341.46	17	952.13	97	2183.93	17	1166.18	162	8375.56	129	2764.79	105	-9398.12	17	32306.10	97
307	Max	-528	1341.46	17	952.13	97	2183.93	17	1166.18	162	8375.56	129	2764.79	105	-9398.12	17	32306.10	97
307	Min.	-490	-1241.93	65	-10605.60	130	-2526.82	177	-1229.57	97	1154.86	17	-3499.18	162	-73944.70	97	3601.33	65
307	Min.	-488	-1241.93	65	-10605.60	130	-2526.82	177	-1229.57	97	1154.86	17	-3499.18	162	-73944.70	97	3601.33	65
307	Min.	-526	-1241.93	65	-10605.60	130	-2526.82	177	-1229.57	97	1154.86	17	-3499.18	162	-73944.70	97	3601.33	65
307	Min.	-528	-1241.93	65	-10605.60	130	-2526.82	177	-1229.57	97	1154.86	17	-3499.18	162	-73944.70	97	3601.33	65
307	Max	-534	560.67	104	210.86	101	300.02	101	128.86	177	5434.91	157	1569.95	157	-56.68	177	396.95	177
307	Max	-532	560.67	104	210.86	101	300.02	101	128.86	177	5434.91	157	1569.95	157	-56.68	177	396.95	177
307	Max	-1269	560.67	104	210.86	101	300.02	101	128.86	177	5434.91	157	1569.95	157	-56.68	177	396.95	177
307	Max	-1271	560.67	104	210.86	101	300.02	101	128.86	177	5434.91	157	1569.95	157	-56.68	177	396.95	177
307	Min.	-534	-1266.35	177	-2127.97	177	-1199.36	177	-109.53	157	98.88	17	31.55	33	-32876.00	157	-18156.60	157
307	Min.	-532	-1266.35	177	-2127.97	177	-1199.36	177	-109.53	157	98.88	17	31.55	33	-32876.00	157	-18156.60	157
307	Min.	-1269	-1266.35	177	-2127.97	177	-1199.36	177	-109.53	157	98.88	17	31.55	33	-32876.00	157	-18156.60	157
307	Min.	-1271	-1266.35	177	-2127.97	177	-1199.36	177	-109.53	157	98.88	17	31.55	33	-32876.00	157	-18156.60	157
307	Max	-442	610.00	65	1364.56	65	4576.37	65	520.47	157	7477.95	105	4908.46	105	-305.02	162	-1701.83	17
307	Max	-440	610.00	65	1364.56	65	4576.37	65	520.47	157	7477.95	105	4908.46	105	-305.02	162	-1701.83	17
307	Max	-478	610.00	65	1364.56	65	4576.37	65	520.47	157	7477.95	105	4908.46	105	-305.02	162	-1701.83	17
307	Max	-480	610.00	65	1364.56	65	4576.37	65	520.47	157	7477.95	105	4908.46	105	-305.02	162	-1701.83	17
307	Min.	-442	-2528.46	107	-4334.44	107	-11152.00	177	40.90	177	1349.19	33	174.91	17	-17784.60	105	-9573.38	105
307	Min.	-440	-2528.46	107	-4334.44	107	-11152.00	177	40.90	177	1349.19	33	174.91	17	-17784.60	105	-9573.38	105
307	Min.	-478	-2528.46	107	-4334.44	107	-11152.00	177	40.90	177	1349.19	33	174.91	17	-17784.60	105	-9573.38	105
307	Min.	-480	-2528.46	107	-4334.44	107	-11152.00	177	40.90	177	1349.19	33	174.91	17	-17784.60	105	-9573.38	105
307	Max	-426	544.81	100	7617.31	177	2084.78	17	1232.78	129	18472.40	121	749.06	162	-4641.52	65	5057.73	157
307	Max	-424	544.81	100	7617.31	177	2084.78	17	1232.78	129	18472.40	121	749.06	162	-4641.52	65	5057.73	157
307	Max	-462	544.81	100	7617.31	177	2084.78	17	1232.78	129	18472.40	121	749.06	162	-4641.52	65	5057.73	157
307	Max	-464	544.81	100	7617.31	177	2084.78	17	1232.78	129	18472.40	121	749.06	162	-4641.52	65	5057.73	157
307	Min.	-426	-6368.74	177	-10309.80	107	-1931.08	65	164.38	65	2370.71	65	-2954.37	105	-42323.10	97	-262.58	65
307	Min.	-424	-6368.74	177	-10309.80	107	-1931.08	65	164.38	65	2370.71	65	-2954.37	105	-42323.10	97	-262.58	65
307	Min.	-462	-6368.74	177	-10309.80	107	-1931.08	65	164.38	65	2370.71	65	-2954.37	105	-42323.10	97	-262.58	65
307	Min.	-464	-6368.74	177	-10309.80	107	-1931.08	65	164.38	65	2370.71	65	-2954.37	105	-42323.10	97	-262.58	65
307	Max	-528	4248.20	107	5557.69	97	7618.04	130	55.96	65	7.86	65	1918.39	105	14845.80	97	60123.80	157
307	Max	-526	4248.20	107	5557.69	97	7618.04	130	55.96	65	7.86	65	1918.39	105	14845.80	97	60123.80	157
307	Max	-1145	4248.20	107	5557.69	97	7618.04	130	55.96	65	7.86	65	1918.39	105	14845.80	97	60123.80	157
307	Max	-1188	4248.20	107	5557.69	97	7618.04	130	55.96	65	7.86	65	1918.39	105	14845.80	97	60123.80	157
307	Min.	-528	-4266.86	160	-15721.60	130	-1592.40	101	-3166.50	97	-2955.13	157	-51.72	162	-10824.80	162	-1438.83	65
307	Min.	-526	-4266.86	160	-15721.60	130	-1592.40	101	-3166.50	97	-2955.13	157	-51.72	162	-10824.80	162	-1438.83	65
307	Min.	-1145	-4266.86	160	-15721.60	130	-1592.40	101	-3166.50	97	-2955.13	157	-51.72	162	-10824.80	162	-1438.83	65
307	Min.	-1188	-4266.86	160	-15721.60	130	-1592.40	101	-3166.50	97	-2955.13	157	-51.72	162	-10824.80	162	-1438.83	65
307	Max	-484	2264.74	17	1340.97	100	1036.40	173	1415.38	162	7457.80	105	2709.47	105	-11736.10	17	-5068.99	33
307	Max	-482	2264.74	17	1340.97	100	1036.40	173	1415.38	162	7457.80	105	2709.47	105	-11736.10	17	-5068.99	33
307	Max	-520	2264.74	17	1340.97	100	1036.40	173	1415.38	162	7457.80	105	2709.47	105	-11736.10	17	-5068.99	33
307	Max	-522	2264.74	17	1340.97	100	1036.40	173	1415.38	162	7457.80	105	2709.47	105	-11736.10	17	-5068.99	33
307	Min.	-484	-1784.72	65	-11041.30	107	-4373.96	177	-500.56	105	1345.94	33	-1265.03	162	-73483.30	105	-33477.10	105
307	Min.	-482	-1784.72	65	-11041.30	107	-4373.96	177	-500.56	105	1345.94	33	-1265.03	162	-73483.30	105	-33477.10	105
307	Min.	-520	-1784.72	65	-11041.30	107	-4373.96	177	-500.56	105	1345.94	33	-1265.03	162	-73483.30	105	-33477.10	105
307	Min.	-522	-1784.72	65	-11041.30	107	-4373.96	177	-500.56	105	1345.94	33	-1265.03	162	-73483.30	105	-33477.10	105
307	Max	-488	2370.13	177	1412.63	97	1872.32	17	1591.06	157	7801.71	129	2631.13	105	-8083.01	17	11475.30	97
307	Max	-486	2370.13	177	1412.63	97	1872.32	17	1591.06	157	7801.71	129	2631.13	105	-8083.01	17	11475.30	97
307	Max	-524	2370.13	177	1412.63	97	1872.32	17	1591.06	157	7801.71	129	2631.13	105	-8083.01	17	11475.30	97
307	Max	-526	2370.13	177	1412.63	97	1872.32	17	1591.06	157	7801.71	129	2631.13	105	-8083.01	17	11475.30	97
307	Min.	-488	-1692.44	65	-10237.20	130	-2451.53	177	-221.22	17	1278.57	17	-2407.71	162	-56554.80	97	823.17	65
307	Min.	-486	-1692.44	65	-10237.20	130	-2451.53	177	-221.22	17	1278.57	17	-2407.71	162	-56554.80	97	823.17	65
307	Min.	-524	-1692.44	65	-10237.20	130	-2451.53	177	-221.22	17	1278.57	17	-2407.71	162	-56554.80	97	823.17	65
307	Min.	-526	-1692.44	65	-10237.20	130	-2451.53	177	-221.22	17	1278.57	17	-2407.71	162	-56554.80	97	823.17	65
307	Max	-472	1991.02	65	1653.70	97	983.17	17	2031.52	157	7924.40	105	1758.49	162	-8848.80	65	10285.40	105
307	Max	-470	1991.02	65	1653.70	97	983.17	17	2031.52	157	7924.40	105	1758.49	162	-8848.80	65	10285.40	105
307	Max	-508	1991.02	65	1653.70	97	983.17	17	2031.52	157	7924.40	105	1758.49	162	-8848.80	65	10285.40	105
307	Max	-510	1991.02	65	1653.70	97	983.17	17	2031.52	157	7924.40	105	1758.49	162	-8848.80	65	10285.40	105
307	Min.	-472	-3873.27	177	-10128.80	130	-4174.51	177	65.73	65	1389.04	65	-2788.86	105	-55351.80	105	840.56	65
307	Min.	-470	-3873.27	177	-10128.80	130	-4174.51	177	65.73	65	1389.04	65	-2788.86	105	-55351.80	105	840.56	65
307	Min.	-508	-3873.27	177	-10128.80	130	-4174.51	177	65.73	65	1389.04	65	-2788.86	105	-55351.80	105	840.56	65
307	Min.	-510	-3873.27	177	-10128.80	130	-4174.51	177	65.73	65	1389.04	65	-2788.86	105	-55351.80	105	840.56	65
307	Max	-432	2502.27	177	49.18	133	882.72	17	1946.55	129	20057.20	97	1446.24	162	-10558.80	65	3855.56	162
307	Max	-430	2502.27	177	49.18	133	882.72	17	1946.55	129	20057.20	97	1446.24	162	-10558.80	65	3855.56	162
307	Max	-468	2502.27	177	49.18	133	882.72	17	1946.55	129	20057.20	97	1446.24	162	-10558.80	65	3855.56	162
307	Max	-470	2502.27	177	49.18	133	882.72	17	1946.55	129	20057.20	97	1446.24	162	-10558.80	65	3855.56	162
307	Min.	-432	-1227.06	131	-11918.10	106	-4160.01	177	380.63	49	3279.81	65	-2710.93	105	-69624.10	97	-2970.56	97
307	Min.	-430	-1227.06	131	-11918.10	106	-4160.01	177	380.63	49	3279.81	65	-2710.93	105	-69624.10	97	-2970.56	97
307	Min.	-468	-1227.06	131	-11918.10	106	-4160.01	177	380.63	49	3279.81	65	-2710.93	105	-69624.10	97	-2970.56	97
307	Min.	-470	-1227.06	131	-11918.10	106	-4160.01	177	380.63	49	3279.81	65	-2710.93	105	-69624.10	97	-2970.56	97
307	Max	-456	657.54	99	170.04	139	1932.18	17	1248.59	129	18417.40	121	2983.67	105	-4631.34	17	273.81	17
307	Max	-454	657.54	99	170.04	139	1932.18	17	1248.59	129	18417.40	121	2983.67	105	-4631.34	17	273.81	17

307	Max	-492	657.54	99	170.04	139	1932.18	17	1248.59	129	18417.40	121	2983.67	105	-4631.34	17	273.81	17
307	Max	-494	657.54	99	170.04	139	1932.18	17	1248.59	129	18417.40	121	2983.67	105	-4631.34	17	273.81	17
307	Min.	-456	-944.61	108	-10239.00	108	-2078.72	65	162.13	17	2322.93	17	-747.88	162	-43021.10	97	-5334.06	157
307	Min.	-454	-944.61	108	-10239.00	108	-2078.72	65	162.13	17	2322.93	17	-747.88	162	-43021.10	97	-5334.06	157
307	Min.	-492	-944.61	108	-10239.00	108	-2078.72	65	162.13	17	2322.93	17	-747.88	162	-43021.10	97	-5334.06	157
307	Min.	-494	-944.61	108	-10239.00	108	-2078.72	65	162.13	17	2322.93	17	-747.88	162	-43021.10	97	-5334.06	157
307	Max	-464	1567.63	158	11868.80	177	2814.57	177	378.63	105	14996.40	157	869.69	162	-2858.77	162	2378.23	173
307	Max	-462	1567.63	158	11868.80	177	2814.57	177	378.63	105	14996.40	157	869.69	162	-2858.77	162	2378.23	173
307	Max	-500	1567.63	158	11868.80	177	2814.57	177	378.63	105	14996.40	157	869.69	162	-2858.77	162	2378.23	173
307	Max	-502	1567.63	158	11868.80	177	2814.57	177	378.63	105	14996.40	157	869.69	162	-2858.77	162	2378.23	173
307	Min.	-464	-20642.50	177	-9354.08	107	-1240.67	65	-1380.95	162	1081.84	65	-2613.05	105	-31594.20	97	-8258.92	162
307	Min.	-462	-20642.50	177	-9354.08	107	-1240.67	65	-1380.95	162	1081.84	65	-2613.05	105	-31594.20	97	-8258.92	162
307	Min.	-500	-20642.50	177	-9354.08	107	-1240.67	65	-1380.95	162	1081.84	65	-2613.05	105	-31594.20	97	-8258.92	162
307	Min.	-502	-20642.50	177	-9354.08	107	-1240.67	65	-1380.95	162	1081.84	65	-2613.05	105	-31594.20	97	-8258.92	162
307	Max	-480	1003.69	17	1882.74	100	2935.01	65	761.86	162	3949.30	105	1409.96	173	-7091.11	33	-5125.08	33
307	Max	-478	1003.69	17	1882.74	100	2935.01	65	761.86	162	3949.30	105	1409.96	173	-7091.11	33	-5125.08	33
307	Max	-516	1003.69	17	1882.74	100	2935.01	65	761.86	162	3949.30	105	1409.96	173	-7091.11	33	-5125.08	33
307	Max	-518	1003.69	17	1882.74	100	2935.01	65	761.86	162	3949.30	105	1409.96	173	-7091.11	33	-5125.08	33
307	Min.	-480	-3245.61	108	-7442.93	107	-8452.87	177	-1862.37	105	743.01	33	-695.90	17	-41101.10	105	-31696.30	105
307	Min.	-478	-3245.61	108	-7442.93	107	-8452.87	177	-1862.37	105	743.01	33	-695.90	17	-41101.10	105	-31696.30	105
307	Min.	-516	-3245.61	108	-7442.93	107	-8452.87	177	-1862.37	105	743.01	33	-695.90	17	-41101.10	105	-31696.30	105
307	Min.	-518	-3245.61	108	-7442.93	107	-8452.87	177	-1862.37	105	743.01	33	-695.90	17	-41101.10	105	-31696.30	105
307	Max	-504	1236.23	173	3735.35	158	1653.88	159	114.26	177	11634.50	162	6612.19	162	6443.69	97	44482.50	97
307	Max	-502	1236.23	173	3735.35	158	1653.88	159	114.26	177	11634.50	162	6612.19	162	6443.69	97	44482.50	97
307	Max	309	1236.23	173	3735.35	158	1653.88	159	114.26	177	11634.50	162	6612.19	162	6443.69	97	44482.50	97
307	Max	-660	1236.23	173	3735.35	158	1653.88	159	114.26	177	11634.50	162	6612.19	162	6443.69	97	44482.50	97
307	Min.	-504	-10494.60	177	-58500.00	177	-10505.70	177	-2490.80	97	-569.25	101	-1189.72	105	-42.32	17	-52588.20	162
307	Min.	-502	-10494.60	177	-58500.00	177	-10505.70	177	-2490.80	97	-569.25	101	-1189.72	105	-42.32	17	-52588.20	162
307	Min.	309	-10494.60	177	-58500.00	177	-10505.70	177	-2490.80	97	-569.25	101	-1189.72	105	-42.32	17	-52588.20	162
307	Min.	-660	-10494.60	177	-58500.00	177	-10505.70	177	-2490.80	97	-569.25	101	-1189.72	105	-42.32	17	-52588.20	162
307	Max	-530	3493.61	177	3883.11	158	1076.26	17	9.51	162	11669.20	162	1196.63	105	6452.90	97	52631.60	162
307	Max	-528	3493.61	177	3883.11	158	1076.26	17	9.51	162	11669.20	162	1196.63	105	6452.90	97	52631.60	162
307	Max	-1188	3493.61	177	3883.11	158	1076.26	17	9.51	162	11669.20	162	1196.63	105	6452.90	97	52631.60	162
307	Max	328	3493.61	177	3883.11	158	1076.26	17	9.51	162	11669.20	162	1196.63	105	6452.90	97	52631.60	162
307	Min.	-530	-2614.80	132	-1165.10	65	-3325.30	177	-2461.51	97	-564.34	101	-6618.56	162	-69.18	65	-44331.50	97
307	Min.	-528	-2614.80	132	-1165.10	65	-3325.30	177	-2461.51	97	-564.34	101	-6618.56	162	-69.18	65	-44331.50	97
307	Min.	-1188	-2614.80	132	-1165.10	65	-3325.30	177	-2461.51	97	-564.34	101	-6618.56	162	-69.18	65	-44331.50	97
307	Min.	328	-2614.80	132	-1165.10	65	-3325.30	177	-2461.51	97	-564.34	101	-6618.56	162	-69.18	65	-44331.50	97
307	Max	-454	602.09	17	103.23	49	2075.68	17	1473.19	129	18967.70	121	3239.18	105	-6802.81	17	6031.98	105
307	Max	-452	602.09	17	103.23	49	2075.68	17	1473.19	129	18967.70	121	3239.18	105	-6802.81	17	6031.98	105
307	Max	-490	602.09	17	103.23	49	2075.68	17	1473.19	129	18967.70	121	3239.18	105	-6802.81	17	6031.98	105
307	Max	-492	602.09	17	103.23	49	2075.68	17	1473.19	129	18967.70	121	3239.18	105	-6802.81	17	6031.98	105
307	Min.	-454	-1101.48	65	-10763.60	106	-1650.92	65	239.72	33	2645.11	17	-823.71	162	-52454.20	97	-3828.48	162
307	Min.	-452	-1101.48	65	-10763.60	106	-1650.92	65	239.72	33	2645.11	17	-823.71	162	-52454.20	97	-3828.48	162
307	Min.	-490	-1101.48	65	-10763.60	106	-1650.92	65	239.72	33	2645.11	17	-823.71	162	-52454.20	97	-3828.48	162
307	Min.	-492	-1101.48	65	-10763.60	106	-1650.92	65	239.72	33	2645.11	17	-823.71	162	-52454.20	97	-3828.48	162
307	Max	-482	2505.60	17	1650.97	100	1388.72	173	1081.22	162	6232.77	105	1961.53	105	-10236.10	17	1544.69	17
307	Max	-480	2505.60	17	1650.97	100	1388.72	173	1081.22	162	6232.77	105	1961.53	105	-10236.10	17	1544.69	17
307	Max	-518	2505.60	17	1650.97	100	1388.72	173	1081.22	162	6232.77	105	1961.53	105	-10236.10	17	1544.69	17
307	Max	-520	2505.60	17	1650.97	100	1388.72	173	1081.22	162	6232.77	105	1961.53	105	-10236.10	17	1544.69	17
307	Min.	-482	-2192.34	65	-10104.50	107	-5720.86	177	-1122.23	105	1136.59	33	-707.49	162	-61656.00	105	-3030.86	157
307	Min.	-480	-2192.34	65	-10104.50	107	-5720.86	177	-1122.23	105	1136.59	33	-707.49	162	-61656.00	105	-3030.86	157
307	Min.	-518	-2192.34	65	-10104.50	107	-5720.86	177	-1122.23	105	1136.59	33	-707.49	162	-61656.00	105	-3030.86	157
307	Min.	-520	-2192.34	65	-10104.50	107	-5720.86	177	-1122.23	105	1136.59	33	-707.49	162	-61656.00	105	-3030.86	157
307	Max	-458	1784.06	17	800.97	1	1677.22	17	1021.69	97	18930.10	121	2115.09	105	-657.18	17	247.94	173
307	Max	-456	1784.06	17	800.97	1	1677.22	17	1021.69	97	18930.10	121	2115.09	105	-657.18	17	247.94	173
307	Max	-494	1784.06	17	800.97	1	1677.22	17	1021.69	97	18930.10	121	2115.09	105	-657.18	17	247.94	173
307	Max	-496	1784.06	17	800.97	1	1677.22	17	1021.69	97	18930.10	121	2115.09	105	-657.18	17	247.94	173
307	Min.	-458	-2614.13	65	-11165.80	108	-2023.03	65	147.81	17	2339.90	17	-380.35	162	-21760.00	121	-1206.29	162
307	Min.	-456	-2614.13	65	-11165.80	108	-2023.03	65	147.81	17	2339.90	17	-380.35	162	-21760.00	121	-1206.29	162
307	Min.	-494	-2614.13	65	-11165.80	108	-2023.03	65	147.81	17	2339.90	17	-380.35	162	-21760.00	121	-1206.29	162
307	Min.	-496	-2614.13	65	-11165.80	108	-2023.03	65	147.81	17	2339.90	17	-380.35	162	-21760.00	121	-1206.29	162
307	Max	-466	1232.92	65	700.61	101	1414.67	17	110.12	17	11978.80	157	3270.71	162	-7732.38	65	18687.20	97
307	Max	-464	1232.92	65	700.61	101	1414.67	17	110.12	17	11978.80	157	3270.71	162	-7732.38	65	18687.20	97
307	Max	-502	1232.92	65	700.61	101	1414.67	17	110.12	17	11978.80	157	3270.71	162	-7732.38	65	18687.20	97
307	Max	-504	1232.92	65	700.61	101	1414.67	17	110.12	17	11978.80	157	3270.71	162	-7732.38	65	18687.20	97
307	Min.	-466	-1130.37	17	-10020.20	106	-1833.81	65	-1074.52	173	1106.23	65	-3248.67	105	-61016.90	97	1324.53	65
307	Min.	-464	-1130.37	17	-10020.20	106	-1833.81	65	-1074.52	173	1106.23	65	-3248.67	105	-61016.90	97	1324.53	65
307	Min.	-502	-1130.37	17	-10020.20	106	-1833.81	65	-1074.52	173	1106.23	65	-3248.67	105	-61016.90	97	1324.53	65
307	Min.	-504	-1130.37	17	-10020.20	106	-1833.81	65	-1074.52	173	1106.23	65	-3248.67	105	-61016.90	97	1324.53	65
307	Max	-474	2268.55	65	1336.20	99	1570.16	107	1410.05	162	7452.15	105	1275.92	162	-11891.10	65	33435.80	105
307	Max	-472	2268.55	65	1336.20	99	1570.16	107	1410.05	162	7452.15	105	1275.92	162	-11891.10	65	33435.80	105
307	Max	-510	2268.55	65	1336.20	99	1570.16	107	1410.05	162	7452.15	105	1275.92	162	-11891.10	65	33435.80	105
307	Max	-512	2268.55	65	1336.20	99	1570.16	107	1410.05	162	7452.15	105	1275.92	162	-11891.10	65	33435.80	105
307	Min.	-474	-2945.19	177	-11046.60	108	-4343.86	177	-506.26	105	1371.86	65	-2687.75	105	-73514.10	105	5215.80	65
307	Min.	-472	-2945.19	177	-11046.60	108	-4343.86	177	-506.26	105	1371.86	65	-2687.75	105	-73514.10	105	5215.80	65
307	Min.	-510	-2945.19	177	-11046.60	108	-4343.86	177	-506.26	105	1371.86	65	-2687.75	105	-73514.10	105	5215.80	65
307	Min.	-512	-2945.19	177	-11046.60	108	-4343.86	177	-506.26	105	1371.86	65	-2687.75	105	-73514.10	105	5215.80	65
307	Max	-496	515.71	17	892.37	103	384.27	103	50.15	105	14017.00	157	1268.32	105	-736.78	177	5023.55	158
307	Max	-494	515.71	17	892.37	103	384.27	103	50.15	105	14017.00	157	1268.32	105	-736.78	177	5023.55	158
307	Max	-532	515.71	17	892.37	103	384.27	103	50.15	105	14017.00	157	1268.32	105	-736.78	177	5023.55	158
307	Max	-534	515.71	17	892.37	103	384.27	103	50.15	105	14017.00	157	1268.32	105	-736.78	177	5023.55	158
307	Min.	-496	-522.42	65	-7903.94	108	-749.88	108	-175.14	162	1021.71	17	183.28	162	-21105.40	121	-484.43	17
307	Min.	-494	-522.42	65	-7903.94	108	-749.88	108	-175.14	162	1021.71	17	183.28	162	-21105.40	121	-484.43	17
307	Min.	-532	-522.42	65	-7903.94	108	-749.88	108	-175.14	162	1021.71	17	183.28	162	-21105.40	121	-484.43	17
307	Min.	-534	-522.42	65	-7903.94	108	-749.88	108	-175.14	162	1021.71	17	183.28	162	-21105.40	121	-484.43	17
307	Max	-492	1237.77	17	731.37	101	1823.71	17	117.67	65	11964.80	157	3256.19	105	-7533.42	17	-1241.37	17
307	Max	-490	1237.77	17	731.37	101	1823.71	17	117.67	65	11964.80	157	3256.19	105	-7533.42	17	-1241.37	17
307	Max	-528	1237.77	17	731.37	101	1823.71	17	117.67	65	11964.80	157	3256.19	105	-7533.42	17	-1241.37	17
307	Max	-530	1237.77	17	731.37	101	1823.71	17	117.67	65	11964.80	157	3256.19	105	-7533.42	17	-1241.37	17
307	Min.	-492	-1138.42	65	-9962.25	106	-1416.48	65	-908.24	97	1088.36	17	-3262.28	162	-60835.20	97	-18573.90	97
307	Min.	-490	-1138.42	65	-9962.25	106	-1416.48	65	-908.24	97	1088.36	17	-3262.28	162	-60835.20	97	-18573.90	97
307	Min.	-528	-1138.42	65	-9962.25	106	-1416.48	65	-908.24	97	1088.36	17	-3262.28	162	-60835.20	97	-18573.90	97
307	Min.	-530	-1138.42	65	-9962.25	106	-1416.48	65	-908.24	97	1088.36	17	-3262.28	162	-60835.20	97	-18573.90	97
307	Max	-424	1675.19	65	10094.70	177	3168.82	177	1022.31	97	18993.20	121	355.01	162	-603.14	65	1080.99	162
307	Max	-422	1675.19	65	10094.70	177	3168.82	177	1022.31	97	18993.20	121	355.01	162	-603.14	65	1080.99	162
307	Max	-460	1675.19	65	10094.70	177	3168.82	177	1022.31	97	18993.20	121	355.01	162	-603.14	65	1080.99	162
307	Max	-462	1675.19	65	10094.70	177	3168.82	177	1022.31	97	18993.20	121	355.01	162	-603.14	65	1080.99	162
307	Min.	-424	-3720.80	177	-11327.90	107	-1654.41	65	149.92	65	2389.48	65	-2064.98	105	-21322.90	121	-277.60	177
307	Min.	-422	-3720.80	177	-11327.90	107	-1654.41	65	149.92	65	2389.48	65	-2064.98	105	-21322.90	121	-277.60	177
307	Min.	-460	-3720.80	177	-11327.90	107	-1654.41	65	149.92	65	2389.48	65	-2064.98	105	-21322.90	121	-277.60	177
307	Min.	-462	-3720.80	177	-11327.90	107	-1654.41	65	149.92	65	2389.48	65	-2064.98	105	-21322.90	121	-277.60	177
307	Max	-522	6168.57	177	5113.41	97	1577.43	173	1448.30	162	165.89	162	706.99	105	11008.00	105	4136.91	162
307	Max	-520	6168.57	177	5113.41	97	1577.43	173	1448.30	162	165.89	162	706.99	105	11008.00	105	4136.91	162
307	Max	-1012	6168.57	177	5113.41	97	1577.43	173	1448.30	162	165.89	162	706.99	105	11008.00	105	4136.91	162

307	Max	-1057	6168.57	177	5113.41	97	1577.43	173	1448.30	162	165.89	162	706.99	105	11008.00	105	4136.91	162
307	Min.	-522	-3996.39	65	-8850.55	106	-4127.00	106	-2087.07	105	-629.30	105	-891.88	162	-1045.23	162	-57092.90	105
307	Min.	-520	-3996.39	65	-8850.55	106	-4127.00	106	-2087.07	105	-629.30	105	-891.88	162	-1045.23	162	-57092.90	105
307	Min.	-1012	-3996.39	65	-8850.55	106	-4127.00	106	-2087.07	105	-629.30	105	-891.88	162	-1045.23	162	-57092.90	105
307	Min.	-1057	-3996.39	65	-8850.55	106	-4127.00	106	-2087.07	105	-629.30	105	-891.88	162	-1045.23	162	-57092.90	105
307	Max	-430	8584.48	177	16.14	133	1128.80	17	1767.80	105	19763.30	97	1305.73	162	-8928.66	65	9368.87	157
307	Max	-428	8584.48	177	16.14	133	1128.80	17	1767.80	105	19763.30	97	1305.73	162	-8928.66	65	9368.87	157
307	Max	-466	8584.48	177	16.14	133	1128.80	17	1767.80	105	19763.30	97	1305.73	162	-8928.66	65	9368.87	157
307	Max	-468	8584.48	177	16.14	133	1128.80	17	1767.80	105	19763.30	97	1305.73	162	-8928.66	65	9368.87	157
307	Min.	-430	-1556.37	131	-11271.20	106	-2547.86	177	339.94	65	3054.14	65	-2813.24	105	-61271.20	97	-257.39	65
307	Min.	-428	-1556.37	131	-11271.20	106	-2547.86	177	339.94	65	3054.14	65	-2813.24	105	-61271.20	97	-257.39	65
307	Min.	-466	-1556.37	131	-11271.20	106	-2547.86	177	339.94	65	3054.14	65	-2813.24	105	-61271.20	97	-257.39	65
307	Min.	-468	-1556.37	131	-11271.20	106	-2547.86	177	339.94	65	3054.14	65	-2813.24	105	-61271.20	97	-257.39	65
307	Max	-468	6654.25	177	941.36	97	921.22	17	1155.17	162	8364.97	129	3466.45	162	-9602.11	65	-3637.65	17
307	Max	-466	6654.25	177	941.36	97	921.22	17	1155.17	162	8364.97	129	3466.45	162	-9602.11	65	-3637.65	17
307	Max	-504	6654.25	177	941.36	97	921.22	17	1155.17	162	8364.97	129	3466.45	162	-9602.11	65	-3637.65	17
307	Max	-506	6654.25	177	941.36	97	921.22	17	1155.17	162	8364.97	129	3466.45	162	-9602.11	65	-3637.65	17
307	Min.	-468	-1274.97	17	-10604.60	130	-9734.52	177	-1502.65	173	1174.94	65	-2738.48	105	-73729.90	97	-31832.60	97
307	Min.	-466	-1274.97	17	-10604.60	130	-9734.52	177	-1502.65	173	1174.94	65	-2738.48	105	-73729.90	97	-31832.60	97
307	Min.	-504	-1274.97	17	-10604.60	130	-9734.52	177	-1502.65	173	1174.94	65	-2738.48	105	-73729.90	97	-31832.60	97
307	Min.	-506	-1274.97	17	-10604.60	130	-9734.52	177	-1502.65	173	1174.94	65	-2738.48	105	-73729.90	97	-31832.60	97
307	Max	-428	1070.31	177	377.56	177	1647.56	17	1471.63	129	19005.60	121	823.19	162	-6972.52	65	3831.24	162
307	Max	-426	1070.31	177	377.56	177	1647.56	17	1471.63	129	19005.60	121	823.19	162	-6972.52	65	3831.24	162
307	Max	-464	1070.31	177	377.56	177	1647.56	17	1471.63	129	19005.60	121	823.19	162	-6972.52	65	3831.24	162
307	Max	-466	1070.31	177	377.56	177	1647.56	17	1471.63	129	19005.60	121	823.19	162	-6972.52	65	3831.24	162
307	Min.	-428	-1103.98	17	-10790.70	106	-2169.10	177	253.77	65	2697.20	65	-3231.80	105	-52612.80	97	-6014.07	105
307	Min.	-426	-1103.98	17	-10790.70	106	-2169.10	177	253.77	65	2697.20	65	-3231.80	105	-52612.80	97	-6014.07	105
307	Min.	-464	-1103.98	17	-10790.70	106	-2169.10	177	253.77	65	2697.20	65	-3231.80	105	-52612.80	97	-6014.07	105
307	Min.	-466	-1103.98	17	-10790.70	106	-2169.10	177	253.77	65	2697.20	65	-3231.80	105	-52612.80	97	-6014.07	105
307	Max	-524	7405.50	177	3716.24	177	3942.18	130	2230.69	157	624.53	121	1131.03	105	-2284.20	17	15462.30	162
307	Max	-522	7405.50	177	3716.24	177	3942.18	130	2230.69	157	624.53	121	1131.03	105	-2284.20	17	15462.30	162
307	Max	-1057	7405.50	177	3716.24	177	3942.18	130	2230.69	157	624.53	121	1131.03	105	-2284.20	17	15462.30	162
307	Max	-1102	7405.50	177	3716.24	177	3942.18	130	2230.69	157	624.53	121	1131.03	105	-2284.20	17	15462.30	162
307	Min.	-524	-3552.49	65	-7933.31	130	-2894.25	177	-350.47	177	61.66	177	-1075.04	162	-14081.90	105	-35619.90	105
307	Min.	-522	-3552.49	65	-7933.31	130	-2894.25	177	-350.47	177	61.66	177	-1075.04	162	-14081.90	105	-35619.90	105
307	Min.	-1057	-3552.49	65	-7933.31	130	-2894.25	177	-350.47	177	61.66	177	-1075.04	162	-14081.90	105	-35619.90	105
307	Min.	-1102	-3552.49	65	-7933.31	130	-2894.25	177	-350.47	177	61.66	177	-1075.04	162	-14081.90	105	-35619.90	105
307	Max	-448	194.97	17	-28.87	133	1443.83	17	2070.08	97	20789.70	105	2794.40	105	-12058.80	17	1050.92	97
307	Max	-446	194.97	17	-28.87	133	1443.83	17	2070.08	97	20789.70	105	2794.40	105	-12058.80	17	1050.92	97
307	Max	-484	194.97	17	-28.87	133	1443.83	17	2070.08	97	20789.70	105	2794.40	105	-12058.80	17	1050.92	97
307	Max	-486	194.97	17	-28.87	133	1443.83	17	2070.08	97	20789.70	105	2794.40	105	-12058.80	17	1050.92	97
307	Min.	-448	-1172.97	132	-12936.10	106	-3280.83	177	385.09	33	3541.98	17	-1132.33	162	-75288.50	105	-2638.39	162
307	Min.	-446	-1172.97	132	-12936.10	106	-3280.83	177	385.09	33	3541.98	17	-1132.33	162	-75288.50	105	-2638.39	162
307	Min.	-484	-1172.97	132	-12936.10	106	-3280.83	177	385.09	33	3541.98	17	-1132.33	162	-75288.50	105	-2638.39	162
307	Min.	-486	-1172.97	132	-12936.10	106	-3280.83	177	385.09	33	3541.98	17	-1132.33	162	-75288.50	105	-2638.39	162
307	Max	-462	574.93	65	14666.90	177	751.53	107	40.55	177	13968.30	157	-107.29	177	-1217.47	65	553.94	173
307	Max	-460	574.93	65	14666.90	177	751.53	107	40.55	177	13968.30	157	-107.29	177	-1217.47	65	553.94	173
307	Max	-498	574.93	65	14666.90	177	751.53	107	40.55	177	13968.30	157	-107.29	177	-1217.47	65	553.94	173
307	Max	-500	574.93	65	14666.90	177	751.53	107	40.55	177	13968.30	157	-107.29	177	-1217.47	65	553.94	173
307	Min.	-462	-548.19	17	-7919.29	107	-377.96	104	-128.72	161	1040.34	65	-1197.70	105	-21335.40	121	-4803.25	158
307	Min.	-460	-548.19	17	-7919.29	107	-377.96	104	-128.72	161	1040.34	65	-1197.70	105	-21335.40	121	-4803.25	158
307	Min.	-498	-548.19	17	-7919.29	107	-377.96	104	-128.72	161	1040.34	65	-1197.70	105	-21335.40	121	-4803.25	158
307	Min.	-500	-548.19	17	-7919.29	107	-377.96	104	-128.72	161	1040.34	65	-1197.70	105	-21335.40	121	-4803.25	158
307	Max	-444	391.83	100	1824.22	65	1168.56	173	1437.31	121	19860.20	105	3818.85	105	-13650.20	33	-2392.47	17
307	Max	-442	391.83	100	1824.22	65	1168.56	173	1437.31	121	19860.20	105	3818.85	105	-13650.20	33	-2392.47	17
307	Max	-480	391.83	100	1824.22	65	1168.56	173	1437.31	121	19860.20	105	3818.85	105	-13650.20	33	-2392.47	17
307	Max	-482	391.83	100	1824.22	65	1168.56	173	1437.31	121	19860.20	105	3818.85	105	-13650.20	33	-2392.47	17
307	Min.	-444	-161.23	131	-15397.60	107	-5728.47	177	264.89	33	3600.55	33	27.75	17	-75653.00	105	-14811.20	105
307	Min.	-442	-161.23	131	-15397.60	107	-5728.47	177	264.89	33	3600.55	33	27.75	17	-75653.00	105	-14811.20	105
307	Min.	-480	-161.23	131	-15397.60	107	-5728.47	177	264.89	33	3600.55	33	27.75	17	-75653.00	105	-14811.20	105
307	Min.	-482	-161.23	131	-15397.60	107	-5728.47	177	264.89	33	3600.55	33	27.75	17	-75653.00	105	-14811.20	105
307	Max	-450	89.62	17	62.46	133	1806.06	17	1942.72	129	20028.70	97	2728.87	105	-10322.70	17	2897.49	97
307	Max	-448	89.62	17	62.46	133	1806.06	17	1942.72	129	20028.70	97	2728.87	105	-10322.70	17	2897.49	97
307	Max	-486	89.62	17	62.46	133	1806.06	17	1942.72	129	20028.70	97	2728.87	105	-10322.70	17	2897.49	97
307	Max	-488	89.62	17	62.46	133	1806.06	17	1942.72	129	20028.70	97	2728.87	105	-10322.70	17	2897.49	97
307	Min.	-450	-1210.91	132	-11861.80	106	-2394.14	177	333.88	33	3224.58	17	-1438.89	162	-69316.40	97	-3917.81	162
307	Min.	-448	-1210.91	132	-11861.80	106	-2394.14	177	333.88	33	3224.58	17	-1438.89	162	-69316.40	97	-3917.81	162
307	Min.	-486	-1210.91	132	-11861.80	106	-2394.14	177	333.88	33	3224.58	17	-1438.89	162	-69316.40	97	-3917.81	162
307	Min.	-488	-1210.91	132	-11861.80	106	-2394.14	177	333.88	33	3224.58	17	-1438.89	162	-69316.40	97	-3917.81	162
307	Max	-436	731.52	65	196.83	1	1017.32	107	2164.65	97	22196.80	105	825.87	162	-13909.00	65	1916.00	162
307	Max	-434	731.52	65	196.83	1	1017.32	107	2164.65	97	22196.80	105	825.87	162	-13909.00	65	1916.00	162
307	Max	-472	731.52	65	196.83	1	1017.32	107	2164.65	97	22196.80	105	825.87	162	-13909.00	65	1916.00	162
307	Max	-474	731.52	65	196.83	1	1017.32	107	2164.65	97	22196.80	105	825.87	162	-13909.00	65	1916.00	162
307	Min.	-436	-1693.25	131	-13488.90	108	-4201.54	177	444.19	33	3995.86	65	-2712.30	105	-79092.50	105	-3664.33	105
307	Min.	-434	-1693.25	131	-13488.90	108	-4201.54	177	444.19	33	3995.86	65	-2712.30	105	-79092.50	105	-3664.33	105
307	Min.	-472	-1693.25	131	-13488.90	108	-4201.54	177	444.19	33	3995.86	65	-2712.30	105	-79092.50	105	-3664.33	105
307	Min.	-474	-1693.25	131	-13488.90	108	-4201.54	177	444.19	33	3995.86	65	-2712.30	105	-79092.50	105	-3664.33	105
307	Max	-470	1741.01	65	1420.62	97	904.20	17	1608.26	157	7797.90	129	2397.18	162	-8211.92	65	-548.91	177
307	Max	-468	1741.01	65	1420.62	97	904.20	17	1608.26	157	7797.90	129	2397.18	162	-8211.92	65	-548.91	177
307	Max	-506	1741.01	65	1420.62	97	904.20	17	1608.26	157	7797.90	129	2397.18	162	-8211.92	65	-548.91	177
307	Max	-508	1741.01	65	1420.62	97	904.20	17	1608.26	157	7797.90	129	2397.18	162	-8211.92	65	-548.91	177
307	Min.	-470	-5535.34	177	-10247.00	130	-4945.07	177	-211.60	65	1299.19	65	-2608.08	105	-56258.70	97	-11112.50	97
307	Min.	-468	-5535.34	177	-10247.00	130	-4945.07	177	-211.60	65	1299.19	65	-2608.08	105	-56258.70	97	-11112.50	97
307	Min.	-506	-5535.34	177	-10247.00	130	-4945.07	177	-211.60	65	1299.19	65	-2608.08	105	-56258.70	97	-11112.50	97
307	Min.	-508	-5535.34	177	-10247.00	130	-4945.07	177	-211.60	65	1299.19	65	-2608.08	105	-56258.70	97	-11112.50	97
307	Max	-494	3585.71	177	1296.92	103	1287.03	17	400.70	105	15026.70	157	2660.99	105	-2204.43	162	8383.18	162
307	Max	-492	3585.71	177	1296.92	103	1287.03	17	400.70	105	15026.70	157	2660.99	105	-2204.43	162	8383.18	162
307	Max	-530	3585.71	177	1296.92	103	1287.03	17	400.70	105	15026.70	157	2660.99	105	-2204.43	162	8383.18	162
307	Max	-532	3585.71	177	1296.92	103	1287.03	17	400.70	105	15026.70	157	2660.99	105	-2204.43	162	8383.18	162
307	Min.	-494	-244.19	65	-9349.00	108	-1158.32	65	-1446.45	162	1062.29	17	-964.53	162	-32036.40	97	-1796.66	97
307	Min.	-492	-244.19	65	-9349.00	108	-1158.32	65	-1446.45	162	1062.29	17	-964.53	162	-32036.40	97	-1796.66	97
307	Min.	-530	-244.19	65	-9349.00	108	-1158.32	65	-1446.45	162	1062.29	17	-964.53	162	-32036.40	97	-1796.66	97
307	Min.	-532	-244.19	65	-9349.00	108	-1158.32	65	-1446.45	162	1062.29	17	-964.53	162	-32036.40	97	-1796.66	97
307	Max	-520	5216.94	17	2236.24	97	1247.03	173	1249.82	162	148.20	162	794.30	105	5557.65	105	12788.70	157
307	Max	-518	5216.94	17	2236.24	97	1247.03	173	1249.82	162	148.20	162	794.30	105	5557.65	105	12788.70	157
307	Max	-969	5216.94	17	2236.24	97	1247.03	173	1249.82	162	148.20	162	794.30	105	5557.65	105	12788.70	157
307	Max	-1012	5216.94	17	2236.24	97	1247.03	173	1249.82	162	148.20	162	794.30	105	5557.65	105	12788.70	157
307	Min.	-520	-4286.97	65	-5093.32	106	-4469.05	177	-2164.33	105	-377.05	105	-530.29	162	-1125.69	162	-6331.90	173
307	Min.	-518	-4286.97	65	-5093.32	106	-4469.05	177	-2164.33	105	-377.05	105	-530.29	162	-1125.69	162	-6331.90	173
307	Min.	-969	-4286.97	65	-5093.32	106	-4469.05	177	-2164.33	105	-377.05	105	-530.29	162	-1125.69	162	-6331.90	173
307	Min.	-1012	-4286.97	65	-5093.32	106	-4469.05	177	-2164.33	105	-377.05	105	-530.29	162	-1125.69	162	-6331.90	173
307	Max	-452	11.82	139	27.07	133	1940.02	17	1768.27	105	19725.10	97	2834.30	105	-8701.46	17	244.69	17
307	Max	-450	11.82	139	27.07	133	1940.02	17	1768.27	105	19725.10	97	2834.30	105	-8701.46	17	244.69	17
307	Max	-488	11.82	139	27.07	133	1940.02	17	1768.27	105	19725.10	97	2834.30	105	-8701.46	17	244.69	17
307	Max	-490	11.82	139	27.07	133	1940.02	17	1768.27	105	19725.10	97	2834.30	105	-8701.46	17	244.69	17

307	Min.	-452	-1632.97	132	-11239.10	106	-1418.04	177	303.53	33	2995.69	17	-1286.59	162	-60898.60	97	-9608.97	157
307	Min.	-450	-1632.97	132	-11239.10	106	-1418.04	177	303.53	33	2995.69	17	-1286.59	162	-60898.60	97	-9608.97	157
307	Min.	-488	-1632.97	132	-11239.10	106	-1418.04	177	303.53	33	2995.69	17	-1286.59	162	-60898.60	97	-9608.97	157
307	Min.	-490	-1632.97	132	-11239.10	106	-1418.04	177	303.53	33	2995.69	17	-1286.59	162	-60898.60	97	-9608.97	157
307	Max	-438	477.82	177	1842.57	17	3080.92	106	1439.44	121	19808.60	105	-11.18	65	-14055.10	33	14793.00	105
307	Max	-436	477.82	177	1842.57	17	3080.92	106	1439.44	121	19808.60	105	-11.18	65	-14055.10	33	14793.00	105
307	Max	-474	477.82	177	1842.57	17	3080.92	106	1439.44	121	19808.60	105	-11.18	65	-14055.10	33	14793.00	105
307	Max	-476	477.82	177	1842.57	17	3080.92	106	1439.44	121	19808.60	105	-11.18	65	-14055.10	33	14793.00	105
307	Min.	-438	-164.93	132	-15388.00	108	-4116.84	177	293.78	33	3772.12	33	-3812.32	105	-75301.10	105	2423.92	65
307	Min.	-436	-164.93	132	-15388.00	108	-4116.84	177	293.78	33	3772.12	33	-3812.32	105	-75301.10	105	2423.92	65
307	Min.	-474	-164.93	132	-15388.00	108	-4116.84	177	293.78	33	3772.12	33	-3812.32	105	-75301.10	105	2423.92	65
307	Min.	-476	-164.93	132	-15388.00	108	-4116.84	177	293.78	33	3772.12	33	-3812.32	105	-75301.10	105	2423.92	65
605	Max	-154	0.00	1	0.00	1	0.00	1	787.21	65	2188.77	49	738.84	49	14808.50	106	3660.10	65
605	Max	-142	0.00	1	0.00	1	0.00	1	787.21	65	2188.77	49	738.84	49	14808.50	106	3660.10	65
605	Max	-141	0.00	1	0.00	1	0.00	1	787.21	65	2188.77	49	738.84	49	14808.50	106	3660.10	65
605	Max	-153	0.00	1	0.00	1	0.00	1	787.21	65	2188.77	49	738.84	49	14808.50	106	3660.10	65
605	Min.	-154	0.00	1	0.00	1	0.00	1	-496.77	17	-11537.10	130	-2622.65	130	1556.26	65	-1635.11	17
605	Min.	-142	0.00	1	0.00	1	0.00	1	-496.77	17	-11537.10	130	-2622.65	130	1556.26	65	-1635.11	17
605	Min.	-141	0.00	1	0.00	1	0.00	1	-496.77	17	-11537.10	130	-2622.65	130	1556.26	65	-1635.11	17
605	Min.	-153	0.00	1	0.00	1	0.00	1	-496.77	17	-11537.10	130	-2622.65	130	1556.26	65	-1635.11	17
605	Max	-98	0.00	1	0.00	1	0.00	1	879.05	103	1328.20	1	1661.28	103	11242.00	106	7400.97	103
605	Max	-88	0.00	1	0.00	1	0.00	1	879.05	103	1328.20	1	1661.28	103	11242.00	106	7400.97	103
605	Max	-87	0.00	1	0.00	1	0.00	1	879.05	103	1328.20	1	1661.28	103	11242.00	106	7400.97	103
605	Max	-97	0.00	1	0.00	1	0.00	1	879.05	103	1328.20	1	1661.28	103	11242.00	106	7400.97	103
605	Min.	-98	0.00	1	0.00	1	0.00	1	311.17	65	-10186.30	130	-609.01	1	1183.08	1	1457.43	65
605	Min.	-88	0.00	1	0.00	1	0.00	1	311.17	65	-10186.30	130	-609.01	1	1183.08	1	1457.43	65
605	Min.	-87	0.00	1	0.00	1	0.00	1	311.17	65	-10186.30	130	-609.01	1	1183.08	1	1457.43	65
605	Min.	-97	0.00	1	0.00	1	0.00	1	311.17	65	-10186.30	130	-609.01	1	1183.08	1	1457.43	65
605	Max	-119	0.00	1	0.00	1	0.00	1	2381.03	107	4232.40	101	1725.04	65	12949.90	106	3942.71	107
605	Max	-109	0.00	1	0.00	1	0.00	1	2381.03	107	4232.40	101	1725.04	65	12949.90	106	3942.71	107
605	Max	-108	0.00	1	0.00	1	0.00	1	2381.03	107	4232.40	101	1725.04	65	12949.90	106	3942.71	107
605	Max	-118	0.00	1	0.00	1	0.00	1	2381.03	107	4232.40	101	1725.04	65	12949.90	106	3942.71	107
605	Min.	-119	0.00	1	0.00	1	0.00	1	472.96	17	-7011.73	130	-1906.59	17	2707.03	49	37.46	65
605	Min.	-109	0.00	1	0.00	1	0.00	1	472.96	17	-7011.73	130	-1906.59	17	2707.03	49	37.46	65
605	Min.	-108	0.00	1	0.00	1	0.00	1	472.96	17	-7011.73	130	-1906.59	17	2707.03	49	37.46	65
605	Min.	-118	0.00	1	0.00	1	0.00	1	472.96	17	-7011.73	130	-1906.59	17	2707.03	49	37.46	65
605	Max	-39	0.00	1	0.00	1	0.00	1	447.26	104	910.32	1	1878.91	131	6924.20	130	481.00	65
605	Max	-27	0.00	1	0.00	1	0.00	1	447.26	104	910.32	1	1878.91	131	6924.20	130	481.00	65
605	Max	-26	0.00	1	0.00	1	0.00	1	447.26	104	910.32	1	1878.91	131	6924.20	130	481.00	65
605	Max	-38	0.00	1	0.00	1	0.00	1	447.26	104	910.32	1	1878.91	131	6924.20	130	481.00	65
605	Min.	-39	0.00	1	0.00	1	0.00	1	-386.96	131	-4708.37	130	-504.80	1	-1430.26	1	-996.14	132
605	Min.	-27	0.00	1	0.00	1	0.00	1	-386.96	131	-4708.37	130	-504.80	1	-1430.26	1	-996.14	132
605	Min.	-26	0.00	1	0.00	1	0.00	1	-386.96	131	-4708.37	130	-504.80	1	-1430.26	1	-996.14	132
605	Min.	-38	0.00	1	0.00	1	0.00	1	-386.96	131	-4708.37	130	-504.80	1	-1430.26	1	-996.14	132
605	Max	-50	0.00	1	0.00	1	0.00	1	697.80	17	377.47	101	1375.81	130	4050.18	130	722.64	1
605	Max	-38	0.00	1	0.00	1	0.00	1	697.80	17	377.47	101	1375.81	130	4050.18	130	722.64	1
605	Max	-37	0.00	1	0.00	1	0.00	1	697.80	17	377.47	101	1375.81	130	4050.18	130	722.64	1
605	Max	-49	0.00	1	0.00	1	0.00	1	697.80	17	377.47	101	1375.81	130	4050.18	130	722.64	1
605	Min.	-50	0.00	1	0.00	1	0.00	1	-510.21	65	-1232.57	130	-388.54	1	-861.60	1	-7160.14	130
605	Min.	-38	0.00	1	0.00	1	0.00	1	-510.21	65	-1232.57	130	-388.54	1	-861.60	1	-7160.14	130
605	Min.	-37	0.00	1	0.00	1	0.00	1	-510.21	65	-1232.57	130	-388.54	1	-861.60	1	-7160.14	130
605	Min.	-49	0.00	1	0.00	1	0.00	1	-510.21	65	-1232.57	130	-388.54	1	-861.60	1	-7160.14	130
605	Max	-166	0.00	1	0.00	1	0.00	1	308.01	65	1999.11	49	148.80	65	12961.20	106	785.42	65
605	Max	-154	0.00	1	0.00	1	0.00	1	308.01	65	1999.11	49	148.80	65	12961.20	106	785.42	65
605	Max	-153	0.00	1	0.00	1	0.00	1	308.01	65	1999.11	49	148.80	65	12961.20	106	785.42	65
605	Max	-165	0.00	1	0.00	1	0.00	1	308.01	65	1999.11	49	148.80	65	12961.20	106	785.42	65
605	Min.	-166	0.00	1	0.00	1	0.00	1	-354.12	108	-10253.40	130	-1766.46	108	261.27	65	-2564.94	17
605	Min.	-154	0.00	1	0.00	1	0.00	1	-354.12	108	-10253.40	130	-1766.46	108	261.27	65	-2564.94	17
605	Min.	-153	0.00	1	0.00	1	0.00	1	-354.12	108	-10253.40	130	-1766.46	108	261.27	65	-2564.94	17
605	Min.	-165	0.00	1	0.00	1	0.00	1	-354.12	108	-10253.40	130	-1766.46	108	261.27	65	-2564.94	17
605	Max	-14	0.00	1	0.00	1	0.00	1	16.16	17	244.26	1	134.57	131	2329.73	130	84.50	101
605	Max	-2	0.00	1	0.00	1	0.00	1	16.16	17	244.26	1	134.57	131	2329.73	130	84.50	101
605	Max	-1	0.00	1	0.00	1	0.00	1	16.16	17	244.26	1	134.57	131	2329.73	130	84.50	101
605	Max	-13	0.00	1	0.00	1	0.00	1	16.16	17	244.26	1	134.57	131	2329.73	130	84.50	101
605	Min.	-14	0.00	1	0.00	1	0.00	1	-14.08	65	-1114.63	130	-31.84	17	-733.21	1	-401.22	130
605	Min.	-2	0.00	1	0.00	1	0.00	1	-14.08	65	-1114.63	130	-31.84	17	-733.21	1	-401.22	130
605	Min.	-1	0.00	1	0.00	1	0.00	1	-14.08	65	-1114.63	130	-31.84	17	-733.21	1	-401.22	130
605	Min.	-13	0.00	1	0.00	1	0.00	1	-14.08	65	-1114.63	130	-31.84	17	-733.21	1	-401.22	130
605	Max	-152	0.00	1	0.00	1	0.00	1	1856.52	65	720.90	101	988.55	101	1716.24	130	12371.00	130
605	Max	-140	0.00	1	0.00	1	0.00	1	1856.52	65	720.90	101	988.55	101	1716.24	130	12371.00	130
605	Max	-139	0.00	1	0.00	1	0.00	1	1856.52	65	720.90	101	988.55	101	1716.24	130	12371.00	130
605	Max	-151	0.00	1	0.00	1	0.00	1	1856.52	65	720.90	101	988.55	101	1716.24	130	12371.00	130
605	Min.	-152	0.00	1	0.00	1	0.00	1	-653.62	17	-736.11	130	-1961.46	130	-609.44	49	-594.19	49
605	Min.	-140	0.00	1	0.00	1	0.00	1	-653.62	17	-736.11	130	-1961.46	130	-609.44	49	-594.19	49
605	Min.	-139	0.00	1	0.00	1	0.00	1	-653.62	17	-736.11	130	-1961.46	130	-609.44	49	-594.19	49
605	Min.	-151	0.00	1	0.00	1	0.00	1	-653.62	17	-736.11	130	-1961.46	130	-609.44	49	-594.19	49
605	Max	-131	0.00	1	0.00	1	0.00	1	2065.54	107	4270.07	101	1269.16	65	12575.40	106	488.32	17
605	Max	-119	0.00	1	0.00	1	0.00	1	2065.54	107	4270.07	101	1269.16	65	12575.40	106	488.32	17
605	Max	-118	0.00	1	0.00	1	0.00	1	2065.54	107	4270.07	101	1269.16	65	12575.40	106	488.32	17
605	Max	-130	0.00	1	0.00	1	0.00	1	2065.54	107	4270.07	101	1269.16	65	12575.40	106	488.32	17
605	Min.	-131	0.00	1	0.00	1	0.00	1	575.32	17	-7160.03	130	-1982.01	17	2567.36	49	-2532.19	132
605	Min.	-119	0.00	1	0.00	1	0.00	1	575.32	17	-7160.03	130	-1982.01	17	2567.36	49	-2532.19	132
605	Min.	-118	0.00	1	0.00	1	0.00	1	575.32	17	-7160.03	130	-1982.01	17	2567.36	49	-2532.19	132
605	Min.	-130	0.00	1	0.00	1	0.00	1	575.32	17	-7160.03	130	-1982.01	17	2567.36	49	-2532.19	132
605	Max	-26	0.00	1	0.00	1	0.00	1	59.20	17	271.56	1	423.86	131	3063.03	130	339.19	101
605	Max	-14	0.00	1	0.00	1	0.00	1	59.20	17	271.56	1	423.86	131	3063.03	130	339.19	101
605	Max	-13	0.00	1	0.00	1	0.00	1	59.20	17	271.56	1	423.86	131	3063.03	130	339.19	101
605	Max	-25	0.00	1	0.00	1	0.00	1	59.20	17	271.56	1	423.86	131	3063.03	130	339.19	101
605	Min.	-26	0.00	1	0.00	1	0.00	1	-82.31	131	-1262.25	130	-109.93	17	-756.49	1	-1256.49	130
605	Min.	-14	0.00	1	0.00	1	0.00	1	-82.31	131	-1262.25	130	-109.93	17	-756.49	1	-1256.49	130
605	Min.	-13	0.00	1	0.00	1	0.00	1	-82.31	131	-1262.25	130	-109.93	17	-756.49	1	-1256.49	130
605	Min.	-25	0.00	1	0.00	1	0.00	1	-82.31	131	-1262.25	130	-109.93	17	-756.49	1	-1256.49	130
605	Max	-178	0.00	1	0.00	1	0.00	1	1186.15	104	966.43	49	747.69	130	4825.67	106	-4452.88	1
605	Max	-166	0.00	1	0.00	1	0.00	1	1186.15	104	966.43	49	747.69	130	4825.67	106	-4452.88	1
605	Max	-165	0.00	1	0.00	1	0.00	1	1186.15	104	966.43	49	747.69	130	4825.67	106	-4452.88	1
605	Max	-177	0.00	1	0.00	1	0.00	1	1186.15	104	966.43	49	747.69	130	4825.67	106	-4452.88	1
605	Min.	-178	0.00	1	0.00	1	0.00	1	-457.17	131	-6488.61	106	-3257.54	101	-2476.46	49	-15166.90	103
605	Min.	-166	0.00	1	0.00	1	0.00	1	-457.17	131	-6488.61	106	-3257.54	101	-2476.46	49	-15166.90	103
605	Min.	-165	0.00	1	0.00	1	0.00	1	-457.17	131	-6488.61	106	-3257.54	101	-2476.46	49	-15166.90	103
605	Min.	-177	0.00	1	0.00	1	0.00	1	-457.17	131	-6488.61	106	-3257.54	101	-2476.46	49	-15166.90	103
605	Max	-120	0.00	1	0.00	1	0.00	1	1283.96	65	1346.97	49	1216.93	49	12714.80	106	8355.19	103
605	Max	-110	0.00	1	0.00	1	0.00	1	1283.96	65	1346.97	49	1216.93	49	12714.80	106	8355.19	103
605	Max	-109	0.00	1	0.00	1	0.00	1	1283.96	65	1346.97	49	1216.93	49	12714.80	106	8355.19	103
605	Max	-119	0.00	1	0.00	1	0.00	1	1283.96	65	1346.97	49	1216.93	49	12714.80	106	8355.19	103
605	Min.	-120	0.00	1	0.00	1	0.00	1	-43.30	17	-10964.00	130	-1856.90	130	1862.72	49	766.24	17

605	Min.	-110	0.00	1	0.00	1	0.00	1	-43.30	17	-10964.00	130	-1856.90	130	1862.72	49	766.24	17
605	Min.	-109	0.00	1	0.00	1	0.00	1	-43.30	17	-10964.00	130	-1856.90	130	1862.72	49	766.24	17
605	Min.	-119	0.00	1	0.00	1	0.00	1	-43.30	17	-10964.00	130	-1856.90	130	1862.72	49	766.24	17
605	Max	-52	0.00	1	0.00	1	0.00	1	1135.28	103	1002.72	1	3167.01	101	5037.22	106	14555.20	104
605	Max	-40	0.00	1	0.00	1	0.00	1	1135.28	103	1002.72	1	3167.01	101	5037.22	106	14555.20	104
605	Max	-39	0.00	1	0.00	1	0.00	1	1135.28	103	1002.72	1	3167.01	101	5037.22	106	14555.20	104
605	Max	-51	0.00	1	0.00	1	0.00	1	1135.28	103	1002.72	1	3167.01	101	5037.22	106	14555.20	104
605	Min.	-52	0.00	1	0.00	1	0.00	1	-468.19	132	-6575.71	106	-641.74	130	-2402.08	1	4344.09	49
605	Min.	-40	0.00	1	0.00	1	0.00	1	-468.19	132	-6575.71	106	-641.74	130	-2402.08	1	4344.09	49
605	Min.	-39	0.00	1	0.00	1	0.00	1	-468.19	132	-6575.71	106	-641.74	130	-2402.08	1	4344.09	49
605	Min.	-51	0.00	1	0.00	1	0.00	1	-468.19	132	-6575.71	106	-641.74	130	-2402.08	1	4344.09	49
605	Max	-74	0.00	1	0.00	1	0.00	1	1854.66	17	718.60	101	1960.06	130	1704.30	130	610.14	1
605	Max	-62	0.00	1	0.00	1	0.00	1	1854.66	17	718.60	101	1960.06	130	1704.30	130	610.14	1
605	Max	-61	0.00	1	0.00	1	0.00	1	1854.66	17	718.60	101	1960.06	130	1704.30	130	610.14	1
605	Max	-73	0.00	1	0.00	1	0.00	1	1854.66	17	718.60	101	1960.06	130	1704.30	130	610.14	1
605	Min.	-74	0.00	1	0.00	1	0.00	1	-646.46	65	-736.23	130	-989.52	101	-615.06	1	-12346.50	130
605	Min.	-62	0.00	1	0.00	1	0.00	1	-646.46	65	-736.23	130	-989.52	101	-615.06	1	-12346.50	130
605	Min.	-61	0.00	1	0.00	1	0.00	1	-646.46	65	-736.23	130	-989.52	101	-615.06	1	-12346.50	130
605	Min.	-73	0.00	1	0.00	1	0.00	1	-646.46	65	-736.23	130	-989.52	101	-615.06	1	-12346.50	130
605	Max	-176	0.00	1	0.00	1	0.00	1	687.56	65	374.12	101	378.38	49	4059.40	130	7106.53	130
605	Max	-164	0.00	1	0.00	1	0.00	1	687.56	65	374.12	101	378.38	49	4059.40	130	7106.53	130
605	Max	-163	0.00	1	0.00	1	0.00	1	687.56	65	374.12	101	378.38	49	4059.40	130	7106.53	130
605	Max	-175	0.00	1	0.00	1	0.00	1	687.56	65	374.12	101	378.38	49	4059.40	130	7106.53	130
605	Min.	-176	0.00	1	0.00	1	0.00	1	-509.72	17	-1235.97	130	-1367.86	130	-861.52	49	-721.68	49
605	Min.	-164	0.00	1	0.00	1	0.00	1	-509.72	17	-1235.97	130	-1367.86	130	-861.52	49	-721.68	49
605	Min.	-163	0.00	1	0.00	1	0.00	1	-509.72	17	-1235.97	130	-1367.86	130	-861.52	49	-721.68	49
605	Min.	-175	0.00	1	0.00	1	0.00	1	-509.72	17	-1235.97	130	-1367.86	130	-861.52	49	-721.68	49
605	Max	-38	0.00	1	0.00	1	0.00	1	356.10	17	305.62	1	981.62	131	3651.37	130	294.39	1
605	Max	-26	0.00	1	0.00	1	0.00	1	356.10	17	305.62	1	981.62	131	3651.37	130	294.39	1
605	Max	-25	0.00	1	0.00	1	0.00	1	356.10	17	305.62	1	981.62	131	3651.37	130	294.39	1
605	Max	-37	0.00	1	0.00	1	0.00	1	356.10	17	305.62	1	981.62	131	3651.37	130	294.39	1
605	Min.	-38	0.00	1	0.00	1	0.00	1	-312.01	65	-1269.44	130	-245.74	1	-851.67	1	-3976.03	130
605	Min.	-26	0.00	1	0.00	1	0.00	1	-312.01	65	-1269.44	130	-245.74	1	-851.67	1	-3976.03	130
605	Min.	-25	0.00	1	0.00	1	0.00	1	-312.01	65	-1269.44	130	-245.74	1	-851.67	1	-3976.03	130
605	Min.	-37	0.00	1	0.00	1	0.00	1	-312.01	65	-1269.44	130	-245.74	1	-851.67	1	-3976.03	130
605	Max	-203	0.00	1	0.00	1	0.00	1	99.94	49	1992.88	49	-215.48	65	2795.43	65	1333.82	65
605	Max	-191	0.00	1	0.00	1	0.00	1	99.94	49	1992.88	49	-215.48	65	2795.43	65	1333.82	65
605	Max	-190	0.00	1	0.00	1	0.00	1	99.94	49	1992.88	49	-215.48	65	2795.43	65	1333.82	65
605	Max	-202	0.00	1	0.00	1	0.00	1	99.94	49	1992.88	49	-215.48	65	2795.43	65	1333.82	65
605	Min.	-203	0.00	1	0.00	1	0.00	1	-874.32	132	-10553.80	130	-1352.23	103	-10083.10	104	-3981.01	108
605	Min.	-191	0.00	1	0.00	1	0.00	1	-874.32	132	-10553.80	130	-1352.23	103	-10083.10	104	-3981.01	108
605	Min.	-190	0.00	1	0.00	1	0.00	1	-874.32	132	-10553.80	130	-1352.23	103	-10083.10	104	-3981.01	108
605	Min.	-202	0.00	1	0.00	1	0.00	1	-874.32	132	-10553.80	130	-1352.23	103	-10083.10	104	-3981.01	108
605	Max	-201	0.00	1	0.00	1	0.00	1	176.42	65	1040.18	49	422.72	49	5761.82	130	1391.28	65
605	Max	-189	0.00	1	0.00	1	0.00	1	176.42	65	1040.18	49	422.72	49	5761.82	130	1391.28	65
605	Max	-188	0.00	1	0.00	1	0.00	1	176.42	65	1040.18	49	422.72	49	5761.82	130	1391.28	65
605	Max	-200	0.00	1	0.00	1	0.00	1	176.42	65	1040.18	49	422.72	49	5761.82	130	1391.28	65
605	Min.	-201	0.00	1	0.00	1	0.00	1	-122.89	17	-4784.35	130	-1447.15	130	-1899.70	49	-182.85	17
605	Min.	-189	0.00	1	0.00	1	0.00	1	-122.89	17	-4784.35	130	-1447.15	130	-1899.70	49	-182.85	17
605	Min.	-188	0.00	1	0.00	1	0.00	1	-122.89	17	-4784.35	130	-1447.15	130	-1899.70	49	-182.85	17
605	Min.	-200	0.00	1	0.00	1	0.00	1	-122.89	17	-4784.35	130	-1447.15	130	-1899.70	49	-182.85	17
605	Max	-75	0.00	1	0.00	1	0.00	1	1546.35	17	1989.03	101	3323.60	130	9987.97	106	-453.39	17
605	Max	-63	0.00	1	0.00	1	0.00	1	1546.35	17	1989.03	101	3323.60	130	9987.97	106	-453.39	17
605	Max	-62	0.00	1	0.00	1	0.00	1	1546.35	17	1989.03	101	3323.60	130	9987.97	106	-453.39	17
605	Max	-74	0.00	1	0.00	1	0.00	1	1546.35	17	1989.03	101	3323.60	130	9987.97	106	-453.39	17
605	Min.	-75	0.00	1	0.00	1	0.00	1	-611.57	65	-5122.25	130	-987.92	1	-0.71	1	-4998.72	100
605	Min.	-63	0.00	1	0.00	1	0.00	1	-611.57	65	-5122.25	130	-987.92	1	-0.71	1	-4998.72	100
605	Min.	-62	0.00	1	0.00	1	0.00	1	-611.57	65	-5122.25	130	-987.92	1	-0.71	1	-4998.72	100
605	Min.	-74	0.00	1	0.00	1	0.00	1	-611.57	65	-5122.25	130	-987.92	1	-0.71	1	-4998.72	100
605	Max	-202	0.00	1	0.00	1	0.00	1	-114.25	49	2510.72	49	206.34	65	9557.54	107	477.17	65
605	Max	-190	0.00	1	0.00	1	0.00	1	-114.25	49	2510.72	49	206.34	65	9557.54	107	477.17	65
605	Max	-189	0.00	1	0.00	1	0.00	1	-114.25	49	2510.72	49	206.34	65	9557.54	107	477.17	65
605	Max	-201	0.00	1	0.00	1	0.00	1	-114.25	49	2510.72	49	206.34	65	9557.54	107	477.17	65
605	Min.	-202	0.00	1	0.00	1	0.00	1	-470.95	104	-10754.20	130	-1148.29	108	-2772.75	17	-2970.52	100
605	Min.	-190	0.00	1	0.00	1	0.00	1	-470.95	104	-10754.20	130	-1148.29	108	-2772.75	17	-2970.52	100
605	Min.	-189	0.00	1	0.00	1	0.00	1	-470.95	104	-10754.20	130	-1148.29	108	-2772.75	17	-2970.52	100
605	Min.	-201	0.00	1	0.00	1	0.00	1	-470.95	104	-10754.20	130	-1148.29	108	-2772.75	17	-2970.52	100
605	Max	-97	0.00	1	0.00	1	0.00	1	2039.23	108	4253.62	101	1968.11	65	12589.70	106	2565.03	131
605	Max	-87	0.00	1	0.00	1	0.00	1	2039.23	108	4253.62	101	1968.11	65	12589.70	106	2565.03	131
605	Max	-86	0.00	1	0.00	1	0.00	1	2039.23	108	4253.62	101	1968.11	65	12589.70	106	2565.03	131
605	Max	-96	0.00	1	0.00	1	0.00	1	2039.23	108	4253.62	101	1968.11	65	12589.70	106	2565.03	131
605	Min.	-97	0.00	1	0.00	1	0.00	1	571.58	65	-7154.88	130	-1269.74	17	2552.37	1	-467.31	65
605	Min.	-87	0.00	1	0.00	1	0.00	1	571.58	65	-7154.88	130	-1269.74	17	2552.37	1	-467.31	65
605	Min.	-86	0.00	1	0.00	1	0.00	1	571.58	65	-7154.88	130	-1269.74	17	2552.37	1	-467.31	65
605	Min.	-96	0.00	1	0.00	1	0.00	1	571.58	65	-7154.88	130	-1269.74	17	2552.37	1	-467.31	65
605	Max	-141	0.00	1	0.00	1	0.00	1	2198.51	65	4560.29	101	1691.54	103	12255.70	107	7228.40	107
605	Max	-131	0.00	1	0.00	1	0.00	1	2198.51	65	4560.29	101	1691.54	103	12255.70	107	7228.40	107
605	Max	-130	0.00	1	0.00	1	0.00	1	2198.51	65	4560.29	101	1691.54	103	12255.70	107	7228.40	107
605	Max	-140	0.00	1	0.00	1	0.00	1	2198.51	65	4560.29	101	1691.54	103	12255.70	107	7228.40	107
605	Min.	-141	0.00	1	0.00	1	0.00	1	-482.56	17	-7698.97	130	-4116.61	132	2588.86	65	524.78	65
605	Min.	-131	0.00	1	0.00	1	0.00	1	-482.56	17	-7698.97	130	-4116.61	132	2588.86	65	524.78	65
605	Min.	-130	0.00	1	0.00	1	0.00	1	-482.56	17	-7698.97	130	-4116.61	132	2588.86	65	524.78	65
605	Min.	-140	0.00	1	0.00	1	0.00	1	-482.56	17	-7698.97	130	-4116.61	132	2588.86	65	524.78	65
605	Max	-63	0.00	1	0.00	1	0.00	1	1072.39	17	1118.04	1	2567.46	131	8654.21	106	144.76	17
605	Max	-51	0.00	1	0.00	1	0.00	1	1072.39	17	1118.04	1	2567.46	131	8654.21	106	144.76	17
605	Max	-50	0.00	1	0.00	1	0.00	1	1072.39	17	1118.04	1	2567.46	131	8654.21	106	144.76	17
605	Max	-62	0.00	1	0.00	1	0.00	1	1072.39	17	1118.04	1	2567.46	131	8654.21	106	144.76	17
605	Min.	-63	0.00	1	0.00	1	0.00	1	-602.90	65	-4626.71	130	-534.82	1	-1026.64	1	-2842.85	104
605	Min.	-51	0.00	1	0.00	1	0.00	1	-602.90	65	-4626.71	130	-534.82	1	-1026.64	1	-2842.85	104
605	Min.	-50	0.00	1	0.00	1	0.00	1	-602.90	65	-4626.71	130	-534.82	1	-1026.64	1	-2842.85	104
605	Min.	-62	0.00	1	0.00	1	0.00	1	-602.90	65	-4626.71	130	-534.82	1	-1026.64	1	-2842.85	104
605	Max	-177	0.00	1	0.00	1	0.00	1	968.78	65	871.20	49	563.66	49	7813.17	106	4382.48	103
605	Max	-165	0.00	1	0.00	1	0.00	1	968.78	65	871.20	49	563.66	49	7813.17	106	4382.48	103
605	Max	-164	0.00	1	0.00	1	0.00	1	968.78	65	871.20	49	563.66	49	7813.17	106	4382.48	103
605	Max	-176	0.00	1	0.00	1	0.00	1	968.78	65	871.20	49	563.66	49	7813.17	106	4382.48	103
605	Min.	-177	0.00	1	0.00	1	0.00	1	-730.27	17	-4553.17	130	-2645.32	132	-1114.95	49	23.15	17
605	Min.	-165	0.00	1	0.00	1	0.00	1	-730.27	17	-4553.17	130	-2645.32	132	-1114.95	49	23.15	17
605	Min.	-164	0.00	1	0.00	1	0.00	1	-730.27	17	-4553.17	130	-2645.32	132	-1114.95	49	23.15	17
605	Min.	-176	0.00	1	0.00	1	0.00	1	-730.27	17	-4553.17	130	-2645.32	132	-1114.95	49	23.15	17
605	Max	-132	0.00	1	0.00	1	0.00	1	900.13	104	1327.87	49	618.06	49	11223.90	106	-1442.64	17
605	Max	-120	0.00	1	0.00	1	0.00	1	900.13	104	1327.87	49	618.06	49	11223.90	106	-1442.64	17
605	Max	-119	0.00	1	0.00	1	0.00	1	900.13	104	1327.87	49	618.06	49	11223.90	106	-1442.64	17
605	Max	-131	0.00	1	0.00	1	0.00	1	900.13	104	1327.87	49	618.06	49	11223.90	106	-1442.64	17
605	Min.	-132	0.00	1	0.00	1	0.00	1	326.19	17	-10183.90	130	-1657.02	104	1194.52	49	-7376.81	104
605	Min.	-120	0.00	1	0.00	1	0.00	1	326.19	17	-10183.90	130	-1657.02	104	1194.52	49	-7376.81	104

605	Min.	-119	0.00	1	0.00	1	0.00	1	326.19	17	-10183.90	130	-1657.02	104	1194.52	49	-7376.81	104
605	Min.	-131	0.00	1	0.00	1	0.00	1	326.19	17	-10183.90	130	-1657.02	104	1194.52	49	-7376.81	104
605	Max	-27	0.00	1	0.00	1	0.00	1	170.22	17	1054.03	1	1409.34	130	5719.70	130	182.73	65
605	Max	-15	0.00	1	0.00	1	0.00	1	170.22	17	1054.03	1	1409.34	130	5719.70	130	182.73	65
605	Max	-14	0.00	1	0.00	1	0.00	1	170.22	17	1054.03	1	1409.34	130	5719.70	130	182.73	65
605	Max	-26	0.00	1	0.00	1	0.00	1	170.22	17	1054.03	1	1409.34	130	5719.70	130	182.73	65
605	Min.	-27	0.00	1	0.00	1	0.00	1	-118.03	65	-4786.75	130	-416.09	1	-1885.64	1	-1347.40	17
605	Min.	-15	0.00	1	0.00	1	0.00	1	-118.03	65	-4786.75	130	-416.09	1	-1885.64	1	-1347.40	17
605	Min.	-14	0.00	1	0.00	1	0.00	1	-118.03	65	-4786.75	130	-416.09	1	-1885.64	1	-1347.40	17
605	Min.	-26	0.00	1	0.00	1	0.00	1	-118.03	65	-4786.75	130	-416.09	1	-1885.64	1	-1347.40	17
605	Max	-51	0.00	1	0.00	1	0.00	1	969.80	17	881.99	1	2623.09	131	7832.30	106	-17.32	65
605	Max	-39	0.00	1	0.00	1	0.00	1	969.80	17	881.99	1	2623.09	131	7832.30	106	-17.32	65
605	Max	-38	0.00	1	0.00	1	0.00	1	969.80	17	881.99	1	2623.09	131	7832.30	106	-17.32	65
605	Max	-50	0.00	1	0.00	1	0.00	1	969.80	17	881.99	1	2623.09	131	7832.30	106	-17.32	65
605	Min.	-51	0.00	1	0.00	1	0.00	1	-721.05	65	-4550.94	130	-564.82	1	-1116.68	1	-4268.22	104
605	Min.	-39	0.00	1	0.00	1	0.00	1	-721.05	65	-4550.94	130	-564.82	1	-1116.68	1	-4268.22	104
605	Min.	-38	0.00	1	0.00	1	0.00	1	-721.05	65	-4550.94	130	-564.82	1	-1116.68	1	-4268.22	104
605	Min.	-50	0.00	1	0.00	1	0.00	1	-721.05	65	-4550.94	130	-564.82	1	-1116.68	1	-4268.22	104
605	Max	-87	0.00	1	0.00	1	0.00	1	2196.38	17	4555.20	101	4105.13	131	12264.50	108	-533.54	17
605	Max	-75	0.00	1	0.00	1	0.00	1	2196.38	17	4555.20	101	4105.13	131	12264.50	108	-533.54	17
605	Max	-74	0.00	1	0.00	1	0.00	1	2196.38	17	4555.20	101	4105.13	131	12264.50	108	-533.54	17
605	Max	-86	0.00	1	0.00	1	0.00	1	2196.38	17	4555.20	101	4105.13	131	12264.50	108	-533.54	17
605	Min.	-87	0.00	1	0.00	1	0.00	1	-475.28	65	-7697.27	130	-1704.97	104	2606.80	17	-7225.82	108
605	Min.	-75	0.00	1	0.00	1	0.00	1	-475.28	65	-7697.27	130	-1704.97	104	2606.80	17	-7225.82	108
605	Min.	-74	0.00	1	0.00	1	0.00	1	-475.28	65	-7697.27	130	-1704.97	104	2606.80	17	-7225.82	108
605	Min.	-86	0.00	1	0.00	1	0.00	1	-475.28	65	-7697.27	130	-1704.97	104	2606.80	17	-7225.82	108
605	Max	-109	0.00	1	0.00	1	0.00	1	2369.01	108	4219.97	101	1898.04	65	12955.90	106	-69.02	17
605	Max	-97	0.00	1	0.00	1	0.00	1	2369.01	108	4219.97	101	1898.04	65	12955.90	106	-69.02	17
605	Max	-96	0.00	1	0.00	1	0.00	1	2369.01	108	4219.97	101	1898.04	65	12955.90	106	-69.02	17
605	Max	-108	0.00	1	0.00	1	0.00	1	2369.01	108	4219.97	101	1898.04	65	12955.90	106	-69.02	17
605	Min.	-109	0.00	1	0.00	1	0.00	1	473.73	65	-7004.99	130	-1736.18	17	2690.24	1	-3975.40	108
605	Min.	-97	0.00	1	0.00	1	0.00	1	473.73	65	-7004.99	130	-1736.18	17	2690.24	1	-3975.40	108
605	Min.	-96	0.00	1	0.00	1	0.00	1	473.73	65	-7004.99	130	-1736.18	17	2690.24	1	-3975.40	108
605	Min.	-108	0.00	1	0.00	1	0.00	1	473.73	65	-7004.99	130	-1736.18	17	2690.24	1	-3975.40	108
605	Max	-16	0.00	1	0.00	1	0.00	1	-19.44	1	2329.72	1	620.20	107	5901.20	132	758.68	99
605	Max	-4	0.00	1	0.00	1	0.00	1	-19.44	1	2329.72	1	620.20	107	5901.20	132	758.68	99
605	Max	-3	0.00	1	0.00	1	0.00	1	-19.44	1	2329.72	1	620.20	107	5901.20	132	758.68	99
605	Max	-15	0.00	1	0.00	1	0.00	1	-19.44	1	2329.72	1	620.20	107	5901.20	132	758.68	99
605	Min.	-16	0.00	1	0.00	1	0.00	1	-132.08	106	-10284.30	130	-80.42	17	-4827.79	65	-355.95	17
605	Min.	-4	0.00	1	0.00	1	0.00	1	-132.08	106	-10284.30	130	-80.42	17	-4827.79	65	-355.95	17
605	Min.	-3	0.00	1	0.00	1	0.00	1	-132.08	106	-10284.30	130	-80.42	17	-4827.79	65	-355.95	17
605	Min.	-15	0.00	1	0.00	1	0.00	1	-132.08	106	-10284.30	130	-80.42	17	-4827.79	65	-355.95	17
605	Max	-53	0.00	1	0.00	1	0.00	1	1405.56	103	7209.93	101	3399.34	103	64104.90	104	11333.80	101
605	Max	-41	0.00	1	0.00	1	0.00	1	1405.56	103	7209.93	101	3399.34	103	64104.90	104	11333.80	101
605	Max	-40	0.00	1	0.00	1	0.00	1	1405.56	103	7209.93	101	3399.34	103	64104.90	104	11333.80	101
605	Max	-52	0.00	1	0.00	1	0.00	1	1405.56	103	7209.93	101	3399.34	103	64104.90	104	11333.80	101
605	Min.	-53	0.00	1	0.00	1	0.00	1	-1388.49	132	-21222.80	130	-2582.10	132	7358.03	65	1401.05	173
605	Min.	-41	0.00	1	0.00	1	0.00	1	-1388.49	132	-21222.80	130	-2582.10	132	7358.03	65	1401.05	173
605	Min.	-40	0.00	1	0.00	1	0.00	1	-1388.49	132	-21222.80	130	-2582.10	132	7358.03	65	1401.05	173
605	Min.	-52	0.00	1	0.00	1	0.00	1	-1388.49	132	-21222.80	130	-2582.10	132	7358.03	65	1401.05	173
605	Max	-40	0.00	1	0.00	1	0.00	1	1250.54	17	1352.90	1	3581.64	130	4726.79	108	1846.62	65
605	Max	-28	0.00	1	0.00	1	0.00	1	1250.54	17	1352.90	1	3581.64	130	4726.79	108	1846.62	65
605	Max	-27	0.00	1	0.00	1	0.00	1	1250.54	17	1352.90	1	3581.64	130	4726.79	108	1846.62	65
605	Max	-39	0.00	1	0.00	1	0.00	1	1250.54	17	1352.90	1	3581.64	130	4726.79	108	1846.62	65
605	Min.	-40	0.00	1	0.00	1	0.00	1	-891.20	65	-7321.33	130	-1193.23	101	-2538.30	17	-8939.50	104
605	Min.	-28	0.00	1	0.00	1	0.00	1	-891.20	65	-7321.33	130	-1193.23	101	-2538.30	17	-8939.50	104
605	Min.	-27	0.00	1	0.00	1	0.00	1	-891.20	65	-7321.33	130	-1193.23	101	-2538.30	17	-8939.50	104
605	Min.	-39	0.00	1	0.00	1	0.00	1	-891.20	65	-7321.33	130	-1193.23	101	-2538.30	17	-8939.50	104
605	Max	-153	0.00	1	0.00	1	0.00	1	1547.38	65	1992.70	101	972.37	49	9984.00	106	4987.15	99
605	Max	-141	0.00	1	0.00	1	0.00	1	1547.38	65	1992.70	101	972.37	49	9984.00	106	4987.15	99
605	Max	-140	0.00	1	0.00	1	0.00	1	1547.38	65	1992.70	101	972.37	49	9984.00	106	4987.15	99
605	Max	-152	0.00	1	0.00	1	0.00	1	1547.38	65	1992.70	101	972.37	49	9984.00	106	4987.15	99
605	Min.	-153	0.00	1	0.00	1	0.00	1	-617.06	17	-5124.18	130	-3327.96	130	-7.84	49	442.27	65
605	Min.	-141	0.00	1	0.00	1	0.00	1	-617.06	17	-5124.18	130	-3327.96	130	-7.84	49	442.27	65
605	Min.	-140	0.00	1	0.00	1	0.00	1	-617.06	17	-5124.18	130	-3327.96	130	-7.84	49	442.27	65
605	Min.	-152	0.00	1	0.00	1	0.00	1	-617.06	17	-5124.18	130	-3327.96	130	-7.84	49	442.27	65
605	Max	-62	0.00	1	0.00	1	0.00	1	1187.01	17	524.32	101	1657.82	130	3681.51	130	629.66	1
605	Max	-50	0.00	1	0.00	1	0.00	1	1187.01	17	524.32	101	1657.82	130	3681.51	130	629.66	1
605	Max	-49	0.00	1	0.00	1	0.00	1	1187.01	17	524.32	101	1657.82	130	3681.51	130	629.66	1
605	Max	-61	0.00	1	0.00	1	0.00	1	1187.01	17	524.32	101	1657.82	130	3681.51	130	629.66	1
605	Min.	-62	0.00	1	0.00	1	0.00	1	-632.09	65	-1109.45	130	-540.18	1	-727.18	1	-9809.10	130
605	Min.	-50	0.00	1	0.00	1	0.00	1	-632.09	65	-1109.45	130	-540.18	1	-727.18	1	-9809.10	130
605	Min.	-49	0.00	1	0.00	1	0.00	1	-632.09	65	-1109.45	130	-540.18	1	-727.18	1	-9809.10	130
605	Min.	-61	0.00	1	0.00	1	0.00	1	-632.09	65	-1109.45	130	-540.18	1	-727.18	1	-9809.10	130
605	Max	-76	0.00	1	0.00	1	0.00	1	787.05	17	2191.39	1	2615.22	130	14791.20	106	1623.93	65
605	Max	-64	0.00	1	0.00	1	0.00	1	787.05	17	2191.39	1	2615.22	130	14791.20	106	1623.93	65
605	Max	-63	0.00	1	0.00	1	0.00	1	787.05	17	2191.39	1	2615.22	130	14791.20	106	1623.93	65
605	Max	-75	0.00	1	0.00	1	0.00	1	787.05	17	2191.39	1	2615.22	130	14791.20	106	1623.93	65
605	Min.	-76	0.00	1	0.00	1	0.00	1	-494.47	65	-11523.20	130	-751.40	1	1568.56	17	-3653.50	17
605	Min.	-64	0.00	1	0.00	1	0.00	1	-494.47	65	-11523.20	130	-751.40	1	1568.56	17	-3653.50	17
605	Min.	-63	0.00	1	0.00	1	0.00	1	-494.47	65	-11523.20	130	-751.40	1	1568.56	17	-3653.50	17
605	Min.	-75	0.00	1	0.00	1	0.00	1	-494.47	65	-11523.20	130	-751.40	1	1568.56	17	-3653.50	17
605	Max	-64	0.00	1	0.00	1	0.00	1	297.91	17	2025.16	1	1799.63	107	13140.00	108	2511.63	65
605	Max	-52	0.00	1	0.00	1	0.00	1	297.91	17	2025.16	1	1799.63	107	13140.00	108	2511.63	65
605	Max	-51	0.00	1	0.00	1	0.00	1	297.91	17	2025.16	1	1799.63	107	13140.00	108	2511.63	65
605	Max	-63	0.00	1	0.00	1	0.00	1	297.91	17	2025.16	1	1799.63	107	13140.00	108	2511.63	65
605	Min.	-64	0.00	1	0.00	1	0.00	1	-362.99	107	-10325.90	130	-169.59	17	324.67	17	-919.18	17
605	Min.	-52	0.00	1	0.00	1	0.00	1	-362.99	107	-10325.90	130	-169.59	17	324.67	17	-919.18	17
605	Min.	-51	0.00	1	0.00	1	0.00	1	-362.99	107	-10325.90	130	-169.59	17	324.67	17	-919.18	17
605	Min.	-63	0.00	1	0.00	1	0.00	1	-362.99	107	-10325.90	130	-169.59	17	324.67	17	-919.18	17
605	Max	-200	0.00	1	0.00	1	0.00	1	61.04	65	270.00	49	111.30	65	3094.23	130	1294.75	130
605	Max	-188	0.00	1	0.00	1	0.00	1	61.04	65	270.00	49	111.30	65	3094.23	130	1294.75	130
605	Max	-187	0.00	1	0.00	1	0.00	1	61.04	65	270.00	49	111.30	65	3094.23	130	1294.75	130
605	Max	-199	0.00	1	0.00	1	0.00	1	61.04	65	270.00	49	111.30	65	3094.23	130	1294.75	130
605	Min.	-200	0.00	1	0.00	1	0.00	1	-87.20	132	-1269.81	130	-434.36	132	-755.69	49	-354.76	101
605	Min.	-188	0.00	1	0.00	1	0.00	1	-87.20	132	-1269.81	130	-434.36	132	-755.69	49	-354.76	101
605	Min.	-187	0.00	1	0.00	1	0.00	1	-87.20	132	-1269.81	130	-434.36	132	-755.69	49	-354.76	101
605	Min.	-199	0.00	1	0.00	1	0.00	1	-87.20	132	-1269.81	130	-434.36	132	-755.69	49	-354.76	101
605	Max	-28	0.00	1	0.00	1	0.00	1	-109.73	33	2511.52	1	1140.45	107	9437.07	108	2836.28	99
605	Max	-16	0.00	1	0.00	1	0.00	1	-109.73	33	2511.52	1	1140.45	107	9437.07	108	2836.28	99
605	Max	-15	0.00	1	0.00	1	0.00	1	-109.73	33	2511.52	1	1140.45	107	9437.07	108	2836.28	99
605	Max	-27	0.00	1	0.00	1	0.00	1	-109.73	33	2511.52	1	1140.45	107	9437.07	108	2836.28	99
605	Min.	-28	0.00	1	0.00	1	0.00	1	-448.64	103	-10731.30	130	-206.26	17	-2824.96	65	-495.84	17
605	Min.	-16	0.00	1	0.00	1	0.00	1	-448.64	103	-10731.30	130	-206.26	17	-2824.96	65	-495.84	17
605	Min.	-15	0.00	1	0.00	1	0.00	1	-448.64	103	-10731.30	130	-206.26	17	-2824.96	65	-495.84	17

605	Min.	-27	0.00	1	0.00	1	0.00	1	-448.64	103	-10731.30	130	-206.26	17	-2824.96	65	-495.84	17
605	Max	-18	0.00	1	0.00	1	0.00	1	156.41	108	1814.79	131	377.53	130	4872.22	131	1954.84	131
605	Max	-6	0.00	1	0.00	1	0.00	1	156.41	108	1814.79	131	377.53	130	4872.22	131	1954.84	131
605	Max	-5	0.00	1	0.00	1	0.00	1	156.41	108	1814.79	131	377.53	130	4872.22	131	1954.84	131
605	Max	-17	0.00	1	0.00	1	0.00	1	156.41	108	1814.79	131	377.53	130	4872.22	131	1954.84	131
605	Min.	-18	0.00	1	0.00	1	0.00	1	-27.14	17	-476.27	1	-17.88	1	-1936.72	17	-943.95	17
605	Min.	-6	0.00	1	0.00	1	0.00	1	-27.14	17	-476.27	1	-17.88	1	-1936.72	17	-943.95	17
605	Min.	-5	0.00	1	0.00	1	0.00	1	-27.14	17	-476.27	1	-17.88	1	-1936.72	17	-943.95	17
605	Min.	-17	0.00	1	0.00	1	0.00	1	-27.14	17	-476.27	1	-17.88	1	-1936.72	17	-943.95	17
605	Max	-17	0.00	1	0.00	1	0.00	1	83.12	1	2783.22	1	961.03	130	6242.65	17	2415.03	107
605	Max	-5	0.00	1	0.00	1	0.00	1	83.12	1	2783.22	1	961.03	130	6242.65	17	2415.03	107
605	Max	-4	0.00	1	0.00	1	0.00	1	83.12	1	2783.22	1	961.03	130	6242.65	17	2415.03	107
605	Max	-16	0.00	1	0.00	1	0.00	1	83.12	1	2783.22	1	961.03	130	6242.65	17	2415.03	107
605	Min.	-17	0.00	1	0.00	1	0.00	1	-678.86	130	-13105.80	130	20.87	1	-8900.37	65	-813.74	17
605	Min.	-5	0.00	1	0.00	1	0.00	1	-678.86	130	-13105.80	130	20.87	1	-8900.37	65	-813.74	17
605	Min.	-4	0.00	1	0.00	1	0.00	1	-678.86	130	-13105.80	130	20.87	1	-8900.37	65	-813.74	17
605	Min.	-16	0.00	1	0.00	1	0.00	1	-678.86	130	-13105.80	130	20.87	1	-8900.37	65	-813.74	17
605	Max	-88	0.00	1	0.00	1	0.00	1	1992.03	17	1059.44	1	4050.67	130	7765.98	106	-467.63	65
605	Max	-76	0.00	1	0.00	1	0.00	1	1992.03	17	1059.44	1	4050.67	130	7765.98	106	-467.63	65
605	Max	-75	0.00	1	0.00	1	0.00	1	1992.03	17	1059.44	1	4050.67	130	7765.98	106	-467.63	65
605	Max	-87	0.00	1	0.00	1	0.00	1	1992.03	17	1059.44	1	4050.67	130	7765.98	106	-467.63	65
605	Min.	-88	0.00	1	0.00	1	0.00	1	-791.94	65	-8704.78	130	-1670.51	101	-294.78	1	-13957.20	104
605	Min.	-76	0.00	1	0.00	1	0.00	1	-791.94	65	-8704.78	130	-1670.51	101	-294.78	1	-13957.20	104
605	Min.	-75	0.00	1	0.00	1	0.00	1	-791.94	65	-8704.78	130	-1670.51	101	-294.78	1	-13957.20	104
605	Min.	-87	0.00	1	0.00	1	0.00	1	-791.94	65	-8704.78	130	-1670.51	101	-294.78	1	-13957.20	104
605	Max	-110	0.00	1	0.00	1	0.00	1	1274.82	17	1345.11	1	1848.50	130	12749.70	106	-774.29	65
605	Max	-98	0.00	1	0.00	1	0.00	1	1274.82	17	1345.11	1	1848.50	130	12749.70	106	-774.29	65
605	Max	-97	0.00	1	0.00	1	0.00	1	1274.82	17	1345.11	1	1848.50	130	12749.70	106	-774.29	65
605	Max	-109	0.00	1	0.00	1	0.00	1	1274.82	17	1345.11	1	1848.50	130	12749.70	106	-774.29	65
605	Min.	-110	0.00	1	0.00	1	0.00	1	-40.26	65	-10969.80	130	-1232.29	1	1867.34	1	-8283.47	104
605	Min.	-98	0.00	1	0.00	1	0.00	1	-40.26	65	-10969.80	130	-1232.29	1	1867.34	1	-8283.47	104
605	Min.	-97	0.00	1	0.00	1	0.00	1	-40.26	65	-10969.80	130	-1232.29	1	1867.34	1	-8283.47	104
605	Min.	-109	0.00	1	0.00	1	0.00	1	-40.26	65	-10969.80	130	-1232.29	1	1867.34	1	-8283.47	104
605	Max	-54	0.00	1	0.00	1	0.00	1	748.97	132	488.47	101	1152.00	103	986.33	65	3692.32	65
605	Max	-42	0.00	1	0.00	1	0.00	1	748.97	132	488.47	101	1152.00	103	986.33	65	3692.32	65
605	Max	-41	0.00	1	0.00	1	0.00	1	748.97	132	488.47	101	1152.00	103	986.33	65	3692.32	65
605	Max	-53	0.00	1	0.00	1	0.00	1	748.97	132	488.47	101	1152.00	103	986.33	65	3692.32	65
605	Min.	-54	0.00	1	0.00	1	0.00	1	-377.51	103	-989.02	130	-487.52	17	-2732.98	106	-4921.99	100
605	Min.	-42	0.00	1	0.00	1	0.00	1	-377.51	103	-989.02	130	-487.52	17	-2732.98	106	-4921.99	100
605	Min.	-41	0.00	1	0.00	1	0.00	1	-377.51	103	-989.02	130	-487.52	17	-2732.98	106	-4921.99	100
605	Min.	-53	0.00	1	0.00	1	0.00	1	-377.51	103	-989.02	130	-487.52	17	-2732.98	106	-4921.99	100
605	Max	-89	0.00	1	0.00	1	0.00	1	1143.21	132	229.07	49	1485.75	131	426.49	49	7350.74	107
605	Max	-78	0.00	1	0.00	1	0.00	1	1143.21	132	229.07	49	1485.75	131	426.49	49	7350.74	107
605	Max	-77	0.00	1	0.00	1	0.00	1	1143.21	132	229.07	49	1485.75	131	426.49	49	7350.74	107
605	Max	20	0.00	1	0.00	1	0.00	1	1143.21	132	229.07	49	1485.75	131	426.49	49	7350.74	107
605	Min.	-89	0.00	1	0.00	1	0.00	1	-75.31	65	-850.05	130	-767.56	17	-1946.54	106	-3588.46	17
605	Min.	-78	0.00	1	0.00	1	0.00	1	-75.31	65	-850.05	130	-767.56	17	-1946.54	106	-3588.46	17
605	Min.	-77	0.00	1	0.00	1	0.00	1	-75.31	65	-850.05	130	-767.56	17	-1946.54	106	-3588.46	17
605	Min.	20	0.00	1	0.00	1	0.00	1	-75.31	65	-850.05	130	-767.56	17	-1946.54	106	-3588.46	17
605	Max	-142	0.00	1	0.00	1	0.00	1	1988.69	65	1056.03	49	1670.36	101	7783.50	106	13924.90	103
605	Max	-132	0.00	1	0.00	1	0.00	1	1988.69	65	1056.03	49	1670.36	101	7783.50	106	13924.90	103
605	Max	-131	0.00	1	0.00	1	0.00	1	1988.69	65	1056.03	49	1670.36	101	7783.50	106	13924.90	103
605	Max	-141	0.00	1	0.00	1	0.00	1	1988.69	65	1056.03	49	1670.36	101	7783.50	106	13924.90	103
605	Min.	-142	0.00	1	0.00	1	0.00	1	-798.26	17	-8712.85	130	-4049.06	130	-282.10	49	443.03	17
605	Min.	-132	0.00	1	0.00	1	0.00	1	-798.26	17	-8712.85	130	-4049.06	130	-282.10	49	443.03	17
605	Min.	-131	0.00	1	0.00	1	0.00	1	-798.26	17	-8712.85	130	-4049.06	130	-282.10	49	443.03	17
605	Min.	-141	0.00	1	0.00	1	0.00	1	-798.26	17	-8712.85	130	-4049.06	130	-282.10	49	443.03	17
605	Max	-86	0.00	1	0.00	1	0.00	1	2883.41	108	2080.15	130	2849.90	130	80.11	49	-81.73	1
605	Max	-74	0.00	1	0.00	1	0.00	1	2883.41	108	2080.15	130	2849.90	130	80.11	49	-81.73	1
605	Max	-73	0.00	1	0.00	1	0.00	1	2883.41	108	2080.15	130	2849.90	130	80.11	49	-81.73	1
605	Max	-85	0.00	1	0.00	1	0.00	1	2883.41	108	2080.15	130	2849.90	130	80.11	49	-81.73	1
605	Min.	-86	0.00	1	0.00	1	0.00	1	-528.77	65	-1082.75	101	-1885.23	101	-5462.06	130	-13773.50	130
605	Min.	-74	0.00	1	0.00	1	0.00	1	-528.77	65	-1082.75	101	-1885.23	101	-5462.06	130	-13773.50	130
605	Min.	-73	0.00	1	0.00	1	0.00	1	-528.77	65	-1082.75	101	-1885.23	101	-5462.06	130	-13773.50	130
605	Min.	-85	0.00	1	0.00	1	0.00	1	-528.77	65	-1082.75	101	-1885.23	101	-5462.06	130	-13773.50	130
605	Max	-66	0.00	1	0.00	1	0.00	1	587.31	104	685.17	130	1003.12	65	2122.44	107	4796.83	65
605	Max	-54	0.00	1	0.00	1	0.00	1	587.31	104	685.17	130	1003.12	65	2122.44	107	4796.83	65
605	Max	-53	0.00	1	0.00	1	0.00	1	587.31	104	685.17	130	1003.12	65	2122.44	107	4796.83	65
605	Max	-65	0.00	1	0.00	1	0.00	1	587.31	104	685.17	130	1003.12	65	2122.44	107	4796.83	65
605	Min.	-66	0.00	1	0.00	1	0.00	1	-38.22	17	-404.07	101	-563.40	17	-322.93	1	-3342.68	17
605	Min.	-54	0.00	1	0.00	1	0.00	1	-38.22	17	-404.07	101	-563.40	17	-322.93	1	-3342.68	17
605	Min.	-53	0.00	1	0.00	1	0.00	1	-38.22	17	-404.07	101	-563.40	17	-322.93	1	-3342.68	17
605	Min.	-65	0.00	1	0.00	1	0.00	1	-38.22	17	-404.07	101	-563.40	17	-322.93	1	-3342.68	17
605	Max	-190	0.00	1	0.00	1	0.00	1	1245.33	65	1338.23	49	1196.65	101	4704.85	107	8915.90	103
605	Max	-178	0.00	1	0.00	1	0.00	1	1245.33	65	1338.23	49	1196.65	101	4704.85	107	8915.90	103
605	Max	-177	0.00	1	0.00	1	0.00	1	1245.33	65	1338.23	49	1196.65	101	4704.85	107	8915.90	103
605	Max	-189	0.00	1	0.00	1	0.00	1	1245.33	65	1338.23	49	1196.65	101	4704.85	107	8915.90	103
605	Min.	-190	0.00	1	0.00	1	0.00	1	-897.95	17	-7316.74	130	-3584.02	130	-2553.84	65	-1868.98	17
605	Min.	-178	0.00	1	0.00	1	0.00	1	-897.95	17	-7316.74	130	-3584.02	130	-2553.84	65	-1868.98	17
605	Min.	-177	0.00	1	0.00	1	0.00	1	-897.95	17	-7316.74	130	-3584.02	130	-2553.84	65	-1868.98	17
605	Min.	-189	0.00	1	0.00	1	0.00	1	-897.95	17	-7316.74	130	-3584.02	130	-2553.84	65	-1868.98	17
605	Max	-214	0.00	1	0.00	1	0.00	1	-24.01	49	2324.34	49	84.56	65	6003.46	131	365.28	65
605	Max	-202	0.00	1	0.00	1	0.00	1	-24.01	49	2324.34	49	84.56	65	6003.46	131	365.28	65
605	Max	-201	0.00	1	0.00	1	0.00	1	-24.01	49	2324.34	49	84.56	65	6003.46	131	365.28	65
605	Max	-213	0.00	1	0.00	1	0.00	1	-24.01	49	2324.34	49	84.56	65	6003.46	131	365.28	65
605	Min.	-214	0.00	1	0.00	1	0.00	1	-140.56	106	-10300.70	130	-649.67	108	-4779.88	17	-839.27	100
605	Min.	-202	0.00	1	0.00	1	0.00	1	-140.56	106	-10300.70	130	-649.67	108	-4779.88	17	-839.27	100
605	Min.	-201	0.00	1	0.00	1	0.00	1	-140.56	106	-10300.70	130	-649.67	108	-4779.88	17	-839.27	100
605	Min.	-213	0.00	1	0.00	1	0.00	1	-140.56	106	-10300.70	130	-649.67	108	-4779.88	17	-839.27	100
605	Max	-29	0.00	1	0.00	1	0.00	1	97.39	1	2039.77	1	1304.98	104	2956.64	17	3898.14	107
605	Max	-17	0.00	1	0.00	1	0.00	1	97.39	1	2039.77	1	1304.98	104	2956.64	17	3898.14	107
605	Max	-16	0.00	1	0.00	1	0.00	1	97.39	1	2039.77	1	1304.98	104	2956.64	17	3898.14	107
605	Max	-28	0.00	1	0.00	1	0.00	1	97.39	1	2039.77	1	1304.98	104	2956.64	17	3898.14	107
605	Min.	-29	0.00	1	0.00	1	0.00	1	-860.77	131	-10662.40	130	217.85	17	-9772.62	103	-1333.02	17
605	Min.	-17	0.00	1	0.00	1	0.00	1	-860.77	131	-10662.40	130	217.85	17	-9772.62	103	-1333.02	17
605	Min.	-16	0.00	1	0.00	1	0.00	1	-860.77	131	-10662.40	130	217.85	17	-9772.62	103	-1333.02	17
605	Min.	-28	0.00	1	0.00	1	0.00	1	-860.77	131	-10662.40	130	217.85	17	-9772.62	103	-1333.02	17
605	Max	-42	0.00	1	0.00	1	0.00	1	585.83	132	477.30	65	1485.39	130	1246.39	65	8122.65	107
605	Max	-30	0.00	1	0.00	1	0.00	1	585.83	132	477.30	65	1485.39	130	1246.39	65	8122.65	107
605	Max	-29	0.00	1	0.00	1	0.00	1	585.83	132	477.30	65	1485.39	130	1246.39	65	8122.65	107
605	Max	-41	0.00	1	0.00	1	0.00	1	585.83	132	477.30	65	1485.39	130	1246.39	65	8122.65	107
605	Min.	-42	0.00	1	0.00	1	0.00	1	-349.54	103	-326.94	17	-468.22	1	-1071.97	100	-2242.35	17
605	Min.	-30	0.00	1	0.00	1	0.00	1	-349.54	103	-326.94	17	-468.22	1	-1071.97	100	-2242.35	17
605	Min.	-29	0.00	1	0.00	1	0.00	1	-349.54	103	-326.94	17	-468.22	1	-1071.97	100	-2242.35	17
605	Min.	-41	0.00	1	0.00	1	0.00	1	-349.54	103	-326.94	17	-468.22	1	-1071.97	100	-2242.35	17

605	Max	20	0.00	1	0.00	1	0.00	1	2434.79	17	6096.53	101	4933.54	131	60874.80	104	1953.76	65
605	Max	-77	0.00	1	0.00	1	0.00	1	2434.79	17	6096.53	101	4933.54	131	60874.80	104	1953.76	65
605	Max	-76	0.00	1	0.00	1	0.00	1	2434.79	17	6096.53	101	4933.54	131	60874.80	104	1953.76	65
605	Max	-88	0.00	1	0.00	1	0.00	1	2434.79	17	6096.53	101	4933.54	131	60874.80	104	1953.76	65
605	Min.	20	0.00	1	0.00	1	0.00	1	-1446.88	65	-22010.10	130	-1985.22	1	12246.10	65	-10676.90	17
605	Min.	-77	0.00	1	0.00	1	0.00	1	-1446.88	65	-22010.10	130	-1985.22	1	12246.10	65	-10676.90	17
605	Min.	-76	0.00	1	0.00	1	0.00	1	-1446.88	65	-22010.10	130	-1985.22	1	12246.10	65	-10676.90	17
605	Min.	-88	0.00	1	0.00	1	0.00	1	-1446.88	65	-22010.10	130	-1985.22	1	12246.10	65	-10676.90	17
605	Max	-100	0.00	1	0.00	1	0.00	1	1013.98	108	67.52	49	1083.30	65	155.99	65	4309.20	65
605	Max	-89	0.00	1	0.00	1	0.00	1	1013.98	108	67.52	49	1083.30	65	155.99	65	4309.20	65
605	Max	20	0.00	1	0.00	1	0.00	1	1013.98	108	67.52	49	1083.30	65	155.99	65	4309.20	65
605	Max	-99	0.00	1	0.00	1	0.00	1	1013.98	108	67.52	49	1083.30	65	155.99	65	4309.20	65
605	Min.	-100	0.00	1	0.00	1	0.00	1	223.28	177	-321.25	106	-862.32	17	-911.91	102	-4509.76	17
605	Min.	-89	0.00	1	0.00	1	0.00	1	223.28	177	-321.25	106	-862.32	17	-911.91	102	-4509.76	17
605	Min.	20	0.00	1	0.00	1	0.00	1	223.28	177	-321.25	106	-862.32	17	-911.91	102	-4509.76	17
605	Min.	-99	0.00	1	0.00	1	0.00	1	223.28	177	-321.25	106	-862.32	17	-911.91	102	-4509.76	17
605	Max	-99	0.00	1	0.00	1	0.00	1	1069.62	103	4337.40	101	2402.38	65	47210.00	104	5915.37	65
605	Max	20	0.00	1	0.00	1	0.00	1	1069.62	103	4337.40	101	2402.38	65	47210.00	104	5915.37	65
605	Max	-88	0.00	1	0.00	1	0.00	1	1069.62	103	4337.40	101	2402.38	65	47210.00	104	5915.37	65
605	Max	-98	0.00	1	0.00	1	0.00	1	1069.62	103	4337.40	101	2402.38	65	47210.00	104	5915.37	65
605	Min.	-99	0.00	1	0.00	1	0.00	1	-1007.63	132	-20846.60	130	-1913.51	17	10678.70	65	400.94	17
605	Min.	20	0.00	1	0.00	1	0.00	1	-1007.63	132	-20846.60	130	-1913.51	17	10678.70	65	400.94	17
605	Min.	-88	0.00	1	0.00	1	0.00	1	-1007.63	132	-20846.60	130	-1913.51	17	10678.70	65	400.94	17
605	Min.	-98	0.00	1	0.00	1	0.00	1	-1007.63	132	-20846.60	130	-1913.51	17	10678.70	65	400.94	17
605	Max	-121	0.00	1	0.00	1	0.00	1	1452.18	65	3587.30	101	2091.99	65	41694.80	102	6898.63	65
605	Max	22	0.00	1	0.00	1	0.00	1	1452.18	65	3587.30	101	2091.99	65	41694.80	102	6898.63	65
605	Max	-110	0.00	1	0.00	1	0.00	1	1452.18	65	3587.30	101	2091.99	65	41694.80	102	6898.63	65
605	Max	-120	0.00	1	0.00	1	0.00	1	1452.18	65	3587.30	101	2091.99	65	41694.80	102	6898.63	65
605	Min.	-121	0.00	1	0.00	1	0.00	1	-863.96	132	-20432.50	130	-2734.61	132	12635.80	33	-721.37	17
605	Min.	22	0.00	1	0.00	1	0.00	1	-863.96	132	-20432.50	130	-2734.61	132	12635.80	33	-721.37	17
605	Min.	-110	0.00	1	0.00	1	0.00	1	-863.96	132	-20432.50	130	-2734.61	132	12635.80	33	-721.37	17
605	Min.	-120	0.00	1	0.00	1	0.00	1	-863.96	132	-20432.50	130	-2734.61	132	12635.80	33	-721.37	17
605	Max	-15	0.00	1	0.00	1	0.00	1	47.29	17	1128.43	1	572.16	130	4601.08	132	132.06	65
605	Max	-3	0.00	1	0.00	1	0.00	1	47.29	17	1128.43	1	572.16	130	4601.08	132	132.06	65
605	Max	-2	0.00	1	0.00	1	0.00	1	47.29	17	1128.43	1	572.16	130	4601.08	132	132.06	65
605	Max	-14	0.00	1	0.00	1	0.00	1	47.29	17	1128.43	1	572.16	130	4601.08	132	132.06	65
605	Min.	-15	0.00	1	0.00	1	0.00	1	-39.68	65	-4908.68	130	-181.65	1	-2090.44	65	-422.57	17
605	Min.	-3	0.00	1	0.00	1	0.00	1	-39.68	65	-4908.68	130	-181.65	1	-2090.44	65	-422.57	17
605	Min.	-2	0.00	1	0.00	1	0.00	1	-39.68	65	-4908.68	130	-181.65	1	-2090.44	65	-422.57	17
605	Min.	-14	0.00	1	0.00	1	0.00	1	-39.68	65	-4908.68	130	-181.65	1	-2090.44	65	-422.57	17
605	Max	-204	0.00	1	0.00	1	0.00	1	386.02	103	1665.26	130	224.73	49	5230.06	108	2372.09	65
605	Max	-192	0.00	1	0.00	1	0.00	1	386.02	103	1665.26	130	224.73	49	5230.06	108	2372.09	65
605	Max	-191	0.00	1	0.00	1	0.00	1	386.02	103	1665.26	130	224.73	49	5230.06	108	2372.09	65
605	Max	-203	0.00	1	0.00	1	0.00	1	386.02	103	1665.26	130	224.73	49	5230.06	108	2372.09	65
605	Min.	-204	0.00	1	0.00	1	0.00	1	-154.81	17	-487.18	49	-976.10	130	-965.40	65	-3738.77	132
605	Min.	-192	0.00	1	0.00	1	0.00	1	-154.81	17	-487.18	49	-976.10	130	-965.40	65	-3738.77	132
605	Min.	-191	0.00	1	0.00	1	0.00	1	-154.81	17	-487.18	49	-976.10	130	-965.40	65	-3738.77	132
605	Min.	-203	0.00	1	0.00	1	0.00	1	-154.81	17	-487.18	49	-976.10	130	-965.40	65	-3738.77	132
605	Max	-156	0.00	1	0.00	1	0.00	1	909.56	103	879.13	130	654.19	65	2534.70	106	4149.13	65
605	Max	-144	0.00	1	0.00	1	0.00	1	909.56	103	879.13	130	654.19	65	2534.70	106	4149.13	65
605	Max	-143	0.00	1	0.00	1	0.00	1	909.56	103	879.13	130	654.19	65	2534.70	106	4149.13	65
605	Max	-155	0.00	1	0.00	1	0.00	1	909.56	103	879.13	130	654.19	65	2534.70	106	4149.13	65
605	Min.	-156	0.00	1	0.00	1	0.00	1	-84.97	17	-579.27	101	-1242.37	132	-454.74	49	-5322.23	17
605	Min.	-144	0.00	1	0.00	1	0.00	1	-84.97	17	-579.27	101	-1242.37	132	-454.74	49	-5322.23	17
605	Min.	-143	0.00	1	0.00	1	0.00	1	-84.97	17	-579.27	101	-1242.37	132	-454.74	49	-5322.23	17
605	Min.	-155	0.00	1	0.00	1	0.00	1	-84.97	17	-579.27	101	-1242.37	132	-454.74	49	-5322.23	17
605	Max	-96	0.00	1	0.00	1	0.00	1	3297.49	106	1153.93	130	1133.30	101	-116.40	49	2463.17	17
605	Max	-86	0.00	1	0.00	1	0.00	1	3297.49	106	1153.93	130	1133.30	101	-116.40	49	2463.17	17
605	Max	-85	0.00	1	0.00	1	0.00	1	3297.49	106	1153.93	130	1133.30	101	-116.40	49	2463.17	17
605	Max	-95	0.00	1	0.00	1	0.00	1	3297.49	106	1153.93	130	1133.30	101	-116.40	49	2463.17	17
605	Min.	-96	0.00	1	0.00	1	0.00	1	453.63	49	-246.36	101	-257.08	1	-3082.91	130	-2338.54	65
605	Min.	-86	0.00	1	0.00	1	0.00	1	453.63	49	-246.36	101	-257.08	1	-3082.91	130	-2338.54	65
605	Min.	-85	0.00	1	0.00	1	0.00	1	453.63	49	-246.36	101	-257.08	1	-3082.91	130	-2338.54	65
605	Min.	-95	0.00	1	0.00	1	0.00	1	453.63	49	-246.36	101	-257.08	1	-3082.91	130	-2338.54	65
605	Max	-118	0.00	1	0.00	1	0.00	1	3787.16	130	892.45	130	1143.87	101	-207.39	137	5385.20	132
605	Max	-108	0.00	1	0.00	1	0.00	1	3787.16	130	892.45	130	1143.87	101	-207.39	137	5385.20	132
605	Max	-107	0.00	1	0.00	1	0.00	1	3787.16	130	892.45	130	1143.87	101	-207.39	137	5385.20	132
605	Max	-117	0.00	1	0.00	1	0.00	1	3787.16	130	892.45	130	1143.87	101	-207.39	137	5385.20	132
605	Min.	-118	0.00	1	0.00	1	0.00	1	439.90	1	56.24	1	-1365.13	130	-2196.17	130	-892.61	65
605	Min.	-108	0.00	1	0.00	1	0.00	1	439.90	1	56.24	1	-1365.13	130	-2196.17	130	-892.61	65
605	Min.	-107	0.00	1	0.00	1	0.00	1	439.90	1	56.24	1	-1365.13	130	-2196.17	130	-892.61	65
605	Min.	-117	0.00	1	0.00	1	0.00	1	439.90	1	56.24	1	-1365.13	130	-2196.17	130	-892.61	65
605	Max	-140	0.00	1	0.00	1	0.00	1	2889.59	107	2077.83	130	1887.74	101	90.17	1	13800.60	130
605	Max	-130	0.00	1	0.00	1	0.00	1	2889.59	107	2077.83	130	1887.74	101	90.17	1	13800.60	130
605	Max	-129	0.00	1	0.00	1	0.00	1	2889.59	107	2077.83	130	1887.74	101	90.17	1	13800.60	130
605	Max	-139	0.00	1	0.00	1	0.00	1	2889.59	107	2077.83	130	1887.74	101	90.17	1	13800.60	130
605	Min.	-140	0.00	1	0.00	1	0.00	1	-537.65	17	-1079.28	101	-2847.85	130	-5449.28	130	97.64	49
605	Min.	-130	0.00	1	0.00	1	0.00	1	-537.65	17	-1079.28	101	-2847.85	130	-5449.28	130	97.64	49
605	Min.	-129	0.00	1	0.00	1	0.00	1	-537.65	17	-1079.28	101	-2847.85	130	-5449.28	130	97.64	49
605	Min.	-139	0.00	1	0.00	1	0.00	1	-537.65	17	-1079.28	101	-2847.85	130	-5449.28	130	97.64	49
605	Max	-179	0.00	1	0.00	1	0.00	1	1468.12	104	7403.79	101	2697.68	131	65183.30	103	-2223.81	158
605	Max	-167	0.00	1	0.00	1	0.00	1	1468.12	104	7403.79	101	2697.68	131	65183.30	103	-2223.81	158
605	Max	-166	0.00	1	0.00	1	0.00	1	1468.12	104	7403.79	101	2697.68	131	65183.30	103	-2223.81	158
605	Max	-178	0.00	1	0.00	1	0.00	1	1468.12	104	7403.79	101	2697.68	131	65183.30	103	-2223.81	158
605	Min.	-179	0.00	1	0.00	1	0.00	1	-1365.49	131	-21400.20	130	-3553.83	104	7330.21	17	-11755.70	101
605	Min.	-167	0.00	1	0.00	1	0.00	1	-1365.49	131	-21400.20	130	-3553.83	104	7330.21	17	-11755.70	101
605	Min.	-166	0.00	1	0.00	1	0.00	1	-1365.49	131	-21400.20	130	-3553.83	104	7330.21	17	-11755.70	101
605	Min.	-178	0.00	1	0.00	1	0.00	1	-1365.49	131	-21400.20	130	-3553.83	104	7330.21	17	-11755.70	101
605	Max	-30	0.00	1	0.00	1	0.00	1	368.00	104	1669.42	130	944.87	130	5201.77	107	3675.63	131
605	Max	-18	0.00	1	0.00	1	0.00	1	368.00	104	1669.42	130	944.87	130	5201.77	107	3675.63	131
605	Max	-17	0.00	1	0.00	1	0.00	1	368.00	104	1669.42	130	944.87	130	5201.77	107	3675.63	131
605	Max	-29	0.00	1	0.00	1	0.00	1	368.00	104	1669.42	130	944.87	130	5201.77	107	3675.63	131
605	Min.	-30	0.00	1	0.00	1	0.00	1	-144.96	65	-493.48	1	-216.05	1	-1008.96	17	-2317.56	17
605	Min.	-18	0.00	1	0.00	1	0.00	1	-144.96	65	-493.48	1	-216.05	1	-1008.96	17	-2317.56	17
605	Min.	-17	0.00	1	0.00	1	0.00	1	-144.96	65	-493.48	1	-216.05	1	-1008.96	17	-2317.56	17
605	Min.	-29	0.00	1	0.00	1	0.00	1	-144.96	65	-493.48	1	-216.05	1	-1008.96	17	-2317.56	17
605	Max	-213	0.00	1	0.00	1	0.00	1	52.44	65	1116.85	49	189.06	49	4641.55	131	456.36	65
605	Max	-201	0.00	1	0.00	1	0.00	1	52.44	65	1116.85	49	189.06	49	4641.55	131	456.36	65
605	Max	-200	0.00	1	0.00	1	0.00	1	52.44	65	1116.85	49	189.06	49	4641.55	131	456.36	65
605	Max	-212	0.00	1	0.00	1	0.00	1	52.44	65	1116.85	49	189.06	49	4641.55	131	456.36	65
605	Min.	-213	0.00	1	0.00	1	0.00	1	-43.67	17	-4909.33	130	-607.77	130	-2067.31	17	-137.37	17
605	Min.	-201	0.00	1	0.00	1	0.00	1	-43.67	17	-4909.33	130	-607.77	130	-2067.31	17	-137.37	17
605	Min.	-200	0.00	1	0.00	1	0.00	1	-43.67	17	-4909.33	130	-607.77	130	-2067.31	17	-137.37	17
605	Min.	-212	0.00	1	0.00	1	0.00	1	-43.67	17	-4909.33	130	-607.77	130	-2067.31	17	-137.37	17
605	Max	-122	0.00	1	0.00	1	0.00	1	1157.21	107	10.90	1	963.69	65	212.57	17	4079.74	65

605	Max	-111	0.00	1	0.00	1	0.00	1	1157.21	107	10.90	1	963.69	65	212.57	17	4079.74	65
605	Max	22	0.00	1	0.00	1	0.00	1	1157.21	107	10.90	1	963.69	65	212.57	17	4079.74	65
605	Max	-121	0.00	1	0.00	1	0.00	1	1157.21	107	10.90	1	963.69	65	212.57	17	4079.74	65
605	Min.	-122	0.00	1	0.00	1	0.00	1	379.12	17	-191.86	106	-1094.91	17	-250.62	102	-4968.88	17
605	Min.	-111	0.00	1	0.00	1	0.00	1	379.12	17	-191.86	106	-1094.91	17	-250.62	102	-4968.88	17
605	Min.	22	0.00	1	0.00	1	0.00	1	379.12	17	-191.86	106	-1094.91	17	-250.62	102	-4968.88	17
605	Min.	-121	0.00	1	0.00	1	0.00	1	379.12	17	-191.86	106	-1094.91	17	-250.62	102	-4968.88	17
605	Max	24	0.00	1	0.00	1	0.00	1	1092.18	104	4348.90	101	1911.90	65	47322.40	103	-388.37	65
605	Max	-121	0.00	1	0.00	1	0.00	1	1092.18	104	4348.90	101	1911.90	65	47322.40	103	-388.37	65
605	Max	-120	0.00	1	0.00	1	0.00	1	1092.18	104	4348.90	101	1911.90	65	47322.40	103	-388.37	65
605	Max	-132	0.00	1	0.00	1	0.00	1	1092.18	104	4348.90	101	1911.90	65	47322.40	103	-388.37	65
605	Min.	24	0.00	1	0.00	1	0.00	1	-993.59	131	-20859.50	130	-2419.70	17	10662.40	17	-5941.52	17
605	Min.	-121	0.00	1	0.00	1	0.00	1	-993.59	131	-20859.50	130	-2419.70	17	10662.40	17	-5941.52	17
605	Min.	-120	0.00	1	0.00	1	0.00	1	-993.59	131	-20859.50	130	-2419.70	17	10662.40	17	-5941.52	17
605	Min.	-132	0.00	1	0.00	1	0.00	1	-993.59	131	-20859.50	130	-2419.70	17	10662.40	17	-5941.52	17
605	Max	-108	0.00	1	0.00	1	0.00	1	3774.60	130	878.27	130	1358.41	130	-215.60	137	916.17	17
605	Max	-96	0.00	1	0.00	1	0.00	1	3774.60	130	878.27	130	1358.41	130	-215.60	137	916.17	17
605	Max	-95	0.00	1	0.00	1	0.00	1	3774.60	130	878.27	130	1358.41	130	-215.60	137	916.17	17
605	Max	-107	0.00	1	0.00	1	0.00	1	3774.60	130	878.27	130	1358.41	130	-215.60	137	916.17	17
605	Min.	-108	0.00	1	0.00	1	0.00	1	442.48	49	60.19	49	-1144.07	101	-2136.67	130	-5441.18	131
605	Min.	-96	0.00	1	0.00	1	0.00	1	442.48	49	60.19	49	-1144.07	101	-2136.67	130	-5441.18	131
605	Min.	-95	0.00	1	0.00	1	0.00	1	442.48	49	60.19	49	-1144.07	101	-2136.67	130	-5441.18	131
605	Min.	-107	0.00	1	0.00	1	0.00	1	442.48	49	60.19	49	-1144.07	101	-2136.67	130	-5441.18	131
605	Max	-130	0.00	1	0.00	1	0.00	1	3327.76	106	1166.58	130	261.55	49	-104.54	1	2345.00	17
605	Max	-118	0.00	1	0.00	1	0.00	1	3327.76	106	1166.58	130	261.55	49	-104.54	1	2345.00	17
605	Max	-117	0.00	1	0.00	1	0.00	1	3327.76	106	1166.58	130	261.55	49	-104.54	1	2345.00	17
605	Max	-129	0.00	1	0.00	1	0.00	1	3327.76	106	1166.58	130	261.55	49	-104.54	1	2345.00	17
605	Min.	-130	0.00	1	0.00	1	0.00	1	455.63	1	-247.73	101	-1122.40	101	-3135.81	130	-2432.80	65
605	Min.	-118	0.00	1	0.00	1	0.00	1	455.63	1	-247.73	101	-1122.40	101	-3135.81	130	-2432.80	65
605	Min.	-117	0.00	1	0.00	1	0.00	1	455.63	1	-247.73	101	-1122.40	101	-3135.81	130	-2432.80	65
605	Min.	-129	0.00	1	0.00	1	0.00	1	455.63	1	-247.73	101	-1122.40	101	-3135.81	130	-2432.80	65
605	Max	-164	0.00	1	0.00	1	0.00	1	1177.60	65	523.26	101	530.53	49	3696.23	130	9768.61	130
605	Max	-152	0.00	1	0.00	1	0.00	1	1177.60	65	523.26	101	530.53	49	3696.23	130	9768.61	130
605	Max	-151	0.00	1	0.00	1	0.00	1	1177.60	65	523.26	101	530.53	49	3696.23	130	9768.61	130
605	Max	-163	0.00	1	0.00	1	0.00	1	1177.60	65	523.26	101	530.53	49	3696.23	130	9768.61	130
605	Min.	-164	0.00	1	0.00	1	0.00	1	-634.05	17	-1114.24	130	-1654.04	130	-723.53	49	-617.80	49
605	Min.	-152	0.00	1	0.00	1	0.00	1	-634.05	17	-1114.24	130	-1654.04	130	-723.53	49	-617.80	49
605	Min.	-151	0.00	1	0.00	1	0.00	1	-634.05	17	-1114.24	130	-1654.04	130	-723.53	49	-617.80	49
605	Min.	-163	0.00	1	0.00	1	0.00	1	-634.05	17	-1114.24	130	-1654.04	130	-723.53	49	-617.80	49
605	Max	-188	0.00	1	0.00	1	0.00	1	355.25	65	303.05	49	241.98	49	3654.79	130	3986.50	130
605	Max	-176	0.00	1	0.00	1	0.00	1	355.25	65	303.05	49	241.98	49	3654.79	130	3986.50	130
605	Max	-175	0.00	1	0.00	1	0.00	1	355.25	65	303.05	49	241.98	49	3654.79	130	3986.50	130
605	Max	-187	0.00	1	0.00	1	0.00	1	355.25	65	303.05	49	241.98	49	3654.79	130	3986.50	130
605	Min.	-188	0.00	1	0.00	1	0.00	1	-313.26	17	-1270.43	130	-983.94	132	-850.12	49	-289.31	49
605	Min.	-176	0.00	1	0.00	1	0.00	1	-313.26	17	-1270.43	130	-983.94	132	-850.12	49	-289.31	49
605	Min.	-175	0.00	1	0.00	1	0.00	1	-313.26	17	-1270.43	130	-983.94	132	-850.12	49	-289.31	49
605	Min.	-187	0.00	1	0.00	1	0.00	1	-313.26	17	-1270.43	130	-983.94	132	-850.12	49	-289.31	49
605	Max	-212	0.00	1	0.00	1	0.00	1	17.78	65	242.42	49	34.77	65	2358.16	130	433.48	130
605	Max	-200	0.00	1	0.00	1	0.00	1	17.78	65	242.42	49	34.77	65	2358.16	130	433.48	130
605	Max	-199	0.00	1	0.00	1	0.00	1	17.78	65	242.42	49	34.77	65	2358.16	130	433.48	130
605	Max	-211	0.00	1	0.00	1	0.00	1	17.78	65	242.42	49	34.77	65	2358.16	130	433.48	130
605	Min.	-212	0.00	1	0.00	1	0.00	1	-16.75	17	-1121.23	130	-147.46	132	-735.62	49	-93.90	101
605	Min.	-200	0.00	1	0.00	1	0.00	1	-16.75	17	-1121.23	130	-147.46	132	-735.62	49	-93.90	101
605	Min.	-199	0.00	1	0.00	1	0.00	1	-16.75	17	-1121.23	130	-147.46	132	-735.62	49	-93.90	101
605	Min.	-211	0.00	1	0.00	1	0.00	1	-16.75	17	-1121.23	130	-147.46	132	-735.62	49	-93.90	101
605	Max	-165	0.00	1	0.00	1	0.00	1	1068.59	65	1106.17	49	520.22	49	8621.25	106	2841.28	103
605	Max	-153	0.00	1	0.00	1	0.00	1	1068.59	65	1106.17	49	520.22	49	8621.25	106	2841.28	103
605	Max	-152	0.00	1	0.00	1	0.00	1	1068.59	65	1106.17	49	520.22	49	8621.25	106	2841.28	103
605	Max	-164	0.00	1	0.00	1	0.00	1	1068.59	65	1106.17	49	520.22	49	8621.25	106	2841.28	103
605	Min.	-165	0.00	1	0.00	1	0.00	1	-605.65	17	-4622.12	130	-2567.50	132	-1030.17	49	-151.42	65
605	Min.	-153	0.00	1	0.00	1	0.00	1	-605.65	17	-4622.12	130	-2567.50	132	-1030.17	49	-151.42	65
605	Min.	-152	0.00	1	0.00	1	0.00	1	-605.65	17	-4622.12	130	-2567.50	132	-1030.17	49	-151.42	65
605	Min.	-164	0.00	1	0.00	1	0.00	1	-605.65	17	-4622.12	130	-2567.50	132	-1030.17	49	-151.42	65
605	Max	-189	0.00	1	0.00	1	0.00	1	446.53	103	904.05	49	494.95	49	6935.17	130	993.31	131
605	Max	-177	0.00	1	0.00	1	0.00	1	446.53	103	904.05	49	494.95	49	6935.17	130	993.31	131
605	Max	-176	0.00	1	0.00	1	0.00	1	446.53	103	904.05	49	494.95	49	6935.17	130	993.31	131
605	Max	-188	0.00	1	0.00	1	0.00	1	446.53	103	904.05	49	494.95	49	6935.17	130	993.31	131
605	Min.	-189	0.00	1	0.00	1	0.00	1	-387.16	132	-4715.59	130	-1880.65	132	-1430.22	49	-484.75	17
605	Min.	-177	0.00	1	0.00	1	0.00	1	-387.16	132	-4715.59	130	-1880.65	132	-1430.22	49	-484.75	17
605	Min.	-176	0.00	1	0.00	1	0.00	1	-387.16	132	-4715.59	130	-1880.65	132	-1430.22	49	-484.75	17
605	Min.	-188	0.00	1	0.00	1	0.00	1	-387.16	132	-4715.59	130	-1880.65	132	-1430.22	49	-484.75	17
605	Max	-78	0.00	1	0.00	1	0.00	1	898.72	104	871.77	130	1235.82	131	2519.07	106	5304.25	65
605	Max	-66	0.00	1	0.00	1	0.00	1	898.72	104	871.77	130	1235.82	131	2519.07	106	5304.25	65
605	Max	-65	0.00	1	0.00	1	0.00	1	898.72	104	871.77	130	1235.82	131	2519.07	106	5304.25	65
605	Max	-77	0.00	1	0.00	1	0.00	1	898.72	104	871.77	130	1235.82	131	2519.07	106	5304.25	65
605	Min.	-78	0.00	1	0.00	1	0.00	1	-85.03	65	-577.22	101	-660.84	17	-451.38	1	-4183.20	17
605	Min.	-66	0.00	1	0.00	1	0.00	1	-85.03	65	-577.22	101	-660.84	17	-451.38	1	-4183.20	17
605	Min.	-65	0.00	1	0.00	1	0.00	1	-85.03	65	-577.22	101	-660.84	17	-451.38	1	-4183.20	17
605	Min.	-77	0.00	1	0.00	1	0.00	1	-85.03	65	-577.22	101	-660.84	17	-451.38	1	-4183.20	17
605	Max	22	0.00	1	0.00	1	0.00	1	1434.48	17	3576.60	101	2689.95	131	41488.90	102	715.71	65
605	Max	-99	0.00	1	0.00	1	0.00	1	1434.48	17	3576.60	101	2689.95	131	41488.90	102	715.71	65
605	Max	-98	0.00	1	0.00	1	0.00	1	1434.48	17	3576.60	101	2689.95	131	41488.90	102	715.71	65
605	Max	-110	0.00	1	0.00	1	0.00	1	1434.48	17	3576.60	101	2689.95	131	41488.90	102	715.71	65
605	Min.	22	0.00	1	0.00	1	0.00	1	-862.34	131	-20418.50	130	-2101.90	17	12474.30	33	-6861.87	17
605	Min.	-99	0.00	1	0.00	1	0.00	1	-862.34	131	-20418.50	130	-2101.90	17	12474.30	33	-6861.87	17
605	Min.	-98	0.00	1	0.00	1	0.00	1	-862.34	131	-20418.50	130	-2101.90	17	12474.30	33	-6861.87	17
605	Min.	-110	0.00	1	0.00	1	0.00	1	-862.34	131	-20418.50	130	-2101.90	17	12474.30	33	-6861.87	17
605	Max	-155	0.00	1	0.00	1	0.00	1	682.37	65	1902.77	49	678.61	65	15257.70	107	4401.41	65
605	Max	-143	0.00	1	0.00	1	0.00	1	682.37	65	1902.77	49	678.61	65	15257.70	107	4401.41	65
605	Max	-142	0.00	1	0.00	1	0.00	1	682.37	65	1902.77	49	678.61	65	15257.70	107	4401.41	65
605	Max	-154	0.00	1	0.00	1	0.00	1	682.37	65	1902.77	49	678.61	65	15257.70	107	4401.41	65
605	Min.	-155	0.00	1	0.00	1	0.00	1	-1009.42	132	-14892.70	130	-2034.43	108	2125.92	65	-3437.44	17
605	Min.	-143	0.00	1	0.00	1	0.00	1	-1009.42	132	-14892.70	130	-2034.43	108	2125.92	65	-3437.44	17
605	Min.	-142	0.00	1	0.00	1	0.00	1	-1009.42	132	-14892.70	130	-2034.43	108	2125.92	65	-3437.44	17
605	Min.	-154	0.00	1	0.00	1	0.00	1	-1009.42	132	-14892.70	130	-2034.43	108	2125.92	65	-3437.44	17
605	Max	-144	0.00	1	0.00	1	0.00	1	1144.09	131	229.63	1	760.54	65	425.85	1	3564.85	65
605	Max	-133	0.00	1	0.00	1	0.00	1	1144.09	131	229.63	1	760.54	65	425.85	1	3564.85	65
605	Max	24	0.00	1	0.00	1	0.00	1	1144.09	131	229.63	1	760.54	65	425.85	1	3564.85	65
605	Max	-143	0.00	1	0.00	1	0.00	1	1144.09	131	229.63	1	760.54	65	425.85	1	3564.85	65
605	Min.	-144	0.00	1	0.00	1	0.00	1	-73.66	17	-843.21	130	-1495.40	132	-1932.67	106	-7383.11	108
605	Min.	-133	0.00	1	0.00	1	0.00	1	-73.66	17	-843.21	130	-1495.40	132	-1932.67	106	-7383.11	108
605	Min.	24	0.00	1	0.00	1	0.00	1	-73.66	17	-843.21	130	-1495.40	132	-1932.67	106	-7383.11	108
605	Min.	-143	0.00	1	0.00	1	0.00	1	-73.66	17	-843.21	130	-1495.40	132	-1932.67	106	-7383.11	108
605	Max	-215	0.00	1	0.00	1	0.00	1	80.60	49	2752.12	49	-31.25	49	6107.78	65	831.20	65
605	Max	-203	0.00	1	0.00	1	0.00	1	80.60	49	2752.12	49	-31.25	49	6107.78	65	831.20	65

605	Max	-202	0.00	1	0.00	1	0.00	1	80.60	49	2752.12	49	-31.25	49	6107.78	65	831.20	65
605	Max	-214	0.00	1	0.00	1	0.00	1	80.60	49	2752.12	49	-31.25	49	6107.78	65	831.20	65
605	Min.	-215	0.00	1	0.00	1	0.00	1	-685.75	130	-13020.70	130	-963.29	106	-8873.04	17	-2487.63	108
605	Min.	-203	0.00	1	0.00	1	0.00	1	-685.75	130	-13020.70	130	-963.29	106	-8873.04	17	-2487.63	108
605	Min.	-202	0.00	1	0.00	1	0.00	1	-685.75	130	-13020.70	130	-963.29	106	-8873.04	17	-2487.63	108
605	Min.	-214	0.00	1	0.00	1	0.00	1	-685.75	130	-13020.70	130	-963.29	106	-8873.04	17	-2487.63	108
605	Max	-168	0.00	1	0.00	1	0.00	1	568.99	103	644.70	130	562.08	65	2026.70	108	3317.62	65
605	Max	-156	0.00	1	0.00	1	0.00	1	568.99	103	644.70	130	562.08	65	2026.70	108	3317.62	65
605	Max	-155	0.00	1	0.00	1	0.00	1	568.99	103	644.70	130	562.08	65	2026.70	108	3317.62	65
605	Max	-167	0.00	1	0.00	1	0.00	1	568.99	103	644.70	130	562.08	65	2026.70	108	3317.62	65
605	Min.	-168	0.00	1	0.00	1	0.00	1	-37.49	65	-379.53	101	-1009.87	17	-292.99	49	-4791.59	17
605	Min.	-156	0.00	1	0.00	1	0.00	1	-37.49	65	-379.53	101	-1009.87	17	-292.99	49	-4791.59	17
605	Min.	-155	0.00	1	0.00	1	0.00	1	-37.49	65	-379.53	101	-1009.87	17	-292.99	49	-4791.59	17
605	Min.	-167	0.00	1	0.00	1	0.00	1	-37.49	65	-379.53	101	-1009.87	17	-292.99	49	-4791.59	17
605	Max	-143	0.00	1	0.00	1	0.00	1	2429.35	65	6101.67	101	1955.90	49	60772.50	103	10644.30	65
605	Max	24	0.00	1	0.00	1	0.00	1	2429.35	65	6101.67	101	1955.90	49	60772.50	103	10644.30	65
605	Max	-132	0.00	1	0.00	1	0.00	1	2429.35	65	6101.67	101	1955.90	49	60772.50	103	10644.30	65
605	Max	-142	0.00	1	0.00	1	0.00	1	2429.35	65	6101.67	101	1955.90	49	60772.50	103	10644.30	65
605	Min.	-143	0.00	1	0.00	1	0.00	1	-1459.12	17	-22014.50	130	-4953.74	132	12161.90	17	-1979.43	17
605	Min.	24	0.00	1	0.00	1	0.00	1	-1459.12	17	-22014.50	130	-4953.74	132	12161.90	17	-1979.43	17
605	Min.	-132	0.00	1	0.00	1	0.00	1	-1459.12	17	-22014.50	130	-4953.74	132	12161.90	17	-1979.43	17
605	Min.	-142	0.00	1	0.00	1	0.00	1	-1459.12	17	-22014.50	130	-4953.74	132	12161.90	17	-1979.43	17
605	Max	-77	0.00	1	0.00	1	0.00	1	680.13	17	1916.53	1	2022.51	107	15342.80	108	3414.58	65
605	Max	-65	0.00	1	0.00	1	0.00	1	680.13	17	1916.53	1	2022.51	107	15342.80	108	3414.58	65
605	Max	-64	0.00	1	0.00	1	0.00	1	680.13	17	1916.53	1	2022.51	107	15342.80	108	3414.58	65
605	Max	-76	0.00	1	0.00	1	0.00	1	680.13	17	1916.53	1	2022.51	107	15342.80	108	3414.58	65
605	Min.	-77	0.00	1	0.00	1	0.00	1	-1009.01	131	-14910.80	130	-684.68	17	2163.68	17	-4411.36	17
605	Min.	-65	0.00	1	0.00	1	0.00	1	-1009.01	131	-14910.80	130	-684.68	17	2163.68	17	-4411.36	17
605	Min.	-64	0.00	1	0.00	1	0.00	1	-1009.01	131	-14910.80	130	-684.68	17	2163.68	17	-4411.36	17
605	Min.	-76	0.00	1	0.00	1	0.00	1	-1009.01	131	-14910.80	130	-684.68	17	2163.68	17	-4411.36	17
605	Max	-180	0.00	1	0.00	1	0.00	1	768.03	131	515.52	101	480.77	65	1012.01	17	5070.87	99
605	Max	-168	0.00	1	0.00	1	0.00	1	768.03	131	515.52	101	480.77	65	1012.01	17	5070.87	99
605	Max	-167	0.00	1	0.00	1	0.00	1	768.03	131	515.52	101	480.77	65	1012.01	17	5070.87	99
605	Max	-179	0.00	1	0.00	1	0.00	1	768.03	131	515.52	101	480.77	65	1012.01	17	5070.87	99
605	Min.	-180	0.00	1	0.00	1	0.00	1	-395.68	104	-1026.70	130	-1155.70	104	-2841.13	106	-3686.18	17
605	Min.	-168	0.00	1	0.00	1	0.00	1	-395.68	104	-1026.70	130	-1155.70	104	-2841.13	106	-3686.18	17
605	Min.	-167	0.00	1	0.00	1	0.00	1	-395.68	104	-1026.70	130	-1155.70	104	-2841.13	106	-3686.18	17
605	Min.	-179	0.00	1	0.00	1	0.00	1	-395.68	104	-1026.70	130	-1155.70	104	-2841.13	106	-3686.18	17
605	Max	-41	0.00	1	0.00	1	0.00	1	1377.15	17	5527.72	101	3994.29	131	45695.10	104	4971.63	65
605	Max	-29	0.00	1	0.00	1	0.00	1	1377.15	17	5527.72	101	3994.29	131	45695.10	104	4971.63	65
605	Max	-28	0.00	1	0.00	1	0.00	1	1377.15	17	5527.72	101	3994.29	131	45695.10	104	4971.63	65
605	Max	-40	0.00	1	0.00	1	0.00	1	1377.15	17	5527.72	101	3994.29	131	45695.10	104	4971.63	65
605	Min.	-41	0.00	1	0.00	1	0.00	1	-1274.69	131	-18516.40	130	-1221.58	1	2735.32	65	-8418.85	17
605	Min.	-29	0.00	1	0.00	1	0.00	1	-1274.69	131	-18516.40	130	-1221.58	1	2735.32	65	-8418.85	17
605	Min.	-28	0.00	1	0.00	1	0.00	1	-1274.69	131	-18516.40	130	-1221.58	1	2735.32	65	-8418.85	17
605	Min.	-40	0.00	1	0.00	1	0.00	1	-1274.69	131	-18516.40	130	-1221.58	1	2735.32	65	-8418.85	17
605	Max	-216	0.00	1	0.00	1	0.00	1	158.68	107	1814.27	132	23.96	49	4885.77	132	993.52	65
605	Max	-204	0.00	1	0.00	1	0.00	1	158.68	107	1814.27	132	23.96	49	4885.77	132	993.52	65
605	Max	-203	0.00	1	0.00	1	0.00	1	158.68	107	1814.27	132	23.96	49	4885.77	132	993.52	65
605	Max	-215	0.00	1	0.00	1	0.00	1	158.68	107	1814.27	132	23.96	49	4885.77	132	993.52	65
605	Min.	-216	0.00	1	0.00	1	0.00	1	-27.60	65	-473.00	49	-398.94	130	-1894.19	65	-2031.42	132
605	Min.	-204	0.00	1	0.00	1	0.00	1	-27.60	65	-473.00	49	-398.94	130	-1894.19	65	-2031.42	132
605	Min.	-203	0.00	1	0.00	1	0.00	1	-27.60	65	-473.00	49	-398.94	130	-1894.19	65	-2031.42	132
605	Min.	-215	0.00	1	0.00	1	0.00	1	-27.60	65	-473.00	49	-398.94	130	-1894.19	65	-2031.42	132
605	Max	-65	0.00	1	0.00	1	0.00	1	354.75	1	2382.51	1	1637.51	65	17052.40	108	3954.73	65
605	Max	-53	0.00	1	0.00	1	0.00	1	354.75	1	2382.51	1	1637.51	65	17052.40	108	3954.73	65
605	Max	-52	0.00	1	0.00	1	0.00	1	354.75	1	2382.51	1	1637.51	65	17052.40	108	3954.73	65
605	Max	-64	0.00	1	0.00	1	0.00	1	354.75	1	2382.51	1	1637.51	65	17052.40	108	3954.73	65
605	Min.	-65	0.00	1	0.00	1	0.00	1	-1212.67	130	-14958.00	130	-998.07	17	2471.85	17	-1248.01	17
605	Min.	-53	0.00	1	0.00	1	0.00	1	-1212.67	130	-14958.00	130	-998.07	17	2471.85	17	-1248.01	17
605	Min.	-52	0.00	1	0.00	1	0.00	1	-1212.67	130	-14958.00	130	-998.07	17	2471.85	17	-1248.01	17
605	Min.	-64	0.00	1	0.00	1	0.00	1	-1212.67	130	-14958.00	130	-998.07	17	2471.85	17	-1248.01	17
605	Max	-133	0.00	1	0.00	1	0.00	1	1018.34	107	70.32	1	859.81	65	167.24	17	4475.65	65
605	Max	-122	0.00	1	0.00	1	0.00	1	1018.34	107	70.32	1	859.81	65	167.24	17	4475.65	65
605	Max	-121	0.00	1	0.00	1	0.00	1	1018.34	107	70.32	1	859.81	65	167.24	17	4475.65	65
605	Max	24	0.00	1	0.00	1	0.00	1	1018.34	107	70.32	1	859.81	65	167.24	17	4475.65	65
605	Min.	-133	0.00	1	0.00	1	0.00	1	243.54	17	-325.43	106	-1093.57	17	-874.73	102	-4331.52	17
605	Min.	-122	0.00	1	0.00	1	0.00	1	243.54	17	-325.43	106	-1093.57	17	-874.73	102	-4331.52	17
605	Min.	-121	0.00	1	0.00	1	0.00	1	243.54	17	-325.43	106	-1093.57	17	-874.73	102	-4331.52	17
605	Min.	24	0.00	1	0.00	1	0.00	1	243.54	17	-325.43	106	-1093.57	17	-874.73	102	-4331.52	17
605	Max	-111	0.00	1	0.00	1	0.00	1	1149.19	108	8.18	49	1093.50	65	204.68	65	4939.97	65
605	Max	-100	0.00	1	0.00	1	0.00	1	1149.19	108	8.18	49	1093.50	65	204.68	65	4939.97	65
605	Max	-99	0.00	1	0.00	1	0.00	1	1149.19	108	8.18	49	1093.50	65	204.68	65	4939.97	65
605	Max	22	0.00	1	0.00	1	0.00	1	1149.19	108	8.18	49	1093.50	65	204.68	65	4939.97	65
605	Min.	-111	0.00	1	0.00	1	0.00	1	350.04	177	-183.89	106	-969.86	17	-275.04	104	-4140.19	17
605	Min.	-100	0.00	1	0.00	1	0.00	1	350.04	177	-183.89	106	-969.86	17	-275.04	104	-4140.19	17
605	Min.	-99	0.00	1	0.00	1	0.00	1	350.04	177	-183.89	106	-969.86	17	-275.04	104	-4140.19	17
605	Min.	22	0.00	1	0.00	1	0.00	1	350.04	177	-183.89	106	-969.86	17	-275.04	104	-4140.19	17
605	Max	-192	0.00	1	0.00	1	0.00	1	588.77	131	480.57	17	460.56	49	1257.02	17	2228.36	65
605	Max	-180	0.00	1	0.00	1	0.00	1	588.77	131	480.57	17	460.56	49	1257.02	17	2228.36	65
605	Max	-179	0.00	1	0.00	1	0.00	1	588.77	131	480.57	17	460.56	49	1257.02	17	2228.36	65
605	Max	-191	0.00	1	0.00	1	0.00	1	588.77	131	480.57	17	460.56	49	1257.02	17	2228.36	65
605	Min.	-192	0.00	1	0.00	1	0.00	1	-348.26	104	-325.85	65	-1486.45	130	-1073.34	99	-8125.09	108
605	Min.	-180	0.00	1	0.00	1	0.00	1	-348.26	104	-325.85	65	-1486.45	130	-1073.34	99	-8125.09	108
605	Min.	-179	0.00	1	0.00	1	0.00	1	-348.26	104	-325.85	65	-1486.45	130	-1073.34	99	-8125.09	108
605	Min.	-191	0.00	1	0.00	1	0.00	1	-348.26	104	-325.85	65	-1486.45	130	-1073.34	99	-8125.09	108
605	Max	-191	0.00	1	0.00	1	0.00	1	1370.47	65	5567.54	101	1206.50	49	45644.50	103	8398.33	65
605	Max	-179	0.00	1	0.00	1	0.00	1	1370.47	65	5567.54	101	1206.50	49	45644.50	103	8398.33	65
605	Max	-178	0.00	1	0.00	1	0.00	1	1370.47	65	5567.54	101	1206.50	49	45644.50	103	8398.33	65
605	Max	-190	0.00	1	0.00	1	0.00	1	1370.47	65	5567.54	101	1206.50	49	45644.50	103	8398.33	65
605	Min.	-191	0.00	1	0.00	1	0.00	1	-1286.01	132	-18542.50	130	-4010.63	132	2641.04	17	-4990.28	17
605	Min.	-179	0.00	1	0.00	1	0.00	1	-1286.01	132	-18542.50	130	-4010.63	132	2641.04	17	-4990.28	17
605	Min.	-178	0.00	1	0.00	1	0.00	1	-1286.01	132	-18542.50	130	-4010.63	132	2641.04	17	-4990.28	17
605	Min.	-190	0.00	1	0.00	1	0.00	1	-1286.01	132	-18542.50	130	-4010.63	132	2641.04	17	-4990.28	17
605	Max	-167	0.00	1	0.00	1	0.00	1	375.76	65	2426.83	49	1001.44	65	17624.30	103	1141.03	65
605	Max	-155	0.00	1	0.00	1	0.00	1	375.76	65	2426.83	49	1001.44	65	17624.30	103	1141.03	65
605	Max	-154	0.00	1	0.00	1	0.00	1	375.76	65	2426.83	49	1001.44	65	17624.30	103	1141.03	65
605	Max	-166	0.00	1	0.00	1	0.00	1	375.76	65	2426.83	49	1001.44	65	17624.30	103	1141.03	65
605	Min.	-167	0.00	1	0.00	1	0.00	1	-1207.75	130	-15058.00	130	-1652.17	17	2602.53	65	-4030.32	17
605	Min.	-155	0.00	1	0.00	1	0.00	1	-1207.75	130	-15058.00	130	-1652.17	17	2602.53	65	-4030.32	17
605	Min.	-154	0.00	1	0.00	1	0.00	1	-1207.75	130	-15058.00	130	-1652.17	17	2602.53	65	-4030.32	17
605	Min.	-166	0.00	1	0.00	1	0.00	1	-1207.75	130	-15058.00	130	-1652.17	17	2602.53	65	-4030.32	17
606	Max	-57	0.00	1	0.00	1	0.00	1	385.20	104	6575.95	101	426.60	49	2402.09	49	-4344.10	1
606	Max	-45	0.00	1	0.00	1	0.00	1	385.20	104	6575.95	101	426.60	49	2402.09	49	-4344.10	1
606	Max	-46	0.00	1	0.00	1	0.00	1	385.20	104	6575.95	101	426.60	49	2402.09	49	-4344.10	1

606	Max	-58	0.00	1	0.00	1	0.00	1	385.20	104	6575.95	101	426.60	49	2402.09	49	-4344.10	1
606	Min.	-57	0.00	1	0.00	1	0.00	1	-1252.83	131	-1002.72	49	-3166.88	106	-5037.46	101	-14554.90	108
606	Min.	-45	0.00	1	0.00	1	0.00	1	-1252.83	131	-1002.72	49	-3166.88	106	-5037.46	101	-14554.90	108
606	Min.	-46	0.00	1	0.00	1	0.00	1	-1252.83	131	-1002.72	49	-3166.88	106	-5037.46	101	-14554.90	108
606	Min.	-58	0.00	1	0.00	1	0.00	1	-1252.83	131	-1002.72	49	-3166.88	106	-5037.46	101	-14554.90	108
606	Max	-79	0.00	1	0.00	1	0.00	1	85.03	17	702.46	130	660.83	65	451.38	49	4183.15	65
606	Max	-67	0.00	1	0.00	1	0.00	1	85.03	17	702.46	130	660.83	65	451.38	49	4183.15	65
606	Max	-68	0.00	1	0.00	1	0.00	1	85.03	17	702.46	130	660.83	65	451.38	49	4183.15	65
606	Max	-80	0.00	1	0.00	1	0.00	1	85.03	17	702.46	130	660.83	65	451.38	49	4183.15	65
606	Min.	-79	0.00	1	0.00	1	0.00	1	-898.70	108	-773.20	101	-1168.95	103	-2519.16	101	-5304.20	17
606	Min.	-67	0.00	1	0.00	1	0.00	1	-898.70	108	-773.20	101	-1168.95	103	-2519.16	101	-5304.20	17
606	Min.	-68	0.00	1	0.00	1	0.00	1	-898.70	108	-773.20	101	-1168.95	103	-2519.16	101	-5304.20	17
606	Min.	-80	0.00	1	0.00	1	0.00	1	-898.70	108	-773.20	101	-1168.95	103	-2519.16	101	-5304.20	17
606	Max	-159	0.00	1	0.00	1	0.00	1	496.77	65	11032.00	101	2510.16	101	-1556.25	17	1635.11	65
606	Max	-147	0.00	1	0.00	1	0.00	1	496.77	65	11032.00	101	2510.16	101	-1556.25	17	1635.11	65
606	Max	-148	0.00	1	0.00	1	0.00	1	496.77	65	11032.00	101	2510.16	101	-1556.25	17	1635.11	65
606	Max	-160	0.00	1	0.00	1	0.00	1	496.77	65	11032.00	101	2510.16	101	-1556.25	17	1635.11	65
606	Min.	-159	0.00	1	0.00	1	0.00	1	-787.21	17	-4422.66	130	-738.84	1	-14808.90	101	-3660.10	17
606	Min.	-147	0.00	1	0.00	1	0.00	1	-787.21	17	-4422.66	130	-738.84	1	-14808.90	101	-3660.10	17
606	Min.	-148	0.00	1	0.00	1	0.00	1	-787.21	17	-4422.66	130	-738.84	1	-14808.90	101	-3660.10	17
606	Min.	-160	0.00	1	0.00	1	0.00	1	-787.21	17	-4422.66	130	-738.84	1	-14808.90	101	-3660.10	17
606	Max	-221	0.00	1	0.00	1	0.00	1	16.75	65	1076.07	101	142.45	104	1228.75	130	163.04	130
606	Max	-209	0.00	1	0.00	1	0.00	1	16.75	65	1076.07	101	142.45	104	1228.75	130	163.04	130
606	Max	-210	0.00	1	0.00	1	0.00	1	16.75	65	1076.07	101	142.45	104	1228.75	130	163.04	130
606	Max	-222	0.00	1	0.00	1	0.00	1	16.75	65	1076.07	101	142.45	104	1228.75	130	163.04	130
606	Min.	-221	0.00	1	0.00	1	0.00	1	-17.78	17	-376.29	130	-34.77	17	-2246.63	101	-403.25	101
606	Min.	-209	0.00	1	0.00	1	0.00	1	-17.78	17	-376.29	130	-34.77	17	-2246.63	101	-403.25	101
606	Min.	-210	0.00	1	0.00	1	0.00	1	-17.78	17	-376.29	130	-34.77	17	-2246.63	101	-403.25	101
606	Min.	-222	0.00	1	0.00	1	0.00	1	-17.78	17	-376.29	130	-34.77	17	-2246.63	101	-403.25	101
606	Max	-67	0.00	1	0.00	1	0.00	1	38.22	65	505.27	130	563.39	65	322.93	49	3342.64	65
606	Max	-55	0.00	1	0.00	1	0.00	1	38.22	65	505.27	130	563.39	65	322.93	49	3342.64	65
606	Max	-56	0.00	1	0.00	1	0.00	1	38.22	65	505.27	130	563.39	65	322.93	49	3342.64	65
606	Max	-68	0.00	1	0.00	1	0.00	1	38.22	65	505.27	130	563.39	65	322.93	49	3342.64	65
606	Min.	-67	0.00	1	0.00	1	0.00	1	-587.30	108	-604.27	101	-1003.11	17	-2122.50	103	-4796.80	17
606	Min.	-55	0.00	1	0.00	1	0.00	1	-587.30	108	-604.27	101	-1003.11	17	-2122.50	103	-4796.80	17
606	Min.	-56	0.00	1	0.00	1	0.00	1	-587.30	108	-604.27	101	-1003.11	17	-2122.50	103	-4796.80	17
606	Min.	-68	0.00	1	0.00	1	0.00	1	-587.30	108	-604.27	101	-1003.11	17	-2122.50	103	-4796.80	17
606	Max	-183	0.00	1	0.00	1	0.00	1	370.03	103	6488.84	101	3257.41	106	2476.46	1	15166.60	107
606	Max	-171	0.00	1	0.00	1	0.00	1	370.03	103	6488.84	101	3257.41	106	2476.46	1	15166.60	107
606	Max	-172	0.00	1	0.00	1	0.00	1	370.03	103	6488.84	101	3257.41	106	2476.46	1	15166.60	107
606	Max	-184	0.00	1	0.00	1	0.00	1	370.03	103	6488.84	101	3257.41	106	2476.46	1	15166.60	107
606	Min.	-183	0.00	1	0.00	1	0.00	1	-1301.17	132	-966.43	1	-475.94	1	-4825.90	101	4452.88	49
606	Min.	-171	0.00	1	0.00	1	0.00	1	-1301.17	132	-966.43	1	-475.94	1	-4825.90	101	4452.88	49
606	Min.	-172	0.00	1	0.00	1	0.00	1	-1301.17	132	-966.43	1	-475.94	1	-4825.90	101	4452.88	49
606	Min.	-184	0.00	1	0.00	1	0.00	1	-1301.17	132	-966.43	1	-475.94	1	-4825.90	101	4452.88	49
606	Max	-81	0.00	1	0.00	1	0.00	1	494.46	17	11021.10	101	751.40	49	-1568.55	65	3653.50	65
606	Max	-69	0.00	1	0.00	1	0.00	1	494.46	17	11021.10	101	751.40	49	-1568.55	65	3653.50	65
606	Max	-70	0.00	1	0.00	1	0.00	1	494.46	17	11021.10	101	751.40	49	-1568.55	65	3653.50	65
606	Max	-82	0.00	1	0.00	1	0.00	1	494.46	17	11021.10	101	751.40	49	-1568.55	65	3653.50	65
606	Min.	-81	0.00	1	0.00	1	0.00	1	-787.05	65	-4407.95	130	-2504.01	101	-14791.50	101	-1623.93	17
606	Min.	-69	0.00	1	0.00	1	0.00	1	-787.05	65	-4407.95	130	-2504.01	101	-14791.50	101	-1623.93	17
606	Min.	-70	0.00	1	0.00	1	0.00	1	-787.05	65	-4407.95	130	-2504.01	101	-14791.50	101	-1623.93	17
606	Min.	-82	0.00	1	0.00	1	0.00	1	-787.05	65	-4407.95	130	-2504.01	101	-14791.50	101	-1623.93	17
606	Max	-209	0.00	1	0.00	1	0.00	1	81.66	104	1216.01	101	421.78	104	1259.41	130	557.91	130
606	Max	-197	0.00	1	0.00	1	0.00	1	81.66	104	1216.01	101	421.78	104	1259.41	130	557.91	130
606	Max	-198	0.00	1	0.00	1	0.00	1	81.66	104	1216.01	101	421.78	104	1259.41	130	557.91	130
606	Max	-210	0.00	1	0.00	1	0.00	1	81.66	104	1216.01	101	421.78	104	1259.41	130	557.91	130
606	Min.	-209	0.00	1	0.00	1	0.00	1	-61.04	17	-432.06	130	-111.29	17	-2969.50	101	-1196.65	101
606	Min.	-197	0.00	1	0.00	1	0.00	1	-61.04	17	-432.06	130	-111.29	17	-2969.50	101	-1196.65	101
606	Min.	-198	0.00	1	0.00	1	0.00	1	-61.04	17	-432.06	130	-111.29	17	-2969.50	101	-1196.65	101
606	Min.	-210	0.00	1	0.00	1	0.00	1	-61.04	17	-432.06	130	-111.29	17	-2969.50	101	-1196.65	101
606	Max	-146	0.00	1	0.00	1	0.00	1	1459.11	65	20661.50	101	4539.88	104	-12161.90	65	1979.41	65
606	Max	25	0.00	1	0.00	1	0.00	1	1459.11	65	20661.50	101	4539.88	104	-12161.90	65	1979.41	65
606	Max	-135	0.00	1	0.00	1	0.00	1	1459.11	65	20661.50	101	4539.88	104	-12161.90	65	1979.41	65
606	Max	-147	0.00	1	0.00	1	0.00	1	1459.11	65	20661.50	101	4539.88	104	-12161.90	65	1979.41	65
606	Min.	-146	0.00	1	0.00	1	0.00	1	-2429.35	17	-10667.70	130	-2768.89	131	-60771.00	107	-11078.10	131
606	Min.	25	0.00	1	0.00	1	0.00	1	-2429.35	17	-10667.70	130	-2768.89	131	-60771.00	107	-11078.10	131
606	Min.	-135	0.00	1	0.00	1	0.00	1	-2429.35	17	-10667.70	130	-2768.89	131	-60771.00	107	-11078.10	131
606	Min.	-147	0.00	1	0.00	1	0.00	1	-2429.35	17	-10667.70	130	-2768.89	131	-60771.00	107	-11078.10	131
606	Max	-33	0.00	1	0.00	1	0.00	1	448.63	107	10279.50	101	206.25	65	2824.95	17	495.83	65
606	Max	-21	0.00	1	0.00	1	0.00	1	448.63	107	10279.50	101	206.25	65	2824.95	17	495.83	65
606	Max	-22	0.00	1	0.00	1	0.00	1	448.63	107	10279.50	101	206.25	65	2824.95	17	495.83	65
606	Max	-34	0.00	1	0.00	1	0.00	1	448.63	107	10279.50	101	206.25	65	2824.95	17	495.83	65
606	Min.	-33	0.00	1	0.00	1	0.00	1	110.49	65	-4093.47	130	-1140.48	103	-9437.37	104	-2836.28	99
606	Min.	-21	0.00	1	0.00	1	0.00	1	110.49	65	-4093.47	130	-1140.48	103	-9437.37	104	-2836.28	99
606	Min.	-22	0.00	1	0.00	1	0.00	1	110.49	65	-4093.47	130	-1140.48	103	-9437.37	104	-2836.28	99
606	Min.	-34	0.00	1	0.00	1	0.00	1	110.49	65	-4093.47	130	-1140.48	103	-9437.37	104	-2836.28	99
606	Max	-137	0.00	1	0.00	1	0.00	1	-455.63	49	405.29	130	1122.35	106	2967.22	101	2432.77	17
606	Max	-127	0.00	1	0.00	1	0.00	1	-455.63	49	405.29	130	1122.35	106	2967.22	101	2432.77	17
606	Max	-128	0.00	1	0.00	1	0.00	1	-455.63	49	405.29	130	1122.35	106	2967.22	101	2432.77	17
606	Max	-138	0.00	1	0.00	1	0.00	1	-455.63	49	405.29	130	1122.35	106	2967.22	101	2432.77	17
606	Min.	-137	0.00	1	0.00	1	0.00	1	-3327.85	101	-1076.15	101	-261.54	1	-194.84	130	-2344.97	65
606	Min.	-127	0.00	1	0.00	1	0.00	1	-3327.85	101	-1076.15	101	-261.54	1	-194.84	130	-2344.97	65
606	Min.	-128	0.00	1	0.00	1	0.00	1	-3327.85	101	-1076.15	101	-261.54	1	-194.84	130	-2344.97	65
606	Min.	-138	0.00	1	0.00	1	0.00	1	-3327.85	101	-1076.15	101	-261.54	1	-194.84	130	-2344.97	65
606	Max	-207	0.00	1	0.00	1	0.00	1	470.94	108	10296.50	101	1148.32	104	2772.75	65	2970.52	100
606	Max	-195	0.00	1	0.00	1	0.00	1	470.94	108	10296.50	101	1148.32	104	2772.75	65	2970.52	100
606	Max	-196	0.00	1	0.00	1	0.00	1	470.94	108	10296.50	101	1148.32	104	2772.75	65	2970.52	100
606	Max	-208	0.00	1	0.00	1	0.00	1	470.94	108	10296.50	101	1148.32	104	2772.75	65	2970.52	100
606	Min.	-207	0.00	1	0.00	1	0.00	1	113.78	33	-4127.49	130	-206.33	17	-9557.84	103	-477.17	17
606	Min.	-195	0.00	1	0.00	1	0.00	1	113.78	33	-4127.49	130	-206.33	17	-9557.84	103	-477.17	17
606	Min.	-196	0.00	1	0.00	1	0.00	1	113.78	33	-4127.49	130	-206.33	17	-9557.84	103	-477.17	17
606	Min.	-208	0.00	1	0.00	1	0.00	1	113.78	33	-4127.49	130	-206.33	17	-9557.84	103	-477.17	17
606	Max	-80	0.00	1	0.00	1	0.00	1	964.46	103	14556.50	101	684.66	65	-2163.67	65	4411.35	65
606	Max	-68	0.00	1	0.00	1	0.00	1	964.46	103	14556.50	101	684.66	65	-2163.67	65	4411.35	65
606	Max	-69	0.00	1	0.00	1	0.00	1	964.46	103	14556.50	101	684.66	65	-2163.67	65	4411.35	65
606	Max	-81	0.00	1	0.00	1	0.00	1	964.46	103	14556.50	101	684.66	65	-2163.67	65	4411.35	65
606	Min.	-80	0.00	1	0.00	1	0.00	1	-680.13	65	-3412.06	130	-2022.56	103	-15343.00	104	-3414.57	17
606	Min.	-68	0.00	1	0.00	1	0.00	1	-680.13	65	-3412.06	130	-2022.56	103	-15343.00	104	-3414.57	17
606	Min.	-69	0.00	1	0.00	1	0.00	1	-680.13	65	-3412.06	130	-2022.56	103	-15343.00	104	-3414.57	17
606	Min.	-81	0.00	1	0.00	1	0.00	1	-680.13	65	-3412.06	130	-2022.56	103	-15343.00	104	-3414.57	17
606	Max	-68	0.00	1	0.00	1	0.00	1	1173.60	101	14525.50	101	998.05	65	-2471.85	65	1248.00	65
606	Max	-56	0.00	1	0.00	1	0.00	1	1173.60	101	14525.50	101	998.05	65	-2471.85	65	1248.00	65
606	Max	-57	0.00	1	0.00	1	0.00	1	1173.60	101	14525.50	101	998.05	65	-2471.85	65	1248.00	65
606	Max	-69	0.00	1	0.00	1	0.00	1	1173.60	101	14525.50	101	998.05	65	-2471.85	65	1248.00	65

606	Min.	-68	0.00	1	0.00	1	0.00	1	-549.90	130	-4175.01	130	-1637.50	17	-17052.60	104	-3954.72	17
606	Min.	-56	0.00	1	0.00	1	0.00	1	-549.90	130	-4175.01	130	-1637.50	17	-17052.60	104	-3954.72	17
606	Min.	-57	0.00	1	0.00	1	0.00	1	-549.90	130	-4175.01	130	-1637.50	17	-17052.60	104	-3954.72	17
606	Min.	-69	0.00	1	0.00	1	0.00	1	-549.90	130	-4175.01	130	-1637.50	17	-17052.60	104	-3954.72	17
606	Max	-206	0.00	1	0.00	1	0.00	1	857.52	104	10476.80	101	1352.20	107	10312.00	132	3981.10	104
606	Max	-194	0.00	1	0.00	1	0.00	1	857.52	104	10476.80	101	1352.20	107	10312.00	132	3981.10	104
606	Max	-195	0.00	1	0.00	1	0.00	1	857.52	104	10476.80	101	1352.20	107	10312.00	132	3981.10	104
606	Max	-207	0.00	1	0.00	1	0.00	1	857.52	104	10476.80	101	1352.20	107	10312.00	132	3981.10	104
606	Min.	-206	0.00	1	0.00	1	0.00	1	-109.81	131	-1992.89	1	215.47	17	-2795.43	17	-1333.81	17
606	Min.	-194	0.00	1	0.00	1	0.00	1	-109.81	131	-1992.89	1	215.47	17	-2795.43	17	-1333.81	17
606	Min.	-195	0.00	1	0.00	1	0.00	1	-109.81	131	-1992.89	1	215.47	17	-2795.43	17	-1333.81	17
606	Min.	-207	0.00	1	0.00	1	0.00	1	-109.81	131	-1992.89	1	215.47	17	-2795.43	17	-1333.81	17
606	Max	-205	0.00	1	0.00	1	0.00	1	154.81	65	676.28	130	918.17	101	965.38	17	3489.93	104
606	Max	-193	0.00	1	0.00	1	0.00	1	154.81	65	676.28	130	918.17	101	965.38	17	3489.93	104
606	Max	-194	0.00	1	0.00	1	0.00	1	154.81	65	676.28	130	918.17	101	965.38	17	3489.93	104
606	Max	-206	0.00	1	0.00	1	0.00	1	154.81	65	676.28	130	918.17	101	965.38	17	3489.93	104
606	Min.	-205	0.00	1	0.00	1	0.00	1	-386.01	107	-1565.21	101	-360.06	130	-5230.23	104	-2482.38	131
606	Min.	-193	0.00	1	0.00	1	0.00	1	-386.01	107	-1565.21	101	-360.06	130	-5230.23	104	-2482.38	131
606	Min.	-194	0.00	1	0.00	1	0.00	1	-386.01	107	-1565.21	101	-360.06	130	-5230.23	104	-2482.38	131
606	Min.	-206	0.00	1	0.00	1	0.00	1	-386.01	107	-1565.21	101	-360.06	130	-5230.23	104	-2482.38	131
606	Max	-124	0.00	1	0.00	1	0.00	1	738.58	65	19407.70	101	2423.52	104	-12525.10	33	721.36	65
606	Max	23	0.00	1	0.00	1	0.00	1	738.58	65	19407.70	101	2423.52	104	-12525.10	33	721.36	65
606	Max	-113	0.00	1	0.00	1	0.00	1	738.58	65	19407.70	101	2423.52	104	-12525.10	33	721.36	65
606	Max	-125	0.00	1	0.00	1	0.00	1	738.58	65	19407.70	101	2423.52	104	-12525.10	33	721.36	65
606	Min.	-124	0.00	1	0.00	1	0.00	1	-1615.11	131	-8004.27	130	-2268.03	131	-41693.80	105	-7308.36	131
606	Min.	23	0.00	1	0.00	1	0.00	1	-1615.11	131	-8004.27	130	-2268.03	131	-41693.80	105	-7308.36	131
606	Min.	-113	0.00	1	0.00	1	0.00	1	-1615.11	131	-8004.27	130	-2268.03	131	-41693.80	105	-7308.36	131
606	Min.	-125	0.00	1	0.00	1	0.00	1	-1615.11	131	-8004.27	130	-2268.03	131	-41693.80	105	-7308.36	131
606	Max	-147	0.00	1	0.00	1	0.00	1	798.25	65	8590.44	101	3697.60	101	282.11	1	-443.04	65
606	Max	-135	0.00	1	0.00	1	0.00	1	798.25	65	8590.44	101	3697.60	101	282.11	1	-443.04	65
606	Max	-136	0.00	1	0.00	1	0.00	1	798.25	65	8590.44	101	3697.60	101	282.11	1	-443.04	65
606	Max	-148	0.00	1	0.00	1	0.00	1	798.25	65	8590.44	101	3697.60	101	282.11	1	-443.04	65
606	Min.	-147	0.00	1	0.00	1	0.00	1	-1988.69	17	-1687.17	130	-2364.74	130	-7783.74	101	-13924.50	107
606	Min.	-135	0.00	1	0.00	1	0.00	1	-1988.69	17	-1687.17	130	-2364.74	130	-7783.74	101	-13924.50	107
606	Min.	-136	0.00	1	0.00	1	0.00	1	-1988.69	17	-1687.17	130	-2364.74	130	-7783.74	101	-13924.50	107
606	Min.	-148	0.00	1	0.00	1	0.00	1	-1988.69	17	-1687.17	130	-2364.74	130	-7783.74	101	-13924.50	107
606	Max	-93	0.00	1	0.00	1	0.00	1	528.76	17	1363.09	130	2320.60	130	5194.97	101	13531.40	101
606	Max	-83	0.00	1	0.00	1	0.00	1	528.76	17	1363.09	130	2320.60	130	5194.97	101	13531.40	101
606	Max	-84	0.00	1	0.00	1	0.00	1	528.76	17	1363.09	130	2320.60	130	5194.97	101	13531.40	101
606	Max	-94	0.00	1	0.00	1	0.00	1	528.76	17	1363.09	130	2320.60	130	5194.97	101	13531.40	101
606	Min.	-93	0.00	1	0.00	1	0.00	1	-2883.47	104	-1854.06	101	-2513.17	101	-631.95	130	-51.87	166
606	Min.	-83	0.00	1	0.00	1	0.00	1	-2883.47	104	-1854.06	101	-2513.17	101	-631.95	130	-51.87	166
606	Min.	-84	0.00	1	0.00	1	0.00	1	-2883.47	104	-1854.06	101	-2513.17	101	-631.95	130	-51.87	166
606	Min.	-94	0.00	1	0.00	1	0.00	1	-2883.47	104	-1854.06	101	-2513.17	101	-631.95	130	-51.87	166
606	Max	-157	0.00	1	0.00	1	0.00	1	84.97	65	706.08	130	1175.47	104	454.74	1	5322.19	65
606	Max	-145	0.00	1	0.00	1	0.00	1	84.97	65	706.08	130	1175.47	104	454.74	1	5322.19	65
606	Max	-146	0.00	1	0.00	1	0.00	1	84.97	65	706.08	130	1175.47	104	454.74	1	5322.19	65
606	Max	-158	0.00	1	0.00	1	0.00	1	84.97	65	706.08	130	1175.47	104	454.74	1	5322.19	65
606	Min.	-157	0.00	1	0.00	1	0.00	1	-909.54	107	-780.02	101	-654.18	17	-2534.79	101	-4149.09	17
606	Min.	-145	0.00	1	0.00	1	0.00	1	-909.54	107	-780.02	101	-654.18	17	-2534.79	101	-4149.09	17
606	Min.	-146	0.00	1	0.00	1	0.00	1	-909.54	107	-780.02	101	-654.18	17	-2534.79	101	-4149.09	17
606	Min.	-158	0.00	1	0.00	1	0.00	1	-909.54	107	-780.02	101	-654.18	17	-2534.79	101	-4149.09	17
606	Max	-145	0.00	1	0.00	1	0.00	1	73.66	65	799.45	101	1358.68	104	1932.75	101	7383.32	104
606	Max	-134	0.00	1	0.00	1	0.00	1	73.66	65	799.45	101	1358.68	104	1932.75	101	7383.32	104
606	Max	25	0.00	1	0.00	1	0.00	1	73.66	65	799.45	101	1358.68	104	1932.75	101	7383.32	104
606	Max	-146	0.00	1	0.00	1	0.00	1	73.66	65	799.45	101	1358.68	104	1932.75	101	7383.32	104
606	Min.	-145	0.00	1	0.00	1	0.00	1	-1098.35	103	-402.67	130	-837.36	131	-434.79	162	-3564.80	17
606	Min.	-134	0.00	1	0.00	1	0.00	1	-1098.35	103	-402.67	130	-837.36	131	-434.79	162	-3564.80	17
606	Min.	25	0.00	1	0.00	1	0.00	1	-1098.35	103	-402.67	130	-837.36	131	-434.79	162	-3564.80	17
606	Min.	-146	0.00	1	0.00	1	0.00	1	-1098.35	103	-402.67	130	-837.36	131	-434.79	162	-3564.80	17
606	Max	-182	0.00	1	0.00	1	0.00	1	1262.80	103	19967.80	101	3835.09	132	-7330.23	65	11755.40	106
606	Max	-170	0.00	1	0.00	1	0.00	1	1262.80	103	19967.80	101	3835.09	132	-7330.23	65	11755.40	106
606	Max	-171	0.00	1	0.00	1	0.00	1	1262.80	103	19967.80	101	3835.09	132	-7330.23	65	11755.40	106
606	Max	-183	0.00	1	0.00	1	0.00	1	1262.80	103	19967.80	101	3835.09	132	-7330.23	65	11755.40	106
606	Min.	-182	0.00	1	0.00	1	0.00	1	-1801.20	132	-11719.30	130	-2195.04	17	-65181.70	107	2430.38	137
606	Min.	-170	0.00	1	0.00	1	0.00	1	-1801.20	132	-11719.30	130	-2195.04	17	-65181.70	107	2430.38	137
606	Min.	-171	0.00	1	0.00	1	0.00	1	-1801.20	132	-11719.30	130	-2195.04	17	-65181.70	107	2430.38	137
606	Min.	-183	0.00	1	0.00	1	0.00	1	-1801.20	132	-11719.30	130	-2195.04	17	-65181.70	107	2430.38	137
606	Max	-208	0.00	1	0.00	1	0.00	1	122.89	65	4606.30	101	1354.18	101	2777.06	130	182.85	65
606	Max	-196	0.00	1	0.00	1	0.00	1	122.89	65	4606.30	101	1354.18	101	2777.06	130	182.85	65
606	Max	-197	0.00	1	0.00	1	0.00	1	122.89	65	4606.30	101	1354.18	101	2777.06	130	182.85	65
606	Max	-209	0.00	1	0.00	1	0.00	1	122.89	65	4606.30	101	1354.18	101	2777.06	130	182.85	65
606	Min.	-208	0.00	1	0.00	1	0.00	1	-176.41	17	-1636.17	130	-640.59	130	-5567.36	101	-1391.28	17
606	Min.	-196	0.00	1	0.00	1	0.00	1	-176.41	17	-1636.17	130	-640.59	130	-5567.36	101	-1391.28	17
606	Min.	-197	0.00	1	0.00	1	0.00	1	-176.41	17	-1636.17	130	-640.59	130	-5567.36	101	-1391.28	17
606	Min.	-209	0.00	1	0.00	1	0.00	1	-176.41	17	-1636.17	130	-640.59	130	-5567.36	101	-1391.28	17
606	Max	-181	0.00	1	0.00	1	0.00	1	431.98	132	962.46	101	1155.66	108	2841.24	101	3686.16	65
606	Max	-169	0.00	1	0.00	1	0.00	1	431.98	132	962.46	101	1155.66	108	2841.24	101	3686.16	65
606	Max	-170	0.00	1	0.00	1	0.00	1	431.98	132	962.46	101	1155.66	108	2841.24	101	3686.16	65
606	Max	-182	0.00	1	0.00	1	0.00	1	431.98	132	962.46	101	1155.66	108	2841.24	101	3686.16	65
606	Min.	-181	0.00	1	0.00	1	0.00	1	-702.21	17	-722.76	130	-480.76	17	-1012.02	65	-5070.87	99
606	Min.	-169	0.00	1	0.00	1	0.00	1	-702.21	17	-722.76	130	-480.76	17	-1012.02	65	-5070.87	99
606	Min.	-170	0.00	1	0.00	1	0.00	1	-702.21	17	-722.76	130	-480.76	17	-1012.02	65	-5070.87	99
606	Min.	-182	0.00	1	0.00	1	0.00	1	-702.21	17	-722.76	130	-480.76	17	-1012.02	65	-5070.87	99
606	Max	-197	0.00	1	0.00	1	0.00	1	313.25	65	1204.31	101	939.04	104	1504.46	130	731.05	130
606	Max	-185	0.00	1	0.00	1	0.00	1	313.25	65	1204.31	101	939.04	104	1504.46	130	731.05	130
606	Max	-186	0.00	1	0.00	1	0.00	1	313.25	65	1204.31	101	939.04	104	1504.46	130	731.05	130
606	Max	-198	0.00	1	0.00	1	0.00	1	313.25	65	1204.31	101	939.04	104	1504.46	130	731.05	130
606	Min.	-197	0.00	1	0.00	1	0.00	1	-355.25	17	-527.51	130	-259.93	131	-3495.04	101	-3816.45	101
606	Min.	-185	0.00	1	0.00	1	0.00	1	-355.25	17	-527.51	130	-259.93	131	-3495.04	101	-3816.45	101
606	Min.	-186	0.00	1	0.00	1	0.00	1	-355.25	17	-527.51	130	-259.93	131	-3495.04	101	-3816.45	101
606	Min.	-198	0.00	1	0.00	1	0.00	1	-355.25	17	-527.51	130	-259.93	131	-3495.04	101	-3816.45	101
606	Max	-173	0.00	1	0.00	1	0.00	1	634.05	65	1021.53	101	1532.74	101	1293.63	130	1598.17	130
606	Max	-161	0.00	1	0.00	1	0.00	1	634.05	65	1021.53	101	1532.74	101	1293.63	130	1598.17	130
606	Max	-162	0.00	1	0.00	1	0.00	1	634.05	65	1021.53	101	1532.74	101	1293.63	130	1598.17	130
606	Max	-174	0.00	1	0.00	1	0.00	1	634.05	65	1021.53	101	1532.74	101	1293.63	130	1598.17	130
606	Min.	-173	0.00	1	0.00	1	0.00	1	-1177.60	17	-745.64	130	-773.66	130	-3563.67	101	-9395.40	101
606	Min.	-161	0.00	1	0.00	1	0.00	1	-1177.60	17	-745.64	130	-773.66	130	-3563.67	101	-9395.40	101
606	Min.	-162	0.00	1	0.00	1	0.00	1	-1177.60	17	-745.64	130	-773.66	130	-3563.67	101	-9395.40	101
606	Min.	-174	0.00	1	0.00	1	0.00	1	-1177.60	17	-745.64	130	-773.66	130	-3563.67	101	-9395.40	101
606	Max	-44	0.00	1	0.00	1	0.00	1	1194.65	103	17397.00	101	1757.86	132	-2735.34	17	8418.83	65
606	Max	-32	0.00	1	0.00	1	0.00	1	1194.65	103	17397.00	101	1757.86	132	-2735.34	17	8418.83	65
606	Max	-33	0.00	1	0.00	1	0.00	1	1194.65	103	17397.00	101	1757.86	132	-2735.34	17	8418.83	65
606	Max	-45	0.00	1	0.00	1	0.00	1	1194.65	103	17397.00	101	1757.86	132	-2735.34	17	8418.83	65
606	Min.	-44	0.00	1	0.00	1	0.00	1	-1377.14	65	-9381.01	130	-3729.42	103	-45694.00	108	-4971.61	17

606	Min.	-32	0.00	1	0.00	1	0.00	1	-1377.14	65	-9381.01	130	-3729.42	103	-45694.00	108	-4971.61	17
606	Min.	-33	0.00	1	0.00	1	0.00	1	-1377.14	65	-9381.01	130	-3729.42	103	-45694.00	108	-4971.61	17
606	Min.	-45	0.00	1	0.00	1	0.00	1	-1377.14	65	-9381.01	130	-3729.42	103	-45694.00	108	-4971.61	17
606	Max	-115	0.00	1	0.00	1	0.00	1	-434.41	166	24.14	130	1335.86	130	2025.66	101	5422.06	103
606	Max	-105	0.00	1	0.00	1	0.00	1	-434.41	166	24.14	130	1335.86	130	2025.66	101	5422.06	103
606	Max	-106	0.00	1	0.00	1	0.00	1	-434.41	166	24.14	130	1335.86	130	2025.66	101	5422.06	103
606	Max	-116	0.00	1	0.00	1	0.00	1	-434.41	166	24.14	130	1335.86	130	2025.66	101	5422.06	103
606	Min.	-115	0.00	1	0.00	1	0.00	1	-3769.30	101	-840.45	101	-1169.09	101	113.18	130	-916.14	65
606	Min.	-105	0.00	1	0.00	1	0.00	1	-3769.30	101	-840.45	101	-1169.09	101	113.18	130	-916.14	65
606	Min.	-106	0.00	1	0.00	1	0.00	1	-3769.30	101	-840.45	101	-1169.09	101	113.18	130	-916.14	65
606	Min.	-116	0.00	1	0.00	1	0.00	1	-3769.30	101	-840.45	101	-1169.09	101	113.18	130	-916.14	65
606	Max	-158	0.00	1	0.00	1	0.00	1	964.89	104	14539.00	101	2034.49	104	-2125.92	17	3437.42	65
606	Max	-146	0.00	1	0.00	1	0.00	1	964.89	104	14539.00	101	2034.49	104	-2125.92	17	3437.42	65
606	Max	-147	0.00	1	0.00	1	0.00	1	964.89	104	14539.00	101	2034.49	104	-2125.92	17	3437.42	65
606	Max	-159	0.00	1	0.00	1	0.00	1	964.89	104	14539.00	101	2034.49	104	-2125.92	17	3437.42	65
606	Min.	-158	0.00	1	0.00	1	0.00	1	-682.37	17	-3400.06	130	-678.60	17	-15258.00	103	-4401.39	17
606	Min.	-146	0.00	1	0.00	1	0.00	1	-682.37	17	-3400.06	130	-678.60	17	-15258.00	103	-4401.39	17
606	Min.	-147	0.00	1	0.00	1	0.00	1	-682.37	17	-3400.06	130	-678.60	17	-15258.00	103	-4401.39	17
606	Min.	-159	0.00	1	0.00	1	0.00	1	-682.37	17	-3400.06	130	-678.60	17	-15258.00	103	-4401.39	17
606	Max	-219	0.00	1	0.00	1	0.00	1	140.56	101	9903.81	101	649.69	104	4779.87	65	839.27	100
606	Max	-207	0.00	1	0.00	1	0.00	1	140.56	101	9903.81	101	649.69	104	4779.87	65	839.27	100
606	Max	-208	0.00	1	0.00	1	0.00	1	140.56	101	9903.81	101	649.69	104	4779.87	65	839.27	100
606	Max	-220	0.00	1	0.00	1	0.00	1	140.56	101	9903.81	101	649.69	104	4779.87	65	839.27	100
606	Min.	-219	0.00	1	0.00	1	0.00	1	24.01	1	-3665.07	130	-84.55	17	-5918.63	103	-365.28	17
606	Min.	-207	0.00	1	0.00	1	0.00	1	24.01	1	-3665.07	130	-84.55	17	-5918.63	103	-365.28	17
606	Min.	-208	0.00	1	0.00	1	0.00	1	24.01	1	-3665.07	130	-84.55	17	-5918.63	103	-365.28	17
606	Min.	-220	0.00	1	0.00	1	0.00	1	24.01	1	-3665.07	130	-84.55	17	-5918.63	103	-365.28	17
606	Max	-195	0.00	1	0.00	1	0.00	1	897.95	65	7284.68	101	3320.02	101	2553.85	17	1868.97	65
606	Max	-183	0.00	1	0.00	1	0.00	1	897.95	65	7284.68	101	3320.02	101	2553.85	17	1868.97	65
606	Max	-184	0.00	1	0.00	1	0.00	1	897.95	65	7284.68	101	3320.02	101	2553.85	17	1868.97	65
606	Max	-196	0.00	1	0.00	1	0.00	1	897.95	65	7284.68	101	3320.02	101	2553.85	17	1868.97	65
606	Min.	-195	0.00	1	0.00	1	0.00	1	-1245.33	17	-1338.24	1	-1825.33	130	-4705.09	103	-8915.67	107
606	Min.	-183	0.00	1	0.00	1	0.00	1	-1245.33	17	-1338.24	1	-1825.33	130	-4705.09	103	-8915.67	107
606	Min.	-184	0.00	1	0.00	1	0.00	1	-1245.33	17	-1338.24	1	-1825.33	130	-4705.09	103	-8915.67	107
606	Min.	-196	0.00	1	0.00	1	0.00	1	-1245.33	17	-1338.24	1	-1825.33	130	-4705.09	103	-8915.67	107
606	Max	-171	0.00	1	0.00	1	0.00	1	354.14	104	9881.60	101	1766.50	104	-261.26	17	2564.94	65
606	Max	-159	0.00	1	0.00	1	0.00	1	354.14	104	9881.60	101	1766.50	104	-261.26	17	2564.94	65
606	Max	-160	0.00	1	0.00	1	0.00	1	354.14	104	9881.60	101	1766.50	104	-261.26	17	2564.94	65
606	Max	-172	0.00	1	0.00	1	0.00	1	354.14	104	9881.60	101	1766.50	104	-261.26	17	2564.94	65
606	Min.	-171	0.00	1	0.00	1	0.00	1	-308.01	17	-3561.73	130	-148.79	17	-12961.60	101	-785.42	17
606	Min.	-159	0.00	1	0.00	1	0.00	1	-308.01	17	-3561.73	130	-148.79	17	-12961.60	101	-785.42	17
606	Min.	-160	0.00	1	0.00	1	0.00	1	-308.01	17	-3561.73	130	-148.79	17	-12961.60	101	-785.42	17
606	Min.	-172	0.00	1	0.00	1	0.00	1	-308.01	17	-3561.73	130	-148.79	17	-12961.60	101	-785.42	17
606	Max	-135	0.00	1	0.00	1	0.00	1	-326.19	65	9891.05	101	1656.96	108	-941.61	162	7376.64	108
606	Max	-125	0.00	1	0.00	1	0.00	1	-326.19	65	9891.05	101	1656.96	108	-941.61	162	7376.64	108
606	Max	-126	0.00	1	0.00	1	0.00	1	-326.19	65	9891.05	101	1656.96	108	-941.61	162	7376.64	108
606	Max	-136	0.00	1	0.00	1	0.00	1	-326.19	65	9891.05	101	1656.96	108	-941.61	162	7376.64	108
606	Min.	-135	0.00	1	0.00	1	0.00	1	-912.62	132	-2807.41	130	-618.05	1	-11224.20	101	1442.65	65
606	Min.	-125	0.00	1	0.00	1	0.00	1	-912.62	132	-2807.41	130	-618.05	1	-11224.20	101	1442.65	65
606	Min.	-126	0.00	1	0.00	1	0.00	1	-912.62	132	-2807.41	130	-618.05	1	-11224.20	101	1442.65	65
606	Min.	-136	0.00	1	0.00	1	0.00	1	-912.62	132	-2807.41	130	-618.05	1	-11224.20	101	1442.65	65
606	Max	-113	0.00	1	0.00	1	0.00	1	40.26	17	10581.40	101	1448.16	130	-1397.60	162	8283.25	108
606	Max	-103	0.00	1	0.00	1	0.00	1	40.26	17	10581.40	101	1448.16	130	-1397.60	162	8283.25	108
606	Max	-104	0.00	1	0.00	1	0.00	1	40.26	17	10581.40	101	1448.16	130	-1397.60	162	8283.25	108
606	Max	-114	0.00	1	0.00	1	0.00	1	40.26	17	10581.40	101	1448.16	130	-1397.60	162	8283.25	108
606	Min.	-113	0.00	1	0.00	1	0.00	1	-1274.82	65	-3426.79	130	-1644.35	101	-12750.00	101	774.29	17
606	Min.	-103	0.00	1	0.00	1	0.00	1	-1274.82	65	-3426.79	130	-1644.35	101	-12750.00	101	774.29	17
606	Min.	-104	0.00	1	0.00	1	0.00	1	-1274.82	65	-3426.79	130	-1644.35	101	-12750.00	101	774.29	17
606	Min.	-114	0.00	1	0.00	1	0.00	1	-1274.82	65	-3426.79	130	-1644.35	101	-12750.00	101	774.29	17
606	Max	-91	0.00	1	0.00	1	0.00	1	791.93	17	8584.30	101	2364.26	130	294.78	49	13956.80	108
606	Max	-81	0.00	1	0.00	1	0.00	1	791.93	17	8584.30	101	2364.26	130	294.78	49	13956.80	108
606	Max	-82	0.00	1	0.00	1	0.00	1	791.93	17	8584.30	101	2364.26	130	294.78	49	13956.80	108
606	Max	-92	0.00	1	0.00	1	0.00	1	791.93	17	8584.30	101	2364.26	130	294.78	49	13956.80	108
606	Min.	-91	0.00	1	0.00	1	0.00	1	-1992.02	65	-1679.08	130	-3700.39	101	-7766.21	101	467.63	17
606	Min.	-81	0.00	1	0.00	1	0.00	1	-1992.02	65	-1679.08	130	-3700.39	101	-7766.21	101	467.63	17
606	Min.	-82	0.00	1	0.00	1	0.00	1	-1992.02	65	-1679.08	130	-3700.39	101	-7766.21	101	467.63	17
606	Min.	-92	0.00	1	0.00	1	0.00	1	-1992.02	65	-1679.08	130	-3700.39	101	-7766.21	101	467.63	17
606	Max	-220	0.00	1	0.00	1	0.00	1	43.67	65	4695.95	101	570.14	101	2448.18	132	137.37	65
606	Max	-208	0.00	1	0.00	1	0.00	1	43.67	65	4695.95	101	570.14	101	2448.18	132	137.37	65
606	Max	-209	0.00	1	0.00	1	0.00	1	43.67	65	4695.95	101	570.14	101	2448.18	132	137.37	65
606	Max	-221	0.00	1	0.00	1	0.00	1	43.67	65	4695.95	101	570.14	101	2448.18	132	137.37	65
606	Min.	-220	0.00	1	0.00	1	0.00	1	-52.44	17	-1898.14	130	-261.22	130	-4497.35	103	-456.35	17
606	Min.	-208	0.00	1	0.00	1	0.00	1	-52.44	17	-1898.14	130	-261.22	130	-4497.35	103	-456.35	17
606	Min.	-209	0.00	1	0.00	1	0.00	1	-52.44	17	-1898.14	130	-261.22	130	-4497.35	103	-456.35	17
606	Min.	-221	0.00	1	0.00	1	0.00	1	-52.44	17	-1898.14	130	-261.22	130	-4497.35	103	-456.35	17
606	Max	-196	0.00	1	0.00	1	0.00	1	338.02	104	4557.55	101	1806.74	104	1682.93	130	521.36	132
606	Max	-184	0.00	1	0.00	1	0.00	1	338.02	104	4557.55	101	1806.74	104	1682.93	130	521.36	132
606	Max	-185	0.00	1	0.00	1	0.00	1	338.02	104	4557.55	101	1806.74	104	1682.93	130	521.36	132
606	Max	-197	0.00	1	0.00	1	0.00	1	338.02	104	4557.55	101	1806.74	104	1682.93	130	521.36	132
606	Min.	-196	0.00	1	0.00	1	0.00	1	-519.23	131	-1440.79	130	-494.94	1	-6873.26	101	-898.08	103
606	Min.	-184	0.00	1	0.00	1	0.00	1	-519.23	131	-1440.79	130	-494.94	1	-6873.26	101	-898.08	103
606	Min.	-185	0.00	1	0.00	1	0.00	1	-519.23	131	-1440.79	130	-494.94	1	-6873.26	101	-898.08	103
606	Min.	-197	0.00	1	0.00	1	0.00	1	-519.23	131	-1440.79	130	-494.94	1	-6873.26	101	-898.08	103
606	Max	-172	0.00	1	0.00	1	0.00	1	605.64	65	4388.85	101	2487.89	104	1148.46	162	151.43	17
606	Max	-160	0.00	1	0.00	1	0.00	1	605.64	65	4388.85	101	2487.89	104	1148.46	162	151.43	17
606	Max	-161	0.00	1	0.00	1	0.00	1	605.64	65	4388.85	101	2487.89	104	1148.46	162	151.43	17
606	Max	-173	0.00	1	0.00	1	0.00	1	605.64	65	4388.85	101	2487.89	104	1148.46	162	151.43	17
606	Min.	-172	0.00	1	0.00	1	0.00	1	-1068.58	17	-2046.66	130	-520.21	1	-8621.57	101	-2841.23	107
606	Min.	-160	0.00	1	0.00	1	0.00	1	-1068.58	17	-2046.66	130	-520.21	1	-8621.57	101	-2841.23	107
606	Min.	-161	0.00	1	0.00	1	0.00	1	-1068.58	17	-2046.66	130	-520.21	1	-8621.57	101	-2841.23	107
606	Min.	-173	0.00	1	0.00	1	0.00	1	-1068.58	17	-2046.66	130	-520.21	1	-8621.57	101	-2841.23	107
606	Max	-123	0.00	1	0.00	1	0.00	1	-379.13	65	191.87	101	1094.90	65	250.61	105	4968.83	65
606	Max	-112	0.00	1	0.00	1	0.00	1	-379.13	65	191.87	101	1094.90	65	250.61	105	4968.83	65
606	Max	23	0.00	1	0.00	1	0.00	1	-379.13	65	191.87	101	1094.90	65	250.61	105	4968.83	65
606	Max	-124	0.00	1	0.00	1	0.00	1	-379.13	65	191.87	101	1094.90	65	250.61	105	4968.83	65
606	Min.	-123	0.00	1	0.00	1	0.00	1	-1157.22	103	-10.90	49	-963.68	17	-212.57	65	-4079.70	17
606	Min.	-112	0.00	1	0.00	1	0.00	1	-1157.22	103	-10.90	49	-963.68	17	-212.57	65	-4079.70	17
606	Min.	23	0.00	1	0.00	1	0.00	1	-1157.22	103	-10.90	49	-963.68	17	-212.57	65	-4079.70	17
606	Min.	-124	0.00	1	0.00	1	0.00	1	-1157.22	103	-10.90	49	-963.68	17	-212.57	65	-4079.70	17
606	Max	-125	0.00	1	0.00	1	0.00	1	43.30	65	10575.70	101	1650.39	101	-1402.32	162	-766.24	65
606	Max	-113	0.00	1	0.00	1	0.00	1	43.30	65	10575.70	101	1650.39	101	-1402.32	162	-766.24	65
606	Max	-114	0.00	1	0.00	1	0.00	1	43.30	65	10575.70	101	1650.39	101	-1402.32	162	-766.24	65
606	Max	-126	0.00	1	0.00	1	0.00	1	43.30	65	10575.70	101	1650.39	101	-1402.32	162	-766.24	65
606	Min.	-125	0.00	1	0.00	1	0.00	1	-1283.96	17	-3426.27	130	-1449.99	130	-12715.10	101	-8354.96	107
606	Min.	-113	0.00	1	0.00	1	0.00	1	-1283.96	17	-3426.27	130	-1449.99	130	-12715.10	101	-8354.96	107

606	Min.	-114	0.00	1	0.00	1	0.00	1	-1283.96	17	-3426.27	130	-1449.99	130	-12715.10	101	-8354.96	107
606	Min.	-126	0.00	1	0.00	1	0.00	1	-1283.96	17	-3426.27	130	-1449.99	130	-12715.10	101	-8354.96	107
606	Max	-103	0.00	1	0.00	1	0.00	1	-311.17	17	9894.52	101	609.01	49	-925.68	162	-1457.44	17
606	Max	-91	0.00	1	0.00	1	0.00	1	-311.17	17	9894.52	101	609.01	49	-925.68	162	-1457.44	17
606	Max	-92	0.00	1	0.00	1	0.00	1	-311.17	17	9894.52	101	609.01	49	-925.68	162	-1457.44	17
606	Max	-104	0.00	1	0.00	1	0.00	1	-311.17	17	9894.52	101	609.01	49	-925.68	162	-1457.44	17
606	Min.	-103	0.00	1	0.00	1	0.00	1	-893.13	131	-2801.37	130	-1661.22	107	-11242.30	101	-7400.80	107
606	Min.	-91	0.00	1	0.00	1	0.00	1	-893.13	131	-2801.37	130	-1661.22	107	-11242.30	101	-7400.80	107
606	Min.	-92	0.00	1	0.00	1	0.00	1	-893.13	131	-2801.37	130	-1661.22	107	-11242.30	101	-7400.80	107
606	Min.	-104	0.00	1	0.00	1	0.00	1	-893.13	131	-2801.37	130	-1661.22	107	-11242.30	101	-7400.80	107
606	Max	-45	0.00	1	0.00	1	0.00	1	891.20	17	7290.34	101	1820.83	130	2538.31	65	8939.26	108
606	Max	-33	0.00	1	0.00	1	0.00	1	891.20	17	7290.34	101	1820.83	130	2538.31	65	8939.26	108
606	Max	-34	0.00	1	0.00	1	0.00	1	891.20	17	7290.34	101	1820.83	130	2538.31	65	8939.26	108
606	Max	-46	0.00	1	0.00	1	0.00	1	891.20	17	7290.34	101	1820.83	130	2538.31	65	8939.26	108
606	Min.	-45	0.00	1	0.00	1	0.00	1	-1250.54	65	-1352.91	49	-3318.88	101	-4727.03	104	-1846.61	17
606	Min.	-33	0.00	1	0.00	1	0.00	1	-1250.54	65	-1352.91	49	-3318.88	101	-4727.03	104	-1846.61	17
606	Min.	-34	0.00	1	0.00	1	0.00	1	-1250.54	65	-1352.91	49	-3318.88	101	-4727.03	104	-1846.61	17
606	Min.	-46	0.00	1	0.00	1	0.00	1	-1250.54	65	-1352.91	49	-3318.88	101	-4727.03	104	-1846.61	17
606	Max	-34	0.00	1	0.00	1	0.00	1	118.03	17	4608.16	101	621.74	130	2742.12	130	1347.40	65
606	Max	-22	0.00	1	0.00	1	0.00	1	118.03	17	4608.16	101	621.74	130	2742.12	130	1347.40	65
606	Max	-23	0.00	1	0.00	1	0.00	1	118.03	17	4608.16	101	621.74	130	2742.12	130	1347.40	65
606	Max	-35	0.00	1	0.00	1	0.00	1	118.03	17	4608.16	101	621.74	130	2742.12	130	1347.40	65
606	Min.	-34	0.00	1	0.00	1	0.00	1	-170.22	65	-1647.95	130	-1319.54	101	-5529.52	101	-182.72	17
606	Min.	-22	0.00	1	0.00	1	0.00	1	-170.22	65	-1647.95	130	-1319.54	101	-5529.52	101	-182.72	17
606	Min.	-23	0.00	1	0.00	1	0.00	1	-170.22	65	-1647.95	130	-1319.54	101	-5529.52	101	-182.72	17
606	Min.	-35	0.00	1	0.00	1	0.00	1	-170.22	65	-1647.95	130	-1319.54	101	-5529.52	101	-182.72	17
606	Max	-69	0.00	1	0.00	1	0.00	1	363.01	103	9947.64	101	169.58	65	-324.67	65	919.18	65
606	Max	-57	0.00	1	0.00	1	0.00	1	363.01	103	9947.64	101	169.58	65	-324.67	65	919.18	65
606	Max	-58	0.00	1	0.00	1	0.00	1	363.01	103	9947.64	101	169.58	65	-324.67	65	919.18	65
606	Max	-70	0.00	1	0.00	1	0.00	1	363.01	103	9947.64	101	169.58	65	-324.67	65	919.18	65
606	Min.	-69	0.00	1	0.00	1	0.00	1	-297.91	65	-3612.98	130	-1799.67	103	-13140.40	104	-2511.63	17
606	Min.	-57	0.00	1	0.00	1	0.00	1	-297.91	65	-3612.98	130	-1799.67	103	-13140.40	104	-2511.63	17
606	Min.	-58	0.00	1	0.00	1	0.00	1	-297.91	65	-3612.98	130	-1799.67	103	-13140.40	104	-2511.63	17
606	Min.	-70	0.00	1	0.00	1	0.00	1	-297.91	65	-3612.98	130	-1799.67	103	-13140.40	104	-2511.63	17
606	Max	-102	0.00	1	0.00	1	0.00	1	870.19	104	19728.70	101	1913.49	65	-10678.70	17	-400.95	65
606	Max	21	0.00	1	0.00	1	0.00	1	870.19	104	19728.70	101	1913.49	65	-10678.70	17	-400.95	65
606	Max	-91	0.00	1	0.00	1	0.00	1	870.19	104	19728.70	101	1913.49	65	-10678.70	17	-400.95	65
606	Max	-103	0.00	1	0.00	1	0.00	1	870.19	104	19728.70	101	1913.49	65	-10678.70	17	-400.95	65
606	Min.	-102	0.00	1	0.00	1	0.00	1	-1395.43	131	-8764.66	130	-2449.76	131	-47208.80	108	-6138.12	131
606	Min.	21	0.00	1	0.00	1	0.00	1	-1395.43	131	-8764.66	130	-2449.76	131	-47208.80	108	-6138.12	131
606	Min.	-91	0.00	1	0.00	1	0.00	1	-1395.43	131	-8764.66	130	-2449.76	131	-47208.80	108	-6138.12	131
606	Min.	-103	0.00	1	0.00	1	0.00	1	-1395.43	131	-8764.66	130	-2449.76	131	-47208.80	108	-6138.12	131
606	Max	-101	0.00	1	0.00	1	0.00	1	-223.28	177	321.26	101	862.31	65	911.88	105	4509.72	65
606	Max	-90	0.00	1	0.00	1	0.00	1	-223.28	177	321.26	101	862.31	65	911.88	105	4509.72	65
606	Max	21	0.00	1	0.00	1	0.00	1	-223.28	177	321.26	101	862.31	65	911.88	105	4509.72	65
606	Max	-102	0.00	1	0.00	1	0.00	1	-223.28	177	321.26	101	862.31	65	911.88	105	4509.72	65
606	Min.	-101	0.00	1	0.00	1	0.00	1	-1013.99	104	-67.52	1	-1083.29	17	-155.99	17	-4309.16	17
606	Min.	-90	0.00	1	0.00	1	0.00	1	-1013.99	104	-67.52	1	-1083.29	17	-155.99	17	-4309.16	17
606	Min.	21	0.00	1	0.00	1	0.00	1	-1013.99	104	-67.52	1	-1083.29	17	-155.99	17	-4309.16	17
606	Min.	-102	0.00	1	0.00	1	0.00	1	-1013.99	104	-67.52	1	-1083.29	17	-155.99	17	-4309.16	17
606	Max	-126	0.00	1	0.00	1	0.00	1	-472.97	65	6298.09	101	1906.58	65	-2242.14	162	-37.45	17
606	Max	-114	0.00	1	0.00	1	0.00	1	-472.97	65	6298.09	101	1906.58	65	-2242.14	162	-37.45	17
606	Max	-115	0.00	1	0.00	1	0.00	1	-472.97	65	6298.09	101	1906.58	65	-2242.14	162	-37.45	17
606	Max	-127	0.00	1	0.00	1	0.00	1	-472.97	65	6298.09	101	1906.58	65	-2242.14	162	-37.45	17
606	Min.	-126	0.00	1	0.00	1	0.00	1	-2381.07	103	-5532.41	130	-1725.03	17	-12950.20	101	-3942.81	103
606	Min.	-114	0.00	1	0.00	1	0.00	1	-2381.07	103	-5532.41	130	-1725.03	17	-12950.20	101	-3942.81	103
606	Min.	-115	0.00	1	0.00	1	0.00	1	-2381.07	103	-5532.41	130	-1725.03	17	-12950.20	101	-3942.81	103
606	Min.	-127	0.00	1	0.00	1	0.00	1	-2381.07	103	-5532.41	130	-1725.03	17	-12950.20	101	-3942.81	103
606	Max	-104	0.00	1	0.00	1	0.00	1	-571.58	17	6436.02	101	1269.73	65	-2441.44	162	467.31	17
606	Max	-92	0.00	1	0.00	1	0.00	1	-571.58	17	6436.02	101	1269.73	65	-2441.44	162	467.31	17
606	Max	-93	0.00	1	0.00	1	0.00	1	-571.58	17	6436.02	101	1269.73	65	-2441.44	162	467.31	17
606	Max	-105	0.00	1	0.00	1	0.00	1	-571.58	17	6436.02	101	1269.73	65	-2441.44	162	467.31	17
606	Min.	-104	0.00	1	0.00	1	0.00	1	-2039.26	104	-5576.28	130	-1968.10	17	-12589.90	101	-2517.70	103
606	Min.	-92	0.00	1	0.00	1	0.00	1	-2039.26	104	-5576.28	130	-1968.10	17	-12589.90	101	-2517.70	103
606	Min.	-93	0.00	1	0.00	1	0.00	1	-2039.26	104	-5576.28	130	-1968.10	17	-12589.90	101	-2517.70	103
606	Min.	-105	0.00	1	0.00	1	0.00	1	-2039.26	104	-5576.28	130	-1968.10	17	-12589.90	101	-2517.70	103
606	Max	-43	0.00	1	0.00	1	0.00	1	395.81	131	326.94	65	673.04	130	1185.04	173	2242.32	65
606	Max	-31	0.00	1	0.00	1	0.00	1	395.81	131	326.94	65	673.04	130	1185.04	173	2242.32	65
606	Max	-32	0.00	1	0.00	1	0.00	1	395.81	131	326.94	65	673.04	130	1185.04	173	2242.32	65
606	Max	-44	0.00	1	0.00	1	0.00	1	395.81	131	326.94	65	673.04	130	1185.04	173	2242.32	65
606	Min.	-43	0.00	1	0.00	1	0.00	1	-486.62	65	-477.29	17	-1372.17	101	-1246.38	17	-8122.91	103
606	Min.	-31	0.00	1	0.00	1	0.00	1	-486.62	65	-477.29	17	-1372.17	101	-1246.38	17	-8122.91	103
606	Min.	-32	0.00	1	0.00	1	0.00	1	-486.62	65	-477.29	17	-1372.17	101	-1246.38	17	-8122.91	103
606	Min.	-44	0.00	1	0.00	1	0.00	1	-486.62	65	-477.29	17	-1372.17	101	-1246.38	17	-8122.91	103
606	Max	-82	0.00	1	0.00	1	0.00	1	611.56	17	4756.53	101	1223.63	130	96.81	162	4998.72	100
606	Max	-70	0.00	1	0.00	1	0.00	1	611.56	17	4756.53	101	1223.63	130	96.81	162	4998.72	100
606	Max	-71	0.00	1	0.00	1	0.00	1	611.56	17	4756.53	101	1223.63	130	96.81	162	4998.72	100
606	Max	-83	0.00	1	0.00	1	0.00	1	611.56	17	4756.53	101	1223.63	130	96.81	162	4998.72	100
606	Min.	-82	0.00	1	0.00	1	0.00	1	-1546.34	65	-3055.36	130	-3119.18	101	-9988.28	101	453.38	65
606	Min.	-70	0.00	1	0.00	1	0.00	1	-1546.34	65	-3055.36	130	-3119.18	101	-9988.28	101	453.38	65
606	Min.	-71	0.00	1	0.00	1	0.00	1	-1546.34	65	-3055.36	130	-3119.18	101	-9988.28	101	453.38	65
606	Min.	-83	0.00	1	0.00	1	0.00	1	-1546.34	65	-3055.36	130	-3119.18	101	-9988.28	101	453.38	65
606	Max	-70	0.00	1	0.00	1	0.00	1	602.90	17	4392.10	101	534.82	49	1139.84	162	2842.80	108
606	Max	-58	0.00	1	0.00	1	0.00	1	602.90	17	4392.10	101	534.82	49	1139.84	162	2842.80	108
606	Max	-59	0.00	1	0.00	1	0.00	1	602.90	17	4392.10	101	534.82	49	1139.84	162	2842.80	108
606	Max	-71	0.00	1	0.00	1	0.00	1	602.90	17	4392.10	101	534.82	49	1139.84	162	2842.80	108
606	Min.	-70	0.00	1	0.00	1	0.00	1	-1072.39	65	-2063.14	130	-2487.64	103	-8654.53	101	-144.76	65
606	Min.	-58	0.00	1	0.00	1	0.00	1	-1072.39	65	-2063.14	130	-2487.64	103	-8654.53	101	-144.76	65
606	Min.	-59	0.00	1	0.00	1	0.00	1	-1072.39	65	-2063.14	130	-2487.64	103	-8654.53	101	-144.76	65
606	Min.	-71	0.00	1	0.00	1	0.00	1	-1072.39	65	-2063.14	130	-2487.64	103	-8654.53	101	-144.76	65
606	Max	-59	0.00	1	0.00	1	0.00	1	510.20	17	1153.34	101	475.81	130	1579.63	130	6813.91	101
606	Max	-47	0.00	1	0.00	1	0.00	1	510.20	17	1153.34	101	475.81	130	1579.63	130	6813.91	101
606	Max	-48	0.00	1	0.00	1	0.00	1	510.20	17	1153.34	101	475.81	130	1579.63	130	6813.91	101
606	Max	-60	0.00	1	0.00	1	0.00	1	510.20	17	1153.34	101	475.81	130	1579.63	130	6813.91	101
606	Min.	-59	0.00	1	0.00	1	0.00	1	-697.79	65	-630.97	130	-1297.93	101	-3877.65	101	-1749.17	130
606	Min.	-47	0.00	1	0.00	1	0.00	1	-697.79	65	-630.97	130	-1297.93	101	-3877.65	101	-1749.17	130
606	Min.	-48	0.00	1	0.00	1	0.00	1	-697.79	65	-630.97	130	-1297.93	101	-3877.65	101	-1749.17	130
606	Min.	-60	0.00	1	0.00	1	0.00	1	-697.79	65	-630.97	130	-1297.93	101	-3877.65	101	-1749.17	130
606	Max	-35	0.00	1	0.00	1	0.00	1	77.43	17	1209.15	101	109.93	65	1254.45	130	1162.14	101
606	Max	-23	0.00	1	0.00	1	0.00	1	77.43	17	1209.15	101	109.93	65	1254.45	130	1162.14	101
606	Max	-24	0.00	1	0.00	1	0.00	1	77.43	17	1209.15	101	109.93	65	1254.45	130	1162.14	101
606	Max	-36	0.00	1	0.00	1	0.00	1	77.43	17	1209.15	101	109.93	65	1254.45	130	1162.14	101
606	Min.	-35	0.00	1	0.00	1	0.00	1	-59.20	65	-429.42	130	-411.33	103	-2939.63	101	-536.62	130
606	Min.	-23	0.00	1	0.00	1	0.00	1	-59.20	65	-429.42	130	-411.33	103	-2939.63	101	-536.62	130
606	Min.	-24	0.00	1	0.00	1	0.00	1	-59.20	65	-429.42	130	-411.33	103	-2939.63	101	-536.62	130

606	Min.	-36	0.00	1	0.00	1	0.00	1	-59.20	65	-429.42	130	-411.33	103	-2939.63	101	-536.62	130
606	Max	-185	0.00	1	0.00	1	0.00	1	509.72	65	1156.77	101	1291.13	101	1588.76	130	1771.05	130
606	Max	-173	0.00	1	0.00	1	0.00	1	509.72	65	1156.77	101	1291.13	101	1588.76	130	1771.05	130
606	Max	-174	0.00	1	0.00	1	0.00	1	509.72	65	1156.77	101	1291.13	101	1588.76	130	1771.05	130
606	Max	-186	0.00	1	0.00	1	0.00	1	509.72	65	1156.77	101	1291.13	101	1588.76	130	1771.05	130
606	Min.	-185	0.00	1	0.00	1	0.00	1	-687.55	17	-628.56	130	-463.71	130	-3885.09	101	-6757.30	101
606	Min.	-173	0.00	1	0.00	1	0.00	1	-687.55	17	-628.56	130	-463.71	130	-3885.09	101	-6757.30	101
606	Min.	-174	0.00	1	0.00	1	0.00	1	-687.55	17	-628.56	130	-463.71	130	-3885.09	101	-6757.30	101
606	Min.	-186	0.00	1	0.00	1	0.00	1	-687.55	17	-628.56	130	-463.71	130	-3885.09	101	-6757.30	101
606	Max	-161	0.00	1	0.00	1	0.00	1	653.62	65	635.30	101	1766.31	101	609.43	1	1627.92	130
606	Max	-149	0.00	1	0.00	1	0.00	1	653.62	65	635.30	101	1766.31	101	609.43	1	1627.92	130
606	Max	-150	0.00	1	0.00	1	0.00	1	653.62	65	635.30	101	1766.31	101	609.43	1	1627.92	130
606	Max	-162	0.00	1	0.00	1	0.00	1	653.62	65	635.30	101	1766.31	101	609.43	1	1627.92	130
606	Min.	-161	0.00	1	0.00	1	0.00	1	-1856.52	17	-862.16	130	-1309.57	130	-1707.93	101	-11952.00	101
606	Min.	-149	0.00	1	0.00	1	0.00	1	-1856.52	17	-862.16	130	-1309.57	130	-1707.93	101	-11952.00	101
606	Min.	-150	0.00	1	0.00	1	0.00	1	-1856.52	17	-862.16	130	-1309.57	130	-1707.93	101	-11952.00	101
606	Min.	-162	0.00	1	0.00	1	0.00	1	-1856.52	17	-862.16	130	-1309.57	130	-1707.93	101	-11952.00	101
606	Max	-149	0.00	1	0.00	1	0.00	1	537.64	65	1359.55	130	2510.26	101	5182.16	101	57.54	166
606	Max	-137	0.00	1	0.00	1	0.00	1	537.64	65	1359.55	130	2510.26	101	5182.16	101	57.54	166
606	Max	-138	0.00	1	0.00	1	0.00	1	537.64	65	1359.55	130	2510.26	101	5182.16	101	57.54	166
606	Max	-150	0.00	1	0.00	1	0.00	1	537.64	65	1359.55	130	2510.26	101	5182.16	101	57.54	166
606	Min.	-149	0.00	1	0.00	1	0.00	1	-2889.65	103	-1852.44	101	-2322.75	130	-639.82	130	-13555.10	101
606	Min.	-137	0.00	1	0.00	1	0.00	1	-2889.65	103	-1852.44	101	-2322.75	130	-639.82	130	-13555.10	101
606	Min.	-138	0.00	1	0.00	1	0.00	1	-2889.65	103	-1852.44	101	-2322.75	130	-639.82	130	-13555.10	101
606	Min.	-150	0.00	1	0.00	1	0.00	1	-2889.65	103	-1852.44	101	-2322.75	130	-639.82	130	-13555.10	101
606	Max	-127	0.00	1	0.00	1	0.00	1	-434.88	166	31.45	130	1174.68	101	2081.62	101	892.58	17
606	Max	-115	0.00	1	0.00	1	0.00	1	-434.88	166	31.45	130	1174.68	101	2081.62	101	892.58	17
606	Max	-116	0.00	1	0.00	1	0.00	1	-434.88	166	31.45	130	1174.68	101	2081.62	101	892.58	17
606	Max	-128	0.00	1	0.00	1	0.00	1	-434.88	166	31.45	130	1174.68	101	2081.62	101	892.58	17
606	Min.	-127	0.00	1	0.00	1	0.00	1	-3782.20	101	-853.56	101	-1336.65	130	92.72	130	-5371.22	104
606	Min.	-115	0.00	1	0.00	1	0.00	1	-3782.20	101	-853.56	101	-1336.65	130	92.72	130	-5371.22	104
606	Min.	-116	0.00	1	0.00	1	0.00	1	-3782.20	101	-853.56	101	-1336.65	130	92.72	130	-5371.22	104
606	Min.	-128	0.00	1	0.00	1	0.00	1	-3782.20	101	-853.56	101	-1336.65	130	92.72	130	-5371.22	104
606	Max	-105	0.00	1	0.00	1	0.00	1	-453.64	1	401.44	130	257.08	49	2918.24	101	2338.51	17
606	Max	-93	0.00	1	0.00	1	0.00	1	-453.64	1	401.44	130	257.08	49	2918.24	101	2338.51	17
606	Max	-94	0.00	1	0.00	1	0.00	1	-453.64	1	401.44	130	257.08	49	2918.24	101	2338.51	17
606	Max	-106	0.00	1	0.00	1	0.00	1	-453.64	1	401.44	130	257.08	49	2918.24	101	2338.51	17
606	Min.	-105	0.00	1	0.00	1	0.00	1	-3297.58	101	-1064.03	101	-1133.26	106	-167.19	130	-2463.14	65
606	Min.	-93	0.00	1	0.00	1	0.00	1	-3297.58	101	-1064.03	101	-1133.26	106	-167.19	130	-2463.14	65
606	Min.	-94	0.00	1	0.00	1	0.00	1	-3297.58	101	-1064.03	101	-1133.26	106	-167.19	130	-2463.14	65
606	Min.	-106	0.00	1	0.00	1	0.00	1	-3297.58	101	-1064.03	101	-1133.26	106	-167.19	130	-2463.14	65
606	Max	-47	0.00	1	0.00	1	0.00	1	312.01	17	1203.58	101	261.36	132	1498.19	130	3806.97	101
606	Max	-35	0.00	1	0.00	1	0.00	1	312.01	17	1203.58	101	261.36	132	1498.19	130	3806.97	101
606	Max	-36	0.00	1	0.00	1	0.00	1	312.01	17	1203.58	101	261.36	132	1498.19	130	3806.97	101
606	Max	-48	0.00	1	0.00	1	0.00	1	312.01	17	1203.58	101	261.36	132	1498.19	130	3806.97	101
606	Min.	-47	0.00	1	0.00	1	0.00	1	-356.10	65	-527.64	130	-936.92	103	-3492.88	101	-729.50	130
606	Min.	-35	0.00	1	0.00	1	0.00	1	-356.10	65	-527.64	130	-936.92	103	-3492.88	101	-729.50	130
606	Min.	-36	0.00	1	0.00	1	0.00	1	-356.10	65	-527.64	130	-936.92	103	-3492.88	101	-729.50	130
606	Min.	-48	0.00	1	0.00	1	0.00	1	-356.10	65	-527.64	130	-936.92	103	-3492.88	101	-729.50	130
606	Max	-83	0.00	1	0.00	1	0.00	1	646.46	17	635.87	101	1310.33	130	615.06	49	11930.20	101
606	Max	-71	0.00	1	0.00	1	0.00	1	646.46	17	635.87	101	1310.33	130	615.06	49	11930.20	101
606	Max	-72	0.00	1	0.00	1	0.00	1	646.46	17	635.87	101	1310.33	130	615.06	49	11930.20	101
606	Max	-84	0.00	1	0.00	1	0.00	1	646.46	17	635.87	101	1310.33	130	615.06	49	11930.20	101
606	Min.	-83	0.00	1	0.00	1	0.00	1	-1854.66	65	-859.86	130	-1765.49	101	-1696.84	101	-1624.90	130
606	Min.	-71	0.00	1	0.00	1	0.00	1	-1854.66	65	-859.86	130	-1765.49	101	-1696.84	101	-1624.90	130
606	Min.	-72	0.00	1	0.00	1	0.00	1	-1854.66	65	-859.86	130	-1765.49	101	-1696.84	101	-1624.90	130
606	Min.	-84	0.00	1	0.00	1	0.00	1	-1854.66	65	-859.86	130	-1765.49	101	-1696.84	101	-1624.90	130
606	Max	-71	0.00	1	0.00	1	0.00	1	632.09	17	1017.00	101	783.47	130	1287.88	130	9437.14	101
606	Max	-59	0.00	1	0.00	1	0.00	1	632.09	17	1017.00	101	783.47	130	1287.88	130	9437.14	101
606	Max	-60	0.00	1	0.00	1	0.00	1	632.09	17	1017.00	101	783.47	130	1287.88	130	9437.14	101
606	Max	-72	0.00	1	0.00	1	0.00	1	632.09	17	1017.00	101	783.47	130	1287.88	130	9437.14	101
606	Min.	-71	0.00	1	0.00	1	0.00	1	-1187.01	65	-745.61	130	-1535.80	101	-3550.39	101	-1594.96	130
606	Min.	-59	0.00	1	0.00	1	0.00	1	-1187.01	65	-745.61	130	-1535.80	101	-3550.39	101	-1594.96	130
606	Min.	-60	0.00	1	0.00	1	0.00	1	-1187.01	65	-745.61	130	-1535.80	101	-3550.39	101	-1594.96	130
606	Min.	-72	0.00	1	0.00	1	0.00	1	-1187.01	65	-745.61	130	-1535.80	101	-3550.39	101	-1594.96	130
606	Max	-218	0.00	1	0.00	1	0.00	1	668.18	101	12626.70	101	963.32	101	8873.02	65	2487.68	104
606	Max	-206	0.00	1	0.00	1	0.00	1	668.18	101	12626.70	101	963.32	101	8873.02	65	2487.68	104
606	Max	-207	0.00	1	0.00	1	0.00	1	668.18	101	12626.70	101	963.32	101	8873.02	65	2487.68	104
606	Max	-219	0.00	1	0.00	1	0.00	1	668.18	101	12626.70	101	963.32	101	8873.02	65	2487.68	104
606	Min.	-218	0.00	1	0.00	1	0.00	1	-135.90	130	-3798.88	130	31.25	1	-6107.76	17	-831.19	17
606	Min.	-206	0.00	1	0.00	1	0.00	1	-135.90	130	-3798.88	130	31.25	1	-6107.76	17	-831.19	17
606	Min.	-207	0.00	1	0.00	1	0.00	1	-135.90	130	-3798.88	130	31.25	1	-6107.76	17	-831.19	17
606	Min.	-219	0.00	1	0.00	1	0.00	1	-135.90	130	-3798.88	130	31.25	1	-6107.76	17	-831.19	17
606	Max	-194	0.00	1	0.00	1	0.00	1	1206.19	104	17415.20	101	3745.43	104	-2641.06	65	4990.26	65
606	Max	-182	0.00	1	0.00	1	0.00	1	1206.19	104	17415.20	101	3745.43	104	-2641.06	65	4990.26	65
606	Max	-183	0.00	1	0.00	1	0.00	1	1206.19	104	17415.20	101	3745.43	104	-2641.06	65	4990.26	65
606	Max	-195	0.00	1	0.00	1	0.00	1	1206.19	104	17415.20	101	3745.43	104	-2641.06	65	4990.26	65
606	Min.	-194	0.00	1	0.00	1	0.00	1	-1370.47	17	-9427.78	130	-1747.13	131	-45643.40	107	-8398.31	17
606	Min.	-182	0.00	1	0.00	1	0.00	1	-1370.47	17	-9427.78	130	-1747.13	131	-45643.40	107	-8398.31	17
606	Min.	-183	0.00	1	0.00	1	0.00	1	-1370.47	17	-9427.78	130	-1747.13	131	-45643.40	107	-8398.31	17
606	Min.	-195	0.00	1	0.00	1	0.00	1	-1370.47	17	-9427.78	130	-1747.13	131	-45643.40	107	-8398.31	17
606	Max	-170	0.00	1	0.00	1	0.00	1	1167.23	101	14607.60	101	1652.16	65	-2602.53	17	4030.31	65
606	Max	-158	0.00	1	0.00	1	0.00	1	1167.23	101	14607.60	101	1652.16	65	-2602.53	17	4030.31	65
606	Max	-159	0.00	1	0.00	1	0.00	1	1167.23	101	14607.60	101	1652.16	65	-2602.53	17	4030.31	65
606	Max	-171	0.00	1	0.00	1	0.00	1	1167.23	101	14607.60	101	1652.16	65	-2602.53	17	4030.31	65
606	Min.	-170	0.00	1	0.00	1	0.00	1	-577.15	130	-4305.91	130	-1001.42	17	-17624.00	107	-1141.02	17
606	Min.	-158	0.00	1	0.00	1	0.00	1	-577.15	130	-4305.91	130	-1001.42	17	-17624.00	107	-1141.02	17
606	Min.	-159	0.00	1	0.00	1	0.00	1	-577.15	130	-4305.91	130	-1001.42	17	-17624.00	107	-1141.02	17
606	Min.	-171	0.00	1	0.00	1	0.00	1	-577.15	130	-4305.91	130	-1001.42	17	-17624.00	107	-1141.02	17
606	Max	25	0.00	1	0.00	1	0.00	1	854.73	103	19739.20	101	2457.20	132	-10662.50	65	6150.54	132
606	Max	-124	0.00	1	0.00	1	0.00	1	854.73	103	19739.20	101	2457.20	132	-10662.50	65	6150.54	132
606	Max	-125	0.00	1	0.00	1	0.00	1	854.73	103	19739.20	101	2457.20	132	-10662.50	65	6150.54	132
606	Max	-135	0.00	1	0.00	1	0.00	1	854.73	103	19739.20	101	2457.20	132	-10662.50	65	6150.54	132
606	Min.	25	0.00	1	0.00	1	0.00	1	-1418.13	132	-8780.48	130	-1911.89	17	-47321.20	107	388.38	17
606	Min.	-124	0.00	1	0.00	1	0.00	1	-1418.13	132	-8780.48	130	-1911.89	17	-47321.20	107	388.38	17
606	Min.	-125	0.00	1	0.00	1	0.00	1	-1418.13	132	-8780.48	130	-1911.89	17	-47321.20	107	388.38	17
606	Min.	-135	0.00	1	0.00	1	0.00	1	-1418.13	132	-8780.48	130	-1911.89	17	-47321.20	107	388.38	17
606	Max	23	0.00	1	0.00	1	0.00	1	734.73	17	19395.40	101	2262.10	132	-12585.50	33	7260.82	132
606	Max	-102	0.00	1	0.00	1	0.00	1	734.73	17	19395.40	101	2262.10	132	-12585.50	33	7260.82	132
606	Max	-103	0.00	1	0.00	1	0.00	1	734.73	17	19395.40	101	2262.10	132	-12585.50	33	7260.82	132
606	Max	-113	0.00	1	0.00	1	0.00	1	734.73	17	19395.40	101	2262.10	132	-12585.50	33	7260.82	132
606	Min.	23	0.00	1	0.00	1	0.00	1	-1597.03	132	-7989.82	130	-2383.04	103	-41488.00	105	-715.69	17
606	Min.	-102	0.00	1	0.00	1	0.00	1	-1597.03	132	-7989.82	130	-2383.04	103	-41488.00	105	-715.69	17
606	Min.	-103	0.00	1	0.00	1	0.00	1	-1597.03	132	-7989.82	130	-2383.04	103	-41488.00	105	-715.69	17
606	Min.	-113	0.00	1	0.00	1	0.00	1	-1597.03	132	-7989.82	130	-2383.04	103	-41488.00	105	-715.69	17

606	Max	21	0.00	1	0.00	1	0.00	1	1446.87	17	20659.10	101	2794.25	132	-12246.10	17	11118.60	132
606	Max	-80	0.00	1	0.00	1	0.00	1	1446.87	17	20659.10	101	2794.25	132	-12246.10	17	11118.60	132
606	Max	-81	0.00	1	0.00	1	0.00	1	1446.87	17	20659.10	101	2794.25	132	-12246.10	17	11118.60	132
606	Max	-91	0.00	1	0.00	1	0.00	1	1446.87	17	20659.10	101	2794.25	132	-12246.10	17	11118.60	132
606	Min.	21	0.00	1	0.00	1	0.00	1	-2434.79	65	-10660.30	130	-4519.18	103	-60873.30	108	-1953.74	17
606	Min.	-80	0.00	1	0.00	1	0.00	1	-2434.79	65	-10660.30	130	-4519.18	103	-60873.30	108	-1953.74	17
606	Min.	-81	0.00	1	0.00	1	0.00	1	-2434.79	65	-10660.30	130	-4519.18	103	-60873.30	108	-1953.74	17
606	Min.	-91	0.00	1	0.00	1	0.00	1	-2434.79	65	-10660.30	130	-4519.18	103	-60873.30	108	-1953.74	17
606	Max	-56	0.00	1	0.00	1	0.00	1	1288.73	104	19820.90	101	2171.92	65	-7358.04	17	-1428.82	173
606	Max	-44	0.00	1	0.00	1	0.00	1	1288.73	104	19820.90	101	2171.92	65	-7358.04	17	-1428.82	173
606	Max	-45	0.00	1	0.00	1	0.00	1	1288.73	104	19820.90	101	2171.92	65	-7358.04	17	-1428.82	173
606	Max	-57	0.00	1	0.00	1	0.00	1	1288.73	104	19820.90	101	2171.92	65	-7358.04	17	-1428.82	173
606	Min.	-56	0.00	1	0.00	1	0.00	1	-1739.91	131	-11497.80	130	-3663.98	131	-64103.30	108	-11333.50	106
606	Min.	-44	0.00	1	0.00	1	0.00	1	-1739.91	131	-11497.80	130	-3663.98	131	-64103.30	108	-11333.50	106
606	Min.	-45	0.00	1	0.00	1	0.00	1	-1739.91	131	-11497.80	130	-3663.98	131	-64103.30	108	-11333.50	106
606	Min.	-57	0.00	1	0.00	1	0.00	1	-1739.91	131	-11497.80	130	-3663.98	131	-64103.30	108	-11333.50	106
606	Max	-32	0.00	1	0.00	1	0.00	1	844.35	103	10574.50	101	-217.84	65	10035.40	131	1333.01	65
606	Max	-20	0.00	1	0.00	1	0.00	1	844.35	103	10574.50	101	-217.84	65	10035.40	131	1333.01	65
606	Max	-21	0.00	1	0.00	1	0.00	1	844.35	103	10574.50	101	-217.84	65	10035.40	131	1333.01	65
606	Max	-33	0.00	1	0.00	1	0.00	1	844.35	103	10574.50	101	-217.84	65	10035.40	131	1333.01	65
606	Min.	-32	0.00	1	0.00	1	0.00	1	-106.95	132	-2039.78	49	-1304.95	108	-2956.64	65	-3898.23	103
606	Min.	-20	0.00	1	0.00	1	0.00	1	-106.95	132	-2039.78	49	-1304.95	108	-2956.64	65	-3898.23	103
606	Min.	-21	0.00	1	0.00	1	0.00	1	-106.95	132	-2039.78	49	-1304.95	108	-2956.64	65	-3898.23	103
606	Min.	-33	0.00	1	0.00	1	0.00	1	-106.95	132	-2039.78	49	-1304.95	108	-2956.64	65	-3898.23	103
606	Max	-217	0.00	1	0.00	1	0.00	1	27.60	17	671.12	131	391.17	101	2334.96	131	1951.38	104
606	Max	-205	0.00	1	0.00	1	0.00	1	27.60	17	671.12	131	391.17	101	2334.96	131	1951.38	104
606	Max	-206	0.00	1	0.00	1	0.00	1	27.60	17	671.12	131	391.17	101	2334.96	131	1951.38	104
606	Max	-218	0.00	1	0.00	1	0.00	1	27.60	17	671.12	131	391.17	101	2334.96	131	1951.38	104
606	Min.	-217	0.00	1	0.00	1	0.00	1	-158.69	103	-1719.63	104	-48.26	130	-4598.00	104	-993.51	17
606	Min.	-205	0.00	1	0.00	1	0.00	1	-158.69	103	-1719.63	104	-48.26	130	-4598.00	104	-993.51	17
606	Min.	-206	0.00	1	0.00	1	0.00	1	-158.69	103	-1719.63	104	-48.26	130	-4598.00	104	-993.51	17
606	Min.	-218	0.00	1	0.00	1	0.00	1	-158.69	103	-1719.63	104	-48.26	130	-4598.00	104	-993.51	17
606	Max	-193	0.00	1	0.00	1	0.00	1	395.43	132	325.84	17	1373.60	101	1073.34	99	8125.35	104
606	Max	-181	0.00	1	0.00	1	0.00	1	395.43	132	325.84	17	1373.60	101	1073.34	99	8125.35	104
606	Max	-182	0.00	1	0.00	1	0.00	1	395.43	132	325.84	17	1373.60	101	1073.34	99	8125.35	104
606	Max	-194	0.00	1	0.00	1	0.00	1	395.43	132	325.84	17	1373.60	101	1073.34	99	8125.35	104
606	Min.	-193	0.00	1	0.00	1	0.00	1	-486.75	17	-480.57	65	-666.32	130	-1257.02	65	-2228.33	17
606	Min.	-181	0.00	1	0.00	1	0.00	1	-486.75	17	-480.57	65	-666.32	130	-1257.02	65	-2228.33	17
606	Min.	-182	0.00	1	0.00	1	0.00	1	-486.75	17	-480.57	65	-666.32	130	-1257.02	65	-2228.33	17
606	Min.	-194	0.00	1	0.00	1	0.00	1	-486.75	17	-480.57	65	-666.32	130	-1257.02	65	-2228.33	17
606	Max	-169	0.00	1	0.00	1	0.00	1	37.49	17	473.33	130	1009.86	65	292.99	1	4791.55	65
606	Max	-157	0.00	1	0.00	1	0.00	1	37.49	17	473.33	130	1009.86	65	292.99	1	4791.55	65
606	Max	-158	0.00	1	0.00	1	0.00	1	37.49	17	473.33	130	1009.86	65	292.99	1	4791.55	65
606	Max	-170	0.00	1	0.00	1	0.00	1	37.49	17	473.33	130	1009.86	65	292.99	1	4791.55	65
606	Min.	-169	0.00	1	0.00	1	0.00	1	-568.98	107	-567.21	101	-562.07	17	-2026.76	104	-3317.58	17
606	Min.	-157	0.00	1	0.00	1	0.00	1	-568.98	107	-567.21	101	-562.07	17	-2026.76	104	-3317.58	17
606	Min.	-158	0.00	1	0.00	1	0.00	1	-568.98	107	-567.21	101	-562.07	17	-2026.76	104	-3317.58	17
606	Min.	-170	0.00	1	0.00	1	0.00	1	-568.98	107	-567.21	101	-562.07	17	-2026.76	104	-3317.58	17
606	Max	-134	0.00	1	0.00	1	0.00	1	-243.54	65	325.44	101	1093.56	65	874.70	105	4331.48	65
606	Max	-123	0.00	1	0.00	1	0.00	1	-243.54	65	325.44	101	1093.56	65	874.70	105	4331.48	65
606	Max	-124	0.00	1	0.00	1	0.00	1	-243.54	65	325.44	101	1093.56	65	874.70	105	4331.48	65
606	Max	25	0.00	1	0.00	1	0.00	1	-243.54	65	325.44	101	1093.56	65	874.70	105	4331.48	65
606	Min.	-134	0.00	1	0.00	1	0.00	1	-1018.36	103	-70.32	49	-859.80	17	-167.24	65	-4475.61	17
606	Min.	-123	0.00	1	0.00	1	0.00	1	-1018.36	103	-70.32	49	-859.80	17	-167.24	65	-4475.61	17
606	Min.	-124	0.00	1	0.00	1	0.00	1	-1018.36	103	-70.32	49	-859.80	17	-167.24	65	-4475.61	17
606	Min.	25	0.00	1	0.00	1	0.00	1	-1018.36	103	-70.32	49	-859.80	17	-167.24	65	-4475.61	17
606	Max	-112	0.00	1	0.00	1	0.00	1	-350.04	177	183.89	101	969.85	65	275.03	108	4140.15	65
606	Max	-101	0.00	1	0.00	1	0.00	1	-350.04	177	183.89	101	969.85	65	275.03	108	4140.15	65
606	Max	-102	0.00	1	0.00	1	0.00	1	-350.04	177	183.89	101	969.85	65	275.03	108	4140.15	65
606	Max	23	0.00	1	0.00	1	0.00	1	-350.04	177	183.89	101	969.85	65	275.03	108	4140.15	65
606	Min.	-112	0.00	1	0.00	1	0.00	1	-1149.20	104	-8.18	1	-1093.49	17	-204.67	17	-4939.92	17
606	Min.	-101	0.00	1	0.00	1	0.00	1	-1149.20	104	-8.18	1	-1093.49	17	-204.67	17	-4939.92	17
606	Min.	-102	0.00	1	0.00	1	0.00	1	-1149.20	104	-8.18	1	-1093.49	17	-204.67	17	-4939.92	17
606	Min.	23	0.00	1	0.00	1	0.00	1	-1149.20	104	-8.18	1	-1093.49	17	-204.67	17	-4939.92	17
606	Max	-90	0.00	1	0.00	1	0.00	1	75.31	17	805.97	101	844.83	132	1946.61	101	3588.41	65
606	Max	-79	0.00	1	0.00	1	0.00	1	75.31	17	805.97	101	844.83	132	1946.61	101	3588.41	65
606	Max	-80	0.00	1	0.00	1	0.00	1	75.31	17	805.97	101	844.83	132	1946.61	101	3588.41	65
606	Max	21	0.00	1	0.00	1	0.00	1	75.31	17	805.97	101	844.83	132	1946.61	101	3588.41	65
606	Min.	-90	0.00	1	0.00	1	0.00	1	-1096.44	104	-404.24	130	-1349.41	103	-439.38	162	-7350.95	103
606	Min.	-79	0.00	1	0.00	1	0.00	1	-1096.44	104	-404.24	130	-1349.41	103	-439.38	162	-7350.95	103
606	Min.	-80	0.00	1	0.00	1	0.00	1	-1096.44	104	-404.24	130	-1349.41	103	-439.38	162	-7350.95	103
606	Min.	21	0.00	1	0.00	1	0.00	1	-1096.44	104	-404.24	130	-1349.41	103	-439.38	162	-7350.95	103
606	Max	-55	0.00	1	0.00	1	0.00	1	413.89	131	928.21	101	487.51	65	2733.09	101	5191.79	173
606	Max	-43	0.00	1	0.00	1	0.00	1	413.89	131	928.21	101	487.51	65	2733.09	101	5191.79	173
606	Max	-44	0.00	1	0.00	1	0.00	1	413.89	131	928.21	101	487.51	65	2733.09	101	5191.79	173
606	Max	-56	0.00	1	0.00	1	0.00	1	413.89	131	928.21	101	487.51	65	2733.09	101	5191.79	173
606	Min.	-55	0.00	1	0.00	1	0.00	1	-687.39	65	-688.64	130	-1151.96	107	-986.33	17	-3692.29	17
606	Min.	-43	0.00	1	0.00	1	0.00	1	-687.39	65	-688.64	130	-1151.96	107	-986.33	17	-3692.29	17
606	Min.	-44	0.00	1	0.00	1	0.00	1	-687.39	65	-688.64	130	-1151.96	107	-986.33	17	-3692.29	17
606	Min.	-56	0.00	1	0.00	1	0.00	1	-687.39	65	-688.64	130	-1151.96	107	-986.33	17	-3692.29	17
606	Max	-31	0.00	1	0.00	1	0.00	1	144.96	17	679.55	130	339.40	130	1008.94	65	2409.64	132
606	Max	-19	0.00	1	0.00	1	0.00	1	144.96	17	679.55	130	339.40	130	1008.94	65	2409.64	132
606	Max	-20	0.00	1	0.00	1	0.00	1	144.96	17	679.55	130	339.40	130	1008.94	65	2409.64	132
606	Max	-32	0.00	1	0.00	1	0.00	1	144.96	17	679.55	130	339.40	130	1008.94	65	2409.64	132
606	Min.	-31	0.00	1	0.00	1	0.00	1	-367.99	108	-1569.63	101	-890.53	101	-5201.95	103	-3435.04	103
606	Min.	-19	0.00	1	0.00	1	0.00	1	-367.99	108	-1569.63	101	-890.53	101	-5201.95	103	-3435.04	103
606	Min.	-20	0.00	1	0.00	1	0.00	1	-367.99	108	-1569.63	101	-890.53	101	-5201.95	103	-3435.04	103
606	Min.	-32	0.00	1	0.00	1	0.00	1	-367.99	108	-1569.63	101	-890.53	101	-5201.95	103	-3435.04	103
606	Max	-20	0.00	1	0.00	1	0.00	1	661.07	101	12706.10	101	-17.15	166	8900.34	17	813.73	65
606	Max	-8	0.00	1	0.00	1	0.00	1	661.07	101	12706.10	101	-17.15	166	8900.34	17	813.73	65
606	Max	-9	0.00	1	0.00	1	0.00	1	661.07	101	12706.10	101	-17.15	166	8900.34	17	813.73	65
606	Max	-21	0.00	1	0.00	1	0.00	1	661.07	101	12706.10	101	-17.15	166	8900.34	17	813.73	65
606	Min.	-20	0.00	1	0.00	1	0.00	1	-138.45	130	-3844.14	130	-959.33	101	-6242.63	65	-2415.08	103
606	Min.	-8	0.00	1	0.00	1	0.00	1	-138.45	130	-3844.14	130	-959.33	101	-6242.63	65	-2415.08	103
606	Min.	-9	0.00	1	0.00	1	0.00	1	-138.45	130	-3844.14	130	-959.33	101	-6242.63	65	-2415.08	103
606	Min.	-21	0.00	1	0.00	1	0.00	1	-138.45	130	-3844.14	130	-959.33	101	-6242.63	65	-2415.08	103
606	Max	-19	0.00	1	0.00	1	0.00	1	27.14	65	671.30	132	40.37	130	2411.65	132	943.94	65
606	Max	-7	0.00	1	0.00	1	0.00	1	27.14	65	671.30	132	40.37	130	2411.65	132	943.94	65
606	Max	-8	0.00	1	0.00	1	0.00	1	27.14	65	671.30	132	40.37	130	2411.65	132	943.94	65
606	Max	-20	0.00	1	0.00	1	0.00	1	27.14	65	671.30	132	40.37	130	2411.65	132	943.94	65
606	Min.	-19	0.00	1	0.00	1	0.00	1	-156.42	104	-1720.75	103	-371.07	101	-4572.20	103	-1881.13	103
606	Min.	-7	0.00	1	0.00	1	0.00	1	-156.42	104	-1720.75	103	-371.07	101	-4572.20	103	-1881.13	103
606	Min.	-8	0.00	1	0.00	1	0.00	1	-156.42	104	-1720.75	103	-371.07	101	-4572.20	103	-1881.13	103
606	Min.	-20	0.00	1	0.00	1	0.00	1	-156.42	104	-1720.75	103	-371.07	101	-4572.20	103	-1881.13	103
606	Max	-136	0.00	1	0.00	1	0.00	1	-575.32	65	6438.58	101	1981.99	65	-2460.78	162	2483.26	104

606	Max	-126	0.00	1	0.00	1	0.00	1	-575.32	65	6438.58	101	1981.99	65	-2460.78	162	2483.26	104
606	Max	-127	0.00	1	0.00	1	0.00	1	-575.32	65	6438.58	101	1981.99	65	-2460.78	162	2483.26	104
606	Max	-137	0.00	1	0.00	1	0.00	1	-575.32	65	6438.58	101	1981.99	65	-2460.78	162	2483.26	104
606	Min.	-136	0.00	1	0.00	1	0.00	1	-2065.57	103	-5592.78	130	-1269.14	17	-12575.70	101	-488.32	65
606	Min.	-126	0.00	1	0.00	1	0.00	1	-2065.57	103	-5592.78	130	-1269.14	17	-12575.70	101	-488.32	65
606	Min.	-127	0.00	1	0.00	1	0.00	1	-2065.57	103	-5592.78	130	-1269.14	17	-12575.70	101	-488.32	65
606	Min.	-137	0.00	1	0.00	1	0.00	1	-2065.57	103	-5592.78	130	-1269.14	17	-12575.70	101	-488.32	65
606	Max	-114	0.00	1	0.00	1	0.00	1	-473.74	17	6293.30	101	1736.16	65	-2216.10	162	3975.49	104
606	Max	-104	0.00	1	0.00	1	0.00	1	-473.74	17	6293.30	101	1736.16	65	-2216.10	162	3975.49	104
606	Max	-105	0.00	1	0.00	1	0.00	1	-473.74	17	6293.30	101	1736.16	65	-2216.10	162	3975.49	104
606	Max	-115	0.00	1	0.00	1	0.00	1	-473.74	17	6293.30	101	1736.16	65	-2216.10	162	3975.49	104
606	Min.	-114	0.00	1	0.00	1	0.00	1	-2369.05	104	-5519.67	130	-1898.03	17	-12956.10	101	69.01	65
606	Min.	-104	0.00	1	0.00	1	0.00	1	-2369.05	104	-5519.67	130	-1898.03	17	-12956.10	101	69.01	65
606	Min.	-105	0.00	1	0.00	1	0.00	1	-2369.05	104	-5519.67	130	-1898.03	17	-12956.10	101	69.01	65
606	Min.	-115	0.00	1	0.00	1	0.00	1	-2369.05	104	-5519.67	130	-1898.03	17	-12956.10	101	69.01	65
606	Max	-92	0.00	1	0.00	1	0.00	1	475.28	17	6922.72	101	2394.23	132	-2606.80	65	7225.97	104
606	Max	-82	0.00	1	0.00	1	0.00	1	475.28	17	6922.72	101	2394.23	132	-2606.80	65	7225.97	104
606	Max	-83	0.00	1	0.00	1	0.00	1	475.28	17	6922.72	101	2394.23	132	-2606.80	65	7225.97	104
606	Max	-93	0.00	1	0.00	1	0.00	1	475.28	17	6922.72	101	2394.23	132	-2606.80	65	7225.97	104
606	Min.	-92	0.00	1	0.00	1	0.00	1	-2196.38	65	-5954.27	130	-3742.13	103	-12264.70	104	533.54	65
606	Min.	-82	0.00	1	0.00	1	0.00	1	-2196.38	65	-5954.27	130	-3742.13	103	-12264.70	104	533.54	65
606	Min.	-83	0.00	1	0.00	1	0.00	1	-2196.38	65	-5954.27	130	-3742.13	103	-12264.70	104	533.54	65
606	Min.	-93	0.00	1	0.00	1	0.00	1	-2196.38	65	-5954.27	130	-3742.13	103	-12264.70	104	533.54	65
606	Max	-58	0.00	1	0.00	1	0.00	1	721.05	17	4394.61	101	564.82	49	1116.68	49	4268.12	108
606	Max	-46	0.00	1	0.00	1	0.00	1	721.05	17	4394.61	101	564.82	49	1116.68	49	4268.12	108
606	Max	-47	0.00	1	0.00	1	0.00	1	721.05	17	4394.61	101	564.82	49	1116.68	49	4268.12	108
606	Max	-59	0.00	1	0.00	1	0.00	1	721.05	17	4394.61	101	564.82	49	1116.68	49	4268.12	108
606	Min.	-58	0.00	1	0.00	1	0.00	1	-969.80	65	-1420.76	130	-2528.21	103	-7832.59	101	17.32	17
606	Min.	-46	0.00	1	0.00	1	0.00	1	-969.80	65	-1420.76	130	-2528.21	103	-7832.59	101	17.32	17
606	Min.	-47	0.00	1	0.00	1	0.00	1	-969.80	65	-1420.76	130	-2528.21	103	-7832.59	101	17.32	17
606	Min.	-59	0.00	1	0.00	1	0.00	1	-969.80	65	-1420.76	130	-2528.21	103	-7832.59	101	17.32	17
606	Max	-22	0.00	1	0.00	1	0.00	1	39.68	17	4695.28	101	248.11	130	2414.52	131	422.57	65
606	Max	-10	0.00	1	0.00	1	0.00	1	39.68	17	4695.28	101	248.11	130	2414.52	131	422.57	65
606	Max	-11	0.00	1	0.00	1	0.00	1	39.68	17	4695.28	101	248.11	130	2414.52	131	422.57	65
606	Max	-23	0.00	1	0.00	1	0.00	1	39.68	17	4695.28	101	248.11	130	2414.52	131	422.57	65
606	Min.	-22	0.00	1	0.00	1	0.00	1	-47.29	65	-1905.58	130	-536.65	101	-4460.92	104	-132.06	17
606	Min.	-10	0.00	1	0.00	1	0.00	1	-47.29	65	-1905.58	130	-536.65	101	-4460.92	104	-132.06	17
606	Min.	-11	0.00	1	0.00	1	0.00	1	-47.29	65	-1905.58	130	-536.65	101	-4460.92	104	-132.06	17
606	Min.	-23	0.00	1	0.00	1	0.00	1	-47.29	65	-1905.58	130	-536.65	101	-4460.92	104	-132.06	17
606	Max	-184	0.00	1	0.00	1	0.00	1	730.26	65	4397.27	101	2546.87	104	1114.96	1	-23.15	65
606	Max	-172	0.00	1	0.00	1	0.00	1	730.26	65	4397.27	101	2546.87	104	1114.96	1	-23.15	65
606	Max	-173	0.00	1	0.00	1	0.00	1	730.26	65	4397.27	101	2546.87	104	1114.96	1	-23.15	65
606	Max	-185	0.00	1	0.00	1	0.00	1	730.26	65	4397.27	101	2546.87	104	1114.96	1	-23.15	65
606	Min.	-184	0.00	1	0.00	1	0.00	1	-968.78	17	-1410.11	130	-563.66	1	-7813.46	101	-4382.38	107
606	Min.	-172	0.00	1	0.00	1	0.00	1	-968.78	17	-1410.11	130	-563.66	1	-7813.46	101	-4382.38	107
606	Min.	-173	0.00	1	0.00	1	0.00	1	-968.78	17	-1410.11	130	-563.66	1	-7813.46	101	-4382.38	107
606	Min.	-185	0.00	1	0.00	1	0.00	1	-968.78	17	-1410.11	130	-563.66	1	-7813.46	101	-4382.38	107
606	Max	-160	0.00	1	0.00	1	0.00	1	617.06	65	4757.28	101	3123.29	101	110.22	162	-442.27	17
606	Max	-148	0.00	1	0.00	1	0.00	1	617.06	65	4757.28	101	3123.29	101	110.22	162	-442.27	17
606	Max	-149	0.00	1	0.00	1	0.00	1	617.06	65	4757.28	101	3123.29	101	110.22	162	-442.27	17
606	Max	-161	0.00	1	0.00	1	0.00	1	617.06	65	4757.28	101	3123.29	101	110.22	162	-442.27	17
606	Min.	-160	0.00	1	0.00	1	0.00	1	-1547.38	17	-3059.63	130	-1214.02	130	-9984.30	101	-4987.15	99
606	Min.	-148	0.00	1	0.00	1	0.00	1	-1547.38	17	-3059.63	130	-1214.02	130	-9984.30	101	-4987.15	99
606	Min.	-149	0.00	1	0.00	1	0.00	1	-1547.38	17	-3059.63	130	-1214.02	130	-9984.30	101	-4987.15	99
606	Min.	-161	0.00	1	0.00	1	0.00	1	-1547.38	17	-3059.63	130	-1214.02	130	-9984.30	101	-4987.15	99
606	Max	-148	0.00	1	0.00	1	0.00	1	482.56	65	6923.17	101	3753.22	104	-2588.85	17	-524.77	17
606	Max	-136	0.00	1	0.00	1	0.00	1	482.56	65	6923.17	101	3753.22	104	-2588.85	17	-524.77	17
606	Max	-137	0.00	1	0.00	1	0.00	1	482.56	65	6923.17	101	3753.22	104	-2588.85	17	-524.77	17
606	Max	-149	0.00	1	0.00	1	0.00	1	482.56	65	6923.17	101	3753.22	104	-2588.85	17	-524.77	17
606	Min.	-148	0.00	1	0.00	1	0.00	1	-2198.50	17	-5959.60	130	-2382.13	131	-12255.90	103	-7228.55	103
606	Min.	-136	0.00	1	0.00	1	0.00	1	-2198.50	17	-5959.60	130	-2382.13	131	-12255.90	103	-7228.55	103
606	Min.	-137	0.00	1	0.00	1	0.00	1	-2198.50	17	-5959.60	130	-2382.13	131	-12255.90	103	-7228.55	103
606	Min.	-149	0.00	1	0.00	1	0.00	1	-2198.50	17	-5959.60	130	-2382.13	131	-12255.90	103	-7228.55	103
606	Max	-21	0.00	1	0.00	1	0.00	1	132.08	101	9891.88	101	80.42	65	4827.78	17	355.95	65
606	Max	-9	0.00	1	0.00	1	0.00	1	132.08	101	9891.88	101	80.42	65	4827.78	17	355.95	65
606	Max	-10	0.00	1	0.00	1	0.00	1	132.08	101	9891.88	101	80.42	65	4827.78	17	355.95	65
606	Max	-22	0.00	1	0.00	1	0.00	1	132.08	101	9891.88	101	80.42	65	4827.78	17	355.95	65
606	Min.	-21	0.00	1	0.00	1	0.00	1	19.02	162	-3641.81	130	-620.22	103	-5811.23	104	-758.68	99
606	Min.	-9	0.00	1	0.00	1	0.00	1	19.02	162	-3641.81	130	-620.22	103	-5811.23	104	-758.68	99
606	Min.	-10	0.00	1	0.00	1	0.00	1	19.02	162	-3641.81	130	-620.22	103	-5811.23	104	-758.68	99
606	Min.	-22	0.00	1	0.00	1	0.00	1	19.02	162	-3641.81	130	-620.22	103	-5811.23	104	-758.68	99
606	Max	-23	0.00	1	0.00	1	0.00	1	14.08	17	1069.93	101	31.84	65	1220.88	130	373.56	101
606	Max	-11	0.00	1	0.00	1	0.00	1	14.08	17	1069.93	101	31.84	65	1220.88	130	373.56	101
606	Max	-12	0.00	1	0.00	1	0.00	1	14.08	17	1069.93	101	31.84	65	1220.88	130	373.56	101
606	Max	-24	0.00	1	0.00	1	0.00	1	14.08	17	1069.93	101	31.84	65	1220.88	130	373.56	101
606	Min.	-23	0.00	1	0.00	1	0.00	1	-16.15	65	-375.23	130	-129.97	103	-2219.67	101	-148.58	130
606	Min.	-11	0.00	1	0.00	1	0.00	1	-16.15	65	-375.23	130	-129.97	103	-2219.67	101	-148.58	130
606	Min.	-12	0.00	1	0.00	1	0.00	1	-16.15	65	-375.23	130	-129.97	103	-2219.67	101	-148.58	130
606	Min.	-24	0.00	1	0.00	1	0.00	1	-16.15	65	-375.23	130	-129.97	103	-2219.67	101	-148.58	130
606	Max	-46	0.00	1	0.00	1	0.00	1	337.85	103	4551.93	101	504.80	49	1669.42	130	902.31	104
606	Max	-34	0.00	1	0.00	1	0.00	1	337.85	103	4551.93	101	504.80	49	1669.42	130	902.31	104
606	Max	-35	0.00	1	0.00	1	0.00	1	337.85	103	4551.93	101	504.80	49	1669.42	130	902.31	104
606	Max	-47	0.00	1	0.00	1	0.00	1	337.85	103	4551.93	101	504.80	49	1669.42	130	902.31	104
606	Min.	-46	0.00	1	0.00	1	0.00	1	-519.90	132	-1435.78	130	-1804.76	103	-6864.62	101	-511.05	131
606	Min.	-34	0.00	1	0.00	1	0.00	1	-519.90	132	-1435.78	130	-1804.76	103	-6864.62	101	-511.05	131
606	Min.	-35	0.00	1	0.00	1	0.00	1	-519.90	132	-1435.78	130	-1804.76	103	-6864.62	101	-511.05	131
606	Min.	-47	0.00	1	0.00	1	0.00	1	-519.90	132	-1435.78	130	-1804.76	103	-6864.62	101	-511.05	131

Criteri di progetto utilizzati

Aste in acciaio

Generali	
Verifica aste in acciaio	
Numero punti di verifica	10.00
Numero CC da considerare di tipo I	99.00
Stati limite D.M. 08	
Verifiche con EC3	No
Coeff. amplificativo sollecitazioni per effetti del secondo ordine	1.00

Stampe	
Verifiche da riportare in relazione	Tutte

Specifici	**1**	**10**
Materiali		
CNR 10011		
Tipo di acciaio	FE430	FE360
D.M. 08		
Tipo di acciaio per profilati a sezione aperta	S275	S235
	UNI EN	UNI EN
	10025-2	10025-2
Tipo di acciaio per profilati a sezione cava	S275H	S235H
	UNI EN	UNI EN
	10210-1	10210-1
EC3		
Tipo di acciaio	S275	S235
-Fy <daN/cmq>	2750.00	2350.00
-Fu <daN/cmq>	4300.00	3600.00
γ M0	1.00	1.00
γ M1	1.00	1.00
γ M2	1.25	1.25
γ Rd	1.30	1.30
γ Ov	1.25	1.25
-Considera come elemento esistente (S.L. D.M. 08/EC3)	No	No
-Livello di conoscenza	LC1	LC1
-Fattore di confidenza	1.35	1.35
Verifiche di resistenza		
Rapporto fra area effettiva e area nominale	1.00	1.00
Rapporto fra area netta e area nominale	1.00	1.00
Coeff. di forma intorno all'asse Y	1.00	1.00
Coeff. di forma intorno all'asse Z	1.00	1.00
Verifica le bielle solo con sollecitazioni di trazione moltiplicate per	Si	Si
Valutare la τ per torsione nei punti di spigolo (CNR 10011)	No	No
-Pari a		
Stati limite D.M. 08/EC3		
-Fai sempre verifiche in campo elastico	Si	No
-Effettua le verifiche della gerarchia delle resistenze per strutture intelaiate	No	Si
-Usa classe 1 in pressoflessione deviata se non presente in archivio	No	No
Stati limite D.M. 08		
-Usa prescrizioni EC3 quando più dettagliate	No	Si
-Considera prescrizioni relative ai ponti	Si	No
Verifiche di deformabilità		
Max valore del rapporto tra la luce e la freccia (totale)	250.00	250.00
Max valore del rapporto tra la luce e la freccia (solo accidentali)	300.00	300.00
Max valore del rapporto tra altezza e spostamento orizz. (aste)	300.00	300.00
Max valore del rapporto tra altezza e spostamento orizz. (membrature)	500.00	500.00
Considerare anche spostamento relativo nodi per calcolo freccia	No	No
Considerare solo la verifica di deformabilità delle membrature	Si	Si
Trascura deformazione dovuta al sisma (T.A.)	No	No
Verifiche di stabilità asta		
Riduzione lunghezza libera d'inflessione		
-Distanza fra i nodi dell'asta	x	x
-Distanza ridotta delle zone rigide moltiplicate per il valore		
Tipo di accoppiamento aste composte		
-Separate		
-Calastrellate		
-Imbottite		
-Automatico	x	x
Calcolo momento medio usando valori assoluti	Si	Si
Interasse calastrelli o imbottiture		
-Distanza pari a <m>		
-Interasse da normativa moltiplicato per il valore	0.80	0.80
-Aste rigidamente collegate		
Curva di stabilità (D.M. 08/EC3)	Automatica	Automatica
Aste laminate	Si	Si
Sigma max amm. senza verifiche di stabilità (CNR 10011) <%>	2.00	2.00
Verifiche di stabilità globale in dir. Y locale	Si	Si
-Coeff. β intorno all'asse Y	1.00	1.00
Verifiche di stabilità globale in dir. Z locale	Si	Si
-Coeff. β intorno all'asse Z	1.00	1.00
Verifiche di stabilità flesso - torsionale	Si	Si
-Coeff. per calcolo interasse ritegni torsionali	1.00	1.00

Aste inflesse (D.M. 08/EC3)		
-Coeff. Ψ per calcolo momento critico		
-Valuta in base ai momenti dell'asta	x	x
-Utilizza valore imposto		
-Fattore correttivo di distribuzione K_c	0.94	0.94
-Snellezza di riferimento $\lambda_{LT,0}$	0.40	0.40
-Coeff. β	0.75	0.75
Aste pressoinflesse (D.M. 08/EC3)		
-Considera come molto deformabile a torsione	No	No
-Fattore correttivo di distribuzione α_{mY}/C_{mY}	0.95	0.95
-Fattore correttivo di distribuzione α_{mZ}/C_{mZ}	0.95	0.95
-Fattore correttivo di distribuzione α_{mLT}/C_{mLT}	0.95	0.95
Eseguire anche le verifiche al punto 7.3.2 (CNR 10011)	Si	Si
Carichi sull'estradosso (CNR 10011)	Si	Si
Verifiche di stabilità all'imbozzamento (CNR 10011)		
-Numero irrigidimenti orizzontali anima	0.00	0.00
-Interasse irrigidimenti verticali anima		
-Numero di suddivisioni		
-Distanza non inferiore a <cm>		
-Pari alla lunghezza dell'asta	x	x
-Modalità di calcolo σ cr,id		
-Normativa		
-Massonet	x	x
-Ballio		
Verifiche di stabilità membratura		
Massimo numero aste costituenti unica membratura	1.00	1.00
Sforzo normale di verifica		
-Massimo valore fra tutte le aste	x	x
-Media aritmetica dei valori di tutte le aste		
-Media pesata di tutte le aste		
Contributo eventuali sforzi di trazione	No	No
Verifica nei piani principali	Si	Si
Incremento snellezza	Si	Si
Verifiche di stabilità globale in dir. Y locale	Si	Si
-Coeff. β calcolato in funzione dello sforzo normale		
-Coeff. β	1.00	1.00
Verifiche di stabilità globale in dir. Z locale	Si	Si
-Coeff. β calcolato in funzione dello sforzo normale		
-Coeff. β	1.00	1.00

Plinti/Pali

Generali	
Parametri di progetto	
Progettazione e verifica dell'armatura con sollecitazioni più gravose	Si
Verifiche a taglio per elementi esistenti come per elementi nuovi	Si
Parametri di disegno	
Scala disegno plinti	25.00
Disegno ancoraggi non necessari	Si
Copriferro per calcolo lunghezze ferri plinto <cm>	3.00
Copriferro per calcolo lunghezze ferri bicchiere <cm>	2.00
Calcolo lunghezza ferri semplificato	Si
Diametro per calcolo lunghezze ferri plinto <mm>	10.00
Diametro per calcolo lunghezze ferri bicchiere <mm>	10.00
Stampe	
Tipo di relazione	Sintetica

Specifici	**1**
Materiali	
-Considera come elemento esistente	No
-Calcestruzzo	
-Livello di conoscenza	LC2
-Fattore di confidenza	1.20
-Tipo di calcestruzzo	C25/30
-Rck calcestruzzo	300.00
-Modulo elastico <daN/cmq>	314472.00
-Resistenza caratteristica cilindrica (Fck)	249.00
-Resistenza caratteristica a trazione (Fctk)	17.91
-Resistenza media (Fcm) <daN/cmq>	329.00
-Resistenza media a trazione (Fctm) <daN/cmq>	25.58
-σ amm. calcestruzzo <daN/cmq>	97.50

-τc0 <daN/cmq>	6.00
-τc1 <daN/cmq>	18.30
-Riduci Fcd per tutte le verifiche secondo il D.M. 08	Si
-γ_c per stati limite ultimi	
-Automatico	x
-Pari a	
-Acciaio	
-Livello di conoscenza	LC2
-Fattore di confidenza	1.20
-Tipo di acciaio	B450C
-Modulo elastico <daN/cmq>	2060000.00
-Tensione caratteristica di snervamento (Fyk) <daN/cmq>	4500.00
-Tensione media di snervamento (Fym) <daN/cmq>	4500.00
-Sigma amm. acciaio <daN/cmq>	2600.00
-Sigma amm. reti e tralicci <daN/cmq>	2600.00
-Allungamento per verifiche di duttilità (Agt) <%>	4.00
-γ_s per stati limite ultimi	
-Automatico	x
-Pari a	
-Coeff. di omogeneizzazione	15.00
Parametri di calcolo	
Copriferro teorico di calcolo <cm>	4.00
Angolo limite plinti snelli/tozzi <grad>	30.00
Considerare snelli plinti ambigui	Si
Peso specifico calcestruzzo plinto <daN/mc>	2500.00
Sovraccarichi agenti sul plinto <daN/mq>	0.00
Detrazione peso proprio e sovraccarichi	Si
Calcolo momenti con metodo dei trapezi	Si
Sezione verifica plinti a bicchiere	
-A filo parete	x
-In asse alla parete	
Raffittimento armatura zona centrale	No
Armatura base	
Elenco diametri utilizzabili 1 <mm>	16
Elenco diametri utilizzabili 2 <mm>	18
Elenco diametri utilizzabili 3 <mm>	20
Elenco diametri utilizzabili 4 <mm>	22
Elenco diametri utilizzabili 5 <mm>	24
Elenco diametri utilizzabili 6 <mm>	
Elenco diametri utilizzabili 7 <mm>	
Passi utilizzabili	
-Minimo <cm>	10.00
-Massimo <cm>	25.00
-Incremento <cm>	5.00
Elemento costante	
-Diametro	x
-Passo	
Tipo di ottimizzazione armatura	
-Minimizza il peso complessivo dei ferri	
-Minimizza il numero dei ferri	x
Lunghezza risvolto ferri inferiori	
-Pari a <cm>	
-Come percentuale dell'altezza del plinto <%>	50.00
Min. armatura superiore	Si
Diametro staffoni di montaggio <mm>	10.00
Staffoni orizzontali di montaggio	Si
-Max distanza <cm>	60.00
Staffoni verticali di montaggio	Si
-Max distanza <cm>	20.00
Lunghezza risvolto staffoni orizzontali	
-Pari a <cm>	
-Come percentuale del lato del plinto <%>	20.00
-Unico ferro lungo il perimetro del plinto	
Armatura a punzonamento	
Elenco diametri utilizzabili 1 <mm>	16
Elenco diametri utilizzabili 2 <mm>	18
Elenco diametri utilizzabili 3 <mm>	20
Elenco diametri utilizzabili 4 <mm>	
Elenco diametri utilizzabili 5 <mm>	
Elenco diametri utilizzabili 6 <mm>	
Elenco diametri utilizzabili 7 <mm>	
Passi utilizzabili	
-Minimo <cm>	5.00
-Massimo <cm>	15.00
-Incremento <cm>	2.00
Allargamento piastra pilastri in acciaio <cm>	5.00

Distanza dal bordo libero	
-Distanza imposta a <cm>	
-Distanza come un moltiplicatore dello spessore del plinto	0.50
Moltiplicatore altezza utile per valutare perimetro efficace (D.M. 08)	2.00
Collaborazione pilastro-bicchiere	
Valutata sulla superficie di contatto fra pilastro e bicchiere	Si
-Valutata come moltiplicatore del valore della resistenza	x
a trazione del plinto	
Plinti poligonali su pali	
Rete elettrosaldata inferiore	Si
-Diametro <mm>	8.00
-Passo <cm>	20.00
Rete elettrosaldata superiore	Si
-Diametro <mm>	8.00
-Passo <cm>	20.00
Distanziatori	Si
-Diametro <mm>	6.00
-Dimensioni <cm>	10.00
-Numero	4.00
Materiali bicchiere	
-Considera come elemento esistente	No
-Calcestruzzo	
-Livello di conoscenza	LC2
-Fattore di confidenza	1.20
-Tipo di calcestruzzo	C28/35
-Rck calcestruzzo	350.00
-Modulo elastico <daN/cmq>	325881.00
-Resistenza caratteristica cilindrica (Fck)	290.50
-Resistenza caratteristica a trazione (Fctk)	19.84
-Resistenza media (Fcm) <daN/cmq>	370.50
-Resistenza media a trazione (Fctm) <daN/cmq>	28.35
-σ amm. calcestruzzo <daN/cmq>	110.00
-τc0 <daN/cmq>	6.70
-τc1 <daN/cmq>	19.70
-Riduci Fcd per tutte le verifiche secondo il D.M. 08	No
-γ_c per stati limite ultimi	
-Automatico	x
-Pari a	
-Acciaio	
-Livello di conoscenza	LC2
-Fattore di confidenza	1.20
-Tipo di acciaio	B450C
-Modulo elastico <daN/cmq>	2060000.00
-Tensione caratteristica di snervamento (Fyk) <daN/cmq>	4500.00
-Tensione media di snervamento (Fym) <daN/cmq>	4500.00
-Sigma amm. acciaio <daN/cmq>	2600.00
-Sigma amm. reti e tralicci <daN/cmq>	2600.00
-Allungamento per verifiche di duttilità (Agt) <%>	4.00
-γ_s per stati limite ultimi	
-Automatico	x
-Pari a	
-Coeff. di omogeneizzazione	15.00
Armatura bicchiere	
Copriferro teorico <cm>	3.00
Bicchiere con pareti organizzate	No
Rck calcestruzzo di riempimento <daN/cmq>	300.00
Resistenza teorica a trazione del calcestruzzo di riempimento <daN/cmq>	18.10
Denominatore momento flettente parete	16.00
Elenco diametri utilizzabili 1 <mm>	10
Elenco diametri utilizzabili 2 <mm>	12
Elenco diametri utilizzabili 3 <mm>	14
Elenco diametri utilizzabili 4 <mm>	16
Elenco diametri utilizzabili 5 <mm>	18
Elenco diametri utilizzabili 6 <mm>	
Elenco diametri utilizzabili 7 <mm>	
Passi utilizzabili	
-Minimo <cm>	5.00
-Massimo <cm>	15.00
-Incremento <cm>	2.00
Tipo di ottimizzazione armatura	
-Minimizza il peso complessivo dei ferri	
-Minimizza il numero dei ferri	x
Ferri orizzontali aggiuntivi nel fondo bicchiere	Si
-Distanza <cm>	15.00
Ferri verticali internamente al bicchiere	Si
-Max distanza <cm>	10.00

Dati per progettazione agli stati limite	
Gruppo di esigenza	
-Ambiente poco aggressivo	x
-Ambiente moderatamente aggressivo	
-Ambiente molto aggressivo	
Materiali palo	
-Considera come elemento esistente	No
-Calcestruzzo	
-Livello di conoscenza	LC2
-Fattore di confidenza	1.20
-Tipo di calcestruzzo	C28/35
-Rck calcestruzzo	350.00
-Modulo elastico <daN/cmq>	325881.00
-Resistenza caratteristica cilindrica (Fck)	290.50
-Resistenza caratteristica a trazione (Fctk)	19.84
-Resistenza media (Fcm) <daN/cmq>	370.50
-Resistenza media a trazione (Fctm) <daN/cmq>	28.35
-σ amm. calcestruzzo <daN/cmq>	110.00
-τc0 <daN/cmq>	6.70
-τc1 <daN/cmq>	19.70
-Riduci Fcd per tutte le verifiche secondo il D.M. 08	No
-γ_c per stati limite ultimi	
-Automatico	x
-Pari a	
-Acciaio	
-Livello di conoscenza	LC2
-Fattore di confidenza	1.20
-Tipo di acciaio	B450C
-Modulo elastico <daN/cmq>	2060000.00
-Tensione caratteristica di snervamento (Fyk) <daN/cmq>	4500.00
-Tensione media di snervamento (Fym) <daN/cmq>	4500.00
-Sigma amm. acciaio <daN/cmq>	2600.00
-Sigma amm. reti e tralicci <daN/cmq>	2600.00
-Allungamento per verifiche di duttilità (Agt) <%>	4.00
-γ_s per stati limite ultimi	
-Automatico	x
-Pari a	
-Coeff. di omogeneizzazione	15.00
Armatura a pressoflessione pali	
Considera momenti da interazione cinematica	No
Elenco diametri ferri longitudinali 1 <mm>	16
Elenco diametri ferri longitudinali 2 <mm>	20
Elenco diametri ferri longitudinali 3 <mm>	24
Elenco diametri ferri longitudinali 4 <mm>	
Elenco diametri ferri longitudinali 5 <mm>	
Elenco diametri ferri longitudinali 6 <mm>	
Elenco diametri ferri longitudinali 7 <mm>	
Copriferro reale al bordo staffa <cm>	4.00
Diametro staffa teorica <mm>	9.00
Max distanza fra i ferri <cm>	25.00
Min. interferro ammissibile <cm>	5.00
Min. numero ferri	8.00
Armatura a taglio pali	
Elenco diametri staffe 1 <mm>	8
Elenco diametri staffe 2 <mm>	10
Elenco diametri staffe 3 <mm>	
Elenco diametri staffe 4 <mm>	
Elenco diametri staffe 5 <mm>	
Elenco diametri staffe 6 <mm>	
Elenco diametri staffe 7 <mm>	
Passi staffe	
-Minimo <cm>	5.00
-Massimo <cm>	30.00
-Incremento <cm>	5.00
Tipo di minimizzazione staffatura	
-Minimizza il numero delle staffe	
-Minimizza il peso delle staffe	x
Staffatura a spirale	Si
Verifiche a taglio per sezioni circolari	
-Usa formulazione sezioni generiche	
-Considera rettangolo inscritto con B/H pari a	1.00
Verifiche a taglio per sezioni generiche	
-Considera Vrdu minimo	
-Considera Vrdu calcolato in corrispondenza di bw minimo	
-Considera Vrdu in corrispondenza di bw medio	x

-Considera Vrdu in corrispondenza di bw massimo	
-Considera sempre Af Staffe non proiettata in direzione del taglio	Si
Barre da considerare tese per verifiche a taglio	
-Solo le barre con deformazione percentuale rispetto	
alla barra più tesa non inferiore al <%>	
-Tutte le barre in trazione	x
Capacità portante	
Efficienza	
-Pari a	1.00
-Automatica	

Pareti

Generali	
Verifiche a taglio per elementi esistenti come per elementi nuovi	Si
Parametri di disegno	
Scala disegno pareti	50.00
Campitura disegno parete	Rada
Disegno armatura diffusa	No
Disegno prospetto e pianta	Sempre
Stampe	
Tipo di relazione	Sintetica

Specifici	**1**
Materiali	
-Considera come elemento esistente	No
-Calcestruzzo	
-Livello di conoscenza	LC2
-Fattore di confidenza	1.20
-Tipo di calcestruzzo	C32/40
-Rck calcestruzzo	400.00
-Modulo elastico <daN/cmq>	336428.00
-Resistenza caratteristica cilindrica (Fck)	332.00
-Resistenza caratteristica a trazione (Fctk)	21.69
-Resistenza media (Fcm) <daN/cmq>	412.00
-Resistenza media a trazione (Fctm) <daN/cmq>	30.99
-σ amm. calcestruzzo <daN/cmq>	122.50
-τc0 <daN/cmq>	7.30
-τc1 <daN/cmq>	21.10
-Riduci Fcd per tutte le verifiche secondo il D.M. 08	Si
-γ_c per stati limite ultimi	
-Automatico	x
-Pari a	
-Acciaio	
-Livello di conoscenza	LC2
-Fattore di confidenza	1.20
-Tipo di acciaio	B450C
-Modulo elastico <daN/cmq>	2060000.00
-Tensione caratteristica di snervamento (Fyk) <daN/cmq>	4500.00
-Tensione media di snervamento (Fym) <daN/cmq>	4500.00
-Sigma amm. acciaio <daN/cmq>	2600.00
-Sigma amm. reti e tralicci <daN/cmq>	2600.00
-Allungamento per verifiche di duttilità (Agt) <%>	4.00
-γ_s per stati limite ultimi	
-Automatico	x
-Pari a	
-Coeff. di omogeneizzazione	15.00
Parametri di calcolo	
Copriferro <cm>	4.00
Fattore moltiplicativo per calcolo τ l	1.00
Fattore moltiplicativo per calcolo τ t	1.00
Fattore di riduzione per ancoraggio ferri	1.00
Lunghezza ancoraggi armature	
-Calcolata in funzione della σ f	
-Imposta come multiplo del diametro	20.00
Lunghezza minima pari a <m>	0.50
-Inserire solo armatura al centro della parete	No
Modalità di progettazione e verifica armatura verticale	
-In funzione delle zone di incidenza elementi	x
-In funzione delle sollecitazioni globali	
-Inserisci armatura di rinforzo nelle zone di incidenza elementi	Si
-Dimensione minima zone di incidenza elementi	Si

-Pari a multiplo dello spessore	1.00
-Passo di verifica	1.50
-Trascura zone con pilastro inglobato	Si
-Effettuare verifiche nel piano della parete	No
-Elimina armatura diffusa nelle zone di rinforzo	Si
Elimina armatura diffusa nell'architrave	Si
-Effettuare verifiche su sezioni verticali	No
-Passo di verifica	1.00
Controllare resistenza a taglio trasversale come sezione priva di armatura a taglio	No
Min. Af armatura diffusa <cmq/m>	3.00
Considera come parete debolmente armata ai sensi D.M. 08	No
-Modalità di valutazione parametri nel caso di sisma diverso per X e Y	
-Usa valore massimo	x
-Componi in direzione parete	
-Incremento del 50% delle forze assiali	
Sempre	x
-Solo per analisi sismiche statiche	
-Mai	
Coeff. β per controllo snellezza <m>	1.00
Rispetta i disposti del punto 7.4.4.5.2.1 solo per stati limite sismici	Si
Armatura diffusa	
Considera armatura con rete elettrosaldata	No
Armatura verticale o rete	
Elenco diametri utilizzabili 1 <mm>	10
Elenco diametri utilizzabili 2 <mm>	12
Elenco diametri utilizzabili 3 <mm>	20
Elenco diametri utilizzabili 4 <mm>	22
Elenco diametri utilizzabili 5 <mm>	24
Elenco diametri utilizzabili 6 <mm>	
Elenco diametri utilizzabili 7 <mm>	
Passi utilizzabili	
-Minimo <cm>	15.00
-Massimo <cm>	30.00
-Incremento <cm>	5.00
-Modalità di completamento armatura	
-Adattata	x
-Terminata	
-Nessuna	
Armatura orizzontale	
Elenco diametri utilizzabili 1 <mm>	8
Elenco diametri utilizzabili 2 <mm>	10
Elenco diametri utilizzabili 3 <mm>	
Elenco diametri utilizzabili 4 <mm>	
Elenco diametri utilizzabili 5 <mm>	
Elenco diametri utilizzabili 6 <mm>	
Elenco diametri utilizzabili 7 <mm>	
Passi utilizzabili	
-Minimo <cm>	10.00
-Massimo <cm>	30.00
-Incremento <cm>	5.00
Tipo di armatura orizzontale	
-Dritta	x
-Con risvolti di estremità	
-Modalità di chiusura orizzontale	
-Nessuna chiusura	
-Chiusura con ferri ad U	x
-Chiusura con staffe	
-Lunghezza armatura di chiusura	
-Multiplo dello spessore pari a	
-Lunghezza fissa pari a <cm>	0.50
-Tipo di ottimizzazione armatura	
-Minimizza il peso complessivo dei ferri	x
-Minimizza il numero dei ferri	
Armatura di rinforzo	
Elenco diametri utilizzabili 1 <mm>	16
Elenco diametri utilizzabili 2 <mm>	20
Elenco diametri utilizzabili 3 <mm>	22
Elenco diametri utilizzabili 4 <mm>	24
Elenco diametri utilizzabili 5 <mm>	
Elenco diametri utilizzabili 6 <mm>	
Elenco diametri utilizzabili 7 <mm>	
Numero minimo ferri	2.00
Interferro minimo <cm>	10.00
-Aggiungi staffe chiuse	Si
-Stesso diametro armatura diffusa orizzontale	x
-Diametro imposto	
-Stesso passo armatura diffusa orizzontale	x

-Passo imposto	
Armatura secondaria	
Diametro ferri di collegamento <mm>	10.00
Numero ferri di collegamento (a mq)	10.00
Lunghezza ancoraggio ferri di collegamento <cm>	10.00
Dati per progettazione agli stati limite	
Gruppo di esigenza	
-Ambiente poco aggressivo	
-Ambiente moderatamente aggressivo	x
-Ambiente molto aggressivo	
Usa dominio N-M per flessioni rette	No
-Ricerca della sicurezza con sforzo normale costante	
-Ricerca della sicurezza con eccentricità costante	
Controllo rapporto X/D	No
Barre da considerare tese per verifiche a taglio	
-Solo le barre con deformazione percentuale rispetto	
alla barra più tesa non inferiore al <%>	30.00
-Tutte le barre in trazione	

Solette/Platee

Generali	
Parametri di progetto	
Controllo resistenza a taglio allo S.L.U.	No
Calcolo armature con metodo di Wood	No
Accoppia pilastri per calcolo punzonamento	Si
Verifiche a taglio per elementi esistenti come per elementi nuovi	Si
-Massima distanza come un moltiplicatore dello spessore	1.50
Parametri di disegno	
Disposizione disegno	2A
Particolari nel disegno principale	
-Eliminare le quotature	No
-Eliminare le campiture	No
-Eliminare la numerazione dei pilastri	No
-Eliminare la numerazione delle travi e dei muri	No
Particolari nei disegni secondari	
-Eliminare le quotature	Si
-Eliminare le campiture	Si
-Eliminare la numerazione dei pilastri	Si
-Eliminare la numerazione delle travi e dei muri	Si
Disegno armatura diffusa	No
Posizione particolari punzonamento	In automatico
Copriferro per calcolo lunghezza ferri <cm>	5.00
Risvoltare al bordo i ferri	
-Inferiori	Si
-Superiori	Si
Lunghezza risvolti ferri al bordo	Pari all'altezza meno due volte il copriferro
Disegno particolare ferri al bordo	Si
Scala disegno particolare ferri al bordo	20.00
Calcolo lunghezza ferri semplificato	No
Stampe	
Tipo di relazione	Sintetica

Specifici	**1**
Materiali	
-Considera come elemento esistente	No
-Calcestruzzo	
-Livello di conoscenza	LC2
-Fattore di confidenza	1.20
-Tipo di calcestruzzo	C32/40
-Rck calcestruzzo	400.00
-Modulo elastico <daN/cmq>	336428.00
-Resistenza caratteristica cilindrica (Fck)	332.00
-Resistenza caratteristica a trazione (Fctk)	21.69
-Resistenza media (Fcm) <daN/cmq>	412.00
-Resistenza media a trazione (Fctm) <daN/cmq>	30.99
-σ amm. calcestruzzo <daN/cmq>	122.50
-τc0 <daN/cmq>	7.30
-τc1 <daN/cmq>	21.10
-Riduci Fcd per tutte le verifiche secondo il D.M. 08	Si
-γ_c per stati limite ultimi	

-Automatico	x
-Pari a	
-Acciaio	
-Livello di conoscenza	LC2
-Fattore di confidenza	1.20
-Tipo di acciaio	B450C
-Modulo elastico <daN/cmq>	2060000.00
-Tensione caratteristica di snervamento (Fyk) <daN/cmq>	4500.00
-Tensione media di snervamento (Fym) <daN/cmq>	4500.00
-Sigma amm. acciaio <daN/cmq>	2600.00
-Sigma amm. reti e tralicci <daN/cmq>	2600.00
-Allungamento per verifiche di duttilità (Agt) <%>	4.00
-γ_s per stati limite ultimi	
-Automatico	x
-Pari a	
-Coeff. di omogeneizzazione	15.00
Armatura a flessione	
Angolo d'armatura <grad>	0.00
Copriferro teorico superiore <cm>	5.00
Copriferro teorico inferiore <cm>	5.00
Tipo di progetto in doppia armatura	
-Tensione pari ai valori amm.	
-Tensione pari ai valori amm. con AfComp/AfTesa minore o pari a	1.00
-Tensione pari ai valori amm. con AfComp/AfTesa pari a	
Min. percentuale di regolamento	
-Platee di fondazione su suolo elastico	Si
-Solette di elevazione	Si
Controlla min. armatura di ripartizione	Si
Elenco diametri utilizzabili 1 <mm>	14
Elenco diametri utilizzabili 2 <mm>	16
Elenco diametri utilizzabili 3 <mm>	18
Elenco diametri utilizzabili 4 <mm>	20
Elenco diametri utilizzabili 5 <mm>	22
Elenco diametri utilizzabili 6 <mm>	
Elenco diametri utilizzabili 7 <mm>	
Passi utilizzabili	
-Minimo <cm>	10.00
-Massimo <cm>	30.00
-Incremento <cm>	5.00
Uniformizzazione interassi armatura	Si
-Sempre	
-Nella stessa direzione	x
-Nella stessa posizione	
Uniformizzazione diametri armatura	No
-Sempre	
-Nella stessa direzione	
-Nella stessa posizione	
Tipo di ottimizzazione armatura a flessione	
-Minimizza il numero dei ferri	
-Minimizza il peso complessivo dei ferri	x
Verifiche a taglio	
-Escludi punti di verifica sotto piramidi di punzonamento	No
-Escludi punti di verifica sotto muri/bidimensionali	No
Ancoraggi	
Fattore di riduzione per ancoraggio ferri	1.00
Lunghezza ancoraggi armature	
-Calcolata in funzione della Sigmaf	x
-Imposta come multiplo del diametro	
Lunghezza ancoraggi ferri punzonamento	
-Calcolata in funzione della Sigmaf	x
-Imposta come multiplo del diametro	
Armatura a punzonamento	
Fattore di riduzione altezza soletta/platea	0.90
Modifica altezza soletta/platea	Si
Allargamento piastra pilastri in acciaio <cm>	5.00
Distanza dal bordo libero	
-Distanza come un moltiplicatore dello spessore	1.00
-Distanza imposta a <cm>	
Moltiplicatore altezza utile per valutare perimetro efficace (D.M. 08)	2.00
Tolleranza di posizionamento barre	
-Distanza come un moltiplicatore dello spessore	0.10
-Distanza imposta a <cm>	
Elenco diametri utilizzabili 1 <mm>	14
Elenco diametri utilizzabili 2 <mm>	16
Elenco diametri utilizzabili 3 <mm>	18

Elenco diametri utilizzabili 4 <mm>	20
Elenco diametri utilizzabili 5 <mm>	22
Elenco diametri utilizzabili 6 <mm>	24
Elenco diametri utilizzabili 7 <mm>	
Passi utilizzabili	
-Minimo <cm>	10.00
-Massimo <cm>	20.00
-Incremento <cm>	2.00
Tipo di ottimizzazione armatura a punzonamento	
-Minimizza il numero dei ferri	x
-Minimizza il peso complessivo dei ferri	
Dati per progettazione agli stati limite	
Gruppo di esigenza	
-Ambiente poco aggressivo	
-Ambiente moderatamente aggressivo	x
-Ambiente molto aggressivo	
Usa dominio N-M per flessioni rette	No
-Ricerca della sicurezza con sforzo normale costante	
-Ricerca della sicurezza con eccentricità costante	
Controllo rapporto X/D	No
Barre da considerare tese per verifiche a taglio	
-Solo le barre con deformazione percentuale rispetto	
Incremento <%>	30.00
-Tutte le barre in trazione	

Nodi in acciaio

Generali	
Parametri di disegno reticolari	
Scala disegno esecutivo reticolare	20.00
Disegna a parte particolari collegamenti	Si
Scala disegno particolari collegamenti	10.00
Crea solo disegno schematico	No
Scala disegno schematico	25.00
Parametri di disegno collegamenti	
Scala disegno collegamenti	5.00
Scala disegno telai	20.00
Stampe	
Tipo di relazione	Sintetica

Specifici	**1**	**10**
Progettazione bullonature		
Elenco diametri bulloni utilizzabili 1 <mm>	14	16
Elenco diametri bulloni utilizzabili 2 <mm>	16	18
Elenco diametri bulloni utilizzabili 3 <mm>	18	20
Elenco diametri bulloni utilizzabili 4 <mm>	20	22
Elenco diametri bulloni utilizzabili 5 <mm>		24
Elenco diametri bulloni utilizzabili 6 <mm>		
Elenco diametri bulloni utilizzabili 7 <mm>		
Elenco diametri bulloni utilizzabili 8 <mm>		
Elenco diametri bulloni utilizzabili 9 <mm>		
Numero minimo bulloni	4.00	6.00
Classe bulloni	8.8	8.8
Zona filettata	Si	Si
Progettazione saldature		
Arretra piastra nelle saldature di bordo	Si	Si
Saldature con dimensioni bilanciate	Si	Si
Classe saldature a completa penetrazione	SECONDA	SECONDA
Arrotondamento lunghezza cordoni di saldatura	5.00	5.00
Rapporto minimo fra lunghezza e spessore cordone	15.00	15.00
Altezza della saldatura		
-Uguale allo spessore del profilato		x
-Valore minimo tra profilato e la piastra	x	
Progettazione reticolari		
Rendi continue aste allineate	Si	Si
Modalità di calcolo sforzo normale per giunti su aste continue		
-Considera per ogni semigiunto le sollecitazioni di calcolo delle aste	x	x
-Considera per ogni semigiunto la differenza fra le sollecitazioni delle aste		
-Considera per ogni semigiunto la differenza fra le sollecitazioni delle aste divisa per due		
-Considera per ogni semigiunto il massimo fra le sollecitazioni delle aste diviso per due		
Finali equidistanti per aste incrociate	Si	Si

Forma della piastra		
-Rettangolare		x
-Poligonale	x	
Massimo ingombro collegamento lungo il profilo	33.00	33.00
Allargamento piastra ai lati del profilo	10.00	10.00
Minimo spazio libero tra i profili	10.00	10.00
Spessore piastra se non imposto dal profilo	10.00	10.00
Progettazione collegamenti		
Trascura sollecitazioni teoricamente nulle	No	Si
Componenti sollecitazioni da trascurare		
-Sforzo normale	No	No
-Taglio in dir. Y	No	No
-Taglio in dir. Z	No	No
-Momento torcente intorno all'asse X	Si	No
-Momento flettente intorno all'asse Y	No	No
-Momento flettente intorno all'asse Z	No	No
Considera solo bulloni per verifiche a flessione	No	No
Angolo massimo di incidenza <grad>	15.00	15.00
Piastre di fondazione		
-Elenco diametri tirafondi utilizzabili 1 <mm>	16	16
-Elenco diametri tirafondi utilizzabili 2 <mm>	18	18
-Elenco diametri tirafondi utilizzabili 3 <mm>	20	20
-Elenco diametri tirafondi utilizzabili 4 <mm>	24	22
-Elenco diametri tirafondi utilizzabili 5 <mm>		24
-Elenco diametri tirafondi utilizzabili 6 <mm>		
-Elenco diametri tirafondi utilizzabili 7 <mm>		
-Elenco diametri tirafondi utilizzabili 8 <mm>		
-Elenco diametri tirafondi utilizzabili 9 <mm>		
Lunghezza minima d'infissione <mm>	0.35	0.35
-Verifica piastra e tirafondi con reazioni vincolari	No	No
-Trascura tirafondi compressi	Si	Si
-Tirafondi con barre filettate	Si	Si
-Tipo di tirafondi	ROSETTA	ROSETTA
-Fattore di riduzione per ancoraggio tirafondi	1.00	0.70
Piastra circolare per sezioni circolari cave	Si	No
Numero minimo bulloni per piastra circolare	6.00	6.00
Verifiche ai sensi D.M. 08		
Esposizione a fenomeni corrosivi		
Unione non esposta alla corrosione		
Unione esposta alla corrosione	x	x
Unioni di elementi in acciaio resistente alla corrosione		

Verifiche e armature pareti

Simbologia

CC = Numero della combinazione delle condizioni di carico elementari
Zona = Zona di verifica
Zv = Coordinata Z di verifica
Xi = Coordinata X iniziale
Xf = Coordinata X finale
Xv = Coordinata X di verifica
TCC = Tipo di combinazione di carico
  SLU = Stato limite ultimo
  SLU S = Stato limite ultimo (azione sismica)
  SLE R = Stato limite d'esercizio, combinazione rara
  SLE F = Stato limite d'esercizio, combinazione frequente
  SLE Q = Stato limite d'esercizio, combinazione quasi permanente
  SLD = Stato limite di danno
  SLV = Stato limite di salvaguardia della vita
  SLC = Stato limite di prevenzione del collasso
  SLO = Stato limite di operatività
  SLU I = Stato limite di resistenza al fuoco
N = Sforzo normale
My = Momento flettente intorno all'asse Y
Nu = Sforzo normale ultimo
Myu = Momento ultimo intorno all'asse Y
Sic. = Sicurezza a rottura
σ_c = Tensione nel calcestruzzo
σ_f = Tensione nel ferro
c = Ricoprimento dell'armatura
s = Distanza minima tra le barre
K3 = Coefficiente di forma del diagramma delle tensioni prima della fessurazione
s_{rm} = Distanza media tra le fessure
Φ = Diametro della barra
A_s = Area complessiva dei ferri nell'area di calcestruzzo efficace
$A_{c\ eff}$ = Area di calcestruzzo efficace

σ_s = Tensione nell'acciaio nella sezione fessurata
σ_{sr} = Tensione nell'acciaio corrispondente al raggiungimento della resistenza a trazione nel calcestruzzo
ε_{sm} = Deformazione unitaria media dell'armatura (*1000)
Wk = Apertura delle fessure
Ty = Taglio in dir. Y
Vsdu = Taglio agente nella direzione del momento ultimo
VRsd = Taglio ultimo lato armatura
VRcd = Taglio ultimo lato calcestruzzo
Vrdu = Taglio ultimo assorbibile dal solo calcestruzzo
Sic.T = Sicurezza a rottura per taglio
Sez. = Sezione di verifica
Spess. = Spessore
Cf = Copriferro
Cls = Tipo di calcestruzzo
Fck = Resistenza caratteristica cilindrica a compressione del calcestruzzo
Fctk = Resistenza caratteristica a trazione del calcestruzzo
Fcd = Resistenza di calcolo a compressione del calcestruzzo
Fctd = Resistenza di calcolo a trazione del calcestruzzo
Acc. = Tipo di acciaio
Fyk = Tensione caratteristica di snervamento dell'acciaio
Fyd = Resistenza di calcolo dell'acciaio

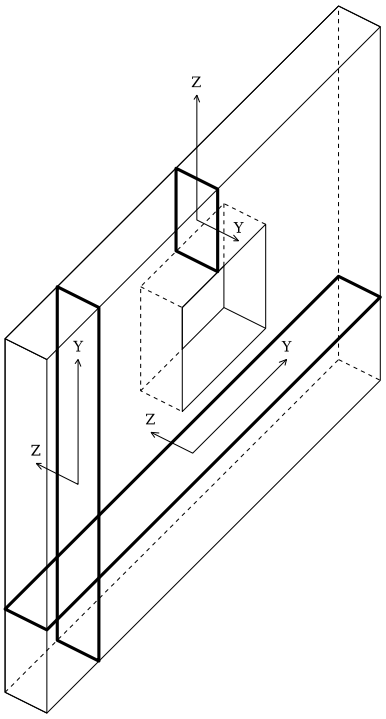


Figura numero 5: Riferimenti sezione

Parete n. 106

Caratteristiche delle sezioni e dei materiali utilizzati

Sez.	Spess. <cm>	Cf <cm>	Cls	Fck <daN/cmq>	Fctk <daN/cmq>	Fcd <daN/cmq>	Fctd <daN/cmq>	Acc.	Fyk <daN/cmq>	Fyd <daN/cmq>
Oriz.	70.00	6.10	C32/40	332.00	21.69	188.13	14.46	B450C	4500.00	3913.04

Verifiche su sezioni orizzontali
Stato limite ultimo - Armatura a flessione

CC	TCC	Zona	Zv <m>	Xi <m>	Xf <m>	N <daN>	My <daNm>	Nu <daN>	Myu <daNm>	Sic.
130	SLU	Diff.	0.00	0.00	4.50	-18390.60	-82699.10	-18394.00	-217687.00	2.632
2	SLD	Diff.	0.00	0.00	4.50	-19093.80	-18515.00	-19096.00	-253861.00	13.711
130	SLU	Diff.	0.65	0.00	4.50	-13981.60	-71693.20	-13985.00	-216392.00	3.018
2	SLD	Diff.	0.65	0.00	4.50	-15988.70	-15190.80	-15993.10	-252941.00	16.651
130	SLU	Diff.	1.30	0.00	4.50	-8137.28	-52694.40	-8141.63	-214675.00	4.074
2	SLD	Diff.	1.30	0.00	4.50	-11761.80	-8046.51	-11764.50	-251688.00	31.279

Stato limite d'esercizio - Armatura a flessione

CC	TCC	Zona	Zv	Xi	Xf	N	My	σ_c	σ_f

			<m>	<m>	<m>	<daN>	<daNm>	<daN/cmq>	<daN/cmq>
142	SLE R	Diff.	0.00	0.00	4.50	-14797.60	-58343.80	24.01	1057.91
170	SLE Q	Diff.	0.00	0.00	4.50	-20720.70	-14749.70	6.24	180.47
142	SLE R	Diff.	0.65	0.00	4.50	-11527.20	-49035.80	20.16	894.02
170	SLE Q	Diff.	0.65	0.00	4.50	-17543.40	-12147.70	5.14	146.34
142	SLE R	Diff.	1.30	0.00	4.50	-7197.70	-33660.30	13.82	617.54
170	SLE Q	Diff.	1.30	0.00	4.50	-13213.30	-5993.01	2.51	51.66

Verifiche stato limite di formazione delle fessure

CC	TCC	Zona	Zv <m>	Xi <m>	Xf <m>	N <daN>	My <daNm>	c <mm>	s <mm>	K3	s_{rm} <mm>	Φ	A_s <cmq>	$A_{c\ eff}$ <cmq>	σ_s <daN/cmq>	σ_{sr} <daN/cmq>	ε_{sm}	Wk <mm>
170	SLE Q	Diff.	0.00	0.00	4.50	-20720.70	-14749.70	50.00	199.00	0.16	283.48	22.00	87.43	9097.10	180.47	2377.98	0.04	0.02
158	SLE F	Diff.	0.00	0.00	4.50	-10605.50	-52884.80	50.00	199.00	0.17	296.75	22.00	87.43	9097.10	974.02	3022.12	0.19	0.10
170	SLE Q	Diff.	0.65	0.00	4.50	-17543.40	-12147.70	50.00	199.00	0.16	282.97	22.00	87.43	9097.10	146.34	2355.42	0.03	0.01
158	SLE F	Diff.	0.65	0.00	4.50	-7336.53	-47253.90	50.00	199.00	0.17	297.17	22.00	87.43	9097.10	881.86	3044.37	0.17	0.09
170	SLE Q	Diff.	1.30	0.00	4.50	-13213.30	-5993.01	50.00	199.00	0.14	271.58	22.00	87.43	9097.10	51.66	1909.35	0.01	0.00
158	SLE F	Diff.	1.30	0.00	4.50	-3016.94	-36934.40	50.00	199.00	0.17	297.84	22.00	87.43	9097.10	703.98	3080.19	0.14	0.07

Parete n. 107

Caratteristiche delle sezioni e dei materiali utilizzati

Sez.	Spess. <cm>	Cf <cm>	Cls	Fck <daN/cmq>	Fctk <daN/cmq>	Fcd <daN/cmq>	Fctd <daN/cmq>	Acc.	Fyk <daN/cmq>	Fyd <daN/cmq>
Oriz.	70.00	6.10	C32/40	332.00	21.69	188.13	14.46	B450C	4500.00	3913.04

Verifiche su sezioni orizzontali
Stato limite ultimo - Armatura a flessione

CC	TCC	Zona	Zv <m>	Xi <m>	Xf <m>	N <daN>	My <daNm>	Nu <daN>	Myu <daNm>	Sic.
101	SLU	Diff.	0.00	0.00	4.50	-20216.80	78540.70	-20219.70	218224.00	2.778
50	SLD	Diff.	0.00	0.00	4.50	-19093.80	18515.00	-19094.70	253861.00	13.711
101	SLU	Diff.	0.65	0.00	4.50	-15800.00	66233.90	-15802.70	216926.00	3.275
50	SLD	Diff.	0.65	0.00	4.50	-15988.70	15190.80	-15991.80	252941.00	16.651
101	SLU	Diff.	1.30	0.00	4.50	-9955.74	45446.40	-9957.41	215209.00	4.735
50	SLD	Diff.	1.30	0.00	4.50	-11761.80	8046.51	-11763.50	251688.00	31.279

Stato limite d'esercizio - Armatura a flessione

CC	TCC	Zona	Zv <m>	Xi <m>	Xf <m>	N <daN>	My <daNm>	σ_c <daN/cmq>	σ_f <daN/cmq>
137	SLE R	Diff.	0.00	0.00	4.50	-14797.20	58346.20	24.01	1057.96
169	SLE Q	Diff.	0.00	0.00	4.50	-20720.70	14749.70	6.24	180.47
137	SLE R	Diff.	0.65	0.00	4.50	-11526.70	49037.80	20.16	894.07
169	SLE Q	Diff.	0.65	0.00	4.50	-17543.40	12147.70	5.14	146.34
137	SLE R	Diff.	1.30	0.00	4.50	-7197.27	33661.80	13.82	617.57
169	SLE Q	Diff.	1.30	0.00	4.50	-13213.30	5993.01	2.51	51.66

Verifiche stato limite di formazione delle fessure

CC	TCC	Zona	Zv <m>	Xi <m>	Xf <m>	N <daN>	My <daNm>	c <mm>	s <mm>	K3	s_{rm} <mm>	Φ	A_s <cmq>	$A_{c\ eff}$ <cmq>	σ_s <daN/cmq>	σ_{sr} <daN/cmq>	ε_{sm}	Wk <mm>
169	SLE Q	Diff.	0.00	0.00	4.50	-20720.70	14749.70	50.00	199.00	0.16	283.48	22.00	87.43	9097.08	180.47	2377.98	0.04	0.02
149	SLE F	Diff.	0.00	0.00	4.50	-15893.80	45475.90	50.00	199.00	0.17	295.34	22.00	87.43	9097.08	801.26	2947.90	0.16	0.08
169	SLE Q	Diff.	0.65	0.00	4.50	-17543.40	12147.70	50.00	199.00	0.16	282.96	22.00	87.43	9097.08	146.34	2355.42	0.03	0.01
149	SLE F	Diff.	0.65	0.00	4.50	-12653.70	38203.90	50.00	199.00	0.17	295.52	22.00	87.43	9097.08	676.86	2957.10	0.13	0.07
169	SLE Q	Diff.	1.30	0.00	4.50	-13213.30	5993.01	50.00	199.00	0.14	271.58	22.00	87.43	9097.08	51.66	1909.35	0.01	0.00
149	SLE F	Diff.	1.30	0.00	4.50	-8321.24	25627.90	50.00	199.00	0.17	295.58	22.00	87.43	9097.08	454.94	2960.37	0.09	0.04

Parete n. 206

Caratteristiche delle sezioni e dei materiali utilizzati

Sez.	Spess. <cm>	Cf <cm>	Cls	Fck <daN/cmq>	Fctk <daN/cmq>	Fcd <daN/cmq>	Fctd <daN/cmq>	Acc.	Fyk <daN/cmq>	Fyd <daN/cmq>
Oriz.	50.00	6.10	C32/40	332.00	21.69	188.13	14.46	B450C	4500.00	3913.04

Verifiche su sezioni orizzontali
Stato limite ultimo - Armatura a flessione

CC	TCC	Zona	Zv <m>	Xi <m>	Xf <m>	N <daN>	My <daNm>	Nu <daN>	Myu <daNm>	Sic.
101	SLU	Diff.	0.00	0.00	1.85	-14719.00	15021.50	-14720.50	65092.60	4.333
50	SLD	Diff.	0.00	0.00	1.85	-4385.30	2208.04	-4390.06	74157.80	33.585
102	SLU	Diff.	0.45	0.00	1.85	-13014.30	35954.20	-13014.60	64762.90	1.801
66	SLD	Diff.	0.45	0.00	1.85	-3543.67	8789.35	-3544.89	73992.20	8.418
102	SLU	Diff.	0.90	0.00	1.85	-13014.30	35954.20	-13014.60	64762.90	1.801
66	SLD	Diff.	0.90	0.00	1.85	-3543.67	8789.35	-3544.89	73992.20	8.418

Stato limite d'esercizio - Armatura a flessione

CC	TCC	Zona	Zv <m>	Xi <m>	Xf <m>	N <daN>	My <daNm>	σ_c <daN/cmq>	σ_f <daN/cmq>
137	SLE R	Diff.	0.00	0.00	1.85	-10919.40	11111.00	20.17	606.32
169	SLE Q	Diff.	0.00	0.00	1.85	-5870.13	1425.26	2.60	30.62
138	SLE R	Diff.	0.45	0.00	1.85	-9551.45	26312.80	46.98	1637.78
170	SLE Q	Diff.	0.45	0.00	1.85	-4491.78	8147.99	14.63	487.96

138	SLE R	Diff.	0.90	0.00	1.85	-9551.45	26312.80	46.98	1637.78
170	SLE Q	Diff.	0.90	0.00	1.85	-4491.78	8147.99	14.63	487.96

Verifiche stato limite di formazione delle fessure

CC	TCC	Zona	Zv <m>	Xi <m>	Xf <m>	N <daN>	My <daNm>	c <mm>	s <mm>	K3	s_{rm} <mm>	Φ	A_s <cmq>	$A_{c\ eff}$ <cmq>	σ_s <daN/cmq>	σ_{sr} <daN/cmq>	ε_{sm}	Wk <mm>
169	SLE Q	Diff.	0.00	0.00	1.85	-5870.13	1425.26	50.00	192.00	0.13	247.21	22.00	38.01	3760.30	30.62	1184.57	0.01	0.00
166	SLE F	Diff.	0.00	0.00	1.85	-3369.25	-10379.30	50.00	192.00	0.14	259.87	22.00	38.01	3760.30	651.05	2243.56	0.13	0.06
170	SLE Q	Diff.	0.45	0.00	1.85	-4491.78	8147.99	50.00	192.00	0.14	257.81	22.00	38.01	3760.30	487.96	2187.95	0.09	0.04
150	SLE F	Diff.	0.45	0.00	1.85	-8099.49	19936.70	50.00	192.00	0.14	259.14	22.00	38.01	3760.30	1230.09	2223.68	0.24	0.11
170	SLE Q	Diff.	0.90	0.00	1.85	-4491.78	8147.99	50.00	192.00	0.14	257.81	22.00	38.01	3760.30	487.96	2187.95	0.09	0.04
150	SLE F	Diff.	0.90	0.00	1.85	-8099.49	19936.70	50.00	192.00	0.14	259.14	22.00	38.01	3760.30	1230.09	2223.68	0.24	0.11

Parete n. 207

Caratteristiche delle sezioni e dei materiali utilizzati

Sez.	Spess. <cm>	Cf <cm>	Cls	Fck <daN/cmq>	Fctk <daN/cmq>	Fcd <daN/cmq>	Fctd <daN/cmq>	Acc.	Fyk <daN/cmq>	Fyd <daN/cmq>
Oriz.	50.00	6.10	C32/40	332.00	21.69	188.13	14.46	B450C	4500.00	3913.04

Verifiche su sezioni orizzontali
Stato limite ultimo - Armatura a flessione

CC	TCC	Zona	Zv <m>	Xi <m>	Xf <m>	N <daN>	My <daNm>	Nu <daN>	Myu <daNm>	Sic.
101	SLU	Diff.	0.00	0.00	1.85	-14697.70	15008.30	-14700.00	65088.70	4.337
2	SLD	Diff.	0.00	0.00	1.85	-4376.78	2200.05	-4378.13	74155.50	33.706
102	SLU	Diff.	0.45	0.00	1.85	-12993.50	35904.10	-12998.10	64759.80	1.804
18	SLD	Diff.	0.45	0.00	1.85	-3536.11	8767.09	-3536.86	73990.70	8.440
102	SLU	Diff.	0.90	0.00	1.85	-12993.50	35904.10	-12998.10	64759.80	1.804
18	SLD	Diff.	0.90	0.00	1.85	-3536.11	8767.09	-3536.86	73990.70	8.440

Stato limite d'esercizio - Armatura a flessione

CC	TCC	Zona	Zv <m>	Xi <m>	Xf <m>	N <daN>	My <daNm>	σ_c <daN/cmq>	σ_f <daN/cmq>
137	SLE R	Diff.	0.00	0.00	1.85	-10904.40	11102.00	20.15	605.90
169	SLE Q	Diff.	0.00	0.00	1.85	-5856.85	1416.61	2.59	30.25
138	SLE R	Diff.	0.45	0.00	1.85	-9536.94	26278.70	46.92	1635.68
170	SLE Q	Diff.	0.45	0.00	1.85	-4479.07	8108.41	14.56	485.47
138	SLE R	Diff.	0.90	0.00	1.85	-9536.94	26278.70	46.92	1635.68
170	SLE Q	Diff.	0.90	0.00	1.85	-4479.07	8108.41	14.56	485.47

Verifiche stato limite di formazione delle fessure

CC	TCC	Zona	Zv <m>	Xi <m>	Xf <m>	N <daN>	My <daNm>	c <mm>	s <mm>	K3	s_{rm} <mm>	Φ	A_s <cmq>	$A_{c\ eff}$ <cmq>	σ_s <daN/cmq>	σ_{sr} <daN/cmq>	ε_{sm}	Wk <mm>
169	SLE Q	Diff.	0.00	0.00	1.85	-5856.85	1416.61	50.00	192.00	0.13	247.21	22.00	38.01	3760.30	30.25	1180.03	0.01	0.00
166	SLE F	Diff.	0.00	0.00	1.85	-3356.61	-10386.10	50.00	192.00	0.14	259.88	22.00	38.01	3760.30	651.66	2243.91	0.13	0.06
170	SLE Q	Diff.	0.45	0.00	1.85	-4479.07	8108.41	50.00	192.00	0.14	257.80	22.00	38.01	3760.30	485.47	2187.67	0.09	0.04
150	SLE F	Diff.	0.45	0.00	1.85	-8085.59	19900.90	50.00	192.00	0.14	259.14	22.00	38.01	3760.30	1227.87	2223.67	0.24	0.11
170	SLE Q	Diff.	0.90	0.00	1.85	-4479.07	8108.41	50.00	192.00	0.14	257.80	22.00	38.01	3760.30	485.47	2187.67	0.09	0.04
150	SLE F	Diff.	0.90	0.00	1.85	-8085.59	19900.90	50.00	192.00	0.14	259.14	22.00	38.01	3760.30	1227.87	2223.67	0.24	0.11

Parete n. 208

Caratteristiche delle sezioni e dei materiali utilizzati

Sez.	Spess. <cm>	Cf <cm>	Cls	Fck <daN/cmq>	Fctk <daN/cmq>	Fcd <daN/cmq>	Fctd <daN/cmq>	Acc.	Fyk <daN/cmq>	Fyd <daN/cmq>
Oriz.	50.00	6.10	C32/40	332.00	21.69	188.13	14.46	B450C	4500.00	3913.04

Verifiche su sezioni orizzontali
Stato limite ultimo - Armatura a flessione

CC	TCC	Zona	Zv <m>	Xi <m>	Xf <m>	N <daN>	My <daNm>	Nu <daN>	Myu <daNm>	Sic.
130	SLU	Diff.	0.00	0.00	1.85	-14347.90	-19846.40	-14351.00	-65021.20	3.276
50	SLD	Diff.	0.00	0.00	1.85	-4376.78	-2200.05	-4378.13	-74155.50	33.706
105	SLU	Diff.	0.45	0.00	1.85	-12993.00	-35903.10	-12994.00	-64759.00	1.804
66	SLD	Diff.	0.45	0.00	1.85	-3536.11	-8767.09	-3536.84	-73990.60	8.440
105	SLU	Diff.	0.90	0.00	1.85	-12993.00	-35903.10	-12994.00	-64759.00	1.804
66	SLD	Diff.	0.90	0.00	1.85	-3536.11	-8767.09	-3536.84	-73990.60	8.440

Stato limite d'esercizio - Armatura a flessione

CC	TCC	Zona	Zv <m>	Xi <m>	Xf <m>	N <daN>	My <daNm>	σ_c <daN/cmq>	σ_f <daN/cmq>
142	SLE R	Diff.	0.00	0.00	1.85	-10904.00	-11101.40	20.15	605.87
170	SLE Q	Diff.	0.00	0.00	1.85	-5856.85	-1416.61	2.59	30.25
141	SLE R	Diff.	0.45	0.00	1.85	-9536.57	-26277.90	46.92	1635.63
169	SLE Q	Diff.	0.45	0.00	1.85	-4479.07	-8108.41	14.56	485.47
141	SLE R	Diff.	0.90	0.00	1.85	-9536.57	-26277.90	46.92	1635.63
169	SLE Q	Diff.	0.90	0.00	1.85	-4479.07	-8108.41	14.56	485.47

Verifiche stato limite di formazione delle fessure

CC	TCC	Zona	Zv	Xi	Xf	N	My	c	s	K3	s_{rm}	Φ	A_s	$A_{c\ eff}$	σ_s	σ_{sr}	ε_{sm}	Wk

			<m>	<m>	<m>	<daN>	<daNm>	<mm>	<mm>		<mm>		<cmq>	<cmq>	<daN/cmq>	<daN/cmq>			<mm>
170	SLE Q	Diff.	0.00	0.00	1.85	-5856.85	-1416.61	50.00	192.00	0.13	247.21	22.00	38.01	3760.30	30.25	1180.03	0.01	0.00
158	SLE F	Diff.	0.00	0.00	1.85	-5375.63	-14211.10	50.00	192.00	0.14	259.39	22.00	38.01	3760.30	881.81	2230.51	0.17	0.08
169	SLE Q	Diff.	0.45	0.00	1.85	-4479.07	-8108.41	50.00	192.00	0.14	257.80	22.00	38.01	3760.30	485.47	2187.67	0.09	0.04
157	SLE F	Diff.	0.45	0.00	1.85	-3996.78	-28331.80	50.00	192.00	0.14	261.48	22.00	38.01	3760.30	1842.81	2287.63	0.36	0.16
169	SLE Q	Diff.	0.90	0.00	1.85	-4479.07	-8108.41	50.00	192.00	0.14	257.80	22.00	38.01	3760.30	485.47	2187.67	0.09	0.04
157	SLE F	Diff.	0.90	0.00	1.85	-3996.78	-28331.80	50.00	192.00	0.14	261.48	22.00	38.01	3760.30	1842.81	2287.63	0.36	0.16

Parete n. 209

Caratteristiche delle sezioni e dei materiali utilizzati

Sez.	Spess. <cm>	Cf <cm>	Cls	Fck <daN/cmq>	Fctk <daN/cmq>	Fcd <daN/cmq>	Fctd <daN/cmq>	Acc.	Fyk <daN/cmq>	Fyd <daN/cmq>
Oriz.	50.00	6.10	C32/40	332.00	21.69	188.13	14.46	B450C	4500.00	3913.04

Verifiche su sezioni orizzontali
Stato limite ultimo - Armatura a flessione

CC	TCC	Zona	Zv <m>	Xi <m>	Xf <m>	N <daN>	My <daNm>	Nu <daN>	Myu <daNm>	Sic.
130	SLU	Diff.	0.00	0.00	1.85	-14368.80	-19860.80	-14371.70	-65025.20	3.274
2	SLD	Diff.	0.00	0.00	1.85	-4385.30	-2208.04	-4390.05	-74157.80	33.585
105	SLU	Diff.	0.45	0.00	1.85	-13013.80	-35953.10	-13014.60	-64762.90	1.801
18	SLD	Diff.	0.45	0.00	1.85	-3543.67	-8789.35	-3544.89	-73992.20	8.418
105	SLU	Diff.	0.90	0.00	1.85	-13013.80	-35953.10	-13014.60	-64762.90	1.801
18	SLD	Diff.	0.90	0.00	1.85	-3543.67	-8789.35	-3544.89	-73992.20	8.418

Stato limite d'esercizio - Armatura a flessione

CC	TCC	Zona	Zv <m>	Xi <m>	Xf <m>	N <daN>	My <daNm>	σ_c <daN/cmq>	σ_f <daN/cmq>
142	SLE R	Diff.	0.00	0.00	1.85	-10919.00	-11110.40	20.17	606.28
170	SLE Q	Diff.	0.00	0.00	1.85	-5870.13	-1425.26	2.60	30.62
141	SLE R	Diff.	0.45	0.00	1.85	-9551.07	-26312.10	46.98	1637.73
169	SLE Q	Diff.	0.45	0.00	1.85	-4491.78	-8147.99	14.63	487.96
141	SLE R	Diff.	0.90	0.00	1.85	-9551.07	-26312.10	46.98	1637.73
169	SLE Q	Diff.	0.90	0.00	1.85	-4491.78	-8147.99	14.63	487.96

Verifiche stato limite di formazione delle fessure

CC	TCC	Zona	Zv <m>	Xi <m>	Xf <m>	N <daN>	My <daNm>	c <mm>	s <mm>	K3	s_{rm} <mm>	Φ	A_s <cmq>	$A_{c\ eff}$ <cmq>	σ_s <daN/cmq>	σ_{sr} <daN/cmq>	ε_{sm}	Wk <mm>
170	SLE Q	Diff.	0.00	0.00	1.85	-5870.13	-1425.26	50.00	192.00	0.13	247.21	22.00	38.01	3760.30	30.62	1184.57	0.01	0.00
158	SLE F	Diff.	0.00	0.00	1.85	-5390.24	-14221.10	50.00	192.00	0.14	259.38	22.00	38.01	3760.30	882.29	2230.33	0.17	0.08
169	SLE Q	Diff.	0.45	0.00	1.85	-4491.78	-8147.99	50.00	192.00	0.14	257.81	22.00	38.01	3760.30	487.96	2187.95	0.09	0.04
157	SLE F	Diff.	0.45	0.00	1.85	-4010.83	-28372.00	50.00	192.00	0.14	261.47	22.00	38.01	3760.30	1845.32	2287.56	0.36	0.16
169	SLE Q	Diff.	0.90	0.00	1.85	-4491.78	-8147.99	50.00	192.00	0.14	257.81	22.00	38.01	3760.30	487.96	2187.95	0.09	0.04
157	SLE F	Diff.	0.90	0.00	1.85	-4010.83	-28372.00	50.00	192.00	0.14	261.47	22.00	38.01	3760.30	1845.32	2287.56	0.36	0.16

Parete n. 306

Caratteristiche delle sezioni e dei materiali utilizzati

Sez.	Spess. <cm>	Cf <cm>	Cls	Fck <daN/cmq>	Fctk <daN/cmq>	Fcd <daN/cmq>	Fctd <daN/cmq>	Acc.	Fyk <daN/cmq>	Fyd <daN/cmq>
Oriz.	50.00	6.10	C32/40	332.00	21.69	188.13	14.46	B450C	4500.00	3913.04

Verifiche su sezioni orizzontali
Stato limite ultimo - Armatura a flessione

CC	TCC	Zona	Zv <m>	Xi <m>	Xf <m>	N <daN>	My <daNm>	Nu <daN>	Myu <daNm>	Sic.
98	SLU	Diff.	0.00	0.00	4.50	-312.49	77662.80	-315.59	103730.00	1.336
34	SLD	Diff.	0.00	0.00	4.50	-6512.12	19801.30	-6513.75	123958.00	6.260
98	SLU	Diff.	0.50	0.00	4.50	2695.17	29648.40	2697.56	101857.00	3.435
34	SLD	Diff.	0.50	0.00	4.50	-4319.78	7487.95	-4323.72	123520.00	16.496
130	SLU	Diff.	1.00	0.00	4.50	5325.79	-10942.20	5324.84	-101317.00	9.259
2	SLD	Diff.	1.00	0.00	4.50	-332.01	-130.27	-334.13	-122723.00	>100
98	SLU	Loc.	0.00	0.00	4.50	-312.49	77662.80	-315.59	103730.00	1.336
34	SLD	Loc.	0.00	0.00	4.50	-6512.12	19801.30	-6513.75	123958.00	6.260

Stato limite d'esercizio - Armatura a flessione

CC	TCC	Zona	Zv <m>	Xi <m>	Xf <m>	N <daN>	My <daNm>	σ_c <daN/cmq>	σ_f <daN/cmq>
138	SLE R	Diff.	0.00	0.00	4.50	-17217.70	56816.00	50.89	2198.53
134	SLE R	Diff.	0.00	0.00	4.50	-54.45	56810.40	50.53	2336.82
170	SLE Q	Diff.	0.00	0.00	4.50	-7012.44	19639.60	17.61	751.47
138	SLE R	Diff.	0.50	0.00	4.50	-14949.40	21715.50	19.57	773.66
134	SLE R	Diff.	0.50	0.00	4.50	2173.02	21693.40	19.24	910.16
170	SLE Q	Diff.	0.50	0.00	4.50	-4763.50	7427.90	6.69	267.40
137	SLE R	Diff.	1.00	0.00	4.50	-9869.94	-95.06	0.45	6.59
142	SLE R	Diff.	1.00	0.00	4.50	3264.21	-421.44	0.00	45.17
169	SLE Q	Diff.	1.00	0.00	4.50	-1882.68	-92.61	0.12	1.65
138	SLE R	Loc.	0.00	0.00	4.50	-17217.70	56816.00	50.89	2198.53
134	SLE R	Loc.	0.00	0.00	4.50	-54.45	56810.40	50.53	2336.82
170	SLE Q	Loc.	0.00	0.00	4.50	-7012.44	19639.60	17.61	751.47

Verifiche stato limite di formazione delle fessure

CC	TCC	Zona	Zv <m>	Xi <m>	Xf <m>	N <daN>	My <daNm>	c <mm>	s <mm>	K3	s_{rm} <mm>	Φ	A_s <cmq>	$A_{c\ eff}$ <cmq>	σ_s <daN/cmq>	σ_{sr} <daN/cmq>	ε_{sm}	Wk <mm>
170	SLE Q	Diff.	0.00	0.00	4.50	-7012.44	19639.60	50.00	291.87	0.14	326.45	22.00	60.82	8339.56	751.46	3137.22	0.15	0.08
146	SLE F	Diff.	0.00	0.00	4.50	-1415.00	43085.70	50.00	291.87	0.14	330.26	22.00	60.82	8339.56	1761.13	3255.74	0.34	0.19
170	SLE Q	Diff.	0.50	0.00	4.50	-4763.50	7427.90	50.00	291.87	0.14	322.91	22.00	60.82	8339.56	267.40	3029.73	0.05	0.03
146	SLE F	Diff.	0.50	0.00	4.50	817.48	16434.30	50.00	291.87	0.14	331.20	22.00	60.82	8339.56	682.77	3285.24	0.13	0.07
158	SLE F	Diff.	1.00	0.00	4.50	6371.52	-14712.80	50.00	291.87	0.15	335.37	22.00	60.82	8339.56	657.36	3418.55	0.13	0.07
170	SLE Q	Loc.	0.00	0.00	4.50	-7012.44	19639.60	50.00	291.87	0.14	326.45	22.00	60.82	8339.56	751.46	3137.22	0.15	0.08
146	SLE F	Loc.	0.00	0.00	4.50	-1415.00	43085.60	50.00	291.87	0.14	330.26	22.00	60.82	8339.56	1761.13	3255.74	0.34	0.19

Parete n. 307

Caratteristiche delle sezioni e dei materiali utilizzati

Sez.	Spess. <cm>	Cf <cm>	Cls	Fck <daN/cmq>	Fctk <daN/cmq>	Fcd <daN/cmq>	Fctd <daN/cmq>	Acc.	Fyk <daN/cmq>	Fyd <daN/cmq>
Oriz.	50.00	6.10	C32/40	332.00	21.69	188.13	14.46	B450C	4500.00	3913.04

Verifiche su sezioni orizzontali
Stato limite ultimo - Armatura a flessione

CC	TCC	Zona	Zv <m>	Xi <m>	Xf <m>	N <daN>	My <daNm>	Nu <daN>	Myu <daNm>	Sic.
97	SLU	Diff.	0.00	0.00	4.50	-312.49	-77662.80	-315.59	-103730.00	1.336
34	SLD	Diff.	0.00	0.00	4.50	-6513.40	-19801.30	-6517.44	-123958.00	6.260
121	SLU	Diff.	0.50	0.00	4.50	-2456.22	-34805.60	-2460.63	-104152.00	2.992
34	SLD	Diff.	0.50	0.00	4.50	-4319.94	-7487.96	-4323.72	-123520.00	16.496
122	SLU	Diff.	1.00	0.00	4.50	1695.59	-10337.50	1694.69	-102063.00	9.873
50	SLD	Diff.	1.00	0.00	4.50	-332.01	130.27	-334.16	122723.00	>100
97	SLU	Loc.	0.00	0.00	4.50	-312.49	-77662.80	-315.59	-103730.00	1.336
34	SLD	Loc.	0.00	0.00	4.50	-6513.40	-19801.30	-6517.44	-123958.00	6.260

Stato limite d'esercizio - Armatura a flessione

CC	TCC	Zona	Zv <m>	Xi <m>	Xf <m>	N <daN>	My <daNm>	σ_c <daN/cmq>	σ_f <daN/cmq>
141	SLE R	Diff.	0.00	0.00	4.50	-17217.00	-56814.50	50.89	2198.48
133	SLE R	Diff.	0.00	0.00	4.50	-54.44	-56810.40	50.53	2336.82
169	SLE Q	Diff.	0.00	0.00	4.50	-7012.44	-19639.60	17.61	751.47
141	SLE R	Diff.	0.50	0.00	4.50	-14948.60	-21715.00	19.57	773.65
133	SLE R	Diff.	0.50	0.00	4.50	2173.02	-21693.40	19.24	910.16
169	SLE Q	Diff.	0.50	0.00	4.50	-4763.50	-7427.90	6.69	267.40
142	SLE R	Diff.	1.00	0.00	4.50	-9869.33	95.07	0.45	6.59
137	SLE R	Diff.	1.00	0.00	4.50	3264.54	421.46	0.00	45.17
170	SLE Q	Diff.	1.00	0.00	4.50	-1882.68	92.61	0.12	1.65
141	SLE R	Loc.	0.00	0.00	4.50	-17217.00	-56814.50	50.89	2198.48
133	SLE R	Loc.	0.00	0.00	4.50	-54.44	-56810.40	50.53	2336.82
169	SLE Q	Loc.	0.00	0.00	4.50	-7012.44	-19639.60	17.61	751.47

Verifiche stato limite di formazione delle fessure

CC	TCC	Zona	Zv <m>	Xi <m>	Xf <m>	N <daN>	My <daNm>	c <mm>	s <mm>	K3	s_{rm} <mm>	Φ	A_s <cmq>	$A_{c\ eff}$ <cmq>	σ_s <daN/cmq>	σ_{sr} <daN/cmq>	ε_{sm}	Wk <mm>
169	SLE Q	Diff.	0.00	0.00	4.50	-7012.44	-19639.60	50.00	291.87	0.14	326.45	22.00	60.82	8339.56	751.47	3137.22	0.15	0.08
157	SLE F	Diff.	0.00	0.00	4.50	-6008.32	-62166.90	50.00	291.87	0.14	329.53	22.00	60.82	8339.56	2508.96	3232.76	0.49	0.27
169	SLE Q	Diff.	0.50	0.00	4.50	-4763.50	-7427.90	50.00	291.87	0.14	322.91	22.00	60.82	8339.56	267.40	3029.73	0.05	0.03
157	SLE F	Diff.	0.50	0.00	4.50	-3767.75	-33490.70	50.00	291.87	0.14	329.34	22.00	60.82	8339.56	1347.34	3227.02	0.26	0.15
157	SLE F	Diff.	1.00	0.00	4.50	454.96	-14453.60	50.00	291.87	0.14	330.99	22.00	60.82	8339.56	598.34	3278.74	0.12	0.07
169	SLE Q	Loc.	0.00	0.00	4.50	-7012.44	-19639.60	50.00	291.87	0.14	326.45	22.00	60.82	8339.56	751.47	3137.22	0.15	0.08
157	SLE F	Loc.	0.00	0.00	4.50	-6008.32	-62166.90	50.00	291.87	0.14	329.53	22.00	60.82	8339.56	2508.96	3232.76	0.49	0.27

Oggetto: INTEGRAZIONI VERIFICA SEZIONI ACCIAIO T_0

Simbologia

Sez.		= Numero della sezione
Cod.		= Codice
Tipo		= Tipologia 2C = Doppia C lato labbri 2Cdx = Doppia C lato costola 2I = Doppia I 2L = Doppia L lato labbri 2Ldx = Doppia L lato costole C = C Cdx = C destra Cir. = Circolare Cir.c = Circolare cava I = I L = L Ldx = L destra Om. = Omega Pg = Pi greco Pr = Poligono regolare Prc = Poligono regolare cavo Pc = Per coordinate Ia = Inerzie assegnate R = Rettangolare Rc = Rettangolare cava T = T U = U Ur = U rovescia V = V Vr = V rovescia Z = Z Zdx = Z destra Ts = T stondata Ls = L stondata Cs = C stondata Is = I stondata Dis. = Disegnata
D	<cm>	= Distanza
Area	<cmq>	= Area
Anet	<cmq>	= Area netta per compressione
Aeff	<cmq>	= Area effettiva per trazione
Jy	<cm4>	= Momento d'inerzia rispetto all'asse Y
Jz	<cm4>	= Momento d'inerzia rispetto all'asse Z
Iy	<cm>	= Raggio giratorio d'inerzia rispetto all'asse Y
Iz	<cm>	= Raggio giratorio d'inerzia rispetto all'asse Z
Wymin	<cmc>	= Modulo di resistenza minimo rispetto all'asse Y
Wzmin	<cmc>	= Modulo di resistenza minimo rispetto all'asse Z
Wy,plas	<cmc>	= Modulo di resistenza plastico intorno all'asse Y
Wz,plas	<cmc>	= Modulo di resistenza plastico intorno all'asse Z
Atag,y	<cmq>	= Area resistente a taglio in dir. Y
Atag,z	<cmq>	= Area resistente a taglio in dir. Z
$J\omega$	<cm6>	= Costante di ingobbamento
CC		= Numero della combinazione delle condizioni di carico elementari
N,Ed	<daN>	= Forza assiale di calcolo
Mz,Ed	<daNm>	= Momento flettente di calcolo intorno all'asse Z
Nc,Rd	<daN>	= Resistenza a compressione
Mz,c,Rd	<daNm>	= Resistenza di calcolo a flessione intorno all'asse Z
L	<cm>	= Lunghezza dell'asta
αmy, αmz, αLT		= Coefficienti correttivi per il momento flettente
λ_y		= Snellezza per inflessione intorno all'asse y(c)
Ncr,y	<daN>	= Sforzo normale critico euleriano per inflessione intorno all'asse y(c)
λ^*_y		= Snellezza adimensionale per inflessione intorno all'asse y(c)
Curva		= Curva di instabilità adottata
Φ_y		= Coefficiente Φ per inflessione intorno all'asse y(c)
χ_y		= Coefficiente χ di riduzione per instabilità intorno all'asse y(c)
λ_z		= Snellezza per inflessione intorno all'asse z(e)
Ncr,z	<daN>	= Sforzo normale critico euleriano per inflessione intorno all'asse z(e)
λ^*_z		= Snellezza adimensionale per inflessione intorno all'asse z(e)
Φ_z		= Coefficiente Φ per inflessione intorno all'asse z(e)
χ_z		= Coefficiente χ di riduzione per instabilità intorno all'asse z(e)
Kyy, Kyz, Kzy, Kzz		= Coefficienti di interazione
Xl	<m>	= Coordinata progressiva (dal nodo iniziale dell'asta) in cui viene effettuato il progetto/verifica
N	<daN>	= Sforzo normale
Ty	<daN>	= Taglio in dir. Y
Mz	<daNm>	= Momento flettente intorno all'asse Z
V,Ed	<daN>	= Forza di taglio di calcolo
Vc,Rd	<daN>	= Resistenza a taglio
MNz,c,Rd	<daNm>	= Resistenza di calcolo a pressoflessione intorno all'asse Z
L_{cr}	<m>	= Lunghezza di libera inflessione laterale fra ritegni torsionali
α-imp		= Coefficiente di imperfezione
k_c		= Coeff. di correzione momento flettente per stabilità laterale membrature inflesse
ψ		= Coeff. di correzione momento critico per stabilità laterale membrature inflesse
M,cr	<daNm>	= Momento critico per instabilità flesso torsionale
λ_{LT}		= Coefficiente di imperfezione per stabilità laterale membrature inflesse
$\lambda_{LT,0}$		= Coefficiente di imperfezione di confronto per stabilità laterale membrature inflesse
β_{LT}		= Coefficiente per calcolo Φ_{LT}
Φ_{LT}		= Coefficiente Φ per stabilità laterale membrature inflesse
f		= Fattore di modifica per il coefficiente di riduzione
χ_{LT}		= Coefficiente di riduzione per stabilità laterale membrature inflesse
My,Ed	<daNm>	= Momento flettente di calcolo intorno all'asse Y
My,b,Rd	<daNm>	= Resistenza di calcolo a flessione ridotta per stabilità laterale membrature inflesse
My,c,Rd	<daNm>	= Resistenza di calcolo a flessione intorno all'asse Y
Tz	<daN>	= Taglio in dir. Z
My	<daNm>	= Momento flettente intorno all'asse Y
MNy,c,Rd	<daNm>	= Resistenza di calcolo a pressoflessione intorno all'asse Y

α		= Esponente sfruttamento per flessione retta intorno all'asse y
β		= Esponente sfruttamento per flessione retta intorno all'asse z
V,Ed,G	<daN>	= Forza di taglio per azioni non sismiche
V,Ed,M	<daN>	= Forza di taglio dovuta all'applicazione dei momenti resistenti
σ_N	<daN/cmq>	= Tensione normale per sforzo normale
σ_M	<daN/cmq>	= Tensione normale per momento flettente
τ	<daN/cmq>	= Tensione tangenziale per taglio e/o torsione
$\sigma_{ID,max}$	<daN/cmq>	= Tensione ideale massima
Myeq,Ed	<daNm>	= Valore equivalente del momento flettente intorno all'asse Y
Mzeq,Ed	<daNm>	= Valore equivalente del momento flettente intorno all'asse Z
$f_{Z,L}$	<cm>	= Freccia in direzione Z locale
$f_{Z,G}$	<cm>	= Freccia in direzione Z globale

Caratteristiche profilati utilizzati

Sez.	Cod.	Tipo	D <cm>	Area <cmq>	Anet <cmq>	Aeff <cmq>	Jy <cm4>	Jz <cm4>	Iy <cm>	Iz <cm>	Wymin <cmc>	Wzmin <cmc>
2	U160x8.5	Cs	--	26.58	26.58	26.58	916.14	88.69	5.87	1.83	114.52	18.03
3	HEB140	Is	--	42.96	42.96	42.96	1509.25	549.67	5.93	3.58	215.61	78.52
4	IPE120	Is	--	13.21	13.21	13.21	317.76	27.67	4.90	1.45	52.96	8.65
5	HEA100 sez. generica	Is	--	21.24	21.24	21.24	349.24	133.81	4.06	2.51	72.76	26.76

Caratteristiche profilati utilizzati

Sez.	Cod.	Wy,plas <cmc>	Wz,plas <cmc>	Atag,y <cmq>	Atag,z <cmq>	Jω <cm6>
2	U160x8.5	141.21	39.83	13.77	17.14	
3	HEB140	246.04	119.88	36.52	13.08	22478.90
4	IPE120	60.93	13.60	9.10	6.31	889.59
5	HEA100 sez. generica	83.42	41.22	18.44	7.56	2581.33

Asta n. 10 (10 310) HEA100 sez. generica Crit. 10

- Verifica di stabilità aste presso-inflesse (C4.2.4.1.3.3.2) - CC 98 - Classe 1
  Sollecitazioni: N,Ed=-21872.60 Mz,Ed=-28.31
  Resistenze: Nc,Rd=47530.20 Mz,c,Rd=922.54 L=20.00
  αmy, αmz, αLT=0.95, 0.95, 0.95
  λ_Y=4.93 Ncr,y=18095700.00 λ^*_y=0.05 Curva b: Φ_y=0.00 χ_y=1.00
  λ_Z=7.97 Ncr,z=6933490.00 λ^*_z=0.08 Curva c: Φ_z=0.00 χ_z=1.00
  Kyy, Kyz, Kzy, Kzz=0.89, 0.46, 0.53, 0.76
  Verifica YY: 0.46+0.01=0.47
  Verifica ZZ: 0.46+0.02=0.48

- Verifica a compressione (4.2.10) - CC 71 Xl=0.11 - Classe 1
  Sollecitazioni: N=-8328.47 T_y=-1.89
  N,Ed=-8328.47 Nc,Rd=-47530.20 N,Ed/Nc,Rd=0.18

- Verifica a taglio dir. Y (4.2.17) - CC 98 Xl=0.00
  Sollecitazioni: N=-21872.60 T_y=-15.07 M_z=-25.30
  V,Ed=-15.07 Vc,Rd=23824.20 V,Ed/Vc,Rd=0.00

Asta n. 11 (11 311) HEA100 sez. generica Crit. 10

- Verifica di stabilità aste presso-inflesse (C4.2.4.1.3.3.2) - CC 97 - Classe 1
  Sollecitazioni: N,Ed=-21872.60 Mz,Ed=-28.31
  Resistenze: Nc,Rd=47530.20 Mz,c,Rd=922.54 L=20.00
  αmy, αmz, αLT=0.95, 0.95, 0.95
  λ_Y=4.93 Ncr,y=18095700.00 λ^*_y=0.05 Curva b: Φ_y=0.00 χ_y=1.00
  λ_Z=7.97 Ncr,z=6933490.00 λ^*_z=0.08 Curva c: Φ_z=0.00 χ_z=1.00
  Kyy, Kyz, Kzy, Kzz=0.89, 0.46, 0.53, 0.76
  Verifica YY: 0.46+0.01=0.47
  Verifica ZZ: 0.46+0.02=0.48

- Verifica a compressione (4.2.10) - CC 23 Xl=0.11 - Classe 1
  Sollecitazioni: N=-8328.47 T_y=-1.89
  N,Ed=-8328.47 Nc,Rd=-47530.20 N,Ed/Nc,Rd=0.18

- Verifica a taglio dir. Y (4.2.17) - CC 121 Xl=0.16
  Sollecitazioni: N=-16189.40 T_y=-15.73 M_z=-33.53
  V,Ed=-15.73 Vc,Rd=23824.20 V,Ed/Vc,Rd=0.00

Asta n. 12 (12 312) HEA100 sez. generica Crit. 10

- Verifica di stabilità aste presso-inflesse (C4.2.4.1.3.3.2) - CC 102 - Classe 1
  Sollecitazioni: N,Ed=-20663.10 Mz,Ed=-4.33

Resistenze: Nc,Rd=47530.20 Mz,c,Rd=922.54 L=20.00
αmy, αmz, αLT=0.95, 0.95, 0.95
λ_Y=4.93 Ncr,y=18095700.00 λ^*_y=0.05 Curva b: Φ_y=0.00 χ_y=1.00
λ_Z=7.97 Ncr,z=6933490.00 λ^*_z=0.08 Curva c: Φ_z=0.00 χ_z=1.00
Kyy, Kyz, Kzy, Kzz=0.89, 0.46, 0.53, 0.77
Verifica YY: 0.43+0.00=0.44
Verifica ZZ: 0.43+0.00=0.44

- Verifica a pressoflessione retta - CC 17 Xl=0.20 - Classe 1
Sollecitazioni: N=-2816.66 T_y=-6.36 M_z=-17.53
Mz,Ed=-17.53 Mz,c,Rd=922.54
N,Ed=-2816.66 Nc,Rd=47530.20 n=N,Ed/Nc,Rd=0.06
MNz,c,Rd=922.54 Mz,Ed/MNz,c,Rd=0.02

- Verifica a taglio dir. Y (4.2.17) - CC 98 Xl=0.00
Sollecitazioni: N=-19326.80 T_y=-6.69 M_z=-9.94
V,Ed=-6.69 Vc,Rd=23824.20 V,Ed/Vc,Rd=0.00

Asta n. 13 (13 313) HEA100 sez. generica Crit. 10

- Verifica di stabilità aste presso-inflesse (C4.2.4.1.3.3.2) - CC 105 - Classe 1
Sollecitazioni: N,Ed=-20662.50 Mz,Ed=-4.33
Resistenze: Nc,Rd=47530.20 Mz,c,Rd=922.54 L=20.00
αmy, αmz, αLT=0.95, 0.95, 0.95
λ_Y=4.93 Ncr,y=18095700.00 λ^*_y=0.05 Curva b: Φ_y=0.00 χ_y=1.00
λ_Z=7.97 Ncr,z=6933490.00 λ^*_z=0.08 Curva c: Φ_z=0.00 χ_z=1.00
Kyy, Kyz, Kzy, Kzz=0.89, 0.46, 0.53, 0.77
Verifica YY: 0.43+0.00=0.44
Verifica ZZ: 0.43+0.00=0.44

- Verifica a pressoflessione retta - CC 65 Xl=0.20 - Classe 1
Sollecitazioni: N=-2816.66 T_y=-6.36 M_z=-17.53
Mz,Ed=-17.53 Mz,c,Rd=922.54
N,Ed=-2816.66 Nc,Rd=47530.20 n=N,Ed/Nc,Rd=0.06
MNz,c,Rd=922.54 Mz,Ed/MNz,c,Rd=0.02

- Verifica a taglio dir. Y (4.2.17) - CC 121 Xl=0.00
Sollecitazioni: N=-13492.10 T_y=-7.30 M_z=-13.34
V,Ed=-7.30 Vc,Rd=23824.20 V,Ed/Vc,Rd=0.00

Asta n. 14 (14 314) HEA100 sez. generica Crit. 10

- Verifica di stabilità aste presso-inflesse (C4.2.4.1.3.3.2) - CC 102 - Classe 1
Sollecitazioni: N,Ed=-19550.90 Mz,Ed=-0.04
Resistenze: Nc,Rd=47530.20 Mz,c,Rd=922.54 L=20.00
αmy, αmz, αLT=0.95, 0.95, 0.95
λ_Y=4.93 Ncr,y=18095700.00 λ^*_y=0.05 Curva b: Φ_y=0.00 χ_y=1.00
λ_Z=7.97 Ncr,z=6933490.00 λ^*_z=0.08 Curva c: Φ_z=0.00 χ_z=1.00
Kyy, Kyz, Kzy, Kzz=0.89, 0.47, 0.54, 0.78
Verifica YY: 0.41+0.00=0.41
Verifica ZZ: 0.41+0.00=0.41

- Verifica a compressione (4.2.10) - CC 102 Xl=0.00 - Classe 1
Sollecitazioni: N=-19550.90
N,Ed=-19550.90 Nc,Rd=-47530.20 N,Ed/Nc,Rd=0.41

- Verifica a taglio dir. Y (4.2.17) - CC 65 Xl=0.00
Sollecitazioni: N=-3638.05 T_y=1.78 M_z=8.12
V,Ed=1.78 Vc,Rd=23824.20 V,Ed/Vc,Rd=0.00

Asta n. 15 (15 315) HEA100 sez. generica Crit. 10

- Verifica di stabilità aste presso-inflesse (C4.2.4.1.3.3.2) - CC 105 - Classe 1
Sollecitazioni: N,Ed=-19550.40 Mz,Ed=-0.04
Resistenze: Nc,Rd=47530.20 Mz,c,Rd=922.54 L=20.00
αmy, αmz, αLT=0.95, 0.95, 0.95
λ_Y=4.93 Ncr,y=18095700.00 λ^*_y=0.05 Curva b: Φ_y=0.00 χ_y=1.00
λ_Z=7.97 Ncr,z=6933490.00 λ^*_z=0.08 Curva c: Φ_z=0.00 χ_z=1.00
Kyy, Kyz, Kzy, Kzz=0.89, 0.47, 0.54, 0.78
Verifica YY: 0.41+0.00=0.41
Verifica ZZ: 0.41+0.00=0.41

- Verifica a compressione (4.2.10) - CC 105 Xl=0.00 - Classe 1
  Sollecitazioni: N=-19550.40
  N,Ed=-19550.40 Nc,Rd=-47530.20 N,Ed/Nc,Rd=0.41

- Verifica a taglio dir. Y (4.2.17) - CC 17 Xl=0.00
  Sollecitazioni: N=-3638.05 T_y=1.78 M_z=8.12
  V,Ed=1.78 Vc,Rd=23824.20 V,Ed/Vc,Rd=0.00

Asta n. 16 (16 316) HEA100 sez. generica Crit. 10

- Verifica di stabilità aste presso-inflesse (C4.2.4.1.3.3.2) - CC 102 - Classe 1
  Sollecitazioni: N,Ed=-20600.00 Mz,Ed=4.05
  Resistenze: Nc,Rd=47530.20 Mz,c,Rd=922.54 L=20.00
  αmy, αmz, αLT=0.95, 0.95, 0.95
  λ_Y=4.93 Ncr,y=18095700.00 λ^*_y=0.05 Curva b: Φ_y=0.00 χ_y=1.00
  λ_Z=7.97 Ncr,z=6933490.00 λ^*_z=0.08 Curva c: Φ_z=0.00 χ_z=1.00
  Kyy, Kyz, Kzy, Kzz=0.89, 0.46, 0.53, 0.77
  Verifica YY: 0.43+0.00=0.44
  Verifica ZZ: 0.43+0.00=0.44

- Verifica a pressoflessione retta - CC 65 Xl=0.20 - Classe 1
  Sollecitazioni: N=-2760.78 T_y=6.32 M_z=17.31
  Mz,Ed=17.31 Mz,c,Rd=922.54
  N,Ed=-2760.78 Nc,Rd=47530.20 n=N,Ed/Nc,Rd=0.06
  MNz,c,Rd=922.54 Mz,Ed/MNz,c,Rd=0.02

- Verifica a taglio dir. Y (4.2.17) - CC 98 Xl=0.00
  Sollecitazioni: N=-19266.30 T_y=6.64 M_z=9.64
  V,Ed=6.64 Vc,Rd=23824.20 V,Ed/Vc,Rd=0.00

Asta n. 17 (17 317) HEA100 sez. generica Crit. 10

- Verifica di stabilità aste presso-inflesse (C4.2.4.1.3.3.2) - CC 105 - Classe 1
  Sollecitazioni: N,Ed=-20599.40 Mz,Ed=4.05
  Resistenze: Nc,Rd=47530.20 Mz,c,Rd=922.54 L=20.00
  αmy, αmz, αLT=0.95, 0.95, 0.95
  λ_Y=4.93 Ncr,y=18095700.00 λ^*_y=0.05 Curva b: Φ_y=0.00 χ_y=1.00
  λ_Z=7.97 Ncr,z=6933490.00 λ^*_z=0.08 Curva c: Φ_z=0.00 χ_z=1.00
  Kyy, Kyz, Kzy, Kzz=0.89, 0.46, 0.53, 0.77
  Verifica YY: 0.43+0.00=0.44
  Verifica ZZ: 0.43+0.00=0.44

- Verifica a pressoflessione retta - CC 17 Xl=0.20 - Classe 1
  Sollecitazioni: N=-2760.78 T_y=6.32 M_z=17.31
  Mz,Ed=17.31 Mz,c,Rd=922.54
  N,Ed=-2760.78 Nc,Rd=47530.20 n=N,Ed/Nc,Rd=0.06
  MNz,c,Rd=922.54 Mz,Ed/MNz,c,Rd=0.02

- Verifica a taglio dir. Y (4.2.17) - CC 121 Xl=0.00
  Sollecitazioni: N=-13442.90 T_y=7.26 M_z=13.07
  V,Ed=7.26 Vc,Rd=23824.20 V,Ed/Vc,Rd=0.00

Asta n. 18 (18 318) HEA100 sez. generica Crit. 10

- Verifica di stabilità aste presso-inflesse (C4.2.4.1.3.3.2) - CC 98 - Classe 1
  Sollecitazioni: N,Ed=-21762.70 Mz,Ed=27.91
  Resistenze: Nc,Rd=47530.20 Mz,c,Rd=922.54 L=20.00
  αmy, αmz, αLT=0.95, 0.95, 0.95
  λ_Y=4.93 Ncr,y=18095700.00 λ^*_y=0.05 Curva b: Φ_y=0.00 χ_y=1.00
  λ_Z=7.97 Ncr,z=6933490.00 λ^*_z=0.08 Curva c: Φ_z=0.00 χ_z=1.00
  Kyy, Kyz, Kzy, Kzz=0.89, 0.46, 0.53, 0.76
  Verifica YY: 0.46+0.01=0.47
  Verifica ZZ: 0.46+0.02=0.48

- Verifica a compressione (4.2.10) - CC 67 Xl=0.18 - Classe 1
  Sollecitazioni: N=-8252.02 T_y=2.29
  N,Ed=-8252.02 Nc,Rd=-47530.20 N,Ed/Nc,Rd=0.17

- Verifica a taglio dir. Y (4.2.17) - CC 98 Xl=0.18
  Sollecitazioni: N=-21758.60 T_y=14.97 M_z=27.64

V,Ed=14.97 Vc,Rd=23824.20 V,Ed/Vc,Rd=0.00

Asta n. 19 (19 319) HEA100 sez. generica Crit. 10

- Verifica di stabilità aste presso-inflesse (C4.2.4.1.3.3.2) - CC 97 - Classe 1
  Sollecitazioni: N,Ed=-21762.70 Mz,Ed=27.91
  Resistenze: Nc,Rd=47530.20 Mz,c,Rd=922.54 L=20.00
  αmy, αmz, αLT=0.95, 0.95, 0.95
  λ_Y=4.93 Ncr,y=18095700.00 λ^*_y=0.05 Curva b: Φ_y=0.00 χ_y=1.00
  λ_Z=7.97 Ncr,z=6933490.00 λ^*_z=0.08 Curva c: Φ_z=0.00 χ_z=1.00
  Kyy, Kyz, Kzy, Kzz=0.89, 0.46, 0.53, 0.76
  Verifica YY: 0.46+0.01=0.47
  Verifica ZZ: 0.46+0.02=0.48

- Verifica a compressione (4.2.10) - CC 19 Xl=0.18 - Classe 1
  Sollecitazioni: N=-8252.02 T_y=2.29
  N,Ed=-8252.02 Nc,Rd=-47530.20 N,Ed/Nc,Rd=0.17

- Verifica a taglio dir. Y (4.2.17) - CC 121 Xl=0.00
  Sollecitazioni: N=-16096.90 T_y=15.63 M_z=30.59
  V,Ed=15.63 Vc,Rd=23824.20 V,Ed/Vc,Rd=0.00

Asta n. 313 (-590 310) IPE120 Crit. 10

- Verifica di stabilità aste inflesse (4.2.4.1.3.2) CC 102 - Classe 1
  L_{cr}=0.40 Curva b: α-imp=0.34 k_c=0.94 ψ=1.78 M,cr=38028.90 λ_{LT}=0.19
  $\lambda_{LT,0}$=0.40 β_{LT}=0.75 Φ_{LT}=0.48 β_{LT}=0.75 f=0.99 χ_{LT}=1.00
  CC 102 My,Ed=234.09 My,b,Rd=1363.58 My,Ed/My,b,Rd=0.17

- Verifica di stabilità aste presso-inflesse (C4.2.4.1.3.3.2) - CC 98 - Classe 1
  Sollecitazioni: N,Ed=-341.34 My,Ed=318.54 Mz,Ed=4.61
  Resistenze: Nc,Rd=29566.40 My,c,Rd=1363.58 Mz,c,Rd=304.36 L=40.00
  αmy, αmz, αLT=0.95, 0.95, 0.95
  L_{cr}=0.40 Curva b: α-imp=0.34 k_c=0.94 ψ=1.86 M,cr=39857.30 λ_{LT}=0.19
  $\lambda_{LT,0}$=0.40 β_{LT}=0.75 Φ_{LT}=0.48 β_{LT}=0.75 f=0.99 χ_{LT}=1.00
  λ_Y=8.16 Ncr,y=4116220.00 λ^*_y=0.09 Curva a: Φ_y=0.49 χ_y=1.00
  λ_Z=27.64 Ncr,z=358410.00 λ^*_z=0.29 Curva b: Φ_z=0.56 χ_z=0.97
  Kyy, Kyz, Kzy, Kzz=0.95, 0.57, 0.57, 0.95
  Verifica YY: 0.01+0.22+0.01=0.24
  Verifica ZZ: 0.01+0.13+0.01=0.16

- Verifica freccia massima per soli carichi accidentali - CC 133
  $f_{Z,G}$=0.00 (L/23967)

- Verifica freccia massima carichi totali - CC 134
  $f_{Z,L}$=0.00 (L/14339)

- Verifica a pressoflessione deviata (EC3 6.41) - CC 98 Xl=0.40 - Classe 1
  Sollecitazioni: N=-341.34 T_z=-883.04 M_y=318.54 T_y=-21.90 M_z=-4.15
  N,Ed=-341.34 Nc,Rd=29566.40 n=N,Ed/Nc,Rd=0.01
  Pressoflessione retta YY (4.2.34):
   My,Ed=318.54 My,c,Rd=1363.58 MNy,c,Rd=1363.58 My,Ed/MNy,c,Rd=0.23
  Pressoflessione retta ZZ (4.2.35):
   Mz,Ed=-4.15 Mz,c,Rd=304.36 MNz,c,Rd=304.36 Mz,Ed/MNz,c,Rd=0.01
  α=2.00 β=1.00 $(My,Ed/MNy,c,Rd)^2$+$(Mz,Ed/MNz,c,Rd)^1$=0.23

- Verifica a taglio dir. Y (4.2.17) - CC 98 Xl=0.40
  Sollecitazioni: N=-341.34 T_z=-883.04 M_y=318.54 T_y=-21.90 M_z=-4.15
  V,Ed=-21.90 Vc,Rd=11760.20 V,Ed/Vc,Rd=0.00

- Verifica a taglio dir. Z (4.2.17)
  V,Ed=-883.04 Vc,Rd=8148.24 V,Ed/Vc,Rd=0.11

Asta n. 313 (310 329) IPE120 Crit. 10

- Verifica di stabilità aste inflesse (4.2.4.1.3.2) CC 102 - Classe 1
  L_{cr}=0.14 Curva b: α-imp=0.34 k_c=0.94 ψ=1.53 M,cr=240886.00 λ_{LT}=0.08
  $\lambda_{LT,0}$=0.40 β_{LT}=0.75 Φ_{LT}=0.45 β_{LT}=0.75 f=1.00 χ_{LT}=1.00
  CC 102 My,Ed=256.73 My,b,Rd=1363.58 My,Ed/My,b,Rd=0.19

- Verifica di stabilità aste presso-inflesse (C4.2.4.1.3.3.2) - CC 98 - Classe 1

Sollecitazioni: N,Ed=-538.84 My,Ed=274.03 Mz,Ed=3.57
Resistenze: Nc,Rd=29566.40 My,c,Rd=1363.58 Mz,c,Rd=304.36 L=14.42
αmy, αmz, αLT=0.95, 0.95, 0.95
L_{cr}=0.14 Curva b: α-imp=0.34 k_c=0.94 ψ=1.38 M,cr=216828.00 λ_{LT}=0.08
$\lambda_{LT,0}$=0.40 β_{LT}=0.75 Φ_{LT}=0.45 β_{LT}=0.75 f=1.00 χ_{LT}=1.00
λ_Y=2.94 Ncr,y=31672900.00 λ^*_y=0.03 Curva a: Φ_y=0.00 χ_y=1.00
λ_Z=9.96 Ncr,z=2757840.00 λ^*_z=0.11 Curva b: Φ_z=0.00 χ_z=1.00
Kyy, Kyz, Kzy, Kzz=0.95, 0.57, 0.57, 0.94
Verifica YY: 0.02+0.19+0.01=0.22
Verifica ZZ: 0.02+0.11+0.01=0.14

- Verifica freccia massima carichi totali - CC 138
$f_{Z,L}$=0.00 (L/11631)

- Verifica a pressoflessione deviata (EC3 6.41) - CC 98 Xl=0.00 - Classe 1
Sollecitazioni: N=-538.84 T_z=1138.93 M_y=274.03 T_y=-17.64 M_z=3.57
N,Ed=-538.84 Nc,Rd=29566.40 n=N,Ed/Nc,Rd=0.02
Pressoflessione retta YY (4.2.34):
My,Ed=274.03 My,c,Rd=1363.58 MNy,c,Rd=1363.58 My,Ed/MNy,c,Rd=0.20
Pressoflessione retta ZZ (4.2.35):
Mz,Ed=3.57 Mz,c,Rd=304.36 MNz,c,Rd=304.36 Mz,Ed/MNz,c,Rd=0.01
α=2.00 β=1.00 $(My,Ed/MNy,c,Rd)^2+(Mz,Ed/MNz,c,Rd)^1$=0.20

- Verifica a taglio dir. Y (4.2.17) - CC 1 Xl=0.00
Sollecitazioni: N=-187.28 T_z=3674.21 M_y=52.96 T_y=-8.37 M_z=1.91
V,Ed=-8.37 Vc,Rd=11760.20 V,Ed/Vc,Rd=0.00

- Verifica a taglio dir. Z (4.2.17)
V,Ed=3674.21 (V,Ed,G=265.27, V,Ed,M=3408.94) Vc,Rd=8148.24 V,Ed/Vc,Rd=0.45

Asta n. 313 (329 -714) IPE120 Crit. 10

- Verifica di stabilità aste inflesse (4.2.4.1.3.2) CC 102 - Classe 1
L_{cr}=0.26 Curva b: α-imp=0.34 k_c=0.94 ψ=1.97 M,cr=99816.40 λ_{LT}=0.12
$\lambda_{LT,0}$=0.40 β_{LT}=0.75 Φ_{LT}=0.46 β_{LT}=0.75 f=1.00 χ_{LT}=1.00
CC 102 My,Ed=-295.14 My,b,Rd=1363.58 My,Ed/My,b,Rd=0.22

- Verifica di stabilità aste presso-inflesse (C4.2.4.1.3.3.2) - CC 98 - Classe 1
Sollecitazioni: N,Ed=-538.84 My,Ed=-180.42 Mz,Ed=-3.48
Resistenze: Nc,Rd=29566.40 My,c,Rd=1363.58 Mz,c,Rd=304.36 L=25.58
αmy, αmz, αLT=0.95, 0.95, 0.95
L_{cr}=0.26 Curva b: α-imp=0.34 k_c=0.94 ψ=2.50 M,cr=126990.00 λ_{LT}=0.11
$\lambda_{LT,0}$=0.40 β_{LT}=0.75 Φ_{LT}=0.45 β_{LT}=0.75 f=1.00 χ_{LT}=1.00
λ_Y=5.22 Ncr,y=10065100.00 λ^*_y=0.06 Curva a: Φ_y=0.00 χ_y=1.00
λ_Z=17.68 Ncr,z=876394.00 λ^*_z=0.19 Curva b: Φ_z=0.00 χ_z=1.00
Kyy, Kyz, Kzy, Kzz=0.95, 0.57, 0.57, 0.95
Verifica YY: 0.02+0.13+0.01=0.15
Verifica ZZ: 0.02+0.08+0.01=0.10

- Verifica freccia massima carichi totali - CC 137
$f_{Z,L}$=0.00 (L/24384)

- Verifica a pressoflessione deviata (EC3 6.41) - CC 102 Xl=0.26 - Classe 1
Sollecitazioni: N=155.79 T_z=1376.88 M_y=-295.14 T_y=-5.93 M_z=-1.23
N,Ed=155.79 Nc,Rd=29566.40 n=N,Ed/Nc,Rd=0.01
Pressoflessione retta YY (4.2.34):
My,Ed=-295.14 My,c,Rd=1363.58 MNy,c,Rd=1363.58 My,Ed/MNy,c,Rd=0.22
Pressoflessione retta ZZ (4.2.35):
Mz,Ed=-1.23 Mz,c,Rd=304.36 MNz,c,Rd=304.36 Mz,Ed/MNz,c,Rd=0.00
α=2.00 β=1.00 $(My,Ed/MNy,c,Rd)^2+(Mz,Ed/MNz,c,Rd)^1$=0.22

- Verifica a taglio dir. Y (4.2.17) - CC 1 Xl=0.00
Sollecitazioni: N=-187.28 T_z=3672.72 M_y=21.62 T_y=-8.37
V,Ed=-8.37 Vc,Rd=11760.20 V,Ed/Vc,Rd=0.00

- Verifica a taglio dir. Z (4.2.17)
V,Ed=3672.72 (V,Ed,G=263.77, V,Ed,M=3408.94) Vc,Rd=8148.24 V,Ed/Vc,Rd=0.45

Asta n. 313 (-714 -759) IPE120 Crit. 10

- Verifica di stabilità aste inflesse (4.2.4.1.3.2) CC 102 - Classe 1

L_{cr}=0.20 Curva b: α-imp=0.34 k_c=0.94 ψ=1.54 M,cr=127101.00 λ_{LT}=0.11
$\lambda_{LT,0}$=0.40 β_{LT}=0.75 Φ_{LT}=0.45 β_{LT}=0.75 f=1.00 χ_{LT}=1.00
CC 102 My,Ed=-289.47 My,b,Rd=1363.58 My,Ed/My,b,Rd=0.21

- Verifica di stabilità aste presso-inflesse (C4.2.4.1.3.3.2) - CC 98 - Classe 1
Sollecitazioni: N,Ed=-666.77 My,Ed=-189.56 Mz,Ed=2.84
Resistenze: Nc,Rd=29566.40 My,c,Rd=1363.58 Mz,c,Rd=304.36 L=20.00
αmy, αmz, αLT=0.95, 0.95, 0.95
L_{cr}=0.20 Curva b: α-imp=0.34 k_c=0.94 ψ=1.91 M,cr=157458.00 λ_{LT}=0.10
$\lambda_{LT,0}$=0.40 β_{LT}=0.75 Φ_{LT}=0.45 β_{LT}=0.75 f=1.00 χ_{LT}=1.00
λ_Y=4.08 Ncr,y=16464900.00 λ^*_y=0.04 Curva a: Φ_y=0.00 χ_y=1.00
λ_Z=13.82 Ncr,z=1433640.00 λ^*_z=0.15 Curva b: Φ_z=0.00 χ_z=1.00
Kyy, Kyz, Kzy, Kzz=0.95, 0.57, 0.57, 0.94
Verifica YY: 0.02+0.13+0.01=0.16
Verifica ZZ: 0.02+0.08+0.01=0.11

- Verifica freccia massima per soli carichi accidentali - CC 137
$f_{Z,L}$=0.00 (L/13751)

- Verifica freccia massima carichi totali - CC 138
$f_{Z,G}$=0.00 (L/10754)

- Verifica a pressoflessione retta - CC 102 Xl=0.00 - Classe 1
Sollecitazioni: N=255.15 T_z=-1142.44 M_y=-289.47 T_y=-4.51
My,Ed=-289.47 My,c,Rd=1363.58
N,Ed=255.15 Nc,Rd=29566.40 n=N,Ed/Nc,Rd=0.01
MNy,c,Rd=1363.58 My,Ed/MNy,c,Rd=0.21

- Verifica a taglio dir. Y (4.2.17) - CC 1 Xl=0.00
Sollecitazioni: N=-253.87 T_z=3143.49 M_y=-47.58 T_y=-8.67 M_z=1.96
V,Ed=-8.67 Vc,Rd=11760.20 V,Ed/Vc,Rd=0.00

- Verifica a taglio dir. Z (4.2.17)
V,Ed=3143.49 (V,Ed,G=-265.45, V,Ed,M=3408.94) Vc,Rd=8148.24 V,Ed/Vc,Rd=0.39

Asta n. 313 (-759 312) IPE120 Crit. 10

- Verifica di stabilità aste inflesse (4.2.4.1.3.2) CC 102 - Classe 1
L_{cr}=0.20 Curva b: α-imp=0.34 k_c=0.94 ψ=2.17 M,cr=178491.00 λ_{LT}=0.09
$\lambda_{LT,0}$=0.40 β_{LT}=0.75 Φ_{LT}=0.45 β_{LT}=0.75 f=1.00 χ_{LT}=1.00
CC 102 My,Ed=168.62 My,b,Rd=1363.58 My,Ed/My,b,Rd=0.12

- Verifica di stabilità aste presso-inflesse (C4.2.4.1.3.3.2) - CC 98 - Classe 1
Sollecitazioni: N,Ed=-666.77 My,Ed=246.09 Mz,Ed=-2.61
Resistenze: Nc,Rd=29566.40 My,c,Rd=1363.58 Mz,c,Rd=304.36 L=20.00
αmy, αmz, αLT=0.95, 0.95, 0.95
L_{cr}=0.20 Curva b: α-imp=0.34 k_c=0.94 ψ=1.63 M,cr=134636.00 λ_{LT}=0.10
$\lambda_{LT,0}$=0.40 β_{LT}=0.75 Φ_{LT}=0.45 β_{LT}=0.75 f=1.00 χ_{LT}=1.00
λ_Y=4.08 Ncr,y=16464900.00 λ^*_y=0.04 Curva a: Φ_y=0.00 χ_y=1.00
λ_Z=13.82 Ncr,z=1433640.00 λ^*_z=0.15 Curva b: Φ_z=0.00 χ_z=1.00
Kyy, Kyz, Kzy, Kzz=0.95, 0.57, 0.57, 0.94
Verifica YY: 0.02+0.17+0.00=0.20
Verifica ZZ: 0.02+0.10+0.01=0.13

- Verifica a pressoflessione deviata (EC3 6.41) - CC 98 Xl=0.20 - Classe 1
Sollecitazioni: N=-666.77 T_z=-1091.92 M_y=246.09 T_y=-13.61 M_z=-2.61
N,Ed=-666.77 Nc,Rd=29566.40 n=N,Ed/Nc,Rd=0.02
Pressoflessione retta YY (4.2.34):
My,Ed=246.09 My,c,Rd=1363.58 MNy,c,Rd=1363.58 My,Ed/MNy,c,Rd=0.18
Pressoflessione retta ZZ (4.2.35):
Mz,Ed=-2.61 Mz,c,Rd=304.36 MNz,c,Rd=304.36 Mz,Ed/MNz,c,Rd=0.01
α=2.00 β=1.00 $(My,Ed/MNy,c,Rd)^2+(Mz,Ed/MNz,c,Rd)^1$=0.18

- Verifica a taglio dir. Y (4.2.17) - CC 1 Xl=0.00
Sollecitazioni: N=-253.87 T_z=3141.42 M_y=9.15 T_y=9.35
V,Ed=9.35 Vc,Rd=11760.20 V,Ed/Vc,Rd=0.00

- Verifica a taglio dir. Z (4.2.17)
V,Ed=3141.42 (V,Ed,G=-267.53, V,Ed,M=3408.94) Vc,Rd=8148.24 V,Ed/Vc,Rd=0.39

Asta n. 313 (312 -847) IPE120 Crit. 10

- Verifica di stabilità aste inflesse (4.2.4.1.3.2) CC 102 - Classe 1
  L_{cr}=0.40 Curva b: α-imp=0.34 k_c=0.94 ψ=2.90 M,cr=62056.80 λ_{LT}=0.15
  $\lambda_{LT,0}$=0.40 β_{LT}=0.75 Φ_{LT}=0.47 β_{LT}=0.75 f=1.00 χ_{LT}=1.00
  CC 102 My,Ed=-182.32 My,b,Rd=1363.58 My,Ed/My,b,Rd=0.13

- Verifica di stabilità aste presso-inflesse (C4.2.4.1.3.3.2) - CC 98 - Classe 1
  Sollecitazioni: N,Ed=-734.43 My,Ed=229.37 Mz,Ed=1.85
  Resistenze: Nc,Rd=29566.40 My,c,Rd=1363.58 Mz,c,Rd=304.36 L=40.00
  αmy, αmz, αLT=0.95, 0.95, 0.95
  L_{cr}=0.40 Curva b: α-imp=0.34 k_c=0.94 ψ=2.68 M,cr=57277.60 λ_{LT}=0.16
  $\lambda_{LT,0}$=0.40 β_{LT}=0.75 Φ_{LT}=0.47 β_{LT}=0.75 f=0.99 χ_{LT}=1.00
  λ_Y=8.16 Ncr,y=4116220.00 λ^*_y=0.09 Curva a: Φ_y=0.49 χ_y=1.00
  λ_Z=27.64 Ncr,z=358410.00 λ^*_z=0.29 Curva b: Φ_z=0.56 χ_z=0.97
  Kyy, Kyz, Kzy, Kzz=0.95, 0.57, 0.57, 0.95
  Verifica YY: 0.02+0.16+0.00=0.19
  Verifica ZZ: 0.02+0.10+0.01=0.13

- Verifica freccia massima per soli carichi accidentali - CC 133
  $f_{Z,L}$=0.00 (L/25811)

- Verifica freccia massima carichi totali - CC 134
  $f_{Z,L}$=0.00 (L/15679)

- Verifica a pressoflessione deviata (EC3 6.41) - CC 98 Xl=0.00 - Classe 1
  Sollecitazioni: N=-734.43 T_z=995.67 M_y=229.37 T_y=-8.55 M_z=1.85
  N,Ed=-734.43 Nc,Rd=29566.40 n=N,Ed/Nc,Rd=0.02
  Pressoflessione retta YY (4.2.34):
   My,Ed=229.37 My,c,Rd=1363.58 MNy,c,Rd=1363.58 My,Ed/MNy,c,Rd=0.17
  Pressoflessione retta ZZ (4.2.35):
   Mz,Ed=1.85 Mz,c,Rd=304.36 MNz,c,Rd=304.36 Mz,Ed/MNz,c,Rd=0.01
  α=2.00 β=1.00 $(My,Ed/MNy,c,Rd)^2+(Mz,Ed/MNz,c,Rd)^1$=0.17

- Verifica a taglio dir. Y (4.2.17) - CC 1 Xl=0.00
  Sollecitazioni: N=-301.24 T_z=3604.92 M_y=46.54 T_y=-9.52 M_z=1.91
  V,Ed=-9.52 Vc,Rd=11760.20 V,Ed/Vc,Rd=0.00

- Verifica a taglio dir. Z (4.2.17)
  V,Ed=3604.92 (V,Ed,G=215.89, V,Ed,M=3389.03) Vc,Rd=8148.24 V,Ed/Vc,Rd=0.44

Asta n. 313 (-847 314) IPE120 Crit. 10

- Verifica di stabilità aste inflesse (4.2.4.1.3.2) CC 102 - Classe 1
  L_{cr}=0.40 Curva b: α-imp=0.34 k_c=0.94 ψ=2.68 M,cr=56011.50 λ_{LT}=0.16
  $\lambda_{LT,0}$=0.40 β_{LT}=0.75 Φ_{LT}=0.47 β_{LT}=0.75 f=0.99 χ_{LT}=1.00
  CC 102 My,Ed=257.84 My,b,Rd=1363.58 My,Ed/My,b,Rd=0.19

- Verifica di stabilità aste presso-inflesse (C4.2.4.1.3.3.2) - CC 98 - Classe 1
  Sollecitazioni: N,Ed=-763.08 My,Ed=211.18 Mz,Ed=0.73
  Resistenze: Nc,Rd=29566.40 My,c,Rd=1363.58 Mz,c,Rd=304.36 L=40.47
  αmy, αmz, αLT=0.95, 0.95, 0.95
  L_{cr}=0.40 Curva b: α-imp=0.34 k_c=0.94 ψ=2.79 M,cr=58304.10 λ_{LT}=0.16
  $\lambda_{LT,0}$=0.40 β_{LT}=0.75 Φ_{LT}=0.47 β_{LT}=0.75 f=0.99 χ_{LT}=1.00
  λ_Y=8.25 Ncr,y=4021170.00 λ^*_y=0.09 Curva a: Φ_y=0.49 χ_y=1.00
  λ_Z=27.96 Ncr,z=350134.00 λ^*_z=0.30 Curva b: Φ_z=0.56 χ_z=0.96
  Kyy, Kyz, Kzy, Kzz=0.95, 0.57, 0.57, 0.95
  Verifica YY: 0.03+0.15+0.00=0.17
  Verifica ZZ: 0.03+0.09+0.00=0.12

- Verifica freccia massima per soli carichi accidentali - CC 137
  $f_{Z,L}$=0.00 (L/29266)

- Verifica freccia massima carichi totali - CC 138
  $f_{Z,L}$=0.00 (L/24962)

- Verifica a pressoflessione retta - CC 102 Xl=0.40 - Classe 1
  Sollecitazioni: N=86.86 T_z=-1105.84 M_y=257.84
  My,Ed=257.84 My,c,Rd=1363.58
  N,Ed=86.86 Nc,Rd=29566.40 n=N,Ed/Nc,Rd=0.00
  MNy,c,Rd=1363.58 My,Ed/MNy,c,Rd=0.19

- Verifica a taglio dir. Y (4.2.17) - CC 1 Xl=0.00
  Sollecitazioni: N=-333.62 T_z=3186.01 M_y=-33.66 T_y=-8.98 M_z=1.83
  V,Ed=-8.98 Vc,Rd=11760.20 V,Ed/Vc,Rd=0.00

- Verifica a taglio dir. Z (4.2.17)
  V,Ed=3186.01 (V,Ed,G=-203.02, V,Ed,M=3389.03) Vc,Rd=8148.24 V,Ed/Vc,Rd=0.39

Asta n. 313 (314 -935) IPE120 Crit. 10

- Verifica di stabilità aste inflesse (4.2.4.1.3.2) CC 102 - Classe 1
  L_{cr}=0.40 Curva b: α-imp=0.34 k_c=0.94 ψ=2.68 M,cr=58568.70 λ_{LT}=0.16
  $\lambda_{LT,0}$=0.40 β_{LT}=0.75 Φ_{LT}=0.47 β_{LT}=0.75 f=0.99 χ_{LT}=1.00
  CC 102 My,Ed=257.87 My,b,Rd=1363.58 My,Ed/My,b,Rd=0.19

- Verifica di stabilità aste presso-inflesse (C4.2.4.1.3.3.2) - CC 98 - Classe 1
  Sollecitazioni: N,Ed=-763.10 My,Ed=211.16 Mz,Ed=0.78
  Resistenze: Nc,Rd=29566.40 My,c,Rd=1363.58 Mz,c,Rd=304.36 L=39.53
  αmy, αmz, αLT=0.95, 0.95, 0.95
  L_{cr}=0.40 Curva b: α-imp=0.34 k_c=0.94 ψ=2.79 M,cr=60994.10 λ_{LT}=0.15
  $\lambda_{LT,0}$=0.40 β_{LT}=0.75 Φ_{LT}=0.47 β_{LT}=0.75 f=1.00 χ_{LT}=1.00
  λ_Y=8.06 Ncr,y=4214680.00 λ^*_y=0.09 Curva a: Φ_y=0.49 χ_y=1.00
  λ_Z=27.31 Ncr,z=366983.00 λ^*_z=0.29 Curva b: Φ_z=0.56 χ_z=0.97
  Kyy, Kyz, Kzy, Kzz=0.95, 0.57, 0.57, 0.95
  Verifica YY: 0.03+0.15+0.00=0.17
  Verifica ZZ: 0.03+0.09+0.00=0.12

- Verifica freccia massima per soli carichi accidentali - CC 137
  $f_{Z,L}$=0.00 (L/20219)

- Verifica freccia massima carichi totali - CC 138
  $f_{Z,L}$=0.00 (L/13816)

- Verifica a pressoflessione retta - CC 102 Xl=0.00 - Classe 1
  Sollecitazioni: N=87.22 T_z=1132.04 M_y=257.87 T_y=1.02
  My,Ed=257.87 My,c,Rd=1363.58
  N,Ed=87.22 Nc,Rd=29566.40 n=N,Ed/Nc,Rd=0.00
  MNy,c,Rd=1363.58 My,Ed/MNy,c,Rd=0.19

- Verifica a taglio dir. Y (4.2.17) - CC 1 Xl=0.00
  Sollecitazioni: N=-334.49 T_z=3641.40 M_y=48.32 T_y=-9.30 M_z=1.83
  V,Ed=-9.30 Vc,Rd=11760.20 V,Ed/Vc,Rd=0.00

- Verifica a taglio dir. Z (4.2.17)
  V,Ed=3641.40 (V,Ed,G=212.31, V,Ed,M=3429.09) Vc,Rd=8148.24 V,Ed/Vc,Rd=0.45

Asta n. 313 (-935 316) IPE120 Crit. 10

- Verifica di stabilità aste inflesse (4.2.4.1.3.2) CC 102 - Classe 1
  L_{cr}=0.40 Curva b: α-imp=0.34 k_c=0.94 ψ=2.90 M,cr=61995.20 λ_{LT}=0.15
  $\lambda_{LT,0}$=0.40 β_{LT}=0.75 Φ_{LT}=0.47 β_{LT}=0.75 f=1.00 χ_{LT}=1.00
  CC 102 My,Ed=-182.26 My,b,Rd=1363.58 My,Ed/My,b,Rd=0.13

- Verifica di stabilità aste presso-inflesse (C4.2.4.1.3.3.2) - CC 98 - Classe 1
  Sollecitazioni: N,Ed=-734.15 My,Ed=228.79 Mz,Ed=1.88
  Resistenze: Nc,Rd=29566.40 My,c,Rd=1363.58 Mz,c,Rd=304.36 L=40.00
  αmy, αmz, αLT=0.95, 0.95, 0.95
  L_{cr}=0.40 Curva b: α-imp=0.34 k_c=0.94 ψ=2.68 M,cr=57344.70 λ_{LT}=0.16
  $\lambda_{LT,0}$=0.40 β_{LT}=0.75 Φ_{LT}=0.47 β_{LT}=0.75 f=0.99 χ_{LT}=1.00
  λ_Y=8.16 Ncr,y=4116220.00 λ^*_y=0.09 Curva a: Φ_y=0.49 χ_y=1.00
  λ_Z=27.64 Ncr,z=358410.00 λ^*_z=0.29 Curva b: Φ_z=0.56 χ_z=0.97
  Kyy, Kyz, Kzy, Kzz=0.95, 0.57, 0.57, 0.95
  Verifica YY: 0.02+0.16+0.00=0.19
  Verifica ZZ: 0.02+0.10+0.01=0.13

- Verifica freccia massima per soli carichi accidentali - CC 137
  $f_{Z,L}$=0.00 (L/22982)

- Verifica freccia massima carichi totali - CC 138
  $f_{Z,L}$=0.00 (L/20712)

- Verifica a pressoflessione deviata (EC3 6.41) - CC 98 Xl=0.40 - Classe 1

Sollecitazioni: N=-734.15 T_z=-994.38 M_y=228.79 T_y=8.69 M_z=1.88
N,Ed=-734.15 Nc,Rd=29566.40 n=N,Ed/Nc,Rd=0.02
Pressoflessione retta YY (4.2.34):
My,Ed=228.79 My,c,Rd=1363.58 MNy,c,Rd=1363.58 My,Ed/MNy,c,Rd=0.17
Pressoflessione retta ZZ (4.2.35):
Mz,Ed=1.88 Mz,c,Rd=304.36 MNz,c,Rd=304.36 Mz,Ed/MNz,c,Rd=0.01
α=2.00 β=1.00 $(My,Ed/MNy,c,Rd)^2+(Mz,Ed/MNz,c,Rd)^1$=0.17

- Verifica a taglio dir. Y (4.2.17) - CC 1 Xl=0.00
Sollecitazioni: N=-304.87 T_z=3218.30 M_y=-32.97 T_y=-9.45 M_z=1.88
V,Ed=-9.45 Vc,Rd=11760.20 V,Ed/Vc,Rd=0.00

- Verifica a taglio dir. Z (4.2.17)
V,Ed=3218.30 (V,Ed,G=-210.79, V,Ed,M=3429.09) Vc,Rd=8148.24 V,Ed/Vc,Rd=0.39

Asta n. 313 (316 -1023) IPE120 Crit. 10

- Verifica di stabilità aste inflesse (4.2.4.1.3.2) CC 102 - Classe 1
L_{cr}=0.20 Curva b: α-imp=0.34 k_c=0.94 ψ=2.17 M,cr=178581.00 λ_{LT}=0.09
$\lambda_{LT,0}$=0.40 β_{LT}=0.75 Φ_{LT}=0.45 β_{LT}=0.75 f=1.00 χ_{LT}=1.00
CC 102 My,Ed=168.03 My,b,Rd=1363.58 My,Ed/My,b,Rd=0.12

- Verifica di stabilità aste presso-inflesse (C4.2.4.1.3.3.2) - CC 98 - Classe 1
Sollecitazioni: N,Ed=-665.60 My,Ed=245.27 Mz,Ed=-2.63
Resistenze: Nc,Rd=29566.40 My,c,Rd=1363.58 Mz,c,Rd=304.36 L=20.00
αmy, αmz, αLT=0.95, 0.95, 0.95
L_{cr}=0.20 Curva b: α-imp=0.34 k_c=0.94 ψ=1.63 M,cr=134640.00 λ_{LT}=0.10
$\lambda_{LT,0}$=0.40 β_{LT}=0.75 Φ_{LT}=0.45 β_{LT}=0.75 f=1.00 χ_{LT}=1.00
λ_Y=4.08 Ncr,y=16464900.00 λ^*_y=0.04 Curva a: Φ_y=0.00 χ_y=1.00
λ_Z=13.82 Ncr,z=1433640.00 λ^*_z=0.15 Curva b: Φ_z=0.00 χ_z=1.00
Kyy, Kyz, Kzy, Kzz=0.95, 0.57, 0.57, 0.94
Verifica YY: 0.02+0.17+0.00=0.20
Verifica ZZ: 0.02+0.10+0.01=0.13

- Verifica freccia massima per soli carichi accidentali - CC 133
$f_{Z,L}$=0.00 (L/19972)

- Verifica freccia massima carichi totali - CC 134
$f_{Z,G}$=0.00 (L/12520)

- Verifica a pressoflessione deviata (EC3 6.41) - CC 98 Xl=0.00 - Classe 1
Sollecitazioni: N=-665.60 T_z=1088.37 M_y=245.27 T_y=13.75 M_z=-2.63
N,Ed=-665.60 Nc,Rd=29566.40 n=N,Ed/Nc,Rd=0.02
Pressoflessione retta YY (4.2.34):
My,Ed=245.27 My,c,Rd=1363.58 MNy,c,Rd=1363.58 My,Ed/MNy,c,Rd=0.18
Pressoflessione retta ZZ (4.2.35):
Mz,Ed=-2.63 Mz,c,Rd=304.36 MNz,c,Rd=304.36 Mz,Ed/MNz,c,Rd=0.01
α=2.00 β=1.00 $(My,Ed/MNy,c,Rd)^2+(Mz,Ed/MNz,c,Rd)^1$=0.18

- Verifica a taglio dir. Y (4.2.17) - CC 1 Xl=0.00
Sollecitazioni: N=-257.89 T_z=3676.88 M_y=54.43 T_y=-9.70 M_z=1.94
V,Ed=-9.70 Vc,Rd=11760.20 V,Ed/Vc,Rd=0.00

- Verifica a taglio dir. Z (4.2.17)
V,Ed=3676.88 (V,Ed,G=267.94, V,Ed,M=3408.94) Vc,Rd=8148.24 V,Ed/Vc,Rd=0.45

Asta n. 313 (-1023 -1068) IPE120 Crit. 10

- Verifica di stabilità aste inflesse (4.2.4.1.3.2) CC 102 - Classe 1
L_{cr}=0.20 Curva b: α-imp=0.34 k_c=0.94 ψ=1.54 M,cr=127078.00 λ_{LT}=0.11
$\lambda_{LT,0}$=0.40 β_{LT}=0.75 Φ_{LT}=0.45 β_{LT}=0.75 f=1.00 χ_{LT}=1.00
CC 102 My,Ed=-288.75 My,b,Rd=1363.58 My,Ed/My,b,Rd=0.21

- Verifica di stabilità aste presso-inflesse (C4.2.4.1.3.3.2) - CC 98 - Classe 1
Sollecitazioni: N,Ed=-665.60 My,Ed=-188.96 Mz,Ed=2.87
Resistenze: Nc,Rd=29566.40 My,c,Rd=1363.58 Mz,c,Rd=304.36 L=20.00
αmy, αmz, αLT=0.95, 0.95, 0.95
L_{cr}=0.20 Curva b: α-imp=0.34 k_c=0.94 ψ=1.91 M,cr=157450.00 λ_{LT}=0.10
$\lambda_{LT,0}$=0.40 β_{LT}=0.75 Φ_{LT}=0.45 β_{LT}=0.75 f=1.00 χ_{LT}=1.00
λ_Y=4.08 Ncr,y=16464900.00 λ^*_y=0.04 Curva a: Φ_y=0.00 χ_y=1.00

λ_z=13.82 Ncr,z=1433640.00 λ^*_z=0.15 Curva b: Φ_z=0.00 χ_z=1.00
Kyy, Kyz, Kzy, Kzz=0.95, 0.57, 0.57, 0.94
Verifica YY: 0.02+0.13+0.01=0.16
Verifica ZZ: 0.02+0.08+0.01=0.11

- Verifica a pressoflessione deviata (EC3 6.41) - CC 102 Xl=0.20 - Classe 1
Sollecitazioni: N=256.37 T_z=1139.16 M_y=-288.75 T_y=4.79 M_z=1.01
N,Ed=256.37 Nc,Rd=29566.40 n=N,Ed/Nc,Rd=0.01
Pressoflessione retta YY (4.2.34):
My,Ed=-288.75 My,c,Rd=1363.58 MNy,c,Rd=1363.58 My,Ed/MNy,c,Rd=0.21
Pressoflessione retta ZZ (4.2.35):
Mz,Ed=1.01 Mz,c,Rd=304.36 MNz,c,Rd=304.36 Mz,Ed/MNz,c,Rd=0.00
α=2.00 β=1.00 $(My,Ed/MNy,c,Rd)^2+(Mz,Ed/MNz,c,Rd)^1$=0.21

- Verifica a taglio dir. Y (4.2.17) - CC 1 Xl=0.00
Sollecitazioni: N=-257.89 T_z=3674.81 M_y=9.26 T_y=-9.70
V,Ed=-9.70 Vc,Rd=11760.20 V,Ed/Vc,Rd=0.00

- Verifica a taglio dir. Z (4.2.17)
V,Ed=3674.81 (V,Ed,G=265.87, V,Ed,M=3408.94) Vc,Rd=8148.24 V,Ed/Vc,Rd=0.45

Asta n. 313 (-1068 331) IPE120 Crit. 10

- Verifica di stabilità aste inflesse (4.2.4.1.3.2) CC 102 - Classe 1
L_{cr}=0.27 Curva b: α-imp=0.34 k_c=0.94 ψ=2.01 M,cr=95327.30 λ_{LT}=0.12
$\lambda_{LT,0}$=0.40 β_{LT}=0.75 Φ_{LT}=0.46 β_{LT}=0.75 f=1.00 χ_{LT}=1.00
CC 102 My,Ed=-294.36 My,b,Rd=1363.58 My,Ed/My,b,Rd=0.22

- Verifica di stabilità aste presso-inflesse (C4.2.4.1.3.3.2) - CC 98 - Classe 1
Sollecitazioni: N,Ed=-537.47 My,Ed=-179.78 Mz,Ed=-3.51
Resistenze: Nc,Rd=29566.40 My,c,Rd=1363.58 Mz,c,Rd=304.36 L=26.52
αmy, αmz, αLT=0.95, 0.95, 0.95
L_{cr}=0.27 Curva b: α-imp=0.34 k_c=0.94 ψ=2.58 M,cr=122271.00 λ_{LT}=0.11
$\lambda_{LT,0}$=0.40 β_{LT}=0.75 Φ_{LT}=0.45 β_{LT}=0.75 f=1.00 χ_{LT}=1.00
λ_y=5.41 Ncr,y=9364240.00 λ^*_y=0.06 Curva a: Φ_y=0.00 χ_y=1.00
λ_z=18.32 Ncr,z=815369.00 λ^*_z=0.20 Curva b: Φ_z=0.00 χ_z=1.00
Kyy, Kyz, Kzy, Kzz=0.95, 0.57, 0.57, 0.95
Verifica YY: 0.02+0.12+0.01=0.15
Verifica ZZ: 0.02+0.07+0.01=0.10

- Verifica freccia massima per soli carichi accidentali - CC 137
$f_{z,L}$=0.00 (L/12223)

- Verifica freccia massima carichi totali - CC 137
$f_{z,G}$=0.00 (L/10299)

- Verifica a pressoflessione deviata (EC3 6.41) - CC 102 Xl=0.00 - Classe 1
Sollecitazioni: N=157.63 T_z=-1370.46 M_y=-294.36 T_y=6.23 M_z=-1.29
N,Ed=157.63 Nc,Rd=29566.40 n=N,Ed/Nc,Rd=0.01
Pressoflessione retta YY (4.2.34):
My,Ed=-294.36 My,c,Rd=1363.58 MNy,c,Rd=1363.58 My,Ed/MNy,c,Rd=0.22
Pressoflessione retta ZZ (4.2.35):
Mz,Ed=-1.29 Mz,c,Rd=304.36 MNz,c,Rd=304.36 Mz,Ed/MNz,c,Rd=0.00
α=2.00 β=1.00 $(My,Ed/MNy,c,Rd)^2+(Mz,Ed/MNz,c,Rd)^1$=0.22

- Verifica a taglio dir. Y (4.2.17) - CC 1 Xl=0.00
Sollecitazioni: N=-191.80 T_z=3150.29 M_y=-43.13 T_y=-10.79 M_z=1.97
V,Ed=-10.79 Vc,Rd=11760.20 V,Ed/Vc,Rd=0.00

- Verifica a taglio dir. Z (4.2.17)
V,Ed=3150.29 (V,Ed,G=-258.65, V,Ed,M=3408.94) Vc,Rd=8148.24 V,Ed/Vc,Rd=0.39

Asta n. 313 (331 318) IPE120 Crit. 10

- Verifica di stabilità aste inflesse (4.2.4.1.3.2) CC 102 - Classe 1
L_{cr}=0.13 Curva b: α-imp=0.34 k_c=0.94 ψ=1.49 M,cr=267484.00 λ_{LT}=0.07
$\lambda_{LT,0}$=0.40 β_{LT}=0.75 Φ_{LT}=0.45 β_{LT}=0.75 f=1.00 χ_{LT}=1.00
CC 102 My,Ed=254.95 My,b,Rd=1363.58 My,Ed/My,b,Rd=0.19

- Verifica di stabilità aste presso-inflesse (C4.2.4.1.3.3.2) - CC 98 - Classe 1
Sollecitazioni: N,Ed=-537.47 My,Ed=272.76 Mz,Ed=3.60

Resistenze: Nc,Rd=29566.40 My,c,Rd=1363.58 Mz,c,Rd=304.36 L=13.48
αmy, αmz, αLT=0.95, 0.95, 0.95
L_{cr}=0.13 Curva b: α-imp=0.34 k_c=0.94 ψ=1.35 M,cr=242343.00 λ_{LT}=0.08
$\lambda_{LT,0}$=0.40 β_{LT}=0.75 Φ_{LT}=0.45 β_{LT}=0.75 f=1.00 χ_{LT}=1.00
λ_Y=2.75 Ncr,y=36244000.00 λ^*_y=0.03 Curva a: Φ_y=0.00 χ_y=1.00
λ_Z=9.31 Ncr,z=3155860.00 λ^*_z=0.10 Curva b: Φ_z=0.00 χ_z=1.00
Kyy, Kyz, Kzy, Kzz=0.95, 0.57, 0.57, 0.94
Verifica YY: 0.02+0.19+0.01=0.21
Verifica ZZ: 0.02+0.11+0.01=0.14

- Verifica a pressoflessione deviata (EC3 6.41) - CC 98 Xl=0.13 - Classe 1
Sollecitazioni: N=-537.47 T_z=-1134.16 M_y=272.76 T_y=17.78 M_z=3.60
N,Ed=-537.47 Nc,Rd=29566.40 n=N,Ed/Nc,Rd=0.02
Pressoflessione retta YY (4.2.34):
My,Ed=272.76 My,c,Rd=1363.58 MNy,c,Rd=1363.58 My,Ed/MNy,c,Rd=0.20
Pressoflessione retta ZZ (4.2.35):
Mz,Ed=3.60 Mz,c,Rd=304.36 MNz,c,Rd=304.36 Mz,Ed/MNz,c,Rd=0.01
α=2.00 β=1.00 $(My,Ed/MNy,c,Rd)^2+(Mz,Ed/MNz,c,Rd)^1$=0.20

- Verifica a taglio dir. Y (4.2.17) - CC 1 Xl=0.00
Sollecitazioni: N=-191.80 T_z=3147.54 M_y=25.20 T_y=6.99
V,Ed=6.99 Vc,Rd=11760.20 V,Ed/Vc,Rd=0.00

- Verifica a taglio dir. Z (4.2.17)
V,Ed=3147.54 (V,Ed,G=-261.40, V,Ed,M=3408.94) Vc,Rd=8148.24 V,Ed/Vc,Rd=0.39

Asta n. 313 (318 -1197) IPE120 Crit. 10

- Verifica di stabilità aste inflesse (4.2.4.1.3.2) CC 102 - Classe 1
L_{cr}=0.40 Curva b: α-imp=0.34 k_c=0.94 ψ=1.78 M,cr=38024.20 λ_{LT}=0.19
$\lambda_{LT,0}$=0.40 β_{LT}=0.75 Φ_{LT}=0.48 β_{LT}=0.75 f=0.99 χ_{LT}=1.00
CC 102 My,Ed=231.93 My,b,Rd=1363.58 My,Ed/My,b,Rd=0.17

- Verifica di stabilità aste presso-inflesse (C4.2.4.1.3.3.2) - CC 98 - Classe 1
Sollecitazioni: N,Ed=-340.51 My,Ed=316.84 Mz,Ed=4.64
Resistenze: Nc,Rd=29566.40 My,c,Rd=1363.58 Mz,c,Rd=304.36 L=40.00
αmy, αmz, αLT=0.95, 0.95, 0.95
L_{cr}=0.40 Curva b: α-imp=0.34 k_c=0.94 ψ=1.86 M,cr=39866.70 λ_{LT}=0.19
$\lambda_{LT,0}$=0.40 β_{LT}=0.75 Φ_{LT}=0.48 β_{LT}=0.75 f=0.99 χ_{LT}=1.00
λ_Y=8.16 Ncr,y=4116220.00 λ^*_y=0.09 Curva a: Φ_y=0.49 χ_y=1.00
λ_Z=27.64 Ncr,z=358410.00 λ^*_z=0.29 Curva b: Φ_z=0.56 χ_z=0.97
Kyy, Kyz, Kzy, Kzz=0.95, 0.57, 0.57, 0.95
Verifica YY: 0.01+0.22+0.01=0.24
Verifica ZZ: 0.01+0.13+0.01=0.16

- Verifica freccia massima per soli carichi accidentali - CC 133
$f_{Z,L}$=0.00 (L/14716)

- Verifica freccia massima carichi totali - CC 134
$f_{Z,L}$=0.00 (L/8876)

- Verifica a pressoflessione deviata (EC3 6.41) - CC 98 Xl=0.00 - Classe 1
Sollecitazioni: N=-340.51 T_z=878.67 M_y=316.84 T_y=22.03 M_z=-4.17
N,Ed=-340.51 Nc,Rd=29566.40 n=N,Ed/Nc,Rd=0.01
Pressoflessione retta YY (4.2.34):
My,Ed=316.84 My,c,Rd=1363.58 MNy,c,Rd=1363.58 My,Ed/MNy,c,Rd=0.23
Pressoflessione retta ZZ (4.2.35):
Mz,Ed=-4.17 Mz,c,Rd=304.36 MNz,c,Rd=304.36 Mz,Ed/MNz,c,Rd=0.01
α=2.00 β=1.00 $(My,Ed/MNy,c,Rd)^2+(Mz,Ed/MNz,c,Rd)^1$=0.23

- Verifica a taglio dir. Y (4.2.17) - CC 98 Xl=0.00
Sollecitazioni: N=-340.51 T_z=878.67 M_y=316.84 T_y=22.03 M_z=-4.17
V,Ed=22.03 Vc,Rd=11760.20 V,Ed/Vc,Rd=0.00

- Verifica a taglio dir. Z (4.2.17)
V,Ed=878.67 Vc,Rd=8148.24 V,Ed/Vc,Rd=0.11

Asta n. 314 (-609 311) IPE120 Crit. 10

- Verifica di stabilità aste inflesse (4.2.4.1.3.2) CC 105 - Classe 1
L_{cr}=0.40 Curva b: α-imp=0.34 k_c=0.94 ψ=1.78 M,cr=38029.00 λ_{LT}=0.19

$\lambda_{LT,0}$=0.40 β_{LT}=0.75 Φ_{LT}=0.48 β_{LT}=0.75 f=0.99 χ_{LT}=1.00
CC 105 My,Ed=234.09 My,b,Rd=1363.58 My,Ed/My,b,Rd=0.17

- Verifica di stabilità aste presso-inflesse (C4.2.4.1.3.3.2) - CC 97 - Classe 1
Sollecitazioni: N,Ed=-341.34 My,Ed=318.54 Mz,Ed=-4.61
Resistenze: Nc,Rd=29566.40 My,c,Rd=1363.58 Mz,c,Rd=304.36 L=40.00
αmy, αmz, αLT=0.95, 0.95, 0.95
L_{cr}=0.40 Curva b: α-imp=0.34 k_c=0.94 ψ=1.86 M,cr=39857.20 λ_{LT}=0.19
$\lambda_{LT,0}$=0.40 β_{LT}=0.75 Φ_{LT}=0.48 β_{LT}=0.75 f=0.99 χ_{LT}=1.00
λ_Y=8.16 Ncr,y=4116220.00 λ^*_y=0.09 Curva a: Φ_y=0.49 χ_y=1.00
λ_Z=27.64 Ncr,z=358410.00 λ^*_z=0.29 Curva b: Φ_z=0.56 χ_z=0.97
Kyy, Kyz, Kzy, Kzz=0.95, 0.57, 0.57, 0.95
Verifica YY: 0.01+0.22+0.01=0.24
Verifica ZZ: 0.01+0.13+0.01=0.16

- Verifica freccia massima per soli carichi accidentali - CC 133
$f_{Z,L}$=0.00 (L/23967)

- Verifica freccia massima carichi totali - CC 133
$f_{Z,L}$=0.00 (L/14339)

- Verifica a pressoflessione deviata (EC3 6.41) - CC 97 Xl=0.40 - Classe 1
Sollecitazioni: N=-341.34 T_z=-883.05 M_y=318.54 T_y=21.90 M_z=4.14
N,Ed=-341.34 Nc,Rd=29566.40 n=N,Ed/Nc,Rd=0.01
Pressoflessione retta YY (4.2.34):
My,Ed=318.54 My,c,Rd=1363.58 MNy,c,Rd=1363.58 My,Ed/MNy,c,Rd=0.23
Pressoflessione retta ZZ (4.2.35):
Mz,Ed=4.14 Mz,c,Rd=304.36 MNz,c,Rd=304.36 Mz,Ed/MNz,c,Rd=0.01
α=2.00 β=1.00 $(My,Ed/MNy,c,Rd)^2+(Mz,Ed/MNz,c,Rd)^1$=0.23

- Verifica a taglio dir. Y (4.2.17) - CC 97 Xl=0.40
Sollecitazioni: N=-341.34 T_z=-883.05 M_y=318.54 T_y=21.90 M_z=4.14
V,Ed=21.90 Vc,Rd=11760.20 V,Ed/Vc,Rd=0.00

- Verifica a taglio dir. Z (4.2.17)
V,Ed=-883.05 Vc,Rd=8148.24 V,Ed/Vc,Rd=0.11

Asta n. 314 (311 330) IPE120 Crit. 10

- Verifica di stabilità aste inflesse (4.2.4.1.3.2) CC 105 - Classe 1
L_{cr}=0.14 Curva b: α-imp=0.34 k_c=0.94 ψ=1.53 M,cr=240884.00 λ_{LT}=0.08
$\lambda_{LT,0}$=0.40 β_{LT}=0.75 Φ_{LT}=0.45 β_{LT}=0.75 f=1.00 χ_{LT}=1.00
CC 105 My,Ed=256.73 My,b,Rd=1363.58 My,Ed/My,b,Rd=0.19

- Verifica di stabilità aste presso-inflesse (C4.2.4.1.3.3.2) - CC 97 - Classe 1
Sollecitazioni: N,Ed=-538.83 My,Ed=274.04 Mz,Ed=-3.57
Resistenze: Nc,Rd=29566.40 My,c,Rd=1363.58 Mz,c,Rd=304.36 L=14.42
αmy, αmz, αLT=0.95, 0.95, 0.95
L_{cr}=0.14 Curva b: α-imp=0.34 k_c=0.94 ψ=1.38 M,cr=216828.00 λ_{LT}=0.08
$\lambda_{LT,0}$=0.40 β_{LT}=0.75 Φ_{LT}=0.45 β_{LT}=0.75 f=1.00 χ_{LT}=1.00
λ_Y=2.94 Ncr,y=31672900.00 λ^*_y=0.03 Curva a: Φ_y=0.00 χ_y=1.00
λ_Z=9.96 Ncr,z=2757840.00 λ^*_z=0.11 Curva b: Φ_z=0.00 χ_z=1.00
Kyy, Kyz, Kzy, Kzz=0.95, 0.57, 0.57, 0.94
Verifica YY: 0.02+0.19+0.01=0.22
Verifica ZZ: 0.02+0.11+0.01=0.14

- Verifica freccia massima carichi totali - CC 141
$f_{Z,L}$=0.00 (L/11631)

- Verifica a pressoflessione deviata (EC3 6.41) - CC 97 Xl=0.00 - Classe 1
Sollecitazioni: N=-538.83 T_z=1138.95 M_y=274.04 T_y=17.64 M_z=-3.57
N,Ed=-538.83 Nc,Rd=29566.40 n=N,Ed/Nc,Rd=0.02
Pressoflessione retta YY (4.2.34):
My,Ed=274.04 My,c,Rd=1363.58 MNy,c,Rd=1363.58 My,Ed/MNy,c,Rd=0.20
Pressoflessione retta ZZ (4.2.35):
Mz,Ed=-3.57 Mz,c,Rd=304.36 MNz,c,Rd=304.36 Mz,Ed/MNz,c,Rd=0.01
α=2.00 β=1.00 $(My,Ed/MNy,c,Rd)^2+(Mz,Ed/MNz,c,Rd)^1$=0.20

- Verifica a taglio dir. Y (4.2.17) - CC 1 Xl=0.00
Sollecitazioni: N=-192.99 T_z=3674.22 M_y=56.05 T_y=-11.10 M_z=1.91
V,Ed=-11.10 Vc,Rd=11760.20 V,Ed/Vc,Rd=0.00

- Verifica a taglio dir. Z (4.2.17)
  V,Ed=3674.22 (V,Ed,G=265.27, V,Ed,M=3408.94) Vc,Rd=8148.24 V,Ed/Vc,Rd=0.45

Asta n. 314 (330 -738) IPE120 Crit. 10

- Verifica di stabilità aste inflesse (4.2.4.1.3.2) CC 105 - Classe 1
  L_{cr}=0.26 Curva b: α-imp=0.34 k_c=0.94 ψ=1.97 M,cr=99817.10 λ_{LT}=0.12
  $\lambda_{LT,0}$=0.40 β_{LT}=0.75 Φ_{LT}=0.46 β_{LT}=0.75 f=1.00 χ_{LT}=1.00
  CC 105 My,Ed=-295.13 My,b,Rd=1363.58 My,Ed/My,b,Rd=0.22

- Verifica di stabilità aste presso-inflesse (C4.2.4.1.3.3.2) - CC 97 - Classe 1
  Sollecitazioni: N,Ed=-538.83 My,Ed=-180.42 Mz,Ed=3.48
  Resistenze: Nc,Rd=29566.40 My,c,Rd=1363.58 Mz,c,Rd=304.36 L=25.58
  αmy, αmz, αLT=0.95, 0.95, 0.95
  L_{cr}=0.26 Curva b: α-imp=0.34 k_c=0.94 ψ=2.50 M,cr=126990.00 λ_{LT}=0.11
  $\lambda_{LT,0}$=0.40 β_{LT}=0.75 Φ_{LT}=0.45 β_{LT}=0.75 f=1.00 χ_{LT}=1.00
  λ_Y=5.22 Ncr,y=10065100.00 λ^*_y=0.06 Curva a: Φ_y=0.00 χ_y=1.00
  λ_Z=17.68 Ncr,z=876394.00 λ^*_z=0.19 Curva b: Φ_z=0.00 χ_z=1.00
  Kyy, Kyz, Kzy, Kzz=0.95, 0.57, 0.57, 0.95
  Verifica YY: 0.02+0.13+0.01=0.15
  Verifica ZZ: 0.02+0.08+0.01=0.10

- Verifica freccia massima carichi totali - CC 144
  $f_{Z,L}$=0.00 (L/24951)

- Verifica a pressoflessione deviata (EC3 6.41) - CC 105 Xl=0.26 - Classe 1
  Sollecitazioni: N=155.75 T_z=1376.85 M_y=-295.13 T_y=5.93 M_z=1.23
  N,Ed=155.75 Nc,Rd=29566.40 n=N,Ed/Nc,Rd=0.01
  Pressoflessione retta YY (4.2.34):
   My,Ed=-295.13 My,c,Rd=1363.58 MNy,c,Rd=1363.58 My,Ed/MNy,c,Rd=0.22
  Pressoflessione retta ZZ (4.2.35):
   Mz,Ed=1.23 Mz,c,Rd=304.36 MNz,c,Rd=304.36 Mz,Ed/MNz,c,Rd=0.00
  α=2.00 β=1.00 $(My,Ed/MNy,c,Rd)^2+(Mz,Ed/MNz,c,Rd)^1$=0.22

- Verifica a taglio dir. Y (4.2.17) - CC 1 Xl=0.00
  Sollecitazioni: N=-192.99 T_z=3672.72 M_y=23.47 T_y=-11.10
  V,Ed=-11.10 Vc,Rd=11760.20 V,Ed/Vc,Rd=0.00

- Verifica a taglio dir. Z (4.2.17)
  V,Ed=3672.72 (V,Ed,G=263.78, V,Ed,M=3408.94) Vc,Rd=8148.24 V,Ed/Vc,Rd=0.45

Asta n. 314 (-738 -783) IPE120 Crit. 10

- Verifica di stabilità aste inflesse (4.2.4.1.3.2) CC 105 - Classe 1
  L_{cr}=0.20 Curva b: α-imp=0.34 k_c=0.94 ψ=1.54 M,cr=127102.00 λ_{LT}=0.11
  $\lambda_{LT,0}$=0.40 β_{LT}=0.75 Φ_{LT}=0.45 β_{LT}=0.75 f=1.00 χ_{LT}=1.00
  CC 105 My,Ed=-289.46 My,b,Rd=1363.58 My,Ed/My,b,Rd=0.21

- Verifica di stabilità aste presso-inflesse (C4.2.4.1.3.3.2) - CC 97 - Classe 1
  Sollecitazioni: N,Ed=-666.76 My,Ed=-189.56 Mz,Ed=-2.84
  Resistenze: Nc,Rd=29566.40 My,c,Rd=1363.58 Mz,c,Rd=304.36 L=20.00
  αmy, αmz, αLT=0.95, 0.95, 0.95
  L_{cr}=0.20 Curva b: α-imp=0.34 k_c=0.94 ψ=1.91 M,cr=157458.00 λ_{LT}=0.10
  $\lambda_{LT,0}$=0.40 β_{LT}=0.75 Φ_{LT}=0.45 β_{LT}=0.75 f=1.00 χ_{LT}=1.00
  λ_Y=4.08 Ncr,y=16464900.00 λ^*_y=0.04 Curva a: Φ_y=0.00 χ_y=1.00
  λ_Z=13.82 Ncr,z=1433640.00 λ^*_z=0.15 Curva b: Φ_z=0.00 χ_z=1.00
  Kyy, Kyz, Kzy, Kzz=0.95, 0.57, 0.57, 0.94
  Verifica YY: 0.02+0.13+0.01=0.16
  Verifica ZZ: 0.02+0.08+0.01=0.11

- Verifica freccia massima per soli carichi accidentali - CC 141
  $f_{Z,L}$=0.00 (L/13981)

- Verifica freccia massima carichi totali - CC 141
  $f_{Z,G}$=0.00 (L/10894)

- Verifica a pressoflessione retta - CC 105 Xl=0.00 - Classe 1
  Sollecitazioni: N=255.10 T_z=-1142.43 M_y=-289.46 T_y=4.51
  My,Ed=-289.46 My,c,Rd=1363.58
  N,Ed=255.10 Nc,Rd=29566.40 n=N,Ed/Nc,Rd=0.01

MNy,c,Rd=1363.58 My,Ed/MNy,c,Rd=0.21

- Verifica a taglio dir. Y (4.2.17) - CC 1 Xl=0.00
  Sollecitazioni: N=-259.02 T_z=3143.49 M_y=-47.85 T_y=-10.87 M_z=1.96
  V,Ed=-10.87 Vc,Rd=11760.20 V,Ed/Vc,Rd=0.00

- Verifica a taglio dir. Z (4.2.17)
  V,Ed=3143.49 (V,Ed,G=-265.45, V,Ed,M=3408.94) Vc,Rd=8148.24 V,Ed/Vc,Rd=0.39

Asta n. 314 (-783 313) IPE120 Crit. 10

- Verifica di stabilità aste inflesse (4.2.4.1.3.2) CC 105 - Classe 1
  L_{cr}=0.20 Curva b: α-imp=0.34 k_c=0.94 ψ=2.17 M,cr=178486.00 λ_{LT}=0.09
  $\lambda_{LT,0}$=0.40 β_{LT}=0.75 Φ_{LT}=0.45 β_{LT}=0.75 f=1.00 χ_{LT}=1.00
  CC 105 My,Ed=168.63 My,b,Rd=1363.58 My,Ed/My,b,Rd=0.12

- Verifica di stabilità aste presso-inflesse (C4.2.4.1.3.3.2) - CC 97 - Classe 1
  Sollecitazioni: N,Ed=-666.76 My,Ed=246.09 Mz,Ed=2.61
  Resistenze: Nc,Rd=29566.40 My,c,Rd=1363.58 Mz,c,Rd=304.36 L=20.00
  αmy, αmz, αLT=0.95, 0.95, 0.95
  L_{cr}=0.20 Curva b: α-imp=0.34 k_c=0.94 ψ=1.63 M,cr=134636.00 λ_{LT}=0.10
  $\lambda_{LT,0}$=0.40 β_{LT}=0.75 Φ_{LT}=0.45 β_{LT}=0.75 f=1.00 χ_{LT}=1.00
  λ_Y=4.08 Ncr,y=16464900.00 λ^*_y=0.04 Curva a: Φ_y=0.00 χ_y=1.00
  λ_Z=13.82 Ncr,z=1433640.00 λ^*_z=0.15 Curva b: Φ_z=0.00 χ_z=1.00
  Kyy, Kyz, Kzy, Kzz=0.95, 0.57, 0.57, 0.94
  Verifica YY: 0.02+0.17+0.00=0.20
  Verifica ZZ: 0.02+0.10+0.01=0.13

- Verifica a pressoflessione deviata (EC3 6.41) - CC 97 Xl=0.20 - Classe 1
  Sollecitazioni: N=-666.76 T_z=-1091.93 M_y=246.09 T_y=13.61 M_z=2.61
  N,Ed=-666.76 Nc,Rd=29566.40 n=N,Ed/Nc,Rd=0.02
  Pressoflessione retta YY (4.2.34):
   My,Ed=246.09 My,c,Rd=1363.58 MNy,c,Rd=1363.58 My,Ed/MNy,c,Rd=0.18
  Pressoflessione retta ZZ (4.2.35):
   Mz,Ed=2.61 Mz,c,Rd=304.36 MNz,c,Rd=304.36 Mz,Ed/MNz,c,Rd=0.01
  α=2.00 β=1.00 $(My,Ed/MNy,c,Rd)^2+(Mz,Ed/MNz,c,Rd)^1$=0.18

- Verifica a taglio dir. Y (4.2.17) - CC 1 Xl=0.00
  Sollecitazioni: N=-259.02 T_z=3141.41 M_y=9.37 T_y=7.15
  V,Ed=7.15 Vc,Rd=11760.20 V,Ed/Vc,Rd=0.00

- Verifica a taglio dir. Z (4.2.17)
  V,Ed=3141.41 (V,Ed,G=-267.53, V,Ed,M=3408.94) Vc,Rd=8148.24 V,Ed/Vc,Rd=0.39

Asta n. 314 (313 -871) IPE120 Crit. 10

- Verifica di stabilità aste inflesse (4.2.4.1.3.2) CC 105 - Classe 1
  L_{cr}=0.40 Curva b: α-imp=0.34 k_c=0.94 ψ=2.90 M,cr=62057.60 λ_{LT}=0.15
  $\lambda_{LT,0}$=0.40 β_{LT}=0.75 Φ_{LT}=0.47 β_{LT}=0.75 f=1.00 χ_{LT}=1.00
  CC 105 My,Ed=-182.32 My,b,Rd=1363.58 My,Ed/My,b,Rd=0.13

- Verifica di stabilità aste presso-inflesse (C4.2.4.1.3.3.2) - CC 97 - Classe 1
  Sollecitazioni: N,Ed=-734.42 My,Ed=229.37 Mz,Ed=-1.85
  Resistenze: Nc,Rd=29566.40 My,c,Rd=1363.58 Mz,c,Rd=304.36 L=40.00
  αmy, αmz, αLT=0.95, 0.95, 0.95
  L_{cr}=0.40 Curva b: α-imp=0.34 k_c=0.94 ψ=2.68 M,cr=57277.70 λ_{LT}=0.16
  $\lambda_{LT,0}$=0.40 β_{LT}=0.75 Φ_{LT}=0.47 β_{LT}=0.75 f=0.99 χ_{LT}=1.00
  λ_Y=8.16 Ncr,y=4116220.00 λ^*_y=0.09 Curva a: Φ_y=0.49 χ_y=1.00
  λ_Z=27.64 Ncr,z=358410.00 λ^*_z=0.29 Curva b: Φ_z=0.56 χ_z=0.97
  Kyy, Kyz, Kzy, Kzz=0.95, 0.57, 0.57, 0.95
  Verifica YY: 0.02+0.16+0.00=0.19
  Verifica ZZ: 0.02+0.10+0.01=0.13

- Verifica freccia massima per soli carichi accidentali - CC 133
  $f_{Z,L}$=0.00 (L/25811)

- Verifica freccia massima carichi totali - CC 133
  $f_{Z,L}$=0.00 (L/15679)

- Verifica a pressoflessione deviata (EC3 6.41) - CC 97 Xl=0.00 - Classe 1
  Sollecitazioni: N=-734.42 T_z=995.69 M_y=229.37 T_y=8.55 M_z=-1.85

N,Ed=-734.42 Nc,Rd=29566.40 n=N,Ed/Nc,Rd=0.02
Pressoflessione retta YY (4.2.34):
My,Ed=229.37 My,c,Rd=1363.58 MNy,c,Rd=1363.58 My,Ed/MNy,c,Rd=0.17
Pressoflessione retta ZZ (4.2.35):
Mz,Ed=-1.85 Mz,c,Rd=304.36 MNz,c,Rd=304.36 Mz,Ed/MNz,c,Rd=0.01
α=2.00 β=1.00 $(My,Ed/MNy,c,Rd)^{2}+(Mz,Ed/MNz,c,Rd)^{1}$=0.17

- Verifica a taglio dir. Y (4.2.17) - CC 1 Xl=0.00
Sollecitazioni: N=-305.59 T_z=3604.92 M_y=48.64 T_y=-9.52 M_z=1.91
V,Ed=-9.52 Vc,Rd=11760.20 V,Ed/Vc,Rd=0.00

- Verifica a taglio dir. Z (4.2.17)
V,Ed=3604.92 (V,Ed,G=215.89, V,Ed,M=3389.03) Vc,Rd=8148.24 V,Ed/Vc,Rd=0.44

Asta n. 314 (-871 315) IPE120 Crit. 10

- Verifica di stabilità aste inflesse (4.2.4.1.3.2) CC 105 - Classe 1
L_{cr}=0.40 Curva b: α-imp=0.34 k_c=0.94 ψ=2.68 M,cr=56011.80 λ_{LT}=0.16
$\lambda_{LT,0}$=0.40 β_{LT}=0.75 Φ_{LT}=0.47 β_{LT}=0.75 f=0.99 χ_{LT}=1.00
CC 105 My,Ed=257.83 My,b,Rd=1363.58 My,Ed/My,b,Rd=0.19

- Verifica di stabilità aste presso-inflesse (C4.2.4.1.3.3.2) - CC 97 - Classe 1
Sollecitazioni: N,Ed=-763.07 My,Ed=211.18 Mz,Ed=-0.73
Resistenze: Nc,Rd=29566.40 My,c,Rd=1363.58 Mz,c,Rd=304.36 L=40.47
αmy, αmz, αLT=0.95, 0.95, 0.95
L_{cr}=0.40 Curva b: α-imp=0.34 k_c=0.94 ψ=2.79 M,cr=58304.20 λ_{LT}=0.16
$\lambda_{LT,0}$=0.40 β_{LT}=0.75 Φ_{LT}=0.47 β_{LT}=0.75 f=0.99 χ_{LT}=1.00
λ_Y=8.25 Ncr,y=4021170.00 λ^*_y=0.09 Curva a: Φ_y=0.49 χ_y=1.00
λ_Z=27.96 Ncr,z=350134.00 λ^*_z=0.30 Curva b: Φ_z=0.56 χ_z=0.96
Kyy, Kyz, Kzy, Kzz=0.95, 0.57, 0.57, 0.95
Verifica YY: 0.03+0.15+0.00=0.17
Verifica ZZ: 0.03+0.09+0.00=0.12

- Verifica freccia massima per soli carichi accidentali - CC 141
$f_{z,L}$=0.00 (L/29266)

- Verifica freccia massima carichi totali - CC 141
$f_{z,L}$=0.00 (L/24600)

- Verifica a pressoflessione retta - CC 105 Xl=0.40 - Classe 1
Sollecitazioni: N=86.82 T_z=-1105.82 M_y=257.83
My,Ed=257.83 My,c,Rd=1363.58
N,Ed=86.82 Nc,Rd=29566.40 n=N,Ed/Nc,Rd=0.00
MNy,c,Rd=1363.58 My,Ed/MNy,c,Rd=0.19

- Verifica a taglio dir. Y (4.2.17) - CC 1 Xl=0.00
Sollecitazioni: N=-334.77 T_z=3186.01 M_y=-33.50 T_y=-8.98 M_z=1.83
V,Ed=-8.98 Vc,Rd=11760.20 V,Ed/Vc,Rd=0.00

- Verifica a taglio dir. Z (4.2.17)
V,Ed=3186.01 (V,Ed,G=-203.02, V,Ed,M=3389.03) Vc,Rd=8148.24 V,Ed/Vc,Rd=0.39

Asta n. 314 (315 -959) IPE120 Crit. 10

- Verifica di stabilità aste inflesse (4.2.4.1.3.2) CC 105 - Classe 1
L_{cr}=0.40 Curva b: α-imp=0.34 k_c=0.94 ψ=2.68 M,cr=58569.00 λ_{LT}=0.16
$\lambda_{LT,0}$=0.40 β_{LT}=0.75 Φ_{LT}=0.47 β_{LT}=0.75 f=0.99 χ_{LT}=1.00
CC 105 My,Ed=257.86 My,b,Rd=1363.58 My,Ed/My,b,Rd=0.19

- Verifica di stabilità aste presso-inflesse (C4.2.4.1.3.3.2) - CC 97 - Classe 1
Sollecitazioni: N,Ed=-763.09 My,Ed=211.17 Mz,Ed=-0.78
Resistenze: Nc,Rd=29566.40 My,c,Rd=1363.58 Mz,c,Rd=304.36 L=39.53
αmy, αmz, αLT=0.95, 0.95, 0.95
L_{cr}=0.40 Curva b: α-imp=0.34 k_c=0.94 ψ=2.79 M,cr=60994.20 λ_{LT}=0.15
$\lambda_{LT,0}$=0.40 β_{LT}=0.75 Φ_{LT}=0.47 β_{LT}=0.75 f=1.00 χ_{LT}=1.00
λ_Y=8.06 Ncr,y=4214680.00 λ^*_y=0.09 Curva a: Φ_y=0.49 χ_y=1.00
λ_Z=27.31 Ncr,z=366983.00 λ^*_z=0.29 Curva b: Φ_z=0.56 χ_z=0.97
Kyy, Kyz, Kzy, Kzz=0.95, 0.57, 0.57, 0.95
Verifica YY: 0.03+0.15+0.00=0.17
Verifica ZZ: 0.03+0.09+0.00=0.12

- Verifica freccia massima per soli carichi accidentali - CC 141
  $f_{Z,L}$=0.00 (L/20219)

- Verifica freccia massima carichi totali - CC 141
  $f_{Z,L}$=0.00 (L/13816)

- Verifica a pressoflessione retta - CC 105 Xl=0.00 - Classe 1
  Sollecitazioni: N=87.18 T_z=1132.02 M_y=257.86 T_y=-1.02
  My,Ed=257.86 My,c,Rd=1363.58
  N,Ed=87.18 Nc,Rd=29566.40 n=N,Ed/Nc,Rd=0.00
  MNy,c,Rd=1363.58 My,Ed/MNy,c,Rd=0.19

- Verifica a taglio dir. Y (4.2.17) - CC 1 Xl=0.00
  Sollecitazioni: N=-333.48 T_z=3641.40 M_y=49.15 T_y=-9.30 M_z=1.83
  V,Ed=-9.30 Vc,Rd=11760.20 V,Ed/Vc,Rd=0.00

- Verifica a taglio dir. Z (4.2.17)
  V,Ed=3641.40 (V,Ed,G=212.31, V,Ed,M=3429.09) Vc,Rd=8148.24 V,Ed/Vc,Rd=0.45

Asta n. 314 (-959 317) IPE120 Crit. 10

- Verifica di stabilità aste inflesse (4.2.4.1.3.2) CC 105 - Classe 1
  L_{cr}=0.40 Curva b: α-imp=0.34 k_c=0.94 ψ=2.90 M,cr=61996.00 λ_{LT}=0.15
  $\lambda_{LT,0}$=0.40 β_{LT}=0.75 Φ_{LT}=0.47 β_{LT}=0.75 f=1.00 χ_{LT}=1.00
  CC 105 My,Ed=-182.25 My,b,Rd=1363.58 My,Ed/My,b,Rd=0.13

- Verifica di stabilità aste presso-inflesse (C4.2.4.1.3.3.2) - CC 97 - Classe 1
  Sollecitazioni: N,Ed=-734.15 My,Ed=228.79 Mz,Ed=-1.88
  Resistenze: Nc,Rd=29566.40 My,c,Rd=1363.58 Mz,c,Rd=304.36 L=40.00
  αmy, αmz, αLT=0.95, 0.95, 0.95
  L_{cr}=0.40 Curva b: α-imp=0.34 k_c=0.94 ψ=2.68 M,cr=57344.80 λ_{LT}=0.16
  $\lambda_{LT,0}$=0.40 β_{LT}=0.75 Φ_{LT}=0.47 β_{LT}=0.75 f=0.99 χ_{LT}=1.00
  λ_Y=8.16 Ncr,y=4116220.00 λ^*_y=0.09 Curva a: Φ_y=0.49 χ_y=1.00
  λ_Z=27.64 Ncr,z=358410.00 λ^*_z=0.29 Curva b: Φ_z=0.56 χ_z=0.97
  Kyy, Kyz, Kzy, Kzz=0.95, 0.57, 0.57, 0.95
  Verifica YY: 0.02+0.16+0.00=0.19
  Verifica ZZ: 0.02+0.10+0.01=0.13

- Verifica freccia massima per soli carichi accidentali - CC 141
  $f_{Z,L}$=0.00 (L/23301)

- Verifica freccia massima carichi totali - CC 141
  $f_{Z,L}$=0.00 (L/20712)

- Verifica a pressoflessione deviata (EC3 6.41) - CC 97 Xl=0.40 - Classe 1
  Sollecitazioni: N=-734.15 T_z=-994.40 M_y=228.79 T_y=-8.69 M_z=-1.88
  N,Ed=-734.15 Nc,Rd=29566.40 n=N,Ed/Nc,Rd=0.02
  Pressoflessione retta YY (4.2.34):
   My,Ed=228.79 My,c,Rd=1363.58 MNy,c,Rd=1363.58 My,Ed/MNy,c,Rd=0.17
  Pressoflessione retta ZZ (4.2.35):
   Mz,Ed=-1.88 Mz,c,Rd=304.36 MNz,c,Rd=304.36 Mz,Ed/MNz,c,Rd=0.01
  α=2.00 β=1.00 $(My,Ed/MNy,c,Rd)^2+(Mz,Ed/MNz,c,Rd)^1$=0.17

- Verifica a taglio dir. Y (4.2.17) - CC 1 Xl=0.00
  Sollecitazioni: N=-300.66 T_z=3218.29 M_y=-32.85 T_y=-9.45 M_z=1.88
  V,Ed=-9.45 Vc,Rd=11760.20 V,Ed/Vc,Rd=0.00

- Verifica a taglio dir. Z (4.2.17)
  V,Ed=3218.29 (V,Ed,G=-210.79, V,Ed,M=3429.09) Vc,Rd=8148.24 V,Ed/Vc,Rd=0.39

Asta n. 314 (317 -1047) IPE120 Crit. 10

- Verifica di stabilità aste inflesse (4.2.4.1.3.2) CC 105 - Classe 1
  L_{cr}=0.20 Curva b: α-imp=0.34 k_c=0.94 ψ=2.17 M,cr=178577.00 λ_{LT}=0.09
  $\lambda_{LT,0}$=0.40 β_{LT}=0.75 Φ_{LT}=0.45 β_{LT}=0.75 f=1.00 χ_{LT}=1.00
  CC 105 My,Ed=168.04 My,b,Rd=1363.58 My,Ed/My,b,Rd=0.12

- Verifica di stabilità aste presso-inflesse (C4.2.4.1.3.3.2) - CC 97 - Classe 1
  Sollecitazioni: N,Ed=-665.59 My,Ed=245.28 Mz,Ed=2.63
  Resistenze: Nc,Rd=29566.40 My,c,Rd=1363.58 Mz,c,Rd=304.36 L=20.00
  αmy, αmz, αLT=0.95, 0.95, 0.95

L_{cr}=0.20 Curva b: α-imp=0.34 k_c=0.94 ψ=1.63 M,cr=134640.00 λ_{LT}=0.10
$\lambda_{LT,0}$=0.40 β_{LT}=0.75 Φ_{LT}=0.45 β_{LT}=0.75 f=1.00 χ_{LT}=1.00
λ_Y=4.08 Ncr,y=16464900.00 λ^*_y=0.04 Curva a: Φ_y=0.00 χ_y=1.00
λ_Z=13.82 Ncr,z=1433640.00 λ^*_z=0.15 Curva b: Φ_z=0.00 χ_z=1.00
Kyy, Kyz, Kzy, Kzz=0.95, 0.57, 0.57, 0.94
Verifica YY: 0.02+0.17+0.00=0.20
Verifica ZZ: 0.02+0.10+0.01=0.13

- Verifica freccia massima per soli carichi accidentali - CC 133
$f_{Z,L}$=0.00 (L/19972)

- Verifica freccia massima carichi totali - CC 133
$f_{Z,G}$=0.00 (L/12520)

- Verifica a pressoflessione deviata (EC3 6.41) - CC 97 Xl=0.00 - Classe 1
Sollecitazioni: N=-665.59 T_z=1088.39 M_y=245.28 T_y=-13.75 M_z=2.63
N,Ed=-665.59 Nc,Rd=29566.40 n=N,Ed/Nc,Rd=0.02
Pressoflessione retta YY (4.2.34):
My,Ed=245.28 My,c,Rd=1363.58 MNy,c,Rd=1363.58 My,Ed/MNy,c,Rd=0.18
Pressoflessione retta ZZ (4.2.35):
Mz,Ed=2.63 Mz,c,Rd=304.36 MNz,c,Rd=304.36 Mz,Ed/MNz,c,Rd=0.01
α=2.00 β=1.00 $(My,Ed/MNy,c,Rd)^2+(Mz,Ed/MNz,c,Rd)^1$=0.18

- Verifica a taglio dir. Y (4.2.17) - CC 1 Xl=0.00
Sollecitazioni: N=-252.87 T_z=3676.89 M_y=53.73 T_y=-9.70 M_z=1.94
V,Ed=-9.70 Vc,Rd=11760.20 V,Ed/Vc,Rd=0.00

- Verifica a taglio dir. Z (4.2.17)
V,Ed=3676.89 (V,Ed,G=267.94, V,Ed,M=3408.94) Vc,Rd=8148.24 V,Ed/Vc,Rd=0.45

Asta n. 314 (-1047 -1092) IPE120 Crit. 10

- Verifica di stabilità aste inflesse (4.2.4.1.3.2) CC 105 - Classe 1
L_{cr}=0.20 Curva b: α-imp=0.34 k_c=0.94 ψ=1.54 M,cr=127079.00 λ_{LT}=0.11
$\lambda_{LT,0}$=0.40 β_{LT}=0.75 Φ_{LT}=0.45 β_{LT}=0.75 f=1.00 χ_{LT}=1.00
CC 105 My,Ed=-288.74 My,b,Rd=1363.58 My,Ed/My,b,Rd=0.21

- Verifica di stabilità aste presso-inflesse (C4.2.4.1.3.3.2) - CC 97 - Classe 1
Sollecitazioni: N,Ed=-665.59 My,Ed=-188.96 Mz,Ed=-2.87
Resistenze: Nc,Rd=29566.40 My,c,Rd=1363.58 Mz,c,Rd=304.36 L=20.00
αmy, αmz, αLT=0.95, 0.95, 0.95
L_{cr}=0.20 Curva b: α-imp=0.34 k_c=0.94 ψ=1.91 M,cr=157450.00 λ_{LT}=0.10
$\lambda_{LT,0}$=0.40 β_{LT}=0.75 Φ_{LT}=0.45 β_{LT}=0.75 f=1.00 χ_{LT}=1.00
λ_Y=4.08 Ncr,y=16464900.00 λ^*_y=0.04 Curva a: Φ_y=0.00 χ_y=1.00
λ_Z=13.82 Ncr,z=1433640.00 λ^*_z=0.15 Curva b: Φ_z=0.00 χ_z=1.00
Kyy, Kyz, Kzy, Kzz=0.95, 0.57, 0.57, 0.94
Verifica YY: 0.02+0.13+0.01=0.16
Verifica ZZ: 0.02+0.08+0.01=0.11

- Verifica a pressoflessione deviata (EC3 6.41) - CC 105 Xl=0.20 - Classe 1
Sollecitazioni: N=256.32 T_z=1139.15 M_y=-288.74 T_y=-4.79 M_z=-1.01
N,Ed=256.32 Nc,Rd=29566.40 n=N,Ed/Nc,Rd=0.01
Pressoflessione retta YY (4.2.34):
My,Ed=-288.74 My,c,Rd=1363.58 MNy,c,Rd=1363.58 My,Ed/MNy,c,Rd=0.21
Pressoflessione retta ZZ (4.2.35):
Mz,Ed=-1.01 Mz,c,Rd=304.36 MNz,c,Rd=304.36 Mz,Ed/MNz,c,Rd=0.00
α=2.00 β=1.00 $(My,Ed/MNy,c,Rd)^2+(Mz,Ed/MNz,c,Rd)^1$=0.21

- Verifica a taglio dir. Y (4.2.17) - CC 1 Xl=0.00
Sollecitazioni: N=-252.87 T_z=3674.81 M_y=9.05 T_y=-9.70
V,Ed=-9.70 Vc,Rd=11760.20 V,Ed/Vc,Rd=0.00

- Verifica a taglio dir. Z (4.2.17)
V,Ed=3674.81 (V,Ed,G=265.87, V,Ed,M=3408.94) Vc,Rd=8148.24 V,Ed/Vc,Rd=0.45

Asta n. 314 (-1092 332) IPE120 Crit. 10

- Verifica di stabilità aste inflesse (4.2.4.1.3.2) CC 105 - Classe 1
L_{cr}=0.27 Curva b: α-imp=0.34 k_c=0.94 ψ=2.01 M,cr=95328.10 λ_{LT}=0.12
$\lambda_{LT,0}$=0.40 β_{LT}=0.75 Φ_{LT}=0.46 β_{LT}=0.75 f=1.00 χ_{LT}=1.00
CC 105 My,Ed=-294.35 My,b,Rd=1363.58 My,Ed/My,b,Rd=0.22

- Verifica di stabilità aste presso-inflesse (C4.2.4.1.3.3.2) - CC 97 - Classe 1
  Sollecitazioni: N,Ed=-537.47 My,Ed=-179.79 Mz,Ed=3.51
  Resistenze: Nc,Rd=29566.40 My,c,Rd=1363.58 Mz,c,Rd=304.36 L=26.52
  αmy, αmz, αLT=0.95, 0.95, 0.95
  L_{cr}=0.27 Curva b: α-imp=0.34 k_c=0.94 ψ=2.58 M,cr=122270.00 λ_{LT}=0.11
  $\lambda_{LT,0}$=0.40 β_{LT}=0.75 Φ_{LT}=0.45 β_{LT}=0.75 f=1.00 χ_{LT}=1.00
  λ_Y=5.41 Ncr,y=9364240.00 λ^*_y=0.06 Curva a: Φ_y=0.00 χ_y=1.00
  λ_Z=18.32 Ncr,z=815369.00 λ^*_z=0.20 Curva b: Φ_z=0.00 χ_z=1.00
  Kyy, Kyz, Kzy, Kzz=0.95, 0.57, 0.57, 0.95
  Verifica YY: 0.02+0.12+0.01=0.15
  Verifica ZZ: 0.02+0.07+0.01=0.10

- Verifica freccia massima per soli carichi accidentali - CC 141
  $f_{Z,L}$=0.00 (L/12090)

- Verifica freccia massima carichi totali - CC 141
  $f_{Z,L}$=0.00 (L/10299)

- Verifica a pressoflessione deviata (EC3 6.41) - CC 105 Xl=0.00 - Classe 1
  Sollecitazioni: N=157.60 T_z=-1370.43 M_y=-294.35 T_y=-6.23 M_z=1.29
  N,Ed=157.60 Nc,Rd=29566.40 n=N,Ed/Nc,Rd=0.01
  Pressoflessione retta YY (4.2.34):
   My,Ed=-294.35 My,c,Rd=1363.58 MNy,c,Rd=1363.58 My,Ed/MNy,c,Rd=0.22
  Pressoflessione retta ZZ (4.2.35):
   Mz,Ed=1.29 Mz,c,Rd=304.36 MNz,c,Rd=304.36 Mz,Ed/MNz,c,Rd=0.00
  α=2.00 β=1.00 $(My,Ed/MNy,c,Rd)^2$+$(Mz,Ed/MNz,c,Rd)^1$=0.22

- Verifica a taglio dir. Y (4.2.17) - CC 1 Xl=0.00
  Sollecitazioni: N=-186.19 T_z=3150.28 M_y=-42.77 T_y=-8.52 M_z=1.97
  V,Ed=-8.52 Vc,Rd=11760.20 V,Ed/Vc,Rd=0.00

- Verifica a taglio dir. Z (4.2.17)
  V,Ed=3150.28 (V,Ed,G=-258.66, V,Ed,M=3408.94) Vc,Rd=8148.24 V,Ed/Vc,Rd=0.39

Asta n. 314 (332 319) IPE120 Crit. 10

- Verifica di stabilità aste inflesse (4.2.4.1.3.2) CC 105 - Classe 1
  L_{cr}=0.13 Curva b: α-imp=0.34 k_c=0.94 ψ=1.49 M,cr=267483.00 λ_{LT}=0.07
  $\lambda_{LT,0}$=0.40 β_{LT}=0.75 Φ_{LT}=0.45 β_{LT}=0.75 f=1.00 χ_{LT}=1.00
  CC 105 My,Ed=254.95 My,b,Rd=1363.58 My,Ed/My,b,Rd=0.19

- Verifica di stabilità aste presso-inflesse (C4.2.4.1.3.3.2) - CC 97 - Classe 1
  Sollecitazioni: N,Ed=-537.47 My,Ed=272.76 Mz,Ed=-3.60
  Resistenze: Nc,Rd=29566.40 My,c,Rd=1363.58 Mz,c,Rd=304.36 L=13.48
  αmy, αmz, αLT=0.95, 0.95, 0.95
  L_{cr}=0.13 Curva b: α-imp=0.34 k_c=0.94 ψ=1.35 M,cr=242343.00 λ_{LT}=0.08
  $\lambda_{LT,0}$=0.40 β_{LT}=0.75 Φ_{LT}=0.45 β_{LT}=0.75 f=1.00 χ_{LT}=1.00
  λ_Y=2.75 Ncr,y=36244000.00 λ^*_y=0.03 Curva a: Φ_y=0.00 χ_y=1.00
  λ_Z=9.31 Ncr,z=3155860.00 λ^*_z=0.10 Curva b: Φ_z=0.00 χ_z=1.00
  Kyy, Kyz, Kzy, Kzz=0.95, 0.57, 0.57, 0.94
  Verifica YY: 0.02+0.19+0.01=0.21
  Verifica ZZ: 0.02+0.11+0.01=0.14

- Verifica a pressoflessione deviata (EC3 6.41) - CC 97 Xl=0.13 - Classe 1
  Sollecitazioni: N=-537.47 T_z=-1134.17 M_y=272.76 T_y=-17.78 M_z=-3.60
  N,Ed=-537.47 Nc,Rd=29566.40 n=N,Ed/Nc,Rd=0.02
  Pressoflessione retta YY (4.2.34):
   My,Ed=272.76 My,c,Rd=1363.58 MNy,c,Rd=1363.58 My,Ed/MNy,c,Rd=0.20
  Pressoflessione retta ZZ (4.2.35):
   Mz,Ed=-3.60 Mz,c,Rd=304.36 MNz,c,Rd=304.36 Mz,Ed/MNz,c,Rd=0.01
  α=2.00 β=1.00 $(My,Ed/MNy,c,Rd)^2$+$(Mz,Ed/MNz,c,Rd)^1$=0.20

- Verifica a taglio dir. Y (4.2.17) - CC 1 Xl=0.00
  Sollecitazioni: N=-186.19 T_z=3147.53 M_y=23.29 T_y=9.26
  V,Ed=9.26 Vc,Rd=11760.20 V,Ed/Vc,Rd=0.00

- Verifica a taglio dir. Z (4.2.17)
  V,Ed=3147.53 (V,Ed,G=-261.41, V,Ed,M=3408.94) Vc,Rd=8148.24 V,Ed/Vc,Rd=0.39

Asta n. 314 (319 -1216) IPE120 Crit. 10

- Verifica di stabilità aste inflesse (4.2.4.1.3.2) CC 105 - Classe 1
  L_{cr}=0.40 Curva b: α-imp=0.34 k_c=0.94 ψ=1.78 M,cr=38024.30 λ_{LT}=0.19
  $\lambda_{LT,0}$=0.40 β_{LT}=0.75 Φ_{LT}=0.48 β_{LT}=0.75 f=0.99 χ_{LT}=1.00
  CC 105 My,Ed=231.93 My,b,Rd=1363.58 My,Ed/My,b,Rd=0.17

- Verifica di stabilità aste presso-inflesse (C4.2.4.1.3.3.2) - CC 97 - Classe 1
  Sollecitazioni: N,Ed=-340.51 My,Ed=316.85 Mz,Ed=-4.64
  Resistenze: Nc,Rd=29566.40 My,c,Rd=1363.58 Mz,c,Rd=304.36 L=40.00
  αmy, αmz, αLT=0.95, 0.95, 0.95
  L_{cr}=0.40 Curva b: α-imp=0.34 k_c=0.94 ψ=1.86 M,cr=39866.70 λ_{LT}=0.19
  $\lambda_{LT,0}$=0.40 β_{LT}=0.75 Φ_{LT}=0.48 β_{LT}=0.75 f=0.99 χ_{LT}=1.00
  λ_Y=8.16 Ncr,y=4116220.00 λ^*_y=0.09 Curva a: Φ_y=0.49 χ_y=1.00
  λ_Z=27.64 Ncr,z=358410.00 λ^*_z=0.29 Curva b: Φ_z=0.56 χ_z=0.97
  Kyy, Kyz, Kzy, Kzz=0.95, 0.57, 0.57, 0.95
  Verifica YY: 0.01+0.22+0.01=0.24
  Verifica ZZ: 0.01+0.13+0.01=0.16

- Verifica freccia massima per soli carichi accidentali - CC 133
  $f_{Z,L}$=0.00 (L/14588)

- Verifica freccia massima carichi totali - CC 133
  $f_{Z,L}$=0.00 (L/8830)

- Verifica a pressoflessione deviata (EC3 6.41) - CC 97 Xl=0.00 - Classe 1
  Sollecitazioni: N=-340.51 T_z=878.67 M_y=316.85 T_y=-22.03 M_z=4.17
  N,Ed=-340.51 Nc,Rd=29566.40 n=N,Ed/Nc,Rd=0.01
  Pressoflessione retta YY (4.2.34):
   My,Ed=316.85 My,c,Rd=1363.58 MNy,c,Rd=1363.58 My,Ed/MNy,c,Rd=0.23
  Pressoflessione retta ZZ (4.2.35):
   Mz,Ed=4.17 Mz,c,Rd=304.36 MNz,c,Rd=304.36 Mz,Ed/MNz,c,Rd=0.01
  α=2.00 β=1.00 $(My,Ed/MNy,c,Rd)^2+(Mz,Ed/MNz,c,Rd)^1$=0.23

- Verifica a taglio dir. Y (4.2.17) - CC 97 Xl=0.00
  Sollecitazioni: N=-340.51 T_z=878.67 M_y=316.85 T_y=-22.03 M_z=4.17
  V,Ed=-22.03 Vc,Rd=11760.20 V,Ed/Vc,Rd=0.00

- Verifica a taglio dir. Z (4.2.17)
  V,Ed=878.67 Vc,Rd=8148.24 V,Ed/Vc,Rd=0.11

Asta n. 602 (-503 -375) HEB140 Crit. 1

- Verifica di stabilità aste inflesse (4.2.4.1.3.2) CC 97 - Classe 3
  L_{cr}=2.30 Curva b: α-imp=0.34 k_c=0.94 ψ=1.75 M,cr=39032.80 λ_{LT}=0.39
  $\lambda_{LT,0}$=0.40 β_{LT}=0.75 Φ_{LT}=0.56 β_{LT}=0.75 f=0.98 χ_{LT}=1.00
  CC 97 My,Ed=-22.95 My,b,Rd=5390.19 My,Ed/My,b,Rd=0.00

- Verifica freccia massima carichi totali - CC 140
  $f_{Z,L}$=0.00 (L/77962)

- Verifica in termini tensionali (4.2.5) - CC 126 Xl=0.21 - Classe 3
  Sollecitazioni: N=383.58 T_z=32.59 M_y=-7.59 T_y=-12.51 M_z=15.71
  Tensioni: σ_N=8.93 σ_M=23.53 τ=0.00 σ_{max}=32.46
  Tensioni: σ_N=8.93 σ_M=1.00 τ=3.92 τ_{max}=3.92
  Tensioni: σ_N=8.93 σ_M=23.53 τ=0.00 $\sigma_{ID,max}$=32.46

Asta n. 604 (-511 -377) HEB140 Crit. 1

- Verifica di stabilità aste inflesse (4.2.4.1.3.2) CC 97 - Classe 3
  L_{cr}=2.30 Curva b: α-imp=0.34 k_c=0.94 ψ=1.75 M,cr=39032.80 λ_{LT}=0.39
  $\lambda_{LT,0}$=0.40 β_{LT}=0.75 Φ_{LT}=0.56 β_{LT}=0.75 f=0.98 χ_{LT}=1.00
  CC 97 My,Ed=-22.95 My,b,Rd=5390.19 My,Ed/My,b,Rd=0.00

- Verifica freccia massima carichi totali - CC 137
  $f_{Z,L}$=0.00 (L/76725)

- Verifica in termini tensionali (4.2.5) - CC 126 Xl=0.42 - Classe 3
  Sollecitazioni: N=348.50 T_z=25.35 M_y=-13.66 T_y=-9.64 M_z=8.64
  Tensioni: σ_N=8.11 σ_M=17.33 τ=0.00 σ_{max}=25.45
  Tensioni: σ_N=8.11 σ_M=0.55 τ=3.05 τ_{max}=3.05

Tensioni: σ_N=8.11 σ_M=17.33 τ=0.00 $\sigma_{ID,max}$=25.45

Asta n. 606 (-515 -379) HEB140 Crit. 1

- Verifica di stabilità aste inflesse (4.2.4.1.3.2) CC 97 - Classe 3
  L_{cr}=2.30 Curva b: α-imp=0.34 k_c=0.94 ψ=1.75 M,cr=39032.80 λ_{LT}=0.39
  $\lambda_{LT,0}$=0.40 β_{LT}=0.75 Φ_{LT}=0.56 β_{LT}=0.75 f=0.98 χ_{LT}=1.00
  CC 97 My,Ed=-22.95 My,b,Rd=5390.19 My,Ed/My,b,Rd=0.00

- Verifica freccia massima carichi totali - CC 135
  $f_{Z,L}$=0.00 (L/77962)

- Verifica in termini tensionali (4.2.5) - CC 102 Xl=1.15 - Classe 3
  Sollecitazioni: N=370.87 M_y=-22.95
  Tensioni: σ_N=8.63 σ_M=10.65 τ=0.00 σ_{max}=19.28
  Tensioni: σ_N=0.00 σ_M=0.00 τ=0.00 τ_{max}=0.00
  Tensioni: σ_N=8.63 σ_M=10.65 τ=0.00 $\sigma_{ID,max}$=19.28

Asta n. 608 (-519 -381) HEB140 Crit. 1

- Verifica di stabilità aste inflesse (4.2.4.1.3.2) CC 97 - Classe 3
  L_{cr}=2.30 Curva b: α-imp=0.34 k_c=0.94 ψ=1.75 M,cr=39032.80 λ_{LT}=0.39
  $\lambda_{LT,0}$=0.40 β_{LT}=0.75 Φ_{LT}=0.56 β_{LT}=0.75 f=0.98 χ_{LT}=1.00
  CC 97 My,Ed=-22.95 My,b,Rd=5390.19 My,Ed/My,b,Rd=0.00

- Verifica freccia massima carichi totali - CC 143
  $f_{Z,L}$=0.00 (L/74941)

- Verifica in termini tensionali (4.2.5) - CC 126 Xl=0.42 - Classe 3
  Sollecitazioni: N=347.86 T_z=25.35 M_y=-13.66 T_y=9.53 M_z=-8.51
  Tensioni: σ_N=8.10 σ_M=17.17 τ=0.00 σ_{max}=25.27
  Tensioni: σ_N=8.10 σ_M=-0.54 τ=3.05 τ_{max}=3.05
  Tensioni: σ_N=8.10 σ_M=17.17 τ=0.00 $\sigma_{ID,max}$=25.27

Asta n. 610 (-527 -383) HEB140 Crit. 1

- Verifica di stabilità aste inflesse (4.2.4.1.3.2) CC 97 - Classe 3
  L_{cr}=2.30 Curva b: α-imp=0.34 k_c=0.94 ψ=1.75 M,cr=39032.80 λ_{LT}=0.39
  $\lambda_{LT,0}$=0.40 β_{LT}=0.75 Φ_{LT}=0.56 β_{LT}=0.75 f=0.98 χ_{LT}=1.00
  CC 97 My,Ed=-22.95 My,b,Rd=5390.19 My,Ed/My,b,Rd=0.00

- Verifica freccia massima carichi totali - CC 138
  $f_{Z,L}$=0.00 (L/78596)

- Verifica in termini tensionali (4.2.5) - CC 126 Xl=0.21 - Classe 3
  Sollecitazioni: N=382.35 T_z=32.59 M_y=-7.59 T_y=12.43 M_z=-15.59
  Tensioni: σ_N=8.90 σ_M=23.37 τ=0.00 σ_{max}=32.27
  Tensioni: σ_N=8.90 σ_M=-0.99 τ=3.92 τ_{max}=3.92
  Tensioni: σ_N=8.90 σ_M=23.37 τ=0.00 $\sigma_{ID,max}$=32.27

Asta n. 612 (-375 -377) U160x8.5 Crit. 1

- Verifica di stabilità aste inflesse (4.2.4.1.3.2) CC 101 - Classe 3
  L_{cr}=0.80 Curva d: α-imp=0.76 k_c=0.94 ψ=1.75 M,cr=0.00 λ_{LT}=0.00
  $\lambda_{LT,0}$=0.00 β_{LT}=0.00 Φ_{LT}=0.00 β_{LT}=0.00 f=0.00 χ_{LT}=1.00
  CC 101 My,Ed=1.45 My,b,Rd=2862.95 My,Ed/My,b,Rd=0.00

- Verifica di stabilità aste presso-inflesse (C4.2.4.1.3.3.1) - CC 124 - Classe 3
  Sollecitazioni: N,Ed=-14.35 Myeq,Ed=1.09 Mzeq,Ed=6.98
  Resistenze: Nc,Rd=66446.40 My,c,Rd=2862.95 Mz,c,Rd=450.72 L=80.00
  λ_Y=13.63 Ncr,y=2966900.00 λ^*_y=0.16 Curva c: Φ_y=0.50 χ_y=1.00
  λ_Z=43.80 Ncr,z=287205.00 λ^*_z=0.50 Curva c: Φ_z=0.70 χ_z=0.84
  χ,min=0.84
  Verifica: 0.00+0.00+0.02=0.02

- Verifica in termini tensionali (4.2.5) - CC 128 Xl=0.00 - Classe 3
  Sollecitazioni: N=27.53 T_z=-7.24 T_y=-30.36 M_z=10.30
  Tensioni: σ_N=1.04 σ_M=57.12 τ=0.00 σ_{max}=58.16
  Tensioni: σ_N=1.04 σ_M=4.87 τ=3.83 τ_{max}=3.83

Tensioni: σ_N=1.04 σ_M=57.12 τ=0.02 $\sigma_{ID,max}$=58.16

Asta n. 612 (-377 -379) U160x8.5 Crit. 1

- Verifica di stabilità aste inflesse (4.2.4.1.3.2) CC 101 - Classe 3
  L_{cr}=0.80 Curva d: α-imp=0.76 k_c=0.94 ψ=1.75 M,cr=0.00 λ_{LT}=0.00
  $\lambda_{LT,0}$=0.00 β_{LT}=0.00 Φ_{LT}=0.00 β_{LT}=0.00 f=0.00 χ_{LT}=1.00
  CC 101 My,Ed=1.47 My,b,Rd=2862.95 My,Ed/My,b,Rd=0.00

- Verifica di stabilità aste presso-inflesse (C4.2.4.1.3.3.1) - CC 65 - Classe 3
  Sollecitazioni: N,Ed=-28.17 Myeq,Ed=0.81 Mzeq,Ed=3.19
  Resistenze: Nc,Rd=66446.40 My,c,Rd=2862.95 Mz,c,Rd=450.72 L=80.47
  λ_Y=13.71 Ncr,y=2932340.00 λ^*_y=0.16 Curva c: Φ_y=0.50 χ_y=1.00
  λ_Z=44.05 Ncr,z=283860.00 λ^*_z=0.51 Curva c: Φ_z=0.70 χ_z=0.84
  χ,min=0.84
  Verifica: 0.00+0.00+0.01=0.01

- Verifica in termini tensionali (4.2.5) - CC 65 Xl=0.00 - Classe 3
  Sollecitazioni: N=-18.93 T_z=-5.40 T_y=-12.24 M_z=3.19
  Tensioni: σ_N=-0.71 σ_M=17.67 τ=0.00 σ_{max}=16.96
  Tensioni: σ_N=-0.71 σ_M=1.51 τ=1.55 τ_{max}=1.55
  Tensioni: σ_N=-0.71 σ_M=17.67 τ=0.01 $\sigma_{ID,max}$=16.96

Asta n. 612 (-379 -381) U160x8.5 Crit. 1

- Verifica di stabilità aste inflesse (4.2.4.1.3.2) CC 101 - Classe 3
  L_{cr}=0.80 Curva d: α-imp=0.76 k_c=0.94 ψ=1.75 M,cr=0.00 λ_{LT}=0.00
  $\lambda_{LT,0}$=0.00 β_{LT}=0.00 Φ_{LT}=0.00 β_{LT}=0.00 f=0.00 χ_{LT}=1.00
  CC 101 My,Ed=1.43 My,b,Rd=2862.95 My,Ed/My,b,Rd=0.00

- Verifica di stabilità aste presso-inflesse (C4.2.4.1.3.3.1) - CC 17 - Classe 3
  Sollecitazioni: N,Ed=-27.99 Myeq,Ed=0.80 Mzeq,Ed=3.16
  Resistenze: Nc,Rd=66446.40 My,c,Rd=2862.95 Mz,c,Rd=450.72 L=79.53
  λ_Y=13.55 Ncr,y=3002070.00 λ^*_y=0.16 Curva c: Φ_y=0.50 χ_y=1.00
  λ_Z=43.54 Ncr,z=290610.00 λ^*_z=0.50 Curva c: Φ_z=0.70 χ_z=0.84
  χ,min=0.84
  Verifica: 0.00+0.00+0.01=0.01

- Verifica in termini tensionali (4.2.5) - CC 17 Xl=0.80 - Classe 3
  Sollecitazioni: N=-18.93 T_z=5.33 T_y=12.20 M_z=3.16
  Tensioni: σ_N=-0.71 σ_M=17.51 τ=0.00 σ_{max}=16.79
  Tensioni: σ_N=-0.71 σ_M=1.49 τ=1.54 τ_{max}=1.54
  Tensioni: σ_N=-0.71 σ_M=17.51 τ=0.01 $\sigma_{ID,max}$=16.79

Asta n. 612 (-381 -383) U160x8.5 Crit. 1

- Verifica di stabilità aste inflesse (4.2.4.1.3.2) CC 101 - Classe 3
  L_{cr}=0.80 Curva d: α-imp=0.76 k_c=0.94 ψ=1.75 M,cr=0.00 λ_{LT}=0.00
  $\lambda_{LT,0}$=0.00 β_{LT}=0.00 Φ_{LT}=0.00 β_{LT}=0.00 f=0.00 χ_{LT}=1.00
  CC 101 My,Ed=1.45 My,b,Rd=2862.95 My,Ed/My,b,Rd=0.00

- Verifica di stabilità aste presso-inflesse (C4.2.4.1.3.3.1) - CC 123 - Classe 3
  Sollecitazioni: N,Ed=-14.20 Myeq,Ed=1.09 Mzeq,Ed=6.93
  Resistenze: Nc,Rd=66446.40 My,c,Rd=2862.95 Mz,c,Rd=450.72 L=80.00
  λ_Y=13.63 Ncr,y=2966900.00 λ^*_y=0.16 Curva c: Φ_y=0.50 χ_y=1.00
  λ_Z=43.80 Ncr,z=287205.00 λ^*_z=0.50 Curva c: Φ_z=0.70 χ_z=0.84
  χ,min=0.84
  Verifica: 0.00+0.00+0.02=0.02

- Verifica in termini tensionali (4.2.5) - CC 127 Xl=0.80 - Classe 3
  Sollecitazioni: N=27.69 T_z=7.24 T_y=30.26 M_z=10.26
  Tensioni: σ_N=1.04 σ_M=56.89 τ=0.00 σ_{max}=57.93
  Tensioni: σ_N=1.04 σ_M=4.85 τ=3.81 τ_{max}=3.81
  Tensioni: σ_N=1.04 σ_M=56.89 τ=0.02 $\sigma_{ID,max}$=57.93

Asta n. 615 (-378 -376) U160x8.5 Crit. 1

- Verifica di stabilità aste inflesse (4.2.4.1.3.2) CC 105 - Classe 3
  L_{cr}=0.80 Curva d: α-imp=0.76 k_c=0.94 ψ=1.75 M,cr=0.00 λ_{LT}=0.00

$\lambda_{LT,0}$=0.00 β_{LT}=0.00 Φ_{LT}=0.00 β_{LT}=0.00 f=0.00 χ_{LT}=1.00
CC 105 My,Ed=1.45 My,b,Rd=2862.95 My,Ed/My,b,Rd=0.00

- Verifica di stabilità aste presso-inflesse (C4.2.4.1.3.3.1) - CC 127 - Classe 3
Sollecitazioni: N,Ed=-41.97 Myeq,Ed=1.09 Mzeq,Ed=4.83
Resistenze: Nc,Rd=66446.40 My,c,Rd=2862.95 Mz,c,Rd=450.72 L=80.00
λ_Y=13.63 Ncr,y=2966900.00 λ^*_y=0.16 Curva c: Φ_y=0.50 χ_y=1.00
λ_Z=43.80 Ncr,z=287205.00 λ^*_z=0.50 Curva c: Φ_z=0.70 χ_z=0.84
χ,min=0.84
Verifica: 0.00+0.00+0.01=0.01

- Verifica in termini tensionali (4.2.5) - CC 108 Xl=0.80 - Classe 3
Sollecitazioni: N=27.12 T_z=7.24 T_y=25.33 M_z=8.08
Tensioni: σ_N=1.02 σ_M=44.84 τ=0.00 σ_{max}=45.86
Tensioni: σ_N=1.02 σ_M=3.82 τ=3.19 τ_{max}=3.19
Tensioni: σ_N=1.02 σ_M=44.84 τ=0.02 $\sigma_{ID,max}$=45.86

Asta n. 615 (-380 -378) U160x8.5 Crit. 1

- Verifica di stabilità aste inflesse (4.2.4.1.3.2) CC 105 - Classe 3
L_{cr}=0.80 Curva d: α-imp=0.76 k_c=0.94 ψ=1.75 M,cr=0.00 λ_{LT}=0.00
$\lambda_{LT,0}$=0.00 β_{LT}=0.00 Φ_{LT}=0.00 β_{LT}=0.00 f=0.00 χ_{LT}=1.00
CC 105 My,Ed=1.47 My,b,Rd=2862.95 My,Ed/My,b,Rd=0.00

- Verifica di stabilità aste presso-inflesse (C4.2.4.1.3.3.1) - CC 17 - Classe 3
Sollecitazioni: N,Ed=-28.17 Myeq,Ed=0.81 Mzeq,Ed=3.19
Resistenze: Nc,Rd=66446.40 My,c,Rd=2862.95 Mz,c,Rd=450.72 L=80.47
λ_Y=13.71 Ncr,y=2932340.00 λ^*_y=0.16 Curva c: Φ_y=0.50 χ_y=1.00
λ_Z=44.05 Ncr,z=283860.00 λ^*_z=0.51 Curva c: Φ_z=0.70 χ_z=0.84
χ,min=0.84
Verifica: 0.00+0.00+0.01=0.01

- Verifica in termini tensionali (4.2.5) - CC 17 Xl=0.80 - Classe 3
Sollecitazioni: N=-18.93 T_z=5.40 T_y=12.24 M_z=3.19
Tensioni: σ_N=-0.71 σ_M=17.67 τ=0.00 σ_{max}=16.96
Tensioni: σ_N=-0.71 σ_M=1.51 τ=1.55 τ_{max}=1.55
Tensioni: σ_N=-0.71 σ_M=17.67 τ=0.01 $\sigma_{ID,max}$=16.96

Asta n. 615 (-382 -380) U160x8.5 Crit. 1

- Verifica di stabilità aste inflesse (4.2.4.1.3.2) CC 105 - Classe 3
L_{cr}=0.80 Curva d: α-imp=0.76 k_c=0.94 ψ=1.75 M,cr=0.00 λ_{LT}=0.00
$\lambda_{LT,0}$=0.00 β_{LT}=0.00 Φ_{LT}=0.00 β_{LT}=0.00 f=0.00 χ_{LT}=1.00
CC 105 My,Ed=1.43 My,b,Rd=2862.95 My,Ed/My,b,Rd=0.00

- Verifica di stabilità aste presso-inflesse (C4.2.4.1.3.3.1) - CC 65 - Classe 3
Sollecitazioni: N,Ed=-27.99 Myeq,Ed=0.80 Mzeq,Ed=3.16
Resistenze: Nc,Rd=66446.40 My,c,Rd=2862.95 Mz,c,Rd=450.72 L=79.53
λ_Y=13.55 Ncr,y=3002070.00 λ^*_y=0.16 Curva c: Φ_y=0.50 χ_y=1.00
λ_Z=43.54 Ncr,z=290610.00 λ^*_z=0.50 Curva c: Φ_z=0.70 χ_z=0.84
χ,min=0.84
Verifica: 0.00+0.00+0.01=0.01

- Verifica in termini tensionali (4.2.5) - CC 65 Xl=0.00 - Classe 3
Sollecitazioni: N=-18.93 T_z=-5.33 T_y=-12.20 M_z=3.16
Tensioni: σ_N=-0.71 σ_M=17.51 τ=0.00 σ_{max}=16.79
Tensioni: σ_N=-0.71 σ_M=1.49 τ=1.54 τ_{max}=1.54
Tensioni: σ_N=-0.71 σ_M=17.51 τ=0.01 $\sigma_{ID,max}$=16.79

Asta n. 615 (-384 -382) U160x8.5 Crit. 1

- Verifica di stabilità aste inflesse (4.2.4.1.3.2) CC 105 - Classe 3
L_{cr}=0.80 Curva d: α-imp=0.76 k_c=0.94 ψ=1.75 M,cr=0.00 λ_{LT}=0.00
$\lambda_{LT,0}$=0.00 β_{LT}=0.00 Φ_{LT}=0.00 β_{LT}=0.00 f=0.00 χ_{LT}=1.00
CC 105 My,Ed=1.45 My,b,Rd=2862.95 My,Ed/My,b,Rd=0.00

- Verifica di stabilità aste presso-inflesse (C4.2.4.1.3.3.1) - CC 128 - Classe 3
Sollecitazioni: N,Ed=-41.80 Myeq,Ed=1.09 Mzeq,Ed=4.86
Resistenze: Nc,Rd=66446.40 My,c,Rd=2862.95 Mz,c,Rd=450.72 L=80.00

λ_Y=13.63 Ncr,y=2966890.00 λ^*_y=0.16 Curva c: Φ_y=0.50 χ_y=1.00
λ_Z=43.80 Ncr,z=287205.00 λ^*_z=0.50 Curva c: Φ_z=0.70 χ_z=0.84
χ,min=0.84
Verifica: 0.00+0.00+0.01=0.01

- Verifica in termini tensionali (4.2.5) - CC 107 Xl=0.00 - Classe 3
Sollecitazioni: N=27.23 T_z=-7.24 T_y=-25.26 M_z=8.05
Tensioni: σ_N=1.02 σ_M=44.68 τ=0.00 σ_{max}=45.70
Tensioni: σ_N=1.02 σ_M=3.81 τ=3.19 τ_{max}=3.19
Tensioni: σ_N=1.02 σ_M=44.68 τ=0.02 $\sigma_{ID,max}$=45.70

Asta n. 617 (-41 -375) HEB140 Crit. 1

- Verifica di stabilità aste presso-inflesse (C4.2.4.1.3.3.2) - CC 98 - Classe 3
Sollecitazioni: N,Ed=-33863.10 My,Ed=306.11 Mz,Ed=17.01
Resistenze: Nc,Rd=107392.00 My,c,Rd=5390.19 Mz,c,Rd=1963.10 L=230.49
αmy, αmz, αLT=0.95, 0.95, 0.95
L_{cr}=2.30 Curva b: α-imp=0.34 k_c=0.94 ψ=1.75 M,cr=39032.80 λ_{LT}=0.39
$\lambda_{LT,0}$=0.40 β_{LT}=0.75 Φ_{LT}=0.56 β_{LT}=0.75 f=0.98 χ_{LT}=1.00
λ_Y=38.89 Ncr,y=588819.00 λ^*_y=0.45 Curva b: Φ_y=0.64 χ_y=0.91
λ_Z=64.43 Ncr,z=214447.00 λ^*_z=0.74 Curva c: Φ_z=0.91 χ_z=0.70
Kyy, Kyz, Kzy, Kzz=1.04, 1.14, 0.83, 1.14
Verifica YY: 0.35+0.06+0.01=0.42
Verifica ZZ: 0.45+0.05+0.01=0.51

- Verifica freccia massima per soli carichi accidentali - CC 133
$f_{Z,G}$=0.03 (L/8893) $f_{Z,L}$=0.01 (L/15724)

- Verifica freccia massima carichi totali - CC 134
$f_{Z,G}$=0.04 (L/5607) $f_{Z,L}$=0.02 (L/10459)

- Verifica in termini tensionali (4.2.5) - CC 98 Xl=2.30 - Classe 3
Sollecitazioni: N=-33794.90 T_z=-172.64 M_y=306.11 T_y=10.74 M_z=17.01
Tensioni: σ_N=-786.72 σ_M=-163.64 τ=0.00 σ_{max}=-950.36
Tensioni: σ_N=-786.72 σ_M=1.08 τ=20.77 τ_{max}=20.77
Tensioni: σ_N=-786.72 σ_M=-163.64 τ=0.00 $\sigma_{ID,max}$=950.36

Asta n. 617 (-375 10) HEB140 Crit. 1

- Verifica di stabilità aste presso-inflesse (C4.2.4.1.3.3.2) - CC 98 - Classe 3
Sollecitazioni: N,Ed=-33691.40 My,Ed=306.18 Mz,Ed=-38.06
Resistenze: Nc,Rd=107392.00 My,c,Rd=5390.19 Mz,c,Rd=1963.10 L=230.49
αmy, αmz, αLT=0.95, 0.95, 0.95
L_{cr}=2.30 Curva b: α-imp=0.34 k_c=0.94 ψ=1.75 M,cr=39032.80 λ_{LT}=0.39
$\lambda_{LT,0}$=0.40 β_{LT}=0.75 Φ_{LT}=0.56 β_{LT}=0.75 f=0.98 χ_{LT}=1.00
λ_Y=38.89 Ncr,y=588819.00 λ^*_y=0.45 Curva b: Φ_y=0.64 χ_y=0.91
λ_Z=64.43 Ncr,z=214447.00 λ^*_z=0.74 Curva c: Φ_z=0.91 χ_z=0.70
Kyy, Kyz, Kzy, Kzz=1.04, 1.14, 0.83, 1.14
Verifica YY: 0.35+0.06+0.02=0.43
Verifica ZZ: 0.45+0.05+0.02=0.52

- Verifica freccia massima per soli carichi accidentali - CC 133
$f_{Z,G}$=0.03 (L/8934) $f_{Z,L}$=0.01 (L/15720)

- Verifica freccia massima carichi totali - CC 134
$f_{Z,G}$=0.04 (L/5660) $f_{Z,L}$=0.02 (L/10450)

- Verifica in termini tensionali (4.2.5) - CC 98 Xl=0.00 - Classe 3
Sollecitazioni: N=-33691.40 T_z=172.67 M_y=306.18 T_y=-23.70 M_z=16.56
Tensioni: σ_N=-784.31 σ_M=-163.10 τ=0.00 σ_{max}=-947.41
Tensioni: σ_N=-784.31 σ_M=1.05 τ=20.77 τ_{max}=20.77
Tensioni: σ_N=-784.31 σ_M=-163.10 τ=0.00 $\sigma_{ID,max}$=947.41

Asta n. 619 (12 -511) HEB140 Crit. 1

- Verifica di stabilità aste inflesse (4.2.4.1.3.2) CC 97 - Classe 3
L_{cr}=3.50 Curva b: α-imp=0.34 k_c=0.94 ψ=1.75 M,cr=22787.60 λ_{LT}=0.51
$\lambda_{LT,0}$=0.40 β_{LT}=0.75 Φ_{LT}=0.62 β_{LT}=0.75 f=0.98 χ_{LT}=0.98
CC 97 My,Ed=-69.71 My,b,Rd=5284.96 My,Ed/My,b,Rd=0.01

- Verifica freccia massima carichi totali - CC 142
  $f_{Z,G}$=0.02 (L/16815)

- Verifica in termini tensionali (4.2.5) - CC 102 Xl=1.74 - Classe 3
  Sollecitazioni: N=24068.30 M_y=-69.71 M_z=-4.31
  Tensioni: σ_N=560.29 σ_M=37.82 τ=0.00 σ_{max}=598.11
  Tensioni: σ_N=0.00 σ_M=0.00 τ=0.00 τ_{max}=0.00
  Tensioni: σ_N=560.29 σ_M=37.82 τ=0.00 $\sigma_{ID,max}$=598.11

Asta n. 621 (22 -379) HEB140 Crit. 1

- Verifica di stabilità aste presso-inflesse (C4.2.4.1.3.3.2) - CC 102 - Classe 3
  Sollecitazioni: N,Ed=-30313.70 My,Ed=274.46 Mz,Ed=0.12
  Resistenze: Nc,Rd=107392.00 My,c,Rd=5390.19 Mz,c,Rd=1963.10 L=230.49
  αmy, αmz, αLT=0.95, 0.95, 0.95
  L_{cr}=2.30 Curva b: α-imp=0.34 k_c=0.94 ψ=1.75 M,cr=39032.80 λ_{LT}=0.39
  $\lambda_{LT,0}$=0.40 β_{LT}=0.75 Φ_{LT}=0.56 β_{LT}=0.75 f=0.98 χ_{LT}=1.00
  λ_Y=38.89 Ncr,y=588819.00 λ^*_y=0.45 Curva b: Φ_y=0.64 χ_y=0.91
  λ_Z=64.43 Ncr,z=214447.00 λ^*_z=0.74 Curva c: Φ_z=0.91 χ_z=0.70
  Kyy, Kyz, Kzy, Kzz=1.03, 1.12, 0.82, 1.12
  Verifica YY: 0.31+0.05+0.00=0.36
  Verifica ZZ: 0.40+0.04+0.00=0.45

- Verifica freccia massima per soli carichi accidentali - CC 137
  $f_{Z,G}$=0.03 (L/8918) $f_{Z,L}$=0.01 (L/15735)

- Verifica freccia massima carichi totali - CC 138
  $f_{Z,G}$=0.04 (L/6275) $f_{Z,L}$=0.02 (L/11784)

- Verifica in termini tensionali (4.2.5) - CC 102 Xl=2.30 - Classe 3
  Sollecitazioni: N=-30245.40 T_z=-158.91 M_y=274.46
  Tensioni: σ_N=-704.09 σ_M=-127.30 τ=0.00 σ_{max}=-831.38
  Tensioni: σ_N=-704.09 σ_M=-0.00 τ=19.11 τ_{max}=19.11
  Tensioni: σ_N=-704.09 σ_M=-127.30 τ=0.00 $\sigma_{ID,max}$=831.38

Asta n. 621 (-379 14) HEB140 Crit. 1

- Verifica di stabilità aste presso-inflesse (C4.2.4.1.3.3.2) - CC 102 - Classe 3
  Sollecitazioni: N,Ed=-30140.00 My,Ed=274.41 Mz,Ed=-0.07
  Resistenze: Nc,Rd=107392.00 My,c,Rd=5390.19 Mz,c,Rd=1963.10 L=230.49
  αmy, αmz, αLT=0.95, 0.95, 0.95
  L_{cr}=2.30 Curva b: α-imp=0.34 k_c=0.94 ψ=1.75 M,cr=39032.80 λ_{LT}=0.39
  $\lambda_{LT,0}$=0.40 β_{LT}=0.75 Φ_{LT}=0.56 β_{LT}=0.75 f=0.98 χ_{LT}=1.00
  λ_Y=38.89 Ncr,y=588819.00 λ^*_y=0.45 Curva b: Φ_y=0.64 χ_y=0.91
  λ_Z=64.43 Ncr,z=214447.00 λ^*_z=0.74 Curva c: Φ_z=0.91 χ_z=0.70
  Kyy, Kyz, Kzy, Kzz=1.03, 1.12, 0.82, 1.12
  Verifica YY: 0.31+0.05+0.00=0.36
  Verifica ZZ: 0.40+0.04+0.00=0.44

- Verifica freccia massima per soli carichi accidentali - CC 137
  $f_{Z,G}$=0.03 (L/9018) $f_{Z,L}$=0.01 (L/15720)

- Verifica freccia massima carichi totali - CC 138
  $f_{Z,G}$=0.04 (L/6376) $f_{Z,L}$=0.02 (L/11750)

- Verifica in termini tensionali (4.2.5) - CC 102 Xl=0.00 - Classe 3
  Sollecitazioni: N=-30140.00 T_z=158.89 M_y=274.41
  Tensioni: σ_N=-701.63 σ_M=-127.27 τ=0.00 σ_{max}=-828.91
  Tensioni: σ_N=-701.63 σ_M=-0.00 τ=19.11 τ_{max}=19.11
  Tensioni: σ_N=-701.63 σ_M=-127.27 τ=0.00 $\sigma_{ID,max}$=828.91

Asta n. 623 (16 -519) HEB140 Crit. 1

- Verifica di stabilità aste inflesse (4.2.4.1.3.2) CC 97 - Classe 3
  L_{cr}=3.50 Curva b: α-imp=0.34 k_c=0.94 ψ=1.75 M,cr=22787.60 λ_{LT}=0.51
  $\lambda_{LT,0}$=0.40 β_{LT}=0.75 Φ_{LT}=0.62 β_{LT}=0.75 f=0.98 χ_{LT}=0.98
  CC 97 My,Ed=-69.71 My,b,Rd=5284.96 My,Ed/My,b,Rd=0.01

- Verifica freccia massima carichi totali - CC 142

$f_{Z,G}$=0.02 (L/16815)

- Verifica in termini tensionali (4.2.5) - CC 102 Xl=1.74 - Classe 3
  Sollecitazioni: N=23995.20 M_y=-69.71 M_z=4.23
  Tensioni: σ_N=558.59 σ_M=37.71 τ=0.00 σ_{max}=596.30
  Tensioni: σ_N=0.00 σ_M=0.00 τ=0.00 τ_{max}=0.00
  Tensioni: σ_N=558.59 σ_M=37.71 τ=0.00 $\sigma_{ID,max}$=596.30

Asta n. 625 (-179 -383) HEB140 Crit. 1

- Verifica di stabilità aste presso-inflesse (C4.2.4.1.3.3.2) - CC 98 - Classe 3
  Sollecitazioni: N,Ed=-33694.80 My,Ed=304.70 Mz,Ed=-16.99
  Resistenze: Nc,Rd=107392.00 My,c,Rd=5390.19 Mz,c,Rd=1963.10 L=230.49
  αmy, αmz, αLT=0.95, 0.95, 0.95
  L_{cr}=2.30 Curva b: α-imp=0.34 k_c=0.94 ψ=1.75 M,cr=39032.80 λ_{LT}=0.39
  $\lambda_{LT,0}$=0.40 β_{LT}=0.75 Φ_{LT}=0.56 β_{LT}=0.75 f=0.98 χ_{LT}=1.00
  λ_Y=38.89 Ncr,y=588819.00 λ^*_y=0.45 Curva b: Φ_y=0.64 χ_y=0.91
  λ_Z=64.43 Ncr,z=214447.00 λ^*_z=0.74 Curva c: Φ_z=0.91 χ_z=0.70
  Kyy, Kyz, Kzy, Kzz=1.04, 1.14, 0.83, 1.14
  Verifica YY: 0.35+0.06+0.01=0.41
  Verifica ZZ: 0.45+0.05+0.01=0.51

- Verifica freccia massima per soli carichi accidentali - CC 133
  $f_{Z,G}$=0.03 (L/8910) $f_{Z,L}$=0.01 (L/15749)

- Verifica freccia massima carichi totali - CC 134
  $f_{Z,G}$=0.04 (L/5638) $f_{Z,L}$=0.02 (L/10519)

- Verifica in termini tensionali (4.2.5) - CC 98 Xl=2.30 - Classe 3
  Sollecitazioni: N=-33626.50 T_z=-172.03 M_y=304.70 T_y=-10.80 M_z=-16.99
  Tensioni: σ_N=-782.80 σ_M=-162.95 τ=0.00 σ_{max}=-945.75
  Tensioni: σ_N=-782.80 σ_M=-1.08 τ=20.69 τ_{max}=20.69
  Tensioni: σ_N=-782.80 σ_M=-162.95 τ=0.00 $\sigma_{ID,max}$=945.75

Asta n. 625 (-383 18) HEB140 Crit. 1

- Verifica di stabilità aste presso-inflesse (C4.2.4.1.3.3.2) - CC 98 - Classe 3
  Sollecitazioni: N,Ed=-33523.30 My,Ed=304.76 Mz,Ed=37.48
  Resistenze: Nc,Rd=107392.00 My,c,Rd=5390.19 Mz,c,Rd=1963.10 L=230.49
  αmy, αmz, αLT=0.95, 0.95, 0.95
  L_{cr}=2.30 Curva b: α-imp=0.34 k_c=0.94 ψ=1.75 M,cr=39032.80 λ_{LT}=0.39
  $\lambda_{LT,0}$=0.40 β_{LT}=0.75 Φ_{LT}=0.56 β_{LT}=0.75 f=0.98 χ_{LT}=1.00
  λ_Y=38.89 Ncr,y=588819.00 λ^*_y=0.45 Curva b: Φ_y=0.64 χ_y=0.91
  λ_Z=64.43 Ncr,z=214447.00 λ^*_z=0.74 Curva c: Φ_z=0.91 χ_z=0.70
  Kyy, Kyz, Kzy, Kzz=1.04, 1.14, 0.83, 1.14
  Verifica YY: 0.34+0.06+0.02=0.42
  Verifica ZZ: 0.45+0.05+0.02=0.52

- Verifica freccia massima per soli carichi accidentali - CC 133
  $f_{Z,G}$=0.03 (L/8951) $f_{Z,L}$=0.01 (L/15727)

- Verifica freccia massima carichi totali - CC 134
  $f_{Z,G}$=0.04 (L/5686) $f_{Z,L}$=0.02 (L/10499)

- Verifica in termini tensionali (4.2.5) - CC 98 Xl=0.00 - Classe 3
  Sollecitazioni: N=-33523.30 T_z=172.06 M_y=304.76 T_y=23.44 M_z=-16.54
  Tensioni: σ_N=-780.39 σ_M=-162.42 τ=0.00 σ_{max}=-942.81
  Tensioni: σ_N=-780.39 σ_M=-1.05 τ=20.70 τ_{max}=20.70
  Tensioni: σ_N=-780.39 σ_M=-162.42 τ=0.00 $\sigma_{ID,max}$=942.81

Asta n. 632 (10 -503) HEB140 Crit. 1

- Verifica di stabilità aste inflesse (4.2.4.1.3.2) CC 97 - Classe 3
  L_{cr}=3.50 Curva b: α-imp=0.34 k_c=0.94 ψ=1.75 M,cr=22787.60 λ_{LT}=0.51
  $\lambda_{LT,0}$=0.40 β_{LT}=0.75 Φ_{LT}=0.62 β_{LT}=0.75 f=0.98 χ_{LT}=0.98
  CC 97 My,Ed=-69.71 My,b,Rd=5284.96 My,Ed/My,b,Rd=0.01

- Verifica freccia massima carichi totali - CC 142
  $f_{Z,G}$=0.02 (L/16815)

- Verifica in termini tensionali (4.2.5) - CC 98 Xl=1.27 - Classe 3
  Sollecitazioni: N=25468.10 T_z=21.73 M_y=-64.52 T_y=8.63 M_z=-17.00
  Tensioni: σ_N=592.88 σ_M=51.58 τ=0.00 σ_{max}=644.45
  Tensioni: σ_N=592.88 σ_M=-1.08 τ=2.61 τ_{max}=2.61
  Tensioni: σ_N=592.88 σ_M=51.58 τ=0.00 $\sigma_{ID,max}$=644.45

Asta n. 634 (20 -377) HEB140 Crit. 1

- Verifica di stabilità aste presso-inflesse (C4.2.4.1.3.3.2) - CC 102 - Classe 3
  Sollecitazioni: N,Ed=-32016.60 My,Ed=289.09 Mz,Ed=2.89
  Resistenze: Nc,Rd=107392.00 My,c,Rd=5390.19 Mz,c,Rd=1963.10 L=230.49
  αmy, αmz, αLT=0.95, 0.95, 0.95
  L_{cr}=2.30 Curva b: α-imp=0.34 k_c=0.94 ψ=1.75 M,cr=39032.80 λ_{LT}=0.39
  $\lambda_{LT,0}$=0.40 β_{LT}=0.75 Φ_{LT}=0.56 β_{LT}=0.75 f=0.98 χ_{LT}=1.00
  λ_Y=38.89 Ncr,y=588819.00 λ^*_y=0.45 Curva b: Φ_y=0.64 χ_y=0.91
  λ_Z=64.43 Ncr,z=214447.00 λ^*_z=0.74 Curva c: Φ_z=0.91 χ_z=0.70
  Kyy, Kyz, Kzy, Kzz=1.03, 1.13, 0.83, 1.13
  Verifica YY: 0.33+0.06+0.00=0.39
  Verifica ZZ: 0.43+0.04+0.00=0.47

- Verifica freccia massima per soli carichi accidentali - CC 137
  $f_{Z,G}$=0.03 (L/8593) $f_{Z,L}$=0.02 (L/15152)

- Verifica freccia massima carichi totali - CC 138
  $f_{Z,G}$=0.04 (L/5947) $f_{Z,L}$=0.02 (L/11110)

- Verifica in termini tensionali (4.2.5) - CC 102 Xl=2.30 - Classe 3
  Sollecitazioni: N=-31948.30 T_z=-165.26 M_y=289.09 T_y=1.73 M_z=2.89
  Tensioni: σ_N=-743.73 σ_M=-137.77 τ=0.00 σ_{max}=-881.50
  Tensioni: σ_N=-743.73 σ_M=0.18 τ=19.88 τ_{max}=19.88
  Tensioni: σ_N=-743.73 σ_M=-137.77 τ=0.00 $\sigma_{ID,max}$=881.50

Asta n. 634 (-377 12) HEB140 Crit. 1

- Verifica di stabilità aste presso-inflesse (C4.2.4.1.3.3.2) - CC 102 - Classe 3
  Sollecitazioni: N,Ed=-31841.50 My,Ed=289.15 Mz,Ed=-5.45
  Resistenze: Nc,Rd=107392.00 My,c,Rd=5390.19 Mz,c,Rd=1963.10 L=230.49
  αmy, αmz, αLT=0.95, 0.95, 0.95
  L_{cr}=2.30 Curva b: α-imp=0.34 k_c=0.94 ψ=1.75 M,cr=39032.80 λ_{LT}=0.39
  $\lambda_{LT,0}$=0.40 β_{LT}=0.75 Φ_{LT}=0.56 β_{LT}=0.75 f=0.98 χ_{LT}=1.00
  λ_Y=38.89 Ncr,y=588819.00 λ^*_y=0.45 Curva b: Φ_y=0.64 χ_y=0.91
  λ_Z=64.43 Ncr,z=214447.00 λ^*_z=0.74 Curva c: Φ_z=0.91 χ_z=0.70
  Kyy, Kyz, Kzy, Kzz=1.03, 1.13, 0.83, 1.13
  Verifica YY: 0.33+0.06+0.00=0.39
  Verifica ZZ: 0.42+0.04+0.00=0.47

- Verifica freccia massima per soli carichi accidentali - CC 137
  $f_{Z,G}$=0.03 (L/8693) $f_{Z,L}$=0.02 (L/15127)

- Verifica freccia massima carichi totali - CC 138
  $f_{Z,G}$=0.04 (L/6049) $f_{Z,L}$=0.02 (L/11100)

- Verifica in termini tensionali (4.2.5) - CC 102 Xl=0.00 - Classe 3
  Sollecitazioni: N=-31841.50 T_z=165.29 M_y=289.15 T_y=-3.10 M_z=1.68
  Tensioni: σ_N=-741.24 σ_M=-136.25 τ=0.00 σ_{max}=-877.50
  Tensioni: σ_N=-741.24 σ_M=0.11 τ=19.88 τ_{max}=19.88
  Tensioni: σ_N=-741.24 σ_M=-136.25 τ=0.00 $\sigma_{ID,max}$=877.50

Asta n. 636 (14 -515) HEB140 Crit. 1

- Verifica di stabilità aste inflesse (4.2.4.1.3.2) CC 97 - Classe 3
  L_{cr}=3.50 Curva b: α-imp=0.34 k_c=0.94 ψ=1.75 M,cr=22787.60 λ_{LT}=0.51
  $\lambda_{LT,0}$=0.40 β_{LT}=0.75 Φ_{LT}=0.62 β_{LT}=0.75 f=0.98 χ_{LT}=0.98
  CC 97 My,Ed=-69.71 My,b,Rd=5284.96 My,Ed/My,b,Rd=0.01

- Verifica freccia massima carichi totali - CC 142
  $f_{Z,G}$=0.02 (L/16815)

- Verifica in termini tensionali (4.2.5) - CC 102 Xl=1.74 - Classe 3
  Sollecitazioni: N=22780.60 M_y=-69.71

Tensioni: σ_N=530.31 σ_M=32.33 τ=0.00 σ_{max}=562.64
Tensioni: σ_N=0.00 σ_M=0.00 τ=0.00 τ_{max}=0.00
Tensioni: σ_N=530.31 σ_M=32.33 τ=0.00 $\sigma_{ID,max}$=562.64

Asta n. 638 (24 -381) HEB140 Crit. 1

- Verifica di stabilità aste presso-inflesse (C4.2.4.1.3.3.2) - CC 102 - Classe 3
Sollecitazioni: N,Ed=-31919.80 My,Ed=288.28 Mz,Ed=-2.91
Resistenze: Nc,Rd=107392.00 My,c,Rd=5390.19 Mz,c,Rd=1963.10 L=230.49
αmy, αmz, αLT=0.95, 0.95, 0.95
L_{cr}=2.30 Curva b: α-imp=0.34 k_c=0.94 ψ=1.75 M,cr=39032.80 λ_{LT}=0.39
$\lambda_{LT,0}$=0.40 β_{LT}=0.75 Φ_{LT}=0.56 β_{LT}=0.75 f=0.98 χ_{LT}=1.00
λ_Y=38.89 Ncr,y=588819.00 λ^*_y=0.45 Curva b: Φ_y=0.64 χ_y=0.91
λ_Z=64.43 Ncr,z=214447.00 λ^*_z=0.74 Curva c: Φ_z=0.91 χ_z=0.70
Kyy, Kyz, Kzy, Kzz=1.03, 1.13, 0.83, 1.13
Verifica YY: 0.33+0.06+0.00=0.38
Verifica ZZ: 0.43+0.04+0.00=0.47

- Verifica freccia massima per soli carichi accidentali - CC 137
$f_{Z,G}$=0.03 (L/8608) $f_{Z,L}$=0.02 (L/15161)

- Verifica freccia massima carichi totali - CC 138
$f_{Z,G}$=0.04 (L/5965) $f_{Z,L}$=0.02 (L/11134)

- Verifica in termini tensionali (4.2.5) - CC 102 Xl=2.30 - Classe 3
Sollecitazioni: N=-31851.50 T_z=-164.91 M_y=288.28 T_y=-1.81 M_z=-2.91
Tensioni: σ_N=-741.48 σ_M=-137.41 τ=0.00 σ_{max}=-878.89
Tensioni: σ_N=-741.48 σ_M=-0.19 τ=19.83 τ_{max}=19.83
Tensioni: σ_N=-741.48 σ_M=-137.41 τ=0.00 $\sigma_{ID,max}$=878.89

Asta n. 638 (-381 16) HEB140 Crit. 1

- Verifica di stabilità aste presso-inflesse (C4.2.4.1.3.3.2) - CC 102 - Classe 3
Sollecitazioni: N,Ed=-31745.00 My,Ed=288.34 Mz,Ed=5.04
Resistenze: Nc,Rd=107392.00 My,c,Rd=5390.19 Mz,c,Rd=1963.10 L=230.49
αmy, αmz, αLT=0.95, 0.95, 0.95
L_{cr}=2.30 Curva b: α-imp=0.34 k_c=0.94 ψ=1.75 M,cr=39032.80 λ_{LT}=0.39
$\lambda_{LT,0}$=0.40 β_{LT}=0.75 Φ_{LT}=0.56 β_{LT}=0.75 f=0.98 χ_{LT}=1.00
λ_Y=38.89 Ncr,y=588819.00 λ^*_y=0.45 Curva b: Φ_y=0.64 χ_y=0.91
λ_Z=64.43 Ncr,z=214447.00 λ^*_z=0.74 Curva c: Φ_z=0.91 χ_z=0.70
Kyy, Kyz, Kzy, Kzz=1.03, 1.13, 0.83, 1.13
Verifica YY: 0.33+0.06+0.00=0.38
Verifica ZZ: 0.42+0.04+0.00=0.47

- Verifica freccia massima per soli carichi accidentali - CC 137
$f_{Z,G}$=0.03 (L/8701) $f_{Z,L}$=0.02 (L/15182)

- Verifica freccia massima carichi totali - CC 138
$f_{Z,G}$=0.04 (L/6064) $f_{Z,L}$=0.02 (L/11133)

- Verifica in termini tensionali (4.2.5) - CC 102 Xl=0.00 - Classe 3
Sollecitazioni: N=-31745.00 T_z=164.93 M_y=288.34 T_y=2.93 M_z=-1.71
Tensioni: σ_N=-739.00 σ_M=-135.91 τ=0.00 σ_{max}=-874.91
Tensioni: σ_N=-739.00 σ_M=-0.11 τ=19.84 τ_{max}=19.84
Tensioni: σ_N=-739.00 σ_M=-135.91 τ=0.00 $\sigma_{ID,max}$=874.91

Asta n. 640 (18 -527) HEB140 Crit. 1

- Verifica di stabilità aste inflesse (4.2.4.1.3.2) CC 97 - Classe 3
L_{cr}=3.50 Curva b: α-imp=0.34 k_c=0.94 ψ=1.75 M,cr=22787.60 λ_{LT}=0.51
$\lambda_{LT,0}$=0.40 β_{LT}=0.75 Φ_{LT}=0.62 β_{LT}=0.75 f=0.98 χ_{LT}=0.98
CC 97 My,Ed=-69.71 My,b,Rd=5284.96 My,Ed/My,b,Rd=0.01

- Verifica freccia massima carichi totali - CC 143
$f_{Z,G}$=0.02 (L/16796)

- Verifica in termini tensionali (4.2.5) - CC 98 Xl=1.27 - Classe 3
Sollecitazioni: N=25340.80 T_z=21.73 M_y=-64.52 T_y=-8.47 M_z=16.79
Tensioni: σ_N=589.91 σ_M=51.30 τ=0.00 σ_{max}=641.22

Tensioni: σ_N=589.91 σ_M=1.07 τ=2.61 τ_{max}=2.61
Tensioni: σ_N=589.91 σ_M=51.30 τ=0.00 $\sigma_{ID,max}$=641.22

Asta n. 647 (11 -504) HEB140 Crit. 1

- Verifica di stabilità aste inflesse (4.2.4.1.3.2) CC 97 - Classe 3
Lcr=3.50 Curva b: α-imp=0.34 k_c=0.94 ψ=1.75 M,cr=22787.60 λ_{LT}=0.51
$\lambda_{LT,0}$=0.40 β_{LT}=0.75 Φ_{LT}=0.62 β_{LT}=0.75 f=0.98 χ_{LT}=0.98
CC 97 My,Ed=-69.71 My,b,Rd=5284.96 My,Ed/My,b,Rd=0.01

- Verifica freccia massima carichi totali - CC 137
$f_{Z,G}$=0.02 (L/16815)

- Verifica in termini tensionali (4.2.5) - CC 97 Xl=1.27 - Classe 3
Sollecitazioni: N=25468.10 T_z=21.73 M_y=-64.52 T_y=-8.63 M_z=17.00
Tensioni: σ_N=592.88 σ_M=51.58 τ=0.00 σ_{max}=644.45
Tensioni: σ_N=592.88 σ_M=1.08 τ=2.61 τ_{max}=2.61
Tensioni: σ_N=592.88 σ_M=51.58 τ=0.00 $\sigma_{ID,max}$=644.45

Asta n. 649 (13 -512) HEB140 Crit. 1

- Verifica di stabilità aste inflesse (4.2.4.1.3.2) CC 97 - Classe 3
Lcr=3.50 Curva b: α-imp=0.34 k_c=0.94 ψ=1.75 M,cr=22787.60 λ_{LT}=0.51
$\lambda_{LT,0}$=0.40 β_{LT}=0.75 Φ_{LT}=0.62 β_{LT}=0.75 f=0.98 χ_{LT}=0.98
CC 97 My,Ed=-69.71 My,b,Rd=5284.96 My,Ed/My,b,Rd=0.01

- Verifica freccia massima carichi totali - CC 137
$f_{Z,G}$=0.02 (L/16815)

- Verifica in termini tensionali (4.2.5) - CC 105 Xl=1.74 - Classe 3
Sollecitazioni: N=24067.60 M_y=-69.71 M_z=4.31
Tensioni: σ_N=560.27 σ_M=37.82 τ=0.00 σ_{max}=598.10
Tensioni: σ_N=0.00 σ_M=0.00 τ=0.00 τ_{max}=0.00
Tensioni: σ_N=560.27 σ_M=37.82 τ=0.00 $\sigma_{ID,max}$=598.10

Asta n. 651 (-380 15) HEB140 Crit. 1

- Verifica di stabilità aste presso-inflesse (C4.2.4.1.3.3.2) - CC 105 - Classe 3
Sollecitazioni: N,Ed=-30139.20 My,Ed=274.40 Mz,Ed=0.07
Resistenze: Nc,Rd=107392.00 My,c,Rd=5390.19 Mz,c,Rd=1963.10 L=230.49
αmy, αmz, αLT=0.95, 0.95, 0.95
Lcr=2.30 Curva b: α-imp=0.34 k_c=0.94 ψ=1.75 M,cr=39032.80 λ_{LT}=0.39
$\lambda_{LT,0}$=0.40 β_{LT}=0.75 Φ_{LT}=0.56 β_{LT}=0.75 f=0.98 χ_{LT}=1.00
λ_Y=38.89 Ncr,y=588819.00 λ^*_y=0.45 Curva b: Φ_y=0.64 χ_y=0.91
λ_Z=64.43 Ncr,z=214447.00 λ^*_z=0.74 Curva c: Φ_z=0.91 χ_z=0.70
Kyy, Kyz, Kzy, Kzz=1.03, 1.12, 0.82, 1.12
Verifica YY: 0.31+0.05+0.00=0.36
Verifica ZZ: 0.40+0.04+0.00=0.44

- Verifica freccia massima per soli carichi accidentali - CC 141
$f_{Z,G}$=0.03 (L/9051) $f_{Z,L}$=0.01 (L/15693)

- Verifica freccia massima carichi totali - CC 141
$f_{Z,G}$=0.04 (L/6423) $f_{Z,L}$=0.02 (L/11675)

- Verifica in termini tensionali (4.2.5) - CC 105 Xl=0.00 - Classe 3
Sollecitazioni: N=-30139.20 T_z=158.88 M_y=274.40
Tensioni: σ_N=-701.62 σ_M=-127.27 τ=0.00 σ_{max}=-828.88
Tensioni: σ_N=-701.62 σ_M=-0.00 τ=19.11 τ_{max}=19.11
Tensioni: σ_N=-701.62 σ_M=-127.27 τ=0.00 $\sigma_{ID,max}$=828.88

Asta n. 651 (23 -380) HEB140 Crit. 1

- Verifica di stabilità aste presso-inflesse (C4.2.4.1.3.3.2) - CC 105 - Classe 3
Sollecitazioni: N,Ed=-30312.90 My,Ed=274.45 Mz,Ed=-0.12
Resistenze: Nc,Rd=107392.00 My,c,Rd=5390.19 Mz,c,Rd=1963.10 L=230.49
αmy, αmz, αLT=0.95, 0.95, 0.95
Lcr=2.30 Curva b: α-imp=0.34 k_c=0.94 ψ=1.75 M,cr=39032.80 λ_{LT}=0.39
$\lambda_{LT,0}$=0.40 β_{LT}=0.75 Φ_{LT}=0.56 β_{LT}=0.75 f=0.98 χ_{LT}=1.00

λ_Y=38.89 Ncr,y=588819.00 λ^*_y=0.45 Curva b: Φ_y=0.64 χ_y=0.91
λ_Z=64.43 Ncr,z=214447.00 λ^*_z=0.74 Curva c: Φ_z=0.91 χ_z=0.70
Kyy, Kyz, Kzy, Kzz=1.03, 1.12, 0.82, 1.12
Verifica YY: 0.31+0.05+0.00=0.36
Verifica ZZ: 0.40+0.04+0.00=0.45

- Verifica freccia massima per soli carichi accidentali - CC 141
$f_{Z,G}$=0.03 (L/8861) $f_{Z,L}$=0.01 (L/15900)

- Verifica freccia massima carichi totali - CC 141
$f_{Z,G}$=0.04 (L/6216) $f_{Z,L}$=0.02 (L/11964)

- Verifica in termini tensionali (4.2.5) - CC 105 Xl=2.30 - Classe 3
Sollecitazioni: N=-30244.60 T_z=-158.91 M_y=274.45
Tensioni: σ_N=-704.07 σ_M=-127.29 τ=0.00 σ_{max}=-831.36
Tensioni: σ_N=-704.07 σ_M=-0.00 τ=19.11 τ_{max}=19.11
Tensioni: σ_N=-704.07 σ_M=-127.29 τ=0.00 $\sigma_{ID,max}$=831.36

Asta n. 653 (17 -520) HEB140 Crit. 1

- Verifica di stabilità aste inflesse (4.2.4.1.3.2) CC 97 - Classe 3
L_{cr}=3.50 Curva b: α-imp=0.34 k_c=0.94 ψ=1.75 M,cr=22787.60 λ_{LT}=0.51
$\lambda_{LT,0}$=0.40 β_{LT}=0.75 Φ_{LT}=0.62 β_{LT}=0.75 f=0.98 χ_{LT}=0.98
CC 97 My,Ed=-69.71 My,b,Rd=5284.96 My,Ed/My,b,Rd=0.01

- Verifica freccia massima carichi totali - CC 137
$f_{Z,G}$=0.02 (L/16815)

- Verifica in termini tensionali (4.2.5) - CC 105 Xl=1.74 - Classe 3
Sollecitazioni: N=23994.50 M_y=-69.71 M_z=-4.23
Tensioni: σ_N=558.57 σ_M=37.71 τ=0.00 σ_{max}=596.29
Tensioni: σ_N=0.00 σ_M=0.00 τ=0.00 τ_{max}=0.00
Tensioni: σ_N=558.57 σ_M=37.71 τ=0.00 $\sigma_{ID,max}$=596.29

Asta n. 655 (-384 19) HEB140 Crit. 1

- Verifica di stabilità aste presso-inflesse (C4.2.4.1.3.3.2) - CC 97 - Classe 3
Sollecitazioni: N,Ed=-33523.30 My,Ed=304.76 Mz,Ed=-37.48
Resistenze: Nc,Rd=107392.00 My,c,Rd=5390.19 Mz,c,Rd=1963.10 L=230.49
αmy, αmz, αLT=0.95, 0.95, 0.95
L_{cr}=2.30 Curva b: α-imp=0.34 k_c=0.94 ψ=1.75 M,cr=39032.80 λ_{LT}=0.39
$\lambda_{LT,0}$=0.40 β_{LT}=0.75 Φ_{LT}=0.56 β_{LT}=0.75 f=0.98 χ_{LT}=1.00
λ_Y=38.89 Ncr,y=588819.00 λ^*_y=0.45 Curva b: Φ_y=0.64 χ_y=0.91
λ_Z=64.43 Ncr,z=214447.00 λ^*_z=0.74 Curva c: Φ_z=0.91 χ_z=0.70
Kyy, Kyz, Kzy, Kzz=1.04, 1.14, 0.83, 1.14
Verifica YY: 0.34+0.06+0.02=0.42
Verifica ZZ: 0.45+0.05+0.02=0.52

- Verifica freccia massima per soli carichi accidentali - CC 133
$f_{Z,G}$=0.03 (L/8967) $f_{Z,L}$=0.01 (L/15693)

- Verifica freccia massima carichi totali - CC 133
$f_{Z,G}$=0.04 (L/5706) $f_{Z,L}$=0.02 (L/10372)

- Verifica in termini tensionali (4.2.5) - CC 97 Xl=0.00 - Classe 3
Sollecitazioni: N=-33523.30 T_z=172.06 M_y=304.76 T_y=-23.44 M_z=16.54
Tensioni: σ_N=-780.39 σ_M=-162.42 τ=0.00 σ_{max}=-942.81
Tensioni: σ_N=-780.39 σ_M=1.05 τ=20.70 τ_{max}=20.70
Tensioni: σ_N=-780.39 σ_M=-162.42 τ=0.00 $\sigma_{ID,max}$=942.81

Asta n. 655 (-182 -384) HEB140 Crit. 1

- Verifica di stabilità aste presso-inflesse (C4.2.4.1.3.3.2) - CC 97 - Classe 3
Sollecitazioni: N,Ed=-33694.80 My,Ed=304.70 Mz,Ed=16.99
Resistenze: Nc,Rd=107392.00 My,c,Rd=5390.19 Mz,c,Rd=1963.10 L=230.49
αmy, αmz, αLT=0.95, 0.95, 0.95
L_{cr}=2.30 Curva b: α-imp=0.34 k_c=0.94 ψ=1.75 M,cr=39032.80 λ_{LT}=0.39
$\lambda_{LT,0}$=0.40 β_{LT}=0.75 Φ_{LT}=0.56 β_{LT}=0.75 f=0.98 χ_{LT}=1.00
λ_Y=38.89 Ncr,y=588819.00 λ^*_y=0.45 Curva b: Φ_y=0.64 χ_y=0.91

λ_z=64.43 Ncr,z=214447.00 λ^*_z=0.74 Curva c: Φ_z=0.91 χ_z=0.70
Kyy, Kyz, Kzy, Kzz=1.04, 1.14, 0.83, 1.14
Verifica YY: 0.35+0.06+0.01=0.41
Verifica ZZ: 0.45+0.05+0.01=0.51

- Verifica freccia massima per soli carichi accidentali - CC 133
$f_{z,G}$=0.03 (L/8910) $f_{z,L}$=0.01 (L/15693)

- Verifica freccia massima carichi totali - CC 133
$f_{z,G}$=0.04 (L/5635) $f_{z,L}$=0.02 (L/10462)

- Verifica in termini tensionali (4.2.5) - CC 97 Xl=2.30 - Classe 3
Sollecitazioni: N=-33626.50 T_z=-172.03 M_y=304.70 T_y=10.80 M_z=16.99
Tensioni: σ_N=-782.80 σ_M=-162.95 τ=0.00 σ_{max}=-945.75
Tensioni: σ_N=-782.80 σ_M=1.08 τ=20.69 τ_{max}=20.69
Tensioni: σ_N=-782.80 σ_M=-162.95 τ=0.00 $\sigma_{ID,max}$=945.75

Asta n. 662 (-376 11) HEB140 Crit. 1

- Verifica di stabilità aste presso-inflesse (C4.2.4.1.3.3.2) - CC 97 - Classe 3
Sollecitazioni: N,Ed=-33691.50 My,Ed=306.18 Mz,Ed=38.06
Resistenze: Nc,Rd=107392.00 My,c,Rd=5390.19 Mz,c,Rd=1963.10 L=230.49
αmy, αmz, αLT=0.95, 0.95, 0.95
L_{cr}=2.30 Curva b: α-imp=0.34 k_c=0.94 ψ=1.75 M,cr=39032.80 λ_{LT}=0.39
$\lambda_{LT,0}$=0.40 β_{LT}=0.75 Φ_{LT}=0.56 β_{LT}=0.75 f=0.98 χ_{LT}=1.00
λ_Y=38.89 Ncr,y=588819.00 λ^*_y=0.45 Curva b: Φ_y=0.64 χ_y=0.91
λ_z=64.43 Ncr,z=214447.00 λ^*_z=0.74 Curva c: Φ_z=0.91 χ_z=0.70
Kyy, Kyz, Kzy, Kzz=1.04, 1.14, 0.83, 1.14
Verifica YY: 0.35+0.06+0.02=0.43
Verifica ZZ: 0.45+0.05+0.02=0.52

- Verifica freccia massima per soli carichi accidentali - CC 133
$f_{z,G}$=0.03 (L/8951) $f_{z,L}$=0.01 (L/15592)

- Verifica freccia massima carichi totali - CC 133
$f_{z,G}$=0.04 (L/5673) $f_{z,L}$=0.02 (L/10372)

- Verifica in termini tensionali (4.2.5) - CC 97 Xl=0.00 - Classe 3
Sollecitazioni: N=-33691.50 T_z=172.67 M_y=306.18 T_y=23.70 M_z=-16.56
Tensioni: σ_N=-784.31 σ_M=-163.10 τ=0.00 σ_{max}=-947.41
Tensioni: σ_N=-784.31 σ_M=-1.05 τ=20.77 τ_{max}=20.77
Tensioni: σ_N=-784.31 σ_M=-163.10 τ=0.00 $\sigma_{ID,max}$=947.41

Asta n. 662 (-44 -376) HEB140 Crit. 1

- Verifica di stabilità aste presso-inflesse (C4.2.4.1.3.3.2) - CC 97 - Classe 3
Sollecitazioni: N,Ed=-33863.10 My,Ed=306.11 Mz,Ed=-17.01
Resistenze: Nc,Rd=107392.00 My,c,Rd=5390.19 Mz,c,Rd=1963.10 L=230.49
αmy, αmz, αLT=0.95, 0.95, 0.95
L_{cr}=2.30 Curva b: α-imp=0.34 k_c=0.94 ψ=1.75 M,cr=39032.80 λ_{LT}=0.39
$\lambda_{LT,0}$=0.40 β_{LT}=0.75 Φ_{LT}=0.56 β_{LT}=0.75 f=0.98 χ_{LT}=1.00
λ_Y=38.89 Ncr,y=588819.00 λ^*_y=0.45 Curva b: Φ_y=0.64 χ_y=0.91
λ_z=64.43 Ncr,z=214447.00 λ^*_z=0.74 Curva c: Φ_z=0.91 χ_z=0.70
Kyy, Kyz, Kzy, Kzz=1.04, 1.14, 0.83, 1.14
Verifica YY: 0.35+0.06+0.01=0.42
Verifica ZZ: 0.45+0.05+0.01=0.51

- Verifica freccia massima per soli carichi accidentali - CC 133
$f_{z,G}$=0.03 (L/8922) $f_{z,L}$=0.01 (L/15592)

- Verifica freccia massima carichi totali - CC 133
$f_{z,G}$=0.04 (L/5633) $f_{z,L}$=0.02 (L/10284)

- Verifica in termini tensionali (4.2.5) - CC 97 Xl=2.30 - Classe 3
Sollecitazioni: N=-33794.90 T_z=-172.64 M_y=306.11 T_y=-10.74 M_z=-17.01
Tensioni: σ_N=-786.72 σ_M=-163.64 τ=0.00 σ_{max}=-950.36
Tensioni: σ_N=-786.72 σ_M=-1.08 τ=20.77 τ_{max}=20.77
Tensioni: σ_N=-786.72 σ_M=-163.64 τ=0.00 $\sigma_{ID,max}$=950.36

Asta n. 664 (-378 13) HEB140 Crit. 1

- Verifica di stabilità aste presso-inflesse (C4.2.4.1.3.3.2) - CC 105 - Classe 3
  Sollecitazioni: N,Ed=-31840.60 My,Ed=289.15 Mz,Ed=5.45
  Resistenze: Nc,Rd=107392.00 My,c,Rd=5390.19 Mz,c,Rd=1963.10 L=230.49
  αmy, αmz, αLT=0.95, 0.95, 0.95
  L_{cr}=2.30 Curva b: α-imp=0.34 k_c=0.94 ψ=1.75 M,cr=39032.80 λ_{LT}=0.39
  $\lambda_{LT,0}$=0.40 β_{LT}=0.75 Φ_{LT}=0.56 β_{LT}=0.75 f=0.98 χ_{LT}=1.00
  λ_Y=38.89 Ncr,y=588819.00 λ^*_y=0.45 Curva b: Φ_y=0.64 χ_y=0.91
  λ_Z=64.43 Ncr,z=214447.00 λ^*_z=0.74 Curva c: Φ_z=0.91 χ_z=0.70
  Kyy, Kyz, Kzy, Kzz=1.03, 1.13, 0.83, 1.13
  Verifica YY: 0.33+0.06+0.00=0.39
  Verifica ZZ: 0.42+0.04+0.00=0.47

- Verifica freccia massima per soli carichi accidentali - CC 141
  $f_{Z,G}$=0.03 (L/8685) $f_{Z,L}$=0.02 (L/15105)

- Verifica freccia massima carichi totali - CC 141
  $f_{Z,G}$=0.04 (L/6053) $f_{Z,L}$=0.02 (L/10985)

- Verifica in termini tensionali (4.2.5) - CC 105 Xl=0.00 - Classe 3
  Sollecitazioni: N=-31840.60 T_z=165.28 M_y=289.15 T_y=3.10 M_z=-1.68
  Tensioni: σ_N=-741.22 σ_M=-136.25 τ=0.00 σ_{max}=-877.47
  Tensioni: σ_N=-741.22 σ_M=-0.11 τ=19.88 τ_{max}=19.88
  Tensioni: σ_N=-741.22 σ_M=-136.25 τ=0.00 $\sigma_{ID,max}$=877.47

Asta n. 664 (21 -378) HEB140 Crit. 1

- Verifica di stabilità aste presso-inflesse (C4.2.4.1.3.3.2) - CC 105 - Classe 3
  Sollecitazioni: N,Ed=-32015.60 My,Ed=289.08 Mz,Ed=-2.89
  Resistenze: Nc,Rd=107392.00 My,c,Rd=5390.19 Mz,c,Rd=1963.10 L=230.49
  αmy, αmz, αLT=0.95, 0.95, 0.95
  L_{cr}=2.30 Curva b: α-imp=0.34 k_c=0.94 ψ=1.75 M,cr=39032.80 λ_{LT}=0.39
  $\lambda_{LT,0}$=0.40 β_{LT}=0.75 Φ_{LT}=0.56 β_{LT}=0.75 f=0.98 χ_{LT}=1.00
  λ_Y=38.89 Ncr,y=588819.00 λ^*_y=0.45 Curva b: Φ_y=0.64 χ_y=0.91
  λ_Z=64.43 Ncr,z=214447.00 λ^*_z=0.74 Curva c: Φ_z=0.91 χ_z=0.70
  Kyy, Kyz, Kzy, Kzz=1.03, 1.13, 0.83, 1.13
  Verifica YY: 0.33+0.06+0.00=0.39
  Verifica ZZ: 0.43+0.04+0.00=0.47

- Verifica freccia massima per soli carichi accidentali - CC 141
  $f_{Z,G}$=0.03 (L/8543) $f_{Z,L}$=0.02 (L/15296)

- Verifica freccia massima carichi totali - CC 141
  $f_{Z,G}$=0.04 (L/5905) $f_{Z,L}$=0.02 (L/11293)

- Verifica in termini tensionali (4.2.5) - CC 105 Xl=2.30 - Classe 3
  Sollecitazioni: N=-31947.40 T_z=-165.26 M_y=289.08 T_y=-1.73 M_z=-2.89
  Tensioni: σ_N=-743.71 σ_M=-137.76 τ=0.00 σ_{max}=-881.47
  Tensioni: σ_N=-743.71 σ_M=-0.18 τ=19.88 τ_{max}=19.88
  Tensioni: σ_N=-743.71 σ_M=-137.76 τ=0.00 $\sigma_{ID,max}$=881.47

Asta n. 666 (15 -516) HEB140 Crit. 1

- Verifica di stabilità aste inflesse (4.2.4.1.3.2) CC 97 - Classe 3
  L_{cr}=3.50 Curva b: α-imp=0.34 k_c=0.94 ψ=1.75 M,cr=22787.60 λ_{LT}=0.51
  $\lambda_{LT,0}$=0.40 β_{LT}=0.75 Φ_{LT}=0.62 β_{LT}=0.75 f=0.98 χ_{LT}=0.98
  CC 97 My,Ed=-69.71 My,b,Rd=5284.96 My,Ed/My,b,Rd=0.01

- Verifica freccia massima carichi totali - CC 137
  $f_{Z,G}$=0.02 (L/16815)

- Verifica in termini tensionali (4.2.5) - CC 105 Xl=1.74 - Classe 3
  Sollecitazioni: N=22780.00 M_y=-69.71
  Tensioni: σ_N=530.30 σ_M=32.33 τ=0.00 σ_{max}=562.63
  Tensioni: σ_N=0.00 σ_M=0.00 τ=0.00 τ_{max}=0.00
  Tensioni: σ_N=530.30 σ_M=32.33 τ=0.00 $\sigma_{ID,max}$=562.63

Asta n. 668 (-382 17) HEB140 Crit. 1

- Verifica di stabilità aste presso-inflesse (C4.2.4.1.3.3.2) - CC 105 - Classe 3

Sollecitazioni: N,Ed=-31744.10 My,Ed=288.33 Mz,Ed=-5.04
Resistenze: Nc,Rd=107392.00 My,c,Rd=5390.19 Mz,c,Rd=1963.10 L=230.49
αmy, αmz, αLT=0.95, 0.95, 0.95
L_{cr}=2.30 Curva b: α-imp=0.34 k_c=0.94 ψ=1.75 M,cr=39032.80 λ_{LT}=0.39
$\lambda_{LT,0}$=0.40 β_{LT}=0.75 Φ_{LT}=0.56 β_{LT}=0.75 f=0.98 χ_{LT}=1.00
λ_Y=38.89 Ncr,y=588819.00 λ^*_y=0.45 Curva b: Φ_y=0.64 χ_y=0.91
λ_Z=64.43 Ncr,z=214447.00 λ^*_z=0.74 Curva c: Φ_z=0.91 χ_z=0.70
Kyy, Kyz, Kzy, Kzz=1.03, 1.13, 0.83, 1.13
Verifica YY: 0.33+0.06+0.00=0.38
Verifica ZZ: 0.42+0.04+0.00=0.47

- Verifica freccia massima per soli carichi accidentali - CC 141
$f_{Z,G}$=0.03 (L/8732) $f_{Z,L}$=0.02 (L/15105)

- Verifica freccia massima carichi totali - CC 141
$f_{Z,G}$=0.04 (L/6080) $f_{Z,L}$=0.02 (L/11035)

- Verifica in termini tensionali (4.2.5) - CC 105 Xl=0.00 - Classe 3
Sollecitazioni: N=-31744.10 T_z=164.93 M_y=288.33 T_y=-2.93 M_z=1.71
Tensioni: σ_N=-738.98 σ_M=-135.91 τ=0.00 σ_{max}=-874.88
Tensioni: σ_N=-738.98 σ_M=0.11 τ=19.84 τ_{max}=19.84
Tensioni: σ_N=-738.98 σ_M=-135.91 τ=0.00 $\sigma_{ID,max}$=874.88

Asta n. 668 (25 -382) HEB140 Crit. 1

- Verifica di stabilità aste presso-inflesse (C4.2.4.1.3.3.2) - CC 105 - Classe 3
Sollecitazioni: N,Ed=-31918.90 My,Ed=288.27 Mz,Ed=2.91
Resistenze: Nc,Rd=107392.00 My,c,Rd=5390.19 Mz,c,Rd=1963.10 L=230.49
αmy, αmz, αLT=0.95, 0.95, 0.95
L_{cr}=2.30 Curva b: α-imp=0.34 k_c=0.94 ψ=1.75 M,cr=39032.80 λ_{LT}=0.39
$\lambda_{LT,0}$=0.40 β_{LT}=0.75 Φ_{LT}=0.56 β_{LT}=0.75 f=0.98 χ_{LT}=1.00
λ_Y=38.89 Ncr,y=588819.00 λ^*_y=0.45 Curva b: Φ_y=0.64 χ_y=0.91
λ_Z=64.43 Ncr,z=214447.00 λ^*_z=0.74 Curva c: Φ_z=0.91 χ_z=0.70
Kyy, Kyz, Kzy, Kzz=1.03, 1.13, 0.83, 1.13
Verifica YY: 0.33+0.06+0.00=0.38
Verifica ZZ: 0.43+0.04+0.00=0.47

- Verifica freccia massima per soli carichi accidentali - CC 141
$f_{Z,G}$=0.03 (L/8555) $f_{Z,L}$=0.01 (L/15393)

- Verifica freccia massima carichi totali - CC 141
$f_{Z,G}$=0.04 (L/5916) $f_{Z,L}$=0.02 (L/11241)

- Verifica in termini tensionali (4.2.5) - CC 105 Xl=2.30 - Classe 3
Sollecitazioni: N=-31850.60 T_z=-164.90 M_y=288.27 T_y=1.81 M_z=2.91
Tensioni: σ_N=-741.46 σ_M=-137.41 τ=0.00 σ_{max}=-878.87
Tensioni: σ_N=-741.46 σ_M=0.19 τ=19.83 τ_{max}=19.83
Tensioni: σ_N=-741.46 σ_M=-137.41 τ=0.00 $\sigma_{ID,max}$=878.87

Asta n. 670 (19 -528) HEB140 Crit. 1

- Verifica di stabilità aste inflesse (4.2.4.1.3.2) CC 97 - Classe 3
L_{cr}=3.50 Curva b: α-imp=0.34 k_c=0.94 ψ=1.75 M,cr=22787.60 λ_{LT}=0.51
$\lambda_{LT,0}$=0.40 β_{LT}=0.75 Φ_{LT}=0.62 β_{LT}=0.75 f=0.98 χ_{LT}=0.98
CC 97 My,Ed=-69.71 My,b,Rd=5284.96 My,Ed/My,b,Rd=0.01

- Verifica freccia massima carichi totali - CC 137
$f_{Z,G}$=0.02 (L/16815)

- Verifica in termini tensionali (4.2.5) - CC 97 Xl=1.27 - Classe 3
Sollecitazioni: N=25340.80 T_z=21.73 M_y=-64.52 T_y=8.47 M_z=-16.79
Tensioni: σ_N=589.91 σ_M=51.30 τ=0.00 σ_{max}=641.22
Tensioni: σ_N=589.91 σ_M=-1.07 τ=2.61 τ_{max}=2.61
Tensioni: σ_N=589.91 σ_M=51.30 τ=0.00 $\sigma_{ID,max}$=641.22

Asta n. 677 (-376 -504) HEB140 Crit. 1

- Verifica di stabilità aste inflesse (4.2.4.1.3.2) CC 97 - Classe 3
L_{cr}=2.30 Curva b: α-imp=0.34 k_c=0.94 ψ=1.75 M,cr=39032.80 λ_{LT}=0.39

$\lambda_{LT,0}$=0.40 β_{LT}=0.75 Φ_{LT}=0.56 β_{LT}=0.75 f=0.98 χ_{LT}=1.00
CC 97 My,Ed=-22.95 My,b,Rd=5390.19 My,Ed/My,b,Rd=0.00

- Verifica freccia massima carichi totali - CC 134
$f_{Z,L}$=0.00 (L/73237) $f_{Z,G}$=0.00 (L/107415)

- Verifica in termini tensionali (4.2.5) - CC 105 Xl=1.89 - Classe 3
Sollecitazioni: N=415.94 T_z=-25.35 M_y=-13.66 T_y=9.01 M_z=8.69
Tensioni: σ_N=9.68 σ_M=17.40 τ=0.00 σ_{max}=27.08
Tensioni: σ_N=9.68 σ_M=0.55 τ=3.05 τ_{max}=3.05
Tensioni: σ_N=9.68 σ_M=17.40 τ=0.00 $\sigma_{ID,max}$=27.08

Asta n. 679 (-378 -512) HEB140 Crit. 1

- Verifica di stabilità aste inflesse (4.2.4.1.3.2) CC 97 - Classe 3
L_{cr}=2.30 Curva b: α-imp=0.34 k_c=0.94 ψ=1.75 M,cr=39032.80 λ_{LT}=0.39
$\lambda_{LT,0}$=0.40 β_{LT}=0.75 Φ_{LT}=0.56 β_{LT}=0.75 f=0.98 χ_{LT}=1.00
CC 97 My,Ed=-22.95 My,b,Rd=5390.19 My,Ed/My,b,Rd=0.00

- Verifica freccia massima carichi totali - CC 133
$f_{Z,L}$=0.00 (L/75526) $f_{Z,G}$=0.00 (L/120842)

- Verifica in termini tensionali (4.2.5) - CC 105 Xl=1.89 - Classe 3
Sollecitazioni: N=401.28 T_z=-25.35 M_y=-13.66 T_y=7.86 M_z=7.18
Tensioni: σ_N=9.34 σ_M=15.47 τ=0.00 σ_{max}=24.82
Tensioni: σ_N=9.34 σ_M=0.46 τ=3.05 τ_{max}=3.05
Tensioni: σ_N=9.34 σ_M=15.47 τ=0.00 $\sigma_{ID,max}$=24.82

Asta n. 681 (-380 -516) HEB140 Crit. 1

- Verifica di stabilità aste inflesse (4.2.4.1.3.2) CC 97 - Classe 3
L_{cr}=2.30 Curva b: α-imp=0.34 k_c=0.94 ψ=1.75 M,cr=39032.80 λ_{LT}=0.39
$\lambda_{LT,0}$=0.40 β_{LT}=0.75 Φ_{LT}=0.56 β_{LT}=0.75 f=0.98 χ_{LT}=1.00
CC 97 My,Ed=-22.95 My,b,Rd=5390.19 My,Ed/My,b,Rd=0.00

- Verifica freccia massima carichi totali - CC 138
$f_{Z,L}$=0.00 (L/74364) $f_{Z,G}$=0.00 (L/115088)

- Verifica in termini tensionali (4.2.5) - CC 105 Xl=1.15 - Classe 3
Sollecitazioni: N=370.48 M_y=-22.95
Tensioni: σ_N=8.62 σ_M=10.65 τ=0.00 σ_{max}=19.27
Tensioni: σ_N=0.00 σ_M=0.00 τ=0.00 τ_{max}=0.00
Tensioni: σ_N=8.62 σ_M=10.65 τ=0.00 $\sigma_{ID,max}$=19.27

Asta n. 683 (-382 -520) HEB140 Crit. 1

- Verifica di stabilità aste inflesse (4.2.4.1.3.2) CC 97 - Classe 3
L_{cr}=2.30 Curva b: α-imp=0.34 k_c=0.94 ψ=1.75 M,cr=39032.80 λ_{LT}=0.39
$\lambda_{LT,0}$=0.40 β_{LT}=0.75 Φ_{LT}=0.56 β_{LT}=0.75 f=0.98 χ_{LT}=1.00
CC 97 My,Ed=-22.95 My,b,Rd=5390.19 My,Ed/My,b,Rd=0.00

- Verifica freccia massima carichi totali - CC 136
$f_{Z,L}$=0.00 (L/75526) $f_{Z,G}$=0.00 (L/115088)

- Verifica in termini tensionali (4.2.5) - CC 105 Xl=1.89 - Classe 3
Sollecitazioni: N=400.53 T_z=-25.35 M_y=-13.66 T_y=-7.77 M_z=-7.08
Tensioni: σ_N=9.32 σ_M=15.35 τ=0.00 σ_{max}=24.67
Tensioni: σ_N=9.32 σ_M=-0.45 τ=3.05 τ_{max}=3.05
Tensioni: σ_N=9.32 σ_M=15.35 τ=0.00 $\sigma_{ID,max}$=24.67

Asta n. 685 (-384 -528) HEB140 Crit. 1

- Verifica di stabilità aste inflesse (4.2.4.1.3.2) CC 97 - Classe 3
L_{cr}=2.30 Curva b: α-imp=0.34 k_c=0.94 ψ=1.75 M,cr=39032.80 λ_{LT}=0.39
$\lambda_{LT,0}$=0.40 β_{LT}=0.75 Φ_{LT}=0.56 β_{LT}=0.75 f=0.98 χ_{LT}=1.00
CC 97 My,Ed=-22.95 My,b,Rd=5390.19 My,Ed/My,b,Rd=0.00

- Verifica freccia massima carichi totali - CC 135
$f_{Z,L}$=0.00 (L/75526) $f_{Z,G}$=0.00 (L/117895)

- Verifica in termini tensionali (4.2.5) - CC 105 Xl=1.89 - Classe 3
  Sollecitazioni: N=414.71 T_z=-25.35 M_y=-13.66 T_y=-8.93 M_z=-8.58
  Tensioni: σ_N=9.65 σ_M=17.26 τ=0.00 σ_{max}=26.91
  Tensioni: σ_N=9.65 σ_M=-0.55 τ=3.05 τ_{max}=3.05
  Tensioni: σ_N=9.65 σ_M=17.26 τ=0.00 $\sigma_{ID,max}$=26.91

Oggetto: INTEGRAZIONI VERIFICA COLLEGAMENTI T_0

Sommario

Verifiche collegamenti strutture intelaiate....3
Collegamento -041_-375....3
Collegamento -044_-376....110
Collegamento -1073_-1074....217
Collegamento -1087_-1088....218
Collegamento -1160_-1161....219
Collegamento -1174_-1173....221
Collegamento -1174_-1175....222
Collegamento -1201_-1202....223
Collegamento -1212_-1213....224
Collegamento -179_-383....225
Collegamento -182_-384....332
Collegamento -375_-503....439
Collegamento -376_-504....439
Collegamento -377_-511....474
Collegamento -378_-512....475
Collegamento -379_-515....509
Collegamento -380_-516....510
Collegamento -381_-519....545
Collegamento -382_-520....545
Collegamento -383_-527....580
Collegamento -384_-528....580
Collegamento -503_0010....615
Collegamento -504_0011....617
Collegamento -511_0012....619
Collegamento -512_0013....621
Collegamento -515_0014....623
Collegamento -516_0015....624
Collegamento -519_0016....626
Collegamento -520_0017....628
Collegamento -527_0018....630
Collegamento -528_0019....631
Collegamento -594_-595....633
Collegamento -605_-604....634
Collegamento -632_-631....636
Collegamento -632_-633....637
Collegamento -646_-645....638
Collegamento -719_-718....639
Collegamento -733_-732....640
Collegamento -808_-809....641
Collegamento -822_-823....642
Collegamento -852_-853....643
Collegamento -866_-867....644
Collegamento -896_-897....645
Collegamento -910_-911....646
Collegamento -940_-941....647
Collegamento -954_-955....649
Collegamento -984_-985....650
Collegamento -998_-999....651
Collegamento 0010_-503....652
Collegamento 0020_-377....671
Collegamento 0021_-378....778
Collegamento 0022_-379....885
Collegamento 0023_-380....991
Collegamento 0024_-381....1097
Collegamento 0025_-382....1204

Verifiche collegamenti strutture intelaiate

Simbologia

F	<daN>	= Forza trasmessa dall'ala della trave
F_{co}	<daN>	= Forza trasmessa dalle ali della trave alle costole orizzontali
A_{co}	<cmq>	= Area delle costole orizzontali
FR_{co}	<daN>	= Forza resistente delle costole orizzontali
F_{cd}	<daN>	= Forza trasmessa dalle ali della trave alle costole diagonali
A_{cd}	<cmq>	= Area delle costole diagonali
FR_{cd}	<daN>	= Forza resistente delle costole diagonali
N	<daN>	= Sforzo normale agente sul collegamento
Ty	<daN>	= Taglio in direzione Y agente sul collegamento
Tz	<daN>	= Taglio in direzione Z agente sul collegamento
Mx	<daNm>	= Momento torcente intorno all'asse X del collegamento
Mz	<daNm>	= Momento flettente intorno all'asse Z del collegamento
Tx_l	<daN>	= Taglio in direzione X locale
Ty_l	<daN>	= Taglio in direzione Y locale
N_l	<daN>	= Sforzo normale in direzione Z locale
Mx_l	<daNm>	= Momento flettente intorno all'asse X locale
My_l	<daNm>	= Momento flettente intorno all'asse Y locale
Mz_l	<daNm>	= Momento torcente intorno all'asse Z
Fv,Ed	<daN>	= Taglio nei bulloni
Fv,Rd	<daN>	= Resistenza a taglio del bullone
Fb,Ed,p	<daN>	= Rifollamento lato piastra
Fb,Rd,p	<daN>	= Resistenza a rifollamento lato piastra
Ft,Ed	<daN>	= Trazione nei bulloni
Ft,Rd	<daN>	= Resistenza a trazione del bullone
Bp,Ed,p	<daN>	= Azione di punzonamento di progetto lato piastra
Bb,Rd,p	<daN>	= Punzonamento
Int. V-T		= Controllo interazione taglio/trazione [4.2.65]
LT	<m>	= Lunghezza tirafondi
σ_{cR}	<daN/cmq>	= Tensione nel calcestruzzo indotta dalla rosetta
σ_{fR}	<daN/cmq>	= Tensione nell'acciaio della rosetta per flessione
σ_c	<daN/cmq>	= Tensione nel calcestruzzo
TP	<daN>	= Azione che genera tensione tangenziale parallela
TO	<daN>	= Azione che genera tensione tangenziale ortogonale
NO	<daN>	= Azione che genera tensione normale ortogonale
τ_P	<daN/cmq>	= Tensione tangenziale parallela all'asse del cordone di saldatura
τ_O	<daN/cmq>	= Tensione tangenziale ortogonale all'asse del cordone di saldatura
σ_O	<daN/cmq>	= Tensione normale ortogonale all'asse del cordone di saldatura
σ_{ID}	<daN/cmq>	= Tensione ideale nel cordone di saldatura
Σ_T	<daN/cmq>	= Somma tensioni nel cordone di saldatura
Bnetta	<mm>	= Larghezza sezione al netto di eventuali fori
Hnetta	<mm>	= Altezza sezione al netto di eventuali fori
W	<cmc>	= Modulo di resistenza della piastra irrigidita
σ	<daN/cmq>	= Tensione normale
τ	<daN/cmq>	= Tensione tangenziale
My	<daNm>	= Momento flettente intorno all'asse Y del collegamento
Fb,Ed,a	<daN>	= Azione di rifollamento di progetto lato asta
Fb,Rd,a	<daN>	= Rifollamento lato asta
b_{eff}	<cm>	= Larghezza efficace
t_w	<cm>	= Spessore dell'anima della colonna

Collegamento -041_-375

Piastra 220.00 x 220.00 s=15.00 - 6 Tirafondi ϕ 16 - Profondità di infissione: 350.00
3 righe ad interasse 89.00
2 colonne ad interasse 178.00
Altezza di gola saldature: anima 7.07 - ala 7.07

Tirafondi e calcestruzzo

CC 1 SLV (Collegamento -041_-375)
Azioni sul collegamento: N=-5965.50 Ty=-4.83 Tz=-1.56 Mx=0.01 Mz=-1.02
Sollecitazioni agenti localmente: Tx_l=-4.83 Ty_l=-1.56 N_l=-5965.50 Mx_l=-0.00 My_l=-1.02 Mz_l=0.01
Taglio nei bulloni: Fv,Ed=0.86 Fv,Rd=7720.78
Rifollamento lato piastra: Fb,Ed,p=0.85 Fb,Rd,p=6790.19
Tirafondi:LT=0.45 (0.31) σ_{cR}=0.00 σ_{fR}=0.00
Compressione nel calcestruzzo: σ_c=12.38
CC 1 SLV (Collegamento -041_-375)
Azioni sul collegamento: N=-5965.50 Ty=-12.58 Tz=-1.56 Mx=0.01 Mz=-7.43
Sollecitazioni agenti localmente: Tx_l=-12.58 Ty_l=-1.56 N_l=-5965.50 Mx_l=-0.00 My_l=-7.43 Mz_l=0.01
Taglio nei bulloni: Fv,Ed=2.13 Fv,Rd=7720.78
Rifollamento lato piastra: Fb,Ed,p=2.13 Fb,Rd,p=6100.34
Tirafondi:LT=0.45 (0.31) σ_{cR}=0.00 σ_{fR}=0.00
Compressione nel calcestruzzo: σ_c=12.74
CC 1 SLV (Collegamento -041_-375)
Azioni sul collegamento: N=-5965.50 Ty=-4.83 Tz=27.71 Mx=0.01 Mz=-1.02

Sollecitazioni agenti localmente: Tx_l=-4.83 Ty_l=27.71 N_l=-5965.50 Mx_l=-0.00 My_l=-1.02 Mz_l=0.01
Taglio nei bulloni: Fv,Ed=4.70 Fv,Rd=7720.78
Rifollamento lato piastra: Fb,Ed,p=4.70 Fb,Rd,p=6238.26
Tirafondi:LT=0.45 (0.31) σ_{cR}=0.00 σ_{fR}=0.00
Compressione nel calcestruzzo: σ_c=12.38
CC 1 SLV (Collegamento -041_-375)
Azioni sul collegamento: N=-5965.50 Ty=-12.58 Tz=27.71 Mx=0.01 Mz=-7.43
Sollecitazioni agenti localmente: Tx_l=-12.58 Ty_l=27.71 N_l=-5965.50 Mx_l=-0.00 My_l=-7.43 Mz_l=0.01
Taglio nei bulloni: Fv,Ed=5.09 Fv,Rd=7720.78
Rifollamento lato piastra: Fb,Ed,p=5.08 Fb,Rd,p=7800.00
Tirafondi:LT=0.45 (0.31) σ_{cR}=0.00 σ_{fR}=0.00
Compressione nel calcestruzzo: σ_c=12.74
CC 1 SLV (Collegamento -041_-375)
Azioni sul collegamento: N=-13808.10 Ty=-4.83 Tz=-1.56 Mx=0.01 Mz=-1.02
Sollecitazioni agenti localmente: Tx_l=-4.83 Ty_l=-1.56 N_l=-13808.10 Mx_l=-0.00 My_l=-1.02 Mz_l=0.01
Taglio nei bulloni: Fv,Ed=0.86 Fv,Rd=7720.78
Rifollamento lato piastra: Fb,Ed,p=0.85 Fb,Rd,p=6790.33
Tirafondi:LT=0.45 (0.31) σ_{cR}=0.00 σ_{fR}=0.00
Compressione nel calcestruzzo: σ_c=28.59
CC 1 SLV (Collegamento -041_-375)
Azioni sul collegamento: N=-13808.10 Ty=-12.58 Tz=-1.56 Mx=0.01 Mz=-7.43
Sollecitazioni agenti localmente: Tx_l=-12.58 Ty_l=-1.56 N_l=-13808.10 Mx_l=-0.00 My_l=-7.43 Mz_l=0.01
Taglio nei bulloni: Fv,Ed=2.13 Fv,Rd=7720.78
Rifollamento lato piastra: Fb,Ed,p=2.13 Fb,Rd,p=6100.37
Tirafondi:LT=0.45 (0.31) σ_{cR}=0.00 σ_{fR}=0.00
Compressione nel calcestruzzo: σ_c=28.95
CC 1 SLV (Collegamento -041_-375)
Azioni sul collegamento: N=-13808.10 Ty=-4.83 Tz=27.71 Mx=0.01 Mz=-1.02
Sollecitazioni agenti localmente: Tx_l=-4.83 Ty_l=27.71 N_l=-13808.10 Mx_l=-0.00 My_l=-1.02 Mz_l=0.01
Taglio nei bulloni: Fv,Ed=4.70 Fv,Rd=7720.78
Rifollamento lato piastra: Fb,Ed,p=4.70 Fb,Rd,p=6238.27
Tirafondi:LT=0.45 (0.31) σ_{cR}=0.00 σ_{fR}=0.00
Compressione nel calcestruzzo: σ_c=28.59
CC 1 SLV (Collegamento -041_-375)
Azioni sul collegamento: N=-13808.10 Ty=-12.58 Tz=27.71 Mx=0.01 Mz=-7.43
Sollecitazioni agenti localmente: Tx_l=-12.58 Ty_l=27.71 N_l=-13808.10 Mx_l=-0.00 My_l=-7.43 Mz_l=0.01
Taglio nei bulloni: Fv,Ed=5.09 Fv,Rd=7720.78
Rifollamento lato piastra: Fb,Ed,p=5.08 Fb,Rd,p=7800.06
Tirafondi:LT=0.45 (0.31) σ_{cR}=0.00 σ_{fR}=0.00
Compressione nel calcestruzzo: σ_c=28.95
CC 2 SLD (Collegamento -041_-375)
Azioni sul collegamento: N=-8788.68 Ty=-8.45 Tz=9.00 Mx=0.00 Mz=-5.38
Sollecitazioni agenti localmente: Tx_l=-8.45 Ty_l=9.00 N_l=-8788.68 Mx_l=-0.00 My_l=-5.38 Mz_l=0.00
Taglio nei bulloni: Fv,Ed=2.06 Fv,Rd=9650.97
Rifollamento lato piastra: Fb,Ed,p=2.06 Fb,Rd,p=14554.80
Tirafondi:LT=0.45 (0.31) σ_{cR}=0.00 σ_{fR}=0.00
Compressione nel calcestruzzo: σ_c=18.46
CC 2 SLD (Collegamento -041_-375)
Azioni sul collegamento: N=-8788.68 Ty=-10.81 Tz=9.00 Mx=0.00 Mz=-7.34
Sollecitazioni agenti localmente: Tx_l=-10.81 Ty_l=9.00 N_l=-8788.68 Mx_l=-0.00 My_l=-7.34 Mz_l=0.00
Taglio nei bulloni: Fv,Ed=2.35 Fv,Rd=9650.97
Rifollamento lato piastra: Fb,Ed,p=2.35 Fb,Rd,p=13819.90
Tirafondi:LT=0.45 (0.31) σ_{cR}=0.00 σ_{fR}=0.00
Compressione nel calcestruzzo: σ_c=18.57
CC 2 SLD (Collegamento -041_-375)
Azioni sul collegamento: N=-8788.68 Ty=-8.45 Tz=17.92 Mx=0.00 Mz=-5.38
Sollecitazioni agenti localmente: Tx_l=-8.45 Ty_l=17.92 N_l=-8788.68 Mx_l=-0.00 My_l=-5.38 Mz_l=0.00
Taglio nei bulloni: Fv,Ed=3.31 Fv,Rd=9650.97
Rifollamento lato piastra: Fb,Ed,p=3.30 Fb,Rd,p=9966.55
Tirafondi:LT=0.45 (0.31) σ_{cR}=0.00 σ_{fR}=0.00
Compressione nel calcestruzzo: σ_c=18.46
CC 2 SLD (Collegamento -041_-375)
Azioni sul collegamento: N=-8788.68 Ty=-10.81 Tz=17.92 Mx=0.00 Mz=-7.34
Sollecitazioni agenti localmente: Tx_l=-10.81 Ty_l=17.92 N_l=-8788.68 Mx_l=-0.00 My_l=-7.34 Mz_l=0.00
Taglio nei bulloni: Fv,Ed=3.49 Fv,Rd=9650.97
Rifollamento lato piastra: Fb,Ed,p=3.49 Fb,Rd,p=11595.70
Tirafondi:LT=0.45 (0.31) σ_{cR}=0.00 σ_{fR}=0.00
Compressione nel calcestruzzo: σ_c=18.57
CC 2 SLD (Collegamento -041_-375)
Azioni sul collegamento: N=-11180.10 Ty=-8.45 Tz=8.99 Mx=0.00 Mz=-5.38
Sollecitazioni agenti localmente: Tx_l=-8.45 Ty_l=8.99 N_l=-11180.10 Mx_l=-0.00 My_l=-5.38 Mz_l=0.00
Taglio nei bulloni: Fv,Ed=2.06 Fv,Rd=9650.97
Rifollamento lato piastra: Fb,Ed,p=2.06 Fb,Rd,p=14554.80
Tirafondi:LT=0.45 (0.31) σ_{cR}=0.00 σ_{fR}=0.00
Compressione nel calcestruzzo: σ_c=23.40
CC 2 SLD (Collegamento -041_-375)
Azioni sul collegamento: N=-11180.10 Ty=-10.81 Tz=8.99 Mx=0.00 Mz=-7.34
Sollecitazioni agenti localmente: Tx_l=-10.81 Ty_l=8.99 N_l=-11180.10 Mx_l=-0.00 My_l=-7.34 Mz_l=0.00

Taglio nei bulloni: Fv,Ed=2.35 Fv,Rd=9650.97
Rifollamento lato piastra: Fb,Ed,p=2.35 Fb,Rd,p=13819.90
Tirafondi:LT=0.45 (0.31) σ_{cR}=0.00 σ_{fR}=0.00
Compressione nel calcestruzzo: σ_c=23.51
CC 2 SLD (Collegamento -041_-375)
Azioni sul collegamento: N=-11180.10 Ty=-8.45 Tz=17.92 Mx=0.00 Mz=-5.38
Sollecitazioni agenti localmente: Tx_l=-8.45 Ty_l=17.92 N_l=-11180.10 Mx_l=-0.00 My_l=-5.38 Mz_l=0.00
Taglio nei bulloni: Fv,Ed=3.31 Fv,Rd=9650.97
Rifollamento lato piastra: Fb,Ed,p=3.30 Fb,Rd,p=9966.67
Tirafondi:LT=0.45 (0.31) σ_{cR}=0.00 σ_{fR}=0.00
Compressione nel calcestruzzo: σ_c=23.40
CC 2 SLD (Collegamento -041_-375)
Azioni sul collegamento: N=-11180.10 Ty=-10.81 Tz=17.92 Mx=0.00 Mz=-7.34
Sollecitazioni agenti localmente: Tx_l=-10.81 Ty_l=17.92 N_l=-11180.10 Mx_l=-0.00 My_l=-7.34 Mz_l=0.00
Taglio nei bulloni: Fv,Ed=3.49 Fv,Rd=9650.97
Rifollamento lato piastra: Fb,Ed,p=3.49 Fb,Rd,p=11595.90
Tirafondi:LT=0.45 (0.31) σ_{cR}=0.00 σ_{fR}=0.00
Compressione nel calcestruzzo: σ_c=23.51
CC 3 SLV (Collegamento -041_-375)
Azioni sul collegamento: N=-5970.40 Ty=-5.34 Tz=-1.24 Mx=0.01 Mz=-2.07
Sollecitazioni agenti localmente: Tx_l=-5.34 Ty_l=-1.24 N_l=-5970.40 Mx_l=-0.00 My_l=-2.07 Mz_l=0.01
Taglio nei bulloni: Fv,Ed=0.92 Fv,Rd=7720.78
Rifollamento lato piastra: Fb,Ed,p=0.92 Fb,Rd,p=6409.29
Tirafondi:LT=0.45 (0.31) σ_{cR}=0.00 σ_{fR}=0.00
Compressione nel calcestruzzo: σ_c=12.45
CC 3 SLV (Collegamento -041_-375)
Azioni sul collegamento: N=-5970.40 Ty=-12.07 Tz=-1.24 Mx=0.01 Mz=-6.38
Sollecitazioni agenti localmente: Tx_l=-12.07 Ty_l=-1.24 N_l=-5970.40 Mx_l=-0.00 My_l=-6.38 Mz_l=0.01
Taglio nei bulloni: Fv,Ed=2.03 Fv,Rd=7720.78
Rifollamento lato piastra: Fb,Ed,p=2.03 Fb,Rd,p=6064.04
Tirafondi:LT=0.45 (0.31) σ_{cR}=0.00 σ_{fR}=0.00
Compressione nel calcestruzzo: σ_c=12.69
CC 3 SLV (Collegamento -041_-375)
Azioni sul collegamento: N=-5970.40 Ty=-5.34 Tz=27.38 Mx=0.01 Mz=-2.07
Sollecitazioni agenti localmente: Tx_l=-5.34 Ty_l=27.38 N_l=-5970.40 Mx_l=-0.00 My_l=-2.07 Mz_l=0.01
Taglio nei bulloni: Fv,Ed=4.66 Fv,Rd=7720.78
Rifollamento lato piastra: Fb,Ed,p=4.66 Fb,Rd,p=6310.01
Tirafondi:LT=0.45 (0.31) σ_{cR}=0.00 σ_{fR}=0.00
Compressione nel calcestruzzo: σ_c=12.45
CC 3 SLV (Collegamento -041_-375)
Azioni sul collegamento: N=-5970.40 Ty=-12.07 Tz=27.38 Mx=0.01 Mz=-6.38
Sollecitazioni agenti localmente: Tx_l=-12.07 Ty_l=27.38 N_l=-5970.40 Mx_l=-0.00 My_l=-6.38 Mz_l=0.01
Taglio nei bulloni: Fv,Ed=5.00 Fv,Rd=7720.78
Rifollamento lato piastra: Fb,Ed,p=4.99 Fb,Rd,p=7705.57
Tirafondi:LT=0.45 (0.31) σ_{cR}=0.00 σ_{fR}=0.00
Compressione nel calcestruzzo: σ_c=12.69
CC 3 SLV (Collegamento -041_-375)
Azioni sul collegamento: N=-13803.30 Ty=-5.34 Tz=-1.24 Mx=0.01 Mz=-2.07
Sollecitazioni agenti localmente: Tx_l=-5.34 Ty_l=-1.24 N_l=-13803.30 Mx_l=-0.00 My_l=-2.07 Mz_l=0.01
Taglio nei bulloni: Fv,Ed=0.92 Fv,Rd=7720.78
Rifollamento lato piastra: Fb,Ed,p=0.92 Fb,Rd,p=6409.17
Tirafondi:LT=0.45 (0.31) σ_{cR}=0.00 σ_{fR}=0.00
Compressione nel calcestruzzo: σ_c=28.64
CC 3 SLV (Collegamento -041_-375)
Azioni sul collegamento: N=-13803.30 Ty=-12.07 Tz=-1.24 Mx=0.01 Mz=-6.38
Sollecitazioni agenti localmente: Tx_l=-12.07 Ty_l=-1.24 N_l=-13803.30 Mx_l=-0.00 My_l=-6.38 Mz_l=0.01
Taglio nei bulloni: Fv,Ed=2.03 Fv,Rd=7720.78
Rifollamento lato piastra: Fb,Ed,p=2.03 Fb,Rd,p=6064.01
Tirafondi:LT=0.45 (0.31) σ_{cR}=0.00 σ_{fR}=0.00
Compressione nel calcestruzzo: σ_c=28.88
CC 3 SLV (Collegamento -041_-375)
Azioni sul collegamento: N=-13803.30 Ty=-5.34 Tz=27.38 Mx=0.01 Mz=-2.07
Sollecitazioni agenti localmente: Tx_l=-5.34 Ty_l=27.38 N_l=-13803.30 Mx_l=-0.00 My_l=-2.07 Mz_l=0.01
Taglio nei bulloni: Fv,Ed=4.66 Fv,Rd=7720.78
Rifollamento lato piastra: Fb,Ed,p=4.66 Fb,Rd,p=6310.02
Tirafondi:LT=0.45 (0.31) σ_{cR}=0.00 σ_{fR}=0.00
Compressione nel calcestruzzo: σ_c=28.64
CC 3 SLV (Collegamento -041_-375)
Azioni sul collegamento: N=-13803.30 Ty=-12.07 Tz=27.38 Mx=0.01 Mz=-6.38
Sollecitazioni agenti localmente: Tx_l=-12.07 Ty_l=27.38 N_l=-13803.30 Mx_l=-0.00 My_l=-6.38 Mz_l=0.01
Taglio nei bulloni: Fv,Ed=5.00 Fv,Rd=7720.78
Rifollamento lato piastra: Fb,Ed,p=4.99 Fb,Rd,p=7705.62
Tirafondi:LT=0.45 (0.31) σ_{cR}=0.00 σ_{fR}=0.00
Compressione nel calcestruzzo: σ_c=28.88
CC 4 SLD (Collegamento -041_-375)
Azioni sul collegamento: N=-8790.17 Ty=-8.61 Tz=9.10 Mx=0.00 Mz=-5.70
Sollecitazioni agenti localmente: Tx_l=-8.61 Ty_l=9.10 N_l=-8790.17 Mx_l=-0.00 My_l=-5.70 Mz_l=0.00
Taglio nei bulloni: Fv,Ed=2.09 Fv,Rd=9650.97

Rifollamento lato piastra: Fb,Ed,p=2.09 Fb,Rd,p=14620.30
Tirafondi:LT=0.45 (0.31) σ_{cR}=0.00 σ_{fR}=0.00
Compressione nel calcestruzzo: σ_c=18.48
CC 4 SLD (Collegamento -041_-375)
Azioni sul collegamento: N=-8790.17 Ty=-10.66 Tz=9.10 Mx=0.00 Mz=-7.02
Sollecitazioni agenti localmente: Tx_l=-10.66 Ty_l=9.10 N_l=-8790.17 Mx_l=-0.00 My_l=-7.02 Mz_l=0.00
Taglio nei bulloni: Fv,Ed=2.34 Fv,Rd=9650.97
Rifollamento lato piastra: Fb,Ed,p=2.34 Fb,Rd,p=13966.90
Tirafondi:LT=0.45 (0.31) σ_{cR}=0.00 σ_{fR}=0.00
Compressione nel calcestruzzo: σ_c=18.56
CC 4 SLD (Collegamento -041_-375)
Azioni sul collegamento: N=-8790.17 Ty=-8.61 Tz=17.82 Mx=0.00 Mz=-5.70
Sollecitazioni agenti localmente: Tx_l=-8.61 Ty_l=17.82 N_l=-8790.17 Mx_l=-0.00 My_l=-5.70 Mz_l=0.00
Taglio nei bulloni: Fv,Ed=3.30 Fv,Rd=9650.97
Rifollamento lato piastra: Fb,Ed,p=3.30 Fb,Rd,p=10099.90
Tirafondi:LT=0.45 (0.31) σ_{cR}=0.00 σ_{fR}=0.00
Compressione nel calcestruzzo: σ_c=18.48
CC 4 SLD (Collegamento -041_-375)
Azioni sul collegamento: N=-8790.17 Ty=-10.66 Tz=17.82 Mx=0.00 Mz=-7.02
Sollecitazioni agenti localmente: Tx_l=-10.66 Ty_l=17.82 N_l=-8790.17 Mx_l=-0.00 My_l=-7.02 Mz_l=0.00
Taglio nei bulloni: Fv,Ed=3.46 Fv,Rd=9650.97
Rifollamento lato piastra: Fb,Ed,p=3.46 Fb,Rd,p=11532.70
Tirafondi:LT=0.45 (0.31) σ_{cR}=0.00 σ_{fR}=0.00
Compressione nel calcestruzzo: σ_c=18.56
CC 4 SLD (Collegamento -041_-375)
Azioni sul collegamento: N=-11178.70 Ty=-8.61 Tz=9.09 Mx=0.00 Mz=-5.70
Sollecitazioni agenti localmente: Tx_l=-8.61 Ty_l=9.09 N_l=-11178.70 Mx_l=-0.00 My_l=-5.70 Mz_l=0.00
Taglio nei bulloni: Fv,Ed=2.09 Fv,Rd=9650.97
Rifollamento lato piastra: Fb,Ed,p=2.09 Fb,Rd,p=14620.70
Tirafondi:LT=0.45 (0.31) σ_{cR}=0.00 σ_{fR}=0.00
Compressione nel calcestruzzo: σ_c=23.42
CC 4 SLD (Collegamento -041_-375)
Azioni sul collegamento: N=-11178.70 Ty=-10.66 Tz=9.09 Mx=0.00 Mz=-7.02
Sollecitazioni agenti localmente: Tx_l=-10.66 Ty_l=9.09 N_l=-11178.70 Mx_l=-0.00 My_l=-7.02 Mz_l=0.00
Taglio nei bulloni: Fv,Ed=2.34 Fv,Rd=9650.97
Rifollamento lato piastra: Fb,Ed,p=2.34 Fb,Rd,p=13966.60
Tirafondi:LT=0.45 (0.31) σ_{cR}=0.00 σ_{fR}=0.00
Compressione nel calcestruzzo: σ_c=23.49
CC 4 SLD (Collegamento -041_-375)
Azioni sul collegamento: N=-11178.70 Ty=-8.61 Tz=17.82 Mx=0.00 Mz=-5.70
Sollecitazioni agenti localmente: Tx_l=-8.61 Ty_l=17.82 N_l=-11178.70 Mx_l=-0.00 My_l=-5.70 Mz_l=0.00
Taglio nei bulloni: Fv,Ed=3.30 Fv,Rd=9650.97
Rifollamento lato piastra: Fb,Ed,p=3.30 Fb,Rd,p=10099.90
Tirafondi:LT=0.45 (0.31) σ_{cR}=0.00 σ_{fR}=0.00
Compressione nel calcestruzzo: σ_c=23.42
CC 4 SLD (Collegamento -041_-375)
Azioni sul collegamento: N=-11178.70 Ty=-10.66 Tz=17.82 Mx=0.00 Mz=-7.02
Sollecitazioni agenti localmente: Tx_l=-10.66 Ty_l=17.82 N_l=-11178.70 Mx_l=-0.00 My_l=-7.02 Mz_l=0.00
Taglio nei bulloni: Fv,Ed=3.46 Fv,Rd=9650.97
Rifollamento lato piastra: Fb,Ed,p=3.46 Fb,Rd,p=11532.60
Tirafondi:LT=0.45 (0.31) σ_{cR}=0.00 σ_{fR}=0.00
Compressione nel calcestruzzo: σ_c=23.49
CC 5 SLV (Collegamento -041_-375)
Azioni sul collegamento: N=-13803.30 Ty=-12.07 Tz=27.38 Mx=0.01 Mz=-6.38
Sollecitazioni agenti localmente: Tx_l=-12.07 Ty_l=27.38 N_l=-13803.30 Mx_l=-0.00 My_l=-6.38 Mz_l=0.01
Taglio nei bulloni: Fv,Ed=5.01 Fv,Rd=7720.78
Rifollamento lato piastra: Fb,Ed,p=4.99 Fb,Rd,p=7692.98
Tirafondi:LT=0.45 (0.31) σ_{cR}=0.00 σ_{fR}=0.00
Compressione nel calcestruzzo: σ_c=28.88
CC 5 SLV (Collegamento -041_-375)
Azioni sul collegamento: N=-13803.30 Ty=-5.34 Tz=27.38 Mx=0.01 Mz=-2.07
Sollecitazioni agenti localmente: Tx_l=-5.34 Ty_l=27.38 N_l=-13803.30 Mx_l=-0.00 My_l=-2.07 Mz_l=0.01
Taglio nei bulloni: Fv,Ed=4.67 Fv,Rd=7720.78
Rifollamento lato piastra: Fb,Ed,p=4.66 Fb,Rd,p=6305.51
Tirafondi:LT=0.45 (0.31) σ_{cR}=0.00 σ_{fR}=0.00
Compressione nel calcestruzzo: σ_c=28.64
CC 5 SLV (Collegamento -041_-375)
Azioni sul collegamento: N=-13803.30 Ty=-12.07 Tz=-1.24 Mx=0.01 Mz=-6.38
Sollecitazioni agenti localmente: Tx_l=-12.07 Ty_l=-1.24 N_l=-13803.30 Mx_l=-0.00 My_l=-6.38 Mz_l=0.01
Taglio nei bulloni: Fv,Ed=2.04 Fv,Rd=7720.78
Rifollamento lato piastra: Fb,Ed,p=2.03 Fb,Rd,p=6059.33
Tirafondi:LT=0.45 (0.31) σ_{cR}=0.00 σ_{fR}=0.00
Compressione nel calcestruzzo: σ_c=28.88
CC 5 SLV (Collegamento -041_-375)
Azioni sul collegamento: N=-13803.30 Ty=-5.34 Tz=-1.24 Mx=0.01 Mz=-2.07
Sollecitazioni agenti localmente: Tx_l=-5.34 Ty_l=-1.24 N_l=-13803.30 Mx_l=-0.00 My_l=-2.07 Mz_l=0.01
Taglio nei bulloni: Fv,Ed=0.93 Fv,Rd=7720.78
Rifollamento lato piastra: Fb,Ed,p=0.92 Fb,Rd,p=6382.84

Tirafondi:LT=0.45 (0.31) σ_{cR}=0.00 σ_{fR}=0.00
Compressione nel calcestruzzo: σ_c=28.64
CC 5 SLV (Collegamento -041_-375)
Azioni sul collegamento: N=-5970.40 Ty=-12.07 Tz=27.38 Mx=0.01 Mz=-6.38
Sollecitazioni agenti localmente: Tx_l=-12.07 Ty_l=27.38 N_l=-5970.40 Mx_l=-0.00 My_l=-6.38 Mz_l=0.01
Taglio nei bulloni: Fv,Ed=5.01 Fv,Rd=7720.78
Rifollamento lato piastra: Fb,Ed,p=4.99 Fb,Rd,p=7692.93
Tirafondi:LT=0.45 (0.31) σ_{cR}=0.00 σ_{fR}=0.00
Compressione nel calcestruzzo: σ_c=12.69
CC 5 SLV (Collegamento -041_-375)
Azioni sul collegamento: N=-5970.40 Ty=-5.34 Tz=27.38 Mx=0.01 Mz=-2.07
Sollecitazioni agenti localmente: Tx_l=-5.34 Ty_l=27.38 N_l=-5970.40 Mx_l=-0.00 My_l=-2.07 Mz_l=0.01
Taglio nei bulloni: Fv,Ed=4.67 Fv,Rd=7720.78
Rifollamento lato piastra: Fb,Ed,p=4.66 Fb,Rd,p=6305.50
Tirafondi:LT=0.45 (0.31) σ_{cR}=0.00 σ_{fR}=0.00
Compressione nel calcestruzzo: σ_c=12.45
CC 5 SLV (Collegamento -041_-375)
Azioni sul collegamento: N=-5970.40 Ty=-12.07 Tz=-1.24 Mx=0.01 Mz=-6.38
Sollecitazioni agenti localmente: Tx_l=-12.07 Ty_l=-1.24 N_l=-5970.40 Mx_l=-0.00 My_l=-6.38 Mz_l=0.01
Taglio nei bulloni: Fv,Ed=2.04 Fv,Rd=7720.78
Rifollamento lato piastra: Fb,Ed,p=2.03 Fb,Rd,p=6059.35
Tirafondi:LT=0.45 (0.31) σ_{cR}=0.00 σ_{fR}=0.00
Compressione nel calcestruzzo: σ_c=12.69
CC 5 SLV (Collegamento -041_-375)
Azioni sul collegamento: N=-5970.40 Ty=-5.34 Tz=-1.24 Mx=0.01 Mz=-2.07
Sollecitazioni agenti localmente: Tx_l=-5.34 Ty_l=-1.24 N_l=-5970.40 Mx_l=-0.00 My_l=-2.07 Mz_l=0.01
Taglio nei bulloni: Fv,Ed=0.93 Fv,Rd=7720.78
Rifollamento lato piastra: Fb,Ed,p=0.92 Fb,Rd,p=6382.95
Tirafondi:LT=0.45 (0.31) σ_{cR}=0.00 σ_{fR}=0.00
Compressione nel calcestruzzo: σ_c=12.45
CC 6 SLD (Collegamento -041_-375)
Azioni sul collegamento: N=-11178.70 Ty=-10.66 Tz=17.82 Mx=0.00 Mz=-7.02
Sollecitazioni agenti localmente: Tx_l=-10.66 Ty_l=17.82 N_l=-11178.70 Mx_l=-0.00 My_l=-7.02 Mz_l=0.00
Taglio nei bulloni: Fv,Ed=3.46 Fv,Rd=9650.97
Rifollamento lato piastra: Fb,Ed,p=3.46 Fb,Rd,p=11521.10
Tirafondi:LT=0.45 (0.31) σ_{cR}=0.00 σ_{fR}=0.00
Compressione nel calcestruzzo: σ_c=23.49
CC 6 SLD (Collegamento -041_-375)
Azioni sul collegamento: N=-11178.70 Ty=-8.61 Tz=17.82 Mx=0.00 Mz=-5.70
Sollecitazioni agenti localmente: Tx_l=-8.61 Ty_l=17.82 N_l=-11178.70 Mx_l=-0.00 My_l=-5.70 Mz_l=0.00
Taglio nei bulloni: Fv,Ed=3.30 Fv,Rd=9650.97
Rifollamento lato piastra: Fb,Ed,p=3.30 Fb,Rd,p=10091.40
Tirafondi:LT=0.45 (0.31) σ_{cR}=0.00 σ_{fR}=0.00
Compressione nel calcestruzzo: σ_c=23.42
CC 6 SLD (Collegamento -041_-375)
Azioni sul collegamento: N=-11178.70 Ty=-10.66 Tz=9.09 Mx=0.00 Mz=-7.02
Sollecitazioni agenti localmente: Tx_l=-10.66 Ty_l=9.09 N_l=-11178.70 Mx_l=-0.00 My_l=-7.02 Mz_l=0.00
Taglio nei bulloni: Fv,Ed=2.34 Fv,Rd=9650.97
Rifollamento lato piastra: Fb,Ed,p=2.34 Fb,Rd,p=13967.40
Tirafondi:LT=0.45 (0.31) σ_{cR}=0.00 σ_{fR}=0.00
Compressione nel calcestruzzo: σ_c=23.49
CC 6 SLD (Collegamento -041_-375)
Azioni sul collegamento: N=-11178.70 Ty=-8.61 Tz=9.09 Mx=0.00 Mz=-5.70
Sollecitazioni agenti localmente: Tx_l=-8.61 Ty_l=9.09 N_l=-11178.70 Mx_l=-0.00 My_l=-5.70 Mz_l=0.00
Taglio nei bulloni: Fv,Ed=2.09 Fv,Rd=9650.97
Rifollamento lato piastra: Fb,Ed,p=2.09 Fb,Rd,p=14606.30
Tirafondi:LT=0.45 (0.31) σ_{cR}=0.00 σ_{fR}=0.00
Compressione nel calcestruzzo: σ_c=23.42
CC 6 SLD (Collegamento -041_-375)
Azioni sul collegamento: N=-8790.17 Ty=-10.66 Tz=17.82 Mx=0.00 Mz=-7.02
Sollecitazioni agenti localmente: Tx_l=-10.66 Ty_l=17.82 N_l=-8790.17 Mx_l=-0.00 My_l=-7.02 Mz_l=0.00
Taglio nei bulloni: Fv,Ed=3.46 Fv,Rd=9650.97
Rifollamento lato piastra: Fb,Ed,p=3.46 Fb,Rd,p=11521.20
Tirafondi:LT=0.45 (0.31) σ_{cR}=0.00 σ_{fR}=0.00
Compressione nel calcestruzzo: σ_c=18.56
CC 6 SLD (Collegamento -041_-375)
Azioni sul collegamento: N=-8790.17 Ty=-8.61 Tz=17.82 Mx=0.00 Mz=-5.70
Sollecitazioni agenti localmente: Tx_l=-8.61 Ty_l=17.82 N_l=-8790.17 Mx_l=-0.00 My_l=-5.70 Mz_l=0.00
Taglio nei bulloni: Fv,Ed=3.30 Fv,Rd=9650.97
Rifollamento lato piastra: Fb,Ed,p=3.30 Fb,Rd,p=10091.50
Tirafondi:LT=0.45 (0.31) σ_{cR}=0.00 σ_{fR}=0.00
Compressione nel calcestruzzo: σ_c=18.48
CC 6 SLD (Collegamento -041_-375)
Azioni sul collegamento: N=-8790.17 Ty=-10.66 Tz=9.10 Mx=0.00 Mz=-7.02
Sollecitazioni agenti localmente: Tx_l=-10.66 Ty_l=9.10 N_l=-8790.17 Mx_l=-0.00 My_l=-7.02 Mz_l=0.00
Taglio nei bulloni: Fv,Ed=2.34 Fv,Rd=9650.97
Rifollamento lato piastra: Fb,Ed,p=2.34 Fb,Rd,p=13967.70
Tirafondi:LT=0.45 (0.31) σ_{cR}=0.00 σ_{fR}=0.00

Compressione nel calcestruzzo: σ_c=18.56
CC 6 SLD (Collegamento -041_-375)
Azioni sul collegamento: N=-8790.17 Ty=-8.61 Tz=9.10 Mx=0.00 Mz=-5.70
Sollecitazioni agenti localmente: Tx_l=-8.61 Ty_l=9.10 N_l=-8790.17 Mx_l=-0.00 My_l=-5.70 Mz_l=0.00
Taglio nei bulloni: Fv,Ed=2.09 Fv,Rd=9650.97
Rifollamento lato piastra: Fb,Ed,p=2.09 Fb,Rd,p=14606.00
Tirafondi:LT=0.45 (0.31) σ_{cR}=0.00 σ_{fR}=0.00
Compressione nel calcestruzzo: σ_c=18.48
CC 7 SLV (Collegamento -041_-375)
Azioni sul collegamento: N=-13808.10 Ty=-12.58 Tz=27.71 Mx=0.01 Mz=-7.43
Sollecitazioni agenti localmente: Tx_l=-12.58 Ty_l=27.71 N_l=-13808.10 Mx_l=-0.00 My_l=-7.43 Mz_l=0.01
Taglio nei bulloni: Fv,Ed=5.08 Fv,Rd=7720.78
Rifollamento lato piastra: Fb,Ed,p=5.08 Fb,Rd,p=7814.68
Tirafondi:LT=0.45 (0.31) σ_{cR}=0.00 σ_{fR}=0.00
Compressione nel calcestruzzo: σ_c=28.95
CC 7 SLV (Collegamento -041_-375)
Azioni sul collegamento: N=-13808.10 Ty=-4.83 Tz=27.71 Mx=0.01 Mz=-1.02
Sollecitazioni agenti localmente: Tx_l=-4.83 Ty_l=27.71 N_l=-13808.10 Mx_l=-0.00 My_l=-1.02 Mz_l=0.01
Taglio nei bulloni: Fv,Ed=4.70 Fv,Rd=7720.78
Rifollamento lato piastra: Fb,Ed,p=4.69 Fb,Rd,p=6242.66
Tirafondi:LT=0.45 (0.31) σ_{cR}=0.00 σ_{fR}=0.00
Compressione nel calcestruzzo: σ_c=28.59
CC 7 SLV (Collegamento -041_-375)
Azioni sul collegamento: N=-13808.10 Ty=-12.58 Tz=-1.56 Mx=0.01 Mz=-7.43
Sollecitazioni agenti localmente: Tx_l=-12.58 Ty_l=-1.56 N_l=-13808.10 Mx_l=-0.00 My_l=-7.43 Mz_l=0.01
Taglio nei bulloni: Fv,Ed=2.12 Fv,Rd=7720.78
Rifollamento lato piastra: Fb,Ed,p=2.12 Fb,Rd,p=6106.70
Tirafondi:LT=0.45 (0.31) σ_{cR}=0.00 σ_{fR}=0.00
Compressione nel calcestruzzo: σ_c=28.95
CC 7 SLV (Collegamento -041_-375)
Azioni sul collegamento: N=-13808.10 Ty=-4.83 Tz=-1.56 Mx=0.01 Mz=-1.02
Sollecitazioni agenti localmente: Tx_l=-4.83 Ty_l=-1.56 N_l=-13808.10 Mx_l=-0.00 My_l=-1.02 Mz_l=0.01
Taglio nei bulloni: Fv,Ed=0.86 Fv,Rd=7720.78
Rifollamento lato piastra: Fb,Ed,p=0.85 Fb,Rd,p=6840.35
Tirafondi:LT=0.45 (0.31) σ_{cR}=0.00 σ_{fR}=0.00
Compressione nel calcestruzzo: σ_c=28.59
CC 7 SLV (Collegamento -041_-375)
Azioni sul collegamento: N=-5965.50 Ty=-12.58 Tz=27.71 Mx=0.01 Mz=-7.43
Sollecitazioni agenti localmente: Tx_l=-12.58 Ty_l=27.71 N_l=-5965.50 Mx_l=-0.00 My_l=-7.43 Mz_l=0.01
Taglio nei bulloni: Fv,Ed=5.08 Fv,Rd=7720.78
Rifollamento lato piastra: Fb,Ed,p=5.08 Fb,Rd,p=7814.62
Tirafondi:LT=0.45 (0.31) σ_{cR}=0.00 σ_{fR}=0.00
Compressione nel calcestruzzo: σ_c=12.74
CC 7 SLV (Collegamento -041_-375)
Azioni sul collegamento: N=-5965.50 Ty=-4.83 Tz=27.71 Mx=0.01 Mz=-1.02
Sollecitazioni agenti localmente: Tx_l=-4.83 Ty_l=27.71 N_l=-5965.50 Mx_l=-0.00 My_l=-1.02 Mz_l=0.01
Taglio nei bulloni: Fv,Ed=4.70 Fv,Rd=7720.78
Rifollamento lato piastra: Fb,Ed,p=4.69 Fb,Rd,p=6242.65
Tirafondi:LT=0.45 (0.31) σ_{cR}=0.00 σ_{fR}=0.00
Compressione nel calcestruzzo: σ_c=12.38
CC 7 SLV (Collegamento -041_-375)
Azioni sul collegamento: N=-5965.50 Ty=-12.58 Tz=-1.56 Mx=0.01 Mz=-7.43
Sollecitazioni agenti localmente: Tx_l=-12.58 Ty_l=-1.56 N_l=-5965.50 Mx_l=-0.00 My_l=-7.43 Mz_l=0.01
Taglio nei bulloni: Fv,Ed=2.12 Fv,Rd=7720.78
Rifollamento lato piastra: Fb,Ed,p=2.12 Fb,Rd,p=6106.68
Tirafondi:LT=0.45 (0.31) σ_{cR}=0.00 σ_{fR}=0.00
Compressione nel calcestruzzo: σ_c=12.74
CC 7 SLV (Collegamento -041_-375)
Azioni sul collegamento: N=-5965.50 Ty=-4.83 Tz=-1.56 Mx=0.01 Mz=-1.02
Sollecitazioni agenti localmente: Tx_l=-4.83 Ty_l=-1.56 N_l=-5965.50 Mx_l=-0.00 My_l=-1.02 Mz_l=0.01
Taglio nei bulloni: Fv,Ed=0.86 Fv,Rd=7720.78
Rifollamento lato piastra: Fb,Ed,p=0.85 Fb,Rd,p=6840.20
Tirafondi:LT=0.45 (0.31) σ_{cR}=0.00 σ_{fR}=0.00
Compressione nel calcestruzzo: σ_c=12.38
CC 8 SLD (Collegamento -041_-375)
Azioni sul collegamento: N=-11180.10 Ty=-10.81 Tz=17.92 Mx=0.00 Mz=-7.34
Sollecitazioni agenti localmente: Tx_l=-10.81 Ty_l=17.92 N_l=-11180.10 Mx_l=-0.00 My_l=-7.34 Mz_l=0.00
Taglio nei bulloni: Fv,Ed=3.49 Fv,Rd=9650.97
Rifollamento lato piastra: Fb,Ed,p=3.49 Fb,Rd,p=11608.90
Tirafondi:LT=0.45 (0.31) σ_{cR}=0.00 σ_{fR}=0.00
Compressione nel calcestruzzo: σ_c=23.51
CC 8 SLD (Collegamento -041_-375)
Azioni sul collegamento: N=-11180.10 Ty=-8.45 Tz=17.92 Mx=0.00 Mz=-5.38
Sollecitazioni agenti localmente: Tx_l=-8.45 Ty_l=17.92 N_l=-11180.10 Mx_l=-0.00 My_l=-5.38 Mz_l=0.00
Taglio nei bulloni: Fv,Ed=3.30 Fv,Rd=9650.97
Rifollamento lato piastra: Fb,Ed,p=3.30 Fb,Rd,p=9975.84
Tirafondi:LT=0.45 (0.31) σ_{cR}=0.00 σ_{fR}=0.00
Compressione nel calcestruzzo: σ_c=23.40

CC 8 SLD (Collegamento -041_-375)
Azioni sul collegamento: N=-11180.10 Ty=-10.81 Tz=8.99 Mx=0.00 Mz=-7.34
Sollecitazioni agenti localmente: Tx_l=-10.81 Ty_l=8.99 N_l=-11180.10 Mx_l=-0.00 My_l=-7.34 Mz_l=0.00
Taglio nei bulloni: Fv,Ed=2.34 Fv,Rd=9650.97
Rifollamento lato piastra: Fb,Ed,p=2.34 Fb,Rd,p=13818.80
Tirafondi:LT=0.45 (0.31) σ_{cR}=0.00 σ_{fR}=0.00
Compressione nel calcestruzzo: σ_c=23.51
CC 8 SLD (Collegamento -041_-375)
Azioni sul collegamento: N=-11180.10 Ty=-8.45 Tz=8.99 Mx=0.00 Mz=-5.38
Sollecitazioni agenti localmente: Tx_l=-8.45 Ty_l=8.99 N_l=-11180.10 Mx_l=-0.00 My_l=-5.38 Mz_l=0.00
Taglio nei bulloni: Fv,Ed=2.06 Fv,Rd=9650.97
Rifollamento lato piastra: Fb,Ed,p=2.06 Fb,Rd,p=14571.10
Tirafondi:LT=0.45 (0.31) σ_{cR}=0.00 σ_{fR}=0.00
Compressione nel calcestruzzo: σ_c=23.40
CC 8 SLD (Collegamento -041_-375)
Azioni sul collegamento: N=-8788.68 Ty=-10.81 Tz=17.92 Mx=0.00 Mz=-7.34
Sollecitazioni agenti localmente: Tx_l=-10.81 Ty_l=17.92 N_l=-8788.68 Mx_l=-0.00 My_l=-7.34 Mz_l=0.00
Taglio nei bulloni: Fv,Ed=3.49 Fv,Rd=9650.97
Rifollamento lato piastra: Fb,Ed,p=3.49 Fb,Rd,p=11608.70
Tirafondi:LT=0.45 (0.31) σ_{cR}=0.00 σ_{fR}=0.00
Compressione nel calcestruzzo: σ_c=18.57
CC 8 SLD (Collegamento -041_-375)
Azioni sul collegamento: N=-8788.68 Ty=-8.45 Tz=17.92 Mx=0.00 Mz=-5.38
Sollecitazioni agenti localmente: Tx_l=-8.45 Ty_l=17.92 N_l=-8788.68 Mx_l=-0.00 My_l=-5.38 Mz_l=0.00
Taglio nei bulloni: Fv,Ed=3.30 Fv,Rd=9650.97
Rifollamento lato piastra: Fb,Ed,p=3.30 Fb,Rd,p=9975.72
Tirafondi:LT=0.45 (0.31) σ_{cR}=0.00 σ_{fR}=0.00
Compressione nel calcestruzzo: σ_c=18.46
CC 8 SLD (Collegamento -041_-375)
Azioni sul collegamento: N=-8788.68 Ty=-10.81 Tz=9.00 Mx=0.00 Mz=-7.34
Sollecitazioni agenti localmente: Tx_l=-10.81 Ty_l=9.00 N_l=-8788.68 Mx_l=-0.00 My_l=-7.34 Mz_l=0.00
Taglio nei bulloni: Fv,Ed=2.34 Fv,Rd=9650.97
Rifollamento lato piastra: Fb,Ed,p=2.34 Fb,Rd,p=13818.80
Tirafondi:LT=0.45 (0.31) σ_{cR}=0.00 σ_{fR}=0.00
Compressione nel calcestruzzo: σ_c=18.57
CC 8 SLD (Collegamento -041_-375)
Azioni sul collegamento: N=-8788.68 Ty=-8.45 Tz=9.00 Mx=0.00 Mz=-5.38
Sollecitazioni agenti localmente: Tx_l=-8.45 Ty_l=9.00 N_l=-8788.68 Mx_l=-0.00 My_l=-5.38 Mz_l=0.00
Taglio nei bulloni: Fv,Ed=2.06 Fv,Rd=9650.97
Rifollamento lato piastra: Fb,Ed,p=2.06 Fb,Rd,p=14571.10
Tirafondi:LT=0.45 (0.31) σ_{cR}=0.00 σ_{fR}=0.00
Compressione nel calcestruzzo: σ_c=18.46
CC 9 SLV (Collegamento -041_-375)
Azioni sul collegamento: N=-8703.00 Ty=-6.76 Tz=8.19 Mx=0.02 Mz=-1.67
Sollecitazioni agenti localmente: Tx_l=-6.76 Ty_l=8.19 N_l=-8703.00 Mx_l=-0.00 My_l=-1.67 Mz_l=0.02
Taglio nei bulloni: Fv,Ed=1.80 Fv,Rd=7720.78
Rifollamento lato piastra: Fb,Ed,p=1.77 Fb,Rd,p=10882.40
Tirafondi:LT=0.45 (0.31) σ_{cR}=0.00 σ_{fR}=0.00
Compressione nel calcestruzzo: σ_c=18.08
CC 9 SLV (Collegamento -041_-375)
Azioni sul collegamento: N=-8703.00 Ty=-10.65 Tz=8.19 Mx=0.02 Mz=-6.77
Sollecitazioni agenti localmente: Tx_l=-10.65 Ty_l=8.19 N_l=-8703.00 Mx_l=-0.00 My_l=-6.77 Mz_l=0.02
Taglio nei bulloni: Fv,Ed=2.27 Fv,Rd=7720.78
Rifollamento lato piastra: Fb,Ed,p=2.27 Fb,Rd,p=10734.10
Tirafondi:LT=0.45 (0.31) σ_{cR}=0.00 σ_{fR}=0.00
Compressione nel calcestruzzo: σ_c=18.36
CC 9 SLV (Collegamento -041_-375)
Azioni sul collegamento: N=-8703.00 Ty=-6.76 Tz=17.96 Mx=0.02 Mz=-1.67
Sollecitazioni agenti localmente: Tx_l=-6.76 Ty_l=17.96 N_l=-8703.00 Mx_l=-0.00 My_l=-1.67 Mz_l=0.02
Taglio nei bulloni: Fv,Ed=3.22 Fv,Rd=7720.78
Rifollamento lato piastra: Fb,Ed,p=3.21 Fb,Rd,p=7188.83
Tirafondi:LT=0.45 (0.31) σ_{cR}=0.00 σ_{fR}=0.00
Compressione nel calcestruzzo: σ_c=18.08
CC 9 SLV (Collegamento -041_-375)
Azioni sul collegamento: N=-8703.00 Ty=-10.65 Tz=17.96 Mx=0.02 Mz=-6.77
Sollecitazioni agenti localmente: Tx_l=-10.65 Ty_l=17.96 N_l=-8703.00 Mx_l=-0.00 My_l=-6.77 Mz_l=0.02
Taglio nei bulloni: Fv,Ed=3.51 Fv,Rd=7720.78
Rifollamento lato piastra: Fb,Ed,p=3.49 Fb,Rd,p=9057.64
Tirafondi:LT=0.45 (0.31) σ_{cR}=0.00 σ_{fR}=0.00
Compressione nel calcestruzzo: σ_c=18.36
CC 9 SLV (Collegamento -041_-375)
Azioni sul collegamento: N=-11070.70 Ty=-6.76 Tz=8.19 Mx=0.02 Mz=-1.67
Sollecitazioni agenti localmente: Tx_l=-6.76 Ty_l=8.19 N_l=-11070.70 Mx_l=-0.00 My_l=-1.67 Mz_l=0.02
Taglio nei bulloni: Fv,Ed=1.80 Fv,Rd=7720.78
Rifollamento lato piastra: Fb,Ed,p=1.77 Fb,Rd,p=10882.20
Tirafondi:LT=0.45 (0.31) σ_{cR}=0.00 σ_{fR}=0.00
Compressione nel calcestruzzo: σ_c=22.97
CC 9 SLV (Collegamento -041_-375)

Azioni sul collegamento: N=-11070.70 Ty=-10.65 Tz=8.19 Mx=0.02 Mz=-6.77
Sollecitazioni agenti localmente: Tx_l=-10.65 Ty_l=8.19 N_l=-11070.70 Mx_l=-0.00 My_l=-6.77 Mz_l=0.02
Taglio nei bulloni: Fv,Ed=2.27 Fv,Rd=7720.78
Rifollamento lato piastra: Fb,Ed,p=2.27 Fb,Rd,p=10734.30
Tirafondi:LT=0.45 (0.31) σ_{cR}=0.00 σ_{fR}=0.00
Compressione nel calcestruzzo: σ_c=23.25
CC 9 SLV (Collegamento -041_-375)
Azioni sul collegamento: N=-11070.70 Ty=-6.76 Tz=17.96 Mx=0.02 Mz=-1.67
Sollecitazioni agenti localmente: Tx_l=-6.76 Ty_l=17.96 N_l=-11070.70 Mx_l=-0.00 My_l=-1.67 Mz_l=0.02
Taglio nei bulloni: Fv,Ed=3.22 Fv,Rd=7720.78
Rifollamento lato piastra: Fb,Ed,p=3.21 Fb,Rd,p=7188.82
Tirafondi:LT=0.45 (0.31) σ_{cR}=0.00 σ_{fR}=0.00
Compressione nel calcestruzzo: σ_c=22.97
CC 9 SLV (Collegamento -041_-375)
Azioni sul collegamento: N=-11070.70 Ty=-10.65 Tz=17.96 Mx=0.02 Mz=-6.77
Sollecitazioni agenti localmente: Tx_l=-10.65 Ty_l=17.96 N_l=-11070.70 Mx_l=-0.00 My_l=-6.77 Mz_l=0.02
Taglio nei bulloni: Fv,Ed=3.51 Fv,Rd=7720.78
Rifollamento lato piastra: Fb,Ed,p=3.49 Fb,Rd,p=9057.62
Tirafondi:LT=0.45 (0.31) σ_{cR}=0.00 σ_{fR}=0.00
Compressione nel calcestruzzo: σ_c=23.25
CC 10 SLD (Collegamento -041_-375)
Azioni sul collegamento: N=-9623.43 Ty=-9.04 Tz=11.97 Mx=0.00 Mz=-5.58
Sollecitazioni agenti localmente: Tx_l=-9.04 Ty_l=11.97 N_l=-9623.43 Mx_l=-0.00 My_l=-5.58 Mz_l=0.00
Taglio nei bulloni: Fv,Ed=2.51 Fv,Rd=9650.97
Rifollamento lato piastra: Fb,Ed,p=2.50 Fb,Rd,p=13290.30
Tirafondi:LT=0.45 (0.31) σ_{cR}=0.00 σ_{fR}=0.00
Compressione nel calcestruzzo: σ_c=20.20
CC 10 SLD (Collegamento -041_-375)
Azioni sul collegamento: N=-9623.43 Ty=-10.22 Tz=11.97 Mx=0.00 Mz=-7.14
Sollecitazioni agenti localmente: Tx_l=-10.22 Ty_l=11.97 N_l=-9623.43 Mx_l=-0.00 My_l=-7.14 Mz_l=0.00
Taglio nei bulloni: Fv,Ed=2.63 Fv,Rd=9650.97
Rifollamento lato piastra: Fb,Ed,p=2.62 Fb,Rd,p=13946.10
Tirafondi:LT=0.45 (0.31) σ_{cR}=0.00 σ_{fR}=0.00
Compressione nel calcestruzzo: σ_c=20.29
CC 10 SLD (Collegamento -041_-375)
Azioni sul collegamento: N=-9623.43 Ty=-9.04 Tz=14.95 Mx=0.00 Mz=-5.58
Sollecitazioni agenti localmente: Tx_l=-9.04 Ty_l=14.95 N_l=-9623.43 Mx_l=-0.00 My_l=-5.58 Mz_l=0.00
Taglio nei bulloni: Fv,Ed=2.92 Fv,Rd=9650.97
Rifollamento lato piastra: Fb,Ed,p=2.91 Fb,Rd,p=11593.60
Tirafondi:LT=0.45 (0.31) σ_{cR}=0.00 σ_{fR}=0.00
Compressione nel calcestruzzo: σ_c=20.20
CC 10 SLD (Collegamento -041_-375)
Azioni sul collegamento: N=-9623.43 Ty=-10.22 Tz=14.95 Mx=0.00 Mz=-7.14
Sollecitazioni agenti localmente: Tx_l=-10.22 Ty_l=14.95 N_l=-9623.43 Mx_l=-0.00 My_l=-7.14 Mz_l=0.00
Taglio nei bulloni: Fv,Ed=3.02 Fv,Rd=9650.97
Rifollamento lato piastra: Fb,Ed,p=3.02 Fb,Rd,p=12777.30
Tirafondi:LT=0.45 (0.31) σ_{cR}=0.00 σ_{fR}=0.00
Compressione nel calcestruzzo: σ_c=20.29
CC 10 SLD (Collegamento -041_-375)
Azioni sul collegamento: N=-10345.40 Ty=-9.04 Tz=11.97 Mx=0.00 Mz=-5.58
Sollecitazioni agenti localmente: Tx_l=-9.04 Ty_l=11.97 N_l=-10345.40 Mx_l=-0.00 My_l=-5.58 Mz_l=0.00
Taglio nei bulloni: Fv,Ed=2.51 Fv,Rd=9650.97
Rifollamento lato piastra: Fb,Ed,p=2.50 Fb,Rd,p=13290.30
Tirafondi:LT=0.45 (0.31) σ_{cR}=0.00 σ_{fR}=0.00
Compressione nel calcestruzzo: σ_c=21.69
CC 10 SLD (Collegamento -041_-375)
Azioni sul collegamento: N=-10345.40 Ty=-10.22 Tz=11.97 Mx=0.00 Mz=-7.14
Sollecitazioni agenti localmente: Tx_l=-10.22 Ty_l=11.97 N_l=-10345.40 Mx_l=-0.00 My_l=-7.14 Mz_l=0.00
Taglio nei bulloni: Fv,Ed=2.63 Fv,Rd=9650.97
Rifollamento lato piastra: Fb,Ed,p=2.62 Fb,Rd,p=13946.10
Tirafondi:LT=0.45 (0.31) σ_{cR}=0.00 σ_{fR}=0.00
Compressione nel calcestruzzo: σ_c=21.78
CC 10 SLD (Collegamento -041_-375)
Azioni sul collegamento: N=-10345.40 Ty=-9.04 Tz=14.95 Mx=0.00 Mz=-5.58
Sollecitazioni agenti localmente: Tx_l=-9.04 Ty_l=14.95 N_l=-10345.40 Mx_l=-0.00 My_l=-5.58 Mz_l=0.00
Taglio nei bulloni: Fv,Ed=2.92 Fv,Rd=9650.97
Rifollamento lato piastra: Fb,Ed,p=2.91 Fb,Rd,p=11593.70
Tirafondi:LT=0.45 (0.31) σ_{cR}=0.00 σ_{fR}=0.00
Compressione nel calcestruzzo: σ_c=21.69
CC 10 SLD (Collegamento -041_-375)
Azioni sul collegamento: N=-10345.40 Ty=-10.22 Tz=14.95 Mx=0.00 Mz=-7.14
Sollecitazioni agenti localmente: Tx_l=-10.22 Ty_l=14.95 N_l=-10345.40 Mx_l=-0.00 My_l=-7.14 Mz_l=0.00
Taglio nei bulloni: Fv,Ed=3.02 Fv,Rd=9650.97
Rifollamento lato piastra: Fb,Ed,p=3.02 Fb,Rd,p=12777.50
Tirafondi:LT=0.45 (0.31) σ_{cR}=0.00 σ_{fR}=0.00
Compressione nel calcestruzzo: σ_c=21.78
CC 11 SLV (Collegamento -041_-375)
Azioni sul collegamento: N=-11054.30 Ty=-8.94 Tz=16.87 Mx=0.02 Mz=-3.28

Sollecitazioni agenti localmente: Tx_l=-8.94 Ty_l=16.87 N_l=-11054.30 Mx_l=-0.00 My_l=-3.28 Mz_l=0.02
Taglio nei bulloni: Fv,Ed=3.21 Fv,Rd=7720.78
Rifollamento lato piastra: Fb,Ed,p=3.19 Fb,Rd,p=8413.41
Tirafondi:LT=0.45 (0.31) σ_{cR}=0.00 σ_{fR}=0.00
Compressione nel calcestruzzo: σ_c=23.02
CC 11 SLV (Collegamento -041_-375)
Azioni sul collegamento: N=-11054.30 Ty=-8.48 Tz=16.87 Mx=0.02 Mz=-5.16
Sollecitazioni agenti localmente: Tx_l=-8.48 Ty_l=16.87 N_l=-11054.30 Mx_l=-0.00 My_l=-5.16 Mz_l=0.02
Taglio nei bulloni: Fv,Ed=3.17 Fv,Rd=7720.78
Rifollamento lato piastra: Fb,Ed,p=3.16 Fb,Rd,p=8162.21
Tirafondi:LT=0.45 (0.31) σ_{cR}=0.00 σ_{fR}=0.00
Compressione nel calcestruzzo: σ_c=23.13
CC 11 SLV (Collegamento -041_-375)
Azioni sul collegamento: N=-11054.30 Ty=-8.94 Tz=9.28 Mx=0.02 Mz=-3.28
Sollecitazioni agenti localmente: Tx_l=-8.94 Ty_l=9.28 N_l=-11054.30 Mx_l=-0.00 My_l=-3.28 Mz_l=0.02
Taglio nei bulloni: Fv,Ed=2.17 Fv,Rd=7720.78
Rifollamento lato piastra: Fb,Ed,p=2.15 Fb,Rd,p=11654.10
Tirafondi:LT=0.45 (0.31) σ_{cR}=0.00 σ_{fR}=0.00
Compressione nel calcestruzzo: σ_c=23.02
CC 11 SLV (Collegamento -041_-375)
Azioni sul collegamento: N=-11054.30 Ty=-8.48 Tz=9.28 Mx=0.02 Mz=-5.16
Sollecitazioni agenti localmente: Tx_l=-8.48 Ty_l=9.28 N_l=-11054.30 Mx_l=-0.00 My_l=-5.16 Mz_l=0.02
Taglio nei bulloni: Fv,Ed=2.12 Fv,Rd=7720.78
Rifollamento lato piastra: Fb,Ed,p=2.10 Fb,Rd,p=11373.40
Tirafondi:LT=0.45 (0.31) σ_{cR}=0.00 σ_{fR}=0.00
Compressione nel calcestruzzo: σ_c=23.13
CC 11 SLV (Collegamento -041_-375)
Azioni sul collegamento: N=-8719.33 Ty=-8.94 Tz=16.87 Mx=0.02 Mz=-3.28
Sollecitazioni agenti localmente: Tx_l=-8.94 Ty_l=16.87 N_l=-8719.33 Mx_l=-0.00 My_l=-3.28 Mz_l=0.02
Taglio nei bulloni: Fv,Ed=3.21 Fv,Rd=7720.78
Rifollamento lato piastra: Fb,Ed,p=3.19 Fb,Rd,p=8413.39
Tirafondi:LT=0.45 (0.31) σ_{cR}=0.00 σ_{fR}=0.00
Compressione nel calcestruzzo: σ_c=18.20
CC 11 SLV (Collegamento -041_-375)
Azioni sul collegamento: N=-8719.33 Ty=-8.48 Tz=16.87 Mx=0.02 Mz=-5.16
Sollecitazioni agenti localmente: Tx_l=-8.48 Ty_l=16.87 N_l=-8719.33 Mx_l=-0.00 My_l=-5.16 Mz_l=0.02
Taglio nei bulloni: Fv,Ed=3.17 Fv,Rd=7720.78
Rifollamento lato piastra: Fb,Ed,p=3.16 Fb,Rd,p=8162.20
Tirafondi:LT=0.45 (0.31) σ_{cR}=0.00 σ_{fR}=0.00
Compressione nel calcestruzzo: σ_c=18.31
CC 11 SLV (Collegamento -041_-375)
Azioni sul collegamento: N=-8719.33 Ty=-8.94 Tz=9.28 Mx=0.02 Mz=-3.28
Sollecitazioni agenti localmente: Tx_l=-8.94 Ty_l=9.28 N_l=-8719.33 Mx_l=-0.00 My_l=-3.28 Mz_l=0.02
Taglio nei bulloni: Fv,Ed=2.17 Fv,Rd=7720.78
Rifollamento lato piastra: Fb,Ed,p=2.15 Fb,Rd,p=11654.30
Tirafondi:LT=0.45 (0.31) σ_{cR}=0.00 σ_{fR}=0.00
Compressione nel calcestruzzo: σ_c=18.20
CC 11 SLV (Collegamento -041_-375)
Azioni sul collegamento: N=-8719.33 Ty=-8.48 Tz=9.28 Mx=0.02 Mz=-5.16
Sollecitazioni agenti localmente: Tx_l=-8.48 Ty_l=9.28 N_l=-8719.33 Mx_l=-0.00 My_l=-5.16 Mz_l=0.02
Taglio nei bulloni: Fv,Ed=2.12 Fv,Rd=7720.78
Rifollamento lato piastra: Fb,Ed,p=2.10 Fb,Rd,p=11373.60
Tirafondi:LT=0.45 (0.31) σ_{cR}=0.00 σ_{fR}=0.00
Compressione nel calcestruzzo: σ_c=18.31
CC 12 SLD (Collegamento -041_-375)
Azioni sul collegamento: N=-10340.40 Ty=-9.70 Tz=14.62 Mx=0.00 Mz=-6.07
Sollecitazioni agenti localmente: Tx_l=-9.70 Ty_l=14.62 N_l=-10340.40 Mx_l=-0.00 My_l=-6.07 Mz_l=0.00
Taglio nei bulloni: Fv,Ed=2.93 Fv,Rd=9650.97
Rifollamento lato piastra: Fb,Ed,p=2.92 Fb,Rd,p=12460.40
Tirafondi:LT=0.45 (0.31) σ_{cR}=0.00 σ_{fR}=0.00
Compressione nel calcestruzzo: σ_c=21.71
CC 12 SLD (Collegamento -041_-375)
Azioni sul collegamento: N=-10340.40 Ty=-9.56 Tz=14.62 Mx=0.00 Mz=-6.65
Sollecitazioni agenti localmente: Tx_l=-9.56 Ty_l=14.62 N_l=-10340.40 Mx_l=-0.00 My_l=-6.65 Mz_l=0.00
Taglio nei bulloni: Fv,Ed=2.92 Fv,Rd=9650.97
Rifollamento lato piastra: Fb,Ed,p=2.91 Fb,Rd,p=12313.60
Tirafondi:LT=0.45 (0.31) σ_{cR}=0.00 σ_{fR}=0.00
Compressione nel calcestruzzo: σ_c=21.74
CC 12 SLD (Collegamento -041_-375)
Azioni sul collegamento: N=-10340.40 Ty=-9.70 Tz=12.30 Mx=0.00 Mz=-6.07
Sollecitazioni agenti localmente: Tx_l=-9.70 Ty_l=12.30 N_l=-10340.40 Mx_l=-0.00 My_l=-6.07 Mz_l=0.00
Taglio nei bulloni: Fv,Ed=2.62 Fv,Rd=9650.97
Rifollamento lato piastra: Fb,Ed,p=2.61 Fb,Rd,p=13507.30
Tirafondi:LT=0.45 (0.31) σ_{cR}=0.00 σ_{fR}=0.00
Compressione nel calcestruzzo: σ_c=21.71
CC 12 SLD (Collegamento -041_-375)
Azioni sul collegamento: N=-10340.40 Ty=-9.56 Tz=12.30 Mx=0.00 Mz=-6.65
Sollecitazioni agenti localmente: Tx_l=-9.56 Ty_l=12.30 N_l=-10340.40 Mx_l=-0.00 My_l=-6.65 Mz_l=0.00

Taglio nei bulloni: Fv,Ed=2.60 Fv,Rd=9650.97
Rifollamento lato piastra: Fb,Ed,p=2.60 Fb,Rd,p=13432.90
Tirafondi:LT=0.45 (0.31) σ_{cR}=0.00 σ_{fR}=0.00
Compressione nel calcestruzzo: σ_c=21.74
CC 12 SLD (Collegamento -041_-375)
Azioni sul collegamento: N=-9628.41 Ty=-9.70 Tz=14.62 Mx=0.00 Mz=-6.07
Sollecitazioni agenti localmente: Tx_l=-9.70 Ty_l=14.62 N_l=-9628.41 Mx_l=-0.00 My_l=-6.07 Mz_l=0.00
Taglio nei bulloni: Fv,Ed=2.93 Fv,Rd=9650.97
Rifollamento lato piastra: Fb,Ed,p=2.92 Fb,Rd,p=12460.50
Tirafondi:LT=0.45 (0.31) σ_{cR}=0.00 σ_{fR}=0.00
Compressione nel calcestruzzo: σ_c=20.24
CC 12 SLD (Collegamento -041_-375)
Azioni sul collegamento: N=-9628.41 Ty=-9.56 Tz=14.62 Mx=0.00 Mz=-6.65
Sollecitazioni agenti localmente: Tx_l=-9.56 Ty_l=14.62 N_l=-9628.41 Mx_l=-0.00 My_l=-6.65 Mz_l=0.00
Taglio nei bulloni: Fv,Ed=2.92 Fv,Rd=9650.97
Rifollamento lato piastra: Fb,Ed,p=2.91 Fb,Rd,p=12313.60
Tirafondi:LT=0.45 (0.31) σ_{cR}=0.00 σ_{fR}=0.00
Compressione nel calcestruzzo: σ_c=20.27
CC 12 SLD (Collegamento -041_-375)
Azioni sul collegamento: N=-9628.40 Ty=-9.70 Tz=12.30 Mx=0.00 Mz=-6.07
Sollecitazioni agenti localmente: Tx_l=-9.70 Ty_l=12.30 N_l=-9628.40 Mx_l=-0.00 My_l=-6.07 Mz_l=0.00
Taglio nei bulloni: Fv,Ed=2.62 Fv,Rd=9650.97
Rifollamento lato piastra: Fb,Ed,p=2.61 Fb,Rd,p=13507.30
Tirafondi:LT=0.45 (0.31) σ_{cR}=0.00 σ_{fR}=0.00
Compressione nel calcestruzzo: σ_c=20.24
CC 12 SLD (Collegamento -041_-375)
Azioni sul collegamento: N=-9628.40 Ty=-9.56 Tz=12.30 Mx=0.00 Mz=-6.65
Sollecitazioni agenti localmente: Tx_l=-9.56 Ty_l=12.30 N_l=-9628.40 Mx_l=-0.00 My_l=-6.65 Mz_l=0.00
Taglio nei bulloni: Fv,Ed=2.60 Fv,Rd=9650.97
Rifollamento lato piastra: Fb,Ed,p=2.60 Fb,Rd,p=13432.90
Tirafondi:LT=0.45 (0.31) σ_{cR}=0.00 σ_{fR}=0.00
Compressione nel calcestruzzo: σ_c=20.27
CC 13 SLV (Collegamento -041_-375)
Azioni sul collegamento: N=-8719.33 Ty=-8.48 Tz=9.28 Mx=0.00 Mz=-5.16
Sollecitazioni agenti localmente: Tx_l=-8.48 Ty_l=9.28 N_l=-8719.33 Mx_l=-0.00 My_l=-5.16 Mz_l=0.00
Taglio nei bulloni: Fv,Ed=2.10 Fv,Rd=7720.78
Rifollamento lato piastra: Fb,Ed,p=2.09 Fb,Rd,p=11497.00
Tirafondi:LT=0.45 (0.31) σ_{cR}=0.00 σ_{fR}=0.00
Compressione nel calcestruzzo: σ_c=18.31
CC 13 SLV (Collegamento -041_-375)
Azioni sul collegamento: N=-8719.33 Ty=-8.94 Tz=9.28 Mx=0.00 Mz=-3.28
Sollecitazioni agenti localmente: Tx_l=-8.94 Ty_l=9.28 N_l=-8719.33 Mx_l=-0.00 My_l=-3.28 Mz_l=0.00
Taglio nei bulloni: Fv,Ed=2.15 Fv,Rd=7720.78
Rifollamento lato piastra: Fb,Ed,p=2.14 Fb,Rd,p=11799.50
Tirafondi:LT=0.45 (0.31) σ_{cR}=0.00 σ_{fR}=0.00
Compressione nel calcestruzzo: σ_c=18.20
CC 13 SLV (Collegamento -041_-375)
Azioni sul collegamento: N=-8719.33 Ty=-8.48 Tz=16.87 Mx=0.00 Mz=-5.16
Sollecitazioni agenti localmente: Tx_l=-8.48 Ty_l=16.87 N_l=-8719.33 Mx_l=-0.00 My_l=-5.16 Mz_l=0.00
Taglio nei bulloni: Fv,Ed=3.15 Fv,Rd=7720.78
Rifollamento lato piastra: Fb,Ed,p=3.15 Fb,Rd,p=8248.03
Tirafondi:LT=0.45 (0.31) σ_{cR}=0.00 σ_{fR}=0.00
Compressione nel calcestruzzo: σ_c=18.31
CC 13 SLV (Collegamento -041_-375)
Azioni sul collegamento: N=-8719.33 Ty=-8.94 Tz=16.87 Mx=0.00 Mz=-3.28
Sollecitazioni agenti localmente: Tx_l=-8.94 Ty_l=16.87 N_l=-8719.33 Mx_l=-0.00 My_l=-3.28 Mz_l=0.00
Taglio nei bulloni: Fv,Ed=3.18 Fv,Rd=7720.78
Rifollamento lato piastra: Fb,Ed,p=3.18 Fb,Rd,p=8505.85
Tirafondi:LT=0.45 (0.31) σ_{cR}=0.00 σ_{fR}=0.00
Compressione nel calcestruzzo: σ_c=18.20
CC 13 SLV (Collegamento -041_-375)
Azioni sul collegamento: N=-11054.30 Ty=-8.48 Tz=9.28 Mx=0.00 Mz=-5.16
Sollecitazioni agenti localmente: Tx_l=-8.48 Ty_l=9.28 N_l=-11054.30 Mx_l=-0.00 My_l=-5.16 Mz_l=0.00
Taglio nei bulloni: Fv,Ed=2.10 Fv,Rd=7720.78
Rifollamento lato piastra: Fb,Ed,p=2.09 Fb,Rd,p=11496.80
Tirafondi:LT=0.45 (0.31) σ_{cR}=0.00 σ_{fR}=0.00
Compressione nel calcestruzzo: σ_c=23.13
CC 13 SLV (Collegamento -041_-375)
Azioni sul collegamento: N=-11054.30 Ty=-8.94 Tz=9.28 Mx=0.00 Mz=-3.28
Sollecitazioni agenti localmente: Tx_l=-8.94 Ty_l=9.28 N_l=-11054.30 Mx_l=-0.00 My_l=-3.28 Mz_l=0.00
Taglio nei bulloni: Fv,Ed=2.15 Fv,Rd=7720.78
Rifollamento lato piastra: Fb,Ed,p=2.14 Fb,Rd,p=11799.30
Tirafondi:LT=0.45 (0.31) σ_{cR}=0.00 σ_{fR}=0.00
Compressione nel calcestruzzo: σ_c=23.02
CC 13 SLV (Collegamento -041_-375)
Azioni sul collegamento: N=-11054.30 Ty=-8.48 Tz=16.87 Mx=0.00 Mz=-5.16
Sollecitazioni agenti localmente: Tx_l=-8.48 Ty_l=16.87 N_l=-11054.30 Mx_l=-0.00 My_l=-5.16 Mz_l=0.00
Taglio nei bulloni: Fv,Ed=3.15 Fv,Rd=7720.78

Rifollamento lato piastra: Fb,Ed,p=3.15 Fb,Rd,p=8248.04
Tirafondi:LT=0.45 (0.31) σ_{cR}=0.00 σ_{fR}=0.00
Compressione nel calcestruzzo: σ_c=23.13
CC 13 SLV (Collegamento -041_-375)
Azioni sul collegamento: N=-11054.30 Ty=-8.94 Tz=16.87 Mx=0.00 Mz=-3.28
Sollecitazioni agenti localmente: Tx_l=-8.94 Ty_l=16.87 N_l=-11054.30 Mx_l=-0.00 My_l=-3.28 Mz_l=0.00
Taglio nei bulloni: Fv,Ed=3.18 Fv,Rd=7720.78
Rifollamento lato piastra: Fb,Ed,p=3.18 Fb,Rd,p=8505.86
Tirafondi:LT=0.45 (0.31) σ_{cR}=0.00 σ_{fR}=0.00
Compressione nel calcestruzzo: σ_c=23.02
CC 14 SLD (Collegamento -041_-375)
Azioni sul collegamento: N=-9628.40 Ty=-9.56 Tz=12.30 Mx=-0.00 Mz=-6.65
Sollecitazioni agenti localmente: Tx_l=-9.56 Ty_l=12.30 N_l=-9628.40 Mx_l=-0.00 My_l=-6.65 Mz_l=-0.00
Taglio nei bulloni: Fv,Ed=2.60 Fv,Rd=9650.97
Rifollamento lato piastra: Fb,Ed,p=2.60 Fb,Rd,p=13456.30
Tirafondi:LT=0.45 (0.31) σ_{cR}=0.00 σ_{fR}=0.00
Compressione nel calcestruzzo: σ_c=20.27
CC 14 SLD (Collegamento -041_-375)
Azioni sul collegamento: N=-9628.40 Ty=-9.70 Tz=12.30 Mx=-0.00 Mz=-6.07
Sollecitazioni agenti localmente: Tx_l=-9.70 Ty_l=12.30 N_l=-9628.40 Mx_l=-0.00 My_l=-6.07 Mz_l=-0.00
Taglio nei bulloni: Fv,Ed=2.61 Fv,Rd=9650.97
Rifollamento lato piastra: Fb,Ed,p=2.61 Fb,Rd,p=13530.90
Tirafondi:LT=0.45 (0.31) σ_{cR}=0.00 σ_{fR}=0.00
Compressione nel calcestruzzo: σ_c=20.24
CC 14 SLD (Collegamento -041_-375)
Azioni sul collegamento: N=-9628.41 Ty=-9.56 Tz=14.62 Mx=-0.00 Mz=-6.65
Sollecitazioni agenti localmente: Tx_l=-9.56 Ty_l=14.62 N_l=-9628.41 Mx_l=-0.00 My_l=-6.65 Mz_l=-0.00
Taglio nei bulloni: Fv,Ed=2.91 Fv,Rd=9650.97
Rifollamento lato piastra: Fb,Ed,p=2.91 Fb,Rd,p=12357.70
Tirafondi:LT=0.45 (0.31) σ_{cR}=0.00 σ_{fR}=0.00
Compressione nel calcestruzzo: σ_c=20.27
CC 14 SLD (Collegamento -041_-375)
Azioni sul collegamento: N=-9628.41 Ty=-9.70 Tz=14.62 Mx=-0.00 Mz=-6.07
Sollecitazioni agenti localmente: Tx_l=-9.70 Ty_l=14.62 N_l=-9628.41 Mx_l=-0.00 My_l=-6.07 Mz_l=-0.00
Taglio nei bulloni: Fv,Ed=2.93 Fv,Rd=9650.97
Rifollamento lato piastra: Fb,Ed,p=2.93 Fb,Rd,p=12505.40
Tirafondi:LT=0.45 (0.31) σ_{cR}=0.00 σ_{fR}=0.00
Compressione nel calcestruzzo: σ_c=20.24
CC 14 SLD (Collegamento -041_-375)
Azioni sul collegamento: N=-10340.40 Ty=-9.56 Tz=12.30 Mx=-0.00 Mz=-6.65
Sollecitazioni agenti localmente: Tx_l=-9.56 Ty_l=12.30 N_l=-10340.40 Mx_l=-0.00 My_l=-6.65 Mz_l=-0.00
Taglio nei bulloni: Fv,Ed=2.60 Fv,Rd=9650.97
Rifollamento lato piastra: Fb,Ed,p=2.60 Fb,Rd,p=13456.30
Tirafondi:LT=0.45 (0.31) σ_{cR}=0.00 σ_{fR}=0.00
Compressione nel calcestruzzo: σ_c=21.74
CC 14 SLD (Collegamento -041_-375)
Azioni sul collegamento: N=-10340.40 Ty=-9.70 Tz=12.30 Mx=-0.00 Mz=-6.07
Sollecitazioni agenti localmente: Tx_l=-9.70 Ty_l=12.30 N_l=-10340.40 Mx_l=-0.00 My_l=-6.07 Mz_l=-0.00
Taglio nei bulloni: Fv,Ed=2.61 Fv,Rd=9650.97
Rifollamento lato piastra: Fb,Ed,p=2.61 Fb,Rd,p=13530.90
Tirafondi:LT=0.45 (0.31) σ_{cR}=0.00 σ_{fR}=0.00
Compressione nel calcestruzzo: σ_c=21.71
CC 14 SLD (Collegamento -041_-375)
Azioni sul collegamento: N=-10340.40 Ty=-9.56 Tz=14.62 Mx=-0.00 Mz=-6.65
Sollecitazioni agenti localmente: Tx_l=-9.56 Ty_l=14.62 N_l=-10340.40 Mx_l=-0.00 My_l=-6.65 Mz_l=-0.00
Taglio nei bulloni: Fv,Ed=2.91 Fv,Rd=9650.97
Rifollamento lato piastra: Fb,Ed,p=2.91 Fb,Rd,p=12357.70
Tirafondi:LT=0.45 (0.31) σ_{cR}=0.00 σ_{fR}=0.00
Compressione nel calcestruzzo: σ_c=21.74
CC 14 SLD (Collegamento -041_-375)
Azioni sul collegamento: N=-10340.40 Ty=-9.70 Tz=14.62 Mx=-0.00 Mz=-6.07
Sollecitazioni agenti localmente: Tx_l=-9.70 Ty_l=14.62 N_l=-10340.40 Mx_l=-0.00 My_l=-6.07 Mz_l=-0.00
Taglio nei bulloni: Fv,Ed=2.93 Fv,Rd=9650.97
Rifollamento lato piastra: Fb,Ed,p=2.93 Fb,Rd,p=12505.40
Tirafondi:LT=0.45 (0.31) σ_{cR}=0.00 σ_{fR}=0.00
Compressione nel calcestruzzo: σ_c=21.71
CC 15 SLV (Collegamento -041_-375)
Azioni sul collegamento: N=-11070.70 Ty=-10.65 Tz=17.96 Mx=0.00 Mz=-6.77
Sollecitazioni agenti localmente: Tx_l=-10.65 Ty_l=17.96 N_l=-11070.70 Mx_l=-0.00 My_l=-6.77 Mz_l=0.00
Taglio nei bulloni: Fv,Ed=3.48 Fv,Rd=7720.78
Rifollamento lato piastra: Fb,Ed,p=3.48 Fb,Rd,p=9160.87
Tirafondi:LT=0.45 (0.31) σ_{cR}=0.00 σ_{fR}=0.00
Compressione nel calcestruzzo: σ_c=23.25
CC 15 SLV (Collegamento -041_-375)
Azioni sul collegamento: N=-11070.70 Ty=-6.76 Tz=17.96 Mx=0.00 Mz=-1.67
Sollecitazioni agenti localmente: Tx_l=-6.76 Ty_l=17.96 N_l=-11070.70 Mx_l=-0.00 My_l=-1.67 Mz_l=0.00
Taglio nei bulloni: Fv,Ed=3.20 Fv,Rd=7720.78
Rifollamento lato piastra: Fb,Ed,p=3.20 Fb,Rd,p=7243.97

Tirafondi:LT=0.45 (0.31) σ_{cR}=0.00 σ_{fR}=0.00
Compressione nel calcestruzzo: σ_c=22.97
CC 15 SLV (Collegamento -041_-375)
Azioni sul collegamento: N=-11070.70 Ty=-10.65 Tz=8.19 Mx=0.00 Mz=-6.77
Sollecitazioni agenti localmente: Tx_l=-10.65 Ty_l=8.19 N_l=-11070.70 Mx_l=-0.00 My_l=-6.77 Mz_l=0.00
Taglio nei bulloni: Fv,Ed=2.24 Fv,Rd=7720.78
Rifollamento lato piastra: Fb,Ed,p=2.24 Fb,Rd,p=10722.30
Tirafondi:LT=0.45 (0.31) σ_{cR}=0.00 σ_{fR}=0.00
Compressione nel calcestruzzo: σ_c=23.25
CC 15 SLV (Collegamento -041_-375)
Azioni sul collegamento: N=-11070.70 Ty=-6.76 Tz=8.19 Mx=0.00 Mz=-1.67
Sollecitazioni agenti localmente: Tx_l=-6.76 Ty_l=8.19 N_l=-11070.70 Mx_l=-0.00 My_l=-1.67 Mz_l=0.00
Taglio nei bulloni: Fv,Ed=1.77 Fv,Rd=7720.78
Rifollamento lato piastra: Fb,Ed,p=1.77 Fb,Rd,p=11008.90
Tirafondi:LT=0.45 (0.31) σ_{cR}=0.00 σ_{fR}=0.00
Compressione nel calcestruzzo: σ_c=22.97
CC 15 SLV (Collegamento -041_-375)
Azioni sul collegamento: N=-8703.00 Ty=-10.65 Tz=17.96 Mx=0.00 Mz=-6.77
Sollecitazioni agenti localmente: Tx_l=-10.65 Ty_l=17.96 N_l=-8703.00 Mx_l=-0.00 My_l=-6.77 Mz_l=0.00
Taglio nei bulloni: Fv,Ed=3.48 Fv,Rd=7720.78
Rifollamento lato piastra: Fb,Ed,p=3.48 Fb,Rd,p=9160.89
Tirafondi:LT=0.45 (0.31) σ_{cR}=0.00 σ_{fR}=0.00
Compressione nel calcestruzzo: σ_c=18.36
CC 15 SLV (Collegamento -041_-375)
Azioni sul collegamento: N=-8703.00 Ty=-6.76 Tz=17.96 Mx=0.00 Mz=-1.67
Sollecitazioni agenti localmente: Tx_l=-6.76 Ty_l=17.96 N_l=-8703.00 Mx_l=-0.00 My_l=-1.67 Mz_l=0.00
Taglio nei bulloni: Fv,Ed=3.20 Fv,Rd=7720.78
Rifollamento lato piastra: Fb,Ed,p=3.20 Fb,Rd,p=7243.98
Tirafondi:LT=0.45 (0.31) σ_{cR}=0.00 σ_{fR}=0.00
Compressione nel calcestruzzo: σ_c=18.08
CC 15 SLV (Collegamento -041_-375)
Azioni sul collegamento: N=-8703.00 Ty=-10.65 Tz=8.19 Mx=0.00 Mz=-6.77
Sollecitazioni agenti localmente: Tx_l=-10.65 Ty_l=8.19 N_l=-8703.00 Mx_l=-0.00 My_l=-6.77 Mz_l=0.00
Taglio nei bulloni: Fv,Ed=2.24 Fv,Rd=7720.78
Rifollamento lato piastra: Fb,Ed,p=2.24 Fb,Rd,p=10722.10
Tirafondi:LT=0.45 (0.31) σ_{cR}=0.00 σ_{fR}=0.00
Compressione nel calcestruzzo: σ_c=18.36
CC 15 SLV (Collegamento -041_-375)
Azioni sul collegamento: N=-8703.00 Ty=-6.76 Tz=8.19 Mx=0.00 Mz=-1.67
Sollecitazioni agenti localmente: Tx_l=-6.76 Ty_l=8.19 N_l=-8703.00 Mx_l=-0.00 My_l=-1.67 Mz_l=0.00
Taglio nei bulloni: Fv,Ed=1.77 Fv,Rd=7720.78
Rifollamento lato piastra: Fb,Ed,p=1.77 Fb,Rd,p=11009.10
Tirafondi:LT=0.45 (0.31) σ_{cR}=0.00 σ_{fR}=0.00
Compressione nel calcestruzzo: σ_c=18.08
CC 16 SLD (Collegamento -041_-375)
Azioni sul collegamento: N=-10345.40 Ty=-10.22 Tz=14.95 Mx=-0.00 Mz=-7.14
Sollecitazioni agenti localmente: Tx_l=-10.22 Ty_l=14.95 N_l=-10345.40 Mx_l=-0.00 My_l=-7.14 Mz_l=-0.00
Taglio nei bulloni: Fv,Ed=3.02 Fv,Rd=9650.97
Rifollamento lato piastra: Fb,Ed,p=3.02 Fb,Rd,p=12823.60
Tirafondi:LT=0.45 (0.31) σ_{cR}=0.00 σ_{fR}=0.00
Compressione nel calcestruzzo: σ_c=21.78
CC 16 SLD (Collegamento -041_-375)
Azioni sul collegamento: N=-10345.40 Ty=-9.04 Tz=14.95 Mx=-0.00 Mz=-5.58
Sollecitazioni agenti localmente: Tx_l=-9.04 Ty_l=14.95 N_l=-10345.40 Mx_l=-0.00 My_l=-5.58 Mz_l=-0.00
Taglio nei bulloni: Fv,Ed=2.91 Fv,Rd=9650.97
Rifollamento lato piastra: Fb,Ed,p=2.91 Fb,Rd,p=11633.00
Tirafondi:LT=0.45 (0.31) σ_{cR}=0.00 σ_{fR}=0.00
Compressione nel calcestruzzo: σ_c=21.69
CC 16 SLD (Collegamento -041_-375)
Azioni sul collegamento: N=-10345.40 Ty=-10.22 Tz=11.97 Mx=-0.00 Mz=-7.14
Sollecitazioni agenti localmente: Tx_l=-10.22 Ty_l=11.97 N_l=-10345.40 Mx_l=-0.00 My_l=-7.14 Mz_l=-0.00
Taglio nei bulloni: Fv,Ed=2.63 Fv,Rd=9650.97
Rifollamento lato piastra: Fb,Ed,p=2.63 Fb,Rd,p=13972.40
Tirafondi:LT=0.45 (0.31) σ_{cR}=0.00 σ_{fR}=0.00
Compressione nel calcestruzzo: σ_c=21.78
CC 16 SLD (Collegamento -041_-375)
Azioni sul collegamento: N=-10345.40 Ty=-9.04 Tz=11.97 Mx=-0.00 Mz=-5.58
Sollecitazioni agenti localmente: Tx_l=-9.04 Ty_l=11.97 N_l=-10345.40 Mx_l=-0.00 My_l=-5.58 Mz_l=-0.00
Taglio nei bulloni: Fv,Ed=2.50 Fv,Rd=9650.97
Rifollamento lato piastra: Fb,Ed,p=2.50 Fb,Rd,p=13313.90
Tirafondi:LT=0.45 (0.31) σ_{cR}=0.00 σ_{fR}=0.00
Compressione nel calcestruzzo: σ_c=21.69
CC 16 SLD (Collegamento -041_-375)
Azioni sul collegamento: N=-9623.43 Ty=-10.22 Tz=14.95 Mx=-0.00 Mz=-7.14
Sollecitazioni agenti localmente: Tx_l=-10.22 Ty_l=14.95 N_l=-9623.43 Mx_l=-0.00 My_l=-7.14 Mz_l=-0.00
Taglio nei bulloni: Fv,Ed=3.02 Fv,Rd=9650.97
Rifollamento lato piastra: Fb,Ed,p=3.02 Fb,Rd,p=12823.40
Tirafondi:LT=0.45 (0.31) σ_{cR}=0.00 σ_{fR}=0.00

Compressione nel calcestruzzo: σ_c=20.29
CC 16 SLD (Collegamento -041_-375)
Azioni sul collegamento: N=-9623.43 Ty=-9.04 Tz=14.95 Mx=-0.00 Mz=-5.58
Sollecitazioni agenti localmente: Tx_l=-9.04 Ty_l=14.95 N_l=-9623.43 Mx_l=-0.00 My_l=-5.58 Mz_l=-0.00
Taglio nei bulloni: Fv,Ed=2.91 Fv,Rd=9650.97
Rifollamento lato piastra: Fb,Ed,p=2.91 Fb,Rd,p=11632.80
Tirafondi:LT=0.45 (0.31) σ_{cR}=0.00 σ_{fR}=0.00
Compressione nel calcestruzzo: σ_c=20.20
CC 16 SLD (Collegamento -041_-375)
Azioni sul collegamento: N=-9623.43 Ty=-10.22 Tz=11.97 Mx=-0.00 Mz=-7.14
Sollecitazioni agenti localmente: Tx_l=-10.22 Ty_l=11.97 N_l=-9623.43 Mx_l=-0.00 My_l=-7.14 Mz_l=-0.00
Taglio nei bulloni: Fv,Ed=2.63 Fv,Rd=9650.97
Rifollamento lato piastra: Fb,Ed,p=2.63 Fb,Rd,p=13972.40
Tirafondi:LT=0.45 (0.31) σ_{cR}=0.00 σ_{fR}=0.00
Compressione nel calcestruzzo: σ_c=20.29
CC 16 SLD (Collegamento -041_-375)
Azioni sul collegamento: N=-9623.43 Ty=-9.04 Tz=11.97 Mx=-0.00 Mz=-5.58
Sollecitazioni agenti localmente: Tx_l=-9.04 Ty_l=11.97 N_l=-9623.43 Mx_l=-0.00 My_l=-5.58 Mz_l=-0.00
Taglio nei bulloni: Fv,Ed=2.50 Fv,Rd=9650.97
Rifollamento lato piastra: Fb,Ed,p=2.50 Fb,Rd,p=13313.90
Tirafondi:LT=0.45 (0.31) σ_{cR}=0.00 σ_{fR}=0.00
Compressione nel calcestruzzo: σ_c=20.20
CC 17 SLV (Collegamento -041_-375)
Azioni sul collegamento: N=-6246.30 Ty=-7.49 Tz=-0.46 Mx=-0.02 Mz=-7.17
Sollecitazioni agenti localmente: Tx_l=-7.49 Ty_l=-0.46 N_l=-6246.30 Mx_l=-0.00 My_l=-7.17 Mz_l=-0.02
Taglio nei bulloni: Fv,Ed=1.27 Fv,Rd=7720.78
Rifollamento lato piastra: Fb,Ed,p=1.27 Fb,Rd,p=6030.03
Tirafondi:LT=0.45 (0.31) σ_{cR}=0.00 σ_{fR}=0.00
Compressione nel calcestruzzo: σ_c=13.31
CC 17 SLV (Collegamento -041_-375)
Azioni sul collegamento: N=-6246.30 Ty=-15.25 Tz=-0.46 Mx=-0.02 Mz=-13.58
Sollecitazioni agenti localmente: Tx_l=-15.25 Ty_l=-0.46 N_l=-6246.30 Mx_l=-0.00 My_l=-13.58 Mz_l=-0.02
Taglio nei bulloni: Fv,Ed=2.56 Fv,Rd=7720.78
Rifollamento lato piastra: Fb,Ed,p=2.56 Fb,Rd,p=5991.64
Tirafondi:LT=0.45 (0.31) σ_{cR}=0.00 σ_{fR}=0.00
Compressione nel calcestruzzo: σ_c=13.67
CC 17 SLV (Collegamento -041_-375)
Azioni sul collegamento: N=-6246.30 Ty=-7.49 Tz=28.82 Mx=-0.02 Mz=-7.17
Sollecitazioni agenti localmente: Tx_l=-7.49 Ty_l=28.82 N_l=-6246.30 Mx_l=-0.00 My_l=-7.17 Mz_l=-0.02
Taglio nei bulloni: Fv,Ed=4.99 Fv,Rd=7720.78
Rifollamento lato piastra: Fb,Ed,p=4.99 Fb,Rd,p=6595.88
Tirafondi:LT=0.45 (0.31) σ_{cR}=0.00 σ_{fR}=0.00
Compressione nel calcestruzzo: σ_c=13.31
CC 17 SLV (Collegamento -041_-375)
Azioni sul collegamento: N=-6246.30 Ty=-15.25 Tz=28.82 Mx=-0.02 Mz=-13.58
Sollecitazioni agenti localmente: Tx_l=-15.25 Ty_l=28.82 N_l=-6246.30 Mx_l=-0.00 My_l=-13.58 Mz_l=-0.02
Taglio nei bulloni: Fv,Ed=5.46 Fv,Rd=7720.78
Rifollamento lato piastra: Fb,Ed,p=5.46 Fb,Rd,p=8530.44
Tirafondi:LT=0.45 (0.31) σ_{cR}=0.00 σ_{fR}=0.00
Compressione nel calcestruzzo: σ_c=13.67
CC 17 SLV (Collegamento -041_-375)
Azioni sul collegamento: N=-14088.90 Ty=-7.49 Tz=-0.46 Mx=-0.02 Mz=-7.17
Sollecitazioni agenti localmente: Tx_l=-7.49 Ty_l=-0.46 N_l=-14088.90 Mx_l=-0.00 My_l=-7.17 Mz_l=-0.02
Taglio nei bulloni: Fv,Ed=1.27 Fv,Rd=7720.78
Rifollamento lato piastra: Fb,Ed,p=1.27 Fb,Rd,p=6030.08
Tirafondi:LT=0.45 (0.31) σ_{cR}=0.00 σ_{fR}=0.00
Compressione nel calcestruzzo: σ_c=29.51
CC 17 SLV (Collegamento -041_-375)
Azioni sul collegamento: N=-14088.90 Ty=-15.25 Tz=-0.46 Mx=-0.02 Mz=-13.58
Sollecitazioni agenti localmente: Tx_l=-15.25 Ty_l=-0.46 N_l=-14088.90 Mx_l=-0.00 My_l=-13.58 Mz_l=-0.02
Taglio nei bulloni: Fv,Ed=2.56 Fv,Rd=7720.78
Rifollamento lato piastra: Fb,Ed,p=2.56 Fb,Rd,p=5991.65
Tirafondi:LT=0.45 (0.31) σ_{cR}=0.00 σ_{fR}=0.00
Compressione nel calcestruzzo: σ_c=29.87
CC 17 SLV (Collegamento -041_-375)
Azioni sul collegamento: N=-14088.90 Ty=-7.49 Tz=28.82 Mx=-0.02 Mz=-7.17
Sollecitazioni agenti localmente: Tx_l=-7.49 Ty_l=28.82 N_l=-14088.90 Mx_l=-0.00 My_l=-7.17 Mz_l=-0.02
Taglio nei bulloni: Fv,Ed=4.99 Fv,Rd=7720.78
Rifollamento lato piastra: Fb,Ed,p=4.99 Fb,Rd,p=6595.88
Tirafondi:LT=0.45 (0.31) σ_{cR}=0.00 σ_{fR}=0.00
Compressione nel calcestruzzo: σ_c=29.51
CC 17 SLV (Collegamento -041_-375)
Azioni sul collegamento: N=-14088.90 Ty=-15.25 Tz=28.82 Mx=-0.02 Mz=-13.58
Sollecitazioni agenti localmente: Tx_l=-15.25 Ty_l=28.82 N_l=-14088.90 Mx_l=-0.00 My_l=-13.58 Mz_l=-0.02
Taglio nei bulloni: Fv,Ed=5.46 Fv,Rd=7720.78
Rifollamento lato piastra: Fb,Ed,p=5.46 Fb,Rd,p=8530.43
Tirafondi:LT=0.45 (0.31) σ_{cR}=0.00 σ_{fR}=0.00
Compressione nel calcestruzzo: σ_c=29.87

CC 18 SLD (Collegamento -041_-375)
Azioni sul collegamento: N=-8874.30 Ty=-9.26 Tz=9.33 Mx=-0.01 Mz=-7.26
Sollecitazioni agenti localmente: Tx_l=-9.26 Ty_l=9.33 N_l=-8874.30 Mx_l=-0.00 My_l=-7.26 Mz_l=-0.01
Taglio nei bulloni: Fv,Ed=2.20 Fv,Rd=9650.97
Rifollamento lato piastra: Fb,Ed,p=2.20 Fb,Rd,p=14966.80
Tirafondi:LT=0.45 (0.31) σ_{cR}=0.00 σ_{fR}=0.00
Compressione nel calcestruzzo: σ_c=18.74
CC 18 SLD (Collegamento -041_-375)
Azioni sul collegamento: N=-8874.30 Ty=-11.63 Tz=9.33 Mx=-0.01 Mz=-9.21
Sollecitazioni agenti localmente: Tx_l=-11.63 Ty_l=9.33 N_l=-8874.30 Mx_l=-0.00 My_l=-9.21 Mz_l=-0.01
Taglio nei bulloni: Fv,Ed=2.50 Fv,Rd=9650.97
Rifollamento lato piastra: Fb,Ed,p=2.49 Fb,Rd,p=13573.10
Tirafondi:LT=0.45 (0.31) σ_{cR}=0.00 σ_{fR}=0.00
Compressione nel calcestruzzo: σ_c=18.85
CC 18 SLD (Collegamento -041_-375)
Azioni sul collegamento: N=-8874.30 Ty=-9.26 Tz=18.26 Mx=-0.01 Mz=-7.26
Sollecitazioni agenti localmente: Tx_l=-9.26 Ty_l=18.26 N_l=-8874.30 Mx_l=-0.00 My_l=-7.26 Mz_l=-0.01
Taglio nei bulloni: Fv,Ed=3.42 Fv,Rd=9650.97
Rifollamento lato piastra: Fb,Ed,p=3.42 Fb,Rd,p=10394.10
Tirafondi:LT=0.45 (0.31) σ_{cR}=0.00 σ_{fR}=0.00
Compressione nel calcestruzzo: σ_c=18.74
CC 18 SLD (Collegamento -041_-375)
Azioni sul collegamento: N=-8874.30 Ty=-11.63 Tz=18.26 Mx=-0.01 Mz=-9.21
Sollecitazioni agenti localmente: Tx_l=-11.63 Ty_l=18.26 N_l=-8874.30 Mx_l=-0.00 My_l=-9.21 Mz_l=-0.01
Taglio nei bulloni: Fv,Ed=3.62 Fv,Rd=9650.97
Rifollamento lato piastra: Fb,Ed,p=3.62 Fb,Rd,p=12106.80
Tirafondi:LT=0.45 (0.31) σ_{cR}=0.00 σ_{fR}=0.00
Compressione nel calcestruzzo: σ_c=18.85
CC 18 SLD (Collegamento -041_-375)
Azioni sul collegamento: N=-11265.80 Ty=-9.26 Tz=9.33 Mx=-0.01 Mz=-7.26
Sollecitazioni agenti localmente: Tx_l=-9.26 Ty_l=9.33 N_l=-11265.80 Mx_l=-0.00 My_l=-7.26 Mz_l=-0.01
Taglio nei bulloni: Fv,Ed=2.20 Fv,Rd=9650.97
Rifollamento lato piastra: Fb,Ed,p=2.20 Fb,Rd,p=14966.60
Tirafondi:LT=0.45 (0.31) σ_{cR}=0.00 σ_{fR}=0.00
Compressione nel calcestruzzo: σ_c=23.69
CC 18 SLD (Collegamento -041_-375)
Azioni sul collegamento: N=-11265.80 Ty=-11.63 Tz=9.33 Mx=-0.01 Mz=-9.21
Sollecitazioni agenti localmente: Tx_l=-11.63 Ty_l=9.33 N_l=-11265.80 Mx_l=-0.00 My_l=-9.21 Mz_l=-0.01
Taglio nei bulloni: Fv,Ed=2.50 Fv,Rd=9650.97
Rifollamento lato piastra: Fb,Ed,p=2.49 Fb,Rd,p=13573.20
Tirafondi:LT=0.45 (0.31) σ_{cR}=0.00 σ_{fR}=0.00
Compressione nel calcestruzzo: σ_c=23.80
CC 18 SLD (Collegamento -041_-375)
Azioni sul collegamento: N=-11265.80 Ty=-9.26 Tz=18.26 Mx=-0.01 Mz=-7.26
Sollecitazioni agenti localmente: Tx_l=-9.26 Ty_l=18.26 N_l=-11265.80 Mx_l=-0.00 My_l=-7.26 Mz_l=-0.01
Taglio nei bulloni: Fv,Ed=3.42 Fv,Rd=9650.97
Rifollamento lato piastra: Fb,Ed,p=3.42 Fb,Rd,p=10394.10
Tirafondi:LT=0.45 (0.31) σ_{cR}=0.00 σ_{fR}=0.00
Compressione nel calcestruzzo: σ_c=23.69
CC 18 SLD (Collegamento -041_-375)
Azioni sul collegamento: N=-11265.80 Ty=-11.63 Tz=18.26 Mx=-0.01 Mz=-9.21
Sollecitazioni agenti localmente: Tx_l=-11.63 Ty_l=18.26 N_l=-11265.80 Mx_l=-0.00 My_l=-9.21 Mz_l=-0.01
Taglio nei bulloni: Fv,Ed=3.62 Fv,Rd=9650.97
Rifollamento lato piastra: Fb,Ed,p=3.62 Fb,Rd,p=12106.80
Tirafondi:LT=0.45 (0.31) σ_{cR}=0.00 σ_{fR}=0.00
Compressione nel calcestruzzo: σ_c=23.80
CC 19 SLV (Collegamento -041_-375)
Azioni sul collegamento: N=-6251.20 Ty=-8.00 Tz=-0.13 Mx=-0.01 Mz=-8.22
Sollecitazioni agenti localmente: Tx_l=-8.00 Ty_l=-0.13 N_l=-6251.20 Mx_l=-0.00 My_l=-8.22 Mz_l=-0.01
Taglio nei bulloni: Fv,Ed=1.35 Fv,Rd=7720.78
Rifollamento lato piastra: Fb,Ed,p=1.35 Fb,Rd,p=5985.57
Tirafondi:LT=0.45 (0.31) σ_{cR}=0.00 σ_{fR}=0.00
Compressione nel calcestruzzo: σ_c=13.38
CC 19 SLV (Collegamento -041_-375)
Azioni sul collegamento: N=-6251.20 Ty=-14.73 Tz=-0.13 Mx=-0.01 Mz=-12.53
Sollecitazioni agenti localmente: Tx_l=-14.73 Ty_l=-0.13 N_l=-6251.20 Mx_l=-0.00 My_l=-12.53 Mz_l=-0.01
Taglio nei bulloni: Fv,Ed=2.47 Fv,Rd=7720.78
Rifollamento lato piastra: Fb,Ed,p=2.47 Fb,Rd,p=5981.08
Tirafondi:LT=0.45 (0.31) σ_{cR}=0.00 σ_{fR}=0.00
Compressione nel calcestruzzo: σ_c=13.62
CC 19 SLV (Collegamento -041_-375)
Azioni sul collegamento: N=-6251.20 Ty=-8.00 Tz=28.49 Mx=-0.01 Mz=-8.22
Sollecitazioni agenti localmente: Tx_l=-8.00 Ty_l=28.49 N_l=-6251.20 Mx_l=-0.00 My_l=-8.22 Mz_l=-0.01
Taglio nei bulloni: Fv,Ed=4.95 Fv,Rd=7720.78
Rifollamento lato piastra: Fb,Ed,p=4.95 Fb,Rd,p=6694.64
Tirafondi:LT=0.45 (0.31) σ_{cR}=0.00 σ_{fR}=0.00
Compressione nel calcestruzzo: σ_c=13.38
CC 19 SLV (Collegamento -041_-375)

Azioni sul collegamento: N=-6251.20 Ty=-14.73 Tz=28.49 Mx=-0.01 Mz=-12.53
Sollecitazioni agenti localmente: Tx_l=-14.73 Ty_l=28.49 N_l=-6251.20 Mx_l=-0.00 My_l=-12.53 Mz_l=-0.01
Taglio nei bulloni: Fv,Ed=5.37 Fv,Rd=7720.78
Rifollamento lato piastra: Fb,Ed,p=5.37 Fb,Rd,p=8410.41
Tirafondi:LT=0.45 (0.31) σ_{cR}=0.00 σ_{fR}=0.00
Compressione nel calcestruzzo: σ_c=13.62
CC 19 SLV (Collegamento -041_-375)
Azioni sul collegamento: N=-14084.00 Ty=-8.00 Tz=-0.13 Mx=-0.01 Mz=-8.22
Sollecitazioni agenti localmente: Tx_l=-8.00 Ty_l=-0.13 N_l=-14084.00 Mx_l=-0.00 My_l=-8.22 Mz_l=-0.01
Taglio nei bulloni: Fv,Ed=1.35 Fv,Rd=7720.78
Rifollamento lato piastra: Fb,Ed,p=1.35 Fb,Rd,p=5985.57
Tirafondi:LT=0.45 (0.31) σ_{cR}=0.00 σ_{fR}=0.00
Compressione nel calcestruzzo: σ_c=29.56
CC 19 SLV (Collegamento -041_-375)
Azioni sul collegamento: N=-14084.00 Ty=-14.73 Tz=-0.13 Mx=-0.01 Mz=-12.53
Sollecitazioni agenti localmente: Tx_l=-14.73 Ty_l=-0.13 N_l=-14084.00 Mx_l=-0.00 My_l=-12.53 Mz_l=-0.01
Taglio nei bulloni: Fv,Ed=2.47 Fv,Rd=7720.78
Rifollamento lato piastra: Fb,Ed,p=2.47 Fb,Rd,p=5981.08
Tirafondi:LT=0.45 (0.31) σ_{cR}=0.00 σ_{fR}=0.00
Compressione nel calcestruzzo: σ_c=29.81
CC 19 SLV (Collegamento -041_-375)
Azioni sul collegamento: N=-14084.00 Ty=-8.00 Tz=28.49 Mx=-0.01 Mz=-8.22
Sollecitazioni agenti localmente: Tx_l=-8.00 Ty_l=28.49 N_l=-14084.00 Mx_l=-0.00 My_l=-8.22 Mz_l=-0.01
Taglio nei bulloni: Fv,Ed=4.95 Fv,Rd=7720.78
Rifollamento lato piastra: Fb,Ed,p=4.95 Fb,Rd,p=6694.66
Tirafondi:LT=0.45 (0.31) σ_{cR}=0.00 σ_{fR}=0.00
Compressione nel calcestruzzo: σ_c=29.56
CC 19 SLV (Collegamento -041_-375)
Azioni sul collegamento: N=-14084.00 Ty=-14.73 Tz=28.49 Mx=-0.01 Mz=-12.53
Sollecitazioni agenti localmente: Tx_l=-14.73 Ty_l=28.49 N_l=-14084.00 Mx_l=-0.00 My_l=-12.53 Mz_l=-0.01
Taglio nei bulloni: Fv,Ed=5.36 Fv,Rd=7720.78
Rifollamento lato piastra: Fb,Ed,p=5.36 Fb,Rd,p=8410.50
Tirafondi:LT=0.45 (0.31) σ_{cR}=0.00 σ_{fR}=0.00
Compressione nel calcestruzzo: σ_c=29.81
CC 20 SLD (Collegamento -041_-375)
Azioni sul collegamento: N=-8875.79 Ty=-9.42 Tz=9.43 Mx=-0.01 Mz=-7.58
Sollecitazioni agenti localmente: Tx_l=-9.42 Ty_l=9.43 N_l=-8875.79 Mx_l=-0.00 My_l=-7.58 Mz_l=-0.01
Taglio nei bulloni: Fv,Ed=2.23 Fv,Rd=9650.97
Rifollamento lato piastra: Fb,Ed,p=2.23 Fb,Rd,p=15012.30
Tirafondi:LT=0.45 (0.31) σ_{cR}=0.00 σ_{fR}=0.00
Compressione nel calcestruzzo: σ_c=18.77
CC 20 SLD (Collegamento -041_-375)
Azioni sul collegamento: N=-8875.79 Ty=-11.47 Tz=9.43 Mx=-0.01 Mz=-8.89
Sollecitazioni agenti localmente: Tx_l=-11.47 Ty_l=9.43 N_l=-8875.79 Mx_l=-0.00 My_l=-8.89 Mz_l=-0.01
Taglio nei bulloni: Fv,Ed=2.48 Fv,Rd=9650.97
Rifollamento lato piastra: Fb,Ed,p=2.48 Fb,Rd,p=13713.20
Tirafondi:LT=0.45 (0.31) σ_{cR}=0.00 σ_{fR}=0.00
Compressione nel calcestruzzo: σ_c=18.84
CC 20 SLD (Collegamento -041_-375)
Azioni sul collegamento: N=-8875.80 Ty=-9.42 Tz=18.16 Mx=-0.01 Mz=-7.58
Sollecitazioni agenti localmente: Tx_l=-9.42 Ty_l=18.16 N_l=-8875.80 Mx_l=-0.00 My_l=-7.58 Mz_l=-0.01
Taglio nei bulloni: Fv,Ed=3.42 Fv,Rd=9650.97
Rifollamento lato piastra: Fb,Ed,p=3.42 Fb,Rd,p=10525.50
Tirafondi:LT=0.45 (0.31) σ_{cR}=0.00 σ_{fR}=0.00
Compressione nel calcestruzzo: σ_c=18.77
CC 20 SLD (Collegamento -041_-375)
Azioni sul collegamento: N=-8875.80 Ty=-11.47 Tz=18.16 Mx=-0.01 Mz=-8.89
Sollecitazioni agenti localmente: Tx_l=-11.47 Ty_l=18.16 N_l=-8875.80 Mx_l=-0.00 My_l=-8.89 Mz_l=-0.01
Taglio nei bulloni: Fv,Ed=3.59 Fv,Rd=9650.97
Rifollamento lato piastra: Fb,Ed,p=3.59 Fb,Rd,p=12028.20
Tirafondi:LT=0.45 (0.31) σ_{cR}=0.00 σ_{fR}=0.00
Compressione nel calcestruzzo: σ_c=18.84
CC 20 SLD (Collegamento -041_-375)
Azioni sul collegamento: N=-11264.30 Ty=-9.42 Tz=9.43 Mx=-0.01 Mz=-7.58
Sollecitazioni agenti localmente: Tx_l=-9.42 Ty_l=9.43 N_l=-11264.30 Mx_l=-0.00 My_l=-7.58 Mz_l=-0.01
Taglio nei bulloni: Fv,Ed=2.23 Fv,Rd=9650.97
Rifollamento lato piastra: Fb,Ed,p=2.23 Fb,Rd,p=15012.40
Tirafondi:LT=0.45 (0.31) σ_{cR}=0.00 σ_{fR}=0.00
Compressione nel calcestruzzo: σ_c=23.70
CC 20 SLD (Collegamento -041_-375)
Azioni sul collegamento: N=-11264.30 Ty=-11.47 Tz=9.43 Mx=-0.01 Mz=-8.89
Sollecitazioni agenti localmente: Tx_l=-11.47 Ty_l=9.43 N_l=-11264.30 Mx_l=-0.00 My_l=-8.89 Mz_l=-0.01
Taglio nei bulloni: Fv,Ed=2.48 Fv,Rd=9650.97
Rifollamento lato piastra: Fb,Ed,p=2.48 Fb,Rd,p=13713.20
Tirafondi:LT=0.45 (0.31) σ_{cR}=0.00 σ_{fR}=0.00
Compressione nel calcestruzzo: σ_c=23.77
CC 20 SLD (Collegamento -041_-375)
Azioni sul collegamento: N=-11264.30 Ty=-9.42 Tz=18.16 Mx=-0.01 Mz=-7.58

Sollecitazioni agenti localmente: Tx_l=-9.42 Ty_l=18.16 N_l=-11264.30 Mx_l=-0.00 My_l=-7.58 Mz_l=-0.01
Taglio nei bulloni: Fv,Ed=3.42 Fv,Rd=9650.97
Rifollamento lato piastra: Fb,Ed,p=3.42 Fb,Rd,p=10525.60
Tirafondi:LT=0.45 (0.31) σ_{cR}=0.00 σ_{fR}=0.00
Compressione nel calcestruzzo: σ_c=23.70
CC 20 SLD (Collegamento -041_-375)
Azioni sul collegamento: N=-11264.30 Ty=-11.47 Tz=18.16 Mx=-0.01 Mz=-8.89
Sollecitazioni agenti localmente: Tx_l=-11.47 Ty_l=18.16 N_l=-11264.30 Mx_l=-0.00 My_l=-8.89 Mz_l=-0.01
Taglio nei bulloni: Fv,Ed=3.59 Fv,Rd=9650.97
Rifollamento lato piastra: Fb,Ed,p=3.59 Fb,Rd,p=12028.30
Tirafondi:LT=0.45 (0.31) σ_{cR}=0.00 σ_{fR}=0.00
Compressione nel calcestruzzo: σ_c=23.77
CC 21 SLV (Collegamento -041_-375)
Azioni sul collegamento: N=-14084.00 Ty=-14.73 Tz=28.49 Mx=-0.02 Mz=-12.53
Sollecitazioni agenti localmente: Tx_l=-14.73 Ty_l=28.49 N_l=-14084.00 Mx_l=-0.00 My_l=-12.53 Mz_l=-0.02
Taglio nei bulloni: Fv,Ed=5.37 Fv,Rd=7720.78
Rifollamento lato piastra: Fb,Ed,p=5.37 Fb,Rd,p=8415.37
Tirafondi:LT=0.45 (0.31) σ_{cR}=0.00 σ_{fR}=0.00
Compressione nel calcestruzzo: σ_c=29.81
CC 21 SLV (Collegamento -041_-375)
Azioni sul collegamento: N=-14084.00 Ty=-8.00 Tz=28.49 Mx=-0.02 Mz=-8.22
Sollecitazioni agenti localmente: Tx_l=-8.00 Ty_l=28.49 N_l=-14084.00 Mx_l=-0.00 My_l=-8.22 Mz_l=-0.02
Taglio nei bulloni: Fv,Ed=4.96 Fv,Rd=7720.78
Rifollamento lato piastra: Fb,Ed,p=4.96 Fb,Rd,p=6698.52
Tirafondi:LT=0.45 (0.31) σ_{cR}=0.00 σ_{fR}=0.00
Compressione nel calcestruzzo: σ_c=29.56
CC 21 SLV (Collegamento -041_-375)
Azioni sul collegamento: N=-14084.00 Ty=-14.73 Tz=-0.13 Mx=-0.02 Mz=-12.53
Sollecitazioni agenti localmente: Tx_l=-14.73 Ty_l=-0.13 N_l=-14084.00 Mx_l=-0.00 My_l=-12.53 Mz_l=-0.02
Taglio nei bulloni: Fv,Ed=2.48 Fv,Rd=7720.78
Rifollamento lato piastra: Fb,Ed,p=2.48 Fb,Rd,p=5981.64
Tirafondi:LT=0.45 (0.31) σ_{cR}=0.00 σ_{fR}=0.00
Compressione nel calcestruzzo: σ_c=29.81
CC 21 SLV (Collegamento -041_-375)
Azioni sul collegamento: N=-14084.00 Ty=-8.00 Tz=-0.13 Mx=-0.02 Mz=-8.22
Sollecitazioni agenti localmente: Tx_l=-8.00 Ty_l=-0.13 N_l=-14084.00 Mx_l=-0.00 My_l=-8.22 Mz_l=-0.02
Taglio nei bulloni: Fv,Ed=1.35 Fv,Rd=7720.78
Rifollamento lato piastra: Fb,Ed,p=1.35 Fb,Rd,p=5987.42
Tirafondi:LT=0.45 (0.31) σ_{cR}=0.00 σ_{fR}=0.00
Compressione nel calcestruzzo: σ_c=29.56
CC 21 SLV (Collegamento -041_-375)
Azioni sul collegamento: N=-6251.20 Ty=-14.73 Tz=28.49 Mx=-0.02 Mz=-12.53
Sollecitazioni agenti localmente: Tx_l=-14.73 Ty_l=28.49 N_l=-6251.20 Mx_l=-0.00 My_l=-12.53 Mz_l=-0.02
Taglio nei bulloni: Fv,Ed=5.37 Fv,Rd=7720.78
Rifollamento lato piastra: Fb,Ed,p=5.37 Fb,Rd,p=8415.27
Tirafondi:LT=0.45 (0.31) σ_{cR}=0.00 σ_{fR}=0.00
Compressione nel calcestruzzo: σ_c=13.62
CC 21 SLV (Collegamento -041_-375)
Azioni sul collegamento: N=-6251.20 Ty=-8.00 Tz=28.49 Mx=-0.02 Mz=-8.22
Sollecitazioni agenti localmente: Tx_l=-8.00 Ty_l=28.49 N_l=-6251.20 Mx_l=-0.00 My_l=-8.22 Mz_l=-0.02
Taglio nei bulloni: Fv,Ed=4.96 Fv,Rd=7720.78
Rifollamento lato piastra: Fb,Ed,p=4.96 Fb,Rd,p=6698.50
Tirafondi:LT=0.45 (0.31) σ_{cR}=0.00 σ_{fR}=0.00
Compressione nel calcestruzzo: σ_c=13.38
CC 21 SLV (Collegamento -041_-375)
Azioni sul collegamento: N=-6251.20 Ty=-14.73 Tz=-0.13 Mx=-0.02 Mz=-12.53
Sollecitazioni agenti localmente: Tx_l=-14.73 Ty_l=-0.13 N_l=-6251.20 Mx_l=-0.00 My_l=-12.53 Mz_l=-0.02
Taglio nei bulloni: Fv,Ed=2.48 Fv,Rd=7720.78
Rifollamento lato piastra: Fb,Ed,p=2.48 Fb,Rd,p=5981.64
Tirafondi:LT=0.45 (0.31) σ_{cR}=0.00 σ_{fR}=0.00
Compressione nel calcestruzzo: σ_c=13.62
CC 21 SLV (Collegamento -041_-375)
Azioni sul collegamento: N=-6251.20 Ty=-8.00 Tz=-0.13 Mx=-0.02 Mz=-8.22
Sollecitazioni agenti localmente: Tx_l=-8.00 Ty_l=-0.13 N_l=-6251.20 Mx_l=-0.00 My_l=-8.22 Mz_l=-0.02
Taglio nei bulloni: Fv,Ed=1.35 Fv,Rd=7720.78
Rifollamento lato piastra: Fb,Ed,p=1.35 Fb,Rd,p=5987.41
Tirafondi:LT=0.45 (0.31) σ_{cR}=0.00 σ_{fR}=0.00
Compressione nel calcestruzzo: σ_c=13.38
CC 22 SLD (Collegamento -041_-375)
Azioni sul collegamento: N=-11264.30 Ty=-11.47 Tz=18.16 Mx=-0.01 Mz=-8.89
Sollecitazioni agenti localmente: Tx_l=-11.47 Ty_l=18.16 N_l=-11264.30 Mx_l=-0.00 My_l=-8.89 Mz_l=-0.01
Taglio nei bulloni: Fv,Ed=3.59 Fv,Rd=9650.97
Rifollamento lato piastra: Fb,Ed,p=3.59 Fb,Rd,p=12031.00
Tirafondi:LT=0.45 (0.31) σ_{cR}=0.00 σ_{fR}=0.00
Compressione nel calcestruzzo: σ_c=23.77
CC 22 SLD (Collegamento -041_-375)
Azioni sul collegamento: N=-11264.30 Ty=-9.42 Tz=18.16 Mx=-0.01 Mz=-7.58
Sollecitazioni agenti localmente: Tx_l=-9.42 Ty_l=18.16 N_l=-11264.30 Mx_l=-0.00 My_l=-7.58 Mz_l=-0.01

Taglio nei bulloni: Fv,Ed=3.42 Fv,Rd=9650.97
Rifollamento lato piastra: Fb,Ed,p=3.42 Fb,Rd,p=10528.50
Tirafondi:LT=0.45 (0.31) σ_{cR}=0.00 σ_{fR}=0.00
Compressione nel calcestruzzo: σ_c=23.70
CC 22 SLD (Collegamento -041_-375)
Azioni sul collegamento: N=-11264.30 Ty=-11.47 Tz=9.43 Mx=-0.01 Mz=-8.89
Sollecitazioni agenti localmente: Tx_l=-11.47 Ty_l=9.43 N_l=-11264.30 Mx_l=-0.00 My_l=-8.89 Mz_l=-0.01
Taglio nei bulloni: Fv,Ed=2.49 Fv,Rd=9650.97
Rifollamento lato piastra: Fb,Ed,p=2.48 Fb,Rd,p=13703.40
Tirafondi:LT=0.45 (0.31) σ_{cR}=0.00 σ_{fR}=0.00
Compressione nel calcestruzzo: σ_c=23.77
CC 22 SLD (Collegamento -041_-375)
Azioni sul collegamento: N=-11264.30 Ty=-9.42 Tz=9.43 Mx=-0.01 Mz=-7.58
Sollecitazioni agenti localmente: Tx_l=-9.42 Ty_l=9.43 N_l=-11264.30 Mx_l=-0.00 My_l=-7.58 Mz_l=-0.01
Taglio nei bulloni: Fv,Ed=2.23 Fv,Rd=9650.97
Rifollamento lato piastra: Fb,Ed,p=2.23 Fb,Rd,p=15012.40
Tirafondi:LT=0.45 (0.31) σ_{cR}=0.00 σ_{fR}=0.00
Compressione nel calcestruzzo: σ_c=23.70
CC 22 SLD (Collegamento -041_-375)
Azioni sul collegamento: N=-8875.80 Ty=-11.47 Tz=18.16 Mx=-0.01 Mz=-8.89
Sollecitazioni agenti localmente: Tx_l=-11.47 Ty_l=18.16 N_l=-8875.80 Mx_l=-0.00 My_l=-8.89 Mz_l=-0.01
Taglio nei bulloni: Fv,Ed=3.59 Fv,Rd=9650.97
Rifollamento lato piastra: Fb,Ed,p=3.59 Fb,Rd,p=12031.00
Tirafondi:LT=0.45 (0.31) σ_{cR}=0.00 σ_{fR}=0.00
Compressione nel calcestruzzo: σ_c=18.84
CC 22 SLD (Collegamento -041_-375)
Azioni sul collegamento: N=-8875.80 Ty=-9.42 Tz=18.16 Mx=-0.01 Mz=-7.58
Sollecitazioni agenti localmente: Tx_l=-9.42 Ty_l=18.16 N_l=-8875.80 Mx_l=-0.00 My_l=-7.58 Mz_l=-0.01
Taglio nei bulloni: Fv,Ed=3.42 Fv,Rd=9650.97
Rifollamento lato piastra: Fb,Ed,p=3.42 Fb,Rd,p=10528.40
Tirafondi:LT=0.45 (0.31) σ_{cR}=0.00 σ_{fR}=0.00
Compressione nel calcestruzzo: σ_c=18.77
CC 22 SLD (Collegamento -041_-375)
Azioni sul collegamento: N=-8875.79 Ty=-11.47 Tz=9.43 Mx=-0.01 Mz=-8.89
Sollecitazioni agenti localmente: Tx_l=-11.47 Ty_l=9.43 N_l=-8875.79 Mx_l=-0.00 My_l=-8.89 Mz_l=-0.01
Taglio nei bulloni: Fv,Ed=2.49 Fv,Rd=9650.97
Rifollamento lato piastra: Fb,Ed,p=2.48 Fb,Rd,p=13703.40
Tirafondi:LT=0.45 (0.31) σ_{cR}=0.00 σ_{fR}=0.00
Compressione nel calcestruzzo: σ_c=18.84
CC 22 SLD (Collegamento -041_-375)
Azioni sul collegamento: N=-8875.79 Ty=-9.42 Tz=9.43 Mx=-0.01 Mz=-7.58
Sollecitazioni agenti localmente: Tx_l=-9.42 Ty_l=9.43 N_l=-8875.79 Mx_l=-0.00 My_l=-7.58 Mz_l=-0.01
Taglio nei bulloni: Fv,Ed=2.23 Fv,Rd=9650.97
Rifollamento lato piastra: Fb,Ed,p=2.23 Fb,Rd,p=15012.30
Tirafondi:LT=0.45 (0.31) σ_{cR}=0.00 σ_{fR}=0.00
Compressione nel calcestruzzo: σ_c=18.77
CC 23 SLV (Collegamento -041_-375)
Azioni sul collegamento: N=-14088.90 Ty=-15.25 Tz=28.82 Mx=-0.01 Mz=-13.58
Sollecitazioni agenti localmente: Tx_l=-15.25 Ty_l=28.82 N_l=-14088.90 Mx_l=-0.00 My_l=-13.58 Mz_l=-0.01
Taglio nei bulloni: Fv,Ed=5.45 Fv,Rd=7720.78
Rifollamento lato piastra: Fb,Ed,p=5.45 Fb,Rd,p=8525.03
Tirafondi:LT=0.45 (0.31) σ_{cR}=0.00 σ_{fR}=0.00
Compressione nel calcestruzzo: σ_c=29.87
CC 23 SLV (Collegamento -041_-375)
Azioni sul collegamento: N=-14088.90 Ty=-7.49 Tz=28.82 Mx=-0.01 Mz=-7.17
Sollecitazioni agenti localmente: Tx_l=-7.49 Ty_l=28.82 N_l=-14088.90 Mx_l=-0.00 My_l=-7.17 Mz_l=-0.01
Taglio nei bulloni: Fv,Ed=4.98 Fv,Rd=7720.78
Rifollamento lato piastra: Fb,Ed,p=4.98 Fb,Rd,p=6591.79
Tirafondi:LT=0.45 (0.31) σ_{cR}=0.00 σ_{fR}=0.00
Compressione nel calcestruzzo: σ_c=29.51
CC 23 SLV (Collegamento -041_-375)
Azioni sul collegamento: N=-14088.90 Ty=-15.25 Tz=-0.46 Mx=-0.01 Mz=-13.58
Sollecitazioni agenti localmente: Tx_l=-15.25 Ty_l=-0.46 N_l=-14088.90 Mx_l=-0.00 My_l=-13.58 Mz_l=-0.01
Taglio nei bulloni: Fv,Ed=2.56 Fv,Rd=7720.78
Rifollamento lato piastra: Fb,Ed,p=2.56 Fb,Rd,p=5990.28
Tirafondi:LT=0.45 (0.31) σ_{cR}=0.00 σ_{fR}=0.00
Compressione nel calcestruzzo: σ_c=29.87
CC 23 SLV (Collegamento -041_-375)
Azioni sul collegamento: N=-14088.90 Ty=-7.49 Tz=-0.46 Mx=-0.01 Mz=-7.17
Sollecitazioni agenti localmente: Tx_l=-7.49 Ty_l=-0.46 N_l=-14088.90 Mx_l=-0.00 My_l=-7.17 Mz_l=-0.01
Taglio nei bulloni: Fv,Ed=1.27 Fv,Rd=7720.78
Rifollamento lato piastra: Fb,Ed,p=1.27 Fb,Rd,p=6024.64
Tirafondi:LT=0.45 (0.31) σ_{cR}=0.00 σ_{fR}=0.00
Compressione nel calcestruzzo: σ_c=29.51
CC 23 SLV (Collegamento -041_-375)
Azioni sul collegamento: N=-6246.30 Ty=-15.25 Tz=28.82 Mx=-0.01 Mz=-13.58
Sollecitazioni agenti localmente: Tx_l=-15.25 Ty_l=28.82 N_l=-6246.30 Mx_l=-0.00 My_l=-13.58 Mz_l=-0.01
Taglio nei bulloni: Fv,Ed=5.45 Fv,Rd=7720.78

Rifollamento lato piastra: Fb,Ed,p=5.45 Fb,Rd,p=8525.04
Tirafondi:LT=0.45 (0.31) σ_{cR}=0.00 σ_{fR}=0.00
Compressione nel calcestruzzo: σ_c=13.67
CC 23 SLV (Collegamento -041_-375)
Azioni sul collegamento: N=-6246.30 Ty=-7.49 Tz=28.82 Mx=-0.01 Mz=-7.17
Sollecitazioni agenti localmente: Tx_l=-7.49 Ty_l=28.82 N_l=-6246.30 Mx_l=-0.00 My_l=-7.17 Mz_l=-0.01
Taglio nei bulloni: Fv,Ed=4.98 Fv,Rd=7720.78
Rifollamento lato piastra: Fb,Ed,p=4.98 Fb,Rd,p=6591.79
Tirafondi:LT=0.45 (0.31) σ_{cR}=0.00 σ_{fR}=0.00
Compressione nel calcestruzzo: σ_c=13.31
CC 23 SLV (Collegamento -041_-375)
Azioni sul collegamento: N=-6246.30 Ty=-15.25 Tz=-0.46 Mx=-0.01 Mz=-13.58
Sollecitazioni agenti localmente: Tx_l=-15.25 Ty_l=-0.46 N_l=-6246.30 Mx_l=-0.00 My_l=-13.58 Mz_l=-0.01
Taglio nei bulloni: Fv,Ed=2.56 Fv,Rd=7720.78
Rifollamento lato piastra: Fb,Ed,p=2.56 Fb,Rd,p=5990.26
Tirafondi:LT=0.45 (0.31) σ_{cR}=0.00 σ_{fR}=0.00
Compressione nel calcestruzzo: σ_c=13.67
CC 23 SLV (Collegamento -041_-375)
Azioni sul collegamento: N=-6246.30 Ty=-7.49 Tz=-0.46 Mx=-0.01 Mz=-7.17
Sollecitazioni agenti localmente: Tx_l=-7.49 Ty_l=-0.46 N_l=-6246.30 Mx_l=-0.00 My_l=-7.17 Mz_l=-0.01
Taglio nei bulloni: Fv,Ed=1.27 Fv,Rd=7720.78
Rifollamento lato piastra: Fb,Ed,p=1.27 Fb,Rd,p=6024.60
Tirafondi:LT=0.45 (0.31) σ_{cR}=0.00 σ_{fR}=0.00
Compressione nel calcestruzzo: σ_c=13.31
CC 24 SLD (Collegamento -041_-375)
Azioni sul collegamento: N=-11265.80 Ty=-11.63 Tz=18.26 Mx=-0.01 Mz=-9.21
Sollecitazioni agenti localmente: Tx_l=-11.63 Ty_l=18.26 N_l=-11265.80 Mx_l=-0.00 My_l=-9.21 Mz_l=-0.01
Taglio nei bulloni: Fv,Ed=3.62 Fv,Rd=9650.97
Rifollamento lato piastra: Fb,Ed,p=3.62 Fb,Rd,p=12103.80
Tirafondi:LT=0.45 (0.31) σ_{cR}=0.00 σ_{fR}=0.00
Compressione nel calcestruzzo: σ_c=23.80
CC 24 SLD (Collegamento -041_-375)
Azioni sul collegamento: N=-11265.80 Ty=-9.26 Tz=18.26 Mx=-0.01 Mz=-7.26
Sollecitazioni agenti localmente: Tx_l=-9.26 Ty_l=18.26 N_l=-11265.80 Mx_l=-0.00 My_l=-7.26 Mz_l=-0.01
Taglio nei bulloni: Fv,Ed=3.42 Fv,Rd=9650.97
Rifollamento lato piastra: Fb,Ed,p=3.42 Fb,Rd,p=10390.90
Tirafondi:LT=0.45 (0.31) σ_{cR}=0.00 σ_{fR}=0.00
Compressione nel calcestruzzo: σ_c=23.69
CC 24 SLD (Collegamento -041_-375)
Azioni sul collegamento: N=-11265.80 Ty=-11.63 Tz=9.33 Mx=-0.01 Mz=-9.21
Sollecitazioni agenti localmente: Tx_l=-11.63 Ty_l=9.33 N_l=-11265.80 Mx_l=-0.00 My_l=-9.21 Mz_l=-0.01
Taglio nei bulloni: Fv,Ed=2.49 Fv,Rd=9650.97
Rifollamento lato piastra: Fb,Ed,p=2.49 Fb,Rd,p=13583.80
Tirafondi:LT=0.45 (0.31) σ_{cR}=0.00 σ_{fR}=0.00
Compressione nel calcestruzzo: σ_c=23.80
CC 24 SLD (Collegamento -041_-375)
Azioni sul collegamento: N=-11265.80 Ty=-9.26 Tz=9.33 Mx=-0.01 Mz=-7.26
Sollecitazioni agenti localmente: Tx_l=-9.26 Ty_l=9.33 N_l=-11265.80 Mx_l=-0.00 My_l=-7.26 Mz_l=-0.01
Taglio nei bulloni: Fv,Ed=2.20 Fv,Rd=9650.97
Rifollamento lato piastra: Fb,Ed,p=2.20 Fb,Rd,p=14966.50
Tirafondi:LT=0.45 (0.31) σ_{cR}=0.00 σ_{fR}=0.00
Compressione nel calcestruzzo: σ_c=23.69
CC 24 SLD (Collegamento -041_-375)
Azioni sul collegamento: N=-8874.30 Ty=-11.63 Tz=18.26 Mx=-0.01 Mz=-9.21
Sollecitazioni agenti localmente: Tx_l=-11.63 Ty_l=18.26 N_l=-8874.30 Mx_l=-0.00 My_l=-9.21 Mz_l=-0.01
Taglio nei bulloni: Fv,Ed=3.62 Fv,Rd=9650.97
Rifollamento lato piastra: Fb,Ed,p=3.62 Fb,Rd,p=12103.70
Tirafondi:LT=0.45 (0.31) σ_{cR}=0.00 σ_{fR}=0.00
Compressione nel calcestruzzo: σ_c=18.85
CC 24 SLD (Collegamento -041_-375)
Azioni sul collegamento: N=-8874.30 Ty=-9.26 Tz=18.26 Mx=-0.01 Mz=-7.26
Sollecitazioni agenti localmente: Tx_l=-9.26 Ty_l=18.26 N_l=-8874.30 Mx_l=-0.00 My_l=-7.26 Mz_l=-0.01
Taglio nei bulloni: Fv,Ed=3.42 Fv,Rd=9650.97
Rifollamento lato piastra: Fb,Ed,p=3.42 Fb,Rd,p=10390.80
Tirafondi:LT=0.45 (0.31) σ_{cR}=0.00 σ_{fR}=0.00
Compressione nel calcestruzzo: σ_c=18.74
CC 24 SLD (Collegamento -041_-375)
Azioni sul collegamento: N=-8874.30 Ty=-11.63 Tz=9.33 Mx=-0.01 Mz=-9.21
Sollecitazioni agenti localmente: Tx_l=-11.63 Ty_l=9.33 N_l=-8874.30 Mx_l=-0.00 My_l=-9.21 Mz_l=-0.01
Taglio nei bulloni: Fv,Ed=2.49 Fv,Rd=9650.97
Rifollamento lato piastra: Fb,Ed,p=2.49 Fb,Rd,p=13583.70
Tirafondi:LT=0.45 (0.31) σ_{cR}=0.00 σ_{fR}=0.00
Compressione nel calcestruzzo: σ_c=18.85
CC 24 SLD (Collegamento -041_-375)
Azioni sul collegamento: N=-8874.30 Ty=-9.26 Tz=9.33 Mx=-0.01 Mz=-7.26
Sollecitazioni agenti localmente: Tx_l=-9.26 Ty_l=9.33 N_l=-8874.30 Mx_l=-0.00 My_l=-7.26 Mz_l=-0.01
Taglio nei bulloni: Fv,Ed=2.20 Fv,Rd=9650.97
Rifollamento lato piastra: Fb,Ed,p=2.20 Fb,Rd,p=14966.70

Tirafondi:LT=0.45 (0.31) σ_{cR}=0.00 σ_{fR}=0.00
Compressione nel calcestruzzo: σ_c=18.74
CC 25 SLV (Collegamento -041_-375)
Azioni sul collegamento: N=-8983.80 Ty=-9.43 Tz=9.29 Mx=-0.02 Mz=-7.83
Sollecitazioni agenti localmente: Tx_l=-9.43 Ty_l=9.29 N_l=-8983.80 Mx_l=-0.00 My_l=-7.83 Mz_l=-0.02
Taglio nei bulloni: Fv,Ed=2.24 Fv,Rd=7720.78
Rifollamento lato piastra: Fb,Ed,p=2.21 Fb,Rd,p=11743.70
Tirafondi:LT=0.45 (0.31) σ_{cR}=0.00 σ_{fR}=0.00
Compressione nel calcestruzzo: σ_c=19.00
CC 25 SLV (Collegamento -041_-375)
Azioni sul collegamento: N=-8983.80 Ty=-13.31 Tz=9.29 Mx=-0.02 Mz=-12.93
Sollecitazioni agenti localmente: Tx_l=-13.31 Ty_l=9.29 N_l=-8983.80 Mx_l=-0.00 My_l=-12.93 Mz_l=-0.02
Taglio nei bulloni: Fv,Ed=2.74 Fv,Rd=7720.78
Rifollamento lato piastra: Fb,Ed,p=2.71 Fb,Rd,p=10187.60
Tirafondi:LT=0.45 (0.31) σ_{cR}=0.00 σ_{fR}=0.00
Compressione nel calcestruzzo: σ_c=19.29
CC 25 SLV (Collegamento -041_-375)
Azioni sul collegamento: N=-8983.80 Ty=-9.43 Tz=19.07 Mx=-0.02 Mz=-7.83
Sollecitazioni agenti localmente: Tx_l=-9.43 Ty_l=19.07 N_l=-8983.80 Mx_l=-0.00 My_l=-7.83 Mz_l=-0.02
Taglio nei bulloni: Fv,Ed=3.58 Fv,Rd=7720.78
Rifollamento lato piastra: Fb,Ed,p=3.58 Fb,Rd,p=8222.68
Tirafondi:LT=0.45 (0.31) σ_{cR}=0.00 σ_{fR}=0.00
Compressione nel calcestruzzo: σ_c=19.00
CC 25 SLV (Collegamento -041_-375)
Azioni sul collegamento: N=-8983.80 Ty=-13.31 Tz=19.07 Mx=-0.02 Mz=-12.93
Sollecitazioni agenti localmente: Tx_l=-13.31 Ty_l=19.07 N_l=-8983.80 Mx_l=-0.00 My_l=-12.93 Mz_l=-0.02
Taglio nei bulloni: Fv,Ed=3.91 Fv,Rd=7720.78
Rifollamento lato piastra: Fb,Ed,p=3.91 Fb,Rd,p=10377.00
Tirafondi:LT=0.45 (0.31) σ_{cR}=0.00 σ_{fR}=0.00
Compressione nel calcestruzzo: σ_c=19.29
CC 25 SLV (Collegamento -041_-375)
Azioni sul collegamento: N=-11351.50 Ty=-9.43 Tz=9.29 Mx=-0.02 Mz=-7.83
Sollecitazioni agenti localmente: Tx_l=-9.43 Ty_l=9.29 N_l=-11351.50 Mx_l=-0.00 My_l=-7.83 Mz_l=-0.02
Taglio nei bulloni: Fv,Ed=2.24 Fv,Rd=7720.78
Rifollamento lato piastra: Fb,Ed,p=2.21 Fb,Rd,p=11743.70
Tirafondi:LT=0.45 (0.31) σ_{cR}=0.00 σ_{fR}=0.00
Compressione nel calcestruzzo: σ_c=23.89
CC 25 SLV (Collegamento -041_-375)
Azioni sul collegamento: N=-11351.50 Ty=-13.31 Tz=9.29 Mx=-0.02 Mz=-12.93
Sollecitazioni agenti localmente: Tx_l=-13.31 Ty_l=9.29 N_l=-11351.50 Mx_l=-0.00 My_l=-12.93 Mz_l=-0.02
Taglio nei bulloni: Fv,Ed=2.74 Fv,Rd=7720.78
Rifollamento lato piastra: Fb,Ed,p=2.71 Fb,Rd,p=10187.70
Tirafondi:LT=0.45 (0.31) σ_{cR}=0.00 σ_{fR}=0.00
Compressione nel calcestruzzo: σ_c=24.18
CC 25 SLV (Collegamento -041_-375)
Azioni sul collegamento: N=-11351.50 Ty=-9.43 Tz=19.07 Mx=-0.02 Mz=-7.83
Sollecitazioni agenti localmente: Tx_l=-9.43 Ty_l=19.07 N_l=-11351.50 Mx_l=-0.00 My_l=-7.83 Mz_l=-0.02
Taglio nei bulloni: Fv,Ed=3.58 Fv,Rd=7720.78
Rifollamento lato piastra: Fb,Ed,p=3.58 Fb,Rd,p=8222.74
Tirafondi:LT=0.45 (0.31) σ_{cR}=0.00 σ_{fR}=0.00
Compressione nel calcestruzzo: σ_c=23.89
CC 25 SLV (Collegamento -041_-375)
Azioni sul collegamento: N=-11351.50 Ty=-13.31 Tz=19.07 Mx=-0.02 Mz=-12.93
Sollecitazioni agenti localmente: Tx_l=-13.31 Ty_l=19.07 N_l=-11351.50 Mx_l=-0.00 My_l=-12.93 Mz_l=-0.02
Taglio nei bulloni: Fv,Ed=3.91 Fv,Rd=7720.78
Rifollamento lato piastra: Fb,Ed,p=3.91 Fb,Rd,p=10377.10
Tirafondi:LT=0.45 (0.31) σ_{cR}=0.00 σ_{fR}=0.00
Compressione nel calcestruzzo: σ_c=24.18
CC 26 SLD (Collegamento -041_-375)
Azioni sul collegamento: N=-9709.05 Ty=-9.85 Tz=12.31 Mx=-0.01 Mz=-7.46
Sollecitazioni agenti localmente: Tx_l=-9.85 Ty_l=12.31 N_l=-9709.05 Mx_l=-0.00 My_l=-7.46 Mz_l=-0.01
Taglio nei bulloni: Fv,Ed=2.64 Fv,Rd=9650.97
Rifollamento lato piastra: Fb,Ed,p=2.64 Fb,Rd,p=13614.70
Tirafondi:LT=0.45 (0.31) σ_{cR}=0.00 σ_{fR}=0.00
Compressione nel calcestruzzo: σ_c=20.48
CC 26 SLD (Collegamento -041_-375)
Azioni sul collegamento: N=-9709.05 Ty=-11.04 Tz=12.31 Mx=-0.01 Mz=-9.01
Sollecitazioni agenti localmente: Tx_l=-11.04 Ty_l=12.31 N_l=-9709.05 Mx_l=-0.00 My_l=-9.01 Mz_l=-0.01
Taglio nei bulloni: Fv,Ed=2.77 Fv,Rd=9650.97
Rifollamento lato piastra: Fb,Ed,p=2.77 Fb,Rd,p=14273.40
Tirafondi:LT=0.45 (0.31) σ_{cR}=0.00 σ_{fR}=0.00
Compressione nel calcestruzzo: σ_c=20.57
CC 26 SLD (Collegamento -041_-375)
Azioni sul collegamento: N=-9709.05 Ty=-9.85 Tz=15.29 Mx=-0.01 Mz=-7.46
Sollecitazioni agenti localmente: Tx_l=-9.85 Ty_l=15.29 N_l=-9709.05 Mx_l=-0.00 My_l=-7.46 Mz_l=-0.01
Taglio nei bulloni: Fv,Ed=3.04 Fv,Rd=9650.97
Rifollamento lato piastra: Fb,Ed,p=3.04 Fb,Rd,p=12228.90
Tirafondi:LT=0.45 (0.31) σ_{cR}=0.00 σ_{fR}=0.00

Compressione nel calcestruzzo: σ_c=20.48
CC 26 SLD (Collegamento -041_-375)
Azioni sul collegamento: N=-9709.05 Ty=-11.04 Tz=15.29 Mx=-0.01 Mz=-9.01
Sollecitazioni agenti localmente: Tx_l=-11.04 Ty_l=15.29 N_l=-9709.05 Mx_l=-0.00 My_l=-9.01 Mz_l=-0.01
Taglio nei bulloni: Fv,Ed=3.16 Fv,Rd=9650.97
Rifollamento lato piastra: Fb,Ed,p=3.16 Fb,Rd,p=13109.50
Tirafondi:LT=0.45 (0.31) σ_{cR}=0.00 σ_{fR}=0.00
Compressione nel calcestruzzo: σ_c=20.57
CC 26 SLD (Collegamento -041_-375)
Azioni sul collegamento: N=-10431.00 Ty=-9.85 Tz=12.31 Mx=-0.01 Mz=-7.46
Sollecitazioni agenti localmente: Tx_l=-9.85 Ty_l=12.31 N_l=-10431.00 Mx_l=-0.00 My_l=-7.46 Mz_l=-0.01
Taglio nei bulloni: Fv,Ed=2.64 Fv,Rd=9650.97
Rifollamento lato piastra: Fb,Ed,p=2.64 Fb,Rd,p=13614.70
Tirafondi:LT=0.45 (0.31) σ_{cR}=0.00 σ_{fR}=0.00
Compressione nel calcestruzzo: σ_c=21.97
CC 26 SLD (Collegamento -041_-375)
Azioni sul collegamento: N=-10431.00 Ty=-11.04 Tz=12.31 Mx=-0.01 Mz=-9.01
Sollecitazioni agenti localmente: Tx_l=-11.04 Ty_l=12.31 N_l=-10431.00 Mx_l=-0.00 My_l=-9.01 Mz_l=-0.01
Taglio nei bulloni: Fv,Ed=2.77 Fv,Rd=9650.97
Rifollamento lato piastra: Fb,Ed,p=2.77 Fb,Rd,p=14273.40
Tirafondi:LT=0.45 (0.31) σ_{cR}=0.00 σ_{fR}=0.00
Compressione nel calcestruzzo: σ_c=22.06
CC 26 SLD (Collegamento -041_-375)
Azioni sul collegamento: N=-10431.00 Ty=-9.85 Tz=15.29 Mx=-0.01 Mz=-7.46
Sollecitazioni agenti localmente: Tx_l=-9.85 Ty_l=15.29 N_l=-10431.00 Mx_l=-0.00 My_l=-7.46 Mz_l=-0.01
Taglio nei bulloni: Fv,Ed=3.04 Fv,Rd=9650.97
Rifollamento lato piastra: Fb,Ed,p=3.04 Fb,Rd,p=12228.80
Tirafondi:LT=0.45 (0.31) σ_{cR}=0.00 σ_{fR}=0.00
Compressione nel calcestruzzo: σ_c=21.97
CC 26 SLD (Collegamento -041_-375)
Azioni sul collegamento: N=-10431.00 Ty=-11.04 Tz=15.29 Mx=-0.01 Mz=-9.01
Sollecitazioni agenti localmente: Tx_l=-11.04 Ty_l=15.29 N_l=-10431.00 Mx_l=-0.00 My_l=-9.01 Mz_l=-0.01
Taglio nei bulloni: Fv,Ed=3.16 Fv,Rd=9650.97
Rifollamento lato piastra: Fb,Ed,p=3.16 Fb,Rd,p=13109.50
Tirafondi:LT=0.45 (0.31) σ_{cR}=0.00 σ_{fR}=0.00
Compressione nel calcestruzzo: σ_c=22.06
CC 27 SLV (Collegamento -041_-375)
Azioni sul collegamento: N=-11335.10 Ty=-11.60 Tz=17.98 Mx=-0.02 Mz=-9.43
Sollecitazioni agenti localmente: Tx_l=-11.60 Ty_l=17.98 N_l=-11335.10 Mx_l=-0.00 My_l=-9.43 Mz_l=-0.02
Taglio nei bulloni: Fv,Ed=3.60 Fv,Rd=7720.78
Rifollamento lato piastra: Fb,Ed,p=3.60 Fb,Rd,p=9812.20
Tirafondi:LT=0.45 (0.31) σ_{cR}=0.00 σ_{fR}=0.00
Compressione nel calcestruzzo: σ_c=23.95
CC 27 SLV (Collegamento -041_-375)
Azioni sul collegamento: N=-11335.10 Ty=-11.14 Tz=17.98 Mx=-0.02 Mz=-11.32
Sollecitazioni agenti localmente: Tx_l=-11.14 Ty_l=17.98 N_l=-11335.10 Mx_l=-0.00 My_l=-11.32 Mz_l=-0.02
Taglio nei bulloni: Fv,Ed=3.56 Fv,Rd=7720.78
Rifollamento lato piastra: Fb,Ed,p=3.56 Fb,Rd,p=9511.63
Tirafondi:LT=0.45 (0.31) σ_{cR}=0.00 σ_{fR}=0.00
Compressione nel calcestruzzo: σ_c=24.06
CC 27 SLV (Collegamento -041_-375)
Azioni sul collegamento: N=-11335.10 Ty=-11.60 Tz=10.38 Mx=-0.02 Mz=-9.43
Sollecitazioni agenti localmente: Tx_l=-11.60 Ty_l=10.38 N_l=-11335.10 Mx_l=-0.00 My_l=-9.43 Mz_l=-0.02
Taglio nei bulloni: Fv,Ed=2.63 Fv,Rd=7720.78
Rifollamento lato piastra: Fb,Ed,p=2.60 Fb,Rd,p=11265.80
Tirafondi:LT=0.45 (0.31) σ_{cR}=0.00 σ_{fR}=0.00
Compressione nel calcestruzzo: σ_c=23.95
CC 27 SLV (Collegamento -041_-375)
Azioni sul collegamento: N=-11335.10 Ty=-11.14 Tz=10.38 Mx=-0.02 Mz=-11.32
Sollecitazioni agenti localmente: Tx_l=-11.14 Ty_l=10.38 N_l=-11335.10 Mx_l=-0.00 My_l=-11.32 Mz_l=-0.02
Taglio nei bulloni: Fv,Ed=2.57 Fv,Rd=7720.78
Rifollamento lato piastra: Fb,Ed,p=2.54 Fb,Rd,p=11465.80
Tirafondi:LT=0.45 (0.31) σ_{cR}=0.00 σ_{fR}=0.00
Compressione nel calcestruzzo: σ_c=24.06
CC 27 SLV (Collegamento -041_-375)
Azioni sul collegamento: N=-9000.13 Ty=-11.60 Tz=17.98 Mx=-0.02 Mz=-9.43
Sollecitazioni agenti localmente: Tx_l=-11.60 Ty_l=17.98 N_l=-9000.13 Mx_l=-0.00 My_l=-9.43 Mz_l=-0.02
Taglio nei bulloni: Fv,Ed=3.60 Fv,Rd=7720.78
Rifollamento lato piastra: Fb,Ed,p=3.60 Fb,Rd,p=9812.05
Tirafondi:LT=0.45 (0.31) σ_{cR}=0.00 σ_{fR}=0.00
Compressione nel calcestruzzo: σ_c=19.13
CC 27 SLV (Collegamento -041_-375)
Azioni sul collegamento: N=-9000.13 Ty=-11.14 Tz=17.98 Mx=-0.02 Mz=-11.32
Sollecitazioni agenti localmente: Tx_l=-11.14 Ty_l=17.98 N_l=-9000.13 Mx_l=-0.00 My_l=-11.32 Mz_l=-0.02
Taglio nei bulloni: Fv,Ed=3.56 Fv,Rd=7720.78
Rifollamento lato piastra: Fb,Ed,p=3.56 Fb,Rd,p=9511.49
Tirafondi:LT=0.45 (0.31) σ_{cR}=0.00 σ_{fR}=0.00
Compressione nel calcestruzzo: σ_c=19.23

CC 27 SLV (Collegamento -041_-375)
Azioni sul collegamento: N=-9000.13 Ty=-11.60 Tz=10.38 Mx=-0.02 Mz=-9.43
Sollecitazioni agenti localmente: Tx_l=-11.60 Ty_l=10.38 N_l=-9000.13 Mx_l=-0.00 My_l=-9.43 Mz_l=-0.02
Taglio nei bulloni: Fv,Ed=2.63 Fv,Rd=7720.78
Rifollamento lato piastra: Fb,Ed,p=2.60 Fb,Rd,p=11265.80
Tirafondi:LT=0.45 (0.31) σ_{cR}=0.00 σ_{fR}=0.00
Compressione nel calcestruzzo: σ_c=19.13
CC 27 SLV (Collegamento -041_-375)
Azioni sul collegamento: N=-9000.13 Ty=-11.14 Tz=10.38 Mx=-0.02 Mz=-11.32
Sollecitazioni agenti localmente: Tx_l=-11.14 Ty_l=10.38 N_l=-9000.13 Mx_l=-0.00 My_l=-11.32 Mz_l=-0.02
Taglio nei bulloni: Fv,Ed=2.57 Fv,Rd=7720.78
Rifollamento lato piastra: Fb,Ed,p=2.54 Fb,Rd,p=11465.80
Tirafondi:LT=0.45 (0.31) σ_{cR}=0.00 σ_{fR}=0.00
Compressione nel calcestruzzo: σ_c=19.23
CC 28 SLD (Collegamento -041_-375)
Azioni sul collegamento: N=-10426.00 Ty=-10.51 Tz=14.95 Mx=-0.01 Mz=-7.95
Sollecitazioni agenti localmente: Tx_l=-10.51 Ty_l=14.95 N_l=-10426.00 Mx_l=-0.00 My_l=-7.95 Mz_l=-0.01
Taglio nei bulloni: Fv,Ed=3.06 Fv,Rd=9650.97
Rifollamento lato piastra: Fb,Ed,p=3.06 Fb,Rd,p=12993.60
Tirafondi:LT=0.45 (0.31) σ_{cR}=0.00 σ_{fR}=0.00
Compressione nel calcestruzzo: σ_c=21.99
CC 28 SLD (Collegamento -041_-375)
Azioni sul collegamento: N=-10426.00 Ty=-10.37 Tz=14.95 Mx=-0.01 Mz=-8.52
Sollecitazioni agenti localmente: Tx_l=-10.37 Ty_l=14.95 N_l=-10426.00 Mx_l=-0.00 My_l=-8.52 Mz_l=-0.01
Taglio nei bulloni: Fv,Ed=3.05 Fv,Rd=9650.97
Rifollamento lato piastra: Fb,Ed,p=3.05 Fb,Rd,p=12936.70
Tirafondi:LT=0.45 (0.31) σ_{cR}=0.00 σ_{fR}=0.00
Compressione nel calcestruzzo: σ_c=22.02
CC 28 SLD (Collegamento -041_-375)
Azioni sul collegamento: N=-10426.00 Ty=-10.51 Tz=12.64 Mx=-0.01 Mz=-7.95
Sollecitazioni agenti localmente: Tx_l=-10.51 Ty_l=12.64 N_l=-10426.00 Mx_l=-0.00 My_l=-7.95 Mz_l=-0.01
Taglio nei bulloni: Fv,Ed=2.75 Fv,Rd=9650.97
Rifollamento lato piastra: Fb,Ed,p=2.75 Fb,Rd,p=13824.50
Tirafondi:LT=0.45 (0.31) σ_{cR}=0.00 σ_{fR}=0.00
Compressione nel calcestruzzo: σ_c=21.99
CC 28 SLD (Collegamento -041_-375)
Azioni sul collegamento: N=-10426.00 Ty=-10.37 Tz=12.64 Mx=-0.01 Mz=-8.52
Sollecitazioni agenti localmente: Tx_l=-10.37 Ty_l=12.64 N_l=-10426.00 Mx_l=-0.00 My_l=-8.52 Mz_l=-0.01
Taglio nei bulloni: Fv,Ed=2.74 Fv,Rd=9650.97
Rifollamento lato piastra: Fb,Ed,p=2.74 Fb,Rd,p=13749.70
Tirafondi:LT=0.45 (0.31) σ_{cR}=0.00 σ_{fR}=0.00
Compressione nel calcestruzzo: σ_c=22.02
CC 28 SLD (Collegamento -041_-375)
Azioni sul collegamento: N=-9714.03 Ty=-10.51 Tz=14.95 Mx=-0.01 Mz=-7.95
Sollecitazioni agenti localmente: Tx_l=-10.51 Ty_l=14.95 N_l=-9714.03 Mx_l=-0.00 My_l=-7.95 Mz_l=-0.01
Taglio nei bulloni: Fv,Ed=3.06 Fv,Rd=9650.97
Rifollamento lato piastra: Fb,Ed,p=3.06 Fb,Rd,p=12993.50
Tirafondi:LT=0.45 (0.31) σ_{cR}=0.00 σ_{fR}=0.00
Compressione nel calcestruzzo: σ_c=20.52
CC 28 SLD (Collegamento -041_-375)
Azioni sul collegamento: N=-9714.03 Ty=-10.37 Tz=14.95 Mx=-0.01 Mz=-8.52
Sollecitazioni agenti localmente: Tx_l=-10.37 Ty_l=14.95 N_l=-9714.03 Mx_l=-0.00 My_l=-8.52 Mz_l=-0.01
Taglio nei bulloni: Fv,Ed=3.05 Fv,Rd=9650.97
Rifollamento lato piastra: Fb,Ed,p=3.05 Fb,Rd,p=12936.60
Tirafondi:LT=0.45 (0.31) σ_{cR}=0.00 σ_{fR}=0.00
Compressione nel calcestruzzo: σ_c=20.55
CC 28 SLD (Collegamento -041_-375)
Azioni sul collegamento: N=-9714.03 Ty=-10.51 Tz=12.64 Mx=-0.01 Mz=-7.95
Sollecitazioni agenti localmente: Tx_l=-10.51 Ty_l=12.64 N_l=-9714.03 Mx_l=-0.00 My_l=-7.95 Mz_l=-0.01
Taglio nei bulloni: Fv,Ed=2.75 Fv,Rd=9650.97
Rifollamento lato piastra: Fb,Ed,p=2.75 Fb,Rd,p=13824.50
Tirafondi:LT=0.45 (0.31) σ_{cR}=0.00 σ_{fR}=0.00
Compressione nel calcestruzzo: σ_c=20.52
CC 28 SLD (Collegamento -041_-375)
Azioni sul collegamento: N=-9714.03 Ty=-10.37 Tz=12.64 Mx=-0.01 Mz=-8.52
Sollecitazioni agenti localmente: Tx_l=-10.37 Ty_l=12.64 N_l=-9714.03 Mx_l=-0.00 My_l=-8.52 Mz_l=-0.01
Taglio nei bulloni: Fv,Ed=2.74 Fv,Rd=9650.97
Rifollamento lato piastra: Fb,Ed,p=2.74 Fb,Rd,p=13749.70
Tirafondi:LT=0.45 (0.31) σ_{cR}=0.00 σ_{fR}=0.00
Compressione nel calcestruzzo: σ_c=20.55
CC 29 SLV (Collegamento -041_-375)
Azioni sul collegamento: N=-9000.13 Ty=-11.14 Tz=10.38 Mx=-0.01 Mz=-11.32
Sollecitazioni agenti localmente: Tx_l=-11.14 Ty_l=10.38 N_l=-9000.13 Mx_l=-0.00 My_l=-11.32 Mz_l=-0.01
Taglio nei bulloni: Fv,Ed=2.55 Fv,Rd=7720.78
Rifollamento lato piastra: Fb,Ed,p=2.54 Fb,Rd,p=11570.00
Tirafondi:LT=0.45 (0.31) σ_{cR}=0.00 σ_{fR}=0.00
Compressione nel calcestruzzo: σ_c=19.23
CC 29 SLV (Collegamento -041_-375)

Azioni sul collegamento: N=-9000.13 Ty=-11.60 Tz=10.38 Mx=-0.01 Mz=-9.43
Sollecitazioni agenti localmente: Tx_l=-11.60 Ty_l=10.38 N_l=-9000.13 Mx_l=-0.00 My_l=-9.43 Mz_l=-0.01
Taglio nei bulloni: Fv,Ed=2.61 Fv,Rd=7720.78
Rifollamento lato piastra: Fb,Ed,p=2.60 Fb,Rd,p=11361.90
Tirafondi:LT=0.45 (0.31) σ_{cR}=0.00 σ_{fR}=0.00
Compressione nel calcestruzzo: σ_c=19.13
CC 29 SLV (Collegamento -041_-375)
Azioni sul collegamento: N=-9000.13 Ty=-11.14 Tz=17.98 Mx=-0.01 Mz=-11.32
Sollecitazioni agenti localmente: Tx_l=-11.14 Ty_l=17.98 N_l=-9000.13 Mx_l=-0.00 My_l=-11.32 Mz_l=-0.01
Taglio nei bulloni: Fv,Ed=3.54 Fv,Rd=7720.78
Rifollamento lato piastra: Fb,Ed,p=3.54 Fb,Rd,p=9485.66
Tirafondi:LT=0.45 (0.31) σ_{cR}=0.00 σ_{fR}=0.00
Compressione nel calcestruzzo: σ_c=19.23
CC 29 SLV (Collegamento -041_-375)
Azioni sul collegamento: N=-9000.13 Ty=-11.60 Tz=17.98 Mx=-0.01 Mz=-9.43
Sollecitazioni agenti localmente: Tx_l=-11.60 Ty_l=17.98 N_l=-9000.13 Mx_l=-0.00 My_l=-9.43 Mz_l=-0.01
Taglio nei bulloni: Fv,Ed=3.58 Fv,Rd=7720.78
Rifollamento lato piastra: Fb,Ed,p=3.58 Fb,Rd,p=9786.90
Tirafondi:LT=0.45 (0.31) σ_{cR}=0.00 σ_{fR}=0.00
Compressione nel calcestruzzo: σ_c=19.13
CC 29 SLV (Collegamento -041_-375)
Azioni sul collegamento: N=-11335.10 Ty=-11.14 Tz=10.38 Mx=-0.01 Mz=-11.32
Sollecitazioni agenti localmente: Tx_l=-11.14 Ty_l=10.38 N_l=-11335.10 Mx_l=-0.00 My_l=-11.32 Mz_l=-0.01
Taglio nei bulloni: Fv,Ed=2.55 Fv,Rd=7720.78
Rifollamento lato piastra: Fb,Ed,p=2.54 Fb,Rd,p=11570.00
Tirafondi:LT=0.45 (0.31) σ_{cR}=0.00 σ_{fR}=0.00
Compressione nel calcestruzzo: σ_c=24.06
CC 29 SLV (Collegamento -041_-375)
Azioni sul collegamento: N=-11335.10 Ty=-11.60 Tz=10.38 Mx=-0.01 Mz=-9.43
Sollecitazioni agenti localmente: Tx_l=-11.60 Ty_l=10.38 N_l=-11335.10 Mx_l=-0.00 My_l=-9.43 Mz_l=-0.01
Taglio nei bulloni: Fv,Ed=2.61 Fv,Rd=7720.78
Rifollamento lato piastra: Fb,Ed,p=2.60 Fb,Rd,p=11361.80
Tirafondi:LT=0.45 (0.31) σ_{cR}=0.00 σ_{fR}=0.00
Compressione nel calcestruzzo: σ_c=23.95
CC 29 SLV (Collegamento -041_-375)
Azioni sul collegamento: N=-11335.10 Ty=-11.14 Tz=17.98 Mx=-0.01 Mz=-11.32
Sollecitazioni agenti localmente: Tx_l=-11.14 Ty_l=17.98 N_l=-11335.10 Mx_l=-0.00 My_l=-11.32 Mz_l=-0.01
Taglio nei bulloni: Fv,Ed=3.54 Fv,Rd=7720.78
Rifollamento lato piastra: Fb,Ed,p=3.54 Fb,Rd,p=9485.80
Tirafondi:LT=0.45 (0.31) σ_{cR}=0.00 σ_{fR}=0.00
Compressione nel calcestruzzo: σ_c=24.06
CC 29 SLV (Collegamento -041_-375)
Azioni sul collegamento: N=-11335.10 Ty=-11.60 Tz=17.98 Mx=-0.01 Mz=-9.43
Sollecitazioni agenti localmente: Tx_l=-11.60 Ty_l=17.98 N_l=-11335.10 Mx_l=-0.00 My_l=-9.43 Mz_l=-0.01
Taglio nei bulloni: Fv,Ed=3.58 Fv,Rd=7720.78
Rifollamento lato piastra: Fb,Ed,p=3.58 Fb,Rd,p=9787.05
Tirafondi:LT=0.45 (0.31) σ_{cR}=0.00 σ_{fR}=0.00
Compressione nel calcestruzzo: σ_c=23.95
CC 30 SLD (Collegamento -041_-375)
Azioni sul collegamento: N=-9714.03 Ty=-10.37 Tz=12.64 Mx=-0.00 Mz=-8.52
Sollecitazioni agenti localmente: Tx_l=-10.37 Ty_l=12.64 N_l=-9714.03 Mx_l=-0.00 My_l=-8.52 Mz_l=-0.00
Taglio nei bulloni: Fv,Ed=2.73 Fv,Rd=9650.97
Rifollamento lato piastra: Fb,Ed,p=2.73 Fb,Rd,p=13746.60
Tirafondi:LT=0.45 (0.31) σ_{cR}=0.00 σ_{fR}=0.00
Compressione nel calcestruzzo: σ_c=20.55
CC 30 SLD (Collegamento -041_-375)
Azioni sul collegamento: N=-9714.03 Ty=-10.51 Tz=12.64 Mx=-0.00 Mz=-7.95
Sollecitazioni agenti localmente: Tx_l=-10.51 Ty_l=12.64 N_l=-9714.03 Mx_l=-0.00 My_l=-7.95 Mz_l=-0.00
Taglio nei bulloni: Fv,Ed=2.75 Fv,Rd=9650.97
Rifollamento lato piastra: Fb,Ed,p=2.75 Fb,Rd,p=13821.60
Tirafondi:LT=0.45 (0.31) σ_{cR}=0.00 σ_{fR}=0.00
Compressione nel calcestruzzo: σ_c=20.52
CC 30 SLD (Collegamento -041_-375)
Azioni sul collegamento: N=-9714.03 Ty=-10.37 Tz=14.95 Mx=-0.00 Mz=-8.52
Sollecitazioni agenti localmente: Tx_l=-10.37 Ty_l=14.95 N_l=-9714.03 Mx_l=-0.00 My_l=-8.52 Mz_l=-0.00
Taglio nei bulloni: Fv,Ed=3.04 Fv,Rd=9650.97
Rifollamento lato piastra: Fb,Ed,p=3.04 Fb,Rd,p=12932.60
Tirafondi:LT=0.45 (0.31) σ_{cR}=0.00 σ_{fR}=0.00
Compressione nel calcestruzzo: σ_c=20.55
CC 30 SLD (Collegamento -041_-375)
Azioni sul collegamento: N=-9714.03 Ty=-10.51 Tz=14.95 Mx=-0.00 Mz=-7.95
Sollecitazioni agenti localmente: Tx_l=-10.51 Ty_l=14.95 N_l=-9714.03 Mx_l=-0.00 My_l=-7.95 Mz_l=-0.00
Taglio nei bulloni: Fv,Ed=3.05 Fv,Rd=9650.97
Rifollamento lato piastra: Fb,Ed,p=3.05 Fb,Rd,p=12989.60
Tirafondi:LT=0.45 (0.31) σ_{cR}=0.00 σ_{fR}=0.00
Compressione nel calcestruzzo: σ_c=20.52
CC 30 SLD (Collegamento -041_-375)
Azioni sul collegamento: N=-10426.00 Ty=-10.37 Tz=12.64 Mx=-0.00 Mz=-8.52

Sollecitazioni agenti localmente: T_{x_l}=-10.37 T_{y_l}=12.64 N_l=-10426.00 M_{x_l}=-0.00 M_{y_l}=-8.52 M_{z_l}=-0.00
Taglio nei bulloni: Fv,Ed=2.73 Fv,Rd=9650.97
Rifollamento lato piastra: Fb,Ed,p=2.73 Fb,Rd,p=13746.60
Tirafondi:LT=0.45 (0.31) σ_{cR}=0.00 σ_{fR}=0.00
Compressione nel calcestruzzo: σ_c=22.02
CC 30 SLD (Collegamento -041_-375)
Azioni sul collegamento: N=-10426.00 Ty=-10.51 Tz=12.64 Mx=-0.00 Mz=-7.95
Sollecitazioni agenti localmente: T_{x_l}=-10.51 T_{y_l}=12.64 N_l=-10426.00 M_{x_l}=-0.00 M_{y_l}=-7.95 M_{z_l}=-0.00
Taglio nei bulloni: Fv,Ed=2.75 Fv,Rd=9650.97
Rifollamento lato piastra: Fb,Ed,p=2.75 Fb,Rd,p=13821.60
Tirafondi:LT=0.45 (0.31) σ_{cR}=0.00 σ_{fR}=0.00
Compressione nel calcestruzzo: σ_c=21.99
CC 30 SLD (Collegamento -041_-375)
Azioni sul collegamento: N=-10426.00 Ty=-10.37 Tz=14.95 Mx=-0.00 Mz=-8.52
Sollecitazioni agenti localmente: T_{x_l}=-10.37 T_{y_l}=14.95 N_l=-10426.00 M_{x_l}=-0.00 M_{y_l}=-8.52 M_{z_l}=-0.00
Taglio nei bulloni: Fv,Ed=3.04 Fv,Rd=9650.97
Rifollamento lato piastra: Fb,Ed,p=3.04 Fb,Rd,p=12932.70
Tirafondi:LT=0.45 (0.31) σ_{cR}=0.00 σ_{fR}=0.00
Compressione nel calcestruzzo: σ_c=22.02
CC 30 SLD (Collegamento -041_-375)
Azioni sul collegamento: N=-10426.00 Ty=-10.51 Tz=14.95 Mx=-0.00 Mz=-7.95
Sollecitazioni agenti localmente: T_{x_l}=-10.51 T_{y_l}=14.95 N_l=-10426.00 M_{x_l}=-0.00 M_{y_l}=-7.95 M_{z_l}=-0.00
Taglio nei bulloni: Fv,Ed=3.05 Fv,Rd=9650.97
Rifollamento lato piastra: Fb,Ed,p=3.05 Fb,Rd,p=12989.70
Tirafondi:LT=0.45 (0.31) σ_{cR}=0.00 σ_{fR}=0.00
Compressione nel calcestruzzo: σ_c=21.99
CC 31 SLV (Collegamento -041_-375)
Azioni sul collegamento: N=-11351.50 Ty=-13.31 Tz=19.07 Mx=-0.01 Mz=-12.93
Sollecitazioni agenti localmente: T_{x_l}=-13.31 T_{y_l}=19.07 N_l=-11351.50 M_{x_l}=-0.00 M_{y_l}=-12.93 M_{z_l}=-0.01
Taglio nei bulloni: Fv,Ed=3.89 Fv,Rd=7720.78
Rifollamento lato piastra: Fb,Ed,p=3.89 Fb,Rd,p=10368.80
Tirafondi:LT=0.45 (0.31) σ_{cR}=0.00 σ_{fR}=0.00
Compressione nel calcestruzzo: σ_c=24.18
CC 31 SLV (Collegamento -041_-375)
Azioni sul collegamento: N=-11351.50 Ty=-9.43 Tz=19.07 Mx=-0.01 Mz=-7.83
Sollecitazioni agenti localmente: T_{x_l}=-9.43 T_{y_l}=19.07 N_l=-11351.50 M_{x_l}=-0.00 M_{y_l}=-7.83 M_{z_l}=-0.01
Taglio nei bulloni: Fv,Ed=3.56 Fv,Rd=7720.78
Rifollamento lato piastra: Fb,Ed,p=3.56 Fb,Rd,p=8196.96
Tirafondi:LT=0.45 (0.31) σ_{cR}=0.00 σ_{fR}=0.00
Compressione nel calcestruzzo: σ_c=23.89
CC 31 SLV (Collegamento -041_-375)
Azioni sul collegamento: N=-11351.50 Ty=-13.31 Tz=9.29 Mx=-0.01 Mz=-12.93
Sollecitazioni agenti localmente: T_{x_l}=-13.31 T_{y_l}=9.29 N_l=-11351.50 M_{x_l}=-0.00 M_{y_l}=-12.93 M_{z_l}=-0.01
Taglio nei bulloni: Fv,Ed=2.72 Fv,Rd=7720.78
Rifollamento lato piastra: Fb,Ed,p=2.71 Fb,Rd,p=10335.60
Tirafondi:LT=0.45 (0.31) σ_{cR}=0.00 σ_{fR}=0.00
Compressione nel calcestruzzo: σ_c=24.18
CC 31 SLV (Collegamento -041_-375)
Azioni sul collegamento: N=-11351.50 Ty=-9.43 Tz=9.29 Mx=-0.01 Mz=-7.83
Sollecitazioni agenti localmente: T_{x_l}=-9.43 T_{y_l}=9.29 N_l=-11351.50 M_{x_l}=-0.00 M_{y_l}=-7.83 M_{z_l}=-0.01
Taglio nei bulloni: Fv,Ed=2.22 Fv,Rd=7720.78
Rifollamento lato piastra: Fb,Ed,p=2.21 Fb,Rd,p=11874.90
Tirafondi:LT=0.45 (0.31) σ_{cR}=0.00 σ_{fR}=0.00
Compressione nel calcestruzzo: σ_c=23.89
CC 31 SLV (Collegamento -041_-375)
Azioni sul collegamento: N=-8983.80 Ty=-13.31 Tz=19.07 Mx=-0.01 Mz=-12.93
Sollecitazioni agenti localmente: T_{x_l}=-13.31 T_{y_l}=19.07 N_l=-8983.80 M_{x_l}=-0.00 M_{y_l}=-12.93 M_{z_l}=-0.01
Taglio nei bulloni: Fv,Ed=3.89 Fv,Rd=7720.78
Rifollamento lato piastra: Fb,Ed,p=3.89 Fb,Rd,p=10368.80
Tirafondi:LT=0.45 (0.31) σ_{cR}=0.00 σ_{fR}=0.00
Compressione nel calcestruzzo: σ_c=19.29
CC 31 SLV (Collegamento -041_-375)
Azioni sul collegamento: N=-8983.80 Ty=-9.43 Tz=19.07 Mx=-0.01 Mz=-7.83
Sollecitazioni agenti localmente: T_{x_l}=-9.43 T_{y_l}=19.07 N_l=-8983.80 M_{x_l}=-0.00 M_{y_l}=-7.83 M_{z_l}=-0.01
Taglio nei bulloni: Fv,Ed=3.56 Fv,Rd=7720.78
Rifollamento lato piastra: Fb,Ed,p=3.56 Fb,Rd,p=8196.89
Tirafondi:LT=0.45 (0.31) σ_{cR}=0.00 σ_{fR}=0.00
Compressione nel calcestruzzo: σ_c=19.00
CC 31 SLV (Collegamento -041_-375)
Azioni sul collegamento: N=-8983.80 Ty=-13.31 Tz=9.29 Mx=-0.01 Mz=-12.93
Sollecitazioni agenti localmente: T_{x_l}=-13.31 T_{y_l}=9.29 N_l=-8983.80 M_{x_l}=-0.00 M_{y_l}=-12.93 M_{z_l}=-0.01
Taglio nei bulloni: Fv,Ed=2.72 Fv,Rd=7720.78
Rifollamento lato piastra: Fb,Ed,p=2.71 Fb,Rd,p=10335.50
Tirafondi:LT=0.45 (0.31) σ_{cR}=0.00 σ_{fR}=0.00
Compressione nel calcestruzzo: σ_c=19.29
CC 31 SLV (Collegamento -041_-375)
Azioni sul collegamento: N=-8983.80 Ty=-9.43 Tz=9.29 Mx=-0.01 Mz=-7.83
Sollecitazioni agenti localmente: T_{x_l}=-9.43 T_{y_l}=9.29 N_l=-8983.80 M_{x_l}=-0.00 M_{y_l}=-7.83 M_{z_l}=-0.01

Taglio nei bulloni: Fv,Ed=2.22 Fv,Rd=7720.78
Rifollamento lato piastra: Fb,Ed,p=2.21 Fb,Rd,p=11874.90
Tirafondi:LT=0.45 (0.31) σ_{cR}=0.00 σ_{fR}=0.00
Compressione nel calcestruzzo: σ_c=19.00
CC 32 SLD (Collegamento -041_-375)
Azioni sul collegamento: N=-10431.00 Ty=-11.04 Tz=15.29 Mx=-0.00 Mz=-9.01
Sollecitazioni agenti localmente: Tx_l=-11.04 Ty_l=15.29 N_l=-10431.00 Mx_l=-0.00 My_l=-9.01 Mz_l=-0.00
Taglio nei bulloni: Fv,Ed=3.15 Fv,Rd=9650.97
Rifollamento lato piastra: Fb,Ed,p=3.15 Fb,Rd,p=13105.80
Tirafondi:LT=0.45 (0.31) σ_{cR}=0.00 σ_{fR}=0.00
Compressione nel calcestruzzo: σ_c=22.06
CC 32 SLD (Collegamento -041_-375)
Azioni sul collegamento: N=-10431.00 Ty=-9.85 Tz=15.29 Mx=-0.00 Mz=-7.46
Sollecitazioni agenti localmente: Tx_l=-9.85 Ty_l=15.29 N_l=-10431.00 Mx_l=-0.00 My_l=-7.46 Mz_l=-0.00
Taglio nei bulloni: Fv,Ed=3.04 Fv,Rd=9650.97
Rifollamento lato piastra: Fb,Ed,p=3.04 Fb,Rd,p=12217.40
Tirafondi:LT=0.45 (0.31) σ_{cR}=0.00 σ_{fR}=0.00
Compressione nel calcestruzzo: σ_c=21.97
CC 32 SLD (Collegamento -041_-375)
Azioni sul collegamento: N=-10431.00 Ty=-11.04 Tz=12.31 Mx=-0.00 Mz=-9.01
Sollecitazioni agenti localmente: Tx_l=-11.04 Ty_l=12.31 N_l=-10431.00 Mx_l=-0.00 My_l=-9.01 Mz_l=-0.00
Taglio nei bulloni: Fv,Ed=2.76 Fv,Rd=9650.97
Rifollamento lato piastra: Fb,Ed,p=2.76 Fb,Rd,p=14271.40
Tirafondi:LT=0.45 (0.31) σ_{cR}=0.00 σ_{fR}=0.00
Compressione nel calcestruzzo: σ_c=22.06
CC 32 SLD (Collegamento -041_-375)
Azioni sul collegamento: N=-10431.00 Ty=-9.85 Tz=12.31 Mx=-0.00 Mz=-7.46
Sollecitazioni agenti localmente: Tx_l=-9.85 Ty_l=12.31 N_l=-10431.00 Mx_l=-0.00 My_l=-7.46 Mz_l=-0.00
Taglio nei bulloni: Fv,Ed=2.63 Fv,Rd=9650.97
Rifollamento lato piastra: Fb,Ed,p=2.63 Fb,Rd,p=13611.20
Tirafondi:LT=0.45 (0.31) σ_{cR}=0.00 σ_{fR}=0.00
Compressione nel calcestruzzo: σ_c=21.97
CC 32 SLD (Collegamento -041_-375)
Azioni sul collegamento: N=-9709.05 Ty=-11.04 Tz=15.29 Mx=-0.00 Mz=-9.01
Sollecitazioni agenti localmente: Tx_l=-11.04 Ty_l=15.29 N_l=-9709.05 Mx_l=-0.00 My_l=-9.01 Mz_l=-0.00
Taglio nei bulloni: Fv,Ed=3.15 Fv,Rd=9650.97
Rifollamento lato piastra: Fb,Ed,p=3.15 Fb,Rd,p=13105.80
Tirafondi:LT=0.45 (0.31) σ_{cR}=0.00 σ_{fR}=0.00
Compressione nel calcestruzzo: σ_c=20.57
CC 32 SLD (Collegamento -041_-375)
Azioni sul collegamento: N=-9709.05 Ty=-9.85 Tz=15.29 Mx=-0.00 Mz=-7.46
Sollecitazioni agenti localmente: Tx_l=-9.85 Ty_l=15.29 N_l=-9709.05 Mx_l=-0.00 My_l=-7.46 Mz_l=-0.00
Taglio nei bulloni: Fv,Ed=3.04 Fv,Rd=9650.97
Rifollamento lato piastra: Fb,Ed,p=3.04 Fb,Rd,p=12217.40
Tirafondi:LT=0.45 (0.31) σ_{cR}=0.00 σ_{fR}=0.00
Compressione nel calcestruzzo: σ_c=20.48
CC 32 SLD (Collegamento -041_-375)
Azioni sul collegamento: N=-9709.05 Ty=-11.04 Tz=12.31 Mx=-0.00 Mz=-9.01
Sollecitazioni agenti localmente: Tx_l=-11.04 Ty_l=12.31 N_l=-9709.05 Mx_l=-0.00 My_l=-9.01 Mz_l=-0.00
Taglio nei bulloni: Fv,Ed=2.76 Fv,Rd=9650.97
Rifollamento lato piastra: Fb,Ed,p=2.76 Fb,Rd,p=14271.50
Tirafondi:LT=0.45 (0.31) σ_{cR}=0.00 σ_{fR}=0.00
Compressione nel calcestruzzo: σ_c=20.57
CC 32 SLD (Collegamento -041_-375)
Azioni sul collegamento: N=-9709.05 Ty=-9.85 Tz=12.31 Mx=-0.00 Mz=-7.46
Sollecitazioni agenti localmente: Tx_l=-9.85 Ty_l=12.31 N_l=-9709.05 Mx_l=-0.00 My_l=-7.46 Mz_l=-0.00
Taglio nei bulloni: Fv,Ed=2.63 Fv,Rd=9650.97
Rifollamento lato piastra: Fb,Ed,p=2.63 Fb,Rd,p=13611.20
Tirafondi:LT=0.45 (0.31) σ_{cR}=0.00 σ_{fR}=0.00
Compressione nel calcestruzzo: σ_c=20.48
CC 33 SLU (Collegamento -041_-375)
Azioni sul collegamento: N=-36642.60 Ty=-20.20 Tz=103.27 Mx=-0.00 Mz=-14.84
Sollecitazioni agenti localmente: Tx_l=-20.20 Ty_l=103.27 N_l=-36642.60 Mx_l=-0.00 My_l=-14.84 Mz_l=-0.00
Taglio nei bulloni: Fv,Ed=17.54 Fv,Rd=7720.78
Rifollamento lato piastra: Fb,Ed,p=17.54 Fb,Rd,p=6320.46
Tirafondi:LT=0.45 (0.31) σ_{cR}=0.00 σ_{fR}=0.00
Compressione nel calcestruzzo: σ_c=76.54
CC 34 SLU (Collegamento -041_-375)
Azioni sul collegamento: N=-37458.50 Ty=-20.96 Tz=106.28 Mx=-0.00 Mz=-15.40
Sollecitazioni agenti localmente: Tx_l=-20.96 Ty_l=106.28 N_l=-37458.50 Mx_l=-0.00 My_l=-15.40 Mz_l=-0.00
Taglio nei bulloni: Fv,Ed=18.06 Fv,Rd=7720.78
Rifollamento lato piastra: Fb,Ed,p=18.06 Fb,Rd,p=6325.89
Tirafondi:LT=0.45 (0.31) σ_{cR}=0.00 σ_{fR}=0.00
Compressione nel calcestruzzo: σ_c=78.26
CC 35 SLU (Collegamento -041_-375)
Azioni sul collegamento: N=-37049.70 Ty=-20.49 Tz=104.83 Mx=-0.01 Mz=-14.94
Sollecitazioni agenti localmente: Tx_l=-20.49 Ty_l=104.83 N_l=-37049.70 Mx_l=-0.00 My_l=-14.94 Mz_l=-0.01
Taglio nei bulloni: Fv,Ed=17.81 Fv,Rd=7720.78

Rifollamento lato piastra: Fb,Ed,p=17.81 Fb,Rd,p=6320.00
Tirafondi:LT=0.45 (0.31) σ_{cR}=0.00 σ_{fR}=0.00
Compressione nel calcestruzzo: σ_c=77.39
CC 36 SLU (Collegamento -041_-375)
Azioni sul collegamento: N=-37051.40 Ty=-20.67 Tz=104.72 Mx=-0.00 Mz=-15.30
Sollecitazioni agenti localmente: Tx_l=-20.67 Ty_l=104.72 N_l=-37051.40 Mx_l=-0.00 My_l=-15.30 Mz_l=-0.00
Taglio nei bulloni: Fv,Ed=17.79 Fv,Rd=7720.78
Rifollamento lato piastra: Fb,Ed,p=17.79 Fb,Rd,p=6326.43
Tirafondi:LT=0.45 (0.31) σ_{cR}=0.00 σ_{fR}=0.00
Compressione nel calcestruzzo: σ_c=77.41
CC 37 SLU (Collegamento -041_-375)
Azioni sul collegamento: N=-29860.20 Ty=10.64 Tz=77.84 Mx=-0.00 Mz=8.54
Sollecitazioni agenti localmente: Tx_l=10.64 Ty_l=77.84 N_l=-29860.20 Mx_l=-0.00 My_l=8.54 Mz_l=-0.00
Taglio nei bulloni: Fv,Ed=13.10 Fv,Rd=7720.78
Rifollamento lato piastra: Fb,Ed,p=13.10 Fb,Rd,p=6144.10
Tirafondi:LT=0.45 (0.31) σ_{cR}=0.00 σ_{fR}=0.00
Compressione nel calcestruzzo: σ_c=62.18
CC 38 SLU (Collegamento -041_-375)
Azioni sul collegamento: N=-30676.20 Ty=9.89 Tz=80.85 Mx=-0.00 Mz=7.98
Sollecitazioni agenti localmente: Tx_l=9.89 Ty_l=80.85 N_l=-30676.20 Mx_l=-0.00 My_l=7.98 Mz_l=-0.00
Taglio nei bulloni: Fv,Ed=13.58 Fv,Rd=7720.78
Rifollamento lato piastra: Fb,Ed,p=13.58 Fb,Rd,p=6111.02
Tirafondi:LT=0.45 (0.31) σ_{cR}=0.00 σ_{fR}=0.00
Compressione nel calcestruzzo: σ_c=63.83
CC 39 SLU (Collegamento -041_-375)
Azioni sul collegamento: N=-30267.30 Ty=10.35 Tz=79.40 Mx=-0.01 Mz=8.45
Sollecitazioni agenti localmente: Tx_l=10.35 Ty_l=79.40 N_l=-30267.30 Mx_l=-0.00 My_l=8.45 Mz_l=-0.01
Taglio nei bulloni: Fv,Ed=13.35 Fv,Rd=7720.78
Rifollamento lato piastra: Fb,Ed,p=13.35 Fb,Rd,p=6128.96
Tirafondi:LT=0.45 (0.31) σ_{cR}=0.00 σ_{fR}=0.00
Compressione nel calcestruzzo: σ_c=63.01
CC 40 SLU (Collegamento -041_-375)
Azioni sul collegamento: N=-30269.10 Ty=10.18 Tz=79.28 Mx=-0.00 Mz=8.08
Sollecitazioni agenti localmente: Tx_l=10.18 Ty_l=79.28 N_l=-30269.10 Mx_l=-0.00 My_l=8.08 Mz_l=-0.00
Taglio nei bulloni: Fv,Ed=13.33 Fv,Rd=7720.78
Rifollamento lato piastra: Fb,Ed,p=13.33 Fb,Rd,p=6124.62
Tirafondi:LT=0.45 (0.31) σ_{cR}=0.00 σ_{fR}=0.00
Compressione nel calcestruzzo: σ_c=62.99
CC 41 SLU (Collegamento -041_-375)
Azioni sul collegamento: N=-27459.80 Ty=-19.36 Tz=69.55 Mx=-0.00 Mz=-14.09
Sollecitazioni agenti localmente: Tx_l=-19.36 Ty_l=69.55 N_l=-27459.80 Mx_l=-0.00 My_l=-14.09 Mz_l=-0.00
Taglio nei bulloni: Fv,Ed=12.04 Fv,Rd=7720.78
Rifollamento lato piastra: Fb,Ed,p=12.04 Fb,Rd,p=6671.78
Tirafondi:LT=0.45 (0.31) σ_{cR}=0.00 σ_{fR}=0.00
Compressione nel calcestruzzo: σ_c=57.53
CC 42 SLU (Collegamento -041_-375)
Azioni sul collegamento: N=-28275.70 Ty=-20.11 Tz=72.57 Mx=-0.00 Mz=-14.65
Sollecitazioni agenti localmente: Tx_l=-20.11 Ty_l=72.57 N_l=-28275.70 Mx_l=-0.00 My_l=-14.65 Mz_l=-0.00
Taglio nei bulloni: Fv,Ed=12.56 Fv,Rd=7720.78
Rifollamento lato piastra: Fb,Ed,p=12.56 Fb,Rd,p=6665.95
Tirafondi:LT=0.45 (0.31) σ_{cR}=0.00 σ_{fR}=0.00
Compressione nel calcestruzzo: σ_c=59.25
CC 43 SLU (Collegamento -041_-375)
Azioni sul collegamento: N=-27866.90 Ty=-19.65 Tz=71.12 Mx=-0.01 Mz=-14.19
Sollecitazioni agenti localmente: Tx_l=-19.65 Ty_l=71.12 N_l=-27866.90 Mx_l=-0.00 My_l=-14.19 Mz_l=-0.01
Taglio nei bulloni: Fv,Ed=12.30 Fv,Rd=7720.78
Rifollamento lato piastra: Fb,Ed,p=12.30 Fb,Rd,p=6661.73
Tirafondi:LT=0.45 (0.31) σ_{cR}=0.00 σ_{fR}=0.00
Compressione nel calcestruzzo: σ_c=58.38
CC 44 SLU (Collegamento -041_-375)
Azioni sul collegamento: N=-27868.60 Ty=-19.82 Tz=71.00 Mx=-0.00 Mz=-14.55
Sollecitazioni agenti localmente: Tx_l=-19.82 Ty_l=71.00 N_l=-27868.60 Mx_l=-0.00 My_l=-14.55 Mz_l=-0.00
Taglio nei bulloni: Fv,Ed=12.29 Fv,Rd=7720.78
Rifollamento lato piastra: Fb,Ed,p=12.29 Fb,Rd,p=6675.89
Tirafondi:LT=0.45 (0.31) σ_{cR}=0.00 σ_{fR}=0.00
Compressione nel calcestruzzo: σ_c=58.40
CC 45 SLU (Collegamento -041_-375)
Azioni sul collegamento: N=-29479.00 Ty=-19.57 Tz=76.97 Mx=-0.00 Mz=-14.38
Sollecitazioni agenti localmente: Tx_l=-19.57 Ty_l=76.97 N_l=-29479.00 Mx_l=-0.00 My_l=-14.38 Mz_l=-0.00
Taglio nei bulloni: Fv,Ed=13.24 Fv,Rd=7720.78
Rifollamento lato piastra: Fb,Ed,p=13.24 Fb,Rd,p=6556.74
Tirafondi:LT=0.45 (0.31) σ_{cR}=0.00 σ_{fR}=0.00
Compressione nel calcestruzzo: σ_c=61.72
CC 46 SLU (Collegamento -041_-375)
Azioni sul collegamento: N=-30295.00 Ty=-20.33 Tz=79.99 Mx=-0.00 Mz=-14.94
Sollecitazioni agenti localmente: Tx_l=-20.33 Ty_l=79.99 N_l=-30295.00 Mx_l=-0.00 My_l=-14.94 Mz_l=-0.00
Taglio nei bulloni: Fv,Ed=13.76 Fv,Rd=7720.78
Rifollamento lato piastra: Fb,Ed,p=13.76 Fb,Rd,p=6556.04

Tirafondi:LT=0.45 (0.31) σ_{cR}=0.00 σ_{fR}=0.00
Compressione nel calcestruzzo: σ_c=63.43
CC 47 SLU (Collegamento -041_-375)
Azioni sul collegamento: N=-29886.10 Ty=-19.86 Tz=78.54 Mx=-0.00 Mz=-14.48
Sollecitazioni agenti localmente: Tx_l=-19.86 Ty_l=78.54 N_l=-29886.10 Mx_l=-0.00 My_l=-14.48 Mz_l=-0.00
Taglio nei bulloni: Fv,Ed=13.51 Fv,Rd=7720.78
Rifollamento lato piastra: Fb,Ed,p=13.51 Fb,Rd,p=6550.64
Tirafondi:LT=0.45 (0.31) σ_{cR}=0.00 σ_{fR}=0.00
Compressione nel calcestruzzo: σ_c=62.56
CC 48 SLU (Collegamento -041_-375)
Azioni sul collegamento: N=-29887.90 Ty=-20.04 Tz=78.42 Mx=-0.00 Mz=-14.84
Sollecitazioni agenti localmente: Tx_l=-20.04 Ty_l=78.42 N_l=-29887.90 Mx_l=-0.00 My_l=-14.84 Mz_l=-0.00
Taglio nei bulloni: Fv,Ed=13.49 Fv,Rd=7720.78
Rifollamento lato piastra: Fb,Ed,p=13.49 Fb,Rd,p=6562.20
Tirafondi:LT=0.45 (0.31) σ_{cR}=0.00 σ_{fR}=0.00
Compressione nel calcestruzzo: σ_c=62.59
CC 49 SLU (Collegamento -041_-375)
Azioni sul collegamento: N=-24404.80 Ty=3.50 Tz=57.94 Mx=-0.00 Mz=3.11
Sollecitazioni agenti localmente: Tx_l=3.50 Ty_l=57.94 N_l=-24404.80 Mx_l=-0.00 My_l=3.11 Mz_l=-0.00
Taglio nei bulloni: Fv,Ed=9.68 Fv,Rd=7720.78
Rifollamento lato piastra: Fb,Ed,p=9.68 Fb,Rd,p=6011.06
Tirafondi:LT=0.45 (0.31) σ_{cR}=0.00 σ_{fR}=0.00
Compressione nel calcestruzzo: σ_c=50.60
CC 50 SLU (Collegamento -041_-375)
Azioni sul collegamento: N=-25220.80 Ty=2.75 Tz=60.96 Mx=-0.00 Mz=2.55
Sollecitazioni agenti localmente: Tx_l=2.75 Ty_l=60.96 N_l=-25220.80 Mx_l=-0.00 My_l=2.55 Mz_l=-0.00
Taglio nei bulloni: Fv,Ed=10.17 Fv,Rd=7720.78
Rifollamento lato piastra: Fb,Ed,p=10.17 Fb,Rd,p=5996.83
Tirafondi:LT=0.45 (0.31) σ_{cR}=0.00 σ_{fR}=0.00
Compressione nel calcestruzzo: σ_c=52.25
CC 51 SLU (Collegamento -041_-375)
Azioni sul collegamento: N=-24811.90 Ty=3.21 Tz=59.51 Mx=-0.00 Mz=3.02
Sollecitazioni agenti localmente: Tx_l=3.21 Ty_l=59.51 N_l=-24811.90 Mx_l=-0.00 My_l=3.02 Mz_l=-0.00
Taglio nei bulloni: Fv,Ed=9.94 Fv,Rd=7720.78
Rifollamento lato piastra: Fb,Ed,p=9.94 Fb,Rd,p=6004.50
Tirafondi:LT=0.45 (0.31) σ_{cR}=0.00 σ_{fR}=0.00
Compressione nel calcestruzzo: σ_c=51.43
CC 52 SLU (Collegamento -041_-375)
Azioni sul collegamento: N=-24813.70 Ty=3.04 Tz=59.39 Mx=-0.00 Mz=2.65
Sollecitazioni agenti localmente: Tx_l=3.04 Ty_l=59.39 N_l=-24813.70 Mx_l=-0.00 My_l=2.65 Mz_l=-0.00
Taglio nei bulloni: Fv,Ed=9.92 Fv,Rd=7720.78
Rifollamento lato piastra: Fb,Ed,p=9.92 Fb,Rd,p=6002.01
Tirafondi:LT=0.45 (0.31) σ_{cR}=0.00 σ_{fR}=0.00
Compressione nel calcestruzzo: σ_c=51.42
CC 53 SLU (Collegamento -041_-375)
Azioni sul collegamento: N=-22608.90 Ty=-18.94 Tz=51.75 Mx=-0.00 Mz=-13.82
Sollecitazioni agenti localmente: Tx_l=-18.94 Ty_l=51.75 N_l=-22608.90 Mx_l=-0.00 My_l=-13.82 Mz_l=-0.00
Taglio nei bulloni: Fv,Ed=9.19 Fv,Rd=7720.78
Rifollamento lato piastra: Fb,Ed,p=9.19 Fb,Rd,p=7181.50
Tirafondi:LT=0.45 (0.31) σ_{cR}=0.00 σ_{fR}=0.00
Compressione nel calcestruzzo: σ_c=47.49
CC 54 SLU (Collegamento -041_-375)
Azioni sul collegamento: N=-23424.90 Ty=-19.70 Tz=54.76 Mx=-0.00 Mz=-14.38
Sollecitazioni agenti localmente: Tx_l=-19.70 Ty_l=54.76 N_l=-23424.90 Mx_l=-0.00 My_l=-14.38 Mz_l=-0.00
Taglio nei bulloni: Fv,Ed=9.71 Fv,Rd=7720.78
Rifollamento lato piastra: Fb,Ed,p=9.71 Fb,Rd,p=7139.65
Tirafondi:LT=0.45 (0.31) σ_{cR}=0.00 σ_{fR}=0.00
Compressione nel calcestruzzo: σ_c=49.21
CC 55 SLU (Collegamento -041_-375)
Azioni sul collegamento: N=-23016.00 Ty=-19.23 Tz=53.31 Mx=-0.00 Mz=-13.92
Sollecitazioni agenti localmente: Tx_l=-19.23 Ty_l=53.31 N_l=-23016.00 Mx_l=-0.00 My_l=-13.92 Mz_l=-0.00
Taglio nei bulloni: Fv,Ed=9.45 Fv,Rd=7720.78
Rifollamento lato piastra: Fb,Ed,p=9.45 Fb,Rd,p=7146.82
Tirafondi:LT=0.45 (0.31) σ_{cR}=0.00 σ_{fR}=0.00
Compressione nel calcestruzzo: σ_c=48.34
CC 56 SLU (Collegamento -041_-375)
Azioni sul collegamento: N=-23017.80 Ty=-19.41 Tz=53.20 Mx=-0.00 Mz=-14.28
Sollecitazioni agenti localmente: Tx_l=-19.41 Ty_l=53.20 N_l=-23017.80 Mx_l=-0.00 My_l=-14.28 Mz_l=-0.00
Taglio nei bulloni: Fv,Ed=9.44 Fv,Rd=7720.78
Rifollamento lato piastra: Fb,Ed,p=9.44 Fb,Rd,p=7173.04
Tirafondi:LT=0.45 (0.31) σ_{cR}=0.00 σ_{fR}=0.00
Compressione nel calcestruzzo: σ_c=48.36
CC 57 SLU (Collegamento -041_-375)
Azioni sul collegamento: N=-30221.30 Ty=-20.56 Tz=79.74 Mx=-0.00 Mz=-15.10
Sollecitazioni agenti localmente: Tx_l=-20.56 Ty_l=79.74 N_l=-30221.30 Mx_l=-0.00 My_l=-15.10 Mz_l=-0.00
Taglio nei bulloni: Fv,Ed=13.73 Fv,Rd=7720.78
Rifollamento lato piastra: Fb,Ed,p=13.73 Fb,Rd,p=6572.82
Tirafondi:LT=0.45 (0.31) σ_{cR}=0.00 σ_{fR}=0.00

Compressione nel calcestruzzo: σ_c=63.29
CC 58 SLU (Collegamento -041_-375)
Azioni sul collegamento: N=-31037.20 Ty=-21.31 Tz=82.75 Mx=-0.00 Mz=-15.66
Sollecitazioni agenti localmente: Tx_l=-21.31 Ty_l=82.75 N_l=-31037.20 Mx_l=-0.00 My_l=-15.66 Mz_l=-0.00
Taglio nei bulloni: Fv,Ed=14.25 Fv,Rd=7720.78
Rifollamento lato piastra: Fb,Ed,p=14.25 Fb,Rd,p=6571.56
Tirafondi:LT=0.45 (0.31) σ_{cR}=0.00 σ_{fR}=0.00
Compressione nel calcestruzzo: σ_c=65.01
CC 59 SLU (Collegamento -041_-375)
Azioni sul collegamento: N=-30628.40 Ty=-20.85 Tz=81.31 Mx=-0.00 Mz=-15.20
Sollecitazioni agenti localmente: Tx_l=-20.85 Ty_l=81.31 N_l=-30628.40 Mx_l=-0.00 My_l=-15.20 Mz_l=-0.00
Taglio nei bulloni: Fv,Ed=14.00 Fv,Rd=7720.78
Rifollamento lato piastra: Fb,Ed,p=14.00 Fb,Rd,p=6566.51
Tirafondi:LT=0.45 (0.31) σ_{cR}=0.00 σ_{fR}=0.00
Compressione nel calcestruzzo: σ_c=64.14
CC 60 SLU (Collegamento -041_-375)
Azioni sul collegamento: N=-30630.10 Ty=-21.02 Tz=81.19 Mx=-0.00 Mz=-15.57
Sollecitazioni agenti localmente: Tx_l=-21.02 Ty_l=81.19 N_l=-30630.10 Mx_l=-0.00 My_l=-15.57 Mz_l=-0.00
Taglio nei bulloni: Fv,Ed=13.98 Fv,Rd=7720.78
Rifollamento lato piastra: Fb,Ed,p=13.98 Fb,Rd,p=6577.88
Tirafondi:LT=0.45 (0.31) σ_{cR}=0.00 σ_{fR}=0.00
Compressione nel calcestruzzo: σ_c=64.16
CC 61 SLU (Collegamento -041_-375)
Azioni sul collegamento: N=-25147.00 Ty=2.52 Tz=60.71 Mx=-0.00 Mz=2.39
Sollecitazioni agenti localmente: Tx_l=2.52 Ty_l=60.71 N_l=-25147.00 Mx_l=-0.00 My_l=2.39 Mz_l=-0.00
Taglio nei bulloni: Fv,Ed=10.13 Fv,Rd=7720.78
Rifollamento lato piastra: Fb,Ed,p=10.13 Fb,Rd,p=5994.10
Tirafondi:LT=0.45 (0.31) σ_{cR}=0.00 σ_{fR}=0.00
Compressione nel calcestruzzo: σ_c=52.09
CC 62 SLU (Collegamento -041_-375)
Azioni sul collegamento: N=-25963.00 Ty=1.76 Tz=63.73 Mx=-0.00 Mz=1.83
Sollecitazioni agenti localmente: Tx_l=1.76 Ty_l=63.73 N_l=-25963.00 Mx_l=-0.00 My_l=1.83 Mz_l=-0.00
Taglio nei bulloni: Fv,Ed=10.63 Fv,Rd=7720.78
Rifollamento lato piastra: Fb,Ed,p=10.63 Fb,Rd,p=5985.75
Tirafondi:LT=0.45 (0.31) σ_{cR}=0.00 σ_{fR}=0.00
Compressione nel calcestruzzo: σ_c=53.75
CC 63 SLU (Collegamento -041_-375)
Azioni sul collegamento: N=-25554.10 Ty=2.23 Tz=62.28 Mx=-0.00 Mz=2.29
Sollecitazioni agenti localmente: Tx_l=2.23 Ty_l=62.28 N_l=-25554.10 Mx_l=-0.00 My_l=2.29 Mz_l=-0.00
Taglio nei bulloni: Fv,Ed=10.39 Fv,Rd=7720.78
Rifollamento lato piastra: Fb,Ed,p=10.39 Fb,Rd,p=5990.20
Tirafondi:LT=0.45 (0.31) σ_{cR}=0.00 σ_{fR}=0.00
Compressione nel calcestruzzo: σ_c=52.93
CC 64 SLU (Collegamento -041_-375)
Azioni sul collegamento: N=-25555.90 Ty=2.05 Tz=62.16 Mx=-0.00 Mz=1.93
Sollecitazioni agenti localmente: Tx_l=2.05 Ty_l=62.16 N_l=-25555.90 Mx_l=-0.00 My_l=1.93 Mz_l=-0.00
Taglio nei bulloni: Fv,Ed=10.37 Fv,Rd=7720.78
Rifollamento lato piastra: Fb,Ed,p=10.37 Fb,Rd,p=5988.63
Tirafondi:LT=0.45 (0.31) σ_{cR}=0.00 σ_{fR}=0.00
Compressione nel calcestruzzo: σ_c=52.91
CC 65 SLU (Collegamento -041_-375)
Azioni sul collegamento: N=-23351.20 Ty=-19.92 Tz=54.52 Mx=-0.00 Mz=-14.54
Sollecitazioni agenti localmente: Tx_l=-19.92 Ty_l=54.52 N_l=-23351.20 Mx_l=-0.00 My_l=-14.54 Mz_l=-0.00
Taglio nei bulloni: Fv,Ed=9.68 Fv,Rd=7720.78
Rifollamento lato piastra: Fb,Ed,p=9.68 Fb,Rd,p=7177.80
Tirafondi:LT=0.45 (0.31) σ_{cR}=0.00 σ_{fR}=0.00
Compressione nel calcestruzzo: σ_c=49.07
CC 66 SLU (Collegamento -041_-375)
Azioni sul collegamento: N=-24167.10 Ty=-20.68 Tz=57.53 Mx=-0.00 Mz=-15.10
Sollecitazioni agenti localmente: Tx_l=-20.68 Ty_l=57.53 N_l=-24167.10 Mx_l=-0.00 My_l=-15.10 Mz_l=-0.00
Taglio nei bulloni: Fv,Ed=10.19 Fv,Rd=7720.78
Rifollamento lato piastra: Fb,Ed,p=10.19 Fb,Rd,p=7138.20
Tirafondi:LT=0.45 (0.31) σ_{cR}=0.00 σ_{fR}=0.00
Compressione nel calcestruzzo: σ_c=50.78
CC 67 SLU (Collegamento -041_-375)
Azioni sul collegamento: N=-23758.30 Ty=-20.21 Tz=56.08 Mx=-0.00 Mz=-14.64
Sollecitazioni agenti localmente: Tx_l=-20.21 Ty_l=56.08 N_l=-23758.30 Mx_l=-0.00 My_l=-14.64 Mz_l=-0.00
Taglio nei bulloni: Fv,Ed=9.94 Fv,Rd=7720.78
Rifollamento lato piastra: Fb,Ed,p=9.94 Fb,Rd,p=7145.00
Tirafondi:LT=0.45 (0.31) σ_{cR}=0.00 σ_{fR}=0.00
Compressione nel calcestruzzo: σ_c=49.91
CC 68 SLU (Collegamento -041_-375)
Azioni sul collegamento: N=-23760.00 Ty=-20.39 Tz=55.97 Mx=-0.00 Mz=-15.01
Sollecitazioni agenti localmente: Tx_l=-20.39 Ty_l=55.97 N_l=-23760.00 Mx_l=-0.00 My_l=-15.01 Mz_l=-0.00
Taglio nei bulloni: Fv,Ed=9.93 Fv,Rd=7720.78
Rifollamento lato piastra: Fb,Ed,p=9.93 Fb,Rd,p=7169.95
Tirafondi:LT=0.45 (0.31) σ_{cR}=0.00 σ_{fR}=0.00
Compressione nel calcestruzzo: σ_c=49.94

CC 97 SLU (Collegamento -041_-375)
Azioni sul collegamento: N=-31084.20 Ty=-25.01 Tz=90.82 Mx=0.05 Mz=-11.42
Sollecitazioni agenti localmente: Tx_l=-25.01 Ty_l=90.82 N_l=-31084.20 Mx_l=-0.00 My_l=-11.42 Mz_l=0.05
Taglio nei bulloni: Fv,Ed=15.76 Fv,Rd=7720.78
Rifollamento lato piastra: Fb,Ed,p=15.74 Fb,Rd,p=6634.08
Tirafondi:LT=0.45 (0.31) σ_{cR}=0.00 σ_{fR}=0.00
Compressione nel calcestruzzo: σ_c=64.87
CC 98 SLU (Collegamento -041_-375)
Azioni sul collegamento: N=-31900.20 Ty=-25.76 Tz=93.83 Mx=0.05 Mz=-11.97
Sollecitazioni agenti localmente: Tx_l=-25.76 Ty_l=93.83 N_l=-31900.20 Mx_l=-0.00 My_l=-11.97 Mz_l=0.05
Taglio nei bulloni: Fv,Ed=16.28 Fv,Rd=7720.78
Rifollamento lato piastra: Fb,Ed,p=16.25 Fb,Rd,p=6630.90
Tirafondi:LT=0.45 (0.31) σ_{cR}=0.00 σ_{fR}=0.00
Compressione nel calcestruzzo: σ_c=66.58
CC 99 SLU (Collegamento -041_-375)
Azioni sul collegamento: N=-31491.30 Ty=-25.30 Tz=92.39 Mx=0.05 Mz=-11.51
Sollecitazioni agenti localmente: Tx_l=-25.30 Ty_l=92.39 N_l=-31491.30 Mx_l=-0.00 My_l=-11.51 Mz_l=0.05
Taglio nei bulloni: Fv,Ed=16.03 Fv,Rd=7720.78
Rifollamento lato piastra: Fb,Ed,p=16.00 Fb,Rd,p=6627.34
Tirafondi:LT=0.45 (0.31) σ_{cR}=0.00 σ_{fR}=0.00
Compressione nel calcestruzzo: σ_c=65.71
CC 100 SLU (Collegamento -041_-375)
Azioni sul collegamento: N=-31493.10 Ty=-25.48 Tz=92.27 Mx=0.05 Mz=-11.88
Sollecitazioni agenti localmente: Tx_l=-25.48 Ty_l=92.27 N_l=-31493.10 Mx_l=-0.00 My_l=-11.88 Mz_l=0.05
Taglio nei bulloni: Fv,Ed=16.02 Fv,Rd=7720.78
Rifollamento lato piastra: Fb,Ed,p=15.99 Fb,Rd,p=6637.57
Tirafondi:LT=0.45 (0.31) σ_{cR}=0.00 σ_{fR}=0.00
Compressione nel calcestruzzo: σ_c=65.74
CC 101 SLU (Collegamento -041_-375)
Azioni sul collegamento: N=-8294.89 Ty=-5.21 Tz=7.37 Mx=-0.01 Mz=-4.43
Sollecitazioni agenti localmente: Tx_l=-5.21 Ty_l=7.37 N_l=-8294.89 Mx_l=-0.00 My_l=-4.43 Mz_l=-0.01
Taglio nei bulloni: Fv,Ed=1.52 Fv,Rd=7720.78
Rifollamento lato piastra: Fb,Ed,p=1.52 Fb,Rd,p=10418.20
Tirafondi:LT=0.45 (0.31) σ_{cR}=0.00 σ_{fR}=0.00
Compressione nel calcestruzzo: σ_c=17.39
CC 102 SLU (Collegamento -041_-375)
Azioni sul collegamento: N=-9110.88 Ty=-5.97 Tz=10.39 Mx=-0.01 Mz=-4.99
Sollecitazioni agenti localmente: Tx_l=-5.97 Ty_l=10.39 N_l=-9110.88 Mx_l=-0.00 My_l=-4.99 Mz_l=-0.01
Taglio nei bulloni: Fv,Ed=2.01 Fv,Rd=7720.78
Rifollamento lato piastra: Fb,Ed,p=2.01 Fb,Rd,p=8996.51
Tirafondi:LT=0.45 (0.31) σ_{cR}=0.00 σ_{fR}=0.00
Compressione nel calcestruzzo: σ_c=19.11
CC 103 SLU (Collegamento -041_-375)
Azioni sul collegamento: N=-8702.00 Ty=-5.50 Tz=8.94 Mx=-0.01 Mz=-4.53
Sollecitazioni agenti localmente: Tx_l=-5.50 Ty_l=8.94 N_l=-8702.00 Mx_l=-0.00 My_l=-4.53 Mz_l=-0.01
Taglio nei bulloni: Fv,Ed=1.76 Fv,Rd=7720.78
Rifollamento lato piastra: Fb,Ed,p=1.76 Fb,Rd,p=9453.60
Tirafondi:LT=0.45 (0.31) σ_{cR}=0.00 σ_{fR}=0.00
Compressione nel calcestruzzo: σ_c=18.23
CC 104 SLU (Collegamento -041_-375)
Azioni sul collegamento: N=-8703.78 Ty=-5.68 Tz=8.82 Mx=-0.01 Mz=-4.89
Sollecitazioni agenti localmente: Tx_l=-5.68 Ty_l=8.82 N_l=-8703.78 Mx_l=-0.00 My_l=-4.89 Mz_l=-0.01
Taglio nei bulloni: Fv,Ed=1.76 Fv,Rd=7720.78
Rifollamento lato piastra: Fb,Ed,p=1.76 Fb,Rd,p=9779.84
Tirafondi:LT=0.45 (0.31) σ_{cR}=0.00 σ_{fR}=0.00
Compressione nel calcestruzzo: σ_c=18.26

Saldatura profilo-piastra

CC 1 SLV (Collegamento -041_-375)
Azioni sul collegamento: N=-5965.50 Ty=-4.83 Tz=-1.56 Mx=0.01 Mz=-1.02
Sollecitazioni agenti localmente: Tx_l=-4.83 Ty_l=-1.56 N_l=-5965.50 My_l=1.02 Mz_l=0.01
Azioni sul cordone: TP=-0.37 TO=-0.13 NO=-440.97
Tensioni nel cordone: τ_P=0.12 τ_0= 0.04 σ_0=141.65 σ_{ID}=141.65 Σ_T=141.69
CC 1 SLV (Collegamento -041_-375)
Azioni sul collegamento: N=-5965.50 Ty=-12.58 Tz=-1.56 Mx=0.01 Mz=-7.43
Sollecitazioni agenti localmente: Tx_l=-12.58 Ty_l=-1.56 N_l=-5965.50 My_l=7.43 Mz_l=0.01
Azioni sul cordone: TP=-0.94 TO=-0.13 NO=-440.97
Tensioni nel cordone: τ_P=0.30 τ_0= 0.04 σ_0=151.01 σ_{ID}=151.01 Σ_T=151.05
CC 1 SLV (Collegamento -041_-375)
Azioni sul collegamento: N=-5965.50 Ty=-4.83 Tz=27.71 Mx=0.01 Mz=-1.02
Sollecitazioni agenti localmente: Tx_l=-4.83 Ty_l=27.71 N_l=-5965.50 My_l=1.02 Mz_l=0.01
Azioni sul cordone: TP=-0.37 TO=2.04 NO=-440.97
Tensioni nel cordone: τ_P=0.12 τ_0=0.65 σ_0=141.65 σ_{ID}=141.65 Σ_T=142.30
CC 1 SLV (Collegamento -041_-375)
Azioni sul collegamento: N=-5965.50 Ty=-12.58 Tz=27.71 Mx=0.01 Mz=-7.43
Sollecitazioni agenti localmente: Tx_l=-12.58 Ty_l=27.71 N_l=-5965.50 My_l=7.43 Mz_l=0.01
Azioni sul cordone: TP=-0.94 TO=2.04 NO=-440.97
Tensioni nel cordone: τ_P=0.30 τ_0=0.65 σ_0=151.01 σ_{ID}=151.01 Σ_T=151.66

CC 1 SLV (Collegamento -041_-375)
Azioni sul collegamento: N=-13808.10 Ty=-4.83 Tz=-1.56 Mx=0.01 Mz=-1.02
Sollecitazioni agenti localmente: Tx_l=-4.83 Ty_l=-1.56 N_l=-13808.10 My_l=1.02 Mz_l=0.01
Azioni sul cordone: TP=-0.37 TO=-0.13 NO=-1020.70
Tensioni nel cordone: τ_P=0.12 τ_0= 0.04 σ_0=325.92 σ_{ID}=325.92 Σ_T=325.96
CC 1 SLV (Collegamento -041_-375)
Azioni sul collegamento: N=-13808.10 Ty=-12.58 Tz=-1.56 Mx=0.01 Mz=-7.43
Sollecitazioni agenti localmente: Tx_l=-12.58 Ty_l=-1.56 N_l=-13808.10 My_l=7.43 Mz_l=0.01
Azioni sul cordone: TP=-0.94 TO=-0.13 NO=-1020.70
Tensioni nel cordone: τ_P=0.30 τ_0= 0.04 σ_0=335.28 σ_{ID}=335.28 Σ_T=335.32
CC 1 SLV (Collegamento -041_-375)
Azioni sul collegamento: N=-13808.10 Ty=-4.83 Tz=27.71 Mx=0.01 Mz=-1.02
Sollecitazioni agenti localmente: Tx_l=-4.83 Ty_l=27.71 N_l=-13808.10 My_l=1.02 Mz_l=0.01
Azioni sul cordone: TP=-0.37 TO=2.04 NO=-1020.70
Tensioni nel cordone: τ_P=0.12 τ_0=0.65 σ_0=325.92 σ_{ID}=325.92 Σ_T=326.57
CC 1 SLV (Collegamento -041_-375)
Azioni sul collegamento: N=-13808.10 Ty=-12.58 Tz=27.71 Mx=0.01 Mz=-7.43
Sollecitazioni agenti localmente: Tx_l=-12.58 Ty_l=27.71 N_l=-13808.10 My_l=7.43 Mz_l=0.01
Azioni sul cordone: TP=-0.94 TO=2.04 NO=-1020.70
Tensioni nel cordone: τ_P=0.30 τ_0=0.65 σ_0=335.28 σ_{ID}=335.28 Σ_T=335.93
CC 2 SLD (Collegamento -041_-375)
Azioni sul collegamento: N=-8788.68 Ty=-8.45 Tz=9.00 Mx=0.00 Mz=-5.38
Sollecitazioni agenti localmente: Tx_l=-8.45 Ty_l=9.00 N_l=-8788.68 My_l=5.38 Mz_l=0.00
Azioni sul cordone: TP=-0.63 TO=0.66 NO=-649.66
Tensioni nel cordone: τ_P=0.20 τ_0=0.21 σ_0=214.36 σ_{ID}=214.36 Σ_T=214.57
CC 2 SLD (Collegamento -041_-375)
Azioni sul collegamento: N=-8788.68 Ty=-10.81 Tz=9.00 Mx=0.00 Mz=-7.34
Sollecitazioni agenti localmente: Tx_l=-10.81 Ty_l=9.00 N_l=-8788.68 My_l=7.34 Mz_l=0.00
Azioni sul cordone: TP=-0.80 TO=0.66 NO=-649.66
Tensioni nel cordone: τ_P=0.25 τ_0=0.21 σ_0=217.21 σ_{ID}=217.21 Σ_T=217.42
CC 2 SLD (Collegamento -041_-375)
Azioni sul collegamento: N=-8788.68 Ty=-8.45 Tz=17.92 Mx=0.00 Mz=-5.38
Sollecitazioni agenti localmente: Tx_l=-8.45 Ty_l=17.92 N_l=-8788.68 My_l=5.38 Mz_l=0.00
Azioni sul cordone: TP=-0.63 TO=1.32 NO=-649.66
Tensioni nel cordone: τ_P=0.20 τ_0=0.42 σ_0=214.36 σ_{ID}=214.36 Σ_T=214.78
CC 2 SLD (Collegamento -041_-375)
Azioni sul collegamento: N=-8788.68 Ty=-10.81 Tz=17.92 Mx=0.00 Mz=-7.34
Sollecitazioni agenti localmente: Tx_l=-10.81 Ty_l=17.92 N_l=-8788.68 My_l=7.34 Mz_l=0.00
Azioni sul cordone: TP=-0.80 TO=1.32 NO=-649.66
Tensioni nel cordone: τ_P=0.25 τ_0=0.42 σ_0=217.21 σ_{ID}=217.21 Σ_T=217.63
CC 2 SLD (Collegamento -041_-375)
Azioni sul collegamento: N=-11180.10 Ty=-8.45 Tz=8.99 Mx=0.00 Mz=-5.38
Sollecitazioni agenti localmente: Tx_l=-8.45 Ty_l=8.99 N_l=-11180.10 My_l=5.38 Mz_l=0.00
Azioni sul cordone: TP=-0.63 TO=0.66 NO=-826.44
Tensioni nel cordone: τ_P=0.20 τ_0=0.21 σ_0=270.55 σ_{ID}=270.55 Σ_T=270.76
CC 2 SLD (Collegamento -041_-375)
Azioni sul collegamento: N=-11180.10 Ty=-10.81 Tz=8.99 Mx=0.00 Mz=-7.34
Sollecitazioni agenti localmente: Tx_l=-10.81 Ty_l=8.99 N_l=-11180.10 My_l=7.34 Mz_l=0.00
Azioni sul cordone: TP=-0.80 TO=0.66 NO=-826.44
Tensioni nel cordone: τ_P=0.25 τ_0=0.21 σ_0=273.40 σ_{ID}=273.40 Σ_T=273.61
CC 2 SLD (Collegamento -041_-375)
Azioni sul collegamento: N=-11180.10 Ty=-8.45 Tz=17.92 Mx=0.00 Mz=-5.38
Sollecitazioni agenti localmente: Tx_l=-8.45 Ty_l=17.92 N_l=-11180.10 My_l=5.38 Mz_l=0.00
Azioni sul cordone: TP=-0.63 TO=1.32 NO=-826.44
Tensioni nel cordone: τ_P=0.20 τ_0=0.42 σ_0=270.55 σ_{ID}=270.55 Σ_T=270.97
CC 2 SLD (Collegamento -041_-375)
Azioni sul collegamento: N=-11180.10 Ty=-10.81 Tz=17.92 Mx=0.00 Mz=-7.34
Sollecitazioni agenti localmente: Tx_l=-10.81 Ty_l=17.92 N_l=-11180.10 My_l=7.34 Mz_l=0.00
Azioni sul cordone: TP=-0.80 TO=1.32 NO=-826.44
Tensioni nel cordone: τ_P=0.25 τ_0=0.42 σ_0=273.40 σ_{ID}=273.40 Σ_T=273.82
CC 3 SLV (Collegamento -041_-375)
Azioni sul collegamento: N=-5970.40 Ty=-5.34 Tz=-1.24 Mx=0.01 Mz=-2.07
Sollecitazioni agenti localmente: Tx_l=-5.34 Ty_l=-1.24 N_l=-5970.40 My_l=2.07 Mz_l=0.01
Azioni sul cordone: TP=-0.40 TO=-0.10 NO=-441.33
Tensioni nel cordone: τ_P=0.13 τ_0= 0.03 σ_0=143.30 σ_{ID}=143.30 Σ_T=143.33
CC 3 SLV (Collegamento -041_-375)
Azioni sul collegamento: N=-5970.40 Ty=-12.07 Tz=-1.24 Mx=0.01 Mz=-6.38
Sollecitazioni agenti localmente: Tx_l=-12.07 Ty_l=-1.24 N_l=-5970.40 My_l=6.38 Mz_l=0.01
Azioni sul cordone: TP=-0.90 TO=-0.10 NO=-441.33
Tensioni nel cordone: τ_P=0.29 τ_0= 0.03 σ_0=149.59 σ_{ID}=149.59 Σ_T=149.63
CC 3 SLV (Collegamento -041_-375)
Azioni sul collegamento: N=-5970.40 Ty=-5.34 Tz=27.38 Mx=0.01 Mz=-2.07
Sollecitazioni agenti localmente: Tx_l=-5.34 Ty_l=27.38 N_l=-5970.40 My_l=2.07 Mz_l=0.01
Azioni sul cordone: TP=-0.40 TO=2.02 NO=-441.33
Tensioni nel cordone: τ_P=0.13 τ_0=0.64 σ_0=143.30 σ_{ID}=143.30 Σ_T=143.94
CC 3 SLV (Collegamento -041_-375)
Azioni sul collegamento: N=-5970.40 Ty=-12.07 Tz=27.38 Mx=0.01 Mz=-6.38
Sollecitazioni agenti localmente: Tx_l=-12.07 Ty_l=27.38 N_l=-5970.40 My_l=6.38 Mz_l=0.01
Azioni sul cordone: TP=-0.90 TO=2.02 NO=-441.33

Tensioni nel cordone: τ_P=0.29 τ_0=0.64 σ_0=149.59 σ_{ID}=149.60 Σ_T=150.24
CC 3 SLV (Collegamento -041_-375)
Azioni sul collegamento: N=-13803.30 Ty=-5.34 Tz=-1.24 Mx=0.01 Mz=-2.07
Sollecitazioni agenti localmente: Tx_l=-5.34 Ty_l=-1.24 N_l=-13803.30 My_l=2.07 Mz_l=0.01
Azioni sul cordone: TP=-0.40 TO=-0.10 NO=-1020.34
Tensioni nel cordone: τ_P=0.13 τ_0= 0.03 σ_0=327.33 σ_{ID}=327.33 Σ_T=327.36
CC 3 SLV (Collegamento -041_-375)
Azioni sul collegamento: N=-13803.30 Ty=-12.07 Tz=-1.24 Mx=0.01 Mz=-6.38
Sollecitazioni agenti localmente: Tx_l=-12.07 Ty_l=-1.24 N_l=-13803.30 My_l=6.38 Mz_l=0.01
Azioni sul cordone: TP=-0.90 TO=-0.10 NO=-1020.34
Tensioni nel cordone: τ_P=0.29 τ_0= 0.03 σ_0=333.63 σ_{ID}=333.63 Σ_T=333.66
CC 3 SLV (Collegamento -041_-375)
Azioni sul collegamento: N=-13803.30 Ty=-5.34 Tz=27.38 Mx=0.01 Mz=-2.07
Sollecitazioni agenti localmente: Tx_l=-5.34 Ty_l=27.38 N_l=-13803.30 My_l=2.07 Mz_l=0.01
Azioni sul cordone: TP=-0.40 TO=2.02 NO=-1020.34
Tensioni nel cordone: τ_P=0.13 τ_0=0.64 σ_0=327.33 σ_{ID}=327.33 Σ_T=327.98
CC 3 SLV (Collegamento -041_-375)
Azioni sul collegamento: N=-13803.30 Ty=-12.07 Tz=27.38 Mx=0.01 Mz=-6.38
Sollecitazioni agenti localmente: Tx_l=-12.07 Ty_l=27.38 N_l=-13803.30 My_l=6.38 Mz_l=0.01
Azioni sul cordone: TP=-0.90 TO=2.02 NO=-1020.34
Tensioni nel cordone: τ_P=0.29 τ_0=0.64 σ_0=333.63 σ_{ID}=333.63 Σ_T=334.27
CC 4 SLD (Collegamento -041_-375)
Azioni sul collegamento: N=-8790.17 Ty=-8.61 Tz=9.10 Mx=0.00 Mz=-5.70
Sollecitazioni agenti localmente: Tx_l=-8.61 Ty_l=9.10 N_l=-8790.17 My_l=5.70 Mz_l=0.00
Azioni sul cordone: TP=-0.64 TO=0.67 NO=-649.77
Tensioni nel cordone: τ_P=0.20 τ_0=0.21 σ_0=214.86 σ_{ID}=214.86 Σ_T=215.07
CC 4 SLD (Collegamento -041_-375)
Azioni sul collegamento: N=-8790.17 Ty=-10.66 Tz=9.10 Mx=0.00 Mz=-7.02
Sollecitazioni agenti localmente: Tx_l=-10.66 Ty_l=9.10 N_l=-8790.17 My_l=7.02 Mz_l=0.00
Azioni sul cordone: TP=-0.79 TO=0.67 NO=-649.77
Tensioni nel cordone: τ_P=0.25 τ_0=0.21 σ_0=216.78 σ_{ID}=216.78 Σ_T=217.00
CC 4 SLD (Collegamento -041_-375)
Azioni sul collegamento: N=-8790.17 Ty=-8.61 Tz=17.82 Mx=0.00 Mz=-5.70
Sollecitazioni agenti localmente: Tx_l=-8.61 Ty_l=17.82 N_l=-8790.17 My_l=5.70 Mz_l=0.00
Azioni sul cordone: TP=-0.64 TO=1.32 NO=-649.77
Tensioni nel cordone: τ_P=0.20 τ_0=0.42 σ_0=214.86 σ_{ID}=214.86 Σ_T=215.28
CC 4 SLD (Collegamento -041_-375)
Azioni sul collegamento: N=-8790.17 Ty=-10.66 Tz=17.82 Mx=0.00 Mz=-7.02
Sollecitazioni agenti localmente: Tx_l=-10.66 Ty_l=17.82 N_l=-8790.17 My_l=7.02 Mz_l=0.00
Azioni sul cordone: TP=-0.79 TO=1.32 NO=-649.77
Tensioni nel cordone: τ_P=0.25 τ_0=0.42 σ_0=216.78 σ_{ID}=216.78 Σ_T=217.20
CC 4 SLD (Collegamento -041_-375)
Azioni sul collegamento: N=-11178.70 Ty=-8.61 Tz=9.09 Mx=0.00 Mz=-5.70
Sollecitazioni agenti localmente: Tx_l=-8.61 Ty_l=9.09 N_l=-11178.70 My_l=5.70 Mz_l=0.00
Azioni sul cordone: TP=-0.64 TO=0.67 NO=-826.33
Tensioni nel cordone: τ_P=0.20 τ_0=0.21 σ_0=270.98 σ_{ID}=270.98 Σ_T=271.19
CC 4 SLD (Collegamento -041_-375)
Azioni sul collegamento: N=-11178.70 Ty=-10.66 Tz=9.09 Mx=0.00 Mz=-7.02
Sollecitazioni agenti localmente: Tx_l=-10.66 Ty_l=9.09 N_l=-11178.70 My_l=7.02 Mz_l=0.00
Azioni sul cordone: TP=-0.79 TO=0.67 NO=-826.33
Tensioni nel cordone: τ_P=0.25 τ_0=0.21 σ_0=272.90 σ_{ID}=272.90 Σ_T=273.11
CC 4 SLD (Collegamento -041_-375)
Azioni sul collegamento: N=-11178.70 Ty=-8.61 Tz=17.82 Mx=0.00 Mz=-5.70
Sollecitazioni agenti localmente: Tx_l=-8.61 Ty_l=17.82 N_l=-11178.70 My_l=5.70 Mz_l=0.00
Azioni sul cordone: TP=-0.64 TO=1.32 NO=-826.33
Tensioni nel cordone: τ_P=0.20 τ_0=0.42 σ_0=270.98 σ_{ID}=270.98 Σ_T=271.40
CC 4 SLD (Collegamento -041_-375)
Azioni sul collegamento: N=-11178.70 Ty=-10.66 Tz=17.82 Mx=0.00 Mz=-7.02
Sollecitazioni agenti localmente: Tx_l=-10.66 Ty_l=17.82 N_l=-11178.70 My_l=7.02 Mz_l=0.00
Azioni sul cordone: TP=-0.79 TO=1.32 NO=-826.33
Tensioni nel cordone: τ_P=0.25 τ_0=0.42 σ_0=272.90 σ_{ID}=272.90 Σ_T=273.32
CC 5 SLV (Collegamento -041_-375)
Azioni sul collegamento: N=-13803.30 Ty=-12.07 Tz=27.38 Mx=0.01 Mz=-6.38
Sollecitazioni agenti localmente: Tx_l=-12.07 Ty_l=27.38 N_l=-13803.30 My_l=6.38 Mz_l=0.01
Azioni sul cordone: TP=-0.91 TO=2.01 NO=-1020.34
Tensioni nel cordone: τ_P=0.29 τ_0=0.64 σ_0=333.63 σ_{ID}=333.63 Σ_T=334.27
CC 5 SLV (Collegamento -041_-375)
Azioni sul collegamento: N=-13803.30 Ty=-5.34 Tz=27.38 Mx=0.01 Mz=-2.07
Sollecitazioni agenti localmente: Tx_l=-5.34 Ty_l=27.38 N_l=-13803.30 My_l=2.07 Mz_l=0.01
Azioni sul cordone: TP=-0.41 TO=2.01 NO=-1020.34
Tensioni nel cordone: τ_P=0.13 τ_0=0.64 σ_0=327.33 σ_{ID}=327.33 Σ_T=327.97
CC 5 SLV (Collegamento -041_-375)
Azioni sul collegamento: N=-13803.30 Ty=-12.07 Tz=-1.24 Mx=0.01 Mz=-6.38
Sollecitazioni agenti localmente: Tx_l=-12.07 Ty_l=-1.24 N_l=-13803.30 My_l=6.38 Mz_l=0.01
Azioni sul cordone: TP=-0.91 TO=-0.10 NO=-1020.34
Tensioni nel cordone: τ_P=0.29 τ_0= 0.03 σ_0=333.63 σ_{ID}=333.63 Σ_T=333.66
CC 5 SLV (Collegamento -041_-375)
Azioni sul collegamento: N=-13803.30 Ty=-5.34 Tz=-1.24 Mx=0.01 Mz=-2.07
Sollecitazioni agenti localmente: Tx_l=-5.34 Ty_l=-1.24 N_l=-13803.30 My_l=2.07 Mz_l=0.01

Azioni sul cordone: TP=-0.41 TO=-0.10 NO=-1020.34
Tensioni nel cordone: τ_P=0.13 τ_0= 0.03 σ_0=327.33 σ_{ID}=327.33 Σ_T=327.37
CC 5 SLV (Collegamento -041_-375)
Azioni sul collegamento: N=-5970.40 Ty=-12.07 Tz=27.38 Mx=0.01 Mz=-6.38
Sollecitazioni agenti localmente: Tx_l=-12.07 Ty_l=27.38 N_l=-5970.40 My_l=6.38 Mz_l=0.01
Azioni sul cordone: TP=-0.91 TO=2.01 NO=-441.33
Tensioni nel cordone: τ_P=0.29 τ_0=0.64 σ_0=149.59 σ_{ID}=149.60 Σ_T=150.24
CC 5 SLV (Collegamento -041_-375)
Azioni sul collegamento: N=-5970.40 Ty=-5.34 Tz=27.38 Mx=0.01 Mz=-2.07
Sollecitazioni agenti localmente: Tx_l=-5.34 Ty_l=27.38 N_l=-5970.40 My_l=2.07 Mz_l=0.01
Azioni sul cordone: TP=-0.41 TO=2.01 NO=-441.33
Tensioni nel cordone: τ_P=0.13 τ_0=0.64 σ_0=143.30 σ_{ID}=143.30 Σ_T=143.94
CC 5 SLV (Collegamento -041_-375)
Azioni sul collegamento: N=-5970.40 Ty=-12.07 Tz=-1.24 Mx=0.01 Mz=-6.38
Sollecitazioni agenti localmente: Tx_l=-12.07 Ty_l=-1.24 N_l=-5970.40 My_l=6.38 Mz_l=0.01
Azioni sul cordone: TP=-0.91 TO=-0.10 NO=-441.33
Tensioni nel cordone: τ_P=0.29 τ_0= 0.03 σ_0=149.59 σ_{ID}=149.59 Σ_T=149.63
CC 5 SLV (Collegamento -041_-375)
Azioni sul collegamento: N=-5970.40 Ty=-5.34 Tz=-1.24 Mx=0.01 Mz=-2.07
Sollecitazioni agenti localmente: Tx_l=-5.34 Ty_l=-1.24 N_l=-5970.40 My_l=2.07 Mz_l=0.01
Azioni sul cordone: TP=-0.41 TO=-0.10 NO=-441.33
Tensioni nel cordone: τ_P=0.13 τ_0= 0.03 σ_0=143.30 σ_{ID}=143.30 Σ_T=143.33
CC 6 SLD (Collegamento -041_-375)
Azioni sul collegamento: N=-11178.70 Ty=-10.66 Tz=17.82 Mx=0.00 Mz=-7.02
Sollecitazioni agenti localmente: Tx_l=-10.66 Ty_l=17.82 N_l=-11178.70 My_l=7.02 Mz_l=0.00
Azioni sul cordone: TP=-0.79 TO=1.32 NO=-826.33
Tensioni nel cordone: τ_P=0.25 τ_0=0.42 σ_0=272.90 σ_{ID}=272.90 Σ_T=273.32
CC 6 SLD (Collegamento -041_-375)
Azioni sul collegamento: N=-11178.70 Ty=-8.61 Tz=17.82 Mx=0.00 Mz=-5.70
Sollecitazioni agenti localmente: Tx_l=-8.61 Ty_l=17.82 N_l=-11178.70 My_l=5.70 Mz_l=0.00
Azioni sul cordone: TP=-0.64 TO=1.32 NO=-826.33
Tensioni nel cordone: τ_P=0.20 τ_0=0.42 σ_0=270.98 σ_{ID}=270.98 Σ_T=271.40
CC 6 SLD (Collegamento -041_-375)
Azioni sul collegamento: N=-11178.70 Ty=-10.66 Tz=9.09 Mx=0.00 Mz=-7.02
Sollecitazioni agenti localmente: Tx_l=-10.66 Ty_l=9.09 N_l=-11178.70 My_l=7.02 Mz_l=0.00
Azioni sul cordone: TP=-0.79 TO=0.67 NO=-826.33
Tensioni nel cordone: τ_P=0.25 τ_0=0.21 σ_0=272.90 σ_{ID}=272.90 Σ_T=273.11
CC 6 SLD (Collegamento -041_-375)
Azioni sul collegamento: N=-11178.70 Ty=-8.61 Tz=9.09 Mx=0.00 Mz=-5.70
Sollecitazioni agenti localmente: Tx_l=-8.61 Ty_l=9.09 N_l=-11178.70 My_l=5.70 Mz_l=0.00
Azioni sul cordone: TP=-0.64 TO=0.67 NO=-826.33
Tensioni nel cordone: τ_P=0.20 τ_0=0.21 σ_0=270.98 σ_{ID}=270.98 Σ_T=271.19
CC 6 SLD (Collegamento -041_-375)
Azioni sul collegamento: N=-8790.17 Ty=-10.66 Tz=17.82 Mx=0.00 Mz=-7.02
Sollecitazioni agenti localmente: Tx_l=-10.66 Ty_l=17.82 N_l=-8790.17 My_l=7.02 Mz_l=0.00
Azioni sul cordone: TP=-0.79 TO=1.32 NO=-649.77
Tensioni nel cordone: τ_P=0.25 τ_0=0.42 σ_0=216.78 σ_{ID}=216.78 Σ_T=217.20
CC 6 SLD (Collegamento -041_-375)
Azioni sul collegamento: N=-8790.17 Ty=-8.61 Tz=17.82 Mx=0.00 Mz=-5.70
Sollecitazioni agenti localmente: Tx_l=-8.61 Ty_l=17.82 N_l=-8790.17 My_l=5.70 Mz_l=0.00
Azioni sul cordone: TP=-0.64 TO=1.32 NO=-649.77
Tensioni nel cordone: τ_P=0.20 τ_0=0.42 σ_0=214.86 σ_{ID}=214.86 Σ_T=215.28
CC 6 SLD (Collegamento -041_-375)
Azioni sul collegamento: N=-8790.17 Ty=-10.66 Tz=9.10 Mx=0.00 Mz=-7.02
Sollecitazioni agenti localmente: Tx_l=-10.66 Ty_l=9.10 N_l=-8790.17 My_l=7.02 Mz_l=0.00
Azioni sul cordone: TP=-0.79 TO=0.67 NO=-649.77
Tensioni nel cordone: τ_P=0.25 τ_0=0.21 σ_0=216.78 σ_{ID}=216.78 Σ_T=217.00
CC 6 SLD (Collegamento -041_-375)
Azioni sul collegamento: N=-8790.17 Ty=-8.61 Tz=9.10 Mx=0.00 Mz=-5.70
Sollecitazioni agenti localmente: Tx_l=-8.61 Ty_l=9.10 N_l=-8790.17 My_l=5.70 Mz_l=0.00
Azioni sul cordone: TP=-0.64 TO=0.67 NO=-649.77
Tensioni nel cordone: τ_P=0.20 τ_0=0.21 σ_0=214.86 σ_{ID}=214.86 Σ_T=215.07
CC 7 SLV (Collegamento -041_-375)
Azioni sul collegamento: N=-13808.10 Ty=-12.58 Tz=27.71 Mx=0.01 Mz=-7.43
Sollecitazioni agenti localmente: Tx_l=-12.58 Ty_l=27.71 N_l=-13808.10 My_l=7.43 Mz_l=0.01
Azioni sul cordone: TP=-0.94 TO=2.04 NO=-1020.70
Tensioni nel cordone: τ_P=0.30 τ_0=0.65 σ_0=335.28 σ_{ID}=335.28 Σ_T=335.93
CC 7 SLV (Collegamento -041_-375)
Azioni sul collegamento: N=-13808.10 Ty=-4.83 Tz=27.71 Mx=0.01 Mz=-1.02
Sollecitazioni agenti localmente: Tx_l=-4.83 Ty_l=27.71 N_l=-13808.10 My_l=1.02 Mz_l=0.01
Azioni sul cordone: TP=-0.37 TO=2.04 NO=-1020.70
Tensioni nel cordone: τ_P=0.12 τ_0=0.65 σ_0=325.92 σ_{ID}=325.92 Σ_T=326.57
CC 7 SLV (Collegamento -041_-375)
Azioni sul collegamento: N=-13808.10 Ty=-12.58 Tz=-1.56 Mx=0.01 Mz=-7.43
Sollecitazioni agenti localmente: Tx_l=-12.58 Ty_l=-1.56 N_l=-13808.10 My_l=7.43 Mz_l=0.01
Azioni sul cordone: TP=-0.94 TO=-0.12 NO=-1020.70
Tensioni nel cordone: τ_P=0.30 τ_0= 0.04 σ_0=335.28 σ_{ID}=335.28 Σ_T=335.32
CC 7 SLV (Collegamento -041_-375)
Azioni sul collegamento: N=-13808.10 Ty=-4.83 Tz=-1.56 Mx=0.01 Mz=-1.02

Sollecitazioni agenti localmente: Tx_l=-4.83 Ty_l=-1.56 N_l=-13808.10 My_l=1.02 Mz_l=0.01
Azioni sul cordone: TP=-0.37 TO=-0.12 NO=-1020.70
Tensioni nel cordone: τ_P=0.12 τ_0= 0.04 σ_0=325.92 σ_{ID}=325.92 Σ_T=325.96
CC 7 SLV (Collegamento -041_-375)
Azioni sul collegamento: N=-5965.50 Ty=-12.58 Tz=27.71 Mx=0.01 Mz=-7.43
Sollecitazioni agenti localmente: Tx_l=-12.58 Ty_l=27.71 N_l=-5965.50 My_l=7.43 Mz_l=0.01
Azioni sul cordone: TP=-0.94 TO=2.04 NO=-440.97
Tensioni nel cordone: τ_P=0.30 τ_0=0.65 σ_0=151.01 σ_{ID}=151.01 Σ_T=151.66
CC 7 SLV (Collegamento -041_-375)
Azioni sul collegamento: N=-5965.50 Ty=-4.83 Tz=27.71 Mx=0.01 Mz=-1.02
Sollecitazioni agenti localmente: Tx_l=-4.83 Ty_l=27.71 N_l=-5965.50 My_l=1.02 Mz_l=0.01
Azioni sul cordone: TP=-0.37 TO=2.04 NO=-440.97
Tensioni nel cordone: τ_P=0.12 τ_0=0.65 σ_0=141.65 σ_{ID}=141.65 Σ_T=142.30
CC 7 SLV (Collegamento -041_-375)
Azioni sul collegamento: N=-5965.50 Ty=-12.58 Tz=-1.56 Mx=0.01 Mz=-7.43
Sollecitazioni agenti localmente: Tx_l=-12.58 Ty_l=-1.56 N_l=-5965.50 My_l=7.43 Mz_l=0.01
Azioni sul cordone: TP=-0.94 TO=-0.12 NO=-440.97
Tensioni nel cordone: τ_P=0.30 τ_0= 0.04 σ_0=151.01 σ_{ID}=151.01 Σ_T=151.05
CC 7 SLV (Collegamento -041_-375)
Azioni sul collegamento: N=-5965.50 Ty=-4.83 Tz=-1.56 Mx=0.01 Mz=-1.02
Sollecitazioni agenti localmente: Tx_l=-4.83 Ty_l=-1.56 N_l=-5965.50 My_l=1.02 Mz_l=0.01
Azioni sul cordone: TP=-0.37 TO=-0.12 NO=-440.97
Tensioni nel cordone: τ_P=0.12 τ_0= 0.04 σ_0=141.65 σ_{ID}=141.65 Σ_T=141.69
CC 8 SLD (Collegamento -041_-375)
Azioni sul collegamento: N=-11180.10 Ty=-10.81 Tz=17.92 Mx=0.00 Mz=-7.34
Sollecitazioni agenti localmente: Tx_l=-10.81 Ty_l=17.92 N_l=-11180.10 My_l=7.34 Mz_l=0.00
Azioni sul cordone: TP=-0.80 TO=1.32 NO=-826.44
Tensioni nel cordone: τ_P=0.25 τ_0=0.42 σ_0=273.40 σ_{ID}=273.40 Σ_T=273.82
CC 8 SLD (Collegamento -041_-375)
Azioni sul collegamento: N=-11180.10 Ty=-8.45 Tz=17.92 Mx=0.00 Mz=-5.38
Sollecitazioni agenti localmente: Tx_l=-8.45 Ty_l=17.92 N_l=-11180.10 My_l=5.38 Mz_l=0.00
Azioni sul cordone: TP=-0.62 TO=1.32 NO=-826.44
Tensioni nel cordone: τ_P=0.20 τ_0=0.42 σ_0=270.55 σ_{ID}=270.55 Σ_T=270.97
CC 8 SLD (Collegamento -041_-375)
Azioni sul collegamento: N=-11180.10 Ty=-10.81 Tz=8.99 Mx=0.00 Mz=-7.34
Sollecitazioni agenti localmente: Tx_l=-10.81 Ty_l=8.99 N_l=-11180.10 My_l=7.34 Mz_l=0.00
Azioni sul cordone: TP=-0.80 TO=0.66 NO=-826.44
Tensioni nel cordone: τ_P=0.25 τ_0=0.21 σ_0=273.40 σ_{ID}=273.40 Σ_T=273.61
CC 8 SLD (Collegamento -041_-375)
Azioni sul collegamento: N=-11180.10 Ty=-8.45 Tz=8.99 Mx=0.00 Mz=-5.38
Sollecitazioni agenti localmente: Tx_l=-8.45 Ty_l=8.99 N_l=-11180.10 My_l=5.38 Mz_l=0.00
Azioni sul cordone: TP=-0.62 TO=0.66 NO=-826.44
Tensioni nel cordone: τ_P=0.20 τ_0=0.21 σ_0=270.55 σ_{ID}=270.55 Σ_T=270.76
CC 8 SLD (Collegamento -041_-375)
Azioni sul collegamento: N=-8788.68 Ty=-10.81 Tz=17.92 Mx=0.00 Mz=-7.34
Sollecitazioni agenti localmente: Tx_l=-10.81 Ty_l=17.92 N_l=-8788.68 My_l=7.34 Mz_l=0.00
Azioni sul cordone: TP=-0.80 TO=1.32 NO=-649.66
Tensioni nel cordone: τ_P=0.25 τ_0=0.42 σ_0=217.21 σ_{ID}=217.21 Σ_T=217.63
CC 8 SLD (Collegamento -041_-375)
Azioni sul collegamento: N=-8788.68 Ty=-8.45 Tz=17.92 Mx=0.00 Mz=-5.38
Sollecitazioni agenti localmente: Tx_l=-8.45 Ty_l=17.92 N_l=-8788.68 My_l=5.38 Mz_l=0.00
Azioni sul cordone: TP=-0.62 TO=1.32 NO=-649.66
Tensioni nel cordone: τ_P=0.20 τ_0=0.42 σ_0=214.36 σ_{ID}=214.36 Σ_T=214.78
CC 8 SLD (Collegamento -041_-375)
Azioni sul collegamento: N=-8788.68 Ty=-10.81 Tz=9.00 Mx=0.00 Mz=-7.34
Sollecitazioni agenti localmente: Tx_l=-10.81 Ty_l=9.00 N_l=-8788.68 My_l=7.34 Mz_l=0.00
Azioni sul cordone: TP=-0.80 TO=0.66 NO=-649.66
Tensioni nel cordone: τ_P=0.25 τ_0=0.21 σ_0=217.21 σ_{ID}=217.21 Σ_T=217.43
CC 8 SLD (Collegamento -041_-375)
Azioni sul collegamento: N=-8788.68 Ty=-8.45 Tz=9.00 Mx=0.00 Mz=-5.38
Sollecitazioni agenti localmente: Tx_l=-8.45 Ty_l=9.00 N_l=-8788.68 My_l=5.38 Mz_l=0.00
Azioni sul cordone: TP=-0.62 TO=0.66 NO=-649.66
Tensioni nel cordone: τ_P=0.20 τ_0=0.21 σ_0=214.36 σ_{ID}=214.36 Σ_T=214.57
CC 9 SLV (Collegamento -041_-375)
Azioni sul collegamento: N=-8703.00 Ty=-6.76 Tz=8.19 Mx=0.02 Mz=-1.67
Sollecitazioni agenti localmente: Tx_l=-6.76 Ty_l=8.19 N_l=-8703.00 My_l=1.67 Mz_l=0.02
Azioni sul cordone: TP=-0.52 TO=0.59 NO=-643.33
Tensioni nel cordone: τ_P=0.17 τ_0=0.19 σ_0=206.93 σ_{ID}=206.93 Σ_T=207.11
CC 9 SLV (Collegamento -041_-375)
Azioni sul collegamento: N=-8703.00 Ty=-10.65 Tz=8.19 Mx=0.02 Mz=-6.77
Sollecitazioni agenti localmente: Tx_l=-10.65 Ty_l=8.19 N_l=-8703.00 My_l=6.77 Mz_l=0.02
Azioni sul cordone: TP=-0.81 TO=0.59 NO=-643.33
Tensioni nel cordone: τ_P=0.26 τ_0=0.19 σ_0=214.38 σ_{ID}=214.38 Σ_T=214.56
CC 9 SLV (Collegamento -041_-375)
Azioni sul collegamento: N=-8703.00 Ty=-6.76 Tz=17.96 Mx=0.02 Mz=-1.67
Sollecitazioni agenti localmente: Tx_l=-6.76 Ty_l=17.96 N_l=-8703.00 My_l=1.67 Mz_l=0.02
Azioni sul cordone: TP=-0.52 TO=1.31 NO=-643.33
Tensioni nel cordone: τ_P=0.17 τ_0=0.42 σ_0=206.93 σ_{ID}=206.93 Σ_T=207.34
CC 9 SLV (Collegamento -041_-375)

Azioni sul collegamento: N=-8703.00 Ty=-10.65 Tz=17.96 Mx=0.02 Mz=-6.77
Sollecitazioni agenti localmente: Tx_l=-10.65 Ty_l=17.96 N_l=-8703.00 My_l=6.77 Mz_l=0.02
Azioni sul cordone: TP=-0.81 TO=1.31 NO=-643.33
Tensioni nel cordone: τ_P=0.26 τ_0=0.42 σ_0=214.38 σ_{ID}=214.38 Σ_T=214.79
CC 9 SLV (Collegamento -041_-375)
Azioni sul collegamento: N=-11070.70 Ty=-6.76 Tz=8.19 Mx=0.02 Mz=-1.67
Sollecitazioni agenti localmente: Tx_l=-6.76 Ty_l=8.19 N_l=-11070.70 My_l=1.67 Mz_l=0.02
Azioni sul cordone: TP=-0.52 TO=0.59 NO=-818.35
Tensioni nel cordone: τ_P=0.17 τ_0=0.19 σ_0=262.55 σ_{ID}=262.55 Σ_T=262.74
CC 9 SLV (Collegamento -041_-375)
Azioni sul collegamento: N=-11070.70 Ty=-10.65 Tz=8.19 Mx=0.02 Mz=-6.77
Sollecitazioni agenti localmente: Tx_l=-10.65 Ty_l=8.19 N_l=-11070.70 My_l=6.77 Mz_l=0.02
Azioni sul cordone: TP=-0.81 TO=0.59 NO=-818.35
Tensioni nel cordone: τ_P=0.26 τ_0=0.19 σ_0=270.00 σ_{ID}=270.00 Σ_T=270.19
CC 9 SLV (Collegamento -041_-375)
Azioni sul collegamento: N=-11070.70 Ty=-6.76 Tz=17.96 Mx=0.02 Mz=-1.67
Sollecitazioni agenti localmente: Tx_l=-6.76 Ty_l=17.96 N_l=-11070.70 My_l=1.67 Mz_l=0.02
Azioni sul cordone: TP=-0.52 TO=1.31 NO=-818.35
Tensioni nel cordone: τ_P=0.17 τ_0=0.42 σ_0=262.55 σ_{ID}=262.55 Σ_T=262.97
CC 9 SLV (Collegamento -041_-375)
Azioni sul collegamento: N=-11070.70 Ty=-10.65 Tz=17.96 Mx=0.02 Mz=-6.77
Sollecitazioni agenti localmente: Tx_l=-10.65 Ty_l=17.96 N_l=-11070.70 My_l=6.77 Mz_l=0.02
Azioni sul cordone: TP=-0.81 TO=1.31 NO=-818.35
Tensioni nel cordone: τ_P=0.26 τ_0=0.42 σ_0=270.00 σ_{ID}=270.00 Σ_T=270.42
CC 10 SLD (Collegamento -041_-375)
Azioni sul collegamento: N=-9623.43 Ty=-9.04 Tz=11.97 Mx=0.00 Mz=-5.58
Sollecitazioni agenti localmente: Tx_l=-9.04 Ty_l=11.97 N_l=-9623.43 My_l=5.58 Mz_l=0.00
Azioni sul cordone: TP=-0.67 TO=0.88 NO=-711.37
Tensioni nel cordone: τ_P=0.21 τ_0=0.28 σ_0=234.26 σ_{ID}=234.26 Σ_T=234.54
CC 10 SLD (Collegamento -041_-375)
Azioni sul collegamento: N=-9623.43 Ty=-10.22 Tz=11.97 Mx=0.00 Mz=-7.14
Sollecitazioni agenti localmente: Tx_l=-10.22 Ty_l=11.97 N_l=-9623.43 My_l=7.14 Mz_l=0.00
Azioni sul cordone: TP=-0.76 TO=0.88 NO=-711.37
Tensioni nel cordone: τ_P=0.24 τ_0=0.28 σ_0=236.53 σ_{ID}=236.54 Σ_T=236.82
CC 10 SLD (Collegamento -041_-375)
Azioni sul collegamento: N=-9623.43 Ty=-9.04 Tz=14.95 Mx=0.00 Mz=-5.58
Sollecitazioni agenti localmente: Tx_l=-9.04 Ty_l=14.95 N_l=-9623.43 My_l=5.58 Mz_l=0.00
Azioni sul cordone: TP=-0.67 TO=1.10 NO=-711.37
Tensioni nel cordone: τ_P=0.21 τ_0=0.35 σ_0=234.26 σ_{ID}=234.26 Σ_T=234.61
CC 10 SLD (Collegamento -041_-375)
Azioni sul collegamento: N=-9623.43 Ty=-10.22 Tz=14.95 Mx=0.00 Mz=-7.14
Sollecitazioni agenti localmente: Tx_l=-10.22 Ty_l=14.95 N_l=-9623.43 My_l=7.14 Mz_l=0.00
Azioni sul cordone: TP=-0.76 TO=1.10 NO=-711.37
Tensioni nel cordone: τ_P=0.24 τ_0=0.35 σ_0=236.53 σ_{ID}=236.54 Σ_T=236.89
CC 10 SLD (Collegamento -041_-375)
Azioni sul collegamento: N=-10345.40 Ty=-9.04 Tz=11.97 Mx=0.00 Mz=-5.58
Sollecitazioni agenti localmente: Tx_l=-9.04 Ty_l=11.97 N_l=-10345.40 My_l=5.58 Mz_l=0.00
Azioni sul cordone: TP=-0.67 TO=0.88 NO=-764.74
Tensioni nel cordone: τ_P=0.21 τ_0=0.28 σ_0=251.23 σ_{ID}=251.23 Σ_T=251.51
CC 10 SLD (Collegamento -041_-375)
Azioni sul collegamento: N=-10345.40 Ty=-10.22 Tz=11.97 Mx=0.00 Mz=-7.14
Sollecitazioni agenti localmente: Tx_l=-10.22 Ty_l=11.97 N_l=-10345.40 My_l=7.14 Mz_l=0.00
Azioni sul cordone: TP=-0.76 TO=0.88 NO=-764.74
Tensioni nel cordone: τ_P=0.24 τ_0=0.28 σ_0=253.50 σ_{ID}=253.50 Σ_T=253.78
CC 10 SLD (Collegamento -041_-375)
Azioni sul collegamento: N=-10345.40 Ty=-9.04 Tz=14.95 Mx=0.00 Mz=-5.58
Sollecitazioni agenti localmente: Tx_l=-9.04 Ty_l=14.95 N_l=-10345.40 My_l=5.58 Mz_l=0.00
Azioni sul cordone: TP=-0.67 TO=1.10 NO=-764.74
Tensioni nel cordone: τ_P=0.21 τ_0=0.35 σ_0=251.23 σ_{ID}=251.23 Σ_T=251.58
CC 10 SLD (Collegamento -041_-375)
Azioni sul collegamento: N=-10345.40 Ty=-10.22 Tz=14.95 Mx=0.00 Mz=-7.14
Sollecitazioni agenti localmente: Tx_l=-10.22 Ty_l=14.95 N_l=-10345.40 My_l=7.14 Mz_l=0.00
Azioni sul cordone: TP=-0.76 TO=1.10 NO=-764.74
Tensioni nel cordone: τ_P=0.24 τ_0=0.35 σ_0=253.50 σ_{ID}=253.50 Σ_T=253.85
CC 11 SLV (Collegamento -041_-375)
Azioni sul collegamento: N=-11054.30 Ty=-8.94 Tz=16.87 Mx=0.02 Mz=-3.28
Sollecitazioni agenti localmente: Tx_l=-8.94 Ty_l=16.87 N_l=-11054.30 My_l=3.28 Mz_l=0.02
Azioni sul cordone: TP=-0.68 TO=1.23 NO=-817.14
Tensioni nel cordone: τ_P=0.22 τ_0=0.39 σ_0=264.52 σ_{ID}=264.52 Σ_T=264.91
CC 11 SLV (Collegamento -041_-375)
Azioni sul collegamento: N=-11054.30 Ty=-8.48 Tz=16.87 Mx=0.02 Mz=-5.16
Sollecitazioni agenti localmente: Tx_l=-8.48 Ty_l=16.87 N_l=-11054.30 My_l=5.16 Mz_l=0.02
Azioni sul cordone: TP=-0.65 TO=1.23 NO=-817.14
Tensioni nel cordone: τ_P=0.21 τ_0=0.39 σ_0=267.27 σ_{ID}=267.27 Σ_T=267.66
CC 11 SLV (Collegamento -041_-375)
Azioni sul collegamento: N=-11054.30 Ty=-8.94 Tz=9.28 Mx=0.02 Mz=-3.28
Sollecitazioni agenti localmente: Tx_l=-8.94 Ty_l=9.28 N_l=-11054.30 My_l=3.28 Mz_l=0.02
Azioni sul cordone: TP=-0.68 TO=0.67 NO=-817.14
Tensioni nel cordone: τ_P=0.22 τ_0=0.21 σ_0=264.52 σ_{ID}=264.52 Σ_T=264.73

CC 11 SLV (Collegamento -041_-375)
Azioni sul collegamento: N=-11054.30 Ty=-8.48 Tz=9.28 Mx=0.02 Mz=-5.16
Sollecitazioni agenti localmente: Tx_l=-8.48 Ty_l=9.28 N_l=-11054.30 My_l=5.16 Mz_l=0.02
Azioni sul cordone: TP=-0.65 TO=0.67 NO=-817.14
Tensioni nel cordone: τ_P=0.21 τ_0=0.21 σ_0=267.27 σ_{ID}=267.27 Σ_T=267.49
CC 11 SLV (Collegamento -041_-375)
Azioni sul collegamento: N=-8719.33 Ty=-8.94 Tz=16.87 Mx=0.02 Mz=-3.28
Sollecitazioni agenti localmente: Tx_l=-8.94 Ty_l=16.87 N_l=-8719.33 My_l=3.28 Mz_l=0.02
Azioni sul cordone: TP=-0.68 TO=1.23 NO=-644.53
Tensioni nel cordone: τ_P=0.22 τ_0=0.39 σ_0=209.66 σ_{ID}=209.66 Σ_T=210.05
CC 11 SLV (Collegamento -041_-375)
Azioni sul collegamento: N=-8719.33 Ty=-8.48 Tz=16.87 Mx=0.02 Mz=-5.16
Sollecitazioni agenti localmente: Tx_l=-8.48 Ty_l=16.87 N_l=-8719.33 My_l=5.16 Mz_l=0.02
Azioni sul cordone: TP=-0.65 TO=1.23 NO=-644.53
Tensioni nel cordone: τ_P=0.21 τ_0=0.39 σ_0=212.41 σ_{ID}=212.41 Σ_T=212.80
CC 11 SLV (Collegamento -041_-375)
Azioni sul collegamento: N=-8719.33 Ty=-8.94 Tz=9.28 Mx=0.02 Mz=-3.28
Sollecitazioni agenti localmente: Tx_l=-8.94 Ty_l=9.28 N_l=-8719.33 My_l=3.28 Mz_l=0.02
Azioni sul cordone: TP=-0.68 TO=0.67 NO=-644.53
Tensioni nel cordone: τ_P=0.22 τ_0=0.21 σ_0=209.66 σ_{ID}=209.66 Σ_T=209.87
CC 11 SLV (Collegamento -041_-375)
Azioni sul collegamento: N=-8719.33 Ty=-8.48 Tz=9.28 Mx=0.02 Mz=-5.16
Sollecitazioni agenti localmente: Tx_l=-8.48 Ty_l=9.28 N_l=-8719.33 My_l=5.16 Mz_l=0.02
Azioni sul cordone: TP=-0.65 TO=0.67 NO=-644.53
Tensioni nel cordone: τ_P=0.21 τ_0=0.21 σ_0=212.41 σ_{ID}=212.41 Σ_T=212.62
CC 12 SLD (Collegamento -041_-375)
Azioni sul collegamento: N=-10340.40 Ty=-9.70 Tz=14.62 Mx=0.00 Mz=-6.07
Sollecitazioni agenti localmente: Tx_l=-9.70 Ty_l=14.62 N_l=-10340.40 My_l=6.07 Mz_l=0.00
Azioni sul cordone: TP=-0.72 TO=1.08 NO=-764.37
Tensioni nel cordone: τ_P=0.23 τ_0=0.34 σ_0=251.83 σ_{ID}=251.83 Σ_T=252.17
CC 12 SLD (Collegamento -041_-375)
Azioni sul collegamento: N=-10340.40 Ty=-9.56 Tz=14.62 Mx=0.00 Mz=-6.65
Sollecitazioni agenti localmente: Tx_l=-9.56 Ty_l=14.62 N_l=-10340.40 My_l=6.65 Mz_l=0.00
Azioni sul cordone: TP=-0.71 TO=1.08 NO=-764.37
Tensioni nel cordone: τ_P=0.23 τ_0=0.34 σ_0=252.66 σ_{ID}=252.67 Σ_T=253.01
CC 12 SLD (Collegamento -041_-375)
Azioni sul collegamento: N=-10340.40 Ty=-9.70 Tz=12.30 Mx=0.00 Mz=-6.07
Sollecitazioni agenti localmente: Tx_l=-9.70 Ty_l=12.30 N_l=-10340.40 My_l=6.07 Mz_l=0.00
Azioni sul cordone: TP=-0.72 TO=0.91 NO=-764.37
Tensioni nel cordone: τ_P=0.23 τ_0=0.29 σ_0=251.83 σ_{ID}=251.83 Σ_T=252.11
CC 12 SLD (Collegamento -041_-375)
Azioni sul collegamento: N=-10340.40 Ty=-9.56 Tz=12.30 Mx=0.00 Mz=-6.65
Sollecitazioni agenti localmente: Tx_l=-9.56 Ty_l=12.30 N_l=-10340.40 My_l=6.65 Mz_l=0.00
Azioni sul cordone: TP=-0.71 TO=0.91 NO=-764.37
Tensioni nel cordone: τ_P=0.23 τ_0=0.29 σ_0=252.66 σ_{ID}=252.67 Σ_T=252.95
CC 12 SLD (Collegamento -041_-375)
Azioni sul collegamento: N=-9628.41 Ty=-9.70 Tz=14.62 Mx=0.00 Mz=-6.07
Sollecitazioni agenti localmente: Tx_l=-9.70 Ty_l=14.62 N_l=-9628.41 My_l=6.07 Mz_l=0.00
Azioni sul cordone: TP=-0.72 TO=1.08 NO=-711.74
Tensioni nel cordone: τ_P=0.23 τ_0=0.34 σ_0=235.10 σ_{ID}=235.10 Σ_T=235.44
CC 12 SLD (Collegamento -041_-375)
Azioni sul collegamento: N=-9628.41 Ty=-9.56 Tz=14.62 Mx=0.00 Mz=-6.65
Sollecitazioni agenti localmente: Tx_l=-9.56 Ty_l=14.62 N_l=-9628.41 My_l=6.65 Mz_l=0.00
Azioni sul cordone: TP=-0.71 TO=1.08 NO=-711.74
Tensioni nel cordone: τ_P=0.23 τ_0=0.34 σ_0=235.94 σ_{ID}=235.94 Σ_T=236.28
CC 12 SLD (Collegamento -041_-375)
Azioni sul collegamento: N=-9628.40 Ty=-9.70 Tz=12.30 Mx=0.00 Mz=-6.07
Sollecitazioni agenti localmente: Tx_l=-9.70 Ty_l=12.30 N_l=-9628.40 My_l=6.07 Mz_l=0.00
Azioni sul cordone: TP=-0.72 TO=0.91 NO=-711.73
Tensioni nel cordone: τ_P=0.23 τ_0=0.29 σ_0=235.10 σ_{ID}=235.10 Σ_T=235.38
CC 12 SLD (Collegamento -041_-375)
Azioni sul collegamento: N=-9628.40 Ty=-9.56 Tz=12.30 Mx=0.00 Mz=-6.65
Sollecitazioni agenti localmente: Tx_l=-9.56 Ty_l=12.30 N_l=-9628.40 My_l=6.65 Mz_l=0.00
Azioni sul cordone: TP=-0.71 TO=0.91 NO=-711.73
Tensioni nel cordone: τ_P=0.23 τ_0=0.29 σ_0=235.94 σ_{ID}=235.94 Σ_T=236.22
CC 13 SLV (Collegamento -041_-375)
Azioni sul collegamento: N=-8719.33 Ty=-8.48 Tz=9.28 Mx=0.00 Mz=-5.16
Sollecitazioni agenti localmente: Tx_l=-8.48 Ty_l=9.28 N_l=-8719.33 My_l=5.16 Mz_l=0.00
Azioni sul cordone: TP=-0.63 TO=0.68 NO=-644.53
Tensioni nel cordone: τ_P=0.20 τ_0=0.22 σ_0=212.41 σ_{ID}=212.41 Σ_T=212.63
CC 13 SLV (Collegamento -041_-375)
Azioni sul collegamento: N=-8719.33 Ty=-8.94 Tz=9.28 Mx=0.00 Mz=-3.28
Sollecitazioni agenti localmente: Tx_l=-8.94 Ty_l=9.28 N_l=-8719.33 My_l=3.28 Mz_l=0.00
Azioni sul cordone: TP=-0.66 TO=0.68 NO=-644.53
Tensioni nel cordone: τ_P=0.21 τ_0=0.22 σ_0=209.66 σ_{ID}=209.66 Σ_T=209.87
CC 13 SLV (Collegamento -041_-375)
Azioni sul collegamento: N=-8719.33 Ty=-8.48 Tz=16.87 Mx=0.00 Mz=-5.16
Sollecitazioni agenti localmente: Tx_l=-8.48 Ty_l=16.87 N_l=-8719.33 My_l=5.16 Mz_l=0.00
Azioni sul cordone: TP=-0.63 TO=1.25 NO=-644.53

Tensioni nel cordone: τ_P=0.20 τ_0=0.40 σ_0=212.41 σ_{ID}=212.41 Σ_T=212.81
CC 13 SLV (Collegamento -041_-375)
Azioni sul collegamento: N=-8719.33 Ty=-8.94 Tz=16.87 Mx=0.00 Mz=-3.28
Sollecitazioni agenti localmente: Tx_l=-8.94 Ty_l=16.87 N_l=-8719.33 My_l=3.28 Mz_l=0.00
Azioni sul cordone: TP=-0.66 TO=1.25 NO=-644.53
Tensioni nel cordone: τ_P=0.21 τ_0=0.40 σ_0=209.66 σ_{ID}=209.66 Σ_T=210.05
CC 13 SLV (Collegamento -041_-375)
Azioni sul collegamento: N=-11054.30 Ty=-8.48 Tz=9.28 Mx=0.00 Mz=-5.16
Sollecitazioni agenti localmente: Tx_l=-8.48 Ty_l=9.28 N_l=-11054.30 My_l=5.16 Mz_l=0.00
Azioni sul cordone: TP=-0.63 TO=0.68 NO=-817.14
Tensioni nel cordone: τ_P=0.20 τ_0=0.22 σ_0=267.27 σ_{ID}=267.27 Σ_T=267.49
CC 13 SLV (Collegamento -041_-375)
Azioni sul collegamento: N=-11054.30 Ty=-8.94 Tz=9.28 Mx=0.00 Mz=-3.28
Sollecitazioni agenti localmente: Tx_l=-8.94 Ty_l=9.28 N_l=-11054.30 My_l=3.28 Mz_l=0.00
Azioni sul cordone: TP=-0.66 TO=0.68 NO=-817.14
Tensioni nel cordone: τ_P=0.21 τ_0=0.22 σ_0=264.52 σ_{ID}=264.52 Σ_T=264.74
CC 13 SLV (Collegamento -041_-375)
Azioni sul collegamento: N=-11054.30 Ty=-8.48 Tz=16.87 Mx=0.00 Mz=-5.16
Sollecitazioni agenti localmente: Tx_l=-8.48 Ty_l=16.87 N_l=-11054.30 My_l=5.16 Mz_l=0.00
Azioni sul cordone: TP=-0.63 TO=1.25 NO=-817.14
Tensioni nel cordone: τ_P=0.20 τ_0=0.40 σ_0=267.27 σ_{ID}=267.27 Σ_T=267.67
CC 13 SLV (Collegamento -041_-375)
Azioni sul collegamento: N=-11054.30 Ty=-8.94 Tz=16.87 Mx=0.00 Mz=-3.28
Sollecitazioni agenti localmente: Tx_l=-8.94 Ty_l=16.87 N_l=-11054.30 My_l=3.28 Mz_l=0.00
Azioni sul cordone: TP=-0.66 TO=1.25 NO=-817.14
Tensioni nel cordone: τ_P=0.21 τ_0=0.40 σ_0=264.52 σ_{ID}=264.52 Σ_T=264.92
CC 14 SLD (Collegamento -041_-375)
Azioni sul collegamento: N=-9628.40 Ty=-9.56 Tz=12.30 Mx=-0.00 Mz=-6.65
Sollecitazioni agenti localmente: Tx_l=-9.56 Ty_l=12.30 N_l=-9628.40 My_l=6.65 Mz_l=-0.00
Azioni sul cordone: TP=-0.71 TO=0.91 NO=-711.73
Tensioni nel cordone: τ_P=0.22 τ_0=0.29 σ_0=235.94 σ_{ID}=235.94 Σ_T=236.23
CC 14 SLD (Collegamento -041_-375)
Azioni sul collegamento: N=-9628.40 Ty=-9.70 Tz=12.30 Mx=-0.00 Mz=-6.07
Sollecitazioni agenti localmente: Tx_l=-9.70 Ty_l=12.30 N_l=-9628.40 My_l=6.07 Mz_l=-0.00
Azioni sul cordone: TP=-0.72 TO=0.91 NO=-711.73
Tensioni nel cordone: τ_P=0.23 τ_0=0.29 σ_0=235.10 σ_{ID}=235.10 Σ_T=235.39
CC 14 SLD (Collegamento -041_-375)
Azioni sul collegamento: N=-9628.41 Ty=-9.56 Tz=14.62 Mx=-0.00 Mz=-6.65
Sollecitazioni agenti localmente: Tx_l=-9.56 Ty_l=14.62 N_l=-9628.41 My_l=6.65 Mz_l=-0.00
Azioni sul cordone: TP=-0.71 TO=1.08 NO=-711.74
Tensioni nel cordone: τ_P=0.22 τ_0=0.34 σ_0=235.94 σ_{ID}=235.94 Σ_T=236.28
CC 14 SLD (Collegamento -041_-375)
Azioni sul collegamento: N=-9628.41 Ty=-9.70 Tz=14.62 Mx=-0.00 Mz=-6.07
Sollecitazioni agenti localmente: Tx_l=-9.70 Ty_l=14.62 N_l=-9628.41 My_l=6.07 Mz_l=-0.00
Azioni sul cordone: TP=-0.72 TO=1.08 NO=-711.74
Tensioni nel cordone: τ_P=0.23 τ_0=0.34 σ_0=235.10 σ_{ID}=235.10 Σ_T=235.44
CC 14 SLD (Collegamento -041_-375)
Azioni sul collegamento: N=-10340.40 Ty=-9.56 Tz=12.30 Mx=-0.00 Mz=-6.65
Sollecitazioni agenti localmente: Tx_l=-9.56 Ty_l=12.30 N_l=-10340.40 My_l=6.65 Mz_l=-0.00
Azioni sul cordone: TP=-0.71 TO=0.91 NO=-764.37
Tensioni nel cordone: τ_P=0.22 τ_0=0.29 σ_0=252.66 σ_{ID}=252.67 Σ_T=252.96
CC 14 SLD (Collegamento -041_-375)
Azioni sul collegamento: N=-10340.40 Ty=-9.70 Tz=12.30 Mx=-0.00 Mz=-6.07
Sollecitazioni agenti localmente: Tx_l=-9.70 Ty_l=12.30 N_l=-10340.40 My_l=6.07 Mz_l=-0.00
Azioni sul cordone: TP=-0.72 TO=0.91 NO=-764.37
Tensioni nel cordone: τ_P=0.23 τ_0=0.29 σ_0=251.83 σ_{ID}=251.83 Σ_T=252.12
CC 14 SLD (Collegamento -041_-375)
Azioni sul collegamento: N=-10340.40 Ty=-9.56 Tz=14.62 Mx=-0.00 Mz=-6.65
Sollecitazioni agenti localmente: Tx_l=-9.56 Ty_l=14.62 N_l=-10340.40 My_l=6.65 Mz_l=-0.00
Azioni sul cordone: TP=-0.71 TO=1.08 NO=-764.37
Tensioni nel cordone: τ_P=0.22 τ_0=0.34 σ_0=252.66 σ_{ID}=252.67 Σ_T=253.01
CC 14 SLD (Collegamento -041_-375)
Azioni sul collegamento: N=-10340.40 Ty=-9.70 Tz=14.62 Mx=-0.00 Mz=-6.07
Sollecitazioni agenti localmente: Tx_l=-9.70 Ty_l=14.62 N_l=-10340.40 My_l=6.07 Mz_l=-0.00
Azioni sul cordone: TP=-0.72 TO=1.08 NO=-764.37
Tensioni nel cordone: τ_P=0.23 τ_0=0.34 σ_0=251.83 σ_{ID}=251.83 Σ_T=252.17
CC 15 SLV (Collegamento -041_-375)
Azioni sul collegamento: N=-11070.70 Ty=-10.65 Tz=17.96 Mx=0.00 Mz=-6.77
Sollecitazioni agenti localmente: Tx_l=-10.65 Ty_l=17.96 N_l=-11070.70 My_l=6.77 Mz_l=0.00
Azioni sul cordone: TP=-0.79 TO=1.33 NO=-818.35
Tensioni nel cordone: τ_P=0.25 τ_0=0.42 σ_0=270.00 σ_{ID}=270.00 Σ_T=270.43
CC 15 SLV (Collegamento -041_-375)
Azioni sul collegamento: N=-11070.70 Ty=-6.76 Tz=17.96 Mx=0.00 Mz=-1.67
Sollecitazioni agenti localmente: Tx_l=-6.76 Ty_l=17.96 N_l=-11070.70 My_l=1.67 Mz_l=0.00
Azioni sul cordone: TP=-0.50 TO=1.33 NO=-818.35
Tensioni nel cordone: τ_P=0.16 τ_0=0.42 σ_0=262.55 σ_{ID}=262.55 Σ_T=262.98
CC 15 SLV (Collegamento -041_-375)
Azioni sul collegamento: N=-11070.70 Ty=-10.65 Tz=8.19 Mx=0.00 Mz=-6.77
Sollecitazioni agenti localmente: Tx_l=-10.65 Ty_l=8.19 N_l=-11070.70 My_l=6.77 Mz_l=0.00

Azioni sul cordone: TP=-0.79 TO=0.60 NO=-818.35
Tensioni nel cordone: τ_P=0.25 τ_O=0.19 σ_O=270.00 σ_{ID}=270.00 Σ_T=270.20
CC 15 SLV (Collegamento -041_-375)
Azioni sul collegamento: N=-11070.70 Ty=-6.76 Tz=8.19 Mx=0.00 Mz=-1.67
Sollecitazioni agenti localmente: Tx_l=-6.76 Ty_l=8.19 N_l=-11070.70 My_l=1.67 Mz_l=0.00
Azioni sul cordone: TP=-0.50 TO=0.60 NO=-818.35
Tensioni nel cordone: τ_P=0.16 τ_O=0.19 σ_O=262.55 σ_{ID}=262.55 Σ_T=262.75
CC 15 SLV (Collegamento -041_-375)
Azioni sul collegamento: N=-8703.00 Ty=-10.65 Tz=17.96 Mx=0.00 Mz=-6.77
Sollecitazioni agenti localmente: Tx_l=-10.65 Ty_l=17.96 N_l=-8703.00 My_l=6.77 Mz_l=0.00
Azioni sul cordone: TP=-0.79 TO=1.33 NO=-643.33
Tensioni nel cordone: τ_P=0.25 τ_O=0.42 σ_O=214.38 σ_{ID}=214.38 Σ_T=214.80
CC 15 SLV (Collegamento -041_-375)
Azioni sul collegamento: N=-8703.00 Ty=-6.76 Tz=17.96 Mx=0.00 Mz=-1.67
Sollecitazioni agenti localmente: Tx_l=-6.76 Ty_l=17.96 N_l=-8703.00 My_l=1.67 Mz_l=0.00
Azioni sul cordone: TP=-0.50 TO=1.33 NO=-643.33
Tensioni nel cordone: τ_P=0.16 τ_O=0.42 σ_O=206.93 σ_{ID}=206.93 Σ_T=207.35
CC 15 SLV (Collegamento -041_-375)
Azioni sul collegamento: N=-8703.00 Ty=-10.65 Tz=8.19 Mx=0.00 Mz=-6.77
Sollecitazioni agenti localmente: Tx_l=-10.65 Ty_l=8.19 N_l=-8703.00 My_l=6.77 Mz_l=0.00
Azioni sul cordone: TP=-0.79 TO=0.60 NO=-643.33
Tensioni nel cordone: τ_P=0.25 τ_O=0.19 σ_O=214.38 σ_{ID}=214.38 Σ_T=214.57
CC 15 SLV (Collegamento -041_-375)
Azioni sul collegamento: N=-8703.00 Ty=-6.76 Tz=8.19 Mx=0.00 Mz=-1.67
Sollecitazioni agenti localmente: Tx_l=-6.76 Ty_l=8.19 N_l=-8703.00 My_l=1.67 Mz_l=0.00
Azioni sul cordone: TP=-0.50 TO=0.60 NO=-643.33
Tensioni nel cordone: τ_P=0.16 τ_O=0.19 σ_O=206.93 σ_{ID}=206.93 Σ_T=207.12
CC 16 SLD (Collegamento -041_-375)
Azioni sul collegamento: N=-10345.40 Ty=-10.22 Tz=14.95 Mx=-0.00 Mz=-7.14
Sollecitazioni agenti localmente: Tx_l=-10.22 Ty_l=14.95 N_l=-10345.40 My_l=7.14 Mz_l=-0.00
Azioni sul cordone: TP=-0.75 TO=1.11 NO=-764.74
Tensioni nel cordone: τ_P=0.24 τ_O=0.35 σ_O=253.50 σ_{ID}=253.50 Σ_T=253.85
CC 16 SLD (Collegamento -041_-375)
Azioni sul collegamento: N=-10345.40 Ty=-9.04 Tz=14.95 Mx=-0.00 Mz=-5.58
Sollecitazioni agenti localmente: Tx_l=-9.04 Ty_l=14.95 N_l=-10345.40 My_l=5.58 Mz_l=-0.00
Azioni sul cordone: TP=-0.67 TO=1.11 NO=-764.74
Tensioni nel cordone: τ_P=0.21 τ_O=0.35 σ_O=251.23 σ_{ID}=251.23 Σ_T=251.58
CC 16 SLD (Collegamento -041_-375)
Azioni sul collegamento: N=-10345.40 Ty=-10.22 Tz=11.97 Mx=-0.00 Mz=-7.14
Sollecitazioni agenti localmente: Tx_l=-10.22 Ty_l=11.97 N_l=-10345.40 My_l=7.14 Mz_l=-0.00
Azioni sul cordone: TP=-0.75 TO=0.89 NO=-764.74
Tensioni nel cordone: τ_P=0.24 τ_O=0.28 σ_O=253.50 σ_{ID}=253.50 Σ_T=253.78
CC 16 SLD (Collegamento -041_-375)
Azioni sul collegamento: N=-10345.40 Ty=-9.04 Tz=11.97 Mx=-0.00 Mz=-5.58
Sollecitazioni agenti localmente: Tx_l=-9.04 Ty_l=11.97 N_l=-10345.40 My_l=5.58 Mz_l=-0.00
Azioni sul cordone: TP=-0.67 TO=0.89 NO=-764.74
Tensioni nel cordone: τ_P=0.21 τ_O=0.28 σ_O=251.23 σ_{ID}=251.23 Σ_T=251.51
CC 16 SLD (Collegamento -041_-375)
Azioni sul collegamento: N=-9623.43 Ty=-10.22 Tz=14.95 Mx=-0.00 Mz=-7.14
Sollecitazioni agenti localmente: Tx_l=-10.22 Ty_l=14.95 N_l=-9623.43 My_l=7.14 Mz_l=-0.00
Azioni sul cordone: TP=-0.75 TO=1.11 NO=-711.37
Tensioni nel cordone: τ_P=0.24 τ_O=0.35 σ_O=236.53 σ_{ID}=236.54 Σ_T=236.89
CC 16 SLD (Collegamento -041_-375)
Azioni sul collegamento: N=-9623.43 Ty=-9.04 Tz=14.95 Mx=-0.00 Mz=-5.58
Sollecitazioni agenti localmente: Tx_l=-9.04 Ty_l=14.95 N_l=-9623.43 My_l=5.58 Mz_l=-0.00
Azioni sul cordone: TP=-0.67 TO=1.11 NO=-711.37
Tensioni nel cordone: τ_P=0.21 τ_O=0.35 σ_O=234.26 σ_{ID}=234.26 Σ_T=234.62
CC 16 SLD (Collegamento -041_-375)
Azioni sul collegamento: N=-9623.43 Ty=-10.22 Tz=11.97 Mx=-0.00 Mz=-7.14
Sollecitazioni agenti localmente: Tx_l=-10.22 Ty_l=11.97 N_l=-9623.43 My_l=7.14 Mz_l=-0.00
Azioni sul cordone: TP=-0.75 TO=0.89 NO=-711.37
Tensioni nel cordone: τ_P=0.24 τ_O=0.28 σ_O=236.53 σ_{ID}=236.54 Σ_T=236.82
CC 16 SLD (Collegamento -041_-375)
Azioni sul collegamento: N=-9623.43 Ty=-9.04 Tz=11.97 Mx=-0.00 Mz=-5.58
Sollecitazioni agenti localmente: Tx_l=-9.04 Ty_l=11.97 N_l=-9623.43 My_l=5.58 Mz_l=-0.00
Azioni sul cordone: TP=-0.67 TO=0.89 NO=-711.37
Tensioni nel cordone: τ_P=0.21 τ_O=0.28 σ_O=234.26 σ_{ID}=234.26 Σ_T=234.54
CC 17 SLV (Collegamento -041_-375)
Azioni sul collegamento: N=-6246.30 Ty=-7.49 Tz=-0.46 Mx=-0.02 Mz=-7.17
Sollecitazioni agenti localmente: Tx_l=-7.49 Ty_l=-0.46 N_l=-6246.30 My_l=7.17 Mz_l=-0.02
Azioni sul cordone: TP=-0.53 TO=-0.02 NO=-461.73
Tensioni nel cordone: τ_P=0.17 τ_O=6.25E-03 σ_O=157.24 σ_{ID}=157.24 Σ_T=157.24
CC 17 SLV (Collegamento -041_-375)
Azioni sul collegamento: N=-6246.30 Ty=-15.25 Tz=-0.46 Mx=-0.02 Mz=-13.58
Sollecitazioni agenti localmente: Tx_l=-15.25 Ty_l=-0.46 N_l=-6246.30 My_l=13.58 Mz_l=-0.02
Azioni sul cordone: TP=-1.11 TO=-0.02 NO=-461.73
Tensioni nel cordone: τ_P=0.35 τ_O=6.25E-03 σ_O=166.60 σ_{ID}=166.60 Σ_T=166.60
CC 17 SLV (Collegamento -041_-375)
Azioni sul collegamento: N=-6246.30 Ty=-7.49 Tz=28.82 Mx=-0.02 Mz=-7.17

Sollecitazioni agenti localmente: Tx_l=-7.49 Ty_l=28.82 N_l=-6246.30 My_l=7.17 Mz_l=-0.02
Azioni sul cordone: TP=-0.53 TO=2.14 NO=-461.73
Tensioni nel cordone: τ_P=0.17 τ_O=0.68 σ_O=157.24 σ_{ID}=157.24 Σ_T=157.92
CC 17 SLV (Collegamento -041_-375)
Azioni sul collegamento: N=-6246.30 Ty=-15.25 Tz=28.82 Mx=-0.02 Mz=-13.58
Sollecitazioni agenti localmente: Tx_l=-15.25 Ty_l=28.82 N_l=-6246.30 My_l=13.58 Mz_l=-0.02
Azioni sul cordone: TP=-1.11 TO=2.14 NO=-461.73
Tensioni nel cordone: τ_P=0.35 τ_O=0.68 σ_O=166.60 σ_{ID}=166.60 Σ_T=167.28
CC 17 SLV (Collegamento -041_-375)
Azioni sul collegamento: N=-14088.90 Ty=-7.49 Tz=-0.46 Mx=-0.02 Mz=-7.17
Sollecitazioni agenti localmente: Tx_l=-7.49 Ty_l=-0.46 N_l=-14088.90 My_l=7.17 Mz_l=-0.02
Azioni sul cordone: TP=-0.53 TO=-0.02 NO=-1041.46
Tensioni nel cordone: τ_P=0.17 τ_O=6.26E-03 σ_O=341.50 σ_{ID}=341.50 Σ_T=341.51
CC 17 SLV (Collegamento -041_-375)
Azioni sul collegamento: N=-14088.90 Ty=-15.25 Tz=-0.46 Mx=-0.02 Mz=-13.58
Sollecitazioni agenti localmente: Tx_l=-15.25 Ty_l=-0.46 N_l=-14088.90 My_l=13.58 Mz_l=-0.02
Azioni sul cordone: TP=-1.11 TO=-0.02 NO=-1041.46
Tensioni nel cordone: τ_P=0.35 τ_O=6.26E-03 σ_O=350.86 σ_{ID}=350.86 Σ_T=350.87
CC 17 SLV (Collegamento -041_-375)
Azioni sul collegamento: N=-14088.90 Ty=-7.49 Tz=28.82 Mx=-0.02 Mz=-7.17
Sollecitazioni agenti localmente: Tx_l=-7.49 Ty_l=28.82 N_l=-14088.90 My_l=7.17 Mz_l=-0.02
Azioni sul cordone: TP=-0.53 TO=2.14 NO=-1041.46
Tensioni nel cordone: τ_P=0.17 τ_O=0.68 σ_O=341.50 σ_{ID}=341.50 Σ_T=342.19
CC 17 SLV (Collegamento -041_-375)
Azioni sul collegamento: N=-14088.90 Ty=-15.25 Tz=28.82 Mx=-0.02 Mz=-13.58
Sollecitazioni agenti localmente: Tx_l=-15.25 Ty_l=28.82 N_l=-14088.90 My_l=13.58 Mz_l=-0.02
Azioni sul cordone: TP=-1.11 TO=2.14 NO=-1041.46
Tensioni nel cordone: τ_P=0.35 τ_O=0.68 σ_O=350.86 σ_{ID}=350.86 Σ_T=351.55
CC 18 SLD (Collegamento -041_-375)
Azioni sul collegamento: N=-8874.30 Ty=-9.26 Tz=9.33 Mx=-0.01 Mz=-7.26
Sollecitazioni agenti localmente: Tx_l=-9.26 Ty_l=9.33 N_l=-8874.30 My_l=7.26 Mz_l=-0.01
Azioni sul cordone: TP=-0.68 TO=0.70 NO=-655.99
Tensioni nel cordone: τ_P=0.21 τ_O=0.22 σ_O=219.11 σ_{ID}=219.11 Σ_T=219.33
CC 18 SLD (Collegamento -041_-375)
Azioni sul collegamento: N=-8874.30 Ty=-11.63 Tz=9.33 Mx=-0.01 Mz=-9.21
Sollecitazioni agenti localmente: Tx_l=-11.63 Ty_l=9.33 N_l=-8874.30 My_l=9.21 Mz_l=-0.01
Azioni sul cordone: TP=-0.85 TO=0.70 NO=-655.99
Tensioni nel cordone: τ_P=0.27 τ_O=0.22 σ_O=221.97 σ_{ID}=221.97 Σ_T=222.19
CC 18 SLD (Collegamento -041_-375)
Azioni sul collegamento: N=-8874.30 Ty=-9.26 Tz=18.26 Mx=-0.01 Mz=-7.26
Sollecitazioni agenti localmente: Tx_l=-9.26 Ty_l=18.26 N_l=-8874.30 My_l=7.26 Mz_l=-0.01
Azioni sul cordone: TP=-0.68 TO=1.36 NO=-655.99
Tensioni nel cordone: τ_P=0.21 τ_O=0.43 σ_O=219.11 σ_{ID}=219.11 Σ_T=219.54
CC 18 SLD (Collegamento -041_-375)
Azioni sul collegamento: N=-8874.30 Ty=-11.63 Tz=18.26 Mx=-0.01 Mz=-9.21
Sollecitazioni agenti localmente: Tx_l=-11.63 Ty_l=18.26 N_l=-8874.30 My_l=9.21 Mz_l=-0.01
Azioni sul cordone: TP=-0.85 TO=1.36 NO=-655.99
Tensioni nel cordone: τ_P=0.27 τ_O=0.43 σ_O=221.97 σ_{ID}=221.97 Σ_T=222.40
CC 18 SLD (Collegamento -041_-375)
Azioni sul collegamento: N=-11265.80 Ty=-9.26 Tz=9.33 Mx=-0.01 Mz=-7.26
Sollecitazioni agenti localmente: Tx_l=-9.26 Ty_l=9.33 N_l=-11265.80 My_l=7.26 Mz_l=-0.01
Azioni sul cordone: TP=-0.68 TO=0.70 NO=-832.77
Tensioni nel cordone: τ_P=0.21 τ_O=0.22 σ_O=275.30 σ_{ID}=275.30 Σ_T=275.52
CC 18 SLD (Collegamento -041_-375)
Azioni sul collegamento: N=-11265.80 Ty=-11.63 Tz=9.33 Mx=-0.01 Mz=-9.21
Sollecitazioni agenti localmente: Tx_l=-11.63 Ty_l=9.33 N_l=-11265.80 My_l=9.21 Mz_l=-0.01
Azioni sul cordone: TP=-0.85 TO=0.70 NO=-832.77
Tensioni nel cordone: τ_P=0.27 τ_O=0.22 σ_O=278.15 σ_{ID}=278.15 Σ_T=278.38
CC 18 SLD (Collegamento -041_-375)
Azioni sul collegamento: N=-11265.80 Ty=-9.26 Tz=18.26 Mx=-0.01 Mz=-7.26
Sollecitazioni agenti localmente: Tx_l=-9.26 Ty_l=18.26 N_l=-11265.80 My_l=7.26 Mz_l=-0.01
Azioni sul cordone: TP=-0.68 TO=1.36 NO=-832.77
Tensioni nel cordone: τ_P=0.21 τ_O=0.43 σ_O=275.30 σ_{ID}=275.30 Σ_T=275.73
CC 18 SLD (Collegamento -041_-375)
Azioni sul collegamento: N=-11265.80 Ty=-11.63 Tz=18.26 Mx=-0.01 Mz=-9.21
Sollecitazioni agenti localmente: Tx_l=-11.63 Ty_l=18.26 N_l=-11265.80 My_l=9.21 Mz_l=-0.01
Azioni sul cordone: TP=-0.85 TO=1.36 NO=-832.77
Tensioni nel cordone: τ_P=0.27 τ_O=0.43 σ_O=278.15 σ_{ID}=278.16 Σ_T=278.59
CC 19 SLV (Collegamento -041_-375)
Azioni sul collegamento: N=-6251.20 Ty=-8.00 Tz=-0.13 Mx=-0.01 Mz=-8.22
Sollecitazioni agenti localmente: Tx_l=-8.00 Ty_l=-0.13 N_l=-6251.20 My_l=8.22 Mz_l=-0.01
Azioni sul cordone: TP=-0.58 TO=0.00 NO=-462.09
Tensioni nel cordone: τ_P=0.18 τ_O=2.05E-04 σ_O=158.88 σ_{ID}=158.88 Σ_T=158.88
CC 19 SLV (Collegamento -041_-375)
Azioni sul collegamento: N=-6251.20 Ty=-14.73 Tz=-0.13 Mx=-0.01 Mz=-12.53
Sollecitazioni agenti localmente: Tx_l=-14.73 Ty_l=-0.13 N_l=-6251.20 My_l=12.53 Mz_l=-0.01
Azioni sul cordone: TP=-1.07 TO=0.00 NO=-462.09
Tensioni nel cordone: τ_P=0.34 τ_O=2.05E-04 σ_O=165.18 σ_{ID}=165.18 Σ_T=165.18
CC 19 SLV (Collegamento -041_-375)

Azioni sul collegamento: N=-6251.20 Ty=-8.00 Tz=28.49 Mx=-0.01 Mz=-8.22
Sollecitazioni agenti localmente: Tx_l=-8.00 Ty_l=28.49 N_l=-6251.20 My_l=8.22 Mz_l=-0.01
Azioni sul cordone: TP=-0.58 TO=2.12 NO=-462.09
Tensioni nel cordone: τ_P=0.18 τ_0=0.67 σ_0=158.88 σ_{ID}=158.88 Σ_T=159.56
CC 19 SLV (Collegamento -041_-375)
Azioni sul collegamento: N=-6251.20 Ty=-14.73 Tz=28.49 Mx=-0.01 Mz=-12.53
Sollecitazioni agenti localmente: Tx_l=-14.73 Ty_l=28.49 N_l=-6251.20 My_l=12.53 Mz_l=-0.01
Azioni sul cordone: TP=-1.07 TO=2.12 NO=-462.09
Tensioni nel cordone: τ_P=0.34 τ_0=0.67 σ_0=165.18 σ_{ID}=165.18 Σ_T=165.85
CC 19 SLV (Collegamento -041_-375)
Azioni sul collegamento: N=-14084.00 Ty=-8.00 Tz=-0.13 Mx=-0.01 Mz=-8.22
Sollecitazioni agenti localmente: Tx_l=-8.00 Ty_l=-0.13 N_l=-14084.00 My_l=8.22 Mz_l=-0.01
Azioni sul cordone: TP=-0.58 TO=0.00 NO=-1041.10
Tensioni nel cordone: τ_P=0.18 τ_0=2.04E-04 σ_0=342.92 σ_{ID}=342.92 Σ_T=342.92
CC 19 SLV (Collegamento -041_-375)
Azioni sul collegamento: N=-14084.00 Ty=-14.73 Tz=-0.13 Mx=-0.01 Mz=-12.53
Sollecitazioni agenti localmente: Tx_l=-14.73 Ty_l=-0.13 N_l=-14084.00 My_l=12.53 Mz_l=-0.01
Azioni sul cordone: TP=-1.07 TO=0.00 NO=-1041.10
Tensioni nel cordone: τ_P=0.34 τ_0=2.04E-04 σ_0=349.22 σ_{ID}=349.22 Σ_T=349.22
CC 19 SLV (Collegamento -041_-375)
Azioni sul collegamento: N=-14084.00 Ty=-8.00 Tz=28.49 Mx=-0.01 Mz=-8.22
Sollecitazioni agenti localmente: Tx_l=-8.00 Ty_l=28.49 N_l=-14084.00 My_l=8.22 Mz_l=-0.01
Azioni sul cordone: TP=-0.58 TO=2.12 NO=-1041.10
Tensioni nel cordone: τ_P=0.18 τ_0=0.67 σ_0=342.92 σ_{ID}=342.92 Σ_T=343.59
CC 19 SLV (Collegamento -041_-375)
Azioni sul collegamento: N=-14084.00 Ty=-14.73 Tz=28.49 Mx=-0.01 Mz=-12.53
Sollecitazioni agenti localmente: Tx_l=-14.73 Ty_l=28.49 N_l=-14084.00 My_l=12.53 Mz_l=-0.01
Azioni sul cordone: TP=-1.07 TO=2.12 NO=-1041.10
Tensioni nel cordone: τ_P=0.34 τ_0=0.67 σ_0=349.22 σ_{ID}=349.22 Σ_T=349.89
CC 20 SLD (Collegamento -041_-375)
Azioni sul collegamento: N=-8875.79 Ty=-9.42 Tz=9.43 Mx=-0.01 Mz=-7.58
Sollecitazioni agenti localmente: Tx_l=-9.42 Ty_l=9.43 N_l=-8875.79 My_l=7.58 Mz_l=-0.01
Azioni sul cordone: TP=-0.69 TO=0.70 NO=-656.10
Tensioni nel cordone: τ_P=0.22 τ_0=0.22 σ_0=219.61 σ_{ID}=219.61 Σ_T=219.84
CC 20 SLD (Collegamento -041_-375)
Azioni sul collegamento: N=-8875.79 Ty=-11.47 Tz=9.43 Mx=-0.01 Mz=-8.89
Sollecitazioni agenti localmente: Tx_l=-11.47 Ty_l=9.43 N_l=-8875.79 My_l=8.89 Mz_l=-0.01
Azioni sul cordone: TP=-0.84 TO=0.70 NO=-656.10
Tensioni nel cordone: τ_P=0.27 τ_0=0.22 σ_0=221.53 σ_{ID}=221.53 Σ_T=221.76
CC 20 SLD (Collegamento -041_-375)
Azioni sul collegamento: N=-8875.80 Ty=-9.42 Tz=18.16 Mx=-0.01 Mz=-7.58
Sollecitazioni agenti localmente: Tx_l=-9.42 Ty_l=18.16 N_l=-8875.80 My_l=7.58 Mz_l=-0.01
Azioni sul cordone: TP=-0.69 TO=1.35 NO=-656.10
Tensioni nel cordone: τ_P=0.22 τ_0=0.43 σ_0=219.61 σ_{ID}=219.62 Σ_T=220.04
CC 20 SLD (Collegamento -041_-375)
Azioni sul collegamento: N=-8875.80 Ty=-11.47 Tz=18.16 Mx=-0.01 Mz=-8.89
Sollecitazioni agenti localmente: Tx_l=-11.47 Ty_l=18.16 N_l=-8875.80 My_l=8.89 Mz_l=-0.01
Azioni sul cordone: TP=-0.84 TO=1.35 NO=-656.10
Tensioni nel cordone: τ_P=0.27 τ_0=0.43 σ_0=221.53 σ_{ID}=221.53 Σ_T=221.96
CC 20 SLD (Collegamento -041_-375)
Azioni sul collegamento: N=-11264.30 Ty=-9.42 Tz=9.43 Mx=-0.01 Mz=-7.58
Sollecitazioni agenti localmente: Tx_l=-9.42 Ty_l=9.43 N_l=-11264.30 My_l=7.58 Mz_l=-0.01
Azioni sul cordone: TP=-0.69 TO=0.70 NO=-832.66
Tensioni nel cordone: τ_P=0.22 τ_0=0.22 σ_0=275.73 σ_{ID}=275.73 Σ_T=275.96
CC 20 SLD (Collegamento -041_-375)
Azioni sul collegamento: N=-11264.30 Ty=-11.47 Tz=9.43 Mx=-0.01 Mz=-8.89
Sollecitazioni agenti localmente: Tx_l=-11.47 Ty_l=9.43 N_l=-11264.30 My_l=8.89 Mz_l=-0.01
Azioni sul cordone: TP=-0.84 TO=0.70 NO=-832.66
Tensioni nel cordone: τ_P=0.27 τ_0=0.22 σ_0=277.65 σ_{ID}=277.65 Σ_T=277.88
CC 20 SLD (Collegamento -041_-375)
Azioni sul collegamento: N=-11264.30 Ty=-9.42 Tz=18.16 Mx=-0.01 Mz=-7.58
Sollecitazioni agenti localmente: Tx_l=-9.42 Ty_l=18.16 N_l=-11264.30 My_l=7.58 Mz_l=-0.01
Azioni sul cordone: TP=-0.69 TO=1.35 NO=-832.66
Tensioni nel cordone: τ_P=0.22 τ_0=0.43 σ_0=275.73 σ_{ID}=275.73 Σ_T=276.16
CC 20 SLD (Collegamento -041_-375)
Azioni sul collegamento: N=-11264.30 Ty=-11.47 Tz=18.16 Mx=-0.01 Mz=-8.89
Sollecitazioni agenti localmente: Tx_l=-11.47 Ty_l=18.16 N_l=-11264.30 My_l=8.89 Mz_l=-0.01
Azioni sul cordone: TP=-0.84 TO=1.35 NO=-832.66
Tensioni nel cordone: τ_P=0.27 τ_0=0.43 σ_0=277.65 σ_{ID}=277.65 Σ_T=278.08
CC 21 SLV (Collegamento -041_-375)
Azioni sul collegamento: N=-14084.00 Ty=-14.73 Tz=28.49 Mx=-0.02 Mz=-12.53
Sollecitazioni agenti localmente: Tx_l=-14.73 Ty_l=28.49 N_l=-14084.00 My_l=12.53 Mz_l=-0.02
Azioni sul cordone: TP=-1.07 TO=2.12 NO=-1041.10
Tensioni nel cordone: τ_P=0.34 τ_0=0.67 σ_0=349.22 σ_{ID}=349.22 Σ_T=349.89
CC 21 SLV (Collegamento -041_-375)
Azioni sul collegamento: N=-14084.00 Ty=-8.00 Tz=28.49 Mx=-0.02 Mz=-8.22
Sollecitazioni agenti localmente: Tx_l=-8.00 Ty_l=28.49 N_l=-14084.00 My_l=8.22 Mz_l=-0.02
Azioni sul cordone: TP=-0.57 TO=2.12 NO=-1041.10
Tensioni nel cordone: τ_P=0.18 τ_0=0.67 σ_0=342.92 σ_{ID}=342.92 Σ_T=343.59

CC 21 SLV (Collegamento -041_-375)
Azioni sul collegamento: N=-14084.00 Ty=-14.73 Tz=-0.13 Mx=-0.02 Mz=-12.53
Sollecitazioni agenti localmente: Tx_l=-14.73 Ty_l=-0.13 N_l=-14084.00 My_l=12.53 Mz_l=-0.02
Azioni sul cordone: TP=-1.07 TO=0.00 NO=-1041.10
Tensioni nel cordone: τ_P=0.34 τ_0=1.35E-03 σ_0=349.22 σ_{ID}=349.22 Σ_T=349.22
CC 21 SLV (Collegamento -041_-375)
Azioni sul collegamento: N=-14084.00 Ty=-8.00 Tz=-0.13 Mx=-0.02 Mz=-8.22
Sollecitazioni agenti localmente: Tx_l=-8.00 Ty_l=-0.13 N_l=-14084.00 My_l=8.22 Mz_l=-0.02
Azioni sul cordone: TP=-0.57 TO=0.00 NO=-1041.10
Tensioni nel cordone: τ_P=0.18 τ_0=1.35E-03 σ_0=342.92 σ_{ID}=342.92 Σ_T=342.92
CC 21 SLV (Collegamento -041_-375)
Azioni sul collegamento: N=-6251.20 Ty=-14.73 Tz=28.49 Mx=-0.02 Mz=-12.53
Sollecitazioni agenti localmente: Tx_l=-14.73 Ty_l=28.49 N_l=-6251.20 My_l=12.53 Mz_l=-0.02
Azioni sul cordone: TP=-1.07 TO=2.12 NO=-462.09
Tensioni nel cordone: τ_P=0.34 τ_0=0.67 σ_0=165.18 σ_{ID}=165.18 Σ_T=165.85
CC 21 SLV (Collegamento -041_-375)
Azioni sul collegamento: N=-6251.20 Ty=-8.00 Tz=28.49 Mx=-0.02 Mz=-8.22
Sollecitazioni agenti localmente: Tx_l=-8.00 Ty_l=28.49 N_l=-6251.20 My_l=8.22 Mz_l=-0.02
Azioni sul cordone: TP=-0.57 TO=2.12 NO=-462.09
Tensioni nel cordone: τ_P=0.18 τ_0=0.67 σ_0=158.88 σ_{ID}=158.88 Σ_T=159.56
CC 21 SLV (Collegamento -041_-375)
Azioni sul collegamento: N=-6251.20 Ty=-14.73 Tz=-0.13 Mx=-0.02 Mz=-12.53
Sollecitazioni agenti localmente: Tx_l=-14.73 Ty_l=-0.13 N_l=-6251.20 My_l=12.53 Mz_l=-0.02
Azioni sul cordone: TP=-1.07 TO=0.00 NO=-462.09
Tensioni nel cordone: τ_P=0.34 τ_0=1.35E-03 σ_0=165.18 σ_{ID}=165.18 Σ_T=165.18
CC 21 SLV (Collegamento -041_-375)
Azioni sul collegamento: N=-6251.20 Ty=-8.00 Tz=-0.13 Mx=-0.02 Mz=-8.22
Sollecitazioni agenti localmente: Tx_l=-8.00 Ty_l=-0.13 N_l=-6251.20 My_l=8.22 Mz_l=-0.02
Azioni sul cordone: TP=-0.57 TO=0.00 NO=-462.09
Tensioni nel cordone: τ_P=0.18 τ_0=1.35E-03 σ_0=158.88 σ_{ID}=158.88 Σ_T=158.88
CC 22 SLD (Collegamento -041_-375)
Azioni sul collegamento: N=-11264.30 Ty=-11.47 Tz=18.16 Mx=-0.01 Mz=-8.89
Sollecitazioni agenti localmente: Tx_l=-11.47 Ty_l=18.16 N_l=-11264.30 My_l=8.89 Mz_l=-0.01
Azioni sul cordone: TP=-0.84 TO=1.35 NO=-832.66
Tensioni nel cordone: τ_P=0.27 τ_0=0.43 σ_0=277.65 σ_{ID}=277.65 Σ_T=278.08
CC 22 SLD (Collegamento -041_-375)
Azioni sul collegamento: N=-11264.30 Ty=-9.42 Tz=18.16 Mx=-0.01 Mz=-7.58
Sollecitazioni agenti localmente: Tx_l=-9.42 Ty_l=18.16 N_l=-11264.30 My_l=7.58 Mz_l=-0.01
Azioni sul cordone: TP=-0.69 TO=1.35 NO=-832.66
Tensioni nel cordone: τ_P=0.22 τ_0=0.43 σ_0=275.73 σ_{ID}=275.73 Σ_T=276.16
CC 22 SLD (Collegamento -041_-375)
Azioni sul collegamento: N=-11264.30 Ty=-11.47 Tz=9.43 Mx=-0.01 Mz=-8.89
Sollecitazioni agenti localmente: Tx_l=-11.47 Ty_l=9.43 N_l=-11264.30 My_l=8.89 Mz_l=-0.01
Azioni sul cordone: TP=-0.84 TO=0.70 NO=-832.66
Tensioni nel cordone: τ_P=0.27 τ_0=0.22 σ_0=277.65 σ_{ID}=277.65 Σ_T=277.88
CC 22 SLD (Collegamento -041_-375)
Azioni sul collegamento: N=-11264.30 Ty=-9.42 Tz=9.43 Mx=-0.01 Mz=-7.58
Sollecitazioni agenti localmente: Tx_l=-9.42 Ty_l=9.43 N_l=-11264.30 My_l=7.58 Mz_l=-0.01
Azioni sul cordone: TP=-0.69 TO=0.70 NO=-832.66
Tensioni nel cordone: τ_P=0.22 τ_0=0.22 σ_0=275.73 σ_{ID}=275.73 Σ_T=275.96
CC 22 SLD (Collegamento -041_-375)
Azioni sul collegamento: N=-8875.80 Ty=-11.47 Tz=18.16 Mx=-0.01 Mz=-8.89
Sollecitazioni agenti localmente: Tx_l=-11.47 Ty_l=18.16 N_l=-8875.80 My_l=8.89 Mz_l=-0.01
Azioni sul cordone: TP=-0.84 TO=1.35 NO=-656.10
Tensioni nel cordone: τ_P=0.27 τ_0=0.43 σ_0=221.53 σ_{ID}=221.53 Σ_T=221.96
CC 22 SLD (Collegamento -041_-375)
Azioni sul collegamento: N=-8875.80 Ty=-9.42 Tz=18.16 Mx=-0.01 Mz=-7.58
Sollecitazioni agenti localmente: Tx_l=-9.42 Ty_l=18.16 N_l=-8875.80 My_l=7.58 Mz_l=-0.01
Azioni sul cordone: TP=-0.69 TO=1.35 NO=-656.10
Tensioni nel cordone: τ_P=0.22 τ_0=0.43 σ_0=219.61 σ_{ID}=219.62 Σ_T=220.04
CC 22 SLD (Collegamento -041_-375)
Azioni sul collegamento: N=-8875.79 Ty=-11.47 Tz=9.43 Mx=-0.01 Mz=-8.89
Sollecitazioni agenti localmente: Tx_l=-11.47 Ty_l=9.43 N_l=-8875.79 My_l=8.89 Mz_l=-0.01
Azioni sul cordone: TP=-0.84 TO=0.70 NO=-656.10
Tensioni nel cordone: τ_P=0.27 τ_0=0.22 σ_0=221.53 σ_{ID}=221.53 Σ_T=221.76
CC 22 SLD (Collegamento -041_-375)
Azioni sul collegamento: N=-8875.79 Ty=-9.42 Tz=9.43 Mx=-0.01 Mz=-7.58
Sollecitazioni agenti localmente: Tx_l=-9.42 Ty_l=9.43 N_l=-8875.79 My_l=7.58 Mz_l=-0.01
Azioni sul cordone: TP=-0.69 TO=0.70 NO=-656.10
Tensioni nel cordone: τ_P=0.22 τ_0=0.22 σ_0=219.61 σ_{ID}=219.61 Σ_T=219.84
CC 23 SLV (Collegamento -041_-375)
Azioni sul collegamento: N=-14088.90 Ty=-15.25 Tz=28.82 Mx=-0.01 Mz=-13.58
Sollecitazioni agenti localmente: Tx_l=-15.25 Ty_l=28.82 N_l=-14088.90 My_l=13.58 Mz_l=-0.01
Azioni sul cordone: TP=-1.11 TO=2.14 NO=-1041.46
Tensioni nel cordone: τ_P=0.35 τ_0=0.68 σ_0=350.86 σ_{ID}=350.86 Σ_T=351.54
CC 23 SLV (Collegamento -041_-375)
Azioni sul collegamento: N=-14088.90 Ty=-7.49 Tz=28.82 Mx=-0.01 Mz=-7.17
Sollecitazioni agenti localmente: Tx_l=-7.49 Ty_l=28.82 N_l=-14088.90 My_l=7.17 Mz_l=-0.01
Azioni sul cordone: TP=-0.54 TO=2.14 NO=-1041.46

Tensioni nel cordone: τ_P=0.17 τ_0=0.68 σ_0=341.50 σ_{ID}=341.50 Σ_T=342.19
CC 23 SLV (Collegamento -041_-375)
Azioni sul collegamento: N=-14088.90 Ty=-15.25 Tz=-0.46 Mx=-0.01 Mz=-13.58
Sollecitazioni agenti localmente: Tx_l=-15.25 Ty_l=-0.46 N_l=-14088.90 My_l=13.58 Mz_l=-0.01
Azioni sul cordone: TP=-1.11 TO=-0.02 NO=-1041.46
Tensioni nel cordone: τ_P=0.35 τ_0=7.55E-03 σ_0=350.86 σ_{ID}=350.86 Σ_T=350.87
CC 23 SLV (Collegamento -041_-375)
Azioni sul collegamento: N=-14088.90 Ty=-7.49 Tz=-0.46 Mx=-0.01 Mz=-7.17
Sollecitazioni agenti localmente: Tx_l=-7.49 Ty_l=-0.46 N_l=-14088.90 My_l=7.17 Mz_l=-0.01
Azioni sul cordone: TP=-0.54 TO=-0.02 NO=-1041.46
Tensioni nel cordone: τ_P=0.17 τ_0=7.55E-03 σ_0=341.50 σ_{ID}=341.50 Σ_T=341.51
CC 23 SLV (Collegamento -041_-375)
Azioni sul collegamento: N=-6246.30 Ty=-15.25 Tz=28.82 Mx=-0.01 Mz=-13.58
Sollecitazioni agenti localmente: Tx_l=-15.25 Ty_l=28.82 N_l=-6246.30 My_l=13.58 Mz_l=-0.01
Azioni sul cordone: TP=-1.11 TO=2.14 NO=-461.73
Tensioni nel cordone: τ_P=0.35 τ_0=0.68 σ_0=166.60 σ_{ID}=166.60 Σ_T=167.28
CC 23 SLV (Collegamento -041_-375)
Azioni sul collegamento: N=-6246.30 Ty=-7.49 Tz=28.82 Mx=-0.01 Mz=-7.17
Sollecitazioni agenti localmente: Tx_l=-7.49 Ty_l=28.82 N_l=-6246.30 My_l=7.17 Mz_l=-0.01
Azioni sul cordone: TP=-0.54 TO=2.14 NO=-461.73
Tensioni nel cordone: τ_P=0.17 τ_0=0.68 σ_0=157.24 σ_{ID}=157.24 Σ_T=157.92
CC 23 SLV (Collegamento -041_-375)
Azioni sul collegamento: N=-6246.30 Ty=-15.25 Tz=-0.46 Mx=-0.01 Mz=-13.58
Sollecitazioni agenti localmente: Tx_l=-15.25 Ty_l=-0.46 N_l=-6246.30 My_l=13.58 Mz_l=-0.01
Azioni sul cordone: TP=-1.11 TO=-0.02 NO=-461.73
Tensioni nel cordone: τ_P=0.35 τ_0=7.54E-03 σ_0=166.60 σ_{ID}=166.60 Σ_T=166.60
CC 23 SLV (Collegamento -041_-375)
Azioni sul collegamento: N=-6246.30 Ty=-7.49 Tz=-0.46 Mx=-0.01 Mz=-7.17
Sollecitazioni agenti localmente: Tx_l=-7.49 Ty_l=-0.46 N_l=-6246.30 My_l=7.17 Mz_l=-0.01
Azioni sul cordone: TP=-0.54 TO=-0.02 NO=-461.73
Tensioni nel cordone: τ_P=0.17 τ_0=7.54E-03 σ_0=157.24 σ_{ID}=157.24 Σ_T=157.25
CC 24 SLD (Collegamento -041_-375)
Azioni sul collegamento: N=-11265.80 Ty=-11.63 Tz=18.26 Mx=-0.01 Mz=-9.21
Sollecitazioni agenti localmente: Tx_l=-11.63 Ty_l=18.26 N_l=-11265.80 My_l=9.21 Mz_l=-0.01
Azioni sul cordone: TP=-0.85 TO=1.35 NO=-832.77
Tensioni nel cordone: τ_P=0.27 τ_0=0.43 σ_0=278.15 σ_{ID}=278.16 Σ_T=278.59
CC 24 SLD (Collegamento -041_-375)
Azioni sul collegamento: N=-11265.80 Ty=-9.26 Tz=18.26 Mx=-0.01 Mz=-7.26
Sollecitazioni agenti localmente: Tx_l=-9.26 Ty_l=18.26 N_l=-11265.80 My_l=7.26 Mz_l=-0.01
Azioni sul cordone: TP=-0.68 TO=1.35 NO=-832.77
Tensioni nel cordone: τ_P=0.22 τ_0=0.43 σ_0=275.30 σ_{ID}=275.30 Σ_T=275.73
CC 24 SLD (Collegamento -041_-375)
Azioni sul collegamento: N=-11265.80 Ty=-11.63 Tz=9.33 Mx=-0.01 Mz=-9.21
Sollecitazioni agenti localmente: Tx_l=-11.63 Ty_l=9.33 N_l=-11265.80 My_l=9.21 Mz_l=-0.01
Azioni sul cordone: TP=-0.85 TO=0.69 NO=-832.77
Tensioni nel cordone: τ_P=0.27 τ_0=0.22 σ_0=278.15 σ_{ID}=278.15 Σ_T=278.38
CC 24 SLD (Collegamento -041_-375)
Azioni sul collegamento: N=-11265.80 Ty=-9.26 Tz=9.33 Mx=-0.01 Mz=-7.26
Sollecitazioni agenti localmente: Tx_l=-9.26 Ty_l=9.33 N_l=-11265.80 My_l=7.26 Mz_l=-0.01
Azioni sul cordone: TP=-0.68 TO=0.69 NO=-832.77
Tensioni nel cordone: τ_P=0.22 τ_0=0.22 σ_0=275.30 σ_{ID}=275.30 Σ_T=275.52
CC 24 SLD (Collegamento -041_-375)
Azioni sul collegamento: N=-8874.30 Ty=-11.63 Tz=18.26 Mx=-0.01 Mz=-9.21
Sollecitazioni agenti localmente: Tx_l=-11.63 Ty_l=18.26 N_l=-8874.30 My_l=9.21 Mz_l=-0.01
Azioni sul cordone: TP=-0.85 TO=1.35 NO=-655.99
Tensioni nel cordone: τ_P=0.27 τ_0=0.43 σ_0=221.97 σ_{ID}=221.97 Σ_T=222.40
CC 24 SLD (Collegamento -041_-375)
Azioni sul collegamento: N=-8874.30 Ty=-9.26 Tz=18.26 Mx=-0.01 Mz=-7.26
Sollecitazioni agenti localmente: Tx_l=-9.26 Ty_l=18.26 N_l=-8874.30 My_l=7.26 Mz_l=-0.01
Azioni sul cordone: TP=-0.68 TO=1.35 NO=-655.99
Tensioni nel cordone: τ_P=0.22 τ_0=0.43 σ_0=219.11 σ_{ID}=219.11 Σ_T=219.54
CC 24 SLD (Collegamento -041_-375)
Azioni sul collegamento: N=-8874.30 Ty=-11.63 Tz=9.33 Mx=-0.01 Mz=-9.21
Sollecitazioni agenti localmente: Tx_l=-11.63 Ty_l=9.33 N_l=-8874.30 My_l=9.21 Mz_l=-0.01
Azioni sul cordone: TP=-0.85 TO=0.69 NO=-655.99
Tensioni nel cordone: τ_P=0.27 τ_0=0.22 σ_0=221.97 σ_{ID}=221.97 Σ_T=222.19
CC 24 SLD (Collegamento -041_-375)
Azioni sul collegamento: N=-8874.30 Ty=-9.26 Tz=9.33 Mx=-0.01 Mz=-7.26
Sollecitazioni agenti localmente: Tx_l=-9.26 Ty_l=9.33 N_l=-8874.30 My_l=7.26 Mz_l=-0.01
Azioni sul cordone: TP=-0.68 TO=0.69 NO=-655.99
Tensioni nel cordone: τ_P=0.22 τ_0=0.22 σ_0=219.11 σ_{ID}=219.11 Σ_T=219.33
CC 25 SLV (Collegamento -041_-375)
Azioni sul collegamento: N=-8983.80 Ty=-9.43 Tz=9.29 Mx=-0.02 Mz=-7.83
Sollecitazioni agenti localmente: Tx_l=-9.43 Ty_l=9.29 N_l=-8983.80 My_l=7.83 Mz_l=-0.02
Azioni sul cordone: TP=-0.67 TO=0.71 NO=-664.09
Tensioni nel cordone: τ_P=0.21 τ_0=0.22 σ_0=222.51 σ_{ID}=222.51 Σ_T=222.74
CC 25 SLV (Collegamento -041_-375)
Azioni sul collegamento: N=-8983.80 Ty=-13.31 Tz=9.29 Mx=-0.02 Mz=-12.93
Sollecitazioni agenti localmente: Tx_l=-13.31 Ty_l=9.29 N_l=-8983.80 My_l=12.93 Mz_l=-0.02

Azioni sul cordone: TP=-0.96 TO=0.71 NO=-664.09
Tensioni nel cordone: τ_P=0.30 τ_0=0.22 σ_0=229.96 σ_{ID}=229.96 Σ_T=230.19
CC 25 SLV (Collegamento -041_-375)
Azioni sul collegamento: N=-8983.80 Ty=-9.43 Tz=19.07 Mx=-0.02 Mz=-7.83
Sollecitazioni agenti localmente: Tx_l=-9.43 Ty_l=19.07 N_l=-8983.80 My_l=7.83 Mz_l=-0.02
Azioni sul cordone: TP=-0.67 TO=1.43 NO=-664.09
Tensioni nel cordone: τ_P=0.21 τ_0=0.45 σ_0=222.51 σ_{ID}=222.51 Σ_T=222.97
CC 25 SLV (Collegamento -041_-375)
Azioni sul collegamento: N=-8983.80 Ty=-13.31 Tz=19.07 Mx=-0.02 Mz=-12.93
Sollecitazioni agenti localmente: Tx_l=-13.31 Ty_l=19.07 N_l=-8983.80 My_l=12.93 Mz_l=-0.02
Azioni sul cordone: TP=-0.96 TO=1.43 NO=-664.09
Tensioni nel cordone: τ_P=0.30 τ_0=0.45 σ_0=229.96 σ_{ID}=229.96 Σ_T=230.41
CC 25 SLV (Collegamento -041_-375)
Azioni sul collegamento: N=-11351.50 Ty=-9.43 Tz=9.29 Mx=-0.02 Mz=-7.83
Sollecitazioni agenti localmente: Tx_l=-9.43 Ty_l=9.29 N_l=-11351.50 My_l=7.83 Mz_l=-0.02
Azioni sul cordone: TP=-0.67 TO=0.71 NO=-839.10
Tensioni nel cordone: τ_P=0.21 τ_0=0.22 σ_0=278.14 σ_{ID}=278.14 Σ_T=278.36
CC 25 SLV (Collegamento -041_-375)
Azioni sul collegamento: N=-11351.50 Ty=-13.31 Tz=9.29 Mx=-0.02 Mz=-12.93
Sollecitazioni agenti localmente: Tx_l=-13.31 Ty_l=9.29 N_l=-11351.50 My_l=12.93 Mz_l=-0.02
Azioni sul cordone: TP=-0.96 TO=0.71 NO=-839.10
Tensioni nel cordone: τ_P=0.30 τ_0=0.22 σ_0=285.59 σ_{ID}=285.59 Σ_T=285.81
CC 25 SLV (Collegamento -041_-375)
Azioni sul collegamento: N=-11351.50 Ty=-9.43 Tz=19.07 Mx=-0.02 Mz=-7.83
Sollecitazioni agenti localmente: Tx_l=-9.43 Ty_l=19.07 N_l=-11351.50 My_l=7.83 Mz_l=-0.02
Azioni sul cordone: TP=-0.67 TO=1.43 NO=-839.10
Tensioni nel cordone: τ_P=0.21 τ_0=0.45 σ_0=278.14 σ_{ID}=278.14 Σ_T=278.59
CC 25 SLV (Collegamento -041_-375)
Azioni sul collegamento: N=-11351.50 Ty=-13.31 Tz=19.07 Mx=-0.02 Mz=-12.93
Sollecitazioni agenti localmente: Tx_l=-13.31 Ty_l=19.07 N_l=-11351.50 My_l=12.93 Mz_l=-0.02
Azioni sul cordone: TP=-0.96 TO=1.43 NO=-839.10
Tensioni nel cordone: τ_P=0.30 τ_0=0.45 σ_0=285.59 σ_{ID}=285.59 Σ_T=286.04
CC 26 SLD (Collegamento -041_-375)
Azioni sul collegamento: N=-9709.05 Ty=-9.85 Tz=12.31 Mx=-0.01 Mz=-7.46
Sollecitazioni agenti localmente: Tx_l=-9.85 Ty_l=12.31 N_l=-9709.05 My_l=7.46 Mz_l=-0.01
Azioni sul cordone: TP=-0.72 TO=0.92 NO=-717.70
Tensioni nel cordone: τ_P=0.23 τ_0=0.29 σ_0=239.02 σ_{ID}=239.02 Σ_T=239.31
CC 26 SLD (Collegamento -041_-375)
Azioni sul collegamento: N=-9709.05 Ty=-11.04 Tz=12.31 Mx=-0.01 Mz=-9.01
Sollecitazioni agenti localmente: Tx_l=-11.04 Ty_l=12.31 N_l=-9709.05 My_l=9.01 Mz_l=-0.01
Azioni sul cordone: TP=-0.81 TO=0.92 NO=-717.70
Tensioni nel cordone: τ_P=0.26 τ_0=0.29 σ_0=241.29 σ_{ID}=241.29 Σ_T=241.58
CC 26 SLD (Collegamento -041_-375)
Azioni sul collegamento: N=-9709.05 Ty=-9.85 Tz=15.29 Mx=-0.01 Mz=-7.46
Sollecitazioni agenti localmente: Tx_l=-9.85 Ty_l=15.29 N_l=-9709.05 My_l=7.46 Mz_l=-0.01
Azioni sul cordone: TP=-0.72 TO=1.14 NO=-717.70
Tensioni nel cordone: τ_P=0.23 τ_0=0.36 σ_0=239.02 σ_{ID}=239.02 Σ_T=239.38
CC 26 SLD (Collegamento -041_-375)
Azioni sul collegamento: N=-9709.05 Ty=-11.04 Tz=15.29 Mx=-0.01 Mz=-9.01
Sollecitazioni agenti localmente: Tx_l=-11.04 Ty_l=15.29 N_l=-9709.05 My_l=9.01 Mz_l=-0.01
Azioni sul cordone: TP=-0.81 TO=1.14 NO=-717.70
Tensioni nel cordone: τ_P=0.26 τ_0=0.36 σ_0=241.29 σ_{ID}=241.29 Σ_T=241.65
CC 26 SLD (Collegamento -041_-375)
Azioni sul collegamento: N=-10431.00 Ty=-9.85 Tz=12.31 Mx=-0.01 Mz=-7.46
Sollecitazioni agenti localmente: Tx_l=-9.85 Ty_l=12.31 N_l=-10431.00 My_l=7.46 Mz_l=-0.01
Azioni sul cordone: TP=-0.72 TO=0.92 NO=-771.06
Tensioni nel cordone: τ_P=0.23 τ_0=0.29 σ_0=255.98 σ_{ID}=255.98 Σ_T=256.27
CC 26 SLD (Collegamento -041_-375)
Azioni sul collegamento: N=-10431.00 Ty=-11.04 Tz=12.31 Mx=-0.01 Mz=-9.01
Sollecitazioni agenti localmente: Tx_l=-11.04 Ty_l=12.31 N_l=-10431.00 My_l=9.01 Mz_l=-0.01
Azioni sul cordone: TP=-0.81 TO=0.92 NO=-771.06
Tensioni nel cordone: τ_P=0.26 τ_0=0.29 σ_0=258.25 σ_{ID}=258.25 Σ_T=258.54
CC 26 SLD (Collegamento -041_-375)
Azioni sul collegamento: N=-10431.00 Ty=-9.85 Tz=15.29 Mx=-0.01 Mz=-7.46
Sollecitazioni agenti localmente: Tx_l=-9.85 Ty_l=15.29 N_l=-10431.00 My_l=7.46 Mz_l=-0.01
Azioni sul cordone: TP=-0.72 TO=1.14 NO=-771.06
Tensioni nel cordone: τ_P=0.23 τ_0=0.36 σ_0=255.98 σ_{ID}=255.98 Σ_T=256.34
CC 26 SLD (Collegamento -041_-375)
Azioni sul collegamento: N=-10431.00 Ty=-11.04 Tz=15.29 Mx=-0.01 Mz=-9.01
Sollecitazioni agenti localmente: Tx_l=-11.04 Ty_l=15.29 N_l=-10431.00 My_l=9.01 Mz_l=-0.01
Azioni sul cordone: TP=-0.81 TO=1.14 NO=-771.06
Tensioni nel cordone: τ_P=0.26 τ_0=0.36 σ_0=258.25 σ_{ID}=258.25 Σ_T=258.61
CC 27 SLV (Collegamento -041_-375)
Azioni sul collegamento: N=-11335.10 Ty=-11.60 Tz=17.98 Mx=-0.02 Mz=-9.43
Sollecitazioni agenti localmente: Tx_l=-11.60 Ty_l=17.98 N_l=-11335.10 My_l=9.43 Mz_l=-0.02
Azioni sul cordone: TP=-0.83 TO=1.35 NO=-837.90
Tensioni nel cordone: τ_P=0.26 τ_0=0.43 σ_0=280.11 σ_{ID}=280.11 Σ_T=280.53
CC 27 SLV (Collegamento -041_-375)
Azioni sul collegamento: N=-11335.10 Ty=-11.14 Tz=17.98 Mx=-0.02 Mz=-11.32

Sollecitazioni agenti localmente: Tx_l=-11.14 Ty_l=17.98 N_l=-11335.10 My_l=11.32 Mz_l=-0.02
Azioni sul cordone: TP=-0.80 TO=1.35 NO=-837.90
Tensioni nel cordone: τ_P=0.25 τ_0=0.43 σ_0=282.86 σ_{ID}=282.86 Σ_T=283.29
CC 27 SLV (Collegamento -041_-375)
Azioni sul collegamento: N=-11335.10 Ty=-11.60 Tz=10.38 Mx=-0.02 Mz=-9.43
Sollecitazioni agenti localmente: Tx_l=-11.60 Ty_l=10.38 N_l=-11335.10 My_l=9.43 Mz_l=-0.02
Azioni sul cordone: TP=-0.83 TO=0.79 NO=-837.90
Tensioni nel cordone: τ_P=0.26 τ_0=0.25 σ_0=280.11 σ_{ID}=280.11 Σ_T=280.36
CC 27 SLV (Collegamento -041_-375)
Azioni sul collegamento: N=-11335.10 Ty=-11.14 Tz=10.38 Mx=-0.02 Mz=-11.32
Sollecitazioni agenti localmente: Tx_l=-11.14 Ty_l=10.38 N_l=-11335.10 My_l=11.32 Mz_l=-0.02
Azioni sul cordone: TP=-0.80 TO=0.79 NO=-837.90
Tensioni nel cordone: τ_P=0.25 τ_0=0.25 σ_0=282.86 σ_{ID}=282.86 Σ_T=283.11
CC 27 SLV (Collegamento -041_-375)
Azioni sul collegamento: N=-9000.13 Ty=-11.60 Tz=17.98 Mx=-0.02 Mz=-9.43
Sollecitazioni agenti localmente: Tx_l=-11.60 Ty_l=17.98 N_l=-9000.13 My_l=9.43 Mz_l=-0.02
Azioni sul cordone: TP=-0.83 TO=1.35 NO=-665.29
Tensioni nel cordone: τ_P=0.26 τ_0=0.43 σ_0=225.24 σ_{ID}=225.24 Σ_T=225.67
CC 27 SLV (Collegamento -041_-375)
Azioni sul collegamento: N=-9000.13 Ty=-11.14 Tz=17.98 Mx=-0.02 Mz=-11.32
Sollecitazioni agenti localmente: Tx_l=-11.14 Ty_l=17.98 N_l=-9000.13 My_l=11.32 Mz_l=-0.02
Azioni sul cordone: TP=-0.80 TO=1.35 NO=-665.29
Tensioni nel cordone: τ_P=0.25 τ_0=0.43 σ_0=228.00 σ_{ID}=228.00 Σ_T=228.42
CC 27 SLV (Collegamento -041_-375)
Azioni sul collegamento: N=-9000.13 Ty=-11.60 Tz=10.38 Mx=-0.02 Mz=-9.43
Sollecitazioni agenti localmente: Tx_l=-11.60 Ty_l=10.38 N_l=-9000.13 My_l=9.43 Mz_l=-0.02
Azioni sul cordone: TP=-0.83 TO=0.79 NO=-665.29
Tensioni nel cordone: τ_P=0.26 τ_0=0.25 σ_0=225.24 σ_{ID}=225.24 Σ_T=225.49
CC 27 SLV (Collegamento -041_-375)
Azioni sul collegamento: N=-9000.13 Ty=-11.14 Tz=10.38 Mx=-0.02 Mz=-11.32
Sollecitazioni agenti localmente: Tx_l=-11.14 Ty_l=10.38 N_l=-9000.13 My_l=11.32 Mz_l=-0.02
Azioni sul cordone: TP=-0.80 TO=0.79 NO=-665.29
Tensioni nel cordone: τ_P=0.25 τ_0=0.25 σ_0=228.00 σ_{ID}=228.00 Σ_T=228.25
CC 28 SLD (Collegamento -041_-375)
Azioni sul collegamento: N=-10426.00 Ty=-10.51 Tz=14.95 Mx=-0.01 Mz=-7.95
Sollecitazioni agenti localmente: Tx_l=-10.51 Ty_l=14.95 N_l=-10426.00 My_l=7.95 Mz_l=-0.01
Azioni sul cordone: TP=-0.77 TO=1.11 NO=-770.70
Tensioni nel cordone: τ_P=0.24 τ_0=0.35 σ_0=256.58 σ_{ID}=256.58 Σ_T=256.93
CC 28 SLD (Collegamento -041_-375)
Azioni sul collegamento: N=-10426.00 Ty=-10.37 Tz=14.95 Mx=-0.01 Mz=-8.52
Sollecitazioni agenti localmente: Tx_l=-10.37 Ty_l=14.95 N_l=-10426.00 My_l=8.52 Mz_l=-0.01
Azioni sul cordone: TP=-0.76 TO=1.11 NO=-770.70
Tensioni nel cordone: τ_P=0.24 τ_0=0.35 σ_0=257.42 σ_{ID}=257.42 Σ_T=257.77
CC 28 SLD (Collegamento -041_-375)
Azioni sul collegamento: N=-10426.00 Ty=-10.51 Tz=12.64 Mx=-0.01 Mz=-7.95
Sollecitazioni agenti localmente: Tx_l=-10.51 Ty_l=12.64 N_l=-10426.00 My_l=7.95 Mz_l=-0.01
Azioni sul cordone: TP=-0.77 TO=0.94 NO=-770.70
Tensioni nel cordone: τ_P=0.24 τ_0=0.30 σ_0=256.58 σ_{ID}=256.58 Σ_T=256.88
CC 28 SLD (Collegamento -041_-375)
Azioni sul collegamento: N=-10426.00 Ty=-10.37 Tz=12.64 Mx=-0.01 Mz=-8.52
Sollecitazioni agenti localmente: Tx_l=-10.37 Ty_l=12.64 N_l=-10426.00 My_l=8.52 Mz_l=-0.01
Azioni sul cordone: TP=-0.76 TO=0.94 NO=-770.70
Tensioni nel cordone: τ_P=0.24 τ_0=0.30 σ_0=257.42 σ_{ID}=257.42 Σ_T=257.72
CC 28 SLD (Collegamento -041_-375)
Azioni sul collegamento: N=-9714.03 Ty=-10.51 Tz=14.95 Mx=-0.01 Mz=-7.95
Sollecitazioni agenti localmente: Tx_l=-10.51 Ty_l=14.95 N_l=-9714.03 My_l=7.95 Mz_l=-0.01
Azioni sul cordone: TP=-0.77 TO=1.11 NO=-718.06
Tensioni nel cordone: τ_P=0.24 τ_0=0.35 σ_0=239.85 σ_{ID}=239.85 Σ_T=240.20
CC 28 SLD (Collegamento -041_-375)
Azioni sul collegamento: N=-9714.03 Ty=-10.37 Tz=14.95 Mx=-0.01 Mz=-8.52
Sollecitazioni agenti localmente: Tx_l=-10.37 Ty_l=14.95 N_l=-9714.03 My_l=8.52 Mz_l=-0.01
Azioni sul cordone: TP=-0.76 TO=1.11 NO=-718.06
Tensioni nel cordone: τ_P=0.24 τ_0=0.35 σ_0=240.69 σ_{ID}=240.69 Σ_T=241.04
CC 28 SLD (Collegamento -041_-375)
Azioni sul collegamento: N=-9714.03 Ty=-10.51 Tz=12.64 Mx=-0.01 Mz=-7.95
Sollecitazioni agenti localmente: Tx_l=-10.51 Ty_l=12.64 N_l=-9714.03 My_l=7.95 Mz_l=-0.01
Azioni sul cordone: TP=-0.77 TO=0.94 NO=-718.06
Tensioni nel cordone: τ_P=0.24 τ_0=0.30 σ_0=239.85 σ_{ID}=239.85 Σ_T=240.15
CC 28 SLD (Collegamento -041_-375)
Azioni sul collegamento: N=-9714.03 Ty=-10.37 Tz=12.64 Mx=-0.01 Mz=-8.52
Sollecitazioni agenti localmente: Tx_l=-10.37 Ty_l=12.64 N_l=-9714.03 My_l=8.52 Mz_l=-0.01
Azioni sul cordone: TP=-0.76 TO=0.94 NO=-718.06
Tensioni nel cordone: τ_P=0.24 τ_0=0.30 σ_0=240.69 σ_{ID}=240.69 Σ_T=240.99
CC 29 SLV (Collegamento -041_-375)
Azioni sul collegamento: N=-9000.13 Ty=-11.14 Tz=10.38 Mx=-0.01 Mz=-11.32
Sollecitazioni agenti localmente: Tx_l=-11.14 Ty_l=10.38 N_l=-9000.13 My_l=11.32 Mz_l=-0.01
Azioni sul cordone: TP=-0.82 TO=0.77 NO=-665.29
Tensioni nel cordone: τ_P=0.26 τ_0=0.25 σ_0=228.00 σ_{ID}=228.00 Σ_T=228.24
CC 29 SLV (Collegamento -041_-375)

Azioni sul collegamento: N=-9000.13 Ty=-11.60 Tz=10.38 Mx=-0.01 Mz=-9.43
Sollecitazioni agenti localmente: Tx_l=-11.60 Ty_l=10.38 N_l=-9000.13 My_l=9.43 Mz_l=-0.01
Azioni sul cordone: TP=-0.85 TO=0.77 NO=-665.29
Tensioni nel cordone: τ_P=0.27 τ_0=0.25 σ_0=225.24 σ_{ID}=225.24 Σ_T=225.49
CC 29 SLV (Collegamento -041_-375)
Azioni sul collegamento: N=-9000.13 Ty=-11.14 Tz=17.98 Mx=-0.01 Mz=-11.32
Sollecitazioni agenti localmente: Tx_l=-11.14 Ty_l=17.98 N_l=-9000.13 My_l=11.32 Mz_l=-0.01
Azioni sul cordone: TP=-0.82 TO=1.33 NO=-665.29
Tensioni nel cordone: τ_P=0.26 τ_0=0.42 σ_0=228.00 σ_{ID}=228.00 Σ_T=228.42
CC 29 SLV (Collegamento -041_-375)
Azioni sul collegamento: N=-9000.13 Ty=-11.60 Tz=17.98 Mx=-0.01 Mz=-9.43
Sollecitazioni agenti localmente: Tx_l=-11.60 Ty_l=17.98 N_l=-9000.13 My_l=9.43 Mz_l=-0.01
Azioni sul cordone: TP=-0.85 TO=1.33 NO=-665.29
Tensioni nel cordone: τ_P=0.27 τ_0=0.42 σ_0=225.24 σ_{ID}=225.24 Σ_T=225.67
CC 29 SLV (Collegamento -041_-375)
Azioni sul collegamento: N=-11335.10 Ty=-11.14 Tz=10.38 Mx=-0.01 Mz=-11.32
Sollecitazioni agenti localmente: Tx_l=-11.14 Ty_l=10.38 N_l=-11335.10 My_l=11.32 Mz_l=-0.01
Azioni sul cordone: TP=-0.82 TO=0.77 NO=-837.90
Tensioni nel cordone: τ_P=0.26 τ_0=0.25 σ_0=282.86 σ_{ID}=282.86 Σ_T=283.10
CC 29 SLV (Collegamento -041_-375)
Azioni sul collegamento: N=-11335.10 Ty=-11.60 Tz=10.38 Mx=-0.01 Mz=-9.43
Sollecitazioni agenti localmente: Tx_l=-11.60 Ty_l=10.38 N_l=-11335.10 My_l=9.43 Mz_l=-0.01
Azioni sul cordone: TP=-0.85 TO=0.77 NO=-837.90
Tensioni nel cordone: τ_P=0.27 τ_0=0.25 σ_0=280.11 σ_{ID}=280.11 Σ_T=280.35
CC 29 SLV (Collegamento -041_-375)
Azioni sul collegamento: N=-11335.10 Ty=-11.14 Tz=17.98 Mx=-0.01 Mz=-11.32
Sollecitazioni agenti localmente: Tx_l=-11.14 Ty_l=17.98 N_l=-11335.10 My_l=11.32 Mz_l=-0.01
Azioni sul cordone: TP=-0.82 TO=1.33 NO=-837.90
Tensioni nel cordone: τ_P=0.26 τ_0=0.42 σ_0=282.86 σ_{ID}=282.86 Σ_T=283.28
CC 29 SLV (Collegamento -041_-375)
Azioni sul collegamento: N=-11335.10 Ty=-11.60 Tz=17.98 Mx=-0.01 Mz=-9.43
Sollecitazioni agenti localmente: Tx_l=-11.60 Ty_l=17.98 N_l=-11335.10 My_l=9.43 Mz_l=-0.01
Azioni sul cordone: TP=-0.85 TO=1.33 NO=-837.90
Tensioni nel cordone: τ_P=0.27 τ_0=0.42 σ_0=280.11 σ_{ID}=280.11 Σ_T=280.53
CC 30 SLD (Collegamento -041_-375)
Azioni sul collegamento: N=-9714.03 Ty=-10.37 Tz=12.64 Mx=-0.00 Mz=-8.52
Sollecitazioni agenti localmente: Tx_l=-10.37 Ty_l=12.64 N_l=-9714.03 My_l=8.52 Mz_l=-0.00
Azioni sul cordone: TP=-0.76 TO=0.94 NO=-718.06
Tensioni nel cordone: τ_P=0.24 τ_0=0.30 σ_0=240.69 σ_{ID}=240.69 Σ_T=240.99
CC 30 SLD (Collegamento -041_-375)
Azioni sul collegamento: N=-9714.03 Ty=-10.51 Tz=12.64 Mx=-0.00 Mz=-7.95
Sollecitazioni agenti localmente: Tx_l=-10.51 Ty_l=12.64 N_l=-9714.03 My_l=7.95 Mz_l=-0.00
Azioni sul cordone: TP=-0.77 TO=0.94 NO=-718.06
Tensioni nel cordone: τ_P=0.25 τ_0=0.30 σ_0=239.85 σ_{ID}=239.85 Σ_T=240.15
CC 30 SLD (Collegamento -041_-375)
Azioni sul collegamento: N=-9714.03 Ty=-10.37 Tz=14.95 Mx=-0.00 Mz=-8.52
Sollecitazioni agenti localmente: Tx_l=-10.37 Ty_l=14.95 N_l=-9714.03 My_l=8.52 Mz_l=-0.00
Azioni sul cordone: TP=-0.76 TO=1.11 NO=-718.06
Tensioni nel cordone: τ_P=0.24 τ_0=0.35 σ_0=240.69 σ_{ID}=240.69 Σ_T=241.04
CC 30 SLD (Collegamento -041_-375)
Azioni sul collegamento: N=-9714.03 Ty=-10.51 Tz=14.95 Mx=-0.00 Mz=-7.95
Sollecitazioni agenti localmente: Tx_l=-10.51 Ty_l=14.95 N_l=-9714.03 My_l=7.95 Mz_l=-0.00
Azioni sul cordone: TP=-0.77 TO=1.11 NO=-718.06
Tensioni nel cordone: τ_P=0.25 τ_0=0.35 σ_0=239.85 σ_{ID}=239.85 Σ_T=240.20
CC 30 SLD (Collegamento -041_-375)
Azioni sul collegamento: N=-10426.00 Ty=-10.37 Tz=12.64 Mx=-0.00 Mz=-8.52
Sollecitazioni agenti localmente: Tx_l=-10.37 Ty_l=12.64 N_l=-10426.00 My_l=8.52 Mz_l=-0.00
Azioni sul cordone: TP=-0.76 TO=0.94 NO=-770.70
Tensioni nel cordone: τ_P=0.24 τ_0=0.30 σ_0=257.42 σ_{ID}=257.42 Σ_T=257.72
CC 30 SLD (Collegamento -041_-375)
Azioni sul collegamento: N=-10426.00 Ty=-10.51 Tz=12.64 Mx=-0.00 Mz=-7.95
Sollecitazioni agenti localmente: Tx_l=-10.51 Ty_l=12.64 N_l=-10426.00 My_l=7.95 Mz_l=-0.00
Azioni sul cordone: TP=-0.77 TO=0.94 NO=-770.70
Tensioni nel cordone: τ_P=0.25 τ_0=0.30 σ_0=256.58 σ_{ID}=256.58 Σ_T=256.88
CC 30 SLD (Collegamento -041_-375)
Azioni sul collegamento: N=-10426.00 Ty=-10.37 Tz=14.95 Mx=-0.00 Mz=-8.52
Sollecitazioni agenti localmente: Tx_l=-10.37 Ty_l=14.95 N_l=-10426.00 My_l=8.52 Mz_l=-0.00
Azioni sul cordone: TP=-0.76 TO=1.11 NO=-770.70
Tensioni nel cordone: τ_P=0.24 τ_0=0.35 σ_0=257.42 σ_{ID}=257.42 Σ_T=257.77
CC 30 SLD (Collegamento -041_-375)
Azioni sul collegamento: N=-10426.00 Ty=-10.51 Tz=14.95 Mx=-0.00 Mz=-7.95
Sollecitazioni agenti localmente: Tx_l=-10.51 Ty_l=14.95 N_l=-10426.00 My_l=7.95 Mz_l=-0.00
Azioni sul cordone: TP=-0.77 TO=1.11 NO=-770.70
Tensioni nel cordone: τ_P=0.25 τ_0=0.35 σ_0=256.58 σ_{ID}=256.58 Σ_T=256.93
CC 31 SLV (Collegamento -041_-375)
Azioni sul collegamento: N=-11351.50 Ty=-13.31 Tz=19.07 Mx=-0.01 Mz=-12.93
Sollecitazioni agenti localmente: Tx_l=-13.31 Ty_l=19.07 N_l=-11351.50 My_l=12.93 Mz_l=-0.01
Azioni sul cordone: TP=-0.98 TO=1.42 NO=-839.10
Tensioni nel cordone: τ_P=0.31 τ_0=0.45 σ_0=285.59 σ_{ID}=285.59 Σ_T=286.04

CC 31 SLV (Collegamento -041_-375)
Azioni sul collegamento: N=-11351.50 Ty=-9.43 Tz=19.07 Mx=-0.01 Mz=-7.83
Sollecitazioni agenti localmente: Tx_l=-9.43 Ty_l=19.07 N_l=-11351.50 My_l=7.83 Mz_l=-0.01
Azioni sul cordone: TP=-0.69 TO=1.42 NO=-839.10
Tensioni nel cordone: τ_P=0.22 τ_0=0.45 σ_0=278.14 σ_{ID}=278.14 Σ_T=278.59
CC 31 SLV (Collegamento -041_-375)
Azioni sul collegamento: N=-11351.50 Ty=-13.31 Tz=9.29 Mx=-0.01 Mz=-12.93
Sollecitazioni agenti localmente: Tx_l=-13.31 Ty_l=9.29 N_l=-11351.50 My_l=12.93 Mz_l=-0.01
Azioni sul cordone: TP=-0.98 TO=0.69 NO=-839.10
Tensioni nel cordone: τ_P=0.31 τ_0=0.22 σ_0=285.59 σ_{ID}=285.59 Σ_T=285.81
CC 31 SLV (Collegamento -041_-375)
Azioni sul collegamento: N=-11351.50 Ty=-9.43 Tz=9.29 Mx=-0.01 Mz=-7.83
Sollecitazioni agenti localmente: Tx_l=-9.43 Ty_l=9.29 N_l=-11351.50 My_l=7.83 Mz_l=-0.01
Azioni sul cordone: TP=-0.69 TO=0.69 NO=-839.10
Tensioni nel cordone: τ_P=0.22 τ_0=0.22 σ_0=278.14 σ_{ID}=278.14 Σ_T=278.36
CC 31 SLV (Collegamento -041_-375)
Azioni sul collegamento: N=-8983.80 Ty=-13.31 Tz=19.07 Mx=-0.01 Mz=-12.93
Sollecitazioni agenti localmente: Tx_l=-13.31 Ty_l=19.07 N_l=-8983.80 My_l=12.93 Mz_l=-0.01
Azioni sul cordone: TP=-0.98 TO=1.42 NO=-664.09
Tensioni nel cordone: τ_P=0.31 τ_0=0.45 σ_0=229.96 σ_{ID}=229.96 Σ_T=230.41
CC 31 SLV (Collegamento -041_-375)
Azioni sul collegamento: N=-8983.80 Ty=-9.43 Tz=19.07 Mx=-0.01 Mz=-7.83
Sollecitazioni agenti localmente: Tx_l=-9.43 Ty_l=19.07 N_l=-8983.80 My_l=7.83 Mz_l=-0.01
Azioni sul cordone: TP=-0.69 TO=1.42 NO=-664.09
Tensioni nel cordone: τ_P=0.22 τ_0=0.45 σ_0=222.51 σ_{ID}=222.51 Σ_T=222.96
CC 31 SLV (Collegamento -041_-375)
Azioni sul collegamento: N=-8983.80 Ty=-13.31 Tz=9.29 Mx=-0.01 Mz=-12.93
Sollecitazioni agenti localmente: Tx_l=-13.31 Ty_l=9.29 N_l=-8983.80 My_l=12.93 Mz_l=-0.01
Azioni sul cordone: TP=-0.98 TO=0.69 NO=-664.09
Tensioni nel cordone: τ_P=0.31 τ_0=0.22 σ_0=229.96 σ_{ID}=229.96 Σ_T=230.18
CC 31 SLV (Collegamento -041_-375)
Azioni sul collegamento: N=-8983.80 Ty=-9.43 Tz=9.29 Mx=-0.01 Mz=-7.83
Sollecitazioni agenti localmente: Tx_l=-9.43 Ty_l=9.29 N_l=-8983.80 My_l=7.83 Mz_l=-0.01
Azioni sul cordone: TP=-0.69 TO=0.69 NO=-664.09
Tensioni nel cordone: τ_P=0.22 τ_0=0.22 σ_0=222.51 σ_{ID}=222.51 Σ_T=222.73
CC 32 SLD (Collegamento -041_-375)
Azioni sul collegamento: N=-10431.00 Ty=-11.04 Tz=15.29 Mx=-0.00 Mz=-9.01
Sollecitazioni agenti localmente: Tx_l=-11.04 Ty_l=15.29 N_l=-10431.00 My_l=9.01 Mz_l=-0.00
Azioni sul cordone: TP=-0.81 TO=1.13 NO=-771.06
Tensioni nel cordone: τ_P=0.26 τ_0=0.36 σ_0=258.25 σ_{ID}=258.25 Σ_T=258.61
CC 32 SLD (Collegamento -041_-375)
Azioni sul collegamento: N=-10431.00 Ty=-9.85 Tz=15.29 Mx=-0.00 Mz=-7.46
Sollecitazioni agenti localmente: Tx_l=-9.85 Ty_l=15.29 N_l=-10431.00 My_l=7.46 Mz_l=-0.00
Azioni sul cordone: TP=-0.72 TO=1.13 NO=-771.06
Tensioni nel cordone: τ_P=0.23 τ_0=0.36 σ_0=255.98 σ_{ID}=255.98 Σ_T=256.34
CC 32 SLD (Collegamento -041_-375)
Azioni sul collegamento: N=-10431.00 Ty=-11.04 Tz=12.31 Mx=-0.00 Mz=-9.01
Sollecitazioni agenti localmente: Tx_l=-11.04 Ty_l=12.31 N_l=-10431.00 My_l=9.01 Mz_l=-0.00
Azioni sul cordone: TP=-0.81 TO=0.91 NO=-771.06
Tensioni nel cordone: τ_P=0.26 τ_0=0.29 σ_0=258.25 σ_{ID}=258.25 Σ_T=258.54
CC 32 SLD (Collegamento -041_-375)
Azioni sul collegamento: N=-10431.00 Ty=-9.85 Tz=12.31 Mx=-0.00 Mz=-7.46
Sollecitazioni agenti localmente: Tx_l=-9.85 Ty_l=12.31 N_l=-10431.00 My_l=7.46 Mz_l=-0.00
Azioni sul cordone: TP=-0.72 TO=0.91 NO=-771.06
Tensioni nel cordone: τ_P=0.23 τ_0=0.29 σ_0=255.98 σ_{ID}=255.98 Σ_T=256.27
CC 32 SLD (Collegamento -041_-375)
Azioni sul collegamento: N=-9709.05 Ty=-11.04 Tz=15.29 Mx=-0.00 Mz=-9.01
Sollecitazioni agenti localmente: Tx_l=-11.04 Ty_l=15.29 N_l=-9709.05 My_l=9.01 Mz_l=-0.00
Azioni sul cordone: TP=-0.81 TO=1.13 NO=-717.70
Tensioni nel cordone: τ_P=0.26 τ_0=0.36 σ_0=241.29 σ_{ID}=241.29 Σ_T=241.65
CC 32 SLD (Collegamento -041_-375)
Azioni sul collegamento: N=-9709.05 Ty=-9.85 Tz=15.29 Mx=-0.00 Mz=-7.46
Sollecitazioni agenti localmente: Tx_l=-9.85 Ty_l=15.29 N_l=-9709.05 My_l=7.46 Mz_l=-0.00
Azioni sul cordone: TP=-0.72 TO=1.13 NO=-717.70
Tensioni nel cordone: τ_P=0.23 τ_0=0.36 σ_0=239.02 σ_{ID}=239.02 Σ_T=239.38
CC 32 SLD (Collegamento -041_-375)
Azioni sul collegamento: N=-9709.05 Ty=-11.04 Tz=12.31 Mx=-0.00 Mz=-9.01
Sollecitazioni agenti localmente: Tx_l=-11.04 Ty_l=12.31 N_l=-9709.05 My_l=9.01 Mz_l=-0.00
Azioni sul cordone: TP=-0.81 TO=0.91 NO=-717.70
Tensioni nel cordone: τ_P=0.26 τ_0=0.29 σ_0=241.29 σ_{ID}=241.29 Σ_T=241.58
CC 32 SLD (Collegamento -041_-375)
Azioni sul collegamento: N=-9709.05 Ty=-9.85 Tz=12.31 Mx=-0.00 Mz=-7.46
Sollecitazioni agenti localmente: Tx_l=-9.85 Ty_l=12.31 N_l=-9709.05 My_l=7.46 Mz_l=-0.00
Azioni sul cordone: TP=-0.72 TO=0.91 NO=-717.70
Tensioni nel cordone: τ_P=0.23 τ_0=0.29 σ_0=239.02 σ_{ID}=239.02 Σ_T=239.31
CC 33 SLU (Collegamento -041_-375)
Azioni sul collegamento: N=-36642.60 Ty=-20.20 Tz=103.27 Mx=-0.00 Mz=-14.84
Sollecitazioni agenti localmente: Tx_l=-20.20 Ty_l=103.27 N_l=-36642.60 My_l=14.84 Mz_l=-0.00
Azioni sul cordone: TP=-1.49 TO=7.64 NO=-2708.63

Tensioni nel cordone: τ_P=0.47 τ_0=2.43 σ_0=882.61 σ_{ID}=882.62 Σ_T=885.04
CC 34 SLU (Collegamento -041_-375)
Azioni sul collegamento: N=-37458.50 Ty=-20.96 Tz=106.28 Mx=-0.00 Mz=-15.40
Sollecitazioni agenti localmente: Tx_l=-20.96 Ty_l=106.28 N_l=-37458.50 My_l=15.40 Mz_l=-0.00
Azioni sul cordone: TP=-1.54 TO=7.86 NO=-2768.95
Tensioni nel cordone: τ_P=0.49 τ_0=2.50 σ_0=902.60 σ_{ID}=902.60 Σ_T=905.10
CC 35 SLU (Collegamento -041_-375)
Azioni sul collegamento: N=-37049.70 Ty=-20.49 Tz=104.83 Mx=-0.01 Mz=-14.94
Sollecitazioni agenti localmente: Tx_l=-20.49 Ty_l=104.83 N_l=-37049.70 My_l=14.94 Mz_l=-0.01
Azioni sul cordone: TP=-1.51 TO=7.75 NO=-2738.72
Tensioni nel cordone: τ_P=0.48 τ_0=2.46 σ_0=892.32 σ_{ID}=892.32 Σ_T=894.78
CC 36 SLU (Collegamento -041_-375)
Azioni sul collegamento: N=-37051.40 Ty=-20.67 Tz=104.72 Mx=-0.00 Mz=-15.30
Sollecitazioni agenti localmente: Tx_l=-20.67 Ty_l=104.72 N_l=-37051.40 My_l=15.30 Mz_l=-0.00
Azioni sul cordone: TP=-1.52 TO=7.74 NO=-2738.85
Tensioni nel cordone: τ_P=0.48 τ_0=2.46 σ_0=892.89 σ_{ID}=892.90 Σ_T=895.35
CC 37 SLU (Collegamento -041_-375)
Azioni sul collegamento: N=-29860.20 Ty=10.64 Tz=77.84 Mx=-0.00 Mz=8.54
Sollecitazioni agenti localmente: Tx_l=10.64 Ty_l=77.84 N_l=-29860.20 My_l=-8.54 Mz_l=-0.00
Azioni sul cordone: TP=0.79 TO=5.75 NO=-2207.27
Tensioni nel cordone: τ_P=0.25 τ_0=1.83 σ_0=714.06 σ_{ID}=714.06 Σ_T=715.89
CC 38 SLU (Collegamento -041_-375)
Azioni sul collegamento: N=-30676.20 Ty=9.89 Tz=80.85 Mx=-0.00 Mz=7.98
Sollecitazioni agenti localmente: Tx_l=9.89 Ty_l=80.85 N_l=-30676.20 My_l=-7.98 Mz_l=-0.00
Azioni sul cordone: TP=0.74 TO=5.97 NO=-2267.59
Tensioni nel cordone: τ_P=0.23 τ_0=1.90 σ_0=732.42 σ_{ID}=732.42 Σ_T=734.32
CC 39 SLU (Collegamento -041_-375)
Azioni sul collegamento: N=-30267.30 Ty=10.35 Tz=79.40 Mx=-0.01 Mz=8.45
Sollecitazioni agenti localmente: Tx_l=10.35 Ty_l=79.40 N_l=-30267.30 My_l=-8.45 Mz_l=-0.01
Azioni sul cordone: TP=0.77 TO=5.86 NO=-2237.37
Tensioni nel cordone: τ_P=0.25 τ_0=1.86 σ_0=723.48 σ_{ID}=723.49 Σ_T=725.35
CC 40 SLU (Collegamento -041_-375)
Azioni sul collegamento: N=-30269.10 Ty=10.18 Tz=79.28 Mx=-0.00 Mz=8.08
Sollecitazioni agenti localmente: Tx_l=10.18 Ty_l=79.28 N_l=-30269.10 My_l=-8.08 Mz_l=-0.00
Azioni sul cordone: TP=0.76 TO=5.86 NO=-2237.50
Tensioni nel cordone: τ_P=0.24 τ_0=1.86 σ_0=722.99 σ_{ID}=723.00 Σ_T=724.86
CC 41 SLU (Collegamento -041_-375)
Azioni sul collegamento: N=-27459.80 Ty=-19.36 Tz=69.55 Mx=-0.00 Mz=-14.09
Sollecitazioni agenti localmente: Tx_l=-19.36 Ty_l=69.55 N_l=-27459.80 My_l=14.09 Mz_l=-0.00
Azioni sul cordone: TP=-1.43 TO=5.14 NO=-2029.83
Tensioni nel cordone: τ_P=0.45 τ_0=1.64 σ_0=665.76 σ_{ID}=665.77 Σ_T=667.40
CC 42 SLU (Collegamento -041_-375)
Azioni sul collegamento: N=-28275.70 Ty=-20.11 Tz=72.57 Mx=-0.00 Mz=-14.65
Sollecitazioni agenti localmente: Tx_l=-20.11 Ty_l=72.57 N_l=-28275.70 My_l=14.65 Mz_l=-0.00
Azioni sul cordone: TP=-1.48 TO=5.37 NO=-2090.15
Tensioni nel cordone: τ_P=0.47 τ_0=1.71 σ_0=685.75 σ_{ID}=685.75 Σ_T=687.46
CC 43 SLU (Collegamento -041_-375)
Azioni sul collegamento: N=-27866.90 Ty=-19.65 Tz=71.12 Mx=-0.01 Mz=-14.19
Sollecitazioni agenti localmente: Tx_l=-19.65 Ty_l=71.12 N_l=-27866.90 My_l=14.19 Mz_l=-0.01
Azioni sul cordone: TP=-1.45 TO=5.26 NO=-2059.93
Tensioni nel cordone: τ_P=0.46 τ_0=1.67 σ_0=675.47 σ_{ID}=675.47 Σ_T=677.14
CC 44 SLU (Collegamento -041_-375)
Azioni sul collegamento: N=-27868.60 Ty=-19.82 Tz=71.00 Mx=-0.00 Mz=-14.55
Sollecitazioni agenti localmente: Tx_l=-19.82 Ty_l=71.00 N_l=-27868.60 My_l=14.55 Mz_l=-0.00
Azioni sul cordone: TP=-1.46 TO=5.25 NO=-2060.06
Tensioni nel cordone: τ_P=0.46 τ_0=1.67 σ_0=676.05 σ_{ID}=676.05 Σ_T=677.72
CC 45 SLU (Collegamento -041_-375)
Azioni sul collegamento: N=-29479.00 Ty=-19.57 Tz=76.97 Mx=-0.00 Mz=-14.38
Sollecitazioni agenti localmente: Tx_l=-19.57 Ty_l=76.97 N_l=-29479.00 My_l=14.38 Mz_l=-0.00
Azioni sul cordone: TP=-1.44 TO=5.69 NO=-2179.10
Tensioni nel cordone: τ_P=0.46 τ_0=1.81 σ_0=713.63 σ_{ID}=713.63 Σ_T=715.44
CC 46 SLU (Collegamento -041_-375)
Azioni sul collegamento: N=-30295.00 Ty=-20.33 Tz=79.99 Mx=-0.00 Mz=-14.94
Sollecitazioni agenti localmente: Tx_l=-20.33 Ty_l=79.99 N_l=-30295.00 My_l=14.94 Mz_l=-0.00
Azioni sul cordone: TP=-1.50 TO=5.92 NO=-2239.42
Tensioni nel cordone: τ_P=0.48 τ_0=1.88 σ_0=733.62 σ_{ID}=733.62 Σ_T=735.50
CC 47 SLU (Collegamento -041_-375)
Azioni sul collegamento: N=-29886.10 Ty=-19.86 Tz=78.54 Mx=-0.00 Mz=-14.48
Sollecitazioni agenti localmente: Tx_l=-19.86 Ty_l=78.54 N_l=-29886.10 My_l=14.48 Mz_l=-0.00
Azioni sul cordone: TP=-1.46 TO=5.81 NO=-2209.19
Tensioni nel cordone: τ_P=0.46 τ_0=1.85 σ_0=723.34 σ_{ID}=723.34 Σ_T=725.18
CC 48 SLU (Collegamento -041_-375)
Azioni sul collegamento: N=-29887.90 Ty=-20.04 Tz=78.42 Mx=-0.00 Mz=-14.84
Sollecitazioni agenti localmente: Tx_l=-20.04 Ty_l=78.42 N_l=-29887.90 My_l=14.84 Mz_l=-0.00
Azioni sul cordone: TP=-1.48 TO=5.80 NO=-2209.32
Tensioni nel cordone: τ_P=0.47 τ_0=1.84 σ_0=723.91 σ_{ID}=723.92 Σ_T=725.76
CC 49 SLU (Collegamento -041_-375)
Azioni sul collegamento: N=-24404.80 Ty=3.50 Tz=57.94 Mx=-0.00 Mz=3.11
Sollecitazioni agenti localmente: Tx_l=3.50 Ty_l=57.94 N_l=-24404.80 My_l=-3.11 Mz_l=-0.00

Azioni sul cordone: TP=0.26 TO=4.28 NO=-1804.01
Tensioni nel cordone: τ_P= 0.08 τ_0=1.36 σ_0=577.95 σ_{ID}=577.95 Σ_T=579.31
CC 50 SLU (Collegamento -041_-375)
Azioni sul collegamento: N=-25220.80 Ty=2.75 Tz=60.96 Mx=-0.00 Mz=2.55
Sollecitazioni agenti localmente: Tx_l=2.75 Ty_l=60.96 N_l=-25220.80 My_l=-2.55 Mz_l=-0.00
Azioni sul cordone: TP=0.21 TO=4.50 NO=-1864.33
Tensioni nel cordone: τ_P= 0.07 τ_0=1.43 σ_0=596.31 σ_{ID}=596.31 Σ_T=597.74
CC 51 SLU (Collegamento -041_-375)
Azioni sul collegamento: N=-24811.90 Ty=3.21 Tz=59.51 Mx=-0.00 Mz=3.02
Sollecitazioni agenti localmente: Tx_l=3.21 Ty_l=59.51 N_l=-24811.90 My_l=-3.02 Mz_l=-0.00
Azioni sul cordone: TP=0.24 TO=4.40 NO=-1834.11
Tensioni nel cordone: τ_P= 0.08 τ_0=1.40 σ_0=587.37 σ_{ID}=587.38 Σ_T=588.77
CC 52 SLU (Collegamento -041_-375)
Azioni sul collegamento: N=-24813.70 Ty=3.04 Tz=59.39 Mx=-0.00 Mz=2.65
Sollecitazioni agenti localmente: Tx_l=3.04 Ty_l=59.39 N_l=-24813.70 My_l=-2.65 Mz_l=-0.00
Azioni sul cordone: TP=0.23 TO=4.39 NO=-1834.24
Tensioni nel cordone: τ_P= 0.07 τ_0=1.39 σ_0=586.88 σ_{ID}=586.88 Σ_T=588.28
CC 53 SLU (Collegamento -041_-375)
Azioni sul collegamento: N=-22608.90 Ty=-18.94 Tz=51.75 Mx=-0.00 Mz=-13.82
Sollecitazioni agenti localmente: Tx_l=-18.94 Ty_l=51.75 N_l=-22608.90 My_l=13.82 Mz_l=-0.00
Azioni sul cordone: TP=-1.40 TO=3.83 NO=-1671.26
Tensioni nel cordone: τ_P=0.44 τ_0=1.22 σ_0=551.40 σ_{ID}=551.40 Σ_T=552.62
CC 54 SLU (Collegamento -041_-375)
Azioni sul collegamento: N=-23424.90 Ty=-19.70 Tz=54.76 Mx=-0.00 Mz=-14.38
Sollecitazioni agenti localmente: Tx_l=-19.70 Ty_l=54.76 N_l=-23424.90 My_l=14.38 Mz_l=-0.00
Azioni sul cordone: TP=-1.45 TO=4.05 NO=-1731.58
Tensioni nel cordone: τ_P=0.46 τ_0=1.29 σ_0=571.38 σ_{ID}=571.39 Σ_T=572.67
CC 55 SLU (Collegamento -041_-375)
Azioni sul collegamento: N=-23016.00 Ty=-19.23 Tz=53.31 Mx=-0.00 Mz=-13.92
Sollecitazioni agenti localmente: Tx_l=-19.23 Ty_l=53.31 N_l=-23016.00 My_l=13.92 Mz_l=-0.00
Azioni sul cordone: TP=-1.42 TO=3.94 NO=-1701.35
Tensioni nel cordone: τ_P=0.45 τ_0=1.25 σ_0=561.11 σ_{ID}=561.11 Σ_T=562.36
CC 56 SLU (Collegamento -041_-375)
Azioni sul collegamento: N=-23017.80 Ty=-19.41 Tz=53.20 Mx=-0.00 Mz=-14.28
Sollecitazioni agenti localmente: Tx_l=-19.41 Ty_l=53.20 N_l=-23017.80 My_l=14.28 Mz_l=-0.00
Azioni sul cordone: TP=-1.43 TO=3.93 NO=-1701.48
Tensioni nel cordone: τ_P=0.45 τ_0=1.25 σ_0=561.68 σ_{ID}=561.68 Σ_T=562.93
CC 57 SLU (Collegamento -041_-375)
Azioni sul collegamento: N=-30221.30 Ty=-20.56 Tz=79.74 Mx=-0.00 Mz=-15.10
Sollecitazioni agenti localmente: Tx_l=-20.56 Ty_l=79.74 N_l=-30221.30 My_l=15.10 Mz_l=-0.00
Azioni sul cordone: TP=-1.52 TO=5.90 NO=-2233.96
Tensioni nel cordone: τ_P=0.48 τ_0=1.87 σ_0=732.13 σ_{ID}=732.13 Σ_T=734.00
CC 58 SLU (Collegamento -041_-375)
Azioni sul collegamento: N=-31037.20 Ty=-21.31 Tz=82.75 Mx=-0.00 Mz=-15.66
Sollecitazioni agenti localmente: Tx_l=-21.31 Ty_l=82.75 N_l=-31037.20 My_l=15.66 Mz_l=-0.00
Azioni sul cordone: TP=-1.57 TO=6.12 NO=-2294.28
Tensioni nel cordone: τ_P=0.50 τ_0=1.95 σ_0=752.12 σ_{ID}=752.12 Σ_T=754.06
CC 59 SLU (Collegamento -041_-375)
Azioni sul collegamento: N=-30628.40 Ty=-20.85 Tz=81.31 Mx=-0.00 Mz=-15.20
Sollecitazioni agenti localmente: Tx_l=-20.85 Ty_l=81.31 N_l=-30628.40 My_l=15.20 Mz_l=-0.00
Azioni sul cordone: TP=-1.54 TO=6.01 NO=-2264.06
Tensioni nel cordone: τ_P=0.49 τ_0=1.91 σ_0=741.84 σ_{ID}=741.84 Σ_T=743.75
CC 60 SLU (Collegamento -041_-375)
Azioni sul collegamento: N=-30630.10 Ty=-21.02 Tz=81.19 Mx=-0.00 Mz=-15.57
Sollecitazioni agenti localmente: Tx_l=-21.02 Ty_l=81.19 N_l=-30630.10 My_l=15.57 Mz_l=-0.00
Azioni sul cordone: TP=-1.55 TO=6.00 NO=-2264.19
Tensioni nel cordone: τ_P=0.49 τ_0=1.91 σ_0=742.41 σ_{ID}=742.41 Σ_T=744.32
CC 61 SLU (Collegamento -041_-375)
Azioni sul collegamento: N=-25147.00 Ty=2.52 Tz=60.71 Mx=-0.00 Mz=2.39
Sollecitazioni agenti localmente: Tx_l=2.52 Ty_l=60.71 N_l=-25147.00 My_l=-2.39 Mz_l=-0.00
Azioni sul cordone: TP=0.19 TO=4.48 NO=-1858.88
Tensioni nel cordone: τ_P= 0.06 τ_0=1.43 σ_0=594.33 σ_{ID}=594.33 Σ_T=595.76
CC 62 SLU (Collegamento -041_-375)
Azioni sul collegamento: N=-25963.00 Ty=1.76 Tz=63.73 Mx=-0.00 Mz=1.83
Sollecitazioni agenti localmente: Tx_l=1.76 Ty_l=63.73 N_l=-25963.00 My_l=-1.83 Mz_l=-0.00
Azioni sul cordone: TP=0.14 TO=4.71 NO=-1919.19
Tensioni nel cordone: τ_P= 0.04 τ_0=1.50 σ_0=612.69 σ_{ID}=612.69 Σ_T=614.18
CC 63 SLU (Collegamento -041_-375)
Azioni sul collegamento: N=-25554.10 Ty=2.23 Tz=62.28 Mx=-0.00 Mz=2.29
Sollecitazioni agenti localmente: Tx_l=2.23 Ty_l=62.28 N_l=-25554.10 My_l=-2.29 Mz_l=-0.00
Azioni sul cordone: TP=0.17 TO=4.60 NO=-1888.97
Tensioni nel cordone: τ_P= 0.05 τ_0=1.46 σ_0=603.76 σ_{ID}=603.76 Σ_T=605.22
CC 64 SLU (Collegamento -041_-375)
Azioni sul collegamento: N=-25555.90 Ty=2.05 Tz=62.16 Mx=-0.00 Mz=1.93
Sollecitazioni agenti localmente: Tx_l=2.05 Ty_l=62.16 N_l=-25555.90 My_l=-1.93 Mz_l=-0.00
Azioni sul cordone: TP=0.16 TO=4.59 NO=-1889.10
Tensioni nel cordone: τ_P= 0.05 τ_0=1.46 σ_0=603.26 σ_{ID}=603.27 Σ_T=604.72
CC 65 SLU (Collegamento -041_-375)
Azioni sul collegamento: N=-23351.20 Ty=-19.92 Tz=54.52 Mx=-0.00 Mz=-14.54

Sollecitazioni agenti localmente: Tx_l=-19.92 Ty_l=54.52 N_l=-23351.20 My_l=14.54 Mz_l=-0.00
Azioni sul cordone: TP=-1.47 TO=4.03 NO=-1726.12
Tensioni nel cordone: τ_P=0.47 τ_O=1.28 σ_O=569.89 σ_{ID}=569.90 Σ_T=571.18
CC 66 SLU (Collegamento -041_-375)
Azioni sul collegamento: N=-24167.10 Ty=-20.68 Tz=57.53 Mx=-0.00 Mz=-15.10
Sollecitazioni agenti localmente: Tx_l=-20.68 Ty_l=57.53 N_l=-24167.10 My_l=15.10 Mz_l=-0.00
Azioni sul cordone: TP=-1.52 TO=4.26 NO=-1786.44
Tensioni nel cordone: τ_P=0.48 τ_O=1.35 σ_O=589.88 σ_{ID}=589.88 Σ_T=591.23
CC 67 SLU (Collegamento -041_-375)
Azioni sul collegamento: N=-23758.30 Ty=-20.21 Tz=56.08 Mx=-0.00 Mz=-14.64
Sollecitazioni agenti localmente: Tx_l=-20.21 Ty_l=56.08 N_l=-23758.30 My_l=14.64 Mz_l=-0.00
Azioni sul cordone: TP=-1.49 TO=4.15 NO=-1756.22
Tensioni nel cordone: τ_P=0.47 τ_O=1.32 σ_O=579.60 σ_{ID}=579.60 Σ_T=580.92
CC 68 SLU (Collegamento -041_-375)
Azioni sul collegamento: N=-23760.00 Ty=-20.39 Tz=55.97 Mx=-0.00 Mz=-15.01
Sollecitazioni agenti localmente: Tx_l=-20.39 Ty_l=55.97 N_l=-23760.00 My_l=15.01 Mz_l=-0.00
Azioni sul cordone: TP=-1.50 TO=4.14 NO=-1756.35
Tensioni nel cordone: τ_P=0.48 τ_O=1.32 σ_O=580.17 σ_{ID}=580.18 Σ_T=581.49
CC 97 SLU (Collegamento -041_-375)
Azioni sul collegamento: N=-31084.20 Ty=-25.01 Tz=90.82 Mx=0.05 Mz=-11.42
Sollecitazioni agenti localmente: Tx_l=-25.01 Ty_l=90.82 N_l=-31084.20 My_l=11.42 Mz_l=0.05
Azioni sul cordone: TP=-1.90 TO=6.68 NO=-2297.76
Tensioni nel cordone: τ_P=0.60 τ_O=2.12 σ_O=747.02 σ_{ID}=747.02 Σ_T=749.14
CC 98 SLU (Collegamento -041_-375)
Azioni sul collegamento: N=-31900.20 Ty=-25.76 Tz=93.83 Mx=0.05 Mz=-11.97
Sollecitazioni agenti localmente: Tx_l=-25.76 Ty_l=93.83 N_l=-31900.20 My_l=11.97 Mz_l=0.05
Azioni sul cordone: TP=-1.96 TO=6.90 NO=-2358.07
Tensioni nel cordone: τ_P=0.62 τ_O=2.19 σ_O=767.00 σ_{ID}=767.01 Σ_T=769.20
CC 99 SLU (Collegamento -041_-375)
Azioni sul collegamento: N=-31491.30 Ty=-25.30 Tz=92.39 Mx=0.05 Mz=-11.51
Sollecitazioni agenti localmente: Tx_l=-25.30 Ty_l=92.39 N_l=-31491.30 My_l=11.51 Mz_l=0.05
Azioni sul cordone: TP=-1.92 TO=6.79 NO=-2327.85
Tensioni nel cordone: τ_P=0.61 τ_O=2.16 σ_O=756.72 σ_{ID}=756.73 Σ_T=758.88
CC 100 SLU (Collegamento -041_-375)
Azioni sul collegamento: N=-31493.10 Ty=-25.48 Tz=92.27 Mx=0.05 Mz=-11.88
Sollecitazioni agenti localmente: Tx_l=-25.48 Ty_l=92.27 N_l=-31493.10 My_l=11.88 Mz_l=0.05
Azioni sul cordone: TP=-1.94 TO=6.78 NO=-2327.98
Tensioni nel cordone: τ_P=0.62 τ_O=2.16 σ_O=757.30 σ_{ID}=757.30 Σ_T=759.45
CC 101 SLU (Collegamento -041_-375)
Azioni sul collegamento: N=-8294.89 Ty=-5.21 Tz=7.37 Mx=-0.01 Mz=-4.43
Sollecitazioni agenti localmente: Tx_l=-5.21 Ty_l=7.37 N_l=-8294.89 My_l=4.43 Mz_l=-0.01
Azioni sul cordone: TP=-0.38 TO=0.55 NO=-613.16
Tensioni nel cordone: τ_P=0.12 τ_O=0.18 σ_O=201.37 σ_{ID}=201.37 Σ_T=201.54
CC 102 SLU (Collegamento -041_-375)
Azioni sul collegamento: N=-9110.88 Ty=-5.97 Tz=10.39 Mx=-0.01 Mz=-4.99
Sollecitazioni agenti localmente: Tx_l=-5.97 Ty_l=10.39 N_l=-9110.88 My_l=4.99 Mz_l=-0.01
Azioni sul cordone: TP=-0.43 TO=0.77 NO=-673.48
Tensioni nel cordone: τ_P=0.14 τ_O=0.25 σ_O=221.35 σ_{ID}=221.35 Σ_T=221.60
CC 103 SLU (Collegamento -041_-375)
Azioni sul collegamento: N=-8702.00 Ty=-5.50 Tz=8.94 Mx=-0.01 Mz=-4.53
Sollecitazioni agenti localmente: Tx_l=-5.50 Ty_l=8.94 N_l=-8702.00 My_l=4.53 Mz_l=-0.01
Azioni sul cordone: TP=-0.40 TO=0.67 NO=-643.25
Tensioni nel cordone: τ_P=0.13 τ_O=0.21 σ_O=211.07 σ_{ID}=211.07 Σ_T=211.28
CC 104 SLU (Collegamento -041_-375)
Azioni sul collegamento: N=-8703.78 Ty=-5.68 Tz=8.82 Mx=-0.01 Mz=-4.89
Sollecitazioni agenti localmente: Tx_l=-5.68 Ty_l=8.82 N_l=-8703.78 My_l=4.89 Mz_l=-0.01
Azioni sul cordone: TP=-0.41 TO=0.66 NO=-643.39
Tensioni nel cordone: τ_P=0.13 τ_O=0.21 σ_O=211.65 σ_{ID}=211.65 Σ_T=211.86

Flessione attacco superiore piastra

Bnetta=220.00 Hnetta=15.00
CC 1 SLV (Collegamento -041_-375)
Azioni sul collegamento: N=-5965.50 Ty=-4.83 Tz=-1.56 Mx=0.01 Mz=-1.02
Sollecitazioni agenti localmente: Ty_l=-1084.64 Mx_l=-21.69
Tensioni nella sezione: σ=262.94 τ=32.87
CC 1 SLV (Collegamento -041_-375)
Azioni sul collegamento: N=-5965.50 Ty=-12.58 Tz=-1.56 Mx=0.01 Mz=-7.43
Sollecitazioni agenti localmente: Ty_l=-1084.64 Mx_l=-21.69
Tensioni nella sezione: σ=262.94 τ=32.87
CC 1 SLV (Collegamento -041_-375)
Azioni sul collegamento: N=-5965.50 Ty=-4.83 Tz=27.71 Mx=0.01 Mz=-1.02
Sollecitazioni agenti localmente: Ty_l=-1084.64 Mx_l=-21.69
Tensioni nella sezione: σ=262.94 τ=32.87
CC 1 SLV (Collegamento -041_-375)
Azioni sul collegamento: N=-5965.50 Ty=-12.58 Tz=27.71 Mx=0.01 Mz=-7.43
Sollecitazioni agenti localmente: Ty_l=-1084.64 Mx_l=-21.69
Tensioni nella sezione: σ=262.94 τ=32.87
CC 1 SLV (Collegamento -041_-375)

Azioni sul collegamento: N=-13808.10 Ty=-4.83 Tz=-1.56 Mx=0.01 Mz=-1.02
Sollecitazioni agenti localmente: Ty_l=-2510.57 Mx_l=-50.21
Tensioni nella sezione: σ=608.62 τ=76.08
CC 1 SLV (Collegamento -041_-375)
Azioni sul collegamento: N=-13808.10 Ty=-12.58 Tz=-1.56 Mx=0.01 Mz=-7.43
Sollecitazioni agenti localmente: Ty_l=-2510.57 Mx_l=-50.21
Tensioni nella sezione: σ=608.62 τ=76.08
CC 1 SLV (Collegamento -041_-375)
Azioni sul collegamento: N=-13808.10 Ty=-4.83 Tz=27.71 Mx=0.01 Mz=-1.02
Sollecitazioni agenti localmente: Ty_l=-2510.57 Mx_l=-50.21
Tensioni nella sezione: σ=608.62 τ=76.08
CC 1 SLV (Collegamento -041_-375)
Azioni sul collegamento: N=-13808.10 Ty=-12.58 Tz=27.71 Mx=0.01 Mz=-7.43
Sollecitazioni agenti localmente: Ty_l=-2510.57 Mx_l=-50.21
Tensioni nella sezione: σ=608.62 τ=76.08
CC 2 SLD (Collegamento -041_-375)
Azioni sul collegamento: N=-8788.68 Ty=-8.45 Tz=9.00 Mx=0.00 Mz=-5.38
Sollecitazioni agenti localmente: Ty_l=-1597.94 Mx_l=-31.96
Tensioni nella sezione: σ=387.38 τ=48.42
CC 2 SLD (Collegamento -041_-375)
Azioni sul collegamento: N=-8788.68 Ty=-10.81 Tz=9.00 Mx=0.00 Mz=-7.34
Sollecitazioni agenti localmente: Ty_l=-1597.94 Mx_l=-31.96
Tensioni nella sezione: σ=387.38 τ=48.42
CC 2 SLD (Collegamento -041_-375)
Azioni sul collegamento: N=-8788.68 Ty=-8.45 Tz=17.92 Mx=0.00 Mz=-5.38
Sollecitazioni agenti localmente: Ty_l=-1597.94 Mx_l=-31.96
Tensioni nella sezione: σ=387.38 τ=48.42
CC 2 SLD (Collegamento -041_-375)
Azioni sul collegamento: N=-8788.68 Ty=-10.81 Tz=17.92 Mx=0.00 Mz=-7.34
Sollecitazioni agenti localmente: Ty_l=-1597.94 Mx_l=-31.96
Tensioni nella sezione: σ=387.38 τ=48.42
CC 2 SLD (Collegamento -041_-375)
Azioni sul collegamento: N=-11180.10 Ty=-8.45 Tz=8.99 Mx=0.00 Mz=-5.38
Sollecitazioni agenti localmente: Ty_l=-2032.75 Mx_l=-40.66
Tensioni nella sezione: σ=492.79 τ=61.60
CC 2 SLD (Collegamento -041_-375)
Azioni sul collegamento: N=-11180.10 Ty=-10.81 Tz=8.99 Mx=0.00 Mz=-7.34
Sollecitazioni agenti localmente: Ty_l=-2032.75 Mx_l=-40.66
Tensioni nella sezione: σ=492.79 τ=61.60
CC 2 SLD (Collegamento -041_-375)
Azioni sul collegamento: N=-11180.10 Ty=-8.45 Tz=17.92 Mx=0.00 Mz=-5.38
Sollecitazioni agenti localmente: Ty_l=-2032.75 Mx_l=-40.66
Tensioni nella sezione: σ=492.79 τ=61.60
CC 2 SLD (Collegamento -041_-375)
Azioni sul collegamento: N=-11180.10 Ty=-10.81 Tz=17.92 Mx=0.00 Mz=-7.34
Sollecitazioni agenti localmente: Ty_l=-2032.75 Mx_l=-40.66
Tensioni nella sezione: σ=492.79 τ=61.60
CC 3 SLV (Collegamento -041_-375)
Azioni sul collegamento: N=-5970.40 Ty=-5.34 Tz=-1.24 Mx=0.01 Mz=-2.07
Sollecitazioni agenti localmente: Ty_l=-1085.53 Mx_l=-21.71
Tensioni nella sezione: σ=263.16 τ=32.89
CC 3 SLV (Collegamento -041_-375)
Azioni sul collegamento: N=-5970.40 Ty=-12.07 Tz=-1.24 Mx=0.01 Mz=-6.38
Sollecitazioni agenti localmente: Ty_l=-1085.53 Mx_l=-21.71
Tensioni nella sezione: σ=263.16 τ=32.89
CC 3 SLV (Collegamento -041_-375)
Azioni sul collegamento: N=-5970.40 Ty=-5.34 Tz=27.38 Mx=0.01 Mz=-2.07
Sollecitazioni agenti localmente: Ty_l=-1085.53 Mx_l=-21.71
Tensioni nella sezione: σ=263.16 τ=32.89
CC 3 SLV (Collegamento -041_-375)
Azioni sul collegamento: N=-5970.40 Ty=-12.07 Tz=27.38 Mx=0.01 Mz=-6.38
Sollecitazioni agenti localmente: Ty_l=-1085.53 Mx_l=-21.71
Tensioni nella sezione: σ=263.16 τ=32.89
CC 3 SLV (Collegamento -041_-375)
Azioni sul collegamento: N=-13803.30 Ty=-5.34 Tz=-1.24 Mx=0.01 Mz=-2.07
Sollecitazioni agenti localmente: Ty_l=-2509.68 Mx_l=-50.19
Tensioni nella sezione: σ=608.41 τ=76.05
CC 3 SLV (Collegamento -041_-375)
Azioni sul collegamento: N=-13803.30 Ty=-12.07 Tz=-1.24 Mx=0.01 Mz=-6.38
Sollecitazioni agenti localmente: Ty_l=-2509.68 Mx_l=-50.19
Tensioni nella sezione: σ=608.41 τ=76.05
CC 3 SLV (Collegamento -041_-375)
Azioni sul collegamento: N=-13803.30 Ty=-5.34 Tz=27.38 Mx=0.01 Mz=-2.07
Sollecitazioni agenti localmente: Ty_l=-2509.68 Mx_l=-50.19
Tensioni nella sezione: σ=608.41 τ=76.05
CC 3 SLV (Collegamento -041_-375)
Azioni sul collegamento: N=-13803.30 Ty=-12.07 Tz=27.38 Mx=0.01 Mz=-6.38
Sollecitazioni agenti localmente: Ty_l=-2509.68 Mx_l=-50.19
Tensioni nella sezione: σ=608.41 τ=76.05

CC 4 SLD (Collegamento -041_-375)
Azioni sul collegamento: N=-8790.17 Ty=-8.61 Tz=9.10 Mx=0.00 Mz=-5.70
Sollecitazioni agenti localmente: Ty_l=-1598.21 Mx_l=-31.96
Tensioni nella sezione: σ=387.44 τ=48.43
CC 4 SLD (Collegamento -041_-375)
Azioni sul collegamento: N=-8790.17 Ty=-10.66 Tz=9.10 Mx=0.00 Mz=-7.02
Sollecitazioni agenti localmente: Ty_l=-1598.21 Mx_l=-31.96
Tensioni nella sezione: σ=387.44 τ=48.43
CC 4 SLD (Collegamento -041_-375)
Azioni sul collegamento: N=-8790.17 Ty=-8.61 Tz=17.82 Mx=0.00 Mz=-5.70
Sollecitazioni agenti localmente: Ty_l=-1598.21 Mx_l=-31.96
Tensioni nella sezione: σ=387.44 τ=48.43
CC 4 SLD (Collegamento -041_-375)
Azioni sul collegamento: N=-8790.17 Ty=-10.66 Tz=17.82 Mx=0.00 Mz=-7.02
Sollecitazioni agenti localmente: Ty_l=-1598.21 Mx_l=-31.96
Tensioni nella sezione: σ=387.44 τ=48.43
CC 4 SLD (Collegamento -041_-375)
Azioni sul collegamento: N=-11178.70 Ty=-8.61 Tz=9.09 Mx=0.00 Mz=-5.70
Sollecitazioni agenti localmente: Ty_l=-2032.48 Mx_l=-40.65
Tensioni nella sezione: σ=492.72 τ=61.59
CC 4 SLD (Collegamento -041_-375)
Azioni sul collegamento: N=-11178.70 Ty=-10.66 Tz=9.09 Mx=0.00 Mz=-7.02
Sollecitazioni agenti localmente: Ty_l=-2032.48 Mx_l=-40.65
Tensioni nella sezione: σ=492.72 τ=61.59
CC 4 SLD (Collegamento -041_-375)
Azioni sul collegamento: N=-11178.70 Ty=-8.61 Tz=17.82 Mx=0.00 Mz=-5.70
Sollecitazioni agenti localmente: Ty_l=-2032.48 Mx_l=-40.65
Tensioni nella sezione: σ=492.72 τ=61.59
CC 4 SLD (Collegamento -041_-375)
Azioni sul collegamento: N=-11178.70 Ty=-10.66 Tz=17.82 Mx=0.00 Mz=-7.02
Sollecitazioni agenti localmente: Ty_l=-2032.48 Mx_l=-40.65
Tensioni nella sezione: σ=492.72 τ=61.59
CC 5 SLV (Collegamento -041_-375)
Azioni sul collegamento: N=-13803.30 Ty=-12.07 Tz=27.38 Mx=0.01 Mz=-6.38
Sollecitazioni agenti localmente: Ty_l=-2509.68 Mx_l=-50.19
Tensioni nella sezione: σ=608.41 τ=76.05
CC 5 SLV (Collegamento -041_-375)
Azioni sul collegamento: N=-13803.30 Ty=-5.34 Tz=27.38 Mx=0.01 Mz=-2.07
Sollecitazioni agenti localmente: Ty_l=-2509.68 Mx_l=-50.19
Tensioni nella sezione: σ=608.41 τ=76.05
CC 5 SLV (Collegamento -041_-375)
Azioni sul collegamento: N=-13803.30 Ty=-12.07 Tz=-1.24 Mx=0.01 Mz=-6.38
Sollecitazioni agenti localmente: Ty_l=-2509.68 Mx_l=-50.19
Tensioni nella sezione: σ=608.41 τ=76.05
CC 5 SLV (Collegamento -041_-375)
Azioni sul collegamento: N=-13803.30 Ty=-5.34 Tz=-1.24 Mx=0.01 Mz=-2.07
Sollecitazioni agenti localmente: Ty_l=-2509.68 Mx_l=-50.19
Tensioni nella sezione: σ=608.41 τ=76.05
CC 5 SLV (Collegamento -041_-375)
Azioni sul collegamento: N=-5970.40 Ty=-12.07 Tz=27.38 Mx=0.01 Mz=-6.38
Sollecitazioni agenti localmente: Ty_l=-1085.53 Mx_l=-21.71
Tensioni nella sezione: σ=263.16 τ=32.89
CC 5 SLV (Collegamento -041_-375)
Azioni sul collegamento: N=-5970.40 Ty=-5.34 Tz=27.38 Mx=0.01 Mz=-2.07
Sollecitazioni agenti localmente: Ty_l=-1085.53 Mx_l=-21.71
Tensioni nella sezione: σ=263.16 τ=32.89
CC 5 SLV (Collegamento -041_-375)
Azioni sul collegamento: N=-5970.40 Ty=-12.07 Tz=-1.24 Mx=0.01 Mz=-6.38
Sollecitazioni agenti localmente: Ty_l=-1085.53 Mx_l=-21.71
Tensioni nella sezione: σ=263.16 τ=32.89
CC 5 SLV (Collegamento -041_-375)
Azioni sul collegamento: N=-5970.40 Ty=-5.34 Tz=-1.24 Mx=0.01 Mz=-2.07
Sollecitazioni agenti localmente: Ty_l=-1085.53 Mx_l=-21.71
Tensioni nella sezione: σ=263.16 τ=32.89
CC 6 SLD (Collegamento -041_-375)
Azioni sul collegamento: N=-11178.70 Ty=-10.66 Tz=17.82 Mx=0.00 Mz=-7.02
Sollecitazioni agenti localmente: Ty_l=-2032.48 Mx_l=-40.65
Tensioni nella sezione: σ=492.72 τ=61.59
CC 6 SLD (Collegamento -041_-375)
Azioni sul collegamento: N=-11178.70 Ty=-8.61 Tz=17.82 Mx=0.00 Mz=-5.70
Sollecitazioni agenti localmente: Ty_l=-2032.48 Mx_l=-40.65
Tensioni nella sezione: σ=492.72 τ=61.59
CC 6 SLD (Collegamento -041_-375)
Azioni sul collegamento: N=-11178.70 Ty=-10.66 Tz=9.09 Mx=0.00 Mz=-7.02
Sollecitazioni agenti localmente: Ty_l=-2032.48 Mx_l=-40.65
Tensioni nella sezione: σ=492.72 τ=61.59
CC 6 SLD (Collegamento -041_-375)
Azioni sul collegamento: N=-11178.70 Ty=-8.61 Tz=9.09 Mx=0.00 Mz=-5.70
Sollecitazioni agenti localmente: Ty_l=-2032.48 Mx_l=-40.65

Tensioni nella sezione: σ=492.72 τ=61.59
CC 6 SLD (Collegamento -041_-375)
Azioni sul collegamento: N=-8790.17 Ty=-10.66 Tz=17.82 Mx=0.00 Mz=-7.02
Sollecitazioni agenti localmente: Ty_l=-1598.21 Mx_l=-31.96
Tensioni nella sezione: σ=387.44 τ=48.43
CC 6 SLD (Collegamento -041_-375)
Azioni sul collegamento: N=-8790.17 Ty=-8.61 Tz=17.82 Mx=0.00 Mz=-5.70
Sollecitazioni agenti localmente: Ty_l=-1598.21 Mx_l=-31.96
Tensioni nella sezione: σ=387.44 τ=48.43
CC 6 SLD (Collegamento -041_-375)
Azioni sul collegamento: N=-8790.17 Ty=-10.66 Tz=9.10 Mx=0.00 Mz=-7.02
Sollecitazioni agenti localmente: Ty_l=-1598.21 Mx_l=-31.96
Tensioni nella sezione: σ=387.44 τ=48.43
CC 6 SLD (Collegamento -041_-375)
Azioni sul collegamento: N=-8790.17 Ty=-8.61 Tz=9.10 Mx=0.00 Mz=-5.70
Sollecitazioni agenti localmente: Ty_l=-1598.21 Mx_l=-31.96
Tensioni nella sezione: σ=387.44 τ=48.43
CC 7 SLV (Collegamento -041_-375)
Azioni sul collegamento: N=-13808.10 Ty=-12.58 Tz=27.71 Mx=0.01 Mz=-7.43
Sollecitazioni agenti localmente: Ty_l=-2510.57 Mx_l=-50.21
Tensioni nella sezione: σ=608.62 τ=76.08
CC 7 SLV (Collegamento -041_-375)
Azioni sul collegamento: N=-13808.10 Ty=-4.83 Tz=27.71 Mx=0.01 Mz=-1.02
Sollecitazioni agenti localmente: Ty_l=-2510.57 Mx_l=-50.21
Tensioni nella sezione: σ=608.62 τ=76.08
CC 7 SLV (Collegamento -041_-375)
Azioni sul collegamento: N=-13808.10 Ty=-12.58 Tz=-1.56 Mx=0.01 Mz=-7.43
Sollecitazioni agenti localmente: Ty_l=-2510.57 Mx_l=-50.21
Tensioni nella sezione: σ=608.62 τ=76.08
CC 7 SLV (Collegamento -041_-375)
Azioni sul collegamento: N=-13808.10 Ty=-4.83 Tz=-1.56 Mx=0.01 Mz=-1.02
Sollecitazioni agenti localmente: Ty_l=-2510.57 Mx_l=-50.21
Tensioni nella sezione: σ=608.62 τ=76.08
CC 7 SLV (Collegamento -041_-375)
Azioni sul collegamento: N=-5965.50 Ty=-12.58 Tz=27.71 Mx=0.01 Mz=-7.43
Sollecitazioni agenti localmente: Ty_l=-1084.64 Mx_l=-21.69
Tensioni nella sezione: σ=262.94 τ=32.87
CC 7 SLV (Collegamento -041_-375)
Azioni sul collegamento: N=-5965.50 Ty=-4.83 Tz=27.71 Mx=0.01 Mz=-1.02
Sollecitazioni agenti localmente: Ty_l=-1084.64 Mx_l=-21.69
Tensioni nella sezione: σ=262.94 τ=32.87
CC 7 SLV (Collegamento -041_-375)
Azioni sul collegamento: N=-5965.50 Ty=-12.58 Tz=-1.56 Mx=0.01 Mz=-7.43
Sollecitazioni agenti localmente: Ty_l=-1084.64 Mx_l=-21.69
Tensioni nella sezione: σ=262.94 τ=32.87
CC 7 SLV (Collegamento -041_-375)
Azioni sul collegamento: N=-5965.50 Ty=-4.83 Tz=-1.56 Mx=0.01 Mz=-1.02
Sollecitazioni agenti localmente: Ty_l=-1084.64 Mx_l=-21.69
Tensioni nella sezione: σ=262.94 τ=32.87
CC 8 SLD (Collegamento -041_-375)
Azioni sul collegamento: N=-11180.10 Ty=-10.81 Tz=17.92 Mx=0.00 Mz=-7.34
Sollecitazioni agenti localmente: Ty_l=-2032.75 Mx_l=-40.66
Tensioni nella sezione: σ=492.79 τ=61.60
CC 8 SLD (Collegamento -041_-375)
Azioni sul collegamento: N=-11180.10 Ty=-8.45 Tz=17.92 Mx=0.00 Mz=-5.38
Sollecitazioni agenti localmente: Ty_l=-2032.75 Mx_l=-40.66
Tensioni nella sezione: σ=492.79 τ=61.60
CC 8 SLD (Collegamento -041_-375)
Azioni sul collegamento: N=-11180.10 Ty=-10.81 Tz=8.99 Mx=0.00 Mz=-7.34
Sollecitazioni agenti localmente: Ty_l=-2032.75 Mx_l=-40.66
Tensioni nella sezione: σ=492.79 τ=61.60
CC 8 SLD (Collegamento -041_-375)
Azioni sul collegamento: N=-11180.10 Ty=-8.45 Tz=8.99 Mx=0.00 Mz=-5.38
Sollecitazioni agenti localmente: Ty_l=-2032.75 Mx_l=-40.66
Tensioni nella sezione: σ=492.79 τ=61.60
CC 8 SLD (Collegamento -041_-375)
Azioni sul collegamento: N=-8788.68 Ty=-10.81 Tz=17.92 Mx=0.00 Mz=-7.34
Sollecitazioni agenti localmente: Ty_l=-1597.94 Mx_l=-31.96
Tensioni nella sezione: σ=387.38 τ=48.42
CC 8 SLD (Collegamento -041_-375)
Azioni sul collegamento: N=-8788.68 Ty=-8.45 Tz=17.92 Mx=0.00 Mz=-5.38
Sollecitazioni agenti localmente: Ty_l=-1597.94 Mx_l=-31.96
Tensioni nella sezione: σ=387.38 τ=48.42
CC 8 SLD (Collegamento -041_-375)
Azioni sul collegamento: N=-8788.68 Ty=-10.81 Tz=9.00 Mx=0.00 Mz=-7.34
Sollecitazioni agenti localmente: Ty_l=-1597.94 Mx_l=-31.96
Tensioni nella sezione: σ=387.38 τ=48.42
CC 8 SLD (Collegamento -041_-375)
Azioni sul collegamento: N=-8788.68 Ty=-8.45 Tz=9.00 Mx=0.00 Mz=-5.38

Sollecitazioni agenti localmente: Ty_l=-1597.94 Mx_l=-31.96
Tensioni nella sezione: σ=387.38 τ=48.42
CC 9 SLV (Collegamento -041_-375)
Azioni sul collegamento: N=-8703.00 Ty=-6.76 Tz=8.19 Mx=0.02 Mz=-1.67
Sollecitazioni agenti localmente: Ty_l=-1582.36 Mx_l=-31.65
Tensioni nella sezione: σ=383.60 τ=47.95
CC 9 SLV (Collegamento -041_-375)
Azioni sul collegamento: N=-8703.00 Ty=-10.65 Tz=8.19 Mx=0.02 Mz=-6.77
Sollecitazioni agenti localmente: Ty_l=-1582.36 Mx_l=-31.65
Tensioni nella sezione: σ=383.60 τ=47.95
CC 9 SLV (Collegamento -041_-375)
Azioni sul collegamento: N=-8703.00 Ty=-6.76 Tz=17.96 Mx=0.02 Mz=-1.67
Sollecitazioni agenti localmente: Ty_l=-1582.36 Mx_l=-31.65
Tensioni nella sezione: σ=383.60 τ=47.95
CC 9 SLV (Collegamento -041_-375)
Azioni sul collegamento: N=-8703.00 Ty=-10.65 Tz=17.96 Mx=0.02 Mz=-6.77
Sollecitazioni agenti localmente: Ty_l=-1582.36 Mx_l=-31.65
Tensioni nella sezione: σ=383.60 τ=47.95
CC 9 SLV (Collegamento -041_-375)
Azioni sul collegamento: N=-11070.70 Ty=-6.76 Tz=8.19 Mx=0.02 Mz=-1.67
Sollecitazioni agenti localmente: Ty_l=-2012.85 Mx_l=-40.26
Tensioni nella sezione: σ=487.96 τ=61.00
CC 9 SLV (Collegamento -041_-375)
Azioni sul collegamento: N=-11070.70 Ty=-10.65 Tz=8.19 Mx=0.02 Mz=-6.77
Sollecitazioni agenti localmente: Ty_l=-2012.85 Mx_l=-40.26
Tensioni nella sezione: σ=487.96 τ=61.00
CC 9 SLV (Collegamento -041_-375)
Azioni sul collegamento: N=-11070.70 Ty=-6.76 Tz=17.96 Mx=0.02 Mz=-1.67
Sollecitazioni agenti localmente: Ty_l=-2012.85 Mx_l=-40.26
Tensioni nella sezione: σ=487.96 τ=61.00
CC 9 SLV (Collegamento -041_-375)
Azioni sul collegamento: N=-11070.70 Ty=-10.65 Tz=17.96 Mx=0.02 Mz=-6.77
Sollecitazioni agenti localmente: Ty_l=-2012.85 Mx_l=-40.26
Tensioni nella sezione: σ=487.96 τ=61.00
CC 10 SLD (Collegamento -041_-375)
Azioni sul collegamento: N=-9623.43 Ty=-9.04 Tz=11.97 Mx=0.00 Mz=-5.58
Sollecitazioni agenti localmente: Ty_l=-1749.71 Mx_l=-34.99
Tensioni nella sezione: σ=424.17 τ=53.02
CC 10 SLD (Collegamento -041_-375)
Azioni sul collegamento: N=-9623.43 Ty=-10.22 Tz=11.97 Mx=0.00 Mz=-7.14
Sollecitazioni agenti localmente: Ty_l=-1749.71 Mx_l=-34.99
Tensioni nella sezione: σ=424.17 τ=53.02
CC 10 SLD (Collegamento -041_-375)
Azioni sul collegamento: N=-9623.43 Ty=-9.04 Tz=14.95 Mx=0.00 Mz=-5.58
Sollecitazioni agenti localmente: Ty_l=-1749.71 Mx_l=-34.99
Tensioni nella sezione: σ=424.17 τ=53.02
CC 10 SLD (Collegamento -041_-375)
Azioni sul collegamento: N=-9623.43 Ty=-10.22 Tz=14.95 Mx=0.00 Mz=-7.14
Sollecitazioni agenti localmente: Ty_l=-1749.71 Mx_l=-34.99
Tensioni nella sezione: σ=424.17 τ=53.02
CC 10 SLD (Collegamento -041_-375)
Azioni sul collegamento: N=-10345.40 Ty=-9.04 Tz=11.97 Mx=0.00 Mz=-5.58
Sollecitazioni agenti localmente: Ty_l=-1880.98 Mx_l=-37.62
Tensioni nella sezione: σ=455.99 τ=57.00
CC 10 SLD (Collegamento -041_-375)
Azioni sul collegamento: N=-10345.40 Ty=-10.22 Tz=11.97 Mx=0.00 Mz=-7.14
Sollecitazioni agenti localmente: Ty_l=-1880.98 Mx_l=-37.62
Tensioni nella sezione: σ=455.99 τ=57.00
CC 10 SLD (Collegamento -041_-375)
Azioni sul collegamento: N=-10345.40 Ty=-9.04 Tz=14.95 Mx=0.00 Mz=-5.58
Sollecitazioni agenti localmente: Ty_l=-1880.98 Mx_l=-37.62
Tensioni nella sezione: σ=455.99 τ=57.00
CC 10 SLD (Collegamento -041_-375)
Azioni sul collegamento: N=-10345.40 Ty=-10.22 Tz=14.95 Mx=0.00 Mz=-7.14
Sollecitazioni agenti localmente: Ty_l=-1880.98 Mx_l=-37.62
Tensioni nella sezione: σ=455.99 τ=57.00
CC 11 SLV (Collegamento -041_-375)
Azioni sul collegamento: N=-11054.30 Ty=-8.94 Tz=16.87 Mx=0.02 Mz=-3.28
Sollecitazioni agenti localmente: Ty_l=-2009.88 Mx_l=-40.20
Tensioni nella sezione: σ=487.24 τ=60.91
CC 11 SLV (Collegamento -041_-375)
Azioni sul collegamento: N=-11054.30 Ty=-8.48 Tz=16.87 Mx=0.02 Mz=-5.16
Sollecitazioni agenti localmente: Ty_l=-2009.88 Mx_l=-40.20
Tensioni nella sezione: σ=487.24 τ=60.91
CC 11 SLV (Collegamento -041_-375)
Azioni sul collegamento: N=-11054.30 Ty=-8.94 Tz=9.28 Mx=0.02 Mz=-3.28
Sollecitazioni agenti localmente: Ty_l=-2009.88 Mx_l=-40.20
Tensioni nella sezione: σ=487.24 τ=60.91
CC 11 SLV (Collegamento -041_-375)

Azioni sul collegamento: N=-11054.30 Ty=-8.48 Tz=9.28 Mx=0.02 Mz=-5.16
Sollecitazioni agenti localmente: Ty_l=-2009.88 Mx_l=-40.20
Tensioni nella sezione: σ=487.24 τ=60.91
CC 11 SLV (Collegamento -041_-375)
Azioni sul collegamento: N=-8719.33 Ty=-8.94 Tz=16.87 Mx=0.02 Mz=-3.28
Sollecitazioni agenti localmente: Ty_l=-1585.33 Mx_l=-31.71
Tensioni nella sezione: σ=384.32 τ=48.04
CC 11 SLV (Collegamento -041_-375)
Azioni sul collegamento: N=-8719.33 Ty=-8.48 Tz=16.87 Mx=0.02 Mz=-5.16
Sollecitazioni agenti localmente: Ty_l=-1585.33 Mx_l=-31.71
Tensioni nella sezione: σ=384.32 τ=48.04
CC 11 SLV (Collegamento -041_-375)
Azioni sul collegamento: N=-8719.33 Ty=-8.94 Tz=9.28 Mx=0.02 Mz=-3.28
Sollecitazioni agenti localmente: Ty_l=-1585.33 Mx_l=-31.71
Tensioni nella sezione: σ=384.32 τ=48.04
CC 11 SLV (Collegamento -041_-375)
Azioni sul collegamento: N=-8719.33 Ty=-8.48 Tz=9.28 Mx=0.02 Mz=-5.16
Sollecitazioni agenti localmente: Ty_l=-1585.33 Mx_l=-31.71
Tensioni nella sezione: σ=384.32 τ=48.04
CC 12 SLD (Collegamento -041_-375)
Azioni sul collegamento: N=-10340.40 Ty=-9.70 Tz=14.62 Mx=0.00 Mz=-6.07
Sollecitazioni agenti localmente: Ty_l=-1880.08 Mx_l=-37.60
Tensioni nella sezione: σ=455.77 τ=56.97
CC 12 SLD (Collegamento -041_-375)
Azioni sul collegamento: N=-10340.40 Ty=-9.56 Tz=14.62 Mx=0.00 Mz=-6.65
Sollecitazioni agenti localmente: Ty_l=-1880.08 Mx_l=-37.60
Tensioni nella sezione: σ=455.77 τ=56.97
CC 12 SLD (Collegamento -041_-375)
Azioni sul collegamento: N=-10340.40 Ty=-9.70 Tz=12.30 Mx=0.00 Mz=-6.07
Sollecitazioni agenti localmente: Ty_l=-1880.08 Mx_l=-37.60
Tensioni nella sezione: σ=455.77 τ=56.97
CC 12 SLD (Collegamento -041_-375)
Azioni sul collegamento: N=-10340.40 Ty=-9.56 Tz=12.30 Mx=0.00 Mz=-6.65
Sollecitazioni agenti localmente: Ty_l=-1880.08 Mx_l=-37.60
Tensioni nella sezione: σ=455.77 τ=56.97
CC 12 SLD (Collegamento -041_-375)
Azioni sul collegamento: N=-9628.41 Ty=-9.70 Tz=14.62 Mx=0.00 Mz=-6.07
Sollecitazioni agenti localmente: Ty_l=-1750.62 Mx_l=-35.01
Tensioni nella sezione: σ=424.39 τ=53.05
CC 12 SLD (Collegamento -041_-375)
Azioni sul collegamento: N=-9628.41 Ty=-9.56 Tz=14.62 Mx=0.00 Mz=-6.65
Sollecitazioni agenti localmente: Ty_l=-1750.62 Mx_l=-35.01
Tensioni nella sezione: σ=424.39 τ=53.05
CC 12 SLD (Collegamento -041_-375)
Azioni sul collegamento: N=-9628.40 Ty=-9.70 Tz=12.30 Mx=0.00 Mz=-6.07
Sollecitazioni agenti localmente: Ty_l=-1750.62 Mx_l=-35.01
Tensioni nella sezione: σ=424.39 τ=53.05
CC 12 SLD (Collegamento -041_-375)
Azioni sul collegamento: N=-9628.40 Ty=-9.56 Tz=12.30 Mx=0.00 Mz=-6.65
Sollecitazioni agenti localmente: Ty_l=-1750.62 Mx_l=-35.01
Tensioni nella sezione: σ=424.39 τ=53.05
CC 13 SLV (Collegamento -041_-375)
Azioni sul collegamento: N=-8719.33 Ty=-8.48 Tz=9.28 Mx=0.00 Mz=-5.16
Sollecitazioni agenti localmente: Ty_l=-1585.33 Mx_l=-31.71
Tensioni nella sezione: σ=384.32 τ=48.04
CC 13 SLV (Collegamento -041_-375)
Azioni sul collegamento: N=-8719.33 Ty=-8.94 Tz=9.28 Mx=0.00 Mz=-3.28
Sollecitazioni agenti localmente: Ty_l=-1585.33 Mx_l=-31.71
Tensioni nella sezione: σ=384.32 τ=48.04
CC 13 SLV (Collegamento -041_-375)
Azioni sul collegamento: N=-8719.33 Ty=-8.48 Tz=16.87 Mx=0.00 Mz=-5.16
Sollecitazioni agenti localmente: Ty_l=-1585.33 Mx_l=-31.71
Tensioni nella sezione: σ=384.32 τ=48.04
CC 13 SLV (Collegamento -041_-375)
Azioni sul collegamento: N=-8719.33 Ty=-8.94 Tz=16.87 Mx=0.00 Mz=-3.28
Sollecitazioni agenti localmente: Ty_l=-1585.33 Mx_l=-31.71
Tensioni nella sezione: σ=384.32 τ=48.04
CC 13 SLV (Collegamento -041_-375)
Azioni sul collegamento: N=-11054.30 Ty=-8.48 Tz=9.28 Mx=0.00 Mz=-5.16
Sollecitazioni agenti localmente: Ty_l=-2009.88 Mx_l=-40.20
Tensioni nella sezione: σ=487.24 τ=60.91
CC 13 SLV (Collegamento -041_-375)
Azioni sul collegamento: N=-11054.30 Ty=-8.94 Tz=9.28 Mx=0.00 Mz=-3.28
Sollecitazioni agenti localmente: Ty_l=-2009.88 Mx_l=-40.20
Tensioni nella sezione: σ=487.24 τ=60.91
CC 13 SLV (Collegamento -041_-375)
Azioni sul collegamento: N=-11054.30 Ty=-8.48 Tz=16.87 Mx=0.00 Mz=-5.16
Sollecitazioni agenti localmente: Ty_l=-2009.88 Mx_l=-40.20
Tensioni nella sezione: σ=487.24 τ=60.91

CC 13 SLV (Collegamento -041_-375)
Azioni sul collegamento: N=-11054.30 Ty=-8.94 Tz=16.87 Mx=0.00 Mz=-3.28
Sollecitazioni agenti localmente: Ty_l=-2009.88 Mx_l=-40.20
Tensioni nella sezione: σ=487.24 τ=60.91
CC 14 SLD (Collegamento -041_-375)
Azioni sul collegamento: N=-9628.40 Ty=-9.56 Tz=12.30 Mx=-0.00 Mz=-6.65
Sollecitazioni agenti localmente: Ty_l=-1750.62 Mx_l=-35.01
Tensioni nella sezione: σ=424.39 τ=53.05
CC 14 SLD (Collegamento -041_-375)
Azioni sul collegamento: N=-9628.40 Ty=-9.70 Tz=12.30 Mx=-0.00 Mz=-6.07
Sollecitazioni agenti localmente: Ty_l=-1750.62 Mx_l=-35.01
Tensioni nella sezione: σ=424.39 τ=53.05
CC 14 SLD (Collegamento -041_-375)
Azioni sul collegamento: N=-9628.41 Ty=-9.56 Tz=14.62 Mx=-0.00 Mz=-6.65
Sollecitazioni agenti localmente: Ty_l=-1750.62 Mx_l=-35.01
Tensioni nella sezione: σ=424.39 τ=53.05
CC 14 SLD (Collegamento -041_-375)
Azioni sul collegamento: N=-9628.41 Ty=-9.70 Tz=14.62 Mx=-0.00 Mz=-6.07
Sollecitazioni agenti localmente: Ty_l=-1750.62 Mx_l=-35.01
Tensioni nella sezione: σ=424.39 τ=53.05
CC 14 SLD (Collegamento -041_-375)
Azioni sul collegamento: N=-10340.40 Ty=-9.56 Tz=12.30 Mx=-0.00 Mz=-6.65
Sollecitazioni agenti localmente: Ty_l=-1880.08 Mx_l=-37.60
Tensioni nella sezione: σ=455.77 τ=56.97
CC 14 SLD (Collegamento -041_-375)
Azioni sul collegamento: N=-10340.40 Ty=-9.70 Tz=12.30 Mx=-0.00 Mz=-6.07
Sollecitazioni agenti localmente: Ty_l=-1880.08 Mx_l=-37.60
Tensioni nella sezione: σ=455.77 τ=56.97
CC 14 SLD (Collegamento -041_-375)
Azioni sul collegamento: N=-10340.40 Ty=-9.56 Tz=14.62 Mx=-0.00 Mz=-6.65
Sollecitazioni agenti localmente: Ty_l=-1880.08 Mx_l=-37.60
Tensioni nella sezione: σ=455.77 τ=56.97
CC 14 SLD (Collegamento -041_-375)
Azioni sul collegamento: N=-10340.40 Ty=-9.70 Tz=14.62 Mx=-0.00 Mz=-6.07
Sollecitazioni agenti localmente: Ty_l=-1880.08 Mx_l=-37.60
Tensioni nella sezione: σ=455.77 τ=56.97
CC 15 SLV (Collegamento -041_-375)
Azioni sul collegamento: N=-11070.70 Ty=-10.65 Tz=17.96 Mx=0.00 Mz=-6.77
Sollecitazioni agenti localmente: Ty_l=-2012.85 Mx_l=-40.26
Tensioni nella sezione: σ=487.96 τ=61.00
CC 15 SLV (Collegamento -041_-375)
Azioni sul collegamento: N=-11070.70 Ty=-6.76 Tz=17.96 Mx=0.00 Mz=-1.67
Sollecitazioni agenti localmente: Ty_l=-2012.85 Mx_l=-40.26
Tensioni nella sezione: σ=487.96 τ=61.00
CC 15 SLV (Collegamento -041_-375)
Azioni sul collegamento: N=-11070.70 Ty=-10.65 Tz=8.19 Mx=0.00 Mz=-6.77
Sollecitazioni agenti localmente: Ty_l=-2012.85 Mx_l=-40.26
Tensioni nella sezione: σ=487.96 τ=61.00
CC 15 SLV (Collegamento -041_-375)
Azioni sul collegamento: N=-11070.70 Ty=-6.76 Tz=8.19 Mx=0.00 Mz=-1.67
Sollecitazioni agenti localmente: Ty_l=-2012.85 Mx_l=-40.26
Tensioni nella sezione: σ=487.96 τ=61.00
CC 15 SLV (Collegamento -041_-375)
Azioni sul collegamento: N=-8703.00 Ty=-10.65 Tz=17.96 Mx=0.00 Mz=-6.77
Sollecitazioni agenti localmente: Ty_l=-1582.36 Mx_l=-31.65
Tensioni nella sezione: σ=383.60 τ=47.95
CC 15 SLV (Collegamento -041_-375)
Azioni sul collegamento: N=-8703.00 Ty=-6.76 Tz=17.96 Mx=0.00 Mz=-1.67
Sollecitazioni agenti localmente: Ty_l=-1582.36 Mx_l=-31.65
Tensioni nella sezione: σ=383.60 τ=47.95
CC 15 SLV (Collegamento -041_-375)
Azioni sul collegamento: N=-8703.00 Ty=-10.65 Tz=8.19 Mx=0.00 Mz=-6.77
Sollecitazioni agenti localmente: Ty_l=-1582.36 Mx_l=-31.65
Tensioni nella sezione: σ=383.60 τ=47.95
CC 15 SLV (Collegamento -041_-375)
Azioni sul collegamento: N=-8703.00 Ty=-6.76 Tz=8.19 Mx=0.00 Mz=-1.67
Sollecitazioni agenti localmente: Ty_l=-1582.36 Mx_l=-31.65
Tensioni nella sezione: σ=383.60 τ=47.95
CC 16 SLD (Collegamento -041_-375)
Azioni sul collegamento: N=-10345.40 Ty=-10.22 Tz=14.95 Mx=-0.00 Mz=-7.14
Sollecitazioni agenti localmente: Ty_l=-1880.98 Mx_l=-37.62
Tensioni nella sezione: σ=455.99 τ=57.00
CC 16 SLD (Collegamento -041_-375)
Azioni sul collegamento: N=-10345.40 Ty=-9.04 Tz=14.95 Mx=-0.00 Mz=-5.58
Sollecitazioni agenti localmente: Ty_l=-1880.98 Mx_l=-37.62
Tensioni nella sezione: σ=455.99 τ=57.00
CC 16 SLD (Collegamento -041_-375)
Azioni sul collegamento: N=-10345.40 Ty=-10.22 Tz=11.97 Mx=-0.00 Mz=-7.14
Sollecitazioni agenti localmente: Ty_l=-1880.98 Mx_l=-37.62

Tensioni nella sezione: σ=455.99 τ=57.00
CC 16 SLD (Collegamento -041_-375)
Azioni sul collegamento: N=-10345.40 Ty=-9.04 Tz=11.97 Mx=-0.00 Mz=-5.58
Sollecitazioni agenti localmente: Ty_l=-1880.98 Mx_l=-37.62
Tensioni nella sezione: σ=455.99 τ=57.00
CC 16 SLD (Collegamento -041_-375)
Azioni sul collegamento: N=-9623.43 Ty=-10.22 Tz=14.95 Mx=-0.00 Mz=-7.14
Sollecitazioni agenti localmente: Ty_l=-1749.71 Mx_l=-34.99
Tensioni nella sezione: σ=424.17 τ=53.02
CC 16 SLD (Collegamento -041_-375)
Azioni sul collegamento: N=-9623.43 Ty=-9.04 Tz=14.95 Mx=-0.00 Mz=-5.58
Sollecitazioni agenti localmente: Ty_l=-1749.71 Mx_l=-34.99
Tensioni nella sezione: σ=424.17 τ=53.02
CC 16 SLD (Collegamento -041_-375)
Azioni sul collegamento: N=-9623.43 Ty=-10.22 Tz=11.97 Mx=-0.00 Mz=-7.14
Sollecitazioni agenti localmente: Ty_l=-1749.71 Mx_l=-34.99
Tensioni nella sezione: σ=424.17 τ=53.02
CC 16 SLD (Collegamento -041_-375)
Azioni sul collegamento: N=-9623.43 Ty=-9.04 Tz=11.97 Mx=-0.00 Mz=-5.58
Sollecitazioni agenti localmente: Ty_l=-1749.71 Mx_l=-34.99
Tensioni nella sezione: σ=424.17 τ=53.02
CC 17 SLV (Collegamento -041_-375)
Azioni sul collegamento: N=-6246.30 Ty=-7.49 Tz=-0.46 Mx=-0.02 Mz=-7.17
Sollecitazioni agenti localmente: Ty_l=-1135.69 Mx_l=-22.71
Tensioni nella sezione: σ=275.32 τ=34.41
CC 17 SLV (Collegamento -041_-375)
Azioni sul collegamento: N=-6246.30 Ty=-15.25 Tz=-0.46 Mx=-0.02 Mz=-13.58
Sollecitazioni agenti localmente: Ty_l=-1135.69 Mx_l=-22.71
Tensioni nella sezione: σ=275.32 τ=34.41
CC 17 SLV (Collegamento -041_-375)
Azioni sul collegamento: N=-6246.30 Ty=-7.49 Tz=28.82 Mx=-0.02 Mz=-7.17
Sollecitazioni agenti localmente: Ty_l=-1135.69 Mx_l=-22.71
Tensioni nella sezione: σ=275.32 τ=34.41
CC 17 SLV (Collegamento -041_-375)
Azioni sul collegamento: N=-6246.30 Ty=-15.25 Tz=28.82 Mx=-0.02 Mz=-13.58
Sollecitazioni agenti localmente: Ty_l=-1135.69 Mx_l=-22.71
Tensioni nella sezione: σ=275.32 τ=34.41
CC 17 SLV (Collegamento -041_-375)
Azioni sul collegamento: N=-14088.90 Ty=-7.49 Tz=-0.46 Mx=-0.02 Mz=-7.17
Sollecitazioni agenti localmente: Ty_l=-2561.63 Mx_l=-51.23
Tensioni nella sezione: σ=621.00 τ=77.63
CC 17 SLV (Collegamento -041_-375)
Azioni sul collegamento: N=-14088.90 Ty=-15.25 Tz=-0.46 Mx=-0.02 Mz=-13.58
Sollecitazioni agenti localmente: Ty_l=-2561.63 Mx_l=-51.23
Tensioni nella sezione: σ=621.00 τ=77.63
CC 17 SLV (Collegamento -041_-375)
Azioni sul collegamento: N=-14088.90 Ty=-7.49 Tz=28.82 Mx=-0.02 Mz=-7.17
Sollecitazioni agenti localmente: Ty_l=-2561.63 Mx_l=-51.23
Tensioni nella sezione: σ=621.00 τ=77.63
CC 17 SLV (Collegamento -041_-375)
Azioni sul collegamento: N=-14088.90 Ty=-15.25 Tz=28.82 Mx=-0.02 Mz=-13.58
Sollecitazioni agenti localmente: Ty_l=-2561.63 Mx_l=-51.23
Tensioni nella sezione: σ=621.00 τ=77.63
CC 18 SLD (Collegamento -041_-375)
Azioni sul collegamento: N=-8874.30 Ty=-9.26 Tz=9.33 Mx=-0.01 Mz=-7.26
Sollecitazioni agenti localmente: Ty_l=-1613.51 Mx_l=-32.27
Tensioni nella sezione: σ=391.15 τ=48.89
CC 18 SLD (Collegamento -041_-375)
Azioni sul collegamento: N=-8874.30 Ty=-11.63 Tz=9.33 Mx=-0.01 Mz=-9.21
Sollecitazioni agenti localmente: Ty_l=-1613.51 Mx_l=-32.27
Tensioni nella sezione: σ=391.15 τ=48.89
CC 18 SLD (Collegamento -041_-375)
Azioni sul collegamento: N=-8874.30 Ty=-9.26 Tz=18.26 Mx=-0.01 Mz=-7.26
Sollecitazioni agenti localmente: Ty_l=-1613.51 Mx_l=-32.27
Tensioni nella sezione: σ=391.15 τ=48.89
CC 18 SLD (Collegamento -041_-375)
Azioni sul collegamento: N=-8874.30 Ty=-11.63 Tz=18.26 Mx=-0.01 Mz=-9.21
Sollecitazioni agenti localmente: Ty_l=-1613.51 Mx_l=-32.27
Tensioni nella sezione: σ=391.15 τ=48.89
CC 18 SLD (Collegamento -041_-375)
Azioni sul collegamento: N=-11265.80 Ty=-9.26 Tz=9.33 Mx=-0.01 Mz=-7.26
Sollecitazioni agenti localmente: Ty_l=-2048.32 Mx_l=-40.97
Tensioni nella sezione: σ=496.56 τ=62.07
CC 18 SLD (Collegamento -041_-375)
Azioni sul collegamento: N=-11265.80 Ty=-11.63 Tz=9.33 Mx=-0.01 Mz=-9.21
Sollecitazioni agenti localmente: Ty_l=-2048.32 Mx_l=-40.97
Tensioni nella sezione: σ=496.56 τ=62.07
CC 18 SLD (Collegamento -041_-375)
Azioni sul collegamento: N=-11265.80 Ty=-9.26 Tz=18.26 Mx=-0.01 Mz=-7.26

Sollecitazioni agenti localmente: Ty_l=-2048.32 Mx_l=-40.97
Tensioni nella sezione: σ=496.56 τ=62.07
CC 18 SLD (Collegamento -041_-375)
Azioni sul collegamento: N=-11265.80 Ty=-11.63 Tz=18.26 Mx=-0.01 Mz=-9.21
Sollecitazioni agenti localmente: Ty_l=-2048.32 Mx_l=-40.97
Tensioni nella sezione: σ=496.56 τ=62.07
CC 19 SLV (Collegamento -041_-375)
Azioni sul collegamento: N=-6251.20 Ty=-8.00 Tz=-0.13 Mx=-0.01 Mz=-8.22
Sollecitazioni agenti localmente: Ty_l=-1136.58 Mx_l=-22.73
Tensioni nella sezione: σ=275.53 τ=34.44
CC 19 SLV (Collegamento -041_-375)
Azioni sul collegamento: N=-6251.20 Ty=-14.73 Tz=-0.13 Mx=-0.01 Mz=-12.53
Sollecitazioni agenti localmente: Ty_l=-1136.58 Mx_l=-22.73
Tensioni nella sezione: σ=275.53 τ=34.44
CC 19 SLV (Collegamento -041_-375)
Azioni sul collegamento: N=-6251.20 Ty=-8.00 Tz=28.49 Mx=-0.01 Mz=-8.22
Sollecitazioni agenti localmente: Ty_l=-1136.58 Mx_l=-22.73
Tensioni nella sezione: σ=275.53 τ=34.44
CC 19 SLV (Collegamento -041_-375)
Azioni sul collegamento: N=-6251.20 Ty=-14.73 Tz=28.49 Mx=-0.01 Mz=-12.53
Sollecitazioni agenti localmente: Ty_l=-1136.58 Mx_l=-22.73
Tensioni nella sezione: σ=275.53 τ=34.44
CC 19 SLV (Collegamento -041_-375)
Azioni sul collegamento: N=-14084.00 Ty=-8.00 Tz=-0.13 Mx=-0.01 Mz=-8.22
Sollecitazioni agenti localmente: Ty_l=-2560.74 Mx_l=-51.21
Tensioni nella sezione: σ=620.78 τ=77.60
CC 19 SLV (Collegamento -041_-375)
Azioni sul collegamento: N=-14084.00 Ty=-14.73 Tz=-0.13 Mx=-0.01 Mz=-12.53
Sollecitazioni agenti localmente: Ty_l=-2560.74 Mx_l=-51.21
Tensioni nella sezione: σ=620.78 τ=77.60
CC 19 SLV (Collegamento -041_-375)
Azioni sul collegamento: N=-14084.00 Ty=-8.00 Tz=28.49 Mx=-0.01 Mz=-8.22
Sollecitazioni agenti localmente: Ty_l=-2560.74 Mx_l=-51.21
Tensioni nella sezione: σ=620.78 τ=77.60
CC 19 SLV (Collegamento -041_-375)
Azioni sul collegamento: N=-14084.00 Ty=-14.73 Tz=28.49 Mx=-0.01 Mz=-12.53
Sollecitazioni agenti localmente: Ty_l=-2560.74 Mx_l=-51.21
Tensioni nella sezione: σ=620.78 τ=77.60
CC 20 SLD (Collegamento -041_-375)
Azioni sul collegamento: N=-8875.79 Ty=-9.42 Tz=9.43 Mx=-0.01 Mz=-7.58
Sollecitazioni agenti localmente: Ty_l=-1613.78 Mx_l=-32.28
Tensioni nella sezione: σ=391.22 τ=48.90
CC 20 SLD (Collegamento -041_-375)
Azioni sul collegamento: N=-8875.79 Ty=-11.47 Tz=9.43 Mx=-0.01 Mz=-8.89
Sollecitazioni agenti localmente: Ty_l=-1613.78 Mx_l=-32.28
Tensioni nella sezione: σ=391.22 τ=48.90
CC 20 SLD (Collegamento -041_-375)
Azioni sul collegamento: N=-8875.80 Ty=-9.42 Tz=18.16 Mx=-0.01 Mz=-7.58
Sollecitazioni agenti localmente: Ty_l=-1613.78 Mx_l=-32.28
Tensioni nella sezione: σ=391.22 τ=48.90
CC 20 SLD (Collegamento -041_-375)
Azioni sul collegamento: N=-8875.80 Ty=-11.47 Tz=18.16 Mx=-0.01 Mz=-8.89
Sollecitazioni agenti localmente: Ty_l=-1613.78 Mx_l=-32.28
Tensioni nella sezione: σ=391.22 τ=48.90
CC 20 SLD (Collegamento -041_-375)
Azioni sul collegamento: N=-11264.30 Ty=-9.42 Tz=9.43 Mx=-0.01 Mz=-7.58
Sollecitazioni agenti localmente: Ty_l=-2048.05 Mx_l=-40.96
Tensioni nella sezione: σ=496.50 τ=62.06
CC 20 SLD (Collegamento -041_-375)
Azioni sul collegamento: N=-11264.30 Ty=-11.47 Tz=9.43 Mx=-0.01 Mz=-8.89
Sollecitazioni agenti localmente: Ty_l=-2048.05 Mx_l=-40.96
Tensioni nella sezione: σ=496.50 τ=62.06
CC 20 SLD (Collegamento -041_-375)
Azioni sul collegamento: N=-11264.30 Ty=-9.42 Tz=18.16 Mx=-0.01 Mz=-7.58
Sollecitazioni agenti localmente: Ty_l=-2048.05 Mx_l=-40.96
Tensioni nella sezione: σ=496.50 τ=62.06
CC 20 SLD (Collegamento -041_-375)
Azioni sul collegamento: N=-11264.30 Ty=-11.47 Tz=18.16 Mx=-0.01 Mz=-8.89
Sollecitazioni agenti localmente: Ty_l=-2048.05 Mx_l=-40.96
Tensioni nella sezione: σ=496.50 τ=62.06
CC 21 SLV (Collegamento -041_-375)
Azioni sul collegamento: N=-14084.00 Ty=-14.73 Tz=28.49 Mx=-0.02 Mz=-12.53
Sollecitazioni agenti localmente: Ty_l=-2560.74 Mx_l=-51.21
Tensioni nella sezione: σ=620.78 τ=77.60
CC 21 SLV (Collegamento -041_-375)
Azioni sul collegamento: N=-14084.00 Ty=-8.00 Tz=28.49 Mx=-0.02 Mz=-8.22
Sollecitazioni agenti localmente: Ty_l=-2560.74 Mx_l=-51.21
Tensioni nella sezione: σ=620.78 τ=77.60
CC 21 SLV (Collegamento -041_-375)

Azioni sul collegamento: N=-14084.00 Ty=-14.73 Tz=-0.13 Mx=-0.02 Mz=-12.53
Sollecitazioni agenti localmente: Ty_l=-2560.74 Mx_l=-51.21
Tensioni nella sezione: σ=620.78 τ=77.60
CC 21 SLV (Collegamento -041_-375)
Azioni sul collegamento: N=-14084.00 Ty=-8.00 Tz=-0.13 Mx=-0.02 Mz=-8.22
Sollecitazioni agenti localmente: Ty_l=-2560.74 Mx_l=-51.21
Tensioni nella sezione: σ=620.78 τ=77.60
CC 21 SLV (Collegamento -041_-375)
Azioni sul collegamento: N=-6251.20 Ty=-14.73 Tz=28.49 Mx=-0.02 Mz=-12.53
Sollecitazioni agenti localmente: Ty_l=-1136.58 Mx_l=-22.73
Tensioni nella sezione: σ=275.53 τ=34.44
CC 21 SLV (Collegamento -041_-375)
Azioni sul collegamento: N=-6251.20 Ty=-8.00 Tz=28.49 Mx=-0.02 Mz=-8.22
Sollecitazioni agenti localmente: Ty_l=-1136.58 Mx_l=-22.73
Tensioni nella sezione: σ=275.53 τ=34.44
CC 21 SLV (Collegamento -041_-375)
Azioni sul collegamento: N=-6251.20 Ty=-14.73 Tz=-0.13 Mx=-0.02 Mz=-12.53
Sollecitazioni agenti localmente: Ty_l=-1136.58 Mx_l=-22.73
Tensioni nella sezione: σ=275.53 τ=34.44
CC 21 SLV (Collegamento -041_-375)
Azioni sul collegamento: N=-6251.20 Ty=-8.00 Tz=-0.13 Mx=-0.02 Mz=-8.22
Sollecitazioni agenti localmente: Ty_l=-1136.58 Mx_l=-22.73
Tensioni nella sezione: σ=275.53 τ=34.44
CC 22 SLD (Collegamento -041_-375)
Azioni sul collegamento: N=-11264.30 Ty=-11.47 Tz=18.16 Mx=-0.01 Mz=-8.89
Sollecitazioni agenti localmente: Ty_l=-2048.05 Mx_l=-40.96
Tensioni nella sezione: σ=496.50 τ=62.06
CC 22 SLD (Collegamento -041_-375)
Azioni sul collegamento: N=-11264.30 Ty=-9.42 Tz=18.16 Mx=-0.01 Mz=-7.58
Sollecitazioni agenti localmente: Ty_l=-2048.05 Mx_l=-40.96
Tensioni nella sezione: σ=496.50 τ=62.06
CC 22 SLD (Collegamento -041_-375)
Azioni sul collegamento: N=-11264.30 Ty=-11.47 Tz=9.43 Mx=-0.01 Mz=-8.89
Sollecitazioni agenti localmente: Ty_l=-2048.05 Mx_l=-40.96
Tensioni nella sezione: σ=496.50 τ=62.06
CC 22 SLD (Collegamento -041_-375)
Azioni sul collegamento: N=-11264.30 Ty=-9.42 Tz=9.43 Mx=-0.01 Mz=-7.58
Sollecitazioni agenti localmente: Ty_l=-2048.05 Mx_l=-40.96
Tensioni nella sezione: σ=496.50 τ=62.06
CC 22 SLD (Collegamento -041_-375)
Azioni sul collegamento: N=-8875.80 Ty=-11.47 Tz=18.16 Mx=-0.01 Mz=-8.89
Sollecitazioni agenti localmente: Ty_l=-1613.78 Mx_l=-32.28
Tensioni nella sezione: σ=391.22 τ=48.90
CC 22 SLD (Collegamento -041_-375)
Azioni sul collegamento: N=-8875.80 Ty=-9.42 Tz=18.16 Mx=-0.01 Mz=-7.58
Sollecitazioni agenti localmente: Ty_l=-1613.78 Mx_l=-32.28
Tensioni nella sezione: σ=391.22 τ=48.90
CC 22 SLD (Collegamento -041_-375)
Azioni sul collegamento: N=-8875.79 Ty=-11.47 Tz=9.43 Mx=-0.01 Mz=-8.89
Sollecitazioni agenti localmente: Ty_l=-1613.78 Mx_l=-32.28
Tensioni nella sezione: σ=391.22 τ=48.90
CC 22 SLD (Collegamento -041_-375)
Azioni sul collegamento: N=-8875.79 Ty=-9.42 Tz=9.43 Mx=-0.01 Mz=-7.58
Sollecitazioni agenti localmente: Ty_l=-1613.78 Mx_l=-32.28
Tensioni nella sezione: σ=391.22 τ=48.90
CC 23 SLV (Collegamento -041_-375)
Azioni sul collegamento: N=-14088.90 Ty=-15.25 Tz=28.82 Mx=-0.01 Mz=-13.58
Sollecitazioni agenti localmente: Ty_l=-2561.63 Mx_l=-51.23
Tensioni nella sezione: σ=621.00 τ=77.63
CC 23 SLV (Collegamento -041_-375)
Azioni sul collegamento: N=-14088.90 Ty=-7.49 Tz=28.82 Mx=-0.01 Mz=-7.17
Sollecitazioni agenti localmente: Ty_l=-2561.63 Mx_l=-51.23
Tensioni nella sezione: σ=621.00 τ=77.63
CC 23 SLV (Collegamento -041_-375)
Azioni sul collegamento: N=-14088.90 Ty=-15.25 Tz=-0.46 Mx=-0.01 Mz=-13.58
Sollecitazioni agenti localmente: Ty_l=-2561.63 Mx_l=-51.23
Tensioni nella sezione: σ=621.00 τ=77.63
CC 23 SLV (Collegamento -041_-375)
Azioni sul collegamento: N=-14088.90 Ty=-7.49 Tz=-0.46 Mx=-0.01 Mz=-7.17
Sollecitazioni agenti localmente: Ty_l=-2561.63 Mx_l=-51.23
Tensioni nella sezione: σ=621.00 τ=77.63
CC 23 SLV (Collegamento -041_-375)
Azioni sul collegamento: N=-6246.30 Ty=-15.25 Tz=28.82 Mx=-0.01 Mz=-13.58
Sollecitazioni agenti localmente: Ty_l=-1135.69 Mx_l=-22.71
Tensioni nella sezione: σ=275.32 τ=34.41
CC 23 SLV (Collegamento -041_-375)
Azioni sul collegamento: N=-6246.30 Ty=-7.49 Tz=28.82 Mx=-0.01 Mz=-7.17
Sollecitazioni agenti localmente: Ty_l=-1135.69 Mx_l=-22.71
Tensioni nella sezione: σ=275.32 τ=34.41

CC 23 SLV (Collegamento -041_-375)
Azioni sul collegamento: N=-6246.30 Ty=-15.25 Tz=-0.46 Mx=-0.01 Mz=-13.58
Sollecitazioni agenti localmente: Ty_l=-1135.69 Mx_l=-22.71
Tensioni nella sezione: σ=275.32 τ=34.41
CC 23 SLV (Collegamento -041_-375)
Azioni sul collegamento: N=-6246.30 Ty=-7.49 Tz=-0.46 Mx=-0.01 Mz=-7.17
Sollecitazioni agenti localmente: Ty_l=-1135.69 Mx_l=-22.71
Tensioni nella sezione: σ=275.32 τ=34.41
CC 24 SLD (Collegamento -041_-375)
Azioni sul collegamento: N=-11265.80 Ty=-11.63 Tz=18.26 Mx=-0.01 Mz=-9.21
Sollecitazioni agenti localmente: Ty_l=-2048.32 Mx_l=-40.97
Tensioni nella sezione: σ=496.56 τ=62.07
CC 24 SLD (Collegamento -041_-375)
Azioni sul collegamento: N=-11265.80 Ty=-9.26 Tz=18.26 Mx=-0.01 Mz=-7.26
Sollecitazioni agenti localmente: Ty_l=-2048.32 Mx_l=-40.97
Tensioni nella sezione: σ=496.56 τ=62.07
CC 24 SLD (Collegamento -041_-375)
Azioni sul collegamento: N=-11265.80 Ty=-11.63 Tz=9.33 Mx=-0.01 Mz=-9.21
Sollecitazioni agenti localmente: Ty_l=-2048.32 Mx_l=-40.97
Tensioni nella sezione: σ=496.56 τ=62.07
CC 24 SLD (Collegamento -041_-375)
Azioni sul collegamento: N=-11265.80 Ty=-9.26 Tz=9.33 Mx=-0.01 Mz=-7.26
Sollecitazioni agenti localmente: Ty_l=-2048.32 Mx_l=-40.97
Tensioni nella sezione: σ=496.56 τ=62.07
CC 24 SLD (Collegamento -041_-375)
Azioni sul collegamento: N=-8874.30 Ty=-11.63 Tz=18.26 Mx=-0.01 Mz=-9.21
Sollecitazioni agenti localmente: Ty_l=-1613.51 Mx_l=-32.27
Tensioni nella sezione: σ=391.15 τ=48.89
CC 24 SLD (Collegamento -041_-375)
Azioni sul collegamento: N=-8874.30 Ty=-9.26 Tz=18.26 Mx=-0.01 Mz=-7.26
Sollecitazioni agenti localmente: Ty_l=-1613.51 Mx_l=-32.27
Tensioni nella sezione: σ=391.15 τ=48.89
CC 24 SLD (Collegamento -041_-375)
Azioni sul collegamento: N=-8874.30 Ty=-11.63 Tz=9.33 Mx=-0.01 Mz=-9.21
Sollecitazioni agenti localmente: Ty_l=-1613.51 Mx_l=-32.27
Tensioni nella sezione: σ=391.15 τ=48.89
CC 24 SLD (Collegamento -041_-375)
Azioni sul collegamento: N=-8874.30 Ty=-9.26 Tz=9.33 Mx=-0.01 Mz=-7.26
Sollecitazioni agenti localmente: Ty_l=-1613.51 Mx_l=-32.27
Tensioni nella sezione: σ=391.15 τ=48.89
CC 25 SLV (Collegamento -041_-375)
Azioni sul collegamento: N=-8983.80 Ty=-9.43 Tz=9.29 Mx=-0.02 Mz=-7.83
Sollecitazioni agenti localmente: Ty_l=-1633.42 Mx_l=-32.67
Tensioni nella sezione: σ=395.98 τ=49.50
CC 25 SLV (Collegamento -041_-375)
Azioni sul collegamento: N=-8983.80 Ty=-13.31 Tz=9.29 Mx=-0.02 Mz=-12.93
Sollecitazioni agenti localmente: Ty_l=-1633.42 Mx_l=-32.67
Tensioni nella sezione: σ=395.98 τ=49.50
CC 25 SLV (Collegamento -041_-375)
Azioni sul collegamento: N=-8983.80 Ty=-9.43 Tz=19.07 Mx=-0.02 Mz=-7.83
Sollecitazioni agenti localmente: Ty_l=-1633.42 Mx_l=-32.67
Tensioni nella sezione: σ=395.98 τ=49.50
CC 25 SLV (Collegamento -041_-375)
Azioni sul collegamento: N=-8983.80 Ty=-13.31 Tz=19.07 Mx=-0.02 Mz=-12.93
Sollecitazioni agenti localmente: Ty_l=-1633.42 Mx_l=-32.67
Tensioni nella sezione: σ=395.98 τ=49.50
CC 25 SLV (Collegamento -041_-375)
Azioni sul collegamento: N=-11351.50 Ty=-9.43 Tz=9.29 Mx=-0.02 Mz=-7.83
Sollecitazioni agenti localmente: Ty_l=-2063.90 Mx_l=-41.28
Tensioni nella sezione: σ=500.34 τ=62.54
CC 25 SLV (Collegamento -041_-375)
Azioni sul collegamento: N=-11351.50 Ty=-13.31 Tz=9.29 Mx=-0.02 Mz=-12.93
Sollecitazioni agenti localmente: Ty_l=-2063.90 Mx_l=-41.28
Tensioni nella sezione: σ=500.34 τ=62.54
CC 25 SLV (Collegamento -041_-375)
Azioni sul collegamento: N=-11351.50 Ty=-9.43 Tz=19.07 Mx=-0.02 Mz=-7.83
Sollecitazioni agenti localmente: Ty_l=-2063.90 Mx_l=-41.28
Tensioni nella sezione: σ=500.34 τ=62.54
CC 25 SLV (Collegamento -041_-375)
Azioni sul collegamento: N=-11351.50 Ty=-13.31 Tz=19.07 Mx=-0.02 Mz=-12.93
Sollecitazioni agenti localmente: Ty_l=-2063.90 Mx_l=-41.28
Tensioni nella sezione: σ=500.34 τ=62.54
CC 26 SLD (Collegamento -041_-375)
Azioni sul collegamento: N=-9709.05 Ty=-9.85 Tz=12.31 Mx=-0.01 Mz=-7.46
Sollecitazioni agenti localmente: Ty_l=-1765.28 Mx_l=-35.31
Tensioni nella sezione: σ=427.95 τ=53.49
CC 26 SLD (Collegamento -041_-375)
Azioni sul collegamento: N=-9709.05 Ty=-11.04 Tz=12.31 Mx=-0.01 Mz=-9.01
Sollecitazioni agenti localmente: Ty_l=-1765.28 Mx_l=-35.31

Tensioni nella sezione: σ=427.95 τ=53.49
CC 26 SLD (Collegamento -041_-375)
Azioni sul collegamento: N=-9709.05 Ty=-9.85 Tz=15.29 Mx=-0.01 Mz=-7.46
Sollecitazioni agenti localmente: Ty_l=-1765.28 Mx_l=-35.31
Tensioni nella sezione: σ=427.95 τ=53.49
CC 26 SLD (Collegamento -041_-375)
Azioni sul collegamento: N=-9709.05 Ty=-11.04 Tz=15.29 Mx=-0.01 Mz=-9.01
Sollecitazioni agenti localmente: Ty_l=-1765.28 Mx_l=-35.31
Tensioni nella sezione: σ=427.95 τ=53.49
CC 26 SLD (Collegamento -041_-375)
Azioni sul collegamento: N=-10431.00 Ty=-9.85 Tz=12.31 Mx=-0.01 Mz=-7.46
Sollecitazioni agenti localmente: Ty_l=-1896.55 Mx_l=-37.93
Tensioni nella sezione: σ=459.77 τ=57.47
CC 26 SLD (Collegamento -041_-375)
Azioni sul collegamento: N=-10431.00 Ty=-11.04 Tz=12.31 Mx=-0.01 Mz=-9.01
Sollecitazioni agenti localmente: Ty_l=-1896.55 Mx_l=-37.93
Tensioni nella sezione: σ=459.77 τ=57.47
CC 26 SLD (Collegamento -041_-375)
Azioni sul collegamento: N=-10431.00 Ty=-9.85 Tz=15.29 Mx=-0.01 Mz=-7.46
Sollecitazioni agenti localmente: Ty_l=-1896.55 Mx_l=-37.93
Tensioni nella sezione: σ=459.77 τ=57.47
CC 26 SLD (Collegamento -041_-375)
Azioni sul collegamento: N=-10431.00 Ty=-11.04 Tz=15.29 Mx=-0.01 Mz=-9.01
Sollecitazioni agenti localmente: Ty_l=-1896.55 Mx_l=-37.93
Tensioni nella sezione: σ=459.77 τ=57.47
CC 27 SLV (Collegamento -041_-375)
Azioni sul collegamento: N=-11335.10 Ty=-11.60 Tz=17.98 Mx=-0.02 Mz=-9.43
Sollecitazioni agenti localmente: Ty_l=-2060.93 Mx_l=-41.22
Tensioni nella sezione: σ=499.62 τ=62.45
CC 27 SLV (Collegamento -041_-375)
Azioni sul collegamento: N=-11335.10 Ty=-11.14 Tz=17.98 Mx=-0.02 Mz=-11.32
Sollecitazioni agenti localmente: Ty_l=-2060.93 Mx_l=-41.22
Tensioni nella sezione: σ=499.62 τ=62.45
CC 27 SLV (Collegamento -041_-375)
Azioni sul collegamento: N=-11335.10 Ty=-11.60 Tz=10.38 Mx=-0.02 Mz=-9.43
Sollecitazioni agenti localmente: Ty_l=-2060.93 Mx_l=-41.22
Tensioni nella sezione: σ=499.62 τ=62.45
CC 27 SLV (Collegamento -041_-375)
Azioni sul collegamento: N=-11335.10 Ty=-11.14 Tz=10.38 Mx=-0.02 Mz=-11.32
Sollecitazioni agenti localmente: Ty_l=-2060.93 Mx_l=-41.22
Tensioni nella sezione: σ=499.62 τ=62.45
CC 27 SLV (Collegamento -041_-375)
Azioni sul collegamento: N=-9000.13 Ty=-11.60 Tz=17.98 Mx=-0.02 Mz=-9.43
Sollecitazioni agenti localmente: Ty_l=-1636.39 Mx_l=-32.73
Tensioni nella sezione: σ=396.70 τ=49.59
CC 27 SLV (Collegamento -041_-375)
Azioni sul collegamento: N=-9000.13 Ty=-11.14 Tz=17.98 Mx=-0.02 Mz=-11.32
Sollecitazioni agenti localmente: Ty_l=-1636.39 Mx_l=-32.73
Tensioni nella sezione: σ=396.70 τ=49.59
CC 27 SLV (Collegamento -041_-375)
Azioni sul collegamento: N=-9000.13 Ty=-11.60 Tz=10.38 Mx=-0.02 Mz=-9.43
Sollecitazioni agenti localmente: Ty_l=-1636.39 Mx_l=-32.73
Tensioni nella sezione: σ=396.70 τ=49.59
CC 27 SLV (Collegamento -041_-375)
Azioni sul collegamento: N=-9000.13 Ty=-11.14 Tz=10.38 Mx=-0.02 Mz=-11.32
Sollecitazioni agenti localmente: Ty_l=-1636.39 Mx_l=-32.73
Tensioni nella sezione: σ=396.70 τ=49.59
CC 28 SLD (Collegamento -041_-375)
Azioni sul collegamento: N=-10426.00 Ty=-10.51 Tz=14.95 Mx=-0.01 Mz=-7.95
Sollecitazioni agenti localmente: Ty_l=-1895.64 Mx_l=-37.91
Tensioni nella sezione: σ=459.55 τ=57.44
CC 28 SLD (Collegamento -041_-375)
Azioni sul collegamento: N=-10426.00 Ty=-10.37 Tz=14.95 Mx=-0.01 Mz=-8.52
Sollecitazioni agenti localmente: Ty_l=-1895.64 Mx_l=-37.91
Tensioni nella sezione: σ=459.55 τ=57.44
CC 28 SLD (Collegamento -041_-375)
Azioni sul collegamento: N=-10426.00 Ty=-10.51 Tz=12.64 Mx=-0.01 Mz=-7.95
Sollecitazioni agenti localmente: Ty_l=-1895.64 Mx_l=-37.91
Tensioni nella sezione: σ=459.55 τ=57.44
CC 28 SLD (Collegamento -041_-375)
Azioni sul collegamento: N=-10426.00 Ty=-10.37 Tz=12.64 Mx=-0.01 Mz=-8.52
Sollecitazioni agenti localmente: Ty_l=-1895.64 Mx_l=-37.91
Tensioni nella sezione: σ=459.55 τ=57.44
CC 28 SLD (Collegamento -041_-375)
Azioni sul collegamento: N=-9714.03 Ty=-10.51 Tz=14.95 Mx=-0.01 Mz=-7.95
Sollecitazioni agenti localmente: Ty_l=-1766.19 Mx_l=-35.32
Tensioni nella sezione: σ=428.17 τ=53.52
CC 28 SLD (Collegamento -041_-375)
Azioni sul collegamento: N=-9714.03 Ty=-10.37 Tz=14.95 Mx=-0.01 Mz=-8.52

Sollecitazioni agenti localmente: Ty_l=-1766.19 Mx_l=-35.32
Tensioni nella sezione: σ=428.17 τ=53.52
CC 28 SLD (Collegamento -041_-375)
Azioni sul collegamento: N=-9714.03 Ty=-10.51 Tz=12.64 Mx=-0.01 Mz=-7.95
Sollecitazioni agenti localmente: Ty_l=-1766.19 Mx_l=-35.32
Tensioni nella sezione: σ=428.17 τ=53.52
CC 28 SLD (Collegamento -041_-375)
Azioni sul collegamento: N=-9714.03 Ty=-10.37 Tz=12.64 Mx=-0.01 Mz=-8.52
Sollecitazioni agenti localmente: Ty_l=-1766.19 Mx_l=-35.32
Tensioni nella sezione: σ=428.17 τ=53.52
CC 29 SLV (Collegamento -041_-375)
Azioni sul collegamento: N=-9000.13 Ty=-11.14 Tz=10.38 Mx=-0.01 Mz=-11.32
Sollecitazioni agenti localmente: Ty_l=-1636.39 Mx_l=-32.73
Tensioni nella sezione: σ=396.70 τ=49.59
CC 29 SLV (Collegamento -041_-375)
Azioni sul collegamento: N=-9000.13 Ty=-11.60 Tz=10.38 Mx=-0.01 Mz=-9.43
Sollecitazioni agenti localmente: Ty_l=-1636.39 Mx_l=-32.73
Tensioni nella sezione: σ=396.70 τ=49.59
CC 29 SLV (Collegamento -041_-375)
Azioni sul collegamento: N=-9000.13 Ty=-11.14 Tz=17.98 Mx=-0.01 Mz=-11.32
Sollecitazioni agenti localmente: Ty_l=-1636.39 Mx_l=-32.73
Tensioni nella sezione: σ=396.70 τ=49.59
CC 29 SLV (Collegamento -041_-375)
Azioni sul collegamento: N=-9000.13 Ty=-11.60 Tz=17.98 Mx=-0.01 Mz=-9.43
Sollecitazioni agenti localmente: Ty_l=-1636.39 Mx_l=-32.73
Tensioni nella sezione: σ=396.70 τ=49.59
CC 29 SLV (Collegamento -041_-375)
Azioni sul collegamento: N=-11335.10 Ty=-11.14 Tz=10.38 Mx=-0.01 Mz=-11.32
Sollecitazioni agenti localmente: Ty_l=-2060.93 Mx_l=-41.22
Tensioni nella sezione: σ=499.62 τ=62.45
CC 29 SLV (Collegamento -041_-375)
Azioni sul collegamento: N=-11335.10 Ty=-11.60 Tz=10.38 Mx=-0.01 Mz=-9.43
Sollecitazioni agenti localmente: Ty_l=-2060.93 Mx_l=-41.22
Tensioni nella sezione: σ=499.62 τ=62.45
CC 29 SLV (Collegamento -041_-375)
Azioni sul collegamento: N=-11335.10 Ty=-11.14 Tz=17.98 Mx=-0.01 Mz=-11.32
Sollecitazioni agenti localmente: Ty_l=-2060.93 Mx_l=-41.22
Tensioni nella sezione: σ=499.62 τ=62.45
CC 29 SLV (Collegamento -041_-375)
Azioni sul collegamento: N=-11335.10 Ty=-11.60 Tz=17.98 Mx=-0.01 Mz=-9.43
Sollecitazioni agenti localmente: Ty_l=-2060.93 Mx_l=-41.22
Tensioni nella sezione: σ=499.62 τ=62.45
CC 30 SLD (Collegamento -041_-375)
Azioni sul collegamento: N=-9714.03 Ty=-10.37 Tz=12.64 Mx=-0.00 Mz=-8.52
Sollecitazioni agenti localmente: Ty_l=-1766.19 Mx_l=-35.32
Tensioni nella sezione: σ=428.17 τ=53.52
CC 30 SLD (Collegamento -041_-375)
Azioni sul collegamento: N=-9714.03 Ty=-10.51 Tz=12.64 Mx=-0.00 Mz=-7.95
Sollecitazioni agenti localmente: Ty_l=-1766.19 Mx_l=-35.32
Tensioni nella sezione: σ=428.17 τ=53.52
CC 30 SLD (Collegamento -041_-375)
Azioni sul collegamento: N=-9714.03 Ty=-10.37 Tz=14.95 Mx=-0.00 Mz=-8.52
Sollecitazioni agenti localmente: Ty_l=-1766.19 Mx_l=-35.32
Tensioni nella sezione: σ=428.17 τ=53.52
CC 30 SLD (Collegamento -041_-375)
Azioni sul collegamento: N=-9714.03 Ty=-10.51 Tz=14.95 Mx=-0.00 Mz=-7.95
Sollecitazioni agenti localmente: Ty_l=-1766.19 Mx_l=-35.32
Tensioni nella sezione: σ=428.17 τ=53.52
CC 30 SLD (Collegamento -041_-375)
Azioni sul collegamento: N=-10426.00 Ty=-10.37 Tz=12.64 Mx=-0.00 Mz=-8.52
Sollecitazioni agenti localmente: Ty_l=-1895.64 Mx_l=-37.91
Tensioni nella sezione: σ=459.55 τ=57.44
CC 30 SLD (Collegamento -041_-375)
Azioni sul collegamento: N=-10426.00 Ty=-10.51 Tz=12.64 Mx=-0.00 Mz=-7.95
Sollecitazioni agenti localmente: Ty_l=-1895.64 Mx_l=-37.91
Tensioni nella sezione: σ=459.55 τ=57.44
CC 30 SLD (Collegamento -041_-375)
Azioni sul collegamento: N=-10426.00 Ty=-10.37 Tz=14.95 Mx=-0.00 Mz=-8.52
Sollecitazioni agenti localmente: Ty_l=-1895.64 Mx_l=-37.91
Tensioni nella sezione: σ=459.55 τ=57.44
CC 30 SLD (Collegamento -041_-375)
Azioni sul collegamento: N=-10426.00 Ty=-10.51 Tz=14.95 Mx=-0.00 Mz=-7.95
Sollecitazioni agenti localmente: Ty_l=-1895.64 Mx_l=-37.91
Tensioni nella sezione: σ=459.55 τ=57.44
CC 31 SLV (Collegamento -041_-375)
Azioni sul collegamento: N=-11351.50 Ty=-13.31 Tz=19.07 Mx=-0.01 Mz=-12.93
Sollecitazioni agenti localmente: Ty_l=-2063.90 Mx_l=-41.28
Tensioni nella sezione: σ=500.34 τ=62.54
CC 31 SLV (Collegamento -041_-375)

Azioni sul collegamento: N=-11351.50 Ty=-9.43 Tz=19.07 Mx=-0.01 Mz=-7.83
Sollecitazioni agenti localmente: Ty_l=-2063.90 Mx_l=-41.28
Tensioni nella sezione: σ=500.34 τ=62.54
CC 31 SLV (Collegamento -041_-375)
Azioni sul collegamento: N=-11351.50 Ty=-13.31 Tz=9.29 Mx=-0.01 Mz=-12.93
Sollecitazioni agenti localmente: Ty_l=-2063.90 Mx_l=-41.28
Tensioni nella sezione: σ=500.34 τ=62.54
CC 31 SLV (Collegamento -041_-375)
Azioni sul collegamento: N=-11351.50 Ty=-9.43 Tz=9.29 Mx=-0.01 Mz=-7.83
Sollecitazioni agenti localmente: Ty_l=-2063.90 Mx_l=-41.28
Tensioni nella sezione: σ=500.34 τ=62.54
CC 31 SLV (Collegamento -041_-375)
Azioni sul collegamento: N=-8983.80 Ty=-13.31 Tz=19.07 Mx=-0.01 Mz=-12.93
Sollecitazioni agenti localmente: Ty_l=-1633.42 Mx_l=-32.67
Tensioni nella sezione: σ=395.98 τ=49.50
CC 31 SLV (Collegamento -041_-375)
Azioni sul collegamento: N=-8983.80 Ty=-9.43 Tz=19.07 Mx=-0.01 Mz=-7.83
Sollecitazioni agenti localmente: Ty_l=-1633.42 Mx_l=-32.67
Tensioni nella sezione: σ=395.98 τ=49.50
CC 31 SLV (Collegamento -041_-375)
Azioni sul collegamento: N=-8983.80 Ty=-13.31 Tz=9.29 Mx=-0.01 Mz=-12.93
Sollecitazioni agenti localmente: Ty_l=-1633.42 Mx_l=-32.67
Tensioni nella sezione: σ=395.98 τ=49.50
CC 31 SLV (Collegamento -041_-375)
Azioni sul collegamento: N=-8983.80 Ty=-9.43 Tz=9.29 Mx=-0.01 Mz=-7.83
Sollecitazioni agenti localmente: Ty_l=-1633.42 Mx_l=-32.67
Tensioni nella sezione: σ=395.98 τ=49.50
CC 32 SLD (Collegamento -041_-375)
Azioni sul collegamento: N=-10431.00 Ty=-11.04 Tz=15.29 Mx=-0.00 Mz=-9.01
Sollecitazioni agenti localmente: Ty_l=-1896.55 Mx_l=-37.93
Tensioni nella sezione: σ=459.77 τ=57.47
CC 32 SLD (Collegamento -041_-375)
Azioni sul collegamento: N=-10431.00 Ty=-9.85 Tz=15.29 Mx=-0.00 Mz=-7.46
Sollecitazioni agenti localmente: Ty_l=-1896.55 Mx_l=-37.93
Tensioni nella sezione: σ=459.77 τ=57.47
CC 32 SLD (Collegamento -041_-375)
Azioni sul collegamento: N=-10431.00 Ty=-11.04 Tz=12.31 Mx=-0.00 Mz=-9.01
Sollecitazioni agenti localmente: Ty_l=-1896.55 Mx_l=-37.93
Tensioni nella sezione: σ=459.77 τ=57.47
CC 32 SLD (Collegamento -041_-375)
Azioni sul collegamento: N=-10431.00 Ty=-9.85 Tz=12.31 Mx=-0.00 Mz=-7.46
Sollecitazioni agenti localmente: Ty_l=-1896.55 Mx_l=-37.93
Tensioni nella sezione: σ=459.77 τ=57.47
CC 32 SLD (Collegamento -041_-375)
Azioni sul collegamento: N=-9709.05 Ty=-11.04 Tz=15.29 Mx=-0.00 Mz=-9.01
Sollecitazioni agenti localmente: Ty_l=-1765.28 Mx_l=-35.31
Tensioni nella sezione: σ=427.95 τ=53.49
CC 32 SLD (Collegamento -041_-375)
Azioni sul collegamento: N=-9709.05 Ty=-9.85 Tz=15.29 Mx=-0.00 Mz=-7.46
Sollecitazioni agenti localmente: Ty_l=-1765.28 Mx_l=-35.31
Tensioni nella sezione: σ=427.95 τ=53.49
CC 32 SLD (Collegamento -041_-375)
Azioni sul collegamento: N=-9709.05 Ty=-11.04 Tz=12.31 Mx=-0.00 Mz=-9.01
Sollecitazioni agenti localmente: Ty_l=-1765.28 Mx_l=-35.31
Tensioni nella sezione: σ=427.95 τ=53.49
CC 32 SLD (Collegamento -041_-375)
Azioni sul collegamento: N=-9709.05 Ty=-9.85 Tz=12.31 Mx=-0.00 Mz=-7.46
Sollecitazioni agenti localmente: Ty_l=-1765.28 Mx_l=-35.31
Tensioni nella sezione: σ=427.95 τ=53.49
CC 33 SLU (Collegamento -041_-375)
Azioni sul collegamento: N=-36642.60 Ty=-20.20 Tz=103.27 Mx=-0.00 Mz=-14.84
Sollecitazioni agenti localmente: Ty_l=-6662.28 Mx_l=-133.25
Tensioni nella sezione: σ=1615.10 τ=201.89
CC 34 SLU (Collegamento -041_-375)
Azioni sul collegamento: N=-37458.50 Ty=-20.96 Tz=106.28 Mx=-0.00 Mz=-15.40
Sollecitazioni agenti localmente: Ty_l=-6810.64 Mx_l=-136.21
Tensioni nella sezione: σ=1651.06 τ=206.38
CC 35 SLU (Collegamento -041_-375)
Azioni sul collegamento: N=-37049.70 Ty=-20.49 Tz=104.83 Mx=-0.01 Mz=-14.94
Sollecitazioni agenti localmente: Ty_l=-6736.30 Mx_l=-134.73
Tensioni nella sezione: σ=1633.04 τ=204.13
CC 36 SLU (Collegamento -041_-375)
Azioni sul collegamento: N=-37051.40 Ty=-20.67 Tz=104.72 Mx=-0.00 Mz=-15.30
Sollecitazioni agenti localmente: Ty_l=-6736.62 Mx_l=-134.73
Tensioni nella sezione: σ=1633.12 τ=204.14
CC 37 SLU (Collegamento -041_-375)
Azioni sul collegamento: N=-29860.20 Ty=10.64 Tz=77.84 Mx=-0.00 Mz=8.54
Sollecitazioni agenti localmente: Ty_l=-5429.12 Mx_l=-108.58
Tensioni nella sezione: σ=1316.15 τ=164.52

CC 38 SLU (Collegamento -041_-375)
Azioni sul collegamento: N=-30676.20 Ty=9.89 Tz=80.85 Mx=-0.00 Mz=7.98
Sollecitazioni agenti localmente: Ty_l=-5577.49 Mx_l=-111.55
Tensioni nella sezione: σ=1352.12 τ=169.01
CC 39 SLU (Collegamento -041_-375)
Azioni sul collegamento: N=-30267.30 Ty=10.35 Tz=79.40 Mx=-0.01 Mz=8.45
Sollecitazioni agenti localmente: Ty_l=-5503.14 Mx_l=-110.06
Tensioni nella sezione: σ=1334.09 τ=166.76
CC 40 SLU (Collegamento -041_-375)
Azioni sul collegamento: N=-30269.10 Ty=10.18 Tz=79.28 Mx=-0.00 Mz=8.08
Sollecitazioni agenti localmente: Ty_l=-5503.47 Mx_l=-110.07
Tensioni nella sezione: σ=1334.17 τ=166.77
CC 41 SLU (Collegamento -041_-375)
Azioni sul collegamento: N=-27459.80 Ty=-19.36 Tz=69.55 Mx=-0.00 Mz=-14.09
Sollecitazioni agenti localmente: Ty_l=-4992.68 Mx_l=-99.85
Tensioni nella sezione: σ=1210.34 τ=151.29
CC 42 SLU (Collegamento -041_-375)
Azioni sul collegamento: N=-28275.70 Ty=-20.11 Tz=72.57 Mx=-0.00 Mz=-14.65
Sollecitazioni agenti localmente: Ty_l=-5141.04 Mx_l=-102.82
Tensioni nella sezione: σ=1246.31 τ=155.79
CC 43 SLU (Collegamento -041_-375)
Azioni sul collegamento: N=-27866.90 Ty=-19.65 Tz=71.12 Mx=-0.01 Mz=-14.19
Sollecitazioni agenti localmente: Ty_l=-5066.70 Mx_l=-101.33
Tensioni nella sezione: σ=1228.29 τ=153.54
CC 44 SLU (Collegamento -041_-375)
Azioni sul collegamento: N=-27868.60 Ty=-19.82 Tz=71.00 Mx=-0.00 Mz=-14.55
Sollecitazioni agenti localmente: Ty_l=-5067.02 Mx_l=-101.34
Tensioni nella sezione: σ=1228.37 τ=153.55
CC 45 SLU (Collegamento -041_-375)
Azioni sul collegamento: N=-29479.00 Ty=-19.57 Tz=76.97 Mx=-0.00 Mz=-14.38
Sollecitazioni agenti localmente: Ty_l=-5359.82 Mx_l=-107.20
Tensioni nella sezione: σ=1299.35 τ=162.42
CC 46 SLU (Collegamento -041_-375)
Azioni sul collegamento: N=-30295.00 Ty=-20.33 Tz=79.99 Mx=-0.00 Mz=-14.94
Sollecitazioni agenti localmente: Ty_l=-5508.18 Mx_l=-110.16
Tensioni nella sezione: σ=1335.32 τ=166.91
CC 47 SLU (Collegamento -041_-375)
Azioni sul collegamento: N=-29886.10 Ty=-19.86 Tz=78.54 Mx=-0.00 Mz=-14.48
Sollecitazioni agenti localmente: Ty_l=-5433.85 Mx_l=-108.68
Tensioni nella sezione: σ=1317.29 τ=164.66
CC 48 SLU (Collegamento -041_-375)
Azioni sul collegamento: N=-29887.90 Ty=-20.04 Tz=78.42 Mx=-0.00 Mz=-14.84
Sollecitazioni agenti localmente: Ty_l=-5434.17 Mx_l=-108.68
Tensioni nella sezione: σ=1317.37 τ=164.67
CC 49 SLU (Collegamento -041_-375)
Azioni sul collegamento: N=-24404.80 Ty=3.50 Tz=57.94 Mx=-0.00 Mz=3.11
Sollecitazioni agenti localmente: Ty_l=-4437.24 Mx_l=-88.74
Tensioni nella sezione: σ=1075.69 τ=134.46
CC 50 SLU (Collegamento -041_-375)
Azioni sul collegamento: N=-25220.80 Ty=2.75 Tz=60.96 Mx=-0.00 Mz=2.55
Sollecitazioni agenti localmente: Ty_l=-4585.60 Mx_l=-91.71
Tensioni nella sezione: σ=1111.66 τ=138.96
CC 51 SLU (Collegamento -041_-375)
Azioni sul collegamento: N=-24811.90 Ty=3.21 Tz=59.51 Mx=-0.00 Mz=3.02
Sollecitazioni agenti localmente: Ty_l=-4511.26 Mx_l=-90.22
Tensioni nella sezione: σ=1093.64 τ=136.71
CC 52 SLU (Collegamento -041_-375)
Azioni sul collegamento: N=-24813.70 Ty=3.04 Tz=59.39 Mx=-0.00 Mz=2.65
Sollecitazioni agenti localmente: Ty_l=-4511.58 Mx_l=-90.23
Tensioni nella sezione: σ=1093.71 τ=136.72
CC 53 SLU (Collegamento -041_-375)
Azioni sul collegamento: N=-22608.90 Ty=-18.94 Tz=51.75 Mx=-0.00 Mz=-13.82
Sollecitazioni agenti localmente: Ty_l=-4110.71 Mx_l=-82.21
Tensioni nella sezione: σ=996.53 τ=124.57
CC 54 SLU (Collegamento -041_-375)
Azioni sul collegamento: N=-23424.90 Ty=-19.70 Tz=54.76 Mx=-0.00 Mz=-14.38
Sollecitazioni agenti localmente: Ty_l=-4259.08 Mx_l=-85.18
Tensioni nella sezione: σ=1032.50 τ=129.06
CC 55 SLU (Collegamento -041_-375)
Azioni sul collegamento: N=-23016.00 Ty=-19.23 Tz=53.31 Mx=-0.00 Mz=-13.92
Sollecitazioni agenti localmente: Ty_l=-4184.74 Mx_l=-83.69
Tensioni nella sezione: σ=1014.48 τ=126.81
CC 56 SLU (Collegamento -041_-375)
Azioni sul collegamento: N=-23017.80 Ty=-19.41 Tz=53.20 Mx=-0.00 Mz=-14.28
Sollecitazioni agenti localmente: Ty_l=-4185.06 Mx_l=-83.70
Tensioni nella sezione: σ=1014.56 τ=126.82
CC 57 SLU (Collegamento -041_-375)
Azioni sul collegamento: N=-30221.30 Ty=-20.56 Tz=79.74 Mx=-0.00 Mz=-15.10
Sollecitazioni agenti localmente: Ty_l=-5494.77 Mx_l=-109.89

Tensioni nella sezione: σ=1332.06 τ=166.51
CC 58 SLU (Collegamento -041_-375)
Azioni sul collegamento: N=-31037.20 Ty=-21.31 Tz=82.75 Mx=-0.00 Mz=-15.66
Sollecitazioni agenti localmente: Ty_l=-5643.13 Mx_l=-112.86
Tensioni nella sezione: σ=1368.03 τ=171.00
CC 59 SLU (Collegamento -041_-375)
Azioni sul collegamento: N=-30628.40 Ty=-20.85 Tz=81.31 Mx=-0.00 Mz=-15.20
Sollecitazioni agenti localmente: Ty_l=-5568.79 Mx_l=-111.38
Tensioni nella sezione: σ=1350.01 τ=168.75
CC 60 SLU (Collegamento -041_-375)
Azioni sul collegamento: N=-30630.10 Ty=-21.02 Tz=81.19 Mx=-0.00 Mz=-15.57
Sollecitazioni agenti localmente: Ty_l=-5569.11 Mx_l=-111.38
Tensioni nella sezione: σ=1350.09 τ=168.76
CC 61 SLU (Collegamento -041_-375)
Azioni sul collegamento: N=-25147.00 Ty=2.52 Tz=60.71 Mx=-0.00 Mz=2.39
Sollecitazioni agenti localmente: Ty_l=-4572.19 Mx_l=-91.44
Tensioni nella sezione: σ=1108.41 τ=138.55
CC 62 SLU (Collegamento -041_-375)
Azioni sul collegamento: N=-25963.00 Ty=1.76 Tz=63.73 Mx=-0.00 Mz=1.83
Sollecitazioni agenti localmente: Ty_l=-4720.55 Mx_l=-94.41
Tensioni nella sezione: σ=1144.37 τ=143.05
CC 63 SLU (Collegamento -041_-375)
Azioni sul collegamento: N=-25554.10 Ty=2.23 Tz=62.28 Mx=-0.00 Mz=2.29
Sollecitazioni agenti localmente: Ty_l=-4646.21 Mx_l=-92.92
Tensioni nella sezione: σ=1126.35 τ=140.79
CC 64 SLU (Collegamento -041_-375)
Azioni sul collegamento: N=-25555.90 Ty=2.05 Tz=62.16 Mx=-0.00 Mz=1.93
Sollecitazioni agenti localmente: Ty_l=-4646.53 Mx_l=-92.93
Tensioni nella sezione: σ=1126.43 τ=140.80
CC 65 SLU (Collegamento -041_-375)
Azioni sul collegamento: N=-23351.20 Ty=-19.92 Tz=54.52 Mx=-0.00 Mz=-14.54
Sollecitazioni agenti localmente: Ty_l=-4245.66 Mx_l=-84.91
Tensioni nella sezione: σ=1029.25 τ=128.66
CC 66 SLU (Collegamento -041_-375)
Azioni sul collegamento: N=-24167.10 Ty=-20.68 Tz=57.53 Mx=-0.00 Mz=-15.10
Sollecitazioni agenti localmente: Ty_l=-4394.02 Mx_l=-87.88
Tensioni nella sezione: σ=1065.22 τ=133.15
CC 67 SLU (Collegamento -041_-375)
Azioni sul collegamento: N=-23758.30 Ty=-20.21 Tz=56.08 Mx=-0.00 Mz=-14.64
Sollecitazioni agenti localmente: Ty_l=-4319.69 Mx_l=-86.39
Tensioni nella sezione: σ=1047.19 τ=130.90
CC 68 SLU (Collegamento -041_-375)
Azioni sul collegamento: N=-23760.00 Ty=-20.39 Tz=55.97 Mx=-0.00 Mz=-15.01
Sollecitazioni agenti localmente: Ty_l=-4320.01 Mx_l=-86.40
Tensioni nella sezione: σ=1047.27 τ=130.91
CC 97 SLU (Collegamento -041_-375)
Azioni sul collegamento: N=-31084.20 Ty=-25.01 Tz=90.82 Mx=0.05 Mz=-11.42
Sollecitazioni agenti localmente: Ty_l=-5651.68 Mx_l=-113.03
Tensioni nella sezione: σ=1370.10 τ=171.26
CC 98 SLU (Collegamento -041_-375)
Azioni sul collegamento: N=-31900.20 Ty=-25.76 Tz=93.83 Mx=0.05 Mz=-11.97
Sollecitazioni agenti localmente: Ty_l=-5800.04 Mx_l=-116.00
Tensioni nella sezione: σ=1406.07 τ=175.76
CC 99 SLU (Collegamento -041_-375)
Azioni sul collegamento: N=-31491.30 Ty=-25.30 Tz=92.39 Mx=0.05 Mz=-11.51
Sollecitazioni agenti localmente: Ty_l=-5725.70 Mx_l=-114.51
Tensioni nella sezione: σ=1388.04 τ=173.51
CC 100 SLU (Collegamento -041_-375)
Azioni sul collegamento: N=-31493.10 Ty=-25.48 Tz=92.27 Mx=0.05 Mz=-11.88
Sollecitazioni agenti localmente: Ty_l=-5726.02 Mx_l=-114.52
Tensioni nella sezione: σ=1388.12 τ=173.52
CC 101 SLU (Collegamento -041_-375)
Azioni sul collegamento: N=-8294.89 Ty=-5.21 Tz=7.37 Mx=-0.01 Mz=-4.43
Sollecitazioni agenti localmente: Ty_l=-1508.16 Mx_l=-30.16
Tensioni nella sezione: σ=365.61 τ=45.70
CC 102 SLU (Collegamento -041_-375)
Azioni sul collegamento: N=-9110.88 Ty=-5.97 Tz=10.39 Mx=-0.01 Mz=-4.99
Sollecitazioni agenti localmente: Ty_l=-1656.52 Mx_l=-33.13
Tensioni nella sezione: σ=401.58 τ=50.20
CC 103 SLU (Collegamento -041_-375)
Azioni sul collegamento: N=-8702.00 Ty=-5.50 Tz=8.94 Mx=-0.01 Mz=-4.53
Sollecitazioni agenti localmente: Ty_l=-1582.18 Mx_l=-31.64
Tensioni nella sezione: σ=383.56 τ=47.94
CC 104 SLU (Collegamento -041_-375)
Azioni sul collegamento: N=-8703.78 Ty=-5.68 Tz=8.82 Mx=-0.01 Mz=-4.89
Sollecitazioni agenti localmente: Ty_l=-1582.50 Mx_l=-31.65
Tensioni nella sezione: σ=383.64 τ=47.95

Flessione attacco inferiore piastra

Bnetta=220.00 Hnetta=15.00
CC 1 SLV (Collegamento -041_-375)
Azioni sul collegamento: N=-5965.50 Ty=-4.83 Tz=-1.56 Mx=0.01 Mz=-1.02
Sollecitazioni agenti localmente: Ty_l=-1084.64 Mx_l=-21.69
Tensioni nella sezione: σ=262.94 τ=32.87
CC 1 SLV (Collegamento -041_-375)
Azioni sul collegamento: N=-5965.50 Ty=-12.58 Tz=-1.56 Mx=0.01 Mz=-7.43
Sollecitazioni agenti localmente: Ty_l=-1084.64 Mx_l=-21.69
Tensioni nella sezione: σ=262.94 τ=32.87
CC 1 SLV (Collegamento -041_-375)
Azioni sul collegamento: N=-5965.50 Ty=-4.83 Tz=27.71 Mx=0.01 Mz=-1.02
Sollecitazioni agenti localmente: Ty_l=-1084.64 Mx_l=-21.69
Tensioni nella sezione: σ=262.94 τ=32.87
CC 1 SLV (Collegamento -041_-375)
Azioni sul collegamento: N=-5965.50 Ty=-12.58 Tz=27.71 Mx=0.01 Mz=-7.43
Sollecitazioni agenti localmente: Ty_l=-1084.64 Mx_l=-21.69
Tensioni nella sezione: σ=262.94 τ=32.87
CC 1 SLV (Collegamento -041_-375)
Azioni sul collegamento: N=-13808.10 Ty=-4.83 Tz=-1.56 Mx=0.01 Mz=-1.02
Sollecitazioni agenti localmente: Ty_l=-2510.57 Mx_l=-50.21
Tensioni nella sezione: σ=608.62 τ=76.08
CC 1 SLV (Collegamento -041_-375)
Azioni sul collegamento: N=-13808.10 Ty=-12.58 Tz=-1.56 Mx=0.01 Mz=-7.43
Sollecitazioni agenti localmente: Ty_l=-2510.57 Mx_l=-50.21
Tensioni nella sezione: σ=608.62 τ=76.08
CC 1 SLV (Collegamento -041_-375)
Azioni sul collegamento: N=-13808.10 Ty=-4.83 Tz=27.71 Mx=0.01 Mz=-1.02
Sollecitazioni agenti localmente: Ty_l=-2510.57 Mx_l=-50.21
Tensioni nella sezione: σ=608.62 τ=76.08
CC 1 SLV (Collegamento -041_-375)
Azioni sul collegamento: N=-13808.10 Ty=-12.58 Tz=27.71 Mx=0.01 Mz=-7.43
Sollecitazioni agenti localmente: Ty_l=-2510.57 Mx_l=-50.21
Tensioni nella sezione: σ=608.62 τ=76.08
CC 2 SLD (Collegamento -041_-375)
Azioni sul collegamento: N=-8788.68 Ty=-8.45 Tz=9.00 Mx=0.00 Mz=-5.38
Sollecitazioni agenti localmente: Ty_l=-1597.94 Mx_l=-31.96
Tensioni nella sezione: σ=387.38 τ=48.42
CC 2 SLD (Collegamento -041_-375)
Azioni sul collegamento: N=-8788.68 Ty=-10.81 Tz=9.00 Mx=0.00 Mz=-7.34
Sollecitazioni agenti localmente: Ty_l=-1597.94 Mx_l=-31.96
Tensioni nella sezione: σ=387.38 τ=48.42
CC 2 SLD (Collegamento -041_-375)
Azioni sul collegamento: N=-8788.68 Ty=-8.45 Tz=17.92 Mx=0.00 Mz=-5.38
Sollecitazioni agenti localmente: Ty_l=-1597.94 Mx_l=-31.96
Tensioni nella sezione: σ=387.38 τ=48.42
CC 2 SLD (Collegamento -041_-375)
Azioni sul collegamento: N=-8788.68 Ty=-10.81 Tz=17.92 Mx=0.00 Mz=-7.34
Sollecitazioni agenti localmente: Ty_l=-1597.94 Mx_l=-31.96
Tensioni nella sezione: σ=387.38 τ=48.42
CC 2 SLD (Collegamento -041_-375)
Azioni sul collegamento: N=-11180.10 Ty=-8.45 Tz=8.99 Mx=0.00 Mz=-5.38
Sollecitazioni agenti localmente: Ty_l=-2032.75 Mx_l=-40.66
Tensioni nella sezione: σ=492.79 τ=61.60
CC 2 SLD (Collegamento -041_-375)
Azioni sul collegamento: N=-11180.10 Ty=-10.81 Tz=8.99 Mx=0.00 Mz=-7.34
Sollecitazioni agenti localmente: Ty_l=-2032.75 Mx_l=-40.66
Tensioni nella sezione: σ=492.79 τ=61.60
CC 2 SLD (Collegamento -041_-375)
Azioni sul collegamento: N=-11180.10 Ty=-8.45 Tz=17.92 Mx=0.00 Mz=-5.38
Sollecitazioni agenti localmente: Ty_l=-2032.75 Mx_l=-40.66
Tensioni nella sezione: σ=492.79 τ=61.60
CC 2 SLD (Collegamento -041_-375)
Azioni sul collegamento: N=-11180.10 Ty=-10.81 Tz=17.92 Mx=0.00 Mz=-7.34
Sollecitazioni agenti localmente: Ty_l=-2032.75 Mx_l=-40.66
Tensioni nella sezione: σ=492.79 τ=61.60
CC 3 SLV (Collegamento -041_-375)
Azioni sul collegamento: N=-5970.40 Ty=-5.34 Tz=-1.24 Mx=0.01 Mz=-2.07
Sollecitazioni agenti localmente: Ty_l=-1085.53 Mx_l=-21.71
Tensioni nella sezione: σ=263.16 τ=32.89
CC 3 SLV (Collegamento -041_-375)
Azioni sul collegamento: N=-5970.40 Ty=-12.07 Tz=-1.24 Mx=0.01 Mz=-6.38
Sollecitazioni agenti localmente: Ty_l=-1085.53 Mx_l=-21.71
Tensioni nella sezione: σ=263.16 τ=32.89
CC 3 SLV (Collegamento -041_-375)
Azioni sul collegamento: N=-5970.40 Ty=-5.34 Tz=27.38 Mx=0.01 Mz=-2.07
Sollecitazioni agenti localmente: Ty_l=-1085.53 Mx_l=-21.71
Tensioni nella sezione: σ=263.16 τ=32.89
CC 3 SLV (Collegamento -041_-375)

Azioni sul collegamento: N=-5970.40 Ty=-12.07 Tz=27.38 Mx=0.01 Mz=-6.38
Sollecitazioni agenti localmente: Ty_l=-1085.53 Mx_l=-21.71
Tensioni nella sezione: σ=263.16 τ=32.89
CC 3 SLV (Collegamento -041_-375)
Azioni sul collegamento: N=-13803.30 Ty=-5.34 Tz=-1.24 Mx=0.01 Mz=-2.07
Sollecitazioni agenti localmente: Ty_l=-2509.68 Mx_l=-50.19
Tensioni nella sezione: σ=608.41 τ=76.05
CC 3 SLV (Collegamento -041_-375)
Azioni sul collegamento: N=-13803.30 Ty=-12.07 Tz=-1.24 Mx=0.01 Mz=-6.38
Sollecitazioni agenti localmente: Ty_l=-2509.68 Mx_l=-50.19
Tensioni nella sezione: σ=608.41 τ=76.05
CC 3 SLV (Collegamento -041_-375)
Azioni sul collegamento: N=-13803.30 Ty=-5.34 Tz=27.38 Mx=0.01 Mz=-2.07
Sollecitazioni agenti localmente: Ty_l=-2509.68 Mx_l=-50.19
Tensioni nella sezione: σ=608.41 τ=76.05
CC 3 SLV (Collegamento -041_-375)
Azioni sul collegamento: N=-13803.30 Ty=-12.07 Tz=27.38 Mx=0.01 Mz=-6.38
Sollecitazioni agenti localmente: Ty_l=-2509.68 Mx_l=-50.19
Tensioni nella sezione: σ=608.41 τ=76.05
CC 4 SLD (Collegamento -041_-375)
Azioni sul collegamento: N=-8790.17 Ty=-8.61 Tz=9.10 Mx=0.00 Mz=-5.70
Sollecitazioni agenti localmente: Ty_l=-1598.21 Mx_l=-31.96
Tensioni nella sezione: σ=387.44 τ=48.43
CC 4 SLD (Collegamento -041_-375)
Azioni sul collegamento: N=-8790.17 Ty=-10.66 Tz=9.10 Mx=0.00 Mz=-7.02
Sollecitazioni agenti localmente: Ty_l=-1598.21 Mx_l=-31.96
Tensioni nella sezione: σ=387.44 τ=48.43
CC 4 SLD (Collegamento -041_-375)
Azioni sul collegamento: N=-8790.17 Ty=-8.61 Tz=17.82 Mx=0.00 Mz=-5.70
Sollecitazioni agenti localmente: Ty_l=-1598.21 Mx_l=-31.96
Tensioni nella sezione: σ=387.44 τ=48.43
CC 4 SLD (Collegamento -041_-375)
Azioni sul collegamento: N=-8790.17 Ty=-10.66 Tz=17.82 Mx=0.00 Mz=-7.02
Sollecitazioni agenti localmente: Ty_l=-1598.21 Mx_l=-31.96
Tensioni nella sezione: σ=387.44 τ=48.43
CC 4 SLD (Collegamento -041_-375)
Azioni sul collegamento: N=-11178.70 Ty=-8.61 Tz=9.09 Mx=0.00 Mz=-5.70
Sollecitazioni agenti localmente: Ty_l=-2032.48 Mx_l=-40.65
Tensioni nella sezione: σ=492.72 τ=61.59
CC 4 SLD (Collegamento -041_-375)
Azioni sul collegamento: N=-11178.70 Ty=-10.66 Tz=9.09 Mx=0.00 Mz=-7.02
Sollecitazioni agenti localmente: Ty_l=-2032.48 Mx_l=-40.65
Tensioni nella sezione: σ=492.72 τ=61.59
CC 4 SLD (Collegamento -041_-375)
Azioni sul collegamento: N=-11178.70 Ty=-8.61 Tz=17.82 Mx=0.00 Mz=-5.70
Sollecitazioni agenti localmente: Ty_l=-2032.48 Mx_l=-40.65
Tensioni nella sezione: σ=492.72 τ=61.59
CC 4 SLD (Collegamento -041_-375)
Azioni sul collegamento: N=-11178.70 Ty=-10.66 Tz=17.82 Mx=0.00 Mz=-7.02
Sollecitazioni agenti localmente: Ty_l=-2032.48 Mx_l=-40.65
Tensioni nella sezione: σ=492.72 τ=61.59
CC 5 SLV (Collegamento -041_-375)
Azioni sul collegamento: N=-13803.30 Ty=-12.07 Tz=27.38 Mx=0.01 Mz=-6.38
Sollecitazioni agenti localmente: Ty_l=-2509.68 Mx_l=-50.19
Tensioni nella sezione: σ=608.41 τ=76.05
CC 5 SLV (Collegamento -041_-375)
Azioni sul collegamento: N=-13803.30 Ty=-5.34 Tz=27.38 Mx=0.01 Mz=-2.07
Sollecitazioni agenti localmente: Ty_l=-2509.68 Mx_l=-50.19
Tensioni nella sezione: σ=608.41 τ=76.05
CC 5 SLV (Collegamento -041_-375)
Azioni sul collegamento: N=-13803.30 Ty=-12.07 Tz=-1.24 Mx=0.01 Mz=-6.38
Sollecitazioni agenti localmente: Ty_l=-2509.68 Mx_l=-50.19
Tensioni nella sezione: σ=608.41 τ=76.05
CC 5 SLV (Collegamento -041_-375)
Azioni sul collegamento: N=-13803.30 Ty=-5.34 Tz=-1.24 Mx=0.01 Mz=-2.07
Sollecitazioni agenti localmente: Ty_l=-2509.68 Mx_l=-50.19
Tensioni nella sezione: σ=608.41 τ=76.05
CC 5 SLV (Collegamento -041_-375)
Azioni sul collegamento: N=-5970.40 Ty=-12.07 Tz=27.38 Mx=0.01 Mz=-6.38
Sollecitazioni agenti localmente: Ty_l=-1085.53 Mx_l=-21.71
Tensioni nella sezione: σ=263.16 τ=32.89
CC 5 SLV (Collegamento -041_-375)
Azioni sul collegamento: N=-5970.40 Ty=-5.34 Tz=27.38 Mx=0.01 Mz=-2.07
Sollecitazioni agenti localmente: Ty_l=-1085.53 Mx_l=-21.71
Tensioni nella sezione: σ=263.16 τ=32.89
CC 5 SLV (Collegamento -041_-375)
Azioni sul collegamento: N=-5970.40 Ty=-12.07 Tz=-1.24 Mx=0.01 Mz=-6.38
Sollecitazioni agenti localmente: Ty_l=-1085.53 Mx_l=-21.71
Tensioni nella sezione: σ=263.16 τ=32.89

CC 5 SLV (Collegamento -041_-375)
Azioni sul collegamento: N=-5970.40 Ty=-5.34 Tz=-1.24 Mx=0.01 Mz=-2.07
Sollecitazioni agenti localmente: Ty_l=-1085.53 Mx_l=-21.71
Tensioni nella sezione: σ=263.16 τ=32.89
CC 6 SLD (Collegamento -041_-375)
Azioni sul collegamento: N=-11178.70 Ty=-10.66 Tz=17.82 Mx=0.00 Mz=-7.02
Sollecitazioni agenti localmente: Ty_l=-2032.48 Mx_l=-40.65
Tensioni nella sezione: σ=492.72 τ=61.59
CC 6 SLD (Collegamento -041_-375)
Azioni sul collegamento: N=-11178.70 Ty=-8.61 Tz=17.82 Mx=0.00 Mz=-5.70
Sollecitazioni agenti localmente: Ty_l=-2032.48 Mx_l=-40.65
Tensioni nella sezione: σ=492.72 τ=61.59
CC 6 SLD (Collegamento -041_-375)
Azioni sul collegamento: N=-11178.70 Ty=-10.66 Tz=9.09 Mx=0.00 Mz=-7.02
Sollecitazioni agenti localmente: Ty_l=-2032.48 Mx_l=-40.65
Tensioni nella sezione: σ=492.72 τ=61.59
CC 6 SLD (Collegamento -041_-375)
Azioni sul collegamento: N=-11178.70 Ty=-8.61 Tz=9.09 Mx=0.00 Mz=-5.70
Sollecitazioni agenti localmente: Ty_l=-2032.48 Mx_l=-40.65
Tensioni nella sezione: σ=492.72 τ=61.59
CC 6 SLD (Collegamento -041_-375)
Azioni sul collegamento: N=-8790.17 Ty=-10.66 Tz=17.82 Mx=0.00 Mz=-7.02
Sollecitazioni agenti localmente: Ty_l=-1598.21 Mx_l=-31.96
Tensioni nella sezione: σ=387.44 τ=48.43
CC 6 SLD (Collegamento -041_-375)
Azioni sul collegamento: N=-8790.17 Ty=-8.61 Tz=17.82 Mx=0.00 Mz=-5.70
Sollecitazioni agenti localmente: Ty_l=-1598.21 Mx_l=-31.96
Tensioni nella sezione: σ=387.44 τ=48.43
CC 6 SLD (Collegamento -041_-375)
Azioni sul collegamento: N=-8790.17 Ty=-10.66 Tz=9.10 Mx=0.00 Mz=-7.02
Sollecitazioni agenti localmente: Ty_l=-1598.21 Mx_l=-31.96
Tensioni nella sezione: σ=387.44 τ=48.43
CC 6 SLD (Collegamento -041_-375)
Azioni sul collegamento: N=-8790.17 Ty=-8.61 Tz=9.10 Mx=0.00 Mz=-5.70
Sollecitazioni agenti localmente: Ty_l=-1598.21 Mx_l=-31.96
Tensioni nella sezione: σ=387.44 τ=48.43
CC 7 SLV (Collegamento -041_-375)
Azioni sul collegamento: N=-13808.10 Ty=-12.58 Tz=27.71 Mx=0.01 Mz=-7.43
Sollecitazioni agenti localmente: Ty_l=-2510.57 Mx_l=-50.21
Tensioni nella sezione: σ=608.62 τ=76.08
CC 7 SLV (Collegamento -041_-375)
Azioni sul collegamento: N=-13808.10 Ty=-4.83 Tz=27.71 Mx=0.01 Mz=-1.02
Sollecitazioni agenti localmente: Ty_l=-2510.57 Mx_l=-50.21
Tensioni nella sezione: σ=608.62 τ=76.08
CC 7 SLV (Collegamento -041_-375)
Azioni sul collegamento: N=-13808.10 Ty=-12.58 Tz=-1.56 Mx=0.01 Mz=-7.43
Sollecitazioni agenti localmente: Ty_l=-2510.57 Mx_l=-50.21
Tensioni nella sezione: σ=608.62 τ=76.08
CC 7 SLV (Collegamento -041_-375)
Azioni sul collegamento: N=-13808.10 Ty=-4.83 Tz=-1.56 Mx=0.01 Mz=-1.02
Sollecitazioni agenti localmente: Ty_l=-2510.57 Mx_l=-50.21
Tensioni nella sezione: σ=608.62 τ=76.08
CC 7 SLV (Collegamento -041_-375)
Azioni sul collegamento: N=-5965.50 Ty=-12.58 Tz=27.71 Mx=0.01 Mz=-7.43
Sollecitazioni agenti localmente: Ty_l=-1084.64 Mx_l=-21.69
Tensioni nella sezione: σ=262.94 τ=32.87
CC 7 SLV (Collegamento -041_-375)
Azioni sul collegamento: N=-5965.50 Ty=-4.83 Tz=27.71 Mx=0.01 Mz=-1.02
Sollecitazioni agenti localmente: Ty_l=-1084.64 Mx_l=-21.69
Tensioni nella sezione: σ=262.94 τ=32.87
CC 7 SLV (Collegamento -041_-375)
Azioni sul collegamento: N=-5965.50 Ty=-12.58 Tz=-1.56 Mx=0.01 Mz=-7.43
Sollecitazioni agenti localmente: Ty_l=-1084.64 Mx_l=-21.69
Tensioni nella sezione: σ=262.94 τ=32.87
CC 7 SLV (Collegamento -041_-375)
Azioni sul collegamento: N=-5965.50 Ty=-4.83 Tz=-1.56 Mx=0.01 Mz=-1.02
Sollecitazioni agenti localmente: Ty_l=-1084.64 Mx_l=-21.69
Tensioni nella sezione: σ=262.94 τ=32.87
CC 8 SLD (Collegamento -041_-375)
Azioni sul collegamento: N=-11180.10 Ty=-10.81 Tz=17.92 Mx=0.00 Mz=-7.34
Sollecitazioni agenti localmente: Ty_l=-2032.75 Mx_l=-40.66
Tensioni nella sezione: σ=492.79 τ=61.60
CC 8 SLD (Collegamento -041_-375)
Azioni sul collegamento: N=-11180.10 Ty=-8.45 Tz=17.92 Mx=0.00 Mz=-5.38
Sollecitazioni agenti localmente: Ty_l=-2032.75 Mx_l=-40.66
Tensioni nella sezione: σ=492.79 τ=61.60
CC 8 SLD (Collegamento -041_-375)
Azioni sul collegamento: N=-11180.10 Ty=-10.81 Tz=8.99 Mx=0.00 Mz=-7.34
Sollecitazioni agenti localmente: Ty_l=-2032.75 Mx_l=-40.66

Tensioni nella sezione: σ=492.79 τ=61.60
CC 8 SLD (Collegamento -041_-375)
Azioni sul collegamento: N=-11180.10 Ty=-8.45 Tz=8.99 Mx=0.00 Mz=-5.38
Sollecitazioni agenti localmente: Ty_l=-2032.75 Mx_l=-40.66
Tensioni nella sezione: σ=492.79 τ=61.60
CC 8 SLD (Collegamento -041_-375)
Azioni sul collegamento: N=-8788.68 Ty=-10.81 Tz=17.92 Mx=0.00 Mz=-7.34
Sollecitazioni agenti localmente: Ty_l=-1597.94 Mx_l=-31.96
Tensioni nella sezione: σ=387.38 τ=48.42
CC 8 SLD (Collegamento -041_-375)
Azioni sul collegamento: N=-8788.68 Ty=-8.45 Tz=17.92 Mx=0.00 Mz=-5.38
Sollecitazioni agenti localmente: Ty_l=-1597.94 Mx_l=-31.96
Tensioni nella sezione: σ=387.38 τ=48.42
CC 8 SLD (Collegamento -041_-375)
Azioni sul collegamento: N=-8788.68 Ty=-10.81 Tz=9.00 Mx=0.00 Mz=-7.34
Sollecitazioni agenti localmente: Ty_l=-1597.94 Mx_l=-31.96
Tensioni nella sezione: σ=387.38 τ=48.42
CC 8 SLD (Collegamento -041_-375)
Azioni sul collegamento: N=-8788.68 Ty=-8.45 Tz=9.00 Mx=0.00 Mz=-5.38
Sollecitazioni agenti localmente: Ty_l=-1597.94 Mx_l=-31.96
Tensioni nella sezione: σ=387.38 τ=48.42
CC 9 SLV (Collegamento -041_-375)
Azioni sul collegamento: N=-8703.00 Ty=-6.76 Tz=8.19 Mx=0.02 Mz=-1.67
Sollecitazioni agenti localmente: Ty_l=-1582.36 Mx_l=-31.65
Tensioni nella sezione: σ=383.60 τ=47.95
CC 9 SLV (Collegamento -041_-375)
Azioni sul collegamento: N=-8703.00 Ty=-10.65 Tz=8.19 Mx=0.02 Mz=-6.77
Sollecitazioni agenti localmente: Ty_l=-1582.36 Mx_l=-31.65
Tensioni nella sezione: σ=383.60 τ=47.95
CC 9 SLV (Collegamento -041_-375)
Azioni sul collegamento: N=-8703.00 Ty=-6.76 Tz=17.96 Mx=0.02 Mz=-1.67
Sollecitazioni agenti localmente: Ty_l=-1582.36 Mx_l=-31.65
Tensioni nella sezione: σ=383.60 τ=47.95
CC 9 SLV (Collegamento -041_-375)
Azioni sul collegamento: N=-8703.00 Ty=-10.65 Tz=17.96 Mx=0.02 Mz=-6.77
Sollecitazioni agenti localmente: Ty_l=-1582.36 Mx_l=-31.65
Tensioni nella sezione: σ=383.60 τ=47.95
CC 9 SLV (Collegamento -041_-375)
Azioni sul collegamento: N=-11070.70 Ty=-6.76 Tz=8.19 Mx=0.02 Mz=-1.67
Sollecitazioni agenti localmente: Ty_l=-2012.85 Mx_l=-40.26
Tensioni nella sezione: σ=487.96 τ=61.00
CC 9 SLV (Collegamento -041_-375)
Azioni sul collegamento: N=-11070.70 Ty=-10.65 Tz=8.19 Mx=0.02 Mz=-6.77
Sollecitazioni agenti localmente: Ty_l=-2012.85 Mx_l=-40.26
Tensioni nella sezione: σ=487.96 τ=61.00
CC 9 SLV (Collegamento -041_-375)
Azioni sul collegamento: N=-11070.70 Ty=-6.76 Tz=17.96 Mx=0.02 Mz=-1.67
Sollecitazioni agenti localmente: Ty_l=-2012.85 Mx_l=-40.26
Tensioni nella sezione: σ=487.96 τ=61.00
CC 9 SLV (Collegamento -041_-375)
Azioni sul collegamento: N=-11070.70 Ty=-10.65 Tz=17.96 Mx=0.02 Mz=-6.77
Sollecitazioni agenti localmente: Ty_l=-2012.85 Mx_l=-40.26
Tensioni nella sezione: σ=487.96 τ=61.00
CC 10 SLD (Collegamento -041_-375)
Azioni sul collegamento: N=-9623.43 Ty=-9.04 Tz=11.97 Mx=0.00 Mz=-5.58
Sollecitazioni agenti localmente: Ty_l=-1749.71 Mx_l=-34.99
Tensioni nella sezione: σ=424.17 τ=53.02
CC 10 SLD (Collegamento -041_-375)
Azioni sul collegamento: N=-9623.43 Ty=-10.22 Tz=11.97 Mx=0.00 Mz=-7.14
Sollecitazioni agenti localmente: Ty_l=-1749.71 Mx_l=-34.99
Tensioni nella sezione: σ=424.17 τ=53.02
CC 10 SLD (Collegamento -041_-375)
Azioni sul collegamento: N=-9623.43 Ty=-9.04 Tz=14.95 Mx=0.00 Mz=-5.58
Sollecitazioni agenti localmente: Ty_l=-1749.71 Mx_l=-34.99
Tensioni nella sezione: σ=424.17 τ=53.02
CC 10 SLD (Collegamento -041_-375)
Azioni sul collegamento: N=-9623.43 Ty=-10.22 Tz=14.95 Mx=0.00 Mz=-7.14
Sollecitazioni agenti localmente: Ty_l=-1749.71 Mx_l=-34.99
Tensioni nella sezione: σ=424.17 τ=53.02
CC 10 SLD (Collegamento -041_-375)
Azioni sul collegamento: N=-10345.40 Ty=-9.04 Tz=11.97 Mx=0.00 Mz=-5.58
Sollecitazioni agenti localmente: Ty_l=-1880.98 Mx_l=-37.62
Tensioni nella sezione: σ=456.00 τ=57.00
CC 10 SLD (Collegamento -041_-375)
Azioni sul collegamento: N=-10345.40 Ty=-10.22 Tz=11.97 Mx=0.00 Mz=-7.14
Sollecitazioni agenti localmente: Ty_l=-1880.98 Mx_l=-37.62
Tensioni nella sezione: σ=456.00 τ=57.00
CC 10 SLD (Collegamento -041_-375)
Azioni sul collegamento: N=-10345.40 Ty=-9.04 Tz=14.95 Mx=0.00 Mz=-5.58

Sollecitazioni agenti localmente: Ty_l=-1880.98 Mx_l=-37.62
Tensioni nella sezione: σ=456.00 τ=57.00
CC 10 SLD (Collegamento -041_-375)
Azioni sul collegamento: N=-10345.40 Ty=-10.22 Tz=14.95 Mx=0.00 Mz=-7.14
Sollecitazioni agenti localmente: Ty_l=-1880.98 Mx_l=-37.62
Tensioni nella sezione: σ=456.00 τ=57.00
CC 11 SLV (Collegamento -041_-375)
Azioni sul collegamento: N=-11054.30 Ty=-8.94 Tz=16.87 Mx=0.02 Mz=-3.28
Sollecitazioni agenti localmente: Ty_l=-2009.88 Mx_l=-40.20
Tensioni nella sezione: σ=487.24 τ=60.91
CC 11 SLV (Collegamento -041_-375)
Azioni sul collegamento: N=-11054.30 Ty=-8.48 Tz=16.87 Mx=0.02 Mz=-5.16
Sollecitazioni agenti localmente: Ty_l=-2009.88 Mx_l=-40.20
Tensioni nella sezione: σ=487.24 τ=60.91
CC 11 SLV (Collegamento -041_-375)
Azioni sul collegamento: N=-11054.30 Ty=-8.94 Tz=9.28 Mx=0.02 Mz=-3.28
Sollecitazioni agenti localmente: Ty_l=-2009.88 Mx_l=-40.20
Tensioni nella sezione: σ=487.24 τ=60.91
CC 11 SLV (Collegamento -041_-375)
Azioni sul collegamento: N=-11054.30 Ty=-8.48 Tz=9.28 Mx=0.02 Mz=-5.16
Sollecitazioni agenti localmente: Ty_l=-2009.88 Mx_l=-40.20
Tensioni nella sezione: σ=487.24 τ=60.91
CC 11 SLV (Collegamento -041_-375)
Azioni sul collegamento: N=-8719.33 Ty=-8.94 Tz=16.87 Mx=0.02 Mz=-3.28
Sollecitazioni agenti localmente: Ty_l=-1585.33 Mx_l=-31.71
Tensioni nella sezione: σ=384.32 τ=48.04
CC 11 SLV (Collegamento -041_-375)
Azioni sul collegamento: N=-8719.33 Ty=-8.48 Tz=16.87 Mx=0.02 Mz=-5.16
Sollecitazioni agenti localmente: Ty_l=-1585.33 Mx_l=-31.71
Tensioni nella sezione: σ=384.32 τ=48.04
CC 11 SLV (Collegamento -041_-375)
Azioni sul collegamento: N=-8719.33 Ty=-8.94 Tz=9.28 Mx=0.02 Mz=-3.28
Sollecitazioni agenti localmente: Ty_l=-1585.33 Mx_l=-31.71
Tensioni nella sezione: σ=384.32 τ=48.04
CC 11 SLV (Collegamento -041_-375)
Azioni sul collegamento: N=-8719.33 Ty=-8.48 Tz=9.28 Mx=0.02 Mz=-5.16
Sollecitazioni agenti localmente: Ty_l=-1585.33 Mx_l=-31.71
Tensioni nella sezione: σ=384.32 τ=48.04
CC 12 SLD (Collegamento -041_-375)
Azioni sul collegamento: N=-10340.40 Ty=-9.70 Tz=14.62 Mx=0.00 Mz=-6.07
Sollecitazioni agenti localmente: Ty_l=-1880.08 Mx_l=-37.60
Tensioni nella sezione: σ=455.77 τ=56.97
CC 12 SLD (Collegamento -041_-375)
Azioni sul collegamento: N=-10340.40 Ty=-9.56 Tz=14.62 Mx=0.00 Mz=-6.65
Sollecitazioni agenti localmente: Ty_l=-1880.08 Mx_l=-37.60
Tensioni nella sezione: σ=455.77 τ=56.97
CC 12 SLD (Collegamento -041_-375)
Azioni sul collegamento: N=-10340.40 Ty=-9.70 Tz=12.30 Mx=0.00 Mz=-6.07
Sollecitazioni agenti localmente: Ty_l=-1880.08 Mx_l=-37.60
Tensioni nella sezione: σ=455.77 τ=56.97
CC 12 SLD (Collegamento -041_-375)
Azioni sul collegamento: N=-10340.40 Ty=-9.56 Tz=12.30 Mx=0.00 Mz=-6.65
Sollecitazioni agenti localmente: Ty_l=-1880.08 Mx_l=-37.60
Tensioni nella sezione: σ=455.77 τ=56.97
CC 12 SLD (Collegamento -041_-375)
Azioni sul collegamento: N=-9628.41 Ty=-9.70 Tz=14.62 Mx=0.00 Mz=-6.07
Sollecitazioni agenti localmente: Ty_l=-1750.62 Mx_l=-35.01
Tensioni nella sezione: σ=424.39 τ=53.05
CC 12 SLD (Collegamento -041_-375)
Azioni sul collegamento: N=-9628.41 Ty=-9.56 Tz=14.62 Mx=0.00 Mz=-6.65
Sollecitazioni agenti localmente: Ty_l=-1750.62 Mx_l=-35.01
Tensioni nella sezione: σ=424.39 τ=53.05
CC 12 SLD (Collegamento -041_-375)
Azioni sul collegamento: N=-9628.40 Ty=-9.70 Tz=12.30 Mx=0.00 Mz=-6.07
Sollecitazioni agenti localmente: Ty_l=-1750.62 Mx_l=-35.01
Tensioni nella sezione: σ=424.39 τ=53.05
CC 12 SLD (Collegamento -041_-375)
Azioni sul collegamento: N=-9628.40 Ty=-9.56 Tz=12.30 Mx=0.00 Mz=-6.65
Sollecitazioni agenti localmente: Ty_l=-1750.62 Mx_l=-35.01
Tensioni nella sezione: σ=424.39 τ=53.05
CC 13 SLV (Collegamento -041_-375)
Azioni sul collegamento: N=-8719.33 Ty=-8.48 Tz=9.28 Mx=0.00 Mz=-5.16
Sollecitazioni agenti localmente: Ty_l=-1585.33 Mx_l=-31.71
Tensioni nella sezione: σ=384.32 τ=48.04
CC 13 SLV (Collegamento -041_-375)
Azioni sul collegamento: N=-8719.33 Ty=-8.94 Tz=9.28 Mx=0.00 Mz=-3.28
Sollecitazioni agenti localmente: Ty_l=-1585.33 Mx_l=-31.71
Tensioni nella sezione: σ=384.32 τ=48.04
CC 13 SLV (Collegamento -041_-375)

Azioni sul collegamento: N=-8719.33 Ty=-8.48 Tz=16.87 Mx=0.00 Mz=-5.16
Sollecitazioni agenti localmente: Ty_l=-1585.33 Mx_l=-31.71
Tensioni nella sezione: σ=384.32 τ=48.04
CC 13 SLV (Collegamento -041_-375)
Azioni sul collegamento: N=-8719.33 Ty=-8.94 Tz=16.87 Mx=0.00 Mz=-3.28
Sollecitazioni agenti localmente: Ty_l=-1585.33 Mx_l=-31.71
Tensioni nella sezione: σ=384.32 τ=48.04
CC 13 SLV (Collegamento -041_-375)
Azioni sul collegamento: N=-11054.30 Ty=-8.48 Tz=9.28 Mx=0.00 Mz=-5.16
Sollecitazioni agenti localmente: Ty_l=-2009.88 Mx_l=-40.20
Tensioni nella sezione: σ=487.24 τ=60.91
CC 13 SLV (Collegamento -041_-375)
Azioni sul collegamento: N=-11054.30 Ty=-8.94 Tz=9.28 Mx=0.00 Mz=-3.28
Sollecitazioni agenti localmente: Ty_l=-2009.88 Mx_l=-40.20
Tensioni nella sezione: σ=487.24 τ=60.91
CC 13 SLV (Collegamento -041_-375)
Azioni sul collegamento: N=-11054.30 Ty=-8.48 Tz=16.87 Mx=0.00 Mz=-5.16
Sollecitazioni agenti localmente: Ty_l=-2009.88 Mx_l=-40.20
Tensioni nella sezione: σ=487.24 τ=60.91
CC 13 SLV (Collegamento -041_-375)
Azioni sul collegamento: N=-11054.30 Ty=-8.94 Tz=16.87 Mx=0.00 Mz=-3.28
Sollecitazioni agenti localmente: Ty_l=-2009.88 Mx_l=-40.20
Tensioni nella sezione: σ=487.24 τ=60.91
CC 14 SLD (Collegamento -041_-375)
Azioni sul collegamento: N=-9628.40 Ty=-9.56 Tz=12.30 Mx=-0.00 Mz=-6.65
Sollecitazioni agenti localmente: Ty_l=-1750.62 Mx_l=-35.01
Tensioni nella sezione: σ=424.39 τ=53.05
CC 14 SLD (Collegamento -041_-375)
Azioni sul collegamento: N=-9628.40 Ty=-9.70 Tz=12.30 Mx=-0.00 Mz=-6.07
Sollecitazioni agenti localmente: Ty_l=-1750.62 Mx_l=-35.01
Tensioni nella sezione: σ=424.39 τ=53.05
CC 14 SLD (Collegamento -041_-375)
Azioni sul collegamento: N=-9628.41 Ty=-9.56 Tz=14.62 Mx=-0.00 Mz=-6.65
Sollecitazioni agenti localmente: Ty_l=-1750.62 Mx_l=-35.01
Tensioni nella sezione: σ=424.39 τ=53.05
CC 14 SLD (Collegamento -041_-375)
Azioni sul collegamento: N=-9628.41 Ty=-9.70 Tz=14.62 Mx=-0.00 Mz=-6.07
Sollecitazioni agenti localmente: Ty_l=-1750.62 Mx_l=-35.01
Tensioni nella sezione: σ=424.39 τ=53.05
CC 14 SLD (Collegamento -041_-375)
Azioni sul collegamento: N=-10340.40 Ty=-9.56 Tz=12.30 Mx=-0.00 Mz=-6.65
Sollecitazioni agenti localmente: Ty_l=-1880.08 Mx_l=-37.60
Tensioni nella sezione: σ=455.77 τ=56.97
CC 14 SLD (Collegamento -041_-375)
Azioni sul collegamento: N=-10340.40 Ty=-9.70 Tz=12.30 Mx=-0.00 Mz=-6.07
Sollecitazioni agenti localmente: Ty_l=-1880.08 Mx_l=-37.60
Tensioni nella sezione: σ=455.77 τ=56.97
CC 14 SLD (Collegamento -041_-375)
Azioni sul collegamento: N=-10340.40 Ty=-9.56 Tz=14.62 Mx=-0.00 Mz=-6.65
Sollecitazioni agenti localmente: Ty_l=-1880.08 Mx_l=-37.60
Tensioni nella sezione: σ=455.77 τ=56.97
CC 14 SLD (Collegamento -041_-375)
Azioni sul collegamento: N=-10340.40 Ty=-9.70 Tz=14.62 Mx=-0.00 Mz=-6.07
Sollecitazioni agenti localmente: Ty_l=-1880.08 Mx_l=-37.60
Tensioni nella sezione: σ=455.77 τ=56.97
CC 15 SLV (Collegamento -041_-375)
Azioni sul collegamento: N=-11070.70 Ty=-10.65 Tz=17.96 Mx=0.00 Mz=-6.77
Sollecitazioni agenti localmente: Ty_l=-2012.85 Mx_l=-40.26
Tensioni nella sezione: σ=487.96 τ=61.00
CC 15 SLV (Collegamento -041_-375)
Azioni sul collegamento: N=-11070.70 Ty=-6.76 Tz=17.96 Mx=0.00 Mz=-1.67
Sollecitazioni agenti localmente: Ty_l=-2012.85 Mx_l=-40.26
Tensioni nella sezione: σ=487.96 τ=61.00
CC 15 SLV (Collegamento -041_-375)
Azioni sul collegamento: N=-11070.70 Ty=-10.65 Tz=8.19 Mx=0.00 Mz=-6.77
Sollecitazioni agenti localmente: Ty_l=-2012.85 Mx_l=-40.26
Tensioni nella sezione: σ=487.96 τ=61.00
CC 15 SLV (Collegamento -041_-375)
Azioni sul collegamento: N=-11070.70 Ty=-6.76 Tz=8.19 Mx=0.00 Mz=-1.67
Sollecitazioni agenti localmente: Ty_l=-2012.85 Mx_l=-40.26
Tensioni nella sezione: σ=487.96 τ=61.00
CC 15 SLV (Collegamento -041_-375)
Azioni sul collegamento: N=-8703.00 Ty=-10.65 Tz=17.96 Mx=0.00 Mz=-6.77
Sollecitazioni agenti localmente: Ty_l=-1582.36 Mx_l=-31.65
Tensioni nella sezione: σ=383.60 τ=47.95
CC 15 SLV (Collegamento -041_-375)
Azioni sul collegamento: N=-8703.00 Ty=-6.76 Tz=17.96 Mx=0.00 Mz=-1.67
Sollecitazioni agenti localmente: Ty_l=-1582.36 Mx_l=-31.65
Tensioni nella sezione: σ=383.60 τ=47.95

CC 15 SLV (Collegamento -041_-375)
Azioni sul collegamento: N=-8703.00 Ty=-10.65 Tz=8.19 Mx=0.00 Mz=-6.77
Sollecitazioni agenti localmente: Ty_l=-1582.36 Mx_l=-31.65
Tensioni nella sezione: σ=383.60 τ=47.95
CC 15 SLV (Collegamento -041_-375)
Azioni sul collegamento: N=-8703.00 Ty=-6.76 Tz=8.19 Mx=0.00 Mz=-1.67
Sollecitazioni agenti localmente: Ty_l=-1582.36 Mx_l=-31.65
Tensioni nella sezione: σ=383.60 τ=47.95
CC 16 SLD (Collegamento -041_-375)
Azioni sul collegamento: N=-10345.40 Ty=-10.22 Tz=14.95 Mx=-0.00 Mz=-7.14
Sollecitazioni agenti localmente: Ty_l=-1880.98 Mx_l=-37.62
Tensioni nella sezione: σ=456.00 τ=57.00
CC 16 SLD (Collegamento -041_-375)
Azioni sul collegamento: N=-10345.40 Ty=-9.04 Tz=14.95 Mx=-0.00 Mz=-5.58
Sollecitazioni agenti localmente: Ty_l=-1880.98 Mx_l=-37.62
Tensioni nella sezione: σ=456.00 τ=57.00
CC 16 SLD (Collegamento -041_-375)
Azioni sul collegamento: N=-10345.40 Ty=-10.22 Tz=11.97 Mx=-0.00 Mz=-7.14
Sollecitazioni agenti localmente: Ty_l=-1880.98 Mx_l=-37.62
Tensioni nella sezione: σ=456.00 τ=57.00
CC 16 SLD (Collegamento -041_-375)
Azioni sul collegamento: N=-10345.40 Ty=-9.04 Tz=11.97 Mx=-0.00 Mz=-5.58
Sollecitazioni agenti localmente: Ty_l=-1880.98 Mx_l=-37.62
Tensioni nella sezione: σ=456.00 τ=57.00
CC 16 SLD (Collegamento -041_-375)
Azioni sul collegamento: N=-9623.43 Ty=-10.22 Tz=14.95 Mx=-0.00 Mz=-7.14
Sollecitazioni agenti localmente: Ty_l=-1749.71 Mx_l=-34.99
Tensioni nella sezione: σ=424.17 τ=53.02
CC 16 SLD (Collegamento -041_-375)
Azioni sul collegamento: N=-9623.43 Ty=-9.04 Tz=14.95 Mx=-0.00 Mz=-5.58
Sollecitazioni agenti localmente: Ty_l=-1749.71 Mx_l=-34.99
Tensioni nella sezione: σ=424.17 τ=53.02
CC 16 SLD (Collegamento -041_-375)
Azioni sul collegamento: N=-9623.43 Ty=-10.22 Tz=11.97 Mx=-0.00 Mz=-7.14
Sollecitazioni agenti localmente: Ty_l=-1749.71 Mx_l=-34.99
Tensioni nella sezione: σ=424.17 τ=53.02
CC 16 SLD (Collegamento -041_-375)
Azioni sul collegamento: N=-9623.43 Ty=-9.04 Tz=11.97 Mx=-0.00 Mz=-5.58
Sollecitazioni agenti localmente: Ty_l=-1749.71 Mx_l=-34.99
Tensioni nella sezione: σ=424.17 τ=53.02
CC 17 SLV (Collegamento -041_-375)
Azioni sul collegamento: N=-6246.30 Ty=-7.49 Tz=-0.46 Mx=-0.02 Mz=-7.17
Sollecitazioni agenti localmente: Ty_l=-1135.69 Mx_l=-22.71
Tensioni nella sezione: σ=275.32 τ=34.41
CC 17 SLV (Collegamento -041_-375)
Azioni sul collegamento: N=-6246.30 Ty=-15.25 Tz=-0.46 Mx=-0.02 Mz=-13.58
Sollecitazioni agenti localmente: Ty_l=-1135.69 Mx_l=-22.71
Tensioni nella sezione: σ=275.32 τ=34.41
CC 17 SLV (Collegamento -041_-375)
Azioni sul collegamento: N=-6246.30 Ty=-7.49 Tz=28.82 Mx=-0.02 Mz=-7.17
Sollecitazioni agenti localmente: Ty_l=-1135.69 Mx_l=-22.71
Tensioni nella sezione: σ=275.32 τ=34.41
CC 17 SLV (Collegamento -041_-375)
Azioni sul collegamento: N=-6246.30 Ty=-15.25 Tz=28.82 Mx=-0.02 Mz=-13.58
Sollecitazioni agenti localmente: Ty_l=-1135.69 Mx_l=-22.71
Tensioni nella sezione: σ=275.32 τ=34.41
CC 17 SLV (Collegamento -041_-375)
Azioni sul collegamento: N=-14088.90 Ty=-7.49 Tz=-0.46 Mx=-0.02 Mz=-7.17
Sollecitazioni agenti localmente: Ty_l=-2561.63 Mx_l=-51.23
Tensioni nella sezione: σ=621.00 τ=77.63
CC 17 SLV (Collegamento -041_-375)
Azioni sul collegamento: N=-14088.90 Ty=-15.25 Tz=-0.46 Mx=-0.02 Mz=-13.58
Sollecitazioni agenti localmente: Ty_l=-2561.63 Mx_l=-51.23
Tensioni nella sezione: σ=621.00 τ=77.63
CC 17 SLV (Collegamento -041_-375)
Azioni sul collegamento: N=-14088.90 Ty=-7.49 Tz=28.82 Mx=-0.02 Mz=-7.17
Sollecitazioni agenti localmente: Ty_l=-2561.63 Mx_l=-51.23
Tensioni nella sezione: σ=621.00 τ=77.63
CC 17 SLV (Collegamento -041_-375)
Azioni sul collegamento: N=-14088.90 Ty=-15.25 Tz=28.82 Mx=-0.02 Mz=-13.58
Sollecitazioni agenti localmente: Ty_l=-2561.63 Mx_l=-51.23
Tensioni nella sezione: σ=621.00 τ=77.63
CC 18 SLD (Collegamento -041_-375)
Azioni sul collegamento: N=-8874.30 Ty=-9.26 Tz=9.33 Mx=-0.01 Mz=-7.26
Sollecitazioni agenti localmente: Ty_l=-1613.51 Mx_l=-32.27
Tensioni nella sezione: σ=391.15 τ=48.89
CC 18 SLD (Collegamento -041_-375)
Azioni sul collegamento: N=-8874.30 Ty=-11.63 Tz=9.33 Mx=-0.01 Mz=-9.21
Sollecitazioni agenti localmente: Ty_l=-1613.51 Mx_l=-32.27

Tensioni nella sezione: σ=391.15 τ=48.89
CC 18 SLD (Collegamento -041_-375)
Azioni sul collegamento: N=-8874.30 Ty=-9.26 Tz=18.26 Mx=-0.01 Mz=-7.26
Sollecitazioni agenti localmente: Ty_l=-1613.51 Mx_l=-32.27
Tensioni nella sezione: σ=391.15 τ=48.89
CC 18 SLD (Collegamento -041_-375)
Azioni sul collegamento: N=-8874.30 Ty=-11.63 Tz=18.26 Mx=-0.01 Mz=-9.21
Sollecitazioni agenti localmente: Ty_l=-1613.51 Mx_l=-32.27
Tensioni nella sezione: σ=391.15 τ=48.89
CC 18 SLD (Collegamento -041_-375)
Azioni sul collegamento: N=-11265.80 Ty=-9.26 Tz=9.33 Mx=-0.01 Mz=-7.26
Sollecitazioni agenti localmente: Ty_l=-2048.32 Mx_l=-40.97
Tensioni nella sezione: σ=496.56 τ=62.07
CC 18 SLD (Collegamento -041_-375)
Azioni sul collegamento: N=-11265.80 Ty=-11.63 Tz=9.33 Mx=-0.01 Mz=-9.21
Sollecitazioni agenti localmente: Ty_l=-2048.32 Mx_l=-40.97
Tensioni nella sezione: σ=496.56 τ=62.07
CC 18 SLD (Collegamento -041_-375)
Azioni sul collegamento: N=-11265.80 Ty=-9.26 Tz=18.26 Mx=-0.01 Mz=-7.26
Sollecitazioni agenti localmente: Ty_l=-2048.32 Mx_l=-40.97
Tensioni nella sezione: σ=496.56 τ=62.07
CC 18 SLD (Collegamento -041_-375)
Azioni sul collegamento: N=-11265.80 Ty=-11.63 Tz=18.26 Mx=-0.01 Mz=-9.21
Sollecitazioni agenti localmente: Ty_l=-2048.32 Mx_l=-40.97
Tensioni nella sezione: σ=496.56 τ=62.07
CC 19 SLV (Collegamento -041_-375)
Azioni sul collegamento: N=-6251.20 Ty=-8.00 Tz=-0.13 Mx=-0.01 Mz=-8.22
Sollecitazioni agenti localmente: Ty_l=-1136.58 Mx_l=-22.73
Tensioni nella sezione: σ=275.53 τ=34.44
CC 19 SLV (Collegamento -041_-375)
Azioni sul collegamento: N=-6251.20 Ty=-14.73 Tz=-0.13 Mx=-0.01 Mz=-12.53
Sollecitazioni agenti localmente: Ty_l=-1136.58 Mx_l=-22.73
Tensioni nella sezione: σ=275.53 τ=34.44
CC 19 SLV (Collegamento -041_-375)
Azioni sul collegamento: N=-6251.20 Ty=-8.00 Tz=28.49 Mx=-0.01 Mz=-8.22
Sollecitazioni agenti localmente: Ty_l=-1136.58 Mx_l=-22.73
Tensioni nella sezione: σ=275.53 τ=34.44
CC 19 SLV (Collegamento -041_-375)
Azioni sul collegamento: N=-6251.20 Ty=-14.73 Tz=28.49 Mx=-0.01 Mz=-12.53
Sollecitazioni agenti localmente: Ty_l=-1136.58 Mx_l=-22.73
Tensioni nella sezione: σ=275.53 τ=34.44
CC 19 SLV (Collegamento -041_-375)
Azioni sul collegamento: N=-14084.00 Ty=-8.00 Tz=-0.13 Mx=-0.01 Mz=-8.22
Sollecitazioni agenti localmente: Ty_l=-2560.74 Mx_l=-51.21
Tensioni nella sezione: σ=620.78 τ=77.60
CC 19 SLV (Collegamento -041_-375)
Azioni sul collegamento: N=-14084.00 Ty=-14.73 Tz=-0.13 Mx=-0.01 Mz=-12.53
Sollecitazioni agenti localmente: Ty_l=-2560.74 Mx_l=-51.21
Tensioni nella sezione: σ=620.78 τ=77.60
CC 19 SLV (Collegamento -041_-375)
Azioni sul collegamento: N=-14084.00 Ty=-8.00 Tz=28.49 Mx=-0.01 Mz=-8.22
Sollecitazioni agenti localmente: Ty_l=-2560.74 Mx_l=-51.21
Tensioni nella sezione: σ=620.78 τ=77.60
CC 19 SLV (Collegamento -041_-375)
Azioni sul collegamento: N=-14084.00 Ty=-14.73 Tz=28.49 Mx=-0.01 Mz=-12.53
Sollecitazioni agenti localmente: Ty_l=-2560.74 Mx_l=-51.21
Tensioni nella sezione: σ=620.78 τ=77.60
CC 20 SLD (Collegamento -041_-375)
Azioni sul collegamento: N=-8875.79 Ty=-9.42 Tz=9.43 Mx=-0.01 Mz=-7.58
Sollecitazioni agenti localmente: Ty_l=-1613.78 Mx_l=-32.28
Tensioni nella sezione: σ=391.22 τ=48.90
CC 20 SLD (Collegamento -041_-375)
Azioni sul collegamento: N=-8875.79 Ty=-11.47 Tz=9.43 Mx=-0.01 Mz=-8.89
Sollecitazioni agenti localmente: Ty_l=-1613.78 Mx_l=-32.28
Tensioni nella sezione: σ=391.22 τ=48.90
CC 20 SLD (Collegamento -041_-375)
Azioni sul collegamento: N=-8875.80 Ty=-9.42 Tz=18.16 Mx=-0.01 Mz=-7.58
Sollecitazioni agenti localmente: Ty_l=-1613.78 Mx_l=-32.28
Tensioni nella sezione: σ=391.22 τ=48.90
CC 20 SLD (Collegamento -041_-375)
Azioni sul collegamento: N=-8875.80 Ty=-11.47 Tz=18.16 Mx=-0.01 Mz=-8.89
Sollecitazioni agenti localmente: Ty_l=-1613.78 Mx_l=-32.28
Tensioni nella sezione: σ=391.22 τ=48.90
CC 20 SLD (Collegamento -041_-375)
Azioni sul collegamento: N=-11264.30 Ty=-9.42 Tz=9.43 Mx=-0.01 Mz=-7.58
Sollecitazioni agenti localmente: Ty_l=-2048.05 Mx_l=-40.96
Tensioni nella sezione: σ=496.50 τ=62.06
CC 20 SLD (Collegamento -041_-375)
Azioni sul collegamento: N=-11264.30 Ty=-11.47 Tz=9.43 Mx=-0.01 Mz=-8.89

Sollecitazioni agenti localmente: Ty_l=-2048.05 Mx_l=-40.96
Tensioni nella sezione: σ=496.50 τ=62.06
CC 20 SLD (Collegamento -041_-375)
Azioni sul collegamento: N=-11264.30 Ty=-9.42 Tz=18.16 Mx=-0.01 Mz=-7.58
Sollecitazioni agenti localmente: Ty_l=-2048.05 Mx_l=-40.96
Tensioni nella sezione: σ=496.50 τ=62.06
CC 20 SLD (Collegamento -041_-375)
Azioni sul collegamento: N=-11264.30 Ty=-11.47 Tz=18.16 Mx=-0.01 Mz=-8.89
Sollecitazioni agenti localmente: Ty_l=-2048.05 Mx_l=-40.96
Tensioni nella sezione: σ=496.50 τ=62.06
CC 21 SLV (Collegamento -041_-375)
Azioni sul collegamento: N=-14084.00 Ty=-14.73 Tz=28.49 Mx=-0.02 Mz=-12.53
Sollecitazioni agenti localmente: Ty_l=-2560.74 Mx_l=-51.21
Tensioni nella sezione: σ=620.78 τ=77.60
CC 21 SLV (Collegamento -041_-375)
Azioni sul collegamento: N=-14084.00 Ty=-8.00 Tz=28.49 Mx=-0.02 Mz=-8.22
Sollecitazioni agenti localmente: Ty_l=-2560.74 Mx_l=-51.21
Tensioni nella sezione: σ=620.78 τ=77.60
CC 21 SLV (Collegamento -041_-375)
Azioni sul collegamento: N=-14084.00 Ty=-14.73 Tz=-0.13 Mx=-0.02 Mz=-12.53
Sollecitazioni agenti localmente: Ty_l=-2560.74 Mx_l=-51.21
Tensioni nella sezione: σ=620.78 τ=77.60
CC 21 SLV (Collegamento -041_-375)
Azioni sul collegamento: N=-14084.00 Ty=-8.00 Tz=-0.13 Mx=-0.02 Mz=-8.22
Sollecitazioni agenti localmente: Ty_l=-2560.74 Mx_l=-51.21
Tensioni nella sezione: σ=620.78 τ=77.60
CC 21 SLV (Collegamento -041_-375)
Azioni sul collegamento: N=-6251.20 Ty=-14.73 Tz=28.49 Mx=-0.02 Mz=-12.53
Sollecitazioni agenti localmente: Ty_l=-1136.58 Mx_l=-22.73
Tensioni nella sezione: σ=275.53 τ=34.44
CC 21 SLV (Collegamento -041_-375)
Azioni sul collegamento: N=-6251.20 Ty=-8.00 Tz=28.49 Mx=-0.02 Mz=-8.22
Sollecitazioni agenti localmente: Ty_l=-1136.58 Mx_l=-22.73
Tensioni nella sezione: σ=275.53 τ=34.44
CC 21 SLV (Collegamento -041_-375)
Azioni sul collegamento: N=-6251.20 Ty=-14.73 Tz=-0.13 Mx=-0.02 Mz=-12.53
Sollecitazioni agenti localmente: Ty_l=-1136.58 Mx_l=-22.73
Tensioni nella sezione: σ=275.53 τ=34.44
CC 21 SLV (Collegamento -041_-375)
Azioni sul collegamento: N=-6251.20 Ty=-8.00 Tz=-0.13 Mx=-0.02 Mz=-8.22
Sollecitazioni agenti localmente: Ty_l=-1136.58 Mx_l=-22.73
Tensioni nella sezione: σ=275.53 τ=34.44
CC 22 SLD (Collegamento -041_-375)
Azioni sul collegamento: N=-11264.30 Ty=-11.47 Tz=18.16 Mx=-0.01 Mz=-8.89
Sollecitazioni agenti localmente: Ty_l=-2048.05 Mx_l=-40.96
Tensioni nella sezione: σ=496.50 τ=62.06
CC 22 SLD (Collegamento -041_-375)
Azioni sul collegamento: N=-11264.30 Ty=-9.42 Tz=18.16 Mx=-0.01 Mz=-7.58
Sollecitazioni agenti localmente: Ty_l=-2048.05 Mx_l=-40.96
Tensioni nella sezione: σ=496.50 τ=62.06
CC 22 SLD (Collegamento -041_-375)
Azioni sul collegamento: N=-11264.30 Ty=-11.47 Tz=9.43 Mx=-0.01 Mz=-8.89
Sollecitazioni agenti localmente: Ty_l=-2048.05 Mx_l=-40.96
Tensioni nella sezione: σ=496.50 τ=62.06
CC 22 SLD (Collegamento -041_-375)
Azioni sul collegamento: N=-11264.30 Ty=-9.42 Tz=9.43 Mx=-0.01 Mz=-7.58
Sollecitazioni agenti localmente: Ty_l=-2048.05 Mx_l=-40.96
Tensioni nella sezione: σ=496.50 τ=62.06
CC 22 SLD (Collegamento -041_-375)
Azioni sul collegamento: N=-8875.80 Ty=-11.47 Tz=18.16 Mx=-0.01 Mz=-8.89
Sollecitazioni agenti localmente: Ty_l=-1613.78 Mx_l=-32.28
Tensioni nella sezione: σ=391.22 τ=48.90
CC 22 SLD (Collegamento -041_-375)
Azioni sul collegamento: N=-8875.80 Ty=-9.42 Tz=18.16 Mx=-0.01 Mz=-7.58
Sollecitazioni agenti localmente: Ty_l=-1613.78 Mx_l=-32.28
Tensioni nella sezione: σ=391.22 τ=48.90
CC 22 SLD (Collegamento -041_-375)
Azioni sul collegamento: N=-8875.79 Ty=-11.47 Tz=9.43 Mx=-0.01 Mz=-8.89
Sollecitazioni agenti localmente: Ty_l=-1613.78 Mx_l=-32.28
Tensioni nella sezione: σ=391.22 τ=48.90
CC 22 SLD (Collegamento -041_-375)
Azioni sul collegamento: N=-8875.79 Ty=-9.42 Tz=9.43 Mx=-0.01 Mz=-7.58
Sollecitazioni agenti localmente: Ty_l=-1613.78 Mx_l=-32.28
Tensioni nella sezione: σ=391.22 τ=48.90
CC 23 SLV (Collegamento -041_-375)
Azioni sul collegamento: N=-14088.90 Ty=-15.25 Tz=28.82 Mx=-0.01 Mz=-13.58
Sollecitazioni agenti localmente: Ty_l=-2561.63 Mx_l=-51.23
Tensioni nella sezione: σ=621.00 τ=77.63
CC 23 SLV (Collegamento -041_-375)

Azioni sul collegamento: N=-14088.90 Ty=-7.49 Tz=28.82 Mx=-0.01 Mz=-7.17
Sollecitazioni agenti localmente: Ty_l=-2561.63 Mx_l=-51.23
Tensioni nella sezione: σ=621.00 τ=77.63
CC 23 SLV (Collegamento -041_-375)
Azioni sul collegamento: N=-14088.90 Ty=-15.25 Tz=-0.46 Mx=-0.01 Mz=-13.58
Sollecitazioni agenti localmente: Ty_l=-2561.63 Mx_l=-51.23
Tensioni nella sezione: σ=621.00 τ=77.63
CC 23 SLV (Collegamento -041_-375)
Azioni sul collegamento: N=-14088.90 Ty=-7.49 Tz=-0.46 Mx=-0.01 Mz=-7.17
Sollecitazioni agenti localmente: Ty_l=-2561.63 Mx_l=-51.23
Tensioni nella sezione: σ=621.00 τ=77.63
CC 23 SLV (Collegamento -041_-375)
Azioni sul collegamento: N=-6246.30 Ty=-15.25 Tz=28.82 Mx=-0.01 Mz=-13.58
Sollecitazioni agenti localmente: Ty_l=-1135.69 Mx_l=-22.71
Tensioni nella sezione: σ=275.32 τ=34.41
CC 23 SLV (Collegamento -041_-375)
Azioni sul collegamento: N=-6246.30 Ty=-7.49 Tz=28.82 Mx=-0.01 Mz=-7.17
Sollecitazioni agenti localmente: Ty_l=-1135.69 Mx_l=-22.71
Tensioni nella sezione: σ=275.32 τ=34.41
CC 23 SLV (Collegamento -041_-375)
Azioni sul collegamento: N=-6246.30 Ty=-15.25 Tz=-0.46 Mx=-0.01 Mz=-13.58
Sollecitazioni agenti localmente: Ty_l=-1135.69 Mx_l=-22.71
Tensioni nella sezione: σ=275.32 τ=34.41
CC 23 SLV (Collegamento -041_-375)
Azioni sul collegamento: N=-6246.30 Ty=-7.49 Tz=-0.46 Mx=-0.01 Mz=-7.17
Sollecitazioni agenti localmente: Ty_l=-1135.69 Mx_l=-22.71
Tensioni nella sezione: σ=275.32 τ=34.41
CC 24 SLD (Collegamento -041_-375)
Azioni sul collegamento: N=-11265.80 Ty=-11.63 Tz=18.26 Mx=-0.01 Mz=-9.21
Sollecitazioni agenti localmente: Ty_l=-2048.32 Mx_l=-40.97
Tensioni nella sezione: σ=496.56 τ=62.07
CC 24 SLD (Collegamento -041_-375)
Azioni sul collegamento: N=-11265.80 Ty=-9.26 Tz=18.26 Mx=-0.01 Mz=-7.26
Sollecitazioni agenti localmente: Ty_l=-2048.32 Mx_l=-40.97
Tensioni nella sezione: σ=496.56 τ=62.07
CC 24 SLD (Collegamento -041_-375)
Azioni sul collegamento: N=-11265.80 Ty=-11.63 Tz=9.33 Mx=-0.01 Mz=-9.21
Sollecitazioni agenti localmente: Ty_l=-2048.32 Mx_l=-40.97
Tensioni nella sezione: σ=496.56 τ=62.07
CC 24 SLD (Collegamento -041_-375)
Azioni sul collegamento: N=-11265.80 Ty=-9.26 Tz=9.33 Mx=-0.01 Mz=-7.26
Sollecitazioni agenti localmente: Ty_l=-2048.32 Mx_l=-40.97
Tensioni nella sezione: σ=496.56 τ=62.07
CC 24 SLD (Collegamento -041_-375)
Azioni sul collegamento: N=-8874.30 Ty=-11.63 Tz=18.26 Mx=-0.01 Mz=-9.21
Sollecitazioni agenti localmente: Ty_l=-1613.51 Mx_l=-32.27
Tensioni nella sezione: σ=391.15 τ=48.89
CC 24 SLD (Collegamento -041_-375)
Azioni sul collegamento: N=-8874.30 Ty=-9.26 Tz=18.26 Mx=-0.01 Mz=-7.26
Sollecitazioni agenti localmente: Ty_l=-1613.51 Mx_l=-32.27
Tensioni nella sezione: σ=391.15 τ=48.89
CC 24 SLD (Collegamento -041_-375)
Azioni sul collegamento: N=-8874.30 Ty=-11.63 Tz=9.33 Mx=-0.01 Mz=-9.21
Sollecitazioni agenti localmente: Ty_l=-1613.51 Mx_l=-32.27
Tensioni nella sezione: σ=391.15 τ=48.89
CC 24 SLD (Collegamento -041_-375)
Azioni sul collegamento: N=-8874.30 Ty=-9.26 Tz=9.33 Mx=-0.01 Mz=-7.26
Sollecitazioni agenti localmente: Ty_l=-1613.51 Mx_l=-32.27
Tensioni nella sezione: σ=391.15 τ=48.89
CC 25 SLV (Collegamento -041_-375)
Azioni sul collegamento: N=-8983.80 Ty=-9.43 Tz=9.29 Mx=-0.02 Mz=-7.83
Sollecitazioni agenti localmente: Ty_l=-1633.42 Mx_l=-32.67
Tensioni nella sezione: σ=395.98 τ=49.50
CC 25 SLV (Collegamento -041_-375)
Azioni sul collegamento: N=-8983.80 Ty=-13.31 Tz=9.29 Mx=-0.02 Mz=-12.93
Sollecitazioni agenti localmente: Ty_l=-1633.42 Mx_l=-32.67
Tensioni nella sezione: σ=395.98 τ=49.50
CC 25 SLV (Collegamento -041_-375)
Azioni sul collegamento: N=-8983.80 Ty=-9.43 Tz=19.07 Mx=-0.02 Mz=-7.83
Sollecitazioni agenti localmente: Ty_l=-1633.42 Mx_l=-32.67
Tensioni nella sezione: σ=395.98 τ=49.50
CC 25 SLV (Collegamento -041_-375)
Azioni sul collegamento: N=-8983.80 Ty=-13.31 Tz=19.07 Mx=-0.02 Mz=-12.93
Sollecitazioni agenti localmente: Ty_l=-1633.42 Mx_l=-32.67
Tensioni nella sezione: σ=395.98 τ=49.50
CC 25 SLV (Collegamento -041_-375)
Azioni sul collegamento: N=-11351.50 Ty=-9.43 Tz=9.29 Mx=-0.02 Mz=-7.83
Sollecitazioni agenti localmente: Ty_l=-2063.90 Mx_l=-41.28
Tensioni nella sezione: σ=500.34 τ=62.54

CC 25 SLV (Collegamento -041_-375)
Azioni sul collegamento: N=-11351.50 Ty=-13.31 Tz=9.29 Mx=-0.02 Mz=-12.93
Sollecitazioni agenti localmente: Ty_l=-2063.90 Mx_l=-41.28
Tensioni nella sezione: σ=500.34 τ=62.54
CC 25 SLV (Collegamento -041_-375)
Azioni sul collegamento: N=-11351.50 Ty=-9.43 Tz=19.07 Mx=-0.02 Mz=-7.83
Sollecitazioni agenti localmente: Ty_l=-2063.90 Mx_l=-41.28
Tensioni nella sezione: σ=500.34 τ=62.54
CC 25 SLV (Collegamento -041_-375)
Azioni sul collegamento: N=-11351.50 Ty=-13.31 Tz=19.07 Mx=-0.02 Mz=-12.93
Sollecitazioni agenti localmente: Ty_l=-2063.90 Mx_l=-41.28
Tensioni nella sezione: σ=500.34 τ=62.54
CC 26 SLD (Collegamento -041_-375)
Azioni sul collegamento: N=-9709.05 Ty=-9.85 Tz=12.31 Mx=-0.01 Mz=-7.46
Sollecitazioni agenti localmente: Ty_l=-1765.28 Mx_l=-35.31
Tensioni nella sezione: σ=427.95 τ=53.49
CC 26 SLD (Collegamento -041_-375)
Azioni sul collegamento: N=-9709.05 Ty=-11.04 Tz=12.31 Mx=-0.01 Mz=-9.01
Sollecitazioni agenti localmente: Ty_l=-1765.28 Mx_l=-35.31
Tensioni nella sezione: σ=427.95 τ=53.49
CC 26 SLD (Collegamento -041_-375)
Azioni sul collegamento: N=-9709.05 Ty=-9.85 Tz=15.29 Mx=-0.01 Mz=-7.46
Sollecitazioni agenti localmente: Ty_l=-1765.28 Mx_l=-35.31
Tensioni nella sezione: σ=427.95 τ=53.49
CC 26 SLD (Collegamento -041_-375)
Azioni sul collegamento: N=-9709.05 Ty=-11.04 Tz=15.29 Mx=-0.01 Mz=-9.01
Sollecitazioni agenti localmente: Ty_l=-1765.28 Mx_l=-35.31
Tensioni nella sezione: σ=427.95 τ=53.49
CC 26 SLD (Collegamento -041_-375)
Azioni sul collegamento: N=-10431.00 Ty=-9.85 Tz=12.31 Mx=-0.01 Mz=-7.46
Sollecitazioni agenti localmente: Ty_l=-1896.55 Mx_l=-37.93
Tensioni nella sezione: σ=459.77 τ=57.47
CC 26 SLD (Collegamento -041_-375)
Azioni sul collegamento: N=-10431.00 Ty=-11.04 Tz=12.31 Mx=-0.01 Mz=-9.01
Sollecitazioni agenti localmente: Ty_l=-1896.55 Mx_l=-37.93
Tensioni nella sezione: σ=459.77 τ=57.47
CC 26 SLD (Collegamento -041_-375)
Azioni sul collegamento: N=-10431.00 Ty=-9.85 Tz=15.29 Mx=-0.01 Mz=-7.46
Sollecitazioni agenti localmente: Ty_l=-1896.55 Mx_l=-37.93
Tensioni nella sezione: σ=459.77 τ=57.47
CC 26 SLD (Collegamento -041_-375)
Azioni sul collegamento: N=-10431.00 Ty=-11.04 Tz=15.29 Mx=-0.01 Mz=-9.01
Sollecitazioni agenti localmente: Ty_l=-1896.55 Mx_l=-37.93
Tensioni nella sezione: σ=459.77 τ=57.47
CC 27 SLV (Collegamento -041_-375)
Azioni sul collegamento: N=-11335.10 Ty=-11.60 Tz=17.98 Mx=-0.02 Mz=-9.43
Sollecitazioni agenti localmente: Ty_l=-2060.93 Mx_l=-41.22
Tensioni nella sezione: σ=499.62 τ=62.45
CC 27 SLV (Collegamento -041_-375)
Azioni sul collegamento: N=-11335.10 Ty=-11.14 Tz=17.98 Mx=-0.02 Mz=-11.32
Sollecitazioni agenti localmente: Ty_l=-2060.93 Mx_l=-41.22
Tensioni nella sezione: σ=499.62 τ=62.45
CC 27 SLV (Collegamento -041_-375)
Azioni sul collegamento: N=-11335.10 Ty=-11.60 Tz=10.38 Mx=-0.02 Mz=-9.43
Sollecitazioni agenti localmente: Ty_l=-2060.93 Mx_l=-41.22
Tensioni nella sezione: σ=499.62 τ=62.45
CC 27 SLV (Collegamento -041_-375)
Azioni sul collegamento: N=-11335.10 Ty=-11.14 Tz=10.38 Mx=-0.02 Mz=-11.32
Sollecitazioni agenti localmente: Ty_l=-2060.93 Mx_l=-41.22
Tensioni nella sezione: σ=499.62 τ=62.45
CC 27 SLV (Collegamento -041_-375)
Azioni sul collegamento: N=-9000.13 Ty=-11.60 Tz=17.98 Mx=-0.02 Mz=-9.43
Sollecitazioni agenti localmente: Ty_l=-1636.39 Mx_l=-32.73
Tensioni nella sezione: σ=396.70 τ=49.59
CC 27 SLV (Collegamento -041_-375)
Azioni sul collegamento: N=-9000.13 Ty=-11.14 Tz=17.98 Mx=-0.02 Mz=-11.32
Sollecitazioni agenti localmente: Ty_l=-1636.39 Mx_l=-32.73
Tensioni nella sezione: σ=396.70 τ=49.59
CC 27 SLV (Collegamento -041_-375)
Azioni sul collegamento: N=-9000.13 Ty=-11.60 Tz=10.38 Mx=-0.02 Mz=-9.43
Sollecitazioni agenti localmente: Ty_l=-1636.39 Mx_l=-32.73
Tensioni nella sezione: σ=396.70 τ=49.59
CC 27 SLV (Collegamento -041_-375)
Azioni sul collegamento: N=-9000.13 Ty=-11.14 Tz=10.38 Mx=-0.02 Mz=-11.32
Sollecitazioni agenti localmente: Ty_l=-1636.39 Mx_l=-32.73
Tensioni nella sezione: σ=396.70 τ=49.59
CC 28 SLD (Collegamento -041_-375)
Azioni sul collegamento: N=-10426.00 Ty=-10.51 Tz=14.95 Mx=-0.01 Mz=-7.95
Sollecitazioni agenti localmente: Ty_l=-1895.64 Mx_l=-37.91

Tensioni nella sezione: σ=459.55 τ=57.44
CC 28 SLD (Collegamento -041_-375)
Azioni sul collegamento: N=-10426.00 Ty=-10.37 Tz=14.95 Mx=-0.01 Mz=-8.52
Sollecitazioni agenti localmente: Ty_l=-1895.64 Mx_l=-37.91
Tensioni nella sezione: σ=459.55 τ=57.44
CC 28 SLD (Collegamento -041_-375)
Azioni sul collegamento: N=-10426.00 Ty=-10.51 Tz=12.64 Mx=-0.01 Mz=-7.95
Sollecitazioni agenti localmente: Ty_l=-1895.64 Mx_l=-37.91
Tensioni nella sezione: σ=459.55 τ=57.44
CC 28 SLD (Collegamento -041_-375)
Azioni sul collegamento: N=-10426.00 Ty=-10.37 Tz=12.64 Mx=-0.01 Mz=-8.52
Sollecitazioni agenti localmente: Ty_l=-1895.64 Mx_l=-37.91
Tensioni nella sezione: σ=459.55 τ=57.44
CC 28 SLD (Collegamento -041_-375)
Azioni sul collegamento: N=-9714.03 Ty=-10.51 Tz=14.95 Mx=-0.01 Mz=-7.95
Sollecitazioni agenti localmente: Ty_l=-1766.19 Mx_l=-35.32
Tensioni nella sezione: σ=428.17 τ=53.52
CC 28 SLD (Collegamento -041_-375)
Azioni sul collegamento: N=-9714.03 Ty=-10.37 Tz=14.95 Mx=-0.01 Mz=-8.52
Sollecitazioni agenti localmente: Ty_l=-1766.19 Mx_l=-35.32
Tensioni nella sezione: σ=428.17 τ=53.52
CC 28 SLD (Collegamento -041_-375)
Azioni sul collegamento: N=-9714.03 Ty=-10.51 Tz=12.64 Mx=-0.01 Mz=-7.95
Sollecitazioni agenti localmente: Ty_l=-1766.19 Mx_l=-35.32
Tensioni nella sezione: σ=428.17 τ=53.52
CC 28 SLD (Collegamento -041_-375)
Azioni sul collegamento: N=-9714.03 Ty=-10.37 Tz=12.64 Mx=-0.01 Mz=-8.52
Sollecitazioni agenti localmente: Ty_l=-1766.19 Mx_l=-35.32
Tensioni nella sezione: σ=428.17 τ=53.52
CC 29 SLV (Collegamento -041_-375)
Azioni sul collegamento: N=-9000.13 Ty=-11.14 Tz=10.38 Mx=-0.01 Mz=-11.32
Sollecitazioni agenti localmente: Ty_l=-1636.39 Mx_l=-32.73
Tensioni nella sezione: σ=396.70 τ=49.59
CC 29 SLV (Collegamento -041_-375)
Azioni sul collegamento: N=-9000.13 Ty=-11.60 Tz=10.38 Mx=-0.01 Mz=-9.43
Sollecitazioni agenti localmente: Ty_l=-1636.39 Mx_l=-32.73
Tensioni nella sezione: σ=396.70 τ=49.59
CC 29 SLV (Collegamento -041_-375)
Azioni sul collegamento: N=-9000.13 Ty=-11.14 Tz=17.98 Mx=-0.01 Mz=-11.32
Sollecitazioni agenti localmente: Ty_l=-1636.39 Mx_l=-32.73
Tensioni nella sezione: σ=396.70 τ=49.59
CC 29 SLV (Collegamento -041_-375)
Azioni sul collegamento: N=-9000.13 Ty=-11.60 Tz=17.98 Mx=-0.01 Mz=-9.43
Sollecitazioni agenti localmente: Ty_l=-1636.39 Mx_l=-32.73
Tensioni nella sezione: σ=396.70 τ=49.59
CC 29 SLV (Collegamento -041_-375)
Azioni sul collegamento: N=-11335.10 Ty=-11.14 Tz=10.38 Mx=-0.01 Mz=-11.32
Sollecitazioni agenti localmente: Ty_l=-2060.93 Mx_l=-41.22
Tensioni nella sezione: σ=499.62 τ=62.45
CC 29 SLV (Collegamento -041_-375)
Azioni sul collegamento: N=-11335.10 Ty=-11.60 Tz=10.38 Mx=-0.01 Mz=-9.43
Sollecitazioni agenti localmente: Ty_l=-2060.93 Mx_l=-41.22
Tensioni nella sezione: σ=499.62 τ=62.45
CC 29 SLV (Collegamento -041_-375)
Azioni sul collegamento: N=-11335.10 Ty=-11.14 Tz=17.98 Mx=-0.01 Mz=-11.32
Sollecitazioni agenti localmente: Ty_l=-2060.93 Mx_l=-41.22
Tensioni nella sezione: σ=499.62 τ=62.45
CC 29 SLV (Collegamento -041_-375)
Azioni sul collegamento: N=-11335.10 Ty=-11.60 Tz=17.98 Mx=-0.01 Mz=-9.43
Sollecitazioni agenti localmente: Ty_l=-2060.93 Mx_l=-41.22
Tensioni nella sezione: σ=499.62 τ=62.45
CC 30 SLD (Collegamento -041_-375)
Azioni sul collegamento: N=-9714.03 Ty=-10.37 Tz=12.64 Mx=-0.00 Mz=-8.52
Sollecitazioni agenti localmente: Ty_l=-1766.19 Mx_l=-35.32
Tensioni nella sezione: σ=428.17 τ=53.52
CC 30 SLD (Collegamento -041_-375)
Azioni sul collegamento: N=-9714.03 Ty=-10.51 Tz=12.64 Mx=-0.00 Mz=-7.95
Sollecitazioni agenti localmente: Ty_l=-1766.19 Mx_l=-35.32
Tensioni nella sezione: σ=428.17 τ=53.52
CC 30 SLD (Collegamento -041_-375)
Azioni sul collegamento: N=-9714.03 Ty=-10.37 Tz=14.95 Mx=-0.00 Mz=-8.52
Sollecitazioni agenti localmente: Ty_l=-1766.19 Mx_l=-35.32
Tensioni nella sezione: σ=428.17 τ=53.52
CC 30 SLD (Collegamento -041_-375)
Azioni sul collegamento: N=-9714.03 Ty=-10.51 Tz=14.95 Mx=-0.00 Mz=-7.95
Sollecitazioni agenti localmente: Ty_l=-1766.19 Mx_l=-35.32
Tensioni nella sezione: σ=428.17 τ=53.52
CC 30 SLD (Collegamento -041_-375)
Azioni sul collegamento: N=-10426.00 Ty=-10.37 Tz=12.64 Mx=-0.00 Mz=-8.52

Sollecitazioni agenti localmente: T_{y_l}=-1895.64 M_{x_l}=-37.91
Tensioni nella sezione: σ=459.55 τ=57.44
CC 30 SLD (Collegamento -041_-375)
Azioni sul collegamento: N=-10426.00 Ty=-10.51 Tz=12.64 Mx=-0.00 Mz=-7.95
Sollecitazioni agenti localmente: T_{y_l}=-1895.64 M_{x_l}=-37.91
Tensioni nella sezione: σ=459.55 τ=57.44
CC 30 SLD (Collegamento -041_-375)
Azioni sul collegamento: N=-10426.00 Ty=-10.37 Tz=14.95 Mx=-0.00 Mz=-8.52
Sollecitazioni agenti localmente: T_{y_l}=-1895.64 M_{x_l}=-37.91
Tensioni nella sezione: σ=459.55 τ=57.44
CC 30 SLD (Collegamento -041_-375)
Azioni sul collegamento: N=-10426.00 Ty=-10.51 Tz=14.95 Mx=-0.00 Mz=-7.95
Sollecitazioni agenti localmente: T_{y_l}=-1895.64 M_{x_l}=-37.91
Tensioni nella sezione: σ=459.55 τ=57.44
CC 31 SLV (Collegamento -041_-375)
Azioni sul collegamento: N=-11351.50 Ty=-13.31 Tz=19.07 Mx=-0.01 Mz=-12.93
Sollecitazioni agenti localmente: T_{y_l}=-2063.90 M_{x_l}=-41.28
Tensioni nella sezione: σ=500.34 τ=62.54
CC 31 SLV (Collegamento -041_-375)
Azioni sul collegamento: N=-11351.50 Ty=-9.43 Tz=19.07 Mx=-0.01 Mz=-7.83
Sollecitazioni agenti localmente: T_{y_l}=-2063.90 M_{x_l}=-41.28
Tensioni nella sezione: σ=500.34 τ=62.54
CC 31 SLV (Collegamento -041_-375)
Azioni sul collegamento: N=-11351.50 Ty=-13.31 Tz=9.29 Mx=-0.01 Mz=-12.93
Sollecitazioni agenti localmente: T_{y_l}=-2063.90 M_{x_l}=-41.28
Tensioni nella sezione: σ=500.34 τ=62.54
CC 31 SLV (Collegamento -041_-375)
Azioni sul collegamento: N=-11351.50 Ty=-9.43 Tz=9.29 Mx=-0.01 Mz=-7.83
Sollecitazioni agenti localmente: T_{y_l}=-2063.90 M_{x_l}=-41.28
Tensioni nella sezione: σ=500.34 τ=62.54
CC 31 SLV (Collegamento -041_-375)
Azioni sul collegamento: N=-8983.80 Ty=-13.31 Tz=19.07 Mx=-0.01 Mz=-12.93
Sollecitazioni agenti localmente: T_{y_l}=-1633.42 M_{x_l}=-32.67
Tensioni nella sezione: σ=395.98 τ=49.50
CC 31 SLV (Collegamento -041_-375)
Azioni sul collegamento: N=-8983.80 Ty=-9.43 Tz=19.07 Mx=-0.01 Mz=-7.83
Sollecitazioni agenti localmente: T_{y_l}=-1633.42 M_{x_l}=-32.67
Tensioni nella sezione: σ=395.98 τ=49.50
CC 31 SLV (Collegamento -041_-375)
Azioni sul collegamento: N=-8983.80 Ty=-13.31 Tz=9.29 Mx=-0.01 Mz=-12.93
Sollecitazioni agenti localmente: T_{y_l}=-1633.42 M_{x_l}=-32.67
Tensioni nella sezione: σ=395.98 τ=49.50
CC 31 SLV (Collegamento -041_-375)
Azioni sul collegamento: N=-8983.80 Ty=-9.43 Tz=9.29 Mx=-0.01 Mz=-7.83
Sollecitazioni agenti localmente: T_{y_l}=-1633.42 M_{x_l}=-32.67
Tensioni nella sezione: σ=395.98 τ=49.50
CC 32 SLD (Collegamento -041_-375)
Azioni sul collegamento: N=-10431.00 Ty=-11.04 Tz=15.29 Mx=-0.00 Mz=-9.01
Sollecitazioni agenti localmente: T_{y_l}=-1896.55 M_{x_l}=-37.93
Tensioni nella sezione: σ=459.77 τ=57.47
CC 32 SLD (Collegamento -041_-375)
Azioni sul collegamento: N=-10431.00 Ty=-9.85 Tz=15.29 Mx=-0.00 Mz=-7.46
Sollecitazioni agenti localmente: T_{y_l}=-1896.55 M_{x_l}=-37.93
Tensioni nella sezione: σ=459.77 τ=57.47
CC 32 SLD (Collegamento -041_-375)
Azioni sul collegamento: N=-10431.00 Ty=-11.04 Tz=12.31 Mx=-0.00 Mz=-9.01
Sollecitazioni agenti localmente: T_{y_l}=-1896.55 M_{x_l}=-37.93
Tensioni nella sezione: σ=459.77 τ=57.47
CC 32 SLD (Collegamento -041_-375)
Azioni sul collegamento: N=-10431.00 Ty=-9.85 Tz=12.31 Mx=-0.00 Mz=-7.46
Sollecitazioni agenti localmente: T_{y_l}=-1896.55 M_{x_l}=-37.93
Tensioni nella sezione: σ=459.77 τ=57.47
CC 32 SLD (Collegamento -041_-375)
Azioni sul collegamento: N=-9709.05 Ty=-11.04 Tz=15.29 Mx=-0.00 Mz=-9.01
Sollecitazioni agenti localmente: T_{y_l}=-1765.28 M_{x_l}=-35.31
Tensioni nella sezione: σ=427.95 τ=53.49
CC 32 SLD (Collegamento -041_-375)
Azioni sul collegamento: N=-9709.05 Ty=-9.85 Tz=15.29 Mx=-0.00 Mz=-7.46
Sollecitazioni agenti localmente: T_{y_l}=-1765.28 M_{x_l}=-35.31
Tensioni nella sezione: σ=427.95 τ=53.49
CC 32 SLD (Collegamento -041_-375)
Azioni sul collegamento: N=-9709.05 Ty=-11.04 Tz=12.31 Mx=-0.00 Mz=-9.01
Sollecitazioni agenti localmente: T_{y_l}=-1765.28 M_{x_l}=-35.31
Tensioni nella sezione: σ=427.95 τ=53.49
CC 32 SLD (Collegamento -041_-375)
Azioni sul collegamento: N=-9709.05 Ty=-9.85 Tz=12.31 Mx=-0.00 Mz=-7.46
Sollecitazioni agenti localmente: T_{y_l}=-1765.28 M_{x_l}=-35.31
Tensioni nella sezione: σ=427.95 τ=53.49
CC 33 SLU (Collegamento -041_-375)

Azioni sul collegamento: N=-36642.60 Ty=-20.20 Tz=103.27 Mx=-0.00 Mz=-14.84
Sollecitazioni agenti localmente: Ty_l=-6662.28 Mx_l=-133.25
Tensioni nella sezione: σ=1615.10 τ=201.89
CC 34 SLU (Collegamento -041_-375)
Azioni sul collegamento: N=-37458.50 Ty=-20.96 Tz=106.28 Mx=-0.00 Mz=-15.40
Sollecitazioni agenti localmente: Ty_l=-6810.65 Mx_l=-136.21
Tensioni nella sezione: σ=1651.06 τ=206.38
CC 35 SLU (Collegamento -041_-375)
Azioni sul collegamento: N=-37049.70 Ty=-20.49 Tz=104.83 Mx=-0.01 Mz=-14.94
Sollecitazioni agenti localmente: Ty_l=-6736.30 Mx_l=-134.73
Tensioni nella sezione: σ=1633.04 τ=204.13
CC 36 SLU (Collegamento -041_-375)
Azioni sul collegamento: N=-37051.40 Ty=-20.67 Tz=104.72 Mx=-0.00 Mz=-15.30
Sollecitazioni agenti localmente: Ty_l=-6736.63 Mx_l=-134.73
Tensioni nella sezione: σ=1633.12 τ=204.14
CC 37 SLU (Collegamento -041_-375)
Azioni sul collegamento: N=-29860.20 Ty=10.64 Tz=77.84 Mx=-0.00 Mz=8.54
Sollecitazioni agenti localmente: Ty_l=-5429.13 Mx_l=-108.58
Tensioni nella sezione: σ=1316.15 τ=164.52
CC 38 SLU (Collegamento -041_-375)
Azioni sul collegamento: N=-30676.20 Ty=9.89 Tz=80.85 Mx=-0.00 Mz=7.98
Sollecitazioni agenti localmente: Ty_l=-5577.49 Mx_l=-111.55
Tensioni nella sezione: σ=1352.12 τ=169.01
CC 39 SLU (Collegamento -041_-375)
Azioni sul collegamento: N=-30267.30 Ty=10.35 Tz=79.40 Mx=-0.01 Mz=8.45
Sollecitazioni agenti localmente: Ty_l=-5503.15 Mx_l=-110.06
Tensioni nella sezione: σ=1334.09 τ=166.76
CC 40 SLU (Collegamento -041_-375)
Azioni sul collegamento: N=-30269.10 Ty=10.18 Tz=79.28 Mx=-0.00 Mz=8.08
Sollecitazioni agenti localmente: Ty_l=-5503.47 Mx_l=-110.07
Tensioni nella sezione: σ=1334.17 τ=166.77
CC 41 SLU (Collegamento -041_-375)
Azioni sul collegamento: N=-27459.80 Ty=-19.36 Tz=69.55 Mx=-0.00 Mz=-14.09
Sollecitazioni agenti localmente: Ty_l=-4992.68 Mx_l=-99.85
Tensioni nella sezione: σ=1210.34 τ=151.29
CC 42 SLU (Collegamento -041_-375)
Azioni sul collegamento: N=-28275.70 Ty=-20.11 Tz=72.57 Mx=-0.00 Mz=-14.65
Sollecitazioni agenti localmente: Ty_l=-5141.04 Mx_l=-102.82
Tensioni nella sezione: σ=1246.31 τ=155.79
CC 43 SLU (Collegamento -041_-375)
Azioni sul collegamento: N=-27866.90 Ty=-19.65 Tz=71.12 Mx=-0.01 Mz=-14.19
Sollecitazioni agenti localmente: Ty_l=-5066.70 Mx_l=-101.33
Tensioni nella sezione: σ=1228.29 τ=153.54
CC 44 SLU (Collegamento -041_-375)
Azioni sul collegamento: N=-27868.60 Ty=-19.82 Tz=71.00 Mx=-0.00 Mz=-14.55
Sollecitazioni agenti localmente: Ty_l=-5067.02 Mx_l=-101.34
Tensioni nella sezione: σ=1228.37 τ=153.55
CC 45 SLU (Collegamento -041_-375)
Azioni sul collegamento: N=-29479.00 Ty=-19.57 Tz=76.97 Mx=-0.00 Mz=-14.38
Sollecitazioni agenti localmente: Ty_l=-5359.82 Mx_l=-107.20
Tensioni nella sezione: σ=1299.35 τ=162.42
CC 46 SLU (Collegamento -041_-375)
Azioni sul collegamento: N=-30295.00 Ty=-20.33 Tz=79.99 Mx=-0.00 Mz=-14.94
Sollecitazioni agenti localmente: Ty_l=-5508.19 Mx_l=-110.16
Tensioni nella sezione: σ=1335.32 τ=166.91
CC 47 SLU (Collegamento -041_-375)
Azioni sul collegamento: N=-29886.10 Ty=-19.86 Tz=78.54 Mx=-0.00 Mz=-14.48
Sollecitazioni agenti localmente: Ty_l=-5433.85 Mx_l=-108.68
Tensioni nella sezione: σ=1317.29 τ=164.66
CC 48 SLU (Collegamento -041_-375)
Azioni sul collegamento: N=-29887.90 Ty=-20.04 Tz=78.42 Mx=-0.00 Mz=-14.84
Sollecitazioni agenti localmente: Ty_l=-5434.17 Mx_l=-108.68
Tensioni nella sezione: σ=1317.37 τ=164.67
CC 49 SLU (Collegamento -041_-375)
Azioni sul collegamento: N=-24404.80 Ty=3.50 Tz=57.94 Mx=-0.00 Mz=3.11
Sollecitazioni agenti localmente: Ty_l=-4437.24 Mx_l=-88.74
Tensioni nella sezione: σ=1075.69 τ=134.46
CC 50 SLU (Collegamento -041_-375)
Azioni sul collegamento: N=-25220.80 Ty=2.75 Tz=60.96 Mx=-0.00 Mz=2.55
Sollecitazioni agenti localmente: Ty_l=-4585.60 Mx_l=-91.71
Tensioni nella sezione: σ=1111.66 τ=138.96
CC 51 SLU (Collegamento -041_-375)
Azioni sul collegamento: N=-24811.90 Ty=3.21 Tz=59.51 Mx=-0.00 Mz=3.02
Sollecitazioni agenti localmente: Ty_l=-4511.26 Mx_l=-90.22
Tensioni nella sezione: σ=1093.64 τ=136.71
CC 52 SLU (Collegamento -041_-375)
Azioni sul collegamento: N=-24813.70 Ty=3.04 Tz=59.39 Mx=-0.00 Mz=2.65
Sollecitazioni agenti localmente: Ty_l=-4511.58 Mx_l=-90.23
Tensioni nella sezione: σ=1093.72 τ=136.72

CC 53 SLU (Collegamento -041_-375)
Azioni sul collegamento: N=-22608.90 Ty=-18.94 Tz=51.75 Mx=-0.00 Mz=-13.82
Sollecitazioni agenti localmente: Ty_l=-4110.72 Mx_l=-82.21
Tensioni nella sezione: σ=996.53 τ=124.57
CC 54 SLU (Collegamento -041_-375)
Azioni sul collegamento: N=-23424.90 Ty=-19.70 Tz=54.76 Mx=-0.00 Mz=-14.38
Sollecitazioni agenti localmente: Ty_l=-4259.08 Mx_l=-85.18
Tensioni nella sezione: σ=1032.50 τ=129.06
CC 55 SLU (Collegamento -041_-375)
Azioni sul collegamento: N=-23016.00 Ty=-19.23 Tz=53.31 Mx=-0.00 Mz=-13.92
Sollecitazioni agenti localmente: Ty_l=-4184.74 Mx_l=-83.69
Tensioni nella sezione: σ=1014.48 τ=126.81
CC 56 SLU (Collegamento -041_-375)
Azioni sul collegamento: N=-23017.80 Ty=-19.41 Tz=53.20 Mx=-0.00 Mz=-14.28
Sollecitazioni agenti localmente: Ty_l=-4185.06 Mx_l=-83.70
Tensioni nella sezione: σ=1014.56 τ=126.82
CC 57 SLU (Collegamento -041_-375)
Azioni sul collegamento: N=-30221.30 Ty=-20.56 Tz=79.74 Mx=-0.00 Mz=-15.10
Sollecitazioni agenti localmente: Ty_l=-5494.77 Mx_l=-109.89
Tensioni nella sezione: σ=1332.06 τ=166.51
CC 58 SLU (Collegamento -041_-375)
Azioni sul collegamento: N=-31037.20 Ty=-21.31 Tz=82.75 Mx=-0.00 Mz=-15.66
Sollecitazioni agenti localmente: Ty_l=-5643.13 Mx_l=-112.86
Tensioni nella sezione: σ=1368.03 τ=171.00
CC 59 SLU (Collegamento -041_-375)
Azioni sul collegamento: N=-30628.40 Ty=-20.85 Tz=81.31 Mx=-0.00 Mz=-15.20
Sollecitazioni agenti localmente: Ty_l=-5568.79 Mx_l=-111.38
Tensioni nella sezione: σ=1350.01 τ=168.75
CC 60 SLU (Collegamento -041_-375)
Azioni sul collegamento: N=-30630.10 Ty=-21.02 Tz=81.19 Mx=-0.00 Mz=-15.57
Sollecitazioni agenti localmente: Ty_l=-5569.12 Mx_l=-111.38
Tensioni nella sezione: σ=1350.09 τ=168.76
CC 61 SLU (Collegamento -041_-375)
Azioni sul collegamento: N=-25147.00 Ty=2.52 Tz=60.71 Mx=-0.00 Mz=2.39
Sollecitazioni agenti localmente: Ty_l=-4572.19 Mx_l=-91.44
Tensioni nella sezione: σ=1108.41 τ=138.55
CC 62 SLU (Collegamento -041_-375)
Azioni sul collegamento: N=-25963.00 Ty=1.76 Tz=63.73 Mx=-0.00 Mz=1.83
Sollecitazioni agenti localmente: Ty_l=-4720.55 Mx_l=-94.41
Tensioni nella sezione: σ=1144.37 τ=143.05
CC 63 SLU (Collegamento -041_-375)
Azioni sul collegamento: N=-25554.10 Ty=2.23 Tz=62.28 Mx=-0.00 Mz=2.29
Sollecitazioni agenti localmente: Ty_l=-4646.21 Mx_l=-92.92
Tensioni nella sezione: σ=1126.35 τ=140.79
CC 64 SLU (Collegamento -041_-375)
Azioni sul collegamento: N=-25555.90 Ty=2.05 Tz=62.16 Mx=-0.00 Mz=1.93
Sollecitazioni agenti localmente: Ty_l=-4646.53 Mx_l=-92.93
Tensioni nella sezione: σ=1126.43 τ=140.80
CC 65 SLU (Collegamento -041_-375)
Azioni sul collegamento: N=-23351.20 Ty=-19.92 Tz=54.52 Mx=-0.00 Mz=-14.54
Sollecitazioni agenti localmente: Ty_l=-4245.66 Mx_l=-84.91
Tensioni nella sezione: σ=1029.25 τ=128.66
CC 66 SLU (Collegamento -041_-375)
Azioni sul collegamento: N=-24167.10 Ty=-20.68 Tz=57.53 Mx=-0.00 Mz=-15.10
Sollecitazioni agenti localmente: Ty_l=-4394.03 Mx_l=-87.88
Tensioni nella sezione: σ=1065.22 τ=133.15
CC 67 SLU (Collegamento -041_-375)
Azioni sul collegamento: N=-23758.30 Ty=-20.21 Tz=56.08 Mx=-0.00 Mz=-14.64
Sollecitazioni agenti localmente: Ty_l=-4319.69 Mx_l=-86.39
Tensioni nella sezione: σ=1047.19 τ=130.90
CC 68 SLU (Collegamento -041_-375)
Azioni sul collegamento: N=-23760.00 Ty=-20.39 Tz=55.97 Mx=-0.00 Mz=-15.01
Sollecitazioni agenti localmente: Ty_l=-4320.01 Mx_l=-86.40
Tensioni nella sezione: σ=1047.27 τ=130.91
CC 97 SLU (Collegamento -041_-375)
Azioni sul collegamento: N=-31084.20 Ty=-25.01 Tz=90.82 Mx=0.05 Mz=-11.42
Sollecitazioni agenti localmente: Ty_l=-5651.68 Mx_l=-113.03
Tensioni nella sezione: σ=1370.10 τ=171.26
CC 98 SLU (Collegamento -041_-375)
Azioni sul collegamento: N=-31900.20 Ty=-25.76 Tz=93.83 Mx=0.05 Mz=-11.97
Sollecitazioni agenti localmente: Ty_l=-5800.04 Mx_l=-116.00
Tensioni nella sezione: σ=1406.07 τ=175.76
CC 99 SLU (Collegamento -041_-375)
Azioni sul collegamento: N=-31491.30 Ty=-25.30 Tz=92.39 Mx=0.05 Mz=-11.51
Sollecitazioni agenti localmente: Ty_l=-5725.70 Mx_l=-114.51
Tensioni nella sezione: σ=1388.05 τ=173.51
CC 100 SLU (Collegamento -041_-375)
Azioni sul collegamento: N=-31493.10 Ty=-25.48 Tz=92.27 Mx=0.05 Mz=-11.88
Sollecitazioni agenti localmente: Ty_l=-5726.02 Mx_l=-114.52

Tensioni nella sezione: σ=1388.12 τ=173.52
CC 101 SLU (Collegamento -041_-375)
Azioni sul collegamento: N=-8294.89 Ty=-5.21 Tz=7.37 Mx=-0.01 Mz=-4.43
Sollecitazioni agenti localmente: Ty_l=-1508.16 Mx_l=-30.16
Tensioni nella sezione: σ=365.61 τ=45.70
CC 102 SLU (Collegamento -041_-375)
Azioni sul collegamento: N=-9110.88 Ty=-5.97 Tz=10.39 Mx=-0.01 Mz=-4.99
Sollecitazioni agenti localmente: Ty_l=-1656.52 Mx_l=-33.13
Tensioni nella sezione: σ=401.58 τ=50.20
CC 103 SLU (Collegamento -041_-375)
Azioni sul collegamento: N=-8702.00 Ty=-5.50 Tz=8.94 Mx=-0.01 Mz=-4.53
Sollecitazioni agenti localmente: Ty_l=-1582.18 Mx_l=-31.64
Tensioni nella sezione: σ=383.56 τ=47.94
CC 104 SLU (Collegamento -041_-375)
Azioni sul collegamento: N=-8703.78 Ty=-5.68 Tz=8.82 Mx=-0.01 Mz=-4.89
Sollecitazioni agenti localmente: Ty_l=-1582.50 Mx_l=-31.65
Tensioni nella sezione: σ=383.64 τ=47.95

Flessione attacco destro piastra

Bnetta=220.00 Hnetta=15.00
CC 1 SLV (Collegamento -041_-375)
Azioni sul collegamento: N=-5965.50 Ty=-4.83 Tz=-1.56 Mx=0.01 Mz=-1.02
Sollecitazioni agenti localmente: Ty_l=-1053.47 My_l=-21.59
Tensioni nella sezione: σ=261.70 τ=31.92
CC 1 SLV (Collegamento -041_-375)
Azioni sul collegamento: N=-5965.50 Ty=-12.58 Tz=-1.56 Mx=0.01 Mz=-7.43
Sollecitazioni agenti localmente: Ty_l=-1027.98 My_l=-21.03
Tensioni nella sezione: σ=254.94 τ=31.15
CC 1 SLV (Collegamento -041_-375)
Azioni sul collegamento: N=-5965.50 Ty=-4.83 Tz=27.71 Mx=0.01 Mz=-1.02
Sollecitazioni agenti localmente: Ty_l=-1053.47 My_l=-21.59
Tensioni nella sezione: σ=261.70 τ=31.92
CC 1 SLV (Collegamento -041_-375)
Azioni sul collegamento: N=-5965.50 Ty=-12.58 Tz=27.71 Mx=0.01 Mz=-7.43
Sollecitazioni agenti localmente: Ty_l=-1027.98 My_l=-21.03
Tensioni nella sezione: σ=254.94 τ=31.15
CC 1 SLV (Collegamento -041_-375)
Azioni sul collegamento: N=-13808.10 Ty=-4.83 Tz=-1.56 Mx=0.01 Mz=-1.02
Sollecitazioni agenti localmente: Ty_l=-2443.75 My_l=-50.09
Tensioni nella sezione: σ=607.17 τ=74.05
CC 1 SLV (Collegamento -041_-375)
Azioni sul collegamento: N=-13808.10 Ty=-12.58 Tz=-1.56 Mx=0.01 Mz=-7.43
Sollecitazioni agenti localmente: Ty_l=-2418.27 My_l=-49.53
Tensioni nella sezione: σ=600.40 τ=73.28
CC 1 SLV (Collegamento -041_-375)
Azioni sul collegamento: N=-13808.10 Ty=-4.83 Tz=27.71 Mx=0.01 Mz=-1.02
Sollecitazioni agenti localmente: Ty_l=-2443.75 My_l=-50.09
Tensioni nella sezione: σ=607.17 τ=74.05
CC 1 SLV (Collegamento -041_-375)
Azioni sul collegamento: N=-13808.10 Ty=-12.58 Tz=27.71 Mx=0.01 Mz=-7.43
Sollecitazioni agenti localmente: Ty_l=-2418.27 My_l=-49.53
Tensioni nella sezione: σ=600.40 τ=73.28
CC 2 SLD (Collegamento -041_-375)
Azioni sul collegamento: N=-8788.68 Ty=-8.45 Tz=9.00 Mx=0.00 Mz=-5.38
Sollecitazioni agenti localmente: Ty_l=-1536.58 My_l=-31.47
Tensioni nella sezione: σ=381.45 τ=46.56
CC 2 SLD (Collegamento -041_-375)
Azioni sul collegamento: N=-8788.68 Ty=-10.81 Tz=9.00 Mx=0.00 Mz=-7.34
Sollecitazioni agenti localmente: Ty_l=-1528.81 My_l=-31.30
Tensioni nella sezione: σ=379.39 τ=46.33
CC 2 SLD (Collegamento -041_-375)
Azioni sul collegamento: N=-8788.68 Ty=-8.45 Tz=17.92 Mx=0.00 Mz=-5.38
Sollecitazioni agenti localmente: Ty_l=-1536.58 My_l=-31.47
Tensioni nella sezione: σ=381.45 τ=46.56
CC 2 SLD (Collegamento -041_-375)
Azioni sul collegamento: N=-8788.68 Ty=-10.81 Tz=17.92 Mx=0.00 Mz=-7.34
Sollecitazioni agenti localmente: Ty_l=-1528.81 My_l=-31.30
Tensioni nella sezione: σ=379.39 τ=46.33
CC 2 SLD (Collegamento -041_-375)
Azioni sul collegamento: N=-11180.10 Ty=-8.45 Tz=8.99 Mx=0.00 Mz=-5.38
Sollecitazioni agenti localmente: Ty_l=-1960.52 My_l=-40.16
Tensioni nella sezione: σ=486.80 τ=59.41
CC 2 SLD (Collegamento -041_-375)
Azioni sul collegamento: N=-11180.10 Ty=-10.81 Tz=8.99 Mx=0.00 Mz=-7.34
Sollecitazioni agenti localmente: Ty_l=-1952.75 My_l=-39.99
Tensioni nella sezione: σ=484.73 τ=59.17
CC 2 SLD (Collegamento -041_-375)
Azioni sul collegamento: N=-11180.10 Ty=-8.45 Tz=17.92 Mx=0.00 Mz=-5.38

Sollecitazioni agenti localmente: Ty_l=-1960.52 My_l=-40.16
Tensioni nella sezione: σ=486.80 τ=59.41
CC 2 SLD (Collegamento -041_-375)
Azioni sul collegamento: N=-11180.10 Ty=-10.81 Tz=17.92 Mx=0.00 Mz=-7.34
Sollecitazioni agenti localmente: Ty_l=-1952.75 My_l=-39.99
Tensioni nella sezione: σ=484.73 τ=59.17
CC 3 SLV (Collegamento -041_-375)
Azioni sul collegamento: N=-5970.40 Ty=-5.34 Tz=-1.24 Mx=0.01 Mz=-2.07
Sollecitazioni agenti localmente: Ty_l=-1050.17 My_l=-21.52
Tensioni nella sezione: σ=260.81 τ=31.82
CC 3 SLV (Collegamento -041_-375)
Azioni sul collegamento: N=-5970.40 Ty=-12.07 Tz=-1.24 Mx=0.01 Mz=-6.38
Sollecitazioni agenti localmente: Ty_l=-1033.02 My_l=-21.14
Tensioni nella sezione: σ=256.26 τ=31.30
CC 3 SLV (Collegamento -041_-375)
Azioni sul collegamento: N=-5970.40 Ty=-5.34 Tz=27.38 Mx=0.01 Mz=-2.07
Sollecitazioni agenti localmente: Ty_l=-1050.17 My_l=-21.52
Tensioni nella sezione: σ=260.81 τ=31.82
CC 3 SLV (Collegamento -041_-375)
Azioni sul collegamento: N=-5970.40 Ty=-12.07 Tz=27.38 Mx=0.01 Mz=-6.38
Sollecitazioni agenti localmente: Ty_l=-1033.02 My_l=-21.14
Tensioni nella sezione: σ=256.26 τ=31.30
CC 3 SLV (Collegamento -041_-375)
Azioni sul collegamento: N=-13803.30 Ty=-5.34 Tz=-1.24 Mx=0.01 Mz=-2.07
Sollecitazioni agenti localmente: Ty_l=-2438.72 My_l=-49.98
Tensioni nella sezione: σ=605.85 τ=73.90
CC 3 SLV (Collegamento -041_-375)
Azioni sul collegamento: N=-13803.30 Ty=-12.07 Tz=-1.24 Mx=0.01 Mz=-6.38
Sollecitazioni agenti localmente: Ty_l=-2421.57 My_l=-49.61
Tensioni nella sezione: σ=601.29 τ=73.38
CC 3 SLV (Collegamento -041_-375)
Azioni sul collegamento: N=-13803.30 Ty=-5.34 Tz=27.38 Mx=0.01 Mz=-2.07
Sollecitazioni agenti localmente: Ty_l=-2438.72 My_l=-49.98
Tensioni nella sezione: σ=605.85 τ=73.90
CC 3 SLV (Collegamento -041_-375)
Azioni sul collegamento: N=-13803.30 Ty=-12.07 Tz=27.38 Mx=0.01 Mz=-6.38
Sollecitazioni agenti localmente: Ty_l=-2421.57 My_l=-49.61
Tensioni nella sezione: σ=601.29 τ=73.38
CC 4 SLD (Collegamento -041_-375)
Azioni sul collegamento: N=-8790.17 Ty=-8.61 Tz=9.10 Mx=0.00 Mz=-5.70
Sollecitazioni agenti localmente: Ty_l=-1535.57 My_l=-31.45
Tensioni nella sezione: σ=381.18 τ=46.53
CC 4 SLD (Collegamento -041_-375)
Azioni sul collegamento: N=-8790.17 Ty=-10.66 Tz=9.10 Mx=0.00 Mz=-7.02
Sollecitazioni agenti localmente: Ty_l=-1530.34 My_l=-31.33
Tensioni nella sezione: σ=379.79 τ=46.37
CC 4 SLD (Collegamento -041_-375)
Azioni sul collegamento: N=-8790.17 Ty=-8.61 Tz=17.82 Mx=0.00 Mz=-5.70
Sollecitazioni agenti localmente: Ty_l=-1535.57 My_l=-31.45
Tensioni nella sezione: σ=381.18 τ=46.53
CC 4 SLD (Collegamento -041_-375)
Azioni sul collegamento: N=-8790.17 Ty=-10.66 Tz=17.82 Mx=0.00 Mz=-7.02
Sollecitazioni agenti localmente: Ty_l=-1530.34 My_l=-31.33
Tensioni nella sezione: σ=379.79 τ=46.37
CC 4 SLD (Collegamento -041_-375)
Azioni sul collegamento: N=-11178.70 Ty=-8.61 Tz=9.09 Mx=0.00 Mz=-5.70
Sollecitazioni agenti localmente: Ty_l=-1958.98 My_l=-40.13
Tensioni nella sezione: σ=486.39 τ=59.36
CC 4 SLD (Collegamento -041_-375)
Azioni sul collegamento: N=-11178.70 Ty=-10.66 Tz=9.09 Mx=0.00 Mz=-7.02
Sollecitazioni agenti localmente: Ty_l=-1953.76 My_l=-40.01
Tensioni nella sezione: σ=485.00 τ=59.20
CC 4 SLD (Collegamento -041_-375)
Azioni sul collegamento: N=-11178.70 Ty=-8.61 Tz=17.82 Mx=0.00 Mz=-5.70
Sollecitazioni agenti localmente: Ty_l=-1958.98 My_l=-40.13
Tensioni nella sezione: σ=486.39 τ=59.36
CC 4 SLD (Collegamento -041_-375)
Azioni sul collegamento: N=-11178.70 Ty=-10.66 Tz=17.82 Mx=0.00 Mz=-7.02
Sollecitazioni agenti localmente: Ty_l=-1953.76 My_l=-40.01
Tensioni nella sezione: σ=485.00 τ=59.20
CC 5 SLV (Collegamento -041_-375)
Azioni sul collegamento: N=-13803.30 Ty=-12.07 Tz=27.38 Mx=0.01 Mz=-6.38
Sollecitazioni agenti localmente: Ty_l=-2421.57 My_l=-49.61
Tensioni nella sezione: σ=601.29 τ=73.38
CC 5 SLV (Collegamento -041_-375)
Azioni sul collegamento: N=-13803.30 Ty=-5.34 Tz=27.38 Mx=0.01 Mz=-2.07
Sollecitazioni agenti localmente: Ty_l=-2438.72 My_l=-49.98
Tensioni nella sezione: σ=605.85 τ=73.90
CC 5 SLV (Collegamento -041_-375)

Azioni sul collegamento: N=-13803.30 Ty=-12.07 Tz=-1.24 Mx=0.01 Mz=-6.38
Sollecitazioni agenti localmente: Ty_l=-2421.57 My_l=-49.61
Tensioni nella sezione: σ=601.29 τ=73.38
CC 5 SLV (Collegamento -041_-375)
Azioni sul collegamento: N=-13803.30 Ty=-5.34 Tz=-1.24 Mx=0.01 Mz=-2.07
Sollecitazioni agenti localmente: Ty_l=-2438.72 My_l=-49.98
Tensioni nella sezione: σ=605.85 τ=73.90
CC 5 SLV (Collegamento -041_-375)
Azioni sul collegamento: N=-5970.40 Ty=-12.07 Tz=27.38 Mx=0.01 Mz=-6.38
Sollecitazioni agenti localmente: Ty_l=-1033.02 My_l=-21.14
Tensioni nella sezione: σ=256.26 τ=31.30
CC 5 SLV (Collegamento -041_-375)
Azioni sul collegamento: N=-5970.40 Ty=-5.34 Tz=27.38 Mx=0.01 Mz=-2.07
Sollecitazioni agenti localmente: Ty_l=-1050.17 My_l=-21.52
Tensioni nella sezione: σ=260.81 τ=31.82
CC 5 SLV (Collegamento -041_-375)
Azioni sul collegamento: N=-5970.40 Ty=-12.07 Tz=-1.24 Mx=0.01 Mz=-6.38
Sollecitazioni agenti localmente: Ty_l=-1033.02 My_l=-21.14
Tensioni nella sezione: σ=256.26 τ=31.30
CC 5 SLV (Collegamento -041_-375)
Azioni sul collegamento: N=-5970.40 Ty=-5.34 Tz=-1.24 Mx=0.01 Mz=-2.07
Sollecitazioni agenti localmente: Ty_l=-1050.17 My_l=-21.52
Tensioni nella sezione: σ=260.81 τ=31.82
CC 6 SLD (Collegamento -041_-375)
Azioni sul collegamento: N=-11178.70 Ty=-10.66 Tz=17.82 Mx=0.00 Mz=-7.02
Sollecitazioni agenti localmente: Ty_l=-1953.76 My_l=-40.01
Tensioni nella sezione: σ=485.00 τ=59.20
CC 6 SLD (Collegamento -041_-375)
Azioni sul collegamento: N=-11178.70 Ty=-8.61 Tz=17.82 Mx=0.00 Mz=-5.70
Sollecitazioni agenti localmente: Ty_l=-1958.98 My_l=-40.13
Tensioni nella sezione: σ=486.39 τ=59.36
CC 6 SLD (Collegamento -041_-375)
Azioni sul collegamento: N=-11178.70 Ty=-10.66 Tz=9.09 Mx=0.00 Mz=-7.02
Sollecitazioni agenti localmente: Ty_l=-1953.76 My_l=-40.01
Tensioni nella sezione: σ=485.00 τ=59.20
CC 6 SLD (Collegamento -041_-375)
Azioni sul collegamento: N=-11178.70 Ty=-8.61 Tz=9.09 Mx=0.00 Mz=-5.70
Sollecitazioni agenti localmente: Ty_l=-1958.98 My_l=-40.13
Tensioni nella sezione: σ=486.39 τ=59.36
CC 6 SLD (Collegamento -041_-375)
Azioni sul collegamento: N=-8790.17 Ty=-10.66 Tz=17.82 Mx=0.00 Mz=-7.02
Sollecitazioni agenti localmente: Ty_l=-1530.34 My_l=-31.33
Tensioni nella sezione: σ=379.79 τ=46.37
CC 6 SLD (Collegamento -041_-375)
Azioni sul collegamento: N=-8790.17 Ty=-8.61 Tz=17.82 Mx=0.00 Mz=-5.70
Sollecitazioni agenti localmente: Ty_l=-1535.57 My_l=-31.45
Tensioni nella sezione: σ=381.18 τ=46.53
CC 6 SLD (Collegamento -041_-375)
Azioni sul collegamento: N=-8790.17 Ty=-10.66 Tz=9.10 Mx=0.00 Mz=-7.02
Sollecitazioni agenti localmente: Ty_l=-1530.34 My_l=-31.33
Tensioni nella sezione: σ=379.79 τ=46.37
CC 6 SLD (Collegamento -041_-375)
Azioni sul collegamento: N=-8790.17 Ty=-8.61 Tz=9.10 Mx=0.00 Mz=-5.70
Sollecitazioni agenti localmente: Ty_l=-1535.57 My_l=-31.45
Tensioni nella sezione: σ=381.18 τ=46.53
CC 7 SLV (Collegamento -041_-375)
Azioni sul collegamento: N=-13808.10 Ty=-12.58 Tz=27.71 Mx=0.01 Mz=-7.43
Sollecitazioni agenti localmente: Ty_l=-2418.27 My_l=-49.53
Tensioni nella sezione: σ=600.40 τ=73.28
CC 7 SLV (Collegamento -041_-375)
Azioni sul collegamento: N=-13808.10 Ty=-4.83 Tz=27.71 Mx=0.01 Mz=-1.02
Sollecitazioni agenti localmente: Ty_l=-2443.75 My_l=-50.09
Tensioni nella sezione: σ=607.17 τ=74.05
CC 7 SLV (Collegamento -041_-375)
Azioni sul collegamento: N=-13808.10 Ty=-12.58 Tz=-1.56 Mx=0.01 Mz=-7.43
Sollecitazioni agenti localmente: Ty_l=-2418.27 My_l=-49.53
Tensioni nella sezione: σ=600.40 τ=73.28
CC 7 SLV (Collegamento -041_-375)
Azioni sul collegamento: N=-13808.10 Ty=-4.83 Tz=-1.56 Mx=0.01 Mz=-1.02
Sollecitazioni agenti localmente: Ty_l=-2443.75 My_l=-50.09
Tensioni nella sezione: σ=607.17 τ=74.05
CC 7 SLV (Collegamento -041_-375)
Azioni sul collegamento: N=-5965.50 Ty=-12.58 Tz=27.71 Mx=0.01 Mz=-7.43
Sollecitazioni agenti localmente: Ty_l=-1027.98 My_l=-21.03
Tensioni nella sezione: σ=254.94 τ=31.15
CC 7 SLV (Collegamento -041_-375)
Azioni sul collegamento: N=-5965.50 Ty=-4.83 Tz=27.71 Mx=0.01 Mz=-1.02
Sollecitazioni agenti localmente: Ty_l=-1053.47 My_l=-21.59
Tensioni nella sezione: σ=261.70 τ=31.92

CC 7 SLV (Collegamento -041_-375)
Azioni sul collegamento: N=-5965.50 Ty=-12.58 Tz=-1.56 Mx=0.01 Mz=-7.43
Sollecitazioni agenti localmente: Ty_l=-1027.98 My_l=-21.03
Tensioni nella sezione: σ=254.94 τ=31.15
CC 7 SLV (Collegamento -041_-375)
Azioni sul collegamento: N=-5965.50 Ty=-4.83 Tz=-1.56 Mx=0.01 Mz=-1.02
Sollecitazioni agenti localmente: Ty_l=-1053.47 My_l=-21.59
Tensioni nella sezione: σ=261.70 τ=31.92
CC 8 SLD (Collegamento -041_-375)
Azioni sul collegamento: N=-11180.10 Ty=-10.81 Tz=17.92 Mx=0.00 Mz=-7.34
Sollecitazioni agenti localmente: Ty_l=-1952.75 My_l=-39.99
Tensioni nella sezione: σ=484.73 τ=59.17
CC 8 SLD (Collegamento -041_-375)
Azioni sul collegamento: N=-11180.10 Ty=-8.45 Tz=17.92 Mx=0.00 Mz=-5.38
Sollecitazioni agenti localmente: Ty_l=-1960.52 My_l=-40.16
Tensioni nella sezione: σ=486.80 τ=59.41
CC 8 SLD (Collegamento -041_-375)
Azioni sul collegamento: N=-11180.10 Ty=-10.81 Tz=8.99 Mx=0.00 Mz=-7.34
Sollecitazioni agenti localmente: Ty_l=-1952.75 My_l=-39.99
Tensioni nella sezione: σ=484.73 τ=59.17
CC 8 SLD (Collegamento -041_-375)
Azioni sul collegamento: N=-11180.10 Ty=-8.45 Tz=8.99 Mx=0.00 Mz=-5.38
Sollecitazioni agenti localmente: Ty_l=-1960.52 My_l=-40.16
Tensioni nella sezione: σ=486.80 τ=59.41
CC 8 SLD (Collegamento -041_-375)
Azioni sul collegamento: N=-8788.68 Ty=-10.81 Tz=17.92 Mx=0.00 Mz=-7.34
Sollecitazioni agenti localmente: Ty_l=-1528.81 My_l=-31.30
Tensioni nella sezione: σ=379.39 τ=46.33
CC 8 SLD (Collegamento -041_-375)
Azioni sul collegamento: N=-8788.68 Ty=-8.45 Tz=17.92 Mx=0.00 Mz=-5.38
Sollecitazioni agenti localmente: Ty_l=-1536.58 My_l=-31.47
Tensioni nella sezione: σ=381.45 τ=46.56
CC 8 SLD (Collegamento -041_-375)
Azioni sul collegamento: N=-8788.68 Ty=-10.81 Tz=9.00 Mx=0.00 Mz=-7.34
Sollecitazioni agenti localmente: Ty_l=-1528.81 My_l=-31.30
Tensioni nella sezione: σ=379.39 τ=46.33
CC 8 SLD (Collegamento -041_-375)
Azioni sul collegamento: N=-8788.68 Ty=-8.45 Tz=9.00 Mx=0.00 Mz=-5.38
Sollecitazioni agenti localmente: Ty_l=-1536.58 My_l=-31.47
Tensioni nella sezione: σ=381.45 τ=46.56
CC 9 SLV (Collegamento -041_-375)
Azioni sul collegamento: N=-8703.00 Ty=-6.76 Tz=8.19 Mx=0.02 Mz=-1.67
Sollecitazioni agenti localmente: Ty_l=-1536.15 My_l=-31.48
Tensioni nella sezione: σ=381.60 τ=46.55
CC 9 SLV (Collegamento -041_-375)
Azioni sul collegamento: N=-8703.00 Ty=-10.65 Tz=8.19 Mx=0.02 Mz=-6.77
Sollecitazioni agenti localmente: Ty_l=-1515.87 My_l=-31.04
Tensioni nella sezione: σ=376.21 τ=45.94
CC 9 SLV (Collegamento -041_-375)
Azioni sul collegamento: N=-8703.00 Ty=-6.76 Tz=17.96 Mx=0.02 Mz=-1.67
Sollecitazioni agenti localmente: Ty_l=-1536.15 My_l=-31.48
Tensioni nella sezione: σ=381.60 τ=46.55
CC 9 SLV (Collegamento -041_-375)
Azioni sul collegamento: N=-8703.00 Ty=-10.65 Tz=17.96 Mx=0.02 Mz=-6.77
Sollecitazioni agenti localmente: Ty_l=-1515.87 My_l=-31.04
Tensioni nella sezione: σ=376.21 τ=45.94
CC 9 SLV (Collegamento -041_-375)
Azioni sul collegamento: N=-11070.70 Ty=-6.76 Tz=8.19 Mx=0.02 Mz=-1.67
Sollecitazioni agenti localmente: Ty_l=-1955.87 My_l=-40.09
Tensioni nella sezione: σ=485.89 τ=59.27
CC 9 SLV (Collegamento -041_-375)
Azioni sul collegamento: N=-11070.70 Ty=-10.65 Tz=8.19 Mx=0.02 Mz=-6.77
Sollecitazioni agenti localmente: Ty_l=-1935.59 My_l=-39.64
Tensioni nella sezione: σ=480.51 τ=58.65
CC 9 SLV (Collegamento -041_-375)
Azioni sul collegamento: N=-11070.70 Ty=-6.76 Tz=17.96 Mx=0.02 Mz=-1.67
Sollecitazioni agenti localmente: Ty_l=-1955.87 My_l=-40.09
Tensioni nella sezione: σ=485.89 τ=59.27
CC 9 SLV (Collegamento -041_-375)
Azioni sul collegamento: N=-11070.70 Ty=-10.65 Tz=17.96 Mx=0.02 Mz=-6.77
Sollecitazioni agenti localmente: Ty_l=-1935.59 My_l=-39.64
Tensioni nella sezione: σ=480.51 τ=58.65
CC 10 SLD (Collegamento -041_-375)
Azioni sul collegamento: N=-9623.43 Ty=-9.04 Tz=11.97 Mx=0.00 Mz=-5.58
Sollecitazioni agenti localmente: Ty_l=-1683.76 My_l=-34.49
Tensioni nella sezione: σ=418.01 τ=51.02
CC 10 SLD (Collegamento -041_-375)
Azioni sul collegamento: N=-9623.43 Ty=-10.22 Tz=11.97 Mx=0.00 Mz=-7.14
Sollecitazioni agenti localmente: Ty_l=-1677.58 My_l=-34.35

Tensioni nella sezione: σ=416.37 τ=50.84
CC 10 SLD (Collegamento -041_-375)
Azioni sul collegamento: N=-9623.43 Ty=-9.04 Tz=14.95 Mx=0.00 Mz=-5.58
Sollecitazioni agenti localmente: Ty_l=-1683.76 My_l=-34.49
Tensioni nella sezione: σ=418.01 τ=51.02
CC 10 SLD (Collegamento -041_-375)
Azioni sul collegamento: N=-9623.43 Ty=-10.22 Tz=14.95 Mx=0.00 Mz=-7.14
Sollecitazioni agenti localmente: Ty_l=-1677.58 My_l=-34.35
Tensioni nella sezione: σ=416.37 τ=50.84
CC 10 SLD (Collegamento -041_-375)
Azioni sul collegamento: N=-10345.40 Ty=-9.04 Tz=11.97 Mx=0.00 Mz=-5.58
Sollecitazioni agenti localmente: Ty_l=-1811.75 My_l=-37.11
Tensioni nella sezione: σ=449.81 τ=54.90
CC 10 SLD (Collegamento -041_-375)
Azioni sul collegamento: N=-10345.40 Ty=-10.22 Tz=11.97 Mx=0.00 Mz=-7.14
Sollecitazioni agenti localmente: Ty_l=-1805.56 My_l=-36.97
Tensioni nella sezione: σ=448.17 τ=54.71
CC 10 SLD (Collegamento -041_-375)
Azioni sul collegamento: N=-10345.40 Ty=-9.04 Tz=14.95 Mx=0.00 Mz=-5.58
Sollecitazioni agenti localmente: Ty_l=-1811.75 My_l=-37.11
Tensioni nella sezione: σ=449.81 τ=54.90
CC 10 SLD (Collegamento -041_-375)
Azioni sul collegamento: N=-10345.40 Ty=-10.22 Tz=14.95 Mx=0.00 Mz=-7.14
Sollecitazioni agenti localmente: Ty_l=-1805.56 My_l=-36.97
Tensioni nella sezione: σ=448.17 τ=54.71
CC 11 SLV (Collegamento -041_-375)
Azioni sul collegamento: N=-11054.30 Ty=-8.94 Tz=16.87 Mx=0.02 Mz=-3.28
Sollecitazioni agenti localmente: Ty_l=-1946.58 My_l=-39.89
Tensioni nella sezione: σ=483.48 τ=58.99
CC 11 SLV (Collegamento -041_-375)
Azioni sul collegamento: N=-11054.30 Ty=-8.48 Tz=16.87 Mx=0.02 Mz=-5.16
Sollecitazioni agenti localmente: Ty_l=-1939.09 My_l=-39.72
Tensioni nella sezione: σ=481.49 τ=58.76
CC 11 SLV (Collegamento -041_-375)
Azioni sul collegamento: N=-11054.30 Ty=-8.94 Tz=9.28 Mx=0.02 Mz=-3.28
Sollecitazioni agenti localmente: Ty_l=-1946.58 My_l=-39.89
Tensioni nella sezione: σ=483.48 τ=58.99
CC 11 SLV (Collegamento -041_-375)
Azioni sul collegamento: N=-11054.30 Ty=-8.48 Tz=9.28 Mx=0.02 Mz=-5.16
Sollecitazioni agenti localmente: Ty_l=-1939.09 My_l=-39.72
Tensioni nella sezione: σ=481.49 τ=58.76
CC 11 SLV (Collegamento -041_-375)
Azioni sul collegamento: N=-8719.33 Ty=-8.94 Tz=16.87 Mx=0.02 Mz=-3.28
Sollecitazioni agenti localmente: Ty_l=-1532.65 My_l=-31.40
Tensioni nella sezione: σ=380.62 τ=46.44
CC 11 SLV (Collegamento -041_-375)
Azioni sul collegamento: N=-8719.33 Ty=-8.48 Tz=16.87 Mx=0.02 Mz=-5.16
Sollecitazioni agenti localmente: Ty_l=-1525.16 My_l=-31.24
Tensioni nella sezione: σ=378.63 τ=46.22
CC 11 SLV (Collegamento -041_-375)
Azioni sul collegamento: N=-8719.33 Ty=-8.94 Tz=9.28 Mx=0.02 Mz=-3.28
Sollecitazioni agenti localmente: Ty_l=-1532.65 My_l=-31.40
Tensioni nella sezione: σ=380.62 τ=46.44
CC 11 SLV (Collegamento -041_-375)
Azioni sul collegamento: N=-8719.33 Ty=-8.48 Tz=9.28 Mx=0.02 Mz=-5.16
Sollecitazioni agenti localmente: Ty_l=-1525.16 My_l=-31.24
Tensioni nella sezione: σ=378.63 τ=46.22
CC 12 SLD (Collegamento -041_-375)
Azioni sul collegamento: N=-10340.40 Ty=-9.70 Tz=14.62 Mx=0.00 Mz=-6.07
Sollecitazioni agenti localmente: Ty_l=-1808.92 My_l=-37.05
Tensioni nella sezione: σ=449.08 τ=54.82
CC 12 SLD (Collegamento -041_-375)
Azioni sul collegamento: N=-10340.40 Ty=-9.56 Tz=14.62 Mx=0.00 Mz=-6.65
Sollecitazioni agenti localmente: Ty_l=-1806.63 My_l=-37.00
Tensioni nella sezione: σ=448.47 τ=54.75
CC 12 SLD (Collegamento -041_-375)
Azioni sul collegamento: N=-10340.40 Ty=-9.70 Tz=12.30 Mx=0.00 Mz=-6.07
Sollecitazioni agenti localmente: Ty_l=-1808.92 My_l=-37.05
Tensioni nella sezione: σ=449.08 τ=54.82
CC 12 SLD (Collegamento -041_-375)
Azioni sul collegamento: N=-10340.40 Ty=-9.56 Tz=12.30 Mx=0.00 Mz=-6.65
Sollecitazioni agenti localmente: Ty_l=-1806.63 My_l=-37.00
Tensioni nella sezione: σ=448.47 τ=54.75
CC 12 SLD (Collegamento -041_-375)
Azioni sul collegamento: N=-9628.41 Ty=-9.70 Tz=14.62 Mx=0.00 Mz=-6.07
Sollecitazioni agenti localmente: Ty_l=-1682.70 My_l=-34.46
Tensioni nella sezione: σ=417.71 τ=50.99
CC 12 SLD (Collegamento -041_-375)
Azioni sul collegamento: N=-9628.41 Ty=-9.56 Tz=14.62 Mx=0.00 Mz=-6.65

Sollecitazioni agenti localmente: Ty_l=-1680.41 My_l=-34.41
Tensioni nella sezione: σ=417.11 τ=50.92
CC 12 SLD (Collegamento -041_-375)
Azioni sul collegamento: N=-9628.40 Ty=-9.70 Tz=12.30 Mx=0.00 Mz=-6.07
Sollecitazioni agenti localmente: Ty_l=-1682.70 My_l=-34.46
Tensioni nella sezione: σ=417.71 τ=50.99
CC 12 SLD (Collegamento -041_-375)
Azioni sul collegamento: N=-9628.40 Ty=-9.56 Tz=12.30 Mx=0.00 Mz=-6.65
Sollecitazioni agenti localmente: Ty_l=-1680.41 My_l=-34.41
Tensioni nella sezione: σ=417.11 τ=50.92
CC 13 SLV (Collegamento -041_-375)
Azioni sul collegamento: N=-8719.33 Ty=-8.48 Tz=9.28 Mx=0.00 Mz=-5.16
Sollecitazioni agenti localmente: Ty_l=-1525.16 My_l=-31.24
Tensioni nella sezione: σ=378.63 τ=46.22
CC 13 SLV (Collegamento -041_-375)
Azioni sul collegamento: N=-8719.33 Ty=-8.94 Tz=9.28 Mx=0.00 Mz=-3.28
Sollecitazioni agenti localmente: Ty_l=-1532.65 My_l=-31.40
Tensioni nella sezione: σ=380.62 τ=46.44
CC 13 SLV (Collegamento -041_-375)
Azioni sul collegamento: N=-8719.33 Ty=-8.48 Tz=16.87 Mx=0.00 Mz=-5.16
Sollecitazioni agenti localmente: Ty_l=-1525.16 My_l=-31.24
Tensioni nella sezione: σ=378.63 τ=46.22
CC 13 SLV (Collegamento -041_-375)
Azioni sul collegamento: N=-8719.33 Ty=-8.94 Tz=16.87 Mx=0.00 Mz=-3.28
Sollecitazioni agenti localmente: Ty_l=-1532.65 My_l=-31.40
Tensioni nella sezione: σ=380.62 τ=46.44
CC 13 SLV (Collegamento -041_-375)
Azioni sul collegamento: N=-11054.30 Ty=-8.48 Tz=9.28 Mx=0.00 Mz=-5.16
Sollecitazioni agenti localmente: Ty_l=-1939.09 My_l=-39.72
Tensioni nella sezione: σ=481.49 τ=58.76
CC 13 SLV (Collegamento -041_-375)
Azioni sul collegamento: N=-11054.30 Ty=-8.94 Tz=9.28 Mx=0.00 Mz=-3.28
Sollecitazioni agenti localmente: Ty_l=-1946.58 My_l=-39.89
Tensioni nella sezione: σ=483.48 τ=58.99
CC 13 SLV (Collegamento -041_-375)
Azioni sul collegamento: N=-11054.30 Ty=-8.48 Tz=16.87 Mx=0.00 Mz=-5.16
Sollecitazioni agenti localmente: Ty_l=-1939.09 My_l=-39.72
Tensioni nella sezione: σ=481.49 τ=58.76
CC 13 SLV (Collegamento -041_-375)
Azioni sul collegamento: N=-11054.30 Ty=-8.94 Tz=16.87 Mx=0.00 Mz=-3.28
Sollecitazioni agenti localmente: Ty_l=-1946.58 My_l=-39.89
Tensioni nella sezione: σ=483.48 τ=58.99
CC 14 SLD (Collegamento -041_-375)
Azioni sul collegamento: N=-9628.40 Ty=-9.56 Tz=12.30 Mx=-0.00 Mz=-6.65
Sollecitazioni agenti localmente: Ty_l=-1680.41 My_l=-34.41
Tensioni nella sezione: σ=417.11 τ=50.92
CC 14 SLD (Collegamento -041_-375)
Azioni sul collegamento: N=-9628.40 Ty=-9.70 Tz=12.30 Mx=-0.00 Mz=-6.07
Sollecitazioni agenti localmente: Ty_l=-1682.70 My_l=-34.46
Tensioni nella sezione: σ=417.71 τ=50.99
CC 14 SLD (Collegamento -041_-375)
Azioni sul collegamento: N=-9628.41 Ty=-9.56 Tz=14.62 Mx=-0.00 Mz=-6.65
Sollecitazioni agenti localmente: Ty_l=-1680.41 My_l=-34.41
Tensioni nella sezione: σ=417.11 τ=50.92
CC 14 SLD (Collegamento -041_-375)
Azioni sul collegamento: N=-9628.41 Ty=-9.70 Tz=14.62 Mx=-0.00 Mz=-6.07
Sollecitazioni agenti localmente: Ty_l=-1682.70 My_l=-34.46
Tensioni nella sezione: σ=417.71 τ=50.99
CC 14 SLD (Collegamento -041_-375)
Azioni sul collegamento: N=-10340.40 Ty=-9.56 Tz=12.30 Mx=-0.00 Mz=-6.65
Sollecitazioni agenti localmente: Ty_l=-1806.63 My_l=-37.00
Tensioni nella sezione: σ=448.47 τ=54.75
CC 14 SLD (Collegamento -041_-375)
Azioni sul collegamento: N=-10340.40 Ty=-9.70 Tz=12.30 Mx=-0.00 Mz=-6.07
Sollecitazioni agenti localmente: Ty_l=-1808.92 My_l=-37.05
Tensioni nella sezione: σ=449.08 τ=54.82
CC 14 SLD (Collegamento -041_-375)
Azioni sul collegamento: N=-10340.40 Ty=-9.56 Tz=14.62 Mx=-0.00 Mz=-6.65
Sollecitazioni agenti localmente: Ty_l=-1806.63 My_l=-37.00
Tensioni nella sezione: σ=448.47 τ=54.75
CC 14 SLD (Collegamento -041_-375)
Azioni sul collegamento: N=-10340.40 Ty=-9.70 Tz=14.62 Mx=-0.00 Mz=-6.07
Sollecitazioni agenti localmente: Ty_l=-1808.92 My_l=-37.05
Tensioni nella sezione: σ=449.08 τ=54.82
CC 15 SLV (Collegamento -041_-375)
Azioni sul collegamento: N=-11070.70 Ty=-10.65 Tz=17.96 Mx=0.00 Mz=-6.77
Sollecitazioni agenti localmente: Ty_l=-1935.59 My_l=-39.64
Tensioni nella sezione: σ=480.51 τ=58.65
CC 15 SLV (Collegamento -041_-375)

Azioni sul collegamento: N=-11070.70 Ty=-6.76 Tz=17.96 Mx=0.00 Mz=-1.67
Sollecitazioni agenti localmente: Ty_l=-1955.87 My_l=-40.09
Tensioni nella sezione: σ=485.89 τ=59.27
CC 15 SLV (Collegamento -041_-375)
Azioni sul collegamento: N=-11070.70 Ty=-10.65 Tz=8.19 Mx=0.00 Mz=-6.77
Sollecitazioni agenti localmente: Ty_l=-1935.59 My_l=-39.64
Tensioni nella sezione: σ=480.51 τ=58.65
CC 15 SLV (Collegamento -041_-375)
Azioni sul collegamento: N=-11070.70 Ty=-6.76 Tz=8.19 Mx=0.00 Mz=-1.67
Sollecitazioni agenti localmente: Ty_l=-1955.87 My_l=-40.09
Tensioni nella sezione: σ=485.89 τ=59.27
CC 15 SLV (Collegamento -041_-375)
Azioni sul collegamento: N=-8703.00 Ty=-10.65 Tz=17.96 Mx=0.00 Mz=-6.77
Sollecitazioni agenti localmente: Ty_l=-1515.87 My_l=-31.04
Tensioni nella sezione: σ=376.21 τ=45.94
CC 15 SLV (Collegamento -041_-375)
Azioni sul collegamento: N=-8703.00 Ty=-6.76 Tz=17.96 Mx=0.00 Mz=-1.67
Sollecitazioni agenti localmente: Ty_l=-1536.15 My_l=-31.48
Tensioni nella sezione: σ=381.60 τ=46.55
CC 15 SLV (Collegamento -041_-375)
Azioni sul collegamento: N=-8703.00 Ty=-10.65 Tz=8.19 Mx=0.00 Mz=-6.77
Sollecitazioni agenti localmente: Ty_l=-1515.87 My_l=-31.04
Tensioni nella sezione: σ=376.21 τ=45.94
CC 15 SLV (Collegamento -041_-375)
Azioni sul collegamento: N=-8703.00 Ty=-6.76 Tz=8.19 Mx=0.00 Mz=-1.67
Sollecitazioni agenti localmente: Ty_l=-1536.15 My_l=-31.48
Tensioni nella sezione: σ=381.60 τ=46.55
CC 16 SLD (Collegamento -041_-375)
Azioni sul collegamento: N=-10345.40 Ty=-10.22 Tz=14.95 Mx=-0.00 Mz=-7.14
Sollecitazioni agenti localmente: Ty_l=-1805.56 My_l=-36.97
Tensioni nella sezione: σ=448.17 τ=54.71
CC 16 SLD (Collegamento -041_-375)
Azioni sul collegamento: N=-10345.40 Ty=-9.04 Tz=14.95 Mx=-0.00 Mz=-5.58
Sollecitazioni agenti localmente: Ty_l=-1811.75 My_l=-37.11
Tensioni nella sezione: σ=449.81 τ=54.90
CC 16 SLD (Collegamento -041_-375)
Azioni sul collegamento: N=-10345.40 Ty=-10.22 Tz=11.97 Mx=-0.00 Mz=-7.14
Sollecitazioni agenti localmente: Ty_l=-1805.56 My_l=-36.97
Tensioni nella sezione: σ=448.17 τ=54.71
CC 16 SLD (Collegamento -041_-375)
Azioni sul collegamento: N=-10345.40 Ty=-9.04 Tz=11.97 Mx=-0.00 Mz=-5.58
Sollecitazioni agenti localmente: Ty_l=-1811.75 My_l=-37.11
Tensioni nella sezione: σ=449.81 τ=54.90
CC 16 SLD (Collegamento -041_-375)
Azioni sul collegamento: N=-9623.43 Ty=-10.22 Tz=14.95 Mx=-0.00 Mz=-7.14
Sollecitazioni agenti localmente: Ty_l=-1677.58 My_l=-34.35
Tensioni nella sezione: σ=416.37 τ=50.84
CC 16 SLD (Collegamento -041_-375)
Azioni sul collegamento: N=-9623.43 Ty=-9.04 Tz=14.95 Mx=-0.00 Mz=-5.58
Sollecitazioni agenti localmente: Ty_l=-1683.76 My_l=-34.49
Tensioni nella sezione: σ=418.01 τ=51.02
CC 16 SLD (Collegamento -041_-375)
Azioni sul collegamento: N=-9623.43 Ty=-10.22 Tz=11.97 Mx=-0.00 Mz=-7.14
Sollecitazioni agenti localmente: Ty_l=-1677.58 My_l=-34.35
Tensioni nella sezione: σ=416.37 τ=50.84
CC 16 SLD (Collegamento -041_-375)
Azioni sul collegamento: N=-9623.43 Ty=-9.04 Tz=11.97 Mx=-0.00 Mz=-5.58
Sollecitazioni agenti localmente: Ty_l=-1683.76 My_l=-34.49
Tensioni nella sezione: σ=418.01 τ=51.02
CC 17 SLV (Collegamento -041_-375)
Azioni sul collegamento: N=-6246.30 Ty=-7.49 Tz=-0.46 Mx=-0.02 Mz=-7.17
Sollecitazioni agenti localmente: Ty_l=-1078.77 My_l=-22.07
Tensioni nella sezione: σ=267.57 τ=32.69
CC 17 SLV (Collegamento -041_-375)
Azioni sul collegamento: N=-6246.30 Ty=-15.25 Tz=-0.46 Mx=-0.02 Mz=-13.58
Sollecitazioni agenti localmente: Ty_l=-1053.29 My_l=-21.52
Tensioni nella sezione: σ=260.81 τ=31.92
CC 17 SLV (Collegamento -041_-375)
Azioni sul collegamento: N=-6246.30 Ty=-7.49 Tz=28.82 Mx=-0.02 Mz=-7.17
Sollecitazioni agenti localmente: Ty_l=-1078.77 My_l=-22.07
Tensioni nella sezione: σ=267.57 τ=32.69
CC 17 SLV (Collegamento -041_-375)
Azioni sul collegamento: N=-6246.30 Ty=-15.25 Tz=28.82 Mx=-0.02 Mz=-13.58
Sollecitazioni agenti localmente: Ty_l=-1053.29 My_l=-21.52
Tensioni nella sezione: σ=260.81 τ=31.92
CC 17 SLV (Collegamento -041_-375)
Azioni sul collegamento: N=-14088.90 Ty=-7.49 Tz=-0.46 Mx=-0.02 Mz=-7.17
Sollecitazioni agenti localmente: Ty_l=-2469.06 My_l=-50.58
Tensioni nella sezione: σ=613.04 τ=74.82

CC 17 SLV (Collegamento -041_-375)
Azioni sul collegamento: N=-14088.90 Ty=-15.25 Tz=-0.46 Mx=-0.02 Mz=-13.58
Sollecitazioni agenti localmente: Ty_l=-2443.58 My_l=-50.02
Tensioni nella sezione: σ=606.27 τ=74.05
CC 17 SLV (Collegamento -041_-375)
Azioni sul collegamento: N=-14088.90 Ty=-7.49 Tz=28.82 Mx=-0.02 Mz=-7.17
Sollecitazioni agenti localmente: Ty_l=-2469.06 My_l=-50.58
Tensioni nella sezione: σ=613.04 τ=74.82
CC 17 SLV (Collegamento -041_-375)
Azioni sul collegamento: N=-14088.90 Ty=-15.25 Tz=28.82 Mx=-0.02 Mz=-13.58
Sollecitazioni agenti localmente: Ty_l=-2443.58 My_l=-50.02
Tensioni nella sezione: σ=606.27 τ=74.05
CC 18 SLD (Collegamento -041_-375)
Azioni sul collegamento: N=-8874.30 Ty=-9.26 Tz=9.33 Mx=-0.01 Mz=-7.26
Sollecitazioni agenti localmente: Ty_l=-1544.29 My_l=-31.62
Tensioni nella sezione: σ=383.24 τ=46.80
CC 18 SLD (Collegamento -041_-375)
Azioni sul collegamento: N=-8874.30 Ty=-11.63 Tz=9.33 Mx=-0.01 Mz=-9.21
Sollecitazioni agenti localmente: Ty_l=-1536.52 My_l=-31.45
Tensioni nella sezione: σ=381.18 τ=46.56
CC 18 SLD (Collegamento -041_-375)
Azioni sul collegamento: N=-8874.30 Ty=-9.26 Tz=18.26 Mx=-0.01 Mz=-7.26
Sollecitazioni agenti localmente: Ty_l=-1544.29 My_l=-31.62
Tensioni nella sezione: σ=383.24 τ=46.80
CC 18 SLD (Collegamento -041_-375)
Azioni sul collegamento: N=-8874.30 Ty=-11.63 Tz=18.26 Mx=-0.01 Mz=-9.21
Sollecitazioni agenti localmente: Ty_l=-1536.52 My_l=-31.45
Tensioni nella sezione: σ=381.18 τ=46.56
CC 18 SLD (Collegamento -041_-375)
Azioni sul collegamento: N=-11265.80 Ty=-9.26 Tz=9.33 Mx=-0.01 Mz=-7.26
Sollecitazioni agenti localmente: Ty_l=-1968.24 My_l=-40.31
Tensioni nella sezione: σ=488.59 τ=59.64
CC 18 SLD (Collegamento -041_-375)
Azioni sul collegamento: N=-11265.80 Ty=-11.63 Tz=9.33 Mx=-0.01 Mz=-9.21
Sollecitazioni agenti localmente: Ty_l=-1960.47 My_l=-40.14
Tensioni nella sezione: σ=486.52 τ=59.41
CC 18 SLD (Collegamento -041_-375)
Azioni sul collegamento: N=-11265.80 Ty=-9.26 Tz=18.26 Mx=-0.01 Mz=-7.26
Sollecitazioni agenti localmente: Ty_l=-1968.24 My_l=-40.31
Tensioni nella sezione: σ=488.59 τ=59.64
CC 18 SLD (Collegamento -041_-375)
Azioni sul collegamento: N=-11265.80 Ty=-11.63 Tz=18.26 Mx=-0.01 Mz=-9.21
Sollecitazioni agenti localmente: Ty_l=-1960.47 My_l=-40.14
Tensioni nella sezione: σ=486.52 τ=59.41
CC 19 SLV (Collegamento -041_-375)
Azioni sul collegamento: N=-6251.20 Ty=-8.00 Tz=-0.13 Mx=-0.01 Mz=-8.22
Sollecitazioni agenti localmente: Ty_l=-1075.47 My_l=-22.00
Tensioni nella sezione: σ=266.68 τ=32.59
CC 19 SLV (Collegamento -041_-375)
Azioni sul collegamento: N=-6251.20 Ty=-14.73 Tz=-0.13 Mx=-0.01 Mz=-12.53
Sollecitazioni agenti localmente: Ty_l=-1058.32 My_l=-21.63
Tensioni nella sezione: σ=262.13 τ=32.07
CC 19 SLV (Collegamento -041_-375)
Azioni sul collegamento: N=-6251.20 Ty=-8.00 Tz=28.49 Mx=-0.01 Mz=-8.22
Sollecitazioni agenti localmente: Ty_l=-1075.47 My_l=-22.00
Tensioni nella sezione: σ=266.68 τ=32.59
CC 19 SLV (Collegamento -041_-375)
Azioni sul collegamento: N=-6251.20 Ty=-14.73 Tz=28.49 Mx=-0.01 Mz=-12.53
Sollecitazioni agenti localmente: Ty_l=-1058.32 My_l=-21.63
Tensioni nella sezione: σ=262.13 τ=32.07
CC 19 SLV (Collegamento -041_-375)
Azioni sul collegamento: N=-14084.00 Ty=-8.00 Tz=-0.13 Mx=-0.01 Mz=-8.22
Sollecitazioni agenti localmente: Ty_l=-2464.02 My_l=-50.47
Tensioni nella sezione: σ=611.72 τ=74.67
CC 19 SLV (Collegamento -041_-375)
Azioni sul collegamento: N=-14084.00 Ty=-14.73 Tz=-0.13 Mx=-0.01 Mz=-12.53
Sollecitazioni agenti localmente: Ty_l=-2446.88 My_l=-50.09
Tensioni nella sezione: σ=607.17 τ=74.15
CC 19 SLV (Collegamento -041_-375)
Azioni sul collegamento: N=-14084.00 Ty=-8.00 Tz=28.49 Mx=-0.01 Mz=-8.22
Sollecitazioni agenti localmente: Ty_l=-2464.02 My_l=-50.47
Tensioni nella sezione: σ=611.72 τ=74.67
CC 19 SLV (Collegamento -041_-375)
Azioni sul collegamento: N=-14084.00 Ty=-14.73 Tz=28.49 Mx=-0.01 Mz=-12.53
Sollecitazioni agenti localmente: Ty_l=-2446.87 My_l=-50.09
Tensioni nella sezione: σ=607.17 τ=74.15
CC 20 SLD (Collegamento -041_-375)
Azioni sul collegamento: N=-8875.79 Ty=-9.42 Tz=9.43 Mx=-0.01 Mz=-7.58
Sollecitazioni agenti localmente: Ty_l=-1543.29 My_l=-31.60

Tensioni nella sezione: σ=382.97 τ=46.77
CC 20 SLD (Collegamento -041_-375)
Azioni sul collegamento: N=-8875.79 Ty=-11.47 Tz=9.43 Mx=-0.01 Mz=-8.89
Sollecitazioni agenti localmente: Ty_l=-1538.06 My_l=-31.48
Tensioni nella sezione: σ=381.58 τ=46.61
CC 20 SLD (Collegamento -041_-375)
Azioni sul collegamento: N=-8875.80 Ty=-9.42 Tz=18.16 Mx=-0.01 Mz=-7.58
Sollecitazioni agenti localmente: Ty_l=-1543.29 My_l=-31.60
Tensioni nella sezione: σ=382.97 τ=46.77
CC 20 SLD (Collegamento -041_-375)
Azioni sul collegamento: N=-8875.80 Ty=-11.47 Tz=18.16 Mx=-0.01 Mz=-8.89
Sollecitazioni agenti localmente: Ty_l=-1538.06 My_l=-31.48
Tensioni nella sezione: σ=381.58 τ=46.61
CC 20 SLD (Collegamento -041_-375)
Azioni sul collegamento: N=-11264.30 Ty=-9.42 Tz=9.43 Mx=-0.01 Mz=-7.58
Sollecitazioni agenti localmente: Ty_l=-1966.70 My_l=-40.28
Tensioni nella sezione: σ=488.18 τ=59.60
CC 20 SLD (Collegamento -041_-375)
Azioni sul collegamento: N=-11264.30 Ty=-11.47 Tz=9.43 Mx=-0.01 Mz=-8.89
Sollecitazioni agenti localmente: Ty_l=-1961.47 My_l=-40.16
Tensioni nella sezione: σ=486.80 τ=59.44
CC 20 SLD (Collegamento -041_-375)
Azioni sul collegamento: N=-11264.30 Ty=-9.42 Tz=18.16 Mx=-0.01 Mz=-7.58
Sollecitazioni agenti localmente: Ty_l=-1966.70 My_l=-40.28
Tensioni nella sezione: σ=488.18 τ=59.60
CC 20 SLD (Collegamento -041_-375)
Azioni sul collegamento: N=-11264.30 Ty=-11.47 Tz=18.16 Mx=-0.01 Mz=-8.89
Sollecitazioni agenti localmente: Ty_l=-1961.47 My_l=-40.16
Tensioni nella sezione: σ=486.80 τ=59.44
CC 21 SLV (Collegamento -041_-375)
Azioni sul collegamento: N=-14084.00 Ty=-14.73 Tz=28.49 Mx=-0.02 Mz=-12.53
Sollecitazioni agenti localmente: Ty_l=-2446.87 My_l=-50.09
Tensioni nella sezione: σ=607.17 τ=74.15
CC 21 SLV (Collegamento -041_-375)
Azioni sul collegamento: N=-14084.00 Ty=-8.00 Tz=28.49 Mx=-0.02 Mz=-8.22
Sollecitazioni agenti localmente: Ty_l=-2464.02 My_l=-50.47
Tensioni nella sezione: σ=611.72 τ=74.67
CC 21 SLV (Collegamento -041_-375)
Azioni sul collegamento: N=-14084.00 Ty=-14.73 Tz=-0.13 Mx=-0.02 Mz=-12.53
Sollecitazioni agenti localmente: Ty_l=-2446.88 My_l=-50.09
Tensioni nella sezione: σ=607.17 τ=74.15
CC 21 SLV (Collegamento -041_-375)
Azioni sul collegamento: N=-14084.00 Ty=-8.00 Tz=-0.13 Mx=-0.02 Mz=-8.22
Sollecitazioni agenti localmente: Ty_l=-2464.02 My_l=-50.47
Tensioni nella sezione: σ=611.72 τ=74.67
CC 21 SLV (Collegamento -041_-375)
Azioni sul collegamento: N=-6251.20 Ty=-14.73 Tz=28.49 Mx=-0.02 Mz=-12.53
Sollecitazioni agenti localmente: Ty_l=-1058.32 My_l=-21.63
Tensioni nella sezione: σ=262.13 τ=32.07
CC 21 SLV (Collegamento -041_-375)
Azioni sul collegamento: N=-6251.20 Ty=-8.00 Tz=28.49 Mx=-0.02 Mz=-8.22
Sollecitazioni agenti localmente: Ty_l=-1075.47 My_l=-22.00
Tensioni nella sezione: σ=266.68 τ=32.59
CC 21 SLV (Collegamento -041_-375)
Azioni sul collegamento: N=-6251.20 Ty=-14.73 Tz=-0.13 Mx=-0.02 Mz=-12.53
Sollecitazioni agenti localmente: Ty_l=-1058.32 My_l=-21.63
Tensioni nella sezione: σ=262.13 τ=32.07
CC 21 SLV (Collegamento -041_-375)
Azioni sul collegamento: N=-6251.20 Ty=-8.00 Tz=-0.13 Mx=-0.02 Mz=-8.22
Sollecitazioni agenti localmente: Ty_l=-1075.47 My_l=-22.00
Tensioni nella sezione: σ=266.68 τ=32.59
CC 22 SLD (Collegamento -041_-375)
Azioni sul collegamento: N=-11264.30 Ty=-11.47 Tz=18.16 Mx=-0.01 Mz=-8.89
Sollecitazioni agenti localmente: Ty_l=-1961.47 My_l=-40.16
Tensioni nella sezione: σ=486.80 τ=59.44
CC 22 SLD (Collegamento -041_-375)
Azioni sul collegamento: N=-11264.30 Ty=-9.42 Tz=18.16 Mx=-0.01 Mz=-7.58
Sollecitazioni agenti localmente: Ty_l=-1966.70 My_l=-40.28
Tensioni nella sezione: σ=488.18 τ=59.60
CC 22 SLD (Collegamento -041_-375)
Azioni sul collegamento: N=-11264.30 Ty=-11.47 Tz=9.43 Mx=-0.01 Mz=-8.89
Sollecitazioni agenti localmente: Ty_l=-1961.47 My_l=-40.16
Tensioni nella sezione: σ=486.80 τ=59.44
CC 22 SLD (Collegamento -041_-375)
Azioni sul collegamento: N=-11264.30 Ty=-9.42 Tz=9.43 Mx=-0.01 Mz=-7.58
Sollecitazioni agenti localmente: Ty_l=-1966.70 My_l=-40.28
Tensioni nella sezione: σ=488.18 τ=59.60
CC 22 SLD (Collegamento -041_-375)
Azioni sul collegamento: N=-8875.80 Ty=-11.47 Tz=18.16 Mx=-0.01 Mz=-8.89

Sollecitazioni agenti localmente: Ty_l=-1538.06 My_l=-31.48
Tensioni nella sezione: σ=381.58 τ=46.61
CC 22 SLD (Collegamento -041_-375)
Azioni sul collegamento: N=-8875.80 Ty=-9.42 Tz=18.16 Mx=-0.01 Mz=-7.58
Sollecitazioni agenti localmente: Ty_l=-1543.29 My_l=-31.60
Tensioni nella sezione: σ=382.97 τ=46.77
CC 22 SLD (Collegamento -041_-375)
Azioni sul collegamento: N=-8875.79 Ty=-11.47 Tz=9.43 Mx=-0.01 Mz=-8.89
Sollecitazioni agenti localmente: Ty_l=-1538.06 My_l=-31.48
Tensioni nella sezione: σ=381.58 τ=46.61
CC 22 SLD (Collegamento -041_-375)
Azioni sul collegamento: N=-8875.79 Ty=-9.42 Tz=9.43 Mx=-0.01 Mz=-7.58
Sollecitazioni agenti localmente: Ty_l=-1543.29 My_l=-31.60
Tensioni nella sezione: σ=382.97 τ=46.77
CC 23 SLV (Collegamento -041_-375)
Azioni sul collegamento: N=-14088.90 Ty=-15.25 Tz=28.82 Mx=-0.01 Mz=-13.58
Sollecitazioni agenti localmente: Ty_l=-2443.58 My_l=-50.02
Tensioni nella sezione: σ=606.27 τ=74.05
CC 23 SLV (Collegamento -041_-375)
Azioni sul collegamento: N=-14088.90 Ty=-7.49 Tz=28.82 Mx=-0.01 Mz=-7.17
Sollecitazioni agenti localmente: Ty_l=-2469.06 My_l=-50.58
Tensioni nella sezione: σ=613.04 τ=74.82
CC 23 SLV (Collegamento -041_-375)
Azioni sul collegamento: N=-14088.90 Ty=-15.25 Tz=-0.46 Mx=-0.01 Mz=-13.58
Sollecitazioni agenti localmente: Ty_l=-2443.58 My_l=-50.02
Tensioni nella sezione: σ=606.27 τ=74.05
CC 23 SLV (Collegamento -041_-375)
Azioni sul collegamento: N=-14088.90 Ty=-7.49 Tz=-0.46 Mx=-0.01 Mz=-7.17
Sollecitazioni agenti localmente: Ty_l=-2469.06 My_l=-50.58
Tensioni nella sezione: σ=613.04 τ=74.82
CC 23 SLV (Collegamento -041_-375)
Azioni sul collegamento: N=-6246.30 Ty=-15.25 Tz=28.82 Mx=-0.01 Mz=-13.58
Sollecitazioni agenti localmente: Ty_l=-1053.29 My_l=-21.52
Tensioni nella sezione: σ=260.81 τ=31.92
CC 23 SLV (Collegamento -041_-375)
Azioni sul collegamento: N=-6246.30 Ty=-7.49 Tz=28.82 Mx=-0.01 Mz=-7.17
Sollecitazioni agenti localmente: Ty_l=-1078.77 My_l=-22.07
Tensioni nella sezione: σ=267.57 τ=32.69
CC 23 SLV (Collegamento -041_-375)
Azioni sul collegamento: N=-6246.30 Ty=-15.25 Tz=-0.46 Mx=-0.01 Mz=-13.58
Sollecitazioni agenti localmente: Ty_l=-1053.29 My_l=-21.52
Tensioni nella sezione: σ=260.81 τ=31.92
CC 23 SLV (Collegamento -041_-375)
Azioni sul collegamento: N=-6246.30 Ty=-7.49 Tz=-0.46 Mx=-0.01 Mz=-7.17
Sollecitazioni agenti localmente: Ty_l=-1078.77 My_l=-22.07
Tensioni nella sezione: σ=267.57 τ=32.69
CC 24 SLD (Collegamento -041_-375)
Azioni sul collegamento: N=-11265.80 Ty=-11.63 Tz=18.26 Mx=-0.01 Mz=-9.21
Sollecitazioni agenti localmente: Ty_l=-1960.47 My_l=-40.14
Tensioni nella sezione: σ=486.52 τ=59.41
CC 24 SLD (Collegamento -041_-375)
Azioni sul collegamento: N=-11265.80 Ty=-9.26 Tz=18.26 Mx=-0.01 Mz=-7.26
Sollecitazioni agenti localmente: Ty_l=-1968.24 My_l=-40.31
Tensioni nella sezione: σ=488.59 τ=59.64
CC 24 SLD (Collegamento -041_-375)
Azioni sul collegamento: N=-11265.80 Ty=-11.63 Tz=9.33 Mx=-0.01 Mz=-9.21
Sollecitazioni agenti localmente: Ty_l=-1960.47 My_l=-40.14
Tensioni nella sezione: σ=486.52 τ=59.41
CC 24 SLD (Collegamento -041_-375)
Azioni sul collegamento: N=-11265.80 Ty=-9.26 Tz=9.33 Mx=-0.01 Mz=-7.26
Sollecitazioni agenti localmente: Ty_l=-1968.24 My_l=-40.31
Tensioni nella sezione: σ=488.59 τ=59.64
CC 24 SLD (Collegamento -041_-375)
Azioni sul collegamento: N=-8874.30 Ty=-11.63 Tz=18.26 Mx=-0.01 Mz=-9.21
Sollecitazioni agenti localmente: Ty_l=-1536.52 My_l=-31.45
Tensioni nella sezione: σ=381.18 τ=46.56
CC 24 SLD (Collegamento -041_-375)
Azioni sul collegamento: N=-8874.30 Ty=-9.26 Tz=18.26 Mx=-0.01 Mz=-7.26
Sollecitazioni agenti localmente: Ty_l=-1544.29 My_l=-31.62
Tensioni nella sezione: σ=383.24 τ=46.80
CC 24 SLD (Collegamento -041_-375)
Azioni sul collegamento: N=-8874.30 Ty=-11.63 Tz=9.33 Mx=-0.01 Mz=-9.21
Sollecitazioni agenti localmente: Ty_l=-1536.52 My_l=-31.45
Tensioni nella sezione: σ=381.18 τ=46.56
CC 24 SLD (Collegamento -041_-375)
Azioni sul collegamento: N=-8874.30 Ty=-9.26 Tz=9.33 Mx=-0.01 Mz=-7.26
Sollecitazioni agenti localmente: Ty_l=-1544.29 My_l=-31.62
Tensioni nella sezione: σ=383.24 τ=46.80
CC 25 SLV (Collegamento -041_-375)

Azioni sul collegamento: N=-8983.80 Ty=-9.43 Tz=9.29 Mx=-0.02 Mz=-7.83
Sollecitazioni agenti localmente: Ty_l=-1561.46 My_l=-31.97
Tensioni nella sezione: σ=387.47 τ=47.32
CC 25 SLV (Collegamento -041_-375)
Azioni sul collegamento: N=-8983.80 Ty=-13.31 Tz=9.29 Mx=-0.02 Mz=-12.93
Sollecitazioni agenti localmente: Ty_l=-1541.17 My_l=-31.52
Tensioni nella sezione: σ=382.08 τ=46.70
CC 25 SLV (Collegamento -041_-375)
Azioni sul collegamento: N=-8983.80 Ty=-9.43 Tz=19.07 Mx=-0.02 Mz=-7.83
Sollecitazioni agenti localmente: Ty_l=-1561.46 My_l=-31.97
Tensioni nella sezione: σ=387.47 τ=47.32
CC 25 SLV (Collegamento -041_-375)
Azioni sul collegamento: N=-8983.80 Ty=-13.31 Tz=19.07 Mx=-0.02 Mz=-12.93
Sollecitazioni agenti localmente: Ty_l=-1541.17 My_l=-31.52
Tensioni nella sezione: σ=382.08 τ=46.70
CC 25 SLV (Collegamento -041_-375)
Azioni sul collegamento: N=-11351.50 Ty=-9.43 Tz=9.29 Mx=-0.02 Mz=-7.83
Sollecitazioni agenti localmente: Ty_l=-1981.18 My_l=-40.57
Tensioni nella sezione: σ=491.76 τ=60.04
CC 25 SLV (Collegamento -041_-375)
Azioni sul collegamento: N=-11351.50 Ty=-13.31 Tz=9.29 Mx=-0.02 Mz=-12.93
Sollecitazioni agenti localmente: Ty_l=-1960.89 My_l=-40.13
Tensioni nella sezione: σ=486.38 τ=59.42
CC 25 SLV (Collegamento -041_-375)
Azioni sul collegamento: N=-11351.50 Ty=-9.43 Tz=19.07 Mx=-0.02 Mz=-7.83
Sollecitazioni agenti localmente: Ty_l=-1981.18 My_l=-40.57
Tensioni nella sezione: σ=491.76 τ=60.04
CC 25 SLV (Collegamento -041_-375)
Azioni sul collegamento: N=-11351.50 Ty=-13.31 Tz=19.07 Mx=-0.02 Mz=-12.93
Sollecitazioni agenti localmente: Ty_l=-1960.89 My_l=-40.13
Tensioni nella sezione: σ=486.38 τ=59.42
CC 26 SLD (Collegamento -041_-375)
Azioni sul collegamento: N=-9709.05 Ty=-9.85 Tz=12.31 Mx=-0.01 Mz=-7.46
Sollecitazioni agenti localmente: Ty_l=-1691.48 My_l=-34.63
Tensioni nella sezione: σ=419.80 τ=51.26
CC 26 SLD (Collegamento -041_-375)
Azioni sul collegamento: N=-9709.05 Ty=-11.04 Tz=12.31 Mx=-0.01 Mz=-9.01
Sollecitazioni agenti localmente: Ty_l=-1685.29 My_l=-34.50
Tensioni nella sezione: σ=418.16 τ=51.07
CC 26 SLD (Collegamento -041_-375)
Azioni sul collegamento: N=-9709.05 Ty=-9.85 Tz=15.29 Mx=-0.01 Mz=-7.46
Sollecitazioni agenti localmente: Ty_l=-1691.48 My_l=-34.63
Tensioni nella sezione: σ=419.80 τ=51.26
CC 26 SLD (Collegamento -041_-375)
Azioni sul collegamento: N=-9709.05 Ty=-11.04 Tz=15.29 Mx=-0.01 Mz=-9.01
Sollecitazioni agenti localmente: Ty_l=-1685.29 My_l=-34.50
Tensioni nella sezione: σ=418.16 τ=51.07
CC 26 SLD (Collegamento -041_-375)
Azioni sul collegamento: N=-10431.00 Ty=-9.85 Tz=12.31 Mx=-0.01 Mz=-7.46
Sollecitazioni agenti localmente: Ty_l=-1819.46 My_l=-37.26
Tensioni nella sezione: σ=451.61 τ=55.14
CC 26 SLD (Collegamento -041_-375)
Azioni sul collegamento: N=-10431.00 Ty=-11.04 Tz=12.31 Mx=-0.01 Mz=-9.01
Sollecitazioni agenti localmente: Ty_l=-1813.28 My_l=-37.12
Tensioni nella sezione: σ=449.96 τ=54.95
CC 26 SLD (Collegamento -041_-375)
Azioni sul collegamento: N=-10431.00 Ty=-9.85 Tz=15.29 Mx=-0.01 Mz=-7.46
Sollecitazioni agenti localmente: Ty_l=-1819.46 My_l=-37.26
Tensioni nella sezione: σ=451.61 τ=55.14
CC 26 SLD (Collegamento -041_-375)
Azioni sul collegamento: N=-10431.00 Ty=-11.04 Tz=15.29 Mx=-0.01 Mz=-9.01
Sollecitazioni agenti localmente: Ty_l=-1813.28 My_l=-37.12
Tensioni nella sezione: σ=449.96 τ=54.95
CC 27 SLV (Collegamento -041_-375)
Azioni sul collegamento: N=-11335.10 Ty=-11.60 Tz=17.98 Mx=-0.02 Mz=-9.43
Sollecitazioni agenti localmente: Ty_l=-1971.89 My_l=-40.37
Tensioni nella sezione: σ=489.35 τ=59.75
CC 27 SLV (Collegamento -041_-375)
Azioni sul collegamento: N=-11335.10 Ty=-11.14 Tz=17.98 Mx=-0.02 Mz=-11.32
Sollecitazioni agenti localmente: Ty_l=-1964.39 My_l=-40.21
Tensioni nella sezione: σ=487.36 τ=59.53
CC 27 SLV (Collegamento -041_-375)
Azioni sul collegamento: N=-11335.10 Ty=-11.60 Tz=10.38 Mx=-0.02 Mz=-9.43
Sollecitazioni agenti localmente: Ty_l=-1971.89 My_l=-40.37
Tensioni nella sezione: σ=489.35 τ=59.75
CC 27 SLV (Collegamento -041_-375)
Azioni sul collegamento: N=-11335.10 Ty=-11.14 Tz=10.38 Mx=-0.02 Mz=-11.32
Sollecitazioni agenti localmente: Ty_l=-1964.39 My_l=-40.21
Tensioni nella sezione: σ=487.36 τ=59.53

CC 27 SLV (Collegamento -041_-375)
Azioni sul collegamento: N=-9000.13 Ty=-11.60 Tz=17.98 Mx=-0.02 Mz=-9.43
Sollecitazioni agenti localmente: Ty_l=-1557.96 My_l=-31.89
Tensioni nella sezione: σ=386.49 τ=47.21
CC 27 SLV (Collegamento -041_-375)
Azioni sul collegamento: N=-9000.13 Ty=-11.14 Tz=17.98 Mx=-0.02 Mz=-11.32
Sollecitazioni agenti localmente: Ty_l=-1550.46 My_l=-31.72
Tensioni nella sezione: σ=384.50 τ=46.98
CC 27 SLV (Collegamento -041_-375)
Azioni sul collegamento: N=-9000.13 Ty=-11.60 Tz=10.38 Mx=-0.02 Mz=-9.43
Sollecitazioni agenti localmente: Ty_l=-1557.96 My_l=-31.89
Tensioni nella sezione: σ=386.49 τ=47.21
CC 27 SLV (Collegamento -041_-375)
Azioni sul collegamento: N=-9000.13 Ty=-11.14 Tz=10.38 Mx=-0.02 Mz=-11.32
Sollecitazioni agenti localmente: Ty_l=-1550.46 My_l=-31.72
Tensioni nella sezione: σ=384.50 τ=46.98
CC 28 SLD (Collegamento -041_-375)
Azioni sul collegamento: N=-10426.00 Ty=-10.51 Tz=14.95 Mx=-0.01 Mz=-7.95
Sollecitazioni agenti localmente: Ty_l=-1816.63 My_l=-37.20
Tensioni nella sezione: σ=450.87 τ=55.05
CC 28 SLD (Collegamento -041_-375)
Azioni sul collegamento: N=-10426.00 Ty=-10.37 Tz=14.95 Mx=-0.01 Mz=-8.52
Sollecitazioni agenti localmente: Ty_l=-1814.35 My_l=-37.15
Tensioni nella sezione: σ=450.26 τ=54.98
CC 28 SLD (Collegamento -041_-375)
Azioni sul collegamento: N=-10426.00 Ty=-10.51 Tz=12.64 Mx=-0.01 Mz=-7.95
Sollecitazioni agenti localmente: Ty_l=-1816.63 My_l=-37.20
Tensioni nella sezione: σ=450.87 τ=55.05
CC 28 SLD (Collegamento -041_-375)
Azioni sul collegamento: N=-10426.00 Ty=-10.37 Tz=12.64 Mx=-0.01 Mz=-8.52
Sollecitazioni agenti localmente: Ty_l=-1814.35 My_l=-37.15
Tensioni nella sezione: σ=450.26 τ=54.98
CC 28 SLD (Collegamento -041_-375)
Azioni sul collegamento: N=-9714.03 Ty=-10.51 Tz=14.95 Mx=-0.01 Mz=-7.95
Sollecitazioni agenti localmente: Ty_l=-1690.41 My_l=-34.61
Tensioni nella sezione: σ=419.50 τ=51.22
CC 28 SLD (Collegamento -041_-375)
Azioni sul collegamento: N=-9714.03 Ty=-10.37 Tz=14.95 Mx=-0.01 Mz=-8.52
Sollecitazioni agenti localmente: Ty_l=-1688.13 My_l=-34.56
Tensioni nella sezione: σ=418.90 τ=51.16
CC 28 SLD (Collegamento -041_-375)
Azioni sul collegamento: N=-9714.03 Ty=-10.51 Tz=12.64 Mx=-0.01 Mz=-7.95
Sollecitazioni agenti localmente: Ty_l=-1690.41 My_l=-34.61
Tensioni nella sezione: σ=419.50 τ=51.22
CC 28 SLD (Collegamento -041_-375)
Azioni sul collegamento: N=-9714.03 Ty=-10.37 Tz=12.64 Mx=-0.01 Mz=-8.52
Sollecitazioni agenti localmente: Ty_l=-1688.13 My_l=-34.56
Tensioni nella sezione: σ=418.90 τ=51.16
CC 29 SLV (Collegamento -041_-375)
Azioni sul collegamento: N=-9000.13 Ty=-11.14 Tz=10.38 Mx=-0.01 Mz=-11.32
Sollecitazioni agenti localmente: Ty_l=-1550.46 My_l=-31.72
Tensioni nella sezione: σ=384.50 τ=46.98
CC 29 SLV (Collegamento -041_-375)
Azioni sul collegamento: N=-9000.13 Ty=-11.60 Tz=10.38 Mx=-0.01 Mz=-9.43
Sollecitazioni agenti localmente: Ty_l=-1557.96 My_l=-31.89
Tensioni nella sezione: σ=386.49 τ=47.21
CC 29 SLV (Collegamento -041_-375)
Azioni sul collegamento: N=-9000.13 Ty=-11.14 Tz=17.98 Mx=-0.01 Mz=-11.32
Sollecitazioni agenti localmente: Ty_l=-1550.46 My_l=-31.72
Tensioni nella sezione: σ=384.50 τ=46.98
CC 29 SLV (Collegamento -041_-375)
Azioni sul collegamento: N=-9000.13 Ty=-11.60 Tz=17.98 Mx=-0.01 Mz=-9.43
Sollecitazioni agenti localmente: Ty_l=-1557.96 My_l=-31.89
Tensioni nella sezione: σ=386.49 τ=47.21
CC 29 SLV (Collegamento -041_-375)
Azioni sul collegamento: N=-11335.10 Ty=-11.14 Tz=10.38 Mx=-0.01 Mz=-11.32
Sollecitazioni agenti localmente: Ty_l=-1964.39 My_l=-40.21
Tensioni nella sezione: σ=487.36 τ=59.53
CC 29 SLV (Collegamento -041_-375)
Azioni sul collegamento: N=-11335.10 Ty=-11.60 Tz=10.38 Mx=-0.01 Mz=-9.43
Sollecitazioni agenti localmente: Ty_l=-1971.89 My_l=-40.37
Tensioni nella sezione: σ=489.35 τ=59.75
CC 29 SLV (Collegamento -041_-375)
Azioni sul collegamento: N=-11335.10 Ty=-11.14 Tz=17.98 Mx=-0.01 Mz=-11.32
Sollecitazioni agenti localmente: Ty_l=-1964.39 My_l=-40.21
Tensioni nella sezione: σ=487.36 τ=59.53
CC 29 SLV (Collegamento -041_-375)
Azioni sul collegamento: N=-11335.10 Ty=-11.60 Tz=17.98 Mx=-0.01 Mz=-9.43
Sollecitazioni agenti localmente: Ty_l=-1971.89 My_l=-40.37

Tensioni nella sezione: σ=489.35 τ=59.75
CC 30 SLD (Collegamento -041_-375)
Azioni sul collegamento: N=-9714.03 Ty=-10.37 Tz=12.64 Mx=-0.00 Mz=-8.52
Sollecitazioni agenti localmente: Ty_l=-1688.13 My_l=-34.56
Tensioni nella sezione: σ=418.90 τ=51.16
CC 30 SLD (Collegamento -041_-375)
Azioni sul collegamento: N=-9714.03 Ty=-10.51 Tz=12.64 Mx=-0.00 Mz=-7.95
Sollecitazioni agenti localmente: Ty_l=-1690.41 My_l=-34.61
Tensioni nella sezione: σ=419.50 τ=51.22
CC 30 SLD (Collegamento -041_-375)
Azioni sul collegamento: N=-9714.03 Ty=-10.37 Tz=14.95 Mx=-0.00 Mz=-8.52
Sollecitazioni agenti localmente: Ty_l=-1688.13 My_l=-34.56
Tensioni nella sezione: σ=418.90 τ=51.16
CC 30 SLD (Collegamento -041_-375)
Azioni sul collegamento: N=-9714.03 Ty=-10.51 Tz=14.95 Mx=-0.00 Mz=-7.95
Sollecitazioni agenti localmente: Ty_l=-1690.41 My_l=-34.61
Tensioni nella sezione: σ=419.50 τ=51.22
CC 30 SLD (Collegamento -041_-375)
Azioni sul collegamento: N=-10426.00 Ty=-10.37 Tz=12.64 Mx=-0.00 Mz=-8.52
Sollecitazioni agenti localmente: Ty_l=-1814.35 My_l=-37.15
Tensioni nella sezione: σ=450.26 τ=54.98
CC 30 SLD (Collegamento -041_-375)
Azioni sul collegamento: N=-10426.00 Ty=-10.51 Tz=12.64 Mx=-0.00 Mz=-7.95
Sollecitazioni agenti localmente: Ty_l=-1816.63 My_l=-37.20
Tensioni nella sezione: σ=450.87 τ=55.05
CC 30 SLD (Collegamento -041_-375)
Azioni sul collegamento: N=-10426.00 Ty=-10.37 Tz=14.95 Mx=-0.00 Mz=-8.52
Sollecitazioni agenti localmente: Ty_l=-1814.35 My_l=-37.15
Tensioni nella sezione: σ=450.26 τ=54.98
CC 30 SLD (Collegamento -041_-375)
Azioni sul collegamento: N=-10426.00 Ty=-10.51 Tz=14.95 Mx=-0.00 Mz=-7.95
Sollecitazioni agenti localmente: Ty_l=-1816.63 My_l=-37.20
Tensioni nella sezione: σ=450.87 τ=55.05
CC 31 SLV (Collegamento -041_-375)
Azioni sul collegamento: N=-11351.50 Ty=-13.31 Tz=19.07 Mx=-0.01 Mz=-12.93
Sollecitazioni agenti localmente: Ty_l=-1960.89 My_l=-40.13
Tensioni nella sezione: σ=486.38 τ=59.42
CC 31 SLV (Collegamento -041_-375)
Azioni sul collegamento: N=-11351.50 Ty=-9.43 Tz=19.07 Mx=-0.01 Mz=-7.83
Sollecitazioni agenti localmente: Ty_l=-1981.18 My_l=-40.57
Tensioni nella sezione: σ=491.76 τ=60.04
CC 31 SLV (Collegamento -041_-375)
Azioni sul collegamento: N=-11351.50 Ty=-13.31 Tz=9.29 Mx=-0.01 Mz=-12.93
Sollecitazioni agenti localmente: Ty_l=-1960.89 My_l=-40.13
Tensioni nella sezione: σ=486.38 τ=59.42
CC 31 SLV (Collegamento -041_-375)
Azioni sul collegamento: N=-11351.50 Ty=-9.43 Tz=9.29 Mx=-0.01 Mz=-7.83
Sollecitazioni agenti localmente: Ty_l=-1981.18 My_l=-40.57
Tensioni nella sezione: σ=491.76 τ=60.04
CC 31 SLV (Collegamento -041_-375)
Azioni sul collegamento: N=-8983.80 Ty=-13.31 Tz=19.07 Mx=-0.01 Mz=-12.93
Sollecitazioni agenti localmente: Ty_l=-1541.17 My_l=-31.52
Tensioni nella sezione: σ=382.08 τ=46.70
CC 31 SLV (Collegamento -041_-375)
Azioni sul collegamento: N=-8983.80 Ty=-9.43 Tz=19.07 Mx=-0.01 Mz=-7.83
Sollecitazioni agenti localmente: Ty_l=-1561.46 My_l=-31.97
Tensioni nella sezione: σ=387.47 τ=47.32
CC 31 SLV (Collegamento -041_-375)
Azioni sul collegamento: N=-8983.80 Ty=-13.31 Tz=9.29 Mx=-0.01 Mz=-12.93
Sollecitazioni agenti localmente: Ty_l=-1541.17 My_l=-31.52
Tensioni nella sezione: σ=382.08 τ=46.70
CC 31 SLV (Collegamento -041_-375)
Azioni sul collegamento: N=-8983.80 Ty=-9.43 Tz=9.29 Mx=-0.01 Mz=-7.83
Sollecitazioni agenti localmente: Ty_l=-1561.46 My_l=-31.97
Tensioni nella sezione: σ=387.47 τ=47.32
CC 32 SLD (Collegamento -041_-375)
Azioni sul collegamento: N=-10431.00 Ty=-11.04 Tz=15.29 Mx=-0.00 Mz=-9.01
Sollecitazioni agenti localmente: Ty_l=-1813.28 My_l=-37.12
Tensioni nella sezione: σ=449.96 τ=54.95
CC 32 SLD (Collegamento -041_-375)
Azioni sul collegamento: N=-10431.00 Ty=-9.85 Tz=15.29 Mx=-0.00 Mz=-7.46
Sollecitazioni agenti localmente: Ty_l=-1819.46 My_l=-37.26
Tensioni nella sezione: σ=451.61 τ=55.14
CC 32 SLD (Collegamento -041_-375)
Azioni sul collegamento: N=-10431.00 Ty=-11.04 Tz=12.31 Mx=-0.00 Mz=-9.01
Sollecitazioni agenti localmente: Ty_l=-1813.28 My_l=-37.12
Tensioni nella sezione: σ=449.96 τ=54.95
CC 32 SLD (Collegamento -041_-375)
Azioni sul collegamento: N=-10431.00 Ty=-9.85 Tz=12.31 Mx=-0.00 Mz=-7.46

Sollecitazioni agenti localmente: Ty_l=-1819.46 My_l=-37.26
Tensioni nella sezione: σ=451.61 τ=55.14
CC 32 SLD (Collegamento -041_-375)
Azioni sul collegamento: N=-9709.05 Ty=-11.04 Tz=15.29 Mx=-0.00 Mz=-9.01
Sollecitazioni agenti localmente: Ty_l=-1685.29 My_l=-34.50
Tensioni nella sezione: σ=418.16 τ=51.07
CC 32 SLD (Collegamento -041_-375)
Azioni sul collegamento: N=-9709.05 Ty=-9.85 Tz=15.29 Mx=-0.00 Mz=-7.46
Sollecitazioni agenti localmente: Ty_l=-1691.48 My_l=-34.63
Tensioni nella sezione: σ=419.80 τ=51.26
CC 32 SLD (Collegamento -041_-375)
Azioni sul collegamento: N=-9709.05 Ty=-11.04 Tz=12.31 Mx=-0.00 Mz=-9.01
Sollecitazioni agenti localmente: Ty_l=-1685.29 My_l=-34.50
Tensioni nella sezione: σ=418.16 τ=51.07
CC 32 SLD (Collegamento -041_-375)
Azioni sul collegamento: N=-9709.05 Ty=-9.85 Tz=12.31 Mx=-0.00 Mz=-7.46
Sollecitazioni agenti localmente: Ty_l=-1691.48 My_l=-34.63
Tensioni nella sezione: σ=419.80 τ=51.26
CC 33 SLU (Collegamento -041_-375)
Azioni sul collegamento: N=-36642.60 Ty=-20.20 Tz=103.27 Mx=-0.00 Mz=-14.84
Sollecitazioni agenti localmente: Ty_l=-6436.70 My_l=-131.87
Tensioni nella sezione: σ=1598.42 τ=195.05
CC 34 SLU (Collegamento -041_-375)
Azioni sul collegamento: N=-37458.50 Ty=-20.96 Tz=106.28 Mx=-0.00 Mz=-15.40
Sollecitazioni agenti localmente: Ty_l=-6579.14 My_l=-134.79
Tensioni nella sezione: σ=1633.78 τ=199.37
CC 35 SLU (Collegamento -041_-375)
Azioni sul collegamento: N=-37049.70 Ty=-20.49 Tz=104.83 Mx=-0.01 Mz=-14.94
Sollecitazioni agenti localmente: Ty_l=-6508.49 My_l=-133.34
Tensioni nella sezione: σ=1616.25 τ=197.23
CC 36 SLU (Collegamento -041_-375)
Azioni sul collegamento: N=-37051.40 Ty=-20.67 Tz=104.72 Mx=-0.00 Mz=-15.30
Sollecitazioni agenti localmente: Ty_l=-6507.35 My_l=-133.32
Tensioni nella sezione: σ=1615.95 τ=197.19
CC 37 SLU (Collegamento -041_-375)
Azioni sul collegamento: N=-29860.20 Ty=10.64 Tz=77.84 Mx=-0.00 Mz=8.54
Sollecitazioni agenti localmente: Ty_l=-5327.38 My_l=-109.26
Tensioni nella sezione: σ=1324.35 τ=161.44
CC 38 SLU (Collegamento -041_-375)
Azioni sul collegamento: N=-30676.20 Ty=9.89 Tz=80.85 Mx=-0.00 Mz=7.98
Sollecitazioni agenti localmente: Ty_l=-5469.81 My_l=-112.18
Tensioni nella sezione: σ=1359.70 τ=165.75
CC 39 SLU (Collegamento -041_-375)
Azioni sul collegamento: N=-30267.30 Ty=10.35 Tz=79.40 Mx=-0.01 Mz=8.45
Sollecitazioni agenti localmente: Ty_l=-5399.16 My_l=-110.73
Tensioni nella sezione: σ=1342.18 τ=163.61
CC 40 SLU (Collegamento -041_-375)
Azioni sul collegamento: N=-30269.10 Ty=10.18 Tz=79.28 Mx=-0.00 Mz=8.08
Sollecitazioni agenti localmente: Ty_l=-5398.03 My_l=-110.70
Tensioni nella sezione: σ=1341.87 τ=163.58
CC 41 SLU (Collegamento -041_-375)
Azioni sul collegamento: N=-27459.80 Ty=-19.36 Tz=69.55 Mx=-0.00 Mz=-14.09
Sollecitazioni agenti localmente: Ty_l=-4811.82 My_l=-98.56
Tensioni nella sezione: σ=1194.71 τ=145.81
CC 42 SLU (Collegamento -041_-375)
Azioni sul collegamento: N=-28275.70 Ty=-20.11 Tz=72.57 Mx=-0.00 Mz=-14.65
Sollecitazioni agenti localmente: Ty_l=-4954.25 My_l=-101.48
Tensioni nella sezione: σ=1230.07 τ=150.13
CC 43 SLU (Collegamento -041_-375)
Azioni sul collegamento: N=-27866.90 Ty=-19.65 Tz=71.12 Mx=-0.01 Mz=-14.19
Sollecitazioni agenti localmente: Ty_l=-4883.60 My_l=-100.03
Tensioni nella sezione: σ=1212.54 τ=147.99
CC 44 SLU (Collegamento -041_-375)
Azioni sul collegamento: N=-27868.60 Ty=-19.82 Tz=71.00 Mx=-0.00 Mz=-14.55
Sollecitazioni agenti localmente: Ty_l=-4882.47 My_l=-100.01
Tensioni nella sezione: σ=1212.24 τ=147.95
CC 45 SLU (Collegamento -041_-375)
Azioni sul collegamento: N=-29479.00 Ty=-19.57 Tz=76.97 Mx=-0.00 Mz=-14.38
Sollecitazioni agenti localmente: Ty_l=-5168.63 My_l=-105.88
Tensioni nella sezione: σ=1283.36 τ=156.63
CC 46 SLU (Collegamento -041_-375)
Azioni sul collegamento: N=-30295.00 Ty=-20.33 Tz=79.99 Mx=-0.00 Mz=-14.94
Sollecitazioni agenti localmente: Ty_l=-5311.06 My_l=-108.79
Tensioni nella sezione: σ=1318.71 τ=160.94
CC 47 SLU (Collegamento -041_-375)
Azioni sul collegamento: N=-29886.10 Ty=-19.86 Tz=78.54 Mx=-0.00 Mz=-14.48
Sollecitazioni agenti localmente: Ty_l=-5240.41 My_l=-107.35
Tensioni nella sezione: σ=1301.19 τ=158.80
CC 48 SLU (Collegamento -041_-375)

Azioni sul collegamento: N=-29887.90 Ty=-20.04 Tz=78.42 Mx=-0.00 Mz=-14.84
Sollecitazioni agenti localmente: Ty_l=-5239.28 My_l=-107.32
Tensioni nella sezione: σ=1300.88 τ=158.77
CC 49 SLU (Collegamento -041_-375)
Azioni sul collegamento: N=-24404.80 Ty=3.50 Tz=57.94 Mx=-0.00 Mz=3.11
Sollecitazioni agenti localmente: Ty_l=-4338.69 My_l=-88.96
Tensioni nella sezione: σ=1078.31 τ=131.47
CC 50 SLU (Collegamento -041_-375)
Azioni sul collegamento: N=-25220.80 Ty=2.75 Tz=60.96 Mx=-0.00 Mz=2.55
Sollecitazioni agenti localmente: Ty_l=-4481.12 My_l=-91.88
Tensioni nella sezione: σ=1113.66 τ=135.79
CC 51 SLU (Collegamento -041_-375)
Azioni sul collegamento: N=-24811.90 Ty=3.21 Tz=59.51 Mx=-0.00 Mz=3.02
Sollecitazioni agenti localmente: Ty_l=-4410.48 My_l=-90.43
Tensioni nella sezione: σ=1096.14 τ=133.65
CC 52 SLU (Collegamento -041_-375)
Azioni sul collegamento: N=-24813.70 Ty=3.04 Tz=59.39 Mx=-0.00 Mz=2.65
Sollecitazioni agenti localmente: Ty_l=-4409.34 My_l=-90.41
Tensioni nella sezione: σ=1095.83 τ=133.62
CC 53 SLU (Collegamento -041_-375)
Azioni sul collegamento: N=-22608.90 Ty=-18.94 Tz=51.75 Mx=-0.00 Mz=-13.82
Sollecitazioni agenti localmente: Ty_l=-3952.98 My_l=-80.96
Tensioni nella sezione: σ=981.32 τ=119.79
CC 54 SLU (Collegamento -041_-375)
Azioni sul collegamento: N=-23424.90 Ty=-19.70 Tz=54.76 Mx=-0.00 Mz=-14.38
Sollecitazioni agenti localmente: Ty_l=-4095.41 My_l=-83.88
Tensioni nella sezione: σ=1016.68 τ=124.10
CC 55 SLU (Collegamento -041_-375)
Azioni sul collegamento: N=-23016.00 Ty=-19.23 Tz=53.31 Mx=-0.00 Mz=-13.92
Sollecitazioni agenti localmente: Ty_l=-4024.76 My_l=-82.43
Tensioni nella sezione: σ=999.15 τ=121.96
CC 56 SLU (Collegamento -041_-375)
Azioni sul collegamento: N=-23017.80 Ty=-19.41 Tz=53.20 Mx=-0.00 Mz=-14.28
Sollecitazioni agenti localmente: Ty_l=-4023.62 My_l=-82.40
Tensioni nella sezione: σ=998.85 τ=121.93
CC 57 SLU (Collegamento -041_-375)
Azioni sul collegamento: N=-30221.30 Ty=-20.56 Tz=79.74 Mx=-0.00 Mz=-15.10
Sollecitazioni agenti localmente: Ty_l=-5297.33 My_l=-108.51
Tensioni nella sezione: σ=1315.29 τ=160.53
CC 58 SLU (Collegamento -041_-375)
Azioni sul collegamento: N=-31037.20 Ty=-21.31 Tz=82.75 Mx=-0.00 Mz=-15.66
Sollecitazioni agenti localmente: Ty_l=-5439.76 My_l=-111.43
Tensioni nella sezione: σ=1350.64 τ=164.84
CC 59 SLU (Collegamento -041_-375)
Azioni sul collegamento: N=-30628.40 Ty=-20.85 Tz=81.31 Mx=-0.00 Mz=-15.20
Sollecitazioni agenti localmente: Ty_l=-5369.11 My_l=-109.98
Tensioni nella sezione: σ=1333.12 τ=162.70
CC 60 SLU (Collegamento -041_-375)
Azioni sul collegamento: N=-30630.10 Ty=-21.02 Tz=81.19 Mx=-0.00 Mz=-15.57
Sollecitazioni agenti localmente: Ty_l=-5367.97 My_l=-109.96
Tensioni nella sezione: σ=1332.81 τ=162.67
CC 61 SLU (Collegamento -041_-375)
Azioni sul collegamento: N=-25147.00 Ty=2.52 Tz=60.71 Mx=-0.00 Mz=2.39
Sollecitazioni agenti localmente: Ty_l=-4467.39 My_l=-91.59
Tensioni nella sezione: σ=1110.24 τ=135.38
CC 62 SLU (Collegamento -041_-375)
Azioni sul collegamento: N=-25963.00 Ty=1.76 Tz=63.73 Mx=-0.00 Mz=1.83
Sollecitazioni agenti localmente: Ty_l=-4609.82 My_l=-94.51
Tensioni nella sezione: σ=1145.59 τ=139.69
CC 63 SLU (Collegamento -041_-375)
Azioni sul collegamento: N=-25554.10 Ty=2.23 Tz=62.28 Mx=-0.00 Mz=2.29
Sollecitazioni agenti localmente: Ty_l=-4539.17 My_l=-93.07
Tensioni nella sezione: σ=1128.07 τ=137.55
CC 64 SLU (Collegamento -041_-375)
Azioni sul collegamento: N=-25555.90 Ty=2.05 Tz=62.16 Mx=-0.00 Mz=1.93
Sollecitazioni agenti localmente: Ty_l=-4538.03 My_l=-93.04
Tensioni nella sezione: σ=1127.76 τ=137.52
CC 65 SLU (Collegamento -041_-375)
Azioni sul collegamento: N=-23351.20 Ty=-19.92 Tz=54.52 Mx=-0.00 Mz=-14.54
Sollecitazioni agenti localmente: Ty_l=-4081.67 My_l=-83.59
Tensioni nella sezione: σ=1013.25 τ=123.69
CC 66 SLU (Collegamento -041_-375)
Azioni sul collegamento: N=-24167.10 Ty=-20.68 Tz=57.53 Mx=-0.00 Mz=-15.10
Sollecitazioni agenti localmente: Ty_l=-4224.10 My_l=-86.51
Tensioni nella sezione: σ=1048.61 τ=128.00
CC 67 SLU (Collegamento -041_-375)
Azioni sul collegamento: N=-23758.30 Ty=-20.21 Tz=56.08 Mx=-0.00 Mz=-14.64
Sollecitazioni agenti localmente: Ty_l=-4153.46 My_l=-85.06
Tensioni nella sezione: σ=1031.08 τ=125.86

CC 68 SLU (Collegamento -041_-375)
Azioni sul collegamento: N=-23760.00 Ty=-20.39 Tz=55.97 Mx=-0.00 Mz=-15.01
Sollecitazioni agenti localmente: Ty_l=-4152.32 My_l=-85.04
Tensioni nella sezione: σ=1030.78 τ=125.83
CC 97 SLU (Collegamento -041_-375)
Azioni sul collegamento: N=-31084.20 Ty=-25.01 Tz=90.82 Mx=0.05 Mz=-11.42
Sollecitazioni agenti localmente: Ty_l=-5464.97 My_l=-111.97
Tensioni nella sezione: σ=1357.19 τ=165.60
CC 98 SLU (Collegamento -041_-375)
Azioni sul collegamento: N=-31900.20 Ty=-25.76 Tz=93.83 Mx=0.05 Mz=-11.97
Sollecitazioni agenti localmente: Ty_l=-5607.41 My_l=-114.89
Tensioni nella sezione: σ=1392.55 τ=169.92
CC 99 SLU (Collegamento -041_-375)
Azioni sul collegamento: N=-31491.30 Ty=-25.30 Tz=92.39 Mx=0.05 Mz=-11.51
Sollecitazioni agenti localmente: Ty_l=-5536.76 My_l=-113.44
Tensioni nella sezione: σ=1375.02 τ=167.78
CC 100 SLU (Collegamento -041_-375)
Azioni sul collegamento: N=-31493.10 Ty=-25.48 Tz=92.27 Mx=0.05 Mz=-11.88
Sollecitazioni agenti localmente: Ty_l=-5535.62 My_l=-113.41
Tensioni nella sezione: σ=1374.72 τ=167.75
CC 101 SLU (Collegamento -041_-375)
Azioni sul collegamento: N=-8294.89 Ty=-5.21 Tz=7.37 Mx=-0.01 Mz=-4.43
Sollecitazioni agenti localmente: Ty_l=-1452.83 My_l=-29.76
Tensioni nella sezione: σ=360.71 τ=44.03
CC 102 SLU (Collegamento -041_-375)
Azioni sul collegamento: N=-9110.88 Ty=-5.97 Tz=10.39 Mx=-0.01 Mz=-4.99
Sollecitazioni agenti localmente: Ty_l=-1595.26 My_l=-32.68
Tensioni nella sezione: σ=396.06 τ=48.34
CC 103 SLU (Collegamento -041_-375)
Azioni sul collegamento: N=-8702.00 Ty=-5.50 Tz=8.94 Mx=-0.01 Mz=-4.53
Sollecitazioni agenti localmente: Ty_l=-1524.62 My_l=-31.23
Tensioni nella sezione: σ=378.54 τ=46.20
CC 104 SLU (Collegamento -041_-375)
Azioni sul collegamento: N=-8703.78 Ty=-5.68 Tz=8.82 Mx=-0.01 Mz=-4.89
Sollecitazioni agenti localmente: Ty_l=-1523.48 My_l=-31.20
Tensioni nella sezione: σ=378.23 τ=46.17

Flessione attacco sinistro piastra

Bnetta=220.00 Hnetta=15.00
CC 1 SLV (Collegamento -041_-375)
Azioni sul collegamento: N=-5965.50 Ty=-4.83 Tz=-1.56 Mx=0.01 Mz=-1.02
Sollecitazioni agenti localmente: Ty_l=-1061.58 My_l=-21.77
Tensioni nella sezione: σ=263.85 τ=32.17
CC 1 SLV (Collegamento -041_-375)
Azioni sul collegamento: N=-5965.50 Ty=-12.58 Tz=-1.56 Mx=0.01 Mz=-7.43
Sollecitazioni agenti localmente: Ty_l=-1087.06 My_l=-22.33
Tensioni nella sezione: σ=270.62 τ=32.94
CC 1 SLV (Collegamento -041_-375)
Azioni sul collegamento: N=-5965.50 Ty=-4.83 Tz=27.71 Mx=0.01 Mz=-1.02
Sollecitazioni agenti localmente: Ty_l=-1061.58 My_l=-21.77
Tensioni nella sezione: σ=263.85 τ=32.17
CC 1 SLV (Collegamento -041_-375)
Azioni sul collegamento: N=-5965.50 Ty=-12.58 Tz=27.71 Mx=0.01 Mz=-7.43
Sollecitazioni agenti localmente: Ty_l=-1087.06 My_l=-22.33
Tensioni nella sezione: σ=270.62 τ=32.94
CC 1 SLV (Collegamento -041_-375)
Azioni sul collegamento: N=-13808.10 Ty=-4.83 Tz=-1.56 Mx=0.01 Mz=-1.02
Sollecitazioni agenti localmente: Ty_l=-2451.86 My_l=-50.27
Tensioni nella sezione: σ=609.32 τ=74.30
CC 1 SLV (Collegamento -041_-375)
Azioni sul collegamento: N=-13808.10 Ty=-12.58 Tz=-1.56 Mx=0.01 Mz=-7.43
Sollecitazioni agenti localmente: Ty_l=-2477.34 My_l=-50.83
Tensioni nella sezione: σ=616.08 τ=75.07
CC 1 SLV (Collegamento -041_-375)
Azioni sul collegamento: N=-13808.10 Ty=-4.83 Tz=27.71 Mx=0.01 Mz=-1.02
Sollecitazioni agenti localmente: Ty_l=-2451.86 My_l=-50.27
Tensioni nella sezione: σ=609.32 τ=74.30
CC 1 SLV (Collegamento -041_-375)
Azioni sul collegamento: N=-13808.10 Ty=-12.58 Tz=27.71 Mx=0.01 Mz=-7.43
Sollecitazioni agenti localmente: Ty_l=-2477.34 My_l=-50.83
Tensioni nella sezione: σ=616.08 τ=75.07
CC 2 SLD (Collegamento -041_-375)
Azioni sul collegamento: N=-8788.68 Ty=-8.45 Tz=9.00 Mx=0.00 Mz=-5.38
Sollecitazioni agenti localmente: Ty_l=-1579.41 My_l=-32.41
Tensioni nella sezione: σ=392.82 τ=47.86
CC 2 SLD (Collegamento -041_-375)
Azioni sul collegamento: N=-8788.68 Ty=-10.81 Tz=9.00 Mx=0.00 Mz=-7.34
Sollecitazioni agenti localmente: Ty_l=-1587.18 My_l=-32.58

Tensioni nella sezione: σ=394.88 τ=48.10
CC 2 SLD (Collegamento -041_-375)
Azioni sul collegamento: N=-8788.68 Ty=-8.45 Tz=17.92 Mx=0.00 Mz=-5.38
Sollecitazioni agenti localmente: Ty_l=-1579.41 My_l=-32.41
Tensioni nella sezione: σ=392.82 τ=47.86
CC 2 SLD (Collegamento -041_-375)
Azioni sul collegamento: N=-8788.68 Ty=-10.81 Tz=17.92 Mx=0.00 Mz=-7.34
Sollecitazioni agenti localmente: Ty_l=-1587.18 My_l=-32.58
Tensioni nella sezione: σ=394.88 τ=48.10
CC 2 SLD (Collegamento -041_-375)
Azioni sul collegamento: N=-11180.10 Ty=-8.45 Tz=8.99 Mx=0.00 Mz=-5.38
Sollecitazioni agenti localmente: Ty_l=-2003.35 My_l=-41.10
Tensioni nella sezione: σ=498.17 τ=60.71
CC 2 SLD (Collegamento -041_-375)
Azioni sul collegamento: N=-11180.10 Ty=-10.81 Tz=8.99 Mx=0.00 Mz=-7.34
Sollecitazioni agenti localmente: Ty_l=-2011.12 My_l=-41.27
Tensioni nella sezione: σ=500.23 τ=60.94
CC 2 SLD (Collegamento -041_-375)
Azioni sul collegamento: N=-11180.10 Ty=-8.45 Tz=17.92 Mx=0.00 Mz=-5.38
Sollecitazioni agenti localmente: Ty_l=-2003.35 My_l=-41.10
Tensioni nella sezione: σ=498.17 τ=60.71
CC 2 SLD (Collegamento -041_-375)
Azioni sul collegamento: N=-11180.10 Ty=-10.81 Tz=17.92 Mx=0.00 Mz=-7.34
Sollecitazioni agenti localmente: Ty_l=-2011.12 My_l=-41.27
Tensioni nella sezione: σ=500.23 τ=60.94
CC 3 SLV (Collegamento -041_-375)
Azioni sul collegamento: N=-5970.40 Ty=-5.34 Tz=-1.24 Mx=0.01 Mz=-2.07
Sollecitazioni agenti localmente: Ty_l=-1066.61 My_l=-21.88
Tensioni nella sezione: σ=265.18 τ=32.32
CC 3 SLV (Collegamento -041_-375)
Azioni sul collegamento: N=-5970.40 Ty=-12.07 Tz=-1.24 Mx=0.01 Mz=-6.38
Sollecitazioni agenti localmente: Ty_l=-1083.76 My_l=-22.25
Tensioni nella sezione: σ=269.73 τ=32.84
CC 3 SLV (Collegamento -041_-375)
Azioni sul collegamento: N=-5970.40 Ty=-5.34 Tz=27.38 Mx=0.01 Mz=-2.07
Sollecitazioni agenti localmente: Ty_l=-1066.61 My_l=-21.88
Tensioni nella sezione: σ=265.18 τ=32.32
CC 3 SLV (Collegamento -041_-375)
Azioni sul collegamento: N=-5970.40 Ty=-12.07 Tz=27.38 Mx=0.01 Mz=-6.38
Sollecitazioni agenti localmente: Ty_l=-1083.76 My_l=-22.25
Tensioni nella sezione: σ=269.73 τ=32.84
CC 3 SLV (Collegamento -041_-375)
Azioni sul collegamento: N=-13803.30 Ty=-5.34 Tz=-1.24 Mx=0.01 Mz=-2.07
Sollecitazioni agenti localmente: Ty_l=-2455.16 My_l=-50.34
Tensioni nella sezione: σ=610.21 τ=74.40
CC 3 SLV (Collegamento -041_-375)
Azioni sul collegamento: N=-13803.30 Ty=-12.07 Tz=-1.24 Mx=0.01 Mz=-6.38
Sollecitazioni agenti localmente: Ty_l=-2472.31 My_l=-50.72
Tensioni nella sezione: σ=614.76 τ=74.92
CC 3 SLV (Collegamento -041_-375)
Azioni sul collegamento: N=-13803.30 Ty=-5.34 Tz=27.38 Mx=0.01 Mz=-2.07
Sollecitazioni agenti localmente: Ty_l=-2455.16 My_l=-50.34
Tensioni nella sezione: σ=610.21 τ=74.40
CC 3 SLV (Collegamento -041_-375)
Azioni sul collegamento: N=-13803.30 Ty=-12.07 Tz=27.38 Mx=0.01 Mz=-6.38
Sollecitazioni agenti localmente: Ty_l=-2472.31 My_l=-50.72
Tensioni nella sezione: σ=614.76 τ=74.92
CC 4 SLD (Collegamento -041_-375)
Azioni sul collegamento: N=-8790.17 Ty=-8.61 Tz=9.10 Mx=0.00 Mz=-5.70
Sollecitazioni agenti localmente: Ty_l=-1580.94 My_l=-32.44
Tensioni nella sezione: σ=393.23 τ=47.91
CC 4 SLD (Collegamento -041_-375)
Azioni sul collegamento: N=-8790.17 Ty=-10.66 Tz=9.10 Mx=0.00 Mz=-7.02
Sollecitazioni agenti localmente: Ty_l=-1586.17 My_l=-32.56
Tensioni nella sezione: σ=394.61 τ=48.07
CC 4 SLD (Collegamento -041_-375)
Azioni sul collegamento: N=-8790.17 Ty=-8.61 Tz=17.82 Mx=0.00 Mz=-5.70
Sollecitazioni agenti localmente: Ty_l=-1580.94 My_l=-32.44
Tensioni nella sezione: σ=393.23 τ=47.91
CC 4 SLD (Collegamento -041_-375)
Azioni sul collegamento: N=-8790.17 Ty=-10.66 Tz=17.82 Mx=0.00 Mz=-7.02
Sollecitazioni agenti localmente: Ty_l=-1586.17 My_l=-32.56
Tensioni nella sezione: σ=394.61 τ=48.07
CC 4 SLD (Collegamento -041_-375)
Azioni sul collegamento: N=-11178.70 Ty=-8.61 Tz=9.09 Mx=0.00 Mz=-5.70
Sollecitazioni agenti localmente: Ty_l=-2004.36 My_l=-41.12
Tensioni nella sezione: σ=498.44 τ=60.74
CC 4 SLD (Collegamento -041_-375)
Azioni sul collegamento: N=-11178.70 Ty=-10.66 Tz=9.09 Mx=0.00 Mz=-7.02

Sollecitazioni agenti localmente: Ty_l=-2009.59 My_l=-41.24
Tensioni nella sezione: σ=499.82 τ=60.90
CC 4 SLD (Collegamento -041_-375)
Azioni sul collegamento: N=-11178.70 Ty=-8.61 Tz=17.82 Mx=0.00 Mz=-5.70
Sollecitazioni agenti localmente: Ty_l=-2004.36 My_l=-41.12
Tensioni nella sezione: σ=498.44 τ=60.74
CC 4 SLD (Collegamento -041_-375)
Azioni sul collegamento: N=-11178.70 Ty=-10.66 Tz=17.82 Mx=0.00 Mz=-7.02
Sollecitazioni agenti localmente: Ty_l=-2009.59 My_l=-41.24
Tensioni nella sezione: σ=499.82 τ=60.90
CC 5 SLV (Collegamento -041_-375)
Azioni sul collegamento: N=-13803.30 Ty=-12.07 Tz=27.38 Mx=0.01 Mz=-6.38
Sollecitazioni agenti localmente: Ty_l=-2472.31 My_l=-50.72
Tensioni nella sezione: σ=614.76 τ=74.92
CC 5 SLV (Collegamento -041_-375)
Azioni sul collegamento: N=-13803.30 Ty=-5.34 Tz=27.38 Mx=0.01 Mz=-2.07
Sollecitazioni agenti localmente: Ty_l=-2455.16 My_l=-50.34
Tensioni nella sezione: σ=610.21 τ=74.40
CC 5 SLV (Collegamento -041_-375)
Azioni sul collegamento: N=-13803.30 Ty=-12.07 Tz=-1.24 Mx=0.01 Mz=-6.38
Sollecitazioni agenti localmente: Ty_l=-2472.31 My_l=-50.72
Tensioni nella sezione: σ=614.76 τ=74.92
CC 5 SLV (Collegamento -041_-375)
Azioni sul collegamento: N=-13803.30 Ty=-5.34 Tz=-1.24 Mx=0.01 Mz=-2.07
Sollecitazioni agenti localmente: Ty_l=-2455.16 My_l=-50.34
Tensioni nella sezione: σ=610.21 τ=74.40
CC 5 SLV (Collegamento -041_-375)
Azioni sul collegamento: N=-5970.40 Ty=-12.07 Tz=27.38 Mx=0.01 Mz=-6.38
Sollecitazioni agenti localmente: Ty_l=-1083.76 My_l=-22.25
Tensioni nella sezione: σ=269.73 τ=32.84
CC 5 SLV (Collegamento -041_-375)
Azioni sul collegamento: N=-5970.40 Ty=-5.34 Tz=27.38 Mx=0.01 Mz=-2.07
Sollecitazioni agenti localmente: Ty_l=-1066.61 My_l=-21.88
Tensioni nella sezione: σ=265.18 τ=32.32
CC 5 SLV (Collegamento -041_-375)
Azioni sul collegamento: N=-5970.40 Ty=-12.07 Tz=-1.24 Mx=0.01 Mz=-6.38
Sollecitazioni agenti localmente: Ty_l=-1083.76 My_l=-22.25
Tensioni nella sezione: σ=269.73 τ=32.84
CC 5 SLV (Collegamento -041_-375)
Azioni sul collegamento: N=-5970.40 Ty=-5.34 Tz=-1.24 Mx=0.01 Mz=-2.07
Sollecitazioni agenti localmente: Ty_l=-1066.61 My_l=-21.88
Tensioni nella sezione: σ=265.18 τ=32.32
CC 6 SLD (Collegamento -041_-375)
Azioni sul collegamento: N=-11178.70 Ty=-10.66 Tz=17.82 Mx=0.00 Mz=-7.02
Sollecitazioni agenti localmente: Ty_l=-2009.59 My_l=-41.24
Tensioni nella sezione: σ=499.82 τ=60.90
CC 6 SLD (Collegamento -041_-375)
Azioni sul collegamento: N=-11178.70 Ty=-8.61 Tz=17.82 Mx=0.00 Mz=-5.70
Sollecitazioni agenti localmente: Ty_l=-2004.36 My_l=-41.12
Tensioni nella sezione: σ=498.44 τ=60.74
CC 6 SLD (Collegamento -041_-375)
Azioni sul collegamento: N=-11178.70 Ty=-10.66 Tz=9.09 Mx=0.00 Mz=-7.02
Sollecitazioni agenti localmente: Ty_l=-2009.59 My_l=-41.24
Tensioni nella sezione: σ=499.82 τ=60.90
CC 6 SLD (Collegamento -041_-375)
Azioni sul collegamento: N=-11178.70 Ty=-8.61 Tz=9.09 Mx=0.00 Mz=-5.70
Sollecitazioni agenti localmente: Ty_l=-2004.36 My_l=-41.12
Tensioni nella sezione: σ=498.44 τ=60.74
CC 6 SLD (Collegamento -041_-375)
Azioni sul collegamento: N=-8790.17 Ty=-10.66 Tz=17.82 Mx=0.00 Mz=-7.02
Sollecitazioni agenti localmente: Ty_l=-1586.17 My_l=-32.56
Tensioni nella sezione: σ=394.61 τ=48.07
CC 6 SLD (Collegamento -041_-375)
Azioni sul collegamento: N=-8790.17 Ty=-8.61 Tz=17.82 Mx=0.00 Mz=-5.70
Sollecitazioni agenti localmente: Ty_l=-1580.94 My_l=-32.44
Tensioni nella sezione: σ=393.23 τ=47.91
CC 6 SLD (Collegamento -041_-375)
Azioni sul collegamento: N=-8790.17 Ty=-10.66 Tz=9.10 Mx=0.00 Mz=-7.02
Sollecitazioni agenti localmente: Ty_l=-1586.17 My_l=-32.56
Tensioni nella sezione: σ=394.61 τ=48.07
CC 6 SLD (Collegamento -041_-375)
Azioni sul collegamento: N=-8790.17 Ty=-8.61 Tz=9.10 Mx=0.00 Mz=-5.70
Sollecitazioni agenti localmente: Ty_l=-1580.94 My_l=-32.44
Tensioni nella sezione: σ=393.23 τ=47.91
CC 7 SLV (Collegamento -041_-375)
Azioni sul collegamento: N=-13808.10 Ty=-12.58 Tz=27.71 Mx=0.01 Mz=-7.43
Sollecitazioni agenti localmente: Ty_l=-2477.34 My_l=-50.83
Tensioni nella sezione: σ=616.08 τ=75.07
CC 7 SLV (Collegamento -041_-375)

Azioni sul collegamento: N=-13808.10 Ty=-4.83 Tz=27.71 Mx=0.01 Mz=-1.02
Sollecitazioni agenti localmente: Ty_l=-2451.86 My_l=-50.27
Tensioni nella sezione: σ=609.32 τ=74.30
CC 7 SLV (Collegamento -041_-375)
Azioni sul collegamento: N=-13808.10 Ty=-12.58 Tz=-1.56 Mx=0.01 Mz=-7.43
Sollecitazioni agenti localmente: Ty_l=-2477.34 My_l=-50.83
Tensioni nella sezione: σ=616.08 τ=75.07
CC 7 SLV (Collegamento -041_-375)
Azioni sul collegamento: N=-13808.10 Ty=-4.83 Tz=-1.56 Mx=0.01 Mz=-1.02
Sollecitazioni agenti localmente: Ty_l=-2451.86 My_l=-50.27
Tensioni nella sezione: σ=609.32 τ=74.30
CC 7 SLV (Collegamento -041_-375)
Azioni sul collegamento: N=-5965.50 Ty=-12.58 Tz=27.71 Mx=0.01 Mz=-7.43
Sollecitazioni agenti localmente: Ty_l=-1087.06 My_l=-22.33
Tensioni nella sezione: σ=270.62 τ=32.94
CC 7 SLV (Collegamento -041_-375)
Azioni sul collegamento: N=-5965.50 Ty=-4.83 Tz=27.71 Mx=0.01 Mz=-1.02
Sollecitazioni agenti localmente: Ty_l=-1061.58 My_l=-21.77
Tensioni nella sezione: σ=263.85 τ=32.17
CC 7 SLV (Collegamento -041_-375)
Azioni sul collegamento: N=-5965.50 Ty=-12.58 Tz=-1.56 Mx=0.01 Mz=-7.43
Sollecitazioni agenti localmente: Ty_l=-1087.06 My_l=-22.33
Tensioni nella sezione: σ=270.62 τ=32.94
CC 7 SLV (Collegamento -041_-375)
Azioni sul collegamento: N=-5965.50 Ty=-4.83 Tz=-1.56 Mx=0.01 Mz=-1.02
Sollecitazioni agenti localmente: Ty_l=-1061.58 My_l=-21.77
Tensioni nella sezione: σ=263.85 τ=32.17
CC 8 SLD (Collegamento -041_-375)
Azioni sul collegamento: N=-11180.10 Ty=-10.81 Tz=17.92 Mx=0.00 Mz=-7.34
Sollecitazioni agenti localmente: Ty_l=-2011.12 My_l=-41.27
Tensioni nella sezione: σ=500.23 τ=60.94
CC 8 SLD (Collegamento -041_-375)
Azioni sul collegamento: N=-11180.10 Ty=-8.45 Tz=17.92 Mx=0.00 Mz=-5.38
Sollecitazioni agenti localmente: Ty_l=-2003.35 My_l=-41.10
Tensioni nella sezione: σ=498.17 τ=60.71
CC 8 SLD (Collegamento -041_-375)
Azioni sul collegamento: N=-11180.10 Ty=-10.81 Tz=8.99 Mx=0.00 Mz=-7.34
Sollecitazioni agenti localmente: Ty_l=-2011.12 My_l=-41.27
Tensioni nella sezione: σ=500.23 τ=60.94
CC 8 SLD (Collegamento -041_-375)
Azioni sul collegamento: N=-11180.10 Ty=-8.45 Tz=8.99 Mx=0.00 Mz=-5.38
Sollecitazioni agenti localmente: Ty_l=-2003.35 My_l=-41.10
Tensioni nella sezione: σ=498.17 τ=60.71
CC 8 SLD (Collegamento -041_-375)
Azioni sul collegamento: N=-8788.68 Ty=-10.81 Tz=17.92 Mx=0.00 Mz=-7.34
Sollecitazioni agenti localmente: Ty_l=-1587.18 My_l=-32.58
Tensioni nella sezione: σ=394.88 τ=48.10
CC 8 SLD (Collegamento -041_-375)
Azioni sul collegamento: N=-8788.68 Ty=-8.45 Tz=17.92 Mx=0.00 Mz=-5.38
Sollecitazioni agenti localmente: Ty_l=-1579.41 My_l=-32.41
Tensioni nella sezione: σ=392.82 τ=47.86
CC 8 SLD (Collegamento -041_-375)
Azioni sul collegamento: N=-8788.68 Ty=-10.81 Tz=9.00 Mx=0.00 Mz=-7.34
Sollecitazioni agenti localmente: Ty_l=-1587.18 My_l=-32.58
Tensioni nella sezione: σ=394.88 τ=48.10
CC 8 SLD (Collegamento -041_-375)
Azioni sul collegamento: N=-8788.68 Ty=-8.45 Tz=9.00 Mx=0.00 Mz=-5.38
Sollecitazioni agenti localmente: Ty_l=-1579.41 My_l=-32.41
Tensioni nella sezione: σ=392.82 τ=47.86
CC 9 SLV (Collegamento -041_-375)
Azioni sul collegamento: N=-8703.00 Ty=-6.76 Tz=8.19 Mx=0.02 Mz=-1.67
Sollecitazioni agenti localmente: Ty_l=-1549.46 My_l=-31.77
Tensioni nella sezione: σ=385.13 τ=46.95
CC 9 SLV (Collegamento -041_-375)
Azioni sul collegamento: N=-8703.00 Ty=-10.65 Tz=8.19 Mx=0.02 Mz=-6.77
Sollecitazioni agenti localmente: Ty_l=-1569.74 My_l=-32.22
Tensioni nella sezione: σ=390.51 τ=47.57
CC 9 SLV (Collegamento -041_-375)
Azioni sul collegamento: N=-8703.00 Ty=-6.76 Tz=17.96 Mx=0.02 Mz=-1.67
Sollecitazioni agenti localmente: Ty_l=-1549.46 My_l=-31.77
Tensioni nella sezione: σ=385.13 τ=46.95
CC 9 SLV (Collegamento -041_-375)
Azioni sul collegamento: N=-8703.00 Ty=-10.65 Tz=17.96 Mx=0.02 Mz=-6.77
Sollecitazioni agenti localmente: Ty_l=-1569.74 My_l=-32.22
Tensioni nella sezione: σ=390.51 τ=47.57
CC 9 SLV (Collegamento -041_-375)
Azioni sul collegamento: N=-11070.70 Ty=-6.76 Tz=8.19 Mx=0.02 Mz=-1.67
Sollecitazioni agenti localmente: Ty_l=-1969.18 My_l=-40.38
Tensioni nella sezione: σ=489.42 τ=59.67

CC 9 SLV (Collegamento -041_-375)
Azioni sul collegamento: N=-11070.70 Ty=-10.65 Tz=8.19 Mx=0.02 Mz=-6.77
Sollecitazioni agenti localmente: Ty_l=-1989.46 My_l=-40.82
Tensioni nella sezione: σ=494.81 τ=60.29
CC 9 SLV (Collegamento -041_-375)
Azioni sul collegamento: N=-11070.70 Ty=-6.76 Tz=17.96 Mx=0.02 Mz=-1.67
Sollecitazioni agenti localmente: Ty_l=-1969.18 My_l=-40.38
Tensioni nella sezione: σ=489.42 τ=59.67
CC 9 SLV (Collegamento -041_-375)
Azioni sul collegamento: N=-11070.70 Ty=-10.65 Tz=17.96 Mx=0.02 Mz=-6.77
Sollecitazioni agenti localmente: Ty_l=-1989.46 My_l=-40.82
Tensioni nella sezione: σ=494.81 τ=60.29
CC 10 SLD (Collegamento -041_-375)
Azioni sul collegamento: N=-9623.43 Ty=-9.04 Tz=11.97 Mx=0.00 Mz=-5.58
Sollecitazioni agenti localmente: Ty_l=-1728.18 My_l=-35.46
Tensioni nella sezione: σ=429.80 τ=52.37
CC 10 SLD (Collegamento -041_-375)
Azioni sul collegamento: N=-9623.43 Ty=-10.22 Tz=11.97 Mx=0.00 Mz=-7.14
Sollecitazioni agenti localmente: Ty_l=-1734.36 My_l=-35.59
Tensioni nella sezione: σ=431.44 τ=52.56
CC 10 SLD (Collegamento -041_-375)
Azioni sul collegamento: N=-9623.43 Ty=-9.04 Tz=14.95 Mx=0.00 Mz=-5.58
Sollecitazioni agenti localmente: Ty_l=-1728.18 My_l=-35.46
Tensioni nella sezione: σ=429.80 τ=52.37
CC 10 SLD (Collegamento -041_-375)
Azioni sul collegamento: N=-9623.43 Ty=-10.22 Tz=14.95 Mx=0.00 Mz=-7.14
Sollecitazioni agenti localmente: Ty_l=-1734.36 My_l=-35.59
Tensioni nella sezione: σ=431.44 τ=52.56
CC 10 SLD (Collegamento -041_-375)
Azioni sul collegamento: N=-10345.40 Ty=-9.04 Tz=11.97 Mx=0.00 Mz=-5.58
Sollecitazioni agenti localmente: Ty_l=-1856.17 My_l=-38.08
Tensioni nella sezione: σ=461.61 τ=56.25
CC 10 SLD (Collegamento -041_-375)
Azioni sul collegamento: N=-10345.40 Ty=-10.22 Tz=11.97 Mx=0.00 Mz=-7.14
Sollecitazioni agenti localmente: Ty_l=-1862.35 My_l=-38.22
Tensioni nella sezione: σ=463.25 τ=56.43
CC 10 SLD (Collegamento -041_-375)
Azioni sul collegamento: N=-10345.40 Ty=-9.04 Tz=14.95 Mx=0.00 Mz=-5.58
Sollecitazioni agenti localmente: Ty_l=-1856.17 My_l=-38.08
Tensioni nella sezione: σ=461.61 τ=56.25
CC 10 SLD (Collegamento -041_-375)
Azioni sul collegamento: N=-10345.40 Ty=-10.22 Tz=14.95 Mx=0.00 Mz=-7.14
Sollecitazioni agenti localmente: Ty_l=-1862.35 My_l=-38.22
Tensioni nella sezione: σ=463.25 τ=56.43
CC 11 SLV (Collegamento -041_-375)
Azioni sul collegamento: N=-11054.30 Ty=-8.94 Tz=16.87 Mx=0.02 Mz=-3.28
Sollecitazioni agenti localmente: Ty_l=-1972.68 My_l=-40.46
Tensioni nella sezione: σ=490.40 τ=59.78
CC 11 SLV (Collegamento -041_-375)
Azioni sul collegamento: N=-11054.30 Ty=-8.48 Tz=16.87 Mx=0.02 Mz=-5.16
Sollecitazioni agenti localmente: Ty_l=-1980.17 My_l=-40.62
Tensioni nella sezione: σ=492.39 τ=60.01
CC 11 SLV (Collegamento -041_-375)
Azioni sul collegamento: N=-11054.30 Ty=-8.94 Tz=9.28 Mx=0.02 Mz=-3.28
Sollecitazioni agenti localmente: Ty_l=-1972.68 My_l=-40.46
Tensioni nella sezione: σ=490.40 τ=59.78
CC 11 SLV (Collegamento -041_-375)
Azioni sul collegamento: N=-11054.30 Ty=-8.48 Tz=9.28 Mx=0.02 Mz=-5.16
Sollecitazioni agenti localmente: Ty_l=-1980.17 My_l=-40.62
Tensioni nella sezione: σ=492.39 τ=60.01
CC 11 SLV (Collegamento -041_-375)
Azioni sul collegamento: N=-8719.33 Ty=-8.94 Tz=16.87 Mx=0.02 Mz=-3.28
Sollecitazioni agenti localmente: Ty_l=-1558.75 My_l=-31.97
Tensioni nella sezione: σ=387.55 τ=47.23
CC 11 SLV (Collegamento -041_-375)
Azioni sul collegamento: N=-8719.33 Ty=-8.48 Tz=16.87 Mx=0.02 Mz=-5.16
Sollecitazioni agenti localmente: Ty_l=-1566.24 My_l=-32.14
Tensioni nella sezione: σ=389.54 τ=47.46
CC 11 SLV (Collegamento -041_-375)
Azioni sul collegamento: N=-8719.33 Ty=-8.94 Tz=9.28 Mx=0.02 Mz=-3.28
Sollecitazioni agenti localmente: Ty_l=-1558.75 My_l=-31.97
Tensioni nella sezione: σ=387.55 τ=47.23
CC 11 SLV (Collegamento -041_-375)
Azioni sul collegamento: N=-8719.33 Ty=-8.48 Tz=9.28 Mx=0.02 Mz=-5.16
Sollecitazioni agenti localmente: Ty_l=-1566.24 My_l=-32.14
Tensioni nella sezione: σ=389.54 τ=47.46
CC 12 SLD (Collegamento -041_-375)
Azioni sul collegamento: N=-10340.40 Ty=-9.70 Tz=14.62 Mx=0.00 Mz=-6.07
Sollecitazioni agenti localmente: Ty_l=-1857.23 My_l=-38.11

Tensioni nella sezione: σ=461.90 τ=56.28
CC 12 SLD (Collegamento -041_-375)
Azioni sul collegamento: N=-10340.40 Ty=-9.56 Tz=14.62 Mx=0.00 Mz=-6.65
Sollecitazioni agenti localmente: Ty_l=-1859.52 My_l=-38.16
Tensioni nella sezione: σ=462.51 τ=56.35
CC 12 SLD (Collegamento -041_-375)
Azioni sul collegamento: N=-10340.40 Ty=-9.70 Tz=12.30 Mx=0.00 Mz=-6.07
Sollecitazioni agenti localmente: Ty_l=-1857.23 My_l=-38.11
Tensioni nella sezione: σ=461.90 τ=56.28
CC 12 SLD (Collegamento -041_-375)
Azioni sul collegamento: N=-10340.40 Ty=-9.56 Tz=12.30 Mx=0.00 Mz=-6.65
Sollecitazioni agenti localmente: Ty_l=-1859.52 My_l=-38.16
Tensioni nella sezione: σ=462.51 τ=56.35
CC 12 SLD (Collegamento -041_-375)
Azioni sul collegamento: N=-9628.41 Ty=-9.70 Tz=14.62 Mx=0.00 Mz=-6.07
Sollecitazioni agenti localmente: Ty_l=-1731.01 My_l=-35.52
Tensioni nella sezione: σ=430.54 τ=52.45
CC 12 SLD (Collegamento -041_-375)
Azioni sul collegamento: N=-9628.41 Ty=-9.56 Tz=14.62 Mx=0.00 Mz=-6.65
Sollecitazioni agenti localmente: Ty_l=-1733.30 My_l=-35.57
Tensioni nella sezione: σ=431.15 τ=52.52
CC 12 SLD (Collegamento -041_-375)
Azioni sul collegamento: N=-9628.40 Ty=-9.70 Tz=12.30 Mx=0.00 Mz=-6.07
Sollecitazioni agenti localmente: Ty_l=-1731.01 My_l=-35.52
Tensioni nella sezione: σ=430.54 τ=52.45
CC 12 SLD (Collegamento -041_-375)
Azioni sul collegamento: N=-9628.40 Ty=-9.56 Tz=12.30 Mx=0.00 Mz=-6.65
Sollecitazioni agenti localmente: Ty_l=-1733.30 My_l=-35.57
Tensioni nella sezione: σ=431.15 τ=52.52
CC 13 SLV (Collegamento -041_-375)
Azioni sul collegamento: N=-8719.33 Ty=-8.48 Tz=9.28 Mx=0.00 Mz=-5.16
Sollecitazioni agenti localmente: Ty_l=-1566.24 My_l=-32.14
Tensioni nella sezione: σ=389.54 τ=47.46
CC 13 SLV (Collegamento -041_-375)
Azioni sul collegamento: N=-8719.33 Ty=-8.94 Tz=9.28 Mx=0.00 Mz=-3.28
Sollecitazioni agenti localmente: Ty_l=-1558.75 My_l=-31.97
Tensioni nella sezione: σ=387.55 τ=47.23
CC 13 SLV (Collegamento -041_-375)
Azioni sul collegamento: N=-8719.33 Ty=-8.48 Tz=16.87 Mx=0.00 Mz=-5.16
Sollecitazioni agenti localmente: Ty_l=-1566.24 My_l=-32.14
Tensioni nella sezione: σ=389.54 τ=47.46
CC 13 SLV (Collegamento -041_-375)
Azioni sul collegamento: N=-8719.33 Ty=-8.94 Tz=16.87 Mx=0.00 Mz=-3.28
Sollecitazioni agenti localmente: Ty_l=-1558.75 My_l=-31.97
Tensioni nella sezione: σ=387.55 τ=47.23
CC 13 SLV (Collegamento -041_-375)
Azioni sul collegamento: N=-11054.30 Ty=-8.48 Tz=9.28 Mx=0.00 Mz=-5.16
Sollecitazioni agenti localmente: Ty_l=-1980.17 My_l=-40.62
Tensioni nella sezione: σ=492.39 τ=60.01
CC 13 SLV (Collegamento -041_-375)
Azioni sul collegamento: N=-11054.30 Ty=-8.94 Tz=9.28 Mx=0.00 Mz=-3.28
Sollecitazioni agenti localmente: Ty_l=-1972.68 My_l=-40.46
Tensioni nella sezione: σ=490.40 τ=59.78
CC 13 SLV (Collegamento -041_-375)
Azioni sul collegamento: N=-11054.30 Ty=-8.48 Tz=16.87 Mx=0.00 Mz=-5.16
Sollecitazioni agenti localmente: Ty_l=-1980.17 My_l=-40.62
Tensioni nella sezione: σ=492.39 τ=60.01
CC 13 SLV (Collegamento -041_-375)
Azioni sul collegamento: N=-11054.30 Ty=-8.94 Tz=16.87 Mx=0.00 Mz=-3.28
Sollecitazioni agenti localmente: Ty_l=-1972.68 My_l=-40.46
Tensioni nella sezione: σ=490.40 τ=59.78
CC 14 SLD (Collegamento -041_-375)
Azioni sul collegamento: N=-9628.40 Ty=-9.56 Tz=12.30 Mx=-0.00 Mz=-6.65
Sollecitazioni agenti localmente: Ty_l=-1733.30 My_l=-35.57
Tensioni nella sezione: σ=431.15 τ=52.52
CC 14 SLD (Collegamento -041_-375)
Azioni sul collegamento: N=-9628.40 Ty=-9.70 Tz=12.30 Mx=-0.00 Mz=-6.07
Sollecitazioni agenti localmente: Ty_l=-1731.01 My_l=-35.52
Tensioni nella sezione: σ=430.54 τ=52.45
CC 14 SLD (Collegamento -041_-375)
Azioni sul collegamento: N=-9628.41 Ty=-9.56 Tz=14.62 Mx=-0.00 Mz=-6.65
Sollecitazioni agenti localmente: Ty_l=-1733.30 My_l=-35.57
Tensioni nella sezione: σ=431.15 τ=52.52
CC 14 SLD (Collegamento -041_-375)
Azioni sul collegamento: N=-9628.41 Ty=-9.70 Tz=14.62 Mx=-0.00 Mz=-6.07
Sollecitazioni agenti localmente: Ty_l=-1731.01 My_l=-35.52
Tensioni nella sezione: σ=430.54 τ=52.45
CC 14 SLD (Collegamento -041_-375)
Azioni sul collegamento: N=-10340.40 Ty=-9.56 Tz=12.30 Mx=-0.00 Mz=-6.65

Sollecitazioni agenti localmente: Ty_l=-1859.52 My_l=-38.16
Tensioni nella sezione: σ=462.51 τ=56.35
CC 14 SLD (Collegamento -041_-375)
Azioni sul collegamento: N=-10340.40 Ty=-9.70 Tz=12.30 Mx=-0.00 Mz=-6.07
Sollecitazioni agenti localmente: Ty_l=-1857.23 My_l=-38.11
Tensioni nella sezione: σ=461.90 τ=56.28
CC 14 SLD (Collegamento -041_-375)
Azioni sul collegamento: N=-10340.40 Ty=-9.56 Tz=14.62 Mx=-0.00 Mz=-6.65
Sollecitazioni agenti localmente: Ty_l=-1859.52 My_l=-38.16
Tensioni nella sezione: σ=462.51 τ=56.35
CC 14 SLD (Collegamento -041_-375)
Azioni sul collegamento: N=-10340.40 Ty=-9.70 Tz=14.62 Mx=-0.00 Mz=-6.07
Sollecitazioni agenti localmente: Ty_l=-1857.23 My_l=-38.11
Tensioni nella sezione: σ=461.90 τ=56.28
CC 15 SLV (Collegamento -041_-375)
Azioni sul collegamento: N=-11070.70 Ty=-10.65 Tz=17.96 Mx=0.00 Mz=-6.77
Sollecitazioni agenti localmente: Ty_l=-1989.46 My_l=-40.82
Tensioni nella sezione: σ=494.81 τ=60.29
CC 15 SLV (Collegamento -041_-375)
Azioni sul collegamento: N=-11070.70 Ty=-6.76 Tz=17.96 Mx=0.00 Mz=-1.67
Sollecitazioni agenti localmente: Ty_l=-1969.18 My_l=-40.38
Tensioni nella sezione: σ=489.42 τ=59.67
CC 15 SLV (Collegamento -041_-375)
Azioni sul collegamento: N=-11070.70 Ty=-10.65 Tz=8.19 Mx=0.00 Mz=-6.77
Sollecitazioni agenti localmente: Ty_l=-1989.46 My_l=-40.82
Tensioni nella sezione: σ=494.81 τ=60.29
CC 15 SLV (Collegamento -041_-375)
Azioni sul collegamento: N=-11070.70 Ty=-6.76 Tz=8.19 Mx=0.00 Mz=-1.67
Sollecitazioni agenti localmente: Ty_l=-1969.18 My_l=-40.38
Tensioni nella sezione: σ=489.42 τ=59.67
CC 15 SLV (Collegamento -041_-375)
Azioni sul collegamento: N=-8703.00 Ty=-10.65 Tz=17.96 Mx=0.00 Mz=-6.77
Sollecitazioni agenti localmente: Ty_l=-1569.74 My_l=-32.22
Tensioni nella sezione: σ=390.51 τ=47.57
CC 15 SLV (Collegamento -041_-375)
Azioni sul collegamento: N=-8703.00 Ty=-6.76 Tz=17.96 Mx=0.00 Mz=-1.67
Sollecitazioni agenti localmente: Ty_l=-1549.46 My_l=-31.77
Tensioni nella sezione: σ=385.13 τ=46.95
CC 15 SLV (Collegamento -041_-375)
Azioni sul collegamento: N=-8703.00 Ty=-10.65 Tz=8.19 Mx=0.00 Mz=-6.77
Sollecitazioni agenti localmente: Ty_l=-1569.74 My_l=-32.22
Tensioni nella sezione: σ=390.51 τ=47.57
CC 15 SLV (Collegamento -041_-375)
Azioni sul collegamento: N=-8703.00 Ty=-6.76 Tz=8.19 Mx=0.00 Mz=-1.67
Sollecitazioni agenti localmente: Ty_l=-1549.46 My_l=-31.77
Tensioni nella sezione: σ=385.13 τ=46.95
CC 16 SLD (Collegamento -041_-375)
Azioni sul collegamento: N=-10345.40 Ty=-10.22 Tz=14.95 Mx=-0.00 Mz=-7.14
Sollecitazioni agenti localmente: Ty_l=-1862.35 My_l=-38.22
Tensioni nella sezione: σ=463.25 τ=56.43
CC 16 SLD (Collegamento -041_-375)
Azioni sul collegamento: N=-10345.40 Ty=-9.04 Tz=14.95 Mx=-0.00 Mz=-5.58
Sollecitazioni agenti localmente: Ty_l=-1856.17 My_l=-38.08
Tensioni nella sezione: σ=461.61 τ=56.25
CC 16 SLD (Collegamento -041_-375)
Azioni sul collegamento: N=-10345.40 Ty=-10.22 Tz=11.97 Mx=-0.00 Mz=-7.14
Sollecitazioni agenti localmente: Ty_l=-1862.35 My_l=-38.22
Tensioni nella sezione: σ=463.25 τ=56.43
CC 16 SLD (Collegamento -041_-375)
Azioni sul collegamento: N=-10345.40 Ty=-9.04 Tz=11.97 Mx=-0.00 Mz=-5.58
Sollecitazioni agenti localmente: Ty_l=-1856.17 My_l=-38.08
Tensioni nella sezione: σ=461.61 τ=56.25
CC 16 SLD (Collegamento -041_-375)
Azioni sul collegamento: N=-9623.43 Ty=-10.22 Tz=14.95 Mx=-0.00 Mz=-7.14
Sollecitazioni agenti localmente: Ty_l=-1734.36 My_l=-35.59
Tensioni nella sezione: σ=431.44 τ=52.56
CC 16 SLD (Collegamento -041_-375)
Azioni sul collegamento: N=-9623.43 Ty=-9.04 Tz=14.95 Mx=-0.00 Mz=-5.58
Sollecitazioni agenti localmente: Ty_l=-1728.18 My_l=-35.46
Tensioni nella sezione: σ=429.80 τ=52.37
CC 16 SLD (Collegamento -041_-375)
Azioni sul collegamento: N=-9623.43 Ty=-10.22 Tz=11.97 Mx=-0.00 Mz=-7.14
Sollecitazioni agenti localmente: Ty_l=-1734.36 My_l=-35.59
Tensioni nella sezione: σ=431.44 τ=52.56
CC 16 SLD (Collegamento -041_-375)
Azioni sul collegamento: N=-9623.43 Ty=-9.04 Tz=11.97 Mx=-0.00 Mz=-5.58
Sollecitazioni agenti localmente: Ty_l=-1728.18 My_l=-35.46
Tensioni nella sezione: σ=429.80 τ=52.37
CC 17 SLV (Collegamento -041_-375)

Azioni sul collegamento: N=-6246.30 Ty=-7.49 Tz=-0.46 Mx=-0.02 Mz=-7.17
Sollecitazioni agenti localmente: Ty_l=-1135.83 My_l=-23.32
Tensioni nella sezione: σ=282.72 τ=34.42
CC 17 SLV (Collegamento -041_-375)
Azioni sul collegamento: N=-6246.30 Ty=-15.25 Tz=-0.46 Mx=-0.02 Mz=-13.58
Sollecitazioni agenti localmente: Ty_l=-1161.31 My_l=-23.88
Tensioni nella sezione: σ=289.48 τ=35.19
CC 17 SLV (Collegamento -041_-375)
Azioni sul collegamento: N=-6246.30 Ty=-7.49 Tz=28.82 Mx=-0.02 Mz=-7.17
Sollecitazioni agenti localmente: Ty_l=-1135.83 My_l=-23.32
Tensioni nella sezione: σ=282.72 τ=34.42
CC 17 SLV (Collegamento -041_-375)
Azioni sul collegamento: N=-6246.30 Ty=-15.25 Tz=28.82 Mx=-0.02 Mz=-13.58
Sollecitazioni agenti localmente: Ty_l=-1161.31 My_l=-23.88
Tensioni nella sezione: σ=289.48 τ=35.19
CC 17 SLV (Collegamento -041_-375)
Azioni sul collegamento: N=-14088.90 Ty=-7.49 Tz=-0.46 Mx=-0.02 Mz=-7.17
Sollecitazioni agenti localmente: Ty_l=-2526.11 My_l=-51.83
Tensioni nella sezione: σ=628.18 τ=76.55
CC 17 SLV (Collegamento -041_-375)
Azioni sul collegamento: N=-14088.90 Ty=-15.25 Tz=-0.46 Mx=-0.02 Mz=-13.58
Sollecitazioni agenti localmente: Ty_l=-2551.60 My_l=-52.38
Tensioni nella sezione: σ=634.95 τ=77.32
CC 17 SLV (Collegamento -041_-375)
Azioni sul collegamento: N=-14088.90 Ty=-7.49 Tz=28.82 Mx=-0.02 Mz=-7.17
Sollecitazioni agenti localmente: Ty_l=-2526.11 My_l=-51.83
Tensioni nella sezione: σ=628.18 τ=76.55
CC 17 SLV (Collegamento -041_-375)
Azioni sul collegamento: N=-14088.90 Ty=-15.25 Tz=28.82 Mx=-0.02 Mz=-13.58
Sollecitazioni agenti localmente: Ty_l=-2551.60 My_l=-52.38
Tensioni nella sezione: σ=634.95 τ=77.32
CC 18 SLD (Collegamento -041_-375)
Azioni sul collegamento: N=-8874.30 Ty=-9.26 Tz=9.33 Mx=-0.01 Mz=-7.26
Sollecitazioni agenti localmente: Ty_l=-1602.05 My_l=-32.88
Tensioni nella sezione: σ=398.57 τ=48.55
CC 18 SLD (Collegamento -041_-375)
Azioni sul collegamento: N=-8874.30 Ty=-11.63 Tz=9.33 Mx=-0.01 Mz=-9.21
Sollecitazioni agenti localmente: Ty_l=-1609.82 My_l=-33.05
Tensioni nella sezione: σ=400.64 τ=48.78
CC 18 SLD (Collegamento -041_-375)
Azioni sul collegamento: N=-8874.30 Ty=-9.26 Tz=18.26 Mx=-0.01 Mz=-7.26
Sollecitazioni agenti localmente: Ty_l=-1602.05 My_l=-32.88
Tensioni nella sezione: σ=398.57 τ=48.55
CC 18 SLD (Collegamento -041_-375)
Azioni sul collegamento: N=-8874.30 Ty=-11.63 Tz=18.26 Mx=-0.01 Mz=-9.21
Sollecitazioni agenti localmente: Ty_l=-1609.82 My_l=-33.05
Tensioni nella sezione: σ=400.64 τ=48.78
CC 18 SLD (Collegamento -041_-375)
Azioni sul collegamento: N=-11265.80 Ty=-9.26 Tz=9.33 Mx=-0.01 Mz=-7.26
Sollecitazioni agenti localmente: Ty_l=-2025.99 My_l=-41.57
Tensioni nella sezione: σ=503.92 τ=61.39
CC 18 SLD (Collegamento -041_-375)
Azioni sul collegamento: N=-11265.80 Ty=-11.63 Tz=9.33 Mx=-0.01 Mz=-9.21
Sollecitazioni agenti localmente: Ty_l=-2033.76 My_l=-41.74
Tensioni nella sezione: σ=505.98 τ=61.63
CC 18 SLD (Collegamento -041_-375)
Azioni sul collegamento: N=-11265.80 Ty=-9.26 Tz=18.26 Mx=-0.01 Mz=-7.26
Sollecitazioni agenti localmente: Ty_l=-2025.99 My_l=-41.57
Tensioni nella sezione: σ=503.92 τ=61.39
CC 18 SLD (Collegamento -041_-375)
Azioni sul collegamento: N=-11265.80 Ty=-11.63 Tz=18.26 Mx=-0.01 Mz=-9.21
Sollecitazioni agenti localmente: Ty_l=-2033.76 My_l=-41.74
Tensioni nella sezione: σ=505.98 τ=61.63
CC 19 SLV (Collegamento -041_-375)
Azioni sul collegamento: N=-6251.20 Ty=-8.00 Tz=-0.13 Mx=-0.01 Mz=-8.22
Sollecitazioni agenti localmente: Ty_l=-1140.86 My_l=-23.43
Tensioni nella sezione: σ=284.04 τ=34.57
CC 19 SLV (Collegamento -041_-375)
Azioni sul collegamento: N=-6251.20 Ty=-14.73 Tz=-0.13 Mx=-0.01 Mz=-12.53
Sollecitazioni agenti localmente: Ty_l=-1158.01 My_l=-23.81
Tensioni nella sezione: σ=288.59 τ=35.09
CC 19 SLV (Collegamento -041_-375)
Azioni sul collegamento: N=-6251.20 Ty=-8.00 Tz=28.49 Mx=-0.01 Mz=-8.22
Sollecitazioni agenti localmente: Ty_l=-1140.86 My_l=-23.43
Tensioni nella sezione: σ=284.04 τ=34.57
CC 19 SLV (Collegamento -041_-375)
Azioni sul collegamento: N=-6251.20 Ty=-14.73 Tz=28.49 Mx=-0.01 Mz=-12.53
Sollecitazioni agenti localmente: Ty_l=-1158.01 My_l=-23.81
Tensioni nella sezione: σ=288.59 τ=35.09

CC 19 SLV (Collegamento -041_-375)
Azioni sul collegamento: N=-14084.00 Ty=-8.00 Tz=-0.13 Mx=-0.01 Mz=-8.22
Sollecitazioni agenti localmente: Ty_l=-2529.41 My_l=-51.90
Tensioni nella sezione: σ=629.08 τ=76.65
CC 19 SLV (Collegamento -041_-375)
Azioni sul collegamento: N=-14084.00 Ty=-14.73 Tz=-0.13 Mx=-0.01 Mz=-12.53
Sollecitazioni agenti localmente: Ty_l=-2546.56 My_l=-52.27
Tensioni nella sezione: σ=633.63 τ=77.17
CC 19 SLV (Collegamento -041_-375)
Azioni sul collegamento: N=-14084.00 Ty=-8.00 Tz=28.49 Mx=-0.01 Mz=-8.22
Sollecitazioni agenti localmente: Ty_l=-2529.41 My_l=-51.90
Tensioni nella sezione: σ=629.08 τ=76.65
CC 19 SLV (Collegamento -041_-375)
Azioni sul collegamento: N=-14084.00 Ty=-14.73 Tz=28.49 Mx=-0.01 Mz=-12.53
Sollecitazioni agenti localmente: Ty_l=-2546.56 My_l=-52.27
Tensioni nella sezione: σ=633.63 τ=77.17
CC 20 SLD (Collegamento -041_-375)
Azioni sul collegamento: N=-8875.79 Ty=-9.42 Tz=9.43 Mx=-0.01 Mz=-7.58
Sollecitazioni agenti localmente: Ty_l=-1603.59 My_l=-32.92
Tensioni nella sezione: σ=398.98 τ=48.59
CC 20 SLD (Collegamento -041_-375)
Azioni sul collegamento: N=-8875.79 Ty=-11.47 Tz=9.43 Mx=-0.01 Mz=-8.89
Sollecitazioni agenti localmente: Ty_l=-1608.81 My_l=-33.03
Tensioni nella sezione: σ=400.37 τ=48.75
CC 20 SLD (Collegamento -041_-375)
Azioni sul collegamento: N=-8875.80 Ty=-9.42 Tz=18.16 Mx=-0.01 Mz=-7.58
Sollecitazioni agenti localmente: Ty_l=-1603.59 My_l=-32.92
Tensioni nella sezione: σ=398.98 τ=48.59
CC 20 SLD (Collegamento -041_-375)
Azioni sul collegamento: N=-8875.80 Ty=-11.47 Tz=18.16 Mx=-0.01 Mz=-8.89
Sollecitazioni agenti localmente: Ty_l=-1608.81 My_l=-33.03
Tensioni nella sezione: σ=400.37 τ=48.75
CC 20 SLD (Collegamento -041_-375)
Azioni sul collegamento: N=-11264.30 Ty=-9.42 Tz=9.43 Mx=-0.01 Mz=-7.58
Sollecitazioni agenti localmente: Ty_l=-2027.00 My_l=-41.60
Tensioni nella sezione: σ=504.19 τ=61.42
CC 20 SLD (Collegamento -041_-375)
Azioni sul collegamento: N=-11264.30 Ty=-11.47 Tz=9.43 Mx=-0.01 Mz=-8.89
Sollecitazioni agenti localmente: Ty_l=-2032.23 My_l=-41.71
Tensioni nella sezione: σ=505.58 τ=61.58
CC 20 SLD (Collegamento -041_-375)
Azioni sul collegamento: N=-11264.30 Ty=-9.42 Tz=18.16 Mx=-0.01 Mz=-7.58
Sollecitazioni agenti localmente: Ty_l=-2027.00 My_l=-41.60
Tensioni nella sezione: σ=504.19 τ=61.42
CC 20 SLD (Collegamento -041_-375)
Azioni sul collegamento: N=-11264.30 Ty=-11.47 Tz=18.16 Mx=-0.01 Mz=-8.89
Sollecitazioni agenti localmente: Ty_l=-2032.23 My_l=-41.71
Tensioni nella sezione: σ=505.58 τ=61.58
CC 21 SLV (Collegamento -041_-375)
Azioni sul collegamento: N=-14084.00 Ty=-14.73 Tz=28.49 Mx=-0.02 Mz=-12.53
Sollecitazioni agenti localmente: Ty_l=-2546.56 My_l=-52.27
Tensioni nella sezione: σ=633.63 τ=77.17
CC 21 SLV (Collegamento -041_-375)
Azioni sul collegamento: N=-14084.00 Ty=-8.00 Tz=28.49 Mx=-0.02 Mz=-8.22
Sollecitazioni agenti localmente: Ty_l=-2529.41 My_l=-51.90
Tensioni nella sezione: σ=629.08 τ=76.65
CC 21 SLV (Collegamento -041_-375)
Azioni sul collegamento: N=-14084.00 Ty=-14.73 Tz=-0.13 Mx=-0.02 Mz=-12.53
Sollecitazioni agenti localmente: Ty_l=-2546.56 My_l=-52.27
Tensioni nella sezione: σ=633.63 τ=77.17
CC 21 SLV (Collegamento -041_-375)
Azioni sul collegamento: N=-14084.00 Ty=-8.00 Tz=-0.13 Mx=-0.02 Mz=-8.22
Sollecitazioni agenti localmente: Ty_l=-2529.41 My_l=-51.90
Tensioni nella sezione: σ=629.08 τ=76.65
CC 21 SLV (Collegamento -041_-375)
Azioni sul collegamento: N=-6251.20 Ty=-14.73 Tz=28.49 Mx=-0.02 Mz=-12.53
Sollecitazioni agenti localmente: Ty_l=-1158.01 My_l=-23.81
Tensioni nella sezione: σ=288.59 τ=35.09
CC 21 SLV (Collegamento -041_-375)
Azioni sul collegamento: N=-6251.20 Ty=-8.00 Tz=28.49 Mx=-0.02 Mz=-8.22
Sollecitazioni agenti localmente: Ty_l=-1140.86 My_l=-23.43
Tensioni nella sezione: σ=284.04 τ=34.57
CC 21 SLV (Collegamento -041_-375)
Azioni sul collegamento: N=-6251.20 Ty=-14.73 Tz=-0.13 Mx=-0.02 Mz=-12.53
Sollecitazioni agenti localmente: Ty_l=-1158.01 My_l=-23.81
Tensioni nella sezione: σ=288.59 τ=35.09
CC 21 SLV (Collegamento -041_-375)
Azioni sul collegamento: N=-6251.20 Ty=-8.00 Tz=-0.13 Mx=-0.02 Mz=-8.22
Sollecitazioni agenti localmente: Ty_l=-1140.86 My_l=-23.43

Tensioni nella sezione: σ=284.04 τ=34.57
CC 22 SLD (Collegamento -041_-375)
Azioni sul collegamento: N=-11264.30 Ty=-11.47 Tz=18.16 Mx=-0.01 Mz=-8.89
Sollecitazioni agenti localmente: Ty_l=-2032.23 My_l=-41.71
Tensioni nella sezione: σ=505.58 τ=61.58
CC 22 SLD (Collegamento -041_-375)
Azioni sul collegamento: N=-11264.30 Ty=-9.42 Tz=18.16 Mx=-0.01 Mz=-7.58
Sollecitazioni agenti localmente: Ty_l=-2027.00 My_l=-41.60
Tensioni nella sezione: σ=504.19 τ=61.42
CC 22 SLD (Collegamento -041_-375)
Azioni sul collegamento: N=-11264.30 Ty=-11.47 Tz=9.43 Mx=-0.01 Mz=-8.89
Sollecitazioni agenti localmente: Ty_l=-2032.23 My_l=-41.71
Tensioni nella sezione: σ=505.58 τ=61.58
CC 22 SLD (Collegamento -041_-375)
Azioni sul collegamento: N=-11264.30 Ty=-9.42 Tz=9.43 Mx=-0.01 Mz=-7.58
Sollecitazioni agenti localmente: Ty_l=-2027.00 My_l=-41.60
Tensioni nella sezione: σ=504.19 τ=61.42
CC 22 SLD (Collegamento -041_-375)
Azioni sul collegamento: N=-8875.80 Ty=-11.47 Tz=18.16 Mx=-0.01 Mz=-8.89
Sollecitazioni agenti localmente: Ty_l=-1608.81 My_l=-33.03
Tensioni nella sezione: σ=400.37 τ=48.75
CC 22 SLD (Collegamento -041_-375)
Azioni sul collegamento: N=-8875.80 Ty=-9.42 Tz=18.16 Mx=-0.01 Mz=-7.58
Sollecitazioni agenti localmente: Ty_l=-1603.59 My_l=-32.92
Tensioni nella sezione: σ=398.98 τ=48.59
CC 22 SLD (Collegamento -041_-375)
Azioni sul collegamento: N=-8875.79 Ty=-11.47 Tz=9.43 Mx=-0.01 Mz=-8.89
Sollecitazioni agenti localmente: Ty_l=-1608.81 My_l=-33.03
Tensioni nella sezione: σ=400.37 τ=48.75
CC 22 SLD (Collegamento -041_-375)
Azioni sul collegamento: N=-8875.79 Ty=-9.42 Tz=9.43 Mx=-0.01 Mz=-7.58
Sollecitazioni agenti localmente: Ty_l=-1603.59 My_l=-32.92
Tensioni nella sezione: σ=398.98 τ=48.59
CC 23 SLV (Collegamento -041_-375)
Azioni sul collegamento: N=-14088.90 Ty=-15.25 Tz=28.82 Mx=-0.01 Mz=-13.58
Sollecitazioni agenti localmente: Ty_l=-2551.60 My_l=-52.38
Tensioni nella sezione: σ=634.95 τ=77.32
CC 23 SLV (Collegamento -041_-375)
Azioni sul collegamento: N=-14088.90 Ty=-7.49 Tz=28.82 Mx=-0.01 Mz=-7.17
Sollecitazioni agenti localmente: Ty_l=-2526.11 My_l=-51.83
Tensioni nella sezione: σ=628.18 τ=76.55
CC 23 SLV (Collegamento -041_-375)
Azioni sul collegamento: N=-14088.90 Ty=-15.25 Tz=-0.46 Mx=-0.01 Mz=-13.58
Sollecitazioni agenti localmente: Ty_l=-2551.60 My_l=-52.38
Tensioni nella sezione: σ=634.95 τ=77.32
CC 23 SLV (Collegamento -041_-375)
Azioni sul collegamento: N=-14088.90 Ty=-7.49 Tz=-0.46 Mx=-0.01 Mz=-7.17
Sollecitazioni agenti localmente: Ty_l=-2526.11 My_l=-51.83
Tensioni nella sezione: σ=628.18 τ=76.55
CC 23 SLV (Collegamento -041_-375)
Azioni sul collegamento: N=-6246.30 Ty=-15.25 Tz=28.82 Mx=-0.01 Mz=-13.58
Sollecitazioni agenti localmente: Ty_l=-1161.31 My_l=-23.88
Tensioni nella sezione: σ=289.48 τ=35.19
CC 23 SLV (Collegamento -041_-375)
Azioni sul collegamento: N=-6246.30 Ty=-7.49 Tz=28.82 Mx=-0.01 Mz=-7.17
Sollecitazioni agenti localmente: Ty_l=-1135.83 My_l=-23.32
Tensioni nella sezione: σ=282.72 τ=34.42
CC 23 SLV (Collegamento -041_-375)
Azioni sul collegamento: N=-6246.30 Ty=-15.25 Tz=-0.46 Mx=-0.01 Mz=-13.58
Sollecitazioni agenti localmente: Ty_l=-1161.31 My_l=-23.88
Tensioni nella sezione: σ=289.48 τ=35.19
CC 23 SLV (Collegamento -041_-375)
Azioni sul collegamento: N=-6246.30 Ty=-7.49 Tz=-0.46 Mx=-0.01 Mz=-7.17
Sollecitazioni agenti localmente: Ty_l=-1135.83 My_l=-23.32
Tensioni nella sezione: σ=282.72 τ=34.42
CC 24 SLD (Collegamento -041_-375)
Azioni sul collegamento: N=-11265.80 Ty=-11.63 Tz=18.26 Mx=-0.01 Mz=-9.21
Sollecitazioni agenti localmente: Ty_l=-2033.76 My_l=-41.74
Tensioni nella sezione: σ=505.98 τ=61.63
CC 24 SLD (Collegamento -041_-375)
Azioni sul collegamento: N=-11265.80 Ty=-9.26 Tz=18.26 Mx=-0.01 Mz=-7.26
Sollecitazioni agenti localmente: Ty_l=-2025.99 My_l=-41.57
Tensioni nella sezione: σ=503.92 τ=61.39
CC 24 SLD (Collegamento -041_-375)
Azioni sul collegamento: N=-11265.80 Ty=-11.63 Tz=9.33 Mx=-0.01 Mz=-9.21
Sollecitazioni agenti localmente: Ty_l=-2033.76 My_l=-41.74
Tensioni nella sezione: σ=505.98 τ=61.63
CC 24 SLD (Collegamento -041_-375)
Azioni sul collegamento: N=-11265.80 Ty=-9.26 Tz=9.33 Mx=-0.01 Mz=-7.26

Sollecitazioni agenti localmente: Ty_l=-2025.99 My_l=-41.57
Tensioni nella sezione: σ=503.92 τ=61.39
CC 24 SLD (Collegamento -041_-375)
Azioni sul collegamento: N=-8874.30 Ty=-11.63 Tz=18.26 Mx=-0.01 Mz=-9.21
Sollecitazioni agenti localmente: Ty_l=-1609.82 My_l=-33.05
Tensioni nella sezione: σ=400.64 τ=48.78
CC 24 SLD (Collegamento -041_-375)
Azioni sul collegamento: N=-8874.30 Ty=-9.26 Tz=18.26 Mx=-0.01 Mz=-7.26
Sollecitazioni agenti localmente: Ty_l=-1602.05 My_l=-32.88
Tensioni nella sezione: σ=398.57 τ=48.55
CC 24 SLD (Collegamento -041_-375)
Azioni sul collegamento: N=-8874.30 Ty=-11.63 Tz=9.33 Mx=-0.01 Mz=-9.21
Sollecitazioni agenti localmente: Ty_l=-1609.82 My_l=-33.05
Tensioni nella sezione: σ=400.64 τ=48.78
CC 24 SLD (Collegamento -041_-375)
Azioni sul collegamento: N=-8874.30 Ty=-9.26 Tz=9.33 Mx=-0.01 Mz=-7.26
Sollecitazioni agenti localmente: Ty_l=-1602.05 My_l=-32.88
Tensioni nella sezione: σ=398.57 τ=48.55
CC 25 SLV (Collegamento -041_-375)
Azioni sul collegamento: N=-8983.80 Ty=-9.43 Tz=9.29 Mx=-0.02 Mz=-7.83
Sollecitazioni agenti localmente: Ty_l=-1623.71 My_l=-33.33
Tensioni nella sezione: σ=404.00 τ=49.20
CC 25 SLV (Collegamento -041_-375)
Azioni sul collegamento: N=-8983.80 Ty=-13.31 Tz=9.29 Mx=-0.02 Mz=-12.93
Sollecitazioni agenti localmente: Ty_l=-1643.99 My_l=-33.77
Tensioni nella sezione: σ=409.38 τ=49.82
CC 25 SLV (Collegamento -041_-375)
Azioni sul collegamento: N=-8983.80 Ty=-9.43 Tz=19.07 Mx=-0.02 Mz=-7.83
Sollecitazioni agenti localmente: Ty_l=-1623.71 My_l=-33.33
Tensioni nella sezione: σ=404.00 τ=49.20
CC 25 SLV (Collegamento -041_-375)
Azioni sul collegamento: N=-8983.80 Ty=-13.31 Tz=19.07 Mx=-0.02 Mz=-12.93
Sollecitazioni agenti localmente: Ty_l=-1643.99 My_l=-33.77
Tensioni nella sezione: σ=409.38 τ=49.82
CC 25 SLV (Collegamento -041_-375)
Azioni sul collegamento: N=-11351.50 Ty=-9.43 Tz=9.29 Mx=-0.02 Mz=-7.83
Sollecitazioni agenti localmente: Ty_l=-2043.43 My_l=-41.93
Tensioni nella sezione: σ=508.29 τ=61.92
CC 25 SLV (Collegamento -041_-375)
Azioni sul collegamento: N=-11351.50 Ty=-13.31 Tz=9.29 Mx=-0.02 Mz=-12.93
Sollecitazioni agenti localmente: Ty_l=-2063.71 My_l=-42.38
Tensioni nella sezione: σ=513.67 τ=62.54
CC 25 SLV (Collegamento -041_-375)
Azioni sul collegamento: N=-11351.50 Ty=-9.43 Tz=19.07 Mx=-0.02 Mz=-7.83
Sollecitazioni agenti localmente: Ty_l=-2043.43 My_l=-41.93
Tensioni nella sezione: σ=508.29 τ=61.92
CC 25 SLV (Collegamento -041_-375)
Azioni sul collegamento: N=-11351.50 Ty=-13.31 Tz=19.07 Mx=-0.02 Mz=-12.93
Sollecitazioni agenti localmente: Ty_l=-2063.71 My_l=-42.38
Tensioni nella sezione: σ=513.67 τ=62.54
CC 26 SLD (Collegamento -041_-375)
Azioni sul collegamento: N=-9709.05 Ty=-9.85 Tz=12.31 Mx=-0.01 Mz=-7.46
Sollecitazioni agenti localmente: Ty_l=-1750.82 My_l=-35.93
Tensioni nella sezione: σ=435.56 τ=53.06
CC 26 SLD (Collegamento -041_-375)
Azioni sul collegamento: N=-9709.05 Ty=-11.04 Tz=12.31 Mx=-0.01 Mz=-9.01
Sollecitazioni agenti localmente: Ty_l=-1757.01 My_l=-36.07
Tensioni nella sezione: σ=437.20 τ=53.24
CC 26 SLD (Collegamento -041_-375)
Azioni sul collegamento: N=-9709.05 Ty=-9.85 Tz=15.29 Mx=-0.01 Mz=-7.46
Sollecitazioni agenti localmente: Ty_l=-1750.82 My_l=-35.93
Tensioni nella sezione: σ=435.56 τ=53.06
CC 26 SLD (Collegamento -041_-375)
Azioni sul collegamento: N=-9709.05 Ty=-11.04 Tz=15.29 Mx=-0.01 Mz=-9.01
Sollecitazioni agenti localmente: Ty_l=-1757.01 My_l=-36.07
Tensioni nella sezione: σ=437.20 τ=53.24
CC 26 SLD (Collegamento -041_-375)
Azioni sul collegamento: N=-10431.00 Ty=-9.85 Tz=12.31 Mx=-0.01 Mz=-7.46
Sollecitazioni agenti localmente: Ty_l=-1878.81 My_l=-38.56
Tensioni nella sezione: σ=467.36 τ=56.93
CC 26 SLD (Collegamento -041_-375)
Azioni sul collegamento: N=-10431.00 Ty=-11.04 Tz=12.31 Mx=-0.01 Mz=-9.01
Sollecitazioni agenti localmente: Ty_l=-1884.99 My_l=-38.69
Tensioni nella sezione: σ=469.00 τ=57.12
CC 26 SLD (Collegamento -041_-375)
Azioni sul collegamento: N=-10431.00 Ty=-9.85 Tz=15.29 Mx=-0.01 Mz=-7.46
Sollecitazioni agenti localmente: Ty_l=-1878.81 My_l=-38.56
Tensioni nella sezione: σ=467.36 τ=56.93
CC 26 SLD (Collegamento -041_-375)

Azioni sul collegamento: N=-10431.00 Ty=-11.04 Tz=15.29 Mx=-0.01 Mz=-9.01
Sollecitazioni agenti localmente: Ty_l=-1884.99 My_l=-38.69
Tensioni nella sezione: σ=469.00 τ=57.12
CC 27 SLV (Collegamento -041_-375)
Azioni sul collegamento: N=-11335.10 Ty=-11.60 Tz=17.98 Mx=-0.02 Mz=-9.43
Sollecitazioni agenti localmente: Ty_l=-2046.93 My_l=-42.01
Tensioni nella sezione: σ=509.27 τ=62.03
CC 27 SLV (Collegamento -041_-375)
Azioni sul collegamento: N=-11335.10 Ty=-11.14 Tz=17.98 Mx=-0.02 Mz=-11.32
Sollecitazioni agenti localmente: Ty_l=-2054.42 My_l=-42.18
Tensioni nella sezione: σ=511.26 τ=62.26
CC 27 SLV (Collegamento -041_-375)
Azioni sul collegamento: N=-11335.10 Ty=-11.60 Tz=10.38 Mx=-0.02 Mz=-9.43
Sollecitazioni agenti localmente: Ty_l=-2046.93 My_l=-42.01
Tensioni nella sezione: σ=509.27 τ=62.03
CC 27 SLV (Collegamento -041_-375)
Azioni sul collegamento: N=-11335.10 Ty=-11.14 Tz=10.38 Mx=-0.02 Mz=-11.32
Sollecitazioni agenti localmente: Ty_l=-2054.42 My_l=-42.18
Tensioni nella sezione: σ=511.26 τ=62.26
CC 27 SLV (Collegamento -041_-375)
Azioni sul collegamento: N=-9000.13 Ty=-11.60 Tz=17.98 Mx=-0.02 Mz=-9.43
Sollecitazioni agenti localmente: Ty_l=-1633.00 My_l=-33.53
Tensioni nella sezione: σ=406.41 τ=49.48
CC 27 SLV (Collegamento -041_-375)
Azioni sul collegamento: N=-9000.13 Ty=-11.14 Tz=17.98 Mx=-0.02 Mz=-11.32
Sollecitazioni agenti localmente: Ty_l=-1640.49 My_l=-33.69
Tensioni nella sezione: σ=408.40 τ=49.71
CC 27 SLV (Collegamento -041_-375)
Azioni sul collegamento: N=-9000.13 Ty=-11.60 Tz=10.38 Mx=-0.02 Mz=-9.43
Sollecitazioni agenti localmente: Ty_l=-1633.00 My_l=-33.53
Tensioni nella sezione: σ=406.41 τ=49.48
CC 27 SLV (Collegamento -041_-375)
Azioni sul collegamento: N=-9000.13 Ty=-11.14 Tz=10.38 Mx=-0.02 Mz=-11.32
Sollecitazioni agenti localmente: Ty_l=-1640.49 My_l=-33.69
Tensioni nella sezione: σ=408.40 τ=49.71
CC 28 SLD (Collegamento -041_-375)
Azioni sul collegamento: N=-10426.00 Ty=-10.51 Tz=14.95 Mx=-0.01 Mz=-7.95
Sollecitazioni agenti localmente: Ty_l=-1879.87 My_l=-38.58
Tensioni nella sezione: σ=467.66 τ=56.97
CC 28 SLD (Collegamento -041_-375)
Azioni sul collegamento: N=-10426.00 Ty=-10.37 Tz=14.95 Mx=-0.01 Mz=-8.52
Sollecitazioni agenti localmente: Ty_l=-1882.16 My_l=-38.63
Tensioni nella sezione: σ=468.26 τ=57.04
CC 28 SLD (Collegamento -041_-375)
Azioni sul collegamento: N=-10426.00 Ty=-10.51 Tz=12.64 Mx=-0.01 Mz=-7.95
Sollecitazioni agenti localmente: Ty_l=-1879.87 My_l=-38.58
Tensioni nella sezione: σ=467.66 τ=56.97
CC 28 SLD (Collegamento -041_-375)
Azioni sul collegamento: N=-10426.00 Ty=-10.37 Tz=12.64 Mx=-0.01 Mz=-8.52
Sollecitazioni agenti localmente: Ty_l=-1882.16 My_l=-38.63
Tensioni nella sezione: σ=468.26 τ=57.04
CC 28 SLD (Collegamento -041_-375)
Azioni sul collegamento: N=-9714.03 Ty=-10.51 Tz=14.95 Mx=-0.01 Mz=-7.95
Sollecitazioni agenti localmente: Ty_l=-1753.65 My_l=-35.99
Tensioni nella sezione: σ=436.29 τ=53.14
CC 28 SLD (Collegamento -041_-375)
Azioni sul collegamento: N=-9714.03 Ty=-10.37 Tz=14.95 Mx=-0.01 Mz=-8.52
Sollecitazioni agenti localmente: Ty_l=-1755.94 My_l=-36.04
Tensioni nella sezione: σ=436.90 τ=53.21
CC 28 SLD (Collegamento -041_-375)
Azioni sul collegamento: N=-9714.03 Ty=-10.51 Tz=12.64 Mx=-0.01 Mz=-7.95
Sollecitazioni agenti localmente: Ty_l=-1753.65 My_l=-35.99
Tensioni nella sezione: σ=436.29 τ=53.14
CC 28 SLD (Collegamento -041_-375)
Azioni sul collegamento: N=-9714.03 Ty=-10.37 Tz=12.64 Mx=-0.01 Mz=-8.52
Sollecitazioni agenti localmente: Ty_l=-1755.94 My_l=-36.04
Tensioni nella sezione: σ=436.90 τ=53.21
CC 29 SLV (Collegamento -041_-375)
Azioni sul collegamento: N=-9000.13 Ty=-11.14 Tz=10.38 Mx=-0.01 Mz=-11.32
Sollecitazioni agenti localmente: Ty_l=-1640.49 My_l=-33.69
Tensioni nella sezione: σ=408.40 τ=49.71
CC 29 SLV (Collegamento -041_-375)
Azioni sul collegamento: N=-9000.13 Ty=-11.60 Tz=10.38 Mx=-0.01 Mz=-9.43
Sollecitazioni agenti localmente: Ty_l=-1633.00 My_l=-33.53
Tensioni nella sezione: σ=406.41 τ=49.48
CC 29 SLV (Collegamento -041_-375)
Azioni sul collegamento: N=-9000.13 Ty=-11.14 Tz=17.98 Mx=-0.01 Mz=-11.32
Sollecitazioni agenti localmente: Ty_l=-1640.49 My_l=-33.69
Tensioni nella sezione: σ=408.40 τ=49.71

CC 29 SLV (Collegamento -041_-375)
Azioni sul collegamento: N=-9000.13 Ty=-11.60 Tz=17.98 Mx=-0.01 Mz=-9.43
Sollecitazioni agenti localmente: Ty_l=-1633.00 My_l=-33.53
Tensioni nella sezione: σ=406.41 τ=49.48
CC 29 SLV (Collegamento -041_-375)
Azioni sul collegamento: N=-11335.10 Ty=-11.14 Tz=10.38 Mx=-0.01 Mz=-11.32
Sollecitazioni agenti localmente: Ty_l=-2054.43 My_l=-42.18
Tensioni nella sezione: σ=511.26 τ=62.26
CC 29 SLV (Collegamento -041_-375)
Azioni sul collegamento: N=-11335.10 Ty=-11.60 Tz=10.38 Mx=-0.01 Mz=-9.43
Sollecitazioni agenti localmente: Ty_l=-2046.93 My_l=-42.01
Tensioni nella sezione: σ=509.27 τ=62.03
CC 29 SLV (Collegamento -041_-375)
Azioni sul collegamento: N=-11335.10 Ty=-11.14 Tz=17.98 Mx=-0.01 Mz=-11.32
Sollecitazioni agenti localmente: Ty_l=-2054.43 My_l=-42.18
Tensioni nella sezione: σ=511.26 τ=62.26
CC 29 SLV (Collegamento -041_-375)
Azioni sul collegamento: N=-11335.10 Ty=-11.60 Tz=17.98 Mx=-0.01 Mz=-9.43
Sollecitazioni agenti localmente: Ty_l=-2046.93 My_l=-42.01
Tensioni nella sezione: σ=509.27 τ=62.03
CC 30 SLD (Collegamento -041_-375)
Azioni sul collegamento: N=-9714.03 Ty=-10.37 Tz=12.64 Mx=-0.00 Mz=-8.52
Sollecitazioni agenti localmente: Ty_l=-1755.94 My_l=-36.04
Tensioni nella sezione: σ=436.90 τ=53.21
CC 30 SLD (Collegamento -041_-375)
Azioni sul collegamento: N=-9714.03 Ty=-10.51 Tz=12.64 Mx=-0.00 Mz=-7.95
Sollecitazioni agenti localmente: Ty_l=-1753.65 My_l=-35.99
Tensioni nella sezione: σ=436.29 τ=53.14
CC 30 SLD (Collegamento -041_-375)
Azioni sul collegamento: N=-9714.03 Ty=-10.37 Tz=14.95 Mx=-0.00 Mz=-8.52
Sollecitazioni agenti localmente: Ty_l=-1755.94 My_l=-36.04
Tensioni nella sezione: σ=436.90 τ=53.21
CC 30 SLD (Collegamento -041_-375)
Azioni sul collegamento: N=-9714.03 Ty=-10.51 Tz=14.95 Mx=-0.00 Mz=-7.95
Sollecitazioni agenti localmente: Ty_l=-1753.65 My_l=-35.99
Tensioni nella sezione: σ=436.29 τ=53.14
CC 30 SLD (Collegamento -041_-375)
Azioni sul collegamento: N=-10426.00 Ty=-10.37 Tz=12.64 Mx=-0.00 Mz=-8.52
Sollecitazioni agenti localmente: Ty_l=-1882.16 My_l=-38.63
Tensioni nella sezione: σ=468.26 τ=57.04
CC 30 SLD (Collegamento -041_-375)
Azioni sul collegamento: N=-10426.00 Ty=-10.51 Tz=12.64 Mx=-0.00 Mz=-7.95
Sollecitazioni agenti localmente: Ty_l=-1879.87 My_l=-38.58
Tensioni nella sezione: σ=467.66 τ=56.97
CC 30 SLD (Collegamento -041_-375)
Azioni sul collegamento: N=-10426.00 Ty=-10.37 Tz=14.95 Mx=-0.00 Mz=-8.52
Sollecitazioni agenti localmente: Ty_l=-1882.16 My_l=-38.63
Tensioni nella sezione: σ=468.26 τ=57.04
CC 30 SLD (Collegamento -041_-375)
Azioni sul collegamento: N=-10426.00 Ty=-10.51 Tz=14.95 Mx=-0.00 Mz=-7.95
Sollecitazioni agenti localmente: Ty_l=-1879.87 My_l=-38.58
Tensioni nella sezione: σ=467.66 τ=56.97
CC 31 SLV (Collegamento -041_-375)
Azioni sul collegamento: N=-11351.50 Ty=-13.31 Tz=19.07 Mx=-0.01 Mz=-12.93
Sollecitazioni agenti localmente: Ty_l=-2063.71 My_l=-42.38
Tensioni nella sezione: σ=513.67 τ=62.54
CC 31 SLV (Collegamento -041_-375)
Azioni sul collegamento: N=-11351.50 Ty=-9.43 Tz=19.07 Mx=-0.01 Mz=-7.83
Sollecitazioni agenti localmente: Ty_l=-2043.43 My_l=-41.93
Tensioni nella sezione: σ=508.29 τ=61.92
CC 31 SLV (Collegamento -041_-375)
Azioni sul collegamento: N=-11351.50 Ty=-13.31 Tz=9.29 Mx=-0.01 Mz=-12.93
Sollecitazioni agenti localmente: Ty_l=-2063.71 My_l=-42.38
Tensioni nella sezione: σ=513.67 τ=62.54
CC 31 SLV (Collegamento -041_-375)
Azioni sul collegamento: N=-11351.50 Ty=-9.43 Tz=9.29 Mx=-0.01 Mz=-7.83
Sollecitazioni agenti localmente: Ty_l=-2043.43 My_l=-41.93
Tensioni nella sezione: σ=508.29 τ=61.92
CC 31 SLV (Collegamento -041_-375)
Azioni sul collegamento: N=-8983.80 Ty=-13.31 Tz=19.07 Mx=-0.01 Mz=-12.93
Sollecitazioni agenti localmente: Ty_l=-1643.99 My_l=-33.77
Tensioni nella sezione: σ=409.38 τ=49.82
CC 31 SLV (Collegamento -041_-375)
Azioni sul collegamento: N=-8983.80 Ty=-9.43 Tz=19.07 Mx=-0.01 Mz=-7.83
Sollecitazioni agenti localmente: Ty_l=-1623.71 My_l=-33.33
Tensioni nella sezione: σ=404.00 τ=49.20
CC 31 SLV (Collegamento -041_-375)
Azioni sul collegamento: N=-8983.80 Ty=-13.31 Tz=9.29 Mx=-0.01 Mz=-12.93
Sollecitazioni agenti localmente: Ty_l=-1643.99 My_l=-33.77

Tensioni nella sezione: σ=409.38 τ=49.82
CC 31 SLV (Collegamento -041_-375)
Azioni sul collegamento: N=-8983.80 Ty=-9.43 Tz=9.29 Mx=-0.01 Mz=-7.83
Sollecitazioni agenti localmente: Ty_l=-1623.71 My_l=-33.33
Tensioni nella sezione: σ=404.00 τ=49.20
CC 32 SLD (Collegamento -041_-375)
Azioni sul collegamento: N=-10431.00 Ty=-11.04 Tz=15.29 Mx=-0.00 Mz=-9.01
Sollecitazioni agenti localmente: Ty_l=-1884.99 My_l=-38.69
Tensioni nella sezione: σ=469.00 τ=57.12
CC 32 SLD (Collegamento -041_-375)
Azioni sul collegamento: N=-10431.00 Ty=-9.85 Tz=15.29 Mx=-0.00 Mz=-7.46
Sollecitazioni agenti localmente: Ty_l=-1878.81 My_l=-38.56
Tensioni nella sezione: σ=467.36 τ=56.93
CC 32 SLD (Collegamento -041_-375)
Azioni sul collegamento: N=-10431.00 Ty=-11.04 Tz=12.31 Mx=-0.00 Mz=-9.01
Sollecitazioni agenti localmente: Ty_l=-1884.99 My_l=-38.69
Tensioni nella sezione: σ=469.00 τ=57.12
CC 32 SLD (Collegamento -041_-375)
Azioni sul collegamento: N=-10431.00 Ty=-9.85 Tz=12.31 Mx=-0.00 Mz=-7.46
Sollecitazioni agenti localmente: Ty_l=-1878.81 My_l=-38.56
Tensioni nella sezione: σ=467.36 τ=56.93
CC 32 SLD (Collegamento -041_-375)
Azioni sul collegamento: N=-9709.05 Ty=-11.04 Tz=15.29 Mx=-0.00 Mz=-9.01
Sollecitazioni agenti localmente: Ty_l=-1757.01 My_l=-36.07
Tensioni nella sezione: σ=437.20 τ=53.24
CC 32 SLD (Collegamento -041_-375)
Azioni sul collegamento: N=-9709.05 Ty=-9.85 Tz=15.29 Mx=-0.00 Mz=-7.46
Sollecitazioni agenti localmente: Ty_l=-1750.82 My_l=-35.93
Tensioni nella sezione: σ=435.56 τ=53.06
CC 32 SLD (Collegamento -041_-375)
Azioni sul collegamento: N=-9709.05 Ty=-11.04 Tz=12.31 Mx=-0.00 Mz=-9.01
Sollecitazioni agenti localmente: Ty_l=-1757.01 My_l=-36.07
Tensioni nella sezione: σ=437.20 τ=53.24
CC 32 SLD (Collegamento -041_-375)
Azioni sul collegamento: N=-9709.05 Ty=-9.85 Tz=12.31 Mx=-0.00 Mz=-7.46
Sollecitazioni agenti localmente: Ty_l=-1750.82 My_l=-35.93
Tensioni nella sezione: σ=435.56 τ=53.06
CC 33 SLU (Collegamento -041_-375)
Azioni sul collegamento: N=-36642.60 Ty=-20.20 Tz=103.27 Mx=-0.00 Mz=-14.84
Sollecitazioni agenti localmente: Ty_l=-6554.75 My_l=-134.46
Tensioni nella sezione: σ=1629.76 τ=198.63
CC 34 SLU (Collegamento -041_-375)
Azioni sul collegamento: N=-37458.50 Ty=-20.96 Tz=106.28 Mx=-0.00 Mz=-15.40
Sollecitazioni agenti localmente: Ty_l=-6701.62 My_l=-137.47
Tensioni nella sezione: σ=1666.29 τ=203.08
CC 35 SLU (Collegamento -041_-375)
Azioni sul collegamento: N=-37049.70 Ty=-20.49 Tz=104.83 Mx=-0.01 Mz=-14.94
Sollecitazioni agenti localmente: Ty_l=-6627.30 My_l=-135.94
Tensioni nella sezione: σ=1647.79 τ=200.83
CC 36 SLU (Collegamento -041_-375)
Azioni sul collegamento: N=-37051.40 Ty=-20.67 Tz=104.72 Mx=-0.00 Mz=-15.30
Sollecitazioni agenti localmente: Ty_l=-6629.07 My_l=-135.98
Tensioni nella sezione: σ=1648.26 τ=200.88
CC 37 SLU (Collegamento -041_-375)
Azioni sul collegamento: N=-29860.20 Ty=10.64 Tz=77.84 Mx=-0.00 Mz=8.54
Sollecitazioni agenti localmente: Ty_l=-5259.42 My_l=-107.77
Tensioni nella sezione: σ=1306.31 τ=159.38
CC 38 SLU (Collegamento -041_-375)
Azioni sul collegamento: N=-30676.20 Ty=9.89 Tz=80.85 Mx=-0.00 Mz=7.98
Sollecitazioni agenti localmente: Ty_l=-5406.29 My_l=-110.78
Tensioni nella sezione: σ=1342.84 τ=163.83
CC 39 SLU (Collegamento -041_-375)
Azioni sul collegamento: N=-30267.30 Ty=10.35 Tz=79.40 Mx=-0.01 Mz=8.45
Sollecitazioni agenti localmente: Ty_l=-5331.97 My_l=-109.26
Tensioni nella sezione: σ=1324.34 τ=161.57
CC 40 SLU (Collegamento -041_-375)
Azioni sul collegamento: N=-30269.10 Ty=10.18 Tz=79.28 Mx=-0.00 Mz=8.08
Sollecitazioni agenti localmente: Ty_l=-5333.74 My_l=-109.30
Tensioni nella sezione: σ=1324.81 τ=161.63
CC 41 SLU (Collegamento -041_-375)
Azioni sul collegamento: N=-27459.80 Ty=-19.36 Tz=69.55 Mx=-0.00 Mz=-14.09
Sollecitazioni agenti localmente: Ty_l=-4923.91 My_l=-101.02
Tensioni nella sezione: σ=1224.47 τ=149.21
CC 42 SLU (Collegamento -041_-375)
Azioni sul collegamento: N=-28275.70 Ty=-20.11 Tz=72.57 Mx=-0.00 Mz=-14.65
Sollecitazioni agenti localmente: Ty_l=-5070.78 My_l=-104.03
Tensioni nella sezione: σ=1261.00 τ=153.66
CC 43 SLU (Collegamento -041_-375)
Azioni sul collegamento: N=-27866.90 Ty=-19.65 Tz=71.12 Mx=-0.01 Mz=-14.19

Sollecitazioni agenti localmente: Ty_l=-4996.46 My_l=-102.51
Tensioni nella sezione: σ=1242.50 τ=151.41
CC 44 SLU (Collegamento -041_-375)
Azioni sul collegamento: N=-27868.60 Ty=-19.82 Tz=71.00 Mx=-0.00 Mz=-14.55
Sollecitazioni agenti localmente: Ty_l=-4998.23 My_l=-102.55
Tensioni nella sezione: σ=1242.97 τ=151.46
CC 45 SLU (Collegamento -041_-375)
Azioni sul collegamento: N=-29479.00 Ty=-19.57 Tz=76.97 Mx=-0.00 Mz=-14.38
Sollecitazioni agenti localmente: Ty_l=-5283.03 My_l=-108.38
Tensioni nella sezione: σ=1313.72 τ=160.09
CC 46 SLU (Collegamento -041_-375)
Azioni sul collegamento: N=-30295.00 Ty=-20.33 Tz=79.99 Mx=-0.00 Mz=-14.94
Sollecitazioni agenti localmente: Ty_l=-5429.90 My_l=-111.40
Tensioni nella sezione: σ=1350.26 τ=164.54
CC 47 SLU (Collegamento -041_-375)
Azioni sul collegamento: N=-29886.10 Ty=-19.86 Tz=78.54 Mx=-0.00 Mz=-14.48
Sollecitazioni agenti localmente: Ty_l=-5355.58 My_l=-109.87
Tensioni nella sezione: σ=1331.76 τ=162.29
CC 48 SLU (Collegamento -041_-375)
Azioni sul collegamento: N=-29887.90 Ty=-20.04 Tz=78.42 Mx=-0.00 Mz=-14.84
Sollecitazioni agenti localmente: Ty_l=-5357.35 My_l=-109.91
Tensioni nella sezione: σ=1332.22 τ=162.34
CC 49 SLU (Collegamento -041_-375)
Azioni sul collegamento: N=-24404.80 Ty=3.50 Tz=57.94 Mx=-0.00 Mz=3.11
Sollecitazioni agenti localmente: Ty_l=-4313.93 My_l=-88.42
Tensioni nella sezione: σ=1071.74 τ=130.72
CC 50 SLU (Collegamento -041_-375)
Azioni sul collegamento: N=-25220.80 Ty=2.75 Tz=60.96 Mx=-0.00 Mz=2.55
Sollecitazioni agenti localmente: Ty_l=-4460.80 My_l=-91.43
Tensioni nella sezione: σ=1108.27 τ=135.18
CC 51 SLU (Collegamento -041_-375)
Azioni sul collegamento: N=-24811.90 Ty=3.21 Tz=59.51 Mx=-0.00 Mz=3.02
Sollecitazioni agenti localmente: Ty_l=-4386.48 My_l=-89.91
Tensioni nella sezione: σ=1089.77 τ=132.92
CC 52 SLU (Collegamento -041_-375)
Azioni sul collegamento: N=-24813.70 Ty=3.04 Tz=59.39 Mx=-0.00 Mz=2.65
Sollecitazioni agenti localmente: Ty_l=-4388.25 My_l=-89.94
Tensioni nella sezione: σ=1090.23 τ=132.98
CC 53 SLU (Collegamento -041_-375)
Azioni sul collegamento: N=-22608.90 Ty=-18.94 Tz=51.75 Mx=-0.00 Mz=-13.82
Sollecitazioni agenti localmente: Ty_l=-4062.92 My_l=-83.37
Tensioni nella sezione: σ=1010.51 τ=123.12
CC 54 SLU (Collegamento -041_-375)
Azioni sul collegamento: N=-23424.90 Ty=-19.70 Tz=54.76 Mx=-0.00 Mz=-14.38
Sollecitazioni agenti localmente: Ty_l=-4209.79 My_l=-86.38
Tensioni nella sezione: σ=1047.04 τ=127.57
CC 55 SLU (Collegamento -041_-375)
Azioni sul collegamento: N=-23016.00 Ty=-19.23 Tz=53.31 Mx=-0.00 Mz=-13.92
Sollecitazioni agenti localmente: Ty_l=-4135.47 My_l=-84.85
Tensioni nella sezione: σ=1028.54 τ=125.32
CC 56 SLU (Collegamento -041_-375)
Azioni sul collegamento: N=-23017.80 Ty=-19.41 Tz=53.20 Mx=-0.00 Mz=-14.28
Sollecitazioni agenti localmente: Ty_l=-4137.24 My_l=-84.89
Tensioni nella sezione: σ=1029.01 τ=125.37
CC 57 SLU (Collegamento -041_-375)
Azioni sul collegamento: N=-30221.30 Ty=-20.56 Tz=79.74 Mx=-0.00 Mz=-15.10
Sollecitazioni agenti localmente: Ty_l=-5417.48 My_l=-111.14
Tensioni nella sezione: σ=1347.18 τ=164.17
CC 58 SLU (Collegamento -041_-375)
Azioni sul collegamento: N=-31037.20 Ty=-21.31 Tz=82.75 Mx=-0.00 Mz=-15.66
Sollecitazioni agenti localmente: Ty_l=-5564.35 My_l=-114.16
Tensioni nella sezione: σ=1383.71 τ=168.62
CC 59 SLU (Collegamento -041_-375)
Azioni sul collegamento: N=-30628.40 Ty=-20.85 Tz=81.31 Mx=-0.00 Mz=-15.20
Sollecitazioni agenti localmente: Ty_l=-5490.03 My_l=-112.63
Tensioni nella sezione: σ=1365.22 τ=166.37
CC 60 SLU (Collegamento -041_-375)
Azioni sul collegamento: N=-30630.10 Ty=-21.02 Tz=81.19 Mx=-0.00 Mz=-15.57
Sollecitazioni agenti localmente: Ty_l=-5491.80 My_l=-112.67
Tensioni nella sezione: σ=1365.68 τ=166.42
CC 61 SLU (Collegamento -041_-375)
Azioni sul collegamento: N=-25147.00 Ty=2.52 Tz=60.71 Mx=-0.00 Mz=2.39
Sollecitazioni agenti localmente: Ty_l=-4448.38 My_l=-91.18
Tensioni nella sezione: σ=1105.19 τ=134.80
CC 62 SLU (Collegamento -041_-375)
Azioni sul collegamento: N=-25963.00 Ty=1.76 Tz=63.73 Mx=-0.00 Mz=1.83
Sollecitazioni agenti localmente: Ty_l=-4595.25 My_l=-94.19
Tensioni nella sezione: σ=1141.73 τ=139.25
CC 63 SLU (Collegamento -041_-375)

Azioni sul collegamento: N=-25554.10 Ty=2.23 Tz=62.28 Mx=-0.00 Mz=2.29
Sollecitazioni agenti localmente: Ty_l=-4520.94 My_l=-92.67
Tensioni nella sezione: σ=1123.23 τ=137.00
CC 64 SLU (Collegamento -041_-375)
Azioni sul collegamento: N=-25555.90 Ty=2.05 Tz=62.16 Mx=-0.00 Mz=1.93
Sollecitazioni agenti localmente: Ty_l=-4522.70 My_l=-92.70
Tensioni nella sezione: σ=1123.69 τ=137.05
CC 65 SLU (Collegamento -041_-375)
Azioni sul collegamento: N=-23351.20 Ty=-19.92 Tz=54.52 Mx=-0.00 Mz=-14.54
Sollecitazioni agenti localmente: Ty_l=-4197.38 My_l=-86.13
Tensioni nella sezione: σ=1043.97 τ=127.19
CC 66 SLU (Collegamento -041_-375)
Azioni sul collegamento: N=-24167.10 Ty=-20.68 Tz=57.53 Mx=-0.00 Mz=-15.10
Sollecitazioni agenti localmente: Ty_l=-4344.25 My_l=-89.14
Tensioni nella sezione: σ=1080.50 τ=131.64
CC 67 SLU (Collegamento -041_-375)
Azioni sul collegamento: N=-23758.30 Ty=-20.21 Tz=56.08 Mx=-0.00 Mz=-14.64
Sollecitazioni agenti localmente: Ty_l=-4269.93 My_l=-87.61
Tensioni nella sezione: σ=1062.00 τ=129.39
CC 68 SLU (Collegamento -041_-375)
Azioni sul collegamento: N=-23760.00 Ty=-20.39 Tz=55.97 Mx=-0.00 Mz=-15.01
Sollecitazioni agenti localmente: Ty_l=-4271.69 My_l=-87.65
Tensioni nella sezione: σ=1062.46 τ=129.44
CC 97 SLU (Collegamento -041_-375)
Azioni sul collegamento: N=-31084.20 Ty=-25.01 Tz=90.82 Mx=0.05 Mz=-11.42
Sollecitazioni agenti localmente: Ty_l=-5555.80 My_l=-113.96
Tensioni nella sezione: σ=1381.30 τ=168.36
CC 98 SLU (Collegamento -041_-375)
Azioni sul collegamento: N=-31900.20 Ty=-25.76 Tz=93.83 Mx=0.05 Mz=-11.97
Sollecitazioni agenti localmente: Ty_l=-5702.67 My_l=-116.97
Tensioni nella sezione: σ=1417.83 τ=172.81
CC 99 SLU (Collegamento -041_-375)
Azioni sul collegamento: N=-31491.30 Ty=-25.30 Tz=92.39 Mx=0.05 Mz=-11.51
Sollecitazioni agenti localmente: Ty_l=-5628.35 My_l=-115.44
Tensioni nella sezione: σ=1399.34 τ=170.56
CC 100 SLU (Collegamento -041_-375)
Azioni sul collegamento: N=-31493.10 Ty=-25.48 Tz=92.27 Mx=0.05 Mz=-11.88
Sollecitazioni agenti localmente: Ty_l=-5630.12 My_l=-115.48
Tensioni nella sezione: σ=1399.80 τ=170.61
CC 101 SLU (Collegamento -041_-375)
Azioni sul collegamento: N=-8294.89 Ty=-5.21 Tz=7.37 Mx=-0.01 Mz=-4.43
Sollecitazioni agenti localmente: Ty_l=-1488.09 My_l=-30.53
Tensioni nella sezione: σ=370.07 τ=45.09
CC 102 SLU (Collegamento -041_-375)
Azioni sul collegamento: N=-9110.88 Ty=-5.97 Tz=10.39 Mx=-0.01 Mz=-4.99
Sollecitazioni agenti localmente: Ty_l=-1634.96 My_l=-33.54
Tensioni nella sezione: σ=406.60 τ=49.54
CC 103 SLU (Collegamento -041_-375)
Azioni sul collegamento: N=-8702.00 Ty=-5.50 Tz=8.94 Mx=-0.01 Mz=-4.53
Sollecitazioni agenti localmente: Ty_l=-1560.64 My_l=-32.02
Tensioni nella sezione: σ=388.10 τ=47.29
CC 104 SLU (Collegamento -041_-375)
Azioni sul collegamento: N=-8703.78 Ty=-5.68 Tz=8.82 Mx=-0.01 Mz=-4.89
Sollecitazioni agenti localmente: Ty_l=-1562.41 My_l=-32.06
Tensioni nella sezione: σ=388.56 τ=47.35

Collegamento -044_-376

Piastra 220.00 x 220.00 s=15.00 - 6 Tirafondi ϕ 16 - Profondità di infissione: 350.00
3 righe ad interasse 89.00
2 colonne ad interasse 178.00
Altezza di gola saldature: anima 7.07 - ala 7.07

Tirafondi e calcestruzzo

CC 1 SLV (Collegamento -044_-376)
Azioni sul collegamento: N=-6246.31 Ty=15.25 Tz=-0.46 Mx=0.02 Mz=13.58
Sollecitazioni agenti localmente: Tx_l=15.25 Ty_l=-0.46 N_l=-6246.31 Mx_l=-0.00 My_l=13.58 Mz_l=0.02
Taglio nei bulloni: Fv,Ed=2.56 Fv,Rd=7720.78
Rifollamento lato piastra: Fb,Ed,p=2.56 Fb,Rd,p=5991.65
Tirafondi:LT=0.45 (0.31) $σ_{cR}$=0.00 $σ_{fR}$=0.00
Compressione nel calcestruzzo: $σ_c$=13.67
CC 1 SLV (Collegamento -044_-376)
Azioni sul collegamento: N=-6246.31 Ty=7.49 Tz=-0.46 Mx=0.02 Mz=7.17
Sollecitazioni agenti localmente: Tx_l=7.49 Ty_l=-0.46 N_l=-6246.31 Mx_l=-0.00 My_l=7.17 Mz_l=0.02
Taglio nei bulloni: Fv,Ed=1.27 Fv,Rd=7720.78
Rifollamento lato piastra: Fb,Ed,p=1.27 Fb,Rd,p=6030.04
Tirafondi:LT=0.45 (0.31) $σ_{cR}$=0.00 $σ_{fR}$=0.00

Compressione nel calcestruzzo: σ_c=13.31
CC 1 SLV (Collegamento -044_-376)
Azioni sul collegamento: N=-6246.31 Ty=15.25 Tz=28.82 Mx=0.02 Mz=13.58
Sollecitazioni agenti localmente: Tx_l=15.25 Ty_l=28.82 N_l=-6246.31 Mx_l=-0.00 My_l=13.58 Mz_l=0.02
Taglio nei bulloni: Fv,Ed=5.46 Fv,Rd=7720.78
Rifollamento lato piastra: Fb,Ed,p=5.46 Fb,Rd,p=8530.43
Tirafondi:LT=0.45 (0.31) σ_{cR}=0.00 σ_{fR}=0.00
Compressione nel calcestruzzo: σ_c=13.67
CC 1 SLV (Collegamento -044_-376)
Azioni sul collegamento: N=-6246.31 Ty=7.49 Tz=28.82 Mx=0.02 Mz=7.17
Sollecitazioni agenti localmente: Tx_l=7.49 Ty_l=28.82 N_l=-6246.31 Mx_l=-0.00 My_l=7.17 Mz_l=0.02
Taglio nei bulloni: Fv,Ed=4.99 Fv,Rd=7720.78
Rifollamento lato piastra: Fb,Ed,p=4.99 Fb,Rd,p=6595.89
Tirafondi:LT=0.45 (0.31) σ_{cR}=0.00 σ_{fR}=0.00
Compressione nel calcestruzzo: σ_c=13.31
CC 1 SLV (Collegamento -044_-376)
Azioni sul collegamento: N=-14088.90 Ty=15.25 Tz=-0.46 Mx=0.02 Mz=13.58
Sollecitazioni agenti localmente: Tx_l=15.25 Ty_l=-0.46 N_l=-14088.90 Mx_l=-0.00 My_l=13.58 Mz_l=0.02
Taglio nei bulloni: Fv,Ed=2.56 Fv,Rd=7720.78
Rifollamento lato piastra: Fb,Ed,p=2.56 Fb,Rd,p=5991.67
Tirafondi:LT=0.45 (0.31) σ_{cR}=0.00 σ_{fR}=0.00
Compressione nel calcestruzzo: σ_c=29.87
CC 1 SLV (Collegamento -044_-376)
Azioni sul collegamento: N=-14088.90 Ty=7.49 Tz=-0.46 Mx=0.02 Mz=7.17
Sollecitazioni agenti localmente: Tx_l=7.49 Ty_l=-0.46 N_l=-14088.90 Mx_l=-0.00 My_l=7.17 Mz_l=0.02
Taglio nei bulloni: Fv,Ed=1.27 Fv,Rd=7720.78
Rifollamento lato piastra: Fb,Ed,p=1.27 Fb,Rd,p=6030.13
Tirafondi:LT=0.45 (0.31) σ_{cR}=0.00 σ_{fR}=0.00
Compressione nel calcestruzzo: σ_c=29.51
CC 1 SLV (Collegamento -044_-376)
Azioni sul collegamento: N=-14088.90 Ty=15.25 Tz=28.82 Mx=0.02 Mz=13.58
Sollecitazioni agenti localmente: Tx_l=15.25 Ty_l=28.82 N_l=-14088.90 Mx_l=-0.00 My_l=13.58 Mz_l=0.02
Taglio nei bulloni: Fv,Ed=5.46 Fv,Rd=7720.78
Rifollamento lato piastra: Fb,Ed,p=5.46 Fb,Rd,p=8530.47
Tirafondi:LT=0.45 (0.31) σ_{cR}=0.00 σ_{fR}=0.00
Compressione nel calcestruzzo: σ_c=29.87
CC 1 SLV (Collegamento -044_-376)
Azioni sul collegamento: N=-14088.90 Ty=7.49 Tz=28.82 Mx=0.02 Mz=7.17
Sollecitazioni agenti localmente: Tx_l=7.49 Ty_l=28.82 N_l=-14088.90 Mx_l=-0.00 My_l=7.17 Mz_l=0.02
Taglio nei bulloni: Fv,Ed=4.99 Fv,Rd=7720.78
Rifollamento lato piastra: Fb,Ed,p=4.99 Fb,Rd,p=6595.90
Tirafondi:LT=0.45 (0.31) σ_{cR}=0.00 σ_{fR}=0.00
Compressione nel calcestruzzo: σ_c=29.51
CC 2 SLD (Collegamento -044_-376)
Azioni sul collegamento: N=-8874.30 Ty=11.63 Tz=9.33 Mx=0.01 Mz=9.21
Sollecitazioni agenti localmente: Tx_l=11.63 Ty_l=9.33 N_l=-8874.30 Mx_l=-0.00 My_l=9.21 Mz_l=0.01
Taglio nei bulloni: Fv,Ed=2.50 Fv,Rd=9650.97
Rifollamento lato piastra: Fb,Ed,p=2.49 Fb,Rd,p=13573.20
Tirafondi:LT=0.45 (0.31) σ_{cR}=0.00 σ_{fR}=0.00
Compressione nel calcestruzzo: σ_c=18.85
CC 2 SLD (Collegamento -044_-376)
Azioni sul collegamento: N=-8874.30 Ty=9.26 Tz=9.33 Mx=0.01 Mz=7.26
Sollecitazioni agenti localmente: Tx_l=9.26 Ty_l=9.33 N_l=-8874.30 Mx_l=-0.00 My_l=7.26 Mz_l=0.01
Taglio nei bulloni: Fv,Ed=2.20 Fv,Rd=9650.97
Rifollamento lato piastra: Fb,Ed,p=2.20 Fb,Rd,p=14966.60
Tirafondi:LT=0.45 (0.31) σ_{cR}=0.00 σ_{fR}=0.00
Compressione nel calcestruzzo: σ_c=18.74
CC 2 SLD (Collegamento -044_-376)
Azioni sul collegamento: N=-8874.30 Ty=11.63 Tz=18.26 Mx=0.01 Mz=9.21
Sollecitazioni agenti localmente: Tx_l=11.63 Ty_l=18.26 N_l=-8874.30 Mx_l=-0.00 My_l=9.21 Mz_l=0.01
Taglio nei bulloni: Fv,Ed=3.62 Fv,Rd=9650.97
Rifollamento lato piastra: Fb,Ed,p=3.62 Fb,Rd,p=12106.90
Tirafondi:LT=0.45 (0.31) σ_{cR}=0.00 σ_{fR}=0.00
Compressione nel calcestruzzo: σ_c=18.85
CC 2 SLD (Collegamento -044_-376)
Azioni sul collegamento: N=-8874.30 Ty=9.26 Tz=18.26 Mx=0.01 Mz=7.26
Sollecitazioni agenti localmente: Tx_l=9.26 Ty_l=18.26 N_l=-8874.30 Mx_l=-0.00 My_l=7.26 Mz_l=0.01
Taglio nei bulloni: Fv,Ed=3.42 Fv,Rd=9650.97
Rifollamento lato piastra: Fb,Ed,p=3.42 Fb,Rd,p=10394.20
Tirafondi:LT=0.45 (0.31) σ_{cR}=0.00 σ_{fR}=0.00
Compressione nel calcestruzzo: σ_c=18.74
CC 2 SLD (Collegamento -044_-376)
Azioni sul collegamento: N=-11265.80 Ty=11.63 Tz=9.33 Mx=0.01 Mz=9.21
Sollecitazioni agenti localmente: Tx_l=11.63 Ty_l=9.33 N_l=-11265.80 Mx_l=-0.00 My_l=9.21 Mz_l=0.01
Taglio nei bulloni: Fv,Ed=2.50 Fv,Rd=9650.97
Rifollamento lato piastra: Fb,Ed,p=2.49 Fb,Rd,p=13573.20
Tirafondi:LT=0.45 (0.31) σ_{cR}=0.00 σ_{fR}=0.00
Compressione nel calcestruzzo: σ_c=23.80

CC 2 SLD (Collegamento -044_-376)
Azioni sul collegamento: N=-11265.80 Ty=9.26 Tz=9.33 Mx=0.01 Mz=7.26
Sollecitazioni agenti localmente: Tx_l=9.26 Ty_l=9.33 N_l=-11265.80 Mx_l=-0.00 My_l=7.26 Mz_l=0.01
Taglio nei bulloni: Fv,Ed=2.20 Fv,Rd=9650.97
Rifollamento lato piastra: Fb,Ed,p=2.20 Fb,Rd,p=14966.70
Tirafondi:LT=0.45 (0.31) σ_{cR}=0.00 σ_{fR}=0.00
Compressione nel calcestruzzo: σ_c=23.69
CC 2 SLD (Collegamento -044_-376)
Azioni sul collegamento: N=-11265.80 Ty=11.63 Tz=18.26 Mx=0.01 Mz=9.21
Sollecitazioni agenti localmente: Tx_l=11.63 Ty_l=18.26 N_l=-11265.80 Mx_l=-0.00 My_l=9.21 Mz_l=0.01
Taglio nei bulloni: Fv,Ed=3.62 Fv,Rd=9650.97
Rifollamento lato piastra: Fb,Ed,p=3.62 Fb,Rd,p=12106.70
Tirafondi:LT=0.45 (0.31) σ_{cR}=0.00 σ_{fR}=0.00
Compressione nel calcestruzzo: σ_c=23.80
CC 2 SLD (Collegamento -044_-376)
Azioni sul collegamento: N=-11265.80 Ty=9.26 Tz=18.26 Mx=0.01 Mz=7.26
Sollecitazioni agenti localmente: Tx_l=9.26 Ty_l=18.26 N_l=-11265.80 Mx_l=-0.00 My_l=7.26 Mz_l=0.01
Taglio nei bulloni: Fv,Ed=3.42 Fv,Rd=9650.97
Rifollamento lato piastra: Fb,Ed,p=3.42 Fb,Rd,p=10394.10
Tirafondi:LT=0.45 (0.31) σ_{cR}=0.00 σ_{fR}=0.00
Compressione nel calcestruzzo: σ_c=23.69
CC 3 SLV (Collegamento -044_-376)
Azioni sul collegamento: N=-6251.19 Ty=14.73 Tz=-0.13 Mx=0.01 Mz=12.53
Sollecitazioni agenti localmente: Tx_l=14.73 Ty_l=-0.13 N_l=-6251.19 Mx_l=-0.00 My_l=12.53 Mz_l=0.01
Taglio nei bulloni: Fv,Ed=2.47 Fv,Rd=7720.78
Rifollamento lato piastra: Fb,Ed,p=2.47 Fb,Rd,p=5981.08
Tirafondi:LT=0.45 (0.31) σ_{cR}=0.00 σ_{fR}=0.00
Compressione nel calcestruzzo: σ_c=13.62
CC 3 SLV (Collegamento -044_-376)
Azioni sul collegamento: N=-6251.19 Ty=8.00 Tz=-0.13 Mx=0.01 Mz=8.22
Sollecitazioni agenti localmente: Tx_l=8.00 Ty_l=-0.13 N_l=-6251.19 Mx_l=-0.00 My_l=8.22 Mz_l=0.01
Taglio nei bulloni: Fv,Ed=1.35 Fv,Rd=7720.78
Rifollamento lato piastra: Fb,Ed,p=1.35 Fb,Rd,p=5985.56
Tirafondi:LT=0.45 (0.31) σ_{cR}=0.00 σ_{fR}=0.00
Compressione nel calcestruzzo: σ_c=13.38
CC 3 SLV (Collegamento -044_-376)
Azioni sul collegamento: N=-6251.19 Ty=14.73 Tz=28.49 Mx=0.01 Mz=12.53
Sollecitazioni agenti localmente: Tx_l=14.73 Ty_l=28.49 N_l=-6251.19 Mx_l=-0.00 My_l=12.53 Mz_l=0.01
Taglio nei bulloni: Fv,Ed=5.36 Fv,Rd=7720.78
Rifollamento lato piastra: Fb,Ed,p=5.36 Fb,Rd,p=8410.48
Tirafondi:LT=0.45 (0.31) σ_{cR}=0.00 σ_{fR}=0.00
Compressione nel calcestruzzo: σ_c=13.62
CC 3 SLV (Collegamento -044_-376)
Azioni sul collegamento: N=-6251.19 Ty=8.00 Tz=28.49 Mx=0.01 Mz=8.22
Sollecitazioni agenti localmente: Tx_l=8.00 Ty_l=28.49 N_l=-6251.19 Mx_l=-0.00 My_l=8.22 Mz_l=0.01
Taglio nei bulloni: Fv,Ed=4.95 Fv,Rd=7720.78
Rifollamento lato piastra: Fb,Ed,p=4.95 Fb,Rd,p=6694.64
Tirafondi:LT=0.45 (0.31) σ_{cR}=0.00 σ_{fR}=0.00
Compressione nel calcestruzzo: σ_c=13.38
CC 3 SLV (Collegamento -044_-376)
Azioni sul collegamento: N=-14084.10 Ty=14.73 Tz=-0.13 Mx=0.01 Mz=12.53
Sollecitazioni agenti localmente: Tx_l=14.73 Ty_l=-0.13 N_l=-14084.10 Mx_l=-0.00 My_l=12.53 Mz_l=0.01
Taglio nei bulloni: Fv,Ed=2.47 Fv,Rd=7720.78
Rifollamento lato piastra: Fb,Ed,p=2.47 Fb,Rd,p=5981.08
Tirafondi:LT=0.45 (0.31) σ_{cR}=0.00 σ_{fR}=0.00
Compressione nel calcestruzzo: σ_c=29.81
CC 3 SLV (Collegamento -044_-376)
Azioni sul collegamento: N=-14084.10 Ty=8.00 Tz=-0.13 Mx=0.01 Mz=8.22
Sollecitazioni agenti localmente: Tx_l=8.00 Ty_l=-0.13 N_l=-14084.10 Mx_l=-0.00 My_l=8.22 Mz_l=0.01
Taglio nei bulloni: Fv,Ed=1.35 Fv,Rd=7720.78
Rifollamento lato piastra: Fb,Ed,p=1.35 Fb,Rd,p=5985.57
Tirafondi:LT=0.45 (0.31) σ_{cR}=0.00 σ_{fR}=0.00
Compressione nel calcestruzzo: σ_c=29.56
CC 3 SLV (Collegamento -044_-376)
Azioni sul collegamento: N=-14084.10 Ty=14.73 Tz=28.49 Mx=0.01 Mz=12.53
Sollecitazioni agenti localmente: Tx_l=14.73 Ty_l=28.49 N_l=-14084.10 Mx_l=-0.00 My_l=12.53 Mz_l=0.01
Taglio nei bulloni: Fv,Ed=5.37 Fv,Rd=7720.78
Rifollamento lato piastra: Fb,Ed,p=5.37 Fb,Rd,p=8410.39
Tirafondi:LT=0.45 (0.31) σ_{cR}=0.00 σ_{fR}=0.00
Compressione nel calcestruzzo: σ_c=29.81
CC 3 SLV (Collegamento -044_-376)
Azioni sul collegamento: N=-14084.10 Ty=8.00 Tz=28.49 Mx=0.01 Mz=8.22
Sollecitazioni agenti localmente: Tx_l=8.00 Ty_l=28.49 N_l=-14084.10 Mx_l=-0.00 My_l=8.22 Mz_l=0.01
Taglio nei bulloni: Fv,Ed=4.95 Fv,Rd=7720.78
Rifollamento lato piastra: Fb,Ed,p=4.95 Fb,Rd,p=6694.61
Tirafondi:LT=0.45 (0.31) σ_{cR}=0.00 σ_{fR}=0.00
Compressione nel calcestruzzo: σ_c=29.56
CC 4 SLD (Collegamento -044_-376)

Azioni sul collegamento: N=-8875.79 Ty=11.47 Tz=9.43 Mx=0.01 Mz=8.89
Sollecitazioni agenti localmente: Tx_l=11.47 Ty_l=9.43 N_l=-8875.79 Mx_l=-0.00 My_l=8.89 Mz_l=0.01
Taglio nei bulloni: Fv,Ed=2.48 Fv,Rd=9650.97
Rifollamento lato piastra: Fb,Ed,p=2.48 Fb,Rd,p=13713.10
Tirafondi:LT=0.45 (0.31) σ_{cR}=0.00 σ_{fR}=0.00
Compressione nel calcestruzzo: σ_c=18.84
CC 4 SLD (Collegamento -044_-376)
Azioni sul collegamento: N=-8875.79 Ty=9.42 Tz=9.43 Mx=0.01 Mz=7.58
Sollecitazioni agenti localmente: Tx_l=9.42 Ty_l=9.43 N_l=-8875.79 Mx_l=-0.00 My_l=7.58 Mz_l=0.01
Taglio nei bulloni: Fv,Ed=2.23 Fv,Rd=9650.97
Rifollamento lato piastra: Fb,Ed,p=2.23 Fb,Rd,p=15012.50
Tirafondi:LT=0.45 (0.31) σ_{cR}=0.00 σ_{fR}=0.00
Compressione nel calcestruzzo: σ_c=18.77
CC 4 SLD (Collegamento -044_-376)
Azioni sul collegamento: N=-8875.79 Ty=11.47 Tz=18.16 Mx=0.01 Mz=8.89
Sollecitazioni agenti localmente: Tx_l=11.47 Ty_l=18.16 N_l=-8875.79 Mx_l=-0.00 My_l=8.89 Mz_l=0.01
Taglio nei bulloni: Fv,Ed=3.59 Fv,Rd=9650.97
Rifollamento lato piastra: Fb,Ed,p=3.59 Fb,Rd,p=12028.20
Tirafondi:LT=0.45 (0.31) σ_{cR}=0.00 σ_{fR}=0.00
Compressione nel calcestruzzo: σ_c=18.84
CC 4 SLD (Collegamento -044_-376)
Azioni sul collegamento: N=-8875.79 Ty=9.42 Tz=18.16 Mx=0.01 Mz=7.58
Sollecitazioni agenti localmente: Tx_l=9.42 Ty_l=18.16 N_l=-8875.79 Mx_l=-0.00 My_l=7.58 Mz_l=0.01
Taglio nei bulloni: Fv,Ed=3.42 Fv,Rd=9650.97
Rifollamento lato piastra: Fb,Ed,p=3.42 Fb,Rd,p=10525.50
Tirafondi:LT=0.45 (0.31) σ_{cR}=0.00 σ_{fR}=0.00
Compressione nel calcestruzzo: σ_c=18.77
CC 4 SLD (Collegamento -044_-376)
Azioni sul collegamento: N=-11264.30 Ty=11.47 Tz=9.43 Mx=0.01 Mz=8.89
Sollecitazioni agenti localmente: Tx_l=11.47 Ty_l=9.43 N_l=-11264.30 Mx_l=-0.00 My_l=8.89 Mz_l=0.01
Taglio nei bulloni: Fv,Ed=2.48 Fv,Rd=9650.97
Rifollamento lato piastra: Fb,Ed,p=2.48 Fb,Rd,p=13713.30
Tirafondi:LT=0.45 (0.31) σ_{cR}=0.00 σ_{fR}=0.00
Compressione nel calcestruzzo: σ_c=23.77
CC 4 SLD (Collegamento -044_-376)
Azioni sul collegamento: N=-11264.30 Ty=9.42 Tz=9.43 Mx=0.01 Mz=7.58
Sollecitazioni agenti localmente: Tx_l=9.42 Ty_l=9.43 N_l=-11264.30 Mx_l=-0.00 My_l=7.58 Mz_l=0.01
Taglio nei bulloni: Fv,Ed=2.23 Fv,Rd=9650.97
Rifollamento lato piastra: Fb,Ed,p=2.23 Fb,Rd,p=15012.30
Tirafondi:LT=0.45 (0.31) σ_{cR}=0.00 σ_{fR}=0.00
Compressione nel calcestruzzo: σ_c=23.70
CC 4 SLD (Collegamento -044_-376)
Azioni sul collegamento: N=-11264.30 Ty=11.47 Tz=18.16 Mx=0.01 Mz=8.89
Sollecitazioni agenti localmente: Tx_l=11.47 Ty_l=18.16 N_l=-11264.30 Mx_l=-0.00 My_l=8.89 Mz_l=0.01
Taglio nei bulloni: Fv,Ed=3.59 Fv,Rd=9650.97
Rifollamento lato piastra: Fb,Ed,p=3.59 Fb,Rd,p=12028.20
Tirafondi:LT=0.45 (0.31) σ_{cR}=0.00 σ_{fR}=0.00
Compressione nel calcestruzzo: σ_c=23.77
CC 4 SLD (Collegamento -044_-376)
Azioni sul collegamento: N=-11264.30 Ty=9.42 Tz=18.16 Mx=0.01 Mz=7.58
Sollecitazioni agenti localmente: Tx_l=9.42 Ty_l=18.16 N_l=-11264.30 Mx_l=-0.00 My_l=7.58 Mz_l=0.01
Taglio nei bulloni: Fv,Ed=3.42 Fv,Rd=9650.97
Rifollamento lato piastra: Fb,Ed,p=3.42 Fb,Rd,p=10525.50
Tirafondi:LT=0.45 (0.31) σ_{cR}=0.00 σ_{fR}=0.00
Compressione nel calcestruzzo: σ_c=23.70
CC 5 SLV (Collegamento -044_-376)
Azioni sul collegamento: N=-14084.10 Ty=8.00 Tz=28.49 Mx=0.02 Mz=8.22
Sollecitazioni agenti localmente: Tx_l=8.00 Ty_l=28.49 N_l=-14084.10 Mx_l=-0.00 My_l=8.22 Mz_l=0.02
Taglio nei bulloni: Fv,Ed=4.96 Fv,Rd=7720.78
Rifollamento lato piastra: Fb,Ed,p=4.96 Fb,Rd,p=6698.48
Tirafondi:LT=0.45 (0.31) σ_{cR}=0.00 σ_{fR}=0.00
Compressione nel calcestruzzo: σ_c=29.56
CC 5 SLV (Collegamento -044_-376)
Azioni sul collegamento: N=-14084.10 Ty=14.73 Tz=28.49 Mx=0.02 Mz=12.53
Sollecitazioni agenti localmente: Tx_l=14.73 Ty_l=28.49 N_l=-14084.10 Mx_l=-0.00 My_l=12.53 Mz_l=0.02
Taglio nei bulloni: Fv,Ed=5.37 Fv,Rd=7720.78
Rifollamento lato piastra: Fb,Ed,p=5.37 Fb,Rd,p=8415.25
Tirafondi:LT=0.45 (0.31) σ_{cR}=0.00 σ_{fR}=0.00
Compressione nel calcestruzzo: σ_c=29.81
CC 5 SLV (Collegamento -044_-376)
Azioni sul collegamento: N=-14084.10 Ty=8.00 Tz=-0.13 Mx=0.02 Mz=8.22
Sollecitazioni agenti localmente: Tx_l=8.00 Ty_l=-0.13 N_l=-14084.10 Mx_l=-0.00 My_l=8.22 Mz_l=0.02
Taglio nei bulloni: Fv,Ed=1.35 Fv,Rd=7720.78
Rifollamento lato piastra: Fb,Ed,p=1.35 Fb,Rd,p=5987.41
Tirafondi:LT=0.45 (0.31) σ_{cR}=0.00 σ_{fR}=0.00
Compressione nel calcestruzzo: σ_c=29.56
CC 5 SLV (Collegamento -044_-376)
Azioni sul collegamento: N=-14084.10 Ty=14.73 Tz=-0.13 Mx=0.02 Mz=12.53

Sollecitazioni agenti localmente: Tx_l=14.73 Ty_l=-0.13 N_l=-14084.10 Mx_l=-0.00 My_l=12.53 Mz_l=0.02
Taglio nei bulloni: Fv,Ed=2.48 Fv,Rd=7720.78
Rifollamento lato piastra: Fb,Ed,p=2.48 Fb,Rd,p=5981.64
Tirafondi:LT=0.45 (0.31) σ_{cR}=0.00 σ_{fR}=0.00
Compressione nel calcestruzzo: σ_c=29.81
CC 5 SLV (Collegamento -044_-376)
Azioni sul collegamento: N=-6251.19 Ty=8.00 Tz=28.49 Mx=0.02 Mz=8.22
Sollecitazioni agenti localmente: Tx_l=8.00 Ty_l=28.49 N_l=-6251.19 Mx_l=-0.00 My_l=8.22 Mz_l=0.02
Taglio nei bulloni: Fv,Ed=4.96 Fv,Rd=7720.78
Rifollamento lato piastra: Fb,Ed,p=4.96 Fb,Rd,p=6698.50
Tirafondi:LT=0.45 (0.31) σ_{cR}=0.00 σ_{fR}=0.00
Compressione nel calcestruzzo: σ_c=13.38
CC 5 SLV (Collegamento -044_-376)
Azioni sul collegamento: N=-6251.19 Ty=14.73 Tz=28.49 Mx=0.02 Mz=12.53
Sollecitazioni agenti localmente: Tx_l=14.73 Ty_l=28.49 N_l=-6251.19 Mx_l=-0.00 My_l=12.53 Mz_l=0.02
Taglio nei bulloni: Fv,Ed=5.37 Fv,Rd=7720.78
Rifollamento lato piastra: Fb,Ed,p=5.37 Fb,Rd,p=8415.34
Tirafondi:LT=0.45 (0.31) σ_{cR}=0.00 σ_{fR}=0.00
Compressione nel calcestruzzo: σ_c=13.62
CC 5 SLV (Collegamento -044_-376)
Azioni sul collegamento: N=-6251.19 Ty=8.00 Tz=-0.13 Mx=0.02 Mz=8.22
Sollecitazioni agenti localmente: Tx_l=8.00 Ty_l=-0.13 N_l=-6251.19 Mx_l=-0.00 My_l=8.22 Mz_l=0.02
Taglio nei bulloni: Fv,Ed=1.35 Fv,Rd=7720.78
Rifollamento lato piastra: Fb,Ed,p=1.35 Fb,Rd,p=5987.40
Tirafondi:LT=0.45 (0.31) σ_{cR}=0.00 σ_{fR}=0.00
Compressione nel calcestruzzo: σ_c=13.38
CC 5 SLV (Collegamento -044_-376)
Azioni sul collegamento: N=-6251.19 Ty=14.73 Tz=-0.13 Mx=0.02 Mz=12.53
Sollecitazioni agenti localmente: Tx_l=14.73 Ty_l=-0.13 N_l=-6251.19 Mx_l=-0.00 My_l=12.53 Mz_l=0.02
Taglio nei bulloni: Fv,Ed=2.48 Fv,Rd=7720.78
Rifollamento lato piastra: Fb,Ed,p=2.48 Fb,Rd,p=5981.63
Tirafondi:LT=0.45 (0.31) σ_{cR}=0.00 σ_{fR}=0.00
Compressione nel calcestruzzo: σ_c=13.62
CC 6 SLD (Collegamento -044_-376)
Azioni sul collegamento: N=-11264.30 Ty=9.42 Tz=18.16 Mx=0.01 Mz=7.58
Sollecitazioni agenti localmente: Tx_l=9.42 Ty_l=18.16 N_l=-11264.30 Mx_l=-0.00 My_l=7.58 Mz_l=0.01
Taglio nei bulloni: Fv,Ed=3.42 Fv,Rd=9650.97
Rifollamento lato piastra: Fb,Ed,p=3.42 Fb,Rd,p=10528.40
Tirafondi:LT=0.45 (0.31) σ_{cR}=0.00 σ_{fR}=0.00
Compressione nel calcestruzzo: σ_c=23.70
CC 6 SLD (Collegamento -044_-376)
Azioni sul collegamento: N=-11264.30 Ty=11.47 Tz=18.16 Mx=0.01 Mz=8.89
Sollecitazioni agenti localmente: Tx_l=11.47 Ty_l=18.16 N_l=-11264.30 Mx_l=-0.00 My_l=8.89 Mz_l=0.01
Taglio nei bulloni: Fv,Ed=3.59 Fv,Rd=9650.97
Rifollamento lato piastra: Fb,Ed,p=3.59 Fb,Rd,p=12031.00
Tirafondi:LT=0.45 (0.31) σ_{cR}=0.00 σ_{fR}=0.00
Compressione nel calcestruzzo: σ_c=23.77
CC 6 SLD (Collegamento -044_-376)
Azioni sul collegamento: N=-11264.30 Ty=9.42 Tz=9.43 Mx=0.01 Mz=7.58
Sollecitazioni agenti localmente: Tx_l=9.42 Ty_l=9.43 N_l=-11264.30 Mx_l=-0.00 My_l=7.58 Mz_l=0.01
Taglio nei bulloni: Fv,Ed=2.23 Fv,Rd=9650.97
Rifollamento lato piastra: Fb,Ed,p=2.23 Fb,Rd,p=15012.30
Tirafondi:LT=0.45 (0.31) σ_{cR}=0.00 σ_{fR}=0.00
Compressione nel calcestruzzo: σ_c=23.70
CC 6 SLD (Collegamento -044_-376)
Azioni sul collegamento: N=-11264.30 Ty=11.47 Tz=9.43 Mx=0.01 Mz=8.89
Sollecitazioni agenti localmente: Tx_l=11.47 Ty_l=9.43 N_l=-11264.30 Mx_l=-0.00 My_l=8.89 Mz_l=0.01
Taglio nei bulloni: Fv,Ed=2.49 Fv,Rd=9650.97
Rifollamento lato piastra: Fb,Ed,p=2.48 Fb,Rd,p=13703.50
Tirafondi:LT=0.45 (0.31) σ_{cR}=0.00 σ_{fR}=0.00
Compressione nel calcestruzzo: σ_c=23.77
CC 6 SLD (Collegamento -044_-376)
Azioni sul collegamento: N=-8875.79 Ty=9.42 Tz=18.16 Mx=0.01 Mz=7.58
Sollecitazioni agenti localmente: Tx_l=9.42 Ty_l=18.16 N_l=-8875.79 Mx_l=-0.00 My_l=7.58 Mz_l=0.01
Taglio nei bulloni: Fv,Ed=3.42 Fv,Rd=9650.97
Rifollamento lato piastra: Fb,Ed,p=3.42 Fb,Rd,p=10528.40
Tirafondi:LT=0.45 (0.31) σ_{cR}=0.00 σ_{fR}=0.00
Compressione nel calcestruzzo: σ_c=18.77
CC 6 SLD (Collegamento -044_-376)
Azioni sul collegamento: N=-8875.79 Ty=11.47 Tz=18.16 Mx=0.01 Mz=8.89
Sollecitazioni agenti localmente: Tx_l=11.47 Ty_l=18.16 N_l=-8875.79 Mx_l=-0.00 My_l=8.89 Mz_l=0.01
Taglio nei bulloni: Fv,Ed=3.59 Fv,Rd=9650.97
Rifollamento lato piastra: Fb,Ed,p=3.59 Fb,Rd,p=12030.90
Tirafondi:LT=0.45 (0.31) σ_{cR}=0.00 σ_{fR}=0.00
Compressione nel calcestruzzo: σ_c=18.84
CC 6 SLD (Collegamento -044_-376)
Azioni sul collegamento: N=-8875.79 Ty=9.42 Tz=9.43 Mx=0.01 Mz=7.58
Sollecitazioni agenti localmente: Tx_l=9.42 Ty_l=9.43 N_l=-8875.79 Mx_l=-0.00 My_l=7.58 Mz_l=0.01

Taglio nei bulloni: Fv,Ed=2.23 Fv,Rd=9650.97
Rifollamento lato piastra: Fb,Ed,p=2.23 Fb,Rd,p=15012.50
Tirafondi:LT=0.45 (0.31) σ_{cR}=0.00 σ_{fR}=0.00
Compressione nel calcestruzzo: σ_c=18.77
CC 6 SLD (Collegamento -044_-376)
Azioni sul collegamento: N=-8875.79 Ty=11.47 Tz=9.43 Mx=0.01 Mz=8.89
Sollecitazioni agenti localmente: Tx_l=11.47 Ty_l=9.43 N_l=-8875.79 Mx_l=-0.00 My_l=8.89 Mz_l=0.01
Taglio nei bulloni: Fv,Ed=2.49 Fv,Rd=9650.97
Rifollamento lato piastra: Fb,Ed,p=2.48 Fb,Rd,p=13703.30
Tirafondi:LT=0.45 (0.31) σ_{cR}=0.00 σ_{fR}=0.00
Compressione nel calcestruzzo: σ_c=18.84
CC 7 SLV (Collegamento -044_-376)
Azioni sul collegamento: N=-14088.90 Ty=7.49 Tz=28.82 Mx=0.01 Mz=7.17
Sollecitazioni agenti localmente: Tx_l=7.49 Ty_l=28.82 N_l=-14088.90 Mx_l=-0.00 My_l=7.17 Mz_l=0.01
Taglio nei bulloni: Fv,Ed=4.98 Fv,Rd=7720.78
Rifollamento lato piastra: Fb,Ed,p=4.98 Fb,Rd,p=6591.81
Tirafondi:LT=0.45 (0.31) σ_{cR}=0.00 σ_{fR}=0.00
Compressione nel calcestruzzo: σ_c=29.51
CC 7 SLV (Collegamento -044_-376)
Azioni sul collegamento: N=-14088.90 Ty=15.25 Tz=28.82 Mx=0.01 Mz=13.58
Sollecitazioni agenti localmente: Tx_l=15.25 Ty_l=28.82 N_l=-14088.90 Mx_l=-0.00 My_l=13.58 Mz_l=0.01
Taglio nei bulloni: Fv,Ed=5.45 Fv,Rd=7720.78
Rifollamento lato piastra: Fb,Ed,p=5.45 Fb,Rd,p=8525.07
Tirafondi:LT=0.45 (0.31) σ_{cR}=0.00 σ_{fR}=0.00
Compressione nel calcestruzzo: σ_c=29.87
CC 7 SLV (Collegamento -044_-376)
Azioni sul collegamento: N=-14088.90 Ty=7.49 Tz=-0.46 Mx=0.01 Mz=7.17
Sollecitazioni agenti localmente: Tx_l=7.49 Ty_l=-0.46 N_l=-14088.90 Mx_l=-0.00 My_l=7.17 Mz_l=0.01
Taglio nei bulloni: Fv,Ed=1.27 Fv,Rd=7720.78
Rifollamento lato piastra: Fb,Ed,p=1.27 Fb,Rd,p=6024.69
Tirafondi:LT=0.45 (0.31) σ_{cR}=0.00 σ_{fR}=0.00
Compressione nel calcestruzzo: σ_c=29.51
CC 7 SLV (Collegamento -044_-376)
Azioni sul collegamento: N=-14088.90 Ty=15.25 Tz=-0.46 Mx=0.01 Mz=13.58
Sollecitazioni agenti localmente: Tx_l=15.25 Ty_l=-0.46 N_l=-14088.90 Mx_l=-0.00 My_l=13.58 Mz_l=0.01
Taglio nei bulloni: Fv,Ed=2.56 Fv,Rd=7720.78
Rifollamento lato piastra: Fb,Ed,p=2.56 Fb,Rd,p=5990.28
Tirafondi:LT=0.45 (0.31) σ_{cR}=0.00 σ_{fR}=0.00
Compressione nel calcestruzzo: σ_c=29.87
CC 7 SLV (Collegamento -044_-376)
Azioni sul collegamento: N=-6246.31 Ty=7.49 Tz=28.82 Mx=0.01 Mz=7.17
Sollecitazioni agenti localmente: Tx_l=7.49 Ty_l=28.82 N_l=-6246.31 Mx_l=-0.00 My_l=7.17 Mz_l=0.01
Taglio nei bulloni: Fv,Ed=4.98 Fv,Rd=7720.78
Rifollamento lato piastra: Fb,Ed,p=4.98 Fb,Rd,p=6591.80
Tirafondi:LT=0.45 (0.31) σ_{cR}=0.00 σ_{fR}=0.00
Compressione nel calcestruzzo: σ_c=13.31
CC 7 SLV (Collegamento -044_-376)
Azioni sul collegamento: N=-6246.31 Ty=15.25 Tz=28.82 Mx=0.01 Mz=13.58
Sollecitazioni agenti localmente: Tx_l=15.25 Ty_l=28.82 N_l=-6246.31 Mx_l=-0.00 My_l=13.58 Mz_l=0.01
Taglio nei bulloni: Fv,Ed=5.45 Fv,Rd=7720.78
Rifollamento lato piastra: Fb,Ed,p=5.45 Fb,Rd,p=8525.03
Tirafondi:LT=0.45 (0.31) σ_{cR}=0.00 σ_{fR}=0.00
Compressione nel calcestruzzo: σ_c=13.67
CC 7 SLV (Collegamento -044_-376)
Azioni sul collegamento: N=-6246.31 Ty=7.49 Tz=-0.46 Mx=0.01 Mz=7.17
Sollecitazioni agenti localmente: Tx_l=7.49 Ty_l=-0.46 N_l=-6246.31 Mx_l=-0.00 My_l=7.17 Mz_l=0.01
Taglio nei bulloni: Fv,Ed=1.27 Fv,Rd=7720.78
Rifollamento lato piastra: Fb,Ed,p=1.27 Fb,Rd,p=6024.60
Tirafondi:LT=0.45 (0.31) σ_{cR}=0.00 σ_{fR}=0.00
Compressione nel calcestruzzo: σ_c=13.31
CC 7 SLV (Collegamento -044_-376)
Azioni sul collegamento: N=-6246.31 Ty=15.25 Tz=-0.46 Mx=0.01 Mz=13.58
Sollecitazioni agenti localmente: Tx_l=15.25 Ty_l=-0.46 N_l=-6246.31 Mx_l=-0.00 My_l=13.58 Mz_l=0.01
Taglio nei bulloni: Fv,Ed=2.56 Fv,Rd=7720.78
Rifollamento lato piastra: Fb,Ed,p=2.56 Fb,Rd,p=5990.26
Tirafondi:LT=0.45 (0.31) σ_{cR}=0.00 σ_{fR}=0.00
Compressione nel calcestruzzo: σ_c=13.67
CC 8 SLD (Collegamento -044_-376)
Azioni sul collegamento: N=-11265.80 Ty=9.26 Tz=18.26 Mx=0.01 Mz=7.26
Sollecitazioni agenti localmente: Tx_l=9.26 Ty_l=18.26 N_l=-11265.80 Mx_l=-0.00 My_l=7.26 Mz_l=0.01
Taglio nei bulloni: Fv,Ed=3.42 Fv,Rd=9650.97
Rifollamento lato piastra: Fb,Ed,p=3.42 Fb,Rd,p=10390.80
Tirafondi:LT=0.45 (0.31) σ_{cR}=0.00 σ_{fR}=0.00
Compressione nel calcestruzzo: σ_c=23.69
CC 8 SLD (Collegamento -044_-376)
Azioni sul collegamento: N=-11265.80 Ty=11.63 Tz=18.26 Mx=0.01 Mz=9.21
Sollecitazioni agenti localmente: Tx_l=11.63 Ty_l=18.26 N_l=-11265.80 Mx_l=-0.00 My_l=9.21 Mz_l=0.01
Taglio nei bulloni: Fv,Ed=3.62 Fv,Rd=9650.97

Rifollamento lato piastra: Fb,Ed,p=3.62 Fb,Rd,p=12103.70
Tirafondi:LT=0.45 (0.31) σ_{cR}=0.00 σ_{fR}=0.00
Compressione nel calcestruzzo: σ_c=23.80
CC 8 SLD (Collegamento -044_-376)
Azioni sul collegamento: N=-11265.80 Ty=9.26 Tz=9.33 Mx=0.01 Mz=7.26
Sollecitazioni agenti localmente: Tx_l=9.26 Ty_l=9.33 N_l=-11265.80 Mx_l=-0.00 My_l=7.26 Mz_l=0.01
Taglio nei bulloni: Fv,Ed=2.20 Fv,Rd=9650.97
Rifollamento lato piastra: Fb,Ed,p=2.20 Fb,Rd,p=14966.60
Tirafondi:LT=0.45 (0.31) σ_{cR}=0.00 σ_{fR}=0.00
Compressione nel calcestruzzo: σ_c=23.69
CC 8 SLD (Collegamento -044_-376)
Azioni sul collegamento: N=-11265.80 Ty=11.63 Tz=9.33 Mx=0.01 Mz=9.21
Sollecitazioni agenti localmente: Tx_l=11.63 Ty_l=9.33 N_l=-11265.80 Mx_l=-0.00 My_l=9.21 Mz_l=0.01
Taglio nei bulloni: Fv,Ed=2.49 Fv,Rd=9650.97
Rifollamento lato piastra: Fb,Ed,p=2.49 Fb,Rd,p=13583.70
Tirafondi:LT=0.45 (0.31) σ_{cR}=0.00 σ_{fR}=0.00
Compressione nel calcestruzzo: σ_c=23.80
CC 8 SLD (Collegamento -044_-376)
Azioni sul collegamento: N=-8874.30 Ty=9.26 Tz=18.26 Mx=0.01 Mz=7.26
Sollecitazioni agenti localmente: Tx_l=9.26 Ty_l=18.26 N_l=-8874.30 Mx_l=-0.00 My_l=7.26 Mz_l=0.01
Taglio nei bulloni: Fv,Ed=3.42 Fv,Rd=9650.97
Rifollamento lato piastra: Fb,Ed,p=3.42 Fb,Rd,p=10390.90
Tirafondi:LT=0.45 (0.31) σ_{cR}=0.00 σ_{fR}=0.00
Compressione nel calcestruzzo: σ_c=18.74
CC 8 SLD (Collegamento -044_-376)
Azioni sul collegamento: N=-8874.30 Ty=11.63 Tz=18.26 Mx=0.01 Mz=9.21
Sollecitazioni agenti localmente: Tx_l=11.63 Ty_l=18.26 N_l=-8874.30 Mx_l=-0.00 My_l=9.21 Mz_l=0.01
Taglio nei bulloni: Fv,Ed=3.62 Fv,Rd=9650.97
Rifollamento lato piastra: Fb,Ed,p=3.62 Fb,Rd,p=12103.80
Tirafondi:LT=0.45 (0.31) σ_{cR}=0.00 σ_{fR}=0.00
Compressione nel calcestruzzo: σ_c=18.85
CC 8 SLD (Collegamento -044_-376)
Azioni sul collegamento: N=-8874.30 Ty=9.26 Tz=9.33 Mx=0.01 Mz=7.26
Sollecitazioni agenti localmente: Tx_l=9.26 Ty_l=9.33 N_l=-8874.30 Mx_l=-0.00 My_l=7.26 Mz_l=0.01
Taglio nei bulloni: Fv,Ed=2.20 Fv,Rd=9650.97
Rifollamento lato piastra: Fb,Ed,p=2.20 Fb,Rd,p=14966.60
Tirafondi:LT=0.45 (0.31) σ_{cR}=0.00 σ_{fR}=0.00
Compressione nel calcestruzzo: σ_c=18.74
CC 8 SLD (Collegamento -044_-376)
Azioni sul collegamento: N=-8874.30 Ty=11.63 Tz=9.33 Mx=0.01 Mz=9.21
Sollecitazioni agenti localmente: Tx_l=11.63 Ty_l=9.33 N_l=-8874.30 Mx_l=-0.00 My_l=9.21 Mz_l=0.01
Taglio nei bulloni: Fv,Ed=2.49 Fv,Rd=9650.97
Rifollamento lato piastra: Fb,Ed,p=2.49 Fb,Rd,p=13583.80
Tirafondi:LT=0.45 (0.31) σ_{cR}=0.00 σ_{fR}=0.00
Compressione nel calcestruzzo: σ_c=18.85
CC 9 SLV (Collegamento -044_-376)
Azioni sul collegamento: N=-8983.82 Ty=13.31 Tz=9.29 Mx=0.02 Mz=12.92
Sollecitazioni agenti localmente: Tx_l=13.31 Ty_l=9.29 N_l=-8983.82 Mx_l=-0.00 My_l=12.92 Mz_l=0.02
Taglio nei bulloni: Fv,Ed=2.74 Fv,Rd=7720.78
Rifollamento lato piastra: Fb,Ed,p=2.71 Fb,Rd,p=10187.60
Tirafondi:LT=0.45 (0.31) σ_{cR}=0.00 σ_{fR}=0.00
Compressione nel calcestruzzo: σ_c=19.29
CC 9 SLV (Collegamento -044_-376)
Azioni sul collegamento: N=-8983.82 Ty=9.43 Tz=9.29 Mx=0.02 Mz=7.83
Sollecitazioni agenti localmente: Tx_l=9.43 Ty_l=9.29 N_l=-8983.82 Mx_l=-0.00 My_l=7.83 Mz_l=0.02
Taglio nei bulloni: Fv,Ed=2.24 Fv,Rd=7720.78
Rifollamento lato piastra: Fb,Ed,p=2.21 Fb,Rd,p=11743.50
Tirafondi:LT=0.45 (0.31) σ_{cR}=0.00 σ_{fR}=0.00
Compressione nel calcestruzzo: σ_c=19.00
CC 9 SLV (Collegamento -044_-376)
Azioni sul collegamento: N=-8983.82 Ty=13.31 Tz=19.07 Mx=0.02 Mz=12.92
Sollecitazioni agenti localmente: Tx_l=13.31 Ty_l=19.07 N_l=-8983.82 Mx_l=-0.00 My_l=12.92 Mz_l=0.02
Taglio nei bulloni: Fv,Ed=3.91 Fv,Rd=7720.78
Rifollamento lato piastra: Fb,Ed,p=3.91 Fb,Rd,p=10376.90
Tirafondi:LT=0.45 (0.31) σ_{cR}=0.00 σ_{fR}=0.00
Compressione nel calcestruzzo: σ_c=19.29
CC 9 SLV (Collegamento -044_-376)
Azioni sul collegamento: N=-8983.82 Ty=9.43 Tz=19.07 Mx=0.02 Mz=7.83
Sollecitazioni agenti localmente: Tx_l=9.43 Ty_l=19.07 N_l=-8983.82 Mx_l=-0.00 My_l=7.83 Mz_l=0.02
Taglio nei bulloni: Fv,Ed=3.58 Fv,Rd=7720.78
Rifollamento lato piastra: Fb,Ed,p=3.58 Fb,Rd,p=8222.71
Tirafondi:LT=0.45 (0.31) σ_{cR}=0.00 σ_{fR}=0.00
Compressione nel calcestruzzo: σ_c=19.00
CC 9 SLV (Collegamento -044_-376)
Azioni sul collegamento: N=-11351.40 Ty=13.31 Tz=9.29 Mx=0.02 Mz=12.92
Sollecitazioni agenti localmente: Tx_l=13.31 Ty_l=9.29 N_l=-11351.40 Mx_l=-0.00 My_l=12.92 Mz_l=0.02
Taglio nei bulloni: Fv,Ed=2.74 Fv,Rd=7720.78
Rifollamento lato piastra: Fb,Ed,p=2.71 Fb,Rd,p=10187.90

Tirafondi:LT=0.45 (0.31) σ_{cR}=0.00 σ_{fR}=0.00
Compressione nel calcestruzzo: σ_c=24.18
CC 9 SLV (Collegamento -044_-376)
Azioni sul collegamento: N=-11351.40 Ty=9.43 Tz=9.29 Mx=0.02 Mz=7.83
Sollecitazioni agenti localmente: Tx_l=9.43 Ty_l=9.29 N_l=-11351.40 Mx_l=-0.00 My_l=7.83 Mz_l=0.02
Taglio nei bulloni: Fv,Ed=2.24 Fv,Rd=7720.78
Rifollamento lato piastra: Fb,Ed,p=2.21 Fb,Rd,p=11743.70
Tirafondi:LT=0.45 (0.31) σ_{cR}=0.00 σ_{fR}=0.00
Compressione nel calcestruzzo: σ_c=23.89
CC 9 SLV (Collegamento -044_-376)
Azioni sul collegamento: N=-11351.40 Ty=13.31 Tz=19.07 Mx=0.02 Mz=12.92
Sollecitazioni agenti localmente: Tx_l=13.31 Ty_l=19.07 N_l=-11351.40 Mx_l=-0.00 My_l=12.92 Mz_l=0.02
Taglio nei bulloni: Fv,Ed=3.91 Fv,Rd=7720.78
Rifollamento lato piastra: Fb,Ed,p=3.91 Fb,Rd,p=10376.90
Tirafondi:LT=0.45 (0.31) σ_{cR}=0.00 σ_{fR}=0.00
Compressione nel calcestruzzo: σ_c=24.18
CC 9 SLV (Collegamento -044_-376)
Azioni sul collegamento: N=-11351.40 Ty=9.43 Tz=19.07 Mx=0.02 Mz=7.83
Sollecitazioni agenti localmente: Tx_l=9.43 Ty_l=19.07 N_l=-11351.40 Mx_l=-0.00 My_l=7.83 Mz_l=0.02
Taglio nei bulloni: Fv,Ed=3.58 Fv,Rd=7720.78
Rifollamento lato piastra: Fb,Ed,p=3.58 Fb,Rd,p=8222.72
Tirafondi:LT=0.45 (0.31) σ_{cR}=0.00 σ_{fR}=0.00
Compressione nel calcestruzzo: σ_c=23.89
CC 10 SLD (Collegamento -044_-376)
Azioni sul collegamento: N=-9709.06 Ty=11.04 Tz=12.31 Mx=0.01 Mz=9.01
Sollecitazioni agenti localmente: Tx_l=11.04 Ty_l=12.31 N_l=-9709.06 Mx_l=-0.00 My_l=9.01 Mz_l=0.01
Taglio nei bulloni: Fv,Ed=2.77 Fv,Rd=9650.97
Rifollamento lato piastra: Fb,Ed,p=2.77 Fb,Rd,p=14273.20
Tirafondi:LT=0.45 (0.31) σ_{cR}=0.00 σ_{fR}=0.00
Compressione nel calcestruzzo: σ_c=20.57
CC 10 SLD (Collegamento -044_-376)
Azioni sul collegamento: N=-9709.06 Ty=9.85 Tz=12.31 Mx=0.01 Mz=7.46
Sollecitazioni agenti localmente: Tx_l=9.85 Ty_l=12.31 N_l=-9709.06 Mx_l=-0.00 My_l=7.46 Mz_l=0.01
Taglio nei bulloni: Fv,Ed=2.64 Fv,Rd=9650.97
Rifollamento lato piastra: Fb,Ed,p=2.64 Fb,Rd,p=13614.70
Tirafondi:LT=0.45 (0.31) σ_{cR}=0.00 σ_{fR}=0.00
Compressione nel calcestruzzo: σ_c=20.48
CC 10 SLD (Collegamento -044_-376)
Azioni sul collegamento: N=-9709.06 Ty=11.04 Tz=15.29 Mx=0.01 Mz=9.01
Sollecitazioni agenti localmente: Tx_l=11.04 Ty_l=15.29 N_l=-9709.06 Mx_l=-0.00 My_l=9.01 Mz_l=0.01
Taglio nei bulloni: Fv,Ed=3.16 Fv,Rd=9650.97
Rifollamento lato piastra: Fb,Ed,p=3.16 Fb,Rd,p=13109.50
Tirafondi:LT=0.45 (0.31) σ_{cR}=0.00 σ_{fR}=0.00
Compressione nel calcestruzzo: σ_c=20.57
CC 10 SLD (Collegamento -044_-376)
Azioni sul collegamento: N=-9709.06 Ty=9.85 Tz=15.29 Mx=0.01 Mz=7.46
Sollecitazioni agenti localmente: Tx_l=9.85 Ty_l=15.29 N_l=-9709.06 Mx_l=-0.00 My_l=7.46 Mz_l=0.01
Taglio nei bulloni: Fv,Ed=3.04 Fv,Rd=9650.97
Rifollamento lato piastra: Fb,Ed,p=3.04 Fb,Rd,p=12229.00
Tirafondi:LT=0.45 (0.31) σ_{cR}=0.00 σ_{fR}=0.00
Compressione nel calcestruzzo: σ_c=20.48
CC 10 SLD (Collegamento -044_-376)
Azioni sul collegamento: N=-10431.00 Ty=11.04 Tz=12.31 Mx=0.01 Mz=9.01
Sollecitazioni agenti localmente: Tx_l=11.04 Ty_l=12.31 N_l=-10431.00 Mx_l=-0.00 My_l=9.01 Mz_l=0.01
Taglio nei bulloni: Fv,Ed=2.77 Fv,Rd=9650.97
Rifollamento lato piastra: Fb,Ed,p=2.77 Fb,Rd,p=14273.30
Tirafondi:LT=0.45 (0.31) σ_{cR}=0.00 σ_{fR}=0.00
Compressione nel calcestruzzo: σ_c=22.06
CC 10 SLD (Collegamento -044_-376)
Azioni sul collegamento: N=-10431.00 Ty=9.85 Tz=12.31 Mx=0.01 Mz=7.46
Sollecitazioni agenti localmente: Tx_l=9.85 Ty_l=12.31 N_l=-10431.00 Mx_l=-0.00 My_l=7.46 Mz_l=0.01
Taglio nei bulloni: Fv,Ed=2.64 Fv,Rd=9650.97
Rifollamento lato piastra: Fb,Ed,p=2.64 Fb,Rd,p=13614.70
Tirafondi:LT=0.45 (0.31) σ_{cR}=0.00 σ_{fR}=0.00
Compressione nel calcestruzzo: σ_c=21.97
CC 10 SLD (Collegamento -044_-376)
Azioni sul collegamento: N=-10431.00 Ty=11.04 Tz=15.29 Mx=0.01 Mz=9.01
Sollecitazioni agenti localmente: Tx_l=11.04 Ty_l=15.29 N_l=-10431.00 Mx_l=-0.00 My_l=9.01 Mz_l=0.01
Taglio nei bulloni: Fv,Ed=3.16 Fv,Rd=9650.97
Rifollamento lato piastra: Fb,Ed,p=3.16 Fb,Rd,p=13109.50
Tirafondi:LT=0.45 (0.31) σ_{cR}=0.00 σ_{fR}=0.00
Compressione nel calcestruzzo: σ_c=22.06
CC 10 SLD (Collegamento -044_-376)
Azioni sul collegamento: N=-10431.00 Ty=9.85 Tz=15.29 Mx=0.01 Mz=7.46
Sollecitazioni agenti localmente: Tx_l=9.85 Ty_l=15.29 N_l=-10431.00 Mx_l=-0.00 My_l=7.46 Mz_l=0.01
Taglio nei bulloni: Fv,Ed=3.04 Fv,Rd=9650.97
Rifollamento lato piastra: Fb,Ed,p=3.04 Fb,Rd,p=12229.00
Tirafondi:LT=0.45 (0.31) σ_{cR}=0.00 σ_{fR}=0.00

Compressione nel calcestruzzo: σ_c=21.97
CC 11 SLV (Collegamento -044_-376)
Azioni sul collegamento: N=-11335.10 Ty=11.14 Tz=17.98 Mx=0.02 Mz=11.32
Sollecitazioni agenti localmente: Tx_l=11.14 Ty_l=17.98 N_l=-11335.10 Mx_l=-0.00 My_l=11.32 Mz_l=0.02
Taglio nei bulloni: Fv,Ed=3.56 Fv,Rd=7720.78
Rifollamento lato piastra: Fb,Ed,p=3.56 Fb,Rd,p=9511.56
Tirafondi:LT=0.45 (0.31) σ_{cR}=0.00 σ_{fR}=0.00
Compressione nel calcestruzzo: σ_c=24.06
CC 11 SLV (Collegamento -044_-376)
Azioni sul collegamento: N=-11335.10 Ty=11.60 Tz=17.98 Mx=0.02 Mz=9.43
Sollecitazioni agenti localmente: Tx_l=11.60 Ty_l=17.98 N_l=-11335.10 Mx_l=-0.00 My_l=9.43 Mz_l=0.02
Taglio nei bulloni: Fv,Ed=3.60 Fv,Rd=7720.78
Rifollamento lato piastra: Fb,Ed,p=3.60 Fb,Rd,p=9812.38
Tirafondi:LT=0.45 (0.31) σ_{cR}=0.00 σ_{fR}=0.00
Compressione nel calcestruzzo: σ_c=23.95
CC 11 SLV (Collegamento -044_-376)
Azioni sul collegamento: N=-11335.10 Ty=11.14 Tz=10.38 Mx=0.02 Mz=11.32
Sollecitazioni agenti localmente: Tx_l=11.14 Ty_l=10.38 N_l=-11335.10 Mx_l=-0.00 My_l=11.32 Mz_l=0.02
Taglio nei bulloni: Fv,Ed=2.57 Fv,Rd=7720.78
Rifollamento lato piastra: Fb,Ed,p=2.54 Fb,Rd,p=11465.80
Tirafondi:LT=0.45 (0.31) σ_{cR}=0.00 σ_{fR}=0.00
Compressione nel calcestruzzo: σ_c=24.06
CC 11 SLV (Collegamento -044_-376)
Azioni sul collegamento: N=-11335.10 Ty=11.60 Tz=10.38 Mx=0.02 Mz=9.43
Sollecitazioni agenti localmente: Tx_l=11.60 Ty_l=10.38 N_l=-11335.10 Mx_l=-0.00 My_l=9.43 Mz_l=0.02
Taglio nei bulloni: Fv,Ed=2.63 Fv,Rd=7720.78
Rifollamento lato piastra: Fb,Ed,p=2.60 Fb,Rd,p=11265.60
Tirafondi:LT=0.45 (0.31) σ_{cR}=0.00 σ_{fR}=0.00
Compressione nel calcestruzzo: σ_c=23.95
CC 11 SLV (Collegamento -044_-376)
Azioni sul collegamento: N=-9000.10 Ty=11.14 Tz=17.98 Mx=0.02 Mz=11.32
Sollecitazioni agenti localmente: Tx_l=11.14 Ty_l=17.98 N_l=-9000.10 Mx_l=-0.00 My_l=11.32 Mz_l=0.02
Taglio nei bulloni: Fv,Ed=3.56 Fv,Rd=7720.78
Rifollamento lato piastra: Fb,Ed,p=3.56 Fb,Rd,p=9511.46
Tirafondi:LT=0.45 (0.31) σ_{cR}=0.00 σ_{fR}=0.00
Compressione nel calcestruzzo: σ_c=19.23
CC 11 SLV (Collegamento -044_-376)
Azioni sul collegamento: N=-9000.10 Ty=11.60 Tz=17.98 Mx=0.02 Mz=9.43
Sollecitazioni agenti localmente: Tx_l=11.60 Ty_l=17.98 N_l=-9000.10 Mx_l=-0.00 My_l=9.43 Mz_l=0.02
Taglio nei bulloni: Fv,Ed=3.60 Fv,Rd=7720.78
Rifollamento lato piastra: Fb,Ed,p=3.60 Fb,Rd,p=9812.27
Tirafondi:LT=0.45 (0.31) σ_{cR}=0.00 σ_{fR}=0.00
Compressione nel calcestruzzo: σ_c=19.13
CC 11 SLV (Collegamento -044_-376)
Azioni sul collegamento: N=-9000.10 Ty=11.14 Tz=10.38 Mx=0.02 Mz=11.32
Sollecitazioni agenti localmente: Tx_l=11.14 Ty_l=10.38 N_l=-9000.10 Mx_l=-0.00 My_l=11.32 Mz_l=0.02
Taglio nei bulloni: Fv,Ed=2.57 Fv,Rd=7720.78
Rifollamento lato piastra: Fb,Ed,p=2.54 Fb,Rd,p=11465.90
Tirafondi:LT=0.45 (0.31) σ_{cR}=0.00 σ_{fR}=0.00
Compressione nel calcestruzzo: σ_c=19.23
CC 11 SLV (Collegamento -044_-376)
Azioni sul collegamento: N=-9000.10 Ty=11.60 Tz=10.38 Mx=0.02 Mz=9.43
Sollecitazioni agenti localmente: Tx_l=11.60 Ty_l=10.38 N_l=-9000.10 Mx_l=-0.00 My_l=9.43 Mz_l=0.02
Taglio nei bulloni: Fv,Ed=2.63 Fv,Rd=7720.78
Rifollamento lato piastra: Fb,Ed,p=2.60 Fb,Rd,p=11265.70
Tirafondi:LT=0.45 (0.31) σ_{cR}=0.00 σ_{fR}=0.00
Compressione nel calcestruzzo: σ_c=19.13
CC 12 SLD (Collegamento -044_-376)
Azioni sul collegamento: N=-10426.00 Ty=10.37 Tz=14.95 Mx=0.01 Mz=8.52
Sollecitazioni agenti localmente: Tx_l=10.37 Ty_l=14.95 N_l=-10426.00 Mx_l=-0.00 My_l=8.52 Mz_l=0.01
Taglio nei bulloni: Fv,Ed=3.05 Fv,Rd=9650.97
Rifollamento lato piastra: Fb,Ed,p=3.05 Fb,Rd,p=12936.60
Tirafondi:LT=0.45 (0.31) σ_{cR}=0.00 σ_{fR}=0.00
Compressione nel calcestruzzo: σ_c=22.02
CC 12 SLD (Collegamento -044_-376)
Azioni sul collegamento: N=-10426.00 Ty=10.51 Tz=14.95 Mx=0.01 Mz=7.95
Sollecitazioni agenti localmente: Tx_l=10.51 Ty_l=14.95 N_l=-10426.00 Mx_l=-0.00 My_l=7.95 Mz_l=0.01
Taglio nei bulloni: Fv,Ed=3.06 Fv,Rd=9650.97
Rifollamento lato piastra: Fb,Ed,p=3.06 Fb,Rd,p=12993.60
Tirafondi:LT=0.45 (0.31) σ_{cR}=0.00 σ_{fR}=0.00
Compressione nel calcestruzzo: σ_c=21.99
CC 12 SLD (Collegamento -044_-376)
Azioni sul collegamento: N=-10426.00 Ty=10.37 Tz=12.64 Mx=0.01 Mz=8.52
Sollecitazioni agenti localmente: Tx_l=10.37 Ty_l=12.64 N_l=-10426.00 Mx_l=-0.00 My_l=8.52 Mz_l=0.01
Taglio nei bulloni: Fv,Ed=2.74 Fv,Rd=9650.97
Rifollamento lato piastra: Fb,Ed,p=2.74 Fb,Rd,p=13749.50
Tirafondi:LT=0.45 (0.31) σ_{cR}=0.00 σ_{fR}=0.00
Compressione nel calcestruzzo: σ_c=22.02

CC 12 SLD (Collegamento -044_-376)
Azioni sul collegamento: N=-10426.00 Ty=10.51 Tz=12.64 Mx=0.01 Mz=7.95
Sollecitazioni agenti localmente: Tx_l=10.51 Ty_l=12.64 N_l=-10426.00 Mx_l=-0.00 My_l=7.95 Mz_l=0.01
Taglio nei bulloni: Fv,Ed=2.75 Fv,Rd=9650.97
Rifollamento lato piastra: Fb,Ed,p=2.75 Fb,Rd,p=13824.40
Tirafondi:LT=0.45 (0.31) σ_{cR}=0.00 σ_{fR}=0.00
Compressione nel calcestruzzo: σ_c=21.99
CC 12 SLD (Collegamento -044_-376)
Azioni sul collegamento: N=-9714.02 Ty=10.37 Tz=14.95 Mx=0.01 Mz=8.52
Sollecitazioni agenti localmente: Tx_l=10.37 Ty_l=14.95 N_l=-9714.02 Mx_l=-0.00 My_l=8.52 Mz_l=0.01
Taglio nei bulloni: Fv,Ed=3.05 Fv,Rd=9650.97
Rifollamento lato piastra: Fb,Ed,p=3.05 Fb,Rd,p=12936.70
Tirafondi:LT=0.45 (0.31) σ_{cR}=0.00 σ_{fR}=0.00
Compressione nel calcestruzzo: σ_c=20.55
CC 12 SLD (Collegamento -044_-376)
Azioni sul collegamento: N=-9714.02 Ty=10.51 Tz=14.95 Mx=0.01 Mz=7.95
Sollecitazioni agenti localmente: Tx_l=10.51 Ty_l=14.95 N_l=-9714.02 Mx_l=-0.00 My_l=7.95 Mz_l=0.01
Taglio nei bulloni: Fv,Ed=3.06 Fv,Rd=9650.97
Rifollamento lato piastra: Fb,Ed,p=3.06 Fb,Rd,p=12993.60
Tirafondi:LT=0.45 (0.31) σ_{cR}=0.00 σ_{fR}=0.00
Compressione nel calcestruzzo: σ_c=20.52
CC 12 SLD (Collegamento -044_-376)
Azioni sul collegamento: N=-9714.02 Ty=10.37 Tz=12.64 Mx=0.01 Mz=8.52
Sollecitazioni agenti localmente: Tx_l=10.37 Ty_l=12.64 N_l=-9714.02 Mx_l=-0.00 My_l=8.52 Mz_l=0.01
Taglio nei bulloni: Fv,Ed=2.74 Fv,Rd=9650.97
Rifollamento lato piastra: Fb,Ed,p=2.74 Fb,Rd,p=13749.60
Tirafondi:LT=0.45 (0.31) σ_{cR}=0.00 σ_{fR}=0.00
Compressione nel calcestruzzo: σ_c=20.55
CC 12 SLD (Collegamento -044_-376)
Azioni sul collegamento: N=-9714.02 Ty=10.51 Tz=12.64 Mx=0.01 Mz=7.95
Sollecitazioni agenti localmente: Tx_l=10.51 Ty_l=12.64 N_l=-9714.02 Mx_l=-0.00 My_l=7.95 Mz_l=0.01
Taglio nei bulloni: Fv,Ed=2.75 Fv,Rd=9650.97
Rifollamento lato piastra: Fb,Ed,p=2.75 Fb,Rd,p=13824.50
Tirafondi:LT=0.45 (0.31) σ_{cR}=0.00 σ_{fR}=0.00
Compressione nel calcestruzzo: σ_c=20.52
CC 13 SLV (Collegamento -044_-376)
Azioni sul collegamento: N=-9000.10 Ty=11.60 Tz=10.38 Mx=0.01 Mz=9.43
Sollecitazioni agenti localmente: Tx_l=11.60 Ty_l=10.38 N_l=-9000.10 Mx_l=-0.00 My_l=9.43 Mz_l=0.01
Taglio nei bulloni: Fv,Ed=2.61 Fv,Rd=7720.78
Rifollamento lato piastra: Fb,Ed,p=2.60 Fb,Rd,p=11361.90
Tirafondi:LT=0.45 (0.31) σ_{cR}=0.00 σ_{fR}=0.00
Compressione nel calcestruzzo: σ_c=19.13
CC 13 SLV (Collegamento -044_-376)
Azioni sul collegamento: N=-9000.10 Ty=11.14 Tz=10.38 Mx=0.01 Mz=11.32
Sollecitazioni agenti localmente: Tx_l=11.14 Ty_l=10.38 N_l=-9000.10 Mx_l=-0.00 My_l=11.32 Mz_l=0.01
Taglio nei bulloni: Fv,Ed=2.55 Fv,Rd=7720.78
Rifollamento lato piastra: Fb,Ed,p=2.54 Fb,Rd,p=11570.10
Tirafondi:LT=0.45 (0.31) σ_{cR}=0.00 σ_{fR}=0.00
Compressione nel calcestruzzo: σ_c=19.23
CC 13 SLV (Collegamento -044_-376)
Azioni sul collegamento: N=-9000.10 Ty=11.60 Tz=17.98 Mx=0.01 Mz=9.43
Sollecitazioni agenti localmente: Tx_l=11.60 Ty_l=17.98 N_l=-9000.10 Mx_l=-0.00 My_l=9.43 Mz_l=0.01
Taglio nei bulloni: Fv,Ed=3.58 Fv,Rd=7720.78
Rifollamento lato piastra: Fb,Ed,p=3.58 Fb,Rd,p=9787.11
Tirafondi:LT=0.45 (0.31) σ_{cR}=0.00 σ_{fR}=0.00
Compressione nel calcestruzzo: σ_c=19.13
CC 13 SLV (Collegamento -044_-376)
Azioni sul collegamento: N=-9000.10 Ty=11.14 Tz=17.98 Mx=0.01 Mz=11.32
Sollecitazioni agenti localmente: Tx_l=11.14 Ty_l=17.98 N_l=-9000.10 Mx_l=-0.00 My_l=11.32 Mz_l=0.01
Taglio nei bulloni: Fv,Ed=3.54 Fv,Rd=7720.78
Rifollamento lato piastra: Fb,Ed,p=3.54 Fb,Rd,p=9485.63
Tirafondi:LT=0.45 (0.31) σ_{cR}=0.00 σ_{fR}=0.00
Compressione nel calcestruzzo: σ_c=19.23
CC 13 SLV (Collegamento -044_-376)
Azioni sul collegamento: N=-11335.10 Ty=11.60 Tz=10.38 Mx=0.01 Mz=9.43
Sollecitazioni agenti localmente: Tx_l=11.60 Ty_l=10.38 N_l=-11335.10 Mx_l=-0.00 My_l=9.43 Mz_l=0.01
Taglio nei bulloni: Fv,Ed=2.61 Fv,Rd=7720.78
Rifollamento lato piastra: Fb,Ed,p=2.60 Fb,Rd,p=11361.70
Tirafondi:LT=0.45 (0.31) σ_{cR}=0.00 σ_{fR}=0.00
Compressione nel calcestruzzo: σ_c=23.95
CC 13 SLV (Collegamento -044_-376)
Azioni sul collegamento: N=-11335.10 Ty=11.14 Tz=10.38 Mx=0.01 Mz=11.32
Sollecitazioni agenti localmente: Tx_l=11.14 Ty_l=10.38 N_l=-11335.10 Mx_l=-0.00 My_l=11.32 Mz_l=0.01
Taglio nei bulloni: Fv,Ed=2.55 Fv,Rd=7720.78
Rifollamento lato piastra: Fb,Ed,p=2.54 Fb,Rd,p=11570.00
Tirafondi:LT=0.45 (0.31) σ_{cR}=0.00 σ_{fR}=0.00
Compressione nel calcestruzzo: σ_c=24.06
CC 13 SLV (Collegamento -044_-376)

Azioni sul collegamento: N=-11335.10 Ty=11.60 Tz=17.98 Mx=0.01 Mz=9.43
Sollecitazioni agenti localmente: Tx_l=11.60 Ty_l=17.98 N_l=-11335.10 Mx_l=-0.00 My_l=9.43 Mz_l=0.01
Taglio nei bulloni: Fv,Ed=3.58 Fv,Rd=7720.78
Rifollamento lato piastra: Fb,Ed,p=3.58 Fb,Rd,p=9787.22
Tirafondi:LT=0.45 (0.31) σ_{cR}=0.00 σ_{fR}=0.00
Compressione nel calcestruzzo: σ_c=23.95
CC 13 SLV (Collegamento -044_-376)
Azioni sul collegamento: N=-11335.10 Ty=11.14 Tz=17.98 Mx=0.01 Mz=11.32
Sollecitazioni agenti localmente: Tx_l=11.14 Ty_l=17.98 N_l=-11335.10 Mx_l=-0.00 My_l=11.32 Mz_l=0.01
Taglio nei bulloni: Fv,Ed=3.54 Fv,Rd=7720.78
Rifollamento lato piastra: Fb,Ed,p=3.54 Fb,Rd,p=9485.73
Tirafondi:LT=0.45 (0.31) σ_{cR}=0.00 σ_{fR}=0.00
Compressione nel calcestruzzo: σ_c=24.06
CC 14 SLD (Collegamento -044_-376)
Azioni sul collegamento: N=-9714.02 Ty=10.51 Tz=12.64 Mx=0.00 Mz=7.95
Sollecitazioni agenti localmente: Tx_l=10.51 Ty_l=12.64 N_l=-9714.02 Mx_l=-0.00 My_l=7.95 Mz_l=0.00
Taglio nei bulloni: Fv,Ed=2.75 Fv,Rd=9650.97
Rifollamento lato piastra: Fb,Ed,p=2.75 Fb,Rd,p=13821.60
Tirafondi:LT=0.45 (0.31) σ_{cR}=0.00 σ_{fR}=0.00
Compressione nel calcestruzzo: σ_c=20.52
CC 14 SLD (Collegamento -044_-376)
Azioni sul collegamento: N=-9714.02 Ty=10.37 Tz=12.64 Mx=0.00 Mz=8.52
Sollecitazioni agenti localmente: Tx_l=10.37 Ty_l=12.64 N_l=-9714.02 Mx_l=-0.00 My_l=8.52 Mz_l=0.00
Taglio nei bulloni: Fv,Ed=2.73 Fv,Rd=9650.97
Rifollamento lato piastra: Fb,Ed,p=2.73 Fb,Rd,p=13746.50
Tirafondi:LT=0.45 (0.31) σ_{cR}=0.00 σ_{fR}=0.00
Compressione nel calcestruzzo: σ_c=20.55
CC 14 SLD (Collegamento -044_-376)
Azioni sul collegamento: N=-9714.02 Ty=10.51 Tz=14.95 Mx=0.00 Mz=7.95
Sollecitazioni agenti localmente: Tx_l=10.51 Ty_l=14.95 N_l=-9714.02 Mx_l=-0.00 My_l=7.95 Mz_l=0.00
Taglio nei bulloni: Fv,Ed=3.05 Fv,Rd=9650.97
Rifollamento lato piastra: Fb,Ed,p=3.05 Fb,Rd,p=12989.70
Tirafondi:LT=0.45 (0.31) σ_{cR}=0.00 σ_{fR}=0.00
Compressione nel calcestruzzo: σ_c=20.52
CC 14 SLD (Collegamento -044_-376)
Azioni sul collegamento: N=-9714.02 Ty=10.37 Tz=14.95 Mx=0.00 Mz=8.52
Sollecitazioni agenti localmente: Tx_l=10.37 Ty_l=14.95 N_l=-9714.02 Mx_l=-0.00 My_l=8.52 Mz_l=0.00
Taglio nei bulloni: Fv,Ed=3.04 Fv,Rd=9650.97
Rifollamento lato piastra: Fb,Ed,p=3.04 Fb,Rd,p=12932.70
Tirafondi:LT=0.45 (0.31) σ_{cR}=0.00 σ_{fR}=0.00
Compressione nel calcestruzzo: σ_c=20.55
CC 14 SLD (Collegamento -044_-376)
Azioni sul collegamento: N=-10426.00 Ty=10.51 Tz=12.64 Mx=0.00 Mz=7.95
Sollecitazioni agenti localmente: Tx_l=10.51 Ty_l=12.64 N_l=-10426.00 Mx_l=-0.00 My_l=7.95 Mz_l=0.00
Taglio nei bulloni: Fv,Ed=2.75 Fv,Rd=9650.97
Rifollamento lato piastra: Fb,Ed,p=2.75 Fb,Rd,p=13821.50
Tirafondi:LT=0.45 (0.31) σ_{cR}=0.00 σ_{fR}=0.00
Compressione nel calcestruzzo: σ_c=21.99
CC 14 SLD (Collegamento -044_-376)
Azioni sul collegamento: N=-10426.00 Ty=10.37 Tz=12.64 Mx=0.00 Mz=8.52
Sollecitazioni agenti localmente: Tx_l=10.37 Ty_l=12.64 N_l=-10426.00 Mx_l=-0.00 My_l=8.52 Mz_l=0.00
Taglio nei bulloni: Fv,Ed=2.73 Fv,Rd=9650.97
Rifollamento lato piastra: Fb,Ed,p=2.73 Fb,Rd,p=13746.40
Tirafondi:LT=0.45 (0.31) σ_{cR}=0.00 σ_{fR}=0.00
Compressione nel calcestruzzo: σ_c=22.02
CC 14 SLD (Collegamento -044_-376)
Azioni sul collegamento: N=-10426.00 Ty=10.51 Tz=14.95 Mx=0.00 Mz=7.95
Sollecitazioni agenti localmente: Tx_l=10.51 Ty_l=14.95 N_l=-10426.00 Mx_l=-0.00 My_l=7.95 Mz_l=0.00
Taglio nei bulloni: Fv,Ed=3.05 Fv,Rd=9650.97
Rifollamento lato piastra: Fb,Ed,p=3.05 Fb,Rd,p=12989.70
Tirafondi:LT=0.45 (0.31) σ_{cR}=0.00 σ_{fR}=0.00
Compressione nel calcestruzzo: σ_c=21.99
CC 14 SLD (Collegamento -044_-376)
Azioni sul collegamento: N=-10426.00 Ty=10.37 Tz=14.95 Mx=0.00 Mz=8.52
Sollecitazioni agenti localmente: Tx_l=10.37 Ty_l=14.95 N_l=-10426.00 Mx_l=-0.00 My_l=8.52 Mz_l=0.00
Taglio nei bulloni: Fv,Ed=3.04 Fv,Rd=9650.97
Rifollamento lato piastra: Fb,Ed,p=3.04 Fb,Rd,p=12932.60
Tirafondi:LT=0.45 (0.31) σ_{cR}=0.00 σ_{fR}=0.00
Compressione nel calcestruzzo: σ_c=22.02
CC 15 SLV (Collegamento -044_-376)
Azioni sul collegamento: N=-11351.40 Ty=9.43 Tz=19.07 Mx=0.01 Mz=7.83
Sollecitazioni agenti localmente: Tx_l=9.43 Ty_l=19.07 N_l=-11351.40 Mx_l=-0.00 My_l=7.83 Mz_l=0.01
Taglio nei bulloni: Fv,Ed=3.56 Fv,Rd=7720.78
Rifollamento lato piastra: Fb,Ed,p=3.56 Fb,Rd,p=8196.94
Tirafondi:LT=0.45 (0.31) σ_{cR}=0.00 σ_{fR}=0.00
Compressione nel calcestruzzo: σ_c=23.89
CC 15 SLV (Collegamento -044_-376)
Azioni sul collegamento: N=-11351.40 Ty=13.31 Tz=19.07 Mx=0.01 Mz=12.92

Sollecitazioni agenti localmente: Tx_l=13.31 Ty_l=19.07 N_l=-11351.40 Mx_l=-0.00 My_l=12.92 Mz_l=0.01
Taglio nei bulloni: Fv,Ed=3.89 Fv,Rd=7720.78
Rifollamento lato piastra: Fb,Ed,p=3.89 Fb,Rd,p=10368.70
Tirafondi:LT=0.45 (0.31) σ_{cR}=0.00 σ_{fR}=0.00
Compressione nel calcestruzzo: σ_c=24.18
CC 15 SLV (Collegamento -044_-376)
Azioni sul collegamento: N=-11351.40 Ty=9.43 Tz=9.29 Mx=0.01 Mz=7.83
Sollecitazioni agenti localmente: Tx_l=9.43 Ty_l=9.29 N_l=-11351.40 Mx_l=-0.00 My_l=7.83 Mz_l=0.01
Taglio nei bulloni: Fv,Ed=2.22 Fv,Rd=7720.78
Rifollamento lato piastra: Fb,Ed,p=2.21 Fb,Rd,p=11874.90
Tirafondi:LT=0.45 (0.31) σ_{cR}=0.00 σ_{fR}=0.00
Compressione nel calcestruzzo: σ_c=23.89
CC 15 SLV (Collegamento -044_-376)
Azioni sul collegamento: N=-11351.40 Ty=13.31 Tz=9.29 Mx=0.01 Mz=12.92
Sollecitazioni agenti localmente: Tx_l=13.31 Ty_l=9.29 N_l=-11351.40 Mx_l=-0.00 My_l=12.92 Mz_l=0.01
Taglio nei bulloni: Fv,Ed=2.72 Fv,Rd=7720.78
Rifollamento lato piastra: Fb,Ed,p=2.71 Fb,Rd,p=10335.70
Tirafondi:LT=0.45 (0.31) σ_{cR}=0.00 σ_{fR}=0.00
Compressione nel calcestruzzo: σ_c=24.18
CC 15 SLV (Collegamento -044_-376)
Azioni sul collegamento: N=-8983.82 Ty=9.43 Tz=19.07 Mx=0.01 Mz=7.83
Sollecitazioni agenti localmente: Tx_l=9.43 Ty_l=19.07 N_l=-8983.82 Mx_l=-0.00 My_l=7.83 Mz_l=0.01
Taglio nei bulloni: Fv,Ed=3.56 Fv,Rd=7720.78
Rifollamento lato piastra: Fb,Ed,p=3.56 Fb,Rd,p=8196.92
Tirafondi:LT=0.45 (0.31) σ_{cR}=0.00 σ_{fR}=0.00
Compressione nel calcestruzzo: σ_c=19.00
CC 15 SLV (Collegamento -044_-376)
Azioni sul collegamento: N=-8983.82 Ty=13.31 Tz=19.07 Mx=0.01 Mz=12.92
Sollecitazioni agenti localmente: Tx_l=13.31 Ty_l=19.07 N_l=-8983.82 Mx_l=-0.00 My_l=12.92 Mz_l=0.01
Taglio nei bulloni: Fv,Ed=3.89 Fv,Rd=7720.78
Rifollamento lato piastra: Fb,Ed,p=3.89 Fb,Rd,p=10368.70
Tirafondi:LT=0.45 (0.31) σ_{cR}=0.00 σ_{fR}=0.00
Compressione nel calcestruzzo: σ_c=19.29
CC 15 SLV (Collegamento -044_-376)
Azioni sul collegamento: N=-8983.82 Ty=9.43 Tz=9.29 Mx=0.01 Mz=7.83
Sollecitazioni agenti localmente: Tx_l=9.43 Ty_l=9.29 N_l=-8983.82 Mx_l=-0.00 My_l=7.83 Mz_l=0.01
Taglio nei bulloni: Fv,Ed=2.22 Fv,Rd=7720.78
Rifollamento lato piastra: Fb,Ed,p=2.21 Fb,Rd,p=11874.70
Tirafondi:LT=0.45 (0.31) σ_{cR}=0.00 σ_{fR}=0.00
Compressione nel calcestruzzo: σ_c=19.00
CC 15 SLV (Collegamento -044_-376)
Azioni sul collegamento: N=-8983.82 Ty=13.31 Tz=9.29 Mx=0.01 Mz=12.92
Sollecitazioni agenti localmente: Tx_l=13.31 Ty_l=9.29 N_l=-8983.82 Mx_l=-0.00 My_l=12.92 Mz_l=0.01
Taglio nei bulloni: Fv,Ed=2.72 Fv,Rd=7720.78
Rifollamento lato piastra: Fb,Ed,p=2.71 Fb,Rd,p=10335.60
Tirafondi:LT=0.45 (0.31) σ_{cR}=0.00 σ_{fR}=0.00
Compressione nel calcestruzzo: σ_c=19.29
CC 16 SLD (Collegamento -044_-376)
Azioni sul collegamento: N=-10431.00 Ty=9.85 Tz=15.29 Mx=0.00 Mz=7.46
Sollecitazioni agenti localmente: Tx_l=9.85 Ty_l=15.29 N_l=-10431.00 Mx_l=-0.00 My_l=7.46 Mz_l=0.00
Taglio nei bulloni: Fv,Ed=3.04 Fv,Rd=9650.97
Rifollamento lato piastra: Fb,Ed,p=3.04 Fb,Rd,p=12217.60
Tirafondi:LT=0.45 (0.31) σ_{cR}=0.00 σ_{fR}=0.00
Compressione nel calcestruzzo: σ_c=21.97
CC 16 SLD (Collegamento -044_-376)
Azioni sul collegamento: N=-10431.00 Ty=11.04 Tz=15.29 Mx=0.00 Mz=9.01
Sollecitazioni agenti localmente: Tx_l=11.04 Ty_l=15.29 N_l=-10431.00 Mx_l=-0.00 My_l=9.01 Mz_l=0.00
Taglio nei bulloni: Fv,Ed=3.15 Fv,Rd=9650.97
Rifollamento lato piastra: Fb,Ed,p=3.15 Fb,Rd,p=13105.80
Tirafondi:LT=0.45 (0.31) σ_{cR}=0.00 σ_{fR}=0.00
Compressione nel calcestruzzo: σ_c=22.06
CC 16 SLD (Collegamento -044_-376)
Azioni sul collegamento: N=-10431.00 Ty=9.85 Tz=12.31 Mx=0.00 Mz=7.46
Sollecitazioni agenti localmente: Tx_l=9.85 Ty_l=12.31 N_l=-10431.00 Mx_l=-0.00 My_l=7.46 Mz_l=0.00
Taglio nei bulloni: Fv,Ed=2.63 Fv,Rd=9650.97
Rifollamento lato piastra: Fb,Ed,p=2.63 Fb,Rd,p=13611.20
Tirafondi:LT=0.45 (0.31) σ_{cR}=0.00 σ_{fR}=0.00
Compressione nel calcestruzzo: σ_c=21.97
CC 16 SLD (Collegamento -044_-376)
Azioni sul collegamento: N=-10431.00 Ty=11.04 Tz=12.31 Mx=0.00 Mz=9.01
Sollecitazioni agenti localmente: Tx_l=11.04 Ty_l=12.31 N_l=-10431.00 Mx_l=-0.00 My_l=9.01 Mz_l=0.00
Taglio nei bulloni: Fv,Ed=2.76 Fv,Rd=9650.97
Rifollamento lato piastra: Fb,Ed,p=2.76 Fb,Rd,p=14271.30
Tirafondi:LT=0.45 (0.31) σ_{cR}=0.00 σ_{fR}=0.00
Compressione nel calcestruzzo: σ_c=22.06
CC 16 SLD (Collegamento -044_-376)
Azioni sul collegamento: N=-9709.06 Ty=9.85 Tz=15.29 Mx=0.00 Mz=7.46
Sollecitazioni agenti localmente: Tx_l=9.85 Ty_l=15.29 N_l=-9709.06 Mx_l=-0.00 My_l=7.46 Mz_l=0.00

Taglio nei bulloni: Fv,Ed=3.04 Fv,Rd=9650.97
Rifollamento lato piastra: Fb,Ed,p=3.04 Fb,Rd,p=12217.50
Tirafondi:LT=0.45 (0.31) σ_{cR}=0.00 σ_{fR}=0.00
Compressione nel calcestruzzo: σ_c=20.48
CC 16 SLD (Collegamento -044_-376)
Azioni sul collegamento: N=-9709.06 Ty=11.04 Tz=15.29 Mx=0.00 Mz=9.01
Sollecitazioni agenti localmente: Tx_l=11.04 Ty_l=15.29 N_l=-9709.06 Mx_l=-0.00 My_l=9.01 Mz_l=0.00
Taglio nei bulloni: Fv,Ed=3.15 Fv,Rd=9650.97
Rifollamento lato piastra: Fb,Ed,p=3.15 Fb,Rd,p=13105.80
Tirafondi:LT=0.45 (0.31) σ_{cR}=0.00 σ_{fR}=0.00
Compressione nel calcestruzzo: σ_c=20.57
CC 16 SLD (Collegamento -044_-376)
Azioni sul collegamento: N=-9709.06 Ty=9.85 Tz=12.31 Mx=0.00 Mz=7.46
Sollecitazioni agenti localmente: Tx_l=9.85 Ty_l=12.31 N_l=-9709.06 Mx_l=-0.00 My_l=7.46 Mz_l=0.00
Taglio nei bulloni: Fv,Ed=2.63 Fv,Rd=9650.97
Rifollamento lato piastra: Fb,Ed,p=2.63 Fb,Rd,p=13611.20
Tirafondi:LT=0.45 (0.31) σ_{cR}=0.00 σ_{fR}=0.00
Compressione nel calcestruzzo: σ_c=20.48
CC 16 SLD (Collegamento -044_-376)
Azioni sul collegamento: N=-9709.06 Ty=11.04 Tz=12.31 Mx=0.00 Mz=9.01
Sollecitazioni agenti localmente: Tx_l=11.04 Ty_l=12.31 N_l=-9709.06 Mx_l=-0.00 My_l=9.01 Mz_l=0.00
Taglio nei bulloni: Fv,Ed=2.76 Fv,Rd=9650.97
Rifollamento lato piastra: Fb,Ed,p=2.76 Fb,Rd,p=14271.30
Tirafondi:LT=0.45 (0.31) σ_{cR}=0.00 σ_{fR}=0.00
Compressione nel calcestruzzo: σ_c=20.57
CC 17 SLV (Collegamento -044_-376)
Azioni sul collegamento: N=-5965.51 Ty=12.58 Tz=-1.56 Mx=-0.01 Mz=7.43
Sollecitazioni agenti localmente: Tx_l=12.58 Ty_l=-1.56 N_l=-5965.51 Mx_l=-0.00 My_l=7.43 Mz_l=-0.01
Taglio nei bulloni: Fv,Ed=2.13 Fv,Rd=7720.78
Rifollamento lato piastra: Fb,Ed,p=2.13 Fb,Rd,p=6100.35
Tirafondi:LT=0.45 (0.31) σ_{cR}=0.00 σ_{fR}=0.00
Compressione nel calcestruzzo: σ_c=12.74
CC 17 SLV (Collegamento -044_-376)
Azioni sul collegamento: N=-5965.51 Ty=4.83 Tz=-1.56 Mx=-0.01 Mz=1.02
Sollecitazioni agenti localmente: Tx_l=4.83 Ty_l=-1.56 N_l=-5965.51 Mx_l=-0.00 My_l=1.02 Mz_l=-0.01
Taglio nei bulloni: Fv,Ed=0.86 Fv,Rd=7720.78
Rifollamento lato piastra: Fb,Ed,p=0.85 Fb,Rd,p=6790.22
Tirafondi:LT=0.45 (0.31) σ_{cR}=0.00 σ_{fR}=0.00
Compressione nel calcestruzzo: σ_c=12.38
CC 17 SLV (Collegamento -044_-376)
Azioni sul collegamento: N=-5965.51 Ty=12.58 Tz=27.71 Mx=-0.01 Mz=7.43
Sollecitazioni agenti localmente: Tx_l=12.58 Ty_l=27.71 N_l=-5965.51 Mx_l=-0.00 My_l=7.43 Mz_l=-0.01
Taglio nei bulloni: Fv,Ed=5.09 Fv,Rd=7720.78
Rifollamento lato piastra: Fb,Ed,p=5.08 Fb,Rd,p=7799.99
Tirafondi:LT=0.45 (0.31) σ_{cR}=0.00 σ_{fR}=0.00
Compressione nel calcestruzzo: σ_c=12.74
CC 17 SLV (Collegamento -044_-376)
Azioni sul collegamento: N=-5965.51 Ty=4.83 Tz=27.71 Mx=-0.01 Mz=1.02
Sollecitazioni agenti localmente: Tx_l=4.83 Ty_l=27.71 N_l=-5965.51 Mx_l=-0.00 My_l=1.02 Mz_l=-0.01
Taglio nei bulloni: Fv,Ed=4.70 Fv,Rd=7720.78
Rifollamento lato piastra: Fb,Ed,p=4.70 Fb,Rd,p=6238.27
Tirafondi:LT=0.45 (0.31) σ_{cR}=0.00 σ_{fR}=0.00
Compressione nel calcestruzzo: σ_c=12.38
CC 17 SLV (Collegamento -044_-376)
Azioni sul collegamento: N=-13808.10 Ty=12.58 Tz=-1.56 Mx=-0.01 Mz=7.43
Sollecitazioni agenti localmente: Tx_l=12.58 Ty_l=-1.56 N_l=-13808.10 Mx_l=-0.00 My_l=7.43 Mz_l=-0.01
Taglio nei bulloni: Fv,Ed=2.13 Fv,Rd=7720.78
Rifollamento lato piastra: Fb,Ed,p=2.13 Fb,Rd,p=6100.29
Tirafondi:LT=0.45 (0.31) σ_{cR}=0.00 σ_{fR}=0.00
Compressione nel calcestruzzo: σ_c=28.95
CC 17 SLV (Collegamento -044_-376)
Azioni sul collegamento: N=-13808.10 Ty=4.83 Tz=-1.56 Mx=-0.01 Mz=1.02
Sollecitazioni agenti localmente: Tx_l=4.83 Ty_l=-1.56 N_l=-13808.10 Mx_l=-0.00 My_l=1.02 Mz_l=-0.01
Taglio nei bulloni: Fv,Ed=0.86 Fv,Rd=7720.78
Rifollamento lato piastra: Fb,Ed,p=0.85 Fb,Rd,p=6789.83
Tirafondi:LT=0.45 (0.31) σ_{cR}=0.00 σ_{fR}=0.00
Compressione nel calcestruzzo: σ_c=28.59
CC 17 SLV (Collegamento -044_-376)
Azioni sul collegamento: N=-13808.10 Ty=12.58 Tz=27.71 Mx=-0.01 Mz=7.43
Sollecitazioni agenti localmente: Tx_l=12.58 Ty_l=27.71 N_l=-13808.10 Mx_l=-0.00 My_l=7.43 Mz_l=-0.01
Taglio nei bulloni: Fv,Ed=5.09 Fv,Rd=7720.78
Rifollamento lato piastra: Fb,Ed,p=5.08 Fb,Rd,p=7800.00
Tirafondi:LT=0.45 (0.31) σ_{cR}=0.00 σ_{fR}=0.00
Compressione nel calcestruzzo: σ_c=28.95
CC 17 SLV (Collegamento -044_-376)
Azioni sul collegamento: N=-13808.10 Ty=4.83 Tz=27.71 Mx=-0.01 Mz=1.02
Sollecitazioni agenti localmente: Tx_l=4.83 Ty_l=27.71 N_l=-13808.10 Mx_l=-0.00 My_l=1.02 Mz_l=-0.01
Taglio nei bulloni: Fv,Ed=4.70 Fv,Rd=7720.78

Rifollamento lato piastra: Fb,Ed,p=4.70 Fb,Rd,p=6238.28
Tirafondi:LT=0.45 (0.31) σ_{cR}=0.00 σ_{fR}=0.00
Compressione nel calcestruzzo: σ_c=28.59
CC 18 SLD (Collegamento -044_-376)
Azioni sul collegamento: N=-8788.68 Ty=10.81 Tz=9.00 Mx=-0.00 Mz=7.34
Sollecitazioni agenti localmente: Tx_l=10.81 Ty_l=9.00 N_l=-8788.68 Mx_l=-0.00 My_l=7.34 Mz_l=-0.00
Taglio nei bulloni: Fv,Ed=2.35 Fv,Rd=9650.97
Rifollamento lato piastra: Fb,Ed,p=2.35 Fb,Rd,p=13820.10
Tirafondi:LT=0.45 (0.31) σ_{cR}=0.00 σ_{fR}=0.00
Compressione nel calcestruzzo: σ_c=18.57
CC 18 SLD (Collegamento -044_-376)
Azioni sul collegamento: N=-8788.68 Ty=8.45 Tz=9.00 Mx=-0.00 Mz=5.38
Sollecitazioni agenti localmente: Tx_l=8.45 Ty_l=9.00 N_l=-8788.68 Mx_l=-0.00 My_l=5.38 Mz_l=-0.00
Taglio nei bulloni: Fv,Ed=2.06 Fv,Rd=9650.97
Rifollamento lato piastra: Fb,Ed,p=2.06 Fb,Rd,p=14554.70
Tirafondi:LT=0.45 (0.31) σ_{cR}=0.00 σ_{fR}=0.00
Compressione nel calcestruzzo: σ_c=18.46
CC 18 SLD (Collegamento -044_-376)
Azioni sul collegamento: N=-8788.68 Ty=10.81 Tz=17.92 Mx=-0.00 Mz=7.34
Sollecitazioni agenti localmente: Tx_l=10.81 Ty_l=17.92 N_l=-8788.68 Mx_l=-0.00 My_l=7.34 Mz_l=-0.00
Taglio nei bulloni: Fv,Ed=3.49 Fv,Rd=9650.97
Rifollamento lato piastra: Fb,Ed,p=3.49 Fb,Rd,p=11595.70
Tirafondi:LT=0.45 (0.31) σ_{cR}=0.00 σ_{fR}=0.00
Compressione nel calcestruzzo: σ_c=18.57
CC 18 SLD (Collegamento -044_-376)
Azioni sul collegamento: N=-8788.68 Ty=8.45 Tz=17.92 Mx=-0.00 Mz=5.38
Sollecitazioni agenti localmente: Tx_l=8.45 Ty_l=17.92 N_l=-8788.68 Mx_l=-0.00 My_l=5.38 Mz_l=-0.00
Taglio nei bulloni: Fv,Ed=3.31 Fv,Rd=9650.97
Rifollamento lato piastra: Fb,Ed,p=3.30 Fb,Rd,p=9966.60
Tirafondi:LT=0.45 (0.31) σ_{cR}=0.00 σ_{fR}=0.00
Compressione nel calcestruzzo: σ_c=18.46
CC 18 SLD (Collegamento -044_-376)
Azioni sul collegamento: N=-11180.10 Ty=10.81 Tz=9.00 Mx=-0.00 Mz=7.34
Sollecitazioni agenti localmente: Tx_l=10.81 Ty_l=9.00 N_l=-11180.10 Mx_l=-0.00 My_l=7.34 Mz_l=-0.00
Taglio nei bulloni: Fv,Ed=2.35 Fv,Rd=9650.97
Rifollamento lato piastra: Fb,Ed,p=2.35 Fb,Rd,p=13820.20
Tirafondi:LT=0.45 (0.31) σ_{cR}=0.00 σ_{fR}=0.00
Compressione nel calcestruzzo: σ_c=23.51
CC 18 SLD (Collegamento -044_-376)
Azioni sul collegamento: N=-11180.10 Ty=8.45 Tz=9.00 Mx=-0.00 Mz=5.38
Sollecitazioni agenti localmente: Tx_l=8.45 Ty_l=9.00 N_l=-11180.10 Mx_l=-0.00 My_l=5.38 Mz_l=-0.00
Taglio nei bulloni: Fv,Ed=2.06 Fv,Rd=9650.97
Rifollamento lato piastra: Fb,Ed,p=2.06 Fb,Rd,p=14554.50
Tirafondi:LT=0.45 (0.31) σ_{cR}=0.00 σ_{fR}=0.00
Compressione nel calcestruzzo: σ_c=23.40
CC 18 SLD (Collegamento -044_-376)
Azioni sul collegamento: N=-11180.10 Ty=10.81 Tz=17.92 Mx=-0.00 Mz=7.34
Sollecitazioni agenti localmente: Tx_l=10.81 Ty_l=17.92 N_l=-11180.10 Mx_l=-0.00 My_l=7.34 Mz_l=-0.00
Taglio nei bulloni: Fv,Ed=3.49 Fv,Rd=9650.97
Rifollamento lato piastra: Fb,Ed,p=3.49 Fb,Rd,p=11595.60
Tirafondi:LT=0.45 (0.31) σ_{cR}=0.00 σ_{fR}=0.00
Compressione nel calcestruzzo: σ_c=23.51
CC 18 SLD (Collegamento -044_-376)
Azioni sul collegamento: N=-11180.10 Ty=8.45 Tz=17.92 Mx=-0.00 Mz=5.38
Sollecitazioni agenti localmente: Tx_l=8.45 Ty_l=17.92 N_l=-11180.10 Mx_l=-0.00 My_l=5.38 Mz_l=-0.00
Taglio nei bulloni: Fv,Ed=3.31 Fv,Rd=9650.97
Rifollamento lato piastra: Fb,Ed,p=3.30 Fb,Rd,p=9966.54
Tirafondi:LT=0.45 (0.31) σ_{cR}=0.00 σ_{fR}=0.00
Compressione nel calcestruzzo: σ_c=23.40
CC 19 SLV (Collegamento -044_-376)
Azioni sul collegamento: N=-5970.39 Ty=12.07 Tz=-1.24 Mx=-0.01 Mz=6.38
Sollecitazioni agenti localmente: Tx_l=12.07 Ty_l=-1.24 N_l=-5970.39 Mx_l=-0.00 My_l=6.38 Mz_l=-0.01
Taglio nei bulloni: Fv,Ed=2.03 Fv,Rd=7720.78
Rifollamento lato piastra: Fb,Ed,p=2.03 Fb,Rd,p=6064.01
Tirafondi:LT=0.45 (0.31) σ_{cR}=0.00 σ_{fR}=0.00
Compressione nel calcestruzzo: σ_c=12.69
CC 19 SLV (Collegamento -044_-376)
Azioni sul collegamento: N=-5970.39 Ty=5.34 Tz=-1.24 Mx=-0.01 Mz=2.07
Sollecitazioni agenti localmente: Tx_l=5.34 Ty_l=-1.24 N_l=-5970.39 Mx_l=-0.00 My_l=2.07 Mz_l=-0.01
Taglio nei bulloni: Fv,Ed=0.92 Fv,Rd=7720.78
Rifollamento lato piastra: Fb,Ed,p=0.92 Fb,Rd,p=6409.15
Tirafondi:LT=0.45 (0.31) σ_{cR}=0.00 σ_{fR}=0.00
Compressione nel calcestruzzo: σ_c=12.45
CC 19 SLV (Collegamento -044_-376)
Azioni sul collegamento: N=-5970.39 Ty=12.07 Tz=27.38 Mx=-0.01 Mz=6.38
Sollecitazioni agenti localmente: Tx_l=12.07 Ty_l=27.38 N_l=-5970.39 Mx_l=-0.00 My_l=6.38 Mz_l=-0.01
Taglio nei bulloni: Fv,Ed=5.00 Fv,Rd=7720.78
Rifollamento lato piastra: Fb,Ed,p=4.99 Fb,Rd,p=7705.58

Tirafondi:LT=0.45 (0.31) σ_{cR}=0.00 σ_{fR}=0.00
Compressione nel calcestruzzo: σ_c=12.69
CC 19 SLV (Collegamento -044_-376)
Azioni sul collegamento: N=-5970.39 Ty=5.34 Tz=27.38 Mx=-0.01 Mz=2.07
Sollecitazioni agenti localmente: Tx_l=5.34 Ty_l=27.38 N_l=-5970.39 Mx_l=-0.00 My_l=2.07 Mz_l=-0.01
Taglio nei bulloni: Fv,Ed=4.66 Fv,Rd=7720.78
Rifollamento lato piastra: Fb,Ed,p=4.66 Fb,Rd,p=6310.00
Tirafondi:LT=0.45 (0.31) σ_{cR}=0.00 σ_{fR}=0.00
Compressione nel calcestruzzo: σ_c=12.45
CC 19 SLV (Collegamento -044_-376)
Azioni sul collegamento: N=-13803.30 Ty=12.07 Tz=-1.24 Mx=-0.01 Mz=6.38
Sollecitazioni agenti localmente: Tx_l=12.07 Ty_l=-1.24 N_l=-13803.30 Mx_l=-0.00 My_l=6.38 Mz_l=-0.01
Taglio nei bulloni: Fv,Ed=2.03 Fv,Rd=7720.78
Rifollamento lato piastra: Fb,Ed,p=2.03 Fb,Rd,p=6064.00
Tirafondi:LT=0.45 (0.31) σ_{cR}=0.00 σ_{fR}=0.00
Compressione nel calcestruzzo: σ_c=28.88
CC 19 SLV (Collegamento -044_-376)
Azioni sul collegamento: N=-13803.30 Ty=5.34 Tz=-1.24 Mx=-0.01 Mz=2.07
Sollecitazioni agenti localmente: Tx_l=5.34 Ty_l=-1.24 N_l=-13803.30 Mx_l=-0.00 My_l=2.07 Mz_l=-0.01
Taglio nei bulloni: Fv,Ed=0.92 Fv,Rd=7720.78
Rifollamento lato piastra: Fb,Ed,p=0.92 Fb,Rd,p=6409.11
Tirafondi:LT=0.45 (0.31) σ_{cR}=0.00 σ_{fR}=0.00
Compressione nel calcestruzzo: σ_c=28.64
CC 19 SLV (Collegamento -044_-376)
Azioni sul collegamento: N=-13803.30 Ty=12.07 Tz=27.38 Mx=-0.01 Mz=6.38
Sollecitazioni agenti localmente: Tx_l=12.07 Ty_l=27.38 N_l=-13803.30 Mx_l=-0.00 My_l=6.38 Mz_l=-0.01
Taglio nei bulloni: Fv,Ed=5.00 Fv,Rd=7720.78
Rifollamento lato piastra: Fb,Ed,p=4.99 Fb,Rd,p=7705.62
Tirafondi:LT=0.45 (0.31) σ_{cR}=0.00 σ_{fR}=0.00
Compressione nel calcestruzzo: σ_c=28.88
CC 19 SLV (Collegamento -044_-376)
Azioni sul collegamento: N=-13803.30 Ty=5.34 Tz=27.38 Mx=-0.01 Mz=2.07
Sollecitazioni agenti localmente: Tx_l=5.34 Ty_l=27.38 N_l=-13803.30 Mx_l=-0.00 My_l=2.07 Mz_l=-0.01
Taglio nei bulloni: Fv,Ed=4.66 Fv,Rd=7720.78
Rifollamento lato piastra: Fb,Ed,p=4.66 Fb,Rd,p=6310.01
Tirafondi:LT=0.45 (0.31) σ_{cR}=0.00 σ_{fR}=0.00
Compressione nel calcestruzzo: σ_c=28.64
CC 20 SLD (Collegamento -044_-376)
Azioni sul collegamento: N=-8790.17 Ty=10.66 Tz=9.09 Mx=-0.00 Mz=7.02
Sollecitazioni agenti localmente: Tx_l=10.66 Ty_l=9.09 N_l=-8790.17 Mx_l=-0.00 My_l=7.02 Mz_l=-0.00
Taglio nei bulloni: Fv,Ed=2.34 Fv,Rd=9650.97
Rifollamento lato piastra: Fb,Ed,p=2.34 Fb,Rd,p=13966.70
Tirafondi:LT=0.45 (0.31) σ_{cR}=0.00 σ_{fR}=0.00
Compressione nel calcestruzzo: σ_c=18.56
CC 20 SLD (Collegamento -044_-376)
Azioni sul collegamento: N=-8790.17 Ty=8.61 Tz=9.09 Mx=-0.00 Mz=5.70
Sollecitazioni agenti localmente: Tx_l=8.61 Ty_l=9.09 N_l=-8790.17 Mx_l=-0.00 My_l=5.70 Mz_l=-0.00
Taglio nei bulloni: Fv,Ed=2.09 Fv,Rd=9650.97
Rifollamento lato piastra: Fb,Ed,p=2.09 Fb,Rd,p=14620.50
Tirafondi:LT=0.45 (0.31) σ_{cR}=0.00 σ_{fR}=0.00
Compressione nel calcestruzzo: σ_c=18.48
CC 20 SLD (Collegamento -044_-376)
Azioni sul collegamento: N=-8790.17 Ty=10.66 Tz=17.82 Mx=-0.00 Mz=7.02
Sollecitazioni agenti localmente: Tx_l=10.66 Ty_l=17.82 N_l=-8790.17 Mx_l=-0.00 My_l=7.02 Mz_l=-0.00
Taglio nei bulloni: Fv,Ed=3.46 Fv,Rd=9650.97
Rifollamento lato piastra: Fb,Ed,p=3.46 Fb,Rd,p=11532.60
Tirafondi:LT=0.45 (0.31) σ_{cR}=0.00 σ_{fR}=0.00
Compressione nel calcestruzzo: σ_c=18.56
CC 20 SLD (Collegamento -044_-376)
Azioni sul collegamento: N=-8790.17 Ty=8.61 Tz=17.82 Mx=-0.00 Mz=5.70
Sollecitazioni agenti localmente: Tx_l=8.61 Ty_l=17.82 N_l=-8790.17 Mx_l=-0.00 My_l=5.70 Mz_l=-0.00
Taglio nei bulloni: Fv,Ed=3.30 Fv,Rd=9650.97
Rifollamento lato piastra: Fb,Ed,p=3.30 Fb,Rd,p=10099.90
Tirafondi:LT=0.45 (0.31) σ_{cR}=0.00 σ_{fR}=0.00
Compressione nel calcestruzzo: σ_c=18.48
CC 20 SLD (Collegamento -044_-376)
Azioni sul collegamento: N=-11178.70 Ty=10.66 Tz=9.10 Mx=-0.00 Mz=7.02
Sollecitazioni agenti localmente: Tx_l=10.66 Ty_l=9.10 N_l=-11178.70 Mx_l=-0.00 My_l=7.02 Mz_l=-0.00
Taglio nei bulloni: Fv,Ed=2.34 Fv,Rd=9650.97
Rifollamento lato piastra: Fb,Ed,p=2.34 Fb,Rd,p=13966.90
Tirafondi:LT=0.45 (0.31) σ_{cR}=0.00 σ_{fR}=0.00
Compressione nel calcestruzzo: σ_c=23.49
CC 20 SLD (Collegamento -044_-376)
Azioni sul collegamento: N=-11178.70 Ty=8.61 Tz=9.10 Mx=-0.00 Mz=5.70
Sollecitazioni agenti localmente: Tx_l=8.61 Ty_l=9.10 N_l=-11178.70 Mx_l=-0.00 My_l=5.70 Mz_l=-0.00
Taglio nei bulloni: Fv,Ed=2.09 Fv,Rd=9650.97
Rifollamento lato piastra: Fb,Ed,p=2.09 Fb,Rd,p=14620.30
Tirafondi:LT=0.45 (0.31) σ_{cR}=0.00 σ_{fR}=0.00

Compressione nel calcestruzzo: σ_c=23.42
CC 20 SLD (Collegamento -044_-376)
Azioni sul collegamento: N=-11178.70 Ty=10.66 Tz=17.82 Mx=-0.00 Mz=7.02
Sollecitazioni agenti localmente: Tx_l=10.66 Ty_l=17.82 N_l=-11178.70 Mx_l=-0.00 My_l=7.02 Mz_l=-0.00
Taglio nei bulloni: Fv,Ed=3.46 Fv,Rd=9650.97
Rifollamento lato piastra: Fb,Ed,p=3.46 Fb,Rd,p=11532.50
Tirafondi:LT=0.45 (0.31) σ_{cR}=0.00 σ_{fR}=0.00
Compressione nel calcestruzzo: σ_c=23.49
CC 20 SLD (Collegamento -044_-376)
Azioni sul collegamento: N=-11178.70 Ty=8.61 Tz=17.82 Mx=-0.00 Mz=5.70
Sollecitazioni agenti localmente: Tx_l=8.61 Ty_l=17.82 N_l=-11178.70 Mx_l=-0.00 My_l=5.70 Mz_l=-0.00
Taglio nei bulloni: Fv,Ed=3.30 Fv,Rd=9650.97
Rifollamento lato piastra: Fb,Ed,p=3.30 Fb,Rd,p=10099.80
Tirafondi:LT=0.45 (0.31) σ_{cR}=0.00 σ_{fR}=0.00
Compressione nel calcestruzzo: σ_c=23.42
CC 21 SLV (Collegamento -044_-376)
Azioni sul collegamento: N=-13803.30 Ty=5.34 Tz=27.38 Mx=-0.01 Mz=2.07
Sollecitazioni agenti localmente: Tx_l=5.34 Ty_l=27.38 N_l=-13803.30 Mx_l=-0.00 My_l=2.07 Mz_l=-0.01
Taglio nei bulloni: Fv,Ed=4.67 Fv,Rd=7720.78
Rifollamento lato piastra: Fb,Ed,p=4.66 Fb,Rd,p=6305.50
Tirafondi:LT=0.45 (0.31) σ_{cR}=0.00 σ_{fR}=0.00
Compressione nel calcestruzzo: σ_c=28.64
CC 21 SLV (Collegamento -044_-376)
Azioni sul collegamento: N=-13803.30 Ty=12.07 Tz=27.38 Mx=-0.01 Mz=6.38
Sollecitazioni agenti localmente: Tx_l=12.07 Ty_l=27.38 N_l=-13803.30 Mx_l=-0.00 My_l=6.38 Mz_l=-0.01
Taglio nei bulloni: Fv,Ed=5.01 Fv,Rd=7720.78
Rifollamento lato piastra: Fb,Ed,p=4.99 Fb,Rd,p=7692.98
Tirafondi:LT=0.45 (0.31) σ_{cR}=0.00 σ_{fR}=0.00
Compressione nel calcestruzzo: σ_c=28.88
CC 21 SLV (Collegamento -044_-376)
Azioni sul collegamento: N=-13803.30 Ty=5.34 Tz=-1.24 Mx=-0.01 Mz=2.07
Sollecitazioni agenti localmente: Tx_l=5.34 Ty_l=-1.24 N_l=-13803.30 Mx_l=-0.00 My_l=2.07 Mz_l=-0.01
Taglio nei bulloni: Fv,Ed=0.93 Fv,Rd=7720.78
Rifollamento lato piastra: Fb,Ed,p=0.92 Fb,Rd,p=6382.76
Tirafondi:LT=0.45 (0.31) σ_{cR}=0.00 σ_{fR}=0.00
Compressione nel calcestruzzo: σ_c=28.64
CC 21 SLV (Collegamento -044_-376)
Azioni sul collegamento: N=-13803.30 Ty=12.07 Tz=-1.24 Mx=-0.01 Mz=6.38
Sollecitazioni agenti localmente: Tx_l=12.07 Ty_l=-1.24 N_l=-13803.30 Mx_l=-0.00 My_l=6.38 Mz_l=-0.01
Taglio nei bulloni: Fv,Ed=2.04 Fv,Rd=7720.78
Rifollamento lato piastra: Fb,Ed,p=2.03 Fb,Rd,p=6059.31
Tirafondi:LT=0.45 (0.31) σ_{cR}=0.00 σ_{fR}=0.00
Compressione nel calcestruzzo: σ_c=28.88
CC 21 SLV (Collegamento -044_-376)
Azioni sul collegamento: N=-5970.39 Ty=5.34 Tz=27.38 Mx=-0.01 Mz=2.07
Sollecitazioni agenti localmente: Tx_l=5.34 Ty_l=27.38 N_l=-5970.39 Mx_l=-0.00 My_l=2.07 Mz_l=-0.01
Taglio nei bulloni: Fv,Ed=4.67 Fv,Rd=7720.78
Rifollamento lato piastra: Fb,Ed,p=4.66 Fb,Rd,p=6305.49
Tirafondi:LT=0.45 (0.31) σ_{cR}=0.00 σ_{fR}=0.00
Compressione nel calcestruzzo: σ_c=12.45
CC 21 SLV (Collegamento -044_-376)
Azioni sul collegamento: N=-5970.39 Ty=12.07 Tz=27.38 Mx=-0.01 Mz=6.38
Sollecitazioni agenti localmente: Tx_l=12.07 Ty_l=27.38 N_l=-5970.39 Mx_l=-0.00 My_l=6.38 Mz_l=-0.01
Taglio nei bulloni: Fv,Ed=5.01 Fv,Rd=7720.78
Rifollamento lato piastra: Fb,Ed,p=4.99 Fb,Rd,p=7692.94
Tirafondi:LT=0.45 (0.31) σ_{cR}=0.00 σ_{fR}=0.00
Compressione nel calcestruzzo: σ_c=12.69
CC 21 SLV (Collegamento -044_-376)
Azioni sul collegamento: N=-5970.39 Ty=5.34 Tz=-1.24 Mx=-0.01 Mz=2.07
Sollecitazioni agenti localmente: Tx_l=5.34 Ty_l=-1.24 N_l=-5970.39 Mx_l=-0.00 My_l=2.07 Mz_l=-0.01
Taglio nei bulloni: Fv,Ed=0.93 Fv,Rd=7720.78
Rifollamento lato piastra: Fb,Ed,p=0.92 Fb,Rd,p=6382.81
Tirafondi:LT=0.45 (0.31) σ_{cR}=0.00 σ_{fR}=0.00
Compressione nel calcestruzzo: σ_c=12.45
CC 21 SLV (Collegamento -044_-376)
Azioni sul collegamento: N=-5970.39 Ty=12.07 Tz=-1.24 Mx=-0.01 Mz=6.38
Sollecitazioni agenti localmente: Tx_l=12.07 Ty_l=-1.24 N_l=-5970.39 Mx_l=-0.00 My_l=6.38 Mz_l=-0.01
Taglio nei bulloni: Fv,Ed=2.04 Fv,Rd=7720.78
Rifollamento lato piastra: Fb,Ed,p=2.03 Fb,Rd,p=6059.32
Tirafondi:LT=0.45 (0.31) σ_{cR}=0.00 σ_{fR}=0.00
Compressione nel calcestruzzo: σ_c=12.69
CC 22 SLD (Collegamento -044_-376)
Azioni sul collegamento: N=-11178.70 Ty=8.61 Tz=17.82 Mx=-0.00 Mz=5.70
Sollecitazioni agenti localmente: Tx_l=8.61 Ty_l=17.82 N_l=-11178.70 Mx_l=-0.00 My_l=5.70 Mz_l=-0.00
Taglio nei bulloni: Fv,Ed=3.30 Fv,Rd=9650.97
Rifollamento lato piastra: Fb,Ed,p=3.30 Fb,Rd,p=10091.30
Tirafondi:LT=0.45 (0.31) σ_{cR}=0.00 σ_{fR}=0.00
Compressione nel calcestruzzo: σ_c=23.42

CC 22 SLD (Collegamento -044_-376)
Azioni sul collegamento: N=-11178.70 Ty=10.66 Tz=17.82 Mx=-0.00 Mz=7.02
Sollecitazioni agenti localmente: Tx_l=10.66 Ty_l=17.82 N_l=-11178.70 Mx_l=-0.00 My_l=7.02 Mz_l=-0.00
Taglio nei bulloni: Fv,Ed=3.46 Fv,Rd=9650.97
Rifollamento lato piastra: Fb,Ed,p=3.46 Fb,Rd,p=11521.10
Tirafondi:LT=0.45 (0.31) σ_{cR}=0.00 σ_{fR}=0.00
Compressione nel calcestruzzo: σ_c=23.49
CC 22 SLD (Collegamento -044_-376)
Azioni sul collegamento: N=-11178.70 Ty=8.61 Tz=9.10 Mx=-0.00 Mz=5.70
Sollecitazioni agenti localmente: Tx_l=8.61 Ty_l=9.10 N_l=-11178.70 Mx_l=-0.00 My_l=5.70 Mz_l=-0.00
Taglio nei bulloni: Fv,Ed=2.09 Fv,Rd=9650.97
Rifollamento lato piastra: Fb,Ed,p=2.09 Fb,Rd,p=14605.90
Tirafondi:LT=0.45 (0.31) σ_{cR}=0.00 σ_{fR}=0.00
Compressione nel calcestruzzo: σ_c=23.42
CC 22 SLD (Collegamento -044_-376)
Azioni sul collegamento: N=-11178.70 Ty=10.66 Tz=9.10 Mx=-0.00 Mz=7.02
Sollecitazioni agenti localmente: Tx_l=10.66 Ty_l=9.10 N_l=-11178.70 Mx_l=-0.00 My_l=7.02 Mz_l=-0.00
Taglio nei bulloni: Fv,Ed=2.34 Fv,Rd=9650.97
Rifollamento lato piastra: Fb,Ed,p=2.34 Fb,Rd,p=13967.80
Tirafondi:LT=0.45 (0.31) σ_{cR}=0.00 σ_{fR}=0.00
Compressione nel calcestruzzo: σ_c=23.49
CC 22 SLD (Collegamento -044_-376)
Azioni sul collegamento: N=-8790.17 Ty=8.61 Tz=17.82 Mx=-0.00 Mz=5.70
Sollecitazioni agenti localmente: Tx_l=8.61 Ty_l=17.82 N_l=-8790.17 Mx_l=-0.00 My_l=5.70 Mz_l=-0.00
Taglio nei bulloni: Fv,Ed=3.30 Fv,Rd=9650.97
Rifollamento lato piastra: Fb,Ed,p=3.30 Fb,Rd,p=10091.40
Tirafondi:LT=0.45 (0.31) σ_{cR}=0.00 σ_{fR}=0.00
Compressione nel calcestruzzo: σ_c=18.48
CC 22 SLD (Collegamento -044_-376)
Azioni sul collegamento: N=-8790.17 Ty=10.66 Tz=17.82 Mx=-0.00 Mz=7.02
Sollecitazioni agenti localmente: Tx_l=10.66 Ty_l=17.82 N_l=-8790.17 Mx_l=-0.00 My_l=7.02 Mz_l=-0.00
Taglio nei bulloni: Fv,Ed=3.46 Fv,Rd=9650.97
Rifollamento lato piastra: Fb,Ed,p=3.46 Fb,Rd,p=11521.20
Tirafondi:LT=0.45 (0.31) σ_{cR}=0.00 σ_{fR}=0.00
Compressione nel calcestruzzo: σ_c=18.56
CC 22 SLD (Collegamento -044_-376)
Azioni sul collegamento: N=-8790.17 Ty=8.61 Tz=9.09 Mx=-0.00 Mz=5.70
Sollecitazioni agenti localmente: Tx_l=8.61 Ty_l=9.09 N_l=-8790.17 Mx_l=-0.00 My_l=5.70 Mz_l=-0.00
Taglio nei bulloni: Fv,Ed=2.09 Fv,Rd=9650.97
Rifollamento lato piastra: Fb,Ed,p=2.09 Fb,Rd,p=14606.10
Tirafondi:LT=0.45 (0.31) σ_{cR}=0.00 σ_{fR}=0.00
Compressione nel calcestruzzo: σ_c=18.48
CC 22 SLD (Collegamento -044_-376)
Azioni sul collegamento: N=-8790.17 Ty=10.66 Tz=9.09 Mx=-0.00 Mz=7.02
Sollecitazioni agenti localmente: Tx_l=10.66 Ty_l=9.09 N_l=-8790.17 Mx_l=-0.00 My_l=7.02 Mz_l=-0.00
Taglio nei bulloni: Fv,Ed=2.34 Fv,Rd=9650.97
Rifollamento lato piastra: Fb,Ed,p=2.34 Fb,Rd,p=13967.60
Tirafondi:LT=0.45 (0.31) σ_{cR}=0.00 σ_{fR}=0.00
Compressione nel calcestruzzo: σ_c=18.56
CC 23 SLV (Collegamento -044_-376)
Azioni sul collegamento: N=-13808.10 Ty=4.83 Tz=27.71 Mx=-0.01 Mz=1.02
Sollecitazioni agenti localmente: Tx_l=4.83 Ty_l=27.71 N_l=-13808.10 Mx_l=-0.00 My_l=1.02 Mz_l=-0.01
Taglio nei bulloni: Fv,Ed=4.70 Fv,Rd=7720.78
Rifollamento lato piastra: Fb,Ed,p=4.69 Fb,Rd,p=6242.66
Tirafondi:LT=0.45 (0.31) σ_{cR}=0.00 σ_{fR}=0.00
Compressione nel calcestruzzo: σ_c=28.59
CC 23 SLV (Collegamento -044_-376)
Azioni sul collegamento: N=-13808.10 Ty=12.58 Tz=27.71 Mx=-0.01 Mz=7.43
Sollecitazioni agenti localmente: Tx_l=12.58 Ty_l=27.71 N_l=-13808.10 Mx_l=-0.00 My_l=7.43 Mz_l=-0.01
Taglio nei bulloni: Fv,Ed=5.08 Fv,Rd=7720.78
Rifollamento lato piastra: Fb,Ed,p=5.08 Fb,Rd,p=7814.63
Tirafondi:LT=0.45 (0.31) σ_{cR}=0.00 σ_{fR}=0.00
Compressione nel calcestruzzo: σ_c=28.95
CC 23 SLV (Collegamento -044_-376)
Azioni sul collegamento: N=-13808.10 Ty=4.83 Tz=-1.56 Mx=-0.01 Mz=1.02
Sollecitazioni agenti localmente: Tx_l=4.83 Ty_l=-1.56 N_l=-13808.10 Mx_l=-0.00 My_l=1.02 Mz_l=-0.01
Taglio nei bulloni: Fv,Ed=0.86 Fv,Rd=7720.78
Rifollamento lato piastra: Fb,Ed,p=0.85 Fb,Rd,p=6839.84
Tirafondi:LT=0.45 (0.31) σ_{cR}=0.00 σ_{fR}=0.00
Compressione nel calcestruzzo: σ_c=28.59
CC 23 SLV (Collegamento -044_-376)
Azioni sul collegamento: N=-13808.10 Ty=12.58 Tz=-1.56 Mx=-0.01 Mz=7.43
Sollecitazioni agenti localmente: Tx_l=12.58 Ty_l=-1.56 N_l=-13808.10 Mx_l=-0.00 My_l=7.43 Mz_l=-0.01
Taglio nei bulloni: Fv,Ed=2.12 Fv,Rd=7720.78
Rifollamento lato piastra: Fb,Ed,p=2.12 Fb,Rd,p=6106.63
Tirafondi:LT=0.45 (0.31) σ_{cR}=0.00 σ_{fR}=0.00
Compressione nel calcestruzzo: σ_c=28.95
CC 23 SLV (Collegamento -044_-376)

Azioni sul collegamento: N=-5965.51 Ty=4.83 Tz=27.71 Mx=-0.01 Mz=1.02
Sollecitazioni agenti localmente: Tx_l=4.83 Ty_l=27.71 N_l=-5965.51 Mx_l=-0.00 My_l=1.02 Mz_l=-0.01
Taglio nei bulloni: Fv,Ed=4.70 Fv,Rd=7720.78
Rifollamento lato piastra: Fb,Ed,p=4.69 Fb,Rd,p=6242.67
Tirafondi:LT=0.45 (0.31) σ_{cR}=0.00 σ_{fR}=0.00
Compressione nel calcestruzzo: σ_c=12.38
CC 23 SLV (Collegamento -044_-376)
Azioni sul collegamento: N=-5965.51 Ty=12.58 Tz=27.71 Mx=-0.01 Mz=7.43
Sollecitazioni agenti localmente: Tx_l=12.58 Ty_l=27.71 N_l=-5965.51 Mx_l=-0.00 My_l=7.43 Mz_l=-0.01
Taglio nei bulloni: Fv,Ed=5.08 Fv,Rd=7720.78
Rifollamento lato piastra: Fb,Ed,p=5.08 Fb,Rd,p=7814.62
Tirafondi:LT=0.45 (0.31) σ_{cR}=0.00 σ_{fR}=0.00
Compressione nel calcestruzzo: σ_c=12.74
CC 23 SLV (Collegamento -044_-376)
Azioni sul collegamento: N=-5965.51 Ty=4.83 Tz=-1.56 Mx=-0.01 Mz=1.02
Sollecitazioni agenti localmente: Tx_l=4.83 Ty_l=-1.56 N_l=-5965.51 Mx_l=-0.00 My_l=1.02 Mz_l=-0.01
Taglio nei bulloni: Fv,Ed=0.86 Fv,Rd=7720.78
Rifollamento lato piastra: Fb,Ed,p=0.85 Fb,Rd,p=6840.25
Tirafondi:LT=0.45 (0.31) σ_{cR}=0.00 σ_{fR}=0.00
Compressione nel calcestruzzo: σ_c=12.38
CC 23 SLV (Collegamento -044_-376)
Azioni sul collegamento: N=-5965.51 Ty=12.58 Tz=-1.56 Mx=-0.01 Mz=7.43
Sollecitazioni agenti localmente: Tx_l=12.58 Ty_l=-1.56 N_l=-5965.51 Mx_l=-0.00 My_l=7.43 Mz_l=-0.01
Taglio nei bulloni: Fv,Ed=2.12 Fv,Rd=7720.78
Rifollamento lato piastra: Fb,Ed,p=2.12 Fb,Rd,p=6106.69
Tirafondi:LT=0.45 (0.31) σ_{cR}=0.00 σ_{fR}=0.00
Compressione nel calcestruzzo: σ_c=12.74
CC 24 SLD (Collegamento -044_-376)
Azioni sul collegamento: N=-11180.10 Ty=8.45 Tz=17.92 Mx=-0.00 Mz=5.38
Sollecitazioni agenti localmente: Tx_l=8.45 Ty_l=17.92 N_l=-11180.10 Mx_l=-0.00 My_l=5.38 Mz_l=-0.00
Taglio nei bulloni: Fv,Ed=3.30 Fv,Rd=9650.97
Rifollamento lato piastra: Fb,Ed,p=3.30 Fb,Rd,p=9975.72
Tirafondi:LT=0.45 (0.31) σ_{cR}=0.00 σ_{fR}=0.00
Compressione nel calcestruzzo: σ_c=23.40
CC 24 SLD (Collegamento -044_-376)
Azioni sul collegamento: N=-11180.10 Ty=10.81 Tz=17.92 Mx=-0.00 Mz=7.34
Sollecitazioni agenti localmente: Tx_l=10.81 Ty_l=17.92 N_l=-11180.10 Mx_l=-0.00 My_l=7.34 Mz_l=-0.00
Taglio nei bulloni: Fv,Ed=3.49 Fv,Rd=9650.97
Rifollamento lato piastra: Fb,Ed,p=3.49 Fb,Rd,p=11608.60
Tirafondi:LT=0.45 (0.31) σ_{cR}=0.00 σ_{fR}=0.00
Compressione nel calcestruzzo: σ_c=23.51
CC 24 SLD (Collegamento -044_-376)
Azioni sul collegamento: N=-11180.10 Ty=8.45 Tz=9.00 Mx=-0.00 Mz=5.38
Sollecitazioni agenti localmente: Tx_l=8.45 Ty_l=9.00 N_l=-11180.10 Mx_l=-0.00 My_l=5.38 Mz_l=-0.00
Taglio nei bulloni: Fv,Ed=2.06 Fv,Rd=9650.97
Rifollamento lato piastra: Fb,Ed,p=2.06 Fb,Rd,p=14570.70
Tirafondi:LT=0.45 (0.31) σ_{cR}=0.00 σ_{fR}=0.00
Compressione nel calcestruzzo: σ_c=23.40
CC 24 SLD (Collegamento -044_-376)
Azioni sul collegamento: N=-11180.10 Ty=10.81 Tz=9.00 Mx=-0.00 Mz=7.34
Sollecitazioni agenti localmente: Tx_l=10.81 Ty_l=9.00 N_l=-11180.10 Mx_l=-0.00 My_l=7.34 Mz_l=-0.00
Taglio nei bulloni: Fv,Ed=2.34 Fv,Rd=9650.97
Rifollamento lato piastra: Fb,Ed,p=2.34 Fb,Rd,p=13819.10
Tirafondi:LT=0.45 (0.31) σ_{cR}=0.00 σ_{fR}=0.00
Compressione nel calcestruzzo: σ_c=23.51
CC 24 SLD (Collegamento -044_-376)
Azioni sul collegamento: N=-8788.68 Ty=8.45 Tz=17.92 Mx=-0.00 Mz=5.38
Sollecitazioni agenti localmente: Tx_l=8.45 Ty_l=17.92 N_l=-8788.68 Mx_l=-0.00 My_l=5.38 Mz_l=-0.00
Taglio nei bulloni: Fv,Ed=3.30 Fv,Rd=9650.97
Rifollamento lato piastra: Fb,Ed,p=3.30 Fb,Rd,p=9975.78
Tirafondi:LT=0.45 (0.31) σ_{cR}=0.00 σ_{fR}=0.00
Compressione nel calcestruzzo: σ_c=18.46
CC 24 SLD (Collegamento -044_-376)
Azioni sul collegamento: N=-8788.68 Ty=10.81 Tz=17.92 Mx=-0.00 Mz=7.34
Sollecitazioni agenti localmente: Tx_l=10.81 Ty_l=17.92 N_l=-8788.68 Mx_l=-0.00 My_l=7.34 Mz_l=-0.00
Taglio nei bulloni: Fv,Ed=3.49 Fv,Rd=9650.97
Rifollamento lato piastra: Fb,Ed,p=3.49 Fb,Rd,p=11608.80
Tirafondi:LT=0.45 (0.31) σ_{cR}=0.00 σ_{fR}=0.00
Compressione nel calcestruzzo: σ_c=18.57
CC 24 SLD (Collegamento -044_-376)
Azioni sul collegamento: N=-8788.68 Ty=8.45 Tz=9.00 Mx=-0.00 Mz=5.38
Sollecitazioni agenti localmente: Tx_l=8.45 Ty_l=9.00 N_l=-8788.68 Mx_l=-0.00 My_l=5.38 Mz_l=-0.00
Taglio nei bulloni: Fv,Ed=2.06 Fv,Rd=9650.97
Rifollamento lato piastra: Fb,Ed,p=2.06 Fb,Rd,p=14570.90
Tirafondi:LT=0.45 (0.31) σ_{cR}=0.00 σ_{fR}=0.00
Compressione nel calcestruzzo: σ_c=18.46
CC 24 SLD (Collegamento -044_-376)
Azioni sul collegamento: N=-8788.68 Ty=10.81 Tz=9.00 Mx=-0.00 Mz=7.34

Sollecitazioni agenti localmente: Tx_l=10.81 Ty_l=9.00 N_l=-8788.68 Mx_l=-0.00 My_l=7.34 Mz_l=-0.00
Taglio nei bulloni: Fv,Ed=2.34 Fv,Rd=9650.97
Rifollamento lato piastra: Fb,Ed,p=2.34 Fb,Rd,p=13819.00
Tirafondi:LT=0.45 (0.31) σ_{cR}=0.00 σ_{fR}=0.00
Compressione nel calcestruzzo: σ_c=18.57
CC 25 SLV (Collegamento -044_-376)
Azioni sul collegamento: N=-8703.02 Ty=10.65 Tz=8.19 Mx=-0.02 Mz=6.77
Sollecitazioni agenti localmente: Tx_l=10.65 Ty_l=8.19 N_l=-8703.02 Mx_l=-0.00 My_l=6.77 Mz_l=-0.02
Taglio nei bulloni: Fv,Ed=2.27 Fv,Rd=7720.78
Rifollamento lato piastra: Fb,Ed,p=2.27 Fb,Rd,p=10734.30
Tirafondi:LT=0.45 (0.31) σ_{cR}=0.00 σ_{fR}=0.00
Compressione nel calcestruzzo: σ_c=18.36
CC 25 SLV (Collegamento -044_-376)
Azioni sul collegamento: N=-8703.02 Ty=6.76 Tz=8.19 Mx=-0.02 Mz=1.67
Sollecitazioni agenti localmente: Tx_l=6.76 Ty_l=8.19 N_l=-8703.02 Mx_l=-0.00 My_l=1.67 Mz_l=-0.02
Taglio nei bulloni: Fv,Ed=1.80 Fv,Rd=7720.78
Rifollamento lato piastra: Fb,Ed,p=1.77 Fb,Rd,p=10882.40
Tirafondi:LT=0.45 (0.31) σ_{cR}=0.00 σ_{fR}=0.00
Compressione nel calcestruzzo: σ_c=18.08
CC 25 SLV (Collegamento -044_-376)
Azioni sul collegamento: N=-8703.02 Ty=10.65 Tz=17.96 Mx=-0.02 Mz=6.77
Sollecitazioni agenti localmente: Tx_l=10.65 Ty_l=17.96 N_l=-8703.02 Mx_l=-0.00 My_l=6.77 Mz_l=-0.02
Taglio nei bulloni: Fv,Ed=3.51 Fv,Rd=7720.78
Rifollamento lato piastra: Fb,Ed,p=3.49 Fb,Rd,p=9057.55
Tirafondi:LT=0.45 (0.31) σ_{cR}=0.00 σ_{fR}=0.00
Compressione nel calcestruzzo: σ_c=18.36
CC 25 SLV (Collegamento -044_-376)
Azioni sul collegamento: N=-8703.02 Ty=6.76 Tz=17.96 Mx=-0.02 Mz=1.67
Sollecitazioni agenti localmente: Tx_l=6.76 Ty_l=17.96 N_l=-8703.02 Mx_l=-0.00 My_l=1.67 Mz_l=-0.02
Taglio nei bulloni: Fv,Ed=3.22 Fv,Rd=7720.78
Rifollamento lato piastra: Fb,Ed,p=3.21 Fb,Rd,p=7188.91
Tirafondi:LT=0.45 (0.31) σ_{cR}=0.00 σ_{fR}=0.00
Compressione nel calcestruzzo: σ_c=18.08
CC 25 SLV (Collegamento -044_-376)
Azioni sul collegamento: N=-11070.60 Ty=10.65 Tz=8.19 Mx=-0.02 Mz=6.77
Sollecitazioni agenti localmente: Tx_l=10.65 Ty_l=8.19 N_l=-11070.60 Mx_l=-0.00 My_l=6.77 Mz_l=-0.02
Taglio nei bulloni: Fv,Ed=2.27 Fv,Rd=7720.78
Rifollamento lato piastra: Fb,Ed,p=2.27 Fb,Rd,p=10734.10
Tirafondi:LT=0.45 (0.31) σ_{cR}=0.00 σ_{fR}=0.00
Compressione nel calcestruzzo: σ_c=23.25
CC 25 SLV (Collegamento -044_-376)
Azioni sul collegamento: N=-11070.60 Ty=6.76 Tz=8.19 Mx=-0.02 Mz=1.67
Sollecitazioni agenti localmente: Tx_l=6.76 Ty_l=8.19 N_l=-11070.60 Mx_l=-0.00 My_l=1.67 Mz_l=-0.02
Taglio nei bulloni: Fv,Ed=1.80 Fv,Rd=7720.78
Rifollamento lato piastra: Fb,Ed,p=1.77 Fb,Rd,p=10882.60
Tirafondi:LT=0.45 (0.31) σ_{cR}=0.00 σ_{fR}=0.00
Compressione nel calcestruzzo: σ_c=22.97
CC 25 SLV (Collegamento -044_-376)
Azioni sul collegamento: N=-11070.60 Ty=10.65 Tz=17.96 Mx=-0.02 Mz=6.77
Sollecitazioni agenti localmente: Tx_l=10.65 Ty_l=17.96 N_l=-11070.60 Mx_l=-0.00 My_l=6.77 Mz_l=-0.02
Taglio nei bulloni: Fv,Ed=3.51 Fv,Rd=7720.78
Rifollamento lato piastra: Fb,Ed,p=3.49 Fb,Rd,p=9057.46
Tirafondi:LT=0.45 (0.31) σ_{cR}=0.00 σ_{fR}=0.00
Compressione nel calcestruzzo: σ_c=23.25
CC 25 SLV (Collegamento -044_-376)
Azioni sul collegamento: N=-11070.60 Ty=6.76 Tz=17.96 Mx=-0.02 Mz=1.67
Sollecitazioni agenti localmente: Tx_l=6.76 Ty_l=17.96 N_l=-11070.60 Mx_l=-0.00 My_l=1.67 Mz_l=-0.02
Taglio nei bulloni: Fv,Ed=3.22 Fv,Rd=7720.78
Rifollamento lato piastra: Fb,Ed,p=3.21 Fb,Rd,p=7188.88
Tirafondi:LT=0.45 (0.31) σ_{cR}=0.00 σ_{fR}=0.00
Compressione nel calcestruzzo: σ_c=22.97
CC 26 SLD (Collegamento -044_-376)
Azioni sul collegamento: N=-9623.43 Ty=10.22 Tz=11.97 Mx=-0.00 Mz=7.14
Sollecitazioni agenti localmente: Tx_l=10.22 Ty_l=11.97 N_l=-9623.43 Mx_l=-0.00 My_l=7.14 Mz_l=-0.00
Taglio nei bulloni: Fv,Ed=2.63 Fv,Rd=9650.97
Rifollamento lato piastra: Fb,Ed,p=2.62 Fb,Rd,p=13946.20
Tirafondi:LT=0.45 (0.31) σ_{cR}=0.00 σ_{fR}=0.00
Compressione nel calcestruzzo: σ_c=20.29
CC 26 SLD (Collegamento -044_-376)
Azioni sul collegamento: N=-9623.43 Ty=9.04 Tz=11.97 Mx=-0.00 Mz=5.58
Sollecitazioni agenti localmente: Tx_l=9.04 Ty_l=11.97 N_l=-9623.43 Mx_l=-0.00 My_l=5.58 Mz_l=-0.00
Taglio nei bulloni: Fv,Ed=2.51 Fv,Rd=9650.97
Rifollamento lato piastra: Fb,Ed,p=2.50 Fb,Rd,p=13290.40
Tirafondi:LT=0.45 (0.31) σ_{cR}=0.00 σ_{fR}=0.00
Compressione nel calcestruzzo: σ_c=20.20
CC 26 SLD (Collegamento -044_-376)
Azioni sul collegamento: N=-9623.43 Ty=10.22 Tz=14.95 Mx=-0.00 Mz=7.14
Sollecitazioni agenti localmente: Tx_l=10.22 Ty_l=14.95 N_l=-9623.43 Mx_l=-0.00 My_l=7.14 Mz_l=-0.00

Taglio nei bulloni: Fv,Ed=3.02 Fv,Rd=9650.97
Rifollamento lato piastra: Fb,Ed,p=3.02 Fb,Rd,p=12777.30
Tirafondi:LT=0.45 (0.31) σ_{cR}=0.00 σ_{fR}=0.00
Compressione nel calcestruzzo: σ_c=20.29
CC 26 SLD (Collegamento -044_-376)
Azioni sul collegamento: N=-9623.43 Ty=9.04 Tz=14.95 Mx=-0.00 Mz=5.58
Sollecitazioni agenti localmente: Tx_l=9.04 Ty_l=14.95 N_l=-9623.43 Mx_l=-0.00 My_l=5.58 Mz_l=-0.00
Taglio nei bulloni: Fv,Ed=2.92 Fv,Rd=9650.97
Rifollamento lato piastra: Fb,Ed,p=2.91 Fb,Rd,p=11593.70
Tirafondi:LT=0.45 (0.31) σ_{cR}=0.00 σ_{fR}=0.00
Compressione nel calcestruzzo: σ_c=20.20
CC 26 SLD (Collegamento -044_-376)
Azioni sul collegamento: N=-10345.40 Ty=10.22 Tz=11.97 Mx=-0.00 Mz=7.14
Sollecitazioni agenti localmente: Tx_l=10.22 Ty_l=11.97 N_l=-10345.40 Mx_l=-0.00 My_l=7.14 Mz_l=-0.00
Taglio nei bulloni: Fv,Ed=2.63 Fv,Rd=9650.97
Rifollamento lato piastra: Fb,Ed,p=2.62 Fb,Rd,p=13946.00
Tirafondi:LT=0.45 (0.31) σ_{cR}=0.00 σ_{fR}=0.00
Compressione nel calcestruzzo: σ_c=21.78
CC 26 SLD (Collegamento -044_-376)
Azioni sul collegamento: N=-10345.40 Ty=9.04 Tz=11.97 Mx=-0.00 Mz=5.58
Sollecitazioni agenti localmente: Tx_l=9.04 Ty_l=11.97 N_l=-10345.40 Mx_l=-0.00 My_l=5.58 Mz_l=-0.00
Taglio nei bulloni: Fv,Ed=2.51 Fv,Rd=9650.97
Rifollamento lato piastra: Fb,Ed,p=2.50 Fb,Rd,p=13290.30
Tirafondi:LT=0.45 (0.31) σ_{cR}=0.00 σ_{fR}=0.00
Compressione nel calcestruzzo: σ_c=21.69
CC 26 SLD (Collegamento -044_-376)
Azioni sul collegamento: N=-10345.40 Ty=10.22 Tz=14.95 Mx=-0.00 Mz=7.14
Sollecitazioni agenti localmente: Tx_l=10.22 Ty_l=14.95 N_l=-10345.40 Mx_l=-0.00 My_l=7.14 Mz_l=-0.00
Taglio nei bulloni: Fv,Ed=3.02 Fv,Rd=9650.97
Rifollamento lato piastra: Fb,Ed,p=3.02 Fb,Rd,p=12777.40
Tirafondi:LT=0.45 (0.31) σ_{cR}=0.00 σ_{fR}=0.00
Compressione nel calcestruzzo: σ_c=21.78
CC 26 SLD (Collegamento -044_-376)
Azioni sul collegamento: N=-10345.40 Ty=9.04 Tz=14.95 Mx=-0.00 Mz=5.58
Sollecitazioni agenti localmente: Tx_l=9.04 Ty_l=14.95 N_l=-10345.40 Mx_l=-0.00 My_l=5.58 Mz_l=-0.00
Taglio nei bulloni: Fv,Ed=2.92 Fv,Rd=9650.97
Rifollamento lato piastra: Fb,Ed,p=2.91 Fb,Rd,p=11593.70
Tirafondi:LT=0.45 (0.31) σ_{cR}=0.00 σ_{fR}=0.00
Compressione nel calcestruzzo: σ_c=21.69
CC 27 SLV (Collegamento -044_-376)
Azioni sul collegamento: N=-11054.30 Ty=8.48 Tz=16.87 Mx=-0.02 Mz=5.16
Sollecitazioni agenti localmente: Tx_l=8.48 Ty_l=16.87 N_l=-11054.30 Mx_l=-0.00 My_l=5.16 Mz_l=-0.02
Taglio nei bulloni: Fv,Ed=3.17 Fv,Rd=7720.78
Rifollamento lato piastra: Fb,Ed,p=3.16 Fb,Rd,p=8162.14
Tirafondi:LT=0.45 (0.31) σ_{cR}=0.00 σ_{fR}=0.00
Compressione nel calcestruzzo: σ_c=23.13
CC 27 SLV (Collegamento -044_-376)
Azioni sul collegamento: N=-11054.30 Ty=8.94 Tz=16.87 Mx=-0.02 Mz=3.28
Sollecitazioni agenti localmente: Tx_l=8.94 Ty_l=16.87 N_l=-11054.30 Mx_l=-0.00 My_l=3.28 Mz_l=-0.02
Taglio nei bulloni: Fv,Ed=3.21 Fv,Rd=7720.78
Rifollamento lato piastra: Fb,Ed,p=3.19 Fb,Rd,p=8413.54
Tirafondi:LT=0.45 (0.31) σ_{cR}=0.00 σ_{fR}=0.00
Compressione nel calcestruzzo: σ_c=23.02
CC 27 SLV (Collegamento -044_-376)
Azioni sul collegamento: N=-11054.30 Ty=8.48 Tz=9.28 Mx=-0.02 Mz=5.16
Sollecitazioni agenti localmente: Tx_l=8.48 Ty_l=9.28 N_l=-11054.30 Mx_l=-0.00 My_l=5.16 Mz_l=-0.02
Taglio nei bulloni: Fv,Ed=2.12 Fv,Rd=7720.78
Rifollamento lato piastra: Fb,Ed,p=2.10 Fb,Rd,p=11373.40
Tirafondi:LT=0.45 (0.31) σ_{cR}=0.00 σ_{fR}=0.00
Compressione nel calcestruzzo: σ_c=23.13
CC 27 SLV (Collegamento -044_-376)
Azioni sul collegamento: N=-11054.30 Ty=8.94 Tz=9.28 Mx=-0.02 Mz=3.28
Sollecitazioni agenti localmente: Tx_l=8.94 Ty_l=9.28 N_l=-11054.30 Mx_l=-0.00 My_l=3.28 Mz_l=-0.02
Taglio nei bulloni: Fv,Ed=2.17 Fv,Rd=7720.78
Rifollamento lato piastra: Fb,Ed,p=2.15 Fb,Rd,p=11654.30
Tirafondi:LT=0.45 (0.31) σ_{cR}=0.00 σ_{fR}=0.00
Compressione nel calcestruzzo: σ_c=23.02
CC 27 SLV (Collegamento -044_-376)
Azioni sul collegamento: N=-8719.31 Ty=8.48 Tz=16.87 Mx=-0.02 Mz=5.16
Sollecitazioni agenti localmente: Tx_l=8.48 Ty_l=16.87 N_l=-8719.31 Mx_l=-0.00 My_l=5.16 Mz_l=-0.02
Taglio nei bulloni: Fv,Ed=3.17 Fv,Rd=7720.78
Rifollamento lato piastra: Fb,Ed,p=3.16 Fb,Rd,p=8162.15
Tirafondi:LT=0.45 (0.31) σ_{cR}=0.00 σ_{fR}=0.00
Compressione nel calcestruzzo: σ_c=18.31
CC 27 SLV (Collegamento -044_-376)
Azioni sul collegamento: N=-8719.31 Ty=8.94 Tz=16.87 Mx=-0.02 Mz=3.28
Sollecitazioni agenti localmente: Tx_l=8.94 Ty_l=16.87 N_l=-8719.31 Mx_l=-0.00 My_l=3.28 Mz_l=-0.02
Taglio nei bulloni: Fv,Ed=3.21 Fv,Rd=7720.78

Rifollamento lato piastra: Fb,Ed,p=3.19 Fb,Rd,p=8413.57
Tirafondi:LT=0.45 (0.31) σ_{cR}=0.00 σ_{fR}=0.00
Compressione nel calcestruzzo: σ_c=18.20
CC 27 SLV (Collegamento -044_-376)
Azioni sul collegamento: N=-8719.31 Ty=8.48 Tz=9.28 Mx=-0.02 Mz=5.16
Sollecitazioni agenti localmente: Tx_l=8.48 Ty_l=9.28 N_l=-8719.31 Mx_l=-0.00 My_l=5.16 Mz_l=-0.02
Taglio nei bulloni: Fv,Ed=2.12 Fv,Rd=7720.78
Rifollamento lato piastra: Fb,Ed,p=2.10 Fb,Rd,p=11373.60
Tirafondi:LT=0.45 (0.31) σ_{cR}=0.00 σ_{fR}=0.00
Compressione nel calcestruzzo: σ_c=18.31
CC 27 SLV (Collegamento -044_-376)
Azioni sul collegamento: N=-8719.31 Ty=8.94 Tz=9.28 Mx=-0.02 Mz=3.28
Sollecitazioni agenti localmente: Tx_l=8.94 Ty_l=9.28 N_l=-8719.31 Mx_l=-0.00 My_l=3.28 Mz_l=-0.02
Taglio nei bulloni: Fv,Ed=2.17 Fv,Rd=7720.78
Rifollamento lato piastra: Fb,Ed,p=2.15 Fb,Rd,p=11654.50
Tirafondi:LT=0.45 (0.31) σ_{cR}=0.00 σ_{fR}=0.00
Compressione nel calcestruzzo: σ_c=18.20
CC 28 SLD (Collegamento -044_-376)
Azioni sul collegamento: N=-10340.40 Ty=9.56 Tz=14.62 Mx=-0.00 Mz=6.65
Sollecitazioni agenti localmente: Tx_l=9.56 Ty_l=14.62 N_l=-10340.40 Mx_l=-0.00 My_l=6.65 Mz_l=-0.00
Taglio nei bulloni: Fv,Ed=2.92 Fv,Rd=9650.97
Rifollamento lato piastra: Fb,Ed,p=2.91 Fb,Rd,p=12313.60
Tirafondi:LT=0.45 (0.31) σ_{cR}=0.00 σ_{fR}=0.00
Compressione nel calcestruzzo: σ_c=21.74
CC 28 SLD (Collegamento -044_-376)
Azioni sul collegamento: N=-10340.40 Ty=9.70 Tz=14.62 Mx=-0.00 Mz=6.07
Sollecitazioni agenti localmente: Tx_l=9.70 Ty_l=14.62 N_l=-10340.40 Mx_l=-0.00 My_l=6.07 Mz_l=-0.00
Taglio nei bulloni: Fv,Ed=2.93 Fv,Rd=9650.97
Rifollamento lato piastra: Fb,Ed,p=2.92 Fb,Rd,p=12460.60
Tirafondi:LT=0.45 (0.31) σ_{cR}=0.00 σ_{fR}=0.00
Compressione nel calcestruzzo: σ_c=21.71
CC 28 SLD (Collegamento -044_-376)
Azioni sul collegamento: N=-10340.40 Ty=9.56 Tz=12.30 Mx=-0.00 Mz=6.65
Sollecitazioni agenti localmente: Tx_l=9.56 Ty_l=12.30 N_l=-10340.40 Mx_l=-0.00 My_l=6.65 Mz_l=-0.00
Taglio nei bulloni: Fv,Ed=2.60 Fv,Rd=9650.97
Rifollamento lato piastra: Fb,Ed,p=2.60 Fb,Rd,p=13432.90
Tirafondi:LT=0.45 (0.31) σ_{cR}=0.00 σ_{fR}=0.00
Compressione nel calcestruzzo: σ_c=21.74
CC 28 SLD (Collegamento -044_-376)
Azioni sul collegamento: N=-10340.40 Ty=9.70 Tz=12.30 Mx=-0.00 Mz=6.07
Sollecitazioni agenti localmente: Tx_l=9.70 Ty_l=12.30 N_l=-10340.40 Mx_l=-0.00 My_l=6.07 Mz_l=-0.00
Taglio nei bulloni: Fv,Ed=2.62 Fv,Rd=9650.97
Rifollamento lato piastra: Fb,Ed,p=2.61 Fb,Rd,p=13507.30
Tirafondi:LT=0.45 (0.31) σ_{cR}=0.00 σ_{fR}=0.00
Compressione nel calcestruzzo: σ_c=21.71
CC 28 SLD (Collegamento -044_-376)
Azioni sul collegamento: N=-9628.40 Ty=9.56 Tz=14.62 Mx=-0.00 Mz=6.65
Sollecitazioni agenti localmente: Tx_l=9.56 Ty_l=14.62 N_l=-9628.40 Mx_l=-0.00 My_l=6.65 Mz_l=-0.00
Taglio nei bulloni: Fv,Ed=2.92 Fv,Rd=9650.97
Rifollamento lato piastra: Fb,Ed,p=2.91 Fb,Rd,p=12313.70
Tirafondi:LT=0.45 (0.31) σ_{cR}=0.00 σ_{fR}=0.00
Compressione nel calcestruzzo: σ_c=20.27
CC 28 SLD (Collegamento -044_-376)
Azioni sul collegamento: N=-9628.40 Ty=9.70 Tz=14.62 Mx=-0.00 Mz=6.07
Sollecitazioni agenti localmente: Tx_l=9.70 Ty_l=14.62 N_l=-9628.40 Mx_l=-0.00 My_l=6.07 Mz_l=-0.00
Taglio nei bulloni: Fv,Ed=2.93 Fv,Rd=9650.97
Rifollamento lato piastra: Fb,Ed,p=2.92 Fb,Rd,p=12460.70
Tirafondi:LT=0.45 (0.31) σ_{cR}=0.00 σ_{fR}=0.00
Compressione nel calcestruzzo: σ_c=20.24
CC 28 SLD (Collegamento -044_-376)
Azioni sul collegamento: N=-9628.40 Ty=9.56 Tz=12.30 Mx=-0.00 Mz=6.65
Sollecitazioni agenti localmente: Tx_l=9.56 Ty_l=12.30 N_l=-9628.40 Mx_l=-0.00 My_l=6.65 Mz_l=-0.00
Taglio nei bulloni: Fv,Ed=2.60 Fv,Rd=9650.97
Rifollamento lato piastra: Fb,Ed,p=2.60 Fb,Rd,p=13432.90
Tirafondi:LT=0.45 (0.31) σ_{cR}=0.00 σ_{fR}=0.00
Compressione nel calcestruzzo: σ_c=20.27
CC 28 SLD (Collegamento -044_-376)
Azioni sul collegamento: N=-9628.40 Ty=9.70 Tz=12.30 Mx=-0.00 Mz=6.07
Sollecitazioni agenti localmente: Tx_l=9.70 Ty_l=12.30 N_l=-9628.40 Mx_l=-0.00 My_l=6.07 Mz_l=-0.00
Taglio nei bulloni: Fv,Ed=2.62 Fv,Rd=9650.97
Rifollamento lato piastra: Fb,Ed,p=2.61 Fb,Rd,p=13507.30
Tirafondi:LT=0.45 (0.31) σ_{cR}=0.00 σ_{fR}=0.00
Compressione nel calcestruzzo: σ_c=20.24
CC 29 SLV (Collegamento -044_-376)
Azioni sul collegamento: N=-8719.31 Ty=8.94 Tz=9.28 Mx=-0.00 Mz=3.28
Sollecitazioni agenti localmente: Tx_l=8.94 Ty_l=9.28 N_l=-8719.31 Mx_l=-0.00 My_l=3.28 Mz_l=-0.00
Taglio nei bulloni: Fv,Ed=2.15 Fv,Rd=7720.78
Rifollamento lato piastra: Fb,Ed,p=2.14 Fb,Rd,p=11799.80

Tirafondi:LT=0.45 (0.31) σ_{cR}=0.00 σ_{fR}=0.00
Compressione nel calcestruzzo: σ_c=18.20
CC 29 SLV (Collegamento -044_-376)
Azioni sul collegamento: N=-8719.31 Ty=8.48 Tz=9.28 Mx=-0.00 Mz=5.16
Sollecitazioni agenti localmente: Tx_l=8.48 Ty_l=9.28 N_l=-8719.31 Mx_l=-0.00 My_l=5.16 Mz_l=-0.00
Taglio nei bulloni: Fv,Ed=2.10 Fv,Rd=7720.78
Rifollamento lato piastra: Fb,Ed,p=2.09 Fb,Rd,p=11497.00
Tirafondi:LT=0.45 (0.31) σ_{cR}=0.00 σ_{fR}=0.00
Compressione nel calcestruzzo: σ_c=18.31
CC 29 SLV (Collegamento -044_-376)
Azioni sul collegamento: N=-8719.31 Ty=8.94 Tz=16.87 Mx=-0.00 Mz=3.28
Sollecitazioni agenti localmente: Tx_l=8.94 Ty_l=16.87 N_l=-8719.31 Mx_l=-0.00 My_l=3.28 Mz_l=-0.00
Taglio nei bulloni: Fv,Ed=3.18 Fv,Rd=7720.78
Rifollamento lato piastra: Fb,Ed,p=3.18 Fb,Rd,p=8506.04
Tirafondi:LT=0.45 (0.31) σ_{cR}=0.00 σ_{fR}=0.00
Compressione nel calcestruzzo: σ_c=18.20
CC 29 SLV (Collegamento -044_-376)
Azioni sul collegamento: N=-8719.31 Ty=8.48 Tz=16.87 Mx=-0.00 Mz=5.16
Sollecitazioni agenti localmente: Tx_l=8.48 Ty_l=16.87 N_l=-8719.31 Mx_l=-0.00 My_l=5.16 Mz_l=-0.00
Taglio nei bulloni: Fv,Ed=3.15 Fv,Rd=7720.78
Rifollamento lato piastra: Fb,Ed,p=3.15 Fb,Rd,p=8248.00
Tirafondi:LT=0.45 (0.31) σ_{cR}=0.00 σ_{fR}=0.00
Compressione nel calcestruzzo: σ_c=18.31
CC 29 SLV (Collegamento -044_-376)
Azioni sul collegamento: N=-11054.30 Ty=8.94 Tz=9.28 Mx=-0.00 Mz=3.28
Sollecitazioni agenti localmente: Tx_l=8.94 Ty_l=9.28 N_l=-11054.30 Mx_l=-0.00 My_l=3.28 Mz_l=-0.00
Taglio nei bulloni: Fv,Ed=2.15 Fv,Rd=7720.78
Rifollamento lato piastra: Fb,Ed,p=2.14 Fb,Rd,p=11799.50
Tirafondi:LT=0.45 (0.31) σ_{cR}=0.00 σ_{fR}=0.00
Compressione nel calcestruzzo: σ_c=23.02
CC 29 SLV (Collegamento -044_-376)
Azioni sul collegamento: N=-11054.30 Ty=8.48 Tz=9.28 Mx=-0.00 Mz=5.16
Sollecitazioni agenti localmente: Tx_l=8.48 Ty_l=9.28 N_l=-11054.30 Mx_l=-0.00 My_l=5.16 Mz_l=-0.00
Taglio nei bulloni: Fv,Ed=2.10 Fv,Rd=7720.78
Rifollamento lato piastra: Fb,Ed,p=2.09 Fb,Rd,p=11496.70
Tirafondi:LT=0.45 (0.31) σ_{cR}=0.00 σ_{fR}=0.00
Compressione nel calcestruzzo: σ_c=23.13
CC 29 SLV (Collegamento -044_-376)
Azioni sul collegamento: N=-11054.30 Ty=8.94 Tz=16.87 Mx=-0.00 Mz=3.28
Sollecitazioni agenti localmente: Tx_l=8.94 Ty_l=16.87 N_l=-11054.30 Mx_l=-0.00 My_l=3.28 Mz_l=-0.00
Taglio nei bulloni: Fv,Ed=3.18 Fv,Rd=7720.78
Rifollamento lato piastra: Fb,Ed,p=3.18 Fb,Rd,p=8506.02
Tirafondi:LT=0.45 (0.31) σ_{cR}=0.00 σ_{fR}=0.00
Compressione nel calcestruzzo: σ_c=23.02
CC 29 SLV (Collegamento -044_-376)
Azioni sul collegamento: N=-11054.30 Ty=8.48 Tz=16.87 Mx=-0.00 Mz=5.16
Sollecitazioni agenti localmente: Tx_l=8.48 Ty_l=16.87 N_l=-11054.30 Mx_l=-0.00 My_l=5.16 Mz_l=-0.00
Taglio nei bulloni: Fv,Ed=3.15 Fv,Rd=7720.78
Rifollamento lato piastra: Fb,Ed,p=3.15 Fb,Rd,p=8247.98
Tirafondi:LT=0.45 (0.31) σ_{cR}=0.00 σ_{fR}=0.00
Compressione nel calcestruzzo: σ_c=23.13
CC 30 SLD (Collegamento -044_-376)
Azioni sul collegamento: N=-9628.40 Ty=9.70 Tz=12.30 Mx=0.00 Mz=6.07
Sollecitazioni agenti localmente: Tx_l=9.70 Ty_l=12.30 N_l=-9628.40 Mx_l=-0.00 My_l=6.07 Mz_l=0.00
Taglio nei bulloni: Fv,Ed=2.61 Fv,Rd=9650.97
Rifollamento lato piastra: Fb,Ed,p=2.61 Fb,Rd,p=13530.90
Tirafondi:LT=0.45 (0.31) σ_{cR}=0.00 σ_{fR}=0.00
Compressione nel calcestruzzo: σ_c=20.24
CC 30 SLD (Collegamento -044_-376)
Azioni sul collegamento: N=-9628.40 Ty=9.56 Tz=12.30 Mx=0.00 Mz=6.65
Sollecitazioni agenti localmente: Tx_l=9.56 Ty_l=12.30 N_l=-9628.40 Mx_l=-0.00 My_l=6.65 Mz_l=0.00
Taglio nei bulloni: Fv,Ed=2.60 Fv,Rd=9650.97
Rifollamento lato piastra: Fb,Ed,p=2.60 Fb,Rd,p=13456.20
Tirafondi:LT=0.45 (0.31) σ_{cR}=0.00 σ_{fR}=0.00
Compressione nel calcestruzzo: σ_c=20.27
CC 30 SLD (Collegamento -044_-376)
Azioni sul collegamento: N=-9628.40 Ty=9.70 Tz=14.62 Mx=0.00 Mz=6.07
Sollecitazioni agenti localmente: Tx_l=9.70 Ty_l=14.62 N_l=-9628.40 Mx_l=-0.00 My_l=6.07 Mz_l=0.00
Taglio nei bulloni: Fv,Ed=2.93 Fv,Rd=9650.97
Rifollamento lato piastra: Fb,Ed,p=2.93 Fb,Rd,p=12505.60
Tirafondi:LT=0.45 (0.31) σ_{cR}=0.00 σ_{fR}=0.00
Compressione nel calcestruzzo: σ_c=20.24
CC 30 SLD (Collegamento -044_-376)
Azioni sul collegamento: N=-9628.40 Ty=9.56 Tz=14.62 Mx=0.00 Mz=6.65
Sollecitazioni agenti localmente: Tx_l=9.56 Ty_l=14.62 N_l=-9628.40 Mx_l=-0.00 My_l=6.65 Mz_l=0.00
Taglio nei bulloni: Fv,Ed=2.91 Fv,Rd=9650.97
Rifollamento lato piastra: Fb,Ed,p=2.91 Fb,Rd,p=12357.80
Tirafondi:LT=0.45 (0.31) σ_{cR}=0.00 σ_{fR}=0.00

Compressione nel calcestruzzo: σ_c=20.27
CC 30 SLD (Collegamento -044_-376)
Azioni sul collegamento: N=-10340.40 Ty=9.70 Tz=12.30 Mx=0.00 Mz=6.07
Sollecitazioni agenti localmente: Tx_l=9.70 Ty_l=12.30 N_l=-10340.40 Mx_l=-0.00 My_l=6.07 Mz_l=0.00
Taglio nei bulloni: Fv,Ed=2.61 Fv,Rd=9650.97
Rifollamento lato piastra: Fb,Ed,p=2.61 Fb,Rd,p=13531.00
Tirafondi:LT=0.45 (0.31) σ_{cR}=0.00 σ_{fR}=0.00
Compressione nel calcestruzzo: σ_c=21.71
CC 30 SLD (Collegamento -044_-376)
Azioni sul collegamento: N=-10340.40 Ty=9.56 Tz=12.30 Mx=0.00 Mz=6.65
Sollecitazioni agenti localmente: Tx_l=9.56 Ty_l=12.30 N_l=-10340.40 Mx_l=-0.00 My_l=6.65 Mz_l=0.00
Taglio nei bulloni: Fv,Ed=2.60 Fv,Rd=9650.97
Rifollamento lato piastra: Fb,Ed,p=2.60 Fb,Rd,p=13456.30
Tirafondi:LT=0.45 (0.31) σ_{cR}=0.00 σ_{fR}=0.00
Compressione nel calcestruzzo: σ_c=21.74
CC 30 SLD (Collegamento -044_-376)
Azioni sul collegamento: N=-10340.40 Ty=9.70 Tz=14.62 Mx=0.00 Mz=6.07
Sollecitazioni agenti localmente: Tx_l=9.70 Ty_l=14.62 N_l=-10340.40 Mx_l=-0.00 My_l=6.07 Mz_l=0.00
Taglio nei bulloni: Fv,Ed=2.93 Fv,Rd=9650.97
Rifollamento lato piastra: Fb,Ed,p=2.93 Fb,Rd,p=12505.50
Tirafondi:LT=0.45 (0.31) σ_{cR}=0.00 σ_{fR}=0.00
Compressione nel calcestruzzo: σ_c=21.71
CC 30 SLD (Collegamento -044_-376)
Azioni sul collegamento: N=-10340.40 Ty=9.56 Tz=14.62 Mx=0.00 Mz=6.65
Sollecitazioni agenti localmente: Tx_l=9.56 Ty_l=14.62 N_l=-10340.40 Mx_l=-0.00 My_l=6.65 Mz_l=0.00
Taglio nei bulloni: Fv,Ed=2.91 Fv,Rd=9650.97
Rifollamento lato piastra: Fb,Ed,p=2.91 Fb,Rd,p=12357.70
Tirafondi:LT=0.45 (0.31) σ_{cR}=0.00 σ_{fR}=0.00
Compressione nel calcestruzzo: σ_c=21.74
CC 31 SLV (Collegamento -044_-376)
Azioni sul collegamento: N=-11070.60 Ty=6.76 Tz=17.96 Mx=-0.00 Mz=1.67
Sollecitazioni agenti localmente: Tx_l=6.76 Ty_l=17.96 N_l=-11070.60 Mx_l=-0.00 My_l=1.67 Mz_l=-0.00
Taglio nei bulloni: Fv,Ed=3.20 Fv,Rd=7720.78
Rifollamento lato piastra: Fb,Ed,p=3.20 Fb,Rd,p=7244.04
Tirafondi:LT=0.45 (0.31) σ_{cR}=0.00 σ_{fR}=0.00
Compressione nel calcestruzzo: σ_c=22.97
CC 31 SLV (Collegamento -044_-376)
Azioni sul collegamento: N=-11070.60 Ty=10.65 Tz=17.96 Mx=-0.00 Mz=6.77
Sollecitazioni agenti localmente: Tx_l=10.65 Ty_l=17.96 N_l=-11070.60 Mx_l=-0.00 My_l=6.77 Mz_l=-0.00
Taglio nei bulloni: Fv,Ed=3.48 Fv,Rd=7720.78
Rifollamento lato piastra: Fb,Ed,p=3.48 Fb,Rd,p=9160.73
Tirafondi:LT=0.45 (0.31) σ_{cR}=0.00 σ_{fR}=0.00
Compressione nel calcestruzzo: σ_c=23.25
CC 31 SLV (Collegamento -044_-376)
Azioni sul collegamento: N=-11070.60 Ty=6.76 Tz=8.19 Mx=-0.00 Mz=1.67
Sollecitazioni agenti localmente: Tx_l=6.76 Ty_l=8.19 N_l=-11070.60 Mx_l=-0.00 My_l=1.67 Mz_l=-0.00
Taglio nei bulloni: Fv,Ed=1.77 Fv,Rd=7720.78
Rifollamento lato piastra: Fb,Ed,p=1.77 Fb,Rd,p=11009.40
Tirafondi:LT=0.45 (0.31) σ_{cR}=0.00 σ_{fR}=0.00
Compressione nel calcestruzzo: σ_c=22.97
CC 31 SLV (Collegamento -044_-376)
Azioni sul collegamento: N=-11070.60 Ty=10.65 Tz=8.19 Mx=-0.00 Mz=6.77
Sollecitazioni agenti localmente: Tx_l=10.65 Ty_l=8.19 N_l=-11070.60 Mx_l=-0.00 My_l=6.77 Mz_l=-0.00
Taglio nei bulloni: Fv,Ed=2.24 Fv,Rd=7720.78
Rifollamento lato piastra: Fb,Ed,p=2.24 Fb,Rd,p=10722.10
Tirafondi:LT=0.45 (0.31) σ_{cR}=0.00 σ_{fR}=0.00
Compressione nel calcestruzzo: σ_c=23.25
CC 31 SLV (Collegamento -044_-376)
Azioni sul collegamento: N=-8703.02 Ty=6.76 Tz=17.96 Mx=-0.00 Mz=1.67
Sollecitazioni agenti localmente: Tx_l=6.76 Ty_l=17.96 N_l=-8703.02 Mx_l=-0.00 My_l=1.67 Mz_l=-0.00
Taglio nei bulloni: Fv,Ed=3.20 Fv,Rd=7720.78
Rifollamento lato piastra: Fb,Ed,p=3.20 Fb,Rd,p=7244.08
Tirafondi:LT=0.45 (0.31) σ_{cR}=0.00 σ_{fR}=0.00
Compressione nel calcestruzzo: σ_c=18.08
CC 31 SLV (Collegamento -044_-376)
Azioni sul collegamento: N=-8703.02 Ty=10.65 Tz=17.96 Mx=-0.00 Mz=6.77
Sollecitazioni agenti localmente: Tx_l=10.65 Ty_l=17.96 N_l=-8703.02 Mx_l=-0.00 My_l=6.77 Mz_l=-0.00
Taglio nei bulloni: Fv,Ed=3.48 Fv,Rd=7720.78
Rifollamento lato piastra: Fb,Ed,p=3.48 Fb,Rd,p=9160.83
Tirafondi:LT=0.45 (0.31) σ_{cR}=0.00 σ_{fR}=0.00
Compressione nel calcestruzzo: σ_c=18.36
CC 31 SLV (Collegamento -044_-376)
Azioni sul collegamento: N=-8703.02 Ty=6.76 Tz=8.19 Mx=-0.00 Mz=1.67
Sollecitazioni agenti localmente: Tx_l=6.76 Ty_l=8.19 N_l=-8703.02 Mx_l=-0.00 My_l=1.67 Mz_l=-0.00
Taglio nei bulloni: Fv,Ed=1.77 Fv,Rd=7720.78
Rifollamento lato piastra: Fb,Ed,p=1.77 Fb,Rd,p=11009.20
Tirafondi:LT=0.45 (0.31) σ_{cR}=0.00 σ_{fR}=0.00
Compressione nel calcestruzzo: σ_c=18.08

CC 31 SLV (Collegamento -044_-376)
Azioni sul collegamento: N=-8703.02 Ty=10.65 Tz=8.19 Mx=-0.00 Mz=6.77
Sollecitazioni agenti localmente: Tx_l=10.65 Ty_l=8.19 N_l=-8703.02 Mx_l=-0.00 My_l=6.77 Mz_l=-0.00
Taglio nei bulloni: Fv,Ed=2.24 Fv,Rd=7720.78
Rifollamento lato piastra: Fb,Ed,p=2.24 Fb,Rd,p=10722.30
Tirafondi:LT=0.45 (0.31) σ_{cR}=0.00 σ_{fR}=0.00
Compressione nel calcestruzzo: σ_c=18.36
CC 32 SLD (Collegamento -044_-376)
Azioni sul collegamento: N=-10345.40 Ty=9.04 Tz=14.95 Mx=0.00 Mz=5.58
Sollecitazioni agenti localmente: Tx_l=9.04 Ty_l=14.95 N_l=-10345.40 Mx_l=-0.00 My_l=5.58 Mz_l=0.00
Taglio nei bulloni: Fv,Ed=2.91 Fv,Rd=9650.97
Rifollamento lato piastra: Fb,Ed,p=2.91 Fb,Rd,p=11633.00
Tirafondi:LT=0.45 (0.31) σ_{cR}=0.00 σ_{fR}=0.00
Compressione nel calcestruzzo: σ_c=21.69
CC 32 SLD (Collegamento -044_-376)
Azioni sul collegamento: N=-10345.40 Ty=10.22 Tz=14.95 Mx=0.00 Mz=7.14
Sollecitazioni agenti localmente: Tx_l=10.22 Ty_l=14.95 N_l=-10345.40 Mx_l=-0.00 My_l=7.14 Mz_l=0.00
Taglio nei bulloni: Fv,Ed=3.02 Fv,Rd=9650.97
Rifollamento lato piastra: Fb,Ed,p=3.02 Fb,Rd,p=12823.50
Tirafondi:LT=0.45 (0.31) σ_{cR}=0.00 σ_{fR}=0.00
Compressione nel calcestruzzo: σ_c=21.78
CC 32 SLD (Collegamento -044_-376)
Azioni sul collegamento: N=-10345.40 Ty=9.04 Tz=11.97 Mx=0.00 Mz=5.58
Sollecitazioni agenti localmente: Tx_l=9.04 Ty_l=11.97 N_l=-10345.40 Mx_l=-0.00 My_l=5.58 Mz_l=0.00
Taglio nei bulloni: Fv,Ed=2.50 Fv,Rd=9650.97
Rifollamento lato piastra: Fb,Ed,p=2.50 Fb,Rd,p=13313.80
Tirafondi:LT=0.45 (0.31) σ_{cR}=0.00 σ_{fR}=0.00
Compressione nel calcestruzzo: σ_c=21.69
CC 32 SLD (Collegamento -044_-376)
Azioni sul collegamento: N=-10345.40 Ty=10.22 Tz=11.97 Mx=0.00 Mz=7.14
Sollecitazioni agenti localmente: Tx_l=10.22 Ty_l=11.97 N_l=-10345.40 Mx_l=-0.00 My_l=7.14 Mz_l=0.00
Taglio nei bulloni: Fv,Ed=2.63 Fv,Rd=9650.97
Rifollamento lato piastra: Fb,Ed,p=2.63 Fb,Rd,p=13972.30
Tirafondi:LT=0.45 (0.31) σ_{cR}=0.00 σ_{fR}=0.00
Compressione nel calcestruzzo: σ_c=21.78
CC 32 SLD (Collegamento -044_-376)
Azioni sul collegamento: N=-9623.43 Ty=9.04 Tz=14.95 Mx=0.00 Mz=5.58
Sollecitazioni agenti localmente: Tx_l=9.04 Ty_l=14.95 N_l=-9623.43 Mx_l=-0.00 My_l=5.58 Mz_l=0.00
Taglio nei bulloni: Fv,Ed=2.91 Fv,Rd=9650.97
Rifollamento lato piastra: Fb,Ed,p=2.91 Fb,Rd,p=11632.90
Tirafondi:LT=0.45 (0.31) σ_{cR}=0.00 σ_{fR}=0.00
Compressione nel calcestruzzo: σ_c=20.20
CC 32 SLD (Collegamento -044_-376)
Azioni sul collegamento: N=-9623.43 Ty=10.22 Tz=14.95 Mx=0.00 Mz=7.14
Sollecitazioni agenti localmente: Tx_l=10.22 Ty_l=14.95 N_l=-9623.43 Mx_l=-0.00 My_l=7.14 Mz_l=0.00
Taglio nei bulloni: Fv,Ed=3.02 Fv,Rd=9650.97
Rifollamento lato piastra: Fb,Ed,p=3.02 Fb,Rd,p=12823.50
Tirafondi:LT=0.45 (0.31) σ_{cR}=0.00 σ_{fR}=0.00
Compressione nel calcestruzzo: σ_c=20.29
CC 32 SLD (Collegamento -044_-376)
Azioni sul collegamento: N=-9623.43 Ty=9.04 Tz=11.97 Mx=0.00 Mz=5.58
Sollecitazioni agenti localmente: Tx_l=9.04 Ty_l=11.97 N_l=-9623.43 Mx_l=-0.00 My_l=5.58 Mz_l=0.00
Taglio nei bulloni: Fv,Ed=2.50 Fv,Rd=9650.97
Rifollamento lato piastra: Fb,Ed,p=2.50 Fb,Rd,p=13314.00
Tirafondi:LT=0.45 (0.31) σ_{cR}=0.00 σ_{fR}=0.00
Compressione nel calcestruzzo: σ_c=20.20
CC 32 SLD (Collegamento -044_-376)
Azioni sul collegamento: N=-9623.43 Ty=10.22 Tz=11.97 Mx=0.00 Mz=7.14
Sollecitazioni agenti localmente: Tx_l=10.22 Ty_l=11.97 N_l=-9623.43 Mx_l=-0.00 My_l=7.14 Mz_l=0.00
Taglio nei bulloni: Fv,Ed=2.63 Fv,Rd=9650.97
Rifollamento lato piastra: Fb,Ed,p=2.63 Fb,Rd,p=13972.40
Tirafondi:LT=0.45 (0.31) σ_{cR}=0.00 σ_{fR}=0.00
Compressione nel calcestruzzo: σ_c=20.29
CC 33 SLU (Collegamento -044_-376)
Azioni sul collegamento: N=-37458.50 Ty=20.96 Tz=106.28 Mx=0.00 Mz=15.40
Sollecitazioni agenti localmente: Tx_l=20.96 Ty_l=106.28 N_l=-37458.50 Mx_l=-0.00 My_l=15.40 Mz_l=0.00
Taglio nei bulloni: Fv,Ed=18.06 Fv,Rd=7720.78
Rifollamento lato piastra: Fb,Ed,p=18.06 Fb,Rd,p=6325.89
Tirafondi:LT=0.45 (0.31) σ_{cR}=0.00 σ_{fR}=0.00
Compressione nel calcestruzzo: σ_c=78.26
CC 34 SLU (Collegamento -044_-376)
Azioni sul collegamento: N=-36642.60 Ty=20.20 Tz=103.27 Mx=0.00 Mz=14.84
Sollecitazioni agenti localmente: Tx_l=20.20 Ty_l=103.27 N_l=-36642.60 Mx_l=-0.00 My_l=14.84 Mz_l=0.00
Taglio nei bulloni: Fv,Ed=17.54 Fv,Rd=7720.78
Rifollamento lato piastra: Fb,Ed,p=17.54 Fb,Rd,p=6320.46
Tirafondi:LT=0.45 (0.31) σ_{cR}=0.00 σ_{fR}=0.00
Compressione nel calcestruzzo: σ_c=76.54
CC 35 SLU (Collegamento -044_-376)

Azioni sul collegamento: N=-37049.70 Ty=20.49 Tz=104.83 Mx=0.01 Mz=14.94
Sollecitazioni agenti localmente: Tx_l=20.49 Ty_l=104.83 N_l=-37049.70 Mx_l=-0.00 My_l=14.94 Mz_l=0.01
Taglio nei bulloni: Fv,Ed=17.81 Fv,Rd=7720.78
Rifollamento lato piastra: Fb,Ed,p=17.81 Fb,Rd,p=6320.01
Tirafondi:LT=0.45 (0.31) σ_{cR}=0.00 σ_{fR}=0.00
Compressione nel calcestruzzo: σ_c=77.39
CC 36 SLU (Collegamento -044_-376)
Azioni sul collegamento: N=-37051.40 Ty=20.67 Tz=104.72 Mx=0.00 Mz=15.30
Sollecitazioni agenti localmente: Tx_l=20.67 Ty_l=104.72 N_l=-37051.40 Mx_l=-0.00 My_l=15.30 Mz_l=0.00
Taglio nei bulloni: Fv,Ed=17.79 Fv,Rd=7720.78
Rifollamento lato piastra: Fb,Ed,p=17.79 Fb,Rd,p=6326.43
Tirafondi:LT=0.45 (0.31) σ_{cR}=0.00 σ_{fR}=0.00
Compressione nel calcestruzzo: σ_c=77.41
CC 37 SLU (Collegamento -044_-376)
Azioni sul collegamento: N=-28275.70 Ty=20.11 Tz=72.57 Mx=0.00 Mz=14.65
Sollecitazioni agenti localmente: Tx_l=20.11 Ty_l=72.57 N_l=-28275.70 Mx_l=-0.00 My_l=14.65 Mz_l=0.00
Taglio nei bulloni: Fv,Ed=12.56 Fv,Rd=7720.78
Rifollamento lato piastra: Fb,Ed,p=12.56 Fb,Rd,p=6665.94
Tirafondi:LT=0.45 (0.31) σ_{cR}=0.00 σ_{fR}=0.00
Compressione nel calcestruzzo: σ_c=59.25
CC 38 SLU (Collegamento -044_-376)
Azioni sul collegamento: N=-27459.70 Ty=19.36 Tz=69.55 Mx=0.00 Mz=14.09
Sollecitazioni agenti localmente: Tx_l=19.36 Ty_l=69.55 N_l=-27459.70 Mx_l=-0.00 My_l=14.09 Mz_l=0.00
Taglio nei bulloni: Fv,Ed=12.04 Fv,Rd=7720.78
Rifollamento lato piastra: Fb,Ed,p=12.04 Fb,Rd,p=6671.76
Tirafondi:LT=0.45 (0.31) σ_{cR}=0.00 σ_{fR}=0.00
Compressione nel calcestruzzo: σ_c=57.53
CC 39 SLU (Collegamento -044_-376)
Azioni sul collegamento: N=-27866.80 Ty=19.65 Tz=71.12 Mx=0.01 Mz=14.19
Sollecitazioni agenti localmente: Tx_l=19.65 Ty_l=71.12 N_l=-27866.80 Mx_l=-0.00 My_l=14.19 Mz_l=0.01
Taglio nei bulloni: Fv,Ed=12.30 Fv,Rd=7720.78
Rifollamento lato piastra: Fb,Ed,p=12.30 Fb,Rd,p=6661.72
Tirafondi:LT=0.45 (0.31) σ_{cR}=0.00 σ_{fR}=0.00
Compressione nel calcestruzzo: σ_c=58.38
CC 40 SLU (Collegamento -044_-376)
Azioni sul collegamento: N=-27868.60 Ty=19.82 Tz=71.00 Mx=0.00 Mz=14.55
Sollecitazioni agenti localmente: Tx_l=19.82 Ty_l=71.00 N_l=-27868.60 Mx_l=-0.00 My_l=14.55 Mz_l=0.00
Taglio nei bulloni: Fv,Ed=12.29 Fv,Rd=7720.78
Rifollamento lato piastra: Fb,Ed,p=12.29 Fb,Rd,p=6675.92
Tirafondi:LT=0.45 (0.31) σ_{cR}=0.00 σ_{fR}=0.00
Compressione nel calcestruzzo: σ_c=58.40
CC 41 SLU (Collegamento -044_-376)
Azioni sul collegamento: N=-30676.20 Ty=-9.89 Tz=80.85 Mx=0.00 Mz=-7.99
Sollecitazioni agenti localmente: Tx_l=-9.89 Ty_l=80.85 N_l=-30676.20 Mx_l=-0.00 My_l=-7.99 Mz_l=0.00
Taglio nei bulloni: Fv,Ed=13.58 Fv,Rd=7720.78
Rifollamento lato piastra: Fb,Ed,p=13.58 Fb,Rd,p=6111.02
Tirafondi:LT=0.45 (0.31) σ_{cR}=0.00 σ_{fR}=0.00
Compressione nel calcestruzzo: σ_c=63.83
CC 42 SLU (Collegamento -044_-376)
Azioni sul collegamento: N=-29860.20 Ty=-10.64 Tz=77.84 Mx=0.00 Mz=-8.54
Sollecitazioni agenti localmente: Tx_l=-10.64 Ty_l=77.84 N_l=-29860.20 Mx_l=-0.00 My_l=-8.54 Mz_l=0.00
Taglio nei bulloni: Fv,Ed=13.10 Fv,Rd=7720.78
Rifollamento lato piastra: Fb,Ed,p=13.10 Fb,Rd,p=6144.10
Tirafondi:LT=0.45 (0.31) σ_{cR}=0.00 σ_{fR}=0.00
Compressione nel calcestruzzo: σ_c=62.18
CC 43 SLU (Collegamento -044_-376)
Azioni sul collegamento: N=-30267.40 Ty=-10.35 Tz=79.40 Mx=0.01 Mz=-8.45
Sollecitazioni agenti localmente: Tx_l=-10.35 Ty_l=79.40 N_l=-30267.40 Mx_l=-0.00 My_l=-8.45 Mz_l=0.01
Taglio nei bulloni: Fv,Ed=13.35 Fv,Rd=7720.78
Rifollamento lato piastra: Fb,Ed,p=13.35 Fb,Rd,p=6128.96
Tirafondi:LT=0.45 (0.31) σ_{cR}=0.00 σ_{fR}=0.00
Compressione nel calcestruzzo: σ_c=63.01
CC 44 SLU (Collegamento -044_-376)
Azioni sul collegamento: N=-30269.10 Ty=-10.18 Tz=79.28 Mx=0.00 Mz=-8.08
Sollecitazioni agenti localmente: Tx_l=-10.18 Ty_l=79.28 N_l=-30269.10 Mx_l=-0.00 My_l=-8.08 Mz_l=0.00
Taglio nei bulloni: Fv,Ed=13.33 Fv,Rd=7720.78
Rifollamento lato piastra: Fb,Ed,p=13.33 Fb,Rd,p=6124.62
Tirafondi:LT=0.45 (0.31) σ_{cR}=0.00 σ_{fR}=0.00
Compressione nel calcestruzzo: σ_c=62.99
CC 45 SLU (Collegamento -044_-376)
Azioni sul collegamento: N=-30295.00 Ty=20.33 Tz=79.99 Mx=0.00 Mz=14.94
Sollecitazioni agenti localmente: Tx_l=20.33 Ty_l=79.99 N_l=-30295.00 Mx_l=-0.00 My_l=14.94 Mz_l=0.00
Taglio nei bulloni: Fv,Ed=13.76 Fv,Rd=7720.78
Rifollamento lato piastra: Fb,Ed,p=13.76 Fb,Rd,p=6556.04
Tirafondi:LT=0.45 (0.31) σ_{cR}=0.00 σ_{fR}=0.00
Compressione nel calcestruzzo: σ_c=63.43
CC 46 SLU (Collegamento -044_-376)
Azioni sul collegamento: N=-29479.00 Ty=19.57 Tz=76.97 Mx=0.00 Mz=14.38

Sollecitazioni agenti localmente: Tx_l=19.57 Ty_l=76.97 N_l=-29479.00 Mx_l=-0.00 My_l=14.38 Mz_l=0.00
Taglio nei bulloni: Fv,Ed=13.24 Fv,Rd=7720.78
Rifollamento lato piastra: Fb,Ed,p=13.24 Fb,Rd,p=6556.74
Tirafondi:LT=0.45 (0.31) σ_{cR}=0.00 σ_{fR}=0.00
Compressione nel calcestruzzo: σ_c=61.72
CC 47 SLU (Collegamento -044_-376)
Azioni sul collegamento: N=-29886.10 Ty=19.86 Tz=78.54 Mx=0.00 Mz=14.48
Sollecitazioni agenti localmente: Tx_l=19.86 Ty_l=78.54 N_l=-29886.10 Mx_l=-0.00 My_l=14.48 Mz_l=0.00
Taglio nei bulloni: Fv,Ed=13.51 Fv,Rd=7720.78
Rifollamento lato piastra: Fb,Ed,p=13.51 Fb,Rd,p=6550.62
Tirafondi:LT=0.45 (0.31) σ_{cR}=0.00 σ_{fR}=0.00
Compressione nel calcestruzzo: σ_c=62.56
CC 48 SLU (Collegamento -044_-376)
Azioni sul collegamento: N=-29887.90 Ty=20.04 Tz=78.42 Mx=0.00 Mz=14.84
Sollecitazioni agenti localmente: Tx_l=20.04 Ty_l=78.42 N_l=-29887.90 Mx_l=-0.00 My_l=14.84 Mz_l=0.00
Taglio nei bulloni: Fv,Ed=13.49 Fv,Rd=7720.78
Rifollamento lato piastra: Fb,Ed,p=13.49 Fb,Rd,p=6562.18
Tirafondi:LT=0.45 (0.31) σ_{cR}=0.00 σ_{fR}=0.00
Compressione nel calcestruzzo: σ_c=62.59
CC 49 SLU (Collegamento -044_-376)
Azioni sul collegamento: N=-23424.90 Ty=19.70 Tz=54.76 Mx=0.00 Mz=14.38
Sollecitazioni agenti localmente: Tx_l=19.70 Ty_l=54.76 N_l=-23424.90 Mx_l=-0.00 My_l=14.38 Mz_l=0.00
Taglio nei bulloni: Fv,Ed=9.71 Fv,Rd=7720.78
Rifollamento lato piastra: Fb,Ed,p=9.71 Fb,Rd,p=7139.63
Tirafondi:LT=0.45 (0.31) σ_{cR}=0.00 σ_{fR}=0.00
Compressione nel calcestruzzo: σ_c=49.21
CC 50 SLU (Collegamento -044_-376)
Azioni sul collegamento: N=-22608.90 Ty=18.94 Tz=51.75 Mx=0.00 Mz=13.82
Sollecitazioni agenti localmente: Tx_l=18.94 Ty_l=51.75 N_l=-22608.90 Mx_l=-0.00 My_l=13.82 Mz_l=0.00
Taglio nei bulloni: Fv,Ed=9.19 Fv,Rd=7720.78
Rifollamento lato piastra: Fb,Ed,p=9.19 Fb,Rd,p=7181.48
Tirafondi:LT=0.45 (0.31) σ_{cR}=0.00 σ_{fR}=0.00
Compressione nel calcestruzzo: σ_c=47.49
CC 51 SLU (Collegamento -044_-376)
Azioni sul collegamento: N=-23016.00 Ty=19.23 Tz=53.31 Mx=0.00 Mz=13.92
Sollecitazioni agenti localmente: Tx_l=19.23 Ty_l=53.31 N_l=-23016.00 Mx_l=-0.00 My_l=13.92 Mz_l=0.00
Taglio nei bulloni: Fv,Ed=9.45 Fv,Rd=7720.78
Rifollamento lato piastra: Fb,Ed,p=9.45 Fb,Rd,p=7146.81
Tirafondi:LT=0.45 (0.31) σ_{cR}=0.00 σ_{fR}=0.00
Compressione nel calcestruzzo: σ_c=48.34
CC 52 SLU (Collegamento -044_-376)
Azioni sul collegamento: N=-23017.80 Ty=19.41 Tz=53.20 Mx=0.00 Mz=14.28
Sollecitazioni agenti localmente: Tx_l=19.41 Ty_l=53.20 N_l=-23017.80 Mx_l=-0.00 My_l=14.28 Mz_l=0.00
Taglio nei bulloni: Fv,Ed=9.44 Fv,Rd=7720.78
Rifollamento lato piastra: Fb,Ed,p=9.44 Fb,Rd,p=7173.07
Tirafondi:LT=0.45 (0.31) σ_{cR}=0.00 σ_{fR}=0.00
Compressione nel calcestruzzo: σ_c=48.36
CC 53 SLU (Collegamento -044_-376)
Azioni sul collegamento: N=-25220.90 Ty=-2.75 Tz=60.96 Mx=0.00 Mz=-2.55
Sollecitazioni agenti localmente: Tx_l=-2.75 Ty_l=60.96 N_l=-25220.90 Mx_l=-0.00 My_l=-2.55 Mz_l=0.00
Taglio nei bulloni: Fv,Ed=10.17 Fv,Rd=7720.78
Rifollamento lato piastra: Fb,Ed,p=10.17 Fb,Rd,p=5996.83
Tirafondi:LT=0.45 (0.31) σ_{cR}=0.00 σ_{fR}=0.00
Compressione nel calcestruzzo: σ_c=52.25
CC 54 SLU (Collegamento -044_-376)
Azioni sul collegamento: N=-24404.90 Ty=-3.50 Tz=57.94 Mx=0.00 Mz=-3.11
Sollecitazioni agenti localmente: Tx_l=-3.50 Ty_l=57.94 N_l=-24404.90 Mx_l=-0.00 My_l=-3.11 Mz_l=0.00
Taglio nei bulloni: Fv,Ed=9.68 Fv,Rd=7720.78
Rifollamento lato piastra: Fb,Ed,p=9.68 Fb,Rd,p=6011.06
Tirafondi:LT=0.45 (0.31) σ_{cR}=0.00 σ_{fR}=0.00
Compressione nel calcestruzzo: σ_c=50.60
CC 55 SLU (Collegamento -044_-376)
Azioni sul collegamento: N=-24812.00 Ty=-3.21 Tz=59.51 Mx=0.00 Mz=-3.02
Sollecitazioni agenti localmente: Tx_l=-3.21 Ty_l=59.51 N_l=-24812.00 Mx_l=-0.00 My_l=-3.02 Mz_l=0.00
Taglio nei bulloni: Fv,Ed=9.94 Fv,Rd=7720.78
Rifollamento lato piastra: Fb,Ed,p=9.94 Fb,Rd,p=6004.50
Tirafondi:LT=0.45 (0.31) σ_{cR}=0.00 σ_{fR}=0.00
Compressione nel calcestruzzo: σ_c=51.43
CC 56 SLU (Collegamento -044_-376)
Azioni sul collegamento: N=-24813.70 Ty=-3.04 Tz=59.39 Mx=0.00 Mz=-2.65
Sollecitazioni agenti localmente: Tx_l=-3.04 Ty_l=59.39 N_l=-24813.70 Mx_l=-0.00 My_l=-2.65 Mz_l=0.00
Taglio nei bulloni: Fv,Ed=9.92 Fv,Rd=7720.78
Rifollamento lato piastra: Fb,Ed,p=9.92 Fb,Rd,p=6002.01
Tirafondi:LT=0.45 (0.31) σ_{cR}=0.00 σ_{fR}=0.00
Compressione nel calcestruzzo: σ_c=51.42
CC 57 SLU (Collegamento -044_-376)
Azioni sul collegamento: N=-28074.70 Ty=18.58 Tz=71.81 Mx=0.00 Mz=13.65
Sollecitazioni agenti localmente: Tx_l=18.58 Ty_l=71.81 N_l=-28074.70 Mx_l=-0.00 My_l=13.65 Mz_l=0.00

Taglio nei bulloni: Fv,Ed=12.37 Fv,Rd=7720.78
Rifollamento lato piastra: Fb,Ed,p=12.37 Fb,Rd,p=6577.01
Tirafondi:LT=0.45 (0.31) σ_{cR}=0.00 σ_{fR}=0.00
Compressione nel calcestruzzo: σ_c=58.77
CC 58 SLU (Collegamento -044_-376)
Azioni sul collegamento: N=-27258.70 Ty=17.82 Tz=68.80 Mx=0.00 Mz=13.09
Sollecitazioni agenti localmente: Tx_l=17.82 Ty_l=68.80 N_l=-27258.70 Mx_l=-0.00 My_l=13.09 Mz_l=0.00
Taglio nei bulloni: Fv,Ed=11.85 Fv,Rd=7720.78
Rifollamento lato piastra: Fb,Ed,p=11.85 Fb,Rd,p=6578.74
Tirafondi:LT=0.45 (0.31) σ_{cR}=0.00 σ_{fR}=0.00
Compressione nel calcestruzzo: σ_c=57.06
CC 59 SLU (Collegamento -044_-376)
Azioni sul collegamento: N=-27665.80 Ty=18.11 Tz=70.37 Mx=0.00 Mz=13.19
Sollecitazioni agenti localmente: Tx_l=18.11 Ty_l=70.37 N_l=-27665.80 Mx_l=-0.00 My_l=13.19 Mz_l=0.00
Taglio nei bulloni: Fv,Ed=12.12 Fv,Rd=7720.78
Rifollamento lato piastra: Fb,Ed,p=12.12 Fb,Rd,p=6571.24
Tirafondi:LT=0.45 (0.31) σ_{cR}=0.00 σ_{fR}=0.00
Compressione nel calcestruzzo: σ_c=57.90
CC 60 SLU (Collegamento -044_-376)
Azioni sul collegamento: N=-27667.60 Ty=18.29 Tz=70.25 Mx=0.00 Mz=13.55
Sollecitazioni agenti localmente: Tx_l=18.29 Ty_l=70.25 N_l=-27667.60 Mx_l=-0.00 My_l=13.55 Mz_l=0.00
Taglio nei bulloni: Fv,Ed=12.10 Fv,Rd=7720.78
Rifollamento lato piastra: Fb,Ed,p=12.10 Fb,Rd,p=6584.47
Tirafondi:LT=0.45 (0.31) σ_{cR}=0.00 σ_{fR}=0.00
Compressione nel calcestruzzo: σ_c=57.93
CC 61 SLU (Collegamento -044_-376)
Azioni sul collegamento: N=-21204.60 Ty=17.94 Tz=46.59 Mx=0.00 Mz=13.09
Sollecitazioni agenti localmente: Tx_l=17.94 Ty_l=46.59 N_l=-21204.60 Mx_l=-0.00 My_l=13.09 Mz_l=0.00
Taglio nei bulloni: Fv,Ed=8.33 Fv,Rd=7720.78
Rifollamento lato piastra: Fb,Ed,p=8.33 Fb,Rd,p=7311.85
Tirafondi:LT=0.45 (0.31) σ_{cR}=0.00 σ_{fR}=0.00
Compressione nel calcestruzzo: σ_c=44.55
CC 62 SLU (Collegamento -044_-376)
Azioni sul collegamento: N=-20388.60 Ty=17.19 Tz=43.58 Mx=0.00 Mz=12.53
Sollecitazioni agenti localmente: Tx_l=17.19 Ty_l=43.58 N_l=-20388.60 Mx_l=-0.00 My_l=12.53 Mz_l=0.00
Taglio nei bulloni: Fv,Ed=7.81 Fv,Rd=7720.78
Rifollamento lato piastra: Fb,Ed,p=7.81 Fb,Rd,p=7377.83
Tirafondi:LT=0.45 (0.31) σ_{cR}=0.00 σ_{fR}=0.00
Compressione nel calcestruzzo: σ_c=42.83
CC 63 SLU (Collegamento -044_-376)
Azioni sul collegamento: N=-20795.70 Ty=17.48 Tz=45.14 Mx=0.00 Mz=12.63
Sollecitazioni agenti localmente: Tx_l=17.48 Ty_l=45.14 N_l=-20795.70 Mx_l=-0.00 My_l=12.63 Mz_l=0.00
Taglio nei bulloni: Fv,Ed=8.07 Fv,Rd=7720.78
Rifollamento lato piastra: Fb,Ed,p=8.07 Fb,Rd,p=7326.64
Tirafondi:LT=0.45 (0.31) σ_{cR}=0.00 σ_{fR}=0.00
Compressione nel calcestruzzo: σ_c=43.68
CC 64 SLU (Collegamento -044_-376)
Azioni sul collegamento: N=-20797.50 Ty=17.66 Tz=45.03 Mx=0.00 Mz=12.99
Sollecitazioni agenti localmente: Tx_l=17.66 Ty_l=45.03 N_l=-20797.50 Mx_l=-0.00 My_l=12.99 Mz_l=0.00
Taglio nei bulloni: Fv,Ed=8.06 Fv,Rd=7720.78
Rifollamento lato piastra: Fb,Ed,p=8.06 Fb,Rd,p=7360.58
Tirafondi:LT=0.45 (0.31) σ_{cR}=0.00 σ_{fR}=0.00
Compressione nel calcestruzzo: σ_c=43.70
CC 65 SLU (Collegamento -044_-376)
Azioni sul collegamento: N=-23000.50 Ty=-4.50 Tz=52.79 Mx=0.00 Mz=-3.84
Sollecitazioni agenti localmente: Tx_l=-4.50 Ty_l=52.79 N_l=-23000.50 Mx_l=-0.00 My_l=-3.84 Mz_l=0.00
Taglio nei bulloni: Fv,Ed=8.83 Fv,Rd=7720.78
Rifollamento lato piastra: Fb,Ed,p=8.83 Fb,Rd,p=6042.82
Tirafondi:LT=0.45 (0.31) σ_{cR}=0.00 σ_{fR}=0.00
Compressione nel calcestruzzo: σ_c=47.74
CC 66 SLU (Collegamento -044_-376)
Azioni sul collegamento: N=-22184.60 Ty=-5.26 Tz=49.77 Mx=0.00 Mz=-4.40
Sollecitazioni agenti localmente: Tx_l=-5.26 Ty_l=49.77 N_l=-22184.60 Mx_l=-0.00 My_l=-4.40 Mz_l=0.00
Taglio nei bulloni: Fv,Ed=8.35 Fv,Rd=7720.78
Rifollamento lato piastra: Fb,Ed,p=8.35 Fb,Rd,p=6076.99
Tirafondi:LT=0.45 (0.31) σ_{cR}=0.00 σ_{fR}=0.00
Compressione nel calcestruzzo: σ_c=46.08
CC 67 SLU (Collegamento -044_-376)
Azioni sul collegamento: N=-22591.70 Ty=-4.97 Tz=51.34 Mx=0.00 Mz=-4.30
Sollecitazioni agenti localmente: Tx_l=-4.97 Ty_l=51.34 N_l=-22591.70 Mx_l=-0.00 My_l=-4.30 Mz_l=0.00
Taglio nei bulloni: Fv,Ed=8.60 Fv,Rd=7720.78
Rifollamento lato piastra: Fb,Ed,p=8.60 Fb,Rd,p=6061.04
Tirafondi:LT=0.45 (0.31) σ_{cR}=0.00 σ_{fR}=0.00
Compressione nel calcestruzzo: σ_c=46.92
CC 68 SLU (Collegamento -044_-376)
Azioni sul collegamento: N=-22593.40 Ty=-4.79 Tz=51.22 Mx=0.00 Mz=-3.94
Sollecitazioni agenti localmente: Tx_l=-4.79 Ty_l=51.22 N_l=-22593.40 Mx_l=-0.00 My_l=-3.94 Mz_l=0.00
Taglio nei bulloni: Fv,Ed=8.58 Fv,Rd=7720.78

Rifollamento lato piastra: Fb,Ed,p=8.58 Fb,Rd,p=6055.97
Tirafondi:LT=0.45 (0.31) σ_{cR}=0.00 σ_{fR}=0.00
Compressione nel calcestruzzo: σ_c=46.90
CC 97 SLU (Collegamento -044_-376)
Azioni sul collegamento: N=-32775.80 Ty=25.16 Tz=97.03 Mx=-0.05 Mz=10.53
Sollecitazioni agenti localmente: Tx_l=25.16 Ty_l=97.03 N_l=-32775.80 Mx_l=-0.00 My_l=10.53 Mz_l=-0.05
Taglio nei bulloni: Fv,Ed=16.78 Fv,Rd=7720.78
Rifollamento lato piastra: Fb,Ed,p=16.75 Fb,Rd,p=6557.48
Tirafondi:LT=0.45 (0.31) σ_{cR}=0.00 σ_{fR}=0.00
Compressione nel calcestruzzo: σ_c=68.31
CC 98 SLU (Collegamento -044_-376)
Azioni sul collegamento: N=-31959.80 Ty=24.41 Tz=94.02 Mx=-0.05 Mz=9.97
Sollecitazioni agenti localmente: Tx_l=24.41 Ty_l=94.02 N_l=-31959.80 Mx_l=-0.00 My_l=9.97 Mz_l=-0.05
Taglio nei bulloni: Fv,Ed=16.26 Fv,Rd=7720.78
Rifollamento lato piastra: Fb,Ed,p=16.23 Fb,Rd,p=6558.09
Tirafondi:LT=0.45 (0.31) σ_{cR}=0.00 σ_{fR}=0.00
Compressione nel calcestruzzo: σ_c=66.59
CC 99 SLU (Collegamento -044_-376)
Azioni sul collegamento: N=-32366.90 Ty=24.69 Tz=95.58 Mx=-0.05 Mz=10.07
Sollecitazioni agenti localmente: Tx_l=24.69 Ty_l=95.58 N_l=-32366.90 Mx_l=-0.00 My_l=10.07 Mz_l=-0.05
Taglio nei bulloni: Fv,Ed=16.52 Fv,Rd=7720.78
Rifollamento lato piastra: Fb,Ed,p=16.50 Fb,Rd,p=6553.17
Tirafondi:LT=0.45 (0.31) σ_{cR}=0.00 σ_{fR}=0.00
Compressione nel calcestruzzo: σ_c=67.44
CC 100 SLU (Collegamento -044_-376)
Azioni sul collegamento: N=-32368.70 Ty=24.87 Tz=95.47 Mx=-0.05 Mz=10.43
Sollecitazioni agenti localmente: Tx_l=24.87 Ty_l=95.47 N_l=-32368.70 Mx_l=-0.00 My_l=10.43 Mz_l=-0.05
Taglio nei bulloni: Fv,Ed=16.52 Fv,Rd=7720.78
Rifollamento lato piastra: Fb,Ed,p=16.49 Fb,Rd,p=6562.39
Tirafondi:LT=0.45 (0.31) σ_{cR}=0.00 σ_{fR}=0.00
Compressione nel calcestruzzo: σ_c=67.47
CC 101 SLU (Collegamento -044_-376)
Azioni sul collegamento: N=-9110.88 Ty=5.97 Tz=10.39 Mx=0.01 Mz=4.99
Sollecitazioni agenti localmente: Tx_l=5.97 Ty_l=10.39 N_l=-9110.88 Mx_l=-0.00 My_l=4.99 Mz_l=0.01
Taglio nei bulloni: Fv,Ed=2.01 Fv,Rd=7720.78
Rifollamento lato piastra: Fb,Ed,p=2.01 Fb,Rd,p=8996.52
Tirafondi:LT=0.45 (0.31) σ_{cR}=0.00 σ_{fR}=0.00
Compressione nel calcestruzzo: σ_c=19.11
CC 102 SLU (Collegamento -044_-376)
Azioni sul collegamento: N=-8294.89 Ty=5.21 Tz=7.37 Mx=0.01 Mz=4.43
Sollecitazioni agenti localmente: Tx_l=5.21 Ty_l=7.37 N_l=-8294.89 Mx_l=-0.00 My_l=4.43 Mz_l=0.01
Taglio nei bulloni: Fv,Ed=1.52 Fv,Rd=7720.78
Rifollamento lato piastra: Fb,Ed,p=1.52 Fb,Rd,p=10418.20
Tirafondi:LT=0.45 (0.31) σ_{cR}=0.00 σ_{fR}=0.00
Compressione nel calcestruzzo: σ_c=17.39
CC 103 SLU (Collegamento -044_-376)
Azioni sul collegamento: N=-8702.00 Ty=5.50 Tz=8.94 Mx=0.01 Mz=4.53
Sollecitazioni agenti localmente: Tx_l=5.50 Ty_l=8.94 N_l=-8702.00 Mx_l=-0.00 My_l=4.53 Mz_l=0.01
Taglio nei bulloni: Fv,Ed=1.76 Fv,Rd=7720.78
Rifollamento lato piastra: Fb,Ed,p=1.76 Fb,Rd,p=9453.96
Tirafondi:LT=0.45 (0.31) σ_{cR}=0.00 σ_{fR}=0.00
Compressione nel calcestruzzo: σ_c=18.23
CC 104 SLU (Collegamento -044_-376)
Azioni sul collegamento: N=-8703.77 Ty=5.68 Tz=8.82 Mx=0.01 Mz=4.89
Sollecitazioni agenti localmente: Tx_l=5.68 Ty_l=8.82 N_l=-8703.77 Mx_l=-0.00 My_l=4.89 Mz_l=0.01
Taglio nei bulloni: Fv,Ed=1.76 Fv,Rd=7720.78
Rifollamento lato piastra: Fb,Ed,p=1.76 Fb,Rd,p=9780.06
Tirafondi:LT=0.45 (0.31) σ_{cR}=0.00 σ_{fR}=0.00
Compressione nel calcestruzzo: σ_c=18.26

Saldatura profilo-piastra

CC 1 SLV (Collegamento -044_-376)
Azioni sul collegamento: N=-6246.31 Ty=15.25 Tz=-0.46 Mx=0.02 Mz=13.58
Sollecitazioni agenti localmente: Tx_l=15.25 Ty_l=-0.46 N_l=-6246.31 My_l=-13.58 Mz_l=0.02
Azioni sul cordone: TP=1.11 TO=-0.02 NO=-461.73
Tensioni nel cordone: τ_P=0.35 τ_O=6.25E-03 σ_O=166.60 σ_{ID}=166.60 Σ_T=166.60
CC 1 SLV (Collegamento -044_-376)
Azioni sul collegamento: N=-6246.31 Ty=7.49 Tz=-0.46 Mx=0.02 Mz=7.17
Sollecitazioni agenti localmente: Tx_l=7.49 Ty_l=-0.46 N_l=-6246.31 My_l=-7.17 Mz_l=0.02
Azioni sul cordone: TP=0.53 TO=-0.02 NO=-461.73
Tensioni nel cordone: τ_P=0.17 τ_O=6.25E-03 σ_O=157.24 σ_{ID}=157.24 Σ_T=157.24
CC 1 SLV (Collegamento -044_-376)
Azioni sul collegamento: N=-6246.31 Ty=15.25 Tz=28.82 Mx=0.02 Mz=13.58
Sollecitazioni agenti localmente: Tx_l=15.25 Ty_l=28.82 N_l=-6246.31 My_l=-13.58 Mz_l=0.02
Azioni sul cordone: TP=1.11 TO=2.14 NO=-461.73
Tensioni nel cordone: τ_P=0.35 τ_O=0.68 σ_O=166.60 σ_{ID}=166.60 Σ_T=167.28
CC 1 SLV (Collegamento -044_-376)

Azioni sul collegamento: N=-6246.31 Ty=7.49 Tz=28.82 Mx=0.02 Mz=7.17
Sollecitazioni agenti localmente: Tx_l=7.49 Ty_l=28.82 N_l=-6246.31 My_l=-7.17 Mz_l=0.02
Azioni sul cordone: TP=0.53 TO=2.14 NO=-461.73
Tensioni nel cordone: τ_P=0.17 τ_0=0.68 σ_0=157.24 σ_{ID}=157.24 Σ_T=157.92
CC 1 SLV (Collegamento -044_-376)
Azioni sul collegamento: N=-14088.90 Ty=15.25 Tz=-0.46 Mx=0.02 Mz=13.58
Sollecitazioni agenti localmente: Tx_l=15.25 Ty_l=-0.46 N_l=-14088.90 My_l=-13.58 Mz_l=0.02
Azioni sul cordone: TP=1.11 TO=-0.02 NO=-1041.46
Tensioni nel cordone: τ_P=0.35 τ_0=6.26E-03 σ_0=350.86 σ_{ID}=350.86 Σ_T=350.87
CC 1 SLV (Collegamento -044_-376)
Azioni sul collegamento: N=-14088.90 Ty=7.49 Tz=-0.46 Mx=0.02 Mz=7.17
Sollecitazioni agenti localmente: Tx_l=7.49 Ty_l=-0.46 N_l=-14088.90 My_l=-7.17 Mz_l=0.02
Azioni sul cordone: TP=0.53 TO=-0.02 NO=-1041.46
Tensioni nel cordone: τ_P=0.17 τ_0=6.26E-03 σ_0=341.50 σ_{ID}=341.50 Σ_T=341.51
CC 1 SLV (Collegamento -044_-376)
Azioni sul collegamento: N=-14088.90 Ty=15.25 Tz=28.82 Mx=0.02 Mz=13.58
Sollecitazioni agenti localmente: Tx_l=15.25 Ty_l=28.82 N_l=-14088.90 My_l=-13.58 Mz_l=0.02
Azioni sul cordone: TP=1.11 TO=2.14 NO=-1041.46
Tensioni nel cordone: τ_P=0.35 τ_0=0.68 σ_0=350.86 σ_{ID}=350.86 Σ_T=351.55
CC 1 SLV (Collegamento -044_-376)
Azioni sul collegamento: N=-14088.90 Ty=7.49 Tz=28.82 Mx=0.02 Mz=7.17
Sollecitazioni agenti localmente: Tx_l=7.49 Ty_l=28.82 N_l=-14088.90 My_l=-7.17 Mz_l=0.02
Azioni sul cordone: TP=0.53 TO=2.14 NO=-1041.46
Tensioni nel cordone: τ_P=0.17 τ_0=0.68 σ_0=341.50 σ_{ID}=341.50 Σ_T=342.19
CC 2 SLD (Collegamento -044_-376)
Azioni sul collegamento: N=-8874.30 Ty=11.63 Tz=9.33 Mx=0.01 Mz=9.21
Sollecitazioni agenti localmente: Tx_l=11.63 Ty_l=9.33 N_l=-8874.30 My_l=-9.21 Mz_l=0.01
Azioni sul cordone: TP=0.85 TO=0.70 NO=-655.99
Tensioni nel cordone: τ_P=0.27 τ_0=0.22 σ_0=221.97 σ_{ID}=221.97 Σ_T=222.19
CC 2 SLD (Collegamento -044_-376)
Azioni sul collegamento: N=-8874.30 Ty=9.26 Tz=9.33 Mx=0.01 Mz=7.26
Sollecitazioni agenti localmente: Tx_l=9.26 Ty_l=9.33 N_l=-8874.30 My_l=-7.26 Mz_l=0.01
Azioni sul cordone: TP=0.68 TO=0.70 NO=-655.99
Tensioni nel cordone: τ_P=0.21 τ_0=0.22 σ_0=219.11 σ_{ID}=219.11 Σ_T=219.33
CC 2 SLD (Collegamento -044_-376)
Azioni sul collegamento: N=-8874.30 Ty=11.63 Tz=18.26 Mx=0.01 Mz=9.21
Sollecitazioni agenti localmente: Tx_l=11.63 Ty_l=18.26 N_l=-8874.30 My_l=-9.21 Mz_l=0.01
Azioni sul cordone: TP=0.85 TO=1.36 NO=-655.99
Tensioni nel cordone: τ_P=0.27 τ_0=0.43 σ_0=221.97 σ_{ID}=221.97 Σ_T=222.40
CC 2 SLD (Collegamento -044_-376)
Azioni sul collegamento: N=-8874.30 Ty=9.26 Tz=18.26 Mx=0.01 Mz=7.26
Sollecitazioni agenti localmente: Tx_l=9.26 Ty_l=18.26 N_l=-8874.30 My_l=-7.26 Mz_l=0.01
Azioni sul cordone: TP=0.68 TO=1.36 NO=-655.99
Tensioni nel cordone: τ_P=0.21 τ_0=0.43 σ_0=219.11 σ_{ID}=219.11 Σ_T=219.54
CC 2 SLD (Collegamento -044_-376)
Azioni sul collegamento: N=-11265.80 Ty=11.63 Tz=9.33 Mx=0.01 Mz=9.21
Sollecitazioni agenti localmente: Tx_l=11.63 Ty_l=9.33 N_l=-11265.80 My_l=-9.21 Mz_l=0.01
Azioni sul cordone: TP=0.85 TO=0.70 NO=-832.77
Tensioni nel cordone: τ_P=0.27 τ_0=0.22 σ_0=278.15 σ_{ID}=278.15 Σ_T=278.38
CC 2 SLD (Collegamento -044_-376)
Azioni sul collegamento: N=-11265.80 Ty=9.26 Tz=9.33 Mx=0.01 Mz=7.26
Sollecitazioni agenti localmente: Tx_l=9.26 Ty_l=9.33 N_l=-11265.80 My_l=-7.26 Mz_l=0.01
Azioni sul cordone: TP=0.68 TO=0.70 NO=-832.77
Tensioni nel cordone: τ_P=0.21 τ_0=0.22 σ_0=275.30 σ_{ID}=275.30 Σ_T=275.52
CC 2 SLD (Collegamento -044_-376)
Azioni sul collegamento: N=-11265.80 Ty=11.63 Tz=18.26 Mx=0.01 Mz=9.21
Sollecitazioni agenti localmente: Tx_l=11.63 Ty_l=18.26 N_l=-11265.80 My_l=-9.21 Mz_l=0.01
Azioni sul cordone: TP=0.85 TO=1.36 NO=-832.77
Tensioni nel cordone: τ_P=0.27 τ_0=0.43 σ_0=278.15 σ_{ID}=278.15 Σ_T=278.59
CC 2 SLD (Collegamento -044_-376)
Azioni sul collegamento: N=-11265.80 Ty=9.26 Tz=18.26 Mx=0.01 Mz=7.26
Sollecitazioni agenti localmente: Tx_l=9.26 Ty_l=18.26 N_l=-11265.80 My_l=-7.26 Mz_l=0.01
Azioni sul cordone: TP=0.68 TO=1.36 NO=-832.77
Tensioni nel cordone: τ_P=0.21 τ_0=0.43 σ_0=275.30 σ_{ID}=275.30 Σ_T=275.73
CC 3 SLV (Collegamento -044_-376)
Azioni sul collegamento: N=-6251.19 Ty=14.73 Tz=-0.13 Mx=0.01 Mz=12.53
Sollecitazioni agenti localmente: Tx_l=14.73 Ty_l=-0.13 N_l=-6251.19 My_l=-12.53 Mz_l=0.01
Azioni sul cordone: TP=1.07 TO=0.00 NO=-462.09
Tensioni nel cordone: τ_P=0.34 τ_0=2.10E-04 σ_0=165.18 σ_{ID}=165.18 Σ_T=165.18
CC 3 SLV (Collegamento -044_-376)
Azioni sul collegamento: N=-6251.19 Ty=8.00 Tz=-0.13 Mx=0.01 Mz=8.22
Sollecitazioni agenti localmente: Tx_l=8.00 Ty_l=-0.13 N_l=-6251.19 My_l=-8.22 Mz_l=0.01
Azioni sul cordone: TP=0.58 TO=0.00 NO=-462.09
Tensioni nel cordone: τ_P=0.18 τ_0=2.10E-04 σ_0=158.88 σ_{ID}=158.88 Σ_T=158.88
CC 3 SLV (Collegamento -044_-376)
Azioni sul collegamento: N=-6251.19 Ty=14.73 Tz=28.49 Mx=0.01 Mz=12.53
Sollecitazioni agenti localmente: Tx_l=14.73 Ty_l=28.49 N_l=-6251.19 My_l=-12.53 Mz_l=0.01
Azioni sul cordone: TP=1.07 TO=2.12 NO=-462.09
Tensioni nel cordone: τ_P=0.34 τ_0=0.67 σ_0=165.18 σ_{ID}=165.18 Σ_T=165.85

CC 3 SLV (Collegamento -044_-376)
Azioni sul collegamento: N=-6251.19 Ty=8.00 Tz=28.49 Mx=0.01 Mz=8.22
Sollecitazioni agenti localmente: Tx_l=8.00 Ty_l=28.49 N_l=-6251.19 My_l=-8.22 Mz_l=0.01
Azioni sul cordone: TP=0.58 TO=2.12 NO=-462.09
Tensioni nel cordone: τ_P=0.18 τ_0=0.67 σ_0=158.88 σ_{ID}=158.88 Σ_T=159.56
CC 3 SLV (Collegamento -044_-376)
Azioni sul collegamento: N=-14084.10 Ty=14.73 Tz=-0.13 Mx=0.01 Mz=12.53
Sollecitazioni agenti localmente: Tx_l=14.73 Ty_l=-0.13 N_l=-14084.10 My_l=-12.53 Mz_l=0.01
Azioni sul cordone: TP=1.07 TO=0.00 NO=-1041.10
Tensioni nel cordone: τ_P=0.34 τ_0=2.06E-04 σ_0=349.22 σ_{ID}=349.22 Σ_T=349.22
CC 3 SLV (Collegamento -044_-376)
Azioni sul collegamento: N=-14084.10 Ty=8.00 Tz=-0.13 Mx=0.01 Mz=8.22
Sollecitazioni agenti localmente: Tx_l=8.00 Ty_l=-0.13 N_l=-14084.10 My_l=-8.22 Mz_l=0.01
Azioni sul cordone: TP=0.58 TO=0.00 NO=-1041.10
Tensioni nel cordone: τ_P=0.18 τ_0=2.06E-04 σ_0=342.92 σ_{ID}=342.92 Σ_T=342.92
CC 3 SLV (Collegamento -044_-376)
Azioni sul collegamento: N=-14084.10 Ty=14.73 Tz=28.49 Mx=0.01 Mz=12.53
Sollecitazioni agenti localmente: Tx_l=14.73 Ty_l=28.49 N_l=-14084.10 My_l=-12.53 Mz_l=0.01
Azioni sul cordone: TP=1.07 TO=2.12 NO=-1041.10
Tensioni nel cordone: τ_P=0.34 τ_0=0.67 σ_0=349.22 σ_{ID}=349.22 Σ_T=349.89
CC 3 SLV (Collegamento -044_-376)
Azioni sul collegamento: N=-14084.10 Ty=8.00 Tz=28.49 Mx=0.01 Mz=8.22
Sollecitazioni agenti localmente: Tx_l=8.00 Ty_l=28.49 N_l=-14084.10 My_l=-8.22 Mz_l=0.01
Azioni sul cordone: TP=0.58 TO=2.12 NO=-1041.10
Tensioni nel cordone: τ_P=0.18 τ_0=0.67 σ_0=342.92 σ_{ID}=342.92 Σ_T=343.59
CC 4 SLD (Collegamento -044_-376)
Azioni sul collegamento: N=-8875.79 Ty=11.47 Tz=9.43 Mx=0.01 Mz=8.89
Sollecitazioni agenti localmente: Tx_l=11.47 Ty_l=9.43 N_l=-8875.79 My_l=-8.89 Mz_l=0.01
Azioni sul cordone: TP=0.84 TO=0.70 NO=-656.10
Tensioni nel cordone: τ_P=0.27 τ_0=0.22 σ_0=221.53 σ_{ID}=221.53 Σ_T=221.76
CC 4 SLD (Collegamento -044_-376)
Azioni sul collegamento: N=-8875.79 Ty=9.42 Tz=9.43 Mx=0.01 Mz=7.58
Sollecitazioni agenti localmente: Tx_l=9.42 Ty_l=9.43 N_l=-8875.79 My_l=-7.58 Mz_l=0.01
Azioni sul cordone: TP=0.69 TO=0.70 NO=-656.10
Tensioni nel cordone: τ_P=0.22 τ_0=0.22 σ_0=219.61 σ_{ID}=219.61 Σ_T=219.84
CC 4 SLD (Collegamento -044_-376)
Azioni sul collegamento: N=-8875.79 Ty=11.47 Tz=18.16 Mx=0.01 Mz=8.89
Sollecitazioni agenti localmente: Tx_l=11.47 Ty_l=18.16 N_l=-8875.79 My_l=-8.89 Mz_l=0.01
Azioni sul cordone: TP=0.84 TO=1.35 NO=-656.10
Tensioni nel cordone: τ_P=0.27 τ_0=0.43 σ_0=221.53 σ_{ID}=221.53 Σ_T=221.96
CC 4 SLD (Collegamento -044_-376)
Azioni sul collegamento: N=-8875.79 Ty=9.42 Tz=18.16 Mx=0.01 Mz=7.58
Sollecitazioni agenti localmente: Tx_l=9.42 Ty_l=18.16 N_l=-8875.79 My_l=-7.58 Mz_l=0.01
Azioni sul cordone: TP=0.69 TO=1.35 NO=-656.10
Tensioni nel cordone: τ_P=0.22 τ_0=0.43 σ_0=219.61 σ_{ID}=219.62 Σ_T=220.04
CC 4 SLD (Collegamento -044_-376)
Azioni sul collegamento: N=-11264.30 Ty=11.47 Tz=9.43 Mx=0.01 Mz=8.89
Sollecitazioni agenti localmente: Tx_l=11.47 Ty_l=9.43 N_l=-11264.30 My_l=-8.89 Mz_l=0.01
Azioni sul cordone: TP=0.84 TO=0.70 NO=-832.66
Tensioni nel cordone: τ_P=0.27 τ_0=0.22 σ_0=277.65 σ_{ID}=277.65 Σ_T=277.88
CC 4 SLD (Collegamento -044_-376)
Azioni sul collegamento: N=-11264.30 Ty=9.42 Tz=9.43 Mx=0.01 Mz=7.58
Sollecitazioni agenti localmente: Tx_l=9.42 Ty_l=9.43 N_l=-11264.30 My_l=-7.58 Mz_l=0.01
Azioni sul cordone: TP=0.69 TO=0.70 NO=-832.66
Tensioni nel cordone: τ_P=0.22 τ_0=0.22 σ_0=275.73 σ_{ID}=275.73 Σ_T=275.96
CC 4 SLD (Collegamento -044_-376)
Azioni sul collegamento: N=-11264.30 Ty=11.47 Tz=18.16 Mx=0.01 Mz=8.89
Sollecitazioni agenti localmente: Tx_l=11.47 Ty_l=18.16 N_l=-11264.30 My_l=-8.89 Mz_l=0.01
Azioni sul cordone: TP=0.84 TO=1.35 NO=-832.66
Tensioni nel cordone: τ_P=0.27 τ_0=0.43 σ_0=277.65 σ_{ID}=277.65 Σ_T=278.08
CC 4 SLD (Collegamento -044_-376)
Azioni sul collegamento: N=-11264.30 Ty=9.42 Tz=18.16 Mx=0.01 Mz=7.58
Sollecitazioni agenti localmente: Tx_l=9.42 Ty_l=18.16 N_l=-11264.30 My_l=-7.58 Mz_l=0.01
Azioni sul cordone: TP=0.69 TO=1.35 NO=-832.66
Tensioni nel cordone: τ_P=0.22 τ_0=0.43 σ_0=275.73 σ_{ID}=275.73 Σ_T=276.16
CC 5 SLV (Collegamento -044_-376)
Azioni sul collegamento: N=-14084.10 Ty=8.00 Tz=28.49 Mx=0.02 Mz=8.22
Sollecitazioni agenti localmente: Tx_l=8.00 Ty_l=28.49 N_l=-14084.10 My_l=-8.22 Mz_l=0.02
Azioni sul cordone: TP=0.57 TO=2.12 NO=-1041.10
Tensioni nel cordone: τ_P=0.18 τ_0=0.67 σ_0=342.92 σ_{ID}=342.92 Σ_T=343.59
CC 5 SLV (Collegamento -044_-376)
Azioni sul collegamento: N=-14084.10 Ty=14.73 Tz=28.49 Mx=0.02 Mz=12.53
Sollecitazioni agenti localmente: Tx_l=14.73 Ty_l=28.49 N_l=-14084.10 My_l=-12.53 Mz_l=0.02
Azioni sul cordone: TP=1.07 TO=2.12 NO=-1041.10
Tensioni nel cordone: τ_P=0.34 τ_0=0.67 σ_0=349.22 σ_{ID}=349.22 Σ_T=349.89
CC 5 SLV (Collegamento -044_-376)
Azioni sul collegamento: N=-14084.10 Ty=8.00 Tz=-0.13 Mx=0.02 Mz=8.22
Sollecitazioni agenti localmente: Tx_l=8.00 Ty_l=-0.13 N_l=-14084.10 My_l=-8.22 Mz_l=0.02
Azioni sul cordone: TP=0.57 TO=0.00 NO=-1041.10

Tensioni nel cordone: τ_P=0.18 τ_0=1.35E-03 σ_0=342.92 σ_{ID}=342.92 Σ_T=342.92
CC 5 SLV (Collegamento -044_-376)
Azioni sul collegamento: N=-14084.10 Ty=14.73 Tz=-0.13 Mx=0.02 Mz=12.53
Sollecitazioni agenti localmente: Tx_l=14.73 Ty_l=-0.13 N_l=-14084.10 My_l=-12.53 Mz_l=0.02
Azioni sul cordone: TP=1.07 TO=0.00 NO=-1041.10
Tensioni nel cordone: τ_P=0.34 τ_0=1.35E-03 σ_0=349.22 σ_{ID}=349.22 Σ_T=349.22
CC 5 SLV (Collegamento -044_-376)
Azioni sul collegamento: N=-6251.19 Ty=8.00 Tz=28.49 Mx=0.02 Mz=8.22
Sollecitazioni agenti localmente: Tx_l=8.00 Ty_l=28.49 N_l=-6251.19 My_l=-8.22 Mz_l=0.02
Azioni sul cordone: TP=0.57 TO=2.12 NO=-462.09
Tensioni nel cordone: τ_P=0.18 τ_0=0.67 σ_0=158.88 σ_{ID}=158.88 Σ_T=159.56
CC 5 SLV (Collegamento -044_-376)
Azioni sul collegamento: N=-6251.19 Ty=14.73 Tz=28.49 Mx=0.02 Mz=12.53
Sollecitazioni agenti localmente: Tx_l=14.73 Ty_l=28.49 N_l=-6251.19 My_l=-12.53 Mz_l=0.02
Azioni sul cordone: TP=1.07 TO=2.12 NO=-462.09
Tensioni nel cordone: τ_P=0.34 τ_0=0.67 σ_0=165.18 σ_{ID}=165.18 Σ_T=165.85
CC 5 SLV (Collegamento -044_-376)
Azioni sul collegamento: N=-6251.19 Ty=8.00 Tz=-0.13 Mx=0.02 Mz=8.22
Sollecitazioni agenti localmente: Tx_l=8.00 Ty_l=-0.13 N_l=-6251.19 My_l=-8.22 Mz_l=0.02
Azioni sul cordone: TP=0.57 TO=0.00 NO=-462.09
Tensioni nel cordone: τ_P=0.18 τ_0=1.36E-03 σ_0=158.88 σ_{ID}=158.88 Σ_T=158.88
CC 5 SLV (Collegamento -044_-376)
Azioni sul collegamento: N=-6251.19 Ty=14.73 Tz=-0.13 Mx=0.02 Mz=12.53
Sollecitazioni agenti localmente: Tx_l=14.73 Ty_l=-0.13 N_l=-6251.19 My_l=-12.53 Mz_l=0.02
Azioni sul cordone: TP=1.07 TO=0.00 NO=-462.09
Tensioni nel cordone: τ_P=0.34 τ_0=1.36E-03 σ_0=165.18 σ_{ID}=165.18 Σ_T=165.18
CC 6 SLD (Collegamento -044_-376)
Azioni sul collegamento: N=-11264.30 Ty=9.42 Tz=18.16 Mx=0.01 Mz=7.58
Sollecitazioni agenti localmente: Tx_l=9.42 Ty_l=18.16 N_l=-11264.30 My_l=-7.58 Mz_l=0.01
Azioni sul cordone: TP=0.69 TO=1.35 NO=-832.66
Tensioni nel cordone: τ_P=0.22 τ_0=0.43 σ_0=275.73 σ_{ID}=275.73 Σ_T=276.16
CC 6 SLD (Collegamento -044_-376)
Azioni sul collegamento: N=-11264.30 Ty=11.47 Tz=18.16 Mx=0.01 Mz=8.89
Sollecitazioni agenti localmente: Tx_l=11.47 Ty_l=18.16 N_l=-11264.30 My_l=-8.89 Mz_l=0.01
Azioni sul cordone: TP=0.84 TO=1.35 NO=-832.66
Tensioni nel cordone: τ_P=0.27 τ_0=0.43 σ_0=277.65 σ_{ID}=277.65 Σ_T=278.08
CC 6 SLD (Collegamento -044_-376)
Azioni sul collegamento: N=-11264.30 Ty=9.42 Tz=9.43 Mx=0.01 Mz=7.58
Sollecitazioni agenti localmente: Tx_l=9.42 Ty_l=9.43 N_l=-11264.30 My_l=-7.58 Mz_l=0.01
Azioni sul cordone: TP=0.69 TO=0.70 NO=-832.66
Tensioni nel cordone: τ_P=0.22 τ_0=0.22 σ_0=275.73 σ_{ID}=275.73 Σ_T=275.96
CC 6 SLD (Collegamento -044_-376)
Azioni sul collegamento: N=-11264.30 Ty=11.47 Tz=9.43 Mx=0.01 Mz=8.89
Sollecitazioni agenti localmente: Tx_l=11.47 Ty_l=9.43 N_l=-11264.30 My_l=-8.89 Mz_l=0.01
Azioni sul cordone: TP=0.84 TO=0.70 NO=-832.66
Tensioni nel cordone: τ_P=0.27 τ_0=0.22 σ_0=277.65 σ_{ID}=277.65 Σ_T=277.88
CC 6 SLD (Collegamento -044_-376)
Azioni sul collegamento: N=-8875.79 Ty=9.42 Tz=18.16 Mx=0.01 Mz=7.58
Sollecitazioni agenti localmente: Tx_l=9.42 Ty_l=18.16 N_l=-8875.79 My_l=-7.58 Mz_l=0.01
Azioni sul cordone: TP=0.69 TO=1.35 NO=-656.10
Tensioni nel cordone: τ_P=0.22 τ_0=0.43 σ_0=219.61 σ_{ID}=219.62 Σ_T=220.04
CC 6 SLD (Collegamento -044_-376)
Azioni sul collegamento: N=-8875.79 Ty=11.47 Tz=18.16 Mx=0.01 Mz=8.89
Sollecitazioni agenti localmente: Tx_l=11.47 Ty_l=18.16 N_l=-8875.79 My_l=-8.89 Mz_l=0.01
Azioni sul cordone: TP=0.84 TO=1.35 NO=-656.10
Tensioni nel cordone: τ_P=0.27 τ_0=0.43 σ_0=221.53 σ_{ID}=221.53 Σ_T=221.96
CC 6 SLD (Collegamento -044_-376)
Azioni sul collegamento: N=-8875.79 Ty=9.42 Tz=9.43 Mx=0.01 Mz=7.58
Sollecitazioni agenti localmente: Tx_l=9.42 Ty_l=9.43 N_l=-8875.79 My_l=-7.58 Mz_l=0.01
Azioni sul cordone: TP=0.69 TO=0.70 NO=-656.10
Tensioni nel cordone: τ_P=0.22 τ_0=0.22 σ_0=219.61 σ_{ID}=219.61 Σ_T=219.84
CC 6 SLD (Collegamento -044_-376)
Azioni sul collegamento: N=-8875.79 Ty=11.47 Tz=9.43 Mx=0.01 Mz=8.89
Sollecitazioni agenti localmente: Tx_l=11.47 Ty_l=9.43 N_l=-8875.79 My_l=-8.89 Mz_l=0.01
Azioni sul cordone: TP=0.84 TO=0.70 NO=-656.10
Tensioni nel cordone: τ_P=0.27 τ_0=0.22 σ_0=221.53 σ_{ID}=221.53 Σ_T=221.76
CC 7 SLV (Collegamento -044_-376)
Azioni sul collegamento: N=-14088.90 Ty=7.49 Tz=28.82 Mx=0.01 Mz=7.17
Sollecitazioni agenti localmente: Tx_l=7.49 Ty_l=28.82 N_l=-14088.90 My_l=-7.17 Mz_l=0.01
Azioni sul cordone: TP=0.54 TO=2.14 NO=-1041.46
Tensioni nel cordone: τ_P=0.17 τ_0=0.68 σ_0=341.50 σ_{ID}=341.50 Σ_T=342.19
CC 7 SLV (Collegamento -044_-376)
Azioni sul collegamento: N=-14088.90 Ty=15.25 Tz=28.82 Mx=0.01 Mz=13.58
Sollecitazioni agenti localmente: Tx_l=15.25 Ty_l=28.82 N_l=-14088.90 My_l=-13.58 Mz_l=0.01
Azioni sul cordone: TP=1.11 TO=2.14 NO=-1041.46
Tensioni nel cordone: τ_P=0.35 τ_0=0.68 σ_0=350.86 σ_{ID}=350.86 Σ_T=351.54
CC 7 SLV (Collegamento -044_-376)
Azioni sul collegamento: N=-14088.90 Ty=7.49 Tz=-0.46 Mx=0.01 Mz=7.17
Sollecitazioni agenti localmente: Tx_l=7.49 Ty_l=-0.46 N_l=-14088.90 My_l=-7.17 Mz_l=0.01

Azioni sul cordone: TP=0.54 TO=-0.02 NO=-1041.46
Tensioni nel cordone: τ_P=0.17 τ_O=7.56E-03 σ_O=341.50 σ_{ID}=341.50 Σ_T=341.51
CC 7 SLV (Collegamento -044_-376)
Azioni sul collegamento: N=-14088.90 Ty=15.25 Tz=-0.46 Mx=0.01 Mz=13.58
Sollecitazioni agenti localmente: Tx_l=15.25 Ty_l=-0.46 N_l=-14088.90 My_l=-13.58 Mz_l=0.01
Azioni sul cordone: TP=1.11 TO=-0.02 NO=-1041.46
Tensioni nel cordone: τ_P=0.35 τ_O=7.56E-03 σ_O=350.86 σ_{ID}=350.86 Σ_T=350.87
CC 7 SLV (Collegamento -044_-376)
Azioni sul collegamento: N=-6246.31 Ty=7.49 Tz=28.82 Mx=0.01 Mz=7.17
Sollecitazioni agenti localmente: Tx_l=7.49 Ty_l=28.82 N_l=-6246.31 My_l=-7.17 Mz_l=0.01
Azioni sul cordone: TP=0.54 TO=2.14 NO=-461.73
Tensioni nel cordone: τ_P=0.17 τ_O=0.68 σ_O=157.24 σ_{ID}=157.24 Σ_T=157.92
CC 7 SLV (Collegamento -044_-376)
Azioni sul collegamento: N=-6246.31 Ty=15.25 Tz=28.82 Mx=0.01 Mz=13.58
Sollecitazioni agenti localmente: Tx_l=15.25 Ty_l=28.82 N_l=-6246.31 My_l=-13.58 Mz_l=0.01
Azioni sul cordone: TP=1.11 TO=2.14 NO=-461.73
Tensioni nel cordone: τ_P=0.35 τ_O=0.68 σ_O=166.60 σ_{ID}=166.60 Σ_T=167.28
CC 7 SLV (Collegamento -044_-376)
Azioni sul collegamento: N=-6246.31 Ty=7.49 Tz=-0.46 Mx=0.01 Mz=7.17
Sollecitazioni agenti localmente: Tx_l=7.49 Ty_l=-0.46 N_l=-6246.31 My_l=-7.17 Mz_l=0.01
Azioni sul cordone: TP=0.54 TO=-0.02 NO=-461.73
Tensioni nel cordone: τ_P=0.17 τ_O=7.54E-03 σ_O=157.24 σ_{ID}=157.24 Σ_T=157.25
CC 7 SLV (Collegamento -044_-376)
Azioni sul collegamento: N=-6246.31 Ty=15.25 Tz=-0.46 Mx=0.01 Mz=13.58
Sollecitazioni agenti localmente: Tx_l=15.25 Ty_l=-0.46 N_l=-6246.31 My_l=-13.58 Mz_l=0.01
Azioni sul cordone: TP=1.11 TO=-0.02 NO=-461.73
Tensioni nel cordone: τ_P=0.35 τ_O=7.54E-03 σ_O=166.60 σ_{ID}=166.60 Σ_T=166.60
CC 8 SLD (Collegamento -044_-376)
Azioni sul collegamento: N=-11265.80 Ty=9.26 Tz=18.26 Mx=0.01 Mz=7.26
Sollecitazioni agenti localmente: Tx_l=9.26 Ty_l=18.26 N_l=-11265.80 My_l=-7.26 Mz_l=0.01
Azioni sul cordone: TP=0.68 TO=1.35 NO=-832.77
Tensioni nel cordone: τ_P=0.22 τ_O=0.43 σ_O=275.30 σ_{ID}=275.30 Σ_T=275.73
CC 8 SLD (Collegamento -044_-376)
Azioni sul collegamento: N=-11265.80 Ty=11.63 Tz=18.26 Mx=0.01 Mz=9.21
Sollecitazioni agenti localmente: Tx_l=11.63 Ty_l=18.26 N_l=-11265.80 My_l=-9.21 Mz_l=0.01
Azioni sul cordone: TP=0.85 TO=1.35 NO=-832.77
Tensioni nel cordone: τ_P=0.27 τ_O=0.43 σ_O=278.15 σ_{ID}=278.15 Σ_T=278.58
CC 8 SLD (Collegamento -044_-376)
Azioni sul collegamento: N=-11265.80 Ty=9.26 Tz=9.33 Mx=0.01 Mz=7.26
Sollecitazioni agenti localmente: Tx_l=9.26 Ty_l=9.33 N_l=-11265.80 My_l=-7.26 Mz_l=0.01
Azioni sul cordone: TP=0.68 TO=0.69 NO=-832.77
Tensioni nel cordone: τ_P=0.22 τ_O=0.22 σ_O=275.30 σ_{ID}=275.30 Σ_T=275.52
CC 8 SLD (Collegamento -044_-376)
Azioni sul collegamento: N=-11265.80 Ty=11.63 Tz=9.33 Mx=0.01 Mz=9.21
Sollecitazioni agenti localmente: Tx_l=11.63 Ty_l=9.33 N_l=-11265.80 My_l=-9.21 Mz_l=0.01
Azioni sul cordone: TP=0.85 TO=0.69 NO=-832.77
Tensioni nel cordone: τ_P=0.27 τ_O=0.22 σ_O=278.15 σ_{ID}=278.15 Σ_T=278.38
CC 8 SLD (Collegamento -044_-376)
Azioni sul collegamento: N=-8874.30 Ty=9.26 Tz=18.26 Mx=0.01 Mz=7.26
Sollecitazioni agenti localmente: Tx_l=9.26 Ty_l=18.26 N_l=-8874.30 My_l=-7.26 Mz_l=0.01
Azioni sul cordone: TP=0.68 TO=1.35 NO=-655.99
Tensioni nel cordone: τ_P=0.22 τ_O=0.43 σ_O=219.11 σ_{ID}=219.11 Σ_T=219.54
CC 8 SLD (Collegamento -044_-376)
Azioni sul collegamento: N=-8874.30 Ty=11.63 Tz=18.26 Mx=0.01 Mz=9.21
Sollecitazioni agenti localmente: Tx_l=11.63 Ty_l=18.26 N_l=-8874.30 My_l=-9.21 Mz_l=0.01
Azioni sul cordone: TP=0.85 TO=1.35 NO=-655.99
Tensioni nel cordone: τ_P=0.27 τ_O=0.43 σ_O=221.97 σ_{ID}=221.97 Σ_T=222.40
CC 8 SLD (Collegamento -044_-376)
Azioni sul collegamento: N=-8874.30 Ty=9.26 Tz=9.33 Mx=0.01 Mz=7.26
Sollecitazioni agenti localmente: Tx_l=9.26 Ty_l=9.33 N_l=-8874.30 My_l=-7.26 Mz_l=0.01
Azioni sul cordone: TP=0.68 TO=0.69 NO=-655.99
Tensioni nel cordone: τ_P=0.22 τ_O=0.22 σ_O=219.11 σ_{ID}=219.11 Σ_T=219.33
CC 8 SLD (Collegamento -044_-376)
Azioni sul collegamento: N=-8874.30 Ty=11.63 Tz=9.33 Mx=0.01 Mz=9.21
Sollecitazioni agenti localmente: Tx_l=11.63 Ty_l=9.33 N_l=-8874.30 My_l=-9.21 Mz_l=0.01
Azioni sul cordone: TP=0.85 TO=0.69 NO=-655.99
Tensioni nel cordone: τ_P=0.27 τ_O=0.22 σ_O=221.97 σ_{ID}=221.97 Σ_T=222.19
CC 9 SLV (Collegamento -044_-376)
Azioni sul collegamento: N=-8983.82 Ty=13.31 Tz=9.29 Mx=0.02 Mz=12.92
Sollecitazioni agenti localmente: Tx_l=13.31 Ty_l=9.29 N_l=-8983.82 My_l=-12.92 Mz_l=0.02
Azioni sul cordone: TP=0.96 TO=0.71 NO=-664.09
Tensioni nel cordone: τ_P=0.30 τ_O=0.22 σ_O=229.96 σ_{ID}=229.96 Σ_T=230.19
CC 9 SLV (Collegamento -044_-376)
Azioni sul collegamento: N=-8983.82 Ty=9.43 Tz=9.29 Mx=0.02 Mz=7.83
Sollecitazioni agenti localmente: Tx_l=9.43 Ty_l=9.29 N_l=-8983.82 My_l=-7.83 Mz_l=0.02
Azioni sul cordone: TP=0.67 TO=0.71 NO=-664.09
Tensioni nel cordone: τ_P=0.21 τ_O=0.22 σ_O=222.51 σ_{ID}=222.51 Σ_T=222.74
CC 9 SLV (Collegamento -044_-376)
Azioni sul collegamento: N=-8983.82 Ty=13.31 Tz=19.07 Mx=0.02 Mz=12.92

Sollecitazioni agenti localmente: Tx_l=13.31 Ty_l=19.07 N_l=-8983.82 My_l=-12.92 Mz_l=0.02
Azioni sul cordone: TP=0.96 TO=1.43 NO=-664.09
Tensioni nel cordone: τ_P=0.30 τ_0=0.45 σ_0=229.96 σ_{ID}=229.96 Σ_T=230.41
CC 9 SLV (Collegamento -044_-376)
Azioni sul collegamento: N=-8983.82 Ty=9.43 Tz=19.07 Mx=0.02 Mz=7.83
Sollecitazioni agenti localmente: Tx_l=9.43 Ty_l=19.07 N_l=-8983.82 My_l=-7.83 Mz_l=0.02
Azioni sul cordone: TP=0.67 TO=1.43 NO=-664.09
Tensioni nel cordone: τ_P=0.21 τ_0=0.45 σ_0=222.51 σ_{ID}=222.51 Σ_T=222.97
CC 9 SLV (Collegamento -044_-376)
Azioni sul collegamento: N=-11351.40 Ty=13.31 Tz=9.29 Mx=0.02 Mz=12.92
Sollecitazioni agenti localmente: Tx_l=13.31 Ty_l=9.29 N_l=-11351.40 My_l=-12.92 Mz_l=0.02
Azioni sul cordone: TP=0.96 TO=0.71 NO=-839.10
Tensioni nel cordone: τ_P=0.30 τ_0=0.22 σ_0=285.59 σ_{ID}=285.59 Σ_T=285.81
CC 9 SLV (Collegamento -044_-376)
Azioni sul collegamento: N=-11351.40 Ty=9.43 Tz=9.29 Mx=0.02 Mz=7.83
Sollecitazioni agenti localmente: Tx_l=9.43 Ty_l=9.29 N_l=-11351.40 My_l=-7.83 Mz_l=0.02
Azioni sul cordone: TP=0.67 TO=0.71 NO=-839.10
Tensioni nel cordone: τ_P=0.21 τ_0=0.22 σ_0=278.14 σ_{ID}=278.14 Σ_T=278.36
CC 9 SLV (Collegamento -044_-376)
Azioni sul collegamento: N=-11351.40 Ty=13.31 Tz=19.07 Mx=0.02 Mz=12.92
Sollecitazioni agenti localmente: Tx_l=13.31 Ty_l=19.07 N_l=-11351.40 My_l=-12.92 Mz_l=0.02
Azioni sul cordone: TP=0.96 TO=1.43 NO=-839.10
Tensioni nel cordone: τ_P=0.30 τ_0=0.45 σ_0=285.59 σ_{ID}=285.59 Σ_T=286.04
CC 9 SLV (Collegamento -044_-376)
Azioni sul collegamento: N=-11351.40 Ty=9.43 Tz=19.07 Mx=0.02 Mz=7.83
Sollecitazioni agenti localmente: Tx_l=9.43 Ty_l=19.07 N_l=-11351.40 My_l=-7.83 Mz_l=0.02
Azioni sul cordone: TP=0.67 TO=1.43 NO=-839.10
Tensioni nel cordone: τ_P=0.21 τ_0=0.45 σ_0=278.14 σ_{ID}=278.14 Σ_T=278.59
CC 10 SLD (Collegamento -044_-376)
Azioni sul collegamento: N=-9709.06 Ty=11.04 Tz=12.31 Mx=0.01 Mz=9.01
Sollecitazioni agenti localmente: Tx_l=11.04 Ty_l=12.31 N_l=-9709.06 My_l=-9.01 Mz_l=0.01
Azioni sul cordone: TP=0.81 TO=0.92 NO=-717.70
Tensioni nel cordone: τ_P=0.26 τ_0=0.29 σ_0=241.29 σ_{ID}=241.29 Σ_T=241.58
CC 10 SLD (Collegamento -044_-376)
Azioni sul collegamento: N=-9709.06 Ty=9.85 Tz=12.31 Mx=0.01 Mz=7.46
Sollecitazioni agenti localmente: Tx_l=9.85 Ty_l=12.31 N_l=-9709.06 My_l=-7.46 Mz_l=0.01
Azioni sul cordone: TP=0.72 TO=0.92 NO=-717.70
Tensioni nel cordone: τ_P=0.23 τ_0=0.29 σ_0=239.02 σ_{ID}=239.02 Σ_T=239.31
CC 10 SLD (Collegamento -044_-376)
Azioni sul collegamento: N=-9709.06 Ty=11.04 Tz=15.29 Mx=0.01 Mz=9.01
Sollecitazioni agenti localmente: Tx_l=11.04 Ty_l=15.29 N_l=-9709.06 My_l=-9.01 Mz_l=0.01
Azioni sul cordone: TP=0.81 TO=1.14 NO=-717.70
Tensioni nel cordone: τ_P=0.26 τ_0=0.36 σ_0=241.29 σ_{ID}=241.29 Σ_T=241.65
CC 10 SLD (Collegamento -044_-376)
Azioni sul collegamento: N=-9709.06 Ty=9.85 Tz=15.29 Mx=0.01 Mz=7.46
Sollecitazioni agenti localmente: Tx_l=9.85 Ty_l=15.29 N_l=-9709.06 My_l=-7.46 Mz_l=0.01
Azioni sul cordone: TP=0.72 TO=1.14 NO=-717.70
Tensioni nel cordone: τ_P=0.23 τ_0=0.36 σ_0=239.02 σ_{ID}=239.02 Σ_T=239.38
CC 10 SLD (Collegamento -044_-376)
Azioni sul collegamento: N=-10431.00 Ty=11.04 Tz=12.31 Mx=0.01 Mz=9.01
Sollecitazioni agenti localmente: Tx_l=11.04 Ty_l=12.31 N_l=-10431.00 My_l=-9.01 Mz_l=0.01
Azioni sul cordone: TP=0.81 TO=0.92 NO=-771.06
Tensioni nel cordone: τ_P=0.26 τ_0=0.29 σ_0=258.25 σ_{ID}=258.25 Σ_T=258.54
CC 10 SLD (Collegamento -044_-376)
Azioni sul collegamento: N=-10431.00 Ty=9.85 Tz=12.31 Mx=0.01 Mz=7.46
Sollecitazioni agenti localmente: Tx_l=9.85 Ty_l=12.31 N_l=-10431.00 My_l=-7.46 Mz_l=0.01
Azioni sul cordone: TP=0.72 TO=0.92 NO=-771.06
Tensioni nel cordone: τ_P=0.23 τ_0=0.29 σ_0=255.98 σ_{ID}=255.98 Σ_T=256.27
CC 10 SLD (Collegamento -044_-376)
Azioni sul collegamento: N=-10431.00 Ty=11.04 Tz=15.29 Mx=0.01 Mz=9.01
Sollecitazioni agenti localmente: Tx_l=11.04 Ty_l=15.29 N_l=-10431.00 My_l=-9.01 Mz_l=0.01
Azioni sul cordone: TP=0.81 TO=1.14 NO=-771.06
Tensioni nel cordone: τ_P=0.26 τ_0=0.36 σ_0=258.25 σ_{ID}=258.25 Σ_T=258.61
CC 10 SLD (Collegamento -044_-376)
Azioni sul collegamento: N=-10431.00 Ty=9.85 Tz=15.29 Mx=0.01 Mz=7.46
Sollecitazioni agenti localmente: Tx_l=9.85 Ty_l=15.29 N_l=-10431.00 My_l=-7.46 Mz_l=0.01
Azioni sul cordone: TP=0.72 TO=1.14 NO=-771.06
Tensioni nel cordone: τ_P=0.23 τ_0=0.36 σ_0=255.98 σ_{ID}=255.98 Σ_T=256.34
CC 11 SLV (Collegamento -044_-376)
Azioni sul collegamento: N=-11335.10 Ty=11.14 Tz=17.98 Mx=0.02 Mz=11.32
Sollecitazioni agenti localmente: Tx_l=11.14 Ty_l=17.98 N_l=-11335.10 My_l=-11.32 Mz_l=0.02
Azioni sul cordone: TP=0.80 TO=1.35 NO=-837.90
Tensioni nel cordone: τ_P=0.25 τ_0=0.43 σ_0=282.86 σ_{ID}=282.86 Σ_T=283.29
CC 11 SLV (Collegamento -044_-376)
Azioni sul collegamento: N=-11335.10 Ty=11.60 Tz=17.98 Mx=0.02 Mz=9.43
Sollecitazioni agenti localmente: Tx_l=11.60 Ty_l=17.98 N_l=-11335.10 My_l=-9.43 Mz_l=0.02
Azioni sul cordone: TP=0.83 TO=1.35 NO=-837.90
Tensioni nel cordone: τ_P=0.26 τ_0=0.43 σ_0=280.11 σ_{ID}=280.11 Σ_T=280.53
CC 11 SLV (Collegamento -044_-376)

Azioni sul collegamento: N=-11335.10 Ty=11.14 Tz=10.38 Mx=0.02 Mz=11.32
Sollecitazioni agenti localmente: Tx_l=11.14 Ty_l=10.38 N_l=-11335.10 My_l=-11.32 Mz_l=0.02
Azioni sul cordone: TP=0.80 TO=0.79 NO=-837.90
Tensioni nel cordone: τ_P=0.25 τ_O=0.25 σ_O=282.86 σ_{ID}=282.86 Σ_T=283.11
CC 11 SLV (Collegamento -044_-376)
Azioni sul collegamento: N=-11335.10 Ty=11.60 Tz=10.38 Mx=0.02 Mz=9.43
Sollecitazioni agenti localmente: Tx_l=11.60 Ty_l=10.38 N_l=-11335.10 My_l=-9.43 Mz_l=0.02
Azioni sul cordone: TP=0.83 TO=0.79 NO=-837.90
Tensioni nel cordone: τ_P=0.26 τ_O=0.25 σ_O=280.11 σ_{ID}=280.11 Σ_T=280.36
CC 11 SLV (Collegamento -044_-376)
Azioni sul collegamento: N=-9000.10 Ty=11.14 Tz=17.98 Mx=0.02 Mz=11.32
Sollecitazioni agenti localmente: Tx_l=11.14 Ty_l=17.98 N_l=-9000.10 My_l=-11.32 Mz_l=0.02
Azioni sul cordone: TP=0.80 TO=1.35 NO=-665.29
Tensioni nel cordone: τ_P=0.25 τ_O=0.43 σ_O=228.00 σ_{ID}=228.00 Σ_T=228.42
CC 11 SLV (Collegamento -044_-376)
Azioni sul collegamento: N=-9000.10 Ty=11.60 Tz=17.98 Mx=0.02 Mz=9.43
Sollecitazioni agenti localmente: Tx_l=11.60 Ty_l=17.98 N_l=-9000.10 My_l=-9.43 Mz_l=0.02
Azioni sul cordone: TP=0.83 TO=1.35 NO=-665.29
Tensioni nel cordone: τ_P=0.26 τ_O=0.43 σ_O=225.24 σ_{ID}=225.24 Σ_T=225.67
CC 11 SLV (Collegamento -044_-376)
Azioni sul collegamento: N=-9000.10 Ty=11.14 Tz=10.38 Mx=0.02 Mz=11.32
Sollecitazioni agenti localmente: Tx_l=11.14 Ty_l=10.38 N_l=-9000.10 My_l=-11.32 Mz_l=0.02
Azioni sul cordone: TP=0.80 TO=0.79 NO=-665.29
Tensioni nel cordone: τ_P=0.25 τ_O=0.25 σ_O=228.00 σ_{ID}=228.00 Σ_T=228.25
CC 11 SLV (Collegamento -044_-376)
Azioni sul collegamento: N=-9000.10 Ty=11.60 Tz=10.38 Mx=0.02 Mz=9.43
Sollecitazioni agenti localmente: Tx_l=11.60 Ty_l=10.38 N_l=-9000.10 My_l=-9.43 Mz_l=0.02
Azioni sul cordone: TP=0.83 TO=0.79 NO=-665.29
Tensioni nel cordone: τ_P=0.26 τ_O=0.25 σ_O=225.24 σ_{ID}=225.24 Σ_T=225.49
CC 12 SLD (Collegamento -044_-376)
Azioni sul collegamento: N=-10426.00 Ty=10.37 Tz=14.95 Mx=0.01 Mz=8.52
Sollecitazioni agenti localmente: Tx_l=10.37 Ty_l=14.95 N_l=-10426.00 My_l=-8.52 Mz_l=0.01
Azioni sul cordone: TP=0.76 TO=1.11 NO=-770.70
Tensioni nel cordone: τ_P=0.24 τ_O=0.35 σ_O=257.42 σ_{ID}=257.42 Σ_T=257.77
CC 12 SLD (Collegamento -044_-376)
Azioni sul collegamento: N=-10426.00 Ty=10.51 Tz=14.95 Mx=0.01 Mz=7.95
Sollecitazioni agenti localmente: Tx_l=10.51 Ty_l=14.95 N_l=-10426.00 My_l=-7.95 Mz_l=0.01
Azioni sul cordone: TP=0.77 TO=1.11 NO=-770.70
Tensioni nel cordone: τ_P=0.24 τ_O=0.35 σ_O=256.58 σ_{ID}=256.58 Σ_T=256.93
CC 12 SLD (Collegamento -044_-376)
Azioni sul collegamento: N=-10426.00 Ty=10.37 Tz=12.64 Mx=0.01 Mz=8.52
Sollecitazioni agenti localmente: Tx_l=10.37 Ty_l=12.64 N_l=-10426.00 My_l=-8.52 Mz_l=0.01
Azioni sul cordone: TP=0.76 TO=0.94 NO=-770.70
Tensioni nel cordone: τ_P=0.24 τ_O=0.30 σ_O=257.42 σ_{ID}=257.42 Σ_T=257.72
CC 12 SLD (Collegamento -044_-376)
Azioni sul collegamento: N=-10426.00 Ty=10.51 Tz=12.64 Mx=0.01 Mz=7.95
Sollecitazioni agenti localmente: Tx_l=10.51 Ty_l=12.64 N_l=-10426.00 My_l=-7.95 Mz_l=0.01
Azioni sul cordone: TP=0.77 TO=0.94 NO=-770.70
Tensioni nel cordone: τ_P=0.24 τ_O=0.30 σ_O=256.58 σ_{ID}=256.58 Σ_T=256.88
CC 12 SLD (Collegamento -044_-376)
Azioni sul collegamento: N=-9714.02 Ty=10.37 Tz=14.95 Mx=0.01 Mz=8.52
Sollecitazioni agenti localmente: Tx_l=10.37 Ty_l=14.95 N_l=-9714.02 My_l=-8.52 Mz_l=0.01
Azioni sul cordone: TP=0.76 TO=1.11 NO=-718.06
Tensioni nel cordone: τ_P=0.24 τ_O=0.35 σ_O=240.69 σ_{ID}=240.69 Σ_T=241.04
CC 12 SLD (Collegamento -044_-376)
Azioni sul collegamento: N=-9714.02 Ty=10.51 Tz=14.95 Mx=0.01 Mz=7.95
Sollecitazioni agenti localmente: Tx_l=10.51 Ty_l=14.95 N_l=-9714.02 My_l=-7.95 Mz_l=0.01
Azioni sul cordone: TP=0.77 TO=1.11 NO=-718.06
Tensioni nel cordone: τ_P=0.24 τ_O=0.35 σ_O=239.85 σ_{ID}=239.85 Σ_T=240.20
CC 12 SLD (Collegamento -044_-376)
Azioni sul collegamento: N=-9714.02 Ty=10.37 Tz=12.64 Mx=0.01 Mz=8.52
Sollecitazioni agenti localmente: Tx_l=10.37 Ty_l=12.64 N_l=-9714.02 My_l=-8.52 Mz_l=0.01
Azioni sul cordone: TP=0.76 TO=0.94 NO=-718.06
Tensioni nel cordone: τ_P=0.24 τ_O=0.30 σ_O=240.69 σ_{ID}=240.69 Σ_T=240.99
CC 12 SLD (Collegamento -044_-376)
Azioni sul collegamento: N=-9714.02 Ty=10.51 Tz=12.64 Mx=0.01 Mz=7.95
Sollecitazioni agenti localmente: Tx_l=10.51 Ty_l=12.64 N_l=-9714.02 My_l=-7.95 Mz_l=0.01
Azioni sul cordone: TP=0.77 TO=0.94 NO=-718.06
Tensioni nel cordone: τ_P=0.24 τ_O=0.30 σ_O=239.85 σ_{ID}=239.85 Σ_T=240.15
CC 13 SLV (Collegamento -044_-376)
Azioni sul collegamento: N=-9000.10 Ty=11.60 Tz=10.38 Mx=0.01 Mz=9.43
Sollecitazioni agenti localmente: Tx_l=11.60 Ty_l=10.38 N_l=-9000.10 My_l=-9.43 Mz_l=0.01
Azioni sul cordone: TP=0.85 TO=0.77 NO=-665.29
Tensioni nel cordone: τ_P=0.27 τ_O=0.25 σ_O=225.24 σ_{ID}=225.24 Σ_T=225.49
CC 13 SLV (Collegamento -044_-376)
Azioni sul collegamento: N=-9000.10 Ty=11.14 Tz=10.38 Mx=0.01 Mz=11.32
Sollecitazioni agenti localmente: Tx_l=11.14 Ty_l=10.38 N_l=-9000.10 My_l=-11.32 Mz_l=0.01
Azioni sul cordone: TP=0.82 TO=0.77 NO=-665.29
Tensioni nel cordone: τ_P=0.26 τ_O=0.25 σ_O=228.00 σ_{ID}=228.00 Σ_T=228.24

CC 13 SLV (Collegamento -044_-376)
Azioni sul collegamento: N=-9000.10 Ty=11.60 Tz=17.98 Mx=0.01 Mz=9.43
Sollecitazioni agenti localmente: Tx_l=11.60 Ty_l=17.98 N_l=-9000.10 My_l=-9.43 Mz_l=0.01
Azioni sul cordone: TP=0.85 TO=1.33 NO=-665.29
Tensioni nel cordone: τ_P=0.27 τ_0=0.42 σ_0=225.24 σ_{ID}=225.24 Σ_T=225.67
CC 13 SLV (Collegamento -044_-376)
Azioni sul collegamento: N=-9000.10 Ty=11.14 Tz=17.98 Mx=0.01 Mz=11.32
Sollecitazioni agenti localmente: Tx_l=11.14 Ty_l=17.98 N_l=-9000.10 My_l=-11.32 Mz_l=0.01
Azioni sul cordone: TP=0.82 TO=1.33 NO=-665.29
Tensioni nel cordone: τ_P=0.26 τ_0=0.42 σ_0=228.00 σ_{ID}=228.00 Σ_T=228.42
CC 13 SLV (Collegamento -044_-376)
Azioni sul collegamento: N=-11335.10 Ty=11.60 Tz=10.38 Mx=0.01 Mz=9.43
Sollecitazioni agenti localmente: Tx_l=11.60 Ty_l=10.38 N_l=-11335.10 My_l=-9.43 Mz_l=0.01
Azioni sul cordone: TP=0.85 TO=0.77 NO=-837.90
Tensioni nel cordone: τ_P=0.27 τ_0=0.25 σ_0=280.11 σ_{ID}=280.11 Σ_T=280.35
CC 13 SLV (Collegamento -044_-376)
Azioni sul collegamento: N=-11335.10 Ty=11.14 Tz=10.38 Mx=0.01 Mz=11.32
Sollecitazioni agenti localmente: Tx_l=11.14 Ty_l=10.38 N_l=-11335.10 My_l=-11.32 Mz_l=0.01
Azioni sul cordone: TP=0.82 TO=0.77 NO=-837.90
Tensioni nel cordone: τ_P=0.26 τ_0=0.25 σ_0=282.86 σ_{ID}=282.86 Σ_T=283.10
CC 13 SLV (Collegamento -044_-376)
Azioni sul collegamento: N=-11335.10 Ty=11.60 Tz=17.98 Mx=0.01 Mz=9.43
Sollecitazioni agenti localmente: Tx_l=11.60 Ty_l=17.98 N_l=-11335.10 My_l=-9.43 Mz_l=0.01
Azioni sul cordone: TP=0.85 TO=1.33 NO=-837.90
Tensioni nel cordone: τ_P=0.27 τ_0=0.42 σ_0=280.11 σ_{ID}=280.11 Σ_T=280.53
CC 13 SLV (Collegamento -044_-376)
Azioni sul collegamento: N=-11335.10 Ty=11.14 Tz=17.98 Mx=0.01 Mz=11.32
Sollecitazioni agenti localmente: Tx_l=11.14 Ty_l=17.98 N_l=-11335.10 My_l=-11.32 Mz_l=0.01
Azioni sul cordone: TP=0.82 TO=1.33 NO=-837.90
Tensioni nel cordone: τ_P=0.26 τ_0=0.42 σ_0=282.86 σ_{ID}=282.86 Σ_T=283.28
CC 14 SLD (Collegamento -044_-376)
Azioni sul collegamento: N=-9714.02 Ty=10.51 Tz=12.64 Mx=0.00 Mz=7.95
Sollecitazioni agenti localmente: Tx_l=10.51 Ty_l=12.64 N_l=-9714.02 My_l=-7.95 Mz_l=0.00
Azioni sul cordone: TP=0.77 TO=0.94 NO=-718.06
Tensioni nel cordone: τ_P=0.25 τ_0=0.30 σ_0=239.85 σ_{ID}=239.85 Σ_T=240.15
CC 14 SLD (Collegamento -044_-376)
Azioni sul collegamento: N=-9714.02 Ty=10.37 Tz=12.64 Mx=0.00 Mz=8.52
Sollecitazioni agenti localmente: Tx_l=10.37 Ty_l=12.64 N_l=-9714.02 My_l=-8.52 Mz_l=0.00
Azioni sul cordone: TP=0.76 TO=0.94 NO=-718.06
Tensioni nel cordone: τ_P=0.24 τ_0=0.30 σ_0=240.69 σ_{ID}=240.69 Σ_T=240.99
CC 14 SLD (Collegamento -044_-376)
Azioni sul collegamento: N=-9714.02 Ty=10.51 Tz=14.95 Mx=0.00 Mz=7.95
Sollecitazioni agenti localmente: Tx_l=10.51 Ty_l=14.95 N_l=-9714.02 My_l=-7.95 Mz_l=0.00
Azioni sul cordone: TP=0.77 TO=1.11 NO=-718.06
Tensioni nel cordone: τ_P=0.25 τ_0=0.35 σ_0=239.85 σ_{ID}=239.85 Σ_T=240.20
CC 14 SLD (Collegamento -044_-376)
Azioni sul collegamento: N=-9714.02 Ty=10.37 Tz=14.95 Mx=0.00 Mz=8.52
Sollecitazioni agenti localmente: Tx_l=10.37 Ty_l=14.95 N_l=-9714.02 My_l=-8.52 Mz_l=0.00
Azioni sul cordone: TP=0.76 TO=1.11 NO=-718.06
Tensioni nel cordone: τ_P=0.24 τ_0=0.35 σ_0=240.69 σ_{ID}=240.69 Σ_T=241.04
CC 14 SLD (Collegamento -044_-376)
Azioni sul collegamento: N=-10426.00 Ty=10.51 Tz=12.64 Mx=0.00 Mz=7.95
Sollecitazioni agenti localmente: Tx_l=10.51 Ty_l=12.64 N_l=-10426.00 My_l=-7.95 Mz_l=0.00
Azioni sul cordone: TP=0.77 TO=0.94 NO=-770.70
Tensioni nel cordone: τ_P=0.25 τ_0=0.30 σ_0=256.58 σ_{ID}=256.58 Σ_T=256.88
CC 14 SLD (Collegamento -044_-376)
Azioni sul collegamento: N=-10426.00 Ty=10.37 Tz=12.64 Mx=0.00 Mz=8.52
Sollecitazioni agenti localmente: Tx_l=10.37 Ty_l=12.64 N_l=-10426.00 My_l=-8.52 Mz_l=0.00
Azioni sul cordone: TP=0.76 TO=0.94 NO=-770.70
Tensioni nel cordone: τ_P=0.24 τ_0=0.30 σ_0=257.42 σ_{ID}=257.42 Σ_T=257.72
CC 14 SLD (Collegamento -044_-376)
Azioni sul collegamento: N=-10426.00 Ty=10.51 Tz=14.95 Mx=0.00 Mz=7.95
Sollecitazioni agenti localmente: Tx_l=10.51 Ty_l=14.95 N_l=-10426.00 My_l=-7.95 Mz_l=0.00
Azioni sul cordone: TP=0.77 TO=1.11 NO=-770.70
Tensioni nel cordone: τ_P=0.25 τ_0=0.35 σ_0=256.58 σ_{ID}=256.58 Σ_T=256.93
CC 14 SLD (Collegamento -044_-376)
Azioni sul collegamento: N=-10426.00 Ty=10.37 Tz=14.95 Mx=0.00 Mz=8.52
Sollecitazioni agenti localmente: Tx_l=10.37 Ty_l=14.95 N_l=-10426.00 My_l=-8.52 Mz_l=0.00
Azioni sul cordone: TP=0.76 TO=1.11 NO=-770.70
Tensioni nel cordone: τ_P=0.24 τ_0=0.35 σ_0=257.42 σ_{ID}=257.42 Σ_T=257.77
CC 15 SLV (Collegamento -044_-376)
Azioni sul collegamento: N=-11351.40 Ty=9.43 Tz=19.07 Mx=0.01 Mz=7.83
Sollecitazioni agenti localmente: Tx_l=9.43 Ty_l=19.07 N_l=-11351.40 My_l=-7.83 Mz_l=0.01
Azioni sul cordone: TP=0.69 TO=1.42 NO=-839.10
Tensioni nel cordone: τ_P=0.22 τ_0=0.45 σ_0=278.14 σ_{ID}=278.14 Σ_T=278.59
CC 15 SLV (Collegamento -044_-376)
Azioni sul collegamento: N=-11351.40 Ty=13.31 Tz=19.07 Mx=0.01 Mz=12.92
Sollecitazioni agenti localmente: Tx_l=13.31 Ty_l=19.07 N_l=-11351.40 My_l=-12.92 Mz_l=0.01
Azioni sul cordone: TP=0.98 TO=1.42 NO=-839.10

Tensioni nel cordone: τ_P=0.31 τ_0=0.45 σ_0=285.59 σ_{ID}=285.59 Σ_T=286.04
CC 15 SLV (Collegamento -044_-376)
Azioni sul collegamento: N=-11351.40 Ty=9.43 Tz=9.29 Mx=0.01 Mz=7.83
Sollecitazioni agenti localmente: Tx_l=9.43 Ty_l=9.29 N_l=-11351.40 My_l=-7.83 Mz_l=0.01
Azioni sul cordone: TP=0.69 TO=0.69 NO=-839.10
Tensioni nel cordone: τ_P=0.22 τ_0=0.22 σ_0=278.14 σ_{ID}=278.14 Σ_T=278.36
CC 15 SLV (Collegamento -044_-376)
Azioni sul collegamento: N=-11351.40 Ty=13.31 Tz=9.29 Mx=0.01 Mz=12.92
Sollecitazioni agenti localmente: Tx_l=13.31 Ty_l=9.29 N_l=-11351.40 My_l=-12.92 Mz_l=0.01
Azioni sul cordone: TP=0.98 TO=0.69 NO=-839.10
Tensioni nel cordone: τ_P=0.31 τ_0=0.22 σ_0=285.59 σ_{ID}=285.59 Σ_T=285.81
CC 15 SLV (Collegamento -044_-376)
Azioni sul collegamento: N=-8983.82 Ty=9.43 Tz=19.07 Mx=0.01 Mz=7.83
Sollecitazioni agenti localmente: Tx_l=9.43 Ty_l=19.07 N_l=-8983.82 My_l=-7.83 Mz_l=0.01
Azioni sul cordone: TP=0.69 TO=1.42 NO=-664.09
Tensioni nel cordone: τ_P=0.22 τ_0=0.45 σ_0=222.51 σ_{ID}=222.51 Σ_T=222.96
CC 15 SLV (Collegamento -044_-376)
Azioni sul collegamento: N=-8983.82 Ty=13.31 Tz=19.07 Mx=0.01 Mz=12.92
Sollecitazioni agenti localmente: Tx_l=13.31 Ty_l=19.07 N_l=-8983.82 My_l=-12.92 Mz_l=0.01
Azioni sul cordone: TP=0.98 TO=1.42 NO=-664.09
Tensioni nel cordone: τ_P=0.31 τ_0=0.45 σ_0=229.96 σ_{ID}=229.96 Σ_T=230.41
CC 15 SLV (Collegamento -044_-376)
Azioni sul collegamento: N=-8983.82 Ty=9.43 Tz=9.29 Mx=0.01 Mz=7.83
Sollecitazioni agenti localmente: Tx_l=9.43 Ty_l=9.29 N_l=-8983.82 My_l=-7.83 Mz_l=0.01
Azioni sul cordone: TP=0.69 TO=0.69 NO=-664.09
Tensioni nel cordone: τ_P=0.22 τ_0=0.22 σ_0=222.51 σ_{ID}=222.51 Σ_T=222.73
CC 15 SLV (Collegamento -044_-376)
Azioni sul collegamento: N=-8983.82 Ty=13.31 Tz=9.29 Mx=0.01 Mz=12.92
Sollecitazioni agenti localmente: Tx_l=13.31 Ty_l=9.29 N_l=-8983.82 My_l=-12.92 Mz_l=0.01
Azioni sul cordone: TP=0.98 TO=0.69 NO=-664.09
Tensioni nel cordone: τ_P=0.31 τ_0=0.22 σ_0=229.96 σ_{ID}=229.96 Σ_T=230.18
CC 16 SLD (Collegamento -044_-376)
Azioni sul collegamento: N=-10431.00 Ty=9.85 Tz=15.29 Mx=0.00 Mz=7.46
Sollecitazioni agenti localmente: Tx_l=9.85 Ty_l=15.29 N_l=-10431.00 My_l=-7.46 Mz_l=0.00
Azioni sul cordone: TP=0.72 TO=1.13 NO=-771.06
Tensioni nel cordone: τ_P=0.23 τ_0=0.36 σ_0=255.98 σ_{ID}=255.98 Σ_T=256.34
CC 16 SLD (Collegamento -044_-376)
Azioni sul collegamento: N=-10431.00 Ty=11.04 Tz=15.29 Mx=0.00 Mz=9.01
Sollecitazioni agenti localmente: Tx_l=11.04 Ty_l=15.29 N_l=-10431.00 My_l=-9.01 Mz_l=0.00
Azioni sul cordone: TP=0.81 TO=1.13 NO=-771.06
Tensioni nel cordone: τ_P=0.26 τ_0=0.36 σ_0=258.25 σ_{ID}=258.25 Σ_T=258.61
CC 16 SLD (Collegamento -044_-376)
Azioni sul collegamento: N=-10431.00 Ty=9.85 Tz=12.31 Mx=0.00 Mz=7.46
Sollecitazioni agenti localmente: Tx_l=9.85 Ty_l=12.31 N_l=-10431.00 My_l=-7.46 Mz_l=0.00
Azioni sul cordone: TP=0.72 TO=0.91 NO=-771.06
Tensioni nel cordone: τ_P=0.23 τ_0=0.29 σ_0=255.98 σ_{ID}=255.98 Σ_T=256.27
CC 16 SLD (Collegamento -044_-376)
Azioni sul collegamento: N=-10431.00 Ty=11.04 Tz=12.31 Mx=0.00 Mz=9.01
Sollecitazioni agenti localmente: Tx_l=11.04 Ty_l=12.31 N_l=-10431.00 My_l=-9.01 Mz_l=0.00
Azioni sul cordone: TP=0.81 TO=0.91 NO=-771.06
Tensioni nel cordone: τ_P=0.26 τ_0=0.29 σ_0=258.25 σ_{ID}=258.25 Σ_T=258.54
CC 16 SLD (Collegamento -044_-376)
Azioni sul collegamento: N=-9709.06 Ty=9.85 Tz=15.29 Mx=0.00 Mz=7.46
Sollecitazioni agenti localmente: Tx_l=9.85 Ty_l=15.29 N_l=-9709.06 My_l=-7.46 Mz_l=0.00
Azioni sul cordone: TP=0.72 TO=1.13 NO=-717.70
Tensioni nel cordone: τ_P=0.23 τ_0=0.36 σ_0=239.02 σ_{ID}=239.02 Σ_T=239.38
CC 16 SLD (Collegamento -044_-376)
Azioni sul collegamento: N=-9709.06 Ty=11.04 Tz=15.29 Mx=0.00 Mz=9.01
Sollecitazioni agenti localmente: Tx_l=11.04 Ty_l=15.29 N_l=-9709.06 My_l=-9.01 Mz_l=0.00
Azioni sul cordone: TP=0.81 TO=1.13 NO=-717.70
Tensioni nel cordone: τ_P=0.26 τ_0=0.36 σ_0=241.29 σ_{ID}=241.29 Σ_T=241.65
CC 16 SLD (Collegamento -044_-376)
Azioni sul collegamento: N=-9709.06 Ty=9.85 Tz=12.31 Mx=0.00 Mz=7.46
Sollecitazioni agenti localmente: Tx_l=9.85 Ty_l=12.31 N_l=-9709.06 My_l=-7.46 Mz_l=0.00
Azioni sul cordone: TP=0.72 TO=0.91 NO=-717.70
Tensioni nel cordone: τ_P=0.23 τ_0=0.29 σ_0=239.02 σ_{ID}=239.02 Σ_T=239.31
CC 16 SLD (Collegamento -044_-376)
Azioni sul collegamento: N=-9709.06 Ty=11.04 Tz=12.31 Mx=0.00 Mz=9.01
Sollecitazioni agenti localmente: Tx_l=11.04 Ty_l=12.31 N_l=-9709.06 My_l=-9.01 Mz_l=0.00
Azioni sul cordone: TP=0.81 TO=0.91 NO=-717.70
Tensioni nel cordone: τ_P=0.26 τ_0=0.29 σ_0=241.29 σ_{ID}=241.29 Σ_T=241.58
CC 17 SLV (Collegamento -044_-376)
Azioni sul collegamento: N=-5965.51 Ty=12.58 Tz=-1.56 Mx=-0.01 Mz=7.43
Sollecitazioni agenti localmente: Tx_l=12.58 Ty_l=-1.56 N_l=-5965.51 My_l=-7.43 Mz_l=-0.01
Azioni sul cordone: TP=0.94 TO=-0.13 NO=-440.97
Tensioni nel cordone: τ_P=0.30 τ_0= 0.04 σ_0=151.01 σ_{ID}=151.01 Σ_T=151.05
CC 17 SLV (Collegamento -044_-376)
Azioni sul collegamento: N=-5965.51 Ty=4.83 Tz=-1.56 Mx=-0.01 Mz=1.02
Sollecitazioni agenti localmente: Tx_l=4.83 Ty_l=-1.56 N_l=-5965.51 My_l=-1.02 Mz_l=-0.01

Azioni sul cordone: TP=0.37 TO=-0.13 NO=-440.97
Tensioni nel cordone: τ_P=0.12 τ_0= 0.04 σ_0=141.65 σ_{ID}=141.65 Σ_T=141.69
CC 17 SLV (Collegamento -044_-376)
Azioni sul collegamento: N=-5965.51 Ty=12.58 Tz=27.71 Mx=-0.01 Mz=7.43
Sollecitazioni agenti localmente: Tx_l=12.58 Ty_l=27.71 N_l=-5965.51 My_l=-7.43 Mz_l=-0.01
Azioni sul cordone: TP=0.94 TO=2.04 NO=-440.97
Tensioni nel cordone: τ_P=0.30 τ_0=0.65 σ_0=151.01 σ_{ID}=151.01 Σ_T=151.66
CC 17 SLV (Collegamento -044_-376)
Azioni sul collegamento: N=-5965.51 Ty=4.83 Tz=27.71 Mx=-0.01 Mz=1.02
Sollecitazioni agenti localmente: Tx_l=4.83 Ty_l=27.71 N_l=-5965.51 My_l=-1.02 Mz_l=-0.01
Azioni sul cordone: TP=0.37 TO=2.04 NO=-440.97
Tensioni nel cordone: τ_P=0.12 τ_0=0.65 σ_0=141.65 σ_{ID}=141.65 Σ_T=142.30
CC 17 SLV (Collegamento -044_-376)
Azioni sul collegamento: N=-13808.10 Ty=12.58 Tz=-1.56 Mx=-0.01 Mz=7.43
Sollecitazioni agenti localmente: Tx_l=12.58 Ty_l=-1.56 N_l=-13808.10 My_l=-7.43 Mz_l=-0.01
Azioni sul cordone: TP=0.94 TO=-0.13 NO=-1020.70
Tensioni nel cordone: τ_P=0.30 τ_0= 0.04 σ_0=335.28 σ_{ID}=335.28 Σ_T=335.32
CC 17 SLV (Collegamento -044_-376)
Azioni sul collegamento: N=-13808.10 Ty=4.83 Tz=-1.56 Mx=-0.01 Mz=1.02
Sollecitazioni agenti localmente: Tx_l=4.83 Ty_l=-1.56 N_l=-13808.10 My_l=-1.02 Mz_l=-0.01
Azioni sul cordone: TP=0.37 TO=-0.13 NO=-1020.70
Tensioni nel cordone: τ_P=0.12 τ_0= 0.04 σ_0=325.92 σ_{ID}=325.92 Σ_T=325.96
CC 17 SLV (Collegamento -044_-376)
Azioni sul collegamento: N=-13808.10 Ty=12.58 Tz=27.71 Mx=-0.01 Mz=7.43
Sollecitazioni agenti localmente: Tx_l=12.58 Ty_l=27.71 N_l=-13808.10 My_l=-7.43 Mz_l=-0.01
Azioni sul cordone: TP=0.94 TO=2.04 NO=-1020.70
Tensioni nel cordone: τ_P=0.30 τ_0=0.65 σ_0=335.28 σ_{ID}=335.28 Σ_T=335.93
CC 17 SLV (Collegamento -044_-376)
Azioni sul collegamento: N=-13808.10 Ty=4.83 Tz=27.71 Mx=-0.01 Mz=1.02
Sollecitazioni agenti localmente: Tx_l=4.83 Ty_l=27.71 N_l=-13808.10 My_l=-1.02 Mz_l=-0.01
Azioni sul cordone: TP=0.37 TO=2.04 NO=-1020.70
Tensioni nel cordone: τ_P=0.12 τ_0=0.65 σ_0=325.92 σ_{ID}=325.92 Σ_T=326.57
CC 18 SLD (Collegamento -044_-376)
Azioni sul collegamento: N=-8788.68 Ty=10.81 Tz=9.00 Mx=-0.00 Mz=7.34
Sollecitazioni agenti localmente: Tx_l=10.81 Ty_l=9.00 N_l=-8788.68 My_l=-7.34 Mz_l=-0.00
Azioni sul cordone: TP=0.80 TO=0.66 NO=-649.66
Tensioni nel cordone: τ_P=0.25 τ_0=0.21 σ_0=217.21 σ_{ID}=217.21 Σ_T=217.42
CC 18 SLD (Collegamento -044_-376)
Azioni sul collegamento: N=-8788.68 Ty=8.45 Tz=9.00 Mx=-0.00 Mz=5.38
Sollecitazioni agenti localmente: Tx_l=8.45 Ty_l=9.00 N_l=-8788.68 My_l=-5.38 Mz_l=-0.00
Azioni sul cordone: TP=0.63 TO=0.66 NO=-649.66
Tensioni nel cordone: τ_P=0.20 τ_0=0.21 σ_0=214.36 σ_{ID}=214.36 Σ_T=214.57
CC 18 SLD (Collegamento -044_-376)
Azioni sul collegamento: N=-8788.68 Ty=10.81 Tz=17.92 Mx=-0.00 Mz=7.34
Sollecitazioni agenti localmente: Tx_l=10.81 Ty_l=17.92 N_l=-8788.68 My_l=-7.34 Mz_l=-0.00
Azioni sul cordone: TP=0.80 TO=1.32 NO=-649.66
Tensioni nel cordone: τ_P=0.25 τ_0=0.42 σ_0=217.21 σ_{ID}=217.21 Σ_T=217.63
CC 18 SLD (Collegamento -044_-376)
Azioni sul collegamento: N=-8788.68 Ty=8.45 Tz=17.92 Mx=-0.00 Mz=5.38
Sollecitazioni agenti localmente: Tx_l=8.45 Ty_l=17.92 N_l=-8788.68 My_l=-5.38 Mz_l=-0.00
Azioni sul cordone: TP=0.63 TO=1.32 NO=-649.66
Tensioni nel cordone: τ_P=0.20 τ_0=0.42 σ_0=214.36 σ_{ID}=214.36 Σ_T=214.78
CC 18 SLD (Collegamento -044_-376)
Azioni sul collegamento: N=-11180.10 Ty=10.81 Tz=9.00 Mx=-0.00 Mz=7.34
Sollecitazioni agenti localmente: Tx_l=10.81 Ty_l=9.00 N_l=-11180.10 My_l=-7.34 Mz_l=-0.00
Azioni sul cordone: TP=0.80 TO=0.66 NO=-826.44
Tensioni nel cordone: τ_P=0.25 τ_0=0.21 σ_0=273.40 σ_{ID}=273.40 Σ_T=273.61
CC 18 SLD (Collegamento -044_-376)
Azioni sul collegamento: N=-11180.10 Ty=8.45 Tz=9.00 Mx=-0.00 Mz=5.38
Sollecitazioni agenti localmente: Tx_l=8.45 Ty_l=9.00 N_l=-11180.10 My_l=-5.38 Mz_l=-0.00
Azioni sul cordone: TP=0.63 TO=0.66 NO=-826.44
Tensioni nel cordone: τ_P=0.20 τ_0=0.21 σ_0=270.55 σ_{ID}=270.55 Σ_T=270.76
CC 18 SLD (Collegamento -044_-376)
Azioni sul collegamento: N=-11180.10 Ty=10.81 Tz=17.92 Mx=-0.00 Mz=7.34
Sollecitazioni agenti localmente: Tx_l=10.81 Ty_l=17.92 N_l=-11180.10 My_l=-7.34 Mz_l=-0.00
Azioni sul cordone: TP=0.80 TO=1.32 NO=-826.44
Tensioni nel cordone: τ_P=0.25 τ_0=0.42 σ_0=273.40 σ_{ID}=273.40 Σ_T=273.82
CC 18 SLD (Collegamento -044_-376)
Azioni sul collegamento: N=-11180.10 Ty=8.45 Tz=17.92 Mx=-0.00 Mz=5.38
Sollecitazioni agenti localmente: Tx_l=8.45 Ty_l=17.92 N_l=-11180.10 My_l=-5.38 Mz_l=-0.00
Azioni sul cordone: TP=0.63 TO=1.32 NO=-826.44
Tensioni nel cordone: τ_P=0.20 τ_0=0.42 σ_0=270.55 σ_{ID}=270.55 Σ_T=270.97
CC 19 SLV (Collegamento -044_-376)
Azioni sul collegamento: N=-5970.39 Ty=12.07 Tz=-1.24 Mx=-0.01 Mz=6.38
Sollecitazioni agenti localmente: Tx_l=12.07 Ty_l=-1.24 N_l=-5970.39 My_l=-6.38 Mz_l=-0.01
Azioni sul cordone: TP=0.90 TO=-0.10 NO=-441.33
Tensioni nel cordone: τ_P=0.29 τ_0= 0.03 σ_0=149.59 σ_{ID}=149.59 Σ_T=149.63
CC 19 SLV (Collegamento -044_-376)
Azioni sul collegamento: N=-5970.39 Ty=5.34 Tz=-1.24 Mx=-0.01 Mz=2.07

Sollecitazioni agenti localmente: Tx_l=5.34 Ty_l=-1.24 N_l=-5970.39 My_l=-2.07 Mz_l=-0.01
Azioni sul cordone: TP=0.40 TO=-0.10 NO=-441.33
Tensioni nel cordone: τ_P=0.13 τ_0= 0.03 σ_0=143.30 σ_{ID}=143.30 Σ_T=143.33
CC 19 SLV (Collegamento -044_-376)
Azioni sul collegamento: N=-5970.39 Ty=12.07 Tz=27.38 Mx=-0.01 Mz=6.38
Sollecitazioni agenti localmente: Tx_l=12.07 Ty_l=27.38 N_l=-5970.39 My_l=-6.38 Mz_l=-0.01
Azioni sul cordone: TP=0.90 TO=2.02 NO=-441.33
Tensioni nel cordone: τ_P=0.29 τ_0=0.64 σ_0=149.59 σ_{ID}=149.60 Σ_T=150.24
CC 19 SLV (Collegamento -044_-376)
Azioni sul collegamento: N=-5970.39 Ty=5.34 Tz=27.38 Mx=-0.01 Mz=2.07
Sollecitazioni agenti localmente: Tx_l=5.34 Ty_l=27.38 N_l=-5970.39 My_l=-2.07 Mz_l=-0.01
Azioni sul cordone: TP=0.40 TO=2.02 NO=-441.33
Tensioni nel cordone: τ_P=0.13 τ_0=0.64 σ_0=143.30 σ_{ID}=143.30 Σ_T=143.94
CC 19 SLV (Collegamento -044_-376)
Azioni sul collegamento: N=-13803.30 Ty=12.07 Tz=-1.24 Mx=-0.01 Mz=6.38
Sollecitazioni agenti localmente: Tx_l=12.07 Ty_l=-1.24 N_l=-13803.30 My_l=-6.38 Mz_l=-0.01
Azioni sul cordone: TP=0.90 TO=-0.10 NO=-1020.34
Tensioni nel cordone: τ_P=0.29 τ_0= 0.03 σ_0=333.63 σ_{ID}=333.63 Σ_T=333.66
CC 19 SLV (Collegamento -044_-376)
Azioni sul collegamento: N=-13803.30 Ty=5.34 Tz=-1.24 Mx=-0.01 Mz=2.07
Sollecitazioni agenti localmente: Tx_l=5.34 Ty_l=-1.24 N_l=-13803.30 My_l=-2.07 Mz_l=-0.01
Azioni sul cordone: TP=0.40 TO=-0.10 NO=-1020.34
Tensioni nel cordone: τ_P=0.13 τ_0= 0.03 σ_0=327.33 σ_{ID}=327.33 Σ_T=327.36
CC 19 SLV (Collegamento -044_-376)
Azioni sul collegamento: N=-13803.30 Ty=12.07 Tz=27.38 Mx=-0.01 Mz=6.38
Sollecitazioni agenti localmente: Tx_l=12.07 Ty_l=27.38 N_l=-13803.30 My_l=-6.38 Mz_l=-0.01
Azioni sul cordone: TP=0.90 TO=2.02 NO=-1020.34
Tensioni nel cordone: τ_P=0.29 τ_0=0.64 σ_0=333.63 σ_{ID}=333.63 Σ_T=334.27
CC 19 SLV (Collegamento -044_-376)
Azioni sul collegamento: N=-13803.30 Ty=5.34 Tz=27.38 Mx=-0.01 Mz=2.07
Sollecitazioni agenti localmente: Tx_l=5.34 Ty_l=27.38 N_l=-13803.30 My_l=-2.07 Mz_l=-0.01
Azioni sul cordone: TP=0.40 TO=2.02 NO=-1020.34
Tensioni nel cordone: τ_P=0.13 τ_0=0.64 σ_0=327.33 σ_{ID}=327.33 Σ_T=327.98
CC 20 SLD (Collegamento -044_-376)
Azioni sul collegamento: N=-8790.17 Ty=10.66 Tz=9.09 Mx=-0.00 Mz=7.02
Sollecitazioni agenti localmente: Tx_l=10.66 Ty_l=9.09 N_l=-8790.17 My_l=-7.02 Mz_l=-0.00
Azioni sul cordone: TP=0.79 TO=0.67 NO=-649.77
Tensioni nel cordone: τ_P=0.25 τ_0=0.21 σ_0=216.78 σ_{ID}=216.78 Σ_T=217.00
CC 20 SLD (Collegamento -044_-376)
Azioni sul collegamento: N=-8790.17 Ty=8.61 Tz=9.09 Mx=-0.00 Mz=5.70
Sollecitazioni agenti localmente: Tx_l=8.61 Ty_l=9.09 N_l=-8790.17 My_l=-5.70 Mz_l=-0.00
Azioni sul cordone: TP=0.64 TO=0.67 NO=-649.77
Tensioni nel cordone: τ_P=0.20 τ_0=0.21 σ_0=214.86 σ_{ID}=214.86 Σ_T=215.07
CC 20 SLD (Collegamento -044_-376)
Azioni sul collegamento: N=-8790.17 Ty=10.66 Tz=17.82 Mx=-0.00 Mz=7.02
Sollecitazioni agenti localmente: Tx_l=10.66 Ty_l=17.82 N_l=-8790.17 My_l=-7.02 Mz_l=-0.00
Azioni sul cordone: TP=0.79 TO=1.32 NO=-649.77
Tensioni nel cordone: τ_P=0.25 τ_0=0.42 σ_0=216.78 σ_{ID}=216.78 Σ_T=217.20
CC 20 SLD (Collegamento -044_-376)
Azioni sul collegamento: N=-8790.17 Ty=8.61 Tz=17.82 Mx=-0.00 Mz=5.70
Sollecitazioni agenti localmente: Tx_l=8.61 Ty_l=17.82 N_l=-8790.17 My_l=-5.70 Mz_l=-0.00
Azioni sul cordone: TP=0.64 TO=1.32 NO=-649.77
Tensioni nel cordone: τ_P=0.20 τ_0=0.42 σ_0=214.86 σ_{ID}=214.86 Σ_T=215.28
CC 20 SLD (Collegamento -044_-376)
Azioni sul collegamento: N=-11178.70 Ty=10.66 Tz=9.10 Mx=-0.00 Mz=7.02
Sollecitazioni agenti localmente: Tx_l=10.66 Ty_l=9.10 N_l=-11178.70 My_l=-7.02 Mz_l=-0.00
Azioni sul cordone: TP=0.79 TO=0.67 NO=-826.33
Tensioni nel cordone: τ_P=0.25 τ_0=0.21 σ_0=272.90 σ_{ID}=272.90 Σ_T=273.11
CC 20 SLD (Collegamento -044_-376)
Azioni sul collegamento: N=-11178.70 Ty=8.61 Tz=9.10 Mx=-0.00 Mz=5.70
Sollecitazioni agenti localmente: Tx_l=8.61 Ty_l=9.10 N_l=-11178.70 My_l=-5.70 Mz_l=-0.00
Azioni sul cordone: TP=0.64 TO=0.67 NO=-826.33
Tensioni nel cordone: τ_P=0.20 τ_0=0.21 σ_0=270.98 σ_{ID}=270.98 Σ_T=271.19
CC 20 SLD (Collegamento -044_-376)
Azioni sul collegamento: N=-11178.70 Ty=10.66 Tz=17.82 Mx=-0.00 Mz=7.02
Sollecitazioni agenti localmente: Tx_l=10.66 Ty_l=17.82 N_l=-11178.70 My_l=-7.02 Mz_l=-0.00
Azioni sul cordone: TP=0.79 TO=1.32 NO=-826.33
Tensioni nel cordone: τ_P=0.25 τ_0=0.42 σ_0=272.90 σ_{ID}=272.90 Σ_T=273.32
CC 20 SLD (Collegamento -044_-376)
Azioni sul collegamento: N=-11178.70 Ty=8.61 Tz=17.82 Mx=-0.00 Mz=5.70
Sollecitazioni agenti localmente: Tx_l=8.61 Ty_l=17.82 N_l=-11178.70 My_l=-5.70 Mz_l=-0.00
Azioni sul cordone: TP=0.64 TO=1.32 NO=-826.33
Tensioni nel cordone: τ_P=0.20 τ_0=0.42 σ_0=270.98 σ_{ID}=270.98 Σ_T=271.40
CC 21 SLV (Collegamento -044_-376)
Azioni sul collegamento: N=-13803.30 Ty=5.34 Tz=27.38 Mx=-0.01 Mz=2.07
Sollecitazioni agenti localmente: Tx_l=5.34 Ty_l=27.38 N_l=-13803.30 My_l=-2.07 Mz_l=-0.01
Azioni sul cordone: TP=0.41 TO=2.01 NO=-1020.34
Tensioni nel cordone: τ_P=0.13 τ_0=0.64 σ_0=327.33 σ_{ID}=327.33 Σ_T=327.97
CC 21 SLV (Collegamento -044_-376)

Azioni sul collegamento: N=-13803.30 Ty=12.07 Tz=27.38 Mx=-0.01 Mz=6.38
Sollecitazioni agenti localmente: Tx_l=12.07 Ty_l=27.38 N_l=-13803.30 My_l=-6.38 Mz_l=-0.01
Azioni sul cordone: TP=0.91 TO=2.01 NO=-1020.34
Tensioni nel cordone: τ_P=0.29 τ_0=0.64 σ_0=333.63 σ_{ID}=333.63 Σ_T=334.27
CC 21 SLV (Collegamento -044_-376)
Azioni sul collegamento: N=-13803.30 Ty=5.34 Tz=-1.24 Mx=-0.01 Mz=2.07
Sollecitazioni agenti localmente: Tx_l=5.34 Ty_l=-1.24 N_l=-13803.30 My_l=-2.07 Mz_l=-0.01
Azioni sul cordone: TP=0.41 TO=-0.10 NO=-1020.34
Tensioni nel cordone: τ_P=0.13 τ_0= 0.03 σ_0=327.33 σ_{ID}=327.33 Σ_T=327.37
CC 21 SLV (Collegamento -044_-376)
Azioni sul collegamento: N=-13803.30 Ty=12.07 Tz=-1.24 Mx=-0.01 Mz=6.38
Sollecitazioni agenti localmente: Tx_l=12.07 Ty_l=-1.24 N_l=-13803.30 My_l=-6.38 Mz_l=-0.01
Azioni sul cordone: TP=0.91 TO=-0.10 NO=-1020.34
Tensioni nel cordone: τ_P=0.29 τ_0= 0.03 σ_0=333.63 σ_{ID}=333.63 Σ_T=333.66
CC 21 SLV (Collegamento -044_-376)
Azioni sul collegamento: N=-5970.39 Ty=5.34 Tz=27.38 Mx=-0.01 Mz=2.07
Sollecitazioni agenti localmente: Tx_l=5.34 Ty_l=27.38 N_l=-5970.39 My_l=-2.07 Mz_l=-0.01
Azioni sul cordone: TP=0.41 TO=2.01 NO=-441.33
Tensioni nel cordone: τ_P=0.13 τ_0=0.64 σ_0=143.30 σ_{ID}=143.30 Σ_T=143.94
CC 21 SLV (Collegamento -044_-376)
Azioni sul collegamento: N=-5970.39 Ty=12.07 Tz=27.38 Mx=-0.01 Mz=6.38
Sollecitazioni agenti localmente: Tx_l=12.07 Ty_l=27.38 N_l=-5970.39 My_l=-6.38 Mz_l=-0.01
Azioni sul cordone: TP=0.91 TO=2.01 NO=-441.33
Tensioni nel cordone: τ_P=0.29 τ_0=0.64 σ_0=149.59 σ_{ID}=149.60 Σ_T=150.24
CC 21 SLV (Collegamento -044_-376)
Azioni sul collegamento: N=-5970.39 Ty=5.34 Tz=-1.24 Mx=-0.01 Mz=2.07
Sollecitazioni agenti localmente: Tx_l=5.34 Ty_l=-1.24 N_l=-5970.39 My_l=-2.07 Mz_l=-0.01
Azioni sul cordone: TP=0.41 TO=-0.10 NO=-441.33
Tensioni nel cordone: τ_P=0.13 τ_0= 0.03 σ_0=143.30 σ_{ID}=143.30 Σ_T=143.33
CC 21 SLV (Collegamento -044_-376)
Azioni sul collegamento: N=-5970.39 Ty=12.07 Tz=-1.24 Mx=-0.01 Mz=6.38
Sollecitazioni agenti localmente: Tx_l=12.07 Ty_l=-1.24 N_l=-5970.39 My_l=-6.38 Mz_l=-0.01
Azioni sul cordone: TP=0.91 TO=-0.10 NO=-441.33
Tensioni nel cordone: τ_P=0.29 τ_0= 0.03 σ_0=149.59 σ_{ID}=149.59 Σ_T=149.63
CC 22 SLD (Collegamento -044_-376)
Azioni sul collegamento: N=-11178.70 Ty=8.61 Tz=17.82 Mx=-0.00 Mz=5.70
Sollecitazioni agenti localmente: Tx_l=8.61 Ty_l=17.82 N_l=-11178.70 My_l=-5.70 Mz_l=-0.00
Azioni sul cordone: TP=0.64 TO=1.32 NO=-826.33
Tensioni nel cordone: τ_P=0.20 τ_0=0.42 σ_0=270.98 σ_{ID}=270.98 Σ_T=271.40
CC 22 SLD (Collegamento -044_-376)
Azioni sul collegamento: N=-11178.70 Ty=10.66 Tz=17.82 Mx=-0.00 Mz=7.02
Sollecitazioni agenti localmente: Tx_l=10.66 Ty_l=17.82 N_l=-11178.70 My_l=-7.02 Mz_l=-0.00
Azioni sul cordone: TP=0.79 TO=1.32 NO=-826.33
Tensioni nel cordone: τ_P=0.25 τ_0=0.42 σ_0=272.90 σ_{ID}=272.90 Σ_T=273.32
CC 22 SLD (Collegamento -044_-376)
Azioni sul collegamento: N=-11178.70 Ty=8.61 Tz=9.10 Mx=-0.00 Mz=5.70
Sollecitazioni agenti localmente: Tx_l=8.61 Ty_l=9.10 N_l=-11178.70 My_l=-5.70 Mz_l=-0.00
Azioni sul cordone: TP=0.64 TO=0.67 NO=-826.33
Tensioni nel cordone: τ_P=0.20 τ_0=0.21 σ_0=270.98 σ_{ID}=270.98 Σ_T=271.19
CC 22 SLD (Collegamento -044_-376)
Azioni sul collegamento: N=-11178.70 Ty=10.66 Tz=9.10 Mx=-0.00 Mz=7.02
Sollecitazioni agenti localmente: Tx_l=10.66 Ty_l=9.10 N_l=-11178.70 My_l=-7.02 Mz_l=-0.00
Azioni sul cordone: TP=0.79 TO=0.67 NO=-826.33
Tensioni nel cordone: τ_P=0.25 τ_0=0.21 σ_0=272.90 σ_{ID}=272.90 Σ_T=273.11
CC 22 SLD (Collegamento -044_-376)
Azioni sul collegamento: N=-8790.17 Ty=8.61 Tz=17.82 Mx=-0.00 Mz=5.70
Sollecitazioni agenti localmente: Tx_l=8.61 Ty_l=17.82 N_l=-8790.17 My_l=-5.70 Mz_l=-0.00
Azioni sul cordone: TP=0.64 TO=1.32 NO=-649.77
Tensioni nel cordone: τ_P=0.20 τ_0=0.42 σ_0=214.86 σ_{ID}=214.86 Σ_T=215.28
CC 22 SLD (Collegamento -044_-376)
Azioni sul collegamento: N=-8790.17 Ty=10.66 Tz=17.82 Mx=-0.00 Mz=7.02
Sollecitazioni agenti localmente: Tx_l=10.66 Ty_l=17.82 N_l=-8790.17 My_l=-7.02 Mz_l=-0.00
Azioni sul cordone: TP=0.79 TO=1.32 NO=-649.77
Tensioni nel cordone: τ_P=0.25 τ_0=0.42 σ_0=216.78 σ_{ID}=216.78 Σ_T=217.20
CC 22 SLD (Collegamento -044_-376)
Azioni sul collegamento: N=-8790.17 Ty=8.61 Tz=9.09 Mx=-0.00 Mz=5.70
Sollecitazioni agenti localmente: Tx_l=8.61 Ty_l=9.09 N_l=-8790.17 My_l=-5.70 Mz_l=-0.00
Azioni sul cordone: TP=0.64 TO=0.67 NO=-649.77
Tensioni nel cordone: τ_P=0.20 τ_0=0.21 σ_0=214.86 σ_{ID}=214.86 Σ_T=215.07
CC 22 SLD (Collegamento -044_-376)
Azioni sul collegamento: N=-8790.17 Ty=10.66 Tz=9.09 Mx=-0.00 Mz=7.02
Sollecitazioni agenti localmente: Tx_l=10.66 Ty_l=9.09 N_l=-8790.17 My_l=-7.02 Mz_l=-0.00
Azioni sul cordone: TP=0.79 TO=0.67 NO=-649.77
Tensioni nel cordone: τ_P=0.25 τ_0=0.21 σ_0=216.78 σ_{ID}=216.78 Σ_T=217.00
CC 23 SLV (Collegamento -044_-376)
Azioni sul collegamento: N=-13808.10 Ty=4.83 Tz=27.71 Mx=-0.01 Mz=1.02
Sollecitazioni agenti localmente: Tx_l=4.83 Ty_l=27.71 N_l=-13808.10 My_l=-1.02 Mz_l=-0.01
Azioni sul cordone: TP=0.37 TO=2.04 NO=-1020.70
Tensioni nel cordone: τ_P=0.12 τ_0=0.65 σ_0=325.92 σ_{ID}=325.92 Σ_T=326.57

CC 23 SLV (Collegamento -044_-376)
Azioni sul collegamento: N=-13808.10 Ty=12.58 Tz=27.71 Mx=-0.01 Mz=7.43
Sollecitazioni agenti localmente: Tx_l=12.58 Ty_l=27.71 N_l=-13808.10 My_l=-7.43 Mz_l=-0.01
Azioni sul cordone: TP=0.94 TO=2.04 NO=-1020.70
Tensioni nel cordone: τ_P=0.30 τ_0=0.65 σ_0=335.28 σ_{ID}=335.28 Σ_T=335.93
CC 23 SLV (Collegamento -044_-376)
Azioni sul collegamento: N=-13808.10 Ty=4.83 Tz=-1.56 Mx=-0.01 Mz=1.02
Sollecitazioni agenti localmente: Tx_l=4.83 Ty_l=-1.56 N_l=-13808.10 My_l=-1.02 Mz_l=-0.01
Azioni sul cordone: TP=0.37 TO=-0.12 NO=-1020.70
Tensioni nel cordone: τ_P=0.12 τ_0= 0.04 σ_0=325.92 σ_{ID}=325.92 Σ_T=325.96
CC 23 SLV (Collegamento -044_-376)
Azioni sul collegamento: N=-13808.10 Ty=12.58 Tz=-1.56 Mx=-0.01 Mz=7.43
Sollecitazioni agenti localmente: Tx_l=12.58 Ty_l=-1.56 N_l=-13808.10 My_l=-7.43 Mz_l=-0.01
Azioni sul cordone: TP=0.94 TO=-0.12 NO=-1020.70
Tensioni nel cordone: τ_P=0.30 τ_0= 0.04 σ_0=335.28 σ_{ID}=335.28 Σ_T=335.31
CC 23 SLV (Collegamento -044_-376)
Azioni sul collegamento: N=-5965.51 Ty=4.83 Tz=27.71 Mx=-0.01 Mz=1.02
Sollecitazioni agenti localmente: Tx_l=4.83 Ty_l=27.71 N_l=-5965.51 My_l=-1.02 Mz_l=-0.01
Azioni sul cordone: TP=0.37 TO=2.04 NO=-440.97
Tensioni nel cordone: τ_P=0.12 τ_0=0.65 σ_0=141.65 σ_{ID}=141.65 Σ_T=142.30
CC 23 SLV (Collegamento -044_-376)
Azioni sul collegamento: N=-5965.51 Ty=12.58 Tz=27.71 Mx=-0.01 Mz=7.43
Sollecitazioni agenti localmente: Tx_l=12.58 Ty_l=27.71 N_l=-5965.51 My_l=-7.43 Mz_l=-0.01
Azioni sul cordone: TP=0.94 TO=2.04 NO=-440.97
Tensioni nel cordone: τ_P=0.30 τ_0=0.65 σ_0=151.01 σ_{ID}=151.01 Σ_T=151.66
CC 23 SLV (Collegamento -044_-376)
Azioni sul collegamento: N=-5965.51 Ty=4.83 Tz=-1.56 Mx=-0.01 Mz=1.02
Sollecitazioni agenti localmente: Tx_l=4.83 Ty_l=-1.56 N_l=-5965.51 My_l=-1.02 Mz_l=-0.01
Azioni sul cordone: TP=0.37 TO=-0.12 NO=-440.97
Tensioni nel cordone: τ_P=0.12 τ_0= 0.04 σ_0=141.65 σ_{ID}=141.65 Σ_T=141.69
CC 23 SLV (Collegamento -044_-376)
Azioni sul collegamento: N=-5965.51 Ty=12.58 Tz=-1.56 Mx=-0.01 Mz=7.43
Sollecitazioni agenti localmente: Tx_l=12.58 Ty_l=-1.56 N_l=-5965.51 My_l=-7.43 Mz_l=-0.01
Azioni sul cordone: TP=0.94 TO=-0.12 NO=-440.97
Tensioni nel cordone: τ_P=0.30 τ_0= 0.04 σ_0=151.01 σ_{ID}=151.01 Σ_T=151.05
CC 24 SLD (Collegamento -044_-376)
Azioni sul collegamento: N=-11180.10 Ty=8.45 Tz=17.92 Mx=-0.00 Mz=5.38
Sollecitazioni agenti localmente: Tx_l=8.45 Ty_l=17.92 N_l=-11180.10 My_l=-5.38 Mz_l=-0.00
Azioni sul cordone: TP=0.62 TO=1.32 NO=-826.44
Tensioni nel cordone: τ_P=0.20 τ_0=0.42 σ_0=270.55 σ_{ID}=270.55 Σ_T=270.97
CC 24 SLD (Collegamento -044_-376)
Azioni sul collegamento: N=-11180.10 Ty=10.81 Tz=17.92 Mx=-0.00 Mz=7.34
Sollecitazioni agenti localmente: Tx_l=10.81 Ty_l=17.92 N_l=-11180.10 My_l=-7.34 Mz_l=-0.00
Azioni sul cordone: TP=0.80 TO=1.32 NO=-826.44
Tensioni nel cordone: τ_P=0.25 τ_0=0.42 σ_0=273.40 σ_{ID}=273.40 Σ_T=273.82
CC 24 SLD (Collegamento -044_-376)
Azioni sul collegamento: N=-11180.10 Ty=8.45 Tz=9.00 Mx=-0.00 Mz=5.38
Sollecitazioni agenti localmente: Tx_l=8.45 Ty_l=9.00 N_l=-11180.10 My_l=-5.38 Mz_l=-0.00
Azioni sul cordone: TP=0.62 TO=0.66 NO=-826.44
Tensioni nel cordone: τ_P=0.20 τ_0=0.21 σ_0=270.55 σ_{ID}=270.55 Σ_T=270.76
CC 24 SLD (Collegamento -044_-376)
Azioni sul collegamento: N=-11180.10 Ty=10.81 Tz=9.00 Mx=-0.00 Mz=7.34
Sollecitazioni agenti localmente: Tx_l=10.81 Ty_l=9.00 N_l=-11180.10 My_l=-7.34 Mz_l=-0.00
Azioni sul cordone: TP=0.80 TO=0.66 NO=-826.44
Tensioni nel cordone: τ_P=0.25 τ_0=0.21 σ_0=273.40 σ_{ID}=273.40 Σ_T=273.61
CC 24 SLD (Collegamento -044_-376)
Azioni sul collegamento: N=-8788.68 Ty=8.45 Tz=17.92 Mx=-0.00 Mz=5.38
Sollecitazioni agenti localmente: Tx_l=8.45 Ty_l=17.92 N_l=-8788.68 My_l=-5.38 Mz_l=-0.00
Azioni sul cordone: TP=0.62 TO=1.32 NO=-649.66
Tensioni nel cordone: τ_P=0.20 τ_0=0.42 σ_0=214.36 σ_{ID}=214.36 Σ_T=214.78
CC 24 SLD (Collegamento -044_-376)
Azioni sul collegamento: N=-8788.68 Ty=10.81 Tz=17.92 Mx=-0.00 Mz=7.34
Sollecitazioni agenti localmente: Tx_l=10.81 Ty_l=17.92 N_l=-8788.68 My_l=-7.34 Mz_l=-0.00
Azioni sul cordone: TP=0.80 TO=1.32 NO=-649.66
Tensioni nel cordone: τ_P=0.25 τ_0=0.42 σ_0=217.21 σ_{ID}=217.21 Σ_T=217.63
CC 24 SLD (Collegamento -044_-376)
Azioni sul collegamento: N=-8788.68 Ty=8.45 Tz=9.00 Mx=-0.00 Mz=5.38
Sollecitazioni agenti localmente: Tx_l=8.45 Ty_l=9.00 N_l=-8788.68 My_l=-5.38 Mz_l=-0.00
Azioni sul cordone: TP=0.62 TO=0.66 NO=-649.66
Tensioni nel cordone: τ_P=0.20 τ_0=0.21 σ_0=214.36 σ_{ID}=214.36 Σ_T=214.57
CC 24 SLD (Collegamento -044_-376)
Azioni sul collegamento: N=-8788.68 Ty=10.81 Tz=9.00 Mx=-0.00 Mz=7.34
Sollecitazioni agenti localmente: Tx_l=10.81 Ty_l=9.00 N_l=-8788.68 My_l=-7.34 Mz_l=-0.00
Azioni sul cordone: TP=0.80 TO=0.66 NO=-649.66
Tensioni nel cordone: τ_P=0.25 τ_0=0.21 σ_0=217.21 σ_{ID}=217.21 Σ_T=217.43
CC 25 SLV (Collegamento -044_-376)
Azioni sul collegamento: N=-8703.02 Ty=10.65 Tz=8.19 Mx=-0.02 Mz=6.77
Sollecitazioni agenti localmente: Tx_l=10.65 Ty_l=8.19 N_l=-8703.02 My_l=-6.77 Mz_l=-0.02
Azioni sul cordone: TP=0.81 TO=0.59 NO=-643.33

Tensioni nel cordone: τ_P=0.26 τ_0=0.19 σ_0=214.38 σ_{ID}=214.38 Σ_T=214.56
CC 25 SLV (Collegamento -044_-376)
Azioni sul collegamento: N=-8703.02 Ty=6.76 Tz=8.19 Mx=-0.02 Mz=1.67
Sollecitazioni agenti localmente: Tx_l=6.76 Ty_l=8.19 N_l=-8703.02 My_l=-1.67 Mz_l=-0.02
Azioni sul cordone: TP=0.52 TO=0.59 NO=-643.33
Tensioni nel cordone: τ_P=0.17 τ_0=0.19 σ_0=206.93 σ_{ID}=206.93 Σ_T=207.11
CC 25 SLV (Collegamento -044_-376)
Azioni sul collegamento: N=-8703.02 Ty=10.65 Tz=17.96 Mx=-0.02 Mz=6.77
Sollecitazioni agenti localmente: Tx_l=10.65 Ty_l=17.96 N_l=-8703.02 My_l=-6.77 Mz_l=-0.02
Azioni sul cordone: TP=0.81 TO=1.31 NO=-643.33
Tensioni nel cordone: τ_P=0.26 τ_0=0.42 σ_0=214.38 σ_{ID}=214.38 Σ_T=214.79
CC 25 SLV (Collegamento -044_-376)
Azioni sul collegamento: N=-8703.02 Ty=6.76 Tz=17.96 Mx=-0.02 Mz=1.67
Sollecitazioni agenti localmente: Tx_l=6.76 Ty_l=17.96 N_l=-8703.02 My_l=-1.67 Mz_l=-0.02
Azioni sul cordone: TP=0.52 TO=1.31 NO=-643.33
Tensioni nel cordone: τ_P=0.17 τ_0=0.42 σ_0=206.93 σ_{ID}=206.93 Σ_T=207.34
CC 25 SLV (Collegamento -044_-376)
Azioni sul collegamento: N=-11070.60 Ty=10.65 Tz=8.19 Mx=-0.02 Mz=6.77
Sollecitazioni agenti localmente: Tx_l=10.65 Ty_l=8.19 N_l=-11070.60 My_l=-6.77 Mz_l=-0.02
Azioni sul cordone: TP=0.81 TO=0.59 NO=-818.34
Tensioni nel cordone: τ_P=0.26 τ_0=0.19 σ_0=270.00 σ_{ID}=270.00 Σ_T=270.19
CC 25 SLV (Collegamento -044_-376)
Azioni sul collegamento: N=-11070.60 Ty=6.76 Tz=8.19 Mx=-0.02 Mz=1.67
Sollecitazioni agenti localmente: Tx_l=6.76 Ty_l=8.19 N_l=-11070.60 My_l=-1.67 Mz_l=-0.02
Azioni sul cordone: TP=0.52 TO=0.59 NO=-818.34
Tensioni nel cordone: τ_P=0.17 τ_0=0.19 σ_0=262.55 σ_{ID}=262.55 Σ_T=262.74
CC 25 SLV (Collegamento -044_-376)
Azioni sul collegamento: N=-11070.60 Ty=10.65 Tz=17.96 Mx=-0.02 Mz=6.77
Sollecitazioni agenti localmente: Tx_l=10.65 Ty_l=17.96 N_l=-11070.60 My_l=-6.77 Mz_l=-0.02
Azioni sul cordone: TP=0.81 TO=1.31 NO=-818.34
Tensioni nel cordone: τ_P=0.26 τ_0=0.42 σ_0=270.00 σ_{ID}=270.00 Σ_T=270.42
CC 25 SLV (Collegamento -044_-376)
Azioni sul collegamento: N=-11070.60 Ty=6.76 Tz=17.96 Mx=-0.02 Mz=1.67
Sollecitazioni agenti localmente: Tx_l=6.76 Ty_l=17.96 N_l=-11070.60 My_l=-1.67 Mz_l=-0.02
Azioni sul cordone: TP=0.52 TO=1.31 NO=-818.34
Tensioni nel cordone: τ_P=0.17 τ_0=0.42 σ_0=262.55 σ_{ID}=262.55 Σ_T=262.97
CC 26 SLD (Collegamento -044_-376)
Azioni sul collegamento: N=-9623.43 Ty=10.22 Tz=11.97 Mx=-0.00 Mz=7.14
Sollecitazioni agenti localmente: Tx_l=10.22 Ty_l=11.97 N_l=-9623.43 My_l=-7.14 Mz_l=-0.00
Azioni sul cordone: TP=0.76 TO=0.88 NO=-711.37
Tensioni nel cordone: τ_P=0.24 τ_0=0.28 σ_0=236.53 σ_{ID}=236.54 Σ_T=236.82
CC 26 SLD (Collegamento -044_-376)
Azioni sul collegamento: N=-9623.43 Ty=9.04 Tz=11.97 Mx=-0.00 Mz=5.58
Sollecitazioni agenti localmente: Tx_l=9.04 Ty_l=11.97 N_l=-9623.43 My_l=-5.58 Mz_l=-0.00
Azioni sul cordone: TP=0.67 TO=0.88 NO=-711.37
Tensioni nel cordone: τ_P=0.21 τ_0=0.28 σ_0=234.26 σ_{ID}=234.26 Σ_T=234.54
CC 26 SLD (Collegamento -044_-376)
Azioni sul collegamento: N=-9623.43 Ty=10.22 Tz=14.95 Mx=-0.00 Mz=7.14
Sollecitazioni agenti localmente: Tx_l=10.22 Ty_l=14.95 N_l=-9623.43 My_l=-7.14 Mz_l=-0.00
Azioni sul cordone: TP=0.76 TO=1.10 NO=-711.37
Tensioni nel cordone: τ_P=0.24 τ_0=0.35 σ_0=236.53 σ_{ID}=236.54 Σ_T=236.89
CC 26 SLD (Collegamento -044_-376)
Azioni sul collegamento: N=-9623.43 Ty=9.04 Tz=14.95 Mx=-0.00 Mz=5.58
Sollecitazioni agenti localmente: Tx_l=9.04 Ty_l=14.95 N_l=-9623.43 My_l=-5.58 Mz_l=-0.00
Azioni sul cordone: TP=0.67 TO=1.10 NO=-711.37
Tensioni nel cordone: τ_P=0.21 τ_0=0.35 σ_0=234.26 σ_{ID}=234.26 Σ_T=234.61
CC 26 SLD (Collegamento -044_-376)
Azioni sul collegamento: N=-10345.40 Ty=10.22 Tz=11.97 Mx=-0.00 Mz=7.14
Sollecitazioni agenti localmente: Tx_l=10.22 Ty_l=11.97 N_l=-10345.40 My_l=-7.14 Mz_l=-0.00
Azioni sul cordone: TP=0.76 TO=0.88 NO=-764.73
Tensioni nel cordone: τ_P=0.24 τ_0=0.28 σ_0=253.50 σ_{ID}=253.50 Σ_T=253.78
CC 26 SLD (Collegamento -044_-376)
Azioni sul collegamento: N=-10345.40 Ty=9.04 Tz=11.97 Mx=-0.00 Mz=5.58
Sollecitazioni agenti localmente: Tx_l=9.04 Ty_l=11.97 N_l=-10345.40 My_l=-5.58 Mz_l=-0.00
Azioni sul cordone: TP=0.67 TO=0.88 NO=-764.73
Tensioni nel cordone: τ_P=0.21 τ_0=0.28 σ_0=251.23 σ_{ID}=251.23 Σ_T=251.51
CC 26 SLD (Collegamento -044_-376)
Azioni sul collegamento: N=-10345.40 Ty=10.22 Tz=14.95 Mx=-0.00 Mz=7.14
Sollecitazioni agenti localmente: Tx_l=10.22 Ty_l=14.95 N_l=-10345.40 My_l=-7.14 Mz_l=-0.00
Azioni sul cordone: TP=0.76 TO=1.10 NO=-764.73
Tensioni nel cordone: τ_P=0.24 τ_0=0.35 σ_0=253.50 σ_{ID}=253.50 Σ_T=253.85
CC 26 SLD (Collegamento -044_-376)
Azioni sul collegamento: N=-10345.40 Ty=9.04 Tz=14.95 Mx=-0.00 Mz=5.58
Sollecitazioni agenti localmente: Tx_l=9.04 Ty_l=14.95 N_l=-10345.40 My_l=-5.58 Mz_l=-0.00
Azioni sul cordone: TP=0.67 TO=1.10 NO=-764.73
Tensioni nel cordone: τ_P=0.21 τ_0=0.35 σ_0=251.23 σ_{ID}=251.23 Σ_T=251.58
CC 27 SLV (Collegamento -044_-376)
Azioni sul collegamento: N=-11054.30 Ty=8.48 Tz=16.87 Mx=-0.02 Mz=5.16
Sollecitazioni agenti localmente: Tx_l=8.48 Ty_l=16.87 N_l=-11054.30 My_l=-5.16 Mz_l=-0.02

Azioni sul cordone: TP=0.65 TO=1.23 NO=-817.14
Tensioni nel cordone: τ_P=0.21 τ_O=0.39 σ_O=267.27 σ_{ID}=267.27 Σ_T=267.66
CC 27 SLV (Collegamento -044_-376)
Azioni sul collegamento: N=-11054.30 Ty=8.94 Tz=16.87 Mx=-0.02 Mz=3.28
Sollecitazioni agenti localmente: Tx_l=8.94 Ty_l=16.87 N_l=-11054.30 My_l=-3.28 Mz_l=-0.02
Azioni sul cordone: TP=0.68 TO=1.23 NO=-817.14
Tensioni nel cordone: τ_P=0.22 τ_O=0.39 σ_O=264.52 σ_{ID}=264.52 Σ_T=264.91
CC 27 SLV (Collegamento -044_-376)
Azioni sul collegamento: N=-11054.30 Ty=8.48 Tz=9.28 Mx=-0.02 Mz=5.16
Sollecitazioni agenti localmente: Tx_l=8.48 Ty_l=9.28 N_l=-11054.30 My_l=-5.16 Mz_l=-0.02
Azioni sul cordone: TP=0.65 TO=0.67 NO=-817.14
Tensioni nel cordone: τ_P=0.21 τ_O=0.21 σ_O=267.27 σ_{ID}=267.27 Σ_T=267.49
CC 27 SLV (Collegamento -044_-376)
Azioni sul collegamento: N=-11054.30 Ty=8.94 Tz=9.28 Mx=-0.02 Mz=3.28
Sollecitazioni agenti localmente: Tx_l=8.94 Ty_l=9.28 N_l=-11054.30 My_l=-3.28 Mz_l=-0.02
Azioni sul cordone: TP=0.68 TO=0.67 NO=-817.14
Tensioni nel cordone: τ_P=0.22 τ_O=0.21 σ_O=264.52 σ_{ID}=264.52 Σ_T=264.73
CC 27 SLV (Collegamento -044_-376)
Azioni sul collegamento: N=-8719.31 Ty=8.48 Tz=16.87 Mx=-0.02 Mz=5.16
Sollecitazioni agenti localmente: Tx_l=8.48 Ty_l=16.87 N_l=-8719.31 My_l=-5.16 Mz_l=-0.02
Azioni sul cordone: TP=0.65 TO=1.23 NO=-644.53
Tensioni nel cordone: τ_P=0.21 τ_O=0.39 σ_O=212.41 σ_{ID}=212.41 Σ_T=212.80
CC 27 SLV (Collegamento -044_-376)
Azioni sul collegamento: N=-8719.31 Ty=8.94 Tz=16.87 Mx=-0.02 Mz=3.28
Sollecitazioni agenti localmente: Tx_l=8.94 Ty_l=16.87 N_l=-8719.31 My_l=-3.28 Mz_l=-0.02
Azioni sul cordone: TP=0.68 TO=1.23 NO=-644.53
Tensioni nel cordone: τ_P=0.22 τ_O=0.39 σ_O=209.66 σ_{ID}=209.66 Σ_T=210.05
CC 27 SLV (Collegamento -044_-376)
Azioni sul collegamento: N=-8719.31 Ty=8.48 Tz=9.28 Mx=-0.02 Mz=5.16
Sollecitazioni agenti localmente: Tx_l=8.48 Ty_l=9.28 N_l=-8719.31 My_l=-5.16 Mz_l=-0.02
Azioni sul cordone: TP=0.65 TO=0.67 NO=-644.53
Tensioni nel cordone: τ_P=0.21 τ_O=0.21 σ_O=212.41 σ_{ID}=212.41 Σ_T=212.62
CC 27 SLV (Collegamento -044_-376)
Azioni sul collegamento: N=-8719.31 Ty=8.94 Tz=9.28 Mx=-0.02 Mz=3.28
Sollecitazioni agenti localmente: Tx_l=8.94 Ty_l=9.28 N_l=-8719.31 My_l=-3.28 Mz_l=-0.02
Azioni sul cordone: TP=0.68 TO=0.67 NO=-644.53
Tensioni nel cordone: τ_P=0.22 τ_O=0.21 σ_O=209.66 σ_{ID}=209.66 Σ_T=209.87
CC 28 SLD (Collegamento -044_-376)
Azioni sul collegamento: N=-10340.40 Ty=9.56 Tz=14.62 Mx=-0.00 Mz=6.65
Sollecitazioni agenti localmente: Tx_l=9.56 Ty_l=14.62 N_l=-10340.40 My_l=-6.65 Mz_l=-0.00
Azioni sul cordone: TP=0.71 TO=1.08 NO=-764.37
Tensioni nel cordone: τ_P=0.23 τ_O=0.34 σ_O=252.66 σ_{ID}=252.67 Σ_T=253.01
CC 28 SLD (Collegamento -044_-376)
Azioni sul collegamento: N=-10340.40 Ty=9.70 Tz=14.62 Mx=-0.00 Mz=6.07
Sollecitazioni agenti localmente: Tx_l=9.70 Ty_l=14.62 N_l=-10340.40 My_l=-6.07 Mz_l=-0.00
Azioni sul cordone: TP=0.72 TO=1.08 NO=-764.37
Tensioni nel cordone: τ_P=0.23 τ_O=0.34 σ_O=251.83 σ_{ID}=251.83 Σ_T=252.17
CC 28 SLD (Collegamento -044_-376)
Azioni sul collegamento: N=-10340.40 Ty=9.56 Tz=12.30 Mx=-0.00 Mz=6.65
Sollecitazioni agenti localmente: Tx_l=9.56 Ty_l=12.30 N_l=-10340.40 My_l=-6.65 Mz_l=-0.00
Azioni sul cordone: TP=0.71 TO=0.91 NO=-764.37
Tensioni nel cordone: τ_P=0.23 τ_O=0.29 σ_O=252.66 σ_{ID}=252.67 Σ_T=252.95
CC 28 SLD (Collegamento -044_-376)
Azioni sul collegamento: N=-10340.40 Ty=9.70 Tz=12.30 Mx=-0.00 Mz=6.07
Sollecitazioni agenti localmente: Tx_l=9.70 Ty_l=12.30 N_l=-10340.40 My_l=-6.07 Mz_l=-0.00
Azioni sul cordone: TP=0.72 TO=0.91 NO=-764.37
Tensioni nel cordone: τ_P=0.23 τ_O=0.29 σ_O=251.83 σ_{ID}=251.83 Σ_T=252.11
CC 28 SLD (Collegamento -044_-376)
Azioni sul collegamento: N=-9628.40 Ty=9.56 Tz=14.62 Mx=-0.00 Mz=6.65
Sollecitazioni agenti localmente: Tx_l=9.56 Ty_l=14.62 N_l=-9628.40 My_l=-6.65 Mz_l=-0.00
Azioni sul cordone: TP=0.71 TO=1.08 NO=-711.73
Tensioni nel cordone: τ_P=0.23 τ_O=0.34 σ_O=235.94 σ_{ID}=235.94 Σ_T=236.28
CC 28 SLD (Collegamento -044_-376)
Azioni sul collegamento: N=-9628.40 Ty=9.70 Tz=14.62 Mx=-0.00 Mz=6.07
Sollecitazioni agenti localmente: Tx_l=9.70 Ty_l=14.62 N_l=-9628.40 My_l=-6.07 Mz_l=-0.00
Azioni sul cordone: TP=0.72 TO=1.08 NO=-711.73
Tensioni nel cordone: τ_P=0.23 τ_O=0.34 σ_O=235.10 σ_{ID}=235.10 Σ_T=235.44
CC 28 SLD (Collegamento -044_-376)
Azioni sul collegamento: N=-9628.40 Ty=9.56 Tz=12.30 Mx=-0.00 Mz=6.65
Sollecitazioni agenti localmente: Tx_l=9.56 Ty_l=12.30 N_l=-9628.40 My_l=-6.65 Mz_l=-0.00
Azioni sul cordone: TP=0.71 TO=0.91 NO=-711.73
Tensioni nel cordone: τ_P=0.23 τ_O=0.29 σ_O=235.94 σ_{ID}=235.94 Σ_T=236.22
CC 28 SLD (Collegamento -044_-376)
Azioni sul collegamento: N=-9628.40 Ty=9.70 Tz=12.30 Mx=-0.00 Mz=6.07
Sollecitazioni agenti localmente: Tx_l=9.70 Ty_l=12.30 N_l=-9628.40 My_l=-6.07 Mz_l=-0.00
Azioni sul cordone: TP=0.72 TO=0.91 NO=-711.73
Tensioni nel cordone: τ_P=0.23 τ_O=0.29 σ_O=235.10 σ_{ID}=235.10 Σ_T=235.38
CC 29 SLV (Collegamento -044_-376)
Azioni sul collegamento: N=-8719.31 Ty=8.94 Tz=9.28 Mx=-0.00 Mz=3.28

Sollecitazioni agenti localmente: Tx_l=8.94 Ty_l=9.28 N_l=-8719.31 My_l=-3.28 Mz_l=-0.00
Azioni sul cordone: TP=0.66 TO=0.68 NO=-644.53
Tensioni nel cordone: τ_P=0.21 τ_0=0.22 σ_0=209.66 σ_{ID}=209.66 Σ_T=209.88
CC 29 SLV (Collegamento -044_-376)
Azioni sul collegamento: N=-8719.31 Ty=8.48 Tz=9.28 Mx=-0.00 Mz=5.16
Sollecitazioni agenti localmente: Tx_l=8.48 Ty_l=9.28 N_l=-8719.31 My_l=-5.16 Mz_l=-0.00
Azioni sul cordone: TP=0.63 TO=0.68 NO=-644.53
Tensioni nel cordone: τ_P=0.20 τ_0=0.22 σ_0=212.41 σ_{ID}=212.41 Σ_T=212.63
CC 29 SLV (Collegamento -044_-376)
Azioni sul collegamento: N=-8719.31 Ty=8.94 Tz=16.87 Mx=-0.00 Mz=3.28
Sollecitazioni agenti localmente: Tx_l=8.94 Ty_l=16.87 N_l=-8719.31 My_l=-3.28 Mz_l=-0.00
Azioni sul cordone: TP=0.66 TO=1.25 NO=-644.53
Tensioni nel cordone: τ_P=0.21 τ_0=0.40 σ_0=209.66 σ_{ID}=209.66 Σ_T=210.05
CC 29 SLV (Collegamento -044_-376)
Azioni sul collegamento: N=-8719.31 Ty=8.48 Tz=16.87 Mx=-0.00 Mz=5.16
Sollecitazioni agenti localmente: Tx_l=8.48 Ty_l=16.87 N_l=-8719.31 My_l=-5.16 Mz_l=-0.00
Azioni sul cordone: TP=0.63 TO=1.25 NO=-644.53
Tensioni nel cordone: τ_P=0.20 τ_0=0.40 σ_0=212.41 σ_{ID}=212.41 Σ_T=212.81
CC 29 SLV (Collegamento -044_-376)
Azioni sul collegamento: N=-11054.30 Ty=8.94 Tz=9.28 Mx=-0.00 Mz=3.28
Sollecitazioni agenti localmente: Tx_l=8.94 Ty_l=9.28 N_l=-11054.30 My_l=-3.28 Mz_l=-0.00
Azioni sul cordone: TP=0.66 TO=0.68 NO=-817.14
Tensioni nel cordone: τ_P=0.21 τ_0=0.22 σ_0=264.52 σ_{ID}=264.52 Σ_T=264.74
CC 29 SLV (Collegamento -044_-376)
Azioni sul collegamento: N=-11054.30 Ty=8.48 Tz=9.28 Mx=-0.00 Mz=5.16
Sollecitazioni agenti localmente: Tx_l=8.48 Ty_l=9.28 N_l=-11054.30 My_l=-5.16 Mz_l=-0.00
Azioni sul cordone: TP=0.63 TO=0.68 NO=-817.14
Tensioni nel cordone: τ_P=0.20 τ_0=0.22 σ_0=267.27 σ_{ID}=267.27 Σ_T=267.49
CC 29 SLV (Collegamento -044_-376)
Azioni sul collegamento: N=-11054.30 Ty=8.94 Tz=16.87 Mx=-0.00 Mz=3.28
Sollecitazioni agenti localmente: Tx_l=8.94 Ty_l=16.87 N_l=-11054.30 My_l=-3.28 Mz_l=-0.00
Azioni sul cordone: TP=0.66 TO=1.25 NO=-817.14
Tensioni nel cordone: τ_P=0.21 τ_0=0.40 σ_0=264.52 σ_{ID}=264.52 Σ_T=264.92
CC 29 SLV (Collegamento -044_-376)
Azioni sul collegamento: N=-11054.30 Ty=8.48 Tz=16.87 Mx=-0.00 Mz=5.16
Sollecitazioni agenti localmente: Tx_l=8.48 Ty_l=16.87 N_l=-11054.30 My_l=-5.16 Mz_l=-0.00
Azioni sul cordone: TP=0.63 TO=1.25 NO=-817.14
Tensioni nel cordone: τ_P=0.20 τ_0=0.40 σ_0=267.27 σ_{ID}=267.27 Σ_T=267.67
CC 30 SLD (Collegamento -044_-376)
Azioni sul collegamento: N=-9628.40 Ty=9.70 Tz=12.30 Mx=0.00 Mz=6.07
Sollecitazioni agenti localmente: Tx_l=9.70 Ty_l=12.30 N_l=-9628.40 My_l=-6.07 Mz_l=0.00
Azioni sul cordone: TP=0.72 TO=0.91 NO=-711.73
Tensioni nel cordone: τ_P=0.23 τ_0=0.29 σ_0=235.10 σ_{ID}=235.10 Σ_T=235.39
CC 30 SLD (Collegamento -044_-376)
Azioni sul collegamento: N=-9628.40 Ty=9.56 Tz=12.30 Mx=0.00 Mz=6.65
Sollecitazioni agenti localmente: Tx_l=9.56 Ty_l=12.30 N_l=-9628.40 My_l=-6.65 Mz_l=0.00
Azioni sul cordone: TP=0.71 TO=0.91 NO=-711.73
Tensioni nel cordone: τ_P=0.22 τ_0=0.29 σ_0=235.94 σ_{ID}=235.94 Σ_T=236.22
CC 30 SLD (Collegamento -044_-376)
Azioni sul collegamento: N=-9628.40 Ty=9.70 Tz=14.62 Mx=0.00 Mz=6.07
Sollecitazioni agenti localmente: Tx_l=9.70 Ty_l=14.62 N_l=-9628.40 My_l=-6.07 Mz_l=0.00
Azioni sul cordone: TP=0.72 TO=1.08 NO=-711.73
Tensioni nel cordone: τ_P=0.23 τ_0=0.34 σ_0=235.10 σ_{ID}=235.10 Σ_T=235.44
CC 30 SLD (Collegamento -044_-376)
Azioni sul collegamento: N=-9628.40 Ty=9.56 Tz=14.62 Mx=0.00 Mz=6.65
Sollecitazioni agenti localmente: Tx_l=9.56 Ty_l=14.62 N_l=-9628.40 My_l=-6.65 Mz_l=0.00
Azioni sul cordone: TP=0.71 TO=1.08 NO=-711.73
Tensioni nel cordone: τ_P=0.22 τ_0=0.34 σ_0=235.94 σ_{ID}=235.94 Σ_T=236.28
CC 30 SLD (Collegamento -044_-376)
Azioni sul collegamento: N=-10340.40 Ty=9.70 Tz=12.30 Mx=0.00 Mz=6.07
Sollecitazioni agenti localmente: Tx_l=9.70 Ty_l=12.30 N_l=-10340.40 My_l=-6.07 Mz_l=0.00
Azioni sul cordone: TP=0.72 TO=0.91 NO=-764.37
Tensioni nel cordone: τ_P=0.23 τ_0=0.29 σ_0=251.83 σ_{ID}=251.83 Σ_T=252.12
CC 30 SLD (Collegamento -044_-376)
Azioni sul collegamento: N=-10340.40 Ty=9.56 Tz=12.30 Mx=0.00 Mz=6.65
Sollecitazioni agenti localmente: Tx_l=9.56 Ty_l=12.30 N_l=-10340.40 My_l=-6.65 Mz_l=0.00
Azioni sul cordone: TP=0.71 TO=0.91 NO=-764.37
Tensioni nel cordone: τ_P=0.22 τ_0=0.29 σ_0=252.66 σ_{ID}=252.67 Σ_T=252.96
CC 30 SLD (Collegamento -044_-376)
Azioni sul collegamento: N=-10340.40 Ty=9.70 Tz=14.62 Mx=0.00 Mz=6.07
Sollecitazioni agenti localmente: Tx_l=9.70 Ty_l=14.62 N_l=-10340.40 My_l=-6.07 Mz_l=0.00
Azioni sul cordone: TP=0.72 TO=1.08 NO=-764.37
Tensioni nel cordone: τ_P=0.23 τ_0=0.34 σ_0=251.83 σ_{ID}=251.83 Σ_T=252.17
CC 30 SLD (Collegamento -044_-376)
Azioni sul collegamento: N=-10340.40 Ty=9.56 Tz=14.62 Mx=0.00 Mz=6.65
Sollecitazioni agenti localmente: Tx_l=9.56 Ty_l=14.62 N_l=-10340.40 My_l=-6.65 Mz_l=0.00
Azioni sul cordone: TP=0.71 TO=1.08 NO=-764.37
Tensioni nel cordone: τ_P=0.22 τ_0=0.34 σ_0=252.66 σ_{ID}=252.67 Σ_T=253.01
CC 31 SLV (Collegamento -044_-376)

Azioni sul collegamento: N=-11070.60 Ty=6.76 Tz=17.96 Mx=-0.00 Mz=1.67
Sollecitazioni agenti localmente: Tx_l=6.76 Ty_l=17.96 N_l=-11070.60 My_l=-1.67 Mz_l=-0.00
Azioni sul cordone: TP=0.50 TO=1.33 NO=-818.34
Tensioni nel cordone: τ_P=0.16 τ_0=0.42 σ_0=262.55 σ_{ID}=262.55 Σ_T=262.98
CC 31 SLV (Collegamento -044_-376)
Azioni sul collegamento: N=-11070.60 Ty=10.65 Tz=17.96 Mx=-0.00 Mz=6.77
Sollecitazioni agenti localmente: Tx_l=10.65 Ty_l=17.96 N_l=-11070.60 My_l=-6.77 Mz_l=-0.00
Azioni sul cordone: TP=0.79 TO=1.33 NO=-818.34
Tensioni nel cordone: τ_P=0.25 τ_0=0.42 σ_0=270.00 σ_{ID}=270.00 Σ_T=270.42
CC 31 SLV (Collegamento -044_-376)
Azioni sul collegamento: N=-11070.60 Ty=6.76 Tz=8.19 Mx=-0.00 Mz=1.67
Sollecitazioni agenti localmente: Tx_l=6.76 Ty_l=8.19 N_l=-11070.60 My_l=-1.67 Mz_l=-0.00
Azioni sul cordone: TP=0.50 TO=0.60 NO=-818.34
Tensioni nel cordone: τ_P=0.16 τ_0=0.19 σ_0=262.55 σ_{ID}=262.55 Σ_T=262.75
CC 31 SLV (Collegamento -044_-376)
Azioni sul collegamento: N=-11070.60 Ty=10.65 Tz=8.19 Mx=-0.00 Mz=6.77
Sollecitazioni agenti localmente: Tx_l=10.65 Ty_l=8.19 N_l=-11070.60 My_l=-6.77 Mz_l=-0.00
Azioni sul cordone: TP=0.79 TO=0.60 NO=-818.34
Tensioni nel cordone: τ_P=0.25 τ_0=0.19 σ_0=270.00 σ_{ID}=270.00 Σ_T=270.19
CC 31 SLV (Collegamento -044_-376)
Azioni sul collegamento: N=-8703.02 Ty=6.76 Tz=17.96 Mx=-0.00 Mz=1.67
Sollecitazioni agenti localmente: Tx_l=6.76 Ty_l=17.96 N_l=-8703.02 My_l=-1.67 Mz_l=-0.00
Azioni sul cordone: TP=0.50 TO=1.33 NO=-643.33
Tensioni nel cordone: τ_P=0.16 τ_0=0.42 σ_0=206.93 σ_{ID}=206.93 Σ_T=207.35
CC 31 SLV (Collegamento -044_-376)
Azioni sul collegamento: N=-8703.02 Ty=10.65 Tz=17.96 Mx=-0.00 Mz=6.77
Sollecitazioni agenti localmente: Tx_l=10.65 Ty_l=17.96 N_l=-8703.02 My_l=-6.77 Mz_l=-0.00
Azioni sul cordone: TP=0.79 TO=1.33 NO=-643.33
Tensioni nel cordone: τ_P=0.25 τ_0=0.42 σ_0=214.38 σ_{ID}=214.38 Σ_T=214.80
CC 31 SLV (Collegamento -044_-376)
Azioni sul collegamento: N=-8703.02 Ty=6.76 Tz=8.19 Mx=-0.00 Mz=1.67
Sollecitazioni agenti localmente: Tx_l=6.76 Ty_l=8.19 N_l=-8703.02 My_l=-1.67 Mz_l=-0.00
Azioni sul cordone: TP=0.50 TO=0.60 NO=-643.33
Tensioni nel cordone: τ_P=0.16 τ_0=0.19 σ_0=206.93 σ_{ID}=206.93 Σ_T=207.12
CC 31 SLV (Collegamento -044_-376)
Azioni sul collegamento: N=-8703.02 Ty=10.65 Tz=8.19 Mx=-0.00 Mz=6.77
Sollecitazioni agenti localmente: Tx_l=10.65 Ty_l=8.19 N_l=-8703.02 My_l=-6.77 Mz_l=-0.00
Azioni sul cordone: TP=0.79 TO=0.60 NO=-643.33
Tensioni nel cordone: τ_P=0.25 τ_0=0.19 σ_0=214.38 σ_{ID}=214.38 Σ_T=214.57
CC 32 SLD (Collegamento -044_-376)
Azioni sul collegamento: N=-10345.40 Ty=9.04 Tz=14.95 Mx=0.00 Mz=5.58
Sollecitazioni agenti localmente: Tx_l=9.04 Ty_l=14.95 N_l=-10345.40 My_l=-5.58 Mz_l=0.00
Azioni sul cordone: TP=0.67 TO=1.11 NO=-764.73
Tensioni nel cordone: τ_P=0.21 τ_0=0.35 σ_0=251.23 σ_{ID}=251.23 Σ_T=251.58
CC 32 SLD (Collegamento -044_-376)
Azioni sul collegamento: N=-10345.40 Ty=10.22 Tz=14.95 Mx=0.00 Mz=7.14
Sollecitazioni agenti localmente: Tx_l=10.22 Ty_l=14.95 N_l=-10345.40 My_l=-7.14 Mz_l=0.00
Azioni sul cordone: TP=0.75 TO=1.11 NO=-764.73
Tensioni nel cordone: τ_P=0.24 τ_0=0.35 σ_0=253.50 σ_{ID}=253.50 Σ_T=253.85
CC 32 SLD (Collegamento -044_-376)
Azioni sul collegamento: N=-10345.40 Ty=9.04 Tz=11.97 Mx=0.00 Mz=5.58
Sollecitazioni agenti localmente: Tx_l=9.04 Ty_l=11.97 N_l=-10345.40 My_l=-5.58 Mz_l=0.00
Azioni sul cordone: TP=0.67 TO=0.89 NO=-764.73
Tensioni nel cordone: τ_P=0.21 τ_0=0.28 σ_0=251.23 σ_{ID}=251.23 Σ_T=251.51
CC 32 SLD (Collegamento -044_-376)
Azioni sul collegamento: N=-10345.40 Ty=10.22 Tz=11.97 Mx=0.00 Mz=7.14
Sollecitazioni agenti localmente: Tx_l=10.22 Ty_l=11.97 N_l=-10345.40 My_l=-7.14 Mz_l=0.00
Azioni sul cordone: TP=0.75 TO=0.89 NO=-764.73
Tensioni nel cordone: τ_P=0.24 τ_0=0.28 σ_0=253.50 σ_{ID}=253.50 Σ_T=253.78
CC 32 SLD (Collegamento -044_-376)
Azioni sul collegamento: N=-9623.43 Ty=9.04 Tz=14.95 Mx=0.00 Mz=5.58
Sollecitazioni agenti localmente: Tx_l=9.04 Ty_l=14.95 N_l=-9623.43 My_l=-5.58 Mz_l=0.00
Azioni sul cordone: TP=0.67 TO=1.11 NO=-711.37
Tensioni nel cordone: τ_P=0.21 τ_0=0.35 σ_0=234.26 σ_{ID}=234.26 Σ_T=234.62
CC 32 SLD (Collegamento -044_-376)
Azioni sul collegamento: N=-9623.43 Ty=10.22 Tz=14.95 Mx=0.00 Mz=7.14
Sollecitazioni agenti localmente: Tx_l=10.22 Ty_l=14.95 N_l=-9623.43 My_l=-7.14 Mz_l=0.00
Azioni sul cordone: TP=0.75 TO=1.11 NO=-711.37
Tensioni nel cordone: τ_P=0.24 τ_0=0.35 σ_0=236.53 σ_{ID}=236.54 Σ_T=236.89
CC 32 SLD (Collegamento -044_-376)
Azioni sul collegamento: N=-9623.43 Ty=9.04 Tz=11.97 Mx=0.00 Mz=5.58
Sollecitazioni agenti localmente: Tx_l=9.04 Ty_l=11.97 N_l=-9623.43 My_l=-5.58 Mz_l=0.00
Azioni sul cordone: TP=0.67 TO=0.89 NO=-711.37
Tensioni nel cordone: τ_P=0.21 τ_0=0.28 σ_0=234.26 σ_{ID}=234.26 Σ_T=234.55
CC 32 SLD (Collegamento -044_-376)
Azioni sul collegamento: N=-9623.43 Ty=10.22 Tz=11.97 Mx=0.00 Mz=7.14
Sollecitazioni agenti localmente: Tx_l=10.22 Ty_l=11.97 N_l=-9623.43 My_l=-7.14 Mz_l=0.00
Azioni sul cordone: TP=0.75 TO=0.89 NO=-711.37
Tensioni nel cordone: τ_P=0.24 τ_0=0.28 σ_0=236.53 σ_{ID}=236.54 Σ_T=236.82

CC 33 SLU (Collegamento -044_-376)
Azioni sul collegamento: N=-37458.50 Ty=20.96 Tz=106.28 Mx=0.00 Mz=15.40
Sollecitazioni agenti localmente: Tx_l=20.96 Ty_l=106.28 N_l=-37458.50 My_l=-15.40 Mz_l=0.00
Azioni sul cordone: TP=1.54 TO=7.86 NO=-2768.95
Tensioni nel cordone: τ_P=0.49 τ_0=2.50 σ_0=902.60 σ_{ID}=902.60 Σ_T=905.10
CC 34 SLU (Collegamento -044_-376)
Azioni sul collegamento: N=-36642.60 Ty=20.20 Tz=103.27 Mx=0.00 Mz=14.84
Sollecitazioni agenti localmente: Tx_l=20.20 Ty_l=103.27 N_l=-36642.60 My_l=-14.84 Mz_l=0.00
Azioni sul cordone: TP=1.49 TO=7.64 NO=-2708.63
Tensioni nel cordone: τ_P=0.47 τ_0=2.43 σ_0=882.61 σ_{ID}=882.62 Σ_T=885.04
CC 35 SLU (Collegamento -044_-376)
Azioni sul collegamento: N=-37049.70 Ty=20.49 Tz=104.83 Mx=0.01 Mz=14.94
Sollecitazioni agenti localmente: Tx_l=20.49 Ty_l=104.83 N_l=-37049.70 My_l=-14.94 Mz_l=0.01
Azioni sul cordone: TP=1.51 TO=7.75 NO=-2738.72
Tensioni nel cordone: τ_P=0.48 τ_0=2.46 σ_0=892.32 σ_{ID}=892.32 Σ_T=894.78
CC 36 SLU (Collegamento -044_-376)
Azioni sul collegamento: N=-37051.40 Ty=20.67 Tz=104.72 Mx=0.00 Mz=15.30
Sollecitazioni agenti localmente: Tx_l=20.67 Ty_l=104.72 N_l=-37051.40 My_l=-15.30 Mz_l=0.00
Azioni sul cordone: TP=1.52 TO=7.74 NO=-2738.85
Tensioni nel cordone: τ_P=0.48 τ_0=2.46 σ_0=892.89 σ_{ID}=892.90 Σ_T=895.35
CC 37 SLU (Collegamento -044_-376)
Azioni sul collegamento: N=-28275.70 Ty=20.11 Tz=72.57 Mx=0.00 Mz=14.65
Sollecitazioni agenti localmente: Tx_l=20.11 Ty_l=72.57 N_l=-28275.70 My_l=-14.65 Mz_l=0.00
Azioni sul cordone: TP=1.48 TO=5.37 NO=-2090.15
Tensioni nel cordone: τ_P=0.47 τ_0=1.71 σ_0=685.75 σ_{ID}=685.75 Σ_T=687.46
CC 38 SLU (Collegamento -044_-376)
Azioni sul collegamento: N=-27459.70 Ty=19.36 Tz=69.55 Mx=0.00 Mz=14.09
Sollecitazioni agenti localmente: Tx_l=19.36 Ty_l=69.55 N_l=-27459.70 My_l=-14.09 Mz_l=0.00
Azioni sul cordone: TP=1.43 TO=5.14 NO=-2029.83
Tensioni nel cordone: τ_P=0.45 τ_0=1.64 σ_0=665.76 σ_{ID}=665.77 Σ_T=667.40
CC 39 SLU (Collegamento -044_-376)
Azioni sul collegamento: N=-27866.80 Ty=19.65 Tz=71.12 Mx=0.01 Mz=14.19
Sollecitazioni agenti localmente: Tx_l=19.65 Ty_l=71.12 N_l=-27866.80 My_l=-14.19 Mz_l=0.01
Azioni sul cordone: TP=1.45 TO=5.26 NO=-2059.92
Tensioni nel cordone: τ_P=0.46 τ_0=1.67 σ_0=675.47 σ_{ID}=675.47 Σ_T=677.14
CC 40 SLU (Collegamento -044_-376)
Azioni sul collegamento: N=-27868.60 Ty=19.82 Tz=71.00 Mx=0.00 Mz=14.55
Sollecitazioni agenti localmente: Tx_l=19.82 Ty_l=71.00 N_l=-27868.60 My_l=-14.55 Mz_l=0.00
Azioni sul cordone: TP=1.46 TO=5.25 NO=-2060.06
Tensioni nel cordone: τ_P=0.46 τ_0=1.67 σ_0=676.04 σ_{ID}=676.05 Σ_T=677.71
CC 41 SLU (Collegamento -044_-376)
Azioni sul collegamento: N=-30676.20 Ty=-9.89 Tz=80.85 Mx=0.00 Mz=-7.99
Sollecitazioni agenti localmente: Tx_l=-9.89 Ty_l=80.85 N_l=-30676.20 My_l=7.99 Mz_l=0.00
Azioni sul cordone: TP=-0.74 TO=5.97 NO=-2267.60
Tensioni nel cordone: τ_P=0.23 τ_0=1.90 σ_0=732.42 σ_{ID}=732.42 Σ_T=734.32
CC 42 SLU (Collegamento -044_-376)
Azioni sul collegamento: N=-29860.20 Ty=-10.64 Tz=77.84 Mx=0.00 Mz=-8.54
Sollecitazioni agenti localmente: Tx_l=-10.64 Ty_l=77.84 N_l=-29860.20 My_l=8.54 Mz_l=0.00
Azioni sul cordone: TP=-0.79 TO=5.75 NO=-2207.28
Tensioni nel cordone: τ_P=0.25 τ_0=1.83 σ_0=714.06 σ_{ID}=714.06 Σ_T=715.89
CC 43 SLU (Collegamento -044_-376)
Azioni sul collegamento: N=-30267.40 Ty=-10.35 Tz=79.40 Mx=0.01 Mz=-8.45
Sollecitazioni agenti localmente: Tx_l=-10.35 Ty_l=79.40 N_l=-30267.40 My_l=8.45 Mz_l=0.01
Azioni sul cordone: TP=-0.77 TO=5.86 NO=-2237.37
Tensioni nel cordone: τ_P=0.25 τ_0=1.86 σ_0=723.49 σ_{ID}=723.49 Σ_T=725.35
CC 44 SLU (Collegamento -044_-376)
Azioni sul collegamento: N=-30269.10 Ty=-10.18 Tz=79.28 Mx=0.00 Mz=-8.08
Sollecitazioni agenti localmente: Tx_l=-10.18 Ty_l=79.28 N_l=-30269.10 My_l=8.08 Mz_l=0.00
Azioni sul cordone: TP=-0.76 TO=5.86 NO=-2237.50
Tensioni nel cordone: τ_P=0.24 τ_0=1.86 σ_0=722.99 σ_{ID}=723.00 Σ_T=724.86
CC 45 SLU (Collegamento -044_-376)
Azioni sul collegamento: N=-30295.00 Ty=20.33 Tz=79.99 Mx=0.00 Mz=14.94
Sollecitazioni agenti localmente: Tx_l=20.33 Ty_l=79.99 N_l=-30295.00 My_l=-14.94 Mz_l=0.00
Azioni sul cordone: TP=1.50 TO=5.92 NO=-2239.42
Tensioni nel cordone: τ_P=0.48 τ_0=1.88 σ_0=733.62 σ_{ID}=733.62 Σ_T=735.50
CC 46 SLU (Collegamento -044_-376)
Azioni sul collegamento: N=-29479.00 Ty=19.57 Tz=76.97 Mx=0.00 Mz=14.38
Sollecitazioni agenti localmente: Tx_l=19.57 Ty_l=76.97 N_l=-29479.00 My_l=-14.38 Mz_l=0.00
Azioni sul cordone: TP=1.44 TO=5.69 NO=-2179.10
Tensioni nel cordone: τ_P=0.46 τ_0=1.81 σ_0=713.63 σ_{ID}=713.63 Σ_T=715.44
CC 47 SLU (Collegamento -044_-376)
Azioni sul collegamento: N=-29886.10 Ty=19.86 Tz=78.54 Mx=0.00 Mz=14.48
Sollecitazioni agenti localmente: Tx_l=19.86 Ty_l=78.54 N_l=-29886.10 My_l=-14.48 Mz_l=0.00
Azioni sul cordone: TP=1.46 TO=5.81 NO=-2209.19
Tensioni nel cordone: τ_P=0.46 τ_0=1.85 σ_0=723.34 σ_{ID}=723.34 Σ_T=725.18
CC 48 SLU (Collegamento -044_-376)
Azioni sul collegamento: N=-29887.90 Ty=20.04 Tz=78.42 Mx=0.00 Mz=14.84
Sollecitazioni agenti localmente: Tx_l=20.04 Ty_l=78.42 N_l=-29887.90 My_l=-14.84 Mz_l=0.00
Azioni sul cordone: TP=1.48 TO=5.80 NO=-2209.32

Tensioni nel cordone: τ_P=0.47 τ_0=1.84 σ_0=723.91 σ_{ID}=723.92 Σ_T=725.76
CC 49 SLU (Collegamento -044_-376)
Azioni sul collegamento: N=-23424.90 Ty=19.70 Tz=54.76 Mx=0.00 Mz=14.38
Sollecitazioni agenti localmente: Tx_l=19.70 Ty_l=54.76 N_l=-23424.90 My_l=-14.38 Mz_l=0.00
Azioni sul cordone: TP=1.45 TO=4.05 NO=-1731.58
Tensioni nel cordone: τ_P=0.46 τ_0=1.29 σ_0=571.38 σ_{ID}=571.39 Σ_T=572.67
CC 50 SLU (Collegamento -044_-376)
Azioni sul collegamento: N=-22608.90 Ty=18.94 Tz=51.75 Mx=0.00 Mz=13.82
Sollecitazioni agenti localmente: Tx_l=18.94 Ty_l=51.75 N_l=-22608.90 My_l=-13.82 Mz_l=0.00
Azioni sul cordone: TP=1.40 TO=3.83 NO=-1671.26
Tensioni nel cordone: τ_P=0.44 τ_0=1.22 σ_0=551.40 σ_{ID}=551.40 Σ_T=552.62
CC 51 SLU (Collegamento -044_-376)
Azioni sul collegamento: N=-23016.00 Ty=19.23 Tz=53.31 Mx=0.00 Mz=13.92
Sollecitazioni agenti localmente: Tx_l=19.23 Ty_l=53.31 N_l=-23016.00 My_l=-13.92 Mz_l=0.00
Azioni sul cordone: TP=1.42 TO=3.94 NO=-1701.35
Tensioni nel cordone: τ_P=0.45 τ_0=1.25 σ_0=561.10 σ_{ID}=561.11 Σ_T=562.36
CC 52 SLU (Collegamento -044_-376)
Azioni sul collegamento: N=-23017.80 Ty=19.41 Tz=53.20 Mx=0.00 Mz=14.28
Sollecitazioni agenti localmente: Tx_l=19.41 Ty_l=53.20 N_l=-23017.80 My_l=-14.28 Mz_l=0.00
Azioni sul cordone: TP=1.43 TO=3.93 NO=-1701.48
Tensioni nel cordone: τ_P=0.45 τ_0=1.25 σ_0=561.68 σ_{ID}=561.68 Σ_T=562.93
CC 53 SLU (Collegamento -044_-376)
Azioni sul collegamento: N=-25220.90 Ty=-2.75 Tz=60.96 Mx=0.00 Mz=-2.55
Sollecitazioni agenti localmente: Tx_l=-2.75 Ty_l=60.96 N_l=-25220.90 My_l=2.55 Mz_l=0.00
Azioni sul cordone: TP=-0.21 TO=4.50 NO=-1864.33
Tensioni nel cordone: τ_P= 0.07 τ_0=1.43 σ_0=596.31 σ_{ID}=596.31 Σ_T=597.74
CC 54 SLU (Collegamento -044_-376)
Azioni sul collegamento: N=-24404.90 Ty=-3.50 Tz=57.94 Mx=0.00 Mz=-3.11
Sollecitazioni agenti localmente: Tx_l=-3.50 Ty_l=57.94 N_l=-24404.90 My_l=3.11 Mz_l=0.00
Azioni sul cordone: TP=-0.26 TO=4.28 NO=-1804.01
Tensioni nel cordone: τ_P= 0.08 τ_0=1.36 σ_0=577.95 σ_{ID}=577.95 Σ_T=579.31
CC 55 SLU (Collegamento -044_-376)
Azioni sul collegamento: N=-24812.00 Ty=-3.21 Tz=59.51 Mx=0.00 Mz=-3.02
Sollecitazioni agenti localmente: Tx_l=-3.21 Ty_l=59.51 N_l=-24812.00 My_l=3.02 Mz_l=0.00
Azioni sul cordone: TP=-0.24 TO=4.40 NO=-1834.11
Tensioni nel cordone: τ_P= 0.08 τ_0=1.40 σ_0=587.38 σ_{ID}=587.38 Σ_T=588.77
CC 56 SLU (Collegamento -044_-376)
Azioni sul collegamento: N=-24813.70 Ty=-3.04 Tz=59.39 Mx=0.00 Mz=-2.65
Sollecitazioni agenti localmente: Tx_l=-3.04 Ty_l=59.39 N_l=-24813.70 My_l=2.65 Mz_l=0.00
Azioni sul cordone: TP=-0.23 TO=4.39 NO=-1834.24
Tensioni nel cordone: τ_P= 0.07 τ_0=1.39 σ_0=586.88 σ_{ID}=586.89 Σ_T=588.28
CC 57 SLU (Collegamento -044_-376)
Azioni sul collegamento: N=-28074.70 Ty=18.58 Tz=71.81 Mx=0.00 Mz=13.65
Sollecitazioni agenti localmente: Tx_l=18.58 Ty_l=71.81 N_l=-28074.70 My_l=-13.65 Mz_l=0.00
Azioni sul cordone: TP=1.37 TO=5.31 NO=-2075.29
Tensioni nel cordone: τ_P=0.44 τ_0=1.69 σ_0=679.57 σ_{ID}=679.57 Σ_T=681.26
CC 58 SLU (Collegamento -044_-376)
Azioni sul collegamento: N=-27258.70 Ty=17.82 Tz=68.80 Mx=0.00 Mz=13.09
Sollecitazioni agenti localmente: Tx_l=17.82 Ty_l=68.80 N_l=-27258.70 My_l=-13.09 Mz_l=0.00
Azioni sul cordone: TP=1.31 TO=5.09 NO=-2014.97
Tensioni nel cordone: τ_P=0.42 τ_0=1.62 σ_0=659.58 σ_{ID}=659.59 Σ_T=661.20
CC 59 SLU (Collegamento -044_-376)
Azioni sul collegamento: N=-27665.80 Ty=18.11 Tz=70.37 Mx=0.00 Mz=13.19
Sollecitazioni agenti localmente: Tx_l=18.11 Ty_l=70.37 N_l=-27665.80 My_l=-13.19 Mz_l=0.00
Azioni sul cordone: TP=1.33 TO=5.21 NO=-2045.07
Tensioni nel cordone: τ_P=0.42 τ_0=1.65 σ_0=669.29 σ_{ID}=669.29 Σ_T=670.94
CC 60 SLU (Collegamento -044_-376)
Azioni sul collegamento: N=-27667.60 Ty=18.29 Tz=70.25 Mx=0.00 Mz=13.55
Sollecitazioni agenti localmente: Tx_l=18.29 Ty_l=70.25 N_l=-27667.60 My_l=-13.55 Mz_l=0.00
Azioni sul cordone: TP=1.35 TO=5.20 NO=-2045.20
Tensioni nel cordone: τ_P=0.43 τ_0=1.65 σ_0=669.86 σ_{ID}=669.87 Σ_T=671.52
CC 61 SLU (Collegamento -044_-376)
Azioni sul collegamento: N=-21204.60 Ty=17.94 Tz=46.59 Mx=0.00 Mz=13.09
Sollecitazioni agenti localmente: Tx_l=17.94 Ty_l=46.59 N_l=-21204.60 My_l=-13.09 Mz_l=0.00
Azioni sul cordone: TP=1.32 TO=3.45 NO=-1567.45
Tensioni nel cordone: τ_P=0.42 τ_0=1.10 σ_0=517.34 σ_{ID}=517.34 Σ_T=518.43
CC 62 SLU (Collegamento -044_-376)
Azioni sul collegamento: N=-20388.60 Ty=17.19 Tz=43.58 Mx=0.00 Mz=12.53
Sollecitazioni agenti localmente: Tx_l=17.19 Ty_l=43.58 N_l=-20388.60 My_l=-12.53 Mz_l=0.00
Azioni sul cordone: TP=1.27 TO=3.22 NO=-1507.13
Tensioni nel cordone: τ_P=0.40 τ_0=1.02 σ_0=497.35 σ_{ID}=497.35 Σ_T=498.37
CC 63 SLU (Collegamento -044_-376)
Azioni sul collegamento: N=-20795.70 Ty=17.48 Tz=45.14 Mx=0.00 Mz=12.63
Sollecitazioni agenti localmente: Tx_l=17.48 Ty_l=45.14 N_l=-20795.70 My_l=-12.63 Mz_l=0.00
Azioni sul cordone: TP=1.29 TO=3.34 NO=-1537.23
Tensioni nel cordone: τ_P=0.41 τ_0=1.06 σ_0=507.06 σ_{ID}=507.06 Σ_T=508.12
CC 64 SLU (Collegamento -044_-376)
Azioni sul collegamento: N=-20797.50 Ty=17.66 Tz=45.03 Mx=0.00 Mz=12.99
Sollecitazioni agenti localmente: Tx_l=17.66 Ty_l=45.03 N_l=-20797.50 My_l=-12.99 Mz_l=0.00

Azioni sul cordone: TP=1.30 TO=3.33 NO=-1537.36
Tensioni nel cordone: τ_P=0.41 τ_O=1.06 σ_O=507.63 σ_{ID}=507.63 Σ_T=508.69
CC 65 SLU (Collegamento -044_-376)
Azioni sul collegamento: N=-23000.50 Ty=-4.50 Tz=52.79 Mx=0.00 Mz=-3.84
Sollecitazioni agenti localmente: Tx_l=-4.50 Ty_l=52.79 N_l=-23000.50 My_l=3.84 Mz_l=0.00
Azioni sul cordone: TP=-0.34 TO=3.90 NO=-1700.21
Tensioni nel cordone: τ_P=0.11 τ_O=1.24 σ_O=546.02 σ_{ID}=546.02 Σ_T=547.26
CC 66 SLU (Collegamento -044_-376)
Azioni sul collegamento: N=-22184.60 Ty=-5.26 Tz=49.77 Mx=0.00 Mz=-4.40
Sollecitazioni agenti localmente: Tx_l=-5.26 Ty_l=49.77 N_l=-22184.60 My_l=4.40 Mz_l=0.00
Azioni sul cordone: TP=-0.39 TO=3.68 NO=-1639.89
Tensioni nel cordone: τ_P=0.12 τ_O=1.17 σ_O=527.67 σ_{ID}=527.67 Σ_T=528.83
CC 67 SLU (Collegamento -044_-376)
Azioni sul collegamento: N=-22591.70 Ty=-4.97 Tz=51.34 Mx=0.00 Mz=-4.30
Sollecitazioni agenti localmente: Tx_l=-4.97 Ty_l=51.34 N_l=-22591.70 My_l=4.30 Mz_l=0.00
Azioni sul cordone: TP=-0.37 TO=3.79 NO=-1669.98
Tensioni nel cordone: τ_P=0.12 τ_O=1.20 σ_O=537.09 σ_{ID}=537.09 Σ_T=538.29
CC 68 SLU (Collegamento -044_-376)
Azioni sul collegamento: N=-22593.40 Ty=-4.79 Tz=51.22 Mx=0.00 Mz=-3.94
Sollecitazioni agenti localmente: Tx_l=-4.79 Ty_l=51.22 N_l=-22593.40 My_l=3.94 Mz_l=0.00
Azioni sul cordone: TP=-0.36 TO=3.78 NO=-1670.11
Tensioni nel cordone: τ_P=0.11 τ_O=1.20 σ_O=536.60 σ_{ID}=536.60 Σ_T=537.80
CC 97 SLU (Collegamento -044_-376)
Azioni sul collegamento: N=-32775.80 Ty=25.16 Tz=97.03 Mx=-0.05 Mz=10.53
Sollecitazioni agenti localmente: Tx_l=25.16 Ty_l=97.03 N_l=-32775.80 My_l=-10.53 Mz_l=-0.05
Azioni sul cordone: TP=1.92 TO=7.13 NO=-2422.79
Tensioni nel cordone: τ_P=0.61 τ_O=2.27 σ_O=785.46 σ_{ID}=785.47 Σ_T=787.73
CC 98 SLU (Collegamento -044_-376)
Azioni sul collegamento: N=-31959.80 Ty=24.41 Tz=94.02 Mx=-0.05 Mz=9.97
Sollecitazioni agenti localmente: Tx_l=24.41 Ty_l=94.02 N_l=-31959.80 My_l=-9.97 Mz_l=-0.05
Azioni sul cordone: TP=1.87 TO=6.91 NO=-2362.48
Tensioni nel cordone: τ_P=0.59 τ_O=2.20 σ_O=765.48 σ_{ID}=765.48 Σ_T=767.67
CC 99 SLU (Collegamento -044_-376)
Azioni sul collegamento: N=-32366.90 Ty=24.69 Tz=95.58 Mx=-0.05 Mz=10.07
Sollecitazioni agenti localmente: Tx_l=24.69 Ty_l=95.58 N_l=-32366.90 My_l=-10.07 Mz_l=-0.05
Azioni sul cordone: TP=1.89 TO=7.02 NO=-2392.57
Tensioni nel cordone: τ_P=0.60 τ_O=2.23 σ_O=775.18 σ_{ID}=775.19 Σ_T=777.41
CC 100 SLU (Collegamento -044_-376)
Azioni sul collegamento: N=-32368.70 Ty=24.87 Tz=95.47 Mx=-0.05 Mz=10.43
Sollecitazioni agenti localmente: Tx_l=24.87 Ty_l=95.47 N_l=-32368.70 My_l=-10.43 Mz_l=-0.05
Azioni sul cordone: TP=1.90 TO=7.01 NO=-2392.70
Tensioni nel cordone: τ_P=0.60 τ_O=2.23 σ_O=775.76 σ_{ID}=775.76 Σ_T=777.99
CC 101 SLU (Collegamento -044_-376)
Azioni sul collegamento: N=-9110.88 Ty=5.97 Tz=10.39 Mx=0.01 Mz=4.99
Sollecitazioni agenti localmente: Tx_l=5.97 Ty_l=10.39 N_l=-9110.88 My_l=-4.99 Mz_l=0.01
Azioni sul cordone: TP=0.43 TO=0.77 NO=-673.48
Tensioni nel cordone: τ_P=0.14 τ_O=0.25 σ_O=221.35 σ_{ID}=221.35 Σ_T=221.60
CC 102 SLU (Collegamento -044_-376)
Azioni sul collegamento: N=-8294.89 Ty=5.21 Tz=7.37 Mx=0.01 Mz=4.43
Sollecitazioni agenti localmente: Tx_l=5.21 Ty_l=7.37 N_l=-8294.89 My_l=-4.43 Mz_l=0.01
Azioni sul cordone: TP=0.38 TO=0.55 NO=-613.16
Tensioni nel cordone: τ_P=0.12 τ_O=0.18 σ_O=201.37 σ_{ID}=201.37 Σ_T=201.54
CC 103 SLU (Collegamento -044_-376)
Azioni sul collegamento: N=-8702.00 Ty=5.50 Tz=8.94 Mx=0.01 Mz=4.53
Sollecitazioni agenti localmente: Tx_l=5.50 Ty_l=8.94 N_l=-8702.00 My_l=-4.53 Mz_l=0.01
Azioni sul cordone: TP=0.40 TO=0.67 NO=-643.25
Tensioni nel cordone: τ_P=0.13 τ_O=0.21 σ_O=211.07 σ_{ID}=211.07 Σ_T=211.28
CC 104 SLU (Collegamento -044_-376)
Azioni sul collegamento: N=-8703.77 Ty=5.68 Tz=8.82 Mx=0.01 Mz=4.89
Sollecitazioni agenti localmente: Tx_l=5.68 Ty_l=8.82 N_l=-8703.77 My_l=-4.89 Mz_l=0.01
Azioni sul cordone: TP=0.41 TO=0.66 NO=-643.38
Tensioni nel cordone: τ_P=0.13 τ_O=0.21 σ_O=211.65 σ_{ID}=211.65 Σ_T=211.86

Flessione attacco superiore piastra

Bnetta=220.00 Hnetta=15.00
CC 1 SLV (Collegamento -044_-376)
Azioni sul collegamento: N=-6246.31 Ty=15.25 Tz=-0.46 Mx=0.02 Mz=13.58
Sollecitazioni agenti localmente: Ty_l=-1135.69 Mx_l=-22.71
Tensioni nella sezione: σ=275.32 τ=34.41
CC 1 SLV (Collegamento -044_-376)
Azioni sul collegamento: N=-6246.31 Ty=7.49 Tz=-0.46 Mx=0.02 Mz=7.17
Sollecitazioni agenti localmente: Ty_l=-1135.69 Mx_l=-22.71
Tensioni nella sezione: σ=275.32 τ=34.41
CC 1 SLV (Collegamento -044_-376)
Azioni sul collegamento: N=-6246.31 Ty=15.25 Tz=28.82 Mx=0.02 Mz=13.58
Sollecitazioni agenti localmente: Ty_l=-1135.69 Mx_l=-22.71
Tensioni nella sezione: σ=275.32 τ=34.41
CC 1 SLV (Collegamento -044_-376)

Azioni sul collegamento: N=-6246.31 Ty=7.49 Tz=28.82 Mx=0.02 Mz=7.17
Sollecitazioni agenti localmente: Ty_l=-1135.69 Mx_l=-22.71
Tensioni nella sezione: σ=275.32 τ=34.41
CC 1 SLV (Collegamento -044_-376)
Azioni sul collegamento: N=-14088.90 Ty=15.25 Tz=-0.46 Mx=0.02 Mz=13.58
Sollecitazioni agenti localmente: Ty_l=-2561.62 Mx_l=-51.23
Tensioni nella sezione: σ=621.00 τ=77.63
CC 1 SLV (Collegamento -044_-376)
Azioni sul collegamento: N=-14088.90 Ty=7.49 Tz=-0.46 Mx=0.02 Mz=7.17
Sollecitazioni agenti localmente: Ty_l=-2561.62 Mx_l=-51.23
Tensioni nella sezione: σ=621.00 τ=77.63
CC 1 SLV (Collegamento -044_-376)
Azioni sul collegamento: N=-14088.90 Ty=15.25 Tz=28.82 Mx=0.02 Mz=13.58
Sollecitazioni agenti localmente: Ty_l=-2561.62 Mx_l=-51.23
Tensioni nella sezione: σ=621.00 τ=77.63
CC 1 SLV (Collegamento -044_-376)
Azioni sul collegamento: N=-14088.90 Ty=7.49 Tz=28.82 Mx=0.02 Mz=7.17
Sollecitazioni agenti localmente: Ty_l=-2561.62 Mx_l=-51.23
Tensioni nella sezione: σ=621.00 τ=77.63
CC 2 SLD (Collegamento -044_-376)
Azioni sul collegamento: N=-8874.30 Ty=11.63 Tz=9.33 Mx=0.01 Mz=9.21
Sollecitazioni agenti localmente: Ty_l=-1613.51 Mx_l=-32.27
Tensioni nella sezione: σ=391.15 τ=48.89
CC 2 SLD (Collegamento -044_-376)
Azioni sul collegamento: N=-8874.30 Ty=9.26 Tz=9.33 Mx=0.01 Mz=7.26
Sollecitazioni agenti localmente: Ty_l=-1613.51 Mx_l=-32.27
Tensioni nella sezione: σ=391.15 τ=48.89
CC 2 SLD (Collegamento -044_-376)
Azioni sul collegamento: N=-8874.30 Ty=11.63 Tz=18.26 Mx=0.01 Mz=9.21
Sollecitazioni agenti localmente: Ty_l=-1613.51 Mx_l=-32.27
Tensioni nella sezione: σ=391.15 τ=48.89
CC 2 SLD (Collegamento -044_-376)
Azioni sul collegamento: N=-8874.30 Ty=9.26 Tz=18.26 Mx=0.01 Mz=7.26
Sollecitazioni agenti localmente: Ty_l=-1613.51 Mx_l=-32.27
Tensioni nella sezione: σ=391.15 τ=48.89
CC 2 SLD (Collegamento -044_-376)
Azioni sul collegamento: N=-11265.80 Ty=11.63 Tz=9.33 Mx=0.01 Mz=9.21
Sollecitazioni agenti localmente: Ty_l=-2048.32 Mx_l=-40.97
Tensioni nella sezione: σ=496.56 τ=62.07
CC 2 SLD (Collegamento -044_-376)
Azioni sul collegamento: N=-11265.80 Ty=9.26 Tz=9.33 Mx=0.01 Mz=7.26
Sollecitazioni agenti localmente: Ty_l=-2048.32 Mx_l=-40.97
Tensioni nella sezione: σ=496.56 τ=62.07
CC 2 SLD (Collegamento -044_-376)
Azioni sul collegamento: N=-11265.80 Ty=11.63 Tz=18.26 Mx=0.01 Mz=9.21
Sollecitazioni agenti localmente: Ty_l=-2048.32 Mx_l=-40.97
Tensioni nella sezione: σ=496.56 τ=62.07
CC 2 SLD (Collegamento -044_-376)
Azioni sul collegamento: N=-11265.80 Ty=9.26 Tz=18.26 Mx=0.01 Mz=7.26
Sollecitazioni agenti localmente: Ty_l=-2048.32 Mx_l=-40.97
Tensioni nella sezione: σ=496.56 τ=62.07
CC 3 SLV (Collegamento -044_-376)
Azioni sul collegamento: N=-6251.19 Ty=14.73 Tz=-0.13 Mx=0.01 Mz=12.53
Sollecitazioni agenti localmente: Ty_l=-1136.58 Mx_l=-22.73
Tensioni nella sezione: σ=275.53 τ=34.44
CC 3 SLV (Collegamento -044_-376)
Azioni sul collegamento: N=-6251.19 Ty=8.00 Tz=-0.13 Mx=0.01 Mz=8.22
Sollecitazioni agenti localmente: Ty_l=-1136.58 Mx_l=-22.73
Tensioni nella sezione: σ=275.53 τ=34.44
CC 3 SLV (Collegamento -044_-376)
Azioni sul collegamento: N=-6251.19 Ty=14.73 Tz=28.49 Mx=0.01 Mz=12.53
Sollecitazioni agenti localmente: Ty_l=-1136.58 Mx_l=-22.73
Tensioni nella sezione: σ=275.53 τ=34.44
CC 3 SLV (Collegamento -044_-376)
Azioni sul collegamento: N=-6251.19 Ty=8.00 Tz=28.49 Mx=0.01 Mz=8.22
Sollecitazioni agenti localmente: Ty_l=-1136.58 Mx_l=-22.73
Tensioni nella sezione: σ=275.53 τ=34.44
CC 3 SLV (Collegamento -044_-376)
Azioni sul collegamento: N=-14084.10 Ty=14.73 Tz=-0.13 Mx=0.01 Mz=12.53
Sollecitazioni agenti localmente: Ty_l=-2560.74 Mx_l=-51.21
Tensioni nella sezione: σ=620.78 τ=77.60
CC 3 SLV (Collegamento -044_-376)
Azioni sul collegamento: N=-14084.10 Ty=8.00 Tz=-0.13 Mx=0.01 Mz=8.22
Sollecitazioni agenti localmente: Ty_l=-2560.74 Mx_l=-51.21
Tensioni nella sezione: σ=620.78 τ=77.60
CC 3 SLV (Collegamento -044_-376)
Azioni sul collegamento: N=-14084.10 Ty=14.73 Tz=28.49 Mx=0.01 Mz=12.53
Sollecitazioni agenti localmente: Ty_l=-2560.74 Mx_l=-51.21
Tensioni nella sezione: σ=620.78 τ=77.60

CC 3 SLV (Collegamento -044_-376)
Azioni sul collegamento: N=-14084.10 Ty=8.00 Tz=28.49 Mx=0.01 Mz=8.22
Sollecitazioni agenti localmente: Ty_l=-2560.74 Mx_l=-51.21
Tensioni nella sezione: σ=620.78 τ=77.60
CC 4 SLD (Collegamento -044_-376)
Azioni sul collegamento: N=-8875.79 Ty=11.47 Tz=9.43 Mx=0.01 Mz=8.89
Sollecitazioni agenti localmente: Ty_l=-1613.78 Mx_l=-32.28
Tensioni nella sezione: σ=391.22 τ=48.90
CC 4 SLD (Collegamento -044_-376)
Azioni sul collegamento: N=-8875.79 Ty=9.42 Tz=9.43 Mx=0.01 Mz=7.58
Sollecitazioni agenti localmente: Ty_l=-1613.78 Mx_l=-32.28
Tensioni nella sezione: σ=391.22 τ=48.90
CC 4 SLD (Collegamento -044_-376)
Azioni sul collegamento: N=-8875.79 Ty=11.47 Tz=18.16 Mx=0.01 Mz=8.89
Sollecitazioni agenti localmente: Ty_l=-1613.78 Mx_l=-32.28
Tensioni nella sezione: σ=391.22 τ=48.90
CC 4 SLD (Collegamento -044_-376)
Azioni sul collegamento: N=-8875.79 Ty=9.42 Tz=18.16 Mx=0.01 Mz=7.58
Sollecitazioni agenti localmente: Ty_l=-1613.78 Mx_l=-32.28
Tensioni nella sezione: σ=391.22 τ=48.90
CC 4 SLD (Collegamento -044_-376)
Azioni sul collegamento: N=-11264.30 Ty=11.47 Tz=9.43 Mx=0.01 Mz=8.89
Sollecitazioni agenti localmente: Ty_l=-2048.05 Mx_l=-40.96
Tensioni nella sezione: σ=496.50 τ=62.06
CC 4 SLD (Collegamento -044_-376)
Azioni sul collegamento: N=-11264.30 Ty=9.42 Tz=9.43 Mx=0.01 Mz=7.58
Sollecitazioni agenti localmente: Ty_l=-2048.05 Mx_l=-40.96
Tensioni nella sezione: σ=496.50 τ=62.06
CC 4 SLD (Collegamento -044_-376)
Azioni sul collegamento: N=-11264.30 Ty=11.47 Tz=18.16 Mx=0.01 Mz=8.89
Sollecitazioni agenti localmente: Ty_l=-2048.05 Mx_l=-40.96
Tensioni nella sezione: σ=496.50 τ=62.06
CC 4 SLD (Collegamento -044_-376)
Azioni sul collegamento: N=-11264.30 Ty=9.42 Tz=18.16 Mx=0.01 Mz=7.58
Sollecitazioni agenti localmente: Ty_l=-2048.05 Mx_l=-40.96
Tensioni nella sezione: σ=496.50 τ=62.06
CC 5 SLV (Collegamento -044_-376)
Azioni sul collegamento: N=-14084.10 Ty=8.00 Tz=28.49 Mx=0.02 Mz=8.22
Sollecitazioni agenti localmente: Ty_l=-2560.74 Mx_l=-51.21
Tensioni nella sezione: σ=620.78 τ=77.60
CC 5 SLV (Collegamento -044_-376)
Azioni sul collegamento: N=-14084.10 Ty=14.73 Tz=28.49 Mx=0.02 Mz=12.53
Sollecitazioni agenti localmente: Ty_l=-2560.74 Mx_l=-51.21
Tensioni nella sezione: σ=620.78 τ=77.60
CC 5 SLV (Collegamento -044_-376)
Azioni sul collegamento: N=-14084.10 Ty=8.00 Tz=-0.13 Mx=0.02 Mz=8.22
Sollecitazioni agenti localmente: Ty_l=-2560.74 Mx_l=-51.21
Tensioni nella sezione: σ=620.78 τ=77.60
CC 5 SLV (Collegamento -044_-376)
Azioni sul collegamento: N=-14084.10 Ty=14.73 Tz=-0.13 Mx=0.02 Mz=12.53
Sollecitazioni agenti localmente: Ty_l=-2560.74 Mx_l=-51.21
Tensioni nella sezione: σ=620.78 τ=77.60
CC 5 SLV (Collegamento -044_-376)
Azioni sul collegamento: N=-6251.19 Ty=8.00 Tz=28.49 Mx=0.02 Mz=8.22
Sollecitazioni agenti localmente: Ty_l=-1136.58 Mx_l=-22.73
Tensioni nella sezione: σ=275.53 τ=34.44
CC 5 SLV (Collegamento -044_-376)
Azioni sul collegamento: N=-6251.19 Ty=14.73 Tz=28.49 Mx=0.02 Mz=12.53
Sollecitazioni agenti localmente: Ty_l=-1136.58 Mx_l=-22.73
Tensioni nella sezione: σ=275.53 τ=34.44
CC 5 SLV (Collegamento -044_-376)
Azioni sul collegamento: N=-6251.19 Ty=8.00 Tz=-0.13 Mx=0.02 Mz=8.22
Sollecitazioni agenti localmente: Ty_l=-1136.58 Mx_l=-22.73
Tensioni nella sezione: σ=275.53 τ=34.44
CC 5 SLV (Collegamento -044_-376)
Azioni sul collegamento: N=-6251.19 Ty=14.73 Tz=-0.13 Mx=0.02 Mz=12.53
Sollecitazioni agenti localmente: Ty_l=-1136.58 Mx_l=-22.73
Tensioni nella sezione: σ=275.53 τ=34.44
CC 6 SLD (Collegamento -044_-376)
Azioni sul collegamento: N=-11264.30 Ty=9.42 Tz=18.16 Mx=0.01 Mz=7.58
Sollecitazioni agenti localmente: Ty_l=-2048.05 Mx_l=-40.96
Tensioni nella sezione: σ=496.50 τ=62.06
CC 6 SLD (Collegamento -044_-376)
Azioni sul collegamento: N=-11264.30 Ty=11.47 Tz=18.16 Mx=0.01 Mz=8.89
Sollecitazioni agenti localmente: Ty_l=-2048.05 Mx_l=-40.96
Tensioni nella sezione: σ=496.50 τ=62.06
CC 6 SLD (Collegamento -044_-376)
Azioni sul collegamento: N=-11264.30 Ty=9.42 Tz=9.43 Mx=0.01 Mz=7.58
Sollecitazioni agenti localmente: Ty_l=-2048.05 Mx_l=-40.96

Tensioni nella sezione: σ=496.50 τ=62.06
CC 6 SLD (Collegamento -044_-376)
Azioni sul collegamento: N=-11264.30 Ty=11.47 Tz=9.43 Mx=0.01 Mz=8.89
Sollecitazioni agenti localmente: Ty_l=-2048.05 Mx_l=-40.96
Tensioni nella sezione: σ=496.50 τ=62.06
CC 6 SLD (Collegamento -044_-376)
Azioni sul collegamento: N=-8875.79 Ty=9.42 Tz=18.16 Mx=0.01 Mz=7.58
Sollecitazioni agenti localmente: Ty_l=-1613.78 Mx_l=-32.28
Tensioni nella sezione: σ=391.22 τ=48.90
CC 6 SLD (Collegamento -044_-376)
Azioni sul collegamento: N=-8875.79 Ty=11.47 Tz=18.16 Mx=0.01 Mz=8.89
Sollecitazioni agenti localmente: Ty_l=-1613.78 Mx_l=-32.28
Tensioni nella sezione: σ=391.22 τ=48.90
CC 6 SLD (Collegamento -044_-376)
Azioni sul collegamento: N=-8875.79 Ty=9.42 Tz=9.43 Mx=0.01 Mz=7.58
Sollecitazioni agenti localmente: Ty_l=-1613.78 Mx_l=-32.28
Tensioni nella sezione: σ=391.22 τ=48.90
CC 6 SLD (Collegamento -044_-376)
Azioni sul collegamento: N=-8875.79 Ty=11.47 Tz=9.43 Mx=0.01 Mz=8.89
Sollecitazioni agenti localmente: Ty_l=-1613.78 Mx_l=-32.28
Tensioni nella sezione: σ=391.22 τ=48.90
CC 7 SLV (Collegamento -044_-376)
Azioni sul collegamento: N=-14088.90 Ty=7.49 Tz=28.82 Mx=0.01 Mz=7.17
Sollecitazioni agenti localmente: Ty_l=-2561.62 Mx_l=-51.23
Tensioni nella sezione: σ=621.00 τ=77.63
CC 7 SLV (Collegamento -044_-376)
Azioni sul collegamento: N=-14088.90 Ty=15.25 Tz=28.82 Mx=0.01 Mz=13.58
Sollecitazioni agenti localmente: Ty_l=-2561.62 Mx_l=-51.23
Tensioni nella sezione: σ=621.00 τ=77.63
CC 7 SLV (Collegamento -044_-376)
Azioni sul collegamento: N=-14088.90 Ty=7.49 Tz=-0.46 Mx=0.01 Mz=7.17
Sollecitazioni agenti localmente: Ty_l=-2561.62 Mx_l=-51.23
Tensioni nella sezione: σ=621.00 τ=77.63
CC 7 SLV (Collegamento -044_-376)
Azioni sul collegamento: N=-14088.90 Ty=15.25 Tz=-0.46 Mx=0.01 Mz=13.58
Sollecitazioni agenti localmente: Ty_l=-2561.62 Mx_l=-51.23
Tensioni nella sezione: σ=621.00 τ=77.63
CC 7 SLV (Collegamento -044_-376)
Azioni sul collegamento: N=-6246.31 Ty=7.49 Tz=28.82 Mx=0.01 Mz=7.17
Sollecitazioni agenti localmente: Ty_l=-1135.69 Mx_l=-22.71
Tensioni nella sezione: σ=275.32 τ=34.41
CC 7 SLV (Collegamento -044_-376)
Azioni sul collegamento: N=-6246.31 Ty=15.25 Tz=28.82 Mx=0.01 Mz=13.58
Sollecitazioni agenti localmente: Ty_l=-1135.69 Mx_l=-22.71
Tensioni nella sezione: σ=275.32 τ=34.41
CC 7 SLV (Collegamento -044_-376)
Azioni sul collegamento: N=-6246.31 Ty=7.49 Tz=-0.46 Mx=0.01 Mz=7.17
Sollecitazioni agenti localmente: Ty_l=-1135.69 Mx_l=-22.71
Tensioni nella sezione: σ=275.32 τ=34.41
CC 7 SLV (Collegamento -044_-376)
Azioni sul collegamento: N=-6246.31 Ty=15.25 Tz=-0.46 Mx=0.01 Mz=13.58
Sollecitazioni agenti localmente: Ty_l=-1135.69 Mx_l=-22.71
Tensioni nella sezione: σ=275.32 τ=34.41
CC 8 SLD (Collegamento -044_-376)
Azioni sul collegamento: N=-11265.80 Ty=9.26 Tz=18.26 Mx=0.01 Mz=7.26
Sollecitazioni agenti localmente: Ty_l=-2048.32 Mx_l=-40.97
Tensioni nella sezione: σ=496.56 τ=62.07
CC 8 SLD (Collegamento -044_-376)
Azioni sul collegamento: N=-11265.80 Ty=11.63 Tz=18.26 Mx=0.01 Mz=9.21
Sollecitazioni agenti localmente: Ty_l=-2048.32 Mx_l=-40.97
Tensioni nella sezione: σ=496.56 τ=62.07
CC 8 SLD (Collegamento -044_-376)
Azioni sul collegamento: N=-11265.80 Ty=9.26 Tz=9.33 Mx=0.01 Mz=7.26
Sollecitazioni agenti localmente: Ty_l=-2048.32 Mx_l=-40.97
Tensioni nella sezione: σ=496.56 τ=62.07
CC 8 SLD (Collegamento -044_-376)
Azioni sul collegamento: N=-11265.80 Ty=11.63 Tz=9.33 Mx=0.01 Mz=9.21
Sollecitazioni agenti localmente: Ty_l=-2048.32 Mx_l=-40.97
Tensioni nella sezione: σ=496.56 τ=62.07
CC 8 SLD (Collegamento -044_-376)
Azioni sul collegamento: N=-8874.30 Ty=9.26 Tz=18.26 Mx=0.01 Mz=7.26
Sollecitazioni agenti localmente: Ty_l=-1613.51 Mx_l=-32.27
Tensioni nella sezione: σ=391.15 τ=48.89
CC 8 SLD (Collegamento -044_-376)
Azioni sul collegamento: N=-8874.30 Ty=11.63 Tz=18.26 Mx=0.01 Mz=9.21
Sollecitazioni agenti localmente: Ty_l=-1613.51 Mx_l=-32.27
Tensioni nella sezione: σ=391.15 τ=48.89
CC 8 SLD (Collegamento -044_-376)
Azioni sul collegamento: N=-8874.30 Ty=9.26 Tz=9.33 Mx=0.01 Mz=7.26

Sollecitazioni agenti localmente: Ty_l=-1613.51 Mx_l=-32.27
Tensioni nella sezione: σ=391.15 τ=48.89
CC 8 SLD (Collegamento -044_-376)
Azioni sul collegamento: N=-8874.30 Ty=11.63 Tz=9.33 Mx=0.01 Mz=9.21
Sollecitazioni agenti localmente: Ty_l=-1613.51 Mx_l=-32.27
Tensioni nella sezione: σ=391.15 τ=48.89
CC 9 SLV (Collegamento -044_-376)
Azioni sul collegamento: N=-8983.82 Ty=13.31 Tz=9.29 Mx=0.02 Mz=12.92
Sollecitazioni agenti localmente: Ty_l=-1633.42 Mx_l=-32.67
Tensioni nella sezione: σ=395.98 τ=49.50
CC 9 SLV (Collegamento -044_-376)
Azioni sul collegamento: N=-8983.82 Ty=9.43 Tz=9.29 Mx=0.02 Mz=7.83
Sollecitazioni agenti localmente: Ty_l=-1633.42 Mx_l=-32.67
Tensioni nella sezione: σ=395.98 τ=49.50
CC 9 SLV (Collegamento -044_-376)
Azioni sul collegamento: N=-8983.82 Ty=13.31 Tz=19.07 Mx=0.02 Mz=12.92
Sollecitazioni agenti localmente: Ty_l=-1633.42 Mx_l=-32.67
Tensioni nella sezione: σ=395.98 τ=49.50
CC 9 SLV (Collegamento -044_-376)
Azioni sul collegamento: N=-8983.82 Ty=9.43 Tz=19.07 Mx=0.02 Mz=7.83
Sollecitazioni agenti localmente: Ty_l=-1633.42 Mx_l=-32.67
Tensioni nella sezione: σ=395.98 τ=49.50
CC 9 SLV (Collegamento -044_-376)
Azioni sul collegamento: N=-11351.40 Ty=13.31 Tz=9.29 Mx=0.02 Mz=12.92
Sollecitazioni agenti localmente: Ty_l=-2063.90 Mx_l=-41.28
Tensioni nella sezione: σ=500.34 τ=62.54
CC 9 SLV (Collegamento -044_-376)
Azioni sul collegamento: N=-11351.40 Ty=9.43 Tz=9.29 Mx=0.02 Mz=7.83
Sollecitazioni agenti localmente: Ty_l=-2063.90 Mx_l=-41.28
Tensioni nella sezione: σ=500.34 τ=62.54
CC 9 SLV (Collegamento -044_-376)
Azioni sul collegamento: N=-11351.40 Ty=13.31 Tz=19.07 Mx=0.02 Mz=12.92
Sollecitazioni agenti localmente: Ty_l=-2063.90 Mx_l=-41.28
Tensioni nella sezione: σ=500.34 τ=62.54
CC 9 SLV (Collegamento -044_-376)
Azioni sul collegamento: N=-11351.40 Ty=9.43 Tz=19.07 Mx=0.02 Mz=7.83
Sollecitazioni agenti localmente: Ty_l=-2063.90 Mx_l=-41.28
Tensioni nella sezione: σ=500.34 τ=62.54
CC 10 SLD (Collegamento -044_-376)
Azioni sul collegamento: N=-9709.06 Ty=11.04 Tz=12.31 Mx=0.01 Mz=9.01
Sollecitazioni agenti localmente: Ty_l=-1765.28 Mx_l=-35.31
Tensioni nella sezione: σ=427.95 τ=53.49
CC 10 SLD (Collegamento -044_-376)
Azioni sul collegamento: N=-9709.06 Ty=9.85 Tz=12.31 Mx=0.01 Mz=7.46
Sollecitazioni agenti localmente: Ty_l=-1765.28 Mx_l=-35.31
Tensioni nella sezione: σ=427.95 τ=53.49
CC 10 SLD (Collegamento -044_-376)
Azioni sul collegamento: N=-9709.06 Ty=11.04 Tz=15.29 Mx=0.01 Mz=9.01
Sollecitazioni agenti localmente: Ty_l=-1765.28 Mx_l=-35.31
Tensioni nella sezione: σ=427.95 τ=53.49
CC 10 SLD (Collegamento -044_-376)
Azioni sul collegamento: N=-9709.06 Ty=9.85 Tz=15.29 Mx=0.01 Mz=7.46
Sollecitazioni agenti localmente: Ty_l=-1765.28 Mx_l=-35.31
Tensioni nella sezione: σ=427.95 τ=53.49
CC 10 SLD (Collegamento -044_-376)
Azioni sul collegamento: N=-10431.00 Ty=11.04 Tz=12.31 Mx=0.01 Mz=9.01
Sollecitazioni agenti localmente: Ty_l=-1896.55 Mx_l=-37.93
Tensioni nella sezione: σ=459.77 τ=57.47
CC 10 SLD (Collegamento -044_-376)
Azioni sul collegamento: N=-10431.00 Ty=9.85 Tz=12.31 Mx=0.01 Mz=7.46
Sollecitazioni agenti localmente: Ty_l=-1896.55 Mx_l=-37.93
Tensioni nella sezione: σ=459.77 τ=57.47
CC 10 SLD (Collegamento -044_-376)
Azioni sul collegamento: N=-10431.00 Ty=11.04 Tz=15.29 Mx=0.01 Mz=9.01
Sollecitazioni agenti localmente: Ty_l=-1896.55 Mx_l=-37.93
Tensioni nella sezione: σ=459.77 τ=57.47
CC 10 SLD (Collegamento -044_-376)
Azioni sul collegamento: N=-10431.00 Ty=9.85 Tz=15.29 Mx=0.01 Mz=7.46
Sollecitazioni agenti localmente: Ty_l=-1896.55 Mx_l=-37.93
Tensioni nella sezione: σ=459.77 τ=57.47
CC 11 SLV (Collegamento -044_-376)
Azioni sul collegamento: N=-11335.10 Ty=11.14 Tz=17.98 Mx=0.02 Mz=11.32
Sollecitazioni agenti localmente: Ty_l=-2060.93 Mx_l=-41.22
Tensioni nella sezione: σ=499.62 τ=62.45
CC 11 SLV (Collegamento -044_-376)
Azioni sul collegamento: N=-11335.10 Ty=11.60 Tz=17.98 Mx=0.02 Mz=9.43
Sollecitazioni agenti localmente: Ty_l=-2060.93 Mx_l=-41.22
Tensioni nella sezione: σ=499.62 τ=62.45
CC 11 SLV (Collegamento -044_-376)

Azioni sul collegamento: N=-11335.10 Ty=11.14 Tz=10.38 Mx=0.02 Mz=11.32
Sollecitazioni agenti localmente: Ty_l=-2060.93 Mx_l=-41.22
Tensioni nella sezione: σ=499.62 τ=62.45
CC 11 SLV (Collegamento -044_-376)
Azioni sul collegamento: N=-11335.10 Ty=11.60 Tz=10.38 Mx=0.02 Mz=9.43
Sollecitazioni agenti localmente: Ty_l=-2060.93 Mx_l=-41.22
Tensioni nella sezione: σ=499.62 τ=62.45
CC 11 SLV (Collegamento -044_-376)
Azioni sul collegamento: N=-9000.10 Ty=11.14 Tz=17.98 Mx=0.02 Mz=11.32
Sollecitazioni agenti localmente: Ty_l=-1636.38 Mx_l=-32.73
Tensioni nella sezione: σ=396.70 τ=49.59
CC 11 SLV (Collegamento -044_-376)
Azioni sul collegamento: N=-9000.10 Ty=11.60 Tz=17.98 Mx=0.02 Mz=9.43
Sollecitazioni agenti localmente: Ty_l=-1636.38 Mx_l=-32.73
Tensioni nella sezione: σ=396.70 τ=49.59
CC 11 SLV (Collegamento -044_-376)
Azioni sul collegamento: N=-9000.10 Ty=11.14 Tz=10.38 Mx=0.02 Mz=11.32
Sollecitazioni agenti localmente: Ty_l=-1636.38 Mx_l=-32.73
Tensioni nella sezione: σ=396.70 τ=49.59
CC 11 SLV (Collegamento -044_-376)
Azioni sul collegamento: N=-9000.10 Ty=11.60 Tz=10.38 Mx=0.02 Mz=9.43
Sollecitazioni agenti localmente: Ty_l=-1636.38 Mx_l=-32.73
Tensioni nella sezione: σ=396.70 τ=49.59
CC 12 SLD (Collegamento -044_-376)
Azioni sul collegamento: N=-10426.00 Ty=10.37 Tz=14.95 Mx=0.01 Mz=8.52
Sollecitazioni agenti localmente: Ty_l=-1895.64 Mx_l=-37.91
Tensioni nella sezione: σ=459.55 τ=57.44
CC 12 SLD (Collegamento -044_-376)
Azioni sul collegamento: N=-10426.00 Ty=10.51 Tz=14.95 Mx=0.01 Mz=7.95
Sollecitazioni agenti localmente: Ty_l=-1895.64 Mx_l=-37.91
Tensioni nella sezione: σ=459.55 τ=57.44
CC 12 SLD (Collegamento -044_-376)
Azioni sul collegamento: N=-10426.00 Ty=10.37 Tz=12.64 Mx=0.01 Mz=8.52
Sollecitazioni agenti localmente: Ty_l=-1895.64 Mx_l=-37.91
Tensioni nella sezione: σ=459.55 τ=57.44
CC 12 SLD (Collegamento -044_-376)
Azioni sul collegamento: N=-10426.00 Ty=10.51 Tz=12.64 Mx=0.01 Mz=7.95
Sollecitazioni agenti localmente: Ty_l=-1895.64 Mx_l=-37.91
Tensioni nella sezione: σ=459.55 τ=57.44
CC 12 SLD (Collegamento -044_-376)
Azioni sul collegamento: N=-9714.02 Ty=10.37 Tz=14.95 Mx=0.01 Mz=8.52
Sollecitazioni agenti localmente: Ty_l=-1766.19 Mx_l=-35.32
Tensioni nella sezione: σ=428.17 τ=53.52
CC 12 SLD (Collegamento -044_-376)
Azioni sul collegamento: N=-9714.02 Ty=10.51 Tz=14.95 Mx=0.01 Mz=7.95
Sollecitazioni agenti localmente: Ty_l=-1766.19 Mx_l=-35.32
Tensioni nella sezione: σ=428.17 τ=53.52
CC 12 SLD (Collegamento -044_-376)
Azioni sul collegamento: N=-9714.02 Ty=10.37 Tz=12.64 Mx=0.01 Mz=8.52
Sollecitazioni agenti localmente: Ty_l=-1766.19 Mx_l=-35.32
Tensioni nella sezione: σ=428.17 τ=53.52
CC 12 SLD (Collegamento -044_-376)
Azioni sul collegamento: N=-9714.02 Ty=10.51 Tz=12.64 Mx=0.01 Mz=7.95
Sollecitazioni agenti localmente: Ty_l=-1766.19 Mx_l=-35.32
Tensioni nella sezione: σ=428.17 τ=53.52
CC 13 SLV (Collegamento -044_-376)
Azioni sul collegamento: N=-9000.10 Ty=11.60 Tz=10.38 Mx=0.01 Mz=9.43
Sollecitazioni agenti localmente: Ty_l=-1636.38 Mx_l=-32.73
Tensioni nella sezione: σ=396.70 τ=49.59
CC 13 SLV (Collegamento -044_-376)
Azioni sul collegamento: N=-9000.10 Ty=11.14 Tz=10.38 Mx=0.01 Mz=11.32
Sollecitazioni agenti localmente: Ty_l=-1636.38 Mx_l=-32.73
Tensioni nella sezione: σ=396.70 τ=49.59
CC 13 SLV (Collegamento -044_-376)
Azioni sul collegamento: N=-9000.10 Ty=11.60 Tz=17.98 Mx=0.01 Mz=9.43
Sollecitazioni agenti localmente: Ty_l=-1636.38 Mx_l=-32.73
Tensioni nella sezione: σ=396.70 τ=49.59
CC 13 SLV (Collegamento -044_-376)
Azioni sul collegamento: N=-9000.10 Ty=11.14 Tz=17.98 Mx=0.01 Mz=11.32
Sollecitazioni agenti localmente: Ty_l=-1636.38 Mx_l=-32.73
Tensioni nella sezione: σ=396.70 τ=49.59
CC 13 SLV (Collegamento -044_-376)
Azioni sul collegamento: N=-11335.10 Ty=11.60 Tz=10.38 Mx=0.01 Mz=9.43
Sollecitazioni agenti localmente: Ty_l=-2060.93 Mx_l=-41.22
Tensioni nella sezione: σ=499.62 τ=62.45
CC 13 SLV (Collegamento -044_-376)
Azioni sul collegamento: N=-11335.10 Ty=11.14 Tz=10.38 Mx=0.01 Mz=11.32
Sollecitazioni agenti localmente: Ty_l=-2060.93 Mx_l=-41.22
Tensioni nella sezione: σ=499.62 τ=62.45

CC 13 SLV (Collegamento -044_-376)
Azioni sul collegamento: N=-11335.10 Ty=11.60 Tz=17.98 Mx=0.01 Mz=9.43
Sollecitazioni agenti localmente: Ty_l=-2060.93 Mx_l=-41.22
Tensioni nella sezione: σ=499.62 τ=62.45
CC 13 SLV (Collegamento -044_-376)
Azioni sul collegamento: N=-11335.10 Ty=11.14 Tz=17.98 Mx=0.01 Mz=11.32
Sollecitazioni agenti localmente: Ty_l=-2060.93 Mx_l=-41.22
Tensioni nella sezione: σ=499.62 τ=62.45
CC 14 SLD (Collegamento -044_-376)
Azioni sul collegamento: N=-9714.02 Ty=10.51 Tz=12.64 Mx=0.00 Mz=7.95
Sollecitazioni agenti localmente: Ty_l=-1766.19 Mx_l=-35.32
Tensioni nella sezione: σ=428.17 τ=53.52
CC 14 SLD (Collegamento -044_-376)
Azioni sul collegamento: N=-9714.02 Ty=10.37 Tz=12.64 Mx=0.00 Mz=8.52
Sollecitazioni agenti localmente: Ty_l=-1766.19 Mx_l=-35.32
Tensioni nella sezione: σ=428.17 τ=53.52
CC 14 SLD (Collegamento -044_-376)
Azioni sul collegamento: N=-9714.02 Ty=10.51 Tz=14.95 Mx=0.00 Mz=7.95
Sollecitazioni agenti localmente: Ty_l=-1766.19 Mx_l=-35.32
Tensioni nella sezione: σ=428.17 τ=53.52
CC 14 SLD (Collegamento -044_-376)
Azioni sul collegamento: N=-9714.02 Ty=10.37 Tz=14.95 Mx=0.00 Mz=8.52
Sollecitazioni agenti localmente: Ty_l=-1766.19 Mx_l=-35.32
Tensioni nella sezione: σ=428.17 τ=53.52
CC 14 SLD (Collegamento -044_-376)
Azioni sul collegamento: N=-10426.00 Ty=10.51 Tz=12.64 Mx=0.00 Mz=7.95
Sollecitazioni agenti localmente: Ty_l=-1895.64 Mx_l=-37.91
Tensioni nella sezione: σ=459.55 τ=57.44
CC 14 SLD (Collegamento -044_-376)
Azioni sul collegamento: N=-10426.00 Ty=10.37 Tz=12.64 Mx=0.00 Mz=8.52
Sollecitazioni agenti localmente: Ty_l=-1895.64 Mx_l=-37.91
Tensioni nella sezione: σ=459.55 τ=57.44
CC 14 SLD (Collegamento -044_-376)
Azioni sul collegamento: N=-10426.00 Ty=10.51 Tz=14.95 Mx=0.00 Mz=7.95
Sollecitazioni agenti localmente: Ty_l=-1895.64 Mx_l=-37.91
Tensioni nella sezione: σ=459.55 τ=57.44
CC 14 SLD (Collegamento -044_-376)
Azioni sul collegamento: N=-10426.00 Ty=10.37 Tz=14.95 Mx=0.00 Mz=8.52
Sollecitazioni agenti localmente: Ty_l=-1895.64 Mx_l=-37.91
Tensioni nella sezione: σ=459.55 τ=57.44
CC 15 SLV (Collegamento -044_-376)
Azioni sul collegamento: N=-11351.40 Ty=9.43 Tz=19.07 Mx=0.01 Mz=7.83
Sollecitazioni agenti localmente: Ty_l=-2063.90 Mx_l=-41.28
Tensioni nella sezione: σ=500.34 τ=62.54
CC 15 SLV (Collegamento -044_-376)
Azioni sul collegamento: N=-11351.40 Ty=13.31 Tz=19.07 Mx=0.01 Mz=12.92
Sollecitazioni agenti localmente: Ty_l=-2063.90 Mx_l=-41.28
Tensioni nella sezione: σ=500.34 τ=62.54
CC 15 SLV (Collegamento -044_-376)
Azioni sul collegamento: N=-11351.40 Ty=9.43 Tz=9.29 Mx=0.01 Mz=7.83
Sollecitazioni agenti localmente: Ty_l=-2063.90 Mx_l=-41.28
Tensioni nella sezione: σ=500.34 τ=62.54
CC 15 SLV (Collegamento -044_-376)
Azioni sul collegamento: N=-11351.40 Ty=13.31 Tz=9.29 Mx=0.01 Mz=12.92
Sollecitazioni agenti localmente: Ty_l=-2063.90 Mx_l=-41.28
Tensioni nella sezione: σ=500.34 τ=62.54
CC 15 SLV (Collegamento -044_-376)
Azioni sul collegamento: N=-8983.82 Ty=9.43 Tz=19.07 Mx=0.01 Mz=7.83
Sollecitazioni agenti localmente: Ty_l=-1633.42 Mx_l=-32.67
Tensioni nella sezione: σ=395.98 τ=49.50
CC 15 SLV (Collegamento -044_-376)
Azioni sul collegamento: N=-8983.82 Ty=13.31 Tz=19.07 Mx=0.01 Mz=12.92
Sollecitazioni agenti localmente: Ty_l=-1633.42 Mx_l=-32.67
Tensioni nella sezione: σ=395.98 τ=49.50
CC 15 SLV (Collegamento -044_-376)
Azioni sul collegamento: N=-8983.82 Ty=9.43 Tz=9.29 Mx=0.01 Mz=7.83
Sollecitazioni agenti localmente: Ty_l=-1633.42 Mx_l=-32.67
Tensioni nella sezione: σ=395.98 τ=49.50
CC 15 SLV (Collegamento -044_-376)
Azioni sul collegamento: N=-8983.82 Ty=13.31 Tz=9.29 Mx=0.01 Mz=12.92
Sollecitazioni agenti localmente: Ty_l=-1633.42 Mx_l=-32.67
Tensioni nella sezione: σ=395.98 τ=49.50
CC 16 SLD (Collegamento -044_-376)
Azioni sul collegamento: N=-10431.00 Ty=9.85 Tz=15.29 Mx=0.00 Mz=7.46
Sollecitazioni agenti localmente: Ty_l=-1896.55 Mx_l=-37.93
Tensioni nella sezione: σ=459.77 τ=57.47
CC 16 SLD (Collegamento -044_-376)
Azioni sul collegamento: N=-10431.00 Ty=11.04 Tz=15.29 Mx=0.00 Mz=9.01
Sollecitazioni agenti localmente: Ty_l=-1896.55 Mx_l=-37.93

Tensioni nella sezione: σ=459.77 τ=57.47
CC 16 SLD (Collegamento -044_-376)
Azioni sul collegamento: N=-10431.00 Ty=9.85 Tz=12.31 Mx=0.00 Mz=7.46
Sollecitazioni agenti localmente: Ty_l=-1896.55 Mx_l=-37.93
Tensioni nella sezione: σ=459.77 τ=57.47
CC 16 SLD (Collegamento -044_-376)
Azioni sul collegamento: N=-10431.00 Ty=11.04 Tz=12.31 Mx=0.00 Mz=9.01
Sollecitazioni agenti localmente: Ty_l=-1896.55 Mx_l=-37.93
Tensioni nella sezione: σ=459.77 τ=57.47
CC 16 SLD (Collegamento -044_-376)
Azioni sul collegamento: N=-9709.06 Ty=9.85 Tz=15.29 Mx=0.00 Mz=7.46
Sollecitazioni agenti localmente: Ty_l=-1765.28 Mx_l=-35.31
Tensioni nella sezione: σ=427.95 τ=53.49
CC 16 SLD (Collegamento -044_-376)
Azioni sul collegamento: N=-9709.06 Ty=11.04 Tz=15.29 Mx=0.00 Mz=9.01
Sollecitazioni agenti localmente: Ty_l=-1765.28 Mx_l=-35.31
Tensioni nella sezione: σ=427.95 τ=53.49
CC 16 SLD (Collegamento -044_-376)
Azioni sul collegamento: N=-9709.06 Ty=9.85 Tz=12.31 Mx=0.00 Mz=7.46
Sollecitazioni agenti localmente: Ty_l=-1765.28 Mx_l=-35.31
Tensioni nella sezione: σ=427.95 τ=53.49
CC 16 SLD (Collegamento -044_-376)
Azioni sul collegamento: N=-9709.06 Ty=11.04 Tz=12.31 Mx=0.00 Mz=9.01
Sollecitazioni agenti localmente: Ty_l=-1765.28 Mx_l=-35.31
Tensioni nella sezione: σ=427.95 τ=53.49
CC 17 SLV (Collegamento -044_-376)
Azioni sul collegamento: N=-5965.51 Ty=12.58 Tz=-1.56 Mx=-0.01 Mz=7.43
Sollecitazioni agenti localmente: Ty_l=-1084.64 Mx_l=-21.69
Tensioni nella sezione: σ=262.94 τ=32.87
CC 17 SLV (Collegamento -044_-376)
Azioni sul collegamento: N=-5965.51 Ty=4.83 Tz=-1.56 Mx=-0.01 Mz=1.02
Sollecitazioni agenti localmente: Ty_l=-1084.64 Mx_l=-21.69
Tensioni nella sezione: σ=262.94 τ=32.87
CC 17 SLV (Collegamento -044_-376)
Azioni sul collegamento: N=-5965.51 Ty=12.58 Tz=27.71 Mx=-0.01 Mz=7.43
Sollecitazioni agenti localmente: Ty_l=-1084.64 Mx_l=-21.69
Tensioni nella sezione: σ=262.94 τ=32.87
CC 17 SLV (Collegamento -044_-376)
Azioni sul collegamento: N=-5965.51 Ty=4.83 Tz=27.71 Mx=-0.01 Mz=1.02
Sollecitazioni agenti localmente: Ty_l=-1084.64 Mx_l=-21.69
Tensioni nella sezione: σ=262.94 τ=32.87
CC 17 SLV (Collegamento -044_-376)
Azioni sul collegamento: N=-13808.10 Ty=12.58 Tz=-1.56 Mx=-0.01 Mz=7.43
Sollecitazioni agenti localmente: Ty_l=-2510.57 Mx_l=-50.21
Tensioni nella sezione: σ=608.62 τ=76.08
CC 17 SLV (Collegamento -044_-376)
Azioni sul collegamento: N=-13808.10 Ty=4.83 Tz=-1.56 Mx=-0.01 Mz=1.02
Sollecitazioni agenti localmente: Ty_l=-2510.57 Mx_l=-50.21
Tensioni nella sezione: σ=608.62 τ=76.08
CC 17 SLV (Collegamento -044_-376)
Azioni sul collegamento: N=-13808.10 Ty=12.58 Tz=27.71 Mx=-0.01 Mz=7.43
Sollecitazioni agenti localmente: Ty_l=-2510.57 Mx_l=-50.21
Tensioni nella sezione: σ=608.62 τ=76.08
CC 17 SLV (Collegamento -044_-376)
Azioni sul collegamento: N=-13808.10 Ty=4.83 Tz=27.71 Mx=-0.01 Mz=1.02
Sollecitazioni agenti localmente: Ty_l=-2510.57 Mx_l=-50.21
Tensioni nella sezione: σ=608.62 τ=76.08
CC 18 SLD (Collegamento -044_-376)
Azioni sul collegamento: N=-8788.68 Ty=10.81 Tz=9.00 Mx=-0.00 Mz=7.34
Sollecitazioni agenti localmente: Ty_l=-1597.94 Mx_l=-31.96
Tensioni nella sezione: σ=387.38 τ=48.42
CC 18 SLD (Collegamento -044_-376)
Azioni sul collegamento: N=-8788.68 Ty=8.45 Tz=9.00 Mx=-0.00 Mz=5.38
Sollecitazioni agenti localmente: Ty_l=-1597.94 Mx_l=-31.96
Tensioni nella sezione: σ=387.38 τ=48.42
CC 18 SLD (Collegamento -044_-376)
Azioni sul collegamento: N=-8788.68 Ty=10.81 Tz=17.92 Mx=-0.00 Mz=7.34
Sollecitazioni agenti localmente: Ty_l=-1597.94 Mx_l=-31.96
Tensioni nella sezione: σ=387.38 τ=48.42
CC 18 SLD (Collegamento -044_-376)
Azioni sul collegamento: N=-8788.68 Ty=8.45 Tz=17.92 Mx=-0.00 Mz=5.38
Sollecitazioni agenti localmente: Ty_l=-1597.94 Mx_l=-31.96
Tensioni nella sezione: σ=387.38 τ=48.42
CC 18 SLD (Collegamento -044_-376)
Azioni sul collegamento: N=-11180.10 Ty=10.81 Tz=9.00 Mx=-0.00 Mz=7.34
Sollecitazioni agenti localmente: Ty_l=-2032.75 Mx_l=-40.66
Tensioni nella sezione: σ=492.79 τ=61.60
CC 18 SLD (Collegamento -044_-376)
Azioni sul collegamento: N=-11180.10 Ty=8.45 Tz=9.00 Mx=-0.00 Mz=5.38

Sollecitazioni agenti localmente: Ty_l=-2032.75 Mx_l=-40.66
Tensioni nella sezione: σ=492.79 τ=61.60
CC 18 SLD (Collegamento -044_-376)
Azioni sul collegamento: N=-11180.10 Ty=10.81 Tz=17.92 Mx=-0.00 Mz=7.34
Sollecitazioni agenti localmente: Ty_l=-2032.75 Mx_l=-40.66
Tensioni nella sezione: σ=492.79 τ=61.60
CC 18 SLD (Collegamento -044_-376)
Azioni sul collegamento: N=-11180.10 Ty=8.45 Tz=17.92 Mx=-0.00 Mz=5.38
Sollecitazioni agenti localmente: Ty_l=-2032.75 Mx_l=-40.66
Tensioni nella sezione: σ=492.79 τ=61.60
CC 19 SLV (Collegamento -044_-376)
Azioni sul collegamento: N=-5970.39 Ty=12.07 Tz=-1.24 Mx=-0.01 Mz=6.38
Sollecitazioni agenti localmente: Ty_l=-1085.53 Mx_l=-21.71
Tensioni nella sezione: σ=263.16 τ=32.89
CC 19 SLV (Collegamento -044_-376)
Azioni sul collegamento: N=-5970.39 Ty=5.34 Tz=-1.24 Mx=-0.01 Mz=2.07
Sollecitazioni agenti localmente: Ty_l=-1085.53 Mx_l=-21.71
Tensioni nella sezione: σ=263.16 τ=32.89
CC 19 SLV (Collegamento -044_-376)
Azioni sul collegamento: N=-5970.39 Ty=12.07 Tz=27.38 Mx=-0.01 Mz=6.38
Sollecitazioni agenti localmente: Ty_l=-1085.53 Mx_l=-21.71
Tensioni nella sezione: σ=263.16 τ=32.89
CC 19 SLV (Collegamento -044_-376)
Azioni sul collegamento: N=-5970.39 Ty=5.34 Tz=27.38 Mx=-0.01 Mz=2.07
Sollecitazioni agenti localmente: Ty_l=-1085.53 Mx_l=-21.71
Tensioni nella sezione: σ=263.16 τ=32.89
CC 19 SLV (Collegamento -044_-376)
Azioni sul collegamento: N=-13803.30 Ty=12.07 Tz=-1.24 Mx=-0.01 Mz=6.38
Sollecitazioni agenti localmente: Ty_l=-2509.68 Mx_l=-50.19
Tensioni nella sezione: σ=608.41 τ=76.05
CC 19 SLV (Collegamento -044_-376)
Azioni sul collegamento: N=-13803.30 Ty=5.34 Tz=-1.24 Mx=-0.01 Mz=2.07
Sollecitazioni agenti localmente: Ty_l=-2509.68 Mx_l=-50.19
Tensioni nella sezione: σ=608.41 τ=76.05
CC 19 SLV (Collegamento -044_-376)
Azioni sul collegamento: N=-13803.30 Ty=12.07 Tz=27.38 Mx=-0.01 Mz=6.38
Sollecitazioni agenti localmente: Ty_l=-2509.68 Mx_l=-50.19
Tensioni nella sezione: σ=608.41 τ=76.05
CC 19 SLV (Collegamento -044_-376)
Azioni sul collegamento: N=-13803.30 Ty=5.34 Tz=27.38 Mx=-0.01 Mz=2.07
Sollecitazioni agenti localmente: Ty_l=-2509.68 Mx_l=-50.19
Tensioni nella sezione: σ=608.41 τ=76.05
CC 20 SLD (Collegamento -044_-376)
Azioni sul collegamento: N=-8790.17 Ty=10.66 Tz=9.09 Mx=-0.00 Mz=7.02
Sollecitazioni agenti localmente: Ty_l=-1598.21 Mx_l=-31.96
Tensioni nella sezione: σ=387.44 τ=48.43
CC 20 SLD (Collegamento -044_-376)
Azioni sul collegamento: N=-8790.17 Ty=8.61 Tz=9.09 Mx=-0.00 Mz=5.70
Sollecitazioni agenti localmente: Ty_l=-1598.21 Mx_l=-31.96
Tensioni nella sezione: σ=387.44 τ=48.43
CC 20 SLD (Collegamento -044_-376)
Azioni sul collegamento: N=-8790.17 Ty=10.66 Tz=17.82 Mx=-0.00 Mz=7.02
Sollecitazioni agenti localmente: Ty_l=-1598.21 Mx_l=-31.96
Tensioni nella sezione: σ=387.44 τ=48.43
CC 20 SLD (Collegamento -044_-376)
Azioni sul collegamento: N=-8790.17 Ty=8.61 Tz=17.82 Mx=-0.00 Mz=5.70
Sollecitazioni agenti localmente: Ty_l=-1598.21 Mx_l=-31.96
Tensioni nella sezione: σ=387.44 τ=48.43
CC 20 SLD (Collegamento -044_-376)
Azioni sul collegamento: N=-11178.70 Ty=10.66 Tz=9.10 Mx=-0.00 Mz=7.02
Sollecitazioni agenti localmente: Ty_l=-2032.48 Mx_l=-40.65
Tensioni nella sezione: σ=492.72 τ=61.59
CC 20 SLD (Collegamento -044_-376)
Azioni sul collegamento: N=-11178.70 Ty=8.61 Tz=9.10 Mx=-0.00 Mz=5.70
Sollecitazioni agenti localmente: Ty_l=-2032.48 Mx_l=-40.65
Tensioni nella sezione: σ=492.72 τ=61.59
CC 20 SLD (Collegamento -044_-376)
Azioni sul collegamento: N=-11178.70 Ty=10.66 Tz=17.82 Mx=-0.00 Mz=7.02
Sollecitazioni agenti localmente: Ty_l=-2032.48 Mx_l=-40.65
Tensioni nella sezione: σ=492.72 τ=61.59
CC 20 SLD (Collegamento -044_-376)
Azioni sul collegamento: N=-11178.70 Ty=8.61 Tz=17.82 Mx=-0.00 Mz=5.70
Sollecitazioni agenti localmente: Ty_l=-2032.48 Mx_l=-40.65
Tensioni nella sezione: σ=492.72 τ=61.59
CC 21 SLV (Collegamento -044_-376)
Azioni sul collegamento: N=-13803.30 Ty=5.34 Tz=27.38 Mx=-0.01 Mz=2.07
Sollecitazioni agenti localmente: Ty_l=-2509.68 Mx_l=-50.19
Tensioni nella sezione: σ=608.41 τ=76.05
CC 21 SLV (Collegamento -044_-376)

Azioni sul collegamento: N=-13803.30 Ty=12.07 Tz=27.38 Mx=-0.01 Mz=6.38
Sollecitazioni agenti localmente: Ty_l=-2509.68 Mx_l=-50.19
Tensioni nella sezione: σ=608.41 τ=76.05
CC 21 SLV (Collegamento -044_-376)
Azioni sul collegamento: N=-13803.30 Ty=5.34 Tz=-1.24 Mx=-0.01 Mz=2.07
Sollecitazioni agenti localmente: Ty_l=-2509.68 Mx_l=-50.19
Tensioni nella sezione: σ=608.41 τ=76.05
CC 21 SLV (Collegamento -044_-376)
Azioni sul collegamento: N=-13803.30 Ty=12.07 Tz=-1.24 Mx=-0.01 Mz=6.38
Sollecitazioni agenti localmente: Ty_l=-2509.68 Mx_l=-50.19
Tensioni nella sezione: σ=608.41 τ=76.05
CC 21 SLV (Collegamento -044_-376)
Azioni sul collegamento: N=-5970.39 Ty=5.34 Tz=27.38 Mx=-0.01 Mz=2.07
Sollecitazioni agenti localmente: Ty_l=-1085.53 Mx_l=-21.71
Tensioni nella sezione: σ=263.16 τ=32.89
CC 21 SLV (Collegamento -044_-376)
Azioni sul collegamento: N=-5970.39 Ty=12.07 Tz=27.38 Mx=-0.01 Mz=6.38
Sollecitazioni agenti localmente: Ty_l=-1085.53 Mx_l=-21.71
Tensioni nella sezione: σ=263.16 τ=32.89
CC 21 SLV (Collegamento -044_-376)
Azioni sul collegamento: N=-5970.39 Ty=5.34 Tz=-1.24 Mx=-0.01 Mz=2.07
Sollecitazioni agenti localmente: Ty_l=-1085.53 Mx_l=-21.71
Tensioni nella sezione: σ=263.16 τ=32.89
CC 21 SLV (Collegamento -044_-376)
Azioni sul collegamento: N=-5970.39 Ty=12.07 Tz=-1.24 Mx=-0.01 Mz=6.38
Sollecitazioni agenti localmente: Ty_l=-1085.53 Mx_l=-21.71
Tensioni nella sezione: σ=263.16 τ=32.89
CC 22 SLD (Collegamento -044_-376)
Azioni sul collegamento: N=-11178.70 Ty=8.61 Tz=17.82 Mx=-0.00 Mz=5.70
Sollecitazioni agenti localmente: Ty_l=-2032.48 Mx_l=-40.65
Tensioni nella sezione: σ=492.72 τ=61.59
CC 22 SLD (Collegamento -044_-376)
Azioni sul collegamento: N=-11178.70 Ty=10.66 Tz=17.82 Mx=-0.00 Mz=7.02
Sollecitazioni agenti localmente: Ty_l=-2032.48 Mx_l=-40.65
Tensioni nella sezione: σ=492.72 τ=61.59
CC 22 SLD (Collegamento -044_-376)
Azioni sul collegamento: N=-11178.70 Ty=8.61 Tz=9.10 Mx=-0.00 Mz=5.70
Sollecitazioni agenti localmente: Ty_l=-2032.48 Mx_l=-40.65
Tensioni nella sezione: σ=492.72 τ=61.59
CC 22 SLD (Collegamento -044_-376)
Azioni sul collegamento: N=-11178.70 Ty=10.66 Tz=9.10 Mx=-0.00 Mz=7.02
Sollecitazioni agenti localmente: Ty_l=-2032.48 Mx_l=-40.65
Tensioni nella sezione: σ=492.72 τ=61.59
CC 22 SLD (Collegamento -044_-376)
Azioni sul collegamento: N=-8790.17 Ty=8.61 Tz=17.82 Mx=-0.00 Mz=5.70
Sollecitazioni agenti localmente: Ty_l=-1598.21 Mx_l=-31.96
Tensioni nella sezione: σ=387.44 τ=48.43
CC 22 SLD (Collegamento -044_-376)
Azioni sul collegamento: N=-8790.17 Ty=10.66 Tz=17.82 Mx=-0.00 Mz=7.02
Sollecitazioni agenti localmente: Ty_l=-1598.21 Mx_l=-31.96
Tensioni nella sezione: σ=387.44 τ=48.43
CC 22 SLD (Collegamento -044_-376)
Azioni sul collegamento: N=-8790.17 Ty=8.61 Tz=9.09 Mx=-0.00 Mz=5.70
Sollecitazioni agenti localmente: Ty_l=-1598.21 Mx_l=-31.96
Tensioni nella sezione: σ=387.44 τ=48.43
CC 22 SLD (Collegamento -044_-376)
Azioni sul collegamento: N=-8790.17 Ty=10.66 Tz=9.09 Mx=-0.00 Mz=7.02
Sollecitazioni agenti localmente: Ty_l=-1598.21 Mx_l=-31.96
Tensioni nella sezione: σ=387.44 τ=48.43
CC 23 SLV (Collegamento -044_-376)
Azioni sul collegamento: N=-13808.10 Ty=4.83 Tz=27.71 Mx=-0.01 Mz=1.02
Sollecitazioni agenti localmente: Ty_l=-2510.57 Mx_l=-50.21
Tensioni nella sezione: σ=608.62 τ=76.08
CC 23 SLV (Collegamento -044_-376)
Azioni sul collegamento: N=-13808.10 Ty=12.58 Tz=27.71 Mx=-0.01 Mz=7.43
Sollecitazioni agenti localmente: Ty_l=-2510.57 Mx_l=-50.21
Tensioni nella sezione: σ=608.62 τ=76.08
CC 23 SLV (Collegamento -044_-376)
Azioni sul collegamento: N=-13808.10 Ty=4.83 Tz=-1.56 Mx=-0.01 Mz=1.02
Sollecitazioni agenti localmente: Ty_l=-2510.57 Mx_l=-50.21
Tensioni nella sezione: σ=608.62 τ=76.08
CC 23 SLV (Collegamento -044_-376)
Azioni sul collegamento: N=-13808.10 Ty=12.58 Tz=-1.56 Mx=-0.01 Mz=7.43
Sollecitazioni agenti localmente: Ty_l=-2510.57 Mx_l=-50.21
Tensioni nella sezione: σ=608.62 τ=76.08
CC 23 SLV (Collegamento -044_-376)
Azioni sul collegamento: N=-5965.51 Ty=4.83 Tz=27.71 Mx=-0.01 Mz=1.02
Sollecitazioni agenti localmente: Ty_l=-1084.64 Mx_l=-21.69
Tensioni nella sezione: σ=262.94 τ=32.87

CC 23 SLV (Collegamento -044_-376)
Azioni sul collegamento: N=-5965.51 Ty=12.58 Tz=27.71 Mx=-0.01 Mz=7.43
Sollecitazioni agenti localmente: Ty_l=-1084.64 Mx_l=-21.69
Tensioni nella sezione: σ=262.94 τ=32.87
CC 23 SLV (Collegamento -044_-376)
Azioni sul collegamento: N=-5965.51 Ty=4.83 Tz=-1.56 Mx=-0.01 Mz=1.02
Sollecitazioni agenti localmente: Ty_l=-1084.64 Mx_l=-21.69
Tensioni nella sezione: σ=262.94 τ=32.87
CC 23 SLV (Collegamento -044_-376)
Azioni sul collegamento: N=-5965.51 Ty=12.58 Tz=-1.56 Mx=-0.01 Mz=7.43
Sollecitazioni agenti localmente: Ty_l=-1084.64 Mx_l=-21.69
Tensioni nella sezione: σ=262.94 τ=32.87
CC 24 SLD (Collegamento -044_-376)
Azioni sul collegamento: N=-11180.10 Ty=8.45 Tz=17.92 Mx=-0.00 Mz=5.38
Sollecitazioni agenti localmente: Ty_l=-2032.75 Mx_l=-40.66
Tensioni nella sezione: σ=492.79 τ=61.60
CC 24 SLD (Collegamento -044_-376)
Azioni sul collegamento: N=-11180.10 Ty=10.81 Tz=17.92 Mx=-0.00 Mz=7.34
Sollecitazioni agenti localmente: Ty_l=-2032.75 Mx_l=-40.66
Tensioni nella sezione: σ=492.79 τ=61.60
CC 24 SLD (Collegamento -044_-376)
Azioni sul collegamento: N=-11180.10 Ty=8.45 Tz=9.00 Mx=-0.00 Mz=5.38
Sollecitazioni agenti localmente: Ty_l=-2032.75 Mx_l=-40.66
Tensioni nella sezione: σ=492.79 τ=61.60
CC 24 SLD (Collegamento -044_-376)
Azioni sul collegamento: N=-11180.10 Ty=10.81 Tz=9.00 Mx=-0.00 Mz=7.34
Sollecitazioni agenti localmente: Ty_l=-2032.75 Mx_l=-40.66
Tensioni nella sezione: σ=492.79 τ=61.60
CC 24 SLD (Collegamento -044_-376)
Azioni sul collegamento: N=-8788.68 Ty=8.45 Tz=17.92 Mx=-0.00 Mz=5.38
Sollecitazioni agenti localmente: Ty_l=-1597.94 Mx_l=-31.96
Tensioni nella sezione: σ=387.38 τ=48.42
CC 24 SLD (Collegamento -044_-376)
Azioni sul collegamento: N=-8788.68 Ty=10.81 Tz=17.92 Mx=-0.00 Mz=7.34
Sollecitazioni agenti localmente: Ty_l=-1597.94 Mx_l=-31.96
Tensioni nella sezione: σ=387.38 τ=48.42
CC 24 SLD (Collegamento -044_-376)
Azioni sul collegamento: N=-8788.68 Ty=8.45 Tz=9.00 Mx=-0.00 Mz=5.38
Sollecitazioni agenti localmente: Ty_l=-1597.94 Mx_l=-31.96
Tensioni nella sezione: σ=387.38 τ=48.42
CC 24 SLD (Collegamento -044_-376)
Azioni sul collegamento: N=-8788.68 Ty=10.81 Tz=9.00 Mx=-0.00 Mz=7.34
Sollecitazioni agenti localmente: Ty_l=-1597.94 Mx_l=-31.96
Tensioni nella sezione: σ=387.38 τ=48.42
CC 25 SLV (Collegamento -044_-376)
Azioni sul collegamento: N=-8703.02 Ty=10.65 Tz=8.19 Mx=-0.02 Mz=6.77
Sollecitazioni agenti localmente: Ty_l=-1582.37 Mx_l=-31.65
Tensioni nella sezione: σ=383.60 τ=47.95
CC 25 SLV (Collegamento -044_-376)
Azioni sul collegamento: N=-8703.02 Ty=6.76 Tz=8.19 Mx=-0.02 Mz=1.67
Sollecitazioni agenti localmente: Ty_l=-1582.37 Mx_l=-31.65
Tensioni nella sezione: σ=383.60 τ=47.95
CC 25 SLV (Collegamento -044_-376)
Azioni sul collegamento: N=-8703.02 Ty=10.65 Tz=17.96 Mx=-0.02 Mz=6.77
Sollecitazioni agenti localmente: Ty_l=-1582.37 Mx_l=-31.65
Tensioni nella sezione: σ=383.60 τ=47.95
CC 25 SLV (Collegamento -044_-376)
Azioni sul collegamento: N=-8703.02 Ty=6.76 Tz=17.96 Mx=-0.02 Mz=1.67
Sollecitazioni agenti localmente: Ty_l=-1582.37 Mx_l=-31.65
Tensioni nella sezione: σ=383.60 τ=47.95
CC 25 SLV (Collegamento -044_-376)
Azioni sul collegamento: N=-11070.60 Ty=10.65 Tz=8.19 Mx=-0.02 Mz=6.77
Sollecitazioni agenti localmente: Ty_l=-2012.84 Mx_l=-40.26
Tensioni nella sezione: σ=487.96 τ=61.00
CC 25 SLV (Collegamento -044_-376)
Azioni sul collegamento: N=-11070.60 Ty=6.76 Tz=8.19 Mx=-0.02 Mz=1.67
Sollecitazioni agenti localmente: Ty_l=-2012.84 Mx_l=-40.26
Tensioni nella sezione: σ=487.96 τ=61.00
CC 25 SLV (Collegamento -044_-376)
Azioni sul collegamento: N=-11070.60 Ty=10.65 Tz=17.96 Mx=-0.02 Mz=6.77
Sollecitazioni agenti localmente: Ty_l=-2012.84 Mx_l=-40.26
Tensioni nella sezione: σ=487.96 τ=61.00
CC 25 SLV (Collegamento -044_-376)
Azioni sul collegamento: N=-11070.60 Ty=6.76 Tz=17.96 Mx=-0.02 Mz=1.67
Sollecitazioni agenti localmente: Ty_l=-2012.84 Mx_l=-40.26
Tensioni nella sezione: σ=487.96 τ=61.00
CC 26 SLD (Collegamento -044_-376)
Azioni sul collegamento: N=-9623.43 Ty=10.22 Tz=11.97 Mx=-0.00 Mz=7.14
Sollecitazioni agenti localmente: Ty_l=-1749.72 Mx_l=-34.99

Tensioni nella sezione: σ=424.17 τ=53.02
CC 26 SLD (Collegamento -044_-376)
Azioni sul collegamento: N=-9623.43 Ty=9.04 Tz=11.97 Mx=-0.00 Mz=5.58
Sollecitazioni agenti localmente: Ty_l=-1749.72 Mx_l=-34.99
Tensioni nella sezione: σ=424.17 τ=53.02
CC 26 SLD (Collegamento -044_-376)
Azioni sul collegamento: N=-9623.43 Ty=10.22 Tz=14.95 Mx=-0.00 Mz=7.14
Sollecitazioni agenti localmente: Ty_l=-1749.71 Mx_l=-34.99
Tensioni nella sezione: σ=424.17 τ=53.02
CC 26 SLD (Collegamento -044_-376)
Azioni sul collegamento: N=-9623.43 Ty=9.04 Tz=14.95 Mx=-0.00 Mz=5.58
Sollecitazioni agenti localmente: Ty_l=-1749.71 Mx_l=-34.99
Tensioni nella sezione: σ=424.17 τ=53.02
CC 26 SLD (Collegamento -044_-376)
Azioni sul collegamento: N=-10345.40 Ty=10.22 Tz=11.97 Mx=-0.00 Mz=7.14
Sollecitazioni agenti localmente: Ty_l=-1880.98 Mx_l=-37.62
Tensioni nella sezione: σ=455.99 τ=57.00
CC 26 SLD (Collegamento -044_-376)
Azioni sul collegamento: N=-10345.40 Ty=9.04 Tz=11.97 Mx=-0.00 Mz=5.58
Sollecitazioni agenti localmente: Ty_l=-1880.98 Mx_l=-37.62
Tensioni nella sezione: σ=455.99 τ=57.00
CC 26 SLD (Collegamento -044_-376)
Azioni sul collegamento: N=-10345.40 Ty=10.22 Tz=14.95 Mx=-0.00 Mz=7.14
Sollecitazioni agenti localmente: Ty_l=-1880.98 Mx_l=-37.62
Tensioni nella sezione: σ=455.99 τ=57.00
CC 26 SLD (Collegamento -044_-376)
Azioni sul collegamento: N=-10345.40 Ty=9.04 Tz=14.95 Mx=-0.00 Mz=5.58
Sollecitazioni agenti localmente: Ty_l=-1880.98 Mx_l=-37.62
Tensioni nella sezione: σ=455.99 τ=57.00
CC 27 SLV (Collegamento -044_-376)
Azioni sul collegamento: N=-11054.30 Ty=8.48 Tz=16.87 Mx=-0.02 Mz=5.16
Sollecitazioni agenti localmente: Ty_l=-2009.88 Mx_l=-40.20
Tensioni nella sezione: σ=487.24 τ=60.91
CC 27 SLV (Collegamento -044_-376)
Azioni sul collegamento: N=-11054.30 Ty=8.94 Tz=16.87 Mx=-0.02 Mz=3.28
Sollecitazioni agenti localmente: Ty_l=-2009.88 Mx_l=-40.20
Tensioni nella sezione: σ=487.24 τ=60.91
CC 27 SLV (Collegamento -044_-376)
Azioni sul collegamento: N=-11054.30 Ty=8.48 Tz=9.28 Mx=-0.02 Mz=5.16
Sollecitazioni agenti localmente: Ty_l=-2009.88 Mx_l=-40.20
Tensioni nella sezione: σ=487.24 τ=60.91
CC 27 SLV (Collegamento -044_-376)
Azioni sul collegamento: N=-11054.30 Ty=8.94 Tz=9.28 Mx=-0.02 Mz=3.28
Sollecitazioni agenti localmente: Ty_l=-2009.88 Mx_l=-40.20
Tensioni nella sezione: σ=487.24 τ=60.91
CC 27 SLV (Collegamento -044_-376)
Azioni sul collegamento: N=-8719.31 Ty=8.48 Tz=16.87 Mx=-0.02 Mz=5.16
Sollecitazioni agenti localmente: Ty_l=-1585.33 Mx_l=-31.71
Tensioni nella sezione: σ=384.32 τ=48.04
CC 27 SLV (Collegamento -044_-376)
Azioni sul collegamento: N=-8719.31 Ty=8.94 Tz=16.87 Mx=-0.02 Mz=3.28
Sollecitazioni agenti localmente: Ty_l=-1585.33 Mx_l=-31.71
Tensioni nella sezione: σ=384.32 τ=48.04
CC 27 SLV (Collegamento -044_-376)
Azioni sul collegamento: N=-8719.31 Ty=8.48 Tz=9.28 Mx=-0.02 Mz=5.16
Sollecitazioni agenti localmente: Ty_l=-1585.33 Mx_l=-31.71
Tensioni nella sezione: σ=384.32 τ=48.04
CC 27 SLV (Collegamento -044_-376)
Azioni sul collegamento: N=-8719.31 Ty=8.94 Tz=9.28 Mx=-0.02 Mz=3.28
Sollecitazioni agenti localmente: Ty_l=-1585.33 Mx_l=-31.71
Tensioni nella sezione: σ=384.32 τ=48.04
CC 28 SLD (Collegamento -044_-376)
Azioni sul collegamento: N=-10340.40 Ty=9.56 Tz=14.62 Mx=-0.00 Mz=6.65
Sollecitazioni agenti localmente: Ty_l=-1880.08 Mx_l=-37.60
Tensioni nella sezione: σ=455.77 τ=56.97
CC 28 SLD (Collegamento -044_-376)
Azioni sul collegamento: N=-10340.40 Ty=9.70 Tz=14.62 Mx=-0.00 Mz=6.07
Sollecitazioni agenti localmente: Ty_l=-1880.08 Mx_l=-37.60
Tensioni nella sezione: σ=455.77 τ=56.97
CC 28 SLD (Collegamento -044_-376)
Azioni sul collegamento: N=-10340.40 Ty=9.56 Tz=12.30 Mx=-0.00 Mz=6.65
Sollecitazioni agenti localmente: Ty_l=-1880.08 Mx_l=-37.60
Tensioni nella sezione: σ=455.77 τ=56.97
CC 28 SLD (Collegamento -044_-376)
Azioni sul collegamento: N=-10340.40 Ty=9.70 Tz=12.30 Mx=-0.00 Mz=6.07
Sollecitazioni agenti localmente: Ty_l=-1880.08 Mx_l=-37.60
Tensioni nella sezione: σ=455.77 τ=56.97
CC 28 SLD (Collegamento -044_-376)
Azioni sul collegamento: N=-9628.40 Ty=9.56 Tz=14.62 Mx=-0.00 Mz=6.65

Sollecitazioni agenti localmente: Ty_l=-1750.62 Mx_l=-35.01
Tensioni nella sezione: σ=424.39 τ=53.05
CC 28 SLD (Collegamento -044_-376)
Azioni sul collegamento: N=-9628.40 Ty=9.70 Tz=14.62 Mx=-0.00 Mz=6.07
Sollecitazioni agenti localmente: Ty_l=-1750.62 Mx_l=-35.01
Tensioni nella sezione: σ=424.39 τ=53.05
CC 28 SLD (Collegamento -044_-376)
Azioni sul collegamento: N=-9628.40 Ty=9.56 Tz=12.30 Mx=-0.00 Mz=6.65
Sollecitazioni agenti localmente: Ty_l=-1750.62 Mx_l=-35.01
Tensioni nella sezione: σ=424.39 τ=53.05
CC 28 SLD (Collegamento -044_-376)
Azioni sul collegamento: N=-9628.40 Ty=9.70 Tz=12.30 Mx=-0.00 Mz=6.07
Sollecitazioni agenti localmente: Ty_l=-1750.62 Mx_l=-35.01
Tensioni nella sezione: σ=424.39 τ=53.05
CC 29 SLV (Collegamento -044_-376)
Azioni sul collegamento: N=-8719.31 Ty=8.94 Tz=9.28 Mx=-0.00 Mz=3.28
Sollecitazioni agenti localmente: Ty_l=-1585.33 Mx_l=-31.71
Tensioni nella sezione: σ=384.32 τ=48.04
CC 29 SLV (Collegamento -044_-376)
Azioni sul collegamento: N=-8719.31 Ty=8.48 Tz=9.28 Mx=-0.00 Mz=5.16
Sollecitazioni agenti localmente: Ty_l=-1585.33 Mx_l=-31.71
Tensioni nella sezione: σ=384.32 τ=48.04
CC 29 SLV (Collegamento -044_-376)
Azioni sul collegamento: N=-8719.31 Ty=8.94 Tz=16.87 Mx=-0.00 Mz=3.28
Sollecitazioni agenti localmente: Ty_l=-1585.33 Mx_l=-31.71
Tensioni nella sezione: σ=384.32 τ=48.04
CC 29 SLV (Collegamento -044_-376)
Azioni sul collegamento: N=-8719.31 Ty=8.48 Tz=16.87 Mx=-0.00 Mz=5.16
Sollecitazioni agenti localmente: Ty_l=-1585.33 Mx_l=-31.71
Tensioni nella sezione: σ=384.32 τ=48.04
CC 29 SLV (Collegamento -044_-376)
Azioni sul collegamento: N=-11054.30 Ty=8.94 Tz=9.28 Mx=-0.00 Mz=3.28
Sollecitazioni agenti localmente: Ty_l=-2009.88 Mx_l=-40.20
Tensioni nella sezione: σ=487.24 τ=60.91
CC 29 SLV (Collegamento -044_-376)
Azioni sul collegamento: N=-11054.30 Ty=8.48 Tz=9.28 Mx=-0.00 Mz=5.16
Sollecitazioni agenti localmente: Ty_l=-2009.88 Mx_l=-40.20
Tensioni nella sezione: σ=487.24 τ=60.91
CC 29 SLV (Collegamento -044_-376)
Azioni sul collegamento: N=-11054.30 Ty=8.94 Tz=16.87 Mx=-0.00 Mz=3.28
Sollecitazioni agenti localmente: Ty_l=-2009.88 Mx_l=-40.20
Tensioni nella sezione: σ=487.24 τ=60.91
CC 29 SLV (Collegamento -044_-376)
Azioni sul collegamento: N=-11054.30 Ty=8.48 Tz=16.87 Mx=-0.00 Mz=5.16
Sollecitazioni agenti localmente: Ty_l=-2009.88 Mx_l=-40.20
Tensioni nella sezione: σ=487.24 τ=60.91
CC 30 SLD (Collegamento -044_-376)
Azioni sul collegamento: N=-9628.40 Ty=9.70 Tz=12.30 Mx=0.00 Mz=6.07
Sollecitazioni agenti localmente: Ty_l=-1750.62 Mx_l=-35.01
Tensioni nella sezione: σ=424.39 τ=53.05
CC 30 SLD (Collegamento -044_-376)
Azioni sul collegamento: N=-9628.40 Ty=9.56 Tz=12.30 Mx=0.00 Mz=6.65
Sollecitazioni agenti localmente: Ty_l=-1750.62 Mx_l=-35.01
Tensioni nella sezione: σ=424.39 τ=53.05
CC 30 SLD (Collegamento -044_-376)
Azioni sul collegamento: N=-9628.40 Ty=9.70 Tz=14.62 Mx=0.00 Mz=6.07
Sollecitazioni agenti localmente: Ty_l=-1750.62 Mx_l=-35.01
Tensioni nella sezione: σ=424.39 τ=53.05
CC 30 SLD (Collegamento -044_-376)
Azioni sul collegamento: N=-9628.40 Ty=9.56 Tz=14.62 Mx=0.00 Mz=6.65
Sollecitazioni agenti localmente: Ty_l=-1750.62 Mx_l=-35.01
Tensioni nella sezione: σ=424.39 τ=53.05
CC 30 SLD (Collegamento -044_-376)
Azioni sul collegamento: N=-10340.40 Ty=9.70 Tz=12.30 Mx=0.00 Mz=6.07
Sollecitazioni agenti localmente: Ty_l=-1880.08 Mx_l=-37.60
Tensioni nella sezione: σ=455.77 τ=56.97
CC 30 SLD (Collegamento -044_-376)
Azioni sul collegamento: N=-10340.40 Ty=9.56 Tz=12.30 Mx=0.00 Mz=6.65
Sollecitazioni agenti localmente: Ty_l=-1880.08 Mx_l=-37.60
Tensioni nella sezione: σ=455.77 τ=56.97
CC 30 SLD (Collegamento -044_-376)
Azioni sul collegamento: N=-10340.40 Ty=9.70 Tz=14.62 Mx=0.00 Mz=6.07
Sollecitazioni agenti localmente: Ty_l=-1880.08 Mx_l=-37.60
Tensioni nella sezione: σ=455.77 τ=56.97
CC 30 SLD (Collegamento -044_-376)
Azioni sul collegamento: N=-10340.40 Ty=9.56 Tz=14.62 Mx=0.00 Mz=6.65
Sollecitazioni agenti localmente: Ty_l=-1880.08 Mx_l=-37.60
Tensioni nella sezione: σ=455.77 τ=56.97
CC 31 SLV (Collegamento -044_-376)

Azioni sul collegamento: N=-11070.60 Ty=6.76 Tz=17.96 Mx=-0.00 Mz=1.67
Sollecitazioni agenti localmente: Ty_l=-2012.84 Mx_l=-40.26
Tensioni nella sezione: σ=487.96 τ=61.00
CC 31 SLV (Collegamento -044_-376)
Azioni sul collegamento: N=-11070.60 Ty=10.65 Tz=17.96 Mx=-0.00 Mz=6.77
Sollecitazioni agenti localmente: Ty_l=-2012.84 Mx_l=-40.26
Tensioni nella sezione: σ=487.96 τ=61.00
CC 31 SLV (Collegamento -044_-376)
Azioni sul collegamento: N=-11070.60 Ty=6.76 Tz=8.19 Mx=-0.00 Mz=1.67
Sollecitazioni agenti localmente: Ty_l=-2012.84 Mx_l=-40.26
Tensioni nella sezione: σ=487.96 τ=61.00
CC 31 SLV (Collegamento -044_-376)
Azioni sul collegamento: N=-11070.60 Ty=10.65 Tz=8.19 Mx=-0.00 Mz=6.77
Sollecitazioni agenti localmente: Ty_l=-2012.84 Mx_l=-40.26
Tensioni nella sezione: σ=487.96 τ=61.00
CC 31 SLV (Collegamento -044_-376)
Azioni sul collegamento: N=-8703.02 Ty=6.76 Tz=17.96 Mx=-0.00 Mz=1.67
Sollecitazioni agenti localmente: Ty_l=-1582.37 Mx_l=-31.65
Tensioni nella sezione: σ=383.60 τ=47.95
CC 31 SLV (Collegamento -044_-376)
Azioni sul collegamento: N=-8703.02 Ty=10.65 Tz=17.96 Mx=-0.00 Mz=6.77
Sollecitazioni agenti localmente: Ty_l=-1582.37 Mx_l=-31.65
Tensioni nella sezione: σ=383.60 τ=47.95
CC 31 SLV (Collegamento -044_-376)
Azioni sul collegamento: N=-8703.02 Ty=6.76 Tz=8.19 Mx=-0.00 Mz=1.67
Sollecitazioni agenti localmente: Ty_l=-1582.37 Mx_l=-31.65
Tensioni nella sezione: σ=383.60 τ=47.95
CC 31 SLV (Collegamento -044_-376)
Azioni sul collegamento: N=-8703.02 Ty=10.65 Tz=8.19 Mx=-0.00 Mz=6.77
Sollecitazioni agenti localmente: Ty_l=-1582.37 Mx_l=-31.65
Tensioni nella sezione: σ=383.60 τ=47.95
CC 32 SLD (Collegamento -044_-376)
Azioni sul collegamento: N=-10345.40 Ty=9.04 Tz=14.95 Mx=0.00 Mz=5.58
Sollecitazioni agenti localmente: Ty_l=-1880.98 Mx_l=-37.62
Tensioni nella sezione: σ=455.99 τ=57.00
CC 32 SLD (Collegamento -044_-376)
Azioni sul collegamento: N=-10345.40 Ty=10.22 Tz=14.95 Mx=0.00 Mz=7.14
Sollecitazioni agenti localmente: Ty_l=-1880.98 Mx_l=-37.62
Tensioni nella sezione: σ=455.99 τ=57.00
CC 32 SLD (Collegamento -044_-376)
Azioni sul collegamento: N=-10345.40 Ty=9.04 Tz=11.97 Mx=0.00 Mz=5.58
Sollecitazioni agenti localmente: Ty_l=-1880.98 Mx_l=-37.62
Tensioni nella sezione: σ=455.99 τ=57.00
CC 32 SLD (Collegamento -044_-376)
Azioni sul collegamento: N=-10345.40 Ty=10.22 Tz=11.97 Mx=0.00 Mz=7.14
Sollecitazioni agenti localmente: Ty_l=-1880.98 Mx_l=-37.62
Tensioni nella sezione: σ=455.99 τ=57.00
CC 32 SLD (Collegamento -044_-376)
Azioni sul collegamento: N=-9623.43 Ty=9.04 Tz=14.95 Mx=0.00 Mz=5.58
Sollecitazioni agenti localmente: Ty_l=-1749.71 Mx_l=-34.99
Tensioni nella sezione: σ=424.17 τ=53.02
CC 32 SLD (Collegamento -044_-376)
Azioni sul collegamento: N=-9623.43 Ty=10.22 Tz=14.95 Mx=0.00 Mz=7.14
Sollecitazioni agenti localmente: Ty_l=-1749.71 Mx_l=-34.99
Tensioni nella sezione: σ=424.17 τ=53.02
CC 32 SLD (Collegamento -044_-376)
Azioni sul collegamento: N=-9623.43 Ty=9.04 Tz=11.97 Mx=0.00 Mz=5.58
Sollecitazioni agenti localmente: Ty_l=-1749.72 Mx_l=-34.99
Tensioni nella sezione: σ=424.17 τ=53.02
CC 32 SLD (Collegamento -044_-376)
Azioni sul collegamento: N=-9623.43 Ty=10.22 Tz=11.97 Mx=0.00 Mz=7.14
Sollecitazioni agenti localmente: Ty_l=-1749.72 Mx_l=-34.99
Tensioni nella sezione: σ=424.17 τ=53.02
CC 33 SLU (Collegamento -044_-376)
Azioni sul collegamento: N=-37458.50 Ty=20.96 Tz=106.28 Mx=0.00 Mz=15.40
Sollecitazioni agenti localmente: Ty_l=-6810.64 Mx_l=-136.21
Tensioni nella sezione: σ=1651.06 τ=206.38
CC 34 SLU (Collegamento -044_-376)
Azioni sul collegamento: N=-36642.60 Ty=20.20 Tz=103.27 Mx=0.00 Mz=14.84
Sollecitazioni agenti localmente: Ty_l=-6662.28 Mx_l=-133.25
Tensioni nella sezione: σ=1615.10 τ=201.89
CC 35 SLU (Collegamento -044_-376)
Azioni sul collegamento: N=-37049.70 Ty=20.49 Tz=104.83 Mx=0.01 Mz=14.94
Sollecitazioni agenti localmente: Ty_l=-6736.30 Mx_l=-134.73
Tensioni nella sezione: σ=1633.04 τ=204.13
CC 36 SLU (Collegamento -044_-376)
Azioni sul collegamento: N=-37051.40 Ty=20.67 Tz=104.72 Mx=0.00 Mz=15.30
Sollecitazioni agenti localmente: Ty_l=-6736.62 Mx_l=-134.73
Tensioni nella sezione: σ=1633.12 τ=204.14

CC 37 SLU (Collegamento -044_-376)
Azioni sul collegamento: N=-28275.70 Ty=20.11 Tz=72.57 Mx=0.00 Mz=14.65
Sollecitazioni agenti localmente: Ty_l=-5141.04 Mx_l=-102.82
Tensioni nella sezione: σ=1246.31 τ=155.79
CC 38 SLU (Collegamento -044_-376)
Azioni sul collegamento: N=-27459.70 Ty=19.36 Tz=69.55 Mx=0.00 Mz=14.09
Sollecitazioni agenti localmente: Ty_l=-4992.68 Mx_l=-99.85
Tensioni nella sezione: σ=1210.34 τ=151.29
CC 39 SLU (Collegamento -044_-376)
Azioni sul collegamento: N=-27866.80 Ty=19.65 Tz=71.12 Mx=0.01 Mz=14.19
Sollecitazioni agenti localmente: Ty_l=-5066.70 Mx_l=-101.33
Tensioni nella sezione: σ=1228.29 τ=153.54
CC 40 SLU (Collegamento -044_-376)
Azioni sul collegamento: N=-27868.60 Ty=19.82 Tz=71.00 Mx=0.00 Mz=14.55
Sollecitazioni agenti localmente: Ty_l=-5067.02 Mx_l=-101.34
Tensioni nella sezione: σ=1228.37 τ=153.55
CC 41 SLU (Collegamento -044_-376)
Azioni sul collegamento: N=-30676.20 Ty=-9.89 Tz=80.85 Mx=0.00 Mz=-7.99
Sollecitazioni agenti localmente: Ty_l=-5577.50 Mx_l=-111.55
Tensioni nella sezione: σ=1352.12 τ=169.01
CC 42 SLU (Collegamento -044_-376)
Azioni sul collegamento: N=-29860.20 Ty=-10.64 Tz=77.84 Mx=0.00 Mz=-8.54
Sollecitazioni agenti localmente: Ty_l=-5429.13 Mx_l=-108.58
Tensioni nella sezione: σ=1316.15 τ=164.52
CC 43 SLU (Collegamento -044_-376)
Azioni sul collegamento: N=-30267.40 Ty=-10.35 Tz=79.40 Mx=0.01 Mz=-8.45
Sollecitazioni agenti localmente: Ty_l=-5503.15 Mx_l=-110.06
Tensioni nella sezione: σ=1334.09 τ=166.76
CC 44 SLU (Collegamento -044_-376)
Azioni sul collegamento: N=-30269.10 Ty=-10.18 Tz=79.28 Mx=0.00 Mz=-8.08
Sollecitazioni agenti localmente: Ty_l=-5503.48 Mx_l=-110.07
Tensioni nella sezione: σ=1334.17 τ=166.77
CC 45 SLU (Collegamento -044_-376)
Azioni sul collegamento: N=-30295.00 Ty=20.33 Tz=79.99 Mx=0.00 Mz=14.94
Sollecitazioni agenti localmente: Ty_l=-5508.18 Mx_l=-110.16
Tensioni nella sezione: σ=1335.32 τ=166.91
CC 46 SLU (Collegamento -044_-376)
Azioni sul collegamento: N=-29479.00 Ty=19.57 Tz=76.97 Mx=0.00 Mz=14.38
Sollecitazioni agenti localmente: Ty_l=-5359.82 Mx_l=-107.20
Tensioni nella sezione: σ=1299.35 τ=162.42
CC 47 SLU (Collegamento -044_-376)
Azioni sul collegamento: N=-29886.10 Ty=19.86 Tz=78.54 Mx=0.00 Mz=14.48
Sollecitazioni agenti localmente: Ty_l=-5433.85 Mx_l=-108.68
Tensioni nella sezione: σ=1317.29 τ=164.66
CC 48 SLU (Collegamento -044_-376)
Azioni sul collegamento: N=-29887.90 Ty=20.04 Tz=78.42 Mx=0.00 Mz=14.84
Sollecitazioni agenti localmente: Ty_l=-5434.17 Mx_l=-108.68
Tensioni nella sezione: σ=1317.37 τ=164.67
CC 49 SLU (Collegamento -044_-376)
Azioni sul collegamento: N=-23424.90 Ty=19.70 Tz=54.76 Mx=0.00 Mz=14.38
Sollecitazioni agenti localmente: Ty_l=-4259.07 Mx_l=-85.18
Tensioni nella sezione: σ=1032.50 τ=129.06
CC 50 SLU (Collegamento -044_-376)
Azioni sul collegamento: N=-22608.90 Ty=18.94 Tz=51.75 Mx=0.00 Mz=13.82
Sollecitazioni agenti localmente: Ty_l=-4110.71 Mx_l=-82.21
Tensioni nella sezione: σ=996.53 τ=124.57
CC 51 SLU (Collegamento -044_-376)
Azioni sul collegamento: N=-23016.00 Ty=19.23 Tz=53.31 Mx=0.00 Mz=13.92
Sollecitazioni agenti localmente: Ty_l=-4184.73 Mx_l=-83.69
Tensioni nella sezione: σ=1014.48 τ=126.81
CC 52 SLU (Collegamento -044_-376)
Azioni sul collegamento: N=-23017.80 Ty=19.41 Tz=53.20 Mx=0.00 Mz=14.28
Sollecitazioni agenti localmente: Ty_l=-4185.06 Mx_l=-83.70
Tensioni nella sezione: σ=1014.56 τ=126.82
CC 53 SLU (Collegamento -044_-376)
Azioni sul collegamento: N=-25220.90 Ty=-2.75 Tz=60.96 Mx=0.00 Mz=-2.55
Sollecitazioni agenti localmente: Ty_l=-4585.61 Mx_l=-91.71
Tensioni nella sezione: σ=1111.66 τ=138.96
CC 54 SLU (Collegamento -044_-376)
Azioni sul collegamento: N=-24404.90 Ty=-3.50 Tz=57.94 Mx=0.00 Mz=-3.11
Sollecitazioni agenti localmente: Ty_l=-4437.25 Mx_l=-88.74
Tensioni nella sezione: σ=1075.69 τ=134.46
CC 55 SLU (Collegamento -044_-376)
Azioni sul collegamento: N=-24812.00 Ty=-3.21 Tz=59.51 Mx=0.00 Mz=-3.02
Sollecitazioni agenti localmente: Ty_l=-4511.27 Mx_l=-90.23
Tensioni nella sezione: σ=1093.64 τ=136.71
CC 56 SLU (Collegamento -044_-376)
Azioni sul collegamento: N=-24813.70 Ty=-3.04 Tz=59.39 Mx=0.00 Mz=-2.65
Sollecitazioni agenti localmente: Ty_l=-4511.59 Mx_l=-90.23

Tensioni nella sezione: σ=1093.72 τ=136.72
CC 57 SLU (Collegamento -044_-376)
Azioni sul collegamento: N=-28074.70 Ty=18.58 Tz=71.81 Mx=0.00 Mz=13.65
Sollecitazioni agenti localmente: Ty_l=-5104.49 Mx_l=-102.09
Tensioni nella sezione: σ=1237.45 τ=154.68
CC 58 SLU (Collegamento -044_-376)
Azioni sul collegamento: N=-27258.70 Ty=17.82 Tz=68.80 Mx=0.00 Mz=13.09
Sollecitazioni agenti localmente: Ty_l=-4956.13 Mx_l=-99.12
Tensioni nella sezione: σ=1201.48 τ=150.19
CC 59 SLU (Collegamento -044_-376)
Azioni sul collegamento: N=-27665.80 Ty=18.11 Tz=70.37 Mx=0.00 Mz=13.19
Sollecitazioni agenti localmente: Ty_l=-5030.15 Mx_l=-100.60
Tensioni nella sezione: σ=1219.43 τ=152.43
CC 60 SLU (Collegamento -044_-376)
Azioni sul collegamento: N=-27667.60 Ty=18.29 Tz=70.25 Mx=0.00 Mz=13.55
Sollecitazioni agenti localmente: Ty_l=-5030.47 Mx_l=-100.61
Tensioni nella sezione: σ=1219.51 τ=152.44
CC 61 SLU (Collegamento -044_-376)
Azioni sul collegamento: N=-21204.60 Ty=17.94 Tz=46.59 Mx=0.00 Mz=13.09
Sollecitazioni agenti localmente: Ty_l=-3855.38 Mx_l=-77.11
Tensioni nella sezione: σ=934.64 τ=116.83
CC 62 SLU (Collegamento -044_-376)
Azioni sul collegamento: N=-20388.60 Ty=17.19 Tz=43.58 Mx=0.00 Mz=12.53
Sollecitazioni agenti localmente: Ty_l=-3707.02 Mx_l=-74.14
Tensioni nella sezione: σ=898.67 τ=112.33
CC 63 SLU (Collegamento -044_-376)
Azioni sul collegamento: N=-20795.70 Ty=17.48 Tz=45.14 Mx=0.00 Mz=12.63
Sollecitazioni agenti localmente: Ty_l=-3781.04 Mx_l=-75.62
Tensioni nella sezione: σ=916.61 τ=114.58
CC 64 SLU (Collegamento -044_-376)
Azioni sul collegamento: N=-20797.50 Ty=17.66 Tz=45.03 Mx=0.00 Mz=12.99
Sollecitazioni agenti localmente: Ty_l=-3781.36 Mx_l=-75.63
Tensioni nella sezione: σ=916.69 τ=114.59
CC 65 SLU (Collegamento -044_-376)
Azioni sul collegamento: N=-23000.50 Ty=-4.50 Tz=52.79 Mx=0.00 Mz=-3.84
Sollecitazioni agenti localmente: Ty_l=-4181.91 Mx_l=-83.64
Tensioni nella sezione: σ=1013.80 τ=126.72
CC 66 SLU (Collegamento -044_-376)
Azioni sul collegamento: N=-22184.60 Ty=-5.26 Tz=49.77 Mx=0.00 Mz=-4.40
Sollecitazioni agenti localmente: Ty_l=-4033.55 Mx_l=-80.67
Tensioni nella sezione: σ=977.83 τ=122.23
CC 67 SLU (Collegamento -044_-376)
Azioni sul collegamento: N=-22591.70 Ty=-4.97 Tz=51.34 Mx=0.00 Mz=-4.30
Sollecitazioni agenti localmente: Ty_l=-4107.58 Mx_l=-82.15
Tensioni nella sezione: σ=995.77 τ=124.47
CC 68 SLU (Collegamento -044_-376)
Azioni sul collegamento: N=-22593.40 Ty=-4.79 Tz=51.22 Mx=0.00 Mz=-3.94
Sollecitazioni agenti localmente: Ty_l=-4107.89 Mx_l=-82.16
Tensioni nella sezione: σ=995.85 τ=124.48
CC 97 SLU (Collegamento -044_-376)
Azioni sul collegamento: N=-32775.80 Ty=25.16 Tz=97.03 Mx=-0.05 Mz=10.53
Sollecitazioni agenti localmente: Ty_l=-5959.23 Mx_l=-119.18
Tensioni nella sezione: σ=1444.66 τ=180.58
CC 98 SLU (Collegamento -044_-376)
Azioni sul collegamento: N=-31959.80 Ty=24.41 Tz=94.02 Mx=-0.05 Mz=9.97
Sollecitazioni agenti localmente: Ty_l=-5810.87 Mx_l=-116.22
Tensioni nella sezione: σ=1408.69 τ=176.09
CC 99 SLU (Collegamento -044_-376)
Azioni sul collegamento: N=-32366.90 Ty=24.69 Tz=95.58 Mx=-0.05 Mz=10.07
Sollecitazioni agenti localmente: Ty_l=-5884.88 Mx_l=-117.70
Tensioni nella sezione: σ=1426.64 τ=178.33
CC 100 SLU (Collegamento -044_-376)
Azioni sul collegamento: N=-32368.70 Ty=24.87 Tz=95.47 Mx=-0.05 Mz=10.43
Sollecitazioni agenti localmente: Ty_l=-5885.21 Mx_l=-117.70
Tensioni nella sezione: σ=1426.71 τ=178.34
CC 101 SLU (Collegamento -044_-376)
Azioni sul collegamento: N=-9110.88 Ty=5.97 Tz=10.39 Mx=0.01 Mz=4.99
Sollecitazioni agenti localmente: Ty_l=-1656.52 Mx_l=-33.13
Tensioni nella sezione: σ=401.58 τ=50.20
CC 102 SLU (Collegamento -044_-376)
Azioni sul collegamento: N=-8294.89 Ty=5.21 Tz=7.37 Mx=0.01 Mz=4.43
Sollecitazioni agenti localmente: Ty_l=-1508.16 Mx_l=-30.16
Tensioni nella sezione: σ=365.61 τ=45.70
CC 103 SLU (Collegamento -044_-376)
Azioni sul collegamento: N=-8702.00 Ty=5.50 Tz=8.94 Mx=0.01 Mz=4.53
Sollecitazioni agenti localmente: Ty_l=-1582.18 Mx_l=-31.64
Tensioni nella sezione: σ=383.56 τ=47.94
CC 104 SLU (Collegamento -044_-376)
Azioni sul collegamento: N=-8703.77 Ty=5.68 Tz=8.82 Mx=0.01 Mz=4.89

Sollecitazioni agenti localmente: Ty_l=-1582.50 Mx_l=-31.65
Tensioni nella sezione: σ=383.64 τ=47.95

Flessione attacco inferiore piastra

Bnetta=220.00 Hnetta=15.00
CC 1 SLV (Collegamento -044_-376)
Azioni sul collegamento: N=-6246.31 Ty=15.25 Tz=-0.46 Mx=0.02 Mz=13.58
Sollecitazioni agenti localmente: Ty_l=-1135.69 Mx_l=-22.71
Tensioni nella sezione: σ=275.32 τ=34.41
CC 1 SLV (Collegamento -044_-376)
Azioni sul collegamento: N=-6246.31 Ty=7.49 Tz=-0.46 Mx=0.02 Mz=7.17
Sollecitazioni agenti localmente: Ty_l=-1135.69 Mx_l=-22.71
Tensioni nella sezione: σ=275.32 τ=34.41
CC 1 SLV (Collegamento -044_-376)
Azioni sul collegamento: N=-6246.31 Ty=15.25 Tz=28.82 Mx=0.02 Mz=13.58
Sollecitazioni agenti localmente: Ty_l=-1135.69 Mx_l=-22.71
Tensioni nella sezione: σ=275.32 τ=34.41
CC 1 SLV (Collegamento -044_-376)
Azioni sul collegamento: N=-6246.31 Ty=7.49 Tz=28.82 Mx=0.02 Mz=7.17
Sollecitazioni agenti localmente: Ty_l=-1135.69 Mx_l=-22.71
Tensioni nella sezione: σ=275.32 τ=34.41
CC 1 SLV (Collegamento -044_-376)
Azioni sul collegamento: N=-14088.90 Ty=15.25 Tz=-0.46 Mx=0.02 Mz=13.58
Sollecitazioni agenti localmente: Ty_l=-2561.63 Mx_l=-51.23
Tensioni nella sezione: σ=621.00 τ=77.63
CC 1 SLV (Collegamento -044_-376)
Azioni sul collegamento: N=-14088.90 Ty=7.49 Tz=-0.46 Mx=0.02 Mz=7.17
Sollecitazioni agenti localmente: Ty_l=-2561.63 Mx_l=-51.23
Tensioni nella sezione: σ=621.00 τ=77.63
CC 1 SLV (Collegamento -044_-376)
Azioni sul collegamento: N=-14088.90 Ty=15.25 Tz=28.82 Mx=0.02 Mz=13.58
Sollecitazioni agenti localmente: Ty_l=-2561.63 Mx_l=-51.23
Tensioni nella sezione: σ=621.00 τ=77.63
CC 1 SLV (Collegamento -044_-376)
Azioni sul collegamento: N=-14088.90 Ty=7.49 Tz=28.82 Mx=0.02 Mz=7.17
Sollecitazioni agenti localmente: Ty_l=-2561.63 Mx_l=-51.23
Tensioni nella sezione: σ=621.00 τ=77.63
CC 2 SLD (Collegamento -044_-376)
Azioni sul collegamento: N=-8874.30 Ty=11.63 Tz=9.33 Mx=0.01 Mz=9.21
Sollecitazioni agenti localmente: Ty_l=-1613.51 Mx_l=-32.27
Tensioni nella sezione: σ=391.15 τ=48.89
CC 2 SLD (Collegamento -044_-376)
Azioni sul collegamento: N=-8874.30 Ty=9.26 Tz=9.33 Mx=0.01 Mz=7.26
Sollecitazioni agenti localmente: Ty_l=-1613.51 Mx_l=-32.27
Tensioni nella sezione: σ=391.15 τ=48.89
CC 2 SLD (Collegamento -044_-376)
Azioni sul collegamento: N=-8874.30 Ty=11.63 Tz=18.26 Mx=0.01 Mz=9.21
Sollecitazioni agenti localmente: Ty_l=-1613.51 Mx_l=-32.27
Tensioni nella sezione: σ=391.15 τ=48.89
CC 2 SLD (Collegamento -044_-376)
Azioni sul collegamento: N=-8874.30 Ty=9.26 Tz=18.26 Mx=0.01 Mz=7.26
Sollecitazioni agenti localmente: Ty_l=-1613.51 Mx_l=-32.27
Tensioni nella sezione: σ=391.15 τ=48.89
CC 2 SLD (Collegamento -044_-376)
Azioni sul collegamento: N=-11265.80 Ty=11.63 Tz=9.33 Mx=0.01 Mz=9.21
Sollecitazioni agenti localmente: Ty_l=-2048.32 Mx_l=-40.97
Tensioni nella sezione: σ=496.56 τ=62.07
CC 2 SLD (Collegamento -044_-376)
Azioni sul collegamento: N=-11265.80 Ty=9.26 Tz=9.33 Mx=0.01 Mz=7.26
Sollecitazioni agenti localmente: Ty_l=-2048.32 Mx_l=-40.97
Tensioni nella sezione: σ=496.56 τ=62.07
CC 2 SLD (Collegamento -044_-376)
Azioni sul collegamento: N=-11265.80 Ty=11.63 Tz=18.26 Mx=0.01 Mz=9.21
Sollecitazioni agenti localmente: Ty_l=-2048.32 Mx_l=-40.97
Tensioni nella sezione: σ=496.56 τ=62.07
CC 2 SLD (Collegamento -044_-376)
Azioni sul collegamento: N=-11265.80 Ty=9.26 Tz=18.26 Mx=0.01 Mz=7.26
Sollecitazioni agenti localmente: Ty_l=-2048.32 Mx_l=-40.97
Tensioni nella sezione: σ=496.56 τ=62.07
CC 3 SLV (Collegamento -044_-376)
Azioni sul collegamento: N=-6251.19 Ty=14.73 Tz=-0.13 Mx=0.01 Mz=12.53
Sollecitazioni agenti localmente: Ty_l=-1136.58 Mx_l=-22.73
Tensioni nella sezione: σ=275.53 τ=34.44
CC 3 SLV (Collegamento -044_-376)
Azioni sul collegamento: N=-6251.19 Ty=8.00 Tz=-0.13 Mx=0.01 Mz=8.22
Sollecitazioni agenti localmente: Ty_l=-1136.58 Mx_l=-22.73
Tensioni nella sezione: σ=275.53 τ=34.44
CC 3 SLV (Collegamento -044_-376)

Azioni sul collegamento: N=-6251.19 Ty=14.73 Tz=28.49 Mx=0.01 Mz=12.53
Sollecitazioni agenti localmente: Ty_l=-1136.58 Mx_l=-22.73
Tensioni nella sezione: σ=275.53 τ=34.44
CC 3 SLV (Collegamento -044_-376)
Azioni sul collegamento: N=-6251.19 Ty=8.00 Tz=28.49 Mx=0.01 Mz=8.22
Sollecitazioni agenti localmente: Ty_l=-1136.58 Mx_l=-22.73
Tensioni nella sezione: σ=275.53 τ=34.44
CC 3 SLV (Collegamento -044_-376)
Azioni sul collegamento: N=-14084.10 Ty=14.73 Tz=-0.13 Mx=0.01 Mz=12.53
Sollecitazioni agenti localmente: Ty_l=-2560.74 Mx_l=-51.21
Tensioni nella sezione: σ=620.78 τ=77.60
CC 3 SLV (Collegamento -044_-376)
Azioni sul collegamento: N=-14084.10 Ty=8.00 Tz=-0.13 Mx=0.01 Mz=8.22
Sollecitazioni agenti localmente: Ty_l=-2560.74 Mx_l=-51.21
Tensioni nella sezione: σ=620.78 τ=77.60
CC 3 SLV (Collegamento -044_-376)
Azioni sul collegamento: N=-14084.10 Ty=14.73 Tz=28.49 Mx=0.01 Mz=12.53
Sollecitazioni agenti localmente: Ty_l=-2560.74 Mx_l=-51.21
Tensioni nella sezione: σ=620.78 τ=77.60
CC 3 SLV (Collegamento -044_-376)
Azioni sul collegamento: N=-14084.10 Ty=8.00 Tz=28.49 Mx=0.01 Mz=8.22
Sollecitazioni agenti localmente: Ty_l=-2560.74 Mx_l=-51.21
Tensioni nella sezione: σ=620.78 τ=77.60
CC 4 SLD (Collegamento -044_-376)
Azioni sul collegamento: N=-8875.79 Ty=11.47 Tz=9.43 Mx=0.01 Mz=8.89
Sollecitazioni agenti localmente: Ty_l=-1613.78 Mx_l=-32.28
Tensioni nella sezione: σ=391.22 τ=48.90
CC 4 SLD (Collegamento -044_-376)
Azioni sul collegamento: N=-8875.79 Ty=9.42 Tz=9.43 Mx=0.01 Mz=7.58
Sollecitazioni agenti localmente: Ty_l=-1613.78 Mx_l=-32.28
Tensioni nella sezione: σ=391.22 τ=48.90
CC 4 SLD (Collegamento -044_-376)
Azioni sul collegamento: N=-8875.79 Ty=11.47 Tz=18.16 Mx=0.01 Mz=8.89
Sollecitazioni agenti localmente: Ty_l=-1613.78 Mx_l=-32.28
Tensioni nella sezione: σ=391.22 τ=48.90
CC 4 SLD (Collegamento -044_-376)
Azioni sul collegamento: N=-8875.79 Ty=9.42 Tz=18.16 Mx=0.01 Mz=7.58
Sollecitazioni agenti localmente: Ty_l=-1613.78 Mx_l=-32.28
Tensioni nella sezione: σ=391.22 τ=48.90
CC 4 SLD (Collegamento -044_-376)
Azioni sul collegamento: N=-11264.30 Ty=11.47 Tz=9.43 Mx=0.01 Mz=8.89
Sollecitazioni agenti localmente: Ty_l=-2048.05 Mx_l=-40.96
Tensioni nella sezione: σ=496.50 τ=62.06
CC 4 SLD (Collegamento -044_-376)
Azioni sul collegamento: N=-11264.30 Ty=9.42 Tz=9.43 Mx=0.01 Mz=7.58
Sollecitazioni agenti localmente: Ty_l=-2048.05 Mx_l=-40.96
Tensioni nella sezione: σ=496.50 τ=62.06
CC 4 SLD (Collegamento -044_-376)
Azioni sul collegamento: N=-11264.30 Ty=11.47 Tz=18.16 Mx=0.01 Mz=8.89
Sollecitazioni agenti localmente: Ty_l=-2048.05 Mx_l=-40.96
Tensioni nella sezione: σ=496.50 τ=62.06
CC 4 SLD (Collegamento -044_-376)
Azioni sul collegamento: N=-11264.30 Ty=9.42 Tz=18.16 Mx=0.01 Mz=7.58
Sollecitazioni agenti localmente: Ty_l=-2048.05 Mx_l=-40.96
Tensioni nella sezione: σ=496.50 τ=62.06
CC 5 SLV (Collegamento -044_-376)
Azioni sul collegamento: N=-14084.10 Ty=8.00 Tz=28.49 Mx=0.02 Mz=8.22
Sollecitazioni agenti localmente: Ty_l=-2560.74 Mx_l=-51.21
Tensioni nella sezione: σ=620.78 τ=77.60
CC 5 SLV (Collegamento -044_-376)
Azioni sul collegamento: N=-14084.10 Ty=14.73 Tz=28.49 Mx=0.02 Mz=12.53
Sollecitazioni agenti localmente: Ty_l=-2560.74 Mx_l=-51.21
Tensioni nella sezione: σ=620.78 τ=77.60
CC 5 SLV (Collegamento -044_-376)
Azioni sul collegamento: N=-14084.10 Ty=8.00 Tz=-0.13 Mx=0.02 Mz=8.22
Sollecitazioni agenti localmente: Ty_l=-2560.74 Mx_l=-51.21
Tensioni nella sezione: σ=620.78 τ=77.60
CC 5 SLV (Collegamento -044_-376)
Azioni sul collegamento: N=-14084.10 Ty=14.73 Tz=-0.13 Mx=0.02 Mz=12.53
Sollecitazioni agenti localmente: Ty_l=-2560.74 Mx_l=-51.21
Tensioni nella sezione: σ=620.78 τ=77.60
CC 5 SLV (Collegamento -044_-376)
Azioni sul collegamento: N=-6251.19 Ty=8.00 Tz=28.49 Mx=0.02 Mz=8.22
Sollecitazioni agenti localmente: Ty_l=-1136.58 Mx_l=-22.73
Tensioni nella sezione: σ=275.53 τ=34.44
CC 5 SLV (Collegamento -044_-376)
Azioni sul collegamento: N=-6251.19 Ty=14.73 Tz=28.49 Mx=0.02 Mz=12.53
Sollecitazioni agenti localmente: Ty_l=-1136.58 Mx_l=-22.73
Tensioni nella sezione: σ=275.53 τ=34.44

CC 5 SLV (Collegamento -044_-376)
Azioni sul collegamento: N=-6251.19 Ty=8.00 Tz=-0.13 Mx=0.02 Mz=8.22
Sollecitazioni agenti localmente: Ty_l=-1136.58 Mx_l=-22.73
Tensioni nella sezione: σ=275.53 τ=34.44
CC 5 SLV (Collegamento -044_-376)
Azioni sul collegamento: N=-6251.19 Ty=14.73 Tz=-0.13 Mx=0.02 Mz=12.53
Sollecitazioni agenti localmente: Ty_l=-1136.58 Mx_l=-22.73
Tensioni nella sezione: σ=275.53 τ=34.44
CC 6 SLD (Collegamento -044_-376)
Azioni sul collegamento: N=-11264.30 Ty=9.42 Tz=18.16 Mx=0.01 Mz=7.58
Sollecitazioni agenti localmente: Ty_l=-2048.05 Mx_l=-40.96
Tensioni nella sezione: σ=496.50 τ=62.06
CC 6 SLD (Collegamento -044_-376)
Azioni sul collegamento: N=-11264.30 Ty=11.47 Tz=18.16 Mx=0.01 Mz=8.89
Sollecitazioni agenti localmente: Ty_l=-2048.05 Mx_l=-40.96
Tensioni nella sezione: σ=496.50 τ=62.06
CC 6 SLD (Collegamento -044_-376)
Azioni sul collegamento: N=-11264.30 Ty=9.42 Tz=9.43 Mx=0.01 Mz=7.58
Sollecitazioni agenti localmente: Ty_l=-2048.05 Mx_l=-40.96
Tensioni nella sezione: σ=496.50 τ=62.06
CC 6 SLD (Collegamento -044_-376)
Azioni sul collegamento: N=-11264.30 Ty=11.47 Tz=9.43 Mx=0.01 Mz=8.89
Sollecitazioni agenti localmente: Ty_l=-2048.05 Mx_l=-40.96
Tensioni nella sezione: σ=496.50 τ=62.06
CC 6 SLD (Collegamento -044_-376)
Azioni sul collegamento: N=-8875.79 Ty=9.42 Tz=18.16 Mx=0.01 Mz=7.58
Sollecitazioni agenti localmente: Ty_l=-1613.78 Mx_l=-32.28
Tensioni nella sezione: σ=391.22 τ=48.90
CC 6 SLD (Collegamento -044_-376)
Azioni sul collegamento: N=-8875.79 Ty=11.47 Tz=18.16 Mx=0.01 Mz=8.89
Sollecitazioni agenti localmente: Ty_l=-1613.78 Mx_l=-32.28
Tensioni nella sezione: σ=391.22 τ=48.90
CC 6 SLD (Collegamento -044_-376)
Azioni sul collegamento: N=-8875.79 Ty=9.42 Tz=9.43 Mx=0.01 Mz=7.58
Sollecitazioni agenti localmente: Ty_l=-1613.78 Mx_l=-32.28
Tensioni nella sezione: σ=391.22 τ=48.90
CC 6 SLD (Collegamento -044_-376)
Azioni sul collegamento: N=-8875.79 Ty=11.47 Tz=9.43 Mx=0.01 Mz=8.89
Sollecitazioni agenti localmente: Ty_l=-1613.78 Mx_l=-32.28
Tensioni nella sezione: σ=391.22 τ=48.90
CC 7 SLV (Collegamento -044_-376)
Azioni sul collegamento: N=-14088.90 Ty=7.49 Tz=28.82 Mx=0.01 Mz=7.17
Sollecitazioni agenti localmente: Ty_l=-2561.63 Mx_l=-51.23
Tensioni nella sezione: σ=621.00 τ=77.63
CC 7 SLV (Collegamento -044_-376)
Azioni sul collegamento: N=-14088.90 Ty=15.25 Tz=28.82 Mx=0.01 Mz=13.58
Sollecitazioni agenti localmente: Ty_l=-2561.63 Mx_l=-51.23
Tensioni nella sezione: σ=621.00 τ=77.63
CC 7 SLV (Collegamento -044_-376)
Azioni sul collegamento: N=-14088.90 Ty=7.49 Tz=-0.46 Mx=0.01 Mz=7.17
Sollecitazioni agenti localmente: Ty_l=-2561.63 Mx_l=-51.23
Tensioni nella sezione: σ=621.00 τ=77.63
CC 7 SLV (Collegamento -044_-376)
Azioni sul collegamento: N=-14088.90 Ty=15.25 Tz=-0.46 Mx=0.01 Mz=13.58
Sollecitazioni agenti localmente: Ty_l=-2561.63 Mx_l=-51.23
Tensioni nella sezione: σ=621.00 τ=77.63
CC 7 SLV (Collegamento -044_-376)
Azioni sul collegamento: N=-6246.31 Ty=7.49 Tz=28.82 Mx=0.01 Mz=7.17
Sollecitazioni agenti localmente: Ty_l=-1135.69 Mx_l=-22.71
Tensioni nella sezione: σ=275.32 τ=34.41
CC 7 SLV (Collegamento -044_-376)
Azioni sul collegamento: N=-6246.31 Ty=15.25 Tz=28.82 Mx=0.01 Mz=13.58
Sollecitazioni agenti localmente: Ty_l=-1135.69 Mx_l=-22.71
Tensioni nella sezione: σ=275.32 τ=34.41
CC 7 SLV (Collegamento -044_-376)
Azioni sul collegamento: N=-6246.31 Ty=7.49 Tz=-0.46 Mx=0.01 Mz=7.17
Sollecitazioni agenti localmente: Ty_l=-1135.69 Mx_l=-22.71
Tensioni nella sezione: σ=275.32 τ=34.41
CC 7 SLV (Collegamento -044_-376)
Azioni sul collegamento: N=-6246.31 Ty=15.25 Tz=-0.46 Mx=0.01 Mz=13.58
Sollecitazioni agenti localmente: Ty_l=-1135.69 Mx_l=-22.71
Tensioni nella sezione: σ=275.32 τ=34.41
CC 8 SLD (Collegamento -044_-376)
Azioni sul collegamento: N=-11265.80 Ty=9.26 Tz=18.26 Mx=0.01 Mz=7.26
Sollecitazioni agenti localmente: Ty_l=-2048.32 Mx_l=-40.97
Tensioni nella sezione: σ=496.56 τ=62.07
CC 8 SLD (Collegamento -044_-376)
Azioni sul collegamento: N=-11265.80 Ty=11.63 Tz=18.26 Mx=0.01 Mz=9.21
Sollecitazioni agenti localmente: Ty_l=-2048.32 Mx_l=-40.97

Tensioni nella sezione: σ=496.56 τ=62.07
CC 8 SLD (Collegamento -044_-376)
Azioni sul collegamento: N=-11265.80 Ty=9.26 Tz=9.33 Mx=0.01 Mz=7.26
Sollecitazioni agenti localmente: Ty_l=-2048.32 Mx_l=-40.97
Tensioni nella sezione: σ=496.56 τ=62.07
CC 8 SLD (Collegamento -044_-376)
Azioni sul collegamento: N=-11265.80 Ty=11.63 Tz=9.33 Mx=0.01 Mz=9.21
Sollecitazioni agenti localmente: Ty_l=-2048.32 Mx_l=-40.97
Tensioni nella sezione: σ=496.56 τ=62.07
CC 8 SLD (Collegamento -044_-376)
Azioni sul collegamento: N=-8874.30 Ty=9.26 Tz=18.26 Mx=0.01 Mz=7.26
Sollecitazioni agenti localmente: Ty_l=-1613.51 Mx_l=-32.27
Tensioni nella sezione: σ=391.15 τ=48.89
CC 8 SLD (Collegamento -044_-376)
Azioni sul collegamento: N=-8874.30 Ty=11.63 Tz=18.26 Mx=0.01 Mz=9.21
Sollecitazioni agenti localmente: Ty_l=-1613.51 Mx_l=-32.27
Tensioni nella sezione: σ=391.15 τ=48.89
CC 8 SLD (Collegamento -044_-376)
Azioni sul collegamento: N=-8874.30 Ty=9.26 Tz=9.33 Mx=0.01 Mz=7.26
Sollecitazioni agenti localmente: Ty_l=-1613.51 Mx_l=-32.27
Tensioni nella sezione: σ=391.15 τ=48.89
CC 8 SLD (Collegamento -044_-376)
Azioni sul collegamento: N=-8874.30 Ty=11.63 Tz=9.33 Mx=0.01 Mz=9.21
Sollecitazioni agenti localmente: Ty_l=-1613.51 Mx_l=-32.27
Tensioni nella sezione: σ=391.15 τ=48.89
CC 9 SLV (Collegamento -044_-376)
Azioni sul collegamento: N=-8983.82 Ty=13.31 Tz=9.29 Mx=0.02 Mz=12.92
Sollecitazioni agenti localmente: Ty_l=-1633.42 Mx_l=-32.67
Tensioni nella sezione: σ=395.98 τ=49.50
CC 9 SLV (Collegamento -044_-376)
Azioni sul collegamento: N=-8983.82 Ty=9.43 Tz=9.29 Mx=0.02 Mz=7.83
Sollecitazioni agenti localmente: Ty_l=-1633.42 Mx_l=-32.67
Tensioni nella sezione: σ=395.98 τ=49.50
CC 9 SLV (Collegamento -044_-376)
Azioni sul collegamento: N=-8983.82 Ty=13.31 Tz=19.07 Mx=0.02 Mz=12.92
Sollecitazioni agenti localmente: Ty_l=-1633.42 Mx_l=-32.67
Tensioni nella sezione: σ=395.98 τ=49.50
CC 9 SLV (Collegamento -044_-376)
Azioni sul collegamento: N=-8983.82 Ty=9.43 Tz=19.07 Mx=0.02 Mz=7.83
Sollecitazioni agenti localmente: Ty_l=-1633.42 Mx_l=-32.67
Tensioni nella sezione: σ=395.98 τ=49.50
CC 9 SLV (Collegamento -044_-376)
Azioni sul collegamento: N=-11351.40 Ty=13.31 Tz=9.29 Mx=0.02 Mz=12.92
Sollecitazioni agenti localmente: Ty_l=-2063.90 Mx_l=-41.28
Tensioni nella sezione: σ=500.34 τ=62.54
CC 9 SLV (Collegamento -044_-376)
Azioni sul collegamento: N=-11351.40 Ty=9.43 Tz=9.29 Mx=0.02 Mz=7.83
Sollecitazioni agenti localmente: Ty_l=-2063.90 Mx_l=-41.28
Tensioni nella sezione: σ=500.34 τ=62.54
CC 9 SLV (Collegamento -044_-376)
Azioni sul collegamento: N=-11351.40 Ty=13.31 Tz=19.07 Mx=0.02 Mz=12.92
Sollecitazioni agenti localmente: Ty_l=-2063.90 Mx_l=-41.28
Tensioni nella sezione: σ=500.34 τ=62.54
CC 9 SLV (Collegamento -044_-376)
Azioni sul collegamento: N=-11351.40 Ty=9.43 Tz=19.07 Mx=0.02 Mz=7.83
Sollecitazioni agenti localmente: Ty_l=-2063.90 Mx_l=-41.28
Tensioni nella sezione: σ=500.34 τ=62.54
CC 10 SLD (Collegamento -044_-376)
Azioni sul collegamento: N=-9709.06 Ty=11.04 Tz=12.31 Mx=0.01 Mz=9.01
Sollecitazioni agenti localmente: Ty_l=-1765.28 Mx_l=-35.31
Tensioni nella sezione: σ=427.95 τ=53.49
CC 10 SLD (Collegamento -044_-376)
Azioni sul collegamento: N=-9709.06 Ty=9.85 Tz=12.31 Mx=0.01 Mz=7.46
Sollecitazioni agenti localmente: Ty_l=-1765.28 Mx_l=-35.31
Tensioni nella sezione: σ=427.95 τ=53.49
CC 10 SLD (Collegamento -044_-376)
Azioni sul collegamento: N=-9709.06 Ty=11.04 Tz=15.29 Mx=0.01 Mz=9.01
Sollecitazioni agenti localmente: Ty_l=-1765.28 Mx_l=-35.31
Tensioni nella sezione: σ=427.95 τ=53.49
CC 10 SLD (Collegamento -044_-376)
Azioni sul collegamento: N=-9709.06 Ty=9.85 Tz=15.29 Mx=0.01 Mz=7.46
Sollecitazioni agenti localmente: Ty_l=-1765.28 Mx_l=-35.31
Tensioni nella sezione: σ=427.95 τ=53.49
CC 10 SLD (Collegamento -044_-376)
Azioni sul collegamento: N=-10431.00 Ty=11.04 Tz=12.31 Mx=0.01 Mz=9.01
Sollecitazioni agenti localmente: Ty_l=-1896.55 Mx_l=-37.93
Tensioni nella sezione: σ=459.77 τ=57.47
CC 10 SLD (Collegamento -044_-376)
Azioni sul collegamento: N=-10431.00 Ty=9.85 Tz=12.31 Mx=0.01 Mz=7.46

Sollecitazioni agenti localmente: Ty_l=-1896.55 Mx_l=-37.93
Tensioni nella sezione: σ=459.77 τ=57.47
CC 10 SLD (Collegamento -044_-376)
Azioni sul collegamento: N=-10431.00 Ty=11.04 Tz=15.29 Mx=0.01 Mz=9.01
Sollecitazioni agenti localmente: Ty_l=-1896.55 Mx_l=-37.93
Tensioni nella sezione: σ=459.77 τ=57.47
CC 10 SLD (Collegamento -044_-376)
Azioni sul collegamento: N=-10431.00 Ty=9.85 Tz=15.29 Mx=0.01 Mz=7.46
Sollecitazioni agenti localmente: Ty_l=-1896.55 Mx_l=-37.93
Tensioni nella sezione: σ=459.77 τ=57.47
CC 11 SLV (Collegamento -044_-376)
Azioni sul collegamento: N=-11335.10 Ty=11.14 Tz=17.98 Mx=0.02 Mz=11.32
Sollecitazioni agenti localmente: Ty_l=-2060.94 Mx_l=-41.22
Tensioni nella sezione: σ=499.62 τ=62.45
CC 11 SLV (Collegamento -044_-376)
Azioni sul collegamento: N=-11335.10 Ty=11.60 Tz=17.98 Mx=0.02 Mz=9.43
Sollecitazioni agenti localmente: Ty_l=-2060.94 Mx_l=-41.22
Tensioni nella sezione: σ=499.62 τ=62.45
CC 11 SLV (Collegamento -044_-376)
Azioni sul collegamento: N=-11335.10 Ty=11.14 Tz=10.38 Mx=0.02 Mz=11.32
Sollecitazioni agenti localmente: Ty_l=-2060.94 Mx_l=-41.22
Tensioni nella sezione: σ=499.62 τ=62.45
CC 11 SLV (Collegamento -044_-376)
Azioni sul collegamento: N=-11335.10 Ty=11.60 Tz=10.38 Mx=0.02 Mz=9.43
Sollecitazioni agenti localmente: Ty_l=-2060.94 Mx_l=-41.22
Tensioni nella sezione: σ=499.62 τ=62.45
CC 11 SLV (Collegamento -044_-376)
Azioni sul collegamento: N=-9000.10 Ty=11.14 Tz=17.98 Mx=0.02 Mz=11.32
Sollecitazioni agenti localmente: Ty_l=-1636.38 Mx_l=-32.73
Tensioni nella sezione: σ=396.70 τ=49.59
CC 11 SLV (Collegamento -044_-376)
Azioni sul collegamento: N=-9000.10 Ty=11.60 Tz=17.98 Mx=0.02 Mz=9.43
Sollecitazioni agenti localmente: Ty_l=-1636.38 Mx_l=-32.73
Tensioni nella sezione: σ=396.70 τ=49.59
CC 11 SLV (Collegamento -044_-376)
Azioni sul collegamento: N=-9000.10 Ty=11.14 Tz=10.38 Mx=0.02 Mz=11.32
Sollecitazioni agenti localmente: Ty_l=-1636.38 Mx_l=-32.73
Tensioni nella sezione: σ=396.70 τ=49.59
CC 11 SLV (Collegamento -044_-376)
Azioni sul collegamento: N=-9000.10 Ty=11.60 Tz=10.38 Mx=0.02 Mz=9.43
Sollecitazioni agenti localmente: Ty_l=-1636.38 Mx_l=-32.73
Tensioni nella sezione: σ=396.70 τ=49.59
CC 12 SLD (Collegamento -044_-376)
Azioni sul collegamento: N=-10426.00 Ty=10.37 Tz=14.95 Mx=0.01 Mz=8.52
Sollecitazioni agenti localmente: Ty_l=-1895.64 Mx_l=-37.91
Tensioni nella sezione: σ=459.55 τ=57.44
CC 12 SLD (Collegamento -044_-376)
Azioni sul collegamento: N=-10426.00 Ty=10.51 Tz=14.95 Mx=0.01 Mz=7.95
Sollecitazioni agenti localmente: Ty_l=-1895.64 Mx_l=-37.91
Tensioni nella sezione: σ=459.55 τ=57.44
CC 12 SLD (Collegamento -044_-376)
Azioni sul collegamento: N=-10426.00 Ty=10.37 Tz=12.64 Mx=0.01 Mz=8.52
Sollecitazioni agenti localmente: Ty_l=-1895.64 Mx_l=-37.91
Tensioni nella sezione: σ=459.55 τ=57.44
CC 12 SLD (Collegamento -044_-376)
Azioni sul collegamento: N=-10426.00 Ty=10.51 Tz=12.64 Mx=0.01 Mz=7.95
Sollecitazioni agenti localmente: Ty_l=-1895.64 Mx_l=-37.91
Tensioni nella sezione: σ=459.55 τ=57.44
CC 12 SLD (Collegamento -044_-376)
Azioni sul collegamento: N=-9714.02 Ty=10.37 Tz=14.95 Mx=0.01 Mz=8.52
Sollecitazioni agenti localmente: Ty_l=-1766.19 Mx_l=-35.32
Tensioni nella sezione: σ=428.17 τ=53.52
CC 12 SLD (Collegamento -044_-376)
Azioni sul collegamento: N=-9714.02 Ty=10.51 Tz=14.95 Mx=0.01 Mz=7.95
Sollecitazioni agenti localmente: Ty_l=-1766.19 Mx_l=-35.32
Tensioni nella sezione: σ=428.17 τ=53.52
CC 12 SLD (Collegamento -044_-376)
Azioni sul collegamento: N=-9714.02 Ty=10.37 Tz=12.64 Mx=0.01 Mz=8.52
Sollecitazioni agenti localmente: Ty_l=-1766.19 Mx_l=-35.32
Tensioni nella sezione: σ=428.17 τ=53.52
CC 12 SLD (Collegamento -044_-376)
Azioni sul collegamento: N=-9714.02 Ty=10.51 Tz=12.64 Mx=0.01 Mz=7.95
Sollecitazioni agenti localmente: Ty_l=-1766.19 Mx_l=-35.32
Tensioni nella sezione: σ=428.17 τ=53.52
CC 13 SLV (Collegamento -044_-376)
Azioni sul collegamento: N=-9000.10 Ty=11.60 Tz=10.38 Mx=0.01 Mz=9.43
Sollecitazioni agenti localmente: Ty_l=-1636.38 Mx_l=-32.73
Tensioni nella sezione: σ=396.70 τ=49.59
CC 13 SLV (Collegamento -044_-376)

Azioni sul collegamento: N=-9000.10 Ty=11.14 Tz=10.38 Mx=0.01 Mz=11.32
Sollecitazioni agenti localmente: Ty_l=-1636.38 Mx_l=-32.73
Tensioni nella sezione: σ=396.70 τ=49.59
CC 13 SLV (Collegamento -044_-376)
Azioni sul collegamento: N=-9000.10 Ty=11.60 Tz=17.98 Mx=0.01 Mz=9.43
Sollecitazioni agenti localmente: Ty_l=-1636.38 Mx_l=-32.73
Tensioni nella sezione: σ=396.70 τ=49.59
CC 13 SLV (Collegamento -044_-376)
Azioni sul collegamento: N=-9000.10 Ty=11.14 Tz=17.98 Mx=0.01 Mz=11.32
Sollecitazioni agenti localmente: Ty_l=-1636.38 Mx_l=-32.73
Tensioni nella sezione: σ=396.70 τ=49.59
CC 13 SLV (Collegamento -044_-376)
Azioni sul collegamento: N=-11335.10 Ty=11.60 Tz=10.38 Mx=0.01 Mz=9.43
Sollecitazioni agenti localmente: Ty_l=-2060.94 Mx_l=-41.22
Tensioni nella sezione: σ=499.62 τ=62.45
CC 13 SLV (Collegamento -044_-376)
Azioni sul collegamento: N=-11335.10 Ty=11.14 Tz=10.38 Mx=0.01 Mz=11.32
Sollecitazioni agenti localmente: Ty_l=-2060.94 Mx_l=-41.22
Tensioni nella sezione: σ=499.62 τ=62.45
CC 13 SLV (Collegamento -044_-376)
Azioni sul collegamento: N=-11335.10 Ty=11.60 Tz=17.98 Mx=0.01 Mz=9.43
Sollecitazioni agenti localmente: Ty_l=-2060.94 Mx_l=-41.22
Tensioni nella sezione: σ=499.62 τ=62.45
CC 13 SLV (Collegamento -044_-376)
Azioni sul collegamento: N=-11335.10 Ty=11.14 Tz=17.98 Mx=0.01 Mz=11.32
Sollecitazioni agenti localmente: Ty_l=-2060.94 Mx_l=-41.22
Tensioni nella sezione: σ=499.62 τ=62.45
CC 14 SLD (Collegamento -044_-376)
Azioni sul collegamento: N=-9714.02 Ty=10.51 Tz=12.64 Mx=0.00 Mz=7.95
Sollecitazioni agenti localmente: Ty_l=-1766.19 Mx_l=-35.32
Tensioni nella sezione: σ=428.17 τ=53.52
CC 14 SLD (Collegamento -044_-376)
Azioni sul collegamento: N=-9714.02 Ty=10.37 Tz=12.64 Mx=0.00 Mz=8.52
Sollecitazioni agenti localmente: Ty_l=-1766.19 Mx_l=-35.32
Tensioni nella sezione: σ=428.17 τ=53.52
CC 14 SLD (Collegamento -044_-376)
Azioni sul collegamento: N=-9714.02 Ty=10.51 Tz=14.95 Mx=0.00 Mz=7.95
Sollecitazioni agenti localmente: Ty_l=-1766.19 Mx_l=-35.32
Tensioni nella sezione: σ=428.17 τ=53.52
CC 14 SLD (Collegamento -044_-376)
Azioni sul collegamento: N=-9714.02 Ty=10.37 Tz=14.95 Mx=0.00 Mz=8.52
Sollecitazioni agenti localmente: Ty_l=-1766.19 Mx_l=-35.32
Tensioni nella sezione: σ=428.17 τ=53.52
CC 14 SLD (Collegamento -044_-376)
Azioni sul collegamento: N=-10426.00 Ty=10.51 Tz=12.64 Mx=0.00 Mz=7.95
Sollecitazioni agenti localmente: Ty_l=-1895.64 Mx_l=-37.91
Tensioni nella sezione: σ=459.55 τ=57.44
CC 14 SLD (Collegamento -044_-376)
Azioni sul collegamento: N=-10426.00 Ty=10.37 Tz=12.64 Mx=0.00 Mz=8.52
Sollecitazioni agenti localmente: Ty_l=-1895.64 Mx_l=-37.91
Tensioni nella sezione: σ=459.55 τ=57.44
CC 14 SLD (Collegamento -044_-376)
Azioni sul collegamento: N=-10426.00 Ty=10.51 Tz=14.95 Mx=0.00 Mz=7.95
Sollecitazioni agenti localmente: Ty_l=-1895.64 Mx_l=-37.91
Tensioni nella sezione: σ=459.55 τ=57.44
CC 14 SLD (Collegamento -044_-376)
Azioni sul collegamento: N=-10426.00 Ty=10.37 Tz=14.95 Mx=0.00 Mz=8.52
Sollecitazioni agenti localmente: Ty_l=-1895.64 Mx_l=-37.91
Tensioni nella sezione: σ=459.55 τ=57.44
CC 15 SLV (Collegamento -044_-376)
Azioni sul collegamento: N=-11351.40 Ty=9.43 Tz=19.07 Mx=0.01 Mz=7.83
Sollecitazioni agenti localmente: Ty_l=-2063.90 Mx_l=-41.28
Tensioni nella sezione: σ=500.34 τ=62.54
CC 15 SLV (Collegamento -044_-376)
Azioni sul collegamento: N=-11351.40 Ty=13.31 Tz=19.07 Mx=0.01 Mz=12.92
Sollecitazioni agenti localmente: Ty_l=-2063.90 Mx_l=-41.28
Tensioni nella sezione: σ=500.34 τ=62.54
CC 15 SLV (Collegamento -044_-376)
Azioni sul collegamento: N=-11351.40 Ty=9.43 Tz=9.29 Mx=0.01 Mz=7.83
Sollecitazioni agenti localmente: Ty_l=-2063.90 Mx_l=-41.28
Tensioni nella sezione: σ=500.34 τ=62.54
CC 15 SLV (Collegamento -044_-376)
Azioni sul collegamento: N=-11351.40 Ty=13.31 Tz=9.29 Mx=0.01 Mz=12.92
Sollecitazioni agenti localmente: Ty_l=-2063.90 Mx_l=-41.28
Tensioni nella sezione: σ=500.34 τ=62.54
CC 15 SLV (Collegamento -044_-376)
Azioni sul collegamento: N=-8983.82 Ty=9.43 Tz=19.07 Mx=0.01 Mz=7.83
Sollecitazioni agenti localmente: Ty_l=-1633.42 Mx_l=-32.67
Tensioni nella sezione: σ=395.98 τ=49.50

CC 15 SLV (Collegamento -044_-376)
Azioni sul collegamento: N=-8983.82 Ty=13.31 Tz=19.07 Mx=0.01 Mz=12.92
Sollecitazioni agenti localmente: Ty_l=-1633.42 Mx_l=-32.67
Tensioni nella sezione: σ=395.98 τ=49.50
CC 15 SLV (Collegamento -044_-376)
Azioni sul collegamento: N=-8983.82 Ty=9.43 Tz=9.29 Mx=0.01 Mz=7.83
Sollecitazioni agenti localmente: Ty_l=-1633.42 Mx_l=-32.67
Tensioni nella sezione: σ=395.98 τ=49.50
CC 15 SLV (Collegamento -044_-376)
Azioni sul collegamento: N=-8983.82 Ty=13.31 Tz=9.29 Mx=0.01 Mz=12.92
Sollecitazioni agenti localmente: Ty_l=-1633.42 Mx_l=-32.67
Tensioni nella sezione: σ=395.98 τ=49.50
CC 16 SLD (Collegamento -044_-376)
Azioni sul collegamento: N=-10431.00 Ty=9.85 Tz=15.29 Mx=0.00 Mz=7.46
Sollecitazioni agenti localmente: Ty_l=-1896.55 Mx_l=-37.93
Tensioni nella sezione: σ=459.77 τ=57.47
CC 16 SLD (Collegamento -044_-376)
Azioni sul collegamento: N=-10431.00 Ty=11.04 Tz=15.29 Mx=0.00 Mz=9.01
Sollecitazioni agenti localmente: Ty_l=-1896.55 Mx_l=-37.93
Tensioni nella sezione: σ=459.77 τ=57.47
CC 16 SLD (Collegamento -044_-376)
Azioni sul collegamento: N=-10431.00 Ty=9.85 Tz=12.31 Mx=0.00 Mz=7.46
Sollecitazioni agenti localmente: Ty_l=-1896.55 Mx_l=-37.93
Tensioni nella sezione: σ=459.77 τ=57.47
CC 16 SLD (Collegamento -044_-376)
Azioni sul collegamento: N=-10431.00 Ty=11.04 Tz=12.31 Mx=0.00 Mz=9.01
Sollecitazioni agenti localmente: Ty_l=-1896.55 Mx_l=-37.93
Tensioni nella sezione: σ=459.77 τ=57.47
CC 16 SLD (Collegamento -044_-376)
Azioni sul collegamento: N=-9709.06 Ty=9.85 Tz=15.29 Mx=0.00 Mz=7.46
Sollecitazioni agenti localmente: Ty_l=-1765.28 Mx_l=-35.31
Tensioni nella sezione: σ=427.95 τ=53.49
CC 16 SLD (Collegamento -044_-376)
Azioni sul collegamento: N=-9709.06 Ty=11.04 Tz=15.29 Mx=0.00 Mz=9.01
Sollecitazioni agenti localmente: Ty_l=-1765.28 Mx_l=-35.31
Tensioni nella sezione: σ=427.95 τ=53.49
CC 16 SLD (Collegamento -044_-376)
Azioni sul collegamento: N=-9709.06 Ty=9.85 Tz=12.31 Mx=0.00 Mz=7.46
Sollecitazioni agenti localmente: Ty_l=-1765.28 Mx_l=-35.31
Tensioni nella sezione: σ=427.95 τ=53.49
CC 16 SLD (Collegamento -044_-376)
Azioni sul collegamento: N=-9709.06 Ty=11.04 Tz=12.31 Mx=0.00 Mz=9.01
Sollecitazioni agenti localmente: Ty_l=-1765.28 Mx_l=-35.31
Tensioni nella sezione: σ=427.95 τ=53.49
CC 17 SLV (Collegamento -044_-376)
Azioni sul collegamento: N=-5965.51 Ty=12.58 Tz=-1.56 Mx=-0.01 Mz=7.43
Sollecitazioni agenti localmente: Ty_l=-1084.64 Mx_l=-21.69
Tensioni nella sezione: σ=262.94 τ=32.87
CC 17 SLV (Collegamento -044_-376)
Azioni sul collegamento: N=-5965.51 Ty=4.83 Tz=-1.56 Mx=-0.01 Mz=1.02
Sollecitazioni agenti localmente: Ty_l=-1084.64 Mx_l=-21.69
Tensioni nella sezione: σ=262.94 τ=32.87
CC 17 SLV (Collegamento -044_-376)
Azioni sul collegamento: N=-5965.51 Ty=12.58 Tz=27.71 Mx=-0.01 Mz=7.43
Sollecitazioni agenti localmente: Ty_l=-1084.64 Mx_l=-21.69
Tensioni nella sezione: σ=262.94 τ=32.87
CC 17 SLV (Collegamento -044_-376)
Azioni sul collegamento: N=-5965.51 Ty=4.83 Tz=27.71 Mx=-0.01 Mz=1.02
Sollecitazioni agenti localmente: Ty_l=-1084.64 Mx_l=-21.69
Tensioni nella sezione: σ=262.94 τ=32.87
CC 17 SLV (Collegamento -044_-376)
Azioni sul collegamento: N=-13808.10 Ty=12.58 Tz=-1.56 Mx=-0.01 Mz=7.43
Sollecitazioni agenti localmente: Ty_l=-2510.57 Mx_l=-50.21
Tensioni nella sezione: σ=608.62 τ=76.08
CC 17 SLV (Collegamento -044_-376)
Azioni sul collegamento: N=-13808.10 Ty=4.83 Tz=-1.56 Mx=-0.01 Mz=1.02
Sollecitazioni agenti localmente: Ty_l=-2510.57 Mx_l=-50.21
Tensioni nella sezione: σ=608.62 τ=76.08
CC 17 SLV (Collegamento -044_-376)
Azioni sul collegamento: N=-13808.10 Ty=12.58 Tz=27.71 Mx=-0.01 Mz=7.43
Sollecitazioni agenti localmente: Ty_l=-2510.57 Mx_l=-50.21
Tensioni nella sezione: σ=608.62 τ=76.08
CC 17 SLV (Collegamento -044_-376)
Azioni sul collegamento: N=-13808.10 Ty=4.83 Tz=27.71 Mx=-0.01 Mz=1.02
Sollecitazioni agenti localmente: Ty_l=-2510.57 Mx_l=-50.21
Tensioni nella sezione: σ=608.62 τ=76.08
CC 18 SLD (Collegamento -044_-376)
Azioni sul collegamento: N=-8788.68 Ty=10.81 Tz=9.00 Mx=-0.00 Mz=7.34
Sollecitazioni agenti localmente: Ty_l=-1597.94 Mx_l=-31.96

Tensioni nella sezione: σ=387.38 τ=48.42
CC 18 SLD (Collegamento -044_-376)
Azioni sul collegamento: N=-8788.68 Ty=8.45 Tz=9.00 Mx=-0.00 Mz=5.38
Sollecitazioni agenti localmente: Ty_l=-1597.94 Mx_l=-31.96
Tensioni nella sezione: σ=387.38 τ=48.42
CC 18 SLD (Collegamento -044_-376)
Azioni sul collegamento: N=-8788.68 Ty=10.81 Tz=17.92 Mx=-0.00 Mz=7.34
Sollecitazioni agenti localmente: Ty_l=-1597.94 Mx_l=-31.96
Tensioni nella sezione: σ=387.38 τ=48.42
CC 18 SLD (Collegamento -044_-376)
Azioni sul collegamento: N=-8788.68 Ty=8.45 Tz=17.92 Mx=-0.00 Mz=5.38
Sollecitazioni agenti localmente: Ty_l=-1597.94 Mx_l=-31.96
Tensioni nella sezione: σ=387.38 τ=48.42
CC 18 SLD (Collegamento -044_-376)
Azioni sul collegamento: N=-11180.10 Ty=10.81 Tz=9.00 Mx=-0.00 Mz=7.34
Sollecitazioni agenti localmente: Ty_l=-2032.75 Mx_l=-40.66
Tensioni nella sezione: σ=492.79 τ=61.60
CC 18 SLD (Collegamento -044_-376)
Azioni sul collegamento: N=-11180.10 Ty=8.45 Tz=9.00 Mx=-0.00 Mz=5.38
Sollecitazioni agenti localmente: Ty_l=-2032.75 Mx_l=-40.66
Tensioni nella sezione: σ=492.79 τ=61.60
CC 18 SLD (Collegamento -044_-376)
Azioni sul collegamento: N=-11180.10 Ty=10.81 Tz=17.92 Mx=-0.00 Mz=7.34
Sollecitazioni agenti localmente: Ty_l=-2032.75 Mx_l=-40.66
Tensioni nella sezione: σ=492.79 τ=61.60
CC 18 SLD (Collegamento -044_-376)
Azioni sul collegamento: N=-11180.10 Ty=8.45 Tz=17.92 Mx=-0.00 Mz=5.38
Sollecitazioni agenti localmente: Ty_l=-2032.75 Mx_l=-40.66
Tensioni nella sezione: σ=492.79 τ=61.60
CC 19 SLV (Collegamento -044_-376)
Azioni sul collegamento: N=-5970.39 Ty=12.07 Tz=-1.24 Mx=-0.01 Mz=6.38
Sollecitazioni agenti localmente: Ty_l=-1085.53 Mx_l=-21.71
Tensioni nella sezione: σ=263.16 τ=32.89
CC 19 SLV (Collegamento -044_-376)
Azioni sul collegamento: N=-5970.39 Ty=5.34 Tz=-1.24 Mx=-0.01 Mz=2.07
Sollecitazioni agenti localmente: Ty_l=-1085.53 Mx_l=-21.71
Tensioni nella sezione: σ=263.16 τ=32.89
CC 19 SLV (Collegamento -044_-376)
Azioni sul collegamento: N=-5970.39 Ty=12.07 Tz=27.38 Mx=-0.01 Mz=6.38
Sollecitazioni agenti localmente: Ty_l=-1085.53 Mx_l=-21.71
Tensioni nella sezione: σ=263.16 τ=32.89
CC 19 SLV (Collegamento -044_-376)
Azioni sul collegamento: N=-5970.39 Ty=5.34 Tz=27.38 Mx=-0.01 Mz=2.07
Sollecitazioni agenti localmente: Ty_l=-1085.53 Mx_l=-21.71
Tensioni nella sezione: σ=263.16 τ=32.89
CC 19 SLV (Collegamento -044_-376)
Azioni sul collegamento: N=-13803.30 Ty=12.07 Tz=-1.24 Mx=-0.01 Mz=6.38
Sollecitazioni agenti localmente: Ty_l=-2509.68 Mx_l=-50.19
Tensioni nella sezione: σ=608.41 τ=76.05
CC 19 SLV (Collegamento -044_-376)
Azioni sul collegamento: N=-13803.30 Ty=5.34 Tz=-1.24 Mx=-0.01 Mz=2.07
Sollecitazioni agenti localmente: Ty_l=-2509.68 Mx_l=-50.19
Tensioni nella sezione: σ=608.41 τ=76.05
CC 19 SLV (Collegamento -044_-376)
Azioni sul collegamento: N=-13803.30 Ty=12.07 Tz=27.38 Mx=-0.01 Mz=6.38
Sollecitazioni agenti localmente: Ty_l=-2509.68 Mx_l=-50.19
Tensioni nella sezione: σ=608.41 τ=76.05
CC 19 SLV (Collegamento -044_-376)
Azioni sul collegamento: N=-13803.30 Ty=5.34 Tz=27.38 Mx=-0.01 Mz=2.07
Sollecitazioni agenti localmente: Ty_l=-2509.68 Mx_l=-50.19
Tensioni nella sezione: σ=608.41 τ=76.05
CC 20 SLD (Collegamento -044_-376)
Azioni sul collegamento: N=-8790.17 Ty=10.66 Tz=9.09 Mx=-0.00 Mz=7.02
Sollecitazioni agenti localmente: Ty_l=-1598.21 Mx_l=-31.96
Tensioni nella sezione: σ=387.44 τ=48.43
CC 20 SLD (Collegamento -044_-376)
Azioni sul collegamento: N=-8790.17 Ty=8.61 Tz=9.09 Mx=-0.00 Mz=5.70
Sollecitazioni agenti localmente: Ty_l=-1598.21 Mx_l=-31.96
Tensioni nella sezione: σ=387.44 τ=48.43
CC 20 SLD (Collegamento -044_-376)
Azioni sul collegamento: N=-8790.17 Ty=10.66 Tz=17.82 Mx=-0.00 Mz=7.02
Sollecitazioni agenti localmente: Ty_l=-1598.21 Mx_l=-31.96
Tensioni nella sezione: σ=387.44 τ=48.43
CC 20 SLD (Collegamento -044_-376)
Azioni sul collegamento: N=-8790.17 Ty=8.61 Tz=17.82 Mx=-0.00 Mz=5.70
Sollecitazioni agenti localmente: Ty_l=-1598.21 Mx_l=-31.96
Tensioni nella sezione: σ=387.44 τ=48.43
CC 20 SLD (Collegamento -044_-376)
Azioni sul collegamento: N=-11178.70 Ty=10.66 Tz=9.10 Mx=-0.00 Mz=7.02

Sollecitazioni agenti localmente: Ty_l=-2032.48 Mx_l=-40.65
Tensioni nella sezione: σ=492.72 τ=61.59
CC 20 SLD (Collegamento -044_-376)
Azioni sul collegamento: N=-11178.70 Ty=8.61 Tz=9.10 Mx=-0.00 Mz=5.70
Sollecitazioni agenti localmente: Ty_l=-2032.48 Mx_l=-40.65
Tensioni nella sezione: σ=492.72 τ=61.59
CC 20 SLD (Collegamento -044_-376)
Azioni sul collegamento: N=-11178.70 Ty=10.66 Tz=17.82 Mx=-0.00 Mz=7.02
Sollecitazioni agenti localmente: Ty_l=-2032.48 Mx_l=-40.65
Tensioni nella sezione: σ=492.72 τ=61.59
CC 20 SLD (Collegamento -044_-376)
Azioni sul collegamento: N=-11178.70 Ty=8.61 Tz=17.82 Mx=-0.00 Mz=5.70
Sollecitazioni agenti localmente: Ty_l=-2032.48 Mx_l=-40.65
Tensioni nella sezione: σ=492.72 τ=61.59
CC 21 SLV (Collegamento -044_-376)
Azioni sul collegamento: N=-13803.30 Ty=5.34 Tz=27.38 Mx=-0.01 Mz=2.07
Sollecitazioni agenti localmente: Ty_l=-2509.68 Mx_l=-50.19
Tensioni nella sezione: σ=608.41 τ=76.05
CC 21 SLV (Collegamento -044_-376)
Azioni sul collegamento: N=-13803.30 Ty=12.07 Tz=27.38 Mx=-0.01 Mz=6.38
Sollecitazioni agenti localmente: Ty_l=-2509.68 Mx_l=-50.19
Tensioni nella sezione: σ=608.41 τ=76.05
CC 21 SLV (Collegamento -044_-376)
Azioni sul collegamento: N=-13803.30 Ty=5.34 Tz=-1.24 Mx=-0.01 Mz=2.07
Sollecitazioni agenti localmente: Ty_l=-2509.68 Mx_l=-50.19
Tensioni nella sezione: σ=608.41 τ=76.05
CC 21 SLV (Collegamento -044_-376)
Azioni sul collegamento: N=-13803.30 Ty=12.07 Tz=-1.24 Mx=-0.01 Mz=6.38
Sollecitazioni agenti localmente: Ty_l=-2509.68 Mx_l=-50.19
Tensioni nella sezione: σ=608.41 τ=76.05
CC 21 SLV (Collegamento -044_-376)
Azioni sul collegamento: N=-5970.39 Ty=5.34 Tz=27.38 Mx=-0.01 Mz=2.07
Sollecitazioni agenti localmente: Ty_l=-1085.53 Mx_l=-21.71
Tensioni nella sezione: σ=263.16 τ=32.89
CC 21 SLV (Collegamento -044_-376)
Azioni sul collegamento: N=-5970.39 Ty=12.07 Tz=27.38 Mx=-0.01 Mz=6.38
Sollecitazioni agenti localmente: Ty_l=-1085.53 Mx_l=-21.71
Tensioni nella sezione: σ=263.16 τ=32.89
CC 21 SLV (Collegamento -044_-376)
Azioni sul collegamento: N=-5970.39 Ty=5.34 Tz=-1.24 Mx=-0.01 Mz=2.07
Sollecitazioni agenti localmente: Ty_l=-1085.53 Mx_l=-21.71
Tensioni nella sezione: σ=263.16 τ=32.89
CC 21 SLV (Collegamento -044_-376)
Azioni sul collegamento: N=-5970.39 Ty=12.07 Tz=-1.24 Mx=-0.01 Mz=6.38
Sollecitazioni agenti localmente: Ty_l=-1085.53 Mx_l=-21.71
Tensioni nella sezione: σ=263.16 τ=32.89
CC 22 SLD (Collegamento -044_-376)
Azioni sul collegamento: N=-11178.70 Ty=8.61 Tz=17.82 Mx=-0.00 Mz=5.70
Sollecitazioni agenti localmente: Ty_l=-2032.48 Mx_l=-40.65
Tensioni nella sezione: σ=492.72 τ=61.59
CC 22 SLD (Collegamento -044_-376)
Azioni sul collegamento: N=-11178.70 Ty=10.66 Tz=17.82 Mx=-0.00 Mz=7.02
Sollecitazioni agenti localmente: Ty_l=-2032.48 Mx_l=-40.65
Tensioni nella sezione: σ=492.72 τ=61.59
CC 22 SLD (Collegamento -044_-376)
Azioni sul collegamento: N=-11178.70 Ty=8.61 Tz=9.10 Mx=-0.00 Mz=5.70
Sollecitazioni agenti localmente: Ty_l=-2032.48 Mx_l=-40.65
Tensioni nella sezione: σ=492.72 τ=61.59
CC 22 SLD (Collegamento -044_-376)
Azioni sul collegamento: N=-11178.70 Ty=10.66 Tz=9.10 Mx=-0.00 Mz=7.02
Sollecitazioni agenti localmente: Ty_l=-2032.48 Mx_l=-40.65
Tensioni nella sezione: σ=492.72 τ=61.59
CC 22 SLD (Collegamento -044_-376)
Azioni sul collegamento: N=-8790.17 Ty=8.61 Tz=17.82 Mx=-0.00 Mz=5.70
Sollecitazioni agenti localmente: Ty_l=-1598.21 Mx_l=-31.96
Tensioni nella sezione: σ=387.44 τ=48.43
CC 22 SLD (Collegamento -044_-376)
Azioni sul collegamento: N=-8790.17 Ty=10.66 Tz=17.82 Mx=-0.00 Mz=7.02
Sollecitazioni agenti localmente: Ty_l=-1598.21 Mx_l=-31.96
Tensioni nella sezione: σ=387.44 τ=48.43
CC 22 SLD (Collegamento -044_-376)
Azioni sul collegamento: N=-8790.17 Ty=8.61 Tz=9.09 Mx=-0.00 Mz=5.70
Sollecitazioni agenti localmente: Ty_l=-1598.21 Mx_l=-31.96
Tensioni nella sezione: σ=387.44 τ=48.43
CC 22 SLD (Collegamento -044_-376)
Azioni sul collegamento: N=-8790.17 Ty=10.66 Tz=9.09 Mx=-0.00 Mz=7.02
Sollecitazioni agenti localmente: Ty_l=-1598.21 Mx_l=-31.96
Tensioni nella sezione: σ=387.44 τ=48.43
CC 23 SLV (Collegamento -044_-376)

Azioni sul collegamento: N=-13808.10 Ty=4.83 Tz=27.71 Mx=-0.01 Mz=1.02
Sollecitazioni agenti localmente: Ty_l=-2510.57 Mx_l=-50.21
Tensioni nella sezione: σ=608.62 τ=76.08
CC 23 SLV (Collegamento -044_-376)
Azioni sul collegamento: N=-13808.10 Ty=12.58 Tz=27.71 Mx=-0.01 Mz=7.43
Sollecitazioni agenti localmente: Ty_l=-2510.57 Mx_l=-50.21
Tensioni nella sezione: σ=608.62 τ=76.08
CC 23 SLV (Collegamento -044_-376)
Azioni sul collegamento: N=-13808.10 Ty=4.83 Tz=-1.56 Mx=-0.01 Mz=1.02
Sollecitazioni agenti localmente: Ty_l=-2510.57 Mx_l=-50.21
Tensioni nella sezione: σ=608.62 τ=76.08
CC 23 SLV (Collegamento -044_-376)
Azioni sul collegamento: N=-13808.10 Ty=12.58 Tz=-1.56 Mx=-0.01 Mz=7.43
Sollecitazioni agenti localmente: Ty_l=-2510.57 Mx_l=-50.21
Tensioni nella sezione: σ=608.62 τ=76.08
CC 23 SLV (Collegamento -044_-376)
Azioni sul collegamento: N=-5965.51 Ty=4.83 Tz=27.71 Mx=-0.01 Mz=1.02
Sollecitazioni agenti localmente: Ty_l=-1084.64 Mx_l=-21.69
Tensioni nella sezione: σ=262.94 τ=32.87
CC 23 SLV (Collegamento -044_-376)
Azioni sul collegamento: N=-5965.51 Ty=12.58 Tz=27.71 Mx=-0.01 Mz=7.43
Sollecitazioni agenti localmente: Ty_l=-1084.64 Mx_l=-21.69
Tensioni nella sezione: σ=262.94 τ=32.87
CC 23 SLV (Collegamento -044_-376)
Azioni sul collegamento: N=-5965.51 Ty=4.83 Tz=-1.56 Mx=-0.01 Mz=1.02
Sollecitazioni agenti localmente: Ty_l=-1084.64 Mx_l=-21.69
Tensioni nella sezione: σ=262.94 τ=32.87
CC 23 SLV (Collegamento -044_-376)
Azioni sul collegamento: N=-5965.51 Ty=12.58 Tz=-1.56 Mx=-0.01 Mz=7.43
Sollecitazioni agenti localmente: Ty_l=-1084.64 Mx_l=-21.69
Tensioni nella sezione: σ=262.94 τ=32.87
CC 24 SLD (Collegamento -044_-376)
Azioni sul collegamento: N=-11180.10 Ty=8.45 Tz=17.92 Mx=-0.00 Mz=5.38
Sollecitazioni agenti localmente: Ty_l=-2032.75 Mx_l=-40.66
Tensioni nella sezione: σ=492.79 τ=61.60
CC 24 SLD (Collegamento -044_-376)
Azioni sul collegamento: N=-11180.10 Ty=10.81 Tz=17.92 Mx=-0.00 Mz=7.34
Sollecitazioni agenti localmente: Ty_l=-2032.75 Mx_l=-40.66
Tensioni nella sezione: σ=492.79 τ=61.60
CC 24 SLD (Collegamento -044_-376)
Azioni sul collegamento: N=-11180.10 Ty=8.45 Tz=9.00 Mx=-0.00 Mz=5.38
Sollecitazioni agenti localmente: Ty_l=-2032.75 Mx_l=-40.66
Tensioni nella sezione: σ=492.79 τ=61.60
CC 24 SLD (Collegamento -044_-376)
Azioni sul collegamento: N=-11180.10 Ty=10.81 Tz=9.00 Mx=-0.00 Mz=7.34
Sollecitazioni agenti localmente: Ty_l=-2032.75 Mx_l=-40.66
Tensioni nella sezione: σ=492.79 τ=61.60
CC 24 SLD (Collegamento -044_-376)
Azioni sul collegamento: N=-8788.68 Ty=8.45 Tz=17.92 Mx=-0.00 Mz=5.38
Sollecitazioni agenti localmente: Ty_l=-1597.94 Mx_l=-31.96
Tensioni nella sezione: σ=387.38 τ=48.42
CC 24 SLD (Collegamento -044_-376)
Azioni sul collegamento: N=-8788.68 Ty=10.81 Tz=17.92 Mx=-0.00 Mz=7.34
Sollecitazioni agenti localmente: Ty_l=-1597.94 Mx_l=-31.96
Tensioni nella sezione: σ=387.38 τ=48.42
CC 24 SLD (Collegamento -044_-376)
Azioni sul collegamento: N=-8788.68 Ty=8.45 Tz=9.00 Mx=-0.00 Mz=5.38
Sollecitazioni agenti localmente: Ty_l=-1597.94 Mx_l=-31.96
Tensioni nella sezione: σ=387.38 τ=48.42
CC 24 SLD (Collegamento -044_-376)
Azioni sul collegamento: N=-8788.68 Ty=10.81 Tz=9.00 Mx=-0.00 Mz=7.34
Sollecitazioni agenti localmente: Ty_l=-1597.94 Mx_l=-31.96
Tensioni nella sezione: σ=387.38 τ=48.42
CC 25 SLV (Collegamento -044_-376)
Azioni sul collegamento: N=-8703.02 Ty=10.65 Tz=8.19 Mx=-0.02 Mz=6.77
Sollecitazioni agenti localmente: Ty_l=-1582.37 Mx_l=-31.65
Tensioni nella sezione: σ=383.60 τ=47.95
CC 25 SLV (Collegamento -044_-376)
Azioni sul collegamento: N=-8703.02 Ty=6.76 Tz=8.19 Mx=-0.02 Mz=1.67
Sollecitazioni agenti localmente: Ty_l=-1582.37 Mx_l=-31.65
Tensioni nella sezione: σ=383.60 τ=47.95
CC 25 SLV (Collegamento -044_-376)
Azioni sul collegamento: N=-8703.02 Ty=10.65 Tz=17.96 Mx=-0.02 Mz=6.77
Sollecitazioni agenti localmente: Ty_l=-1582.37 Mx_l=-31.65
Tensioni nella sezione: σ=383.60 τ=47.95
CC 25 SLV (Collegamento -044_-376)
Azioni sul collegamento: N=-8703.02 Ty=6.76 Tz=17.96 Mx=-0.02 Mz=1.67
Sollecitazioni agenti localmente: Ty_l=-1582.37 Mx_l=-31.65
Tensioni nella sezione: σ=383.60 τ=47.95

CC 25 SLV (Collegamento -044_-376)
Azioni sul collegamento: N=-11070.60 Ty=10.65 Tz=8.19 Mx=-0.02 Mz=6.77
Sollecitazioni agenti localmente: Ty_l=-2012.84 Mx_l=-40.26
Tensioni nella sezione: σ=487.96 τ=61.00
CC 25 SLV (Collegamento -044_-376)
Azioni sul collegamento: N=-11070.60 Ty=6.76 Tz=8.19 Mx=-0.02 Mz=1.67
Sollecitazioni agenti localmente: Ty_l=-2012.84 Mx_l=-40.26
Tensioni nella sezione: σ=487.96 τ=61.00
CC 25 SLV (Collegamento -044_-376)
Azioni sul collegamento: N=-11070.60 Ty=10.65 Tz=17.96 Mx=-0.02 Mz=6.77
Sollecitazioni agenti localmente: Ty_l=-2012.84 Mx_l=-40.26
Tensioni nella sezione: σ=487.96 τ=61.00
CC 25 SLV (Collegamento -044_-376)
Azioni sul collegamento: N=-11070.60 Ty=6.76 Tz=17.96 Mx=-0.02 Mz=1.67
Sollecitazioni agenti localmente: Ty_l=-2012.84 Mx_l=-40.26
Tensioni nella sezione: σ=487.96 τ=61.00
CC 26 SLD (Collegamento -044_-376)
Azioni sul collegamento: N=-9623.43 Ty=10.22 Tz=11.97 Mx=-0.00 Mz=7.14
Sollecitazioni agenti localmente: Ty_l=-1749.72 Mx_l=-34.99
Tensioni nella sezione: σ=424.17 τ=53.02
CC 26 SLD (Collegamento -044_-376)
Azioni sul collegamento: N=-9623.43 Ty=9.04 Tz=11.97 Mx=-0.00 Mz=5.58
Sollecitazioni agenti localmente: Ty_l=-1749.72 Mx_l=-34.99
Tensioni nella sezione: σ=424.17 τ=53.02
CC 26 SLD (Collegamento -044_-376)
Azioni sul collegamento: N=-9623.43 Ty=10.22 Tz=14.95 Mx=-0.00 Mz=7.14
Sollecitazioni agenti localmente: Ty_l=-1749.72 Mx_l=-34.99
Tensioni nella sezione: σ=424.17 τ=53.02
CC 26 SLD (Collegamento -044_-376)
Azioni sul collegamento: N=-9623.43 Ty=9.04 Tz=14.95 Mx=-0.00 Mz=5.58
Sollecitazioni agenti localmente: Ty_l=-1749.72 Mx_l=-34.99
Tensioni nella sezione: σ=424.17 τ=53.02
CC 26 SLD (Collegamento -044_-376)
Azioni sul collegamento: N=-10345.40 Ty=10.22 Tz=11.97 Mx=-0.00 Mz=7.14
Sollecitazioni agenti localmente: Ty_l=-1880.98 Mx_l=-37.62
Tensioni nella sezione: σ=455.99 τ=57.00
CC 26 SLD (Collegamento -044_-376)
Azioni sul collegamento: N=-10345.40 Ty=9.04 Tz=11.97 Mx=-0.00 Mz=5.58
Sollecitazioni agenti localmente: Ty_l=-1880.98 Mx_l=-37.62
Tensioni nella sezione: σ=455.99 τ=57.00
CC 26 SLD (Collegamento -044_-376)
Azioni sul collegamento: N=-10345.40 Ty=10.22 Tz=14.95 Mx=-0.00 Mz=7.14
Sollecitazioni agenti localmente: Ty_l=-1880.98 Mx_l=-37.62
Tensioni nella sezione: σ=455.99 τ=57.00
CC 26 SLD (Collegamento -044_-376)
Azioni sul collegamento: N=-10345.40 Ty=9.04 Tz=14.95 Mx=-0.00 Mz=5.58
Sollecitazioni agenti localmente: Ty_l=-1880.98 Mx_l=-37.62
Tensioni nella sezione: σ=455.99 τ=57.00
CC 27 SLV (Collegamento -044_-376)
Azioni sul collegamento: N=-11054.30 Ty=8.48 Tz=16.87 Mx=-0.02 Mz=5.16
Sollecitazioni agenti localmente: Ty_l=-2009.88 Mx_l=-40.20
Tensioni nella sezione: σ=487.24 τ=60.91
CC 27 SLV (Collegamento -044_-376)
Azioni sul collegamento: N=-11054.30 Ty=8.94 Tz=16.87 Mx=-0.02 Mz=3.28
Sollecitazioni agenti localmente: Ty_l=-2009.88 Mx_l=-40.20
Tensioni nella sezione: σ=487.24 τ=60.91
CC 27 SLV (Collegamento -044_-376)
Azioni sul collegamento: N=-11054.30 Ty=8.48 Tz=9.28 Mx=-0.02 Mz=5.16
Sollecitazioni agenti localmente: Ty_l=-2009.88 Mx_l=-40.20
Tensioni nella sezione: σ=487.24 τ=60.91
CC 27 SLV (Collegamento -044_-376)
Azioni sul collegamento: N=-11054.30 Ty=8.94 Tz=9.28 Mx=-0.02 Mz=3.28
Sollecitazioni agenti localmente: Ty_l=-2009.88 Mx_l=-40.20
Tensioni nella sezione: σ=487.24 τ=60.91
CC 27 SLV (Collegamento -044_-376)
Azioni sul collegamento: N=-8719.31 Ty=8.48 Tz=16.87 Mx=-0.02 Mz=5.16
Sollecitazioni agenti localmente: Ty_l=-1585.33 Mx_l=-31.71
Tensioni nella sezione: σ=384.32 τ=48.04
CC 27 SLV (Collegamento -044_-376)
Azioni sul collegamento: N=-8719.31 Ty=8.94 Tz=16.87 Mx=-0.02 Mz=3.28
Sollecitazioni agenti localmente: Ty_l=-1585.33 Mx_l=-31.71
Tensioni nella sezione: σ=384.32 τ=48.04
CC 27 SLV (Collegamento -044_-376)
Azioni sul collegamento: N=-8719.31 Ty=8.48 Tz=9.28 Mx=-0.02 Mz=5.16
Sollecitazioni agenti localmente: Ty_l=-1585.33 Mx_l=-31.71
Tensioni nella sezione: σ=384.32 τ=48.04
CC 27 SLV (Collegamento -044_-376)
Azioni sul collegamento: N=-8719.31 Ty=8.94 Tz=9.28 Mx=-0.02 Mz=3.28
Sollecitazioni agenti localmente: Ty_l=-1585.33 Mx_l=-31.71

Tensioni nella sezione: σ=384.32 τ=48.04
CC 28 SLD (Collegamento -044_-376)
Azioni sul collegamento: N=-10340.40 Ty=9.56 Tz=14.62 Mx=-0.00 Mz=6.65
Sollecitazioni agenti localmente: Ty_l=-1880.08 Mx_l=-37.60
Tensioni nella sezione: σ=455.78 τ=56.97
CC 28 SLD (Collegamento -044_-376)
Azioni sul collegamento: N=-10340.40 Ty=9.70 Tz=14.62 Mx=-0.00 Mz=6.07
Sollecitazioni agenti localmente: Ty_l=-1880.08 Mx_l=-37.60
Tensioni nella sezione: σ=455.78 τ=56.97
CC 28 SLD (Collegamento -044_-376)
Azioni sul collegamento: N=-10340.40 Ty=9.56 Tz=12.30 Mx=-0.00 Mz=6.65
Sollecitazioni agenti localmente: Ty_l=-1880.08 Mx_l=-37.60
Tensioni nella sezione: σ=455.78 τ=56.97
CC 28 SLD (Collegamento -044_-376)
Azioni sul collegamento: N=-10340.40 Ty=9.70 Tz=12.30 Mx=-0.00 Mz=6.07
Sollecitazioni agenti localmente: Ty_l=-1880.08 Mx_l=-37.60
Tensioni nella sezione: σ=455.78 τ=56.97
CC 28 SLD (Collegamento -044_-376)
Azioni sul collegamento: N=-9628.40 Ty=9.56 Tz=14.62 Mx=-0.00 Mz=6.65
Sollecitazioni agenti localmente: Ty_l=-1750.62 Mx_l=-35.01
Tensioni nella sezione: σ=424.39 τ=53.05
CC 28 SLD (Collegamento -044_-376)
Azioni sul collegamento: N=-9628.40 Ty=9.70 Tz=14.62 Mx=-0.00 Mz=6.07
Sollecitazioni agenti localmente: Ty_l=-1750.62 Mx_l=-35.01
Tensioni nella sezione: σ=424.39 τ=53.05
CC 28 SLD (Collegamento -044_-376)
Azioni sul collegamento: N=-9628.40 Ty=9.56 Tz=12.30 Mx=-0.00 Mz=6.65
Sollecitazioni agenti localmente: Ty_l=-1750.62 Mx_l=-35.01
Tensioni nella sezione: σ=424.39 τ=53.05
CC 28 SLD (Collegamento -044_-376)
Azioni sul collegamento: N=-9628.40 Ty=9.70 Tz=12.30 Mx=-0.00 Mz=6.07
Sollecitazioni agenti localmente: Ty_l=-1750.62 Mx_l=-35.01
Tensioni nella sezione: σ=424.39 τ=53.05
CC 29 SLV (Collegamento -044_-376)
Azioni sul collegamento: N=-8719.31 Ty=8.94 Tz=9.28 Mx=-0.00 Mz=3.28
Sollecitazioni agenti localmente: Ty_l=-1585.33 Mx_l=-31.71
Tensioni nella sezione: σ=384.32 τ=48.04
CC 29 SLV (Collegamento -044_-376)
Azioni sul collegamento: N=-8719.31 Ty=8.48 Tz=9.28 Mx=-0.00 Mz=5.16
Sollecitazioni agenti localmente: Ty_l=-1585.33 Mx_l=-31.71
Tensioni nella sezione: σ=384.32 τ=48.04
CC 29 SLV (Collegamento -044_-376)
Azioni sul collegamento: N=-8719.31 Ty=8.94 Tz=16.87 Mx=-0.00 Mz=3.28
Sollecitazioni agenti localmente: Ty_l=-1585.33 Mx_l=-31.71
Tensioni nella sezione: σ=384.32 τ=48.04
CC 29 SLV (Collegamento -044_-376)
Azioni sul collegamento: N=-8719.31 Ty=8.48 Tz=16.87 Mx=-0.00 Mz=5.16
Sollecitazioni agenti localmente: Ty_l=-1585.33 Mx_l=-31.71
Tensioni nella sezione: σ=384.32 τ=48.04
CC 29 SLV (Collegamento -044_-376)
Azioni sul collegamento: N=-11054.30 Ty=8.94 Tz=9.28 Mx=-0.00 Mz=3.28
Sollecitazioni agenti localmente: Ty_l=-2009.88 Mx_l=-40.20
Tensioni nella sezione: σ=487.24 τ=60.91
CC 29 SLV (Collegamento -044_-376)
Azioni sul collegamento: N=-11054.30 Ty=8.48 Tz=9.28 Mx=-0.00 Mz=5.16
Sollecitazioni agenti localmente: Ty_l=-2009.88 Mx_l=-40.20
Tensioni nella sezione: σ=487.24 τ=60.91
CC 29 SLV (Collegamento -044_-376)
Azioni sul collegamento: N=-11054.30 Ty=8.94 Tz=16.87 Mx=-0.00 Mz=3.28
Sollecitazioni agenti localmente: Ty_l=-2009.88 Mx_l=-40.20
Tensioni nella sezione: σ=487.24 τ=60.91
CC 29 SLV (Collegamento -044_-376)
Azioni sul collegamento: N=-11054.30 Ty=8.48 Tz=16.87 Mx=-0.00 Mz=5.16
Sollecitazioni agenti localmente: Ty_l=-2009.88 Mx_l=-40.20
Tensioni nella sezione: σ=487.24 τ=60.91
CC 30 SLD (Collegamento -044_-376)
Azioni sul collegamento: N=-9628.40 Ty=9.70 Tz=12.30 Mx=0.00 Mz=6.07
Sollecitazioni agenti localmente: Ty_l=-1750.62 Mx_l=-35.01
Tensioni nella sezione: σ=424.39 τ=53.05
CC 30 SLD (Collegamento -044_-376)
Azioni sul collegamento: N=-9628.40 Ty=9.56 Tz=12.30 Mx=0.00 Mz=6.65
Sollecitazioni agenti localmente: Ty_l=-1750.62 Mx_l=-35.01
Tensioni nella sezione: σ=424.39 τ=53.05
CC 30 SLD (Collegamento -044_-376)
Azioni sul collegamento: N=-9628.40 Ty=9.70 Tz=14.62 Mx=0.00 Mz=6.07
Sollecitazioni agenti localmente: Ty_l=-1750.62 Mx_l=-35.01
Tensioni nella sezione: σ=424.39 τ=53.05
CC 30 SLD (Collegamento -044_-376)
Azioni sul collegamento: N=-9628.40 Ty=9.56 Tz=14.62 Mx=0.00 Mz=6.65

Sollecitazioni agenti localmente: Ty_l=-1750.62 Mx_l=-35.01
Tensioni nella sezione: σ=424.39 τ=53.05
CC 30 SLD (Collegamento -044_-376)
Azioni sul collegamento: N=-10340.40 Ty=9.70 Tz=12.30 Mx=0.00 Mz=6.07
Sollecitazioni agenti localmente: Ty_l=-1880.08 Mx_l=-37.60
Tensioni nella sezione: σ=455.78 τ=56.97
CC 30 SLD (Collegamento -044_-376)
Azioni sul collegamento: N=-10340.40 Ty=9.56 Tz=12.30 Mx=0.00 Mz=6.65
Sollecitazioni agenti localmente: Ty_l=-1880.08 Mx_l=-37.60
Tensioni nella sezione: σ=455.78 τ=56.97
CC 30 SLD (Collegamento -044_-376)
Azioni sul collegamento: N=-10340.40 Ty=9.70 Tz=14.62 Mx=0.00 Mz=6.07
Sollecitazioni agenti localmente: Ty_l=-1880.08 Mx_l=-37.60
Tensioni nella sezione: σ=455.78 τ=56.97
CC 30 SLD (Collegamento -044_-376)
Azioni sul collegamento: N=-10340.40 Ty=9.56 Tz=14.62 Mx=0.00 Mz=6.65
Sollecitazioni agenti localmente: Ty_l=-1880.08 Mx_l=-37.60
Tensioni nella sezione: σ=455.78 τ=56.97
CC 31 SLV (Collegamento -044_-376)
Azioni sul collegamento: N=-11070.60 Ty=6.76 Tz=17.96 Mx=-0.00 Mz=1.67
Sollecitazioni agenti localmente: Ty_l=-2012.84 Mx_l=-40.26
Tensioni nella sezione: σ=487.96 τ=61.00
CC 31 SLV (Collegamento -044_-376)
Azioni sul collegamento: N=-11070.60 Ty=10.65 Tz=17.96 Mx=-0.00 Mz=6.77
Sollecitazioni agenti localmente: Ty_l=-2012.84 Mx_l=-40.26
Tensioni nella sezione: σ=487.96 τ=61.00
CC 31 SLV (Collegamento -044_-376)
Azioni sul collegamento: N=-11070.60 Ty=6.76 Tz=8.19 Mx=-0.00 Mz=1.67
Sollecitazioni agenti localmente: Ty_l=-2012.84 Mx_l=-40.26
Tensioni nella sezione: σ=487.96 τ=61.00
CC 31 SLV (Collegamento -044_-376)
Azioni sul collegamento: N=-11070.60 Ty=10.65 Tz=8.19 Mx=-0.00 Mz=6.77
Sollecitazioni agenti localmente: Ty_l=-2012.84 Mx_l=-40.26
Tensioni nella sezione: σ=487.96 τ=61.00
CC 31 SLV (Collegamento -044_-376)
Azioni sul collegamento: N=-8703.02 Ty=6.76 Tz=17.96 Mx=-0.00 Mz=1.67
Sollecitazioni agenti localmente: Ty_l=-1582.37 Mx_l=-31.65
Tensioni nella sezione: σ=383.60 τ=47.95
CC 31 SLV (Collegamento -044_-376)
Azioni sul collegamento: N=-8703.02 Ty=10.65 Tz=17.96 Mx=-0.00 Mz=6.77
Sollecitazioni agenti localmente: Ty_l=-1582.37 Mx_l=-31.65
Tensioni nella sezione: σ=383.60 τ=47.95
CC 31 SLV (Collegamento -044_-376)
Azioni sul collegamento: N=-8703.02 Ty=6.76 Tz=8.19 Mx=-0.00 Mz=1.67
Sollecitazioni agenti localmente: Ty_l=-1582.37 Mx_l=-31.65
Tensioni nella sezione: σ=383.60 τ=47.95
CC 31 SLV (Collegamento -044_-376)
Azioni sul collegamento: N=-8703.02 Ty=10.65 Tz=8.19 Mx=-0.00 Mz=6.77
Sollecitazioni agenti localmente: Ty_l=-1582.37 Mx_l=-31.65
Tensioni nella sezione: σ=383.60 τ=47.95
CC 32 SLD (Collegamento -044_-376)
Azioni sul collegamento: N=-10345.40 Ty=9.04 Tz=14.95 Mx=0.00 Mz=5.58
Sollecitazioni agenti localmente: Ty_l=-1880.98 Mx_l=-37.62
Tensioni nella sezione: σ=455.99 τ=57.00
CC 32 SLD (Collegamento -044_-376)
Azioni sul collegamento: N=-10345.40 Ty=10.22 Tz=14.95 Mx=0.00 Mz=7.14
Sollecitazioni agenti localmente: Ty_l=-1880.98 Mx_l=-37.62
Tensioni nella sezione: σ=455.99 τ=57.00
CC 32 SLD (Collegamento -044_-376)
Azioni sul collegamento: N=-10345.40 Ty=9.04 Tz=11.97 Mx=0.00 Mz=5.58
Sollecitazioni agenti localmente: Ty_l=-1880.98 Mx_l=-37.62
Tensioni nella sezione: σ=455.99 τ=57.00
CC 32 SLD (Collegamento -044_-376)
Azioni sul collegamento: N=-10345.40 Ty=10.22 Tz=11.97 Mx=0.00 Mz=7.14
Sollecitazioni agenti localmente: Ty_l=-1880.98 Mx_l=-37.62
Tensioni nella sezione: σ=455.99 τ=57.00
CC 32 SLD (Collegamento -044_-376)
Azioni sul collegamento: N=-9623.43 Ty=9.04 Tz=14.95 Mx=0.00 Mz=5.58
Sollecitazioni agenti localmente: Ty_l=-1749.72 Mx_l=-34.99
Tensioni nella sezione: σ=424.17 τ=53.02
CC 32 SLD (Collegamento -044_-376)
Azioni sul collegamento: N=-9623.43 Ty=10.22 Tz=14.95 Mx=0.00 Mz=7.14
Sollecitazioni agenti localmente: Ty_l=-1749.72 Mx_l=-34.99
Tensioni nella sezione: σ=424.17 τ=53.02
CC 32 SLD (Collegamento -044_-376)
Azioni sul collegamento: N=-9623.43 Ty=9.04 Tz=11.97 Mx=0.00 Mz=5.58
Sollecitazioni agenti localmente: Ty_l=-1749.72 Mx_l=-34.99
Tensioni nella sezione: σ=424.17 τ=53.02
CC 32 SLD (Collegamento -044_-376)

Azioni sul collegamento: N=-9623.43 Ty=10.22 Tz=11.97 Mx=0.00 Mz=7.14
Sollecitazioni agenti localmente: Ty_l=-1749.72 Mx_l=-34.99
Tensioni nella sezione: σ=424.17 τ=53.02
CC 33 SLU (Collegamento -044_-376)
Azioni sul collegamento: N=-37458.50 Ty=20.96 Tz=106.28 Mx=0.00 Mz=15.40
Sollecitazioni agenti localmente: Ty_l=-6810.65 Mx_l=-136.21
Tensioni nella sezione: σ=1651.06 τ=206.38
CC 34 SLU (Collegamento -044_-376)
Azioni sul collegamento: N=-36642.60 Ty=20.20 Tz=103.27 Mx=0.00 Mz=14.84
Sollecitazioni agenti localmente: Ty_l=-6662.28 Mx_l=-133.25
Tensioni nella sezione: σ=1615.10 τ=201.89
CC 35 SLU (Collegamento -044_-376)
Azioni sul collegamento: N=-37049.70 Ty=20.49 Tz=104.83 Mx=0.01 Mz=14.94
Sollecitazioni agenti localmente: Ty_l=-6736.31 Mx_l=-134.73
Tensioni nella sezione: σ=1633.04 τ=204.13
CC 36 SLU (Collegamento -044_-376)
Azioni sul collegamento: N=-37051.40 Ty=20.67 Tz=104.72 Mx=0.00 Mz=15.30
Sollecitazioni agenti localmente: Ty_l=-6736.63 Mx_l=-134.73
Tensioni nella sezione: σ=1633.12 τ=204.14
CC 37 SLU (Collegamento -044_-376)
Azioni sul collegamento: N=-28275.70 Ty=20.11 Tz=72.57 Mx=0.00 Mz=14.65
Sollecitazioni agenti localmente: Ty_l=-5141.04 Mx_l=-102.82
Tensioni nella sezione: σ=1246.31 τ=155.79
CC 38 SLU (Collegamento -044_-376)
Azioni sul collegamento: N=-27459.70 Ty=19.36 Tz=69.55 Mx=0.00 Mz=14.09
Sollecitazioni agenti localmente: Ty_l=-4992.68 Mx_l=-99.85
Tensioni nella sezione: σ=1210.34 τ=151.29
CC 39 SLU (Collegamento -044_-376)
Azioni sul collegamento: N=-27866.80 Ty=19.65 Tz=71.12 Mx=0.01 Mz=14.19
Sollecitazioni agenti localmente: Ty_l=-5066.70 Mx_l=-101.33
Tensioni nella sezione: σ=1228.29 τ=153.54
CC 40 SLU (Collegamento -044_-376)
Azioni sul collegamento: N=-27868.60 Ty=19.82 Tz=71.00 Mx=0.00 Mz=14.55
Sollecitazioni agenti localmente: Ty_l=-5067.02 Mx_l=-101.34
Tensioni nella sezione: σ=1228.37 τ=153.55
CC 41 SLU (Collegamento -044_-376)
Azioni sul collegamento: N=-30676.20 Ty=-9.89 Tz=80.85 Mx=0.00 Mz=-7.99
Sollecitazioni agenti localmente: Ty_l=-5577.50 Mx_l=-111.55
Tensioni nella sezione: σ=1352.12 τ=169.01
CC 42 SLU (Collegamento -044_-376)
Azioni sul collegamento: N=-29860.20 Ty=-10.64 Tz=77.84 Mx=0.00 Mz=-8.54
Sollecitazioni agenti localmente: Ty_l=-5429.14 Mx_l=-108.58
Tensioni nella sezione: σ=1316.15 τ=164.52
CC 43 SLU (Collegamento -044_-376)
Azioni sul collegamento: N=-30267.40 Ty=-10.35 Tz=79.40 Mx=0.01 Mz=-8.45
Sollecitazioni agenti localmente: Ty_l=-5503.16 Mx_l=-110.06
Tensioni nella sezione: σ=1334.10 τ=166.76
CC 44 SLU (Collegamento -044_-376)
Azioni sul collegamento: N=-30269.10 Ty=-10.18 Tz=79.28 Mx=0.00 Mz=-8.08
Sollecitazioni agenti localmente: Ty_l=-5503.48 Mx_l=-110.07
Tensioni nella sezione: σ=1334.17 τ=166.77
CC 45 SLU (Collegamento -044_-376)
Azioni sul collegamento: N=-30295.00 Ty=20.33 Tz=79.99 Mx=0.00 Mz=14.94
Sollecitazioni agenti localmente: Ty_l=-5508.19 Mx_l=-110.16
Tensioni nella sezione: σ=1335.32 τ=166.91
CC 46 SLU (Collegamento -044_-376)
Azioni sul collegamento: N=-29479.00 Ty=19.57 Tz=76.97 Mx=0.00 Mz=14.38
Sollecitazioni agenti localmente: Ty_l=-5359.82 Mx_l=-107.20
Tensioni nella sezione: σ=1299.35 τ=162.42
CC 47 SLU (Collegamento -044_-376)
Azioni sul collegamento: N=-29886.10 Ty=19.86 Tz=78.54 Mx=0.00 Mz=14.48
Sollecitazioni agenti localmente: Ty_l=-5433.85 Mx_l=-108.68
Tensioni nella sezione: σ=1317.29 τ=164.66
CC 48 SLU (Collegamento -044_-376)
Azioni sul collegamento: N=-29887.90 Ty=20.04 Tz=78.42 Mx=0.00 Mz=14.84
Sollecitazioni agenti localmente: Ty_l=-5434.17 Mx_l=-108.68
Tensioni nella sezione: σ=1317.37 τ=164.67
CC 49 SLU (Collegamento -044_-376)
Azioni sul collegamento: N=-23424.90 Ty=19.70 Tz=54.76 Mx=0.00 Mz=14.38
Sollecitazioni agenti localmente: Ty_l=-4259.07 Mx_l=-85.18
Tensioni nella sezione: σ=1032.50 τ=129.06
CC 50 SLU (Collegamento -044_-376)
Azioni sul collegamento: N=-22608.90 Ty=18.94 Tz=51.75 Mx=0.00 Mz=13.82
Sollecitazioni agenti localmente: Ty_l=-4110.71 Mx_l=-82.21
Tensioni nella sezione: σ=996.53 τ=124.57
CC 51 SLU (Collegamento -044_-376)
Azioni sul collegamento: N=-23016.00 Ty=19.23 Tz=53.31 Mx=0.00 Mz=13.92
Sollecitazioni agenti localmente: Ty_l=-4184.73 Mx_l=-83.69
Tensioni nella sezione: σ=1014.48 τ=126.81

CC 52 SLU (Collegamento -044_-376)
Azioni sul collegamento: N=-23017.80 Ty=19.41 Tz=53.20 Mx=0.00 Mz=14.28
Sollecitazioni agenti localmente: Ty_l=-4185.06 Mx_l=-83.70
Tensioni nella sezione: σ=1014.56 τ=126.82
CC 53 SLU (Collegamento -044_-376)
Azioni sul collegamento: N=-25220.90 Ty=-2.75 Tz=60.96 Mx=0.00 Mz=-2.55
Sollecitazioni agenti localmente: Ty_l=-4585.61 Mx_l=-91.71
Tensioni nella sezione: σ=1111.66 τ=138.96
CC 54 SLU (Collegamento -044_-376)
Azioni sul collegamento: N=-24404.90 Ty=-3.50 Tz=57.94 Mx=0.00 Mz=-3.11
Sollecitazioni agenti localmente: Ty_l=-4437.25 Mx_l=-88.74
Tensioni nella sezione: σ=1075.69 τ=134.46
CC 55 SLU (Collegamento -044_-376)
Azioni sul collegamento: N=-24812.00 Ty=-3.21 Tz=59.51 Mx=0.00 Mz=-3.02
Sollecitazioni agenti localmente: Ty_l=-4511.27 Mx_l=-90.23
Tensioni nella sezione: σ=1093.64 τ=136.71
CC 56 SLU (Collegamento -044_-376)
Azioni sul collegamento: N=-24813.70 Ty=-3.04 Tz=59.39 Mx=0.00 Mz=-2.65
Sollecitazioni agenti localmente: Ty_l=-4511.59 Mx_l=-90.23
Tensioni nella sezione: σ=1093.72 τ=136.72
CC 57 SLU (Collegamento -044_-376)
Azioni sul collegamento: N=-28074.70 Ty=18.58 Tz=71.81 Mx=0.00 Mz=13.65
Sollecitazioni agenti localmente: Ty_l=-5104.49 Mx_l=-102.09
Tensioni nella sezione: σ=1237.45 τ=154.68
CC 58 SLU (Collegamento -044_-376)
Azioni sul collegamento: N=-27258.70 Ty=17.82 Tz=68.80 Mx=0.00 Mz=13.09
Sollecitazioni agenti localmente: Ty_l=-4956.13 Mx_l=-99.12
Tensioni nella sezione: σ=1201.48 τ=150.19
CC 59 SLU (Collegamento -044_-376)
Azioni sul collegamento: N=-27665.80 Ty=18.11 Tz=70.37 Mx=0.00 Mz=13.19
Sollecitazioni agenti localmente: Ty_l=-5030.15 Mx_l=-100.60
Tensioni nella sezione: σ=1219.43 τ=152.43
CC 60 SLU (Collegamento -044_-376)
Azioni sul collegamento: N=-27667.60 Ty=18.29 Tz=70.25 Mx=0.00 Mz=13.55
Sollecitazioni agenti localmente: Ty_l=-5030.47 Mx_l=-100.61
Tensioni nella sezione: σ=1219.51 τ=152.44
CC 61 SLU (Collegamento -044_-376)
Azioni sul collegamento: N=-21204.60 Ty=17.94 Tz=46.59 Mx=0.00 Mz=13.09
Sollecitazioni agenti localmente: Ty_l=-3855.38 Mx_l=-77.11
Tensioni nella sezione: σ=934.64 τ=116.83
CC 62 SLU (Collegamento -044_-376)
Azioni sul collegamento: N=-20388.60 Ty=17.19 Tz=43.58 Mx=0.00 Mz=12.53
Sollecitazioni agenti localmente: Ty_l=-3707.02 Mx_l=-74.14
Tensioni nella sezione: σ=898.67 τ=112.33
CC 63 SLU (Collegamento -044_-376)
Azioni sul collegamento: N=-20795.70 Ty=17.48 Tz=45.14 Mx=0.00 Mz=12.63
Sollecitazioni agenti localmente: Ty_l=-3781.04 Mx_l=-75.62
Tensioni nella sezione: σ=916.61 τ=114.58
CC 64 SLU (Collegamento -044_-376)
Azioni sul collegamento: N=-20797.50 Ty=17.66 Tz=45.03 Mx=0.00 Mz=12.99
Sollecitazioni agenti localmente: Ty_l=-3781.36 Mx_l=-75.63
Tensioni nella sezione: σ=916.69 τ=114.59
CC 65 SLU (Collegamento -044_-376)
Azioni sul collegamento: N=-23000.50 Ty=-4.50 Tz=52.79 Mx=0.00 Mz=-3.84
Sollecitazioni agenti localmente: Ty_l=-4181.92 Mx_l=-83.64
Tensioni nella sezione: σ=1013.80 τ=126.72
CC 66 SLU (Collegamento -044_-376)
Azioni sul collegamento: N=-22184.60 Ty=-5.26 Tz=49.77 Mx=0.00 Mz=-4.40
Sollecitazioni agenti localmente: Ty_l=-4033.55 Mx_l=-80.67
Tensioni nella sezione: σ=977.83 τ=122.23
CC 67 SLU (Collegamento -044_-376)
Azioni sul collegamento: N=-22591.70 Ty=-4.97 Tz=51.34 Mx=0.00 Mz=-4.30
Sollecitazioni agenti localmente: Ty_l=-4107.58 Mx_l=-82.15
Tensioni nella sezione: σ=995.77 τ=124.47
CC 68 SLU (Collegamento -044_-376)
Azioni sul collegamento: N=-22593.40 Ty=-4.79 Tz=51.22 Mx=0.00 Mz=-3.94
Sollecitazioni agenti localmente: Ty_l=-4107.90 Mx_l=-82.16
Tensioni nella sezione: σ=995.85 τ=124.48
CC 97 SLU (Collegamento -044_-376)
Azioni sul collegamento: N=-32775.80 Ty=25.16 Tz=97.03 Mx=-0.05 Mz=10.53
Sollecitazioni agenti localmente: Ty_l=-5959.23 Mx_l=-119.18
Tensioni nella sezione: σ=1444.66 τ=180.58
CC 98 SLU (Collegamento -044_-376)
Azioni sul collegamento: N=-31959.80 Ty=24.41 Tz=94.02 Mx=-0.05 Mz=9.97
Sollecitazioni agenti localmente: Ty_l=-5810.87 Mx_l=-116.22
Tensioni nella sezione: σ=1408.69 τ=176.09
CC 99 SLU (Collegamento -044_-376)
Azioni sul collegamento: N=-32366.90 Ty=24.69 Tz=95.58 Mx=-0.05 Mz=10.07
Sollecitazioni agenti localmente: Ty_l=-5884.89 Mx_l=-117.70

Tensioni nella sezione: σ=1426.64 τ=178.33
CC 100 SLU (Collegamento -044_-376)
Azioni sul collegamento: N=-32368.70 Ty=24.87 Tz=95.47 Mx=-0.05 Mz=10.43
Sollecitazioni agenti localmente: Ty_l=-5885.21 Mx_l=-117.70
Tensioni nella sezione: σ=1426.72 τ=178.34
CC 101 SLU (Collegamento -044_-376)
Azioni sul collegamento: N=-9110.88 Ty=5.97 Tz=10.39 Mx=0.01 Mz=4.99
Sollecitazioni agenti localmente: Ty_l=-1656.52 Mx_l=-33.13
Tensioni nella sezione: σ=401.58 τ=50.20
CC 102 SLU (Collegamento -044_-376)
Azioni sul collegamento: N=-8294.89 Ty=5.21 Tz=7.37 Mx=0.01 Mz=4.43
Sollecitazioni agenti localmente: Ty_l=-1508.16 Mx_l=-30.16
Tensioni nella sezione: σ=365.61 τ=45.70
CC 103 SLU (Collegamento -044_-376)
Azioni sul collegamento: N=-8702.00 Ty=5.50 Tz=8.94 Mx=0.01 Mz=4.53
Sollecitazioni agenti localmente: Ty_l=-1582.18 Mx_l=-31.64
Tensioni nella sezione: σ=383.56 τ=47.94
CC 104 SLU (Collegamento -044_-376)
Azioni sul collegamento: N=-8703.77 Ty=5.68 Tz=8.82 Mx=0.01 Mz=4.89
Sollecitazioni agenti localmente: Ty_l=-1582.50 Mx_l=-31.65
Tensioni nella sezione: σ=383.64 τ=47.95

Flessione attacco destro piastra

Bnetta=220.00 Hnetta=15.00
CC 1 SLV (Collegamento -044_-376)
Azioni sul collegamento: N=-6246.31 Ty=15.25 Tz=-0.46 Mx=0.02 Mz=13.58
Sollecitazioni agenti localmente: Ty_l=-1161.31 My_l=-23.88
Tensioni nella sezione: σ=289.48 τ=35.19
CC 1 SLV (Collegamento -044_-376)
Azioni sul collegamento: N=-6246.31 Ty=7.49 Tz=-0.46 Mx=0.02 Mz=7.17
Sollecitazioni agenti localmente: Ty_l=-1135.83 My_l=-23.32
Tensioni nella sezione: σ=282.72 τ=34.42
CC 1 SLV (Collegamento -044_-376)
Azioni sul collegamento: N=-6246.31 Ty=15.25 Tz=28.82 Mx=0.02 Mz=13.58
Sollecitazioni agenti localmente: Ty_l=-1161.31 My_l=-23.88
Tensioni nella sezione: σ=289.48 τ=35.19
CC 1 SLV (Collegamento -044_-376)
Azioni sul collegamento: N=-6246.31 Ty=7.49 Tz=28.82 Mx=0.02 Mz=7.17
Sollecitazioni agenti localmente: Ty_l=-1135.83 My_l=-23.32
Tensioni nella sezione: σ=282.72 τ=34.42
CC 1 SLV (Collegamento -044_-376)
Azioni sul collegamento: N=-14088.90 Ty=15.25 Tz=-0.46 Mx=0.02 Mz=13.58
Sollecitazioni agenti localmente: Ty_l=-2551.59 My_l=-52.38
Tensioni nella sezione: σ=634.95 τ=77.32
CC 1 SLV (Collegamento -044_-376)
Azioni sul collegamento: N=-14088.90 Ty=7.49 Tz=-0.46 Mx=0.02 Mz=7.17
Sollecitazioni agenti localmente: Ty_l=-2526.11 My_l=-51.83
Tensioni nella sezione: σ=628.18 τ=76.55
CC 1 SLV (Collegamento -044_-376)
Azioni sul collegamento: N=-14088.90 Ty=15.25 Tz=28.82 Mx=0.02 Mz=13.58
Sollecitazioni agenti localmente: Ty_l=-2551.59 My_l=-52.38
Tensioni nella sezione: σ=634.95 τ=77.32
CC 1 SLV (Collegamento -044_-376)
Azioni sul collegamento: N=-14088.90 Ty=7.49 Tz=28.82 Mx=0.02 Mz=7.17
Sollecitazioni agenti localmente: Ty_l=-2526.11 My_l=-51.83
Tensioni nella sezione: σ=628.18 τ=76.55
CC 2 SLD (Collegamento -044_-376)
Azioni sul collegamento: N=-8874.30 Ty=11.63 Tz=9.33 Mx=0.01 Mz=9.21
Sollecitazioni agenti localmente: Ty_l=-1609.82 My_l=-33.05
Tensioni nella sezione: σ=400.64 τ=48.78
CC 2 SLD (Collegamento -044_-376)
Azioni sul collegamento: N=-8874.30 Ty=9.26 Tz=9.33 Mx=0.01 Mz=7.26
Sollecitazioni agenti localmente: Ty_l=-1602.05 My_l=-32.88
Tensioni nella sezione: σ=398.57 τ=48.55
CC 2 SLD (Collegamento -044_-376)
Azioni sul collegamento: N=-8874.30 Ty=11.63 Tz=18.26 Mx=0.01 Mz=9.21
Sollecitazioni agenti localmente: Ty_l=-1609.82 My_l=-33.05
Tensioni nella sezione: σ=400.64 τ=48.78
CC 2 SLD (Collegamento -044_-376)
Azioni sul collegamento: N=-8874.30 Ty=9.26 Tz=18.26 Mx=0.01 Mz=7.26
Sollecitazioni agenti localmente: Ty_l=-1602.05 My_l=-32.88
Tensioni nella sezione: σ=398.57 τ=48.55
CC 2 SLD (Collegamento -044_-376)
Azioni sul collegamento: N=-11265.80 Ty=11.63 Tz=9.33 Mx=0.01 Mz=9.21
Sollecitazioni agenti localmente: Ty_l=-2033.76 My_l=-41.74
Tensioni nella sezione: σ=505.98 τ=61.63
CC 2 SLD (Collegamento -044_-376)
Azioni sul collegamento: N=-11265.80 Ty=9.26 Tz=9.33 Mx=0.01 Mz=7.26

Sollecitazioni agenti localmente: Ty_l=-2025.99 My_l=-41.57
Tensioni nella sezione: σ=503.92 τ=61.39
CC 2 SLD (Collegamento -044_-376)
Azioni sul collegamento: N=-11265.80 Ty=11.63 Tz=18.26 Mx=0.01 Mz=9.21
Sollecitazioni agenti localmente: Ty_l=-2033.76 My_l=-41.74
Tensioni nella sezione: σ=505.98 τ=61.63
CC 2 SLD (Collegamento -044_-376)
Azioni sul collegamento: N=-11265.80 Ty=9.26 Tz=18.26 Mx=0.01 Mz=7.26
Sollecitazioni agenti localmente: Ty_l=-2025.99 My_l=-41.57
Tensioni nella sezione: σ=503.92 τ=61.39
CC 3 SLV (Collegamento -044_-376)
Azioni sul collegamento: N=-6251.19 Ty=14.73 Tz=-0.13 Mx=0.01 Mz=12.53
Sollecitazioni agenti localmente: Ty_l=-1158.01 My_l=-23.81
Tensioni nella sezione: σ=288.59 τ=35.09
CC 3 SLV (Collegamento -044_-376)
Azioni sul collegamento: N=-6251.19 Ty=8.00 Tz=-0.13 Mx=0.01 Mz=8.22
Sollecitazioni agenti localmente: Ty_l=-1140.86 My_l=-23.43
Tensioni nella sezione: σ=284.04 τ=34.57
CC 3 SLV (Collegamento -044_-376)
Azioni sul collegamento: N=-6251.19 Ty=14.73 Tz=28.49 Mx=0.01 Mz=12.53
Sollecitazioni agenti localmente: Ty_l=-1158.01 My_l=-23.81
Tensioni nella sezione: σ=288.59 τ=35.09
CC 3 SLV (Collegamento -044_-376)
Azioni sul collegamento: N=-6251.19 Ty=8.00 Tz=28.49 Mx=0.01 Mz=8.22
Sollecitazioni agenti localmente: Ty_l=-1140.86 My_l=-23.43
Tensioni nella sezione: σ=284.04 τ=34.57
CC 3 SLV (Collegamento -044_-376)
Azioni sul collegamento: N=-14084.10 Ty=14.73 Tz=-0.13 Mx=0.01 Mz=12.53
Sollecitazioni agenti localmente: Ty_l=-2546.56 My_l=-52.27
Tensioni nella sezione: σ=633.63 τ=77.17
CC 3 SLV (Collegamento -044_-376)
Azioni sul collegamento: N=-14084.10 Ty=8.00 Tz=-0.13 Mx=0.01 Mz=8.22
Sollecitazioni agenti localmente: Ty_l=-2529.41 My_l=-51.90
Tensioni nella sezione: σ=629.08 τ=76.65
CC 3 SLV (Collegamento -044_-376)
Azioni sul collegamento: N=-14084.10 Ty=14.73 Tz=28.49 Mx=0.01 Mz=12.53
Sollecitazioni agenti localmente: Ty_l=-2546.56 My_l=-52.27
Tensioni nella sezione: σ=633.63 τ=77.17
CC 3 SLV (Collegamento -044_-376)
Azioni sul collegamento: N=-14084.10 Ty=8.00 Tz=28.49 Mx=0.01 Mz=8.22
Sollecitazioni agenti localmente: Ty_l=-2529.41 My_l=-51.90
Tensioni nella sezione: σ=629.08 τ=76.65
CC 4 SLD (Collegamento -044_-376)
Azioni sul collegamento: N=-8875.79 Ty=11.47 Tz=9.43 Mx=0.01 Mz=8.89
Sollecitazioni agenti localmente: Ty_l=-1608.81 My_l=-33.03
Tensioni nella sezione: σ=400.37 τ=48.75
CC 4 SLD (Collegamento -044_-376)
Azioni sul collegamento: N=-8875.79 Ty=9.42 Tz=9.43 Mx=0.01 Mz=7.58
Sollecitazioni agenti localmente: Ty_l=-1603.58 My_l=-32.92
Tensioni nella sezione: σ=398.98 τ=48.59
CC 4 SLD (Collegamento -044_-376)
Azioni sul collegamento: N=-8875.79 Ty=11.47 Tz=18.16 Mx=0.01 Mz=8.89
Sollecitazioni agenti localmente: Ty_l=-1608.81 My_l=-33.03
Tensioni nella sezione: σ=400.37 τ=48.75
CC 4 SLD (Collegamento -044_-376)
Azioni sul collegamento: N=-8875.79 Ty=9.42 Tz=18.16 Mx=0.01 Mz=7.58
Sollecitazioni agenti localmente: Ty_l=-1603.58 My_l=-32.92
Tensioni nella sezione: σ=398.98 τ=48.59
CC 4 SLD (Collegamento -044_-376)
Azioni sul collegamento: N=-11264.30 Ty=11.47 Tz=9.43 Mx=0.01 Mz=8.89
Sollecitazioni agenti localmente: Ty_l=-2032.23 My_l=-41.71
Tensioni nella sezione: σ=505.58 τ=61.58
CC 4 SLD (Collegamento -044_-376)
Azioni sul collegamento: N=-11264.30 Ty=9.42 Tz=9.43 Mx=0.01 Mz=7.58
Sollecitazioni agenti localmente: Ty_l=-2027.00 My_l=-41.60
Tensioni nella sezione: σ=504.19 τ=61.42
CC 4 SLD (Collegamento -044_-376)
Azioni sul collegamento: N=-11264.30 Ty=11.47 Tz=18.16 Mx=0.01 Mz=8.89
Sollecitazioni agenti localmente: Ty_l=-2032.23 My_l=-41.71
Tensioni nella sezione: σ=505.58 τ=61.58
CC 4 SLD (Collegamento -044_-376)
Azioni sul collegamento: N=-11264.30 Ty=9.42 Tz=18.16 Mx=0.01 Mz=7.58
Sollecitazioni agenti localmente: Ty_l=-2027.00 My_l=-41.60
Tensioni nella sezione: σ=504.19 τ=61.42
CC 5 SLV (Collegamento -044_-376)
Azioni sul collegamento: N=-14084.10 Ty=8.00 Tz=28.49 Mx=0.02 Mz=8.22
Sollecitazioni agenti localmente: Ty_l=-2529.41 My_l=-51.90
Tensioni nella sezione: σ=629.08 τ=76.65
CC 5 SLV (Collegamento -044_-376)

Azioni sul collegamento: N=-14084.10 Ty=14.73 Tz=28.49 Mx=0.02 Mz=12.53
Sollecitazioni agenti localmente: Ty_l=-2546.56 My_l=-52.27
Tensioni nella sezione: σ=633.63 τ=77.17
CC 5 SLV (Collegamento -044_-376)
Azioni sul collegamento: N=-14084.10 Ty=8.00 Tz=-0.13 Mx=0.02 Mz=8.22
Sollecitazioni agenti localmente: Ty_l=-2529.41 My_l=-51.90
Tensioni nella sezione: σ=629.08 τ=76.65
CC 5 SLV (Collegamento -044_-376)
Azioni sul collegamento: N=-14084.10 Ty=14.73 Tz=-0.13 Mx=0.02 Mz=12.53
Sollecitazioni agenti localmente: Ty_l=-2546.56 My_l=-52.27
Tensioni nella sezione: σ=633.63 τ=77.17
CC 5 SLV (Collegamento -044_-376)
Azioni sul collegamento: N=-6251.19 Ty=8.00 Tz=28.49 Mx=0.02 Mz=8.22
Sollecitazioni agenti localmente: Ty_l=-1140.86 My_l=-23.43
Tensioni nella sezione: σ=284.04 τ=34.57
CC 5 SLV (Collegamento -044_-376)
Azioni sul collegamento: N=-6251.19 Ty=14.73 Tz=28.49 Mx=0.02 Mz=12.53
Sollecitazioni agenti localmente: Ty_l=-1158.01 My_l=-23.81
Tensioni nella sezione: σ=288.59 τ=35.09
CC 5 SLV (Collegamento -044_-376)
Azioni sul collegamento: N=-6251.19 Ty=8.00 Tz=-0.13 Mx=0.02 Mz=8.22
Sollecitazioni agenti localmente: Ty_l=-1140.86 My_l=-23.43
Tensioni nella sezione: σ=284.04 τ=34.57
CC 5 SLV (Collegamento -044_-376)
Azioni sul collegamento: N=-6251.19 Ty=14.73 Tz=-0.13 Mx=0.02 Mz=12.53
Sollecitazioni agenti localmente: Ty_l=-1158.01 My_l=-23.81
Tensioni nella sezione: σ=288.59 τ=35.09
CC 6 SLD (Collegamento -044_-376)
Azioni sul collegamento: N=-11264.30 Ty=9.42 Tz=18.16 Mx=0.01 Mz=7.58
Sollecitazioni agenti localmente: Ty_l=-2027.00 My_l=-41.60
Tensioni nella sezione: σ=504.19 τ=61.42
CC 6 SLD (Collegamento -044_-376)
Azioni sul collegamento: N=-11264.30 Ty=11.47 Tz=18.16 Mx=0.01 Mz=8.89
Sollecitazioni agenti localmente: Ty_l=-2032.23 My_l=-41.71
Tensioni nella sezione: σ=505.58 τ=61.58
CC 6 SLD (Collegamento -044_-376)
Azioni sul collegamento: N=-11264.30 Ty=9.42 Tz=9.43 Mx=0.01 Mz=7.58
Sollecitazioni agenti localmente: Ty_l=-2027.00 My_l=-41.60
Tensioni nella sezione: σ=504.19 τ=61.42
CC 6 SLD (Collegamento -044_-376)
Azioni sul collegamento: N=-11264.30 Ty=11.47 Tz=9.43 Mx=0.01 Mz=8.89
Sollecitazioni agenti localmente: Ty_l=-2032.23 My_l=-41.71
Tensioni nella sezione: σ=505.58 τ=61.58
CC 6 SLD (Collegamento -044_-376)
Azioni sul collegamento: N=-8875.79 Ty=9.42 Tz=18.16 Mx=0.01 Mz=7.58
Sollecitazioni agenti localmente: Ty_l=-1603.58 My_l=-32.92
Tensioni nella sezione: σ=398.98 τ=48.59
CC 6 SLD (Collegamento -044_-376)
Azioni sul collegamento: N=-8875.79 Ty=11.47 Tz=18.16 Mx=0.01 Mz=8.89
Sollecitazioni agenti localmente: Ty_l=-1608.81 My_l=-33.03
Tensioni nella sezione: σ=400.37 τ=48.75
CC 6 SLD (Collegamento -044_-376)
Azioni sul collegamento: N=-8875.79 Ty=9.42 Tz=9.43 Mx=0.01 Mz=7.58
Sollecitazioni agenti localmente: Ty_l=-1603.58 My_l=-32.92
Tensioni nella sezione: σ=398.98 τ=48.59
CC 6 SLD (Collegamento -044_-376)
Azioni sul collegamento: N=-8875.79 Ty=11.47 Tz=9.43 Mx=0.01 Mz=8.89
Sollecitazioni agenti localmente: Ty_l=-1608.81 My_l=-33.03
Tensioni nella sezione: σ=400.37 τ=48.75
CC 7 SLV (Collegamento -044_-376)
Azioni sul collegamento: N=-14088.90 Ty=7.49 Tz=28.82 Mx=0.01 Mz=7.17
Sollecitazioni agenti localmente: Ty_l=-2526.11 My_l=-51.83
Tensioni nella sezione: σ=628.18 τ=76.55
CC 7 SLV (Collegamento -044_-376)
Azioni sul collegamento: N=-14088.90 Ty=15.25 Tz=28.82 Mx=0.01 Mz=13.58
Sollecitazioni agenti localmente: Ty_l=-2551.59 My_l=-52.38
Tensioni nella sezione: σ=634.95 τ=77.32
CC 7 SLV (Collegamento -044_-376)
Azioni sul collegamento: N=-14088.90 Ty=7.49 Tz=-0.46 Mx=0.01 Mz=7.17
Sollecitazioni agenti localmente: Ty_l=-2526.11 My_l=-51.83
Tensioni nella sezione: σ=628.18 τ=76.55
CC 7 SLV (Collegamento -044_-376)
Azioni sul collegamento: N=-14088.90 Ty=15.25 Tz=-0.46 Mx=0.01 Mz=13.58
Sollecitazioni agenti localmente: Ty_l=-2551.59 My_l=-52.38
Tensioni nella sezione: σ=634.95 τ=77.32
CC 7 SLV (Collegamento -044_-376)
Azioni sul collegamento: N=-6246.31 Ty=7.49 Tz=28.82 Mx=0.01 Mz=7.17
Sollecitazioni agenti localmente: Ty_l=-1135.83 My_l=-23.32
Tensioni nella sezione: σ=282.72 τ=34.42

CC 7 SLV (Collegamento -044_-376)
Azioni sul collegamento: N=-6246.31 Ty=15.25 Tz=28.82 Mx=0.01 Mz=13.58
Sollecitazioni agenti localmente: Ty_l=-1161.31 My_l=-23.88
Tensioni nella sezione: σ=289.48 τ=35.19
CC 7 SLV (Collegamento -044_-376)
Azioni sul collegamento: N=-6246.31 Ty=7.49 Tz=-0.46 Mx=0.01 Mz=7.17
Sollecitazioni agenti localmente: Ty_l=-1135.83 My_l=-23.32
Tensioni nella sezione: σ=282.72 τ=34.42
CC 7 SLV (Collegamento -044_-376)
Azioni sul collegamento: N=-6246.31 Ty=15.25 Tz=-0.46 Mx=0.01 Mz=13.58
Sollecitazioni agenti localmente: Ty_l=-1161.31 My_l=-23.88
Tensioni nella sezione: σ=289.48 τ=35.19
CC 8 SLD (Collegamento -044_-376)
Azioni sul collegamento: N=-11265.80 Ty=9.26 Tz=18.26 Mx=0.01 Mz=7.26
Sollecitazioni agenti localmente: Ty_l=-2025.99 My_l=-41.57
Tensioni nella sezione: σ=503.92 τ=61.39
CC 8 SLD (Collegamento -044_-376)
Azioni sul collegamento: N=-11265.80 Ty=11.63 Tz=18.26 Mx=0.01 Mz=9.21
Sollecitazioni agenti localmente: Ty_l=-2033.76 My_l=-41.74
Tensioni nella sezione: σ=505.98 τ=61.63
CC 8 SLD (Collegamento -044_-376)
Azioni sul collegamento: N=-11265.80 Ty=9.26 Tz=9.33 Mx=0.01 Mz=7.26
Sollecitazioni agenti localmente: Ty_l=-2025.99 My_l=-41.57
Tensioni nella sezione: σ=503.92 τ=61.39
CC 8 SLD (Collegamento -044_-376)
Azioni sul collegamento: N=-11265.80 Ty=11.63 Tz=9.33 Mx=0.01 Mz=9.21
Sollecitazioni agenti localmente: Ty_l=-2033.76 My_l=-41.74
Tensioni nella sezione: σ=505.98 τ=61.63
CC 8 SLD (Collegamento -044_-376)
Azioni sul collegamento: N=-8874.30 Ty=9.26 Tz=18.26 Mx=0.01 Mz=7.26
Sollecitazioni agenti localmente: Ty_l=-1602.05 My_l=-32.88
Tensioni nella sezione: σ=398.57 τ=48.55
CC 8 SLD (Collegamento -044_-376)
Azioni sul collegamento: N=-8874.30 Ty=11.63 Tz=18.26 Mx=0.01 Mz=9.21
Sollecitazioni agenti localmente: Ty_l=-1609.82 My_l=-33.05
Tensioni nella sezione: σ=400.64 τ=48.78
CC 8 SLD (Collegamento -044_-376)
Azioni sul collegamento: N=-8874.30 Ty=9.26 Tz=9.33 Mx=0.01 Mz=7.26
Sollecitazioni agenti localmente: Ty_l=-1602.05 My_l=-32.88
Tensioni nella sezione: σ=398.57 τ=48.55
CC 8 SLD (Collegamento -044_-376)
Azioni sul collegamento: N=-8874.30 Ty=11.63 Tz=9.33 Mx=0.01 Mz=9.21
Sollecitazioni agenti localmente: Ty_l=-1609.82 My_l=-33.05
Tensioni nella sezione: σ=400.64 τ=48.78
CC 9 SLV (Collegamento -044_-376)
Azioni sul collegamento: N=-8983.82 Ty=13.31 Tz=9.29 Mx=0.02 Mz=12.92
Sollecitazioni agenti localmente: Ty_l=-1644.00 My_l=-33.77
Tensioni nella sezione: σ=409.38 τ=49.82
CC 9 SLV (Collegamento -044_-376)
Azioni sul collegamento: N=-8983.82 Ty=9.43 Tz=9.29 Mx=0.02 Mz=7.83
Sollecitazioni agenti localmente: Ty_l=-1623.71 My_l=-33.33
Tensioni nella sezione: σ=404.00 τ=49.20
CC 9 SLV (Collegamento -044_-376)
Azioni sul collegamento: N=-8983.82 Ty=13.31 Tz=19.07 Mx=0.02 Mz=12.92
Sollecitazioni agenti localmente: Ty_l=-1644.00 My_l=-33.77
Tensioni nella sezione: σ=409.38 τ=49.82
CC 9 SLV (Collegamento -044_-376)
Azioni sul collegamento: N=-8983.82 Ty=9.43 Tz=19.07 Mx=0.02 Mz=7.83
Sollecitazioni agenti localmente: Ty_l=-1623.71 My_l=-33.33
Tensioni nella sezione: σ=404.00 τ=49.20
CC 9 SLV (Collegamento -044_-376)
Azioni sul collegamento: N=-11351.40 Ty=13.31 Tz=9.29 Mx=0.02 Mz=12.92
Sollecitazioni agenti localmente: Ty_l=-2063.71 My_l=-42.38
Tensioni nella sezione: σ=513.67 τ=62.54
CC 9 SLV (Collegamento -044_-376)
Azioni sul collegamento: N=-11351.40 Ty=9.43 Tz=9.29 Mx=0.02 Mz=7.83
Sollecitazioni agenti localmente: Ty_l=-2043.43 My_l=-41.93
Tensioni nella sezione: σ=508.29 τ=61.92
CC 9 SLV (Collegamento -044_-376)
Azioni sul collegamento: N=-11351.40 Ty=13.31 Tz=19.07 Mx=0.02 Mz=12.92
Sollecitazioni agenti localmente: Ty_l=-2063.71 My_l=-42.38
Tensioni nella sezione: σ=513.67 τ=62.54
CC 9 SLV (Collegamento -044_-376)
Azioni sul collegamento: N=-11351.40 Ty=9.43 Tz=19.07 Mx=0.02 Mz=7.83
Sollecitazioni agenti localmente: Ty_l=-2043.43 My_l=-41.93
Tensioni nella sezione: σ=508.29 τ=61.92
CC 10 SLD (Collegamento -044_-376)
Azioni sul collegamento: N=-9709.06 Ty=11.04 Tz=12.31 Mx=0.01 Mz=9.01
Sollecitazioni agenti localmente: Ty_l=-1757.01 My_l=-36.07

Tensioni nella sezione: σ=437.20 τ=53.24
CC 10 SLD (Collegamento -044_-376)
Azioni sul collegamento: N=-9709.06 Ty=9.85 Tz=12.31 Mx=0.01 Mz=7.46
Sollecitazioni agenti localmente: Ty_l=-1750.82 My_l=-35.93
Tensioni nella sezione: σ=435.56 τ=53.06
CC 10 SLD (Collegamento -044_-376)
Azioni sul collegamento: N=-9709.06 Ty=11.04 Tz=15.29 Mx=0.01 Mz=9.01
Sollecitazioni agenti localmente: Ty_l=-1757.01 My_l=-36.07
Tensioni nella sezione: σ=437.20 τ=53.24
CC 10 SLD (Collegamento -044_-376)
Azioni sul collegamento: N=-9709.06 Ty=9.85 Tz=15.29 Mx=0.01 Mz=7.46
Sollecitazioni agenti localmente: Ty_l=-1750.82 My_l=-35.93
Tensioni nella sezione: σ=435.56 τ=53.06
CC 10 SLD (Collegamento -044_-376)
Azioni sul collegamento: N=-10431.00 Ty=11.04 Tz=12.31 Mx=0.01 Mz=9.01
Sollecitazioni agenti localmente: Ty_l=-1884.99 My_l=-38.69
Tensioni nella sezione: σ=469.00 τ=57.12
CC 10 SLD (Collegamento -044_-376)
Azioni sul collegamento: N=-10431.00 Ty=9.85 Tz=12.31 Mx=0.01 Mz=7.46
Sollecitazioni agenti localmente: Ty_l=-1878.81 My_l=-38.56
Tensioni nella sezione: σ=467.36 τ=56.93
CC 10 SLD (Collegamento -044_-376)
Azioni sul collegamento: N=-10431.00 Ty=11.04 Tz=15.29 Mx=0.01 Mz=9.01
Sollecitazioni agenti localmente: Ty_l=-1884.99 My_l=-38.69
Tensioni nella sezione: σ=469.00 τ=57.12
CC 10 SLD (Collegamento -044_-376)
Azioni sul collegamento: N=-10431.00 Ty=9.85 Tz=15.29 Mx=0.01 Mz=7.46
Sollecitazioni agenti localmente: Ty_l=-1878.81 My_l=-38.56
Tensioni nella sezione: σ=467.36 τ=56.93
CC 11 SLV (Collegamento -044_-376)
Azioni sul collegamento: N=-11335.10 Ty=11.14 Tz=17.98 Mx=0.02 Mz=11.32
Sollecitazioni agenti localmente: Ty_l=-2054.43 My_l=-42.18
Tensioni nella sezione: σ=511.26 τ=62.26
CC 11 SLV (Collegamento -044_-376)
Azioni sul collegamento: N=-11335.10 Ty=11.60 Tz=17.98 Mx=0.02 Mz=9.43
Sollecitazioni agenti localmente: Ty_l=-2046.93 My_l=-42.01
Tensioni nella sezione: σ=509.27 τ=62.03
CC 11 SLV (Collegamento -044_-376)
Azioni sul collegamento: N=-11335.10 Ty=11.14 Tz=10.38 Mx=0.02 Mz=11.32
Sollecitazioni agenti localmente: Ty_l=-2054.43 My_l=-42.18
Tensioni nella sezione: σ=511.26 τ=62.26
CC 11 SLV (Collegamento -044_-376)
Azioni sul collegamento: N=-11335.10 Ty=11.60 Tz=10.38 Mx=0.02 Mz=9.43
Sollecitazioni agenti localmente: Ty_l=-2046.93 My_l=-42.01
Tensioni nella sezione: σ=509.27 τ=62.03
CC 11 SLV (Collegamento -044_-376)
Azioni sul collegamento: N=-9000.10 Ty=11.14 Tz=17.98 Mx=0.02 Mz=11.32
Sollecitazioni agenti localmente: Ty_l=-1640.49 My_l=-33.69
Tensioni nella sezione: σ=408.40 τ=49.71
CC 11 SLV (Collegamento -044_-376)
Azioni sul collegamento: N=-9000.10 Ty=11.60 Tz=17.98 Mx=0.02 Mz=9.43
Sollecitazioni agenti localmente: Ty_l=-1633.00 My_l=-33.53
Tensioni nella sezione: σ=406.41 τ=49.48
CC 11 SLV (Collegamento -044_-376)
Azioni sul collegamento: N=-9000.10 Ty=11.14 Tz=10.38 Mx=0.02 Mz=11.32
Sollecitazioni agenti localmente: Ty_l=-1640.49 My_l=-33.69
Tensioni nella sezione: σ=408.40 τ=49.71
CC 11 SLV (Collegamento -044_-376)
Azioni sul collegamento: N=-9000.10 Ty=11.60 Tz=10.38 Mx=0.02 Mz=9.43
Sollecitazioni agenti localmente: Ty_l=-1633.00 My_l=-33.53
Tensioni nella sezione: σ=406.41 τ=49.48
CC 12 SLD (Collegamento -044_-376)
Azioni sul collegamento: N=-10426.00 Ty=10.37 Tz=14.95 Mx=0.01 Mz=8.52
Sollecitazioni agenti localmente: Ty_l=-1882.16 My_l=-38.63
Tensioni nella sezione: σ=468.26 τ=57.04
CC 12 SLD (Collegamento -044_-376)
Azioni sul collegamento: N=-10426.00 Ty=10.51 Tz=14.95 Mx=0.01 Mz=7.95
Sollecitazioni agenti localmente: Ty_l=-1879.88 My_l=-38.58
Tensioni nella sezione: σ=467.66 τ=56.97
CC 12 SLD (Collegamento -044_-376)
Azioni sul collegamento: N=-10426.00 Ty=10.37 Tz=12.64 Mx=0.01 Mz=8.52
Sollecitazioni agenti localmente: Ty_l=-1882.16 My_l=-38.63
Tensioni nella sezione: σ=468.26 τ=57.04
CC 12 SLD (Collegamento -044_-376)
Azioni sul collegamento: N=-10426.00 Ty=10.51 Tz=12.64 Mx=0.01 Mz=7.95
Sollecitazioni agenti localmente: Ty_l=-1879.88 My_l=-38.58
Tensioni nella sezione: σ=467.66 τ=56.97
CC 12 SLD (Collegamento -044_-376)
Azioni sul collegamento: N=-9714.02 Ty=10.37 Tz=14.95 Mx=0.01 Mz=8.52

Sollecitazioni agenti localmente: Ty_l=-1755.94 My_l=-36.04
Tensioni nella sezione: σ=436.90 τ=53.21
CC 12 SLD (Collegamento -044_-376)
Azioni sul collegamento: N=-9714.02 Ty=10.51 Tz=14.95 Mx=0.01 Mz=7.95
Sollecitazioni agenti localmente: Ty_l=-1753.65 My_l=-35.99
Tensioni nella sezione: σ=436.29 τ=53.14
CC 12 SLD (Collegamento -044_-376)
Azioni sul collegamento: N=-9714.02 Ty=10.37 Tz=12.64 Mx=0.01 Mz=8.52
Sollecitazioni agenti localmente: Ty_l=-1755.94 My_l=-36.04
Tensioni nella sezione: σ=436.90 τ=53.21
CC 12 SLD (Collegamento -044_-376)
Azioni sul collegamento: N=-9714.02 Ty=10.51 Tz=12.64 Mx=0.01 Mz=7.95
Sollecitazioni agenti localmente: Ty_l=-1753.65 My_l=-35.99
Tensioni nella sezione: σ=436.29 τ=53.14
CC 13 SLV (Collegamento -044_-376)
Azioni sul collegamento: N=-9000.10 Ty=11.60 Tz=10.38 Mx=0.01 Mz=9.43
Sollecitazioni agenti localmente: Ty_l=-1633.00 My_l=-33.53
Tensioni nella sezione: σ=406.41 τ=49.48
CC 13 SLV (Collegamento -044_-376)
Azioni sul collegamento: N=-9000.10 Ty=11.14 Tz=10.38 Mx=0.01 Mz=11.32
Sollecitazioni agenti localmente: Ty_l=-1640.49 My_l=-33.69
Tensioni nella sezione: σ=408.40 τ=49.71
CC 13 SLV (Collegamento -044_-376)
Azioni sul collegamento: N=-9000.10 Ty=11.60 Tz=17.98 Mx=0.01 Mz=9.43
Sollecitazioni agenti localmente: Ty_l=-1633.00 My_l=-33.53
Tensioni nella sezione: σ=406.41 τ=49.48
CC 13 SLV (Collegamento -044_-376)
Azioni sul collegamento: N=-9000.10 Ty=11.14 Tz=17.98 Mx=0.01 Mz=11.32
Sollecitazioni agenti localmente: Ty_l=-1640.49 My_l=-33.69
Tensioni nella sezione: σ=408.40 τ=49.71
CC 13 SLV (Collegamento -044_-376)
Azioni sul collegamento: N=-11335.10 Ty=11.60 Tz=10.38 Mx=0.01 Mz=9.43
Sollecitazioni agenti localmente: Ty_l=-2046.93 My_l=-42.01
Tensioni nella sezione: σ=509.27 τ=62.03
CC 13 SLV (Collegamento -044_-376)
Azioni sul collegamento: N=-11335.10 Ty=11.14 Tz=10.38 Mx=0.01 Mz=11.32
Sollecitazioni agenti localmente: Ty_l=-2054.43 My_l=-42.18
Tensioni nella sezione: σ=511.26 τ=62.26
CC 13 SLV (Collegamento -044_-376)
Azioni sul collegamento: N=-11335.10 Ty=11.60 Tz=17.98 Mx=0.01 Mz=9.43
Sollecitazioni agenti localmente: Ty_l=-2046.93 My_l=-42.01
Tensioni nella sezione: σ=509.27 τ=62.03
CC 13 SLV (Collegamento -044_-376)
Azioni sul collegamento: N=-11335.10 Ty=11.14 Tz=17.98 Mx=0.01 Mz=11.32
Sollecitazioni agenti localmente: Ty_l=-2054.43 My_l=-42.18
Tensioni nella sezione: σ=511.26 τ=62.26
CC 14 SLD (Collegamento -044_-376)
Azioni sul collegamento: N=-9714.02 Ty=10.51 Tz=12.64 Mx=0.00 Mz=7.95
Sollecitazioni agenti localmente: Ty_l=-1753.65 My_l=-35.99
Tensioni nella sezione: σ=436.29 τ=53.14
CC 14 SLD (Collegamento -044_-376)
Azioni sul collegamento: N=-9714.02 Ty=10.37 Tz=12.64 Mx=0.00 Mz=8.52
Sollecitazioni agenti localmente: Ty_l=-1755.94 My_l=-36.04
Tensioni nella sezione: σ=436.90 τ=53.21
CC 14 SLD (Collegamento -044_-376)
Azioni sul collegamento: N=-9714.02 Ty=10.51 Tz=14.95 Mx=0.00 Mz=7.95
Sollecitazioni agenti localmente: Ty_l=-1753.65 My_l=-35.99
Tensioni nella sezione: σ=436.29 τ=53.14
CC 14 SLD (Collegamento -044_-376)
Azioni sul collegamento: N=-9714.02 Ty=10.37 Tz=14.95 Mx=0.00 Mz=8.52
Sollecitazioni agenti localmente: Ty_l=-1755.94 My_l=-36.04
Tensioni nella sezione: σ=436.90 τ=53.21
CC 14 SLD (Collegamento -044_-376)
Azioni sul collegamento: N=-10426.00 Ty=10.51 Tz=12.64 Mx=0.00 Mz=7.95
Sollecitazioni agenti localmente: Ty_l=-1879.88 My_l=-38.58
Tensioni nella sezione: σ=467.66 τ=56.97
CC 14 SLD (Collegamento -044_-376)
Azioni sul collegamento: N=-10426.00 Ty=10.37 Tz=12.64 Mx=0.00 Mz=8.52
Sollecitazioni agenti localmente: Ty_l=-1882.16 My_l=-38.63
Tensioni nella sezione: σ=468.26 τ=57.04
CC 14 SLD (Collegamento -044_-376)
Azioni sul collegamento: N=-10426.00 Ty=10.51 Tz=14.95 Mx=0.00 Mz=7.95
Sollecitazioni agenti localmente: Ty_l=-1879.88 My_l=-38.58
Tensioni nella sezione: σ=467.66 τ=56.97
CC 14 SLD (Collegamento -044_-376)
Azioni sul collegamento: N=-10426.00 Ty=10.37 Tz=14.95 Mx=0.00 Mz=8.52
Sollecitazioni agenti localmente: Ty_l=-1882.16 My_l=-38.63
Tensioni nella sezione: σ=468.26 τ=57.04
CC 15 SLV (Collegamento -044_-376)

Azioni sul collegamento: N=-11351.40 Ty=9.43 Tz=19.07 Mx=0.01 Mz=7.83
Sollecitazioni agenti localmente: Ty_l=-2043.43 My_l=-41.93
Tensioni nella sezione: σ=508.29 τ=61.92
CC 15 SLV (Collegamento -044_-376)
Azioni sul collegamento: N=-11351.40 Ty=13.31 Tz=19.07 Mx=0.01 Mz=12.92
Sollecitazioni agenti localmente: Ty_l=-2063.71 My_l=-42.38
Tensioni nella sezione: σ=513.67 τ=62.54
CC 15 SLV (Collegamento -044_-376)
Azioni sul collegamento: N=-11351.40 Ty=9.43 Tz=9.29 Mx=0.01 Mz=7.83
Sollecitazioni agenti localmente: Ty_l=-2043.43 My_l=-41.93
Tensioni nella sezione: σ=508.29 τ=61.92
CC 15 SLV (Collegamento -044_-376)
Azioni sul collegamento: N=-11351.40 Ty=13.31 Tz=9.29 Mx=0.01 Mz=12.92
Sollecitazioni agenti localmente: Ty_l=-2063.71 My_l=-42.38
Tensioni nella sezione: σ=513.67 τ=62.54
CC 15 SLV (Collegamento -044_-376)
Azioni sul collegamento: N=-8983.82 Ty=9.43 Tz=19.07 Mx=0.01 Mz=7.83
Sollecitazioni agenti localmente: Ty_l=-1623.71 My_l=-33.33
Tensioni nella sezione: σ=404.00 τ=49.20
CC 15 SLV (Collegamento -044_-376)
Azioni sul collegamento: N=-8983.82 Ty=13.31 Tz=19.07 Mx=0.01 Mz=12.92
Sollecitazioni agenti localmente: Ty_l=-1644.00 My_l=-33.77
Tensioni nella sezione: σ=409.38 τ=49.82
CC 15 SLV (Collegamento -044_-376)
Azioni sul collegamento: N=-8983.82 Ty=9.43 Tz=9.29 Mx=0.01 Mz=7.83
Sollecitazioni agenti localmente: Ty_l=-1623.71 My_l=-33.33
Tensioni nella sezione: σ=404.00 τ=49.20
CC 15 SLV (Collegamento -044_-376)
Azioni sul collegamento: N=-8983.82 Ty=13.31 Tz=9.29 Mx=0.01 Mz=12.92
Sollecitazioni agenti localmente: Ty_l=-1644.00 My_l=-33.77
Tensioni nella sezione: σ=409.38 τ=49.82
CC 16 SLD (Collegamento -044_-376)
Azioni sul collegamento: N=-10431.00 Ty=9.85 Tz=15.29 Mx=0.00 Mz=7.46
Sollecitazioni agenti localmente: Ty_l=-1878.81 My_l=-38.56
Tensioni nella sezione: σ=467.36 τ=56.93
CC 16 SLD (Collegamento -044_-376)
Azioni sul collegamento: N=-10431.00 Ty=11.04 Tz=15.29 Mx=0.00 Mz=9.01
Sollecitazioni agenti localmente: Ty_l=-1884.99 My_l=-38.69
Tensioni nella sezione: σ=469.00 τ=57.12
CC 16 SLD (Collegamento -044_-376)
Azioni sul collegamento: N=-10431.00 Ty=9.85 Tz=12.31 Mx=0.00 Mz=7.46
Sollecitazioni agenti localmente: Ty_l=-1878.81 My_l=-38.56
Tensioni nella sezione: σ=467.36 τ=56.93
CC 16 SLD (Collegamento -044_-376)
Azioni sul collegamento: N=-10431.00 Ty=11.04 Tz=12.31 Mx=0.00 Mz=9.01
Sollecitazioni agenti localmente: Ty_l=-1884.99 My_l=-38.69
Tensioni nella sezione: σ=469.00 τ=57.12
CC 16 SLD (Collegamento -044_-376)
Azioni sul collegamento: N=-9709.06 Ty=9.85 Tz=15.29 Mx=0.00 Mz=7.46
Sollecitazioni agenti localmente: Ty_l=-1750.82 My_l=-35.93
Tensioni nella sezione: σ=435.56 τ=53.06
CC 16 SLD (Collegamento -044_-376)
Azioni sul collegamento: N=-9709.06 Ty=11.04 Tz=15.29 Mx=0.00 Mz=9.01
Sollecitazioni agenti localmente: Ty_l=-1757.01 My_l=-36.07
Tensioni nella sezione: σ=437.20 τ=53.24
CC 16 SLD (Collegamento -044_-376)
Azioni sul collegamento: N=-9709.06 Ty=9.85 Tz=12.31 Mx=0.00 Mz=7.46
Sollecitazioni agenti localmente: Ty_l=-1750.82 My_l=-35.93
Tensioni nella sezione: σ=435.56 τ=53.06
CC 16 SLD (Collegamento -044_-376)
Azioni sul collegamento: N=-9709.06 Ty=11.04 Tz=12.31 Mx=0.00 Mz=9.01
Sollecitazioni agenti localmente: Ty_l=-1757.01 My_l=-36.07
Tensioni nella sezione: σ=437.20 τ=53.24
CC 17 SLV (Collegamento -044_-376)
Azioni sul collegamento: N=-5965.51 Ty=12.58 Tz=-1.56 Mx=-0.01 Mz=7.43
Sollecitazioni agenti localmente: Ty_l=-1087.06 My_l=-22.33
Tensioni nella sezione: σ=270.62 τ=32.94
CC 17 SLV (Collegamento -044_-376)
Azioni sul collegamento: N=-5965.51 Ty=4.83 Tz=-1.56 Mx=-0.01 Mz=1.02
Sollecitazioni agenti localmente: Ty_l=-1061.58 My_l=-21.77
Tensioni nella sezione: σ=263.86 τ=32.17
CC 17 SLV (Collegamento -044_-376)
Azioni sul collegamento: N=-5965.51 Ty=12.58 Tz=27.71 Mx=-0.01 Mz=7.43
Sollecitazioni agenti localmente: Ty_l=-1087.06 My_l=-22.33
Tensioni nella sezione: σ=270.62 τ=32.94
CC 17 SLV (Collegamento -044_-376)
Azioni sul collegamento: N=-5965.51 Ty=4.83 Tz=27.71 Mx=-0.01 Mz=1.02
Sollecitazioni agenti localmente: Ty_l=-1061.58 My_l=-21.77
Tensioni nella sezione: σ=263.86 τ=32.17

CC 17 SLV (Collegamento -044_-376)
Azioni sul collegamento: N=-13808.10 Ty=12.58 Tz=-1.56 Mx=-0.01 Mz=7.43
Sollecitazioni agenti localmente: Ty_l=-2477.34 My_l=-50.83
Tensioni nella sezione: σ=616.08 τ=75.07
CC 17 SLV (Collegamento -044_-376)
Azioni sul collegamento: N=-13808.10 Ty=4.83 Tz=-1.56 Mx=-0.01 Mz=1.02
Sollecitazioni agenti localmente: Ty_l=-2451.86 My_l=-50.27
Tensioni nella sezione: σ=609.32 τ=74.30
CC 17 SLV (Collegamento -044_-376)
Azioni sul collegamento: N=-13808.10 Ty=12.58 Tz=27.71 Mx=-0.01 Mz=7.43
Sollecitazioni agenti localmente: Ty_l=-2477.34 My_l=-50.83
Tensioni nella sezione: σ=616.08 τ=75.07
CC 17 SLV (Collegamento -044_-376)
Azioni sul collegamento: N=-13808.10 Ty=4.83 Tz=27.71 Mx=-0.01 Mz=1.02
Sollecitazioni agenti localmente: Ty_l=-2451.86 My_l=-50.27
Tensioni nella sezione: σ=609.32 τ=74.30
CC 18 SLD (Collegamento -044_-376)
Azioni sul collegamento: N=-8788.68 Ty=10.81 Tz=9.00 Mx=-0.00 Mz=7.34
Sollecitazioni agenti localmente: Ty_l=-1587.18 My_l=-32.58
Tensioni nella sezione: σ=394.88 τ=48.10
CC 18 SLD (Collegamento -044_-376)
Azioni sul collegamento: N=-8788.68 Ty=8.45 Tz=9.00 Mx=-0.00 Mz=5.38
Sollecitazioni agenti localmente: Ty_l=-1579.41 My_l=-32.41
Tensioni nella sezione: σ=392.82 τ=47.86
CC 18 SLD (Collegamento -044_-376)
Azioni sul collegamento: N=-8788.68 Ty=10.81 Tz=17.92 Mx=-0.00 Mz=7.34
Sollecitazioni agenti localmente: Ty_l=-1587.18 My_l=-32.58
Tensioni nella sezione: σ=394.88 τ=48.10
CC 18 SLD (Collegamento -044_-376)
Azioni sul collegamento: N=-8788.68 Ty=8.45 Tz=17.92 Mx=-0.00 Mz=5.38
Sollecitazioni agenti localmente: Ty_l=-1579.41 My_l=-32.41
Tensioni nella sezione: σ=392.82 τ=47.86
CC 18 SLD (Collegamento -044_-376)
Azioni sul collegamento: N=-11180.10 Ty=10.81 Tz=9.00 Mx=-0.00 Mz=7.34
Sollecitazioni agenti localmente: Ty_l=-2011.12 My_l=-41.27
Tensioni nella sezione: σ=500.23 τ=60.94
CC 18 SLD (Collegamento -044_-376)
Azioni sul collegamento: N=-11180.10 Ty=8.45 Tz=9.00 Mx=-0.00 Mz=5.38
Sollecitazioni agenti localmente: Ty_l=-2003.35 My_l=-41.10
Tensioni nella sezione: σ=498.17 τ=60.71
CC 18 SLD (Collegamento -044_-376)
Azioni sul collegamento: N=-11180.10 Ty=10.81 Tz=17.92 Mx=-0.00 Mz=7.34
Sollecitazioni agenti localmente: Ty_l=-2011.12 My_l=-41.27
Tensioni nella sezione: σ=500.23 τ=60.94
CC 18 SLD (Collegamento -044_-376)
Azioni sul collegamento: N=-11180.10 Ty=8.45 Tz=17.92 Mx=-0.00 Mz=5.38
Sollecitazioni agenti localmente: Ty_l=-2003.35 My_l=-41.10
Tensioni nella sezione: σ=498.17 τ=60.71
CC 19 SLV (Collegamento -044_-376)
Azioni sul collegamento: N=-5970.39 Ty=12.07 Tz=-1.24 Mx=-0.01 Mz=6.38
Sollecitazioni agenti localmente: Ty_l=-1083.76 My_l=-22.25
Tensioni nella sezione: σ=269.73 τ=32.84
CC 19 SLV (Collegamento -044_-376)
Azioni sul collegamento: N=-5970.39 Ty=5.34 Tz=-1.24 Mx=-0.01 Mz=2.07
Sollecitazioni agenti localmente: Ty_l=-1066.61 My_l=-21.88
Tensioni nella sezione: σ=265.18 τ=32.32
CC 19 SLV (Collegamento -044_-376)
Azioni sul collegamento: N=-5970.39 Ty=12.07 Tz=27.38 Mx=-0.01 Mz=6.38
Sollecitazioni agenti localmente: Ty_l=-1083.76 My_l=-22.25
Tensioni nella sezione: σ=269.73 τ=32.84
CC 19 SLV (Collegamento -044_-376)
Azioni sul collegamento: N=-5970.39 Ty=5.34 Tz=27.38 Mx=-0.01 Mz=2.07
Sollecitazioni agenti localmente: Ty_l=-1066.61 My_l=-21.88
Tensioni nella sezione: σ=265.18 τ=32.32
CC 19 SLV (Collegamento -044_-376)
Azioni sul collegamento: N=-13803.30 Ty=12.07 Tz=-1.24 Mx=-0.01 Mz=6.38
Sollecitazioni agenti localmente: Ty_l=-2472.31 My_l=-50.72
Tensioni nella sezione: σ=614.76 τ=74.92
CC 19 SLV (Collegamento -044_-376)
Azioni sul collegamento: N=-13803.30 Ty=5.34 Tz=-1.24 Mx=-0.01 Mz=2.07
Sollecitazioni agenti localmente: Ty_l=-2455.16 My_l=-50.34
Tensioni nella sezione: σ=610.21 τ=74.40
CC 19 SLV (Collegamento -044_-376)
Azioni sul collegamento: N=-13803.30 Ty=12.07 Tz=27.38 Mx=-0.01 Mz=6.38
Sollecitazioni agenti localmente: Ty_l=-2472.31 My_l=-50.72
Tensioni nella sezione: σ=614.76 τ=74.92
CC 19 SLV (Collegamento -044_-376)
Azioni sul collegamento: N=-13803.30 Ty=5.34 Tz=27.38 Mx=-0.01 Mz=2.07
Sollecitazioni agenti localmente: Ty_l=-2455.16 My_l=-50.34

Tensioni nella sezione: σ=610.21 τ=74.40
CC 20 SLD (Collegamento -044_-376)
Azioni sul collegamento: N=-8790.17 Ty=10.66 Tz=9.09 Mx=-0.00 Mz=7.02
Sollecitazioni agenti localmente: Ty_l=-1586.17 My_l=-32.56
Tensioni nella sezione: σ=394.61 τ=48.07
CC 20 SLD (Collegamento -044_-376)
Azioni sul collegamento: N=-8790.17 Ty=8.61 Tz=9.09 Mx=-0.00 Mz=5.70
Sollecitazioni agenti localmente: Ty_l=-1580.94 My_l=-32.44
Tensioni nella sezione: σ=393.23 τ=47.91
CC 20 SLD (Collegamento -044_-376)
Azioni sul collegamento: N=-8790.17 Ty=10.66 Tz=17.82 Mx=-0.00 Mz=7.02
Sollecitazioni agenti localmente: Ty_l=-1586.17 My_l=-32.56
Tensioni nella sezione: σ=394.61 τ=48.07
CC 20 SLD (Collegamento -044_-376)
Azioni sul collegamento: N=-8790.17 Ty=8.61 Tz=17.82 Mx=-0.00 Mz=5.70
Sollecitazioni agenti localmente: Ty_l=-1580.94 My_l=-32.44
Tensioni nella sezione: σ=393.23 τ=47.91
CC 20 SLD (Collegamento -044_-376)
Azioni sul collegamento: N=-11178.70 Ty=10.66 Tz=9.10 Mx=-0.00 Mz=7.02
Sollecitazioni agenti localmente: Ty_l=-2009.59 My_l=-41.24
Tensioni nella sezione: σ=499.82 τ=60.90
CC 20 SLD (Collegamento -044_-376)
Azioni sul collegamento: N=-11178.70 Ty=8.61 Tz=9.10 Mx=-0.00 Mz=5.70
Sollecitazioni agenti localmente: Ty_l=-2004.36 My_l=-41.12
Tensioni nella sezione: σ=498.44 τ=60.74
CC 20 SLD (Collegamento -044_-376)
Azioni sul collegamento: N=-11178.70 Ty=10.66 Tz=17.82 Mx=-0.00 Mz=7.02
Sollecitazioni agenti localmente: Ty_l=-2009.59 My_l=-41.24
Tensioni nella sezione: σ=499.82 τ=60.90
CC 20 SLD (Collegamento -044_-376)
Azioni sul collegamento: N=-11178.70 Ty=8.61 Tz=17.82 Mx=-0.00 Mz=5.70
Sollecitazioni agenti localmente: Ty_l=-2004.36 My_l=-41.12
Tensioni nella sezione: σ=498.44 τ=60.74
CC 21 SLV (Collegamento -044_-376)
Azioni sul collegamento: N=-13803.30 Ty=5.34 Tz=27.38 Mx=-0.01 Mz=2.07
Sollecitazioni agenti localmente: Ty_l=-2455.16 My_l=-50.34
Tensioni nella sezione: σ=610.21 τ=74.40
CC 21 SLV (Collegamento -044_-376)
Azioni sul collegamento: N=-13803.30 Ty=12.07 Tz=27.38 Mx=-0.01 Mz=6.38
Sollecitazioni agenti localmente: Ty_l=-2472.31 My_l=-50.72
Tensioni nella sezione: σ=614.76 τ=74.92
CC 21 SLV (Collegamento -044_-376)
Azioni sul collegamento: N=-13803.30 Ty=5.34 Tz=-1.24 Mx=-0.01 Mz=2.07
Sollecitazioni agenti localmente: Ty_l=-2455.16 My_l=-50.34
Tensioni nella sezione: σ=610.21 τ=74.40
CC 21 SLV (Collegamento -044_-376)
Azioni sul collegamento: N=-13803.30 Ty=12.07 Tz=-1.24 Mx=-0.01 Mz=6.38
Sollecitazioni agenti localmente: Ty_l=-2472.31 My_l=-50.72
Tensioni nella sezione: σ=614.76 τ=74.92
CC 21 SLV (Collegamento -044_-376)
Azioni sul collegamento: N=-5970.39 Ty=5.34 Tz=27.38 Mx=-0.01 Mz=2.07
Sollecitazioni agenti localmente: Ty_l=-1066.61 My_l=-21.88
Tensioni nella sezione: σ=265.18 τ=32.32
CC 21 SLV (Collegamento -044_-376)
Azioni sul collegamento: N=-5970.39 Ty=12.07 Tz=27.38 Mx=-0.01 Mz=6.38
Sollecitazioni agenti localmente: Ty_l=-1083.76 My_l=-22.25
Tensioni nella sezione: σ=269.73 τ=32.84
CC 21 SLV (Collegamento -044_-376)
Azioni sul collegamento: N=-5970.39 Ty=5.34 Tz=-1.24 Mx=-0.01 Mz=2.07
Sollecitazioni agenti localmente: Ty_l=-1066.61 My_l=-21.88
Tensioni nella sezione: σ=265.18 τ=32.32
CC 21 SLV (Collegamento -044_-376)
Azioni sul collegamento: N=-5970.39 Ty=12.07 Tz=-1.24 Mx=-0.01 Mz=6.38
Sollecitazioni agenti localmente: Ty_l=-1083.76 My_l=-22.25
Tensioni nella sezione: σ=269.73 τ=32.84
CC 22 SLD (Collegamento -044_-376)
Azioni sul collegamento: N=-11178.70 Ty=8.61 Tz=17.82 Mx=-0.00 Mz=5.70
Sollecitazioni agenti localmente: Ty_l=-2004.36 My_l=-41.12
Tensioni nella sezione: σ=498.44 τ=60.74
CC 22 SLD (Collegamento -044_-376)
Azioni sul collegamento: N=-11178.70 Ty=10.66 Tz=17.82 Mx=-0.00 Mz=7.02
Sollecitazioni agenti localmente: Ty_l=-2009.59 My_l=-41.24
Tensioni nella sezione: σ=499.82 τ=60.90
CC 22 SLD (Collegamento -044_-376)
Azioni sul collegamento: N=-11178.70 Ty=8.61 Tz=9.10 Mx=-0.00 Mz=5.70
Sollecitazioni agenti localmente: Ty_l=-2004.36 My_l=-41.12
Tensioni nella sezione: σ=498.44 τ=60.74
CC 22 SLD (Collegamento -044_-376)
Azioni sul collegamento: N=-11178.70 Ty=10.66 Tz=9.10 Mx=-0.00 Mz=7.02

Sollecitazioni agenti localmente: Ty_l=-2009.59 My_l=-41.24
Tensioni nella sezione: σ=499.82 τ=60.90
CC 22 SLD (Collegamento -044_-376)
Azioni sul collegamento: N=-8790.17 Ty=8.61 Tz=17.82 Mx=-0.00 Mz=5.70
Sollecitazioni agenti localmente: Ty_l=-1580.94 My_l=-32.44
Tensioni nella sezione: σ=393.23 τ=47.91
CC 22 SLD (Collegamento -044_-376)
Azioni sul collegamento: N=-8790.17 Ty=10.66 Tz=17.82 Mx=-0.00 Mz=7.02
Sollecitazioni agenti localmente: Ty_l=-1586.17 My_l=-32.56
Tensioni nella sezione: σ=394.61 τ=48.07
CC 22 SLD (Collegamento -044_-376)
Azioni sul collegamento: N=-8790.17 Ty=8.61 Tz=9.09 Mx=-0.00 Mz=5.70
Sollecitazioni agenti localmente: Ty_l=-1580.94 My_l=-32.44
Tensioni nella sezione: σ=393.23 τ=47.91
CC 22 SLD (Collegamento -044_-376)
Azioni sul collegamento: N=-8790.17 Ty=10.66 Tz=9.09 Mx=-0.00 Mz=7.02
Sollecitazioni agenti localmente: Ty_l=-1586.17 My_l=-32.56
Tensioni nella sezione: σ=394.61 τ=48.07
CC 23 SLV (Collegamento -044_-376)
Azioni sul collegamento: N=-13808.10 Ty=4.83 Tz=27.71 Mx=-0.01 Mz=1.02
Sollecitazioni agenti localmente: Ty_l=-2451.86 My_l=-50.27
Tensioni nella sezione: σ=609.32 τ=74.30
CC 23 SLV (Collegamento -044_-376)
Azioni sul collegamento: N=-13808.10 Ty=12.58 Tz=27.71 Mx=-0.01 Mz=7.43
Sollecitazioni agenti localmente: Ty_l=-2477.34 My_l=-50.83
Tensioni nella sezione: σ=616.08 τ=75.07
CC 23 SLV (Collegamento -044_-376)
Azioni sul collegamento: N=-13808.10 Ty=4.83 Tz=-1.56 Mx=-0.01 Mz=1.02
Sollecitazioni agenti localmente: Ty_l=-2451.86 My_l=-50.27
Tensioni nella sezione: σ=609.32 τ=74.30
CC 23 SLV (Collegamento -044_-376)
Azioni sul collegamento: N=-13808.10 Ty=12.58 Tz=-1.56 Mx=-0.01 Mz=7.43
Sollecitazioni agenti localmente: Ty_l=-2477.34 My_l=-50.83
Tensioni nella sezione: σ=616.08 τ=75.07
CC 23 SLV (Collegamento -044_-376)
Azioni sul collegamento: N=-5965.51 Ty=4.83 Tz=27.71 Mx=-0.01 Mz=1.02
Sollecitazioni agenti localmente: Ty_l=-1061.58 My_l=-21.77
Tensioni nella sezione: σ=263.86 τ=32.17
CC 23 SLV (Collegamento -044_-376)
Azioni sul collegamento: N=-5965.51 Ty=12.58 Tz=27.71 Mx=-0.01 Mz=7.43
Sollecitazioni agenti localmente: Ty_l=-1087.06 My_l=-22.33
Tensioni nella sezione: σ=270.62 τ=32.94
CC 23 SLV (Collegamento -044_-376)
Azioni sul collegamento: N=-5965.51 Ty=4.83 Tz=-1.56 Mx=-0.01 Mz=1.02
Sollecitazioni agenti localmente: Ty_l=-1061.58 My_l=-21.77
Tensioni nella sezione: σ=263.86 τ=32.17
CC 23 SLV (Collegamento -044_-376)
Azioni sul collegamento: N=-5965.51 Ty=12.58 Tz=-1.56 Mx=-0.01 Mz=7.43
Sollecitazioni agenti localmente: Ty_l=-1087.06 My_l=-22.33
Tensioni nella sezione: σ=270.62 τ=32.94
CC 24 SLD (Collegamento -044_-376)
Azioni sul collegamento: N=-11180.10 Ty=8.45 Tz=17.92 Mx=-0.00 Mz=5.38
Sollecitazioni agenti localmente: Ty_l=-2003.35 My_l=-41.10
Tensioni nella sezione: σ=498.17 τ=60.71
CC 24 SLD (Collegamento -044_-376)
Azioni sul collegamento: N=-11180.10 Ty=10.81 Tz=17.92 Mx=-0.00 Mz=7.34
Sollecitazioni agenti localmente: Ty_l=-2011.12 My_l=-41.27
Tensioni nella sezione: σ=500.23 τ=60.94
CC 24 SLD (Collegamento -044_-376)
Azioni sul collegamento: N=-11180.10 Ty=8.45 Tz=9.00 Mx=-0.00 Mz=5.38
Sollecitazioni agenti localmente: Ty_l=-2003.35 My_l=-41.10
Tensioni nella sezione: σ=498.17 τ=60.71
CC 24 SLD (Collegamento -044_-376)
Azioni sul collegamento: N=-11180.10 Ty=10.81 Tz=9.00 Mx=-0.00 Mz=7.34
Sollecitazioni agenti localmente: Ty_l=-2011.12 My_l=-41.27
Tensioni nella sezione: σ=500.23 τ=60.94
CC 24 SLD (Collegamento -044_-376)
Azioni sul collegamento: N=-8788.68 Ty=8.45 Tz=17.92 Mx=-0.00 Mz=5.38
Sollecitazioni agenti localmente: Ty_l=-1579.41 My_l=-32.41
Tensioni nella sezione: σ=392.82 τ=47.86
CC 24 SLD (Collegamento -044_-376)
Azioni sul collegamento: N=-8788.68 Ty=10.81 Tz=17.92 Mx=-0.00 Mz=7.34
Sollecitazioni agenti localmente: Ty_l=-1587.18 My_l=-32.58
Tensioni nella sezione: σ=394.88 τ=48.10
CC 24 SLD (Collegamento -044_-376)
Azioni sul collegamento: N=-8788.68 Ty=8.45 Tz=9.00 Mx=-0.00 Mz=5.38
Sollecitazioni agenti localmente: Ty_l=-1579.41 My_l=-32.41
Tensioni nella sezione: σ=392.82 τ=47.86
CC 24 SLD (Collegamento -044_-376)

Azioni sul collegamento: N=-8788.68 Ty=10.81 Tz=9.00 Mx=-0.00 Mz=7.34
Sollecitazioni agenti localmente: Ty_l=-1587.18 My_l=-32.58
Tensioni nella sezione: σ=394.88 τ=48.10
CC 25 SLV (Collegamento -044_-376)
Azioni sul collegamento: N=-8703.02 Ty=10.65 Tz=8.19 Mx=-0.02 Mz=6.77
Sollecitazioni agenti localmente: Ty_l=-1569.74 My_l=-32.22
Tensioni nella sezione: σ=390.51 τ=47.57
CC 25 SLV (Collegamento -044_-376)
Azioni sul collegamento: N=-8703.02 Ty=6.76 Tz=8.19 Mx=-0.02 Mz=1.67
Sollecitazioni agenti localmente: Ty_l=-1549.46 My_l=-31.77
Tensioni nella sezione: σ=385.13 τ=46.95
CC 25 SLV (Collegamento -044_-376)
Azioni sul collegamento: N=-8703.02 Ty=10.65 Tz=17.96 Mx=-0.02 Mz=6.77
Sollecitazioni agenti localmente: Ty_l=-1569.74 My_l=-32.22
Tensioni nella sezione: σ=390.51 τ=47.57
CC 25 SLV (Collegamento -044_-376)
Azioni sul collegamento: N=-8703.02 Ty=6.76 Tz=17.96 Mx=-0.02 Mz=1.67
Sollecitazioni agenti localmente: Ty_l=-1549.46 My_l=-31.77
Tensioni nella sezione: σ=385.13 τ=46.95
CC 25 SLV (Collegamento -044_-376)
Azioni sul collegamento: N=-11070.60 Ty=10.65 Tz=8.19 Mx=-0.02 Mz=6.77
Sollecitazioni agenti localmente: Ty_l=-1989.46 My_l=-40.82
Tensioni nella sezione: σ=494.81 τ=60.29
CC 25 SLV (Collegamento -044_-376)
Azioni sul collegamento: N=-11070.60 Ty=6.76 Tz=8.19 Mx=-0.02 Mz=1.67
Sollecitazioni agenti localmente: Ty_l=-1969.18 My_l=-40.38
Tensioni nella sezione: σ=489.42 τ=59.67
CC 25 SLV (Collegamento -044_-376)
Azioni sul collegamento: N=-11070.60 Ty=10.65 Tz=17.96 Mx=-0.02 Mz=6.77
Sollecitazioni agenti localmente: Ty_l=-1989.46 My_l=-40.82
Tensioni nella sezione: σ=494.81 τ=60.29
CC 25 SLV (Collegamento -044_-376)
Azioni sul collegamento: N=-11070.60 Ty=6.76 Tz=17.96 Mx=-0.02 Mz=1.67
Sollecitazioni agenti localmente: Ty_l=-1969.18 My_l=-40.38
Tensioni nella sezione: σ=489.42 τ=59.67
CC 26 SLD (Collegamento -044_-376)
Azioni sul collegamento: N=-9623.43 Ty=10.22 Tz=11.97 Mx=-0.00 Mz=7.14
Sollecitazioni agenti localmente: Ty_l=-1734.36 My_l=-35.59
Tensioni nella sezione: σ=431.44 τ=52.56
CC 26 SLD (Collegamento -044_-376)
Azioni sul collegamento: N=-9623.43 Ty=9.04 Tz=11.97 Mx=-0.00 Mz=5.58
Sollecitazioni agenti localmente: Ty_l=-1728.18 My_l=-35.46
Tensioni nella sezione: σ=429.80 τ=52.37
CC 26 SLD (Collegamento -044_-376)
Azioni sul collegamento: N=-9623.43 Ty=10.22 Tz=14.95 Mx=-0.00 Mz=7.14
Sollecitazioni agenti localmente: Ty_l=-1734.36 My_l=-35.59
Tensioni nella sezione: σ=431.44 τ=52.56
CC 26 SLD (Collegamento -044_-376)
Azioni sul collegamento: N=-9623.43 Ty=9.04 Tz=14.95 Mx=-0.00 Mz=5.58
Sollecitazioni agenti localmente: Ty_l=-1728.18 My_l=-35.46
Tensioni nella sezione: σ=429.80 τ=52.37
CC 26 SLD (Collegamento -044_-376)
Azioni sul collegamento: N=-10345.40 Ty=10.22 Tz=11.97 Mx=-0.00 Mz=7.14
Sollecitazioni agenti localmente: Ty_l=-1862.35 My_l=-38.22
Tensioni nella sezione: σ=463.25 τ=56.43
CC 26 SLD (Collegamento -044_-376)
Azioni sul collegamento: N=-10345.40 Ty=9.04 Tz=11.97 Mx=-0.00 Mz=5.58
Sollecitazioni agenti localmente: Ty_l=-1856.16 My_l=-38.08
Tensioni nella sezione: σ=461.61 τ=56.25
CC 26 SLD (Collegamento -044_-376)
Azioni sul collegamento: N=-10345.40 Ty=10.22 Tz=14.95 Mx=-0.00 Mz=7.14
Sollecitazioni agenti localmente: Ty_l=-1862.35 My_l=-38.22
Tensioni nella sezione: σ=463.25 τ=56.43
CC 26 SLD (Collegamento -044_-376)
Azioni sul collegamento: N=-10345.40 Ty=9.04 Tz=14.95 Mx=-0.00 Mz=5.58
Sollecitazioni agenti localmente: Ty_l=-1856.16 My_l=-38.08
Tensioni nella sezione: σ=461.61 τ=56.25
CC 27 SLV (Collegamento -044_-376)
Azioni sul collegamento: N=-11054.30 Ty=8.48 Tz=16.87 Mx=-0.02 Mz=5.16
Sollecitazioni agenti localmente: Ty_l=-1980.17 My_l=-40.62
Tensioni nella sezione: σ=492.39 τ=60.01
CC 27 SLV (Collegamento -044_-376)
Azioni sul collegamento: N=-11054.30 Ty=8.94 Tz=16.87 Mx=-0.02 Mz=3.28
Sollecitazioni agenti localmente: Ty_l=-1972.68 My_l=-40.46
Tensioni nella sezione: σ=490.40 τ=59.78
CC 27 SLV (Collegamento -044_-376)
Azioni sul collegamento: N=-11054.30 Ty=8.48 Tz=9.28 Mx=-0.02 Mz=5.16
Sollecitazioni agenti localmente: Ty_l=-1980.17 My_l=-40.62
Tensioni nella sezione: σ=492.39 τ=60.01

CC 27 SLV (Collegamento -044_-376)
Azioni sul collegamento: N=-11054.30 Ty=8.94 Tz=9.28 Mx=-0.02 Mz=3.28
Sollecitazioni agenti localmente: Ty_l=-1972.68 My_l=-40.46
Tensioni nella sezione: σ=490.40 τ=59.78
CC 27 SLV (Collegamento -044_-376)
Azioni sul collegamento: N=-8719.31 Ty=8.48 Tz=16.87 Mx=-0.02 Mz=5.16
Sollecitazioni agenti localmente: Ty_l=-1566.24 My_l=-32.14
Tensioni nella sezione: σ=389.54 τ=47.46
CC 27 SLV (Collegamento -044_-376)
Azioni sul collegamento: N=-8719.31 Ty=8.94 Tz=16.87 Mx=-0.02 Mz=3.28
Sollecitazioni agenti localmente: Ty_l=-1558.74 My_l=-31.97
Tensioni nella sezione: σ=387.55 τ=47.23
CC 27 SLV (Collegamento -044_-376)
Azioni sul collegamento: N=-8719.31 Ty=8.48 Tz=9.28 Mx=-0.02 Mz=5.16
Sollecitazioni agenti localmente: Ty_l=-1566.24 My_l=-32.14
Tensioni nella sezione: σ=389.54 τ=47.46
CC 27 SLV (Collegamento -044_-376)
Azioni sul collegamento: N=-8719.31 Ty=8.94 Tz=9.28 Mx=-0.02 Mz=3.28
Sollecitazioni agenti localmente: Ty_l=-1558.74 My_l=-31.97
Tensioni nella sezione: σ=387.55 τ=47.23
CC 28 SLD (Collegamento -044_-376)
Azioni sul collegamento: N=-10340.40 Ty=9.56 Tz=14.62 Mx=-0.00 Mz=6.65
Sollecitazioni agenti localmente: Ty_l=-1859.52 My_l=-38.16
Tensioni nella sezione: σ=462.51 τ=56.35
CC 28 SLD (Collegamento -044_-376)
Azioni sul collegamento: N=-10340.40 Ty=9.70 Tz=14.62 Mx=-0.00 Mz=6.07
Sollecitazioni agenti localmente: Ty_l=-1857.23 My_l=-38.11
Tensioni nella sezione: σ=461.90 τ=56.28
CC 28 SLD (Collegamento -044_-376)
Azioni sul collegamento: N=-10340.40 Ty=9.56 Tz=12.30 Mx=-0.00 Mz=6.65
Sollecitazioni agenti localmente: Ty_l=-1859.52 My_l=-38.16
Tensioni nella sezione: σ=462.51 τ=56.35
CC 28 SLD (Collegamento -044_-376)
Azioni sul collegamento: N=-10340.40 Ty=9.70 Tz=12.30 Mx=-0.00 Mz=6.07
Sollecitazioni agenti localmente: Ty_l=-1857.23 My_l=-38.11
Tensioni nella sezione: σ=461.90 τ=56.28
CC 28 SLD (Collegamento -044_-376)
Azioni sul collegamento: N=-9628.40 Ty=9.56 Tz=14.62 Mx=-0.00 Mz=6.65
Sollecitazioni agenti localmente: Ty_l=-1733.30 My_l=-35.57
Tensioni nella sezione: σ=431.15 τ=52.52
CC 28 SLD (Collegamento -044_-376)
Azioni sul collegamento: N=-9628.40 Ty=9.70 Tz=14.62 Mx=-0.00 Mz=6.07
Sollecitazioni agenti localmente: Ty_l=-1731.01 My_l=-35.52
Tensioni nella sezione: σ=430.54 τ=52.45
CC 28 SLD (Collegamento -044_-376)
Azioni sul collegamento: N=-9628.40 Ty=9.56 Tz=12.30 Mx=-0.00 Mz=6.65
Sollecitazioni agenti localmente: Ty_l=-1733.30 My_l=-35.57
Tensioni nella sezione: σ=431.15 τ=52.52
CC 28 SLD (Collegamento -044_-376)
Azioni sul collegamento: N=-9628.40 Ty=9.70 Tz=12.30 Mx=-0.00 Mz=6.07
Sollecitazioni agenti localmente: Ty_l=-1731.01 My_l=-35.52
Tensioni nella sezione: σ=430.54 τ=52.45
CC 29 SLV (Collegamento -044_-376)
Azioni sul collegamento: N=-8719.31 Ty=8.94 Tz=9.28 Mx=-0.00 Mz=3.28
Sollecitazioni agenti localmente: Ty_l=-1558.74 My_l=-31.97
Tensioni nella sezione: σ=387.55 τ=47.23
CC 29 SLV (Collegamento -044_-376)
Azioni sul collegamento: N=-8719.31 Ty=8.48 Tz=9.28 Mx=-0.00 Mz=5.16
Sollecitazioni agenti localmente: Ty_l=-1566.24 My_l=-32.14
Tensioni nella sezione: σ=389.54 τ=47.46
CC 29 SLV (Collegamento -044_-376)
Azioni sul collegamento: N=-8719.31 Ty=8.94 Tz=16.87 Mx=-0.00 Mz=3.28
Sollecitazioni agenti localmente: Ty_l=-1558.74 My_l=-31.97
Tensioni nella sezione: σ=387.55 τ=47.23
CC 29 SLV (Collegamento -044_-376)
Azioni sul collegamento: N=-8719.31 Ty=8.48 Tz=16.87 Mx=-0.00 Mz=5.16
Sollecitazioni agenti localmente: Ty_l=-1566.24 My_l=-32.14
Tensioni nella sezione: σ=389.54 τ=47.46
CC 29 SLV (Collegamento -044_-376)
Azioni sul collegamento: N=-11054.30 Ty=8.94 Tz=9.28 Mx=-0.00 Mz=3.28
Sollecitazioni agenti localmente: Ty_l=-1972.68 My_l=-40.46
Tensioni nella sezione: σ=490.40 τ=59.78
CC 29 SLV (Collegamento -044_-376)
Azioni sul collegamento: N=-11054.30 Ty=8.48 Tz=9.28 Mx=-0.00 Mz=5.16
Sollecitazioni agenti localmente: Ty_l=-1980.17 My_l=-40.62
Tensioni nella sezione: σ=492.39 τ=60.01
CC 29 SLV (Collegamento -044_-376)
Azioni sul collegamento: N=-11054.30 Ty=8.94 Tz=16.87 Mx=-0.00 Mz=3.28
Sollecitazioni agenti localmente: Ty_l=-1972.68 My_l=-40.46

Tensioni nella sezione: σ=490.40 τ=59.78
CC 29 SLV (Collegamento -044_-376)
Azioni sul collegamento: N=-11054.30 Ty=8.48 Tz=16.87 Mx=-0.00 Mz=5.16
Sollecitazioni agenti localmente: Ty_l=-1980.17 My_l=-40.62
Tensioni nella sezione: σ=492.39 τ=60.01
CC 30 SLD (Collegamento -044_-376)
Azioni sul collegamento: N=-9628.40 Ty=9.70 Tz=12.30 Mx=0.00 Mz=6.07
Sollecitazioni agenti localmente: Ty_l=-1731.01 My_l=-35.52
Tensioni nella sezione: σ=430.54 τ=52.45
CC 30 SLD (Collegamento -044_-376)
Azioni sul collegamento: N=-9628.40 Ty=9.56 Tz=12.30 Mx=0.00 Mz=6.65
Sollecitazioni agenti localmente: Ty_l=-1733.30 My_l=-35.57
Tensioni nella sezione: σ=431.15 τ=52.52
CC 30 SLD (Collegamento -044_-376)
Azioni sul collegamento: N=-9628.40 Ty=9.70 Tz=14.62 Mx=0.00 Mz=6.07
Sollecitazioni agenti localmente: Ty_l=-1731.01 My_l=-35.52
Tensioni nella sezione: σ=430.54 τ=52.45
CC 30 SLD (Collegamento -044_-376)
Azioni sul collegamento: N=-9628.40 Ty=9.56 Tz=14.62 Mx=0.00 Mz=6.65
Sollecitazioni agenti localmente: Ty_l=-1733.30 My_l=-35.57
Tensioni nella sezione: σ=431.15 τ=52.52
CC 30 SLD (Collegamento -044_-376)
Azioni sul collegamento: N=-10340.40 Ty=9.70 Tz=12.30 Mx=0.00 Mz=6.07
Sollecitazioni agenti localmente: Ty_l=-1857.23 My_l=-38.11
Tensioni nella sezione: σ=461.90 τ=56.28
CC 30 SLD (Collegamento -044_-376)
Azioni sul collegamento: N=-10340.40 Ty=9.56 Tz=12.30 Mx=0.00 Mz=6.65
Sollecitazioni agenti localmente: Ty_l=-1859.52 My_l=-38.16
Tensioni nella sezione: σ=462.51 τ=56.35
CC 30 SLD (Collegamento -044_-376)
Azioni sul collegamento: N=-10340.40 Ty=9.70 Tz=14.62 Mx=0.00 Mz=6.07
Sollecitazioni agenti localmente: Ty_l=-1857.23 My_l=-38.11
Tensioni nella sezione: σ=461.90 τ=56.28
CC 30 SLD (Collegamento -044_-376)
Azioni sul collegamento: N=-10340.40 Ty=9.56 Tz=14.62 Mx=0.00 Mz=6.65
Sollecitazioni agenti localmente: Ty_l=-1859.52 My_l=-38.16
Tensioni nella sezione: σ=462.51 τ=56.35
CC 31 SLV (Collegamento -044_-376)
Azioni sul collegamento: N=-11070.60 Ty=6.76 Tz=17.96 Mx=-0.00 Mz=1.67
Sollecitazioni agenti localmente: Ty_l=-1969.18 My_l=-40.38
Tensioni nella sezione: σ=489.42 τ=59.67
CC 31 SLV (Collegamento -044_-376)
Azioni sul collegamento: N=-11070.60 Ty=10.65 Tz=17.96 Mx=-0.00 Mz=6.77
Sollecitazioni agenti localmente: Ty_l=-1989.46 My_l=-40.82
Tensioni nella sezione: σ=494.81 τ=60.29
CC 31 SLV (Collegamento -044_-376)
Azioni sul collegamento: N=-11070.60 Ty=6.76 Tz=8.19 Mx=-0.00 Mz=1.67
Sollecitazioni agenti localmente: Ty_l=-1969.18 My_l=-40.38
Tensioni nella sezione: σ=489.42 τ=59.67
CC 31 SLV (Collegamento -044_-376)
Azioni sul collegamento: N=-11070.60 Ty=10.65 Tz=8.19 Mx=-0.00 Mz=6.77
Sollecitazioni agenti localmente: Ty_l=-1989.46 My_l=-40.82
Tensioni nella sezione: σ=494.81 τ=60.29
CC 31 SLV (Collegamento -044_-376)
Azioni sul collegamento: N=-8703.02 Ty=6.76 Tz=17.96 Mx=-0.00 Mz=1.67
Sollecitazioni agenti localmente: Ty_l=-1549.46 My_l=-31.77
Tensioni nella sezione: σ=385.13 τ=46.95
CC 31 SLV (Collegamento -044_-376)
Azioni sul collegamento: N=-8703.02 Ty=10.65 Tz=17.96 Mx=-0.00 Mz=6.77
Sollecitazioni agenti localmente: Ty_l=-1569.74 My_l=-32.22
Tensioni nella sezione: σ=390.51 τ=47.57
CC 31 SLV (Collegamento -044_-376)
Azioni sul collegamento: N=-8703.02 Ty=6.76 Tz=8.19 Mx=-0.00 Mz=1.67
Sollecitazioni agenti localmente: Ty_l=-1549.46 My_l=-31.77
Tensioni nella sezione: σ=385.13 τ=46.95
CC 31 SLV (Collegamento -044_-376)
Azioni sul collegamento: N=-8703.02 Ty=10.65 Tz=8.19 Mx=-0.00 Mz=6.77
Sollecitazioni agenti localmente: Ty_l=-1569.74 My_l=-32.22
Tensioni nella sezione: σ=390.51 τ=47.57
CC 32 SLD (Collegamento -044_-376)
Azioni sul collegamento: N=-10345.40 Ty=9.04 Tz=14.95 Mx=0.00 Mz=5.58
Sollecitazioni agenti localmente: Ty_l=-1856.16 My_l=-38.08
Tensioni nella sezione: σ=461.61 τ=56.25
CC 32 SLD (Collegamento -044_-376)
Azioni sul collegamento: N=-10345.40 Ty=10.22 Tz=14.95 Mx=0.00 Mz=7.14
Sollecitazioni agenti localmente: Ty_l=-1862.35 My_l=-38.22
Tensioni nella sezione: σ=463.25 τ=56.43
CC 32 SLD (Collegamento -044_-376)
Azioni sul collegamento: N=-10345.40 Ty=9.04 Tz=11.97 Mx=0.00 Mz=5.58

Sollecitazioni agenti localmente: Ty_l=-1856.16 My_l=-38.08
Tensioni nella sezione: σ=461.61 τ=56.25
CC 32 SLD (Collegamento -044_-376)
Azioni sul collegamento: N=-10345.40 Ty=10.22 Tz=11.97 Mx=0.00 Mz=7.14
Sollecitazioni agenti localmente: Ty_l=-1862.35 My_l=-38.22
Tensioni nella sezione: σ=463.25 τ=56.43
CC 32 SLD (Collegamento -044_-376)
Azioni sul collegamento: N=-9623.43 Ty=9.04 Tz=14.95 Mx=0.00 Mz=5.58
Sollecitazioni agenti localmente: Ty_l=-1728.18 My_l=-35.46
Tensioni nella sezione: σ=429.80 τ=52.37
CC 32 SLD (Collegamento -044_-376)
Azioni sul collegamento: N=-9623.43 Ty=10.22 Tz=14.95 Mx=0.00 Mz=7.14
Sollecitazioni agenti localmente: Ty_l=-1734.36 My_l=-35.59
Tensioni nella sezione: σ=431.44 τ=52.56
CC 32 SLD (Collegamento -044_-376)
Azioni sul collegamento: N=-9623.43 Ty=9.04 Tz=11.97 Mx=0.00 Mz=5.58
Sollecitazioni agenti localmente: Ty_l=-1728.18 My_l=-35.46
Tensioni nella sezione: σ=429.80 τ=52.37
CC 32 SLD (Collegamento -044_-376)
Azioni sul collegamento: N=-9623.43 Ty=10.22 Tz=11.97 Mx=0.00 Mz=7.14
Sollecitazioni agenti localmente: Ty_l=-1734.36 My_l=-35.59
Tensioni nella sezione: σ=431.44 τ=52.56
CC 33 SLU (Collegamento -044_-376)
Azioni sul collegamento: N=-37458.50 Ty=20.96 Tz=106.28 Mx=0.00 Mz=15.40
Sollecitazioni agenti localmente: Ty_l=-6701.62 My_l=-137.47
Tensioni nella sezione: σ=1666.29 τ=203.08
CC 34 SLU (Collegamento -044_-376)
Azioni sul collegamento: N=-36642.60 Ty=20.20 Tz=103.27 Mx=0.00 Mz=14.84
Sollecitazioni agenti localmente: Ty_l=-6554.75 My_l=-134.46
Tensioni nella sezione: σ=1629.76 τ=198.63
CC 35 SLU (Collegamento -044_-376)
Azioni sul collegamento: N=-37049.70 Ty=20.49 Tz=104.83 Mx=0.01 Mz=14.94
Sollecitazioni agenti localmente: Ty_l=-6627.30 My_l=-135.94
Tensioni nella sezione: σ=1647.79 τ=200.83
CC 36 SLU (Collegamento -044_-376)
Azioni sul collegamento: N=-37051.40 Ty=20.67 Tz=104.72 Mx=0.00 Mz=15.30
Sollecitazioni agenti localmente: Ty_l=-6629.07 My_l=-135.98
Tensioni nella sezione: σ=1648.26 τ=200.88
CC 37 SLU (Collegamento -044_-376)
Azioni sul collegamento: N=-28275.70 Ty=20.11 Tz=72.57 Mx=0.00 Mz=14.65
Sollecitazioni agenti localmente: Ty_l=-5070.78 My_l=-104.03
Tensioni nella sezione: σ=1261.00 τ=153.66
CC 38 SLU (Collegamento -044_-376)
Azioni sul collegamento: N=-27459.70 Ty=19.36 Tz=69.55 Mx=0.00 Mz=14.09
Sollecitazioni agenti localmente: Ty_l=-4923.91 My_l=-101.02
Tensioni nella sezione: σ=1224.47 τ=149.21
CC 39 SLU (Collegamento -044_-376)
Azioni sul collegamento: N=-27866.80 Ty=19.65 Tz=71.12 Mx=0.01 Mz=14.19
Sollecitazioni agenti localmente: Ty_l=-4996.46 My_l=-102.51
Tensioni nella sezione: σ=1242.50 τ=151.41
CC 40 SLU (Collegamento -044_-376)
Azioni sul collegamento: N=-27868.60 Ty=19.82 Tz=71.00 Mx=0.00 Mz=14.55
Sollecitazioni agenti localmente: Ty_l=-4998.22 My_l=-102.55
Tensioni nella sezione: σ=1242.97 τ=151.46
CC 41 SLU (Collegamento -044_-376)
Azioni sul collegamento: N=-30676.20 Ty=-9.89 Tz=80.85 Mx=0.00 Mz=-7.99
Sollecitazioni agenti localmente: Ty_l=-5406.30 My_l=-110.78
Tensioni nella sezione: σ=1342.84 τ=163.83
CC 42 SLU (Collegamento -044_-376)
Azioni sul collegamento: N=-29860.20 Ty=-10.64 Tz=77.84 Mx=0.00 Mz=-8.54
Sollecitazioni agenti localmente: Ty_l=-5259.43 My_l=-107.77
Tensioni nella sezione: σ=1306.31 τ=159.38
CC 43 SLU (Collegamento -044_-376)
Azioni sul collegamento: N=-30267.40 Ty=-10.35 Tz=79.40 Mx=0.01 Mz=-8.45
Sollecitazioni agenti localmente: Ty_l=-5331.98 My_l=-109.26
Tensioni nella sezione: σ=1324.35 τ=161.57
CC 44 SLU (Collegamento -044_-376)
Azioni sul collegamento: N=-30269.10 Ty=-10.18 Tz=79.28 Mx=0.00 Mz=-8.08
Sollecitazioni agenti localmente: Ty_l=-5333.74 My_l=-109.30
Tensioni nella sezione: σ=1324.81 τ=161.63
CC 45 SLU (Collegamento -044_-376)
Azioni sul collegamento: N=-30295.00 Ty=20.33 Tz=79.99 Mx=0.00 Mz=14.94
Sollecitazioni agenti localmente: Ty_l=-5429.90 My_l=-111.40
Tensioni nella sezione: σ=1350.26 τ=164.54
CC 46 SLU (Collegamento -044_-376)
Azioni sul collegamento: N=-29479.00 Ty=19.57 Tz=76.97 Mx=0.00 Mz=14.38
Sollecitazioni agenti localmente: Ty_l=-5283.03 My_l=-108.38
Tensioni nella sezione: σ=1313.72 τ=160.09
CC 47 SLU (Collegamento -044_-376)

Azioni sul collegamento: N=-29886.10 Ty=19.86 Tz=78.54 Mx=0.00 Mz=14.48
Sollecitazioni agenti localmente: Ty_l=-5355.58 My_l=-109.87
Tensioni nella sezione: σ=1331.76 τ=162.29
CC 48 SLU (Collegamento -044_-376)
Azioni sul collegamento: N=-29887.90 Ty=20.04 Tz=78.42 Mx=0.00 Mz=14.84
Sollecitazioni agenti localmente: Ty_l=-5357.35 My_l=-109.91
Tensioni nella sezione: σ=1332.22 τ=162.34
CC 49 SLU (Collegamento -044_-376)
Azioni sul collegamento: N=-23424.90 Ty=19.70 Tz=54.76 Mx=0.00 Mz=14.38
Sollecitazioni agenti localmente: Ty_l=-4209.79 My_l=-86.38
Tensioni nella sezione: σ=1047.04 τ=127.57
CC 50 SLU (Collegamento -044_-376)
Azioni sul collegamento: N=-22608.90 Ty=18.94 Tz=51.75 Mx=0.00 Mz=13.82
Sollecitazioni agenti localmente: Ty_l=-4062.92 My_l=-83.37
Tensioni nella sezione: σ=1010.51 τ=123.12
CC 51 SLU (Collegamento -044_-376)
Azioni sul collegamento: N=-23016.00 Ty=19.23 Tz=53.31 Mx=0.00 Mz=13.92
Sollecitazioni agenti localmente: Ty_l=-4135.47 My_l=-84.85
Tensioni nella sezione: σ=1028.54 τ=125.32
CC 52 SLU (Collegamento -044_-376)
Azioni sul collegamento: N=-23017.80 Ty=19.41 Tz=53.20 Mx=0.00 Mz=14.28
Sollecitazioni agenti localmente: Ty_l=-4137.24 My_l=-84.89
Tensioni nella sezione: σ=1029.00 τ=125.37
CC 53 SLU (Collegamento -044_-376)
Azioni sul collegamento: N=-25220.90 Ty=-2.75 Tz=60.96 Mx=0.00 Mz=-2.55
Sollecitazioni agenti localmente: Ty_l=-4460.81 My_l=-91.43
Tensioni nella sezione: σ=1108.27 τ=135.18
CC 54 SLU (Collegamento -044_-376)
Azioni sul collegamento: N=-24404.90 Ty=-3.50 Tz=57.94 Mx=0.00 Mz=-3.11
Sollecitazioni agenti localmente: Ty_l=-4313.94 My_l=-88.42
Tensioni nella sezione: σ=1071.74 τ=130.72
CC 55 SLU (Collegamento -044_-376)
Azioni sul collegamento: N=-24812.00 Ty=-3.21 Tz=59.51 Mx=0.00 Mz=-3.02
Sollecitazioni agenti localmente: Ty_l=-4386.49 My_l=-89.91
Tensioni nella sezione: σ=1089.77 τ=132.92
CC 56 SLU (Collegamento -044_-376)
Azioni sul collegamento: N=-24813.70 Ty=-3.04 Tz=59.39 Mx=0.00 Mz=-2.65
Sollecitazioni agenti localmente: Ty_l=-4388.25 My_l=-89.94
Tensioni nella sezione: σ=1090.24 τ=132.98
CC 57 SLU (Collegamento -044_-376)
Azioni sul collegamento: N=-28074.70 Ty=18.58 Tz=71.81 Mx=0.00 Mz=13.65
Sollecitazioni agenti localmente: Ty_l=-5031.17 My_l=-103.22
Tensioni nella sezione: σ=1251.09 τ=152.46
CC 58 SLU (Collegamento -044_-376)
Azioni sul collegamento: N=-27258.70 Ty=17.82 Tz=68.80 Mx=0.00 Mz=13.09
Sollecitazioni agenti localmente: Ty_l=-4884.30 My_l=-100.20
Tensioni nella sezione: σ=1214.56 τ=148.01
CC 59 SLU (Collegamento -044_-376)
Azioni sul collegamento: N=-27665.80 Ty=18.11 Tz=70.37 Mx=0.00 Mz=13.19
Sollecitazioni agenti localmente: Ty_l=-4956.86 My_l=-101.69
Tensioni nella sezione: σ=1232.59 τ=150.21
CC 60 SLU (Collegamento -044_-376)
Azioni sul collegamento: N=-27667.60 Ty=18.29 Tz=70.25 Mx=0.00 Mz=13.55
Sollecitazioni agenti localmente: Ty_l=-4958.62 My_l=-101.73
Tensioni nella sezione: σ=1233.06 τ=150.26
CC 61 SLU (Collegamento -044_-376)
Azioni sul collegamento: N=-21204.60 Ty=17.94 Tz=46.59 Mx=0.00 Mz=13.09
Sollecitazioni agenti localmente: Ty_l=-3811.06 My_l=-78.20
Tensioni nella sezione: σ=947.88 τ=115.49
CC 62 SLU (Collegamento -044_-376)
Azioni sul collegamento: N=-20388.60 Ty=17.19 Tz=43.58 Mx=0.00 Mz=12.53
Sollecitazioni agenti localmente: Ty_l=-3664.19 My_l=-75.19
Tensioni nella sezione: σ=911.34 τ=111.04
CC 63 SLU (Collegamento -044_-376)
Azioni sul collegamento: N=-20795.70 Ty=17.48 Tz=45.14 Mx=0.00 Mz=12.63
Sollecitazioni agenti localmente: Ty_l=-3736.75 My_l=-76.67
Tensioni nella sezione: σ=929.38 τ=113.23
CC 64 SLU (Collegamento -044_-376)
Azioni sul collegamento: N=-20797.50 Ty=17.66 Tz=45.03 Mx=0.00 Mz=12.99
Sollecitazioni agenti localmente: Ty_l=-3738.51 My_l=-76.71
Tensioni nella sezione: σ=929.84 τ=113.29
CC 65 SLU (Collegamento -044_-376)
Azioni sul collegamento: N=-23000.50 Ty=-4.50 Tz=52.79 Mx=0.00 Mz=-3.84
Sollecitazioni agenti localmente: Ty_l=-4062.08 My_l=-83.25
Tensioni nella sezione: σ=1009.11 τ=123.09
CC 66 SLU (Collegamento -044_-376)
Azioni sul collegamento: N=-22184.60 Ty=-5.26 Tz=49.77 Mx=0.00 Mz=-4.40
Sollecitazioni agenti localmente: Ty_l=-3915.21 My_l=-80.24
Tensioni nella sezione: σ=972.57 τ=118.64

CC 67 SLU (Collegamento -044_-376)
Azioni sul collegamento: N=-22591.70 Ty=-4.97 Tz=51.34 Mx=0.00 Mz=-4.30
Sollecitazioni agenti localmente: Ty_l=-3987.76 My_l=-81.73
Tensioni nella sezione: σ=990.61 τ=120.84
CC 68 SLU (Collegamento -044_-376)
Azioni sul collegamento: N=-22593.40 Ty=-4.79 Tz=51.22 Mx=0.00 Mz=-3.94
Sollecitazioni agenti localmente: Ty_l=-3989.53 My_l=-81.76
Tensioni nella sezione: σ=991.07 τ=120.89
CC 97 SLU (Collegamento -044_-376)
Azioni sul collegamento: N=-32775.80 Ty=25.16 Tz=97.03 Mx=-0.05 Mz=10.53
Sollecitazioni agenti localmente: Ty_l=-5852.13 My_l=-120.03
Tensioni nella sezione: σ=1454.88 τ=177.34
CC 98 SLU (Collegamento -044_-376)
Azioni sul collegamento: N=-31959.80 Ty=24.41 Tz=94.02 Mx=-0.05 Mz=9.97
Sollecitazioni agenti localmente: Ty_l=-5705.26 My_l=-117.01
Tensioni nella sezione: σ=1418.34 τ=172.89
CC 99 SLU (Collegamento -044_-376)
Azioni sul collegamento: N=-32366.90 Ty=24.69 Tz=95.58 Mx=-0.05 Mz=10.07
Sollecitazioni agenti localmente: Ty_l=-5777.81 My_l=-118.50
Tensioni nella sezione: σ=1436.38 τ=175.09
CC 100 SLU (Collegamento -044_-376)
Azioni sul collegamento: N=-32368.70 Ty=24.87 Tz=95.47 Mx=-0.05 Mz=10.43
Sollecitazioni agenti localmente: Ty_l=-5779.57 My_l=-118.54
Tensioni nella sezione: σ=1436.84 τ=175.14
CC 101 SLU (Collegamento -044_-376)
Azioni sul collegamento: N=-9110.88 Ty=5.97 Tz=10.39 Mx=0.01 Mz=4.99
Sollecitazioni agenti localmente: Ty_l=-1634.96 My_l=-33.54
Tensioni nella sezione: σ=406.60 τ=49.54
CC 102 SLU (Collegamento -044_-376)
Azioni sul collegamento: N=-8294.89 Ty=5.21 Tz=7.37 Mx=0.01 Mz=4.43
Sollecitazioni agenti localmente: Ty_l=-1488.09 My_l=-30.53
Tensioni nella sezione: σ=370.07 τ=45.09
CC 103 SLU (Collegamento -044_-376)
Azioni sul collegamento: N=-8702.00 Ty=5.50 Tz=8.94 Mx=0.01 Mz=4.53
Sollecitazioni agenti localmente: Ty_l=-1560.64 My_l=-32.02
Tensioni nella sezione: σ=388.10 τ=47.29
CC 104 SLU (Collegamento -044_-376)
Azioni sul collegamento: N=-8703.77 Ty=5.68 Tz=8.82 Mx=0.01 Mz=4.89
Sollecitazioni agenti localmente: Ty_l=-1562.40 My_l=-32.06
Tensioni nella sezione: σ=388.56 τ=47.35

Flessione attacco sinistro piastra

Bnetta=220.00 Hnetta=15.00
CC 1 SLV (Collegamento -044_-376)
Azioni sul collegamento: N=-6246.31 Ty=15.25 Tz=-0.46 Mx=0.02 Mz=13.58
Sollecitazioni agenti localmente: Ty_l=-1053.29 My_l=-21.52
Tensioni nella sezione: σ=260.81 τ=31.92
CC 1 SLV (Collegamento -044_-376)
Azioni sul collegamento: N=-6246.31 Ty=7.49 Tz=-0.46 Mx=0.02 Mz=7.17
Sollecitazioni agenti localmente: Ty_l=-1078.77 My_l=-22.07
Tensioni nella sezione: σ=267.57 τ=32.69
CC 1 SLV (Collegamento -044_-376)
Azioni sul collegamento: N=-6246.31 Ty=15.25 Tz=28.82 Mx=0.02 Mz=13.58
Sollecitazioni agenti localmente: Ty_l=-1053.29 My_l=-21.52
Tensioni nella sezione: σ=260.81 τ=31.92
CC 1 SLV (Collegamento -044_-376)
Azioni sul collegamento: N=-6246.31 Ty=7.49 Tz=28.82 Mx=0.02 Mz=7.17
Sollecitazioni agenti localmente: Ty_l=-1078.77 My_l=-22.07
Tensioni nella sezione: σ=267.57 τ=32.69
CC 1 SLV (Collegamento -044_-376)
Azioni sul collegamento: N=-14088.90 Ty=15.25 Tz=-0.46 Mx=0.02 Mz=13.58
Sollecitazioni agenti localmente: Ty_l=-2443.58 My_l=-50.02
Tensioni nella sezione: σ=606.27 τ=74.05
CC 1 SLV (Collegamento -044_-376)
Azioni sul collegamento: N=-14088.90 Ty=7.49 Tz=-0.46 Mx=0.02 Mz=7.17
Sollecitazioni agenti localmente: Ty_l=-2469.06 My_l=-50.58
Tensioni nella sezione: σ=613.04 τ=74.82
CC 1 SLV (Collegamento -044_-376)
Azioni sul collegamento: N=-14088.90 Ty=15.25 Tz=28.82 Mx=0.02 Mz=13.58
Sollecitazioni agenti localmente: Ty_l=-2443.58 My_l=-50.02
Tensioni nella sezione: σ=606.27 τ=74.05
CC 1 SLV (Collegamento -044_-376)
Azioni sul collegamento: N=-14088.90 Ty=7.49 Tz=28.82 Mx=0.02 Mz=7.17
Sollecitazioni agenti localmente: Ty_l=-2469.06 My_l=-50.58
Tensioni nella sezione: σ=613.04 τ=74.82
CC 2 SLD (Collegamento -044_-376)
Azioni sul collegamento: N=-8874.30 Ty=11.63 Tz=9.33 Mx=0.01 Mz=9.21
Sollecitazioni agenti localmente: Ty_l=-1536.52 My_l=-31.45

Tensioni nella sezione: σ=381.18 τ=46.56
CC 2 SLD (Collegamento -044_-376)
Azioni sul collegamento: N=-8874.30 Ty=9.26 Tz=9.33 Mx=0.01 Mz=7.26
Sollecitazioni agenti localmente: Ty_l=-1544.29 My_l=-31.62
Tensioni nella sezione: σ=383.24 τ=46.80
CC 2 SLD (Collegamento -044_-376)
Azioni sul collegamento: N=-8874.30 Ty=11.63 Tz=18.26 Mx=0.01 Mz=9.21
Sollecitazioni agenti localmente: Ty_l=-1536.52 My_l=-31.45
Tensioni nella sezione: σ=381.18 τ=46.56
CC 2 SLD (Collegamento -044_-376)
Azioni sul collegamento: N=-8874.30 Ty=9.26 Tz=18.26 Mx=0.01 Mz=7.26
Sollecitazioni agenti localmente: Ty_l=-1544.29 My_l=-31.62
Tensioni nella sezione: σ=383.24 τ=46.80
CC 2 SLD (Collegamento -044_-376)
Azioni sul collegamento: N=-11265.80 Ty=11.63 Tz=9.33 Mx=0.01 Mz=9.21
Sollecitazioni agenti localmente: Ty_l=-1960.46 My_l=-40.14
Tensioni nella sezione: σ=486.52 τ=59.41
CC 2 SLD (Collegamento -044_-376)
Azioni sul collegamento: N=-11265.80 Ty=9.26 Tz=9.33 Mx=0.01 Mz=7.26
Sollecitazioni agenti localmente: Ty_l=-1968.23 My_l=-40.31
Tensioni nella sezione: σ=488.59 τ=59.64
CC 2 SLD (Collegamento -044_-376)
Azioni sul collegamento: N=-11265.80 Ty=11.63 Tz=18.26 Mx=0.01 Mz=9.21
Sollecitazioni agenti localmente: Ty_l=-1960.47 My_l=-40.14
Tensioni nella sezione: σ=486.52 τ=59.41
CC 2 SLD (Collegamento -044_-376)
Azioni sul collegamento: N=-11265.80 Ty=9.26 Tz=18.26 Mx=0.01 Mz=7.26
Sollecitazioni agenti localmente: Ty_l=-1968.24 My_l=-40.31
Tensioni nella sezione: σ=488.59 τ=59.64
CC 3 SLV (Collegamento -044_-376)
Azioni sul collegamento: N=-6251.19 Ty=14.73 Tz=-0.13 Mx=0.01 Mz=12.53
Sollecitazioni agenti localmente: Ty_l=-1058.32 My_l=-21.63
Tensioni nella sezione: σ=262.13 τ=32.07
CC 3 SLV (Collegamento -044_-376)
Azioni sul collegamento: N=-6251.19 Ty=8.00 Tz=-0.13 Mx=0.01 Mz=8.22
Sollecitazioni agenti localmente: Ty_l=-1075.47 My_l=-22.00
Tensioni nella sezione: σ=266.68 τ=32.59
CC 3 SLV (Collegamento -044_-376)
Azioni sul collegamento: N=-6251.19 Ty=14.73 Tz=28.49 Mx=0.01 Mz=12.53
Sollecitazioni agenti localmente: Ty_l=-1058.32 My_l=-21.63
Tensioni nella sezione: σ=262.13 τ=32.07
CC 3 SLV (Collegamento -044_-376)
Azioni sul collegamento: N=-6251.19 Ty=8.00 Tz=28.49 Mx=0.01 Mz=8.22
Sollecitazioni agenti localmente: Ty_l=-1075.47 My_l=-22.00
Tensioni nella sezione: σ=266.68 τ=32.59
CC 3 SLV (Collegamento -044_-376)
Azioni sul collegamento: N=-14084.10 Ty=14.73 Tz=-0.13 Mx=0.01 Mz=12.53
Sollecitazioni agenti localmente: Ty_l=-2446.88 My_l=-50.09
Tensioni nella sezione: σ=607.17 τ=74.15
CC 3 SLV (Collegamento -044_-376)
Azioni sul collegamento: N=-14084.10 Ty=8.00 Tz=-0.13 Mx=0.01 Mz=8.22
Sollecitazioni agenti localmente: Ty_l=-2464.02 My_l=-50.47
Tensioni nella sezione: σ=611.72 τ=74.67
CC 3 SLV (Collegamento -044_-376)
Azioni sul collegamento: N=-14084.10 Ty=14.73 Tz=28.49 Mx=0.01 Mz=12.53
Sollecitazioni agenti localmente: Ty_l=-2446.88 My_l=-50.09
Tensioni nella sezione: σ=607.17 τ=74.15
CC 3 SLV (Collegamento -044_-376)
Azioni sul collegamento: N=-14084.10 Ty=8.00 Tz=28.49 Mx=0.01 Mz=8.22
Sollecitazioni agenti localmente: Ty_l=-2464.02 My_l=-50.47
Tensioni nella sezione: σ=611.72 τ=74.67
CC 4 SLD (Collegamento -044_-376)
Azioni sul collegamento: N=-8875.79 Ty=11.47 Tz=9.43 Mx=0.01 Mz=8.89
Sollecitazioni agenti localmente: Ty_l=-1538.06 My_l=-31.48
Tensioni nella sezione: σ=381.58 τ=46.61
CC 4 SLD (Collegamento -044_-376)
Azioni sul collegamento: N=-8875.79 Ty=9.42 Tz=9.43 Mx=0.01 Mz=7.58
Sollecitazioni agenti localmente: Ty_l=-1543.29 My_l=-31.60
Tensioni nella sezione: σ=382.97 τ=46.77
CC 4 SLD (Collegamento -044_-376)
Azioni sul collegamento: N=-8875.79 Ty=11.47 Tz=18.16 Mx=0.01 Mz=8.89
Sollecitazioni agenti localmente: Ty_l=-1538.06 My_l=-31.48
Tensioni nella sezione: σ=381.58 τ=46.61
CC 4 SLD (Collegamento -044_-376)
Azioni sul collegamento: N=-8875.79 Ty=9.42 Tz=18.16 Mx=0.01 Mz=7.58
Sollecitazioni agenti localmente: Ty_l=-1543.29 My_l=-31.60
Tensioni nella sezione: σ=382.97 τ=46.77
CC 4 SLD (Collegamento -044_-376)
Azioni sul collegamento: N=-11264.30 Ty=11.47 Tz=9.43 Mx=0.01 Mz=8.89

Sollecitazioni agenti localmente: Ty_l=-1961.47 My_l=-40.16
Tensioni nella sezione: σ=486.80 τ=59.44
CC 4 SLD (Collegamento -044_-376)
Azioni sul collegamento: N=-11264.30 Ty=9.42 Tz=9.43 Mx=0.01 Mz=7.58
Sollecitazioni agenti localmente: Ty_l=-1966.70 My_l=-40.28
Tensioni nella sezione: σ=488.18 τ=59.60
CC 4 SLD (Collegamento -044_-376)
Azioni sul collegamento: N=-11264.30 Ty=11.47 Tz=18.16 Mx=0.01 Mz=8.89
Sollecitazioni agenti localmente: Ty_l=-1961.47 My_l=-40.16
Tensioni nella sezione: σ=486.80 τ=59.44
CC 4 SLD (Collegamento -044_-376)
Azioni sul collegamento: N=-11264.30 Ty=9.42 Tz=18.16 Mx=0.01 Mz=7.58
Sollecitazioni agenti localmente: Ty_l=-1966.70 My_l=-40.28
Tensioni nella sezione: σ=488.18 τ=59.60
CC 5 SLV (Collegamento -044_-376)
Azioni sul collegamento: N=-14084.10 Ty=8.00 Tz=28.49 Mx=0.02 Mz=8.22
Sollecitazioni agenti localmente: Ty_l=-2464.02 My_l=-50.47
Tensioni nella sezione: σ=611.72 τ=74.67
CC 5 SLV (Collegamento -044_-376)
Azioni sul collegamento: N=-14084.10 Ty=14.73 Tz=28.49 Mx=0.02 Mz=12.53
Sollecitazioni agenti localmente: Ty_l=-2446.88 My_l=-50.09
Tensioni nella sezione: σ=607.17 τ=74.15
CC 5 SLV (Collegamento -044_-376)
Azioni sul collegamento: N=-14084.10 Ty=8.00 Tz=-0.13 Mx=0.02 Mz=8.22
Sollecitazioni agenti localmente: Ty_l=-2464.02 My_l=-50.47
Tensioni nella sezione: σ=611.72 τ=74.67
CC 5 SLV (Collegamento -044_-376)
Azioni sul collegamento: N=-14084.10 Ty=14.73 Tz=-0.13 Mx=0.02 Mz=12.53
Sollecitazioni agenti localmente: Ty_l=-2446.88 My_l=-50.09
Tensioni nella sezione: σ=607.17 τ=74.15
CC 5 SLV (Collegamento -044_-376)
Azioni sul collegamento: N=-6251.19 Ty=8.00 Tz=28.49 Mx=0.02 Mz=8.22
Sollecitazioni agenti localmente: Ty_l=-1075.47 My_l=-22.00
Tensioni nella sezione: σ=266.68 τ=32.59
CC 5 SLV (Collegamento -044_-376)
Azioni sul collegamento: N=-6251.19 Ty=14.73 Tz=28.49 Mx=0.02 Mz=12.53
Sollecitazioni agenti localmente: Ty_l=-1058.32 My_l=-21.63
Tensioni nella sezione: σ=262.13 τ=32.07
CC 5 SLV (Collegamento -044_-376)
Azioni sul collegamento: N=-6251.19 Ty=8.00 Tz=-0.13 Mx=0.02 Mz=8.22
Sollecitazioni agenti localmente: Ty_l=-1075.47 My_l=-22.00
Tensioni nella sezione: σ=266.68 τ=32.59
CC 5 SLV (Collegamento -044_-376)
Azioni sul collegamento: N=-6251.19 Ty=14.73 Tz=-0.13 Mx=0.02 Mz=12.53
Sollecitazioni agenti localmente: Ty_l=-1058.32 My_l=-21.63
Tensioni nella sezione: σ=262.13 τ=32.07
CC 6 SLD (Collegamento -044_-376)
Azioni sul collegamento: N=-11264.30 Ty=9.42 Tz=18.16 Mx=0.01 Mz=7.58
Sollecitazioni agenti localmente: Ty_l=-1966.70 My_l=-40.28
Tensioni nella sezione: σ=488.18 τ=59.60
CC 6 SLD (Collegamento -044_-376)
Azioni sul collegamento: N=-11264.30 Ty=11.47 Tz=18.16 Mx=0.01 Mz=8.89
Sollecitazioni agenti localmente: Ty_l=-1961.47 My_l=-40.16
Tensioni nella sezione: σ=486.80 τ=59.44
CC 6 SLD (Collegamento -044_-376)
Azioni sul collegamento: N=-11264.30 Ty=9.42 Tz=9.43 Mx=0.01 Mz=7.58
Sollecitazioni agenti localmente: Ty_l=-1966.70 My_l=-40.28
Tensioni nella sezione: σ=488.18 τ=59.60
CC 6 SLD (Collegamento -044_-376)
Azioni sul collegamento: N=-11264.30 Ty=11.47 Tz=9.43 Mx=0.01 Mz=8.89
Sollecitazioni agenti localmente: Ty_l=-1961.47 My_l=-40.16
Tensioni nella sezione: σ=486.80 τ=59.44
CC 6 SLD (Collegamento -044_-376)
Azioni sul collegamento: N=-8875.79 Ty=9.42 Tz=18.16 Mx=0.01 Mz=7.58
Sollecitazioni agenti localmente: Ty_l=-1543.29 My_l=-31.60
Tensioni nella sezione: σ=382.97 τ=46.77
CC 6 SLD (Collegamento -044_-376)
Azioni sul collegamento: N=-8875.79 Ty=11.47 Tz=18.16 Mx=0.01 Mz=8.89
Sollecitazioni agenti localmente: Ty_l=-1538.06 My_l=-31.48
Tensioni nella sezione: σ=381.58 τ=46.61
CC 6 SLD (Collegamento -044_-376)
Azioni sul collegamento: N=-8875.79 Ty=9.42 Tz=9.43 Mx=0.01 Mz=7.58
Sollecitazioni agenti localmente: Ty_l=-1543.29 My_l=-31.60
Tensioni nella sezione: σ=382.97 τ=46.77
CC 6 SLD (Collegamento -044_-376)
Azioni sul collegamento: N=-8875.79 Ty=11.47 Tz=9.43 Mx=0.01 Mz=8.89
Sollecitazioni agenti localmente: Ty_l=-1538.06 My_l=-31.48
Tensioni nella sezione: σ=381.58 τ=46.61
CC 7 SLV (Collegamento -044_-376)

Azioni sul collegamento: N=-14088.90 Ty=7.49 Tz=28.82 Mx=0.01 Mz=7.17
Sollecitazioni agenti localmente: Ty_l=-2469.06 My_l=-50.58
Tensioni nella sezione: σ=613.04 τ=74.82
CC 7 SLV (Collegamento -044_-376)
Azioni sul collegamento: N=-14088.90 Ty=15.25 Tz=28.82 Mx=0.01 Mz=13.58
Sollecitazioni agenti localmente: Ty_l=-2443.58 My_l=-50.02
Tensioni nella sezione: σ=606.27 τ=74.05
CC 7 SLV (Collegamento -044_-376)
Azioni sul collegamento: N=-14088.90 Ty=7.49 Tz=-0.46 Mx=0.01 Mz=7.17
Sollecitazioni agenti localmente: Ty_l=-2469.06 My_l=-50.58
Tensioni nella sezione: σ=613.04 τ=74.82
CC 7 SLV (Collegamento -044_-376)
Azioni sul collegamento: N=-14088.90 Ty=15.25 Tz=-0.46 Mx=0.01 Mz=13.58
Sollecitazioni agenti localmente: Ty_l=-2443.58 My_l=-50.02
Tensioni nella sezione: σ=606.27 τ=74.05
CC 7 SLV (Collegamento -044_-376)
Azioni sul collegamento: N=-6246.31 Ty=7.49 Tz=28.82 Mx=0.01 Mz=7.17
Sollecitazioni agenti localmente: Ty_l=-1078.77 My_l=-22.07
Tensioni nella sezione: σ=267.57 τ=32.69
CC 7 SLV (Collegamento -044_-376)
Azioni sul collegamento: N=-6246.31 Ty=15.25 Tz=28.82 Mx=0.01 Mz=13.58
Sollecitazioni agenti localmente: Ty_l=-1053.29 My_l=-21.52
Tensioni nella sezione: σ=260.81 τ=31.92
CC 7 SLV (Collegamento -044_-376)
Azioni sul collegamento: N=-6246.31 Ty=7.49 Tz=-0.46 Mx=0.01 Mz=7.17
Sollecitazioni agenti localmente: Ty_l=-1078.77 My_l=-22.07
Tensioni nella sezione: σ=267.57 τ=32.69
CC 7 SLV (Collegamento -044_-376)
Azioni sul collegamento: N=-6246.31 Ty=15.25 Tz=-0.46 Mx=0.01 Mz=13.58
Sollecitazioni agenti localmente: Ty_l=-1053.29 My_l=-21.52
Tensioni nella sezione: σ=260.81 τ=31.92
CC 8 SLD (Collegamento -044_-376)
Azioni sul collegamento: N=-11265.80 Ty=9.26 Tz=18.26 Mx=0.01 Mz=7.26
Sollecitazioni agenti localmente: Ty_l=-1968.24 My_l=-40.31
Tensioni nella sezione: σ=488.59 τ=59.64
CC 8 SLD (Collegamento -044_-376)
Azioni sul collegamento: N=-11265.80 Ty=11.63 Tz=18.26 Mx=0.01 Mz=9.21
Sollecitazioni agenti localmente: Ty_l=-1960.47 My_l=-40.14
Tensioni nella sezione: σ=486.52 τ=59.41
CC 8 SLD (Collegamento -044_-376)
Azioni sul collegamento: N=-11265.80 Ty=9.26 Tz=9.33 Mx=0.01 Mz=7.26
Sollecitazioni agenti localmente: Ty_l=-1968.23 My_l=-40.31
Tensioni nella sezione: σ=488.59 τ=59.64
CC 8 SLD (Collegamento -044_-376)
Azioni sul collegamento: N=-11265.80 Ty=11.63 Tz=9.33 Mx=0.01 Mz=9.21
Sollecitazioni agenti localmente: Ty_l=-1960.46 My_l=-40.14
Tensioni nella sezione: σ=486.52 τ=59.41
CC 8 SLD (Collegamento -044_-376)
Azioni sul collegamento: N=-8874.30 Ty=9.26 Tz=18.26 Mx=0.01 Mz=7.26
Sollecitazioni agenti localmente: Ty_l=-1544.29 My_l=-31.62
Tensioni nella sezione: σ=383.24 τ=46.80
CC 8 SLD (Collegamento -044_-376)
Azioni sul collegamento: N=-8874.30 Ty=11.63 Tz=18.26 Mx=0.01 Mz=9.21
Sollecitazioni agenti localmente: Ty_l=-1536.52 My_l=-31.45
Tensioni nella sezione: σ=381.18 τ=46.56
CC 8 SLD (Collegamento -044_-376)
Azioni sul collegamento: N=-8874.30 Ty=9.26 Tz=9.33 Mx=0.01 Mz=7.26
Sollecitazioni agenti localmente: Ty_l=-1544.29 My_l=-31.62
Tensioni nella sezione: σ=383.24 τ=46.80
CC 8 SLD (Collegamento -044_-376)
Azioni sul collegamento: N=-8874.30 Ty=11.63 Tz=9.33 Mx=0.01 Mz=9.21
Sollecitazioni agenti localmente: Ty_l=-1536.52 My_l=-31.45
Tensioni nella sezione: σ=381.18 τ=46.56
CC 9 SLV (Collegamento -044_-376)
Azioni sul collegamento: N=-8983.82 Ty=13.31 Tz=9.29 Mx=0.02 Mz=12.92
Sollecitazioni agenti localmente: Ty_l=-1541.18 My_l=-31.52
Tensioni nella sezione: σ=382.09 τ=46.70
CC 9 SLV (Collegamento -044_-376)
Azioni sul collegamento: N=-8983.82 Ty=9.43 Tz=9.29 Mx=0.02 Mz=7.83
Sollecitazioni agenti localmente: Ty_l=-1561.46 My_l=-31.97
Tensioni nella sezione: σ=387.47 τ=47.32
CC 9 SLV (Collegamento -044_-376)
Azioni sul collegamento: N=-8983.82 Ty=13.31 Tz=19.07 Mx=0.02 Mz=12.92
Sollecitazioni agenti localmente: Ty_l=-1541.18 My_l=-31.52
Tensioni nella sezione: σ=382.09 τ=46.70
CC 9 SLV (Collegamento -044_-376)
Azioni sul collegamento: N=-8983.82 Ty=9.43 Tz=19.07 Mx=0.02 Mz=7.83
Sollecitazioni agenti localmente: Ty_l=-1561.46 My_l=-31.97
Tensioni nella sezione: σ=387.47 τ=47.32

CC 9 SLV (Collegamento -044_-376)
Azioni sul collegamento: N=-11351.40 Ty=13.31 Tz=9.29 Mx=0.02 Mz=12.92
Sollecitazioni agenti localmente: Ty_l=-1960.89 My_l=-40.13
Tensioni nella sezione: σ=486.38 τ=59.42
CC 9 SLV (Collegamento -044_-376)
Azioni sul collegamento: N=-11351.40 Ty=9.43 Tz=9.29 Mx=0.02 Mz=7.83
Sollecitazioni agenti localmente: Ty_l=-1981.17 My_l=-40.57
Tensioni nella sezione: σ=491.76 τ=60.04
CC 9 SLV (Collegamento -044_-376)
Azioni sul collegamento: N=-11351.40 Ty=13.31 Tz=19.07 Mx=0.02 Mz=12.92
Sollecitazioni agenti localmente: Ty_l=-1960.89 My_l=-40.13
Tensioni nella sezione: σ=486.38 τ=59.42
CC 9 SLV (Collegamento -044_-376)
Azioni sul collegamento: N=-11351.40 Ty=9.43 Tz=19.07 Mx=0.02 Mz=7.83
Sollecitazioni agenti localmente: Ty_l=-1981.17 My_l=-40.57
Tensioni nella sezione: σ=491.76 τ=60.04
CC 10 SLD (Collegamento -044_-376)
Azioni sul collegamento: N=-9709.06 Ty=11.04 Tz=12.31 Mx=0.01 Mz=9.01
Sollecitazioni agenti localmente: Ty_l=-1685.29 My_l=-34.50
Tensioni nella sezione: σ=418.16 τ=51.07
CC 10 SLD (Collegamento -044_-376)
Azioni sul collegamento: N=-9709.06 Ty=9.85 Tz=12.31 Mx=0.01 Mz=7.46
Sollecitazioni agenti localmente: Ty_l=-1691.48 My_l=-34.63
Tensioni nella sezione: σ=419.80 τ=51.26
CC 10 SLD (Collegamento -044_-376)
Azioni sul collegamento: N=-9709.06 Ty=11.04 Tz=15.29 Mx=0.01 Mz=9.01
Sollecitazioni agenti localmente: Ty_l=-1685.29 My_l=-34.50
Tensioni nella sezione: σ=418.16 τ=51.07
CC 10 SLD (Collegamento -044_-376)
Azioni sul collegamento: N=-9709.06 Ty=9.85 Tz=15.29 Mx=0.01 Mz=7.46
Sollecitazioni agenti localmente: Ty_l=-1691.48 My_l=-34.63
Tensioni nella sezione: σ=419.80 τ=51.26
CC 10 SLD (Collegamento -044_-376)
Azioni sul collegamento: N=-10431.00 Ty=11.04 Tz=12.31 Mx=0.01 Mz=9.01
Sollecitazioni agenti localmente: Ty_l=-1813.28 My_l=-37.12
Tensioni nella sezione: σ=449.96 τ=54.95
CC 10 SLD (Collegamento -044_-376)
Azioni sul collegamento: N=-10431.00 Ty=9.85 Tz=12.31 Mx=0.01 Mz=7.46
Sollecitazioni agenti localmente: Ty_l=-1819.46 My_l=-37.26
Tensioni nella sezione: σ=451.61 τ=55.14
CC 10 SLD (Collegamento -044_-376)
Azioni sul collegamento: N=-10431.00 Ty=11.04 Tz=15.29 Mx=0.01 Mz=9.01
Sollecitazioni agenti localmente: Ty_l=-1813.28 My_l=-37.12
Tensioni nella sezione: σ=449.96 τ=54.95
CC 10 SLD (Collegamento -044_-376)
Azioni sul collegamento: N=-10431.00 Ty=9.85 Tz=15.29 Mx=0.01 Mz=7.46
Sollecitazioni agenti localmente: Ty_l=-1819.46 My_l=-37.26
Tensioni nella sezione: σ=451.61 τ=55.14
CC 11 SLV (Collegamento -044_-376)
Azioni sul collegamento: N=-11335.10 Ty=11.14 Tz=17.98 Mx=0.02 Mz=11.32
Sollecitazioni agenti localmente: Ty_l=-1964.40 My_l=-40.21
Tensioni nella sezione: σ=487.36 τ=59.53
CC 11 SLV (Collegamento -044_-376)
Azioni sul collegamento: N=-11335.10 Ty=11.60 Tz=17.98 Mx=0.02 Mz=9.43
Sollecitazioni agenti localmente: Ty_l=-1971.89 My_l=-40.37
Tensioni nella sezione: σ=489.35 τ=59.75
CC 11 SLV (Collegamento -044_-376)
Azioni sul collegamento: N=-11335.10 Ty=11.14 Tz=10.38 Mx=0.02 Mz=11.32
Sollecitazioni agenti localmente: Ty_l=-1964.40 My_l=-40.21
Tensioni nella sezione: σ=487.36 τ=59.53
CC 11 SLV (Collegamento -044_-376)
Azioni sul collegamento: N=-11335.10 Ty=11.60 Tz=10.38 Mx=0.02 Mz=9.43
Sollecitazioni agenti localmente: Ty_l=-1971.89 My_l=-40.37
Tensioni nella sezione: σ=489.35 τ=59.75
CC 11 SLV (Collegamento -044_-376)
Azioni sul collegamento: N=-9000.10 Ty=11.14 Tz=17.98 Mx=0.02 Mz=11.32
Sollecitazioni agenti localmente: Ty_l=-1550.46 My_l=-31.72
Tensioni nella sezione: σ=384.50 τ=46.98
CC 11 SLV (Collegamento -044_-376)
Azioni sul collegamento: N=-9000.10 Ty=11.60 Tz=17.98 Mx=0.02 Mz=9.43
Sollecitazioni agenti localmente: Ty_l=-1557.95 My_l=-31.89
Tensioni nella sezione: σ=386.49 τ=47.21
CC 11 SLV (Collegamento -044_-376)
Azioni sul collegamento: N=-9000.10 Ty=11.14 Tz=10.38 Mx=0.02 Mz=11.32
Sollecitazioni agenti localmente: Ty_l=-1550.46 My_l=-31.72
Tensioni nella sezione: σ=384.50 τ=46.98
CC 11 SLV (Collegamento -044_-376)
Azioni sul collegamento: N=-9000.10 Ty=11.60 Tz=10.38 Mx=0.02 Mz=9.43
Sollecitazioni agenti localmente: Ty_l=-1557.95 My_l=-31.89

Tensioni nella sezione: σ=386.49 τ=47.21
CC 12 SLD (Collegamento -044_-376)
Azioni sul collegamento: N=-10426.00 Ty=10.37 Tz=14.95 Mx=0.01 Mz=8.52
Sollecitazioni agenti localmente: Ty_l=-1814.35 My_l=-37.15
Tensioni nella sezione: σ=450.26 τ=54.98
CC 12 SLD (Collegamento -044_-376)
Azioni sul collegamento: N=-10426.00 Ty=10.51 Tz=14.95 Mx=0.01 Mz=7.95
Sollecitazioni agenti localmente: Ty_l=-1816.63 My_l=-37.20
Tensioni nella sezione: σ=450.87 τ=55.05
CC 12 SLD (Collegamento -044_-376)
Azioni sul collegamento: N=-10426.00 Ty=10.37 Tz=12.64 Mx=0.01 Mz=8.52
Sollecitazioni agenti localmente: Ty_l=-1814.35 My_l=-37.15
Tensioni nella sezione: σ=450.26 τ=54.98
CC 12 SLD (Collegamento -044_-376)
Azioni sul collegamento: N=-10426.00 Ty=10.51 Tz=12.64 Mx=0.01 Mz=7.95
Sollecitazioni agenti localmente: Ty_l=-1816.63 My_l=-37.20
Tensioni nella sezione: σ=450.87 τ=55.05
CC 12 SLD (Collegamento -044_-376)
Azioni sul collegamento: N=-9714.02 Ty=10.37 Tz=14.95 Mx=0.01 Mz=8.52
Sollecitazioni agenti localmente: Ty_l=-1688.13 My_l=-34.56
Tensioni nella sezione: σ=418.90 τ=51.16
CC 12 SLD (Collegamento -044_-376)
Azioni sul collegamento: N=-9714.02 Ty=10.51 Tz=14.95 Mx=0.01 Mz=7.95
Sollecitazioni agenti localmente: Ty_l=-1690.41 My_l=-34.61
Tensioni nella sezione: σ=419.50 τ=51.22
CC 12 SLD (Collegamento -044_-376)
Azioni sul collegamento: N=-9714.02 Ty=10.37 Tz=12.64 Mx=0.01 Mz=8.52
Sollecitazioni agenti localmente: Ty_l=-1688.13 My_l=-34.56
Tensioni nella sezione: σ=418.90 τ=51.16
CC 12 SLD (Collegamento -044_-376)
Azioni sul collegamento: N=-9714.02 Ty=10.51 Tz=12.64 Mx=0.01 Mz=7.95
Sollecitazioni agenti localmente: Ty_l=-1690.41 My_l=-34.61
Tensioni nella sezione: σ=419.50 τ=51.22
CC 13 SLV (Collegamento -044_-376)
Azioni sul collegamento: N=-9000.10 Ty=11.60 Tz=10.38 Mx=0.01 Mz=9.43
Sollecitazioni agenti localmente: Ty_l=-1557.95 My_l=-31.89
Tensioni nella sezione: σ=386.49 τ=47.21
CC 13 SLV (Collegamento -044_-376)
Azioni sul collegamento: N=-9000.10 Ty=11.14 Tz=10.38 Mx=0.01 Mz=11.32
Sollecitazioni agenti localmente: Ty_l=-1550.46 My_l=-31.72
Tensioni nella sezione: σ=384.50 τ=46.98
CC 13 SLV (Collegamento -044_-376)
Azioni sul collegamento: N=-9000.10 Ty=11.60 Tz=17.98 Mx=0.01 Mz=9.43
Sollecitazioni agenti localmente: Ty_l=-1557.95 My_l=-31.89
Tensioni nella sezione: σ=386.49 τ=47.21
CC 13 SLV (Collegamento -044_-376)
Azioni sul collegamento: N=-9000.10 Ty=11.14 Tz=17.98 Mx=0.01 Mz=11.32
Sollecitazioni agenti localmente: Ty_l=-1550.46 My_l=-31.72
Tensioni nella sezione: σ=384.50 τ=46.98
CC 13 SLV (Collegamento -044_-376)
Azioni sul collegamento: N=-11335.10 Ty=11.60 Tz=10.38 Mx=0.01 Mz=9.43
Sollecitazioni agenti localmente: Ty_l=-1971.89 My_l=-40.37
Tensioni nella sezione: σ=489.35 τ=59.75
CC 13 SLV (Collegamento -044_-376)
Azioni sul collegamento: N=-11335.10 Ty=11.14 Tz=10.38 Mx=0.01 Mz=11.32
Sollecitazioni agenti localmente: Ty_l=-1964.40 My_l=-40.21
Tensioni nella sezione: σ=487.36 τ=59.53
CC 13 SLV (Collegamento -044_-376)
Azioni sul collegamento: N=-11335.10 Ty=11.60 Tz=17.98 Mx=0.01 Mz=9.43
Sollecitazioni agenti localmente: Ty_l=-1971.89 My_l=-40.37
Tensioni nella sezione: σ=489.35 τ=59.75
CC 13 SLV (Collegamento -044_-376)
Azioni sul collegamento: N=-11335.10 Ty=11.14 Tz=17.98 Mx=0.01 Mz=11.32
Sollecitazioni agenti localmente: Ty_l=-1964.40 My_l=-40.21
Tensioni nella sezione: σ=487.36 τ=59.53
CC 14 SLD (Collegamento -044_-376)
Azioni sul collegamento: N=-9714.02 Ty=10.51 Tz=12.64 Mx=0.00 Mz=7.95
Sollecitazioni agenti localmente: Ty_l=-1690.41 My_l=-34.61
Tensioni nella sezione: σ=419.50 τ=51.22
CC 14 SLD (Collegamento -044_-376)
Azioni sul collegamento: N=-9714.02 Ty=10.37 Tz=12.64 Mx=0.00 Mz=8.52
Sollecitazioni agenti localmente: Ty_l=-1688.13 My_l=-34.56
Tensioni nella sezione: σ=418.90 τ=51.16
CC 14 SLD (Collegamento -044_-376)
Azioni sul collegamento: N=-9714.02 Ty=10.51 Tz=14.95 Mx=0.00 Mz=7.95
Sollecitazioni agenti localmente: Ty_l=-1690.41 My_l=-34.61
Tensioni nella sezione: σ=419.50 τ=51.22
CC 14 SLD (Collegamento -044_-376)
Azioni sul collegamento: N=-9714.02 Ty=10.37 Tz=14.95 Mx=0.00 Mz=8.52

Sollecitazioni agenti localmente: Ty_l=-1688.13 My_l=-34.56
Tensioni nella sezione: σ=418.90 τ=51.16
CC 14 SLD (Collegamento -044_-376)
Azioni sul collegamento: N=-10426.00 Ty=10.51 Tz=12.64 Mx=0.00 Mz=7.95
Sollecitazioni agenti localmente: Ty_l=-1816.63 My_l=-37.20
Tensioni nella sezione: σ=450.87 τ=55.05
CC 14 SLD (Collegamento -044_-376)
Azioni sul collegamento: N=-10426.00 Ty=10.37 Tz=12.64 Mx=0.00 Mz=8.52
Sollecitazioni agenti localmente: Ty_l=-1814.35 My_l=-37.15
Tensioni nella sezione: σ=450.26 τ=54.98
CC 14 SLD (Collegamento -044_-376)
Azioni sul collegamento: N=-10426.00 Ty=10.51 Tz=14.95 Mx=0.00 Mz=7.95
Sollecitazioni agenti localmente: Ty_l=-1816.63 My_l=-37.20
Tensioni nella sezione: σ=450.87 τ=55.05
CC 14 SLD (Collegamento -044_-376)
Azioni sul collegamento: N=-10426.00 Ty=10.37 Tz=14.95 Mx=0.00 Mz=8.52
Sollecitazioni agenti localmente: Ty_l=-1814.35 My_l=-37.15
Tensioni nella sezione: σ=450.26 τ=54.98
CC 15 SLV (Collegamento -044_-376)
Azioni sul collegamento: N=-11351.40 Ty=9.43 Tz=19.07 Mx=0.01 Mz=7.83
Sollecitazioni agenti localmente: Ty_l=-1981.17 My_l=-40.57
Tensioni nella sezione: σ=491.76 τ=60.04
CC 15 SLV (Collegamento -044_-376)
Azioni sul collegamento: N=-11351.40 Ty=13.31 Tz=19.07 Mx=0.01 Mz=12.92
Sollecitazioni agenti localmente: Ty_l=-1960.89 My_l=-40.13
Tensioni nella sezione: σ=486.38 τ=59.42
CC 15 SLV (Collegamento -044_-376)
Azioni sul collegamento: N=-11351.40 Ty=9.43 Tz=9.29 Mx=0.01 Mz=7.83
Sollecitazioni agenti localmente: Ty_l=-1981.17 My_l=-40.57
Tensioni nella sezione: σ=491.76 τ=60.04
CC 15 SLV (Collegamento -044_-376)
Azioni sul collegamento: N=-11351.40 Ty=13.31 Tz=9.29 Mx=0.01 Mz=12.92
Sollecitazioni agenti localmente: Ty_l=-1960.89 My_l=-40.13
Tensioni nella sezione: σ=486.38 τ=59.42
CC 15 SLV (Collegamento -044_-376)
Azioni sul collegamento: N=-8983.82 Ty=9.43 Tz=19.07 Mx=0.01 Mz=7.83
Sollecitazioni agenti localmente: Ty_l=-1561.46 My_l=-31.97
Tensioni nella sezione: σ=387.47 τ=47.32
CC 15 SLV (Collegamento -044_-376)
Azioni sul collegamento: N=-8983.82 Ty=13.31 Tz=19.07 Mx=0.01 Mz=12.92
Sollecitazioni agenti localmente: Ty_l=-1541.18 My_l=-31.52
Tensioni nella sezione: σ=382.09 τ=46.70
CC 15 SLV (Collegamento -044_-376)
Azioni sul collegamento: N=-8983.82 Ty=9.43 Tz=9.29 Mx=0.01 Mz=7.83
Sollecitazioni agenti localmente: Ty_l=-1561.46 My_l=-31.97
Tensioni nella sezione: σ=387.47 τ=47.32
CC 15 SLV (Collegamento -044_-376)
Azioni sul collegamento: N=-8983.82 Ty=13.31 Tz=9.29 Mx=0.01 Mz=12.92
Sollecitazioni agenti localmente: Ty_l=-1541.18 My_l=-31.52
Tensioni nella sezione: σ=382.09 τ=46.70
CC 16 SLD (Collegamento -044_-376)
Azioni sul collegamento: N=-10431.00 Ty=9.85 Tz=15.29 Mx=0.00 Mz=7.46
Sollecitazioni agenti localmente: Ty_l=-1819.46 My_l=-37.26
Tensioni nella sezione: σ=451.61 τ=55.14
CC 16 SLD (Collegamento -044_-376)
Azioni sul collegamento: N=-10431.00 Ty=11.04 Tz=15.29 Mx=0.00 Mz=9.01
Sollecitazioni agenti localmente: Ty_l=-1813.28 My_l=-37.12
Tensioni nella sezione: σ=449.96 τ=54.95
CC 16 SLD (Collegamento -044_-376)
Azioni sul collegamento: N=-10431.00 Ty=9.85 Tz=12.31 Mx=0.00 Mz=7.46
Sollecitazioni agenti localmente: Ty_l=-1819.46 My_l=-37.26
Tensioni nella sezione: σ=451.61 τ=55.14
CC 16 SLD (Collegamento -044_-376)
Azioni sul collegamento: N=-10431.00 Ty=11.04 Tz=12.31 Mx=0.00 Mz=9.01
Sollecitazioni agenti localmente: Ty_l=-1813.28 My_l=-37.12
Tensioni nella sezione: σ=449.96 τ=54.95
CC 16 SLD (Collegamento -044_-376)
Azioni sul collegamento: N=-9709.06 Ty=9.85 Tz=15.29 Mx=0.00 Mz=7.46
Sollecitazioni agenti localmente: Ty_l=-1691.48 My_l=-34.63
Tensioni nella sezione: σ=419.80 τ=51.26
CC 16 SLD (Collegamento -044_-376)
Azioni sul collegamento: N=-9709.06 Ty=11.04 Tz=15.29 Mx=0.00 Mz=9.01
Sollecitazioni agenti localmente: Ty_l=-1685.29 My_l=-34.50
Tensioni nella sezione: σ=418.16 τ=51.07
CC 16 SLD (Collegamento -044_-376)
Azioni sul collegamento: N=-9709.06 Ty=9.85 Tz=12.31 Mx=0.00 Mz=7.46
Sollecitazioni agenti localmente: Ty_l=-1691.48 My_l=-34.63
Tensioni nella sezione: σ=419.80 τ=51.26
CC 16 SLD (Collegamento -044_-376)

Azioni sul collegamento: N=-9709.06 Ty=11.04 Tz=12.31 Mx=0.00 Mz=9.01
Sollecitazioni agenti localmente: Ty_l=-1685.29 My_l=-34.50
Tensioni nella sezione: σ=418.16 τ=51.07
CC 17 SLV (Collegamento -044_-376)
Azioni sul collegamento: N=-5965.51 Ty=12.58 Tz=-1.56 Mx=-0.01 Mz=7.43
Sollecitazioni agenti localmente: Ty_l=-1027.99 My_l=-21.03
Tensioni nella sezione: σ=254.94 τ=31.15
CC 17 SLV (Collegamento -044_-376)
Azioni sul collegamento: N=-5965.51 Ty=4.83 Tz=-1.56 Mx=-0.01 Mz=1.02
Sollecitazioni agenti localmente: Ty_l=-1053.47 My_l=-21.59
Tensioni nella sezione: σ=261.70 τ=31.92
CC 17 SLV (Collegamento -044_-376)
Azioni sul collegamento: N=-5965.51 Ty=12.58 Tz=27.71 Mx=-0.01 Mz=7.43
Sollecitazioni agenti localmente: Ty_l=-1027.99 My_l=-21.03
Tensioni nella sezione: σ=254.94 τ=31.15
CC 17 SLV (Collegamento -044_-376)
Azioni sul collegamento: N=-5965.51 Ty=4.83 Tz=27.71 Mx=-0.01 Mz=1.02
Sollecitazioni agenti localmente: Ty_l=-1053.47 My_l=-21.59
Tensioni nella sezione: σ=261.70 τ=31.92
CC 17 SLV (Collegamento -044_-376)
Azioni sul collegamento: N=-13808.10 Ty=12.58 Tz=-1.56 Mx=-0.01 Mz=7.43
Sollecitazioni agenti localmente: Ty_l=-2418.27 My_l=-49.53
Tensioni nella sezione: σ=600.40 τ=73.28
CC 17 SLV (Collegamento -044_-376)
Azioni sul collegamento: N=-13808.10 Ty=4.83 Tz=-1.56 Mx=-0.01 Mz=1.02
Sollecitazioni agenti localmente: Ty_l=-2443.75 My_l=-50.09
Tensioni nella sezione: σ=607.17 τ=74.05
CC 17 SLV (Collegamento -044_-376)
Azioni sul collegamento: N=-13808.10 Ty=12.58 Tz=27.71 Mx=-0.01 Mz=7.43
Sollecitazioni agenti localmente: Ty_l=-2418.27 My_l=-49.53
Tensioni nella sezione: σ=600.40 τ=73.28
CC 17 SLV (Collegamento -044_-376)
Azioni sul collegamento: N=-13808.10 Ty=4.83 Tz=27.71 Mx=-0.01 Mz=1.02
Sollecitazioni agenti localmente: Ty_l=-2443.75 My_l=-50.09
Tensioni nella sezione: σ=607.17 τ=74.05
CC 18 SLD (Collegamento -044_-376)
Azioni sul collegamento: N=-8788.68 Ty=10.81 Tz=9.00 Mx=-0.00 Mz=7.34
Sollecitazioni agenti localmente: Ty_l=-1528.81 My_l=-31.30
Tensioni nella sezione: σ=379.39 τ=46.33
CC 18 SLD (Collegamento -044_-376)
Azioni sul collegamento: N=-8788.68 Ty=8.45 Tz=9.00 Mx=-0.00 Mz=5.38
Sollecitazioni agenti localmente: Ty_l=-1536.58 My_l=-31.47
Tensioni nella sezione: σ=381.45 τ=46.56
CC 18 SLD (Collegamento -044_-376)
Azioni sul collegamento: N=-8788.68 Ty=10.81 Tz=17.92 Mx=-0.00 Mz=7.34
Sollecitazioni agenti localmente: Ty_l=-1528.81 My_l=-31.30
Tensioni nella sezione: σ=379.39 τ=46.33
CC 18 SLD (Collegamento -044_-376)
Azioni sul collegamento: N=-8788.68 Ty=8.45 Tz=17.92 Mx=-0.00 Mz=5.38
Sollecitazioni agenti localmente: Ty_l=-1536.58 My_l=-31.47
Tensioni nella sezione: σ=381.45 τ=46.56
CC 18 SLD (Collegamento -044_-376)
Azioni sul collegamento: N=-11180.10 Ty=10.81 Tz=9.00 Mx=-0.00 Mz=7.34
Sollecitazioni agenti localmente: Ty_l=-1952.75 My_l=-39.99
Tensioni nella sezione: σ=484.73 τ=59.17
CC 18 SLD (Collegamento -044_-376)
Azioni sul collegamento: N=-11180.10 Ty=8.45 Tz=9.00 Mx=-0.00 Mz=5.38
Sollecitazioni agenti localmente: Ty_l=-1960.52 My_l=-40.16
Tensioni nella sezione: σ=486.80 τ=59.41
CC 18 SLD (Collegamento -044_-376)
Azioni sul collegamento: N=-11180.10 Ty=10.81 Tz=17.92 Mx=-0.00 Mz=7.34
Sollecitazioni agenti localmente: Ty_l=-1952.75 My_l=-39.99
Tensioni nella sezione: σ=484.73 τ=59.17
CC 18 SLD (Collegamento -044_-376)
Azioni sul collegamento: N=-11180.10 Ty=8.45 Tz=17.92 Mx=-0.00 Mz=5.38
Sollecitazioni agenti localmente: Ty_l=-1960.52 My_l=-40.16
Tensioni nella sezione: σ=486.80 τ=59.41
CC 19 SLV (Collegamento -044_-376)
Azioni sul collegamento: N=-5970.39 Ty=12.07 Tz=-1.24 Mx=-0.01 Mz=6.38
Sollecitazioni agenti localmente: Ty_l=-1033.02 My_l=-21.14
Tensioni nella sezione: σ=256.26 τ=31.30
CC 19 SLV (Collegamento -044_-376)
Azioni sul collegamento: N=-5970.39 Ty=5.34 Tz=-1.24 Mx=-0.01 Mz=2.07
Sollecitazioni agenti localmente: Ty_l=-1050.17 My_l=-21.52
Tensioni nella sezione: σ=260.81 τ=31.82
CC 19 SLV (Collegamento -044_-376)
Azioni sul collegamento: N=-5970.39 Ty=12.07 Tz=27.38 Mx=-0.01 Mz=6.38
Sollecitazioni agenti localmente: Ty_l=-1033.02 My_l=-21.14
Tensioni nella sezione: σ=256.26 τ=31.30

CC 19 SLV (Collegamento -044_-376)
Azioni sul collegamento: N=-5970.39 Ty=5.34 Tz=27.38 Mx=-0.01 Mz=2.07
Sollecitazioni agenti localmente: Ty_l=-1050.17 My_l=-21.52
Tensioni nella sezione: σ=260.81 τ=31.82
CC 19 SLV (Collegamento -044_-376)
Azioni sul collegamento: N=-13803.30 Ty=12.07 Tz=-1.24 Mx=-0.01 Mz=6.38
Sollecitazioni agenti localmente: Ty_l=-2421.57 My_l=-49.61
Tensioni nella sezione: σ=601.29 τ=73.38
CC 19 SLV (Collegamento -044_-376)
Azioni sul collegamento: N=-13803.30 Ty=5.34 Tz=-1.24 Mx=-0.01 Mz=2.07
Sollecitazioni agenti localmente: Ty_l=-2438.72 My_l=-49.98
Tensioni nella sezione: σ=605.85 τ=73.90
CC 19 SLV (Collegamento -044_-376)
Azioni sul collegamento: N=-13803.30 Ty=12.07 Tz=27.38 Mx=-0.01 Mz=6.38
Sollecitazioni agenti localmente: Ty_l=-2421.57 My_l=-49.61
Tensioni nella sezione: σ=601.29 τ=73.38
CC 19 SLV (Collegamento -044_-376)
Azioni sul collegamento: N=-13803.30 Ty=5.34 Tz=27.38 Mx=-0.01 Mz=2.07
Sollecitazioni agenti localmente: Ty_l=-2438.72 My_l=-49.98
Tensioni nella sezione: σ=605.85 τ=73.90
CC 20 SLD (Collegamento -044_-376)
Azioni sul collegamento: N=-8790.17 Ty=10.66 Tz=9.09 Mx=-0.00 Mz=7.02
Sollecitazioni agenti localmente: Ty_l=-1530.34 My_l=-31.33
Tensioni nella sezione: σ=379.79 τ=46.37
CC 20 SLD (Collegamento -044_-376)
Azioni sul collegamento: N=-8790.17 Ty=8.61 Tz=9.09 Mx=-0.00 Mz=5.70
Sollecitazioni agenti localmente: Ty_l=-1535.57 My_l=-31.45
Tensioni nella sezione: σ=381.18 τ=46.53
CC 20 SLD (Collegamento -044_-376)
Azioni sul collegamento: N=-8790.17 Ty=10.66 Tz=17.82 Mx=-0.00 Mz=7.02
Sollecitazioni agenti localmente: Ty_l=-1530.34 My_l=-31.33
Tensioni nella sezione: σ=379.79 τ=46.37
CC 20 SLD (Collegamento -044_-376)
Azioni sul collegamento: N=-8790.17 Ty=8.61 Tz=17.82 Mx=-0.00 Mz=5.70
Sollecitazioni agenti localmente: Ty_l=-1535.57 My_l=-31.45
Tensioni nella sezione: σ=381.18 τ=46.53
CC 20 SLD (Collegamento -044_-376)
Azioni sul collegamento: N=-11178.70 Ty=10.66 Tz=9.10 Mx=-0.00 Mz=7.02
Sollecitazioni agenti localmente: Ty_l=-1953.76 My_l=-40.01
Tensioni nella sezione: σ=485.00 τ=59.20
CC 20 SLD (Collegamento -044_-376)
Azioni sul collegamento: N=-11178.70 Ty=8.61 Tz=9.10 Mx=-0.00 Mz=5.70
Sollecitazioni agenti localmente: Ty_l=-1958.98 My_l=-40.13
Tensioni nella sezione: σ=486.39 τ=59.36
CC 20 SLD (Collegamento -044_-376)
Azioni sul collegamento: N=-11178.70 Ty=10.66 Tz=17.82 Mx=-0.00 Mz=7.02
Sollecitazioni agenti localmente: Ty_l=-1953.76 My_l=-40.01
Tensioni nella sezione: σ=485.00 τ=59.20
CC 20 SLD (Collegamento -044_-376)
Azioni sul collegamento: N=-11178.70 Ty=8.61 Tz=17.82 Mx=-0.00 Mz=5.70
Sollecitazioni agenti localmente: Ty_l=-1958.98 My_l=-40.13
Tensioni nella sezione: σ=486.39 τ=59.36
CC 21 SLV (Collegamento -044_-376)
Azioni sul collegamento: N=-13803.30 Ty=5.34 Tz=27.38 Mx=-0.01 Mz=2.07
Sollecitazioni agenti localmente: Ty_l=-2438.72 My_l=-49.98
Tensioni nella sezione: σ=605.85 τ=73.90
CC 21 SLV (Collegamento -044_-376)
Azioni sul collegamento: N=-13803.30 Ty=12.07 Tz=27.38 Mx=-0.01 Mz=6.38
Sollecitazioni agenti localmente: Ty_l=-2421.57 My_l=-49.61
Tensioni nella sezione: σ=601.29 τ=73.38
CC 21 SLV (Collegamento -044_-376)
Azioni sul collegamento: N=-13803.30 Ty=5.34 Tz=-1.24 Mx=-0.01 Mz=2.07
Sollecitazioni agenti localmente: Ty_l=-2438.72 My_l=-49.98
Tensioni nella sezione: σ=605.85 τ=73.90
CC 21 SLV (Collegamento -044_-376)
Azioni sul collegamento: N=-13803.30 Ty=12.07 Tz=-1.24 Mx=-0.01 Mz=6.38
Sollecitazioni agenti localmente: Ty_l=-2421.57 My_l=-49.61
Tensioni nella sezione: σ=601.29 τ=73.38
CC 21 SLV (Collegamento -044_-376)
Azioni sul collegamento: N=-5970.39 Ty=5.34 Tz=27.38 Mx=-0.01 Mz=2.07
Sollecitazioni agenti localmente: Ty_l=-1050.17 My_l=-21.52
Tensioni nella sezione: σ=260.81 τ=31.82
CC 21 SLV (Collegamento -044_-376)
Azioni sul collegamento: N=-5970.39 Ty=12.07 Tz=27.38 Mx=-0.01 Mz=6.38
Sollecitazioni agenti localmente: Ty_l=-1033.02 My_l=-21.14
Tensioni nella sezione: σ=256.26 τ=31.30
CC 21 SLV (Collegamento -044_-376)
Azioni sul collegamento: N=-5970.39 Ty=5.34 Tz=-1.24 Mx=-0.01 Mz=2.07
Sollecitazioni agenti localmente: Ty_l=-1050.17 My_l=-21.52

Tensioni nella sezione: σ=260.81 τ=31.82
CC 21 SLV (Collegamento -044_-376)
Azioni sul collegamento: N=-5970.39 Ty=12.07 Tz=-1.24 Mx=-0.01 Mz=6.38
Sollecitazioni agenti localmente: Ty_l=-1033.02 My_l=-21.14
Tensioni nella sezione: σ=256.26 τ=31.30
CC 22 SLD (Collegamento -044_-376)
Azioni sul collegamento: N=-11178.70 Ty=8.61 Tz=17.82 Mx=-0.00 Mz=5.70
Sollecitazioni agenti localmente: Ty_l=-1958.98 My_l=-40.13
Tensioni nella sezione: σ=486.39 τ=59.36
CC 22 SLD (Collegamento -044_-376)
Azioni sul collegamento: N=-11178.70 Ty=10.66 Tz=17.82 Mx=-0.00 Mz=7.02
Sollecitazioni agenti localmente: Ty_l=-1953.76 My_l=-40.01
Tensioni nella sezione: σ=485.00 τ=59.20
CC 22 SLD (Collegamento -044_-376)
Azioni sul collegamento: N=-11178.70 Ty=8.61 Tz=9.10 Mx=-0.00 Mz=5.70
Sollecitazioni agenti localmente: Ty_l=-1958.98 My_l=-40.13
Tensioni nella sezione: σ=486.39 τ=59.36
CC 22 SLD (Collegamento -044_-376)
Azioni sul collegamento: N=-11178.70 Ty=10.66 Tz=9.10 Mx=-0.00 Mz=7.02
Sollecitazioni agenti localmente: Ty_l=-1953.76 My_l=-40.01
Tensioni nella sezione: σ=485.00 τ=59.20
CC 22 SLD (Collegamento -044_-376)
Azioni sul collegamento: N=-8790.17 Ty=8.61 Tz=17.82 Mx=-0.00 Mz=5.70
Sollecitazioni agenti localmente: Ty_l=-1535.57 My_l=-31.45
Tensioni nella sezione: σ=381.18 τ=46.53
CC 22 SLD (Collegamento -044_-376)
Azioni sul collegamento: N=-8790.17 Ty=10.66 Tz=17.82 Mx=-0.00 Mz=7.02
Sollecitazioni agenti localmente: Ty_l=-1530.34 My_l=-31.33
Tensioni nella sezione: σ=379.79 τ=46.37
CC 22 SLD (Collegamento -044_-376)
Azioni sul collegamento: N=-8790.17 Ty=8.61 Tz=9.09 Mx=-0.00 Mz=5.70
Sollecitazioni agenti localmente: Ty_l=-1535.57 My_l=-31.45
Tensioni nella sezione: σ=381.18 τ=46.53
CC 22 SLD (Collegamento -044_-376)
Azioni sul collegamento: N=-8790.17 Ty=10.66 Tz=9.09 Mx=-0.00 Mz=7.02
Sollecitazioni agenti localmente: Ty_l=-1530.34 My_l=-31.33
Tensioni nella sezione: σ=379.79 τ=46.37
CC 23 SLV (Collegamento -044_-376)
Azioni sul collegamento: N=-13808.10 Ty=4.83 Tz=27.71 Mx=-0.01 Mz=1.02
Sollecitazioni agenti localmente: Ty_l=-2443.75 My_l=-50.09
Tensioni nella sezione: σ=607.17 τ=74.05
CC 23 SLV (Collegamento -044_-376)
Azioni sul collegamento: N=-13808.10 Ty=12.58 Tz=27.71 Mx=-0.01 Mz=7.43
Sollecitazioni agenti localmente: Ty_l=-2418.27 My_l=-49.53
Tensioni nella sezione: σ=600.40 τ=73.28
CC 23 SLV (Collegamento -044_-376)
Azioni sul collegamento: N=-13808.10 Ty=4.83 Tz=-1.56 Mx=-0.01 Mz=1.02
Sollecitazioni agenti localmente: Ty_l=-2443.75 My_l=-50.09
Tensioni nella sezione: σ=607.17 τ=74.05
CC 23 SLV (Collegamento -044_-376)
Azioni sul collegamento: N=-13808.10 Ty=12.58 Tz=-1.56 Mx=-0.01 Mz=7.43
Sollecitazioni agenti localmente: Ty_l=-2418.27 My_l=-49.53
Tensioni nella sezione: σ=600.40 τ=73.28
CC 23 SLV (Collegamento -044_-376)
Azioni sul collegamento: N=-5965.51 Ty=4.83 Tz=27.71 Mx=-0.01 Mz=1.02
Sollecitazioni agenti localmente: Ty_l=-1053.47 My_l=-21.59
Tensioni nella sezione: σ=261.70 τ=31.92
CC 23 SLV (Collegamento -044_-376)
Azioni sul collegamento: N=-5965.51 Ty=12.58 Tz=27.71 Mx=-0.01 Mz=7.43
Sollecitazioni agenti localmente: Ty_l=-1027.99 My_l=-21.03
Tensioni nella sezione: σ=254.94 τ=31.15
CC 23 SLV (Collegamento -044_-376)
Azioni sul collegamento: N=-5965.51 Ty=4.83 Tz=-1.56 Mx=-0.01 Mz=1.02
Sollecitazioni agenti localmente: Ty_l=-1053.47 My_l=-21.59
Tensioni nella sezione: σ=261.70 τ=31.92
CC 23 SLV (Collegamento -044_-376)
Azioni sul collegamento: N=-5965.51 Ty=12.58 Tz=-1.56 Mx=-0.01 Mz=7.43
Sollecitazioni agenti localmente: Ty_l=-1027.99 My_l=-21.03
Tensioni nella sezione: σ=254.94 τ=31.15
CC 24 SLD (Collegamento -044_-376)
Azioni sul collegamento: N=-11180.10 Ty=8.45 Tz=17.92 Mx=-0.00 Mz=5.38
Sollecitazioni agenti localmente: Ty_l=-1960.52 My_l=-40.16
Tensioni nella sezione: σ=486.80 τ=59.41
CC 24 SLD (Collegamento -044_-376)
Azioni sul collegamento: N=-11180.10 Ty=10.81 Tz=17.92 Mx=-0.00 Mz=7.34
Sollecitazioni agenti localmente: Ty_l=-1952.75 My_l=-39.99
Tensioni nella sezione: σ=484.73 τ=59.17
CC 24 SLD (Collegamento -044_-376)
Azioni sul collegamento: N=-11180.10 Ty=8.45 Tz=9.00 Mx=-0.00 Mz=5.38

Sollecitazioni agenti localmente: Ty_l=-1960.52 My_l=-40.16
Tensioni nella sezione: σ=486.80 τ=59.41
CC 24 SLD (Collegamento -044_-376)
Azioni sul collegamento: N=-11180.10 Ty=10.81 Tz=9.00 Mx=-0.00 Mz=7.34
Sollecitazioni agenti localmente: Ty_l=-1952.75 My_l=-39.99
Tensioni nella sezione: σ=484.73 τ=59.17
CC 24 SLD (Collegamento -044_-376)
Azioni sul collegamento: N=-8788.68 Ty=8.45 Tz=17.92 Mx=-0.00 Mz=5.38
Sollecitazioni agenti localmente: Ty_l=-1536.58 My_l=-31.47
Tensioni nella sezione: σ=381.45 τ=46.56
CC 24 SLD (Collegamento -044_-376)
Azioni sul collegamento: N=-8788.68 Ty=10.81 Tz=17.92 Mx=-0.00 Mz=7.34
Sollecitazioni agenti localmente: Ty_l=-1528.81 My_l=-31.30
Tensioni nella sezione: σ=379.39 τ=46.33
CC 24 SLD (Collegamento -044_-376)
Azioni sul collegamento: N=-8788.68 Ty=8.45 Tz=9.00 Mx=-0.00 Mz=5.38
Sollecitazioni agenti localmente: Ty_l=-1536.58 My_l=-31.47
Tensioni nella sezione: σ=381.45 τ=46.56
CC 24 SLD (Collegamento -044_-376)
Azioni sul collegamento: N=-8788.68 Ty=10.81 Tz=9.00 Mx=-0.00 Mz=7.34
Sollecitazioni agenti localmente: Ty_l=-1528.81 My_l=-31.30
Tensioni nella sezione: σ=379.39 τ=46.33
CC 25 SLV (Collegamento -044_-376)
Azioni sul collegamento: N=-8703.02 Ty=10.65 Tz=8.19 Mx=-0.02 Mz=6.77
Sollecitazioni agenti localmente: Ty_l=-1515.87 My_l=-31.04
Tensioni nella sezione: σ=376.21 τ=45.94
CC 25 SLV (Collegamento -044_-376)
Azioni sul collegamento: N=-8703.02 Ty=6.76 Tz=8.19 Mx=-0.02 Mz=1.67
Sollecitazioni agenti localmente: Ty_l=-1536.15 My_l=-31.48
Tensioni nella sezione: σ=381.60 τ=46.55
CC 25 SLV (Collegamento -044_-376)
Azioni sul collegamento: N=-8703.02 Ty=10.65 Tz=17.96 Mx=-0.02 Mz=6.77
Sollecitazioni agenti localmente: Ty_l=-1515.87 My_l=-31.04
Tensioni nella sezione: σ=376.21 τ=45.94
CC 25 SLV (Collegamento -044_-376)
Azioni sul collegamento: N=-8703.02 Ty=6.76 Tz=17.96 Mx=-0.02 Mz=1.67
Sollecitazioni agenti localmente: Ty_l=-1536.15 My_l=-31.48
Tensioni nella sezione: σ=381.60 τ=46.55
CC 25 SLV (Collegamento -044_-376)
Azioni sul collegamento: N=-11070.60 Ty=10.65 Tz=8.19 Mx=-0.02 Mz=6.77
Sollecitazioni agenti localmente: Ty_l=-1935.58 My_l=-39.64
Tensioni nella sezione: σ=480.51 τ=58.65
CC 25 SLV (Collegamento -044_-376)
Azioni sul collegamento: N=-11070.60 Ty=6.76 Tz=8.19 Mx=-0.02 Mz=1.67
Sollecitazioni agenti localmente: Ty_l=-1955.87 My_l=-40.09
Tensioni nella sezione: σ=485.89 τ=59.27
CC 25 SLV (Collegamento -044_-376)
Azioni sul collegamento: N=-11070.60 Ty=10.65 Tz=17.96 Mx=-0.02 Mz=6.77
Sollecitazioni agenti localmente: Ty_l=-1935.58 My_l=-39.64
Tensioni nella sezione: σ=480.51 τ=58.65
CC 25 SLV (Collegamento -044_-376)
Azioni sul collegamento: N=-11070.60 Ty=6.76 Tz=17.96 Mx=-0.02 Mz=1.67
Sollecitazioni agenti localmente: Ty_l=-1955.87 My_l=-40.09
Tensioni nella sezione: σ=485.89 τ=59.27
CC 26 SLD (Collegamento -044_-376)
Azioni sul collegamento: N=-9623.43 Ty=10.22 Tz=11.97 Mx=-0.00 Mz=7.14
Sollecitazioni agenti localmente: Ty_l=-1677.58 My_l=-34.35
Tensioni nella sezione: σ=416.37 τ=50.84
CC 26 SLD (Collegamento -044_-376)
Azioni sul collegamento: N=-9623.43 Ty=9.04 Tz=11.97 Mx=-0.00 Mz=5.58
Sollecitazioni agenti localmente: Ty_l=-1683.76 My_l=-34.49
Tensioni nella sezione: σ=418.01 τ=51.02
CC 26 SLD (Collegamento -044_-376)
Azioni sul collegamento: N=-9623.43 Ty=10.22 Tz=14.95 Mx=-0.00 Mz=7.14
Sollecitazioni agenti localmente: Ty_l=-1677.58 My_l=-34.35
Tensioni nella sezione: σ=416.37 τ=50.84
CC 26 SLD (Collegamento -044_-376)
Azioni sul collegamento: N=-9623.43 Ty=9.04 Tz=14.95 Mx=-0.00 Mz=5.58
Sollecitazioni agenti localmente: Ty_l=-1683.76 My_l=-34.49
Tensioni nella sezione: σ=418.01 τ=51.02
CC 26 SLD (Collegamento -044_-376)
Azioni sul collegamento: N=-10345.40 Ty=10.22 Tz=11.97 Mx=-0.00 Mz=7.14
Sollecitazioni agenti localmente: Ty_l=-1805.56 My_l=-36.97
Tensioni nella sezione: σ=448.17 τ=54.71
CC 26 SLD (Collegamento -044_-376)
Azioni sul collegamento: N=-10345.40 Ty=9.04 Tz=11.97 Mx=-0.00 Mz=5.58
Sollecitazioni agenti localmente: Ty_l=-1811.75 My_l=-37.11
Tensioni nella sezione: σ=449.81 τ=54.90
CC 26 SLD (Collegamento -044_-376)

Azioni sul collegamento: N=-10345.40 Ty=10.22 Tz=14.95 Mx=-0.00 Mz=7.14
Sollecitazioni agenti localmente: Ty_l=-1805.56 My_l=-36.97
Tensioni nella sezione: σ=448.17 τ=54.71
CC 26 SLD (Collegamento -044_-376)
Azioni sul collegamento: N=-10345.40 Ty=9.04 Tz=14.95 Mx=-0.00 Mz=5.58
Sollecitazioni agenti localmente: Ty_l=-1811.75 My_l=-37.11
Tensioni nella sezione: σ=449.81 τ=54.90
CC 27 SLV (Collegamento -044_-376)
Azioni sul collegamento: N=-11054.30 Ty=8.48 Tz=16.87 Mx=-0.02 Mz=5.16
Sollecitazioni agenti localmente: Ty_l=-1939.09 My_l=-39.72
Tensioni nella sezione: σ=481.49 τ=58.76
CC 27 SLV (Collegamento -044_-376)
Azioni sul collegamento: N=-11054.30 Ty=8.94 Tz=16.87 Mx=-0.02 Mz=3.28
Sollecitazioni agenti localmente: Ty_l=-1946.58 My_l=-39.89
Tensioni nella sezione: σ=483.48 τ=58.99
CC 27 SLV (Collegamento -044_-376)
Azioni sul collegamento: N=-11054.30 Ty=8.48 Tz=9.28 Mx=-0.02 Mz=5.16
Sollecitazioni agenti localmente: Ty_l=-1939.09 My_l=-39.72
Tensioni nella sezione: σ=481.49 τ=58.76
CC 27 SLV (Collegamento -044_-376)
Azioni sul collegamento: N=-11054.30 Ty=8.94 Tz=9.28 Mx=-0.02 Mz=3.28
Sollecitazioni agenti localmente: Ty_l=-1946.58 My_l=-39.89
Tensioni nella sezione: σ=483.48 τ=58.99
CC 27 SLV (Collegamento -044_-376)
Azioni sul collegamento: N=-8719.31 Ty=8.48 Tz=16.87 Mx=-0.02 Mz=5.16
Sollecitazioni agenti localmente: Ty_l=-1525.15 My_l=-31.24
Tensioni nella sezione: σ=378.63 τ=46.22
CC 27 SLV (Collegamento -044_-376)
Azioni sul collegamento: N=-8719.31 Ty=8.94 Tz=16.87 Mx=-0.02 Mz=3.28
Sollecitazioni agenti localmente: Ty_l=-1532.65 My_l=-31.40
Tensioni nella sezione: σ=380.62 τ=46.44
CC 27 SLV (Collegamento -044_-376)
Azioni sul collegamento: N=-8719.31 Ty=8.48 Tz=9.28 Mx=-0.02 Mz=5.16
Sollecitazioni agenti localmente: Ty_l=-1525.15 My_l=-31.24
Tensioni nella sezione: σ=378.63 τ=46.22
CC 27 SLV (Collegamento -044_-376)
Azioni sul collegamento: N=-8719.31 Ty=8.94 Tz=9.28 Mx=-0.02 Mz=3.28
Sollecitazioni agenti localmente: Ty_l=-1532.65 My_l=-31.40
Tensioni nella sezione: σ=380.62 τ=46.44
CC 28 SLD (Collegamento -044_-376)
Azioni sul collegamento: N=-10340.40 Ty=9.56 Tz=14.62 Mx=-0.00 Mz=6.65
Sollecitazioni agenti localmente: Ty_l=-1806.63 My_l=-37.00
Tensioni nella sezione: σ=448.47 τ=54.75
CC 28 SLD (Collegamento -044_-376)
Azioni sul collegamento: N=-10340.40 Ty=9.70 Tz=14.62 Mx=-0.00 Mz=6.07
Sollecitazioni agenti localmente: Ty_l=-1808.92 My_l=-37.05
Tensioni nella sezione: σ=449.08 τ=54.82
CC 28 SLD (Collegamento -044_-376)
Azioni sul collegamento: N=-10340.40 Ty=9.56 Tz=12.30 Mx=-0.00 Mz=6.65
Sollecitazioni agenti localmente: Ty_l=-1806.63 My_l=-37.00
Tensioni nella sezione: σ=448.47 τ=54.75
CC 28 SLD (Collegamento -044_-376)
Azioni sul collegamento: N=-10340.40 Ty=9.70 Tz=12.30 Mx=-0.00 Mz=6.07
Sollecitazioni agenti localmente: Ty_l=-1808.92 My_l=-37.05
Tensioni nella sezione: σ=449.08 τ=54.82
CC 28 SLD (Collegamento -044_-376)
Azioni sul collegamento: N=-9628.40 Ty=9.56 Tz=14.62 Mx=-0.00 Mz=6.65
Sollecitazioni agenti localmente: Ty_l=-1680.41 My_l=-34.41
Tensioni nella sezione: σ=417.11 τ=50.92
CC 28 SLD (Collegamento -044_-376)
Azioni sul collegamento: N=-9628.40 Ty=9.70 Tz=14.62 Mx=-0.00 Mz=6.07
Sollecitazioni agenti localmente: Ty_l=-1682.69 My_l=-34.46
Tensioni nella sezione: σ=417.71 τ=50.99
CC 28 SLD (Collegamento -044_-376)
Azioni sul collegamento: N=-9628.40 Ty=9.56 Tz=12.30 Mx=-0.00 Mz=6.65
Sollecitazioni agenti localmente: Ty_l=-1680.41 My_l=-34.41
Tensioni nella sezione: σ=417.11 τ=50.92
CC 28 SLD (Collegamento -044_-376)
Azioni sul collegamento: N=-9628.40 Ty=9.70 Tz=12.30 Mx=-0.00 Mz=6.07
Sollecitazioni agenti localmente: Ty_l=-1682.69 My_l=-34.46
Tensioni nella sezione: σ=417.71 τ=50.99
CC 29 SLV (Collegamento -044_-376)
Azioni sul collegamento: N=-8719.31 Ty=8.94 Tz=9.28 Mx=-0.00 Mz=3.28
Sollecitazioni agenti localmente: Ty_l=-1532.65 My_l=-31.40
Tensioni nella sezione: σ=380.62 τ=46.44
CC 29 SLV (Collegamento -044_-376)
Azioni sul collegamento: N=-8719.31 Ty=8.48 Tz=9.28 Mx=-0.00 Mz=5.16
Sollecitazioni agenti localmente: Ty_l=-1525.15 My_l=-31.24
Tensioni nella sezione: σ=378.63 τ=46.22

CC 29 SLV (Collegamento -044_-376)
Azioni sul collegamento: N=-8719.31 Ty=8.94 Tz=16.87 Mx=-0.00 Mz=3.28
Sollecitazioni agenti localmente: Ty_l=-1532.65 My_l=-31.40
Tensioni nella sezione: σ=380.62 τ=46.44
CC 29 SLV (Collegamento -044_-376)
Azioni sul collegamento: N=-8719.31 Ty=8.48 Tz=16.87 Mx=-0.00 Mz=5.16
Sollecitazioni agenti localmente: Ty_l=-1525.15 My_l=-31.24
Tensioni nella sezione: σ=378.63 τ=46.22
CC 29 SLV (Collegamento -044_-376)
Azioni sul collegamento: N=-11054.30 Ty=8.94 Tz=9.28 Mx=-0.00 Mz=3.28
Sollecitazioni agenti localmente: Ty_l=-1946.58 My_l=-39.89
Tensioni nella sezione: σ=483.48 τ=58.99
CC 29 SLV (Collegamento -044_-376)
Azioni sul collegamento: N=-11054.30 Ty=8.48 Tz=9.28 Mx=-0.00 Mz=5.16
Sollecitazioni agenti localmente: Ty_l=-1939.09 My_l=-39.72
Tensioni nella sezione: σ=481.49 τ=58.76
CC 29 SLV (Collegamento -044_-376)
Azioni sul collegamento: N=-11054.30 Ty=8.94 Tz=16.87 Mx=-0.00 Mz=3.28
Sollecitazioni agenti localmente: Ty_l=-1946.58 My_l=-39.89
Tensioni nella sezione: σ=483.48 τ=58.99
CC 29 SLV (Collegamento -044_-376)
Azioni sul collegamento: N=-11054.30 Ty=8.48 Tz=16.87 Mx=-0.00 Mz=5.16
Sollecitazioni agenti localmente: Ty_l=-1939.09 My_l=-39.72
Tensioni nella sezione: σ=481.49 τ=58.76
CC 30 SLD (Collegamento -044_-376)
Azioni sul collegamento: N=-9628.40 Ty=9.70 Tz=12.30 Mx=0.00 Mz=6.07
Sollecitazioni agenti localmente: Ty_l=-1682.69 My_l=-34.46
Tensioni nella sezione: σ=417.71 τ=50.99
CC 30 SLD (Collegamento -044_-376)
Azioni sul collegamento: N=-9628.40 Ty=9.56 Tz=12.30 Mx=0.00 Mz=6.65
Sollecitazioni agenti localmente: Ty_l=-1680.41 My_l=-34.41
Tensioni nella sezione: σ=417.11 τ=50.92
CC 30 SLD (Collegamento -044_-376)
Azioni sul collegamento: N=-9628.40 Ty=9.70 Tz=14.62 Mx=0.00 Mz=6.07
Sollecitazioni agenti localmente: Ty_l=-1682.69 My_l=-34.46
Tensioni nella sezione: σ=417.71 τ=50.99
CC 30 SLD (Collegamento -044_-376)
Azioni sul collegamento: N=-9628.40 Ty=9.56 Tz=14.62 Mx=0.00 Mz=6.65
Sollecitazioni agenti localmente: Ty_l=-1680.41 My_l=-34.41
Tensioni nella sezione: σ=417.11 τ=50.92
CC 30 SLD (Collegamento -044_-376)
Azioni sul collegamento: N=-10340.40 Ty=9.70 Tz=12.30 Mx=0.00 Mz=6.07
Sollecitazioni agenti localmente: Ty_l=-1808.92 My_l=-37.05
Tensioni nella sezione: σ=449.08 τ=54.82
CC 30 SLD (Collegamento -044_-376)
Azioni sul collegamento: N=-10340.40 Ty=9.56 Tz=12.30 Mx=0.00 Mz=6.65
Sollecitazioni agenti localmente: Ty_l=-1806.63 My_l=-37.00
Tensioni nella sezione: σ=448.47 τ=54.75
CC 30 SLD (Collegamento -044_-376)
Azioni sul collegamento: N=-10340.40 Ty=9.70 Tz=14.62 Mx=0.00 Mz=6.07
Sollecitazioni agenti localmente: Ty_l=-1808.92 My_l=-37.05
Tensioni nella sezione: σ=449.08 τ=54.82
CC 30 SLD (Collegamento -044_-376)
Azioni sul collegamento: N=-10340.40 Ty=9.56 Tz=14.62 Mx=0.00 Mz=6.65
Sollecitazioni agenti localmente: Ty_l=-1806.63 My_l=-37.00
Tensioni nella sezione: σ=448.47 τ=54.75
CC 31 SLV (Collegamento -044_-376)
Azioni sul collegamento: N=-11070.60 Ty=6.76 Tz=17.96 Mx=-0.00 Mz=1.67
Sollecitazioni agenti localmente: Ty_l=-1955.87 My_l=-40.09
Tensioni nella sezione: σ=485.89 τ=59.27
CC 31 SLV (Collegamento -044_-376)
Azioni sul collegamento: N=-11070.60 Ty=10.65 Tz=17.96 Mx=-0.00 Mz=6.77
Sollecitazioni agenti localmente: Ty_l=-1935.58 My_l=-39.64
Tensioni nella sezione: σ=480.51 τ=58.65
CC 31 SLV (Collegamento -044_-376)
Azioni sul collegamento: N=-11070.60 Ty=6.76 Tz=8.19 Mx=-0.00 Mz=1.67
Sollecitazioni agenti localmente: Ty_l=-1955.87 My_l=-40.09
Tensioni nella sezione: σ=485.89 τ=59.27
CC 31 SLV (Collegamento -044_-376)
Azioni sul collegamento: N=-11070.60 Ty=10.65 Tz=8.19 Mx=-0.00 Mz=6.77
Sollecitazioni agenti localmente: Ty_l=-1935.58 My_l=-39.64
Tensioni nella sezione: σ=480.51 τ=58.65
CC 31 SLV (Collegamento -044_-376)
Azioni sul collegamento: N=-8703.02 Ty=6.76 Tz=17.96 Mx=-0.00 Mz=1.67
Sollecitazioni agenti localmente: Ty_l=-1536.15 My_l=-31.48
Tensioni nella sezione: σ=381.60 τ=46.55
CC 31 SLV (Collegamento -044_-376)
Azioni sul collegamento: N=-8703.02 Ty=10.65 Tz=17.96 Mx=-0.00 Mz=6.77
Sollecitazioni agenti localmente: Ty_l=-1515.87 My_l=-31.04

Tensioni nella sezione: σ=376.21 τ=45.94
CC 31 SLV (Collegamento -044_-376)
Azioni sul collegamento: N=-8703.02 Ty=6.76 Tz=8.19 Mx=-0.00 Mz=1.67
Sollecitazioni agenti localmente: Ty_l=-1536.15 My_l=-31.48
Tensioni nella sezione: σ=381.60 τ=46.55
CC 31 SLV (Collegamento -044_-376)
Azioni sul collegamento: N=-8703.02 Ty=10.65 Tz=8.19 Mx=-0.00 Mz=6.77
Sollecitazioni agenti localmente: Ty_l=-1515.87 My_l=-31.04
Tensioni nella sezione: σ=376.21 τ=45.94
CC 32 SLD (Collegamento -044_-376)
Azioni sul collegamento: N=-10345.40 Ty=9.04 Tz=14.95 Mx=0.00 Mz=5.58
Sollecitazioni agenti localmente: Ty_l=-1811.75 My_l=-37.11
Tensioni nella sezione: σ=449.81 τ=54.90
CC 32 SLD (Collegamento -044_-376)
Azioni sul collegamento: N=-10345.40 Ty=10.22 Tz=14.95 Mx=0.00 Mz=7.14
Sollecitazioni agenti localmente: Ty_l=-1805.56 My_l=-36.97
Tensioni nella sezione: σ=448.17 τ=54.71
CC 32 SLD (Collegamento -044_-376)
Azioni sul collegamento: N=-10345.40 Ty=9.04 Tz=11.97 Mx=0.00 Mz=5.58
Sollecitazioni agenti localmente: Ty_l=-1811.75 My_l=-37.11
Tensioni nella sezione: σ=449.81 τ=54.90
CC 32 SLD (Collegamento -044_-376)
Azioni sul collegamento: N=-10345.40 Ty=10.22 Tz=11.97 Mx=0.00 Mz=7.14
Sollecitazioni agenti localmente: Ty_l=-1805.56 My_l=-36.97
Tensioni nella sezione: σ=448.17 τ=54.71
CC 32 SLD (Collegamento -044_-376)
Azioni sul collegamento: N=-9623.43 Ty=9.04 Tz=14.95 Mx=0.00 Mz=5.58
Sollecitazioni agenti localmente: Ty_l=-1683.76 My_l=-34.49
Tensioni nella sezione: σ=418.01 τ=51.02
CC 32 SLD (Collegamento -044_-376)
Azioni sul collegamento: N=-9623.43 Ty=10.22 Tz=14.95 Mx=0.00 Mz=7.14
Sollecitazioni agenti localmente: Ty_l=-1677.58 My_l=-34.35
Tensioni nella sezione: σ=416.37 τ=50.84
CC 32 SLD (Collegamento -044_-376)
Azioni sul collegamento: N=-9623.43 Ty=9.04 Tz=11.97 Mx=0.00 Mz=5.58
Sollecitazioni agenti localmente: Ty_l=-1683.76 My_l=-34.49
Tensioni nella sezione: σ=418.01 τ=51.02
CC 32 SLD (Collegamento -044_-376)
Azioni sul collegamento: N=-9623.43 Ty=10.22 Tz=11.97 Mx=0.00 Mz=7.14
Sollecitazioni agenti localmente: Ty_l=-1677.58 My_l=-34.35
Tensioni nella sezione: σ=416.37 τ=50.84
CC 33 SLU (Collegamento -044_-376)
Azioni sul collegamento: N=-37458.50 Ty=20.96 Tz=106.28 Mx=0.00 Mz=15.40
Sollecitazioni agenti localmente: Ty_l=-6579.14 My_l=-134.79
Tensioni nella sezione: σ=1633.78 τ=199.37
CC 34 SLU (Collegamento -044_-376)
Azioni sul collegamento: N=-36642.60 Ty=20.20 Tz=103.27 Mx=0.00 Mz=14.84
Sollecitazioni agenti localmente: Ty_l=-6436.70 My_l=-131.87
Tensioni nella sezione: σ=1598.42 τ=195.05
CC 35 SLU (Collegamento -044_-376)
Azioni sul collegamento: N=-37049.70 Ty=20.49 Tz=104.83 Mx=0.01 Mz=14.94
Sollecitazioni agenti localmente: Ty_l=-6508.49 My_l=-133.34
Tensioni nella sezione: σ=1616.25 τ=197.23
CC 36 SLU (Collegamento -044_-376)
Azioni sul collegamento: N=-37051.40 Ty=20.67 Tz=104.72 Mx=0.00 Mz=15.30
Sollecitazioni agenti localmente: Ty_l=-6507.35 My_l=-133.32
Tensioni nella sezione: σ=1615.95 τ=197.19
CC 37 SLU (Collegamento -044_-376)
Azioni sul collegamento: N=-28275.70 Ty=20.11 Tz=72.57 Mx=0.00 Mz=14.65
Sollecitazioni agenti localmente: Ty_l=-4954.25 My_l=-101.48
Tensioni nella sezione: σ=1230.07 τ=150.13
CC 38 SLU (Collegamento -044_-376)
Azioni sul collegamento: N=-27459.70 Ty=19.36 Tz=69.55 Mx=0.00 Mz=14.09
Sollecitazioni agenti localmente: Ty_l=-4811.81 My_l=-98.56
Tensioni nella sezione: σ=1194.71 τ=145.81
CC 39 SLU (Collegamento -044_-376)
Azioni sul collegamento: N=-27866.80 Ty=19.65 Tz=71.12 Mx=0.01 Mz=14.19
Sollecitazioni agenti localmente: Ty_l=-4883.60 My_l=-100.03
Tensioni nella sezione: σ=1212.54 τ=147.99
CC 40 SLU (Collegamento -044_-376)
Azioni sul collegamento: N=-27868.60 Ty=19.82 Tz=71.00 Mx=0.00 Mz=14.55
Sollecitazioni agenti localmente: Ty_l=-4882.46 My_l=-100.01
Tensioni nella sezione: σ=1212.24 τ=147.95
CC 41 SLU (Collegamento -044_-376)
Azioni sul collegamento: N=-30676.20 Ty=-9.89 Tz=80.85 Mx=0.00 Mz=-7.99
Sollecitazioni agenti localmente: Ty_l=-5469.82 My_l=-112.18
Tensioni nella sezione: σ=1359.71 τ=165.75
CC 42 SLU (Collegamento -044_-376)
Azioni sul collegamento: N=-29860.20 Ty=-10.64 Tz=77.84 Mx=0.00 Mz=-8.54

Sollecitazioni agenti localmente: Ty_l=-5327.39 My_l=-109.26
Tensioni nella sezione: σ=1324.35 τ=161.44
CC 43 SLU (Collegamento -044_-376)
Azioni sul collegamento: N=-30267.40 Ty=-10.35 Tz=79.40 Mx=0.01 Mz=-8.45
Sollecitazioni agenti localmente: Ty_l=-5399.17 My_l=-110.73
Tensioni nella sezione: σ=1342.18 τ=163.61
CC 44 SLU (Collegamento -044_-376)
Azioni sul collegamento: N=-30269.10 Ty=-10.18 Tz=79.28 Mx=0.00 Mz=-8.08
Sollecitazioni agenti localmente: Ty_l=-5398.04 My_l=-110.70
Tensioni nella sezione: σ=1341.88 τ=163.58
CC 45 SLU (Collegamento -044_-376)
Azioni sul collegamento: N=-30295.00 Ty=20.33 Tz=79.99 Mx=0.00 Mz=14.94
Sollecitazioni agenti localmente: Ty_l=-5311.06 My_l=-108.79
Tensioni nella sezione: σ=1318.71 τ=160.94
CC 46 SLU (Collegamento -044_-376)
Azioni sul collegamento: N=-29479.00 Ty=19.57 Tz=76.97 Mx=0.00 Mz=14.38
Sollecitazioni agenti localmente: Ty_l=-5168.63 My_l=-105.88
Tensioni nella sezione: σ=1283.36 τ=156.63
CC 47 SLU (Collegamento -044_-376)
Azioni sul collegamento: N=-29886.10 Ty=19.86 Tz=78.54 Mx=0.00 Mz=14.48
Sollecitazioni agenti localmente: Ty_l=-5240.41 My_l=-107.35
Tensioni nella sezione: σ=1301.19 τ=158.80
CC 48 SLU (Collegamento -044_-376)
Azioni sul collegamento: N=-29887.90 Ty=20.04 Tz=78.42 Mx=0.00 Mz=14.84
Sollecitazioni agenti localmente: Ty_l=-5239.28 My_l=-107.32
Tensioni nella sezione: σ=1300.88 τ=158.77
CC 49 SLU (Collegamento -044_-376)
Azioni sul collegamento: N=-23424.90 Ty=19.70 Tz=54.76 Mx=0.00 Mz=14.38
Sollecitazioni agenti localmente: Ty_l=-4095.40 My_l=-83.88
Tensioni nella sezione: σ=1016.68 τ=124.10
CC 50 SLU (Collegamento -044_-376)
Azioni sul collegamento: N=-22608.90 Ty=18.94 Tz=51.75 Mx=0.00 Mz=13.82
Sollecitazioni agenti localmente: Ty_l=-3952.97 My_l=-80.96
Tensioni nella sezione: σ=981.32 τ=119.79
CC 51 SLU (Collegamento -044_-376)
Azioni sul collegamento: N=-23016.00 Ty=19.23 Tz=53.31 Mx=0.00 Mz=13.92
Sollecitazioni agenti localmente: Ty_l=-4024.76 My_l=-82.43
Tensioni nella sezione: σ=999.15 τ=121.96
CC 52 SLU (Collegamento -044_-376)
Azioni sul collegamento: N=-23017.80 Ty=19.41 Tz=53.20 Mx=0.00 Mz=14.28
Sollecitazioni agenti localmente: Ty_l=-4023.62 My_l=-82.40
Tensioni nella sezione: σ=998.85 τ=121.93
CC 53 SLU (Collegamento -044_-376)
Azioni sul collegamento: N=-25220.90 Ty=-2.75 Tz=60.96 Mx=0.00 Mz=-2.55
Sollecitazioni agenti localmente: Ty_l=-4481.13 My_l=-91.88
Tensioni nella sezione: σ=1113.67 τ=135.79
CC 54 SLU (Collegamento -044_-376)
Azioni sul collegamento: N=-24404.90 Ty=-3.50 Tz=57.94 Mx=0.00 Mz=-3.11
Sollecitazioni agenti localmente: Ty_l=-4338.70 My_l=-88.96
Tensioni nella sezione: σ=1078.31 τ=131.48
CC 55 SLU (Collegamento -044_-376)
Azioni sul collegamento: N=-24812.00 Ty=-3.21 Tz=59.51 Mx=0.00 Mz=-3.02
Sollecitazioni agenti localmente: Ty_l=-4410.48 My_l=-90.43
Tensioni nella sezione: σ=1096.14 τ=133.65
CC 56 SLU (Collegamento -044_-376)
Azioni sul collegamento: N=-24813.70 Ty=-3.04 Tz=59.39 Mx=0.00 Mz=-2.65
Sollecitazioni agenti localmente: Ty_l=-4409.35 My_l=-90.41
Tensioni nella sezione: σ=1095.83 τ=133.62
CC 57 SLU (Collegamento -044_-376)
Azioni sul collegamento: N=-28074.70 Ty=18.58 Tz=71.81 Mx=0.00 Mz=13.65
Sollecitazioni agenti localmente: Ty_l=-4922.59 My_l=-100.84
Tensioni nella sezione: σ=1222.27 τ=149.17
CC 58 SLU (Collegamento -044_-376)
Azioni sul collegamento: N=-27258.70 Ty=17.82 Tz=68.80 Mx=0.00 Mz=13.09
Sollecitazioni agenti localmente: Ty_l=-4780.15 My_l=-97.92
Tensioni nella sezione: σ=1186.91 τ=144.85
CC 59 SLU (Collegamento -044_-376)
Azioni sul collegamento: N=-27665.80 Ty=18.11 Tz=70.37 Mx=0.00 Mz=13.19
Sollecitazioni agenti localmente: Ty_l=-4851.94 My_l=-99.39
Tensioni nella sezione: σ=1204.74 τ=147.03
CC 60 SLU (Collegamento -044_-376)
Azioni sul collegamento: N=-27667.60 Ty=18.29 Tz=70.25 Mx=0.00 Mz=13.55
Sollecitazioni agenti localmente: Ty_l=-4850.80 My_l=-99.37
Tensioni nella sezione: σ=1204.44 τ=146.99
CC 61 SLU (Collegamento -044_-376)
Azioni sul collegamento: N=-21204.60 Ty=17.94 Tz=46.59 Mx=0.00 Mz=13.09
Sollecitazioni agenti localmente: Ty_l=-3706.93 My_l=-75.92
Tensioni nella sezione: σ=920.23 τ=112.33
CC 62 SLU (Collegamento -044_-376)

Azioni sul collegamento: N=-20388.60 Ty=17.19 Tz=43.58 Mx=0.00 Mz=12.53
Sollecitazioni agenti localmente: Ty_l=-3564.49 My_l=-73.00
Tensioni nella sezione: σ=884.88 τ=108.02
CC 63 SLU (Collegamento -044_-376)
Azioni sul collegamento: N=-20795.70 Ty=17.48 Tz=45.14 Mx=0.00 Mz=12.63
Sollecitazioni agenti localmente: Ty_l=-3636.28 My_l=-74.47
Tensioni nella sezione: σ=902.71 τ=110.19
CC 64 SLU (Collegamento -044_-376)
Azioni sul collegamento: N=-20797.50 Ty=17.66 Tz=45.03 Mx=0.00 Mz=12.99
Sollecitazioni agenti localmente: Ty_l=-3635.14 My_l=-74.45
Tensioni nella sezione: σ=902.40 τ=110.16
CC 65 SLU (Collegamento -044_-376)
Azioni sul collegamento: N=-23000.50 Ty=-4.50 Tz=52.79 Mx=0.00 Mz=-3.84
Sollecitazioni agenti localmente: Ty_l=-4092.65 My_l=-83.92
Tensioni nella sezione: σ=1017.22 τ=124.02
CC 66 SLU (Collegamento -044_-376)
Azioni sul collegamento: N=-22184.60 Ty=-5.26 Tz=49.77 Mx=0.00 Mz=-4.40
Sollecitazioni agenti localmente: Ty_l=-3950.22 My_l=-81.00
Tensioni nella sezione: σ=981.87 τ=119.70
CC 67 SLU (Collegamento -044_-376)
Azioni sul collegamento: N=-22591.70 Ty=-4.97 Tz=51.34 Mx=0.00 Mz=-4.30
Sollecitazioni agenti localmente: Ty_l=-4022.00 My_l=-82.47
Tensioni nella sezione: σ=999.70 τ=121.88
CC 68 SLU (Collegamento -044_-376)
Azioni sul collegamento: N=-22593.40 Ty=-4.79 Tz=51.22 Mx=0.00 Mz=-3.94
Sollecitazioni agenti localmente: Ty_l=-4020.87 My_l=-82.45
Tensioni nella sezione: σ=999.39 τ=121.84
CC 97 SLU (Collegamento -044_-376)
Azioni sul collegamento: N=-32775.80 Ty=25.16 Tz=97.03 Mx=-0.05 Mz=10.53
Sollecitazioni agenti localmente: Ty_l=-5768.37 My_l=-118.19
Tensioni nella sezione: σ=1432.64 τ=174.80
CC 98 SLU (Collegamento -044_-376)
Azioni sul collegamento: N=-31959.80 Ty=24.41 Tz=94.02 Mx=-0.05 Mz=9.97
Sollecitazioni agenti localmente: Ty_l=-5625.94 My_l=-115.28
Tensioni nella sezione: σ=1397.29 τ=170.48
CC 99 SLU (Collegamento -044_-376)
Azioni sul collegamento: N=-32366.90 Ty=24.69 Tz=95.58 Mx=-0.05 Mz=10.07
Sollecitazioni agenti localmente: Ty_l=-5697.72 My_l=-116.75
Tensioni nella sezione: σ=1415.12 τ=172.66
CC 100 SLU (Collegamento -044_-376)
Azioni sul collegamento: N=-32368.70 Ty=24.87 Tz=95.47 Mx=-0.05 Mz=10.43
Sollecitazioni agenti localmente: Ty_l=-5696.59 My_l=-116.72
Tensioni nella sezione: σ=1414.81 τ=172.62
CC 101 SLU (Collegamento -044_-376)
Azioni sul collegamento: N=-9110.88 Ty=5.97 Tz=10.39 Mx=0.01 Mz=4.99
Sollecitazioni agenti localmente: Ty_l=-1595.26 My_l=-32.68
Tensioni nella sezione: σ=396.06 τ=48.34
CC 102 SLU (Collegamento -044_-376)
Azioni sul collegamento: N=-8294.89 Ty=5.21 Tz=7.37 Mx=0.01 Mz=4.43
Sollecitazioni agenti localmente: Ty_l=-1452.83 My_l=-29.76
Tensioni nella sezione: σ=360.71 τ=44.03
CC 103 SLU (Collegamento -044_-376)
Azioni sul collegamento: N=-8702.00 Ty=5.50 Tz=8.94 Mx=0.01 Mz=4.53
Sollecitazioni agenti localmente: Ty_l=-1524.62 My_l=-31.23
Tensioni nella sezione: σ=378.54 τ=46.20
CC 104 SLU (Collegamento -044_-376)
Azioni sul collegamento: N=-8703.77 Ty=5.68 Tz=8.82 Mx=0.01 Mz=4.89
Sollecitazioni agenti localmente: Ty_l=-1523.48 My_l=-31.20
Tensioni nella sezione: σ=378.23 τ=46.17

Collegamento -1073_-1074

Piastre anima 300.00 x 186.00 s= 12.00 - 8+8 bulloni ϕ 16
2 righe ad interasse 79.00
4 colonne ad interasse variabile
Piastre ala 650.00 x 120.00 s= 12.00 - 10+10 bulloni ϕ 16
5 righe ad interasse 67.00
2 colonne ad interasse 78.00
Piastre inferiori ala 650.00 x 41.00 s= 12.00

Bullonatura sull'anima

CC 97 SLU
Azioni sul collegamento: N=3914.93 Ty=3.46 Tz=-3076.75 My=486.89 Mz=4.22
Sollecitazioni agenti localmente: Tx_l=1438.67 Ty_l=-3076.75 Mz_l=314.93
Taglio nei bulloni: Fv,Ed=566.28 Fv,Rd=6028.80
Azione di rifollamento di progetto lato asta: Fb,Ed,a=831.60 Fb,Rd,a=5234.44
Rifollamento lato piastra: Fb,Ed,p=566.28 Fb,Rd,p=10613.60

Piastra di anima

Bnetta=24.00 Hnetta=186.00
CC 97 SLU
Azioni sul collegamento: N=3914.93 Ty=3.46 Tz=-3076.75 My=486.89 Mz=4.22
Sollecitazioni agenti localmente: Tx_l=1438.67 Ty_l=-3076.75 Mz_l=314.93
Tensioni nella sezione: σ=259.80 τ=68.92
CC 98 SLU
Azioni sul collegamento: N=3688.11 Ty=3.50 Tz=-3116.43 My=426.83 Mz=4.34
Sollecitazioni agenti localmente: Tx_l=1355.32 Ty_l=-3116.43 Mz_l=308.99
Tensioni nella sezione: σ=253.65 τ=69.81

Verifica a taglio anima forata

Bnetta=6.20 Hnetta=152.40
CC 98 SLU
Azioni sul collegamento: N=3688.11 Ty=3.50 Tz=-3116.43 My=426.83 Mz=4.34
Sollecitazioni agenti localmente: Ty_l=-1558.21
Tensioni nella sezione: σ=0.00 τ=164.91

Bullonatura ali superiori

CC 130 SLU (Collegamento -1073_-1074)
Azioni sul collegamento: N=-930.27 Ty=3.39 Tz=-1315.98 My=-616.98 Mz=3.30
Sollecitazioni agenti localmente: Tx_l=1981.90 Ty_l=1.70 Mz_l=1.93
Taglio nei bulloni: Fv,Ed=99.46 Fv,Rd=6028.80
Azione di rifollamento di progetto lato asta: Fb,Ed,a=198.93 Fb,Rd,a=6140.21
Rifollamento lato piastra: Fb,Ed,p=99.46 Fb,Rd,p=5012.10
CC 101 SLU
Azioni sul collegamento: N=5146.11 Ty=-2.67 Tz=-609.78 My=1295.25 Mz=-2.17
Sollecitazioni agenti localmente: Tx_l=-3150.86 Ty_l=-1.33 Mz_l=-1.31
Taglio nei bulloni: Fv,Ed=157.79 Fv,Rd=6028.80
Azione di rifollamento di progetto lato asta: Fb,Ed,a=315.57 Fb,Rd,a=9486.95
Rifollamento lato piastra: Fb,Ed,p=157.79 Fb,Rd,p=11616.70

Bullonatura ali inferiori

CC 101 SLU
Azioni sul collegamento: N=5146.11 Ty=-2.67 Tz=-609.78 My=1295.25 Mz=-2.17
Sollecitazioni agenti localmente: Tx_l=6405.86 Ty_l=-1.33 Mz_l=-1.31
Taglio nei bulloni: Fv,Ed=320.54 Fv,Rd=6028.80
Azione di rifollamento di progetto lato asta: Fb,Ed,a=641.07 Fb,Rd,a=6138.68
Rifollamento lato piastra: Fb,Ed,p=320.54 Fb,Rd,p=5011.16

Piastre esterne sulle ali

Bnetta=12.00 Hnetta=120.00
CC 98 SLU (Collegamento -1073_-1074)
Azioni sul collegamento: N=5260.40 Ty=5.49 Tz=-2796.96 My=252.52 Mz=4.77
Sollecitazioni agenti localmente: Tx_l=434.90 Ty_l=1.63 Mz_l=2.39
Tensioni nella sezione: σ=38.49 τ=0.11
CC 101 SLU
Azioni sul collegamento: N=5146.11 Ty=-2.67 Tz=-609.78 My=1295.25 Mz=-2.17
Sollecitazioni agenti localmente: Tx_l=3805.46 Ty_l=-0.79 Mz_l=-1.08
Tensioni nella sezione: σ=268.03 τ= 0.06

Piastre interne sulle ali

Bnetta=12.00 Hnetta=41.00
CC 98 SLU (Collegamento -1073_-1074)
Azioni sul collegamento: N=5260.40 Ty=5.49 Tz=-2796.96 My=252.52 Mz=4.77
Sollecitazioni agenti localmente: Tx_l=148.59 Ty_l=0.56
Tensioni nella sezione: σ=30.20 τ=0.11
CC 101 SLU
Azioni sul collegamento: N=5146.11 Ty=-2.67 Tz=-609.78 My=1295.25 Mz=-2.17
Sollecitazioni agenti localmente: Tx_l=1300.20 Ty_l=-0.27
Tensioni nella sezione: σ=264.27 τ= 0.06

Collegamento -1087_-1088

Piastre anima 300.00 x 186.00 s= 12.00 - 8+8 bulloni ϕ 16
2 righe ad interasse 79.00
4 colonne ad interasse variabile
Piastre ala 650.00 x 120.00 s= 12.00 - 10+10 bulloni ϕ 16
5 righe ad interasse 67.00
2 colonne ad interasse 78.00
Piastre inferiori ala 650.00 x 41.00 s= 12.00

Bullonatura sull'anima

CC 98 SLU (Collegamento -1087_-1088)
Azioni sul collegamento: N=3914.92 Ty=-3.46 Tz=3076.75 My=486.89 Mz=4.22
Sollecitazioni agenti localmente: Tx_l=1438.67 Ty_l=3076.75 Mz_l=314.93
Taglio nei bulloni: Fv,Ed=566.28 Fv,Rd=6028.80
Azione di rifollamento di progetto lato asta: Fb,Ed,a=1132.55 Fb,Rd,a=6845.03
Rifollamento lato piastra: Fb,Ed,p=415.80 Fb,Rd,p=7793.21

Piastra di anima

Bnetta=24.00 Hnetta=186.00
CC 97 SLU (Collegamento -1087_-1088)
Azioni sul collegamento: N=3688.10 Ty=-3.50 Tz=3116.43 My=426.83 Mz=4.34
Sollecitazioni agenti localmente: Tx_l=1355.32 Ty_l=3116.43 Mz_l=308.99
Tensioni nella sezione: σ=253.65 τ=69.81
CC 98 SLU (Collegamento -1087_-1088)
Azioni sul collegamento: N=3914.92 Ty=-3.46 Tz=3076.75 My=486.89 Mz=4.22
Sollecitazioni agenti localmente: Tx_l=1438.67 Ty_l=3076.75 Mz_l=314.93
Tensioni nella sezione: σ=259.80 τ=68.92

Verifica a taglio anima forata

Bnetta=6.20 Hnetta=152.40
CC 97 SLU (Collegamento -1087_-1088)
Azioni sul collegamento: N=3688.10 Ty=-3.50 Tz=3116.43 My=426.83 Mz=4.34
Sollecitazioni agenti localmente: Ty_l=1558.21
Tensioni nella sezione: σ=0.00 τ=164.91

Bullonatura ali superiori

CC 106 SLU (Collegamento -1087_-1088)
Azioni sul collegamento: N=5145.94 Ty=2.67 Tz=609.80 My=1295.22 Mz=-2.17
Sollecitazioni agenti localmente: Tx_l=-3150.81 Ty_l=1.33 Mz_l=-0.86
Taglio nei bulloni: Fv,Ed=157.70 Fv,Rd=6028.80
Azione di rifollamento di progetto lato asta: Fb,Ed,a=315.40 Fb,Rd,a=9486.95
Rifollamento lato piastra: Fb,Ed,p=157.70 Fb,Rd,p=11616.70
CC 49 SLV
Azioni sul collegamento: N=2246.44 Ty=-2.37 Tz=219.87 My=-287.23 Mz=2.09
Sollecitazioni agenti localmente: Tx_l=1770.09 Ty_l=-1.19 Mz_l=0.85
Taglio nei bulloni: Fv,Ed=88.66 Fv,Rd=6028.80
Azione di rifollamento di progetto lato asta: Fb,Ed,a=177.33 Fb,Rd,a=6138.88
Rifollamento lato piastra: Fb,Ed,p=88.66 Fb,Rd,p=5011.45

Bullonatura ali inferiori

CC 106 SLU (Collegamento -1087_-1088)
Azioni sul collegamento: N=5145.94 Ty=2.67 Tz=609.80 My=1295.22 Mz=-2.17
Sollecitazioni agenti localmente: Tx_l=6405.70 Ty_l=1.33 Mz_l=-0.86
Taglio nei bulloni: Fv,Ed=320.44 Fv,Rd=6028.80
Azione di rifollamento di progetto lato asta: Fb,Ed,a=640.89 Fb,Rd,a=6138.63
Rifollamento lato piastra: Fb,Ed,p=320.44 Fb,Rd,p=5011.14

Piastre esterne sulle ali

Bnetta=12.00 Hnetta=120.00
CC 106 SLU (Collegamento -1087_-1088)
Azioni sul collegamento: N=5145.94 Ty=2.67 Tz=609.80 My=1295.22 Mz=-2.17
Sollecitazioni agenti localmente: Tx_l=3805.37 Ty_l=0.79 Mz_l=-1.08
Tensioni nella sezione: σ=268.02 τ= 0.06
CC 97 SLU
Azioni sul collegamento: N=5260.40 Ty=-5.49 Tz=2796.96 My=252.52 Mz=4.77
Sollecitazioni agenti localmente: Tx_l=434.89 Ty_l=-1.63 Mz_l=2.39
Tensioni nella sezione: σ=38.48 τ=0.11

Piastre interne sulle ali

Bnetta=12.00 Hnetta=41.00
CC 106 SLU (Collegamento -1087_-1088)
Azioni sul collegamento: N=5145.94 Ty=2.67 Tz=609.80 My=1295.22 Mz=-2.17
Sollecitazioni agenti localmente: Tx_l=1300.17 Ty_l=0.27
Tensioni nella sezione: σ=264.26 τ= 0.06
CC 97 SLU
Azioni sul collegamento: N=5260.40 Ty=-5.49 Tz=2796.96 My=252.52 Mz=4.77
Sollecitazioni agenti localmente: Tx_l=148.59 Ty_l=-0.56
Tensioni nella sezione: σ=30.20 τ=0.11

Collegamento -1160_-1161

Piastre anima 300.00 x 186.00 s= 12.00 - 8+8 bulloni ϕ 16
2 righe ad interasse 79.00
4 colonne ad interasse variabile

Piastre ala 650.00 x 120.00 s= 12.00 - 10+10 bulloni ϕ 16
5 righe ad interasse 67.00
2 colonne ad interasse 78.00
Piastre inferiori ala 650.00 x 41.00 s= 12.00

Bullonatura sull'anima

CC 97 SLU
Azioni sul collegamento: N=3926.81 Ty=2.63 Tz=-3135.66 My=593.32 Mz=6.10
Sollecitazioni agenti localmente: Tx_l=1443.04 Ty_l=-3135.66 Mz_l=335.60
Taglio nei bulloni: Fv,Ed=593.25 Fv,Rd=6028.80
Azione di rifollamento di progetto lato asta: Fb,Ed,a=875.10 Fb,Rd,a=5235.49
Rifollamento lato piastra: Fb,Ed,p=593.25 Fb,Rd,p=10568.50

Piastra di anima

Bnetta=24.00 Hnetta=186.00
CC 97 SLU
Azioni sul collegamento: N=3926.81 Ty=2.63 Tz=-3135.66 My=593.32 Mz=6.10
Sollecitazioni agenti localmente: Tx_l=1443.04 Ty_l=-3135.66 Mz_l=335.60
Tensioni nella sezione: σ=274.84 τ=70.24
CC 98 SLU
Azioni sul collegamento: N=3702.79 Ty=2.67 Tz=-3174.75 My=534.94 Mz=6.25
Sollecitazioni agenti localmente: Tx_l=1360.72 Ty_l=-3174.75 Mz_l=329.87
Tensioni nella sezione: σ=268.85 τ=71.12

Verifica a taglio anima forata

Bnetta=6.20 Hnetta=152.40
CC 98 SLU
Azioni sul collegamento: N=3702.79 Ty=2.67 Tz=-3174.75 My=534.94 Mz=6.25
Sollecitazioni agenti localmente: Ty_l=-1587.38
Tensioni nella sezione: σ=0.00 τ=168.00

Bullonatura ali superiori

CC 130 SLU (Collegamento -1160_-1161)
Azioni sul collegamento: N=-861.57 Ty=4.09 Tz=-1279.34 My=-585.95 Mz=3.88
Sollecitazioni agenti localmente: Tx_l=1889.16 Ty_l=2.04 Mz_l=2.28
Taglio nei bulloni: Fv,Ed=94.89 Fv,Rd=6028.80
Azione di rifollamento di progetto lato asta: Fb,Ed,a=189.79 Fb,Rd,a=6141.07
Rifollamento lato piastra: Fb,Ed,p=94.89 Fb,Rd,p=5012.63
CC 101 SLU
Azioni sul collegamento: N=5076.42 Ty=-4.85 Tz=-686.77 My=1356.68 Mz=-3.59
Sollecitazioni agenti localmente: Tx_l=-3399.51 Ty_l=-2.42 Mz_l=-2.20
Taglio nei bulloni: Fv,Ed=170.39 Fv,Rd=6028.80
Azione di rifollamento di progetto lato asta: Fb,Ed,a=340.77 Fb,Rd,a=9486.96
Rifollamento lato piastra: Fb,Ed,p=170.38 Fb,Rd,p=11616.70

Bullonatura ali inferiori

CC 101 SLU
Azioni sul collegamento: N=5076.42 Ty=-4.85 Tz=-686.77 My=1356.68 Mz=-3.59
Sollecitazioni agenti localmente: Tx_l=6610.43 Ty_l=-2.42 Mz_l=-2.20
Taglio nei bulloni: Fv,Ed=330.93 Fv,Rd=6028.80
Azione di rifollamento di progetto lato asta: Fb,Ed,a=661.87 Fb,Rd,a=6138.81
Rifollamento lato piastra: Fb,Ed,p=330.93 Fb,Rd,p=5011.22

Piastre esterne sulle ali

Bnetta=12.00 Hnetta=120.00
CC 98 SLU (Collegamento -1160_-1161)
Azioni sul collegamento: N=5236.12 Ty=5.36 Tz=-2863.24 My=365.10 Mz=6.76
Sollecitazioni agenti localmente: Tx_l=183.60 Ty_l=1.59 Mz_l=3.38
Tensioni nella sezione: σ=24.48 τ=0.11
CC 101 SLU
Azioni sul collegamento: N=5076.42 Ty=-4.85 Tz=-686.77 My=1356.68 Mz=-3.59
Sollecitazioni agenti localmente: Tx_l=3926.99 Ty_l=-1.44 Mz_l=-1.79
Tensioni nella sezione: σ=278.93 τ= 0.10

Piastre interne sulle ali

Bnetta=12.00 Hnetta=41.00
CC 98 SLU (Collegamento -1160_-1161)
Azioni sul collegamento: N=5236.12 Ty=5.36 Tz=-2863.24 My=365.10 Mz=6.76
Sollecitazioni agenti localmente: Tx_l=62.73 Ty_l=0.54
Tensioni nella sezione: σ=12.75 τ=0.11
CC 101 SLU
Azioni sul collegamento: N=5076.42 Ty=-4.85 Tz=-686.77 My=1356.68 Mz=-3.59
Sollecitazioni agenti localmente: Tx_l=1341.72 Ty_l=-0.49

Tensioni nella sezione: σ=272.71 τ= 0.10

Collegamento -1174_-1173

Piastre anima 300.00 x 186.00 s= 12.00 - 8+8 bulloni ϕ 16
2 righe ad interasse 79.00
4 colonne ad interasse variabile
Piastre ala 650.00 x 120.00 s= 12.00 - 10+10 bulloni ϕ 16
5 righe ad interasse 67.00
2 colonne ad interasse 78.00
Piastre inferiori ala 650.00 x 41.00 s= 12.00

Bullonatura sull'anima

CC 98 SLU
Azioni sul collegamento: N=3926.80 Ty=-2.63 Tz=-3135.66 My=593.33 Mz=-6.10
Sollecitazioni agenti localmente: Tx_l=1443.03 Ty_l=-3135.66 Mz_l=335.60
Taglio nei bulloni: Fv,Ed=593.25 Fv,Rd=6028.80
Azione di rifollamento di progetto lato asta: Fb,Ed,a=875.10 Fb,Rd,a=5235.49
Rifollamento lato piastra: Fb,Ed,p=593.25 Fb,Rd,p=10568.50

Piastra di anima

Bnetta=24.00 Hnetta=186.00
CC 97 SLU
Azioni sul collegamento: N=3702.78 Ty=-2.67 Tz=-3174.75 My=534.94 Mz=-6.25
Sollecitazioni agenti localmente: Tx_l=1360.71 Ty_l=-3174.75 Mz_l=329.87
Tensioni nella sezione: σ=268.85 τ=71.12
CC 98 SLU
Azioni sul collegamento: N=3926.80 Ty=-2.63 Tz=-3135.66 My=593.33 Mz=-6.10
Sollecitazioni agenti localmente: Tx_l=1443.03 Ty_l=-3135.66 Mz_l=335.60
Tensioni nella sezione: σ=274.84 τ=70.24

Verifica a taglio anima forata

Bnetta=6.20 Hnetta=152.40
CC 97 SLU
Azioni sul collegamento: N=3702.78 Ty=-2.67 Tz=-3174.75 My=534.94 Mz=-6.25
Sollecitazioni agenti localmente: Ty_l=-1587.37
Tensioni nella sezione: σ=0.00 τ=168.00

Bullonatura ali superiori

CC 49 SLV (Collegamento -1174_-1173)
Azioni sul collegamento: N=2313.40 Ty=-2.61 Tz=-198.55 My=-278.05 Mz=-2.64
Sollecitazioni agenti localmente: Tx_l=1757.40 Ty_l=-1.31 Mz_l=-1.54
Taglio nei bulloni: Fv,Ed=88.16 Fv,Rd=6028.80
Azione di rifollamento di progetto lato asta: Fb,Ed,a=176.32 Fb,Rd,a=6139.90
Rifollamento lato piastra: Fb,Ed,p=88.16 Fb,Rd,p=5011.92
CC 106 SLU
Azioni sul collegamento: N=5076.25 Ty=4.85 Tz=-686.79 My=1356.65 Mz=3.59
Sollecitazioni agenti localmente: Tx_l=-3399.45 Ty_l=2.42 Mz_l=2.20
Taglio nei bulloni: Fv,Ed=170.39 Fv,Rd=6028.80
Azione di rifollamento di progetto lato asta: Fb,Ed,a=340.76 Fb,Rd,a=9486.96
Rifollamento lato piastra: Fb,Ed,p=170.38 Fb,Rd,p=11616.70

Bullonatura ali inferiori

CC 106 SLU
Azioni sul collegamento: N=5076.25 Ty=4.85 Tz=-686.79 My=1356.65 Mz=3.59
Sollecitazioni agenti localmente: Tx_l=6610.26 Ty_l=2.42 Mz_l=2.20
Taglio nei bulloni: Fv,Ed=330.93 Fv,Rd=6028.80
Azione di rifollamento di progetto lato asta: Fb,Ed,a=661.85 Fb,Rd,a=6138.81
Rifollamento lato piastra: Fb,Ed,p=330.92 Fb,Rd,p=5011.22

Piastre esterne sulle ali

Bnetta=12.00 Hnetta=120.00
CC 97 SLU (Collegamento -1174_-1173)
Azioni sul collegamento: N=5236.11 Ty=-5.36 Tz=-2863.24 My=365.10 Mz=-6.76
Sollecitazioni agenti localmente: Tx_l=183.59 Ty_l=-1.59 Mz_l=-3.38
Tensioni nella sezione: σ=24.48 τ=0.11
CC 106 SLU
Azioni sul collegamento: N=5076.25 Ty=4.85 Tz=-686.79 My=1356.65 Mz=3.59
Sollecitazioni agenti localmente: Tx_l=3926.89 Ty_l=1.44 Mz_l=1.79
Tensioni nella sezione: σ=278.93 τ= 0.10

Piastre interne sulle ali

Bnetta=12.00 Hnetta=41.00

CC 97 SLU (Collegamento -1174_-1173)
Azioni sul collegamento: N=5236.11 Ty=-5.36 Tz=-2863.24 My=365.10 Mz=-6.76
Sollecitazioni agenti localmente: Tx_l=62.73 Ty_l=-0.54
Tensioni nella sezione: σ=12.75 τ=0.11
CC 106 SLU
Azioni sul collegamento: N=5076.25 Ty=4.85 Tz=-686.79 My=1356.65 Mz=3.59
Sollecitazioni agenti localmente: Tx_l=1341.69 Ty_l=0.49
Tensioni nella sezione: σ=272.70 τ= 0.10

Collegamento -1174_-1175

Piastre anima 300.00 x 186.00 s= 12.00 - 8+8 bulloni ϕ 16
2 righe ad interasse 79.00
4 colonne ad interasse variabile
Piastre ala 650.00 x 120.00 s= 12.00 - 10+10 bulloni ϕ 16
5 righe ad interasse 67.00
2 colonne ad interasse 78.00
Piastre inferiori ala 650.00 x 41.00 s= 12.00

Bullonatura sull'anima

CC 98 SLU (Collegamento -1174_-1175)
Azioni sul collegamento: N=3926.80 Ty=-2.63 Tz=3135.66 My=593.33 Mz=6.10
Sollecitazioni agenti localmente: Tx_l=1443.03 Ty_l=3135.66 Mz_l=335.60
Taglio nei bulloni: Fv,Ed=593.25 Fv,Rd=6028.80
Azione di rifollamento di progetto lato asta: Fb,Ed,a=1186.50 Fb,Rd,a=6845.03
Rifollamento lato piastra: Fb,Ed,p=437.55 Fb,Rd,p=7794.77

Piastra di anima

Bnetta=24.00 Hnetta=186.00
CC 97 SLU (Collegamento -1174_-1175)
Azioni sul collegamento: N=3702.78 Ty=-2.67 Tz=3174.75 My=534.94 Mz=6.25
Sollecitazioni agenti localmente: Tx_l=1360.71 Ty_l=3174.75 Mz_l=329.87
Tensioni nella sezione: σ=268.85 τ=71.12
CC 98 SLU (Collegamento -1174_-1175)
Azioni sul collegamento: N=3926.80 Ty=-2.63 Tz=3135.66 My=593.33 Mz=6.10
Sollecitazioni agenti localmente: Tx_l=1443.03 Ty_l=3135.66 Mz_l=335.60
Tensioni nella sezione: σ=274.84 τ=70.24

Verifica a taglio anima forata

Bnetta=6.20 Hnetta=152.40
CC 97 SLU (Collegamento -1174_-1175)
Azioni sul collegamento: N=3702.78 Ty=-2.67 Tz=3174.75 My=534.94 Mz=6.25
Sollecitazioni agenti localmente: Ty_l=1587.37
Tensioni nella sezione: σ=0.00 τ=168.00

Bullonatura ali superiori

CC 106 SLU (Collegamento -1174_-1175)
Azioni sul collegamento: N=5076.25 Ty=4.85 Tz=686.79 My=1356.65 Mz=-3.59
Sollecitazioni agenti localmente: Tx_l=-3399.45 Ty_l=2.42 Mz_l=-1.39
Taglio nei bulloni: Fv,Ed=170.23 Fv,Rd=6028.80
Azione di rifollamento di progetto lato asta: Fb,Ed,a=340.46 Fb,Rd,a=9486.96
Rifollamento lato piastra: Fb,Ed,p=170.23 Fb,Rd,p=11616.70
CC 49 SLV
Azioni sul collegamento: N=2313.40 Ty=-2.61 Tz=198.55 My=-278.05 Mz=2.64
Sollecitazioni agenti localmente: Tx_l=1757.40 Ty_l=-1.31 Mz_l=1.10
Taglio nei bulloni: Fv,Ed=88.08 Fv,Rd=6028.80
Azione di rifollamento di progetto lato asta: Fb,Ed,a=176.16 Fb,Rd,a=6139.09
Rifollamento lato piastra: Fb,Ed,p=88.08 Fb,Rd,p=5011.68

Bullonatura ali inferiori

CC 106 SLU (Collegamento -1174_-1175)
Azioni sul collegamento: N=5076.25 Ty=4.85 Tz=686.79 My=1356.65 Mz=-3.59
Sollecitazioni agenti localmente: Tx_l=6610.26 Ty_l=2.42 Mz_l=-1.39
Taglio nei bulloni: Fv,Ed=330.77 Fv,Rd=6028.80
Azione di rifollamento di progetto lato asta: Fb,Ed,a=661.54 Fb,Rd,a=6138.66
Rifollamento lato piastra: Fb,Ed,p=330.77 Fb,Rd,p=5011.18

Piastre esterne sulle ali

Bnetta=12.00 Hnetta=120.00
CC 106 SLU (Collegamento -1174_-1175)
Azioni sul collegamento: N=5076.25 Ty=4.85 Tz=686.79 My=1356.65 Mz=-3.59
Sollecitazioni agenti localmente: Tx_l=3926.89 Ty_l=1.44 Mz_l=-1.79
Tensioni nella sezione: σ=278.93 τ= 0.10
CC 97 SLU

Azioni sul collegamento: N=5236.11 Ty=-5.36 Tz=2863.24 My=365.10 Mz=6.76
Sollecitazioni agenti localmente: Tx_l=183.59 Ty_l=-1.59 Mz_l=3.38
Tensioni nella sezione: σ=24.48 τ=0.11

Piastre interne sulle ali

Bnetta=12.00 Hnetta=41.00
CC 106 SLU (Collegamento -1174_-1175)
Azioni sul collegamento: N=5076.25 Ty=4.85 Tz=686.79 My=1356.65 Mz=-3.59
Sollecitazioni agenti localmente: Tx_l=1341.69 Ty_l=0.49
Tensioni nella sezione: σ=272.70 τ= 0.10
CC 97 SLU
Azioni sul collegamento: N=5236.11 Ty=-5.36 Tz=2863.24 My=365.10 Mz=6.76
Sollecitazioni agenti localmente: Tx_l=62.73 Ty_l=-0.54
Tensioni nella sezione: σ=12.75 τ=0.11

Collegamento -1201_-1202

Piastre anima 300.00 x 186.00 s= 12.00 - 8+8 bulloni ϕ 16
2 righe ad interasse 79.00
4 colonne ad interasse variabile
Piastre ala 650.00 x 120.00 s= 12.00 - 10+10 bulloni ϕ 16
5 righe ad interasse 67.00
2 colonne ad interasse 78.00
Piastre inferiori ala 650.00 x 41.00 s= 12.00

Bullonatura sull'anima

CC 97 SLU
Azioni sul collegamento: N=3926.69 Ty=2.42 Tz=-3599.79 My=648.18 Mz=5.87
Sollecitazioni agenti localmente: Tx_l=1443.00 Ty_l=-3599.79 Mz_l=380.30
Taglio nei bulloni: Fv,Ed=665.45 Fv,Rd=6028.80
Azione di rifollamento di progetto lato asta: Fb,Ed,a=967.54 Fb,Rd,a=5234.99
Rifollamento lato piastra: Fb,Ed,p=665.45 Fb,Rd,p=10721.10

Piastra di anima

Bnetta=24.00 Hnetta=186.00
CC 97 SLU
Azioni sul collegamento: N=3926.69 Ty=2.42 Tz=-3599.79 My=648.18 Mz=5.87
Sollecitazioni agenti localmente: Tx_l=1443.00 Ty_l=-3599.79 Mz_l=380.30
Tensioni nella sezione: σ=307.14 τ=80.64
CC 98 SLU
Azioni sul collegamento: N=3696.28 Ty=2.47 Tz=-3643.29 My=589.83 Mz=6.00
Sollecitazioni agenti localmente: Tx_l=1358.32 Ty_l=-3643.29 Mz_l=374.92
Tensioni nella sezione: σ=301.36 τ=81.61

Verifica a taglio anima forata

Bnetta=6.20 Hnetta=152.40
CC 98 SLU
Azioni sul collegamento: N=3696.28 Ty=2.47 Tz=-3643.29 My=589.83 Mz=6.00
Sollecitazioni agenti localmente: Ty_l=-1821.64
Tensioni nella sezione: σ=0.00 τ=192.79

Bullonatura ali superiori

CC 130 SLU (Collegamento -1201_-1202)
Azioni sul collegamento: N=-962.87 Ty=3.65 Tz=-1402.67 My=-600.16 Mz=3.60
Sollecitazioni agenti localmente: Tx_l=1909.57 Ty_l=1.82 Mz_l=2.11
Taglio nei bulloni: Fv,Ed=95.88 Fv,Rd=6028.80
Azione di rifollamento di progetto lato asta: Fb,Ed,a=191.76 Fb,Rd,a=6140.65
Rifollamento lato piastra: Fb,Ed,p=95.88 Fb,Rd,p=5012.38
CC 101 SLU
Azioni sul collegamento: N=5100.09 Ty=-3.31 Tz=-1108.16 My=1340.04 Mz=-3.88
Sollecitazioni agenti localmente: Tx_l=-3330.67 Ty_l=-1.65 Mz_l=-2.22
Taglio nei bulloni: Fv,Ed=166.95 Fv,Rd=6028.80
Azione di rifollamento di progetto lato asta: Fb,Ed,a=333.89 Fb,Rd,a=9486.95
Rifollamento lato piastra: Fb,Ed,p=166.94 Fb,Rd,p=11616.70

Bullonatura ali inferiori

CC 101 SLU
Azioni sul collegamento: N=5100.09 Ty=-3.31 Tz=-1108.16 My=1340.04 Mz=-3.88
Sollecitazioni agenti localmente: Tx_l=6556.55 Ty_l=-1.65 Mz_l=-2.22
Taglio nei bulloni: Fv,Ed=328.24 Fv,Rd=6028.80
Azione di rifollamento di progetto lato asta: Fb,Ed,a=656.49 Fb,Rd,a=6138.80
Rifollamento lato piastra: Fb,Ed,p=328.24 Fb,Rd,p=5011.23

Piastre esterne sulle ali

Bnetta=12.00 Hnetta=120.00
CC 101 SLU (Collegamento -1201_-1202)
Azioni sul collegamento: N=5428.59 Ty=-5.01 Tz=-738.88 My=1303.68 Mz=-3.81
Sollecitazioni agenti localmente: Tx_l=-1837.20 Ty_l=-1.49 Mz_l=-1.91
Tensioni nella sezione: σ=134.20 τ=0.10
CC 101 SLU
Azioni sul collegamento: N=5100.09 Ty=-3.31 Tz=-1108.16 My=1340.04 Mz=-3.88
Sollecitazioni agenti localmente: Tx_l=3894.98 Ty_l=-0.98 Mz_l=-1.94
Tensioni nella sezione: σ=277.23 τ= 0.07

Piastre interne sulle ali

Bnetta=12.00 Hnetta=41.00
CC 101 SLU (Collegamento -1201_-1202)
Azioni sul collegamento: N=5428.59 Ty=-5.01 Tz=-738.88 My=1303.68 Mz=-3.81
Sollecitazioni agenti localmente: Tx_l=-627.71 Ty_l=-0.51
Tensioni nella sezione: σ=127.58 τ=0.10
CC 101 SLU
Azioni sul collegamento: N=5100.09 Ty=-3.31 Tz=-1108.16 My=1340.04 Mz=-3.88
Sollecitazioni agenti localmente: Tx_l=1330.79 Ty_l=-0.34
Tensioni nella sezione: σ=270.49 τ= 0.07

Collegamento -1212_-1213

Piastre anima 300.00 x 186.00 s= 12.00 - 8+8 bulloni ϕ 16
2 righe ad interasse 79.00
4 colonne ad interasse variabile
Piastre ala 650.00 x 120.00 s= 12.00 - 10+10 bulloni ϕ 16
5 righe ad interasse 67.00
2 colonne ad interasse 78.00
Piastre inferiori ala 650.00 x 41.00 s= 12.00

Bullonatura sull'anima

CC 98 SLU (Collegamento -1212_-1213)
Azioni sul collegamento: N=3926.69 Ty=-2.42 Tz=3599.79 My=648.18 Mz=5.87
Sollecitazioni agenti localmente: Tx_l=1442.99 Ty_l=3599.79 Mz_l=380.30
Taglio nei bulloni: Fv,Ed=665.45 Fv,Rd=6028.80
Azione di rifollamento di progetto lato asta: Fb,Ed,a=1330.90 Fb,Rd,a=6845.03
Rifollamento lato piastra: Fb,Ed,p=483.77 Fb,Rd,p=7794.03

Piastra di anima

Bnetta=24.00 Hnetta=186.00
CC 97 SLU (Collegamento -1212_-1213)
Azioni sul collegamento: N=3696.27 Ty=-2.47 Tz=3643.29 My=589.84 Mz=6.00
Sollecitazioni agenti localmente: Tx_l=1358.32 Ty_l=3643.29 Mz_l=374.92
Tensioni nella sezione: σ=301.36 τ=81.61
CC 98 SLU (Collegamento -1212_-1213)
Azioni sul collegamento: N=3926.69 Ty=-2.42 Tz=3599.79 My=648.18 Mz=5.87
Sollecitazioni agenti localmente: Tx_l=1442.99 Ty_l=3599.79 Mz_l=380.30
Tensioni nella sezione: σ=307.14 τ=80.64

Verifica a taglio anima forata

Bnetta=6.20 Hnetta=152.40
CC 97 SLU (Collegamento -1212_-1213)
Azioni sul collegamento: N=3696.27 Ty=-2.47 Tz=3643.29 My=589.84 Mz=6.00
Sollecitazioni agenti localmente: Ty_l=1821.65
Tensioni nella sezione: σ=0.00 τ=192.79

Bullonatura ali superiori

CC 106 SLU (Collegamento -1212_-1213)
Azioni sul collegamento: N=5099.92 Ty=3.31 Tz=1108.19 My=1340.01 Mz=-3.88
Sollecitazioni agenti localmente: Tx_l=-3330.60 Ty_l=1.65 Mz_l=-1.67
Taglio nei bulloni: Fv,Ed=166.84 Fv,Rd=6028.80
Azione di rifollamento di progetto lato asta: Fb,Ed,a=333.68 Fb,Rd,a=9486.95
Rifollamento lato piastra: Fb,Ed,p=166.84 Fb,Rd,p=11616.70
CC 49 SLV
Azioni sul collegamento: N=2426.68 Ty=-2.56 Tz=214.22 My=-286.78 Mz=2.64
Sollecitazioni agenti localmente: Tx_l=1825.43 Ty_l=-1.28 Mz_l=1.10
Taglio nei bulloni: Fv,Ed=91.48 Fv,Rd=6028.80
Azione di rifollamento di progetto lato asta: Fb,Ed,a=182.96 Fb,Rd,a=6139.06
Rifollamento lato piastra: Fb,Ed,p=91.48 Fb,Rd,p=5011.64

Bullonatura ali inferiori

CC 106 SLU (Collegamento -1212_-1213)

Azioni sul collegamento: N=5099.92 Ty=3.31 Tz=1108.19 My=1340.01 Mz=-3.88
Sollecitazioni agenti localmente: Tx_l=6556.38 Ty_l=1.65 Mz_l=-1.67
Taglio nei bulloni: Fv,Ed=328.13 Fv,Rd=6028.80
Azione di rifollamento di progetto lato asta: Fb,Ed,a=656.26 Fb,Rd,a=6138.69
Rifollamento lato piastra: Fb,Ed,p=328.13 Fb,Rd,p=5011.20

Piastre esterne sulle ali

Bnetta=12.00 Hnetta=120.00
CC 106 SLU (Collegamento -1212_-1213)
Azioni sul collegamento: N=5099.92 Ty=3.31 Tz=1108.19 My=1340.01 Mz=-3.88
Sollecitazioni agenti localmente: Tx_l=3894.88 Ty_l=0.98 Mz_l=-1.94
Tensioni nella sezione: σ=277.22 τ= 0.07
CC 106 SLU
Azioni sul collegamento: N=5428.44 Ty=5.01 Tz=738.92 My=1303.64 Mz=-3.81
Sollecitazioni agenti localmente: Tx_l=-1837.15 Ty_l=1.49 Mz_l=-1.91
Tensioni nella sezione: σ=134.20 τ=0.10

Piastre interne sulle ali

Bnetta=12.00 Hnetta=41.00
CC 106 SLU (Collegamento -1212_-1213)
Azioni sul collegamento: N=5099.92 Ty=3.31 Tz=1108.19 My=1340.01 Mz=-3.88
Sollecitazioni agenti localmente: Tx_l=1330.75 Ty_l=0.34
Tensioni nella sezione: σ=270.48 τ= 0.07
CC 106 SLU
Azioni sul collegamento: N=5428.44 Ty=5.01 Tz=738.92 My=1303.64 Mz=-3.81
Sollecitazioni agenti localmente: Tx_l=-627.69 Ty_l=0.51
Tensioni nella sezione: σ=127.58 τ=0.10

Collegamento -179_-383

Piastra 220.00 x 220.00 s=15.00 - 6 Tirafondi ϕ 16 - Profondità di infissione: 350.00
3 righe ad interasse 89.00
2 colonne ad interasse 178.00
Altezza di gola saldature: anima 7.07 - ala 7.07

Tirafondi e calcestruzzo

CC 1 SLV (Collegamento -179_-383)
Azioni sul collegamento: N=-6136.64 Ty=15.19 Tz=-0.86 Mx=0.02 Mz=13.60
Sollecitazioni agenti localmente: Tx_l=15.19 Ty_l=-0.86 N_l=-6136.64 Mx_l=-0.00 My_l=13.60 Mz_l=0.02
Taglio nei bulloni: Fv,Ed=2.56 Fv,Rd=7720.78
Rifollamento lato piastra: Fb,Ed,p=2.56 Fb,Rd,p=6015.41
Tirafondi:LT=0.45 (0.31) σ_{cR}=0.00 σ_{fR}=0.00
Compressione nel calcestruzzo: σ_c=13.45
CC 1 SLV (Collegamento -179_-383)
Azioni sul collegamento: N=-6136.64 Ty=7.48 Tz=-0.86 Mx=0.02 Mz=7.28
Sollecitazioni agenti localmente: Tx_l=7.48 Ty_l=-0.86 N_l=-6136.64 Mx_l=-0.00 My_l=7.28 Mz_l=0.02
Taglio nei bulloni: Fv,Ed=1.28 Fv,Rd=7720.78
Rifollamento lato piastra: Fb,Ed,p=1.28 Fb,Rd,p=6126.38
Tirafondi:LT=0.45 (0.31) σ_{cR}=0.00 σ_{fR}=0.00
Compressione nel calcestruzzo: σ_c=13.09
CC 1 SLV (Collegamento -179_-383)
Azioni sul collegamento: N=-6136.64 Ty=15.19 Tz=28.35 Mx=0.02 Mz=13.60
Sollecitazioni agenti localmente: Tx_l=15.19 Ty_l=28.35 N_l=-6136.64 Mx_l=-0.00 My_l=13.60 Mz_l=0.02
Taglio nei bulloni: Fv,Ed=5.39 Fv,Rd=7720.78
Rifollamento lato piastra: Fb,Ed,p=5.39 Fb,Rd,p=8597.84
Tirafondi:LT=0.45 (0.31) σ_{cR}=0.00 σ_{fR}=0.00
Compressione nel calcestruzzo: σ_c=13.45
CC 1 SLV (Collegamento -179_-383)
Azioni sul collegamento: N=-6136.64 Ty=7.48 Tz=28.35 Mx=0.02 Mz=7.28
Sollecitazioni agenti localmente: Tx_l=7.48 Ty_l=28.35 N_l=-6136.64 Mx_l=-0.00 My_l=7.28 Mz_l=0.02
Taglio nei bulloni: Fv,Ed=4.91 Fv,Rd=7720.78
Rifollamento lato piastra: Fb,Ed,p=4.91 Fb,Rd,p=6614.95
Tirafondi:LT=0.45 (0.31) σ_{cR}=0.00 σ_{fR}=0.00
Compressione nel calcestruzzo: σ_c=13.09
CC 1 SLV (Collegamento -179_-383)
Azioni sul collegamento: N=-13961.30 Ty=15.19 Tz=-0.86 Mx=0.02 Mz=13.60
Sollecitazioni agenti localmente: Tx_l=15.19 Ty_l=-0.86 N_l=-13961.30 Mx_l=-0.00 My_l=13.60 Mz_l=0.02
Taglio nei bulloni: Fv,Ed=2.56 Fv,Rd=7720.78
Rifollamento lato piastra: Fb,Ed,p=2.56 Fb,Rd,p=6015.41
Tirafondi:LT=0.45 (0.31) σ_{cR}=0.00 σ_{fR}=0.00
Compressione nel calcestruzzo: σ_c=29.61
CC 1 SLV (Collegamento -179_-383)
Azioni sul collegamento: N=-13961.30 Ty=7.48 Tz=-0.86 Mx=0.02 Mz=7.28
Sollecitazioni agenti localmente: Tx_l=7.48 Ty_l=-0.86 N_l=-13961.30 Mx_l=-0.00 My_l=7.28 Mz_l=0.02
Taglio nei bulloni: Fv,Ed=1.28 Fv,Rd=7720.78
Rifollamento lato piastra: Fb,Ed,p=1.28 Fb,Rd,p=6126.36

Tirafondi:LT=0.45 (0.31) σ_{cR}=0.00 σ_{fR}=0.00
Compressione nel calcestruzzo: σ_c=29.26
CC 1 SLV (Collegamento -179_-383)
Azioni sul collegamento: N=-13961.30 Ty=15.19 Tz=28.35 Mx=0.02 Mz=13.60
Sollecitazioni agenti localmente: Tx_l=15.19 Ty_l=28.35 N_l=-13961.30 Mx_l=-0.00 My_l=13.60 Mz_l=0.02
Taglio nei bulloni: Fv,Ed=5.39 Fv,Rd=7720.78
Rifollamento lato piastra: Fb,Ed,p=5.39 Fb,Rd,p=8597.92
Tirafondi:LT=0.45 (0.31) σ_{cR}=0.00 σ_{fR}=0.00
Compressione nel calcestruzzo: σ_c=29.61
CC 1 SLV (Collegamento -179_-383)
Azioni sul collegamento: N=-13961.30 Ty=7.48 Tz=28.35 Mx=0.02 Mz=7.28
Sollecitazioni agenti localmente: Tx_l=7.48 Ty_l=28.35 N_l=-13961.30 Mx_l=-0.00 My_l=7.28 Mz_l=0.02
Taglio nei bulloni: Fv,Ed=4.91 Fv,Rd=7720.78
Rifollamento lato piastra: Fb,Ed,p=4.91 Fb,Rd,p=6614.96
Tirafondi:LT=0.45 (0.31) σ_{cR}=0.00 σ_{fR}=0.00
Compressione nel calcestruzzo: σ_c=29.26
CC 2 SLD (Collegamento -179_-383)
Azioni sul collegamento: N=-8758.64 Ty=11.59 Tz=8.91 Mx=0.01 Mz=9.27
Sollecitazioni agenti localmente: Tx_l=11.59 Ty_l=8.91 N_l=-8758.64 Mx_l=-0.00 My_l=9.27 Mz_l=0.01
Taglio nei bulloni: Fv,Ed=2.45 Fv,Rd=9650.97
Rifollamento lato piastra: Fb,Ed,p=2.44 Fb,Rd,p=13350.00
Tirafondi:LT=0.45 (0.31) σ_{cR}=0.00 σ_{fR}=0.00
Compressione nel calcestruzzo: σ_c=18.62
CC 2 SLD (Collegamento -179_-383)
Azioni sul collegamento: N=-8758.64 Ty=9.24 Tz=8.91 Mx=0.01 Mz=7.34
Sollecitazioni agenti localmente: Tx_l=9.24 Ty_l=8.91 N_l=-8758.64 Mx_l=-0.00 My_l=7.34 Mz_l=0.01
Taglio nei bulloni: Fv,Ed=2.15 Fv,Rd=9650.97
Rifollamento lato piastra: Fb,Ed,p=2.14 Fb,Rd,p=14680.20
Tirafondi:LT=0.45 (0.31) σ_{cR}=0.00 σ_{fR}=0.00
Compressione nel calcestruzzo: σ_c=18.51
CC 2 SLD (Collegamento -179_-383)
Azioni sul collegamento: N=-8758.64 Ty=11.59 Tz=17.82 Mx=0.01 Mz=9.27
Sollecitazioni agenti localmente: Tx_l=11.59 Ty_l=17.82 N_l=-8758.64 Mx_l=-0.00 My_l=9.27 Mz_l=0.01
Taglio nei bulloni: Fv,Ed=3.55 Fv,Rd=9650.97
Rifollamento lato piastra: Fb,Ed,p=3.55 Fb,Rd,p=12313.10
Tirafondi:LT=0.45 (0.31) σ_{cR}=0.00 σ_{fR}=0.00
Compressione nel calcestruzzo: σ_c=18.62
CC 2 SLD (Collegamento -179_-383)
Azioni sul collegamento: N=-8758.64 Ty=9.24 Tz=17.82 Mx=0.01 Mz=7.34
Sollecitazioni agenti localmente: Tx_l=9.24 Ty_l=17.82 N_l=-8758.64 Mx_l=-0.00 My_l=7.34 Mz_l=0.01
Taglio nei bulloni: Fv,Ed=3.36 Fv,Rd=9650.97
Rifollamento lato piastra: Fb,Ed,p=3.36 Fb,Rd,p=10527.50
Tirafondi:LT=0.45 (0.31) σ_{cR}=0.00 σ_{fR}=0.00
Compressione nel calcestruzzo: σ_c=18.51
CC 2 SLD (Collegamento -179_-383)
Azioni sul collegamento: N=-11144.60 Ty=11.59 Tz=8.91 Mx=0.01 Mz=9.27
Sollecitazioni agenti localmente: Tx_l=11.59 Ty_l=8.91 N_l=-11144.60 Mx_l=-0.00 My_l=9.27 Mz_l=0.01
Taglio nei bulloni: Fv,Ed=2.45 Fv,Rd=9650.97
Rifollamento lato piastra: Fb,Ed,p=2.44 Fb,Rd,p=13350.20
Tirafondi:LT=0.45 (0.31) σ_{cR}=0.00 σ_{fR}=0.00
Compressione nel calcestruzzo: σ_c=23.55
CC 2 SLD (Collegamento -179_-383)
Azioni sul collegamento: N=-11144.60 Ty=9.24 Tz=8.91 Mx=0.01 Mz=7.34
Sollecitazioni agenti localmente: Tx_l=9.24 Ty_l=8.91 N_l=-11144.60 Mx_l=-0.00 My_l=7.34 Mz_l=0.01
Taglio nei bulloni: Fv,Ed=2.15 Fv,Rd=9650.97
Rifollamento lato piastra: Fb,Ed,p=2.14 Fb,Rd,p=14680.50
Tirafondi:LT=0.45 (0.31) σ_{cR}=0.00 σ_{fR}=0.00
Compressione nel calcestruzzo: σ_c=23.44
CC 2 SLD (Collegamento -179_-383)
Azioni sul collegamento: N=-11144.60 Ty=11.59 Tz=17.82 Mx=0.01 Mz=9.27
Sollecitazioni agenti localmente: Tx_l=11.59 Ty_l=17.82 N_l=-11144.60 Mx_l=-0.00 My_l=9.27 Mz_l=0.01
Taglio nei bulloni: Fv,Ed=3.55 Fv,Rd=9650.97
Rifollamento lato piastra: Fb,Ed,p=3.55 Fb,Rd,p=12313.10
Tirafondi:LT=0.45 (0.31) σ_{cR}=0.00 σ_{fR}=0.00
Compressione nel calcestruzzo: σ_c=23.55
CC 2 SLD (Collegamento -179_-383)
Azioni sul collegamento: N=-11144.60 Ty=9.24 Tz=17.82 Mx=0.01 Mz=7.34
Sollecitazioni agenti localmente: Tx_l=9.24 Ty_l=17.82 N_l=-11144.60 Mx_l=-0.00 My_l=7.34 Mz_l=0.01
Taglio nei bulloni: Fv,Ed=3.36 Fv,Rd=9650.97
Rifollamento lato piastra: Fb,Ed,p=3.36 Fb,Rd,p=10527.50
Tirafondi:LT=0.45 (0.31) σ_{cR}=0.00 σ_{fR}=0.00
Compressione nel calcestruzzo: σ_c=23.44
CC 3 SLV (Collegamento -179_-383)
Azioni sul collegamento: N=-6141.51 Ty=14.68 Tz=-0.53 Mx=0.01 Mz=12.56
Sollecitazioni agenti localmente: Tx_l=14.68 Ty_l=-0.53 N_l=-6141.51 Mx_l=-0.00 My_l=12.56 Mz_l=0.01
Taglio nei bulloni: Fv,Ed=2.46 Fv,Rd=7720.78
Rifollamento lato piastra: Fb,Ed,p=2.46 Fb,Rd,p=5994.78
Tirafondi:LT=0.45 (0.31) σ_{cR}=0.00 σ_{fR}=0.00

Compressione nel calcestruzzo: σ_c=13.40
CC 3 SLV (Collegamento -179_-383)
Azioni sul collegamento: N=-6141.51 Ty=7.99 Tz=-0.53 Mx=0.01 Mz=8.33
Sollecitazioni agenti localmente: Tx_l=7.99 Ty_l=-0.53 N_l=-6141.51 Mx_l=-0.00 My_l=8.33 Mz_l=0.01
Taglio nei bulloni: Fv,Ed=1.35 Fv,Rd=7720.78
Rifollamento lato piastra: Fb,Ed,p=1.35 Fb,Rd,p=6031.29
Tirafondi:LT=0.45 (0.31) σ_{cR}=0.00 σ_{fR}=0.00
Compressione nel calcestruzzo: σ_c=13.16
CC 3 SLV (Collegamento -179_-383)
Azioni sul collegamento: N=-6141.51 Ty=14.68 Tz=28.02 Mx=0.01 Mz=12.56
Sollecitazioni agenti localmente: Tx_l=14.68 Ty_l=28.02 N_l=-6141.51 Mx_l=-0.00 My_l=12.56 Mz_l=0.01
Taglio nei bulloni: Fv,Ed=5.29 Fv,Rd=7720.78
Rifollamento lato piastra: Fb,Ed,p=5.29 Fb,Rd,p=8475.07
Tirafondi:LT=0.45 (0.31) σ_{cR}=0.00 σ_{fR}=0.00
Compressione nel calcestruzzo: σ_c=13.40
CC 3 SLV (Collegamento -179_-383)
Azioni sul collegamento: N=-6141.51 Ty=7.99 Tz=28.02 Mx=0.01 Mz=8.33
Sollecitazioni agenti localmente: Tx_l=7.99 Ty_l=28.02 N_l=-6141.51 Mx_l=-0.00 My_l=8.33 Mz_l=0.01
Taglio nei bulloni: Fv,Ed=4.88 Fv,Rd=7720.78
Rifollamento lato piastra: Fb,Ed,p=4.88 Fb,Rd,p=6717.12
Tirafondi:LT=0.45 (0.31) σ_{cR}=0.00 σ_{fR}=0.00
Compressione nel calcestruzzo: σ_c=13.16
CC 3 SLV (Collegamento -179_-383)
Azioni sul collegamento: N=-13956.40 Ty=14.68 Tz=-0.53 Mx=0.01 Mz=12.56
Sollecitazioni agenti localmente: Tx_l=14.68 Ty_l=-0.53 N_l=-13956.40 Mx_l=-0.00 My_l=12.56 Mz_l=0.01
Taglio nei bulloni: Fv,Ed=2.46 Fv,Rd=7720.78
Rifollamento lato piastra: Fb,Ed,p=2.46 Fb,Rd,p=5994.78
Tirafondi:LT=0.45 (0.31) σ_{cR}=0.00 σ_{fR}=0.00
Compressione nel calcestruzzo: σ_c=29.54
CC 3 SLV (Collegamento -179_-383)
Azioni sul collegamento: N=-13956.40 Ty=7.99 Tz=-0.53 Mx=0.01 Mz=8.33
Sollecitazioni agenti localmente: Tx_l=7.99 Ty_l=-0.53 N_l=-13956.40 Mx_l=-0.00 My_l=8.33 Mz_l=0.01
Taglio nei bulloni: Fv,Ed=1.35 Fv,Rd=7720.78
Rifollamento lato piastra: Fb,Ed,p=1.35 Fb,Rd,p=6031.27
Tirafondi:LT=0.45 (0.31) σ_{cR}=0.00 σ_{fR}=0.00
Compressione nel calcestruzzo: σ_c=29.30
CC 3 SLV (Collegamento -179_-383)
Azioni sul collegamento: N=-13956.40 Ty=14.68 Tz=28.02 Mx=0.01 Mz=12.56
Sollecitazioni agenti localmente: Tx_l=14.68 Ty_l=28.02 N_l=-13956.40 Mx_l=-0.00 My_l=12.56 Mz_l=0.01
Taglio nei bulloni: Fv,Ed=5.29 Fv,Rd=7720.78
Rifollamento lato piastra: Fb,Ed,p=5.29 Fb,Rd,p=8474.99
Tirafondi:LT=0.45 (0.31) σ_{cR}=0.00 σ_{fR}=0.00
Compressione nel calcestruzzo: σ_c=29.54
CC 3 SLV (Collegamento -179_-383)
Azioni sul collegamento: N=-13956.40 Ty=7.99 Tz=28.02 Mx=0.01 Mz=8.33
Sollecitazioni agenti localmente: Tx_l=7.99 Ty_l=28.02 N_l=-13956.40 Mx_l=-0.00 My_l=8.33 Mz_l=0.01
Taglio nei bulloni: Fv,Ed=4.88 Fv,Rd=7720.78
Rifollamento lato piastra: Fb,Ed,p=4.88 Fb,Rd,p=6717.10
Tirafondi:LT=0.45 (0.31) σ_{cR}=0.00 σ_{fR}=0.00
Compressione nel calcestruzzo: σ_c=29.30
CC 4 SLD (Collegamento -179_-383)
Azioni sul collegamento: N=-8760.13 Ty=11.43 Tz=9.01 Mx=0.01 Mz=8.95
Sollecitazioni agenti localmente: Tx_l=11.43 Ty_l=9.01 N_l=-8760.13 Mx_l=-0.00 My_l=8.95 Mz_l=0.01
Taglio nei bulloni: Fv,Ed=2.44 Fv,Rd=9650.97
Rifollamento lato piastra: Fb,Ed,p=2.43 Fb,Rd,p=13483.40
Tirafondi:LT=0.45 (0.31) σ_{cR}=0.00 σ_{fR}=0.00
Compressione nel calcestruzzo: σ_c=18.60
CC 4 SLD (Collegamento -179_-383)
Azioni sul collegamento: N=-8760.13 Ty=9.39 Tz=9.01 Mx=0.01 Mz=7.66
Sollecitazioni agenti localmente: Tx_l=9.39 Ty_l=9.01 N_l=-8760.13 Mx_l=-0.00 My_l=7.66 Mz_l=0.01
Taglio nei bulloni: Fv,Ed=2.18 Fv,Rd=9650.97
Rifollamento lato piastra: Fb,Ed,p=2.17 Fb,Rd,p=14656.40
Tirafondi:LT=0.45 (0.31) σ_{cR}=0.00 σ_{fR}=0.00
Compressione nel calcestruzzo: σ_c=18.53
CC 4 SLD (Collegamento -179_-383)
Azioni sul collegamento: N=-8760.13 Ty=11.43 Tz=17.72 Mx=0.01 Mz=8.95
Sollecitazioni agenti localmente: Tx_l=11.43 Ty_l=17.72 N_l=-8760.13 Mx_l=-0.00 My_l=8.95 Mz_l=0.01
Taglio nei bulloni: Fv,Ed=3.52 Fv,Rd=9650.97
Rifollamento lato piastra: Fb,Ed,p=3.52 Fb,Rd,p=12232.00
Tirafondi:LT=0.45 (0.31) σ_{cR}=0.00 σ_{fR}=0.00
Compressione nel calcestruzzo: σ_c=18.60
CC 4 SLD (Collegamento -179_-383)
Azioni sul collegamento: N=-8760.13 Ty=9.39 Tz=17.72 Mx=0.01 Mz=7.66
Sollecitazioni agenti localmente: Tx_l=9.39 Ty_l=17.72 N_l=-8760.13 Mx_l=-0.00 My_l=7.66 Mz_l=0.01
Taglio nei bulloni: Fv,Ed=3.35 Fv,Rd=9650.97
Rifollamento lato piastra: Fb,Ed,p=3.35 Fb,Rd,p=10666.10
Tirafondi:LT=0.45 (0.31) σ_{cR}=0.00 σ_{fR}=0.00
Compressione nel calcestruzzo: σ_c=18.53

CC 4 SLD (Collegamento -179_-383)
Azioni sul collegamento: N=-11143.10 Ty=11.43 Tz=9.01 Mx=0.01 Mz=8.95
Sollecitazioni agenti localmente: Tx_l=11.43 Ty_l=9.01 N_l=-11143.10 Mx_l=-0.00 My_l=8.95 Mz_l=0.01
Taglio nei bulloni: Fv,Ed=2.44 Fv,Rd=9650.97
Rifollamento lato piastra: Fb,Ed,p=2.43 Fb,Rd,p=13483.60
Tirafondi:LT=0.45 (0.31) σ_{cR}=0.00 σ_{fR}=0.00
Compressione nel calcestruzzo: σ_c=23.53
CC 4 SLD (Collegamento -179_-383)
Azioni sul collegamento: N=-11143.10 Ty=9.39 Tz=9.01 Mx=0.01 Mz=7.66
Sollecitazioni agenti localmente: Tx_l=9.39 Ty_l=9.01 N_l=-11143.10 Mx_l=-0.00 My_l=7.66 Mz_l=0.01
Taglio nei bulloni: Fv,Ed=2.18 Fv,Rd=9650.97
Rifollamento lato piastra: Fb,Ed,p=2.17 Fb,Rd,p=14656.70
Tirafondi:LT=0.45 (0.31) σ_{cR}=0.00 σ_{fR}=0.00
Compressione nel calcestruzzo: σ_c=23.45
CC 4 SLD (Collegamento -179_-383)
Azioni sul collegamento: N=-11143.10 Ty=11.43 Tz=17.72 Mx=0.01 Mz=8.95
Sollecitazioni agenti localmente: Tx_l=11.43 Ty_l=17.72 N_l=-11143.10 Mx_l=-0.00 My_l=8.95 Mz_l=0.01
Taglio nei bulloni: Fv,Ed=3.52 Fv,Rd=9650.97
Rifollamento lato piastra: Fb,Ed,p=3.52 Fb,Rd,p=12232.10
Tirafondi:LT=0.45 (0.31) σ_{cR}=0.00 σ_{fR}=0.00
Compressione nel calcestruzzo: σ_c=23.53
CC 4 SLD (Collegamento -179_-383)
Azioni sul collegamento: N=-11143.10 Ty=9.39 Tz=17.72 Mx=0.01 Mz=7.66
Sollecitazioni agenti localmente: Tx_l=9.39 Ty_l=17.72 N_l=-11143.10 Mx_l=-0.00 My_l=7.66 Mz_l=0.01
Taglio nei bulloni: Fv,Ed=3.35 Fv,Rd=9650.97
Rifollamento lato piastra: Fb,Ed,p=3.35 Fb,Rd,p=10666.20
Tirafondi:LT=0.45 (0.31) σ_{cR}=0.00 σ_{fR}=0.00
Compressione nel calcestruzzo: σ_c=23.45
CC 5 SLV (Collegamento -179_-383)
Azioni sul collegamento: N=-13956.40 Ty=7.99 Tz=28.02 Mx=0.02 Mz=8.33
Sollecitazioni agenti localmente: Tx_l=7.99 Ty_l=28.02 N_l=-13956.40 Mx_l=-0.00 My_l=8.33 Mz_l=0.02
Taglio nei bulloni: Fv,Ed=4.88 Fv,Rd=7720.78
Rifollamento lato piastra: Fb,Ed,p=4.88 Fb,Rd,p=6721.24
Tirafondi:LT=0.45 (0.31) σ_{cR}=0.00 σ_{fR}=0.00
Compressione nel calcestruzzo: σ_c=29.30
CC 5 SLV (Collegamento -179_-383)
Azioni sul collegamento: N=-13956.40 Ty=14.68 Tz=28.02 Mx=0.02 Mz=12.56
Sollecitazioni agenti localmente: Tx_l=14.68 Ty_l=28.02 N_l=-13956.40 Mx_l=-0.00 My_l=12.56 Mz_l=0.02
Taglio nei bulloni: Fv,Ed=5.30 Fv,Rd=7720.78
Rifollamento lato piastra: Fb,Ed,p=5.30 Fb,Rd,p=8480.15
Tirafondi:LT=0.45 (0.31) σ_{cR}=0.00 σ_{fR}=0.00
Compressione nel calcestruzzo: σ_c=29.54
CC 5 SLV (Collegamento -179_-383)
Azioni sul collegamento: N=-13956.40 Ty=7.99 Tz=-0.53 Mx=0.02 Mz=8.33
Sollecitazioni agenti localmente: Tx_l=7.99 Ty_l=-0.53 N_l=-13956.40 Mx_l=-0.00 My_l=8.33 Mz_l=0.02
Taglio nei bulloni: Fv,Ed=1.36 Fv,Rd=7720.78
Rifollamento lato piastra: Fb,Ed,p=1.36 Fb,Rd,p=6036.29
Tirafondi:LT=0.45 (0.31) σ_{cR}=0.00 σ_{fR}=0.00
Compressione nel calcestruzzo: σ_c=29.30
CC 5 SLV (Collegamento -179_-383)
Azioni sul collegamento: N=-13956.40 Ty=14.68 Tz=-0.53 Mx=0.02 Mz=12.56
Sollecitazioni agenti localmente: Tx_l=14.68 Ty_l=-0.53 N_l=-13956.40 Mx_l=-0.00 My_l=12.56 Mz_l=0.02
Taglio nei bulloni: Fv,Ed=2.47 Fv,Rd=7720.78
Rifollamento lato piastra: Fb,Ed,p=2.47 Fb,Rd,p=5996.34
Tirafondi:LT=0.45 (0.31) σ_{cR}=0.00 σ_{fR}=0.00
Compressione nel calcestruzzo: σ_c=29.54
CC 5 SLV (Collegamento -179_-383)
Azioni sul collegamento: N=-6141.51 Ty=7.99 Tz=28.02 Mx=0.02 Mz=8.33
Sollecitazioni agenti localmente: Tx_l=7.99 Ty_l=28.02 N_l=-6141.51 Mx_l=-0.00 My_l=8.33 Mz_l=0.02
Taglio nei bulloni: Fv,Ed=4.88 Fv,Rd=7720.78
Rifollamento lato piastra: Fb,Ed,p=4.88 Fb,Rd,p=6721.26
Tirafondi:LT=0.45 (0.31) σ_{cR}=0.00 σ_{fR}=0.00
Compressione nel calcestruzzo: σ_c=13.16
CC 5 SLV (Collegamento -179_-383)
Azioni sul collegamento: N=-6141.51 Ty=14.68 Tz=28.02 Mx=0.02 Mz=12.56
Sollecitazioni agenti localmente: Tx_l=14.68 Ty_l=28.02 N_l=-6141.51 Mx_l=-0.00 My_l=12.56 Mz_l=0.02
Taglio nei bulloni: Fv,Ed=5.30 Fv,Rd=7720.78
Rifollamento lato piastra: Fb,Ed,p=5.30 Fb,Rd,p=8480.23
Tirafondi:LT=0.45 (0.31) σ_{cR}=0.00 σ_{fR}=0.00
Compressione nel calcestruzzo: σ_c=13.40
CC 5 SLV (Collegamento -179_-383)
Azioni sul collegamento: N=-6141.51 Ty=7.99 Tz=-0.53 Mx=0.02 Mz=8.33
Sollecitazioni agenti localmente: Tx_l=7.99 Ty_l=-0.53 N_l=-6141.51 Mx_l=-0.00 My_l=8.33 Mz_l=0.02
Taglio nei bulloni: Fv,Ed=1.36 Fv,Rd=7720.78
Rifollamento lato piastra: Fb,Ed,p=1.36 Fb,Rd,p=6036.29
Tirafondi:LT=0.45 (0.31) σ_{cR}=0.00 σ_{fR}=0.00
Compressione nel calcestruzzo: σ_c=13.16
CC 5 SLV (Collegamento -179_-383)

Azioni sul collegamento: N=-6141.51 Ty=14.68 Tz=-0.53 Mx=0.02 Mz=12.56
Sollecitazioni agenti localmente: Tx_l=14.68 Ty_l=-0.53 N_l=-6141.51 Mx_l=-0.00 My_l=12.56 Mz_l=0.02
Taglio nei bulloni: Fv,Ed=2.47 Fv,Rd=7720.78
Rifollamento lato piastra: Fb,Ed,p=2.47 Fb,Rd,p=5996.34
Tirafondi:LT=0.45 (0.31) σ_{cR}=0.00 σ_{fR}=0.00
Compressione nel calcestruzzo: σ_c=13.40
CC 6 SLD (Collegamento -179_-383)
Azioni sul collegamento: N=-11143.10 Ty=9.39 Tz=17.72 Mx=0.01 Mz=7.66
Sollecitazioni agenti localmente: Tx_l=9.39 Ty_l=17.72 N_l=-11143.10 Mx_l=-0.00 My_l=7.66 Mz_l=0.01
Taglio nei bulloni: Fv,Ed=3.35 Fv,Rd=9650.97
Rifollamento lato piastra: Fb,Ed,p=3.35 Fb,Rd,p=10669.30
Tirafondi:LT=0.45 (0.31) σ_{cR}=0.00 σ_{fR}=0.00
Compressione nel calcestruzzo: σ_c=23.45
CC 6 SLD (Collegamento -179_-383)
Azioni sul collegamento: N=-11143.10 Ty=11.43 Tz=17.72 Mx=0.01 Mz=8.95
Sollecitazioni agenti localmente: Tx_l=11.43 Ty_l=17.72 N_l=-11143.10 Mx_l=-0.00 My_l=8.95 Mz_l=0.01
Taglio nei bulloni: Fv,Ed=3.53 Fv,Rd=9650.97
Rifollamento lato piastra: Fb,Ed,p=3.53 Fb,Rd,p=12235.00
Tirafondi:LT=0.45 (0.31) σ_{cR}=0.00 σ_{fR}=0.00
Compressione nel calcestruzzo: σ_c=23.53
CC 6 SLD (Collegamento -179_-383)
Azioni sul collegamento: N=-11143.10 Ty=9.39 Tz=9.01 Mx=0.01 Mz=7.66
Sollecitazioni agenti localmente: Tx_l=9.39 Ty_l=9.01 N_l=-11143.10 Mx_l=-0.00 My_l=7.66 Mz_l=0.01
Taglio nei bulloni: Fv,Ed=2.18 Fv,Rd=9650.97
Rifollamento lato piastra: Fb,Ed,p=2.17 Fb,Rd,p=14642.20
Tirafondi:LT=0.45 (0.31) σ_{cR}=0.00 σ_{fR}=0.00
Compressione nel calcestruzzo: σ_c=23.45
CC 6 SLD (Collegamento -179_-383)
Azioni sul collegamento: N=-11143.10 Ty=11.43 Tz=9.01 Mx=0.01 Mz=8.95
Sollecitazioni agenti localmente: Tx_l=11.43 Ty_l=9.01 N_l=-11143.10 Mx_l=-0.00 My_l=8.95 Mz_l=0.01
Taglio nei bulloni: Fv,Ed=2.44 Fv,Rd=9650.97
Rifollamento lato piastra: Fb,Ed,p=2.43 Fb,Rd,p=13473.90
Tirafondi:LT=0.45 (0.31) σ_{cR}=0.00 σ_{fR}=0.00
Compressione nel calcestruzzo: σ_c=23.53
CC 6 SLD (Collegamento -179_-383)
Azioni sul collegamento: N=-8760.13 Ty=9.39 Tz=17.72 Mx=0.01 Mz=7.66
Sollecitazioni agenti localmente: Tx_l=9.39 Ty_l=17.72 N_l=-8760.13 Mx_l=-0.00 My_l=7.66 Mz_l=0.01
Taglio nei bulloni: Fv,Ed=3.35 Fv,Rd=9650.97
Rifollamento lato piastra: Fb,Ed,p=3.35 Fb,Rd,p=10669.20
Tirafondi:LT=0.45 (0.31) σ_{cR}=0.00 σ_{fR}=0.00
Compressione nel calcestruzzo: σ_c=18.53
CC 6 SLD (Collegamento -179_-383)
Azioni sul collegamento: N=-8760.13 Ty=11.43 Tz=17.72 Mx=0.01 Mz=8.95
Sollecitazioni agenti localmente: Tx_l=11.43 Ty_l=17.72 N_l=-8760.13 Mx_l=-0.00 My_l=8.95 Mz_l=0.01
Taglio nei bulloni: Fv,Ed=3.53 Fv,Rd=9650.97
Rifollamento lato piastra: Fb,Ed,p=3.53 Fb,Rd,p=12234.90
Tirafondi:LT=0.45 (0.31) σ_{cR}=0.00 σ_{fR}=0.00
Compressione nel calcestruzzo: σ_c=18.60
CC 6 SLD (Collegamento -179_-383)
Azioni sul collegamento: N=-8760.13 Ty=9.39 Tz=9.01 Mx=0.01 Mz=7.66
Sollecitazioni agenti localmente: Tx_l=9.39 Ty_l=9.01 N_l=-8760.13 Mx_l=-0.00 My_l=7.66 Mz_l=0.01
Taglio nei bulloni: Fv,Ed=2.18 Fv,Rd=9650.97
Rifollamento lato piastra: Fb,Ed,p=2.17 Fb,Rd,p=14641.90
Tirafondi:LT=0.45 (0.31) σ_{cR}=0.00 σ_{fR}=0.00
Compressione nel calcestruzzo: σ_c=18.53
CC 6 SLD (Collegamento -179_-383)
Azioni sul collegamento: N=-8760.13 Ty=11.43 Tz=9.01 Mx=0.01 Mz=8.95
Sollecitazioni agenti localmente: Tx_l=11.43 Ty_l=9.01 N_l=-8760.13 Mx_l=-0.00 My_l=8.95 Mz_l=0.01
Taglio nei bulloni: Fv,Ed=2.44 Fv,Rd=9650.97
Rifollamento lato piastra: Fb,Ed,p=2.43 Fb,Rd,p=13473.60
Tirafondi:LT=0.45 (0.31) σ_{cR}=0.00 σ_{fR}=0.00
Compressione nel calcestruzzo: σ_c=18.60
CC 7 SLV (Collegamento -179_-383)
Azioni sul collegamento: N=-13961.30 Ty=7.48 Tz=28.35 Mx=0.01 Mz=7.28
Sollecitazioni agenti localmente: Tx_l=7.48 Ty_l=28.35 N_l=-13961.30 Mx_l=-0.00 My_l=7.28 Mz_l=0.01
Taglio nei bulloni: Fv,Ed=4.90 Fv,Rd=7720.78
Rifollamento lato piastra: Fb,Ed,p=4.90 Fb,Rd,p=6610.94
Tirafondi:LT=0.45 (0.31) σ_{cR}=0.00 σ_{fR}=0.00
Compressione nel calcestruzzo: σ_c=29.26
CC 7 SLV (Collegamento -179_-383)
Azioni sul collegamento: N=-13961.30 Ty=15.19 Tz=28.35 Mx=0.01 Mz=13.60
Sollecitazioni agenti localmente: Tx_l=15.19 Ty_l=28.35 N_l=-13961.30 Mx_l=-0.00 My_l=13.60 Mz_l=0.01
Taglio nei bulloni: Fv,Ed=5.38 Fv,Rd=7720.78
Rifollamento lato piastra: Fb,Ed,p=5.38 Fb,Rd,p=8592.65
Tirafondi:LT=0.45 (0.31) σ_{cR}=0.00 σ_{fR}=0.00
Compressione nel calcestruzzo: σ_c=29.61
CC 7 SLV (Collegamento -179_-383)
Azioni sul collegamento: N=-13961.30 Ty=7.48 Tz=-0.86 Mx=0.01 Mz=7.28

Sollecitazioni agenti localmente: Tx_l=7.48 Ty_l=-0.86 N_l=-13961.30 Mx_l=-0.00 My_l=7.28 Mz_l=0.01
Taglio nei bulloni: Fv,Ed=1.27 Fv,Rd=7720.78
Rifollamento lato piastra: Fb,Ed,p=1.27 Fb,Rd,p=6117.87
Tirafondi:LT=0.45 (0.31) σ_{cR}=0.00 σ_{fR}=0.00
Compressione nel calcestruzzo: σ_c=29.26
CC 7 SLV (Collegamento -179_-383)
Azioni sul collegamento: N=-13961.30 Ty=15.19 Tz=-0.86 Mx=0.01 Mz=13.60
Sollecitazioni agenti localmente: Tx_l=15.19 Ty_l=-0.86 N_l=-13961.30 Mx_l=-0.00 My_l=13.60 Mz_l=0.01
Taglio nei bulloni: Fv,Ed=2.55 Fv,Rd=7720.78
Rifollamento lato piastra: Fb,Ed,p=2.55 Fb,Rd,p=6013.17
Tirafondi:LT=0.45 (0.31) σ_{cR}=0.00 σ_{fR}=0.00
Compressione nel calcestruzzo: σ_c=29.61
CC 7 SLV (Collegamento -179_-383)
Azioni sul collegamento: N=-6136.64 Ty=7.48 Tz=28.35 Mx=0.01 Mz=7.28
Sollecitazioni agenti localmente: Tx_l=7.48 Ty_l=28.35 N_l=-6136.64 Mx_l=-0.00 My_l=7.28 Mz_l=0.01
Taglio nei bulloni: Fv,Ed=4.90 Fv,Rd=7720.78
Rifollamento lato piastra: Fb,Ed,p=4.90 Fb,Rd,p=6610.92
Tirafondi:LT=0.45 (0.31) σ_{cR}=0.00 σ_{fR}=0.00
Compressione nel calcestruzzo: σ_c=13.09
CC 7 SLV (Collegamento -179_-383)
Azioni sul collegamento: N=-6136.64 Ty=15.19 Tz=28.35 Mx=0.01 Mz=13.60
Sollecitazioni agenti localmente: Tx_l=15.19 Ty_l=28.35 N_l=-6136.64 Mx_l=-0.00 My_l=13.60 Mz_l=0.01
Taglio nei bulloni: Fv,Ed=5.38 Fv,Rd=7720.78
Rifollamento lato piastra: Fb,Ed,p=5.38 Fb,Rd,p=8592.58
Tirafondi:LT=0.45 (0.31) σ_{cR}=0.00 σ_{fR}=0.00
Compressione nel calcestruzzo: σ_c=13.45
CC 7 SLV (Collegamento -179_-383)
Azioni sul collegamento: N=-6136.64 Ty=7.48 Tz=-0.86 Mx=0.01 Mz=7.28
Sollecitazioni agenti localmente: Tx_l=7.48 Ty_l=-0.86 N_l=-6136.64 Mx_l=-0.00 My_l=7.28 Mz_l=0.01
Taglio nei bulloni: Fv,Ed=1.27 Fv,Rd=7720.78
Rifollamento lato piastra: Fb,Ed,p=1.27 Fb,Rd,p=6117.88
Tirafondi:LT=0.45 (0.31) σ_{cR}=0.00 σ_{fR}=0.00
Compressione nel calcestruzzo: σ_c=13.09
CC 7 SLV (Collegamento -179_-383)
Azioni sul collegamento: N=-6136.64 Ty=15.19 Tz=-0.86 Mx=0.01 Mz=13.60
Sollecitazioni agenti localmente: Tx_l=15.19 Ty_l=-0.86 N_l=-6136.64 Mx_l=-0.00 My_l=13.60 Mz_l=0.01
Taglio nei bulloni: Fv,Ed=2.55 Fv,Rd=7720.78
Rifollamento lato piastra: Fb,Ed,p=2.55 Fb,Rd,p=6013.17
Tirafondi:LT=0.45 (0.31) σ_{cR}=0.00 σ_{fR}=0.00
Compressione nel calcestruzzo: σ_c=13.45
CC 8 SLD (Collegamento -179_-383)
Azioni sul collegamento: N=-11144.60 Ty=9.24 Tz=17.82 Mx=0.01 Mz=7.34
Sollecitazioni agenti localmente: Tx_l=9.24 Ty_l=17.82 N_l=-11144.60 Mx_l=-0.00 My_l=7.34 Mz_l=0.01
Taglio nei bulloni: Fv,Ed=3.35 Fv,Rd=9650.97
Rifollamento lato piastra: Fb,Ed,p=3.35 Fb,Rd,p=10524.30
Tirafondi:LT=0.45 (0.31) σ_{cR}=0.00 σ_{fR}=0.00
Compressione nel calcestruzzo: σ_c=23.44
CC 8 SLD (Collegamento -179_-383)
Azioni sul collegamento: N=-11144.60 Ty=11.59 Tz=17.82 Mx=0.01 Mz=9.27
Sollecitazioni agenti localmente: Tx_l=11.59 Ty_l=17.82 N_l=-11144.60 Mx_l=-0.00 My_l=9.27 Mz_l=0.01
Taglio nei bulloni: Fv,Ed=3.55 Fv,Rd=9650.97
Rifollamento lato piastra: Fb,Ed,p=3.55 Fb,Rd,p=12310.10
Tirafondi:LT=0.45 (0.31) σ_{cR}=0.00 σ_{fR}=0.00
Compressione nel calcestruzzo: σ_c=23.55
CC 8 SLD (Collegamento -179_-383)
Azioni sul collegamento: N=-11144.60 Ty=9.24 Tz=8.91 Mx=0.01 Mz=7.34
Sollecitazioni agenti localmente: Tx_l=9.24 Ty_l=8.91 N_l=-11144.60 Mx_l=-0.00 My_l=7.34 Mz_l=0.01
Taglio nei bulloni: Fv,Ed=2.15 Fv,Rd=9650.97
Rifollamento lato piastra: Fb,Ed,p=2.14 Fb,Rd,p=14695.90
Tirafondi:LT=0.45 (0.31) σ_{cR}=0.00 σ_{fR}=0.00
Compressione nel calcestruzzo: σ_c=23.44
CC 8 SLD (Collegamento -179_-383)
Azioni sul collegamento: N=-11144.60 Ty=11.59 Tz=8.91 Mx=0.01 Mz=9.27
Sollecitazioni agenti localmente: Tx_l=11.59 Ty_l=8.91 N_l=-11144.60 Mx_l=-0.00 My_l=9.27 Mz_l=0.01
Taglio nei bulloni: Fv,Ed=2.45 Fv,Rd=9650.97
Rifollamento lato piastra: Fb,Ed,p=2.44 Fb,Rd,p=13359.90
Tirafondi:LT=0.45 (0.31) σ_{cR}=0.00 σ_{fR}=0.00
Compressione nel calcestruzzo: σ_c=23.55
CC 8 SLD (Collegamento -179_-383)
Azioni sul collegamento: N=-8758.64 Ty=9.24 Tz=17.82 Mx=0.01 Mz=7.34
Sollecitazioni agenti localmente: Tx_l=9.24 Ty_l=17.82 N_l=-8758.64 Mx_l=-0.00 My_l=7.34 Mz_l=0.01
Taglio nei bulloni: Fv,Ed=3.35 Fv,Rd=9650.97
Rifollamento lato piastra: Fb,Ed,p=3.35 Fb,Rd,p=10524.30
Tirafondi:LT=0.45 (0.31) σ_{cR}=0.00 σ_{fR}=0.00
Compressione nel calcestruzzo: σ_c=18.51
CC 8 SLD (Collegamento -179_-383)
Azioni sul collegamento: N=-8758.64 Ty=11.59 Tz=17.82 Mx=0.01 Mz=9.27
Sollecitazioni agenti localmente: Tx_l=11.59 Ty_l=17.82 N_l=-8758.64 Mx_l=-0.00 My_l=9.27 Mz_l=0.01

Taglio nei bulloni: Fv,Ed=3.55 Fv,Rd=9650.97
Rifollamento lato piastra: Fb,Ed,p=3.55 Fb,Rd,p=12310.10
Tirafondi:LT=0.45 (0.31) σ_{cR}=0.00 σ_{fR}=0.00
Compressione nel calcestruzzo: σ_c=18.62
CC 8 SLD (Collegamento -179_-383)
Azioni sul collegamento: N=-8758.64 Ty=9.24 Tz=8.91 Mx=0.01 Mz=7.34
Sollecitazioni agenti localmente: Tx_l=9.24 Ty_l=8.91 N_l=-8758.64 Mx_l=-0.00 My_l=7.34 Mz_l=0.01
Taglio nei bulloni: Fv,Ed=2.15 Fv,Rd=9650.97
Rifollamento lato piastra: Fb,Ed,p=2.14 Fb,Rd,p=14695.60
Tirafondi:LT=0.45 (0.31) σ_{cR}=0.00 σ_{fR}=0.00
Compressione nel calcestruzzo: σ_c=18.51
CC 8 SLD (Collegamento -179_-383)
Azioni sul collegamento: N=-8758.64 Ty=11.59 Tz=8.91 Mx=0.01 Mz=9.27
Sollecitazioni agenti localmente: Tx_l=11.59 Ty_l=8.91 N_l=-8758.64 Mx_l=-0.00 My_l=9.27 Mz_l=0.01
Taglio nei bulloni: Fv,Ed=2.45 Fv,Rd=9650.97
Rifollamento lato piastra: Fb,Ed,p=2.44 Fb,Rd,p=13359.70
Tirafondi:LT=0.45 (0.31) σ_{cR}=0.00 σ_{fR}=0.00
Compressione nel calcestruzzo: σ_c=18.62
CC 9 SLV (Collegamento -179_-383)
Azioni sul collegamento: N=-8867.90 Ty=13.27 Tz=8.87 Mx=0.02 Mz=12.98
Sollecitazioni agenti localmente: Tx_l=13.27 Ty_l=8.87 N_l=-8867.90 Mx_l=-0.00 My_l=12.98 Mz_l=0.02
Taglio nei bulloni: Fv,Ed=2.70 Fv,Rd=7720.78
Rifollamento lato piastra: Fb,Ed,p=2.67 Fb,Rd,p=9815.62
Tirafondi:LT=0.45 (0.31) σ_{cR}=0.00 σ_{fR}=0.00
Compressione nel calcestruzzo: σ_c=19.05
CC 9 SLV (Collegamento -179_-383)
Azioni sul collegamento: N=-8867.90 Ty=9.40 Tz=8.87 Mx=0.02 Mz=7.91
Sollecitazioni agenti localmente: Tx_l=9.40 Ty_l=8.87 N_l=-8867.90 Mx_l=-0.00 My_l=7.91 Mz_l=0.02
Taglio nei bulloni: Fv,Ed=2.19 Fv,Rd=7720.78
Rifollamento lato piastra: Fb,Ed,p=2.16 Fb,Rd,p=11497.60
Tirafondi:LT=0.45 (0.31) σ_{cR}=0.00 σ_{fR}=0.00
Compressione nel calcestruzzo: σ_c=18.77
CC 9 SLV (Collegamento -179_-383)
Azioni sul collegamento: N=-8867.90 Ty=13.27 Tz=18.62 Mx=0.02 Mz=12.98
Sollecitazioni agenti localmente: Tx_l=13.27 Ty_l=18.62 N_l=-8867.90 Mx_l=-0.00 My_l=12.98 Mz_l=0.02
Taglio nei bulloni: Fv,Ed=3.85 Fv,Rd=7720.78
Rifollamento lato piastra: Fb,Ed,p=3.85 Fb,Rd,p=10448.10
Tirafondi:LT=0.45 (0.31) σ_{cR}=0.00 σ_{fR}=0.00
Compressione nel calcestruzzo: σ_c=19.05
CC 9 SLV (Collegamento -179_-383)
Azioni sul collegamento: N=-8867.90 Ty=9.40 Tz=18.62 Mx=0.02 Mz=7.91
Sollecitazioni agenti localmente: Tx_l=9.40 Ty_l=18.62 N_l=-8867.90 Mx_l=-0.00 My_l=7.91 Mz_l=0.02
Taglio nei bulloni: Fv,Ed=3.51 Fv,Rd=7720.78
Rifollamento lato piastra: Fb,Ed,p=3.51 Fb,Rd,p=8319.59
Tirafondi:LT=0.45 (0.31) σ_{cR}=0.00 σ_{fR}=0.00
Compressione nel calcestruzzo: σ_c=18.77
CC 9 SLV (Collegamento -179_-383)
Azioni sul collegamento: N=-11230.10 Ty=13.27 Tz=8.87 Mx=0.02 Mz=12.98
Sollecitazioni agenti localmente: Tx_l=13.27 Ty_l=8.87 N_l=-11230.10 Mx_l=-0.00 My_l=12.98 Mz_l=0.02
Taglio nei bulloni: Fv,Ed=2.70 Fv,Rd=7720.78
Rifollamento lato piastra: Fb,Ed,p=2.67 Fb,Rd,p=9815.91
Tirafondi:LT=0.45 (0.31) σ_{cR}=0.00 σ_{fR}=0.00
Compressione nel calcestruzzo: σ_c=23.93
CC 9 SLV (Collegamento -179_-383)
Azioni sul collegamento: N=-11230.10 Ty=9.40 Tz=8.87 Mx=0.02 Mz=7.91
Sollecitazioni agenti localmente: Tx_l=9.40 Ty_l=8.87 N_l=-11230.10 Mx_l=-0.00 My_l=7.91 Mz_l=0.02
Taglio nei bulloni: Fv,Ed=2.19 Fv,Rd=7720.78
Rifollamento lato piastra: Fb,Ed,p=2.16 Fb,Rd,p=11497.80
Tirafondi:LT=0.45 (0.31) σ_{cR}=0.00 σ_{fR}=0.00
Compressione nel calcestruzzo: σ_c=23.65
CC 9 SLV (Collegamento -179_-383)
Azioni sul collegamento: N=-11230.10 Ty=13.27 Tz=18.62 Mx=0.02 Mz=12.98
Sollecitazioni agenti localmente: Tx_l=13.27 Ty_l=18.62 N_l=-11230.10 Mx_l=-0.00 My_l=12.98 Mz_l=0.02
Taglio nei bulloni: Fv,Ed=3.85 Fv,Rd=7720.78
Rifollamento lato piastra: Fb,Ed,p=3.85 Fb,Rd,p=10448.10
Tirafondi:LT=0.45 (0.31) σ_{cR}=0.00 σ_{fR}=0.00
Compressione nel calcestruzzo: σ_c=23.93
CC 9 SLV (Collegamento -179_-383)
Azioni sul collegamento: N=-11230.10 Ty=9.40 Tz=18.62 Mx=0.02 Mz=7.91
Sollecitazioni agenti localmente: Tx_l=9.40 Ty_l=18.62 N_l=-11230.10 Mx_l=-0.00 My_l=7.91 Mz_l=0.02
Taglio nei bulloni: Fv,Ed=3.51 Fv,Rd=7720.78
Rifollamento lato piastra: Fb,Ed,p=3.51 Fb,Rd,p=8319.51
Tirafondi:LT=0.45 (0.31) σ_{cR}=0.00 σ_{fR}=0.00
Compressione nel calcestruzzo: σ_c=23.65
CC 10 SLD (Collegamento -179_-383)
Azioni sul collegamento: N=-9591.49 Ty=11.00 Tz=11.88 Mx=0.01 Mz=9.08
Sollecitazioni agenti localmente: Tx_l=11.00 Ty_l=11.88 N_l=-9591.49 Mx_l=-0.00 My_l=9.08 Mz_l=0.01
Taglio nei bulloni: Fv,Ed=2.71 Fv,Rd=9650.97

Rifollamento lato piastra: Fb,Ed,p=2.71 Fb,Rd,p=14484.10
Tirafondi:LT=0.45 (0.31) σ_{cR}=0.00 σ_{fR}=0.00
Compressione nel calcestruzzo: σ_c=20.33
CC 10 SLD (Collegamento -179_-383)
Azioni sul collegamento: N=-9591.49 Ty=9.82 Tz=11.88 Mx=0.01 Mz=7.53
Sollecitazioni agenti localmente: Tx_l=9.82 Ty_l=11.88 N_l=-9591.49 Mx_l=-0.00 My_l=7.53 Mz_l=0.01
Taglio nei bulloni: Fv,Ed=2.58 Fv,Rd=9650.97
Rifollamento lato piastra: Fb,Ed,p=2.58 Fb,Rd,p=13791.70
Tirafondi:LT=0.45 (0.31) σ_{cR}=0.00 σ_{fR}=0.00
Compressione nel calcestruzzo: σ_c=20.24
CC 10 SLD (Collegamento -179_-383)
Azioni sul collegamento: N=-9591.49 Ty=11.00 Tz=14.85 Mx=0.01 Mz=9.08
Sollecitazioni agenti localmente: Tx_l=11.00 Ty_l=14.85 N_l=-9591.49 Mx_l=-0.00 My_l=9.08 Mz_l=0.01
Taglio nei bulloni: Fv,Ed=3.10 Fv,Rd=9650.97
Rifollamento lato piastra: Fb,Ed,p=3.10 Fb,Rd,p=13228.20
Tirafondi:LT=0.45 (0.31) σ_{cR}=0.00 σ_{fR}=0.00
Compressione nel calcestruzzo: σ_c=20.33
CC 10 SLD (Collegamento -179_-383)
Azioni sul collegamento: N=-9591.49 Ty=9.82 Tz=14.85 Mx=0.01 Mz=7.53
Sollecitazioni agenti localmente: Tx_l=9.82 Ty_l=14.85 N_l=-9591.49 Mx_l=-0.00 My_l=7.53 Mz_l=0.01
Taglio nei bulloni: Fv,Ed=2.98 Fv,Rd=9650.97
Rifollamento lato piastra: Fb,Ed,p=2.98 Fb,Rd,p=12487.90
Tirafondi:LT=0.45 (0.31) σ_{cR}=0.00 σ_{fR}=0.00
Compressione nel calcestruzzo: σ_c=20.24
CC 10 SLD (Collegamento -179_-383)
Azioni sul collegamento: N=-10311.80 Ty=11.00 Tz=11.88 Mx=0.01 Mz=9.08
Sollecitazioni agenti localmente: Tx_l=11.00 Ty_l=11.88 N_l=-10311.80 Mx_l=-0.00 My_l=9.08 Mz_l=0.01
Taglio nei bulloni: Fv,Ed=2.71 Fv,Rd=9650.97
Rifollamento lato piastra: Fb,Ed,p=2.71 Fb,Rd,p=14484.10
Tirafondi:LT=0.45 (0.31) σ_{cR}=0.00 σ_{fR}=0.00
Compressione nel calcestruzzo: σ_c=21.82
CC 10 SLD (Collegamento -179_-383)
Azioni sul collegamento: N=-10311.80 Ty=9.82 Tz=11.88 Mx=0.01 Mz=7.53
Sollecitazioni agenti localmente: Tx_l=9.82 Ty_l=11.88 N_l=-10311.80 Mx_l=-0.00 My_l=7.53 Mz_l=0.01
Taglio nei bulloni: Fv,Ed=2.58 Fv,Rd=9650.97
Rifollamento lato piastra: Fb,Ed,p=2.58 Fb,Rd,p=13791.70
Tirafondi:LT=0.45 (0.31) σ_{cR}=0.00 σ_{fR}=0.00
Compressione nel calcestruzzo: σ_c=21.73
CC 10 SLD (Collegamento -179_-383)
Azioni sul collegamento: N=-10311.80 Ty=11.00 Tz=14.85 Mx=0.01 Mz=9.08
Sollecitazioni agenti localmente: Tx_l=11.00 Ty_l=14.85 N_l=-10311.80 Mx_l=-0.00 My_l=9.08 Mz_l=0.01
Taglio nei bulloni: Fv,Ed=3.10 Fv,Rd=9650.97
Rifollamento lato piastra: Fb,Ed,p=3.10 Fb,Rd,p=13228.20
Tirafondi:LT=0.45 (0.31) σ_{cR}=0.00 σ_{fR}=0.00
Compressione nel calcestruzzo: σ_c=21.82
CC 10 SLD (Collegamento -179_-383)
Azioni sul collegamento: N=-10311.80 Ty=9.82 Tz=14.85 Mx=0.01 Mz=7.53
Sollecitazioni agenti localmente: Tx_l=9.82 Ty_l=14.85 N_l=-10311.80 Mx_l=-0.00 My_l=7.53 Mz_l=0.01
Taglio nei bulloni: Fv,Ed=2.98 Fv,Rd=9650.97
Rifollamento lato piastra: Fb,Ed,p=2.98 Fb,Rd,p=12487.90
Tirafondi:LT=0.45 (0.31) σ_{cR}=0.00 σ_{fR}=0.00
Compressione nel calcestruzzo: σ_c=21.73
CC 11 SLV (Collegamento -179_-383)
Azioni sul collegamento: N=-11213.80 Ty=11.11 Tz=17.53 Mx=0.02 Mz=11.40
Sollecitazioni agenti localmente: Tx_l=11.11 Ty_l=17.53 N_l=-11213.80 Mx_l=-0.00 My_l=11.40 Mz_l=0.02
Taglio nei bulloni: Fv,Ed=3.50 Fv,Rd=7720.78
Rifollamento lato piastra: Fb,Ed,p=3.50 Fb,Rd,p=9678.16
Tirafondi:LT=0.45 (0.31) σ_{cR}=0.00 σ_{fR}=0.00
Compressione nel calcestruzzo: σ_c=23.81
CC 11 SLV (Collegamento -179_-383)
Azioni sul collegamento: N=-11213.80 Ty=11.56 Tz=17.53 Mx=0.02 Mz=9.49
Sollecitazioni agenti localmente: Tx_l=11.56 Ty_l=17.53 N_l=-11213.80 Mx_l=-0.00 My_l=9.49 Mz_l=0.02
Taglio nei bulloni: Fv,Ed=3.54 Fv,Rd=7720.78
Rifollamento lato piastra: Fb,Ed,p=3.54 Fb,Rd,p=9985.13
Tirafondi:LT=0.45 (0.31) σ_{cR}=0.00 σ_{fR}=0.00
Compressione nel calcestruzzo: σ_c=23.70
CC 11 SLV (Collegamento -179_-383)
Azioni sul collegamento: N=-11213.80 Ty=11.11 Tz=9.96 Mx=0.02 Mz=11.40
Sollecitazioni agenti localmente: Tx_l=11.11 Ty_l=9.96 N_l=-11213.80 Mx_l=-0.00 My_l=11.40 Mz_l=0.02
Taglio nei bulloni: Fv,Ed=2.52 Fv,Rd=7720.78
Rifollamento lato piastra: Fb,Ed,p=2.49 Fb,Rd,p=11262.40
Tirafondi:LT=0.45 (0.31) σ_{cR}=0.00 σ_{fR}=0.00
Compressione nel calcestruzzo: σ_c=23.81
CC 11 SLV (Collegamento -179_-383)
Azioni sul collegamento: N=-11213.80 Ty=11.56 Tz=9.96 Mx=0.02 Mz=9.49
Sollecitazioni agenti localmente: Tx_l=11.56 Ty_l=9.96 N_l=-11213.80 Mx_l=-0.00 My_l=9.49 Mz_l=0.02
Taglio nei bulloni: Fv,Ed=2.58 Fv,Rd=7720.78
Rifollamento lato piastra: Fb,Ed,p=2.55 Fb,Rd,p=11079.20

Tirafondi:LT=0.45 (0.31) σ_{cR}=0.00 σ_{fR}=0.00
Compressione nel calcestruzzo: σ_c=23.70
CC 11 SLV (Collegamento -179_-383)
Azioni sul collegamento: N=-8884.11 Ty=11.11 Tz=17.53 Mx=0.02 Mz=11.40
Sollecitazioni agenti localmente: Tx_l=11.11 Ty_l=17.53 N_l=-8884.11 Mx_l=-0.00 My_l=11.40 Mz_l=0.02
Taglio nei bulloni: Fv,Ed=3.50 Fv,Rd=7720.78
Rifollamento lato piastra: Fb,Ed,p=3.50 Fb,Rd,p=9678.01
Tirafondi:LT=0.45 (0.31) σ_{cR}=0.00 σ_{fR}=0.00
Compressione nel calcestruzzo: σ_c=19.00
CC 11 SLV (Collegamento -179_-383)
Azioni sul collegamento: N=-8884.11 Ty=11.56 Tz=17.53 Mx=0.02 Mz=9.49
Sollecitazioni agenti localmente: Tx_l=11.56 Ty_l=17.53 N_l=-8884.11 Mx_l=-0.00 My_l=9.49 Mz_l=0.02
Taglio nei bulloni: Fv,Ed=3.54 Fv,Rd=7720.78
Rifollamento lato piastra: Fb,Ed,p=3.54 Fb,Rd,p=9984.96
Tirafondi:LT=0.45 (0.31) σ_{cR}=0.00 σ_{fR}=0.00
Compressione nel calcestruzzo: σ_c=18.89
CC 11 SLV (Collegamento -179_-383)
Azioni sul collegamento: N=-8884.11 Ty=11.11 Tz=9.96 Mx=0.02 Mz=11.40
Sollecitazioni agenti localmente: Tx_l=11.11 Ty_l=9.96 N_l=-8884.11 Mx_l=-0.00 My_l=11.40 Mz_l=0.02
Taglio nei bulloni: Fv,Ed=2.52 Fv,Rd=7720.78
Rifollamento lato piastra: Fb,Ed,p=2.49 Fb,Rd,p=11262.30
Tirafondi:LT=0.45 (0.31) σ_{cR}=0.00 σ_{fR}=0.00
Compressione nel calcestruzzo: σ_c=19.00
CC 11 SLV (Collegamento -179_-383)
Azioni sul collegamento: N=-8884.11 Ty=11.56 Tz=9.96 Mx=0.02 Mz=9.49
Sollecitazioni agenti localmente: Tx_l=11.56 Ty_l=9.96 N_l=-8884.11 Mx_l=-0.00 My_l=9.49 Mz_l=0.02
Taglio nei bulloni: Fv,Ed=2.58 Fv,Rd=7720.78
Rifollamento lato piastra: Fb,Ed,p=2.55 Fb,Rd,p=11079.10
Tirafondi:LT=0.45 (0.31) σ_{cR}=0.00 σ_{fR}=0.00
Compressione nel calcestruzzo: σ_c=18.89
CC 12 SLD (Collegamento -179_-383)
Azioni sul collegamento: N=-10306.80 Ty=10.34 Tz=14.52 Mx=0.01 Mz=8.60
Sollecitazioni agenti localmente: Tx_l=10.34 Ty_l=14.52 N_l=-10306.80 Mx_l=-0.00 My_l=8.60 Mz_l=0.01
Taglio nei bulloni: Fv,Ed=2.99 Fv,Rd=9650.97
Rifollamento lato piastra: Fb,Ed,p=2.99 Fb,Rd,p=13051.70
Tirafondi:LT=0.45 (0.31) σ_{cR}=0.00 σ_{fR}=0.00
Compressione nel calcestruzzo: σ_c=21.78
CC 12 SLD (Collegamento -179_-383)
Azioni sul collegamento: N=-10306.80 Ty=10.48 Tz=14.52 Mx=0.01 Mz=8.01
Sollecitazioni agenti localmente: Tx_l=10.48 Ty_l=14.52 N_l=-10306.80 Mx_l=-0.00 My_l=8.01 Mz_l=0.01
Taglio nei bulloni: Fv,Ed=3.00 Fv,Rd=9650.97
Rifollamento lato piastra: Fb,Ed,p=3.00 Fb,Rd,p=13109.80
Tirafondi:LT=0.45 (0.31) σ_{cR}=0.00 σ_{fR}=0.00
Compressione nel calcestruzzo: σ_c=21.75
CC 12 SLD (Collegamento -179_-383)
Azioni sul collegamento: N=-10306.80 Ty=10.34 Tz=12.21 Mx=0.01 Mz=8.60
Sollecitazioni agenti localmente: Tx_l=10.34 Ty_l=12.21 N_l=-10306.80 Mx_l=-0.00 My_l=8.60 Mz_l=0.01
Taglio nei bulloni: Fv,Ed=2.68 Fv,Rd=9650.97
Rifollamento lato piastra: Fb,Ed,p=2.68 Fb,Rd,p=13929.10
Tirafondi:LT=0.45 (0.31) σ_{cR}=0.00 σ_{fR}=0.00
Compressione nel calcestruzzo: σ_c=21.78
CC 12 SLD (Collegamento -179_-383)
Azioni sul collegamento: N=-10306.80 Ty=10.48 Tz=12.21 Mx=0.01 Mz=8.01
Sollecitazioni agenti localmente: Tx_l=10.48 Ty_l=12.21 N_l=-10306.80 Mx_l=-0.00 My_l=8.01 Mz_l=0.01
Taglio nei bulloni: Fv,Ed=2.70 Fv,Rd=9650.97
Rifollamento lato piastra: Fb,Ed,p=2.70 Fb,Rd,p=14005.80
Tirafondi:LT=0.45 (0.31) σ_{cR}=0.00 σ_{fR}=0.00
Compressione nel calcestruzzo: σ_c=21.75
CC 12 SLD (Collegamento -179_-383)
Azioni sul collegamento: N=-9596.43 Ty=10.34 Tz=14.52 Mx=0.01 Mz=8.60
Sollecitazioni agenti localmente: Tx_l=10.34 Ty_l=14.52 N_l=-9596.43 Mx_l=-0.00 My_l=8.60 Mz_l=0.01
Taglio nei bulloni: Fv,Ed=2.99 Fv,Rd=9650.97
Rifollamento lato piastra: Fb,Ed,p=2.99 Fb,Rd,p=13051.60
Tirafondi:LT=0.45 (0.31) σ_{cR}=0.00 σ_{fR}=0.00
Compressione nel calcestruzzo: σ_c=20.31
CC 12 SLD (Collegamento -179_-383)
Azioni sul collegamento: N=-9596.43 Ty=10.48 Tz=14.52 Mx=0.01 Mz=8.01
Sollecitazioni agenti localmente: Tx_l=10.48 Ty_l=14.52 N_l=-9596.43 Mx_l=-0.00 My_l=8.01 Mz_l=0.01
Taglio nei bulloni: Fv,Ed=3.00 Fv,Rd=9650.97
Rifollamento lato piastra: Fb,Ed,p=3.00 Fb,Rd,p=13109.70
Tirafondi:LT=0.45 (0.31) σ_{cR}=0.00 σ_{fR}=0.00
Compressione nel calcestruzzo: σ_c=20.28
CC 12 SLD (Collegamento -179_-383)
Azioni sul collegamento: N=-9596.43 Ty=10.34 Tz=12.21 Mx=0.01 Mz=8.60
Sollecitazioni agenti localmente: Tx_l=10.34 Ty_l=12.21 N_l=-9596.43 Mx_l=-0.00 My_l=8.60 Mz_l=0.01
Taglio nei bulloni: Fv,Ed=2.68 Fv,Rd=9650.97
Rifollamento lato piastra: Fb,Ed,p=2.68 Fb,Rd,p=13928.90
Tirafondi:LT=0.45 (0.31) σ_{cR}=0.00 σ_{fR}=0.00

Compressione nel calcestruzzo: σ_c=20.31
CC 12 SLD (Collegamento -179_-383)
Azioni sul collegamento: N=-9596.43 Ty=10.48 Tz=12.21 Mx=0.01 Mz=8.01
Sollecitazioni agenti localmente: Tx_l=10.48 Ty_l=12.21 N_l=-9596.43 Mx_l=-0.00 My_l=8.01 Mz_l=0.01
Taglio nei bulloni: Fv,Ed=2.70 Fv,Rd=9650.97
Rifollamento lato piastra: Fb,Ed,p=2.70 Fb,Rd,p=14005.60
Tirafondi:LT=0.45 (0.31) σ_{cR}=0.00 σ_{fR}=0.00
Compressione nel calcestruzzo: σ_c=20.28
CC 13 SLV (Collegamento -179_-383)
Azioni sul collegamento: N=-8884.11 Ty=11.56 Tz=9.96 Mx=0.01 Mz=9.49
Sollecitazioni agenti localmente: Tx_l=11.56 Ty_l=9.96 N_l=-8884.11 Mx_l=-0.00 My_l=9.49 Mz_l=0.01
Taglio nei bulloni: Fv,Ed=2.56 Fv,Rd=7720.78
Rifollamento lato piastra: Fb,Ed,p=2.54 Fb,Rd,p=11171.90
Tirafondi:LT=0.45 (0.31) σ_{cR}=0.00 σ_{fR}=0.00
Compressione nel calcestruzzo: σ_c=18.89
CC 13 SLV (Collegamento -179_-383)
Azioni sul collegamento: N=-8884.11 Ty=11.11 Tz=9.96 Mx=0.01 Mz=11.40
Sollecitazioni agenti localmente: Tx_l=11.11 Ty_l=9.96 N_l=-8884.11 Mx_l=-0.00 My_l=11.40 Mz_l=0.01
Taglio nei bulloni: Fv,Ed=2.50 Fv,Rd=7720.78
Rifollamento lato piastra: Fb,Ed,p=2.49 Fb,Rd,p=11362.80
Tirafondi:LT=0.45 (0.31) σ_{cR}=0.00 σ_{fR}=0.00
Compressione nel calcestruzzo: σ_c=19.00
CC 13 SLV (Collegamento -179_-383)
Azioni sul collegamento: N=-8884.11 Ty=11.56 Tz=17.53 Mx=0.01 Mz=9.49
Sollecitazioni agenti localmente: Tx_l=11.56 Ty_l=17.53 N_l=-8884.11 Mx_l=-0.00 My_l=9.49 Mz_l=0.01
Taglio nei bulloni: Fv,Ed=3.51 Fv,Rd=7720.78
Rifollamento lato piastra: Fb,Ed,p=3.51 Fb,Rd,p=9959.54
Tirafondi:LT=0.45 (0.31) σ_{cR}=0.00 σ_{fR}=0.00
Compressione nel calcestruzzo: σ_c=18.89
CC 13 SLV (Collegamento -179_-383)
Azioni sul collegamento: N=-8884.11 Ty=11.11 Tz=17.53 Mx=0.01 Mz=11.40
Sollecitazioni agenti localmente: Tx_l=11.11 Ty_l=17.53 N_l=-8884.11 Mx_l=-0.00 My_l=11.40 Mz_l=0.01
Taglio nei bulloni: Fv,Ed=3.47 Fv,Rd=7720.78
Rifollamento lato piastra: Fb,Ed,p=3.47 Fb,Rd,p=9651.81
Tirafondi:LT=0.45 (0.31) σ_{cR}=0.00 σ_{fR}=0.00
Compressione nel calcestruzzo: σ_c=19.00
CC 13 SLV (Collegamento -179_-383)
Azioni sul collegamento: N=-11213.80 Ty=11.56 Tz=9.96 Mx=0.01 Mz=9.49
Sollecitazioni agenti localmente: Tx_l=11.56 Ty_l=9.96 N_l=-11213.80 Mx_l=-0.00 My_l=9.49 Mz_l=0.01
Taglio nei bulloni: Fv,Ed=2.56 Fv,Rd=7720.78
Rifollamento lato piastra: Fb,Ed,p=2.54 Fb,Rd,p=11172.10
Tirafondi:LT=0.45 (0.31) σ_{cR}=0.00 σ_{fR}=0.00
Compressione nel calcestruzzo: σ_c=23.70
CC 13 SLV (Collegamento -179_-383)
Azioni sul collegamento: N=-11213.80 Ty=11.11 Tz=9.96 Mx=0.01 Mz=11.40
Sollecitazioni agenti localmente: Tx_l=11.11 Ty_l=9.96 N_l=-11213.80 Mx_l=-0.00 My_l=11.40 Mz_l=0.01
Taglio nei bulloni: Fv,Ed=2.50 Fv,Rd=7720.78
Rifollamento lato piastra: Fb,Ed,p=2.49 Fb,Rd,p=11363.00
Tirafondi:LT=0.45 (0.31) σ_{cR}=0.00 σ_{fR}=0.00
Compressione nel calcestruzzo: σ_c=23.81
CC 13 SLV (Collegamento -179_-383)
Azioni sul collegamento: N=-11213.80 Ty=11.56 Tz=17.53 Mx=0.01 Mz=9.49
Sollecitazioni agenti localmente: Tx_l=11.56 Ty_l=17.53 N_l=-11213.80 Mx_l=-0.00 My_l=9.49 Mz_l=0.01
Taglio nei bulloni: Fv,Ed=3.51 Fv,Rd=7720.78
Rifollamento lato piastra: Fb,Ed,p=3.51 Fb,Rd,p=9959.71
Tirafondi:LT=0.45 (0.31) σ_{cR}=0.00 σ_{fR}=0.00
Compressione nel calcestruzzo: σ_c=23.70
CC 13 SLV (Collegamento -179_-383)
Azioni sul collegamento: N=-11213.80 Ty=11.11 Tz=17.53 Mx=0.01 Mz=11.40
Sollecitazioni agenti localmente: Tx_l=11.11 Ty_l=17.53 N_l=-11213.80 Mx_l=-0.00 My_l=11.40 Mz_l=0.01
Taglio nei bulloni: Fv,Ed=3.47 Fv,Rd=7720.78
Rifollamento lato piastra: Fb,Ed,p=3.47 Fb,Rd,p=9651.96
Tirafondi:LT=0.45 (0.31) σ_{cR}=0.00 σ_{fR}=0.00
Compressione nel calcestruzzo: σ_c=23.81
CC 14 SLD (Collegamento -179_-383)
Azioni sul collegamento: N=-9596.43 Ty=10.48 Tz=12.21 Mx=0.00 Mz=8.01
Sollecitazioni agenti localmente: Tx_l=10.48 Ty_l=12.21 N_l=-9596.43 Mx_l=-0.00 My_l=8.01 Mz_l=0.00
Taglio nei bulloni: Fv,Ed=2.69 Fv,Rd=9650.97
Rifollamento lato piastra: Fb,Ed,p=2.69 Fb,Rd,p=14003.10
Tirafondi:LT=0.45 (0.31) σ_{cR}=0.00 σ_{fR}=0.00
Compressione nel calcestruzzo: σ_c=20.28
CC 14 SLD (Collegamento -179_-383)
Azioni sul collegamento: N=-9596.43 Ty=10.34 Tz=12.21 Mx=0.00 Mz=8.60
Sollecitazioni agenti localmente: Tx_l=10.34 Ty_l=12.21 N_l=-9596.43 Mx_l=-0.00 My_l=8.60 Mz_l=0.00
Taglio nei bulloni: Fv,Ed=2.67 Fv,Rd=9650.97
Rifollamento lato piastra: Fb,Ed,p=2.67 Fb,Rd,p=13926.10
Tirafondi:LT=0.45 (0.31) σ_{cR}=0.00 σ_{fR}=0.00
Compressione nel calcestruzzo: σ_c=20.31

CC 14 SLD (Collegamento -179_-383)
Azioni sul collegamento: N=-9596.43 Ty=10.48 Tz=14.52 Mx=0.00 Mz=8.01
Sollecitazioni agenti localmente: Tx_l=10.48 Ty_l=14.52 N_l=-9596.43 Mx_l=-0.00 My_l=8.01 Mz_l=0.00
Taglio nei bulloni: Fv,Ed=2.99 Fv,Rd=9650.97
Rifollamento lato piastra: Fb,Ed,p=2.99 Fb,Rd,p=13105.80
Tirafondi:LT=0.45 (0.31) σ_{cR}=0.00 σ_{fR}=0.00
Compressione nel calcestruzzo: σ_c=20.28
CC 14 SLD (Collegamento -179_-383)
Azioni sul collegamento: N=-9596.43 Ty=10.34 Tz=14.52 Mx=0.00 Mz=8.60
Sollecitazioni agenti localmente: Tx_l=10.34 Ty_l=14.52 N_l=-9596.43 Mx_l=-0.00 My_l=8.60 Mz_l=0.00
Taglio nei bulloni: Fv,Ed=2.98 Fv,Rd=9650.97
Rifollamento lato piastra: Fb,Ed,p=2.98 Fb,Rd,p=13047.70
Tirafondi:LT=0.45 (0.31) σ_{cR}=0.00 σ_{fR}=0.00
Compressione nel calcestruzzo: σ_c=20.31
CC 14 SLD (Collegamento -179_-383)
Azioni sul collegamento: N=-10306.80 Ty=10.48 Tz=12.21 Mx=0.00 Mz=8.01
Sollecitazioni agenti localmente: Tx_l=10.48 Ty_l=12.21 N_l=-10306.80 Mx_l=-0.00 My_l=8.01 Mz_l=0.00
Taglio nei bulloni: Fv,Ed=2.69 Fv,Rd=9650.97
Rifollamento lato piastra: Fb,Ed,p=2.69 Fb,Rd,p=14003.20
Tirafondi:LT=0.45 (0.31) σ_{cR}=0.00 σ_{fR}=0.00
Compressione nel calcestruzzo: σ_c=21.75
CC 14 SLD (Collegamento -179_-383)
Azioni sul collegamento: N=-10306.80 Ty=10.34 Tz=12.21 Mx=0.00 Mz=8.60
Sollecitazioni agenti localmente: Tx_l=10.34 Ty_l=12.21 N_l=-10306.80 Mx_l=-0.00 My_l=8.60 Mz_l=0.00
Taglio nei bulloni: Fv,Ed=2.67 Fv,Rd=9650.97
Rifollamento lato piastra: Fb,Ed,p=2.67 Fb,Rd,p=13926.30
Tirafondi:LT=0.45 (0.31) σ_{cR}=0.00 σ_{fR}=0.00
Compressione nel calcestruzzo: σ_c=21.78
CC 14 SLD (Collegamento -179_-383)
Azioni sul collegamento: N=-10306.80 Ty=10.48 Tz=14.52 Mx=0.00 Mz=8.01
Sollecitazioni agenti localmente: Tx_l=10.48 Ty_l=14.52 N_l=-10306.80 Mx_l=-0.00 My_l=8.01 Mz_l=0.00
Taglio nei bulloni: Fv,Ed=2.99 Fv,Rd=9650.97
Rifollamento lato piastra: Fb,Ed,p=2.99 Fb,Rd,p=13105.90
Tirafondi:LT=0.45 (0.31) σ_{cR}=0.00 σ_{fR}=0.00
Compressione nel calcestruzzo: σ_c=21.75
CC 14 SLD (Collegamento -179_-383)
Azioni sul collegamento: N=-10306.80 Ty=10.34 Tz=14.52 Mx=0.00 Mz=8.60
Sollecitazioni agenti localmente: Tx_l=10.34 Ty_l=14.52 N_l=-10306.80 Mx_l=-0.00 My_l=8.60 Mz_l=0.00
Taglio nei bulloni: Fv,Ed=2.98 Fv,Rd=9650.97
Rifollamento lato piastra: Fb,Ed,p=2.98 Fb,Rd,p=13047.80
Tirafondi:LT=0.45 (0.31) σ_{cR}=0.00 σ_{fR}=0.00
Compressione nel calcestruzzo: σ_c=21.78
CC 15 SLV (Collegamento -179_-383)
Azioni sul collegamento: N=-11230.10 Ty=9.40 Tz=18.62 Mx=0.01 Mz=7.91
Sollecitazioni agenti localmente: Tx_l=9.40 Ty_l=18.62 N_l=-11230.10 Mx_l=-0.00 My_l=7.91 Mz_l=0.01
Taglio nei bulloni: Fv,Ed=3.49 Fv,Rd=7720.78
Rifollamento lato piastra: Fb,Ed,p=3.49 Fb,Rd,p=8293.18
Tirafondi:LT=0.45 (0.31) σ_{cR}=0.00 σ_{fR}=0.00
Compressione nel calcestruzzo: σ_c=23.65
CC 15 SLV (Collegamento -179_-383)
Azioni sul collegamento: N=-11230.10 Ty=13.27 Tz=18.62 Mx=0.01 Mz=12.98
Sollecitazioni agenti localmente: Tx_l=13.27 Ty_l=18.62 N_l=-11230.10 Mx_l=-0.00 My_l=12.98 Mz_l=0.01
Taglio nei bulloni: Fv,Ed=3.82 Fv,Rd=7720.78
Rifollamento lato piastra: Fb,Ed,p=3.82 Fb,Rd,p=10440.00
Tirafondi:LT=0.45 (0.31) σ_{cR}=0.00 σ_{fR}=0.00
Compressione nel calcestruzzo: σ_c=23.93
CC 15 SLV (Collegamento -179_-383)
Azioni sul collegamento: N=-11230.10 Ty=9.40 Tz=8.87 Mx=0.01 Mz=7.91
Sollecitazioni agenti localmente: Tx_l=9.40 Ty_l=8.87 N_l=-11230.10 Mx_l=-0.00 My_l=7.91 Mz_l=0.01
Taglio nei bulloni: Fv,Ed=2.17 Fv,Rd=7720.78
Rifollamento lato piastra: Fb,Ed,p=2.15 Fb,Rd,p=11622.90
Tirafondi:LT=0.45 (0.31) σ_{cR}=0.00 σ_{fR}=0.00
Compressione nel calcestruzzo: σ_c=23.65
CC 15 SLV (Collegamento -179_-383)
Azioni sul collegamento: N=-11230.10 Ty=13.27 Tz=8.87 Mx=0.01 Mz=12.98
Sollecitazioni agenti localmente: Tx_l=13.27 Ty_l=8.87 N_l=-11230.10 Mx_l=-0.00 My_l=12.98 Mz_l=0.01
Taglio nei bulloni: Fv,Ed=2.67 Fv,Rd=7720.78
Rifollamento lato piastra: Fb,Ed,p=2.66 Fb,Rd,p=9978.59
Tirafondi:LT=0.45 (0.31) σ_{cR}=0.00 σ_{fR}=0.00
Compressione nel calcestruzzo: σ_c=23.93
CC 15 SLV (Collegamento -179_-383)
Azioni sul collegamento: N=-8867.90 Ty=9.40 Tz=18.62 Mx=0.01 Mz=7.91
Sollecitazioni agenti localmente: Tx_l=9.40 Ty_l=18.62 N_l=-8867.90 Mx_l=-0.00 My_l=7.91 Mz_l=0.01
Taglio nei bulloni: Fv,Ed=3.49 Fv,Rd=7720.78
Rifollamento lato piastra: Fb,Ed,p=3.49 Fb,Rd,p=8293.27
Tirafondi:LT=0.45 (0.31) σ_{cR}=0.00 σ_{fR}=0.00
Compressione nel calcestruzzo: σ_c=18.77
CC 15 SLV (Collegamento -179_-383)

Azioni sul collegamento: N=-8867.90 Ty=13.27 Tz=18.62 Mx=0.01 Mz=12.98
Sollecitazioni agenti localmente: Tx_l=13.27 Ty_l=18.62 N_l=-8867.90 Mx_l=-0.00 My_l=12.98 Mz_l=0.01
Taglio nei bulloni: Fv,Ed=3.82 Fv,Rd=7720.78
Rifollamento lato piastra: Fb,Ed,p=3.82 Fb,Rd,p=10440.00
Tirafondi:LT=0.45 (0.31) σ_{cR}=0.00 σ_{fR}=0.00
Compressione nel calcestruzzo: σ_c=19.05
CC 15 SLV (Collegamento -179_-383)
Azioni sul collegamento: N=-8867.90 Ty=9.40 Tz=8.87 Mx=0.01 Mz=7.91
Sollecitazioni agenti localmente: Tx_l=9.40 Ty_l=8.87 N_l=-8867.90 Mx_l=-0.00 My_l=7.91 Mz_l=0.01
Taglio nei bulloni: Fv,Ed=2.17 Fv,Rd=7720.78
Rifollamento lato piastra: Fb,Ed,p=2.15 Fb,Rd,p=11622.70
Tirafondi:LT=0.45 (0.31) σ_{cR}=0.00 σ_{fR}=0.00
Compressione nel calcestruzzo: σ_c=18.77
CC 15 SLV (Collegamento -179_-383)
Azioni sul collegamento: N=-8867.90 Ty=13.27 Tz=8.87 Mx=0.01 Mz=12.98
Sollecitazioni agenti localmente: Tx_l=13.27 Ty_l=8.87 N_l=-8867.90 Mx_l=-0.00 My_l=12.98 Mz_l=0.01
Taglio nei bulloni: Fv,Ed=2.67 Fv,Rd=7720.78
Rifollamento lato piastra: Fb,Ed,p=2.66 Fb,Rd,p=9978.29
Tirafondi:LT=0.45 (0.31) σ_{cR}=0.00 σ_{fR}=0.00
Compressione nel calcestruzzo: σ_c=19.05
CC 16 SLD (Collegamento -179_-383)
Azioni sul collegamento: N=-10311.80 Ty=9.82 Tz=14.85 Mx=0.00 Mz=7.53
Sollecitazioni agenti localmente: Tx_l=9.82 Ty_l=14.85 N_l=-10311.80 Mx_l=-0.00 My_l=7.53 Mz_l=0.00
Taglio nei bulloni: Fv,Ed=2.97 Fv,Rd=9650.97
Rifollamento lato piastra: Fb,Ed,p=2.97 Fb,Rd,p=12476.40
Tirafondi:LT=0.45 (0.31) σ_{cR}=0.00 σ_{fR}=0.00
Compressione nel calcestruzzo: σ_c=21.73
CC 16 SLD (Collegamento -179_-383)
Azioni sul collegamento: N=-10311.80 Ty=11.00 Tz=14.85 Mx=0.00 Mz=9.08
Sollecitazioni agenti localmente: Tx_l=11.00 Ty_l=14.85 N_l=-10311.80 Mx_l=-0.00 My_l=9.08 Mz_l=0.00
Taglio nei bulloni: Fv,Ed=3.09 Fv,Rd=9650.97
Rifollamento lato piastra: Fb,Ed,p=3.09 Fb,Rd,p=13224.60
Tirafondi:LT=0.45 (0.31) σ_{cR}=0.00 σ_{fR}=0.00
Compressione nel calcestruzzo: σ_c=21.82
CC 16 SLD (Collegamento -179_-383)
Azioni sul collegamento: N=-10311.80 Ty=9.82 Tz=11.88 Mx=0.00 Mz=7.53
Sollecitazioni agenti localmente: Tx_l=9.82 Ty_l=11.88 N_l=-10311.80 Mx_l=-0.00 My_l=7.53 Mz_l=0.00
Taglio nei bulloni: Fv,Ed=2.58 Fv,Rd=9650.97
Rifollamento lato piastra: Fb,Ed,p=2.58 Fb,Rd,p=13788.50
Tirafondi:LT=0.45 (0.31) σ_{cR}=0.00 σ_{fR}=0.00
Compressione nel calcestruzzo: σ_c=21.73
CC 16 SLD (Collegamento -179_-383)
Azioni sul collegamento: N=-10311.80 Ty=11.00 Tz=11.88 Mx=0.00 Mz=9.08
Sollecitazioni agenti localmente: Tx_l=11.00 Ty_l=11.88 N_l=-10311.80 Mx_l=-0.00 My_l=9.08 Mz_l=0.00
Taglio nei bulloni: Fv,Ed=2.71 Fv,Rd=9650.97
Rifollamento lato piastra: Fb,Ed,p=2.71 Fb,Rd,p=14482.70
Tirafondi:LT=0.45 (0.31) σ_{cR}=0.00 σ_{fR}=0.00
Compressione nel calcestruzzo: σ_c=21.82
CC 16 SLD (Collegamento -179_-383)
Azioni sul collegamento: N=-9591.49 Ty=9.82 Tz=14.85 Mx=0.00 Mz=7.53
Sollecitazioni agenti localmente: Tx_l=9.82 Ty_l=14.85 N_l=-9591.49 Mx_l=-0.00 My_l=7.53 Mz_l=0.00
Taglio nei bulloni: Fv,Ed=2.97 Fv,Rd=9650.97
Rifollamento lato piastra: Fb,Ed,p=2.97 Fb,Rd,p=12476.40
Tirafondi:LT=0.45 (0.31) σ_{cR}=0.00 σ_{fR}=0.00
Compressione nel calcestruzzo: σ_c=20.24
CC 16 SLD (Collegamento -179_-383)
Azioni sul collegamento: N=-9591.49 Ty=11.00 Tz=14.85 Mx=0.00 Mz=9.08
Sollecitazioni agenti localmente: Tx_l=11.00 Ty_l=14.85 N_l=-9591.49 Mx_l=-0.00 My_l=9.08 Mz_l=0.00
Taglio nei bulloni: Fv,Ed=3.09 Fv,Rd=9650.97
Rifollamento lato piastra: Fb,Ed,p=3.09 Fb,Rd,p=13224.60
Tirafondi:LT=0.45 (0.31) σ_{cR}=0.00 σ_{fR}=0.00
Compressione nel calcestruzzo: σ_c=20.33
CC 16 SLD (Collegamento -179_-383)
Azioni sul collegamento: N=-9591.49 Ty=9.82 Tz=11.88 Mx=0.00 Mz=7.53
Sollecitazioni agenti localmente: Tx_l=9.82 Ty_l=11.88 N_l=-9591.49 Mx_l=-0.00 My_l=7.53 Mz_l=0.00
Taglio nei bulloni: Fv,Ed=2.58 Fv,Rd=9650.97
Rifollamento lato piastra: Fb,Ed,p=2.58 Fb,Rd,p=13788.50
Tirafondi:LT=0.45 (0.31) σ_{cR}=0.00 σ_{fR}=0.00
Compressione nel calcestruzzo: σ_c=20.24
CC 16 SLD (Collegamento -179_-383)
Azioni sul collegamento: N=-9591.49 Ty=11.00 Tz=11.88 Mx=0.00 Mz=9.08
Sollecitazioni agenti localmente: Tx_l=11.00 Ty_l=11.88 N_l=-9591.49 Mx_l=-0.00 My_l=9.08 Mz_l=0.00
Taglio nei bulloni: Fv,Ed=2.71 Fv,Rd=9650.97
Rifollamento lato piastra: Fb,Ed,p=2.71 Fb,Rd,p=14482.70
Tirafondi:LT=0.45 (0.31) σ_{cR}=0.00 σ_{fR}=0.00
Compressione nel calcestruzzo: σ_c=20.33
CC 17 SLV (Collegamento -179_-383)
Azioni sul collegamento: N=-5856.57 Ty=12.53 Tz=-1.96 Mx=-0.01 Mz=7.45

Sollecitazioni agenti localmente: Tx_l=12.53 Ty_l=-1.96 N_l=-5856.57 Mx_l=-0.00 My_l=7.45 Mz_l=-0.01
Taglio nei bulloni: Fv,Ed=2.13 Fv,Rd=7720.78
Rifollamento lato piastra: Fb,Ed,p=2.12 Fb,Rd,p=6176.88
Tirafondi:LT=0.45 (0.31) σ_{cR}=0.00 σ_{fR}=0.00
Compressione nel calcestruzzo: σ_c=12.52
CC 17 SLV (Collegamento -179_-383)
Azioni sul collegamento: N=-5856.57 Ty=4.82 Tz=-1.96 Mx=-0.01 Mz=1.13
Sollecitazioni agenti localmente: Tx_l=4.82 Ty_l=-1.96 N_l=-5856.57 Mx_l=-0.00 My_l=1.13 Mz_l=-0.01
Taglio nei bulloni: Fv,Ed=0.88 Fv,Rd=7720.78
Rifollamento lato piastra: Fb,Ed,p=0.87 Fb,Rd,p=7301.85
Tirafondi:LT=0.45 (0.31) σ_{cR}=0.00 σ_{fR}=0.00
Compressione nel calcestruzzo: σ_c=12.16
CC 17 SLV (Collegamento -179_-383)
Azioni sul collegamento: N=-5856.57 Ty=12.53 Tz=27.25 Mx=-0.01 Mz=7.45
Sollecitazioni agenti localmente: Tx_l=12.53 Ty_l=27.25 N_l=-5856.57 Mx_l=-0.00 My_l=7.45 Mz_l=-0.01
Taglio nei bulloni: Fv,Ed=5.02 Fv,Rd=7720.78
Rifollamento lato piastra: Fb,Ed,p=5.01 Fb,Rd,p=7849.70
Tirafondi:LT=0.45 (0.31) σ_{cR}=0.00 σ_{fR}=0.00
Compressione nel calcestruzzo: σ_c=12.52
CC 17 SLV (Collegamento -179_-383)
Azioni sul collegamento: N=-5856.57 Ty=4.82 Tz=27.25 Mx=-0.01 Mz=1.13
Sollecitazioni agenti localmente: Tx_l=4.82 Ty_l=27.25 N_l=-5856.57 Mx_l=-0.00 My_l=1.13 Mz_l=-0.01
Taglio nei bulloni: Fv,Ed=4.63 Fv,Rd=7720.78
Rifollamento lato piastra: Fb,Ed,p=4.62 Fb,Rd,p=6246.92
Tirafondi:LT=0.45 (0.31) σ_{cR}=0.00 σ_{fR}=0.00
Compressione nel calcestruzzo: σ_c=12.16
CC 17 SLV (Collegamento -179_-383)
Azioni sul collegamento: N=-13681.20 Ty=12.53 Tz=-1.96 Mx=-0.01 Mz=7.45
Sollecitazioni agenti localmente: Tx_l=12.53 Ty_l=-1.96 N_l=-13681.20 Mx_l=-0.00 My_l=7.45 Mz_l=-0.01
Taglio nei bulloni: Fv,Ed=2.13 Fv,Rd=7720.78
Rifollamento lato piastra: Fb,Ed,p=2.12 Fb,Rd,p=6176.94
Tirafondi:LT=0.45 (0.31) σ_{cR}=0.00 σ_{fR}=0.00
Compressione nel calcestruzzo: σ_c=28.69
CC 17 SLV (Collegamento -179_-383)
Azioni sul collegamento: N=-13681.20 Ty=4.82 Tz=-1.96 Mx=-0.01 Mz=1.13
Sollecitazioni agenti localmente: Tx_l=4.82 Ty_l=-1.96 N_l=-13681.20 Mx_l=-0.00 My_l=1.13 Mz_l=-0.01
Taglio nei bulloni: Fv,Ed=0.88 Fv,Rd=7720.78
Rifollamento lato piastra: Fb,Ed,p=0.87 Fb,Rd,p=7302.22
Tirafondi:LT=0.45 (0.31) σ_{cR}=0.00 σ_{fR}=0.00
Compressione nel calcestruzzo: σ_c=28.33
CC 17 SLV (Collegamento -179_-383)
Azioni sul collegamento: N=-13681.20 Ty=12.53 Tz=27.25 Mx=-0.01 Mz=7.45
Sollecitazioni agenti localmente: Tx_l=12.53 Ty_l=27.25 N_l=-13681.20 Mx_l=-0.00 My_l=7.45 Mz_l=-0.01
Taglio nei bulloni: Fv,Ed=5.02 Fv,Rd=7720.78
Rifollamento lato piastra: Fb,Ed,p=5.01 Fb,Rd,p=7849.74
Tirafondi:LT=0.45 (0.31) σ_{cR}=0.00 σ_{fR}=0.00
Compressione nel calcestruzzo: σ_c=28.69
CC 17 SLV (Collegamento -179_-383)
Azioni sul collegamento: N=-13681.20 Ty=4.82 Tz=27.25 Mx=-0.01 Mz=1.13
Sollecitazioni agenti localmente: Tx_l=4.82 Ty_l=27.25 N_l=-13681.20 Mx_l=-0.00 My_l=1.13 Mz_l=-0.01
Taglio nei bulloni: Fv,Ed=4.63 Fv,Rd=7720.78
Rifollamento lato piastra: Fb,Ed,p=4.62 Fb,Rd,p=6246.92
Tirafondi:LT=0.45 (0.31) σ_{cR}=0.00 σ_{fR}=0.00
Compressione nel calcestruzzo: σ_c=28.33
CC 18 SLD (Collegamento -179_-383)
Azioni sul collegamento: N=-8673.24 Ty=10.78 Tz=8.57 Mx=-0.00 Mz=7.39
Sollecitazioni agenti localmente: Tx_l=10.78 Ty_l=8.57 N_l=-8673.24 Mx_l=-0.00 My_l=7.39 Mz_l=-0.00
Taglio nei bulloni: Fv,Ed=2.30 Fv,Rd=9650.97
Rifollamento lato piastra: Fb,Ed,p=2.30 Fb,Rd,p=13577.20
Tirafondi:LT=0.45 (0.31) σ_{cR}=0.00 σ_{fR}=0.00
Compressione nel calcestruzzo: σ_c=18.34
CC 18 SLD (Collegamento -179_-383)
Azioni sul collegamento: N=-8673.24 Ty=8.42 Tz=8.57 Mx=-0.00 Mz=5.47
Sollecitazioni agenti localmente: Tx_l=8.42 Ty_l=8.57 N_l=-8673.24 Mx_l=-0.00 My_l=5.47 Mz_l=-0.00
Taglio nei bulloni: Fv,Ed=2.01 Fv,Rd=9650.97
Rifollamento lato piastra: Fb,Ed,p=2.00 Fb,Rd,p=14893.20
Tirafondi:LT=0.45 (0.31) σ_{cR}=0.00 σ_{fR}=0.00
Compressione nel calcestruzzo: σ_c=18.23
CC 18 SLD (Collegamento -179_-383)
Azioni sul collegamento: N=-8673.24 Ty=10.78 Tz=17.48 Mx=-0.00 Mz=7.39
Sollecitazioni agenti localmente: Tx_l=10.78 Ty_l=17.48 N_l=-8673.24 Mx_l=-0.00 My_l=7.39 Mz_l=-0.00
Taglio nei bulloni: Fv,Ed=3.42 Fv,Rd=9650.97
Rifollamento lato piastra: Fb,Ed,p=3.42 Fb,Rd,p=11786.10
Tirafondi:LT=0.45 (0.31) σ_{cR}=0.00 σ_{fR}=0.00
Compressione nel calcestruzzo: σ_c=18.34
CC 18 SLD (Collegamento -179_-383)
Azioni sul collegamento: N=-8673.24 Ty=8.42 Tz=17.48 Mx=-0.00 Mz=5.47
Sollecitazioni agenti localmente: Tx_l=8.42 Ty_l=17.48 N_l=-8673.24 Mx_l=-0.00 My_l=5.47 Mz_l=-0.00

Taglio nei bulloni: Fv,Ed=3.24 Fv,Rd=9650.97
Rifollamento lato piastra: Fb,Ed,p=3.23 Fb,Rd,p=10084.80
Tirafondi:LT=0.45 (0.31) σ_{cR}=0.00 σ_{fR}=0.00
Compressione nel calcestruzzo: σ_c=18.23
CC 18 SLD (Collegamento -179_-383)
Azioni sul collegamento: N=-11059.20 Ty=10.78 Tz=8.57 Mx=-0.00 Mz=7.39
Sollecitazioni agenti localmente: Tx_l=10.78 Ty_l=8.57 N_l=-11059.20 Mx_l=-0.00 My_l=7.39 Mz_l=-0.00
Taglio nei bulloni: Fv,Ed=2.30 Fv,Rd=9650.97
Rifollamento lato piastra: Fb,Ed,p=2.30 Fb,Rd,p=13577.40
Tirafondi:LT=0.45 (0.31) σ_{cR}=0.00 σ_{fR}=0.00
Compressione nel calcestruzzo: σ_c=23.27
CC 18 SLD (Collegamento -179_-383)
Azioni sul collegamento: N=-11059.20 Ty=8.42 Tz=8.57 Mx=-0.00 Mz=5.47
Sollecitazioni agenti localmente: Tx_l=8.42 Ty_l=8.57 N_l=-11059.20 Mx_l=-0.00 My_l=5.47 Mz_l=-0.00
Taglio nei bulloni: Fv,Ed=2.01 Fv,Rd=9650.97
Rifollamento lato piastra: Fb,Ed,p=2.00 Fb,Rd,p=14892.90
Tirafondi:LT=0.45 (0.31) σ_{cR}=0.00 σ_{fR}=0.00
Compressione nel calcestruzzo: σ_c=23.16
CC 18 SLD (Collegamento -179_-383)
Azioni sul collegamento: N=-11059.20 Ty=10.78 Tz=17.48 Mx=-0.00 Mz=7.39
Sollecitazioni agenti localmente: Tx_l=10.78 Ty_l=17.48 N_l=-11059.20 Mx_l=-0.00 My_l=7.39 Mz_l=-0.00
Taglio nei bulloni: Fv,Ed=3.42 Fv,Rd=9650.97
Rifollamento lato piastra: Fb,Ed,p=3.42 Fb,Rd,p=11786.10
Tirafondi:LT=0.45 (0.31) σ_{cR}=0.00 σ_{fR}=0.00
Compressione nel calcestruzzo: σ_c=23.27
CC 18 SLD (Collegamento -179_-383)
Azioni sul collegamento: N=-11059.20 Ty=8.42 Tz=17.48 Mx=-0.00 Mz=5.47
Sollecitazioni agenti localmente: Tx_l=8.42 Ty_l=17.48 N_l=-11059.20 Mx_l=-0.00 My_l=5.47 Mz_l=-0.00
Taglio nei bulloni: Fv,Ed=3.24 Fv,Rd=9650.97
Rifollamento lato piastra: Fb,Ed,p=3.23 Fb,Rd,p=10084.80
Tirafondi:LT=0.45 (0.31) σ_{cR}=0.00 σ_{fR}=0.00
Compressione nel calcestruzzo: σ_c=23.16
CC 19 SLV (Collegamento -179_-383)
Azioni sul collegamento: N=-5861.43 Ty=12.02 Tz=-1.63 Mx=-0.01 Mz=6.41
Sollecitazioni agenti localmente: Tx_l=12.02 Ty_l=-1.63 N_l=-5861.43 Mx_l=-0.00 My_l=6.41 Mz_l=-0.01
Taglio nei bulloni: Fv,Ed=2.03 Fv,Rd=7720.78
Rifollamento lato piastra: Fb,Ed,p=2.03 Fb,Rd,p=6132.69
Tirafondi:LT=0.45 (0.31) σ_{cR}=0.00 σ_{fR}=0.00
Compressione nel calcestruzzo: σ_c=12.47
CC 19 SLV (Collegamento -179_-383)
Azioni sul collegamento: N=-5861.43 Ty=5.33 Tz=-1.63 Mx=-0.01 Mz=2.18
Sollecitazioni agenti localmente: Tx_l=5.33 Ty_l=-1.63 N_l=-5861.43 Mx_l=-0.00 My_l=2.18 Mz_l=-0.01
Taglio nei bulloni: Fv,Ed=0.94 Fv,Rd=7720.78
Rifollamento lato piastra: Fb,Ed,p=0.93 Fb,Rd,p=6755.46
Tirafondi:LT=0.45 (0.31) σ_{cR}=0.00 σ_{fR}=0.00
Compressione nel calcestruzzo: σ_c=12.23
CC 19 SLV (Collegamento -179_-383)
Azioni sul collegamento: N=-5861.43 Ty=12.02 Tz=26.92 Mx=-0.01 Mz=6.41
Sollecitazioni agenti localmente: Tx_l=12.02 Ty_l=26.92 N_l=-5861.43 Mx_l=-0.00 My_l=6.41 Mz_l=-0.01
Taglio nei bulloni: Fv,Ed=4.92 Fv,Rd=7720.78
Rifollamento lato piastra: Fb,Ed,p=4.92 Fb,Rd,p=7753.01
Tirafondi:LT=0.45 (0.31) σ_{cR}=0.00 σ_{fR}=0.00
Compressione nel calcestruzzo: σ_c=12.47
CC 19 SLV (Collegamento -179_-383)
Azioni sul collegamento: N=-5861.43 Ty=5.33 Tz=26.92 Mx=-0.01 Mz=2.18
Sollecitazioni agenti localmente: Tx_l=5.33 Ty_l=26.92 N_l=-5861.43 Mx_l=-0.00 My_l=2.18 Mz_l=-0.01
Taglio nei bulloni: Fv,Ed=4.58 Fv,Rd=7720.78
Rifollamento lato piastra: Fb,Ed,p=4.58 Fb,Rd,p=6321.24
Tirafondi:LT=0.45 (0.31) σ_{cR}=0.00 σ_{fR}=0.00
Compressione nel calcestruzzo: σ_c=12.23
CC 19 SLV (Collegamento -179_-383)
Azioni sul collegamento: N=-13676.40 Ty=12.02 Tz=-1.63 Mx=-0.01 Mz=6.41
Sollecitazioni agenti localmente: Tx_l=12.02 Ty_l=-1.63 N_l=-13676.40 Mx_l=-0.00 My_l=6.41 Mz_l=-0.01
Taglio nei bulloni: Fv,Ed=2.03 Fv,Rd=7720.78
Rifollamento lato piastra: Fb,Ed,p=2.03 Fb,Rd,p=6132.74
Tirafondi:LT=0.45 (0.31) σ_{cR}=0.00 σ_{fR}=0.00
Compressione nel calcestruzzo: σ_c=28.62
CC 19 SLV (Collegamento -179_-383)
Azioni sul collegamento: N=-13676.40 Ty=5.33 Tz=-1.63 Mx=-0.01 Mz=2.18
Sollecitazioni agenti localmente: Tx_l=5.33 Ty_l=-1.63 N_l=-13676.40 Mx_l=-0.00 My_l=2.18 Mz_l=-0.01
Taglio nei bulloni: Fv,Ed=0.94 Fv,Rd=7720.78
Rifollamento lato piastra: Fb,Ed,p=0.93 Fb,Rd,p=6755.71
Tirafondi:LT=0.45 (0.31) σ_{cR}=0.00 σ_{fR}=0.00
Compressione nel calcestruzzo: σ_c=28.38
CC 19 SLV (Collegamento -179_-383)
Azioni sul collegamento: N=-13676.40 Ty=12.02 Tz=26.92 Mx=-0.01 Mz=6.41
Sollecitazioni agenti localmente: Tx_l=12.02 Ty_l=26.92 N_l=-13676.40 Mx_l=-0.00 My_l=6.41 Mz_l=-0.01
Taglio nei bulloni: Fv,Ed=4.92 Fv,Rd=7720.78

Rifollamento lato piastra: Fb,Ed,p=4.92 Fb,Rd,p=7752.99
Tirafondi:LT=0.45 (0.31) σ_{cR}=0.00 σ_{fR}=0.00
Compressione nel calcestruzzo: σ_c=28.62
CC 19 SLV (Collegamento -179_-383)
Azioni sul collegamento: N=-13676.40 Ty=5.33 Tz=26.92 Mx=-0.01 Mz=2.18
Sollecitazioni agenti localmente: Tx_l=5.33 Ty_l=26.92 N_l=-13676.40 Mx_l=-0.00 My_l=2.18 Mz_l=-0.01
Taglio nei bulloni: Fv,Ed=4.58 Fv,Rd=7720.78
Rifollamento lato piastra: Fb,Ed,p=4.58 Fb,Rd,p=6321.24
Tirafondi:LT=0.45 (0.31) σ_{cR}=0.00 σ_{fR}=0.00
Compressione nel calcestruzzo: σ_c=28.38
CC 20 SLD (Collegamento -179_-383)
Azioni sul collegamento: N=-8674.72 Ty=10.62 Tz=8.67 Mx=0.00 Mz=7.07
Sollecitazioni agenti localmente: Tx_l=10.62 Ty_l=8.67 N_l=-8674.72 Mx_l=-0.00 My_l=7.07 Mz_l=0.00
Taglio nei bulloni: Fv,Ed=2.29 Fv,Rd=9650.97
Rifollamento lato piastra: Fb,Ed,p=2.29 Fb,Rd,p=13715.40
Tirafondi:LT=0.45 (0.31) σ_{cR}=0.00 σ_{fR}=0.00
Compressione nel calcestruzzo: σ_c=18.32
CC 20 SLD (Collegamento -179_-383)
Azioni sul collegamento: N=-8674.72 Ty=8.58 Tz=8.67 Mx=0.00 Mz=5.79
Sollecitazioni agenti localmente: Tx_l=8.58 Ty_l=8.67 N_l=-8674.72 Mx_l=-0.00 My_l=5.79 Mz_l=0.00
Taglio nei bulloni: Fv,Ed=2.03 Fv,Rd=9650.97
Rifollamento lato piastra: Fb,Ed,p=2.03 Fb,Rd,p=14943.90
Tirafondi:LT=0.45 (0.31) σ_{cR}=0.00 σ_{fR}=0.00
Compressione nel calcestruzzo: σ_c=18.25
CC 20 SLD (Collegamento -179_-383)
Azioni sul collegamento: N=-8674.72 Ty=10.62 Tz=17.38 Mx=0.00 Mz=7.07
Sollecitazioni agenti localmente: Tx_l=10.62 Ty_l=17.38 N_l=-8674.72 Mx_l=-0.00 My_l=7.07 Mz_l=0.00
Taglio nei bulloni: Fv,Ed=3.40 Fv,Rd=9650.97
Rifollamento lato piastra: Fb,Ed,p=3.40 Fb,Rd,p=11719.70
Tirafondi:LT=0.45 (0.31) σ_{cR}=0.00 σ_{fR}=0.00
Compressione nel calcestruzzo: σ_c=18.32
CC 20 SLD (Collegamento -179_-383)
Azioni sul collegamento: N=-8674.72 Ty=8.58 Tz=17.38 Mx=0.00 Mz=5.79
Sollecitazioni agenti localmente: Tx_l=8.58 Ty_l=17.38 N_l=-8674.72 Mx_l=-0.00 My_l=5.79 Mz_l=0.00
Taglio nei bulloni: Fv,Ed=3.23 Fv,Rd=9650.97
Rifollamento lato piastra: Fb,Ed,p=3.23 Fb,Rd,p=10224.70
Tirafondi:LT=0.45 (0.31) σ_{cR}=0.00 σ_{fR}=0.00
Compressione nel calcestruzzo: σ_c=18.25
CC 20 SLD (Collegamento -179_-383)
Azioni sul collegamento: N=-11057.70 Ty=10.62 Tz=8.67 Mx=0.00 Mz=7.07
Sollecitazioni agenti localmente: Tx_l=10.62 Ty_l=8.67 N_l=-11057.70 Mx_l=-0.00 My_l=7.07 Mz_l=0.00
Taglio nei bulloni: Fv,Ed=2.29 Fv,Rd=9650.97
Rifollamento lato piastra: Fb,Ed,p=2.29 Fb,Rd,p=13715.60
Tirafondi:LT=0.45 (0.31) σ_{cR}=0.00 σ_{fR}=0.00
Compressione nel calcestruzzo: σ_c=23.25
CC 20 SLD (Collegamento -179_-383)
Azioni sul collegamento: N=-11057.70 Ty=8.58 Tz=8.67 Mx=0.00 Mz=5.79
Sollecitazioni agenti localmente: Tx_l=8.58 Ty_l=8.67 N_l=-11057.70 Mx_l=-0.00 My_l=5.79 Mz_l=0.00
Taglio nei bulloni: Fv,Ed=2.03 Fv,Rd=9650.97
Rifollamento lato piastra: Fb,Ed,p=2.03 Fb,Rd,p=14943.60
Tirafondi:LT=0.45 (0.31) σ_{cR}=0.00 σ_{fR}=0.00
Compressione nel calcestruzzo: σ_c=23.17
CC 20 SLD (Collegamento -179_-383)
Azioni sul collegamento: N=-11057.70 Ty=10.62 Tz=17.38 Mx=0.00 Mz=7.07
Sollecitazioni agenti localmente: Tx_l=10.62 Ty_l=17.38 N_l=-11057.70 Mx_l=-0.00 My_l=7.07 Mz_l=0.00
Taglio nei bulloni: Fv,Ed=3.40 Fv,Rd=9650.97
Rifollamento lato piastra: Fb,Ed,p=3.40 Fb,Rd,p=11719.80
Tirafondi:LT=0.45 (0.31) σ_{cR}=0.00 σ_{fR}=0.00
Compressione nel calcestruzzo: σ_c=23.25
CC 20 SLD (Collegamento -179_-383)
Azioni sul collegamento: N=-11057.70 Ty=8.58 Tz=17.38 Mx=0.00 Mz=5.79
Sollecitazioni agenti localmente: Tx_l=8.58 Ty_l=17.38 N_l=-11057.70 Mx_l=-0.00 My_l=5.79 Mz_l=0.00
Taglio nei bulloni: Fv,Ed=3.23 Fv,Rd=9650.97
Rifollamento lato piastra: Fb,Ed,p=3.23 Fb,Rd,p=10224.80
Tirafondi:LT=0.45 (0.31) σ_{cR}=0.00 σ_{fR}=0.00
Compressione nel calcestruzzo: σ_c=23.17
CC 21 SLV (Collegamento -179_-383)
Azioni sul collegamento: N=-13676.40 Ty=5.33 Tz=26.92 Mx=-0.01 Mz=2.18
Sollecitazioni agenti localmente: Tx_l=5.33 Ty_l=26.92 N_l=-13676.40 Mx_l=-0.00 My_l=2.18 Mz_l=-0.01
Taglio nei bulloni: Fv,Ed=4.59 Fv,Rd=7720.78
Rifollamento lato piastra: Fb,Ed,p=4.58 Fb,Rd,p=6316.35
Tirafondi:LT=0.45 (0.31) σ_{cR}=0.00 σ_{fR}=0.00
Compressione nel calcestruzzo: σ_c=28.38
CC 21 SLV (Collegamento -179_-383)
Azioni sul collegamento: N=-13676.40 Ty=12.02 Tz=26.92 Mx=-0.01 Mz=6.41
Sollecitazioni agenti localmente: Tx_l=12.02 Ty_l=26.92 N_l=-13676.40 Mx_l=-0.00 My_l=6.41 Mz_l=-0.01
Taglio nei bulloni: Fv,Ed=4.93 Fv,Rd=7720.78
Rifollamento lato piastra: Fb,Ed,p=4.92 Fb,Rd,p=7739.33

Tirafondi:LT=0.45 (0.31) σ_{cR}=0.00 σ_{fR}=0.00
Compressione nel calcestruzzo: σ_c=28.62
CC 21 SLV (Collegamento -179_-383)
Azioni sul collegamento: N=-13676.40 Ty=5.33 Tz=-1.63 Mx=-0.01 Mz=2.18
Sollecitazioni agenti localmente: Tx_l=5.33 Ty_l=-1.63 N_l=-13676.40 Mx_l=-0.00 My_l=2.18 Mz_l=-0.01
Taglio nei bulloni: Fv,Ed=0.95 Fv,Rd=7720.78
Rifollamento lato piastra: Fb,Ed,p=0.94 Fb,Rd,p=6716.11
Tirafondi:LT=0.45 (0.31) σ_{cR}=0.00 σ_{fR}=0.00
Compressione nel calcestruzzo: σ_c=28.38
CC 21 SLV (Collegamento -179_-383)
Azioni sul collegamento: N=-13676.40 Ty=12.02 Tz=-1.63 Mx=-0.01 Mz=6.41
Sollecitazioni agenti localmente: Tx_l=12.02 Ty_l=-1.63 N_l=-13676.40 Mx_l=-0.00 My_l=6.41 Mz_l=-0.01
Taglio nei bulloni: Fv,Ed=2.04 Fv,Rd=7720.78
Rifollamento lato piastra: Fb,Ed,p=2.03 Fb,Rd,p=6125.90
Tirafondi:LT=0.45 (0.31) σ_{cR}=0.00 σ_{fR}=0.00
Compressione nel calcestruzzo: σ_c=28.62
CC 21 SLV (Collegamento -179_-383)
Azioni sul collegamento: N=-5861.43 Ty=5.33 Tz=26.92 Mx=-0.01 Mz=2.18
Sollecitazioni agenti localmente: Tx_l=5.33 Ty_l=26.92 N_l=-5861.43 Mx_l=-0.00 My_l=2.18 Mz_l=-0.01
Taglio nei bulloni: Fv,Ed=4.59 Fv,Rd=7720.78
Rifollamento lato piastra: Fb,Ed,p=4.58 Fb,Rd,p=6316.36
Tirafondi:LT=0.45 (0.31) σ_{cR}=0.00 σ_{fR}=0.00
Compressione nel calcestruzzo: σ_c=12.23
CC 21 SLV (Collegamento -179_-383)
Azioni sul collegamento: N=-5861.43 Ty=12.02 Tz=26.92 Mx=-0.01 Mz=6.41
Sollecitazioni agenti localmente: Tx_l=12.02 Ty_l=26.92 N_l=-5861.43 Mx_l=-0.00 My_l=6.41 Mz_l=-0.01
Taglio nei bulloni: Fv,Ed=4.93 Fv,Rd=7720.78
Rifollamento lato piastra: Fb,Ed,p=4.92 Fb,Rd,p=7739.34
Tirafondi:LT=0.45 (0.31) σ_{cR}=0.00 σ_{fR}=0.00
Compressione nel calcestruzzo: σ_c=12.47
CC 21 SLV (Collegamento -179_-383)
Azioni sul collegamento: N=-5861.43 Ty=5.33 Tz=-1.63 Mx=-0.01 Mz=2.18
Sollecitazioni agenti localmente: Tx_l=5.33 Ty_l=-1.63 N_l=-5861.43 Mx_l=-0.00 My_l=2.18 Mz_l=-0.01
Taglio nei bulloni: Fv,Ed=0.95 Fv,Rd=7720.78
Rifollamento lato piastra: Fb,Ed,p=0.94 Fb,Rd,p=6715.86
Tirafondi:LT=0.45 (0.31) σ_{cR}=0.00 σ_{fR}=0.00
Compressione nel calcestruzzo: σ_c=12.23
CC 21 SLV (Collegamento -179_-383)
Azioni sul collegamento: N=-5861.43 Ty=12.02 Tz=-1.63 Mx=-0.01 Mz=6.41
Sollecitazioni agenti localmente: Tx_l=12.02 Ty_l=-1.63 N_l=-5861.43 Mx_l=-0.00 My_l=6.41 Mz_l=-0.01
Taglio nei bulloni: Fv,Ed=2.04 Fv,Rd=7720.78
Rifollamento lato piastra: Fb,Ed,p=2.03 Fb,Rd,p=6125.85
Tirafondi:LT=0.45 (0.31) σ_{cR}=0.00 σ_{fR}=0.00
Compressione nel calcestruzzo: σ_c=12.47
CC 22 SLD (Collegamento -179_-383)
Azioni sul collegamento: N=-11057.70 Ty=8.58 Tz=17.38 Mx=-0.00 Mz=5.79
Sollecitazioni agenti localmente: Tx_l=8.58 Ty_l=17.38 N_l=-11057.70 Mx_l=-0.00 My_l=5.79 Mz_l=-0.00
Taglio nei bulloni: Fv,Ed=3.23 Fv,Rd=9650.97
Rifollamento lato piastra: Fb,Ed,p=3.23 Fb,Rd,p=10216.20
Tirafondi:LT=0.45 (0.31) σ_{cR}=0.00 σ_{fR}=0.00
Compressione nel calcestruzzo: σ_c=23.17
CC 22 SLD (Collegamento -179_-383)
Azioni sul collegamento: N=-11057.70 Ty=10.62 Tz=17.38 Mx=-0.00 Mz=7.07
Sollecitazioni agenti localmente: Tx_l=10.62 Ty_l=17.38 N_l=-11057.70 Mx_l=-0.00 My_l=7.07 Mz_l=-0.00
Taglio nei bulloni: Fv,Ed=3.40 Fv,Rd=9650.97
Rifollamento lato piastra: Fb,Ed,p=3.40 Fb,Rd,p=11708.50
Tirafondi:LT=0.45 (0.31) σ_{cR}=0.00 σ_{fR}=0.00
Compressione nel calcestruzzo: σ_c=23.25
CC 22 SLD (Collegamento -179_-383)
Azioni sul collegamento: N=-11057.70 Ty=8.58 Tz=8.67 Mx=-0.00 Mz=5.79
Sollecitazioni agenti localmente: Tx_l=8.58 Ty_l=8.67 N_l=-11057.70 Mx_l=-0.00 My_l=5.79 Mz_l=-0.00
Taglio nei bulloni: Fv,Ed=2.04 Fv,Rd=9650.97
Rifollamento lato piastra: Fb,Ed,p=2.03 Fb,Rd,p=14943.50
Tirafondi:LT=0.45 (0.31) σ_{cR}=0.00 σ_{fR}=0.00
Compressione nel calcestruzzo: σ_c=23.17
CC 22 SLD (Collegamento -179_-383)
Azioni sul collegamento: N=-11057.70 Ty=10.62 Tz=8.67 Mx=-0.00 Mz=7.07
Sollecitazioni agenti localmente: Tx_l=10.62 Ty_l=8.67 N_l=-11057.70 Mx_l=-0.00 My_l=7.07 Mz_l=-0.00
Taglio nei bulloni: Fv,Ed=2.29 Fv,Rd=9650.97
Rifollamento lato piastra: Fb,Ed,p=2.29 Fb,Rd,p=13718.00
Tirafondi:LT=0.45 (0.31) σ_{cR}=0.00 σ_{fR}=0.00
Compressione nel calcestruzzo: σ_c=23.25
CC 22 SLD (Collegamento -179_-383)
Azioni sul collegamento: N=-8674.72 Ty=8.58 Tz=17.38 Mx=-0.00 Mz=5.79
Sollecitazioni agenti localmente: Tx_l=8.58 Ty_l=17.38 N_l=-8674.72 Mx_l=-0.00 My_l=5.79 Mz_l=-0.00
Taglio nei bulloni: Fv,Ed=3.23 Fv,Rd=9650.97
Rifollamento lato piastra: Fb,Ed,p=3.23 Fb,Rd,p=10216.10
Tirafondi:LT=0.45 (0.31) σ_{cR}=0.00 σ_{fR}=0.00

Compressione nel calcestruzzo: σ_c=18.25
CC 22 SLD (Collegamento -179_-383)
Azioni sul collegamento: N=-8674.72 Ty=10.62 Tz=17.38 Mx=-0.00 Mz=7.07
Sollecitazioni agenti localmente: Tx_l=10.62 Ty_l=17.38 N_l=-8674.72 Mx_l=-0.00 My_l=7.07 Mz_l=-0.00
Taglio nei bulloni: Fv,Ed=3.40 Fv,Rd=9650.97
Rifollamento lato piastra: Fb,Ed,p=3.40 Fb,Rd,p=11708.30
Tirafondi:LT=0.45 (0.31) σ_{cR}=0.00 σ_{fR}=0.00
Compressione nel calcestruzzo: σ_c=18.32
CC 22 SLD (Collegamento -179_-383)
Azioni sul collegamento: N=-8674.72 Ty=8.58 Tz=8.67 Mx=-0.00 Mz=5.79
Sollecitazioni agenti localmente: Tx_l=8.58 Ty_l=8.67 N_l=-8674.72 Mx_l=-0.00 My_l=5.79 Mz_l=-0.00
Taglio nei bulloni: Fv,Ed=2.04 Fv,Rd=9650.97
Rifollamento lato piastra: Fb,Ed,p=2.03 Fb,Rd,p=14943.80
Tirafondi:LT=0.45 (0.31) σ_{cR}=0.00 σ_{fR}=0.00
Compressione nel calcestruzzo: σ_c=18.25
CC 22 SLD (Collegamento -179_-383)
Azioni sul collegamento: N=-8674.72 Ty=10.62 Tz=8.67 Mx=-0.00 Mz=7.07
Sollecitazioni agenti localmente: Tx_l=10.62 Ty_l=8.67 N_l=-8674.72 Mx_l=-0.00 My_l=7.07 Mz_l=-0.00
Taglio nei bulloni: Fv,Ed=2.29 Fv,Rd=9650.97
Rifollamento lato piastra: Fb,Ed,p=2.29 Fb,Rd,p=13717.80
Tirafondi:LT=0.45 (0.31) σ_{cR}=0.00 σ_{fR}=0.00
Compressione nel calcestruzzo: σ_c=18.32
CC 23 SLV (Collegamento -179_-383)
Azioni sul collegamento: N=-13681.20 Ty=4.82 Tz=27.25 Mx=-0.01 Mz=1.13
Sollecitazioni agenti localmente: Tx_l=4.82 Ty_l=27.25 N_l=-13681.20 Mx_l=-0.00 My_l=1.13 Mz_l=-0.01
Taglio nei bulloni: Fv,Ed=4.62 Fv,Rd=7720.78
Rifollamento lato piastra: Fb,Ed,p=4.62 Fb,Rd,p=6251.30
Tirafondi:LT=0.45 (0.31) σ_{cR}=0.00 σ_{fR}=0.00
Compressione nel calcestruzzo: σ_c=28.33
CC 23 SLV (Collegamento -179_-383)
Azioni sul collegamento: N=-13681.20 Ty=12.53 Tz=27.25 Mx=-0.01 Mz=7.45
Sollecitazioni agenti localmente: Tx_l=12.53 Ty_l=27.25 N_l=-13681.20 Mx_l=-0.00 My_l=7.45 Mz_l=-0.01
Taglio nei bulloni: Fv,Ed=5.01 Fv,Rd=7720.78
Rifollamento lato piastra: Fb,Ed,p=5.00 Fb,Rd,p=7864.29
Tirafondi:LT=0.45 (0.31) σ_{cR}=0.00 σ_{fR}=0.00
Compressione nel calcestruzzo: σ_c=28.69
CC 23 SLV (Collegamento -179_-383)
Azioni sul collegamento: N=-13681.20 Ty=4.82 Tz=-1.96 Mx=-0.01 Mz=1.13
Sollecitazioni agenti localmente: Tx_l=4.82 Ty_l=-1.96 N_l=-13681.20 Mx_l=-0.00 My_l=1.13 Mz_l=-0.01
Taglio nei bulloni: Fv,Ed=0.88 Fv,Rd=7720.78
Rifollamento lato piastra: Fb,Ed,p=0.87 Fb,Rd,p=7367.82
Tirafondi:LT=0.45 (0.31) σ_{cR}=0.00 σ_{fR}=0.00
Compressione nel calcestruzzo: σ_c=28.33
CC 23 SLV (Collegamento -179_-383)
Azioni sul collegamento: N=-13681.20 Ty=12.53 Tz=-1.96 Mx=-0.01 Mz=7.45
Sollecitazioni agenti localmente: Tx_l=12.53 Ty_l=-1.96 N_l=-13681.20 Mx_l=-0.00 My_l=7.45 Mz_l=-0.01
Taglio nei bulloni: Fv,Ed=2.12 Fv,Rd=7720.78
Rifollamento lato piastra: Fb,Ed,p=2.12 Fb,Rd,p=6184.96
Tirafondi:LT=0.45 (0.31) σ_{cR}=0.00 σ_{fR}=0.00
Compressione nel calcestruzzo: σ_c=28.69
CC 23 SLV (Collegamento -179_-383)
Azioni sul collegamento: N=-5856.57 Ty=4.82 Tz=27.25 Mx=-0.01 Mz=1.13
Sollecitazioni agenti localmente: Tx_l=4.82 Ty_l=27.25 N_l=-5856.57 Mx_l=-0.00 My_l=1.13 Mz_l=-0.01
Taglio nei bulloni: Fv,Ed=4.62 Fv,Rd=7720.78
Rifollamento lato piastra: Fb,Ed,p=4.62 Fb,Rd,p=6251.29
Tirafondi:LT=0.45 (0.31) σ_{cR}=0.00 σ_{fR}=0.00
Compressione nel calcestruzzo: σ_c=12.16
CC 23 SLV (Collegamento -179_-383)
Azioni sul collegamento: N=-5856.57 Ty=12.53 Tz=27.25 Mx=-0.01 Mz=7.45
Sollecitazioni agenti localmente: Tx_l=12.53 Ty_l=27.25 N_l=-5856.57 Mx_l=-0.00 My_l=7.45 Mz_l=-0.01
Taglio nei bulloni: Fv,Ed=5.01 Fv,Rd=7720.78
Rifollamento lato piastra: Fb,Ed,p=5.00 Fb,Rd,p=7864.25
Tirafondi:LT=0.45 (0.31) σ_{cR}=0.00 σ_{fR}=0.00
Compressione nel calcestruzzo: σ_c=12.52
CC 23 SLV (Collegamento -179_-383)
Azioni sul collegamento: N=-5856.57 Ty=4.82 Tz=-1.96 Mx=-0.01 Mz=1.13
Sollecitazioni agenti localmente: Tx_l=4.82 Ty_l=-1.96 N_l=-5856.57 Mx_l=-0.00 My_l=1.13 Mz_l=-0.01
Taglio nei bulloni: Fv,Ed=0.88 Fv,Rd=7720.78
Rifollamento lato piastra: Fb,Ed,p=0.87 Fb,Rd,p=7367.43
Tirafondi:LT=0.45 (0.31) σ_{cR}=0.00 σ_{fR}=0.00
Compressione nel calcestruzzo: σ_c=12.16
CC 23 SLV (Collegamento -179_-383)
Azioni sul collegamento: N=-5856.57 Ty=12.53 Tz=-1.96 Mx=-0.01 Mz=7.45
Sollecitazioni agenti localmente: Tx_l=12.53 Ty_l=-1.96 N_l=-5856.57 Mx_l=-0.00 My_l=7.45 Mz_l=-0.01
Taglio nei bulloni: Fv,Ed=2.12 Fv,Rd=7720.78
Rifollamento lato piastra: Fb,Ed,p=2.12 Fb,Rd,p=6184.90
Tirafondi:LT=0.45 (0.31) σ_{cR}=0.00 σ_{fR}=0.00
Compressione nel calcestruzzo: σ_c=12.52

CC 24 SLD (Collegamento -179_-383)
Azioni sul collegamento: N=-11059.20 Ty=8.42 Tz=17.48 Mx=0.00 Mz=5.47
Sollecitazioni agenti localmente: Tx_l=8.42 Ty_l=17.48 N_l=-11059.20 Mx_l=-0.00 My_l=5.47 Mz_l=0.00
Taglio nei bulloni: Fv,Ed=3.23 Fv,Rd=9650.97
Rifollamento lato piastra: Fb,Ed,p=3.23 Fb,Rd,p=10093.20
Tirafondi:LT=0.45 (0.31) σ_{cR}=0.00 σ_{fR}=0.00
Compressione nel calcestruzzo: σ_c=23.16
CC 24 SLD (Collegamento -179_-383)
Azioni sul collegamento: N=-11059.20 Ty=10.78 Tz=17.48 Mx=0.00 Mz=7.39
Sollecitazioni agenti localmente: Tx_l=10.78 Ty_l=17.48 N_l=-11059.20 Mx_l=-0.00 My_l=7.39 Mz_l=0.00
Taglio nei bulloni: Fv,Ed=3.42 Fv,Rd=9650.97
Rifollamento lato piastra: Fb,Ed,p=3.42 Fb,Rd,p=11797.90
Tirafondi:LT=0.45 (0.31) σ_{cR}=0.00 σ_{fR}=0.00
Compressione nel calcestruzzo: σ_c=23.27
CC 24 SLD (Collegamento -179_-383)
Azioni sul collegamento: N=-11059.20 Ty=8.42 Tz=8.57 Mx=0.00 Mz=5.47
Sollecitazioni agenti localmente: Tx_l=8.42 Ty_l=8.57 N_l=-11059.20 Mx_l=-0.00 My_l=5.47 Mz_l=0.00
Taglio nei bulloni: Fv,Ed=2.00 Fv,Rd=9650.97
Rifollamento lato piastra: Fb,Ed,p=2.00 Fb,Rd,p=14893.10
Tirafondi:LT=0.45 (0.31) σ_{cR}=0.00 σ_{fR}=0.00
Compressione nel calcestruzzo: σ_c=23.16
CC 24 SLD (Collegamento -179_-383)
Azioni sul collegamento: N=-11059.20 Ty=10.78 Tz=8.57 Mx=0.00 Mz=7.39
Sollecitazioni agenti localmente: Tx_l=10.78 Ty_l=8.57 N_l=-11059.20 Mx_l=-0.00 My_l=7.39 Mz_l=0.00
Taglio nei bulloni: Fv,Ed=2.30 Fv,Rd=9650.97
Rifollamento lato piastra: Fb,Ed,p=2.30 Fb,Rd,p=13574.70
Tirafondi:LT=0.45 (0.31) σ_{cR}=0.00 σ_{fR}=0.00
Compressione nel calcestruzzo: σ_c=23.27
CC 24 SLD (Collegamento -179_-383)
Azioni sul collegamento: N=-8673.24 Ty=8.42 Tz=17.48 Mx=0.00 Mz=5.47
Sollecitazioni agenti localmente: Tx_l=8.42 Ty_l=17.48 N_l=-8673.24 Mx_l=-0.00 My_l=5.47 Mz_l=0.00
Taglio nei bulloni: Fv,Ed=3.23 Fv,Rd=9650.97
Rifollamento lato piastra: Fb,Ed,p=3.23 Fb,Rd,p=10093.20
Tirafondi:LT=0.45 (0.31) σ_{cR}=0.00 σ_{fR}=0.00
Compressione nel calcestruzzo: σ_c=18.23
CC 24 SLD (Collegamento -179_-383)
Azioni sul collegamento: N=-8673.24 Ty=10.78 Tz=17.48 Mx=0.00 Mz=7.39
Sollecitazioni agenti localmente: Tx_l=10.78 Ty_l=17.48 N_l=-8673.24 Mx_l=-0.00 My_l=7.39 Mz_l=0.00
Taglio nei bulloni: Fv,Ed=3.42 Fv,Rd=9650.97
Rifollamento lato piastra: Fb,Ed,p=3.42 Fb,Rd,p=11797.90
Tirafondi:LT=0.45 (0.31) σ_{cR}=0.00 σ_{fR}=0.00
Compressione nel calcestruzzo: σ_c=18.34
CC 24 SLD (Collegamento -179_-383)
Azioni sul collegamento: N=-8673.24 Ty=8.42 Tz=8.57 Mx=0.00 Mz=5.47
Sollecitazioni agenti localmente: Tx_l=8.42 Ty_l=8.57 N_l=-8673.24 Mx_l=-0.00 My_l=5.47 Mz_l=0.00
Taglio nei bulloni: Fv,Ed=2.00 Fv,Rd=9650.97
Rifollamento lato piastra: Fb,Ed,p=2.00 Fb,Rd,p=14893.40
Tirafondi:LT=0.45 (0.31) σ_{cR}=0.00 σ_{fR}=0.00
Compressione nel calcestruzzo: σ_c=18.23
CC 24 SLD (Collegamento -179_-383)
Azioni sul collegamento: N=-8673.24 Ty=10.78 Tz=8.57 Mx=0.00 Mz=7.39
Sollecitazioni agenti localmente: Tx_l=10.78 Ty_l=8.57 N_l=-8673.24 Mx_l=-0.00 My_l=7.39 Mz_l=0.00
Taglio nei bulloni: Fv,Ed=2.30 Fv,Rd=9650.97
Rifollamento lato piastra: Fb,Ed,p=2.30 Fb,Rd,p=13574.50
Tirafondi:LT=0.45 (0.31) σ_{cR}=0.00 σ_{fR}=0.00
Compressione nel calcestruzzo: σ_c=18.34
CC 25 SLV (Collegamento -179_-383)
Azioni sul collegamento: N=-8587.82 Ty=10.61 Tz=7.77 Mx=-0.02 Mz=6.83
Sollecitazioni agenti localmente: Tx_l=10.61 Ty_l=7.77 N_l=-8587.82 Mx_l=-0.00 My_l=6.83 Mz_l=-0.02
Taglio nei bulloni: Fv,Ed=2.22 Fv,Rd=7720.78
Rifollamento lato piastra: Fb,Ed,p=2.22 Fb,Rd,p=10546.80
Tirafondi:LT=0.45 (0.31) σ_{cR}=0.00 σ_{fR}=0.00
Compressione nel calcestruzzo: σ_c=18.13
CC 25 SLV (Collegamento -179_-383)
Azioni sul collegamento: N=-8587.82 Ty=6.74 Tz=7.77 Mx=-0.02 Mz=1.76
Sollecitazioni agenti localmente: Tx_l=6.74 Ty_l=7.77 N_l=-8587.82 Mx_l=-0.00 My_l=1.76 Mz_l=-0.02
Taglio nei bulloni: Fv,Ed=1.74 Fv,Rd=7720.78
Rifollamento lato piastra: Fb,Ed,p=1.72 Fb,Rd,p=11101.80
Tirafondi:LT=0.45 (0.31) σ_{cR}=0.00 σ_{fR}=0.00
Compressione nel calcestruzzo: σ_c=17.84
CC 25 SLV (Collegamento -179_-383)
Azioni sul collegamento: N=-8587.82 Ty=10.61 Tz=17.52 Mx=-0.02 Mz=6.83
Sollecitazioni agenti localmente: Tx_l=10.61 Ty_l=17.52 N_l=-8587.82 Mx_l=-0.00 My_l=6.83 Mz_l=-0.02
Taglio nei bulloni: Fv,Ed=3.44 Fv,Rd=7720.78
Rifollamento lato piastra: Fb,Ed,p=3.42 Fb,Rd,p=9197.99
Tirafondi:LT=0.45 (0.31) σ_{cR}=0.00 σ_{fR}=0.00
Compressione nel calcestruzzo: σ_c=18.13
CC 25 SLV (Collegamento -179_-383)

Azioni sul collegamento: N=-8587.82 Ty=6.74 Tz=17.52 Mx=-0.02 Mz=1.76
Sollecitazioni agenti localmente: Tx_l=6.74 Ty_l=17.52 N_l=-8587.82 Mx_l=-0.00 My_l=1.76 Mz_l=-0.02
Taglio nei bulloni: Fv,Ed=3.15 Fv,Rd=7720.78
Rifollamento lato piastra: Fb,Ed,p=3.14 Fb,Rd,p=7244.12
Tirafondi:LT=0.45 (0.31) σ_{cR}=0.00 σ_{fR}=0.00
Compressione nel calcestruzzo: σ_c=17.84
CC 25 SLV (Collegamento -179_-383)
Azioni sul collegamento: N=-10950.00 Ty=10.61 Tz=7.77 Mx=-0.02 Mz=6.83
Sollecitazioni agenti localmente: Tx_l=10.61 Ty_l=7.77 N_l=-10950.00 Mx_l=-0.00 My_l=6.83 Mz_l=-0.02
Taglio nei bulloni: Fv,Ed=2.22 Fv,Rd=7720.78
Rifollamento lato piastra: Fb,Ed,p=2.22 Fb,Rd,p=10546.60
Tirafondi:LT=0.45 (0.31) σ_{cR}=0.00 σ_{fR}=0.00
Compressione nel calcestruzzo: σ_c=23.01
CC 25 SLV (Collegamento -179_-383)
Azioni sul collegamento: N=-10950.00 Ty=6.74 Tz=7.77 Mx=-0.02 Mz=1.76
Sollecitazioni agenti localmente: Tx_l=6.74 Ty_l=7.77 N_l=-10950.00 Mx_l=-0.00 My_l=1.76 Mz_l=-0.02
Taglio nei bulloni: Fv,Ed=1.74 Fv,Rd=7720.78
Rifollamento lato piastra: Fb,Ed,p=1.72 Fb,Rd,p=11102.00
Tirafondi:LT=0.45 (0.31) σ_{cR}=0.00 σ_{fR}=0.00
Compressione nel calcestruzzo: σ_c=22.72
CC 25 SLV (Collegamento -179_-383)
Azioni sul collegamento: N=-10950.00 Ty=10.61 Tz=17.52 Mx=-0.02 Mz=6.83
Sollecitazioni agenti localmente: Tx_l=10.61 Ty_l=17.52 N_l=-10950.00 Mx_l=-0.00 My_l=6.83 Mz_l=-0.02
Taglio nei bulloni: Fv,Ed=3.44 Fv,Rd=7720.78
Rifollamento lato piastra: Fb,Ed,p=3.42 Fb,Rd,p=9197.87
Tirafondi:LT=0.45 (0.31) σ_{cR}=0.00 σ_{fR}=0.00
Compressione nel calcestruzzo: σ_c=23.01
CC 25 SLV (Collegamento -179_-383)
Azioni sul collegamento: N=-10950.00 Ty=6.74 Tz=17.52 Mx=-0.02 Mz=1.76
Sollecitazioni agenti localmente: Tx_l=6.74 Ty_l=17.52 N_l=-10950.00 Mx_l=-0.00 My_l=1.76 Mz_l=-0.02
Taglio nei bulloni: Fv,Ed=3.15 Fv,Rd=7720.78
Rifollamento lato piastra: Fb,Ed,p=3.14 Fb,Rd,p=7244.07
Tirafondi:LT=0.45 (0.31) σ_{cR}=0.00 σ_{fR}=0.00
Compressione nel calcestruzzo: σ_c=22.72
CC 26 SLD (Collegamento -179_-383)
Azioni sul collegamento: N=-9506.09 Ty=10.19 Tz=11.54 Mx=-0.00 Mz=7.20
Sollecitazioni agenti localmente: Tx_l=10.19 Ty_l=11.54 N_l=-9506.09 Mx_l=-0.00 My_l=7.20 Mz_l=-0.00
Taglio nei bulloni: Fv,Ed=2.57 Fv,Rd=9650.97
Rifollamento lato piastra: Fb,Ed,p=2.57 Fb,Rd,p=14149.90
Tirafondi:LT=0.45 (0.31) σ_{cR}=0.00 σ_{fR}=0.00
Compressione nel calcestruzzo: σ_c=20.05
CC 26 SLD (Collegamento -179_-383)
Azioni sul collegamento: N=-9506.09 Ty=9.01 Tz=11.54 Mx=-0.00 Mz=5.66
Sollecitazioni agenti localmente: Tx_l=9.01 Ty_l=11.54 N_l=-9506.09 Mx_l=-0.00 My_l=5.66 Mz_l=-0.00
Taglio nei bulloni: Fv,Ed=2.44 Fv,Rd=9650.97
Rifollamento lato piastra: Fb,Ed,p=2.44 Fb,Rd,p=13458.00
Tirafondi:LT=0.45 (0.31) σ_{cR}=0.00 σ_{fR}=0.00
Compressione nel calcestruzzo: σ_c=19.96
CC 26 SLD (Collegamento -179_-383)
Azioni sul collegamento: N=-9506.09 Ty=10.19 Tz=14.51 Mx=-0.00 Mz=7.20
Sollecitazioni agenti localmente: Tx_l=10.19 Ty_l=14.51 N_l=-9506.09 Mx_l=-0.00 My_l=7.20 Mz_l=-0.00
Taglio nei bulloni: Fv,Ed=2.96 Fv,Rd=9650.97
Rifollamento lato piastra: Fb,Ed,p=2.96 Fb,Rd,p=12966.30
Tirafondi:LT=0.45 (0.31) σ_{cR}=0.00 σ_{fR}=0.00
Compressione nel calcestruzzo: σ_c=20.05
CC 26 SLD (Collegamento -179_-383)
Azioni sul collegamento: N=-9506.09 Ty=9.01 Tz=14.51 Mx=-0.00 Mz=5.66
Sollecitazioni agenti localmente: Tx_l=9.01 Ty_l=14.51 N_l=-9506.09 Mx_l=-0.00 My_l=5.66 Mz_l=-0.00
Taglio nei bulloni: Fv,Ed=2.85 Fv,Rd=9650.97
Rifollamento lato piastra: Fb,Ed,p=2.85 Fb,Rd,p=11827.20
Tirafondi:LT=0.45 (0.31) σ_{cR}=0.00 σ_{fR}=0.00
Compressione nel calcestruzzo: σ_c=19.96
CC 26 SLD (Collegamento -179_-383)
Azioni sul collegamento: N=-10226.40 Ty=10.19 Tz=11.54 Mx=-0.00 Mz=7.20
Sollecitazioni agenti localmente: Tx_l=10.19 Ty_l=11.54 N_l=-10226.40 Mx_l=-0.00 My_l=7.20 Mz_l=-0.00
Taglio nei bulloni: Fv,Ed=2.57 Fv,Rd=9650.97
Rifollamento lato piastra: Fb,Ed,p=2.57 Fb,Rd,p=14149.90
Tirafondi:LT=0.45 (0.31) σ_{cR}=0.00 σ_{fR}=0.00
Compressione nel calcestruzzo: σ_c=21.53
CC 26 SLD (Collegamento -179_-383)
Azioni sul collegamento: N=-10226.40 Ty=9.01 Tz=11.54 Mx=-0.00 Mz=5.66
Sollecitazioni agenti localmente: Tx_l=9.01 Ty_l=11.54 N_l=-10226.40 Mx_l=-0.00 My_l=5.66 Mz_l=-0.00
Taglio nei bulloni: Fv,Ed=2.44 Fv,Rd=9650.97
Rifollamento lato piastra: Fb,Ed,p=2.44 Fb,Rd,p=13458.00
Tirafondi:LT=0.45 (0.31) σ_{cR}=0.00 σ_{fR}=0.00
Compressione nel calcestruzzo: σ_c=21.45
CC 26 SLD (Collegamento -179_-383)
Azioni sul collegamento: N=-10226.40 Ty=10.19 Tz=14.51 Mx=-0.00 Mz=7.20

Sollecitazioni agenti localmente: Tx_l=10.19 Ty_l=14.51 N_l=-10226.40 Mx_l=-0.00 My_l=7.20 Mz_l=-0.00
Taglio nei bulloni: Fv,Ed=2.96 Fv,Rd=9650.97
Rifollamento lato piastra: Fb,Ed,p=2.96 Fb,Rd,p=12966.30
Tirafondi:LT=0.45 (0.31) σ_{cR}=0.00 σ_{fR}=0.00
Compressione nel calcestruzzo: σ_c=21.53
CC 26 SLD (Collegamento -179_-383)
Azioni sul collegamento: N=-10226.40 Ty=9.01 Tz=14.51 Mx=-0.00 Mz=5.66
Sollecitazioni agenti localmente: Tx_l=9.01 Ty_l=14.51 N_l=-10226.40 Mx_l=-0.00 My_l=5.66 Mz_l=-0.00
Taglio nei bulloni: Fv,Ed=2.85 Fv,Rd=9650.97
Rifollamento lato piastra: Fb,Ed,p=2.85 Fb,Rd,p=11827.20
Tirafondi:LT=0.45 (0.31) σ_{cR}=0.00 σ_{fR}=0.00
Compressione nel calcestruzzo: σ_c=21.45
CC 27 SLV (Collegamento -179_-383)
Azioni sul collegamento: N=-10933.80 Ty=8.45 Tz=16.43 Mx=-0.02 Mz=5.25
Sollecitazioni agenti localmente: Tx_l=8.45 Ty_l=16.43 N_l=-10933.80 Mx_l=-0.00 My_l=5.25 Mz_l=-0.02
Taglio nei bulloni: Fv,Ed=3.11 Fv,Rd=7720.78
Rifollamento lato piastra: Fb,Ed,p=3.09 Fb,Rd,p=8272.19
Tirafondi:LT=0.45 (0.31) σ_{cR}=0.00 σ_{fR}=0.00
Compressione nel calcestruzzo: σ_c=22.89
CC 27 SLV (Collegamento -179_-383)
Azioni sul collegamento: N=-10933.80 Ty=8.90 Tz=16.43 Mx=-0.02 Mz=3.34
Sollecitazioni agenti localmente: Tx_l=8.90 Ty_l=16.43 N_l=-10933.80 Mx_l=-0.00 My_l=3.34 Mz_l=-0.02
Taglio nei bulloni: Fv,Ed=3.14 Fv,Rd=7720.78
Rifollamento lato piastra: Fb,Ed,p=3.12 Fb,Rd,p=8529.55
Tirafondi:LT=0.45 (0.31) σ_{cR}=0.00 σ_{fR}=0.00
Compressione nel calcestruzzo: σ_c=22.78
CC 27 SLV (Collegamento -179_-383)
Azioni sul collegamento: N=-10933.80 Ty=8.45 Tz=8.86 Mx=-0.02 Mz=5.25
Sollecitazioni agenti localmente: Tx_l=8.45 Ty_l=8.86 N_l=-10933.80 Mx_l=-0.00 My_l=5.25 Mz_l=-0.02
Taglio nei bulloni: Fv,Ed=2.07 Fv,Rd=7720.78
Rifollamento lato piastra: Fb,Ed,p=2.04 Fb,Rd,p=11601.20
Tirafondi:LT=0.45 (0.31) σ_{cR}=0.00 σ_{fR}=0.00
Compressione nel calcestruzzo: σ_c=22.89
CC 27 SLV (Collegamento -179_-383)
Azioni sul collegamento: N=-10933.80 Ty=8.90 Tz=8.86 Mx=-0.02 Mz=3.34
Sollecitazioni agenti localmente: Tx_l=8.90 Ty_l=8.86 N_l=-10933.80 Mx_l=-0.00 My_l=3.34 Mz_l=-0.02
Taglio nei bulloni: Fv,Ed=2.12 Fv,Rd=7720.78
Rifollamento lato piastra: Fb,Ed,p=2.12 Fb,Rd,p=11991.00
Tirafondi:LT=0.45 (0.31) σ_{cR}=0.00 σ_{fR}=0.00
Compressione nel calcestruzzo: σ_c=22.78
CC 27 SLV (Collegamento -179_-383)
Azioni sul collegamento: N=-8604.03 Ty=8.45 Tz=16.43 Mx=-0.02 Mz=5.25
Sollecitazioni agenti localmente: Tx_l=8.45 Ty_l=16.43 N_l=-8604.03 Mx_l=-0.00 My_l=5.25 Mz_l=-0.02
Taglio nei bulloni: Fv,Ed=3.11 Fv,Rd=7720.78
Rifollamento lato piastra: Fb,Ed,p=3.09 Fb,Rd,p=8272.17
Tirafondi:LT=0.45 (0.31) σ_{cR}=0.00 σ_{fR}=0.00
Compressione nel calcestruzzo: σ_c=18.07
CC 27 SLV (Collegamento -179_-383)
Azioni sul collegamento: N=-8604.03 Ty=8.90 Tz=16.43 Mx=-0.02 Mz=3.34
Sollecitazioni agenti localmente: Tx_l=8.90 Ty_l=16.43 N_l=-8604.03 Mx_l=-0.00 My_l=3.34 Mz_l=-0.02
Taglio nei bulloni: Fv,Ed=3.14 Fv,Rd=7720.78
Rifollamento lato piastra: Fb,Ed,p=3.12 Fb,Rd,p=8529.54
Tirafondi:LT=0.45 (0.31) σ_{cR}=0.00 σ_{fR}=0.00
Compressione nel calcestruzzo: σ_c=17.96
CC 27 SLV (Collegamento -179_-383)
Azioni sul collegamento: N=-8604.03 Ty=8.45 Tz=8.86 Mx=-0.02 Mz=5.25
Sollecitazioni agenti localmente: Tx_l=8.45 Ty_l=8.86 N_l=-8604.03 Mx_l=-0.00 My_l=5.25 Mz_l=-0.02
Taglio nei bulloni: Fv,Ed=2.07 Fv,Rd=7720.78
Rifollamento lato piastra: Fb,Ed,p=2.04 Fb,Rd,p=11601.50
Tirafondi:LT=0.45 (0.31) σ_{cR}=0.00 σ_{fR}=0.00
Compressione nel calcestruzzo: σ_c=18.07
CC 27 SLV (Collegamento -179_-383)
Azioni sul collegamento: N=-8604.03 Ty=8.90 Tz=8.86 Mx=-0.02 Mz=3.34
Sollecitazioni agenti localmente: Tx_l=8.90 Ty_l=8.86 N_l=-8604.03 Mx_l=-0.00 My_l=3.34 Mz_l=-0.02
Taglio nei bulloni: Fv,Ed=2.12 Fv,Rd=7720.78
Rifollamento lato piastra: Fb,Ed,p=2.12 Fb,Rd,p=11990.60
Tirafondi:LT=0.45 (0.31) σ_{cR}=0.00 σ_{fR}=0.00
Compressione nel calcestruzzo: σ_c=17.96
CC 28 SLD (Collegamento -179_-383)
Azioni sul collegamento: N=-10221.40 Ty=9.53 Tz=14.18 Mx=-0.00 Mz=6.72
Sollecitazioni agenti localmente: Tx_l=9.53 Ty_l=14.18 N_l=-10221.40 Mx_l=-0.00 My_l=6.72 Mz_l=-0.00
Taglio nei bulloni: Fv,Ed=2.85 Fv,Rd=9650.97
Rifollamento lato piastra: Fb,Ed,p=2.85 Fb,Rd,p=12597.30
Tirafondi:LT=0.45 (0.31) σ_{cR}=0.00 σ_{fR}=0.00
Compressione nel calcestruzzo: σ_c=21.50
CC 28 SLD (Collegamento -179_-383)
Azioni sul collegamento: N=-10221.40 Ty=9.67 Tz=14.18 Mx=-0.00 Mz=6.14
Sollecitazioni agenti localmente: Tx_l=9.67 Ty_l=14.18 N_l=-10221.40 Mx_l=-0.00 My_l=6.14 Mz_l=-0.00

Taglio nei bulloni: Fv,Ed=2.87 Fv,Rd=9650.97
Rifollamento lato piastra: Fb,Ed,p=2.86 Fb,Rd,p=12749.10
Tirafondi:LT=0.45 (0.31) σ_{cR}=0.00 σ_{fR}=0.00
Compressione nel calcestruzzo: σ_c=21.46
CC 28 SLD (Collegamento -179_-383)
Azioni sul collegamento: N=-10221.40 Ty=9.53 Tz=11.87 Mx=-0.00 Mz=6.72
Sollecitazioni agenti localmente: Tx_l=9.53 Ty_l=11.87 N_l=-10221.40 Mx_l=-0.00 My_l=6.72 Mz_l=-0.00
Taglio nei bulloni: Fv,Ed=2.54 Fv,Rd=9650.97
Rifollamento lato piastra: Fb,Ed,p=2.54 Fb,Rd,p=13603.90
Tirafondi:LT=0.45 (0.31) σ_{cR}=0.00 σ_{fR}=0.00
Compressione nel calcestruzzo: σ_c=21.50
CC 28 SLD (Collegamento -179_-383)
Azioni sul collegamento: N=-10221.40 Ty=9.67 Tz=11.87 Mx=-0.00 Mz=6.14
Sollecitazioni agenti localmente: Tx_l=9.67 Ty_l=11.87 N_l=-10221.40 Mx_l=-0.00 My_l=6.14 Mz_l=-0.00
Taglio nei bulloni: Fv,Ed=2.56 Fv,Rd=9650.97
Rifollamento lato piastra: Fb,Ed,p=2.55 Fb,Rd,p=13680.40
Tirafondi:LT=0.45 (0.31) σ_{cR}=0.00 σ_{fR}=0.00
Compressione nel calcestruzzo: σ_c=21.46
CC 28 SLD (Collegamento -179_-383)
Azioni sul collegamento: N=-9511.03 Ty=9.53 Tz=14.18 Mx=-0.00 Mz=6.72
Sollecitazioni agenti localmente: Tx_l=9.53 Ty_l=14.18 N_l=-9511.03 Mx_l=-0.00 My_l=6.72 Mz_l=-0.00
Taglio nei bulloni: Fv,Ed=2.85 Fv,Rd=9650.97
Rifollamento lato piastra: Fb,Ed,p=2.85 Fb,Rd,p=12597.10
Tirafondi:LT=0.45 (0.31) σ_{cR}=0.00 σ_{fR}=0.00
Compressione nel calcestruzzo: σ_c=20.03
CC 28 SLD (Collegamento -179_-383)
Azioni sul collegamento: N=-9511.03 Ty=9.67 Tz=14.18 Mx=-0.00 Mz=6.14
Sollecitazioni agenti localmente: Tx_l=9.67 Ty_l=14.18 N_l=-9511.03 Mx_l=-0.00 My_l=6.14 Mz_l=-0.00
Taglio nei bulloni: Fv,Ed=2.87 Fv,Rd=9650.97
Rifollamento lato piastra: Fb,Ed,p=2.86 Fb,Rd,p=12748.90
Tirafondi:LT=0.45 (0.31) σ_{cR}=0.00 σ_{fR}=0.00
Compressione nel calcestruzzo: σ_c=20.00
CC 28 SLD (Collegamento -179_-383)
Azioni sul collegamento: N=-9511.03 Ty=9.53 Tz=11.87 Mx=-0.00 Mz=6.72
Sollecitazioni agenti localmente: Tx_l=9.53 Ty_l=11.87 N_l=-9511.03 Mx_l=-0.00 My_l=6.72 Mz_l=-0.00
Taglio nei bulloni: Fv,Ed=2.54 Fv,Rd=9650.97
Rifollamento lato piastra: Fb,Ed,p=2.54 Fb,Rd,p=13603.80
Tirafondi:LT=0.45 (0.31) σ_{cR}=0.00 σ_{fR}=0.00
Compressione nel calcestruzzo: σ_c=20.03
CC 28 SLD (Collegamento -179_-383)
Azioni sul collegamento: N=-9511.03 Ty=9.67 Tz=11.87 Mx=-0.00 Mz=6.14
Sollecitazioni agenti localmente: Tx_l=9.67 Ty_l=11.87 N_l=-9511.03 Mx_l=-0.00 My_l=6.14 Mz_l=-0.00
Taglio nei bulloni: Fv,Ed=2.56 Fv,Rd=9650.97
Rifollamento lato piastra: Fb,Ed,p=2.55 Fb,Rd,p=13680.30
Tirafondi:LT=0.45 (0.31) σ_{cR}=0.00 σ_{fR}=0.00
Compressione nel calcestruzzo: σ_c=20.00
CC 29 SLV (Collegamento -179_-383)
Azioni sul collegamento: N=-8604.03 Ty=8.90 Tz=8.86 Mx=-0.00 Mz=3.34
Sollecitazioni agenti localmente: Tx_l=8.90 Ty_l=8.86 N_l=-8604.03 Mx_l=-0.00 My_l=3.34 Mz_l=-0.00
Taglio nei bulloni: Fv,Ed=2.09 Fv,Rd=7720.78
Rifollamento lato piastra: Fb,Ed,p=2.09 Fb,Rd,p=11990.20
Tirafondi:LT=0.45 (0.31) σ_{cR}=0.00 σ_{fR}=0.00
Compressione nel calcestruzzo: σ_c=17.96
CC 29 SLV (Collegamento -179_-383)
Azioni sul collegamento: N=-8604.03 Ty=8.45 Tz=8.86 Mx=-0.00 Mz=5.25
Sollecitazioni agenti localmente: Tx_l=8.45 Ty_l=8.86 N_l=-8604.03 Mx_l=-0.00 My_l=5.25 Mz_l=-0.00
Taglio nei bulloni: Fv,Ed=2.04 Fv,Rd=7720.78
Rifollamento lato piastra: Fb,Ed,p=2.04 Fb,Rd,p=11737.30
Tirafondi:LT=0.45 (0.31) σ_{cR}=0.00 σ_{fR}=0.00
Compressione nel calcestruzzo: σ_c=18.07
CC 29 SLV (Collegamento -179_-383)
Azioni sul collegamento: N=-8604.03 Ty=8.90 Tz=16.43 Mx=-0.00 Mz=3.34
Sollecitazioni agenti localmente: Tx_l=8.90 Ty_l=16.43 N_l=-8604.03 Mx_l=-0.00 My_l=3.34 Mz_l=-0.00
Taglio nei bulloni: Fv,Ed=3.12 Fv,Rd=7720.78
Rifollamento lato piastra: Fb,Ed,p=3.12 Fb,Rd,p=8627.99
Tirafondi:LT=0.45 (0.31) σ_{cR}=0.00 σ_{fR}=0.00
Compressione nel calcestruzzo: σ_c=17.96
CC 29 SLV (Collegamento -179_-383)
Azioni sul collegamento: N=-8604.03 Ty=8.45 Tz=16.43 Mx=-0.00 Mz=5.25
Sollecitazioni agenti localmente: Tx_l=8.45 Ty_l=16.43 N_l=-8604.03 Mx_l=-0.00 My_l=5.25 Mz_l=-0.00
Taglio nei bulloni: Fv,Ed=3.08 Fv,Rd=7720.78
Rifollamento lato piastra: Fb,Ed,p=3.08 Fb,Rd,p=8363.71
Tirafondi:LT=0.45 (0.31) σ_{cR}=0.00 σ_{fR}=0.00
Compressione nel calcestruzzo: σ_c=18.07
CC 29 SLV (Collegamento -179_-383)
Azioni sul collegamento: N=-10933.80 Ty=8.90 Tz=8.86 Mx=-0.00 Mz=3.34
Sollecitazioni agenti localmente: Tx_l=8.90 Ty_l=8.86 N_l=-10933.80 Mx_l=-0.00 My_l=3.34 Mz_l=-0.00
Taglio nei bulloni: Fv,Ed=2.09 Fv,Rd=7720.78

Rifollamento lato piastra: Fb,Ed,p=2.09 Fb,Rd,p=11990.70
Tirafondi:LT=0.45 (0.31) σ_{cR}=0.00 σ_{fR}=0.00
Compressione nel calcestruzzo: σ_c=22.78
CC 29 SLV (Collegamento -179_-383)
Azioni sul collegamento: N=-10933.80 Ty=8.45 Tz=8.86 Mx=-0.00 Mz=5.25
Sollecitazioni agenti localmente: Tx_l=8.45 Ty_l=8.86 N_l=-10933.80 Mx_l=-0.00 My_l=5.25 Mz_l=-0.00
Taglio nei bulloni: Fv,Ed=2.04 Fv,Rd=7720.78
Rifollamento lato piastra: Fb,Ed,p=2.04 Fb,Rd,p=11736.80
Tirafondi:LT=0.45 (0.31) σ_{cR}=0.00 σ_{fR}=0.00
Compressione nel calcestruzzo: σ_c=22.89
CC 29 SLV (Collegamento -179_-383)
Azioni sul collegamento: N=-10933.80 Ty=8.90 Tz=16.43 Mx=-0.00 Mz=3.34
Sollecitazioni agenti localmente: Tx_l=8.90 Ty_l=16.43 N_l=-10933.80 Mx_l=-0.00 My_l=3.34 Mz_l=-0.00
Taglio nei bulloni: Fv,Ed=3.12 Fv,Rd=7720.78
Rifollamento lato piastra: Fb,Ed,p=3.12 Fb,Rd,p=8628.00
Tirafondi:LT=0.45 (0.31) σ_{cR}=0.00 σ_{fR}=0.00
Compressione nel calcestruzzo: σ_c=22.78
CC 29 SLV (Collegamento -179_-383)
Azioni sul collegamento: N=-10933.80 Ty=8.45 Tz=16.43 Mx=-0.00 Mz=5.25
Sollecitazioni agenti localmente: Tx_l=8.45 Ty_l=16.43 N_l=-10933.80 Mx_l=-0.00 My_l=5.25 Mz_l=-0.00
Taglio nei bulloni: Fv,Ed=3.08 Fv,Rd=7720.78
Rifollamento lato piastra: Fb,Ed,p=3.08 Fb,Rd,p=8363.72
Tirafondi:LT=0.45 (0.31) σ_{cR}=0.00 σ_{fR}=0.00
Compressione nel calcestruzzo: σ_c=22.89
CC 30 SLD (Collegamento -179_-383)
Azioni sul collegamento: N=-9511.03 Ty=9.67 Tz=11.87 Mx=0.00 Mz=6.14
Sollecitazioni agenti localmente: Tx_l=9.67 Ty_l=11.87 N_l=-9511.03 Mx_l=-0.00 My_l=6.14 Mz_l=0.00
Taglio nei bulloni: Fv,Ed=2.55 Fv,Rd=9650.97
Rifollamento lato piastra: Fb,Ed,p=2.55 Fb,Rd,p=13702.00
Tirafondi:LT=0.45 (0.31) σ_{cR}=0.00 σ_{fR}=0.00
Compressione nel calcestruzzo: σ_c=20.00
CC 30 SLD (Collegamento -179_-383)
Azioni sul collegamento: N=-9511.03 Ty=9.53 Tz=11.87 Mx=0.00 Mz=6.72
Sollecitazioni agenti localmente: Tx_l=9.53 Ty_l=11.87 N_l=-9511.03 Mx_l=-0.00 My_l=6.72 Mz_l=0.00
Taglio nei bulloni: Fv,Ed=2.54 Fv,Rd=9650.97
Rifollamento lato piastra: Fb,Ed,p=2.54 Fb,Rd,p=13625.20
Tirafondi:LT=0.45 (0.31) σ_{cR}=0.00 σ_{fR}=0.00
Compressione nel calcestruzzo: σ_c=20.03
CC 30 SLD (Collegamento -179_-383)
Azioni sul collegamento: N=-9511.03 Ty=9.67 Tz=14.18 Mx=0.00 Mz=6.14
Sollecitazioni agenti localmente: Tx_l=9.67 Ty_l=14.18 N_l=-9511.03 Mx_l=-0.00 My_l=6.14 Mz_l=0.00
Taglio nei bulloni: Fv,Ed=2.86 Fv,Rd=9650.97
Rifollamento lato piastra: Fb,Ed,p=2.86 Fb,Rd,p=12791.00
Tirafondi:LT=0.45 (0.31) σ_{cR}=0.00 σ_{fR}=0.00
Compressione nel calcestruzzo: σ_c=20.00
CC 30 SLD (Collegamento -179_-383)
Azioni sul collegamento: N=-9511.03 Ty=9.53 Tz=14.18 Mx=0.00 Mz=6.72
Sollecitazioni agenti localmente: Tx_l=9.53 Ty_l=14.18 N_l=-9511.03 Mx_l=-0.00 My_l=6.72 Mz_l=0.00
Taglio nei bulloni: Fv,Ed=2.85 Fv,Rd=9650.97
Rifollamento lato piastra: Fb,Ed,p=2.85 Fb,Rd,p=12638.40
Tirafondi:LT=0.45 (0.31) σ_{cR}=0.00 σ_{fR}=0.00
Compressione nel calcestruzzo: σ_c=20.03
CC 30 SLD (Collegamento -179_-383)
Azioni sul collegamento: N=-10221.40 Ty=9.67 Tz=11.87 Mx=0.00 Mz=6.14
Sollecitazioni agenti localmente: Tx_l=9.67 Ty_l=11.87 N_l=-10221.40 Mx_l=-0.00 My_l=6.14 Mz_l=0.00
Taglio nei bulloni: Fv,Ed=2.55 Fv,Rd=9650.97
Rifollamento lato piastra: Fb,Ed,p=2.55 Fb,Rd,p=13702.10
Tirafondi:LT=0.45 (0.31) σ_{cR}=0.00 σ_{fR}=0.00
Compressione nel calcestruzzo: σ_c=21.46
CC 30 SLD (Collegamento -179_-383)
Azioni sul collegamento: N=-10221.40 Ty=9.53 Tz=11.87 Mx=0.00 Mz=6.72
Sollecitazioni agenti localmente: Tx_l=9.53 Ty_l=11.87 N_l=-10221.40 Mx_l=-0.00 My_l=6.72 Mz_l=0.00
Taglio nei bulloni: Fv,Ed=2.54 Fv,Rd=9650.97
Rifollamento lato piastra: Fb,Ed,p=2.54 Fb,Rd,p=13625.30
Tirafondi:LT=0.45 (0.31) σ_{cR}=0.00 σ_{fR}=0.00
Compressione nel calcestruzzo: σ_c=21.50
CC 30 SLD (Collegamento -179_-383)
Azioni sul collegamento: N=-10221.40 Ty=9.67 Tz=14.18 Mx=0.00 Mz=6.14
Sollecitazioni agenti localmente: Tx_l=9.67 Ty_l=14.18 N_l=-10221.40 Mx_l=-0.00 My_l=6.14 Mz_l=0.00
Taglio nei bulloni: Fv,Ed=2.86 Fv,Rd=9650.97
Rifollamento lato piastra: Fb,Ed,p=2.86 Fb,Rd,p=12791.20
Tirafondi:LT=0.45 (0.31) σ_{cR}=0.00 σ_{fR}=0.00
Compressione nel calcestruzzo: σ_c=21.46
CC 30 SLD (Collegamento -179_-383)
Azioni sul collegamento: N=-10221.40 Ty=9.53 Tz=14.18 Mx=0.00 Mz=6.72
Sollecitazioni agenti localmente: Tx_l=9.53 Ty_l=14.18 N_l=-10221.40 Mx_l=-0.00 My_l=6.72 Mz_l=0.00
Taglio nei bulloni: Fv,Ed=2.85 Fv,Rd=9650.97
Rifollamento lato piastra: Fb,Ed,p=2.85 Fb,Rd,p=12638.60

Tirafondi:LT=0.45 (0.31) σ_{cR}=0.00 σ_{fR}=0.00
Compressione nel calcestruzzo: σ_c=21.50
CC 31 SLV (Collegamento -179_-383)
Azioni sul collegamento: N=-10950.00 Ty=6.74 Tz=17.52 Mx=-0.00 Mz=1.76
Sollecitazioni agenti localmente: Tx_l=6.74 Ty_l=17.52 N_l=-10950.00 Mx_l=-0.00 My_l=1.76 Mz_l=-0.00
Taglio nei bulloni: Fv,Ed=3.13 Fv,Rd=7720.78
Rifollamento lato piastra: Fb,Ed,p=3.13 Fb,Rd,p=7302.07
Tirafondi:LT=0.45 (0.31) σ_{cR}=0.00 σ_{fR}=0.00
Compressione nel calcestruzzo: σ_c=22.72
CC 31 SLV (Collegamento -179_-383)
Azioni sul collegamento: N=-10950.00 Ty=10.61 Tz=17.52 Mx=-0.00 Mz=6.83
Sollecitazioni agenti localmente: Tx_l=10.61 Ty_l=17.52 N_l=-10950.00 Mx_l=-0.00 My_l=6.83 Mz_l=-0.00
Taglio nei bulloni: Fv,Ed=3.42 Fv,Rd=7720.78
Rifollamento lato piastra: Fb,Ed,p=3.41 Fb,Rd,p=9306.73
Tirafondi:LT=0.45 (0.31) σ_{cR}=0.00 σ_{fR}=0.00
Compressione nel calcestruzzo: σ_c=23.01
CC 31 SLV (Collegamento -179_-383)
Azioni sul collegamento: N=-10950.00 Ty=6.74 Tz=7.77 Mx=-0.00 Mz=1.76
Sollecitazioni agenti localmente: Tx_l=6.74 Ty_l=7.77 N_l=-10950.00 Mx_l=-0.00 My_l=1.76 Mz_l=-0.00
Taglio nei bulloni: Fv,Ed=1.72 Fv,Rd=7720.78
Rifollamento lato piastra: Fb,Ed,p=1.71 Fb,Rd,p=11242.30
Tirafondi:LT=0.45 (0.31) σ_{cR}=0.00 σ_{fR}=0.00
Compressione nel calcestruzzo: σ_c=22.72
CC 31 SLV (Collegamento -179_-383)
Azioni sul collegamento: N=-10950.00 Ty=10.61 Tz=7.77 Mx=-0.00 Mz=6.83
Sollecitazioni agenti localmente: Tx_l=10.61 Ty_l=7.77 N_l=-10950.00 Mx_l=-0.00 My_l=6.83 Mz_l=-0.00
Taglio nei bulloni: Fv,Ed=2.19 Fv,Rd=7720.78
Rifollamento lato piastra: Fb,Ed,p=2.19 Fb,Rd,p=10533.10
Tirafondi:LT=0.45 (0.31) σ_{cR}=0.00 σ_{fR}=0.00
Compressione nel calcestruzzo: σ_c=23.01
CC 31 SLV (Collegamento -179_-383)
Azioni sul collegamento: N=-8587.82 Ty=6.74 Tz=17.52 Mx=-0.00 Mz=1.76
Sollecitazioni agenti localmente: Tx_l=6.74 Ty_l=17.52 N_l=-8587.82 Mx_l=-0.00 My_l=1.76 Mz_l=-0.00
Taglio nei bulloni: Fv,Ed=3.13 Fv,Rd=7720.78
Rifollamento lato piastra: Fb,Ed,p=3.13 Fb,Rd,p=7302.12
Tirafondi:LT=0.45 (0.31) σ_{cR}=0.00 σ_{fR}=0.00
Compressione nel calcestruzzo: σ_c=17.84
CC 31 SLV (Collegamento -179_-383)
Azioni sul collegamento: N=-8587.82 Ty=10.61 Tz=17.52 Mx=-0.00 Mz=6.83
Sollecitazioni agenti localmente: Tx_l=10.61 Ty_l=17.52 N_l=-8587.82 Mx_l=-0.00 My_l=6.83 Mz_l=-0.00
Taglio nei bulloni: Fv,Ed=3.42 Fv,Rd=7720.78
Rifollamento lato piastra: Fb,Ed,p=3.41 Fb,Rd,p=9306.86
Tirafondi:LT=0.45 (0.31) σ_{cR}=0.00 σ_{fR}=0.00
Compressione nel calcestruzzo: σ_c=18.13
CC 31 SLV (Collegamento -179_-383)
Azioni sul collegamento: N=-8587.82 Ty=6.74 Tz=7.77 Mx=-0.00 Mz=1.76
Sollecitazioni agenti localmente: Tx_l=6.74 Ty_l=7.77 N_l=-8587.82 Mx_l=-0.00 My_l=1.76 Mz_l=-0.00
Taglio nei bulloni: Fv,Ed=1.72 Fv,Rd=7720.78
Rifollamento lato piastra: Fb,Ed,p=1.71 Fb,Rd,p=11242.10
Tirafondi:LT=0.45 (0.31) σ_{cR}=0.00 σ_{fR}=0.00
Compressione nel calcestruzzo: σ_c=17.84
CC 31 SLV (Collegamento -179_-383)
Azioni sul collegamento: N=-8587.82 Ty=10.61 Tz=7.77 Mx=-0.00 Mz=6.83
Sollecitazioni agenti localmente: Tx_l=10.61 Ty_l=7.77 N_l=-8587.82 Mx_l=-0.00 My_l=6.83 Mz_l=-0.00
Taglio nei bulloni: Fv,Ed=2.19 Fv,Rd=7720.78
Rifollamento lato piastra: Fb,Ed,p=2.19 Fb,Rd,p=10533.30
Tirafondi:LT=0.45 (0.31) σ_{cR}=0.00 σ_{fR}=0.00
Compressione nel calcestruzzo: σ_c=18.13
CC 32 SLD (Collegamento -179_-383)
Azioni sul collegamento: N=-10226.40 Ty=9.01 Tz=14.51 Mx=0.00 Mz=5.66
Sollecitazioni agenti localmente: Tx_l=9.01 Ty_l=14.51 N_l=-10226.40 Mx_l=-0.00 My_l=5.66 Mz_l=0.00
Taglio nei bulloni: Fv,Ed=2.85 Fv,Rd=9650.97
Rifollamento lato piastra: Fb,Ed,p=2.85 Fb,Rd,p=11864.10
Tirafondi:LT=0.45 (0.31) σ_{cR}=0.00 σ_{fR}=0.00
Compressione nel calcestruzzo: σ_c=21.45
CC 32 SLD (Collegamento -179_-383)
Azioni sul collegamento: N=-10226.40 Ty=10.19 Tz=14.51 Mx=0.00 Mz=7.20
Sollecitazioni agenti localmente: Tx_l=10.19 Ty_l=14.51 N_l=-10226.40 Mx_l=-0.00 My_l=7.20 Mz_l=0.00
Taglio nei bulloni: Fv,Ed=2.96 Fv,Rd=9650.97
Rifollamento lato piastra: Fb,Ed,p=2.96 Fb,Rd,p=12982.10
Tirafondi:LT=0.45 (0.31) σ_{cR}=0.00 σ_{fR}=0.00
Compressione nel calcestruzzo: σ_c=21.53
CC 32 SLD (Collegamento -179_-383)
Azioni sul collegamento: N=-10226.40 Ty=9.01 Tz=11.54 Mx=0.00 Mz=5.66
Sollecitazioni agenti localmente: Tx_l=9.01 Ty_l=11.54 N_l=-10226.40 Mx_l=-0.00 My_l=5.66 Mz_l=0.00
Taglio nei bulloni: Fv,Ed=2.44 Fv,Rd=9650.97
Rifollamento lato piastra: Fb,Ed,p=2.44 Fb,Rd,p=13479.60
Tirafondi:LT=0.45 (0.31) σ_{cR}=0.00 σ_{fR}=0.00

Compressione nel calcestruzzo: σ_c=21.45
CC 32 SLD (Collegamento -179_-383)
Azioni sul collegamento: N=-10226.40 Ty=10.19 Tz=11.54 Mx=0.00 Mz=7.20
Sollecitazioni agenti localmente: Tx_l=10.19 Ty_l=11.54 N_l=-10226.40 Mx_l=-0.00 My_l=7.20 Mz_l=0.00
Taglio nei bulloni: Fv,Ed=2.57 Fv,Rd=9650.97
Rifollamento lato piastra: Fb,Ed,p=2.57 Fb,Rd,p=14173.60
Tirafondi:LT=0.45 (0.31) σ_{cR}=0.00 σ_{fR}=0.00
Compressione nel calcestruzzo: σ_c=21.53
CC 32 SLD (Collegamento -179_-383)
Azioni sul collegamento: N=-9506.09 Ty=9.01 Tz=14.51 Mx=0.00 Mz=5.66
Sollecitazioni agenti localmente: Tx_l=9.01 Ty_l=14.51 N_l=-9506.09 Mx_l=-0.00 My_l=5.66 Mz_l=0.00
Taglio nei bulloni: Fv,Ed=2.85 Fv,Rd=9650.97
Rifollamento lato piastra: Fb,Ed,p=2.85 Fb,Rd,p=11864.00
Tirafondi:LT=0.45 (0.31) σ_{cR}=0.00 σ_{fR}=0.00
Compressione nel calcestruzzo: σ_c=19.96
CC 32 SLD (Collegamento -179_-383)
Azioni sul collegamento: N=-9506.09 Ty=10.19 Tz=14.51 Mx=0.00 Mz=7.20
Sollecitazioni agenti localmente: Tx_l=10.19 Ty_l=14.51 N_l=-9506.09 Mx_l=-0.00 My_l=7.20 Mz_l=0.00
Taglio nei bulloni: Fv,Ed=2.96 Fv,Rd=9650.97
Rifollamento lato piastra: Fb,Ed,p=2.96 Fb,Rd,p=12982.10
Tirafondi:LT=0.45 (0.31) σ_{cR}=0.00 σ_{fR}=0.00
Compressione nel calcestruzzo: σ_c=20.05
CC 32 SLD (Collegamento -179_-383)
Azioni sul collegamento: N=-9506.09 Ty=9.01 Tz=11.54 Mx=0.00 Mz=5.66
Sollecitazioni agenti localmente: Tx_l=9.01 Ty_l=11.54 N_l=-9506.09 Mx_l=-0.00 My_l=5.66 Mz_l=0.00
Taglio nei bulloni: Fv,Ed=2.44 Fv,Rd=9650.97
Rifollamento lato piastra: Fb,Ed,p=2.44 Fb,Rd,p=13479.60
Tirafondi:LT=0.45 (0.31) σ_{cR}=0.00 σ_{fR}=0.00
Compressione nel calcestruzzo: σ_c=19.96
CC 32 SLD (Collegamento -179_-383)
Azioni sul collegamento: N=-9506.09 Ty=10.19 Tz=11.54 Mx=0.00 Mz=7.20
Sollecitazioni agenti localmente: Tx_l=10.19 Ty_l=11.54 N_l=-9506.09 Mx_l=-0.00 My_l=7.20 Mz_l=0.00
Taglio nei bulloni: Fv,Ed=2.57 Fv,Rd=9650.97
Rifollamento lato piastra: Fb,Ed,p=2.57 Fb,Rd,p=14173.60
Tirafondi:LT=0.45 (0.31) σ_{cR}=0.00 σ_{fR}=0.00
Compressione nel calcestruzzo: σ_c=20.05
CC 33 SLU (Collegamento -179_-383)
Azioni sul collegamento: N=-36428.20 Ty=20.21 Tz=102.49 Mx=0.01 Mz=15.01
Sollecitazioni agenti localmente: Tx_l=20.21 Ty_l=102.49 N_l=-36428.20 Mx_l=-0.00 My_l=15.01 Mz_l=0.01
Taglio nei bulloni: Fv,Ed=17.42 Fv,Rd=7720.78
Rifollamento lato piastra: Fb,Ed,p=17.42 Fb,Rd,p=6326.05
Tirafondi:LT=0.45 (0.31) σ_{cR}=0.00 σ_{fR}=0.00
Compressione nel calcestruzzo: σ_c=76.11
CC 34 SLU (Collegamento -179_-383)
Azioni sul collegamento: N=-37242.40 Ty=20.96 Tz=105.49 Mx=0.01 Mz=15.56
Sollecitazioni agenti localmente: Tx_l=20.96 Ty_l=105.49 N_l=-37242.40 Mx_l=-0.00 My_l=15.56 Mz_l=0.01
Taglio nei bulloni: Fv,Ed=17.93 Fv,Rd=7720.78
Rifollamento lato piastra: Fb,Ed,p=17.93 Fb,Rd,p=6331.31
Tirafondi:LT=0.45 (0.31) σ_{cR}=0.00 σ_{fR}=0.00
Compressione nel calcestruzzo: σ_c=77.82
CC 35 SLU (Collegamento -179_-383)
Azioni sul collegamento: N=-36836.10 Ty=20.67 Tz=103.93 Mx=0.00 Mz=15.47
Sollecitazioni agenti localmente: Tx_l=20.67 Ty_l=103.93 N_l=-36836.10 Mx_l=-0.00 My_l=15.47 Mz_l=0.00
Taglio nei bulloni: Fv,Ed=17.67 Fv,Rd=7720.78
Rifollamento lato piastra: Fb,Ed,p=17.67 Fb,Rd,p=6331.98
Tirafondi:LT=0.45 (0.31) σ_{cR}=0.00 σ_{fR}=0.00
Compressione nel calcestruzzo: σ_c=76.98
CC 36 SLU (Collegamento -179_-383)
Azioni sul collegamento: N=-36834.40 Ty=20.49 Tz=104.05 Mx=0.01 Mz=15.10
Sollecitazioni agenti localmente: Tx_l=20.49 Ty_l=104.05 N_l=-36834.40 Mx_l=-0.00 My_l=15.10 Mz_l=0.01
Taglio nei bulloni: Fv,Ed=17.68 Fv,Rd=7720.78
Rifollamento lato piastra: Fb,Ed,p=17.68 Fb,Rd,p=6325.46
Tirafondi:LT=0.45 (0.31) σ_{cR}=0.00 σ_{fR}=0.00
Compressione nel calcestruzzo: σ_c=76.96
CC 37 SLU (Collegamento -179_-383)
Azioni sul collegamento: N=-29660.30 Ty=-10.68 Tz=77.11 Mx=0.01 Mz=-8.42
Sollecitazioni agenti localmente: Tx_l=-10.68 Ty_l=77.11 N_l=-29660.30 Mx_l=-0.00 My_l=-8.42 Mz_l=0.01
Taglio nei bulloni: Fv,Ed=12.98 Fv,Rd=7720.78
Rifollamento lato piastra: Fb,Ed,p=12.98 Fb,Rd,p=6148.12
Tirafondi:LT=0.45 (0.31) σ_{cR}=0.00 σ_{fR}=0.00
Compressione nel calcestruzzo: σ_c=61.76
CC 38 SLU (Collegamento -179_-383)
Azioni sul collegamento: N=-30474.50 Ty=-9.93 Tz=80.11 Mx=0.01 Mz=-7.87
Sollecitazioni agenti localmente: Tx_l=-9.93 Ty_l=80.11 N_l=-30474.50 Mx_l=-0.00 My_l=-7.87 Mz_l=0.01
Taglio nei bulloni: Fv,Ed=13.46 Fv,Rd=7720.78
Rifollamento lato piastra: Fb,Ed,p=13.46 Fb,Rd,p=6114.33
Tirafondi:LT=0.45 (0.31) σ_{cR}=0.00 σ_{fR}=0.00
Compressione nel calcestruzzo: σ_c=63.41

CC 39 SLU (Collegamento -179_-383)
Azioni sul collegamento: N=-30068.30 Ty=-10.21 Tz=78.55 Mx=0.00 Mz=-7.97
Sollecitazioni agenti localmente: Tx_l=-10.21 Ty_l=78.55 N_l=-30068.30 Mx_l=-0.00 My_l=-7.97 Mz_l=0.00
Taglio nei bulloni: Fv,Ed=13.21 Fv,Rd=7720.78
Rifollamento lato piastra: Fb,Ed,p=13.21 Fb,Rd,p=6128.22
Tirafondi:LT=0.45 (0.31) σ_{cR}=0.00 σ_{fR}=0.00
Compressione nel calcestruzzo: σ_c=62.57
CC 40 SLU (Collegamento -179_-383)
Azioni sul collegamento: N=-30066.50 Ty=-10.39 Tz=78.67 Mx=0.01 Mz=-8.33
Sollecitazioni agenti localmente: Tx_l=-10.39 Ty_l=78.67 N_l=-30066.50 Mx_l=-0.00 My_l=-8.33 Mz_l=0.01
Taglio nei bulloni: Fv,Ed=13.23 Fv,Rd=7720.78
Rifollamento lato piastra: Fb,Ed,p=13.23 Fb,Rd,p=6132.65
Tirafondi:LT=0.45 (0.31) σ_{cR}=0.00 σ_{fR}=0.00
Compressione nel calcestruzzo: σ_c=62.59
CC 41 SLU (Collegamento -179_-383)
Azioni sul collegamento: N=-27261.60 Ty=19.33 Tz=68.83 Mx=0.01 Mz=14.21
Sollecitazioni agenti localmente: Tx_l=19.33 Ty_l=68.83 N_l=-27261.60 Mx_l=-0.00 My_l=14.21 Mz_l=0.01
Taglio nei bulloni: Fv,Ed=11.92 Fv,Rd=7720.78
Rifollamento lato piastra: Fb,Ed,p=11.92 Fb,Rd,p=6684.65
Tirafondi:LT=0.45 (0.31) σ_{cR}=0.00 σ_{fR}=0.00
Compressione nel calcestruzzo: σ_c=57.13
CC 42 SLU (Collegamento -179_-383)
Azioni sul collegamento: N=-28075.80 Ty=20.08 Tz=71.84 Mx=0.01 Mz=14.76
Sollecitazioni agenti localmente: Tx_l=20.08 Ty_l=71.84 N_l=-28075.80 Mx_l=-0.00 My_l=14.76 Mz_l=0.01
Taglio nei bulloni: Fv,Ed=12.44 Fv,Rd=7720.78
Rifollamento lato piastra: Fb,Ed,p=12.44 Fb,Rd,p=6678.00
Tirafondi:LT=0.45 (0.31) σ_{cR}=0.00 σ_{fR}=0.00
Compressione nel calcestruzzo: σ_c=58.84
CC 43 SLU (Collegamento -179_-383)
Azioni sul collegamento: N=-27669.60 Ty=19.79 Tz=70.28 Mx=0.00 Mz=14.67
Sollecitazioni agenti localmente: Tx_l=19.79 Ty_l=70.28 N_l=-27669.60 Mx_l=-0.00 My_l=14.67 Mz_l=0.00
Taglio nei bulloni: Fv,Ed=12.17 Fv,Rd=7720.78
Rifollamento lato piastra: Fb,Ed,p=12.17 Fb,Rd,p=6688.52
Tirafondi:LT=0.45 (0.31) σ_{cR}=0.00 σ_{fR}=0.00
Compressione nel calcestruzzo: σ_c=58.00
CC 44 SLU (Collegamento -179_-383)
Azioni sul collegamento: N=-27667.80 Ty=19.61 Tz=70.39 Mx=0.01 Mz=14.31
Sollecitazioni agenti localmente: Tx_l=19.61 Ty_l=70.39 N_l=-27667.80 Mx_l=-0.00 My_l=14.31 Mz_l=0.01
Taglio nei bulloni: Fv,Ed=12.19 Fv,Rd=7720.78
Rifollamento lato piastra: Fb,Ed,p=12.19 Fb,Rd,p=6674.03
Tirafondi:LT=0.45 (0.31) σ_{cR}=0.00 σ_{fR}=0.00
Compressione nel calcestruzzo: σ_c=57.97
CC 45 SLU (Collegamento -179_-383)
Azioni sul collegamento: N=-29271.60 Ty=19.56 Tz=76.22 Mx=0.00 Mz=14.53
Sollecitazioni agenti localmente: Tx_l=19.56 Ty_l=76.22 N_l=-29271.60 Mx_l=-0.00 My_l=14.53 Mz_l=0.00
Taglio nei bulloni: Fv,Ed=13.12 Fv,Rd=7720.78
Rifollamento lato piastra: Fb,Ed,p=13.12 Fb,Rd,p=6567.61
Tirafondi:LT=0.45 (0.31) σ_{cR}=0.00 σ_{fR}=0.00
Compressione nel calcestruzzo: σ_c=61.30
CC 46 SLU (Collegamento -179_-383)
Azioni sul collegamento: N=-30085.80 Ty=20.31 Tz=79.22 Mx=0.00 Mz=15.08
Sollecitazioni agenti localmente: Tx_l=20.31 Ty_l=79.22 N_l=-30085.80 Mx_l=-0.00 My_l=15.08 Mz_l=0.00
Taglio nei bulloni: Fv,Ed=13.64 Fv,Rd=7720.78
Rifollamento lato piastra: Fb,Ed,p=13.64 Fb,Rd,p=6566.36
Tirafondi:LT=0.45 (0.31) σ_{cR}=0.00 σ_{fR}=0.00
Compressione nel calcestruzzo: σ_c=63.01
CC 47 SLU (Collegamento -179_-383)
Azioni sul collegamento: N=-29679.60 Ty=20.02 Tz=77.66 Mx=0.00 Mz=14.99
Sollecitazioni agenti localmente: Tx_l=20.02 Ty_l=77.66 N_l=-29679.60 Mx_l=-0.00 My_l=14.99 Mz_l=0.00
Taglio nei bulloni: Fv,Ed=13.37 Fv,Rd=7720.78
Rifollamento lato piastra: Fb,Ed,p=13.37 Fb,Rd,p=6572.91
Tirafondi:LT=0.45 (0.31) σ_{cR}=0.00 σ_{fR}=0.00
Compressione nel calcestruzzo: σ_c=62.17
CC 48 SLU (Collegamento -179_-383)
Azioni sul collegamento: N=-29677.80 Ty=19.84 Tz=77.78 Mx=0.01 Mz=14.62
Sollecitazioni agenti localmente: Tx_l=19.84 Ty_l=77.78 N_l=-29677.80 Mx_l=-0.00 My_l=14.62 Mz_l=0.01
Taglio nei bulloni: Fv,Ed=13.39 Fv,Rd=7720.78
Rifollamento lato piastra: Fb,Ed,p=13.39 Fb,Rd,p=6561.10
Tirafondi:LT=0.45 (0.31) σ_{cR}=0.00 σ_{fR}=0.00
Compressione nel calcestruzzo: σ_c=62.14
CC 49 SLU (Collegamento -179_-383)
Azioni sul collegamento: N=-24208.20 Ty=-3.55 Tz=57.23 Mx=0.01 Mz=-3.00
Sollecitazioni agenti localmente: Tx_l=-3.55 Ty_l=57.23 N_l=-24208.20 Mx_l=-0.00 My_l=-3.00 Mz_l=0.01
Taglio nei bulloni: Fv,Ed=9.56 Fv,Rd=7720.78
Rifollamento lato piastra: Fb,Ed,p=9.56 Fb,Rd,p=6012.61
Tirafondi:LT=0.45 (0.31) σ_{cR}=0.00 σ_{fR}=0.00
Compressione nel calcestruzzo: σ_c=50.19
CC 50 SLU (Collegamento -179_-383)

Azioni sul collegamento: N=-25022.40 Ty=-2.80 Tz=60.23 Mx=0.01 Mz=-2.45
Sollecitazioni agenti localmente: Tx_l=-2.80 Ty_l=60.23 N_l=-25022.40 Mx_l=-0.00 My_l=-2.45 Mz_l=0.01
Taglio nei bulloni: Fv,Ed=10.06 Fv,Rd=7720.78
Rifollamento lato piastra: Fb,Ed,p=10.06 Fb,Rd,p=5997.84
Tirafondi:LT=0.45 (0.31) σ_{cR}=0.00 σ_{fR}=0.00
Compressione nel calcestruzzo: σ_c=51.84
CC 51 SLU (Collegamento -179_-383)
Azioni sul collegamento: N=-24616.20 Ty=-3.08 Tz=58.67 Mx=0.00 Mz=-2.54
Sollecitazioni agenti localmente: Tx_l=-3.08 Ty_l=58.67 N_l=-24616.20 Mx_l=-0.00 My_l=-2.54 Mz_l=0.00
Taglio nei bulloni: Fv,Ed=9.80 Fv,Rd=7720.78
Rifollamento lato piastra: Fb,Ed,p=9.80 Fb,Rd,p=6003.23
Tirafondi:LT=0.45 (0.31) σ_{cR}=0.00 σ_{fR}=0.00
Compressione nel calcestruzzo: σ_c=51.00
CC 52 SLU (Collegamento -179_-383)
Azioni sul collegamento: N=-24614.40 Ty=-3.26 Tz=58.79 Mx=0.01 Mz=-2.91
Sollecitazioni agenti localmente: Tx_l=-3.26 Ty_l=58.79 N_l=-24614.40 Mx_l=-0.00 My_l=-2.91 Mz_l=0.01
Taglio nei bulloni: Fv,Ed=9.82 Fv,Rd=7720.78
Rifollamento lato piastra: Fb,Ed,p=9.82 Fb,Rd,p=6005.80
Tirafondi:LT=0.45 (0.31) σ_{cR}=0.00 σ_{fR}=0.00
Compressione nel calcestruzzo: σ_c=51.02
CC 53 SLU (Collegamento -179_-383)
Azioni sul collegamento: N=-22413.60 Ty=18.90 Tz=51.04 Mx=0.00 Mz=13.93
Sollecitazioni agenti localmente: Tx_l=18.90 Ty_l=51.04 N_l=-22413.60 Mx_l=-0.00 My_l=13.93 Mz_l=0.00
Taglio nei bulloni: Fv,Ed=9.08 Fv,Rd=7720.78
Rifollamento lato piastra: Fb,Ed,p=9.08 Fb,Rd,p=7210.55
Tirafondi:LT=0.45 (0.31) σ_{cR}=0.00 σ_{fR}=0.00
Compressione nel calcestruzzo: σ_c=47.09
CC 54 SLU (Collegamento -179_-383)
Azioni sul collegamento: N=-23227.90 Ty=19.65 Tz=54.04 Mx=0.00 Mz=14.49
Sollecitazioni agenti localmente: Tx_l=19.65 Ty_l=54.04 N_l=-23227.90 Mx_l=-0.00 My_l=14.49 Mz_l=0.00
Taglio nei bulloni: Fv,Ed=9.59 Fv,Rd=7720.78
Rifollamento lato piastra: Fb,Ed,p=9.59 Fb,Rd,p=7165.92
Tirafondi:LT=0.45 (0.31) σ_{cR}=0.00 σ_{fR}=0.00
Compressione nel calcestruzzo: σ_c=48.81
CC 55 SLU (Collegamento -179_-383)
Azioni sul collegamento: N=-22821.60 Ty=19.36 Tz=52.48 Mx=0.00 Mz=14.39
Sollecitazioni agenti localmente: Tx_l=19.36 Ty_l=52.48 N_l=-22821.60 Mx_l=-0.00 My_l=14.39 Mz_l=0.00
Taglio nei bulloni: Fv,Ed=9.33 Fv,Rd=7720.78
Rifollamento lato piastra: Fb,Ed,p=9.33 Fb,Rd,p=7201.05
Tirafondi:LT=0.45 (0.31) σ_{cR}=0.00 σ_{fR}=0.00
Compressione nel calcestruzzo: σ_c=47.96
CC 56 SLU (Collegamento -179_-383)
Azioni sul collegamento: N=-22819.90 Ty=19.19 Tz=52.60 Mx=0.01 Mz=14.03
Sollecitazioni agenti localmente: Tx_l=19.19 Ty_l=52.60 N_l=-22819.90 Mx_l=-0.00 My_l=14.03 Mz_l=0.01
Taglio nei bulloni: Fv,Ed=9.34 Fv,Rd=7720.78
Rifollamento lato piastra: Fb,Ed,p=9.34 Fb,Rd,p=7174.08
Tirafondi:LT=0.45 (0.31) σ_{cR}=0.00 σ_{fR}=0.00
Compressione nel calcestruzzo: σ_c=47.94
CC 57 SLU (Collegamento -179_-383)
Azioni sul collegamento: N=-30019.90 Ty=20.54 Tz=79.01 Mx=0.00 Mz=15.25
Sollecitazioni agenti localmente: Tx_l=20.54 Ty_l=79.01 N_l=-30019.90 Mx_l=-0.00 My_l=15.25 Mz_l=0.00
Taglio nei bulloni: Fv,Ed=13.61 Fv,Rd=7720.78
Rifollamento lato piastra: Fb,Ed,p=13.61 Fb,Rd,p=6583.32
Tirafondi:LT=0.45 (0.31) σ_{cR}=0.00 σ_{fR}=0.00
Compressione nel calcestruzzo: σ_c=62.88
CC 58 SLU (Collegamento -179_-383)
Azioni sul collegamento: N=-30834.10 Ty=21.29 Tz=82.01 Mx=0.00 Mz=15.80
Sollecitazioni agenti localmente: Tx_l=21.29 Ty_l=82.01 N_l=-30834.10 Mx_l=-0.00 My_l=15.80 Mz_l=0.00
Taglio nei bulloni: Fv,Ed=14.13 Fv,Rd=7720.78
Rifollamento lato piastra: Fb,Ed,p=14.13 Fb,Rd,p=6581.51
Tirafondi:LT=0.45 (0.31) σ_{cR}=0.00 σ_{fR}=0.00
Compressione nel calcestruzzo: σ_c=64.60
CC 59 SLU (Collegamento -179_-383)
Azioni sul collegamento: N=-30427.90 Ty=21.01 Tz=80.45 Mx=0.00 Mz=15.71
Sollecitazioni agenti localmente: Tx_l=21.01 Ty_l=80.45 N_l=-30427.90 Mx_l=-0.00 My_l=15.71 Mz_l=0.00
Taglio nei bulloni: Fv,Ed=13.86 Fv,Rd=7720.78
Rifollamento lato piastra: Fb,Ed,p=13.86 Fb,Rd,p=6588.21
Tirafondi:LT=0.45 (0.31) σ_{cR}=0.00 σ_{fR}=0.00
Compressione nel calcestruzzo: σ_c=63.75
CC 60 SLU (Collegamento -179_-383)
Azioni sul collegamento: N=-30426.20 Ty=20.83 Tz=80.57 Mx=0.01 Mz=15.34
Sollecitazioni agenti localmente: Tx_l=20.83 Ty_l=80.57 N_l=-30426.20 Mx_l=-0.00 My_l=15.34 Mz_l=0.01
Taglio nei bulloni: Fv,Ed=13.88 Fv,Rd=7720.78
Rifollamento lato piastra: Fb,Ed,p=13.88 Fb,Rd,p=6576.62
Tirafondi:LT=0.45 (0.31) σ_{cR}=0.00 σ_{fR}=0.00
Compressione nel calcestruzzo: σ_c=63.73
CC 61 SLU (Collegamento -179_-383)
Azioni sul collegamento: N=-24956.60 Ty=-2.56 Tz=60.02 Mx=0.00 Mz=-2.28

Sollecitazioni agenti localmente: Tx_l=-2.56 Ty_l=60.02 N_l=-24956.60 Mx_l=-0.00 My_l=-2.28 Mz_l=0.00
Taglio nei bulloni: Fv,Ed=10.02 Fv,Rd=7720.78
Rifollamento lato piastra: Fb,Ed,p=10.02 Fb,Rd,p=5994.93
Tirafondi:LT=0.45 (0.31) σ_{cR}=0.00 σ_{fR}=0.00
Compressione nel calcestruzzo: σ_c=51.69
CC 62 SLU (Collegamento -179_-383)
Azioni sul collegamento: N=-25770.80 Ty=-1.81 Tz=63.02 Mx=0.00 Mz=-1.73
Sollecitazioni agenti localmente: Tx_l=-1.81 Ty_l=63.02 N_l=-25770.80 Mx_l=-0.00 My_l=-1.73 Mz_l=0.00
Taglio nei bulloni: Fv,Ed=10.51 Fv,Rd=7720.78
Rifollamento lato piastra: Fb,Ed,p=10.51 Fb,Rd,p=5986.24
Tirafondi:LT=0.45 (0.31) σ_{cR}=0.00 σ_{fR}=0.00
Compressione nel calcestruzzo: σ_c=53.34
CC 63 SLU (Collegamento -179_-383)
Azioni sul collegamento: N=-25364.60 Ty=-2.10 Tz=61.46 Mx=0.00 Mz=-1.82
Sollecitazioni agenti localmente: Tx_l=-2.10 Ty_l=61.46 N_l=-25364.60 Mx_l=-0.00 My_l=-1.82 Mz_l=0.00
Taglio nei bulloni: Fv,Ed=10.25 Fv,Rd=7720.78
Rifollamento lato piastra: Fb,Ed,p=10.25 Fb,Rd,p=5989.24
Tirafondi:LT=0.45 (0.31) σ_{cR}=0.00 σ_{fR}=0.00
Compressione nel calcestruzzo: σ_c=52.51
CC 64 SLU (Collegamento -179_-383)
Azioni sul collegamento: N=-25362.80 Ty=-2.28 Tz=61.58 Mx=0.01 Mz=-2.19
Sollecitazioni agenti localmente: Tx_l=-2.28 Ty_l=61.58 N_l=-25362.80 Mx_l=-0.00 My_l=-2.19 Mz_l=0.01
Taglio nei bulloni: Fv,Ed=10.28 Fv,Rd=7720.78
Rifollamento lato piastra: Fb,Ed,p=10.28 Fb,Rd,p=5990.88
Tirafondi:LT=0.45 (0.31) σ_{cR}=0.00 σ_{fR}=0.00
Compressione nel calcestruzzo: σ_c=52.53
CC 65 SLU (Collegamento -179_-383)
Azioni sul collegamento: N=-23162.00 Ty=19.88 Tz=53.83 Mx=0.00 Mz=14.66
Sollecitazioni agenti localmente: Tx_l=19.88 Ty_l=53.83 N_l=-23162.00 Mx_l=-0.00 My_l=14.66 Mz_l=0.00
Taglio nei bulloni: Fv,Ed=9.57 Fv,Rd=7720.78
Rifollamento lato piastra: Fb,Ed,p=9.57 Fb,Rd,p=7204.38
Tirafondi:LT=0.45 (0.31) σ_{cR}=0.00 σ_{fR}=0.00
Compressione nel calcestruzzo: σ_c=48.68
CC 66 SLU (Collegamento -179_-383)
Azioni sul collegamento: N=-23976.20 Ty=20.63 Tz=56.84 Mx=0.00 Mz=15.21
Sollecitazioni agenti localmente: Tx_l=20.63 Ty_l=56.84 N_l=-23976.20 Mx_l=-0.00 My_l=15.21 Mz_l=0.00
Taglio nei bulloni: Fv,Ed=10.08 Fv,Rd=7720.78
Rifollamento lato piastra: Fb,Ed,p=10.08 Fb,Rd,p=7162.30
Tirafondi:LT=0.45 (0.31) σ_{cR}=0.00 σ_{fR}=0.00
Compressione nel calcestruzzo: σ_c=50.39
CC 67 SLU (Collegamento -179_-383)
Azioni sul collegamento: N=-23570.00 Ty=20.35 Tz=55.27 Mx=0.00 Mz=15.11
Sollecitazioni agenti localmente: Tx_l=20.35 Ty_l=55.27 N_l=-23570.00 Mx_l=-0.00 My_l=15.11 Mz_l=0.00
Taglio nei bulloni: Fv,Ed=9.82 Fv,Rd=7720.78
Rifollamento lato piastra: Fb,Ed,p=9.82 Fb,Rd,p=7195.54
Tirafondi:LT=0.45 (0.31) σ_{cR}=0.00 σ_{fR}=0.00
Compressione nel calcestruzzo: σ_c=49.55
CC 68 SLU (Collegamento -179_-383)
Azioni sul collegamento: N=-23568.20 Ty=20.17 Tz=55.39 Mx=0.01 Mz=14.75
Sollecitazioni agenti localmente: Tx_l=20.17 Ty_l=55.39 N_l=-23568.20 Mx_l=-0.00 My_l=14.75 Mz_l=0.01
Taglio nei bulloni: Fv,Ed=9.83 Fv,Rd=7720.78
Rifollamento lato piastra: Fb,Ed,p=9.83 Fb,Rd,p=7169.94
Tirafondi:LT=0.45 (0.31) σ_{cR}=0.00 σ_{fR}=0.00
Compressione nel calcestruzzo: σ_c=49.53
CC 97 SLU (Collegamento -179_-383)
Azioni sul collegamento: N=-12126.50 Ty=21.64 Tz=21.62 Mx=0.05 Mz=23.37
Sollecitazioni agenti localmente: Tx_l=21.64 Ty_l=21.62 N_l=-12126.50 Mx_l=-0.00 My_l=23.37 Mz_l=0.05
Taglio nei bulloni: Fv,Ed=5.18 Fv,Rd=7720.78
Rifollamento lato piastra: Fb,Ed,p=5.10 Fb,Rd,p=11832.80
Tirafondi:LT=0.45 (0.31) σ_{cR}=0.00 σ_{fR}=0.00
Compressione nel calcestruzzo: σ_c=26.37
CC 98 SLU (Collegamento -179_-383)
Azioni sul collegamento: N=-12940.70 Ty=22.39 Tz=24.63 Mx=0.05 Mz=23.92
Sollecitazioni agenti localmente: Tx_l=22.39 Ty_l=24.63 N_l=-12940.70 Mx_l=-0.00 My_l=23.92 Mz_l=0.05
Taglio nei bulloni: Fv,Ed=5.63 Fv,Rd=7720.78
Rifollamento lato piastra: Fb,Ed,p=5.63 Fb,Rd,p=11492.50
Tirafondi:LT=0.45 (0.31) σ_{cR}=0.00 σ_{fR}=0.00
Compressione nel calcestruzzo: σ_c=28.08
CC 99 SLU (Collegamento -179_-383)
Azioni sul collegamento: N=-12534.50 Ty=22.10 Tz=23.06 Mx=0.05 Mz=23.83
Sollecitazioni agenti localmente: Tx_l=22.10 Ty_l=23.06 N_l=-12534.50 Mx_l=-0.00 My_l=23.83 Mz_l=0.05
Taglio nei bulloni: Fv,Ed=5.40 Fv,Rd=7720.78
Rifollamento lato piastra: Fb,Ed,p=5.40 Fb,Rd,p=11773.90
Tirafondi:LT=0.45 (0.31) σ_{cR}=0.00 σ_{fR}=0.00
Compressione nel calcestruzzo: σ_c=27.24
CC 100 SLU (Collegamento -179_-383)
Azioni sul collegamento: N=-12532.70 Ty=21.92 Tz=23.18 Mx=0.05 Mz=23.46
Sollecitazioni agenti localmente: Tx_l=21.92 Ty_l=23.18 N_l=-12532.70 Mx_l=-0.00 My_l=23.46 Mz_l=0.05

Taglio nei bulloni: Fv,Ed=5.40 Fv,Rd=7720.78
Rifollamento lato piastra: Fb,Ed,p=5.40 Fb,Rd,p=11701.80
Tirafondi:LT=0.45 (0.31) σ_{cR}=0.00 σ_{fR}=0.00
Compressione nel calcestruzzo: σ_c=27.22
CC 101 SLU (Collegamento -179_-383)
Azioni sul collegamento: N=-9752.38 Ty=7.57 Tz=12.50 Mx=-0.00 Mz=4.76
Sollecitazioni agenti localmente: Tx_l=7.57 Ty_l=12.50 N_l=-9752.38 Mx_l=-0.00 My_l=4.76 Mz_l=-0.00
Taglio nei bulloni: Fv,Ed=2.44 Fv,Rd=7720.78
Rifollamento lato piastra: Fb,Ed,p=2.44 Fb,Rd,p=9285.15
Tirafondi:LT=0.45 (0.31) σ_{cR}=0.00 σ_{fR}=0.00
Compressione nel calcestruzzo: σ_c=20.42
CC 102 SLU (Collegamento -179_-383)
Azioni sul collegamento: N=-10566.60 Ty=8.33 Tz=15.50 Mx=-0.00 Mz=5.31
Sollecitazioni agenti localmente: Tx_l=8.33 Ty_l=15.50 N_l=-10566.60 Mx_l=-0.00 My_l=5.31 Mz_l=-0.00
Taglio nei bulloni: Fv,Ed=2.94 Fv,Rd=7720.78
Rifollamento lato piastra: Fb,Ed,p=2.93 Fb,Rd,p=8565.48
Tirafondi:LT=0.45 (0.31) σ_{cR}=0.00 σ_{fR}=0.00
Compressione nel calcestruzzo: σ_c=22.13
CC 103 SLU (Collegamento -179_-383)
Azioni sul collegamento: N=-10160.40 Ty=8.04 Tz=13.94 Mx=-0.00 Mz=5.22
Sollecitazioni agenti localmente: Tx_l=8.04 Ty_l=13.94 N_l=-10160.40 Mx_l=-0.00 My_l=5.22 Mz_l=-0.00
Taglio nei bulloni: Fv,Ed=2.69 Fv,Rd=7720.78
Rifollamento lato piastra: Fb,Ed,p=2.68 Fb,Rd,p=8960.54
Tirafondi:LT=0.45 (0.31) σ_{cR}=0.00 σ_{fR}=0.00
Compressione nel calcestruzzo: σ_c=21.29
CC 104 SLU (Collegamento -179_-383)
Azioni sul collegamento: N=-10158.60 Ty=7.86 Tz=14.06 Mx=-0.00 Mz=4.85
Sollecitazioni agenti localmente: Tx_l=7.86 Ty_l=14.06 N_l=-10158.60 Mx_l=-0.00 My_l=4.85 Mz_l=-0.00
Taglio nei bulloni: Fv,Ed=2.69 Fv,Rd=7720.78
Rifollamento lato piastra: Fb,Ed,p=2.69 Fb,Rd,p=8792.05
Tirafondi:LT=0.45 (0.31) σ_{cR}=0.00 σ_{fR}=0.00
Compressione nel calcestruzzo: σ_c=21.26

Saldatura profilo-piastra

CC 1 SLV (Collegamento -179_-383)
Azioni sul collegamento: N=-6136.64 Ty=15.19 Tz=-0.86 Mx=0.02 Mz=13.60
Sollecitazioni agenti localmente: Tx_l=15.19 Ty_l=-0.86 N_l=-6136.64 My_l=-13.60 Mz_l=0.02
Azioni sul cordone: TP=1.10 TO=-0.05 NO=-453.62
Tensioni nel cordone: τ_P=0.35 τ_0= 0.02 σ_0=164.06 σ_{ID}=164.06 Σ_T=164.07
CC 1 SLV (Collegamento -179_-383)
Azioni sul collegamento: N=-6136.64 Ty=7.48 Tz=-0.86 Mx=0.02 Mz=7.28
Sollecitazioni agenti localmente: Tx_l=7.48 Ty_l=-0.86 N_l=-6136.64 My_l=-7.28 Mz_l=0.02
Azioni sul cordone: TP=0.53 TO=-0.05 NO=-453.62
Tensioni nel cordone: τ_P=0.17 τ_0= 0.02 σ_0=154.82 σ_{ID}=154.82 Σ_T=154.84
CC 1 SLV (Collegamento -179_-383)
Azioni sul collegamento: N=-6136.64 Ty=15.19 Tz=28.35 Mx=0.02 Mz=13.60
Sollecitazioni agenti localmente: Tx_l=15.19 Ty_l=28.35 N_l=-6136.64 My_l=-13.60 Mz_l=0.02
Azioni sul cordone: TP=1.10 TO=2.11 NO=-453.62
Tensioni nel cordone: τ_P=0.35 τ_0=0.67 σ_0=164.06 σ_{ID}=164.06 Σ_T=164.73
CC 1 SLV (Collegamento -179_-383)
Azioni sul collegamento: N=-6136.64 Ty=7.48 Tz=28.35 Mx=0.02 Mz=7.28
Sollecitazioni agenti localmente: Tx_l=7.48 Ty_l=28.35 N_l=-6136.64 My_l=-7.28 Mz_l=0.02
Azioni sul cordone: TP=0.53 TO=2.11 NO=-453.62
Tensioni nel cordone: τ_P=0.17 τ_0=0.67 σ_0=154.82 σ_{ID}=154.82 Σ_T=155.49
CC 1 SLV (Collegamento -179_-383)
Azioni sul collegamento: N=-13961.30 Ty=15.19 Tz=-0.86 Mx=0.02 Mz=13.60
Sollecitazioni agenti localmente: Tx_l=15.19 Ty_l=-0.86 N_l=-13961.30 My_l=-13.60 Mz_l=0.02
Azioni sul cordone: TP=1.10 TO=-0.05 NO=-1032.02
Tensioni nel cordone: τ_P=0.35 τ_0= 0.02 σ_0=347.90 σ_{ID}=347.90 Σ_T=347.92
CC 1 SLV (Collegamento -179_-383)
Azioni sul collegamento: N=-13961.30 Ty=7.48 Tz=-0.86 Mx=0.02 Mz=7.28
Sollecitazioni agenti localmente: Tx_l=7.48 Ty_l=-0.86 N_l=-13961.30 My_l=-7.28 Mz_l=0.02
Azioni sul cordone: TP=0.53 TO=-0.05 NO=-1032.02
Tensioni nel cordone: τ_P=0.17 τ_0= 0.02 σ_0=338.67 σ_{ID}=338.67 Σ_T=338.68
CC 1 SLV (Collegamento -179_-383)
Azioni sul collegamento: N=-13961.30 Ty=15.19 Tz=28.35 Mx=0.02 Mz=13.60
Sollecitazioni agenti localmente: Tx_l=15.19 Ty_l=28.35 N_l=-13961.30 My_l=-13.60 Mz_l=0.02
Azioni sul cordone: TP=1.10 TO=2.11 NO=-1032.02
Tensioni nel cordone: τ_P=0.35 τ_0=0.67 σ_0=347.90 σ_{ID}=347.90 Σ_T=348.57
CC 1 SLV (Collegamento -179_-383)
Azioni sul collegamento: N=-13961.30 Ty=7.48 Tz=28.35 Mx=0.02 Mz=7.28
Sollecitazioni agenti localmente: Tx_l=7.48 Ty_l=28.35 N_l=-13961.30 My_l=-7.28 Mz_l=0.02
Azioni sul cordone: TP=0.53 TO=2.11 NO=-1032.02
Tensioni nel cordone: τ_P=0.17 τ_0=0.67 σ_0=338.67 σ_{ID}=338.67 Σ_T=339.34
CC 2 SLD (Collegamento -179_-383)
Azioni sul collegamento: N=-8758.64 Ty=11.59 Tz=8.91 Mx=0.01 Mz=9.27
Sollecitazioni agenti localmente: Tx_l=11.59 Ty_l=8.91 N_l=-8758.64 My_l=-9.27 Mz_l=0.01
Azioni sul cordone: TP=0.85 TO=0.66 NO=-647.44

Tensioni nel cordone: τ_P=0.27 τ_0=0.21 σ_0=219.33 σ_{ID}=219.33 Σ_T=219.54
CC 2 SLD (Collegamento -179_-383)
Azioni sul collegamento: N=-8758.64 Ty=9.24 Tz=8.91 Mx=0.01 Mz=7.34
Sollecitazioni agenti localmente: Tx_l=9.24 Ty_l=8.91 N_l=-8758.64 My_l=-7.34 Mz_l=0.01
Azioni sul cordone: TP=0.67 TO=0.66 NO=-647.44
Tensioni nel cordone: τ_P=0.21 τ_0=0.21 σ_0=216.51 σ_{ID}=216.51 Σ_T=216.72
CC 2 SLD (Collegamento -179_-383)
Azioni sul collegamento: N=-8758.64 Ty=11.59 Tz=17.82 Mx=0.01 Mz=9.27
Sollecitazioni agenti localmente: Tx_l=11.59 Ty_l=17.82 N_l=-8758.64 My_l=-9.27 Mz_l=0.01
Azioni sul cordone: TP=0.85 TO=1.32 NO=-647.44
Tensioni nel cordone: τ_P=0.27 τ_0=0.42 σ_0=219.33 σ_{ID}=219.33 Σ_T=219.75
CC 2 SLD (Collegamento -179_-383)
Azioni sul collegamento: N=-8758.64 Ty=9.24 Tz=17.82 Mx=0.01 Mz=7.34
Sollecitazioni agenti localmente: Tx_l=9.24 Ty_l=17.82 N_l=-8758.64 My_l=-7.34 Mz_l=0.01
Azioni sul cordone: TP=0.67 TO=1.32 NO=-647.44
Tensioni nel cordone: τ_P=0.21 τ_0=0.42 σ_0=216.51 σ_{ID}=216.51 Σ_T=216.93
CC 2 SLD (Collegamento -179_-383)
Azioni sul collegamento: N=-11144.60 Ty=11.59 Tz=8.91 Mx=0.01 Mz=9.27
Sollecitazioni agenti localmente: Tx_l=11.59 Ty_l=8.91 N_l=-11144.60 My_l=-9.27 Mz_l=0.01
Azioni sul cordone: TP=0.85 TO=0.66 NO=-823.81
Tensioni nel cordone: τ_P=0.27 τ_0=0.21 σ_0=275.39 σ_{ID}=275.39 Σ_T=275.60
CC 2 SLD (Collegamento -179_-383)
Azioni sul collegamento: N=-11144.60 Ty=9.24 Tz=8.91 Mx=0.01 Mz=7.34
Sollecitazioni agenti localmente: Tx_l=9.24 Ty_l=8.91 N_l=-11144.60 My_l=-7.34 Mz_l=0.01
Azioni sul cordone: TP=0.67 TO=0.66 NO=-823.81
Tensioni nel cordone: τ_P=0.21 τ_0=0.21 σ_0=272.57 σ_{ID}=272.57 Σ_T=272.79
CC 2 SLD (Collegamento -179_-383)
Azioni sul collegamento: N=-11144.60 Ty=11.59 Tz=17.82 Mx=0.01 Mz=9.27
Sollecitazioni agenti localmente: Tx_l=11.59 Ty_l=17.82 N_l=-11144.60 My_l=-9.27 Mz_l=0.01
Azioni sul cordone: TP=0.85 TO=1.32 NO=-823.82
Tensioni nel cordone: τ_P=0.27 τ_0=0.42 σ_0=275.39 σ_{ID}=275.39 Σ_T=275.81
CC 2 SLD (Collegamento -179_-383)
Azioni sul collegamento: N=-11144.60 Ty=9.24 Tz=17.82 Mx=0.01 Mz=7.34
Sollecitazioni agenti localmente: Tx_l=9.24 Ty_l=17.82 N_l=-11144.60 My_l=-7.34 Mz_l=0.01
Azioni sul cordone: TP=0.67 TO=1.32 NO=-823.82
Tensioni nel cordone: τ_P=0.21 τ_0=0.42 σ_0=272.57 σ_{ID}=272.57 Σ_T=272.99
CC 3 SLV (Collegamento -179_-383)
Azioni sul collegamento: N=-6141.51 Ty=14.68 Tz=-0.53 Mx=0.01 Mz=12.56
Sollecitazioni agenti localmente: Tx_l=14.68 Ty_l=-0.53 N_l=-6141.51 My_l=-12.56 Mz_l=0.01
Azioni sul cordone: TP=1.07 TO=-0.03 NO=-453.98
Tensioni nel cordone: τ_P=0.34 τ_0=9.04E-03 σ_0=162.64 σ_{ID}=162.64 Σ_T=162.65
CC 3 SLV (Collegamento -179_-383)
Azioni sul collegamento: N=-6141.51 Ty=7.99 Tz=-0.53 Mx=0.01 Mz=8.33
Sollecitazioni agenti localmente: Tx_l=7.99 Ty_l=-0.53 N_l=-6141.51 My_l=-8.33 Mz_l=0.01
Azioni sul cordone: TP=0.58 TO=-0.03 NO=-453.98
Tensioni nel cordone: τ_P=0.18 τ_0=9.04E-03 σ_0=156.47 σ_{ID}=156.47 Σ_T=156.47
CC 3 SLV (Collegamento -179_-383)
Azioni sul collegamento: N=-6141.51 Ty=14.68 Tz=28.02 Mx=0.01 Mz=12.56
Sollecitazioni agenti localmente: Tx_l=14.68 Ty_l=28.02 N_l=-6141.51 My_l=-12.56 Mz_l=0.01
Azioni sul cordone: TP=1.07 TO=2.08 NO=-453.98
Tensioni nel cordone: τ_P=0.34 τ_0=0.66 σ_0=162.64 σ_{ID}=162.64 Σ_T=163.30
CC 3 SLV (Collegamento -179_-383)
Azioni sul collegamento: N=-6141.51 Ty=7.99 Tz=28.02 Mx=0.01 Mz=8.33
Sollecitazioni agenti localmente: Tx_l=7.99 Ty_l=28.02 N_l=-6141.51 My_l=-8.33 Mz_l=0.01
Azioni sul cordone: TP=0.58 TO=2.08 NO=-453.98
Tensioni nel cordone: τ_P=0.18 τ_0=0.66 σ_0=156.47 σ_{ID}=156.47 Σ_T=157.13
CC 3 SLV (Collegamento -179_-383)
Azioni sul collegamento: N=-13956.40 Ty=14.68 Tz=-0.53 Mx=0.01 Mz=12.56
Sollecitazioni agenti localmente: Tx_l=14.68 Ty_l=-0.53 N_l=-13956.40 My_l=-12.56 Mz_l=0.01
Azioni sul cordone: TP=1.07 TO=-0.03 NO=-1031.66
Tensioni nel cordone: τ_P=0.34 τ_0=9.04E-03 σ_0=346.26 σ_{ID}=346.26 Σ_T=346.27
CC 3 SLV (Collegamento -179_-383)
Azioni sul collegamento: N=-13956.40 Ty=7.99 Tz=-0.53 Mx=0.01 Mz=8.33
Sollecitazioni agenti localmente: Tx_l=7.99 Ty_l=-0.53 N_l=-13956.40 My_l=-8.33 Mz_l=0.01
Azioni sul cordone: TP=0.58 TO=-0.03 NO=-1031.66
Tensioni nel cordone: τ_P=0.18 τ_0=9.04E-03 σ_0=340.08 σ_{ID}=340.08 Σ_T=340.09
CC 3 SLV (Collegamento -179_-383)
Azioni sul collegamento: N=-13956.40 Ty=14.68 Tz=28.02 Mx=0.01 Mz=12.56
Sollecitazioni agenti localmente: Tx_l=14.68 Ty_l=28.02 N_l=-13956.40 My_l=-12.56 Mz_l=0.01
Azioni sul cordone: TP=1.07 TO=2.08 NO=-1031.66
Tensioni nel cordone: τ_P=0.34 τ_0=0.66 σ_0=346.26 σ_{ID}=346.26 Σ_T=346.92
CC 3 SLV (Collegamento -179_-383)
Azioni sul collegamento: N=-13956.40 Ty=7.99 Tz=28.02 Mx=0.01 Mz=8.33
Sollecitazioni agenti localmente: Tx_l=7.99 Ty_l=28.02 N_l=-13956.40 My_l=-8.33 Mz_l=0.01
Azioni sul cordone: TP=0.58 TO=2.08 NO=-1031.66
Tensioni nel cordone: τ_P=0.18 τ_0=0.66 σ_0=340.08 σ_{ID}=340.08 Σ_T=340.74
CC 4 SLD (Collegamento -179_-383)
Azioni sul collegamento: N=-8760.13 Ty=11.43 Tz=9.01 Mx=0.01 Mz=8.95
Sollecitazioni agenti localmente: Tx_l=11.43 Ty_l=9.01 N_l=-8760.13 My_l=-8.95 Mz_l=0.01

Azioni sul cordone: TP=0.84 TO=0.67 NO=-647.55
Tensioni nel cordone: τ_P=0.27 τ_O=0.21 σ_O=218.90 σ_{ID}=218.90 Σ_T=219.11
CC 4 SLD (Collegamento -179_-383)
Azioni sul collegamento: N=-8760.13 Ty=9.39 Tz=9.01 Mx=0.01 Mz=7.66
Sollecitazioni agenti localmente: Tx_l=9.39 Ty_l=9.01 N_l=-8760.13 My_l=-7.66 Mz_l=0.01
Azioni sul cordone: TP=0.69 TO=0.67 NO=-647.55
Tensioni nel cordone: τ_P=0.22 τ_O=0.21 σ_O=217.01 σ_{ID}=217.01 Σ_T=217.23
CC 4 SLD (Collegamento -179_-383)
Azioni sul collegamento: N=-8760.13 Ty=11.43 Tz=17.72 Mx=0.01 Mz=8.95
Sollecitazioni agenti localmente: Tx_l=11.43 Ty_l=17.72 N_l=-8760.13 My_l=-8.95 Mz_l=0.01
Azioni sul cordone: TP=0.84 TO=1.31 NO=-647.55
Tensioni nel cordone: τ_P=0.27 τ_O=0.42 σ_O=218.90 σ_{ID}=218.90 Σ_T=219.32
CC 4 SLD (Collegamento -179_-383)
Azioni sul collegamento: N=-8760.13 Ty=9.39 Tz=17.72 Mx=0.01 Mz=7.66
Sollecitazioni agenti localmente: Tx_l=9.39 Ty_l=17.72 N_l=-8760.13 My_l=-7.66 Mz_l=0.01
Azioni sul cordone: TP=0.69 TO=1.31 NO=-647.55
Tensioni nel cordone: τ_P=0.22 τ_O=0.42 σ_O=217.01 σ_{ID}=217.01 Σ_T=217.43
CC 4 SLD (Collegamento -179_-383)
Azioni sul collegamento: N=-11143.10 Ty=11.43 Tz=9.01 Mx=0.01 Mz=8.95
Sollecitazioni agenti localmente: Tx_l=11.43 Ty_l=9.01 N_l=-11143.10 My_l=-8.95 Mz_l=0.01
Azioni sul cordone: TP=0.84 TO=0.67 NO=-823.71
Tensioni nel cordone: τ_P=0.27 τ_O=0.21 σ_O=274.89 σ_{ID}=274.89 Σ_T=275.10
CC 4 SLD (Collegamento -179_-383)
Azioni sul collegamento: N=-11143.10 Ty=9.39 Tz=9.01 Mx=0.01 Mz=7.66
Sollecitazioni agenti localmente: Tx_l=9.39 Ty_l=9.01 N_l=-11143.10 My_l=-7.66 Mz_l=0.01
Azioni sul cordone: TP=0.69 TO=0.67 NO=-823.71
Tensioni nel cordone: τ_P=0.22 τ_O=0.21 σ_O=273.00 σ_{ID}=273.00 Σ_T=273.22
CC 4 SLD (Collegamento -179_-383)
Azioni sul collegamento: N=-11143.10 Ty=11.43 Tz=17.72 Mx=0.01 Mz=8.95
Sollecitazioni agenti localmente: Tx_l=11.43 Ty_l=17.72 N_l=-11143.10 My_l=-8.95 Mz_l=0.01
Azioni sul cordone: TP=0.84 TO=1.31 NO=-823.71
Tensioni nel cordone: τ_P=0.27 τ_O=0.42 σ_O=274.89 σ_{ID}=274.89 Σ_T=275.31
CC 4 SLD (Collegamento -179_-383)
Azioni sul collegamento: N=-11143.10 Ty=9.39 Tz=17.72 Mx=0.01 Mz=7.66
Sollecitazioni agenti localmente: Tx_l=9.39 Ty_l=17.72 N_l=-11143.10 My_l=-7.66 Mz_l=0.01
Azioni sul cordone: TP=0.69 TO=1.31 NO=-823.71
Tensioni nel cordone: τ_P=0.22 τ_O=0.42 σ_O=273.00 σ_{ID}=273.00 Σ_T=273.42
CC 5 SLV (Collegamento -179_-383)
Azioni sul collegamento: N=-13956.40 Ty=7.99 Tz=28.02 Mx=0.02 Mz=8.33
Sollecitazioni agenti localmente: Tx_l=7.99 Ty_l=28.02 N_l=-13956.40 My_l=-8.33 Mz_l=0.02
Azioni sul cordone: TP=0.57 TO=2.09 NO=-1031.66
Tensioni nel cordone: τ_P=0.18 τ_O=0.66 σ_O=340.08 σ_{ID}=340.08 Σ_T=340.74
CC 5 SLV (Collegamento -179_-383)
Azioni sul collegamento: N=-13956.40 Ty=14.68 Tz=28.02 Mx=0.02 Mz=12.56
Sollecitazioni agenti localmente: Tx_l=14.68 Ty_l=28.02 N_l=-13956.40 My_l=-12.56 Mz_l=0.02
Azioni sul cordone: TP=1.06 TO=2.09 NO=-1031.66
Tensioni nel cordone: τ_P=0.34 τ_O=0.66 σ_O=346.26 σ_{ID}=346.26 Σ_T=346.92
CC 5 SLV (Collegamento -179_-383)
Azioni sul collegamento: N=-13956.40 Ty=7.99 Tz=-0.53 Mx=0.02 Mz=8.33
Sollecitazioni agenti localmente: Tx_l=7.99 Ty_l=-0.53 N_l=-13956.40 My_l=-8.33 Mz_l=0.02
Azioni sul cordone: TP=0.57 TO=-0.02 NO=-1031.66
Tensioni nel cordone: τ_P=0.18 τ_O=7.84E-03 σ_O=340.08 σ_{ID}=340.08 Σ_T=340.09
CC 5 SLV (Collegamento -179_-383)
Azioni sul collegamento: N=-13956.40 Ty=14.68 Tz=-0.53 Mx=0.02 Mz=12.56
Sollecitazioni agenti localmente: Tx_l=14.68 Ty_l=-0.53 N_l=-13956.40 My_l=-12.56 Mz_l=0.02
Azioni sul cordone: TP=1.06 TO=-0.02 NO=-1031.66
Tensioni nel cordone: τ_P=0.34 τ_O=7.84E-03 σ_O=346.26 σ_{ID}=346.26 Σ_T=346.26
CC 5 SLV (Collegamento -179_-383)
Azioni sul collegamento: N=-6141.51 Ty=7.99 Tz=28.02 Mx=0.02 Mz=8.33
Sollecitazioni agenti localmente: Tx_l=7.99 Ty_l=28.02 N_l=-6141.51 My_l=-8.33 Mz_l=0.02
Azioni sul cordone: TP=0.57 TO=2.09 NO=-453.98
Tensioni nel cordone: τ_P=0.18 τ_O=0.66 σ_O=156.47 σ_{ID}=156.47 Σ_T=157.13
CC 5 SLV (Collegamento -179_-383)
Azioni sul collegamento: N=-6141.51 Ty=14.68 Tz=28.02 Mx=0.02 Mz=12.56
Sollecitazioni agenti localmente: Tx_l=14.68 Ty_l=28.02 N_l=-6141.51 My_l=-12.56 Mz_l=0.02
Azioni sul cordone: TP=1.06 TO=2.09 NO=-453.98
Tensioni nel cordone: τ_P=0.34 τ_O=0.66 σ_O=162.64 σ_{ID}=162.64 Σ_T=163.30
CC 5 SLV (Collegamento -179_-383)
Azioni sul collegamento: N=-6141.51 Ty=7.99 Tz=-0.53 Mx=0.02 Mz=8.33
Sollecitazioni agenti localmente: Tx_l=7.99 Ty_l=-0.53 N_l=-6141.51 My_l=-8.33 Mz_l=0.02
Azioni sul cordone: TP=0.57 TO=-0.02 NO=-453.98
Tensioni nel cordone: τ_P=0.18 τ_O=7.84E-03 σ_O=156.47 σ_{ID}=156.47 Σ_T=156.47
CC 5 SLV (Collegamento -179_-383)
Azioni sul collegamento: N=-6141.51 Ty=14.68 Tz=-0.53 Mx=0.02 Mz=12.56
Sollecitazioni agenti localmente: Tx_l=14.68 Ty_l=-0.53 N_l=-6141.51 My_l=-12.56 Mz_l=0.02
Azioni sul cordone: TP=1.06 TO=-0.02 NO=-453.98
Tensioni nel cordone: τ_P=0.34 τ_O=7.84E-03 σ_O=162.64 σ_{ID}=162.64 Σ_T=162.65
CC 6 SLD (Collegamento -179_-383)
Azioni sul collegamento: N=-11143.10 Ty=9.39 Tz=17.72 Mx=0.01 Mz=7.66

Sollecitazioni agenti localmente: Tx_l=9.39 Ty_l=17.72 N_l=-11143.10 My_l=-7.66 Mz_l=0.01
Azioni sul cordone: TP=0.69 TO=1.32 NO=-823.71
Tensioni nel cordone: τ_P=0.22 τ_0=0.42 σ_0=273.00 σ_{ID}=273.00 Σ_T=273.42
CC 6 SLD (Collegamento -179_-383)
Azioni sul collegamento: N=-11143.10 Ty=11.43 Tz=17.72 Mx=0.01 Mz=8.95
Sollecitazioni agenti localmente: Tx_l=11.43 Ty_l=17.72 N_l=-11143.10 My_l=-8.95 Mz_l=0.01
Azioni sul cordone: TP=0.84 TO=1.32 NO=-823.71
Tensioni nel cordone: τ_P=0.27 τ_0=0.42 σ_0=274.89 σ_{ID}=274.89 Σ_T=275.31
CC 6 SLD (Collegamento -179_-383)
Azioni sul collegamento: N=-11143.10 Ty=9.39 Tz=9.01 Mx=0.01 Mz=7.66
Sollecitazioni agenti localmente: Tx_l=9.39 Ty_l=9.01 N_l=-11143.10 My_l=-7.66 Mz_l=0.01
Azioni sul cordone: TP=0.69 TO=0.67 NO=-823.71
Tensioni nel cordone: τ_P=0.22 τ_0=0.21 σ_0=273.00 σ_{ID}=273.00 Σ_T=273.22
CC 6 SLD (Collegamento -179_-383)
Azioni sul collegamento: N=-11143.10 Ty=11.43 Tz=9.01 Mx=0.01 Mz=8.95
Sollecitazioni agenti localmente: Tx_l=11.43 Ty_l=9.01 N_l=-11143.10 My_l=-8.95 Mz_l=0.01
Azioni sul cordone: TP=0.84 TO=0.67 NO=-823.71
Tensioni nel cordone: τ_P=0.27 τ_0=0.21 σ_0=274.89 σ_{ID}=274.89 Σ_T=275.10
CC 6 SLD (Collegamento -179_-383)
Azioni sul collegamento: N=-8760.13 Ty=9.39 Tz=17.72 Mx=0.01 Mz=7.66
Sollecitazioni agenti localmente: Tx_l=9.39 Ty_l=17.72 N_l=-8760.13 My_l=-7.66 Mz_l=0.01
Azioni sul cordone: TP=0.69 TO=1.32 NO=-647.55
Tensioni nel cordone: τ_P=0.22 τ_0=0.42 σ_0=217.01 σ_{ID}=217.01 Σ_T=217.43
CC 6 SLD (Collegamento -179_-383)
Azioni sul collegamento: N=-8760.13 Ty=11.43 Tz=17.72 Mx=0.01 Mz=8.95
Sollecitazioni agenti localmente: Tx_l=11.43 Ty_l=17.72 N_l=-8760.13 My_l=-8.95 Mz_l=0.01
Azioni sul cordone: TP=0.84 TO=1.32 NO=-647.55
Tensioni nel cordone: τ_P=0.27 τ_0=0.42 σ_0=218.90 σ_{ID}=218.90 Σ_T=219.32
CC 6 SLD (Collegamento -179_-383)
Azioni sul collegamento: N=-8760.13 Ty=9.39 Tz=9.01 Mx=0.01 Mz=7.66
Sollecitazioni agenti localmente: Tx_l=9.39 Ty_l=9.01 N_l=-8760.13 My_l=-7.66 Mz_l=0.01
Azioni sul cordone: TP=0.69 TO=0.67 NO=-647.55
Tensioni nel cordone: τ_P=0.22 τ_0=0.21 σ_0=217.01 σ_{ID}=217.01 Σ_T=217.23
CC 6 SLD (Collegamento -179_-383)
Azioni sul collegamento: N=-8760.13 Ty=11.43 Tz=9.01 Mx=0.01 Mz=8.95
Sollecitazioni agenti localmente: Tx_l=11.43 Ty_l=9.01 N_l=-8760.13 My_l=-8.95 Mz_l=0.01
Azioni sul cordone: TP=0.84 TO=0.67 NO=-647.55
Tensioni nel cordone: τ_P=0.27 τ_0=0.21 σ_0=218.90 σ_{ID}=218.90 Σ_T=219.11
CC 7 SLV (Collegamento -179_-383)
Azioni sul collegamento: N=-13961.30 Ty=7.48 Tz=28.35 Mx=0.01 Mz=7.28
Sollecitazioni agenti localmente: Tx_l=7.48 Ty_l=28.35 N_l=-13961.30 My_l=-7.28 Mz_l=0.01
Azioni sul cordone: TP=0.54 TO=2.11 NO=-1032.02
Tensioni nel cordone: τ_P=0.17 τ_0=0.67 σ_0=338.67 σ_{ID}=338.67 Σ_T=339.33
CC 7 SLV (Collegamento -179_-383)
Azioni sul collegamento: N=-13961.30 Ty=15.19 Tz=28.35 Mx=0.01 Mz=13.60
Sollecitazioni agenti localmente: Tx_l=15.19 Ty_l=28.35 N_l=-13961.30 My_l=-13.60 Mz_l=0.01
Azioni sul cordone: TP=1.11 TO=2.11 NO=-1032.02
Tensioni nel cordone: τ_P=0.35 τ_0=0.67 σ_0=347.90 σ_{ID}=347.90 Σ_T=348.57
CC 7 SLV (Collegamento -179_-383)
Azioni sul collegamento: N=-13961.30 Ty=7.48 Tz=-0.86 Mx=0.01 Mz=7.28
Sollecitazioni agenti localmente: Tx_l=7.48 Ty_l=-0.86 N_l=-13961.30 My_l=-7.28 Mz_l=0.01
Azioni sul cordone: TP=0.54 TO=-0.05 NO=-1032.02
Tensioni nel cordone: τ_P=0.17 τ_0= 0.02 σ_0=338.67 σ_{ID}=338.67 Σ_T=338.68
CC 7 SLV (Collegamento -179_-383)
Azioni sul collegamento: N=-13961.30 Ty=15.19 Tz=-0.86 Mx=0.01 Mz=13.60
Sollecitazioni agenti localmente: Tx_l=15.19 Ty_l=-0.86 N_l=-13961.30 My_l=-13.60 Mz_l=0.01
Azioni sul cordone: TP=1.11 TO=-0.05 NO=-1032.02
Tensioni nel cordone: τ_P=0.35 τ_0= 0.02 σ_0=347.90 σ_{ID}=347.90 Σ_T=347.92
CC 7 SLV (Collegamento -179_-383)
Azioni sul collegamento: N=-6136.64 Ty=7.48 Tz=28.35 Mx=0.01 Mz=7.28
Sollecitazioni agenti localmente: Tx_l=7.48 Ty_l=28.35 N_l=-6136.64 My_l=-7.28 Mz_l=0.01
Azioni sul cordone: TP=0.54 TO=2.11 NO=-453.62
Tensioni nel cordone: τ_P=0.17 τ_0=0.67 σ_0=154.82 σ_{ID}=154.82 Σ_T=155.49
CC 7 SLV (Collegamento -179_-383)
Azioni sul collegamento: N=-6136.64 Ty=15.19 Tz=28.35 Mx=0.01 Mz=13.60
Sollecitazioni agenti localmente: Tx_l=15.19 Ty_l=28.35 N_l=-6136.64 My_l=-13.60 Mz_l=0.01
Azioni sul cordone: TP=1.11 TO=2.11 NO=-453.62
Tensioni nel cordone: τ_P=0.35 τ_0=0.67 σ_0=164.06 σ_{ID}=164.06 Σ_T=164.73
CC 7 SLV (Collegamento -179_-383)
Azioni sul collegamento: N=-6136.64 Ty=7.48 Tz=-0.86 Mx=0.01 Mz=7.28
Sollecitazioni agenti localmente: Tx_l=7.48 Ty_l=-0.86 N_l=-6136.64 My_l=-7.28 Mz_l=0.01
Azioni sul cordone: TP=0.54 TO=-0.05 NO=-453.62
Tensioni nel cordone: τ_P=0.17 τ_0= 0.02 σ_0=154.82 σ_{ID}=154.82 Σ_T=154.84
CC 7 SLV (Collegamento -179_-383)
Azioni sul collegamento: N=-6136.64 Ty=15.19 Tz=-0.86 Mx=0.01 Mz=13.60
Sollecitazioni agenti localmente: Tx_l=15.19 Ty_l=-0.86 N_l=-6136.64 My_l=-13.60 Mz_l=0.01
Azioni sul cordone: TP=1.11 TO=-0.05 NO=-453.62
Tensioni nel cordone: τ_P=0.35 τ_0= 0.02 σ_0=164.06 σ_{ID}=164.06 Σ_T=164.07
CC 8 SLD (Collegamento -179_-383)

Azioni sul collegamento: N=-11144.60 Ty=9.24 Tz=17.82 Mx=0.01 Mz=7.34
Sollecitazioni agenti localmente: Tx_l=9.24 Ty_l=17.82 N_l=-11144.60 My_l=-7.34 Mz_l=0.01
Azioni sul cordone: TP=0.68 TO=1.32 NO=-823.82
Tensioni nel cordone: τ_P=0.21 τ_0=0.42 σ_0=272.57 σ_{ID}=272.57 Σ_T=272.99
CC 8 SLD (Collegamento -179_-383)
Azioni sul collegamento: N=-11144.60 Ty=11.59 Tz=17.82 Mx=0.01 Mz=9.27
Sollecitazioni agenti localmente: Tx_l=11.59 Ty_l=17.82 N_l=-11144.60 My_l=-9.27 Mz_l=0.01
Azioni sul cordone: TP=0.85 TO=1.32 NO=-823.82
Tensioni nel cordone: τ_P=0.27 τ_0=0.42 σ_0=275.39 σ_{ID}=275.39 Σ_T=275.81
CC 8 SLD (Collegamento -179_-383)
Azioni sul collegamento: N=-11144.60 Ty=9.24 Tz=8.91 Mx=0.01 Mz=7.34
Sollecitazioni agenti localmente: Tx_l=9.24 Ty_l=8.91 N_l=-11144.60 My_l=-7.34 Mz_l=0.01
Azioni sul cordone: TP=0.68 TO=0.66 NO=-823.81
Tensioni nel cordone: τ_P=0.21 τ_0=0.21 σ_0=272.57 σ_{ID}=272.57 Σ_T=272.78
CC 8 SLD (Collegamento -179_-383)
Azioni sul collegamento: N=-11144.60 Ty=11.59 Tz=8.91 Mx=0.01 Mz=9.27
Sollecitazioni agenti localmente: Tx_l=11.59 Ty_l=8.91 N_l=-11144.60 My_l=-9.27 Mz_l=0.01
Azioni sul cordone: TP=0.85 TO=0.66 NO=-823.81
Tensioni nel cordone: τ_P=0.27 τ_0=0.21 σ_0=275.39 σ_{ID}=275.39 Σ_T=275.60
CC 8 SLD (Collegamento -179_-383)
Azioni sul collegamento: N=-8758.64 Ty=9.24 Tz=17.82 Mx=0.01 Mz=7.34
Sollecitazioni agenti localmente: Tx_l=9.24 Ty_l=17.82 N_l=-8758.64 My_l=-7.34 Mz_l=0.01
Azioni sul cordone: TP=0.68 TO=1.32 NO=-647.44
Tensioni nel cordone: τ_P=0.21 τ_0=0.42 σ_0=216.51 σ_{ID}=216.51 Σ_T=216.93
CC 8 SLD (Collegamento -179_-383)
Azioni sul collegamento: N=-8758.64 Ty=11.59 Tz=17.82 Mx=0.01 Mz=9.27
Sollecitazioni agenti localmente: Tx_l=11.59 Ty_l=17.82 N_l=-8758.64 My_l=-9.27 Mz_l=0.01
Azioni sul cordone: TP=0.85 TO=1.32 NO=-647.44
Tensioni nel cordone: τ_P=0.27 τ_0=0.42 σ_0=219.33 σ_{ID}=219.33 Σ_T=219.75
CC 8 SLD (Collegamento -179_-383)
Azioni sul collegamento: N=-8758.64 Ty=9.24 Tz=8.91 Mx=0.01 Mz=7.34
Sollecitazioni agenti localmente: Tx_l=9.24 Ty_l=8.91 N_l=-8758.64 My_l=-7.34 Mz_l=0.01
Azioni sul cordone: TP=0.68 TO=0.66 NO=-647.44
Tensioni nel cordone: τ_P=0.21 τ_0=0.21 σ_0=216.51 σ_{ID}=216.51 Σ_T=216.72
CC 8 SLD (Collegamento -179_-383)
Azioni sul collegamento: N=-8758.64 Ty=11.59 Tz=8.91 Mx=0.01 Mz=9.27
Sollecitazioni agenti localmente: Tx_l=11.59 Ty_l=8.91 N_l=-8758.64 My_l=-9.27 Mz_l=0.01
Azioni sul cordone: TP=0.85 TO=0.66 NO=-647.44
Tensioni nel cordone: τ_P=0.27 τ_0=0.21 σ_0=219.33 σ_{ID}=219.33 Σ_T=219.54
CC 9 SLV (Collegamento -179_-383)
Azioni sul collegamento: N=-8867.90 Ty=13.27 Tz=8.87 Mx=0.02 Mz=12.98
Sollecitazioni agenti localmente: Tx_l=13.27 Ty_l=8.87 N_l=-8867.90 My_l=-12.98 Mz_l=0.02
Azioni sul cordone: TP=0.95 TO=0.67 NO=-655.52
Tensioni nel cordone: τ_P=0.30 τ_0=0.21 σ_0=227.32 σ_{ID}=227.32 Σ_T=227.53
CC 9 SLV (Collegamento -179_-383)
Azioni sul collegamento: N=-8867.90 Ty=9.40 Tz=8.87 Mx=0.02 Mz=7.91
Sollecitazioni agenti localmente: Tx_l=9.40 Ty_l=8.87 N_l=-8867.90 My_l=-7.91 Mz_l=0.02
Azioni sul cordone: TP=0.67 TO=0.67 NO=-655.52
Tensioni nel cordone: τ_P=0.21 τ_0=0.21 σ_0=219.91 σ_{ID}=219.91 Σ_T=220.12
CC 9 SLV (Collegamento -179_-383)
Azioni sul collegamento: N=-8867.90 Ty=13.27 Tz=18.62 Mx=0.02 Mz=12.98
Sollecitazioni agenti localmente: Tx_l=13.27 Ty_l=18.62 N_l=-8867.90 My_l=-12.98 Mz_l=0.02
Azioni sul cordone: TP=0.95 TO=1.40 NO=-655.52
Tensioni nel cordone: τ_P=0.30 τ_0=0.44 σ_0=227.32 σ_{ID}=227.32 Σ_T=227.76
CC 9 SLV (Collegamento -179_-383)
Azioni sul collegamento: N=-8867.90 Ty=9.40 Tz=18.62 Mx=0.02 Mz=7.91
Sollecitazioni agenti localmente: Tx_l=9.40 Ty_l=18.62 N_l=-8867.90 My_l=-7.91 Mz_l=0.02
Azioni sul cordone: TP=0.67 TO=1.40 NO=-655.52
Tensioni nel cordone: τ_P=0.21 τ_0=0.44 σ_0=219.91 σ_{ID}=219.91 Σ_T=220.35
CC 9 SLV (Collegamento -179_-383)
Azioni sul collegamento: N=-11230.10 Ty=13.27 Tz=8.87 Mx=0.02 Mz=12.98
Sollecitazioni agenti localmente: Tx_l=13.27 Ty_l=8.87 N_l=-11230.10 My_l=-12.98 Mz_l=0.02
Azioni sul cordone: TP=0.95 TO=0.67 NO=-830.13
Tensioni nel cordone: τ_P=0.30 τ_0=0.21 σ_0=282.82 σ_{ID}=282.82 Σ_T=283.03
CC 9 SLV (Collegamento -179_-383)
Azioni sul collegamento: N=-11230.10 Ty=9.40 Tz=8.87 Mx=0.02 Mz=7.91
Sollecitazioni agenti localmente: Tx_l=9.40 Ty_l=8.87 N_l=-11230.10 My_l=-7.91 Mz_l=0.02
Azioni sul cordone: TP=0.67 TO=0.67 NO=-830.13
Tensioni nel cordone: τ_P=0.21 τ_0=0.21 σ_0=275.40 σ_{ID}=275.40 Σ_T=275.62
CC 9 SLV (Collegamento -179_-383)
Azioni sul collegamento: N=-11230.10 Ty=13.27 Tz=18.62 Mx=0.02 Mz=12.98
Sollecitazioni agenti localmente: Tx_l=13.27 Ty_l=18.62 N_l=-11230.10 My_l=-12.98 Mz_l=0.02
Azioni sul cordone: TP=0.95 TO=1.40 NO=-830.13
Tensioni nel cordone: τ_P=0.30 τ_0=0.44 σ_0=282.82 σ_{ID}=282.82 Σ_T=283.26
CC 9 SLV (Collegamento -179_-383)
Azioni sul collegamento: N=-11230.10 Ty=9.40 Tz=18.62 Mx=0.02 Mz=7.91
Sollecitazioni agenti localmente: Tx_l=9.40 Ty_l=18.62 N_l=-11230.10 My_l=-7.91 Mz_l=0.02
Azioni sul cordone: TP=0.67 TO=1.40 NO=-830.13
Tensioni nel cordone: τ_P=0.21 τ_0=0.44 σ_0=275.40 σ_{ID}=275.40 Σ_T=275.85

CC 10 SLD (Collegamento -179_-383)
Azioni sul collegamento: N=-9591.49 Ty=11.00 Tz=11.88 Mx=0.01 Mz=9.08
Sollecitazioni agenti localmente: Tx_l=11.00 Ty_l=11.88 N_l=-9591.49 My_l=-9.08 Mz_l=0.01
Azioni sul cordone: TP=0.80 TO=0.89 NO=-709.01
Tensioni nel cordone: τ_P=0.26 τ_0=0.28 σ_0=238.62 σ_{ID}=238.62 Σ_T=238.90
CC 10 SLD (Collegamento -179_-383)
Azioni sul collegamento: N=-9591.49 Ty=9.82 Tz=11.88 Mx=0.01 Mz=7.53
Sollecitazioni agenti localmente: Tx_l=9.82 Ty_l=11.88 N_l=-9591.49 My_l=-7.53 Mz_l=0.01
Azioni sul cordone: TP=0.72 TO=0.89 NO=-709.01
Tensioni nel cordone: τ_P=0.23 τ_0=0.28 σ_0=236.36 σ_{ID}=236.36 Σ_T=236.64
CC 10 SLD (Collegamento -179_-383)
Azioni sul collegamento: N=-9591.49 Ty=11.00 Tz=14.85 Mx=0.01 Mz=9.08
Sollecitazioni agenti localmente: Tx_l=11.00 Ty_l=14.85 N_l=-9591.49 My_l=-9.08 Mz_l=0.01
Azioni sul cordone: TP=0.80 TO=1.11 NO=-709.01
Tensioni nel cordone: τ_P=0.26 τ_0=0.35 σ_0=238.62 σ_{ID}=238.62 Σ_T=238.97
CC 10 SLD (Collegamento -179_-383)
Azioni sul collegamento: N=-9591.49 Ty=9.82 Tz=14.85 Mx=0.01 Mz=7.53
Sollecitazioni agenti localmente: Tx_l=9.82 Ty_l=14.85 N_l=-9591.49 My_l=-7.53 Mz_l=0.01
Azioni sul cordone: TP=0.72 TO=1.11 NO=-709.01
Tensioni nel cordone: τ_P=0.23 τ_0=0.35 σ_0=236.36 σ_{ID}=236.36 Σ_T=236.71
CC 10 SLD (Collegamento -179_-383)
Azioni sul collegamento: N=-10311.80 Ty=11.00 Tz=11.88 Mx=0.01 Mz=9.08
Sollecitazioni agenti localmente: Tx_l=11.00 Ty_l=11.88 N_l=-10311.80 My_l=-9.08 Mz_l=0.01
Azioni sul cordone: TP=0.80 TO=0.89 NO=-762.25
Tensioni nel cordone: τ_P=0.26 τ_0=0.28 σ_0=255.54 σ_{ID}=255.54 Σ_T=255.82
CC 10 SLD (Collegamento -179_-383)
Azioni sul collegamento: N=-10311.80 Ty=9.82 Tz=11.88 Mx=0.01 Mz=7.53
Sollecitazioni agenti localmente: Tx_l=9.82 Ty_l=11.88 N_l=-10311.80 My_l=-7.53 Mz_l=0.01
Azioni sul cordone: TP=0.72 TO=0.89 NO=-762.25
Tensioni nel cordone: τ_P=0.23 τ_0=0.28 σ_0=253.28 σ_{ID}=253.28 Σ_T=253.56
CC 10 SLD (Collegamento -179_-383)
Azioni sul collegamento: N=-10311.80 Ty=11.00 Tz=14.85 Mx=0.01 Mz=9.08
Sollecitazioni agenti localmente: Tx_l=11.00 Ty_l=14.85 N_l=-10311.80 My_l=-9.08 Mz_l=0.01
Azioni sul cordone: TP=0.80 TO=1.11 NO=-762.25
Tensioni nel cordone: τ_P=0.26 τ_0=0.35 σ_0=255.54 σ_{ID}=255.54 Σ_T=255.90
CC 10 SLD (Collegamento -179_-383)
Azioni sul collegamento: N=-10311.80 Ty=9.82 Tz=14.85 Mx=0.01 Mz=7.53
Sollecitazioni agenti localmente: Tx_l=9.82 Ty_l=14.85 N_l=-10311.80 My_l=-7.53 Mz_l=0.01
Azioni sul cordone: TP=0.72 TO=1.11 NO=-762.25
Tensioni nel cordone: τ_P=0.23 τ_0=0.35 σ_0=253.28 σ_{ID}=253.28 Σ_T=253.63
CC 11 SLV (Collegamento -179_-383)
Azioni sul collegamento: N=-11213.80 Ty=11.11 Tz=17.53 Mx=0.02 Mz=11.40
Sollecitazioni agenti localmente: Tx_l=11.11 Ty_l=17.53 N_l=-11213.80 My_l=-11.40 Mz_l=0.02
Azioni sul cordone: TP=0.79 TO=1.32 NO=-828.93
Tensioni nel cordone: τ_P=0.25 τ_0=0.42 σ_0=280.12 σ_{ID}=280.13 Σ_T=280.54
CC 11 SLV (Collegamento -179_-383)
Azioni sul collegamento: N=-11213.80 Ty=11.56 Tz=17.53 Mx=0.02 Mz=9.49
Sollecitazioni agenti localmente: Tx_l=11.56 Ty_l=17.53 N_l=-11213.80 My_l=-9.49 Mz_l=0.02
Azioni sul cordone: TP=0.83 TO=1.32 NO=-828.93
Tensioni nel cordone: τ_P=0.26 τ_0=0.42 σ_0=277.34 σ_{ID}=277.34 Σ_T=277.75
CC 11 SLV (Collegamento -179_-383)
Azioni sul collegamento: N=-11213.80 Ty=11.11 Tz=9.96 Mx=0.02 Mz=11.40
Sollecitazioni agenti localmente: Tx_l=11.11 Ty_l=9.96 N_l=-11213.80 My_l=-11.40 Mz_l=0.02
Azioni sul cordone: TP=0.79 TO=0.76 NO=-828.93
Tensioni nel cordone: τ_P=0.25 τ_0=0.24 σ_0=280.12 σ_{ID}=280.13 Σ_T=280.36
CC 11 SLV (Collegamento -179_-383)
Azioni sul collegamento: N=-11213.80 Ty=11.56 Tz=9.96 Mx=0.02 Mz=9.49
Sollecitazioni agenti localmente: Tx_l=11.56 Ty_l=9.96 N_l=-11213.80 My_l=-9.49 Mz_l=0.02
Azioni sul cordone: TP=0.83 TO=0.76 NO=-828.93
Tensioni nel cordone: τ_P=0.26 τ_0=0.24 σ_0=277.34 σ_{ID}=277.34 Σ_T=277.58
CC 11 SLV (Collegamento -179_-383)
Azioni sul collegamento: N=-8884.11 Ty=11.11 Tz=17.53 Mx=0.02 Mz=11.40
Sollecitazioni agenti localmente: Tx_l=11.11 Ty_l=17.53 N_l=-8884.11 My_l=-11.40 Mz_l=0.02
Azioni sul cordone: TP=0.79 TO=1.32 NO=-656.72
Tensioni nel cordone: τ_P=0.25 τ_0=0.42 σ_0=225.39 σ_{ID}=225.39 Σ_T=225.80
CC 11 SLV (Collegamento -179_-383)
Azioni sul collegamento: N=-8884.11 Ty=11.56 Tz=17.53 Mx=0.02 Mz=9.49
Sollecitazioni agenti localmente: Tx_l=11.56 Ty_l=17.53 N_l=-8884.11 My_l=-9.49 Mz_l=0.02
Azioni sul cordone: TP=0.83 TO=1.32 NO=-656.72
Tensioni nel cordone: τ_P=0.26 τ_0=0.42 σ_0=222.60 σ_{ID}=222.60 Σ_T=223.02
CC 11 SLV (Collegamento -179_-383)
Azioni sul collegamento: N=-8884.11 Ty=11.11 Tz=9.96 Mx=0.02 Mz=11.40
Sollecitazioni agenti localmente: Tx_l=11.11 Ty_l=9.96 N_l=-8884.11 My_l=-11.40 Mz_l=0.02
Azioni sul cordone: TP=0.79 TO=0.76 NO=-656.72
Tensioni nel cordone: τ_P=0.25 τ_0=0.24 σ_0=225.39 σ_{ID}=225.39 Σ_T=225.63
CC 11 SLV (Collegamento -179_-383)
Azioni sul collegamento: N=-8884.11 Ty=11.56 Tz=9.96 Mx=0.02 Mz=9.49
Sollecitazioni agenti localmente: Tx_l=11.56 Ty_l=9.96 N_l=-8884.11 My_l=-9.49 Mz_l=0.02
Azioni sul cordone: TP=0.83 TO=0.76 NO=-656.72

Tensioni nel cordone: τ_P=0.26 τ_0=0.24 σ_0=222.60 σ_{ID}=222.60 Σ_T=222.84
CC 12 SLD (Collegamento -179_-383)
Azioni sul collegamento: N=-10306.80 Ty=10.34 Tz=14.52 Mx=0.01 Mz=8.60
Sollecitazioni agenti localmente: Tx_l=10.34 Ty_l=14.52 N_l=-10306.80 My_l=-8.60 Mz_l=0.01
Azioni sul cordone: TP=0.75 TO=1.08 NO=-761.88
Tensioni nel cordone: τ_P=0.24 τ_0=0.34 σ_0=254.72 σ_{ID}=254.72 Σ_T=255.07
CC 12 SLD (Collegamento -179_-383)
Azioni sul collegamento: N=-10306.80 Ty=10.48 Tz=14.52 Mx=0.01 Mz=8.01
Sollecitazioni agenti localmente: Tx_l=10.48 Ty_l=14.52 N_l=-10306.80 My_l=-8.01 Mz_l=0.01
Azioni sul cordone: TP=0.76 TO=1.08 NO=-761.88
Tensioni nel cordone: τ_P=0.24 τ_0=0.34 σ_0=253.87 σ_{ID}=253.87 Σ_T=254.22
CC 12 SLD (Collegamento -179_-383)
Azioni sul collegamento: N=-10306.80 Ty=10.34 Tz=12.21 Mx=0.01 Mz=8.60
Sollecitazioni agenti localmente: Tx_l=10.34 Ty_l=12.21 N_l=-10306.80 My_l=-8.60 Mz_l=0.01
Azioni sul cordone: TP=0.75 TO=0.91 NO=-761.88
Tensioni nel cordone: τ_P=0.24 τ_0=0.29 σ_0=254.72 σ_{ID}=254.72 Σ_T=255.01
CC 12 SLD (Collegamento -179_-383)
Azioni sul collegamento: N=-10306.80 Ty=10.48 Tz=12.21 Mx=0.01 Mz=8.01
Sollecitazioni agenti localmente: Tx_l=10.48 Ty_l=12.21 N_l=-10306.80 My_l=-8.01 Mz_l=0.01
Azioni sul cordone: TP=0.76 TO=0.91 NO=-761.88
Tensioni nel cordone: τ_P=0.24 τ_0=0.29 σ_0=253.87 σ_{ID}=253.87 Σ_T=254.16
CC 12 SLD (Collegamento -179_-383)
Azioni sul collegamento: N=-9596.43 Ty=10.34 Tz=14.52 Mx=0.01 Mz=8.60
Sollecitazioni agenti localmente: Tx_l=10.34 Ty_l=14.52 N_l=-9596.43 My_l=-8.60 Mz_l=0.01
Azioni sul cordone: TP=0.75 TO=1.08 NO=-709.37
Tensioni nel cordone: τ_P=0.24 τ_0=0.34 σ_0=238.03 σ_{ID}=238.03 Σ_T=238.37
CC 12 SLD (Collegamento -179_-383)
Azioni sul collegamento: N=-9596.43 Ty=10.48 Tz=14.52 Mx=0.01 Mz=8.01
Sollecitazioni agenti localmente: Tx_l=10.48 Ty_l=14.52 N_l=-9596.43 My_l=-8.01 Mz_l=0.01
Azioni sul cordone: TP=0.76 TO=1.08 NO=-709.37
Tensioni nel cordone: τ_P=0.24 τ_0=0.34 σ_0=237.18 σ_{ID}=237.18 Σ_T=237.52
CC 12 SLD (Collegamento -179_-383)
Azioni sul collegamento: N=-9596.43 Ty=10.34 Tz=12.21 Mx=0.01 Mz=8.60
Sollecitazioni agenti localmente: Tx_l=10.34 Ty_l=12.21 N_l=-9596.43 My_l=-8.60 Mz_l=0.01
Azioni sul cordone: TP=0.75 TO=0.91 NO=-709.37
Tensioni nel cordone: τ_P=0.24 τ_0=0.29 σ_0=238.03 σ_{ID}=238.03 Σ_T=238.32
CC 12 SLD (Collegamento -179_-383)
Azioni sul collegamento: N=-9596.43 Ty=10.48 Tz=12.21 Mx=0.01 Mz=8.01
Sollecitazioni agenti localmente: Tx_l=10.48 Ty_l=12.21 N_l=-9596.43 My_l=-8.01 Mz_l=0.01
Azioni sul cordone: TP=0.76 TO=0.91 NO=-709.37
Tensioni nel cordone: τ_P=0.24 τ_0=0.29 σ_0=237.18 σ_{ID}=237.18 Σ_T=237.47
CC 13 SLV (Collegamento -179_-383)
Azioni sul collegamento: N=-8884.11 Ty=11.56 Tz=9.96 Mx=0.01 Mz=9.49
Sollecitazioni agenti localmente: Tx_l=11.56 Ty_l=9.96 N_l=-8884.11 My_l=-9.49 Mz_l=0.01
Azioni sul cordone: TP=0.85 TO=0.74 NO=-656.72
Tensioni nel cordone: τ_P=0.27 τ_0=0.24 σ_0=222.60 σ_{ID}=222.60 Σ_T=222.83
CC 13 SLV (Collegamento -179_-383)
Azioni sul collegamento: N=-8884.11 Ty=11.11 Tz=9.96 Mx=0.01 Mz=11.40
Sollecitazioni agenti localmente: Tx_l=11.11 Ty_l=9.96 N_l=-8884.11 My_l=-11.40 Mz_l=0.01
Azioni sul cordone: TP=0.81 TO=0.74 NO=-656.72
Tensioni nel cordone: τ_P=0.26 τ_0=0.24 σ_0=225.39 σ_{ID}=225.39 Σ_T=225.62
CC 13 SLV (Collegamento -179_-383)
Azioni sul collegamento: N=-8884.11 Ty=11.56 Tz=17.53 Mx=0.01 Mz=9.49
Sollecitazioni agenti localmente: Tx_l=11.56 Ty_l=17.53 N_l=-8884.11 My_l=-9.49 Mz_l=0.01
Azioni sul cordone: TP=0.85 TO=1.30 NO=-656.72
Tensioni nel cordone: τ_P=0.27 τ_0=0.41 σ_0=222.60 σ_{ID}=222.60 Σ_T=223.01
CC 13 SLV (Collegamento -179_-383)
Azioni sul collegamento: N=-8884.11 Ty=11.11 Tz=17.53 Mx=0.01 Mz=11.40
Sollecitazioni agenti localmente: Tx_l=11.11 Ty_l=17.53 N_l=-8884.11 My_l=-11.40 Mz_l=0.01
Azioni sul cordone: TP=0.81 TO=1.30 NO=-656.72
Tensioni nel cordone: τ_P=0.26 τ_0=0.41 σ_0=225.39 σ_{ID}=225.39 Σ_T=225.80
CC 13 SLV (Collegamento -179_-383)
Azioni sul collegamento: N=-11213.80 Ty=11.56 Tz=9.96 Mx=0.01 Mz=9.49
Sollecitazioni agenti localmente: Tx_l=11.56 Ty_l=9.96 N_l=-11213.80 My_l=-9.49 Mz_l=0.01
Azioni sul cordone: TP=0.85 TO=0.74 NO=-828.93
Tensioni nel cordone: τ_P=0.27 τ_0=0.24 σ_0=277.34 σ_{ID}=277.34 Σ_T=277.57
CC 13 SLV (Collegamento -179_-383)
Azioni sul collegamento: N=-11213.80 Ty=11.11 Tz=9.96 Mx=0.01 Mz=11.40
Sollecitazioni agenti localmente: Tx_l=11.11 Ty_l=9.96 N_l=-11213.80 My_l=-11.40 Mz_l=0.01
Azioni sul cordone: TP=0.81 TO=0.74 NO=-828.93
Tensioni nel cordone: τ_P=0.26 τ_0=0.24 σ_0=280.12 σ_{ID}=280.13 Σ_T=280.36
CC 13 SLV (Collegamento -179_-383)
Azioni sul collegamento: N=-11213.80 Ty=11.56 Tz=17.53 Mx=0.01 Mz=9.49
Sollecitazioni agenti localmente: Tx_l=11.56 Ty_l=17.53 N_l=-11213.80 My_l=-9.49 Mz_l=0.01
Azioni sul cordone: TP=0.85 TO=1.30 NO=-828.93
Tensioni nel cordone: τ_P=0.27 τ_0=0.41 σ_0=277.34 σ_{ID}=277.34 Σ_T=277.75
CC 13 SLV (Collegamento -179_-383)
Azioni sul collegamento: N=-11213.80 Ty=11.11 Tz=17.53 Mx=0.01 Mz=11.40
Sollecitazioni agenti localmente: Tx_l=11.11 Ty_l=17.53 N_l=-11213.80 My_l=-11.40 Mz_l=0.01

Azioni sul cordone: TP=0.81 TO=1.30 NO=-828.93
Tensioni nel cordone: τ_P=0.26 τ_O=0.41 σ_O=280.12 σ_{ID}=280.13 Σ_T=280.54
CC 14 SLD (Collegamento -179_-383)
Azioni sul collegamento: N=-9596.43 Ty=10.48 Tz=12.21 Mx=0.00 Mz=8.01
Sollecitazioni agenti localmente: Tx_l=10.48 Ty_l=12.21 N_l=-9596.43 My_l=-8.01 Mz_l=0.00
Azioni sul cordone: TP=0.77 TO=0.91 NO=-709.37
Tensioni nel cordone: τ_P=0.24 τ_O=0.29 σ_O=237.18 σ_{ID}=237.18 Σ_T=237.47
CC 14 SLD (Collegamento -179_-383)
Azioni sul collegamento: N=-9596.43 Ty=10.34 Tz=12.21 Mx=0.00 Mz=8.60
Sollecitazioni agenti localmente: Tx_l=10.34 Ty_l=12.21 N_l=-9596.43 My_l=-8.60 Mz_l=0.00
Azioni sul cordone: TP=0.76 TO=0.91 NO=-709.37
Tensioni nel cordone: τ_P=0.24 τ_O=0.29 σ_O=238.03 σ_{ID}=238.03 Σ_T=238.32
CC 14 SLD (Collegamento -179_-383)
Azioni sul collegamento: N=-9596.43 Ty=10.48 Tz=14.52 Mx=0.00 Mz=8.01
Sollecitazioni agenti localmente: Tx_l=10.48 Ty_l=14.52 N_l=-9596.43 My_l=-8.01 Mz_l=0.00
Azioni sul cordone: TP=0.77 TO=1.08 NO=-709.37
Tensioni nel cordone: τ_P=0.24 τ_O=0.34 σ_O=237.18 σ_{ID}=237.18 Σ_T=237.52
CC 14 SLD (Collegamento -179_-383)
Azioni sul collegamento: N=-9596.43 Ty=10.34 Tz=14.52 Mx=0.00 Mz=8.60
Sollecitazioni agenti localmente: Tx_l=10.34 Ty_l=14.52 N_l=-9596.43 My_l=-8.60 Mz_l=0.00
Azioni sul cordone: TP=0.76 TO=1.08 NO=-709.37
Tensioni nel cordone: τ_P=0.24 τ_O=0.34 σ_O=238.03 σ_{ID}=238.03 Σ_T=238.37
CC 14 SLD (Collegamento -179_-383)
Azioni sul collegamento: N=-10306.80 Ty=10.48 Tz=12.21 Mx=0.00 Mz=8.01
Sollecitazioni agenti localmente: Tx_l=10.48 Ty_l=12.21 N_l=-10306.80 My_l=-8.01 Mz_l=0.00
Azioni sul cordone: TP=0.77 TO=0.91 NO=-761.88
Tensioni nel cordone: τ_P=0.24 τ_O=0.29 σ_O=253.87 σ_{ID}=253.87 Σ_T=254.16
CC 14 SLD (Collegamento -179_-383)
Azioni sul collegamento: N=-10306.80 Ty=10.34 Tz=12.21 Mx=0.00 Mz=8.60
Sollecitazioni agenti localmente: Tx_l=10.34 Ty_l=12.21 N_l=-10306.80 My_l=-8.60 Mz_l=0.00
Azioni sul cordone: TP=0.76 TO=0.91 NO=-761.88
Tensioni nel cordone: τ_P=0.24 τ_O=0.29 σ_O=254.72 σ_{ID}=254.72 Σ_T=255.01
CC 14 SLD (Collegamento -179_-383)
Azioni sul collegamento: N=-10306.80 Ty=10.48 Tz=14.52 Mx=0.00 Mz=8.01
Sollecitazioni agenti localmente: Tx_l=10.48 Ty_l=14.52 N_l=-10306.80 My_l=-8.01 Mz_l=0.00
Azioni sul cordone: TP=0.77 TO=1.08 NO=-761.88
Tensioni nel cordone: τ_P=0.24 τ_O=0.34 σ_O=253.87 σ_{ID}=253.87 Σ_T=254.21
CC 14 SLD (Collegamento -179_-383)
Azioni sul collegamento: N=-10306.80 Ty=10.34 Tz=14.52 Mx=0.00 Mz=8.60
Sollecitazioni agenti localmente: Tx_l=10.34 Ty_l=14.52 N_l=-10306.80 My_l=-8.60 Mz_l=0.00
Azioni sul cordone: TP=0.76 TO=1.08 NO=-761.88
Tensioni nel cordone: τ_P=0.24 τ_O=0.34 σ_O=254.72 σ_{ID}=254.72 Σ_T=255.06
CC 15 SLV (Collegamento -179_-383)
Azioni sul collegamento: N=-11230.10 Ty=9.40 Tz=18.62 Mx=0.01 Mz=7.91
Sollecitazioni agenti localmente: Tx_l=9.40 Ty_l=18.62 N_l=-11230.10 My_l=-7.91 Mz_l=0.01
Azioni sul cordone: TP=0.69 TO=1.38 NO=-830.13
Tensioni nel cordone: τ_P=0.22 τ_O=0.44 σ_O=275.40 σ_{ID}=275.40 Σ_T=275.84
CC 15 SLV (Collegamento -179_-383)
Azioni sul collegamento: N=-11230.10 Ty=13.27 Tz=18.62 Mx=0.01 Mz=12.98
Sollecitazioni agenti localmente: Tx_l=13.27 Ty_l=18.62 N_l=-11230.10 My_l=-12.98 Mz_l=0.01
Azioni sul cordone: TP=0.97 TO=1.38 NO=-830.13
Tensioni nel cordone: τ_P=0.31 τ_O=0.44 σ_O=282.82 σ_{ID}=282.82 Σ_T=283.26
CC 15 SLV (Collegamento -179_-383)
Azioni sul collegamento: N=-11230.10 Ty=9.40 Tz=8.87 Mx=0.01 Mz=7.91
Sollecitazioni agenti localmente: Tx_l=9.40 Ty_l=8.87 N_l=-11230.10 My_l=-7.91 Mz_l=0.01
Azioni sul cordone: TP=0.69 TO=0.66 NO=-830.13
Tensioni nel cordone: τ_P=0.22 τ_O=0.21 σ_O=275.40 σ_{ID}=275.40 Σ_T=275.62
CC 15 SLV (Collegamento -179_-383)
Azioni sul collegamento: N=-11230.10 Ty=13.27 Tz=8.87 Mx=0.01 Mz=12.98
Sollecitazioni agenti localmente: Tx_l=13.27 Ty_l=8.87 N_l=-11230.10 My_l=-12.98 Mz_l=0.01
Azioni sul cordone: TP=0.97 TO=0.66 NO=-830.13
Tensioni nel cordone: τ_P=0.31 τ_O=0.21 σ_O=282.82 σ_{ID}=282.82 Σ_T=283.03
CC 15 SLV (Collegamento -179_-383)
Azioni sul collegamento: N=-8867.90 Ty=9.40 Tz=18.62 Mx=0.01 Mz=7.91
Sollecitazioni agenti localmente: Tx_l=9.40 Ty_l=18.62 N_l=-8867.90 My_l=-7.91 Mz_l=0.01
Azioni sul cordone: TP=0.69 TO=1.38 NO=-655.52
Tensioni nel cordone: τ_P=0.22 τ_O=0.44 σ_O=219.91 σ_{ID}=219.91 Σ_T=220.34
CC 15 SLV (Collegamento -179_-383)
Azioni sul collegamento: N=-8867.90 Ty=13.27 Tz=18.62 Mx=0.01 Mz=12.98
Sollecitazioni agenti localmente: Tx_l=13.27 Ty_l=18.62 N_l=-8867.90 My_l=-12.98 Mz_l=0.01
Azioni sul cordone: TP=0.97 TO=1.38 NO=-655.52
Tensioni nel cordone: τ_P=0.31 τ_O=0.44 σ_O=227.32 σ_{ID}=227.32 Σ_T=227.76
CC 15 SLV (Collegamento -179_-383)
Azioni sul collegamento: N=-8867.90 Ty=9.40 Tz=8.87 Mx=0.01 Mz=7.91
Sollecitazioni agenti localmente: Tx_l=9.40 Ty_l=8.87 N_l=-8867.90 My_l=-7.91 Mz_l=0.01
Azioni sul cordone: TP=0.69 TO=0.66 NO=-655.52
Tensioni nel cordone: τ_P=0.22 τ_O=0.21 σ_O=219.91 σ_{ID}=219.91 Σ_T=220.12
CC 15 SLV (Collegamento -179_-383)
Azioni sul collegamento: N=-8867.90 Ty=13.27 Tz=8.87 Mx=0.01 Mz=12.98

Sollecitazioni agenti localmente: Tx_l=13.27 Ty_l=8.87 N_l=-8867.90 My_l=-12.98 Mz_l=0.01
Azioni sul cordone: TP=0.97 TO=0.66 NO=-655.52
Tensioni nel cordone: τ_P=0.31 τ_0=0.21 σ_0=227.32 σ_{ID}=227.32 Σ_T=227.53
CC 16 SLD (Collegamento -179_-383)
Azioni sul collegamento: N=-10311.80 Ty=9.82 Tz=14.85 Mx=0.00 Mz=7.53
Sollecitazioni agenti localmente: Tx_l=9.82 Ty_l=14.85 N_l=-10311.80 My_l=-7.53 Mz_l=0.00
Azioni sul cordone: TP=0.72 TO=1.10 NO=-762.25
Tensioni nel cordone: τ_P=0.23 τ_0=0.35 σ_0=253.28 σ_{ID}=253.28 Σ_T=253.63
CC 16 SLD (Collegamento -179_-383)
Azioni sul collegamento: N=-10311.80 Ty=11.00 Tz=14.85 Mx=0.00 Mz=9.08
Sollecitazioni agenti localmente: Tx_l=11.00 Ty_l=14.85 N_l=-10311.80 My_l=-9.08 Mz_l=0.00
Azioni sul cordone: TP=0.81 TO=1.10 NO=-762.25
Tensioni nel cordone: τ_P=0.26 τ_0=0.35 σ_0=255.54 σ_{ID}=255.54 Σ_T=255.89
CC 16 SLD (Collegamento -179_-383)
Azioni sul collegamento: N=-10311.80 Ty=9.82 Tz=11.88 Mx=0.00 Mz=7.53
Sollecitazioni agenti localmente: Tx_l=9.82 Ty_l=11.88 N_l=-10311.80 My_l=-7.53 Mz_l=0.00
Azioni sul cordone: TP=0.72 TO=0.88 NO=-762.25
Tensioni nel cordone: τ_P=0.23 τ_0=0.28 σ_0=253.28 σ_{ID}=253.28 Σ_T=253.56
CC 16 SLD (Collegamento -179_-383)
Azioni sul collegamento: N=-10311.80 Ty=11.00 Tz=11.88 Mx=0.00 Mz=9.08
Sollecitazioni agenti localmente: Tx_l=11.00 Ty_l=11.88 N_l=-10311.80 My_l=-9.08 Mz_l=0.00
Azioni sul cordone: TP=0.81 TO=0.88 NO=-762.25
Tensioni nel cordone: τ_P=0.26 τ_0=0.28 σ_0=255.54 σ_{ID}=255.54 Σ_T=255.82
CC 16 SLD (Collegamento -179_-383)
Azioni sul collegamento: N=-9591.49 Ty=9.82 Tz=14.85 Mx=0.00 Mz=7.53
Sollecitazioni agenti localmente: Tx_l=9.82 Ty_l=14.85 N_l=-9591.49 My_l=-7.53 Mz_l=0.00
Azioni sul cordone: TP=0.72 TO=1.10 NO=-709.01
Tensioni nel cordone: τ_P=0.23 τ_0=0.35 σ_0=236.36 σ_{ID}=236.36 Σ_T=236.71
CC 16 SLD (Collegamento -179_-383)
Azioni sul collegamento: N=-9591.49 Ty=11.00 Tz=14.85 Mx=0.00 Mz=9.08
Sollecitazioni agenti localmente: Tx_l=11.00 Ty_l=14.85 N_l=-9591.49 My_l=-9.08 Mz_l=0.00
Azioni sul cordone: TP=0.81 TO=1.10 NO=-709.01
Tensioni nel cordone: τ_P=0.26 τ_0=0.35 σ_0=238.62 σ_{ID}=238.62 Σ_T=238.97
CC 16 SLD (Collegamento -179_-383)
Azioni sul collegamento: N=-9591.49 Ty=9.82 Tz=11.88 Mx=0.00 Mz=7.53
Sollecitazioni agenti localmente: Tx_l=9.82 Ty_l=11.88 N_l=-9591.49 My_l=-7.53 Mz_l=0.00
Azioni sul cordone: TP=0.72 TO=0.88 NO=-709.01
Tensioni nel cordone: τ_P=0.23 τ_0=0.28 σ_0=236.36 σ_{ID}=236.36 Σ_T=236.64
CC 16 SLD (Collegamento -179_-383)
Azioni sul collegamento: N=-9591.49 Ty=11.00 Tz=11.88 Mx=0.00 Mz=9.08
Sollecitazioni agenti localmente: Tx_l=11.00 Ty_l=11.88 N_l=-9591.49 My_l=-9.08 Mz_l=0.00
Azioni sul cordone: TP=0.81 TO=0.88 NO=-709.01
Tensioni nel cordone: τ_P=0.26 τ_0=0.28 σ_0=238.62 σ_{ID}=238.62 Σ_T=238.90
CC 17 SLV (Collegamento -179_-383)
Azioni sul collegamento: N=-5856.57 Ty=12.53 Tz=-1.96 Mx=-0.01 Mz=7.45
Sollecitazioni agenti localmente: Tx_l=12.53 Ty_l=-1.96 N_l=-5856.57 My_l=-7.45 Mz_l=-0.01
Azioni sul cordone: TP=0.94 TO=-0.15 NO=-432.92
Tensioni nel cordone: τ_P=0.30 τ_0= 0.05 σ_0=148.49 σ_{ID}=148.49 Σ_T=148.54
CC 17 SLV (Collegamento -179_-383)
Azioni sul collegamento: N=-5856.57 Ty=4.82 Tz=-1.96 Mx=-0.01 Mz=1.13
Sollecitazioni agenti localmente: Tx_l=4.82 Ty_l=-1.96 N_l=-5856.57 My_l=-1.13 Mz_l=-0.01
Azioni sul cordone: TP=0.37 TO=-0.15 NO=-432.92
Tensioni nel cordone: τ_P=0.12 τ_0= 0.05 σ_0=139.25 σ_{ID}=139.25 Σ_T=139.30
CC 17 SLV (Collegamento -179_-383)
Azioni sul collegamento: N=-5856.57 Ty=12.53 Tz=27.25 Mx=-0.01 Mz=7.45
Sollecitazioni agenti localmente: Tx_l=12.53 Ty_l=27.25 N_l=-5856.57 My_l=-7.45 Mz_l=-0.01
Azioni sul cordone: TP=0.94 TO=2.00 NO=-432.92
Tensioni nel cordone: τ_P=0.30 τ_0=0.64 σ_0=148.49 σ_{ID}=148.49 Σ_T=149.13
CC 17 SLV (Collegamento -179_-383)
Azioni sul collegamento: N=-5856.57 Ty=4.82 Tz=27.25 Mx=-0.01 Mz=1.13
Sollecitazioni agenti localmente: Tx_l=4.82 Ty_l=27.25 N_l=-5856.57 My_l=-1.13 Mz_l=-0.01
Azioni sul cordone: TP=0.37 TO=2.00 NO=-432.92
Tensioni nel cordone: τ_P=0.12 τ_0=0.64 σ_0=139.25 σ_{ID}=139.26 Σ_T=139.89
CC 17 SLV (Collegamento -179_-383)
Azioni sul collegamento: N=-13681.20 Ty=12.53 Tz=-1.96 Mx=-0.01 Mz=7.45
Sollecitazioni agenti localmente: Tx_l=12.53 Ty_l=-1.96 N_l=-13681.20 My_l=-7.45 Mz_l=-0.01
Azioni sul cordone: TP=0.94 TO=-0.15 NO=-1011.32
Tensioni nel cordone: τ_P=0.30 τ_0= 0.05 σ_0=332.34 σ_{ID}=332.34 Σ_T=332.38
CC 17 SLV (Collegamento -179_-383)
Azioni sul collegamento: N=-13681.20 Ty=4.82 Tz=-1.96 Mx=-0.01 Mz=1.13
Sollecitazioni agenti localmente: Tx_l=4.82 Ty_l=-1.96 N_l=-13681.20 My_l=-1.13 Mz_l=-0.01
Azioni sul cordone: TP=0.37 TO=-0.15 NO=-1011.32
Tensioni nel cordone: τ_P=0.12 τ_0= 0.05 σ_0=323.10 σ_{ID}=323.10 Σ_T=323.15
CC 17 SLV (Collegamento -179_-383)
Azioni sul collegamento: N=-13681.20 Ty=12.53 Tz=27.25 Mx=-0.01 Mz=7.45
Sollecitazioni agenti localmente: Tx_l=12.53 Ty_l=27.25 N_l=-13681.20 My_l=-7.45 Mz_l=-0.01
Azioni sul cordone: TP=0.94 TO=2.00 NO=-1011.32
Tensioni nel cordone: τ_P=0.30 τ_0=0.64 σ_0=332.34 σ_{ID}=332.34 Σ_T=332.97
CC 17 SLV (Collegamento -179_-383)

Azioni sul collegamento: N=-13681.20 Ty=4.82 Tz=27.25 Mx=-0.01 Mz=1.13
Sollecitazioni agenti localmente: Tx_l=4.82 Ty_l=27.25 N_l=-13681.20 My_l=-1.13 Mz_l=-0.01
Azioni sul cordone: TP=0.37 TO=2.00 NO=-1011.32
Tensioni nel cordone: τ_P=0.12 τ_0=0.64 σ_0=323.10 σ_{ID}=323.10 Σ_T=323.74
CC 18 SLD (Collegamento -179_-383)
Azioni sul collegamento: N=-8673.24 Ty=10.78 Tz=8.57 Mx=-0.00 Mz=7.39
Sollecitazioni agenti localmente: Tx_l=10.78 Ty_l=8.57 N_l=-8673.24 My_l=-7.39 Mz_l=-0.00
Azioni sul cordone: TP=0.80 TO=0.63 NO=-641.13
Tensioni nel cordone: τ_P=0.25 τ_0=0.20 σ_0=214.58 σ_{ID}=214.58 Σ_T=214.78
CC 18 SLD (Collegamento -179_-383)
Azioni sul collegamento: N=-8673.24 Ty=8.42 Tz=8.57 Mx=-0.00 Mz=5.47
Sollecitazioni agenti localmente: Tx_l=8.42 Ty_l=8.57 N_l=-8673.24 My_l=-5.47 Mz_l=-0.00
Azioni sul cordone: TP=0.62 TO=0.63 NO=-641.13
Tensioni nel cordone: τ_P=0.20 τ_0=0.20 σ_0=211.77 σ_{ID}=211.77 Σ_T=211.97
CC 18 SLD (Collegamento -179_-383)
Azioni sul collegamento: N=-8673.24 Ty=10.78 Tz=17.48 Mx=-0.00 Mz=7.39
Sollecitazioni agenti localmente: Tx_l=10.78 Ty_l=17.48 N_l=-8673.24 My_l=-7.39 Mz_l=-0.00
Azioni sul cordone: TP=0.80 TO=1.29 NO=-641.13
Tensioni nel cordone: τ_P=0.25 τ_0=0.41 σ_0=214.58 σ_{ID}=214.58 Σ_T=214.99
CC 18 SLD (Collegamento -179_-383)
Azioni sul collegamento: N=-8673.24 Ty=8.42 Tz=17.48 Mx=-0.00 Mz=5.47
Sollecitazioni agenti localmente: Tx_l=8.42 Ty_l=17.48 N_l=-8673.24 My_l=-5.47 Mz_l=-0.00
Azioni sul cordone: TP=0.62 TO=1.29 NO=-641.13
Tensioni nel cordone: τ_P=0.20 τ_0=0.41 σ_0=211.77 σ_{ID}=211.77 Σ_T=212.18
CC 18 SLD (Collegamento -179_-383)
Azioni sul collegamento: N=-11059.20 Ty=10.78 Tz=8.57 Mx=-0.00 Mz=7.39
Sollecitazioni agenti localmente: Tx_l=10.78 Ty_l=8.57 N_l=-11059.20 My_l=-7.39 Mz_l=-0.00
Azioni sul cordone: TP=0.80 TO=0.63 NO=-817.50
Tensioni nel cordone: τ_P=0.25 τ_0=0.20 σ_0=270.64 σ_{ID}=270.64 Σ_T=270.84
CC 18 SLD (Collegamento -179_-383)
Azioni sul collegamento: N=-11059.20 Ty=8.42 Tz=8.57 Mx=-0.00 Mz=5.47
Sollecitazioni agenti localmente: Tx_l=8.42 Ty_l=8.57 N_l=-11059.20 My_l=-5.47 Mz_l=-0.00
Azioni sul cordone: TP=0.62 TO=0.63 NO=-817.50
Tensioni nel cordone: τ_P=0.20 τ_0=0.20 σ_0=267.83 σ_{ID}=267.83 Σ_T=268.03
CC 18 SLD (Collegamento -179_-383)
Azioni sul collegamento: N=-11059.20 Ty=10.78 Tz=17.48 Mx=-0.00 Mz=7.39
Sollecitazioni agenti localmente: Tx_l=10.78 Ty_l=17.48 N_l=-11059.20 My_l=-7.39 Mz_l=-0.00
Azioni sul cordone: TP=0.80 TO=1.29 NO=-817.50
Tensioni nel cordone: τ_P=0.25 τ_0=0.41 σ_0=270.64 σ_{ID}=270.64 Σ_T=271.05
CC 18 SLD (Collegamento -179_-383)
Azioni sul collegamento: N=-11059.20 Ty=8.42 Tz=17.48 Mx=-0.00 Mz=5.47
Sollecitazioni agenti localmente: Tx_l=8.42 Ty_l=17.48 N_l=-11059.20 My_l=-5.47 Mz_l=-0.00
Azioni sul cordone: TP=0.62 TO=1.29 NO=-817.50
Tensioni nel cordone: τ_P=0.20 τ_0=0.41 σ_0=267.83 σ_{ID}=267.83 Σ_T=268.24
CC 19 SLV (Collegamento -179_-383)
Azioni sul collegamento: N=-5861.43 Ty=12.02 Tz=-1.63 Mx=-0.01 Mz=6.41
Sollecitazioni agenti localmente: Tx_l=12.02 Ty_l=-1.63 N_l=-5861.43 My_l=-6.41 Mz_l=-0.01
Azioni sul cordone: TP=0.90 TO=-0.13 NO=-433.28
Tensioni nel cordone: τ_P=0.28 τ_0= 0.04 σ_0=147.08 σ_{ID}=147.08 Σ_T=147.12
CC 19 SLV (Collegamento -179_-383)
Azioni sul collegamento: N=-5861.43 Ty=5.33 Tz=-1.63 Mx=-0.01 Mz=2.18
Sollecitazioni agenti localmente: Tx_l=5.33 Ty_l=-1.63 N_l=-5861.43 My_l=-2.18 Mz_l=-0.01
Azioni sul cordone: TP=0.40 TO=-0.13 NO=-433.28
Tensioni nel cordone: τ_P=0.13 τ_0= 0.04 σ_0=140.90 σ_{ID}=140.90 Σ_T=140.94
CC 19 SLV (Collegamento -179_-383)
Azioni sul collegamento: N=-5861.43 Ty=12.02 Tz=26.92 Mx=-0.01 Mz=6.41
Sollecitazioni agenti localmente: Tx_l=12.02 Ty_l=26.92 N_l=-5861.43 My_l=-6.41 Mz_l=-0.01
Azioni sul cordone: TP=0.90 TO=1.98 NO=-433.28
Tensioni nel cordone: τ_P=0.28 τ_0=0.63 σ_0=147.08 σ_{ID}=147.08 Σ_T=147.71
CC 19 SLV (Collegamento -179_-383)
Azioni sul collegamento: N=-5861.43 Ty=5.33 Tz=26.92 Mx=-0.01 Mz=2.18
Sollecitazioni agenti localmente: Tx_l=5.33 Ty_l=26.92 N_l=-5861.43 My_l=-2.18 Mz_l=-0.01
Azioni sul cordone: TP=0.40 TO=1.98 NO=-433.28
Tensioni nel cordone: τ_P=0.13 τ_0=0.63 σ_0=140.90 σ_{ID}=140.90 Σ_T=141.53
CC 19 SLV (Collegamento -179_-383)
Azioni sul collegamento: N=-13676.40 Ty=12.02 Tz=-1.63 Mx=-0.01 Mz=6.41
Sollecitazioni agenti localmente: Tx_l=12.02 Ty_l=-1.63 N_l=-13676.40 My_l=-6.41 Mz_l=-0.01
Azioni sul cordone: TP=0.90 TO=-0.13 NO=-1010.96
Tensioni nel cordone: τ_P=0.28 τ_0= 0.04 σ_0=330.69 σ_{ID}=330.69 Σ_T=330.73
CC 19 SLV (Collegamento -179_-383)
Azioni sul collegamento: N=-13676.40 Ty=5.33 Tz=-1.63 Mx=-0.01 Mz=2.18
Sollecitazioni agenti localmente: Tx_l=5.33 Ty_l=-1.63 N_l=-13676.40 My_l=-2.18 Mz_l=-0.01
Azioni sul cordone: TP=0.40 TO=-0.13 NO=-1010.96
Tensioni nel cordone: τ_P=0.13 τ_0= 0.04 σ_0=324.51 σ_{ID}=324.51 Σ_T=324.56
CC 19 SLV (Collegamento -179_-383)
Azioni sul collegamento: N=-13676.40 Ty=12.02 Tz=26.92 Mx=-0.01 Mz=6.41
Sollecitazioni agenti localmente: Tx_l=12.02 Ty_l=26.92 N_l=-13676.40 My_l=-6.41 Mz_l=-0.01
Azioni sul cordone: TP=0.90 TO=1.98 NO=-1010.96
Tensioni nel cordone: τ_P=0.28 τ_0=0.63 σ_0=330.69 σ_{ID}=330.69 Σ_T=331.32

CC 19 SLV (Collegamento -179_-383)
Azioni sul collegamento: N=-13676.40 Ty=5.33 Tz=26.92 Mx=-0.01 Mz=2.18
Sollecitazioni agenti localmente: Tx_l=5.33 Ty_l=26.92 N_l=-13676.40 My_l=-2.18 Mz_l=-0.01
Azioni sul cordone: TP=0.40 TO=1.98 NO=-1010.96
Tensioni nel cordone: τ_P=0.13 τ_0=0.63 σ_0=324.51 σ_{ID}=324.52 Σ_T=325.15
CC 20 SLD (Collegamento -179_-383)
Azioni sul collegamento: N=-8674.72 Ty=10.62 Tz=8.67 Mx=0.00 Mz=7.07
Sollecitazioni agenti localmente: Tx_l=10.62 Ty_l=8.67 N_l=-8674.72 My_l=-7.07 Mz_l=0.00
Azioni sul cordone: TP=0.78 TO=0.64 NO=-641.24
Tensioni nel cordone: τ_P=0.25 τ_0=0.20 σ_0=214.15 σ_{ID}=214.15 Σ_T=214.35
CC 20 SLD (Collegamento -179_-383)
Azioni sul collegamento: N=-8674.72 Ty=8.58 Tz=8.67 Mx=0.00 Mz=5.79
Sollecitazioni agenti localmente: Tx_l=8.58 Ty_l=8.67 N_l=-8674.72 My_l=-5.79 Mz_l=0.00
Azioni sul cordone: TP=0.63 TO=0.64 NO=-641.24
Tensioni nel cordone: τ_P=0.20 τ_0=0.20 σ_0=212.27 σ_{ID}=212.27 Σ_T=212.47
CC 20 SLD (Collegamento -179_-383)
Azioni sul collegamento: N=-8674.72 Ty=10.62 Tz=17.38 Mx=0.00 Mz=7.07
Sollecitazioni agenti localmente: Tx_l=10.62 Ty_l=17.38 N_l=-8674.72 My_l=-7.07 Mz_l=0.00
Azioni sul cordone: TP=0.78 TO=1.28 NO=-641.24
Tensioni nel cordone: τ_P=0.25 τ_0=0.41 σ_0=214.15 σ_{ID}=214.15 Σ_T=214.56
CC 20 SLD (Collegamento -179_-383)
Azioni sul collegamento: N=-8674.72 Ty=8.58 Tz=17.38 Mx=0.00 Mz=5.79
Sollecitazioni agenti localmente: Tx_l=8.58 Ty_l=17.38 N_l=-8674.72 My_l=-5.79 Mz_l=0.00
Azioni sul cordone: TP=0.63 TO=1.28 NO=-641.24
Tensioni nel cordone: τ_P=0.20 τ_0=0.41 σ_0=212.27 σ_{ID}=212.27 Σ_T=212.68
CC 20 SLD (Collegamento -179_-383)
Azioni sul collegamento: N=-11057.70 Ty=10.62 Tz=8.67 Mx=0.00 Mz=7.07
Sollecitazioni agenti localmente: Tx_l=10.62 Ty_l=8.67 N_l=-11057.70 My_l=-7.07 Mz_l=0.00
Azioni sul cordone: TP=0.78 TO=0.64 NO=-817.39
Tensioni nel cordone: τ_P=0.25 τ_0=0.20 σ_0=270.14 σ_{ID}=270.14 Σ_T=270.35
CC 20 SLD (Collegamento -179_-383)
Azioni sul collegamento: N=-11057.70 Ty=8.58 Tz=8.67 Mx=0.00 Mz=5.79
Sollecitazioni agenti localmente: Tx_l=8.58 Ty_l=8.67 N_l=-11057.70 My_l=-5.79 Mz_l=0.00
Azioni sul cordone: TP=0.63 TO=0.64 NO=-817.39
Tensioni nel cordone: τ_P=0.20 τ_0=0.20 σ_0=268.26 σ_{ID}=268.26 Σ_T=268.46
CC 20 SLD (Collegamento -179_-383)
Azioni sul collegamento: N=-11057.70 Ty=10.62 Tz=17.38 Mx=0.00 Mz=7.07
Sollecitazioni agenti localmente: Tx_l=10.62 Ty_l=17.38 N_l=-11057.70 My_l=-7.07 Mz_l=0.00
Azioni sul cordone: TP=0.78 TO=1.28 NO=-817.39
Tensioni nel cordone: τ_P=0.25 τ_0=0.41 σ_0=270.14 σ_{ID}=270.14 Σ_T=270.55
CC 20 SLD (Collegamento -179_-383)
Azioni sul collegamento: N=-11057.70 Ty=8.58 Tz=17.38 Mx=0.00 Mz=5.79
Sollecitazioni agenti localmente: Tx_l=8.58 Ty_l=17.38 N_l=-11057.70 My_l=-5.79 Mz_l=0.00
Azioni sul cordone: TP=0.63 TO=1.28 NO=-817.39
Tensioni nel cordone: τ_P=0.20 τ_0=0.41 σ_0=268.26 σ_{ID}=268.26 Σ_T=268.67
CC 21 SLV (Collegamento -179_-383)
Azioni sul collegamento: N=-13676.40 Ty=5.33 Tz=26.92 Mx=-0.01 Mz=2.18
Sollecitazioni agenti localmente: Tx_l=5.33 Ty_l=26.92 N_l=-13676.40 My_l=-2.18 Mz_l=-0.01
Azioni sul cordone: TP=0.41 TO=1.98 NO=-1010.96
Tensioni nel cordone: τ_P=0.13 τ_0=0.63 σ_0=324.51 σ_{ID}=324.52 Σ_T=325.14
CC 21 SLV (Collegamento -179_-383)
Azioni sul collegamento: N=-13676.40 Ty=12.02 Tz=26.92 Mx=-0.01 Mz=6.41
Sollecitazioni agenti localmente: Tx_l=12.02 Ty_l=26.92 N_l=-13676.40 My_l=-6.41 Mz_l=-0.01
Azioni sul cordone: TP=0.90 TO=1.98 NO=-1010.96
Tensioni nel cordone: τ_P=0.29 τ_0=0.63 σ_0=330.69 σ_{ID}=330.69 Σ_T=331.32
CC 21 SLV (Collegamento -179_-383)
Azioni sul collegamento: N=-13676.40 Ty=5.33 Tz=-1.63 Mx=-0.01 Mz=2.18
Sollecitazioni agenti localmente: Tx_l=5.33 Ty_l=-1.63 N_l=-13676.40 My_l=-2.18 Mz_l=-0.01
Azioni sul cordone: TP=0.41 TO=-0.13 NO=-1010.96
Tensioni nel cordone: τ_P=0.13 τ_0= 0.04 σ_0=324.51 σ_{ID}=324.51 Σ_T=324.56
CC 21 SLV (Collegamento -179_-383)
Azioni sul collegamento: N=-13676.40 Ty=12.02 Tz=-1.63 Mx=-0.01 Mz=6.41
Sollecitazioni agenti localmente: Tx_l=12.02 Ty_l=-1.63 N_l=-13676.40 My_l=-6.41 Mz_l=-0.01
Azioni sul cordone: TP=0.90 TO=-0.13 NO=-1010.96
Tensioni nel cordone: τ_P=0.29 τ_0= 0.04 σ_0=330.69 σ_{ID}=330.69 Σ_T=330.73
CC 21 SLV (Collegamento -179_-383)
Azioni sul collegamento: N=-5861.43 Ty=5.33 Tz=26.92 Mx=-0.01 Mz=2.18
Sollecitazioni agenti localmente: Tx_l=5.33 Ty_l=26.92 N_l=-5861.43 My_l=-2.18 Mz_l=-0.01
Azioni sul cordone: TP=0.41 TO=1.98 NO=-433.28
Tensioni nel cordone: τ_P=0.13 τ_0=0.63 σ_0=140.90 σ_{ID}=140.90 Σ_T=141.53
CC 21 SLV (Collegamento -179_-383)
Azioni sul collegamento: N=-5861.43 Ty=12.02 Tz=26.92 Mx=-0.01 Mz=6.41
Sollecitazioni agenti localmente: Tx_l=12.02 Ty_l=26.92 N_l=-5861.43 My_l=-6.41 Mz_l=-0.01
Azioni sul cordone: TP=0.90 TO=1.98 NO=-433.28
Tensioni nel cordone: τ_P=0.29 τ_0=0.63 σ_0=147.08 σ_{ID}=147.08 Σ_T=147.71
CC 21 SLV (Collegamento -179_-383)
Azioni sul collegamento: N=-5861.43 Ty=5.33 Tz=-1.63 Mx=-0.01 Mz=2.18
Sollecitazioni agenti localmente: Tx_l=5.33 Ty_l=-1.63 N_l=-5861.43 My_l=-2.18 Mz_l=-0.01
Azioni sul cordone: TP=0.41 TO=-0.13 NO=-433.28

Tensioni nel cordone: τ_P=0.13 τ_0= 0.04 σ_0=140.90 σ_{ID}=140.90 Σ_T=140.94
CC 21 SLV (Collegamento -179_-383)
Azioni sul collegamento: N=-5861.43 Ty=12.02 Tz=-1.63 Mx=-0.01 Mz=6.41
Sollecitazioni agenti localmente: Tx_l=12.02 Ty_l=-1.63 N_l=-5861.43 My_l=-6.41 Mz_l=-0.01
Azioni sul cordone: TP=0.90 TO=-0.13 NO=-433.28
Tensioni nel cordone: τ_P=0.29 τ_0= 0.04 σ_0=147.08 σ_{ID}=147.08 Σ_T=147.12
CC 22 SLD (Collegamento -179_-383)
Azioni sul collegamento: N=-11057.70 Ty=8.58 Tz=17.38 Mx=-0.00 Mz=5.79
Sollecitazioni agenti localmente: Tx_l=8.58 Ty_l=17.38 N_l=-11057.70 My_l=-5.79 Mz_l=-0.00
Azioni sul cordone: TP=0.64 TO=1.28 NO=-817.39
Tensioni nel cordone: τ_P=0.20 τ_0=0.41 σ_0=268.26 σ_{ID}=268.26 Σ_T=268.67
CC 22 SLD (Collegamento -179_-383)
Azioni sul collegamento: N=-11057.70 Ty=10.62 Tz=17.38 Mx=-0.00 Mz=7.07
Sollecitazioni agenti localmente: Tx_l=10.62 Ty_l=17.38 N_l=-11057.70 My_l=-7.07 Mz_l=-0.00
Azioni sul cordone: TP=0.79 TO=1.28 NO=-817.39
Tensioni nel cordone: τ_P=0.25 τ_0=0.41 σ_0=270.14 σ_{ID}=270.14 Σ_T=270.55
CC 22 SLD (Collegamento -179_-383)
Azioni sul collegamento: N=-11057.70 Ty=8.58 Tz=8.67 Mx=-0.00 Mz=5.79
Sollecitazioni agenti localmente: Tx_l=8.58 Ty_l=8.67 N_l=-11057.70 My_l=-5.79 Mz_l=-0.00
Azioni sul cordone: TP=0.64 TO=0.64 NO=-817.39
Tensioni nel cordone: τ_P=0.20 τ_0=0.20 σ_0=268.26 σ_{ID}=268.26 Σ_T=268.46
CC 22 SLD (Collegamento -179_-383)
Azioni sul collegamento: N=-11057.70 Ty=10.62 Tz=8.67 Mx=-0.00 Mz=7.07
Sollecitazioni agenti localmente: Tx_l=10.62 Ty_l=8.67 N_l=-11057.70 My_l=-7.07 Mz_l=-0.00
Azioni sul cordone: TP=0.79 TO=0.64 NO=-817.39
Tensioni nel cordone: τ_P=0.25 τ_0=0.20 σ_0=270.14 σ_{ID}=270.14 Σ_T=270.35
CC 22 SLD (Collegamento -179_-383)
Azioni sul collegamento: N=-8674.72 Ty=8.58 Tz=17.38 Mx=-0.00 Mz=5.79
Sollecitazioni agenti localmente: Tx_l=8.58 Ty_l=17.38 N_l=-8674.72 My_l=-5.79 Mz_l=-0.00
Azioni sul cordone: TP=0.64 TO=1.28 NO=-641.24
Tensioni nel cordone: τ_P=0.20 τ_0=0.41 σ_0=212.27 σ_{ID}=212.27 Σ_T=212.68
CC 22 SLD (Collegamento -179_-383)
Azioni sul collegamento: N=-8674.72 Ty=10.62 Tz=17.38 Mx=-0.00 Mz=7.07
Sollecitazioni agenti localmente: Tx_l=10.62 Ty_l=17.38 N_l=-8674.72 My_l=-7.07 Mz_l=-0.00
Azioni sul cordone: TP=0.79 TO=1.28 NO=-641.24
Tensioni nel cordone: τ_P=0.25 τ_0=0.41 σ_0=214.15 σ_{ID}=214.15 Σ_T=214.56
CC 22 SLD (Collegamento -179_-383)
Azioni sul collegamento: N=-8674.72 Ty=8.58 Tz=8.67 Mx=-0.00 Mz=5.79
Sollecitazioni agenti localmente: Tx_l=8.58 Ty_l=8.67 N_l=-8674.72 My_l=-5.79 Mz_l=-0.00
Azioni sul cordone: TP=0.64 TO=0.64 NO=-641.24
Tensioni nel cordone: τ_P=0.20 τ_0=0.20 σ_0=212.27 σ_{ID}=212.27 Σ_T=212.47
CC 22 SLD (Collegamento -179_-383)
Azioni sul collegamento: N=-8674.72 Ty=10.62 Tz=8.67 Mx=-0.00 Mz=7.07
Sollecitazioni agenti localmente: Tx_l=10.62 Ty_l=8.67 N_l=-8674.72 My_l=-7.07 Mz_l=-0.00
Azioni sul cordone: TP=0.79 TO=0.64 NO=-641.24
Tensioni nel cordone: τ_P=0.25 τ_0=0.20 σ_0=214.15 σ_{ID}=214.15 Σ_T=214.35
CC 23 SLV (Collegamento -179_-383)
Azioni sul collegamento: N=-13681.20 Ty=4.82 Tz=27.25 Mx=-0.01 Mz=1.13
Sollecitazioni agenti localmente: Tx_l=4.82 Ty_l=27.25 N_l=-13681.20 My_l=-1.13 Mz_l=-0.01
Azioni sul cordone: TP=0.36 TO=2.01 NO=-1011.32
Tensioni nel cordone: τ_P=0.12 τ_0=0.64 σ_0=323.10 σ_{ID}=323.10 Σ_T=323.74
CC 23 SLV (Collegamento -179_-383)
Azioni sul collegamento: N=-13681.20 Ty=12.53 Tz=27.25 Mx=-0.01 Mz=7.45
Sollecitazioni agenti localmente: Tx_l=12.53 Ty_l=27.25 N_l=-13681.20 My_l=-7.45 Mz_l=-0.01
Azioni sul cordone: TP=0.93 TO=2.01 NO=-1011.32
Tensioni nel cordone: τ_P=0.30 τ_0=0.64 σ_0=332.34 σ_{ID}=332.34 Σ_T=332.97
CC 23 SLV (Collegamento -179_-383)
Azioni sul collegamento: N=-13681.20 Ty=4.82 Tz=-1.96 Mx=-0.01 Mz=1.13
Sollecitazioni agenti localmente: Tx_l=4.82 Ty_l=-1.96 N_l=-13681.20 My_l=-1.13 Mz_l=-0.01
Azioni sul cordone: TP=0.36 TO=-0.15 NO=-1011.32
Tensioni nel cordone: τ_P=0.12 τ_0= 0.05 σ_0=323.10 σ_{ID}=323.10 Σ_T=323.15
CC 23 SLV (Collegamento -179_-383)
Azioni sul collegamento: N=-13681.20 Ty=12.53 Tz=-1.96 Mx=-0.01 Mz=7.45
Sollecitazioni agenti localmente: Tx_l=12.53 Ty_l=-1.96 N_l=-13681.20 My_l=-7.45 Mz_l=-0.01
Azioni sul cordone: TP=0.93 TO=-0.15 NO=-1011.32
Tensioni nel cordone: τ_P=0.30 τ_0= 0.05 σ_0=332.34 σ_{ID}=332.34 Σ_T=332.38
CC 23 SLV (Collegamento -179_-383)
Azioni sul collegamento: N=-5856.57 Ty=4.82 Tz=27.25 Mx=-0.01 Mz=1.13
Sollecitazioni agenti localmente: Tx_l=4.82 Ty_l=27.25 N_l=-5856.57 My_l=-1.13 Mz_l=-0.01
Azioni sul cordone: TP=0.36 TO=2.01 NO=-432.92
Tensioni nel cordone: τ_P=0.12 τ_0=0.64 σ_0=139.25 σ_{ID}=139.26 Σ_T=139.89
CC 23 SLV (Collegamento -179_-383)
Azioni sul collegamento: N=-5856.57 Ty=12.53 Tz=27.25 Mx=-0.01 Mz=7.45
Sollecitazioni agenti localmente: Tx_l=12.53 Ty_l=27.25 N_l=-5856.57 My_l=-7.45 Mz_l=-0.01
Azioni sul cordone: TP=0.93 TO=2.01 NO=-432.92
Tensioni nel cordone: τ_P=0.30 τ_0=0.64 σ_0=148.49 σ_{ID}=148.49 Σ_T=149.13
CC 23 SLV (Collegamento -179_-383)
Azioni sul collegamento: N=-5856.57 Ty=4.82 Tz=-1.96 Mx=-0.01 Mz=1.13
Sollecitazioni agenti localmente: Tx_l=4.82 Ty_l=-1.96 N_l=-5856.57 My_l=-1.13 Mz_l=-0.01

Azioni sul cordone: TP=0.36 TO=-0.15 NO=-432.92
Tensioni nel cordone: τ_P=0.12 τ_0= 0.05 σ_0=139.25 σ_{ID}=139.25 Σ_T=139.30
CC 23 SLV (Collegamento -179_-383)
Azioni sul collegamento: N=-5856.57 Ty=12.53 Tz=-1.96 Mx=-0.01 Mz=7.45
Sollecitazioni agenti localmente: Tx_l=12.53 Ty_l=-1.96 N_l=-5856.57 My_l=-7.45 Mz_l=-0.01
Azioni sul cordone: TP=0.93 TO=-0.15 NO=-432.92
Tensioni nel cordone: τ_P=0.30 τ_0= 0.05 σ_0=148.49 σ_{ID}=148.49 Σ_T=148.54
CC 24 SLD (Collegamento -179_-383)
Azioni sul collegamento: N=-11059.20 Ty=8.42 Tz=17.48 Mx=0.00 Mz=5.47
Sollecitazioni agenti localmente: Tx_l=8.42 Ty_l=17.48 N_l=-11059.20 My_l=-5.47 Mz_l=0.00
Azioni sul cordone: TP=0.62 TO=1.29 NO=-817.50
Tensioni nel cordone: τ_P=0.20 τ_0=0.41 σ_0=267.83 σ_{ID}=267.83 Σ_T=268.24
CC 24 SLD (Collegamento -179_-383)
Azioni sul collegamento: N=-11059.20 Ty=10.78 Tz=17.48 Mx=0.00 Mz=7.39
Sollecitazioni agenti localmente: Tx_l=10.78 Ty_l=17.48 N_l=-11059.20 My_l=-7.39 Mz_l=0.00
Azioni sul cordone: TP=0.80 TO=1.29 NO=-817.50
Tensioni nel cordone: τ_P=0.25 τ_0=0.41 σ_0=270.64 σ_{ID}=270.64 Σ_T=271.05
CC 24 SLD (Collegamento -179_-383)
Azioni sul collegamento: N=-11059.20 Ty=8.42 Tz=8.57 Mx=0.00 Mz=5.47
Sollecitazioni agenti localmente: Tx_l=8.42 Ty_l=8.57 N_l=-11059.20 My_l=-5.47 Mz_l=0.00
Azioni sul cordone: TP=0.62 TO=0.63 NO=-817.50
Tensioni nel cordone: τ_P=0.20 τ_0=0.20 σ_0=267.83 σ_{ID}=267.83 Σ_T=268.03
CC 24 SLD (Collegamento -179_-383)
Azioni sul collegamento: N=-11059.20 Ty=10.78 Tz=8.57 Mx=0.00 Mz=7.39
Sollecitazioni agenti localmente: Tx_l=10.78 Ty_l=8.57 N_l=-11059.20 My_l=-7.39 Mz_l=0.00
Azioni sul cordone: TP=0.80 TO=0.63 NO=-817.50
Tensioni nel cordone: τ_P=0.25 τ_0=0.20 σ_0=270.64 σ_{ID}=270.64 Σ_T=270.85
CC 24 SLD (Collegamento -179_-383)
Azioni sul collegamento: N=-8673.24 Ty=8.42 Tz=17.48 Mx=0.00 Mz=5.47
Sollecitazioni agenti localmente: Tx_l=8.42 Ty_l=17.48 N_l=-8673.24 My_l=-5.47 Mz_l=0.00
Azioni sul cordone: TP=0.62 TO=1.29 NO=-641.13
Tensioni nel cordone: τ_P=0.20 τ_0=0.41 σ_0=211.77 σ_{ID}=211.77 Σ_T=212.18
CC 24 SLD (Collegamento -179_-383)
Azioni sul collegamento: N=-8673.24 Ty=10.78 Tz=17.48 Mx=0.00 Mz=7.39
Sollecitazioni agenti localmente: Tx_l=10.78 Ty_l=17.48 N_l=-8673.24 My_l=-7.39 Mz_l=0.00
Azioni sul cordone: TP=0.80 TO=1.29 NO=-641.13
Tensioni nel cordone: τ_P=0.25 τ_0=0.41 σ_0=214.58 σ_{ID}=214.58 Σ_T=214.99
CC 24 SLD (Collegamento -179_-383)
Azioni sul collegamento: N=-8673.24 Ty=8.42 Tz=8.57 Mx=0.00 Mz=5.47
Sollecitazioni agenti localmente: Tx_l=8.42 Ty_l=8.57 N_l=-8673.24 My_l=-5.47 Mz_l=0.00
Azioni sul cordone: TP=0.62 TO=0.63 NO=-641.13
Tensioni nel cordone: τ_P=0.20 τ_0=0.20 σ_0=211.77 σ_{ID}=211.77 Σ_T=211.97
CC 24 SLD (Collegamento -179_-383)
Azioni sul collegamento: N=-8673.24 Ty=10.78 Tz=8.57 Mx=0.00 Mz=7.39
Sollecitazioni agenti localmente: Tx_l=10.78 Ty_l=8.57 N_l=-8673.24 My_l=-7.39 Mz_l=0.00
Azioni sul cordone: TP=0.80 TO=0.63 NO=-641.13
Tensioni nel cordone: τ_P=0.25 τ_0=0.20 σ_0=214.58 σ_{ID}=214.58 Σ_T=214.78
CC 25 SLV (Collegamento -179_-383)
Azioni sul collegamento: N=-8587.82 Ty=10.61 Tz=7.77 Mx=-0.02 Mz=6.83
Sollecitazioni agenti localmente: Tx_l=10.61 Ty_l=7.77 N_l=-8587.82 My_l=-6.83 Mz_l=-0.02
Azioni sul cordone: TP=0.80 TO=0.56 NO=-634.81
Tensioni nel cordone: τ_P=0.26 τ_0=0.18 σ_0=211.75 σ_{ID}=211.75 Σ_T=211.93
CC 25 SLV (Collegamento -179_-383)
Azioni sul collegamento: N=-8587.82 Ty=6.74 Tz=7.77 Mx=-0.02 Mz=1.76
Sollecitazioni agenti localmente: Tx_l=6.74 Ty_l=7.77 N_l=-8587.82 My_l=-1.76 Mz_l=-0.02
Azioni sul cordone: TP=0.52 TO=0.56 NO=-634.81
Tensioni nel cordone: τ_P=0.16 τ_0=0.18 σ_0=204.34 σ_{ID}=204.34 Σ_T=204.52
CC 25 SLV (Collegamento -179_-383)
Azioni sul collegamento: N=-8587.82 Ty=10.61 Tz=17.52 Mx=-0.02 Mz=6.83
Sollecitazioni agenti localmente: Tx_l=10.61 Ty_l=17.52 N_l=-8587.82 My_l=-6.83 Mz_l=-0.02
Azioni sul cordone: TP=0.80 TO=1.28 NO=-634.81
Tensioni nel cordone: τ_P=0.26 τ_0=0.41 σ_0=211.75 σ_{ID}=211.75 Σ_T=212.16
CC 25 SLV (Collegamento -179_-383)
Azioni sul collegamento: N=-8587.82 Ty=6.74 Tz=17.52 Mx=-0.02 Mz=1.76
Sollecitazioni agenti localmente: Tx_l=6.74 Ty_l=17.52 N_l=-8587.82 My_l=-1.76 Mz_l=-0.02
Azioni sul cordone: TP=0.52 TO=1.28 NO=-634.81
Tensioni nel cordone: τ_P=0.16 τ_0=0.41 σ_0=204.34 σ_{ID}=204.34 Σ_T=204.75
CC 25 SLV (Collegamento -179_-383)
Azioni sul collegamento: N=-10950.00 Ty=10.61 Tz=7.77 Mx=-0.02 Mz=6.83
Sollecitazioni agenti localmente: Tx_l=10.61 Ty_l=7.77 N_l=-10950.00 My_l=-6.83 Mz_l=-0.02
Azioni sul cordone: TP=0.80 TO=0.56 NO=-809.42
Tensioni nel cordone: τ_P=0.26 τ_0=0.18 σ_0=267.25 σ_{ID}=267.25 Σ_T=267.43
CC 25 SLV (Collegamento -179_-383)
Azioni sul collegamento: N=-10950.00 Ty=6.74 Tz=7.77 Mx=-0.02 Mz=1.76
Sollecitazioni agenti localmente: Tx_l=6.74 Ty_l=7.77 N_l=-10950.00 My_l=-1.76 Mz_l=-0.02
Azioni sul cordone: TP=0.52 TO=0.56 NO=-809.42
Tensioni nel cordone: τ_P=0.16 τ_0=0.18 σ_0=259.84 σ_{ID}=259.84 Σ_T=260.02
CC 25 SLV (Collegamento -179_-383)
Azioni sul collegamento: N=-10950.00 Ty=10.61 Tz=17.52 Mx=-0.02 Mz=6.83

Sollecitazioni agenti localmente: Tx_l=10.61 Ty_l=17.52 N_l=-10950.00 My_l=-6.83 Mz_l=-0.02
Azioni sul cordone: TP=0.80 TO=1.28 NO=-809.42
Tensioni nel cordone: τ_P=0.26 τ_0=0.41 σ_0=267.25 σ_{ID}=267.25 Σ_T=267.66
CC 25 SLV (Collegamento -179_-383)
Azioni sul collegamento: N=-10950.00 Ty=6.74 Tz=17.52 Mx=-0.02 Mz=1.76
Sollecitazioni agenti localmente: Tx_l=6.74 Ty_l=17.52 N_l=-10950.00 My_l=-1.76 Mz_l=-0.02
Azioni sul cordone: TP=0.52 TO=1.28 NO=-809.42
Tensioni nel cordone: τ_P=0.16 τ_0=0.41 σ_0=259.84 σ_{ID}=259.84 Σ_T=260.25
CC 26 SLD (Collegamento -179_-383)
Azioni sul collegamento: N=-9506.09 Ty=10.19 Tz=11.54 Mx=-0.00 Mz=7.20
Sollecitazioni agenti localmente: Tx_l=10.19 Ty_l=11.54 N_l=-9506.09 My_l=-7.20 Mz_l=-0.00
Azioni sul cordone: TP=0.76 TO=0.85 NO=-702.69
Tensioni nel cordone: τ_P=0.24 τ_0=0.27 σ_0=233.87 σ_{ID}=233.87 Σ_T=234.14
CC 26 SLD (Collegamento -179_-383)
Azioni sul collegamento: N=-9506.09 Ty=9.01 Tz=11.54 Mx=-0.00 Mz=5.66
Sollecitazioni agenti localmente: Tx_l=9.01 Ty_l=11.54 N_l=-9506.09 My_l=-5.66 Mz_l=-0.00
Azioni sul cordone: TP=0.67 TO=0.85 NO=-702.69
Tensioni nel cordone: τ_P=0.21 τ_0=0.27 σ_0=231.61 σ_{ID}=231.61 Σ_T=231.88
CC 26 SLD (Collegamento -179_-383)
Azioni sul collegamento: N=-9506.09 Ty=10.19 Tz=14.51 Mx=-0.00 Mz=7.20
Sollecitazioni agenti localmente: Tx_l=10.19 Ty_l=14.51 N_l=-9506.09 My_l=-7.20 Mz_l=-0.00
Azioni sul cordone: TP=0.76 TO=1.07 NO=-702.69
Tensioni nel cordone: τ_P=0.24 τ_0=0.34 σ_0=233.87 σ_{ID}=233.87 Σ_T=234.21
CC 26 SLD (Collegamento -179_-383)
Azioni sul collegamento: N=-9506.09 Ty=9.01 Tz=14.51 Mx=-0.00 Mz=5.66
Sollecitazioni agenti localmente: Tx_l=9.01 Ty_l=14.51 N_l=-9506.09 My_l=-5.66 Mz_l=-0.00
Azioni sul cordone: TP=0.67 TO=1.07 NO=-702.69
Tensioni nel cordone: τ_P=0.21 τ_0=0.34 σ_0=231.61 σ_{ID}=231.61 Σ_T=231.95
CC 26 SLD (Collegamento -179_-383)
Azioni sul collegamento: N=-10226.40 Ty=10.19 Tz=11.54 Mx=-0.00 Mz=7.20
Sollecitazioni agenti localmente: Tx_l=10.19 Ty_l=11.54 N_l=-10226.40 My_l=-7.20 Mz_l=-0.00
Azioni sul cordone: TP=0.76 TO=0.85 NO=-755.94
Tensioni nel cordone: τ_P=0.24 τ_0=0.27 σ_0=250.80 σ_{ID}=250.80 Σ_T=251.07
CC 26 SLD (Collegamento -179_-383)
Azioni sul collegamento: N=-10226.40 Ty=9.01 Tz=11.54 Mx=-0.00 Mz=5.66
Sollecitazioni agenti localmente: Tx_l=9.01 Ty_l=11.54 N_l=-10226.40 My_l=-5.66 Mz_l=-0.00
Azioni sul cordone: TP=0.67 TO=0.85 NO=-755.94
Tensioni nel cordone: τ_P=0.21 τ_0=0.27 σ_0=248.54 σ_{ID}=248.54 Σ_T=248.81
CC 26 SLD (Collegamento -179_-383)
Azioni sul collegamento: N=-10226.40 Ty=10.19 Tz=14.51 Mx=-0.00 Mz=7.20
Sollecitazioni agenti localmente: Tx_l=10.19 Ty_l=14.51 N_l=-10226.40 My_l=-7.20 Mz_l=-0.00
Azioni sul cordone: TP=0.76 TO=1.07 NO=-755.94
Tensioni nel cordone: τ_P=0.24 τ_0=0.34 σ_0=250.80 σ_{ID}=250.80 Σ_T=251.14
CC 26 SLD (Collegamento -179_-383)
Azioni sul collegamento: N=-10226.40 Ty=9.01 Tz=14.51 Mx=-0.00 Mz=5.66
Sollecitazioni agenti localmente: Tx_l=9.01 Ty_l=14.51 N_l=-10226.40 My_l=-5.66 Mz_l=-0.00
Azioni sul cordone: TP=0.67 TO=1.07 NO=-755.94
Tensioni nel cordone: τ_P=0.21 τ_0=0.34 σ_0=248.54 σ_{ID}=248.54 Σ_T=248.88
CC 27 SLV (Collegamento -179_-383)
Azioni sul collegamento: N=-10933.80 Ty=8.45 Tz=16.43 Mx=-0.02 Mz=5.25
Sollecitazioni agenti localmente: Tx_l=8.45 Ty_l=16.43 N_l=-10933.80 My_l=-5.25 Mz_l=-0.02
Azioni sul cordone: TP=0.64 TO=1.20 NO=-808.23
Tensioni nel cordone: τ_P=0.20 τ_0=0.38 σ_0=264.56 σ_{ID}=264.56 Σ_T=264.94
CC 27 SLV (Collegamento -179_-383)
Azioni sul collegamento: N=-10933.80 Ty=8.90 Tz=16.43 Mx=-0.02 Mz=3.34
Sollecitazioni agenti localmente: Tx_l=8.90 Ty_l=16.43 N_l=-10933.80 My_l=-3.34 Mz_l=-0.02
Azioni sul cordone: TP=0.68 TO=1.20 NO=-808.23
Tensioni nel cordone: τ_P=0.22 τ_0=0.38 σ_0=261.77 σ_{ID}=261.77 Σ_T=262.15
CC 27 SLV (Collegamento -179_-383)
Azioni sul collegamento: N=-10933.80 Ty=8.45 Tz=8.86 Mx=-0.02 Mz=5.25
Sollecitazioni agenti localmente: Tx_l=8.45 Ty_l=8.86 N_l=-10933.80 My_l=-5.25 Mz_l=-0.02
Azioni sul cordone: TP=0.64 TO=0.64 NO=-808.23
Tensioni nel cordone: τ_P=0.20 τ_0=0.20 σ_0=264.56 σ_{ID}=264.56 Σ_T=264.76
CC 27 SLV (Collegamento -179_-383)
Azioni sul collegamento: N=-10933.80 Ty=8.90 Tz=8.86 Mx=-0.02 Mz=3.34
Sollecitazioni agenti localmente: Tx_l=8.90 Ty_l=8.86 N_l=-10933.80 My_l=-3.34 Mz_l=-0.02
Azioni sul cordone: TP=0.68 TO=0.64 NO=-808.23
Tensioni nel cordone: τ_P=0.22 τ_0=0.20 σ_0=261.77 σ_{ID}=261.77 Σ_T=261.97
CC 27 SLV (Collegamento -179_-383)
Azioni sul collegamento: N=-8604.03 Ty=8.45 Tz=16.43 Mx=-0.02 Mz=5.25
Sollecitazioni agenti localmente: Tx_l=8.45 Ty_l=16.43 N_l=-8604.03 My_l=-5.25 Mz_l=-0.02
Azioni sul cordone: TP=0.64 TO=1.20 NO=-636.01
Tensioni nel cordone: τ_P=0.20 τ_0=0.38 σ_0=209.82 σ_{ID}=209.82 Σ_T=210.20
CC 27 SLV (Collegamento -179_-383)
Azioni sul collegamento: N=-8604.03 Ty=8.90 Tz=16.43 Mx=-0.02 Mz=3.34
Sollecitazioni agenti localmente: Tx_l=8.90 Ty_l=16.43 N_l=-8604.03 My_l=-3.34 Mz_l=-0.02
Azioni sul cordone: TP=0.68 TO=1.20 NO=-636.01
Tensioni nel cordone: τ_P=0.22 τ_0=0.38 σ_0=207.03 σ_{ID}=207.03 Σ_T=207.41
CC 27 SLV (Collegamento -179_-383)

Azioni sul collegamento: N=-8604.03 Ty=8.45 Tz=8.86 Mx=-0.02 Mz=5.25
Sollecitazioni agenti localmente: Tx_l=8.45 Ty_l=8.86 N_l=-8604.03 My_l=-5.25 Mz_l=-0.02
Azioni sul cordone: TP=0.64 TO=0.64 NO=-636.01
Tensioni nel cordone: τ_P=0.20 τ_0=0.20 σ_0=209.82 σ_{ID}=209.82 Σ_T=210.02
CC 27 SLV (Collegamento -179_-383)
Azioni sul collegamento: N=-8604.03 Ty=8.90 Tz=8.86 Mx=-0.02 Mz=3.34
Sollecitazioni agenti localmente: Tx_l=8.90 Ty_l=8.86 N_l=-8604.03 My_l=-3.34 Mz_l=-0.02
Azioni sul cordone: TP=0.68 TO=0.64 NO=-636.01
Tensioni nel cordone: τ_P=0.22 τ_0=0.20 σ_0=207.03 σ_{ID}=207.03 Σ_T=207.24
CC 28 SLD (Collegamento -179_-383)
Azioni sul collegamento: N=-10221.40 Ty=9.53 Tz=14.18 Mx=-0.00 Mz=6.72
Sollecitazioni agenti localmente: Tx_l=9.53 Ty_l=14.18 N_l=-10221.40 My_l=-6.72 Mz_l=-0.00
Azioni sul cordone: TP=0.71 TO=1.05 NO=-755.57
Tensioni nel cordone: τ_P=0.23 τ_0=0.33 σ_0=249.98 σ_{ID}=249.98 Σ_T=250.31
CC 28 SLD (Collegamento -179_-383)
Azioni sul collegamento: N=-10221.40 Ty=9.67 Tz=14.18 Mx=-0.00 Mz=6.14
Sollecitazioni agenti localmente: Tx_l=9.67 Ty_l=14.18 N_l=-10221.40 My_l=-6.14 Mz_l=-0.00
Azioni sul cordone: TP=0.72 TO=1.05 NO=-755.57
Tensioni nel cordone: τ_P=0.23 τ_0=0.33 σ_0=249.13 σ_{ID}=249.13 Σ_T=249.46
CC 28 SLD (Collegamento -179_-383)
Azioni sul collegamento: N=-10221.40 Ty=9.53 Tz=11.87 Mx=-0.00 Mz=6.72
Sollecitazioni agenti localmente: Tx_l=9.53 Ty_l=11.87 N_l=-10221.40 My_l=-6.72 Mz_l=-0.00
Azioni sul cordone: TP=0.71 TO=0.88 NO=-755.57
Tensioni nel cordone: τ_P=0.23 τ_0=0.28 σ_0=249.98 σ_{ID}=249.98 Σ_T=250.25
CC 28 SLD (Collegamento -179_-383)
Azioni sul collegamento: N=-10221.40 Ty=9.67 Tz=11.87 Mx=-0.00 Mz=6.14
Sollecitazioni agenti localmente: Tx_l=9.67 Ty_l=11.87 N_l=-10221.40 My_l=-6.14 Mz_l=-0.00
Azioni sul cordone: TP=0.72 TO=0.88 NO=-755.57
Tensioni nel cordone: τ_P=0.23 τ_0=0.28 σ_0=249.13 σ_{ID}=249.13 Σ_T=249.40
CC 28 SLD (Collegamento -179_-383)
Azioni sul collegamento: N=-9511.03 Ty=9.53 Tz=14.18 Mx=-0.00 Mz=6.72
Sollecitazioni agenti localmente: Tx_l=9.53 Ty_l=14.18 N_l=-9511.03 My_l=-6.72 Mz_l=-0.00
Azioni sul cordone: TP=0.71 TO=1.05 NO=-703.06
Tensioni nel cordone: τ_P=0.23 τ_0=0.33 σ_0=233.28 σ_{ID}=233.28 Σ_T=233.62
CC 28 SLD (Collegamento -179_-383)
Azioni sul collegamento: N=-9511.03 Ty=9.67 Tz=14.18 Mx=-0.00 Mz=6.14
Sollecitazioni agenti localmente: Tx_l=9.67 Ty_l=14.18 N_l=-9511.03 My_l=-6.14 Mz_l=-0.00
Azioni sul cordone: TP=0.72 TO=1.05 NO=-703.06
Tensioni nel cordone: τ_P=0.23 τ_0=0.33 σ_0=232.43 σ_{ID}=232.43 Σ_T=232.77
CC 28 SLD (Collegamento -179_-383)
Azioni sul collegamento: N=-9511.03 Ty=9.53 Tz=11.87 Mx=-0.00 Mz=6.72
Sollecitazioni agenti localmente: Tx_l=9.53 Ty_l=11.87 N_l=-9511.03 My_l=-6.72 Mz_l=-0.00
Azioni sul cordone: TP=0.71 TO=0.88 NO=-703.06
Tensioni nel cordone: τ_P=0.23 τ_0=0.28 σ_0=233.28 σ_{ID}=233.28 Σ_T=233.56
CC 28 SLD (Collegamento -179_-383)
Azioni sul collegamento: N=-9511.03 Ty=9.67 Tz=11.87 Mx=-0.00 Mz=6.14
Sollecitazioni agenti localmente: Tx_l=9.67 Ty_l=11.87 N_l=-9511.03 My_l=-6.14 Mz_l=-0.00
Azioni sul cordone: TP=0.72 TO=0.88 NO=-703.06
Tensioni nel cordone: τ_P=0.23 τ_0=0.28 σ_0=232.43 σ_{ID}=232.43 Σ_T=232.71
CC 29 SLV (Collegamento -179_-383)
Azioni sul collegamento: N=-8604.03 Ty=8.90 Tz=8.86 Mx=-0.00 Mz=3.34
Sollecitazioni agenti localmente: Tx_l=8.90 Ty_l=8.86 N_l=-8604.03 My_l=-3.34 Mz_l=-0.00
Azioni sul cordone: TP=0.66 TO=0.65 NO=-636.01
Tensioni nel cordone: τ_P=0.21 τ_0=0.21 σ_0=207.03 σ_{ID}=207.03 Σ_T=207.24
CC 29 SLV (Collegamento -179_-383)
Azioni sul collegamento: N=-8604.03 Ty=8.45 Tz=8.86 Mx=-0.00 Mz=5.25
Sollecitazioni agenti localmente: Tx_l=8.45 Ty_l=8.86 N_l=-8604.03 My_l=-5.25 Mz_l=-0.00
Azioni sul cordone: TP=0.63 TO=0.65 NO=-636.01
Tensioni nel cordone: τ_P=0.20 τ_0=0.21 σ_0=209.82 σ_{ID}=209.82 Σ_T=210.03
CC 29 SLV (Collegamento -179_-383)
Azioni sul collegamento: N=-8604.03 Ty=8.90 Tz=16.43 Mx=-0.00 Mz=3.34
Sollecitazioni agenti localmente: Tx_l=8.90 Ty_l=16.43 N_l=-8604.03 My_l=-3.34 Mz_l=-0.00
Azioni sul cordone: TP=0.66 TO=1.21 NO=-636.01
Tensioni nel cordone: τ_P=0.21 τ_0=0.39 σ_0=207.03 σ_{ID}=207.03 Σ_T=207.42
CC 29 SLV (Collegamento -179_-383)
Azioni sul collegamento: N=-8604.03 Ty=8.45 Tz=16.43 Mx=-0.00 Mz=5.25
Sollecitazioni agenti localmente: Tx_l=8.45 Ty_l=16.43 N_l=-8604.03 My_l=-5.25 Mz_l=-0.00
Azioni sul cordone: TP=0.63 TO=1.21 NO=-636.01
Tensioni nel cordone: τ_P=0.20 τ_0=0.39 σ_0=209.82 σ_{ID}=209.82 Σ_T=210.21
CC 29 SLV (Collegamento -179_-383)
Azioni sul collegamento: N=-10933.80 Ty=8.90 Tz=8.86 Mx=-0.00 Mz=3.34
Sollecitazioni agenti localmente: Tx_l=8.90 Ty_l=8.86 N_l=-10933.80 My_l=-3.34 Mz_l=-0.00
Azioni sul cordone: TP=0.66 TO=0.65 NO=-808.23
Tensioni nel cordone: τ_P=0.21 τ_0=0.21 σ_0=261.77 σ_{ID}=261.77 Σ_T=261.98
CC 29 SLV (Collegamento -179_-383)
Azioni sul collegamento: N=-10933.80 Ty=8.45 Tz=8.86 Mx=-0.00 Mz=5.25
Sollecitazioni agenti localmente: Tx_l=8.45 Ty_l=8.86 N_l=-10933.80 My_l=-5.25 Mz_l=-0.00
Azioni sul cordone: TP=0.63 TO=0.65 NO=-808.23
Tensioni nel cordone: τ_P=0.20 τ_0=0.21 σ_0=264.56 σ_{ID}=264.56 Σ_T=264.77

CC 29 SLV (Collegamento -179_-383)
Azioni sul collegamento: N=-10933.80 Ty=8.90 Tz=16.43 Mx=-0.00 Mz=3.34
Sollecitazioni agenti localmente: Tx_l=8.90 Ty_l=16.43 N_l=-10933.80 My_l=-3.34 Mz_l=-0.00
Azioni sul cordone: TP=0.66 TO=1.21 NO=-808.23
Tensioni nel cordone: τ_P=0.21 τ_0=0.39 σ_0=261.77 σ_{ID}=261.77 Σ_T=262.16
CC 29 SLV (Collegamento -179_-383)
Azioni sul collegamento: N=-10933.80 Ty=8.45 Tz=16.43 Mx=-0.00 Mz=5.25
Sollecitazioni agenti localmente: Tx_l=8.45 Ty_l=16.43 N_l=-10933.80 My_l=-5.25 Mz_l=-0.00
Azioni sul cordone: TP=0.63 TO=1.21 NO=-808.23
Tensioni nel cordone: τ_P=0.20 τ_0=0.39 σ_0=264.56 σ_{ID}=264.56 Σ_T=264.94
CC 30 SLD (Collegamento -179_-383)
Azioni sul collegamento: N=-9511.03 Ty=9.67 Tz=11.87 Mx=0.00 Mz=6.14
Sollecitazioni agenti localmente: Tx_l=9.67 Ty_l=11.87 N_l=-9511.03 My_l=-6.14 Mz_l=0.00
Azioni sul cordone: TP=0.71 TO=0.88 NO=-703.06
Tensioni nel cordone: τ_P=0.23 τ_0=0.28 σ_0=232.43 σ_{ID}=232.43 Σ_T=232.71
CC 30 SLD (Collegamento -179_-383)
Azioni sul collegamento: N=-9511.03 Ty=9.53 Tz=11.87 Mx=0.00 Mz=6.72
Sollecitazioni agenti localmente: Tx_l=9.53 Ty_l=11.87 N_l=-9511.03 My_l=-6.72 Mz_l=0.00
Azioni sul cordone: TP=0.70 TO=0.88 NO=-703.06
Tensioni nel cordone: τ_P=0.22 τ_0=0.28 σ_0=233.28 σ_{ID}=233.28 Σ_T=233.56
CC 30 SLD (Collegamento -179_-383)
Azioni sul collegamento: N=-9511.03 Ty=9.67 Tz=14.18 Mx=0.00 Mz=6.14
Sollecitazioni agenti localmente: Tx_l=9.67 Ty_l=14.18 N_l=-9511.03 My_l=-6.14 Mz_l=0.00
Azioni sul cordone: TP=0.71 TO=1.05 NO=-703.06
Tensioni nel cordone: τ_P=0.23 τ_0=0.33 σ_0=232.43 σ_{ID}=232.43 Σ_T=232.77
CC 30 SLD (Collegamento -179_-383)
Azioni sul collegamento: N=-9511.03 Ty=9.53 Tz=14.18 Mx=0.00 Mz=6.72
Sollecitazioni agenti localmente: Tx_l=9.53 Ty_l=14.18 N_l=-9511.03 My_l=-6.72 Mz_l=0.00
Azioni sul cordone: TP=0.70 TO=1.05 NO=-703.06
Tensioni nel cordone: τ_P=0.22 τ_0=0.33 σ_0=233.28 σ_{ID}=233.28 Σ_T=233.62
CC 30 SLD (Collegamento -179_-383)
Azioni sul collegamento: N=-10221.40 Ty=9.67 Tz=11.87 Mx=0.00 Mz=6.14
Sollecitazioni agenti localmente: Tx_l=9.67 Ty_l=11.87 N_l=-10221.40 My_l=-6.14 Mz_l=0.00
Azioni sul cordone: TP=0.71 TO=0.88 NO=-755.57
Tensioni nel cordone: τ_P=0.23 τ_0=0.28 σ_0=249.13 σ_{ID}=249.13 Σ_T=249.41
CC 30 SLD (Collegamento -179_-383)
Azioni sul collegamento: N=-10221.40 Ty=9.53 Tz=11.87 Mx=0.00 Mz=6.72
Sollecitazioni agenti localmente: Tx_l=9.53 Ty_l=11.87 N_l=-10221.40 My_l=-6.72 Mz_l=0.00
Azioni sul cordone: TP=0.70 TO=0.88 NO=-755.57
Tensioni nel cordone: τ_P=0.22 τ_0=0.28 σ_0=249.98 σ_{ID}=249.98 Σ_T=250.25
CC 30 SLD (Collegamento -179_-383)
Azioni sul collegamento: N=-10221.40 Ty=9.67 Tz=14.18 Mx=0.00 Mz=6.14
Sollecitazioni agenti localmente: Tx_l=9.67 Ty_l=14.18 N_l=-10221.40 My_l=-6.14 Mz_l=0.00
Azioni sul cordone: TP=0.71 TO=1.05 NO=-755.57
Tensioni nel cordone: τ_P=0.23 τ_0=0.33 σ_0=249.13 σ_{ID}=249.13 Σ_T=249.46
CC 30 SLD (Collegamento -179_-383)
Azioni sul collegamento: N=-10221.40 Ty=9.53 Tz=14.18 Mx=0.00 Mz=6.72
Sollecitazioni agenti localmente: Tx_l=9.53 Ty_l=14.18 N_l=-10221.40 My_l=-6.72 Mz_l=0.00
Azioni sul cordone: TP=0.70 TO=1.05 NO=-755.57
Tensioni nel cordone: τ_P=0.22 τ_0=0.33 σ_0=249.98 σ_{ID}=249.98 Σ_T=250.31
CC 31 SLV (Collegamento -179_-383)
Azioni sul collegamento: N=-10950.00 Ty=6.74 Tz=17.52 Mx=-0.00 Mz=1.76
Sollecitazioni agenti localmente: Tx_l=6.74 Ty_l=17.52 N_l=-10950.00 My_l=-1.76 Mz_l=-0.00
Azioni sul cordone: TP=0.50 TO=1.29 NO=-809.42
Tensioni nel cordone: τ_P=0.16 τ_0=0.41 σ_0=259.84 σ_{ID}=259.84 Σ_T=260.25
CC 31 SLV (Collegamento -179_-383)
Azioni sul collegamento: N=-10950.00 Ty=10.61 Tz=17.52 Mx=-0.00 Mz=6.83
Sollecitazioni agenti localmente: Tx_l=10.61 Ty_l=17.52 N_l=-10950.00 My_l=-6.83 Mz_l=-0.00
Azioni sul cordone: TP=0.79 TO=1.29 NO=-809.42
Tensioni nel cordone: τ_P=0.25 τ_0=0.41 σ_0=267.25 σ_{ID}=267.25 Σ_T=267.66
CC 31 SLV (Collegamento -179_-383)
Azioni sul collegamento: N=-10950.00 Ty=6.74 Tz=7.77 Mx=-0.00 Mz=1.76
Sollecitazioni agenti localmente: Tx_l=6.74 Ty_l=7.77 N_l=-10950.00 My_l=-1.76 Mz_l=-0.00
Azioni sul cordone: TP=0.50 TO=0.57 NO=-809.42
Tensioni nel cordone: τ_P=0.16 τ_0=0.18 σ_0=259.84 σ_{ID}=259.84 Σ_T=260.02
CC 31 SLV (Collegamento -179_-383)
Azioni sul collegamento: N=-10950.00 Ty=10.61 Tz=7.77 Mx=-0.00 Mz=6.83
Sollecitazioni agenti localmente: Tx_l=10.61 Ty_l=7.77 N_l=-10950.00 My_l=-6.83 Mz_l=-0.00
Azioni sul cordone: TP=0.79 TO=0.57 NO=-809.42
Tensioni nel cordone: τ_P=0.25 τ_0=0.18 σ_0=267.25 σ_{ID}=267.25 Σ_T=267.43
CC 31 SLV (Collegamento -179_-383)
Azioni sul collegamento: N=-8587.82 Ty=6.74 Tz=17.52 Mx=-0.00 Mz=1.76
Sollecitazioni agenti localmente: Tx_l=6.74 Ty_l=17.52 N_l=-8587.82 My_l=-1.76 Mz_l=-0.00
Azioni sul cordone: TP=0.50 TO=1.29 NO=-634.81
Tensioni nel cordone: τ_P=0.16 τ_0=0.41 σ_0=204.34 σ_{ID}=204.34 Σ_T=204.75
CC 31 SLV (Collegamento -179_-383)
Azioni sul collegamento: N=-8587.82 Ty=10.61 Tz=17.52 Mx=-0.00 Mz=6.83
Sollecitazioni agenti localmente: Tx_l=10.61 Ty_l=17.52 N_l=-8587.82 My_l=-6.83 Mz_l=-0.00
Azioni sul cordone: TP=0.79 TO=1.29 NO=-634.81

Tensioni nel cordone: τ_P=0.25 τ_0=0.41 σ_0=211.75 σ_{ID}=211.75 Σ_T=212.16
CC 31 SLV (Collegamento -179_-383)
Azioni sul collegamento: N=-8587.82 Ty=6.74 Tz=7.77 Mx=-0.00 Mz=1.76
Sollecitazioni agenti localmente: Tx_l=6.74 Ty_l=7.77 N_l=-8587.82 My_l=-1.76 Mz_l=-0.00
Azioni sul cordone: TP=0.50 TO=0.57 NO=-634.81
Tensioni nel cordone: τ_P=0.16 τ_0=0.18 σ_0=204.34 σ_{ID}=204.34 Σ_T=204.52
CC 31 SLV (Collegamento -179_-383)
Azioni sul collegamento: N=-8587.82 Ty=10.61 Tz=7.77 Mx=-0.00 Mz=6.83
Sollecitazioni agenti localmente: Tx_l=10.61 Ty_l=7.77 N_l=-8587.82 My_l=-6.83 Mz_l=-0.00
Azioni sul cordone: TP=0.79 TO=0.57 NO=-634.81
Tensioni nel cordone: τ_P=0.25 τ_0=0.18 σ_0=211.75 σ_{ID}=211.75 Σ_T=211.93
CC 32 SLD (Collegamento -179_-383)
Azioni sul collegamento: N=-10226.40 Ty=9.01 Tz=14.51 Mx=0.00 Mz=5.66
Sollecitazioni agenti localmente: Tx_l=9.01 Ty_l=14.51 N_l=-10226.40 My_l=-5.66 Mz_l=0.00
Azioni sul cordone: TP=0.66 TO=1.07 NO=-755.94
Tensioni nel cordone: τ_P=0.21 τ_0=0.34 σ_0=248.54 σ_{ID}=248.54 Σ_T=248.88
CC 32 SLD (Collegamento -179_-383)
Azioni sul collegamento: N=-10226.40 Ty=10.19 Tz=14.51 Mx=0.00 Mz=7.20
Sollecitazioni agenti localmente: Tx_l=10.19 Ty_l=14.51 N_l=-10226.40 My_l=-7.20 Mz_l=0.00
Azioni sul cordone: TP=0.75 TO=1.07 NO=-755.94
Tensioni nel cordone: τ_P=0.24 τ_0=0.34 σ_0=250.80 σ_{ID}=250.80 Σ_T=251.14
CC 32 SLD (Collegamento -179_-383)
Azioni sul collegamento: N=-10226.40 Ty=9.01 Tz=11.54 Mx=0.00 Mz=5.66
Sollecitazioni agenti localmente: Tx_l=9.01 Ty_l=11.54 N_l=-10226.40 My_l=-5.66 Mz_l=0.00
Azioni sul cordone: TP=0.66 TO=0.85 NO=-755.94
Tensioni nel cordone: τ_P=0.21 τ_0=0.27 σ_0=248.54 σ_{ID}=248.54 Σ_T=248.81
CC 32 SLD (Collegamento -179_-383)
Azioni sul collegamento: N=-10226.40 Ty=10.19 Tz=11.54 Mx=0.00 Mz=7.20
Sollecitazioni agenti localmente: Tx_l=10.19 Ty_l=11.54 N_l=-10226.40 My_l=-7.20 Mz_l=0.00
Azioni sul cordone: TP=0.75 TO=0.85 NO=-755.94
Tensioni nel cordone: τ_P=0.24 τ_0=0.27 σ_0=250.80 σ_{ID}=250.80 Σ_T=251.07
CC 32 SLD (Collegamento -179_-383)
Azioni sul collegamento: N=-9506.09 Ty=9.01 Tz=14.51 Mx=0.00 Mz=5.66
Sollecitazioni agenti localmente: Tx_l=9.01 Ty_l=14.51 N_l=-9506.09 My_l=-5.66 Mz_l=0.00
Azioni sul cordone: TP=0.66 TO=1.07 NO=-702.69
Tensioni nel cordone: τ_P=0.21 τ_0=0.34 σ_0=231.61 σ_{ID}=231.61 Σ_T=231.96
CC 32 SLD (Collegamento -179_-383)
Azioni sul collegamento: N=-9506.09 Ty=10.19 Tz=14.51 Mx=0.00 Mz=7.20
Sollecitazioni agenti localmente: Tx_l=10.19 Ty_l=14.51 N_l=-9506.09 My_l=-7.20 Mz_l=0.00
Azioni sul cordone: TP=0.75 TO=1.07 NO=-702.69
Tensioni nel cordone: τ_P=0.24 τ_0=0.34 σ_0=233.87 σ_{ID}=233.87 Σ_T=234.22
CC 32 SLD (Collegamento -179_-383)
Azioni sul collegamento: N=-9506.09 Ty=9.01 Tz=11.54 Mx=0.00 Mz=5.66
Sollecitazioni agenti localmente: Tx_l=9.01 Ty_l=11.54 N_l=-9506.09 My_l=-5.66 Mz_l=0.00
Azioni sul cordone: TP=0.66 TO=0.85 NO=-702.69
Tensioni nel cordone: τ_P=0.21 τ_0=0.27 σ_0=231.61 σ_{ID}=231.61 Σ_T=231.88
CC 32 SLD (Collegamento -179_-383)
Azioni sul collegamento: N=-9506.09 Ty=10.19 Tz=11.54 Mx=0.00 Mz=7.20
Sollecitazioni agenti localmente: Tx_l=10.19 Ty_l=11.54 N_l=-9506.09 My_l=-7.20 Mz_l=0.00
Azioni sul cordone: TP=0.75 TO=0.85 NO=-702.69
Tensioni nel cordone: τ_P=0.24 τ_0=0.27 σ_0=233.87 σ_{ID}=233.87 Σ_T=234.15
CC 33 SLU (Collegamento -179_-383)
Azioni sul collegamento: N=-36428.20 Ty=20.21 Tz=102.49 Mx=0.01 Mz=15.01
Sollecitazioni agenti localmente: Tx_l=20.21 Ty_l=102.49 N_l=-36428.20 My_l=-15.01 Mz_l=0.01
Azioni sul cordone: TP=1.49 TO=7.58 NO=-2692.78
Tensioni nel cordone: τ_P=0.47 τ_0=2.41 σ_0=877.82 σ_{ID}=877.83 Σ_T=880.23
CC 34 SLU (Collegamento -179_-383)
Azioni sul collegamento: N=-37242.40 Ty=20.96 Tz=105.49 Mx=0.01 Mz=15.56
Sollecitazioni agenti localmente: Tx_l=20.96 Ty_l=105.49 N_l=-37242.40 My_l=-15.56 Mz_l=0.01
Azioni sul cordone: TP=1.54 TO=7.80 NO=-2752.97
Tensioni nel cordone: τ_P=0.49 τ_0=2.48 σ_0=897.76 σ_{ID}=897.76 Σ_T=900.24
CC 35 SLU (Collegamento -179_-383)
Azioni sul collegamento: N=-36836.10 Ty=20.67 Tz=103.93 Mx=0.00 Mz=15.47
Sollecitazioni agenti localmente: Tx_l=20.67 Ty_l=103.93 N_l=-36836.10 My_l=-15.47 Mz_l=0.00
Azioni sul cordone: TP=1.52 TO=7.69 NO=-2722.94
Tensioni nel cordone: τ_P=0.48 τ_0=2.44 σ_0=888.08 σ_{ID}=888.08 Σ_T=890.52
CC 36 SLU (Collegamento -179_-383)
Azioni sul collegamento: N=-36834.40 Ty=20.49 Tz=104.05 Mx=0.01 Mz=15.10
Sollecitazioni agenti localmente: Tx_l=20.49 Ty_l=104.05 N_l=-36834.40 My_l=-15.10 Mz_l=0.01
Azioni sul cordone: TP=1.51 TO=7.70 NO=-2722.81
Tensioni nel cordone: τ_P=0.48 τ_0=2.45 σ_0=887.50 σ_{ID}=887.51 Σ_T=889.95
CC 37 SLU (Collegamento -179_-383)
Azioni sul collegamento: N=-29660.30 Ty=-10.68 Tz=77.11 Mx=0.01 Mz=-8.42
Sollecitazioni agenti localmente: Tx_l=-10.68 Ty_l=77.11 N_l=-29660.30 My_l=8.42 Mz_l=0.01
Azioni sul cordone: TP=-0.80 TO=5.70 NO=-2192.50
Tensioni nel cordone: τ_P=0.25 τ_0=1.81 σ_0=709.19 σ_{ID}=709.19 Σ_T=711.00
CC 38 SLU (Collegamento -179_-383)
Azioni sul collegamento: N=-30474.50 Ty=-9.93 Tz=80.11 Mx=0.01 Mz=-7.87
Sollecitazioni agenti localmente: Tx_l=-9.93 Ty_l=80.11 N_l=-30474.50 My_l=7.87 Mz_l=0.01

Azioni sul cordone: TP=-0.74 TO=5.92 NO=-2252.68
Tensioni nel cordone: τ_P=0.24 τ_0=1.88 σ_0=727.51 σ_{ID}=727.51 Σ_T=729.39
CC 39 SLU (Collegamento -179_-383)
Azioni sul collegamento: N=-30068.30 Ty=-10.21 Tz=78.55 Mx=0.00 Mz=-7.97
Sollecitazioni agenti localmente: Tx_l=-10.21 Ty_l=78.55 N_l=-30068.30 My_l=7.97 Mz_l=0.00
Azioni sul cordone: TP=-0.76 TO=5.80 NO=-2222.65
Tensioni nel cordone: τ_P=0.24 τ_0=1.84 σ_0=718.10 σ_{ID}=718.11 Σ_T=719.95
CC 40 SLU (Collegamento -179_-383)
Azioni sul collegamento: N=-30066.50 Ty=-10.39 Tz=78.67 Mx=0.01 Mz=-8.33
Sollecitazioni agenti localmente: Tx_l=-10.39 Ty_l=78.67 N_l=-30066.50 My_l=8.33 Mz_l=0.01
Azioni sul cordone: TP=-0.78 TO=5.81 NO=-2222.52
Tensioni nel cordone: τ_P=0.25 τ_0=1.85 σ_0=718.60 σ_{ID}=718.60 Σ_T=720.44
CC 41 SLU (Collegamento -179_-383)
Azioni sul collegamento: N=-27261.60 Ty=19.33 Tz=68.83 Mx=0.01 Mz=14.21
Sollecitazioni agenti localmente: Tx_l=19.33 Ty_l=68.83 N_l=-27261.60 My_l=-14.21 Mz_l=0.01
Azioni sul cordone: TP=1.42 TO=5.09 NO=-2015.19
Tensioni nel cordone: τ_P=0.45 τ_0=1.62 σ_0=661.29 σ_{ID}=661.29 Σ_T=662.91
CC 42 SLU (Collegamento -179_-383)
Azioni sul collegamento: N=-28075.80 Ty=20.08 Tz=71.84 Mx=0.01 Mz=14.76
Sollecitazioni agenti localmente: Tx_l=20.08 Ty_l=71.84 N_l=-28075.80 My_l=-14.76 Mz_l=0.01
Azioni sul cordone: TP=1.48 TO=5.31 NO=-2075.37
Tensioni nel cordone: τ_P=0.47 τ_0=1.69 σ_0=681.22 σ_{ID}=681.23 Σ_T=682.91
CC 43 SLU (Collegamento -179_-383)
Azioni sul collegamento: N=-27669.60 Ty=19.79 Tz=70.28 Mx=0.00 Mz=14.67
Sollecitazioni agenti localmente: Tx_l=19.79 Ty_l=70.28 N_l=-27669.60 My_l=-14.67 Mz_l=0.00
Azioni sul cordone: TP=1.46 TO=5.20 NO=-2045.34
Tensioni nel cordone: τ_P=0.46 τ_0=1.65 σ_0=671.54 σ_{ID}=671.55 Σ_T=673.20
CC 44 SLU (Collegamento -179_-383)
Azioni sul collegamento: N=-27667.80 Ty=19.61 Tz=70.39 Mx=0.01 Mz=14.31
Sollecitazioni agenti localmente: Tx_l=19.61 Ty_l=70.39 N_l=-27667.80 My_l=-14.31 Mz_l=0.01
Azioni sul cordone: TP=1.44 TO=5.21 NO=-2045.21
Tensioni nel cordone: τ_P=0.46 τ_0=1.66 σ_0=670.97 σ_{ID}=670.97 Σ_T=672.63
CC 45 SLU (Collegamento -179_-383)
Azioni sul collegamento: N=-29271.60 Ty=19.56 Tz=76.22 Mx=0.00 Mz=14.53
Sollecitazioni agenti localmente: Tx_l=19.56 Ty_l=76.22 N_l=-29271.60 My_l=-14.53 Mz_l=0.00
Azioni sul cordone: TP=1.44 TO=5.64 NO=-2163.76
Tensioni nel cordone: τ_P=0.46 τ_0=1.79 σ_0=708.98 σ_{ID}=708.98 Σ_T=710.77
CC 46 SLU (Collegamento -179_-383)
Azioni sul collegamento: N=-30085.80 Ty=20.31 Tz=79.22 Mx=0.00 Mz=15.08
Sollecitazioni agenti localmente: Tx_l=20.31 Ty_l=79.22 N_l=-30085.80 My_l=-15.08 Mz_l=0.00
Azioni sul cordone: TP=1.50 TO=5.86 NO=-2223.95
Tensioni nel cordone: τ_P=0.48 τ_0=1.86 σ_0=728.91 σ_{ID}=728.91 Σ_T=730.77
CC 47 SLU (Collegamento -179_-383)
Azioni sul collegamento: N=-29679.60 Ty=20.02 Tz=77.66 Mx=0.00 Mz=14.99
Sollecitazioni agenti localmente: Tx_l=20.02 Ty_l=77.66 N_l=-29679.60 My_l=-14.99 Mz_l=0.00
Azioni sul cordone: TP=1.48 TO=5.74 NO=-2193.92
Tensioni nel cordone: τ_P=0.47 τ_0=1.83 σ_0=719.23 σ_{ID}=719.23 Σ_T=721.06
CC 48 SLU (Collegamento -179_-383)
Azioni sul collegamento: N=-29677.80 Ty=19.84 Tz=77.78 Mx=0.01 Mz=14.62
Sollecitazioni agenti localmente: Tx_l=19.84 Ty_l=77.78 N_l=-29677.80 My_l=-14.62 Mz_l=0.01
Azioni sul cordone: TP=1.46 TO=5.75 NO=-2193.79
Tensioni nel cordone: τ_P=0.46 τ_0=1.83 σ_0=718.66 σ_{ID}=718.66 Σ_T=720.49
CC 49 SLU (Collegamento -179_-383)
Azioni sul collegamento: N=-24208.20 Ty=-3.55 Tz=57.23 Mx=0.01 Mz=-3.00
Sollecitazioni agenti localmente: Tx_l=-3.55 Ty_l=57.23 N_l=-24208.20 My_l=3.00 Mz_l=0.01
Azioni sul cordone: TP=-0.27 TO=4.23 NO=-1789.48
Tensioni nel cordone: τ_P= 0.09 τ_0=1.34 σ_0=573.17 σ_{ID}=573.17 Σ_T=574.51
CC 50 SLU (Collegamento -179_-383)
Azioni sul collegamento: N=-25022.40 Ty=-2.80 Tz=60.23 Mx=0.01 Mz=-2.45
Sollecitazioni agenti localmente: Tx_l=-2.80 Ty_l=60.23 N_l=-25022.40 My_l=2.45 Mz_l=0.01
Azioni sul cordone: TP=-0.21 TO=4.45 NO=-1849.66
Tensioni nel cordone: τ_P= 0.07 τ_0=1.41 σ_0=591.49 σ_{ID}=591.49 Σ_T=592.91
CC 51 SLU (Collegamento -179_-383)
Azioni sul collegamento: N=-24616.20 Ty=-3.08 Tz=58.67 Mx=0.00 Mz=-2.54
Sollecitazioni agenti localmente: Tx_l=-3.08 Ty_l=58.67 N_l=-24616.20 My_l=2.54 Mz_l=0.00
Azioni sul cordone: TP=-0.23 TO=4.33 NO=-1819.64
Tensioni nel cordone: τ_P= 0.07 τ_0=1.38 σ_0=582.08 σ_{ID}=582.09 Σ_T=583.46
CC 52 SLU (Collegamento -179_-383)
Azioni sul collegamento: N=-24614.40 Ty=-3.26 Tz=58.79 Mx=0.01 Mz=-2.91
Sollecitazioni agenti localmente: Tx_l=-3.26 Ty_l=58.79 N_l=-24614.40 My_l=2.91 Mz_l=0.01
Azioni sul cordone: TP=-0.25 TO=4.34 NO=-1819.51
Tensioni nel cordone: τ_P= 0.08 τ_0=1.38 σ_0=582.58 σ_{ID}=582.58 Σ_T=583.96
CC 53 SLU (Collegamento -179_-383)
Azioni sul collegamento: N=-22413.60 Ty=18.90 Tz=51.04 Mx=0.00 Mz=13.93
Sollecitazioni agenti localmente: Tx_l=18.90 Ty_l=51.04 N_l=-22413.60 My_l=-13.93 Mz_l=0.00
Azioni sul cordone: TP=1.39 TO=3.78 NO=-1656.82
Tensioni nel cordone: τ_P=0.44 τ_0=1.20 σ_0=546.98 σ_{ID}=546.98 Σ_T=548.18
CC 54 SLU (Collegamento -179_-383)
Azioni sul collegamento: N=-23227.90 Ty=19.65 Tz=54.04 Mx=0.00 Mz=14.49

Sollecitazioni agenti localmente: Tx_l=19.65 Ty_l=54.04 N_l=-23227.90 My_l=-14.49 Mz_l=0.00
Azioni sul cordone: TP=1.45 TO=4.00 NO=-1717.01
Tensioni nel cordone: τ_P=0.46 τ_0=1.27 σ_0=566.91 σ_{ID}=566.91 Σ_T=568.18
CC 55 SLU (Collegamento -179_-383)
Azioni sul collegamento: N=-22821.60 Ty=19.36 Tz=52.48 Mx=0.00 Mz=14.39
Sollecitazioni agenti localmente: Tx_l=19.36 Ty_l=52.48 N_l=-22821.60 My_l=-14.39 Mz_l=0.00
Azioni sul cordone: TP=1.43 TO=3.88 NO=-1686.98
Tensioni nel cordone: τ_P=0.45 τ_0=1.23 σ_0=557.23 σ_{ID}=557.23 Σ_T=558.47
CC 56 SLU (Collegamento -179_-383)
Azioni sul collegamento: N=-22819.90 Ty=19.19 Tz=52.60 Mx=0.01 Mz=14.03
Sollecitazioni agenti localmente: Tx_l=19.19 Ty_l=52.60 N_l=-22819.90 My_l=-14.03 Mz_l=0.01
Azioni sul cordone: TP=1.41 TO=3.89 NO=-1686.85
Tensioni nel cordone: τ_P=0.45 τ_0=1.24 σ_0=556.66 σ_{ID}=556.66 Σ_T=557.89
CC 57 SLU (Collegamento -179_-383)
Azioni sul collegamento: N=-30019.90 Ty=20.54 Tz=79.01 Mx=0.00 Mz=15.25
Sollecitazioni agenti localmente: Tx_l=20.54 Ty_l=79.01 N_l=-30019.90 My_l=-15.25 Mz_l=0.00
Azioni sul cordone: TP=1.51 TO=5.84 NO=-2219.08
Tensioni nel cordone: τ_P=0.48 τ_0=1.86 σ_0=727.61 σ_{ID}=727.62 Σ_T=729.47
CC 58 SLU (Collegamento -179_-383)
Azioni sul collegamento: N=-30834.10 Ty=21.29 Tz=82.01 Mx=0.00 Mz=15.80
Sollecitazioni agenti localmente: Tx_l=21.29 Ty_l=82.01 N_l=-30834.10 My_l=-15.80 Mz_l=0.00
Azioni sul cordone: TP=1.57 TO=6.07 NO=-2279.27
Tensioni nel cordone: τ_P=0.50 τ_0=1.93 σ_0=747.55 σ_{ID}=747.55 Σ_T=749.48
CC 59 SLU (Collegamento -179_-383)
Azioni sul collegamento: N=-30427.90 Ty=21.01 Tz=80.45 Mx=0.00 Mz=15.71
Sollecitazioni agenti localmente: Tx_l=21.01 Ty_l=80.45 N_l=-30427.90 My_l=-15.71 Mz_l=0.00
Azioni sul cordone: TP=1.55 TO=5.95 NO=-2249.24
Tensioni nel cordone: τ_P=0.49 τ_0=1.89 σ_0=737.87 σ_{ID}=737.87 Σ_T=739.76
CC 60 SLU (Collegamento -179_-383)
Azioni sul collegamento: N=-30426.20 Ty=20.83 Tz=80.57 Mx=0.01 Mz=15.34
Sollecitazioni agenti localmente: Tx_l=20.83 Ty_l=80.57 N_l=-30426.20 My_l=-15.34 Mz_l=0.01
Azioni sul cordone: TP=1.53 TO=5.96 NO=-2249.11
Tensioni nel cordone: τ_P=0.49 τ_0=1.89 σ_0=737.29 σ_{ID}=737.29 Σ_T=739.19
CC 61 SLU (Collegamento -179_-383)
Azioni sul collegamento: N=-24956.60 Ty=-2.56 Tz=60.02 Mx=0.00 Mz=-2.28
Sollecitazioni agenti localmente: Tx_l=-2.56 Ty_l=60.02 N_l=-24956.60 My_l=2.28 Mz_l=0.00
Azioni sul cordone: TP=-0.20 TO=4.43 NO=-1844.80
Tensioni nel cordone: τ_P= 0.06 τ_0=1.41 σ_0=589.70 σ_{ID}=589.70 Σ_T=591.11
CC 62 SLU (Collegamento -179_-383)
Azioni sul collegamento: N=-25770.80 Ty=-1.81 Tz=63.02 Mx=0.00 Mz=-1.73
Sollecitazioni agenti localmente: Tx_l=-1.81 Ty_l=63.02 N_l=-25770.80 My_l=1.73 Mz_l=0.00
Azioni sul cordone: TP=-0.14 TO=4.65 NO=-1904.98
Tensioni nel cordone: τ_P= 0.04 τ_0=1.48 σ_0=608.02 σ_{ID}=608.02 Σ_T=609.50
CC 63 SLU (Collegamento -179_-383)
Azioni sul collegamento: N=-25364.60 Ty=-2.10 Tz=61.46 Mx=0.00 Mz=-1.82
Sollecitazioni agenti localmente: Tx_l=-2.10 Ty_l=61.46 N_l=-25364.60 My_l=1.82 Mz_l=0.00
Azioni sul cordone: TP=-0.16 TO=4.54 NO=-1874.96
Tensioni nel cordone: τ_P= 0.05 τ_0=1.44 σ_0=598.61 σ_{ID}=598.62 Σ_T=600.06
CC 64 SLU (Collegamento -179_-383)
Azioni sul collegamento: N=-25362.80 Ty=-2.28 Tz=61.58 Mx=0.01 Mz=-2.19
Sollecitazioni agenti localmente: Tx_l=-2.28 Ty_l=61.58 N_l=-25362.80 My_l=2.19 Mz_l=0.01
Azioni sul cordone: TP=-0.18 TO=4.55 NO=-1874.82
Tensioni nel cordone: τ_P= 0.06 τ_0=1.45 σ_0=599.11 σ_{ID}=599.11 Σ_T=600.55
CC 65 SLU (Collegamento -179_-383)
Azioni sul collegamento: N=-23162.00 Ty=19.88 Tz=53.83 Mx=0.00 Mz=14.66
Sollecitazioni agenti localmente: Tx_l=19.88 Ty_l=53.83 N_l=-23162.00 My_l=-14.66 Mz_l=0.00
Azioni sul cordone: TP=1.46 TO=3.98 NO=-1712.14
Tensioni nel cordone: τ_P=0.47 τ_0=1.27 σ_0=565.61 σ_{ID}=565.61 Σ_T=566.88
CC 66 SLU (Collegamento -179_-383)
Azioni sul collegamento: N=-23976.20 Ty=20.63 Tz=56.84 Mx=0.00 Mz=15.21
Sollecitazioni agenti localmente: Tx_l=20.63 Ty_l=56.84 N_l=-23976.20 My_l=-15.21 Mz_l=0.00
Azioni sul cordone: TP=1.52 TO=4.21 NO=-1772.33
Tensioni nel cordone: τ_P=0.48 τ_0=1.34 σ_0=585.55 σ_{ID}=585.55 Σ_T=586.88
CC 67 SLU (Collegamento -179_-383)
Azioni sul collegamento: N=-23570.00 Ty=20.35 Tz=55.27 Mx=0.00 Mz=15.11
Sollecitazioni agenti localmente: Tx_l=20.35 Ty_l=55.27 N_l=-23570.00 My_l=-15.11 Mz_l=0.00
Azioni sul cordone: TP=1.50 TO=4.09 NO=-1742.30
Tensioni nel cordone: τ_P=0.48 τ_0=1.30 σ_0=575.87 σ_{ID}=575.87 Σ_T=577.17
CC 68 SLU (Collegamento -179_-383)
Azioni sul collegamento: N=-23568.20 Ty=20.17 Tz=55.39 Mx=0.01 Mz=14.75
Sollecitazioni agenti localmente: Tx_l=20.17 Ty_l=55.39 N_l=-23568.20 My_l=-14.75 Mz_l=0.01
Azioni sul cordone: TP=1.48 TO=4.10 NO=-1742.17
Tensioni nel cordone: τ_P=0.47 τ_0=1.30 σ_0=575.29 σ_{ID}=575.29 Σ_T=576.60
CC 97 SLU (Collegamento -179_-383)
Azioni sul collegamento: N=-12126.50 Ty=21.64 Tz=21.62 Mx=0.05 Mz=23.37
Sollecitazioni agenti localmente: Tx_l=21.64 Ty_l=21.62 N_l=-12126.50 My_l=-23.37 Mz_l=0.05
Azioni sul cordone: TP=1.54 TO=1.64 NO=-896.39
Tensioni nel cordone: τ_P=0.49 τ_0=0.52 σ_0=319.06 σ_{ID}=319.06 Σ_T=319.58
CC 98 SLU (Collegamento -179_-383)

Azioni sul collegamento: N=-12940.70 Ty=22.39 Tz=24.63 Mx=0.05 Mz=23.92
Sollecitazioni agenti localmente: Tx_l=22.39 Ty_l=24.63 N_l=-12940.70 My_l=-23.92 Mz_l=0.05
Azioni sul cordone: TP=1.60 TO=1.86 NO=-956.58
Tensioni nel cordone: τ_P=0.51 τ_O=0.59 σ_O=339.00 σ_{ID}=339.00 Σ_T=339.59
CC 99 SLU (Collegamento -179_-383)
Azioni sul collegamento: N=-12534.50 Ty=22.10 Tz=23.06 Mx=0.05 Mz=23.83
Sollecitazioni agenti localmente: Tx_l=22.10 Ty_l=23.06 N_l=-12534.50 My_l=-23.83 Mz_l=0.05
Azioni sul cordone: TP=1.58 TO=1.74 NO=-926.55
Tensioni nel cordone: τ_P=0.50 τ_O=0.55 σ_O=329.31 σ_{ID}=329.31 Σ_T=329.87
CC 100 SLU (Collegamento -179_-383)
Azioni sul collegamento: N=-12532.70 Ty=21.92 Tz=23.18 Mx=0.05 Mz=23.46
Sollecitazioni agenti localmente: Tx_l=21.92 Ty_l=23.18 N_l=-12532.70 My_l=-23.46 Mz_l=0.05
Azioni sul cordone: TP=1.56 TO=1.75 NO=-926.42
Tensioni nel cordone: τ_P=0.50 τ_O=0.56 σ_O=328.74 σ_{ID}=328.74 Σ_T=329.30
CC 101 SLU (Collegamento -179_-383)
Azioni sul collegamento: N=-9752.38 Ty=7.57 Tz=12.50 Mx=-0.00 Mz=4.76
Sollecitazioni agenti localmente: Tx_l=7.57 Ty_l=12.50 N_l=-9752.38 My_l=-4.76 Mz_l=-0.00
Azioni sul cordone: TP=0.56 TO=0.92 NO=-720.90
Tensioni nel cordone: τ_P=0.18 τ_O=0.29 σ_O=236.09 σ_{ID}=236.09 Σ_T=236.39
CC 102 SLU (Collegamento -179_-383)
Azioni sul collegamento: N=-10566.60 Ty=8.33 Tz=15.50 Mx=-0.00 Mz=5.31
Sollecitazioni agenti localmente: Tx_l=8.33 Ty_l=15.50 N_l=-10566.60 My_l=-5.31 Mz_l=-0.00
Azioni sul cordone: TP=0.62 TO=1.14 NO=-781.09
Tensioni nel cordone: τ_P=0.20 τ_O=0.36 σ_O=256.03 σ_{ID}=256.03 Σ_T=256.39
CC 103 SLU (Collegamento -179_-383)
Azioni sul collegamento: N=-10160.40 Ty=8.04 Tz=13.94 Mx=-0.00 Mz=5.22
Sollecitazioni agenti localmente: Tx_l=8.04 Ty_l=13.94 N_l=-10160.40 My_l=-5.22 Mz_l=-0.00
Azioni sul cordone: TP=0.60 TO=1.03 NO=-751.06
Tensioni nel cordone: τ_P=0.19 τ_O=0.33 σ_O=246.35 σ_{ID}=246.35 Σ_T=246.67
CC 104 SLU (Collegamento -179_-383)
Azioni sul collegamento: N=-10158.60 Ty=7.86 Tz=14.06 Mx=-0.00 Mz=4.85
Sollecitazioni agenti localmente: Tx_l=7.86 Ty_l=14.06 N_l=-10158.60 My_l=-4.85 Mz_l=-0.00
Azioni sul cordone: TP=0.58 TO=1.04 NO=-750.93
Tensioni nel cordone: τ_P=0.19 τ_O=0.33 σ_O=245.77 σ_{ID}=245.77 Σ_T=246.10

Flessione attacco superiore piastra

Bnetta=220.00 Hnetta=15.00
CC 1 SLV (Collegamento -179_-383)
Azioni sul collegamento: N=-6136.64 Ty=15.19 Tz=-0.86 Mx=0.02 Mz=13.60
Sollecitazioni agenti localmente: Ty_l=-1115.75 Mx_l=-22.32
Tensioni nella sezione: σ=270.49 τ=33.81
CC 1 SLV (Collegamento -179_-383)
Azioni sul collegamento: N=-6136.64 Ty=7.48 Tz=-0.86 Mx=0.02 Mz=7.28
Sollecitazioni agenti localmente: Ty_l=-1115.75 Mx_l=-22.32
Tensioni nella sezione: σ=270.49 τ=33.81
CC 1 SLV (Collegamento -179_-383)
Azioni sul collegamento: N=-6136.64 Ty=15.19 Tz=28.35 Mx=0.02 Mz=13.60
Sollecitazioni agenti localmente: Ty_l=-1115.75 Mx_l=-22.32
Tensioni nella sezione: σ=270.49 τ=33.81
CC 1 SLV (Collegamento -179_-383)
Azioni sul collegamento: N=-6136.64 Ty=7.48 Tz=28.35 Mx=0.02 Mz=7.28
Sollecitazioni agenti localmente: Ty_l=-1115.75 Mx_l=-22.32
Tensioni nella sezione: σ=270.49 τ=33.81
CC 1 SLV (Collegamento -179_-383)
Azioni sul collegamento: N=-13961.30 Ty=15.19 Tz=-0.86 Mx=0.02 Mz=13.60
Sollecitazioni agenti localmente: Ty_l=-2538.42 Mx_l=-50.77
Tensioni nella sezione: σ=615.37 τ=76.92
CC 1 SLV (Collegamento -179_-383)
Azioni sul collegamento: N=-13961.30 Ty=7.48 Tz=-0.86 Mx=0.02 Mz=7.28
Sollecitazioni agenti localmente: Ty_l=-2538.42 Mx_l=-50.77
Tensioni nella sezione: σ=615.37 τ=76.92
CC 1 SLV (Collegamento -179_-383)
Azioni sul collegamento: N=-13961.30 Ty=15.19 Tz=28.35 Mx=0.02 Mz=13.60
Sollecitazioni agenti localmente: Ty_l=-2538.42 Mx_l=-50.77
Tensioni nella sezione: σ=615.37 τ=76.92
CC 1 SLV (Collegamento -179_-383)
Azioni sul collegamento: N=-13961.30 Ty=7.48 Tz=28.35 Mx=0.02 Mz=7.28
Sollecitazioni agenti localmente: Ty_l=-2538.42 Mx_l=-50.77
Tensioni nella sezione: σ=615.37 τ=76.92
CC 2 SLD (Collegamento -179_-383)
Azioni sul collegamento: N=-8758.64 Ty=11.59 Tz=8.91 Mx=0.01 Mz=9.27
Sollecitazioni agenti localmente: Ty_l=-1592.48 Mx_l=-31.85
Tensioni nella sezione: σ=386.06 τ=48.26
CC 2 SLD (Collegamento -179_-383)
Azioni sul collegamento: N=-8758.64 Ty=9.24 Tz=8.91 Mx=0.01 Mz=7.34
Sollecitazioni agenti localmente: Ty_l=-1592.48 Mx_l=-31.85
Tensioni nella sezione: σ=386.06 τ=48.26
CC 2 SLD (Collegamento -179_-383)

Azioni sul collegamento: N=-8758.64 Ty=11.59 Tz=17.82 Mx=0.01 Mz=9.27
Sollecitazioni agenti localmente: Ty_l=-1592.48 Mx_l=-31.85
Tensioni nella sezione: σ=386.06 τ=48.26
CC 2 SLD (Collegamento -179_-383)
Azioni sul collegamento: N=-8758.64 Ty=9.24 Tz=17.82 Mx=0.01 Mz=7.34
Sollecitazioni agenti localmente: Ty_l=-1592.48 Mx_l=-31.85
Tensioni nella sezione: σ=386.06 τ=48.26
CC 2 SLD (Collegamento -179_-383)
Azioni sul collegamento: N=-11144.60 Ty=11.59 Tz=8.91 Mx=0.01 Mz=9.27
Sollecitazioni agenti localmente: Ty_l=-2026.30 Mx_l=-40.53
Tensioni nella sezione: σ=491.22 τ=61.40
CC 2 SLD (Collegamento -179_-383)
Azioni sul collegamento: N=-11144.60 Ty=9.24 Tz=8.91 Mx=0.01 Mz=7.34
Sollecitazioni agenti localmente: Ty_l=-2026.30 Mx_l=-40.53
Tensioni nella sezione: σ=491.22 τ=61.40
CC 2 SLD (Collegamento -179_-383)
Azioni sul collegamento: N=-11144.60 Ty=11.59 Tz=17.82 Mx=0.01 Mz=9.27
Sollecitazioni agenti localmente: Ty_l=-2026.30 Mx_l=-40.53
Tensioni nella sezione: σ=491.22 τ=61.40
CC 2 SLD (Collegamento -179_-383)
Azioni sul collegamento: N=-11144.60 Ty=9.24 Tz=17.82 Mx=0.01 Mz=7.34
Sollecitazioni agenti localmente: Ty_l=-2026.30 Mx_l=-40.53
Tensioni nella sezione: σ=491.22 τ=61.40
CC 3 SLV (Collegamento -179_-383)
Azioni sul collegamento: N=-6141.51 Ty=14.68 Tz=-0.53 Mx=0.01 Mz=12.56
Sollecitazioni agenti localmente: Ty_l=-1116.64 Mx_l=-22.33
Tensioni nella sezione: σ=270.70 τ=33.84
CC 3 SLV (Collegamento -179_-383)
Azioni sul collegamento: N=-6141.51 Ty=7.99 Tz=-0.53 Mx=0.01 Mz=8.33
Sollecitazioni agenti localmente: Ty_l=-1116.64 Mx_l=-22.33
Tensioni nella sezione: σ=270.70 τ=33.84
CC 3 SLV (Collegamento -179_-383)
Azioni sul collegamento: N=-6141.51 Ty=14.68 Tz=28.02 Mx=0.01 Mz=12.56
Sollecitazioni agenti localmente: Ty_l=-1116.64 Mx_l=-22.33
Tensioni nella sezione: σ=270.70 τ=33.84
CC 3 SLV (Collegamento -179_-383)
Azioni sul collegamento: N=-6141.51 Ty=7.99 Tz=28.02 Mx=0.01 Mz=8.33
Sollecitazioni agenti localmente: Ty_l=-1116.64 Mx_l=-22.33
Tensioni nella sezione: σ=270.70 τ=33.84
CC 3 SLV (Collegamento -179_-383)
Azioni sul collegamento: N=-13956.40 Ty=14.68 Tz=-0.53 Mx=0.01 Mz=12.56
Sollecitazioni agenti localmente: Ty_l=-2537.54 Mx_l=-50.75
Tensioni nella sezione: σ=615.16 τ=76.89
CC 3 SLV (Collegamento -179_-383)
Azioni sul collegamento: N=-13956.40 Ty=7.99 Tz=-0.53 Mx=0.01 Mz=8.33
Sollecitazioni agenti localmente: Ty_l=-2537.54 Mx_l=-50.75
Tensioni nella sezione: σ=615.16 τ=76.89
CC 3 SLV (Collegamento -179_-383)
Azioni sul collegamento: N=-13956.40 Ty=14.68 Tz=28.02 Mx=0.01 Mz=12.56
Sollecitazioni agenti localmente: Ty_l=-2537.54 Mx_l=-50.75
Tensioni nella sezione: σ=615.16 τ=76.89
CC 3 SLV (Collegamento -179_-383)
Azioni sul collegamento: N=-13956.40 Ty=7.99 Tz=28.02 Mx=0.01 Mz=8.33
Sollecitazioni agenti localmente: Ty_l=-2537.54 Mx_l=-50.75
Tensioni nella sezione: σ=615.16 τ=76.89
CC 4 SLD (Collegamento -179_-383)
Azioni sul collegamento: N=-8760.13 Ty=11.43 Tz=9.01 Mx=0.01 Mz=8.95
Sollecitazioni agenti localmente: Ty_l=-1592.75 Mx_l=-31.85
Tensioni nella sezione: σ=386.12 τ=48.27
CC 4 SLD (Collegamento -179_-383)
Azioni sul collegamento: N=-8760.13 Ty=9.39 Tz=9.01 Mx=0.01 Mz=7.66
Sollecitazioni agenti localmente: Ty_l=-1592.75 Mx_l=-31.85
Tensioni nella sezione: σ=386.12 τ=48.27
CC 4 SLD (Collegamento -179_-383)
Azioni sul collegamento: N=-8760.13 Ty=11.43 Tz=17.72 Mx=0.01 Mz=8.95
Sollecitazioni agenti localmente: Ty_l=-1592.75 Mx_l=-31.85
Tensioni nella sezione: σ=386.12 τ=48.27
CC 4 SLD (Collegamento -179_-383)
Azioni sul collegamento: N=-8760.13 Ty=9.39 Tz=17.72 Mx=0.01 Mz=7.66
Sollecitazioni agenti localmente: Ty_l=-1592.75 Mx_l=-31.85
Tensioni nella sezione: σ=386.12 τ=48.27
CC 4 SLD (Collegamento -179_-383)
Azioni sul collegamento: N=-11143.10 Ty=11.43 Tz=9.01 Mx=0.01 Mz=8.95
Sollecitazioni agenti localmente: Ty_l=-2026.03 Mx_l=-40.52
Tensioni nella sezione: σ=491.16 τ=61.39
CC 4 SLD (Collegamento -179_-383)
Azioni sul collegamento: N=-11143.10 Ty=9.39 Tz=9.01 Mx=0.01 Mz=7.66
Sollecitazioni agenti localmente: Ty_l=-2026.03 Mx_l=-40.52
Tensioni nella sezione: σ=491.16 τ=61.39

CC 4 SLD (Collegamento -179_-383)
Azioni sul collegamento: N=-11143.10 Ty=11.43 Tz=17.72 Mx=0.01 Mz=8.95
Sollecitazioni agenti localmente: Ty_l=-2026.03 Mx_l=-40.52
Tensioni nella sezione: σ=491.16 τ=61.39
CC 4 SLD (Collegamento -179_-383)
Azioni sul collegamento: N=-11143.10 Ty=9.39 Tz=17.72 Mx=0.01 Mz=7.66
Sollecitazioni agenti localmente: Ty_l=-2026.03 Mx_l=-40.52
Tensioni nella sezione: σ=491.16 τ=61.39
CC 5 SLV (Collegamento -179_-383)
Azioni sul collegamento: N=-13956.40 Ty=7.99 Tz=28.02 Mx=0.02 Mz=8.33
Sollecitazioni agenti localmente: Ty_l=-2537.54 Mx_l=-50.75
Tensioni nella sezione: σ=615.16 τ=76.89
CC 5 SLV (Collegamento -179_-383)
Azioni sul collegamento: N=-13956.40 Ty=14.68 Tz=28.02 Mx=0.02 Mz=12.56
Sollecitazioni agenti localmente: Ty_l=-2537.54 Mx_l=-50.75
Tensioni nella sezione: σ=615.16 τ=76.89
CC 5 SLV (Collegamento -179_-383)
Azioni sul collegamento: N=-13956.40 Ty=7.99 Tz=-0.53 Mx=0.02 Mz=8.33
Sollecitazioni agenti localmente: Ty_l=-2537.54 Mx_l=-50.75
Tensioni nella sezione: σ=615.16 τ=76.89
CC 5 SLV (Collegamento -179_-383)
Azioni sul collegamento: N=-13956.40 Ty=14.68 Tz=-0.53 Mx=0.02 Mz=12.56
Sollecitazioni agenti localmente: Ty_l=-2537.54 Mx_l=-50.75
Tensioni nella sezione: σ=615.16 τ=76.89
CC 5 SLV (Collegamento -179_-383)
Azioni sul collegamento: N=-6141.51 Ty=7.99 Tz=28.02 Mx=0.02 Mz=8.33
Sollecitazioni agenti localmente: Ty_l=-1116.64 Mx_l=-22.33
Tensioni nella sezione: σ=270.70 τ=33.84
CC 5 SLV (Collegamento -179_-383)
Azioni sul collegamento: N=-6141.51 Ty=14.68 Tz=28.02 Mx=0.02 Mz=12.56
Sollecitazioni agenti localmente: Ty_l=-1116.64 Mx_l=-22.33
Tensioni nella sezione: σ=270.70 τ=33.84
CC 5 SLV (Collegamento -179_-383)
Azioni sul collegamento: N=-6141.51 Ty=7.99 Tz=-0.53 Mx=0.02 Mz=8.33
Sollecitazioni agenti localmente: Ty_l=-1116.64 Mx_l=-22.33
Tensioni nella sezione: σ=270.70 τ=33.84
CC 5 SLV (Collegamento -179_-383)
Azioni sul collegamento: N=-6141.51 Ty=14.68 Tz=-0.53 Mx=0.02 Mz=12.56
Sollecitazioni agenti localmente: Ty_l=-1116.64 Mx_l=-22.33
Tensioni nella sezione: σ=270.70 τ=33.84
CC 6 SLD (Collegamento -179_-383)
Azioni sul collegamento: N=-11143.10 Ty=9.39 Tz=17.72 Mx=0.01 Mz=7.66
Sollecitazioni agenti localmente: Ty_l=-2026.03 Mx_l=-40.52
Tensioni nella sezione: σ=491.16 τ=61.39
CC 6 SLD (Collegamento -179_-383)
Azioni sul collegamento: N=-11143.10 Ty=11.43 Tz=17.72 Mx=0.01 Mz=8.95
Sollecitazioni agenti localmente: Ty_l=-2026.03 Mx_l=-40.52
Tensioni nella sezione: σ=491.16 τ=61.39
CC 6 SLD (Collegamento -179_-383)
Azioni sul collegamento: N=-11143.10 Ty=9.39 Tz=9.01 Mx=0.01 Mz=7.66
Sollecitazioni agenti localmente: Ty_l=-2026.03 Mx_l=-40.52
Tensioni nella sezione: σ=491.16 τ=61.39
CC 6 SLD (Collegamento -179_-383)
Azioni sul collegamento: N=-11143.10 Ty=11.43 Tz=9.01 Mx=0.01 Mz=8.95
Sollecitazioni agenti localmente: Ty_l=-2026.03 Mx_l=-40.52
Tensioni nella sezione: σ=491.16 τ=61.39
CC 6 SLD (Collegamento -179_-383)
Azioni sul collegamento: N=-8760.13 Ty=9.39 Tz=17.72 Mx=0.01 Mz=7.66
Sollecitazioni agenti localmente: Ty_l=-1592.75 Mx_l=-31.85
Tensioni nella sezione: σ=386.12 τ=48.27
CC 6 SLD (Collegamento -179_-383)
Azioni sul collegamento: N=-8760.13 Ty=11.43 Tz=17.72 Mx=0.01 Mz=8.95
Sollecitazioni agenti localmente: Ty_l=-1592.75 Mx_l=-31.85
Tensioni nella sezione: σ=386.12 τ=48.27
CC 6 SLD (Collegamento -179_-383)
Azioni sul collegamento: N=-8760.13 Ty=9.39 Tz=9.01 Mx=0.01 Mz=7.66
Sollecitazioni agenti localmente: Ty_l=-1592.75 Mx_l=-31.85
Tensioni nella sezione: σ=386.12 τ=48.27
CC 6 SLD (Collegamento -179_-383)
Azioni sul collegamento: N=-8760.13 Ty=11.43 Tz=9.01 Mx=0.01 Mz=8.95
Sollecitazioni agenti localmente: Ty_l=-1592.75 Mx_l=-31.85
Tensioni nella sezione: σ=386.12 τ=48.27
CC 7 SLV (Collegamento -179_-383)
Azioni sul collegamento: N=-13961.30 Ty=7.48 Tz=28.35 Mx=0.01 Mz=7.28
Sollecitazioni agenti localmente: Ty_l=-2538.42 Mx_l=-50.77
Tensioni nella sezione: σ=615.37 τ=76.92
CC 7 SLV (Collegamento -179_-383)
Azioni sul collegamento: N=-13961.30 Ty=15.19 Tz=28.35 Mx=0.01 Mz=13.60
Sollecitazioni agenti localmente: Ty_l=-2538.42 Mx_l=-50.77

Tensioni nella sezione: σ=615.37 τ=76.92
CC 7 SLV (Collegamento -179_-383)
Azioni sul collegamento: N=-13961.30 Ty=7.48 Tz=-0.86 Mx=0.01 Mz=7.28
Sollecitazioni agenti localmente: Ty_l=-2538.42 Mx_l=-50.77
Tensioni nella sezione: σ=615.37 τ=76.92
CC 7 SLV (Collegamento -179_-383)
Azioni sul collegamento: N=-13961.30 Ty=15.19 Tz=-0.86 Mx=0.01 Mz=13.60
Sollecitazioni agenti localmente: Ty_l=-2538.42 Mx_l=-50.77
Tensioni nella sezione: σ=615.37 τ=76.92
CC 7 SLV (Collegamento -179_-383)
Azioni sul collegamento: N=-6136.64 Ty=7.48 Tz=28.35 Mx=0.01 Mz=7.28
Sollecitazioni agenti localmente: Ty_l=-1115.75 Mx_l=-22.32
Tensioni nella sezione: σ=270.49 τ=33.81
CC 7 SLV (Collegamento -179_-383)
Azioni sul collegamento: N=-6136.64 Ty=15.19 Tz=28.35 Mx=0.01 Mz=13.60
Sollecitazioni agenti localmente: Ty_l=-1115.75 Mx_l=-22.32
Tensioni nella sezione: σ=270.49 τ=33.81
CC 7 SLV (Collegamento -179_-383)
Azioni sul collegamento: N=-6136.64 Ty=7.48 Tz=-0.86 Mx=0.01 Mz=7.28
Sollecitazioni agenti localmente: Ty_l=-1115.75 Mx_l=-22.32
Tensioni nella sezione: σ=270.49 τ=33.81
CC 7 SLV (Collegamento -179_-383)
Azioni sul collegamento: N=-6136.64 Ty=15.19 Tz=-0.86 Mx=0.01 Mz=13.60
Sollecitazioni agenti localmente: Ty_l=-1115.75 Mx_l=-22.32
Tensioni nella sezione: σ=270.49 τ=33.81
CC 8 SLD (Collegamento -179_-383)
Azioni sul collegamento: N=-11144.60 Ty=9.24 Tz=17.82 Mx=0.01 Mz=7.34
Sollecitazioni agenti localmente: Ty_l=-2026.30 Mx_l=-40.53
Tensioni nella sezione: σ=491.22 τ=61.40
CC 8 SLD (Collegamento -179_-383)
Azioni sul collegamento: N=-11144.60 Ty=11.59 Tz=17.82 Mx=0.01 Mz=9.27
Sollecitazioni agenti localmente: Ty_l=-2026.30 Mx_l=-40.53
Tensioni nella sezione: σ=491.22 τ=61.40
CC 8 SLD (Collegamento -179_-383)
Azioni sul collegamento: N=-11144.60 Ty=9.24 Tz=8.91 Mx=0.01 Mz=7.34
Sollecitazioni agenti localmente: Ty_l=-2026.30 Mx_l=-40.53
Tensioni nella sezione: σ=491.22 τ=61.40
CC 8 SLD (Collegamento -179_-383)
Azioni sul collegamento: N=-11144.60 Ty=11.59 Tz=8.91 Mx=0.01 Mz=9.27
Sollecitazioni agenti localmente: Ty_l=-2026.30 Mx_l=-40.53
Tensioni nella sezione: σ=491.22 τ=61.40
CC 8 SLD (Collegamento -179_-383)
Azioni sul collegamento: N=-8758.64 Ty=9.24 Tz=17.82 Mx=0.01 Mz=7.34
Sollecitazioni agenti localmente: Ty_l=-1592.48 Mx_l=-31.85
Tensioni nella sezione: σ=386.06 τ=48.26
CC 8 SLD (Collegamento -179_-383)
Azioni sul collegamento: N=-8758.64 Ty=11.59 Tz=17.82 Mx=0.01 Mz=9.27
Sollecitazioni agenti localmente: Ty_l=-1592.48 Mx_l=-31.85
Tensioni nella sezione: σ=386.06 τ=48.26
CC 8 SLD (Collegamento -179_-383)
Azioni sul collegamento: N=-8758.64 Ty=9.24 Tz=8.91 Mx=0.01 Mz=7.34
Sollecitazioni agenti localmente: Ty_l=-1592.48 Mx_l=-31.85
Tensioni nella sezione: σ=386.06 τ=48.26
CC 8 SLD (Collegamento -179_-383)
Azioni sul collegamento: N=-8758.64 Ty=11.59 Tz=8.91 Mx=0.01 Mz=9.27
Sollecitazioni agenti localmente: Ty_l=-1592.48 Mx_l=-31.85
Tensioni nella sezione: σ=386.06 τ=48.26
CC 9 SLV (Collegamento -179_-383)
Azioni sul collegamento: N=-8867.90 Ty=13.27 Tz=8.87 Mx=0.02 Mz=12.98
Sollecitazioni agenti localmente: Ty_l=-1612.34 Mx_l=-32.25
Tensioni nella sezione: σ=390.87 τ=48.86
CC 9 SLV (Collegamento -179_-383)
Azioni sul collegamento: N=-8867.90 Ty=9.40 Tz=8.87 Mx=0.02 Mz=7.91
Sollecitazioni agenti localmente: Ty_l=-1612.34 Mx_l=-32.25
Tensioni nella sezione: σ=390.87 τ=48.86
CC 9 SLV (Collegamento -179_-383)
Azioni sul collegamento: N=-8867.90 Ty=13.27 Tz=18.62 Mx=0.02 Mz=12.98
Sollecitazioni agenti localmente: Ty_l=-1612.34 Mx_l=-32.25
Tensioni nella sezione: σ=390.87 τ=48.86
CC 9 SLV (Collegamento -179_-383)
Azioni sul collegamento: N=-8867.90 Ty=9.40 Tz=18.62 Mx=0.02 Mz=7.91
Sollecitazioni agenti localmente: Ty_l=-1612.34 Mx_l=-32.25
Tensioni nella sezione: σ=390.87 τ=48.86
CC 9 SLV (Collegamento -179_-383)
Azioni sul collegamento: N=-11230.10 Ty=13.27 Tz=8.87 Mx=0.02 Mz=12.98
Sollecitazioni agenti localmente: Ty_l=-2041.83 Mx_l=-40.84
Tensioni nella sezione: σ=494.99 τ=61.87
CC 9 SLV (Collegamento -179_-383)
Azioni sul collegamento: N=-11230.10 Ty=9.40 Tz=8.87 Mx=0.02 Mz=7.91

Sollecitazioni agenti localmente: Ty_l=-2041.83 Mx_l=-40.84
Tensioni nella sezione: σ=494.99 τ=61.87
CC 9 SLV (Collegamento -179_-383)
Azioni sul collegamento: N=-11230.10 Ty=13.27 Tz=18.62 Mx=0.02 Mz=12.98
Sollecitazioni agenti localmente: Ty_l=-2041.83 Mx_l=-40.84
Tensioni nella sezione: σ=494.99 τ=61.87
CC 9 SLV (Collegamento -179_-383)
Azioni sul collegamento: N=-11230.10 Ty=9.40 Tz=18.62 Mx=0.02 Mz=7.91
Sollecitazioni agenti localmente: Ty_l=-2041.83 Mx_l=-40.84
Tensioni nella sezione: σ=494.99 τ=61.87
CC 10 SLD (Collegamento -179_-383)
Azioni sul collegamento: N=-9591.49 Ty=11.00 Tz=11.88 Mx=0.01 Mz=9.08
Sollecitazioni agenti localmente: Ty_l=-1743.91 Mx_l=-34.88
Tensioni nella sezione: σ=422.76 τ=52.85
CC 10 SLD (Collegamento -179_-383)
Azioni sul collegamento: N=-9591.49 Ty=9.82 Tz=11.88 Mx=0.01 Mz=7.53
Sollecitazioni agenti localmente: Ty_l=-1743.91 Mx_l=-34.88
Tensioni nella sezione: σ=422.76 τ=52.85
CC 10 SLD (Collegamento -179_-383)
Azioni sul collegamento: N=-9591.49 Ty=11.00 Tz=14.85 Mx=0.01 Mz=9.08
Sollecitazioni agenti localmente: Ty_l=-1743.91 Mx_l=-34.88
Tensioni nella sezione: σ=422.76 τ=52.85
CC 10 SLD (Collegamento -179_-383)
Azioni sul collegamento: N=-9591.49 Ty=9.82 Tz=14.85 Mx=0.01 Mz=7.53
Sollecitazioni agenti localmente: Ty_l=-1743.91 Mx_l=-34.88
Tensioni nella sezione: σ=422.76 τ=52.85
CC 10 SLD (Collegamento -179_-383)
Azioni sul collegamento: N=-10311.80 Ty=11.00 Tz=11.88 Mx=0.01 Mz=9.08
Sollecitazioni agenti localmente: Ty_l=-1874.87 Mx_l=-37.50
Tensioni nella sezione: σ=454.51 τ=56.81
CC 10 SLD (Collegamento -179_-383)
Azioni sul collegamento: N=-10311.80 Ty=9.82 Tz=11.88 Mx=0.01 Mz=7.53
Sollecitazioni agenti localmente: Ty_l=-1874.87 Mx_l=-37.50
Tensioni nella sezione: σ=454.51 τ=56.81
CC 10 SLD (Collegamento -179_-383)
Azioni sul collegamento: N=-10311.80 Ty=11.00 Tz=14.85 Mx=0.01 Mz=9.08
Sollecitazioni agenti localmente: Ty_l=-1874.87 Mx_l=-37.50
Tensioni nella sezione: σ=454.51 τ=56.81
CC 10 SLD (Collegamento -179_-383)
Azioni sul collegamento: N=-10311.80 Ty=9.82 Tz=14.85 Mx=0.01 Mz=7.53
Sollecitazioni agenti localmente: Ty_l=-1874.87 Mx_l=-37.50
Tensioni nella sezione: σ=454.51 τ=56.81
CC 11 SLV (Collegamento -179_-383)
Azioni sul collegamento: N=-11213.80 Ty=11.11 Tz=17.53 Mx=0.02 Mz=11.40
Sollecitazioni agenti localmente: Ty_l=-2038.88 Mx_l=-40.78
Tensioni nella sezione: σ=494.27 τ=61.78
CC 11 SLV (Collegamento -179_-383)
Azioni sul collegamento: N=-11213.80 Ty=11.56 Tz=17.53 Mx=0.02 Mz=9.49
Sollecitazioni agenti localmente: Ty_l=-2038.88 Mx_l=-40.78
Tensioni nella sezione: σ=494.27 τ=61.78
CC 11 SLV (Collegamento -179_-383)
Azioni sul collegamento: N=-11213.80 Ty=11.11 Tz=9.96 Mx=0.02 Mz=11.40
Sollecitazioni agenti localmente: Ty_l=-2038.88 Mx_l=-40.78
Tensioni nella sezione: σ=494.27 τ=61.78
CC 11 SLV (Collegamento -179_-383)
Azioni sul collegamento: N=-11213.80 Ty=11.56 Tz=9.96 Mx=0.02 Mz=9.49
Sollecitazioni agenti localmente: Ty_l=-2038.88 Mx_l=-40.78
Tensioni nella sezione: σ=494.27 τ=61.78
CC 11 SLV (Collegamento -179_-383)
Azioni sul collegamento: N=-8884.11 Ty=11.11 Tz=17.53 Mx=0.02 Mz=11.40
Sollecitazioni agenti localmente: Ty_l=-1615.29 Mx_l=-32.31
Tensioni nella sezione: σ=391.58 τ=48.95
CC 11 SLV (Collegamento -179_-383)
Azioni sul collegamento: N=-8884.11 Ty=11.56 Tz=17.53 Mx=0.02 Mz=9.49
Sollecitazioni agenti localmente: Ty_l=-1615.29 Mx_l=-32.31
Tensioni nella sezione: σ=391.58 τ=48.95
CC 11 SLV (Collegamento -179_-383)
Azioni sul collegamento: N=-8884.11 Ty=11.11 Tz=9.96 Mx=0.02 Mz=11.40
Sollecitazioni agenti localmente: Ty_l=-1615.29 Mx_l=-32.31
Tensioni nella sezione: σ=391.58 τ=48.95
CC 11 SLV (Collegamento -179_-383)
Azioni sul collegamento: N=-8884.11 Ty=11.56 Tz=9.96 Mx=0.02 Mz=9.49
Sollecitazioni agenti localmente: Ty_l=-1615.29 Mx_l=-32.31
Tensioni nella sezione: σ=391.58 τ=48.95
CC 12 SLD (Collegamento -179_-383)
Azioni sul collegamento: N=-10306.80 Ty=10.34 Tz=14.52 Mx=0.01 Mz=8.60
Sollecitazioni agenti localmente: Ty_l=-1873.97 Mx_l=-37.48
Tensioni nella sezione: σ=454.30 τ=56.79
CC 12 SLD (Collegamento -179_-383)

Azioni sul collegamento: N=-10306.80 Ty=10.48 Tz=14.52 Mx=0.01 Mz=8.01
Sollecitazioni agenti localmente: Ty_l=-1873.97 Mx_l=-37.48
Tensioni nella sezione: σ=454.30 τ=56.79
CC 12 SLD (Collegamento -179_-383)
Azioni sul collegamento: N=-10306.80 Ty=10.34 Tz=12.21 Mx=0.01 Mz=8.60
Sollecitazioni agenti localmente: Ty_l=-1873.97 Mx_l=-37.48
Tensioni nella sezione: σ=454.30 τ=56.79
CC 12 SLD (Collegamento -179_-383)
Azioni sul collegamento: N=-10306.80 Ty=10.48 Tz=12.21 Mx=0.01 Mz=8.01
Sollecitazioni agenti localmente: Ty_l=-1873.97 Mx_l=-37.48
Tensioni nella sezione: σ=454.30 τ=56.79
CC 12 SLD (Collegamento -179_-383)
Azioni sul collegamento: N=-9596.43 Ty=10.34 Tz=14.52 Mx=0.01 Mz=8.60
Sollecitazioni agenti localmente: Ty_l=-1744.81 Mx_l=-34.90
Tensioni nella sezione: σ=422.98 τ=52.87
CC 12 SLD (Collegamento -179_-383)
Azioni sul collegamento: N=-9596.43 Ty=10.48 Tz=14.52 Mx=0.01 Mz=8.01
Sollecitazioni agenti localmente: Ty_l=-1744.81 Mx_l=-34.90
Tensioni nella sezione: σ=422.98 τ=52.87
CC 12 SLD (Collegamento -179_-383)
Azioni sul collegamento: N=-9596.43 Ty=10.34 Tz=12.21 Mx=0.01 Mz=8.60
Sollecitazioni agenti localmente: Ty_l=-1744.81 Mx_l=-34.90
Tensioni nella sezione: σ=422.98 τ=52.87
CC 12 SLD (Collegamento -179_-383)
Azioni sul collegamento: N=-9596.43 Ty=10.48 Tz=12.21 Mx=0.01 Mz=8.01
Sollecitazioni agenti localmente: Ty_l=-1744.81 Mx_l=-34.90
Tensioni nella sezione: σ=422.98 τ=52.87
CC 13 SLV (Collegamento -179_-383)
Azioni sul collegamento: N=-8884.11 Ty=11.56 Tz=9.96 Mx=0.01 Mz=9.49
Sollecitazioni agenti localmente: Ty_l=-1615.29 Mx_l=-32.31
Tensioni nella sezione: σ=391.58 τ=48.95
CC 13 SLV (Collegamento -179_-383)
Azioni sul collegamento: N=-8884.11 Ty=11.11 Tz=9.96 Mx=0.01 Mz=11.40
Sollecitazioni agenti localmente: Ty_l=-1615.29 Mx_l=-32.31
Tensioni nella sezione: σ=391.58 τ=48.95
CC 13 SLV (Collegamento -179_-383)
Azioni sul collegamento: N=-8884.11 Ty=11.56 Tz=17.53 Mx=0.01 Mz=9.49
Sollecitazioni agenti localmente: Ty_l=-1615.29 Mx_l=-32.31
Tensioni nella sezione: σ=391.58 τ=48.95
CC 13 SLV (Collegamento -179_-383)
Azioni sul collegamento: N=-8884.11 Ty=11.11 Tz=17.53 Mx=0.01 Mz=11.40
Sollecitazioni agenti localmente: Ty_l=-1615.29 Mx_l=-32.31
Tensioni nella sezione: σ=391.58 τ=48.95
CC 13 SLV (Collegamento -179_-383)
Azioni sul collegamento: N=-11213.80 Ty=11.56 Tz=9.96 Mx=0.01 Mz=9.49
Sollecitazioni agenti localmente: Ty_l=-2038.88 Mx_l=-40.78
Tensioni nella sezione: σ=494.27 τ=61.78
CC 13 SLV (Collegamento -179_-383)
Azioni sul collegamento: N=-11213.80 Ty=11.11 Tz=9.96 Mx=0.01 Mz=11.40
Sollecitazioni agenti localmente: Ty_l=-2038.88 Mx_l=-40.78
Tensioni nella sezione: σ=494.27 τ=61.78
CC 13 SLV (Collegamento -179_-383)
Azioni sul collegamento: N=-11213.80 Ty=11.56 Tz=17.53 Mx=0.01 Mz=9.49
Sollecitazioni agenti localmente: Ty_l=-2038.88 Mx_l=-40.78
Tensioni nella sezione: σ=494.27 τ=61.78
CC 13 SLV (Collegamento -179_-383)
Azioni sul collegamento: N=-11213.80 Ty=11.11 Tz=17.53 Mx=0.01 Mz=11.40
Sollecitazioni agenti localmente: Ty_l=-2038.88 Mx_l=-40.78
Tensioni nella sezione: σ=494.27 τ=61.78
CC 14 SLD (Collegamento -179_-383)
Azioni sul collegamento: N=-9596.43 Ty=10.48 Tz=12.21 Mx=0.00 Mz=8.01
Sollecitazioni agenti localmente: Ty_l=-1744.81 Mx_l=-34.90
Tensioni nella sezione: σ=422.98 τ=52.87
CC 14 SLD (Collegamento -179_-383)
Azioni sul collegamento: N=-9596.43 Ty=10.34 Tz=12.21 Mx=0.00 Mz=8.60
Sollecitazioni agenti localmente: Ty_l=-1744.81 Mx_l=-34.90
Tensioni nella sezione: σ=422.98 τ=52.87
CC 14 SLD (Collegamento -179_-383)
Azioni sul collegamento: N=-9596.43 Ty=10.48 Tz=14.52 Mx=0.00 Mz=8.01
Sollecitazioni agenti localmente: Ty_l=-1744.81 Mx_l=-34.90
Tensioni nella sezione: σ=422.98 τ=52.87
CC 14 SLD (Collegamento -179_-383)
Azioni sul collegamento: N=-9596.43 Ty=10.34 Tz=14.52 Mx=0.00 Mz=8.60
Sollecitazioni agenti localmente: Ty_l=-1744.81 Mx_l=-34.90
Tensioni nella sezione: σ=422.98 τ=52.87
CC 14 SLD (Collegamento -179_-383)
Azioni sul collegamento: N=-10306.80 Ty=10.48 Tz=12.21 Mx=0.00 Mz=8.01
Sollecitazioni agenti localmente: Ty_l=-1873.97 Mx_l=-37.48
Tensioni nella sezione: σ=454.30 τ=56.79

CC 14 SLD (Collegamento -179_-383)
Azioni sul collegamento: N=-10306.80 Ty=10.34 Tz=12.21 Mx=0.00 Mz=8.60
Sollecitazioni agenti localmente: Ty_l=-1873.97 Mx_l=-37.48
Tensioni nella sezione: σ=454.30 τ=56.79
CC 14 SLD (Collegamento -179_-383)
Azioni sul collegamento: N=-10306.80 Ty=10.48 Tz=14.52 Mx=0.00 Mz=8.01
Sollecitazioni agenti localmente: Ty_l=-1873.97 Mx_l=-37.48
Tensioni nella sezione: σ=454.30 τ=56.79
CC 14 SLD (Collegamento -179_-383)
Azioni sul collegamento: N=-10306.80 Ty=10.34 Tz=14.52 Mx=0.00 Mz=8.60
Sollecitazioni agenti localmente: Ty_l=-1873.97 Mx_l=-37.48
Tensioni nella sezione: σ=454.30 τ=56.79
CC 15 SLV (Collegamento -179_-383)
Azioni sul collegamento: N=-11230.10 Ty=9.40 Tz=18.62 Mx=0.01 Mz=7.91
Sollecitazioni agenti localmente: Ty_l=-2041.83 Mx_l=-40.84
Tensioni nella sezione: σ=494.99 τ=61.87
CC 15 SLV (Collegamento -179_-383)
Azioni sul collegamento: N=-11230.10 Ty=13.27 Tz=18.62 Mx=0.01 Mz=12.98
Sollecitazioni agenti localmente: Ty_l=-2041.83 Mx_l=-40.84
Tensioni nella sezione: σ=494.99 τ=61.87
CC 15 SLV (Collegamento -179_-383)
Azioni sul collegamento: N=-11230.10 Ty=9.40 Tz=8.87 Mx=0.01 Mz=7.91
Sollecitazioni agenti localmente: Ty_l=-2041.83 Mx_l=-40.84
Tensioni nella sezione: σ=494.99 τ=61.87
CC 15 SLV (Collegamento -179_-383)
Azioni sul collegamento: N=-11230.10 Ty=13.27 Tz=8.87 Mx=0.01 Mz=12.98
Sollecitazioni agenti localmente: Ty_l=-2041.83 Mx_l=-40.84
Tensioni nella sezione: σ=494.99 τ=61.87
CC 15 SLV (Collegamento -179_-383)
Azioni sul collegamento: N=-8867.90 Ty=9.40 Tz=18.62 Mx=0.01 Mz=7.91
Sollecitazioni agenti localmente: Ty_l=-1612.34 Mx_l=-32.25
Tensioni nella sezione: σ=390.87 τ=48.86
CC 15 SLV (Collegamento -179_-383)
Azioni sul collegamento: N=-8867.90 Ty=13.27 Tz=18.62 Mx=0.01 Mz=12.98
Sollecitazioni agenti localmente: Ty_l=-1612.34 Mx_l=-32.25
Tensioni nella sezione: σ=390.87 τ=48.86
CC 15 SLV (Collegamento -179_-383)
Azioni sul collegamento: N=-8867.90 Ty=9.40 Tz=8.87 Mx=0.01 Mz=7.91
Sollecitazioni agenti localmente: Ty_l=-1612.34 Mx_l=-32.25
Tensioni nella sezione: σ=390.87 τ=48.86
CC 15 SLV (Collegamento -179_-383)
Azioni sul collegamento: N=-8867.90 Ty=13.27 Tz=8.87 Mx=0.01 Mz=12.98
Sollecitazioni agenti localmente: Ty_l=-1612.34 Mx_l=-32.25
Tensioni nella sezione: σ=390.87 τ=48.86
CC 16 SLD (Collegamento -179_-383)
Azioni sul collegamento: N=-10311.80 Ty=9.82 Tz=14.85 Mx=0.00 Mz=7.53
Sollecitazioni agenti localmente: Ty_l=-1874.87 Mx_l=-37.50
Tensioni nella sezione: σ=454.51 τ=56.81
CC 16 SLD (Collegamento -179_-383)
Azioni sul collegamento: N=-10311.80 Ty=11.00 Tz=14.85 Mx=0.00 Mz=9.08
Sollecitazioni agenti localmente: Ty_l=-1874.87 Mx_l=-37.50
Tensioni nella sezione: σ=454.51 τ=56.81
CC 16 SLD (Collegamento -179_-383)
Azioni sul collegamento: N=-10311.80 Ty=9.82 Tz=11.88 Mx=0.00 Mz=7.53
Sollecitazioni agenti localmente: Ty_l=-1874.87 Mx_l=-37.50
Tensioni nella sezione: σ=454.51 τ=56.81
CC 16 SLD (Collegamento -179_-383)
Azioni sul collegamento: N=-10311.80 Ty=11.00 Tz=11.88 Mx=0.00 Mz=9.08
Sollecitazioni agenti localmente: Ty_l=-1874.87 Mx_l=-37.50
Tensioni nella sezione: σ=454.51 τ=56.81
CC 16 SLD (Collegamento -179_-383)
Azioni sul collegamento: N=-9591.49 Ty=9.82 Tz=14.85 Mx=0.00 Mz=7.53
Sollecitazioni agenti localmente: Ty_l=-1743.91 Mx_l=-34.88
Tensioni nella sezione: σ=422.76 τ=52.85
CC 16 SLD (Collegamento -179_-383)
Azioni sul collegamento: N=-9591.49 Ty=11.00 Tz=14.85 Mx=0.00 Mz=9.08
Sollecitazioni agenti localmente: Ty_l=-1743.91 Mx_l=-34.88
Tensioni nella sezione: σ=422.76 τ=52.85
CC 16 SLD (Collegamento -179_-383)
Azioni sul collegamento: N=-9591.49 Ty=9.82 Tz=11.88 Mx=0.00 Mz=7.53
Sollecitazioni agenti localmente: Ty_l=-1743.91 Mx_l=-34.88
Tensioni nella sezione: σ=422.76 τ=52.85
CC 16 SLD (Collegamento -179_-383)
Azioni sul collegamento: N=-9591.49 Ty=11.00 Tz=11.88 Mx=0.00 Mz=9.08
Sollecitazioni agenti localmente: Ty_l=-1743.91 Mx_l=-34.88
Tensioni nella sezione: σ=422.76 τ=52.85
CC 17 SLV (Collegamento -179_-383)
Azioni sul collegamento: N=-5856.57 Ty=12.53 Tz=-1.96 Mx=-0.01 Mz=7.45
Sollecitazioni agenti localmente: Ty_l=-1064.83 Mx_l=-21.30

Tensioni nella sezione: σ=258.14 τ=32.27
CC 17 SLV (Collegamento -179_-383)
Azioni sul collegamento: N=-5856.57 Ty=4.82 Tz=-1.96 Mx=-0.01 Mz=1.13
Sollecitazioni agenti localmente: Ty_l=-1064.83 Mx_l=-21.30
Tensioni nella sezione: σ=258.14 τ=32.27
CC 17 SLV (Collegamento -179_-383)
Azioni sul collegamento: N=-5856.57 Ty=12.53 Tz=27.25 Mx=-0.01 Mz=7.45
Sollecitazioni agenti localmente: Ty_l=-1064.83 Mx_l=-21.30
Tensioni nella sezione: σ=258.14 τ=32.27
CC 17 SLV (Collegamento -179_-383)
Azioni sul collegamento: N=-5856.57 Ty=4.82 Tz=27.25 Mx=-0.01 Mz=1.13
Sollecitazioni agenti localmente: Ty_l=-1064.83 Mx_l=-21.30
Tensioni nella sezione: σ=258.14 τ=32.27
CC 17 SLV (Collegamento -179_-383)
Azioni sul collegamento: N=-13681.20 Ty=12.53 Tz=-1.96 Mx=-0.01 Mz=7.45
Sollecitazioni agenti localmente: Ty_l=-2487.50 Mx_l=-49.75
Tensioni nella sezione: σ=603.03 τ=75.38
CC 17 SLV (Collegamento -179_-383)
Azioni sul collegamento: N=-13681.20 Ty=4.82 Tz=-1.96 Mx=-0.01 Mz=1.13
Sollecitazioni agenti localmente: Ty_l=-2487.50 Mx_l=-49.75
Tensioni nella sezione: σ=603.03 τ=75.38
CC 17 SLV (Collegamento -179_-383)
Azioni sul collegamento: N=-13681.20 Ty=12.53 Tz=27.25 Mx=-0.01 Mz=7.45
Sollecitazioni agenti localmente: Ty_l=-2487.50 Mx_l=-49.75
Tensioni nella sezione: σ=603.03 τ=75.38
CC 17 SLV (Collegamento -179_-383)
Azioni sul collegamento: N=-13681.20 Ty=4.82 Tz=27.25 Mx=-0.01 Mz=1.13
Sollecitazioni agenti localmente: Ty_l=-2487.50 Mx_l=-49.75
Tensioni nella sezione: σ=603.03 τ=75.38
CC 18 SLD (Collegamento -179_-383)
Azioni sul collegamento: N=-8673.24 Ty=10.78 Tz=8.57 Mx=-0.00 Mz=7.39
Sollecitazioni agenti localmente: Ty_l=-1576.95 Mx_l=-31.54
Tensioni nella sezione: σ=382.29 τ=47.79
CC 18 SLD (Collegamento -179_-383)
Azioni sul collegamento: N=-8673.24 Ty=8.42 Tz=8.57 Mx=-0.00 Mz=5.47
Sollecitazioni agenti localmente: Ty_l=-1576.95 Mx_l=-31.54
Tensioni nella sezione: σ=382.29 τ=47.79
CC 18 SLD (Collegamento -179_-383)
Azioni sul collegamento: N=-8673.24 Ty=10.78 Tz=17.48 Mx=-0.00 Mz=7.39
Sollecitazioni agenti localmente: Ty_l=-1576.95 Mx_l=-31.54
Tensioni nella sezione: σ=382.29 τ=47.79
CC 18 SLD (Collegamento -179_-383)
Azioni sul collegamento: N=-8673.24 Ty=8.42 Tz=17.48 Mx=-0.00 Mz=5.47
Sollecitazioni agenti localmente: Ty_l=-1576.95 Mx_l=-31.54
Tensioni nella sezione: σ=382.29 τ=47.79
CC 18 SLD (Collegamento -179_-383)
Azioni sul collegamento: N=-11059.20 Ty=10.78 Tz=8.57 Mx=-0.00 Mz=7.39
Sollecitazioni agenti localmente: Ty_l=-2010.77 Mx_l=-40.22
Tensioni nella sezione: σ=487.46 τ=60.93
CC 18 SLD (Collegamento -179_-383)
Azioni sul collegamento: N=-11059.20 Ty=8.42 Tz=8.57 Mx=-0.00 Mz=5.47
Sollecitazioni agenti localmente: Ty_l=-2010.77 Mx_l=-40.22
Tensioni nella sezione: σ=487.46 τ=60.93
CC 18 SLD (Collegamento -179_-383)
Azioni sul collegamento: N=-11059.20 Ty=10.78 Tz=17.48 Mx=-0.00 Mz=7.39
Sollecitazioni agenti localmente: Ty_l=-2010.77 Mx_l=-40.22
Tensioni nella sezione: σ=487.46 τ=60.93
CC 18 SLD (Collegamento -179_-383)
Azioni sul collegamento: N=-11059.20 Ty=8.42 Tz=17.48 Mx=-0.00 Mz=5.47
Sollecitazioni agenti localmente: Ty_l=-2010.77 Mx_l=-40.22
Tensioni nella sezione: σ=487.46 τ=60.93
CC 19 SLV (Collegamento -179_-383)
Azioni sul collegamento: N=-5861.43 Ty=12.02 Tz=-1.63 Mx=-0.01 Mz=6.41
Sollecitazioni agenti localmente: Ty_l=-1065.71 Mx_l=-21.31
Tensioni nella sezione: σ=258.35 τ=32.29
CC 19 SLV (Collegamento -179_-383)
Azioni sul collegamento: N=-5861.43 Ty=5.33 Tz=-1.63 Mx=-0.01 Mz=2.18
Sollecitazioni agenti localmente: Ty_l=-1065.71 Mx_l=-21.31
Tensioni nella sezione: σ=258.35 τ=32.29
CC 19 SLV (Collegamento -179_-383)
Azioni sul collegamento: N=-5861.43 Ty=12.02 Tz=26.92 Mx=-0.01 Mz=6.41
Sollecitazioni agenti localmente: Ty_l=-1065.71 Mx_l=-21.31
Tensioni nella sezione: σ=258.35 τ=32.29
CC 19 SLV (Collegamento -179_-383)
Azioni sul collegamento: N=-5861.43 Ty=5.33 Tz=26.92 Mx=-0.01 Mz=2.18
Sollecitazioni agenti localmente: Ty_l=-1065.71 Mx_l=-21.31
Tensioni nella sezione: σ=258.35 τ=32.29
CC 19 SLV (Collegamento -179_-383)
Azioni sul collegamento: N=-13676.40 Ty=12.02 Tz=-1.63 Mx=-0.01 Mz=6.41

Sollecitazioni agenti localmente: Ty_l=-2486.61 Mx_l=-49.73
Tensioni nella sezione: σ=602.81 τ=75.35
CC 19 SLV (Collegamento -179_-383)
Azioni sul collegamento: N=-13676.40 Ty=5.33 Tz=-1.63 Mx=-0.01 Mz=2.18
Sollecitazioni agenti localmente: Ty_l=-2486.61 Mx_l=-49.73
Tensioni nella sezione: σ=602.81 τ=75.35
CC 19 SLV (Collegamento -179_-383)
Azioni sul collegamento: N=-13676.40 Ty=12.02 Tz=26.92 Mx=-0.01 Mz=6.41
Sollecitazioni agenti localmente: Ty_l=-2486.61 Mx_l=-49.73
Tensioni nella sezione: σ=602.81 τ=75.35
CC 19 SLV (Collegamento -179_-383)
Azioni sul collegamento: N=-13676.40 Ty=5.33 Tz=26.92 Mx=-0.01 Mz=2.18
Sollecitazioni agenti localmente: Ty_l=-2486.61 Mx_l=-49.73
Tensioni nella sezione: σ=602.81 τ=75.35
CC 20 SLD (Collegamento -179_-383)
Azioni sul collegamento: N=-8674.72 Ty=10.62 Tz=8.67 Mx=0.00 Mz=7.07
Sollecitazioni agenti localmente: Ty_l=-1577.22 Mx_l=-31.54
Tensioni nella sezione: σ=382.36 τ=47.79
CC 20 SLD (Collegamento -179_-383)
Azioni sul collegamento: N=-8674.72 Ty=8.58 Tz=8.67 Mx=0.00 Mz=5.79
Sollecitazioni agenti localmente: Ty_l=-1577.22 Mx_l=-31.54
Tensioni nella sezione: σ=382.36 τ=47.79
CC 20 SLD (Collegamento -179_-383)
Azioni sul collegamento: N=-8674.72 Ty=10.62 Tz=17.38 Mx=0.00 Mz=7.07
Sollecitazioni agenti localmente: Ty_l=-1577.22 Mx_l=-31.54
Tensioni nella sezione: σ=382.36 τ=47.79
CC 20 SLD (Collegamento -179_-383)
Azioni sul collegamento: N=-8674.72 Ty=8.58 Tz=17.38 Mx=0.00 Mz=5.79
Sollecitazioni agenti localmente: Ty_l=-1577.22 Mx_l=-31.54
Tensioni nella sezione: σ=382.36 τ=47.79
CC 20 SLD (Collegamento -179_-383)
Azioni sul collegamento: N=-11057.70 Ty=10.62 Tz=8.67 Mx=0.00 Mz=7.07
Sollecitazioni agenti localmente: Ty_l=-2010.50 Mx_l=-40.21
Tensioni nella sezione: σ=487.39 τ=60.92
CC 20 SLD (Collegamento -179_-383)
Azioni sul collegamento: N=-11057.70 Ty=8.58 Tz=8.67 Mx=0.00 Mz=5.79
Sollecitazioni agenti localmente: Ty_l=-2010.50 Mx_l=-40.21
Tensioni nella sezione: σ=487.39 τ=60.92
CC 20 SLD (Collegamento -179_-383)
Azioni sul collegamento: N=-11057.70 Ty=10.62 Tz=17.38 Mx=0.00 Mz=7.07
Sollecitazioni agenti localmente: Ty_l=-2010.50 Mx_l=-40.21
Tensioni nella sezione: σ=487.39 τ=60.92
CC 20 SLD (Collegamento -179_-383)
Azioni sul collegamento: N=-11057.70 Ty=8.58 Tz=17.38 Mx=0.00 Mz=5.79
Sollecitazioni agenti localmente: Ty_l=-2010.50 Mx_l=-40.21
Tensioni nella sezione: σ=487.39 τ=60.92
CC 21 SLV (Collegamento -179_-383)
Azioni sul collegamento: N=-13676.40 Ty=5.33 Tz=26.92 Mx=-0.01 Mz=2.18
Sollecitazioni agenti localmente: Ty_l=-2486.61 Mx_l=-49.73
Tensioni nella sezione: σ=602.81 τ=75.35
CC 21 SLV (Collegamento -179_-383)
Azioni sul collegamento: N=-13676.40 Ty=12.02 Tz=26.92 Mx=-0.01 Mz=6.41
Sollecitazioni agenti localmente: Ty_l=-2486.61 Mx_l=-49.73
Tensioni nella sezione: σ=602.81 τ=75.35
CC 21 SLV (Collegamento -179_-383)
Azioni sul collegamento: N=-13676.40 Ty=5.33 Tz=-1.63 Mx=-0.01 Mz=2.18
Sollecitazioni agenti localmente: Ty_l=-2486.61 Mx_l=-49.73
Tensioni nella sezione: σ=602.81 τ=75.35
CC 21 SLV (Collegamento -179_-383)
Azioni sul collegamento: N=-13676.40 Ty=12.02 Tz=-1.63 Mx=-0.01 Mz=6.41
Sollecitazioni agenti localmente: Ty_l=-2486.61 Mx_l=-49.73
Tensioni nella sezione: σ=602.81 τ=75.35
CC 21 SLV (Collegamento -179_-383)
Azioni sul collegamento: N=-5861.43 Ty=5.33 Tz=26.92 Mx=-0.01 Mz=2.18
Sollecitazioni agenti localmente: Ty_l=-1065.71 Mx_l=-21.31
Tensioni nella sezione: σ=258.35 τ=32.29
CC 21 SLV (Collegamento -179_-383)
Azioni sul collegamento: N=-5861.43 Ty=12.02 Tz=26.92 Mx=-0.01 Mz=6.41
Sollecitazioni agenti localmente: Ty_l=-1065.71 Mx_l=-21.31
Tensioni nella sezione: σ=258.35 τ=32.29
CC 21 SLV (Collegamento -179_-383)
Azioni sul collegamento: N=-5861.43 Ty=5.33 Tz=-1.63 Mx=-0.01 Mz=2.18
Sollecitazioni agenti localmente: Ty_l=-1065.71 Mx_l=-21.31
Tensioni nella sezione: σ=258.35 τ=32.29
CC 21 SLV (Collegamento -179_-383)
Azioni sul collegamento: N=-5861.43 Ty=12.02 Tz=-1.63 Mx=-0.01 Mz=6.41
Sollecitazioni agenti localmente: Ty_l=-1065.71 Mx_l=-21.31
Tensioni nella sezione: σ=258.35 τ=32.29
CC 22 SLD (Collegamento -179_-383)

Azioni sul collegamento: N=-11057.70 Ty=8.58 Tz=17.38 Mx=-0.00 Mz=5.79
Sollecitazioni agenti localmente: Ty_l=-2010.50 Mx_l=-40.21
Tensioni nella sezione: σ=487.39 τ=60.92
CC 22 SLD (Collegamento -179_-383)
Azioni sul collegamento: N=-11057.70 Ty=10.62 Tz=17.38 Mx=-0.00 Mz=7.07
Sollecitazioni agenti localmente: Ty_l=-2010.50 Mx_l=-40.21
Tensioni nella sezione: σ=487.39 τ=60.92
CC 22 SLD (Collegamento -179_-383)
Azioni sul collegamento: N=-11057.70 Ty=8.58 Tz=8.67 Mx=-0.00 Mz=5.79
Sollecitazioni agenti localmente: Ty_l=-2010.50 Mx_l=-40.21
Tensioni nella sezione: σ=487.39 τ=60.92
CC 22 SLD (Collegamento -179_-383)
Azioni sul collegamento: N=-11057.70 Ty=10.62 Tz=8.67 Mx=-0.00 Mz=7.07
Sollecitazioni agenti localmente: Ty_l=-2010.50 Mx_l=-40.21
Tensioni nella sezione: σ=487.39 τ=60.92
CC 22 SLD (Collegamento -179_-383)
Azioni sul collegamento: N=-8674.72 Ty=8.58 Tz=17.38 Mx=-0.00 Mz=5.79
Sollecitazioni agenti localmente: Ty_l=-1577.22 Mx_l=-31.54
Tensioni nella sezione: σ=382.36 τ=47.79
CC 22 SLD (Collegamento -179_-383)
Azioni sul collegamento: N=-8674.72 Ty=10.62 Tz=17.38 Mx=-0.00 Mz=7.07
Sollecitazioni agenti localmente: Ty_l=-1577.22 Mx_l=-31.54
Tensioni nella sezione: σ=382.36 τ=47.79
CC 22 SLD (Collegamento -179_-383)
Azioni sul collegamento: N=-8674.72 Ty=8.58 Tz=8.67 Mx=-0.00 Mz=5.79
Sollecitazioni agenti localmente: Ty_l=-1577.22 Mx_l=-31.54
Tensioni nella sezione: σ=382.36 τ=47.79
CC 22 SLD (Collegamento -179_-383)
Azioni sul collegamento: N=-8674.72 Ty=10.62 Tz=8.67 Mx=-0.00 Mz=7.07
Sollecitazioni agenti localmente: Ty_l=-1577.22 Mx_l=-31.54
Tensioni nella sezione: σ=382.36 τ=47.79
CC 23 SLV (Collegamento -179_-383)
Azioni sul collegamento: N=-13681.20 Ty=4.82 Tz=27.25 Mx=-0.01 Mz=1.13
Sollecitazioni agenti localmente: Ty_l=-2487.50 Mx_l=-49.75
Tensioni nella sezione: σ=603.03 τ=75.38
CC 23 SLV (Collegamento -179_-383)
Azioni sul collegamento: N=-13681.20 Ty=12.53 Tz=27.25 Mx=-0.01 Mz=7.45
Sollecitazioni agenti localmente: Ty_l=-2487.50 Mx_l=-49.75
Tensioni nella sezione: σ=603.03 τ=75.38
CC 23 SLV (Collegamento -179_-383)
Azioni sul collegamento: N=-13681.20 Ty=4.82 Tz=-1.96 Mx=-0.01 Mz=1.13
Sollecitazioni agenti localmente: Ty_l=-2487.50 Mx_l=-49.75
Tensioni nella sezione: σ=603.03 τ=75.38
CC 23 SLV (Collegamento -179_-383)
Azioni sul collegamento: N=-13681.20 Ty=12.53 Tz=-1.96 Mx=-0.01 Mz=7.45
Sollecitazioni agenti localmente: Ty_l=-2487.50 Mx_l=-49.75
Tensioni nella sezione: σ=603.03 τ=75.38
CC 23 SLV (Collegamento -179_-383)
Azioni sul collegamento: N=-5856.57 Ty=4.82 Tz=27.25 Mx=-0.01 Mz=1.13
Sollecitazioni agenti localmente: Ty_l=-1064.83 Mx_l=-21.30
Tensioni nella sezione: σ=258.14 τ=32.27
CC 23 SLV (Collegamento -179_-383)
Azioni sul collegamento: N=-5856.57 Ty=12.53 Tz=27.25 Mx=-0.01 Mz=7.45
Sollecitazioni agenti localmente: Ty_l=-1064.83 Mx_l=-21.30
Tensioni nella sezione: σ=258.14 τ=32.27
CC 23 SLV (Collegamento -179_-383)
Azioni sul collegamento: N=-5856.57 Ty=4.82 Tz=-1.96 Mx=-0.01 Mz=1.13
Sollecitazioni agenti localmente: Ty_l=-1064.83 Mx_l=-21.30
Tensioni nella sezione: σ=258.14 τ=32.27
CC 23 SLV (Collegamento -179_-383)
Azioni sul collegamento: N=-5856.57 Ty=12.53 Tz=-1.96 Mx=-0.01 Mz=7.45
Sollecitazioni agenti localmente: Ty_l=-1064.83 Mx_l=-21.30
Tensioni nella sezione: σ=258.14 τ=32.27
CC 24 SLD (Collegamento -179_-383)
Azioni sul collegamento: N=-11059.20 Ty=8.42 Tz=17.48 Mx=0.00 Mz=5.47
Sollecitazioni agenti localmente: Ty_l=-2010.77 Mx_l=-40.22
Tensioni nella sezione: σ=487.46 τ=60.93
CC 24 SLD (Collegamento -179_-383)
Azioni sul collegamento: N=-11059.20 Ty=10.78 Tz=17.48 Mx=0.00 Mz=7.39
Sollecitazioni agenti localmente: Ty_l=-2010.77 Mx_l=-40.22
Tensioni nella sezione: σ=487.46 τ=60.93
CC 24 SLD (Collegamento -179_-383)
Azioni sul collegamento: N=-11059.20 Ty=8.42 Tz=8.57 Mx=0.00 Mz=5.47
Sollecitazioni agenti localmente: Ty_l=-2010.77 Mx_l=-40.22
Tensioni nella sezione: σ=487.46 τ=60.93
CC 24 SLD (Collegamento -179_-383)
Azioni sul collegamento: N=-11059.20 Ty=10.78 Tz=8.57 Mx=0.00 Mz=7.39
Sollecitazioni agenti localmente: Ty_l=-2010.77 Mx_l=-40.22
Tensioni nella sezione: σ=487.46 τ=60.93

CC 24 SLD (Collegamento -179_-383)
Azioni sul collegamento: N=-8673.24 Ty=8.42 Tz=17.48 Mx=0.00 Mz=5.47
Sollecitazioni agenti localmente: Ty_l=-1576.95 Mx_l=-31.54
Tensioni nella sezione: σ=382.29 τ=47.79
CC 24 SLD (Collegamento -179_-383)
Azioni sul collegamento: N=-8673.24 Ty=10.78 Tz=17.48 Mx=0.00 Mz=7.39
Sollecitazioni agenti localmente: Ty_l=-1576.95 Mx_l=-31.54
Tensioni nella sezione: σ=382.29 τ=47.79
CC 24 SLD (Collegamento -179_-383)
Azioni sul collegamento: N=-8673.24 Ty=8.42 Tz=8.57 Mx=0.00 Mz=5.47
Sollecitazioni agenti localmente: Ty_l=-1576.95 Mx_l=-31.54
Tensioni nella sezione: σ=382.29 τ=47.79
CC 24 SLD (Collegamento -179_-383)
Azioni sul collegamento: N=-8673.24 Ty=10.78 Tz=8.57 Mx=0.00 Mz=7.39
Sollecitazioni agenti localmente: Ty_l=-1576.95 Mx_l=-31.54
Tensioni nella sezione: σ=382.29 τ=47.79
CC 25 SLV (Collegamento -179_-383)
Azioni sul collegamento: N=-8587.82 Ty=10.61 Tz=7.77 Mx=-0.02 Mz=6.83
Sollecitazioni agenti localmente: Ty_l=-1561.42 Mx_l=-31.23
Tensioni nella sezione: σ=378.53 τ=47.32
CC 25 SLV (Collegamento -179_-383)
Azioni sul collegamento: N=-8587.82 Ty=6.74 Tz=7.77 Mx=-0.02 Mz=1.76
Sollecitazioni agenti localmente: Ty_l=-1561.42 Mx_l=-31.23
Tensioni nella sezione: σ=378.53 τ=47.32
CC 25 SLV (Collegamento -179_-383)
Azioni sul collegamento: N=-8587.82 Ty=10.61 Tz=17.52 Mx=-0.02 Mz=6.83
Sollecitazioni agenti localmente: Ty_l=-1561.42 Mx_l=-31.23
Tensioni nella sezione: σ=378.53 τ=47.32
CC 25 SLV (Collegamento -179_-383)
Azioni sul collegamento: N=-8587.82 Ty=6.74 Tz=17.52 Mx=-0.02 Mz=1.76
Sollecitazioni agenti localmente: Ty_l=-1561.42 Mx_l=-31.23
Tensioni nella sezione: σ=378.53 τ=47.32
CC 25 SLV (Collegamento -179_-383)
Azioni sul collegamento: N=-10950.00 Ty=10.61 Tz=7.77 Mx=-0.02 Mz=6.83
Sollecitazioni agenti localmente: Ty_l=-1990.90 Mx_l=-39.82
Tensioni nella sezione: σ=482.64 τ=60.33
CC 25 SLV (Collegamento -179_-383)
Azioni sul collegamento: N=-10950.00 Ty=6.74 Tz=7.77 Mx=-0.02 Mz=1.76
Sollecitazioni agenti localmente: Ty_l=-1990.90 Mx_l=-39.82
Tensioni nella sezione: σ=482.64 τ=60.33
CC 25 SLV (Collegamento -179_-383)
Azioni sul collegamento: N=-10950.00 Ty=10.61 Tz=17.52 Mx=-0.02 Mz=6.83
Sollecitazioni agenti localmente: Ty_l=-1990.90 Mx_l=-39.82
Tensioni nella sezione: σ=482.64 τ=60.33
CC 25 SLV (Collegamento -179_-383)
Azioni sul collegamento: N=-10950.00 Ty=6.74 Tz=17.52 Mx=-0.02 Mz=1.76
Sollecitazioni agenti localmente: Ty_l=-1990.90 Mx_l=-39.82
Tensioni nella sezione: σ=482.64 τ=60.33
CC 26 SLD (Collegamento -179_-383)
Azioni sul collegamento: N=-9506.09 Ty=10.19 Tz=11.54 Mx=-0.00 Mz=7.20
Sollecitazioni agenti localmente: Ty_l=-1728.38 Mx_l=-34.57
Tensioni nella sezione: σ=419.00 τ=52.38
CC 26 SLD (Collegamento -179_-383)
Azioni sul collegamento: N=-9506.09 Ty=9.01 Tz=11.54 Mx=-0.00 Mz=5.66
Sollecitazioni agenti localmente: Ty_l=-1728.38 Mx_l=-34.57
Tensioni nella sezione: σ=419.00 τ=52.38
CC 26 SLD (Collegamento -179_-383)
Azioni sul collegamento: N=-9506.09 Ty=10.19 Tz=14.51 Mx=-0.00 Mz=7.20
Sollecitazioni agenti localmente: Ty_l=-1728.38 Mx_l=-34.57
Tensioni nella sezione: σ=419.00 τ=52.38
CC 26 SLD (Collegamento -179_-383)
Azioni sul collegamento: N=-9506.09 Ty=9.01 Tz=14.51 Mx=-0.00 Mz=5.66
Sollecitazioni agenti localmente: Ty_l=-1728.38 Mx_l=-34.57
Tensioni nella sezione: σ=419.00 τ=52.38
CC 26 SLD (Collegamento -179_-383)
Azioni sul collegamento: N=-10226.40 Ty=10.19 Tz=11.54 Mx=-0.00 Mz=7.20
Sollecitazioni agenti localmente: Ty_l=-1859.34 Mx_l=-37.19
Tensioni nella sezione: σ=450.75 τ=56.34
CC 26 SLD (Collegamento -179_-383)
Azioni sul collegamento: N=-10226.40 Ty=9.01 Tz=11.54 Mx=-0.00 Mz=5.66
Sollecitazioni agenti localmente: Ty_l=-1859.34 Mx_l=-37.19
Tensioni nella sezione: σ=450.75 τ=56.34
CC 26 SLD (Collegamento -179_-383)
Azioni sul collegamento: N=-10226.40 Ty=10.19 Tz=14.51 Mx=-0.00 Mz=7.20
Sollecitazioni agenti localmente: Ty_l=-1859.34 Mx_l=-37.19
Tensioni nella sezione: σ=450.75 τ=56.34
CC 26 SLD (Collegamento -179_-383)
Azioni sul collegamento: N=-10226.40 Ty=9.01 Tz=14.51 Mx=-0.00 Mz=5.66
Sollecitazioni agenti localmente: Ty_l=-1859.34 Mx_l=-37.19

Tensioni nella sezione: σ=450.75 τ=56.34
CC 27 SLV (Collegamento -179_-383)
Azioni sul collegamento: N=-10933.80 Ty=8.45 Tz=16.43 Mx=-0.02 Mz=5.25
Sollecitazioni agenti localmente: Ty_l=-1987.96 Mx_l=-39.76
Tensioni nella sezione: σ=481.93 τ=60.24
CC 27 SLV (Collegamento -179_-383)
Azioni sul collegamento: N=-10933.80 Ty=8.90 Tz=16.43 Mx=-0.02 Mz=3.34
Sollecitazioni agenti localmente: Ty_l=-1987.96 Mx_l=-39.76
Tensioni nella sezione: σ=481.93 τ=60.24
CC 27 SLV (Collegamento -179_-383)
Azioni sul collegamento: N=-10933.80 Ty=8.45 Tz=8.86 Mx=-0.02 Mz=5.25
Sollecitazioni agenti localmente: Ty_l=-1987.96 Mx_l=-39.76
Tensioni nella sezione: σ=481.93 τ=60.24
CC 27 SLV (Collegamento -179_-383)
Azioni sul collegamento: N=-10933.80 Ty=8.90 Tz=8.86 Mx=-0.02 Mz=3.34
Sollecitazioni agenti localmente: Ty_l=-1987.96 Mx_l=-39.76
Tensioni nella sezione: σ=481.93 τ=60.24
CC 27 SLV (Collegamento -179_-383)
Azioni sul collegamento: N=-8604.03 Ty=8.45 Tz=16.43 Mx=-0.02 Mz=5.25
Sollecitazioni agenti localmente: Ty_l=-1564.37 Mx_l=-31.29
Tensioni nella sezione: σ=379.24 τ=47.41
CC 27 SLV (Collegamento -179_-383)
Azioni sul collegamento: N=-8604.03 Ty=8.90 Tz=16.43 Mx=-0.02 Mz=3.34
Sollecitazioni agenti localmente: Ty_l=-1564.37 Mx_l=-31.29
Tensioni nella sezione: σ=379.24 τ=47.41
CC 27 SLV (Collegamento -179_-383)
Azioni sul collegamento: N=-8604.03 Ty=8.45 Tz=8.86 Mx=-0.02 Mz=5.25
Sollecitazioni agenti localmente: Ty_l=-1564.37 Mx_l=-31.29
Tensioni nella sezione: σ=379.24 τ=47.41
CC 27 SLV (Collegamento -179_-383)
Azioni sul collegamento: N=-8604.03 Ty=8.90 Tz=8.86 Mx=-0.02 Mz=3.34
Sollecitazioni agenti localmente: Ty_l=-1564.37 Mx_l=-31.29
Tensioni nella sezione: σ=379.24 τ=47.41
CC 28 SLD (Collegamento -179_-383)
Azioni sul collegamento: N=-10221.40 Ty=9.53 Tz=14.18 Mx=-0.00 Mz=6.72
Sollecitazioni agenti localmente: Ty_l=-1858.44 Mx_l=-37.17
Tensioni nella sezione: σ=450.53 τ=56.32
CC 28 SLD (Collegamento -179_-383)
Azioni sul collegamento: N=-10221.40 Ty=9.67 Tz=14.18 Mx=-0.00 Mz=6.14
Sollecitazioni agenti localmente: Ty_l=-1858.44 Mx_l=-37.17
Tensioni nella sezione: σ=450.53 τ=56.32
CC 28 SLD (Collegamento -179_-383)
Azioni sul collegamento: N=-10221.40 Ty=9.53 Tz=11.87 Mx=-0.00 Mz=6.72
Sollecitazioni agenti localmente: Ty_l=-1858.44 Mx_l=-37.17
Tensioni nella sezione: σ=450.53 τ=56.32
CC 28 SLD (Collegamento -179_-383)
Azioni sul collegamento: N=-10221.40 Ty=9.67 Tz=11.87 Mx=-0.00 Mz=6.14
Sollecitazioni agenti localmente: Ty_l=-1858.44 Mx_l=-37.17
Tensioni nella sezione: σ=450.53 τ=56.32
CC 28 SLD (Collegamento -179_-383)
Azioni sul collegamento: N=-9511.03 Ty=9.53 Tz=14.18 Mx=-0.00 Mz=6.72
Sollecitazioni agenti localmente: Ty_l=-1729.28 Mx_l=-34.59
Tensioni nella sezione: σ=419.22 τ=52.40
CC 28 SLD (Collegamento -179_-383)
Azioni sul collegamento: N=-9511.03 Ty=9.67 Tz=14.18 Mx=-0.00 Mz=6.14
Sollecitazioni agenti localmente: Ty_l=-1729.28 Mx_l=-34.59
Tensioni nella sezione: σ=419.22 τ=52.40
CC 28 SLD (Collegamento -179_-383)
Azioni sul collegamento: N=-9511.03 Ty=9.53 Tz=11.87 Mx=-0.00 Mz=6.72
Sollecitazioni agenti localmente: Ty_l=-1729.28 Mx_l=-34.59
Tensioni nella sezione: σ=419.22 τ=52.40
CC 28 SLD (Collegamento -179_-383)
Azioni sul collegamento: N=-9511.03 Ty=9.67 Tz=11.87 Mx=-0.00 Mz=6.14
Sollecitazioni agenti localmente: Ty_l=-1729.28 Mx_l=-34.59
Tensioni nella sezione: σ=419.22 τ=52.40
CC 29 SLV (Collegamento -179_-383)
Azioni sul collegamento: N=-8604.03 Ty=8.90 Tz=8.86 Mx=-0.00 Mz=3.34
Sollecitazioni agenti localmente: Ty_l=-1564.37 Mx_l=-31.29
Tensioni nella sezione: σ=379.24 τ=47.41
CC 29 SLV (Collegamento -179_-383)
Azioni sul collegamento: N=-8604.03 Ty=8.45 Tz=8.86 Mx=-0.00 Mz=5.25
Sollecitazioni agenti localmente: Ty_l=-1564.37 Mx_l=-31.29
Tensioni nella sezione: σ=379.24 τ=47.41
CC 29 SLV (Collegamento -179_-383)
Azioni sul collegamento: N=-8604.03 Ty=8.90 Tz=16.43 Mx=-0.00 Mz=3.34
Sollecitazioni agenti localmente: Ty_l=-1564.37 Mx_l=-31.29
Tensioni nella sezione: σ=379.24 τ=47.41
CC 29 SLV (Collegamento -179_-383)
Azioni sul collegamento: N=-8604.03 Ty=8.45 Tz=16.43 Mx=-0.00 Mz=5.25

Sollecitazioni agenti localmente: Ty_l=-1564.37 Mx_l=-31.29
Tensioni nella sezione: σ=379.24 τ=47.41
CC 29 SLV (Collegamento -179_-383)
Azioni sul collegamento: N=-10933.80 Ty=8.90 Tz=8.86 Mx=-0.00 Mz=3.34
Sollecitazioni agenti localmente: Ty_l=-1987.96 Mx_l=-39.76
Tensioni nella sezione: σ=481.93 τ=60.24
CC 29 SLV (Collegamento -179_-383)
Azioni sul collegamento: N=-10933.80 Ty=8.45 Tz=8.86 Mx=-0.00 Mz=5.25
Sollecitazioni agenti localmente: Ty_l=-1987.96 Mx_l=-39.76
Tensioni nella sezione: σ=481.93 τ=60.24
CC 29 SLV (Collegamento -179_-383)
Azioni sul collegamento: N=-10933.80 Ty=8.90 Tz=16.43 Mx=-0.00 Mz=3.34
Sollecitazioni agenti localmente: Ty_l=-1987.96 Mx_l=-39.76
Tensioni nella sezione: σ=481.93 τ=60.24
CC 29 SLV (Collegamento -179_-383)
Azioni sul collegamento: N=-10933.80 Ty=8.45 Tz=16.43 Mx=-0.00 Mz=5.25
Sollecitazioni agenti localmente: Ty_l=-1987.96 Mx_l=-39.76
Tensioni nella sezione: σ=481.93 τ=60.24
CC 30 SLD (Collegamento -179_-383)
Azioni sul collegamento: N=-9511.03 Ty=9.67 Tz=11.87 Mx=0.00 Mz=6.14
Sollecitazioni agenti localmente: Ty_l=-1729.28 Mx_l=-34.59
Tensioni nella sezione: σ=419.22 τ=52.40
CC 30 SLD (Collegamento -179_-383)
Azioni sul collegamento: N=-9511.03 Ty=9.53 Tz=11.87 Mx=0.00 Mz=6.72
Sollecitazioni agenti localmente: Ty_l=-1729.28 Mx_l=-34.59
Tensioni nella sezione: σ=419.22 τ=52.40
CC 30 SLD (Collegamento -179_-383)
Azioni sul collegamento: N=-9511.03 Ty=9.67 Tz=14.18 Mx=0.00 Mz=6.14
Sollecitazioni agenti localmente: Ty_l=-1729.28 Mx_l=-34.59
Tensioni nella sezione: σ=419.22 τ=52.40
CC 30 SLD (Collegamento -179_-383)
Azioni sul collegamento: N=-9511.03 Ty=9.53 Tz=14.18 Mx=0.00 Mz=6.72
Sollecitazioni agenti localmente: Ty_l=-1729.28 Mx_l=-34.59
Tensioni nella sezione: σ=419.22 τ=52.40
CC 30 SLD (Collegamento -179_-383)
Azioni sul collegamento: N=-10221.40 Ty=9.67 Tz=11.87 Mx=0.00 Mz=6.14
Sollecitazioni agenti localmente: Ty_l=-1858.44 Mx_l=-37.17
Tensioni nella sezione: σ=450.53 τ=56.32
CC 30 SLD (Collegamento -179_-383)
Azioni sul collegamento: N=-10221.40 Ty=9.53 Tz=11.87 Mx=0.00 Mz=6.72
Sollecitazioni agenti localmente: Ty_l=-1858.44 Mx_l=-37.17
Tensioni nella sezione: σ=450.53 τ=56.32
CC 30 SLD (Collegamento -179_-383)
Azioni sul collegamento: N=-10221.40 Ty=9.67 Tz=14.18 Mx=0.00 Mz=6.14
Sollecitazioni agenti localmente: Ty_l=-1858.44 Mx_l=-37.17
Tensioni nella sezione: σ=450.53 τ=56.32
CC 30 SLD (Collegamento -179_-383)
Azioni sul collegamento: N=-10221.40 Ty=9.53 Tz=14.18 Mx=0.00 Mz=6.72
Sollecitazioni agenti localmente: Ty_l=-1858.44 Mx_l=-37.17
Tensioni nella sezione: σ=450.53 τ=56.32
CC 31 SLV (Collegamento -179_-383)
Azioni sul collegamento: N=-10950.00 Ty=6.74 Tz=17.52 Mx=-0.00 Mz=1.76
Sollecitazioni agenti localmente: Ty_l=-1990.90 Mx_l=-39.82
Tensioni nella sezione: σ=482.64 τ=60.33
CC 31 SLV (Collegamento -179_-383)
Azioni sul collegamento: N=-10950.00 Ty=10.61 Tz=17.52 Mx=-0.00 Mz=6.83
Sollecitazioni agenti localmente: Ty_l=-1990.90 Mx_l=-39.82
Tensioni nella sezione: σ=482.64 τ=60.33
CC 31 SLV (Collegamento -179_-383)
Azioni sul collegamento: N=-10950.00 Ty=6.74 Tz=7.77 Mx=-0.00 Mz=1.76
Sollecitazioni agenti localmente: Ty_l=-1990.90 Mx_l=-39.82
Tensioni nella sezione: σ=482.64 τ=60.33
CC 31 SLV (Collegamento -179_-383)
Azioni sul collegamento: N=-10950.00 Ty=10.61 Tz=7.77 Mx=-0.00 Mz=6.83
Sollecitazioni agenti localmente: Ty_l=-1990.90 Mx_l=-39.82
Tensioni nella sezione: σ=482.64 τ=60.33
CC 31 SLV (Collegamento -179_-383)
Azioni sul collegamento: N=-8587.82 Ty=6.74 Tz=17.52 Mx=-0.00 Mz=1.76
Sollecitazioni agenti localmente: Ty_l=-1561.42 Mx_l=-31.23
Tensioni nella sezione: σ=378.53 τ=47.32
CC 31 SLV (Collegamento -179_-383)
Azioni sul collegamento: N=-8587.82 Ty=10.61 Tz=17.52 Mx=-0.00 Mz=6.83
Sollecitazioni agenti localmente: Ty_l=-1561.42 Mx_l=-31.23
Tensioni nella sezione: σ=378.53 τ=47.32
CC 31 SLV (Collegamento -179_-383)
Azioni sul collegamento: N=-8587.82 Ty=6.74 Tz=7.77 Mx=-0.00 Mz=1.76
Sollecitazioni agenti localmente: Ty_l=-1561.42 Mx_l=-31.23
Tensioni nella sezione: σ=378.53 τ=47.32
CC 31 SLV (Collegamento -179_-383)

Azioni sul collegamento: N=-8587.82 Ty=10.61 Tz=7.77 Mx=-0.00 Mz=6.83
Sollecitazioni agenti localmente: Ty_l=-1561.42 Mx_l=-31.23
Tensioni nella sezione: σ=378.53 τ=47.32
CC 32 SLD (Collegamento -179_-383)
Azioni sul collegamento: N=-10226.40 Ty=9.01 Tz=14.51 Mx=0.00 Mz=5.66
Sollecitazioni agenti localmente: Ty_l=-1859.34 Mx_l=-37.19
Tensioni nella sezione: σ=450.75 τ=56.34
CC 32 SLD (Collegamento -179_-383)
Azioni sul collegamento: N=-10226.40 Ty=10.19 Tz=14.51 Mx=0.00 Mz=7.20
Sollecitazioni agenti localmente: Ty_l=-1859.34 Mx_l=-37.19
Tensioni nella sezione: σ=450.75 τ=56.34
CC 32 SLD (Collegamento -179_-383)
Azioni sul collegamento: N=-10226.40 Ty=9.01 Tz=11.54 Mx=0.00 Mz=5.66
Sollecitazioni agenti localmente: Ty_l=-1859.34 Mx_l=-37.19
Tensioni nella sezione: σ=450.75 τ=56.34
CC 32 SLD (Collegamento -179_-383)
Azioni sul collegamento: N=-10226.40 Ty=10.19 Tz=11.54 Mx=0.00 Mz=7.20
Sollecitazioni agenti localmente: Ty_l=-1859.34 Mx_l=-37.19
Tensioni nella sezione: σ=450.75 τ=56.34
CC 32 SLD (Collegamento -179_-383)
Azioni sul collegamento: N=-9506.09 Ty=9.01 Tz=14.51 Mx=0.00 Mz=5.66
Sollecitazioni agenti localmente: Ty_l=-1728.38 Mx_l=-34.57
Tensioni nella sezione: σ=419.00 τ=52.38
CC 32 SLD (Collegamento -179_-383)
Azioni sul collegamento: N=-9506.09 Ty=10.19 Tz=14.51 Mx=0.00 Mz=7.20
Sollecitazioni agenti localmente: Ty_l=-1728.38 Mx_l=-34.57
Tensioni nella sezione: σ=419.00 τ=52.38
CC 32 SLD (Collegamento -179_-383)
Azioni sul collegamento: N=-9506.09 Ty=9.01 Tz=11.54 Mx=0.00 Mz=5.66
Sollecitazioni agenti localmente: Ty_l=-1728.38 Mx_l=-34.57
Tensioni nella sezione: σ=419.00 τ=52.38
CC 32 SLD (Collegamento -179_-383)
Azioni sul collegamento: N=-9506.09 Ty=10.19 Tz=11.54 Mx=0.00 Mz=7.20
Sollecitazioni agenti localmente: Ty_l=-1728.38 Mx_l=-34.57
Tensioni nella sezione: σ=419.00 τ=52.38
CC 33 SLU (Collegamento -179_-383)
Azioni sul collegamento: N=-36428.20 Ty=20.21 Tz=102.49 Mx=0.01 Mz=15.01
Sollecitazioni agenti localmente: Ty_l=-6623.30 Mx_l=-132.47
Tensioni nella sezione: σ=1605.65 τ=200.71
CC 34 SLU (Collegamento -179_-383)
Azioni sul collegamento: N=-37242.40 Ty=20.96 Tz=105.49 Mx=0.01 Mz=15.56
Sollecitazioni agenti localmente: Ty_l=-6771.33 Mx_l=-135.43
Tensioni nella sezione: σ=1641.53 τ=205.19
CC 35 SLU (Collegamento -179_-383)
Azioni sul collegamento: N=-36836.10 Ty=20.67 Tz=103.93 Mx=0.00 Mz=15.47
Sollecitazioni agenti localmente: Ty_l=-6697.48 Mx_l=-133.95
Tensioni nella sezione: σ=1623.63 τ=202.95
CC 36 SLU (Collegamento -179_-383)
Azioni sul collegamento: N=-36834.40 Ty=20.49 Tz=104.05 Mx=0.01 Mz=15.10
Sollecitazioni agenti localmente: Ty_l=-6697.15 Mx_l=-133.94
Tensioni nella sezione: σ=1623.55 τ=202.94
CC 37 SLU (Collegamento -179_-383)
Azioni sul collegamento: N=-29660.30 Ty=-10.68 Tz=77.11 Mx=0.01 Mz=-8.42
Sollecitazioni agenti localmente: Ty_l=-5392.77 Mx_l=-107.86
Tensioni nella sezione: σ=1307.34 τ=163.42
CC 38 SLU (Collegamento -179_-383)
Azioni sul collegamento: N=-30474.50 Ty=-9.93 Tz=80.11 Mx=0.01 Mz=-7.87
Sollecitazioni agenti localmente: Ty_l=-5540.81 Mx_l=-110.82
Tensioni nella sezione: σ=1343.22 τ=167.90
CC 39 SLU (Collegamento -179_-383)
Azioni sul collegamento: N=-30068.30 Ty=-10.21 Tz=78.55 Mx=0.00 Mz=-7.97
Sollecitazioni agenti localmente: Ty_l=-5466.95 Mx_l=-109.34
Tensioni nella sezione: σ=1325.32 τ=165.66
CC 40 SLU (Collegamento -179_-383)
Azioni sul collegamento: N=-30066.50 Ty=-10.39 Tz=78.67 Mx=0.01 Mz=-8.33
Sollecitazioni agenti localmente: Ty_l=-5466.64 Mx_l=-109.33
Tensioni nella sezione: σ=1325.24 τ=165.66
CC 41 SLU (Collegamento -179_-383)
Azioni sul collegamento: N=-27261.60 Ty=19.33 Tz=68.83 Mx=0.01 Mz=14.21
Sollecitazioni agenti localmente: Ty_l=-4956.66 Mx_l=-99.13
Tensioni nella sezione: σ=1201.61 τ=150.20
CC 42 SLU (Collegamento -179_-383)
Azioni sul collegamento: N=-28075.80 Ty=20.08 Tz=71.84 Mx=0.01 Mz=14.76
Sollecitazioni agenti localmente: Ty_l=-5104.69 Mx_l=-102.09
Tensioni nella sezione: σ=1237.50 τ=154.69
CC 43 SLU (Collegamento -179_-383)
Azioni sul collegamento: N=-27669.60 Ty=19.79 Tz=70.28 Mx=0.00 Mz=14.67
Sollecitazioni agenti localmente: Ty_l=-5030.83 Mx_l=-100.62
Tensioni nella sezione: σ=1219.59 τ=152.45

CC 44 SLU (Collegamento -179_-383)
Azioni sul collegamento: N=-27667.80 Ty=19.61 Tz=70.39 Mx=0.01 Mz=14.31
Sollecitazioni agenti localmente: Ty_l=-5030.51 Mx_l=-100.61
Tensioni nella sezione: σ=1219.52 τ=152.44
CC 45 SLU (Collegamento -179_-383)
Azioni sul collegamento: N=-29271.60 Ty=19.56 Tz=76.22 Mx=0.00 Mz=14.53
Sollecitazioni agenti localmente: Ty_l=-5322.11 Mx_l=-106.44
Tensioni nella sezione: σ=1290.20 τ=161.28
CC 46 SLU (Collegamento -179_-383)
Azioni sul collegamento: N=-30085.80 Ty=20.31 Tz=79.22 Mx=0.00 Mz=15.08
Sollecitazioni agenti localmente: Ty_l=-5470.14 Mx_l=-109.40
Tensioni nella sezione: σ=1326.09 τ=165.76
CC 47 SLU (Collegamento -179_-383)
Azioni sul collegamento: N=-29679.60 Ty=20.02 Tz=77.66 Mx=0.00 Mz=14.99
Sollecitazioni agenti localmente: Ty_l=-5396.29 Mx_l=-107.92
Tensioni nella sezione: σ=1308.19 τ=163.52
CC 48 SLU (Collegamento -179_-383)
Azioni sul collegamento: N=-29677.80 Ty=19.84 Tz=77.78 Mx=0.01 Mz=14.62
Sollecitazioni agenti localmente: Ty_l=-5395.96 Mx_l=-107.92
Tensioni nella sezione: σ=1308.11 τ=163.51
CC 49 SLU (Collegamento -179_-383)
Azioni sul collegamento: N=-24208.20 Ty=-3.55 Tz=57.23 Mx=0.01 Mz=-3.00
Sollecitazioni agenti localmente: Ty_l=-4401.49 Mx_l=-88.03
Tensioni nella sezione: σ=1067.03 τ=133.38
CC 50 SLU (Collegamento -179_-383)
Azioni sul collegamento: N=-25022.40 Ty=-2.80 Tz=60.23 Mx=0.01 Mz=-2.45
Sollecitazioni agenti localmente: Ty_l=-4549.53 Mx_l=-90.99
Tensioni nella sezione: σ=1102.91 τ=137.87
CC 51 SLU (Collegamento -179_-383)
Azioni sul collegamento: N=-24616.20 Ty=-3.08 Tz=58.67 Mx=0.00 Mz=-2.54
Sollecitazioni agenti localmente: Ty_l=-4475.67 Mx_l=-89.51
Tensioni nella sezione: σ=1085.01 τ=135.63
CC 52 SLU (Collegamento -179_-383)
Azioni sul collegamento: N=-24614.40 Ty=-3.26 Tz=58.79 Mx=0.01 Mz=-2.91
Sollecitazioni agenti localmente: Ty_l=-4475.35 Mx_l=-89.51
Tensioni nella sezione: σ=1084.93 τ=135.62
CC 53 SLU (Collegamento -179_-383)
Azioni sul collegamento: N=-22413.60 Ty=18.90 Tz=51.04 Mx=0.00 Mz=13.93
Sollecitazioni agenti localmente: Ty_l=-4075.21 Mx_l=-81.50
Tensioni nella sezione: σ=987.93 τ=123.49
CC 54 SLU (Collegamento -179_-383)
Azioni sul collegamento: N=-23227.90 Ty=19.65 Tz=54.04 Mx=0.00 Mz=14.49
Sollecitazioni agenti localmente: Ty_l=-4223.24 Mx_l=-84.46
Tensioni nella sezione: σ=1023.81 τ=127.98
CC 55 SLU (Collegamento -179_-383)
Azioni sul collegamento: N=-22821.60 Ty=19.36 Tz=52.48 Mx=0.00 Mz=14.39
Sollecitazioni agenti localmente: Ty_l=-4149.39 Mx_l=-82.99
Tensioni nella sezione: σ=1005.91 τ=125.74
CC 56 SLU (Collegamento -179_-383)
Azioni sul collegamento: N=-22819.90 Ty=19.19 Tz=52.60 Mx=0.01 Mz=14.03
Sollecitazioni agenti localmente: Ty_l=-4149.06 Mx_l=-82.98
Tensioni nella sezione: σ=1005.83 τ=125.73
CC 57 SLU (Collegamento -179_-383)
Azioni sul collegamento: N=-30019.90 Ty=20.54 Tz=79.01 Mx=0.00 Mz=15.25
Sollecitazioni agenti localmente: Ty_l=-5458.17 Mx_l=-109.16
Tensioni nella sezione: σ=1323.19 τ=165.40
CC 58 SLU (Collegamento -179_-383)
Azioni sul collegamento: N=-30834.10 Ty=21.29 Tz=82.01 Mx=0.00 Mz=15.80
Sollecitazioni agenti localmente: Ty_l=-5606.21 Mx_l=-112.12
Tensioni nella sezione: σ=1359.08 τ=169.88
CC 59 SLU (Collegamento -179_-383)
Azioni sul collegamento: N=-30427.90 Ty=21.01 Tz=80.45 Mx=0.00 Mz=15.71
Sollecitazioni agenti localmente: Ty_l=-5532.35 Mx_l=-110.65
Tensioni nella sezione: σ=1341.17 τ=167.65
CC 60 SLU (Collegamento -179_-383)
Azioni sul collegamento: N=-30426.20 Ty=20.83 Tz=80.57 Mx=0.01 Mz=15.34
Sollecitazioni agenti localmente: Ty_l=-5532.03 Mx_l=-110.64
Tensioni nella sezione: σ=1341.10 τ=167.64
CC 61 SLU (Collegamento -179_-383)
Azioni sul collegamento: N=-24956.60 Ty=-2.56 Tz=60.02 Mx=0.00 Mz=-2.28
Sollecitazioni agenti localmente: Ty_l=-4537.56 Mx_l=-90.75
Tensioni nella sezione: σ=1100.01 τ=137.50
CC 62 SLU (Collegamento -179_-383)
Azioni sul collegamento: N=-25770.80 Ty=-1.81 Tz=63.02 Mx=0.00 Mz=-1.73
Sollecitazioni agenti localmente: Ty_l=-4685.59 Mx_l=-93.71
Tensioni nella sezione: σ=1135.90 τ=141.99
CC 63 SLU (Collegamento -179_-383)
Azioni sul collegamento: N=-25364.60 Ty=-2.10 Tz=61.46 Mx=0.00 Mz=-1.82
Sollecitazioni agenti localmente: Ty_l=-4611.74 Mx_l=-92.23

Tensioni nella sezione: σ=1117.99 τ=139.75
CC 64 SLU (Collegamento -179_-383)
Azioni sul collegamento: N=-25362.80 Ty=-2.28 Tz=61.58 Mx=0.01 Mz=-2.19
Sollecitazioni agenti localmente: Ty_l=-4611.41 Mx_l=-92.23
Tensioni nella sezione: σ=1117.92 τ=139.74
CC 65 SLU (Collegamento -179_-383)
Azioni sul collegamento: N=-23162.00 Ty=19.88 Tz=53.83 Mx=0.00 Mz=14.66
Sollecitazioni agenti localmente: Ty_l=-4211.27 Mx_l=-84.23
Tensioni nella sezione: σ=1020.91 τ=127.61
CC 66 SLU (Collegamento -179_-383)
Azioni sul collegamento: N=-23976.20 Ty=20.63 Tz=56.84 Mx=0.00 Mz=15.21
Sollecitazioni agenti localmente: Ty_l=-4359.31 Mx_l=-87.19
Tensioni nella sezione: σ=1056.80 τ=132.10
CC 67 SLU (Collegamento -179_-383)
Azioni sul collegamento: N=-23570.00 Ty=20.35 Tz=55.27 Mx=0.00 Mz=15.11
Sollecitazioni agenti localmente: Ty_l=-4285.45 Mx_l=-85.71
Tensioni nella sezione: σ=1038.90 τ=129.86
CC 68 SLU (Collegamento -179_-383)
Azioni sul collegamento: N=-23568.20 Ty=20.17 Tz=55.39 Mx=0.01 Mz=14.75
Sollecitazioni agenti localmente: Ty_l=-4285.13 Mx_l=-85.70
Tensioni nella sezione: σ=1038.82 τ=129.85
CC 97 SLU (Collegamento -179_-383)
Azioni sul collegamento: N=-12126.50 Ty=21.64 Tz=21.62 Mx=0.05 Mz=23.37
Sollecitazioni agenti localmente: Ty_l=-2204.81 Mx_l=-44.10
Tensioni nella sezione: σ=534.50 τ=66.81
CC 98 SLU (Collegamento -179_-383)
Azioni sul collegamento: N=-12940.70 Ty=22.39 Tz=24.63 Mx=0.05 Mz=23.92
Sollecitazioni agenti localmente: Ty_l=-2352.85 Mx_l=-47.06
Tensioni nella sezione: σ=570.39 τ=71.30
CC 99 SLU (Collegamento -179_-383)
Azioni sul collegamento: N=-12534.50 Ty=22.10 Tz=23.06 Mx=0.05 Mz=23.83
Sollecitazioni agenti localmente: Ty_l=-2278.99 Mx_l=-45.58
Tensioni nella sezione: σ=552.48 τ=69.06
CC 100 SLU (Collegamento -179_-383)
Azioni sul collegamento: N=-12532.70 Ty=21.92 Tz=23.18 Mx=0.05 Mz=23.46
Sollecitazioni agenti localmente: Ty_l=-2278.67 Mx_l=-45.57
Tensioni nella sezione: σ=552.40 τ=69.05
CC 101 SLU (Collegamento -179_-383)
Azioni sul collegamento: N=-9752.38 Ty=7.57 Tz=12.50 Mx=-0.00 Mz=4.76
Sollecitazioni agenti localmente: Ty_l=-1773.16 Mx_l=-35.46
Tensioni nella sezione: σ=429.86 τ=53.73
CC 102 SLU (Collegamento -179_-383)
Azioni sul collegamento: N=-10566.60 Ty=8.33 Tz=15.50 Mx=-0.00 Mz=5.31
Sollecitazioni agenti localmente: Ty_l=-1921.20 Mx_l=-38.42
Tensioni nella sezione: σ=465.74 τ=58.22
CC 103 SLU (Collegamento -179_-383)
Azioni sul collegamento: N=-10160.40 Ty=8.04 Tz=13.94 Mx=-0.00 Mz=5.22
Sollecitazioni agenti localmente: Ty_l=-1847.34 Mx_l=-36.95
Tensioni nella sezione: σ=447.84 τ=55.98
CC 104 SLU (Collegamento -179_-383)
Azioni sul collegamento: N=-10158.60 Ty=7.86 Tz=14.06 Mx=-0.00 Mz=4.85
Sollecitazioni agenti localmente: Ty_l=-1847.02 Mx_l=-36.94
Tensioni nella sezione: σ=447.76 τ=55.97

Flessione attacco inferiore piastra

Bnetta=220.00 Hnetta=15.00
CC 1 SLV (Collegamento -179_-383)
Azioni sul collegamento: N=-6136.64 Ty=15.19 Tz=-0.86 Mx=0.02 Mz=13.60
Sollecitazioni agenti localmente: Ty_l=-1115.75 Mx_l=-22.32
Tensioni nella sezione: σ=270.49 τ=33.81
CC 1 SLV (Collegamento -179_-383)
Azioni sul collegamento: N=-6136.64 Ty=7.48 Tz=-0.86 Mx=0.02 Mz=7.28
Sollecitazioni agenti localmente: Ty_l=-1115.75 Mx_l=-22.32
Tensioni nella sezione: σ=270.49 τ=33.81
CC 1 SLV (Collegamento -179_-383)
Azioni sul collegamento: N=-6136.64 Ty=15.19 Tz=28.35 Mx=0.02 Mz=13.60
Sollecitazioni agenti localmente: Ty_l=-1115.75 Mx_l=-22.32
Tensioni nella sezione: σ=270.49 τ=33.81
CC 1 SLV (Collegamento -179_-383)
Azioni sul collegamento: N=-6136.64 Ty=7.48 Tz=28.35 Mx=0.02 Mz=7.28
Sollecitazioni agenti localmente: Ty_l=-1115.75 Mx_l=-22.32
Tensioni nella sezione: σ=270.49 τ=33.81
CC 1 SLV (Collegamento -179_-383)
Azioni sul collegamento: N=-13961.30 Ty=15.19 Tz=-0.86 Mx=0.02 Mz=13.60
Sollecitazioni agenti localmente: Ty_l=-2538.42 Mx_l=-50.77
Tensioni nella sezione: σ=615.37 τ=76.92
CC 1 SLV (Collegamento -179_-383)
Azioni sul collegamento: N=-13961.30 Ty=7.48 Tz=-0.86 Mx=0.02 Mz=7.28

Sollecitazioni agenti localmente: Ty_l=-2538.42 Mx_l=-50.77
Tensioni nella sezione: σ=615.37 τ=76.92
CC 1 SLV (Collegamento -179_-383)
Azioni sul collegamento: N=-13961.30 Ty=15.19 Tz=28.35 Mx=0.02 Mz=13.60
Sollecitazioni agenti localmente: Ty_l=-2538.42 Mx_l=-50.77
Tensioni nella sezione: σ=615.37 τ=76.92
CC 1 SLV (Collegamento -179_-383)
Azioni sul collegamento: N=-13961.30 Ty=7.48 Tz=28.35 Mx=0.02 Mz=7.28
Sollecitazioni agenti localmente: Ty_l=-2538.42 Mx_l=-50.77
Tensioni nella sezione: σ=615.37 τ=76.92
CC 2 SLD (Collegamento -179_-383)
Azioni sul collegamento: N=-8758.64 Ty=11.59 Tz=8.91 Mx=0.01 Mz=9.27
Sollecitazioni agenti localmente: Ty_l=-1592.48 Mx_l=-31.85
Tensioni nella sezione: σ=386.06 τ=48.26
CC 2 SLD (Collegamento -179_-383)
Azioni sul collegamento: N=-8758.64 Ty=9.24 Tz=8.91 Mx=0.01 Mz=7.34
Sollecitazioni agenti localmente: Ty_l=-1592.48 Mx_l=-31.85
Tensioni nella sezione: σ=386.06 τ=48.26
CC 2 SLD (Collegamento -179_-383)
Azioni sul collegamento: N=-8758.64 Ty=11.59 Tz=17.82 Mx=0.01 Mz=9.27
Sollecitazioni agenti localmente: Ty_l=-1592.48 Mx_l=-31.85
Tensioni nella sezione: σ=386.06 τ=48.26
CC 2 SLD (Collegamento -179_-383)
Azioni sul collegamento: N=-8758.64 Ty=9.24 Tz=17.82 Mx=0.01 Mz=7.34
Sollecitazioni agenti localmente: Ty_l=-1592.48 Mx_l=-31.85
Tensioni nella sezione: σ=386.06 τ=48.26
CC 2 SLD (Collegamento -179_-383)
Azioni sul collegamento: N=-11144.60 Ty=11.59 Tz=8.91 Mx=0.01 Mz=9.27
Sollecitazioni agenti localmente: Ty_l=-2026.30 Mx_l=-40.53
Tensioni nella sezione: σ=491.22 τ=61.40
CC 2 SLD (Collegamento -179_-383)
Azioni sul collegamento: N=-11144.60 Ty=9.24 Tz=8.91 Mx=0.01 Mz=7.34
Sollecitazioni agenti localmente: Ty_l=-2026.30 Mx_l=-40.53
Tensioni nella sezione: σ=491.22 τ=61.40
CC 2 SLD (Collegamento -179_-383)
Azioni sul collegamento: N=-11144.60 Ty=11.59 Tz=17.82 Mx=0.01 Mz=9.27
Sollecitazioni agenti localmente: Ty_l=-2026.30 Mx_l=-40.53
Tensioni nella sezione: σ=491.22 τ=61.40
CC 2 SLD (Collegamento -179_-383)
Azioni sul collegamento: N=-11144.60 Ty=9.24 Tz=17.82 Mx=0.01 Mz=7.34
Sollecitazioni agenti localmente: Ty_l=-2026.30 Mx_l=-40.53
Tensioni nella sezione: σ=491.22 τ=61.40
CC 3 SLV (Collegamento -179_-383)
Azioni sul collegamento: N=-6141.51 Ty=14.68 Tz=-0.53 Mx=0.01 Mz=12.56
Sollecitazioni agenti localmente: Ty_l=-1116.64 Mx_l=-22.33
Tensioni nella sezione: σ=270.70 τ=33.84
CC 3 SLV (Collegamento -179_-383)
Azioni sul collegamento: N=-6141.51 Ty=7.99 Tz=-0.53 Mx=0.01 Mz=8.33
Sollecitazioni agenti localmente: Ty_l=-1116.64 Mx_l=-22.33
Tensioni nella sezione: σ=270.70 τ=33.84
CC 3 SLV (Collegamento -179_-383)
Azioni sul collegamento: N=-6141.51 Ty=14.68 Tz=28.02 Mx=0.01 Mz=12.56
Sollecitazioni agenti localmente: Ty_l=-1116.64 Mx_l=-22.33
Tensioni nella sezione: σ=270.70 τ=33.84
CC 3 SLV (Collegamento -179_-383)
Azioni sul collegamento: N=-6141.51 Ty=7.99 Tz=28.02 Mx=0.01 Mz=8.33
Sollecitazioni agenti localmente: Ty_l=-1116.64 Mx_l=-22.33
Tensioni nella sezione: σ=270.70 τ=33.84
CC 3 SLV (Collegamento -179_-383)
Azioni sul collegamento: N=-13956.40 Ty=14.68 Tz=-0.53 Mx=0.01 Mz=12.56
Sollecitazioni agenti localmente: Ty_l=-2537.54 Mx_l=-50.75
Tensioni nella sezione: σ=615.16 τ=76.89
CC 3 SLV (Collegamento -179_-383)
Azioni sul collegamento: N=-13956.40 Ty=7.99 Tz=-0.53 Mx=0.01 Mz=8.33
Sollecitazioni agenti localmente: Ty_l=-2537.54 Mx_l=-50.75
Tensioni nella sezione: σ=615.16 τ=76.89
CC 3 SLV (Collegamento -179_-383)
Azioni sul collegamento: N=-13956.40 Ty=14.68 Tz=28.02 Mx=0.01 Mz=12.56
Sollecitazioni agenti localmente: Ty_l=-2537.54 Mx_l=-50.75
Tensioni nella sezione: σ=615.16 τ=76.89
CC 3 SLV (Collegamento -179_-383)
Azioni sul collegamento: N=-13956.40 Ty=7.99 Tz=28.02 Mx=0.01 Mz=8.33
Sollecitazioni agenti localmente: Ty_l=-2537.54 Mx_l=-50.75
Tensioni nella sezione: σ=615.16 τ=76.89
CC 4 SLD (Collegamento -179_-383)
Azioni sul collegamento: N=-8760.13 Ty=11.43 Tz=9.01 Mx=0.01 Mz=8.95
Sollecitazioni agenti localmente: Ty_l=-1592.75 Mx_l=-31.85
Tensioni nella sezione: σ=386.12 τ=48.27
CC 4 SLD (Collegamento -179_-383)

Azioni sul collegamento: N=-8760.13 Ty=9.39 Tz=9.01 Mx=0.01 Mz=7.66
Sollecitazioni agenti localmente: Ty_l=-1592.75 Mx_l=-31.85
Tensioni nella sezione: σ=386.12 τ=48.27
CC 4 SLD (Collegamento -179_-383)
Azioni sul collegamento: N=-8760.13 Ty=11.43 Tz=17.72 Mx=0.01 Mz=8.95
Sollecitazioni agenti localmente: Ty_l=-1592.75 Mx_l=-31.85
Tensioni nella sezione: σ=386.12 τ=48.27
CC 4 SLD (Collegamento -179_-383)
Azioni sul collegamento: N=-8760.13 Ty=9.39 Tz=17.72 Mx=0.01 Mz=7.66
Sollecitazioni agenti localmente: Ty_l=-1592.75 Mx_l=-31.85
Tensioni nella sezione: σ=386.12 τ=48.27
CC 4 SLD (Collegamento -179_-383)
Azioni sul collegamento: N=-11143.10 Ty=11.43 Tz=9.01 Mx=0.01 Mz=8.95
Sollecitazioni agenti localmente: Ty_l=-2026.03 Mx_l=-40.52
Tensioni nella sezione: σ=491.16 τ=61.39
CC 4 SLD (Collegamento -179_-383)
Azioni sul collegamento: N=-11143.10 Ty=9.39 Tz=9.01 Mx=0.01 Mz=7.66
Sollecitazioni agenti localmente: Ty_l=-2026.03 Mx_l=-40.52
Tensioni nella sezione: σ=491.16 τ=61.39
CC 4 SLD (Collegamento -179_-383)
Azioni sul collegamento: N=-11143.10 Ty=11.43 Tz=17.72 Mx=0.01 Mz=8.95
Sollecitazioni agenti localmente: Ty_l=-2026.03 Mx_l=-40.52
Tensioni nella sezione: σ=491.16 τ=61.39
CC 4 SLD (Collegamento -179_-383)
Azioni sul collegamento: N=-11143.10 Ty=9.39 Tz=17.72 Mx=0.01 Mz=7.66
Sollecitazioni agenti localmente: Ty_l=-2026.03 Mx_l=-40.52
Tensioni nella sezione: σ=491.16 τ=61.39
CC 5 SLV (Collegamento -179_-383)
Azioni sul collegamento: N=-13956.40 Ty=7.99 Tz=28.02 Mx=0.02 Mz=8.33
Sollecitazioni agenti localmente: Ty_l=-2537.54 Mx_l=-50.75
Tensioni nella sezione: σ=615.16 τ=76.89
CC 5 SLV (Collegamento -179_-383)
Azioni sul collegamento: N=-13956.40 Ty=14.68 Tz=28.02 Mx=0.02 Mz=12.56
Sollecitazioni agenti localmente: Ty_l=-2537.54 Mx_l=-50.75
Tensioni nella sezione: σ=615.16 τ=76.89
CC 5 SLV (Collegamento -179_-383)
Azioni sul collegamento: N=-13956.40 Ty=7.99 Tz=-0.53 Mx=0.02 Mz=8.33
Sollecitazioni agenti localmente: Ty_l=-2537.54 Mx_l=-50.75
Tensioni nella sezione: σ=615.16 τ=76.89
CC 5 SLV (Collegamento -179_-383)
Azioni sul collegamento: N=-13956.40 Ty=14.68 Tz=-0.53 Mx=0.02 Mz=12.56
Sollecitazioni agenti localmente: Ty_l=-2537.54 Mx_l=-50.75
Tensioni nella sezione: σ=615.16 τ=76.89
CC 5 SLV (Collegamento -179_-383)
Azioni sul collegamento: N=-6141.51 Ty=7.99 Tz=28.02 Mx=0.02 Mz=8.33
Sollecitazioni agenti localmente: Ty_l=-1116.64 Mx_l=-22.33
Tensioni nella sezione: σ=270.70 τ=33.84
CC 5 SLV (Collegamento -179_-383)
Azioni sul collegamento: N=-6141.51 Ty=14.68 Tz=28.02 Mx=0.02 Mz=12.56
Sollecitazioni agenti localmente: Ty_l=-1116.64 Mx_l=-22.33
Tensioni nella sezione: σ=270.70 τ=33.84
CC 5 SLV (Collegamento -179_-383)
Azioni sul collegamento: N=-6141.51 Ty=7.99 Tz=-0.53 Mx=0.02 Mz=8.33
Sollecitazioni agenti localmente: Ty_l=-1116.64 Mx_l=-22.33
Tensioni nella sezione: σ=270.70 τ=33.84
CC 5 SLV (Collegamento -179_-383)
Azioni sul collegamento: N=-6141.51 Ty=14.68 Tz=-0.53 Mx=0.02 Mz=12.56
Sollecitazioni agenti localmente: Ty_l=-1116.64 Mx_l=-22.33
Tensioni nella sezione: σ=270.70 τ=33.84
CC 6 SLD (Collegamento -179_-383)
Azioni sul collegamento: N=-11143.10 Ty=9.39 Tz=17.72 Mx=0.01 Mz=7.66
Sollecitazioni agenti localmente: Ty_l=-2026.03 Mx_l=-40.52
Tensioni nella sezione: σ=491.16 τ=61.39
CC 6 SLD (Collegamento -179_-383)
Azioni sul collegamento: N=-11143.10 Ty=11.43 Tz=17.72 Mx=0.01 Mz=8.95
Sollecitazioni agenti localmente: Ty_l=-2026.03 Mx_l=-40.52
Tensioni nella sezione: σ=491.16 τ=61.39
CC 6 SLD (Collegamento -179_-383)
Azioni sul collegamento: N=-11143.10 Ty=9.39 Tz=9.01 Mx=0.01 Mz=7.66
Sollecitazioni agenti localmente: Ty_l=-2026.03 Mx_l=-40.52
Tensioni nella sezione: σ=491.16 τ=61.39
CC 6 SLD (Collegamento -179_-383)
Azioni sul collegamento: N=-11143.10 Ty=11.43 Tz=9.01 Mx=0.01 Mz=8.95
Sollecitazioni agenti localmente: Ty_l=-2026.03 Mx_l=-40.52
Tensioni nella sezione: σ=491.16 τ=61.39
CC 6 SLD (Collegamento -179_-383)
Azioni sul collegamento: N=-8760.13 Ty=9.39 Tz=17.72 Mx=0.01 Mz=7.66
Sollecitazioni agenti localmente: Ty_l=-1592.75 Mx_l=-31.85
Tensioni nella sezione: σ=386.12 τ=48.27

CC 6 SLD (Collegamento -179_-383)
Azioni sul collegamento: N=-8760.13 Ty=11.43 Tz=17.72 Mx=0.01 Mz=8.95
Sollecitazioni agenti localmente: Ty_l=-1592.75 Mx_l=-31.85
Tensioni nella sezione: σ=386.12 τ=48.27
CC 6 SLD (Collegamento -179_-383)
Azioni sul collegamento: N=-8760.13 Ty=9.39 Tz=9.01 Mx=0.01 Mz=7.66
Sollecitazioni agenti localmente: Ty_l=-1592.75 Mx_l=-31.85
Tensioni nella sezione: σ=386.12 τ=48.27
CC 6 SLD (Collegamento -179_-383)
Azioni sul collegamento: N=-8760.13 Ty=11.43 Tz=9.01 Mx=0.01 Mz=8.95
Sollecitazioni agenti localmente: Ty_l=-1592.75 Mx_l=-31.85
Tensioni nella sezione: σ=386.12 τ=48.27
CC 7 SLV (Collegamento -179_-383)
Azioni sul collegamento: N=-13961.30 Ty=7.48 Tz=28.35 Mx=0.01 Mz=7.28
Sollecitazioni agenti localmente: Ty_l=-2538.42 Mx_l=-50.77
Tensioni nella sezione: σ=615.37 τ=76.92
CC 7 SLV (Collegamento -179_-383)
Azioni sul collegamento: N=-13961.30 Ty=15.19 Tz=28.35 Mx=0.01 Mz=13.60
Sollecitazioni agenti localmente: Ty_l=-2538.42 Mx_l=-50.77
Tensioni nella sezione: σ=615.37 τ=76.92
CC 7 SLV (Collegamento -179_-383)
Azioni sul collegamento: N=-13961.30 Ty=7.48 Tz=-0.86 Mx=0.01 Mz=7.28
Sollecitazioni agenti localmente: Ty_l=-2538.42 Mx_l=-50.77
Tensioni nella sezione: σ=615.37 τ=76.92
CC 7 SLV (Collegamento -179_-383)
Azioni sul collegamento: N=-13961.30 Ty=15.19 Tz=-0.86 Mx=0.01 Mz=13.60
Sollecitazioni agenti localmente: Ty_l=-2538.42 Mx_l=-50.77
Tensioni nella sezione: σ=615.37 τ=76.92
CC 7 SLV (Collegamento -179_-383)
Azioni sul collegamento: N=-6136.64 Ty=7.48 Tz=28.35 Mx=0.01 Mz=7.28
Sollecitazioni agenti localmente: Ty_l=-1115.75 Mx_l=-22.32
Tensioni nella sezione: σ=270.49 τ=33.81
CC 7 SLV (Collegamento -179_-383)
Azioni sul collegamento: N=-6136.64 Ty=15.19 Tz=28.35 Mx=0.01 Mz=13.60
Sollecitazioni agenti localmente: Ty_l=-1115.75 Mx_l=-22.32
Tensioni nella sezione: σ=270.49 τ=33.81
CC 7 SLV (Collegamento -179_-383)
Azioni sul collegamento: N=-6136.64 Ty=7.48 Tz=-0.86 Mx=0.01 Mz=7.28
Sollecitazioni agenti localmente: Ty_l=-1115.75 Mx_l=-22.32
Tensioni nella sezione: σ=270.49 τ=33.81
CC 7 SLV (Collegamento -179_-383)
Azioni sul collegamento: N=-6136.64 Ty=15.19 Tz=-0.86 Mx=0.01 Mz=13.60
Sollecitazioni agenti localmente: Ty_l=-1115.75 Mx_l=-22.32
Tensioni nella sezione: σ=270.49 τ=33.81
CC 8 SLD (Collegamento -179_-383)
Azioni sul collegamento: N=-11144.60 Ty=9.24 Tz=17.82 Mx=0.01 Mz=7.34
Sollecitazioni agenti localmente: Ty_l=-2026.30 Mx_l=-40.53
Tensioni nella sezione: σ=491.22 τ=61.40
CC 8 SLD (Collegamento -179_-383)
Azioni sul collegamento: N=-11144.60 Ty=11.59 Tz=17.82 Mx=0.01 Mz=9.27
Sollecitazioni agenti localmente: Ty_l=-2026.30 Mx_l=-40.53
Tensioni nella sezione: σ=491.22 τ=61.40
CC 8 SLD (Collegamento -179_-383)
Azioni sul collegamento: N=-11144.60 Ty=9.24 Tz=8.91 Mx=0.01 Mz=7.34
Sollecitazioni agenti localmente: Ty_l=-2026.30 Mx_l=-40.53
Tensioni nella sezione: σ=491.22 τ=61.40
CC 8 SLD (Collegamento -179_-383)
Azioni sul collegamento: N=-11144.60 Ty=11.59 Tz=8.91 Mx=0.01 Mz=9.27
Sollecitazioni agenti localmente: Ty_l=-2026.30 Mx_l=-40.53
Tensioni nella sezione: σ=491.22 τ=61.40
CC 8 SLD (Collegamento -179_-383)
Azioni sul collegamento: N=-8758.64 Ty=9.24 Tz=17.82 Mx=0.01 Mz=7.34
Sollecitazioni agenti localmente: Ty_l=-1592.48 Mx_l=-31.85
Tensioni nella sezione: σ=386.06 τ=48.26
CC 8 SLD (Collegamento -179_-383)
Azioni sul collegamento: N=-8758.64 Ty=11.59 Tz=17.82 Mx=0.01 Mz=9.27
Sollecitazioni agenti localmente: Ty_l=-1592.48 Mx_l=-31.85
Tensioni nella sezione: σ=386.06 τ=48.26
CC 8 SLD (Collegamento -179_-383)
Azioni sul collegamento: N=-8758.64 Ty=9.24 Tz=8.91 Mx=0.01 Mz=7.34
Sollecitazioni agenti localmente: Ty_l=-1592.48 Mx_l=-31.85
Tensioni nella sezione: σ=386.06 τ=48.26
CC 8 SLD (Collegamento -179_-383)
Azioni sul collegamento: N=-8758.64 Ty=11.59 Tz=8.91 Mx=0.01 Mz=9.27
Sollecitazioni agenti localmente: Ty_l=-1592.48 Mx_l=-31.85
Tensioni nella sezione: σ=386.06 τ=48.26
CC 9 SLV (Collegamento -179_-383)
Azioni sul collegamento: N=-8867.90 Ty=13.27 Tz=8.87 Mx=0.02 Mz=12.98
Sollecitazioni agenti localmente: Ty_l=-1612.34 Mx_l=-32.25

Tensioni nella sezione: σ=390.87 τ=48.86
CC 9 SLV (Collegamento -179_-383)
Azioni sul collegamento: N=-8867.90 Ty=9.40 Tz=8.87 Mx=0.02 Mz=7.91
Sollecitazioni agenti localmente: Ty_l=-1612.34 Mx_l=-32.25
Tensioni nella sezione: σ=390.87 τ=48.86
CC 9 SLV (Collegamento -179_-383)
Azioni sul collegamento: N=-8867.90 Ty=13.27 Tz=18.62 Mx=0.02 Mz=12.98
Sollecitazioni agenti localmente: Ty_l=-1612.34 Mx_l=-32.25
Tensioni nella sezione: σ=390.87 τ=48.86
CC 9 SLV (Collegamento -179_-383)
Azioni sul collegamento: N=-8867.90 Ty=9.40 Tz=18.62 Mx=0.02 Mz=7.91
Sollecitazioni agenti localmente: Ty_l=-1612.34 Mx_l=-32.25
Tensioni nella sezione: σ=390.87 τ=48.86
CC 9 SLV (Collegamento -179_-383)
Azioni sul collegamento: N=-11230.10 Ty=13.27 Tz=8.87 Mx=0.02 Mz=12.98
Sollecitazioni agenti localmente: Ty_l=-2041.83 Mx_l=-40.84
Tensioni nella sezione: σ=494.99 τ=61.87
CC 9 SLV (Collegamento -179_-383)
Azioni sul collegamento: N=-11230.10 Ty=9.40 Tz=8.87 Mx=0.02 Mz=7.91
Sollecitazioni agenti localmente: Ty_l=-2041.83 Mx_l=-40.84
Tensioni nella sezione: σ=494.99 τ=61.87
CC 9 SLV (Collegamento -179_-383)
Azioni sul collegamento: N=-11230.10 Ty=13.27 Tz=18.62 Mx=0.02 Mz=12.98
Sollecitazioni agenti localmente: Ty_l=-2041.83 Mx_l=-40.84
Tensioni nella sezione: σ=494.99 τ=61.87
CC 9 SLV (Collegamento -179_-383)
Azioni sul collegamento: N=-11230.10 Ty=9.40 Tz=18.62 Mx=0.02 Mz=7.91
Sollecitazioni agenti localmente: Ty_l=-2041.83 Mx_l=-40.84
Tensioni nella sezione: σ=494.99 τ=61.87
CC 10 SLD (Collegamento -179_-383)
Azioni sul collegamento: N=-9591.49 Ty=11.00 Tz=11.88 Mx=0.01 Mz=9.08
Sollecitazioni agenti localmente: Ty_l=-1743.91 Mx_l=-34.88
Tensioni nella sezione: σ=422.76 τ=52.85
CC 10 SLD (Collegamento -179_-383)
Azioni sul collegamento: N=-9591.49 Ty=9.82 Tz=11.88 Mx=0.01 Mz=7.53
Sollecitazioni agenti localmente: Ty_l=-1743.91 Mx_l=-34.88
Tensioni nella sezione: σ=422.76 τ=52.85
CC 10 SLD (Collegamento -179_-383)
Azioni sul collegamento: N=-9591.49 Ty=11.00 Tz=14.85 Mx=0.01 Mz=9.08
Sollecitazioni agenti localmente: Ty_l=-1743.91 Mx_l=-34.88
Tensioni nella sezione: σ=422.76 τ=52.85
CC 10 SLD (Collegamento -179_-383)
Azioni sul collegamento: N=-9591.49 Ty=9.82 Tz=14.85 Mx=0.01 Mz=7.53
Sollecitazioni agenti localmente: Ty_l=-1743.91 Mx_l=-34.88
Tensioni nella sezione: σ=422.76 τ=52.85
CC 10 SLD (Collegamento -179_-383)
Azioni sul collegamento: N=-10311.80 Ty=11.00 Tz=11.88 Mx=0.01 Mz=9.08
Sollecitazioni agenti localmente: Ty_l=-1874.87 Mx_l=-37.50
Tensioni nella sezione: σ=454.51 τ=56.81
CC 10 SLD (Collegamento -179_-383)
Azioni sul collegamento: N=-10311.80 Ty=9.82 Tz=11.88 Mx=0.01 Mz=7.53
Sollecitazioni agenti localmente: Ty_l=-1874.87 Mx_l=-37.50
Tensioni nella sezione: σ=454.51 τ=56.81
CC 10 SLD (Collegamento -179_-383)
Azioni sul collegamento: N=-10311.80 Ty=11.00 Tz=14.85 Mx=0.01 Mz=9.08
Sollecitazioni agenti localmente: Ty_l=-1874.87 Mx_l=-37.50
Tensioni nella sezione: σ=454.51 τ=56.81
CC 10 SLD (Collegamento -179_-383)
Azioni sul collegamento: N=-10311.80 Ty=9.82 Tz=14.85 Mx=0.01 Mz=7.53
Sollecitazioni agenti localmente: Ty_l=-1874.87 Mx_l=-37.50
Tensioni nella sezione: σ=454.51 τ=56.81
CC 11 SLV (Collegamento -179_-383)
Azioni sul collegamento: N=-11213.80 Ty=11.11 Tz=17.53 Mx=0.02 Mz=11.40
Sollecitazioni agenti localmente: Ty_l=-2038.88 Mx_l=-40.78
Tensioni nella sezione: σ=494.27 τ=61.78
CC 11 SLV (Collegamento -179_-383)
Azioni sul collegamento: N=-11213.80 Ty=11.56 Tz=17.53 Mx=0.02 Mz=9.49
Sollecitazioni agenti localmente: Ty_l=-2038.88 Mx_l=-40.78
Tensioni nella sezione: σ=494.27 τ=61.78
CC 11 SLV (Collegamento -179_-383)
Azioni sul collegamento: N=-11213.80 Ty=11.11 Tz=9.96 Mx=0.02 Mz=11.40
Sollecitazioni agenti localmente: Ty_l=-2038.88 Mx_l=-40.78
Tensioni nella sezione: σ=494.27 τ=61.78
CC 11 SLV (Collegamento -179_-383)
Azioni sul collegamento: N=-11213.80 Ty=11.56 Tz=9.96 Mx=0.02 Mz=9.49
Sollecitazioni agenti localmente: Ty_l=-2038.88 Mx_l=-40.78
Tensioni nella sezione: σ=494.27 τ=61.78
CC 11 SLV (Collegamento -179_-383)
Azioni sul collegamento: N=-8884.11 Ty=11.11 Tz=17.53 Mx=0.02 Mz=11.40

Sollecitazioni agenti localmente: Ty_l=-1615.29 Mx_l=-32.31
Tensioni nella sezione: σ=391.58 τ=48.95
CC 11 SLV (Collegamento -179_-383)
Azioni sul collegamento: N=-8884.11 Ty=11.56 Tz=17.53 Mx=0.02 Mz=9.49
Sollecitazioni agenti localmente: Ty_l=-1615.29 Mx_l=-32.31
Tensioni nella sezione: σ=391.58 τ=48.95
CC 11 SLV (Collegamento -179_-383)
Azioni sul collegamento: N=-8884.11 Ty=11.11 Tz=9.96 Mx=0.02 Mz=11.40
Sollecitazioni agenti localmente: Ty_l=-1615.29 Mx_l=-32.31
Tensioni nella sezione: σ=391.58 τ=48.95
CC 11 SLV (Collegamento -179_-383)
Azioni sul collegamento: N=-8884.11 Ty=11.56 Tz=9.96 Mx=0.02 Mz=9.49
Sollecitazioni agenti localmente: Ty_l=-1615.29 Mx_l=-32.31
Tensioni nella sezione: σ=391.58 τ=48.95
CC 12 SLD (Collegamento -179_-383)
Azioni sul collegamento: N=-10306.80 Ty=10.34 Tz=14.52 Mx=0.01 Mz=8.60
Sollecitazioni agenti localmente: Ty_l=-1873.97 Mx_l=-37.48
Tensioni nella sezione: σ=454.30 τ=56.79
CC 12 SLD (Collegamento -179_-383)
Azioni sul collegamento: N=-10306.80 Ty=10.48 Tz=14.52 Mx=0.01 Mz=8.01
Sollecitazioni agenti localmente: Ty_l=-1873.97 Mx_l=-37.48
Tensioni nella sezione: σ=454.30 τ=56.79
CC 12 SLD (Collegamento -179_-383)
Azioni sul collegamento: N=-10306.80 Ty=10.34 Tz=12.21 Mx=0.01 Mz=8.60
Sollecitazioni agenti localmente: Ty_l=-1873.97 Mx_l=-37.48
Tensioni nella sezione: σ=454.30 τ=56.79
CC 12 SLD (Collegamento -179_-383)
Azioni sul collegamento: N=-10306.80 Ty=10.48 Tz=12.21 Mx=0.01 Mz=8.01
Sollecitazioni agenti localmente: Ty_l=-1873.97 Mx_l=-37.48
Tensioni nella sezione: σ=454.30 τ=56.79
CC 12 SLD (Collegamento -179_-383)
Azioni sul collegamento: N=-9596.43 Ty=10.34 Tz=14.52 Mx=0.01 Mz=8.60
Sollecitazioni agenti localmente: Ty_l=-1744.81 Mx_l=-34.90
Tensioni nella sezione: σ=422.98 τ=52.87
CC 12 SLD (Collegamento -179_-383)
Azioni sul collegamento: N=-9596.43 Ty=10.48 Tz=14.52 Mx=0.01 Mz=8.01
Sollecitazioni agenti localmente: Ty_l=-1744.81 Mx_l=-34.90
Tensioni nella sezione: σ=422.98 τ=52.87
CC 12 SLD (Collegamento -179_-383)
Azioni sul collegamento: N=-9596.43 Ty=10.34 Tz=12.21 Mx=0.01 Mz=8.60
Sollecitazioni agenti localmente: Ty_l=-1744.81 Mx_l=-34.90
Tensioni nella sezione: σ=422.98 τ=52.87
CC 12 SLD (Collegamento -179_-383)
Azioni sul collegamento: N=-9596.43 Ty=10.48 Tz=12.21 Mx=0.01 Mz=8.01
Sollecitazioni agenti localmente: Ty_l=-1744.81 Mx_l=-34.90
Tensioni nella sezione: σ=422.98 τ=52.87
CC 13 SLV (Collegamento -179_-383)
Azioni sul collegamento: N=-8884.11 Ty=11.56 Tz=9.96 Mx=0.01 Mz=9.49
Sollecitazioni agenti localmente: Ty_l=-1615.29 Mx_l=-32.31
Tensioni nella sezione: σ=391.58 τ=48.95
CC 13 SLV (Collegamento -179_-383)
Azioni sul collegamento: N=-8884.11 Ty=11.11 Tz=9.96 Mx=0.01 Mz=11.40
Sollecitazioni agenti localmente: Ty_l=-1615.29 Mx_l=-32.31
Tensioni nella sezione: σ=391.58 τ=48.95
CC 13 SLV (Collegamento -179_-383)
Azioni sul collegamento: N=-8884.11 Ty=11.56 Tz=17.53 Mx=0.01 Mz=9.49
Sollecitazioni agenti localmente: Ty_l=-1615.29 Mx_l=-32.31
Tensioni nella sezione: σ=391.58 τ=48.95
CC 13 SLV (Collegamento -179_-383)
Azioni sul collegamento: N=-8884.11 Ty=11.11 Tz=17.53 Mx=0.01 Mz=11.40
Sollecitazioni agenti localmente: Ty_l=-1615.29 Mx_l=-32.31
Tensioni nella sezione: σ=391.58 τ=48.95
CC 13 SLV (Collegamento -179_-383)
Azioni sul collegamento: N=-11213.80 Ty=11.56 Tz=9.96 Mx=0.01 Mz=9.49
Sollecitazioni agenti localmente: Ty_l=-2038.88 Mx_l=-40.78
Tensioni nella sezione: σ=494.27 τ=61.78
CC 13 SLV (Collegamento -179_-383)
Azioni sul collegamento: N=-11213.80 Ty=11.11 Tz=9.96 Mx=0.01 Mz=11.40
Sollecitazioni agenti localmente: Ty_l=-2038.88 Mx_l=-40.78
Tensioni nella sezione: σ=494.27 τ=61.78
CC 13 SLV (Collegamento -179_-383)
Azioni sul collegamento: N=-11213.80 Ty=11.56 Tz=17.53 Mx=0.01 Mz=9.49
Sollecitazioni agenti localmente: Ty_l=-2038.88 Mx_l=-40.78
Tensioni nella sezione: σ=494.27 τ=61.78
CC 13 SLV (Collegamento -179_-383)
Azioni sul collegamento: N=-11213.80 Ty=11.11 Tz=17.53 Mx=0.01 Mz=11.40
Sollecitazioni agenti localmente: Ty_l=-2038.88 Mx_l=-40.78
Tensioni nella sezione: σ=494.27 τ=61.78
CC 14 SLD (Collegamento -179_-383)

Azioni sul collegamento: N=-9596.43 Ty=10.48 Tz=12.21 Mx=0.00 Mz=8.01
Sollecitazioni agenti localmente: Ty_l=-1744.81 Mx_l=-34.90
Tensioni nella sezione: σ=422.98 τ=52.87
CC 14 SLD (Collegamento -179_-383)
Azioni sul collegamento: N=-9596.43 Ty=10.34 Tz=12.21 Mx=0.00 Mz=8.60
Sollecitazioni agenti localmente: Ty_l=-1744.81 Mx_l=-34.90
Tensioni nella sezione: σ=422.98 τ=52.87
CC 14 SLD (Collegamento -179_-383)
Azioni sul collegamento: N=-9596.43 Ty=10.48 Tz=14.52 Mx=0.00 Mz=8.01
Sollecitazioni agenti localmente: Ty_l=-1744.81 Mx_l=-34.90
Tensioni nella sezione: σ=422.98 τ=52.87
CC 14 SLD (Collegamento -179_-383)
Azioni sul collegamento: N=-9596.43 Ty=10.34 Tz=14.52 Mx=0.00 Mz=8.60
Sollecitazioni agenti localmente: Ty_l=-1744.81 Mx_l=-34.90
Tensioni nella sezione: σ=422.98 τ=52.87
CC 14 SLD (Collegamento -179_-383)
Azioni sul collegamento: N=-10306.80 Ty=10.48 Tz=12.21 Mx=0.00 Mz=8.01
Sollecitazioni agenti localmente: Ty_l=-1873.97 Mx_l=-37.48
Tensioni nella sezione: σ=454.30 τ=56.79
CC 14 SLD (Collegamento -179_-383)
Azioni sul collegamento: N=-10306.80 Ty=10.34 Tz=12.21 Mx=0.00 Mz=8.60
Sollecitazioni agenti localmente: Ty_l=-1873.97 Mx_l=-37.48
Tensioni nella sezione: σ=454.30 τ=56.79
CC 14 SLD (Collegamento -179_-383)
Azioni sul collegamento: N=-10306.80 Ty=10.48 Tz=14.52 Mx=0.00 Mz=8.01
Sollecitazioni agenti localmente: Ty_l=-1873.97 Mx_l=-37.48
Tensioni nella sezione: σ=454.30 τ=56.79
CC 14 SLD (Collegamento -179_-383)
Azioni sul collegamento: N=-10306.80 Ty=10.34 Tz=14.52 Mx=0.00 Mz=8.60
Sollecitazioni agenti localmente: Ty_l=-1873.97 Mx_l=-37.48
Tensioni nella sezione: σ=454.30 τ=56.79
CC 15 SLV (Collegamento -179_-383)
Azioni sul collegamento: N=-11230.10 Ty=9.40 Tz=18.62 Mx=0.01 Mz=7.91
Sollecitazioni agenti localmente: Ty_l=-2041.83 Mx_l=-40.84
Tensioni nella sezione: σ=494.99 τ=61.87
CC 15 SLV (Collegamento -179_-383)
Azioni sul collegamento: N=-11230.10 Ty=13.27 Tz=18.62 Mx=0.01 Mz=12.98
Sollecitazioni agenti localmente: Ty_l=-2041.83 Mx_l=-40.84
Tensioni nella sezione: σ=494.99 τ=61.87
CC 15 SLV (Collegamento -179_-383)
Azioni sul collegamento: N=-11230.10 Ty=9.40 Tz=8.87 Mx=0.01 Mz=7.91
Sollecitazioni agenti localmente: Ty_l=-2041.83 Mx_l=-40.84
Tensioni nella sezione: σ=494.99 τ=61.87
CC 15 SLV (Collegamento -179_-383)
Azioni sul collegamento: N=-11230.10 Ty=13.27 Tz=8.87 Mx=0.01 Mz=12.98
Sollecitazioni agenti localmente: Ty_l=-2041.83 Mx_l=-40.84
Tensioni nella sezione: σ=494.99 τ=61.87
CC 15 SLV (Collegamento -179_-383)
Azioni sul collegamento: N=-8867.90 Ty=9.40 Tz=18.62 Mx=0.01 Mz=7.91
Sollecitazioni agenti localmente: Ty_l=-1612.34 Mx_l=-32.25
Tensioni nella sezione: σ=390.87 τ=48.86
CC 15 SLV (Collegamento -179_-383)
Azioni sul collegamento: N=-8867.90 Ty=13.27 Tz=18.62 Mx=0.01 Mz=12.98
Sollecitazioni agenti localmente: Ty_l=-1612.34 Mx_l=-32.25
Tensioni nella sezione: σ=390.87 τ=48.86
CC 15 SLV (Collegamento -179_-383)
Azioni sul collegamento: N=-8867.90 Ty=9.40 Tz=8.87 Mx=0.01 Mz=7.91
Sollecitazioni agenti localmente: Ty_l=-1612.34 Mx_l=-32.25
Tensioni nella sezione: σ=390.87 τ=48.86
CC 15 SLV (Collegamento -179_-383)
Azioni sul collegamento: N=-8867.90 Ty=13.27 Tz=8.87 Mx=0.01 Mz=12.98
Sollecitazioni agenti localmente: Ty_l=-1612.34 Mx_l=-32.25
Tensioni nella sezione: σ=390.87 τ=48.86
CC 16 SLD (Collegamento -179_-383)
Azioni sul collegamento: N=-10311.80 Ty=9.82 Tz=14.85 Mx=0.00 Mz=7.53
Sollecitazioni agenti localmente: Ty_l=-1874.87 Mx_l=-37.50
Tensioni nella sezione: σ=454.51 τ=56.81
CC 16 SLD (Collegamento -179_-383)
Azioni sul collegamento: N=-10311.80 Ty=11.00 Tz=14.85 Mx=0.00 Mz=9.08
Sollecitazioni agenti localmente: Ty_l=-1874.87 Mx_l=-37.50
Tensioni nella sezione: σ=454.51 τ=56.81
CC 16 SLD (Collegamento -179_-383)
Azioni sul collegamento: N=-10311.80 Ty=9.82 Tz=11.88 Mx=0.00 Mz=7.53
Sollecitazioni agenti localmente: Ty_l=-1874.87 Mx_l=-37.50
Tensioni nella sezione: σ=454.51 τ=56.81
CC 16 SLD (Collegamento -179_-383)
Azioni sul collegamento: N=-10311.80 Ty=11.00 Tz=11.88 Mx=0.00 Mz=9.08
Sollecitazioni agenti localmente: Ty_l=-1874.87 Mx_l=-37.50
Tensioni nella sezione: σ=454.51 τ=56.81

CC 16 SLD (Collegamento -179_-383)
Azioni sul collegamento: N=-9591.49 Ty=9.82 Tz=14.85 Mx=0.00 Mz=7.53
Sollecitazioni agenti localmente: Ty_l=-1743.91 Mx_l=-34.88
Tensioni nella sezione: σ=422.76 τ=52.85
CC 16 SLD (Collegamento -179_-383)
Azioni sul collegamento: N=-9591.49 Ty=11.00 Tz=14.85 Mx=0.00 Mz=9.08
Sollecitazioni agenti localmente: Ty_l=-1743.91 Mx_l=-34.88
Tensioni nella sezione: σ=422.76 τ=52.85
CC 16 SLD (Collegamento -179_-383)
Azioni sul collegamento: N=-9591.49 Ty=9.82 Tz=11.88 Mx=0.00 Mz=7.53
Sollecitazioni agenti localmente: Ty_l=-1743.91 Mx_l=-34.88
Tensioni nella sezione: σ=422.76 τ=52.85
CC 16 SLD (Collegamento -179_-383)
Azioni sul collegamento: N=-9591.49 Ty=11.00 Tz=11.88 Mx=0.00 Mz=9.08
Sollecitazioni agenti localmente: Ty_l=-1743.91 Mx_l=-34.88
Tensioni nella sezione: σ=422.76 τ=52.85
CC 17 SLV (Collegamento -179_-383)
Azioni sul collegamento: N=-5856.57 Ty=12.53 Tz=-1.96 Mx=-0.01 Mz=7.45
Sollecitazioni agenti localmente: Ty_l=-1064.83 Mx_l=-21.30
Tensioni nella sezione: σ=258.14 τ=32.27
CC 17 SLV (Collegamento -179_-383)
Azioni sul collegamento: N=-5856.57 Ty=4.82 Tz=-1.96 Mx=-0.01 Mz=1.13
Sollecitazioni agenti localmente: Ty_l=-1064.83 Mx_l=-21.30
Tensioni nella sezione: σ=258.14 τ=32.27
CC 17 SLV (Collegamento -179_-383)
Azioni sul collegamento: N=-5856.57 Ty=12.53 Tz=27.25 Mx=-0.01 Mz=7.45
Sollecitazioni agenti localmente: Ty_l=-1064.83 Mx_l=-21.30
Tensioni nella sezione: σ=258.14 τ=32.27
CC 17 SLV (Collegamento -179_-383)
Azioni sul collegamento: N=-5856.57 Ty=4.82 Tz=27.25 Mx=-0.01 Mz=1.13
Sollecitazioni agenti localmente: Ty_l=-1064.83 Mx_l=-21.30
Tensioni nella sezione: σ=258.14 τ=32.27
CC 17 SLV (Collegamento -179_-383)
Azioni sul collegamento: N=-13681.20 Ty=12.53 Tz=-1.96 Mx=-0.01 Mz=7.45
Sollecitazioni agenti localmente: Ty_l=-2487.50 Mx_l=-49.75
Tensioni nella sezione: σ=603.03 τ=75.38
CC 17 SLV (Collegamento -179_-383)
Azioni sul collegamento: N=-13681.20 Ty=4.82 Tz=-1.96 Mx=-0.01 Mz=1.13
Sollecitazioni agenti localmente: Ty_l=-2487.50 Mx_l=-49.75
Tensioni nella sezione: σ=603.03 τ=75.38
CC 17 SLV (Collegamento -179_-383)
Azioni sul collegamento: N=-13681.20 Ty=12.53 Tz=27.25 Mx=-0.01 Mz=7.45
Sollecitazioni agenti localmente: Ty_l=-2487.50 Mx_l=-49.75
Tensioni nella sezione: σ=603.03 τ=75.38
CC 17 SLV (Collegamento -179_-383)
Azioni sul collegamento: N=-13681.20 Ty=4.82 Tz=27.25 Mx=-0.01 Mz=1.13
Sollecitazioni agenti localmente: Ty_l=-2487.50 Mx_l=-49.75
Tensioni nella sezione: σ=603.03 τ=75.38
CC 18 SLD (Collegamento -179_-383)
Azioni sul collegamento: N=-8673.24 Ty=10.78 Tz=8.57 Mx=-0.00 Mz=7.39
Sollecitazioni agenti localmente: Ty_l=-1576.95 Mx_l=-31.54
Tensioni nella sezione: σ=382.29 τ=47.79
CC 18 SLD (Collegamento -179_-383)
Azioni sul collegamento: N=-8673.24 Ty=8.42 Tz=8.57 Mx=-0.00 Mz=5.47
Sollecitazioni agenti localmente: Ty_l=-1576.95 Mx_l=-31.54
Tensioni nella sezione: σ=382.29 τ=47.79
CC 18 SLD (Collegamento -179_-383)
Azioni sul collegamento: N=-8673.24 Ty=10.78 Tz=17.48 Mx=-0.00 Mz=7.39
Sollecitazioni agenti localmente: Ty_l=-1576.95 Mx_l=-31.54
Tensioni nella sezione: σ=382.29 τ=47.79
CC 18 SLD (Collegamento -179_-383)
Azioni sul collegamento: N=-8673.24 Ty=8.42 Tz=17.48 Mx=-0.00 Mz=5.47
Sollecitazioni agenti localmente: Ty_l=-1576.95 Mx_l=-31.54
Tensioni nella sezione: σ=382.29 τ=47.79
CC 18 SLD (Collegamento -179_-383)
Azioni sul collegamento: N=-11059.20 Ty=10.78 Tz=8.57 Mx=-0.00 Mz=7.39
Sollecitazioni agenti localmente: Ty_l=-2010.77 Mx_l=-40.22
Tensioni nella sezione: σ=487.46 τ=60.93
CC 18 SLD (Collegamento -179_-383)
Azioni sul collegamento: N=-11059.20 Ty=8.42 Tz=8.57 Mx=-0.00 Mz=5.47
Sollecitazioni agenti localmente: Ty_l=-2010.77 Mx_l=-40.22
Tensioni nella sezione: σ=487.46 τ=60.93
CC 18 SLD (Collegamento -179_-383)
Azioni sul collegamento: N=-11059.20 Ty=10.78 Tz=17.48 Mx=-0.00 Mz=7.39
Sollecitazioni agenti localmente: Ty_l=-2010.77 Mx_l=-40.22
Tensioni nella sezione: σ=487.46 τ=60.93
CC 18 SLD (Collegamento -179_-383)
Azioni sul collegamento: N=-11059.20 Ty=8.42 Tz=17.48 Mx=-0.00 Mz=5.47
Sollecitazioni agenti localmente: Ty_l=-2010.77 Mx_l=-40.22

Tensioni nella sezione: σ=487.46 τ=60.93
CC 19 SLV (Collegamento -179_-383)
Azioni sul collegamento: N=-5861.43 Ty=12.02 Tz=-1.63 Mx=-0.01 Mz=6.41
Sollecitazioni agenti localmente: Ty_l=-1065.71 Mx_l=-21.31
Tensioni nella sezione: σ=258.35 τ=32.29
CC 19 SLV (Collegamento -179_-383)
Azioni sul collegamento: N=-5861.43 Ty=5.33 Tz=-1.63 Mx=-0.01 Mz=2.18
Sollecitazioni agenti localmente: Ty_l=-1065.71 Mx_l=-21.31
Tensioni nella sezione: σ=258.35 τ=32.29
CC 19 SLV (Collegamento -179_-383)
Azioni sul collegamento: N=-5861.43 Ty=12.02 Tz=26.92 Mx=-0.01 Mz=6.41
Sollecitazioni agenti localmente: Ty_l=-1065.71 Mx_l=-21.31
Tensioni nella sezione: σ=258.35 τ=32.29
CC 19 SLV (Collegamento -179_-383)
Azioni sul collegamento: N=-5861.43 Ty=5.33 Tz=26.92 Mx=-0.01 Mz=2.18
Sollecitazioni agenti localmente: Ty_l=-1065.71 Mx_l=-21.31
Tensioni nella sezione: σ=258.35 τ=32.29
CC 19 SLV (Collegamento -179_-383)
Azioni sul collegamento: N=-13676.40 Ty=12.02 Tz=-1.63 Mx=-0.01 Mz=6.41
Sollecitazioni agenti localmente: Ty_l=-2486.61 Mx_l=-49.73
Tensioni nella sezione: σ=602.81 τ=75.35
CC 19 SLV (Collegamento -179_-383)
Azioni sul collegamento: N=-13676.40 Ty=5.33 Tz=-1.63 Mx=-0.01 Mz=2.18
Sollecitazioni agenti localmente: Ty_l=-2486.61 Mx_l=-49.73
Tensioni nella sezione: σ=602.81 τ=75.35
CC 19 SLV (Collegamento -179_-383)
Azioni sul collegamento: N=-13676.40 Ty=12.02 Tz=26.92 Mx=-0.01 Mz=6.41
Sollecitazioni agenti localmente: Ty_l=-2486.61 Mx_l=-49.73
Tensioni nella sezione: σ=602.81 τ=75.35
CC 19 SLV (Collegamento -179_-383)
Azioni sul collegamento: N=-13676.40 Ty=5.33 Tz=26.92 Mx=-0.01 Mz=2.18
Sollecitazioni agenti localmente: Ty_l=-2486.61 Mx_l=-49.73
Tensioni nella sezione: σ=602.81 τ=75.35
CC 20 SLD (Collegamento -179_-383)
Azioni sul collegamento: N=-8674.72 Ty=10.62 Tz=8.67 Mx=0.00 Mz=7.07
Sollecitazioni agenti localmente: Ty_l=-1577.22 Mx_l=-31.54
Tensioni nella sezione: σ=382.36 τ=47.79
CC 20 SLD (Collegamento -179_-383)
Azioni sul collegamento: N=-8674.72 Ty=8.58 Tz=8.67 Mx=0.00 Mz=5.79
Sollecitazioni agenti localmente: Ty_l=-1577.22 Mx_l=-31.54
Tensioni nella sezione: σ=382.36 τ=47.79
CC 20 SLD (Collegamento -179_-383)
Azioni sul collegamento: N=-8674.72 Ty=10.62 Tz=17.38 Mx=0.00 Mz=7.07
Sollecitazioni agenti localmente: Ty_l=-1577.22 Mx_l=-31.54
Tensioni nella sezione: σ=382.36 τ=47.79
CC 20 SLD (Collegamento -179_-383)
Azioni sul collegamento: N=-8674.72 Ty=8.58 Tz=17.38 Mx=0.00 Mz=5.79
Sollecitazioni agenti localmente: Ty_l=-1577.22 Mx_l=-31.54
Tensioni nella sezione: σ=382.36 τ=47.79
CC 20 SLD (Collegamento -179_-383)
Azioni sul collegamento: N=-11057.70 Ty=10.62 Tz=8.67 Mx=0.00 Mz=7.07
Sollecitazioni agenti localmente: Ty_l=-2010.50 Mx_l=-40.21
Tensioni nella sezione: σ=487.39 τ=60.92
CC 20 SLD (Collegamento -179_-383)
Azioni sul collegamento: N=-11057.70 Ty=8.58 Tz=8.67 Mx=0.00 Mz=5.79
Sollecitazioni agenti localmente: Ty_l=-2010.50 Mx_l=-40.21
Tensioni nella sezione: σ=487.39 τ=60.92
CC 20 SLD (Collegamento -179_-383)
Azioni sul collegamento: N=-11057.70 Ty=10.62 Tz=17.38 Mx=0.00 Mz=7.07
Sollecitazioni agenti localmente: Ty_l=-2010.50 Mx_l=-40.21
Tensioni nella sezione: σ=487.39 τ=60.92
CC 20 SLD (Collegamento -179_-383)
Azioni sul collegamento: N=-11057.70 Ty=8.58 Tz=17.38 Mx=0.00 Mz=5.79
Sollecitazioni agenti localmente: Ty_l=-2010.50 Mx_l=-40.21
Tensioni nella sezione: σ=487.39 τ=60.92
CC 21 SLV (Collegamento -179_-383)
Azioni sul collegamento: N=-13676.40 Ty=5.33 Tz=26.92 Mx=-0.01 Mz=2.18
Sollecitazioni agenti localmente: Ty_l=-2486.61 Mx_l=-49.73
Tensioni nella sezione: σ=602.81 τ=75.35
CC 21 SLV (Collegamento -179_-383)
Azioni sul collegamento: N=-13676.40 Ty=12.02 Tz=26.92 Mx=-0.01 Mz=6.41
Sollecitazioni agenti localmente: Ty_l=-2486.61 Mx_l=-49.73
Tensioni nella sezione: σ=602.81 τ=75.35
CC 21 SLV (Collegamento -179_-383)
Azioni sul collegamento: N=-13676.40 Ty=5.33 Tz=-1.63 Mx=-0.01 Mz=2.18
Sollecitazioni agenti localmente: Ty_l=-2486.61 Mx_l=-49.73
Tensioni nella sezione: σ=602.81 τ=75.35
CC 21 SLV (Collegamento -179_-383)
Azioni sul collegamento: N=-13676.40 Ty=12.02 Tz=-1.63 Mx=-0.01 Mz=6.41

Sollecitazioni agenti localmente: Ty_l=-2486.61 Mx_l=-49.73
Tensioni nella sezione: σ=602.81 τ=75.35
CC 21 SLV (Collegamento -179_-383)
Azioni sul collegamento: N=-5861.43 Ty=5.33 Tz=26.92 Mx=-0.01 Mz=2.18
Sollecitazioni agenti localmente: Ty_l=-1065.71 Mx_l=-21.31
Tensioni nella sezione: σ=258.35 τ=32.29
CC 21 SLV (Collegamento -179_-383)
Azioni sul collegamento: N=-5861.43 Ty=12.02 Tz=26.92 Mx=-0.01 Mz=6.41
Sollecitazioni agenti localmente: Ty_l=-1065.71 Mx_l=-21.31
Tensioni nella sezione: σ=258.35 τ=32.29
CC 21 SLV (Collegamento -179_-383)
Azioni sul collegamento: N=-5861.43 Ty=5.33 Tz=-1.63 Mx=-0.01 Mz=2.18
Sollecitazioni agenti localmente: Ty_l=-1065.71 Mx_l=-21.31
Tensioni nella sezione: σ=258.35 τ=32.29
CC 21 SLV (Collegamento -179_-383)
Azioni sul collegamento: N=-5861.43 Ty=12.02 Tz=-1.63 Mx=-0.01 Mz=6.41
Sollecitazioni agenti localmente: Ty_l=-1065.71 Mx_l=-21.31
Tensioni nella sezione: σ=258.35 τ=32.29
CC 22 SLD (Collegamento -179_-383)
Azioni sul collegamento: N=-11057.70 Ty=8.58 Tz=17.38 Mx=-0.00 Mz=5.79
Sollecitazioni agenti localmente: Ty_l=-2010.50 Mx_l=-40.21
Tensioni nella sezione: σ=487.39 τ=60.92
CC 22 SLD (Collegamento -179_-383)
Azioni sul collegamento: N=-11057.70 Ty=10.62 Tz=17.38 Mx=-0.00 Mz=7.07
Sollecitazioni agenti localmente: Ty_l=-2010.50 Mx_l=-40.21
Tensioni nella sezione: σ=487.39 τ=60.92
CC 22 SLD (Collegamento -179_-383)
Azioni sul collegamento: N=-11057.70 Ty=8.58 Tz=8.67 Mx=-0.00 Mz=5.79
Sollecitazioni agenti localmente: Ty_l=-2010.50 Mx_l=-40.21
Tensioni nella sezione: σ=487.39 τ=60.92
CC 22 SLD (Collegamento -179_-383)
Azioni sul collegamento: N=-11057.70 Ty=10.62 Tz=8.67 Mx=-0.00 Mz=7.07
Sollecitazioni agenti localmente: Ty_l=-2010.50 Mx_l=-40.21
Tensioni nella sezione: σ=487.39 τ=60.92
CC 22 SLD (Collegamento -179_-383)
Azioni sul collegamento: N=-8674.72 Ty=8.58 Tz=17.38 Mx=-0.00 Mz=5.79
Sollecitazioni agenti localmente: Ty_l=-1577.22 Mx_l=-31.54
Tensioni nella sezione: σ=382.36 τ=47.79
CC 22 SLD (Collegamento -179_-383)
Azioni sul collegamento: N=-8674.72 Ty=10.62 Tz=17.38 Mx=-0.00 Mz=7.07
Sollecitazioni agenti localmente: Ty_l=-1577.22 Mx_l=-31.54
Tensioni nella sezione: σ=382.36 τ=47.79
CC 22 SLD (Collegamento -179_-383)
Azioni sul collegamento: N=-8674.72 Ty=8.58 Tz=8.67 Mx=-0.00 Mz=5.79
Sollecitazioni agenti localmente: Ty_l=-1577.22 Mx_l=-31.54
Tensioni nella sezione: σ=382.36 τ=47.79
CC 22 SLD (Collegamento -179_-383)
Azioni sul collegamento: N=-8674.72 Ty=10.62 Tz=8.67 Mx=-0.00 Mz=7.07
Sollecitazioni agenti localmente: Ty_l=-1577.22 Mx_l=-31.54
Tensioni nella sezione: σ=382.36 τ=47.79
CC 23 SLV (Collegamento -179_-383)
Azioni sul collegamento: N=-13681.20 Ty=4.82 Tz=27.25 Mx=-0.01 Mz=1.13
Sollecitazioni agenti localmente: Ty_l=-2487.50 Mx_l=-49.75
Tensioni nella sezione: σ=603.03 τ=75.38
CC 23 SLV (Collegamento -179_-383)
Azioni sul collegamento: N=-13681.20 Ty=12.53 Tz=27.25 Mx=-0.01 Mz=7.45
Sollecitazioni agenti localmente: Ty_l=-2487.50 Mx_l=-49.75
Tensioni nella sezione: σ=603.03 τ=75.38
CC 23 SLV (Collegamento -179_-383)
Azioni sul collegamento: N=-13681.20 Ty=4.82 Tz=-1.96 Mx=-0.01 Mz=1.13
Sollecitazioni agenti localmente: Ty_l=-2487.50 Mx_l=-49.75
Tensioni nella sezione: σ=603.03 τ=75.38
CC 23 SLV (Collegamento -179_-383)
Azioni sul collegamento: N=-13681.20 Ty=12.53 Tz=-1.96 Mx=-0.01 Mz=7.45
Sollecitazioni agenti localmente: Ty_l=-2487.50 Mx_l=-49.75
Tensioni nella sezione: σ=603.03 τ=75.38
CC 23 SLV (Collegamento -179_-383)
Azioni sul collegamento: N=-5856.57 Ty=4.82 Tz=27.25 Mx=-0.01 Mz=1.13
Sollecitazioni agenti localmente: Ty_l=-1064.83 Mx_l=-21.30
Tensioni nella sezione: σ=258.14 τ=32.27
CC 23 SLV (Collegamento -179_-383)
Azioni sul collegamento: N=-5856.57 Ty=12.53 Tz=27.25 Mx=-0.01 Mz=7.45
Sollecitazioni agenti localmente: Ty_l=-1064.83 Mx_l=-21.30
Tensioni nella sezione: σ=258.14 τ=32.27
CC 23 SLV (Collegamento -179_-383)
Azioni sul collegamento: N=-5856.57 Ty=4.82 Tz=-1.96 Mx=-0.01 Mz=1.13
Sollecitazioni agenti localmente: Ty_l=-1064.83 Mx_l=-21.30
Tensioni nella sezione: σ=258.14 τ=32.27
CC 23 SLV (Collegamento -179_-383)

Azioni sul collegamento: N=-5856.57 Ty=12.53 Tz=-1.96 Mx=-0.01 Mz=7.45
Sollecitazioni agenti localmente: Ty_l=-1064.83 Mx_l=-21.30
Tensioni nella sezione: σ=258.14 τ=32.27
CC 24 SLD (Collegamento -179_-383)
Azioni sul collegamento: N=-11059.20 Ty=8.42 Tz=17.48 Mx=0.00 Mz=5.47
Sollecitazioni agenti localmente: Ty_l=-2010.77 Mx_l=-40.22
Tensioni nella sezione: σ=487.46 τ=60.93
CC 24 SLD (Collegamento -179_-383)
Azioni sul collegamento: N=-11059.20 Ty=10.78 Tz=17.48 Mx=0.00 Mz=7.39
Sollecitazioni agenti localmente: Ty_l=-2010.77 Mx_l=-40.22
Tensioni nella sezione: σ=487.46 τ=60.93
CC 24 SLD (Collegamento -179_-383)
Azioni sul collegamento: N=-11059.20 Ty=8.42 Tz=8.57 Mx=0.00 Mz=5.47
Sollecitazioni agenti localmente: Ty_l=-2010.77 Mx_l=-40.22
Tensioni nella sezione: σ=487.46 τ=60.93
CC 24 SLD (Collegamento -179_-383)
Azioni sul collegamento: N=-11059.20 Ty=10.78 Tz=8.57 Mx=0.00 Mz=7.39
Sollecitazioni agenti localmente: Ty_l=-2010.77 Mx_l=-40.22
Tensioni nella sezione: σ=487.46 τ=60.93
CC 24 SLD (Collegamento -179_-383)
Azioni sul collegamento: N=-8673.24 Ty=8.42 Tz=17.48 Mx=0.00 Mz=5.47
Sollecitazioni agenti localmente: Ty_l=-1576.95 Mx_l=-31.54
Tensioni nella sezione: σ=382.29 τ=47.79
CC 24 SLD (Collegamento -179_-383)
Azioni sul collegamento: N=-8673.24 Ty=10.78 Tz=17.48 Mx=0.00 Mz=7.39
Sollecitazioni agenti localmente: Ty_l=-1576.95 Mx_l=-31.54
Tensioni nella sezione: σ=382.29 τ=47.79
CC 24 SLD (Collegamento -179_-383)
Azioni sul collegamento: N=-8673.24 Ty=8.42 Tz=8.57 Mx=0.00 Mz=5.47
Sollecitazioni agenti localmente: Ty_l=-1576.95 Mx_l=-31.54
Tensioni nella sezione: σ=382.29 τ=47.79
CC 24 SLD (Collegamento -179_-383)
Azioni sul collegamento: N=-8673.24 Ty=10.78 Tz=8.57 Mx=0.00 Mz=7.39
Sollecitazioni agenti localmente: Ty_l=-1576.95 Mx_l=-31.54
Tensioni nella sezione: σ=382.29 τ=47.79
CC 25 SLV (Collegamento -179_-383)
Azioni sul collegamento: N=-8587.82 Ty=10.61 Tz=7.77 Mx=-0.02 Mz=6.83
Sollecitazioni agenti localmente: Ty_l=-1561.42 Mx_l=-31.23
Tensioni nella sezione: σ=378.53 τ=47.32
CC 25 SLV (Collegamento -179_-383)
Azioni sul collegamento: N=-8587.82 Ty=6.74 Tz=7.77 Mx=-0.02 Mz=1.76
Sollecitazioni agenti localmente: Ty_l=-1561.42 Mx_l=-31.23
Tensioni nella sezione: σ=378.53 τ=47.32
CC 25 SLV (Collegamento -179_-383)
Azioni sul collegamento: N=-8587.82 Ty=10.61 Tz=17.52 Mx=-0.02 Mz=6.83
Sollecitazioni agenti localmente: Ty_l=-1561.42 Mx_l=-31.23
Tensioni nella sezione: σ=378.53 τ=47.32
CC 25 SLV (Collegamento -179_-383)
Azioni sul collegamento: N=-8587.82 Ty=6.74 Tz=17.52 Mx=-0.02 Mz=1.76
Sollecitazioni agenti localmente: Ty_l=-1561.42 Mx_l=-31.23
Tensioni nella sezione: σ=378.53 τ=47.32
CC 25 SLV (Collegamento -179_-383)
Azioni sul collegamento: N=-10950.00 Ty=10.61 Tz=7.77 Mx=-0.02 Mz=6.83
Sollecitazioni agenti localmente: Ty_l=-1990.90 Mx_l=-39.82
Tensioni nella sezione: σ=482.64 τ=60.33
CC 25 SLV (Collegamento -179_-383)
Azioni sul collegamento: N=-10950.00 Ty=6.74 Tz=7.77 Mx=-0.02 Mz=1.76
Sollecitazioni agenti localmente: Ty_l=-1990.90 Mx_l=-39.82
Tensioni nella sezione: σ=482.64 τ=60.33
CC 25 SLV (Collegamento -179_-383)
Azioni sul collegamento: N=-10950.00 Ty=10.61 Tz=17.52 Mx=-0.02 Mz=6.83
Sollecitazioni agenti localmente: Ty_l=-1990.90 Mx_l=-39.82
Tensioni nella sezione: σ=482.64 τ=60.33
CC 25 SLV (Collegamento -179_-383)
Azioni sul collegamento: N=-10950.00 Ty=6.74 Tz=17.52 Mx=-0.02 Mz=1.76
Sollecitazioni agenti localmente: Ty_l=-1990.90 Mx_l=-39.82
Tensioni nella sezione: σ=482.64 τ=60.33
CC 26 SLD (Collegamento -179_-383)
Azioni sul collegamento: N=-9506.09 Ty=10.19 Tz=11.54 Mx=-0.00 Mz=7.20
Sollecitazioni agenti localmente: Ty_l=-1728.38 Mx_l=-34.57
Tensioni nella sezione: σ=419.00 τ=52.38
CC 26 SLD (Collegamento -179_-383)
Azioni sul collegamento: N=-9506.09 Ty=9.01 Tz=11.54 Mx=-0.00 Mz=5.66
Sollecitazioni agenti localmente: Ty_l=-1728.38 Mx_l=-34.57
Tensioni nella sezione: σ=419.00 τ=52.38
CC 26 SLD (Collegamento -179_-383)
Azioni sul collegamento: N=-9506.09 Ty=10.19 Tz=14.51 Mx=-0.00 Mz=7.20
Sollecitazioni agenti localmente: Ty_l=-1728.38 Mx_l=-34.57
Tensioni nella sezione: σ=419.00 τ=52.38

CC 26 SLD (Collegamento -179_-383)
Azioni sul collegamento: N=-9506.09 Ty=9.01 Tz=14.51 Mx=-0.00 Mz=5.66
Sollecitazioni agenti localmente: Ty_l=-1728.38 Mx_l=-34.57
Tensioni nella sezione: σ=419.00 τ=52.38
CC 26 SLD (Collegamento -179_-383)
Azioni sul collegamento: N=-10226.40 Ty=10.19 Tz=11.54 Mx=-0.00 Mz=7.20
Sollecitazioni agenti localmente: Ty_l=-1859.34 Mx_l=-37.19
Tensioni nella sezione: σ=450.75 τ=56.34
CC 26 SLD (Collegamento -179_-383)
Azioni sul collegamento: N=-10226.40 Ty=9.01 Tz=11.54 Mx=-0.00 Mz=5.66
Sollecitazioni agenti localmente: Ty_l=-1859.34 Mx_l=-37.19
Tensioni nella sezione: σ=450.75 τ=56.34
CC 26 SLD (Collegamento -179_-383)
Azioni sul collegamento: N=-10226.40 Ty=10.19 Tz=14.51 Mx=-0.00 Mz=7.20
Sollecitazioni agenti localmente: Ty_l=-1859.34 Mx_l=-37.19
Tensioni nella sezione: σ=450.75 τ=56.34
CC 26 SLD (Collegamento -179_-383)
Azioni sul collegamento: N=-10226.40 Ty=9.01 Tz=14.51 Mx=-0.00 Mz=5.66
Sollecitazioni agenti localmente: Ty_l=-1859.34 Mx_l=-37.19
Tensioni nella sezione: σ=450.75 τ=56.34
CC 27 SLV (Collegamento -179_-383)
Azioni sul collegamento: N=-10933.80 Ty=8.45 Tz=16.43 Mx=-0.02 Mz=5.25
Sollecitazioni agenti localmente: Ty_l=-1987.96 Mx_l=-39.76
Tensioni nella sezione: σ=481.93 τ=60.24
CC 27 SLV (Collegamento -179_-383)
Azioni sul collegamento: N=-10933.80 Ty=8.90 Tz=16.43 Mx=-0.02 Mz=3.34
Sollecitazioni agenti localmente: Ty_l=-1987.96 Mx_l=-39.76
Tensioni nella sezione: σ=481.93 τ=60.24
CC 27 SLV (Collegamento -179_-383)
Azioni sul collegamento: N=-10933.80 Ty=8.45 Tz=8.86 Mx=-0.02 Mz=5.25
Sollecitazioni agenti localmente: Ty_l=-1987.96 Mx_l=-39.76
Tensioni nella sezione: σ=481.93 τ=60.24
CC 27 SLV (Collegamento -179_-383)
Azioni sul collegamento: N=-10933.80 Ty=8.90 Tz=8.86 Mx=-0.02 Mz=3.34
Sollecitazioni agenti localmente: Ty_l=-1987.96 Mx_l=-39.76
Tensioni nella sezione: σ=481.93 τ=60.24
CC 27 SLV (Collegamento -179_-383)
Azioni sul collegamento: N=-8604.03 Ty=8.45 Tz=16.43 Mx=-0.02 Mz=5.25
Sollecitazioni agenti localmente: Ty_l=-1564.37 Mx_l=-31.29
Tensioni nella sezione: σ=379.24 τ=47.41
CC 27 SLV (Collegamento -179_-383)
Azioni sul collegamento: N=-8604.03 Ty=8.90 Tz=16.43 Mx=-0.02 Mz=3.34
Sollecitazioni agenti localmente: Ty_l=-1564.37 Mx_l=-31.29
Tensioni nella sezione: σ=379.24 τ=47.41
CC 27 SLV (Collegamento -179_-383)
Azioni sul collegamento: N=-8604.03 Ty=8.45 Tz=8.86 Mx=-0.02 Mz=5.25
Sollecitazioni agenti localmente: Ty_l=-1564.37 Mx_l=-31.29
Tensioni nella sezione: σ=379.24 τ=47.41
CC 27 SLV (Collegamento -179_-383)
Azioni sul collegamento: N=-8604.03 Ty=8.90 Tz=8.86 Mx=-0.02 Mz=3.34
Sollecitazioni agenti localmente: Ty_l=-1564.37 Mx_l=-31.29
Tensioni nella sezione: σ=379.24 τ=47.41
CC 28 SLD (Collegamento -179_-383)
Azioni sul collegamento: N=-10221.40 Ty=9.53 Tz=14.18 Mx=-0.00 Mz=6.72
Sollecitazioni agenti localmente: Ty_l=-1858.44 Mx_l=-37.17
Tensioni nella sezione: σ=450.53 τ=56.32
CC 28 SLD (Collegamento -179_-383)
Azioni sul collegamento: N=-10221.40 Ty=9.67 Tz=14.18 Mx=-0.00 Mz=6.14
Sollecitazioni agenti localmente: Ty_l=-1858.44 Mx_l=-37.17
Tensioni nella sezione: σ=450.53 τ=56.32
CC 28 SLD (Collegamento -179_-383)
Azioni sul collegamento: N=-10221.40 Ty=9.53 Tz=11.87 Mx=-0.00 Mz=6.72
Sollecitazioni agenti localmente: Ty_l=-1858.44 Mx_l=-37.17
Tensioni nella sezione: σ=450.53 τ=56.32
CC 28 SLD (Collegamento -179_-383)
Azioni sul collegamento: N=-10221.40 Ty=9.67 Tz=11.87 Mx=-0.00 Mz=6.14
Sollecitazioni agenti localmente: Ty_l=-1858.44 Mx_l=-37.17
Tensioni nella sezione: σ=450.53 τ=56.32
CC 28 SLD (Collegamento -179_-383)
Azioni sul collegamento: N=-9511.03 Ty=9.53 Tz=14.18 Mx=-0.00 Mz=6.72
Sollecitazioni agenti localmente: Ty_l=-1729.28 Mx_l=-34.59
Tensioni nella sezione: σ=419.22 τ=52.40
CC 28 SLD (Collegamento -179_-383)
Azioni sul collegamento: N=-9511.03 Ty=9.67 Tz=14.18 Mx=-0.00 Mz=6.14
Sollecitazioni agenti localmente: Ty_l=-1729.28 Mx_l=-34.59
Tensioni nella sezione: σ=419.22 τ=52.40
CC 28 SLD (Collegamento -179_-383)
Azioni sul collegamento: N=-9511.03 Ty=9.53 Tz=11.87 Mx=-0.00 Mz=6.72
Sollecitazioni agenti localmente: Ty_l=-1729.28 Mx_l=-34.59

Tensioni nella sezione: σ=419.22 τ=52.40
CC 28 SLD (Collegamento -179_-383)
Azioni sul collegamento: N=-9511.03 Ty=9.67 Tz=11.87 Mx=-0.00 Mz=6.14
Sollecitazioni agenti localmente: Ty_l=-1729.28 Mx_l=-34.59
Tensioni nella sezione: σ=419.22 τ=52.40
CC 29 SLV (Collegamento -179_-383)
Azioni sul collegamento: N=-8604.03 Ty=8.90 Tz=8.86 Mx=-0.00 Mz=3.34
Sollecitazioni agenti localmente: Ty_l=-1564.37 Mx_l=-31.29
Tensioni nella sezione: σ=379.24 τ=47.41
CC 29 SLV (Collegamento -179_-383)
Azioni sul collegamento: N=-8604.03 Ty=8.45 Tz=8.86 Mx=-0.00 Mz=5.25
Sollecitazioni agenti localmente: Ty_l=-1564.37 Mx_l=-31.29
Tensioni nella sezione: σ=379.24 τ=47.41
CC 29 SLV (Collegamento -179_-383)
Azioni sul collegamento: N=-8604.03 Ty=8.90 Tz=16.43 Mx=-0.00 Mz=3.34
Sollecitazioni agenti localmente: Ty_l=-1564.37 Mx_l=-31.29
Tensioni nella sezione: σ=379.24 τ=47.41
CC 29 SLV (Collegamento -179_-383)
Azioni sul collegamento: N=-8604.03 Ty=8.45 Tz=16.43 Mx=-0.00 Mz=5.25
Sollecitazioni agenti localmente: Ty_l=-1564.37 Mx_l=-31.29
Tensioni nella sezione: σ=379.24 τ=47.41
CC 29 SLV (Collegamento -179_-383)
Azioni sul collegamento: N=-10933.80 Ty=8.90 Tz=8.86 Mx=-0.00 Mz=3.34
Sollecitazioni agenti localmente: Ty_l=-1987.96 Mx_l=-39.76
Tensioni nella sezione: σ=481.93 τ=60.24
CC 29 SLV (Collegamento -179_-383)
Azioni sul collegamento: N=-10933.80 Ty=8.45 Tz=8.86 Mx=-0.00 Mz=5.25
Sollecitazioni agenti localmente: Ty_l=-1987.96 Mx_l=-39.76
Tensioni nella sezione: σ=481.93 τ=60.24
CC 29 SLV (Collegamento -179_-383)
Azioni sul collegamento: N=-10933.80 Ty=8.90 Tz=16.43 Mx=-0.00 Mz=3.34
Sollecitazioni agenti localmente: Ty_l=-1987.96 Mx_l=-39.76
Tensioni nella sezione: σ=481.93 τ=60.24
CC 29 SLV (Collegamento -179_-383)
Azioni sul collegamento: N=-10933.80 Ty=8.45 Tz=16.43 Mx=-0.00 Mz=5.25
Sollecitazioni agenti localmente: Ty_l=-1987.96 Mx_l=-39.76
Tensioni nella sezione: σ=481.93 τ=60.24
CC 30 SLD (Collegamento -179_-383)
Azioni sul collegamento: N=-9511.03 Ty=9.67 Tz=11.87 Mx=0.00 Mz=6.14
Sollecitazioni agenti localmente: Ty_l=-1729.28 Mx_l=-34.59
Tensioni nella sezione: σ=419.22 τ=52.40
CC 30 SLD (Collegamento -179_-383)
Azioni sul collegamento: N=-9511.03 Ty=9.53 Tz=11.87 Mx=0.00 Mz=6.72
Sollecitazioni agenti localmente: Ty_l=-1729.28 Mx_l=-34.59
Tensioni nella sezione: σ=419.22 τ=52.40
CC 30 SLD (Collegamento -179_-383)
Azioni sul collegamento: N=-9511.03 Ty=9.67 Tz=14.18 Mx=0.00 Mz=6.14
Sollecitazioni agenti localmente: Ty_l=-1729.28 Mx_l=-34.59
Tensioni nella sezione: σ=419.22 τ=52.40
CC 30 SLD (Collegamento -179_-383)
Azioni sul collegamento: N=-9511.03 Ty=9.53 Tz=14.18 Mx=0.00 Mz=6.72
Sollecitazioni agenti localmente: Ty_l=-1729.28 Mx_l=-34.59
Tensioni nella sezione: σ=419.22 τ=52.40
CC 30 SLD (Collegamento -179_-383)
Azioni sul collegamento: N=-10221.40 Ty=9.67 Tz=11.87 Mx=0.00 Mz=6.14
Sollecitazioni agenti localmente: Ty_l=-1858.44 Mx_l=-37.17
Tensioni nella sezione: σ=450.53 τ=56.32
CC 30 SLD (Collegamento -179_-383)
Azioni sul collegamento: N=-10221.40 Ty=9.53 Tz=11.87 Mx=0.00 Mz=6.72
Sollecitazioni agenti localmente: Ty_l=-1858.44 Mx_l=-37.17
Tensioni nella sezione: σ=450.53 τ=56.32
CC 30 SLD (Collegamento -179_-383)
Azioni sul collegamento: N=-10221.40 Ty=9.67 Tz=14.18 Mx=0.00 Mz=6.14
Sollecitazioni agenti localmente: Ty_l=-1858.44 Mx_l=-37.17
Tensioni nella sezione: σ=450.53 τ=56.32
CC 30 SLD (Collegamento -179_-383)
Azioni sul collegamento: N=-10221.40 Ty=9.53 Tz=14.18 Mx=0.00 Mz=6.72
Sollecitazioni agenti localmente: Ty_l=-1858.44 Mx_l=-37.17
Tensioni nella sezione: σ=450.53 τ=56.32
CC 31 SLV (Collegamento -179_-383)
Azioni sul collegamento: N=-10950.00 Ty=6.74 Tz=17.52 Mx=-0.00 Mz=1.76
Sollecitazioni agenti localmente: Ty_l=-1990.90 Mx_l=-39.82
Tensioni nella sezione: σ=482.64 τ=60.33
CC 31 SLV (Collegamento -179_-383)
Azioni sul collegamento: N=-10950.00 Ty=10.61 Tz=17.52 Mx=-0.00 Mz=6.83
Sollecitazioni agenti localmente: Ty_l=-1990.90 Mx_l=-39.82
Tensioni nella sezione: σ=482.64 τ=60.33
CC 31 SLV (Collegamento -179_-383)
Azioni sul collegamento: N=-10950.00 Ty=6.74 Tz=7.77 Mx=-0.00 Mz=1.76

Sollecitazioni agenti localmente: Ty_l=-1990.90 Mx_l=-39.82
Tensioni nella sezione: σ=482.64 τ=60.33
CC 31 SLV (Collegamento -179_-383)
Azioni sul collegamento: N=-10950.00 Ty=10.61 Tz=7.77 Mx=-0.00 Mz=6.83
Sollecitazioni agenti localmente: Ty_l=-1990.90 Mx_l=-39.82
Tensioni nella sezione: σ=482.64 τ=60.33
CC 31 SLV (Collegamento -179_-383)
Azioni sul collegamento: N=-8587.82 Ty=6.74 Tz=17.52 Mx=-0.00 Mz=1.76
Sollecitazioni agenti localmente: Ty_l=-1561.42 Mx_l=-31.23
Tensioni nella sezione: σ=378.53 τ=47.32
CC 31 SLV (Collegamento -179_-383)
Azioni sul collegamento: N=-8587.82 Ty=10.61 Tz=17.52 Mx=-0.00 Mz=6.83
Sollecitazioni agenti localmente: Ty_l=-1561.42 Mx_l=-31.23
Tensioni nella sezione: σ=378.53 τ=47.32
CC 31 SLV (Collegamento -179_-383)
Azioni sul collegamento: N=-8587.82 Ty=6.74 Tz=7.77 Mx=-0.00 Mz=1.76
Sollecitazioni agenti localmente: Ty_l=-1561.42 Mx_l=-31.23
Tensioni nella sezione: σ=378.53 τ=47.32
CC 31 SLV (Collegamento -179_-383)
Azioni sul collegamento: N=-8587.82 Ty=10.61 Tz=7.77 Mx=-0.00 Mz=6.83
Sollecitazioni agenti localmente: Ty_l=-1561.42 Mx_l=-31.23
Tensioni nella sezione: σ=378.53 τ=47.32
CC 32 SLD (Collegamento -179_-383)
Azioni sul collegamento: N=-10226.40 Ty=9.01 Tz=14.51 Mx=0.00 Mz=5.66
Sollecitazioni agenti localmente: Ty_l=-1859.34 Mx_l=-37.19
Tensioni nella sezione: σ=450.75 τ=56.34
CC 32 SLD (Collegamento -179_-383)
Azioni sul collegamento: N=-10226.40 Ty=10.19 Tz=14.51 Mx=0.00 Mz=7.20
Sollecitazioni agenti localmente: Ty_l=-1859.34 Mx_l=-37.19
Tensioni nella sezione: σ=450.75 τ=56.34
CC 32 SLD (Collegamento -179_-383)
Azioni sul collegamento: N=-10226.40 Ty=9.01 Tz=11.54 Mx=0.00 Mz=5.66
Sollecitazioni agenti localmente: Ty_l=-1859.34 Mx_l=-37.19
Tensioni nella sezione: σ=450.75 τ=56.34
CC 32 SLD (Collegamento -179_-383)
Azioni sul collegamento: N=-10226.40 Ty=10.19 Tz=11.54 Mx=0.00 Mz=7.20
Sollecitazioni agenti localmente: Ty_l=-1859.34 Mx_l=-37.19
Tensioni nella sezione: σ=450.75 τ=56.34
CC 32 SLD (Collegamento -179_-383)
Azioni sul collegamento: N=-9506.09 Ty=9.01 Tz=14.51 Mx=0.00 Mz=5.66
Sollecitazioni agenti localmente: Ty_l=-1728.38 Mx_l=-34.57
Tensioni nella sezione: σ=419.00 τ=52.38
CC 32 SLD (Collegamento -179_-383)
Azioni sul collegamento: N=-9506.09 Ty=10.19 Tz=14.51 Mx=0.00 Mz=7.20
Sollecitazioni agenti localmente: Ty_l=-1728.38 Mx_l=-34.57
Tensioni nella sezione: σ=419.00 τ=52.38
CC 32 SLD (Collegamento -179_-383)
Azioni sul collegamento: N=-9506.09 Ty=9.01 Tz=11.54 Mx=0.00 Mz=5.66
Sollecitazioni agenti localmente: Ty_l=-1728.38 Mx_l=-34.57
Tensioni nella sezione: σ=419.00 τ=52.38
CC 32 SLD (Collegamento -179_-383)
Azioni sul collegamento: N=-9506.09 Ty=10.19 Tz=11.54 Mx=0.00 Mz=7.20
Sollecitazioni agenti localmente: Ty_l=-1728.38 Mx_l=-34.57
Tensioni nella sezione: σ=419.00 τ=52.38
CC 33 SLU (Collegamento -179_-383)
Azioni sul collegamento: N=-36428.20 Ty=20.21 Tz=102.49 Mx=0.01 Mz=15.01
Sollecitazioni agenti localmente: Ty_l=-6623.30 Mx_l=-132.47
Tensioni nella sezione: σ=1605.65 τ=200.71
CC 34 SLU (Collegamento -179_-383)
Azioni sul collegamento: N=-37242.40 Ty=20.96 Tz=105.49 Mx=0.01 Mz=15.56
Sollecitazioni agenti localmente: Ty_l=-6771.34 Mx_l=-135.43
Tensioni nella sezione: σ=1641.53 τ=205.19
CC 35 SLU (Collegamento -179_-383)
Azioni sul collegamento: N=-36836.10 Ty=20.67 Tz=103.93 Mx=0.00 Mz=15.47
Sollecitazioni agenti localmente: Ty_l=-6697.48 Mx_l=-133.95
Tensioni nella sezione: σ=1623.63 τ=202.95
CC 36 SLU (Collegamento -179_-383)
Azioni sul collegamento: N=-36834.40 Ty=20.49 Tz=104.05 Mx=0.01 Mz=15.10
Sollecitazioni agenti localmente: Ty_l=-6697.16 Mx_l=-133.94
Tensioni nella sezione: σ=1623.55 τ=202.94
CC 37 SLU (Collegamento -179_-383)
Azioni sul collegamento: N=-29660.30 Ty=-10.68 Tz=77.11 Mx=0.01 Mz=-8.42
Sollecitazioni agenti localmente: Ty_l=-5392.78 Mx_l=-107.86
Tensioni nella sezione: σ=1307.34 τ=163.42
CC 38 SLU (Collegamento -179_-383)
Azioni sul collegamento: N=-30474.50 Ty=-9.93 Tz=80.11 Mx=0.01 Mz=-7.87
Sollecitazioni agenti localmente: Ty_l=-5540.82 Mx_l=-110.82
Tensioni nella sezione: σ=1343.23 τ=167.90
CC 39 SLU (Collegamento -179_-383)

Azioni sul collegamento: N=-30068.30 Ty=-10.21 Tz=78.55 Mx=0.00 Mz=-7.97
Sollecitazioni agenti localmente: Ty_l=-5466.96 Mx_l=-109.34
Tensioni nella sezione: σ=1325.32 τ=165.66
CC 40 SLU (Collegamento -179_-383)
Azioni sul collegamento: N=-30066.50 Ty=-10.39 Tz=78.67 Mx=0.01 Mz=-8.33
Sollecitazioni agenti localmente: Ty_l=-5466.64 Mx_l=-109.33
Tensioni nella sezione: σ=1325.24 τ=165.66
CC 41 SLU (Collegamento -179_-383)
Azioni sul collegamento: N=-27261.60 Ty=19.33 Tz=68.83 Mx=0.01 Mz=14.21
Sollecitazioni agenti localmente: Ty_l=-4956.66 Mx_l=-99.13
Tensioni nella sezione: σ=1201.61 τ=150.20
CC 42 SLU (Collegamento -179_-383)
Azioni sul collegamento: N=-28075.80 Ty=20.08 Tz=71.84 Mx=0.01 Mz=14.76
Sollecitazioni agenti localmente: Ty_l=-5104.69 Mx_l=-102.09
Tensioni nella sezione: σ=1237.50 τ=154.69
CC 43 SLU (Collegamento -179_-383)
Azioni sul collegamento: N=-27669.60 Ty=19.79 Tz=70.28 Mx=0.00 Mz=14.67
Sollecitazioni agenti localmente: Ty_l=-5030.84 Mx_l=-100.62
Tensioni nella sezione: σ=1219.59 τ=152.45
CC 44 SLU (Collegamento -179_-383)
Azioni sul collegamento: N=-27667.80 Ty=19.61 Tz=70.39 Mx=0.01 Mz=14.31
Sollecitazioni agenti localmente: Ty_l=-5030.52 Mx_l=-100.61
Tensioni nella sezione: σ=1219.52 τ=152.44
CC 45 SLU (Collegamento -179_-383)
Azioni sul collegamento: N=-29271.60 Ty=19.56 Tz=76.22 Mx=0.00 Mz=14.53
Sollecitazioni agenti localmente: Ty_l=-5322.11 Mx_l=-106.44
Tensioni nella sezione: σ=1290.21 τ=161.28
CC 46 SLU (Collegamento -179_-383)
Azioni sul collegamento: N=-30085.80 Ty=20.31 Tz=79.22 Mx=0.00 Mz=15.08
Sollecitazioni agenti localmente: Ty_l=-5470.14 Mx_l=-109.40
Tensioni nella sezione: σ=1326.09 τ=165.76
CC 47 SLU (Collegamento -179_-383)
Azioni sul collegamento: N=-29679.60 Ty=20.02 Tz=77.66 Mx=0.00 Mz=14.99
Sollecitazioni agenti localmente: Ty_l=-5396.29 Mx_l=-107.92
Tensioni nella sezione: σ=1308.19 τ=163.52
CC 48 SLU (Collegamento -179_-383)
Azioni sul collegamento: N=-29677.80 Ty=19.84 Tz=77.78 Mx=0.01 Mz=14.62
Sollecitazioni agenti localmente: Ty_l=-5395.96 Mx_l=-107.92
Tensioni nella sezione: σ=1308.11 τ=163.51
CC 49 SLU (Collegamento -179_-383)
Azioni sul collegamento: N=-24208.20 Ty=-3.55 Tz=57.23 Mx=0.01 Mz=-3.00
Sollecitazioni agenti localmente: Ty_l=-4401.49 Mx_l=-88.03
Tensioni nella sezione: σ=1067.03 τ=133.38
CC 50 SLU (Collegamento -179_-383)
Azioni sul collegamento: N=-25022.40 Ty=-2.80 Tz=60.23 Mx=0.01 Mz=-2.45
Sollecitazioni agenti localmente: Ty_l=-4549.53 Mx_l=-90.99
Tensioni nella sezione: σ=1102.91 τ=137.87
CC 51 SLU (Collegamento -179_-383)
Azioni sul collegamento: N=-24616.20 Ty=-3.08 Tz=58.67 Mx=0.00 Mz=-2.54
Sollecitazioni agenti localmente: Ty_l=-4475.67 Mx_l=-89.51
Tensioni nella sezione: σ=1085.01 τ=135.63
CC 52 SLU (Collegamento -179_-383)
Azioni sul collegamento: N=-24614.40 Ty=-3.26 Tz=58.79 Mx=0.01 Mz=-2.91
Sollecitazioni agenti localmente: Ty_l=-4475.35 Mx_l=-89.51
Tensioni nella sezione: σ=1084.93 τ=135.62
CC 53 SLU (Collegamento -179_-383)
Azioni sul collegamento: N=-22413.60 Ty=18.90 Tz=51.04 Mx=0.00 Mz=13.93
Sollecitazioni agenti localmente: Ty_l=-4075.21 Mx_l=-81.50
Tensioni nella sezione: σ=987.93 τ=123.49
CC 54 SLU (Collegamento -179_-383)
Azioni sul collegamento: N=-23227.90 Ty=19.65 Tz=54.04 Mx=0.00 Mz=14.49
Sollecitazioni agenti localmente: Ty_l=-4223.24 Mx_l=-84.46
Tensioni nella sezione: σ=1023.82 τ=127.98
CC 55 SLU (Collegamento -179_-383)
Azioni sul collegamento: N=-22821.60 Ty=19.36 Tz=52.48 Mx=0.00 Mz=14.39
Sollecitazioni agenti localmente: Ty_l=-4149.39 Mx_l=-82.99
Tensioni nella sezione: σ=1005.91 τ=125.74
CC 56 SLU (Collegamento -179_-383)
Azioni sul collegamento: N=-22819.90 Ty=19.19 Tz=52.60 Mx=0.01 Mz=14.03
Sollecitazioni agenti localmente: Ty_l=-4149.06 Mx_l=-82.98
Tensioni nella sezione: σ=1005.83 τ=125.73
CC 57 SLU (Collegamento -179_-383)
Azioni sul collegamento: N=-30019.90 Ty=20.54 Tz=79.01 Mx=0.00 Mz=15.25
Sollecitazioni agenti localmente: Ty_l=-5458.17 Mx_l=-109.16
Tensioni nella sezione: σ=1323.19 τ=165.40
CC 58 SLU (Collegamento -179_-383)
Azioni sul collegamento: N=-30834.10 Ty=21.29 Tz=82.01 Mx=0.00 Mz=15.80
Sollecitazioni agenti localmente: Ty_l=-5606.21 Mx_l=-112.12
Tensioni nella sezione: σ=1359.08 τ=169.88

CC 59 SLU (Collegamento -179_-383)
Azioni sul collegamento: N=-30427.90 Ty=21.01 Tz=80.45 Mx=0.00 Mz=15.71
Sollecitazioni agenti localmente: Ty_l=-5532.35 Mx_l=-110.65
Tensioni nella sezione: σ=1341.17 τ=167.65
CC 60 SLU (Collegamento -179_-383)
Azioni sul collegamento: N=-30426.20 Ty=20.83 Tz=80.57 Mx=0.01 Mz=15.34
Sollecitazioni agenti localmente: Ty_l=-5532.03 Mx_l=-110.64
Tensioni nella sezione: σ=1341.10 τ=167.64
CC 61 SLU (Collegamento -179_-383)
Azioni sul collegamento: N=-24956.60 Ty=-2.56 Tz=60.02 Mx=0.00 Mz=-2.28
Sollecitazioni agenti localmente: Ty_l=-4537.56 Mx_l=-90.75
Tensioni nella sezione: σ=1100.01 τ=137.50
CC 62 SLU (Collegamento -179_-383)
Azioni sul collegamento: N=-25770.80 Ty=-1.81 Tz=63.02 Mx=0.00 Mz=-1.73
Sollecitazioni agenti localmente: Ty_l=-4685.59 Mx_l=-93.71
Tensioni nella sezione: σ=1135.90 τ=141.99
CC 63 SLU (Collegamento -179_-383)
Azioni sul collegamento: N=-25364.60 Ty=-2.10 Tz=61.46 Mx=0.00 Mz=-1.82
Sollecitazioni agenti localmente: Ty_l=-4611.74 Mx_l=-92.23
Tensioni nella sezione: σ=1117.99 τ=139.75
CC 64 SLU (Collegamento -179_-383)
Azioni sul collegamento: N=-25362.80 Ty=-2.28 Tz=61.58 Mx=0.01 Mz=-2.19
Sollecitazioni agenti localmente: Ty_l=-4611.42 Mx_l=-92.23
Tensioni nella sezione: σ=1117.92 τ=139.74
CC 65 SLU (Collegamento -179_-383)
Azioni sul collegamento: N=-23162.00 Ty=19.88 Tz=53.83 Mx=0.00 Mz=14.66
Sollecitazioni agenti localmente: Ty_l=-4211.28 Mx_l=-84.23
Tensioni nella sezione: σ=1020.91 τ=127.61
CC 66 SLU (Collegamento -179_-383)
Azioni sul collegamento: N=-23976.20 Ty=20.63 Tz=56.84 Mx=0.00 Mz=15.21
Sollecitazioni agenti localmente: Ty_l=-4359.31 Mx_l=-87.19
Tensioni nella sezione: σ=1056.80 τ=132.10
CC 67 SLU (Collegamento -179_-383)
Azioni sul collegamento: N=-23570.00 Ty=20.35 Tz=55.27 Mx=0.00 Mz=15.11
Sollecitazioni agenti localmente: Ty_l=-4285.45 Mx_l=-85.71
Tensioni nella sezione: σ=1038.90 τ=129.86
CC 68 SLU (Collegamento -179_-383)
Azioni sul collegamento: N=-23568.20 Ty=20.17 Tz=55.39 Mx=0.01 Mz=14.75
Sollecitazioni agenti localmente: Ty_l=-4285.13 Mx_l=-85.70
Tensioni nella sezione: σ=1038.82 τ=129.85
CC 97 SLU (Collegamento -179_-383)
Azioni sul collegamento: N=-12126.50 Ty=21.64 Tz=21.62 Mx=0.05 Mz=23.37
Sollecitazioni agenti localmente: Ty_l=-2204.81 Mx_l=-44.10
Tensioni nella sezione: σ=534.50 τ=66.81
CC 98 SLU (Collegamento -179_-383)
Azioni sul collegamento: N=-12940.70 Ty=22.39 Tz=24.63 Mx=0.05 Mz=23.92
Sollecitazioni agenti localmente: Ty_l=-2352.85 Mx_l=-47.06
Tensioni nella sezione: σ=570.39 τ=71.30
CC 99 SLU (Collegamento -179_-383)
Azioni sul collegamento: N=-12534.50 Ty=22.10 Tz=23.06 Mx=0.05 Mz=23.83
Sollecitazioni agenti localmente: Ty_l=-2278.99 Mx_l=-45.58
Tensioni nella sezione: σ=552.48 τ=69.06
CC 100 SLU (Collegamento -179_-383)
Azioni sul collegamento: N=-12532.70 Ty=21.92 Tz=23.18 Mx=0.05 Mz=23.46
Sollecitazioni agenti localmente: Ty_l=-2278.67 Mx_l=-45.57
Tensioni nella sezione: σ=552.40 τ=69.05
CC 101 SLU (Collegamento -179_-383)
Azioni sul collegamento: N=-9752.38 Ty=7.57 Tz=12.50 Mx=-0.00 Mz=4.76
Sollecitazioni agenti localmente: Ty_l=-1773.16 Mx_l=-35.46
Tensioni nella sezione: σ=429.86 τ=53.73
CC 102 SLU (Collegamento -179_-383)
Azioni sul collegamento: N=-10566.60 Ty=8.33 Tz=15.50 Mx=-0.00 Mz=5.31
Sollecitazioni agenti localmente: Ty_l=-1921.20 Mx_l=-38.42
Tensioni nella sezione: σ=465.74 τ=58.22
CC 103 SLU (Collegamento -179_-383)
Azioni sul collegamento: N=-10160.40 Ty=8.04 Tz=13.94 Mx=-0.00 Mz=5.22
Sollecitazioni agenti localmente: Ty_l=-1847.34 Mx_l=-36.95
Tensioni nella sezione: σ=447.84 τ=55.98
CC 104 SLU (Collegamento -179_-383)
Azioni sul collegamento: N=-10158.60 Ty=7.86 Tz=14.06 Mx=-0.00 Mz=4.85
Sollecitazioni agenti localmente: Ty_l=-1847.02 Mx_l=-36.94
Tensioni nella sezione: σ=447.76 τ=55.97

Flessione attacco destro piastra

Bnetta=220.00 Hnetta=15.00
CC 1 SLV (Collegamento -179_-383)
Azioni sul collegamento: N=-6136.64 Ty=15.19 Tz=-0.86 Mx=0.02 Mz=13.60
Sollecitazioni agenti localmente: Ty_l=-1141.97 My_l=-23.49

Tensioni nella sezione: σ=284.68 τ=34.61
CC 1 SLV (Collegamento -179_-383)
Azioni sul collegamento: N=-6136.64 Ty=7.48 Tz=-0.86 Mx=0.02 Mz=7.28
Sollecitazioni agenti localmente: Ty_l=-1116.82 My_l=-22.94
Tensioni nella sezione: σ=278.00 τ=33.84
CC 1 SLV (Collegamento -179_-383)
Azioni sul collegamento: N=-6136.64 Ty=15.19 Tz=28.35 Mx=0.02 Mz=13.60
Sollecitazioni agenti localmente: Ty_l=-1141.97 My_l=-23.49
Tensioni nella sezione: σ=284.68 τ=34.61
CC 1 SLV (Collegamento -179_-383)
Azioni sul collegamento: N=-6136.64 Ty=7.48 Tz=28.35 Mx=0.02 Mz=7.28
Sollecitazioni agenti localmente: Ty_l=-1116.82 My_l=-22.94
Tensioni nella sezione: σ=278.00 τ=33.84
CC 1 SLV (Collegamento -179_-383)
Azioni sul collegamento: N=-13961.30 Ty=15.19 Tz=-0.86 Mx=0.02 Mz=13.60
Sollecitazioni agenti localmente: Ty_l=-2529.07 My_l=-51.92
Tensioni nella sezione: σ=629.35 τ=76.64
CC 1 SLV (Collegamento -179_-383)
Azioni sul collegamento: N=-13961.30 Ty=7.48 Tz=-0.86 Mx=0.02 Mz=7.28
Sollecitazioni agenti localmente: Ty_l=-2503.92 My_l=-51.37
Tensioni nella sezione: σ=622.68 τ=75.88
CC 1 SLV (Collegamento -179_-383)
Azioni sul collegamento: N=-13961.30 Ty=15.19 Tz=28.35 Mx=0.02 Mz=13.60
Sollecitazioni agenti localmente: Ty_l=-2529.07 My_l=-51.92
Tensioni nella sezione: σ=629.35 τ=76.64
CC 1 SLV (Collegamento -179_-383)
Azioni sul collegamento: N=-13961.30 Ty=7.48 Tz=28.35 Mx=0.02 Mz=7.28
Sollecitazioni agenti localmente: Ty_l=-2503.92 My_l=-51.37
Tensioni nella sezione: σ=622.68 τ=75.88
CC 2 SLD (Collegamento -179_-383)
Azioni sul collegamento: N=-8758.64 Ty=11.59 Tz=8.91 Mx=0.01 Mz=9.27
Sollecitazioni agenti localmente: Ty_l=-1589.54 My_l=-32.64
Tensioni nella sezione: σ=395.60 τ=48.17
CC 2 SLD (Collegamento -179_-383)
Azioni sul collegamento: N=-8758.64 Ty=9.24 Tz=8.91 Mx=0.01 Mz=7.34
Sollecitazioni agenti localmente: Ty_l=-1581.87 My_l=-32.47
Tensioni nella sezione: σ=393.57 τ=47.94
CC 2 SLD (Collegamento -179_-383)
Azioni sul collegamento: N=-8758.64 Ty=11.59 Tz=17.82 Mx=0.01 Mz=9.27
Sollecitazioni agenti localmente: Ty_l=-1589.54 My_l=-32.64
Tensioni nella sezione: σ=395.60 τ=48.17
CC 2 SLD (Collegamento -179_-383)
Azioni sul collegamento: N=-8758.64 Ty=9.24 Tz=17.82 Mx=0.01 Mz=7.34
Sollecitazioni agenti localmente: Ty_l=-1581.87 My_l=-32.47
Tensioni nella sezione: σ=393.57 τ=47.94
CC 2 SLD (Collegamento -179_-383)
Azioni sul collegamento: N=-11144.60 Ty=11.59 Tz=8.91 Mx=0.01 Mz=9.27
Sollecitazioni agenti localmente: Ty_l=-2012.51 My_l=-41.31
Tensioni nella sezione: σ=500.70 τ=60.99
CC 2 SLD (Collegamento -179_-383)
Azioni sul collegamento: N=-11144.60 Ty=9.24 Tz=8.91 Mx=0.01 Mz=7.34
Sollecitazioni agenti localmente: Ty_l=-2004.84 My_l=-41.14
Tensioni nella sezione: σ=498.67 τ=60.75
CC 2 SLD (Collegamento -179_-383)
Azioni sul collegamento: N=-11144.60 Ty=11.59 Tz=17.82 Mx=0.01 Mz=9.27
Sollecitazioni agenti localmente: Ty_l=-2012.51 My_l=-41.31
Tensioni nella sezione: σ=500.70 τ=60.99
CC 2 SLD (Collegamento -179_-383)
Azioni sul collegamento: N=-11144.60 Ty=9.24 Tz=17.82 Mx=0.01 Mz=7.34
Sollecitazioni agenti localmente: Ty_l=-2004.84 My_l=-41.14
Tensioni nella sezione: σ=498.67 τ=60.75
CC 3 SLV (Collegamento -179_-383)
Azioni sul collegamento: N=-6141.51 Ty=14.68 Tz=-0.53 Mx=0.01 Mz=12.56
Sollecitazioni agenti localmente: Ty_l=-1138.67 My_l=-23.41
Tensioni nella sezione: σ=283.79 τ=34.51
CC 3 SLV (Collegamento -179_-383)
Azioni sul collegamento: N=-6141.51 Ty=7.99 Tz=-0.53 Mx=0.01 Mz=8.33
Sollecitazioni agenti localmente: Ty_l=-1121.85 My_l=-23.04
Tensioni nella sezione: σ=279.32 τ=34.00
CC 3 SLV (Collegamento -179_-383)
Azioni sul collegamento: N=-6141.51 Ty=14.68 Tz=28.02 Mx=0.01 Mz=12.56
Sollecitazioni agenti localmente: Ty_l=-1138.67 My_l=-23.41
Tensioni nella sezione: σ=283.79 τ=34.51
CC 3 SLV (Collegamento -179_-383)
Azioni sul collegamento: N=-6141.51 Ty=7.99 Tz=28.02 Mx=0.01 Mz=8.33
Sollecitazioni agenti localmente: Ty_l=-1121.85 My_l=-23.04
Tensioni nella sezione: σ=279.32 τ=34.00
CC 3 SLV (Collegamento -179_-383)
Azioni sul collegamento: N=-13956.40 Ty=14.68 Tz=-0.53 Mx=0.01 Mz=12.56

Sollecitazioni agenti localmente: Ty_l=-2524.04 My_l=-51.81
Tensioni nella sezione: σ=628.03 τ=76.49
CC 3 SLV (Collegamento -179_-383)
Azioni sul collegamento: N=-13956.40 Ty=7.99 Tz=-0.53 Mx=0.01 Mz=8.33
Sollecitazioni agenti localmente: Ty_l=-2507.23 My_l=-51.44
Tensioni nella sezione: σ=623.57 τ=75.98
CC 3 SLV (Collegamento -179_-383)
Azioni sul collegamento: N=-13956.40 Ty=14.68 Tz=28.02 Mx=0.01 Mz=12.56
Sollecitazioni agenti localmente: Ty_l=-2524.04 My_l=-51.81
Tensioni nella sezione: σ=628.03 τ=76.49
CC 3 SLV (Collegamento -179_-383)
Azioni sul collegamento: N=-13956.40 Ty=7.99 Tz=28.02 Mx=0.01 Mz=8.33
Sollecitazioni agenti localmente: Ty_l=-2507.22 My_l=-51.44
Tensioni nella sezione: σ=623.57 τ=75.98
CC 4 SLD (Collegamento -179_-383)
Azioni sul collegamento: N=-8760.13 Ty=11.43 Tz=9.01 Mx=0.01 Mz=8.95
Sollecitazioni agenti localmente: Ty_l=-1588.53 My_l=-32.61
Tensioni nella sezione: σ=395.33 τ=48.14
CC 4 SLD (Collegamento -179_-383)
Azioni sul collegamento: N=-8760.13 Ty=9.39 Tz=9.01 Mx=0.01 Mz=7.66
Sollecitazioni agenti localmente: Ty_l=-1583.40 My_l=-32.50
Tensioni nella sezione: σ=393.97 τ=47.98
CC 4 SLD (Collegamento -179_-383)
Azioni sul collegamento: N=-8760.13 Ty=11.43 Tz=17.72 Mx=0.01 Mz=8.95
Sollecitazioni agenti localmente: Ty_l=-1588.53 My_l=-32.61
Tensioni nella sezione: σ=395.33 τ=48.14
CC 4 SLD (Collegamento -179_-383)
Azioni sul collegamento: N=-8760.13 Ty=9.39 Tz=17.72 Mx=0.01 Mz=7.66
Sollecitazioni agenti localmente: Ty_l=-1583.40 My_l=-32.50
Tensioni nella sezione: σ=393.97 τ=47.98
CC 4 SLD (Collegamento -179_-383)
Azioni sul collegamento: N=-11143.10 Ty=11.43 Tz=9.01 Mx=0.01 Mz=8.95
Sollecitazioni agenti localmente: Ty_l=-2010.97 My_l=-41.27
Tensioni nella sezione: σ=500.30 τ=60.94
CC 4 SLD (Collegamento -179_-383)
Azioni sul collegamento: N=-11143.10 Ty=9.39 Tz=9.01 Mx=0.01 Mz=7.66
Sollecitazioni agenti localmente: Ty_l=-2005.85 My_l=-41.16
Tensioni nella sezione: σ=498.94 τ=60.78
CC 4 SLD (Collegamento -179_-383)
Azioni sul collegamento: N=-11143.10 Ty=11.43 Tz=17.72 Mx=0.01 Mz=8.95
Sollecitazioni agenti localmente: Ty_l=-2010.97 My_l=-41.27
Tensioni nella sezione: σ=500.30 τ=60.94
CC 4 SLD (Collegamento -179_-383)
Azioni sul collegamento: N=-11143.10 Ty=9.39 Tz=17.72 Mx=0.01 Mz=7.66
Sollecitazioni agenti localmente: Ty_l=-2005.85 My_l=-41.16
Tensioni nella sezione: σ=498.94 τ=60.78
CC 5 SLV (Collegamento -179_-383)
Azioni sul collegamento: N=-13956.40 Ty=7.99 Tz=28.02 Mx=0.02 Mz=8.33
Sollecitazioni agenti localmente: Ty_l=-2507.22 My_l=-51.44
Tensioni nella sezione: σ=623.57 τ=75.98
CC 5 SLV (Collegamento -179_-383)
Azioni sul collegamento: N=-13956.40 Ty=14.68 Tz=28.02 Mx=0.02 Mz=12.56
Sollecitazioni agenti localmente: Ty_l=-2524.04 My_l=-51.81
Tensioni nella sezione: σ=628.03 τ=76.49
CC 5 SLV (Collegamento -179_-383)
Azioni sul collegamento: N=-13956.40 Ty=7.99 Tz=-0.53 Mx=0.02 Mz=8.33
Sollecitazioni agenti localmente: Ty_l=-2507.23 My_l=-51.44
Tensioni nella sezione: σ=623.57 τ=75.98
CC 5 SLV (Collegamento -179_-383)
Azioni sul collegamento: N=-13956.40 Ty=14.68 Tz=-0.53 Mx=0.02 Mz=12.56
Sollecitazioni agenti localmente: Ty_l=-2524.04 My_l=-51.81
Tensioni nella sezione: σ=628.03 τ=76.49
CC 5 SLV (Collegamento -179_-383)
Azioni sul collegamento: N=-6141.51 Ty=7.99 Tz=28.02 Mx=0.02 Mz=8.33
Sollecitazioni agenti localmente: Ty_l=-1121.85 My_l=-23.04
Tensioni nella sezione: σ=279.32 τ=34.00
CC 5 SLV (Collegamento -179_-383)
Azioni sul collegamento: N=-6141.51 Ty=14.68 Tz=28.02 Mx=0.02 Mz=12.56
Sollecitazioni agenti localmente: Ty_l=-1138.67 My_l=-23.41
Tensioni nella sezione: σ=283.79 τ=34.51
CC 5 SLV (Collegamento -179_-383)
Azioni sul collegamento: N=-6141.51 Ty=7.99 Tz=-0.53 Mx=0.02 Mz=8.33
Sollecitazioni agenti localmente: Ty_l=-1121.85 My_l=-23.04
Tensioni nella sezione: σ=279.32 τ=34.00
CC 5 SLV (Collegamento -179_-383)
Azioni sul collegamento: N=-6141.51 Ty=14.68 Tz=-0.53 Mx=0.02 Mz=12.56
Sollecitazioni agenti localmente: Ty_l=-1138.67 My_l=-23.41
Tensioni nella sezione: σ=283.79 τ=34.51
CC 6 SLD (Collegamento -179_-383)

Azioni sul collegamento: N=-11143.10 Ty=9.39 Tz=17.72 Mx=0.01 Mz=7.66
Sollecitazioni agenti localmente: Ty_l=-2005.85 My_l=-41.16
Tensioni nella sezione: σ=498.94 τ=60.78
CC 6 SLD (Collegamento -179_-383)
Azioni sul collegamento: N=-11143.10 Ty=11.43 Tz=17.72 Mx=0.01 Mz=8.95
Sollecitazioni agenti localmente: Ty_l=-2010.97 My_l=-41.27
Tensioni nella sezione: σ=500.30 τ=60.94
CC 6 SLD (Collegamento -179_-383)
Azioni sul collegamento: N=-11143.10 Ty=9.39 Tz=9.01 Mx=0.01 Mz=7.66
Sollecitazioni agenti localmente: Ty_l=-2005.85 My_l=-41.16
Tensioni nella sezione: σ=498.94 τ=60.78
CC 6 SLD (Collegamento -179_-383)
Azioni sul collegamento: N=-11143.10 Ty=11.43 Tz=9.01 Mx=0.01 Mz=8.95
Sollecitazioni agenti localmente: Ty_l=-2010.97 My_l=-41.27
Tensioni nella sezione: σ=500.30 τ=60.94
CC 6 SLD (Collegamento -179_-383)
Azioni sul collegamento: N=-8760.13 Ty=9.39 Tz=17.72 Mx=0.01 Mz=7.66
Sollecitazioni agenti localmente: Ty_l=-1583.40 My_l=-32.50
Tensioni nella sezione: σ=393.97 τ=47.98
CC 6 SLD (Collegamento -179_-383)
Azioni sul collegamento: N=-8760.13 Ty=11.43 Tz=17.72 Mx=0.01 Mz=8.95
Sollecitazioni agenti localmente: Ty_l=-1588.53 My_l=-32.61
Tensioni nella sezione: σ=395.33 τ=48.14
CC 6 SLD (Collegamento -179_-383)
Azioni sul collegamento: N=-8760.13 Ty=9.39 Tz=9.01 Mx=0.01 Mz=7.66
Sollecitazioni agenti localmente: Ty_l=-1583.40 My_l=-32.50
Tensioni nella sezione: σ=393.97 τ=47.98
CC 6 SLD (Collegamento -179_-383)
Azioni sul collegamento: N=-8760.13 Ty=11.43 Tz=9.01 Mx=0.01 Mz=8.95
Sollecitazioni agenti localmente: Ty_l=-1588.53 My_l=-32.61
Tensioni nella sezione: σ=395.33 τ=48.14
CC 7 SLV (Collegamento -179_-383)
Azioni sul collegamento: N=-13961.30 Ty=7.48 Tz=28.35 Mx=0.01 Mz=7.28
Sollecitazioni agenti localmente: Ty_l=-2503.92 My_l=-51.37
Tensioni nella sezione: σ=622.68 τ=75.88
CC 7 SLV (Collegamento -179_-383)
Azioni sul collegamento: N=-13961.30 Ty=15.19 Tz=28.35 Mx=0.01 Mz=13.60
Sollecitazioni agenti localmente: Ty_l=-2529.07 My_l=-51.92
Tensioni nella sezione: σ=629.35 τ=76.64
CC 7 SLV (Collegamento -179_-383)
Azioni sul collegamento: N=-13961.30 Ty=7.48 Tz=-0.86 Mx=0.01 Mz=7.28
Sollecitazioni agenti localmente: Ty_l=-2503.92 My_l=-51.37
Tensioni nella sezione: σ=622.68 τ=75.88
CC 7 SLV (Collegamento -179_-383)
Azioni sul collegamento: N=-13961.30 Ty=15.19 Tz=-0.86 Mx=0.01 Mz=13.60
Sollecitazioni agenti localmente: Ty_l=-2529.07 My_l=-51.92
Tensioni nella sezione: σ=629.35 τ=76.64
CC 7 SLV (Collegamento -179_-383)
Azioni sul collegamento: N=-6136.64 Ty=7.48 Tz=28.35 Mx=0.01 Mz=7.28
Sollecitazioni agenti localmente: Ty_l=-1116.82 My_l=-22.94
Tensioni nella sezione: σ=278.00 τ=33.84
CC 7 SLV (Collegamento -179_-383)
Azioni sul collegamento: N=-6136.64 Ty=15.19 Tz=28.35 Mx=0.01 Mz=13.60
Sollecitazioni agenti localmente: Ty_l=-1141.97 My_l=-23.49
Tensioni nella sezione: σ=284.68 τ=34.61
CC 7 SLV (Collegamento -179_-383)
Azioni sul collegamento: N=-6136.64 Ty=7.48 Tz=-0.86 Mx=0.01 Mz=7.28
Sollecitazioni agenti localmente: Ty_l=-1116.82 My_l=-22.94
Tensioni nella sezione: σ=278.00 τ=33.84
CC 7 SLV (Collegamento -179_-383)
Azioni sul collegamento: N=-6136.64 Ty=15.19 Tz=-0.86 Mx=0.01 Mz=13.60
Sollecitazioni agenti localmente: Ty_l=-1141.97 My_l=-23.49
Tensioni nella sezione: σ=284.68 τ=34.61
CC 8 SLD (Collegamento -179_-383)
Azioni sul collegamento: N=-11144.60 Ty=9.24 Tz=17.82 Mx=0.01 Mz=7.34
Sollecitazioni agenti localmente: Ty_l=-2004.84 My_l=-41.14
Tensioni nella sezione: σ=498.67 τ=60.75
CC 8 SLD (Collegamento -179_-383)
Azioni sul collegamento: N=-11144.60 Ty=11.59 Tz=17.82 Mx=0.01 Mz=9.27
Sollecitazioni agenti localmente: Ty_l=-2012.51 My_l=-41.31
Tensioni nella sezione: σ=500.70 τ=60.99
CC 8 SLD (Collegamento -179_-383)
Azioni sul collegamento: N=-11144.60 Ty=9.24 Tz=8.91 Mx=0.01 Mz=7.34
Sollecitazioni agenti localmente: Ty_l=-2004.84 My_l=-41.14
Tensioni nella sezione: σ=498.67 τ=60.75
CC 8 SLD (Collegamento -179_-383)
Azioni sul collegamento: N=-11144.60 Ty=11.59 Tz=8.91 Mx=0.01 Mz=9.27
Sollecitazioni agenti localmente: Ty_l=-2012.51 My_l=-41.31
Tensioni nella sezione: σ=500.70 τ=60.99

CC 8 SLD (Collegamento -179_-383)
Azioni sul collegamento: N=-8758.64 Ty=9.24 Tz=17.82 Mx=0.01 Mz=7.34
Sollecitazioni agenti localmente: Ty_l=-1581.87 My_l=-32.47
Tensioni nella sezione: σ=393.57 τ=47.94
CC 8 SLD (Collegamento -179_-383)
Azioni sul collegamento: N=-8758.64 Ty=11.59 Tz=17.82 Mx=0.01 Mz=9.27
Sollecitazioni agenti localmente: Ty_l=-1589.54 My_l=-32.64
Tensioni nella sezione: σ=395.60 τ=48.17
CC 8 SLD (Collegamento -179_-383)
Azioni sul collegamento: N=-8758.64 Ty=9.24 Tz=8.91 Mx=0.01 Mz=7.34
Sollecitazioni agenti localmente: Ty_l=-1581.87 My_l=-32.47
Tensioni nella sezione: σ=393.57 τ=47.94
CC 8 SLD (Collegamento -179_-383)
Azioni sul collegamento: N=-8758.64 Ty=11.59 Tz=8.91 Mx=0.01 Mz=9.27
Sollecitazioni agenti localmente: Ty_l=-1589.54 My_l=-32.64
Tensioni nella sezione: σ=395.60 τ=48.17
CC 9 SLV (Collegamento -179_-383)
Azioni sul collegamento: N=-8867.90 Ty=13.27 Tz=8.87 Mx=0.02 Mz=12.98
Sollecitazioni agenti localmente: Ty_l=-1623.66 My_l=-33.36
Tensioni nella sezione: σ=404.33 τ=49.20
CC 9 SLV (Collegamento -179_-383)
Azioni sul collegamento: N=-8867.90 Ty=9.40 Tz=8.87 Mx=0.02 Mz=7.91
Sollecitazioni agenti localmente: Ty_l=-1603.48 My_l=-32.92
Tensioni nella sezione: σ=398.97 τ=48.59
CC 9 SLV (Collegamento -179_-383)
Azioni sul collegamento: N=-8867.90 Ty=13.27 Tz=18.62 Mx=0.02 Mz=12.98
Sollecitazioni agenti localmente: Ty_l=-1623.66 My_l=-33.36
Tensioni nella sezione: σ=404.33 τ=49.20
CC 9 SLV (Collegamento -179_-383)
Azioni sul collegamento: N=-8867.90 Ty=9.40 Tz=18.62 Mx=0.02 Mz=7.91
Sollecitazioni agenti localmente: Ty_l=-1603.48 My_l=-32.92
Tensioni nella sezione: σ=398.97 τ=48.59
CC 9 SLV (Collegamento -179_-383)
Azioni sul collegamento: N=-11230.10 Ty=13.27 Tz=8.87 Mx=0.02 Mz=12.98
Sollecitazioni agenti localmente: Ty_l=-2042.41 My_l=-41.94
Tensioni nella sezione: σ=508.38 τ=61.89
CC 9 SLV (Collegamento -179_-383)
Azioni sul collegamento: N=-11230.10 Ty=9.40 Tz=8.87 Mx=0.02 Mz=7.91
Sollecitazioni agenti localmente: Ty_l=-2022.23 My_l=-41.50
Tensioni nella sezione: σ=503.03 τ=61.28
CC 9 SLV (Collegamento -179_-383)
Azioni sul collegamento: N=-11230.10 Ty=13.27 Tz=18.62 Mx=0.02 Mz=12.98
Sollecitazioni agenti localmente: Ty_l=-2042.41 My_l=-41.94
Tensioni nella sezione: σ=508.38 τ=61.89
CC 9 SLV (Collegamento -179_-383)
Azioni sul collegamento: N=-11230.10 Ty=9.40 Tz=18.62 Mx=0.02 Mz=7.91
Sollecitazioni agenti localmente: Ty_l=-2022.23 My_l=-41.50
Tensioni nella sezione: σ=503.03 τ=61.28
CC 10 SLD (Collegamento -179_-383)
Azioni sul collegamento: N=-9591.49 Ty=11.00 Tz=11.88 Mx=0.01 Mz=9.08
Sollecitazioni agenti localmente: Ty_l=-1736.42 My_l=-35.65
Tensioni nella sezione: σ=432.09 τ=52.62
CC 10 SLD (Collegamento -179_-383)
Azioni sul collegamento: N=-9591.49 Ty=9.82 Tz=11.88 Mx=0.01 Mz=7.53
Sollecitazioni agenti localmente: Ty_l=-1730.27 My_l=-35.51
Tensioni nella sezione: σ=430.45 τ=52.43
CC 10 SLD (Collegamento -179_-383)
Azioni sul collegamento: N=-9591.49 Ty=11.00 Tz=14.85 Mx=0.01 Mz=9.08
Sollecitazioni agenti localmente: Ty_l=-1736.42 My_l=-35.65
Tensioni nella sezione: σ=432.09 τ=52.62
CC 10 SLD (Collegamento -179_-383)
Azioni sul collegamento: N=-9591.49 Ty=9.82 Tz=14.85 Mx=0.01 Mz=7.53
Sollecitazioni agenti localmente: Ty_l=-1730.27 My_l=-35.51
Tensioni nella sezione: σ=430.45 τ=52.43
CC 10 SLD (Collegamento -179_-383)
Azioni sul collegamento: N=-10311.80 Ty=11.00 Tz=11.88 Mx=0.01 Mz=9.08
Sollecitazioni agenti localmente: Ty_l=-1864.11 My_l=-38.26
Tensioni nella sezione: σ=463.82 τ=56.49
CC 10 SLD (Collegamento -179_-383)
Azioni sul collegamento: N=-10311.80 Ty=9.82 Tz=11.88 Mx=0.01 Mz=7.53
Sollecitazioni agenti localmente: Ty_l=-1857.96 My_l=-38.13
Tensioni nella sezione: σ=462.18 τ=56.30
CC 10 SLD (Collegamento -179_-383)
Azioni sul collegamento: N=-10311.80 Ty=11.00 Tz=14.85 Mx=0.01 Mz=9.08
Sollecitazioni agenti localmente: Ty_l=-1864.11 My_l=-38.26
Tensioni nella sezione: σ=463.82 τ=56.49
CC 10 SLD (Collegamento -179_-383)
Azioni sul collegamento: N=-10311.80 Ty=9.82 Tz=14.85 Mx=0.01 Mz=7.53
Sollecitazioni agenti localmente: Ty_l=-1857.96 My_l=-38.13

Tensioni nella sezione: σ=462.18 τ=56.30
CC 11 SLV (Collegamento -179_-383)
Azioni sul collegamento: N=-11213.80 Ty=11.11 Tz=17.53 Mx=0.02 Mz=11.40
Sollecitazioni agenti localmente: Ty_l=-2033.24 My_l=-41.74
Tensioni nella sezione: σ=506.00 τ=61.61
CC 11 SLV (Collegamento -179_-383)
Azioni sul collegamento: N=-11213.80 Ty=11.56 Tz=17.53 Mx=0.02 Mz=9.49
Sollecitazioni agenti localmente: Ty_l=-2025.65 My_l=-41.58
Tensioni nella sezione: σ=503.98 τ=61.38
CC 11 SLV (Collegamento -179_-383)
Azioni sul collegamento: N=-11213.80 Ty=11.11 Tz=9.96 Mx=0.02 Mz=11.40
Sollecitazioni agenti localmente: Ty_l=-2033.24 My_l=-41.74
Tensioni nella sezione: σ=506.00 τ=61.61
CC 11 SLV (Collegamento -179_-383)
Azioni sul collegamento: N=-11213.80 Ty=11.56 Tz=9.96 Mx=0.02 Mz=9.49
Sollecitazioni agenti localmente: Ty_l=-2025.65 My_l=-41.58
Tensioni nella sezione: σ=503.98 τ=61.38
CC 11 SLV (Collegamento -179_-383)
Azioni sul collegamento: N=-8884.11 Ty=11.11 Tz=17.53 Mx=0.02 Mz=11.40
Sollecitazioni agenti localmente: Ty_l=-1620.24 My_l=-33.28
Tensioni nella sezione: σ=403.38 τ=49.10
CC 11 SLV (Collegamento -179_-383)
Azioni sul collegamento: N=-8884.11 Ty=11.56 Tz=17.53 Mx=0.02 Mz=9.49
Sollecitazioni agenti localmente: Ty_l=-1612.65 My_l=-33.11
Tensioni nella sezione: σ=401.36 τ=48.87
CC 11 SLV (Collegamento -179_-383)
Azioni sul collegamento: N=-8884.11 Ty=11.11 Tz=9.96 Mx=0.02 Mz=11.40
Sollecitazioni agenti localmente: Ty_l=-1620.24 My_l=-33.28
Tensioni nella sezione: σ=403.38 τ=49.10
CC 11 SLV (Collegamento -179_-383)
Azioni sul collegamento: N=-8884.11 Ty=11.56 Tz=9.96 Mx=0.02 Mz=9.49
Sollecitazioni agenti localmente: Ty_l=-1612.65 My_l=-33.11
Tensioni nella sezione: σ=401.36 τ=48.87
CC 12 SLD (Collegamento -179_-383)
Azioni sul collegamento: N=-10306.80 Ty=10.34 Tz=14.52 Mx=0.01 Mz=8.60
Sollecitazioni agenti localmente: Ty_l=-1861.31 My_l=-38.20
Tensioni nella sezione: σ=463.09 τ=56.40
CC 12 SLD (Collegamento -179_-383)
Azioni sul collegamento: N=-10306.80 Ty=10.48 Tz=14.52 Mx=0.01 Mz=8.01
Sollecitazioni agenti localmente: Ty_l=-1859.00 My_l=-38.15
Tensioni nella sezione: σ=462.47 τ=56.33
CC 12 SLD (Collegamento -179_-383)
Azioni sul collegamento: N=-10306.80 Ty=10.34 Tz=12.21 Mx=0.01 Mz=8.60
Sollecitazioni agenti localmente: Ty_l=-1861.31 My_l=-38.20
Tensioni nella sezione: σ=463.09 τ=56.40
CC 12 SLD (Collegamento -179_-383)
Azioni sul collegamento: N=-10306.80 Ty=10.48 Tz=12.21 Mx=0.01 Mz=8.01
Sollecitazioni agenti localmente: Ty_l=-1859.00 My_l=-38.15
Tensioni nella sezione: σ=462.47 τ=56.33
CC 12 SLD (Collegamento -179_-383)
Azioni sul collegamento: N=-9596.43 Ty=10.34 Tz=14.52 Mx=0.01 Mz=8.60
Sollecitazioni agenti localmente: Ty_l=-1735.38 My_l=-35.62
Tensioni nella sezione: σ=431.80 τ=52.59
CC 12 SLD (Collegamento -179_-383)
Azioni sul collegamento: N=-9596.43 Ty=10.48 Tz=14.52 Mx=0.01 Mz=8.01
Sollecitazioni agenti localmente: Ty_l=-1733.06 My_l=-35.57
Tensioni nella sezione: σ=431.18 τ=52.52
CC 12 SLD (Collegamento -179_-383)
Azioni sul collegamento: N=-9596.43 Ty=10.34 Tz=12.21 Mx=0.01 Mz=8.60
Sollecitazioni agenti localmente: Ty_l=-1735.38 My_l=-35.62
Tensioni nella sezione: σ=431.80 τ=52.59
CC 12 SLD (Collegamento -179_-383)
Azioni sul collegamento: N=-9596.43 Ty=10.48 Tz=12.21 Mx=0.01 Mz=8.01
Sollecitazioni agenti localmente: Ty_l=-1733.06 My_l=-35.57
Tensioni nella sezione: σ=431.18 τ=52.52
CC 13 SLV (Collegamento -179_-383)
Azioni sul collegamento: N=-8884.11 Ty=11.56 Tz=9.96 Mx=0.01 Mz=9.49
Sollecitazioni agenti localmente: Ty_l=-1612.65 My_l=-33.11
Tensioni nella sezione: σ=401.36 τ=48.87
CC 13 SLV (Collegamento -179_-383)
Azioni sul collegamento: N=-8884.11 Ty=11.11 Tz=9.96 Mx=0.01 Mz=11.40
Sollecitazioni agenti localmente: Ty_l=-1620.24 My_l=-33.28
Tensioni nella sezione: σ=403.38 τ=49.10
CC 13 SLV (Collegamento -179_-383)
Azioni sul collegamento: N=-8884.11 Ty=11.56 Tz=17.53 Mx=0.01 Mz=9.49
Sollecitazioni agenti localmente: Ty_l=-1612.65 My_l=-33.11
Tensioni nella sezione: σ=401.36 τ=48.87
CC 13 SLV (Collegamento -179_-383)
Azioni sul collegamento: N=-8884.11 Ty=11.11 Tz=17.53 Mx=0.01 Mz=11.40

Sollecitazioni agenti localmente: T_{y_l}=-1620.24 M_{y_l}=-33.28
Tensioni nella sezione: σ=403.38 τ=49.10
CC 13 SLV (Collegamento -179_-383)
Azioni sul collegamento: N=-11213.80 Ty=11.56 Tz=9.96 Mx=0.01 Mz=9.49
Sollecitazioni agenti localmente: T_{y_l}=-2025.65 M_{y_l}=-41.58
Tensioni nella sezione: σ=503.98 τ=61.38
CC 13 SLV (Collegamento -179_-383)
Azioni sul collegamento: N=-11213.80 Ty=11.11 Tz=9.96 Mx=0.01 Mz=11.40
Sollecitazioni agenti localmente: T_{y_l}=-2033.24 M_{y_l}=-41.74
Tensioni nella sezione: σ=506.00 τ=61.61
CC 13 SLV (Collegamento -179_-383)
Azioni sul collegamento: N=-11213.80 Ty=11.56 Tz=17.53 Mx=0.01 Mz=9.49
Sollecitazioni agenti localmente: T_{y_l}=-2025.65 M_{y_l}=-41.58
Tensioni nella sezione: σ=503.98 τ=61.38
CC 13 SLV (Collegamento -179_-383)
Azioni sul collegamento: N=-11213.80 Ty=11.11 Tz=17.53 Mx=0.01 Mz=11.40
Sollecitazioni agenti localmente: T_{y_l}=-2033.24 M_{y_l}=-41.74
Tensioni nella sezione: σ=506.00 τ=61.61
CC 14 SLD (Collegamento -179_-383)
Azioni sul collegamento: N=-9596.43 Ty=10.48 Tz=12.21 Mx=0.00 Mz=8.01
Sollecitazioni agenti localmente: T_{y_l}=-1733.06 M_{y_l}=-35.57
Tensioni nella sezione: σ=431.18 τ=52.52
CC 14 SLD (Collegamento -179_-383)
Azioni sul collegamento: N=-9596.43 Ty=10.34 Tz=12.21 Mx=0.00 Mz=8.60
Sollecitazioni agenti localmente: T_{y_l}=-1735.38 M_{y_l}=-35.62
Tensioni nella sezione: σ=431.80 τ=52.59
CC 14 SLD (Collegamento -179_-383)
Azioni sul collegamento: N=-9596.43 Ty=10.48 Tz=14.52 Mx=0.00 Mz=8.01
Sollecitazioni agenti localmente: T_{y_l}=-1733.06 M_{y_l}=-35.57
Tensioni nella sezione: σ=431.18 τ=52.52
CC 14 SLD (Collegamento -179_-383)
Azioni sul collegamento: N=-9596.43 Ty=10.34 Tz=14.52 Mx=0.00 Mz=8.60
Sollecitazioni agenti localmente: T_{y_l}=-1735.38 M_{y_l}=-35.62
Tensioni nella sezione: σ=431.80 τ=52.59
CC 14 SLD (Collegamento -179_-383)
Azioni sul collegamento: N=-10306.80 Ty=10.48 Tz=12.21 Mx=0.00 Mz=8.01
Sollecitazioni agenti localmente: T_{y_l}=-1859.00 M_{y_l}=-38.15
Tensioni nella sezione: σ=462.47 τ=56.33
CC 14 SLD (Collegamento -179_-383)
Azioni sul collegamento: N=-10306.80 Ty=10.34 Tz=12.21 Mx=0.00 Mz=8.60
Sollecitazioni agenti localmente: T_{y_l}=-1861.31 M_{y_l}=-38.20
Tensioni nella sezione: σ=463.09 τ=56.40
CC 14 SLD (Collegamento -179_-383)
Azioni sul collegamento: N=-10306.80 Ty=10.48 Tz=14.52 Mx=0.00 Mz=8.01
Sollecitazioni agenti localmente: T_{y_l}=-1859.00 M_{y_l}=-38.15
Tensioni nella sezione: σ=462.47 τ=56.33
CC 14 SLD (Collegamento -179_-383)
Azioni sul collegamento: N=-10306.80 Ty=10.34 Tz=14.52 Mx=0.00 Mz=8.60
Sollecitazioni agenti localmente: T_{y_l}=-1861.31 M_{y_l}=-38.20
Tensioni nella sezione: σ=463.09 τ=56.40
CC 15 SLV (Collegamento -179_-383)
Azioni sul collegamento: N=-11230.10 Ty=9.40 Tz=18.62 Mx=0.01 Mz=7.91
Sollecitazioni agenti localmente: T_{y_l}=-2022.23 M_{y_l}=-41.50
Tensioni nella sezione: σ=503.03 τ=61.28
CC 15 SLV (Collegamento -179_-383)
Azioni sul collegamento: N=-11230.10 Ty=13.27 Tz=18.62 Mx=0.01 Mz=12.98
Sollecitazioni agenti localmente: T_{y_l}=-2042.41 M_{y_l}=-41.94
Tensioni nella sezione: σ=508.38 τ=61.89
CC 15 SLV (Collegamento -179_-383)
Azioni sul collegamento: N=-11230.10 Ty=9.40 Tz=8.87 Mx=0.01 Mz=7.91
Sollecitazioni agenti localmente: T_{y_l}=-2022.23 M_{y_l}=-41.50
Tensioni nella sezione: σ=503.03 τ=61.28
CC 15 SLV (Collegamento -179_-383)
Azioni sul collegamento: N=-11230.10 Ty=13.27 Tz=8.87 Mx=0.01 Mz=12.98
Sollecitazioni agenti localmente: T_{y_l}=-2042.41 M_{y_l}=-41.94
Tensioni nella sezione: σ=508.38 τ=61.89
CC 15 SLV (Collegamento -179_-383)
Azioni sul collegamento: N=-8867.90 Ty=9.40 Tz=18.62 Mx=0.01 Mz=7.91
Sollecitazioni agenti localmente: T_{y_l}=-1603.48 M_{y_l}=-32.92
Tensioni nella sezione: σ=398.98 τ=48.59
CC 15 SLV (Collegamento -179_-383)
Azioni sul collegamento: N=-8867.90 Ty=13.27 Tz=18.62 Mx=0.01 Mz=12.98
Sollecitazioni agenti localmente: T_{y_l}=-1623.66 M_{y_l}=-33.36
Tensioni nella sezione: σ=404.33 τ=49.20
CC 15 SLV (Collegamento -179_-383)
Azioni sul collegamento: N=-8867.90 Ty=9.40 Tz=8.87 Mx=0.01 Mz=7.91
Sollecitazioni agenti localmente: T_{y_l}=-1603.48 M_{y_l}=-32.92
Tensioni nella sezione: σ=398.98 τ=48.59
CC 15 SLV (Collegamento -179_-383)

Azioni sul collegamento: N=-8867.90 Ty=13.27 Tz=8.87 Mx=0.01 Mz=12.98
Sollecitazioni agenti localmente: Ty_l=-1623.66 My_l=-33.36
Tensioni nella sezione: σ=404.33 τ=49.20
CC 16 SLD (Collegamento -179_-383)
Azioni sul collegamento: N=-10311.80 Ty=9.82 Tz=14.85 Mx=0.00 Mz=7.53
Sollecitazioni agenti localmente: Ty_l=-1857.96 My_l=-38.13
Tensioni nella sezione: σ=462.18 τ=56.30
CC 16 SLD (Collegamento -179_-383)
Azioni sul collegamento: N=-10311.80 Ty=11.00 Tz=14.85 Mx=0.00 Mz=9.08
Sollecitazioni agenti localmente: Ty_l=-1864.11 My_l=-38.26
Tensioni nella sezione: σ=463.82 τ=56.49
CC 16 SLD (Collegamento -179_-383)
Azioni sul collegamento: N=-10311.80 Ty=9.82 Tz=11.88 Mx=0.00 Mz=7.53
Sollecitazioni agenti localmente: Ty_l=-1857.96 My_l=-38.13
Tensioni nella sezione: σ=462.18 τ=56.30
CC 16 SLD (Collegamento -179_-383)
Azioni sul collegamento: N=-10311.80 Ty=11.00 Tz=11.88 Mx=0.00 Mz=9.08
Sollecitazioni agenti localmente: Ty_l=-1864.11 My_l=-38.26
Tensioni nella sezione: σ=463.82 τ=56.49
CC 16 SLD (Collegamento -179_-383)
Azioni sul collegamento: N=-9591.49 Ty=9.82 Tz=14.85 Mx=0.00 Mz=7.53
Sollecitazioni agenti localmente: Ty_l=-1730.27 My_l=-35.51
Tensioni nella sezione: σ=430.45 τ=52.43
CC 16 SLD (Collegamento -179_-383)
Azioni sul collegamento: N=-9591.49 Ty=11.00 Tz=14.85 Mx=0.00 Mz=9.08
Sollecitazioni agenti localmente: Ty_l=-1736.42 My_l=-35.65
Tensioni nella sezione: σ=432.09 τ=52.62
CC 16 SLD (Collegamento -179_-383)
Azioni sul collegamento: N=-9591.49 Ty=9.82 Tz=11.88 Mx=0.00 Mz=7.53
Sollecitazioni agenti localmente: Ty_l=-1730.27 My_l=-35.51
Tensioni nella sezione: σ=430.45 τ=52.43
CC 16 SLD (Collegamento -179_-383)
Azioni sul collegamento: N=-9591.49 Ty=11.00 Tz=11.88 Mx=0.00 Mz=9.08
Sollecitazioni agenti localmente: Ty_l=-1736.42 My_l=-35.65
Tensioni nella sezione: σ=432.09 τ=52.62
CC 17 SLV (Collegamento -179_-383)
Azioni sul collegamento: N=-5856.57 Ty=12.53 Tz=-1.96 Mx=-0.01 Mz=7.45
Sollecitazioni agenti localmente: Ty_l=-1067.86 My_l=-21.93
Tensioni nella sezione: σ=265.85 τ=32.36
CC 17 SLV (Collegamento -179_-383)
Azioni sul collegamento: N=-5856.57 Ty=4.82 Tz=-1.96 Mx=-0.01 Mz=1.13
Sollecitazioni agenti localmente: Ty_l=-1042.71 My_l=-21.38
Tensioni nella sezione: σ=259.17 τ=31.60
CC 17 SLV (Collegamento -179_-383)
Azioni sul collegamento: N=-5856.57 Ty=12.53 Tz=27.25 Mx=-0.01 Mz=7.45
Sollecitazioni agenti localmente: Ty_l=-1067.86 My_l=-21.93
Tensioni nella sezione: σ=265.85 τ=32.36
CC 17 SLV (Collegamento -179_-383)
Azioni sul collegamento: N=-5856.57 Ty=4.82 Tz=27.25 Mx=-0.01 Mz=1.13
Sollecitazioni agenti localmente: Ty_l=-1042.71 My_l=-21.38
Tensioni nella sezione: σ=259.17 τ=31.60
CC 17 SLV (Collegamento -179_-383)
Azioni sul collegamento: N=-13681.20 Ty=12.53 Tz=-1.96 Mx=-0.01 Mz=7.45
Sollecitazioni agenti localmente: Ty_l=-2454.96 My_l=-50.37
Tensioni nella sezione: σ=610.52 τ=74.39
CC 17 SLV (Collegamento -179_-383)
Azioni sul collegamento: N=-13681.20 Ty=4.82 Tz=-1.96 Mx=-0.01 Mz=1.13
Sollecitazioni agenti localmente: Ty_l=-2429.81 My_l=-49.82
Tensioni nella sezione: σ=603.85 τ=73.63
CC 17 SLV (Collegamento -179_-383)
Azioni sul collegamento: N=-13681.20 Ty=12.53 Tz=27.25 Mx=-0.01 Mz=7.45
Sollecitazioni agenti localmente: Ty_l=-2454.96 My_l=-50.37
Tensioni nella sezione: σ=610.52 τ=74.39
CC 17 SLV (Collegamento -179_-383)
Azioni sul collegamento: N=-13681.20 Ty=4.82 Tz=27.25 Mx=-0.01 Mz=1.13
Sollecitazioni agenti localmente: Ty_l=-2429.81 My_l=-49.82
Tensioni nella sezione: σ=603.85 τ=73.63
CC 18 SLD (Collegamento -179_-383)
Azioni sul collegamento: N=-8673.24 Ty=10.78 Tz=8.57 Mx=-0.00 Mz=7.39
Sollecitazioni agenti localmente: Ty_l=-1566.94 My_l=-32.16
Tensioni nella sezione: σ=389.86 τ=47.48
CC 18 SLD (Collegamento -179_-383)
Azioni sul collegamento: N=-8673.24 Ty=8.42 Tz=8.57 Mx=-0.00 Mz=5.47
Sollecitazioni agenti localmente: Ty_l=-1559.27 My_l=-32.00
Tensioni nella sezione: σ=387.82 τ=47.25
CC 18 SLD (Collegamento -179_-383)
Azioni sul collegamento: N=-8673.24 Ty=10.78 Tz=17.48 Mx=-0.00 Mz=7.39
Sollecitazioni agenti localmente: Ty_l=-1566.94 My_l=-32.16
Tensioni nella sezione: σ=389.86 τ=47.48

CC 18 SLD (Collegamento -179_-383)
Azioni sul collegamento: N=-8673.24 Ty=8.42 Tz=17.48 Mx=-0.00 Mz=5.47
Sollecitazioni agenti localmente: Ty_l=-1559.27 My_l=-32.00
Tensioni nella sezione: σ=387.82 τ=47.25
CC 18 SLD (Collegamento -179_-383)
Azioni sul collegamento: N=-11059.20 Ty=10.78 Tz=8.57 Mx=-0.00 Mz=7.39
Sollecitazioni agenti localmente: Ty_l=-1989.91 My_l=-40.83
Tensioni nella sezione: σ=494.96 τ=60.30
CC 18 SLD (Collegamento -179_-383)
Azioni sul collegamento: N=-11059.20 Ty=8.42 Tz=8.57 Mx=-0.00 Mz=5.47
Sollecitazioni agenti localmente: Ty_l=-1982.24 My_l=-40.67
Tensioni nella sezione: σ=492.93 τ=60.07
CC 18 SLD (Collegamento -179_-383)
Azioni sul collegamento: N=-11059.20 Ty=10.78 Tz=17.48 Mx=-0.00 Mz=7.39
Sollecitazioni agenti localmente: Ty_l=-1989.91 My_l=-40.83
Tensioni nella sezione: σ=494.96 τ=60.30
CC 18 SLD (Collegamento -179_-383)
Azioni sul collegamento: N=-11059.20 Ty=8.42 Tz=17.48 Mx=-0.00 Mz=5.47
Sollecitazioni agenti localmente: Ty_l=-1982.24 My_l=-40.67
Tensioni nella sezione: σ=492.93 τ=60.07
CC 19 SLV (Collegamento -179_-383)
Azioni sul collegamento: N=-5861.43 Ty=12.02 Tz=-1.63 Mx=-0.01 Mz=6.41
Sollecitazioni agenti localmente: Ty_l=-1064.55 My_l=-21.86
Tensioni nella sezione: σ=264.96 τ=32.26
CC 19 SLV (Collegamento -179_-383)
Azioni sul collegamento: N=-5861.43 Ty=5.33 Tz=-1.63 Mx=-0.01 Mz=2.18
Sollecitazioni agenti localmente: Ty_l=-1047.74 My_l=-21.49
Tensioni nella sezione: σ=260.49 τ=31.75
CC 19 SLV (Collegamento -179_-383)
Azioni sul collegamento: N=-5861.43 Ty=12.02 Tz=26.92 Mx=-0.01 Mz=6.41
Sollecitazioni agenti localmente: Ty_l=-1064.55 My_l=-21.86
Tensioni nella sezione: σ=264.96 τ=32.26
CC 19 SLV (Collegamento -179_-383)
Azioni sul collegamento: N=-5861.43 Ty=5.33 Tz=26.92 Mx=-0.01 Mz=2.18
Sollecitazioni agenti localmente: Ty_l=-1047.74 My_l=-21.49
Tensioni nella sezione: σ=260.49 τ=31.75
CC 19 SLV (Collegamento -179_-383)
Azioni sul collegamento: N=-13676.40 Ty=12.02 Tz=-1.63 Mx=-0.01 Mz=6.41
Sollecitazioni agenti localmente: Ty_l=-2449.93 My_l=-50.26
Tensioni nella sezione: σ=609.20 τ=74.24
CC 19 SLV (Collegamento -179_-383)
Azioni sul collegamento: N=-13676.40 Ty=5.33 Tz=-1.63 Mx=-0.01 Mz=2.18
Sollecitazioni agenti localmente: Ty_l=-2433.11 My_l=-49.89
Tensioni nella sezione: σ=604.74 τ=73.73
CC 19 SLV (Collegamento -179_-383)
Azioni sul collegamento: N=-13676.40 Ty=12.02 Tz=26.92 Mx=-0.01 Mz=6.41
Sollecitazioni agenti localmente: Ty_l=-2449.93 My_l=-50.26
Tensioni nella sezione: σ=609.20 τ=74.24
CC 19 SLV (Collegamento -179_-383)
Azioni sul collegamento: N=-13676.40 Ty=5.33 Tz=26.92 Mx=-0.01 Mz=2.18
Sollecitazioni agenti localmente: Ty_l=-2433.11 My_l=-49.89
Tensioni nella sezione: σ=604.74 τ=73.73
CC 20 SLD (Collegamento -179_-383)
Azioni sul collegamento: N=-8674.72 Ty=10.62 Tz=8.67 Mx=0.00 Mz=7.07
Sollecitazioni agenti localmente: Ty_l=-1565.93 My_l=-32.14
Tensioni nella sezione: σ=389.59 τ=47.45
CC 20 SLD (Collegamento -179_-383)
Azioni sul collegamento: N=-8674.72 Ty=8.58 Tz=8.67 Mx=0.00 Mz=5.79
Sollecitazioni agenti localmente: Ty_l=-1560.80 My_l=-32.03
Tensioni nella sezione: σ=388.23 τ=47.30
CC 20 SLD (Collegamento -179_-383)
Azioni sul collegamento: N=-8674.72 Ty=10.62 Tz=17.38 Mx=0.00 Mz=7.07
Sollecitazioni agenti localmente: Ty_l=-1565.93 My_l=-32.14
Tensioni nella sezione: σ=389.59 τ=47.45
CC 20 SLD (Collegamento -179_-383)
Azioni sul collegamento: N=-8674.72 Ty=8.58 Tz=17.38 Mx=0.00 Mz=5.79
Sollecitazioni agenti localmente: Ty_l=-1560.80 My_l=-32.03
Tensioni nella sezione: σ=388.23 τ=47.30
CC 20 SLD (Collegamento -179_-383)
Azioni sul collegamento: N=-11057.70 Ty=10.62 Tz=8.67 Mx=0.00 Mz=7.07
Sollecitazioni agenti localmente: Ty_l=-1988.37 My_l=-40.80
Tensioni nella sezione: σ=494.56 τ=60.25
CC 20 SLD (Collegamento -179_-383)
Azioni sul collegamento: N=-11057.70 Ty=8.58 Tz=8.67 Mx=0.00 Mz=5.79
Sollecitazioni agenti localmente: Ty_l=-1983.25 My_l=-40.69
Tensioni nella sezione: σ=493.20 τ=60.10
CC 20 SLD (Collegamento -179_-383)
Azioni sul collegamento: N=-11057.70 Ty=10.62 Tz=17.38 Mx=0.00 Mz=7.07
Sollecitazioni agenti localmente: Ty_l=-1988.37 My_l=-40.80

Tensioni nella sezione: σ=494.56 τ=60.25
CC 20 SLD (Collegamento -179_-383)
Azioni sul collegamento: N=-11057.70 Ty=8.58 Tz=17.38 Mx=0.00 Mz=5.79
Sollecitazioni agenti localmente: Ty_l=-1983.25 My_l=-40.69
Tensioni nella sezione: σ=493.20 τ=60.10
CC 21 SLV (Collegamento -179_-383)
Azioni sul collegamento: N=-13676.40 Ty=5.33 Tz=26.92 Mx=-0.01 Mz=2.18
Sollecitazioni agenti localmente: Ty_l=-2433.11 My_l=-49.89
Tensioni nella sezione: σ=604.74 τ=73.73
CC 21 SLV (Collegamento -179_-383)
Azioni sul collegamento: N=-13676.40 Ty=12.02 Tz=26.92 Mx=-0.01 Mz=6.41
Sollecitazioni agenti localmente: Ty_l=-2449.93 My_l=-50.26
Tensioni nella sezione: σ=609.20 τ=74.24
CC 21 SLV (Collegamento -179_-383)
Azioni sul collegamento: N=-13676.40 Ty=5.33 Tz=-1.63 Mx=-0.01 Mz=2.18
Sollecitazioni agenti localmente: Ty_l=-2433.11 My_l=-49.89
Tensioni nella sezione: σ=604.74 τ=73.73
CC 21 SLV (Collegamento -179_-383)
Azioni sul collegamento: N=-13676.40 Ty=12.02 Tz=-1.63 Mx=-0.01 Mz=6.41
Sollecitazioni agenti localmente: Ty_l=-2449.93 My_l=-50.26
Tensioni nella sezione: σ=609.20 τ=74.24
CC 21 SLV (Collegamento -179_-383)
Azioni sul collegamento: N=-5861.43 Ty=5.33 Tz=26.92 Mx=-0.01 Mz=2.18
Sollecitazioni agenti localmente: Ty_l=-1047.74 My_l=-21.49
Tensioni nella sezione: σ=260.49 τ=31.75
CC 21 SLV (Collegamento -179_-383)
Azioni sul collegamento: N=-5861.43 Ty=12.02 Tz=26.92 Mx=-0.01 Mz=6.41
Sollecitazioni agenti localmente: Ty_l=-1064.55 My_l=-21.86
Tensioni nella sezione: σ=264.96 τ=32.26
CC 21 SLV (Collegamento -179_-383)
Azioni sul collegamento: N=-5861.43 Ty=5.33 Tz=-1.63 Mx=-0.01 Mz=2.18
Sollecitazioni agenti localmente: Ty_l=-1047.74 My_l=-21.49
Tensioni nella sezione: σ=260.49 τ=31.75
CC 21 SLV (Collegamento -179_-383)
Azioni sul collegamento: N=-5861.43 Ty=12.02 Tz=-1.63 Mx=-0.01 Mz=6.41
Sollecitazioni agenti localmente: Ty_l=-1064.55 My_l=-21.86
Tensioni nella sezione: σ=264.96 τ=32.26
CC 22 SLD (Collegamento -179_-383)
Azioni sul collegamento: N=-11057.70 Ty=8.58 Tz=17.38 Mx=-0.00 Mz=5.79
Sollecitazioni agenti localmente: Ty_l=-1983.25 My_l=-40.69
Tensioni nella sezione: σ=493.20 τ=60.10
CC 22 SLD (Collegamento -179_-383)
Azioni sul collegamento: N=-11057.70 Ty=10.62 Tz=17.38 Mx=-0.00 Mz=7.07
Sollecitazioni agenti localmente: Ty_l=-1988.37 My_l=-40.80
Tensioni nella sezione: σ=494.56 τ=60.25
CC 22 SLD (Collegamento -179_-383)
Azioni sul collegamento: N=-11057.70 Ty=8.58 Tz=8.67 Mx=-0.00 Mz=5.79
Sollecitazioni agenti localmente: Ty_l=-1983.25 My_l=-40.69
Tensioni nella sezione: σ=493.20 τ=60.10
CC 22 SLD (Collegamento -179_-383)
Azioni sul collegamento: N=-11057.70 Ty=10.62 Tz=8.67 Mx=-0.00 Mz=7.07
Sollecitazioni agenti localmente: Ty_l=-1988.37 My_l=-40.80
Tensioni nella sezione: σ=494.56 τ=60.25
CC 22 SLD (Collegamento -179_-383)
Azioni sul collegamento: N=-8674.72 Ty=8.58 Tz=17.38 Mx=-0.00 Mz=5.79
Sollecitazioni agenti localmente: Ty_l=-1560.80 My_l=-32.03
Tensioni nella sezione: σ=388.23 τ=47.30
CC 22 SLD (Collegamento -179_-383)
Azioni sul collegamento: N=-8674.72 Ty=10.62 Tz=17.38 Mx=-0.00 Mz=7.07
Sollecitazioni agenti localmente: Ty_l=-1565.93 My_l=-32.14
Tensioni nella sezione: σ=389.59 τ=47.45
CC 22 SLD (Collegamento -179_-383)
Azioni sul collegamento: N=-8674.72 Ty=8.58 Tz=8.67 Mx=-0.00 Mz=5.79
Sollecitazioni agenti localmente: Ty_l=-1560.80 My_l=-32.03
Tensioni nella sezione: σ=388.23 τ=47.30
CC 22 SLD (Collegamento -179_-383)
Azioni sul collegamento: N=-8674.72 Ty=10.62 Tz=8.67 Mx=-0.00 Mz=7.07
Sollecitazioni agenti localmente: Ty_l=-1565.93 My_l=-32.14
Tensioni nella sezione: σ=389.59 τ=47.45
CC 23 SLV (Collegamento -179_-383)
Azioni sul collegamento: N=-13681.20 Ty=4.82 Tz=27.25 Mx=-0.01 Mz=1.13
Sollecitazioni agenti localmente: Ty_l=-2429.81 My_l=-49.82
Tensioni nella sezione: σ=603.85 τ=73.63
CC 23 SLV (Collegamento -179_-383)
Azioni sul collegamento: N=-13681.20 Ty=12.53 Tz=27.25 Mx=-0.01 Mz=7.45
Sollecitazioni agenti localmente: Ty_l=-2454.96 My_l=-50.37
Tensioni nella sezione: σ=610.52 τ=74.39
CC 23 SLV (Collegamento -179_-383)
Azioni sul collegamento: N=-13681.20 Ty=4.82 Tz=-1.96 Mx=-0.01 Mz=1.13

Sollecitazioni agenti localmente: Ty_l=-2429.81 My_l=-49.82
Tensioni nella sezione: σ=603.85 τ=73.63
CC 23 SLV (Collegamento -179_-383)
Azioni sul collegamento: N=-13681.20 Ty=12.53 Tz=-1.96 Mx=-0.01 Mz=7.45
Sollecitazioni agenti localmente: Ty_l=-2454.96 My_l=-50.37
Tensioni nella sezione: σ=610.52 τ=74.39
CC 23 SLV (Collegamento -179_-383)
Azioni sul collegamento: N=-5856.57 Ty=4.82 Tz=27.25 Mx=-0.01 Mz=1.13
Sollecitazioni agenti localmente: Ty_l=-1042.71 My_l=-21.38
Tensioni nella sezione: σ=259.17 τ=31.60
CC 23 SLV (Collegamento -179_-383)
Azioni sul collegamento: N=-5856.57 Ty=12.53 Tz=27.25 Mx=-0.01 Mz=7.45
Sollecitazioni agenti localmente: Ty_l=-1067.86 My_l=-21.93
Tensioni nella sezione: σ=265.85 τ=32.36
CC 23 SLV (Collegamento -179_-383)
Azioni sul collegamento: N=-5856.57 Ty=4.82 Tz=-1.96 Mx=-0.01 Mz=1.13
Sollecitazioni agenti localmente: Ty_l=-1042.71 My_l=-21.38
Tensioni nella sezione: σ=259.17 τ=31.60
CC 23 SLV (Collegamento -179_-383)
Azioni sul collegamento: N=-5856.57 Ty=12.53 Tz=-1.96 Mx=-0.01 Mz=7.45
Sollecitazioni agenti localmente: Ty_l=-1067.86 My_l=-21.93
Tensioni nella sezione: σ=265.85 τ=32.36
CC 24 SLD (Collegamento -179_-383)
Azioni sul collegamento: N=-11059.20 Ty=8.42 Tz=17.48 Mx=0.00 Mz=5.47
Sollecitazioni agenti localmente: Ty_l=-1982.24 My_l=-40.67
Tensioni nella sezione: σ=492.93 τ=60.07
CC 24 SLD (Collegamento -179_-383)
Azioni sul collegamento: N=-11059.20 Ty=10.78 Tz=17.48 Mx=0.00 Mz=7.39
Sollecitazioni agenti localmente: Ty_l=-1989.91 My_l=-40.83
Tensioni nella sezione: σ=494.96 τ=60.30
CC 24 SLD (Collegamento -179_-383)
Azioni sul collegamento: N=-11059.20 Ty=8.42 Tz=8.57 Mx=0.00 Mz=5.47
Sollecitazioni agenti localmente: Ty_l=-1982.24 My_l=-40.67
Tensioni nella sezione: σ=492.93 τ=60.07
CC 24 SLD (Collegamento -179_-383)
Azioni sul collegamento: N=-11059.20 Ty=10.78 Tz=8.57 Mx=0.00 Mz=7.39
Sollecitazioni agenti localmente: Ty_l=-1989.91 My_l=-40.83
Tensioni nella sezione: σ=494.96 τ=60.30
CC 24 SLD (Collegamento -179_-383)
Azioni sul collegamento: N=-8673.24 Ty=8.42 Tz=17.48 Mx=0.00 Mz=5.47
Sollecitazioni agenti localmente: Ty_l=-1559.27 My_l=-32.00
Tensioni nella sezione: σ=387.82 τ=47.25
CC 24 SLD (Collegamento -179_-383)
Azioni sul collegamento: N=-8673.24 Ty=10.78 Tz=17.48 Mx=0.00 Mz=7.39
Sollecitazioni agenti localmente: Ty_l=-1566.94 My_l=-32.16
Tensioni nella sezione: σ=389.86 τ=47.48
CC 24 SLD (Collegamento -179_-383)
Azioni sul collegamento: N=-8673.24 Ty=8.42 Tz=8.57 Mx=0.00 Mz=5.47
Sollecitazioni agenti localmente: Ty_l=-1559.27 My_l=-32.00
Tensioni nella sezione: σ=387.82 τ=47.25
CC 24 SLD (Collegamento -179_-383)
Azioni sul collegamento: N=-8673.24 Ty=10.78 Tz=8.57 Mx=0.00 Mz=7.39
Sollecitazioni agenti localmente: Ty_l=-1566.94 My_l=-32.16
Tensioni nella sezione: σ=389.86 τ=47.48
CC 25 SLV (Collegamento -179_-383)
Azioni sul collegamento: N=-8587.82 Ty=10.61 Tz=7.77 Mx=-0.02 Mz=6.83
Sollecitazioni agenti localmente: Ty_l=-1549.55 My_l=-31.80
Tensioni nella sezione: σ=385.50 τ=46.96
CC 25 SLV (Collegamento -179_-383)
Azioni sul collegamento: N=-8587.82 Ty=6.74 Tz=7.77 Mx=-0.02 Mz=1.76
Sollecitazioni agenti localmente: Ty_l=-1529.37 My_l=-31.36
Tensioni nella sezione: σ=380.14 τ=46.34
CC 25 SLV (Collegamento -179_-383)
Azioni sul collegamento: N=-8587.82 Ty=10.61 Tz=17.52 Mx=-0.02 Mz=6.83
Sollecitazioni agenti localmente: Ty_l=-1549.55 My_l=-31.80
Tensioni nella sezione: σ=385.50 τ=46.96
CC 25 SLV (Collegamento -179_-383)
Azioni sul collegamento: N=-8587.82 Ty=6.74 Tz=17.52 Mx=-0.02 Mz=1.76
Sollecitazioni agenti localmente: Ty_l=-1529.37 My_l=-31.36
Tensioni nella sezione: σ=380.14 τ=46.34
CC 25 SLV (Collegamento -179_-383)
Azioni sul collegamento: N=-10950.00 Ty=10.61 Tz=7.77 Mx=-0.02 Mz=6.83
Sollecitazioni agenti localmente: Ty_l=-1968.29 My_l=-40.39
Tensioni nella sezione: σ=489.55 τ=59.65
CC 25 SLV (Collegamento -179_-383)
Azioni sul collegamento: N=-10950.00 Ty=6.74 Tz=7.77 Mx=-0.02 Mz=1.76
Sollecitazioni agenti localmente: Ty_l=-1948.11 My_l=-39.95
Tensioni nella sezione: σ=484.19 τ=59.03
CC 25 SLV (Collegamento -179_-383)

Azioni sul collegamento: N=-10950.00 Ty=10.61 Tz=17.52 Mx=-0.02 Mz=6.83
Sollecitazioni agenti localmente: Ty_l=-1968.30 My_l=-40.39
Tensioni nella sezione: σ=489.55 τ=59.65
CC 25 SLV (Collegamento -179_-383)
Azioni sul collegamento: N=-10950.00 Ty=6.74 Tz=17.52 Mx=-0.02 Mz=1.76
Sollecitazioni agenti localmente: Ty_l=-1948.11 My_l=-39.95
Tensioni nella sezione: σ=484.19 τ=59.03
CC 26 SLD (Collegamento -179_-383)
Azioni sul collegamento: N=-9506.09 Ty=10.19 Tz=11.54 Mx=-0.00 Mz=7.20
Sollecitazioni agenti localmente: Ty_l=-1713.82 My_l=-35.17
Tensioni nella sezione: σ=426.35 τ=51.93
CC 26 SLD (Collegamento -179_-383)
Azioni sul collegamento: N=-9506.09 Ty=9.01 Tz=11.54 Mx=-0.00 Mz=5.66
Sollecitazioni agenti localmente: Ty_l=-1707.67 My_l=-35.04
Tensioni nella sezione: σ=424.71 τ=51.75
CC 26 SLD (Collegamento -179_-383)
Azioni sul collegamento: N=-9506.09 Ty=10.19 Tz=14.51 Mx=-0.00 Mz=7.20
Sollecitazioni agenti localmente: Ty_l=-1713.82 My_l=-35.17
Tensioni nella sezione: σ=426.35 τ=51.93
CC 26 SLD (Collegamento -179_-383)
Azioni sul collegamento: N=-9506.09 Ty=9.01 Tz=14.51 Mx=-0.00 Mz=5.66
Sollecitazioni agenti localmente: Ty_l=-1707.67 My_l=-35.04
Tensioni nella sezione: σ=424.71 τ=51.75
CC 26 SLD (Collegamento -179_-383)
Azioni sul collegamento: N=-10226.40 Ty=10.19 Tz=11.54 Mx=-0.00 Mz=7.20
Sollecitazioni agenti localmente: Ty_l=-1841.51 My_l=-37.79
Tensioni nella sezione: σ=458.07 τ=55.80
CC 26 SLD (Collegamento -179_-383)
Azioni sul collegamento: N=-10226.40 Ty=9.01 Tz=11.54 Mx=-0.00 Mz=5.66
Sollecitazioni agenti localmente: Ty_l=-1835.36 My_l=-37.66
Tensioni nella sezione: σ=456.44 τ=55.62
CC 26 SLD (Collegamento -179_-383)
Azioni sul collegamento: N=-10226.40 Ty=10.19 Tz=14.51 Mx=-0.00 Mz=7.20
Sollecitazioni agenti localmente: Ty_l=-1841.51 My_l=-37.79
Tensioni nella sezione: σ=458.07 τ=55.80
CC 26 SLD (Collegamento -179_-383)
Azioni sul collegamento: N=-10226.40 Ty=9.01 Tz=14.51 Mx=-0.00 Mz=5.66
Sollecitazioni agenti localmente: Ty_l=-1835.36 My_l=-37.66
Tensioni nella sezione: σ=456.44 τ=55.62
CC 27 SLV (Collegamento -179_-383)
Azioni sul collegamento: N=-10933.80 Ty=8.45 Tz=16.43 Mx=-0.02 Mz=5.25
Sollecitazioni agenti localmente: Ty_l=-1959.13 My_l=-40.19
Tensioni nella sezione: σ=487.17 τ=59.37
CC 27 SLV (Collegamento -179_-383)
Azioni sul collegamento: N=-10933.80 Ty=8.90 Tz=16.43 Mx=-0.02 Mz=3.34
Sollecitazioni agenti localmente: Ty_l=-1951.53 My_l=-40.02
Tensioni nella sezione: σ=485.15 τ=59.14
CC 27 SLV (Collegamento -179_-383)
Azioni sul collegamento: N=-10933.80 Ty=8.45 Tz=8.86 Mx=-0.02 Mz=5.25
Sollecitazioni agenti localmente: Ty_l=-1959.13 My_l=-40.19
Tensioni nella sezione: σ=487.17 τ=59.37
CC 27 SLV (Collegamento -179_-383)
Azioni sul collegamento: N=-10933.80 Ty=8.90 Tz=8.86 Mx=-0.02 Mz=3.34
Sollecitazioni agenti localmente: Ty_l=-1951.53 My_l=-40.02
Tensioni nella sezione: σ=485.15 τ=59.14
CC 27 SLV (Collegamento -179_-383)
Azioni sul collegamento: N=-8604.03 Ty=8.45 Tz=16.43 Mx=-0.02 Mz=5.25
Sollecitazioni agenti localmente: Ty_l=-1546.13 My_l=-31.72
Tensioni nella sezione: σ=384.54 τ=46.85
CC 27 SLV (Collegamento -179_-383)
Azioni sul collegamento: N=-8604.03 Ty=8.90 Tz=16.43 Mx=-0.02 Mz=3.34
Sollecitazioni agenti localmente: Ty_l=-1538.54 My_l=-31.56
Tensioni nella sezione: σ=382.53 τ=46.62
CC 27 SLV (Collegamento -179_-383)
Azioni sul collegamento: N=-8604.03 Ty=8.45 Tz=8.86 Mx=-0.02 Mz=5.25
Sollecitazioni agenti localmente: Ty_l=-1546.13 My_l=-31.72
Tensioni nella sezione: σ=384.54 τ=46.85
CC 27 SLV (Collegamento -179_-383)
Azioni sul collegamento: N=-8604.03 Ty=8.90 Tz=8.86 Mx=-0.02 Mz=3.34
Sollecitazioni agenti localmente: Ty_l=-1538.54 My_l=-31.56
Tensioni nella sezione: σ=382.53 τ=46.62
CC 28 SLD (Collegamento -179_-383)
Azioni sul collegamento: N=-10221.40 Ty=9.53 Tz=14.18 Mx=-0.00 Mz=6.72
Sollecitazioni agenti localmente: Ty_l=-1838.71 My_l=-37.73
Tensioni nella sezione: σ=457.35 τ=55.72
CC 28 SLD (Collegamento -179_-383)
Azioni sul collegamento: N=-10221.40 Ty=9.67 Tz=14.18 Mx=-0.00 Mz=6.14
Sollecitazioni agenti localmente: Ty_l=-1836.40 My_l=-37.68
Tensioni nella sezione: σ=456.73 τ=55.65

CC 28 SLD (Collegamento -179_-383)
Azioni sul collegamento: N=-10221.40 Ty=9.53 Tz=11.87 Mx=-0.00 Mz=6.72
Sollecitazioni agenti localmente: Ty_l=-1838.71 My_l=-37.73
Tensioni nella sezione: σ=457.35 τ=55.72
CC 28 SLD (Collegamento -179_-383)
Azioni sul collegamento: N=-10221.40 Ty=9.67 Tz=11.87 Mx=-0.00 Mz=6.14
Sollecitazioni agenti localmente: Ty_l=-1836.40 My_l=-37.68
Tensioni nella sezione: σ=456.73 τ=55.65
CC 28 SLD (Collegamento -179_-383)
Azioni sul collegamento: N=-9511.03 Ty=9.53 Tz=14.18 Mx=-0.00 Mz=6.72
Sollecitazioni agenti localmente: Ty_l=-1712.78 My_l=-35.15
Tensioni nella sezione: σ=426.05 τ=51.90
CC 28 SLD (Collegamento -179_-383)
Azioni sul collegamento: N=-9511.03 Ty=9.67 Tz=14.18 Mx=-0.00 Mz=6.14
Sollecitazioni agenti localmente: Ty_l=-1710.46 My_l=-35.10
Tensioni nella sezione: σ=425.44 τ=51.83
CC 28 SLD (Collegamento -179_-383)
Azioni sul collegamento: N=-9511.03 Ty=9.53 Tz=11.87 Mx=-0.00 Mz=6.72
Sollecitazioni agenti localmente: Ty_l=-1712.78 My_l=-35.15
Tensioni nella sezione: σ=426.05 τ=51.90
CC 28 SLD (Collegamento -179_-383)
Azioni sul collegamento: N=-9511.03 Ty=9.67 Tz=11.87 Mx=-0.00 Mz=6.14
Sollecitazioni agenti localmente: Ty_l=-1710.46 My_l=-35.10
Tensioni nella sezione: σ=425.44 τ=51.83
CC 29 SLV (Collegamento -179_-383)
Azioni sul collegamento: N=-8604.03 Ty=8.90 Tz=8.86 Mx=-0.00 Mz=3.34
Sollecitazioni agenti localmente: Ty_l=-1538.54 My_l=-31.56
Tensioni nella sezione: σ=382.53 τ=46.62
CC 29 SLV (Collegamento -179_-383)
Azioni sul collegamento: N=-8604.03 Ty=8.45 Tz=8.86 Mx=-0.00 Mz=5.25
Sollecitazioni agenti localmente: Ty_l=-1546.13 My_l=-31.72
Tensioni nella sezione: σ=384.54 τ=46.85
CC 29 SLV (Collegamento -179_-383)
Azioni sul collegamento: N=-8604.03 Ty=8.90 Tz=16.43 Mx=-0.00 Mz=3.34
Sollecitazioni agenti localmente: Ty_l=-1538.54 My_l=-31.56
Tensioni nella sezione: σ=382.53 τ=46.62
CC 29 SLV (Collegamento -179_-383)
Azioni sul collegamento: N=-8604.03 Ty=8.45 Tz=16.43 Mx=-0.00 Mz=5.25
Sollecitazioni agenti localmente: Ty_l=-1546.13 My_l=-31.72
Tensioni nella sezione: σ=384.54 τ=46.85
CC 29 SLV (Collegamento -179_-383)
Azioni sul collegamento: N=-10933.80 Ty=8.90 Tz=8.86 Mx=-0.00 Mz=3.34
Sollecitazioni agenti localmente: Ty_l=-1951.53 My_l=-40.02
Tensioni nella sezione: σ=485.15 τ=59.14
CC 29 SLV (Collegamento -179_-383)
Azioni sul collegamento: N=-10933.80 Ty=8.45 Tz=8.86 Mx=-0.00 Mz=5.25
Sollecitazioni agenti localmente: Ty_l=-1959.13 My_l=-40.19
Tensioni nella sezione: σ=487.17 τ=59.37
CC 29 SLV (Collegamento -179_-383)
Azioni sul collegamento: N=-10933.80 Ty=8.90 Tz=16.43 Mx=-0.00 Mz=3.34
Sollecitazioni agenti localmente: Ty_l=-1951.53 My_l=-40.02
Tensioni nella sezione: σ=485.15 τ=59.14
CC 29 SLV (Collegamento -179_-383)
Azioni sul collegamento: N=-10933.80 Ty=8.45 Tz=16.43 Mx=-0.00 Mz=5.25
Sollecitazioni agenti localmente: Ty_l=-1959.13 My_l=-40.19
Tensioni nella sezione: σ=487.17 τ=59.37
CC 30 SLD (Collegamento -179_-383)
Azioni sul collegamento: N=-9511.03 Ty=9.67 Tz=11.87 Mx=0.00 Mz=6.14
Sollecitazioni agenti localmente: Ty_l=-1710.46 My_l=-35.10
Tensioni nella sezione: σ=425.44 τ=51.83
CC 30 SLD (Collegamento -179_-383)
Azioni sul collegamento: N=-9511.03 Ty=9.53 Tz=11.87 Mx=0.00 Mz=6.72
Sollecitazioni agenti localmente: Ty_l=-1712.78 My_l=-35.15
Tensioni nella sezione: σ=426.05 τ=51.90
CC 30 SLD (Collegamento -179_-383)
Azioni sul collegamento: N=-9511.03 Ty=9.67 Tz=14.18 Mx=0.00 Mz=6.14
Sollecitazioni agenti localmente: Ty_l=-1710.46 My_l=-35.10
Tensioni nella sezione: σ=425.44 τ=51.83
CC 30 SLD (Collegamento -179_-383)
Azioni sul collegamento: N=-9511.03 Ty=9.53 Tz=14.18 Mx=0.00 Mz=6.72
Sollecitazioni agenti localmente: Ty_l=-1712.78 My_l=-35.15
Tensioni nella sezione: σ=426.05 τ=51.90
CC 30 SLD (Collegamento -179_-383)
Azioni sul collegamento: N=-10221.40 Ty=9.67 Tz=11.87 Mx=0.00 Mz=6.14
Sollecitazioni agenti localmente: Ty_l=-1836.40 My_l=-37.68
Tensioni nella sezione: σ=456.73 τ=55.65
CC 30 SLD (Collegamento -179_-383)
Azioni sul collegamento: N=-10221.40 Ty=9.53 Tz=11.87 Mx=0.00 Mz=6.72
Sollecitazioni agenti localmente: Ty_l=-1838.71 My_l=-37.73

Tensioni nella sezione: σ=457.35 τ=55.72
CC 30 SLD (Collegamento -179_-383)
Azioni sul collegamento: N=-10221.40 Ty=9.67 Tz=14.18 Mx=0.00 Mz=6.14
Sollecitazioni agenti localmente: Ty_l=-1836.40 My_l=-37.68
Tensioni nella sezione: σ=456.73 τ=55.65
CC 30 SLD (Collegamento -179_-383)
Azioni sul collegamento: N=-10221.40 Ty=9.53 Tz=14.18 Mx=0.00 Mz=6.72
Sollecitazioni agenti localmente: Ty_l=-1838.71 My_l=-37.73
Tensioni nella sezione: σ=457.35 τ=55.72
CC 31 SLV (Collegamento -179_-383)
Azioni sul collegamento: N=-10950.00 Ty=6.74 Tz=17.52 Mx=-0.00 Mz=1.76
Sollecitazioni agenti localmente: Ty_l=-1948.11 My_l=-39.95
Tensioni nella sezione: σ=484.19 τ=59.03
CC 31 SLV (Collegamento -179_-383)
Azioni sul collegamento: N=-10950.00 Ty=10.61 Tz=17.52 Mx=-0.00 Mz=6.83
Sollecitazioni agenti localmente: Ty_l=-1968.30 My_l=-40.39
Tensioni nella sezione: σ=489.55 τ=59.65
CC 31 SLV (Collegamento -179_-383)
Azioni sul collegamento: N=-10950.00 Ty=6.74 Tz=7.77 Mx=-0.00 Mz=1.76
Sollecitazioni agenti localmente: Ty_l=-1948.11 My_l=-39.95
Tensioni nella sezione: σ=484.19 τ=59.03
CC 31 SLV (Collegamento -179_-383)
Azioni sul collegamento: N=-10950.00 Ty=10.61 Tz=7.77 Mx=-0.00 Mz=6.83
Sollecitazioni agenti localmente: Ty_l=-1968.29 My_l=-40.39
Tensioni nella sezione: σ=489.55 τ=59.65
CC 31 SLV (Collegamento -179_-383)
Azioni sul collegamento: N=-8587.82 Ty=6.74 Tz=17.52 Mx=-0.00 Mz=1.76
Sollecitazioni agenti localmente: Ty_l=-1529.37 My_l=-31.36
Tensioni nella sezione: σ=380.14 τ=46.34
CC 31 SLV (Collegamento -179_-383)
Azioni sul collegamento: N=-8587.82 Ty=10.61 Tz=17.52 Mx=-0.00 Mz=6.83
Sollecitazioni agenti localmente: Ty_l=-1549.55 My_l=-31.80
Tensioni nella sezione: σ=385.50 τ=46.96
CC 31 SLV (Collegamento -179_-383)
Azioni sul collegamento: N=-8587.82 Ty=6.74 Tz=7.77 Mx=-0.00 Mz=1.76
Sollecitazioni agenti localmente: Ty_l=-1529.37 My_l=-31.36
Tensioni nella sezione: σ=380.14 τ=46.34
CC 31 SLV (Collegamento -179_-383)
Azioni sul collegamento: N=-8587.82 Ty=10.61 Tz=7.77 Mx=-0.00 Mz=6.83
Sollecitazioni agenti localmente: Ty_l=-1549.55 My_l=-31.80
Tensioni nella sezione: σ=385.50 τ=46.96
CC 32 SLD (Collegamento -179_-383)
Azioni sul collegamento: N=-10226.40 Ty=9.01 Tz=14.51 Mx=0.00 Mz=5.66
Sollecitazioni agenti localmente: Ty_l=-1835.36 My_l=-37.66
Tensioni nella sezione: σ=456.44 τ=55.62
CC 32 SLD (Collegamento -179_-383)
Azioni sul collegamento: N=-10226.40 Ty=10.19 Tz=14.51 Mx=0.00 Mz=7.20
Sollecitazioni agenti localmente: Ty_l=-1841.51 My_l=-37.79
Tensioni nella sezione: σ=458.07 τ=55.80
CC 32 SLD (Collegamento -179_-383)
Azioni sul collegamento: N=-10226.40 Ty=9.01 Tz=11.54 Mx=0.00 Mz=5.66
Sollecitazioni agenti localmente: Ty_l=-1835.36 My_l=-37.66
Tensioni nella sezione: σ=456.44 τ=55.62
CC 32 SLD (Collegamento -179_-383)
Azioni sul collegamento: N=-10226.40 Ty=10.19 Tz=11.54 Mx=0.00 Mz=7.20
Sollecitazioni agenti localmente: Ty_l=-1841.51 My_l=-37.79
Tensioni nella sezione: σ=458.07 τ=55.80
CC 32 SLD (Collegamento -179_-383)
Azioni sul collegamento: N=-9506.09 Ty=9.01 Tz=14.51 Mx=0.00 Mz=5.66
Sollecitazioni agenti localmente: Ty_l=-1707.67 My_l=-35.04
Tensioni nella sezione: σ=424.71 τ=51.75
CC 32 SLD (Collegamento -179_-383)
Azioni sul collegamento: N=-9506.09 Ty=10.19 Tz=14.51 Mx=0.00 Mz=7.20
Sollecitazioni agenti localmente: Ty_l=-1713.82 My_l=-35.17
Tensioni nella sezione: σ=426.35 τ=51.93
CC 32 SLD (Collegamento -179_-383)
Azioni sul collegamento: N=-9506.09 Ty=9.01 Tz=11.54 Mx=0.00 Mz=5.66
Sollecitazioni agenti localmente: Ty_l=-1707.67 My_l=-35.04
Tensioni nella sezione: σ=424.71 τ=51.75
CC 32 SLD (Collegamento -179_-383)
Azioni sul collegamento: N=-9506.09 Ty=10.19 Tz=11.54 Mx=0.00 Mz=7.20
Sollecitazioni agenti localmente: Ty_l=-1713.82 My_l=-35.17
Tensioni nella sezione: σ=426.35 τ=51.93
CC 33 SLU (Collegamento -179_-383)
Azioni sul collegamento: N=-36428.20 Ty=20.21 Tz=102.49 Mx=0.01 Mz=15.01
Sollecitazioni agenti localmente: Ty_l=-6517.42 My_l=-133.69
Tensioni nella sezione: σ=1620.49 τ=197.50
CC 34 SLU (Collegamento -179_-383)
Azioni sul collegamento: N=-37242.40 Ty=20.96 Tz=105.49 Mx=0.01 Mz=15.56

Sollecitazioni agenti localmente: Ty_l=-6663.94 My_l=-136.70
Tensioni nella sezione: σ=1656.94 τ=201.94
CC 35 SLU (Collegamento -179_-383)
Azioni sul collegamento: N=-36836.10 Ty=20.67 Tz=103.93 Mx=0.00 Mz=15.47
Sollecitazioni agenti localmente: Ty_l=-6591.56 My_l=-135.21
Tensioni nella sezione: σ=1638.95 τ=199.74
CC 36 SLU (Collegamento -179_-383)
Azioni sul collegamento: N=-36834.40 Ty=20.49 Tz=104.05 Mx=0.01 Mz=15.10
Sollecitazioni agenti localmente: Ty_l=-6589.80 My_l=-135.18
Tensioni nella sezione: σ=1638.48 τ=199.69
CC 37 SLU (Collegamento -179_-383)
Azioni sul collegamento: N=-29660.30 Ty=-10.68 Tz=77.11 Mx=0.01 Mz=-8.42
Sollecitazioni agenti localmente: Ty_l=-5224.45 My_l=-107.05
Tensioni nella sezione: σ=1297.63 τ=158.32
CC 38 SLU (Collegamento -179_-383)
Azioni sul collegamento: N=-30474.50 Ty=-9.93 Tz=80.11 Mx=0.01 Mz=-7.87
Sollecitazioni agenti localmente: Ty_l=-5370.98 My_l=-110.06
Tensioni nella sezione: σ=1334.08 τ=162.76
CC 39 SLU (Collegamento -179_-383)
Azioni sul collegamento: N=-30068.30 Ty=-10.21 Tz=78.55 Mx=0.00 Mz=-7.97
Sollecitazioni agenti localmente: Ty_l=-5298.60 My_l=-108.58
Tensioni nella sezione: σ=1316.08 τ=160.56
CC 40 SLU (Collegamento -179_-383)
Azioni sul collegamento: N=-30066.50 Ty=-10.39 Tz=78.67 Mx=0.01 Mz=-8.33
Sollecitazioni agenti localmente: Ty_l=-5296.84 My_l=-108.54
Tensioni nella sezione: σ=1315.62 τ=160.51
CC 41 SLU (Collegamento -179_-383)
Azioni sul collegamento: N=-27261.60 Ty=19.33 Tz=68.83 Mx=0.01 Mz=14.21
Sollecitazioni agenti localmente: Ty_l=-4889.27 My_l=-100.31
Tensioni nella sezione: σ=1215.87 τ=148.16
CC 42 SLU (Collegamento -179_-383)
Azioni sul collegamento: N=-28075.80 Ty=20.08 Tz=71.84 Mx=0.01 Mz=14.76
Sollecitazioni agenti localmente: Ty_l=-5035.80 My_l=-103.32
Tensioni nella sezione: σ=1252.32 τ=152.60
CC 43 SLU (Collegamento -179_-383)
Azioni sul collegamento: N=-27669.60 Ty=19.79 Tz=70.28 Mx=0.00 Mz=14.67
Sollecitazioni agenti localmente: Ty_l=-4963.42 My_l=-101.83
Tensioni nella sezione: σ=1234.32 τ=150.41
CC 44 SLU (Collegamento -179_-383)
Azioni sul collegamento: N=-27667.80 Ty=19.61 Tz=70.39 Mx=0.01 Mz=14.31
Sollecitazioni agenti localmente: Ty_l=-4961.66 My_l=-101.79
Tensioni nella sezione: σ=1233.86 τ=150.35
CC 45 SLU (Collegamento -179_-383)
Azioni sul collegamento: N=-29271.60 Ty=19.56 Tz=76.22 Mx=0.00 Mz=14.53
Sollecitazioni agenti localmente: Ty_l=-5246.85 My_l=-107.64
Tensioni nella sezione: σ=1304.74 τ=159.00
CC 46 SLU (Collegamento -179_-383)
Azioni sul collegamento: N=-30085.80 Ty=20.31 Tz=79.22 Mx=0.00 Mz=15.08
Sollecitazioni agenti localmente: Ty_l=-5393.37 My_l=-110.65
Tensioni nella sezione: σ=1341.19 τ=163.44
CC 47 SLU (Collegamento -179_-383)
Azioni sul collegamento: N=-29679.60 Ty=20.02 Tz=77.66 Mx=0.00 Mz=14.99
Sollecitazioni agenti localmente: Ty_l=-5320.99 My_l=-109.16
Tensioni nella sezione: σ=1323.20 τ=161.24
CC 48 SLU (Collegamento -179_-383)
Azioni sul collegamento: N=-29677.80 Ty=19.84 Tz=77.78 Mx=0.01 Mz=14.62
Sollecitazioni agenti localmente: Ty_l=-5319.23 My_l=-109.13
Tensioni nella sezione: σ=1322.73 τ=161.19
CC 49 SLU (Collegamento -179_-383)
Azioni sul collegamento: N=-24208.20 Ty=-3.55 Tz=57.23 Mx=0.01 Mz=-3.00
Sollecitazioni agenti localmente: Ty_l=-4279.52 My_l=-87.71
Tensioni nella sezione: σ=1063.19 τ=129.68
CC 50 SLU (Collegamento -179_-383)
Azioni sul collegamento: N=-25022.40 Ty=-2.80 Tz=60.23 Mx=0.01 Mz=-2.45
Sollecitazioni agenti localmente: Ty_l=-4426.05 My_l=-90.72
Tensioni nella sezione: σ=1099.64 τ=134.12
CC 51 SLU (Collegamento -179_-383)
Azioni sul collegamento: N=-24616.20 Ty=-3.08 Tz=58.67 Mx=0.00 Mz=-2.54
Sollecitazioni agenti localmente: Ty_l=-4353.66 My_l=-89.24
Tensioni nella sezione: σ=1081.65 τ=131.93
CC 52 SLU (Collegamento -179_-383)
Azioni sul collegamento: N=-24614.40 Ty=-3.26 Tz=58.79 Mx=0.01 Mz=-2.91
Sollecitazioni agenti localmente: Ty_l=-4351.90 My_l=-89.20
Tensioni nella sezione: σ=1081.19 τ=131.88
CC 53 SLU (Collegamento -179_-383)
Azioni sul collegamento: N=-22413.60 Ty=18.90 Tz=51.04 Mx=0.00 Mz=13.93
Sollecitazioni agenti localmente: Ty_l=-4028.75 My_l=-82.67
Tensioni nella sezione: σ=1002.02 τ=122.08
CC 54 SLU (Collegamento -179_-383)

Azioni sul collegamento: N=-23227.90 Ty=19.65 Tz=54.04 Mx=0.00 Mz=14.49
Sollecitazioni agenti localmente: Ty_l=-4175.28 My_l=-85.67
Tensioni nella sezione: σ=1038.47 τ=126.52
CC 55 SLU (Collegamento -179_-383)
Azioni sul collegamento: N=-22821.60 Ty=19.36 Tz=52.48 Mx=0.00 Mz=14.39
Sollecitazioni agenti localmente: Ty_l=-4102.90 My_l=-84.19
Tensioni nella sezione: σ=1020.48 τ=124.33
CC 56 SLU (Collegamento -179_-383)
Azioni sul collegamento: N=-22819.90 Ty=19.19 Tz=52.60 Mx=0.01 Mz=14.03
Sollecitazioni agenti localmente: Ty_l=-4101.14 My_l=-84.15
Tensioni nella sezione: σ=1020.02 τ=124.28
CC 57 SLU (Collegamento -179_-383)
Azioni sul collegamento: N=-30019.90 Ty=20.54 Tz=79.01 Mx=0.00 Mz=15.25
Sollecitazioni agenti localmente: Ty_l=-5382.38 My_l=-110.42
Tensioni nella sezione: σ=1338.47 τ=163.10
CC 58 SLU (Collegamento -179_-383)
Azioni sul collegamento: N=-30834.10 Ty=21.29 Tz=82.01 Mx=0.00 Mz=15.80
Sollecitazioni agenti localmente: Ty_l=-5528.90 My_l=-113.43
Tensioni nella sezione: σ=1374.92 τ=167.54
CC 59 SLU (Collegamento -179_-383)
Azioni sul collegamento: N=-30427.90 Ty=21.01 Tz=80.45 Mx=0.00 Mz=15.71
Sollecitazioni agenti localmente: Ty_l=-5456.52 My_l=-111.95
Tensioni nella sezione: σ=1356.92 τ=165.35
CC 60 SLU (Collegamento -179_-383)
Azioni sul collegamento: N=-30426.20 Ty=20.83 Tz=80.57 Mx=0.01 Mz=15.34
Sollecitazioni agenti localmente: Ty_l=-5454.76 My_l=-111.91
Tensioni nella sezione: σ=1356.46 τ=165.30
CC 61 SLU (Collegamento -179_-383)
Azioni sul collegamento: N=-24956.60 Ty=-2.56 Tz=60.02 Mx=0.00 Mz=-2.28
Sollecitazioni agenti localmente: Ty_l=-4415.05 My_l=-90.50
Tensioni nella sezione: σ=1096.92 τ=133.79
CC 62 SLU (Collegamento -179_-383)
Azioni sul collegamento: N=-25770.80 Ty=-1.81 Tz=63.02 Mx=0.00 Mz=-1.73
Sollecitazioni agenti localmente: Ty_l=-4561.57 My_l=-93.50
Tensioni nella sezione: σ=1133.37 τ=138.23
CC 63 SLU (Collegamento -179_-383)
Azioni sul collegamento: N=-25364.60 Ty=-2.10 Tz=61.46 Mx=0.00 Mz=-1.82
Sollecitazioni agenti localmente: Ty_l=-4489.19 My_l=-92.02
Tensioni nella sezione: σ=1115.37 τ=136.04
CC 64 SLU (Collegamento -179_-383)
Azioni sul collegamento: N=-25362.80 Ty=-2.28 Tz=61.58 Mx=0.01 Mz=-2.19
Sollecitazioni agenti localmente: Ty_l=-4487.43 My_l=-91.98
Tensioni nella sezione: σ=1114.91 τ=135.98
CC 65 SLU (Collegamento -179_-383)
Azioni sul collegamento: N=-23162.00 Ty=19.88 Tz=53.83 Mx=0.00 Mz=14.66
Sollecitazioni agenti localmente: Ty_l=-4164.29 My_l=-85.45
Tensioni nella sezione: σ=1035.75 τ=126.19
CC 66 SLU (Collegamento -179_-383)
Azioni sul collegamento: N=-23976.20 Ty=20.63 Tz=56.84 Mx=0.00 Mz=15.21
Sollecitazioni agenti localmente: Ty_l=-4310.81 My_l=-88.46
Tensioni nella sezione: σ=1072.20 τ=130.63
CC 67 SLU (Collegamento -179_-383)
Azioni sul collegamento: N=-23570.00 Ty=20.35 Tz=55.27 Mx=0.00 Mz=15.11
Sollecitazioni agenti localmente: Ty_l=-4238.43 My_l=-86.97
Tensioni nella sezione: σ=1054.21 τ=128.44
CC 68 SLU (Collegamento -179_-383)
Azioni sul collegamento: N=-23568.20 Ty=20.17 Tz=55.39 Mx=0.01 Mz=14.75
Sollecitazioni agenti localmente: Ty_l=-4236.67 My_l=-86.93
Tensioni nella sezione: σ=1053.74 τ=128.38
CC 97 SLU (Collegamento -179_-383)
Azioni sul collegamento: N=-12126.50 Ty=21.64 Tz=21.62 Mx=0.05 Mz=23.37
Sollecitazioni agenti localmente: Ty_l=-2242.65 My_l=-46.10
Tensioni nella sezione: σ=558.84 τ=67.96
CC 98 SLU (Collegamento -179_-383)
Azioni sul collegamento: N=-12940.70 Ty=22.39 Tz=24.63 Mx=0.05 Mz=23.92
Sollecitazioni agenti localmente: Ty_l=-2389.18 My_l=-49.11
Tensioni nella sezione: σ=595.29 τ=72.40
CC 99 SLU (Collegamento -179_-383)
Azioni sul collegamento: N=-12534.50 Ty=22.10 Tz=23.06 Mx=0.05 Mz=23.83
Sollecitazioni agenti localmente: Ty_l=-2316.80 My_l=-47.63
Tensioni nella sezione: σ=577.30 τ=70.21
CC 100 SLU (Collegamento -179_-383)
Azioni sul collegamento: N=-12532.70 Ty=21.92 Tz=23.18 Mx=0.05 Mz=23.46
Sollecitazioni agenti localmente: Ty_l=-2315.03 My_l=-47.59
Tensioni nella sezione: σ=576.83 τ=70.15
CC 101 SLU (Collegamento -179_-383)
Azioni sul collegamento: N=-9752.38 Ty=7.57 Tz=12.50 Mx=-0.00 Mz=4.76
Sollecitazioni agenti localmente: Ty_l=-1747.77 My_l=-35.86
Tensioni nella sezione: σ=434.62 τ=52.96

CC 102 SLU (Collegamento -179_-383)
Azioni sul collegamento: N=-10566.60 Ty=8.33 Tz=15.50 Mx=-0.00 Mz=5.31
Sollecitazioni agenti localmente: Ty_l=-1894.30 My_l=-38.86
Tensioni nella sezione: σ=471.06 τ=57.40
CC 103 SLU (Collegamento -179_-383)
Azioni sul collegamento: N=-10160.40 Ty=8.04 Tz=13.94 Mx=-0.00 Mz=5.22
Sollecitazioni agenti localmente: Ty_l=-1821.92 My_l=-37.38
Tensioni nella sezione: σ=453.07 τ=55.21
CC 104 SLU (Collegamento -179_-383)
Azioni sul collegamento: N=-10158.60 Ty=7.86 Tz=14.06 Mx=-0.00 Mz=4.85
Sollecitazioni agenti localmente: Ty_l=-1820.15 My_l=-37.34
Tensioni nella sezione: σ=452.61 τ=55.16

Flessione attacco sinistro piastra

Bnetta=220.00 Hnetta=15.00
CC 1 SLV (Collegamento -179_-383)
Azioni sul collegamento: N=-6136.64 Ty=15.19 Tz=-0.86 Mx=0.02 Mz=13.60
Sollecitazioni agenti localmente: Ty_l=-1033.75 My_l=-21.12
Tensioni nella sezione: σ=255.95 τ=31.33
CC 1 SLV (Collegamento -179_-383)
Azioni sul collegamento: N=-6136.64 Ty=7.48 Tz=-0.86 Mx=0.02 Mz=7.28
Sollecitazioni agenti localmente: Ty_l=-1058.90 My_l=-21.67
Tensioni nella sezione: σ=262.63 τ=32.09
CC 1 SLV (Collegamento -179_-383)
Azioni sul collegamento: N=-6136.64 Ty=15.19 Tz=28.35 Mx=0.02 Mz=13.60
Sollecitazioni agenti localmente: Ty_l=-1033.75 My_l=-21.12
Tensioni nella sezione: σ=255.95 τ=31.33
CC 1 SLV (Collegamento -179_-383)
Azioni sul collegamento: N=-6136.64 Ty=7.48 Tz=28.35 Mx=0.02 Mz=7.28
Sollecitazioni agenti localmente: Ty_l=-1058.90 My_l=-21.67
Tensioni nella sezione: σ=262.63 τ=32.09
CC 1 SLV (Collegamento -179_-383)
Azioni sul collegamento: N=-13961.30 Ty=15.19 Tz=-0.86 Mx=0.02 Mz=13.60
Sollecitazioni agenti localmente: Ty_l=-2420.85 My_l=-49.55
Tensioni nella sezione: σ=600.63 τ=73.36
CC 1 SLV (Collegamento -179_-383)
Azioni sul collegamento: N=-13961.30 Ty=7.48 Tz=-0.86 Mx=0.02 Mz=7.28
Sollecitazioni agenti localmente: Ty_l=-2446.00 My_l=-50.10
Tensioni nella sezione: σ=607.30 τ=74.12
CC 1 SLV (Collegamento -179_-383)
Azioni sul collegamento: N=-13961.30 Ty=15.19 Tz=28.35 Mx=0.02 Mz=13.60
Sollecitazioni agenti localmente: Ty_l=-2420.85 My_l=-49.55
Tensioni nella sezione: σ=600.63 τ=73.36
CC 1 SLV (Collegamento -179_-383)
Azioni sul collegamento: N=-13961.30 Ty=7.48 Tz=28.35 Mx=0.02 Mz=7.28
Sollecitazioni agenti localmente: Ty_l=-2446.00 My_l=-50.10
Tensioni nella sezione: σ=607.30 τ=74.12
CC 2 SLD (Collegamento -179_-383)
Azioni sul collegamento: N=-8758.64 Ty=11.59 Tz=8.91 Mx=0.01 Mz=9.27
Sollecitazioni agenti localmente: Ty_l=-1515.80 My_l=-31.02
Tensioni nella sezione: σ=376.03 τ=45.93
CC 2 SLD (Collegamento -179_-383)
Azioni sul collegamento: N=-8758.64 Ty=9.24 Tz=8.91 Mx=0.01 Mz=7.34
Sollecitazioni agenti localmente: Ty_l=-1523.47 My_l=-31.19
Tensioni nella sezione: σ=378.06 τ=46.17
CC 2 SLD (Collegamento -179_-383)
Azioni sul collegamento: N=-8758.64 Ty=11.59 Tz=17.82 Mx=0.01 Mz=9.27
Sollecitazioni agenti localmente: Ty_l=-1515.80 My_l=-31.02
Tensioni nella sezione: σ=376.03 τ=45.93
CC 2 SLD (Collegamento -179_-383)
Azioni sul collegamento: N=-8758.64 Ty=9.24 Tz=17.82 Mx=0.01 Mz=7.34
Sollecitazioni agenti localmente: Ty_l=-1523.47 My_l=-31.19
Tensioni nella sezione: σ=378.06 τ=46.17
CC 2 SLD (Collegamento -179_-383)
Azioni sul collegamento: N=-11144.60 Ty=11.59 Tz=8.91 Mx=0.01 Mz=9.27
Sollecitazioni agenti localmente: Ty_l=-1938.77 My_l=-39.69
Tensioni nella sezione: σ=481.13 τ=58.75
CC 2 SLD (Collegamento -179_-383)
Azioni sul collegamento: N=-11144.60 Ty=9.24 Tz=8.91 Mx=0.01 Mz=7.34
Sollecitazioni agenti localmente: Ty_l=-1946.44 My_l=-39.86
Tensioni nella sezione: σ=483.17 τ=58.98
CC 2 SLD (Collegamento -179_-383)
Azioni sul collegamento: N=-11144.60 Ty=11.59 Tz=17.82 Mx=0.01 Mz=9.27
Sollecitazioni agenti localmente: Ty_l=-1938.77 My_l=-39.69
Tensioni nella sezione: σ=481.13 τ=58.75
CC 2 SLD (Collegamento -179_-383)
Azioni sul collegamento: N=-11144.60 Ty=9.24 Tz=17.82 Mx=0.01 Mz=7.34
Sollecitazioni agenti localmente: Ty_l=-1946.44 My_l=-39.86

Tensioni nella sezione: σ=483.17 τ=58.98
CC 3 SLV (Collegamento -179_-383)
Azioni sul collegamento: N=-6141.51 Ty=14.68 Tz=-0.53 Mx=0.01 Mz=12.56
Sollecitazioni agenti localmente: Ty_l=-1038.78 My_l=-21.23
Tensioni nella sezione: σ=257.27 τ=31.48
CC 3 SLV (Collegamento -179_-383)
Azioni sul collegamento: N=-6141.51 Ty=7.99 Tz=-0.53 Mx=0.01 Mz=8.33
Sollecitazioni agenti localmente: Ty_l=-1055.59 My_l=-21.59
Tensioni nella sezione: σ=261.74 τ=31.99
CC 3 SLV (Collegamento -179_-383)
Azioni sul collegamento: N=-6141.51 Ty=14.68 Tz=28.02 Mx=0.01 Mz=12.56
Sollecitazioni agenti localmente: Ty_l=-1038.78 My_l=-21.23
Tensioni nella sezione: σ=257.27 τ=31.48
CC 3 SLV (Collegamento -179_-383)
Azioni sul collegamento: N=-6141.51 Ty=7.99 Tz=28.02 Mx=0.01 Mz=8.33
Sollecitazioni agenti localmente: Ty_l=-1055.59 My_l=-21.59
Tensioni nella sezione: σ=261.74 τ=31.99
CC 3 SLV (Collegamento -179_-383)
Azioni sul collegamento: N=-13956.40 Ty=14.68 Tz=-0.53 Mx=0.01 Mz=12.56
Sollecitazioni agenti localmente: Ty_l=-2424.15 My_l=-49.63
Tensioni nella sezione: σ=601.52 τ=73.46
CC 3 SLV (Collegamento -179_-383)
Azioni sul collegamento: N=-13956.40 Ty=7.99 Tz=-0.53 Mx=0.01 Mz=8.33
Sollecitazioni agenti localmente: Ty_l=-2440.97 My_l=-49.99
Tensioni nella sezione: σ=605.98 τ=73.97
CC 3 SLV (Collegamento -179_-383)
Azioni sul collegamento: N=-13956.40 Ty=14.68 Tz=28.02 Mx=0.01 Mz=12.56
Sollecitazioni agenti localmente: Ty_l=-2424.15 My_l=-49.63
Tensioni nella sezione: σ=601.52 τ=73.46
CC 3 SLV (Collegamento -179_-383)
Azioni sul collegamento: N=-13956.40 Ty=7.99 Tz=28.02 Mx=0.01 Mz=8.33
Sollecitazioni agenti localmente: Ty_l=-2440.97 My_l=-49.99
Tensioni nella sezione: σ=605.98 τ=73.97
CC 4 SLD (Collegamento -179_-383)
Azioni sul collegamento: N=-8760.13 Ty=11.43 Tz=9.01 Mx=0.01 Mz=8.95
Sollecitazioni agenti localmente: Ty_l=-1517.33 My_l=-31.06
Tensioni nella sezione: σ=376.43 τ=45.98
CC 4 SLD (Collegamento -179_-383)
Azioni sul collegamento: N=-8760.13 Ty=9.39 Tz=9.01 Mx=0.01 Mz=7.66
Sollecitazioni agenti localmente: Ty_l=-1522.46 My_l=-31.17
Tensioni nella sezione: σ=377.79 τ=46.14
CC 4 SLD (Collegamento -179_-383)
Azioni sul collegamento: N=-8760.13 Ty=11.43 Tz=17.72 Mx=0.01 Mz=8.95
Sollecitazioni agenti localmente: Ty_l=-1517.33 My_l=-31.06
Tensioni nella sezione: σ=376.43 τ=45.98
CC 4 SLD (Collegamento -179_-383)
Azioni sul collegamento: N=-8760.13 Ty=9.39 Tz=17.72 Mx=0.01 Mz=7.66
Sollecitazioni agenti localmente: Ty_l=-1522.46 My_l=-31.17
Tensioni nella sezione: σ=377.79 τ=46.14
CC 4 SLD (Collegamento -179_-383)
Azioni sul collegamento: N=-11143.10 Ty=11.43 Tz=9.01 Mx=0.01 Mz=8.95
Sollecitazioni agenti localmente: Ty_l=-1939.78 My_l=-39.72
Tensioni nella sezione: σ=481.40 τ=58.78
CC 4 SLD (Collegamento -179_-383)
Azioni sul collegamento: N=-11143.10 Ty=9.39 Tz=9.01 Mx=0.01 Mz=7.66
Sollecitazioni agenti localmente: Ty_l=-1944.91 My_l=-39.83
Tensioni nella sezione: σ=482.76 τ=58.94
CC 4 SLD (Collegamento -179_-383)
Azioni sul collegamento: N=-11143.10 Ty=11.43 Tz=17.72 Mx=0.01 Mz=8.95
Sollecitazioni agenti localmente: Ty_l=-1939.78 My_l=-39.72
Tensioni nella sezione: σ=481.40 τ=58.78
CC 4 SLD (Collegamento -179_-383)
Azioni sul collegamento: N=-11143.10 Ty=9.39 Tz=17.72 Mx=0.01 Mz=7.66
Sollecitazioni agenti localmente: Ty_l=-1944.91 My_l=-39.83
Tensioni nella sezione: σ=482.76 τ=58.94
CC 5 SLV (Collegamento -179_-383)
Azioni sul collegamento: N=-13956.40 Ty=7.99 Tz=28.02 Mx=0.02 Mz=8.33
Sollecitazioni agenti localmente: Ty_l=-2440.97 My_l=-49.99
Tensioni nella sezione: σ=605.98 τ=73.97
CC 5 SLV (Collegamento -179_-383)
Azioni sul collegamento: N=-13956.40 Ty=14.68 Tz=28.02 Mx=0.02 Mz=12.56
Sollecitazioni agenti localmente: Ty_l=-2424.15 My_l=-49.63
Tensioni nella sezione: σ=601.52 τ=73.46
CC 5 SLV (Collegamento -179_-383)
Azioni sul collegamento: N=-13956.40 Ty=7.99 Tz=-0.53 Mx=0.02 Mz=8.33
Sollecitazioni agenti localmente: Ty_l=-2440.97 My_l=-49.99
Tensioni nella sezione: σ=605.98 τ=73.97
CC 5 SLV (Collegamento -179_-383)
Azioni sul collegamento: N=-13956.40 Ty=14.68 Tz=-0.53 Mx=0.02 Mz=12.56

Sollecitazioni agenti localmente: Ty_l=-2424.15 My_l=-49.63
Tensioni nella sezione: σ=601.52 τ=73.46
CC 5 SLV (Collegamento -179_-383)
Azioni sul collegamento: N=-6141.51 Ty=7.99 Tz=28.02 Mx=0.02 Mz=8.33
Sollecitazioni agenti localmente: Ty_l=-1055.59 My_l=-21.59
Tensioni nella sezione: σ=261.74 τ=31.99
CC 5 SLV (Collegamento -179_-383)
Azioni sul collegamento: N=-6141.51 Ty=14.68 Tz=28.02 Mx=0.02 Mz=12.56
Sollecitazioni agenti localmente: Ty_l=-1038.78 My_l=-21.23
Tensioni nella sezione: σ=257.27 τ=31.48
CC 5 SLV (Collegamento -179_-383)
Azioni sul collegamento: N=-6141.51 Ty=7.99 Tz=-0.53 Mx=0.02 Mz=8.33
Sollecitazioni agenti localmente: Ty_l=-1055.59 My_l=-21.59
Tensioni nella sezione: σ=261.74 τ=31.99
CC 5 SLV (Collegamento -179_-383)
Azioni sul collegamento: N=-6141.51 Ty=14.68 Tz=-0.53 Mx=0.02 Mz=12.56
Sollecitazioni agenti localmente: Ty_l=-1038.78 My_l=-21.23
Tensioni nella sezione: σ=257.27 τ=31.48
CC 6 SLD (Collegamento -179_-383)
Azioni sul collegamento: N=-11143.10 Ty=9.39 Tz=17.72 Mx=0.01 Mz=7.66
Sollecitazioni agenti localmente: Ty_l=-1944.91 My_l=-39.83
Tensioni nella sezione: σ=482.76 τ=58.94
CC 6 SLD (Collegamento -179_-383)
Azioni sul collegamento: N=-11143.10 Ty=11.43 Tz=17.72 Mx=0.01 Mz=8.95
Sollecitazioni agenti localmente: Ty_l=-1939.78 My_l=-39.72
Tensioni nella sezione: σ=481.40 τ=58.78
CC 6 SLD (Collegamento -179_-383)
Azioni sul collegamento: N=-11143.10 Ty=9.39 Tz=9.01 Mx=0.01 Mz=7.66
Sollecitazioni agenti localmente: Ty_l=-1944.91 My_l=-39.83
Tensioni nella sezione: σ=482.76 τ=58.94
CC 6 SLD (Collegamento -179_-383)
Azioni sul collegamento: N=-11143.10 Ty=11.43 Tz=9.01 Mx=0.01 Mz=8.95
Sollecitazioni agenti localmente: Ty_l=-1939.78 My_l=-39.72
Tensioni nella sezione: σ=481.40 τ=58.78
CC 6 SLD (Collegamento -179_-383)
Azioni sul collegamento: N=-8760.13 Ty=9.39 Tz=17.72 Mx=0.01 Mz=7.66
Sollecitazioni agenti localmente: Ty_l=-1522.46 My_l=-31.17
Tensioni nella sezione: σ=377.79 τ=46.14
CC 6 SLD (Collegamento -179_-383)
Azioni sul collegamento: N=-8760.13 Ty=11.43 Tz=17.72 Mx=0.01 Mz=8.95
Sollecitazioni agenti localmente: Ty_l=-1517.33 My_l=-31.06
Tensioni nella sezione: σ=376.43 τ=45.98
CC 6 SLD (Collegamento -179_-383)
Azioni sul collegamento: N=-8760.13 Ty=9.39 Tz=9.01 Mx=0.01 Mz=7.66
Sollecitazioni agenti localmente: Ty_l=-1522.46 My_l=-31.17
Tensioni nella sezione: σ=377.79 τ=46.14
CC 6 SLD (Collegamento -179_-383)
Azioni sul collegamento: N=-8760.13 Ty=11.43 Tz=9.01 Mx=0.01 Mz=8.95
Sollecitazioni agenti localmente: Ty_l=-1517.33 My_l=-31.06
Tensioni nella sezione: σ=376.43 τ=45.98
CC 7 SLV (Collegamento -179_-383)
Azioni sul collegamento: N=-13961.30 Ty=7.48 Tz=28.35 Mx=0.01 Mz=7.28
Sollecitazioni agenti localmente: Ty_l=-2446.00 My_l=-50.10
Tensioni nella sezione: σ=607.30 τ=74.12
CC 7 SLV (Collegamento -179_-383)
Azioni sul collegamento: N=-13961.30 Ty=15.19 Tz=28.35 Mx=0.01 Mz=13.60
Sollecitazioni agenti localmente: Ty_l=-2420.85 My_l=-49.55
Tensioni nella sezione: σ=600.63 τ=73.36
CC 7 SLV (Collegamento -179_-383)
Azioni sul collegamento: N=-13961.30 Ty=7.48 Tz=-0.86 Mx=0.01 Mz=7.28
Sollecitazioni agenti localmente: Ty_l=-2446.00 My_l=-50.10
Tensioni nella sezione: σ=607.30 τ=74.12
CC 7 SLV (Collegamento -179_-383)
Azioni sul collegamento: N=-13961.30 Ty=15.19 Tz=-0.86 Mx=0.01 Mz=13.60
Sollecitazioni agenti localmente: Ty_l=-2420.85 My_l=-49.55
Tensioni nella sezione: σ=600.63 τ=73.36
CC 7 SLV (Collegamento -179_-383)
Azioni sul collegamento: N=-6136.64 Ty=7.48 Tz=28.35 Mx=0.01 Mz=7.28
Sollecitazioni agenti localmente: Ty_l=-1058.90 My_l=-21.67
Tensioni nella sezione: σ=262.63 τ=32.09
CC 7 SLV (Collegamento -179_-383)
Azioni sul collegamento: N=-6136.64 Ty=15.19 Tz=28.35 Mx=0.01 Mz=13.60
Sollecitazioni agenti localmente: Ty_l=-1033.75 My_l=-21.12
Tensioni nella sezione: σ=255.95 τ=31.33
CC 7 SLV (Collegamento -179_-383)
Azioni sul collegamento: N=-6136.64 Ty=7.48 Tz=-0.86 Mx=0.01 Mz=7.28
Sollecitazioni agenti localmente: Ty_l=-1058.90 My_l=-21.67
Tensioni nella sezione: σ=262.63 τ=32.09
CC 7 SLV (Collegamento -179_-383)

Azioni sul collegamento: N=-6136.64 Ty=15.19 Tz=-0.86 Mx=0.01 Mz=13.60
Sollecitazioni agenti localmente: Ty_l=-1033.75 My_l=-21.12
Tensioni nella sezione: σ=255.95 τ=31.33
CC 8 SLD (Collegamento -179_-383)
Azioni sul collegamento: N=-11144.60 Ty=9.24 Tz=17.82 Mx=0.01 Mz=7.34
Sollecitazioni agenti localmente: Ty_l=-1946.44 My_l=-39.86
Tensioni nella sezione: σ=483.17 τ=58.98
CC 8 SLD (Collegamento -179_-383)
Azioni sul collegamento: N=-11144.60 Ty=11.59 Tz=17.82 Mx=0.01 Mz=9.27
Sollecitazioni agenti localmente: Ty_l=-1938.77 My_l=-39.69
Tensioni nella sezione: σ=481.13 τ=58.75
CC 8 SLD (Collegamento -179_-383)
Azioni sul collegamento: N=-11144.60 Ty=9.24 Tz=8.91 Mx=0.01 Mz=7.34
Sollecitazioni agenti localmente: Ty_l=-1946.44 My_l=-39.86
Tensioni nella sezione: σ=483.17 τ=58.98
CC 8 SLD (Collegamento -179_-383)
Azioni sul collegamento: N=-11144.60 Ty=11.59 Tz=8.91 Mx=0.01 Mz=9.27
Sollecitazioni agenti localmente: Ty_l=-1938.77 My_l=-39.69
Tensioni nella sezione: σ=481.13 τ=58.75
CC 8 SLD (Collegamento -179_-383)
Azioni sul collegamento: N=-8758.64 Ty=9.24 Tz=17.82 Mx=0.01 Mz=7.34
Sollecitazioni agenti localmente: Ty_l=-1523.47 My_l=-31.19
Tensioni nella sezione: σ=378.06 τ=46.17
CC 8 SLD (Collegamento -179_-383)
Azioni sul collegamento: N=-8758.64 Ty=11.59 Tz=17.82 Mx=0.01 Mz=9.27
Sollecitazioni agenti localmente: Ty_l=-1515.80 My_l=-31.02
Tensioni nella sezione: σ=376.03 τ=45.93
CC 8 SLD (Collegamento -179_-383)
Azioni sul collegamento: N=-8758.64 Ty=9.24 Tz=8.91 Mx=0.01 Mz=7.34
Sollecitazioni agenti localmente: Ty_l=-1523.47 My_l=-31.19
Tensioni nella sezione: σ=378.06 τ=46.17
CC 8 SLD (Collegamento -179_-383)
Azioni sul collegamento: N=-8758.64 Ty=11.59 Tz=8.91 Mx=0.01 Mz=9.27
Sollecitazioni agenti localmente: Ty_l=-1515.80 My_l=-31.02
Tensioni nella sezione: σ=376.03 τ=45.93
CC 9 SLV (Collegamento -179_-383)
Azioni sul collegamento: N=-8867.90 Ty=13.27 Tz=8.87 Mx=0.02 Mz=12.98
Sollecitazioni agenti localmente: Ty_l=-1520.41 My_l=-31.10
Tensioni nella sezione: σ=376.92 τ=46.07
CC 9 SLV (Collegamento -179_-383)
Azioni sul collegamento: N=-8867.90 Ty=9.40 Tz=8.87 Mx=0.02 Mz=7.91
Sollecitazioni agenti localmente: Ty_l=-1540.59 My_l=-31.54
Tensioni nella sezione: σ=382.28 τ=46.68
CC 9 SLV (Collegamento -179_-383)
Azioni sul collegamento: N=-8867.90 Ty=13.27 Tz=18.62 Mx=0.02 Mz=12.98
Sollecitazioni agenti localmente: Ty_l=-1520.41 My_l=-31.10
Tensioni nella sezione: σ=376.92 τ=46.07
CC 9 SLV (Collegamento -179_-383)
Azioni sul collegamento: N=-8867.90 Ty=9.40 Tz=18.62 Mx=0.02 Mz=7.91
Sollecitazioni agenti localmente: Ty_l=-1540.59 My_l=-31.54
Tensioni nella sezione: σ=382.28 τ=46.68
CC 9 SLV (Collegamento -179_-383)
Azioni sul collegamento: N=-11230.10 Ty=13.27 Tz=8.87 Mx=0.02 Mz=12.98
Sollecitazioni agenti localmente: Ty_l=-1939.15 My_l=-39.68
Tensioni nella sezione: σ=480.98 τ=58.76
CC 9 SLV (Collegamento -179_-383)
Azioni sul collegamento: N=-11230.10 Ty=9.40 Tz=8.87 Mx=0.02 Mz=7.91
Sollecitazioni agenti localmente: Ty_l=-1959.34 My_l=-40.12
Tensioni nella sezione: σ=486.33 τ=59.37
CC 9 SLV (Collegamento -179_-383)
Azioni sul collegamento: N=-11230.10 Ty=13.27 Tz=18.62 Mx=0.02 Mz=12.98
Sollecitazioni agenti localmente: Ty_l=-1939.15 My_l=-39.68
Tensioni nella sezione: σ=480.98 τ=58.76
CC 9 SLV (Collegamento -179_-383)
Azioni sul collegamento: N=-11230.10 Ty=9.40 Tz=18.62 Mx=0.02 Mz=7.91
Sollecitazioni agenti localmente: Ty_l=-1959.34 My_l=-40.12
Tensioni nella sezione: σ=486.33 τ=59.37
CC 10 SLD (Collegamento -179_-383)
Azioni sul collegamento: N=-9591.49 Ty=11.00 Tz=11.88 Mx=0.01 Mz=9.08
Sollecitazioni agenti localmente: Ty_l=-1664.20 My_l=-34.07
Tensioni nella sezione: σ=412.92 τ=50.43
CC 10 SLD (Collegamento -179_-383)
Azioni sul collegamento: N=-9591.49 Ty=9.82 Tz=11.88 Mx=0.01 Mz=7.53
Sollecitazioni agenti localmente: Ty_l=-1670.35 My_l=-34.20
Tensioni nella sezione: σ=414.55 τ=50.62
CC 10 SLD (Collegamento -179_-383)
Azioni sul collegamento: N=-9591.49 Ty=11.00 Tz=14.85 Mx=0.01 Mz=9.08
Sollecitazioni agenti localmente: Ty_l=-1664.20 My_l=-34.07
Tensioni nella sezione: σ=412.92 τ=50.43

CC 10 SLD (Collegamento -179_-383)
Azioni sul collegamento: N=-9591.49 Ty=9.82 Tz=14.85 Mx=0.01 Mz=7.53
Sollecitazioni agenti localmente: Ty_l=-1670.35 My_l=-34.20
Tensioni nella sezione: σ=414.55 τ=50.62
CC 10 SLD (Collegamento -179_-383)
Azioni sul collegamento: N=-10311.80 Ty=11.00 Tz=11.88 Mx=0.01 Mz=9.08
Sollecitazioni agenti localmente: Ty_l=-1791.89 My_l=-36.68
Tensioni nella sezione: σ=444.64 τ=54.30
CC 10 SLD (Collegamento -179_-383)
Azioni sul collegamento: N=-10311.80 Ty=9.82 Tz=11.88 Mx=0.01 Mz=7.53
Sollecitazioni agenti localmente: Ty_l=-1798.04 My_l=-36.82
Tensioni nella sezione: σ=446.28 τ=54.49
CC 10 SLD (Collegamento -179_-383)
Azioni sul collegamento: N=-10311.80 Ty=11.00 Tz=14.85 Mx=0.01 Mz=9.08
Sollecitazioni agenti localmente: Ty_l=-1791.89 My_l=-36.68
Tensioni nella sezione: σ=444.64 τ=54.30
CC 10 SLD (Collegamento -179_-383)
Azioni sul collegamento: N=-10311.80 Ty=9.82 Tz=14.85 Mx=0.01 Mz=7.53
Sollecitazioni agenti localmente: Ty_l=-1798.04 My_l=-36.82
Tensioni nella sezione: σ=446.28 τ=54.49
CC 11 SLV (Collegamento -179_-383)
Azioni sul collegamento: N=-11213.80 Ty=11.11 Tz=17.53 Mx=0.02 Mz=11.40
Sollecitazioni agenti localmente: Ty_l=-1942.57 My_l=-39.76
Tensioni nella sezione: σ=481.93 τ=58.87
CC 11 SLV (Collegamento -179_-383)
Azioni sul collegamento: N=-11213.80 Ty=11.56 Tz=17.53 Mx=0.02 Mz=9.49
Sollecitazioni agenti localmente: Ty_l=-1950.17 My_l=-39.93
Tensioni nella sezione: σ=483.95 τ=59.10
CC 11 SLV (Collegamento -179_-383)
Azioni sul collegamento: N=-11213.80 Ty=11.11 Tz=9.96 Mx=0.02 Mz=11.40
Sollecitazioni agenti localmente: Ty_l=-1942.57 My_l=-39.76
Tensioni nella sezione: σ=481.93 τ=58.87
CC 11 SLV (Collegamento -179_-383)
Azioni sul collegamento: N=-11213.80 Ty=11.56 Tz=9.96 Mx=0.02 Mz=9.49
Sollecitazioni agenti localmente: Ty_l=-1950.17 My_l=-39.93
Tensioni nella sezione: σ=483.95 τ=59.10
CC 11 SLV (Collegamento -179_-383)
Azioni sul collegamento: N=-8884.11 Ty=11.11 Tz=17.53 Mx=0.02 Mz=11.40
Sollecitazioni agenti localmente: Ty_l=-1529.58 My_l=-31.29
Tensioni nella sezione: σ=379.31 τ=46.35
CC 11 SLV (Collegamento -179_-383)
Azioni sul collegamento: N=-8884.11 Ty=11.56 Tz=17.53 Mx=0.02 Mz=9.49
Sollecitazioni agenti localmente: Ty_l=-1537.17 My_l=-31.46
Tensioni nella sezione: σ=381.32 τ=46.58
CC 11 SLV (Collegamento -179_-383)
Azioni sul collegamento: N=-8884.11 Ty=11.11 Tz=9.96 Mx=0.02 Mz=11.40
Sollecitazioni agenti localmente: Ty_l=-1529.58 My_l=-31.29
Tensioni nella sezione: σ=379.31 τ=46.35
CC 11 SLV (Collegamento -179_-383)
Azioni sul collegamento: N=-8884.11 Ty=11.56 Tz=9.96 Mx=0.02 Mz=9.49
Sollecitazioni agenti localmente: Ty_l=-1537.17 My_l=-31.46
Tensioni nella sezione: σ=381.32 τ=46.58
CC 12 SLD (Collegamento -179_-383)
Azioni sul collegamento: N=-10306.80 Ty=10.34 Tz=14.52 Mx=0.01 Mz=8.60
Sollecitazioni agenti localmente: Ty_l=-1792.93 My_l=-36.71
Tensioni nella sezione: σ=444.94 τ=54.33
CC 12 SLD (Collegamento -179_-383)
Azioni sul collegamento: N=-10306.80 Ty=10.48 Tz=14.52 Mx=0.01 Mz=8.01
Sollecitazioni agenti localmente: Ty_l=-1795.24 My_l=-36.76
Tensioni nella sezione: σ=445.55 τ=54.40
CC 12 SLD (Collegamento -179_-383)
Azioni sul collegamento: N=-10306.80 Ty=10.34 Tz=12.21 Mx=0.01 Mz=8.60
Sollecitazioni agenti localmente: Ty_l=-1792.93 My_l=-36.71
Tensioni nella sezione: σ=444.94 τ=54.33
CC 12 SLD (Collegamento -179_-383)
Azioni sul collegamento: N=-10306.80 Ty=10.48 Tz=12.21 Mx=0.01 Mz=8.01
Sollecitazioni agenti localmente: Ty_l=-1795.24 My_l=-36.76
Tensioni nella sezione: σ=445.55 τ=54.40
CC 12 SLD (Collegamento -179_-383)
Azioni sul collegamento: N=-9596.43 Ty=10.34 Tz=14.52 Mx=0.01 Mz=8.60
Sollecitazioni agenti localmente: Ty_l=-1666.99 My_l=-34.13
Tensioni nella sezione: σ=413.64 τ=50.52
CC 12 SLD (Collegamento -179_-383)
Azioni sul collegamento: N=-9596.43 Ty=10.48 Tz=14.52 Mx=0.01 Mz=8.01
Sollecitazioni agenti localmente: Ty_l=-1669.31 My_l=-34.18
Tensioni nella sezione: σ=414.26 τ=50.59
CC 12 SLD (Collegamento -179_-383)
Azioni sul collegamento: N=-9596.43 Ty=10.34 Tz=12.21 Mx=0.01 Mz=8.60
Sollecitazioni agenti localmente: Ty_l=-1666.99 My_l=-34.13

Tensioni nella sezione: σ=413.64 τ=50.52
CC 12 SLD (Collegamento -179_-383)
Azioni sul collegamento: N=-9596.43 Ty=10.48 Tz=12.21 Mx=0.01 Mz=8.01
Sollecitazioni agenti localmente: Ty_l=-1669.31 My_l=-34.18
Tensioni nella sezione: σ=414.26 τ=50.59
CC 13 SLV (Collegamento -179_-383)
Azioni sul collegamento: N=-8884.11 Ty=11.56 Tz=9.96 Mx=0.01 Mz=9.49
Sollecitazioni agenti localmente: Ty_l=-1537.17 My_l=-31.46
Tensioni nella sezione: σ=381.32 τ=46.58
CC 13 SLV (Collegamento -179_-383)
Azioni sul collegamento: N=-8884.11 Ty=11.11 Tz=9.96 Mx=0.01 Mz=11.40
Sollecitazioni agenti localmente: Ty_l=-1529.58 My_l=-31.29
Tensioni nella sezione: σ=379.31 τ=46.35
CC 13 SLV (Collegamento -179_-383)
Azioni sul collegamento: N=-8884.11 Ty=11.56 Tz=17.53 Mx=0.01 Mz=9.49
Sollecitazioni agenti localmente: Ty_l=-1537.17 My_l=-31.46
Tensioni nella sezione: σ=381.32 τ=46.58
CC 13 SLV (Collegamento -179_-383)
Azioni sul collegamento: N=-8884.11 Ty=11.11 Tz=17.53 Mx=0.01 Mz=11.40
Sollecitazioni agenti localmente: Ty_l=-1529.58 My_l=-31.29
Tensioni nella sezione: σ=379.31 τ=46.35
CC 13 SLV (Collegamento -179_-383)
Azioni sul collegamento: N=-11213.80 Ty=11.56 Tz=9.96 Mx=0.01 Mz=9.49
Sollecitazioni agenti localmente: Ty_l=-1950.17 My_l=-39.93
Tensioni nella sezione: σ=483.95 τ=59.10
CC 13 SLV (Collegamento -179_-383)
Azioni sul collegamento: N=-11213.80 Ty=11.11 Tz=9.96 Mx=0.01 Mz=11.40
Sollecitazioni agenti localmente: Ty_l=-1942.57 My_l=-39.76
Tensioni nella sezione: σ=481.93 τ=58.87
CC 13 SLV (Collegamento -179_-383)
Azioni sul collegamento: N=-11213.80 Ty=11.56 Tz=17.53 Mx=0.01 Mz=9.49
Sollecitazioni agenti localmente: Ty_l=-1950.17 My_l=-39.93
Tensioni nella sezione: σ=483.95 τ=59.10
CC 13 SLV (Collegamento -179_-383)
Azioni sul collegamento: N=-11213.80 Ty=11.11 Tz=17.53 Mx=0.01 Mz=11.40
Sollecitazioni agenti localmente: Ty_l=-1942.57 My_l=-39.76
Tensioni nella sezione: σ=481.93 τ=58.87
CC 14 SLD (Collegamento -179_-383)
Azioni sul collegamento: N=-9596.43 Ty=10.48 Tz=12.21 Mx=0.00 Mz=8.01
Sollecitazioni agenti localmente: Ty_l=-1669.31 My_l=-34.18
Tensioni nella sezione: σ=414.26 τ=50.59
CC 14 SLD (Collegamento -179_-383)
Azioni sul collegamento: N=-9596.43 Ty=10.34 Tz=12.21 Mx=0.00 Mz=8.60
Sollecitazioni agenti localmente: Ty_l=-1666.99 My_l=-34.13
Tensioni nella sezione: σ=413.64 τ=50.52
CC 14 SLD (Collegamento -179_-383)
Azioni sul collegamento: N=-9596.43 Ty=10.48 Tz=14.52 Mx=0.00 Mz=8.01
Sollecitazioni agenti localmente: Ty_l=-1669.31 My_l=-34.18
Tensioni nella sezione: σ=414.26 τ=50.59
CC 14 SLD (Collegamento -179_-383)
Azioni sul collegamento: N=-9596.43 Ty=10.34 Tz=14.52 Mx=0.00 Mz=8.60
Sollecitazioni agenti localmente: Ty_l=-1666.99 My_l=-34.13
Tensioni nella sezione: σ=413.64 τ=50.52
CC 14 SLD (Collegamento -179_-383)
Azioni sul collegamento: N=-10306.80 Ty=10.48 Tz=12.21 Mx=0.00 Mz=8.01
Sollecitazioni agenti localmente: Ty_l=-1795.24 My_l=-36.76
Tensioni nella sezione: σ=445.55 τ=54.40
CC 14 SLD (Collegamento -179_-383)
Azioni sul collegamento: N=-10306.80 Ty=10.34 Tz=12.21 Mx=0.00 Mz=8.60
Sollecitazioni agenti localmente: Ty_l=-1792.93 My_l=-36.71
Tensioni nella sezione: σ=444.94 τ=54.33
CC 14 SLD (Collegamento -179_-383)
Azioni sul collegamento: N=-10306.80 Ty=10.48 Tz=14.52 Mx=0.00 Mz=8.01
Sollecitazioni agenti localmente: Ty_l=-1795.24 My_l=-36.76
Tensioni nella sezione: σ=445.55 τ=54.40
CC 14 SLD (Collegamento -179_-383)
Azioni sul collegamento: N=-10306.80 Ty=10.34 Tz=14.52 Mx=0.00 Mz=8.60
Sollecitazioni agenti localmente: Ty_l=-1792.93 My_l=-36.71
Tensioni nella sezione: σ=444.94 τ=54.33
CC 15 SLV (Collegamento -179_-383)
Azioni sul collegamento: N=-11230.10 Ty=9.40 Tz=18.62 Mx=0.01 Mz=7.91
Sollecitazioni agenti localmente: Ty_l=-1959.34 My_l=-40.12
Tensioni nella sezione: σ=486.33 τ=59.37
CC 15 SLV (Collegamento -179_-383)
Azioni sul collegamento: N=-11230.10 Ty=13.27 Tz=18.62 Mx=0.01 Mz=12.98
Sollecitazioni agenti localmente: Ty_l=-1939.15 My_l=-39.68
Tensioni nella sezione: σ=480.98 τ=58.76
CC 15 SLV (Collegamento -179_-383)
Azioni sul collegamento: N=-11230.10 Ty=9.40 Tz=8.87 Mx=0.01 Mz=7.91

Sollecitazioni agenti localmente: Ty_l=-1959.34 My_l=-40.12
Tensioni nella sezione: σ=486.33 τ=59.37
CC 15 SLV (Collegamento -179_-383)
Azioni sul collegamento: N=-11230.10 Ty=13.27 Tz=8.87 Mx=0.01 Mz=12.98
Sollecitazioni agenti localmente: Ty_l=-1939.15 My_l=-39.68
Tensioni nella sezione: σ=480.98 τ=58.76
CC 15 SLV (Collegamento -179_-383)
Azioni sul collegamento: N=-8867.90 Ty=9.40 Tz=18.62 Mx=0.01 Mz=7.91
Sollecitazioni agenti localmente: Ty_l=-1540.59 My_l=-31.54
Tensioni nella sezione: σ=382.28 τ=46.68
CC 15 SLV (Collegamento -179_-383)
Azioni sul collegamento: N=-8867.90 Ty=13.27 Tz=18.62 Mx=0.01 Mz=12.98
Sollecitazioni agenti localmente: Ty_l=-1520.41 My_l=-31.10
Tensioni nella sezione: σ=376.92 τ=46.07
CC 15 SLV (Collegamento -179_-383)
Azioni sul collegamento: N=-8867.90 Ty=9.40 Tz=8.87 Mx=0.01 Mz=7.91
Sollecitazioni agenti localmente: Ty_l=-1540.59 My_l=-31.54
Tensioni nella sezione: σ=382.28 τ=46.68
CC 15 SLV (Collegamento -179_-383)
Azioni sul collegamento: N=-8867.90 Ty=13.27 Tz=8.87 Mx=0.01 Mz=12.98
Sollecitazioni agenti localmente: Ty_l=-1520.41 My_l=-31.10
Tensioni nella sezione: σ=376.92 τ=46.07
CC 16 SLD (Collegamento -179_-383)
Azioni sul collegamento: N=-10311.80 Ty=9.82 Tz=14.85 Mx=0.00 Mz=7.53
Sollecitazioni agenti localmente: Ty_l=-1798.04 My_l=-36.82
Tensioni nella sezione: σ=446.28 τ=54.49
CC 16 SLD (Collegamento -179_-383)
Azioni sul collegamento: N=-10311.80 Ty=11.00 Tz=14.85 Mx=0.00 Mz=9.08
Sollecitazioni agenti localmente: Ty_l=-1791.89 My_l=-36.68
Tensioni nella sezione: σ=444.64 τ=54.30
CC 16 SLD (Collegamento -179_-383)
Azioni sul collegamento: N=-10311.80 Ty=9.82 Tz=11.88 Mx=0.00 Mz=7.53
Sollecitazioni agenti localmente: Ty_l=-1798.04 My_l=-36.82
Tensioni nella sezione: σ=446.28 τ=54.49
CC 16 SLD (Collegamento -179_-383)
Azioni sul collegamento: N=-10311.80 Ty=11.00 Tz=11.88 Mx=0.00 Mz=9.08
Sollecitazioni agenti localmente: Ty_l=-1791.89 My_l=-36.68
Tensioni nella sezione: σ=444.64 τ=54.30
CC 16 SLD (Collegamento -179_-383)
Azioni sul collegamento: N=-9591.49 Ty=9.82 Tz=14.85 Mx=0.00 Mz=7.53
Sollecitazioni agenti localmente: Ty_l=-1670.35 My_l=-34.20
Tensioni nella sezione: σ=414.55 τ=50.62
CC 16 SLD (Collegamento -179_-383)
Azioni sul collegamento: N=-9591.49 Ty=11.00 Tz=14.85 Mx=0.00 Mz=9.08
Sollecitazioni agenti localmente: Ty_l=-1664.20 My_l=-34.07
Tensioni nella sezione: σ=412.92 τ=50.43
CC 16 SLD (Collegamento -179_-383)
Azioni sul collegamento: N=-9591.49 Ty=9.82 Tz=11.88 Mx=0.00 Mz=7.53
Sollecitazioni agenti localmente: Ty_l=-1670.35 My_l=-34.20
Tensioni nella sezione: σ=414.55 τ=50.62
CC 16 SLD (Collegamento -179_-383)
Azioni sul collegamento: N=-9591.49 Ty=11.00 Tz=11.88 Mx=0.00 Mz=9.08
Sollecitazioni agenti localmente: Ty_l=-1664.20 My_l=-34.07
Tensioni nella sezione: σ=412.92 τ=50.43
CC 17 SLV (Collegamento -179_-383)
Azioni sul collegamento: N=-5856.57 Ty=12.53 Tz=-1.96 Mx=-0.01 Mz=7.45
Sollecitazioni agenti localmente: Ty_l=-1008.56 My_l=-20.63
Tensioni nella sezione: σ=250.11 τ=30.56
CC 17 SLV (Collegamento -179_-383)
Azioni sul collegamento: N=-5856.57 Ty=4.82 Tz=-1.96 Mx=-0.01 Mz=1.13
Sollecitazioni agenti localmente: Ty_l=-1033.71 My_l=-21.18
Tensioni nella sezione: σ=256.79 τ=31.32
CC 17 SLV (Collegamento -179_-383)
Azioni sul collegamento: N=-5856.57 Ty=12.53 Tz=27.25 Mx=-0.01 Mz=7.45
Sollecitazioni agenti localmente: Ty_l=-1008.56 My_l=-20.63
Tensioni nella sezione: σ=250.11 τ=30.56
CC 17 SLV (Collegamento -179_-383)
Azioni sul collegamento: N=-5856.57 Ty=4.82 Tz=27.25 Mx=-0.01 Mz=1.13
Sollecitazioni agenti localmente: Ty_l=-1033.71 My_l=-21.18
Tensioni nella sezione: σ=256.79 τ=31.32
CC 17 SLV (Collegamento -179_-383)
Azioni sul collegamento: N=-13681.20 Ty=12.53 Tz=-1.96 Mx=-0.01 Mz=7.45
Sollecitazioni agenti localmente: Ty_l=-2395.66 My_l=-49.07
Tensioni nella sezione: σ=594.78 τ=72.60
CC 17 SLV (Collegamento -179_-383)
Azioni sul collegamento: N=-13681.20 Ty=4.82 Tz=-1.96 Mx=-0.01 Mz=1.13
Sollecitazioni agenti localmente: Ty_l=-2420.81 My_l=-49.62
Tensioni nella sezione: σ=601.46 τ=73.36
CC 17 SLV (Collegamento -179_-383)

Azioni sul collegamento: N=-13681.20 Ty=12.53 Tz=27.25 Mx=-0.01 Mz=7.45
Sollecitazioni agenti localmente: Ty_l=-2395.66 My_l=-49.07
Tensioni nella sezione: σ=594.78 τ=72.60
CC 17 SLV (Collegamento -179_-383)
Azioni sul collegamento: N=-13681.20 Ty=4.82 Tz=27.25 Mx=-0.01 Mz=1.13
Sollecitazioni agenti localmente: Ty_l=-2420.81 My_l=-49.62
Tensioni nella sezione: σ=601.46 τ=73.36
CC 18 SLD (Collegamento -179_-383)
Azioni sul collegamento: N=-8673.24 Ty=10.78 Tz=8.57 Mx=-0.00 Mz=7.39
Sollecitazioni agenti localmente: Ty_l=-1508.12 My_l=-30.88
Tensioni nella sezione: σ=374.25 τ=45.70
CC 18 SLD (Collegamento -179_-383)
Azioni sul collegamento: N=-8673.24 Ty=8.42 Tz=8.57 Mx=-0.00 Mz=5.47
Sollecitazioni agenti localmente: Ty_l=-1515.79 My_l=-31.04
Tensioni nella sezione: σ=376.28 τ=45.93
CC 18 SLD (Collegamento -179_-383)
Azioni sul collegamento: N=-8673.24 Ty=10.78 Tz=17.48 Mx=-0.00 Mz=7.39
Sollecitazioni agenti localmente: Ty_l=-1508.12 My_l=-30.88
Tensioni nella sezione: σ=374.25 τ=45.70
CC 18 SLD (Collegamento -179_-383)
Azioni sul collegamento: N=-8673.24 Ty=8.42 Tz=17.48 Mx=-0.00 Mz=5.47
Sollecitazioni agenti localmente: Ty_l=-1515.79 My_l=-31.04
Tensioni nella sezione: σ=376.28 τ=45.93
CC 18 SLD (Collegamento -179_-383)
Azioni sul collegamento: N=-11059.20 Ty=10.78 Tz=8.57 Mx=-0.00 Mz=7.39
Sollecitazioni agenti localmente: Ty_l=-1931.09 My_l=-39.55
Tensioni nella sezione: σ=479.35 τ=58.52
CC 18 SLD (Collegamento -179_-383)
Azioni sul collegamento: N=-11059.20 Ty=8.42 Tz=8.57 Mx=-0.00 Mz=5.47
Sollecitazioni agenti localmente: Ty_l=-1938.76 My_l=-39.71
Tensioni nella sezione: σ=481.38 τ=58.75
CC 18 SLD (Collegamento -179_-383)
Azioni sul collegamento: N=-11059.20 Ty=10.78 Tz=17.48 Mx=-0.00 Mz=7.39
Sollecitazioni agenti localmente: Ty_l=-1931.09 My_l=-39.55
Tensioni nella sezione: σ=479.35 τ=58.52
CC 18 SLD (Collegamento -179_-383)
Azioni sul collegamento: N=-11059.20 Ty=8.42 Tz=17.48 Mx=-0.00 Mz=5.47
Sollecitazioni agenti localmente: Ty_l=-1938.76 My_l=-39.71
Tensioni nella sezione: σ=481.38 τ=58.75
CC 19 SLV (Collegamento -179_-383)
Azioni sul collegamento: N=-5861.43 Ty=12.02 Tz=-1.63 Mx=-0.01 Mz=6.41
Sollecitazioni agenti localmente: Ty_l=-1013.59 My_l=-20.74
Tensioni nella sezione: σ=251.43 τ=30.71
CC 19 SLV (Collegamento -179_-383)
Azioni sul collegamento: N=-5861.43 Ty=5.33 Tz=-1.63 Mx=-0.01 Mz=2.18
Sollecitazioni agenti localmente: Ty_l=-1030.41 My_l=-21.11
Tensioni nella sezione: σ=255.89 τ=31.22
CC 19 SLV (Collegamento -179_-383)
Azioni sul collegamento: N=-5861.43 Ty=12.02 Tz=26.92 Mx=-0.01 Mz=6.41
Sollecitazioni agenti localmente: Ty_l=-1013.59 My_l=-20.74
Tensioni nella sezione: σ=251.43 τ=30.71
CC 19 SLV (Collegamento -179_-383)
Azioni sul collegamento: N=-5861.43 Ty=5.33 Tz=26.92 Mx=-0.01 Mz=2.18
Sollecitazioni agenti localmente: Ty_l=-1030.41 My_l=-21.11
Tensioni nella sezione: σ=255.89 τ=31.22
CC 19 SLV (Collegamento -179_-383)
Azioni sul collegamento: N=-13676.40 Ty=12.02 Tz=-1.63 Mx=-0.01 Mz=6.41
Sollecitazioni agenti localmente: Ty_l=-2398.97 My_l=-49.14
Tensioni nella sezione: σ=595.67 τ=72.70
CC 19 SLV (Collegamento -179_-383)
Azioni sul collegamento: N=-13676.40 Ty=5.33 Tz=-1.63 Mx=-0.01 Mz=2.18
Sollecitazioni agenti localmente: Ty_l=-2415.78 My_l=-49.51
Tensioni nella sezione: σ=600.14 τ=73.21
CC 19 SLV (Collegamento -179_-383)
Azioni sul collegamento: N=-13676.40 Ty=12.02 Tz=26.92 Mx=-0.01 Mz=6.41
Sollecitazioni agenti localmente: Ty_l=-2398.97 My_l=-49.14
Tensioni nella sezione: σ=595.67 τ=72.70
CC 19 SLV (Collegamento -179_-383)
Azioni sul collegamento: N=-13676.40 Ty=5.33 Tz=26.92 Mx=-0.01 Mz=2.18
Sollecitazioni agenti localmente: Ty_l=-2415.78 My_l=-49.51
Tensioni nella sezione: σ=600.14 τ=73.21
CC 20 SLD (Collegamento -179_-383)
Azioni sul collegamento: N=-8674.72 Ty=10.62 Tz=8.67 Mx=0.00 Mz=7.07
Sollecitazioni agenti localmente: Ty_l=-1509.65 My_l=-30.91
Tensioni nella sezione: σ=374.65 τ=45.75
CC 20 SLD (Collegamento -179_-383)
Azioni sul collegamento: N=-8674.72 Ty=8.58 Tz=8.67 Mx=0.00 Mz=5.79
Sollecitazioni agenti localmente: Ty_l=-1514.78 My_l=-31.02
Tensioni nella sezione: σ=376.01 τ=45.90

CC 20 SLD (Collegamento -179_-383)
Azioni sul collegamento: N=-8674.72 Ty=10.62 Tz=17.38 Mx=0.00 Mz=7.07
Sollecitazioni agenti localmente: Ty_l=-1509.65 My_l=-30.91
Tensioni nella sezione: σ=374.65 τ=45.75
CC 20 SLD (Collegamento -179_-383)
Azioni sul collegamento: N=-8674.72 Ty=8.58 Tz=17.38 Mx=0.00 Mz=5.79
Sollecitazioni agenti localmente: Ty_l=-1514.78 My_l=-31.02
Tensioni nella sezione: σ=376.01 τ=45.90
CC 20 SLD (Collegamento -179_-383)
Azioni sul collegamento: N=-11057.70 Ty=10.62 Tz=8.67 Mx=0.00 Mz=7.07
Sollecitazioni agenti localmente: Ty_l=-1932.10 My_l=-39.57
Tensioni nella sezione: σ=479.62 τ=58.55
CC 20 SLD (Collegamento -179_-383)
Azioni sul collegamento: N=-11057.70 Ty=8.58 Tz=8.67 Mx=0.00 Mz=5.79
Sollecitazioni agenti localmente: Ty_l=-1937.23 My_l=-39.68
Tensioni nella sezione: σ=480.98 τ=58.70
CC 20 SLD (Collegamento -179_-383)
Azioni sul collegamento: N=-11057.70 Ty=10.62 Tz=17.38 Mx=0.00 Mz=7.07
Sollecitazioni agenti localmente: Ty_l=-1932.10 My_l=-39.57
Tensioni nella sezione: σ=479.62 τ=58.55
CC 20 SLD (Collegamento -179_-383)
Azioni sul collegamento: N=-11057.70 Ty=8.58 Tz=17.38 Mx=0.00 Mz=5.79
Sollecitazioni agenti localmente: Ty_l=-1937.23 My_l=-39.68
Tensioni nella sezione: σ=480.98 τ=58.70
CC 21 SLV (Collegamento -179_-383)
Azioni sul collegamento: N=-13676.40 Ty=5.33 Tz=26.92 Mx=-0.01 Mz=2.18
Sollecitazioni agenti localmente: Ty_l=-2415.78 My_l=-49.51
Tensioni nella sezione: σ=600.14 τ=73.21
CC 21 SLV (Collegamento -179_-383)
Azioni sul collegamento: N=-13676.40 Ty=12.02 Tz=26.92 Mx=-0.01 Mz=6.41
Sollecitazioni agenti localmente: Ty_l=-2398.97 My_l=-49.14
Tensioni nella sezione: σ=595.67 τ=72.70
CC 21 SLV (Collegamento -179_-383)
Azioni sul collegamento: N=-13676.40 Ty=5.33 Tz=-1.63 Mx=-0.01 Mz=2.18
Sollecitazioni agenti localmente: Ty_l=-2415.78 My_l=-49.51
Tensioni nella sezione: σ=600.14 τ=73.21
CC 21 SLV (Collegamento -179_-383)
Azioni sul collegamento: N=-13676.40 Ty=12.02 Tz=-1.63 Mx=-0.01 Mz=6.41
Sollecitazioni agenti localmente: Ty_l=-2398.97 My_l=-49.14
Tensioni nella sezione: σ=595.67 τ=72.70
CC 21 SLV (Collegamento -179_-383)
Azioni sul collegamento: N=-5861.43 Ty=5.33 Tz=26.92 Mx=-0.01 Mz=2.18
Sollecitazioni agenti localmente: Ty_l=-1030.41 My_l=-21.11
Tensioni nella sezione: σ=255.89 τ=31.22
CC 21 SLV (Collegamento -179_-383)
Azioni sul collegamento: N=-5861.43 Ty=12.02 Tz=26.92 Mx=-0.01 Mz=6.41
Sollecitazioni agenti localmente: Ty_l=-1013.59 My_l=-20.74
Tensioni nella sezione: σ=251.43 τ=30.71
CC 21 SLV (Collegamento -179_-383)
Azioni sul collegamento: N=-5861.43 Ty=5.33 Tz=-1.63 Mx=-0.01 Mz=2.18
Sollecitazioni agenti localmente: Ty_l=-1030.41 My_l=-21.11
Tensioni nella sezione: σ=255.89 τ=31.22
CC 21 SLV (Collegamento -179_-383)
Azioni sul collegamento: N=-5861.43 Ty=12.02 Tz=-1.63 Mx=-0.01 Mz=6.41
Sollecitazioni agenti localmente: Ty_l=-1013.59 My_l=-20.74
Tensioni nella sezione: σ=251.43 τ=30.71
CC 22 SLD (Collegamento -179_-383)
Azioni sul collegamento: N=-11057.70 Ty=8.58 Tz=17.38 Mx=-0.00 Mz=5.79
Sollecitazioni agenti localmente: Ty_l=-1937.23 My_l=-39.68
Tensioni nella sezione: σ=480.98 τ=58.70
CC 22 SLD (Collegamento -179_-383)
Azioni sul collegamento: N=-11057.70 Ty=10.62 Tz=17.38 Mx=-0.00 Mz=7.07
Sollecitazioni agenti localmente: Ty_l=-1932.10 My_l=-39.57
Tensioni nella sezione: σ=479.62 τ=58.55
CC 22 SLD (Collegamento -179_-383)
Azioni sul collegamento: N=-11057.70 Ty=8.58 Tz=8.67 Mx=-0.00 Mz=5.79
Sollecitazioni agenti localmente: Ty_l=-1937.23 My_l=-39.68
Tensioni nella sezione: σ=480.98 τ=58.70
CC 22 SLD (Collegamento -179_-383)
Azioni sul collegamento: N=-11057.70 Ty=10.62 Tz=8.67 Mx=-0.00 Mz=7.07
Sollecitazioni agenti localmente: Ty_l=-1932.10 My_l=-39.57
Tensioni nella sezione: σ=479.62 τ=58.55
CC 22 SLD (Collegamento -179_-383)
Azioni sul collegamento: N=-8674.72 Ty=8.58 Tz=17.38 Mx=-0.00 Mz=5.79
Sollecitazioni agenti localmente: Ty_l=-1514.78 My_l=-31.02
Tensioni nella sezione: σ=376.01 τ=45.90
CC 22 SLD (Collegamento -179_-383)
Azioni sul collegamento: N=-8674.72 Ty=10.62 Tz=17.38 Mx=-0.00 Mz=7.07
Sollecitazioni agenti localmente: Ty_l=-1509.65 My_l=-30.91

Tensioni nella sezione: σ=374.65 τ=45.75
CC 22 SLD (Collegamento -179_-383)
Azioni sul collegamento: N=-8674.72 Ty=8.58 Tz=8.67 Mx=-0.00 Mz=5.79
Sollecitazioni agenti localmente: Ty_l=-1514.78 My_l=-31.02
Tensioni nella sezione: σ=376.01 τ=45.90
CC 22 SLD (Collegamento -179_-383)
Azioni sul collegamento: N=-8674.72 Ty=10.62 Tz=8.67 Mx=-0.00 Mz=7.07
Sollecitazioni agenti localmente: Ty_l=-1509.65 My_l=-30.91
Tensioni nella sezione: σ=374.65 τ=45.75
CC 23 SLV (Collegamento -179_-383)
Azioni sul collegamento: N=-13681.20 Ty=4.82 Tz=27.25 Mx=-0.01 Mz=1.13
Sollecitazioni agenti localmente: Ty_l=-2420.81 My_l=-49.62
Tensioni nella sezione: σ=601.46 τ=73.36
CC 23 SLV (Collegamento -179_-383)
Azioni sul collegamento: N=-13681.20 Ty=12.53 Tz=27.25 Mx=-0.01 Mz=7.45
Sollecitazioni agenti localmente: Ty_l=-2395.66 My_l=-49.07
Tensioni nella sezione: σ=594.78 τ=72.60
CC 23 SLV (Collegamento -179_-383)
Azioni sul collegamento: N=-13681.20 Ty=4.82 Tz=-1.96 Mx=-0.01 Mz=1.13
Sollecitazioni agenti localmente: Ty_l=-2420.81 My_l=-49.62
Tensioni nella sezione: σ=601.46 τ=73.36
CC 23 SLV (Collegamento -179_-383)
Azioni sul collegamento: N=-13681.20 Ty=12.53 Tz=-1.96 Mx=-0.01 Mz=7.45
Sollecitazioni agenti localmente: Ty_l=-2395.66 My_l=-49.07
Tensioni nella sezione: σ=594.78 τ=72.60
CC 23 SLV (Collegamento -179_-383)
Azioni sul collegamento: N=-5856.57 Ty=4.82 Tz=27.25 Mx=-0.01 Mz=1.13
Sollecitazioni agenti localmente: Ty_l=-1033.71 My_l=-21.18
Tensioni nella sezione: σ=256.79 τ=31.32
CC 23 SLV (Collegamento -179_-383)
Azioni sul collegamento: N=-5856.57 Ty=12.53 Tz=27.25 Mx=-0.01 Mz=7.45
Sollecitazioni agenti localmente: Ty_l=-1008.56 My_l=-20.63
Tensioni nella sezione: σ=250.11 τ=30.56
CC 23 SLV (Collegamento -179_-383)
Azioni sul collegamento: N=-5856.57 Ty=4.82 Tz=-1.96 Mx=-0.01 Mz=1.13
Sollecitazioni agenti localmente: Ty_l=-1033.71 My_l=-21.18
Tensioni nella sezione: σ=256.79 τ=31.32
CC 23 SLV (Collegamento -179_-383)
Azioni sul collegamento: N=-5856.57 Ty=12.53 Tz=-1.96 Mx=-0.01 Mz=7.45
Sollecitazioni agenti localmente: Ty_l=-1008.56 My_l=-20.63
Tensioni nella sezione: σ=250.11 τ=30.56
CC 24 SLD (Collegamento -179_-383)
Azioni sul collegamento: N=-11059.20 Ty=8.42 Tz=17.48 Mx=0.00 Mz=5.47
Sollecitazioni agenti localmente: Ty_l=-1938.76 My_l=-39.71
Tensioni nella sezione: σ=481.38 τ=58.75
CC 24 SLD (Collegamento -179_-383)
Azioni sul collegamento: N=-11059.20 Ty=10.78 Tz=17.48 Mx=0.00 Mz=7.39
Sollecitazioni agenti localmente: Ty_l=-1931.09 My_l=-39.55
Tensioni nella sezione: σ=479.35 τ=58.52
CC 24 SLD (Collegamento -179_-383)
Azioni sul collegamento: N=-11059.20 Ty=8.42 Tz=8.57 Mx=0.00 Mz=5.47
Sollecitazioni agenti localmente: Ty_l=-1938.76 My_l=-39.71
Tensioni nella sezione: σ=481.38 τ=58.75
CC 24 SLD (Collegamento -179_-383)
Azioni sul collegamento: N=-11059.20 Ty=10.78 Tz=8.57 Mx=0.00 Mz=7.39
Sollecitazioni agenti localmente: Ty_l=-1931.09 My_l=-39.55
Tensioni nella sezione: σ=479.35 τ=58.52
CC 24 SLD (Collegamento -179_-383)
Azioni sul collegamento: N=-8673.24 Ty=8.42 Tz=17.48 Mx=0.00 Mz=5.47
Sollecitazioni agenti localmente: Ty_l=-1515.79 My_l=-31.04
Tensioni nella sezione: σ=376.28 τ=45.93
CC 24 SLD (Collegamento -179_-383)
Azioni sul collegamento: N=-8673.24 Ty=10.78 Tz=17.48 Mx=0.00 Mz=7.39
Sollecitazioni agenti localmente: Ty_l=-1508.12 My_l=-30.88
Tensioni nella sezione: σ=374.25 τ=45.70
CC 24 SLD (Collegamento -179_-383)
Azioni sul collegamento: N=-8673.24 Ty=8.42 Tz=8.57 Mx=0.00 Mz=5.47
Sollecitazioni agenti localmente: Ty_l=-1515.79 My_l=-31.04
Tensioni nella sezione: σ=376.28 τ=45.93
CC 24 SLD (Collegamento -179_-383)
Azioni sul collegamento: N=-8673.24 Ty=10.78 Tz=8.57 Mx=0.00 Mz=7.39
Sollecitazioni agenti localmente: Ty_l=-1508.12 My_l=-30.88
Tensioni nella sezione: σ=374.25 τ=45.70
CC 25 SLV (Collegamento -179_-383)
Azioni sul collegamento: N=-8587.82 Ty=10.61 Tz=7.77 Mx=-0.02 Mz=6.83
Sollecitazioni agenti localmente: Ty_l=-1495.22 My_l=-30.61
Tensioni nella sezione: σ=371.08 τ=45.31
CC 25 SLV (Collegamento -179_-383)
Azioni sul collegamento: N=-8587.82 Ty=6.74 Tz=7.77 Mx=-0.02 Mz=1.76

Sollecitazioni agenti localmente: Ty_l=-1515.40 My_l=-31.06
Tensioni nella sezione: σ=376.44 τ=45.92
CC 25 SLV (Collegamento -179_-383)
Azioni sul collegamento: N=-8587.82 Ty=10.61 Tz=17.52 Mx=-0.02 Mz=6.83
Sollecitazioni agenti localmente: Ty_l=-1495.22 My_l=-30.61
Tensioni nella sezione: σ=371.08 τ=45.31
CC 25 SLV (Collegamento -179_-383)
Azioni sul collegamento: N=-8587.82 Ty=6.74 Tz=17.52 Mx=-0.02 Mz=1.76
Sollecitazioni agenti localmente: Ty_l=-1515.40 My_l=-31.06
Tensioni nella sezione: σ=376.44 τ=45.92
CC 25 SLV (Collegamento -179_-383)
Azioni sul collegamento: N=-10950.00 Ty=10.61 Tz=7.77 Mx=-0.02 Mz=6.83
Sollecitazioni agenti localmente: Ty_l=-1913.97 My_l=-39.20
Tensioni nella sezione: σ=475.13 τ=58.00
CC 25 SLV (Collegamento -179_-383)
Azioni sul collegamento: N=-10950.00 Ty=6.74 Tz=7.77 Mx=-0.02 Mz=1.76
Sollecitazioni agenti localmente: Ty_l=-1934.15 My_l=-39.64
Tensioni nella sezione: σ=480.49 τ=58.61
CC 25 SLV (Collegamento -179_-383)
Azioni sul collegamento: N=-10950.00 Ty=10.61 Tz=17.52 Mx=-0.02 Mz=6.83
Sollecitazioni agenti localmente: Ty_l=-1913.97 My_l=-39.20
Tensioni nella sezione: σ=475.13 τ=58.00
CC 25 SLV (Collegamento -179_-383)
Azioni sul collegamento: N=-10950.00 Ty=6.74 Tz=17.52 Mx=-0.02 Mz=1.76
Sollecitazioni agenti localmente: Ty_l=-1934.15 My_l=-39.64
Tensioni nella sezione: σ=480.49 τ=58.61
CC 26 SLD (Collegamento -179_-383)
Azioni sul collegamento: N=-9506.09 Ty=10.19 Tz=11.54 Mx=-0.00 Mz=7.20
Sollecitazioni agenti localmente: Ty_l=-1656.52 My_l=-33.92
Tensioni nella sezione: σ=411.13 τ=50.20
CC 26 SLD (Collegamento -179_-383)
Azioni sul collegamento: N=-9506.09 Ty=9.01 Tz=11.54 Mx=-0.00 Mz=5.66
Sollecitazioni agenti localmente: Ty_l=-1662.67 My_l=-34.05
Tensioni nella sezione: σ=412.77 τ=50.38
CC 26 SLD (Collegamento -179_-383)
Azioni sul collegamento: N=-9506.09 Ty=10.19 Tz=14.51 Mx=-0.00 Mz=7.20
Sollecitazioni agenti localmente: Ty_l=-1656.52 My_l=-33.92
Tensioni nella sezione: σ=411.13 τ=50.20
CC 26 SLD (Collegamento -179_-383)
Azioni sul collegamento: N=-9506.09 Ty=9.01 Tz=14.51 Mx=-0.00 Mz=5.66
Sollecitazioni agenti localmente: Ty_l=-1662.67 My_l=-34.05
Tensioni nella sezione: σ=412.77 τ=50.38
CC 26 SLD (Collegamento -179_-383)
Azioni sul collegamento: N=-10226.40 Ty=10.19 Tz=11.54 Mx=-0.00 Mz=7.20
Sollecitazioni agenti localmente: Ty_l=-1784.21 My_l=-36.54
Tensioni nella sezione: σ=442.86 τ=54.07
CC 26 SLD (Collegamento -179_-383)
Azioni sul collegamento: N=-10226.40 Ty=9.01 Tz=11.54 Mx=-0.00 Mz=5.66
Sollecitazioni agenti localmente: Ty_l=-1790.36 My_l=-36.67
Tensioni nella sezione: σ=444.50 τ=54.25
CC 26 SLD (Collegamento -179_-383)
Azioni sul collegamento: N=-10226.40 Ty=10.19 Tz=14.51 Mx=-0.00 Mz=7.20
Sollecitazioni agenti localmente: Ty_l=-1784.21 My_l=-36.54
Tensioni nella sezione: σ=442.86 τ=54.07
CC 26 SLD (Collegamento -179_-383)
Azioni sul collegamento: N=-10226.40 Ty=9.01 Tz=14.51 Mx=-0.00 Mz=5.66
Sollecitazioni agenti localmente: Ty_l=-1790.36 My_l=-36.67
Tensioni nella sezione: σ=444.50 τ=54.25
CC 27 SLV (Collegamento -179_-383)
Azioni sul collegamento: N=-10933.80 Ty=8.45 Tz=16.43 Mx=-0.02 Mz=5.25
Sollecitazioni agenti localmente: Ty_l=-1917.39 My_l=-39.28
Tensioni nella sezione: σ=476.09 τ=58.10
CC 27 SLV (Collegamento -179_-383)
Azioni sul collegamento: N=-10933.80 Ty=8.90 Tz=16.43 Mx=-0.02 Mz=3.34
Sollecitazioni agenti localmente: Ty_l=-1924.98 My_l=-39.44
Tensioni nella sezione: σ=478.10 τ=58.33
CC 27 SLV (Collegamento -179_-383)
Azioni sul collegamento: N=-10933.80 Ty=8.45 Tz=8.86 Mx=-0.02 Mz=5.25
Sollecitazioni agenti localmente: Ty_l=-1917.39 My_l=-39.28
Tensioni nella sezione: σ=476.09 τ=58.10
CC 27 SLV (Collegamento -179_-383)
Azioni sul collegamento: N=-10933.80 Ty=8.90 Tz=8.86 Mx=-0.02 Mz=3.34
Sollecitazioni agenti localmente: Ty_l=-1924.98 My_l=-39.44
Tensioni nella sezione: σ=478.10 τ=58.33
CC 27 SLV (Collegamento -179_-383)
Azioni sul collegamento: N=-8604.03 Ty=8.45 Tz=16.43 Mx=-0.02 Mz=5.25
Sollecitazioni agenti localmente: Ty_l=-1504.39 My_l=-30.81
Tensioni nella sezione: σ=373.46 τ=45.59
CC 27 SLV (Collegamento -179_-383)

Azioni sul collegamento: N=-8604.03 Ty=8.90 Tz=16.43 Mx=-0.02 Mz=3.34
Sollecitazioni agenti localmente: Ty_l=-1511.98 My_l=-30.98
Tensioni nella sezione: σ=375.48 τ=45.82
CC 27 SLV (Collegamento -179_-383)
Azioni sul collegamento: N=-8604.03 Ty=8.45 Tz=8.86 Mx=-0.02 Mz=5.25
Sollecitazioni agenti localmente: Ty_l=-1504.39 My_l=-30.81
Tensioni nella sezione: σ=373.46 τ=45.59
CC 27 SLV (Collegamento -179_-383)
Azioni sul collegamento: N=-8604.03 Ty=8.90 Tz=8.86 Mx=-0.02 Mz=3.34
Sollecitazioni agenti localmente: Ty_l=-1511.98 My_l=-30.98
Tensioni nella sezione: σ=375.48 τ=45.82
CC 28 SLD (Collegamento -179_-383)
Azioni sul collegamento: N=-10221.40 Ty=9.53 Tz=14.18 Mx=-0.00 Mz=6.72
Sollecitazioni agenti localmente: Ty_l=-1785.25 My_l=-36.56
Tensioni nella sezione: σ=443.15 τ=54.10
CC 28 SLD (Collegamento -179_-383)
Azioni sul collegamento: N=-10221.40 Ty=9.67 Tz=14.18 Mx=-0.00 Mz=6.14
Sollecitazioni agenti localmente: Ty_l=-1787.56 My_l=-36.61
Tensioni nella sezione: σ=443.77 τ=54.17
CC 28 SLD (Collegamento -179_-383)
Azioni sul collegamento: N=-10221.40 Ty=9.53 Tz=11.87 Mx=-0.00 Mz=6.72
Sollecitazioni agenti localmente: Ty_l=-1785.25 My_l=-36.56
Tensioni nella sezione: σ=443.15 τ=54.10
CC 28 SLD (Collegamento -179_-383)
Azioni sul collegamento: N=-10221.40 Ty=9.67 Tz=11.87 Mx=-0.00 Mz=6.14
Sollecitazioni agenti localmente: Ty_l=-1787.56 My_l=-36.61
Tensioni nella sezione: σ=443.77 τ=54.17
CC 28 SLD (Collegamento -179_-383)
Azioni sul collegamento: N=-9511.03 Ty=9.53 Tz=14.18 Mx=-0.00 Mz=6.72
Sollecitazioni agenti localmente: Ty_l=-1659.31 My_l=-33.98
Tensioni nella sezione: σ=411.86 τ=50.28
CC 28 SLD (Collegamento -179_-383)
Azioni sul collegamento: N=-9511.03 Ty=9.67 Tz=14.18 Mx=-0.00 Mz=6.14
Sollecitazioni agenti localmente: Ty_l=-1661.63 My_l=-34.03
Tensioni nella sezione: σ=412.48 τ=50.35
CC 28 SLD (Collegamento -179_-383)
Azioni sul collegamento: N=-9511.03 Ty=9.53 Tz=11.87 Mx=-0.00 Mz=6.72
Sollecitazioni agenti localmente: Ty_l=-1659.31 My_l=-33.98
Tensioni nella sezione: σ=411.86 τ=50.28
CC 28 SLD (Collegamento -179_-383)
Azioni sul collegamento: N=-9511.03 Ty=9.67 Tz=11.87 Mx=-0.00 Mz=6.14
Sollecitazioni agenti localmente: Ty_l=-1661.63 My_l=-34.03
Tensioni nella sezione: σ=412.48 τ=50.35
CC 29 SLV (Collegamento -179_-383)
Azioni sul collegamento: N=-8604.03 Ty=8.90 Tz=8.86 Mx=-0.00 Mz=3.34
Sollecitazioni agenti localmente: Ty_l=-1511.98 My_l=-30.98
Tensioni nella sezione: σ=375.48 τ=45.82
CC 29 SLV (Collegamento -179_-383)
Azioni sul collegamento: N=-8604.03 Ty=8.45 Tz=8.86 Mx=-0.00 Mz=5.25
Sollecitazioni agenti localmente: Ty_l=-1504.39 My_l=-30.81
Tensioni nella sezione: σ=373.46 τ=45.59
CC 29 SLV (Collegamento -179_-383)
Azioni sul collegamento: N=-8604.03 Ty=8.90 Tz=16.43 Mx=-0.00 Mz=3.34
Sollecitazioni agenti localmente: Ty_l=-1511.98 My_l=-30.98
Tensioni nella sezione: σ=375.48 τ=45.82
CC 29 SLV (Collegamento -179_-383)
Azioni sul collegamento: N=-8604.03 Ty=8.45 Tz=16.43 Mx=-0.00 Mz=5.25
Sollecitazioni agenti localmente: Ty_l=-1504.39 My_l=-30.81
Tensioni nella sezione: σ=373.46 τ=45.59
CC 29 SLV (Collegamento -179_-383)
Azioni sul collegamento: N=-10933.80 Ty=8.90 Tz=8.86 Mx=-0.00 Mz=3.34
Sollecitazioni agenti localmente: Ty_l=-1924.98 My_l=-39.44
Tensioni nella sezione: σ=478.10 τ=58.33
CC 29 SLV (Collegamento -179_-383)
Azioni sul collegamento: N=-10933.80 Ty=8.45 Tz=8.86 Mx=-0.00 Mz=5.25
Sollecitazioni agenti localmente: Ty_l=-1917.39 My_l=-39.28
Tensioni nella sezione: σ=476.09 τ=58.10
CC 29 SLV (Collegamento -179_-383)
Azioni sul collegamento: N=-10933.80 Ty=8.90 Tz=16.43 Mx=-0.00 Mz=3.34
Sollecitazioni agenti localmente: Ty_l=-1924.98 My_l=-39.44
Tensioni nella sezione: σ=478.10 τ=58.33
CC 29 SLV (Collegamento -179_-383)
Azioni sul collegamento: N=-10933.80 Ty=8.45 Tz=16.43 Mx=-0.00 Mz=5.25
Sollecitazioni agenti localmente: Ty_l=-1917.39 My_l=-39.28
Tensioni nella sezione: σ=476.09 τ=58.10
CC 30 SLD (Collegamento -179_-383)
Azioni sul collegamento: N=-9511.03 Ty=9.67 Tz=11.87 Mx=0.00 Mz=6.14
Sollecitazioni agenti localmente: Ty_l=-1661.63 My_l=-34.03
Tensioni nella sezione: σ=412.48 τ=50.35

CC 30 SLD (Collegamento -179_-383)
Azioni sul collegamento: N=-9511.03 Ty=9.53 Tz=11.87 Mx=0.00 Mz=6.72
Sollecitazioni agenti localmente: Ty_l=-1659.31 My_l=-33.98
Tensioni nella sezione: σ=411.86 τ=50.28
CC 30 SLD (Collegamento -179_-383)
Azioni sul collegamento: N=-9511.03 Ty=9.67 Tz=14.18 Mx=0.00 Mz=6.14
Sollecitazioni agenti localmente: Ty_l=-1661.63 My_l=-34.03
Tensioni nella sezione: σ=412.48 τ=50.35
CC 30 SLD (Collegamento -179_-383)
Azioni sul collegamento: N=-9511.03 Ty=9.53 Tz=14.18 Mx=0.00 Mz=6.72
Sollecitazioni agenti localmente: Ty_l=-1659.31 My_l=-33.98
Tensioni nella sezione: σ=411.86 τ=50.28
CC 30 SLD (Collegamento -179_-383)
Azioni sul collegamento: N=-10221.40 Ty=9.67 Tz=11.87 Mx=0.00 Mz=6.14
Sollecitazioni agenti localmente: Ty_l=-1787.56 My_l=-36.61
Tensioni nella sezione: σ=443.77 τ=54.17
CC 30 SLD (Collegamento -179_-383)
Azioni sul collegamento: N=-10221.40 Ty=9.53 Tz=11.87 Mx=0.00 Mz=6.72
Sollecitazioni agenti localmente: Ty_l=-1785.25 My_l=-36.56
Tensioni nella sezione: σ=443.15 τ=54.10
CC 30 SLD (Collegamento -179_-383)
Azioni sul collegamento: N=-10221.40 Ty=9.67 Tz=14.18 Mx=0.00 Mz=6.14
Sollecitazioni agenti localmente: Ty_l=-1787.56 My_l=-36.61
Tensioni nella sezione: σ=443.77 τ=54.17
CC 30 SLD (Collegamento -179_-383)
Azioni sul collegamento: N=-10221.40 Ty=9.53 Tz=14.18 Mx=0.00 Mz=6.72
Sollecitazioni agenti localmente: Ty_l=-1785.25 My_l=-36.56
Tensioni nella sezione: σ=443.15 τ=54.10
CC 31 SLV (Collegamento -179_-383)
Azioni sul collegamento: N=-10950.00 Ty=6.74 Tz=17.52 Mx=-0.00 Mz=1.76
Sollecitazioni agenti localmente: Ty_l=-1934.15 My_l=-39.64
Tensioni nella sezione: σ=480.49 τ=58.61
CC 31 SLV (Collegamento -179_-383)
Azioni sul collegamento: N=-10950.00 Ty=10.61 Tz=17.52 Mx=-0.00 Mz=6.83
Sollecitazioni agenti localmente: Ty_l=-1913.97 My_l=-39.20
Tensioni nella sezione: σ=475.13 τ=58.00
CC 31 SLV (Collegamento -179_-383)
Azioni sul collegamento: N=-10950.00 Ty=6.74 Tz=7.77 Mx=-0.00 Mz=1.76
Sollecitazioni agenti localmente: Ty_l=-1934.15 My_l=-39.64
Tensioni nella sezione: σ=480.49 τ=58.61
CC 31 SLV (Collegamento -179_-383)
Azioni sul collegamento: N=-10950.00 Ty=10.61 Tz=7.77 Mx=-0.00 Mz=6.83
Sollecitazioni agenti localmente: Ty_l=-1913.97 My_l=-39.20
Tensioni nella sezione: σ=475.13 τ=58.00
CC 31 SLV (Collegamento -179_-383)
Azioni sul collegamento: N=-8587.82 Ty=6.74 Tz=17.52 Mx=-0.00 Mz=1.76
Sollecitazioni agenti localmente: Ty_l=-1515.40 My_l=-31.06
Tensioni nella sezione: σ=376.44 τ=45.92
CC 31 SLV (Collegamento -179_-383)
Azioni sul collegamento: N=-8587.82 Ty=10.61 Tz=17.52 Mx=-0.00 Mz=6.83
Sollecitazioni agenti localmente: Ty_l=-1495.22 My_l=-30.61
Tensioni nella sezione: σ=371.08 τ=45.31
CC 31 SLV (Collegamento -179_-383)
Azioni sul collegamento: N=-8587.82 Ty=6.74 Tz=7.77 Mx=-0.00 Mz=1.76
Sollecitazioni agenti localmente: Ty_l=-1515.40 My_l=-31.06
Tensioni nella sezione: σ=376.44 τ=45.92
CC 31 SLV (Collegamento -179_-383)
Azioni sul collegamento: N=-8587.82 Ty=10.61 Tz=7.77 Mx=-0.00 Mz=6.83
Sollecitazioni agenti localmente: Ty_l=-1495.22 My_l=-30.61
Tensioni nella sezione: σ=371.08 τ=45.31
CC 32 SLD (Collegamento -179_-383)
Azioni sul collegamento: N=-10226.40 Ty=9.01 Tz=14.51 Mx=0.00 Mz=5.66
Sollecitazioni agenti localmente: Ty_l=-1790.36 My_l=-36.67
Tensioni nella sezione: σ=444.50 τ=54.25
CC 32 SLD (Collegamento -179_-383)
Azioni sul collegamento: N=-10226.40 Ty=10.19 Tz=14.51 Mx=0.00 Mz=7.20
Sollecitazioni agenti localmente: Ty_l=-1784.21 My_l=-36.54
Tensioni nella sezione: σ=442.86 τ=54.07
CC 32 SLD (Collegamento -179_-383)
Azioni sul collegamento: N=-10226.40 Ty=9.01 Tz=11.54 Mx=0.00 Mz=5.66
Sollecitazioni agenti localmente: Ty_l=-1790.36 My_l=-36.67
Tensioni nella sezione: σ=444.50 τ=54.25
CC 32 SLD (Collegamento -179_-383)
Azioni sul collegamento: N=-10226.40 Ty=10.19 Tz=11.54 Mx=0.00 Mz=7.20
Sollecitazioni agenti localmente: Ty_l=-1784.21 My_l=-36.54
Tensioni nella sezione: σ=442.86 τ=54.07
CC 32 SLD (Collegamento -179_-383)
Azioni sul collegamento: N=-9506.09 Ty=9.01 Tz=14.51 Mx=0.00 Mz=5.66
Sollecitazioni agenti localmente: Ty_l=-1662.67 My_l=-34.05

Tensioni nella sezione: σ=412.77 τ=50.38
CC 32 SLD (Collegamento -179_-383)
Azioni sul collegamento: N=-9506.09 Ty=10.19 Tz=14.51 Mx=0.00 Mz=7.20
Sollecitazioni agenti localmente: Ty_l=-1656.52 My_l=-33.92
Tensioni nella sezione: σ=411.13 τ=50.20
CC 32 SLD (Collegamento -179_-383)
Azioni sul collegamento: N=-9506.09 Ty=9.01 Tz=11.54 Mx=0.00 Mz=5.66
Sollecitazioni agenti localmente: Ty_l=-1662.67 My_l=-34.05
Tensioni nella sezione: σ=412.77 τ=50.38
CC 32 SLD (Collegamento -179_-383)
Azioni sul collegamento: N=-9506.09 Ty=10.19 Tz=11.54 Mx=0.00 Mz=7.20
Sollecitazioni agenti localmente: Ty_l=-1656.52 My_l=-33.92
Tensioni nella sezione: σ=411.13 τ=50.20
CC 33 SLU (Collegamento -179_-383)
Azioni sul collegamento: N=-36428.20 Ty=20.21 Tz=102.49 Mx=0.01 Mz=15.01
Sollecitazioni agenti localmente: Ty_l=-6398.02 My_l=-131.08
Tensioni nella sezione: σ=1588.80 τ=193.88
CC 34 SLU (Collegamento -179_-383)
Azioni sul collegamento: N=-37242.40 Ty=20.96 Tz=105.49 Mx=0.01 Mz=15.56
Sollecitazioni agenti localmente: Ty_l=-6540.16 My_l=-133.99
Tensioni nella sezione: σ=1624.08 τ=198.19
CC 35 SLU (Collegamento -179_-383)
Azioni sul collegamento: N=-36836.10 Ty=20.67 Tz=103.93 Mx=0.00 Mz=15.47
Sollecitazioni agenti localmente: Ty_l=-6468.52 My_l=-132.52
Tensioni nella sezione: σ=1606.29 τ=196.02
CC 36 SLU (Collegamento -179_-383)
Azioni sul collegamento: N=-36834.40 Ty=20.49 Tz=104.05 Mx=0.01 Mz=15.10
Sollecitazioni agenti localmente: Ty_l=-6469.66 My_l=-132.54
Tensioni nella sezione: σ=1606.59 τ=196.05
CC 37 SLU (Collegamento -179_-383)
Azioni sul collegamento: N=-29660.30 Ty=-10.68 Tz=77.11 Mx=0.01 Mz=-8.42
Sollecitazioni agenti localmente: Ty_l=-5291.46 My_l=-108.52
Tensioni nella sezione: σ=1315.42 τ=160.35
CC 38 SLU (Collegamento -179_-383)
Azioni sul collegamento: N=-30474.50 Ty=-9.93 Tz=80.11 Mx=0.01 Mz=-7.87
Sollecitazioni agenti localmente: Ty_l=-5433.61 My_l=-111.43
Tensioni nella sezione: σ=1350.70 τ=164.66
CC 39 SLU (Collegamento -179_-383)
Azioni sul collegamento: N=-30068.30 Ty=-10.21 Tz=78.55 Mx=0.00 Mz=-7.97
Sollecitazioni agenti localmente: Ty_l=-5361.96 My_l=-109.97
Tensioni nella sezione: σ=1332.90 τ=162.48
CC 40 SLU (Collegamento -179_-383)
Azioni sul collegamento: N=-30066.50 Ty=-10.39 Tz=78.67 Mx=0.01 Mz=-8.33
Sollecitazioni agenti localmente: Ty_l=-5363.10 My_l=-109.99
Tensioni nella sezione: σ=1333.21 τ=162.52
CC 41 SLU (Collegamento -179_-383)
Azioni sul collegamento: N=-27261.60 Ty=19.33 Tz=68.83 Mx=0.01 Mz=14.21
Sollecitazioni agenti localmente: Ty_l=-4776.20 My_l=-97.83
Tensioni nella sezione: σ=1185.86 τ=144.73
CC 42 SLU (Collegamento -179_-383)
Azioni sul collegamento: N=-28075.80 Ty=20.08 Tz=71.84 Mx=0.01 Mz=14.76
Sollecitazioni agenti localmente: Ty_l=-4918.35 My_l=-100.74
Tensioni nella sezione: σ=1221.14 τ=149.04
CC 43 SLU (Collegamento -179_-383)
Azioni sul collegamento: N=-27669.60 Ty=19.79 Tz=70.28 Mx=0.00 Mz=14.67
Sollecitazioni agenti localmente: Ty_l=-4846.71 My_l=-99.28
Tensioni nella sezione: σ=1203.34 τ=146.87
CC 44 SLU (Collegamento -179_-383)
Azioni sul collegamento: N=-27667.80 Ty=19.61 Tz=70.39 Mx=0.01 Mz=14.31
Sollecitazioni agenti localmente: Ty_l=-4847.84 My_l=-99.30
Tensioni nella sezione: σ=1203.65 τ=146.90
CC 45 SLU (Collegamento -179_-383)
Azioni sul collegamento: N=-29271.60 Ty=19.56 Tz=76.22 Mx=0.00 Mz=14.53
Sollecitazioni agenti localmente: Ty_l=-5131.26 My_l=-105.11
Tensioni nella sezione: σ=1274.06 τ=155.49
CC 46 SLU (Collegamento -179_-383)
Azioni sul collegamento: N=-30085.80 Ty=20.31 Tz=79.22 Mx=0.00 Mz=15.08
Sollecitazioni agenti localmente: Ty_l=-5273.40 My_l=-108.02
Tensioni nella sezione: σ=1309.34 τ=159.80
CC 47 SLU (Collegamento -179_-383)
Azioni sul collegamento: N=-29679.60 Ty=20.02 Tz=77.66 Mx=0.00 Mz=14.99
Sollecitazioni agenti localmente: Ty_l=-5201.76 My_l=-106.55
Tensioni nella sezione: σ=1291.55 τ=157.63
CC 48 SLU (Collegamento -179_-383)
Azioni sul collegamento: N=-29677.80 Ty=19.84 Tz=77.78 Mx=0.01 Mz=14.62
Sollecitazioni agenti localmente: Ty_l=-5202.90 My_l=-106.58
Tensioni nella sezione: σ=1291.86 τ=157.66
CC 49 SLU (Collegamento -179_-383)
Azioni sul collegamento: N=-24208.20 Ty=-3.55 Tz=57.23 Mx=0.01 Mz=-3.00

Sollecitazioni agenti localmente: Ty_l=-4303.39 My_l=-88.24
Tensioni nella sezione: σ=1069.53 τ=130.41
CC 50 SLU (Collegamento -179_-383)
Azioni sul collegamento: N=-25022.40 Ty=-2.80 Tz=60.23 Mx=0.01 Mz=-2.45
Sollecitazioni agenti localmente: Ty_l=-4445.53 My_l=-91.15
Tensioni nella sezione: σ=1104.81 τ=134.71
CC 51 SLU (Collegamento -179_-383)
Azioni sul collegamento: N=-24616.20 Ty=-3.08 Tz=58.67 Mx=0.00 Mz=-2.54
Sollecitazioni agenti localmente: Ty_l=-4373.89 My_l=-89.68
Tensioni nella sezione: σ=1087.02 τ=132.54
CC 52 SLU (Collegamento -179_-383)
Azioni sul collegamento: N=-24614.40 Ty=-3.26 Tz=58.79 Mx=0.01 Mz=-2.91
Sollecitazioni agenti localmente: Ty_l=-4375.03 My_l=-89.70
Tensioni nella sezione: σ=1087.33 τ=132.58
CC 53 SLU (Collegamento -179_-383)
Azioni sul collegamento: N=-22413.60 Ty=18.90 Tz=51.04 Mx=0.00 Mz=13.93
Sollecitazioni agenti localmente: Ty_l=-3917.90 My_l=-80.24
Tensioni nella sezione: σ=972.60 τ=118.72
CC 54 SLU (Collegamento -179_-383)
Azioni sul collegamento: N=-23227.90 Ty=19.65 Tz=54.04 Mx=0.00 Mz=14.49
Sollecitazioni agenti localmente: Ty_l=-4060.05 My_l=-83.15
Tensioni nella sezione: σ=1007.88 τ=123.03
CC 55 SLU (Collegamento -179_-383)
Azioni sul collegamento: N=-22821.60 Ty=19.36 Tz=52.48 Mx=0.00 Mz=14.39
Sollecitazioni agenti localmente: Ty_l=-3988.41 My_l=-81.68
Tensioni nella sezione: σ=990.09 τ=120.86
CC 56 SLU (Collegamento -179_-383)
Azioni sul collegamento: N=-22819.90 Ty=19.19 Tz=52.60 Mx=0.01 Mz=14.03
Sollecitazioni agenti localmente: Ty_l=-3989.54 My_l=-81.71
Tensioni nella sezione: σ=990.39 τ=120.89
CC 57 SLU (Collegamento -179_-383)
Azioni sul collegamento: N=-30019.90 Ty=20.54 Tz=79.01 Mx=0.00 Mz=15.25
Sollecitazioni agenti localmente: Ty_l=-5261.06 My_l=-107.77
Tensioni nella sezione: σ=1306.26 τ=159.43
CC 58 SLU (Collegamento -179_-383)
Azioni sul collegamento: N=-30834.10 Ty=21.29 Tz=82.01 Mx=0.00 Mz=15.80
Sollecitazioni agenti localmente: Ty_l=-5403.20 My_l=-110.68
Tensioni nella sezione: σ=1341.55 τ=163.73
CC 59 SLU (Collegamento -179_-383)
Azioni sul collegamento: N=-30427.90 Ty=21.01 Tz=80.45 Mx=0.00 Mz=15.71
Sollecitazioni agenti localmente: Ty_l=-5331.56 My_l=-109.21
Tensioni nella sezione: σ=1323.75 τ=161.56
CC 60 SLU (Collegamento -179_-383)
Azioni sul collegamento: N=-30426.20 Ty=20.83 Tz=80.57 Mx=0.01 Mz=15.34
Sollecitazioni agenti localmente: Ty_l=-5332.70 My_l=-109.23
Tensioni nella sezione: σ=1324.06 τ=161.60
CC 61 SLU (Collegamento -179_-383)
Azioni sul collegamento: N=-24956.60 Ty=-2.56 Tz=60.02 Mx=0.00 Mz=-2.28
Sollecitazioni agenti localmente: Ty_l=-4433.19 My_l=-90.89
Tensioni nella sezione: σ=1101.73 τ=134.34
CC 62 SLU (Collegamento -179_-383)
Azioni sul collegamento: N=-25770.80 Ty=-1.81 Tz=63.02 Mx=0.00 Mz=-1.73
Sollecitazioni agenti localmente: Ty_l=-4575.33 My_l=-93.80
Tensioni nella sezione: σ=1137.02 τ=138.65
CC 63 SLU (Collegamento -179_-383)
Azioni sul collegamento: N=-25364.60 Ty=-2.10 Tz=61.46 Mx=0.00 Mz=-1.82
Sollecitazioni agenti localmente: Ty_l=-4503.69 My_l=-92.34
Tensioni nella sezione: σ=1119.22 τ=136.48
CC 64 SLU (Collegamento -179_-383)
Azioni sul collegamento: N=-25362.80 Ty=-2.28 Tz=61.58 Mx=0.01 Mz=-2.19
Sollecitazioni agenti localmente: Ty_l=-4504.83 My_l=-92.36
Tensioni nella sezione: σ=1119.53 τ=136.51
CC 65 SLU (Collegamento -179_-383)
Azioni sul collegamento: N=-23162.00 Ty=19.88 Tz=53.83 Mx=0.00 Mz=14.66
Sollecitazioni agenti localmente: Ty_l=-4047.70 My_l=-82.90
Tensioni nella sezione: σ=1004.80 τ=122.66
CC 66 SLU (Collegamento -179_-383)
Azioni sul collegamento: N=-23976.20 Ty=20.63 Tz=56.84 Mx=0.00 Mz=15.21
Sollecitazioni agenti localmente: Ty_l=-4189.84 My_l=-85.81
Tensioni nella sezione: σ=1040.09 τ=126.97
CC 67 SLU (Collegamento -179_-383)
Azioni sul collegamento: N=-23570.00 Ty=20.35 Tz=55.27 Mx=0.00 Mz=15.11
Sollecitazioni agenti localmente: Ty_l=-4118.20 My_l=-84.34
Tensioni nella sezione: σ=1022.29 τ=124.79
CC 68 SLU (Collegamento -179_-383)
Azioni sul collegamento: N=-23568.20 Ty=20.17 Tz=55.39 Mx=0.01 Mz=14.75
Sollecitazioni agenti localmente: Ty_l=-4119.34 My_l=-84.36
Tensioni nella sezione: σ=1022.60 τ=124.83
CC 97 SLU (Collegamento -179_-383)

Azioni sul collegamento: N=-12126.50 Ty=21.64 Tz=21.62 Mx=0.05 Mz=23.37
Sollecitazioni agenti localmente: Ty_l=-2056.73 My_l=-42.03
Tensioni nella sezione: σ=509.49 τ=62.33
CC 98 SLU (Collegamento -179_-383)
Azioni sul collegamento: N=-12940.70 Ty=22.39 Tz=24.63 Mx=0.05 Mz=23.92
Sollecitazioni agenti localmente: Ty_l=-2198.88 My_l=-44.94
Tensioni nella sezione: σ=544.77 τ=66.63
CC 99 SLU (Collegamento -179_-383)
Azioni sul collegamento: N=-12534.50 Ty=22.10 Tz=23.06 Mx=0.05 Mz=23.83
Sollecitazioni agenti localmente: Ty_l=-2127.24 My_l=-43.48
Tensioni nella sezione: σ=526.98 τ=64.46
CC 100 SLU (Collegamento -179_-383)
Azioni sul collegamento: N=-12532.70 Ty=21.92 Tz=23.18 Mx=0.05 Mz=23.46
Sollecitazioni agenti localmente: Ty_l=-2128.37 My_l=-43.50
Tensioni nella sezione: σ=527.29 τ=64.50
CC 101 SLU (Collegamento -179_-383)
Azioni sul collegamento: N=-9752.38 Ty=7.57 Tz=12.50 Mx=-0.00 Mz=4.76
Sollecitazioni agenti localmente: Ty_l=-1709.89 My_l=-35.03
Tensioni nella sezione: σ=424.56 τ=51.81
CC 102 SLU (Collegamento -179_-383)
Azioni sul collegamento: N=-10566.60 Ty=8.33 Tz=15.50 Mx=-0.00 Mz=5.31
Sollecitazioni agenti localmente: Ty_l=-1852.04 My_l=-37.94
Tensioni nella sezione: σ=459.84 τ=56.12
CC 103 SLU (Collegamento -179_-383)
Azioni sul collegamento: N=-10160.40 Ty=8.04 Tz=13.94 Mx=-0.00 Mz=5.22
Sollecitazioni agenti localmente: Ty_l=-1780.39 My_l=-36.47
Tensioni nella sezione: σ=442.05 τ=53.95
CC 104 SLU (Collegamento -179_-383)
Azioni sul collegamento: N=-10158.60 Ty=7.86 Tz=14.06 Mx=-0.00 Mz=4.85
Sollecitazioni agenti localmente: Ty_l=-1781.53 My_l=-36.49
Tensioni nella sezione: σ=442.36 τ=53.99

Collegamento -182_-384

Piastra 220.00 x 220.00 s=15.00 - 6 Tirafondi ϕ 16 - Profondità di infissione: 350.00
3 righe ad interasse 89.00
2 colonne ad interasse 178.00
Altezza di gola saldature: anima 7.07 - ala 7.07

Tirafondi e calcestruzzo

CC 1 SLV (Collegamento -182_-384)
Azioni sul collegamento: N=-5856.57 Ty=-4.82 Tz=-1.96 Mx=0.01 Mz=-1.13
Sollecitazioni agenti localmente: Tx_l=-4.82 Ty_l=-1.96 N_l=-5856.57 Mx_l=-0.00 My_l=-1.13 Mz_l=0.01
Taglio nei bulloni: Fv,Ed=0.88 Fv,Rd=7720.78
Rifollamento lato piastra: Fb,Ed,p=0.87 Fb,Rd,p=7301.70
Tirafondi:LT=0.45 (0.31) σ_{cR}=0.00 σ_{fR}=0.00
Compressione nel calcestruzzo: σ_c=12.16
CC 1 SLV (Collegamento -182_-384)
Azioni sul collegamento: N=-5856.57 Ty=-12.53 Tz=-1.96 Mx=0.01 Mz=-7.45
Sollecitazioni agenti localmente: Tx_l=-12.53 Ty_l=-1.96 N_l=-5856.57 Mx_l=-0.00 My_l=-7.45 Mz_l=0.01
Taglio nei bulloni: Fv,Ed=2.13 Fv,Rd=7720.78
Rifollamento lato piastra: Fb,Ed,p=2.12 Fb,Rd,p=6176.86
Tirafondi:LT=0.45 (0.31) σ_{cR}=0.00 σ_{fR}=0.00
Compressione nel calcestruzzo: σ_c=12.52
CC 1 SLV (Collegamento -182_-384)
Azioni sul collegamento: N=-5856.57 Ty=-4.82 Tz=27.25 Mx=0.01 Mz=-1.13
Sollecitazioni agenti localmente: Tx_l=-4.82 Ty_l=27.25 N_l=-5856.57 Mx_l=-0.00 My_l=-1.13 Mz_l=0.01
Taglio nei bulloni: Fv,Ed=4.63 Fv,Rd=7720.78
Rifollamento lato piastra: Fb,Ed,p=4.62 Fb,Rd,p=6246.93
Tirafondi:LT=0.45 (0.31) σ_{cR}=0.00 σ_{fR}=0.00
Compressione nel calcestruzzo: σ_c=12.16
CC 1 SLV (Collegamento -182_-384)
Azioni sul collegamento: N=-5856.57 Ty=-12.53 Tz=27.25 Mx=0.01 Mz=-7.45
Sollecitazioni agenti localmente: Tx_l=-12.53 Ty_l=27.25 N_l=-5856.57 Mx_l=-0.00 My_l=-7.45 Mz_l=0.01
Taglio nei bulloni: Fv,Ed=5.02 Fv,Rd=7720.78
Rifollamento lato piastra: Fb,Ed,p=5.01 Fb,Rd,p=7849.70
Tirafondi:LT=0.45 (0.31) σ_{cR}=0.00 σ_{fR}=0.00
Compressione nel calcestruzzo: σ_c=12.52
CC 1 SLV (Collegamento -182_-384)
Azioni sul collegamento: N=-13681.20 Ty=-4.82 Tz=-1.96 Mx=0.01 Mz=-1.13
Sollecitazioni agenti localmente: Tx_l=-4.82 Ty_l=-1.96 N_l=-13681.20 Mx_l=-0.00 My_l=-1.13 Mz_l=0.01
Taglio nei bulloni: Fv,Ed=0.88 Fv,Rd=7720.78
Rifollamento lato piastra: Fb,Ed,p=0.87 Fb,Rd,p=7301.58
Tirafondi:LT=0.45 (0.31) σ_{cR}=0.00 σ_{fR}=0.00
Compressione nel calcestruzzo: σ_c=28.33
CC 1 SLV (Collegamento -182_-384)
Azioni sul collegamento: N=-13681.20 Ty=-12.53 Tz=-1.96 Mx=0.01 Mz=-7.45

Sollecitazioni agenti localmente: Tx_l=-12.53 Ty_l=-1.96 N_l=-13681.20 Mx_l=-0.00 My_l=-7.45 Mz_l=0.01
Taglio nei bulloni: Fv,Ed=2.13 Fv,Rd=7720.78
Rifollamento lato piastra: Fb,Ed,p=2.12 Fb,Rd,p=6176.85
Tirafondi:LT=0.45 (0.31) σ_{cR}=0.00 σ_{fR}=0.00
Compressione nel calcestruzzo: σ_c=28.69
CC 1 SLV (Collegamento -182_-384)
Azioni sul collegamento: N=-13681.20 Ty=-4.82 Tz=27.25 Mx=0.01 Mz=-1.13
Sollecitazioni agenti localmente: Tx_l=-4.82 Ty_l=27.25 N_l=-13681.20 Mx_l=-0.00 My_l=-1.13 Mz_l=0.01
Taglio nei bulloni: Fv,Ed=4.63 Fv,Rd=7720.78
Rifollamento lato piastra: Fb,Ed,p=4.62 Fb,Rd,p=6246.92
Tirafondi:LT=0.45 (0.31) σ_{cR}=0.00 σ_{fR}=0.00
Compressione nel calcestruzzo: σ_c=28.33
CC 1 SLV (Collegamento -182_-384)
Azioni sul collegamento: N=-13681.20 Ty=-12.53 Tz=27.25 Mx=0.01 Mz=-7.45
Sollecitazioni agenti localmente: Tx_l=-12.53 Ty_l=27.25 N_l=-13681.20 Mx_l=-0.00 My_l=-7.45 Mz_l=0.01
Taglio nei bulloni: Fv,Ed=5.02 Fv,Rd=7720.78
Rifollamento lato piastra: Fb,Ed,p=5.01 Fb,Rd,p=7849.67
Tirafondi:LT=0.45 (0.31) σ_{cR}=0.00 σ_{fR}=0.00
Compressione nel calcestruzzo: σ_c=28.69
CC 2 SLD (Collegamento -182_-384)
Azioni sul collegamento: N=-8673.24 Ty=-8.42 Tz=8.57 Mx=0.00 Mz=-5.47
Sollecitazioni agenti localmente: Tx_l=-8.42 Ty_l=8.57 N_l=-8673.24 Mx_l=-0.00 My_l=-5.47 Mz_l=0.00
Taglio nei bulloni: Fv,Ed=2.01 Fv,Rd=9650.97
Rifollamento lato piastra: Fb,Ed,p=2.00 Fb,Rd,p=14893.10
Tirafondi:LT=0.45 (0.31) σ_{cR}=0.00 σ_{fR}=0.00
Compressione nel calcestruzzo: σ_c=18.23
CC 2 SLD (Collegamento -182_-384)
Azioni sul collegamento: N=-8673.24 Ty=-10.78 Tz=8.57 Mx=0.00 Mz=-7.39
Sollecitazioni agenti localmente: Tx_l=-10.78 Ty_l=8.57 N_l=-8673.24 Mx_l=-0.00 My_l=-7.39 Mz_l=0.00
Taglio nei bulloni: Fv,Ed=2.30 Fv,Rd=9650.97
Rifollamento lato piastra: Fb,Ed,p=2.30 Fb,Rd,p=13577.30
Tirafondi:LT=0.45 (0.31) σ_{cR}=0.00 σ_{fR}=0.00
Compressione nel calcestruzzo: σ_c=18.34
CC 2 SLD (Collegamento -182_-384)
Azioni sul collegamento: N=-8673.24 Ty=-8.42 Tz=17.48 Mx=0.00 Mz=-5.47
Sollecitazioni agenti localmente: Tx_l=-8.42 Ty_l=17.48 N_l=-8673.24 Mx_l=-0.00 My_l=-5.47 Mz_l=0.00
Taglio nei bulloni: Fv,Ed=3.24 Fv,Rd=9650.97
Rifollamento lato piastra: Fb,Ed,p=3.23 Fb,Rd,p=10084.80
Tirafondi:LT=0.45 (0.31) σ_{cR}=0.00 σ_{fR}=0.00
Compressione nel calcestruzzo: σ_c=18.23
CC 2 SLD (Collegamento -182_-384)
Azioni sul collegamento: N=-8673.24 Ty=-10.78 Tz=17.48 Mx=0.00 Mz=-7.39
Sollecitazioni agenti localmente: Tx_l=-10.78 Ty_l=17.48 N_l=-8673.24 Mx_l=-0.00 My_l=-7.39 Mz_l=0.00
Taglio nei bulloni: Fv,Ed=3.42 Fv,Rd=9650.97
Rifollamento lato piastra: Fb,Ed,p=3.42 Fb,Rd,p=11786.20
Tirafondi:LT=0.45 (0.31) σ_{cR}=0.00 σ_{fR}=0.00
Compressione nel calcestruzzo: σ_c=18.34
CC 2 SLD (Collegamento -182_-384)
Azioni sul collegamento: N=-11059.20 Ty=-8.42 Tz=8.57 Mx=0.00 Mz=-5.47
Sollecitazioni agenti localmente: Tx_l=-8.42 Ty_l=8.57 N_l=-11059.20 Mx_l=-0.00 My_l=-5.47 Mz_l=0.00
Taglio nei bulloni: Fv,Ed=2.01 Fv,Rd=9650.97
Rifollamento lato piastra: Fb,Ed,p=2.00 Fb,Rd,p=14893.40
Tirafondi:LT=0.45 (0.31) σ_{cR}=0.00 σ_{fR}=0.00
Compressione nel calcestruzzo: σ_c=23.16
CC 2 SLD (Collegamento -182_-384)
Azioni sul collegamento: N=-11059.20 Ty=-10.78 Tz=8.57 Mx=0.00 Mz=-7.39
Sollecitazioni agenti localmente: Tx_l=-10.78 Ty_l=8.57 N_l=-11059.20 Mx_l=-0.00 My_l=-7.39 Mz_l=0.00
Taglio nei bulloni: Fv,Ed=2.30 Fv,Rd=9650.97
Rifollamento lato piastra: Fb,Ed,p=2.30 Fb,Rd,p=13577.10
Tirafondi:LT=0.45 (0.31) σ_{cR}=0.00 σ_{fR}=0.00
Compressione nel calcestruzzo: σ_c=23.27
CC 2 SLD (Collegamento -182_-384)
Azioni sul collegamento: N=-11059.20 Ty=-8.42 Tz=17.48 Mx=0.00 Mz=-5.47
Sollecitazioni agenti localmente: Tx_l=-8.42 Ty_l=17.48 N_l=-11059.20 Mx_l=-0.00 My_l=-5.47 Mz_l=0.00
Taglio nei bulloni: Fv,Ed=3.24 Fv,Rd=9650.97
Rifollamento lato piastra: Fb,Ed,p=3.23 Fb,Rd,p=10084.80
Tirafondi:LT=0.45 (0.31) σ_{cR}=0.00 σ_{fR}=0.00
Compressione nel calcestruzzo: σ_c=23.16
CC 2 SLD (Collegamento -182_-384)
Azioni sul collegamento: N=-11059.20 Ty=-10.78 Tz=17.48 Mx=0.00 Mz=-7.39
Sollecitazioni agenti localmente: Tx_l=-10.78 Ty_l=17.48 N_l=-11059.20 Mx_l=-0.00 My_l=-7.39 Mz_l=0.00
Taglio nei bulloni: Fv,Ed=3.42 Fv,Rd=9650.97
Rifollamento lato piastra: Fb,Ed,p=3.42 Fb,Rd,p=11786.20
Tirafondi:LT=0.45 (0.31) σ_{cR}=0.00 σ_{fR}=0.00
Compressione nel calcestruzzo: σ_c=23.27
CC 3 SLV (Collegamento -182_-384)
Azioni sul collegamento: N=-5861.42 Ty=-5.33 Tz=-1.63 Mx=0.01 Mz=-2.18
Sollecitazioni agenti localmente: Tx_l=-5.33 Ty_l=-1.63 N_l=-5861.42 Mx_l=-0.00 My_l=-2.18 Mz_l=0.01

Taglio nei bulloni: Fv,Ed=0.94 Fv,Rd=7720.78
Rifollamento lato piastra: Fb,Ed,p=0.93 Fb,Rd,p=6755.51
Tirafondi:LT=0.45 (0.31) σ_{cR}=0.00 σ_{fR}=0.00
Compressione nel calcestruzzo: σ_c=12.23
CC 3 SLV (Collegamento -182_-384)
Azioni sul collegamento: N=-5861.42 Ty=-12.02 Tz=-1.63 Mx=0.01 Mz=-6.41
Sollecitazioni agenti localmente: Tx_l=-12.02 Ty_l=-1.63 N_l=-5861.42 Mx_l=-0.00 My_l=-6.41 Mz_l=0.01
Taglio nei bulloni: Fv,Ed=2.03 Fv,Rd=7720.78
Rifollamento lato piastra: Fb,Ed,p=2.03 Fb,Rd,p=6132.69
Tirafondi:LT=0.45 (0.31) σ_{cR}=0.00 σ_{fR}=0.00
Compressione nel calcestruzzo: σ_c=12.47
CC 3 SLV (Collegamento -182_-384)
Azioni sul collegamento: N=-5861.42 Ty=-5.33 Tz=26.92 Mx=0.01 Mz=-2.18
Sollecitazioni agenti localmente: Tx_l=-5.33 Ty_l=26.92 N_l=-5861.42 Mx_l=-0.00 My_l=-2.18 Mz_l=0.01
Taglio nei bulloni: Fv,Ed=4.58 Fv,Rd=7720.78
Rifollamento lato piastra: Fb,Ed,p=4.58 Fb,Rd,p=6321.24
Tirafondi:LT=0.45 (0.31) σ_{cR}=0.00 σ_{fR}=0.00
Compressione nel calcestruzzo: σ_c=12.23
CC 3 SLV (Collegamento -182_-384)
Azioni sul collegamento: N=-5861.42 Ty=-12.02 Tz=26.92 Mx=0.01 Mz=-6.41
Sollecitazioni agenti localmente: Tx_l=-12.02 Ty_l=26.92 N_l=-5861.42 Mx_l=-0.00 My_l=-6.41 Mz_l=0.01
Taglio nei bulloni: Fv,Ed=4.92 Fv,Rd=7720.78
Rifollamento lato piastra: Fb,Ed,p=4.92 Fb,Rd,p=7753.06
Tirafondi:LT=0.45 (0.31) σ_{cR}=0.00 σ_{fR}=0.00
Compressione nel calcestruzzo: σ_c=12.47
CC 3 SLV (Collegamento -182_-384)
Azioni sul collegamento: N=-13676.40 Ty=-5.33 Tz=-1.63 Mx=0.01 Mz=-2.18
Sollecitazioni agenti localmente: Tx_l=-5.33 Ty_l=-1.63 N_l=-13676.40 Mx_l=-0.00 My_l=-2.18 Mz_l=0.01
Taglio nei bulloni: Fv,Ed=0.94 Fv,Rd=7720.78
Rifollamento lato piastra: Fb,Ed,p=0.93 Fb,Rd,p=6754.90
Tirafondi:LT=0.45 (0.31) σ_{cR}=0.00 σ_{fR}=0.00
Compressione nel calcestruzzo: σ_c=28.38
CC 3 SLV (Collegamento -182_-384)
Azioni sul collegamento: N=-13676.40 Ty=-12.02 Tz=-1.63 Mx=0.01 Mz=-6.41
Sollecitazioni agenti localmente: Tx_l=-12.02 Ty_l=-1.63 N_l=-13676.40 Mx_l=-0.00 My_l=-6.41 Mz_l=0.01
Taglio nei bulloni: Fv,Ed=2.03 Fv,Rd=7720.78
Rifollamento lato piastra: Fb,Ed,p=2.03 Fb,Rd,p=6132.57
Tirafondi:LT=0.45 (0.31) σ_{cR}=0.00 σ_{fR}=0.00
Compressione nel calcestruzzo: σ_c=28.62
CC 3 SLV (Collegamento -182_-384)
Azioni sul collegamento: N=-13676.40 Ty=-5.33 Tz=26.92 Mx=0.01 Mz=-2.18
Sollecitazioni agenti localmente: Tx_l=-5.33 Ty_l=26.92 N_l=-13676.40 Mx_l=-0.00 My_l=-2.18 Mz_l=0.01
Taglio nei bulloni: Fv,Ed=4.58 Fv,Rd=7720.78
Rifollamento lato piastra: Fb,Ed,p=4.58 Fb,Rd,p=6321.23
Tirafondi:LT=0.45 (0.31) σ_{cR}=0.00 σ_{fR}=0.00
Compressione nel calcestruzzo: σ_c=28.38
CC 3 SLV (Collegamento -182_-384)
Azioni sul collegamento: N=-13676.40 Ty=-12.02 Tz=26.92 Mx=0.01 Mz=-6.41
Sollecitazioni agenti localmente: Tx_l=-12.02 Ty_l=26.92 N_l=-13676.40 Mx_l=-0.00 My_l=-6.41 Mz_l=0.01
Taglio nei bulloni: Fv,Ed=4.92 Fv,Rd=7720.78
Rifollamento lato piastra: Fb,Ed,p=4.92 Fb,Rd,p=7753.00
Tirafondi:LT=0.45 (0.31) σ_{cR}=0.00 σ_{fR}=0.00
Compressione nel calcestruzzo: σ_c=28.62
CC 4 SLD (Collegamento -182_-384)
Azioni sul collegamento: N=-8674.72 Ty=-8.58 Tz=8.67 Mx=-0.00 Mz=-5.79
Sollecitazioni agenti localmente: Tx_l=-8.58 Ty_l=8.67 N_l=-8674.72 Mx_l=-0.00 My_l=-5.79 Mz_l=-0.00
Taglio nei bulloni: Fv,Ed=2.03 Fv,Rd=9650.97
Rifollamento lato piastra: Fb,Ed,p=2.03 Fb,Rd,p=14943.70
Tirafondi:LT=0.45 (0.31) σ_{cR}=0.00 σ_{fR}=0.00
Compressione nel calcestruzzo: σ_c=18.25
CC 4 SLD (Collegamento -182_-384)
Azioni sul collegamento: N=-8674.72 Ty=-10.62 Tz=8.67 Mx=-0.00 Mz=-7.07
Sollecitazioni agenti localmente: Tx_l=-10.62 Ty_l=8.67 N_l=-8674.72 Mx_l=-0.00 My_l=-7.07 Mz_l=-0.00
Taglio nei bulloni: Fv,Ed=2.29 Fv,Rd=9650.97
Rifollamento lato piastra: Fb,Ed,p=2.29 Fb,Rd,p=13715.40
Tirafondi:LT=0.45 (0.31) σ_{cR}=0.00 σ_{fR}=0.00
Compressione nel calcestruzzo: σ_c=18.32
CC 4 SLD (Collegamento -182_-384)
Azioni sul collegamento: N=-8674.72 Ty=-8.58 Tz=17.38 Mx=-0.00 Mz=-5.79
Sollecitazioni agenti localmente: Tx_l=-8.58 Ty_l=17.38 N_l=-8674.72 Mx_l=-0.00 My_l=-5.79 Mz_l=-0.00
Taglio nei bulloni: Fv,Ed=3.23 Fv,Rd=9650.97
Rifollamento lato piastra: Fb,Ed,p=3.23 Fb,Rd,p=10224.70
Tirafondi:LT=0.45 (0.31) σ_{cR}=0.00 σ_{fR}=0.00
Compressione nel calcestruzzo: σ_c=18.25
CC 4 SLD (Collegamento -182_-384)
Azioni sul collegamento: N=-8674.72 Ty=-10.62 Tz=17.38 Mx=-0.00 Mz=-7.07
Sollecitazioni agenti localmente: Tx_l=-10.62 Ty_l=17.38 N_l=-8674.72 Mx_l=-0.00 My_l=-7.07 Mz_l=-0.00
Taglio nei bulloni: Fv,Ed=3.40 Fv,Rd=9650.97

Rifollamento lato piastra: Fb,Ed,p=3.40 Fb,Rd,p=11719.80
Tirafondi:LT=0.45 (0.31) σ_{cR}=0.00 σ_{fR}=0.00
Compressione nel calcestruzzo: σ_c=18.32
CC 4 SLD (Collegamento -182_-384)
Azioni sul collegamento: N=-11057.70 Ty=-8.58 Tz=8.67 Mx=-0.00 Mz=-5.79
Sollecitazioni agenti localmente: Tx_l=-8.58 Ty_l=8.67 N_l=-11057.70 Mx_l=-0.00 My_l=-5.79 Mz_l=-0.00
Taglio nei bulloni: Fv,Ed=2.03 Fv,Rd=9650.97
Rifollamento lato piastra: Fb,Ed,p=2.03 Fb,Rd,p=14944.00
Tirafondi:LT=0.45 (0.31) σ_{cR}=0.00 σ_{fR}=0.00
Compressione nel calcestruzzo: σ_c=23.17
CC 4 SLD (Collegamento -182_-384)
Azioni sul collegamento: N=-11057.70 Ty=-10.62 Tz=8.67 Mx=-0.00 Mz=-7.07
Sollecitazioni agenti localmente: Tx_l=-10.62 Ty_l=8.67 N_l=-11057.70 Mx_l=-0.00 My_l=-7.07 Mz_l=-0.00
Taglio nei bulloni: Fv,Ed=2.29 Fv,Rd=9650.97
Rifollamento lato piastra: Fb,Ed,p=2.29 Fb,Rd,p=13715.30
Tirafondi:LT=0.45 (0.31) σ_{cR}=0.00 σ_{fR}=0.00
Compressione nel calcestruzzo: σ_c=23.25
CC 4 SLD (Collegamento -182_-384)
Azioni sul collegamento: N=-11057.70 Ty=-8.58 Tz=17.38 Mx=-0.00 Mz=-5.79
Sollecitazioni agenti localmente: Tx_l=-8.58 Ty_l=17.38 N_l=-11057.70 Mx_l=-0.00 My_l=-5.79 Mz_l=-0.00
Taglio nei bulloni: Fv,Ed=3.23 Fv,Rd=9650.97
Rifollamento lato piastra: Fb,Ed,p=3.23 Fb,Rd,p=10224.80
Tirafondi:LT=0.45 (0.31) σ_{cR}=0.00 σ_{fR}=0.00
Compressione nel calcestruzzo: σ_c=23.17
CC 4 SLD (Collegamento -182_-384)
Azioni sul collegamento: N=-11057.70 Ty=-10.62 Tz=17.38 Mx=-0.00 Mz=-7.07
Sollecitazioni agenti localmente: Tx_l=-10.62 Ty_l=17.38 N_l=-11057.70 Mx_l=-0.00 My_l=-7.07 Mz_l=-0.00
Taglio nei bulloni: Fv,Ed=3.40 Fv,Rd=9650.97
Rifollamento lato piastra: Fb,Ed,p=3.40 Fb,Rd,p=11719.90
Tirafondi:LT=0.45 (0.31) σ_{cR}=0.00 σ_{fR}=0.00
Compressione nel calcestruzzo: σ_c=23.25
CC 5 SLV (Collegamento -182_-384)
Azioni sul collegamento: N=-13676.40 Ty=-12.02 Tz=26.92 Mx=0.01 Mz=-6.41
Sollecitazioni agenti localmente: Tx_l=-12.02 Ty_l=26.92 N_l=-13676.40 Mx_l=-0.00 My_l=-6.41 Mz_l=0.01
Taglio nei bulloni: Fv,Ed=4.93 Fv,Rd=7720.78
Rifollamento lato piastra: Fb,Ed,p=4.92 Fb,Rd,p=7739.34
Tirafondi:LT=0.45 (0.31) σ_{cR}=0.00 σ_{fR}=0.00
Compressione nel calcestruzzo: σ_c=28.62
CC 5 SLV (Collegamento -182_-384)
Azioni sul collegamento: N=-13676.40 Ty=-5.33 Tz=26.92 Mx=0.01 Mz=-2.18
Sollecitazioni agenti localmente: Tx_l=-5.33 Ty_l=26.92 N_l=-13676.40 Mx_l=-0.00 My_l=-2.18 Mz_l=0.01
Taglio nei bulloni: Fv,Ed=4.59 Fv,Rd=7720.78
Rifollamento lato piastra: Fb,Ed,p=4.58 Fb,Rd,p=6316.35
Tirafondi:LT=0.45 (0.31) σ_{cR}=0.00 σ_{fR}=0.00
Compressione nel calcestruzzo: σ_c=28.38
CC 5 SLV (Collegamento -182_-384)
Azioni sul collegamento: N=-13676.40 Ty=-12.02 Tz=-1.63 Mx=0.01 Mz=-6.41
Sollecitazioni agenti localmente: Tx_l=-12.02 Ty_l=-1.63 N_l=-13676.40 Mx_l=-0.00 My_l=-6.41 Mz_l=0.01
Taglio nei bulloni: Fv,Ed=2.04 Fv,Rd=7720.78
Rifollamento lato piastra: Fb,Ed,p=2.03 Fb,Rd,p=6125.74
Tirafondi:LT=0.45 (0.31) σ_{cR}=0.00 σ_{fR}=0.00
Compressione nel calcestruzzo: σ_c=28.62
CC 5 SLV (Collegamento -182_-384)
Azioni sul collegamento: N=-13676.40 Ty=-5.33 Tz=-1.63 Mx=0.01 Mz=-2.18
Sollecitazioni agenti localmente: Tx_l=-5.33 Ty_l=-1.63 N_l=-13676.40 Mx_l=-0.00 My_l=-2.18 Mz_l=0.01
Taglio nei bulloni: Fv,Ed=0.95 Fv,Rd=7720.78
Rifollamento lato piastra: Fb,Ed,p=0.94 Fb,Rd,p=6715.32
Tirafondi:LT=0.45 (0.31) σ_{cR}=0.00 σ_{fR}=0.00
Compressione nel calcestruzzo: σ_c=28.38
CC 5 SLV (Collegamento -182_-384)
Azioni sul collegamento: N=-5861.42 Ty=-12.02 Tz=26.92 Mx=0.01 Mz=-6.41
Sollecitazioni agenti localmente: Tx_l=-12.02 Ty_l=26.92 N_l=-5861.42 Mx_l=-0.00 My_l=-6.41 Mz_l=0.01
Taglio nei bulloni: Fv,Ed=4.93 Fv,Rd=7720.78
Rifollamento lato piastra: Fb,Ed,p=4.92 Fb,Rd,p=7739.39
Tirafondi:LT=0.45 (0.31) σ_{cR}=0.00 σ_{fR}=0.00
Compressione nel calcestruzzo: σ_c=12.47
CC 5 SLV (Collegamento -182_-384)
Azioni sul collegamento: N=-5861.42 Ty=-5.33 Tz=26.92 Mx=0.01 Mz=-2.18
Sollecitazioni agenti localmente: Tx_l=-5.33 Ty_l=26.92 N_l=-5861.42 Mx_l=-0.00 My_l=-2.18 Mz_l=0.01
Taglio nei bulloni: Fv,Ed=4.59 Fv,Rd=7720.78
Rifollamento lato piastra: Fb,Ed,p=4.58 Fb,Rd,p=6316.35
Tirafondi:LT=0.45 (0.31) σ_{cR}=0.00 σ_{fR}=0.00
Compressione nel calcestruzzo: σ_c=12.23
CC 5 SLV (Collegamento -182_-384)
Azioni sul collegamento: N=-5861.42 Ty=-12.02 Tz=-1.63 Mx=0.01 Mz=-6.41
Sollecitazioni agenti localmente: Tx_l=-12.02 Ty_l=-1.63 N_l=-5861.42 Mx_l=-0.00 My_l=-6.41 Mz_l=0.01
Taglio nei bulloni: Fv,Ed=2.04 Fv,Rd=7720.78
Rifollamento lato piastra: Fb,Ed,p=2.03 Fb,Rd,p=6125.85

Tirafondi:LT=0.45 (0.31) σ_{cR}=0.00 σ_{fR}=0.00
Compressione nel calcestruzzo: σ_c=12.47
CC 5 SLV (Collegamento -182_-384)
Azioni sul collegamento: N=-5861.42 Ty=-5.33 Tz=-1.63 Mx=0.01 Mz=-2.18
Sollecitazioni agenti localmente: Tx_l=-5.33 Ty_l=-1.63 N_l=-5861.42 Mx_l=-0.00 My_l=-2.18 Mz_l=0.01
Taglio nei bulloni: Fv,Ed=0.95 Fv,Rd=7720.78
Rifollamento lato piastra: Fb,Ed,p=0.94 Fb,Rd,p=6715.90
Tirafondi:LT=0.45 (0.31) σ_{cR}=0.00 σ_{fR}=0.00
Compressione nel calcestruzzo: σ_c=12.23
CC 6 SLD (Collegamento -182_-384)
Azioni sul collegamento: N=-11057.70 Ty=-10.62 Tz=17.38 Mx=0.00 Mz=-7.07
Sollecitazioni agenti localmente: Tx_l=-10.62 Ty_l=17.38 N_l=-11057.70 Mx_l=-0.00 My_l=-7.07 Mz_l=0.00
Taglio nei bulloni: Fv,Ed=3.40 Fv,Rd=9650.97
Rifollamento lato piastra: Fb,Ed,p=3.40 Fb,Rd,p=11708.50
Tirafondi:LT=0.45 (0.31) σ_{cR}=0.00 σ_{fR}=0.00
Compressione nel calcestruzzo: σ_c=23.25
CC 6 SLD (Collegamento -182_-384)
Azioni sul collegamento: N=-11057.70 Ty=-8.58 Tz=17.38 Mx=0.00 Mz=-5.79
Sollecitazioni agenti localmente: Tx_l=-8.58 Ty_l=17.38 N_l=-11057.70 Mx_l=-0.00 My_l=-5.79 Mz_l=0.00
Taglio nei bulloni: Fv,Ed=3.23 Fv,Rd=9650.97
Rifollamento lato piastra: Fb,Ed,p=3.23 Fb,Rd,p=10216.30
Tirafondi:LT=0.45 (0.31) σ_{cR}=0.00 σ_{fR}=0.00
Compressione nel calcestruzzo: σ_c=23.17
CC 6 SLD (Collegamento -182_-384)
Azioni sul collegamento: N=-11057.70 Ty=-10.62 Tz=8.67 Mx=0.00 Mz=-7.07
Sollecitazioni agenti localmente: Tx_l=-10.62 Ty_l=8.67 N_l=-11057.70 Mx_l=-0.00 My_l=-7.07 Mz_l=0.00
Taglio nei bulloni: Fv,Ed=2.29 Fv,Rd=9650.97
Rifollamento lato piastra: Fb,Ed,p=2.29 Fb,Rd,p=13717.70
Tirafondi:LT=0.45 (0.31) σ_{cR}=0.00 σ_{fR}=0.00
Compressione nel calcestruzzo: σ_c=23.25
CC 6 SLD (Collegamento -182_-384)
Azioni sul collegamento: N=-11057.70 Ty=-8.58 Tz=8.67 Mx=0.00 Mz=-5.79
Sollecitazioni agenti localmente: Tx_l=-8.58 Ty_l=8.67 N_l=-11057.70 Mx_l=-0.00 My_l=-5.79 Mz_l=0.00
Taglio nei bulloni: Fv,Ed=2.04 Fv,Rd=9650.97
Rifollamento lato piastra: Fb,Ed,p=2.03 Fb,Rd,p=14943.90
Tirafondi:LT=0.45 (0.31) σ_{cR}=0.00 σ_{fR}=0.00
Compressione nel calcestruzzo: σ_c=23.17
CC 6 SLD (Collegamento -182_-384)
Azioni sul collegamento: N=-8674.72 Ty=-10.62 Tz=17.38 Mx=0.00 Mz=-7.07
Sollecitazioni agenti localmente: Tx_l=-10.62 Ty_l=17.38 N_l=-8674.72 Mx_l=-0.00 My_l=-7.07 Mz_l=0.00
Taglio nei bulloni: Fv,Ed=3.40 Fv,Rd=9650.97
Rifollamento lato piastra: Fb,Ed,p=3.40 Fb,Rd,p=11708.40
Tirafondi:LT=0.45 (0.31) σ_{cR}=0.00 σ_{fR}=0.00
Compressione nel calcestruzzo: σ_c=18.32
CC 6 SLD (Collegamento -182_-384)
Azioni sul collegamento: N=-8674.72 Ty=-8.58 Tz=17.38 Mx=0.00 Mz=-5.79
Sollecitazioni agenti localmente: Tx_l=-8.58 Ty_l=17.38 N_l=-8674.72 Mx_l=-0.00 My_l=-5.79 Mz_l=0.00
Taglio nei bulloni: Fv,Ed=3.23 Fv,Rd=9650.97
Rifollamento lato piastra: Fb,Ed,p=3.23 Fb,Rd,p=10216.20
Tirafondi:LT=0.45 (0.31) σ_{cR}=0.00 σ_{fR}=0.00
Compressione nel calcestruzzo: σ_c=18.25
CC 6 SLD (Collegamento -182_-384)
Azioni sul collegamento: N=-8674.72 Ty=-10.62 Tz=8.67 Mx=0.00 Mz=-7.07
Sollecitazioni agenti localmente: Tx_l=-10.62 Ty_l=8.67 N_l=-8674.72 Mx_l=-0.00 My_l=-7.07 Mz_l=0.00
Taglio nei bulloni: Fv,Ed=2.29 Fv,Rd=9650.97
Rifollamento lato piastra: Fb,Ed,p=2.29 Fb,Rd,p=13717.90
Tirafondi:LT=0.45 (0.31) σ_{cR}=0.00 σ_{fR}=0.00
Compressione nel calcestruzzo: σ_c=18.32
CC 6 SLD (Collegamento -182_-384)
Azioni sul collegamento: N=-8674.72 Ty=-8.58 Tz=8.67 Mx=0.00 Mz=-5.79
Sollecitazioni agenti localmente: Tx_l=-8.58 Ty_l=8.67 N_l=-8674.72 Mx_l=-0.00 My_l=-5.79 Mz_l=0.00
Taglio nei bulloni: Fv,Ed=2.04 Fv,Rd=9650.97
Rifollamento lato piastra: Fb,Ed,p=2.03 Fb,Rd,p=14943.70
Tirafondi:LT=0.45 (0.31) σ_{cR}=0.00 σ_{fR}=0.00
Compressione nel calcestruzzo: σ_c=18.25
CC 7 SLV (Collegamento -182_-384)
Azioni sul collegamento: N=-13681.20 Ty=-12.53 Tz=27.25 Mx=0.01 Mz=-7.45
Sollecitazioni agenti localmente: Tx_l=-12.53 Ty_l=27.25 N_l=-13681.20 Mx_l=-0.00 My_l=-7.45 Mz_l=0.01
Taglio nei bulloni: Fv,Ed=5.01 Fv,Rd=7720.78
Rifollamento lato piastra: Fb,Ed,p=5.00 Fb,Rd,p=7864.22
Tirafondi:LT=0.45 (0.31) σ_{cR}=0.00 σ_{fR}=0.00
Compressione nel calcestruzzo: σ_c=28.69
CC 7 SLV (Collegamento -182_-384)
Azioni sul collegamento: N=-13681.20 Ty=-4.82 Tz=27.25 Mx=0.01 Mz=-1.13
Sollecitazioni agenti localmente: Tx_l=-4.82 Ty_l=27.25 N_l=-13681.20 Mx_l=-0.00 My_l=-1.13 Mz_l=0.01
Taglio nei bulloni: Fv,Ed=4.62 Fv,Rd=7720.78
Rifollamento lato piastra: Fb,Ed,p=4.62 Fb,Rd,p=6251.30
Tirafondi:LT=0.45 (0.31) σ_{cR}=0.00 σ_{fR}=0.00

Compressione nel calcestruzzo: σ_c=28.33
CC 7 SLV (Collegamento -182_-384)
Azioni sul collegamento: N=-13681.20 Ty=-12.53 Tz=-1.96 Mx=0.01 Mz=-7.45
Sollecitazioni agenti localmente: Tx_l=-12.53 Ty_l=-1.96 N_l=-13681.20 Mx_l=-0.00 My_l=-7.45 Mz_l=0.01
Taglio nei bulloni: Fv,Ed=2.12 Fv,Rd=7720.78
Rifollamento lato piastra: Fb,Ed,p=2.12 Fb,Rd,p=6184.86
Tirafondi:LT=0.45 (0.31) σ_{cR}=0.00 σ_{fR}=0.00
Compressione nel calcestruzzo: σ_c=28.69
CC 7 SLV (Collegamento -182_-384)
Azioni sul collegamento: N=-13681.20 Ty=-4.82 Tz=-1.96 Mx=0.01 Mz=-1.13
Sollecitazioni agenti localmente: Tx_l=-4.82 Ty_l=-1.96 N_l=-13681.20 Mx_l=-0.00 My_l=-1.13 Mz_l=0.01
Taglio nei bulloni: Fv,Ed=0.88 Fv,Rd=7720.78
Rifollamento lato piastra: Fb,Ed,p=0.87 Fb,Rd,p=7367.16
Tirafondi:LT=0.45 (0.31) σ_{cR}=0.00 σ_{fR}=0.00
Compressione nel calcestruzzo: σ_c=28.33
CC 7 SLV (Collegamento -182_-384)
Azioni sul collegamento: N=-5856.57 Ty=-12.53 Tz=27.25 Mx=0.01 Mz=-7.45
Sollecitazioni agenti localmente: Tx_l=-12.53 Ty_l=27.25 N_l=-5856.57 Mx_l=-0.00 My_l=-7.45 Mz_l=0.01
Taglio nei bulloni: Fv,Ed=5.01 Fv,Rd=7720.78
Rifollamento lato piastra: Fb,Ed,p=5.00 Fb,Rd,p=7864.25
Tirafondi:LT=0.45 (0.31) σ_{cR}=0.00 σ_{fR}=0.00
Compressione nel calcestruzzo: σ_c=12.52
CC 7 SLV (Collegamento -182_-384)
Azioni sul collegamento: N=-5856.57 Ty=-4.82 Tz=27.25 Mx=0.01 Mz=-1.13
Sollecitazioni agenti localmente: Tx_l=-4.82 Ty_l=27.25 N_l=-5856.57 Mx_l=-0.00 My_l=-1.13 Mz_l=0.01
Taglio nei bulloni: Fv,Ed=4.62 Fv,Rd=7720.78
Rifollamento lato piastra: Fb,Ed,p=4.62 Fb,Rd,p=6251.30
Tirafondi:LT=0.45 (0.31) σ_{cR}=0.00 σ_{fR}=0.00
Compressione nel calcestruzzo: σ_c=12.16
CC 7 SLV (Collegamento -182_-384)
Azioni sul collegamento: N=-5856.57 Ty=-12.53 Tz=-1.96 Mx=0.01 Mz=-7.45
Sollecitazioni agenti localmente: Tx_l=-12.53 Ty_l=-1.96 N_l=-5856.57 Mx_l=-0.00 My_l=-7.45 Mz_l=0.01
Taglio nei bulloni: Fv,Ed=2.12 Fv,Rd=7720.78
Rifollamento lato piastra: Fb,Ed,p=2.12 Fb,Rd,p=6184.88
Tirafondi:LT=0.45 (0.31) σ_{cR}=0.00 σ_{fR}=0.00
Compressione nel calcestruzzo: σ_c=12.52
CC 7 SLV (Collegamento -182_-384)
Azioni sul collegamento: N=-5856.57 Ty=-4.82 Tz=-1.96 Mx=0.01 Mz=-1.13
Sollecitazioni agenti localmente: Tx_l=-4.82 Ty_l=-1.96 N_l=-5856.57 Mx_l=-0.00 My_l=-1.13 Mz_l=0.01
Taglio nei bulloni: Fv,Ed=0.88 Fv,Rd=7720.78
Rifollamento lato piastra: Fb,Ed,p=0.87 Fb,Rd,p=7367.28
Tirafondi:LT=0.45 (0.31) σ_{cR}=0.00 σ_{fR}=0.00
Compressione nel calcestruzzo: σ_c=12.16
CC 8 SLD (Collegamento -182_-384)
Azioni sul collegamento: N=-11059.20 Ty=-10.78 Tz=17.48 Mx=-0.00 Mz=-7.39
Sollecitazioni agenti localmente: Tx_l=-10.78 Ty_l=17.48 N_l=-11059.20 Mx_l=-0.00 My_l=-7.39 Mz_l=-0.00
Taglio nei bulloni: Fv,Ed=3.42 Fv,Rd=9650.97
Rifollamento lato piastra: Fb,Ed,p=3.42 Fb,Rd,p=11797.90
Tirafondi:LT=0.45 (0.31) σ_{cR}=0.00 σ_{fR}=0.00
Compressione nel calcestruzzo: σ_c=23.27
CC 8 SLD (Collegamento -182_-384)
Azioni sul collegamento: N=-11059.20 Ty=-8.42 Tz=17.48 Mx=-0.00 Mz=-5.47
Sollecitazioni agenti localmente: Tx_l=-8.42 Ty_l=17.48 N_l=-11059.20 Mx_l=-0.00 My_l=-5.47 Mz_l=-0.00
Taglio nei bulloni: Fv,Ed=3.23 Fv,Rd=9650.97
Rifollamento lato piastra: Fb,Ed,p=3.23 Fb,Rd,p=10093.30
Tirafondi:LT=0.45 (0.31) σ_{cR}=0.00 σ_{fR}=0.00
Compressione nel calcestruzzo: σ_c=23.16
CC 8 SLD (Collegamento -182_-384)
Azioni sul collegamento: N=-11059.20 Ty=-10.78 Tz=8.57 Mx=-0.00 Mz=-7.39
Sollecitazioni agenti localmente: Tx_l=-10.78 Ty_l=8.57 N_l=-11059.20 Mx_l=-0.00 My_l=-7.39 Mz_l=-0.00
Taglio nei bulloni: Fv,Ed=2.30 Fv,Rd=9650.97
Rifollamento lato piastra: Fb,Ed,p=2.30 Fb,Rd,p=13574.40
Tirafondi:LT=0.45 (0.31) σ_{cR}=0.00 σ_{fR}=0.00
Compressione nel calcestruzzo: σ_c=23.27
CC 8 SLD (Collegamento -182_-384)
Azioni sul collegamento: N=-11059.20 Ty=-8.42 Tz=8.57 Mx=-0.00 Mz=-5.47
Sollecitazioni agenti localmente: Tx_l=-8.42 Ty_l=8.57 N_l=-11059.20 Mx_l=-0.00 My_l=-5.47 Mz_l=-0.00
Taglio nei bulloni: Fv,Ed=2.00 Fv,Rd=9650.97
Rifollamento lato piastra: Fb,Ed,p=2.00 Fb,Rd,p=14893.50
Tirafondi:LT=0.45 (0.31) σ_{cR}=0.00 σ_{fR}=0.00
Compressione nel calcestruzzo: σ_c=23.16
CC 8 SLD (Collegamento -182_-384)
Azioni sul collegamento: N=-8673.24 Ty=-10.78 Tz=17.48 Mx=-0.00 Mz=-7.39
Sollecitazioni agenti localmente: Tx_l=-10.78 Ty_l=17.48 N_l=-8673.24 Mx_l=-0.00 My_l=-7.39 Mz_l=-0.00
Taglio nei bulloni: Fv,Ed=3.42 Fv,Rd=9650.97
Rifollamento lato piastra: Fb,Ed,p=3.42 Fb,Rd,p=11797.90
Tirafondi:LT=0.45 (0.31) σ_{cR}=0.00 σ_{fR}=0.00
Compressione nel calcestruzzo: σ_c=18.34

CC 8 SLD (Collegamento -182_-384)
Azioni sul collegamento: N=-8673.24 Ty=-8.42 Tz=17.48 Mx=-0.00 Mz=-5.47
Sollecitazioni agenti localmente: Tx_l=-8.42 Ty_l=17.48 N_l=-8673.24 Mx_l=-0.00 My_l=-5.47 Mz_l=-0.00
Taglio nei bulloni: Fv,Ed=3.23 Fv,Rd=9650.97
Rifollamento lato piastra: Fb,Ed,p=3.23 Fb,Rd,p=10093.30
Tirafondi:LT=0.45 (0.31) σ_{cR}=0.00 σ_{fR}=0.00
Compressione nel calcestruzzo: σ_c=18.23
CC 8 SLD (Collegamento -182_-384)
Azioni sul collegamento: N=-8673.24 Ty=-10.78 Tz=8.57 Mx=-0.00 Mz=-7.39
Sollecitazioni agenti localmente: Tx_l=-10.78 Ty_l=8.57 N_l=-8673.24 Mx_l=-0.00 My_l=-7.39 Mz_l=-0.00
Taglio nei bulloni: Fv,Ed=2.30 Fv,Rd=9650.97
Rifollamento lato piastra: Fb,Ed,p=2.30 Fb,Rd,p=13574.60
Tirafondi:LT=0.45 (0.31) σ_{cR}=0.00 σ_{fR}=0.00
Compressione nel calcestruzzo: σ_c=18.34
CC 8 SLD (Collegamento -182_-384)
Azioni sul collegamento: N=-8673.24 Ty=-8.42 Tz=8.57 Mx=-0.00 Mz=-5.47
Sollecitazioni agenti localmente: Tx_l=-8.42 Ty_l=8.57 N_l=-8673.24 Mx_l=-0.00 My_l=-5.47 Mz_l=-0.00
Taglio nei bulloni: Fv,Ed=2.00 Fv,Rd=9650.97
Rifollamento lato piastra: Fb,Ed,p=2.00 Fb,Rd,p=14893.20
Tirafondi:LT=0.45 (0.31) σ_{cR}=0.00 σ_{fR}=0.00
Compressione nel calcestruzzo: σ_c=18.23
CC 9 SLV (Collegamento -182_-384)
Azioni sul collegamento: N=-8587.84 Ty=-6.74 Tz=7.77 Mx=0.02 Mz=-1.76
Sollecitazioni agenti localmente: Tx_l=-6.74 Ty_l=7.77 N_l=-8587.84 Mx_l=-0.00 My_l=-1.76 Mz_l=0.02
Taglio nei bulloni: Fv,Ed=1.74 Fv,Rd=7720.78
Rifollamento lato piastra: Fb,Ed,p=1.72 Fb,Rd,p=11102.00
Tirafondi:LT=0.45 (0.31) σ_{cR}=0.00 σ_{fR}=0.00
Compressione nel calcestruzzo: σ_c=17.84
CC 9 SLV (Collegamento -182_-384)
Azioni sul collegamento: N=-8587.84 Ty=-10.61 Tz=7.77 Mx=0.02 Mz=-6.83
Sollecitazioni agenti localmente: Tx_l=-10.61 Ty_l=7.77 N_l=-8587.84 Mx_l=-0.00 My_l=-6.83 Mz_l=0.02
Taglio nei bulloni: Fv,Ed=2.22 Fv,Rd=7720.78
Rifollamento lato piastra: Fb,Ed,p=2.22 Fb,Rd,p=10546.80
Tirafondi:LT=0.45 (0.31) σ_{cR}=0.00 σ_{fR}=0.00
Compressione nel calcestruzzo: σ_c=18.13
CC 9 SLV (Collegamento -182_-384)
Azioni sul collegamento: N=-8587.84 Ty=-6.74 Tz=17.52 Mx=0.02 Mz=-1.76
Sollecitazioni agenti localmente: Tx_l=-6.74 Ty_l=17.52 N_l=-8587.84 Mx_l=-0.00 My_l=-1.76 Mz_l=0.02
Taglio nei bulloni: Fv,Ed=3.15 Fv,Rd=7720.78
Rifollamento lato piastra: Fb,Ed,p=3.14 Fb,Rd,p=7244.15
Tirafondi:LT=0.45 (0.31) σ_{cR}=0.00 σ_{fR}=0.00
Compressione nel calcestruzzo: σ_c=17.84
CC 9 SLV (Collegamento -182_-384)
Azioni sul collegamento: N=-8587.84 Ty=-10.61 Tz=17.52 Mx=0.02 Mz=-6.83
Sollecitazioni agenti localmente: Tx_l=-10.61 Ty_l=17.52 N_l=-8587.84 Mx_l=-0.00 My_l=-6.83 Mz_l=0.02
Taglio nei bulloni: Fv,Ed=3.44 Fv,Rd=7720.78
Rifollamento lato piastra: Fb,Ed,p=3.42 Fb,Rd,p=9197.77
Tirafondi:LT=0.45 (0.31) σ_{cR}=0.00 σ_{fR}=0.00
Compressione nel calcestruzzo: σ_c=18.13
CC 9 SLV (Collegamento -182_-384)
Azioni sul collegamento: N=-10950.00 Ty=-6.74 Tz=7.77 Mx=0.02 Mz=-1.76
Sollecitazioni agenti localmente: Tx_l=-6.74 Ty_l=7.77 N_l=-10950.00 Mx_l=-0.00 My_l=-1.76 Mz_l=0.02
Taglio nei bulloni: Fv,Ed=1.74 Fv,Rd=7720.78
Rifollamento lato piastra: Fb,Ed,p=1.72 Fb,Rd,p=11102.10
Tirafondi:LT=0.45 (0.31) σ_{cR}=0.00 σ_{fR}=0.00
Compressione nel calcestruzzo: σ_c=22.72
CC 9 SLV (Collegamento -182_-384)
Azioni sul collegamento: N=-10950.00 Ty=-10.61 Tz=7.77 Mx=0.02 Mz=-6.83
Sollecitazioni agenti localmente: Tx_l=-10.61 Ty_l=7.77 N_l=-10950.00 Mx_l=-0.00 My_l=-6.83 Mz_l=0.02
Taglio nei bulloni: Fv,Ed=2.22 Fv,Rd=7720.78
Rifollamento lato piastra: Fb,Ed,p=2.22 Fb,Rd,p=10546.70
Tirafondi:LT=0.45 (0.31) σ_{cR}=0.00 σ_{fR}=0.00
Compressione nel calcestruzzo: σ_c=23.01
CC 9 SLV (Collegamento -182_-384)
Azioni sul collegamento: N=-10950.00 Ty=-6.74 Tz=17.52 Mx=0.02 Mz=-1.76
Sollecitazioni agenti localmente: Tx_l=-6.74 Ty_l=17.52 N_l=-10950.00 Mx_l=-0.00 My_l=-1.76 Mz_l=0.02
Taglio nei bulloni: Fv,Ed=3.15 Fv,Rd=7720.78
Rifollamento lato piastra: Fb,Ed,p=3.14 Fb,Rd,p=7244.21
Tirafondi:LT=0.45 (0.31) σ_{cR}=0.00 σ_{fR}=0.00
Compressione nel calcestruzzo: σ_c=22.72
CC 9 SLV (Collegamento -182_-384)
Azioni sul collegamento: N=-10950.00 Ty=-10.61 Tz=17.52 Mx=0.02 Mz=-6.83
Sollecitazioni agenti localmente: Tx_l=-10.61 Ty_l=17.52 N_l=-10950.00 Mx_l=-0.00 My_l=-6.83 Mz_l=0.02
Taglio nei bulloni: Fv,Ed=3.44 Fv,Rd=7720.78
Rifollamento lato piastra: Fb,Ed,p=3.42 Fb,Rd,p=9197.95
Tirafondi:LT=0.45 (0.31) σ_{cR}=0.00 σ_{fR}=0.00
Compressione nel calcestruzzo: σ_c=23.01
CC 10 SLD (Collegamento -182_-384)

Azioni sul collegamento: N=-9506.09 Ty=-9.01 Tz=11.54 Mx=0.00 Mz=-5.66
Sollecitazioni agenti localmente: Tx_l=-9.01 Ty_l=11.54 N_l=-9506.09 Mx_l=-0.00 My_l=-5.66 Mz_l=0.00
Taglio nei bulloni: Fv,Ed=2.44 Fv,Rd=9650.97
Rifollamento lato piastra: Fb,Ed,p=2.44 Fb,Rd,p=13458.10
Tirafondi:LT=0.45 (0.31) σ_{cR}=0.00 σ_{fR}=0.00
Compressione nel calcestruzzo: σ_c=19.96
CC 10 SLD (Collegamento -182_-384)
Azioni sul collegamento: N=-9506.09 Ty=-10.19 Tz=11.54 Mx=0.00 Mz=-7.20
Sollecitazioni agenti localmente: Tx_l=-10.19 Ty_l=11.54 N_l=-9506.09 Mx_l=-0.00 My_l=-7.20 Mz_l=0.00
Taglio nei bulloni: Fv,Ed=2.57 Fv,Rd=9650.97
Rifollamento lato piastra: Fb,Ed,p=2.57 Fb,Rd,p=14149.90
Tirafondi:LT=0.45 (0.31) σ_{cR}=0.00 σ_{fR}=0.00
Compressione nel calcestruzzo: σ_c=20.05
CC 10 SLD (Collegamento -182_-384)
Azioni sul collegamento: N=-9506.09 Ty=-9.01 Tz=14.51 Mx=0.00 Mz=-5.66
Sollecitazioni agenti localmente: Tx_l=-9.01 Ty_l=14.51 N_l=-9506.09 Mx_l=-0.00 My_l=-5.66 Mz_l=0.00
Taglio nei bulloni: Fv,Ed=2.85 Fv,Rd=9650.97
Rifollamento lato piastra: Fb,Ed,p=2.85 Fb,Rd,p=11827.30
Tirafondi:LT=0.45 (0.31) σ_{cR}=0.00 σ_{fR}=0.00
Compressione nel calcestruzzo: σ_c=19.96
CC 10 SLD (Collegamento -182_-384)
Azioni sul collegamento: N=-9506.09 Ty=-10.19 Tz=14.51 Mx=0.00 Mz=-7.20
Sollecitazioni agenti localmente: Tx_l=-10.19 Ty_l=14.51 N_l=-9506.09 Mx_l=-0.00 My_l=-7.20 Mz_l=0.00
Taglio nei bulloni: Fv,Ed=2.96 Fv,Rd=9650.97
Rifollamento lato piastra: Fb,Ed,p=2.96 Fb,Rd,p=12966.30
Tirafondi:LT=0.45 (0.31) σ_{cR}=0.00 σ_{fR}=0.00
Compressione nel calcestruzzo: σ_c=20.05
CC 10 SLD (Collegamento -182_-384)
Azioni sul collegamento: N=-10226.40 Ty=-9.01 Tz=11.54 Mx=0.00 Mz=-5.66
Sollecitazioni agenti localmente: Tx_l=-9.01 Ty_l=11.54 N_l=-10226.40 Mx_l=-0.00 My_l=-5.66 Mz_l=0.00
Taglio nei bulloni: Fv,Ed=2.44 Fv,Rd=9650.97
Rifollamento lato piastra: Fb,Ed,p=2.44 Fb,Rd,p=13458.00
Tirafondi:LT=0.45 (0.31) σ_{cR}=0.00 σ_{fR}=0.00
Compressione nel calcestruzzo: σ_c=21.45
CC 10 SLD (Collegamento -182_-384)
Azioni sul collegamento: N=-10226.40 Ty=-10.19 Tz=11.54 Mx=0.00 Mz=-7.20
Sollecitazioni agenti localmente: Tx_l=-10.19 Ty_l=11.54 N_l=-10226.40 Mx_l=-0.00 My_l=-7.20 Mz_l=0.00
Taglio nei bulloni: Fv,Ed=2.57 Fv,Rd=9650.97
Rifollamento lato piastra: Fb,Ed,p=2.57 Fb,Rd,p=14149.80
Tirafondi:LT=0.45 (0.31) σ_{cR}=0.00 σ_{fR}=0.00
Compressione nel calcestruzzo: σ_c=21.53
CC 10 SLD (Collegamento -182_-384)
Azioni sul collegamento: N=-10226.40 Ty=-9.01 Tz=14.51 Mx=0.00 Mz=-5.66
Sollecitazioni agenti localmente: Tx_l=-9.01 Ty_l=14.51 N_l=-10226.40 Mx_l=-0.00 My_l=-5.66 Mz_l=0.00
Taglio nei bulloni: Fv,Ed=2.85 Fv,Rd=9650.97
Rifollamento lato piastra: Fb,Ed,p=2.85 Fb,Rd,p=11827.40
Tirafondi:LT=0.45 (0.31) σ_{cR}=0.00 σ_{fR}=0.00
Compressione nel calcestruzzo: σ_c=21.45
CC 10 SLD (Collegamento -182_-384)
Azioni sul collegamento: N=-10226.40 Ty=-10.19 Tz=14.51 Mx=0.00 Mz=-7.20
Sollecitazioni agenti localmente: Tx_l=-10.19 Ty_l=14.51 N_l=-10226.40 Mx_l=-0.00 My_l=-7.20 Mz_l=0.00
Taglio nei bulloni: Fv,Ed=2.96 Fv,Rd=9650.97
Rifollamento lato piastra: Fb,Ed,p=2.96 Fb,Rd,p=12966.30
Tirafondi:LT=0.45 (0.31) σ_{cR}=0.00 σ_{fR}=0.00
Compressione nel calcestruzzo: σ_c=21.53
CC 11 SLV (Collegamento -182_-384)
Azioni sul collegamento: N=-10933.80 Ty=-8.90 Tz=16.43 Mx=0.02 Mz=-3.34
Sollecitazioni agenti localmente: Tx_l=-8.90 Ty_l=16.43 N_l=-10933.80 Mx_l=-0.00 My_l=-3.34 Mz_l=0.02
Taglio nei bulloni: Fv,Ed=3.14 Fv,Rd=7720.78
Rifollamento lato piastra: Fb,Ed,p=3.12 Fb,Rd,p=8529.70
Tirafondi:LT=0.45 (0.31) σ_{cR}=0.00 σ_{fR}=0.00
Compressione nel calcestruzzo: σ_c=22.78
CC 11 SLV (Collegamento -182_-384)
Azioni sul collegamento: N=-10933.80 Ty=-8.45 Tz=16.43 Mx=0.02 Mz=-5.25
Sollecitazioni agenti localmente: Tx_l=-8.45 Ty_l=16.43 N_l=-10933.80 Mx_l=-0.00 My_l=-5.25 Mz_l=0.02
Taglio nei bulloni: Fv,Ed=3.11 Fv,Rd=7720.78
Rifollamento lato piastra: Fb,Ed,p=3.09 Fb,Rd,p=8272.11
Tirafondi:LT=0.45 (0.31) σ_{cR}=0.00 σ_{fR}=0.00
Compressione nel calcestruzzo: σ_c=22.89
CC 11 SLV (Collegamento -182_-384)
Azioni sul collegamento: N=-10933.80 Ty=-8.90 Tz=8.86 Mx=0.02 Mz=-3.34
Sollecitazioni agenti localmente: Tx_l=-8.90 Ty_l=8.86 N_l=-10933.80 Mx_l=-0.00 My_l=-3.34 Mz_l=0.02
Taglio nei bulloni: Fv,Ed=2.12 Fv,Rd=7720.78
Rifollamento lato piastra: Fb,Ed,p=2.12 Fb,Rd,p=11990.80
Tirafondi:LT=0.45 (0.31) σ_{cR}=0.00 σ_{fR}=0.00
Compressione nel calcestruzzo: σ_c=22.78
CC 11 SLV (Collegamento -182_-384)
Azioni sul collegamento: N=-10933.80 Ty=-8.45 Tz=8.86 Mx=0.02 Mz=-5.25

Sollecitazioni agenti localmente: Tx_l=-8.45 Ty_l=8.86 N_l=-10933.80 Mx_l=-0.00 My_l=-5.25 Mz_l=0.02
Taglio nei bulloni: Fv,Ed=2.07 Fv,Rd=7720.78
Rifollamento lato piastra: Fb,Ed,p=2.04 Fb,Rd,p=11601.10
Tirafondi:LT=0.45 (0.31) σ_{cR}=0.00 σ_{fR}=0.00
Compressione nel calcestruzzo: σ_c=22.89
CC 11 SLV (Collegamento -182_-384)
Azioni sul collegamento: N=-8604.01 Ty=-8.90 Tz=16.43 Mx=0.02 Mz=-3.34
Sollecitazioni agenti localmente: Tx_l=-8.90 Ty_l=16.43 N_l=-8604.01 Mx_l=-0.00 My_l=-3.34 Mz_l=0.02
Taglio nei bulloni: Fv,Ed=3.14 Fv,Rd=7720.78
Rifollamento lato piastra: Fb,Ed,p=3.12 Fb,Rd,p=8529.61
Tirafondi:LT=0.45 (0.31) σ_{cR}=0.00 σ_{fR}=0.00
Compressione nel calcestruzzo: σ_c=17.96
CC 11 SLV (Collegamento -182_-384)
Azioni sul collegamento: N=-8604.01 Ty=-8.45 Tz=16.43 Mx=0.02 Mz=-5.25
Sollecitazioni agenti localmente: Tx_l=-8.45 Ty_l=16.43 N_l=-8604.01 Mx_l=-0.00 My_l=-5.25 Mz_l=0.02
Taglio nei bulloni: Fv,Ed=3.11 Fv,Rd=7720.78
Rifollamento lato piastra: Fb,Ed,p=3.09 Fb,Rd,p=8272.04
Tirafondi:LT=0.45 (0.31) σ_{cR}=0.00 σ_{fR}=0.00
Compressione nel calcestruzzo: σ_c=18.07
CC 11 SLV (Collegamento -182_-384)
Azioni sul collegamento: N=-8604.01 Ty=-8.90 Tz=8.86 Mx=0.02 Mz=-3.34
Sollecitazioni agenti localmente: Tx_l=-8.90 Ty_l=8.86 N_l=-8604.01 Mx_l=-0.00 My_l=-3.34 Mz_l=0.02
Taglio nei bulloni: Fv,Ed=2.12 Fv,Rd=7720.78
Rifollamento lato piastra: Fb,Ed,p=2.12 Fb,Rd,p=11990.80
Tirafondi:LT=0.45 (0.31) σ_{cR}=0.00 σ_{fR}=0.00
Compressione nel calcestruzzo: σ_c=17.96
CC 11 SLV (Collegamento -182_-384)
Azioni sul collegamento: N=-8604.01 Ty=-8.45 Tz=8.86 Mx=0.02 Mz=-5.25
Sollecitazioni agenti localmente: Tx_l=-8.45 Ty_l=8.86 N_l=-8604.01 Mx_l=-0.00 My_l=-5.25 Mz_l=0.02
Taglio nei bulloni: Fv,Ed=2.07 Fv,Rd=7720.78
Rifollamento lato piastra: Fb,Ed,p=2.04 Fb,Rd,p=11601.10
Tirafondi:LT=0.45 (0.31) σ_{cR}=0.00 σ_{fR}=0.00
Compressione nel calcestruzzo: σ_c=18.07
CC 12 SLD (Collegamento -182_-384)
Azioni sul collegamento: N=-10221.40 Ty=-9.67 Tz=14.18 Mx=0.00 Mz=-6.14
Sollecitazioni agenti localmente: Tx_l=-9.67 Ty_l=14.18 N_l=-10221.40 Mx_l=-0.00 My_l=-6.14 Mz_l=0.00
Taglio nei bulloni: Fv,Ed=2.87 Fv,Rd=9650.97
Rifollamento lato piastra: Fb,Ed,p=2.86 Fb,Rd,p=12748.70
Tirafondi:LT=0.45 (0.31) σ_{cR}=0.00 σ_{fR}=0.00
Compressione nel calcestruzzo: σ_c=21.46
CC 12 SLD (Collegamento -182_-384)
Azioni sul collegamento: N=-10221.40 Ty=-9.53 Tz=14.18 Mx=0.00 Mz=-6.72
Sollecitazioni agenti localmente: Tx_l=-9.53 Ty_l=14.18 N_l=-10221.40 Mx_l=-0.00 My_l=-6.72 Mz_l=0.00
Taglio nei bulloni: Fv,Ed=2.85 Fv,Rd=9650.97
Rifollamento lato piastra: Fb,Ed,p=2.85 Fb,Rd,p=12596.80
Tirafondi:LT=0.45 (0.31) σ_{cR}=0.00 σ_{fR}=0.00
Compressione nel calcestruzzo: σ_c=21.50
CC 12 SLD (Collegamento -182_-384)
Azioni sul collegamento: N=-10221.40 Ty=-9.67 Tz=11.87 Mx=0.00 Mz=-6.14
Sollecitazioni agenti localmente: Tx_l=-9.67 Ty_l=11.87 N_l=-10221.40 Mx_l=-0.00 My_l=-6.14 Mz_l=0.00
Taglio nei bulloni: Fv,Ed=2.56 Fv,Rd=9650.97
Rifollamento lato piastra: Fb,Ed,p=2.55 Fb,Rd,p=13680.50
Tirafondi:LT=0.45 (0.31) σ_{cR}=0.00 σ_{fR}=0.00
Compressione nel calcestruzzo: σ_c=21.46
CC 12 SLD (Collegamento -182_-384)
Azioni sul collegamento: N=-10221.40 Ty=-9.53 Tz=11.87 Mx=0.00 Mz=-6.72
Sollecitazioni agenti localmente: Tx_l=-9.53 Ty_l=11.87 N_l=-10221.40 Mx_l=-0.00 My_l=-6.72 Mz_l=0.00
Taglio nei bulloni: Fv,Ed=2.54 Fv,Rd=9650.97
Rifollamento lato piastra: Fb,Ed,p=2.54 Fb,Rd,p=13604.00
Tirafondi:LT=0.45 (0.31) σ_{cR}=0.00 σ_{fR}=0.00
Compressione nel calcestruzzo: σ_c=21.50
CC 12 SLD (Collegamento -182_-384)
Azioni sul collegamento: N=-9511.02 Ty=-9.67 Tz=14.18 Mx=0.00 Mz=-6.14
Sollecitazioni agenti localmente: Tx_l=-9.67 Ty_l=14.18 N_l=-9511.02 Mx_l=-0.00 My_l=-6.14 Mz_l=0.00
Taglio nei bulloni: Fv,Ed=2.87 Fv,Rd=9650.97
Rifollamento lato piastra: Fb,Ed,p=2.86 Fb,Rd,p=12748.90
Tirafondi:LT=0.45 (0.31) σ_{cR}=0.00 σ_{fR}=0.00
Compressione nel calcestruzzo: σ_c=20.00
CC 12 SLD (Collegamento -182_-384)
Azioni sul collegamento: N=-9511.02 Ty=-9.53 Tz=14.18 Mx=0.00 Mz=-6.72
Sollecitazioni agenti localmente: Tx_l=-9.53 Ty_l=14.18 N_l=-9511.02 Mx_l=-0.00 My_l=-6.72 Mz_l=0.00
Taglio nei bulloni: Fv,Ed=2.85 Fv,Rd=9650.97
Rifollamento lato piastra: Fb,Ed,p=2.85 Fb,Rd,p=12597.00
Tirafondi:LT=0.45 (0.31) σ_{cR}=0.00 σ_{fR}=0.00
Compressione nel calcestruzzo: σ_c=20.03
CC 12 SLD (Collegamento -182_-384)
Azioni sul collegamento: N=-9511.02 Ty=-9.67 Tz=11.87 Mx=0.00 Mz=-6.14
Sollecitazioni agenti localmente: Tx_l=-9.67 Ty_l=11.87 N_l=-9511.02 Mx_l=-0.00 My_l=-6.14 Mz_l=0.00

Taglio nei bulloni: Fv,Ed=2.56 Fv,Rd=9650.97
Rifollamento lato piastra: Fb,Ed,p=2.55 Fb,Rd,p=13680.30
Tirafondi:LT=0.45 (0.31) σ_{cR}=0.00 σ_{fR}=0.00
Compressione nel calcestruzzo: σ_c=20.00
CC 12 SLD (Collegamento -182_-384)
Azioni sul collegamento: N=-9511.02 Ty=-9.53 Tz=11.87 Mx=0.00 Mz=-6.72
Sollecitazioni agenti localmente: Tx_l=-9.53 Ty_l=11.87 N_l=-9511.02 Mx_l=-0.00 My_l=-6.72 Mz_l=0.00
Taglio nei bulloni: Fv,Ed=2.54 Fv,Rd=9650.97
Rifollamento lato piastra: Fb,Ed,p=2.54 Fb,Rd,p=13603.70
Tirafondi:LT=0.45 (0.31) σ_{cR}=0.00 σ_{fR}=0.00
Compressione nel calcestruzzo: σ_c=20.03
CC 13 SLV (Collegamento -182_-384)
Azioni sul collegamento: N=-8604.01 Ty=-8.45 Tz=8.86 Mx=0.00 Mz=-5.25
Sollecitazioni agenti localmente: Tx_l=-8.45 Ty_l=8.86 N_l=-8604.01 Mx_l=-0.00 My_l=-5.25 Mz_l=0.00
Taglio nei bulloni: Fv,Ed=2.04 Fv,Rd=7720.78
Rifollamento lato piastra: Fb,Ed,p=2.04 Fb,Rd,p=11736.80
Tirafondi:LT=0.45 (0.31) σ_{cR}=0.00 σ_{fR}=0.00
Compressione nel calcestruzzo: σ_c=18.07
CC 13 SLV (Collegamento -182_-384)
Azioni sul collegamento: N=-8604.01 Ty=-8.90 Tz=8.86 Mx=0.00 Mz=-3.34
Sollecitazioni agenti localmente: Tx_l=-8.90 Ty_l=8.86 N_l=-8604.01 Mx_l=-0.00 My_l=-3.34 Mz_l=0.00
Taglio nei bulloni: Fv,Ed=2.09 Fv,Rd=7720.78
Rifollamento lato piastra: Fb,Ed,p=2.09 Fb,Rd,p=11990.40
Tirafondi:LT=0.45 (0.31) σ_{cR}=0.00 σ_{fR}=0.00
Compressione nel calcestruzzo: σ_c=17.96
CC 13 SLV (Collegamento -182_-384)
Azioni sul collegamento: N=-8604.01 Ty=-8.45 Tz=16.43 Mx=0.00 Mz=-5.25
Sollecitazioni agenti localmente: Tx_l=-8.45 Ty_l=16.43 N_l=-8604.01 Mx_l=-0.00 My_l=-5.25 Mz_l=0.00
Taglio nei bulloni: Fv,Ed=3.08 Fv,Rd=7720.78
Rifollamento lato piastra: Fb,Ed,p=3.08 Fb,Rd,p=8363.58
Tirafondi:LT=0.45 (0.31) σ_{cR}=0.00 σ_{fR}=0.00
Compressione nel calcestruzzo: σ_c=18.07
CC 13 SLV (Collegamento -182_-384)
Azioni sul collegamento: N=-8604.01 Ty=-8.90 Tz=16.43 Mx=0.00 Mz=-3.34
Sollecitazioni agenti localmente: Tx_l=-8.90 Ty_l=16.43 N_l=-8604.01 Mx_l=-0.00 My_l=-3.34 Mz_l=0.00
Taglio nei bulloni: Fv,Ed=3.12 Fv,Rd=7720.78
Rifollamento lato piastra: Fb,Ed,p=3.12 Fb,Rd,p=8628.09
Tirafondi:LT=0.45 (0.31) σ_{cR}=0.00 σ_{fR}=0.00
Compressione nel calcestruzzo: σ_c=17.96
CC 13 SLV (Collegamento -182_-384)
Azioni sul collegamento: N=-10933.80 Ty=-8.45 Tz=8.86 Mx=0.00 Mz=-5.25
Sollecitazioni agenti localmente: Tx_l=-8.45 Ty_l=8.86 N_l=-10933.80 Mx_l=-0.00 My_l=-5.25 Mz_l=0.00
Taglio nei bulloni: Fv,Ed=2.04 Fv,Rd=7720.78
Rifollamento lato piastra: Fb,Ed,p=2.04 Fb,Rd,p=11736.80
Tirafondi:LT=0.45 (0.31) σ_{cR}=0.00 σ_{fR}=0.00
Compressione nel calcestruzzo: σ_c=22.89
CC 13 SLV (Collegamento -182_-384)
Azioni sul collegamento: N=-10933.80 Ty=-8.90 Tz=8.86 Mx=0.00 Mz=-3.34
Sollecitazioni agenti localmente: Tx_l=-8.90 Ty_l=8.86 N_l=-10933.80 Mx_l=-0.00 My_l=-3.34 Mz_l=0.00
Taglio nei bulloni: Fv,Ed=2.09 Fv,Rd=7720.78
Rifollamento lato piastra: Fb,Ed,p=2.09 Fb,Rd,p=11990.50
Tirafondi:LT=0.45 (0.31) σ_{cR}=0.00 σ_{fR}=0.00
Compressione nel calcestruzzo: σ_c=22.78
CC 13 SLV (Collegamento -182_-384)
Azioni sul collegamento: N=-10933.80 Ty=-8.45 Tz=16.43 Mx=0.00 Mz=-5.25
Sollecitazioni agenti localmente: Tx_l=-8.45 Ty_l=16.43 N_l=-10933.80 Mx_l=-0.00 My_l=-5.25 Mz_l=0.00
Taglio nei bulloni: Fv,Ed=3.08 Fv,Rd=7720.78
Rifollamento lato piastra: Fb,Ed,p=3.08 Fb,Rd,p=8363.66
Tirafondi:LT=0.45 (0.31) σ_{cR}=0.00 σ_{fR}=0.00
Compressione nel calcestruzzo: σ_c=22.89
CC 13 SLV (Collegamento -182_-384)
Azioni sul collegamento: N=-10933.80 Ty=-8.90 Tz=16.43 Mx=0.00 Mz=-3.34
Sollecitazioni agenti localmente: Tx_l=-8.90 Ty_l=16.43 N_l=-10933.80 Mx_l=-0.00 My_l=-3.34 Mz_l=0.00
Taglio nei bulloni: Fv,Ed=3.12 Fv,Rd=7720.78
Rifollamento lato piastra: Fb,Ed,p=3.12 Fb,Rd,p=8628.17
Tirafondi:LT=0.45 (0.31) σ_{cR}=0.00 σ_{fR}=0.00
Compressione nel calcestruzzo: σ_c=22.78
CC 14 SLD (Collegamento -182_-384)
Azioni sul collegamento: N=-9511.02 Ty=-9.53 Tz=11.87 Mx=-0.00 Mz=-6.72
Sollecitazioni agenti localmente: Tx_l=-9.53 Ty_l=11.87 N_l=-9511.02 Mx_l=-0.00 My_l=-6.72 Mz_l=-0.00
Taglio nei bulloni: Fv,Ed=2.54 Fv,Rd=9650.97
Rifollamento lato piastra: Fb,Ed,p=2.54 Fb,Rd,p=13625.10
Tirafondi:LT=0.45 (0.31) σ_{cR}=0.00 σ_{fR}=0.00
Compressione nel calcestruzzo: σ_c=20.03
CC 14 SLD (Collegamento -182_-384)
Azioni sul collegamento: N=-9511.02 Ty=-9.67 Tz=11.87 Mx=-0.00 Mz=-6.14
Sollecitazioni agenti localmente: Tx_l=-9.67 Ty_l=11.87 N_l=-9511.02 Mx_l=-0.00 My_l=-6.14 Mz_l=-0.00
Taglio nei bulloni: Fv,Ed=2.56 Fv,Rd=9650.97

Rifollamento lato piastra: Fb,Ed,p=2.56 Fb,Rd,p=13701.90
Tirafondi:LT=0.45 (0.31) σ_{cR}=0.00 σ_{fR}=0.00
Compressione nel calcestruzzo: σ_c=20.00
CC 14 SLD (Collegamento -182_-384)
Azioni sul collegamento: N=-9511.02 Ty=-9.53 Tz=14.18 Mx=-0.00 Mz=-6.72
Sollecitazioni agenti localmente: Tx_l=-9.53 Ty_l=14.18 N_l=-9511.02 Mx_l=-0.00 My_l=-6.72 Mz_l=-0.00
Taglio nei bulloni: Fv,Ed=2.85 Fv,Rd=9650.97
Rifollamento lato piastra: Fb,Ed,p=2.85 Fb,Rd,p=12638.30
Tirafondi:LT=0.45 (0.31) σ_{cR}=0.00 σ_{fR}=0.00
Compressione nel calcestruzzo: σ_c=20.03
CC 14 SLD (Collegamento -182_-384)
Azioni sul collegamento: N=-9511.02 Ty=-9.67 Tz=14.18 Mx=-0.00 Mz=-6.14
Sollecitazioni agenti localmente: Tx_l=-9.67 Ty_l=14.18 N_l=-9511.02 Mx_l=-0.00 My_l=-6.14 Mz_l=-0.00
Taglio nei bulloni: Fv,Ed=2.86 Fv,Rd=9650.97
Rifollamento lato piastra: Fb,Ed,p=2.86 Fb,Rd,p=12790.90
Tirafondi:LT=0.45 (0.31) σ_{cR}=0.00 σ_{fR}=0.00
Compressione nel calcestruzzo: σ_c=20.00
CC 14 SLD (Collegamento -182_-384)
Azioni sul collegamento: N=-10221.40 Ty=-9.53 Tz=11.87 Mx=-0.00 Mz=-6.72
Sollecitazioni agenti localmente: Tx_l=-9.53 Ty_l=11.87 N_l=-10221.40 Mx_l=-0.00 My_l=-6.72 Mz_l=-0.00
Taglio nei bulloni: Fv,Ed=2.54 Fv,Rd=9650.97
Rifollamento lato piastra: Fb,Ed,p=2.54 Fb,Rd,p=13625.40
Tirafondi:LT=0.45 (0.31) σ_{cR}=0.00 σ_{fR}=0.00
Compressione nel calcestruzzo: σ_c=21.50
CC 14 SLD (Collegamento -182_-384)
Azioni sul collegamento: N=-10221.40 Ty=-9.67 Tz=11.87 Mx=-0.00 Mz=-6.14
Sollecitazioni agenti localmente: Tx_l=-9.67 Ty_l=11.87 N_l=-10221.40 Mx_l=-0.00 My_l=-6.14 Mz_l=-0.00
Taglio nei bulloni: Fv,Ed=2.55 Fv,Rd=9650.97
Rifollamento lato piastra: Fb,Ed,p=2.55 Fb,Rd,p=13702.20
Tirafondi:LT=0.45 (0.31) σ_{cR}=0.00 σ_{fR}=0.00
Compressione nel calcestruzzo: σ_c=21.46
CC 14 SLD (Collegamento -182_-384)
Azioni sul collegamento: N=-10221.40 Ty=-9.53 Tz=14.18 Mx=-0.00 Mz=-6.72
Sollecitazioni agenti localmente: Tx_l=-9.53 Ty_l=14.18 N_l=-10221.40 Mx_l=-0.00 My_l=-6.72 Mz_l=-0.00
Taglio nei bulloni: Fv,Ed=2.85 Fv,Rd=9650.97
Rifollamento lato piastra: Fb,Ed,p=2.85 Fb,Rd,p=12638.20
Tirafondi:LT=0.45 (0.31) σ_{cR}=0.00 σ_{fR}=0.00
Compressione nel calcestruzzo: σ_c=21.50
CC 14 SLD (Collegamento -182_-384)
Azioni sul collegamento: N=-10221.40 Ty=-9.67 Tz=14.18 Mx=-0.00 Mz=-6.14
Sollecitazioni agenti localmente: Tx_l=-9.67 Ty_l=14.18 N_l=-10221.40 Mx_l=-0.00 My_l=-6.14 Mz_l=-0.00
Taglio nei bulloni: Fv,Ed=2.86 Fv,Rd=9650.97
Rifollamento lato piastra: Fb,Ed,p=2.86 Fb,Rd,p=12790.80
Tirafondi:LT=0.45 (0.31) σ_{cR}=0.00 σ_{fR}=0.00
Compressione nel calcestruzzo: σ_c=21.46
CC 15 SLV (Collegamento -182_-384)
Azioni sul collegamento: N=-10950.00 Ty=-10.61 Tz=17.52 Mx=0.00 Mz=-6.83
Sollecitazioni agenti localmente: Tx_l=-10.61 Ty_l=17.52 N_l=-10950.00 Mx_l=-0.00 My_l=-6.83 Mz_l=0.00
Taglio nei bulloni: Fv,Ed=3.42 Fv,Rd=7720.78
Rifollamento lato piastra: Fb,Ed,p=3.41 Fb,Rd,p=9306.83
Tirafondi:LT=0.45 (0.31) σ_{cR}=0.00 σ_{fR}=0.00
Compressione nel calcestruzzo: σ_c=23.01
CC 15 SLV (Collegamento -182_-384)
Azioni sul collegamento: N=-10950.00 Ty=-6.74 Tz=17.52 Mx=0.00 Mz=-1.76
Sollecitazioni agenti localmente: Tx_l=-6.74 Ty_l=17.52 N_l=-10950.00 Mx_l=-0.00 My_l=-1.76 Mz_l=0.00
Taglio nei bulloni: Fv,Ed=3.13 Fv,Rd=7720.78
Rifollamento lato piastra: Fb,Ed,p=3.13 Fb,Rd,p=7302.24
Tirafondi:LT=0.45 (0.31) σ_{cR}=0.00 σ_{fR}=0.00
Compressione nel calcestruzzo: σ_c=22.72
CC 15 SLV (Collegamento -182_-384)
Azioni sul collegamento: N=-10950.00 Ty=-10.61 Tz=7.77 Mx=0.00 Mz=-6.83
Sollecitazioni agenti localmente: Tx_l=-10.61 Ty_l=7.77 N_l=-10950.00 Mx_l=-0.00 My_l=-6.83 Mz_l=0.00
Taglio nei bulloni: Fv,Ed=2.19 Fv,Rd=7720.78
Rifollamento lato piastra: Fb,Ed,p=2.19 Fb,Rd,p=10533.20
Tirafondi:LT=0.45 (0.31) σ_{cR}=0.00 σ_{fR}=0.00
Compressione nel calcestruzzo: σ_c=23.01
CC 15 SLV (Collegamento -182_-384)
Azioni sul collegamento: N=-10950.00 Ty=-6.74 Tz=7.77 Mx=0.00 Mz=-1.76
Sollecitazioni agenti localmente: Tx_l=-6.74 Ty_l=7.77 N_l=-10950.00 Mx_l=-0.00 My_l=-1.76 Mz_l=0.00
Taglio nei bulloni: Fv,Ed=1.72 Fv,Rd=7720.78
Rifollamento lato piastra: Fb,Ed,p=1.71 Fb,Rd,p=11242.40
Tirafondi:LT=0.45 (0.31) σ_{cR}=0.00 σ_{fR}=0.00
Compressione nel calcestruzzo: σ_c=22.72
CC 15 SLV (Collegamento -182_-384)
Azioni sul collegamento: N=-8587.84 Ty=-10.61 Tz=17.52 Mx=0.00 Mz=-6.83
Sollecitazioni agenti localmente: Tx_l=-10.61 Ty_l=17.52 N_l=-8587.84 Mx_l=-0.00 My_l=-6.83 Mz_l=0.00
Taglio nei bulloni: Fv,Ed=3.42 Fv,Rd=7720.78
Rifollamento lato piastra: Fb,Ed,p=3.41 Fb,Rd,p=9306.66

Tirafondi:LT=0.45 (0.31) σ_{cR}=0.00 σ_{fR}=0.00
Compressione nel calcestruzzo: σ_c=18.13
CC 15 SLV (Collegamento -182_-384)
Azioni sul collegamento: N=-8587.84 Ty=-6.74 Tz=17.52 Mx=0.00 Mz=-1.76
Sollecitazioni agenti localmente: Tx_l=-6.74 Ty_l=17.52 N_l=-8587.84 Mx_l=-0.00 My_l=-1.76 Mz_l=0.00
Taglio nei bulloni: Fv,Ed=3.13 Fv,Rd=7720.78
Rifollamento lato piastra: Fb,Ed,p=3.13 Fb,Rd,p=7302.17
Tirafondi:LT=0.45 (0.31) σ_{cR}=0.00 σ_{fR}=0.00
Compressione nel calcestruzzo: σ_c=17.84
CC 15 SLV (Collegamento -182_-384)
Azioni sul collegamento: N=-8587.84 Ty=-10.61 Tz=7.77 Mx=0.00 Mz=-6.83
Sollecitazioni agenti localmente: Tx_l=-10.61 Ty_l=7.77 N_l=-8587.84 Mx_l=-0.00 My_l=-6.83 Mz_l=0.00
Taglio nei bulloni: Fv,Ed=2.19 Fv,Rd=7720.78
Rifollamento lato piastra: Fb,Ed,p=2.19 Fb,Rd,p=10533.30
Tirafondi:LT=0.45 (0.31) σ_{cR}=0.00 σ_{fR}=0.00
Compressione nel calcestruzzo: σ_c=18.13
CC 15 SLV (Collegamento -182_-384)
Azioni sul collegamento: N=-8587.84 Ty=-6.74 Tz=7.77 Mx=0.00 Mz=-1.76
Sollecitazioni agenti localmente: Tx_l=-6.74 Ty_l=7.77 N_l=-8587.84 Mx_l=-0.00 My_l=-1.76 Mz_l=0.00
Taglio nei bulloni: Fv,Ed=1.72 Fv,Rd=7720.78
Rifollamento lato piastra: Fb,Ed,p=1.71 Fb,Rd,p=11242.30
Tirafondi:LT=0.45 (0.31) σ_{cR}=0.00 σ_{fR}=0.00
Compressione nel calcestruzzo: σ_c=17.84
CC 16 SLD (Collegamento -182_-384)
Azioni sul collegamento: N=-10226.40 Ty=-10.19 Tz=14.51 Mx=-0.00 Mz=-7.20
Sollecitazioni agenti localmente: Tx_l=-10.19 Ty_l=14.51 N_l=-10226.40 Mx_l=-0.00 My_l=-7.20 Mz_l=-0.00
Taglio nei bulloni: Fv,Ed=2.96 Fv,Rd=9650.97
Rifollamento lato piastra: Fb,Ed,p=2.96 Fb,Rd,p=12982.20
Tirafondi:LT=0.45 (0.31) σ_{cR}=0.00 σ_{fR}=0.00
Compressione nel calcestruzzo: σ_c=21.53
CC 16 SLD (Collegamento -182_-384)
Azioni sul collegamento: N=-10226.40 Ty=-9.01 Tz=14.51 Mx=-0.00 Mz=-5.66
Sollecitazioni agenti localmente: Tx_l=-9.01 Ty_l=14.51 N_l=-10226.40 Mx_l=-0.00 My_l=-5.66 Mz_l=-0.00
Taglio nei bulloni: Fv,Ed=2.85 Fv,Rd=9650.97
Rifollamento lato piastra: Fb,Ed,p=2.85 Fb,Rd,p=11864.30
Tirafondi:LT=0.45 (0.31) σ_{cR}=0.00 σ_{fR}=0.00
Compressione nel calcestruzzo: σ_c=21.45
CC 16 SLD (Collegamento -182_-384)
Azioni sul collegamento: N=-10226.40 Ty=-10.19 Tz=11.54 Mx=-0.00 Mz=-7.20
Sollecitazioni agenti localmente: Tx_l=-10.19 Ty_l=11.54 N_l=-10226.40 Mx_l=-0.00 My_l=-7.20 Mz_l=-0.00
Taglio nei bulloni: Fv,Ed=2.57 Fv,Rd=9650.97
Rifollamento lato piastra: Fb,Ed,p=2.57 Fb,Rd,p=14173.50
Tirafondi:LT=0.45 (0.31) σ_{cR}=0.00 σ_{fR}=0.00
Compressione nel calcestruzzo: σ_c=21.53
CC 16 SLD (Collegamento -182_-384)
Azioni sul collegamento: N=-10226.40 Ty=-9.01 Tz=11.54 Mx=-0.00 Mz=-5.66
Sollecitazioni agenti localmente: Tx_l=-9.01 Ty_l=11.54 N_l=-10226.40 Mx_l=-0.00 My_l=-5.66 Mz_l=-0.00
Taglio nei bulloni: Fv,Ed=2.44 Fv,Rd=9650.97
Rifollamento lato piastra: Fb,Ed,p=2.44 Fb,Rd,p=13479.60
Tirafondi:LT=0.45 (0.31) σ_{cR}=0.00 σ_{fR}=0.00
Compressione nel calcestruzzo: σ_c=21.45
CC 16 SLD (Collegamento -182_-384)
Azioni sul collegamento: N=-9506.09 Ty=-10.19 Tz=14.51 Mx=-0.00 Mz=-7.20
Sollecitazioni agenti localmente: Tx_l=-10.19 Ty_l=14.51 N_l=-9506.09 Mx_l=-0.00 My_l=-7.20 Mz_l=-0.00
Taglio nei bulloni: Fv,Ed=2.96 Fv,Rd=9650.97
Rifollamento lato piastra: Fb,Ed,p=2.96 Fb,Rd,p=12982.10
Tirafondi:LT=0.45 (0.31) σ_{cR}=0.00 σ_{fR}=0.00
Compressione nel calcestruzzo: σ_c=20.05
CC 16 SLD (Collegamento -182_-384)
Azioni sul collegamento: N=-9506.09 Ty=-9.01 Tz=14.51 Mx=-0.00 Mz=-5.66
Sollecitazioni agenti localmente: Tx_l=-9.01 Ty_l=14.51 N_l=-9506.09 Mx_l=-0.00 My_l=-5.66 Mz_l=-0.00
Taglio nei bulloni: Fv,Ed=2.85 Fv,Rd=9650.97
Rifollamento lato piastra: Fb,Ed,p=2.85 Fb,Rd,p=11864.20
Tirafondi:LT=0.45 (0.31) σ_{cR}=0.00 σ_{fR}=0.00
Compressione nel calcestruzzo: σ_c=19.96
CC 16 SLD (Collegamento -182_-384)
Azioni sul collegamento: N=-9506.09 Ty=-10.19 Tz=11.54 Mx=-0.00 Mz=-7.20
Sollecitazioni agenti localmente: Tx_l=-10.19 Ty_l=11.54 N_l=-9506.09 Mx_l=-0.00 My_l=-7.20 Mz_l=-0.00
Taglio nei bulloni: Fv,Ed=2.57 Fv,Rd=9650.97
Rifollamento lato piastra: Fb,Ed,p=2.57 Fb,Rd,p=14173.60
Tirafondi:LT=0.45 (0.31) σ_{cR}=0.00 σ_{fR}=0.00
Compressione nel calcestruzzo: σ_c=20.05
CC 16 SLD (Collegamento -182_-384)
Azioni sul collegamento: N=-9506.09 Ty=-9.01 Tz=11.54 Mx=-0.00 Mz=-5.66
Sollecitazioni agenti localmente: Tx_l=-9.01 Ty_l=11.54 N_l=-9506.09 Mx_l=-0.00 My_l=-5.66 Mz_l=-0.00
Taglio nei bulloni: Fv,Ed=2.44 Fv,Rd=9650.97
Rifollamento lato piastra: Fb,Ed,p=2.44 Fb,Rd,p=13479.70
Tirafondi:LT=0.45 (0.31) σ_{cR}=0.00 σ_{fR}=0.00

Compressione nel calcestruzzo: σ_c=19.96
CC 17 SLV (Collegamento -182_-384)
Azioni sul collegamento: N=-6136.65 Ty=-7.48 Tz=-0.86 Mx=-0.02 Mz=-7.28
Sollecitazioni agenti localmente: Tx_l=-7.48 Ty_l=-0.86 N_l=-6136.65 Mx_l=-0.00 My_l=-7.28 Mz_l=-0.02
Taglio nei bulloni: Fv,Ed=1.28 Fv,Rd=7720.78
Rifollamento lato piastra: Fb,Ed,p=1.28 Fb,Rd,p=6126.41
Tirafondi:LT=0.45 (0.31) σ_{cR}=0.00 σ_{fR}=0.00
Compressione nel calcestruzzo: σ_c=13.09
CC 17 SLV (Collegamento -182_-384)
Azioni sul collegamento: N=-6136.65 Ty=-15.19 Tz=-0.86 Mx=-0.02 Mz=-13.60
Sollecitazioni agenti localmente: Tx_l=-15.19 Ty_l=-0.86 N_l=-6136.65 Mx_l=-0.00 My_l=-13.60 Mz_l=-0.02
Taglio nei bulloni: Fv,Ed=2.56 Fv,Rd=7720.78
Rifollamento lato piastra: Fb,Ed,p=2.56 Fb,Rd,p=6015.42
Tirafondi:LT=0.45 (0.31) σ_{cR}=0.00 σ_{fR}=0.00
Compressione nel calcestruzzo: σ_c=13.45
CC 17 SLV (Collegamento -182_-384)
Azioni sul collegamento: N=-6136.65 Ty=-7.48 Tz=28.35 Mx=-0.02 Mz=-7.28
Sollecitazioni agenti localmente: Tx_l=-7.48 Ty_l=28.35 N_l=-6136.65 Mx_l=-0.00 My_l=-7.28 Mz_l=-0.02
Taglio nei bulloni: Fv,Ed=4.91 Fv,Rd=7720.78
Rifollamento lato piastra: Fb,Ed,p=4.91 Fb,Rd,p=6614.95
Tirafondi:LT=0.45 (0.31) σ_{cR}=0.00 σ_{fR}=0.00
Compressione nel calcestruzzo: σ_c=13.09
CC 17 SLV (Collegamento -182_-384)
Azioni sul collegamento: N=-6136.65 Ty=-15.19 Tz=28.35 Mx=-0.02 Mz=-13.60
Sollecitazioni agenti localmente: Tx_l=-15.19 Ty_l=28.35 N_l=-6136.65 Mx_l=-0.00 My_l=-13.60 Mz_l=-0.02
Taglio nei bulloni: Fv,Ed=5.39 Fv,Rd=7720.78
Rifollamento lato piastra: Fb,Ed,p=5.39 Fb,Rd,p=8597.82
Tirafondi:LT=0.45 (0.31) σ_{cR}=0.00 σ_{fR}=0.00
Compressione nel calcestruzzo: σ_c=13.45
CC 17 SLV (Collegamento -182_-384)
Azioni sul collegamento: N=-13961.30 Ty=-7.48 Tz=-0.86 Mx=-0.02 Mz=-7.28
Sollecitazioni agenti localmente: Tx_l=-7.48 Ty_l=-0.86 N_l=-13961.30 Mx_l=-0.00 My_l=-7.28 Mz_l=-0.02
Taglio nei bulloni: Fv,Ed=1.28 Fv,Rd=7720.78
Rifollamento lato piastra: Fb,Ed,p=1.28 Fb,Rd,p=6126.42
Tirafondi:LT=0.45 (0.31) σ_{cR}=0.00 σ_{fR}=0.00
Compressione nel calcestruzzo: σ_c=29.26
CC 17 SLV (Collegamento -182_-384)
Azioni sul collegamento: N=-13961.30 Ty=-15.19 Tz=-0.86 Mx=-0.02 Mz=-13.60
Sollecitazioni agenti localmente: Tx_l=-15.19 Ty_l=-0.86 N_l=-13961.30 Mx_l=-0.00 My_l=-13.60 Mz_l=-0.02
Taglio nei bulloni: Fv,Ed=2.56 Fv,Rd=7720.78
Rifollamento lato piastra: Fb,Ed,p=2.56 Fb,Rd,p=6015.42
Tirafondi:LT=0.45 (0.31) σ_{cR}=0.00 σ_{fR}=0.00
Compressione nel calcestruzzo: σ_c=29.61
CC 17 SLV (Collegamento -182_-384)
Azioni sul collegamento: N=-13961.30 Ty=-7.48 Tz=28.35 Mx=-0.02 Mz=-7.28
Sollecitazioni agenti localmente: Tx_l=-7.48 Ty_l=28.35 N_l=-13961.30 Mx_l=-0.00 My_l=-7.28 Mz_l=-0.02
Taglio nei bulloni: Fv,Ed=4.91 Fv,Rd=7720.78
Rifollamento lato piastra: Fb,Ed,p=4.91 Fb,Rd,p=6614.96
Tirafondi:LT=0.45 (0.31) σ_{cR}=0.00 σ_{fR}=0.00
Compressione nel calcestruzzo: σ_c=29.26
CC 17 SLV (Collegamento -182_-384)
Azioni sul collegamento: N=-13961.30 Ty=-15.19 Tz=28.35 Mx=-0.02 Mz=-13.60
Sollecitazioni agenti localmente: Tx_l=-15.19 Ty_l=28.35 N_l=-13961.30 Mx_l=-0.00 My_l=-13.60 Mz_l=-0.02
Taglio nei bulloni: Fv,Ed=5.39 Fv,Rd=7720.78
Rifollamento lato piastra: Fb,Ed,p=5.39 Fb,Rd,p=8597.82
Tirafondi:LT=0.45 (0.31) σ_{cR}=0.00 σ_{fR}=0.00
Compressione nel calcestruzzo: σ_c=29.61
CC 18 SLD (Collegamento -182_-384)
Azioni sul collegamento: N=-8758.64 Ty=-9.24 Tz=8.91 Mx=-0.01 Mz=-7.34
Sollecitazioni agenti localmente: Tx_l=-9.24 Ty_l=8.91 N_l=-8758.64 Mx_l=-0.00 My_l=-7.34 Mz_l=-0.01
Taglio nei bulloni: Fv,Ed=2.15 Fv,Rd=9650.97
Rifollamento lato piastra: Fb,Ed,p=2.14 Fb,Rd,p=14680.30
Tirafondi:LT=0.45 (0.31) σ_{cR}=0.00 σ_{fR}=0.00
Compressione nel calcestruzzo: σ_c=18.51
CC 18 SLD (Collegamento -182_-384)
Azioni sul collegamento: N=-8758.64 Ty=-11.59 Tz=8.91 Mx=-0.01 Mz=-9.27
Sollecitazioni agenti localmente: Tx_l=-11.59 Ty_l=8.91 N_l=-8758.64 Mx_l=-0.00 My_l=-9.27 Mz_l=-0.01
Taglio nei bulloni: Fv,Ed=2.45 Fv,Rd=9650.97
Rifollamento lato piastra: Fb,Ed,p=2.44 Fb,Rd,p=13350.10
Tirafondi:LT=0.45 (0.31) σ_{cR}=0.00 σ_{fR}=0.00
Compressione nel calcestruzzo: σ_c=18.62
CC 18 SLD (Collegamento -182_-384)
Azioni sul collegamento: N=-8758.65 Ty=-9.24 Tz=17.82 Mx=-0.01 Mz=-7.34
Sollecitazioni agenti localmente: Tx_l=-9.24 Ty_l=17.82 N_l=-8758.65 Mx_l=-0.00 My_l=-7.34 Mz_l=-0.01
Taglio nei bulloni: Fv,Ed=3.36 Fv,Rd=9650.97
Rifollamento lato piastra: Fb,Ed,p=3.36 Fb,Rd,p=10527.60
Tirafondi:LT=0.45 (0.31) σ_{cR}=0.00 σ_{fR}=0.00
Compressione nel calcestruzzo: σ_c=18.51

CC 18 SLD (Collegamento -182_-384)
Azioni sul collegamento: N=-8758.65 Ty=-11.59 Tz=17.82 Mx=-0.01 Mz=-9.27
Sollecitazioni agenti localmente: Tx_l=-11.59 Ty_l=17.82 N_l=-8758.65 Mx_l=-0.00 My_l=-9.27 Mz_l=-0.01
Taglio nei bulloni: Fv,Ed=3.55 Fv,Rd=9650.97
Rifollamento lato piastra: Fb,Ed,p=3.55 Fb,Rd,p=12313.20
Tirafondi:LT=0.45 (0.31) σ_{cR}=0.00 σ_{fR}=0.00
Compressione nel calcestruzzo: σ_c=18.62
CC 18 SLD (Collegamento -182_-384)
Azioni sul collegamento: N=-11144.60 Ty=-9.24 Tz=8.91 Mx=-0.01 Mz=-7.34
Sollecitazioni agenti localmente: Tx_l=-9.24 Ty_l=8.91 N_l=-11144.60 Mx_l=-0.00 My_l=-7.34 Mz_l=-0.01
Taglio nei bulloni: Fv,Ed=2.15 Fv,Rd=9650.97
Rifollamento lato piastra: Fb,Ed,p=2.14 Fb,Rd,p=14680.00
Tirafondi:LT=0.45 (0.31) σ_{cR}=0.00 σ_{fR}=0.00
Compressione nel calcestruzzo: σ_c=23.44
CC 18 SLD (Collegamento -182_-384)
Azioni sul collegamento: N=-11144.60 Ty=-11.59 Tz=8.91 Mx=-0.01 Mz=-9.27
Sollecitazioni agenti localmente: Tx_l=-11.59 Ty_l=8.91 N_l=-11144.60 Mx_l=-0.00 My_l=-9.27 Mz_l=-0.01
Taglio nei bulloni: Fv,Ed=2.45 Fv,Rd=9650.97
Rifollamento lato piastra: Fb,Ed,p=2.44 Fb,Rd,p=13349.90
Tirafondi:LT=0.45 (0.31) σ_{cR}=0.00 σ_{fR}=0.00
Compressione nel calcestruzzo: σ_c=23.55
CC 18 SLD (Collegamento -182_-384)
Azioni sul collegamento: N=-11144.60 Ty=-9.24 Tz=17.82 Mx=-0.01 Mz=-7.34
Sollecitazioni agenti localmente: Tx_l=-9.24 Ty_l=17.82 N_l=-11144.60 Mx_l=-0.00 My_l=-7.34 Mz_l=-0.01
Taglio nei bulloni: Fv,Ed=3.36 Fv,Rd=9650.97
Rifollamento lato piastra: Fb,Ed,p=3.36 Fb,Rd,p=10527.60
Tirafondi:LT=0.45 (0.31) σ_{cR}=0.00 σ_{fR}=0.00
Compressione nel calcestruzzo: σ_c=23.44
CC 18 SLD (Collegamento -182_-384)
Azioni sul collegamento: N=-11144.60 Ty=-11.59 Tz=17.82 Mx=-0.01 Mz=-9.27
Sollecitazioni agenti localmente: Tx_l=-11.59 Ty_l=17.82 N_l=-11144.60 Mx_l=-0.00 My_l=-9.27 Mz_l=-0.01
Taglio nei bulloni: Fv,Ed=3.55 Fv,Rd=9650.97
Rifollamento lato piastra: Fb,Ed,p=3.55 Fb,Rd,p=12313.20
Tirafondi:LT=0.45 (0.31) σ_{cR}=0.00 σ_{fR}=0.00
Compressione nel calcestruzzo: σ_c=23.55
CC 19 SLV (Collegamento -182_-384)
Azioni sul collegamento: N=-6141.50 Ty=-7.99 Tz=-0.53 Mx=-0.01 Mz=-8.33
Sollecitazioni agenti localmente: Tx_l=-7.99 Ty_l=-0.53 N_l=-6141.50 Mx_l=-0.00 My_l=-8.33 Mz_l=-0.01
Taglio nei bulloni: Fv,Ed=1.35 Fv,Rd=7720.78
Rifollamento lato piastra: Fb,Ed,p=1.35 Fb,Rd,p=6031.29
Tirafondi:LT=0.45 (0.31) σ_{cR}=0.00 σ_{fR}=0.00
Compressione nel calcestruzzo: σ_c=13.16
CC 19 SLV (Collegamento -182_-384)
Azioni sul collegamento: N=-6141.50 Ty=-14.68 Tz=-0.53 Mx=-0.01 Mz=-12.56
Sollecitazioni agenti localmente: Tx_l=-14.68 Ty_l=-0.53 N_l=-6141.50 Mx_l=-0.00 My_l=-12.56 Mz_l=-0.01
Taglio nei bulloni: Fv,Ed=2.46 Fv,Rd=7720.78
Rifollamento lato piastra: Fb,Ed,p=2.46 Fb,Rd,p=5994.79
Tirafondi:LT=0.45 (0.31) σ_{cR}=0.00 σ_{fR}=0.00
Compressione nel calcestruzzo: σ_c=13.40
CC 19 SLV (Collegamento -182_-384)
Azioni sul collegamento: N=-6141.50 Ty=-7.99 Tz=28.02 Mx=-0.01 Mz=-8.33
Sollecitazioni agenti localmente: Tx_l=-7.99 Ty_l=28.02 N_l=-6141.50 Mx_l=-0.00 My_l=-8.33 Mz_l=-0.01
Taglio nei bulloni: Fv,Ed=4.88 Fv,Rd=7720.78
Rifollamento lato piastra: Fb,Ed,p=4.88 Fb,Rd,p=6717.12
Tirafondi:LT=0.45 (0.31) σ_{cR}=0.00 σ_{fR}=0.00
Compressione nel calcestruzzo: σ_c=13.16
CC 19 SLV (Collegamento -182_-384)
Azioni sul collegamento: N=-6141.50 Ty=-14.68 Tz=28.02 Mx=-0.01 Mz=-12.56
Sollecitazioni agenti localmente: Tx_l=-14.68 Ty_l=28.02 N_l=-6141.50 Mx_l=-0.00 My_l=-12.56 Mz_l=-0.01
Taglio nei bulloni: Fv,Ed=5.29 Fv,Rd=7720.78
Rifollamento lato piastra: Fb,Ed,p=5.29 Fb,Rd,p=8475.13
Tirafondi:LT=0.45 (0.31) σ_{cR}=0.00 σ_{fR}=0.00
Compressione nel calcestruzzo: σ_c=13.40
CC 19 SLV (Collegamento -182_-384)
Azioni sul collegamento: N=-13956.40 Ty=-7.99 Tz=-0.53 Mx=-0.01 Mz=-8.33
Sollecitazioni agenti localmente: Tx_l=-7.99 Ty_l=-0.53 N_l=-13956.40 Mx_l=-0.00 My_l=-8.33 Mz_l=-0.01
Taglio nei bulloni: Fv,Ed=1.35 Fv,Rd=7720.78
Rifollamento lato piastra: Fb,Ed,p=1.35 Fb,Rd,p=6031.24
Tirafondi:LT=0.45 (0.31) σ_{cR}=0.00 σ_{fR}=0.00
Compressione nel calcestruzzo: σ_c=29.30
CC 19 SLV (Collegamento -182_-384)
Azioni sul collegamento: N=-13956.40 Ty=-14.68 Tz=-0.53 Mx=-0.01 Mz=-12.56
Sollecitazioni agenti localmente: Tx_l=-14.68 Ty_l=-0.53 N_l=-13956.40 Mx_l=-0.00 My_l=-12.56 Mz_l=-0.01
Taglio nei bulloni: Fv,Ed=2.46 Fv,Rd=7720.78
Rifollamento lato piastra: Fb,Ed,p=2.46 Fb,Rd,p=5994.76
Tirafondi:LT=0.45 (0.31) σ_{cR}=0.00 σ_{fR}=0.00
Compressione nel calcestruzzo: σ_c=29.54
CC 19 SLV (Collegamento -182_-384)

Azioni sul collegamento: N=-13956.40 Ty=-7.99 Tz=28.02 Mx=-0.01 Mz=-8.33
Sollecitazioni agenti localmente: Tx_l=-7.99 Ty_l=28.02 N_l=-13956.40 Mx_l=-0.00 My_l=-8.33 Mz_l=-0.01
Taglio nei bulloni: Fv,Ed=4.88 Fv,Rd=7720.78
Rifollamento lato piastra: Fb,Ed,p=4.88 Fb,Rd,p=6717.12
Tirafondi:LT=0.45 (0.31) σ_{cR}=0.00 σ_{fR}=0.00
Compressione nel calcestruzzo: σ_c=29.30
CC 19 SLV (Collegamento -182_-384)
Azioni sul collegamento: N=-13956.40 Ty=-14.68 Tz=28.02 Mx=-0.01 Mz=-12.56
Sollecitazioni agenti localmente: Tx_l=-14.68 Ty_l=28.02 N_l=-13956.40 Mx_l=-0.00 My_l=-12.56 Mz_l=-0.01
Taglio nei bulloni: Fv,Ed=5.29 Fv,Rd=7720.78
Rifollamento lato piastra: Fb,Ed,p=5.29 Fb,Rd,p=8475.11
Tirafondi:LT=0.45 (0.31) σ_{cR}=0.00 σ_{fR}=0.00
Compressione nel calcestruzzo: σ_c=29.54
CC 20 SLD (Collegamento -182_-384)
Azioni sul collegamento: N=-8760.12 Ty=-9.39 Tz=9.01 Mx=-0.01 Mz=-7.66
Sollecitazioni agenti localmente: Tx_l=-9.39 Ty_l=9.01 N_l=-8760.12 Mx_l=-0.00 My_l=-7.66 Mz_l=-0.01
Taglio nei bulloni: Fv,Ed=2.18 Fv,Rd=9650.97
Rifollamento lato piastra: Fb,Ed,p=2.17 Fb,Rd,p=14656.60
Tirafondi:LT=0.45 (0.31) σ_{cR}=0.00 σ_{fR}=0.00
Compressione nel calcestruzzo: σ_c=18.53
CC 20 SLD (Collegamento -182_-384)
Azioni sul collegamento: N=-8760.12 Ty=-11.43 Tz=9.01 Mx=-0.01 Mz=-8.95
Sollecitazioni agenti localmente: Tx_l=-11.43 Ty_l=9.01 N_l=-8760.12 Mx_l=-0.00 My_l=-8.95 Mz_l=-0.01
Taglio nei bulloni: Fv,Ed=2.44 Fv,Rd=9650.97
Rifollamento lato piastra: Fb,Ed,p=2.43 Fb,Rd,p=13483.50
Tirafondi:LT=0.45 (0.31) σ_{cR}=0.00 σ_{fR}=0.00
Compressione nel calcestruzzo: σ_c=18.60
CC 20 SLD (Collegamento -182_-384)
Azioni sul collegamento: N=-8760.13 Ty=-9.39 Tz=17.72 Mx=-0.01 Mz=-7.66
Sollecitazioni agenti localmente: Tx_l=-9.39 Ty_l=17.72 N_l=-8760.13 Mx_l=-0.00 My_l=-7.66 Mz_l=-0.01
Taglio nei bulloni: Fv,Ed=3.35 Fv,Rd=9650.97
Rifollamento lato piastra: Fb,Ed,p=3.35 Fb,Rd,p=10666.20
Tirafondi:LT=0.45 (0.31) σ_{cR}=0.00 σ_{fR}=0.00
Compressione nel calcestruzzo: σ_c=18.53
CC 20 SLD (Collegamento -182_-384)
Azioni sul collegamento: N=-8760.13 Ty=-11.43 Tz=17.72 Mx=-0.01 Mz=-8.95
Sollecitazioni agenti localmente: Tx_l=-11.43 Ty_l=17.72 N_l=-8760.13 Mx_l=-0.00 My_l=-8.95 Mz_l=-0.01
Taglio nei bulloni: Fv,Ed=3.52 Fv,Rd=9650.97
Rifollamento lato piastra: Fb,Ed,p=3.52 Fb,Rd,p=12232.10
Tirafondi:LT=0.45 (0.31) σ_{cR}=0.00 σ_{fR}=0.00
Compressione nel calcestruzzo: σ_c=18.60
CC 20 SLD (Collegamento -182_-384)
Azioni sul collegamento: N=-11143.10 Ty=-9.39 Tz=9.01 Mx=-0.01 Mz=-7.66
Sollecitazioni agenti localmente: Tx_l=-9.39 Ty_l=9.01 N_l=-11143.10 Mx_l=-0.00 My_l=-7.66 Mz_l=-0.01
Taglio nei bulloni: Fv,Ed=2.18 Fv,Rd=9650.97
Rifollamento lato piastra: Fb,Ed,p=2.17 Fb,Rd,p=14656.40
Tirafondi:LT=0.45 (0.31) σ_{cR}=0.00 σ_{fR}=0.00
Compressione nel calcestruzzo: σ_c=23.45
CC 20 SLD (Collegamento -182_-384)
Azioni sul collegamento: N=-11143.10 Ty=-11.43 Tz=9.01 Mx=-0.01 Mz=-8.95
Sollecitazioni agenti localmente: Tx_l=-11.43 Ty_l=9.01 N_l=-11143.10 Mx_l=-0.00 My_l=-8.95 Mz_l=-0.01
Taglio nei bulloni: Fv,Ed=2.44 Fv,Rd=9650.97
Rifollamento lato piastra: Fb,Ed,p=2.43 Fb,Rd,p=13483.30
Tirafondi:LT=0.45 (0.31) σ_{cR}=0.00 σ_{fR}=0.00
Compressione nel calcestruzzo: σ_c=23.53
CC 20 SLD (Collegamento -182_-384)
Azioni sul collegamento: N=-11143.10 Ty=-9.39 Tz=17.72 Mx=-0.01 Mz=-7.66
Sollecitazioni agenti localmente: Tx_l=-9.39 Ty_l=17.72 N_l=-11143.10 Mx_l=-0.00 My_l=-7.66 Mz_l=-0.01
Taglio nei bulloni: Fv,Ed=3.35 Fv,Rd=9650.97
Rifollamento lato piastra: Fb,Ed,p=3.35 Fb,Rd,p=10666.20
Tirafondi:LT=0.45 (0.31) σ_{cR}=0.00 σ_{fR}=0.00
Compressione nel calcestruzzo: σ_c=23.45
CC 20 SLD (Collegamento -182_-384)
Azioni sul collegamento: N=-11143.10 Ty=-11.43 Tz=17.72 Mx=-0.01 Mz=-8.95
Sollecitazioni agenti localmente: Tx_l=-11.43 Ty_l=17.72 N_l=-11143.10 Mx_l=-0.00 My_l=-8.95 Mz_l=-0.01
Taglio nei bulloni: Fv,Ed=3.52 Fv,Rd=9650.97
Rifollamento lato piastra: Fb,Ed,p=3.52 Fb,Rd,p=12232.20
Tirafondi:LT=0.45 (0.31) σ_{cR}=0.00 σ_{fR}=0.00
Compressione nel calcestruzzo: σ_c=23.53
CC 21 SLV (Collegamento -182_-384)
Azioni sul collegamento: N=-13956.40 Ty=-14.68 Tz=28.02 Mx=-0.02 Mz=-12.56
Sollecitazioni agenti localmente: Tx_l=-14.68 Ty_l=28.02 N_l=-13956.40 Mx_l=-0.00 My_l=-12.56 Mz_l=-0.02
Taglio nei bulloni: Fv,Ed=5.30 Fv,Rd=7720.78
Rifollamento lato piastra: Fb,Ed,p=5.30 Fb,Rd,p=8480.27
Tirafondi:LT=0.45 (0.31) σ_{cR}=0.00 σ_{fR}=0.00
Compressione nel calcestruzzo: σ_c=29.54
CC 21 SLV (Collegamento -182_-384)
Azioni sul collegamento: N=-13956.40 Ty=-7.99 Tz=28.02 Mx=-0.02 Mz=-8.33

Sollecitazioni agenti localmente: Tx_l=-7.99 Ty_l=28.02 N_l=-13956.40 Mx_l=-0.00 My_l=-8.33 Mz_l=-0.02
Taglio nei bulloni: Fv,Ed=4.88 Fv,Rd=7720.78
Rifollamento lato piastra: Fb,Ed,p=4.88 Fb,Rd,p=6721.26
Tirafondi:LT=0.45 (0.31) σ_{cR}=0.00 σ_{fR}=0.00
Compressione nel calcestruzzo: σ_c=29.30
CC 21 SLV (Collegamento -182_-384)
Azioni sul collegamento: N=-13956.40 Ty=-14.68 Tz=-0.53 Mx=-0.02 Mz=-12.56
Sollecitazioni agenti localmente: Tx_l=-14.68 Ty_l=-0.53 N_l=-13956.40 Mx_l=-0.00 My_l=-12.56 Mz_l=-0.02
Taglio nei bulloni: Fv,Ed=2.47 Fv,Rd=7720.78
Rifollamento lato piastra: Fb,Ed,p=2.47 Fb,Rd,p=5996.33
Tirafondi:LT=0.45 (0.31) σ_{cR}=0.00 σ_{fR}=0.00
Compressione nel calcestruzzo: σ_c=29.54
CC 21 SLV (Collegamento -182_-384)
Azioni sul collegamento: N=-13956.40 Ty=-7.99 Tz=-0.53 Mx=-0.02 Mz=-8.33
Sollecitazioni agenti localmente: Tx_l=-7.99 Ty_l=-0.53 N_l=-13956.40 Mx_l=-0.00 My_l=-8.33 Mz_l=-0.02
Taglio nei bulloni: Fv,Ed=1.36 Fv,Rd=7720.78
Rifollamento lato piastra: Fb,Ed,p=1.36 Fb,Rd,p=6036.25
Tirafondi:LT=0.45 (0.31) σ_{cR}=0.00 σ_{fR}=0.00
Compressione nel calcestruzzo: σ_c=29.30
CC 21 SLV (Collegamento -182_-384)
Azioni sul collegamento: N=-6141.50 Ty=-14.68 Tz=28.02 Mx=-0.02 Mz=-12.56
Sollecitazioni agenti localmente: Tx_l=-14.68 Ty_l=28.02 N_l=-6141.50 Mx_l=-0.00 My_l=-12.56 Mz_l=-0.02
Taglio nei bulloni: Fv,Ed=5.30 Fv,Rd=7720.78
Rifollamento lato piastra: Fb,Ed,p=5.30 Fb,Rd,p=8480.29
Tirafondi:LT=0.45 (0.31) σ_{cR}=0.00 σ_{fR}=0.00
Compressione nel calcestruzzo: σ_c=13.40
CC 21 SLV (Collegamento -182_-384)
Azioni sul collegamento: N=-6141.50 Ty=-7.99 Tz=28.02 Mx=-0.02 Mz=-8.33
Sollecitazioni agenti localmente: Tx_l=-7.99 Ty_l=28.02 N_l=-6141.50 Mx_l=-0.00 My_l=-8.33 Mz_l=-0.02
Taglio nei bulloni: Fv,Ed=4.88 Fv,Rd=7720.78
Rifollamento lato piastra: Fb,Ed,p=4.88 Fb,Rd,p=6721.27
Tirafondi:LT=0.45 (0.31) σ_{cR}=0.00 σ_{fR}=0.00
Compressione nel calcestruzzo: σ_c=13.16
CC 21 SLV (Collegamento -182_-384)
Azioni sul collegamento: N=-6141.50 Ty=-14.68 Tz=-0.53 Mx=-0.02 Mz=-12.56
Sollecitazioni agenti localmente: Tx_l=-14.68 Ty_l=-0.53 N_l=-6141.50 Mx_l=-0.00 My_l=-12.56 Mz_l=-0.02
Taglio nei bulloni: Fv,Ed=2.47 Fv,Rd=7720.78
Rifollamento lato piastra: Fb,Ed,p=2.47 Fb,Rd,p=5996.34
Tirafondi:LT=0.45 (0.31) σ_{cR}=0.00 σ_{fR}=0.00
Compressione nel calcestruzzo: σ_c=13.40
CC 21 SLV (Collegamento -182_-384)
Azioni sul collegamento: N=-6141.50 Ty=-7.99 Tz=-0.53 Mx=-0.02 Mz=-8.33
Sollecitazioni agenti localmente: Tx_l=-7.99 Ty_l=-0.53 N_l=-6141.50 Mx_l=-0.00 My_l=-8.33 Mz_l=-0.02
Taglio nei bulloni: Fv,Ed=1.36 Fv,Rd=7720.78
Rifollamento lato piastra: Fb,Ed,p=1.36 Fb,Rd,p=6036.30
Tirafondi:LT=0.45 (0.31) σ_{cR}=0.00 σ_{fR}=0.00
Compressione nel calcestruzzo: σ_c=13.16
CC 22 SLD (Collegamento -182_-384)
Azioni sul collegamento: N=-11143.10 Ty=-11.43 Tz=17.72 Mx=-0.01 Mz=-8.95
Sollecitazioni agenti localmente: Tx_l=-11.43 Ty_l=17.72 N_l=-11143.10 Mx_l=-0.00 My_l=-8.95 Mz_l=-0.01
Taglio nei bulloni: Fv,Ed=3.53 Fv,Rd=9650.97
Rifollamento lato piastra: Fb,Ed,p=3.53 Fb,Rd,p=12235.10
Tirafondi:LT=0.45 (0.31) σ_{cR}=0.00 σ_{fR}=0.00
Compressione nel calcestruzzo: σ_c=23.53
CC 22 SLD (Collegamento -182_-384)
Azioni sul collegamento: N=-11143.10 Ty=-9.39 Tz=17.72 Mx=-0.01 Mz=-7.66
Sollecitazioni agenti localmente: Tx_l=-9.39 Ty_l=17.72 N_l=-11143.10 Mx_l=-0.00 My_l=-7.66 Mz_l=-0.01
Taglio nei bulloni: Fv,Ed=3.35 Fv,Rd=9650.97
Rifollamento lato piastra: Fb,Ed,p=3.35 Fb,Rd,p=10669.40
Tirafondi:LT=0.45 (0.31) σ_{cR}=0.00 σ_{fR}=0.00
Compressione nel calcestruzzo: σ_c=23.45
CC 22 SLD (Collegamento -182_-384)
Azioni sul collegamento: N=-11143.10 Ty=-11.43 Tz=9.01 Mx=-0.01 Mz=-8.95
Sollecitazioni agenti localmente: Tx_l=-11.43 Ty_l=9.01 N_l=-11143.10 Mx_l=-0.00 My_l=-8.95 Mz_l=-0.01
Taglio nei bulloni: Fv,Ed=2.44 Fv,Rd=9650.97
Rifollamento lato piastra: Fb,Ed,p=2.43 Fb,Rd,p=13473.60
Tirafondi:LT=0.45 (0.31) σ_{cR}=0.00 σ_{fR}=0.00
Compressione nel calcestruzzo: σ_c=23.53
CC 22 SLD (Collegamento -182_-384)
Azioni sul collegamento: N=-11143.10 Ty=-9.39 Tz=9.01 Mx=-0.01 Mz=-7.66
Sollecitazioni agenti localmente: Tx_l=-9.39 Ty_l=9.01 N_l=-11143.10 Mx_l=-0.00 My_l=-7.66 Mz_l=-0.01
Taglio nei bulloni: Fv,Ed=2.18 Fv,Rd=9650.97
Rifollamento lato piastra: Fb,Ed,p=2.17 Fb,Rd,p=14641.80
Tirafondi:LT=0.45 (0.31) σ_{cR}=0.00 σ_{fR}=0.00
Compressione nel calcestruzzo: σ_c=23.45
CC 22 SLD (Collegamento -182_-384)
Azioni sul collegamento: N=-8760.13 Ty=-11.43 Tz=17.72 Mx=-0.01 Mz=-8.95
Sollecitazioni agenti localmente: Tx_l=-11.43 Ty_l=17.72 N_l=-8760.13 Mx_l=-0.00 My_l=-8.95 Mz_l=-0.01

Taglio nei bulloni: Fv,Ed=3.53 Fv,Rd=9650.97
Rifollamento lato piastra: Fb,Ed,p=3.53 Fb,Rd,p=12235.00
Tirafondi:LT=0.45 (0.31) σ_{cR}=0.00 σ_{fR}=0.00
Compressione nel calcestruzzo: σ_c=18.60
CC 22 SLD (Collegamento -182_-384)
Azioni sul collegamento: N=-8760.13 Ty=-9.39 Tz=17.72 Mx=-0.01 Mz=-7.66
Sollecitazioni agenti localmente: Tx_l=-9.39 Ty_l=17.72 N_l=-8760.13 Mx_l=-0.00 My_l=-7.66 Mz_l=-0.01
Taglio nei bulloni: Fv,Ed=3.35 Fv,Rd=9650.97
Rifollamento lato piastra: Fb,Ed,p=3.35 Fb,Rd,p=10669.30
Tirafondi:LT=0.45 (0.31) σ_{cR}=0.00 σ_{fR}=0.00
Compressione nel calcestruzzo: σ_c=18.53
CC 22 SLD (Collegamento -182_-384)
Azioni sul collegamento: N=-8760.12 Ty=-11.43 Tz=9.01 Mx=-0.01 Mz=-8.95
Sollecitazioni agenti localmente: Tx_l=-11.43 Ty_l=9.01 N_l=-8760.12 Mx_l=-0.00 My_l=-8.95 Mz_l=-0.01
Taglio nei bulloni: Fv,Ed=2.44 Fv,Rd=9650.97
Rifollamento lato piastra: Fb,Ed,p=2.43 Fb,Rd,p=13473.70
Tirafondi:LT=0.45 (0.31) σ_{cR}=0.00 σ_{fR}=0.00
Compressione nel calcestruzzo: σ_c=18.60
CC 22 SLD (Collegamento -182_-384)
Azioni sul collegamento: N=-8760.12 Ty=-9.39 Tz=9.01 Mx=-0.01 Mz=-7.66
Sollecitazioni agenti localmente: Tx_l=-9.39 Ty_l=9.01 N_l=-8760.12 Mx_l=-0.00 My_l=-7.66 Mz_l=-0.01
Taglio nei bulloni: Fv,Ed=2.18 Fv,Rd=9650.97
Rifollamento lato piastra: Fb,Ed,p=2.17 Fb,Rd,p=14642.00
Tirafondi:LT=0.45 (0.31) σ_{cR}=0.00 σ_{fR}=0.00
Compressione nel calcestruzzo: σ_c=18.53
CC 23 SLV (Collegamento -182_-384)
Azioni sul collegamento: N=-13961.30 Ty=-15.19 Tz=28.35 Mx=-0.01 Mz=-13.60
Sollecitazioni agenti localmente: Tx_l=-15.19 Ty_l=28.35 N_l=-13961.30 Mx_l=-0.00 My_l=-13.60 Mz_l=-0.01
Taglio nei bulloni: Fv,Ed=5.38 Fv,Rd=7720.78
Rifollamento lato piastra: Fb,Ed,p=5.38 Fb,Rd,p=8592.56
Tirafondi:LT=0.45 (0.31) σ_{cR}=0.00 σ_{fR}=0.00
Compressione nel calcestruzzo: σ_c=29.61
CC 23 SLV (Collegamento -182_-384)
Azioni sul collegamento: N=-13961.30 Ty=-7.48 Tz=28.35 Mx=-0.01 Mz=-7.28
Sollecitazioni agenti localmente: Tx_l=-7.48 Ty_l=28.35 N_l=-13961.30 Mx_l=-0.00 My_l=-7.28 Mz_l=-0.01
Taglio nei bulloni: Fv,Ed=4.90 Fv,Rd=7720.78
Rifollamento lato piastra: Fb,Ed,p=4.90 Fb,Rd,p=6610.93
Tirafondi:LT=0.45 (0.31) σ_{cR}=0.00 σ_{fR}=0.00
Compressione nel calcestruzzo: σ_c=29.26
CC 23 SLV (Collegamento -182_-384)
Azioni sul collegamento: N=-13961.30 Ty=-15.19 Tz=-0.86 Mx=-0.01 Mz=-13.60
Sollecitazioni agenti localmente: Tx_l=-15.19 Ty_l=-0.86 N_l=-13961.30 Mx_l=-0.00 My_l=-13.60 Mz_l=-0.01
Taglio nei bulloni: Fv,Ed=2.55 Fv,Rd=7720.78
Rifollamento lato piastra: Fb,Ed,p=2.55 Fb,Rd,p=6013.19
Tirafondi:LT=0.45 (0.31) σ_{cR}=0.00 σ_{fR}=0.00
Compressione nel calcestruzzo: σ_c=29.61
CC 23 SLV (Collegamento -182_-384)
Azioni sul collegamento: N=-13961.30 Ty=-7.48 Tz=-0.86 Mx=-0.01 Mz=-7.28
Sollecitazioni agenti localmente: Tx_l=-7.48 Ty_l=-0.86 N_l=-13961.30 Mx_l=-0.00 My_l=-7.28 Mz_l=-0.01
Taglio nei bulloni: Fv,Ed=1.27 Fv,Rd=7720.78
Rifollamento lato piastra: Fb,Ed,p=1.27 Fb,Rd,p=6117.92
Tirafondi:LT=0.45 (0.31) σ_{cR}=0.00 σ_{fR}=0.00
Compressione nel calcestruzzo: σ_c=29.26
CC 23 SLV (Collegamento -182_-384)
Azioni sul collegamento: N=-6136.65 Ty=-15.19 Tz=28.35 Mx=-0.01 Mz=-13.60
Sollecitazioni agenti localmente: Tx_l=-15.19 Ty_l=28.35 N_l=-6136.65 Mx_l=-0.00 My_l=-13.60 Mz_l=-0.01
Taglio nei bulloni: Fv,Ed=5.38 Fv,Rd=7720.78
Rifollamento lato piastra: Fb,Ed,p=5.38 Fb,Rd,p=8592.55
Tirafondi:LT=0.45 (0.31) σ_{cR}=0.00 σ_{fR}=0.00
Compressione nel calcestruzzo: σ_c=13.45
CC 23 SLV (Collegamento -182_-384)
Azioni sul collegamento: N=-6136.65 Ty=-7.48 Tz=28.35 Mx=-0.01 Mz=-7.28
Sollecitazioni agenti localmente: Tx_l=-7.48 Ty_l=28.35 N_l=-6136.65 Mx_l=-0.00 My_l=-7.28 Mz_l=-0.01
Taglio nei bulloni: Fv,Ed=4.90 Fv,Rd=7720.78
Rifollamento lato piastra: Fb,Ed,p=4.90 Fb,Rd,p=6610.92
Tirafondi:LT=0.45 (0.31) σ_{cR}=0.00 σ_{fR}=0.00
Compressione nel calcestruzzo: σ_c=13.09
CC 23 SLV (Collegamento -182_-384)
Azioni sul collegamento: N=-6136.65 Ty=-15.19 Tz=-0.86 Mx=-0.01 Mz=-13.60
Sollecitazioni agenti localmente: Tx_l=-15.19 Ty_l=-0.86 N_l=-6136.65 Mx_l=-0.00 My_l=-13.60 Mz_l=-0.01
Taglio nei bulloni: Fv,Ed=2.55 Fv,Rd=7720.78
Rifollamento lato piastra: Fb,Ed,p=2.55 Fb,Rd,p=6013.18
Tirafondi:LT=0.45 (0.31) σ_{cR}=0.00 σ_{fR}=0.00
Compressione nel calcestruzzo: σ_c=13.45
CC 23 SLV (Collegamento -182_-384)
Azioni sul collegamento: N=-6136.65 Ty=-7.48 Tz=-0.86 Mx=-0.01 Mz=-7.28
Sollecitazioni agenti localmente: Tx_l=-7.48 Ty_l=-0.86 N_l=-6136.65 Mx_l=-0.00 My_l=-7.28 Mz_l=-0.01
Taglio nei bulloni: Fv,Ed=1.27 Fv,Rd=7720.78

Rifollamento lato piastra: Fb,Ed,p=1.27 Fb,Rd,p=6117.91
Tirafondi:LT=0.45 (0.31) σ_{cR}=0.00 σ_{fR}=0.00
Compressione nel calcestruzzo: σ_c=13.09
CC 24 SLD (Collegamento -182_-384)
Azioni sul collegamento: N=-11144.60 Ty=-11.59 Tz=17.82 Mx=-0.01 Mz=-9.27
Sollecitazioni agenti localmente: Tx_l=-11.59 Ty_l=17.82 N_l=-11144.60 Mx_l=-0.00 My_l=-9.27 Mz_l=-0.01
Taglio nei bulloni: Fv,Ed=3.55 Fv,Rd=9650.97
Rifollamento lato piastra: Fb,Ed,p=3.55 Fb,Rd,p=12310.20
Tirafondi:LT=0.45 (0.31) σ_{cR}=0.00 σ_{fR}=0.00
Compressione nel calcestruzzo: σ_c=23.55
CC 24 SLD (Collegamento -182_-384)
Azioni sul collegamento: N=-11144.60 Ty=-9.24 Tz=17.82 Mx=-0.01 Mz=-7.34
Sollecitazioni agenti localmente: Tx_l=-9.24 Ty_l=17.82 N_l=-11144.60 Mx_l=-0.00 My_l=-7.34 Mz_l=-0.01
Taglio nei bulloni: Fv,Ed=3.35 Fv,Rd=9650.97
Rifollamento lato piastra: Fb,Ed,p=3.35 Fb,Rd,p=10524.40
Tirafondi:LT=0.45 (0.31) σ_{cR}=0.00 σ_{fR}=0.00
Compressione nel calcestruzzo: σ_c=23.44
CC 24 SLD (Collegamento -182_-384)
Azioni sul collegamento: N=-11144.60 Ty=-11.59 Tz=8.91 Mx=-0.01 Mz=-9.27
Sollecitazioni agenti localmente: Tx_l=-11.59 Ty_l=8.91 N_l=-11144.60 Mx_l=-0.00 My_l=-9.27 Mz_l=-0.01
Taglio nei bulloni: Fv,Ed=2.45 Fv,Rd=9650.97
Rifollamento lato piastra: Fb,Ed,p=2.44 Fb,Rd,p=13359.60
Tirafondi:LT=0.45 (0.31) σ_{cR}=0.00 σ_{fR}=0.00
Compressione nel calcestruzzo: σ_c=23.55
CC 24 SLD (Collegamento -182_-384)
Azioni sul collegamento: N=-11144.60 Ty=-9.24 Tz=8.91 Mx=-0.01 Mz=-7.34
Sollecitazioni agenti localmente: Tx_l=-9.24 Ty_l=8.91 N_l=-11144.60 Mx_l=-0.00 My_l=-7.34 Mz_l=-0.01
Taglio nei bulloni: Fv,Ed=2.15 Fv,Rd=9650.97
Rifollamento lato piastra: Fb,Ed,p=2.14 Fb,Rd,p=14695.50
Tirafondi:LT=0.45 (0.31) σ_{cR}=0.00 σ_{fR}=0.00
Compressione nel calcestruzzo: σ_c=23.44
CC 24 SLD (Collegamento -182_-384)
Azioni sul collegamento: N=-8758.65 Ty=-11.59 Tz=17.82 Mx=-0.01 Mz=-9.27
Sollecitazioni agenti localmente: Tx_l=-11.59 Ty_l=17.82 N_l=-8758.65 Mx_l=-0.00 My_l=-9.27 Mz_l=-0.01
Taglio nei bulloni: Fv,Ed=3.55 Fv,Rd=9650.97
Rifollamento lato piastra: Fb,Ed,p=3.55 Fb,Rd,p=12310.20
Tirafondi:LT=0.45 (0.31) σ_{cR}=0.00 σ_{fR}=0.00
Compressione nel calcestruzzo: σ_c=18.62
CC 24 SLD (Collegamento -182_-384)
Azioni sul collegamento: N=-8758.65 Ty=-9.24 Tz=17.82 Mx=-0.01 Mz=-7.34
Sollecitazioni agenti localmente: Tx_l=-9.24 Ty_l=17.82 N_l=-8758.65 Mx_l=-0.00 My_l=-7.34 Mz_l=-0.01
Taglio nei bulloni: Fv,Ed=3.35 Fv,Rd=9650.97
Rifollamento lato piastra: Fb,Ed,p=3.35 Fb,Rd,p=10524.40
Tirafondi:LT=0.45 (0.31) σ_{cR}=0.00 σ_{fR}=0.00
Compressione nel calcestruzzo: σ_c=18.51
CC 24 SLD (Collegamento -182_-384)
Azioni sul collegamento: N=-8758.64 Ty=-11.59 Tz=8.91 Mx=-0.01 Mz=-9.27
Sollecitazioni agenti localmente: Tx_l=-11.59 Ty_l=8.91 N_l=-8758.64 Mx_l=-0.00 My_l=-9.27 Mz_l=-0.01
Taglio nei bulloni: Fv,Ed=2.45 Fv,Rd=9650.97
Rifollamento lato piastra: Fb,Ed,p=2.44 Fb,Rd,p=13359.80
Tirafondi:LT=0.45 (0.31) σ_{cR}=0.00 σ_{fR}=0.00
Compressione nel calcestruzzo: σ_c=18.62
CC 24 SLD (Collegamento -182_-384)
Azioni sul collegamento: N=-8758.64 Ty=-9.24 Tz=8.91 Mx=-0.01 Mz=-7.34
Sollecitazioni agenti localmente: Tx_l=-9.24 Ty_l=8.91 N_l=-8758.64 Mx_l=-0.00 My_l=-7.34 Mz_l=-0.01
Taglio nei bulloni: Fv,Ed=2.15 Fv,Rd=9650.97
Rifollamento lato piastra: Fb,Ed,p=2.14 Fb,Rd,p=14695.80
Tirafondi:LT=0.45 (0.31) σ_{cR}=0.00 σ_{fR}=0.00
Compressione nel calcestruzzo: σ_c=18.51
CC 25 SLV (Collegamento -182_-384)
Azioni sul collegamento: N=-8867.92 Ty=-9.40 Tz=8.87 Mx=-0.02 Mz=-7.91
Sollecitazioni agenti localmente: Tx_l=-9.40 Ty_l=8.87 N_l=-8867.92 Mx_l=-0.00 My_l=-7.91 Mz_l=-0.02
Taglio nei bulloni: Fv,Ed=2.19 Fv,Rd=7720.78
Rifollamento lato piastra: Fb,Ed,p=2.16 Fb,Rd,p=11497.40
Tirafondi:LT=0.45 (0.31) σ_{cR}=0.00 σ_{fR}=0.00
Compressione nel calcestruzzo: σ_c=18.77
CC 25 SLV (Collegamento -182_-384)
Azioni sul collegamento: N=-8867.92 Ty=-13.27 Tz=8.87 Mx=-0.02 Mz=-12.98
Sollecitazioni agenti localmente: Tx_l=-13.27 Ty_l=8.87 N_l=-8867.92 Mx_l=-0.00 My_l=-12.98 Mz_l=-0.02
Taglio nei bulloni: Fv,Ed=2.70 Fv,Rd=7720.78
Rifollamento lato piastra: Fb,Ed,p=2.67 Fb,Rd,p=9815.61
Tirafondi:LT=0.45 (0.31) σ_{cR}=0.00 σ_{fR}=0.00
Compressione nel calcestruzzo: σ_c=19.05
CC 25 SLV (Collegamento -182_-384)
Azioni sul collegamento: N=-8867.92 Ty=-9.40 Tz=18.62 Mx=-0.02 Mz=-7.91
Sollecitazioni agenti localmente: Tx_l=-9.40 Ty_l=18.62 N_l=-8867.92 Mx_l=-0.00 My_l=-7.91 Mz_l=-0.02
Taglio nei bulloni: Fv,Ed=3.51 Fv,Rd=7720.78
Rifollamento lato piastra: Fb,Ed,p=3.51 Fb,Rd,p=8319.63

Tirafondi:LT=0.45 (0.31) σ_{cR}=0.00 σ_{fR}=0.00
Compressione nel calcestruzzo: σ_c=18.77
CC 25 SLV (Collegamento -182_-384)
Azioni sul collegamento: N=-8867.92 Ty=-13.27 Tz=18.62 Mx=-0.02 Mz=-12.98
Sollecitazioni agenti localmente: Tx_l=-13.27 Ty_l=18.62 N_l=-8867.92 Mx_l=-0.00 My_l=-12.98 Mz_l=-0.02
Taglio nei bulloni: Fv,Ed=3.85 Fv,Rd=7720.78
Rifollamento lato piastra: Fb,Ed,p=3.85 Fb,Rd,p=10448.00
Tirafondi:LT=0.45 (0.31) σ_{cR}=0.00 σ_{fR}=0.00
Compressione nel calcestruzzo: σ_c=19.05
CC 25 SLV (Collegamento -182_-384)
Azioni sul collegamento: N=-11230.00 Ty=-9.40 Tz=8.87 Mx=-0.02 Mz=-7.91
Sollecitazioni agenti localmente: Tx_l=-9.40 Ty_l=8.87 N_l=-11230.00 Mx_l=-0.00 My_l=-7.91 Mz_l=-0.02
Taglio nei bulloni: Fv,Ed=2.19 Fv,Rd=7720.78
Rifollamento lato piastra: Fb,Ed,p=2.16 Fb,Rd,p=11497.80
Tirafondi:LT=0.45 (0.31) σ_{cR}=0.00 σ_{fR}=0.00
Compressione nel calcestruzzo: σ_c=23.65
CC 25 SLV (Collegamento -182_-384)
Azioni sul collegamento: N=-11230.00 Ty=-13.27 Tz=8.87 Mx=-0.02 Mz=-12.98
Sollecitazioni agenti localmente: Tx_l=-13.27 Ty_l=8.87 N_l=-11230.00 Mx_l=-0.00 My_l=-12.98 Mz_l=-0.02
Taglio nei bulloni: Fv,Ed=2.70 Fv,Rd=7720.78
Rifollamento lato piastra: Fb,Ed,p=2.67 Fb,Rd,p=9816.09
Tirafondi:LT=0.45 (0.31) σ_{cR}=0.00 σ_{fR}=0.00
Compressione nel calcestruzzo: σ_c=23.93
CC 25 SLV (Collegamento -182_-384)
Azioni sul collegamento: N=-11230.00 Ty=-9.40 Tz=18.62 Mx=-0.02 Mz=-7.91
Sollecitazioni agenti localmente: Tx_l=-9.40 Ty_l=18.62 N_l=-11230.00 Mx_l=-0.00 My_l=-7.91 Mz_l=-0.02
Taglio nei bulloni: Fv,Ed=3.51 Fv,Rd=7720.78
Rifollamento lato piastra: Fb,Ed,p=3.51 Fb,Rd,p=8319.58
Tirafondi:LT=0.45 (0.31) σ_{cR}=0.00 σ_{fR}=0.00
Compressione nel calcestruzzo: σ_c=23.65
CC 25 SLV (Collegamento -182_-384)
Azioni sul collegamento: N=-11230.00 Ty=-13.27 Tz=18.62 Mx=-0.02 Mz=-12.98
Sollecitazioni agenti localmente: Tx_l=-13.27 Ty_l=18.62 N_l=-11230.00 Mx_l=-0.00 My_l=-12.98 Mz_l=-0.02
Taglio nei bulloni: Fv,Ed=3.85 Fv,Rd=7720.78
Rifollamento lato piastra: Fb,Ed,p=3.85 Fb,Rd,p=10448.00
Tirafondi:LT=0.45 (0.31) σ_{cR}=0.00 σ_{fR}=0.00
Compressione nel calcestruzzo: σ_c=23.93
CC 26 SLD (Collegamento -182_-384)
Azioni sul collegamento: N=-9591.50 Ty=-9.82 Tz=11.88 Mx=-0.01 Mz=-7.53
Sollecitazioni agenti localmente: Tx_l=-9.82 Ty_l=11.88 N_l=-9591.50 Mx_l=-0.00 My_l=-7.53 Mz_l=-0.01
Taglio nei bulloni: Fv,Ed=2.58 Fv,Rd=9650.97
Rifollamento lato piastra: Fb,Ed,p=2.58 Fb,Rd,p=13791.80
Tirafondi:LT=0.45 (0.31) σ_{cR}=0.00 σ_{fR}=0.00
Compressione nel calcestruzzo: σ_c=20.24
CC 26 SLD (Collegamento -182_-384)
Azioni sul collegamento: N=-9591.50 Ty=-11.00 Tz=11.88 Mx=-0.01 Mz=-9.08
Sollecitazioni agenti localmente: Tx_l=-11.00 Ty_l=11.88 N_l=-9591.50 Mx_l=-0.00 My_l=-9.08 Mz_l=-0.01
Taglio nei bulloni: Fv,Ed=2.71 Fv,Rd=9650.97
Rifollamento lato piastra: Fb,Ed,p=2.71 Fb,Rd,p=14484.10
Tirafondi:LT=0.45 (0.31) σ_{cR}=0.00 σ_{fR}=0.00
Compressione nel calcestruzzo: σ_c=20.33
CC 26 SLD (Collegamento -182_-384)
Azioni sul collegamento: N=-9591.50 Ty=-9.82 Tz=14.85 Mx=-0.01 Mz=-7.53
Sollecitazioni agenti localmente: Tx_l=-9.82 Ty_l=14.85 N_l=-9591.50 Mx_l=-0.00 My_l=-7.53 Mz_l=-0.01
Taglio nei bulloni: Fv,Ed=2.98 Fv,Rd=9650.97
Rifollamento lato piastra: Fb,Ed,p=2.98 Fb,Rd,p=12488.00
Tirafondi:LT=0.45 (0.31) σ_{cR}=0.00 σ_{fR}=0.00
Compressione nel calcestruzzo: σ_c=20.24
CC 26 SLD (Collegamento -182_-384)
Azioni sul collegamento: N=-9591.50 Ty=-11.00 Tz=14.85 Mx=-0.01 Mz=-9.08
Sollecitazioni agenti localmente: Tx_l=-11.00 Ty_l=14.85 N_l=-9591.50 Mx_l=-0.00 My_l=-9.08 Mz_l=-0.01
Taglio nei bulloni: Fv,Ed=3.10 Fv,Rd=9650.97
Rifollamento lato piastra: Fb,Ed,p=3.10 Fb,Rd,p=13228.20
Tirafondi:LT=0.45 (0.31) σ_{cR}=0.00 σ_{fR}=0.00
Compressione nel calcestruzzo: σ_c=20.33
CC 26 SLD (Collegamento -182_-384)
Azioni sul collegamento: N=-10311.80 Ty=-9.82 Tz=11.88 Mx=-0.01 Mz=-7.53
Sollecitazioni agenti localmente: Tx_l=-9.82 Ty_l=11.88 N_l=-10311.80 Mx_l=-0.00 My_l=-7.53 Mz_l=-0.01
Taglio nei bulloni: Fv,Ed=2.58 Fv,Rd=9650.97
Rifollamento lato piastra: Fb,Ed,p=2.58 Fb,Rd,p=13791.70
Tirafondi:LT=0.45 (0.31) σ_{cR}=0.00 σ_{fR}=0.00
Compressione nel calcestruzzo: σ_c=21.73
CC 26 SLD (Collegamento -182_-384)
Azioni sul collegamento: N=-10311.80 Ty=-11.00 Tz=11.88 Mx=-0.01 Mz=-9.08
Sollecitazioni agenti localmente: Tx_l=-11.00 Ty_l=11.88 N_l=-10311.80 Mx_l=-0.00 My_l=-9.08 Mz_l=-0.01
Taglio nei bulloni: Fv,Ed=2.71 Fv,Rd=9650.97
Rifollamento lato piastra: Fb,Ed,p=2.71 Fb,Rd,p=14484.00
Tirafondi:LT=0.45 (0.31) σ_{cR}=0.00 σ_{fR}=0.00

Compressione nel calcestruzzo: σ_c=21.82
CC 26 SLD (Collegamento -182_-384)
Azioni sul collegamento: N=-10311.80 Ty=-9.82 Tz=14.85 Mx=-0.01 Mz=-7.53
Sollecitazioni agenti localmente: Tx_l=-9.82 Ty_l=14.85 N_l=-10311.80 Mx_l=-0.00 My_l=-7.53 Mz_l=-0.01
Taglio nei bulloni: Fv,Ed=2.98 Fv,Rd=9650.97
Rifollamento lato piastra: Fb,Ed,p=2.98 Fb,Rd,p=12488.20
Tirafondi:LT=0.45 (0.31) σ_{cR}=0.00 σ_{fR}=0.00
Compressione nel calcestruzzo: σ_c=21.73
CC 26 SLD (Collegamento -182_-384)
Azioni sul collegamento: N=-10311.80 Ty=-11.00 Tz=14.85 Mx=-0.01 Mz=-9.08
Sollecitazioni agenti localmente: Tx_l=-11.00 Ty_l=14.85 N_l=-10311.80 Mx_l=-0.00 My_l=-9.08 Mz_l=-0.01
Taglio nei bulloni: Fv,Ed=3.10 Fv,Rd=9650.97
Rifollamento lato piastra: Fb,Ed,p=3.10 Fb,Rd,p=13228.20
Tirafondi:LT=0.45 (0.31) σ_{cR}=0.00 σ_{fR}=0.00
Compressione nel calcestruzzo: σ_c=21.82
CC 27 SLV (Collegamento -182_-384)
Azioni sul collegamento: N=-11213.90 Ty=-11.56 Tz=17.53 Mx=-0.02 Mz=-9.49
Sollecitazioni agenti localmente: Tx_l=-11.56 Ty_l=17.53 N_l=-11213.90 Mx_l=-0.00 My_l=-9.49 Mz_l=-0.02
Taglio nei bulloni: Fv,Ed=3.54 Fv,Rd=7720.78
Rifollamento lato piastra: Fb,Ed,p=3.54 Fb,Rd,p=9985.33
Tirafondi:LT=0.45 (0.31) σ_{cR}=0.00 σ_{fR}=0.00
Compressione nel calcestruzzo: σ_c=23.70
CC 27 SLV (Collegamento -182_-384)
Azioni sul collegamento: N=-11213.90 Ty=-11.11 Tz=17.53 Mx=-0.02 Mz=-11.40
Sollecitazioni agenti localmente: Tx_l=-11.11 Ty_l=17.53 N_l=-11213.90 Mx_l=-0.00 My_l=-11.40 Mz_l=-0.02
Taglio nei bulloni: Fv,Ed=3.50 Fv,Rd=7720.78
Rifollamento lato piastra: Fb,Ed,p=3.50 Fb,Rd,p=9678.09
Tirafondi:LT=0.45 (0.31) σ_{cR}=0.00 σ_{fR}=0.00
Compressione nel calcestruzzo: σ_c=23.81
CC 27 SLV (Collegamento -182_-384)
Azioni sul collegamento: N=-11213.90 Ty=-11.56 Tz=9.96 Mx=-0.02 Mz=-9.49
Sollecitazioni agenti localmente: Tx_l=-11.56 Ty_l=9.96 N_l=-11213.90 Mx_l=-0.00 My_l=-9.49 Mz_l=-0.02
Taglio nei bulloni: Fv,Ed=2.58 Fv,Rd=7720.78
Rifollamento lato piastra: Fb,Ed,p=2.55 Fb,Rd,p=11079.10
Tirafondi:LT=0.45 (0.31) σ_{cR}=0.00 σ_{fR}=0.00
Compressione nel calcestruzzo: σ_c=23.70
CC 27 SLV (Collegamento -182_-384)
Azioni sul collegamento: N=-11213.90 Ty=-11.11 Tz=9.96 Mx=-0.02 Mz=-11.40
Sollecitazioni agenti localmente: Tx_l=-11.11 Ty_l=9.96 N_l=-11213.90 Mx_l=-0.00 My_l=-11.40 Mz_l=-0.02
Taglio nei bulloni: Fv,Ed=2.52 Fv,Rd=7720.78
Rifollamento lato piastra: Fb,Ed,p=2.49 Fb,Rd,p=11262.40
Tirafondi:LT=0.45 (0.31) σ_{cR}=0.00 σ_{fR}=0.00
Compressione nel calcestruzzo: σ_c=23.81
CC 27 SLV (Collegamento -182_-384)
Azioni sul collegamento: N=-8884.09 Ty=-11.56 Tz=17.53 Mx=-0.02 Mz=-9.49
Sollecitazioni agenti localmente: Tx_l=-11.56 Ty_l=17.53 N_l=-8884.09 Mx_l=-0.00 My_l=-9.49 Mz_l=-0.02
Taglio nei bulloni: Fv,Ed=3.54 Fv,Rd=7720.78
Rifollamento lato piastra: Fb,Ed,p=3.54 Fb,Rd,p=9985.21
Tirafondi:LT=0.45 (0.31) σ_{cR}=0.00 σ_{fR}=0.00
Compressione nel calcestruzzo: σ_c=18.89
CC 27 SLV (Collegamento -182_-384)
Azioni sul collegamento: N=-8884.09 Ty=-11.11 Tz=17.53 Mx=-0.02 Mz=-11.40
Sollecitazioni agenti localmente: Tx_l=-11.11 Ty_l=17.53 N_l=-8884.09 Mx_l=-0.00 My_l=-11.40 Mz_l=-0.02
Taglio nei bulloni: Fv,Ed=3.50 Fv,Rd=7720.78
Rifollamento lato piastra: Fb,Ed,p=3.50 Fb,Rd,p=9677.98
Tirafondi:LT=0.45 (0.31) σ_{cR}=0.00 σ_{fR}=0.00
Compressione nel calcestruzzo: σ_c=19.00
CC 27 SLV (Collegamento -182_-384)
Azioni sul collegamento: N=-8884.09 Ty=-11.56 Tz=9.96 Mx=-0.02 Mz=-9.49
Sollecitazioni agenti localmente: Tx_l=-11.56 Ty_l=9.96 N_l=-8884.09 Mx_l=-0.00 My_l=-9.49 Mz_l=-0.02
Taglio nei bulloni: Fv,Ed=2.58 Fv,Rd=7720.78
Rifollamento lato piastra: Fb,Ed,p=2.55 Fb,Rd,p=11079.00
Tirafondi:LT=0.45 (0.31) σ_{cR}=0.00 σ_{fR}=0.00
Compressione nel calcestruzzo: σ_c=18.89
CC 27 SLV (Collegamento -182_-384)
Azioni sul collegamento: N=-8884.09 Ty=-11.11 Tz=9.96 Mx=-0.02 Mz=-11.40
Sollecitazioni agenti localmente: Tx_l=-11.11 Ty_l=9.96 N_l=-8884.09 Mx_l=-0.00 My_l=-11.40 Mz_l=-0.02
Taglio nei bulloni: Fv,Ed=2.52 Fv,Rd=7720.78
Rifollamento lato piastra: Fb,Ed,p=2.49 Fb,Rd,p=11262.40
Tirafondi:LT=0.45 (0.31) σ_{cR}=0.00 σ_{fR}=0.00
Compressione nel calcestruzzo: σ_c=19.00
CC 28 SLD (Collegamento -182_-384)
Azioni sul collegamento: N=-10306.80 Ty=-10.48 Tz=14.52 Mx=-0.01 Mz=-8.01
Sollecitazioni agenti localmente: Tx_l=-10.48 Ty_l=14.52 N_l=-10306.80 Mx_l=-0.00 My_l=-8.01 Mz_l=-0.01
Taglio nei bulloni: Fv,Ed=3.00 Fv,Rd=9650.97
Rifollamento lato piastra: Fb,Ed,p=3.00 Fb,Rd,p=13109.60
Tirafondi:LT=0.45 (0.31) σ_{cR}=0.00 σ_{fR}=0.00
Compressione nel calcestruzzo: σ_c=21.75

CC 28 SLD (Collegamento -182_-384)
Azioni sul collegamento: N=-10306.80 Ty=-10.34 Tz=14.52 Mx=-0.01 Mz=-8.60
Sollecitazioni agenti localmente: Tx_l=-10.34 Ty_l=14.52 N_l=-10306.80 Mx_l=-0.00 My_l=-8.60 Mz_l=-0.01
Taglio nei bulloni: Fv,Ed=2.99 Fv,Rd=9650.97
Rifollamento lato piastra: Fb,Ed,p=2.99 Fb,Rd,p=13051.50
Tirafondi:LT=0.45 (0.31) σ_{cR}=0.00 σ_{fR}=0.00
Compressione nel calcestruzzo: σ_c=21.78
CC 28 SLD (Collegamento -182_-384)
Azioni sul collegamento: N=-10306.80 Ty=-10.48 Tz=12.21 Mx=-0.01 Mz=-8.01
Sollecitazioni agenti localmente: Tx_l=-10.48 Ty_l=12.21 N_l=-10306.80 Mx_l=-0.00 My_l=-8.01 Mz_l=-0.01
Taglio nei bulloni: Fv,Ed=2.70 Fv,Rd=9650.97
Rifollamento lato piastra: Fb,Ed,p=2.70 Fb,Rd,p=14005.90
Tirafondi:LT=0.45 (0.31) σ_{cR}=0.00 σ_{fR}=0.00
Compressione nel calcestruzzo: σ_c=21.75
CC 28 SLD (Collegamento -182_-384)
Azioni sul collegamento: N=-10306.80 Ty=-10.34 Tz=12.21 Mx=-0.01 Mz=-8.60
Sollecitazioni agenti localmente: Tx_l=-10.34 Ty_l=12.21 N_l=-10306.80 Mx_l=-0.00 My_l=-8.60 Mz_l=-0.01
Taglio nei bulloni: Fv,Ed=2.68 Fv,Rd=9650.97
Rifollamento lato piastra: Fb,Ed,p=2.68 Fb,Rd,p=13929.10
Tirafondi:LT=0.45 (0.31) σ_{cR}=0.00 σ_{fR}=0.00
Compressione nel calcestruzzo: σ_c=21.78
CC 28 SLD (Collegamento -182_-384)
Azioni sul collegamento: N=-9596.43 Ty=-10.48 Tz=14.52 Mx=-0.01 Mz=-8.01
Sollecitazioni agenti localmente: Tx_l=-10.48 Ty_l=14.52 N_l=-9596.43 Mx_l=-0.00 My_l=-8.01 Mz_l=-0.01
Taglio nei bulloni: Fv,Ed=3.00 Fv,Rd=9650.97
Rifollamento lato piastra: Fb,Ed,p=3.00 Fb,Rd,p=13109.70
Tirafondi:LT=0.45 (0.31) σ_{cR}=0.00 σ_{fR}=0.00
Compressione nel calcestruzzo: σ_c=20.28
CC 28 SLD (Collegamento -182_-384)
Azioni sul collegamento: N=-9596.43 Ty=-10.34 Tz=14.52 Mx=-0.01 Mz=-8.60
Sollecitazioni agenti localmente: Tx_l=-10.34 Ty_l=14.52 N_l=-9596.43 Mx_l=-0.00 My_l=-8.60 Mz_l=-0.01
Taglio nei bulloni: Fv,Ed=2.99 Fv,Rd=9650.97
Rifollamento lato piastra: Fb,Ed,p=2.99 Fb,Rd,p=13051.60
Tirafondi:LT=0.45 (0.31) σ_{cR}=0.00 σ_{fR}=0.00
Compressione nel calcestruzzo: σ_c=20.31
CC 28 SLD (Collegamento -182_-384)
Azioni sul collegamento: N=-9596.43 Ty=-10.48 Tz=12.21 Mx=-0.01 Mz=-8.01
Sollecitazioni agenti localmente: Tx_l=-10.48 Ty_l=12.21 N_l=-9596.43 Mx_l=-0.00 My_l=-8.01 Mz_l=-0.01
Taglio nei bulloni: Fv,Ed=2.70 Fv,Rd=9650.97
Rifollamento lato piastra: Fb,Ed,p=2.70 Fb,Rd,p=14005.60
Tirafondi:LT=0.45 (0.31) σ_{cR}=0.00 σ_{fR}=0.00
Compressione nel calcestruzzo: σ_c=20.28
CC 28 SLD (Collegamento -182_-384)
Azioni sul collegamento: N=-9596.43 Ty=-10.34 Tz=12.21 Mx=-0.01 Mz=-8.60
Sollecitazioni agenti localmente: Tx_l=-10.34 Ty_l=12.21 N_l=-9596.43 Mx_l=-0.00 My_l=-8.60 Mz_l=-0.01
Taglio nei bulloni: Fv,Ed=2.68 Fv,Rd=9650.97
Rifollamento lato piastra: Fb,Ed,p=2.68 Fb,Rd,p=13928.80
Tirafondi:LT=0.45 (0.31) σ_{cR}=0.00 σ_{fR}=0.00
Compressione nel calcestruzzo: σ_c=20.31
CC 29 SLV (Collegamento -182_-384)
Azioni sul collegamento: N=-8884.09 Ty=-11.11 Tz=9.96 Mx=-0.01 Mz=-11.40
Sollecitazioni agenti localmente: Tx_l=-11.11 Ty_l=9.96 N_l=-8884.09 Mx_l=-0.00 My_l=-11.40 Mz_l=-0.01
Taglio nei bulloni: Fv,Ed=2.50 Fv,Rd=7720.78
Rifollamento lato piastra: Fb,Ed,p=2.49 Fb,Rd,p=11363.00
Tirafondi:LT=0.45 (0.31) σ_{cR}=0.00 σ_{fR}=0.00
Compressione nel calcestruzzo: σ_c=19.00
CC 29 SLV (Collegamento -182_-384)
Azioni sul collegamento: N=-8884.09 Ty=-11.56 Tz=9.96 Mx=-0.01 Mz=-9.49
Sollecitazioni agenti localmente: Tx_l=-11.56 Ty_l=9.96 N_l=-8884.09 Mx_l=-0.00 My_l=-9.49 Mz_l=-0.01
Taglio nei bulloni: Fv,Ed=2.56 Fv,Rd=7720.78
Rifollamento lato piastra: Fb,Ed,p=2.54 Fb,Rd,p=11171.90
Tirafondi:LT=0.45 (0.31) σ_{cR}=0.00 σ_{fR}=0.00
Compressione nel calcestruzzo: σ_c=18.89
CC 29 SLV (Collegamento -182_-384)
Azioni sul collegamento: N=-8884.09 Ty=-11.11 Tz=17.53 Mx=-0.01 Mz=-11.40
Sollecitazioni agenti localmente: Tx_l=-11.11 Ty_l=17.53 N_l=-8884.09 Mx_l=-0.00 My_l=-11.40 Mz_l=-0.01
Taglio nei bulloni: Fv,Ed=3.47 Fv,Rd=7720.78
Rifollamento lato piastra: Fb,Ed,p=3.47 Fb,Rd,p=9651.78
Tirafondi:LT=0.45 (0.31) σ_{cR}=0.00 σ_{fR}=0.00
Compressione nel calcestruzzo: σ_c=19.00
CC 29 SLV (Collegamento -182_-384)
Azioni sul collegamento: N=-8884.09 Ty=-11.56 Tz=17.53 Mx=-0.01 Mz=-9.49
Sollecitazioni agenti localmente: Tx_l=-11.56 Ty_l=17.53 N_l=-8884.09 Mx_l=-0.00 My_l=-9.49 Mz_l=-0.01
Taglio nei bulloni: Fv,Ed=3.51 Fv,Rd=7720.78
Rifollamento lato piastra: Fb,Ed,p=3.51 Fb,Rd,p=9959.78
Tirafondi:LT=0.45 (0.31) σ_{cR}=0.00 σ_{fR}=0.00
Compressione nel calcestruzzo: σ_c=18.89
CC 29 SLV (Collegamento -182_-384)

Azioni sul collegamento: N=-11213.90 Ty=-11.11 Tz=9.96 Mx=-0.01 Mz=-11.40
Sollecitazioni agenti localmente: Tx_l=-11.11 Ty_l=9.96 N_l=-11213.90 Mx_l=-0.00 My_l=-11.40 Mz_l=-0.01
Taglio nei bulloni: Fv,Ed=2.50 Fv,Rd=7720.78
Rifollamento lato piastra: Fb,Ed,p=2.49 Fb,Rd,p=11363.00
Tirafondi:LT=0.45 (0.31) σ_{cR}=0.00 σ_{fR}=0.00
Compressione nel calcestruzzo: σ_c=23.81
CC 29 SLV (Collegamento -182_-384)
Azioni sul collegamento: N=-11213.90 Ty=-11.56 Tz=9.96 Mx=-0.01 Mz=-9.49
Sollecitazioni agenti localmente: Tx_l=-11.56 Ty_l=9.96 N_l=-11213.90 Mx_l=-0.00 My_l=-9.49 Mz_l=-0.01
Taglio nei bulloni: Fv,Ed=2.56 Fv,Rd=7720.78
Rifollamento lato piastra: Fb,Ed,p=2.54 Fb,Rd,p=11172.00
Tirafondi:LT=0.45 (0.31) σ_{cR}=0.00 σ_{fR}=0.00
Compressione nel calcestruzzo: σ_c=23.70
CC 29 SLV (Collegamento -182_-384)
Azioni sul collegamento: N=-11213.90 Ty=-11.11 Tz=17.53 Mx=-0.01 Mz=-11.40
Sollecitazioni agenti localmente: Tx_l=-11.11 Ty_l=17.53 N_l=-11213.90 Mx_l=-0.00 My_l=-11.40 Mz_l=-0.01
Taglio nei bulloni: Fv,Ed=3.47 Fv,Rd=7720.78
Rifollamento lato piastra: Fb,Ed,p=3.47 Fb,Rd,p=9651.88
Tirafondi:LT=0.45 (0.31) σ_{cR}=0.00 σ_{fR}=0.00
Compressione nel calcestruzzo: σ_c=23.81
CC 29 SLV (Collegamento -182_-384)
Azioni sul collegamento: N=-11213.90 Ty=-11.56 Tz=17.53 Mx=-0.01 Mz=-9.49
Sollecitazioni agenti localmente: Tx_l=-11.56 Ty_l=17.53 N_l=-11213.90 Mx_l=-0.00 My_l=-9.49 Mz_l=-0.01
Taglio nei bulloni: Fv,Ed=3.51 Fv,Rd=7720.78
Rifollamento lato piastra: Fb,Ed,p=3.51 Fb,Rd,p=9959.90
Tirafondi:LT=0.45 (0.31) σ_{cR}=0.00 σ_{fR}=0.00
Compressione nel calcestruzzo: σ_c=23.70
CC 30 SLD (Collegamento -182_-384)
Azioni sul collegamento: N=-9596.43 Ty=-10.34 Tz=12.21 Mx=-0.00 Mz=-8.60
Sollecitazioni agenti localmente: Tx_l=-10.34 Ty_l=12.21 N_l=-9596.43 Mx_l=-0.00 My_l=-8.60 Mz_l=-0.00
Taglio nei bulloni: Fv,Ed=2.67 Fv,Rd=9650.97
Rifollamento lato piastra: Fb,Ed,p=2.67 Fb,Rd,p=13926.10
Tirafondi:LT=0.45 (0.31) σ_{cR}=0.00 σ_{fR}=0.00
Compressione nel calcestruzzo: σ_c=20.31
CC 30 SLD (Collegamento -182_-384)
Azioni sul collegamento: N=-9596.43 Ty=-10.48 Tz=12.21 Mx=-0.00 Mz=-8.01
Sollecitazioni agenti localmente: Tx_l=-10.48 Ty_l=12.21 N_l=-9596.43 Mx_l=-0.00 My_l=-8.01 Mz_l=-0.00
Taglio nei bulloni: Fv,Ed=2.69 Fv,Rd=9650.97
Rifollamento lato piastra: Fb,Ed,p=2.69 Fb,Rd,p=14003.00
Tirafondi:LT=0.45 (0.31) σ_{cR}=0.00 σ_{fR}=0.00
Compressione nel calcestruzzo: σ_c=20.28
CC 30 SLD (Collegamento -182_-384)
Azioni sul collegamento: N=-9596.43 Ty=-10.34 Tz=14.52 Mx=-0.00 Mz=-8.60
Sollecitazioni agenti localmente: Tx_l=-10.34 Ty_l=14.52 N_l=-9596.43 Mx_l=-0.00 My_l=-8.60 Mz_l=-0.00
Taglio nei bulloni: Fv,Ed=2.98 Fv,Rd=9650.97
Rifollamento lato piastra: Fb,Ed,p=2.98 Fb,Rd,p=13047.60
Tirafondi:LT=0.45 (0.31) σ_{cR}=0.00 σ_{fR}=0.00
Compressione nel calcestruzzo: σ_c=20.31
CC 30 SLD (Collegamento -182_-384)
Azioni sul collegamento: N=-9596.43 Ty=-10.48 Tz=14.52 Mx=-0.00 Mz=-8.01
Sollecitazioni agenti localmente: Tx_l=-10.48 Ty_l=14.52 N_l=-9596.43 Mx_l=-0.00 My_l=-8.01 Mz_l=-0.00
Taglio nei bulloni: Fv,Ed=2.99 Fv,Rd=9650.97
Rifollamento lato piastra: Fb,Ed,p=2.99 Fb,Rd,p=13105.80
Tirafondi:LT=0.45 (0.31) σ_{cR}=0.00 σ_{fR}=0.00
Compressione nel calcestruzzo: σ_c=20.28
CC 30 SLD (Collegamento -182_-384)
Azioni sul collegamento: N=-10306.80 Ty=-10.34 Tz=12.21 Mx=-0.00 Mz=-8.60
Sollecitazioni agenti localmente: Tx_l=-10.34 Ty_l=12.21 N_l=-10306.80 Mx_l=-0.00 My_l=-8.60 Mz_l=-0.00
Taglio nei bulloni: Fv,Ed=2.67 Fv,Rd=9650.97
Rifollamento lato piastra: Fb,Ed,p=2.67 Fb,Rd,p=13926.30
Tirafondi:LT=0.45 (0.31) σ_{cR}=0.00 σ_{fR}=0.00
Compressione nel calcestruzzo: σ_c=21.78
CC 30 SLD (Collegamento -182_-384)
Azioni sul collegamento: N=-10306.80 Ty=-10.48 Tz=12.21 Mx=-0.00 Mz=-8.01
Sollecitazioni agenti localmente: Tx_l=-10.48 Ty_l=12.21 N_l=-10306.80 Mx_l=-0.00 My_l=-8.01 Mz_l=-0.00
Taglio nei bulloni: Fv,Ed=2.69 Fv,Rd=9650.97
Rifollamento lato piastra: Fb,Ed,p=2.69 Fb,Rd,p=14003.30
Tirafondi:LT=0.45 (0.31) σ_{cR}=0.00 σ_{fR}=0.00
Compressione nel calcestruzzo: σ_c=21.75
CC 30 SLD (Collegamento -182_-384)
Azioni sul collegamento: N=-10306.80 Ty=-10.34 Tz=14.52 Mx=-0.00 Mz=-8.60
Sollecitazioni agenti localmente: Tx_l=-10.34 Ty_l=14.52 N_l=-10306.80 Mx_l=-0.00 My_l=-8.60 Mz_l=-0.00
Taglio nei bulloni: Fv,Ed=2.98 Fv,Rd=9650.97
Rifollamento lato piastra: Fb,Ed,p=2.98 Fb,Rd,p=13047.60
Tirafondi:LT=0.45 (0.31) σ_{cR}=0.00 σ_{fR}=0.00
Compressione nel calcestruzzo: σ_c=21.78
CC 30 SLD (Collegamento -182_-384)
Azioni sul collegamento: N=-10306.80 Ty=-10.48 Tz=14.52 Mx=-0.00 Mz=-8.01

Sollecitazioni agenti localmente: T_{x_l}=-10.48 T_{y_l}=14.52 N_l=-10306.80 M_{x_l}=-0.00 M_{y_l}=-8.01 M_{z_l}=-0.00
Taglio nei bulloni: Fv,Ed=2.99 Fv,Rd=9650.97
Rifollamento lato piastra: Fb,Ed,p=2.99 Fb,Rd,p=13105.70
Tirafondi:LT=0.45 (0.31) σ_{cR}=0.00 σ_{fR}=0.00
Compressione nel calcestruzzo: σ_c=21.75
CC 31 SLV (Collegamento -182_-384)
Azioni sul collegamento: N=-11230.00 Ty=-13.27 Tz=18.62 Mx=-0.01 Mz=-12.98
Sollecitazioni agenti localmente: T_{x_l}=-13.27 T_{y_l}=18.62 N_l=-11230.00 M_{x_l}=-0.00 M_{y_l}=-12.98 M_{z_l}=-0.01
Taglio nei bulloni: Fv,Ed=3.82 Fv,Rd=7720.78
Rifollamento lato piastra: Fb,Ed,p=3.82 Fb,Rd,p=10439.90
Tirafondi:LT=0.45 (0.31) σ_{cR}=0.00 σ_{fR}=0.00
Compressione nel calcestruzzo: σ_c=23.93
CC 31 SLV (Collegamento -182_-384)
Azioni sul collegamento: N=-11230.00 Ty=-9.40 Tz=18.62 Mx=-0.01 Mz=-7.91
Sollecitazioni agenti localmente: T_{x_l}=-9.40 T_{y_l}=18.62 N_l=-11230.00 M_{x_l}=-0.00 M_{y_l}=-7.91 M_{z_l}=-0.01
Taglio nei bulloni: Fv,Ed=3.49 Fv,Rd=7720.78
Rifollamento lato piastra: Fb,Ed,p=3.49 Fb,Rd,p=8293.25
Tirafondi:LT=0.45 (0.31) σ_{cR}=0.00 σ_{fR}=0.00
Compressione nel calcestruzzo: σ_c=23.65
CC 31 SLV (Collegamento -182_-384)
Azioni sul collegamento: N=-11230.00 Ty=-13.27 Tz=8.87 Mx=-0.01 Mz=-12.98
Sollecitazioni agenti localmente: T_{x_l}=-13.27 T_{y_l}=8.87 N_l=-11230.00 M_{x_l}=-0.00 M_{y_l}=-12.98 M_{z_l}=-0.01
Taglio nei bulloni: Fv,Ed=2.67 Fv,Rd=7720.78
Rifollamento lato piastra: Fb,Ed,p=2.66 Fb,Rd,p=9978.81
Tirafondi:LT=0.45 (0.31) σ_{cR}=0.00 σ_{fR}=0.00
Compressione nel calcestruzzo: σ_c=23.93
CC 31 SLV (Collegamento -182_-384)
Azioni sul collegamento: N=-11230.00 Ty=-9.40 Tz=8.87 Mx=-0.01 Mz=-7.91
Sollecitazioni agenti localmente: T_{x_l}=-9.40 T_{y_l}=8.87 N_l=-11230.00 M_{x_l}=-0.00 M_{y_l}=-7.91 M_{z_l}=-0.01
Taglio nei bulloni: Fv,Ed=2.17 Fv,Rd=7720.78
Rifollamento lato piastra: Fb,Ed,p=2.15 Fb,Rd,p=11622.90
Tirafondi:LT=0.45 (0.31) σ_{cR}=0.00 σ_{fR}=0.00
Compressione nel calcestruzzo: σ_c=23.65
CC 31 SLV (Collegamento -182_-384)
Azioni sul collegamento: N=-8867.92 Ty=-13.27 Tz=18.62 Mx=-0.01 Mz=-12.98
Sollecitazioni agenti localmente: T_{x_l}=-13.27 T_{y_l}=18.62 N_l=-8867.92 M_{x_l}=-0.00 M_{y_l}=-12.98 M_{z_l}=-0.01
Taglio nei bulloni: Fv,Ed=3.82 Fv,Rd=7720.78
Rifollamento lato piastra: Fb,Ed,p=3.82 Fb,Rd,p=10439.90
Tirafondi:LT=0.45 (0.31) σ_{cR}=0.00 σ_{fR}=0.00
Compressione nel calcestruzzo: σ_c=19.05
CC 31 SLV (Collegamento -182_-384)
Azioni sul collegamento: N=-8867.92 Ty=-9.40 Tz=18.62 Mx=-0.01 Mz=-7.91
Sollecitazioni agenti localmente: T_{x_l}=-9.40 T_{y_l}=18.62 N_l=-8867.92 M_{x_l}=-0.00 M_{y_l}=-7.91 M_{z_l}=-0.01
Taglio nei bulloni: Fv,Ed=3.49 Fv,Rd=7720.78
Rifollamento lato piastra: Fb,Ed,p=3.49 Fb,Rd,p=8293.31
Tirafondi:LT=0.45 (0.31) σ_{cR}=0.00 σ_{fR}=0.00
Compressione nel calcestruzzo: σ_c=18.77
CC 31 SLV (Collegamento -182_-384)
Azioni sul collegamento: N=-8867.92 Ty=-13.27 Tz=8.87 Mx=-0.01 Mz=-12.98
Sollecitazioni agenti localmente: T_{x_l}=-13.27 T_{y_l}=8.87 N_l=-8867.92 M_{x_l}=-0.00 M_{y_l}=-12.98 M_{z_l}=-0.01
Taglio nei bulloni: Fv,Ed=2.67 Fv,Rd=7720.78
Rifollamento lato piastra: Fb,Ed,p=2.66 Fb,Rd,p=9978.32
Tirafondi:LT=0.45 (0.31) σ_{cR}=0.00 σ_{fR}=0.00
Compressione nel calcestruzzo: σ_c=19.05
CC 31 SLV (Collegamento -182_-384)
Azioni sul collegamento: N=-8867.92 Ty=-9.40 Tz=8.87 Mx=-0.01 Mz=-7.91
Sollecitazioni agenti localmente: T_{x_l}=-9.40 T_{y_l}=8.87 N_l=-8867.92 M_{x_l}=-0.00 M_{y_l}=-7.91 M_{z_l}=-0.01
Taglio nei bulloni: Fv,Ed=2.17 Fv,Rd=7720.78
Rifollamento lato piastra: Fb,Ed,p=2.15 Fb,Rd,p=11622.60
Tirafondi:LT=0.45 (0.31) σ_{cR}=0.00 σ_{fR}=0.00
Compressione nel calcestruzzo: σ_c=18.77
CC 32 SLD (Collegamento -182_-384)
Azioni sul collegamento: N=-10311.80 Ty=-11.00 Tz=14.85 Mx=-0.00 Mz=-9.08
Sollecitazioni agenti localmente: T_{x_l}=-11.00 T_{y_l}=14.85 N_l=-10311.80 M_{x_l}=-0.00 M_{y_l}=-9.08 M_{z_l}=-0.00
Taglio nei bulloni: Fv,Ed=3.09 Fv,Rd=9650.97
Rifollamento lato piastra: Fb,Ed,p=3.09 Fb,Rd,p=13224.70
Tirafondi:LT=0.45 (0.31) σ_{cR}=0.00 σ_{fR}=0.00
Compressione nel calcestruzzo: σ_c=21.82
CC 32 SLD (Collegamento -182_-384)
Azioni sul collegamento: N=-10311.80 Ty=-9.82 Tz=14.85 Mx=-0.00 Mz=-7.53
Sollecitazioni agenti localmente: T_{x_l}=-9.82 T_{y_l}=14.85 N_l=-10311.80 M_{x_l}=-0.00 M_{y_l}=-7.53 M_{z_l}=-0.00
Taglio nei bulloni: Fv,Ed=2.97 Fv,Rd=9650.97
Rifollamento lato piastra: Fb,Ed,p=2.97 Fb,Rd,p=12476.70
Tirafondi:LT=0.45 (0.31) σ_{cR}=0.00 σ_{fR}=0.00
Compressione nel calcestruzzo: σ_c=21.73
CC 32 SLD (Collegamento -182_-384)
Azioni sul collegamento: N=-10311.80 Ty=-11.00 Tz=11.88 Mx=-0.00 Mz=-9.08
Sollecitazioni agenti localmente: T_{x_l}=-11.00 T_{y_l}=11.88 N_l=-10311.80 M_{x_l}=-0.00 M_{y_l}=-9.08 M_{z_l}=-0.00

Taglio nei bulloni: Fv,Ed=2.71 Fv,Rd=9650.97
Rifollamento lato piastra: Fb,Ed,p=2.71 Fb,Rd,p=14482.60
Tirafondi:LT=0.45 (0.31) σ_{cR}=0.00 σ_{fR}=0.00
Compressione nel calcestruzzo: σ_c=21.82
CC 32 SLD (Collegamento -182_-384)
Azioni sul collegamento: N=-10311.80 Ty=-9.82 Tz=11.88 Mx=-0.00 Mz=-7.53
Sollecitazioni agenti localmente: Tx_l=-9.82 Ty_l=11.88 N_l=-10311.80 Mx_l=-0.00 My_l=-7.53 Mz_l=-0.00
Taglio nei bulloni: Fv,Ed=2.58 Fv,Rd=9650.97
Rifollamento lato piastra: Fb,Ed,p=2.58 Fb,Rd,p=13788.50
Tirafondi:LT=0.45 (0.31) σ_{cR}=0.00 σ_{fR}=0.00
Compressione nel calcestruzzo: σ_c=21.73
CC 32 SLD (Collegamento -182_-384)
Azioni sul collegamento: N=-9591.50 Ty=-11.00 Tz=14.85 Mx=-0.00 Mz=-9.08
Sollecitazioni agenti localmente: Tx_l=-11.00 Ty_l=14.85 N_l=-9591.50 Mx_l=-0.00 My_l=-9.08 Mz_l=-0.00
Taglio nei bulloni: Fv,Ed=3.09 Fv,Rd=9650.97
Rifollamento lato piastra: Fb,Ed,p=3.09 Fb,Rd,p=13224.60
Tirafondi:LT=0.45 (0.31) σ_{cR}=0.00 σ_{fR}=0.00
Compressione nel calcestruzzo: σ_c=20.33
CC 32 SLD (Collegamento -182_-384)
Azioni sul collegamento: N=-9591.50 Ty=-9.82 Tz=14.85 Mx=-0.00 Mz=-7.53
Sollecitazioni agenti localmente: Tx_l=-9.82 Ty_l=14.85 N_l=-9591.50 Mx_l=-0.00 My_l=-7.53 Mz_l=-0.00
Taglio nei bulloni: Fv,Ed=2.97 Fv,Rd=9650.97
Rifollamento lato piastra: Fb,Ed,p=2.97 Fb,Rd,p=12476.60
Tirafondi:LT=0.45 (0.31) σ_{cR}=0.00 σ_{fR}=0.00
Compressione nel calcestruzzo: σ_c=20.24
CC 32 SLD (Collegamento -182_-384)
Azioni sul collegamento: N=-9591.50 Ty=-11.00 Tz=11.88 Mx=-0.00 Mz=-9.08
Sollecitazioni agenti localmente: Tx_l=-11.00 Ty_l=11.88 N_l=-9591.50 Mx_l=-0.00 My_l=-9.08 Mz_l=-0.00
Taglio nei bulloni: Fv,Ed=2.71 Fv,Rd=9650.97
Rifollamento lato piastra: Fb,Ed,p=2.71 Fb,Rd,p=14482.70
Tirafondi:LT=0.45 (0.31) σ_{cR}=0.00 σ_{fR}=0.00
Compressione nel calcestruzzo: σ_c=20.33
CC 32 SLD (Collegamento -182_-384)
Azioni sul collegamento: N=-9591.50 Ty=-9.82 Tz=11.88 Mx=-0.00 Mz=-7.53
Sollecitazioni agenti localmente: Tx_l=-9.82 Ty_l=11.88 N_l=-9591.50 Mx_l=-0.00 My_l=-7.53 Mz_l=-0.00
Taglio nei bulloni: Fv,Ed=2.58 Fv,Rd=9650.97
Rifollamento lato piastra: Fb,Ed,p=2.58 Fb,Rd,p=13788.60
Tirafondi:LT=0.45 (0.31) σ_{cR}=0.00 σ_{fR}=0.00
Compressione nel calcestruzzo: σ_c=20.24
CC 33 SLU (Collegamento -182_-384)
Azioni sul collegamento: N=-37242.40 Ty=-20.96 Tz=105.49 Mx=-0.01 Mz=-15.56
Sollecitazioni agenti localmente: Tx_l=-20.96 Ty_l=105.49 N_l=-37242.40 Mx_l=-0.00 My_l=-15.56 Mz_l=-0.01
Taglio nei bulloni: Fv,Ed=17.93 Fv,Rd=7720.78
Rifollamento lato piastra: Fb,Ed,p=17.93 Fb,Rd,p=6331.32
Tirafondi:LT=0.45 (0.31) σ_{cR}=0.00 σ_{fR}=0.00
Compressione nel calcestruzzo: σ_c=77.82
CC 34 SLU (Collegamento -182_-384)
Azioni sul collegamento: N=-36428.20 Ty=-20.21 Tz=102.49 Mx=-0.01 Mz=-15.01
Sollecitazioni agenti localmente: Tx_l=-20.21 Ty_l=102.49 N_l=-36428.20 Mx_l=-0.00 My_l=-15.01 Mz_l=-0.01
Taglio nei bulloni: Fv,Ed=17.42 Fv,Rd=7720.78
Rifollamento lato piastra: Fb,Ed,p=17.42 Fb,Rd,p=6326.05
Tirafondi:LT=0.45 (0.31) σ_{cR}=0.00 σ_{fR}=0.00
Compressione nel calcestruzzo: σ_c=76.11
CC 35 SLU (Collegamento -182_-384)
Azioni sul collegamento: N=-36836.10 Ty=-20.67 Tz=103.93 Mx=-0.00 Mz=-15.47
Sollecitazioni agenti localmente: Tx_l=-20.67 Ty_l=103.93 N_l=-36836.10 Mx_l=-0.00 My_l=-15.47 Mz_l=-0.00
Taglio nei bulloni: Fv,Ed=17.67 Fv,Rd=7720.78
Rifollamento lato piastra: Fb,Ed,p=17.67 Fb,Rd,p=6331.98
Tirafondi:LT=0.45 (0.31) σ_{cR}=0.00 σ_{fR}=0.00
Compressione nel calcestruzzo: σ_c=76.98
CC 36 SLU (Collegamento -182_-384)
Azioni sul collegamento: N=-36834.40 Ty=-20.49 Tz=104.05 Mx=-0.01 Mz=-15.10
Sollecitazioni agenti localmente: Tx_l=-20.49 Ty_l=104.05 N_l=-36834.40 Mx_l=-0.00 My_l=-15.10 Mz_l=-0.01
Taglio nei bulloni: Fv,Ed=17.68 Fv,Rd=7720.78
Rifollamento lato piastra: Fb,Ed,p=17.68 Fb,Rd,p=6325.47
Tirafondi:LT=0.45 (0.31) σ_{cR}=0.00 σ_{fR}=0.00
Compressione nel calcestruzzo: σ_c=76.96
CC 37 SLU (Collegamento -182_-384)
Azioni sul collegamento: N=-28075.80 Ty=-20.08 Tz=71.84 Mx=-0.01 Mz=-14.76
Sollecitazioni agenti localmente: Tx_l=-20.08 Ty_l=71.84 N_l=-28075.80 Mx_l=-0.00 My_l=-14.76 Mz_l=-0.01
Taglio nei bulloni: Fv,Ed=12.44 Fv,Rd=7720.78
Rifollamento lato piastra: Fb,Ed,p=12.44 Fb,Rd,p=6678.04
Tirafondi:LT=0.45 (0.31) σ_{cR}=0.00 σ_{fR}=0.00
Compressione nel calcestruzzo: σ_c=58.84
CC 38 SLU (Collegamento -182_-384)
Azioni sul collegamento: N=-27261.60 Ty=-19.33 Tz=68.83 Mx=-0.01 Mz=-14.21
Sollecitazioni agenti localmente: Tx_l=-19.33 Ty_l=68.83 N_l=-27261.60 Mx_l=-0.00 My_l=-14.21 Mz_l=-0.01
Taglio nei bulloni: Fv,Ed=11.92 Fv,Rd=7720.78

Rifollamento lato piastra: Fb,Ed,p=11.92 Fb,Rd,p=6684.63
Tirafondi:LT=0.45 (0.31) σ_{cR}=0.00 σ_{fR}=0.00
Compressione nel calcestruzzo: σ_c=57.13
CC 39 SLU (Collegamento -182_-384)
Azioni sul collegamento: N=-27669.60 Ty=-19.79 Tz=70.28 Mx=-0.00 Mz=-14.67
Sollecitazioni agenti localmente: Tx_l=-19.79 Ty_l=70.28 N_l=-27669.60 Mx_l=-0.00 My_l=-14.67 Mz_l=-0.00
Taglio nei bulloni: Fv,Ed=12.17 Fv,Rd=7720.78
Rifollamento lato piastra: Fb,Ed,p=12.17 Fb,Rd,p=6688.53
Tirafondi:LT=0.45 (0.31) σ_{cR}=0.00 σ_{fR}=0.00
Compressione nel calcestruzzo: σ_c=58.00
CC 40 SLU (Collegamento -182_-384)
Azioni sul collegamento: N=-27667.80 Ty=-19.61 Tz=70.39 Mx=-0.01 Mz=-14.31
Sollecitazioni agenti localmente: Tx_l=-19.61 Ty_l=70.39 N_l=-27667.80 Mx_l=-0.00 My_l=-14.31 Mz_l=-0.01
Taglio nei bulloni: Fv,Ed=12.19 Fv,Rd=7720.78
Rifollamento lato piastra: Fb,Ed,p=12.19 Fb,Rd,p=6674.04
Tirafondi:LT=0.45 (0.31) σ_{cR}=0.00 σ_{fR}=0.00
Compressione nel calcestruzzo: σ_c=57.97
CC 41 SLU (Collegamento -182_-384)
Azioni sul collegamento: N=-30474.50 Ty=9.93 Tz=80.11 Mx=-0.01 Mz=7.87
Sollecitazioni agenti localmente: Tx_l=9.93 Ty_l=80.11 N_l=-30474.50 Mx_l=-0.00 My_l=7.87 Mz_l=-0.01
Taglio nei bulloni: Fv,Ed=13.46 Fv,Rd=7720.78
Rifollamento lato piastra: Fb,Ed,p=13.46 Fb,Rd,p=6114.34
Tirafondi:LT=0.45 (0.31) σ_{cR}=0.00 σ_{fR}=0.00
Compressione nel calcestruzzo: σ_c=63.41
CC 42 SLU (Collegamento -182_-384)
Azioni sul collegamento: N=-29660.30 Ty=10.68 Tz=77.11 Mx=-0.01 Mz=8.42
Sollecitazioni agenti localmente: Tx_l=10.68 Ty_l=77.11 N_l=-29660.30 Mx_l=-0.00 My_l=8.42 Mz_l=-0.01
Taglio nei bulloni: Fv,Ed=12.98 Fv,Rd=7720.78
Rifollamento lato piastra: Fb,Ed,p=12.98 Fb,Rd,p=6148.13
Tirafondi:LT=0.45 (0.31) σ_{cR}=0.00 σ_{fR}=0.00
Compressione nel calcestruzzo: σ_c=61.76
CC 43 SLU (Collegamento -182_-384)
Azioni sul collegamento: N=-30068.30 Ty=10.21 Tz=78.55 Mx=-0.00 Mz=7.97
Sollecitazioni agenti localmente: Tx_l=10.21 Ty_l=78.55 N_l=-30068.30 Mx_l=-0.00 My_l=7.97 Mz_l=-0.00
Taglio nei bulloni: Fv,Ed=13.21 Fv,Rd=7720.78
Rifollamento lato piastra: Fb,Ed,p=13.21 Fb,Rd,p=6128.23
Tirafondi:LT=0.45 (0.31) σ_{cR}=0.00 σ_{fR}=0.00
Compressione nel calcestruzzo: σ_c=62.57
CC 44 SLU (Collegamento -182_-384)
Azioni sul collegamento: N=-30066.50 Ty=10.39 Tz=78.67 Mx=-0.01 Mz=8.33
Sollecitazioni agenti localmente: Tx_l=10.39 Ty_l=78.67 N_l=-30066.50 Mx_l=-0.00 My_l=8.33 Mz_l=-0.01
Taglio nei bulloni: Fv,Ed=13.23 Fv,Rd=7720.78
Rifollamento lato piastra: Fb,Ed,p=13.23 Fb,Rd,p=6132.66
Tirafondi:LT=0.45 (0.31) σ_{cR}=0.00 σ_{fR}=0.00
Compressione nel calcestruzzo: σ_c=62.59
CC 45 SLU (Collegamento -182_-384)
Azioni sul collegamento: N=-30085.80 Ty=-20.31 Tz=79.22 Mx=-0.00 Mz=-15.08
Sollecitazioni agenti localmente: Tx_l=-20.31 Ty_l=79.22 N_l=-30085.80 Mx_l=-0.00 My_l=-15.08 Mz_l=-0.00
Taglio nei bulloni: Fv,Ed=13.64 Fv,Rd=7720.78
Rifollamento lato piastra: Fb,Ed,p=13.64 Fb,Rd,p=6566.36
Tirafondi:LT=0.45 (0.31) σ_{cR}=0.00 σ_{fR}=0.00
Compressione nel calcestruzzo: σ_c=63.01
CC 46 SLU (Collegamento -182_-384)
Azioni sul collegamento: N=-29271.60 Ty=-19.56 Tz=76.22 Mx=-0.00 Mz=-14.53
Sollecitazioni agenti localmente: Tx_l=-19.56 Ty_l=76.22 N_l=-29271.60 Mx_l=-0.00 My_l=-14.53 Mz_l=-0.00
Taglio nei bulloni: Fv,Ed=13.12 Fv,Rd=7720.78
Rifollamento lato piastra: Fb,Ed,p=13.12 Fb,Rd,p=6567.61
Tirafondi:LT=0.45 (0.31) σ_{cR}=0.00 σ_{fR}=0.00
Compressione nel calcestruzzo: σ_c=61.30
CC 47 SLU (Collegamento -182_-384)
Azioni sul collegamento: N=-29679.60 Ty=-20.02 Tz=77.66 Mx=-0.00 Mz=-14.99
Sollecitazioni agenti localmente: Tx_l=-20.02 Ty_l=77.66 N_l=-29679.60 Mx_l=-0.00 My_l=-14.99 Mz_l=-0.00
Taglio nei bulloni: Fv,Ed=13.37 Fv,Rd=7720.78
Rifollamento lato piastra: Fb,Ed,p=13.37 Fb,Rd,p=6572.91
Tirafondi:LT=0.45 (0.31) σ_{cR}=0.00 σ_{fR}=0.00
Compressione nel calcestruzzo: σ_c=62.17
CC 48 SLU (Collegamento -182_-384)
Azioni sul collegamento: N=-29677.80 Ty=-19.84 Tz=77.78 Mx=-0.01 Mz=-14.62
Sollecitazioni agenti localmente: Tx_l=-19.84 Ty_l=77.78 N_l=-29677.80 Mx_l=-0.00 My_l=-14.62 Mz_l=-0.01
Taglio nei bulloni: Fv,Ed=13.39 Fv,Rd=7720.78
Rifollamento lato piastra: Fb,Ed,p=13.39 Fb,Rd,p=6561.11
Tirafondi:LT=0.45 (0.31) σ_{cR}=0.00 σ_{fR}=0.00
Compressione nel calcestruzzo: σ_c=62.14
CC 49 SLU (Collegamento -182_-384)
Azioni sul collegamento: N=-23227.80 Ty=-19.65 Tz=54.04 Mx=-0.00 Mz=-14.49
Sollecitazioni agenti localmente: Tx_l=-19.65 Ty_l=54.04 N_l=-23227.80 Mx_l=-0.00 My_l=-14.49 Mz_l=-0.00
Taglio nei bulloni: Fv,Ed=9.59 Fv,Rd=7720.78
Rifollamento lato piastra: Fb,Ed,p=9.59 Fb,Rd,p=7165.91

Tirafondi:LT=0.45 (0.31) σ_{cR}=0.00 σ_{fR}=0.00
Compressione nel calcestruzzo: σ_c=48.81
CC 50 SLU (Collegamento -182_-384)
Azioni sul collegamento: N=-22413.60 Ty=-18.90 Tz=51.04 Mx=-0.00 Mz=-13.93
Sollecitazioni agenti localmente: Tx_l=-18.90 Ty_l=51.04 N_l=-22413.60 Mx_l=-0.00 My_l=-13.93 Mz_l=-0.00
Taglio nei bulloni: Fv,Ed=9.08 Fv,Rd=7720.78
Rifollamento lato piastra: Fb,Ed,p=9.08 Fb,Rd,p=7210.61
Tirafondi:LT=0.45 (0.31) σ_{cR}=0.00 σ_{fR}=0.00
Compressione nel calcestruzzo: σ_c=47.09
CC 51 SLU (Collegamento -182_-384)
Azioni sul collegamento: N=-22821.60 Ty=-19.36 Tz=52.48 Mx=-0.00 Mz=-14.39
Sollecitazioni agenti localmente: Tx_l=-19.36 Ty_l=52.48 N_l=-22821.60 Mx_l=-0.00 My_l=-14.39 Mz_l=-0.00
Taglio nei bulloni: Fv,Ed=9.33 Fv,Rd=7720.78
Rifollamento lato piastra: Fb,Ed,p=9.33 Fb,Rd,p=7201.02
Tirafondi:LT=0.45 (0.31) σ_{cR}=0.00 σ_{fR}=0.00
Compressione nel calcestruzzo: σ_c=47.96
CC 52 SLU (Collegamento -182_-384)
Azioni sul collegamento: N=-22819.80 Ty=-19.19 Tz=52.60 Mx=-0.01 Mz=-14.03
Sollecitazioni agenti localmente: Tx_l=-19.19 Ty_l=52.60 N_l=-22819.80 Mx_l=-0.00 My_l=-14.03 Mz_l=-0.01
Taglio nei bulloni: Fv,Ed=9.34 Fv,Rd=7720.78
Rifollamento lato piastra: Fb,Ed,p=9.34 Fb,Rd,p=7174.05
Tirafondi:LT=0.45 (0.31) σ_{cR}=0.00 σ_{fR}=0.00
Compressione nel calcestruzzo: σ_c=47.94
CC 53 SLU (Collegamento -182_-384)
Azioni sul collegamento: N=-25022.40 Ty=2.80 Tz=60.23 Mx=-0.00 Mz=2.45
Sollecitazioni agenti localmente: Tx_l=2.80 Ty_l=60.23 N_l=-25022.40 Mx_l=-0.00 My_l=2.45 Mz_l=-0.00
Taglio nei bulloni: Fv,Ed=10.06 Fv,Rd=7720.78
Rifollamento lato piastra: Fb,Ed,p=10.06 Fb,Rd,p=5997.84
Tirafondi:LT=0.45 (0.31) σ_{cR}=0.00 σ_{fR}=0.00
Compressione nel calcestruzzo: σ_c=51.84
CC 54 SLU (Collegamento -182_-384)
Azioni sul collegamento: N=-24208.20 Ty=3.55 Tz=57.23 Mx=-0.01 Mz=3.00
Sollecitazioni agenti localmente: Tx_l=3.55 Ty_l=57.23 N_l=-24208.20 Mx_l=-0.00 My_l=3.00 Mz_l=-0.01
Taglio nei bulloni: Fv,Ed=9.56 Fv,Rd=7720.78
Rifollamento lato piastra: Fb,Ed,p=9.56 Fb,Rd,p=6012.62
Tirafondi:LT=0.45 (0.31) σ_{cR}=0.00 σ_{fR}=0.00
Compressione nel calcestruzzo: σ_c=50.19
CC 55 SLU (Collegamento -182_-384)
Azioni sul collegamento: N=-24616.20 Ty=3.09 Tz=58.67 Mx=-0.00 Mz=2.54
Sollecitazioni agenti localmente: Tx_l=3.09 Ty_l=58.67 N_l=-24616.20 Mx_l=-0.00 My_l=2.54 Mz_l=-0.00
Taglio nei bulloni: Fv,Ed=9.80 Fv,Rd=7720.78
Rifollamento lato piastra: Fb,Ed,p=9.80 Fb,Rd,p=6003.23
Tirafondi:LT=0.45 (0.31) σ_{cR}=0.00 σ_{fR}=0.00
Compressione nel calcestruzzo: σ_c=51.00
CC 56 SLU (Collegamento -182_-384)
Azioni sul collegamento: N=-24614.50 Ty=3.26 Tz=58.79 Mx=-0.01 Mz=2.91
Sollecitazioni agenti localmente: Tx_l=3.26 Ty_l=58.79 N_l=-24614.50 Mx_l=-0.00 My_l=2.91 Mz_l=-0.01
Taglio nei bulloni: Fv,Ed=9.82 Fv,Rd=7720.78
Rifollamento lato piastra: Fb,Ed,p=9.82 Fb,Rd,p=6005.81
Tirafondi:LT=0.45 (0.31) σ_{cR}=0.00 σ_{fR}=0.00
Compressione nel calcestruzzo: σ_c=51.02
CC 57 SLU (Collegamento -182_-384)
Azioni sul collegamento: N=-27876.60 Ty=-18.56 Tz=71.09 Mx=-0.00 Mz=-13.78
Sollecitazioni agenti localmente: Tx_l=-18.56 Ty_l=71.09 N_l=-27876.60 Mx_l=-0.00 My_l=-13.78 Mz_l=-0.00
Taglio nei bulloni: Fv,Ed=12.25 Fv,Rd=7720.78
Rifollamento lato piastra: Fb,Ed,p=12.25 Fb,Rd,p=6588.27
Tirafondi:LT=0.45 (0.31) σ_{cR}=0.00 σ_{fR}=0.00
Compressione nel calcestruzzo: σ_c=58.37
CC 58 SLU (Collegamento -182_-384)
Azioni sul collegamento: N=-27062.40 Ty=-17.81 Tz=68.08 Mx=-0.00 Mz=-13.23
Sollecitazioni agenti localmente: Tx_l=-17.81 Ty_l=68.08 N_l=-27062.40 Mx_l=-0.00 My_l=-13.23 Mz_l=-0.00
Taglio nei bulloni: Fv,Ed=11.74 Fv,Rd=7720.78
Rifollamento lato piastra: Fb,Ed,p=11.74 Fb,Rd,p=6590.70
Tirafondi:LT=0.45 (0.31) σ_{cR}=0.00 σ_{fR}=0.00
Compressione nel calcestruzzo: σ_c=56.66
CC 59 SLU (Collegamento -182_-384)
Azioni sul collegamento: N=-27470.40 Ty=-18.27 Tz=69.53 Mx=-0.00 Mz=-13.69
Sollecitazioni agenti localmente: Tx_l=-18.27 Ty_l=69.53 N_l=-27470.40 Mx_l=-0.00 My_l=-13.69 Mz_l=-0.00
Taglio nei bulloni: Fv,Ed=11.99 Fv,Rd=7720.78
Rifollamento lato piastra: Fb,Ed,p=11.99 Fb,Rd,p=6596.25
Tirafondi:LT=0.45 (0.31) σ_{cR}=0.00 σ_{fR}=0.00
Compressione nel calcestruzzo: σ_c=57.53
CC 60 SLU (Collegamento -182_-384)
Azioni sul collegamento: N=-27468.70 Ty=-18.09 Tz=69.65 Mx=-0.01 Mz=-13.33
Sollecitazioni agenti localmente: Tx_l=-18.09 Ty_l=69.65 N_l=-27468.70 Mx_l=-0.00 My_l=-13.33 Mz_l=-0.01
Taglio nei bulloni: Fv,Ed=12.00 Fv,Rd=7720.78
Rifollamento lato piastra: Fb,Ed,p=12.00 Fb,Rd,p=6582.74
Tirafondi:LT=0.45 (0.31) σ_{cR}=0.00 σ_{fR}=0.00

Compressione nel calcestruzzo: σ_c=57.50
CC 61 SLU (Collegamento -182_-384)
Azioni sul collegamento: N=-21018.70 Ty=-17.90 Tz=45.91 Mx=-0.00 Mz=-13.19
Sollecitazioni agenti localmente: Tx_l=-17.90 Ty_l=45.91 N_l=-21018.70 Mx_l=-0.00 My_l=-13.19 Mz_l=-0.00
Taglio nei bulloni: Fv,Ed=8.22 Fv,Rd=7720.78
Rifollamento lato piastra: Fb,Ed,p=8.22 Fb,Rd,p=7345.50
Tirafondi:LT=0.45 (0.31) σ_{cR}=0.00 σ_{fR}=0.00
Compressione nel calcestruzzo: σ_c=44.17
CC 62 SLU (Collegamento -182_-384)
Azioni sul collegamento: N=-20204.50 Ty=-17.15 Tz=42.91 Mx=-0.00 Mz=-12.64
Sollecitazioni agenti localmente: Tx_l=-17.15 Ty_l=42.91 N_l=-20204.50 Mx_l=-0.00 My_l=-12.64 Mz_l=-0.00
Taglio nei bulloni: Fv,Ed=7.71 Fv,Rd=7720.78
Rifollamento lato piastra: Fb,Ed,p=7.71 Fb,Rd,p=7416.06
Tirafondi:LT=0.45 (0.31) σ_{cR}=0.00 σ_{fR}=0.00
Compressione nel calcestruzzo: σ_c=42.46
CC 63 SLU (Collegamento -182_-384)
Azioni sul collegamento: N=-20612.50 Ty=-17.61 Tz=44.35 Mx=-0.00 Mz=-13.10
Sollecitazioni agenti localmente: Tx_l=-17.61 Ty_l=44.35 N_l=-20612.50 Mx_l=-0.00 My_l=-13.10 Mz_l=-0.00
Taglio nei bulloni: Fv,Ed=7.96 Fv,Rd=7720.78
Rifollamento lato piastra: Fb,Ed,p=7.96 Fb,Rd,p=7396.94
Tirafondi:LT=0.45 (0.31) σ_{cR}=0.00 σ_{fR}=0.00
Compressione nel calcestruzzo: σ_c=43.33
CC 64 SLU (Collegamento -182_-384)
Azioni sul collegamento: N=-20610.70 Ty=-17.43 Tz=44.47 Mx=-0.01 Mz=-12.73
Sollecitazioni agenti localmente: Tx_l=-17.43 Ty_l=44.47 N_l=-20610.70 Mx_l=-0.00 My_l=-12.73 Mz_l=-0.01
Taglio nei bulloni: Fv,Ed=7.97 Fv,Rd=7720.78
Rifollamento lato piastra: Fb,Ed,p=7.97 Fb,Rd,p=7361.90
Tirafondi:LT=0.45 (0.31) σ_{cR}=0.00 σ_{fR}=0.00
Compressione nel calcestruzzo: σ_c=43.30
CC 65 SLU (Collegamento -182_-384)
Azioni sul collegamento: N=-22813.30 Ty=4.55 Tz=52.10 Mx=-0.00 Mz=3.75
Sollecitazioni agenti localmente: Tx_l=4.55 Ty_l=52.10 N_l=-22813.30 Mx_l=-0.00 My_l=3.75 Mz_l=-0.00
Taglio nei bulloni: Fv,Ed=8.72 Fv,Rd=7720.78
Rifollamento lato piastra: Fb,Ed,p=8.72 Fb,Rd,p=6045.76
Tirafondi:LT=0.45 (0.31) σ_{cR}=0.00 σ_{fR}=0.00
Compressione nel calcestruzzo: σ_c=47.35
CC 66 SLU (Collegamento -182_-384)
Azioni sul collegamento: N=-21999.10 Ty=5.30 Tz=49.10 Mx=-0.00 Mz=4.30
Sollecitazioni agenti localmente: Tx_l=5.30 Ty_l=49.10 N_l=-21999.10 Mx_l=-0.00 My_l=4.30 Mz_l=-0.00
Taglio nei bulloni: Fv,Ed=8.24 Fv,Rd=7720.78
Rifollamento lato piastra: Fb,Ed,p=8.24 Fb,Rd,p=6081.20
Tirafondi:LT=0.45 (0.31) σ_{cR}=0.00 σ_{fR}=0.00
Compressione nel calcestruzzo: σ_c=45.69
CC 67 SLU (Collegamento -182_-384)
Azioni sul collegamento: N=-22407.10 Ty=4.84 Tz=50.54 Mx=-0.00 Mz=3.84
Sollecitazioni agenti localmente: Tx_l=4.84 Ty_l=50.54 N_l=-22407.10 Mx_l=-0.00 My_l=3.84 Mz_l=-0.00
Taglio nei bulloni: Fv,Ed=8.47 Fv,Rd=7720.78
Rifollamento lato piastra: Fb,Ed,p=8.47 Fb,Rd,p=6059.41
Tirafondi:LT=0.45 (0.31) σ_{cR}=0.00 σ_{fR}=0.00
Compressione nel calcestruzzo: σ_c=46.51
CC 68 SLU (Collegamento -182_-384)
Azioni sul collegamento: N=-22405.30 Ty=5.01 Tz=50.66 Mx=-0.01 Mz=4.20
Sollecitazioni agenti localmente: Tx_l=5.01 Ty_l=50.66 N_l=-22405.30 Mx_l=-0.00 My_l=4.20 Mz_l=-0.01
Taglio nei bulloni: Fv,Ed=8.49 Fv,Rd=7720.78
Rifollamento lato piastra: Fb,Ed,p=8.49 Fb,Rd,p=6064.64
Tirafondi:LT=0.45 (0.31) σ_{cR}=0.00 σ_{fR}=0.00
Compressione nel calcestruzzo: σ_c=46.53
CC 97 SLU (Collegamento -182_-384)
Azioni sul collegamento: N=-12779.50 Ty=-22.48 Tz=24.03 Mx=-0.06 Mz=-25.00
Sollecitazioni agenti localmente: Tx_l=-22.48 Ty_l=24.03 N_l=-12779.50 Mx_l=-0.00 My_l=-25.00 Mz_l=-0.06
Taglio nei bulloni: Fv,Ed=5.57 Fv,Rd=7720.78
Rifollamento lato piastra: Fb,Ed,p=5.57 Fb,Rd,p=11644.90
Tirafondi:LT=0.45 (0.31) σ_{cR}=0.00 σ_{fR}=0.00
Compressione nel calcestruzzo: σ_c=27.81
CC 98 SLU (Collegamento -182_-384)
Azioni sul collegamento: N=-11965.30 Ty=-21.73 Tz=21.02 Mx=-0.06 Mz=-24.45
Sollecitazioni agenti localmente: Tx_l=-21.73 Ty_l=21.02 N_l=-11965.30 Mx_l=-0.00 My_l=-24.45 Mz_l=-0.06
Taglio nei bulloni: Fv,Ed=5.13 Fv,Rd=7720.78
Rifollamento lato piastra: Fb,Ed,p=5.04 Fb,Rd,p=11628.80
Tirafondi:LT=0.45 (0.31) σ_{cR}=0.00 σ_{fR}=0.00
Compressione nel calcestruzzo: σ_c=26.10
CC 99 SLU (Collegamento -182_-384)
Azioni sul collegamento: N=-12373.20 Ty=-22.20 Tz=22.47 Mx=-0.05 Mz=-24.91
Sollecitazioni agenti localmente: Tx_l=-22.20 Ty_l=22.47 N_l=-12373.20 Mx_l=-0.00 My_l=-24.91 Mz_l=-0.05
Taglio nei bulloni: Fv,Ed=5.35 Fv,Rd=7720.78
Rifollamento lato piastra: Fb,Ed,p=5.35 Fb,Rd,p=11948.20
Tirafondi:LT=0.45 (0.31) σ_{cR}=0.00 σ_{fR}=0.00
Compressione nel calcestruzzo: σ_c=26.97

CC 100 SLU (Collegamento -182_-384)
Azioni sul collegamento: N=-12371.50 Ty=-22.02 Tz=22.58 Mx=-0.06 Mz=-24.55
Sollecitazioni agenti localmente: Tx_l=-22.02 Ty_l=22.58 N_l=-12371.50 Mx_l=-0.00 My_l=-24.55 Mz_l=-0.06
Taglio nei bulloni: Fv,Ed=5.35 Fv,Rd=7720.78
Rifollamento lato piastra: Fb,Ed,p=5.35 Fb,Rd,p=11872.30
Tirafondi:LT=0.45 (0.31) σ_{cR}=0.00 σ_{fR}=0.00
Compressione nel calcestruzzo: σ_c=26.94
CC 101 SLU (Collegamento -182_-384)
Azioni sul collegamento: N=-10566.60 Ty=-8.33 Tz=15.50 Mx=0.00 Mz=-5.31
Sollecitazioni agenti localmente: Tx_l=-8.33 Ty_l=15.50 N_l=-10566.60 Mx_l=-0.00 My_l=-5.31 Mz_l=0.00
Taglio nei bulloni: Fv,Ed=2.94 Fv,Rd=7720.78
Rifollamento lato piastra: Fb,Ed,p=2.93 Fb,Rd,p=8565.49
Tirafondi:LT=0.45 (0.31) σ_{cR}=0.00 σ_{fR}=0.00
Compressione nel calcestruzzo: σ_c=22.13
CC 102 SLU (Collegamento -182_-384)
Azioni sul collegamento: N=-9752.38 Ty=-7.57 Tz=12.50 Mx=0.00 Mz=-4.76
Sollecitazioni agenti localmente: Tx_l=-7.57 Ty_l=12.50 N_l=-9752.38 Mx_l=-0.00 My_l=-4.76 Mz_l=0.00
Taglio nei bulloni: Fv,Ed=2.44 Fv,Rd=7720.78
Rifollamento lato piastra: Fb,Ed,p=2.44 Fb,Rd,p=9285.16
Tirafondi:LT=0.45 (0.31) σ_{cR}=0.00 σ_{fR}=0.00
Compressione nel calcestruzzo: σ_c=20.42
CC 103 SLU (Collegamento -182_-384)
Azioni sul collegamento: N=-10160.40 Ty=-8.04 Tz=13.94 Mx=0.00 Mz=-5.22
Sollecitazioni agenti localmente: Tx_l=-8.04 Ty_l=13.94 N_l=-10160.40 Mx_l=-0.00 My_l=-5.22 Mz_l=0.00
Taglio nei bulloni: Fv,Ed=2.69 Fv,Rd=7720.78
Rifollamento lato piastra: Fb,Ed,p=2.68 Fb,Rd,p=8960.60
Tirafondi:LT=0.45 (0.31) σ_{cR}=0.00 σ_{fR}=0.00
Compressione nel calcestruzzo: σ_c=21.29
CC 104 SLU (Collegamento -182_-384)
Azioni sul collegamento: N=-10158.60 Ty=-7.86 Tz=14.06 Mx=0.00 Mz=-4.85
Sollecitazioni agenti localmente: Tx_l=-7.86 Ty_l=14.06 N_l=-10158.60 Mx_l=-0.00 My_l=-4.85 Mz_l=0.00
Taglio nei bulloni: Fv,Ed=2.69 Fv,Rd=7720.78
Rifollamento lato piastra: Fb,Ed,p=2.69 Fb,Rd,p=8792.14
Tirafondi:LT=0.45 (0.31) σ_{cR}=0.00 σ_{fR}=0.00
Compressione nel calcestruzzo: σ_c=21.26

Saldatura profilo-piastra

CC 1 SLV (Collegamento -182_-384)
Azioni sul collegamento: N=-5856.57 Ty=-4.82 Tz=-1.96 Mx=0.01 Mz=-1.13
Sollecitazioni agenti localmente: Tx_l=-4.82 Ty_l=-1.96 N_l=-5856.57 My_l=1.13 Mz_l=0.01
Azioni sul cordone: TP=-0.37 TO=-0.15 NO=-432.92
Tensioni nel cordone: τ_P=0.12 τ_0= 0.05 σ_0=139.25 σ_{ID}=139.26 Σ_T=139.30
CC 1 SLV (Collegamento -182_-384)
Azioni sul collegamento: N=-5856.57 Ty=-12.53 Tz=-1.96 Mx=0.01 Mz=-7.45
Sollecitazioni agenti localmente: Tx_l=-12.53 Ty_l=-1.96 N_l=-5856.57 My_l=7.45 Mz_l=0.01
Azioni sul cordone: TP=-0.94 TO=-0.15 NO=-432.92
Tensioni nel cordone: τ_P=0.30 τ_0= 0.05 σ_0=148.49 σ_{ID}=148.49 Σ_T=148.54
CC 1 SLV (Collegamento -182_-384)
Azioni sul collegamento: N=-5856.57 Ty=-4.82 Tz=27.25 Mx=0.01 Mz=-1.13
Sollecitazioni agenti localmente: Tx_l=-4.82 Ty_l=27.25 N_l=-5856.57 My_l=1.13 Mz_l=0.01
Azioni sul cordone: TP=-0.37 TO=2.00 NO=-432.92
Tensioni nel cordone: τ_P=0.12 τ_0=0.64 σ_0=139.25 σ_{ID}=139.26 Σ_T=139.89
CC 1 SLV (Collegamento -182_-384)
Azioni sul collegamento: N=-5856.57 Ty=-12.53 Tz=27.25 Mx=0.01 Mz=-7.45
Sollecitazioni agenti localmente: Tx_l=-12.53 Ty_l=27.25 N_l=-5856.57 My_l=7.45 Mz_l=0.01
Azioni sul cordone: TP=-0.94 TO=2.00 NO=-432.92
Tensioni nel cordone: τ_P=0.30 τ_0=0.64 σ_0=148.49 σ_{ID}=148.49 Σ_T=149.13
CC 1 SLV (Collegamento -182_-384)
Azioni sul collegamento: N=-13681.20 Ty=-4.82 Tz=-1.96 Mx=0.01 Mz=-1.13
Sollecitazioni agenti localmente: Tx_l=-4.82 Ty_l=-1.96 N_l=-13681.20 My_l=1.13 Mz_l=0.01
Azioni sul cordone: TP=-0.37 TO=-0.15 NO=-1011.32
Tensioni nel cordone: τ_P=0.12 τ_0= 0.05 σ_0=323.10 σ_{ID}=323.10 Σ_T=323.15
CC 1 SLV (Collegamento -182_-384)
Azioni sul collegamento: N=-13681.20 Ty=-12.53 Tz=-1.96 Mx=0.01 Mz=-7.45
Sollecitazioni agenti localmente: Tx_l=-12.53 Ty_l=-1.96 N_l=-13681.20 My_l=7.45 Mz_l=0.01
Azioni sul cordone: TP=-0.94 TO=-0.15 NO=-1011.32
Tensioni nel cordone: τ_P=0.30 τ_0= 0.05 σ_0=332.33 σ_{ID}=332.33 Σ_T=332.38
CC 1 SLV (Collegamento -182_-384)
Azioni sul collegamento: N=-13681.20 Ty=-4.82 Tz=27.25 Mx=0.01 Mz=-1.13
Sollecitazioni agenti localmente: Tx_l=-4.82 Ty_l=27.25 N_l=-13681.20 My_l=1.13 Mz_l=0.01
Azioni sul cordone: TP=-0.37 TO=2.00 NO=-1011.32
Tensioni nel cordone: τ_P=0.12 τ_0=0.64 σ_0=323.10 σ_{ID}=323.10 Σ_T=323.74
CC 1 SLV (Collegamento -182_-384)
Azioni sul collegamento: N=-13681.20 Ty=-12.53 Tz=27.25 Mx=0.01 Mz=-7.45
Sollecitazioni agenti localmente: Tx_l=-12.53 Ty_l=27.25 N_l=-13681.20 My_l=7.45 Mz_l=0.01
Azioni sul cordone: TP=-0.94 TO=2.00 NO=-1011.32
Tensioni nel cordone: τ_P=0.30 τ_0=0.64 σ_0=332.33 σ_{ID}=332.34 Σ_T=332.97
CC 2 SLD (Collegamento -182_-384)

Azioni sul collegamento: N=-8673.24 Ty=-8.42 Tz=8.57 Mx=0.00 Mz=-5.47
Sollecitazioni agenti localmente: Tx_l=-8.42 Ty_l=8.57 N_l=-8673.24 My_l=5.47 Mz_l=0.00
Azioni sul cordone: TP=-0.62 TO=0.63 NO=-641.13
Tensioni nel cordone: τ_P=0.20 τ_0=0.20 σ_0=211.77 σ_{ID}=211.77 Σ_T=211.97
CC 2 SLD (Collegamento -182_-384)
Azioni sul collegamento: N=-8673.24 Ty=-10.78 Tz=8.57 Mx=0.00 Mz=-7.39
Sollecitazioni agenti localmente: Tx_l=-10.78 Ty_l=8.57 N_l=-8673.24 My_l=7.39 Mz_l=0.00
Azioni sul cordone: TP=-0.80 TO=0.63 NO=-641.13
Tensioni nel cordone: τ_P=0.25 τ_0=0.20 σ_0=214.58 σ_{ID}=214.58 Σ_T=214.78
CC 2 SLD (Collegamento -182_-384)
Azioni sul collegamento: N=-8673.24 Ty=-8.42 Tz=17.48 Mx=0.00 Mz=-5.47
Sollecitazioni agenti localmente: Tx_l=-8.42 Ty_l=17.48 N_l=-8673.24 My_l=5.47 Mz_l=0.00
Azioni sul cordone: TP=-0.62 TO=1.29 NO=-641.13
Tensioni nel cordone: τ_P=0.20 τ_0=0.41 σ_0=211.77 σ_{ID}=211.77 Σ_T=212.18
CC 2 SLD (Collegamento -182_-384)
Azioni sul collegamento: N=-8673.24 Ty=-10.78 Tz=17.48 Mx=0.00 Mz=-7.39
Sollecitazioni agenti localmente: Tx_l=-10.78 Ty_l=17.48 N_l=-8673.24 My_l=7.39 Mz_l=0.00
Azioni sul cordone: TP=-0.80 TO=1.29 NO=-641.13
Tensioni nel cordone: τ_P=0.25 τ_0=0.41 σ_0=214.58 σ_{ID}=214.58 Σ_T=214.99
CC 2 SLD (Collegamento -182_-384)
Azioni sul collegamento: N=-11059.20 Ty=-8.42 Tz=8.57 Mx=0.00 Mz=-5.47
Sollecitazioni agenti localmente: Tx_l=-8.42 Ty_l=8.57 N_l=-11059.20 My_l=5.47 Mz_l=0.00
Azioni sul cordone: TP=-0.62 TO=0.63 NO=-817.50
Tensioni nel cordone: τ_P=0.20 τ_0=0.20 σ_0=267.83 σ_{ID}=267.83 Σ_T=268.03
CC 2 SLD (Collegamento -182_-384)
Azioni sul collegamento: N=-11059.20 Ty=-10.78 Tz=8.57 Mx=0.00 Mz=-7.39
Sollecitazioni agenti localmente: Tx_l=-10.78 Ty_l=8.57 N_l=-11059.20 My_l=7.39 Mz_l=0.00
Azioni sul cordone: TP=-0.80 TO=0.63 NO=-817.50
Tensioni nel cordone: τ_P=0.25 τ_0=0.20 σ_0=270.64 σ_{ID}=270.64 Σ_T=270.84
CC 2 SLD (Collegamento -182_-384)
Azioni sul collegamento: N=-11059.20 Ty=-8.42 Tz=17.48 Mx=0.00 Mz=-5.47
Sollecitazioni agenti localmente: Tx_l=-8.42 Ty_l=17.48 N_l=-11059.20 My_l=5.47 Mz_l=0.00
Azioni sul cordone: TP=-0.62 TO=1.29 NO=-817.50
Tensioni nel cordone: τ_P=0.20 τ_0=0.41 σ_0=267.83 σ_{ID}=267.83 Σ_T=268.24
CC 2 SLD (Collegamento -182_-384)
Azioni sul collegamento: N=-11059.20 Ty=-10.78 Tz=17.48 Mx=0.00 Mz=-7.39
Sollecitazioni agenti localmente: Tx_l=-10.78 Ty_l=17.48 N_l=-11059.20 My_l=7.39 Mz_l=0.00
Azioni sul cordone: TP=-0.80 TO=1.29 NO=-817.50
Tensioni nel cordone: τ_P=0.25 τ_0=0.41 σ_0=270.64 σ_{ID}=270.64 Σ_T=271.05
CC 3 SLV (Collegamento -182_-384)
Azioni sul collegamento: N=-5861.42 Ty=-5.33 Tz=-1.63 Mx=0.01 Mz=-2.18
Sollecitazioni agenti localmente: Tx_l=-5.33 Ty_l=-1.63 N_l=-5861.42 My_l=2.18 Mz_l=0.01
Azioni sul cordone: TP=-0.40 TO=-0.13 NO=-433.28
Tensioni nel cordone: τ_P=0.13 τ_0= 0.04 σ_0=140.90 σ_{ID}=140.90 Σ_T=140.94
CC 3 SLV (Collegamento -182_-384)
Azioni sul collegamento: N=-5861.42 Ty=-12.02 Tz=-1.63 Mx=0.01 Mz=-6.41
Sollecitazioni agenti localmente: Tx_l=-12.02 Ty_l=-1.63 N_l=-5861.42 My_l=6.41 Mz_l=0.01
Azioni sul cordone: TP=-0.90 TO=-0.13 NO=-433.28
Tensioni nel cordone: τ_P=0.28 τ_0= 0.04 σ_0=147.08 σ_{ID}=147.08 Σ_T=147.12
CC 3 SLV (Collegamento -182_-384)
Azioni sul collegamento: N=-5861.42 Ty=-5.33 Tz=26.92 Mx=0.01 Mz=-2.18
Sollecitazioni agenti localmente: Tx_l=-5.33 Ty_l=26.92 N_l=-5861.42 My_l=2.18 Mz_l=0.01
Azioni sul cordone: TP=-0.40 TO=1.98 NO=-433.28
Tensioni nel cordone: τ_P=0.13 τ_0=0.63 σ_0=140.90 σ_{ID}=140.90 Σ_T=141.53
CC 3 SLV (Collegamento -182_-384)
Azioni sul collegamento: N=-5861.42 Ty=-12.02 Tz=26.92 Mx=0.01 Mz=-6.41
Sollecitazioni agenti localmente: Tx_l=-12.02 Ty_l=26.92 N_l=-5861.42 My_l=6.41 Mz_l=0.01
Azioni sul cordone: TP=-0.90 TO=1.98 NO=-433.28
Tensioni nel cordone: τ_P=0.28 τ_0=0.63 σ_0=147.08 σ_{ID}=147.08 Σ_T=147.71
CC 3 SLV (Collegamento -182_-384)
Azioni sul collegamento: N=-13676.40 Ty=-5.33 Tz=-1.63 Mx=0.01 Mz=-2.18
Sollecitazioni agenti localmente: Tx_l=-5.33 Ty_l=-1.63 N_l=-13676.40 My_l=2.18 Mz_l=0.01
Azioni sul cordone: TP=-0.40 TO=-0.13 NO=-1010.96
Tensioni nel cordone: τ_P=0.13 τ_0= 0.04 σ_0=324.51 σ_{ID}=324.51 Σ_T=324.56
CC 3 SLV (Collegamento -182_-384)
Azioni sul collegamento: N=-13676.40 Ty=-12.02 Tz=-1.63 Mx=0.01 Mz=-6.41
Sollecitazioni agenti localmente: Tx_l=-12.02 Ty_l=-1.63 N_l=-13676.40 My_l=6.41 Mz_l=0.01
Azioni sul cordone: TP=-0.90 TO=-0.13 NO=-1010.96
Tensioni nel cordone: τ_P=0.28 τ_0= 0.04 σ_0=330.69 σ_{ID}=330.69 Σ_T=330.73
CC 3 SLV (Collegamento -182_-384)
Azioni sul collegamento: N=-13676.40 Ty=-5.33 Tz=26.92 Mx=0.01 Mz=-2.18
Sollecitazioni agenti localmente: Tx_l=-5.33 Ty_l=26.92 N_l=-13676.40 My_l=2.18 Mz_l=0.01
Azioni sul cordone: TP=-0.40 TO=1.98 NO=-1010.96
Tensioni nel cordone: τ_P=0.13 τ_0=0.63 σ_0=324.51 σ_{ID}=324.52 Σ_T=325.15
CC 3 SLV (Collegamento -182_-384)
Azioni sul collegamento: N=-13676.40 Ty=-12.02 Tz=26.92 Mx=0.01 Mz=-6.41
Sollecitazioni agenti localmente: Tx_l=-12.02 Ty_l=26.92 N_l=-13676.40 My_l=6.41 Mz_l=0.01
Azioni sul cordone: TP=-0.90 TO=1.98 NO=-1010.96
Tensioni nel cordone: τ_P=0.28 τ_0=0.63 σ_0=330.69 σ_{ID}=330.69 Σ_T=331.32

CC 4 SLD (Collegamento -182_-384)
Azioni sul collegamento: N=-8674.72 Ty=-8.58 Tz=8.67 Mx=-0.00 Mz=-5.79
Sollecitazioni agenti localmente: Tx_l=-8.58 Ty_l=8.67 N_l=-8674.72 My_l=5.79 Mz_l=-0.00
Azioni sul cordone: TP=-0.63 TO=0.64 NO=-641.24
Tensioni nel cordone: τ_P=0.20 τ_0=0.20 σ_0=212.27 σ_{ID}=212.27 Σ_T=212.47
CC 4 SLD (Collegamento -182_-384)
Azioni sul collegamento: N=-8674.72 Ty=-10.62 Tz=8.67 Mx=-0.00 Mz=-7.07
Sollecitazioni agenti localmente: Tx_l=-10.62 Ty_l=8.67 N_l=-8674.72 My_l=7.07 Mz_l=-0.00
Azioni sul cordone: TP=-0.78 TO=0.64 NO=-641.24
Tensioni nel cordone: τ_P=0.25 τ_0=0.20 σ_0=214.15 σ_{ID}=214.15 Σ_T=214.35
CC 4 SLD (Collegamento -182_-384)
Azioni sul collegamento: N=-8674.72 Ty=-8.58 Tz=17.38 Mx=-0.00 Mz=-5.79
Sollecitazioni agenti localmente: Tx_l=-8.58 Ty_l=17.38 N_l=-8674.72 My_l=5.79 Mz_l=-0.00
Azioni sul cordone: TP=-0.63 TO=1.28 NO=-641.24
Tensioni nel cordone: τ_P=0.20 τ_0=0.41 σ_0=212.27 σ_{ID}=212.27 Σ_T=212.68
CC 4 SLD (Collegamento -182_-384)
Azioni sul collegamento: N=-8674.72 Ty=-10.62 Tz=17.38 Mx=-0.00 Mz=-7.07
Sollecitazioni agenti localmente: Tx_l=-10.62 Ty_l=17.38 N_l=-8674.72 My_l=7.07 Mz_l=-0.00
Azioni sul cordone: TP=-0.78 TO=1.28 NO=-641.24
Tensioni nel cordone: τ_P=0.25 τ_0=0.41 σ_0=214.15 σ_{ID}=214.15 Σ_T=214.56
CC 4 SLD (Collegamento -182_-384)
Azioni sul collegamento: N=-11057.70 Ty=-8.58 Tz=8.67 Mx=-0.00 Mz=-5.79
Sollecitazioni agenti localmente: Tx_l=-8.58 Ty_l=8.67 N_l=-11057.70 My_l=5.79 Mz_l=-0.00
Azioni sul cordone: TP=-0.63 TO=0.64 NO=-817.39
Tensioni nel cordone: τ_P=0.20 τ_0=0.20 σ_0=268.26 σ_{ID}=268.26 Σ_T=268.46
CC 4 SLD (Collegamento -182_-384)
Azioni sul collegamento: N=-11057.70 Ty=-10.62 Tz=8.67 Mx=-0.00 Mz=-7.07
Sollecitazioni agenti localmente: Tx_l=-10.62 Ty_l=8.67 N_l=-11057.70 My_l=7.07 Mz_l=-0.00
Azioni sul cordone: TP=-0.78 TO=0.64 NO=-817.39
Tensioni nel cordone: τ_P=0.25 τ_0=0.20 σ_0=270.14 σ_{ID}=270.14 Σ_T=270.35
CC 4 SLD (Collegamento -182_-384)
Azioni sul collegamento: N=-11057.70 Ty=-8.58 Tz=17.38 Mx=-0.00 Mz=-5.79
Sollecitazioni agenti localmente: Tx_l=-8.58 Ty_l=17.38 N_l=-11057.70 My_l=5.79 Mz_l=-0.00
Azioni sul cordone: TP=-0.63 TO=1.28 NO=-817.39
Tensioni nel cordone: τ_P=0.20 τ_0=0.41 σ_0=268.26 σ_{ID}=268.26 Σ_T=268.67
CC 4 SLD (Collegamento -182_-384)
Azioni sul collegamento: N=-11057.70 Ty=-10.62 Tz=17.38 Mx=-0.00 Mz=-7.07
Sollecitazioni agenti localmente: Tx_l=-10.62 Ty_l=17.38 N_l=-11057.70 My_l=7.07 Mz_l=-0.00
Azioni sul cordone: TP=-0.78 TO=1.28 NO=-817.39
Tensioni nel cordone: τ_P=0.25 τ_0=0.41 σ_0=270.14 σ_{ID}=270.14 Σ_T=270.55
CC 5 SLV (Collegamento -182_-384)
Azioni sul collegamento: N=-13676.40 Ty=-12.02 Tz=26.92 Mx=0.01 Mz=-6.41
Sollecitazioni agenti localmente: Tx_l=-12.02 Ty_l=26.92 N_l=-13676.40 My_l=6.41 Mz_l=0.01
Azioni sul cordone: TP=-0.90 TO=1.98 NO=-1010.96
Tensioni nel cordone: τ_P=0.29 τ_0=0.63 σ_0=330.69 σ_{ID}=330.69 Σ_T=331.32
CC 5 SLV (Collegamento -182_-384)
Azioni sul collegamento: N=-13676.40 Ty=-5.33 Tz=26.92 Mx=0.01 Mz=-2.18
Sollecitazioni agenti localmente: Tx_l=-5.33 Ty_l=26.92 N_l=-13676.40 My_l=2.18 Mz_l=0.01
Azioni sul cordone: TP=-0.41 TO=1.98 NO=-1010.96
Tensioni nel cordone: τ_P=0.13 τ_0=0.63 σ_0=324.51 σ_{ID}=324.52 Σ_T=325.14
CC 5 SLV (Collegamento -182_-384)
Azioni sul collegamento: N=-13676.40 Ty=-12.02 Tz=-1.63 Mx=0.01 Mz=-6.41
Sollecitazioni agenti localmente: Tx_l=-12.02 Ty_l=-1.63 N_l=-13676.40 My_l=6.41 Mz_l=0.01
Azioni sul cordone: TP=-0.90 TO=-0.13 NO=-1010.96
Tensioni nel cordone: τ_P=0.29 τ_0= 0.04 σ_0=330.69 σ_{ID}=330.69 Σ_T=330.73
CC 5 SLV (Collegamento -182_-384)
Azioni sul collegamento: N=-13676.40 Ty=-5.33 Tz=-1.63 Mx=0.01 Mz=-2.18
Sollecitazioni agenti localmente: Tx_l=-5.33 Ty_l=-1.63 N_l=-13676.40 My_l=2.18 Mz_l=0.01
Azioni sul cordone: TP=-0.41 TO=-0.13 NO=-1010.96
Tensioni nel cordone: τ_P=0.13 τ_0= 0.04 σ_0=324.51 σ_{ID}=324.51 Σ_T=324.56
CC 5 SLV (Collegamento -182_-384)
Azioni sul collegamento: N=-5861.42 Ty=-12.02 Tz=26.92 Mx=0.01 Mz=-6.41
Sollecitazioni agenti localmente: Tx_l=-12.02 Ty_l=26.92 N_l=-5861.42 My_l=6.41 Mz_l=0.01
Azioni sul cordone: TP=-0.90 TO=1.98 NO=-433.28
Tensioni nel cordone: τ_P=0.29 τ_0=0.63 σ_0=147.08 σ_{ID}=147.08 Σ_T=147.71
CC 5 SLV (Collegamento -182_-384)
Azioni sul collegamento: N=-5861.42 Ty=-5.33 Tz=26.92 Mx=0.01 Mz=-2.18
Sollecitazioni agenti localmente: Tx_l=-5.33 Ty_l=26.92 N_l=-5861.42 My_l=2.18 Mz_l=0.01
Azioni sul cordone: TP=-0.41 TO=1.98 NO=-433.28
Tensioni nel cordone: τ_P=0.13 τ_0=0.63 σ_0=140.90 σ_{ID}=140.90 Σ_T=141.53
CC 5 SLV (Collegamento -182_-384)
Azioni sul collegamento: N=-5861.42 Ty=-12.02 Tz=-1.63 Mx=0.01 Mz=-6.41
Sollecitazioni agenti localmente: Tx_l=-12.02 Ty_l=-1.63 N_l=-5861.42 My_l=6.41 Mz_l=0.01
Azioni sul cordone: TP=-0.90 TO=-0.13 NO=-433.28
Tensioni nel cordone: τ_P=0.29 τ_0= 0.04 σ_0=147.08 σ_{ID}=147.08 Σ_T=147.12
CC 5 SLV (Collegamento -182_-384)
Azioni sul collegamento: N=-5861.42 Ty=-5.33 Tz=-1.63 Mx=0.01 Mz=-2.18
Sollecitazioni agenti localmente: Tx_l=-5.33 Ty_l=-1.63 N_l=-5861.42 My_l=2.18 Mz_l=0.01
Azioni sul cordone: TP=-0.41 TO=-0.13 NO=-433.28

Tensioni nel cordone: τ_P=0.13 τ_0= 0.04 σ_0=140.90 σ_{ID}=140.90 Σ_T=140.94
CC 6 SLD (Collegamento -182_-384)
Azioni sul collegamento: N=-11057.70 Ty=-10.62 Tz=17.38 Mx=0.00 Mz=-7.07
Sollecitazioni agenti localmente: Tx_l=-10.62 Ty_l=17.38 N_l=-11057.70 My_l=7.07 Mz_l=0.00
Azioni sul cordone: TP=-0.79 TO=1.28 NO=-817.39
Tensioni nel cordone: τ_P=0.25 τ_0=0.41 σ_0=270.14 σ_{ID}=270.14 Σ_T=270.55
CC 6 SLD (Collegamento -182_-384)
Azioni sul collegamento: N=-11057.70 Ty=-8.58 Tz=17.38 Mx=0.00 Mz=-5.79
Sollecitazioni agenti localmente: Tx_l=-8.58 Ty_l=17.38 N_l=-11057.70 My_l=5.79 Mz_l=0.00
Azioni sul cordone: TP=-0.64 TO=1.28 NO=-817.39
Tensioni nel cordone: τ_P=0.20 τ_0=0.41 σ_0=268.26 σ_{ID}=268.26 Σ_T=268.67
CC 6 SLD (Collegamento -182_-384)
Azioni sul collegamento: N=-11057.70 Ty=-10.62 Tz=8.67 Mx=0.00 Mz=-7.07
Sollecitazioni agenti localmente: Tx_l=-10.62 Ty_l=8.67 N_l=-11057.70 My_l=7.07 Mz_l=0.00
Azioni sul cordone: TP=-0.79 TO=0.64 NO=-817.39
Tensioni nel cordone: τ_P=0.25 τ_0=0.20 σ_0=270.14 σ_{ID}=270.14 Σ_T=270.35
CC 6 SLD (Collegamento -182_-384)
Azioni sul collegamento: N=-11057.70 Ty=-8.58 Tz=8.67 Mx=0.00 Mz=-5.79
Sollecitazioni agenti localmente: Tx_l=-8.58 Ty_l=8.67 N_l=-11057.70 My_l=5.79 Mz_l=0.00
Azioni sul cordone: TP=-0.64 TO=0.64 NO=-817.39
Tensioni nel cordone: τ_P=0.20 τ_0=0.20 σ_0=268.26 σ_{ID}=268.26 Σ_T=268.46
CC 6 SLD (Collegamento -182_-384)
Azioni sul collegamento: N=-8674.72 Ty=-10.62 Tz=17.38 Mx=0.00 Mz=-7.07
Sollecitazioni agenti localmente: Tx_l=-10.62 Ty_l=17.38 N_l=-8674.72 My_l=7.07 Mz_l=0.00
Azioni sul cordone: TP=-0.79 TO=1.28 NO=-641.24
Tensioni nel cordone: τ_P=0.25 τ_0=0.41 σ_0=214.15 σ_{ID}=214.15 Σ_T=214.56
CC 6 SLD (Collegamento -182_-384)
Azioni sul collegamento: N=-8674.72 Ty=-8.58 Tz=17.38 Mx=0.00 Mz=-5.79
Sollecitazioni agenti localmente: Tx_l=-8.58 Ty_l=17.38 N_l=-8674.72 My_l=5.79 Mz_l=0.00
Azioni sul cordone: TP=-0.64 TO=1.28 NO=-641.24
Tensioni nel cordone: τ_P=0.20 τ_0=0.41 σ_0=212.27 σ_{ID}=212.27 Σ_T=212.68
CC 6 SLD (Collegamento -182_-384)
Azioni sul collegamento: N=-8674.72 Ty=-10.62 Tz=8.67 Mx=0.00 Mz=-7.07
Sollecitazioni agenti localmente: Tx_l=-10.62 Ty_l=8.67 N_l=-8674.72 My_l=7.07 Mz_l=0.00
Azioni sul cordone: TP=-0.79 TO=0.64 NO=-641.24
Tensioni nel cordone: τ_P=0.25 τ_0=0.20 σ_0=214.15 σ_{ID}=214.15 Σ_T=214.35
CC 6 SLD (Collegamento -182_-384)
Azioni sul collegamento: N=-8674.72 Ty=-8.58 Tz=8.67 Mx=0.00 Mz=-5.79
Sollecitazioni agenti localmente: Tx_l=-8.58 Ty_l=8.67 N_l=-8674.72 My_l=5.79 Mz_l=0.00
Azioni sul cordone: TP=-0.64 TO=0.64 NO=-641.24
Tensioni nel cordone: τ_P=0.20 τ_0=0.20 σ_0=212.27 σ_{ID}=212.27 Σ_T=212.47
CC 7 SLV (Collegamento -182_-384)
Azioni sul collegamento: N=-13681.20 Ty=-12.53 Tz=27.25 Mx=0.01 Mz=-7.45
Sollecitazioni agenti localmente: Tx_l=-12.53 Ty_l=27.25 N_l=-13681.20 My_l=7.45 Mz_l=0.01
Azioni sul cordone: TP=-0.93 TO=2.01 NO=-1011.32
Tensioni nel cordone: τ_P=0.30 τ_0=0.64 σ_0=332.33 σ_{ID}=332.34 Σ_T=332.97
CC 7 SLV (Collegamento -182_-384)
Azioni sul collegamento: N=-13681.20 Ty=-4.82 Tz=27.25 Mx=0.01 Mz=-1.13
Sollecitazioni agenti localmente: Tx_l=-4.82 Ty_l=27.25 N_l=-13681.20 My_l=1.13 Mz_l=0.01
Azioni sul cordone: TP=-0.36 TO=2.01 NO=-1011.32
Tensioni nel cordone: τ_P=0.12 τ_0=0.64 σ_0=323.10 σ_{ID}=323.10 Σ_T=323.74
CC 7 SLV (Collegamento -182_-384)
Azioni sul collegamento: N=-13681.20 Ty=-12.53 Tz=-1.96 Mx=0.01 Mz=-7.45
Sollecitazioni agenti localmente: Tx_l=-12.53 Ty_l=-1.96 N_l=-13681.20 My_l=7.45 Mz_l=0.01
Azioni sul cordone: TP=-0.93 TO=-0.15 NO=-1011.32
Tensioni nel cordone: τ_P=0.30 τ_0= 0.05 σ_0=332.33 σ_{ID}=332.33 Σ_T=332.38
CC 7 SLV (Collegamento -182_-384)
Azioni sul collegamento: N=-13681.20 Ty=-4.82 Tz=-1.96 Mx=0.01 Mz=-1.13
Sollecitazioni agenti localmente: Tx_l=-4.82 Ty_l=-1.96 N_l=-13681.20 My_l=1.13 Mz_l=0.01
Azioni sul cordone: TP=-0.36 TO=-0.15 NO=-1011.32
Tensioni nel cordone: τ_P=0.12 τ_0= 0.05 σ_0=323.10 σ_{ID}=323.10 Σ_T=323.15
CC 7 SLV (Collegamento -182_-384)
Azioni sul collegamento: N=-5856.57 Ty=-12.53 Tz=27.25 Mx=0.01 Mz=-7.45
Sollecitazioni agenti localmente: Tx_l=-12.53 Ty_l=27.25 N_l=-5856.57 My_l=7.45 Mz_l=0.01
Azioni sul cordone: TP=-0.93 TO=2.01 NO=-432.92
Tensioni nel cordone: τ_P=0.30 τ_0=0.64 σ_0=148.49 σ_{ID}=148.49 Σ_T=149.13
CC 7 SLV (Collegamento -182_-384)
Azioni sul collegamento: N=-5856.57 Ty=-4.82 Tz=27.25 Mx=0.01 Mz=-1.13
Sollecitazioni agenti localmente: Tx_l=-4.82 Ty_l=27.25 N_l=-5856.57 My_l=1.13 Mz_l=0.01
Azioni sul cordone: TP=-0.36 TO=2.01 NO=-432.92
Tensioni nel cordone: τ_P=0.12 τ_0=0.64 σ_0=139.25 σ_{ID}=139.26 Σ_T=139.89
CC 7 SLV (Collegamento -182_-384)
Azioni sul collegamento: N=-5856.57 Ty=-12.53 Tz=-1.96 Mx=0.01 Mz=-7.45
Sollecitazioni agenti localmente: Tx_l=-12.53 Ty_l=-1.96 N_l=-5856.57 My_l=7.45 Mz_l=0.01
Azioni sul cordone: TP=-0.93 TO=-0.15 NO=-432.92
Tensioni nel cordone: τ_P=0.30 τ_0= 0.05 σ_0=148.49 σ_{ID}=148.49 Σ_T=148.54
CC 7 SLV (Collegamento -182_-384)
Azioni sul collegamento: N=-5856.57 Ty=-4.82 Tz=-1.96 Mx=0.01 Mz=-1.13
Sollecitazioni agenti localmente: Tx_l=-4.82 Ty_l=-1.96 N_l=-5856.57 My_l=1.13 Mz_l=0.01

Azioni sul cordone: TP=-0.36 TO=-0.15 NO=-432.92
Tensioni nel cordone: τ_P=0.12 τ_O= 0.05 σ_O=139.25 σ_{ID}=139.26 Σ_T=139.30
CC 8 SLD (Collegamento -182_-384)
Azioni sul collegamento: N=-11059.20 Ty=-10.78 Tz=17.48 Mx=-0.00 Mz=-7.39
Sollecitazioni agenti localmente: Tx_l=-10.78 Ty_l=17.48 N_l=-11059.20 My_l=7.39 Mz_l=-0.00
Azioni sul cordone: TP=-0.80 TO=1.29 NO=-817.50
Tensioni nel cordone: τ_P=0.25 τ_O=0.41 σ_O=270.64 σ_{ID}=270.64 Σ_T=271.05
CC 8 SLD (Collegamento -182_-384)
Azioni sul collegamento: N=-11059.20 Ty=-8.42 Tz=17.48 Mx=-0.00 Mz=-5.47
Sollecitazioni agenti localmente: Tx_l=-8.42 Ty_l=17.48 N_l=-11059.20 My_l=5.47 Mz_l=-0.00
Azioni sul cordone: TP=-0.62 TO=1.29 NO=-817.50
Tensioni nel cordone: τ_P=0.20 τ_O=0.41 σ_O=267.83 σ_{ID}=267.83 Σ_T=268.24
CC 8 SLD (Collegamento -182_-384)
Azioni sul collegamento: N=-11059.20 Ty=-10.78 Tz=8.57 Mx=-0.00 Mz=-7.39
Sollecitazioni agenti localmente: Tx_l=-10.78 Ty_l=8.57 N_l=-11059.20 My_l=7.39 Mz_l=-0.00
Azioni sul cordone: TP=-0.80 TO=0.63 NO=-817.50
Tensioni nel cordone: τ_P=0.25 τ_O=0.20 σ_O=270.64 σ_{ID}=270.64 Σ_T=270.85
CC 8 SLD (Collegamento -182_-384)
Azioni sul collegamento: N=-11059.20 Ty=-8.42 Tz=8.57 Mx=-0.00 Mz=-5.47
Sollecitazioni agenti localmente: Tx_l=-8.42 Ty_l=8.57 N_l=-11059.20 My_l=5.47 Mz_l=-0.00
Azioni sul cordone: TP=-0.62 TO=0.63 NO=-817.50
Tensioni nel cordone: τ_P=0.20 τ_O=0.20 σ_O=267.83 σ_{ID}=267.83 Σ_T=268.03
CC 8 SLD (Collegamento -182_-384)
Azioni sul collegamento: N=-8673.24 Ty=-10.78 Tz=17.48 Mx=-0.00 Mz=-7.39
Sollecitazioni agenti localmente: Tx_l=-10.78 Ty_l=17.48 N_l=-8673.24 My_l=7.39 Mz_l=-0.00
Azioni sul cordone: TP=-0.80 TO=1.29 NO=-641.13
Tensioni nel cordone: τ_P=0.25 τ_O=0.41 σ_O=214.58 σ_{ID}=214.58 Σ_T=214.99
CC 8 SLD (Collegamento -182_-384)
Azioni sul collegamento: N=-8673.24 Ty=-8.42 Tz=17.48 Mx=-0.00 Mz=-5.47
Sollecitazioni agenti localmente: Tx_l=-8.42 Ty_l=17.48 N_l=-8673.24 My_l=5.47 Mz_l=-0.00
Azioni sul cordone: TP=-0.62 TO=1.29 NO=-641.13
Tensioni nel cordone: τ_P=0.20 τ_O=0.41 σ_O=211.77 σ_{ID}=211.77 Σ_T=212.18
CC 8 SLD (Collegamento -182_-384)
Azioni sul collegamento: N=-8673.24 Ty=-10.78 Tz=8.57 Mx=-0.00 Mz=-7.39
Sollecitazioni agenti localmente: Tx_l=-10.78 Ty_l=8.57 N_l=-8673.24 My_l=7.39 Mz_l=-0.00
Azioni sul cordone: TP=-0.80 TO=0.63 NO=-641.13
Tensioni nel cordone: τ_P=0.25 τ_O=0.20 σ_O=214.58 σ_{ID}=214.58 Σ_T=214.78
CC 8 SLD (Collegamento -182_-384)
Azioni sul collegamento: N=-8673.24 Ty=-8.42 Tz=8.57 Mx=-0.00 Mz=-5.47
Sollecitazioni agenti localmente: Tx_l=-8.42 Ty_l=8.57 N_l=-8673.24 My_l=5.47 Mz_l=-0.00
Azioni sul cordone: TP=-0.62 TO=0.63 NO=-641.13
Tensioni nel cordone: τ_P=0.20 τ_O=0.20 σ_O=211.77 σ_{ID}=211.77 Σ_T=211.97
CC 9 SLV (Collegamento -182_-384)
Azioni sul collegamento: N=-8587.84 Ty=-6.74 Tz=7.77 Mx=0.02 Mz=-1.76
Sollecitazioni agenti localmente: Tx_l=-6.74 Ty_l=7.77 N_l=-8587.84 My_l=1.76 Mz_l=0.02
Azioni sul cordone: TP=-0.52 TO=0.56 NO=-634.82
Tensioni nel cordone: τ_P=0.16 τ_O=0.18 σ_O=204.34 σ_{ID}=204.34 Σ_T=204.52
CC 9 SLV (Collegamento -182_-384)
Azioni sul collegamento: N=-8587.84 Ty=-10.61 Tz=7.77 Mx=0.02 Mz=-6.83
Sollecitazioni agenti localmente: Tx_l=-10.61 Ty_l=7.77 N_l=-8587.84 My_l=6.83 Mz_l=0.02
Azioni sul cordone: TP=-0.80 TO=0.56 NO=-634.82
Tensioni nel cordone: τ_P=0.26 τ_O=0.18 σ_O=211.75 σ_{ID}=211.75 Σ_T=211.93
CC 9 SLV (Collegamento -182_-384)
Azioni sul collegamento: N=-8587.84 Ty=-6.74 Tz=17.52 Mx=0.02 Mz=-1.76
Sollecitazioni agenti localmente: Tx_l=-6.74 Ty_l=17.52 N_l=-8587.84 My_l=1.76 Mz_l=0.02
Azioni sul cordone: TP=-0.52 TO=1.28 NO=-634.82
Tensioni nel cordone: τ_P=0.16 τ_O=0.41 σ_O=204.34 σ_{ID}=204.34 Σ_T=204.75
CC 9 SLV (Collegamento -182_-384)
Azioni sul collegamento: N=-8587.84 Ty=-10.61 Tz=17.52 Mx=0.02 Mz=-6.83
Sollecitazioni agenti localmente: Tx_l=-10.61 Ty_l=17.52 N_l=-8587.84 My_l=6.83 Mz_l=0.02
Azioni sul cordone: TP=-0.80 TO=1.28 NO=-634.82
Tensioni nel cordone: τ_P=0.26 τ_O=0.41 σ_O=211.75 σ_{ID}=211.75 Σ_T=212.16
CC 9 SLV (Collegamento -182_-384)
Azioni sul collegamento: N=-10950.00 Ty=-6.74 Tz=7.77 Mx=0.02 Mz=-1.76
Sollecitazioni agenti localmente: Tx_l=-6.74 Ty_l=7.77 N_l=-10950.00 My_l=1.76 Mz_l=0.02
Azioni sul cordone: TP=-0.52 TO=0.56 NO=-809.42
Tensioni nel cordone: τ_P=0.16 τ_O=0.18 σ_O=259.84 σ_{ID}=259.84 Σ_T=260.02
CC 9 SLV (Collegamento -182_-384)
Azioni sul collegamento: N=-10950.00 Ty=-10.61 Tz=7.77 Mx=0.02 Mz=-6.83
Sollecitazioni agenti localmente: Tx_l=-10.61 Ty_l=7.77 N_l=-10950.00 My_l=6.83 Mz_l=0.02
Azioni sul cordone: TP=-0.80 TO=0.56 NO=-809.42
Tensioni nel cordone: τ_P=0.26 τ_O=0.18 σ_O=267.25 σ_{ID}=267.25 Σ_T=267.43
CC 9 SLV (Collegamento -182_-384)
Azioni sul collegamento: N=-10950.00 Ty=-6.74 Tz=17.52 Mx=0.02 Mz=-1.76
Sollecitazioni agenti localmente: Tx_l=-6.74 Ty_l=17.52 N_l=-10950.00 My_l=1.76 Mz_l=0.02
Azioni sul cordone: TP=-0.52 TO=1.28 NO=-809.42
Tensioni nel cordone: τ_P=0.16 τ_O=0.41 σ_O=259.84 σ_{ID}=259.84 Σ_T=260.25
CC 9 SLV (Collegamento -182_-384)
Azioni sul collegamento: N=-10950.00 Ty=-10.61 Tz=17.52 Mx=0.02 Mz=-6.83

Sollecitazioni agenti localmente: Tx_l=-10.61 Ty_l=17.52 N_l=-10950.00 My_l=6.83 Mz_l=0.02
Azioni sul cordone: TP=-0.80 TO=1.28 NO=-809.42
Tensioni nel cordone: τ_P=0.26 τ_0=0.41 σ_0=267.25 σ_{ID}=267.25 Σ_T=267.66
CC 10 SLD (Collegamento -182_-384)
Azioni sul collegamento: N=-9506.09 Ty=-9.01 Tz=11.54 Mx=0.00 Mz=-5.66
Sollecitazioni agenti localmente: Tx_l=-9.01 Ty_l=11.54 N_l=-9506.09 My_l=5.66 Mz_l=0.00
Azioni sul cordone: TP=-0.67 TO=0.85 NO=-702.69
Tensioni nel cordone: τ_P=0.21 τ_0=0.27 σ_0=231.61 σ_{ID}=231.61 Σ_T=231.88
CC 10 SLD (Collegamento -182_-384)
Azioni sul collegamento: N=-9506.09 Ty=-10.19 Tz=11.54 Mx=0.00 Mz=-7.20
Sollecitazioni agenti localmente: Tx_l=-10.19 Ty_l=11.54 N_l=-9506.09 My_l=7.20 Mz_l=0.00
Azioni sul cordone: TP=-0.76 TO=0.85 NO=-702.69
Tensioni nel cordone: τ_P=0.24 τ_0=0.27 σ_0=233.87 σ_{ID}=233.87 Σ_T=234.14
CC 10 SLD (Collegamento -182_-384)
Azioni sul collegamento: N=-9506.09 Ty=-9.01 Tz=14.51 Mx=0.00 Mz=-5.66
Sollecitazioni agenti localmente: Tx_l=-9.01 Ty_l=14.51 N_l=-9506.09 My_l=5.66 Mz_l=0.00
Azioni sul cordone: TP=-0.67 TO=1.07 NO=-702.69
Tensioni nel cordone: τ_P=0.21 τ_0=0.34 σ_0=231.61 σ_{ID}=231.61 Σ_T=231.95
CC 10 SLD (Collegamento -182_-384)
Azioni sul collegamento: N=-9506.09 Ty=-10.19 Tz=14.51 Mx=0.00 Mz=-7.20
Sollecitazioni agenti localmente: Tx_l=-10.19 Ty_l=14.51 N_l=-9506.09 My_l=7.20 Mz_l=0.00
Azioni sul cordone: TP=-0.76 TO=1.07 NO=-702.69
Tensioni nel cordone: τ_P=0.24 τ_0=0.34 σ_0=233.87 σ_{ID}=233.87 Σ_T=234.21
CC 10 SLD (Collegamento -182_-384)
Azioni sul collegamento: N=-10226.40 Ty=-9.01 Tz=11.54 Mx=0.00 Mz=-5.66
Sollecitazioni agenti localmente: Tx_l=-9.01 Ty_l=11.54 N_l=-10226.40 My_l=5.66 Mz_l=0.00
Azioni sul cordone: TP=-0.67 TO=0.85 NO=-755.94
Tensioni nel cordone: τ_P=0.21 τ_0=0.27 σ_0=248.54 σ_{ID}=248.54 Σ_T=248.81
CC 10 SLD (Collegamento -182_-384)
Azioni sul collegamento: N=-10226.40 Ty=-10.19 Tz=11.54 Mx=0.00 Mz=-7.20
Sollecitazioni agenti localmente: Tx_l=-10.19 Ty_l=11.54 N_l=-10226.40 My_l=7.20 Mz_l=0.00
Azioni sul cordone: TP=-0.76 TO=0.85 NO=-755.94
Tensioni nel cordone: τ_P=0.24 τ_0=0.27 σ_0=250.80 σ_{ID}=250.80 Σ_T=251.07
CC 10 SLD (Collegamento -182_-384)
Azioni sul collegamento: N=-10226.40 Ty=-9.01 Tz=14.51 Mx=0.00 Mz=-5.66
Sollecitazioni agenti localmente: Tx_l=-9.01 Ty_l=14.51 N_l=-10226.40 My_l=5.66 Mz_l=0.00
Azioni sul cordone: TP=-0.67 TO=1.07 NO=-755.94
Tensioni nel cordone: τ_P=0.21 τ_0=0.34 σ_0=248.54 σ_{ID}=248.54 Σ_T=248.88
CC 10 SLD (Collegamento -182_-384)
Azioni sul collegamento: N=-10226.40 Ty=-10.19 Tz=14.51 Mx=0.00 Mz=-7.20
Sollecitazioni agenti localmente: Tx_l=-10.19 Ty_l=14.51 N_l=-10226.40 My_l=7.20 Mz_l=0.00
Azioni sul cordone: TP=-0.76 TO=1.07 NO=-755.94
Tensioni nel cordone: τ_P=0.24 τ_0=0.34 σ_0=250.80 σ_{ID}=250.80 Σ_T=251.14
CC 11 SLV (Collegamento -182_-384)
Azioni sul collegamento: N=-10933.80 Ty=-8.90 Tz=16.43 Mx=0.02 Mz=-3.34
Sollecitazioni agenti localmente: Tx_l=-8.90 Ty_l=16.43 N_l=-10933.80 My_l=3.34 Mz_l=0.02
Azioni sul cordone: TP=-0.68 TO=1.20 NO=-808.23
Tensioni nel cordone: τ_P=0.22 τ_0=0.38 σ_0=261.77 σ_{ID}=261.77 Σ_T=262.15
CC 11 SLV (Collegamento -182_-384)
Azioni sul collegamento: N=-10933.80 Ty=-8.45 Tz=16.43 Mx=0.02 Mz=-5.25
Sollecitazioni agenti localmente: Tx_l=-8.45 Ty_l=16.43 N_l=-10933.80 My_l=5.25 Mz_l=0.02
Azioni sul cordone: TP=-0.64 TO=1.20 NO=-808.23
Tensioni nel cordone: τ_P=0.20 τ_0=0.38 σ_0=264.56 σ_{ID}=264.56 Σ_T=264.94
CC 11 SLV (Collegamento -182_-384)
Azioni sul collegamento: N=-10933.80 Ty=-8.90 Tz=8.86 Mx=0.02 Mz=-3.34
Sollecitazioni agenti localmente: Tx_l=-8.90 Ty_l=8.86 N_l=-10933.80 My_l=3.34 Mz_l=0.02
Azioni sul cordone: TP=-0.68 TO=0.64 NO=-808.23
Tensioni nel cordone: τ_P=0.22 τ_0=0.20 σ_0=261.77 σ_{ID}=261.77 Σ_T=261.98
CC 11 SLV (Collegamento -182_-384)
Azioni sul collegamento: N=-10933.80 Ty=-8.45 Tz=8.86 Mx=0.02 Mz=-5.25
Sollecitazioni agenti localmente: Tx_l=-8.45 Ty_l=8.86 N_l=-10933.80 My_l=5.25 Mz_l=0.02
Azioni sul cordone: TP=-0.64 TO=0.64 NO=-808.23
Tensioni nel cordone: τ_P=0.20 τ_0=0.20 σ_0=264.56 σ_{ID}=264.56 Σ_T=264.76
CC 11 SLV (Collegamento -182_-384)
Azioni sul collegamento: N=-8604.01 Ty=-8.90 Tz=16.43 Mx=0.02 Mz=-3.34
Sollecitazioni agenti localmente: Tx_l=-8.90 Ty_l=16.43 N_l=-8604.01 My_l=3.34 Mz_l=0.02
Azioni sul cordone: TP=-0.68 TO=1.20 NO=-636.01
Tensioni nel cordone: τ_P=0.22 τ_0=0.38 σ_0=207.03 σ_{ID}=207.03 Σ_T=207.41
CC 11 SLV (Collegamento -182_-384)
Azioni sul collegamento: N=-8604.01 Ty=-8.45 Tz=16.43 Mx=0.02 Mz=-5.25
Sollecitazioni agenti localmente: Tx_l=-8.45 Ty_l=16.43 N_l=-8604.01 My_l=5.25 Mz_l=0.02
Azioni sul cordone: TP=-0.64 TO=1.20 NO=-636.01
Tensioni nel cordone: τ_P=0.20 τ_0=0.38 σ_0=209.82 σ_{ID}=209.82 Σ_T=210.20
CC 11 SLV (Collegamento -182_-384)
Azioni sul collegamento: N=-8604.01 Ty=-8.90 Tz=8.86 Mx=0.02 Mz=-3.34
Sollecitazioni agenti localmente: Tx_l=-8.90 Ty_l=8.86 N_l=-8604.01 My_l=3.34 Mz_l=0.02
Azioni sul cordone: TP=-0.68 TO=0.64 NO=-636.01
Tensioni nel cordone: τ_P=0.22 τ_0=0.20 σ_0=207.03 σ_{ID}=207.03 Σ_T=207.24
CC 11 SLV (Collegamento -182_-384)

Azioni sul collegamento: N=-8604.01 Ty=-8.45 Tz=8.86 Mx=0.02 Mz=-5.25
Sollecitazioni agenti localmente: Tx_l=-8.45 Ty_l=8.86 N_l=-8604.01 My_l=5.25 Mz_l=0.02
Azioni sul cordone: TP=-0.64 TO=0.64 NO=-636.01
Tensioni nel cordone: τ_P=0.20 τ_0=0.20 σ_0=209.82 σ_{ID}=209.82 Σ_T=210.02
CC 12 SLD (Collegamento -182_-384)
Azioni sul collegamento: N=-10221.40 Ty=-9.67 Tz=14.18 Mx=0.00 Mz=-6.14
Sollecitazioni agenti localmente: Tx_l=-9.67 Ty_l=14.18 N_l=-10221.40 My_l=6.14 Mz_l=0.00
Azioni sul cordone: TP=-0.72 TO=1.05 NO=-755.57
Tensioni nel cordone: τ_P=0.23 τ_0=0.33 σ_0=249.13 σ_{ID}=249.13 Σ_T=249.46
CC 12 SLD (Collegamento -182_-384)
Azioni sul collegamento: N=-10221.40 Ty=-9.53 Tz=14.18 Mx=0.00 Mz=-6.72
Sollecitazioni agenti localmente: Tx_l=-9.53 Ty_l=14.18 N_l=-10221.40 My_l=6.72 Mz_l=0.00
Azioni sul cordone: TP=-0.71 TO=1.05 NO=-755.57
Tensioni nel cordone: τ_P=0.23 τ_0=0.33 σ_0=249.98 σ_{ID}=249.98 Σ_T=250.31
CC 12 SLD (Collegamento -182_-384)
Azioni sul collegamento: N=-10221.40 Ty=-9.67 Tz=11.87 Mx=0.00 Mz=-6.14
Sollecitazioni agenti localmente: Tx_l=-9.67 Ty_l=11.87 N_l=-10221.40 My_l=6.14 Mz_l=0.00
Azioni sul cordone: TP=-0.72 TO=0.88 NO=-755.57
Tensioni nel cordone: τ_P=0.23 τ_0=0.28 σ_0=249.13 σ_{ID}=249.13 Σ_T=249.40
CC 12 SLD (Collegamento -182_-384)
Azioni sul collegamento: N=-10221.40 Ty=-9.53 Tz=11.87 Mx=0.00 Mz=-6.72
Sollecitazioni agenti localmente: Tx_l=-9.53 Ty_l=11.87 N_l=-10221.40 My_l=6.72 Mz_l=0.00
Azioni sul cordone: TP=-0.71 TO=0.88 NO=-755.57
Tensioni nel cordone: τ_P=0.23 τ_0=0.28 σ_0=249.98 σ_{ID}=249.98 Σ_T=250.25
CC 12 SLD (Collegamento -182_-384)
Azioni sul collegamento: N=-9511.02 Ty=-9.67 Tz=14.18 Mx=0.00 Mz=-6.14
Sollecitazioni agenti localmente: Tx_l=-9.67 Ty_l=14.18 N_l=-9511.02 My_l=6.14 Mz_l=0.00
Azioni sul cordone: TP=-0.72 TO=1.05 NO=-703.06
Tensioni nel cordone: τ_P=0.23 τ_0=0.33 σ_0=232.43 σ_{ID}=232.44 Σ_T=232.77
CC 12 SLD (Collegamento -182_-384)
Azioni sul collegamento: N=-9511.02 Ty=-9.53 Tz=14.18 Mx=0.00 Mz=-6.72
Sollecitazioni agenti localmente: Tx_l=-9.53 Ty_l=14.18 N_l=-9511.02 My_l=6.72 Mz_l=0.00
Azioni sul cordone: TP=-0.71 TO=1.05 NO=-703.06
Tensioni nel cordone: τ_P=0.23 τ_0=0.33 σ_0=233.28 σ_{ID}=233.28 Σ_T=233.62
CC 12 SLD (Collegamento -182_-384)
Azioni sul collegamento: N=-9511.02 Ty=-9.67 Tz=11.87 Mx=0.00 Mz=-6.14
Sollecitazioni agenti localmente: Tx_l=-9.67 Ty_l=11.87 N_l=-9511.02 My_l=6.14 Mz_l=0.00
Azioni sul cordone: TP=-0.72 TO=0.88 NO=-703.06
Tensioni nel cordone: τ_P=0.23 τ_0=0.28 σ_0=232.43 σ_{ID}=232.43 Σ_T=232.71
CC 12 SLD (Collegamento -182_-384)
Azioni sul collegamento: N=-9511.02 Ty=-9.53 Tz=11.87 Mx=0.00 Mz=-6.72
Sollecitazioni agenti localmente: Tx_l=-9.53 Ty_l=11.87 N_l=-9511.02 My_l=6.72 Mz_l=0.00
Azioni sul cordone: TP=-0.71 TO=0.88 NO=-703.06
Tensioni nel cordone: τ_P=0.23 τ_0=0.28 σ_0=233.28 σ_{ID}=233.28 Σ_T=233.56
CC 13 SLV (Collegamento -182_-384)
Azioni sul collegamento: N=-8604.01 Ty=-8.45 Tz=8.86 Mx=0.00 Mz=-5.25
Sollecitazioni agenti localmente: Tx_l=-8.45 Ty_l=8.86 N_l=-8604.01 My_l=5.25 Mz_l=0.00
Azioni sul cordone: TP=-0.63 TO=0.65 NO=-636.01
Tensioni nel cordone: τ_P=0.20 τ_0=0.21 σ_0=209.82 σ_{ID}=209.82 Σ_T=210.03
CC 13 SLV (Collegamento -182_-384)
Azioni sul collegamento: N=-8604.01 Ty=-8.90 Tz=8.86 Mx=0.00 Mz=-3.34
Sollecitazioni agenti localmente: Tx_l=-8.90 Ty_l=8.86 N_l=-8604.01 My_l=3.34 Mz_l=0.00
Azioni sul cordone: TP=-0.66 TO=0.65 NO=-636.01
Tensioni nel cordone: τ_P=0.21 τ_0=0.21 σ_0=207.03 σ_{ID}=207.03 Σ_T=207.24
CC 13 SLV (Collegamento -182_-384)
Azioni sul collegamento: N=-8604.01 Ty=-8.45 Tz=16.43 Mx=0.00 Mz=-5.25
Sollecitazioni agenti localmente: Tx_l=-8.45 Ty_l=16.43 N_l=-8604.01 My_l=5.25 Mz_l=0.00
Azioni sul cordone: TP=-0.63 TO=1.21 NO=-636.01
Tensioni nel cordone: τ_P=0.20 τ_0=0.39 σ_0=209.82 σ_{ID}=209.82 Σ_T=210.21
CC 13 SLV (Collegamento -182_-384)
Azioni sul collegamento: N=-8604.01 Ty=-8.90 Tz=16.43 Mx=0.00 Mz=-3.34
Sollecitazioni agenti localmente: Tx_l=-8.90 Ty_l=16.43 N_l=-8604.01 My_l=3.34 Mz_l=0.00
Azioni sul cordone: TP=-0.66 TO=1.21 NO=-636.01
Tensioni nel cordone: τ_P=0.21 τ_0=0.39 σ_0=207.03 σ_{ID}=207.03 Σ_T=207.42
CC 13 SLV (Collegamento -182_-384)
Azioni sul collegamento: N=-10933.80 Ty=-8.45 Tz=8.86 Mx=0.00 Mz=-5.25
Sollecitazioni agenti localmente: Tx_l=-8.45 Ty_l=8.86 N_l=-10933.80 My_l=5.25 Mz_l=0.00
Azioni sul cordone: TP=-0.63 TO=0.65 NO=-808.23
Tensioni nel cordone: τ_P=0.20 τ_0=0.21 σ_0=264.56 σ_{ID}=264.56 Σ_T=264.77
CC 13 SLV (Collegamento -182_-384)
Azioni sul collegamento: N=-10933.80 Ty=-8.90 Tz=8.86 Mx=0.00 Mz=-3.34
Sollecitazioni agenti localmente: Tx_l=-8.90 Ty_l=8.86 N_l=-10933.80 My_l=3.34 Mz_l=0.00
Azioni sul cordone: TP=-0.66 TO=0.65 NO=-808.23
Tensioni nel cordone: τ_P=0.21 τ_0=0.21 σ_0=261.77 σ_{ID}=261.77 Σ_T=261.98
CC 13 SLV (Collegamento -182_-384)
Azioni sul collegamento: N=-10933.80 Ty=-8.45 Tz=16.43 Mx=0.00 Mz=-5.25
Sollecitazioni agenti localmente: Tx_l=-8.45 Ty_l=16.43 N_l=-10933.80 My_l=5.25 Mz_l=0.00
Azioni sul cordone: TP=-0.63 TO=1.21 NO=-808.23
Tensioni nel cordone: τ_P=0.20 τ_0=0.39 σ_0=264.56 σ_{ID}=264.56 Σ_T=264.94

CC 13 SLV (Collegamento -182_-384)
Azioni sul collegamento: N=-10933.80 Ty=-8.90 Tz=16.43 Mx=0.00 Mz=-3.34
Sollecitazioni agenti localmente: Tx_l=-8.90 Ty_l=16.43 N_l=-10933.80 My_l=3.34 Mz_l=0.00
Azioni sul cordone: TP=-0.66 TO=1.21 NO=-808.23
Tensioni nel cordone: τ_P=0.21 τ_0=0.39 σ_0=261.77 σ_{ID}=261.77 Σ_T=262.16
CC 14 SLD (Collegamento -182_-384)
Azioni sul collegamento: N=-9511.02 Ty=-9.53 Tz=11.87 Mx=-0.00 Mz=-6.72
Sollecitazioni agenti localmente: Tx_l=-9.53 Ty_l=11.87 N_l=-9511.02 My_l=6.72 Mz_l=-0.00
Azioni sul cordone: TP=-0.70 TO=0.88 NO=-703.06
Tensioni nel cordone: τ_P=0.22 τ_0=0.28 σ_0=233.28 σ_{ID}=233.28 Σ_T=233.56
CC 14 SLD (Collegamento -182_-384)
Azioni sul collegamento: N=-9511.02 Ty=-9.67 Tz=11.87 Mx=-0.00 Mz=-6.14
Sollecitazioni agenti localmente: Tx_l=-9.67 Ty_l=11.87 N_l=-9511.02 My_l=6.14 Mz_l=-0.00
Azioni sul cordone: TP=-0.71 TO=0.88 NO=-703.06
Tensioni nel cordone: τ_P=0.23 τ_0=0.28 σ_0=232.43 σ_{ID}=232.43 Σ_T=232.71
CC 14 SLD (Collegamento -182_-384)
Azioni sul collegamento: N=-9511.02 Ty=-9.53 Tz=14.18 Mx=-0.00 Mz=-6.72
Sollecitazioni agenti localmente: Tx_l=-9.53 Ty_l=14.18 N_l=-9511.02 My_l=6.72 Mz_l=-0.00
Azioni sul cordone: TP=-0.70 TO=1.05 NO=-703.06
Tensioni nel cordone: τ_P=0.22 τ_0=0.33 σ_0=233.28 σ_{ID}=233.28 Σ_T=233.62
CC 14 SLD (Collegamento -182_-384)
Azioni sul collegamento: N=-9511.02 Ty=-9.67 Tz=14.18 Mx=-0.00 Mz=-6.14
Sollecitazioni agenti localmente: Tx_l=-9.67 Ty_l=14.18 N_l=-9511.02 My_l=6.14 Mz_l=-0.00
Azioni sul cordone: TP=-0.71 TO=1.05 NO=-703.06
Tensioni nel cordone: τ_P=0.23 τ_0=0.33 σ_0=232.43 σ_{ID}=232.44 Σ_T=232.77
CC 14 SLD (Collegamento -182_-384)
Azioni sul collegamento: N=-10221.40 Ty=-9.53 Tz=11.87 Mx=-0.00 Mz=-6.72
Sollecitazioni agenti localmente: Tx_l=-9.53 Ty_l=11.87 N_l=-10221.40 My_l=6.72 Mz_l=-0.00
Azioni sul cordone: TP=-0.70 TO=0.88 NO=-755.57
Tensioni nel cordone: τ_P=0.22 τ_0=0.28 σ_0=249.98 σ_{ID}=249.98 Σ_T=250.25
CC 14 SLD (Collegamento -182_-384)
Azioni sul collegamento: N=-10221.40 Ty=-9.67 Tz=11.87 Mx=-0.00 Mz=-6.14
Sollecitazioni agenti localmente: Tx_l=-9.67 Ty_l=11.87 N_l=-10221.40 My_l=6.14 Mz_l=-0.00
Azioni sul cordone: TP=-0.71 TO=0.88 NO=-755.57
Tensioni nel cordone: τ_P=0.23 τ_0=0.28 σ_0=249.13 σ_{ID}=249.13 Σ_T=249.41
CC 14 SLD (Collegamento -182_-384)
Azioni sul collegamento: N=-10221.40 Ty=-9.53 Tz=14.18 Mx=-0.00 Mz=-6.72
Sollecitazioni agenti localmente: Tx_l=-9.53 Ty_l=14.18 N_l=-10221.40 My_l=6.72 Mz_l=-0.00
Azioni sul cordone: TP=-0.70 TO=1.05 NO=-755.57
Tensioni nel cordone: τ_P=0.22 τ_0=0.33 σ_0=249.98 σ_{ID}=249.98 Σ_T=250.31
CC 14 SLD (Collegamento -182_-384)
Azioni sul collegamento: N=-10221.40 Ty=-9.67 Tz=14.18 Mx=-0.00 Mz=-6.14
Sollecitazioni agenti localmente: Tx_l=-9.67 Ty_l=14.18 N_l=-10221.40 My_l=6.14 Mz_l=-0.00
Azioni sul cordone: TP=-0.71 TO=1.05 NO=-755.57
Tensioni nel cordone: τ_P=0.23 τ_0=0.33 σ_0=249.13 σ_{ID}=249.13 Σ_T=249.46
CC 15 SLV (Collegamento -182_-384)
Azioni sul collegamento: N=-10950.00 Ty=-10.61 Tz=17.52 Mx=0.00 Mz=-6.83
Sollecitazioni agenti localmente: Tx_l=-10.61 Ty_l=17.52 N_l=-10950.00 My_l=6.83 Mz_l=0.00
Azioni sul cordone: TP=-0.79 TO=1.29 NO=-809.42
Tensioni nel cordone: τ_P=0.25 τ_0=0.41 σ_0=267.25 σ_{ID}=267.25 Σ_T=267.66
CC 15 SLV (Collegamento -182_-384)
Azioni sul collegamento: N=-10950.00 Ty=-6.74 Tz=17.52 Mx=0.00 Mz=-1.76
Sollecitazioni agenti localmente: Tx_l=-6.74 Ty_l=17.52 N_l=-10950.00 My_l=1.76 Mz_l=0.00
Azioni sul cordone: TP=-0.50 TO=1.29 NO=-809.42
Tensioni nel cordone: τ_P=0.16 τ_0=0.41 σ_0=259.84 σ_{ID}=259.84 Σ_T=260.25
CC 15 SLV (Collegamento -182_-384)
Azioni sul collegamento: N=-10950.00 Ty=-10.61 Tz=7.77 Mx=0.00 Mz=-6.83
Sollecitazioni agenti localmente: Tx_l=-10.61 Ty_l=7.77 N_l=-10950.00 My_l=6.83 Mz_l=0.00
Azioni sul cordone: TP=-0.79 TO=0.57 NO=-809.42
Tensioni nel cordone: τ_P=0.25 τ_0=0.18 σ_0=267.25 σ_{ID}=267.25 Σ_T=267.43
CC 15 SLV (Collegamento -182_-384)
Azioni sul collegamento: N=-10950.00 Ty=-6.74 Tz=7.77 Mx=0.00 Mz=-1.76
Sollecitazioni agenti localmente: Tx_l=-6.74 Ty_l=7.77 N_l=-10950.00 My_l=1.76 Mz_l=0.00
Azioni sul cordone: TP=-0.50 TO=0.57 NO=-809.42
Tensioni nel cordone: τ_P=0.16 τ_0=0.18 σ_0=259.84 σ_{ID}=259.84 Σ_T=260.02
CC 15 SLV (Collegamento -182_-384)
Azioni sul collegamento: N=-8587.84 Ty=-10.61 Tz=17.52 Mx=0.00 Mz=-6.83
Sollecitazioni agenti localmente: Tx_l=-10.61 Ty_l=17.52 N_l=-8587.84 My_l=6.83 Mz_l=0.00
Azioni sul cordone: TP=-0.79 TO=1.29 NO=-634.82
Tensioni nel cordone: τ_P=0.25 τ_0=0.41 σ_0=211.75 σ_{ID}=211.75 Σ_T=212.16
CC 15 SLV (Collegamento -182_-384)
Azioni sul collegamento: N=-8587.84 Ty=-6.74 Tz=17.52 Mx=0.00 Mz=-1.76
Sollecitazioni agenti localmente: Tx_l=-6.74 Ty_l=17.52 N_l=-8587.84 My_l=1.76 Mz_l=0.00
Azioni sul cordone: TP=-0.50 TO=1.29 NO=-634.82
Tensioni nel cordone: τ_P=0.16 τ_0=0.41 σ_0=204.34 σ_{ID}=204.34 Σ_T=204.75
CC 15 SLV (Collegamento -182_-384)
Azioni sul collegamento: N=-8587.84 Ty=-10.61 Tz=7.77 Mx=0.00 Mz=-6.83
Sollecitazioni agenti localmente: Tx_l=-10.61 Ty_l=7.77 N_l=-8587.84 My_l=6.83 Mz_l=0.00
Azioni sul cordone: TP=-0.79 TO=0.57 NO=-634.82

Tensioni nel cordone: τ_P=0.25 τ_0=0.18 σ_0=211.75 σ_{ID}=211.75 Σ_T=211.93
CC 15 SLV (Collegamento -182_-384)
Azioni sul collegamento: N=-8587.84 Ty=-6.74 Tz=7.77 Mx=0.00 Mz=-1.76
Sollecitazioni agenti localmente: Tx_l=-6.74 Ty_l=7.77 N_l=-8587.84 My_l=1.76 Mz_l=0.00
Azioni sul cordone: TP=-0.50 TO=0.57 NO=-634.82
Tensioni nel cordone: τ_P=0.16 τ_0=0.18 σ_0=204.34 σ_{ID}=204.34 Σ_T=204.52
CC 16 SLD (Collegamento -182_-384)
Azioni sul collegamento: N=-10226.40 Ty=-10.19 Tz=14.51 Mx=-0.00 Mz=-7.20
Sollecitazioni agenti localmente: Tx_l=-10.19 Ty_l=14.51 N_l=-10226.40 My_l=7.20 Mz_l=-0.00
Azioni sul cordone: TP=-0.75 TO=1.07 NO=-755.94
Tensioni nel cordone: τ_P=0.24 τ_0=0.34 σ_0=250.80 σ_{ID}=250.80 Σ_T=251.14
CC 16 SLD (Collegamento -182_-384)
Azioni sul collegamento: N=-10226.40 Ty=-9.01 Tz=14.51 Mx=-0.00 Mz=-5.66
Sollecitazioni agenti localmente: Tx_l=-9.01 Ty_l=14.51 N_l=-10226.40 My_l=5.66 Mz_l=-0.00
Azioni sul cordone: TP=-0.66 TO=1.07 NO=-755.94
Tensioni nel cordone: τ_P=0.21 τ_0=0.34 σ_0=248.54 σ_{ID}=248.54 Σ_T=248.88
CC 16 SLD (Collegamento -182_-384)
Azioni sul collegamento: N=-10226.40 Ty=-10.19 Tz=11.54 Mx=-0.00 Mz=-7.20
Sollecitazioni agenti localmente: Tx_l=-10.19 Ty_l=11.54 N_l=-10226.40 My_l=7.20 Mz_l=-0.00
Azioni sul cordone: TP=-0.75 TO=0.85 NO=-755.94
Tensioni nel cordone: τ_P=0.24 τ_0=0.27 σ_0=250.80 σ_{ID}=250.80 Σ_T=251.07
CC 16 SLD (Collegamento -182_-384)
Azioni sul collegamento: N=-10226.40 Ty=-9.01 Tz=11.54 Mx=-0.00 Mz=-5.66
Sollecitazioni agenti localmente: Tx_l=-9.01 Ty_l=11.54 N_l=-10226.40 My_l=5.66 Mz_l=-0.00
Azioni sul cordone: TP=-0.66 TO=0.85 NO=-755.94
Tensioni nel cordone: τ_P=0.21 τ_0=0.27 σ_0=248.54 σ_{ID}=248.54 Σ_T=248.81
CC 16 SLD (Collegamento -182_-384)
Azioni sul collegamento: N=-9506.09 Ty=-10.19 Tz=14.51 Mx=-0.00 Mz=-7.20
Sollecitazioni agenti localmente: Tx_l=-10.19 Ty_l=14.51 N_l=-9506.09 My_l=7.20 Mz_l=-0.00
Azioni sul cordone: TP=-0.75 TO=1.07 NO=-702.69
Tensioni nel cordone: τ_P=0.24 τ_0=0.34 σ_0=233.87 σ_{ID}=233.87 Σ_T=234.22
CC 16 SLD (Collegamento -182_-384)
Azioni sul collegamento: N=-9506.09 Ty=-9.01 Tz=14.51 Mx=-0.00 Mz=-5.66
Sollecitazioni agenti localmente: Tx_l=-9.01 Ty_l=14.51 N_l=-9506.09 My_l=5.66 Mz_l=-0.00
Azioni sul cordone: TP=-0.66 TO=1.07 NO=-702.69
Tensioni nel cordone: τ_P=0.21 τ_0=0.34 σ_0=231.61 σ_{ID}=231.61 Σ_T=231.96
CC 16 SLD (Collegamento -182_-384)
Azioni sul collegamento: N=-9506.09 Ty=-10.19 Tz=11.54 Mx=-0.00 Mz=-7.20
Sollecitazioni agenti localmente: Tx_l=-10.19 Ty_l=11.54 N_l=-9506.09 My_l=7.20 Mz_l=-0.00
Azioni sul cordone: TP=-0.75 TO=0.85 NO=-702.69
Tensioni nel cordone: τ_P=0.24 τ_0=0.27 σ_0=233.87 σ_{ID}=233.87 Σ_T=234.15
CC 16 SLD (Collegamento -182_-384)
Azioni sul collegamento: N=-9506.09 Ty=-9.01 Tz=11.54 Mx=-0.00 Mz=-5.66
Sollecitazioni agenti localmente: Tx_l=-9.01 Ty_l=11.54 N_l=-9506.09 My_l=5.66 Mz_l=-0.00
Azioni sul cordone: TP=-0.66 TO=0.85 NO=-702.69
Tensioni nel cordone: τ_P=0.21 τ_0=0.27 σ_0=231.61 σ_{ID}=231.61 Σ_T=231.88
CC 17 SLV (Collegamento -182_-384)
Azioni sul collegamento: N=-6136.65 Ty=-7.48 Tz=-0.86 Mx=-0.02 Mz=-7.28
Sollecitazioni agenti localmente: Tx_l=-7.48 Ty_l=-0.86 N_l=-6136.65 My_l=7.28 Mz_l=-0.02
Azioni sul cordone: TP=-0.53 TO=-0.05 NO=-453.62
Tensioni nel cordone: τ_P=0.17 τ_0= 0.02 σ_0=154.82 σ_{ID}=154.82 Σ_T=154.84
CC 17 SLV (Collegamento -182_-384)
Azioni sul collegamento: N=-6136.65 Ty=-15.19 Tz=-0.86 Mx=-0.02 Mz=-13.60
Sollecitazioni agenti localmente: Tx_l=-15.19 Ty_l=-0.86 N_l=-6136.65 My_l=13.60 Mz_l=-0.02
Azioni sul cordone: TP=-1.10 TO=-0.05 NO=-453.62
Tensioni nel cordone: τ_P=0.35 τ_0= 0.02 σ_0=164.06 σ_{ID}=164.06 Σ_T=164.07
CC 17 SLV (Collegamento -182_-384)
Azioni sul collegamento: N=-6136.65 Ty=-7.48 Tz=28.35 Mx=-0.02 Mz=-7.28
Sollecitazioni agenti localmente: Tx_l=-7.48 Ty_l=28.35 N_l=-6136.65 My_l=7.28 Mz_l=-0.02
Azioni sul cordone: TP=-0.53 TO=2.11 NO=-453.62
Tensioni nel cordone: τ_P=0.17 τ_0=0.67 σ_0=154.82 σ_{ID}=154.82 Σ_T=155.49
CC 17 SLV (Collegamento -182_-384)
Azioni sul collegamento: N=-6136.65 Ty=-15.19 Tz=28.35 Mx=-0.02 Mz=-13.60
Sollecitazioni agenti localmente: Tx_l=-15.19 Ty_l=28.35 N_l=-6136.65 My_l=13.60 Mz_l=-0.02
Azioni sul cordone: TP=-1.10 TO=2.11 NO=-453.62
Tensioni nel cordone: τ_P=0.35 τ_0=0.67 σ_0=164.06 σ_{ID}=164.06 Σ_T=164.73
CC 17 SLV (Collegamento -182_-384)
Azioni sul collegamento: N=-13961.30 Ty=-7.48 Tz=-0.86 Mx=-0.02 Mz=-7.28
Sollecitazioni agenti localmente: Tx_l=-7.48 Ty_l=-0.86 N_l=-13961.30 My_l=7.28 Mz_l=-0.02
Azioni sul cordone: TP=-0.53 TO=-0.05 NO=-1032.02
Tensioni nel cordone: τ_P=0.17 τ_0= 0.02 σ_0=338.67 σ_{ID}=338.67 Σ_T=338.68
CC 17 SLV (Collegamento -182_-384)
Azioni sul collegamento: N=-13961.30 Ty=-15.19 Tz=-0.86 Mx=-0.02 Mz=-13.60
Sollecitazioni agenti localmente: Tx_l=-15.19 Ty_l=-0.86 N_l=-13961.30 My_l=13.60 Mz_l=-0.02
Azioni sul cordone: TP=-1.10 TO=-0.05 NO=-1032.02
Tensioni nel cordone: τ_P=0.35 τ_0= 0.02 σ_0=347.90 σ_{ID}=347.90 Σ_T=347.92
CC 17 SLV (Collegamento -182_-384)
Azioni sul collegamento: N=-13961.30 Ty=-7.48 Tz=28.35 Mx=-0.02 Mz=-7.28
Sollecitazioni agenti localmente: Tx_l=-7.48 Ty_l=28.35 N_l=-13961.30 My_l=7.28 Mz_l=-0.02

Azioni sul cordone: TP=-0.53 TO=2.11 NO=-1032.02
Tensioni nel cordone: τ_P=0.17 τ_O=0.67 σ_O=338.67 σ_{ID}=338.67 Σ_T=339.34
CC 17 SLV (Collegamento -182_-384)
Azioni sul collegamento: N=-13961.30 Ty=-15.19 Tz=28.35 Mx=-0.02 Mz=-13.60
Sollecitazioni agenti localmente: Tx_l=-15.19 Ty_l=28.35 N_l=-13961.30 My_l=13.60 Mz_l=-0.02
Azioni sul cordone: TP=-1.10 TO=2.11 NO=-1032.02
Tensioni nel cordone: τ_P=0.35 τ_O=0.67 σ_O=347.90 σ_{ID}=347.90 Σ_T=348.57
CC 18 SLD (Collegamento -182_-384)
Azioni sul collegamento: N=-8758.64 Ty=-9.24 Tz=8.91 Mx=-0.01 Mz=-7.34
Sollecitazioni agenti localmente: Tx_l=-9.24 Ty_l=8.91 N_l=-8758.64 My_l=7.34 Mz_l=-0.01
Azioni sul cordone: TP=-0.67 TO=0.66 NO=-647.44
Tensioni nel cordone: τ_P=0.21 τ_O=0.21 σ_O=216.51 σ_{ID}=216.51 Σ_T=216.72
CC 18 SLD (Collegamento -182_-384)
Azioni sul collegamento: N=-8758.64 Ty=-11.59 Tz=8.91 Mx=-0.01 Mz=-9.27
Sollecitazioni agenti localmente: Tx_l=-11.59 Ty_l=8.91 N_l=-8758.64 My_l=9.27 Mz_l=-0.01
Azioni sul cordone: TP=-0.85 TO=0.66 NO=-647.44
Tensioni nel cordone: τ_P=0.27 τ_O=0.21 σ_O=219.33 σ_{ID}=219.33 Σ_T=219.54
CC 18 SLD (Collegamento -182_-384)
Azioni sul collegamento: N=-8758.65 Ty=-9.24 Tz=17.82 Mx=-0.01 Mz=-7.34
Sollecitazioni agenti localmente: Tx_l=-9.24 Ty_l=17.82 N_l=-8758.65 My_l=7.34 Mz_l=-0.01
Azioni sul cordone: TP=-0.67 TO=1.32 NO=-647.44
Tensioni nel cordone: τ_P=0.21 τ_O=0.42 σ_O=216.51 σ_{ID}=216.51 Σ_T=216.93
CC 18 SLD (Collegamento -182_-384)
Azioni sul collegamento: N=-8758.65 Ty=-11.59 Tz=17.82 Mx=-0.01 Mz=-9.27
Sollecitazioni agenti localmente: Tx_l=-11.59 Ty_l=17.82 N_l=-8758.65 My_l=9.27 Mz_l=-0.01
Azioni sul cordone: TP=-0.85 TO=1.32 NO=-647.44
Tensioni nel cordone: τ_P=0.27 τ_O=0.42 σ_O=219.33 σ_{ID}=219.33 Σ_T=219.75
CC 18 SLD (Collegamento -182_-384)
Azioni sul collegamento: N=-11144.60 Ty=-9.24 Tz=8.91 Mx=-0.01 Mz=-7.34
Sollecitazioni agenti localmente: Tx_l=-9.24 Ty_l=8.91 N_l=-11144.60 My_l=7.34 Mz_l=-0.01
Azioni sul cordone: TP=-0.67 TO=0.66 NO=-823.81
Tensioni nel cordone: τ_P=0.21 τ_O=0.21 σ_O=272.57 σ_{ID}=272.57 Σ_T=272.78
CC 18 SLD (Collegamento -182_-384)
Azioni sul collegamento: N=-11144.60 Ty=-11.59 Tz=8.91 Mx=-0.01 Mz=-9.27
Sollecitazioni agenti localmente: Tx_l=-11.59 Ty_l=8.91 N_l=-11144.60 My_l=9.27 Mz_l=-0.01
Azioni sul cordone: TP=-0.85 TO=0.66 NO=-823.81
Tensioni nel cordone: τ_P=0.27 τ_O=0.21 σ_O=275.39 σ_{ID}=275.39 Σ_T=275.60
CC 18 SLD (Collegamento -182_-384)
Azioni sul collegamento: N=-11144.60 Ty=-9.24 Tz=17.82 Mx=-0.01 Mz=-7.34
Sollecitazioni agenti localmente: Tx_l=-9.24 Ty_l=17.82 N_l=-11144.60 My_l=7.34 Mz_l=-0.01
Azioni sul cordone: TP=-0.67 TO=1.32 NO=-823.81
Tensioni nel cordone: τ_P=0.21 τ_O=0.42 σ_O=272.57 σ_{ID}=272.57 Σ_T=272.99
CC 18 SLD (Collegamento -182_-384)
Azioni sul collegamento: N=-11144.60 Ty=-11.59 Tz=17.82 Mx=-0.01 Mz=-9.27
Sollecitazioni agenti localmente: Tx_l=-11.59 Ty_l=17.82 N_l=-11144.60 My_l=9.27 Mz_l=-0.01
Azioni sul cordone: TP=-0.85 TO=1.32 NO=-823.81
Tensioni nel cordone: τ_P=0.27 τ_O=0.42 σ_O=275.39 σ_{ID}=275.39 Σ_T=275.81
CC 19 SLV (Collegamento -182_-384)
Azioni sul collegamento: N=-6141.50 Ty=-7.99 Tz=-0.53 Mx=-0.01 Mz=-8.33
Sollecitazioni agenti localmente: Tx_l=-7.99 Ty_l=-0.53 N_l=-6141.50 My_l=8.33 Mz_l=-0.01
Azioni sul cordone: TP=-0.58 TO=-0.03 NO=-453.98
Tensioni nel cordone: τ_P=0.18 τ_O=9.04E-03 σ_O=156.47 σ_{ID}=156.47 Σ_T=156.47
CC 19 SLV (Collegamento -182_-384)
Azioni sul collegamento: N=-6141.50 Ty=-14.68 Tz=-0.53 Mx=-0.01 Mz=-12.56
Sollecitazioni agenti localmente: Tx_l=-14.68 Ty_l=-0.53 N_l=-6141.50 My_l=12.56 Mz_l=-0.01
Azioni sul cordone: TP=-1.07 TO=-0.03 NO=-453.98
Tensioni nel cordone: τ_P=0.34 τ_O=9.04E-03 σ_O=162.64 σ_{ID}=162.64 Σ_T=162.65
CC 19 SLV (Collegamento -182_-384)
Azioni sul collegamento: N=-6141.50 Ty=-7.99 Tz=28.02 Mx=-0.01 Mz=-8.33
Sollecitazioni agenti localmente: Tx_l=-7.99 Ty_l=28.02 N_l=-6141.50 My_l=8.33 Mz_l=-0.01
Azioni sul cordone: TP=-0.58 TO=2.08 NO=-453.98
Tensioni nel cordone: τ_P=0.18 τ_O=0.66 σ_O=156.47 σ_{ID}=156.47 Σ_T=157.13
CC 19 SLV (Collegamento -182_-384)
Azioni sul collegamento: N=-6141.50 Ty=-14.68 Tz=28.02 Mx=-0.01 Mz=-12.56
Sollecitazioni agenti localmente: Tx_l=-14.68 Ty_l=28.02 N_l=-6141.50 My_l=12.56 Mz_l=-0.01
Azioni sul cordone: TP=-1.07 TO=2.08 NO=-453.98
Tensioni nel cordone: τ_P=0.34 τ_O=0.66 σ_O=162.64 σ_{ID}=162.64 Σ_T=163.30
CC 19 SLV (Collegamento -182_-384)
Azioni sul collegamento: N=-13956.40 Ty=-7.99 Tz=-0.53 Mx=-0.01 Mz=-8.33
Sollecitazioni agenti localmente: Tx_l=-7.99 Ty_l=-0.53 N_l=-13956.40 My_l=8.33 Mz_l=-0.01
Azioni sul cordone: TP=-0.58 TO=-0.03 NO=-1031.66
Tensioni nel cordone: τ_P=0.18 τ_O=9.04E-03 σ_O=340.08 σ_{ID}=340.08 Σ_T=340.09
CC 19 SLV (Collegamento -182_-384)
Azioni sul collegamento: N=-13956.40 Ty=-14.68 Tz=-0.53 Mx=-0.01 Mz=-12.56
Sollecitazioni agenti localmente: Tx_l=-14.68 Ty_l=-0.53 N_l=-13956.40 My_l=12.56 Mz_l=-0.01
Azioni sul cordone: TP=-1.07 TO=-0.03 NO=-1031.66
Tensioni nel cordone: τ_P=0.34 τ_O=9.04E-03 σ_O=346.26 σ_{ID}=346.26 Σ_T=346.27
CC 19 SLV (Collegamento -182_-384)
Azioni sul collegamento: N=-13956.40 Ty=-7.99 Tz=28.02 Mx=-0.01 Mz=-8.33

Sollecitazioni agenti localmente: Tx_l=-7.99 Ty_l=28.02 N_l=-13956.40 My_l=8.33 Mz_l=-0.01
Azioni sul cordone: TP=-0.58 TO=2.08 NO=-1031.66
Tensioni nel cordone: τ_P=0.18 τ_0=0.66 σ_0=340.08 σ_{ID}=340.08 Σ_T=340.74
CC 19 SLV (Collegamento -182_-384)
Azioni sul collegamento: N=-13956.40 Ty=-14.68 Tz=28.02 Mx=-0.01 Mz=-12.56
Sollecitazioni agenti localmente: Tx_l=-14.68 Ty_l=28.02 N_l=-13956.40 My_l=12.56 Mz_l=-0.01
Azioni sul cordone: TP=-1.07 TO=2.08 NO=-1031.66
Tensioni nel cordone: τ_P=0.34 τ_0=0.66 σ_0=346.26 σ_{ID}=346.26 Σ_T=346.92
CC 20 SLD (Collegamento -182_-384)
Azioni sul collegamento: N=-8760.12 Ty=-9.39 Tz=9.01 Mx=-0.01 Mz=-7.66
Sollecitazioni agenti localmente: Tx_l=-9.39 Ty_l=9.01 N_l=-8760.12 My_l=7.66 Mz_l=-0.01
Azioni sul cordone: TP=-0.69 TO=0.67 NO=-647.55
Tensioni nel cordone: τ_P=0.22 τ_0=0.21 σ_0=217.01 σ_{ID}=217.01 Σ_T=217.23
CC 20 SLD (Collegamento -182_-384)
Azioni sul collegamento: N=-8760.12 Ty=-11.43 Tz=9.01 Mx=-0.01 Mz=-8.95
Sollecitazioni agenti localmente: Tx_l=-11.43 Ty_l=9.01 N_l=-8760.12 My_l=8.95 Mz_l=-0.01
Azioni sul cordone: TP=-0.84 TO=0.67 NO=-647.55
Tensioni nel cordone: τ_P=0.27 τ_0=0.21 σ_0=218.90 σ_{ID}=218.90 Σ_T=219.11
CC 20 SLD (Collegamento -182_-384)
Azioni sul collegamento: N=-8760.13 Ty=-9.39 Tz=17.72 Mx=-0.01 Mz=-7.66
Sollecitazioni agenti localmente: Tx_l=-9.39 Ty_l=17.72 N_l=-8760.13 My_l=7.66 Mz_l=-0.01
Azioni sul cordone: TP=-0.69 TO=1.31 NO=-647.55
Tensioni nel cordone: τ_P=0.22 τ_0=0.42 σ_0=217.01 σ_{ID}=217.01 Σ_T=217.43
CC 20 SLD (Collegamento -182_-384)
Azioni sul collegamento: N=-8760.13 Ty=-11.43 Tz=17.72 Mx=-0.01 Mz=-8.95
Sollecitazioni agenti localmente: Tx_l=-11.43 Ty_l=17.72 N_l=-8760.13 My_l=8.95 Mz_l=-0.01
Azioni sul cordone: TP=-0.84 TO=1.31 NO=-647.55
Tensioni nel cordone: τ_P=0.27 τ_0=0.42 σ_0=218.90 σ_{ID}=218.90 Σ_T=219.32
CC 20 SLD (Collegamento -182_-384)
Azioni sul collegamento: N=-11143.10 Ty=-9.39 Tz=9.01 Mx=-0.01 Mz=-7.66
Sollecitazioni agenti localmente: Tx_l=-9.39 Ty_l=9.01 N_l=-11143.10 My_l=7.66 Mz_l=-0.01
Azioni sul cordone: TP=-0.69 TO=0.67 NO=-823.71
Tensioni nel cordone: τ_P=0.22 τ_0=0.21 σ_0=273.00 σ_{ID}=273.00 Σ_T=273.22
CC 20 SLD (Collegamento -182_-384)
Azioni sul collegamento: N=-11143.10 Ty=-11.43 Tz=9.01 Mx=-0.01 Mz=-8.95
Sollecitazioni agenti localmente: Tx_l=-11.43 Ty_l=9.01 N_l=-11143.10 My_l=8.95 Mz_l=-0.01
Azioni sul cordone: TP=-0.84 TO=0.67 NO=-823.71
Tensioni nel cordone: τ_P=0.27 τ_0=0.21 σ_0=274.89 σ_{ID}=274.89 Σ_T=275.10
CC 20 SLD (Collegamento -182_-384)
Azioni sul collegamento: N=-11143.10 Ty=-9.39 Tz=17.72 Mx=-0.01 Mz=-7.66
Sollecitazioni agenti localmente: Tx_l=-9.39 Ty_l=17.72 N_l=-11143.10 My_l=7.66 Mz_l=-0.01
Azioni sul cordone: TP=-0.69 TO=1.31 NO=-823.71
Tensioni nel cordone: τ_P=0.22 τ_0=0.42 σ_0=273.00 σ_{ID}=273.00 Σ_T=273.42
CC 20 SLD (Collegamento -182_-384)
Azioni sul collegamento: N=-11143.10 Ty=-11.43 Tz=17.72 Mx=-0.01 Mz=-8.95
Sollecitazioni agenti localmente: Tx_l=-11.43 Ty_l=17.72 N_l=-11143.10 My_l=8.95 Mz_l=-0.01
Azioni sul cordone: TP=-0.84 TO=1.31 NO=-823.71
Tensioni nel cordone: τ_P=0.27 τ_0=0.42 σ_0=274.89 σ_{ID}=274.89 Σ_T=275.31
CC 21 SLV (Collegamento -182_-384)
Azioni sul collegamento: N=-13956.40 Ty=-14.68 Tz=28.02 Mx=-0.02 Mz=-12.56
Sollecitazioni agenti localmente: Tx_l=-14.68 Ty_l=28.02 N_l=-13956.40 My_l=12.56 Mz_l=-0.02
Azioni sul cordone: TP=-1.06 TO=2.09 NO=-1031.66
Tensioni nel cordone: τ_P=0.34 τ_0=0.66 σ_0=346.26 σ_{ID}=346.26 Σ_T=346.92
CC 21 SLV (Collegamento -182_-384)
Azioni sul collegamento: N=-13956.40 Ty=-7.99 Tz=28.02 Mx=-0.02 Mz=-8.33
Sollecitazioni agenti localmente: Tx_l=-7.99 Ty_l=28.02 N_l=-13956.40 My_l=8.33 Mz_l=-0.02
Azioni sul cordone: TP=-0.57 TO=2.09 NO=-1031.66
Tensioni nel cordone: τ_P=0.18 τ_0=0.66 σ_0=340.08 σ_{ID}=340.08 Σ_T=340.74
CC 21 SLV (Collegamento -182_-384)
Azioni sul collegamento: N=-13956.40 Ty=-14.68 Tz=-0.53 Mx=-0.02 Mz=-12.56
Sollecitazioni agenti localmente: Tx_l=-14.68 Ty_l=-0.53 N_l=-13956.40 My_l=12.56 Mz_l=-0.02
Azioni sul cordone: TP=-1.06 TO=-0.02 NO=-1031.66
Tensioni nel cordone: τ_P=0.34 τ_0=7.84E-03 σ_0=346.26 σ_{ID}=346.26 Σ_T=346.26
CC 21 SLV (Collegamento -182_-384)
Azioni sul collegamento: N=-13956.40 Ty=-7.99 Tz=-0.53 Mx=-0.02 Mz=-8.33
Sollecitazioni agenti localmente: Tx_l=-7.99 Ty_l=-0.53 N_l=-13956.40 My_l=8.33 Mz_l=-0.02
Azioni sul cordone: TP=-0.57 TO=-0.02 NO=-1031.66
Tensioni nel cordone: τ_P=0.18 τ_0=7.84E-03 σ_0=340.08 σ_{ID}=340.08 Σ_T=340.09
CC 21 SLV (Collegamento -182_-384)
Azioni sul collegamento: N=-6141.50 Ty=-14.68 Tz=28.02 Mx=-0.02 Mz=-12.56
Sollecitazioni agenti localmente: Tx_l=-14.68 Ty_l=28.02 N_l=-6141.50 My_l=12.56 Mz_l=-0.02
Azioni sul cordone: TP=-1.06 TO=2.09 NO=-453.98
Tensioni nel cordone: τ_P=0.34 τ_0=0.66 σ_0=162.64 σ_{ID}=162.64 Σ_T=163.30
CC 21 SLV (Collegamento -182_-384)
Azioni sul collegamento: N=-6141.50 Ty=-7.99 Tz=28.02 Mx=-0.02 Mz=-8.33
Sollecitazioni agenti localmente: Tx_l=-7.99 Ty_l=28.02 N_l=-6141.50 My_l=8.33 Mz_l=-0.02
Azioni sul cordone: TP=-0.57 TO=2.09 NO=-453.98
Tensioni nel cordone: τ_P=0.18 τ_0=0.66 σ_0=156.47 σ_{ID}=156.47 Σ_T=157.13
CC 21 SLV (Collegamento -182_-384)

Azioni sul collegamento: N=-6141.50 Ty=-14.68 Tz=-0.53 Mx=-0.02 Mz=-12.56
Sollecitazioni agenti localmente: Tx_l=-14.68 Ty_l=-0.53 N_l=-6141.50 My_l=12.56 Mz_l=-0.02
Azioni sul cordone: TP=-1.06 TO=-0.02 NO=-453.98
Tensioni nel cordone: τ_P=0.34 τ_0=7.84E-03 σ_0=162.64 σ_{ID}=162.64 Σ_T=162.65
CC 21 SLV (Collegamento -182_-384)
Azioni sul collegamento: N=-6141.50 Ty=-7.99 Tz=-0.53 Mx=-0.02 Mz=-8.33
Sollecitazioni agenti localmente: Tx_l=-7.99 Ty_l=-0.53 N_l=-6141.50 My_l=8.33 Mz_l=-0.02
Azioni sul cordone: TP=-0.57 TO=-0.02 NO=-453.98
Tensioni nel cordone: τ_P=0.18 τ_0=7.84E-03 σ_0=156.47 σ_{ID}=156.47 Σ_T=156.47
CC 22 SLD (Collegamento -182_-384)
Azioni sul collegamento: N=-11143.10 Ty=-11.43 Tz=17.72 Mx=-0.01 Mz=-8.95
Sollecitazioni agenti localmente: Tx_l=-11.43 Ty_l=17.72 N_l=-11143.10 My_l=8.95 Mz_l=-0.01
Azioni sul cordone: TP=-0.84 TO=1.32 NO=-823.71
Tensioni nel cordone: τ_P=0.27 τ_0=0.42 σ_0=274.89 σ_{ID}=274.89 Σ_T=275.31
CC 22 SLD (Collegamento -182_-384)
Azioni sul collegamento: N=-11143.10 Ty=-9.39 Tz=17.72 Mx=-0.01 Mz=-7.66
Sollecitazioni agenti localmente: Tx_l=-9.39 Ty_l=17.72 N_l=-11143.10 My_l=7.66 Mz_l=-0.01
Azioni sul cordone: TP=-0.69 TO=1.32 NO=-823.71
Tensioni nel cordone: τ_P=0.22 τ_0=0.42 σ_0=273.00 σ_{ID}=273.00 Σ_T=273.42
CC 22 SLD (Collegamento -182_-384)
Azioni sul collegamento: N=-11143.10 Ty=-11.43 Tz=9.01 Mx=-0.01 Mz=-8.95
Sollecitazioni agenti localmente: Tx_l=-11.43 Ty_l=9.01 N_l=-11143.10 My_l=8.95 Mz_l=-0.01
Azioni sul cordone: TP=-0.84 TO=0.67 NO=-823.71
Tensioni nel cordone: τ_P=0.27 τ_0=0.21 σ_0=274.89 σ_{ID}=274.89 Σ_T=275.10
CC 22 SLD (Collegamento -182_-384)
Azioni sul collegamento: N=-11143.10 Ty=-9.39 Tz=9.01 Mx=-0.01 Mz=-7.66
Sollecitazioni agenti localmente: Tx_l=-9.39 Ty_l=9.01 N_l=-11143.10 My_l=7.66 Mz_l=-0.01
Azioni sul cordone: TP=-0.69 TO=0.67 NO=-823.71
Tensioni nel cordone: τ_P=0.22 τ_0=0.21 σ_0=273.00 σ_{ID}=273.00 Σ_T=273.22
CC 22 SLD (Collegamento -182_-384)
Azioni sul collegamento: N=-8760.13 Ty=-11.43 Tz=17.72 Mx=-0.01 Mz=-8.95
Sollecitazioni agenti localmente: Tx_l=-11.43 Ty_l=17.72 N_l=-8760.13 My_l=8.95 Mz_l=-0.01
Azioni sul cordone: TP=-0.84 TO=1.32 NO=-647.55
Tensioni nel cordone: τ_P=0.27 τ_0=0.42 σ_0=218.90 σ_{ID}=218.90 Σ_T=219.32
CC 22 SLD (Collegamento -182_-384)
Azioni sul collegamento: N=-8760.13 Ty=-9.39 Tz=17.72 Mx=-0.01 Mz=-7.66
Sollecitazioni agenti localmente: Tx_l=-9.39 Ty_l=17.72 N_l=-8760.13 My_l=7.66 Mz_l=-0.01
Azioni sul cordone: TP=-0.69 TO=1.32 NO=-647.55
Tensioni nel cordone: τ_P=0.22 τ_0=0.42 σ_0=217.01 σ_{ID}=217.01 Σ_T=217.43
CC 22 SLD (Collegamento -182_-384)
Azioni sul collegamento: N=-8760.12 Ty=-11.43 Tz=9.01 Mx=-0.01 Mz=-8.95
Sollecitazioni agenti localmente: Tx_l=-11.43 Ty_l=9.01 N_l=-8760.12 My_l=8.95 Mz_l=-0.01
Azioni sul cordone: TP=-0.84 TO=0.67 NO=-647.55
Tensioni nel cordone: τ_P=0.27 τ_0=0.21 σ_0=218.90 σ_{ID}=218.90 Σ_T=219.11
CC 22 SLD (Collegamento -182_-384)
Azioni sul collegamento: N=-8760.12 Ty=-9.39 Tz=9.01 Mx=-0.01 Mz=-7.66
Sollecitazioni agenti localmente: Tx_l=-9.39 Ty_l=9.01 N_l=-8760.12 My_l=7.66 Mz_l=-0.01
Azioni sul cordone: TP=-0.69 TO=0.67 NO=-647.55
Tensioni nel cordone: τ_P=0.22 τ_0=0.21 σ_0=217.01 σ_{ID}=217.01 Σ_T=217.23
CC 23 SLV (Collegamento -182_-384)
Azioni sul collegamento: N=-13961.30 Ty=-15.19 Tz=28.35 Mx=-0.01 Mz=-13.60
Sollecitazioni agenti localmente: Tx_l=-15.19 Ty_l=28.35 N_l=-13961.30 My_l=13.60 Mz_l=-0.01
Azioni sul cordone: TP=-1.11 TO=2.11 NO=-1032.02
Tensioni nel cordone: τ_P=0.35 τ_0=0.67 σ_0=347.90 σ_{ID}=347.90 Σ_T=348.57
CC 23 SLV (Collegamento -182_-384)
Azioni sul collegamento: N=-13961.30 Ty=-7.48 Tz=28.35 Mx=-0.01 Mz=-7.28
Sollecitazioni agenti localmente: Tx_l=-7.48 Ty_l=28.35 N_l=-13961.30 My_l=7.28 Mz_l=-0.01
Azioni sul cordone: TP=-0.54 TO=2.11 NO=-1032.02
Tensioni nel cordone: τ_P=0.17 τ_0=0.67 σ_0=338.67 σ_{ID}=338.67 Σ_T=339.33
CC 23 SLV (Collegamento -182_-384)
Azioni sul collegamento: N=-13961.30 Ty=-15.19 Tz=-0.86 Mx=-0.01 Mz=-13.60
Sollecitazioni agenti localmente: Tx_l=-15.19 Ty_l=-0.86 N_l=-13961.30 My_l=13.60 Mz_l=-0.01
Azioni sul cordone: TP=-1.11 TO=-0.05 NO=-1032.02
Tensioni nel cordone: τ_P=0.35 τ_0= 0.02 σ_0=347.90 σ_{ID}=347.90 Σ_T=347.92
CC 23 SLV (Collegamento -182_-384)
Azioni sul collegamento: N=-13961.30 Ty=-7.48 Tz=-0.86 Mx=-0.01 Mz=-7.28
Sollecitazioni agenti localmente: Tx_l=-7.48 Ty_l=-0.86 N_l=-13961.30 My_l=7.28 Mz_l=-0.01
Azioni sul cordone: TP=-0.54 TO=-0.05 NO=-1032.02
Tensioni nel cordone: τ_P=0.17 τ_0= 0.02 σ_0=338.67 σ_{ID}=338.67 Σ_T=338.68
CC 23 SLV (Collegamento -182_-384)
Azioni sul collegamento: N=-6136.65 Ty=-15.19 Tz=28.35 Mx=-0.01 Mz=-13.60
Sollecitazioni agenti localmente: Tx_l=-15.19 Ty_l=28.35 N_l=-6136.65 My_l=13.60 Mz_l=-0.01
Azioni sul cordone: TP=-1.11 TO=2.11 NO=-453.62
Tensioni nel cordone: τ_P=0.35 τ_0=0.67 σ_0=164.06 σ_{ID}=164.06 Σ_T=164.73
CC 23 SLV (Collegamento -182_-384)
Azioni sul collegamento: N=-6136.65 Ty=-7.48 Tz=28.35 Mx=-0.01 Mz=-7.28
Sollecitazioni agenti localmente: Tx_l=-7.48 Ty_l=28.35 N_l=-6136.65 My_l=7.28 Mz_l=-0.01
Azioni sul cordone: TP=-0.54 TO=2.11 NO=-453.62
Tensioni nel cordone: τ_P=0.17 τ_0=0.67 σ_0=154.82 σ_{ID}=154.82 Σ_T=155.49

CC 23 SLV (Collegamento -182_-384)
Azioni sul collegamento: N=-6136.65 Ty=-15.19 Tz=-0.86 Mx=-0.01 Mz=-13.60
Sollecitazioni agenti localmente: Tx_l=-15.19 Ty_l=-0.86 N_l=-6136.65 My_l=13.60 Mz_l=-0.01
Azioni sul cordone: TP=-1.11 TO=-0.05 NO=-453.62
Tensioni nel cordone: τ_P=0.35 τ_0= 0.02 σ_0=164.06 σ_{ID}=164.06 Σ_T=164.07
CC 23 SLV (Collegamento -182_-384)
Azioni sul collegamento: N=-6136.65 Ty=-7.48 Tz=-0.86 Mx=-0.01 Mz=-7.28
Sollecitazioni agenti localmente: Tx_l=-7.48 Ty_l=-0.86 N_l=-6136.65 My_l=7.28 Mz_l=-0.01
Azioni sul cordone: TP=-0.54 TO=-0.05 NO=-453.62
Tensioni nel cordone: τ_P=0.17 τ_0= 0.02 σ_0=154.82 σ_{ID}=154.82 Σ_T=154.84
CC 24 SLD (Collegamento -182_-384)
Azioni sul collegamento: N=-11144.60 Ty=-11.59 Tz=17.82 Mx=-0.01 Mz=-9.27
Sollecitazioni agenti localmente: Tx_l=-11.59 Ty_l=17.82 N_l=-11144.60 My_l=9.27 Mz_l=-0.01
Azioni sul cordone: TP=-0.85 TO=1.32 NO=-823.81
Tensioni nel cordone: τ_P=0.27 τ_0=0.42 σ_0=275.39 σ_{ID}=275.39 Σ_T=275.81
CC 24 SLD (Collegamento -182_-384)
Azioni sul collegamento: N=-11144.60 Ty=-9.24 Tz=17.82 Mx=-0.01 Mz=-7.34
Sollecitazioni agenti localmente: Tx_l=-9.24 Ty_l=17.82 N_l=-11144.60 My_l=7.34 Mz_l=-0.01
Azioni sul cordone: TP=-0.68 TO=1.32 NO=-823.81
Tensioni nel cordone: τ_P=0.21 τ_0=0.42 σ_0=272.57 σ_{ID}=272.57 Σ_T=272.99
CC 24 SLD (Collegamento -182_-384)
Azioni sul collegamento: N=-11144.60 Ty=-11.59 Tz=8.91 Mx=-0.01 Mz=-9.27
Sollecitazioni agenti localmente: Tx_l=-11.59 Ty_l=8.91 N_l=-11144.60 My_l=9.27 Mz_l=-0.01
Azioni sul cordone: TP=-0.85 TO=0.66 NO=-823.81
Tensioni nel cordone: τ_P=0.27 τ_0=0.21 σ_0=275.39 σ_{ID}=275.39 Σ_T=275.60
CC 24 SLD (Collegamento -182_-384)
Azioni sul collegamento: N=-11144.60 Ty=-9.24 Tz=8.91 Mx=-0.01 Mz=-7.34
Sollecitazioni agenti localmente: Tx_l=-9.24 Ty_l=8.91 N_l=-11144.60 My_l=7.34 Mz_l=-0.01
Azioni sul cordone: TP=-0.68 TO=0.66 NO=-823.81
Tensioni nel cordone: τ_P=0.21 τ_0=0.21 σ_0=272.57 σ_{ID}=272.57 Σ_T=272.78
CC 24 SLD (Collegamento -182_-384)
Azioni sul collegamento: N=-8758.65 Ty=-11.59 Tz=17.82 Mx=-0.01 Mz=-9.27
Sollecitazioni agenti localmente: Tx_l=-11.59 Ty_l=17.82 N_l=-8758.65 My_l=9.27 Mz_l=-0.01
Azioni sul cordone: TP=-0.85 TO=1.32 NO=-647.44
Tensioni nel cordone: τ_P=0.27 τ_0=0.42 σ_0=219.33 σ_{ID}=219.33 Σ_T=219.75
CC 24 SLD (Collegamento -182_-384)
Azioni sul collegamento: N=-8758.65 Ty=-9.24 Tz=17.82 Mx=-0.01 Mz=-7.34
Sollecitazioni agenti localmente: Tx_l=-9.24 Ty_l=17.82 N_l=-8758.65 My_l=7.34 Mz_l=-0.01
Azioni sul cordone: TP=-0.68 TO=1.32 NO=-647.44
Tensioni nel cordone: τ_P=0.21 τ_0=0.42 σ_0=216.51 σ_{ID}=216.51 Σ_T=216.93
CC 24 SLD (Collegamento -182_-384)
Azioni sul collegamento: N=-8758.64 Ty=-11.59 Tz=8.91 Mx=-0.01 Mz=-9.27
Sollecitazioni agenti localmente: Tx_l=-11.59 Ty_l=8.91 N_l=-8758.64 My_l=9.27 Mz_l=-0.01
Azioni sul cordone: TP=-0.85 TO=0.66 NO=-647.44
Tensioni nel cordone: τ_P=0.27 τ_0=0.21 σ_0=219.33 σ_{ID}=219.33 Σ_T=219.54
CC 24 SLD (Collegamento -182_-384)
Azioni sul collegamento: N=-8758.64 Ty=-9.24 Tz=8.91 Mx=-0.01 Mz=-7.34
Sollecitazioni agenti localmente: Tx_l=-9.24 Ty_l=8.91 N_l=-8758.64 My_l=7.34 Mz_l=-0.01
Azioni sul cordone: TP=-0.68 TO=0.66 NO=-647.44
Tensioni nel cordone: τ_P=0.21 τ_0=0.21 σ_0=216.51 σ_{ID}=216.51 Σ_T=216.72
CC 25 SLV (Collegamento -182_-384)
Azioni sul collegamento: N=-8867.92 Ty=-9.40 Tz=8.87 Mx=-0.02 Mz=-7.91
Sollecitazioni agenti localmente: Tx_l=-9.40 Ty_l=8.87 N_l=-8867.92 My_l=7.91 Mz_l=-0.02
Azioni sul cordone: TP=-0.67 TO=0.67 NO=-655.52
Tensioni nel cordone: τ_P=0.21 τ_0=0.21 σ_0=219.91 σ_{ID}=219.91 Σ_T=220.12
CC 25 SLV (Collegamento -182_-384)
Azioni sul collegamento: N=-8867.92 Ty=-13.27 Tz=8.87 Mx=-0.02 Mz=-12.98
Sollecitazioni agenti localmente: Tx_l=-13.27 Ty_l=8.87 N_l=-8867.92 My_l=12.98 Mz_l=-0.02
Azioni sul cordone: TP=-0.95 TO=0.67 NO=-655.52
Tensioni nel cordone: τ_P=0.30 τ_0=0.21 σ_0=227.32 σ_{ID}=227.32 Σ_T=227.53
CC 25 SLV (Collegamento -182_-384)
Azioni sul collegamento: N=-8867.92 Ty=-9.40 Tz=18.62 Mx=-0.02 Mz=-7.91
Sollecitazioni agenti localmente: Tx_l=-9.40 Ty_l=18.62 N_l=-8867.92 My_l=7.91 Mz_l=-0.02
Azioni sul cordone: TP=-0.67 TO=1.40 NO=-655.52
Tensioni nel cordone: τ_P=0.21 τ_0=0.44 σ_0=219.91 σ_{ID}=219.91 Σ_T=220.35
CC 25 SLV (Collegamento -182_-384)
Azioni sul collegamento: N=-8867.92 Ty=-13.27 Tz=18.62 Mx=-0.02 Mz=-12.98
Sollecitazioni agenti localmente: Tx_l=-13.27 Ty_l=18.62 N_l=-8867.92 My_l=12.98 Mz_l=-0.02
Azioni sul cordone: TP=-0.95 TO=1.40 NO=-655.52
Tensioni nel cordone: τ_P=0.30 τ_0=0.44 σ_0=227.32 σ_{ID}=227.32 Σ_T=227.76
CC 25 SLV (Collegamento -182_-384)
Azioni sul collegamento: N=-11230.00 Ty=-9.40 Tz=8.87 Mx=-0.02 Mz=-7.91
Sollecitazioni agenti localmente: Tx_l=-9.40 Ty_l=8.87 N_l=-11230.00 My_l=7.91 Mz_l=-0.02
Azioni sul cordone: TP=-0.67 TO=0.67 NO=-830.13
Tensioni nel cordone: τ_P=0.21 τ_0=0.21 σ_0=275.40 σ_{ID}=275.40 Σ_T=275.62
CC 25 SLV (Collegamento -182_-384)
Azioni sul collegamento: N=-11230.00 Ty=-13.27 Tz=8.87 Mx=-0.02 Mz=-12.98
Sollecitazioni agenti localmente: Tx_l=-13.27 Ty_l=8.87 N_l=-11230.00 My_l=12.98 Mz_l=-0.02
Azioni sul cordone: TP=-0.95 TO=0.67 NO=-830.13

Tensioni nel cordone: τ_P=0.30 τ_0=0.21 σ_0=282.82 σ_{ID}=282.82 Σ_T=283.03
CC 25 SLV (Collegamento -182_-384)
Azioni sul collegamento: N=-11230.00 Ty=-9.40 Tz=18.62 Mx=-0.02 Mz=-7.91
Sollecitazioni agenti localmente: Tx_l=-9.40 Ty_l=18.62 N_l=-11230.00 My_l=7.91 Mz_l=-0.02
Azioni sul cordone: TP=-0.67 TO=1.40 NO=-830.13
Tensioni nel cordone: τ_P=0.21 τ_0=0.44 σ_0=275.40 σ_{ID}=275.40 Σ_T=275.85
CC 25 SLV (Collegamento -182_-384)
Azioni sul collegamento: N=-11230.00 Ty=-13.27 Tz=18.62 Mx=-0.02 Mz=-12.98
Sollecitazioni agenti localmente: Tx_l=-13.27 Ty_l=18.62 N_l=-11230.00 My_l=12.98 Mz_l=-0.02
Azioni sul cordone: TP=-0.95 TO=1.40 NO=-830.13
Tensioni nel cordone: τ_P=0.30 τ_0=0.44 σ_0=282.82 σ_{ID}=282.82 Σ_T=283.26
CC 26 SLD (Collegamento -182_-384)
Azioni sul collegamento: N=-9591.50 Ty=-9.82 Tz=11.88 Mx=-0.01 Mz=-7.53
Sollecitazioni agenti localmente: Tx_l=-9.82 Ty_l=11.88 N_l=-9591.50 My_l=7.53 Mz_l=-0.01
Azioni sul cordone: TP=-0.72 TO=0.89 NO=-709.01
Tensioni nel cordone: τ_P=0.23 τ_0=0.28 σ_0=236.36 σ_{ID}=236.36 Σ_T=236.64
CC 26 SLD (Collegamento -182_-384)
Azioni sul collegamento: N=-9591.50 Ty=-11.00 Tz=11.88 Mx=-0.01 Mz=-9.08
Sollecitazioni agenti localmente: Tx_l=-11.00 Ty_l=11.88 N_l=-9591.50 My_l=9.08 Mz_l=-0.01
Azioni sul cordone: TP=-0.80 TO=0.89 NO=-709.01
Tensioni nel cordone: τ_P=0.26 τ_0=0.28 σ_0=238.62 σ_{ID}=238.62 Σ_T=238.90
CC 26 SLD (Collegamento -182_-384)
Azioni sul collegamento: N=-9591.50 Ty=-9.82 Tz=14.85 Mx=-0.01 Mz=-7.53
Sollecitazioni agenti localmente: Tx_l=-9.82 Ty_l=14.85 N_l=-9591.50 My_l=7.53 Mz_l=-0.01
Azioni sul cordone: TP=-0.72 TO=1.11 NO=-709.01
Tensioni nel cordone: τ_P=0.23 τ_0=0.35 σ_0=236.36 σ_{ID}=236.36 Σ_T=236.71
CC 26 SLD (Collegamento -182_-384)
Azioni sul collegamento: N=-9591.50 Ty=-11.00 Tz=14.85 Mx=-0.01 Mz=-9.08
Sollecitazioni agenti localmente: Tx_l=-11.00 Ty_l=14.85 N_l=-9591.50 My_l=9.08 Mz_l=-0.01
Azioni sul cordone: TP=-0.80 TO=1.11 NO=-709.01
Tensioni nel cordone: τ_P=0.26 τ_0=0.35 σ_0=238.62 σ_{ID}=238.62 Σ_T=238.97
CC 26 SLD (Collegamento -182_-384)
Azioni sul collegamento: N=-10311.80 Ty=-9.82 Tz=11.88 Mx=-0.01 Mz=-7.53
Sollecitazioni agenti localmente: Tx_l=-9.82 Ty_l=11.88 N_l=-10311.80 My_l=7.53 Mz_l=-0.01
Azioni sul cordone: TP=-0.72 TO=0.89 NO=-762.25
Tensioni nel cordone: τ_P=0.23 τ_0=0.28 σ_0=253.28 σ_{ID}=253.28 Σ_T=253.56
CC 26 SLD (Collegamento -182_-384)
Azioni sul collegamento: N=-10311.80 Ty=-11.00 Tz=11.88 Mx=-0.01 Mz=-9.08
Sollecitazioni agenti localmente: Tx_l=-11.00 Ty_l=11.88 N_l=-10311.80 My_l=9.08 Mz_l=-0.01
Azioni sul cordone: TP=-0.80 TO=0.89 NO=-762.25
Tensioni nel cordone: τ_P=0.26 τ_0=0.28 σ_0=255.54 σ_{ID}=255.54 Σ_T=255.82
CC 26 SLD (Collegamento -182_-384)
Azioni sul collegamento: N=-10311.80 Ty=-9.82 Tz=14.85 Mx=-0.01 Mz=-7.53
Sollecitazioni agenti localmente: Tx_l=-9.82 Ty_l=14.85 N_l=-10311.80 My_l=7.53 Mz_l=-0.01
Azioni sul cordone: TP=-0.72 TO=1.11 NO=-762.25
Tensioni nel cordone: τ_P=0.23 τ_0=0.35 σ_0=253.28 σ_{ID}=253.28 Σ_T=253.63
CC 26 SLD (Collegamento -182_-384)
Azioni sul collegamento: N=-10311.80 Ty=-11.00 Tz=14.85 Mx=-0.01 Mz=-9.08
Sollecitazioni agenti localmente: Tx_l=-11.00 Ty_l=14.85 N_l=-10311.80 My_l=9.08 Mz_l=-0.01
Azioni sul cordone: TP=-0.80 TO=1.11 NO=-762.25
Tensioni nel cordone: τ_P=0.26 τ_0=0.35 σ_0=255.54 σ_{ID}=255.54 Σ_T=255.89
CC 27 SLV (Collegamento -182_-384)
Azioni sul collegamento: N=-11213.90 Ty=-11.56 Tz=17.53 Mx=-0.02 Mz=-9.49
Sollecitazioni agenti localmente: Tx_l=-11.56 Ty_l=17.53 N_l=-11213.90 My_l=9.49 Mz_l=-0.02
Azioni sul cordone: TP=-0.83 TO=1.32 NO=-828.93
Tensioni nel cordone: τ_P=0.26 τ_0=0.42 σ_0=277.34 σ_{ID}=277.34 Σ_T=277.75
CC 27 SLV (Collegamento -182_-384)
Azioni sul collegamento: N=-11213.90 Ty=-11.11 Tz=17.53 Mx=-0.02 Mz=-11.40
Sollecitazioni agenti localmente: Tx_l=-11.11 Ty_l=17.53 N_l=-11213.90 My_l=11.40 Mz_l=-0.02
Azioni sul cordone: TP=-0.79 TO=1.32 NO=-828.93
Tensioni nel cordone: τ_P=0.25 τ_0=0.42 σ_0=280.12 σ_{ID}=280.13 Σ_T=280.54
CC 27 SLV (Collegamento -182_-384)
Azioni sul collegamento: N=-11213.90 Ty=-11.56 Tz=9.96 Mx=-0.02 Mz=-9.49
Sollecitazioni agenti localmente: Tx_l=-11.56 Ty_l=9.96 N_l=-11213.90 My_l=9.49 Mz_l=-0.02
Azioni sul cordone: TP=-0.83 TO=0.76 NO=-828.93
Tensioni nel cordone: τ_P=0.26 τ_0=0.24 σ_0=277.34 σ_{ID}=277.34 Σ_T=277.58
CC 27 SLV (Collegamento -182_-384)
Azioni sul collegamento: N=-11213.90 Ty=-11.11 Tz=9.96 Mx=-0.02 Mz=-11.40
Sollecitazioni agenti localmente: Tx_l=-11.11 Ty_l=9.96 N_l=-11213.90 My_l=11.40 Mz_l=-0.02
Azioni sul cordone: TP=-0.79 TO=0.76 NO=-828.93
Tensioni nel cordone: τ_P=0.25 τ_0=0.24 σ_0=280.12 σ_{ID}=280.12 Σ_T=280.36
CC 27 SLV (Collegamento -182_-384)
Azioni sul collegamento: N=-8884.09 Ty=-11.56 Tz=17.53 Mx=-0.02 Mz=-9.49
Sollecitazioni agenti localmente: Tx_l=-11.56 Ty_l=17.53 N_l=-8884.09 My_l=9.49 Mz_l=-0.02
Azioni sul cordone: TP=-0.83 TO=1.32 NO=-656.72
Tensioni nel cordone: τ_P=0.26 τ_0=0.42 σ_0=222.60 σ_{ID}=222.60 Σ_T=223.02
CC 27 SLV (Collegamento -182_-384)
Azioni sul collegamento: N=-8884.09 Ty=-11.11 Tz=17.53 Mx=-0.02 Mz=-11.40
Sollecitazioni agenti localmente: Tx_l=-11.11 Ty_l=17.53 N_l=-8884.09 My_l=11.40 Mz_l=-0.02

Azioni sul cordone: TP=-0.79 TO=1.32 NO=-656.72
Tensioni nel cordone: τ_P=0.25 τ_O=0.42 σ_O=225.38 σ_{ID}=225.39 Σ_T=225.80
CC 27 SLV (Collegamento -182_-384)
Azioni sul collegamento: N=-8884.09 Ty=-11.56 Tz=9.96 Mx=-0.02 Mz=-9.49
Sollecitazioni agenti localmente: Tx_l=-11.56 Ty_l=9.96 N_l=-8884.09 My_l=9.49 Mz_l=-0.02
Azioni sul cordone: TP=-0.83 TO=0.76 NO=-656.72
Tensioni nel cordone: τ_P=0.26 τ_O=0.24 σ_O=222.60 σ_{ID}=222.60 Σ_T=222.84
CC 27 SLV (Collegamento -182_-384)
Azioni sul collegamento: N=-8884.09 Ty=-11.11 Tz=9.96 Mx=-0.02 Mz=-11.40
Sollecitazioni agenti localmente: Tx_l=-11.11 Ty_l=9.96 N_l=-8884.09 My_l=11.40 Mz_l=-0.02
Azioni sul cordone: TP=-0.79 TO=0.76 NO=-656.72
Tensioni nel cordone: τ_P=0.25 τ_O=0.24 σ_O=225.38 σ_{ID}=225.38 Σ_T=225.63
CC 28 SLD (Collegamento -182_-384)
Azioni sul collegamento: N=-10306.80 Ty=-10.48 Tz=14.52 Mx=-0.01 Mz=-8.01
Sollecitazioni agenti localmente: Tx_l=-10.48 Ty_l=14.52 N_l=-10306.80 My_l=8.01 Mz_l=-0.01
Azioni sul cordone: TP=-0.76 TO=1.08 NO=-761.88
Tensioni nel cordone: τ_P=0.24 τ_O=0.34 σ_O=253.87 σ_{ID}=253.87 Σ_T=254.22
CC 28 SLD (Collegamento -182_-384)
Azioni sul collegamento: N=-10306.80 Ty=-10.34 Tz=14.52 Mx=-0.01 Mz=-8.60
Sollecitazioni agenti localmente: Tx_l=-10.34 Ty_l=14.52 N_l=-10306.80 My_l=8.60 Mz_l=-0.01
Azioni sul cordone: TP=-0.75 TO=1.08 NO=-761.88
Tensioni nel cordone: τ_P=0.24 τ_O=0.34 σ_O=254.72 σ_{ID}=254.72 Σ_T=255.07
CC 28 SLD (Collegamento -182_-384)
Azioni sul collegamento: N=-10306.80 Ty=-10.48 Tz=12.21 Mx=-0.01 Mz=-8.01
Sollecitazioni agenti localmente: Tx_l=-10.48 Ty_l=12.21 N_l=-10306.80 My_l=8.01 Mz_l=-0.01
Azioni sul cordone: TP=-0.76 TO=0.91 NO=-761.88
Tensioni nel cordone: τ_P=0.24 τ_O=0.29 σ_O=253.87 σ_{ID}=253.87 Σ_T=254.16
CC 28 SLD (Collegamento -182_-384)
Azioni sul collegamento: N=-10306.80 Ty=-10.34 Tz=12.21 Mx=-0.01 Mz=-8.60
Sollecitazioni agenti localmente: Tx_l=-10.34 Ty_l=12.21 N_l=-10306.80 My_l=8.60 Mz_l=-0.01
Azioni sul cordone: TP=-0.75 TO=0.91 NO=-761.88
Tensioni nel cordone: τ_P=0.24 τ_O=0.29 σ_O=254.72 σ_{ID}=254.72 Σ_T=255.01
CC 28 SLD (Collegamento -182_-384)
Azioni sul collegamento: N=-9596.43 Ty=-10.48 Tz=14.52 Mx=-0.01 Mz=-8.01
Sollecitazioni agenti localmente: Tx_l=-10.48 Ty_l=14.52 N_l=-9596.43 My_l=8.01 Mz_l=-0.01
Azioni sul cordone: TP=-0.76 TO=1.08 NO=-709.37
Tensioni nel cordone: τ_P=0.24 τ_O=0.34 σ_O=237.18 σ_{ID}=237.18 Σ_T=237.52
CC 28 SLD (Collegamento -182_-384)
Azioni sul collegamento: N=-9596.43 Ty=-10.34 Tz=14.52 Mx=-0.01 Mz=-8.60
Sollecitazioni agenti localmente: Tx_l=-10.34 Ty_l=14.52 N_l=-9596.43 My_l=8.60 Mz_l=-0.01
Azioni sul cordone: TP=-0.75 TO=1.08 NO=-709.37
Tensioni nel cordone: τ_P=0.24 τ_O=0.34 σ_O=238.03 σ_{ID}=238.03 Σ_T=238.37
CC 28 SLD (Collegamento -182_-384)
Azioni sul collegamento: N=-9596.43 Ty=-10.48 Tz=12.21 Mx=-0.01 Mz=-8.01
Sollecitazioni agenti localmente: Tx_l=-10.48 Ty_l=12.21 N_l=-9596.43 My_l=8.01 Mz_l=-0.01
Azioni sul cordone: TP=-0.76 TO=0.91 NO=-709.37
Tensioni nel cordone: τ_P=0.24 τ_O=0.29 σ_O=237.18 σ_{ID}=237.18 Σ_T=237.47
CC 28 SLD (Collegamento -182_-384)
Azioni sul collegamento: N=-9596.43 Ty=-10.34 Tz=12.21 Mx=-0.01 Mz=-8.60
Sollecitazioni agenti localmente: Tx_l=-10.34 Ty_l=12.21 N_l=-9596.43 My_l=8.60 Mz_l=-0.01
Azioni sul cordone: TP=-0.75 TO=0.91 NO=-709.37
Tensioni nel cordone: τ_P=0.24 τ_O=0.29 σ_O=238.03 σ_{ID}=238.03 Σ_T=238.32
CC 29 SLV (Collegamento -182_-384)
Azioni sul collegamento: N=-8884.09 Ty=-11.11 Tz=9.96 Mx=-0.01 Mz=-11.40
Sollecitazioni agenti localmente: Tx_l=-11.11 Ty_l=9.96 N_l=-8884.09 My_l=11.40 Mz_l=-0.01
Azioni sul cordone: TP=-0.81 TO=0.74 NO=-656.72
Tensioni nel cordone: τ_P=0.26 τ_O=0.24 σ_O=225.38 σ_{ID}=225.38 Σ_T=225.62
CC 29 SLV (Collegamento -182_-384)
Azioni sul collegamento: N=-8884.09 Ty=-11.56 Tz=9.96 Mx=-0.01 Mz=-9.49
Sollecitazioni agenti localmente: Tx_l=-11.56 Ty_l=9.96 N_l=-8884.09 My_l=9.49 Mz_l=-0.01
Azioni sul cordone: TP=-0.85 TO=0.74 NO=-656.72
Tensioni nel cordone: τ_P=0.27 τ_O=0.24 σ_O=222.60 σ_{ID}=222.60 Σ_T=222.83
CC 29 SLV (Collegamento -182_-384)
Azioni sul collegamento: N=-8884.09 Ty=-11.11 Tz=17.53 Mx=-0.01 Mz=-11.40
Sollecitazioni agenti localmente: Tx_l=-11.11 Ty_l=17.53 N_l=-8884.09 My_l=11.40 Mz_l=-0.01
Azioni sul cordone: TP=-0.81 TO=1.30 NO=-656.72
Tensioni nel cordone: τ_P=0.26 τ_O=0.41 σ_O=225.38 σ_{ID}=225.39 Σ_T=225.80
CC 29 SLV (Collegamento -182_-384)
Azioni sul collegamento: N=-8884.09 Ty=-11.56 Tz=17.53 Mx=-0.01 Mz=-9.49
Sollecitazioni agenti localmente: Tx_l=-11.56 Ty_l=17.53 N_l=-8884.09 My_l=9.49 Mz_l=-0.01
Azioni sul cordone: TP=-0.85 TO=1.30 NO=-656.72
Tensioni nel cordone: τ_P=0.27 τ_O=0.41 σ_O=222.60 σ_{ID}=222.60 Σ_T=223.01
CC 29 SLV (Collegamento -182_-384)
Azioni sul collegamento: N=-11213.90 Ty=-11.11 Tz=9.96 Mx=-0.01 Mz=-11.40
Sollecitazioni agenti localmente: Tx_l=-11.11 Ty_l=9.96 N_l=-11213.90 My_l=11.40 Mz_l=-0.01
Azioni sul cordone: TP=-0.81 TO=0.74 NO=-828.93
Tensioni nel cordone: τ_P=0.26 τ_O=0.24 σ_O=280.12 σ_{ID}=280.12 Σ_T=280.36
CC 29 SLV (Collegamento -182_-384)
Azioni sul collegamento: N=-11213.90 Ty=-11.56 Tz=9.96 Mx=-0.01 Mz=-9.49

Sollecitazioni agenti localmente: Tx_l=-11.56 Ty_l=9.96 N_l=-11213.90 My_l=9.49 Mz_l=-0.01
Azioni sul cordone: TP=-0.85 TO=0.74 NO=-828.93
Tensioni nel cordone: τ_P=0.27 τ_0=0.24 σ_0=277.34 σ_{ID}=277.34 Σ_T=277.57
CC 29 SLV (Collegamento -182_-384)
Azioni sul collegamento: N=-11213.90 Ty=-11.11 Tz=17.53 Mx=-0.01 Mz=-11.40
Sollecitazioni agenti localmente: Tx_l=-11.11 Ty_l=17.53 N_l=-11213.90 My_l=11.40 Mz_l=-0.01
Azioni sul cordone: TP=-0.81 TO=1.30 NO=-828.93
Tensioni nel cordone: τ_P=0.26 τ_0=0.41 σ_0=280.12 σ_{ID}=280.13 Σ_T=280.54
CC 29 SLV (Collegamento -182_-384)
Azioni sul collegamento: N=-11213.90 Ty=-11.56 Tz=17.53 Mx=-0.01 Mz=-9.49
Sollecitazioni agenti localmente: Tx_l=-11.56 Ty_l=17.53 N_l=-11213.90 My_l=9.49 Mz_l=-0.01
Azioni sul cordone: TP=-0.85 TO=1.30 NO=-828.93
Tensioni nel cordone: τ_P=0.27 τ_0=0.41 σ_0=277.34 σ_{ID}=277.34 Σ_T=277.75
CC 30 SLD (Collegamento -182_-384)
Azioni sul collegamento: N=-9596.43 Ty=-10.34 Tz=12.21 Mx=-0.00 Mz=-8.60
Sollecitazioni agenti localmente: Tx_l=-10.34 Ty_l=12.21 N_l=-9596.43 My_l=8.60 Mz_l=-0.00
Azioni sul cordone: TP=-0.76 TO=0.91 NO=-709.37
Tensioni nel cordone: τ_P=0.24 τ_0=0.29 σ_0=238.03 σ_{ID}=238.03 Σ_T=238.32
CC 30 SLD (Collegamento -182_-384)
Azioni sul collegamento: N=-9596.43 Ty=-10.48 Tz=12.21 Mx=-0.00 Mz=-8.01
Sollecitazioni agenti localmente: Tx_l=-10.48 Ty_l=12.21 N_l=-9596.43 My_l=8.01 Mz_l=-0.00
Azioni sul cordone: TP=-0.77 TO=0.91 NO=-709.37
Tensioni nel cordone: τ_P=0.24 τ_0=0.29 σ_0=237.18 σ_{ID}=237.18 Σ_T=237.47
CC 30 SLD (Collegamento -182_-384)
Azioni sul collegamento: N=-9596.43 Ty=-10.34 Tz=14.52 Mx=-0.00 Mz=-8.60
Sollecitazioni agenti localmente: Tx_l=-10.34 Ty_l=14.52 N_l=-9596.43 My_l=8.60 Mz_l=-0.00
Azioni sul cordone: TP=-0.76 TO=1.08 NO=-709.37
Tensioni nel cordone: τ_P=0.24 τ_0=0.34 σ_0=238.03 σ_{ID}=238.03 Σ_T=238.37
CC 30 SLD (Collegamento -182_-384)
Azioni sul collegamento: N=-9596.43 Ty=-10.48 Tz=14.52 Mx=-0.00 Mz=-8.01
Sollecitazioni agenti localmente: Tx_l=-10.48 Ty_l=14.52 N_l=-9596.43 My_l=8.01 Mz_l=-0.00
Azioni sul cordone: TP=-0.77 TO=1.08 NO=-709.37
Tensioni nel cordone: τ_P=0.24 τ_0=0.34 σ_0=237.18 σ_{ID}=237.18 Σ_T=237.52
CC 30 SLD (Collegamento -182_-384)
Azioni sul collegamento: N=-10306.80 Ty=-10.34 Tz=12.21 Mx=-0.00 Mz=-8.60
Sollecitazioni agenti localmente: Tx_l=-10.34 Ty_l=12.21 N_l=-10306.80 My_l=8.60 Mz_l=-0.00
Azioni sul cordone: TP=-0.76 TO=0.91 NO=-761.88
Tensioni nel cordone: τ_P=0.24 τ_0=0.29 σ_0=254.72 σ_{ID}=254.72 Σ_T=255.01
CC 30 SLD (Collegamento -182_-384)
Azioni sul collegamento: N=-10306.80 Ty=-10.48 Tz=12.21 Mx=-0.00 Mz=-8.01
Sollecitazioni agenti localmente: Tx_l=-10.48 Ty_l=12.21 N_l=-10306.80 My_l=8.01 Mz_l=-0.00
Azioni sul cordone: TP=-0.77 TO=0.91 NO=-761.88
Tensioni nel cordone: τ_P=0.24 τ_0=0.29 σ_0=253.87 σ_{ID}=253.87 Σ_T=254.16
CC 30 SLD (Collegamento -182_-384)
Azioni sul collegamento: N=-10306.80 Ty=-10.34 Tz=14.52 Mx=-0.00 Mz=-8.60
Sollecitazioni agenti localmente: Tx_l=-10.34 Ty_l=14.52 N_l=-10306.80 My_l=8.60 Mz_l=-0.00
Azioni sul cordone: TP=-0.76 TO=1.08 NO=-761.88
Tensioni nel cordone: τ_P=0.24 τ_0=0.34 σ_0=254.72 σ_{ID}=254.72 Σ_T=255.06
CC 30 SLD (Collegamento -182_-384)
Azioni sul collegamento: N=-10306.80 Ty=-10.48 Tz=14.52 Mx=-0.00 Mz=-8.01
Sollecitazioni agenti localmente: Tx_l=-10.48 Ty_l=14.52 N_l=-10306.80 My_l=8.01 Mz_l=-0.00
Azioni sul cordone: TP=-0.77 TO=1.08 NO=-761.88
Tensioni nel cordone: τ_P=0.24 τ_0=0.34 σ_0=253.87 σ_{ID}=253.87 Σ_T=254.22
CC 31 SLV (Collegamento -182_-384)
Azioni sul collegamento: N=-11230.00 Ty=-13.27 Tz=18.62 Mx=-0.01 Mz=-12.98
Sollecitazioni agenti localmente: Tx_l=-13.27 Ty_l=18.62 N_l=-11230.00 My_l=12.98 Mz_l=-0.01
Azioni sul cordone: TP=-0.97 TO=1.38 NO=-830.13
Tensioni nel cordone: τ_P=0.31 τ_0=0.44 σ_0=282.82 σ_{ID}=282.82 Σ_T=283.26
CC 31 SLV (Collegamento -182_-384)
Azioni sul collegamento: N=-11230.00 Ty=-9.40 Tz=18.62 Mx=-0.01 Mz=-7.91
Sollecitazioni agenti localmente: Tx_l=-9.40 Ty_l=18.62 N_l=-11230.00 My_l=7.91 Mz_l=-0.01
Azioni sul cordone: TP=-0.69 TO=1.38 NO=-830.13
Tensioni nel cordone: τ_P=0.22 τ_0=0.44 σ_0=275.40 σ_{ID}=275.40 Σ_T=275.85
CC 31 SLV (Collegamento -182_-384)
Azioni sul collegamento: N=-11230.00 Ty=-13.27 Tz=8.87 Mx=-0.01 Mz=-12.98
Sollecitazioni agenti localmente: Tx_l=-13.27 Ty_l=8.87 N_l=-11230.00 My_l=12.98 Mz_l=-0.01
Azioni sul cordone: TP=-0.97 TO=0.66 NO=-830.13
Tensioni nel cordone: τ_P=0.31 τ_0=0.21 σ_0=282.82 σ_{ID}=282.82 Σ_T=283.03
CC 31 SLV (Collegamento -182_-384)
Azioni sul collegamento: N=-11230.00 Ty=-9.40 Tz=8.87 Mx=-0.01 Mz=-7.91
Sollecitazioni agenti localmente: Tx_l=-9.40 Ty_l=8.87 N_l=-11230.00 My_l=7.91 Mz_l=-0.01
Azioni sul cordone: TP=-0.69 TO=0.66 NO=-830.13
Tensioni nel cordone: τ_P=0.22 τ_0=0.21 σ_0=275.40 σ_{ID}=275.40 Σ_T=275.62
CC 31 SLV (Collegamento -182_-384)
Azioni sul collegamento: N=-8867.92 Ty=-13.27 Tz=18.62 Mx=-0.01 Mz=-12.98
Sollecitazioni agenti localmente: Tx_l=-13.27 Ty_l=18.62 N_l=-8867.92 My_l=12.98 Mz_l=-0.01
Azioni sul cordone: TP=-0.97 TO=1.38 NO=-655.52
Tensioni nel cordone: τ_P=0.31 τ_0=0.44 σ_0=227.32 σ_{ID}=227.32 Σ_T=227.76
CC 31 SLV (Collegamento -182_-384)

Azioni sul collegamento: N=-8867.92 Ty=-9.40 Tz=18.62 Mx=-0.01 Mz=-7.91
Sollecitazioni agenti localmente: Tx_l=-9.40 Ty_l=18.62 N_l=-8867.92 My_l=7.91 Mz_l=-0.01
Azioni sul cordone: TP=-0.69 TO=1.38 NO=-655.52
Tensioni nel cordone: τ_P=0.22 τ_O=0.44 σ_O=219.91 σ_{ID}=219.91 Σ_T=220.35
CC 31 SLV (Collegamento -182_-384)
Azioni sul collegamento: N=-8867.92 Ty=-13.27 Tz=8.87 Mx=-0.01 Mz=-12.98
Sollecitazioni agenti localmente: Tx_l=-13.27 Ty_l=8.87 N_l=-8867.92 My_l=12.98 Mz_l=-0.01
Azioni sul cordone: TP=-0.97 TO=0.66 NO=-655.52
Tensioni nel cordone: τ_P=0.31 τ_O=0.21 σ_O=227.32 σ_{ID}=227.32 Σ_T=227.53
CC 31 SLV (Collegamento -182_-384)
Azioni sul collegamento: N=-8867.92 Ty=-9.40 Tz=8.87 Mx=-0.01 Mz=-7.91
Sollecitazioni agenti localmente: Tx_l=-9.40 Ty_l=8.87 N_l=-8867.92 My_l=7.91 Mz_l=-0.01
Azioni sul cordone: TP=-0.69 TO=0.66 NO=-655.52
Tensioni nel cordone: τ_P=0.22 τ_O=0.21 σ_O=219.91 σ_{ID}=219.91 Σ_T=220.12
CC 32 SLD (Collegamento -182_-384)
Azioni sul collegamento: N=-10311.80 Ty=-11.00 Tz=14.85 Mx=-0.00 Mz=-9.08
Sollecitazioni agenti localmente: Tx_l=-11.00 Ty_l=14.85 N_l=-10311.80 My_l=9.08 Mz_l=-0.00
Azioni sul cordone: TP=-0.81 TO=1.10 NO=-762.25
Tensioni nel cordone: τ_P=0.26 τ_O=0.35 σ_O=255.54 σ_{ID}=255.54 Σ_T=255.89
CC 32 SLD (Collegamento -182_-384)
Azioni sul collegamento: N=-10311.80 Ty=-9.82 Tz=14.85 Mx=-0.00 Mz=-7.53
Sollecitazioni agenti localmente: Tx_l=-9.82 Ty_l=14.85 N_l=-10311.80 My_l=7.53 Mz_l=-0.00
Azioni sul cordone: TP=-0.72 TO=1.10 NO=-762.25
Tensioni nel cordone: τ_P=0.23 τ_O=0.35 σ_O=253.28 σ_{ID}=253.28 Σ_T=253.63
CC 32 SLD (Collegamento -182_-384)
Azioni sul collegamento: N=-10311.80 Ty=-11.00 Tz=11.88 Mx=-0.00 Mz=-9.08
Sollecitazioni agenti localmente: Tx_l=-11.00 Ty_l=11.88 N_l=-10311.80 My_l=9.08 Mz_l=-0.00
Azioni sul cordone: TP=-0.81 TO=0.88 NO=-762.25
Tensioni nel cordone: τ_P=0.26 τ_O=0.28 σ_O=255.54 σ_{ID}=255.54 Σ_T=255.82
CC 32 SLD (Collegamento -182_-384)
Azioni sul collegamento: N=-10311.80 Ty=-9.82 Tz=11.88 Mx=-0.00 Mz=-7.53
Sollecitazioni agenti localmente: Tx_l=-9.82 Ty_l=11.88 N_l=-10311.80 My_l=7.53 Mz_l=-0.00
Azioni sul cordone: TP=-0.72 TO=0.88 NO=-762.25
Tensioni nel cordone: τ_P=0.23 τ_O=0.28 σ_O=253.28 σ_{ID}=253.28 Σ_T=253.56
CC 32 SLD (Collegamento -182_-384)
Azioni sul collegamento: N=-9591.50 Ty=-11.00 Tz=14.85 Mx=-0.00 Mz=-9.08
Sollecitazioni agenti localmente: Tx_l=-11.00 Ty_l=14.85 N_l=-9591.50 My_l=9.08 Mz_l=-0.00
Azioni sul cordone: TP=-0.81 TO=1.10 NO=-709.01
Tensioni nel cordone: τ_P=0.26 τ_O=0.35 σ_O=238.62 σ_{ID}=238.62 Σ_T=238.97
CC 32 SLD (Collegamento -182_-384)
Azioni sul collegamento: N=-9591.50 Ty=-9.82 Tz=14.85 Mx=-0.00 Mz=-7.53
Sollecitazioni agenti localmente: Tx_l=-9.82 Ty_l=14.85 N_l=-9591.50 My_l=7.53 Mz_l=-0.00
Azioni sul cordone: TP=-0.72 TO=1.10 NO=-709.01
Tensioni nel cordone: τ_P=0.23 τ_O=0.35 σ_O=236.36 σ_{ID}=236.36 Σ_T=236.71
CC 32 SLD (Collegamento -182_-384)
Azioni sul collegamento: N=-9591.50 Ty=-11.00 Tz=11.88 Mx=-0.00 Mz=-9.08
Sollecitazioni agenti localmente: Tx_l=-11.00 Ty_l=11.88 N_l=-9591.50 My_l=9.08 Mz_l=-0.00
Azioni sul cordone: TP=-0.81 TO=0.88 NO=-709.01
Tensioni nel cordone: τ_P=0.26 τ_O=0.28 σ_O=238.62 σ_{ID}=238.62 Σ_T=238.90
CC 32 SLD (Collegamento -182_-384)
Azioni sul collegamento: N=-9591.50 Ty=-9.82 Tz=11.88 Mx=-0.00 Mz=-7.53
Sollecitazioni agenti localmente: Tx_l=-9.82 Ty_l=11.88 N_l=-9591.50 My_l=7.53 Mz_l=-0.00
Azioni sul cordone: TP=-0.72 TO=0.88 NO=-709.01
Tensioni nel cordone: τ_P=0.23 τ_O=0.28 σ_O=236.36 σ_{ID}=236.36 Σ_T=236.64
CC 33 SLU (Collegamento -182_-384)
Azioni sul collegamento: N=-37242.40 Ty=-20.96 Tz=105.49 Mx=-0.01 Mz=-15.56
Sollecitazioni agenti localmente: Tx_l=-20.96 Ty_l=105.49 N_l=-37242.40 My_l=15.56 Mz_l=-0.01
Azioni sul cordone: TP=-1.54 TO=7.80 NO=-2752.97
Tensioni nel cordone: τ_P=0.49 τ_O=2.48 σ_O=897.76 σ_{ID}=897.76 Σ_T=900.24
CC 34 SLU (Collegamento -182_-384)
Azioni sul collegamento: N=-36428.20 Ty=-20.21 Tz=102.49 Mx=-0.01 Mz=-15.01
Sollecitazioni agenti localmente: Tx_l=-20.21 Ty_l=102.49 N_l=-36428.20 My_l=15.01 Mz_l=-0.01
Azioni sul cordone: TP=-1.49 TO=7.58 NO=-2692.78
Tensioni nel cordone: τ_P=0.47 τ_O=2.41 σ_O=877.82 σ_{ID}=877.83 Σ_T=880.23
CC 35 SLU (Collegamento -182_-384)
Azioni sul collegamento: N=-36836.10 Ty=-20.67 Tz=103.93 Mx=-0.00 Mz=-15.47
Sollecitazioni agenti localmente: Tx_l=-20.67 Ty_l=103.93 N_l=-36836.10 My_l=15.47 Mz_l=-0.00
Azioni sul cordone: TP=-1.52 TO=7.69 NO=-2722.94
Tensioni nel cordone: τ_P=0.48 τ_O=2.44 σ_O=888.08 σ_{ID}=888.08 Σ_T=890.52
CC 36 SLU (Collegamento -182_-384)
Azioni sul collegamento: N=-36834.40 Ty=-20.49 Tz=104.05 Mx=-0.01 Mz=-15.10
Sollecitazioni agenti localmente: Tx_l=-20.49 Ty_l=104.05 N_l=-36834.40 My_l=15.10 Mz_l=-0.01
Azioni sul cordone: TP=-1.51 TO=7.70 NO=-2722.81
Tensioni nel cordone: τ_P=0.48 τ_O=2.45 σ_O=887.50 σ_{ID}=887.51 Σ_T=889.95
CC 37 SLU (Collegamento -182_-384)
Azioni sul collegamento: N=-28075.80 Ty=-20.08 Tz=71.84 Mx=-0.01 Mz=-14.76
Sollecitazioni agenti localmente: Tx_l=-20.08 Ty_l=71.84 N_l=-28075.80 My_l=14.76 Mz_l=-0.01
Azioni sul cordone: TP=-1.48 TO=5.31 NO=-2075.37
Tensioni nel cordone: τ_P=0.47 τ_O=1.69 σ_O=681.22 σ_{ID}=681.23 Σ_T=682.91

CC 38 SLU (Collegamento -182_-384)
Azioni sul collegamento: N=-27261.60 Ty=-19.33 Tz=68.83 Mx=-0.01 Mz=-14.21
Sollecitazioni agenti localmente: Tx_l=-19.33 Ty_l=68.83 N_l=-27261.60 My_l=14.21 Mz_l=-0.01
Azioni sul cordone: TP=-1.42 TO=5.09 NO=-2015.18
Tensioni nel cordone: τ_P=0.45 τ_0=1.62 σ_0=661.29 σ_{ID}=661.29 Σ_T=662.91
CC 39 SLU (Collegamento -182_-384)
Azioni sul collegamento: N=-27669.60 Ty=-19.79 Tz=70.28 Mx=-0.00 Mz=-14.67
Sollecitazioni agenti localmente: Tx_l=-19.79 Ty_l=70.28 N_l=-27669.60 My_l=14.67 Mz_l=-0.00
Azioni sul cordone: TP=-1.46 TO=5.20 NO=-2045.34
Tensioni nel cordone: τ_P=0.46 τ_0=1.65 σ_0=671.54 σ_{ID}=671.54 Σ_T=673.20
CC 40 SLU (Collegamento -182_-384)
Azioni sul collegamento: N=-27667.80 Ty=-19.61 Tz=70.39 Mx=-0.01 Mz=-14.31
Sollecitazioni agenti localmente: Tx_l=-19.61 Ty_l=70.39 N_l=-27667.80 My_l=14.31 Mz_l=-0.01
Azioni sul cordone: TP=-1.44 TO=5.21 NO=-2045.21
Tensioni nel cordone: τ_P=0.46 τ_0=1.66 σ_0=670.97 σ_{ID}=670.97 Σ_T=672.62
CC 41 SLU (Collegamento -182_-384)
Azioni sul collegamento: N=-30474.50 Ty=9.93 Tz=80.11 Mx=-0.01 Mz=7.87
Sollecitazioni agenti localmente: Tx_l=9.93 Ty_l=80.11 N_l=-30474.50 My_l=-7.87 Mz_l=-0.01
Azioni sul cordone: TP=0.74 TO=5.92 NO=-2252.69
Tensioni nel cordone: τ_P=0.24 τ_0=1.88 σ_0=727.51 σ_{ID}=727.52 Σ_T=729.39
CC 42 SLU (Collegamento -182_-384)
Azioni sul collegamento: N=-29660.30 Ty=10.68 Tz=77.11 Mx=-0.01 Mz=8.42
Sollecitazioni agenti localmente: Tx_l=10.68 Ty_l=77.11 N_l=-29660.30 My_l=-8.42 Mz_l=-0.01
Azioni sul cordone: TP=0.80 TO=5.70 NO=-2192.50
Tensioni nel cordone: τ_P=0.25 τ_0=1.81 σ_0=709.19 σ_{ID}=709.19 Σ_T=711.00
CC 43 SLU (Collegamento -182_-384)
Azioni sul collegamento: N=-30068.30 Ty=10.21 Tz=78.55 Mx=-0.00 Mz=7.97
Sollecitazioni agenti localmente: Tx_l=10.21 Ty_l=78.55 N_l=-30068.30 My_l=-7.97 Mz_l=-0.00
Azioni sul cordone: TP=0.76 TO=5.80 NO=-2222.66
Tensioni nel cordone: τ_P=0.24 τ_0=1.84 σ_0=718.11 σ_{ID}=718.11 Σ_T=719.95
CC 44 SLU (Collegamento -182_-384)
Azioni sul collegamento: N=-30066.50 Ty=10.39 Tz=78.67 Mx=-0.01 Mz=8.33
Sollecitazioni agenti localmente: Tx_l=10.39 Ty_l=78.67 N_l=-30066.50 My_l=-8.33 Mz_l=-0.01
Azioni sul cordone: TP=0.78 TO=5.81 NO=-2222.53
Tensioni nel cordone: τ_P=0.25 τ_0=1.85 σ_0=718.60 σ_{ID}=718.60 Σ_T=720.44
CC 45 SLU (Collegamento -182_-384)
Azioni sul collegamento: N=-30085.80 Ty=-20.31 Tz=79.22 Mx=-0.00 Mz=-15.08
Sollecitazioni agenti localmente: Tx_l=-20.31 Ty_l=79.22 N_l=-30085.80 My_l=15.08 Mz_l=-0.00
Azioni sul cordone: TP=-1.50 TO=5.86 NO=-2223.95
Tensioni nel cordone: τ_P=0.48 τ_0=1.86 σ_0=728.91 σ_{ID}=728.91 Σ_T=730.77
CC 46 SLU (Collegamento -182_-384)
Azioni sul collegamento: N=-29271.60 Ty=-19.56 Tz=76.22 Mx=-0.00 Mz=-14.53
Sollecitazioni agenti localmente: Tx_l=-19.56 Ty_l=76.22 N_l=-29271.60 My_l=14.53 Mz_l=-0.00
Azioni sul cordone: TP=-1.44 TO=5.64 NO=-2163.76
Tensioni nel cordone: τ_P=0.46 τ_0=1.79 σ_0=708.98 σ_{ID}=708.98 Σ_T=710.77
CC 47 SLU (Collegamento -182_-384)
Azioni sul collegamento: N=-29679.60 Ty=-20.02 Tz=77.66 Mx=-0.00 Mz=-14.99
Sollecitazioni agenti localmente: Tx_l=-20.02 Ty_l=77.66 N_l=-29679.60 My_l=14.99 Mz_l=-0.00
Azioni sul cordone: TP=-1.48 TO=5.74 NO=-2193.92
Tensioni nel cordone: τ_P=0.47 τ_0=1.83 σ_0=719.23 σ_{ID}=719.23 Σ_T=721.06
CC 48 SLU (Collegamento -182_-384)
Azioni sul collegamento: N=-29677.80 Ty=-19.84 Tz=77.78 Mx=-0.01 Mz=-14.62
Sollecitazioni agenti localmente: Tx_l=-19.84 Ty_l=77.78 N_l=-29677.80 My_l=14.62 Mz_l=-0.01
Azioni sul cordone: TP=-1.46 TO=5.75 NO=-2193.79
Tensioni nel cordone: τ_P=0.46 τ_0=1.83 σ_0=718.66 σ_{ID}=718.66 Σ_T=720.49
CC 49 SLU (Collegamento -182_-384)
Azioni sul collegamento: N=-23227.80 Ty=-19.65 Tz=54.04 Mx=-0.00 Mz=-14.49
Sollecitazioni agenti localmente: Tx_l=-19.65 Ty_l=54.04 N_l=-23227.80 My_l=14.49 Mz_l=-0.00
Azioni sul cordone: TP=-1.45 TO=4.00 NO=-1717.01
Tensioni nel cordone: τ_P=0.46 τ_0=1.27 σ_0=566.91 σ_{ID}=566.91 Σ_T=568.18
CC 50 SLU (Collegamento -182_-384)
Azioni sul collegamento: N=-22413.60 Ty=-18.90 Tz=51.04 Mx=-0.00 Mz=-13.93
Sollecitazioni agenti localmente: Tx_l=-18.90 Ty_l=51.04 N_l=-22413.60 My_l=13.93 Mz_l=-0.00
Azioni sul cordone: TP=-1.39 TO=3.78 NO=-1656.82
Tensioni nel cordone: τ_P=0.44 τ_0=1.20 σ_0=546.98 σ_{ID}=546.98 Σ_T=548.18
CC 51 SLU (Collegamento -182_-384)
Azioni sul collegamento: N=-22821.60 Ty=-19.36 Tz=52.48 Mx=-0.00 Mz=-14.39
Sollecitazioni agenti localmente: Tx_l=-19.36 Ty_l=52.48 N_l=-22821.60 My_l=14.39 Mz_l=-0.00
Azioni sul cordone: TP=-1.43 TO=3.88 NO=-1686.98
Tensioni nel cordone: τ_P=0.45 τ_0=1.23 σ_0=557.23 σ_{ID}=557.23 Σ_T=558.47
CC 52 SLU (Collegamento -182_-384)
Azioni sul collegamento: N=-22819.80 Ty=-19.19 Tz=52.60 Mx=-0.01 Mz=-14.03
Sollecitazioni agenti localmente: Tx_l=-19.19 Ty_l=52.60 N_l=-22819.80 My_l=14.03 Mz_l=-0.01
Azioni sul cordone: TP=-1.41 TO=3.89 NO=-1686.85
Tensioni nel cordone: τ_P=0.45 τ_0=1.24 σ_0=556.66 σ_{ID}=556.66 Σ_T=557.89
CC 53 SLU (Collegamento -182_-384)
Azioni sul collegamento: N=-25022.40 Ty=2.80 Tz=60.23 Mx=-0.00 Mz=2.45
Sollecitazioni agenti localmente: Tx_l=2.80 Ty_l=60.23 N_l=-25022.40 My_l=-2.45 Mz_l=-0.00
Azioni sul cordone: TP=0.21 TO=4.45 NO=-1849.67

Tensioni nel cordone: τ_P= 0.07 τ_0=1.41 σ_0=591.49 σ_{ID}=591.50 Σ_T=592.91
CC 54 SLU (Collegamento -182_-384)
Azioni sul collegamento: N=-24208.20 Ty=3.55 Tz=57.23 Mx=-0.01 Mz=3.00
Sollecitazioni agenti localmente: Tx_l=3.55 Ty_l=57.23 N_l=-24208.20 My_l=-3.00 Mz_l=-0.01
Azioni sul cordone: TP=0.27 TO=4.23 NO=-1789.48
Tensioni nel cordone: τ_P= 0.09 τ_0=1.34 σ_0=573.17 σ_{ID}=573.17 Σ_T=574.51
CC 55 SLU (Collegamento -182_-384)
Azioni sul collegamento: N=-24616.20 Ty=3.09 Tz=58.67 Mx=-0.00 Mz=2.54
Sollecitazioni agenti localmente: Tx_l=3.09 Ty_l=58.67 N_l=-24616.20 My_l=-2.54 Mz_l=-0.00
Azioni sul cordone: TP=0.23 TO=4.33 NO=-1819.64
Tensioni nel cordone: τ_P= 0.07 τ_0=1.38 σ_0=582.09 σ_{ID}=582.09 Σ_T=583.46
CC 56 SLU (Collegamento -182_-384)
Azioni sul collegamento: N=-24614.50 Ty=3.26 Tz=58.79 Mx=-0.01 Mz=2.91
Sollecitazioni agenti localmente: Tx_l=3.26 Ty_l=58.79 N_l=-24614.50 My_l=-2.91 Mz_l=-0.01
Azioni sul cordone: TP=0.25 TO=4.34 NO=-1819.51
Tensioni nel cordone: τ_P= 0.08 τ_0=1.38 σ_0=582.58 σ_{ID}=582.58 Σ_T=583.96
CC 57 SLU (Collegamento -182_-384)
Azioni sul collegamento: N=-27876.60 Ty=-18.56 Tz=71.09 Mx=-0.00 Mz=-13.78
Sollecitazioni agenti localmente: Tx_l=-18.56 Ty_l=71.09 N_l=-27876.60 My_l=13.78 Mz_l=-0.00
Azioni sul cordone: TP=-1.37 TO=5.26 NO=-2060.65
Tensioni nel cordone: τ_P=0.43 τ_0=1.67 σ_0=675.11 σ_{ID}=675.11 Σ_T=676.78
CC 58 SLU (Collegamento -182_-384)
Azioni sul collegamento: N=-27062.40 Ty=-17.81 Tz=68.08 Mx=-0.00 Mz=-13.23
Sollecitazioni agenti localmente: Tx_l=-17.81 Ty_l=68.08 N_l=-27062.40 My_l=13.23 Mz_l=-0.00
Azioni sul cordone: TP=-1.31 TO=5.04 NO=-2000.46
Tensioni nel cordone: τ_P=0.42 τ_0=1.60 σ_0=655.18 σ_{ID}=655.18 Σ_T=656.78
CC 59 SLU (Collegamento -182_-384)
Azioni sul collegamento: N=-27470.40 Ty=-18.27 Tz=69.53 Mx=-0.00 Mz=-13.69
Sollecitazioni agenti localmente: Tx_l=-18.27 Ty_l=69.53 N_l=-27470.40 My_l=13.69 Mz_l=-0.00
Azioni sul cordone: TP=-1.35 TO=5.14 NO=-2030.62
Tensioni nel cordone: τ_P=0.43 τ_0=1.63 σ_0=665.43 σ_{ID}=665.43 Σ_T=667.07
CC 60 SLU (Collegamento -182_-384)
Azioni sul collegamento: N=-27468.70 Ty=-18.09 Tz=69.65 Mx=-0.01 Mz=-13.33
Sollecitazioni agenti localmente: Tx_l=-18.09 Ty_l=69.65 N_l=-27468.70 My_l=13.33 Mz_l=-0.01
Azioni sul cordone: TP=-1.33 TO=5.15 NO=-2030.49
Tensioni nel cordone: τ_P=0.42 τ_0=1.64 σ_0=664.86 σ_{ID}=664.86 Σ_T=666.50
CC 61 SLU (Collegamento -182_-384)
Azioni sul collegamento: N=-21018.70 Ty=-17.90 Tz=45.91 Mx=-0.00 Mz=-13.19
Sollecitazioni agenti localmente: Tx_l=-17.90 Ty_l=45.91 N_l=-21018.70 My_l=13.19 Mz_l=-0.00
Azioni sul cordone: TP=-1.32 TO=3.40 NO=-1553.71
Tensioni nel cordone: τ_P=0.42 τ_0=1.08 σ_0=513.11 σ_{ID}=513.11 Σ_T=514.19
CC 62 SLU (Collegamento -182_-384)
Azioni sul collegamento: N=-20204.50 Ty=-17.15 Tz=42.91 Mx=-0.00 Mz=-12.64
Sollecitazioni agenti localmente: Tx_l=-17.15 Ty_l=42.91 N_l=-20204.50 My_l=12.64 Mz_l=-0.00
Azioni sul cordone: TP=-1.26 TO=3.18 NO=-1493.52
Tensioni nel cordone: τ_P=0.40 τ_0=1.01 σ_0=493.18 σ_{ID}=493.18 Σ_T=494.19
CC 63 SLU (Collegamento -182_-384)
Azioni sul collegamento: N=-20612.50 Ty=-17.61 Tz=44.35 Mx=-0.00 Mz=-13.10
Sollecitazioni agenti localmente: Tx_l=-17.61 Ty_l=44.35 N_l=-20612.50 My_l=13.10 Mz_l=-0.00
Azioni sul cordone: TP=-1.30 TO=3.28 NO=-1523.68
Tensioni nel cordone: τ_P=0.41 τ_0=1.04 σ_0=503.43 σ_{ID}=503.43 Σ_T=504.47
CC 64 SLU (Collegamento -182_-384)
Azioni sul collegamento: N=-20610.70 Ty=-17.43 Tz=44.47 Mx=-0.01 Mz=-12.73
Sollecitazioni agenti localmente: Tx_l=-17.43 Ty_l=44.47 N_l=-20610.70 My_l=12.73 Mz_l=-0.01
Azioni sul cordone: TP=-1.28 TO=3.29 NO=-1523.55
Tensioni nel cordone: τ_P=0.41 τ_0=1.05 σ_0=502.86 σ_{ID}=502.86 Σ_T=503.90
CC 65 SLU (Collegamento -182_-384)
Azioni sul collegamento: N=-22813.30 Ty=4.55 Tz=52.10 Mx=-0.00 Mz=3.75
Sollecitazioni agenti localmente: Tx_l=4.55 Ty_l=52.10 N_l=-22813.30 My_l=-3.75 Mz_l=-0.00
Azioni sul cordone: TP=0.34 TO=3.85 NO=-1686.37
Tensioni nel cordone: τ_P=0.11 τ_0=1.22 σ_0=541.48 σ_{ID}=541.49 Σ_T=542.71
CC 66 SLU (Collegamento -182_-384)
Azioni sul collegamento: N=-21999.10 Ty=5.30 Tz=49.10 Mx=-0.00 Mz=4.30
Sollecitazioni agenti localmente: Tx_l=5.30 Ty_l=49.10 N_l=-21999.10 My_l=-4.30 Mz_l=-0.00
Azioni sul cordone: TP=0.40 TO=3.63 NO=-1626.18
Tensioni nel cordone: τ_P=0.13 τ_0=1.15 σ_0=523.16 σ_{ID}=523.16 Σ_T=524.31
CC 67 SLU (Collegamento -182_-384)
Azioni sul collegamento: N=-22407.10 Ty=4.84 Tz=50.54 Mx=-0.00 Mz=3.84
Sollecitazioni agenti localmente: Tx_l=4.84 Ty_l=50.54 N_l=-22407.10 My_l=-3.84 Mz_l=-0.00
Azioni sul cordone: TP=0.36 TO=3.73 NO=-1656.34
Tensioni nel cordone: τ_P=0.12 τ_0=1.19 σ_0=532.08 σ_{ID}=532.08 Σ_T=533.26
CC 68 SLU (Collegamento -182_-384)
Azioni sul collegamento: N=-22405.30 Ty=5.01 Tz=50.66 Mx=-0.01 Mz=4.20
Sollecitazioni agenti localmente: Tx_l=5.01 Ty_l=50.66 N_l=-22405.30 My_l=-4.20 Mz_l=-0.01
Azioni sul cordone: TP=0.38 TO=3.74 NO=-1656.21
Tensioni nel cordone: τ_P=0.12 τ_0=1.19 σ_0=532.57 σ_{ID}=532.57 Σ_T=533.75
CC 97 SLU (Collegamento -182_-384)
Azioni sul collegamento: N=-12779.50 Ty=-22.48 Tz=24.03 Mx=-0.06 Mz=-25.00
Sollecitazioni agenti localmente: Tx_l=-22.48 Ty_l=24.03 N_l=-12779.50 My_l=25.00 Mz_l=-0.06

Azioni sul cordone: TP=-1.60 TO=1.82 NO=-944.66
Tensioni nel cordone: τ_P=0.51 τ_O=0.58 σ_O=336.79 σ_{ID}=336.79 Σ_T=337.37
CC 98 SLU (Collegamento -182_-384)
Azioni sul collegamento: N=-11965.30 Ty=-21.73 Tz=21.02 Mx=-0.06 Mz=-24.45
Sollecitazioni agenti localmente: Tx_l=-21.73 Ty_l=21.02 N_l=-11965.30 My_l=24.45 Mz_l=-0.06
Azioni sul cordone: TP=-1.54 TO=1.60 NO=-884.48
Tensioni nel cordone: τ_P=0.49 τ_O=0.51 σ_O=316.85 σ_{ID}=316.85 Σ_T=317.36
CC 99 SLU (Collegamento -182_-384)
Azioni sul collegamento: N=-12373.20 Ty=-22.20 Tz=22.47 Mx=-0.05 Mz=-24.91
Sollecitazioni agenti localmente: Tx_l=-22.20 Ty_l=22.47 N_l=-12373.20 My_l=24.91 Mz_l=-0.05
Azioni sul cordone: TP=-1.58 TO=1.70 NO=-914.63
Tensioni nel cordone: τ_P=0.50 τ_O=0.54 σ_O=327.11 σ_{ID}=327.11 Σ_T=327.65
CC 100 SLU (Collegamento -182_-384)
Azioni sul collegamento: N=-12371.50 Ty=-22.02 Tz=22.58 Mx=-0.06 Mz=-24.55
Sollecitazioni agenti localmente: Tx_l=-22.02 Ty_l=22.58 N_l=-12371.50 My_l=24.55 Mz_l=-0.06
Azioni sul cordone: TP=-1.56 TO=1.71 NO=-914.50
Tensioni nel cordone: τ_P=0.50 τ_O=0.55 σ_O=326.53 σ_{ID}=326.53 Σ_T=327.08
CC 101 SLU (Collegamento -182_-384)
Azioni sul collegamento: N=-10566.60 Ty=-8.33 Tz=15.50 Mx=0.00 Mz=-5.31
Sollecitazioni agenti localmente: Tx_l=-8.33 Ty_l=15.50 N_l=-10566.60 My_l=5.31 Mz_l=0.00
Azioni sul cordone: TP=-0.62 TO=1.14 NO=-781.09
Tensioni nel cordone: τ_P=0.20 τ_O=0.36 σ_O=256.03 σ_{ID}=256.03 Σ_T=256.39
CC 102 SLU (Collegamento -182_-384)
Azioni sul collegamento: N=-9752.38 Ty=-7.57 Tz=12.50 Mx=0.00 Mz=-4.76
Sollecitazioni agenti localmente: Tx_l=-7.57 Ty_l=12.50 N_l=-9752.38 My_l=4.76 Mz_l=0.00
Azioni sul cordone: TP=-0.56 TO=0.92 NO=-720.90
Tensioni nel cordone: τ_P=0.18 τ_O=0.29 σ_O=236.09 σ_{ID}=236.09 Σ_T=236.39
CC 103 SLU (Collegamento -182_-384)
Azioni sul collegamento: N=-10160.40 Ty=-8.04 Tz=13.94 Mx=0.00 Mz=-5.22
Sollecitazioni agenti localmente: Tx_l=-8.04 Ty_l=13.94 N_l=-10160.40 My_l=5.22 Mz_l=0.00
Azioni sul cordone: TP=-0.60 TO=1.03 NO=-751.06
Tensioni nel cordone: τ_P=0.19 τ_O=0.33 σ_O=246.35 σ_{ID}=246.35 Σ_T=246.67
CC 104 SLU (Collegamento -182_-384)
Azioni sul collegamento: N=-10158.60 Ty=-7.86 Tz=14.06 Mx=0.00 Mz=-4.85
Sollecitazioni agenti localmente: Tx_l=-7.86 Ty_l=14.06 N_l=-10158.60 My_l=4.85 Mz_l=0.00
Azioni sul cordone: TP=-0.58 TO=1.04 NO=-750.93
Tensioni nel cordone: τ_P=0.19 τ_O=0.33 σ_O=245.77 σ_{ID}=245.77 Σ_T=246.10

Flessione attacco superiore piastra

Bnetta=220.00 Hnetta=15.00
CC 1 SLV (Collegamento -182_-384)
Azioni sul collegamento: N=-5856.57 Ty=-4.82 Tz=-1.96 Mx=0.01 Mz=-1.13
Sollecitazioni agenti localmente: Ty_l=-1064.83 Mx_l=-21.30
Tensioni nella sezione: σ=258.14 τ=32.27
CC 1 SLV (Collegamento -182_-384)
Azioni sul collegamento: N=-5856.57 Ty=-12.53 Tz=-1.96 Mx=0.01 Mz=-7.45
Sollecitazioni agenti localmente: Ty_l=-1064.83 Mx_l=-21.30
Tensioni nella sezione: σ=258.14 τ=32.27
CC 1 SLV (Collegamento -182_-384)
Azioni sul collegamento: N=-5856.57 Ty=-4.82 Tz=27.25 Mx=0.01 Mz=-1.13
Sollecitazioni agenti localmente: Ty_l=-1064.83 Mx_l=-21.30
Tensioni nella sezione: σ=258.14 τ=32.27
CC 1 SLV (Collegamento -182_-384)
Azioni sul collegamento: N=-5856.57 Ty=-12.53 Tz=27.25 Mx=0.01 Mz=-7.45
Sollecitazioni agenti localmente: Ty_l=-1064.83 Mx_l=-21.30
Tensioni nella sezione: σ=258.14 τ=32.27
CC 1 SLV (Collegamento -182_-384)
Azioni sul collegamento: N=-13681.20 Ty=-4.82 Tz=-1.96 Mx=0.01 Mz=-1.13
Sollecitazioni agenti localmente: Ty_l=-2487.49 Mx_l=-49.75
Tensioni nella sezione: σ=603.03 τ=75.38
CC 1 SLV (Collegamento -182_-384)
Azioni sul collegamento: N=-13681.20 Ty=-12.53 Tz=-1.96 Mx=0.01 Mz=-7.45
Sollecitazioni agenti localmente: Ty_l=-2487.49 Mx_l=-49.75
Tensioni nella sezione: σ=603.03 τ=75.38
CC 1 SLV (Collegamento -182_-384)
Azioni sul collegamento: N=-13681.20 Ty=-4.82 Tz=27.25 Mx=0.01 Mz=-1.13
Sollecitazioni agenti localmente: Ty_l=-2487.49 Mx_l=-49.75
Tensioni nella sezione: σ=603.03 τ=75.38
CC 1 SLV (Collegamento -182_-384)
Azioni sul collegamento: N=-13681.20 Ty=-12.53 Tz=27.25 Mx=0.01 Mz=-7.45
Sollecitazioni agenti localmente: Ty_l=-2487.49 Mx_l=-49.75
Tensioni nella sezione: σ=603.03 τ=75.38
CC 2 SLD (Collegamento -182_-384)
Azioni sul collegamento: N=-8673.24 Ty=-8.42 Tz=8.57 Mx=0.00 Mz=-5.47
Sollecitazioni agenti localmente: Ty_l=-1576.95 Mx_l=-31.54
Tensioni nella sezione: σ=382.29 τ=47.79
CC 2 SLD (Collegamento -182_-384)
Azioni sul collegamento: N=-8673.24 Ty=-10.78 Tz=8.57 Mx=0.00 Mz=-7.39

Sollecitazioni agenti localmente: Ty_l=-1576.95 Mx_l=-31.54
Tensioni nella sezione: σ=382.29 τ=47.79
CC 2 SLD (Collegamento -182_-384)
Azioni sul collegamento: N=-8673.24 Ty=-8.42 Tz=17.48 Mx=0.00 Mz=-5.47
Sollecitazioni agenti localmente: Ty_l=-1576.95 Mx_l=-31.54
Tensioni nella sezione: σ=382.29 τ=47.79
CC 2 SLD (Collegamento -182_-384)
Azioni sul collegamento: N=-8673.24 Ty=-10.78 Tz=17.48 Mx=0.00 Mz=-7.39
Sollecitazioni agenti localmente: Ty_l=-1576.95 Mx_l=-31.54
Tensioni nella sezione: σ=382.29 τ=47.79
CC 2 SLD (Collegamento -182_-384)
Azioni sul collegamento: N=-11059.20 Ty=-8.42 Tz=8.57 Mx=0.00 Mz=-5.47
Sollecitazioni agenti localmente: Ty_l=-2010.77 Mx_l=-40.22
Tensioni nella sezione: σ=487.46 τ=60.93
CC 2 SLD (Collegamento -182_-384)
Azioni sul collegamento: N=-11059.20 Ty=-10.78 Tz=8.57 Mx=0.00 Mz=-7.39
Sollecitazioni agenti localmente: Ty_l=-2010.77 Mx_l=-40.22
Tensioni nella sezione: σ=487.46 τ=60.93
CC 2 SLD (Collegamento -182_-384)
Azioni sul collegamento: N=-11059.20 Ty=-8.42 Tz=17.48 Mx=0.00 Mz=-5.47
Sollecitazioni agenti localmente: Ty_l=-2010.77 Mx_l=-40.22
Tensioni nella sezione: σ=487.46 τ=60.93
CC 2 SLD (Collegamento -182_-384)
Azioni sul collegamento: N=-11059.20 Ty=-10.78 Tz=17.48 Mx=0.00 Mz=-7.39
Sollecitazioni agenti localmente: Ty_l=-2010.77 Mx_l=-40.22
Tensioni nella sezione: σ=487.46 τ=60.93
CC 3 SLV (Collegamento -182_-384)
Azioni sul collegamento: N=-5861.42 Ty=-5.33 Tz=-1.63 Mx=0.01 Mz=-2.18
Sollecitazioni agenti localmente: Ty_l=-1065.71 Mx_l=-21.31
Tensioni nella sezione: σ=258.35 τ=32.29
CC 3 SLV (Collegamento -182_-384)
Azioni sul collegamento: N=-5861.42 Ty=-12.02 Tz=-1.63 Mx=0.01 Mz=-6.41
Sollecitazioni agenti localmente: Ty_l=-1065.71 Mx_l=-21.31
Tensioni nella sezione: σ=258.35 τ=32.29
CC 3 SLV (Collegamento -182_-384)
Azioni sul collegamento: N=-5861.42 Ty=-5.33 Tz=26.92 Mx=0.01 Mz=-2.18
Sollecitazioni agenti localmente: Ty_l=-1065.71 Mx_l=-21.31
Tensioni nella sezione: σ=258.35 τ=32.29
CC 3 SLV (Collegamento -182_-384)
Azioni sul collegamento: N=-5861.42 Ty=-12.02 Tz=26.92 Mx=0.01 Mz=-6.41
Sollecitazioni agenti localmente: Ty_l=-1065.71 Mx_l=-21.31
Tensioni nella sezione: σ=258.35 τ=32.29
CC 3 SLV (Collegamento -182_-384)
Azioni sul collegamento: N=-13676.40 Ty=-5.33 Tz=-1.63 Mx=0.01 Mz=-2.18
Sollecitazioni agenti localmente: Ty_l=-2486.61 Mx_l=-49.73
Tensioni nella sezione: σ=602.81 τ=75.35
CC 3 SLV (Collegamento -182_-384)
Azioni sul collegamento: N=-13676.40 Ty=-12.02 Tz=-1.63 Mx=0.01 Mz=-6.41
Sollecitazioni agenti localmente: Ty_l=-2486.61 Mx_l=-49.73
Tensioni nella sezione: σ=602.81 τ=75.35
CC 3 SLV (Collegamento -182_-384)
Azioni sul collegamento: N=-13676.40 Ty=-5.33 Tz=26.92 Mx=0.01 Mz=-2.18
Sollecitazioni agenti localmente: Ty_l=-2486.61 Mx_l=-49.73
Tensioni nella sezione: σ=602.81 τ=75.35
CC 3 SLV (Collegamento -182_-384)
Azioni sul collegamento: N=-13676.40 Ty=-12.02 Tz=26.92 Mx=0.01 Mz=-6.41
Sollecitazioni agenti localmente: Ty_l=-2486.61 Mx_l=-49.73
Tensioni nella sezione: σ=602.81 τ=75.35
CC 4 SLD (Collegamento -182_-384)
Azioni sul collegamento: N=-8674.72 Ty=-8.58 Tz=8.67 Mx=-0.00 Mz=-5.79
Sollecitazioni agenti localmente: Ty_l=-1577.22 Mx_l=-31.54
Tensioni nella sezione: σ=382.36 τ=47.79
CC 4 SLD (Collegamento -182_-384)
Azioni sul collegamento: N=-8674.72 Ty=-10.62 Tz=8.67 Mx=-0.00 Mz=-7.07
Sollecitazioni agenti localmente: Ty_l=-1577.22 Mx_l=-31.54
Tensioni nella sezione: σ=382.36 τ=47.79
CC 4 SLD (Collegamento -182_-384)
Azioni sul collegamento: N=-8674.72 Ty=-8.58 Tz=17.38 Mx=-0.00 Mz=-5.79
Sollecitazioni agenti localmente: Ty_l=-1577.22 Mx_l=-31.54
Tensioni nella sezione: σ=382.36 τ=47.79
CC 4 SLD (Collegamento -182_-384)
Azioni sul collegamento: N=-8674.72 Ty=-10.62 Tz=17.38 Mx=-0.00 Mz=-7.07
Sollecitazioni agenti localmente: Ty_l=-1577.22 Mx_l=-31.54
Tensioni nella sezione: σ=382.36 τ=47.79
CC 4 SLD (Collegamento -182_-384)
Azioni sul collegamento: N=-11057.70 Ty=-8.58 Tz=8.67 Mx=-0.00 Mz=-5.79
Sollecitazioni agenti localmente: Ty_l=-2010.50 Mx_l=-40.21
Tensioni nella sezione: σ=487.39 τ=60.92
CC 4 SLD (Collegamento -182_-384)

Azioni sul collegamento: N=-11057.70 Ty=-10.62 Tz=8.67 Mx=-0.00 Mz=-7.07
Sollecitazioni agenti localmente: Ty_l=-2010.50 Mx_l=-40.21
Tensioni nella sezione: σ=487.39 τ=60.92
CC 4 SLD (Collegamento -182_-384)
Azioni sul collegamento: N=-11057.70 Ty=-8.58 Tz=17.38 Mx=-0.00 Mz=-5.79
Sollecitazioni agenti localmente: Ty_l=-2010.50 Mx_l=-40.21
Tensioni nella sezione: σ=487.39 τ=60.92
CC 4 SLD (Collegamento -182_-384)
Azioni sul collegamento: N=-11057.70 Ty=-10.62 Tz=17.38 Mx=-0.00 Mz=-7.07
Sollecitazioni agenti localmente: Ty_l=-2010.50 Mx_l=-40.21
Tensioni nella sezione: σ=487.39 τ=60.92
CC 5 SLV (Collegamento -182_-384)
Azioni sul collegamento: N=-13676.40 Ty=-12.02 Tz=26.92 Mx=0.01 Mz=-6.41
Sollecitazioni agenti localmente: Ty_l=-2486.61 Mx_l=-49.73
Tensioni nella sezione: σ=602.81 τ=75.35
CC 5 SLV (Collegamento -182_-384)
Azioni sul collegamento: N=-13676.40 Ty=-5.33 Tz=26.92 Mx=0.01 Mz=-2.18
Sollecitazioni agenti localmente: Ty_l=-2486.61 Mx_l=-49.73
Tensioni nella sezione: σ=602.81 τ=75.35
CC 5 SLV (Collegamento -182_-384)
Azioni sul collegamento: N=-13676.40 Ty=-12.02 Tz=-1.63 Mx=0.01 Mz=-6.41
Sollecitazioni agenti localmente: Ty_l=-2486.61 Mx_l=-49.73
Tensioni nella sezione: σ=602.81 τ=75.35
CC 5 SLV (Collegamento -182_-384)
Azioni sul collegamento: N=-13676.40 Ty=-5.33 Tz=-1.63 Mx=0.01 Mz=-2.18
Sollecitazioni agenti localmente: Ty_l=-2486.61 Mx_l=-49.73
Tensioni nella sezione: σ=602.81 τ=75.35
CC 5 SLV (Collegamento -182_-384)
Azioni sul collegamento: N=-5861.42 Ty=-12.02 Tz=26.92 Mx=0.01 Mz=-6.41
Sollecitazioni agenti localmente: Ty_l=-1065.71 Mx_l=-21.31
Tensioni nella sezione: σ=258.35 τ=32.29
CC 5 SLV (Collegamento -182_-384)
Azioni sul collegamento: N=-5861.42 Ty=-5.33 Tz=26.92 Mx=0.01 Mz=-2.18
Sollecitazioni agenti localmente: Ty_l=-1065.71 Mx_l=-21.31
Tensioni nella sezione: σ=258.35 τ=32.29
CC 5 SLV (Collegamento -182_-384)
Azioni sul collegamento: N=-5861.42 Ty=-12.02 Tz=-1.63 Mx=0.01 Mz=-6.41
Sollecitazioni agenti localmente: Ty_l=-1065.71 Mx_l=-21.31
Tensioni nella sezione: σ=258.35 τ=32.29
CC 5 SLV (Collegamento -182_-384)
Azioni sul collegamento: N=-5861.42 Ty=-5.33 Tz=-1.63 Mx=0.01 Mz=-2.18
Sollecitazioni agenti localmente: Ty_l=-1065.71 Mx_l=-21.31
Tensioni nella sezione: σ=258.35 τ=32.29
CC 6 SLD (Collegamento -182_-384)
Azioni sul collegamento: N=-11057.70 Ty=-10.62 Tz=17.38 Mx=0.00 Mz=-7.07
Sollecitazioni agenti localmente: Ty_l=-2010.50 Mx_l=-40.21
Tensioni nella sezione: σ=487.39 τ=60.92
CC 6 SLD (Collegamento -182_-384)
Azioni sul collegamento: N=-11057.70 Ty=-8.58 Tz=17.38 Mx=0.00 Mz=-5.79
Sollecitazioni agenti localmente: Ty_l=-2010.50 Mx_l=-40.21
Tensioni nella sezione: σ=487.39 τ=60.92
CC 6 SLD (Collegamento -182_-384)
Azioni sul collegamento: N=-11057.70 Ty=-10.62 Tz=8.67 Mx=0.00 Mz=-7.07
Sollecitazioni agenti localmente: Ty_l=-2010.50 Mx_l=-40.21
Tensioni nella sezione: σ=487.39 τ=60.92
CC 6 SLD (Collegamento -182_-384)
Azioni sul collegamento: N=-11057.70 Ty=-8.58 Tz=8.67 Mx=0.00 Mz=-5.79
Sollecitazioni agenti localmente: Ty_l=-2010.50 Mx_l=-40.21
Tensioni nella sezione: σ=487.39 τ=60.92
CC 6 SLD (Collegamento -182_-384)
Azioni sul collegamento: N=-8674.72 Ty=-10.62 Tz=17.38 Mx=0.00 Mz=-7.07
Sollecitazioni agenti localmente: Ty_l=-1577.22 Mx_l=-31.54
Tensioni nella sezione: σ=382.36 τ=47.79
CC 6 SLD (Collegamento -182_-384)
Azioni sul collegamento: N=-8674.72 Ty=-8.58 Tz=17.38 Mx=0.00 Mz=-5.79
Sollecitazioni agenti localmente: Ty_l=-1577.22 Mx_l=-31.54
Tensioni nella sezione: σ=382.36 τ=47.79
CC 6 SLD (Collegamento -182_-384)
Azioni sul collegamento: N=-8674.72 Ty=-10.62 Tz=8.67 Mx=0.00 Mz=-7.07
Sollecitazioni agenti localmente: Ty_l=-1577.22 Mx_l=-31.54
Tensioni nella sezione: σ=382.36 τ=47.79
CC 6 SLD (Collegamento -182_-384)
Azioni sul collegamento: N=-8674.72 Ty=-8.58 Tz=8.67 Mx=0.00 Mz=-5.79
Sollecitazioni agenti localmente: Ty_l=-1577.22 Mx_l=-31.54
Tensioni nella sezione: σ=382.36 τ=47.79
CC 7 SLV (Collegamento -182_-384)
Azioni sul collegamento: N=-13681.20 Ty=-12.53 Tz=27.25 Mx=0.01 Mz=-7.45
Sollecitazioni agenti localmente: Ty_l=-2487.49 Mx_l=-49.75
Tensioni nella sezione: σ=603.03 τ=75.38

CC 7 SLV (Collegamento -182_-384)
Azioni sul collegamento: N=-13681.20 Ty=-4.82 Tz=27.25 Mx=0.01 Mz=-1.13
Sollecitazioni agenti localmente: Ty_l=-2487.49 Mx_l=-49.75
Tensioni nella sezione: σ=603.03 τ=75.38
CC 7 SLV (Collegamento -182_-384)
Azioni sul collegamento: N=-13681.20 Ty=-12.53 Tz=-1.96 Mx=0.01 Mz=-7.45
Sollecitazioni agenti localmente: Ty_l=-2487.49 Mx_l=-49.75
Tensioni nella sezione: σ=603.03 τ=75.38
CC 7 SLV (Collegamento -182_-384)
Azioni sul collegamento: N=-13681.20 Ty=-4.82 Tz=-1.96 Mx=0.01 Mz=-1.13
Sollecitazioni agenti localmente: Ty_l=-2487.49 Mx_l=-49.75
Tensioni nella sezione: σ=603.03 τ=75.38
CC 7 SLV (Collegamento -182_-384)
Azioni sul collegamento: N=-5856.57 Ty=-12.53 Tz=27.25 Mx=0.01 Mz=-7.45
Sollecitazioni agenti localmente: Ty_l=-1064.83 Mx_l=-21.30
Tensioni nella sezione: σ=258.14 τ=32.27
CC 7 SLV (Collegamento -182_-384)
Azioni sul collegamento: N=-5856.57 Ty=-4.82 Tz=27.25 Mx=0.01 Mz=-1.13
Sollecitazioni agenti localmente: Ty_l=-1064.83 Mx_l=-21.30
Tensioni nella sezione: σ=258.14 τ=32.27
CC 7 SLV (Collegamento -182_-384)
Azioni sul collegamento: N=-5856.57 Ty=-12.53 Tz=-1.96 Mx=0.01 Mz=-7.45
Sollecitazioni agenti localmente: Ty_l=-1064.83 Mx_l=-21.30
Tensioni nella sezione: σ=258.14 τ=32.27
CC 7 SLV (Collegamento -182_-384)
Azioni sul collegamento: N=-5856.57 Ty=-4.82 Tz=-1.96 Mx=0.01 Mz=-1.13
Sollecitazioni agenti localmente: Ty_l=-1064.83 Mx_l=-21.30
Tensioni nella sezione: σ=258.14 τ=32.27
CC 8 SLD (Collegamento -182_-384)
Azioni sul collegamento: N=-11059.20 Ty=-10.78 Tz=17.48 Mx=-0.00 Mz=-7.39
Sollecitazioni agenti localmente: Ty_l=-2010.77 Mx_l=-40.22
Tensioni nella sezione: σ=487.46 τ=60.93
CC 8 SLD (Collegamento -182_-384)
Azioni sul collegamento: N=-11059.20 Ty=-8.42 Tz=17.48 Mx=-0.00 Mz=-5.47
Sollecitazioni agenti localmente: Ty_l=-2010.77 Mx_l=-40.22
Tensioni nella sezione: σ=487.46 τ=60.93
CC 8 SLD (Collegamento -182_-384)
Azioni sul collegamento: N=-11059.20 Ty=-10.78 Tz=8.57 Mx=-0.00 Mz=-7.39
Sollecitazioni agenti localmente: Ty_l=-2010.77 Mx_l=-40.22
Tensioni nella sezione: σ=487.46 τ=60.93
CC 8 SLD (Collegamento -182_-384)
Azioni sul collegamento: N=-11059.20 Ty=-8.42 Tz=8.57 Mx=-0.00 Mz=-5.47
Sollecitazioni agenti localmente: Ty_l=-2010.77 Mx_l=-40.22
Tensioni nella sezione: σ=487.46 τ=60.93
CC 8 SLD (Collegamento -182_-384)
Azioni sul collegamento: N=-8673.24 Ty=-10.78 Tz=17.48 Mx=-0.00 Mz=-7.39
Sollecitazioni agenti localmente: Ty_l=-1576.95 Mx_l=-31.54
Tensioni nella sezione: σ=382.29 τ=47.79
CC 8 SLD (Collegamento -182_-384)
Azioni sul collegamento: N=-8673.24 Ty=-8.42 Tz=17.48 Mx=-0.00 Mz=-5.47
Sollecitazioni agenti localmente: Ty_l=-1576.95 Mx_l=-31.54
Tensioni nella sezione: σ=382.29 τ=47.79
CC 8 SLD (Collegamento -182_-384)
Azioni sul collegamento: N=-8673.24 Ty=-10.78 Tz=8.57 Mx=-0.00 Mz=-7.39
Sollecitazioni agenti localmente: Ty_l=-1576.95 Mx_l=-31.54
Tensioni nella sezione: σ=382.29 τ=47.79
CC 8 SLD (Collegamento -182_-384)
Azioni sul collegamento: N=-8673.24 Ty=-8.42 Tz=8.57 Mx=-0.00 Mz=-5.47
Sollecitazioni agenti localmente: Ty_l=-1576.95 Mx_l=-31.54
Tensioni nella sezione: σ=382.29 τ=47.79
CC 9 SLV (Collegamento -182_-384)
Azioni sul collegamento: N=-8587.84 Ty=-6.74 Tz=7.77 Mx=0.02 Mz=-1.76
Sollecitazioni agenti localmente: Ty_l=-1561.43 Mx_l=-31.23
Tensioni nella sezione: σ=378.53 τ=47.32
CC 9 SLV (Collegamento -182_-384)
Azioni sul collegamento: N=-8587.84 Ty=-10.61 Tz=7.77 Mx=0.02 Mz=-6.83
Sollecitazioni agenti localmente: Ty_l=-1561.43 Mx_l=-31.23
Tensioni nella sezione: σ=378.53 τ=47.32
CC 9 SLV (Collegamento -182_-384)
Azioni sul collegamento: N=-8587.84 Ty=-6.74 Tz=17.52 Mx=0.02 Mz=-1.76
Sollecitazioni agenti localmente: Ty_l=-1561.43 Mx_l=-31.23
Tensioni nella sezione: σ=378.53 τ=47.32
CC 9 SLV (Collegamento -182_-384)
Azioni sul collegamento: N=-8587.84 Ty=-10.61 Tz=17.52 Mx=0.02 Mz=-6.83
Sollecitazioni agenti localmente: Ty_l=-1561.43 Mx_l=-31.23
Tensioni nella sezione: σ=378.53 τ=47.32
CC 9 SLV (Collegamento -182_-384)
Azioni sul collegamento: N=-10950.00 Ty=-6.74 Tz=7.77 Mx=0.02 Mz=-1.76
Sollecitazioni agenti localmente: Ty_l=-1990.90 Mx_l=-39.82

Tensioni nella sezione: σ=482.64 τ=60.33
CC 9 SLV (Collegamento -182_-384)
Azioni sul collegamento: N=-10950.00 Ty=-10.61 Tz=7.77 Mx=0.02 Mz=-6.83
Sollecitazioni agenti localmente: Ty_l=-1990.90 Mx_l=-39.82
Tensioni nella sezione: σ=482.64 τ=60.33
CC 9 SLV (Collegamento -182_-384)
Azioni sul collegamento: N=-10950.00 Ty=-6.74 Tz=17.52 Mx=0.02 Mz=-1.76
Sollecitazioni agenti localmente: Ty_l=-1990.90 Mx_l=-39.82
Tensioni nella sezione: σ=482.64 τ=60.33
CC 9 SLV (Collegamento -182_-384)
Azioni sul collegamento: N=-10950.00 Ty=-10.61 Tz=17.52 Mx=0.02 Mz=-6.83
Sollecitazioni agenti localmente: Ty_l=-1990.90 Mx_l=-39.82
Tensioni nella sezione: σ=482.64 τ=60.33
CC 10 SLD (Collegamento -182_-384)
Azioni sul collegamento: N=-9506.09 Ty=-9.01 Tz=11.54 Mx=0.00 Mz=-5.66
Sollecitazioni agenti localmente: Ty_l=-1728.38 Mx_l=-34.57
Tensioni nella sezione: σ=419.00 τ=52.38
CC 10 SLD (Collegamento -182_-384)
Azioni sul collegamento: N=-9506.09 Ty=-10.19 Tz=11.54 Mx=0.00 Mz=-7.20
Sollecitazioni agenti localmente: Ty_l=-1728.38 Mx_l=-34.57
Tensioni nella sezione: σ=419.00 τ=52.38
CC 10 SLD (Collegamento -182_-384)
Azioni sul collegamento: N=-9506.09 Ty=-9.01 Tz=14.51 Mx=0.00 Mz=-5.66
Sollecitazioni agenti localmente: Ty_l=-1728.38 Mx_l=-34.57
Tensioni nella sezione: σ=419.00 τ=52.38
CC 10 SLD (Collegamento -182_-384)
Azioni sul collegamento: N=-9506.09 Ty=-10.19 Tz=14.51 Mx=0.00 Mz=-7.20
Sollecitazioni agenti localmente: Ty_l=-1728.38 Mx_l=-34.57
Tensioni nella sezione: σ=419.00 τ=52.38
CC 10 SLD (Collegamento -182_-384)
Azioni sul collegamento: N=-10226.40 Ty=-9.01 Tz=11.54 Mx=0.00 Mz=-5.66
Sollecitazioni agenti localmente: Ty_l=-1859.34 Mx_l=-37.19
Tensioni nella sezione: σ=450.75 τ=56.34
CC 10 SLD (Collegamento -182_-384)
Azioni sul collegamento: N=-10226.40 Ty=-10.19 Tz=11.54 Mx=0.00 Mz=-7.20
Sollecitazioni agenti localmente: Ty_l=-1859.34 Mx_l=-37.19
Tensioni nella sezione: σ=450.75 τ=56.34
CC 10 SLD (Collegamento -182_-384)
Azioni sul collegamento: N=-10226.40 Ty=-9.01 Tz=14.51 Mx=0.00 Mz=-5.66
Sollecitazioni agenti localmente: Ty_l=-1859.34 Mx_l=-37.19
Tensioni nella sezione: σ=450.75 τ=56.34
CC 10 SLD (Collegamento -182_-384)
Azioni sul collegamento: N=-10226.40 Ty=-10.19 Tz=14.51 Mx=0.00 Mz=-7.20
Sollecitazioni agenti localmente: Ty_l=-1859.34 Mx_l=-37.19
Tensioni nella sezione: σ=450.75 τ=56.34
CC 11 SLV (Collegamento -182_-384)
Azioni sul collegamento: N=-10933.80 Ty=-8.90 Tz=16.43 Mx=0.02 Mz=-3.34
Sollecitazioni agenti localmente: Ty_l=-1987.96 Mx_l=-39.76
Tensioni nella sezione: σ=481.93 τ=60.24
CC 11 SLV (Collegamento -182_-384)
Azioni sul collegamento: N=-10933.80 Ty=-8.45 Tz=16.43 Mx=0.02 Mz=-5.25
Sollecitazioni agenti localmente: Ty_l=-1987.96 Mx_l=-39.76
Tensioni nella sezione: σ=481.93 τ=60.24
CC 11 SLV (Collegamento -182_-384)
Azioni sul collegamento: N=-10933.80 Ty=-8.90 Tz=8.86 Mx=0.02 Mz=-3.34
Sollecitazioni agenti localmente: Ty_l=-1987.96 Mx_l=-39.76
Tensioni nella sezione: σ=481.93 τ=60.24
CC 11 SLV (Collegamento -182_-384)
Azioni sul collegamento: N=-10933.80 Ty=-8.45 Tz=8.86 Mx=0.02 Mz=-5.25
Sollecitazioni agenti localmente: Ty_l=-1987.96 Mx_l=-39.76
Tensioni nella sezione: σ=481.93 τ=60.24
CC 11 SLV (Collegamento -182_-384)
Azioni sul collegamento: N=-8604.01 Ty=-8.90 Tz=16.43 Mx=0.02 Mz=-3.34
Sollecitazioni agenti localmente: Ty_l=-1564.37 Mx_l=-31.29
Tensioni nella sezione: σ=379.24 τ=47.41
CC 11 SLV (Collegamento -182_-384)
Azioni sul collegamento: N=-8604.01 Ty=-8.45 Tz=16.43 Mx=0.02 Mz=-5.25
Sollecitazioni agenti localmente: Ty_l=-1564.37 Mx_l=-31.29
Tensioni nella sezione: σ=379.24 τ=47.41
CC 11 SLV (Collegamento -182_-384)
Azioni sul collegamento: N=-8604.01 Ty=-8.90 Tz=8.86 Mx=0.02 Mz=-3.34
Sollecitazioni agenti localmente: Ty_l=-1564.37 Mx_l=-31.29
Tensioni nella sezione: σ=379.24 τ=47.41
CC 11 SLV (Collegamento -182_-384)
Azioni sul collegamento: N=-8604.01 Ty=-8.45 Tz=8.86 Mx=0.02 Mz=-5.25
Sollecitazioni agenti localmente: Ty_l=-1564.37 Mx_l=-31.29
Tensioni nella sezione: σ=379.24 τ=47.41
CC 12 SLD (Collegamento -182_-384)
Azioni sul collegamento: N=-10221.40 Ty=-9.67 Tz=14.18 Mx=0.00 Mz=-6.14

Sollecitazioni agenti localmente: Ty_l=-1858.44 Mx_l=-37.17
Tensioni nella sezione: σ=450.53 τ=56.32
CC 12 SLD (Collegamento -182_-384)
Azioni sul collegamento: N=-10221.40 Ty=-9.53 Tz=14.18 Mx=0.00 Mz=-6.72
Sollecitazioni agenti localmente: Ty_l=-1858.44 Mx_l=-37.17
Tensioni nella sezione: σ=450.53 τ=56.32
CC 12 SLD (Collegamento -182_-384)
Azioni sul collegamento: N=-10221.40 Ty=-9.67 Tz=11.87 Mx=0.00 Mz=-6.14
Sollecitazioni agenti localmente: Ty_l=-1858.44 Mx_l=-37.17
Tensioni nella sezione: σ=450.53 τ=56.32
CC 12 SLD (Collegamento -182_-384)
Azioni sul collegamento: N=-10221.40 Ty=-9.53 Tz=11.87 Mx=0.00 Mz=-6.72
Sollecitazioni agenti localmente: Ty_l=-1858.44 Mx_l=-37.17
Tensioni nella sezione: σ=450.53 τ=56.32
CC 12 SLD (Collegamento -182_-384)
Azioni sul collegamento: N=-9511.02 Ty=-9.67 Tz=14.18 Mx=0.00 Mz=-6.14
Sollecitazioni agenti localmente: Ty_l=-1729.28 Mx_l=-34.59
Tensioni nella sezione: σ=419.22 τ=52.40
CC 12 SLD (Collegamento -182_-384)
Azioni sul collegamento: N=-9511.02 Ty=-9.53 Tz=14.18 Mx=0.00 Mz=-6.72
Sollecitazioni agenti localmente: Ty_l=-1729.28 Mx_l=-34.59
Tensioni nella sezione: σ=419.22 τ=52.40
CC 12 SLD (Collegamento -182_-384)
Azioni sul collegamento: N=-9511.02 Ty=-9.67 Tz=11.87 Mx=0.00 Mz=-6.14
Sollecitazioni agenti localmente: Ty_l=-1729.28 Mx_l=-34.59
Tensioni nella sezione: σ=419.22 τ=52.40
CC 12 SLD (Collegamento -182_-384)
Azioni sul collegamento: N=-9511.02 Ty=-9.53 Tz=11.87 Mx=0.00 Mz=-6.72
Sollecitazioni agenti localmente: Ty_l=-1729.28 Mx_l=-34.59
Tensioni nella sezione: σ=419.22 τ=52.40
CC 13 SLV (Collegamento -182_-384)
Azioni sul collegamento: N=-8604.01 Ty=-8.45 Tz=8.86 Mx=0.00 Mz=-5.25
Sollecitazioni agenti localmente: Ty_l=-1564.37 Mx_l=-31.29
Tensioni nella sezione: σ=379.24 τ=47.41
CC 13 SLV (Collegamento -182_-384)
Azioni sul collegamento: N=-8604.01 Ty=-8.90 Tz=8.86 Mx=0.00 Mz=-3.34
Sollecitazioni agenti localmente: Ty_l=-1564.37 Mx_l=-31.29
Tensioni nella sezione: σ=379.24 τ=47.41
CC 13 SLV (Collegamento -182_-384)
Azioni sul collegamento: N=-8604.01 Ty=-8.45 Tz=16.43 Mx=0.00 Mz=-5.25
Sollecitazioni agenti localmente: Ty_l=-1564.37 Mx_l=-31.29
Tensioni nella sezione: σ=379.24 τ=47.41
CC 13 SLV (Collegamento -182_-384)
Azioni sul collegamento: N=-8604.01 Ty=-8.90 Tz=16.43 Mx=0.00 Mz=-3.34
Sollecitazioni agenti localmente: Ty_l=-1564.37 Mx_l=-31.29
Tensioni nella sezione: σ=379.24 τ=47.41
CC 13 SLV (Collegamento -182_-384)
Azioni sul collegamento: N=-10933.80 Ty=-8.45 Tz=8.86 Mx=0.00 Mz=-5.25
Sollecitazioni agenti localmente: Ty_l=-1987.96 Mx_l=-39.76
Tensioni nella sezione: σ=481.93 τ=60.24
CC 13 SLV (Collegamento -182_-384)
Azioni sul collegamento: N=-10933.80 Ty=-8.90 Tz=8.86 Mx=0.00 Mz=-3.34
Sollecitazioni agenti localmente: Ty_l=-1987.96 Mx_l=-39.76
Tensioni nella sezione: σ=481.93 τ=60.24
CC 13 SLV (Collegamento -182_-384)
Azioni sul collegamento: N=-10933.80 Ty=-8.45 Tz=16.43 Mx=0.00 Mz=-5.25
Sollecitazioni agenti localmente: Ty_l=-1987.96 Mx_l=-39.76
Tensioni nella sezione: σ=481.93 τ=60.24
CC 13 SLV (Collegamento -182_-384)
Azioni sul collegamento: N=-10933.80 Ty=-8.90 Tz=16.43 Mx=0.00 Mz=-3.34
Sollecitazioni agenti localmente: Ty_l=-1987.96 Mx_l=-39.76
Tensioni nella sezione: σ=481.93 τ=60.24
CC 14 SLD (Collegamento -182_-384)
Azioni sul collegamento: N=-9511.02 Ty=-9.53 Tz=11.87 Mx=-0.00 Mz=-6.72
Sollecitazioni agenti localmente: Ty_l=-1729.28 Mx_l=-34.59
Tensioni nella sezione: σ=419.22 τ=52.40
CC 14 SLD (Collegamento -182_-384)
Azioni sul collegamento: N=-9511.02 Ty=-9.67 Tz=11.87 Mx=-0.00 Mz=-6.14
Sollecitazioni agenti localmente: Ty_l=-1729.28 Mx_l=-34.59
Tensioni nella sezione: σ=419.22 τ=52.40
CC 14 SLD (Collegamento -182_-384)
Azioni sul collegamento: N=-9511.02 Ty=-9.53 Tz=14.18 Mx=-0.00 Mz=-6.72
Sollecitazioni agenti localmente: Ty_l=-1729.28 Mx_l=-34.59
Tensioni nella sezione: σ=419.22 τ=52.40
CC 14 SLD (Collegamento -182_-384)
Azioni sul collegamento: N=-9511.02 Ty=-9.67 Tz=14.18 Mx=-0.00 Mz=-6.14
Sollecitazioni agenti localmente: Ty_l=-1729.28 Mx_l=-34.59
Tensioni nella sezione: σ=419.22 τ=52.40
CC 14 SLD (Collegamento -182_-384)

Azioni sul collegamento: N=-10221.40 Ty=-9.53 Tz=11.87 Mx=-0.00 Mz=-6.72
Sollecitazioni agenti localmente: Ty_l=-1858.44 Mx_l=-37.17
Tensioni nella sezione: σ=450.53 τ=56.32
CC 14 SLD (Collegamento -182_-384)
Azioni sul collegamento: N=-10221.40 Ty=-9.67 Tz=11.87 Mx=-0.00 Mz=-6.14
Sollecitazioni agenti localmente: Ty_l=-1858.44 Mx_l=-37.17
Tensioni nella sezione: σ=450.53 τ=56.32
CC 14 SLD (Collegamento -182_-384)
Azioni sul collegamento: N=-10221.40 Ty=-9.53 Tz=14.18 Mx=-0.00 Mz=-6.72
Sollecitazioni agenti localmente: Ty_l=-1858.44 Mx_l=-37.17
Tensioni nella sezione: σ=450.53 τ=56.32
CC 14 SLD (Collegamento -182_-384)
Azioni sul collegamento: N=-10221.40 Ty=-9.67 Tz=14.18 Mx=-0.00 Mz=-6.14
Sollecitazioni agenti localmente: Ty_l=-1858.44 Mx_l=-37.17
Tensioni nella sezione: σ=450.53 τ=56.32
CC 15 SLV (Collegamento -182_-384)
Azioni sul collegamento: N=-10950.00 Ty=-10.61 Tz=17.52 Mx=0.00 Mz=-6.83
Sollecitazioni agenti localmente: Ty_l=-1990.90 Mx_l=-39.82
Tensioni nella sezione: σ=482.64 τ=60.33
CC 15 SLV (Collegamento -182_-384)
Azioni sul collegamento: N=-10950.00 Ty=-6.74 Tz=17.52 Mx=0.00 Mz=-1.76
Sollecitazioni agenti localmente: Ty_l=-1990.90 Mx_l=-39.82
Tensioni nella sezione: σ=482.64 τ=60.33
CC 15 SLV (Collegamento -182_-384)
Azioni sul collegamento: N=-10950.00 Ty=-10.61 Tz=7.77 Mx=0.00 Mz=-6.83
Sollecitazioni agenti localmente: Ty_l=-1990.90 Mx_l=-39.82
Tensioni nella sezione: σ=482.64 τ=60.33
CC 15 SLV (Collegamento -182_-384)
Azioni sul collegamento: N=-10950.00 Ty=-6.74 Tz=7.77 Mx=0.00 Mz=-1.76
Sollecitazioni agenti localmente: Ty_l=-1990.90 Mx_l=-39.82
Tensioni nella sezione: σ=482.64 τ=60.33
CC 15 SLV (Collegamento -182_-384)
Azioni sul collegamento: N=-8587.84 Ty=-10.61 Tz=17.52 Mx=0.00 Mz=-6.83
Sollecitazioni agenti localmente: Ty_l=-1561.43 Mx_l=-31.23
Tensioni nella sezione: σ=378.53 τ=47.32
CC 15 SLV (Collegamento -182_-384)
Azioni sul collegamento: N=-8587.84 Ty=-6.74 Tz=17.52 Mx=0.00 Mz=-1.76
Sollecitazioni agenti localmente: Ty_l=-1561.43 Mx_l=-31.23
Tensioni nella sezione: σ=378.53 τ=47.32
CC 15 SLV (Collegamento -182_-384)
Azioni sul collegamento: N=-8587.84 Ty=-10.61 Tz=7.77 Mx=0.00 Mz=-6.83
Sollecitazioni agenti localmente: Ty_l=-1561.43 Mx_l=-31.23
Tensioni nella sezione: σ=378.53 τ=47.32
CC 15 SLV (Collegamento -182_-384)
Azioni sul collegamento: N=-8587.84 Ty=-6.74 Tz=7.77 Mx=0.00 Mz=-1.76
Sollecitazioni agenti localmente: Ty_l=-1561.43 Mx_l=-31.23
Tensioni nella sezione: σ=378.53 τ=47.32
CC 16 SLD (Collegamento -182_-384)
Azioni sul collegamento: N=-10226.40 Ty=-10.19 Tz=14.51 Mx=-0.00 Mz=-7.20
Sollecitazioni agenti localmente: Ty_l=-1859.34 Mx_l=-37.19
Tensioni nella sezione: σ=450.75 τ=56.34
CC 16 SLD (Collegamento -182_-384)
Azioni sul collegamento: N=-10226.40 Ty=-9.01 Tz=14.51 Mx=-0.00 Mz=-5.66
Sollecitazioni agenti localmente: Ty_l=-1859.34 Mx_l=-37.19
Tensioni nella sezione: σ=450.75 τ=56.34
CC 16 SLD (Collegamento -182_-384)
Azioni sul collegamento: N=-10226.40 Ty=-10.19 Tz=11.54 Mx=-0.00 Mz=-7.20
Sollecitazioni agenti localmente: Ty_l=-1859.34 Mx_l=-37.19
Tensioni nella sezione: σ=450.75 τ=56.34
CC 16 SLD (Collegamento -182_-384)
Azioni sul collegamento: N=-10226.40 Ty=-9.01 Tz=11.54 Mx=-0.00 Mz=-5.66
Sollecitazioni agenti localmente: Ty_l=-1859.34 Mx_l=-37.19
Tensioni nella sezione: σ=450.75 τ=56.34
CC 16 SLD (Collegamento -182_-384)
Azioni sul collegamento: N=-9506.09 Ty=-10.19 Tz=14.51 Mx=-0.00 Mz=-7.20
Sollecitazioni agenti localmente: Ty_l=-1728.38 Mx_l=-34.57
Tensioni nella sezione: σ=419.00 τ=52.38
CC 16 SLD (Collegamento -182_-384)
Azioni sul collegamento: N=-9506.09 Ty=-9.01 Tz=14.51 Mx=-0.00 Mz=-5.66
Sollecitazioni agenti localmente: Ty_l=-1728.38 Mx_l=-34.57
Tensioni nella sezione: σ=419.00 τ=52.38
CC 16 SLD (Collegamento -182_-384)
Azioni sul collegamento: N=-9506.09 Ty=-10.19 Tz=11.54 Mx=-0.00 Mz=-7.20
Sollecitazioni agenti localmente: Ty_l=-1728.38 Mx_l=-34.57
Tensioni nella sezione: σ=419.00 τ=52.38
CC 16 SLD (Collegamento -182_-384)
Azioni sul collegamento: N=-9506.09 Ty=-9.01 Tz=11.54 Mx=-0.00 Mz=-5.66
Sollecitazioni agenti localmente: Ty_l=-1728.38 Mx_l=-34.57
Tensioni nella sezione: σ=419.00 τ=52.38

CC 17 SLV (Collegamento -182_-384)
Azioni sul collegamento: N=-6136.65 Ty=-7.48 Tz=-0.86 Mx=-0.02 Mz=-7.28
Sollecitazioni agenti localmente: Ty_l=-1115.75 Mx_l=-22.32
Tensioni nella sezione: σ=270.49 τ=33.81
CC 17 SLV (Collegamento -182_-384)
Azioni sul collegamento: N=-6136.65 Ty=-15.19 Tz=-0.86 Mx=-0.02 Mz=-13.60
Sollecitazioni agenti localmente: Ty_l=-1115.75 Mx_l=-22.32
Tensioni nella sezione: σ=270.49 τ=33.81
CC 17 SLV (Collegamento -182_-384)
Azioni sul collegamento: N=-6136.65 Ty=-7.48 Tz=28.35 Mx=-0.02 Mz=-7.28
Sollecitazioni agenti localmente: Ty_l=-1115.75 Mx_l=-22.32
Tensioni nella sezione: σ=270.49 τ=33.81
CC 17 SLV (Collegamento -182_-384)
Azioni sul collegamento: N=-6136.65 Ty=-15.19 Tz=28.35 Mx=-0.02 Mz=-13.60
Sollecitazioni agenti localmente: Ty_l=-1115.75 Mx_l=-22.32
Tensioni nella sezione: σ=270.49 τ=33.81
CC 17 SLV (Collegamento -182_-384)
Azioni sul collegamento: N=-13961.30 Ty=-7.48 Tz=-0.86 Mx=-0.02 Mz=-7.28
Sollecitazioni agenti localmente: Ty_l=-2538.42 Mx_l=-50.77
Tensioni nella sezione: σ=615.37 τ=76.92
CC 17 SLV (Collegamento -182_-384)
Azioni sul collegamento: N=-13961.30 Ty=-15.19 Tz=-0.86 Mx=-0.02 Mz=-13.60
Sollecitazioni agenti localmente: Ty_l=-2538.42 Mx_l=-50.77
Tensioni nella sezione: σ=615.37 τ=76.92
CC 17 SLV (Collegamento -182_-384)
Azioni sul collegamento: N=-13961.30 Ty=-7.48 Tz=28.35 Mx=-0.02 Mz=-7.28
Sollecitazioni agenti localmente: Ty_l=-2538.42 Mx_l=-50.77
Tensioni nella sezione: σ=615.37 τ=76.92
CC 17 SLV (Collegamento -182_-384)
Azioni sul collegamento: N=-13961.30 Ty=-15.19 Tz=28.35 Mx=-0.02 Mz=-13.60
Sollecitazioni agenti localmente: Ty_l=-2538.42 Mx_l=-50.77
Tensioni nella sezione: σ=615.37 τ=76.92
CC 18 SLD (Collegamento -182_-384)
Azioni sul collegamento: N=-8758.64 Ty=-9.24 Tz=8.91 Mx=-0.01 Mz=-7.34
Sollecitazioni agenti localmente: Ty_l=-1592.48 Mx_l=-31.85
Tensioni nella sezione: σ=386.06 τ=48.26
CC 18 SLD (Collegamento -182_-384)
Azioni sul collegamento: N=-8758.64 Ty=-11.59 Tz=8.91 Mx=-0.01 Mz=-9.27
Sollecitazioni agenti localmente: Ty_l=-1592.48 Mx_l=-31.85
Tensioni nella sezione: σ=386.06 τ=48.26
CC 18 SLD (Collegamento -182_-384)
Azioni sul collegamento: N=-8758.65 Ty=-9.24 Tz=17.82 Mx=-0.01 Mz=-7.34
Sollecitazioni agenti localmente: Ty_l=-1592.48 Mx_l=-31.85
Tensioni nella sezione: σ=386.06 τ=48.26
CC 18 SLD (Collegamento -182_-384)
Azioni sul collegamento: N=-8758.65 Ty=-11.59 Tz=17.82 Mx=-0.01 Mz=-9.27
Sollecitazioni agenti localmente: Ty_l=-1592.48 Mx_l=-31.85
Tensioni nella sezione: σ=386.06 τ=48.26
CC 18 SLD (Collegamento -182_-384)
Azioni sul collegamento: N=-11144.60 Ty=-9.24 Tz=8.91 Mx=-0.01 Mz=-7.34
Sollecitazioni agenti localmente: Ty_l=-2026.30 Mx_l=-40.53
Tensioni nella sezione: σ=491.22 τ=61.40
CC 18 SLD (Collegamento -182_-384)
Azioni sul collegamento: N=-11144.60 Ty=-11.59 Tz=8.91 Mx=-0.01 Mz=-9.27
Sollecitazioni agenti localmente: Ty_l=-2026.30 Mx_l=-40.53
Tensioni nella sezione: σ=491.22 τ=61.40
CC 18 SLD (Collegamento -182_-384)
Azioni sul collegamento: N=-11144.60 Ty=-9.24 Tz=17.82 Mx=-0.01 Mz=-7.34
Sollecitazioni agenti localmente: Ty_l=-2026.30 Mx_l=-40.53
Tensioni nella sezione: σ=491.22 τ=61.40
CC 18 SLD (Collegamento -182_-384)
Azioni sul collegamento: N=-11144.60 Ty=-11.59 Tz=17.82 Mx=-0.01 Mz=-9.27
Sollecitazioni agenti localmente: Ty_l=-2026.30 Mx_l=-40.53
Tensioni nella sezione: σ=491.22 τ=61.40
CC 19 SLV (Collegamento -182_-384)
Azioni sul collegamento: N=-6141.50 Ty=-7.99 Tz=-0.53 Mx=-0.01 Mz=-8.33
Sollecitazioni agenti localmente: Ty_l=-1116.64 Mx_l=-22.33
Tensioni nella sezione: σ=270.70 τ=33.84
CC 19 SLV (Collegamento -182_-384)
Azioni sul collegamento: N=-6141.50 Ty=-14.68 Tz=-0.53 Mx=-0.01 Mz=-12.56
Sollecitazioni agenti localmente: Ty_l=-1116.64 Mx_l=-22.33
Tensioni nella sezione: σ=270.70 τ=33.84
CC 19 SLV (Collegamento -182_-384)
Azioni sul collegamento: N=-6141.50 Ty=-7.99 Tz=28.02 Mx=-0.01 Mz=-8.33
Sollecitazioni agenti localmente: Ty_l=-1116.64 Mx_l=-22.33
Tensioni nella sezione: σ=270.70 τ=33.84
CC 19 SLV (Collegamento -182_-384)
Azioni sul collegamento: N=-6141.50 Ty=-14.68 Tz=28.02 Mx=-0.01 Mz=-12.56
Sollecitazioni agenti localmente: Ty_l=-1116.64 Mx_l=-22.33

Tensioni nella sezione: σ=270.70 τ=33.84
CC 19 SLV (Collegamento -182_-384)
Azioni sul collegamento: N=-13956.40 Ty=-7.99 Tz=-0.53 Mx=-0.01 Mz=-8.33
Sollecitazioni agenti localmente: Ty_l=-2537.54 Mx_l=-50.75
Tensioni nella sezione: σ=615.16 τ=76.89
CC 19 SLV (Collegamento -182_-384)
Azioni sul collegamento: N=-13956.40 Ty=-14.68 Tz=-0.53 Mx=-0.01 Mz=-12.56
Sollecitazioni agenti localmente: Ty_l=-2537.54 Mx_l=-50.75
Tensioni nella sezione: σ=615.16 τ=76.89
CC 19 SLV (Collegamento -182_-384)
Azioni sul collegamento: N=-13956.40 Ty=-7.99 Tz=28.02 Mx=-0.01 Mz=-8.33
Sollecitazioni agenti localmente: Ty_l=-2537.54 Mx_l=-50.75
Tensioni nella sezione: σ=615.16 τ=76.89
CC 19 SLV (Collegamento -182_-384)
Azioni sul collegamento: N=-13956.40 Ty=-14.68 Tz=28.02 Mx=-0.01 Mz=-12.56
Sollecitazioni agenti localmente: Ty_l=-2537.54 Mx_l=-50.75
Tensioni nella sezione: σ=615.16 τ=76.89
CC 20 SLD (Collegamento -182_-384)
Azioni sul collegamento: N=-8760.12 Ty=-9.39 Tz=9.01 Mx=-0.01 Mz=-7.66
Sollecitazioni agenti localmente: Ty_l=-1592.75 Mx_l=-31.85
Tensioni nella sezione: σ=386.12 τ=48.27
CC 20 SLD (Collegamento -182_-384)
Azioni sul collegamento: N=-8760.12 Ty=-11.43 Tz=9.01 Mx=-0.01 Mz=-8.95
Sollecitazioni agenti localmente: Ty_l=-1592.75 Mx_l=-31.85
Tensioni nella sezione: σ=386.12 τ=48.27
CC 20 SLD (Collegamento -182_-384)
Azioni sul collegamento: N=-8760.13 Ty=-9.39 Tz=17.72 Mx=-0.01 Mz=-7.66
Sollecitazioni agenti localmente: Ty_l=-1592.75 Mx_l=-31.85
Tensioni nella sezione: σ=386.12 τ=48.27
CC 20 SLD (Collegamento -182_-384)
Azioni sul collegamento: N=-8760.13 Ty=-11.43 Tz=17.72 Mx=-0.01 Mz=-8.95
Sollecitazioni agenti localmente: Ty_l=-1592.75 Mx_l=-31.85
Tensioni nella sezione: σ=386.12 τ=48.27
CC 20 SLD (Collegamento -182_-384)
Azioni sul collegamento: N=-11143.10 Ty=-9.39 Tz=9.01 Mx=-0.01 Mz=-7.66
Sollecitazioni agenti localmente: Ty_l=-2026.03 Mx_l=-40.52
Tensioni nella sezione: σ=491.16 τ=61.39
CC 20 SLD (Collegamento -182_-384)
Azioni sul collegamento: N=-11143.10 Ty=-11.43 Tz=9.01 Mx=-0.01 Mz=-8.95
Sollecitazioni agenti localmente: Ty_l=-2026.03 Mx_l=-40.52
Tensioni nella sezione: σ=491.16 τ=61.39
CC 20 SLD (Collegamento -182_-384)
Azioni sul collegamento: N=-11143.10 Ty=-9.39 Tz=17.72 Mx=-0.01 Mz=-7.66
Sollecitazioni agenti localmente: Ty_l=-2026.03 Mx_l=-40.52
Tensioni nella sezione: σ=491.16 τ=61.39
CC 20 SLD (Collegamento -182_-384)
Azioni sul collegamento: N=-11143.10 Ty=-11.43 Tz=17.72 Mx=-0.01 Mz=-8.95
Sollecitazioni agenti localmente: Ty_l=-2026.03 Mx_l=-40.52
Tensioni nella sezione: σ=491.16 τ=61.39
CC 21 SLV (Collegamento -182_-384)
Azioni sul collegamento: N=-13956.40 Ty=-14.68 Tz=28.02 Mx=-0.02 Mz=-12.56
Sollecitazioni agenti localmente: Ty_l=-2537.54 Mx_l=-50.75
Tensioni nella sezione: σ=615.16 τ=76.89
CC 21 SLV (Collegamento -182_-384)
Azioni sul collegamento: N=-13956.40 Ty=-7.99 Tz=28.02 Mx=-0.02 Mz=-8.33
Sollecitazioni agenti localmente: Ty_l=-2537.54 Mx_l=-50.75
Tensioni nella sezione: σ=615.16 τ=76.89
CC 21 SLV (Collegamento -182_-384)
Azioni sul collegamento: N=-13956.40 Ty=-14.68 Tz=-0.53 Mx=-0.02 Mz=-12.56
Sollecitazioni agenti localmente: Ty_l=-2537.54 Mx_l=-50.75
Tensioni nella sezione: σ=615.16 τ=76.89
CC 21 SLV (Collegamento -182_-384)
Azioni sul collegamento: N=-13956.40 Ty=-7.99 Tz=-0.53 Mx=-0.02 Mz=-8.33
Sollecitazioni agenti localmente: Ty_l=-2537.54 Mx_l=-50.75
Tensioni nella sezione: σ=615.16 τ=76.89
CC 21 SLV (Collegamento -182_-384)
Azioni sul collegamento: N=-6141.50 Ty=-14.68 Tz=28.02 Mx=-0.02 Mz=-12.56
Sollecitazioni agenti localmente: Ty_l=-1116.64 Mx_l=-22.33
Tensioni nella sezione: σ=270.70 τ=33.84
CC 21 SLV (Collegamento -182_-384)
Azioni sul collegamento: N=-6141.50 Ty=-7.99 Tz=28.02 Mx=-0.02 Mz=-8.33
Sollecitazioni agenti localmente: Ty_l=-1116.64 Mx_l=-22.33
Tensioni nella sezione: σ=270.70 τ=33.84
CC 21 SLV (Collegamento -182_-384)
Azioni sul collegamento: N=-6141.50 Ty=-14.68 Tz=-0.53 Mx=-0.02 Mz=-12.56
Sollecitazioni agenti localmente: Ty_l=-1116.64 Mx_l=-22.33
Tensioni nella sezione: σ=270.70 τ=33.84
CC 21 SLV (Collegamento -182_-384)
Azioni sul collegamento: N=-6141.50 Ty=-7.99 Tz=-0.53 Mx=-0.02 Mz=-8.33

Sollecitazioni agenti localmente: Ty_l=-1116.64 Mx_l=-22.33
Tensioni nella sezione: σ=270.70 τ=33.84
CC 22 SLD (Collegamento -182_-384)
Azioni sul collegamento: N=-11143.10 Ty=-11.43 Tz=17.72 Mx=-0.01 Mz=-8.95
Sollecitazioni agenti localmente: Ty_l=-2026.03 Mx_l=-40.52
Tensioni nella sezione: σ=491.16 τ=61.39
CC 22 SLD (Collegamento -182_-384)
Azioni sul collegamento: N=-11143.10 Ty=-9.39 Tz=17.72 Mx=-0.01 Mz=-7.66
Sollecitazioni agenti localmente: Ty_l=-2026.03 Mx_l=-40.52
Tensioni nella sezione: σ=491.16 τ=61.39
CC 22 SLD (Collegamento -182_-384)
Azioni sul collegamento: N=-11143.10 Ty=-11.43 Tz=9.01 Mx=-0.01 Mz=-8.95
Sollecitazioni agenti localmente: Ty_l=-2026.03 Mx_l=-40.52
Tensioni nella sezione: σ=491.16 τ=61.39
CC 22 SLD (Collegamento -182_-384)
Azioni sul collegamento: N=-11143.10 Ty=-9.39 Tz=9.01 Mx=-0.01 Mz=-7.66
Sollecitazioni agenti localmente: Ty_l=-2026.03 Mx_l=-40.52
Tensioni nella sezione: σ=491.16 τ=61.39
CC 22 SLD (Collegamento -182_-384)
Azioni sul collegamento: N=-8760.13 Ty=-11.43 Tz=17.72 Mx=-0.01 Mz=-8.95
Sollecitazioni agenti localmente: Ty_l=-1592.75 Mx_l=-31.85
Tensioni nella sezione: σ=386.12 τ=48.27
CC 22 SLD (Collegamento -182_-384)
Azioni sul collegamento: N=-8760.13 Ty=-9.39 Tz=17.72 Mx=-0.01 Mz=-7.66
Sollecitazioni agenti localmente: Ty_l=-1592.75 Mx_l=-31.85
Tensioni nella sezione: σ=386.12 τ=48.27
CC 22 SLD (Collegamento -182_-384)
Azioni sul collegamento: N=-8760.12 Ty=-11.43 Tz=9.01 Mx=-0.01 Mz=-8.95
Sollecitazioni agenti localmente: Ty_l=-1592.75 Mx_l=-31.85
Tensioni nella sezione: σ=386.12 τ=48.27
CC 22 SLD (Collegamento -182_-384)
Azioni sul collegamento: N=-8760.12 Ty=-9.39 Tz=9.01 Mx=-0.01 Mz=-7.66
Sollecitazioni agenti localmente: Ty_l=-1592.75 Mx_l=-31.85
Tensioni nella sezione: σ=386.12 τ=48.27
CC 23 SLV (Collegamento -182_-384)
Azioni sul collegamento: N=-13961.30 Ty=-15.19 Tz=28.35 Mx=-0.01 Mz=-13.60
Sollecitazioni agenti localmente: Ty_l=-2538.42 Mx_l=-50.77
Tensioni nella sezione: σ=615.37 τ=76.92
CC 23 SLV (Collegamento -182_-384)
Azioni sul collegamento: N=-13961.30 Ty=-7.48 Tz=28.35 Mx=-0.01 Mz=-7.28
Sollecitazioni agenti localmente: Ty_l=-2538.42 Mx_l=-50.77
Tensioni nella sezione: σ=615.37 τ=76.92
CC 23 SLV (Collegamento -182_-384)
Azioni sul collegamento: N=-13961.30 Ty=-15.19 Tz=-0.86 Mx=-0.01 Mz=-13.60
Sollecitazioni agenti localmente: Ty_l=-2538.42 Mx_l=-50.77
Tensioni nella sezione: σ=615.37 τ=76.92
CC 23 SLV (Collegamento -182_-384)
Azioni sul collegamento: N=-13961.30 Ty=-7.48 Tz=-0.86 Mx=-0.01 Mz=-7.28
Sollecitazioni agenti localmente: Ty_l=-2538.42 Mx_l=-50.77
Tensioni nella sezione: σ=615.37 τ=76.92
CC 23 SLV (Collegamento -182_-384)
Azioni sul collegamento: N=-6136.65 Ty=-15.19 Tz=28.35 Mx=-0.01 Mz=-13.60
Sollecitazioni agenti localmente: Ty_l=-1115.75 Mx_l=-22.32
Tensioni nella sezione: σ=270.49 τ=33.81
CC 23 SLV (Collegamento -182_-384)
Azioni sul collegamento: N=-6136.65 Ty=-7.48 Tz=28.35 Mx=-0.01 Mz=-7.28
Sollecitazioni agenti localmente: Ty_l=-1115.75 Mx_l=-22.32
Tensioni nella sezione: σ=270.49 τ=33.81
CC 23 SLV (Collegamento -182_-384)
Azioni sul collegamento: N=-6136.65 Ty=-15.19 Tz=-0.86 Mx=-0.01 Mz=-13.60
Sollecitazioni agenti localmente: Ty_l=-1115.75 Mx_l=-22.32
Tensioni nella sezione: σ=270.49 τ=33.81
CC 23 SLV (Collegamento -182_-384)
Azioni sul collegamento: N=-6136.65 Ty=-7.48 Tz=-0.86 Mx=-0.01 Mz=-7.28
Sollecitazioni agenti localmente: Ty_l=-1115.75 Mx_l=-22.32
Tensioni nella sezione: σ=270.49 τ=33.81
CC 24 SLD (Collegamento -182_-384)
Azioni sul collegamento: N=-11144.60 Ty=-11.59 Tz=17.82 Mx=-0.01 Mz=-9.27
Sollecitazioni agenti localmente: Ty_l=-2026.30 Mx_l=-40.53
Tensioni nella sezione: σ=491.22 τ=61.40
CC 24 SLD (Collegamento -182_-384)
Azioni sul collegamento: N=-11144.60 Ty=-9.24 Tz=17.82 Mx=-0.01 Mz=-7.34
Sollecitazioni agenti localmente: Ty_l=-2026.30 Mx_l=-40.53
Tensioni nella sezione: σ=491.22 τ=61.40
CC 24 SLD (Collegamento -182_-384)
Azioni sul collegamento: N=-11144.60 Ty=-11.59 Tz=8.91 Mx=-0.01 Mz=-9.27
Sollecitazioni agenti localmente: Ty_l=-2026.30 Mx_l=-40.53
Tensioni nella sezione: σ=491.22 τ=61.40
CC 24 SLD (Collegamento -182_-384)

Azioni sul collegamento: N=-11144.60 Ty=-9.24 Tz=8.91 Mx=-0.01 Mz=-7.34
Sollecitazioni agenti localmente: Ty_l=-2026.30 Mx_l=-40.53
Tensioni nella sezione: σ=491.22 τ=61.40
CC 24 SLD (Collegamento -182_-384)
Azioni sul collegamento: N=-8758.65 Ty=-11.59 Tz=17.82 Mx=-0.01 Mz=-9.27
Sollecitazioni agenti localmente: Ty_l=-1592.48 Mx_l=-31.85
Tensioni nella sezione: σ=386.06 τ=48.26
CC 24 SLD (Collegamento -182_-384)
Azioni sul collegamento: N=-8758.65 Ty=-9.24 Tz=17.82 Mx=-0.01 Mz=-7.34
Sollecitazioni agenti localmente: Ty_l=-1592.48 Mx_l=-31.85
Tensioni nella sezione: σ=386.06 τ=48.26
CC 24 SLD (Collegamento -182_-384)
Azioni sul collegamento: N=-8758.64 Ty=-11.59 Tz=8.91 Mx=-0.01 Mz=-9.27
Sollecitazioni agenti localmente: Ty_l=-1592.48 Mx_l=-31.85
Tensioni nella sezione: σ=386.06 τ=48.26
CC 24 SLD (Collegamento -182_-384)
Azioni sul collegamento: N=-8758.64 Ty=-9.24 Tz=8.91 Mx=-0.01 Mz=-7.34
Sollecitazioni agenti localmente: Ty_l=-1592.48 Mx_l=-31.85
Tensioni nella sezione: σ=386.06 τ=48.26
CC 25 SLV (Collegamento -182_-384)
Azioni sul collegamento: N=-8867.92 Ty=-9.40 Tz=8.87 Mx=-0.02 Mz=-7.91
Sollecitazioni agenti localmente: Ty_l=-1612.35 Mx_l=-32.25
Tensioni nella sezione: σ=390.87 τ=48.86
CC 25 SLV (Collegamento -182_-384)
Azioni sul collegamento: N=-8867.92 Ty=-13.27 Tz=8.87 Mx=-0.02 Mz=-12.98
Sollecitazioni agenti localmente: Ty_l=-1612.35 Mx_l=-32.25
Tensioni nella sezione: σ=390.87 τ=48.86
CC 25 SLV (Collegamento -182_-384)
Azioni sul collegamento: N=-8867.92 Ty=-9.40 Tz=18.62 Mx=-0.02 Mz=-7.91
Sollecitazioni agenti localmente: Ty_l=-1612.35 Mx_l=-32.25
Tensioni nella sezione: σ=390.87 τ=48.86
CC 25 SLV (Collegamento -182_-384)
Azioni sul collegamento: N=-8867.92 Ty=-13.27 Tz=18.62 Mx=-0.02 Mz=-12.98
Sollecitazioni agenti localmente: Ty_l=-1612.35 Mx_l=-32.25
Tensioni nella sezione: σ=390.87 τ=48.86
CC 25 SLV (Collegamento -182_-384)
Azioni sul collegamento: N=-11230.00 Ty=-9.40 Tz=8.87 Mx=-0.02 Mz=-7.91
Sollecitazioni agenti localmente: Ty_l=-2041.82 Mx_l=-40.84
Tensioni nella sezione: σ=494.99 τ=61.87
CC 25 SLV (Collegamento -182_-384)
Azioni sul collegamento: N=-11230.00 Ty=-13.27 Tz=8.87 Mx=-0.02 Mz=-12.98
Sollecitazioni agenti localmente: Ty_l=-2041.82 Mx_l=-40.84
Tensioni nella sezione: σ=494.99 τ=61.87
CC 25 SLV (Collegamento -182_-384)
Azioni sul collegamento: N=-11230.00 Ty=-9.40 Tz=18.62 Mx=-0.02 Mz=-7.91
Sollecitazioni agenti localmente: Ty_l=-2041.82 Mx_l=-40.84
Tensioni nella sezione: σ=494.99 τ=61.87
CC 25 SLV (Collegamento -182_-384)
Azioni sul collegamento: N=-11230.00 Ty=-13.27 Tz=18.62 Mx=-0.02 Mz=-12.98
Sollecitazioni agenti localmente: Ty_l=-2041.82 Mx_l=-40.84
Tensioni nella sezione: σ=494.99 τ=61.87
CC 26 SLD (Collegamento -182_-384)
Azioni sul collegamento: N=-9591.50 Ty=-9.82 Tz=11.88 Mx=-0.01 Mz=-7.53
Sollecitazioni agenti localmente: Ty_l=-1743.91 Mx_l=-34.88
Tensioni nella sezione: σ=422.76 τ=52.85
CC 26 SLD (Collegamento -182_-384)
Azioni sul collegamento: N=-9591.50 Ty=-11.00 Tz=11.88 Mx=-0.01 Mz=-9.08
Sollecitazioni agenti localmente: Ty_l=-1743.91 Mx_l=-34.88
Tensioni nella sezione: σ=422.76 τ=52.85
CC 26 SLD (Collegamento -182_-384)
Azioni sul collegamento: N=-9591.50 Ty=-9.82 Tz=14.85 Mx=-0.01 Mz=-7.53
Sollecitazioni agenti localmente: Ty_l=-1743.91 Mx_l=-34.88
Tensioni nella sezione: σ=422.76 τ=52.85
CC 26 SLD (Collegamento -182_-384)
Azioni sul collegamento: N=-9591.50 Ty=-11.00 Tz=14.85 Mx=-0.01 Mz=-9.08
Sollecitazioni agenti localmente: Ty_l=-1743.91 Mx_l=-34.88
Tensioni nella sezione: σ=422.76 τ=52.85
CC 26 SLD (Collegamento -182_-384)
Azioni sul collegamento: N=-10311.80 Ty=-9.82 Tz=11.88 Mx=-0.01 Mz=-7.53
Sollecitazioni agenti localmente: Ty_l=-1874.87 Mx_l=-37.50
Tensioni nella sezione: σ=454.51 τ=56.81
CC 26 SLD (Collegamento -182_-384)
Azioni sul collegamento: N=-10311.80 Ty=-11.00 Tz=11.88 Mx=-0.01 Mz=-9.08
Sollecitazioni agenti localmente: Ty_l=-1874.87 Mx_l=-37.50
Tensioni nella sezione: σ=454.51 τ=56.81
CC 26 SLD (Collegamento -182_-384)
Azioni sul collegamento: N=-10311.80 Ty=-9.82 Tz=14.85 Mx=-0.01 Mz=-7.53
Sollecitazioni agenti localmente: Ty_l=-1874.87 Mx_l=-37.50
Tensioni nella sezione: σ=454.51 τ=56.81

CC 26 SLD (Collegamento -182_-384)
Azioni sul collegamento: N=-10311.80 Ty=-11.00 Tz=14.85 Mx=-0.01 Mz=-9.08
Sollecitazioni agenti localmente: Ty_l=-1874.87 Mx_l=-37.50
Tensioni nella sezione: σ=454.51 τ=56.81
CC 27 SLV (Collegamento -182_-384)
Azioni sul collegamento: N=-11213.90 Ty=-11.56 Tz=17.53 Mx=-0.02 Mz=-9.49
Sollecitazioni agenti localmente: Ty_l=-2038.88 Mx_l=-40.78
Tensioni nella sezione: σ=494.27 τ=61.78
CC 27 SLV (Collegamento -182_-384)
Azioni sul collegamento: N=-11213.90 Ty=-11.11 Tz=17.53 Mx=-0.02 Mz=-11.40
Sollecitazioni agenti localmente: Ty_l=-2038.88 Mx_l=-40.78
Tensioni nella sezione: σ=494.27 τ=61.78
CC 27 SLV (Collegamento -182_-384)
Azioni sul collegamento: N=-11213.90 Ty=-11.56 Tz=9.96 Mx=-0.02 Mz=-9.49
Sollecitazioni agenti localmente: Ty_l=-2038.88 Mx_l=-40.78
Tensioni nella sezione: σ=494.27 τ=61.78
CC 27 SLV (Collegamento -182_-384)
Azioni sul collegamento: N=-11213.90 Ty=-11.11 Tz=9.96 Mx=-0.02 Mz=-11.40
Sollecitazioni agenti localmente: Ty_l=-2038.88 Mx_l=-40.78
Tensioni nella sezione: σ=494.27 τ=61.78
CC 27 SLV (Collegamento -182_-384)
Azioni sul collegamento: N=-8884.09 Ty=-11.56 Tz=17.53 Mx=-0.02 Mz=-9.49
Sollecitazioni agenti localmente: Ty_l=-1615.29 Mx_l=-32.31
Tensioni nella sezione: σ=391.58 τ=48.95
CC 27 SLV (Collegamento -182_-384)
Azioni sul collegamento: N=-8884.09 Ty=-11.11 Tz=17.53 Mx=-0.02 Mz=-11.40
Sollecitazioni agenti localmente: Ty_l=-1615.29 Mx_l=-32.31
Tensioni nella sezione: σ=391.58 τ=48.95
CC 27 SLV (Collegamento -182_-384)
Azioni sul collegamento: N=-8884.09 Ty=-11.56 Tz=9.96 Mx=-0.02 Mz=-9.49
Sollecitazioni agenti localmente: Ty_l=-1615.29 Mx_l=-32.31
Tensioni nella sezione: σ=391.58 τ=48.95
CC 27 SLV (Collegamento -182_-384)
Azioni sul collegamento: N=-8884.09 Ty=-11.11 Tz=9.96 Mx=-0.02 Mz=-11.40
Sollecitazioni agenti localmente: Ty_l=-1615.29 Mx_l=-32.31
Tensioni nella sezione: σ=391.58 τ=48.95
CC 28 SLD (Collegamento -182_-384)
Azioni sul collegamento: N=-10306.80 Ty=-10.48 Tz=14.52 Mx=-0.01 Mz=-8.01
Sollecitazioni agenti localmente: Ty_l=-1873.97 Mx_l=-37.48
Tensioni nella sezione: σ=454.30 τ=56.79
CC 28 SLD (Collegamento -182_-384)
Azioni sul collegamento: N=-10306.80 Ty=-10.34 Tz=14.52 Mx=-0.01 Mz=-8.60
Sollecitazioni agenti localmente: Ty_l=-1873.97 Mx_l=-37.48
Tensioni nella sezione: σ=454.30 τ=56.79
CC 28 SLD (Collegamento -182_-384)
Azioni sul collegamento: N=-10306.80 Ty=-10.48 Tz=12.21 Mx=-0.01 Mz=-8.01
Sollecitazioni agenti localmente: Ty_l=-1873.97 Mx_l=-37.48
Tensioni nella sezione: σ=454.30 τ=56.79
CC 28 SLD (Collegamento -182_-384)
Azioni sul collegamento: N=-10306.80 Ty=-10.34 Tz=12.21 Mx=-0.01 Mz=-8.60
Sollecitazioni agenti localmente: Ty_l=-1873.97 Mx_l=-37.48
Tensioni nella sezione: σ=454.30 τ=56.79
CC 28 SLD (Collegamento -182_-384)
Azioni sul collegamento: N=-9596.43 Ty=-10.48 Tz=14.52 Mx=-0.01 Mz=-8.01
Sollecitazioni agenti localmente: Ty_l=-1744.80 Mx_l=-34.90
Tensioni nella sezione: σ=422.98 τ=52.87
CC 28 SLD (Collegamento -182_-384)
Azioni sul collegamento: N=-9596.43 Ty=-10.34 Tz=14.52 Mx=-0.01 Mz=-8.60
Sollecitazioni agenti localmente: Ty_l=-1744.80 Mx_l=-34.90
Tensioni nella sezione: σ=422.98 τ=52.87
CC 28 SLD (Collegamento -182_-384)
Azioni sul collegamento: N=-9596.43 Ty=-10.48 Tz=12.21 Mx=-0.01 Mz=-8.01
Sollecitazioni agenti localmente: Ty_l=-1744.80 Mx_l=-34.90
Tensioni nella sezione: σ=422.98 τ=52.87
CC 28 SLD (Collegamento -182_-384)
Azioni sul collegamento: N=-9596.43 Ty=-10.34 Tz=12.21 Mx=-0.01 Mz=-8.60
Sollecitazioni agenti localmente: Ty_l=-1744.80 Mx_l=-34.90
Tensioni nella sezione: σ=422.98 τ=52.87
CC 29 SLV (Collegamento -182_-384)
Azioni sul collegamento: N=-8884.09 Ty=-11.11 Tz=9.96 Mx=-0.01 Mz=-11.40
Sollecitazioni agenti localmente: Ty_l=-1615.29 Mx_l=-32.31
Tensioni nella sezione: σ=391.58 τ=48.95
CC 29 SLV (Collegamento -182_-384)
Azioni sul collegamento: N=-8884.09 Ty=-11.56 Tz=9.96 Mx=-0.01 Mz=-9.49
Sollecitazioni agenti localmente: Ty_l=-1615.29 Mx_l=-32.31
Tensioni nella sezione: σ=391.58 τ=48.95
CC 29 SLV (Collegamento -182_-384)
Azioni sul collegamento: N=-8884.09 Ty=-11.11 Tz=17.53 Mx=-0.01 Mz=-11.40
Sollecitazioni agenti localmente: Ty_l=-1615.29 Mx_l=-32.31

Tensioni nella sezione: σ=391.58 τ=48.95
CC 29 SLV (Collegamento -182_-384)
Azioni sul collegamento: N=-8884.09 Ty=-11.56 Tz=17.53 Mx=-0.01 Mz=-9.49
Sollecitazioni agenti localmente: Ty_l=-1615.29 Mx_l=-32.31
Tensioni nella sezione: σ=391.58 τ=48.95
CC 29 SLV (Collegamento -182_-384)
Azioni sul collegamento: N=-11213.90 Ty=-11.11 Tz=9.96 Mx=-0.01 Mz=-11.40
Sollecitazioni agenti localmente: Ty_l=-2038.88 Mx_l=-40.78
Tensioni nella sezione: σ=494.27 τ=61.78
CC 29 SLV (Collegamento -182_-384)
Azioni sul collegamento: N=-11213.90 Ty=-11.56 Tz=9.96 Mx=-0.01 Mz=-9.49
Sollecitazioni agenti localmente: Ty_l=-2038.88 Mx_l=-40.78
Tensioni nella sezione: σ=494.27 τ=61.78
CC 29 SLV (Collegamento -182_-384)
Azioni sul collegamento: N=-11213.90 Ty=-11.11 Tz=17.53 Mx=-0.01 Mz=-11.40
Sollecitazioni agenti localmente: Ty_l=-2038.88 Mx_l=-40.78
Tensioni nella sezione: σ=494.27 τ=61.78
CC 29 SLV (Collegamento -182_-384)
Azioni sul collegamento: N=-11213.90 Ty=-11.56 Tz=17.53 Mx=-0.01 Mz=-9.49
Sollecitazioni agenti localmente: Ty_l=-2038.88 Mx_l=-40.78
Tensioni nella sezione: σ=494.27 τ=61.78
CC 30 SLD (Collegamento -182_-384)
Azioni sul collegamento: N=-9596.43 Ty=-10.34 Tz=12.21 Mx=-0.00 Mz=-8.60
Sollecitazioni agenti localmente: Ty_l=-1744.80 Mx_l=-34.90
Tensioni nella sezione: σ=422.98 τ=52.87
CC 30 SLD (Collegamento -182_-384)
Azioni sul collegamento: N=-9596.43 Ty=-10.48 Tz=12.21 Mx=-0.00 Mz=-8.01
Sollecitazioni agenti localmente: Ty_l=-1744.80 Mx_l=-34.90
Tensioni nella sezione: σ=422.98 τ=52.87
CC 30 SLD (Collegamento -182_-384)
Azioni sul collegamento: N=-9596.43 Ty=-10.34 Tz=14.52 Mx=-0.00 Mz=-8.60
Sollecitazioni agenti localmente: Ty_l=-1744.80 Mx_l=-34.90
Tensioni nella sezione: σ=422.98 τ=52.87
CC 30 SLD (Collegamento -182_-384)
Azioni sul collegamento: N=-9596.43 Ty=-10.48 Tz=14.52 Mx=-0.00 Mz=-8.01
Sollecitazioni agenti localmente: Ty_l=-1744.80 Mx_l=-34.90
Tensioni nella sezione: σ=422.98 τ=52.87
CC 30 SLD (Collegamento -182_-384)
Azioni sul collegamento: N=-10306.80 Ty=-10.34 Tz=12.21 Mx=-0.00 Mz=-8.60
Sollecitazioni agenti localmente: Ty_l=-1873.97 Mx_l=-37.48
Tensioni nella sezione: σ=454.30 τ=56.79
CC 30 SLD (Collegamento -182_-384)
Azioni sul collegamento: N=-10306.80 Ty=-10.48 Tz=12.21 Mx=-0.00 Mz=-8.01
Sollecitazioni agenti localmente: Ty_l=-1873.97 Mx_l=-37.48
Tensioni nella sezione: σ=454.30 τ=56.79
CC 30 SLD (Collegamento -182_-384)
Azioni sul collegamento: N=-10306.80 Ty=-10.34 Tz=14.52 Mx=-0.00 Mz=-8.60
Sollecitazioni agenti localmente: Ty_l=-1873.97 Mx_l=-37.48
Tensioni nella sezione: σ=454.30 τ=56.79
CC 30 SLD (Collegamento -182_-384)
Azioni sul collegamento: N=-10306.80 Ty=-10.48 Tz=14.52 Mx=-0.00 Mz=-8.01
Sollecitazioni agenti localmente: Ty_l=-1873.97 Mx_l=-37.48
Tensioni nella sezione: σ=454.30 τ=56.79
CC 31 SLV (Collegamento -182_-384)
Azioni sul collegamento: N=-11230.00 Ty=-13.27 Tz=18.62 Mx=-0.01 Mz=-12.98
Sollecitazioni agenti localmente: Ty_l=-2041.82 Mx_l=-40.84
Tensioni nella sezione: σ=494.99 τ=61.87
CC 31 SLV (Collegamento -182_-384)
Azioni sul collegamento: N=-11230.00 Ty=-9.40 Tz=18.62 Mx=-0.01 Mz=-7.91
Sollecitazioni agenti localmente: Ty_l=-2041.82 Mx_l=-40.84
Tensioni nella sezione: σ=494.99 τ=61.87
CC 31 SLV (Collegamento -182_-384)
Azioni sul collegamento: N=-11230.00 Ty=-13.27 Tz=8.87 Mx=-0.01 Mz=-12.98
Sollecitazioni agenti localmente: Ty_l=-2041.82 Mx_l=-40.84
Tensioni nella sezione: σ=494.99 τ=61.87
CC 31 SLV (Collegamento -182_-384)
Azioni sul collegamento: N=-11230.00 Ty=-9.40 Tz=8.87 Mx=-0.01 Mz=-7.91
Sollecitazioni agenti localmente: Ty_l=-2041.82 Mx_l=-40.84
Tensioni nella sezione: σ=494.99 τ=61.87
CC 31 SLV (Collegamento -182_-384)
Azioni sul collegamento: N=-8867.92 Ty=-13.27 Tz=18.62 Mx=-0.01 Mz=-12.98
Sollecitazioni agenti localmente: Ty_l=-1612.35 Mx_l=-32.25
Tensioni nella sezione: σ=390.87 τ=48.86
CC 31 SLV (Collegamento -182_-384)
Azioni sul collegamento: N=-8867.92 Ty=-9.40 Tz=18.62 Mx=-0.01 Mz=-7.91
Sollecitazioni agenti localmente: Ty_l=-1612.35 Mx_l=-32.25
Tensioni nella sezione: σ=390.87 τ=48.86
CC 31 SLV (Collegamento -182_-384)
Azioni sul collegamento: N=-8867.92 Ty=-13.27 Tz=8.87 Mx=-0.01 Mz=-12.98

Sollecitazioni agenti localmente: Ty_l=-1612.35 Mx_l=-32.25
Tensioni nella sezione: σ=390.87 τ=48.86
CC 31 SLV (Collegamento -182_-384)
Azioni sul collegamento: N=-8867.92 Ty=-9.40 Tz=8.87 Mx=-0.01 Mz=-7.91
Sollecitazioni agenti localmente: Ty_l=-1612.35 Mx_l=-32.25
Tensioni nella sezione: σ=390.87 τ=48.86
CC 32 SLD (Collegamento -182_-384)
Azioni sul collegamento: N=-10311.80 Ty=-11.00 Tz=14.85 Mx=-0.00 Mz=-9.08
Sollecitazioni agenti localmente: Ty_l=-1874.87 Mx_l=-37.50
Tensioni nella sezione: σ=454.51 τ=56.81
CC 32 SLD (Collegamento -182_-384)
Azioni sul collegamento: N=-10311.80 Ty=-9.82 Tz=14.85 Mx=-0.00 Mz=-7.53
Sollecitazioni agenti localmente: Ty_l=-1874.87 Mx_l=-37.50
Tensioni nella sezione: σ=454.51 τ=56.81
CC 32 SLD (Collegamento -182_-384)
Azioni sul collegamento: N=-10311.80 Ty=-11.00 Tz=11.88 Mx=-0.00 Mz=-9.08
Sollecitazioni agenti localmente: Ty_l=-1874.87 Mx_l=-37.50
Tensioni nella sezione: σ=454.51 τ=56.81
CC 32 SLD (Collegamento -182_-384)
Azioni sul collegamento: N=-10311.80 Ty=-9.82 Tz=11.88 Mx=-0.00 Mz=-7.53
Sollecitazioni agenti localmente: Ty_l=-1874.87 Mx_l=-37.50
Tensioni nella sezione: σ=454.51 τ=56.81
CC 32 SLD (Collegamento -182_-384)
Azioni sul collegamento: N=-9591.50 Ty=-11.00 Tz=14.85 Mx=-0.00 Mz=-9.08
Sollecitazioni agenti localmente: Ty_l=-1743.91 Mx_l=-34.88
Tensioni nella sezione: σ=422.76 τ=52.85
CC 32 SLD (Collegamento -182_-384)
Azioni sul collegamento: N=-9591.50 Ty=-9.82 Tz=14.85 Mx=-0.00 Mz=-7.53
Sollecitazioni agenti localmente: Ty_l=-1743.91 Mx_l=-34.88
Tensioni nella sezione: σ=422.76 τ=52.85
CC 32 SLD (Collegamento -182_-384)
Azioni sul collegamento: N=-9591.50 Ty=-11.00 Tz=11.88 Mx=-0.00 Mz=-9.08
Sollecitazioni agenti localmente: Ty_l=-1743.91 Mx_l=-34.88
Tensioni nella sezione: σ=422.76 τ=52.85
CC 32 SLD (Collegamento -182_-384)
Azioni sul collegamento: N=-9591.50 Ty=-9.82 Tz=11.88 Mx=-0.00 Mz=-7.53
Sollecitazioni agenti localmente: Ty_l=-1743.91 Mx_l=-34.88
Tensioni nella sezione: σ=422.76 τ=52.85
CC 33 SLU (Collegamento -182_-384)
Azioni sul collegamento: N=-37242.40 Ty=-20.96 Tz=105.49 Mx=-0.01 Mz=-15.56
Sollecitazioni agenti localmente: Ty_l=-6771.33 Mx_l=-135.43
Tensioni nella sezione: σ=1641.53 τ=205.19
CC 34 SLU (Collegamento -182_-384)
Azioni sul collegamento: N=-36428.20 Ty=-20.21 Tz=102.49 Mx=-0.01 Mz=-15.01
Sollecitazioni agenti localmente: Ty_l=-6623.30 Mx_l=-132.47
Tensioni nella sezione: σ=1605.65 τ=200.71
CC 35 SLU (Collegamento -182_-384)
Azioni sul collegamento: N=-36836.10 Ty=-20.67 Tz=103.93 Mx=-0.00 Mz=-15.47
Sollecitazioni agenti localmente: Ty_l=-6697.48 Mx_l=-133.95
Tensioni nella sezione: σ=1623.63 τ=202.95
CC 36 SLU (Collegamento -182_-384)
Azioni sul collegamento: N=-36834.40 Ty=-20.49 Tz=104.05 Mx=-0.01 Mz=-15.10
Sollecitazioni agenti localmente: Ty_l=-6697.16 Mx_l=-133.94
Tensioni nella sezione: σ=1623.55 τ=202.94
CC 37 SLU (Collegamento -182_-384)
Azioni sul collegamento: N=-28075.80 Ty=-20.08 Tz=71.84 Mx=-0.01 Mz=-14.76
Sollecitazioni agenti localmente: Ty_l=-5104.69 Mx_l=-102.09
Tensioni nella sezione: σ=1237.50 τ=154.69
CC 38 SLU (Collegamento -182_-384)
Azioni sul collegamento: N=-27261.60 Ty=-19.33 Tz=68.83 Mx=-0.01 Mz=-14.21
Sollecitazioni agenti localmente: Ty_l=-4956.65 Mx_l=-99.13
Tensioni nella sezione: σ=1201.61 τ=150.20
CC 39 SLU (Collegamento -182_-384)
Azioni sul collegamento: N=-27669.60 Ty=-19.79 Tz=70.28 Mx=-0.00 Mz=-14.67
Sollecitazioni agenti localmente: Ty_l=-5030.83 Mx_l=-100.62
Tensioni nella sezione: σ=1219.59 τ=152.45
CC 40 SLU (Collegamento -182_-384)
Azioni sul collegamento: N=-27667.80 Ty=-19.61 Tz=70.39 Mx=-0.01 Mz=-14.31
Sollecitazioni agenti localmente: Ty_l=-5030.51 Mx_l=-100.61
Tensioni nella sezione: σ=1219.52 τ=152.44
CC 41 SLU (Collegamento -182_-384)
Azioni sul collegamento: N=-30474.50 Ty=9.93 Tz=80.11 Mx=-0.01 Mz=7.87
Sollecitazioni agenti localmente: Ty_l=-5540.82 Mx_l=-110.82
Tensioni nella sezione: σ=1343.23 τ=167.90
CC 42 SLU (Collegamento -182_-384)
Azioni sul collegamento: N=-29660.30 Ty=10.68 Tz=77.11 Mx=-0.01 Mz=8.42
Sollecitazioni agenti localmente: Ty_l=-5392.79 Mx_l=-107.86
Tensioni nella sezione: σ=1307.34 τ=163.42
CC 43 SLU (Collegamento -182_-384)

Azioni sul collegamento: N=-30068.30 Ty=10.21 Tz=78.55 Mx=-0.00 Mz=7.97
Sollecitazioni agenti localmente: Ty_l=-5466.97 Mx_l=-109.34
Tensioni nella sezione: σ=1325.32 τ=165.67
CC 44 SLU (Collegamento -182_-384)
Azioni sul collegamento: N=-30066.50 Ty=10.39 Tz=78.67 Mx=-0.01 Mz=8.33
Sollecitazioni agenti localmente: Ty_l=-5466.64 Mx_l=-109.33
Tensioni nella sezione: σ=1325.24 τ=165.66
CC 45 SLU (Collegamento -182_-384)
Azioni sul collegamento: N=-30085.80 Ty=-20.31 Tz=79.22 Mx=-0.00 Mz=-15.08
Sollecitazioni agenti localmente: Ty_l=-5470.14 Mx_l=-109.40
Tensioni nella sezione: σ=1326.09 τ=165.76
CC 46 SLU (Collegamento -182_-384)
Azioni sul collegamento: N=-29271.60 Ty=-19.56 Tz=76.22 Mx=-0.00 Mz=-14.53
Sollecitazioni agenti localmente: Ty_l=-5322.11 Mx_l=-106.44
Tensioni nella sezione: σ=1290.20 τ=161.28
CC 47 SLU (Collegamento -182_-384)
Azioni sul collegamento: N=-29679.60 Ty=-20.02 Tz=77.66 Mx=-0.00 Mz=-14.99
Sollecitazioni agenti localmente: Ty_l=-5396.28 Mx_l=-107.92
Tensioni nella sezione: σ=1308.19 τ=163.52
CC 48 SLU (Collegamento -182_-384)
Azioni sul collegamento: N=-29677.80 Ty=-19.84 Tz=77.78 Mx=-0.01 Mz=-14.62
Sollecitazioni agenti localmente: Ty_l=-5395.96 Mx_l=-107.92
Tensioni nella sezione: σ=1308.11 τ=163.51
CC 49 SLU (Collegamento -182_-384)
Azioni sul collegamento: N=-23227.80 Ty=-19.65 Tz=54.04 Mx=-0.00 Mz=-14.49
Sollecitazioni agenti localmente: Ty_l=-4223.24 Mx_l=-84.46
Tensioni nella sezione: σ=1023.81 τ=127.98
CC 50 SLU (Collegamento -182_-384)
Azioni sul collegamento: N=-22413.60 Ty=-18.90 Tz=51.04 Mx=-0.00 Mz=-13.93
Sollecitazioni agenti localmente: Ty_l=-4075.20 Mx_l=-81.50
Tensioni nella sezione: σ=987.93 τ=123.49
CC 51 SLU (Collegamento -182_-384)
Azioni sul collegamento: N=-22821.60 Ty=-19.36 Tz=52.48 Mx=-0.00 Mz=-14.39
Sollecitazioni agenti localmente: Ty_l=-4149.38 Mx_l=-82.99
Tensioni nella sezione: σ=1005.91 τ=125.74
CC 52 SLU (Collegamento -182_-384)
Azioni sul collegamento: N=-22819.80 Ty=-19.19 Tz=52.60 Mx=-0.01 Mz=-14.03
Sollecitazioni agenti localmente: Ty_l=-4149.06 Mx_l=-82.98
Tensioni nella sezione: σ=1005.83 τ=125.73
CC 53 SLU (Collegamento -182_-384)
Azioni sul collegamento: N=-25022.40 Ty=2.80 Tz=60.23 Mx=-0.00 Mz=2.45
Sollecitazioni agenti localmente: Ty_l=-4549.53 Mx_l=-90.99
Tensioni nella sezione: σ=1102.92 τ=137.87
CC 54 SLU (Collegamento -182_-384)
Azioni sul collegamento: N=-24208.20 Ty=3.55 Tz=57.23 Mx=-0.01 Mz=3.00
Sollecitazioni agenti localmente: Ty_l=-4401.50 Mx_l=-88.03
Tensioni nella sezione: σ=1067.03 τ=133.38
CC 55 SLU (Collegamento -182_-384)
Azioni sul collegamento: N=-24616.20 Ty=3.09 Tz=58.67 Mx=-0.00 Mz=2.54
Sollecitazioni agenti localmente: Ty_l=-4475.68 Mx_l=-89.51
Tensioni nella sezione: σ=1085.01 τ=135.63
CC 56 SLU (Collegamento -182_-384)
Azioni sul collegamento: N=-24614.50 Ty=3.26 Tz=58.79 Mx=-0.01 Mz=2.91
Sollecitazioni agenti localmente: Ty_l=-4475.35 Mx_l=-89.51
Tensioni nella sezione: σ=1084.93 τ=135.62
CC 57 SLU (Collegamento -182_-384)
Azioni sul collegamento: N=-27876.60 Ty=-18.56 Tz=71.09 Mx=-0.00 Mz=-13.78
Sollecitazioni agenti localmente: Ty_l=-5068.48 Mx_l=-101.37
Tensioni nella sezione: σ=1228.72 τ=153.59
CC 58 SLU (Collegamento -182_-384)
Azioni sul collegamento: N=-27062.40 Ty=-17.81 Tz=68.08 Mx=-0.00 Mz=-13.23
Sollecitazioni agenti localmente: Ty_l=-4920.44 Mx_l=-98.41
Tensioni nella sezione: σ=1192.83 τ=149.10
CC 59 SLU (Collegamento -182_-384)
Azioni sul collegamento: N=-27470.40 Ty=-18.27 Tz=69.53 Mx=-0.00 Mz=-13.69
Sollecitazioni agenti localmente: Ty_l=-4994.62 Mx_l=-99.89
Tensioni nella sezione: σ=1210.81 τ=151.35
CC 60 SLU (Collegamento -182_-384)
Azioni sul collegamento: N=-27468.70 Ty=-18.09 Tz=69.65 Mx=-0.01 Mz=-13.33
Sollecitazioni agenti localmente: Ty_l=-4994.30 Mx_l=-99.89
Tensioni nella sezione: σ=1210.74 τ=151.34
CC 61 SLU (Collegamento -182_-384)
Azioni sul collegamento: N=-21018.70 Ty=-17.90 Tz=45.91 Mx=-0.00 Mz=-13.19
Sollecitazioni agenti localmente: Ty_l=-3821.58 Mx_l=-76.43
Tensioni nella sezione: σ=926.44 τ=115.81
CC 62 SLU (Collegamento -182_-384)
Azioni sul collegamento: N=-20204.50 Ty=-17.15 Tz=42.91 Mx=-0.00 Mz=-12.64
Sollecitazioni agenti localmente: Ty_l=-3673.54 Mx_l=-73.47
Tensioni nella sezione: σ=890.55 τ=111.32

CC 63 SLU (Collegamento -182_-384)
Azioni sul collegamento: N=-20612.50 Ty=-17.61 Tz=44.35 Mx=-0.00 Mz=-13.10
Sollecitazioni agenti localmente: Ty_l=-3747.72 Mx_l=-74.95
Tensioni nella sezione: σ=908.54 τ=113.57
CC 64 SLU (Collegamento -182_-384)
Azioni sul collegamento: N=-20610.70 Ty=-17.43 Tz=44.47 Mx=-0.01 Mz=-12.73
Sollecitazioni agenti localmente: Ty_l=-3747.40 Mx_l=-74.95
Tensioni nella sezione: σ=908.46 τ=113.56
CC 65 SLU (Collegamento -182_-384)
Azioni sul collegamento: N=-22813.30 Ty=4.55 Tz=52.10 Mx=-0.00 Mz=3.75
Sollecitazioni agenti localmente: Ty_l=-4147.87 Mx_l=-82.96
Tensioni nella sezione: σ=1005.54 τ=125.69
CC 66 SLU (Collegamento -182_-384)
Azioni sul collegamento: N=-21999.10 Ty=5.30 Tz=49.10 Mx=-0.00 Mz=4.30
Sollecitazioni agenti localmente: Ty_l=-3999.83 Mx_l=-80.00
Tensioni nella sezione: σ=969.65 τ=121.21
CC 67 SLU (Collegamento -182_-384)
Azioni sul collegamento: N=-22407.10 Ty=4.84 Tz=50.54 Mx=-0.00 Mz=3.84
Sollecitazioni agenti localmente: Ty_l=-4074.01 Mx_l=-81.48
Tensioni nella sezione: σ=987.64 τ=123.45
CC 68 SLU (Collegamento -182_-384)
Azioni sul collegamento: N=-22405.30 Ty=5.01 Tz=50.66 Mx=-0.01 Mz=4.20
Sollecitazioni agenti localmente: Ty_l=-4073.69 Mx_l=-81.47
Tensioni nella sezione: σ=987.56 τ=123.44
CC 97 SLU (Collegamento -182_-384)
Azioni sul collegamento: N=-12779.50 Ty=-22.48 Tz=24.03 Mx=-0.06 Mz=-25.00
Sollecitazioni agenti localmente: Ty_l=-2323.54 Mx_l=-46.47
Tensioni nella sezione: σ=563.28 τ=70.41
CC 98 SLU (Collegamento -182_-384)
Azioni sul collegamento: N=-11965.30 Ty=-21.73 Tz=21.02 Mx=-0.06 Mz=-24.45
Sollecitazioni agenti localmente: Ty_l=-2175.50 Mx_l=-43.51
Tensioni nella sezione: σ=527.39 τ=65.92
CC 99 SLU (Collegamento -182_-384)
Azioni sul collegamento: N=-12373.20 Ty=-22.20 Tz=22.47 Mx=-0.05 Mz=-24.91
Sollecitazioni agenti localmente: Ty_l=-2249.68 Mx_l=-44.99
Tensioni nella sezione: σ=545.38 τ=68.17
CC 100 SLU (Collegamento -182_-384)
Azioni sul collegamento: N=-12371.50 Ty=-22.02 Tz=22.58 Mx=-0.06 Mz=-24.55
Sollecitazioni agenti localmente: Ty_l=-2249.36 Mx_l=-44.99
Tensioni nella sezione: σ=545.30 τ=68.16
CC 101 SLU (Collegamento -182_-384)
Azioni sul collegamento: N=-10566.60 Ty=-8.33 Tz=15.50 Mx=0.00 Mz=-5.31
Sollecitazioni agenti localmente: Ty_l=-1921.20 Mx_l=-38.42
Tensioni nella sezione: σ=465.74 τ=58.22
CC 102 SLU (Collegamento -182_-384)
Azioni sul collegamento: N=-9752.38 Ty=-7.57 Tz=12.50 Mx=0.00 Mz=-4.76
Sollecitazioni agenti localmente: Ty_l=-1773.16 Mx_l=-35.46
Tensioni nella sezione: σ=429.86 τ=53.73
CC 103 SLU (Collegamento -182_-384)
Azioni sul collegamento: N=-10160.40 Ty=-8.04 Tz=13.94 Mx=0.00 Mz=-5.22
Sollecitazioni agenti localmente: Ty_l=-1847.34 Mx_l=-36.95
Tensioni nella sezione: σ=447.84 τ=55.98
CC 104 SLU (Collegamento -182_-384)
Azioni sul collegamento: N=-10158.60 Ty=-7.86 Tz=14.06 Mx=0.00 Mz=-4.85
Sollecitazioni agenti localmente: Ty_l=-1847.02 Mx_l=-36.94
Tensioni nella sezione: σ=447.76 τ=55.97

Flessione attacco inferiore piastra

Bnetta=220.00 Hnetta=15.00
CC 1 SLV (Collegamento -182_-384)
Azioni sul collegamento: N=-5856.57 Ty=-4.82 Tz=-1.96 Mx=0.01 Mz=-1.13
Sollecitazioni agenti localmente: Ty_l=-1064.83 Mx_l=-21.30
Tensioni nella sezione: σ=258.14 τ=32.27
CC 1 SLV (Collegamento -182_-384)
Azioni sul collegamento: N=-5856.57 Ty=-12.53 Tz=-1.96 Mx=0.01 Mz=-7.45
Sollecitazioni agenti localmente: Ty_l=-1064.83 Mx_l=-21.30
Tensioni nella sezione: σ=258.14 τ=32.27
CC 1 SLV (Collegamento -182_-384)
Azioni sul collegamento: N=-5856.57 Ty=-4.82 Tz=27.25 Mx=0.01 Mz=-1.13
Sollecitazioni agenti localmente: Ty_l=-1064.83 Mx_l=-21.30
Tensioni nella sezione: σ=258.14 τ=32.27
CC 1 SLV (Collegamento -182_-384)
Azioni sul collegamento: N=-5856.57 Ty=-12.53 Tz=27.25 Mx=0.01 Mz=-7.45
Sollecitazioni agenti localmente: Ty_l=-1064.83 Mx_l=-21.30
Tensioni nella sezione: σ=258.14 τ=32.27
CC 1 SLV (Collegamento -182_-384)
Azioni sul collegamento: N=-13681.20 Ty=-4.82 Tz=-1.96 Mx=0.01 Mz=-1.13
Sollecitazioni agenti localmente: Ty_l=-2487.50 Mx_l=-49.75

Tensioni nella sezione: σ=603.03 τ=75.38
CC 1 SLV (Collegamento -182_-384)
Azioni sul collegamento: N=-13681.20 Ty=-12.53 Tz=-1.96 Mx=0.01 Mz=-7.45
Sollecitazioni agenti localmente: Ty_l=-2487.49 Mx_l=-49.75
Tensioni nella sezione: σ=603.03 τ=75.38
CC 1 SLV (Collegamento -182_-384)
Azioni sul collegamento: N=-13681.20 Ty=-4.82 Tz=27.25 Mx=0.01 Mz=-1.13
Sollecitazioni agenti localmente: Ty_l=-2487.50 Mx_l=-49.75
Tensioni nella sezione: σ=603.03 τ=75.38
CC 1 SLV (Collegamento -182_-384)
Azioni sul collegamento: N=-13681.20 Ty=-12.53 Tz=27.25 Mx=0.01 Mz=-7.45
Sollecitazioni agenti localmente: Ty_l=-2487.49 Mx_l=-49.75
Tensioni nella sezione: σ=603.03 τ=75.38
CC 2 SLD (Collegamento -182_-384)
Azioni sul collegamento: N=-8673.24 Ty=-8.42 Tz=8.57 Mx=0.00 Mz=-5.47
Sollecitazioni agenti localmente: Ty_l=-1576.95 Mx_l=-31.54
Tensioni nella sezione: σ=382.29 τ=47.79
CC 2 SLD (Collegamento -182_-384)
Azioni sul collegamento: N=-8673.24 Ty=-10.78 Tz=8.57 Mx=0.00 Mz=-7.39
Sollecitazioni agenti localmente: Ty_l=-1576.95 Mx_l=-31.54
Tensioni nella sezione: σ=382.29 τ=47.79
CC 2 SLD (Collegamento -182_-384)
Azioni sul collegamento: N=-8673.24 Ty=-8.42 Tz=17.48 Mx=0.00 Mz=-5.47
Sollecitazioni agenti localmente: Ty_l=-1576.95 Mx_l=-31.54
Tensioni nella sezione: σ=382.29 τ=47.79
CC 2 SLD (Collegamento -182_-384)
Azioni sul collegamento: N=-8673.24 Ty=-10.78 Tz=17.48 Mx=0.00 Mz=-7.39
Sollecitazioni agenti localmente: Ty_l=-1576.95 Mx_l=-31.54
Tensioni nella sezione: σ=382.29 τ=47.79
CC 2 SLD (Collegamento -182_-384)
Azioni sul collegamento: N=-11059.20 Ty=-8.42 Tz=8.57 Mx=0.00 Mz=-5.47
Sollecitazioni agenti localmente: Ty_l=-2010.77 Mx_l=-40.22
Tensioni nella sezione: σ=487.46 τ=60.93
CC 2 SLD (Collegamento -182_-384)
Azioni sul collegamento: N=-11059.20 Ty=-10.78 Tz=8.57 Mx=0.00 Mz=-7.39
Sollecitazioni agenti localmente: Ty_l=-2010.77 Mx_l=-40.22
Tensioni nella sezione: σ=487.46 τ=60.93
CC 2 SLD (Collegamento -182_-384)
Azioni sul collegamento: N=-11059.20 Ty=-8.42 Tz=17.48 Mx=0.00 Mz=-5.47
Sollecitazioni agenti localmente: Ty_l=-2010.77 Mx_l=-40.22
Tensioni nella sezione: σ=487.46 τ=60.93
CC 2 SLD (Collegamento -182_-384)
Azioni sul collegamento: N=-11059.20 Ty=-10.78 Tz=17.48 Mx=0.00 Mz=-7.39
Sollecitazioni agenti localmente: Ty_l=-2010.77 Mx_l=-40.22
Tensioni nella sezione: σ=487.46 τ=60.93
CC 3 SLV (Collegamento -182_-384)
Azioni sul collegamento: N=-5861.42 Ty=-5.33 Tz=-1.63 Mx=0.01 Mz=-2.18
Sollecitazioni agenti localmente: Ty_l=-1065.71 Mx_l=-21.31
Tensioni nella sezione: σ=258.35 τ=32.29
CC 3 SLV (Collegamento -182_-384)
Azioni sul collegamento: N=-5861.42 Ty=-12.02 Tz=-1.63 Mx=0.01 Mz=-6.41
Sollecitazioni agenti localmente: Ty_l=-1065.71 Mx_l=-21.31
Tensioni nella sezione: σ=258.35 τ=32.29
CC 3 SLV (Collegamento -182_-384)
Azioni sul collegamento: N=-5861.42 Ty=-5.33 Tz=26.92 Mx=0.01 Mz=-2.18
Sollecitazioni agenti localmente: Ty_l=-1065.71 Mx_l=-21.31
Tensioni nella sezione: σ=258.35 τ=32.29
CC 3 SLV (Collegamento -182_-384)
Azioni sul collegamento: N=-5861.42 Ty=-12.02 Tz=26.92 Mx=0.01 Mz=-6.41
Sollecitazioni agenti localmente: Ty_l=-1065.71 Mx_l=-21.31
Tensioni nella sezione: σ=258.35 τ=32.29
CC 3 SLV (Collegamento -182_-384)
Azioni sul collegamento: N=-13676.40 Ty=-5.33 Tz=-1.63 Mx=0.01 Mz=-2.18
Sollecitazioni agenti localmente: Ty_l=-2486.61 Mx_l=-49.73
Tensioni nella sezione: σ=602.81 τ=75.35
CC 3 SLV (Collegamento -182_-384)
Azioni sul collegamento: N=-13676.40 Ty=-12.02 Tz=-1.63 Mx=0.01 Mz=-6.41
Sollecitazioni agenti localmente: Ty_l=-2486.61 Mx_l=-49.73
Tensioni nella sezione: σ=602.81 τ=75.35
CC 3 SLV (Collegamento -182_-384)
Azioni sul collegamento: N=-13676.40 Ty=-5.33 Tz=26.92 Mx=0.01 Mz=-2.18
Sollecitazioni agenti localmente: Ty_l=-2486.61 Mx_l=-49.73
Tensioni nella sezione: σ=602.81 τ=75.35
CC 3 SLV (Collegamento -182_-384)
Azioni sul collegamento: N=-13676.40 Ty=-12.02 Tz=26.92 Mx=0.01 Mz=-6.41
Sollecitazioni agenti localmente: Ty_l=-2486.61 Mx_l=-49.73
Tensioni nella sezione: σ=602.81 τ=75.35
CC 4 SLD (Collegamento -182_-384)
Azioni sul collegamento: N=-8674.72 Ty=-8.58 Tz=8.67 Mx=-0.00 Mz=-5.79

Sollecitazioni agenti localmente: Ty_l=-1577.22 Mx_l=-31.54
Tensioni nella sezione: σ=382.36 τ=47.79
CC 4 SLD (Collegamento -182_-384)
Azioni sul collegamento: N=-8674.72 Ty=-10.62 Tz=8.67 Mx=-0.00 Mz=-7.07
Sollecitazioni agenti localmente: Ty_l=-1577.22 Mx_l=-31.54
Tensioni nella sezione: σ=382.36 τ=47.79
CC 4 SLD (Collegamento -182_-384)
Azioni sul collegamento: N=-8674.72 Ty=-8.58 Tz=17.38 Mx=-0.00 Mz=-5.79
Sollecitazioni agenti localmente: Ty_l=-1577.22 Mx_l=-31.54
Tensioni nella sezione: σ=382.36 τ=47.79
CC 4 SLD (Collegamento -182_-384)
Azioni sul collegamento: N=-8674.72 Ty=-10.62 Tz=17.38 Mx=-0.00 Mz=-7.07
Sollecitazioni agenti localmente: Ty_l=-1577.22 Mx_l=-31.54
Tensioni nella sezione: σ=382.36 τ=47.79
CC 4 SLD (Collegamento -182_-384)
Azioni sul collegamento: N=-11057.70 Ty=-8.58 Tz=8.67 Mx=-0.00 Mz=-5.79
Sollecitazioni agenti localmente: Ty_l=-2010.50 Mx_l=-40.21
Tensioni nella sezione: σ=487.39 τ=60.92
CC 4 SLD (Collegamento -182_-384)
Azioni sul collegamento: N=-11057.70 Ty=-10.62 Tz=8.67 Mx=-0.00 Mz=-7.07
Sollecitazioni agenti localmente: Ty_l=-2010.50 Mx_l=-40.21
Tensioni nella sezione: σ=487.39 τ=60.92
CC 4 SLD (Collegamento -182_-384)
Azioni sul collegamento: N=-11057.70 Ty=-8.58 Tz=17.38 Mx=-0.00 Mz=-5.79
Sollecitazioni agenti localmente: Ty_l=-2010.50 Mx_l=-40.21
Tensioni nella sezione: σ=487.39 τ=60.92
CC 4 SLD (Collegamento -182_-384)
Azioni sul collegamento: N=-11057.70 Ty=-10.62 Tz=17.38 Mx=-0.00 Mz=-7.07
Sollecitazioni agenti localmente: Ty_l=-2010.50 Mx_l=-40.21
Tensioni nella sezione: σ=487.39 τ=60.92
CC 5 SLV (Collegamento -182_-384)
Azioni sul collegamento: N=-13676.40 Ty=-12.02 Tz=26.92 Mx=0.01 Mz=-6.41
Sollecitazioni agenti localmente: Ty_l=-2486.61 Mx_l=-49.73
Tensioni nella sezione: σ=602.81 τ=75.35
CC 5 SLV (Collegamento -182_-384)
Azioni sul collegamento: N=-13676.40 Ty=-5.33 Tz=26.92 Mx=0.01 Mz=-2.18
Sollecitazioni agenti localmente: Ty_l=-2486.61 Mx_l=-49.73
Tensioni nella sezione: σ=602.81 τ=75.35
CC 5 SLV (Collegamento -182_-384)
Azioni sul collegamento: N=-13676.40 Ty=-12.02 Tz=-1.63 Mx=0.01 Mz=-6.41
Sollecitazioni agenti localmente: Ty_l=-2486.61 Mx_l=-49.73
Tensioni nella sezione: σ=602.81 τ=75.35
CC 5 SLV (Collegamento -182_-384)
Azioni sul collegamento: N=-13676.40 Ty=-5.33 Tz=-1.63 Mx=0.01 Mz=-2.18
Sollecitazioni agenti localmente: Ty_l=-2486.61 Mx_l=-49.73
Tensioni nella sezione: σ=602.81 τ=75.35
CC 5 SLV (Collegamento -182_-384)
Azioni sul collegamento: N=-5861.42 Ty=-12.02 Tz=26.92 Mx=0.01 Mz=-6.41
Sollecitazioni agenti localmente: Ty_l=-1065.71 Mx_l=-21.31
Tensioni nella sezione: σ=258.35 τ=32.29
CC 5 SLV (Collegamento -182_-384)
Azioni sul collegamento: N=-5861.42 Ty=-5.33 Tz=26.92 Mx=0.01 Mz=-2.18
Sollecitazioni agenti localmente: Ty_l=-1065.71 Mx_l=-21.31
Tensioni nella sezione: σ=258.35 τ=32.29
CC 5 SLV (Collegamento -182_-384)
Azioni sul collegamento: N=-5861.42 Ty=-12.02 Tz=-1.63 Mx=0.01 Mz=-6.41
Sollecitazioni agenti localmente: Ty_l=-1065.71 Mx_l=-21.31
Tensioni nella sezione: σ=258.35 τ=32.29
CC 5 SLV (Collegamento -182_-384)
Azioni sul collegamento: N=-5861.42 Ty=-5.33 Tz=-1.63 Mx=0.01 Mz=-2.18
Sollecitazioni agenti localmente: Ty_l=-1065.71 Mx_l=-21.31
Tensioni nella sezione: σ=258.35 τ=32.29
CC 6 SLD (Collegamento -182_-384)
Azioni sul collegamento: N=-11057.70 Ty=-10.62 Tz=17.38 Mx=0.00 Mz=-7.07
Sollecitazioni agenti localmente: Ty_l=-2010.50 Mx_l=-40.21
Tensioni nella sezione: σ=487.39 τ=60.92
CC 6 SLD (Collegamento -182_-384)
Azioni sul collegamento: N=-11057.70 Ty=-8.58 Tz=17.38 Mx=0.00 Mz=-5.79
Sollecitazioni agenti localmente: Ty_l=-2010.50 Mx_l=-40.21
Tensioni nella sezione: σ=487.39 τ=60.92
CC 6 SLD (Collegamento -182_-384)
Azioni sul collegamento: N=-11057.70 Ty=-10.62 Tz=8.67 Mx=0.00 Mz=-7.07
Sollecitazioni agenti localmente: Ty_l=-2010.50 Mx_l=-40.21
Tensioni nella sezione: σ=487.39 τ=60.92
CC 6 SLD (Collegamento -182_-384)
Azioni sul collegamento: N=-11057.70 Ty=-8.58 Tz=8.67 Mx=0.00 Mz=-5.79
Sollecitazioni agenti localmente: Ty_l=-2010.50 Mx_l=-40.21
Tensioni nella sezione: σ=487.39 τ=60.92
CC 6 SLD (Collegamento -182_-384)

Azioni sul collegamento: N=-8674.72 Ty=-10.62 Tz=17.38 Mx=0.00 Mz=-7.07
Sollecitazioni agenti localmente: Ty_l=-1577.22 Mx_l=-31.54
Tensioni nella sezione: σ=382.36 τ=47.79
CC 6 SLD (Collegamento -182_-384)
Azioni sul collegamento: N=-8674.72 Ty=-8.58 Tz=17.38 Mx=0.00 Mz=-5.79
Sollecitazioni agenti localmente: Ty_l=-1577.22 Mx_l=-31.54
Tensioni nella sezione: σ=382.36 τ=47.79
CC 6 SLD (Collegamento -182_-384)
Azioni sul collegamento: N=-8674.72 Ty=-10.62 Tz=8.67 Mx=0.00 Mz=-7.07
Sollecitazioni agenti localmente: Ty_l=-1577.22 Mx_l=-31.54
Tensioni nella sezione: σ=382.36 τ=47.79
CC 6 SLD (Collegamento -182_-384)
Azioni sul collegamento: N=-8674.72 Ty=-8.58 Tz=8.67 Mx=0.00 Mz=-5.79
Sollecitazioni agenti localmente: Ty_l=-1577.22 Mx_l=-31.54
Tensioni nella sezione: σ=382.36 τ=47.79
CC 7 SLV (Collegamento -182_-384)
Azioni sul collegamento: N=-13681.20 Ty=-12.53 Tz=27.25 Mx=0.01 Mz=-7.45
Sollecitazioni agenti localmente: Ty_l=-2487.49 Mx_l=-49.75
Tensioni nella sezione: σ=603.03 τ=75.38
CC 7 SLV (Collegamento -182_-384)
Azioni sul collegamento: N=-13681.20 Ty=-4.82 Tz=27.25 Mx=0.01 Mz=-1.13
Sollecitazioni agenti localmente: Ty_l=-2487.50 Mx_l=-49.75
Tensioni nella sezione: σ=603.03 τ=75.38
CC 7 SLV (Collegamento -182_-384)
Azioni sul collegamento: N=-13681.20 Ty=-12.53 Tz=-1.96 Mx=0.01 Mz=-7.45
Sollecitazioni agenti localmente: Ty_l=-2487.49 Mx_l=-49.75
Tensioni nella sezione: σ=603.03 τ=75.38
CC 7 SLV (Collegamento -182_-384)
Azioni sul collegamento: N=-13681.20 Ty=-4.82 Tz=-1.96 Mx=0.01 Mz=-1.13
Sollecitazioni agenti localmente: Ty_l=-2487.50 Mx_l=-49.75
Tensioni nella sezione: σ=603.03 τ=75.38
CC 7 SLV (Collegamento -182_-384)
Azioni sul collegamento: N=-5856.57 Ty=-12.53 Tz=27.25 Mx=0.01 Mz=-7.45
Sollecitazioni agenti localmente: Ty_l=-1064.83 Mx_l=-21.30
Tensioni nella sezione: σ=258.14 τ=32.27
CC 7 SLV (Collegamento -182_-384)
Azioni sul collegamento: N=-5856.57 Ty=-4.82 Tz=27.25 Mx=0.01 Mz=-1.13
Sollecitazioni agenti localmente: Ty_l=-1064.83 Mx_l=-21.30
Tensioni nella sezione: σ=258.14 τ=32.27
CC 7 SLV (Collegamento -182_-384)
Azioni sul collegamento: N=-5856.57 Ty=-12.53 Tz=-1.96 Mx=0.01 Mz=-7.45
Sollecitazioni agenti localmente: Ty_l=-1064.83 Mx_l=-21.30
Tensioni nella sezione: σ=258.14 τ=32.27
CC 7 SLV (Collegamento -182_-384)
Azioni sul collegamento: N=-5856.57 Ty=-4.82 Tz=-1.96 Mx=0.01 Mz=-1.13
Sollecitazioni agenti localmente: Ty_l=-1064.83 Mx_l=-21.30
Tensioni nella sezione: σ=258.14 τ=32.27
CC 8 SLD (Collegamento -182_-384)
Azioni sul collegamento: N=-11059.20 Ty=-10.78 Tz=17.48 Mx=-0.00 Mz=-7.39
Sollecitazioni agenti localmente: Ty_l=-2010.77 Mx_l=-40.22
Tensioni nella sezione: σ=487.46 τ=60.93
CC 8 SLD (Collegamento -182_-384)
Azioni sul collegamento: N=-11059.20 Ty=-8.42 Tz=17.48 Mx=-0.00 Mz=-5.47
Sollecitazioni agenti localmente: Ty_l=-2010.77 Mx_l=-40.22
Tensioni nella sezione: σ=487.46 τ=60.93
CC 8 SLD (Collegamento -182_-384)
Azioni sul collegamento: N=-11059.20 Ty=-10.78 Tz=8.57 Mx=-0.00 Mz=-7.39
Sollecitazioni agenti localmente: Ty_l=-2010.77 Mx_l=-40.22
Tensioni nella sezione: σ=487.46 τ=60.93
CC 8 SLD (Collegamento -182_-384)
Azioni sul collegamento: N=-11059.20 Ty=-8.42 Tz=8.57 Mx=-0.00 Mz=-5.47
Sollecitazioni agenti localmente: Ty_l=-2010.77 Mx_l=-40.22
Tensioni nella sezione: σ=487.46 τ=60.93
CC 8 SLD (Collegamento -182_-384)
Azioni sul collegamento: N=-8673.24 Ty=-10.78 Tz=17.48 Mx=-0.00 Mz=-7.39
Sollecitazioni agenti localmente: Ty_l=-1576.95 Mx_l=-31.54
Tensioni nella sezione: σ=382.29 τ=47.79
CC 8 SLD (Collegamento -182_-384)
Azioni sul collegamento: N=-8673.24 Ty=-8.42 Tz=17.48 Mx=-0.00 Mz=-5.47
Sollecitazioni agenti localmente: Ty_l=-1576.95 Mx_l=-31.54
Tensioni nella sezione: σ=382.29 τ=47.79
CC 8 SLD (Collegamento -182_-384)
Azioni sul collegamento: N=-8673.24 Ty=-10.78 Tz=8.57 Mx=-0.00 Mz=-7.39
Sollecitazioni agenti localmente: Ty_l=-1576.95 Mx_l=-31.54
Tensioni nella sezione: σ=382.29 τ=47.79
CC 8 SLD (Collegamento -182_-384)
Azioni sul collegamento: N=-8673.24 Ty=-8.42 Tz=8.57 Mx=-0.00 Mz=-5.47
Sollecitazioni agenti localmente: Ty_l=-1576.95 Mx_l=-31.54
Tensioni nella sezione: σ=382.29 τ=47.79

CC 9 SLV (Collegamento -182_-384)
Azioni sul collegamento: N=-8587.84 Ty=-6.74 Tz=7.77 Mx=0.02 Mz=-1.76
Sollecitazioni agenti localmente: Ty_l=-1561.43 Mx_l=-31.23
Tensioni nella sezione: σ=378.53 τ=47.32
CC 9 SLV (Collegamento -182_-384)
Azioni sul collegamento: N=-8587.84 Ty=-10.61 Tz=7.77 Mx=0.02 Mz=-6.83
Sollecitazioni agenti localmente: Ty_l=-1561.43 Mx_l=-31.23
Tensioni nella sezione: σ=378.53 τ=47.32
CC 9 SLV (Collegamento -182_-384)
Azioni sul collegamento: N=-8587.84 Ty=-6.74 Tz=17.52 Mx=0.02 Mz=-1.76
Sollecitazioni agenti localmente: Ty_l=-1561.43 Mx_l=-31.23
Tensioni nella sezione: σ=378.53 τ=47.32
CC 9 SLV (Collegamento -182_-384)
Azioni sul collegamento: N=-8587.84 Ty=-10.61 Tz=17.52 Mx=0.02 Mz=-6.83
Sollecitazioni agenti localmente: Ty_l=-1561.43 Mx_l=-31.23
Tensioni nella sezione: σ=378.53 τ=47.32
CC 9 SLV (Collegamento -182_-384)
Azioni sul collegamento: N=-10950.00 Ty=-6.74 Tz=7.77 Mx=0.02 Mz=-1.76
Sollecitazioni agenti localmente: Ty_l=-1990.90 Mx_l=-39.82
Tensioni nella sezione: σ=482.64 τ=60.33
CC 9 SLV (Collegamento -182_-384)
Azioni sul collegamento: N=-10950.00 Ty=-10.61 Tz=7.77 Mx=0.02 Mz=-6.83
Sollecitazioni agenti localmente: Ty_l=-1990.90 Mx_l=-39.82
Tensioni nella sezione: σ=482.64 τ=60.33
CC 9 SLV (Collegamento -182_-384)
Azioni sul collegamento: N=-10950.00 Ty=-6.74 Tz=17.52 Mx=0.02 Mz=-1.76
Sollecitazioni agenti localmente: Ty_l=-1990.90 Mx_l=-39.82
Tensioni nella sezione: σ=482.64 τ=60.33
CC 9 SLV (Collegamento -182_-384)
Azioni sul collegamento: N=-10950.00 Ty=-10.61 Tz=17.52 Mx=0.02 Mz=-6.83
Sollecitazioni agenti localmente: Ty_l=-1990.90 Mx_l=-39.82
Tensioni nella sezione: σ=482.64 τ=60.33
CC 10 SLD (Collegamento -182_-384)
Azioni sul collegamento: N=-9506.09 Ty=-9.01 Tz=11.54 Mx=0.00 Mz=-5.66
Sollecitazioni agenti localmente: Ty_l=-1728.38 Mx_l=-34.57
Tensioni nella sezione: σ=419.00 τ=52.38
CC 10 SLD (Collegamento -182_-384)
Azioni sul collegamento: N=-9506.09 Ty=-10.19 Tz=11.54 Mx=0.00 Mz=-7.20
Sollecitazioni agenti localmente: Ty_l=-1728.38 Mx_l=-34.57
Tensioni nella sezione: σ=419.00 τ=52.38
CC 10 SLD (Collegamento -182_-384)
Azioni sul collegamento: N=-9506.09 Ty=-9.01 Tz=14.51 Mx=0.00 Mz=-5.66
Sollecitazioni agenti localmente: Ty_l=-1728.38 Mx_l=-34.57
Tensioni nella sezione: σ=419.00 τ=52.38
CC 10 SLD (Collegamento -182_-384)
Azioni sul collegamento: N=-9506.09 Ty=-10.19 Tz=14.51 Mx=0.00 Mz=-7.20
Sollecitazioni agenti localmente: Ty_l=-1728.38 Mx_l=-34.57
Tensioni nella sezione: σ=419.00 τ=52.38
CC 10 SLD (Collegamento -182_-384)
Azioni sul collegamento: N=-10226.40 Ty=-9.01 Tz=11.54 Mx=0.00 Mz=-5.66
Sollecitazioni agenti localmente: Ty_l=-1859.34 Mx_l=-37.19
Tensioni nella sezione: σ=450.75 τ=56.34
CC 10 SLD (Collegamento -182_-384)
Azioni sul collegamento: N=-10226.40 Ty=-10.19 Tz=11.54 Mx=0.00 Mz=-7.20
Sollecitazioni agenti localmente: Ty_l=-1859.34 Mx_l=-37.19
Tensioni nella sezione: σ=450.75 τ=56.34
CC 10 SLD (Collegamento -182_-384)
Azioni sul collegamento: N=-10226.40 Ty=-9.01 Tz=14.51 Mx=0.00 Mz=-5.66
Sollecitazioni agenti localmente: Ty_l=-1859.34 Mx_l=-37.19
Tensioni nella sezione: σ=450.75 τ=56.34
CC 10 SLD (Collegamento -182_-384)
Azioni sul collegamento: N=-10226.40 Ty=-10.19 Tz=14.51 Mx=0.00 Mz=-7.20
Sollecitazioni agenti localmente: Ty_l=-1859.34 Mx_l=-37.19
Tensioni nella sezione: σ=450.75 τ=56.34
CC 11 SLV (Collegamento -182_-384)
Azioni sul collegamento: N=-10933.80 Ty=-8.90 Tz=16.43 Mx=0.02 Mz=-3.34
Sollecitazioni agenti localmente: Ty_l=-1987.96 Mx_l=-39.76
Tensioni nella sezione: σ=481.93 τ=60.24
CC 11 SLV (Collegamento -182_-384)
Azioni sul collegamento: N=-10933.80 Ty=-8.45 Tz=16.43 Mx=0.02 Mz=-5.25
Sollecitazioni agenti localmente: Ty_l=-1987.96 Mx_l=-39.76
Tensioni nella sezione: σ=481.93 τ=60.24
CC 11 SLV (Collegamento -182_-384)
Azioni sul collegamento: N=-10933.80 Ty=-8.90 Tz=8.86 Mx=0.02 Mz=-3.34
Sollecitazioni agenti localmente: Ty_l=-1987.96 Mx_l=-39.76
Tensioni nella sezione: σ=481.93 τ=60.24
CC 11 SLV (Collegamento -182_-384)
Azioni sul collegamento: N=-10933.80 Ty=-8.45 Tz=8.86 Mx=0.02 Mz=-5.25
Sollecitazioni agenti localmente: Ty_l=-1987.96 Mx_l=-39.76

Tensioni nella sezione: σ=481.93 τ=60.24
CC 11 SLV (Collegamento -182_-384)
Azioni sul collegamento: N=-8604.01 Ty=-8.90 Tz=16.43 Mx=0.02 Mz=-3.34
Sollecitazioni agenti localmente: Ty_l=-1564.37 Mx_l=-31.29
Tensioni nella sezione: σ=379.24 τ=47.41
CC 11 SLV (Collegamento -182_-384)
Azioni sul collegamento: N=-8604.01 Ty=-8.45 Tz=16.43 Mx=0.02 Mz=-5.25
Sollecitazioni agenti localmente: Ty_l=-1564.37 Mx_l=-31.29
Tensioni nella sezione: σ=379.24 τ=47.41
CC 11 SLV (Collegamento -182_-384)
Azioni sul collegamento: N=-8604.01 Ty=-8.90 Tz=8.86 Mx=0.02 Mz=-3.34
Sollecitazioni agenti localmente: Ty_l=-1564.37 Mx_l=-31.29
Tensioni nella sezione: σ=379.24 τ=47.41
CC 11 SLV (Collegamento -182_-384)
Azioni sul collegamento: N=-8604.01 Ty=-8.45 Tz=8.86 Mx=0.02 Mz=-5.25
Sollecitazioni agenti localmente: Ty_l=-1564.37 Mx_l=-31.29
Tensioni nella sezione: σ=379.24 τ=47.41
CC 12 SLD (Collegamento -182_-384)
Azioni sul collegamento: N=-10221.40 Ty=-9.67 Tz=14.18 Mx=0.00 Mz=-6.14
Sollecitazioni agenti localmente: Ty_l=-1858.44 Mx_l=-37.17
Tensioni nella sezione: σ=450.53 τ=56.32
CC 12 SLD (Collegamento -182_-384)
Azioni sul collegamento: N=-10221.40 Ty=-9.53 Tz=14.18 Mx=0.00 Mz=-6.72
Sollecitazioni agenti localmente: Ty_l=-1858.44 Mx_l=-37.17
Tensioni nella sezione: σ=450.53 τ=56.32
CC 12 SLD (Collegamento -182_-384)
Azioni sul collegamento: N=-10221.40 Ty=-9.67 Tz=11.87 Mx=0.00 Mz=-6.14
Sollecitazioni agenti localmente: Ty_l=-1858.44 Mx_l=-37.17
Tensioni nella sezione: σ=450.53 τ=56.32
CC 12 SLD (Collegamento -182_-384)
Azioni sul collegamento: N=-10221.40 Ty=-9.53 Tz=11.87 Mx=0.00 Mz=-6.72
Sollecitazioni agenti localmente: Ty_l=-1858.44 Mx_l=-37.17
Tensioni nella sezione: σ=450.53 τ=56.32
CC 12 SLD (Collegamento -182_-384)
Azioni sul collegamento: N=-9511.02 Ty=-9.67 Tz=14.18 Mx=0.00 Mz=-6.14
Sollecitazioni agenti localmente: Ty_l=-1729.28 Mx_l=-34.59
Tensioni nella sezione: σ=419.22 τ=52.40
CC 12 SLD (Collegamento -182_-384)
Azioni sul collegamento: N=-9511.02 Ty=-9.53 Tz=14.18 Mx=0.00 Mz=-6.72
Sollecitazioni agenti localmente: Ty_l=-1729.28 Mx_l=-34.59
Tensioni nella sezione: σ=419.22 τ=52.40
CC 12 SLD (Collegamento -182_-384)
Azioni sul collegamento: N=-9511.02 Ty=-9.67 Tz=11.87 Mx=0.00 Mz=-6.14
Sollecitazioni agenti localmente: Ty_l=-1729.28 Mx_l=-34.59
Tensioni nella sezione: σ=419.22 τ=52.40
CC 12 SLD (Collegamento -182_-384)
Azioni sul collegamento: N=-9511.02 Ty=-9.53 Tz=11.87 Mx=0.00 Mz=-6.72
Sollecitazioni agenti localmente: Ty_l=-1729.28 Mx_l=-34.59
Tensioni nella sezione: σ=419.22 τ=52.40
CC 13 SLV (Collegamento -182_-384)
Azioni sul collegamento: N=-8604.01 Ty=-8.45 Tz=8.86 Mx=0.00 Mz=-5.25
Sollecitazioni agenti localmente: Ty_l=-1564.37 Mx_l=-31.29
Tensioni nella sezione: σ=379.24 τ=47.41
CC 13 SLV (Collegamento -182_-384)
Azioni sul collegamento: N=-8604.01 Ty=-8.90 Tz=8.86 Mx=0.00 Mz=-3.34
Sollecitazioni agenti localmente: Ty_l=-1564.37 Mx_l=-31.29
Tensioni nella sezione: σ=379.24 τ=47.41
CC 13 SLV (Collegamento -182_-384)
Azioni sul collegamento: N=-8604.01 Ty=-8.45 Tz=16.43 Mx=0.00 Mz=-5.25
Sollecitazioni agenti localmente: Ty_l=-1564.37 Mx_l=-31.29
Tensioni nella sezione: σ=379.24 τ=47.41
CC 13 SLV (Collegamento -182_-384)
Azioni sul collegamento: N=-8604.01 Ty=-8.90 Tz=16.43 Mx=0.00 Mz=-3.34
Sollecitazioni agenti localmente: Ty_l=-1564.37 Mx_l=-31.29
Tensioni nella sezione: σ=379.24 τ=47.41
CC 13 SLV (Collegamento -182_-384)
Azioni sul collegamento: N=-10933.80 Ty=-8.45 Tz=8.86 Mx=0.00 Mz=-5.25
Sollecitazioni agenti localmente: Ty_l=-1987.96 Mx_l=-39.76
Tensioni nella sezione: σ=481.93 τ=60.24
CC 13 SLV (Collegamento -182_-384)
Azioni sul collegamento: N=-10933.80 Ty=-8.90 Tz=8.86 Mx=0.00 Mz=-3.34
Sollecitazioni agenti localmente: Ty_l=-1987.96 Mx_l=-39.76
Tensioni nella sezione: σ=481.93 τ=60.24
CC 13 SLV (Collegamento -182_-384)
Azioni sul collegamento: N=-10933.80 Ty=-8.45 Tz=16.43 Mx=0.00 Mz=-5.25
Sollecitazioni agenti localmente: Ty_l=-1987.96 Mx_l=-39.76
Tensioni nella sezione: σ=481.93 τ=60.24
CC 13 SLV (Collegamento -182_-384)
Azioni sul collegamento: N=-10933.80 Ty=-8.90 Tz=16.43 Mx=0.00 Mz=-3.34

Sollecitazioni agenti localmente: Ty_l=-1987.96 Mx_l=-39.76
Tensioni nella sezione: σ=481.93 τ=60.24
CC 14 SLD (Collegamento -182_-384)
Azioni sul collegamento: N=-9511.02 Ty=-9.53 Tz=11.87 Mx=-0.00 Mz=-6.72
Sollecitazioni agenti localmente: Ty_l=-1729.28 Mx_l=-34.59
Tensioni nella sezione: σ=419.22 τ=52.40
CC 14 SLD (Collegamento -182_-384)
Azioni sul collegamento: N=-9511.02 Ty=-9.67 Tz=11.87 Mx=-0.00 Mz=-6.14
Sollecitazioni agenti localmente: Ty_l=-1729.28 Mx_l=-34.59
Tensioni nella sezione: σ=419.22 τ=52.40
CC 14 SLD (Collegamento -182_-384)
Azioni sul collegamento: N=-9511.02 Ty=-9.53 Tz=14.18 Mx=-0.00 Mz=-6.72
Sollecitazioni agenti localmente: Ty_l=-1729.28 Mx_l=-34.59
Tensioni nella sezione: σ=419.22 τ=52.40
CC 14 SLD (Collegamento -182_-384)
Azioni sul collegamento: N=-9511.02 Ty=-9.67 Tz=14.18 Mx=-0.00 Mz=-6.14
Sollecitazioni agenti localmente: Ty_l=-1729.28 Mx_l=-34.59
Tensioni nella sezione: σ=419.22 τ=52.40
CC 14 SLD (Collegamento -182_-384)
Azioni sul collegamento: N=-10221.40 Ty=-9.53 Tz=11.87 Mx=-0.00 Mz=-6.72
Sollecitazioni agenti localmente: Ty_l=-1858.44 Mx_l=-37.17
Tensioni nella sezione: σ=450.53 τ=56.32
CC 14 SLD (Collegamento -182_-384)
Azioni sul collegamento: N=-10221.40 Ty=-9.67 Tz=11.87 Mx=-0.00 Mz=-6.14
Sollecitazioni agenti localmente: Ty_l=-1858.44 Mx_l=-37.17
Tensioni nella sezione: σ=450.53 τ=56.32
CC 14 SLD (Collegamento -182_-384)
Azioni sul collegamento: N=-10221.40 Ty=-9.53 Tz=14.18 Mx=-0.00 Mz=-6.72
Sollecitazioni agenti localmente: Ty_l=-1858.44 Mx_l=-37.17
Tensioni nella sezione: σ=450.53 τ=56.32
CC 14 SLD (Collegamento -182_-384)
Azioni sul collegamento: N=-10221.40 Ty=-9.67 Tz=14.18 Mx=-0.00 Mz=-6.14
Sollecitazioni agenti localmente: Ty_l=-1858.44 Mx_l=-37.17
Tensioni nella sezione: σ=450.53 τ=56.32
CC 15 SLV (Collegamento -182_-384)
Azioni sul collegamento: N=-10950.00 Ty=-10.61 Tz=17.52 Mx=0.00 Mz=-6.83
Sollecitazioni agenti localmente: Ty_l=-1990.90 Mx_l=-39.82
Tensioni nella sezione: σ=482.64 τ=60.33
CC 15 SLV (Collegamento -182_-384)
Azioni sul collegamento: N=-10950.00 Ty=-6.74 Tz=17.52 Mx=0.00 Mz=-1.76
Sollecitazioni agenti localmente: Ty_l=-1990.90 Mx_l=-39.82
Tensioni nella sezione: σ=482.64 τ=60.33
CC 15 SLV (Collegamento -182_-384)
Azioni sul collegamento: N=-10950.00 Ty=-10.61 Tz=7.77 Mx=0.00 Mz=-6.83
Sollecitazioni agenti localmente: Ty_l=-1990.90 Mx_l=-39.82
Tensioni nella sezione: σ=482.64 τ=60.33
CC 15 SLV (Collegamento -182_-384)
Azioni sul collegamento: N=-10950.00 Ty=-6.74 Tz=7.77 Mx=0.00 Mz=-1.76
Sollecitazioni agenti localmente: Ty_l=-1990.90 Mx_l=-39.82
Tensioni nella sezione: σ=482.64 τ=60.33
CC 15 SLV (Collegamento -182_-384)
Azioni sul collegamento: N=-8587.84 Ty=-10.61 Tz=17.52 Mx=0.00 Mz=-6.83
Sollecitazioni agenti localmente: Ty_l=-1561.43 Mx_l=-31.23
Tensioni nella sezione: σ=378.53 τ=47.32
CC 15 SLV (Collegamento -182_-384)
Azioni sul collegamento: N=-8587.84 Ty=-6.74 Tz=17.52 Mx=0.00 Mz=-1.76
Sollecitazioni agenti localmente: Ty_l=-1561.43 Mx_l=-31.23
Tensioni nella sezione: σ=378.53 τ=47.32
CC 15 SLV (Collegamento -182_-384)
Azioni sul collegamento: N=-8587.84 Ty=-10.61 Tz=7.77 Mx=0.00 Mz=-6.83
Sollecitazioni agenti localmente: Ty_l=-1561.43 Mx_l=-31.23
Tensioni nella sezione: σ=378.53 τ=47.32
CC 15 SLV (Collegamento -182_-384)
Azioni sul collegamento: N=-8587.84 Ty=-6.74 Tz=7.77 Mx=0.00 Mz=-1.76
Sollecitazioni agenti localmente: Ty_l=-1561.43 Mx_l=-31.23
Tensioni nella sezione: σ=378.53 τ=47.32
CC 16 SLD (Collegamento -182_-384)
Azioni sul collegamento: N=-10226.40 Ty=-10.19 Tz=14.51 Mx=-0.00 Mz=-7.20
Sollecitazioni agenti localmente: Ty_l=-1859.34 Mx_l=-37.19
Tensioni nella sezione: σ=450.75 τ=56.34
CC 16 SLD (Collegamento -182_-384)
Azioni sul collegamento: N=-10226.40 Ty=-9.01 Tz=14.51 Mx=-0.00 Mz=-5.66
Sollecitazioni agenti localmente: Ty_l=-1859.34 Mx_l=-37.19
Tensioni nella sezione: σ=450.75 τ=56.34
CC 16 SLD (Collegamento -182_-384)
Azioni sul collegamento: N=-10226.40 Ty=-10.19 Tz=11.54 Mx=-0.00 Mz=-7.20
Sollecitazioni agenti localmente: Ty_l=-1859.34 Mx_l=-37.19
Tensioni nella sezione: σ=450.75 τ=56.34
CC 16 SLD (Collegamento -182_-384)

Azioni sul collegamento: N=-10226.40 Ty=-9.01 Tz=11.54 Mx=-0.00 Mz=-5.66
Sollecitazioni agenti localmente: Ty_l=-1859.34 Mx_l=-37.19
Tensioni nella sezione: σ=450.75 τ=56.34
CC 16 SLD (Collegamento -182_-384)
Azioni sul collegamento: N=-9506.09 Ty=-10.19 Tz=14.51 Mx=-0.00 Mz=-7.20
Sollecitazioni agenti localmente: Ty_l=-1728.38 Mx_l=-34.57
Tensioni nella sezione: σ=419.00 τ=52.38
CC 16 SLD (Collegamento -182_-384)
Azioni sul collegamento: N=-9506.09 Ty=-9.01 Tz=14.51 Mx=-0.00 Mz=-5.66
Sollecitazioni agenti localmente: Ty_l=-1728.38 Mx_l=-34.57
Tensioni nella sezione: σ=419.00 τ=52.38
CC 16 SLD (Collegamento -182_-384)
Azioni sul collegamento: N=-9506.09 Ty=-10.19 Tz=11.54 Mx=-0.00 Mz=-7.20
Sollecitazioni agenti localmente: Ty_l=-1728.38 Mx_l=-34.57
Tensioni nella sezione: σ=419.00 τ=52.38
CC 16 SLD (Collegamento -182_-384)
Azioni sul collegamento: N=-9506.09 Ty=-9.01 Tz=11.54 Mx=-0.00 Mz=-5.66
Sollecitazioni agenti localmente: Ty_l=-1728.38 Mx_l=-34.57
Tensioni nella sezione: σ=419.00 τ=52.38
CC 17 SLV (Collegamento -182_-384)
Azioni sul collegamento: N=-6136.65 Ty=-7.48 Tz=-0.86 Mx=-0.02 Mz=-7.28
Sollecitazioni agenti localmente: Ty_l=-1115.75 Mx_l=-22.32
Tensioni nella sezione: σ=270.49 τ=33.81
CC 17 SLV (Collegamento -182_-384)
Azioni sul collegamento: N=-6136.65 Ty=-15.19 Tz=-0.86 Mx=-0.02 Mz=-13.60
Sollecitazioni agenti localmente: Ty_l=-1115.75 Mx_l=-22.32
Tensioni nella sezione: σ=270.49 τ=33.81
CC 17 SLV (Collegamento -182_-384)
Azioni sul collegamento: N=-6136.65 Ty=-7.48 Tz=28.35 Mx=-0.02 Mz=-7.28
Sollecitazioni agenti localmente: Ty_l=-1115.75 Mx_l=-22.32
Tensioni nella sezione: σ=270.49 τ=33.81
CC 17 SLV (Collegamento -182_-384)
Azioni sul collegamento: N=-6136.65 Ty=-15.19 Tz=28.35 Mx=-0.02 Mz=-13.60
Sollecitazioni agenti localmente: Ty_l=-1115.75 Mx_l=-22.32
Tensioni nella sezione: σ=270.49 τ=33.81
CC 17 SLV (Collegamento -182_-384)
Azioni sul collegamento: N=-13961.30 Ty=-7.48 Tz=-0.86 Mx=-0.02 Mz=-7.28
Sollecitazioni agenti localmente: Ty_l=-2538.42 Mx_l=-50.77
Tensioni nella sezione: σ=615.37 τ=76.92
CC 17 SLV (Collegamento -182_-384)
Azioni sul collegamento: N=-13961.30 Ty=-15.19 Tz=-0.86 Mx=-0.02 Mz=-13.60
Sollecitazioni agenti localmente: Ty_l=-2538.42 Mx_l=-50.77
Tensioni nella sezione: σ=615.37 τ=76.92
CC 17 SLV (Collegamento -182_-384)
Azioni sul collegamento: N=-13961.30 Ty=-7.48 Tz=28.35 Mx=-0.02 Mz=-7.28
Sollecitazioni agenti localmente: Ty_l=-2538.42 Mx_l=-50.77
Tensioni nella sezione: σ=615.37 τ=76.92
CC 17 SLV (Collegamento -182_-384)
Azioni sul collegamento: N=-13961.30 Ty=-15.19 Tz=28.35 Mx=-0.02 Mz=-13.60
Sollecitazioni agenti localmente: Ty_l=-2538.42 Mx_l=-50.77
Tensioni nella sezione: σ=615.37 τ=76.92
CC 18 SLD (Collegamento -182_-384)
Azioni sul collegamento: N=-8758.64 Ty=-9.24 Tz=8.91 Mx=-0.01 Mz=-7.34
Sollecitazioni agenti localmente: Ty_l=-1592.48 Mx_l=-31.85
Tensioni nella sezione: σ=386.06 τ=48.26
CC 18 SLD (Collegamento -182_-384)
Azioni sul collegamento: N=-8758.64 Ty=-11.59 Tz=8.91 Mx=-0.01 Mz=-9.27
Sollecitazioni agenti localmente: Ty_l=-1592.48 Mx_l=-31.85
Tensioni nella sezione: σ=386.06 τ=48.26
CC 18 SLD (Collegamento -182_-384)
Azioni sul collegamento: N=-8758.65 Ty=-9.24 Tz=17.82 Mx=-0.01 Mz=-7.34
Sollecitazioni agenti localmente: Ty_l=-1592.48 Mx_l=-31.85
Tensioni nella sezione: σ=386.06 τ=48.26
CC 18 SLD (Collegamento -182_-384)
Azioni sul collegamento: N=-8758.65 Ty=-11.59 Tz=17.82 Mx=-0.01 Mz=-9.27
Sollecitazioni agenti localmente: Ty_l=-1592.48 Mx_l=-31.85
Tensioni nella sezione: σ=386.06 τ=48.26
CC 18 SLD (Collegamento -182_-384)
Azioni sul collegamento: N=-11144.60 Ty=-9.24 Tz=8.91 Mx=-0.01 Mz=-7.34
Sollecitazioni agenti localmente: Ty_l=-2026.30 Mx_l=-40.53
Tensioni nella sezione: σ=491.22 τ=61.40
CC 18 SLD (Collegamento -182_-384)
Azioni sul collegamento: N=-11144.60 Ty=-11.59 Tz=8.91 Mx=-0.01 Mz=-9.27
Sollecitazioni agenti localmente: Ty_l=-2026.30 Mx_l=-40.53
Tensioni nella sezione: σ=491.22 τ=61.40
CC 18 SLD (Collegamento -182_-384)
Azioni sul collegamento: N=-11144.60 Ty=-9.24 Tz=17.82 Mx=-0.01 Mz=-7.34
Sollecitazioni agenti localmente: Ty_l=-2026.30 Mx_l=-40.53
Tensioni nella sezione: σ=491.22 τ=61.40

CC 18 SLD (Collegamento -182_-384)
Azioni sul collegamento: N=-11144.60 Ty=-11.59 Tz=17.82 Mx=-0.01 Mz=-9.27
Sollecitazioni agenti localmente: Ty_l=-2026.30 Mx_l=-40.53
Tensioni nella sezione: σ=491.22 τ=61.40
CC 19 SLV (Collegamento -182_-384)
Azioni sul collegamento: N=-6141.50 Ty=-7.99 Tz=-0.53 Mx=-0.01 Mz=-8.33
Sollecitazioni agenti localmente: Ty_l=-1116.64 Mx_l=-22.33
Tensioni nella sezione: σ=270.70 τ=33.84
CC 19 SLV (Collegamento -182_-384)
Azioni sul collegamento: N=-6141.50 Ty=-14.68 Tz=-0.53 Mx=-0.01 Mz=-12.56
Sollecitazioni agenti localmente: Ty_l=-1116.64 Mx_l=-22.33
Tensioni nella sezione: σ=270.70 τ=33.84
CC 19 SLV (Collegamento -182_-384)
Azioni sul collegamento: N=-6141.50 Ty=-7.99 Tz=28.02 Mx=-0.01 Mz=-8.33
Sollecitazioni agenti localmente: Ty_l=-1116.64 Mx_l=-22.33
Tensioni nella sezione: σ=270.70 τ=33.84
CC 19 SLV (Collegamento -182_-384)
Azioni sul collegamento: N=-6141.50 Ty=-14.68 Tz=28.02 Mx=-0.01 Mz=-12.56
Sollecitazioni agenti localmente: Ty_l=-1116.64 Mx_l=-22.33
Tensioni nella sezione: σ=270.70 τ=33.84
CC 19 SLV (Collegamento -182_-384)
Azioni sul collegamento: N=-13956.40 Ty=-7.99 Tz=-0.53 Mx=-0.01 Mz=-8.33
Sollecitazioni agenti localmente: Ty_l=-2537.54 Mx_l=-50.75
Tensioni nella sezione: σ=615.16 τ=76.89
CC 19 SLV (Collegamento -182_-384)
Azioni sul collegamento: N=-13956.40 Ty=-14.68 Tz=-0.53 Mx=-0.01 Mz=-12.56
Sollecitazioni agenti localmente: Ty_l=-2537.54 Mx_l=-50.75
Tensioni nella sezione: σ=615.16 τ=76.89
CC 19 SLV (Collegamento -182_-384)
Azioni sul collegamento: N=-13956.40 Ty=-7.99 Tz=28.02 Mx=-0.01 Mz=-8.33
Sollecitazioni agenti localmente: Ty_l=-2537.54 Mx_l=-50.75
Tensioni nella sezione: σ=615.16 τ=76.89
CC 19 SLV (Collegamento -182_-384)
Azioni sul collegamento: N=-13956.40 Ty=-14.68 Tz=28.02 Mx=-0.01 Mz=-12.56
Sollecitazioni agenti localmente: Ty_l=-2537.54 Mx_l=-50.75
Tensioni nella sezione: σ=615.16 τ=76.89
CC 20 SLD (Collegamento -182_-384)
Azioni sul collegamento: N=-8760.12 Ty=-9.39 Tz=9.01 Mx=-0.01 Mz=-7.66
Sollecitazioni agenti localmente: Ty_l=-1592.75 Mx_l=-31.85
Tensioni nella sezione: σ=386.12 τ=48.27
CC 20 SLD (Collegamento -182_-384)
Azioni sul collegamento: N=-8760.12 Ty=-11.43 Tz=9.01 Mx=-0.01 Mz=-8.95
Sollecitazioni agenti localmente: Ty_l=-1592.75 Mx_l=-31.85
Tensioni nella sezione: σ=386.12 τ=48.27
CC 20 SLD (Collegamento -182_-384)
Azioni sul collegamento: N=-8760.13 Ty=-9.39 Tz=17.72 Mx=-0.01 Mz=-7.66
Sollecitazioni agenti localmente: Ty_l=-1592.75 Mx_l=-31.85
Tensioni nella sezione: σ=386.12 τ=48.27
CC 20 SLD (Collegamento -182_-384)
Azioni sul collegamento: N=-8760.13 Ty=-11.43 Tz=17.72 Mx=-0.01 Mz=-8.95
Sollecitazioni agenti localmente: Ty_l=-1592.75 Mx_l=-31.85
Tensioni nella sezione: σ=386.12 τ=48.27
CC 20 SLD (Collegamento -182_-384)
Azioni sul collegamento: N=-11143.10 Ty=-9.39 Tz=9.01 Mx=-0.01 Mz=-7.66
Sollecitazioni agenti localmente: Ty_l=-2026.03 Mx_l=-40.52
Tensioni nella sezione: σ=491.16 τ=61.39
CC 20 SLD (Collegamento -182_-384)
Azioni sul collegamento: N=-11143.10 Ty=-11.43 Tz=9.01 Mx=-0.01 Mz=-8.95
Sollecitazioni agenti localmente: Ty_l=-2026.03 Mx_l=-40.52
Tensioni nella sezione: σ=491.16 τ=61.39
CC 20 SLD (Collegamento -182_-384)
Azioni sul collegamento: N=-11143.10 Ty=-9.39 Tz=17.72 Mx=-0.01 Mz=-7.66
Sollecitazioni agenti localmente: Ty_l=-2026.03 Mx_l=-40.52
Tensioni nella sezione: σ=491.16 τ=61.39
CC 20 SLD (Collegamento -182_-384)
Azioni sul collegamento: N=-11143.10 Ty=-11.43 Tz=17.72 Mx=-0.01 Mz=-8.95
Sollecitazioni agenti localmente: Ty_l=-2026.03 Mx_l=-40.52
Tensioni nella sezione: σ=491.16 τ=61.39
CC 21 SLV (Collegamento -182_-384)
Azioni sul collegamento: N=-13956.40 Ty=-14.68 Tz=28.02 Mx=-0.02 Mz=-12.56
Sollecitazioni agenti localmente: Ty_l=-2537.54 Mx_l=-50.75
Tensioni nella sezione: σ=615.16 τ=76.89
CC 21 SLV (Collegamento -182_-384)
Azioni sul collegamento: N=-13956.40 Ty=-7.99 Tz=28.02 Mx=-0.02 Mz=-8.33
Sollecitazioni agenti localmente: Ty_l=-2537.54 Mx_l=-50.75
Tensioni nella sezione: σ=615.16 τ=76.89
CC 21 SLV (Collegamento -182_-384)
Azioni sul collegamento: N=-13956.40 Ty=-14.68 Tz=-0.53 Mx=-0.02 Mz=-12.56
Sollecitazioni agenti localmente: Ty_l=-2537.54 Mx_l=-50.75

Tensioni nella sezione: σ=615.16 τ=76.89
CC 21 SLV (Collegamento -182_-384)
Azioni sul collegamento: N=-13956.40 Ty=-7.99 Tz=-0.53 Mx=-0.02 Mz=-8.33
Sollecitazioni agenti localmente: Ty_l=-2537.54 Mx_l=-50.75
Tensioni nella sezione: σ=615.16 τ=76.89
CC 21 SLV (Collegamento -182_-384)
Azioni sul collegamento: N=-6141.50 Ty=-14.68 Tz=28.02 Mx=-0.02 Mz=-12.56
Sollecitazioni agenti localmente: Ty_l=-1116.64 Mx_l=-22.33
Tensioni nella sezione: σ=270.70 τ=33.84
CC 21 SLV (Collegamento -182_-384)
Azioni sul collegamento: N=-6141.50 Ty=-7.99 Tz=28.02 Mx=-0.02 Mz=-8.33
Sollecitazioni agenti localmente: Ty_l=-1116.64 Mx_l=-22.33
Tensioni nella sezione: σ=270.70 τ=33.84
CC 21 SLV (Collegamento -182_-384)
Azioni sul collegamento: N=-6141.50 Ty=-14.68 Tz=-0.53 Mx=-0.02 Mz=-12.56
Sollecitazioni agenti localmente: Ty_l=-1116.64 Mx_l=-22.33
Tensioni nella sezione: σ=270.70 τ=33.84
CC 21 SLV (Collegamento -182_-384)
Azioni sul collegamento: N=-6141.50 Ty=-7.99 Tz=-0.53 Mx=-0.02 Mz=-8.33
Sollecitazioni agenti localmente: Ty_l=-1116.64 Mx_l=-22.33
Tensioni nella sezione: σ=270.70 τ=33.84
CC 22 SLD (Collegamento -182_-384)
Azioni sul collegamento: N=-11143.10 Ty=-11.43 Tz=17.72 Mx=-0.01 Mz=-8.95
Sollecitazioni agenti localmente: Ty_l=-2026.03 Mx_l=-40.52
Tensioni nella sezione: σ=491.16 τ=61.39
CC 22 SLD (Collegamento -182_-384)
Azioni sul collegamento: N=-11143.10 Ty=-9.39 Tz=17.72 Mx=-0.01 Mz=-7.66
Sollecitazioni agenti localmente: Ty_l=-2026.03 Mx_l=-40.52
Tensioni nella sezione: σ=491.16 τ=61.39
CC 22 SLD (Collegamento -182_-384)
Azioni sul collegamento: N=-11143.10 Ty=-11.43 Tz=9.01 Mx=-0.01 Mz=-8.95
Sollecitazioni agenti localmente: Ty_l=-2026.03 Mx_l=-40.52
Tensioni nella sezione: σ=491.16 τ=61.39
CC 22 SLD (Collegamento -182_-384)
Azioni sul collegamento: N=-11143.10 Ty=-9.39 Tz=9.01 Mx=-0.01 Mz=-7.66
Sollecitazioni agenti localmente: Ty_l=-2026.03 Mx_l=-40.52
Tensioni nella sezione: σ=491.16 τ=61.39
CC 22 SLD (Collegamento -182_-384)
Azioni sul collegamento: N=-8760.13 Ty=-11.43 Tz=17.72 Mx=-0.01 Mz=-8.95
Sollecitazioni agenti localmente: Ty_l=-1592.75 Mx_l=-31.85
Tensioni nella sezione: σ=386.12 τ=48.27
CC 22 SLD (Collegamento -182_-384)
Azioni sul collegamento: N=-8760.13 Ty=-9.39 Tz=17.72 Mx=-0.01 Mz=-7.66
Sollecitazioni agenti localmente: Ty_l=-1592.75 Mx_l=-31.85
Tensioni nella sezione: σ=386.12 τ=48.27
CC 22 SLD (Collegamento -182_-384)
Azioni sul collegamento: N=-8760.12 Ty=-11.43 Tz=9.01 Mx=-0.01 Mz=-8.95
Sollecitazioni agenti localmente: Ty_l=-1592.75 Mx_l=-31.85
Tensioni nella sezione: σ=386.12 τ=48.27
CC 22 SLD (Collegamento -182_-384)
Azioni sul collegamento: N=-8760.12 Ty=-9.39 Tz=9.01 Mx=-0.01 Mz=-7.66
Sollecitazioni agenti localmente: Ty_l=-1592.75 Mx_l=-31.85
Tensioni nella sezione: σ=386.12 τ=48.27
CC 23 SLV (Collegamento -182_-384)
Azioni sul collegamento: N=-13961.30 Ty=-15.19 Tz=28.35 Mx=-0.01 Mz=-13.60
Sollecitazioni agenti localmente: Ty_l=-2538.42 Mx_l=-50.77
Tensioni nella sezione: σ=615.37 τ=76.92
CC 23 SLV (Collegamento -182_-384)
Azioni sul collegamento: N=-13961.30 Ty=-7.48 Tz=28.35 Mx=-0.01 Mz=-7.28
Sollecitazioni agenti localmente: Ty_l=-2538.42 Mx_l=-50.77
Tensioni nella sezione: σ=615.37 τ=76.92
CC 23 SLV (Collegamento -182_-384)
Azioni sul collegamento: N=-13961.30 Ty=-15.19 Tz=-0.86 Mx=-0.01 Mz=-13.60
Sollecitazioni agenti localmente: Ty_l=-2538.42 Mx_l=-50.77
Tensioni nella sezione: σ=615.37 τ=76.92
CC 23 SLV (Collegamento -182_-384)
Azioni sul collegamento: N=-13961.30 Ty=-7.48 Tz=-0.86 Mx=-0.01 Mz=-7.28
Sollecitazioni agenti localmente: Ty_l=-2538.42 Mx_l=-50.77
Tensioni nella sezione: σ=615.37 τ=76.92
CC 23 SLV (Collegamento -182_-384)
Azioni sul collegamento: N=-6136.65 Ty=-15.19 Tz=28.35 Mx=-0.01 Mz=-13.60
Sollecitazioni agenti localmente: Ty_l=-1115.75 Mx_l=-22.32
Tensioni nella sezione: σ=270.49 τ=33.81
CC 23 SLV (Collegamento -182_-384)
Azioni sul collegamento: N=-6136.65 Ty=-7.48 Tz=28.35 Mx=-0.01 Mz=-7.28
Sollecitazioni agenti localmente: Ty_l=-1115.75 Mx_l=-22.32
Tensioni nella sezione: σ=270.49 τ=33.81
CC 23 SLV (Collegamento -182_-384)
Azioni sul collegamento: N=-6136.65 Ty=-15.19 Tz=-0.86 Mx=-0.01 Mz=-13.60

Sollecitazioni agenti localmente: Ty_l=-1115.75 Mx_l=-22.32
Tensioni nella sezione: σ=270.49 τ=33.81
CC 23 SLV (Collegamento -182_-384)
Azioni sul collegamento: N=-6136.65 Ty=-7.48 Tz=-0.86 Mx=-0.01 Mz=-7.28
Sollecitazioni agenti localmente: Ty_l=-1115.75 Mx_l=-22.32
Tensioni nella sezione: σ=270.49 τ=33.81
CC 24 SLD (Collegamento -182_-384)
Azioni sul collegamento: N=-11144.60 Ty=-11.59 Tz=17.82 Mx=-0.01 Mz=-9.27
Sollecitazioni agenti localmente: Ty_l=-2026.30 Mx_l=-40.53
Tensioni nella sezione: σ=491.22 τ=61.40
CC 24 SLD (Collegamento -182_-384)
Azioni sul collegamento: N=-11144.60 Ty=-9.24 Tz=17.82 Mx=-0.01 Mz=-7.34
Sollecitazioni agenti localmente: Ty_l=-2026.30 Mx_l=-40.53
Tensioni nella sezione: σ=491.22 τ=61.40
CC 24 SLD (Collegamento -182_-384)
Azioni sul collegamento: N=-11144.60 Ty=-11.59 Tz=8.91 Mx=-0.01 Mz=-9.27
Sollecitazioni agenti localmente: Ty_l=-2026.30 Mx_l=-40.53
Tensioni nella sezione: σ=491.22 τ=61.40
CC 24 SLD (Collegamento -182_-384)
Azioni sul collegamento: N=-11144.60 Ty=-9.24 Tz=8.91 Mx=-0.01 Mz=-7.34
Sollecitazioni agenti localmente: Ty_l=-2026.30 Mx_l=-40.53
Tensioni nella sezione: σ=491.22 τ=61.40
CC 24 SLD (Collegamento -182_-384)
Azioni sul collegamento: N=-8758.65 Ty=-11.59 Tz=17.82 Mx=-0.01 Mz=-9.27
Sollecitazioni agenti localmente: Ty_l=-1592.48 Mx_l=-31.85
Tensioni nella sezione: σ=386.06 τ=48.26
CC 24 SLD (Collegamento -182_-384)
Azioni sul collegamento: N=-8758.65 Ty=-9.24 Tz=17.82 Mx=-0.01 Mz=-7.34
Sollecitazioni agenti localmente: Ty_l=-1592.48 Mx_l=-31.85
Tensioni nella sezione: σ=386.06 τ=48.26
CC 24 SLD (Collegamento -182_-384)
Azioni sul collegamento: N=-8758.64 Ty=-11.59 Tz=8.91 Mx=-0.01 Mz=-9.27
Sollecitazioni agenti localmente: Ty_l=-1592.48 Mx_l=-31.85
Tensioni nella sezione: σ=386.06 τ=48.26
CC 24 SLD (Collegamento -182_-384)
Azioni sul collegamento: N=-8758.64 Ty=-9.24 Tz=8.91 Mx=-0.01 Mz=-7.34
Sollecitazioni agenti localmente: Ty_l=-1592.48 Mx_l=-31.85
Tensioni nella sezione: σ=386.06 τ=48.26
CC 25 SLV (Collegamento -182_-384)
Azioni sul collegamento: N=-8867.92 Ty=-9.40 Tz=8.87 Mx=-0.02 Mz=-7.91
Sollecitazioni agenti localmente: Ty_l=-1612.35 Mx_l=-32.25
Tensioni nella sezione: σ=390.87 τ=48.86
CC 25 SLV (Collegamento -182_-384)
Azioni sul collegamento: N=-8867.92 Ty=-13.27 Tz=8.87 Mx=-0.02 Mz=-12.98
Sollecitazioni agenti localmente: Ty_l=-1612.35 Mx_l=-32.25
Tensioni nella sezione: σ=390.87 τ=48.86
CC 25 SLV (Collegamento -182_-384)
Azioni sul collegamento: N=-8867.92 Ty=-9.40 Tz=18.62 Mx=-0.02 Mz=-7.91
Sollecitazioni agenti localmente: Ty_l=-1612.35 Mx_l=-32.25
Tensioni nella sezione: σ=390.87 τ=48.86
CC 25 SLV (Collegamento -182_-384)
Azioni sul collegamento: N=-8867.92 Ty=-13.27 Tz=18.62 Mx=-0.02 Mz=-12.98
Sollecitazioni agenti localmente: Ty_l=-1612.35 Mx_l=-32.25
Tensioni nella sezione: σ=390.87 τ=48.86
CC 25 SLV (Collegamento -182_-384)
Azioni sul collegamento: N=-11230.00 Ty=-9.40 Tz=8.87 Mx=-0.02 Mz=-7.91
Sollecitazioni agenti localmente: Ty_l=-2041.82 Mx_l=-40.84
Tensioni nella sezione: σ=494.99 τ=61.87
CC 25 SLV (Collegamento -182_-384)
Azioni sul collegamento: N=-11230.00 Ty=-13.27 Tz=8.87 Mx=-0.02 Mz=-12.98
Sollecitazioni agenti localmente: Ty_l=-2041.82 Mx_l=-40.84
Tensioni nella sezione: σ=494.99 τ=61.87
CC 25 SLV (Collegamento -182_-384)
Azioni sul collegamento: N=-11230.00 Ty=-9.40 Tz=18.62 Mx=-0.02 Mz=-7.91
Sollecitazioni agenti localmente: Ty_l=-2041.82 Mx_l=-40.84
Tensioni nella sezione: σ=494.99 τ=61.87
CC 25 SLV (Collegamento -182_-384)
Azioni sul collegamento: N=-11230.00 Ty=-13.27 Tz=18.62 Mx=-0.02 Mz=-12.98
Sollecitazioni agenti localmente: Ty_l=-2041.82 Mx_l=-40.84
Tensioni nella sezione: σ=494.99 τ=61.87
CC 26 SLD (Collegamento -182_-384)
Azioni sul collegamento: N=-9591.50 Ty=-9.82 Tz=11.88 Mx=-0.01 Mz=-7.53
Sollecitazioni agenti localmente: Ty_l=-1743.91 Mx_l=-34.88
Tensioni nella sezione: σ=422.76 τ=52.85
CC 26 SLD (Collegamento -182_-384)
Azioni sul collegamento: N=-9591.50 Ty=-11.00 Tz=11.88 Mx=-0.01 Mz=-9.08
Sollecitazioni agenti localmente: Ty_l=-1743.91 Mx_l=-34.88
Tensioni nella sezione: σ=422.76 τ=52.85
CC 26 SLD (Collegamento -182_-384)

Azioni sul collegamento: N=-9591.50 Ty=-9.82 Tz=14.85 Mx=-0.01 Mz=-7.53
Sollecitazioni agenti localmente: Ty_l=-1743.91 Mx_l=-34.88
Tensioni nella sezione: σ=422.76 τ=52.85
CC 26 SLD (Collegamento -182_-384)
Azioni sul collegamento: N=-9591.50 Ty=-11.00 Tz=14.85 Mx=-0.01 Mz=-9.08
Sollecitazioni agenti localmente: Ty_l=-1743.91 Mx_l=-34.88
Tensioni nella sezione: σ=422.76 τ=52.85
CC 26 SLD (Collegamento -182_-384)
Azioni sul collegamento: N=-10311.80 Ty=-9.82 Tz=11.88 Mx=-0.01 Mz=-7.53
Sollecitazioni agenti localmente: Ty_l=-1874.87 Mx_l=-37.50
Tensioni nella sezione: σ=454.51 τ=56.81
CC 26 SLD (Collegamento -182_-384)
Azioni sul collegamento: N=-10311.80 Ty=-11.00 Tz=11.88 Mx=-0.01 Mz=-9.08
Sollecitazioni agenti localmente: Ty_l=-1874.87 Mx_l=-37.50
Tensioni nella sezione: σ=454.51 τ=56.81
CC 26 SLD (Collegamento -182_-384)
Azioni sul collegamento: N=-10311.80 Ty=-9.82 Tz=14.85 Mx=-0.01 Mz=-7.53
Sollecitazioni agenti localmente: Ty_l=-1874.87 Mx_l=-37.50
Tensioni nella sezione: σ=454.51 τ=56.81
CC 26 SLD (Collegamento -182_-384)
Azioni sul collegamento: N=-10311.80 Ty=-11.00 Tz=14.85 Mx=-0.01 Mz=-9.08
Sollecitazioni agenti localmente: Ty_l=-1874.87 Mx_l=-37.50
Tensioni nella sezione: σ=454.51 τ=56.81
CC 27 SLV (Collegamento -182_-384)
Azioni sul collegamento: N=-11213.90 Ty=-11.56 Tz=17.53 Mx=-0.02 Mz=-9.49
Sollecitazioni agenti localmente: Ty_l=-2038.88 Mx_l=-40.78
Tensioni nella sezione: σ=494.27 τ=61.78
CC 27 SLV (Collegamento -182_-384)
Azioni sul collegamento: N=-11213.90 Ty=-11.11 Tz=17.53 Mx=-0.02 Mz=-11.40
Sollecitazioni agenti localmente: Ty_l=-2038.88 Mx_l=-40.78
Tensioni nella sezione: σ=494.27 τ=61.78
CC 27 SLV (Collegamento -182_-384)
Azioni sul collegamento: N=-11213.90 Ty=-11.56 Tz=9.96 Mx=-0.02 Mz=-9.49
Sollecitazioni agenti localmente: Ty_l=-2038.88 Mx_l=-40.78
Tensioni nella sezione: σ=494.27 τ=61.78
CC 27 SLV (Collegamento -182_-384)
Azioni sul collegamento: N=-11213.90 Ty=-11.11 Tz=9.96 Mx=-0.02 Mz=-11.40
Sollecitazioni agenti localmente: Ty_l=-2038.88 Mx_l=-40.78
Tensioni nella sezione: σ=494.27 τ=61.78
CC 27 SLV (Collegamento -182_-384)
Azioni sul collegamento: N=-8884.09 Ty=-11.56 Tz=17.53 Mx=-0.02 Mz=-9.49
Sollecitazioni agenti localmente: Ty_l=-1615.29 Mx_l=-32.31
Tensioni nella sezione: σ=391.58 τ=48.95
CC 27 SLV (Collegamento -182_-384)
Azioni sul collegamento: N=-8884.09 Ty=-11.11 Tz=17.53 Mx=-0.02 Mz=-11.40
Sollecitazioni agenti localmente: Ty_l=-1615.29 Mx_l=-32.31
Tensioni nella sezione: σ=391.58 τ=48.95
CC 27 SLV (Collegamento -182_-384)
Azioni sul collegamento: N=-8884.09 Ty=-11.56 Tz=9.96 Mx=-0.02 Mz=-9.49
Sollecitazioni agenti localmente: Ty_l=-1615.29 Mx_l=-32.31
Tensioni nella sezione: σ=391.58 τ=48.95
CC 27 SLV (Collegamento -182_-384)
Azioni sul collegamento: N=-8884.09 Ty=-11.11 Tz=9.96 Mx=-0.02 Mz=-11.40
Sollecitazioni agenti localmente: Ty_l=-1615.29 Mx_l=-32.31
Tensioni nella sezione: σ=391.58 τ=48.95
CC 28 SLD (Collegamento -182_-384)
Azioni sul collegamento: N=-10306.80 Ty=-10.48 Tz=14.52 Mx=-0.01 Mz=-8.01
Sollecitazioni agenti localmente: Ty_l=-1873.97 Mx_l=-37.48
Tensioni nella sezione: σ=454.30 τ=56.79
CC 28 SLD (Collegamento -182_-384)
Azioni sul collegamento: N=-10306.80 Ty=-10.34 Tz=14.52 Mx=-0.01 Mz=-8.60
Sollecitazioni agenti localmente: Ty_l=-1873.97 Mx_l=-37.48
Tensioni nella sezione: σ=454.30 τ=56.79
CC 28 SLD (Collegamento -182_-384)
Azioni sul collegamento: N=-10306.80 Ty=-10.48 Tz=12.21 Mx=-0.01 Mz=-8.01
Sollecitazioni agenti localmente: Ty_l=-1873.97 Mx_l=-37.48
Tensioni nella sezione: σ=454.30 τ=56.79
CC 28 SLD (Collegamento -182_-384)
Azioni sul collegamento: N=-10306.80 Ty=-10.34 Tz=12.21 Mx=-0.01 Mz=-8.60
Sollecitazioni agenti localmente: Ty_l=-1873.97 Mx_l=-37.48
Tensioni nella sezione: σ=454.30 τ=56.79
CC 28 SLD (Collegamento -182_-384)
Azioni sul collegamento: N=-9596.43 Ty=-10.48 Tz=14.52 Mx=-0.01 Mz=-8.01
Sollecitazioni agenti localmente: Ty_l=-1744.80 Mx_l=-34.90
Tensioni nella sezione: σ=422.98 τ=52.87
CC 28 SLD (Collegamento -182_-384)
Azioni sul collegamento: N=-9596.43 Ty=-10.34 Tz=14.52 Mx=-0.01 Mz=-8.60
Sollecitazioni agenti localmente: Ty_l=-1744.80 Mx_l=-34.90
Tensioni nella sezione: σ=422.98 τ=52.87

CC 28 SLD (Collegamento -182_-384)
Azioni sul collegamento: N=-9596.43 Ty=-10.48 Tz=12.21 Mx=-0.01 Mz=-8.01
Sollecitazioni agenti localmente: Ty_l=-1744.80 Mx_l=-34.90
Tensioni nella sezione: σ=422.98 τ=52.87
CC 28 SLD (Collegamento -182_-384)
Azioni sul collegamento: N=-9596.43 Ty=-10.34 Tz=12.21 Mx=-0.01 Mz=-8.60
Sollecitazioni agenti localmente: Ty_l=-1744.80 Mx_l=-34.90
Tensioni nella sezione: σ=422.98 τ=52.87
CC 29 SLV (Collegamento -182_-384)
Azioni sul collegamento: N=-8884.09 Ty=-11.11 Tz=9.96 Mx=-0.01 Mz=-11.40
Sollecitazioni agenti localmente: Ty_l=-1615.29 Mx_l=-32.31
Tensioni nella sezione: σ=391.58 τ=48.95
CC 29 SLV (Collegamento -182_-384)
Azioni sul collegamento: N=-8884.09 Ty=-11.56 Tz=9.96 Mx=-0.01 Mz=-9.49
Sollecitazioni agenti localmente: Ty_l=-1615.29 Mx_l=-32.31
Tensioni nella sezione: σ=391.58 τ=48.95
CC 29 SLV (Collegamento -182_-384)
Azioni sul collegamento: N=-8884.09 Ty=-11.11 Tz=17.53 Mx=-0.01 Mz=-11.40
Sollecitazioni agenti localmente: Ty_l=-1615.29 Mx_l=-32.31
Tensioni nella sezione: σ=391.58 τ=48.95
CC 29 SLV (Collegamento -182_-384)
Azioni sul collegamento: N=-8884.09 Ty=-11.56 Tz=17.53 Mx=-0.01 Mz=-9.49
Sollecitazioni agenti localmente: Ty_l=-1615.29 Mx_l=-32.31
Tensioni nella sezione: σ=391.58 τ=48.95
CC 29 SLV (Collegamento -182_-384)
Azioni sul collegamento: N=-11213.90 Ty=-11.11 Tz=9.96 Mx=-0.01 Mz=-11.40
Sollecitazioni agenti localmente: Ty_l=-2038.88 Mx_l=-40.78
Tensioni nella sezione: σ=494.27 τ=61.78
CC 29 SLV (Collegamento -182_-384)
Azioni sul collegamento: N=-11213.90 Ty=-11.56 Tz=9.96 Mx=-0.01 Mz=-9.49
Sollecitazioni agenti localmente: Ty_l=-2038.88 Mx_l=-40.78
Tensioni nella sezione: σ=494.27 τ=61.78
CC 29 SLV (Collegamento -182_-384)
Azioni sul collegamento: N=-11213.90 Ty=-11.11 Tz=17.53 Mx=-0.01 Mz=-11.40
Sollecitazioni agenti localmente: Ty_l=-2038.88 Mx_l=-40.78
Tensioni nella sezione: σ=494.27 τ=61.78
CC 29 SLV (Collegamento -182_-384)
Azioni sul collegamento: N=-11213.90 Ty=-11.56 Tz=17.53 Mx=-0.01 Mz=-9.49
Sollecitazioni agenti localmente: Ty_l=-2038.88 Mx_l=-40.78
Tensioni nella sezione: σ=494.27 τ=61.78
CC 30 SLD (Collegamento -182_-384)
Azioni sul collegamento: N=-9596.43 Ty=-10.34 Tz=12.21 Mx=-0.00 Mz=-8.60
Sollecitazioni agenti localmente: Ty_l=-1744.80 Mx_l=-34.90
Tensioni nella sezione: σ=422.98 τ=52.87
CC 30 SLD (Collegamento -182_-384)
Azioni sul collegamento: N=-9596.43 Ty=-10.48 Tz=12.21 Mx=-0.00 Mz=-8.01
Sollecitazioni agenti localmente: Ty_l=-1744.80 Mx_l=-34.90
Tensioni nella sezione: σ=422.98 τ=52.87
CC 30 SLD (Collegamento -182_-384)
Azioni sul collegamento: N=-9596.43 Ty=-10.34 Tz=14.52 Mx=-0.00 Mz=-8.60
Sollecitazioni agenti localmente: Ty_l=-1744.80 Mx_l=-34.90
Tensioni nella sezione: σ=422.98 τ=52.87
CC 30 SLD (Collegamento -182_-384)
Azioni sul collegamento: N=-9596.43 Ty=-10.48 Tz=14.52 Mx=-0.00 Mz=-8.01
Sollecitazioni agenti localmente: Ty_l=-1744.80 Mx_l=-34.90
Tensioni nella sezione: σ=422.98 τ=52.87
CC 30 SLD (Collegamento -182_-384)
Azioni sul collegamento: N=-10306.80 Ty=-10.34 Tz=12.21 Mx=-0.00 Mz=-8.60
Sollecitazioni agenti localmente: Ty_l=-1873.97 Mx_l=-37.48
Tensioni nella sezione: σ=454.30 τ=56.79
CC 30 SLD (Collegamento -182_-384)
Azioni sul collegamento: N=-10306.80 Ty=-10.48 Tz=12.21 Mx=-0.00 Mz=-8.01
Sollecitazioni agenti localmente: Ty_l=-1873.97 Mx_l=-37.48
Tensioni nella sezione: σ=454.30 τ=56.79
CC 30 SLD (Collegamento -182_-384)
Azioni sul collegamento: N=-10306.80 Ty=-10.34 Tz=14.52 Mx=-0.00 Mz=-8.60
Sollecitazioni agenti localmente: Ty_l=-1873.97 Mx_l=-37.48
Tensioni nella sezione: σ=454.30 τ=56.79
CC 30 SLD (Collegamento -182_-384)
Azioni sul collegamento: N=-10306.80 Ty=-10.48 Tz=14.52 Mx=-0.00 Mz=-8.01
Sollecitazioni agenti localmente: Ty_l=-1873.97 Mx_l=-37.48
Tensioni nella sezione: σ=454.30 τ=56.79
CC 31 SLV (Collegamento -182_-384)
Azioni sul collegamento: N=-11230.00 Ty=-13.27 Tz=18.62 Mx=-0.01 Mz=-12.98
Sollecitazioni agenti localmente: Ty_l=-2041.82 Mx_l=-40.84
Tensioni nella sezione: σ=494.99 τ=61.87
CC 31 SLV (Collegamento -182_-384)
Azioni sul collegamento: N=-11230.00 Ty=-9.40 Tz=18.62 Mx=-0.01 Mz=-7.91
Sollecitazioni agenti localmente: Ty_l=-2041.82 Mx_l=-40.84

Tensioni nella sezione: σ=494.99 τ=61.87
CC 31 SLV (Collegamento -182_-384)
Azioni sul collegamento: N=-11230.00 Ty=-13.27 Tz=8.87 Mx=-0.01 Mz=-12.98
Sollecitazioni agenti localmente: Ty_l=-2041.82 Mx_l=-40.84
Tensioni nella sezione: σ=494.99 τ=61.87
CC 31 SLV (Collegamento -182_-384)
Azioni sul collegamento: N=-11230.00 Ty=-9.40 Tz=8.87 Mx=-0.01 Mz=-7.91
Sollecitazioni agenti localmente: Ty_l=-2041.82 Mx_l=-40.84
Tensioni nella sezione: σ=494.99 τ=61.87
CC 31 SLV (Collegamento -182_-384)
Azioni sul collegamento: N=-8867.92 Ty=-13.27 Tz=18.62 Mx=-0.01 Mz=-12.98
Sollecitazioni agenti localmente: Ty_l=-1612.35 Mx_l=-32.25
Tensioni nella sezione: σ=390.87 τ=48.86
CC 31 SLV (Collegamento -182_-384)
Azioni sul collegamento: N=-8867.92 Ty=-9.40 Tz=18.62 Mx=-0.01 Mz=-7.91
Sollecitazioni agenti localmente: Ty_l=-1612.35 Mx_l=-32.25
Tensioni nella sezione: σ=390.87 τ=48.86
CC 31 SLV (Collegamento -182_-384)
Azioni sul collegamento: N=-8867.92 Ty=-13.27 Tz=8.87 Mx=-0.01 Mz=-12.98
Sollecitazioni agenti localmente: Ty_l=-1612.35 Mx_l=-32.25
Tensioni nella sezione: σ=390.87 τ=48.86
CC 31 SLV (Collegamento -182_-384)
Azioni sul collegamento: N=-8867.92 Ty=-9.40 Tz=8.87 Mx=-0.01 Mz=-7.91
Sollecitazioni agenti localmente: Ty_l=-1612.35 Mx_l=-32.25
Tensioni nella sezione: σ=390.87 τ=48.86
CC 32 SLD (Collegamento -182_-384)
Azioni sul collegamento: N=-10311.80 Ty=-11.00 Tz=14.85 Mx=-0.00 Mz=-9.08
Sollecitazioni agenti localmente: Ty_l=-1874.87 Mx_l=-37.50
Tensioni nella sezione: σ=454.51 τ=56.81
CC 32 SLD (Collegamento -182_-384)
Azioni sul collegamento: N=-10311.80 Ty=-9.82 Tz=14.85 Mx=-0.00 Mz=-7.53
Sollecitazioni agenti localmente: Ty_l=-1874.87 Mx_l=-37.50
Tensioni nella sezione: σ=454.51 τ=56.81
CC 32 SLD (Collegamento -182_-384)
Azioni sul collegamento: N=-10311.80 Ty=-11.00 Tz=11.88 Mx=-0.00 Mz=-9.08
Sollecitazioni agenti localmente: Ty_l=-1874.87 Mx_l=-37.50
Tensioni nella sezione: σ=454.51 τ=56.81
CC 32 SLD (Collegamento -182_-384)
Azioni sul collegamento: N=-10311.80 Ty=-9.82 Tz=11.88 Mx=-0.00 Mz=-7.53
Sollecitazioni agenti localmente: Ty_l=-1874.87 Mx_l=-37.50
Tensioni nella sezione: σ=454.51 τ=56.81
CC 32 SLD (Collegamento -182_-384)
Azioni sul collegamento: N=-9591.50 Ty=-11.00 Tz=14.85 Mx=-0.00 Mz=-9.08
Sollecitazioni agenti localmente: Ty_l=-1743.91 Mx_l=-34.88
Tensioni nella sezione: σ=422.76 τ=52.85
CC 32 SLD (Collegamento -182_-384)
Azioni sul collegamento: N=-9591.50 Ty=-9.82 Tz=14.85 Mx=-0.00 Mz=-7.53
Sollecitazioni agenti localmente: Ty_l=-1743.91 Mx_l=-34.88
Tensioni nella sezione: σ=422.76 τ=52.85
CC 32 SLD (Collegamento -182_-384)
Azioni sul collegamento: N=-9591.50 Ty=-11.00 Tz=11.88 Mx=-0.00 Mz=-9.08
Sollecitazioni agenti localmente: Ty_l=-1743.91 Mx_l=-34.88
Tensioni nella sezione: σ=422.76 τ=52.85
CC 32 SLD (Collegamento -182_-384)
Azioni sul collegamento: N=-9591.50 Ty=-9.82 Tz=11.88 Mx=-0.00 Mz=-7.53
Sollecitazioni agenti localmente: Ty_l=-1743.91 Mx_l=-34.88
Tensioni nella sezione: σ=422.76 τ=52.85
CC 33 SLU (Collegamento -182_-384)
Azioni sul collegamento: N=-37242.40 Ty=-20.96 Tz=105.49 Mx=-0.01 Mz=-15.56
Sollecitazioni agenti localmente: Ty_l=-6771.34 Mx_l=-135.43
Tensioni nella sezione: σ=1641.53 τ=205.19
CC 34 SLU (Collegamento -182_-384)
Azioni sul collegamento: N=-36428.20 Ty=-20.21 Tz=102.49 Mx=-0.01 Mz=-15.01
Sollecitazioni agenti localmente: Ty_l=-6623.30 Mx_l=-132.47
Tensioni nella sezione: σ=1605.65 τ=200.71
CC 35 SLU (Collegamento -182_-384)
Azioni sul collegamento: N=-36836.10 Ty=-20.67 Tz=103.93 Mx=-0.00 Mz=-15.47
Sollecitazioni agenti localmente: Ty_l=-6697.48 Mx_l=-133.95
Tensioni nella sezione: σ=1623.63 τ=202.95
CC 36 SLU (Collegamento -182_-384)
Azioni sul collegamento: N=-36834.40 Ty=-20.49 Tz=104.05 Mx=-0.01 Mz=-15.10
Sollecitazioni agenti localmente: Ty_l=-6697.16 Mx_l=-133.94
Tensioni nella sezione: σ=1623.55 τ=202.94
CC 37 SLU (Collegamento -182_-384)
Azioni sul collegamento: N=-28075.80 Ty=-20.08 Tz=71.84 Mx=-0.01 Mz=-14.76
Sollecitazioni agenti localmente: Ty_l=-5104.69 Mx_l=-102.09
Tensioni nella sezione: σ=1237.50 τ=154.69
CC 38 SLU (Collegamento -182_-384)
Azioni sul collegamento: N=-27261.60 Ty=-19.33 Tz=68.83 Mx=-0.01 Mz=-14.21

Sollecitazioni agenti localmente: Ty_l=-4956.65 Mx_l=-99.13
Tensioni nella sezione: σ=1201.61 τ=150.20
CC 39 SLU (Collegamento -182_-384)
Azioni sul collegamento: N=-27669.60 Ty=-19.79 Tz=70.28 Mx=-0.00 Mz=-14.67
Sollecitazioni agenti localmente: Ty_l=-5030.83 Mx_l=-100.62
Tensioni nella sezione: σ=1219.59 τ=152.45
CC 40 SLU (Collegamento -182_-384)
Azioni sul collegamento: N=-27667.80 Ty=-19.61 Tz=70.39 Mx=-0.01 Mz=-14.31
Sollecitazioni agenti localmente: Ty_l=-5030.51 Mx_l=-100.61
Tensioni nella sezione: σ=1219.52 τ=152.44
CC 41 SLU (Collegamento -182_-384)
Azioni sul collegamento: N=-30474.50 Ty=9.93 Tz=80.11 Mx=-0.01 Mz=7.87
Sollecitazioni agenti localmente: Ty_l=-5540.82 Mx_l=-110.82
Tensioni nella sezione: σ=1343.23 τ=167.90
CC 42 SLU (Collegamento -182_-384)
Azioni sul collegamento: N=-29660.30 Ty=10.68 Tz=77.11 Mx=-0.01 Mz=8.42
Sollecitazioni agenti localmente: Ty_l=-5392.79 Mx_l=-107.86
Tensioni nella sezione: σ=1307.34 τ=163.42
CC 43 SLU (Collegamento -182_-384)
Azioni sul collegamento: N=-30068.30 Ty=10.21 Tz=78.55 Mx=-0.00 Mz=7.97
Sollecitazioni agenti localmente: Ty_l=-5466.97 Mx_l=-109.34
Tensioni nella sezione: σ=1325.32 τ=165.67
CC 44 SLU (Collegamento -182_-384)
Azioni sul collegamento: N=-30066.50 Ty=10.39 Tz=78.67 Mx=-0.01 Mz=8.33
Sollecitazioni agenti localmente: Ty_l=-5466.64 Mx_l=-109.33
Tensioni nella sezione: σ=1325.24 τ=165.66
CC 45 SLU (Collegamento -182_-384)
Azioni sul collegamento: N=-30085.80 Ty=-20.31 Tz=79.22 Mx=-0.00 Mz=-15.08
Sollecitazioni agenti localmente: Ty_l=-5470.14 Mx_l=-109.40
Tensioni nella sezione: σ=1326.09 τ=165.76
CC 46 SLU (Collegamento -182_-384)
Azioni sul collegamento: N=-29271.60 Ty=-19.56 Tz=76.22 Mx=-0.00 Mz=-14.53
Sollecitazioni agenti localmente: Ty_l=-5322.11 Mx_l=-106.44
Tensioni nella sezione: σ=1290.21 τ=161.28
CC 47 SLU (Collegamento -182_-384)
Azioni sul collegamento: N=-29679.60 Ty=-20.02 Tz=77.66 Mx=-0.00 Mz=-14.99
Sollecitazioni agenti localmente: Ty_l=-5396.29 Mx_l=-107.92
Tensioni nella sezione: σ=1308.19 τ=163.52
CC 48 SLU (Collegamento -182_-384)
Azioni sul collegamento: N=-29677.80 Ty=-19.84 Tz=77.78 Mx=-0.01 Mz=-14.62
Sollecitazioni agenti localmente: Ty_l=-5395.96 Mx_l=-107.92
Tensioni nella sezione: σ=1308.11 τ=163.51
CC 49 SLU (Collegamento -182_-384)
Azioni sul collegamento: N=-23227.80 Ty=-19.65 Tz=54.04 Mx=-0.00 Mz=-14.49
Sollecitazioni agenti localmente: Ty_l=-4223.24 Mx_l=-84.46
Tensioni nella sezione: σ=1023.81 τ=127.98
CC 50 SLU (Collegamento -182_-384)
Azioni sul collegamento: N=-22413.60 Ty=-18.90 Tz=51.04 Mx=-0.00 Mz=-13.93
Sollecitazioni agenti localmente: Ty_l=-4075.21 Mx_l=-81.50
Tensioni nella sezione: σ=987.93 τ=123.49
CC 51 SLU (Collegamento -182_-384)
Azioni sul collegamento: N=-22821.60 Ty=-19.36 Tz=52.48 Mx=-0.00 Mz=-14.39
Sollecitazioni agenti localmente: Ty_l=-4149.38 Mx_l=-82.99
Tensioni nella sezione: σ=1005.91 τ=125.74
CC 52 SLU (Collegamento -182_-384)
Azioni sul collegamento: N=-22819.80 Ty=-19.19 Tz=52.60 Mx=-0.01 Mz=-14.03
Sollecitazioni agenti localmente: Ty_l=-4149.06 Mx_l=-82.98
Tensioni nella sezione: σ=1005.83 τ=125.73
CC 53 SLU (Collegamento -182_-384)
Azioni sul collegamento: N=-25022.40 Ty=2.80 Tz=60.23 Mx=-0.00 Mz=2.45
Sollecitazioni agenti localmente: Ty_l=-4549.54 Mx_l=-90.99
Tensioni nella sezione: σ=1102.92 τ=137.87
CC 54 SLU (Collegamento -182_-384)
Azioni sul collegamento: N=-24208.20 Ty=3.55 Tz=57.23 Mx=-0.01 Mz=3.00
Sollecitazioni agenti localmente: Ty_l=-4401.50 Mx_l=-88.03
Tensioni nella sezione: σ=1067.03 τ=133.38
CC 55 SLU (Collegamento -182_-384)
Azioni sul collegamento: N=-24616.20 Ty=3.09 Tz=58.67 Mx=-0.00 Mz=2.54
Sollecitazioni agenti localmente: Ty_l=-4475.68 Mx_l=-89.51
Tensioni nella sezione: σ=1085.01 τ=135.63
CC 56 SLU (Collegamento -182_-384)
Azioni sul collegamento: N=-24614.50 Ty=3.26 Tz=58.79 Mx=-0.01 Mz=2.91
Sollecitazioni agenti localmente: Ty_l=-4475.36 Mx_l=-89.51
Tensioni nella sezione: σ=1084.93 τ=135.62
CC 57 SLU (Collegamento -182_-384)
Azioni sul collegamento: N=-27876.60 Ty=-18.56 Tz=71.09 Mx=-0.00 Mz=-13.78
Sollecitazioni agenti localmente: Ty_l=-5068.48 Mx_l=-101.37
Tensioni nella sezione: σ=1228.72 τ=153.59
CC 58 SLU (Collegamento -182_-384)

Azioni sul collegamento: N=-27062.40 Ty=-17.81 Tz=68.08 Mx=-0.00 Mz=-13.23
Sollecitazioni agenti localmente: Ty_l=-4920.44 Mx_l=-98.41
Tensioni nella sezione: σ=1192.83 τ=149.10
CC 59 SLU (Collegamento -182_-384)
Azioni sul collegamento: N=-27470.40 Ty=-18.27 Tz=69.53 Mx=-0.00 Mz=-13.69
Sollecitazioni agenti localmente: Ty_l=-4994.62 Mx_l=-99.89
Tensioni nella sezione: σ=1210.82 τ=151.35
CC 60 SLU (Collegamento -182_-384)
Azioni sul collegamento: N=-27468.70 Ty=-18.09 Tz=69.65 Mx=-0.01 Mz=-13.33
Sollecitazioni agenti localmente: Ty_l=-4994.30 Mx_l=-99.89
Tensioni nella sezione: σ=1210.74 τ=151.34
CC 61 SLU (Collegamento -182_-384)
Azioni sul collegamento: N=-21018.70 Ty=-17.90 Tz=45.91 Mx=-0.00 Mz=-13.19
Sollecitazioni agenti localmente: Ty_l=-3821.58 Mx_l=-76.43
Tensioni nella sezione: σ=926.44 τ=115.81
CC 62 SLU (Collegamento -182_-384)
Azioni sul collegamento: N=-20204.50 Ty=-17.15 Tz=42.91 Mx=-0.00 Mz=-12.64
Sollecitazioni agenti localmente: Ty_l=-3673.54 Mx_l=-73.47
Tensioni nella sezione: σ=890.55 τ=111.32
CC 63 SLU (Collegamento -182_-384)
Azioni sul collegamento: N=-20612.50 Ty=-17.61 Tz=44.35 Mx=-0.00 Mz=-13.10
Sollecitazioni agenti localmente: Ty_l=-3747.72 Mx_l=-74.95
Tensioni nella sezione: σ=908.54 τ=113.57
CC 64 SLU (Collegamento -182_-384)
Azioni sul collegamento: N=-20610.70 Ty=-17.43 Tz=44.47 Mx=-0.01 Mz=-12.73
Sollecitazioni agenti localmente: Ty_l=-3747.40 Mx_l=-74.95
Tensioni nella sezione: σ=908.46 τ=113.56
CC 65 SLU (Collegamento -182_-384)
Azioni sul collegamento: N=-22813.30 Ty=4.55 Tz=52.10 Mx=-0.00 Mz=3.75
Sollecitazioni agenti localmente: Ty_l=-4147.87 Mx_l=-82.96
Tensioni nella sezione: σ=1005.54 τ=125.69
CC 66 SLU (Collegamento -182_-384)
Azioni sul collegamento: N=-21999.10 Ty=5.30 Tz=49.10 Mx=-0.00 Mz=4.30
Sollecitazioni agenti localmente: Ty_l=-3999.83 Mx_l=-80.00
Tensioni nella sezione: σ=969.65 τ=121.21
CC 67 SLU (Collegamento -182_-384)
Azioni sul collegamento: N=-22407.10 Ty=4.84 Tz=50.54 Mx=-0.00 Mz=3.84
Sollecitazioni agenti localmente: Ty_l=-4074.01 Mx_l=-81.48
Tensioni nella sezione: σ=987.64 τ=123.45
CC 68 SLU (Collegamento -182_-384)
Azioni sul collegamento: N=-22405.30 Ty=5.01 Tz=50.66 Mx=-0.01 Mz=4.20
Sollecitazioni agenti localmente: Ty_l=-4073.69 Mx_l=-81.47
Tensioni nella sezione: σ=987.56 τ=123.44
CC 97 SLU (Collegamento -182_-384)
Azioni sul collegamento: N=-12779.50 Ty=-22.48 Tz=24.03 Mx=-0.06 Mz=-25.00
Sollecitazioni agenti localmente: Ty_l=-2323.54 Mx_l=-46.47
Tensioni nella sezione: σ=563.28 τ=70.41
CC 98 SLU (Collegamento -182_-384)
Azioni sul collegamento: N=-11965.30 Ty=-21.73 Tz=21.02 Mx=-0.06 Mz=-24.45
Sollecitazioni agenti localmente: Ty_l=-2175.50 Mx_l=-43.51
Tensioni nella sezione: σ=527.39 τ=65.92
CC 99 SLU (Collegamento -182_-384)
Azioni sul collegamento: N=-12373.20 Ty=-22.20 Tz=22.47 Mx=-0.05 Mz=-24.91
Sollecitazioni agenti localmente: Ty_l=-2249.68 Mx_l=-44.99
Tensioni nella sezione: σ=545.38 τ=68.17
CC 100 SLU (Collegamento -182_-384)
Azioni sul collegamento: N=-12371.50 Ty=-22.02 Tz=22.58 Mx=-0.06 Mz=-24.55
Sollecitazioni agenti localmente: Ty_l=-2249.36 Mx_l=-44.99
Tensioni nella sezione: σ=545.30 τ=68.16
CC 101 SLU (Collegamento -182_-384)
Azioni sul collegamento: N=-10566.60 Ty=-8.33 Tz=15.50 Mx=0.00 Mz=-5.31
Sollecitazioni agenti localmente: Ty_l=-1921.20 Mx_l=-38.42
Tensioni nella sezione: σ=465.74 τ=58.22
CC 102 SLU (Collegamento -182_-384)
Azioni sul collegamento: N=-9752.38 Ty=-7.57 Tz=12.50 Mx=0.00 Mz=-4.76
Sollecitazioni agenti localmente: Ty_l=-1773.16 Mx_l=-35.46
Tensioni nella sezione: σ=429.86 τ=53.73
CC 103 SLU (Collegamento -182_-384)
Azioni sul collegamento: N=-10160.40 Ty=-8.04 Tz=13.94 Mx=0.00 Mz=-5.22
Sollecitazioni agenti localmente: Ty_l=-1847.34 Mx_l=-36.95
Tensioni nella sezione: σ=447.84 τ=55.98
CC 104 SLU (Collegamento -182_-384)
Azioni sul collegamento: N=-10158.60 Ty=-7.86 Tz=14.06 Mx=0.00 Mz=-4.85
Sollecitazioni agenti localmente: Ty_l=-1847.02 Mx_l=-36.94
Tensioni nella sezione: σ=447.76 τ=55.97

Flessione attacco destro piastra

Bnetta=220.00 Hnetta=15.00

CC 1 SLV (Collegamento -182_-384)
Azioni sul collegamento: N=-5856.57 Ty=-4.82 Tz=-1.96 Mx=0.01 Mz=-1.13
Sollecitazioni agenti localmente: Ty_l=-1033.71 My_l=-21.18
Tensioni nella sezione: σ=256.79 τ=31.32
CC 1 SLV (Collegamento -182_-384)
Azioni sul collegamento: N=-5856.57 Ty=-12.53 Tz=-1.96 Mx=0.01 Mz=-7.45
Sollecitazioni agenti localmente: Ty_l=-1008.56 My_l=-20.63
Tensioni nella sezione: σ=250.11 τ=30.56
CC 1 SLV (Collegamento -182_-384)
Azioni sul collegamento: N=-5856.57 Ty=-4.82 Tz=27.25 Mx=0.01 Mz=-1.13
Sollecitazioni agenti localmente: Ty_l=-1033.71 My_l=-21.18
Tensioni nella sezione: σ=256.79 τ=31.32
CC 1 SLV (Collegamento -182_-384)
Azioni sul collegamento: N=-5856.57 Ty=-12.53 Tz=27.25 Mx=0.01 Mz=-7.45
Sollecitazioni agenti localmente: Ty_l=-1008.56 My_l=-20.63
Tensioni nella sezione: σ=250.11 τ=30.56
CC 1 SLV (Collegamento -182_-384)
Azioni sul collegamento: N=-13681.20 Ty=-4.82 Tz=-1.96 Mx=0.01 Mz=-1.13
Sollecitazioni agenti localmente: Ty_l=-2420.81 My_l=-49.62
Tensioni nella sezione: σ=601.46 τ=73.36
CC 1 SLV (Collegamento -182_-384)
Azioni sul collegamento: N=-13681.20 Ty=-12.53 Tz=-1.96 Mx=0.01 Mz=-7.45
Sollecitazioni agenti localmente: Ty_l=-2395.66 My_l=-49.07
Tensioni nella sezione: σ=594.78 τ=72.60
CC 1 SLV (Collegamento -182_-384)
Azioni sul collegamento: N=-13681.20 Ty=-4.82 Tz=27.25 Mx=0.01 Mz=-1.13
Sollecitazioni agenti localmente: Ty_l=-2420.81 My_l=-49.62
Tensioni nella sezione: σ=601.46 τ=73.36
CC 1 SLV (Collegamento -182_-384)
Azioni sul collegamento: N=-13681.20 Ty=-12.53 Tz=27.25 Mx=0.01 Mz=-7.45
Sollecitazioni agenti localmente: Ty_l=-2395.66 My_l=-49.07
Tensioni nella sezione: σ=594.78 τ=72.60
CC 2 SLD (Collegamento -182_-384)
Azioni sul collegamento: N=-8673.24 Ty=-8.42 Tz=8.57 Mx=0.00 Mz=-5.47
Sollecitazioni agenti localmente: Ty_l=-1515.79 My_l=-31.04
Tensioni nella sezione: σ=376.28 τ=45.93
CC 2 SLD (Collegamento -182_-384)
Azioni sul collegamento: N=-8673.24 Ty=-10.78 Tz=8.57 Mx=0.00 Mz=-7.39
Sollecitazioni agenti localmente: Ty_l=-1508.12 My_l=-30.88
Tensioni nella sezione: σ=374.25 τ=45.70
CC 2 SLD (Collegamento -182_-384)
Azioni sul collegamento: N=-8673.24 Ty=-8.42 Tz=17.48 Mx=0.00 Mz=-5.47
Sollecitazioni agenti localmente: Ty_l=-1515.79 My_l=-31.04
Tensioni nella sezione: σ=376.28 τ=45.93
CC 2 SLD (Collegamento -182_-384)
Azioni sul collegamento: N=-8673.24 Ty=-10.78 Tz=17.48 Mx=0.00 Mz=-7.39
Sollecitazioni agenti localmente: Ty_l=-1508.12 My_l=-30.88
Tensioni nella sezione: σ=374.25 τ=45.70
CC 2 SLD (Collegamento -182_-384)
Azioni sul collegamento: N=-11059.20 Ty=-8.42 Tz=8.57 Mx=0.00 Mz=-5.47
Sollecitazioni agenti localmente: Ty_l=-1938.76 My_l=-39.71
Tensioni nella sezione: σ=481.38 τ=58.75
CC 2 SLD (Collegamento -182_-384)
Azioni sul collegamento: N=-11059.20 Ty=-10.78 Tz=8.57 Mx=0.00 Mz=-7.39
Sollecitazioni agenti localmente: Ty_l=-1931.09 My_l=-39.55
Tensioni nella sezione: σ=479.35 τ=58.52
CC 2 SLD (Collegamento -182_-384)
Azioni sul collegamento: N=-11059.20 Ty=-8.42 Tz=17.48 Mx=0.00 Mz=-5.47
Sollecitazioni agenti localmente: Ty_l=-1938.76 My_l=-39.71
Tensioni nella sezione: σ=481.38 τ=58.75
CC 2 SLD (Collegamento -182_-384)
Azioni sul collegamento: N=-11059.20 Ty=-10.78 Tz=17.48 Mx=0.00 Mz=-7.39
Sollecitazioni agenti localmente: Ty_l=-1931.09 My_l=-39.55
Tensioni nella sezione: σ=479.35 τ=58.52
CC 3 SLV (Collegamento -182_-384)
Azioni sul collegamento: N=-5861.42 Ty=-5.33 Tz=-1.63 Mx=0.01 Mz=-2.18
Sollecitazioni agenti localmente: Ty_l=-1030.41 My_l=-21.11
Tensioni nella sezione: σ=255.89 τ=31.22
CC 3 SLV (Collegamento -182_-384)
Azioni sul collegamento: N=-5861.42 Ty=-12.02 Tz=-1.63 Mx=0.01 Mz=-6.41
Sollecitazioni agenti localmente: Ty_l=-1013.59 My_l=-20.74
Tensioni nella sezione: σ=251.43 τ=30.71
CC 3 SLV (Collegamento -182_-384)
Azioni sul collegamento: N=-5861.42 Ty=-5.33 Tz=26.92 Mx=0.01 Mz=-2.18
Sollecitazioni agenti localmente: Ty_l=-1030.41 My_l=-21.11
Tensioni nella sezione: σ=255.89 τ=31.22
CC 3 SLV (Collegamento -182_-384)
Azioni sul collegamento: N=-5861.42 Ty=-12.02 Tz=26.92 Mx=0.01 Mz=-6.41
Sollecitazioni agenti localmente: Ty_l=-1013.59 My_l=-20.74

Tensioni nella sezione: σ=251.43 τ=30.71
CC 3 SLV (Collegamento -182_-384)
Azioni sul collegamento: N=-13676.40 Ty=-5.33 Tz=-1.63 Mx=0.01 Mz=-2.18
Sollecitazioni agenti localmente: Ty_l=-2415.78 My_l=-49.51
Tensioni nella sezione: σ=600.14 τ=73.21
CC 3 SLV (Collegamento -182_-384)
Azioni sul collegamento: N=-13676.40 Ty=-12.02 Tz=-1.63 Mx=0.01 Mz=-6.41
Sollecitazioni agenti localmente: Ty_l=-2398.97 My_l=-49.14
Tensioni nella sezione: σ=595.67 τ=72.70
CC 3 SLV (Collegamento -182_-384)
Azioni sul collegamento: N=-13676.40 Ty=-5.33 Tz=26.92 Mx=0.01 Mz=-2.18
Sollecitazioni agenti localmente: Ty_l=-2415.78 My_l=-49.51
Tensioni nella sezione: σ=600.14 τ=73.21
CC 3 SLV (Collegamento -182_-384)
Azioni sul collegamento: N=-13676.40 Ty=-12.02 Tz=26.92 Mx=0.01 Mz=-6.41
Sollecitazioni agenti localmente: Ty_l=-2398.97 My_l=-49.14
Tensioni nella sezione: σ=595.67 τ=72.70
CC 4 SLD (Collegamento -182_-384)
Azioni sul collegamento: N=-8674.72 Ty=-8.58 Tz=8.67 Mx=-0.00 Mz=-5.79
Sollecitazioni agenti localmente: Ty_l=-1514.78 My_l=-31.02
Tensioni nella sezione: σ=376.01 τ=45.90
CC 4 SLD (Collegamento -182_-384)
Azioni sul collegamento: N=-8674.72 Ty=-10.62 Tz=8.67 Mx=-0.00 Mz=-7.07
Sollecitazioni agenti localmente: Ty_l=-1509.65 My_l=-30.91
Tensioni nella sezione: σ=374.65 τ=45.75
CC 4 SLD (Collegamento -182_-384)
Azioni sul collegamento: N=-8674.72 Ty=-8.58 Tz=17.38 Mx=-0.00 Mz=-5.79
Sollecitazioni agenti localmente: Ty_l=-1514.78 My_l=-31.02
Tensioni nella sezione: σ=376.01 τ=45.90
CC 4 SLD (Collegamento -182_-384)
Azioni sul collegamento: N=-8674.72 Ty=-10.62 Tz=17.38 Mx=-0.00 Mz=-7.07
Sollecitazioni agenti localmente: Ty_l=-1509.65 My_l=-30.91
Tensioni nella sezione: σ=374.65 τ=45.75
CC 4 SLD (Collegamento -182_-384)
Azioni sul collegamento: N=-11057.70 Ty=-8.58 Tz=8.67 Mx=-0.00 Mz=-5.79
Sollecitazioni agenti localmente: Ty_l=-1937.23 My_l=-39.68
Tensioni nella sezione: σ=480.98 τ=58.70
CC 4 SLD (Collegamento -182_-384)
Azioni sul collegamento: N=-11057.70 Ty=-10.62 Tz=8.67 Mx=-0.00 Mz=-7.07
Sollecitazioni agenti localmente: Ty_l=-1932.10 My_l=-39.57
Tensioni nella sezione: σ=479.62 τ=58.55
CC 4 SLD (Collegamento -182_-384)
Azioni sul collegamento: N=-11057.70 Ty=-8.58 Tz=17.38 Mx=-0.00 Mz=-5.79
Sollecitazioni agenti localmente: Ty_l=-1937.23 My_l=-39.68
Tensioni nella sezione: σ=480.98 τ=58.70
CC 4 SLD (Collegamento -182_-384)
Azioni sul collegamento: N=-11057.70 Ty=-10.62 Tz=17.38 Mx=-0.00 Mz=-7.07
Sollecitazioni agenti localmente: Ty_l=-1932.10 My_l=-39.57
Tensioni nella sezione: σ=479.62 τ=58.55
CC 5 SLV (Collegamento -182_-384)
Azioni sul collegamento: N=-13676.40 Ty=-12.02 Tz=26.92 Mx=0.01 Mz=-6.41
Sollecitazioni agenti localmente: Ty_l=-2398.97 My_l=-49.14
Tensioni nella sezione: σ=595.67 τ=72.70
CC 5 SLV (Collegamento -182_-384)
Azioni sul collegamento: N=-13676.40 Ty=-5.33 Tz=26.92 Mx=0.01 Mz=-2.18
Sollecitazioni agenti localmente: Ty_l=-2415.78 My_l=-49.51
Tensioni nella sezione: σ=600.14 τ=73.21
CC 5 SLV (Collegamento -182_-384)
Azioni sul collegamento: N=-13676.40 Ty=-12.02 Tz=-1.63 Mx=0.01 Mz=-6.41
Sollecitazioni agenti localmente: Ty_l=-2398.97 My_l=-49.14
Tensioni nella sezione: σ=595.67 τ=72.70
CC 5 SLV (Collegamento -182_-384)
Azioni sul collegamento: N=-13676.40 Ty=-5.33 Tz=-1.63 Mx=0.01 Mz=-2.18
Sollecitazioni agenti localmente: Ty_l=-2415.78 My_l=-49.51
Tensioni nella sezione: σ=600.14 τ=73.21
CC 5 SLV (Collegamento -182_-384)
Azioni sul collegamento: N=-5861.42 Ty=-12.02 Tz=26.92 Mx=0.01 Mz=-6.41
Sollecitazioni agenti localmente: Ty_l=-1013.59 My_l=-20.74
Tensioni nella sezione: σ=251.43 τ=30.71
CC 5 SLV (Collegamento -182_-384)
Azioni sul collegamento: N=-5861.42 Ty=-5.33 Tz=26.92 Mx=0.01 Mz=-2.18
Sollecitazioni agenti localmente: Ty_l=-1030.41 My_l=-21.11
Tensioni nella sezione: σ=255.89 τ=31.22
CC 5 SLV (Collegamento -182_-384)
Azioni sul collegamento: N=-5861.42 Ty=-12.02 Tz=-1.63 Mx=0.01 Mz=-6.41
Sollecitazioni agenti localmente: Ty_l=-1013.59 My_l=-20.74
Tensioni nella sezione: σ=251.43 τ=30.71
CC 5 SLV (Collegamento -182_-384)
Azioni sul collegamento: N=-5861.42 Ty=-5.33 Tz=-1.63 Mx=0.01 Mz=-2.18

Sollecitazioni agenti localmente: Ty_l=-1030.41 My_l=-21.11
Tensioni nella sezione: σ=255.89 τ=31.22
CC 6 SLD (Collegamento -182_-384)
Azioni sul collegamento: N=-11057.70 Ty=-10.62 Tz=17.38 Mx=0.00 Mz=-7.07
Sollecitazioni agenti localmente: Ty_l=-1932.10 My_l=-39.57
Tensioni nella sezione: σ=479.62 τ=58.55
CC 6 SLD (Collegamento -182_-384)
Azioni sul collegamento: N=-11057.70 Ty=-8.58 Tz=17.38 Mx=0.00 Mz=-5.79
Sollecitazioni agenti localmente: Ty_l=-1937.23 My_l=-39.68
Tensioni nella sezione: σ=480.98 τ=58.70
CC 6 SLD (Collegamento -182_-384)
Azioni sul collegamento: N=-11057.70 Ty=-10.62 Tz=8.67 Mx=0.00 Mz=-7.07
Sollecitazioni agenti localmente: Ty_l=-1932.10 My_l=-39.57
Tensioni nella sezione: σ=479.62 τ=58.55
CC 6 SLD (Collegamento -182_-384)
Azioni sul collegamento: N=-11057.70 Ty=-8.58 Tz=8.67 Mx=0.00 Mz=-5.79
Sollecitazioni agenti localmente: Ty_l=-1937.23 My_l=-39.68
Tensioni nella sezione: σ=480.98 τ=58.70
CC 6 SLD (Collegamento -182_-384)
Azioni sul collegamento: N=-8674.72 Ty=-10.62 Tz=17.38 Mx=0.00 Mz=-7.07
Sollecitazioni agenti localmente: Ty_l=-1509.65 My_l=-30.91
Tensioni nella sezione: σ=374.65 τ=45.75
CC 6 SLD (Collegamento -182_-384)
Azioni sul collegamento: N=-8674.72 Ty=-8.58 Tz=17.38 Mx=0.00 Mz=-5.79
Sollecitazioni agenti localmente: Ty_l=-1514.78 My_l=-31.02
Tensioni nella sezione: σ=376.01 τ=45.90
CC 6 SLD (Collegamento -182_-384)
Azioni sul collegamento: N=-8674.72 Ty=-10.62 Tz=8.67 Mx=0.00 Mz=-7.07
Sollecitazioni agenti localmente: Ty_l=-1509.65 My_l=-30.91
Tensioni nella sezione: σ=374.65 τ=45.75
CC 6 SLD (Collegamento -182_-384)
Azioni sul collegamento: N=-8674.72 Ty=-8.58 Tz=8.67 Mx=0.00 Mz=-5.79
Sollecitazioni agenti localmente: Ty_l=-1514.78 My_l=-31.02
Tensioni nella sezione: σ=376.01 τ=45.90
CC 7 SLV (Collegamento -182_-384)
Azioni sul collegamento: N=-13681.20 Ty=-12.53 Tz=27.25 Mx=0.01 Mz=-7.45
Sollecitazioni agenti localmente: Ty_l=-2395.66 My_l=-49.07
Tensioni nella sezione: σ=594.78 τ=72.60
CC 7 SLV (Collegamento -182_-384)
Azioni sul collegamento: N=-13681.20 Ty=-4.82 Tz=27.25 Mx=0.01 Mz=-1.13
Sollecitazioni agenti localmente: Ty_l=-2420.81 My_l=-49.62
Tensioni nella sezione: σ=601.46 τ=73.36
CC 7 SLV (Collegamento -182_-384)
Azioni sul collegamento: N=-13681.20 Ty=-12.53 Tz=-1.96 Mx=0.01 Mz=-7.45
Sollecitazioni agenti localmente: Ty_l=-2395.66 My_l=-49.07
Tensioni nella sezione: σ=594.78 τ=72.60
CC 7 SLV (Collegamento -182_-384)
Azioni sul collegamento: N=-13681.20 Ty=-4.82 Tz=-1.96 Mx=0.01 Mz=-1.13
Sollecitazioni agenti localmente: Ty_l=-2420.81 My_l=-49.62
Tensioni nella sezione: σ=601.46 τ=73.36
CC 7 SLV (Collegamento -182_-384)
Azioni sul collegamento: N=-5856.57 Ty=-12.53 Tz=27.25 Mx=0.01 Mz=-7.45
Sollecitazioni agenti localmente: Ty_l=-1008.56 My_l=-20.63
Tensioni nella sezione: σ=250.11 τ=30.56
CC 7 SLV (Collegamento -182_-384)
Azioni sul collegamento: N=-5856.57 Ty=-4.82 Tz=27.25 Mx=0.01 Mz=-1.13
Sollecitazioni agenti localmente: Ty_l=-1033.71 My_l=-21.18
Tensioni nella sezione: σ=256.79 τ=31.32
CC 7 SLV (Collegamento -182_-384)
Azioni sul collegamento: N=-5856.57 Ty=-12.53 Tz=-1.96 Mx=0.01 Mz=-7.45
Sollecitazioni agenti localmente: Ty_l=-1008.56 My_l=-20.63
Tensioni nella sezione: σ=250.11 τ=30.56
CC 7 SLV (Collegamento -182_-384)
Azioni sul collegamento: N=-5856.57 Ty=-4.82 Tz=-1.96 Mx=0.01 Mz=-1.13
Sollecitazioni agenti localmente: Ty_l=-1033.71 My_l=-21.18
Tensioni nella sezione: σ=256.79 τ=31.32
CC 8 SLD (Collegamento -182_-384)
Azioni sul collegamento: N=-11059.20 Ty=-10.78 Tz=17.48 Mx=-0.00 Mz=-7.39
Sollecitazioni agenti localmente: Ty_l=-1931.09 My_l=-39.55
Tensioni nella sezione: σ=479.35 τ=58.52
CC 8 SLD (Collegamento -182_-384)
Azioni sul collegamento: N=-11059.20 Ty=-8.42 Tz=17.48 Mx=-0.00 Mz=-5.47
Sollecitazioni agenti localmente: Ty_l=-1938.76 My_l=-39.71
Tensioni nella sezione: σ=481.38 τ=58.75
CC 8 SLD (Collegamento -182_-384)
Azioni sul collegamento: N=-11059.20 Ty=-10.78 Tz=8.57 Mx=-0.00 Mz=-7.39
Sollecitazioni agenti localmente: Ty_l=-1931.09 My_l=-39.55
Tensioni nella sezione: σ=479.35 τ=58.52
CC 8 SLD (Collegamento -182_-384)

Azioni sul collegamento: N=-11059.20 Ty=-8.42 Tz=8.57 Mx=-0.00 Mz=-5.47
Sollecitazioni agenti localmente: Ty_l=-1938.76 My_l=-39.71
Tensioni nella sezione: σ=481.38 τ=58.75
CC 8 SLD (Collegamento -182_-384)
Azioni sul collegamento: N=-8673.24 Ty=-10.78 Tz=17.48 Mx=-0.00 Mz=-7.39
Sollecitazioni agenti localmente: Ty_l=-1508.12 My_l=-30.88
Tensioni nella sezione: σ=374.25 τ=45.70
CC 8 SLD (Collegamento -182_-384)
Azioni sul collegamento: N=-8673.24 Ty=-8.42 Tz=17.48 Mx=-0.00 Mz=-5.47
Sollecitazioni agenti localmente: Ty_l=-1515.79 My_l=-31.04
Tensioni nella sezione: σ=376.28 τ=45.93
CC 8 SLD (Collegamento -182_-384)
Azioni sul collegamento: N=-8673.24 Ty=-10.78 Tz=8.57 Mx=-0.00 Mz=-7.39
Sollecitazioni agenti localmente: Ty_l=-1508.12 My_l=-30.88
Tensioni nella sezione: σ=374.25 τ=45.70
CC 8 SLD (Collegamento -182_-384)
Azioni sul collegamento: N=-8673.24 Ty=-8.42 Tz=8.57 Mx=-0.00 Mz=-5.47
Sollecitazioni agenti localmente: Ty_l=-1515.79 My_l=-31.04
Tensioni nella sezione: σ=376.28 τ=45.93
CC 9 SLV (Collegamento -182_-384)
Azioni sul collegamento: N=-8587.84 Ty=-6.74 Tz=7.77 Mx=0.02 Mz=-1.76
Sollecitazioni agenti localmente: Ty_l=-1515.41 My_l=-31.06
Tensioni nella sezione: σ=376.44 τ=45.92
CC 9 SLV (Collegamento -182_-384)
Azioni sul collegamento: N=-8587.84 Ty=-10.61 Tz=7.77 Mx=0.02 Mz=-6.83
Sollecitazioni agenti localmente: Ty_l=-1495.23 My_l=-30.61
Tensioni nella sezione: σ=371.08 τ=45.31
CC 9 SLV (Collegamento -182_-384)
Azioni sul collegamento: N=-8587.84 Ty=-6.74 Tz=17.52 Mx=0.02 Mz=-1.76
Sollecitazioni agenti localmente: Ty_l=-1515.41 My_l=-31.06
Tensioni nella sezione: σ=376.44 τ=45.92
CC 9 SLV (Collegamento -182_-384)
Azioni sul collegamento: N=-8587.84 Ty=-10.61 Tz=17.52 Mx=0.02 Mz=-6.83
Sollecitazioni agenti localmente: Ty_l=-1495.23 My_l=-30.61
Tensioni nella sezione: σ=371.08 τ=45.31
CC 9 SLV (Collegamento -182_-384)
Azioni sul collegamento: N=-10950.00 Ty=-6.74 Tz=7.77 Mx=0.02 Mz=-1.76
Sollecitazioni agenti localmente: Ty_l=-1934.14 My_l=-39.64
Tensioni nella sezione: σ=480.49 τ=58.61
CC 9 SLV (Collegamento -182_-384)
Azioni sul collegamento: N=-10950.00 Ty=-10.61 Tz=7.77 Mx=0.02 Mz=-6.83
Sollecitazioni agenti localmente: Ty_l=-1913.97 My_l=-39.20
Tensioni nella sezione: σ=475.13 τ=58.00
CC 9 SLV (Collegamento -182_-384)
Azioni sul collegamento: N=-10950.00 Ty=-6.74 Tz=17.52 Mx=0.02 Mz=-1.76
Sollecitazioni agenti localmente: Ty_l=-1934.14 My_l=-39.64
Tensioni nella sezione: σ=480.49 τ=58.61
CC 9 SLV (Collegamento -182_-384)
Azioni sul collegamento: N=-10950.00 Ty=-10.61 Tz=17.52 Mx=0.02 Mz=-6.83
Sollecitazioni agenti localmente: Ty_l=-1913.97 My_l=-39.20
Tensioni nella sezione: σ=475.13 τ=58.00
CC 10 SLD (Collegamento -182_-384)
Azioni sul collegamento: N=-9506.09 Ty=-9.01 Tz=11.54 Mx=0.00 Mz=-5.66
Sollecitazioni agenti localmente: Ty_l=-1662.67 My_l=-34.05
Tensioni nella sezione: σ=412.77 τ=50.38
CC 10 SLD (Collegamento -182_-384)
Azioni sul collegamento: N=-9506.09 Ty=-10.19 Tz=11.54 Mx=0.00 Mz=-7.20
Sollecitazioni agenti localmente: Ty_l=-1656.52 My_l=-33.92
Tensioni nella sezione: σ=411.13 τ=50.20
CC 10 SLD (Collegamento -182_-384)
Azioni sul collegamento: N=-9506.09 Ty=-9.01 Tz=14.51 Mx=0.00 Mz=-5.66
Sollecitazioni agenti localmente: Ty_l=-1662.67 My_l=-34.05
Tensioni nella sezione: σ=412.77 τ=50.38
CC 10 SLD (Collegamento -182_-384)
Azioni sul collegamento: N=-9506.09 Ty=-10.19 Tz=14.51 Mx=0.00 Mz=-7.20
Sollecitazioni agenti localmente: Ty_l=-1656.52 My_l=-33.92
Tensioni nella sezione: σ=411.13 τ=50.20
CC 10 SLD (Collegamento -182_-384)
Azioni sul collegamento: N=-10226.40 Ty=-9.01 Tz=11.54 Mx=0.00 Mz=-5.66
Sollecitazioni agenti localmente: Ty_l=-1790.36 My_l=-36.67
Tensioni nella sezione: σ=444.50 τ=54.25
CC 10 SLD (Collegamento -182_-384)
Azioni sul collegamento: N=-10226.40 Ty=-10.19 Tz=11.54 Mx=0.00 Mz=-7.20
Sollecitazioni agenti localmente: Ty_l=-1784.21 My_l=-36.54
Tensioni nella sezione: σ=442.86 τ=54.07
CC 10 SLD (Collegamento -182_-384)
Azioni sul collegamento: N=-10226.40 Ty=-9.01 Tz=14.51 Mx=0.00 Mz=-5.66
Sollecitazioni agenti localmente: Ty_l=-1790.36 My_l=-36.67
Tensioni nella sezione: σ=444.50 τ=54.25

CC 10 SLD (Collegamento -182_-384)
Azioni sul collegamento: N=-10226.40 Ty=-10.19 Tz=14.51 Mx=0.00 Mz=-7.20
Sollecitazioni agenti localmente: Ty_l=-1784.21 My_l=-36.54
Tensioni nella sezione: σ=442.86 τ=54.07
CC 11 SLV (Collegamento -182_-384)
Azioni sul collegamento: N=-10933.80 Ty=-8.90 Tz=16.43 Mx=0.02 Mz=-3.34
Sollecitazioni agenti localmente: Ty_l=-1924.98 My_l=-39.44
Tensioni nella sezione: σ=478.10 τ=58.33
CC 11 SLV (Collegamento -182_-384)
Azioni sul collegamento: N=-10933.80 Ty=-8.45 Tz=16.43 Mx=0.02 Mz=-5.25
Sollecitazioni agenti localmente: Ty_l=-1917.39 My_l=-39.28
Tensioni nella sezione: σ=476.09 τ=58.10
CC 11 SLV (Collegamento -182_-384)
Azioni sul collegamento: N=-10933.80 Ty=-8.90 Tz=8.86 Mx=0.02 Mz=-3.34
Sollecitazioni agenti localmente: Ty_l=-1924.98 My_l=-39.44
Tensioni nella sezione: σ=478.10 τ=58.33
CC 11 SLV (Collegamento -182_-384)
Azioni sul collegamento: N=-10933.80 Ty=-8.45 Tz=8.86 Mx=0.02 Mz=-5.25
Sollecitazioni agenti localmente: Ty_l=-1917.39 My_l=-39.28
Tensioni nella sezione: σ=476.09 τ=58.10
CC 11 SLV (Collegamento -182_-384)
Azioni sul collegamento: N=-8604.01 Ty=-8.90 Tz=16.43 Mx=0.02 Mz=-3.34
Sollecitazioni agenti localmente: Ty_l=-1511.98 My_l=-30.98
Tensioni nella sezione: σ=375.48 τ=45.82
CC 11 SLV (Collegamento -182_-384)
Azioni sul collegamento: N=-8604.01 Ty=-8.45 Tz=16.43 Mx=0.02 Mz=-5.25
Sollecitazioni agenti localmente: Ty_l=-1504.39 My_l=-30.81
Tensioni nella sezione: σ=373.46 τ=45.59
CC 11 SLV (Collegamento -182_-384)
Azioni sul collegamento: N=-8604.01 Ty=-8.90 Tz=8.86 Mx=0.02 Mz=-3.34
Sollecitazioni agenti localmente: Ty_l=-1511.98 My_l=-30.98
Tensioni nella sezione: σ=375.48 τ=45.82
CC 11 SLV (Collegamento -182_-384)
Azioni sul collegamento: N=-8604.01 Ty=-8.45 Tz=8.86 Mx=0.02 Mz=-5.25
Sollecitazioni agenti localmente: Ty_l=-1504.39 My_l=-30.81
Tensioni nella sezione: σ=373.46 τ=45.59
CC 12 SLD (Collegamento -182_-384)
Azioni sul collegamento: N=-10221.40 Ty=-9.67 Tz=14.18 Mx=0.00 Mz=-6.14
Sollecitazioni agenti localmente: Ty_l=-1787.57 My_l=-36.61
Tensioni nella sezione: σ=443.77 τ=54.17
CC 12 SLD (Collegamento -182_-384)
Azioni sul collegamento: N=-10221.40 Ty=-9.53 Tz=14.18 Mx=0.00 Mz=-6.72
Sollecitazioni agenti localmente: Ty_l=-1785.25 My_l=-36.56
Tensioni nella sezione: σ=443.15 τ=54.10
CC 12 SLD (Collegamento -182_-384)
Azioni sul collegamento: N=-10221.40 Ty=-9.67 Tz=11.87 Mx=0.00 Mz=-6.14
Sollecitazioni agenti localmente: Ty_l=-1787.56 My_l=-36.61
Tensioni nella sezione: σ=443.77 τ=54.17
CC 12 SLD (Collegamento -182_-384)
Azioni sul collegamento: N=-10221.40 Ty=-9.53 Tz=11.87 Mx=0.00 Mz=-6.72
Sollecitazioni agenti localmente: Ty_l=-1785.25 My_l=-36.56
Tensioni nella sezione: σ=443.15 τ=54.10
CC 12 SLD (Collegamento -182_-384)
Azioni sul collegamento: N=-9511.02 Ty=-9.67 Tz=14.18 Mx=0.00 Mz=-6.14
Sollecitazioni agenti localmente: Ty_l=-1661.63 My_l=-34.03
Tensioni nella sezione: σ=412.48 τ=50.35
CC 12 SLD (Collegamento -182_-384)
Azioni sul collegamento: N=-9511.02 Ty=-9.53 Tz=14.18 Mx=0.00 Mz=-6.72
Sollecitazioni agenti localmente: Ty_l=-1659.31 My_l=-33.98
Tensioni nella sezione: σ=411.86 τ=50.28
CC 12 SLD (Collegamento -182_-384)
Azioni sul collegamento: N=-9511.02 Ty=-9.67 Tz=11.87 Mx=0.00 Mz=-6.14
Sollecitazioni agenti localmente: Ty_l=-1661.63 My_l=-34.03
Tensioni nella sezione: σ=412.48 τ=50.35
CC 12 SLD (Collegamento -182_-384)
Azioni sul collegamento: N=-9511.02 Ty=-9.53 Tz=11.87 Mx=0.00 Mz=-6.72
Sollecitazioni agenti localmente: Ty_l=-1659.31 My_l=-33.98
Tensioni nella sezione: σ=411.86 τ=50.28
CC 13 SLV (Collegamento -182_-384)
Azioni sul collegamento: N=-8604.01 Ty=-8.45 Tz=8.86 Mx=0.00 Mz=-5.25
Sollecitazioni agenti localmente: Ty_l=-1504.39 My_l=-30.81
Tensioni nella sezione: σ=373.46 τ=45.59
CC 13 SLV (Collegamento -182_-384)
Azioni sul collegamento: N=-8604.01 Ty=-8.90 Tz=8.86 Mx=0.00 Mz=-3.34
Sollecitazioni agenti localmente: Ty_l=-1511.98 My_l=-30.98
Tensioni nella sezione: σ=375.48 τ=45.82
CC 13 SLV (Collegamento -182_-384)
Azioni sul collegamento: N=-8604.01 Ty=-8.45 Tz=16.43 Mx=0.00 Mz=-5.25
Sollecitazioni agenti localmente: Ty_l=-1504.39 My_l=-30.81

Tensioni nella sezione: σ=373.46 τ=45.59
CC 13 SLV (Collegamento -182_-384)
Azioni sul collegamento: N=-8604.01 Ty=-8.90 Tz=16.43 Mx=0.00 Mz=-3.34
Sollecitazioni agenti localmente: Ty_l=-1511.98 My_l=-30.98
Tensioni nella sezione: σ=375.48 τ=45.82
CC 13 SLV (Collegamento -182_-384)
Azioni sul collegamento: N=-10933.80 Ty=-8.45 Tz=8.86 Mx=0.00 Mz=-5.25
Sollecitazioni agenti localmente: Ty_l=-1917.39 My_l=-39.28
Tensioni nella sezione: σ=476.09 τ=58.10
CC 13 SLV (Collegamento -182_-384)
Azioni sul collegamento: N=-10933.80 Ty=-8.90 Tz=8.86 Mx=0.00 Mz=-3.34
Sollecitazioni agenti localmente: Ty_l=-1924.98 My_l=-39.44
Tensioni nella sezione: σ=478.10 τ=58.33
CC 13 SLV (Collegamento -182_-384)
Azioni sul collegamento: N=-10933.80 Ty=-8.45 Tz=16.43 Mx=0.00 Mz=-5.25
Sollecitazioni agenti localmente: Ty_l=-1917.39 My_l=-39.28
Tensioni nella sezione: σ=476.09 τ=58.10
CC 13 SLV (Collegamento -182_-384)
Azioni sul collegamento: N=-10933.80 Ty=-8.90 Tz=16.43 Mx=0.00 Mz=-3.34
Sollecitazioni agenti localmente: Ty_l=-1924.98 My_l=-39.44
Tensioni nella sezione: σ=478.10 τ=58.33
CC 14 SLD (Collegamento -182_-384)
Azioni sul collegamento: N=-9511.02 Ty=-9.53 Tz=11.87 Mx=-0.00 Mz=-6.72
Sollecitazioni agenti localmente: Ty_l=-1659.31 My_l=-33.98
Tensioni nella sezione: σ=411.86 τ=50.28
CC 14 SLD (Collegamento -182_-384)
Azioni sul collegamento: N=-9511.02 Ty=-9.67 Tz=11.87 Mx=-0.00 Mz=-6.14
Sollecitazioni agenti localmente: Ty_l=-1661.63 My_l=-34.03
Tensioni nella sezione: σ=412.48 τ=50.35
CC 14 SLD (Collegamento -182_-384)
Azioni sul collegamento: N=-9511.02 Ty=-9.53 Tz=14.18 Mx=-0.00 Mz=-6.72
Sollecitazioni agenti localmente: Ty_l=-1659.31 My_l=-33.98
Tensioni nella sezione: σ=411.86 τ=50.28
CC 14 SLD (Collegamento -182_-384)
Azioni sul collegamento: N=-9511.02 Ty=-9.67 Tz=14.18 Mx=-0.00 Mz=-6.14
Sollecitazioni agenti localmente: Ty_l=-1661.63 My_l=-34.03
Tensioni nella sezione: σ=412.48 τ=50.35
CC 14 SLD (Collegamento -182_-384)
Azioni sul collegamento: N=-10221.40 Ty=-9.53 Tz=11.87 Mx=-0.00 Mz=-6.72
Sollecitazioni agenti localmente: Ty_l=-1785.25 My_l=-36.56
Tensioni nella sezione: σ=443.15 τ=54.10
CC 14 SLD (Collegamento -182_-384)
Azioni sul collegamento: N=-10221.40 Ty=-9.67 Tz=11.87 Mx=-0.00 Mz=-6.14
Sollecitazioni agenti localmente: Ty_l=-1787.56 My_l=-36.61
Tensioni nella sezione: σ=443.77 τ=54.17
CC 14 SLD (Collegamento -182_-384)
Azioni sul collegamento: N=-10221.40 Ty=-9.53 Tz=14.18 Mx=-0.00 Mz=-6.72
Sollecitazioni agenti localmente: Ty_l=-1785.25 My_l=-36.56
Tensioni nella sezione: σ=443.15 τ=54.10
CC 14 SLD (Collegamento -182_-384)
Azioni sul collegamento: N=-10221.40 Ty=-9.67 Tz=14.18 Mx=-0.00 Mz=-6.14
Sollecitazioni agenti localmente: Ty_l=-1787.57 My_l=-36.61
Tensioni nella sezione: σ=443.77 τ=54.17
CC 15 SLV (Collegamento -182_-384)
Azioni sul collegamento: N=-10950.00 Ty=-10.61 Tz=17.52 Mx=0.00 Mz=-6.83
Sollecitazioni agenti localmente: Ty_l=-1913.97 My_l=-39.20
Tensioni nella sezione: σ=475.13 τ=58.00
CC 15 SLV (Collegamento -182_-384)
Azioni sul collegamento: N=-10950.00 Ty=-6.74 Tz=17.52 Mx=0.00 Mz=-1.76
Sollecitazioni agenti localmente: Ty_l=-1934.14 My_l=-39.64
Tensioni nella sezione: σ=480.49 τ=58.61
CC 15 SLV (Collegamento -182_-384)
Azioni sul collegamento: N=-10950.00 Ty=-10.61 Tz=7.77 Mx=0.00 Mz=-6.83
Sollecitazioni agenti localmente: Ty_l=-1913.97 My_l=-39.20
Tensioni nella sezione: σ=475.13 τ=58.00
CC 15 SLV (Collegamento -182_-384)
Azioni sul collegamento: N=-10950.00 Ty=-6.74 Tz=7.77 Mx=0.00 Mz=-1.76
Sollecitazioni agenti localmente: Ty_l=-1934.14 My_l=-39.64
Tensioni nella sezione: σ=480.49 τ=58.61
CC 15 SLV (Collegamento -182_-384)
Azioni sul collegamento: N=-8587.84 Ty=-10.61 Tz=17.52 Mx=0.00 Mz=-6.83
Sollecitazioni agenti localmente: Ty_l=-1495.23 My_l=-30.61
Tensioni nella sezione: σ=371.08 τ=45.31
CC 15 SLV (Collegamento -182_-384)
Azioni sul collegamento: N=-8587.84 Ty=-6.74 Tz=17.52 Mx=0.00 Mz=-1.76
Sollecitazioni agenti localmente: Ty_l=-1515.41 My_l=-31.06
Tensioni nella sezione: σ=376.44 τ=45.92
CC 15 SLV (Collegamento -182_-384)
Azioni sul collegamento: N=-8587.84 Ty=-10.61 Tz=7.77 Mx=0.00 Mz=-6.83

Sollecitazioni agenti localmente: Ty_l=-1495.23 My_l=-30.61
Tensioni nella sezione: σ=371.08 τ=45.31
CC 15 SLV (Collegamento -182_-384)
Azioni sul collegamento: N=-8587.84 Ty=-6.74 Tz=7.77 Mx=0.00 Mz=-1.76
Sollecitazioni agenti localmente: Ty_l=-1515.41 My_l=-31.06
Tensioni nella sezione: σ=376.44 τ=45.92
CC 16 SLD (Collegamento -182_-384)
Azioni sul collegamento: N=-10226.40 Ty=-10.19 Tz=14.51 Mx=-0.00 Mz=-7.20
Sollecitazioni agenti localmente: Ty_l=-1784.21 My_l=-36.54
Tensioni nella sezione: σ=442.86 τ=54.07
CC 16 SLD (Collegamento -182_-384)
Azioni sul collegamento: N=-10226.40 Ty=-9.01 Tz=14.51 Mx=-0.00 Mz=-5.66
Sollecitazioni agenti localmente: Ty_l=-1790.36 My_l=-36.67
Tensioni nella sezione: σ=444.50 τ=54.25
CC 16 SLD (Collegamento -182_-384)
Azioni sul collegamento: N=-10226.40 Ty=-10.19 Tz=11.54 Mx=-0.00 Mz=-7.20
Sollecitazioni agenti localmente: Ty_l=-1784.21 My_l=-36.54
Tensioni nella sezione: σ=442.86 τ=54.07
CC 16 SLD (Collegamento -182_-384)
Azioni sul collegamento: N=-10226.40 Ty=-9.01 Tz=11.54 Mx=-0.00 Mz=-5.66
Sollecitazioni agenti localmente: Ty_l=-1790.36 My_l=-36.67
Tensioni nella sezione: σ=444.50 τ=54.25
CC 16 SLD (Collegamento -182_-384)
Azioni sul collegamento: N=-9506.09 Ty=-10.19 Tz=14.51 Mx=-0.00 Mz=-7.20
Sollecitazioni agenti localmente: Ty_l=-1656.52 My_l=-33.92
Tensioni nella sezione: σ=411.13 τ=50.20
CC 16 SLD (Collegamento -182_-384)
Azioni sul collegamento: N=-9506.09 Ty=-9.01 Tz=14.51 Mx=-0.00 Mz=-5.66
Sollecitazioni agenti localmente: Ty_l=-1662.67 My_l=-34.05
Tensioni nella sezione: σ=412.77 τ=50.38
CC 16 SLD (Collegamento -182_-384)
Azioni sul collegamento: N=-9506.09 Ty=-10.19 Tz=11.54 Mx=-0.00 Mz=-7.20
Sollecitazioni agenti localmente: Ty_l=-1656.52 My_l=-33.92
Tensioni nella sezione: σ=411.13 τ=50.20
CC 16 SLD (Collegamento -182_-384)
Azioni sul collegamento: N=-9506.09 Ty=-9.01 Tz=11.54 Mx=-0.00 Mz=-5.66
Sollecitazioni agenti localmente: Ty_l=-1662.67 My_l=-34.05
Tensioni nella sezione: σ=412.77 τ=50.38
CC 17 SLV (Collegamento -182_-384)
Azioni sul collegamento: N=-6136.65 Ty=-7.48 Tz=-0.86 Mx=-0.02 Mz=-7.28
Sollecitazioni agenti localmente: Ty_l=-1058.90 My_l=-21.67
Tensioni nella sezione: σ=262.63 τ=32.09
CC 17 SLV (Collegamento -182_-384)
Azioni sul collegamento: N=-6136.65 Ty=-15.19 Tz=-0.86 Mx=-0.02 Mz=-13.60
Sollecitazioni agenti localmente: Ty_l=-1033.75 My_l=-21.12
Tensioni nella sezione: σ=255.95 τ=31.33
CC 17 SLV (Collegamento -182_-384)
Azioni sul collegamento: N=-6136.65 Ty=-7.48 Tz=28.35 Mx=-0.02 Mz=-7.28
Sollecitazioni agenti localmente: Ty_l=-1058.90 My_l=-21.67
Tensioni nella sezione: σ=262.63 τ=32.09
CC 17 SLV (Collegamento -182_-384)
Azioni sul collegamento: N=-6136.65 Ty=-15.19 Tz=28.35 Mx=-0.02 Mz=-13.60
Sollecitazioni agenti localmente: Ty_l=-1033.75 My_l=-21.12
Tensioni nella sezione: σ=255.95 τ=31.33
CC 17 SLV (Collegamento -182_-384)
Azioni sul collegamento: N=-13961.30 Ty=-7.48 Tz=-0.86 Mx=-0.02 Mz=-7.28
Sollecitazioni agenti localmente: Ty_l=-2445.99 My_l=-50.10
Tensioni nella sezione: σ=607.30 τ=74.12
CC 17 SLV (Collegamento -182_-384)
Azioni sul collegamento: N=-13961.30 Ty=-15.19 Tz=-0.86 Mx=-0.02 Mz=-13.60
Sollecitazioni agenti localmente: Ty_l=-2420.85 My_l=-49.55
Tensioni nella sezione: σ=600.63 τ=73.36
CC 17 SLV (Collegamento -182_-384)
Azioni sul collegamento: N=-13961.30 Ty=-7.48 Tz=28.35 Mx=-0.02 Mz=-7.28
Sollecitazioni agenti localmente: Ty_l=-2445.99 My_l=-50.10
Tensioni nella sezione: σ=607.30 τ=74.12
CC 17 SLV (Collegamento -182_-384)
Azioni sul collegamento: N=-13961.30 Ty=-15.19 Tz=28.35 Mx=-0.02 Mz=-13.60
Sollecitazioni agenti localmente: Ty_l=-2420.85 My_l=-49.55
Tensioni nella sezione: σ=600.63 τ=73.36
CC 18 SLD (Collegamento -182_-384)
Azioni sul collegamento: N=-8758.64 Ty=-9.24 Tz=8.91 Mx=-0.01 Mz=-7.34
Sollecitazioni agenti localmente: Ty_l=-1523.47 My_l=-31.19
Tensioni nella sezione: σ=378.06 τ=46.17
CC 18 SLD (Collegamento -182_-384)
Azioni sul collegamento: N=-8758.64 Ty=-11.59 Tz=8.91 Mx=-0.01 Mz=-9.27
Sollecitazioni agenti localmente: Ty_l=-1515.80 My_l=-31.02
Tensioni nella sezione: σ=376.03 τ=45.93
CC 18 SLD (Collegamento -182_-384)

Azioni sul collegamento: N=-8758.65 Ty=-9.24 Tz=17.82 Mx=-0.01 Mz=-7.34
Sollecitazioni agenti localmente: Ty_l=-1523.47 My_l=-31.19
Tensioni nella sezione: σ=378.06 τ=46.17
CC 18 SLD (Collegamento -182_-384)
Azioni sul collegamento: N=-8758.65 Ty=-11.59 Tz=17.82 Mx=-0.01 Mz=-9.27
Sollecitazioni agenti localmente: Ty_l=-1515.80 My_l=-31.02
Tensioni nella sezione: σ=376.03 τ=45.93
CC 18 SLD (Collegamento -182_-384)
Azioni sul collegamento: N=-11144.60 Ty=-9.24 Tz=8.91 Mx=-0.01 Mz=-7.34
Sollecitazioni agenti localmente: Ty_l=-1946.44 My_l=-39.86
Tensioni nella sezione: σ=483.17 τ=58.98
CC 18 SLD (Collegamento -182_-384)
Azioni sul collegamento: N=-11144.60 Ty=-11.59 Tz=8.91 Mx=-0.01 Mz=-9.27
Sollecitazioni agenti localmente: Ty_l=-1938.77 My_l=-39.69
Tensioni nella sezione: σ=481.13 τ=58.75
CC 18 SLD (Collegamento -182_-384)
Azioni sul collegamento: N=-11144.60 Ty=-9.24 Tz=17.82 Mx=-0.01 Mz=-7.34
Sollecitazioni agenti localmente: Ty_l=-1946.44 My_l=-39.86
Tensioni nella sezione: σ=483.17 τ=58.98
CC 18 SLD (Collegamento -182_-384)
Azioni sul collegamento: N=-11144.60 Ty=-11.59 Tz=17.82 Mx=-0.01 Mz=-9.27
Sollecitazioni agenti localmente: Ty_l=-1938.77 My_l=-39.69
Tensioni nella sezione: σ=481.13 τ=58.75
CC 19 SLV (Collegamento -182_-384)
Azioni sul collegamento: N=-6141.50 Ty=-7.99 Tz=-0.53 Mx=-0.01 Mz=-8.33
Sollecitazioni agenti localmente: Ty_l=-1055.59 My_l=-21.59
Tensioni nella sezione: σ=261.74 τ=31.99
CC 19 SLV (Collegamento -182_-384)
Azioni sul collegamento: N=-6141.50 Ty=-14.68 Tz=-0.53 Mx=-0.01 Mz=-12.56
Sollecitazioni agenti localmente: Ty_l=-1038.78 My_l=-21.23
Tensioni nella sezione: σ=257.27 τ=31.48
CC 19 SLV (Collegamento -182_-384)
Azioni sul collegamento: N=-6141.50 Ty=-7.99 Tz=28.02 Mx=-0.01 Mz=-8.33
Sollecitazioni agenti localmente: Ty_l=-1055.59 My_l=-21.59
Tensioni nella sezione: σ=261.74 τ=31.99
CC 19 SLV (Collegamento -182_-384)
Azioni sul collegamento: N=-6141.50 Ty=-14.68 Tz=28.02 Mx=-0.01 Mz=-12.56
Sollecitazioni agenti localmente: Ty_l=-1038.78 My_l=-21.23
Tensioni nella sezione: σ=257.27 τ=31.48
CC 19 SLV (Collegamento -182_-384)
Azioni sul collegamento: N=-13956.40 Ty=-7.99 Tz=-0.53 Mx=-0.01 Mz=-8.33
Sollecitazioni agenti localmente: Ty_l=-2440.97 My_l=-49.99
Tensioni nella sezione: σ=605.98 τ=73.97
CC 19 SLV (Collegamento -182_-384)
Azioni sul collegamento: N=-13956.40 Ty=-14.68 Tz=-0.53 Mx=-0.01 Mz=-12.56
Sollecitazioni agenti localmente: Ty_l=-2424.15 My_l=-49.63
Tensioni nella sezione: σ=601.52 τ=73.46
CC 19 SLV (Collegamento -182_-384)
Azioni sul collegamento: N=-13956.40 Ty=-7.99 Tz=28.02 Mx=-0.01 Mz=-8.33
Sollecitazioni agenti localmente: Ty_l=-2440.97 My_l=-49.99
Tensioni nella sezione: σ=605.98 τ=73.97
CC 19 SLV (Collegamento -182_-384)
Azioni sul collegamento: N=-13956.40 Ty=-14.68 Tz=28.02 Mx=-0.01 Mz=-12.56
Sollecitazioni agenti localmente: Ty_l=-2424.15 My_l=-49.63
Tensioni nella sezione: σ=601.52 τ=73.46
CC 20 SLD (Collegamento -182_-384)
Azioni sul collegamento: N=-8760.12 Ty=-9.39 Tz=9.01 Mx=-0.01 Mz=-7.66
Sollecitazioni agenti localmente: Ty_l=-1522.46 My_l=-31.17
Tensioni nella sezione: σ=377.79 τ=46.14
CC 20 SLD (Collegamento -182_-384)
Azioni sul collegamento: N=-8760.12 Ty=-11.43 Tz=9.01 Mx=-0.01 Mz=-8.95
Sollecitazioni agenti localmente: Ty_l=-1517.33 My_l=-31.06
Tensioni nella sezione: σ=376.43 τ=45.98
CC 20 SLD (Collegamento -182_-384)
Azioni sul collegamento: N=-8760.13 Ty=-9.39 Tz=17.72 Mx=-0.01 Mz=-7.66
Sollecitazioni agenti localmente: Ty_l=-1522.46 My_l=-31.17
Tensioni nella sezione: σ=377.79 τ=46.14
CC 20 SLD (Collegamento -182_-384)
Azioni sul collegamento: N=-8760.13 Ty=-11.43 Tz=17.72 Mx=-0.01 Mz=-8.95
Sollecitazioni agenti localmente: Ty_l=-1517.33 My_l=-31.06
Tensioni nella sezione: σ=376.43 τ=45.98
CC 20 SLD (Collegamento -182_-384)
Azioni sul collegamento: N=-11143.10 Ty=-9.39 Tz=9.01 Mx=-0.01 Mz=-7.66
Sollecitazioni agenti localmente: Ty_l=-1944.91 My_l=-39.83
Tensioni nella sezione: σ=482.76 τ=58.94
CC 20 SLD (Collegamento -182_-384)
Azioni sul collegamento: N=-11143.10 Ty=-11.43 Tz=9.01 Mx=-0.01 Mz=-8.95
Sollecitazioni agenti localmente: Ty_l=-1939.78 My_l=-39.72
Tensioni nella sezione: σ=481.40 τ=58.78

CC 20 SLD (Collegamento -182_-384)
Azioni sul collegamento: N=-11143.10 Ty=-9.39 Tz=17.72 Mx=-0.01 Mz=-7.66
Sollecitazioni agenti localmente: Ty_l=-1944.91 My_l=-39.83
Tensioni nella sezione: σ=482.76 τ=58.94
CC 20 SLD (Collegamento -182_-384)
Azioni sul collegamento: N=-11143.10 Ty=-11.43 Tz=17.72 Mx=-0.01 Mz=-8.95
Sollecitazioni agenti localmente: Ty_l=-1939.78 My_l=-39.72
Tensioni nella sezione: σ=481.40 τ=58.78
CC 21 SLV (Collegamento -182_-384)
Azioni sul collegamento: N=-13956.40 Ty=-14.68 Tz=28.02 Mx=-0.02 Mz=-12.56
Sollecitazioni agenti localmente: Ty_l=-2424.15 My_l=-49.63
Tensioni nella sezione: σ=601.52 τ=73.46
CC 21 SLV (Collegamento -182_-384)
Azioni sul collegamento: N=-13956.40 Ty=-7.99 Tz=28.02 Mx=-0.02 Mz=-8.33
Sollecitazioni agenti localmente: Ty_l=-2440.97 My_l=-49.99
Tensioni nella sezione: σ=605.98 τ=73.97
CC 21 SLV (Collegamento -182_-384)
Azioni sul collegamento: N=-13956.40 Ty=-14.68 Tz=-0.53 Mx=-0.02 Mz=-12.56
Sollecitazioni agenti localmente: Ty_l=-2424.15 My_l=-49.63
Tensioni nella sezione: σ=601.52 τ=73.46
CC 21 SLV (Collegamento -182_-384)
Azioni sul collegamento: N=-13956.40 Ty=-7.99 Tz=-0.53 Mx=-0.02 Mz=-8.33
Sollecitazioni agenti localmente: Ty_l=-2440.97 My_l=-49.99
Tensioni nella sezione: σ=605.98 τ=73.97
CC 21 SLV (Collegamento -182_-384)
Azioni sul collegamento: N=-6141.50 Ty=-14.68 Tz=28.02 Mx=-0.02 Mz=-12.56
Sollecitazioni agenti localmente: Ty_l=-1038.78 My_l=-21.23
Tensioni nella sezione: σ=257.27 τ=31.48
CC 21 SLV (Collegamento -182_-384)
Azioni sul collegamento: N=-6141.50 Ty=-7.99 Tz=28.02 Mx=-0.02 Mz=-8.33
Sollecitazioni agenti localmente: Ty_l=-1055.59 My_l=-21.59
Tensioni nella sezione: σ=261.74 τ=31.99
CC 21 SLV (Collegamento -182_-384)
Azioni sul collegamento: N=-6141.50 Ty=-14.68 Tz=-0.53 Mx=-0.02 Mz=-12.56
Sollecitazioni agenti localmente: Ty_l=-1038.78 My_l=-21.23
Tensioni nella sezione: σ=257.27 τ=31.48
CC 21 SLV (Collegamento -182_-384)
Azioni sul collegamento: N=-6141.50 Ty=-7.99 Tz=-0.53 Mx=-0.02 Mz=-8.33
Sollecitazioni agenti localmente: Ty_l=-1055.59 My_l=-21.59
Tensioni nella sezione: σ=261.74 τ=31.99
CC 22 SLD (Collegamento -182_-384)
Azioni sul collegamento: N=-11143.10 Ty=-11.43 Tz=17.72 Mx=-0.01 Mz=-8.95
Sollecitazioni agenti localmente: Ty_l=-1939.78 My_l=-39.72
Tensioni nella sezione: σ=481.40 τ=58.78
CC 22 SLD (Collegamento -182_-384)
Azioni sul collegamento: N=-11143.10 Ty=-9.39 Tz=17.72 Mx=-0.01 Mz=-7.66
Sollecitazioni agenti localmente: Ty_l=-1944.91 My_l=-39.83
Tensioni nella sezione: σ=482.76 τ=58.94
CC 22 SLD (Collegamento -182_-384)
Azioni sul collegamento: N=-11143.10 Ty=-11.43 Tz=9.01 Mx=-0.01 Mz=-8.95
Sollecitazioni agenti localmente: Ty_l=-1939.78 My_l=-39.72
Tensioni nella sezione: σ=481.40 τ=58.78
CC 22 SLD (Collegamento -182_-384)
Azioni sul collegamento: N=-11143.10 Ty=-9.39 Tz=9.01 Mx=-0.01 Mz=-7.66
Sollecitazioni agenti localmente: Ty_l=-1944.91 My_l=-39.83
Tensioni nella sezione: σ=482.76 τ=58.94
CC 22 SLD (Collegamento -182_-384)
Azioni sul collegamento: N=-8760.13 Ty=-11.43 Tz=17.72 Mx=-0.01 Mz=-8.95
Sollecitazioni agenti localmente: Ty_l=-1517.33 My_l=-31.06
Tensioni nella sezione: σ=376.43 τ=45.98
CC 22 SLD (Collegamento -182_-384)
Azioni sul collegamento: N=-8760.13 Ty=-9.39 Tz=17.72 Mx=-0.01 Mz=-7.66
Sollecitazioni agenti localmente: Ty_l=-1522.46 My_l=-31.17
Tensioni nella sezione: σ=377.79 τ=46.14
CC 22 SLD (Collegamento -182_-384)
Azioni sul collegamento: N=-8760.12 Ty=-11.43 Tz=9.01 Mx=-0.01 Mz=-8.95
Sollecitazioni agenti localmente: Ty_l=-1517.33 My_l=-31.06
Tensioni nella sezione: σ=376.43 τ=45.98
CC 22 SLD (Collegamento -182_-384)
Azioni sul collegamento: N=-8760.12 Ty=-9.39 Tz=9.01 Mx=-0.01 Mz=-7.66
Sollecitazioni agenti localmente: Ty_l=-1522.46 My_l=-31.17
Tensioni nella sezione: σ=377.79 τ=46.14
CC 23 SLV (Collegamento -182_-384)
Azioni sul collegamento: N=-13961.30 Ty=-15.19 Tz=28.35 Mx=-0.01 Mz=-13.60
Sollecitazioni agenti localmente: Ty_l=-2420.85 My_l=-49.55
Tensioni nella sezione: σ=600.63 τ=73.36
CC 23 SLV (Collegamento -182_-384)
Azioni sul collegamento: N=-13961.30 Ty=-7.48 Tz=28.35 Mx=-0.01 Mz=-7.28
Sollecitazioni agenti localmente: Ty_l=-2445.99 My_l=-50.10

Tensioni nella sezione: σ=607.30 τ=74.12
CC 23 SLV (Collegamento -182_-384)
Azioni sul collegamento: N=-13961.30 Ty=-15.19 Tz=-0.86 Mx=-0.01 Mz=-13.60
Sollecitazioni agenti localmente: Ty_l=-2420.85 My_l=-49.55
Tensioni nella sezione: σ=600.63 τ=73.36
CC 23 SLV (Collegamento -182_-384)
Azioni sul collegamento: N=-13961.30 Ty=-7.48 Tz=-0.86 Mx=-0.01 Mz=-7.28
Sollecitazioni agenti localmente: Ty_l=-2445.99 My_l=-50.10
Tensioni nella sezione: σ=607.30 τ=74.12
CC 23 SLV (Collegamento -182_-384)
Azioni sul collegamento: N=-6136.65 Ty=-15.19 Tz=28.35 Mx=-0.01 Mz=-13.60
Sollecitazioni agenti localmente: Ty_l=-1033.75 My_l=-21.12
Tensioni nella sezione: σ=255.95 τ=31.33
CC 23 SLV (Collegamento -182_-384)
Azioni sul collegamento: N=-6136.65 Ty=-7.48 Tz=28.35 Mx=-0.01 Mz=-7.28
Sollecitazioni agenti localmente: Ty_l=-1058.90 My_l=-21.67
Tensioni nella sezione: σ=262.63 τ=32.09
CC 23 SLV (Collegamento -182_-384)
Azioni sul collegamento: N=-6136.65 Ty=-15.19 Tz=-0.86 Mx=-0.01 Mz=-13.60
Sollecitazioni agenti localmente: Ty_l=-1033.75 My_l=-21.12
Tensioni nella sezione: σ=255.95 τ=31.33
CC 23 SLV (Collegamento -182_-384)
Azioni sul collegamento: N=-6136.65 Ty=-7.48 Tz=-0.86 Mx=-0.01 Mz=-7.28
Sollecitazioni agenti localmente: Ty_l=-1058.90 My_l=-21.67
Tensioni nella sezione: σ=262.63 τ=32.09
CC 24 SLD (Collegamento -182_-384)
Azioni sul collegamento: N=-11144.60 Ty=-11.59 Tz=17.82 Mx=-0.01 Mz=-9.27
Sollecitazioni agenti localmente: Ty_l=-1938.77 My_l=-39.69
Tensioni nella sezione: σ=481.13 τ=58.75
CC 24 SLD (Collegamento -182_-384)
Azioni sul collegamento: N=-11144.60 Ty=-9.24 Tz=17.82 Mx=-0.01 Mz=-7.34
Sollecitazioni agenti localmente: Ty_l=-1946.44 My_l=-39.86
Tensioni nella sezione: σ=483.17 τ=58.98
CC 24 SLD (Collegamento -182_-384)
Azioni sul collegamento: N=-11144.60 Ty=-11.59 Tz=8.91 Mx=-0.01 Mz=-9.27
Sollecitazioni agenti localmente: Ty_l=-1938.77 My_l=-39.69
Tensioni nella sezione: σ=481.13 τ=58.75
CC 24 SLD (Collegamento -182_-384)
Azioni sul collegamento: N=-11144.60 Ty=-9.24 Tz=8.91 Mx=-0.01 Mz=-7.34
Sollecitazioni agenti localmente: Ty_l=-1946.44 My_l=-39.86
Tensioni nella sezione: σ=483.17 τ=58.98
CC 24 SLD (Collegamento -182_-384)
Azioni sul collegamento: N=-8758.65 Ty=-11.59 Tz=17.82 Mx=-0.01 Mz=-9.27
Sollecitazioni agenti localmente: Ty_l=-1515.80 My_l=-31.02
Tensioni nella sezione: σ=376.03 τ=45.93
CC 24 SLD (Collegamento -182_-384)
Azioni sul collegamento: N=-8758.65 Ty=-9.24 Tz=17.82 Mx=-0.01 Mz=-7.34
Sollecitazioni agenti localmente: Ty_l=-1523.47 My_l=-31.19
Tensioni nella sezione: σ=378.06 τ=46.17
CC 24 SLD (Collegamento -182_-384)
Azioni sul collegamento: N=-8758.64 Ty=-11.59 Tz=8.91 Mx=-0.01 Mz=-9.27
Sollecitazioni agenti localmente: Ty_l=-1515.80 My_l=-31.02
Tensioni nella sezione: σ=376.03 τ=45.93
CC 24 SLD (Collegamento -182_-384)
Azioni sul collegamento: N=-8758.64 Ty=-9.24 Tz=8.91 Mx=-0.01 Mz=-7.34
Sollecitazioni agenti localmente: Ty_l=-1523.47 My_l=-31.19
Tensioni nella sezione: σ=378.06 τ=46.17
CC 25 SLV (Collegamento -182_-384)
Azioni sul collegamento: N=-8867.92 Ty=-9.40 Tz=8.87 Mx=-0.02 Mz=-7.91
Sollecitazioni agenti localmente: Ty_l=-1540.59 My_l=-31.54
Tensioni nella sezione: σ=382.28 τ=46.68
CC 25 SLV (Collegamento -182_-384)
Azioni sul collegamento: N=-8867.92 Ty=-13.27 Tz=8.87 Mx=-0.02 Mz=-12.98
Sollecitazioni agenti localmente: Ty_l=-1520.41 My_l=-31.10
Tensioni nella sezione: σ=376.92 τ=46.07
CC 25 SLV (Collegamento -182_-384)
Azioni sul collegamento: N=-8867.92 Ty=-9.40 Tz=18.62 Mx=-0.02 Mz=-7.91
Sollecitazioni agenti localmente: Ty_l=-1540.59 My_l=-31.54
Tensioni nella sezione: σ=382.28 τ=46.68
CC 25 SLV (Collegamento -182_-384)
Azioni sul collegamento: N=-8867.92 Ty=-13.27 Tz=18.62 Mx=-0.02 Mz=-12.98
Sollecitazioni agenti localmente: Ty_l=-1520.41 My_l=-31.10
Tensioni nella sezione: σ=376.92 τ=46.07
CC 25 SLV (Collegamento -182_-384)
Azioni sul collegamento: N=-11230.00 Ty=-9.40 Tz=8.87 Mx=-0.02 Mz=-7.91
Sollecitazioni agenti localmente: Ty_l=-1959.33 My_l=-40.12
Tensioni nella sezione: σ=486.33 τ=59.37
CC 25 SLV (Collegamento -182_-384)
Azioni sul collegamento: N=-11230.00 Ty=-13.27 Tz=8.87 Mx=-0.02 Mz=-12.98

Sollecitazioni agenti localmente: Ty_l=-1939.15 My_l=-39.68
Tensioni nella sezione: σ=480.97 τ=58.76
CC 25 SLV (Collegamento -182_-384)
Azioni sul collegamento: N=-11230.00 Ty=-9.40 Tz=18.62 Mx=-0.02 Mz=-7.91
Sollecitazioni agenti localmente: Ty_l=-1959.33 My_l=-40.12
Tensioni nella sezione: σ=486.33 τ=59.37
CC 25 SLV (Collegamento -182_-384)
Azioni sul collegamento: N=-11230.00 Ty=-13.27 Tz=18.62 Mx=-0.02 Mz=-12.98
Sollecitazioni agenti localmente: Ty_l=-1939.15 My_l=-39.68
Tensioni nella sezione: σ=480.97 τ=58.76
CC 26 SLD (Collegamento -182_-384)
Azioni sul collegamento: N=-9591.50 Ty=-9.82 Tz=11.88 Mx=-0.01 Mz=-7.53
Sollecitazioni agenti localmente: Ty_l=-1670.35 My_l=-34.20
Tensioni nella sezione: σ=414.55 τ=50.62
CC 26 SLD (Collegamento -182_-384)
Azioni sul collegamento: N=-9591.50 Ty=-11.00 Tz=11.88 Mx=-0.01 Mz=-9.08
Sollecitazioni agenti localmente: Ty_l=-1664.20 My_l=-34.07
Tensioni nella sezione: σ=412.92 τ=50.43
CC 26 SLD (Collegamento -182_-384)
Azioni sul collegamento: N=-9591.50 Ty=-9.82 Tz=14.85 Mx=-0.01 Mz=-7.53
Sollecitazioni agenti localmente: Ty_l=-1670.35 My_l=-34.20
Tensioni nella sezione: σ=414.55 τ=50.62
CC 26 SLD (Collegamento -182_-384)
Azioni sul collegamento: N=-9591.50 Ty=-11.00 Tz=14.85 Mx=-0.01 Mz=-9.08
Sollecitazioni agenti localmente: Ty_l=-1664.20 My_l=-34.07
Tensioni nella sezione: σ=412.92 τ=50.43
CC 26 SLD (Collegamento -182_-384)
Azioni sul collegamento: N=-10311.80 Ty=-9.82 Tz=11.88 Mx=-0.01 Mz=-7.53
Sollecitazioni agenti localmente: Ty_l=-1798.04 My_l=-36.82
Tensioni nella sezione: σ=446.28 τ=54.49
CC 26 SLD (Collegamento -182_-384)
Azioni sul collegamento: N=-10311.80 Ty=-11.00 Tz=11.88 Mx=-0.01 Mz=-9.08
Sollecitazioni agenti localmente: Ty_l=-1791.89 My_l=-36.68
Tensioni nella sezione: σ=444.64 τ=54.30
CC 26 SLD (Collegamento -182_-384)
Azioni sul collegamento: N=-10311.80 Ty=-9.82 Tz=14.85 Mx=-0.01 Mz=-7.53
Sollecitazioni agenti localmente: Ty_l=-1798.04 My_l=-36.82
Tensioni nella sezione: σ=446.28 τ=54.49
CC 26 SLD (Collegamento -182_-384)
Azioni sul collegamento: N=-10311.80 Ty=-11.00 Tz=14.85 Mx=-0.01 Mz=-9.08
Sollecitazioni agenti localmente: Ty_l=-1791.89 My_l=-36.68
Tensioni nella sezione: σ=444.64 τ=54.30
CC 27 SLV (Collegamento -182_-384)
Azioni sul collegamento: N=-11213.90 Ty=-11.56 Tz=17.53 Mx=-0.02 Mz=-9.49
Sollecitazioni agenti localmente: Ty_l=-1950.17 My_l=-39.93
Tensioni nella sezione: σ=483.95 τ=59.10
CC 27 SLV (Collegamento -182_-384)
Azioni sul collegamento: N=-11213.90 Ty=-11.11 Tz=17.53 Mx=-0.02 Mz=-11.40
Sollecitazioni agenti localmente: Ty_l=-1942.58 My_l=-39.76
Tensioni nella sezione: σ=481.93 τ=58.87
CC 27 SLV (Collegamento -182_-384)
Azioni sul collegamento: N=-11213.90 Ty=-11.56 Tz=9.96 Mx=-0.02 Mz=-9.49
Sollecitazioni agenti localmente: Ty_l=-1950.17 My_l=-39.93
Tensioni nella sezione: σ=483.95 τ=59.10
CC 27 SLV (Collegamento -182_-384)
Azioni sul collegamento: N=-11213.90 Ty=-11.11 Tz=9.96 Mx=-0.02 Mz=-11.40
Sollecitazioni agenti localmente: Ty_l=-1942.58 My_l=-39.76
Tensioni nella sezione: σ=481.93 τ=58.87
CC 27 SLV (Collegamento -182_-384)
Azioni sul collegamento: N=-8884.09 Ty=-11.56 Tz=17.53 Mx=-0.02 Mz=-9.49
Sollecitazioni agenti localmente: Ty_l=-1537.16 My_l=-31.46
Tensioni nella sezione: σ=381.32 τ=46.58
CC 27 SLV (Collegamento -182_-384)
Azioni sul collegamento: N=-8884.09 Ty=-11.11 Tz=17.53 Mx=-0.02 Mz=-11.40
Sollecitazioni agenti localmente: Ty_l=-1529.58 My_l=-31.29
Tensioni nella sezione: σ=379.31 τ=46.35
CC 27 SLV (Collegamento -182_-384)
Azioni sul collegamento: N=-8884.09 Ty=-11.56 Tz=9.96 Mx=-0.02 Mz=-9.49
Sollecitazioni agenti localmente: Ty_l=-1537.16 My_l=-31.46
Tensioni nella sezione: σ=381.32 τ=46.58
CC 27 SLV (Collegamento -182_-384)
Azioni sul collegamento: N=-8884.09 Ty=-11.11 Tz=9.96 Mx=-0.02 Mz=-11.40
Sollecitazioni agenti localmente: Ty_l=-1529.58 My_l=-31.29
Tensioni nella sezione: σ=379.31 τ=46.35
CC 28 SLD (Collegamento -182_-384)
Azioni sul collegamento: N=-10306.80 Ty=-10.48 Tz=14.52 Mx=-0.01 Mz=-8.01
Sollecitazioni agenti localmente: Ty_l=-1795.25 My_l=-36.76
Tensioni nella sezione: σ=445.55 τ=54.40
CC 28 SLD (Collegamento -182_-384)

Azioni sul collegamento: N=-10306.80 Ty=-10.34 Tz=14.52 Mx=-0.01 Mz=-8.60
Sollecitazioni agenti localmente: Ty_l=-1792.93 My_l=-36.71
Tensioni nella sezione: σ=444.94 τ=54.33
CC 28 SLD (Collegamento -182_-384)
Azioni sul collegamento: N=-10306.80 Ty=-10.48 Tz=12.21 Mx=-0.01 Mz=-8.01
Sollecitazioni agenti localmente: Ty_l=-1795.24 My_l=-36.76
Tensioni nella sezione: σ=445.55 τ=54.40
CC 28 SLD (Collegamento -182_-384)
Azioni sul collegamento: N=-10306.80 Ty=-10.34 Tz=12.21 Mx=-0.01 Mz=-8.60
Sollecitazioni agenti localmente: Ty_l=-1792.93 My_l=-36.71
Tensioni nella sezione: σ=444.94 τ=54.33
CC 28 SLD (Collegamento -182_-384)
Azioni sul collegamento: N=-9596.43 Ty=-10.48 Tz=14.52 Mx=-0.01 Mz=-8.01
Sollecitazioni agenti localmente: Ty_l=-1669.31 My_l=-34.18
Tensioni nella sezione: σ=414.26 τ=50.59
CC 28 SLD (Collegamento -182_-384)
Azioni sul collegamento: N=-9596.43 Ty=-10.34 Tz=14.52 Mx=-0.01 Mz=-8.60
Sollecitazioni agenti localmente: Ty_l=-1666.99 My_l=-34.13
Tensioni nella sezione: σ=413.64 τ=50.51
CC 28 SLD (Collegamento -182_-384)
Azioni sul collegamento: N=-9596.43 Ty=-10.48 Tz=12.21 Mx=-0.01 Mz=-8.01
Sollecitazioni agenti localmente: Ty_l=-1669.31 My_l=-34.18
Tensioni nella sezione: σ=414.26 τ=50.59
CC 28 SLD (Collegamento -182_-384)
Azioni sul collegamento: N=-9596.43 Ty=-10.34 Tz=12.21 Mx=-0.01 Mz=-8.60
Sollecitazioni agenti localmente: Ty_l=-1666.99 My_l=-34.13
Tensioni nella sezione: σ=413.64 τ=50.51
CC 29 SLV (Collegamento -182_-384)
Azioni sul collegamento: N=-8884.09 Ty=-11.11 Tz=9.96 Mx=-0.01 Mz=-11.40
Sollecitazioni agenti localmente: Ty_l=-1529.58 My_l=-31.29
Tensioni nella sezione: σ=379.31 τ=46.35
CC 29 SLV (Collegamento -182_-384)
Azioni sul collegamento: N=-8884.09 Ty=-11.56 Tz=9.96 Mx=-0.01 Mz=-9.49
Sollecitazioni agenti localmente: Ty_l=-1537.16 My_l=-31.46
Tensioni nella sezione: σ=381.32 τ=46.58
CC 29 SLV (Collegamento -182_-384)
Azioni sul collegamento: N=-8884.09 Ty=-11.11 Tz=17.53 Mx=-0.01 Mz=-11.40
Sollecitazioni agenti localmente: Ty_l=-1529.58 My_l=-31.29
Tensioni nella sezione: σ=379.31 τ=46.35
CC 29 SLV (Collegamento -182_-384)
Azioni sul collegamento: N=-8884.09 Ty=-11.56 Tz=17.53 Mx=-0.01 Mz=-9.49
Sollecitazioni agenti localmente: Ty_l=-1537.16 My_l=-31.46
Tensioni nella sezione: σ=381.32 τ=46.58
CC 29 SLV (Collegamento -182_-384)
Azioni sul collegamento: N=-11213.90 Ty=-11.11 Tz=9.96 Mx=-0.01 Mz=-11.40
Sollecitazioni agenti localmente: Ty_l=-1942.58 My_l=-39.76
Tensioni nella sezione: σ=481.93 τ=58.87
CC 29 SLV (Collegamento -182_-384)
Azioni sul collegamento: N=-11213.90 Ty=-11.56 Tz=9.96 Mx=-0.01 Mz=-9.49
Sollecitazioni agenti localmente: Ty_l=-1950.17 My_l=-39.93
Tensioni nella sezione: σ=483.95 τ=59.10
CC 29 SLV (Collegamento -182_-384)
Azioni sul collegamento: N=-11213.90 Ty=-11.11 Tz=17.53 Mx=-0.01 Mz=-11.40
Sollecitazioni agenti localmente: Ty_l=-1942.58 My_l=-39.76
Tensioni nella sezione: σ=481.93 τ=58.87
CC 29 SLV (Collegamento -182_-384)
Azioni sul collegamento: N=-11213.90 Ty=-11.56 Tz=17.53 Mx=-0.01 Mz=-9.49
Sollecitazioni agenti localmente: Ty_l=-1950.17 My_l=-39.93
Tensioni nella sezione: σ=483.95 τ=59.10
CC 30 SLD (Collegamento -182_-384)
Azioni sul collegamento: N=-9596.43 Ty=-10.34 Tz=12.21 Mx=-0.00 Mz=-8.60
Sollecitazioni agenti localmente: Ty_l=-1666.99 My_l=-34.13
Tensioni nella sezione: σ=413.64 τ=50.51
CC 30 SLD (Collegamento -182_-384)
Azioni sul collegamento: N=-9596.43 Ty=-10.48 Tz=12.21 Mx=-0.00 Mz=-8.01
Sollecitazioni agenti localmente: Ty_l=-1669.31 My_l=-34.18
Tensioni nella sezione: σ=414.26 τ=50.59
CC 30 SLD (Collegamento -182_-384)
Azioni sul collegamento: N=-9596.43 Ty=-10.34 Tz=14.52 Mx=-0.00 Mz=-8.60
Sollecitazioni agenti localmente: Ty_l=-1666.99 My_l=-34.13
Tensioni nella sezione: σ=413.64 τ=50.51
CC 30 SLD (Collegamento -182_-384)
Azioni sul collegamento: N=-9596.43 Ty=-10.48 Tz=14.52 Mx=-0.00 Mz=-8.01
Sollecitazioni agenti localmente: Ty_l=-1669.31 My_l=-34.18
Tensioni nella sezione: σ=414.26 τ=50.59
CC 30 SLD (Collegamento -182_-384)
Azioni sul collegamento: N=-10306.80 Ty=-10.34 Tz=12.21 Mx=-0.00 Mz=-8.60
Sollecitazioni agenti localmente: Ty_l=-1792.93 My_l=-36.71
Tensioni nella sezione: σ=444.94 τ=54.33

CC 30 SLD (Collegamento -182_-384)
Azioni sul collegamento: N=-10306.80 Ty=-10.48 Tz=12.21 Mx=-0.00 Mz=-8.01
Sollecitazioni agenti localmente: Ty_l=-1795.24 My_l=-36.76
Tensioni nella sezione: σ=445.55 τ=54.40
CC 30 SLD (Collegamento -182_-384)
Azioni sul collegamento: N=-10306.80 Ty=-10.34 Tz=14.52 Mx=-0.00 Mz=-8.60
Sollecitazioni agenti localmente: Ty_l=-1792.93 My_l=-36.71
Tensioni nella sezione: σ=444.94 τ=54.33
CC 30 SLD (Collegamento -182_-384)
Azioni sul collegamento: N=-10306.80 Ty=-10.48 Tz=14.52 Mx=-0.00 Mz=-8.01
Sollecitazioni agenti localmente: Ty_l=-1795.25 My_l=-36.76
Tensioni nella sezione: σ=445.55 τ=54.40
CC 31 SLV (Collegamento -182_-384)
Azioni sul collegamento: N=-11230.00 Ty=-13.27 Tz=18.62 Mx=-0.01 Mz=-12.98
Sollecitazioni agenti localmente: Ty_l=-1939.15 My_l=-39.68
Tensioni nella sezione: σ=480.97 τ=58.76
CC 31 SLV (Collegamento -182_-384)
Azioni sul collegamento: N=-11230.00 Ty=-9.40 Tz=18.62 Mx=-0.01 Mz=-7.91
Sollecitazioni agenti localmente: Ty_l=-1959.33 My_l=-40.12
Tensioni nella sezione: σ=486.33 τ=59.37
CC 31 SLV (Collegamento -182_-384)
Azioni sul collegamento: N=-11230.00 Ty=-13.27 Tz=8.87 Mx=-0.01 Mz=-12.98
Sollecitazioni agenti localmente: Ty_l=-1939.15 My_l=-39.68
Tensioni nella sezione: σ=480.97 τ=58.76
CC 31 SLV (Collegamento -182_-384)
Azioni sul collegamento: N=-11230.00 Ty=-9.40 Tz=8.87 Mx=-0.01 Mz=-7.91
Sollecitazioni agenti localmente: Ty_l=-1959.33 My_l=-40.12
Tensioni nella sezione: σ=486.33 τ=59.37
CC 31 SLV (Collegamento -182_-384)
Azioni sul collegamento: N=-8867.92 Ty=-13.27 Tz=18.62 Mx=-0.01 Mz=-12.98
Sollecitazioni agenti localmente: Ty_l=-1520.41 My_l=-31.10
Tensioni nella sezione: σ=376.92 τ=46.07
CC 31 SLV (Collegamento -182_-384)
Azioni sul collegamento: N=-8867.92 Ty=-9.40 Tz=18.62 Mx=-0.01 Mz=-7.91
Sollecitazioni agenti localmente: Ty_l=-1540.59 My_l=-31.54
Tensioni nella sezione: σ=382.28 τ=46.68
CC 31 SLV (Collegamento -182_-384)
Azioni sul collegamento: N=-8867.92 Ty=-13.27 Tz=8.87 Mx=-0.01 Mz=-12.98
Sollecitazioni agenti localmente: Ty_l=-1520.41 My_l=-31.10
Tensioni nella sezione: σ=376.92 τ=46.07
CC 31 SLV (Collegamento -182_-384)
Azioni sul collegamento: N=-8867.92 Ty=-9.40 Tz=8.87 Mx=-0.01 Mz=-7.91
Sollecitazioni agenti localmente: Ty_l=-1540.59 My_l=-31.54
Tensioni nella sezione: σ=382.28 τ=46.68
CC 32 SLD (Collegamento -182_-384)
Azioni sul collegamento: N=-10311.80 Ty=-11.00 Tz=14.85 Mx=-0.00 Mz=-9.08
Sollecitazioni agenti localmente: Ty_l=-1791.89 My_l=-36.68
Tensioni nella sezione: σ=444.64 τ=54.30
CC 32 SLD (Collegamento -182_-384)
Azioni sul collegamento: N=-10311.80 Ty=-9.82 Tz=14.85 Mx=-0.00 Mz=-7.53
Sollecitazioni agenti localmente: Ty_l=-1798.04 My_l=-36.82
Tensioni nella sezione: σ=446.28 τ=54.49
CC 32 SLD (Collegamento -182_-384)
Azioni sul collegamento: N=-10311.80 Ty=-11.00 Tz=11.88 Mx=-0.00 Mz=-9.08
Sollecitazioni agenti localmente: Ty_l=-1791.89 My_l=-36.68
Tensioni nella sezione: σ=444.64 τ=54.30
CC 32 SLD (Collegamento -182_-384)
Azioni sul collegamento: N=-10311.80 Ty=-9.82 Tz=11.88 Mx=-0.00 Mz=-7.53
Sollecitazioni agenti localmente: Ty_l=-1798.04 My_l=-36.82
Tensioni nella sezione: σ=446.28 τ=54.49
CC 32 SLD (Collegamento -182_-384)
Azioni sul collegamento: N=-9591.50 Ty=-11.00 Tz=14.85 Mx=-0.00 Mz=-9.08
Sollecitazioni agenti localmente: Ty_l=-1664.20 My_l=-34.07
Tensioni nella sezione: σ=412.92 τ=50.43
CC 32 SLD (Collegamento -182_-384)
Azioni sul collegamento: N=-9591.50 Ty=-9.82 Tz=14.85 Mx=-0.00 Mz=-7.53
Sollecitazioni agenti localmente: Ty_l=-1670.35 My_l=-34.20
Tensioni nella sezione: σ=414.55 τ=50.62
CC 32 SLD (Collegamento -182_-384)
Azioni sul collegamento: N=-9591.50 Ty=-11.00 Tz=11.88 Mx=-0.00 Mz=-9.08
Sollecitazioni agenti localmente: Ty_l=-1664.20 My_l=-34.07
Tensioni nella sezione: σ=412.92 τ=50.43
CC 32 SLD (Collegamento -182_-384)
Azioni sul collegamento: N=-9591.50 Ty=-9.82 Tz=11.88 Mx=-0.00 Mz=-7.53
Sollecitazioni agenti localmente: Ty_l=-1670.35 My_l=-34.20
Tensioni nella sezione: σ=414.55 τ=50.62
CC 33 SLU (Collegamento -182_-384)
Azioni sul collegamento: N=-37242.40 Ty=-20.96 Tz=105.49 Mx=-0.01 Mz=-15.56
Sollecitazioni agenti localmente: Ty_l=-6540.16 My_l=-133.99

Tensioni nella sezione: σ=1624.08 τ=198.19
CC 34 SLU (Collegamento -182_-384)
Azioni sul collegamento: N=-36428.20 Ty=-20.21 Tz=102.49 Mx=-0.01 Mz=-15.01
Sollecitazioni agenti localmente: Ty_l=-6398.02 My_l=-131.08
Tensioni nella sezione: σ=1588.80 τ=193.88
CC 35 SLU (Collegamento -182_-384)
Azioni sul collegamento: N=-36836.10 Ty=-20.67 Tz=103.93 Mx=-0.00 Mz=-15.47
Sollecitazioni agenti localmente: Ty_l=-6468.52 My_l=-132.52
Tensioni nella sezione: σ=1606.29 τ=196.02
CC 36 SLU (Collegamento -182_-384)
Azioni sul collegamento: N=-36834.40 Ty=-20.49 Tz=104.05 Mx=-0.01 Mz=-15.10
Sollecitazioni agenti localmente: Ty_l=-6469.66 My_l=-132.54
Tensioni nella sezione: σ=1606.59 τ=196.05
CC 37 SLU (Collegamento -182_-384)
Azioni sul collegamento: N=-28075.80 Ty=-20.08 Tz=71.84 Mx=-0.01 Mz=-14.76
Sollecitazioni agenti localmente: Ty_l=-4918.34 My_l=-100.74
Tensioni nella sezione: σ=1221.14 τ=149.04
CC 38 SLU (Collegamento -182_-384)
Azioni sul collegamento: N=-27261.60 Ty=-19.33 Tz=68.83 Mx=-0.01 Mz=-14.21
Sollecitazioni agenti localmente: Ty_l=-4776.20 My_l=-97.83
Tensioni nella sezione: σ=1185.85 τ=144.73
CC 39 SLU (Collegamento -182_-384)
Azioni sul collegamento: N=-27669.60 Ty=-19.79 Tz=70.28 Mx=-0.00 Mz=-14.67
Sollecitazioni agenti localmente: Ty_l=-4846.70 My_l=-99.28
Tensioni nella sezione: σ=1203.34 τ=146.87
CC 40 SLU (Collegamento -182_-384)
Azioni sul collegamento: N=-27667.80 Ty=-19.61 Tz=70.39 Mx=-0.01 Mz=-14.31
Sollecitazioni agenti localmente: Ty_l=-4847.84 My_l=-99.30
Tensioni nella sezione: σ=1203.65 τ=146.90
CC 41 SLU (Collegamento -182_-384)
Azioni sul collegamento: N=-30474.50 Ty=9.93 Tz=80.11 Mx=-0.01 Mz=7.87
Sollecitazioni agenti localmente: Ty_l=-5433.62 My_l=-111.43
Tensioni nella sezione: σ=1350.70 τ=164.66
CC 42 SLU (Collegamento -182_-384)
Azioni sul collegamento: N=-29660.30 Ty=10.68 Tz=77.11 Mx=-0.01 Mz=8.42
Sollecitazioni agenti localmente: Ty_l=-5291.47 My_l=-108.52
Tensioni nella sezione: σ=1315.42 τ=160.35
CC 43 SLU (Collegamento -182_-384)
Azioni sul collegamento: N=-30068.30 Ty=10.21 Tz=78.55 Mx=-0.00 Mz=7.97
Sollecitazioni agenti localmente: Ty_l=-5361.97 My_l=-109.97
Tensioni nella sezione: σ=1332.91 τ=162.48
CC 44 SLU (Collegamento -182_-384)
Azioni sul collegamento: N=-30066.50 Ty=10.39 Tz=78.67 Mx=-0.01 Mz=8.33
Sollecitazioni agenti localmente: Ty_l=-5363.11 My_l=-109.99
Tensioni nella sezione: σ=1333.21 τ=162.52
CC 45 SLU (Collegamento -182_-384)
Azioni sul collegamento: N=-30085.80 Ty=-20.31 Tz=79.22 Mx=-0.00 Mz=-15.08
Sollecitazioni agenti localmente: Ty_l=-5273.40 My_l=-108.02
Tensioni nella sezione: σ=1309.34 τ=159.80
CC 46 SLU (Collegamento -182_-384)
Azioni sul collegamento: N=-29271.60 Ty=-19.56 Tz=76.22 Mx=-0.00 Mz=-14.53
Sollecitazioni agenti localmente: Ty_l=-5131.26 My_l=-105.11
Tensioni nella sezione: σ=1274.06 τ=155.49
CC 47 SLU (Collegamento -182_-384)
Azioni sul collegamento: N=-29679.60 Ty=-20.02 Tz=77.66 Mx=-0.00 Mz=-14.99
Sollecitazioni agenti localmente: Ty_l=-5201.76 My_l=-106.55
Tensioni nella sezione: σ=1291.55 τ=157.63
CC 48 SLU (Collegamento -182_-384)
Azioni sul collegamento: N=-29677.80 Ty=-19.84 Tz=77.78 Mx=-0.01 Mz=-14.62
Sollecitazioni agenti localmente: Ty_l=-5202.90 My_l=-106.58
Tensioni nella sezione: σ=1291.86 τ=157.66
CC 49 SLU (Collegamento -182_-384)
Azioni sul collegamento: N=-23227.80 Ty=-19.65 Tz=54.04 Mx=-0.00 Mz=-14.49
Sollecitazioni agenti localmente: Ty_l=-4060.04 My_l=-83.15
Tensioni nella sezione: σ=1007.88 τ=123.03
CC 50 SLU (Collegamento -182_-384)
Azioni sul collegamento: N=-22413.60 Ty=-18.90 Tz=51.04 Mx=-0.00 Mz=-13.93
Sollecitazioni agenti localmente: Ty_l=-3917.90 My_l=-80.24
Tensioni nella sezione: σ=972.60 τ=118.72
CC 51 SLU (Collegamento -182_-384)
Azioni sul collegamento: N=-22821.60 Ty=-19.36 Tz=52.48 Mx=-0.00 Mz=-14.39
Sollecitazioni agenti localmente: Ty_l=-3988.40 My_l=-81.68
Tensioni nella sezione: σ=990.09 τ=120.86
CC 52 SLU (Collegamento -182_-384)
Azioni sul collegamento: N=-22819.80 Ty=-19.19 Tz=52.60 Mx=-0.01 Mz=-14.03
Sollecitazioni agenti localmente: Ty_l=-3989.54 My_l=-81.71
Tensioni nella sezione: σ=990.39 τ=120.89
CC 53 SLU (Collegamento -182_-384)
Azioni sul collegamento: N=-25022.40 Ty=2.80 Tz=60.23 Mx=-0.00 Mz=2.45

Sollecitazioni agenti localmente: Ty_l=-4445.54 My_l=-91.15
Tensioni nella sezione: σ=1104.82 τ=134.71
CC 54 SLU (Collegamento -182_-384)
Azioni sul collegamento: N=-24208.20 Ty=3.55 Tz=57.23 Mx=-0.01 Mz=3.00
Sollecitazioni agenti localmente: Ty_l=-4303.40 My_l=-88.24
Tensioni nella sezione: σ=1069.53 τ=130.41
CC 55 SLU (Collegamento -182_-384)
Azioni sul collegamento: N=-24616.20 Ty=3.09 Tz=58.67 Mx=-0.00 Mz=2.54
Sollecitazioni agenti localmente: Ty_l=-4373.90 My_l=-89.68
Tensioni nella sezione: σ=1087.02 τ=132.54
CC 56 SLU (Collegamento -182_-384)
Azioni sul collegamento: N=-24614.50 Ty=3.26 Tz=58.79 Mx=-0.01 Mz=2.91
Sollecitazioni agenti localmente: Ty_l=-4375.04 My_l=-89.70
Tensioni nella sezione: σ=1087.33 τ=132.58
CC 57 SLU (Collegamento -182_-384)
Azioni sul collegamento: N=-27876.60 Ty=-18.56 Tz=71.09 Mx=-0.00 Mz=-13.78
Sollecitazioni agenti localmente: Ty_l=-4886.94 My_l=-100.11
Tensioni nella sezione: σ=1213.40 τ=148.09
CC 58 SLU (Collegamento -182_-384)
Azioni sul collegamento: N=-27062.40 Ty=-17.81 Tz=68.08 Mx=-0.00 Mz=-13.23
Sollecitazioni agenti localmente: Ty_l=-4744.80 My_l=-97.19
Tensioni nella sezione: σ=1178.12 τ=143.78
CC 59 SLU (Collegamento -182_-384)
Azioni sul collegamento: N=-27470.40 Ty=-18.27 Tz=69.53 Mx=-0.00 Mz=-13.69
Sollecitazioni agenti localmente: Ty_l=-4815.30 My_l=-98.64
Tensioni nella sezione: σ=1195.61 τ=145.92
CC 60 SLU (Collegamento -182_-384)
Azioni sul collegamento: N=-27468.70 Ty=-18.09 Tz=69.65 Mx=-0.01 Mz=-13.33
Sollecitazioni agenti localmente: Ty_l=-4816.44 My_l=-98.66
Tensioni nella sezione: σ=1195.91 τ=145.95
CC 61 SLU (Collegamento -182_-384)
Azioni sul collegamento: N=-21018.70 Ty=-17.90 Tz=45.91 Mx=-0.00 Mz=-13.19
Sollecitazioni agenti localmente: Ty_l=-3673.58 My_l=-75.23
Tensioni nella sezione: σ=911.94 τ=111.32
CC 62 SLU (Collegamento -182_-384)
Azioni sul collegamento: N=-20204.50 Ty=-17.15 Tz=42.91 Mx=-0.00 Mz=-12.64
Sollecitazioni agenti localmente: Ty_l=-3531.44 My_l=-72.32
Tensioni nella sezione: σ=876.66 τ=107.01
CC 63 SLU (Collegamento -182_-384)
Azioni sul collegamento: N=-20612.50 Ty=-17.61 Tz=44.35 Mx=-0.00 Mz=-13.10
Sollecitazioni agenti localmente: Ty_l=-3601.94 My_l=-73.77
Tensioni nella sezione: σ=894.14 τ=109.15
CC 64 SLU (Collegamento -182_-384)
Azioni sul collegamento: N=-20610.70 Ty=-17.43 Tz=44.47 Mx=-0.01 Mz=-12.73
Sollecitazioni agenti localmente: Ty_l=-3603.08 My_l=-73.79
Tensioni nella sezione: σ=894.45 τ=109.18
CC 65 SLU (Collegamento -182_-384)
Azioni sul collegamento: N=-22813.30 Ty=4.55 Tz=52.10 Mx=-0.00 Mz=3.75
Sollecitazioni agenti localmente: Ty_l=-4059.08 My_l=-83.23
Tensioni nella sezione: σ=1008.87 τ=123.00
CC 66 SLU (Collegamento -182_-384)
Azioni sul collegamento: N=-21999.10 Ty=5.30 Tz=49.10 Mx=-0.00 Mz=4.30
Sollecitazioni agenti localmente: Ty_l=-3916.94 My_l=-80.32
Tensioni nella sezione: σ=973.59 τ=118.69
CC 67 SLU (Collegamento -182_-384)
Azioni sul collegamento: N=-22407.10 Ty=4.84 Tz=50.54 Mx=-0.00 Mz=3.84
Sollecitazioni agenti localmente: Ty_l=-3987.44 My_l=-81.76
Tensioni nella sezione: σ=991.08 τ=120.83
CC 68 SLU (Collegamento -182_-384)
Azioni sul collegamento: N=-22405.30 Ty=5.01 Tz=50.66 Mx=-0.01 Mz=4.20
Sollecitazioni agenti localmente: Ty_l=-3988.58 My_l=-81.79
Tensioni nella sezione: σ=991.38 τ=120.87
CC 97 SLU (Collegamento -182_-384)
Azioni sul collegamento: N=-12779.50 Ty=-22.48 Tz=24.03 Mx=-0.06 Mz=-25.00
Sollecitazioni agenti localmente: Ty_l=-2166.00 My_l=-44.26
Tensioni nella sezione: σ=536.53 τ=65.64
CC 98 SLU (Collegamento -182_-384)
Azioni sul collegamento: N=-11965.30 Ty=-21.73 Tz=21.02 Mx=-0.06 Mz=-24.45
Sollecitazioni agenti localmente: Ty_l=-2023.85 My_l=-41.35
Tensioni nella sezione: σ=501.25 τ=61.33
CC 99 SLU (Collegamento -182_-384)
Azioni sul collegamento: N=-12373.20 Ty=-22.20 Tz=22.47 Mx=-0.05 Mz=-24.91
Sollecitazioni agenti localmente: Ty_l=-2094.36 My_l=-42.80
Tensioni nella sezione: σ=518.74 τ=63.47
CC 100 SLU (Collegamento -182_-384)
Azioni sul collegamento: N=-12371.50 Ty=-22.02 Tz=22.58 Mx=-0.06 Mz=-24.55
Sollecitazioni agenti localmente: Ty_l=-2095.50 My_l=-42.82
Tensioni nella sezione: σ=519.04 τ=63.50
CC 101 SLU (Collegamento -182_-384)

Azioni sul collegamento: N=-10566.60 Ty=-8.33 Tz=15.50 Mx=0.00 Mz=-5.31
Sollecitazioni agenti localmente: Ty_l=-1852.04 My_l=-37.94
Tensioni nella sezione: σ=459.84 τ=56.12
CC 102 SLU (Collegamento -182_-384)
Azioni sul collegamento: N=-9752.38 Ty=-7.57 Tz=12.50 Mx=0.00 Mz=-4.76
Sollecitazioni agenti localmente: Ty_l=-1709.89 My_l=-35.03
Tensioni nella sezione: σ=424.56 τ=51.81
CC 103 SLU (Collegamento -182_-384)
Azioni sul collegamento: N=-10160.40 Ty=-8.04 Tz=13.94 Mx=0.00 Mz=-5.22
Sollecitazioni agenti localmente: Ty_l=-1780.39 My_l=-36.47
Tensioni nella sezione: σ=442.05 τ=53.95
CC 104 SLU (Collegamento -182_-384)
Azioni sul collegamento: N=-10158.60 Ty=-7.86 Tz=14.06 Mx=0.00 Mz=-4.85
Sollecitazioni agenti localmente: Ty_l=-1781.53 My_l=-36.49
Tensioni nella sezione: σ=442.36 τ=53.99

Flessione attacco sinistro piastra

Bnetta=220.00 Hnetta=15.00
CC 1 SLV (Collegamento -182_-384)
Azioni sul collegamento: N=-5856.57 Ty=-4.82 Tz=-1.96 Mx=0.01 Mz=-1.13
Sollecitazioni agenti localmente: Ty_l=-1042.71 My_l=-21.38
Tensioni nella sezione: σ=259.17 τ=31.60
CC 1 SLV (Collegamento -182_-384)
Azioni sul collegamento: N=-5856.57 Ty=-12.53 Tz=-1.96 Mx=0.01 Mz=-7.45
Sollecitazioni agenti localmente: Ty_l=-1067.86 My_l=-21.93
Tensioni nella sezione: σ=265.85 τ=32.36
CC 1 SLV (Collegamento -182_-384)
Azioni sul collegamento: N=-5856.57 Ty=-4.82 Tz=27.25 Mx=0.01 Mz=-1.13
Sollecitazioni agenti localmente: Ty_l=-1042.71 My_l=-21.38
Tensioni nella sezione: σ=259.17 τ=31.60
CC 1 SLV (Collegamento -182_-384)
Azioni sul collegamento: N=-5856.57 Ty=-12.53 Tz=27.25 Mx=0.01 Mz=-7.45
Sollecitazioni agenti localmente: Ty_l=-1067.86 My_l=-21.93
Tensioni nella sezione: σ=265.85 τ=32.36
CC 1 SLV (Collegamento -182_-384)
Azioni sul collegamento: N=-13681.20 Ty=-4.82 Tz=-1.96 Mx=0.01 Mz=-1.13
Sollecitazioni agenti localmente: Ty_l=-2429.81 My_l=-49.82
Tensioni nella sezione: σ=603.85 τ=73.63
CC 1 SLV (Collegamento -182_-384)
Azioni sul collegamento: N=-13681.20 Ty=-12.53 Tz=-1.96 Mx=0.01 Mz=-7.45
Sollecitazioni agenti localmente: Ty_l=-2454.95 My_l=-50.37
Tensioni nella sezione: σ=610.52 τ=74.39
CC 1 SLV (Collegamento -182_-384)
Azioni sul collegamento: N=-13681.20 Ty=-4.82 Tz=27.25 Mx=0.01 Mz=-1.13
Sollecitazioni agenti localmente: Ty_l=-2429.81 My_l=-49.82
Tensioni nella sezione: σ=603.85 τ=73.63
CC 1 SLV (Collegamento -182_-384)
Azioni sul collegamento: N=-13681.20 Ty=-12.53 Tz=27.25 Mx=0.01 Mz=-7.45
Sollecitazioni agenti localmente: Ty_l=-2454.95 My_l=-50.37
Tensioni nella sezione: σ=610.52 τ=74.39
CC 2 SLD (Collegamento -182_-384)
Azioni sul collegamento: N=-8673.24 Ty=-8.42 Tz=8.57 Mx=0.00 Mz=-5.47
Sollecitazioni agenti localmente: Ty_l=-1559.27 My_l=-32.00
Tensioni nella sezione: σ=387.82 τ=47.25
CC 2 SLD (Collegamento -182_-384)
Azioni sul collegamento: N=-8673.24 Ty=-10.78 Tz=8.57 Mx=0.00 Mz=-7.39
Sollecitazioni agenti localmente: Ty_l=-1566.94 My_l=-32.16
Tensioni nella sezione: σ=389.86 τ=47.48
CC 2 SLD (Collegamento -182_-384)
Azioni sul collegamento: N=-8673.24 Ty=-8.42 Tz=17.48 Mx=0.00 Mz=-5.47
Sollecitazioni agenti localmente: Ty_l=-1559.27 My_l=-32.00
Tensioni nella sezione: σ=387.82 τ=47.25
CC 2 SLD (Collegamento -182_-384)
Azioni sul collegamento: N=-8673.24 Ty=-10.78 Tz=17.48 Mx=0.00 Mz=-7.39
Sollecitazioni agenti localmente: Ty_l=-1566.94 My_l=-32.16
Tensioni nella sezione: σ=389.86 τ=47.48
CC 2 SLD (Collegamento -182_-384)
Azioni sul collegamento: N=-11059.20 Ty=-8.42 Tz=8.57 Mx=0.00 Mz=-5.47
Sollecitazioni agenti localmente: Ty_l=-1982.24 My_l=-40.67
Tensioni nella sezione: σ=492.93 τ=60.07
CC 2 SLD (Collegamento -182_-384)
Azioni sul collegamento: N=-11059.20 Ty=-10.78 Tz=8.57 Mx=0.00 Mz=-7.39
Sollecitazioni agenti localmente: Ty_l=-1989.91 My_l=-40.83
Tensioni nella sezione: σ=494.96 τ=60.30
CC 2 SLD (Collegamento -182_-384)
Azioni sul collegamento: N=-11059.20 Ty=-8.42 Tz=17.48 Mx=0.00 Mz=-5.47
Sollecitazioni agenti localmente: Ty_l=-1982.24 My_l=-40.67
Tensioni nella sezione: σ=492.93 τ=60.07

CC 2 SLD (Collegamento -182_-384)
Azioni sul collegamento: N=-11059.20 Ty=-10.78 Tz=17.48 Mx=0.00 Mz=-7.39
Sollecitazioni agenti localmente: Ty_l=-1989.91 My_l=-40.83
Tensioni nella sezione: σ=494.96 τ=60.30
CC 3 SLV (Collegamento -182_-384)
Azioni sul collegamento: N=-5861.42 Ty=-5.33 Tz=-1.63 Mx=0.01 Mz=-2.18
Sollecitazioni agenti localmente: Ty_l=-1047.73 My_l=-21.49
Tensioni nella sezione: σ=260.49 τ=31.75
CC 3 SLV (Collegamento -182_-384)
Azioni sul collegamento: N=-5861.42 Ty=-12.02 Tz=-1.63 Mx=0.01 Mz=-6.41
Sollecitazioni agenti localmente: Ty_l=-1064.55 My_l=-21.86
Tensioni nella sezione: σ=264.96 τ=32.26
CC 3 SLV (Collegamento -182_-384)
Azioni sul collegamento: N=-5861.42 Ty=-5.33 Tz=26.92 Mx=0.01 Mz=-2.18
Sollecitazioni agenti localmente: Ty_l=-1047.73 My_l=-21.49
Tensioni nella sezione: σ=260.49 τ=31.75
CC 3 SLV (Collegamento -182_-384)
Azioni sul collegamento: N=-5861.42 Ty=-12.02 Tz=26.92 Mx=0.01 Mz=-6.41
Sollecitazioni agenti localmente: Ty_l=-1064.55 My_l=-21.86
Tensioni nella sezione: σ=264.96 τ=32.26
CC 3 SLV (Collegamento -182_-384)
Azioni sul collegamento: N=-13676.40 Ty=-5.33 Tz=-1.63 Mx=0.01 Mz=-2.18
Sollecitazioni agenti localmente: Ty_l=-2433.11 My_l=-49.89
Tensioni nella sezione: σ=604.74 τ=73.73
CC 3 SLV (Collegamento -182_-384)
Azioni sul collegamento: N=-13676.40 Ty=-12.02 Tz=-1.63 Mx=0.01 Mz=-6.41
Sollecitazioni agenti localmente: Ty_l=-2449.93 My_l=-50.26
Tensioni nella sezione: σ=609.20 τ=74.24
CC 3 SLV (Collegamento -182_-384)
Azioni sul collegamento: N=-13676.40 Ty=-5.33 Tz=26.92 Mx=0.01 Mz=-2.18
Sollecitazioni agenti localmente: Ty_l=-2433.11 My_l=-49.89
Tensioni nella sezione: σ=604.74 τ=73.73
CC 3 SLV (Collegamento -182_-384)
Azioni sul collegamento: N=-13676.40 Ty=-12.02 Tz=26.92 Mx=0.01 Mz=-6.41
Sollecitazioni agenti localmente: Ty_l=-2449.93 My_l=-50.26
Tensioni nella sezione: σ=609.20 τ=74.24
CC 4 SLD (Collegamento -182_-384)
Azioni sul collegamento: N=-8674.72 Ty=-8.58 Tz=8.67 Mx=-0.00 Mz=-5.79
Sollecitazioni agenti localmente: Ty_l=-1560.80 My_l=-32.03
Tensioni nella sezione: σ=388.23 τ=47.30
CC 4 SLD (Collegamento -182_-384)
Azioni sul collegamento: N=-8674.72 Ty=-10.62 Tz=8.67 Mx=-0.00 Mz=-7.07
Sollecitazioni agenti localmente: Ty_l=-1565.93 My_l=-32.14
Tensioni nella sezione: σ=389.59 τ=47.45
CC 4 SLD (Collegamento -182_-384)
Azioni sul collegamento: N=-8674.72 Ty=-8.58 Tz=17.38 Mx=-0.00 Mz=-5.79
Sollecitazioni agenti localmente: Ty_l=-1560.80 My_l=-32.03
Tensioni nella sezione: σ=388.23 τ=47.30
CC 4 SLD (Collegamento -182_-384)
Azioni sul collegamento: N=-8674.72 Ty=-10.62 Tz=17.38 Mx=-0.00 Mz=-7.07
Sollecitazioni agenti localmente: Ty_l=-1565.93 My_l=-32.14
Tensioni nella sezione: σ=389.59 τ=47.45
CC 4 SLD (Collegamento -182_-384)
Azioni sul collegamento: N=-11057.70 Ty=-8.58 Tz=8.67 Mx=-0.00 Mz=-5.79
Sollecitazioni agenti localmente: Ty_l=-1983.25 My_l=-40.69
Tensioni nella sezione: σ=493.20 τ=60.10
CC 4 SLD (Collegamento -182_-384)
Azioni sul collegamento: N=-11057.70 Ty=-10.62 Tz=8.67 Mx=-0.00 Mz=-7.07
Sollecitazioni agenti localmente: Ty_l=-1988.38 My_l=-40.80
Tensioni nella sezione: σ=494.56 τ=60.25
CC 4 SLD (Collegamento -182_-384)
Azioni sul collegamento: N=-11057.70 Ty=-8.58 Tz=17.38 Mx=-0.00 Mz=-5.79
Sollecitazioni agenti localmente: Ty_l=-1983.25 My_l=-40.69
Tensioni nella sezione: σ=493.20 τ=60.10
CC 4 SLD (Collegamento -182_-384)
Azioni sul collegamento: N=-11057.70 Ty=-10.62 Tz=17.38 Mx=-0.00 Mz=-7.07
Sollecitazioni agenti localmente: Ty_l=-1988.38 My_l=-40.80
Tensioni nella sezione: σ=494.56 τ=60.25
CC 5 SLV (Collegamento -182_-384)
Azioni sul collegamento: N=-13676.40 Ty=-12.02 Tz=26.92 Mx=0.01 Mz=-6.41
Sollecitazioni agenti localmente: Ty_l=-2449.93 My_l=-50.26
Tensioni nella sezione: σ=609.20 τ=74.24
CC 5 SLV (Collegamento -182_-384)
Azioni sul collegamento: N=-13676.40 Ty=-5.33 Tz=26.92 Mx=0.01 Mz=-2.18
Sollecitazioni agenti localmente: Ty_l=-2433.11 My_l=-49.89
Tensioni nella sezione: σ=604.74 τ=73.73
CC 5 SLV (Collegamento -182_-384)
Azioni sul collegamento: N=-13676.40 Ty=-12.02 Tz=-1.63 Mx=0.01 Mz=-6.41
Sollecitazioni agenti localmente: Ty_l=-2449.93 My_l=-50.26

Tensioni nella sezione: σ=609.20 τ=74.24
CC 5 SLV (Collegamento -182_-384)
Azioni sul collegamento: N=-13676.40 Ty=-5.33 Tz=-1.63 Mx=0.01 Mz=-2.18
Sollecitazioni agenti localmente: Ty_l=-2433.11 My_l=-49.89
Tensioni nella sezione: σ=604.74 τ=73.73
CC 5 SLV (Collegamento -182_-384)
Azioni sul collegamento: N=-5861.42 Ty=-12.02 Tz=26.92 Mx=0.01 Mz=-6.41
Sollecitazioni agenti localmente: Ty_l=-1064.55 My_l=-21.86
Tensioni nella sezione: σ=264.96 τ=32.26
CC 5 SLV (Collegamento -182_-384)
Azioni sul collegamento: N=-5861.42 Ty=-5.33 Tz=26.92 Mx=0.01 Mz=-2.18
Sollecitazioni agenti localmente: Ty_l=-1047.73 My_l=-21.49
Tensioni nella sezione: σ=260.49 τ=31.75
CC 5 SLV (Collegamento -182_-384)
Azioni sul collegamento: N=-5861.42 Ty=-12.02 Tz=-1.63 Mx=0.01 Mz=-6.41
Sollecitazioni agenti localmente: Ty_l=-1064.55 My_l=-21.86
Tensioni nella sezione: σ=264.96 τ=32.26
CC 5 SLV (Collegamento -182_-384)
Azioni sul collegamento: N=-5861.42 Ty=-5.33 Tz=-1.63 Mx=0.01 Mz=-2.18
Sollecitazioni agenti localmente: Ty_l=-1047.73 My_l=-21.49
Tensioni nella sezione: σ=260.49 τ=31.75
CC 6 SLD (Collegamento -182_-384)
Azioni sul collegamento: N=-11057.70 Ty=-10.62 Tz=17.38 Mx=0.00 Mz=-7.07
Sollecitazioni agenti localmente: Ty_l=-1988.38 My_l=-40.80
Tensioni nella sezione: σ=494.56 τ=60.25
CC 6 SLD (Collegamento -182_-384)
Azioni sul collegamento: N=-11057.70 Ty=-8.58 Tz=17.38 Mx=0.00 Mz=-5.79
Sollecitazioni agenti localmente: Ty_l=-1983.25 My_l=-40.69
Tensioni nella sezione: σ=493.20 τ=60.10
CC 6 SLD (Collegamento -182_-384)
Azioni sul collegamento: N=-11057.70 Ty=-10.62 Tz=8.67 Mx=0.00 Mz=-7.07
Sollecitazioni agenti localmente: Ty_l=-1988.38 My_l=-40.80
Tensioni nella sezione: σ=494.56 τ=60.25
CC 6 SLD (Collegamento -182_-384)
Azioni sul collegamento: N=-11057.70 Ty=-8.58 Tz=8.67 Mx=0.00 Mz=-5.79
Sollecitazioni agenti localmente: Ty_l=-1983.25 My_l=-40.69
Tensioni nella sezione: σ=493.20 τ=60.10
CC 6 SLD (Collegamento -182_-384)
Azioni sul collegamento: N=-8674.72 Ty=-10.62 Tz=17.38 Mx=0.00 Mz=-7.07
Sollecitazioni agenti localmente: Ty_l=-1565.93 My_l=-32.14
Tensioni nella sezione: σ=389.59 τ=47.45
CC 6 SLD (Collegamento -182_-384)
Azioni sul collegamento: N=-8674.72 Ty=-8.58 Tz=17.38 Mx=0.00 Mz=-5.79
Sollecitazioni agenti localmente: Ty_l=-1560.80 My_l=-32.03
Tensioni nella sezione: σ=388.23 τ=47.30
CC 6 SLD (Collegamento -182_-384)
Azioni sul collegamento: N=-8674.72 Ty=-10.62 Tz=8.67 Mx=0.00 Mz=-7.07
Sollecitazioni agenti localmente: Ty_l=-1565.93 My_l=-32.14
Tensioni nella sezione: σ=389.59 τ=47.45
CC 6 SLD (Collegamento -182_-384)
Azioni sul collegamento: N=-8674.72 Ty=-8.58 Tz=8.67 Mx=0.00 Mz=-5.79
Sollecitazioni agenti localmente: Ty_l=-1560.80 My_l=-32.03
Tensioni nella sezione: σ=388.23 τ=47.30
CC 7 SLV (Collegamento -182_-384)
Azioni sul collegamento: N=-13681.20 Ty=-12.53 Tz=27.25 Mx=0.01 Mz=-7.45
Sollecitazioni agenti localmente: Ty_l=-2454.95 My_l=-50.37
Tensioni nella sezione: σ=610.52 τ=74.39
CC 7 SLV (Collegamento -182_-384)
Azioni sul collegamento: N=-13681.20 Ty=-4.82 Tz=27.25 Mx=0.01 Mz=-1.13
Sollecitazioni agenti localmente: Ty_l=-2429.81 My_l=-49.82
Tensioni nella sezione: σ=603.85 τ=73.63
CC 7 SLV (Collegamento -182_-384)
Azioni sul collegamento: N=-13681.20 Ty=-12.53 Tz=-1.96 Mx=0.01 Mz=-7.45
Sollecitazioni agenti localmente: Ty_l=-2454.95 My_l=-50.37
Tensioni nella sezione: σ=610.52 τ=74.39
CC 7 SLV (Collegamento -182_-384)
Azioni sul collegamento: N=-13681.20 Ty=-4.82 Tz=-1.96 Mx=0.01 Mz=-1.13
Sollecitazioni agenti localmente: Ty_l=-2429.81 My_l=-49.82
Tensioni nella sezione: σ=603.85 τ=73.63
CC 7 SLV (Collegamento -182_-384)
Azioni sul collegamento: N=-5856.57 Ty=-12.53 Tz=27.25 Mx=0.01 Mz=-7.45
Sollecitazioni agenti localmente: Ty_l=-1067.86 My_l=-21.93
Tensioni nella sezione: σ=265.85 τ=32.36
CC 7 SLV (Collegamento -182_-384)
Azioni sul collegamento: N=-5856.57 Ty=-4.82 Tz=27.25 Mx=0.01 Mz=-1.13
Sollecitazioni agenti localmente: Ty_l=-1042.71 My_l=-21.38
Tensioni nella sezione: σ=259.17 τ=31.60
CC 7 SLV (Collegamento -182_-384)
Azioni sul collegamento: N=-5856.57 Ty=-12.53 Tz=-1.96 Mx=0.01 Mz=-7.45

Sollecitazioni agenti localmente: Ty_l=-1067.86 My_l=-21.93
Tensioni nella sezione: σ=265.85 τ=32.36
CC 7 SLV (Collegamento -182_-384)
Azioni sul collegamento: N=-5856.57 Ty=-4.82 Tz=-1.96 Mx=0.01 Mz=-1.13
Sollecitazioni agenti localmente: Ty_l=-1042.71 My_l=-21.38
Tensioni nella sezione: σ=259.17 τ=31.60
CC 8 SLD (Collegamento -182_-384)
Azioni sul collegamento: N=-11059.20 Ty=-10.78 Tz=17.48 Mx=-0.00 Mz=-7.39
Sollecitazioni agenti localmente: Ty_l=-1989.91 My_l=-40.83
Tensioni nella sezione: σ=494.96 τ=60.30
CC 8 SLD (Collegamento -182_-384)
Azioni sul collegamento: N=-11059.20 Ty=-8.42 Tz=17.48 Mx=-0.00 Mz=-5.47
Sollecitazioni agenti localmente: Ty_l=-1982.24 My_l=-40.67
Tensioni nella sezione: σ=492.93 τ=60.07
CC 8 SLD (Collegamento -182_-384)
Azioni sul collegamento: N=-11059.20 Ty=-10.78 Tz=8.57 Mx=-0.00 Mz=-7.39
Sollecitazioni agenti localmente: Ty_l=-1989.91 My_l=-40.83
Tensioni nella sezione: σ=494.96 τ=60.30
CC 8 SLD (Collegamento -182_-384)
Azioni sul collegamento: N=-11059.20 Ty=-8.42 Tz=8.57 Mx=-0.00 Mz=-5.47
Sollecitazioni agenti localmente: Ty_l=-1982.24 My_l=-40.67
Tensioni nella sezione: σ=492.93 τ=60.07
CC 8 SLD (Collegamento -182_-384)
Azioni sul collegamento: N=-8673.24 Ty=-10.78 Tz=17.48 Mx=-0.00 Mz=-7.39
Sollecitazioni agenti localmente: Ty_l=-1566.94 My_l=-32.16
Tensioni nella sezione: σ=389.86 τ=47.48
CC 8 SLD (Collegamento -182_-384)
Azioni sul collegamento: N=-8673.24 Ty=-8.42 Tz=17.48 Mx=-0.00 Mz=-5.47
Sollecitazioni agenti localmente: Ty_l=-1559.27 My_l=-32.00
Tensioni nella sezione: σ=387.82 τ=47.25
CC 8 SLD (Collegamento -182_-384)
Azioni sul collegamento: N=-8673.24 Ty=-10.78 Tz=8.57 Mx=-0.00 Mz=-7.39
Sollecitazioni agenti localmente: Ty_l=-1566.94 My_l=-32.16
Tensioni nella sezione: σ=389.86 τ=47.48
CC 8 SLD (Collegamento -182_-384)
Azioni sul collegamento: N=-8673.24 Ty=-8.42 Tz=8.57 Mx=-0.00 Mz=-5.47
Sollecitazioni agenti localmente: Ty_l=-1559.27 My_l=-32.00
Tensioni nella sezione: σ=387.82 τ=47.25
CC 9 SLV (Collegamento -182_-384)
Azioni sul collegamento: N=-8587.84 Ty=-6.74 Tz=7.77 Mx=0.02 Mz=-1.76
Sollecitazioni agenti localmente: Ty_l=-1529.37 My_l=-31.36
Tensioni nella sezione: σ=380.14 τ=46.34
CC 9 SLV (Collegamento -182_-384)
Azioni sul collegamento: N=-8587.84 Ty=-10.61 Tz=7.77 Mx=0.02 Mz=-6.83
Sollecitazioni agenti localmente: Ty_l=-1549.55 My_l=-31.80
Tensioni nella sezione: σ=385.50 τ=46.96
CC 9 SLV (Collegamento -182_-384)
Azioni sul collegamento: N=-8587.84 Ty=-6.74 Tz=17.52 Mx=0.02 Mz=-1.76
Sollecitazioni agenti localmente: Ty_l=-1529.37 My_l=-31.36
Tensioni nella sezione: σ=380.14 τ=46.34
CC 9 SLV (Collegamento -182_-384)
Azioni sul collegamento: N=-8587.84 Ty=-10.61 Tz=17.52 Mx=0.02 Mz=-6.83
Sollecitazioni agenti localmente: Ty_l=-1549.55 My_l=-31.80
Tensioni nella sezione: σ=385.50 τ=46.96
CC 9 SLV (Collegamento -182_-384)
Azioni sul collegamento: N=-10950.00 Ty=-6.74 Tz=7.77 Mx=0.02 Mz=-1.76
Sollecitazioni agenti localmente: Ty_l=-1948.11 My_l=-39.95
Tensioni nella sezione: σ=484.19 τ=59.03
CC 9 SLV (Collegamento -182_-384)
Azioni sul collegamento: N=-10950.00 Ty=-10.61 Tz=7.77 Mx=0.02 Mz=-6.83
Sollecitazioni agenti localmente: Ty_l=-1968.29 My_l=-40.39
Tensioni nella sezione: σ=489.55 τ=59.65
CC 9 SLV (Collegamento -182_-384)
Azioni sul collegamento: N=-10950.00 Ty=-6.74 Tz=17.52 Mx=0.02 Mz=-1.76
Sollecitazioni agenti localmente: Ty_l=-1948.11 My_l=-39.95
Tensioni nella sezione: σ=484.19 τ=59.03
CC 9 SLV (Collegamento -182_-384)
Azioni sul collegamento: N=-10950.00 Ty=-10.61 Tz=17.52 Mx=0.02 Mz=-6.83
Sollecitazioni agenti localmente: Ty_l=-1968.29 My_l=-40.39
Tensioni nella sezione: σ=489.55 τ=59.65
CC 10 SLD (Collegamento -182_-384)
Azioni sul collegamento: N=-9506.09 Ty=-9.01 Tz=11.54 Mx=0.00 Mz=-5.66
Sollecitazioni agenti localmente: Ty_l=-1707.67 My_l=-35.04
Tensioni nella sezione: σ=424.71 τ=51.75
CC 10 SLD (Collegamento -182_-384)
Azioni sul collegamento: N=-9506.09 Ty=-10.19 Tz=11.54 Mx=0.00 Mz=-7.20
Sollecitazioni agenti localmente: Ty_l=-1713.82 My_l=-35.17
Tensioni nella sezione: σ=426.35 τ=51.93
CC 10 SLD (Collegamento -182_-384)

Azioni sul collegamento: N=-9506.09 Ty=-9.01 Tz=14.51 Mx=0.00 Mz=-5.66
Sollecitazioni agenti localmente: Ty_l=-1707.67 My_l=-35.04
Tensioni nella sezione: σ=424.71 τ=51.75
CC 10 SLD (Collegamento -182_-384)
Azioni sul collegamento: N=-9506.09 Ty=-10.19 Tz=14.51 Mx=0.00 Mz=-7.20
Sollecitazioni agenti localmente: Ty_l=-1713.82 My_l=-35.17
Tensioni nella sezione: σ=426.35 τ=51.93
CC 10 SLD (Collegamento -182_-384)
Azioni sul collegamento: N=-10226.40 Ty=-9.01 Tz=11.54 Mx=0.00 Mz=-5.66
Sollecitazioni agenti localmente: Ty_l=-1835.36 My_l=-37.66
Tensioni nella sezione: σ=456.44 τ=55.62
CC 10 SLD (Collegamento -182_-384)
Azioni sul collegamento: N=-10226.40 Ty=-10.19 Tz=11.54 Mx=0.00 Mz=-7.20
Sollecitazioni agenti localmente: Ty_l=-1841.51 My_l=-37.79
Tensioni nella sezione: σ=458.07 τ=55.80
CC 10 SLD (Collegamento -182_-384)
Azioni sul collegamento: N=-10226.40 Ty=-9.01 Tz=14.51 Mx=0.00 Mz=-5.66
Sollecitazioni agenti localmente: Ty_l=-1835.36 My_l=-37.66
Tensioni nella sezione: σ=456.44 τ=55.62
CC 10 SLD (Collegamento -182_-384)
Azioni sul collegamento: N=-10226.40 Ty=-10.19 Tz=14.51 Mx=0.00 Mz=-7.20
Sollecitazioni agenti localmente: Ty_l=-1841.51 My_l=-37.79
Tensioni nella sezione: σ=458.07 τ=55.80
CC 11 SLV (Collegamento -182_-384)
Azioni sul collegamento: N=-10933.80 Ty=-8.90 Tz=16.43 Mx=0.02 Mz=-3.34
Sollecitazioni agenti localmente: Ty_l=-1951.54 My_l=-40.03
Tensioni nella sezione: σ=485.15 τ=59.14
CC 11 SLV (Collegamento -182_-384)
Azioni sul collegamento: N=-10933.80 Ty=-8.45 Tz=16.43 Mx=0.02 Mz=-5.25
Sollecitazioni agenti localmente: Ty_l=-1959.13 My_l=-40.19
Tensioni nella sezione: σ=487.17 τ=59.37
CC 11 SLV (Collegamento -182_-384)
Azioni sul collegamento: N=-10933.80 Ty=-8.90 Tz=8.86 Mx=0.02 Mz=-3.34
Sollecitazioni agenti localmente: Ty_l=-1951.54 My_l=-40.03
Tensioni nella sezione: σ=485.15 τ=59.14
CC 11 SLV (Collegamento -182_-384)
Azioni sul collegamento: N=-10933.80 Ty=-8.45 Tz=8.86 Mx=0.02 Mz=-5.25
Sollecitazioni agenti localmente: Ty_l=-1959.13 My_l=-40.19
Tensioni nella sezione: σ=487.17 τ=59.37
CC 11 SLV (Collegamento -182_-384)
Azioni sul collegamento: N=-8604.01 Ty=-8.90 Tz=16.43 Mx=0.02 Mz=-3.34
Sollecitazioni agenti localmente: Ty_l=-1538.54 My_l=-31.56
Tensioni nella sezione: σ=382.53 τ=46.62
CC 11 SLV (Collegamento -182_-384)
Azioni sul collegamento: N=-8604.01 Ty=-8.45 Tz=16.43 Mx=0.02 Mz=-5.25
Sollecitazioni agenti localmente: Ty_l=-1546.12 My_l=-31.72
Tensioni nella sezione: σ=384.54 τ=46.85
CC 11 SLV (Collegamento -182_-384)
Azioni sul collegamento: N=-8604.01 Ty=-8.90 Tz=8.86 Mx=0.02 Mz=-3.34
Sollecitazioni agenti localmente: Ty_l=-1538.54 My_l=-31.56
Tensioni nella sezione: σ=382.53 τ=46.62
CC 11 SLV (Collegamento -182_-384)
Azioni sul collegamento: N=-8604.01 Ty=-8.45 Tz=8.86 Mx=0.02 Mz=-5.25
Sollecitazioni agenti localmente: Ty_l=-1546.12 My_l=-31.72
Tensioni nella sezione: σ=384.54 τ=46.85
CC 12 SLD (Collegamento -182_-384)
Azioni sul collegamento: N=-10221.40 Ty=-9.67 Tz=14.18 Mx=0.00 Mz=-6.14
Sollecitazioni agenti localmente: Ty_l=-1836.40 My_l=-37.68
Tensioni nella sezione: σ=456.73 τ=55.65
CC 12 SLD (Collegamento -182_-384)
Azioni sul collegamento: N=-10221.40 Ty=-9.53 Tz=14.18 Mx=0.00 Mz=-6.72
Sollecitazioni agenti localmente: Ty_l=-1838.71 My_l=-37.73
Tensioni nella sezione: σ=457.35 τ=55.72
CC 12 SLD (Collegamento -182_-384)
Azioni sul collegamento: N=-10221.40 Ty=-9.67 Tz=11.87 Mx=0.00 Mz=-6.14
Sollecitazioni agenti localmente: Ty_l=-1836.40 My_l=-37.68
Tensioni nella sezione: σ=456.73 τ=55.65
CC 12 SLD (Collegamento -182_-384)
Azioni sul collegamento: N=-10221.40 Ty=-9.53 Tz=11.87 Mx=0.00 Mz=-6.72
Sollecitazioni agenti localmente: Ty_l=-1838.71 My_l=-37.73
Tensioni nella sezione: σ=457.35 τ=55.72
CC 12 SLD (Collegamento -182_-384)
Azioni sul collegamento: N=-9511.02 Ty=-9.67 Tz=14.18 Mx=0.00 Mz=-6.14
Sollecitazioni agenti localmente: Ty_l=-1710.46 My_l=-35.10
Tensioni nella sezione: σ=425.44 τ=51.83
CC 12 SLD (Collegamento -182_-384)
Azioni sul collegamento: N=-9511.02 Ty=-9.53 Tz=14.18 Mx=0.00 Mz=-6.72
Sollecitazioni agenti localmente: Ty_l=-1712.78 My_l=-35.15
Tensioni nella sezione: σ=426.05 τ=51.90

CC 12 SLD (Collegamento -182_-384)
Azioni sul collegamento: N=-9511.02 Ty=-9.67 Tz=11.87 Mx=0.00 Mz=-6.14
Sollecitazioni agenti localmente: Ty_l=-1710.46 My_l=-35.10
Tensioni nella sezione: σ=425.44 τ=51.83
CC 12 SLD (Collegamento -182_-384)
Azioni sul collegamento: N=-9511.02 Ty=-9.53 Tz=11.87 Mx=0.00 Mz=-6.72
Sollecitazioni agenti localmente: Ty_l=-1712.78 My_l=-35.15
Tensioni nella sezione: σ=426.05 τ=51.90
CC 13 SLV (Collegamento -182_-384)
Azioni sul collegamento: N=-8604.01 Ty=-8.45 Tz=8.86 Mx=0.00 Mz=-5.25
Sollecitazioni agenti localmente: Ty_l=-1546.12 My_l=-31.72
Tensioni nella sezione: σ=384.54 τ=46.85
CC 13 SLV (Collegamento -182_-384)
Azioni sul collegamento: N=-8604.01 Ty=-8.90 Tz=8.86 Mx=0.00 Mz=-3.34
Sollecitazioni agenti localmente: Ty_l=-1538.54 My_l=-31.56
Tensioni nella sezione: σ=382.53 τ=46.62
CC 13 SLV (Collegamento -182_-384)
Azioni sul collegamento: N=-8604.01 Ty=-8.45 Tz=16.43 Mx=0.00 Mz=-5.25
Sollecitazioni agenti localmente: Ty_l=-1546.12 My_l=-31.72
Tensioni nella sezione: σ=384.54 τ=46.85
CC 13 SLV (Collegamento -182_-384)
Azioni sul collegamento: N=-8604.01 Ty=-8.90 Tz=16.43 Mx=0.00 Mz=-3.34
Sollecitazioni agenti localmente: Ty_l=-1538.54 My_l=-31.56
Tensioni nella sezione: σ=382.53 τ=46.62
CC 13 SLV (Collegamento -182_-384)
Azioni sul collegamento: N=-10933.80 Ty=-8.45 Tz=8.86 Mx=0.00 Mz=-5.25
Sollecitazioni agenti localmente: Ty_l=-1959.13 My_l=-40.19
Tensioni nella sezione: σ=487.17 τ=59.37
CC 13 SLV (Collegamento -182_-384)
Azioni sul collegamento: N=-10933.80 Ty=-8.90 Tz=8.86 Mx=0.00 Mz=-3.34
Sollecitazioni agenti localmente: Ty_l=-1951.54 My_l=-40.03
Tensioni nella sezione: σ=485.15 τ=59.14
CC 13 SLV (Collegamento -182_-384)
Azioni sul collegamento: N=-10933.80 Ty=-8.45 Tz=16.43 Mx=0.00 Mz=-5.25
Sollecitazioni agenti localmente: Ty_l=-1959.13 My_l=-40.19
Tensioni nella sezione: σ=487.17 τ=59.37
CC 13 SLV (Collegamento -182_-384)
Azioni sul collegamento: N=-10933.80 Ty=-8.90 Tz=16.43 Mx=0.00 Mz=-3.34
Sollecitazioni agenti localmente: Ty_l=-1951.54 My_l=-40.03
Tensioni nella sezione: σ=485.15 τ=59.14
CC 14 SLD (Collegamento -182_-384)
Azioni sul collegamento: N=-9511.02 Ty=-9.53 Tz=11.87 Mx=-0.00 Mz=-6.72
Sollecitazioni agenti localmente: Ty_l=-1712.78 My_l=-35.15
Tensioni nella sezione: σ=426.05 τ=51.90
CC 14 SLD (Collegamento -182_-384)
Azioni sul collegamento: N=-9511.02 Ty=-9.67 Tz=11.87 Mx=-0.00 Mz=-6.14
Sollecitazioni agenti localmente: Ty_l=-1710.46 My_l=-35.10
Tensioni nella sezione: σ=425.44 τ=51.83
CC 14 SLD (Collegamento -182_-384)
Azioni sul collegamento: N=-9511.02 Ty=-9.53 Tz=14.18 Mx=-0.00 Mz=-6.72
Sollecitazioni agenti localmente: Ty_l=-1712.78 My_l=-35.15
Tensioni nella sezione: σ=426.05 τ=51.90
CC 14 SLD (Collegamento -182_-384)
Azioni sul collegamento: N=-9511.02 Ty=-9.67 Tz=14.18 Mx=-0.00 Mz=-6.14
Sollecitazioni agenti localmente: Ty_l=-1710.46 My_l=-35.10
Tensioni nella sezione: σ=425.44 τ=51.83
CC 14 SLD (Collegamento -182_-384)
Azioni sul collegamento: N=-10221.40 Ty=-9.53 Tz=11.87 Mx=-0.00 Mz=-6.72
Sollecitazioni agenti localmente: Ty_l=-1838.71 My_l=-37.73
Tensioni nella sezione: σ=457.35 τ=55.72
CC 14 SLD (Collegamento -182_-384)
Azioni sul collegamento: N=-10221.40 Ty=-9.67 Tz=11.87 Mx=-0.00 Mz=-6.14
Sollecitazioni agenti localmente: Ty_l=-1836.40 My_l=-37.68
Tensioni nella sezione: σ=456.73 τ=55.65
CC 14 SLD (Collegamento -182_-384)
Azioni sul collegamento: N=-10221.40 Ty=-9.53 Tz=14.18 Mx=-0.00 Mz=-6.72
Sollecitazioni agenti localmente: Ty_l=-1838.71 My_l=-37.73
Tensioni nella sezione: σ=457.35 τ=55.72
CC 14 SLD (Collegamento -182_-384)
Azioni sul collegamento: N=-10221.40 Ty=-9.67 Tz=14.18 Mx=-0.00 Mz=-6.14
Sollecitazioni agenti localmente: Ty_l=-1836.40 My_l=-37.68
Tensioni nella sezione: σ=456.73 τ=55.65
CC 15 SLV (Collegamento -182_-384)
Azioni sul collegamento: N=-10950.00 Ty=-10.61 Tz=17.52 Mx=0.00 Mz=-6.83
Sollecitazioni agenti localmente: Ty_l=-1968.29 My_l=-40.39
Tensioni nella sezione: σ=489.55 τ=59.65
CC 15 SLV (Collegamento -182_-384)
Azioni sul collegamento: N=-10950.00 Ty=-6.74 Tz=17.52 Mx=0.00 Mz=-1.76
Sollecitazioni agenti localmente: Ty_l=-1948.11 My_l=-39.95

Tensioni nella sezione: σ=484.19 τ=59.03
CC 15 SLV (Collegamento -182_-384)
Azioni sul collegamento: N=-10950.00 Ty=-10.61 Tz=7.77 Mx=0.00 Mz=-6.83
Sollecitazioni agenti localmente: Ty_l=-1968.29 My_l=-40.39
Tensioni nella sezione: σ=489.55 τ=59.65
CC 15 SLV (Collegamento -182_-384)
Azioni sul collegamento: N=-10950.00 Ty=-6.74 Tz=7.77 Mx=0.00 Mz=-1.76
Sollecitazioni agenti localmente: Ty_l=-1948.11 My_l=-39.95
Tensioni nella sezione: σ=484.19 τ=59.03
CC 15 SLV (Collegamento -182_-384)
Azioni sul collegamento: N=-8587.84 Ty=-10.61 Tz=17.52 Mx=0.00 Mz=-6.83
Sollecitazioni agenti localmente: Ty_l=-1549.55 My_l=-31.80
Tensioni nella sezione: σ=385.50 τ=46.96
CC 15 SLV (Collegamento -182_-384)
Azioni sul collegamento: N=-8587.84 Ty=-6.74 Tz=17.52 Mx=0.00 Mz=-1.76
Sollecitazioni agenti localmente: Ty_l=-1529.37 My_l=-31.36
Tensioni nella sezione: σ=380.14 τ=46.34
CC 15 SLV (Collegamento -182_-384)
Azioni sul collegamento: N=-8587.84 Ty=-10.61 Tz=7.77 Mx=0.00 Mz=-6.83
Sollecitazioni agenti localmente: Ty_l=-1549.55 My_l=-31.80
Tensioni nella sezione: σ=385.50 τ=46.96
CC 15 SLV (Collegamento -182_-384)
Azioni sul collegamento: N=-8587.84 Ty=-6.74 Tz=7.77 Mx=0.00 Mz=-1.76
Sollecitazioni agenti localmente: Ty_l=-1529.37 My_l=-31.36
Tensioni nella sezione: σ=380.14 τ=46.34
CC 16 SLD (Collegamento -182_-384)
Azioni sul collegamento: N=-10226.40 Ty=-10.19 Tz=14.51 Mx=-0.00 Mz=-7.20
Sollecitazioni agenti localmente: Ty_l=-1841.51 My_l=-37.79
Tensioni nella sezione: σ=458.07 τ=55.80
CC 16 SLD (Collegamento -182_-384)
Azioni sul collegamento: N=-10226.40 Ty=-9.01 Tz=14.51 Mx=-0.00 Mz=-5.66
Sollecitazioni agenti localmente: Ty_l=-1835.36 My_l=-37.66
Tensioni nella sezione: σ=456.44 τ=55.62
CC 16 SLD (Collegamento -182_-384)
Azioni sul collegamento: N=-10226.40 Ty=-10.19 Tz=11.54 Mx=-0.00 Mz=-7.20
Sollecitazioni agenti localmente: Ty_l=-1841.51 My_l=-37.79
Tensioni nella sezione: σ=458.07 τ=55.80
CC 16 SLD (Collegamento -182_-384)
Azioni sul collegamento: N=-10226.40 Ty=-9.01 Tz=11.54 Mx=-0.00 Mz=-5.66
Sollecitazioni agenti localmente: Ty_l=-1835.36 My_l=-37.66
Tensioni nella sezione: σ=456.44 τ=55.62
CC 16 SLD (Collegamento -182_-384)
Azioni sul collegamento: N=-9506.09 Ty=-10.19 Tz=14.51 Mx=-0.00 Mz=-7.20
Sollecitazioni agenti localmente: Ty_l=-1713.82 My_l=-35.17
Tensioni nella sezione: σ=426.35 τ=51.93
CC 16 SLD (Collegamento -182_-384)
Azioni sul collegamento: N=-9506.09 Ty=-9.01 Tz=14.51 Mx=-0.00 Mz=-5.66
Sollecitazioni agenti localmente: Ty_l=-1707.67 My_l=-35.04
Tensioni nella sezione: σ=424.71 τ=51.75
CC 16 SLD (Collegamento -182_-384)
Azioni sul collegamento: N=-9506.09 Ty=-10.19 Tz=11.54 Mx=-0.00 Mz=-7.20
Sollecitazioni agenti localmente: Ty_l=-1713.82 My_l=-35.17
Tensioni nella sezione: σ=426.35 τ=51.93
CC 16 SLD (Collegamento -182_-384)
Azioni sul collegamento: N=-9506.09 Ty=-9.01 Tz=11.54 Mx=-0.00 Mz=-5.66
Sollecitazioni agenti localmente: Ty_l=-1707.67 My_l=-35.04
Tensioni nella sezione: σ=424.71 τ=51.75
CC 17 SLV (Collegamento -182_-384)
Azioni sul collegamento: N=-6136.65 Ty=-7.48 Tz=-0.86 Mx=-0.02 Mz=-7.28
Sollecitazioni agenti localmente: Ty_l=-1116.82 My_l=-22.94
Tensioni nella sezione: σ=278.00 τ=33.84
CC 17 SLV (Collegamento -182_-384)
Azioni sul collegamento: N=-6136.65 Ty=-15.19 Tz=-0.86 Mx=-0.02 Mz=-13.60
Sollecitazioni agenti localmente: Ty_l=-1141.97 My_l=-23.49
Tensioni nella sezione: σ=284.68 τ=34.61
CC 17 SLV (Collegamento -182_-384)
Azioni sul collegamento: N=-6136.65 Ty=-7.48 Tz=28.35 Mx=-0.02 Mz=-7.28
Sollecitazioni agenti localmente: Ty_l=-1116.82 My_l=-22.94
Tensioni nella sezione: σ=278.00 τ=33.84
CC 17 SLV (Collegamento -182_-384)
Azioni sul collegamento: N=-6136.65 Ty=-15.19 Tz=28.35 Mx=-0.02 Mz=-13.60
Sollecitazioni agenti localmente: Ty_l=-1141.97 My_l=-23.49
Tensioni nella sezione: σ=284.68 τ=34.61
CC 17 SLV (Collegamento -182_-384)
Azioni sul collegamento: N=-13961.30 Ty=-7.48 Tz=-0.86 Mx=-0.02 Mz=-7.28
Sollecitazioni agenti localmente: Ty_l=-2503.92 My_l=-51.37
Tensioni nella sezione: σ=622.68 τ=75.88
CC 17 SLV (Collegamento -182_-384)
Azioni sul collegamento: N=-13961.30 Ty=-15.19 Tz=-0.86 Mx=-0.02 Mz=-13.60

Sollecitazioni agenti localmente: T_{y_l}=-2529.07 M_{y_l}=-51.92
Tensioni nella sezione: σ=629.35 τ=76.64
CC 17 SLV (Collegamento -182_-384)
Azioni sul collegamento: N=-13961.30 Ty=-7.48 Tz=28.35 Mx=-0.02 Mz=-7.28
Sollecitazioni agenti localmente: T_{y_l}=-2503.92 M_{y_l}=-51.37
Tensioni nella sezione: σ=622.68 τ=75.88
CC 17 SLV (Collegamento -182_-384)
Azioni sul collegamento: N=-13961.30 Ty=-15.19 Tz=28.35 Mx=-0.02 Mz=-13.60
Sollecitazioni agenti localmente: T_{y_l}=-2529.07 M_{y_l}=-51.92
Tensioni nella sezione: σ=629.35 τ=76.64
CC 18 SLD (Collegamento -182_-384)
Azioni sul collegamento: N=-8758.64 Ty=-9.24 Tz=8.91 Mx=-0.01 Mz=-7.34
Sollecitazioni agenti localmente: T_{y_l}=-1581.87 M_{y_l}=-32.47
Tensioni nella sezione: σ=393.57 τ=47.94
CC 18 SLD (Collegamento -182_-384)
Azioni sul collegamento: N=-8758.64 Ty=-11.59 Tz=8.91 Mx=-0.01 Mz=-9.27
Sollecitazioni agenti localmente: T_{y_l}=-1589.54 M_{y_l}=-32.64
Tensioni nella sezione: σ=395.60 τ=48.17
CC 18 SLD (Collegamento -182_-384)
Azioni sul collegamento: N=-8758.65 Ty=-9.24 Tz=17.82 Mx=-0.01 Mz=-7.34
Sollecitazioni agenti localmente: T_{y_l}=-1581.87 M_{y_l}=-32.47
Tensioni nella sezione: σ=393.57 τ=47.94
CC 18 SLD (Collegamento -182_-384)
Azioni sul collegamento: N=-8758.65 Ty=-11.59 Tz=17.82 Mx=-0.01 Mz=-9.27
Sollecitazioni agenti localmente: T_{y_l}=-1589.54 M_{y_l}=-32.64
Tensioni nella sezione: σ=395.60 τ=48.17
CC 18 SLD (Collegamento -182_-384)
Azioni sul collegamento: N=-11144.60 Ty=-9.24 Tz=8.91 Mx=-0.01 Mz=-7.34
Sollecitazioni agenti localmente: T_{y_l}=-2004.84 M_{y_l}=-41.14
Tensioni nella sezione: σ=498.67 τ=60.75
CC 18 SLD (Collegamento -182_-384)
Azioni sul collegamento: N=-11144.60 Ty=-11.59 Tz=8.91 Mx=-0.01 Mz=-9.27
Sollecitazioni agenti localmente: T_{y_l}=-2012.51 M_{y_l}=-41.31
Tensioni nella sezione: σ=500.70 τ=60.99
CC 18 SLD (Collegamento -182_-384)
Azioni sul collegamento: N=-11144.60 Ty=-9.24 Tz=17.82 Mx=-0.01 Mz=-7.34
Sollecitazioni agenti localmente: T_{y_l}=-2004.84 M_{y_l}=-41.14
Tensioni nella sezione: σ=498.67 τ=60.75
CC 18 SLD (Collegamento -182_-384)
Azioni sul collegamento: N=-11144.60 Ty=-11.59 Tz=17.82 Mx=-0.01 Mz=-9.27
Sollecitazioni agenti localmente: T_{y_l}=-2012.51 M_{y_l}=-41.31
Tensioni nella sezione: σ=500.70 τ=60.99
CC 19 SLV (Collegamento -182_-384)
Azioni sul collegamento: N=-6141.50 Ty=-7.99 Tz=-0.53 Mx=-0.01 Mz=-8.33
Sollecitazioni agenti localmente: T_{y_l}=-1121.85 M_{y_l}=-23.04
Tensioni nella sezione: σ=279.32 τ=34.00
CC 19 SLV (Collegamento -182_-384)
Azioni sul collegamento: N=-6141.50 Ty=-14.68 Tz=-0.53 Mx=-0.01 Mz=-12.56
Sollecitazioni agenti localmente: T_{y_l}=-1138.67 M_{y_l}=-23.41
Tensioni nella sezione: σ=283.79 τ=34.51
CC 19 SLV (Collegamento -182_-384)
Azioni sul collegamento: N=-6141.50 Ty=-7.99 Tz=28.02 Mx=-0.01 Mz=-8.33
Sollecitazioni agenti localmente: T_{y_l}=-1121.85 M_{y_l}=-23.04
Tensioni nella sezione: σ=279.32 τ=34.00
CC 19 SLV (Collegamento -182_-384)
Azioni sul collegamento: N=-6141.50 Ty=-14.68 Tz=28.02 Mx=-0.01 Mz=-12.56
Sollecitazioni agenti localmente: T_{y_l}=-1138.67 M_{y_l}=-23.41
Tensioni nella sezione: σ=283.79 τ=34.51
CC 19 SLV (Collegamento -182_-384)
Azioni sul collegamento: N=-13956.40 Ty=-7.99 Tz=-0.53 Mx=-0.01 Mz=-8.33
Sollecitazioni agenti localmente: T_{y_l}=-2507.23 M_{y_l}=-51.44
Tensioni nella sezione: σ=623.57 τ=75.98
CC 19 SLV (Collegamento -182_-384)
Azioni sul collegamento: N=-13956.40 Ty=-14.68 Tz=-0.53 Mx=-0.01 Mz=-12.56
Sollecitazioni agenti localmente: T_{y_l}=-2524.04 M_{y_l}=-51.81
Tensioni nella sezione: σ=628.03 τ=76.49
CC 19 SLV (Collegamento -182_-384)
Azioni sul collegamento: N=-13956.40 Ty=-7.99 Tz=28.02 Mx=-0.01 Mz=-8.33
Sollecitazioni agenti localmente: T_{y_l}=-2507.23 M_{y_l}=-51.44
Tensioni nella sezione: σ=623.57 τ=75.98
CC 19 SLV (Collegamento -182_-384)
Azioni sul collegamento: N=-13956.40 Ty=-14.68 Tz=28.02 Mx=-0.01 Mz=-12.56
Sollecitazioni agenti localmente: T_{y_l}=-2524.04 M_{y_l}=-51.81
Tensioni nella sezione: σ=628.03 τ=76.49
CC 20 SLD (Collegamento -182_-384)
Azioni sul collegamento: N=-8760.12 Ty=-9.39 Tz=9.01 Mx=-0.01 Mz=-7.66
Sollecitazioni agenti localmente: T_{y_l}=-1583.40 M_{y_l}=-32.50
Tensioni nella sezione: σ=393.97 τ=47.98
CC 20 SLD (Collegamento -182_-384)

Azioni sul collegamento: N=-8760.12 Ty=-11.43 Tz=9.01 Mx=-0.01 Mz=-8.95
Sollecitazioni agenti localmente: Ty_l=-1588.53 My_l=-32.61
Tensioni nella sezione: σ=395.33 τ=48.14
CC 20 SLD (Collegamento -182_-384)
Azioni sul collegamento: N=-8760.13 Ty=-9.39 Tz=17.72 Mx=-0.01 Mz=-7.66
Sollecitazioni agenti localmente: Ty_l=-1583.40 My_l=-32.50
Tensioni nella sezione: σ=393.97 τ=47.98
CC 20 SLD (Collegamento -182_-384)
Azioni sul collegamento: N=-8760.13 Ty=-11.43 Tz=17.72 Mx=-0.01 Mz=-8.95
Sollecitazioni agenti localmente: Ty_l=-1588.53 My_l=-32.61
Tensioni nella sezione: σ=395.33 τ=48.14
CC 20 SLD (Collegamento -182_-384)
Azioni sul collegamento: N=-11143.10 Ty=-9.39 Tz=9.01 Mx=-0.01 Mz=-7.66
Sollecitazioni agenti localmente: Ty_l=-2005.85 My_l=-41.16
Tensioni nella sezione: σ=498.94 τ=60.78
CC 20 SLD (Collegamento -182_-384)
Azioni sul collegamento: N=-11143.10 Ty=-11.43 Tz=9.01 Mx=-0.01 Mz=-8.95
Sollecitazioni agenti localmente: Ty_l=-2010.97 My_l=-41.27
Tensioni nella sezione: σ=500.30 τ=60.94
CC 20 SLD (Collegamento -182_-384)
Azioni sul collegamento: N=-11143.10 Ty=-9.39 Tz=17.72 Mx=-0.01 Mz=-7.66
Sollecitazioni agenti localmente: Ty_l=-2005.85 My_l=-41.16
Tensioni nella sezione: σ=498.94 τ=60.78
CC 20 SLD (Collegamento -182_-384)
Azioni sul collegamento: N=-11143.10 Ty=-11.43 Tz=17.72 Mx=-0.01 Mz=-8.95
Sollecitazioni agenti localmente: Ty_l=-2010.97 My_l=-41.27
Tensioni nella sezione: σ=500.30 τ=60.94
CC 21 SLV (Collegamento -182_-384)
Azioni sul collegamento: N=-13956.40 Ty=-14.68 Tz=28.02 Mx=-0.02 Mz=-12.56
Sollecitazioni agenti localmente: Ty_l=-2524.04 My_l=-51.81
Tensioni nella sezione: σ=628.03 τ=76.49
CC 21 SLV (Collegamento -182_-384)
Azioni sul collegamento: N=-13956.40 Ty=-7.99 Tz=28.02 Mx=-0.02 Mz=-8.33
Sollecitazioni agenti localmente: Ty_l=-2507.23 My_l=-51.44
Tensioni nella sezione: σ=623.57 τ=75.98
CC 21 SLV (Collegamento -182_-384)
Azioni sul collegamento: N=-13956.40 Ty=-14.68 Tz=-0.53 Mx=-0.02 Mz=-12.56
Sollecitazioni agenti localmente: Ty_l=-2524.04 My_l=-51.81
Tensioni nella sezione: σ=628.03 τ=76.49
CC 21 SLV (Collegamento -182_-384)
Azioni sul collegamento: N=-13956.40 Ty=-7.99 Tz=-0.53 Mx=-0.02 Mz=-8.33
Sollecitazioni agenti localmente: Ty_l=-2507.23 My_l=-51.44
Tensioni nella sezione: σ=623.57 τ=75.98
CC 21 SLV (Collegamento -182_-384)
Azioni sul collegamento: N=-6141.50 Ty=-14.68 Tz=28.02 Mx=-0.02 Mz=-12.56
Sollecitazioni agenti localmente: Ty_l=-1138.67 My_l=-23.41
Tensioni nella sezione: σ=283.79 τ=34.51
CC 21 SLV (Collegamento -182_-384)
Azioni sul collegamento: N=-6141.50 Ty=-7.99 Tz=28.02 Mx=-0.02 Mz=-8.33
Sollecitazioni agenti localmente: Ty_l=-1121.85 My_l=-23.04
Tensioni nella sezione: σ=279.32 τ=34.00
CC 21 SLV (Collegamento -182_-384)
Azioni sul collegamento: N=-6141.50 Ty=-14.68 Tz=-0.53 Mx=-0.02 Mz=-12.56
Sollecitazioni agenti localmente: Ty_l=-1138.67 My_l=-23.41
Tensioni nella sezione: σ=283.79 τ=34.51
CC 21 SLV (Collegamento -182_-384)
Azioni sul collegamento: N=-6141.50 Ty=-7.99 Tz=-0.53 Mx=-0.02 Mz=-8.33
Sollecitazioni agenti localmente: Ty_l=-1121.85 My_l=-23.04
Tensioni nella sezione: σ=279.32 τ=34.00
CC 22 SLD (Collegamento -182_-384)
Azioni sul collegamento: N=-11143.10 Ty=-11.43 Tz=17.72 Mx=-0.01 Mz=-8.95
Sollecitazioni agenti localmente: Ty_l=-2010.97 My_l=-41.27
Tensioni nella sezione: σ=500.30 τ=60.94
CC 22 SLD (Collegamento -182_-384)
Azioni sul collegamento: N=-11143.10 Ty=-9.39 Tz=17.72 Mx=-0.01 Mz=-7.66
Sollecitazioni agenti localmente: Ty_l=-2005.85 My_l=-41.16
Tensioni nella sezione: σ=498.94 τ=60.78
CC 22 SLD (Collegamento -182_-384)
Azioni sul collegamento: N=-11143.10 Ty=-11.43 Tz=9.01 Mx=-0.01 Mz=-8.95
Sollecitazioni agenti localmente: Ty_l=-2010.97 My_l=-41.27
Tensioni nella sezione: σ=500.30 τ=60.94
CC 22 SLD (Collegamento -182_-384)
Azioni sul collegamento: N=-11143.10 Ty=-9.39 Tz=9.01 Mx=-0.01 Mz=-7.66
Sollecitazioni agenti localmente: Ty_l=-2005.85 My_l=-41.16
Tensioni nella sezione: σ=498.94 τ=60.78
CC 22 SLD (Collegamento -182_-384)
Azioni sul collegamento: N=-8760.13 Ty=-11.43 Tz=17.72 Mx=-0.01 Mz=-8.95
Sollecitazioni agenti localmente: Ty_l=-1588.53 My_l=-32.61
Tensioni nella sezione: σ=395.33 τ=48.14

CC 22 SLD (Collegamento -182_-384)
Azioni sul collegamento: N=-8760.13 Ty=-9.39 Tz=17.72 Mx=-0.01 Mz=-7.66
Sollecitazioni agenti localmente: Ty_l=-1583.40 My_l=-32.50
Tensioni nella sezione: σ=393.97 τ=47.98
CC 22 SLD (Collegamento -182_-384)
Azioni sul collegamento: N=-8760.12 Ty=-11.43 Tz=9.01 Mx=-0.01 Mz=-8.95
Sollecitazioni agenti localmente: Ty_l=-1588.53 My_l=-32.61
Tensioni nella sezione: σ=395.33 τ=48.14
CC 22 SLD (Collegamento -182_-384)
Azioni sul collegamento: N=-8760.12 Ty=-9.39 Tz=9.01 Mx=-0.01 Mz=-7.66
Sollecitazioni agenti localmente: Ty_l=-1583.40 My_l=-32.50
Tensioni nella sezione: σ=393.97 τ=47.98
CC 23 SLV (Collegamento -182_-384)
Azioni sul collegamento: N=-13961.30 Ty=-15.19 Tz=28.35 Mx=-0.01 Mz=-13.60
Sollecitazioni agenti localmente: Ty_l=-2529.07 My_l=-51.92
Tensioni nella sezione: σ=629.35 τ=76.64
CC 23 SLV (Collegamento -182_-384)
Azioni sul collegamento: N=-13961.30 Ty=-7.48 Tz=28.35 Mx=-0.01 Mz=-7.28
Sollecitazioni agenti localmente: Ty_l=-2503.92 My_l=-51.37
Tensioni nella sezione: σ=622.68 τ=75.88
CC 23 SLV (Collegamento -182_-384)
Azioni sul collegamento: N=-13961.30 Ty=-15.19 Tz=-0.86 Mx=-0.01 Mz=-13.60
Sollecitazioni agenti localmente: Ty_l=-2529.07 My_l=-51.92
Tensioni nella sezione: σ=629.35 τ=76.64
CC 23 SLV (Collegamento -182_-384)
Azioni sul collegamento: N=-13961.30 Ty=-7.48 Tz=-0.86 Mx=-0.01 Mz=-7.28
Sollecitazioni agenti localmente: Ty_l=-2503.92 My_l=-51.37
Tensioni nella sezione: σ=622.68 τ=75.88
CC 23 SLV (Collegamento -182_-384)
Azioni sul collegamento: N=-6136.65 Ty=-15.19 Tz=28.35 Mx=-0.01 Mz=-13.60
Sollecitazioni agenti localmente: Ty_l=-1141.97 My_l=-23.49
Tensioni nella sezione: σ=284.68 τ=34.61
CC 23 SLV (Collegamento -182_-384)
Azioni sul collegamento: N=-6136.65 Ty=-7.48 Tz=28.35 Mx=-0.01 Mz=-7.28
Sollecitazioni agenti localmente: Ty_l=-1116.82 My_l=-22.94
Tensioni nella sezione: σ=278.00 τ=33.84
CC 23 SLV (Collegamento -182_-384)
Azioni sul collegamento: N=-6136.65 Ty=-15.19 Tz=-0.86 Mx=-0.01 Mz=-13.60
Sollecitazioni agenti localmente: Ty_l=-1141.97 My_l=-23.49
Tensioni nella sezione: σ=284.68 τ=34.61
CC 23 SLV (Collegamento -182_-384)
Azioni sul collegamento: N=-6136.65 Ty=-7.48 Tz=-0.86 Mx=-0.01 Mz=-7.28
Sollecitazioni agenti localmente: Ty_l=-1116.82 My_l=-22.94
Tensioni nella sezione: σ=278.00 τ=33.84
CC 24 SLD (Collegamento -182_-384)
Azioni sul collegamento: N=-11144.60 Ty=-11.59 Tz=17.82 Mx=-0.01 Mz=-9.27
Sollecitazioni agenti localmente: Ty_l=-2012.51 My_l=-41.31
Tensioni nella sezione: σ=500.70 τ=60.99
CC 24 SLD (Collegamento -182_-384)
Azioni sul collegamento: N=-11144.60 Ty=-9.24 Tz=17.82 Mx=-0.01 Mz=-7.34
Sollecitazioni agenti localmente: Ty_l=-2004.84 My_l=-41.14
Tensioni nella sezione: σ=498.67 τ=60.75
CC 24 SLD (Collegamento -182_-384)
Azioni sul collegamento: N=-11144.60 Ty=-11.59 Tz=8.91 Mx=-0.01 Mz=-9.27
Sollecitazioni agenti localmente: Ty_l=-2012.51 My_l=-41.31
Tensioni nella sezione: σ=500.70 τ=60.99
CC 24 SLD (Collegamento -182_-384)
Azioni sul collegamento: N=-11144.60 Ty=-9.24 Tz=8.91 Mx=-0.01 Mz=-7.34
Sollecitazioni agenti localmente: Ty_l=-2004.84 My_l=-41.14
Tensioni nella sezione: σ=498.67 τ=60.75
CC 24 SLD (Collegamento -182_-384)
Azioni sul collegamento: N=-8758.65 Ty=-11.59 Tz=17.82 Mx=-0.01 Mz=-9.27
Sollecitazioni agenti localmente: Ty_l=-1589.54 My_l=-32.64
Tensioni nella sezione: σ=395.60 τ=48.17
CC 24 SLD (Collegamento -182_-384)
Azioni sul collegamento: N=-8758.65 Ty=-9.24 Tz=17.82 Mx=-0.01 Mz=-7.34
Sollecitazioni agenti localmente: Ty_l=-1581.87 My_l=-32.47
Tensioni nella sezione: σ=393.57 τ=47.94
CC 24 SLD (Collegamento -182_-384)
Azioni sul collegamento: N=-8758.64 Ty=-11.59 Tz=8.91 Mx=-0.01 Mz=-9.27
Sollecitazioni agenti localmente: Ty_l=-1589.54 My_l=-32.64
Tensioni nella sezione: σ=395.60 τ=48.17
CC 24 SLD (Collegamento -182_-384)
Azioni sul collegamento: N=-8758.64 Ty=-9.24 Tz=8.91 Mx=-0.01 Mz=-7.34
Sollecitazioni agenti localmente: Ty_l=-1581.87 My_l=-32.47
Tensioni nella sezione: σ=393.57 τ=47.94
CC 25 SLV (Collegamento -182_-384)
Azioni sul collegamento: N=-8867.92 Ty=-9.40 Tz=8.87 Mx=-0.02 Mz=-7.91
Sollecitazioni agenti localmente: Ty_l=-1603.49 My_l=-32.92

Tensioni nella sezione: σ=398.98 τ=48.59
CC 25 SLV (Collegamento -182_-384)
Azioni sul collegamento: N=-8867.92 Ty=-13.27 Tz=8.87 Mx=-0.02 Mz=-12.98
Sollecitazioni agenti localmente: Ty_l=-1623.67 My_l=-33.36
Tensioni nella sezione: σ=404.33 τ=49.20
CC 25 SLV (Collegamento -182_-384)
Azioni sul collegamento: N=-8867.92 Ty=-9.40 Tz=18.62 Mx=-0.02 Mz=-7.91
Sollecitazioni agenti localmente: Ty_l=-1603.49 My_l=-32.92
Tensioni nella sezione: σ=398.98 τ=48.59
CC 25 SLV (Collegamento -182_-384)
Azioni sul collegamento: N=-8867.92 Ty=-13.27 Tz=18.62 Mx=-0.02 Mz=-12.98
Sollecitazioni agenti localmente: Ty_l=-1623.67 My_l=-33.36
Tensioni nella sezione: σ=404.33 τ=49.20
CC 25 SLV (Collegamento -182_-384)
Azioni sul collegamento: N=-11230.00 Ty=-9.40 Tz=8.87 Mx=-0.02 Mz=-7.91
Sollecitazioni agenti localmente: Ty_l=-2022.23 My_l=-41.50
Tensioni nella sezione: σ=503.03 τ=61.28
CC 25 SLV (Collegamento -182_-384)
Azioni sul collegamento: N=-11230.00 Ty=-13.27 Tz=8.87 Mx=-0.02 Mz=-12.98
Sollecitazioni agenti localmente: Ty_l=-2042.40 My_l=-41.94
Tensioni nella sezione: σ=508.38 τ=61.89
CC 25 SLV (Collegamento -182_-384)
Azioni sul collegamento: N=-11230.00 Ty=-9.40 Tz=18.62 Mx=-0.02 Mz=-7.91
Sollecitazioni agenti localmente: Ty_l=-2022.23 My_l=-41.50
Tensioni nella sezione: σ=503.03 τ=61.28
CC 25 SLV (Collegamento -182_-384)
Azioni sul collegamento: N=-11230.00 Ty=-13.27 Tz=18.62 Mx=-0.02 Mz=-12.98
Sollecitazioni agenti localmente: Ty_l=-2042.40 My_l=-41.94
Tensioni nella sezione: σ=508.38 τ=61.89
CC 26 SLD (Collegamento -182_-384)
Azioni sul collegamento: N=-9591.50 Ty=-9.82 Tz=11.88 Mx=-0.01 Mz=-7.53
Sollecitazioni agenti localmente: Ty_l=-1730.27 My_l=-35.51
Tensioni nella sezione: σ=430.45 τ=52.43
CC 26 SLD (Collegamento -182_-384)
Azioni sul collegamento: N=-9591.50 Ty=-11.00 Tz=11.88 Mx=-0.01 Mz=-9.08
Sollecitazioni agenti localmente: Ty_l=-1736.42 My_l=-35.65
Tensioni nella sezione: σ=432.09 τ=52.62
CC 26 SLD (Collegamento -182_-384)
Azioni sul collegamento: N=-9591.50 Ty=-9.82 Tz=14.85 Mx=-0.01 Mz=-7.53
Sollecitazioni agenti localmente: Ty_l=-1730.27 My_l=-35.51
Tensioni nella sezione: σ=430.45 τ=52.43
CC 26 SLD (Collegamento -182_-384)
Azioni sul collegamento: N=-9591.50 Ty=-11.00 Tz=14.85 Mx=-0.01 Mz=-9.08
Sollecitazioni agenti localmente: Ty_l=-1736.42 My_l=-35.65
Tensioni nella sezione: σ=432.09 τ=52.62
CC 26 SLD (Collegamento -182_-384)
Azioni sul collegamento: N=-10311.80 Ty=-9.82 Tz=11.88 Mx=-0.01 Mz=-7.53
Sollecitazioni agenti localmente: Ty_l=-1857.95 My_l=-38.13
Tensioni nella sezione: σ=462.18 τ=56.30
CC 26 SLD (Collegamento -182_-384)
Azioni sul collegamento: N=-10311.80 Ty=-11.00 Tz=11.88 Mx=-0.01 Mz=-9.08
Sollecitazioni agenti localmente: Ty_l=-1864.11 My_l=-38.26
Tensioni nella sezione: σ=463.81 τ=56.49
CC 26 SLD (Collegamento -182_-384)
Azioni sul collegamento: N=-10311.80 Ty=-9.82 Tz=14.85 Mx=-0.01 Mz=-7.53
Sollecitazioni agenti localmente: Ty_l=-1857.96 My_l=-38.13
Tensioni nella sezione: σ=462.18 τ=56.30
CC 26 SLD (Collegamento -182_-384)
Azioni sul collegamento: N=-10311.80 Ty=-11.00 Tz=14.85 Mx=-0.01 Mz=-9.08
Sollecitazioni agenti localmente: Ty_l=-1864.11 My_l=-38.26
Tensioni nella sezione: σ=463.81 τ=56.49
CC 27 SLV (Collegamento -182_-384)
Azioni sul collegamento: N=-11213.90 Ty=-11.56 Tz=17.53 Mx=-0.02 Mz=-9.49
Sollecitazioni agenti localmente: Ty_l=-2025.65 My_l=-41.58
Tensioni nella sezione: σ=503.98 τ=61.38
CC 27 SLV (Collegamento -182_-384)
Azioni sul collegamento: N=-11213.90 Ty=-11.11 Tz=17.53 Mx=-0.02 Mz=-11.40
Sollecitazioni agenti localmente: Ty_l=-2033.24 My_l=-41.74
Tensioni nella sezione: σ=506.00 τ=61.61
CC 27 SLV (Collegamento -182_-384)
Azioni sul collegamento: N=-11213.90 Ty=-11.56 Tz=9.96 Mx=-0.02 Mz=-9.49
Sollecitazioni agenti localmente: Ty_l=-2025.65 My_l=-41.58
Tensioni nella sezione: σ=503.98 τ=61.38
CC 27 SLV (Collegamento -182_-384)
Azioni sul collegamento: N=-11213.90 Ty=-11.11 Tz=9.96 Mx=-0.02 Mz=-11.40
Sollecitazioni agenti localmente: Ty_l=-2033.24 My_l=-41.74
Tensioni nella sezione: σ=506.00 τ=61.61
CC 27 SLV (Collegamento -182_-384)
Azioni sul collegamento: N=-8884.09 Ty=-11.56 Tz=17.53 Mx=-0.02 Mz=-9.49

Sollecitazioni agenti localmente: Ty_l=-1612.65 My_l=-33.11
Tensioni nella sezione: σ=401.36 τ=48.87
CC 27 SLV (Collegamento -182_-384)
Azioni sul collegamento: N=-8884.09 Ty=-11.11 Tz=17.53 Mx=-0.02 Mz=-11.40
Sollecitazioni agenti localmente: Ty_l=-1620.24 My_l=-33.28
Tensioni nella sezione: σ=403.37 τ=49.10
CC 27 SLV (Collegamento -182_-384)
Azioni sul collegamento: N=-8884.09 Ty=-11.56 Tz=9.96 Mx=-0.02 Mz=-9.49
Sollecitazioni agenti localmente: Ty_l=-1612.65 My_l=-33.11
Tensioni nella sezione: σ=401.36 τ=48.87
CC 27 SLV (Collegamento -182_-384)
Azioni sul collegamento: N=-8884.09 Ty=-11.11 Tz=9.96 Mx=-0.02 Mz=-11.40
Sollecitazioni agenti localmente: Ty_l=-1620.24 My_l=-33.28
Tensioni nella sezione: σ=403.37 τ=49.10
CC 28 SLD (Collegamento -182_-384)
Azioni sul collegamento: N=-10306.80 Ty=-10.48 Tz=14.52 Mx=-0.01 Mz=-8.01
Sollecitazioni agenti localmente: Ty_l=-1859.00 My_l=-38.15
Tensioni nella sezione: σ=462.47 τ=56.33
CC 28 SLD (Collegamento -182_-384)
Azioni sul collegamento: N=-10306.80 Ty=-10.34 Tz=14.52 Mx=-0.01 Mz=-8.60
Sollecitazioni agenti localmente: Ty_l=-1861.31 My_l=-38.20
Tensioni nella sezione: σ=463.09 τ=56.40
CC 28 SLD (Collegamento -182_-384)
Azioni sul collegamento: N=-10306.80 Ty=-10.48 Tz=12.21 Mx=-0.01 Mz=-8.01
Sollecitazioni agenti localmente: Ty_l=-1859.00 My_l=-38.15
Tensioni nella sezione: σ=462.47 τ=56.33
CC 28 SLD (Collegamento -182_-384)
Azioni sul collegamento: N=-10306.80 Ty=-10.34 Tz=12.21 Mx=-0.01 Mz=-8.60
Sollecitazioni agenti localmente: Ty_l=-1861.31 My_l=-38.20
Tensioni nella sezione: σ=463.09 τ=56.40
CC 28 SLD (Collegamento -182_-384)
Azioni sul collegamento: N=-9596.43 Ty=-10.48 Tz=14.52 Mx=-0.01 Mz=-8.01
Sollecitazioni agenti localmente: Ty_l=-1733.06 My_l=-35.57
Tensioni nella sezione: σ=431.18 τ=52.52
CC 28 SLD (Collegamento -182_-384)
Azioni sul collegamento: N=-9596.43 Ty=-10.34 Tz=14.52 Mx=-0.01 Mz=-8.60
Sollecitazioni agenti localmente: Ty_l=-1735.38 My_l=-35.62
Tensioni nella sezione: σ=431.80 τ=52.59
CC 28 SLD (Collegamento -182_-384)
Azioni sul collegamento: N=-9596.43 Ty=-10.48 Tz=12.21 Mx=-0.01 Mz=-8.01
Sollecitazioni agenti localmente: Ty_l=-1733.06 My_l=-35.57
Tensioni nella sezione: σ=431.18 τ=52.52
CC 28 SLD (Collegamento -182_-384)
Azioni sul collegamento: N=-9596.43 Ty=-10.34 Tz=12.21 Mx=-0.01 Mz=-8.60
Sollecitazioni agenti localmente: Ty_l=-1735.38 My_l=-35.62
Tensioni nella sezione: σ=431.80 τ=52.59
CC 29 SLV (Collegamento -182_-384)
Azioni sul collegamento: N=-8884.09 Ty=-11.11 Tz=9.96 Mx=-0.01 Mz=-11.40
Sollecitazioni agenti localmente: Ty_l=-1620.24 My_l=-33.28
Tensioni nella sezione: σ=403.37 τ=49.10
CC 29 SLV (Collegamento -182_-384)
Azioni sul collegamento: N=-8884.09 Ty=-11.56 Tz=9.96 Mx=-0.01 Mz=-9.49
Sollecitazioni agenti localmente: Ty_l=-1612.65 My_l=-33.11
Tensioni nella sezione: σ=401.36 τ=48.87
CC 29 SLV (Collegamento -182_-384)
Azioni sul collegamento: N=-8884.09 Ty=-11.11 Tz=17.53 Mx=-0.01 Mz=-11.40
Sollecitazioni agenti localmente: Ty_l=-1620.24 My_l=-33.28
Tensioni nella sezione: σ=403.37 τ=49.10
CC 29 SLV (Collegamento -182_-384)
Azioni sul collegamento: N=-8884.09 Ty=-11.56 Tz=17.53 Mx=-0.01 Mz=-9.49
Sollecitazioni agenti localmente: Ty_l=-1612.65 My_l=-33.11
Tensioni nella sezione: σ=401.36 τ=48.87
CC 29 SLV (Collegamento -182_-384)
Azioni sul collegamento: N=-11213.90 Ty=-11.11 Tz=9.96 Mx=-0.01 Mz=-11.40
Sollecitazioni agenti localmente: Ty_l=-2033.24 My_l=-41.74
Tensioni nella sezione: σ=506.00 τ=61.61
CC 29 SLV (Collegamento -182_-384)
Azioni sul collegamento: N=-11213.90 Ty=-11.56 Tz=9.96 Mx=-0.01 Mz=-9.49
Sollecitazioni agenti localmente: Ty_l=-2025.65 My_l=-41.58
Tensioni nella sezione: σ=503.98 τ=61.38
CC 29 SLV (Collegamento -182_-384)
Azioni sul collegamento: N=-11213.90 Ty=-11.11 Tz=17.53 Mx=-0.01 Mz=-11.40
Sollecitazioni agenti localmente: Ty_l=-2033.24 My_l=-41.74
Tensioni nella sezione: σ=506.00 τ=61.61
CC 29 SLV (Collegamento -182_-384)
Azioni sul collegamento: N=-11213.90 Ty=-11.56 Tz=17.53 Mx=-0.01 Mz=-9.49
Sollecitazioni agenti localmente: Ty_l=-2025.65 My_l=-41.58
Tensioni nella sezione: σ=503.98 τ=61.38
CC 30 SLD (Collegamento -182_-384)

Azioni sul collegamento: N=-9596.43 Ty=-10.34 Tz=12.21 Mx=-0.00 Mz=-8.60
Sollecitazioni agenti localmente: Ty_l=-1735.38 My_l=-35.62
Tensioni nella sezione: σ=431.80 τ=52.59
CC 30 SLD (Collegamento -182_-384)
Azioni sul collegamento: N=-9596.43 Ty=-10.48 Tz=12.21 Mx=-0.00 Mz=-8.01
Sollecitazioni agenti localmente: Ty_l=-1733.06 My_l=-35.57
Tensioni nella sezione: σ=431.18 τ=52.52
CC 30 SLD (Collegamento -182_-384)
Azioni sul collegamento: N=-9596.43 Ty=-10.34 Tz=14.52 Mx=-0.00 Mz=-8.60
Sollecitazioni agenti localmente: Ty_l=-1735.38 My_l=-35.62
Tensioni nella sezione: σ=431.80 τ=52.59
CC 30 SLD (Collegamento -182_-384)
Azioni sul collegamento: N=-9596.43 Ty=-10.48 Tz=14.52 Mx=-0.00 Mz=-8.01
Sollecitazioni agenti localmente: Ty_l=-1733.06 My_l=-35.57
Tensioni nella sezione: σ=431.18 τ=52.52
CC 30 SLD (Collegamento -182_-384)
Azioni sul collegamento: N=-10306.80 Ty=-10.34 Tz=12.21 Mx=-0.00 Mz=-8.60
Sollecitazioni agenti localmente: Ty_l=-1861.31 My_l=-38.20
Tensioni nella sezione: σ=463.09 τ=56.40
CC 30 SLD (Collegamento -182_-384)
Azioni sul collegamento: N=-10306.80 Ty=-10.48 Tz=12.21 Mx=-0.00 Mz=-8.01
Sollecitazioni agenti localmente: Ty_l=-1859.00 My_l=-38.15
Tensioni nella sezione: σ=462.47 τ=56.33
CC 30 SLD (Collegamento -182_-384)
Azioni sul collegamento: N=-10306.80 Ty=-10.34 Tz=14.52 Mx=-0.00 Mz=-8.60
Sollecitazioni agenti localmente: Ty_l=-1861.31 My_l=-38.20
Tensioni nella sezione: σ=463.09 τ=56.40
CC 30 SLD (Collegamento -182_-384)
Azioni sul collegamento: N=-10306.80 Ty=-10.48 Tz=14.52 Mx=-0.00 Mz=-8.01
Sollecitazioni agenti localmente: Ty_l=-1859.00 My_l=-38.15
Tensioni nella sezione: σ=462.47 τ=56.33
CC 31 SLV (Collegamento -182_-384)
Azioni sul collegamento: N=-11230.00 Ty=-13.27 Tz=18.62 Mx=-0.01 Mz=-12.98
Sollecitazioni agenti localmente: Ty_l=-2042.40 My_l=-41.94
Tensioni nella sezione: σ=508.38 τ=61.89
CC 31 SLV (Collegamento -182_-384)
Azioni sul collegamento: N=-11230.00 Ty=-9.40 Tz=18.62 Mx=-0.01 Mz=-7.91
Sollecitazioni agenti localmente: Ty_l=-2022.23 My_l=-41.50
Tensioni nella sezione: σ=503.03 τ=61.28
CC 31 SLV (Collegamento -182_-384)
Azioni sul collegamento: N=-11230.00 Ty=-13.27 Tz=8.87 Mx=-0.01 Mz=-12.98
Sollecitazioni agenti localmente: Ty_l=-2042.40 My_l=-41.94
Tensioni nella sezione: σ=508.38 τ=61.89
CC 31 SLV (Collegamento -182_-384)
Azioni sul collegamento: N=-11230.00 Ty=-9.40 Tz=8.87 Mx=-0.01 Mz=-7.91
Sollecitazioni agenti localmente: Ty_l=-2022.23 My_l=-41.50
Tensioni nella sezione: σ=503.03 τ=61.28
CC 31 SLV (Collegamento -182_-384)
Azioni sul collegamento: N=-8867.92 Ty=-13.27 Tz=18.62 Mx=-0.01 Mz=-12.98
Sollecitazioni agenti localmente: Ty_l=-1623.67 My_l=-33.36
Tensioni nella sezione: σ=404.33 τ=49.20
CC 31 SLV (Collegamento -182_-384)
Azioni sul collegamento: N=-8867.92 Ty=-9.40 Tz=18.62 Mx=-0.01 Mz=-7.91
Sollecitazioni agenti localmente: Ty_l=-1603.49 My_l=-32.92
Tensioni nella sezione: σ=398.98 τ=48.59
CC 31 SLV (Collegamento -182_-384)
Azioni sul collegamento: N=-8867.92 Ty=-13.27 Tz=8.87 Mx=-0.01 Mz=-12.98
Sollecitazioni agenti localmente: Ty_l=-1623.67 My_l=-33.36
Tensioni nella sezione: σ=404.33 τ=49.20
CC 31 SLV (Collegamento -182_-384)
Azioni sul collegamento: N=-8867.92 Ty=-9.40 Tz=8.87 Mx=-0.01 Mz=-7.91
Sollecitazioni agenti localmente: Ty_l=-1603.49 My_l=-32.92
Tensioni nella sezione: σ=398.98 τ=48.59
CC 32 SLD (Collegamento -182_-384)
Azioni sul collegamento: N=-10311.80 Ty=-11.00 Tz=14.85 Mx=-0.00 Mz=-9.08
Sollecitazioni agenti localmente: Ty_l=-1864.11 My_l=-38.26
Tensioni nella sezione: σ=463.81 τ=56.49
CC 32 SLD (Collegamento -182_-384)
Azioni sul collegamento: N=-10311.80 Ty=-9.82 Tz=14.85 Mx=-0.00 Mz=-7.53
Sollecitazioni agenti localmente: Ty_l=-1857.96 My_l=-38.13
Tensioni nella sezione: σ=462.18 τ=56.30
CC 32 SLD (Collegamento -182_-384)
Azioni sul collegamento: N=-10311.80 Ty=-11.00 Tz=11.88 Mx=-0.00 Mz=-9.08
Sollecitazioni agenti localmente: Ty_l=-1864.11 My_l=-38.26
Tensioni nella sezione: σ=463.81 τ=56.49
CC 32 SLD (Collegamento -182_-384)
Azioni sul collegamento: N=-10311.80 Ty=-9.82 Tz=11.88 Mx=-0.00 Mz=-7.53
Sollecitazioni agenti localmente: Ty_l=-1857.95 My_l=-38.13
Tensioni nella sezione: σ=462.18 τ=56.30

CC 32 SLD (Collegamento -182_-384)
Azioni sul collegamento: N=-9591.50 Ty=-11.00 Tz=14.85 Mx=-0.00 Mz=-9.08
Sollecitazioni agenti localmente: Ty_l=-1736.42 My_l=-35.65
Tensioni nella sezione: σ=432.09 τ=52.62
CC 32 SLD (Collegamento -182_-384)
Azioni sul collegamento: N=-9591.50 Ty=-9.82 Tz=14.85 Mx=-0.00 Mz=-7.53
Sollecitazioni agenti localmente: Ty_l=-1730.27 My_l=-35.51
Tensioni nella sezione: σ=430.45 τ=52.43
CC 32 SLD (Collegamento -182_-384)
Azioni sul collegamento: N=-9591.50 Ty=-11.00 Tz=11.88 Mx=-0.00 Mz=-9.08
Sollecitazioni agenti localmente: Ty_l=-1736.42 My_l=-35.65
Tensioni nella sezione: σ=432.09 τ=52.62
CC 32 SLD (Collegamento -182_-384)
Azioni sul collegamento: N=-9591.50 Ty=-9.82 Tz=11.88 Mx=-0.00 Mz=-7.53
Sollecitazioni agenti localmente: Ty_l=-1730.27 My_l=-35.51
Tensioni nella sezione: σ=430.45 τ=52.43
CC 33 SLU (Collegamento -182_-384)
Azioni sul collegamento: N=-37242.40 Ty=-20.96 Tz=105.49 Mx=-0.01 Mz=-15.56
Sollecitazioni agenti localmente: Ty_l=-6663.95 My_l=-136.70
Tensioni nella sezione: σ=1656.94 τ=201.94
CC 34 SLU (Collegamento -182_-384)
Azioni sul collegamento: N=-36428.20 Ty=-20.21 Tz=102.49 Mx=-0.01 Mz=-15.01
Sollecitazioni agenti localmente: Ty_l=-6517.42 My_l=-133.69
Tensioni nella sezione: σ=1620.49 τ=197.50
CC 35 SLU (Collegamento -182_-384)
Azioni sul collegamento: N=-36836.10 Ty=-20.67 Tz=103.93 Mx=-0.00 Mz=-15.47
Sollecitazioni agenti localmente: Ty_l=-6591.56 My_l=-135.21
Tensioni nella sezione: σ=1638.95 τ=199.74
CC 36 SLU (Collegamento -182_-384)
Azioni sul collegamento: N=-36834.40 Ty=-20.49 Tz=104.05 Mx=-0.01 Mz=-15.10
Sollecitazioni agenti localmente: Ty_l=-6589.80 My_l=-135.18
Tensioni nella sezione: σ=1638.49 τ=199.69
CC 37 SLU (Collegamento -182_-384)
Azioni sul collegamento: N=-28075.80 Ty=-20.08 Tz=71.84 Mx=-0.01 Mz=-14.76
Sollecitazioni agenti localmente: Ty_l=-5035.80 My_l=-103.32
Tensioni nella sezione: σ=1252.32 τ=152.60
CC 38 SLU (Collegamento -182_-384)
Azioni sul collegamento: N=-27261.60 Ty=-19.33 Tz=68.83 Mx=-0.01 Mz=-14.21
Sollecitazioni agenti localmente: Ty_l=-4889.27 My_l=-100.31
Tensioni nella sezione: σ=1215.87 τ=148.16
CC 39 SLU (Collegamento -182_-384)
Azioni sul collegamento: N=-27669.60 Ty=-19.79 Tz=70.28 Mx=-0.00 Mz=-14.67
Sollecitazioni agenti localmente: Ty_l=-4963.42 My_l=-101.83
Tensioni nella sezione: σ=1234.32 τ=150.41
CC 40 SLU (Collegamento -182_-384)
Azioni sul collegamento: N=-27667.80 Ty=-19.61 Tz=70.39 Mx=-0.01 Mz=-14.31
Sollecitazioni agenti localmente: Ty_l=-4961.65 My_l=-101.79
Tensioni nella sezione: σ=1233.86 τ=150.35
CC 41 SLU (Collegamento -182_-384)
Azioni sul collegamento: N=-30474.50 Ty=9.93 Tz=80.11 Mx=-0.01 Mz=7.87
Sollecitazioni agenti localmente: Ty_l=-5370.99 My_l=-110.06
Tensioni nella sezione: σ=1334.08 τ=162.76
CC 42 SLU (Collegamento -182_-384)
Azioni sul collegamento: N=-29660.30 Ty=10.68 Tz=77.11 Mx=-0.01 Mz=8.42
Sollecitazioni agenti localmente: Ty_l=-5224.46 My_l=-107.06
Tensioni nella sezione: σ=1297.63 τ=158.32
CC 43 SLU (Collegamento -182_-384)
Azioni sul collegamento: N=-30068.30 Ty=10.21 Tz=78.55 Mx=-0.00 Mz=7.97
Sollecitazioni agenti localmente: Ty_l=-5298.61 My_l=-108.58
Tensioni nella sezione: σ=1316.09 τ=160.56
CC 44 SLU (Collegamento -182_-384)
Azioni sul collegamento: N=-30066.50 Ty=10.39 Tz=78.67 Mx=-0.01 Mz=8.33
Sollecitazioni agenti localmente: Ty_l=-5296.85 My_l=-108.54
Tensioni nella sezione: σ=1315.62 τ=160.51
CC 45 SLU (Collegamento -182_-384)
Azioni sul collegamento: N=-30085.80 Ty=-20.31 Tz=79.22 Mx=-0.00 Mz=-15.08
Sollecitazioni agenti localmente: Ty_l=-5393.37 My_l=-110.65
Tensioni nella sezione: σ=1341.19 τ=163.44
CC 46 SLU (Collegamento -182_-384)
Azioni sul collegamento: N=-29271.60 Ty=-19.56 Tz=76.22 Mx=-0.00 Mz=-14.53
Sollecitazioni agenti localmente: Ty_l=-5246.85 My_l=-107.64
Tensioni nella sezione: σ=1304.74 τ=159.00
CC 47 SLU (Collegamento -182_-384)
Azioni sul collegamento: N=-29679.60 Ty=-20.02 Tz=77.66 Mx=-0.00 Mz=-14.99
Sollecitazioni agenti localmente: Ty_l=-5320.99 My_l=-109.16
Tensioni nella sezione: σ=1323.20 τ=161.24
CC 48 SLU (Collegamento -182_-384)
Azioni sul collegamento: N=-29677.80 Ty=-19.84 Tz=77.78 Mx=-0.01 Mz=-14.62
Sollecitazioni agenti localmente: Ty_l=-5319.23 My_l=-109.13

Tensioni nella sezione: σ=1322.73 τ=161.19
CC 49 SLU (Collegamento -182_-384)
Azioni sul collegamento: N=-23227.80 Ty=-19.65 Tz=54.04 Mx=-0.00 Mz=-14.49
Sollecitazioni agenti localmente: Ty_l=-4175.28 My_l=-85.67
Tensioni nella sezione: σ=1038.47 τ=126.52
CC 50 SLU (Collegamento -182_-384)
Azioni sul collegamento: N=-22413.60 Ty=-18.90 Tz=51.04 Mx=-0.00 Mz=-13.93
Sollecitazioni agenti localmente: Ty_l=-4028.75 My_l=-82.67
Tensioni nella sezione: σ=1002.02 τ=122.08
CC 51 SLU (Collegamento -182_-384)
Azioni sul collegamento: N=-22821.60 Ty=-19.36 Tz=52.48 Mx=-0.00 Mz=-14.39
Sollecitazioni agenti localmente: Ty_l=-4102.90 My_l=-84.19
Tensioni nella sezione: σ=1020.48 τ=124.33
CC 52 SLU (Collegamento -182_-384)
Azioni sul collegamento: N=-22819.80 Ty=-19.19 Tz=52.60 Mx=-0.01 Mz=-14.03
Sollecitazioni agenti localmente: Ty_l=-4101.13 My_l=-84.15
Tensioni nella sezione: σ=1020.02 τ=124.28
CC 53 SLU (Collegamento -182_-384)
Azioni sul collegamento: N=-25022.40 Ty=2.80 Tz=60.23 Mx=-0.00 Mz=2.45
Sollecitazioni agenti localmente: Ty_l=-4426.05 My_l=-90.72
Tensioni nella sezione: σ=1099.64 τ=134.12
CC 54 SLU (Collegamento -182_-384)
Azioni sul collegamento: N=-24208.20 Ty=3.55 Tz=57.23 Mx=-0.01 Mz=3.00
Sollecitazioni agenti localmente: Ty_l=-4279.52 My_l=-87.71
Tensioni nella sezione: σ=1063.19 τ=129.68
CC 55 SLU (Collegamento -182_-384)
Azioni sul collegamento: N=-24616.20 Ty=3.09 Tz=58.67 Mx=-0.00 Mz=2.54
Sollecitazioni agenti localmente: Ty_l=-4353.67 My_l=-89.24
Tensioni nella sezione: σ=1081.65 τ=131.93
CC 56 SLU (Collegamento -182_-384)
Azioni sul collegamento: N=-24614.50 Ty=3.26 Tz=58.79 Mx=-0.01 Mz=2.91
Sollecitazioni agenti localmente: Ty_l=-4351.91 My_l=-89.20
Tensioni nella sezione: σ=1081.19 τ=131.88
CC 57 SLU (Collegamento -182_-384)
Azioni sul collegamento: N=-27876.60 Ty=-18.56 Tz=71.09 Mx=-0.00 Mz=-13.78
Sollecitazioni agenti localmente: Ty_l=-4996.59 My_l=-102.51
Tensioni nella sezione: σ=1242.51 τ=151.41
CC 58 SLU (Collegamento -182_-384)
Azioni sul collegamento: N=-27062.40 Ty=-17.81 Tz=68.08 Mx=-0.00 Mz=-13.23
Sollecitazioni agenti localmente: Ty_l=-4850.07 My_l=-99.50
Tensioni nella sezione: σ=1206.06 τ=146.97
CC 59 SLU (Collegamento -182_-384)
Azioni sul collegamento: N=-27470.40 Ty=-18.27 Tz=69.53 Mx=-0.00 Mz=-13.69
Sollecitazioni agenti localmente: Ty_l=-4924.21 My_l=-101.02
Tensioni nella sezione: σ=1224.52 τ=149.22
CC 60 SLU (Collegamento -182_-384)
Azioni sul collegamento: N=-27468.70 Ty=-18.09 Tz=69.65 Mx=-0.01 Mz=-13.33
Sollecitazioni agenti localmente: Ty_l=-4922.45 My_l=-100.98
Tensioni nella sezione: σ=1224.05 τ=149.16
CC 61 SLU (Collegamento -182_-384)
Azioni sul collegamento: N=-21018.70 Ty=-17.90 Tz=45.91 Mx=-0.00 Mz=-13.19
Sollecitazioni agenti localmente: Ty_l=-3778.50 My_l=-77.53
Tensioni nella sezione: σ=939.79 τ=114.50
CC 62 SLU (Collegamento -182_-384)
Azioni sul collegamento: N=-20204.50 Ty=-17.15 Tz=42.91 Mx=-0.00 Mz=-12.64
Sollecitazioni agenti localmente: Ty_l=-3631.97 My_l=-74.53
Tensioni nella sezione: σ=903.34 τ=110.06
CC 63 SLU (Collegamento -182_-384)
Azioni sul collegamento: N=-20612.50 Ty=-17.61 Tz=44.35 Mx=-0.00 Mz=-13.10
Sollecitazioni agenti localmente: Ty_l=-3706.12 My_l=-76.05
Tensioni nella sezione: σ=921.80 τ=112.31
CC 64 SLU (Collegamento -182_-384)
Azioni sul collegamento: N=-20610.70 Ty=-17.43 Tz=44.47 Mx=-0.01 Mz=-12.73
Sollecitazioni agenti localmente: Ty_l=-3704.35 My_l=-76.01
Tensioni nella sezione: σ=921.34 τ=112.25
CC 65 SLU (Collegamento -182_-384)
Azioni sul collegamento: N=-22813.30 Ty=4.55 Tz=52.10 Mx=-0.00 Mz=3.75
Sollecitazioni agenti localmente: Ty_l=-4029.27 My_l=-82.58
Tensioni nella sezione: σ=1000.96 τ=122.10
CC 66 SLU (Collegamento -182_-384)
Azioni sul collegamento: N=-21999.10 Ty=5.30 Tz=49.10 Mx=-0.00 Mz=4.30
Sollecitazioni agenti localmente: Ty_l=-3882.74 My_l=-79.57
Tensioni nella sezione: σ=964.51 τ=117.66
CC 67 SLU (Collegamento -182_-384)
Azioni sul collegamento: N=-22407.10 Ty=4.84 Tz=50.54 Mx=-0.00 Mz=3.84
Sollecitazioni agenti localmente: Ty_l=-3956.89 My_l=-81.09
Tensioni nella sezione: σ=982.97 τ=119.91
CC 68 SLU (Collegamento -182_-384)
Azioni sul collegamento: N=-22405.30 Ty=5.01 Tz=50.66 Mx=-0.01 Mz=4.20

Sollecitazioni agenti localmente: Ty_l=-3955.13 My_l=-81.06
Tensioni nella sezione: σ=982.50 τ=119.85
CC 97 SLU (Collegamento -182_-384)
Azioni sul collegamento: N=-12779.50 Ty=-22.48 Tz=24.03 Mx=-0.06 Mz=-25.00
Sollecitazioni agenti localmente: Ty_l=-2364.90 My_l=-48.62
Tensioni nella sezione: σ=589.33 τ=71.66
CC 98 SLU (Collegamento -182_-384)
Azioni sul collegamento: N=-11965.30 Ty=-21.73 Tz=21.02 Mx=-0.06 Mz=-24.45
Sollecitazioni agenti localmente: Ty_l=-2218.38 My_l=-45.61
Tensioni nella sezione: σ=552.88 τ=67.22
CC 99 SLU (Collegamento -182_-384)
Azioni sul collegamento: N=-12373.20 Ty=-22.20 Tz=22.47 Mx=-0.05 Mz=-24.91
Sollecitazioni agenti localmente: Ty_l=-2292.52 My_l=-47.14
Tensioni nella sezione: σ=571.34 τ=69.47
CC 100 SLU (Collegamento -182_-384)
Azioni sul collegamento: N=-12371.50 Ty=-22.02 Tz=22.58 Mx=-0.06 Mz=-24.55
Sollecitazioni agenti localmente: Ty_l=-2290.76 My_l=-47.10
Tensioni nella sezione: σ=570.88 τ=69.42
CC 101 SLU (Collegamento -182_-384)
Azioni sul collegamento: N=-10566.60 Ty=-8.33 Tz=15.50 Mx=0.00 Mz=-5.31
Sollecitazioni agenti localmente: Ty_l=-1894.30 My_l=-38.86
Tensioni nella sezione: σ=471.06 τ=57.40
CC 102 SLU (Collegamento -182_-384)
Azioni sul collegamento: N=-9752.38 Ty=-7.57 Tz=12.50 Mx=0.00 Mz=-4.76
Sollecitazioni agenti localmente: Ty_l=-1747.77 My_l=-35.86
Tensioni nella sezione: σ=434.62 τ=52.96
CC 103 SLU (Collegamento -182_-384)
Azioni sul collegamento: N=-10160.40 Ty=-8.04 Tz=13.94 Mx=0.00 Mz=-5.22
Sollecitazioni agenti localmente: Ty_l=-1821.92 My_l=-37.38
Tensioni nella sezione: σ=453.07 τ=55.21
CC 104 SLU (Collegamento -182_-384)
Azioni sul collegamento: N=-10158.60 Ty=-7.86 Tz=14.06 Mx=0.00 Mz=-4.85
Sollecitazioni agenti localmente: Ty_l=-1820.15 My_l=-37.34
Tensioni nella sezione: σ=452.61 τ=55.16

Collegamento -375_-503

Saldatura a cordone d'angolo
Altezza di gola saldature: anima 7.07 - ala 7.07

Saldatura profilo-profilo

CC 102 SLU (Collegamento -375_-503)
Azioni sul collegamento: N=352.19 Ty=9.01 Tz=-92.34 Mx=1.16 Mz=7.57
Sollecitazioni agenti localmente: Tx_l=9.01 Ty_l=-92.34 N_l=352.19 My_l=-7.57 Mz_l=1.16
Azioni sul cordone: TP=-2.00 TO=7.71 NO=25.92
Tensioni nel cordone: τ_P=0.63 τ_O=2.45 σ_O=19.30 σ_{ID}=19.46 Σ_T=21.75
CC 126 SLU (Collegamento -375_-503)
Azioni sul collegamento: N=314.07 Ty=12.51 Tz=-86.44 Mx=1.44 Mz=9.50
Sollecitazioni agenti localmente: Tx_l=12.51 Ty_l=-86.44 N_l=314.07 My_l=-9.50 Mz_l=1.44
Azioni sul cordone: TP=-2.58 TO=7.49 NO=23.11
Tensioni nel cordone: τ_P=0.82 τ_O=2.38 σ_O=21.21 σ_{ID}=21.36 Σ_T=23.60
CC 128 SLU (Collegamento -375_-503)
Azioni sul collegamento: N=312.13 Ty=12.51 Tz=-86.14 Mx=1.44 Mz=9.52
Sollecitazioni agenti localmente: Tx_l=12.51 Ty_l=-86.14 N_l=312.13 My_l=-9.52 Mz_l=1.44
Azioni sul cordone: TP=-2.58 TO=7.48 NO=22.97
Tensioni nel cordone: τ_P=0.82 τ_O=2.38 σ_O=21.21 σ_{ID}=21.36 Σ_T=23.59

Verifica lato anima della colonna

CC 98 SLU (Collegamento -375_-503)
Azioni sul collegamento: N=362.37 Ty=5.29 Tz=-93.91 Mx=0.35 Mz=2.84
Zona tesa: F=145.92 b_{eff}=13.20 t_w=0.70 σ=15.79
Zona tesa: F=145.92 b_{eff}=13.20 t_w=0.70 σ=15.79

Collegamento -376_-504

Saldatura a cordone d'angolo
Altezza di gola saldature: anima 7.07 - ala 7.07

Saldatura profilo-profilo

CC 1 SLV (Collegamento -376_-504)
Azioni sul collegamento: N=176.80 Ty=1.82 Tz=-55.38 Mx=0.47 Mz=2.63
Sollecitazioni agenti localmente: Tx_l=1.82 Ty_l=-55.38 N_l=176.80 My_l=-2.63 Mz_l=0.47
Azioni sul cordone: TP=-0.68 TO=4.45 NO=13.01
Tensioni nel cordone: τ_P=0.22 τ_O=1.41 σ_O=7.98 σ_{ID}=8.11 Σ_T=9.39
CC 1 SLV (Collegamento -376_-504)
Azioni sul collegamento: N=176.80 Ty=0.22 Tz=-55.38 Mx=0.14 Mz=0.47

Sollecitazioni agenti localmente: Tx_l=0.22 Ty_l=-55.38 N_l=176.80 My_l=-0.47 Mz_l=0.14
Azioni sul cordone: TP=-0.18 TO=4.19 NO=13.01
Tensioni nel cordone: τ_P= 0.06 τ_0=1.33 σ_0=4.82 σ_{ID}=5.00 Σ_T=6.15
CC 1 SLV (Collegamento -376_-504)
Azioni sul collegamento: N=176.80 Ty=1.82 Tz=-55.38 Mx=0.47 Mz=2.63
Sollecitazioni agenti localmente: Tx_l=1.82 Ty_l=-55.38 N_l=176.80 My_l=-2.63 Mz_l=0.47
Azioni sul cordone: TP=-0.68 TO=4.45 NO=13.01
Tensioni nel cordone: τ_P=0.22 τ_0=1.41 σ_0=7.98 σ_{ID}=8.11 Σ_T=9.39
CC 1 SLV (Collegamento -376_-504)
Azioni sul collegamento: N=176.80 Ty=0.22 Tz=-55.38 Mx=0.14 Mz=0.47
Sollecitazioni agenti localmente: Tx_l=0.22 Ty_l=-55.38 N_l=176.80 My_l=-0.47 Mz_l=0.14
Azioni sul cordone: TP=-0.18 TO=4.19 NO=13.01
Tensioni nel cordone: τ_P= 0.06 τ_0=1.33 σ_0=4.82 σ_{ID}=5.00 Σ_T=6.15
CC 1 SLV (Collegamento -376_-504)
Azioni sul collegamento: N=122.83 Ty=1.82 Tz=-47.03 Mx=0.47 Mz=2.63
Sollecitazioni agenti localmente: Tx_l=1.82 Ty_l=-47.03 N_l=122.83 My_l=-2.63 Mz_l=0.47
Azioni sul cordone: TP=-0.68 TO=3.83 NO=9.04
Tensioni nel cordone: τ_P=0.22 τ_0=1.22 σ_0=6.72 σ_{ID}=6.83 Σ_T=7.94
CC 1 SLV (Collegamento -376_-504)
Azioni sul collegamento: N=122.83 Ty=0.22 Tz=-47.03 Mx=0.14 Mz=0.47
Sollecitazioni agenti localmente: Tx_l=0.22 Ty_l=-47.03 N_l=122.83 My_l=-0.47 Mz_l=0.14
Azioni sul cordone: TP=-0.18 TO=3.57 NO=9.04
Tensioni nel cordone: τ_P= 0.06 τ_0=1.14 σ_0=3.56 σ_{ID}=3.74 Σ_T=4.70
CC 1 SLV (Collegamento -376_-504)
Azioni sul collegamento: N=122.83 Ty=1.82 Tz=-47.03 Mx=0.47 Mz=2.63
Sollecitazioni agenti localmente: Tx_l=1.82 Ty_l=-47.03 N_l=122.83 My_l=-2.63 Mz_l=0.47
Azioni sul cordone: TP=-0.68 TO=3.83 NO=9.04
Tensioni nel cordone: τ_P=0.22 τ_0=1.22 σ_0=6.72 σ_{ID}=6.83 Σ_T=7.94
CC 1 SLV (Collegamento -376_-504)
Azioni sul collegamento: N=122.83 Ty=0.22 Tz=-47.03 Mx=0.14 Mz=0.47
Sollecitazioni agenti localmente: Tx_l=0.22 Ty_l=-47.03 N_l=122.83 My_l=-0.47 Mz_l=0.14
Azioni sul cordone: TP=-0.18 TO=3.57 NO=9.04
Tensioni nel cordone: τ_P= 0.06 τ_0=1.14 σ_0=3.56 σ_{ID}=3.74 Σ_T=4.70
CC 2 SLD (Collegamento -376_-504)
Azioni sul collegamento: N=156.43 Ty=1.58 Tz=-52.23 Mx=0.40 Mz=2.22
Sollecitazioni agenti localmente: Tx_l=1.58 Ty_l=-52.23 N_l=156.43 My_l=-2.22 Mz_l=0.40
Azioni sul cordone: TP=-0.58 TO=4.16 NO=11.51
Tensioni nel cordone: τ_P=0.18 τ_0=1.32 σ_0=6.91 σ_{ID}=7.04 Σ_T=8.23
CC 2 SLD (Collegamento -376_-504)
Azioni sul collegamento: N=156.43 Ty=1.10 Tz=-52.23 Mx=0.30 Mz=1.57
Sollecitazioni agenti localmente: Tx_l=1.10 Ty_l=-52.23 N_l=156.43 My_l=-1.57 Mz_l=0.30
Azioni sul cordone: TP=-0.43 TO=4.08 NO=11.51
Tensioni nel cordone: τ_P=0.14 τ_0=1.30 σ_0=5.94 σ_{ID}=6.09 Σ_T=7.24
CC 2 SLD (Collegamento -376_-504)
Azioni sul collegamento: N=156.43 Ty=1.58 Tz=-52.23 Mx=0.40 Mz=2.22
Sollecitazioni agenti localmente: Tx_l=1.58 Ty_l=-52.23 N_l=156.43 My_l=-2.22 Mz_l=0.40
Azioni sul cordone: TP=-0.58 TO=4.16 NO=11.51
Tensioni nel cordone: τ_P=0.18 τ_0=1.32 σ_0=6.91 σ_{ID}=7.04 Σ_T=8.23
CC 2 SLD (Collegamento -376_-504)
Azioni sul collegamento: N=156.43 Ty=1.10 Tz=-52.23 Mx=0.30 Mz=1.57
Sollecitazioni agenti localmente: Tx_l=1.10 Ty_l=-52.23 N_l=156.43 My_l=-1.57 Mz_l=0.30
Azioni sul cordone: TP=-0.43 TO=4.08 NO=11.51
Tensioni nel cordone: τ_P=0.14 τ_0=1.30 σ_0=5.94 σ_{ID}=6.09 Σ_T=7.24
CC 2 SLD (Collegamento -376_-504)
Azioni sul collegamento: N=139.97 Ty=1.58 Tz=-49.68 Mx=0.40 Mz=2.22
Sollecitazioni agenti localmente: Tx_l=1.58 Ty_l=-49.68 N_l=139.97 My_l=-2.22 Mz_l=0.40
Azioni sul cordone: TP=-0.58 TO=3.97 NO=10.30
Tensioni nel cordone: τ_P=0.18 τ_0=1.26 σ_0=6.52 σ_{ID}=6.65 Σ_T=7.79
CC 2 SLD (Collegamento -376_-504)
Azioni sul collegamento: N=139.97 Ty=1.10 Tz=-49.68 Mx=0.30 Mz=1.57
Sollecitazioni agenti localmente: Tx_l=1.10 Ty_l=-49.68 N_l=139.97 My_l=-1.57 Mz_l=0.30
Azioni sul cordone: TP=-0.43 TO=3.89 NO=10.30
Tensioni nel cordone: τ_P=0.14 τ_0=1.24 σ_0=5.56 σ_{ID}=5.70 Σ_T=6.80
CC 2 SLD (Collegamento -376_-504)
Azioni sul collegamento: N=139.97 Ty=1.58 Tz=-49.68 Mx=0.40 Mz=2.22
Sollecitazioni agenti localmente: Tx_l=1.58 Ty_l=-49.68 N_l=139.97 My_l=-2.22 Mz_l=0.40
Azioni sul cordone: TP=-0.58 TO=3.97 NO=10.30
Tensioni nel cordone: τ_P=0.18 τ_0=1.26 σ_0=6.52 σ_{ID}=6.65 Σ_T=7.79
CC 2 SLD (Collegamento -376_-504)
Azioni sul collegamento: N=139.97 Ty=1.10 Tz=-49.68 Mx=0.30 Mz=1.57
Sollecitazioni agenti localmente: Tx_l=1.10 Ty_l=-49.68 N_l=139.97 My_l=-1.57 Mz_l=0.30
Azioni sul cordone: TP=-0.43 TO=3.89 NO=10.30
Tensioni nel cordone: τ_P=0.14 τ_0=1.24 σ_0=5.56 σ_{ID}=5.70 Σ_T=6.80
CC 3 SLV (Collegamento -376_-504)
Azioni sul collegamento: N=176.71 Ty=1.54 Tz=-55.37 Mx=0.43 Mz=2.39
Sollecitazioni agenti localmente: Tx_l=1.54 Ty_l=-55.37 N_l=176.71 My_l=-2.39 Mz_l=0.43
Azioni sul cordone: TP=-0.61 TO=4.42 NO=13.00
Tensioni nel cordone: τ_P=0.19 τ_0=1.40 σ_0=7.62 σ_{ID}=7.75 Σ_T=9.02
CC 3 SLV (Collegamento -376_-504)

Azioni sul collegamento: N=176.71 Ty=0.50 Tz=-55.37 Mx=0.18 Mz=0.72
Sollecitazioni agenti localmente: Tx_l=0.50 Ty_l=-55.37 N_l=176.71 My_l=-0.72 Mz_l=0.18
Azioni sul cordone: TP=-0.24 TO=4.21 NO=13.00
Tensioni nel cordone: τ_P= 0.08 τ_0=1.34 σ_0=5.18 σ_{ID}=5.35 Σ_T=6.52
CC 3 SLV (Collegamento -376_-504)
Azioni sul collegamento: N=176.71 Ty=1.54 Tz=-55.37 Mx=0.43 Mz=2.39
Sollecitazioni agenti localmente: Tx_l=1.54 Ty_l=-55.37 N_l=176.71 My_l=-2.39 Mz_l=0.43
Azioni sul cordone: TP=-0.61 TO=4.42 NO=13.00
Tensioni nel cordone: τ_P=0.19 τ_0=1.40 σ_0=7.62 σ_{ID}=7.75 Σ_T=9.02
CC 3 SLV (Collegamento -376_-504)
Azioni sul collegamento: N=176.71 Ty=0.50 Tz=-55.37 Mx=0.18 Mz=0.72
Sollecitazioni agenti localmente: Tx_l=0.50 Ty_l=-55.37 N_l=176.71 My_l=-0.72 Mz_l=0.18
Azioni sul cordone: TP=-0.24 TO=4.21 NO=13.00
Tensioni nel cordone: τ_P= 0.08 τ_0=1.34 σ_0=5.18 σ_{ID}=5.35 Σ_T=6.52
CC 3 SLV (Collegamento -376_-504)
Azioni sul collegamento: N=122.93 Ty=1.54 Tz=-47.05 Mx=0.43 Mz=2.39
Sollecitazioni agenti localmente: Tx_l=1.54 Ty_l=-47.05 N_l=122.93 My_l=-2.39 Mz_l=0.43
Azioni sul cordone: TP=-0.61 TO=3.80 NO=9.05
Tensioni nel cordone: τ_P=0.19 τ_0=1.21 σ_0=6.36 σ_{ID}=6.48 Σ_T=7.57
CC 3 SLV (Collegamento -376_-504)
Azioni sul collegamento: N=122.93 Ty=0.50 Tz=-47.05 Mx=0.18 Mz=0.72
Sollecitazioni agenti localmente: Tx_l=0.50 Ty_l=-47.05 N_l=122.93 My_l=-0.72 Mz_l=0.18
Azioni sul cordone: TP=-0.24 TO=3.60 NO=9.05
Tensioni nel cordone: τ_P= 0.08 τ_0=1.14 σ_0=3.92 σ_{ID}=4.09 Σ_T=5.07
CC 3 SLV (Collegamento -376_-504)
Azioni sul collegamento: N=122.93 Ty=1.54 Tz=-47.05 Mx=0.43 Mz=2.39
Sollecitazioni agenti localmente: Tx_l=1.54 Ty_l=-47.05 N_l=122.93 My_l=-2.39 Mz_l=0.43
Azioni sul cordone: TP=-0.61 TO=3.80 NO=9.05
Tensioni nel cordone: τ_P=0.19 τ_0=1.21 σ_0=6.36 σ_{ID}=6.48 Σ_T=7.57
CC 3 SLV (Collegamento -376_-504)
Azioni sul collegamento: N=122.93 Ty=0.50 Tz=-47.05 Mx=0.18 Mz=0.72
Sollecitazioni agenti localmente: Tx_l=0.50 Ty_l=-47.05 N_l=122.93 My_l=-0.72 Mz_l=0.18
Azioni sul cordone: TP=-0.24 TO=3.60 NO=9.05
Tensioni nel cordone: τ_P= 0.08 τ_0=1.14 σ_0=3.92 σ_{ID}=4.09 Σ_T=5.07
CC 4 SLD (Collegamento -376_-504)
Azioni sul collegamento: N=156.40 Ty=1.50 Tz=-52.23 Mx=0.39 Mz=2.15
Sollecitazioni agenti localmente: Tx_l=1.50 Ty_l=-52.23 N_l=156.40 My_l=-2.15 Mz_l=0.39
Azioni sul cordone: TP=-0.56 TO=4.15 NO=11.51
Tensioni nel cordone: τ_P=0.18 τ_0=1.32 σ_0=6.80 σ_{ID}=6.93 Σ_T=8.12
CC 4 SLD (Collegamento -376_-504)
Azioni sul collegamento: N=156.40 Ty=1.18 Tz=-52.23 Mx=0.31 Mz=1.64
Sollecitazioni agenti localmente: Tx_l=1.18 Ty_l=-52.23 N_l=156.40 My_l=-1.64 Mz_l=0.31
Azioni sul cordone: TP=-0.44 TO=4.09 NO=11.51
Tensioni nel cordone: τ_P=0.14 τ_0=1.30 σ_0=6.05 σ_{ID}=6.19 Σ_T=7.35
CC 4 SLD (Collegamento -376_-504)
Azioni sul collegamento: N=156.40 Ty=1.50 Tz=-52.23 Mx=0.39 Mz=2.15
Sollecitazioni agenti localmente: Tx_l=1.50 Ty_l=-52.23 N_l=156.40 My_l=-2.15 Mz_l=0.39
Azioni sul cordone: TP=-0.56 TO=4.15 NO=11.51
Tensioni nel cordone: τ_P=0.18 τ_0=1.32 σ_0=6.80 σ_{ID}=6.93 Σ_T=8.12
CC 4 SLD (Collegamento -376_-504)
Azioni sul collegamento: N=156.40 Ty=1.18 Tz=-52.23 Mx=0.31 Mz=1.64
Sollecitazioni agenti localmente: Tx_l=1.18 Ty_l=-52.23 N_l=156.40 My_l=-1.64 Mz_l=0.31
Azioni sul cordone: TP=-0.44 TO=4.09 NO=11.51
Tensioni nel cordone: τ_P=0.14 τ_0=1.30 σ_0=6.05 σ_{ID}=6.19 Σ_T=7.35
CC 4 SLD (Collegamento -376_-504)
Azioni sul collegamento: N=140.00 Ty=1.50 Tz=-49.69 Mx=0.39 Mz=2.15
Sollecitazioni agenti localmente: Tx_l=1.50 Ty_l=-49.69 N_l=140.00 My_l=-2.15 Mz_l=0.39
Azioni sul cordone: TP=-0.56 TO=3.96 NO=10.30
Tensioni nel cordone: τ_P=0.18 τ_0=1.26 σ_0=6.41 σ_{ID}=6.54 Σ_T=7.67
CC 4 SLD (Collegamento -376_-504)
Azioni sul collegamento: N=140.00 Ty=1.18 Tz=-49.69 Mx=0.31 Mz=1.64
Sollecitazioni agenti localmente: Tx_l=1.18 Ty_l=-49.69 N_l=140.00 My_l=-1.64 Mz_l=0.31
Azioni sul cordone: TP=-0.44 TO=3.90 NO=10.30
Tensioni nel cordone: τ_P=0.14 τ_0=1.24 σ_0=5.67 σ_{ID}=5.81 Σ_T=6.91
CC 4 SLD (Collegamento -376_-504)
Azioni sul collegamento: N=140.00 Ty=1.50 Tz=-49.69 Mx=0.39 Mz=2.15
Sollecitazioni agenti localmente: Tx_l=1.50 Ty_l=-49.69 N_l=140.00 My_l=-2.15 Mz_l=0.39
Azioni sul cordone: TP=-0.56 TO=3.96 NO=10.30
Tensioni nel cordone: τ_P=0.18 τ_0=1.26 σ_0=6.41 σ_{ID}=6.54 Σ_T=7.67
CC 4 SLD (Collegamento -376_-504)
Azioni sul collegamento: N=140.00 Ty=1.18 Tz=-49.69 Mx=0.31 Mz=1.64
Sollecitazioni agenti localmente: Tx_l=1.18 Ty_l=-49.69 N_l=140.00 My_l=-1.64 Mz_l=0.31
Azioni sul cordone: TP=-0.44 TO=3.90 NO=10.30
Tensioni nel cordone: τ_P=0.14 τ_0=1.24 σ_0=5.67 σ_{ID}=5.81 Σ_T=6.91
CC 5 SLV (Collegamento -376_-504)
Azioni sul collegamento: N=122.93 Ty=0.50 Tz=-47.05 Mx=0.14 Mz=0.72
Sollecitazioni agenti localmente: Tx_l=0.50 Ty_l=-47.05 N_l=122.93 My_l=-0.72 Mz_l=0.14
Azioni sul cordone: TP=-0.20 TO=3.57 NO=9.05
Tensioni nel cordone: τ_P= 0.06 τ_0=1.14 σ_0=3.93 σ_{ID}=4.09 Σ_T=5.07

CC 5 SLV (Collegamento -376_-504)
Azioni sul collegamento: N=122.93 Ty=1.54 Tz=-47.05 Mx=0.40 Mz=2.39
Sollecitazioni agenti localmente: Tx_l=1.54 Ty_l=-47.05 N_l=122.93 My_l=-2.39 Mz_l=0.40
Azioni sul cordone: TP=-0.57 TO=3.78 NO=9.05
Tensioni nel cordone: τ_P=0.18 τ_0=1.20 σ_0=6.37 σ_{ID}=6.48 Σ_T=7.57
CC 5 SLV (Collegamento -376_-504)
Azioni sul collegamento: N=122.93 Ty=0.50 Tz=-47.05 Mx=0.14 Mz=0.72
Sollecitazioni agenti localmente: Tx_l=0.50 Ty_l=-47.05 N_l=122.93 My_l=-0.72 Mz_l=0.14
Azioni sul cordone: TP=-0.20 TO=3.57 NO=9.05
Tensioni nel cordone: τ_P= 0.06 τ_0=1.14 σ_0=3.93 σ_{ID}=4.09 Σ_T=5.07
CC 5 SLV (Collegamento -376_-504)
Azioni sul collegamento: N=122.93 Ty=1.54 Tz=-47.05 Mx=0.40 Mz=2.39
Sollecitazioni agenti localmente: Tx_l=1.54 Ty_l=-47.05 N_l=122.93 My_l=-2.39 Mz_l=0.40
Azioni sul cordone: TP=-0.57 TO=3.78 NO=9.05
Tensioni nel cordone: τ_P=0.18 τ_0=1.20 σ_0=6.37 σ_{ID}=6.48 Σ_T=7.57
CC 5 SLV (Collegamento -376_-504)
Azioni sul collegamento: N=176.71 Ty=0.50 Tz=-55.37 Mx=0.14 Mz=0.72
Sollecitazioni agenti localmente: Tx_l=0.50 Ty_l=-55.37 N_l=176.71 My_l=-0.72 Mz_l=0.14
Azioni sul cordone: TP=-0.20 TO=4.19 NO=13.00
Tensioni nel cordone: τ_P= 0.06 τ_0=1.33 σ_0=5.19 σ_{ID}=5.36 Σ_T=6.52
CC 5 SLV (Collegamento -376_-504)
Azioni sul collegamento: N=176.71 Ty=1.54 Tz=-55.37 Mx=0.40 Mz=2.39
Sollecitazioni agenti localmente: Tx_l=1.54 Ty_l=-55.37 N_l=176.71 My_l=-2.39 Mz_l=0.40
Azioni sul cordone: TP=-0.57 TO=4.39 NO=13.00
Tensioni nel cordone: τ_P=0.18 τ_0=1.40 σ_0=7.62 σ_{ID}=7.75 Σ_T=9.02
CC 5 SLV (Collegamento -376_-504)
Azioni sul collegamento: N=176.71 Ty=0.50 Tz=-55.37 Mx=0.14 Mz=0.72
Sollecitazioni agenti localmente: Tx_l=0.50 Ty_l=-55.37 N_l=176.71 My_l=-0.72 Mz_l=0.14
Azioni sul cordone: TP=-0.20 TO=4.19 NO=13.00
Tensioni nel cordone: τ_P= 0.06 τ_0=1.33 σ_0=5.19 σ_{ID}=5.36 Σ_T=6.52
CC 5 SLV (Collegamento -376_-504)
Azioni sul collegamento: N=176.71 Ty=1.54 Tz=-55.37 Mx=0.40 Mz=2.39
Sollecitazioni agenti localmente: Tx_l=1.54 Ty_l=-55.37 N_l=176.71 My_l=-2.39 Mz_l=0.40
Azioni sul cordone: TP=-0.57 TO=4.39 NO=13.00
Tensioni nel cordone: τ_P=0.18 τ_0=1.40 σ_0=7.62 σ_{ID}=7.75 Σ_T=9.02
CC 6 SLD (Collegamento -376_-504)
Azioni sul collegamento: N=140.00 Ty=1.18 Tz=-49.69 Mx=0.30 Mz=1.64
Sollecitazioni agenti localmente: Tx_l=1.18 Ty_l=-49.69 N_l=140.00 My_l=-1.64 Mz_l=0.30
Azioni sul cordone: TP=-0.43 TO=3.89 NO=10.30
Tensioni nel cordone: τ_P=0.14 τ_0=1.24 σ_0=5.67 σ_{ID}=5.81 Σ_T=6.91
CC 6 SLD (Collegamento -376_-504)
Azioni sul collegamento: N=140.00 Ty=1.50 Tz=-49.69 Mx=0.38 Mz=2.15
Sollecitazioni agenti localmente: Tx_l=1.50 Ty_l=-49.69 N_l=140.00 My_l=-2.15 Mz_l=0.38
Azioni sul cordone: TP=-0.55 TO=3.96 NO=10.30
Tensioni nel cordone: τ_P=0.17 τ_0=1.26 σ_0=6.42 σ_{ID}=6.54 Σ_T=7.67
CC 6 SLD (Collegamento -376_-504)
Azioni sul collegamento: N=140.00 Ty=1.18 Tz=-49.69 Mx=0.30 Mz=1.64
Sollecitazioni agenti localmente: Tx_l=1.18 Ty_l=-49.69 N_l=140.00 My_l=-1.64 Mz_l=0.30
Azioni sul cordone: TP=-0.43 TO=3.89 NO=10.30
Tensioni nel cordone: τ_P=0.14 τ_0=1.24 σ_0=5.67 σ_{ID}=5.81 Σ_T=6.91
CC 6 SLD (Collegamento -376_-504)
Azioni sul collegamento: N=140.00 Ty=1.50 Tz=-49.69 Mx=0.38 Mz=2.15
Sollecitazioni agenti localmente: Tx_l=1.50 Ty_l=-49.69 N_l=140.00 My_l=-2.15 Mz_l=0.38
Azioni sul cordone: TP=-0.55 TO=3.96 NO=10.30
Tensioni nel cordone: τ_P=0.17 τ_0=1.26 σ_0=6.42 σ_{ID}=6.54 Σ_T=7.67
CC 6 SLD (Collegamento -376_-504)
Azioni sul collegamento: N=156.40 Ty=1.18 Tz=-52.23 Mx=0.30 Mz=1.64
Sollecitazioni agenti localmente: Tx_l=1.18 Ty_l=-52.23 N_l=156.40 My_l=-1.64 Mz_l=0.30
Azioni sul cordone: TP=-0.43 TO=4.08 NO=11.51
Tensioni nel cordone: τ_P=0.14 τ_0=1.30 σ_0=6.06 σ_{ID}=6.20 Σ_T=7.35
CC 6 SLD (Collegamento -376_-504)
Azioni sul collegamento: N=156.40 Ty=1.50 Tz=-52.23 Mx=0.38 Mz=2.15
Sollecitazioni agenti localmente: Tx_l=1.50 Ty_l=-52.23 N_l=156.40 My_l=-2.15 Mz_l=0.38
Azioni sul cordone: TP=-0.55 TO=4.14 NO=11.51
Tensioni nel cordone: τ_P=0.17 τ_0=1.32 σ_0=6.80 σ_{ID}=6.93 Σ_T=8.12
CC 6 SLD (Collegamento -376_-504)
Azioni sul collegamento: N=156.40 Ty=1.18 Tz=-52.23 Mx=0.30 Mz=1.64
Sollecitazioni agenti localmente: Tx_l=1.18 Ty_l=-52.23 N_l=156.40 My_l=-1.64 Mz_l=0.30
Azioni sul cordone: TP=-0.43 TO=4.08 NO=11.51
Tensioni nel cordone: τ_P=0.14 τ_0=1.30 σ_0=6.06 σ_{ID}=6.20 Σ_T=7.35
CC 6 SLD (Collegamento -376_-504)
Azioni sul collegamento: N=156.40 Ty=1.50 Tz=-52.23 Mx=0.38 Mz=2.15
Sollecitazioni agenti localmente: Tx_l=1.50 Ty_l=-52.23 N_l=156.40 My_l=-2.15 Mz_l=0.38
Azioni sul cordone: TP=-0.55 TO=4.14 NO=11.51
Tensioni nel cordone: τ_P=0.17 τ_0=1.32 σ_0=6.80 σ_{ID}=6.93 Σ_T=8.12
CC 7 SLV (Collegamento -376_-504)
Azioni sul collegamento: N=122.83 Ty=0.22 Tz=-47.03 Mx=0.10 Mz=0.48
Sollecitazioni agenti localmente: Tx_l=0.22 Ty_l=-47.03 N_l=122.83 My_l=-0.48 Mz_l=0.10
Azioni sul cordone: TP=-0.13 TO=3.54 NO=9.04

Tensioni nel cordone: τ_P= 0.04 τ_0=1.13 σ_0=3.57 σ_{ID}=3.74 Σ_T=4.69
CC 7 SLV (Collegamento -376_-504)
Azioni sul collegamento: N=122.83 Ty=1.82 Tz=-47.03 Mx=0.44 Mz=2.64
Sollecitazioni agenti localmente: Tx_l=1.82 Ty_l=-47.03 N_l=122.83 My_l=-2.64 Mz_l=0.44
Azioni sul cordone: TP=-0.64 TO=3.80 NO=9.04
Tensioni nel cordone: τ_P=0.20 τ_0=1.21 σ_0=6.73 σ_{ID}=6.84 Σ_T=7.93
CC 7 SLV (Collegamento -376_-504)
Azioni sul collegamento: N=122.83 Ty=0.22 Tz=-47.03 Mx=0.10 Mz=0.48
Sollecitazioni agenti localmente: Tx_l=0.22 Ty_l=-47.03 N_l=122.83 My_l=-0.48 Mz_l=0.10
Azioni sul cordone: TP=-0.13 TO=3.54 NO=9.04
Tensioni nel cordone: τ_P= 0.04 τ_0=1.13 σ_0=3.57 σ_{ID}=3.74 Σ_T=4.69
CC 7 SLV (Collegamento -376_-504)
Azioni sul collegamento: N=122.83 Ty=1.82 Tz=-47.03 Mx=0.44 Mz=2.64
Sollecitazioni agenti localmente: Tx_l=1.82 Ty_l=-47.03 N_l=122.83 My_l=-2.64 Mz_l=0.44
Azioni sul cordone: TP=-0.64 TO=3.80 NO=9.04
Tensioni nel cordone: τ_P=0.20 τ_0=1.21 σ_0=6.73 σ_{ID}=6.84 Σ_T=7.93
CC 7 SLV (Collegamento -376_-504)
Azioni sul collegamento: N=176.80 Ty=0.22 Tz=-55.38 Mx=0.10 Mz=0.48
Sollecitazioni agenti localmente: Tx_l=0.22 Ty_l=-55.38 N_l=176.80 My_l=-0.48 Mz_l=0.10
Azioni sul cordone: TP=-0.13 TO=4.16 NO=13.01
Tensioni nel cordone: τ_P= 0.04 τ_0=1.32 σ_0=4.83 σ_{ID}=5.01 Σ_T=6.15
CC 7 SLV (Collegamento -376_-504)
Azioni sul collegamento: N=176.80 Ty=1.82 Tz=-55.38 Mx=0.44 Mz=2.64
Sollecitazioni agenti localmente: Tx_l=1.82 Ty_l=-55.38 N_l=176.80 My_l=-2.64 Mz_l=0.44
Azioni sul cordone: TP=-0.64 TO=4.42 NO=13.01
Tensioni nel cordone: τ_P=0.20 τ_0=1.40 σ_0=7.99 σ_{ID}=8.11 Σ_T=9.39
CC 7 SLV (Collegamento -376_-504)
Azioni sul collegamento: N=176.80 Ty=0.22 Tz=-55.38 Mx=0.10 Mz=0.48
Sollecitazioni agenti localmente: Tx_l=0.22 Ty_l=-55.38 N_l=176.80 My_l=-0.48 Mz_l=0.10
Azioni sul cordone: TP=-0.13 TO=4.16 NO=13.01
Tensioni nel cordone: τ_P= 0.04 τ_0=1.32 σ_0=4.83 σ_{ID}=5.01 Σ_T=6.15
CC 7 SLV (Collegamento -376_-504)
Azioni sul collegamento: N=176.80 Ty=1.82 Tz=-55.38 Mx=0.44 Mz=2.64
Sollecitazioni agenti localmente: Tx_l=1.82 Ty_l=-55.38 N_l=176.80 My_l=-2.64 Mz_l=0.44
Azioni sul cordone: TP=-0.64 TO=4.42 NO=13.01
Tensioni nel cordone: τ_P=0.20 τ_0=1.40 σ_0=7.99 σ_{ID}=8.11 Σ_T=9.39
CC 8 SLD (Collegamento -376_-504)
Azioni sul collegamento: N=139.97 Ty=1.10 Tz=-49.68 Mx=0.29 Mz=1.57
Sollecitazioni agenti localmente: Tx_l=1.10 Ty_l=-49.68 N_l=139.97 My_l=-1.57 Mz_l=0.29
Azioni sul cordone: TP=-0.41 TO=3.88 NO=10.30
Tensioni nel cordone: τ_P=0.13 τ_0=1.23 σ_0=5.56 σ_{ID}=5.70 Σ_T=6.80
CC 8 SLD (Collegamento -376_-504)
Azioni sul collegamento: N=139.97 Ty=1.58 Tz=-49.68 Mx=0.39 Mz=2.23
Sollecitazioni agenti localmente: Tx_l=1.58 Ty_l=-49.68 N_l=139.97 My_l=-2.23 Mz_l=0.39
Azioni sul cordone: TP=-0.57 TO=3.96 NO=10.30
Tensioni nel cordone: τ_P=0.18 τ_0=1.26 σ_0=6.53 σ_{ID}=6.65 Σ_T=7.79
CC 8 SLD (Collegamento -376_-504)
Azioni sul collegamento: N=139.97 Ty=1.10 Tz=-49.68 Mx=0.29 Mz=1.57
Sollecitazioni agenti localmente: Tx_l=1.10 Ty_l=-49.68 N_l=139.97 My_l=-1.57 Mz_l=0.29
Azioni sul cordone: TP=-0.41 TO=3.88 NO=10.30
Tensioni nel cordone: τ_P=0.13 τ_0=1.23 σ_0=5.56 σ_{ID}=5.70 Σ_T=6.80
CC 8 SLD (Collegamento -376_-504)
Azioni sul collegamento: N=139.97 Ty=1.58 Tz=-49.68 Mx=0.39 Mz=2.23
Sollecitazioni agenti localmente: Tx_l=1.58 Ty_l=-49.68 N_l=139.97 My_l=-2.23 Mz_l=0.39
Azioni sul cordone: TP=-0.57 TO=3.96 NO=10.30
Tensioni nel cordone: τ_P=0.18 τ_0=1.26 σ_0=6.53 σ_{ID}=6.65 Σ_T=7.79
CC 8 SLD (Collegamento -376_-504)
Azioni sul collegamento: N=156.43 Ty=1.10 Tz=-52.23 Mx=0.29 Mz=1.57
Sollecitazioni agenti localmente: Tx_l=1.10 Ty_l=-52.23 N_l=156.43 My_l=-1.57 Mz_l=0.29
Azioni sul cordone: TP=-0.41 TO=4.07 NO=11.51
Tensioni nel cordone: τ_P=0.13 τ_0=1.29 σ_0=5.95 σ_{ID}=6.09 Σ_T=7.24
CC 8 SLD (Collegamento -376_-504)
Azioni sul collegamento: N=156.43 Ty=1.58 Tz=-52.23 Mx=0.39 Mz=2.23
Sollecitazioni agenti localmente: Tx_l=1.58 Ty_l=-52.23 N_l=156.43 My_l=-2.23 Mz_l=0.39
Azioni sul cordone: TP=-0.57 TO=4.15 NO=11.51
Tensioni nel cordone: τ_P=0.18 τ_0=1.32 σ_0=6.91 σ_{ID}=7.04 Σ_T=8.23
CC 8 SLD (Collegamento -376_-504)
Azioni sul collegamento: N=156.43 Ty=1.10 Tz=-52.23 Mx=0.29 Mz=1.57
Sollecitazioni agenti localmente: Tx_l=1.10 Ty_l=-52.23 N_l=156.43 My_l=-1.57 Mz_l=0.29
Azioni sul cordone: TP=-0.41 TO=4.07 NO=11.51
Tensioni nel cordone: τ_P=0.13 τ_0=1.29 σ_0=5.95 σ_{ID}=6.09 Σ_T=7.24
CC 8 SLD (Collegamento -376_-504)
Azioni sul collegamento: N=156.43 Ty=1.58 Tz=-52.23 Mx=0.39 Mz=2.23
Sollecitazioni agenti localmente: Tx_l=1.58 Ty_l=-52.23 N_l=156.43 My_l=-2.23 Mz_l=0.39
Azioni sul cordone: TP=-0.57 TO=4.15 NO=11.51
Tensioni nel cordone: τ_P=0.18 τ_0=1.32 σ_0=6.91 σ_{ID}=7.04 Σ_T=8.23
CC 9 SLV (Collegamento -376_-504)
Azioni sul collegamento: N=158.05 Ty=1.67 Tz=-52.48 Mx=0.41 Mz=2.25
Sollecitazioni agenti localmente: Tx_l=1.67 Ty_l=-52.48 N_l=158.05 My_l=-2.25 Mz_l=0.41

Azioni sul cordone: TP=-0.59 TO=4.18 NO=11.63
Tensioni nel cordone: τ_P=0.19 τ_0=1.33 σ_0=6.98 σ_{ID}=7.11 Σ_T=8.31
CC 9 SLV (Collegamento -376_-504)
Azioni sul collegamento: N=158.05 Ty=0.36 Tz=-52.48 Mx=0.19 Mz=0.85
Sollecitazioni agenti localmente: Tx_l=0.36 Ty_l=-52.48 N_l=158.05 My_l=-0.85 Mz_l=0.19
Azioni sul cordone: TP=-0.25 TO=4.01 NO=11.63
Tensioni nel cordone: τ_P= 0.08 τ_0=1.27 σ_0=4.94 σ_{ID}=5.11 Σ_T=6.22
CC 9 SLV (Collegamento -376_-504)
Azioni sul collegamento: N=158.05 Ty=1.67 Tz=-52.48 Mx=0.41 Mz=2.25
Sollecitazioni agenti localmente: Tx_l=1.67 Ty_l=-52.48 N_l=158.05 My_l=-2.25 Mz_l=0.41
Azioni sul cordone: TP=-0.59 TO=4.18 NO=11.63
Tensioni nel cordone: τ_P=0.19 τ_0=1.33 σ_0=6.98 σ_{ID}=7.11 Σ_T=8.31
CC 9 SLV (Collegamento -376_-504)
Azioni sul collegamento: N=158.05 Ty=0.36 Tz=-52.48 Mx=0.19 Mz=0.85
Sollecitazioni agenti localmente: Tx_l=0.36 Ty_l=-52.48 N_l=158.05 My_l=-0.85 Mz_l=0.19
Azioni sul cordone: TP=-0.25 TO=4.01 NO=11.63
Tensioni nel cordone: τ_P= 0.08 τ_0=1.27 σ_0=4.94 σ_{ID}=5.11 Σ_T=6.22
CC 9 SLV (Collegamento -376_-504)
Azioni sul collegamento: N=141.58 Ty=1.67 Tz=-49.93 Mx=0.41 Mz=2.25
Sollecitazioni agenti localmente: Tx_l=1.67 Ty_l=-49.93 N_l=141.58 My_l=-2.25 Mz_l=0.41
Azioni sul cordone: TP=-0.59 TO=3.99 NO=10.42
Tensioni nel cordone: τ_P=0.19 τ_0=1.27 σ_0=6.60 σ_{ID}=6.72 Σ_T=7.87
CC 9 SLV (Collegamento -376_-504)
Azioni sul collegamento: N=141.58 Ty=0.36 Tz=-49.93 Mx=0.19 Mz=0.85
Sollecitazioni agenti localmente: Tx_l=0.36 Ty_l=-49.93 N_l=141.58 My_l=-0.85 Mz_l=0.19
Azioni sul cordone: TP=-0.25 TO=3.82 NO=10.42
Tensioni nel cordone: τ_P= 0.08 τ_0=1.22 σ_0=4.56 σ_{ID}=4.72 Σ_T=5.77
CC 9 SLV (Collegamento -376_-504)
Azioni sul collegamento: N=141.58 Ty=1.67 Tz=-49.93 Mx=0.41 Mz=2.25
Sollecitazioni agenti localmente: Tx_l=1.67 Ty_l=-49.93 N_l=141.58 My_l=-2.25 Mz_l=0.41
Azioni sul cordone: TP=-0.59 TO=3.99 NO=10.42
Tensioni nel cordone: τ_P=0.19 τ_0=1.27 σ_0=6.60 σ_{ID}=6.72 Σ_T=7.87
CC 9 SLV (Collegamento -376_-504)
Azioni sul collegamento: N=141.58 Ty=0.36 Tz=-49.93 Mx=0.19 Mz=0.85
Sollecitazioni agenti localmente: Tx_l=0.36 Ty_l=-49.93 N_l=141.58 My_l=-0.85 Mz_l=0.19
Azioni sul cordone: TP=-0.25 TO=3.82 NO=10.42
Tensioni nel cordone: τ_P= 0.08 τ_0=1.22 σ_0=4.56 σ_{ID}=4.72 Σ_T=5.77
CC 10 SLD (Collegamento -376_-504)
Azioni sul collegamento: N=150.71 Ty=1.54 Tz=-51.35 Mx=0.38 Mz=2.11
Sollecitazioni agenti localmente: Tx_l=1.54 Ty_l=-51.35 N_l=150.71 My_l=-2.11 Mz_l=0.38
Azioni sul cordone: TP=-0.55 TO=4.08 NO=11.09
Tensioni nel cordone: τ_P=0.18 τ_0=1.30 σ_0=6.60 σ_{ID}=6.73 Σ_T=7.90
CC 10 SLD (Collegamento -376_-504)
Azioni sul collegamento: N=150.71 Ty=1.14 Tz=-51.35 Mx=0.31 Mz=1.68
Sollecitazioni agenti localmente: Tx_l=1.14 Ty_l=-51.35 N_l=150.71 My_l=-1.68 Mz_l=0.31
Azioni sul cordone: TP=-0.45 TO=4.03 NO=11.09
Tensioni nel cordone: τ_P=0.14 τ_0=1.28 σ_0=5.98 σ_{ID}=6.12 Σ_T=7.26
CC 10 SLD (Collegamento -376_-504)
Azioni sul collegamento: N=150.71 Ty=1.54 Tz=-51.35 Mx=0.38 Mz=2.11
Sollecitazioni agenti localmente: Tx_l=1.54 Ty_l=-51.35 N_l=150.71 My_l=-2.11 Mz_l=0.38
Azioni sul cordone: TP=-0.55 TO=4.08 NO=11.09
Tensioni nel cordone: τ_P=0.18 τ_0=1.30 σ_0=6.60 σ_{ID}=6.73 Σ_T=7.90
CC 10 SLD (Collegamento -376_-504)
Azioni sul collegamento: N=150.71 Ty=1.14 Tz=-51.35 Mx=0.31 Mz=1.68
Sollecitazioni agenti localmente: Tx_l=1.14 Ty_l=-51.35 N_l=150.71 My_l=-1.68 Mz_l=0.31
Azioni sul cordone: TP=-0.45 TO=4.03 NO=11.09
Tensioni nel cordone: τ_P=0.14 τ_0=1.28 σ_0=5.98 σ_{ID}=6.12 Σ_T=7.26
CC 10 SLD (Collegamento -376_-504)
Azioni sul collegamento: N=145.69 Ty=1.54 Tz=-50.57 Mx=0.38 Mz=2.11
Sollecitazioni agenti localmente: Tx_l=1.54 Ty_l=-50.57 N_l=145.69 My_l=-2.11 Mz_l=0.38
Azioni sul cordone: TP=-0.55 TO=4.02 NO=10.72
Tensioni nel cordone: τ_P=0.18 τ_0=1.28 σ_0=6.49 σ_{ID}=6.61 Σ_T=7.76
CC 10 SLD (Collegamento -376_-504)
Azioni sul collegamento: N=145.69 Ty=1.14 Tz=-50.57 Mx=0.31 Mz=1.68
Sollecitazioni agenti localmente: Tx_l=1.14 Ty_l=-50.57 N_l=145.69 My_l=-1.68 Mz_l=0.31
Azioni sul cordone: TP=-0.45 TO=3.97 NO=10.72
Tensioni nel cordone: τ_P=0.14 τ_0=1.26 σ_0=5.86 σ_{ID}=6.00 Σ_T=7.13
CC 10 SLD (Collegamento -376_-504)
Azioni sul collegamento: N=145.69 Ty=1.54 Tz=-50.57 Mx=0.38 Mz=2.11
Sollecitazioni agenti localmente: Tx_l=1.54 Ty_l=-50.57 N_l=145.69 My_l=-2.11 Mz_l=0.38
Azioni sul cordone: TP=-0.55 TO=4.02 NO=10.72
Tensioni nel cordone: τ_P=0.18 τ_0=1.28 σ_0=6.49 σ_{ID}=6.61 Σ_T=7.76
CC 10 SLD (Collegamento -376_-504)
Azioni sul collegamento: N=145.69 Ty=1.14 Tz=-50.57 Mx=0.31 Mz=1.68
Sollecitazioni agenti localmente: Tx_l=1.14 Ty_l=-50.57 N_l=145.69 My_l=-1.68 Mz_l=0.31
Azioni sul cordone: TP=-0.45 TO=3.97 NO=10.72
Tensioni nel cordone: τ_P=0.14 τ_0=1.26 σ_0=5.86 σ_{ID}=6.00 Σ_T=7.13
CC 11 SLV (Collegamento -376_-504)
Azioni sul collegamento: N=141.89 Ty=1.28 Tz=-49.98 Mx=0.31 Mz=1.68

Sollecitazioni agenti localmente: Tx_l=1.28 Ty_l=-49.98 N_l=141.89 My_l=-1.68 Mz_l=0.31
Azioni sul cordone: TP=-0.45 TO=3.92 NO=10.44
Tensioni nel cordone: τ_P=0.14 τ_0=1.25 σ_0=5.77 σ_{ID}=5.90 Σ_T=7.01
CC 11 SLV (Collegamento -376_-504)
Azioni sul collegamento: N=141.89 Ty=0.76 Tz=-49.98 Mx=0.27 Mz=1.43
Sollecitazioni agenti localmente: Tx_l=0.76 Ty_l=-49.98 N_l=141.89 My_l=-1.43 Mz_l=0.27
Azioni sul cordone: TP=-0.36 TO=3.89 NO=10.44
Tensioni nel cordone: τ_P=0.12 τ_0=1.24 σ_0=5.41 σ_{ID}=5.55 Σ_T=6.64
CC 11 SLV (Collegamento -376_-504)
Azioni sul collegamento: N=141.89 Ty=1.28 Tz=-49.98 Mx=0.31 Mz=1.68
Sollecitazioni agenti localmente: Tx_l=1.28 Ty_l=-49.98 N_l=141.89 My_l=-1.68 Mz_l=0.31
Azioni sul cordone: TP=-0.45 TO=3.92 NO=10.44
Tensioni nel cordone: τ_P=0.14 τ_0=1.25 σ_0=5.77 σ_{ID}=5.90 Σ_T=7.01
CC 11 SLV (Collegamento -376_-504)
Azioni sul collegamento: N=141.89 Ty=0.76 Tz=-49.98 Mx=0.27 Mz=1.43
Sollecitazioni agenti localmente: Tx_l=0.76 Ty_l=-49.98 N_l=141.89 My_l=-1.43 Mz_l=0.27
Azioni sul cordone: TP=-0.36 TO=3.89 NO=10.44
Tensioni nel cordone: τ_P=0.12 τ_0=1.24 σ_0=5.41 σ_{ID}=5.55 Σ_T=6.64
CC 11 SLV (Collegamento -376_-504)
Azioni sul collegamento: N=157.75 Ty=1.28 Tz=-52.44 Mx=0.31 Mz=1.68
Sollecitazioni agenti localmente: Tx_l=1.28 Ty_l=-52.44 N_l=157.75 My_l=-1.68 Mz_l=0.31
Azioni sul cordone: TP=-0.45 TO=4.10 NO=11.61
Tensioni nel cordone: τ_P=0.14 τ_0=1.30 σ_0=6.14 σ_{ID}=6.28 Σ_T=7.44
CC 11 SLV (Collegamento -376_-504)
Azioni sul collegamento: N=157.75 Ty=0.76 Tz=-52.44 Mx=0.27 Mz=1.43
Sollecitazioni agenti localmente: Tx_l=0.76 Ty_l=-52.44 N_l=157.75 My_l=-1.43 Mz_l=0.27
Azioni sul cordone: TP=-0.36 TO=4.07 NO=11.61
Tensioni nel cordone: τ_P=0.12 τ_0=1.29 σ_0=5.78 σ_{ID}=5.92 Σ_T=7.07
CC 11 SLV (Collegamento -376_-504)
Azioni sul collegamento: N=157.75 Ty=1.28 Tz=-52.44 Mx=0.31 Mz=1.68
Sollecitazioni agenti localmente: Tx_l=1.28 Ty_l=-52.44 N_l=157.75 My_l=-1.68 Mz_l=0.31
Azioni sul cordone: TP=-0.45 TO=4.10 NO=11.61
Tensioni nel cordone: τ_P=0.14 τ_0=1.30 σ_0=6.14 σ_{ID}=6.28 Σ_T=7.44
CC 11 SLV (Collegamento -376_-504)
Azioni sul collegamento: N=157.75 Ty=0.76 Tz=-52.44 Mx=0.27 Mz=1.43
Sollecitazioni agenti localmente: Tx_l=0.76 Ty_l=-52.44 N_l=157.75 My_l=-1.43 Mz_l=0.27
Azioni sul cordone: TP=-0.36 TO=4.07 NO=11.61
Tensioni nel cordone: τ_P=0.12 τ_0=1.29 σ_0=5.78 σ_{ID}=5.92 Σ_T=7.07
CC 12 SLD (Collegamento -376_-504)
Azioni sul collegamento: N=145.78 Ty=1.42 Tz=-50.58 Mx=0.35 Mz=1.93
Sollecitazioni agenti localmente: Tx_l=1.42 Ty_l=-50.58 N_l=145.78 My_l=-1.93 Mz_l=0.35
Azioni sul cordone: TP=-0.51 TO=4.00 NO=10.73
Tensioni nel cordone: τ_P=0.16 τ_0=1.27 σ_0=6.23 σ_{ID}=6.36 Σ_T=7.50
CC 12 SLD (Collegamento -376_-504)
Azioni sul collegamento: N=145.78 Ty=1.26 Tz=-50.58 Mx=0.34 Mz=1.86
Sollecitazioni agenti localmente: Tx_l=1.26 Ty_l=-50.58 N_l=145.78 My_l=-1.86 Mz_l=0.34
Azioni sul cordone: TP=-0.48 TO=3.99 NO=10.73
Tensioni nel cordone: τ_P=0.15 τ_0=1.27 σ_0=6.12 σ_{ID}=6.26 Σ_T=7.39
CC 12 SLD (Collegamento -376_-504)
Azioni sul collegamento: N=145.78 Ty=1.42 Tz=-50.58 Mx=0.35 Mz=1.93
Sollecitazioni agenti localmente: Tx_l=1.42 Ty_l=-50.58 N_l=145.78 My_l=-1.93 Mz_l=0.35
Azioni sul cordone: TP=-0.51 TO=4.00 NO=10.73
Tensioni nel cordone: τ_P=0.16 τ_0=1.27 σ_0=6.23 σ_{ID}=6.36 Σ_T=7.50
CC 12 SLD (Collegamento -376_-504)
Azioni sul collegamento: N=145.78 Ty=1.26 Tz=-50.58 Mx=0.34 Mz=1.86
Sollecitazioni agenti localmente: Tx_l=1.26 Ty_l=-50.58 N_l=145.78 My_l=-1.86 Mz_l=0.34
Azioni sul cordone: TP=-0.48 TO=3.99 NO=10.73
Tensioni nel cordone: τ_P=0.15 τ_0=1.27 σ_0=6.12 σ_{ID}=6.26 Σ_T=7.39
CC 12 SLD (Collegamento -376_-504)
Azioni sul collegamento: N=150.62 Ty=1.42 Tz=-51.33 Mx=0.35 Mz=1.93
Sollecitazioni agenti localmente: Tx_l=1.42 Ty_l=-51.33 N_l=150.62 My_l=-1.93 Mz_l=0.35
Azioni sul cordone: TP=-0.51 TO=4.05 NO=11.08
Tensioni nel cordone: τ_P=0.16 τ_0=1.29 σ_0=6.35 σ_{ID}=6.48 Σ_T=7.64
CC 12 SLD (Collegamento -376_-504)
Azioni sul collegamento: N=150.62 Ty=1.26 Tz=-51.33 Mx=0.34 Mz=1.86
Sollecitazioni agenti localmente: Tx_l=1.26 Ty_l=-51.33 N_l=150.62 My_l=-1.86 Mz_l=0.34
Azioni sul cordone: TP=-0.48 TO=4.04 NO=11.08
Tensioni nel cordone: τ_P=0.15 τ_0=1.29 σ_0=6.24 σ_{ID}=6.37 Σ_T=7.52
CC 12 SLD (Collegamento -376_-504)
Azioni sul collegamento: N=150.62 Ty=1.42 Tz=-51.33 Mx=0.35 Mz=1.93
Sollecitazioni agenti localmente: Tx_l=1.42 Ty_l=-51.33 N_l=150.62 My_l=-1.93 Mz_l=0.35
Azioni sul cordone: TP=-0.51 TO=4.05 NO=11.08
Tensioni nel cordone: τ_P=0.16 τ_0=1.29 σ_0=6.35 σ_{ID}=6.48 Σ_T=7.64
CC 12 SLD (Collegamento -376_-504)
Azioni sul collegamento: N=150.62 Ty=1.26 Tz=-51.33 Mx=0.34 Mz=1.86
Sollecitazioni agenti localmente: Tx_l=1.26 Ty_l=-51.33 N_l=150.62 My_l=-1.86 Mz_l=0.34
Azioni sul cordone: TP=-0.48 TO=4.04 NO=11.08
Tensioni nel cordone: τ_P=0.15 τ_0=1.29 σ_0=6.24 σ_{ID}=6.37 Σ_T=7.52
CC 13 SLV (Collegamento -376_-504)

Azioni sul collegamento: N=157.75 Ty=0.76 Tz=-52.44 Mx=0.27 Mz=1.43
Sollecitazioni agenti localmente: Tx_l=0.76 Ty_l=-52.44 N_l=157.75 My_l=-1.43 Mz_l=0.27
Azioni sul cordone: TP=-0.37 TO=4.07 NO=11.61
Tensioni nel cordone: τ_P=0.12 τ_O=1.29 σ_O=5.78 σ_{ID}=5.92 Σ_T=7.07
CC 13 SLV (Collegamento -376_-504)
Azioni sul collegamento: N=157.75 Ty=1.28 Tz=-52.44 Mx=0.31 Mz=1.68
Sollecitazioni agenti localmente: Tx_l=1.28 Ty_l=-52.44 N_l=157.75 My_l=-1.68 Mz_l=0.31
Azioni sul cordone: TP=-0.45 TO=4.10 NO=11.61
Tensioni nel cordone: τ_P=0.14 τ_O=1.30 σ_O=6.14 σ_{ID}=6.28 Σ_T=7.44
CC 13 SLV (Collegamento -376_-504)
Azioni sul collegamento: N=157.75 Ty=0.76 Tz=-52.44 Mx=0.27 Mz=1.43
Sollecitazioni agenti localmente: Tx_l=0.76 Ty_l=-52.44 N_l=157.75 My_l=-1.43 Mz_l=0.27
Azioni sul cordone: TP=-0.37 TO=4.07 NO=11.61
Tensioni nel cordone: τ_P=0.12 τ_O=1.29 σ_O=5.78 σ_{ID}=5.92 Σ_T=7.07
CC 13 SLV (Collegamento -376_-504)
Azioni sul collegamento: N=157.75 Ty=1.28 Tz=-52.44 Mx=0.31 Mz=1.68
Sollecitazioni agenti localmente: Tx_l=1.28 Ty_l=-52.44 N_l=157.75 My_l=-1.68 Mz_l=0.31
Azioni sul cordone: TP=-0.45 TO=4.10 NO=11.61
Tensioni nel cordone: τ_P=0.14 τ_O=1.30 σ_O=6.14 σ_{ID}=6.28 Σ_T=7.44
CC 13 SLV (Collegamento -376_-504)
Azioni sul collegamento: N=141.89 Ty=0.76 Tz=-49.98 Mx=0.27 Mz=1.43
Sollecitazioni agenti localmente: Tx_l=0.76 Ty_l=-49.98 N_l=141.89 My_l=-1.43 Mz_l=0.27
Azioni sul cordone: TP=-0.37 TO=3.89 NO=10.44
Tensioni nel cordone: τ_P=0.12 τ_O=1.24 σ_O=5.41 σ_{ID}=5.55 Σ_T=6.64
CC 13 SLV (Collegamento -376_-504)
Azioni sul collegamento: N=141.89 Ty=1.28 Tz=-49.98 Mx=0.31 Mz=1.68
Sollecitazioni agenti localmente: Tx_l=1.28 Ty_l=-49.98 N_l=141.89 My_l=-1.68 Mz_l=0.31
Azioni sul cordone: TP=-0.45 TO=3.92 NO=10.44
Tensioni nel cordone: τ_P=0.14 τ_O=1.25 σ_O=5.77 σ_{ID}=5.90 Σ_T=7.01
CC 13 SLV (Collegamento -376_-504)
Azioni sul collegamento: N=141.89 Ty=0.76 Tz=-49.98 Mx=0.27 Mz=1.43
Sollecitazioni agenti localmente: Tx_l=0.76 Ty_l=-49.98 N_l=141.89 My_l=-1.43 Mz_l=0.27
Azioni sul cordone: TP=-0.37 TO=3.89 NO=10.44
Tensioni nel cordone: τ_P=0.12 τ_O=1.24 σ_O=5.41 σ_{ID}=5.55 Σ_T=6.64
CC 13 SLV (Collegamento -376_-504)
Azioni sul collegamento: N=141.89 Ty=1.28 Tz=-49.98 Mx=0.31 Mz=1.68
Sollecitazioni agenti localmente: Tx_l=1.28 Ty_l=-49.98 N_l=141.89 My_l=-1.68 Mz_l=0.31
Azioni sul cordone: TP=-0.45 TO=3.92 NO=10.44
Tensioni nel cordone: τ_P=0.14 τ_O=1.25 σ_O=5.77 σ_{ID}=5.90 Σ_T=7.01
CC 14 SLD (Collegamento -376_-504)
Azioni sul collegamento: N=150.62 Ty=1.26 Tz=-51.33 Mx=0.34 Mz=1.86
Sollecitazioni agenti localmente: Tx_l=1.26 Ty_l=-51.33 N_l=150.62 My_l=-1.86 Mz_l=0.34
Azioni sul cordone: TP=-0.48 TO=4.04 NO=11.08
Tensioni nel cordone: τ_P=0.15 τ_O=1.29 σ_O=6.24 σ_{ID}=6.37 Σ_T=7.52
CC 14 SLD (Collegamento -376_-504)
Azioni sul collegamento: N=150.62 Ty=1.42 Tz=-51.33 Mx=0.35 Mz=1.93
Sollecitazioni agenti localmente: Tx_l=1.42 Ty_l=-51.33 N_l=150.62 My_l=-1.93 Mz_l=0.35
Azioni sul cordone: TP=-0.51 TO=4.05 NO=11.08
Tensioni nel cordone: τ_P=0.16 τ_O=1.29 σ_O=6.35 σ_{ID}=6.48 Σ_T=7.64
CC 14 SLD (Collegamento -376_-504)
Azioni sul collegamento: N=150.62 Ty=1.26 Tz=-51.33 Mx=0.34 Mz=1.86
Sollecitazioni agenti localmente: Tx_l=1.26 Ty_l=-51.33 N_l=150.62 My_l=-1.86 Mz_l=0.34
Azioni sul cordone: TP=-0.48 TO=4.04 NO=11.08
Tensioni nel cordone: τ_P=0.15 τ_O=1.29 σ_O=6.24 σ_{ID}=6.37 Σ_T=7.52
CC 14 SLD (Collegamento -376_-504)
Azioni sul collegamento: N=150.62 Ty=1.42 Tz=-51.33 Mx=0.35 Mz=1.93
Sollecitazioni agenti localmente: Tx_l=1.42 Ty_l=-51.33 N_l=150.62 My_l=-1.93 Mz_l=0.35
Azioni sul cordone: TP=-0.51 TO=4.05 NO=11.08
Tensioni nel cordone: τ_P=0.16 τ_O=1.29 σ_O=6.35 σ_{ID}=6.48 Σ_T=7.64
CC 14 SLD (Collegamento -376_-504)
Azioni sul collegamento: N=145.78 Ty=1.26 Tz=-50.58 Mx=0.34 Mz=1.86
Sollecitazioni agenti localmente: Tx_l=1.26 Ty_l=-50.58 N_l=145.78 My_l=-1.86 Mz_l=0.34
Azioni sul cordone: TP=-0.48 TO=3.99 NO=10.73
Tensioni nel cordone: τ_P=0.15 τ_O=1.27 σ_O=6.12 σ_{ID}=6.26 Σ_T=7.39
CC 14 SLD (Collegamento -376_-504)
Azioni sul collegamento: N=145.78 Ty=1.42 Tz=-50.58 Mx=0.35 Mz=1.93
Sollecitazioni agenti localmente: Tx_l=1.42 Ty_l=-50.58 N_l=145.78 My_l=-1.93 Mz_l=0.35
Azioni sul cordone: TP=-0.51 TO=4.00 NO=10.73
Tensioni nel cordone: τ_P=0.16 τ_O=1.27 σ_O=6.23 σ_{ID}=6.36 Σ_T=7.50
CC 14 SLD (Collegamento -376_-504)
Azioni sul collegamento: N=145.78 Ty=1.26 Tz=-50.58 Mx=0.34 Mz=1.86
Sollecitazioni agenti localmente: Tx_l=1.26 Ty_l=-50.58 N_l=145.78 My_l=-1.86 Mz_l=0.34
Azioni sul cordone: TP=-0.48 TO=3.99 NO=10.73
Tensioni nel cordone: τ_P=0.15 τ_O=1.27 σ_O=6.12 σ_{ID}=6.26 Σ_T=7.39
CC 14 SLD (Collegamento -376_-504)
Azioni sul collegamento: N=145.78 Ty=1.42 Tz=-50.58 Mx=0.35 Mz=1.93
Sollecitazioni agenti localmente: Tx_l=1.42 Ty_l=-50.58 N_l=145.78 My_l=-1.93 Mz_l=0.35
Azioni sul cordone: TP=-0.51 TO=4.00 NO=10.73
Tensioni nel cordone: τ_P=0.16 τ_O=1.27 σ_O=6.23 σ_{ID}=6.36 Σ_T=7.50

CC 15 SLV (Collegamento -376_-504)
Azioni sul collegamento: N=141.58 Ty=0.36 Tz=-49.93 Mx=0.17 Mz=0.86
Sollecitazioni agenti localmente: Tx_l=0.36 Ty_l=-49.93 N_l=141.58 My_l=-0.86 Mz_l=0.17
Azioni sul cordone: TP=-0.22 TO=3.81 NO=10.42
Tensioni nel cordone: τ_P= 0.07 τ_0=1.21 σ_0=4.56 σ_{ID}=4.72 Σ_T=5.77
CC 15 SLV (Collegamento -376_-504)
Azioni sul collegamento: N=141.58 Ty=1.67 Tz=-49.93 Mx=0.39 Mz=2.25
Sollecitazioni agenti localmente: Tx_l=1.67 Ty_l=-49.93 N_l=141.58 My_l=-2.25 Mz_l=0.39
Azioni sul cordone: TP=-0.57 TO=3.98 NO=10.42
Tensioni nel cordone: τ_P=0.18 τ_0=1.26 σ_0=6.60 σ_{ID}=6.73 Σ_T=7.87
CC 15 SLV (Collegamento -376_-504)
Azioni sul collegamento: N=141.58 Ty=0.36 Tz=-49.93 Mx=0.17 Mz=0.86
Sollecitazioni agenti localmente: Tx_l=0.36 Ty_l=-49.93 N_l=141.58 My_l=-0.86 Mz_l=0.17
Azioni sul cordone: TP=-0.22 TO=3.81 NO=10.42
Tensioni nel cordone: τ_P= 0.07 τ_0=1.21 σ_0=4.56 σ_{ID}=4.72 Σ_T=5.77
CC 15 SLV (Collegamento -376_-504)
Azioni sul collegamento: N=141.58 Ty=1.67 Tz=-49.93 Mx=0.39 Mz=2.25
Sollecitazioni agenti localmente: Tx_l=1.67 Ty_l=-49.93 N_l=141.58 My_l=-2.25 Mz_l=0.39
Azioni sul cordone: TP=-0.57 TO=3.98 NO=10.42
Tensioni nel cordone: τ_P=0.18 τ_0=1.26 σ_0=6.60 σ_{ID}=6.73 Σ_T=7.87
CC 15 SLV (Collegamento -376_-504)
Azioni sul collegamento: N=158.05 Ty=0.36 Tz=-52.48 Mx=0.17 Mz=0.86
Sollecitazioni agenti localmente: Tx_l=0.36 Ty_l=-52.48 N_l=158.05 My_l=-0.86 Mz_l=0.17
Azioni sul cordone: TP=-0.22 TO=4.00 NO=11.63
Tensioni nel cordone: τ_P= 0.07 τ_0=1.27 σ_0=4.95 σ_{ID}=5.11 Σ_T=6.22
CC 15 SLV (Collegamento -376_-504)
Azioni sul collegamento: N=158.05 Ty=1.67 Tz=-52.48 Mx=0.39 Mz=2.25
Sollecitazioni agenti localmente: Tx_l=1.67 Ty_l=-52.48 N_l=158.05 My_l=-2.25 Mz_l=0.39
Azioni sul cordone: TP=-0.57 TO=4.17 NO=11.63
Tensioni nel cordone: τ_P=0.18 τ_0=1.32 σ_0=6.99 σ_{ID}=7.11 Σ_T=8.31
CC 15 SLV (Collegamento -376_-504)
Azioni sul collegamento: N=158.05 Ty=0.36 Tz=-52.48 Mx=0.17 Mz=0.86
Sollecitazioni agenti localmente: Tx_l=0.36 Ty_l=-52.48 N_l=158.05 My_l=-0.86 Mz_l=0.17
Azioni sul cordone: TP=-0.22 TO=4.00 NO=11.63
Tensioni nel cordone: τ_P= 0.07 τ_0=1.27 σ_0=4.95 σ_{ID}=5.11 Σ_T=6.22
CC 15 SLV (Collegamento -376_-504)
Azioni sul collegamento: N=158.05 Ty=1.67 Tz=-52.48 Mx=0.39 Mz=2.25
Sollecitazioni agenti localmente: Tx_l=1.67 Ty_l=-52.48 N_l=158.05 My_l=-2.25 Mz_l=0.39
Azioni sul cordone: TP=-0.57 TO=4.17 NO=11.63
Tensioni nel cordone: τ_P=0.18 τ_0=1.32 σ_0=6.99 σ_{ID}=7.11 Σ_T=8.31
CC 16 SLD (Collegamento -376_-504)
Azioni sul collegamento: N=145.69 Ty=1.14 Tz=-50.57 Mx=0.31 Mz=1.68
Sollecitazioni agenti localmente: Tx_l=1.14 Ty_l=-50.57 N_l=145.69 My_l=-1.68 Mz_l=0.31
Azioni sul cordone: TP=-0.44 TO=3.96 NO=10.72
Tensioni nel cordone: τ_P=0.14 τ_0=1.26 σ_0=5.87 σ_{ID}=6.00 Σ_T=7.13
CC 16 SLD (Collegamento -376_-504)
Azioni sul collegamento: N=145.69 Ty=1.54 Tz=-50.57 Mx=0.37 Mz=2.11
Sollecitazioni agenti localmente: Tx_l=1.54 Ty_l=-50.57 N_l=145.69 My_l=-2.11 Mz_l=0.37
Azioni sul cordone: TP=-0.54 TO=4.02 NO=10.72
Tensioni nel cordone: τ_P=0.17 τ_0=1.28 σ_0=6.49 σ_{ID}=6.61 Σ_T=7.76
CC 16 SLD (Collegamento -376_-504)
Azioni sul collegamento: N=145.69 Ty=1.14 Tz=-50.57 Mx=0.31 Mz=1.68
Sollecitazioni agenti localmente: Tx_l=1.14 Ty_l=-50.57 N_l=145.69 My_l=-1.68 Mz_l=0.31
Azioni sul cordone: TP=-0.44 TO=3.96 NO=10.72
Tensioni nel cordone: τ_P=0.14 τ_0=1.26 σ_0=5.87 σ_{ID}=6.00 Σ_T=7.13
CC 16 SLD (Collegamento -376_-504)
Azioni sul collegamento: N=145.69 Ty=1.54 Tz=-50.57 Mx=0.37 Mz=2.11
Sollecitazioni agenti localmente: Tx_l=1.54 Ty_l=-50.57 N_l=145.69 My_l=-2.11 Mz_l=0.37
Azioni sul cordone: TP=-0.54 TO=4.02 NO=10.72
Tensioni nel cordone: τ_P=0.17 τ_0=1.28 σ_0=6.49 σ_{ID}=6.61 Σ_T=7.76
CC 16 SLD (Collegamento -376_-504)
Azioni sul collegamento: N=150.71 Ty=1.14 Tz=-51.35 Mx=0.31 Mz=1.68
Sollecitazioni agenti localmente: Tx_l=1.14 Ty_l=-51.35 N_l=150.71 My_l=-1.68 Mz_l=0.31
Azioni sul cordone: TP=-0.44 TO=4.02 NO=11.09
Tensioni nel cordone: τ_P=0.14 τ_0=1.28 σ_0=5.98 σ_{ID}=6.12 Σ_T=7.26
CC 16 SLD (Collegamento -376_-504)
Azioni sul collegamento: N=150.71 Ty=1.54 Tz=-51.35 Mx=0.37 Mz=2.11
Sollecitazioni agenti localmente: Tx_l=1.54 Ty_l=-51.35 N_l=150.71 My_l=-2.11 Mz_l=0.37
Azioni sul cordone: TP=-0.54 TO=4.07 NO=11.09
Tensioni nel cordone: τ_P=0.17 τ_0=1.29 σ_0=6.61 σ_{ID}=6.73 Σ_T=7.90
CC 16 SLD (Collegamento -376_-504)
Azioni sul collegamento: N=150.71 Ty=1.14 Tz=-51.35 Mx=0.31 Mz=1.68
Sollecitazioni agenti localmente: Tx_l=1.14 Ty_l=-51.35 N_l=150.71 My_l=-1.68 Mz_l=0.31
Azioni sul cordone: TP=-0.44 TO=4.02 NO=11.09
Tensioni nel cordone: τ_P=0.14 τ_0=1.28 σ_0=5.98 σ_{ID}=6.12 Σ_T=7.26
CC 16 SLD (Collegamento -376_-504)
Azioni sul collegamento: N=150.71 Ty=1.54 Tz=-51.35 Mx=0.37 Mz=2.11
Sollecitazioni agenti localmente: Tx_l=1.54 Ty_l=-51.35 N_l=150.71 My_l=-2.11 Mz_l=0.37
Azioni sul cordone: TP=-0.54 TO=4.07 NO=11.09

Tensioni nel cordone: τ_P=0.17 τ_0=1.29 σ_0=6.61 σ_{ID}=6.73 Σ_T=7.90
CC 17 SLV (Collegamento -376_-504)
Azioni sul collegamento: N=172.15 Ty=2.73 Tz=-54.66 Mx=0.64 Mz=3.62
Sollecitazioni agenti localmente: Tx_l=2.73 Ty_l=-54.66 N_l=172.15 My_l=-3.62 Mz_l=0.64
Azioni sul cordone: TP=-0.93 TO=4.52 NO=12.67
Tensioni nel cordone: τ_P=0.30 τ_0=1.44 σ_0=9.31 σ_{ID}=9.42 Σ_T=10.74
CC 17 SLV (Collegamento -376_-504)
Azioni sul collegamento: N=172.15 Ty=1.14 Tz=-54.66 Mx=0.30 Mz=1.45
Sollecitazioni agenti localmente: Tx_l=1.14 Ty_l=-54.66 N_l=172.15 My_l=-1.45 Mz_l=0.30
Azioni sul cordone: TP=-0.43 TO=4.26 NO=12.67
Tensioni nel cordone: τ_P=0.14 τ_0=1.35 σ_0=6.15 σ_{ID}=6.30 Σ_T=7.50
CC 17 SLV (Collegamento -376_-504)
Azioni sul collegamento: N=172.15 Ty=2.73 Tz=-54.66 Mx=0.64 Mz=3.62
Sollecitazioni agenti localmente: Tx_l=2.73 Ty_l=-54.66 N_l=172.15 My_l=-3.62 Mz_l=0.64
Azioni sul cordone: TP=-0.93 TO=4.52 NO=12.67
Tensioni nel cordone: τ_P=0.30 τ_0=1.44 σ_0=9.31 σ_{ID}=9.42 Σ_T=10.74
CC 17 SLV (Collegamento -376_-504)
Azioni sul collegamento: N=172.15 Ty=1.14 Tz=-54.66 Mx=0.30 Mz=1.45
Sollecitazioni agenti localmente: Tx_l=1.14 Ty_l=-54.66 N_l=172.15 My_l=-1.45 Mz_l=0.30
Azioni sul cordone: TP=-0.43 TO=4.26 NO=12.67
Tensioni nel cordone: τ_P=0.14 τ_0=1.35 σ_0=6.15 σ_{ID}=6.30 Σ_T=7.50
CC 17 SLV (Collegamento -376_-504)
Azioni sul collegamento: N=118.18 Ty=2.73 Tz=-46.31 Mx=0.64 Mz=3.62
Sollecitazioni agenti localmente: Tx_l=2.73 Ty_l=-46.31 N_l=118.18 My_l=-3.62 Mz_l=0.64
Azioni sul cordone: TP=-0.93 TO=3.91 NO=8.70
Tensioni nel cordone: τ_P=0.30 τ_0=1.24 σ_0=8.04 σ_{ID}=8.15 Σ_T=9.29
CC 17 SLV (Collegamento -376_-504)
Azioni sul collegamento: N=118.18 Ty=1.14 Tz=-46.31 Mx=0.30 Mz=1.45
Sollecitazioni agenti localmente: Tx_l=1.14 Ty_l=-46.31 N_l=118.18 My_l=-1.45 Mz_l=0.30
Azioni sul cordone: TP=-0.43 TO=3.65 NO=8.70
Tensioni nel cordone: τ_P=0.14 τ_0=1.16 σ_0=4.89 σ_{ID}=5.02 Σ_T=6.05
CC 17 SLV (Collegamento -376_-504)
Azioni sul collegamento: N=118.18 Ty=2.73 Tz=-46.31 Mx=0.64 Mz=3.62
Sollecitazioni agenti localmente: Tx_l=2.73 Ty_l=-46.31 N_l=118.18 My_l=-3.62 Mz_l=0.64
Azioni sul cordone: TP=-0.93 TO=3.91 NO=8.70
Tensioni nel cordone: τ_P=0.30 τ_0=1.24 σ_0=8.04 σ_{ID}=8.15 Σ_T=9.29
CC 17 SLV (Collegamento -376_-504)
Azioni sul collegamento: N=118.18 Ty=1.14 Tz=-46.31 Mx=0.30 Mz=1.45
Sollecitazioni agenti localmente: Tx_l=1.14 Ty_l=-46.31 N_l=118.18 My_l=-1.45 Mz_l=0.30
Azioni sul cordone: TP=-0.43 TO=3.65 NO=8.70
Tensioni nel cordone: τ_P=0.14 τ_0=1.16 σ_0=4.89 σ_{ID}=5.02 Σ_T=6.05
CC 18 SLD (Collegamento -376_-504)
Azioni sul collegamento: N=155.01 Ty=1.86 Tz=-52.01 Mx=0.45 Mz=2.52
Sollecitazioni agenti localmente: Tx_l=1.86 Ty_l=-52.01 N_l=155.01 My_l=-2.52 Mz_l=0.45
Azioni sul cordone: TP=-0.66 TO=4.18 NO=11.41
Tensioni nel cordone: τ_P=0.21 τ_0=1.33 σ_0=7.31 σ_{ID}=7.44 Σ_T=8.64
CC 18 SLD (Collegamento -376_-504)
Azioni sul collegamento: N=155.01 Ty=1.38 Tz=-52.01 Mx=0.35 Mz=1.87
Sollecitazioni agenti localmente: Tx_l=1.38 Ty_l=-52.01 N_l=155.01 My_l=-1.87 Mz_l=0.35
Azioni sul cordone: TP=-0.50 TO=4.10 NO=11.41
Tensioni nel cordone: τ_P=0.16 τ_0=1.30 σ_0=6.35 σ_{ID}=6.48 Σ_T=7.65
CC 18 SLD (Collegamento -376_-504)
Azioni sul collegamento: N=155.01 Ty=1.86 Tz=-52.01 Mx=0.45 Mz=2.52
Sollecitazioni agenti localmente: Tx_l=1.86 Ty_l=-52.01 N_l=155.01 My_l=-2.52 Mz_l=0.45
Azioni sul cordone: TP=-0.66 TO=4.18 NO=11.41
Tensioni nel cordone: τ_P=0.21 τ_0=1.33 σ_0=7.31 σ_{ID}=7.44 Σ_T=8.64
CC 18 SLD (Collegamento -376_-504)
Azioni sul collegamento: N=155.01 Ty=1.38 Tz=-52.01 Mx=0.35 Mz=1.87
Sollecitazioni agenti localmente: Tx_l=1.38 Ty_l=-52.01 N_l=155.01 My_l=-1.87 Mz_l=0.35
Azioni sul cordone: TP=-0.50 TO=4.10 NO=11.41
Tensioni nel cordone: τ_P=0.16 τ_0=1.30 σ_0=6.35 σ_{ID}=6.48 Σ_T=7.65
CC 18 SLD (Collegamento -376_-504)
Azioni sul collegamento: N=138.55 Ty=1.86 Tz=-49.47 Mx=0.45 Mz=2.52
Sollecitazioni agenti localmente: Tx_l=1.86 Ty_l=-49.47 N_l=138.55 My_l=-2.52 Mz_l=0.45
Azioni sul cordone: TP=-0.66 TO=4.00 NO=10.20
Tensioni nel cordone: τ_P=0.21 τ_0=1.27 σ_0=6.93 σ_{ID}=7.05 Σ_T=8.20
CC 18 SLD (Collegamento -376_-504)
Azioni sul collegamento: N=138.55 Ty=1.38 Tz=-49.47 Mx=0.35 Mz=1.87
Sollecitazioni agenti localmente: Tx_l=1.38 Ty_l=-49.47 N_l=138.55 My_l=-1.87 Mz_l=0.35
Azioni sul cordone: TP=-0.50 TO=3.92 NO=10.20
Tensioni nel cordone: τ_P=0.16 τ_0=1.24 σ_0=5.96 σ_{ID}=6.10 Σ_T=7.21
CC 18 SLD (Collegamento -376_-504)
Azioni sul collegamento: N=138.55 Ty=1.86 Tz=-49.47 Mx=0.45 Mz=2.52
Sollecitazioni agenti localmente: Tx_l=1.86 Ty_l=-49.47 N_l=138.55 My_l=-2.52 Mz_l=0.45
Azioni sul cordone: TP=-0.66 TO=4.00 NO=10.20
Tensioni nel cordone: τ_P=0.21 τ_0=1.27 σ_0=6.93 σ_{ID}=7.05 Σ_T=8.20
CC 18 SLD (Collegamento -376_-504)
Azioni sul collegamento: N=138.55 Ty=1.38 Tz=-49.47 Mx=0.35 Mz=1.87
Sollecitazioni agenti localmente: Tx_l=1.38 Ty_l=-49.47 N_l=138.55 My_l=-1.87 Mz_l=0.35

Azioni sul cordone: TP=-0.50 TO=3.92 NO=10.20
Tensioni nel cordone: τ_P=0.16 τ_0=1.24 σ_0=5.96 σ_{ID}=6.10 Σ_T=7.21
CC 19 SLV (Collegamento -376_-504)
Azioni sul collegamento: N=172.06 Ty=2.46 Tz=-54.65 Mx=0.60 Mz=3.37
Sollecitazioni agenti localmente: Tx_l=2.46 Ty_l=-54.65 N_l=172.06 My_l=-3.37 Mz_l=0.60
Azioni sul cordone: TP=-0.87 TO=4.49 NO=12.66
Tensioni nel cordone: τ_P=0.28 τ_0=1.43 σ_0=8.94 σ_{ID}=9.06 Σ_T=10.37
CC 19 SLV (Collegamento -376_-504)
Azioni sul collegamento: N=172.06 Ty=1.41 Tz=-54.65 Mx=0.34 Mz=1.70
Sollecitazioni agenti localmente: Tx_l=1.41 Ty_l=-54.65 N_l=172.06 My_l=-1.70 Mz_l=0.34
Azioni sul cordone: TP=-0.49 TO=4.29 NO=12.66
Tensioni nel cordone: τ_P=0.16 τ_0=1.36 σ_0=6.51 σ_{ID}=6.65 Σ_T=7.87
CC 19 SLV (Collegamento -376_-504)
Azioni sul collegamento: N=172.06 Ty=2.46 Tz=-54.65 Mx=0.60 Mz=3.37
Sollecitazioni agenti localmente: Tx_l=2.46 Ty_l=-54.65 N_l=172.06 My_l=-3.37 Mz_l=0.60
Azioni sul cordone: TP=-0.87 TO=4.49 NO=12.66
Tensioni nel cordone: τ_P=0.28 τ_0=1.43 σ_0=8.94 σ_{ID}=9.06 Σ_T=10.37
CC 19 SLV (Collegamento -376_-504)
Azioni sul collegamento: N=172.06 Ty=1.41 Tz=-54.65 Mx=0.34 Mz=1.70
Sollecitazioni agenti localmente: Tx_l=1.41 Ty_l=-54.65 N_l=172.06 My_l=-1.70 Mz_l=0.34
Azioni sul cordone: TP=-0.49 TO=4.29 NO=12.66
Tensioni nel cordone: τ_P=0.16 τ_0=1.36 σ_0=6.51 σ_{ID}=6.65 Σ_T=7.87
CC 19 SLV (Collegamento -376_-504)
Azioni sul collegamento: N=118.27 Ty=2.46 Tz=-46.33 Mx=0.60 Mz=3.37
Sollecitazioni agenti localmente: Tx_l=2.46 Ty_l=-46.33 N_l=118.27 My_l=-3.37 Mz_l=0.60
Azioni sul cordone: TP=-0.87 TO=3.88 NO=8.70
Tensioni nel cordone: τ_P=0.28 τ_0=1.23 σ_0=7.69 σ_{ID}=7.79 Σ_T=8.92
CC 19 SLV (Collegamento -376_-504)
Azioni sul collegamento: N=118.27 Ty=1.41 Tz=-46.33 Mx=0.34 Mz=1.70
Sollecitazioni agenti localmente: Tx_l=1.41 Ty_l=-46.33 N_l=118.27 My_l=-1.70 Mz_l=0.34
Azioni sul cordone: TP=-0.49 TO=3.68 NO=8.70
Tensioni nel cordone: τ_P=0.16 τ_0=1.17 σ_0=5.25 σ_{ID}=5.38 Σ_T=6.42
CC 19 SLV (Collegamento -376_-504)
Azioni sul collegamento: N=118.27 Ty=2.46 Tz=-46.33 Mx=0.60 Mz=3.37
Sollecitazioni agenti localmente: Tx_l=2.46 Ty_l=-46.33 N_l=118.27 My_l=-3.37 Mz_l=0.60
Azioni sul cordone: TP=-0.87 TO=3.88 NO=8.70
Tensioni nel cordone: τ_P=0.28 τ_0=1.23 σ_0=7.69 σ_{ID}=7.79 Σ_T=8.92
CC 19 SLV (Collegamento -376_-504)
Azioni sul collegamento: N=118.27 Ty=1.41 Tz=-46.33 Mx=0.34 Mz=1.70
Sollecitazioni agenti localmente: Tx_l=1.41 Ty_l=-46.33 N_l=118.27 My_l=-1.70 Mz_l=0.34
Azioni sul cordone: TP=-0.49 TO=3.68 NO=8.70
Tensioni nel cordone: τ_P=0.16 τ_0=1.17 σ_0=5.25 σ_{ID}=5.38 Σ_T=6.42
CC 20 SLD (Collegamento -376_-504)
Azioni sul collegamento: N=154.98 Ty=1.78 Tz=-52.01 Mx=0.44 Mz=2.45
Sollecitazioni agenti localmente: Tx_l=1.78 Ty_l=-52.01 N_l=154.98 My_l=-2.45 Mz_l=0.44
Azioni sul cordone: TP=-0.64 TO=4.17 NO=11.40
Tensioni nel cordone: τ_P=0.20 τ_0=1.33 σ_0=7.20 σ_{ID}=7.33 Σ_T=8.53
CC 20 SLD (Collegamento -376_-504)
Azioni sul collegamento: N=154.98 Ty=1.46 Tz=-52.01 Mx=0.36 Mz=1.94
Sollecitazioni agenti localmente: Tx_l=1.46 Ty_l=-52.01 N_l=154.98 My_l=-1.94 Mz_l=0.36
Azioni sul cordone: TP=-0.52 TO=4.11 NO=11.40
Tensioni nel cordone: τ_P=0.17 τ_0=1.31 σ_0=6.46 σ_{ID}=6.59 Σ_T=7.77
CC 20 SLD (Collegamento -376_-504)
Azioni sul collegamento: N=154.98 Ty=1.78 Tz=-52.01 Mx=0.44 Mz=2.45
Sollecitazioni agenti localmente: Tx_l=1.78 Ty_l=-52.01 N_l=154.98 My_l=-2.45 Mz_l=0.44
Azioni sul cordone: TP=-0.64 TO=4.17 NO=11.40
Tensioni nel cordone: τ_P=0.20 τ_0=1.33 σ_0=7.20 σ_{ID}=7.33 Σ_T=8.53
CC 20 SLD (Collegamento -376_-504)
Azioni sul collegamento: N=154.98 Ty=1.46 Tz=-52.01 Mx=0.36 Mz=1.94
Sollecitazioni agenti localmente: Tx_l=1.46 Ty_l=-52.01 N_l=154.98 My_l=-1.94 Mz_l=0.36
Azioni sul cordone: TP=-0.52 TO=4.11 NO=11.40
Tensioni nel cordone: τ_P=0.17 τ_0=1.31 σ_0=6.46 σ_{ID}=6.59 Σ_T=7.77
CC 20 SLD (Collegamento -376_-504)
Azioni sul collegamento: N=138.58 Ty=1.78 Tz=-49.47 Mx=0.44 Mz=2.45
Sollecitazioni agenti localmente: Tx_l=1.78 Ty_l=-49.47 N_l=138.58 My_l=-2.45 Mz_l=0.44
Azioni sul cordone: TP=-0.64 TO=3.99 NO=10.20
Tensioni nel cordone: τ_P=0.20 τ_0=1.27 σ_0=6.82 σ_{ID}=6.94 Σ_T=8.09
CC 20 SLD (Collegamento -376_-504)
Azioni sul collegamento: N=138.58 Ty=1.46 Tz=-49.47 Mx=0.36 Mz=1.94
Sollecitazioni agenti localmente: Tx_l=1.46 Ty_l=-49.47 N_l=138.58 My_l=-1.94 Mz_l=0.36
Azioni sul cordone: TP=-0.52 TO=3.92 NO=10.20
Tensioni nel cordone: τ_P=0.17 τ_0=1.25 σ_0=6.08 σ_{ID}=6.20 Σ_T=7.32
CC 20 SLD (Collegamento -376_-504)
Azioni sul collegamento: N=138.58 Ty=1.78 Tz=-49.47 Mx=0.44 Mz=2.45
Sollecitazioni agenti localmente: Tx_l=1.78 Ty_l=-49.47 N_l=138.58 My_l=-2.45 Mz_l=0.44
Azioni sul cordone: TP=-0.64 TO=3.99 NO=10.20
Tensioni nel cordone: τ_P=0.20 τ_0=1.27 σ_0=6.82 σ_{ID}=6.94 Σ_T=8.09
CC 20 SLD (Collegamento -376_-504)
Azioni sul collegamento: N=138.58 Ty=1.46 Tz=-49.47 Mx=0.36 Mz=1.94

Sollecitazioni agenti localmente: Tx_l=1.46 Ty_l=-49.47 N_l=138.58 My_l=-1.94 Mz_l=0.36
Azioni sul cordone: TP=-0.52 TO=3.92 NO=10.20
Tensioni nel cordone: τ_P=0.17 τ_0=1.25 σ_0=6.08 σ_{ID}=6.20 Σ_T=7.32
CC 21 SLV (Collegamento -376_-504)
Azioni sul collegamento: N=118.27 Ty=1.41 Tz=-46.33 Mx=0.31 Mz=1.71
Sollecitazioni agenti localmente: Tx_l=1.41 Ty_l=-46.33 N_l=118.27 My_l=-1.71 Mz_l=0.31
Azioni sul cordone: TP=-0.46 TO=3.65 NO=8.70
Tensioni nel cordone: τ_P=0.14 τ_0=1.16 σ_0=5.26 σ_{ID}=5.39 Σ_T=6.42
CC 21 SLV (Collegamento -376_-504)
Azioni sul collegamento: N=118.27 Ty=2.46 Tz=-46.33 Mx=0.56 Mz=3.37
Sollecitazioni agenti localmente: Tx_l=2.46 Ty_l=-46.33 N_l=118.27 My_l=-3.37 Mz_l=0.56
Azioni sul cordone: TP=-0.83 TO=3.85 NO=8.70
Tensioni nel cordone: τ_P=0.26 τ_0=1.22 σ_0=7.69 σ_{ID}=7.80 Σ_T=8.92
CC 21 SLV (Collegamento -376_-504)
Azioni sul collegamento: N=118.27 Ty=1.41 Tz=-46.33 Mx=0.31 Mz=1.71
Sollecitazioni agenti localmente: Tx_l=1.41 Ty_l=-46.33 N_l=118.27 My_l=-1.71 Mz_l=0.31
Azioni sul cordone: TP=-0.46 TO=3.65 NO=8.70
Tensioni nel cordone: τ_P=0.14 τ_0=1.16 σ_0=5.26 σ_{ID}=5.39 Σ_T=6.42
CC 21 SLV (Collegamento -376_-504)
Azioni sul collegamento: N=118.27 Ty=2.46 Tz=-46.33 Mx=0.56 Mz=3.37
Sollecitazioni agenti localmente: Tx_l=2.46 Ty_l=-46.33 N_l=118.27 My_l=-3.37 Mz_l=0.56
Azioni sul cordone: TP=-0.83 TO=3.85 NO=8.70
Tensioni nel cordone: τ_P=0.26 τ_0=1.22 σ_0=7.69 σ_{ID}=7.80 Σ_T=8.92
CC 21 SLV (Collegamento -376_-504)
Azioni sul collegamento: N=172.06 Ty=1.41 Tz=-54.65 Mx=0.31 Mz=1.71
Sollecitazioni agenti localmente: Tx_l=1.41 Ty_l=-54.65 N_l=172.06 My_l=-1.71 Mz_l=0.31
Azioni sul cordone: TP=-0.46 TO=4.26 NO=12.66
Tensioni nel cordone: τ_P=0.14 τ_0=1.35 σ_0=6.52 σ_{ID}=6.66 Σ_T=7.87
CC 21 SLV (Collegamento -376_-504)
Azioni sul collegamento: N=172.06 Ty=2.46 Tz=-54.65 Mx=0.56 Mz=3.37
Sollecitazioni agenti localmente: Tx_l=2.46 Ty_l=-54.65 N_l=172.06 My_l=-3.37 Mz_l=0.56
Azioni sul cordone: TP=-0.83 TO=4.47 NO=12.66
Tensioni nel cordone: τ_P=0.26 τ_0=1.42 σ_0=8.95 σ_{ID}=9.07 Σ_T=10.37
CC 21 SLV (Collegamento -376_-504)
Azioni sul collegamento: N=172.06 Ty=1.41 Tz=-54.65 Mx=0.31 Mz=1.71
Sollecitazioni agenti localmente: Tx_l=1.41 Ty_l=-54.65 N_l=172.06 My_l=-1.71 Mz_l=0.31
Azioni sul cordone: TP=-0.46 TO=4.26 NO=12.66
Tensioni nel cordone: τ_P=0.14 τ_0=1.35 σ_0=6.52 σ_{ID}=6.66 Σ_T=7.87
CC 21 SLV (Collegamento -376_-504)
Azioni sul collegamento: N=172.06 Ty=2.46 Tz=-54.65 Mx=0.56 Mz=3.37
Sollecitazioni agenti localmente: Tx_l=2.46 Ty_l=-54.65 N_l=172.06 My_l=-3.37 Mz_l=0.56
Azioni sul cordone: TP=-0.83 TO=4.47 NO=12.66
Tensioni nel cordone: τ_P=0.26 τ_0=1.42 σ_0=8.95 σ_{ID}=9.07 Σ_T=10.37
CC 22 SLD (Collegamento -376_-504)
Azioni sul collegamento: N=138.58 Ty=1.46 Tz=-49.47 Mx=0.35 Mz=1.94
Sollecitazioni agenti localmente: Tx_l=1.46 Ty_l=-49.47 N_l=138.58 My_l=-1.94 Mz_l=0.35
Azioni sul cordone: TP=-0.51 TO=3.92 NO=10.20
Tensioni nel cordone: τ_P=0.16 τ_0=1.24 σ_0=6.08 σ_{ID}=6.21 Σ_T=7.32
CC 22 SLD (Collegamento -376_-504)
Azioni sul collegamento: N=138.58 Ty=1.78 Tz=-49.47 Mx=0.43 Mz=2.45
Sollecitazioni agenti localmente: Tx_l=1.78 Ty_l=-49.47 N_l=138.58 My_l=-2.45 Mz_l=0.43
Azioni sul cordone: TP=-0.62 TO=3.98 NO=10.20
Tensioni nel cordone: τ_P=0.20 τ_0=1.26 σ_0=6.82 σ_{ID}=6.94 Σ_T=8.09
CC 22 SLD (Collegamento -376_-504)
Azioni sul collegamento: N=138.58 Ty=1.46 Tz=-49.47 Mx=0.35 Mz=1.94
Sollecitazioni agenti localmente: Tx_l=1.46 Ty_l=-49.47 N_l=138.58 My_l=-1.94 Mz_l=0.35
Azioni sul cordone: TP=-0.51 TO=3.92 NO=10.20
Tensioni nel cordone: τ_P=0.16 τ_0=1.24 σ_0=6.08 σ_{ID}=6.21 Σ_T=7.32
CC 22 SLD (Collegamento -376_-504)
Azioni sul collegamento: N=138.58 Ty=1.78 Tz=-49.47 Mx=0.43 Mz=2.45
Sollecitazioni agenti localmente: Tx_l=1.78 Ty_l=-49.47 N_l=138.58 My_l=-2.45 Mz_l=0.43
Azioni sul cordone: TP=-0.62 TO=3.98 NO=10.20
Tensioni nel cordone: τ_P=0.20 τ_0=1.26 σ_0=6.82 σ_{ID}=6.94 Σ_T=8.09
CC 22 SLD (Collegamento -376_-504)
Azioni sul collegamento: N=154.98 Ty=1.46 Tz=-52.01 Mx=0.35 Mz=1.94
Sollecitazioni agenti localmente: Tx_l=1.46 Ty_l=-52.01 N_l=154.98 My_l=-1.94 Mz_l=0.35
Azioni sul cordone: TP=-0.51 TO=4.10 NO=11.40
Tensioni nel cordone: τ_P=0.16 τ_0=1.30 σ_0=6.46 σ_{ID}=6.59 Σ_T=7.77
CC 22 SLD (Collegamento -376_-504)
Azioni sul collegamento: N=154.98 Ty=1.78 Tz=-52.01 Mx=0.43 Mz=2.45
Sollecitazioni agenti localmente: Tx_l=1.78 Ty_l=-52.01 N_l=154.98 My_l=-2.45 Mz_l=0.43
Azioni sul cordone: TP=-0.62 TO=4.16 NO=11.40
Tensioni nel cordone: τ_P=0.20 τ_0=1.32 σ_0=7.20 σ_{ID}=7.33 Σ_T=8.53
CC 22 SLD (Collegamento -376_-504)
Azioni sul collegamento: N=154.98 Ty=1.46 Tz=-52.01 Mx=0.35 Mz=1.94
Sollecitazioni agenti localmente: Tx_l=1.46 Ty_l=-52.01 N_l=154.98 My_l=-1.94 Mz_l=0.35
Azioni sul cordone: TP=-0.51 TO=4.10 NO=11.40
Tensioni nel cordone: τ_P=0.16 τ_0=1.30 σ_0=6.46 σ_{ID}=6.59 Σ_T=7.77
CC 22 SLD (Collegamento -376_-504)

Azioni sul collegamento: N=154.98 Ty=1.78 Tz=-52.01 Mx=0.43 Mz=2.45
Sollecitazioni agenti localmente: Tx_l=1.78 Ty_l=-52.01 N_l=154.98 My_l=-2.45 Mz_l=0.43
Azioni sul cordone: TP=-0.62 TO=4.16 NO=11.40
Tensioni nel cordone: τ_P=0.20 τ_O=1.32 σ_O=7.20 σ_{ID}=7.33 Σ_T=8.53
CC 23 SLV (Collegamento -376_-504)
Azioni sul collegamento: N=118.18 Ty=1.14 Tz=-46.31 Mx=0.26 Mz=1.46
Sollecitazioni agenti localmente: Tx_l=1.14 Ty_l=-46.31 N_l=118.18 My_l=-1.46 Mz_l=0.26
Azioni sul cordone: TP=-0.39 TO=3.62 NO=8.70
Tensioni nel cordone: τ_P=0.12 τ_O=1.15 σ_O=4.90 σ_{ID}=5.03 Σ_T=6.05
CC 23 SLV (Collegamento -376_-504)
Azioni sul collegamento: N=118.18 Ty=2.73 Tz=-46.31 Mx=0.60 Mz=3.62
Sollecitazioni agenti localmente: Tx_l=2.73 Ty_l=-46.31 N_l=118.18 My_l=-3.62 Mz_l=0.60
Azioni sul cordone: TP=-0.89 TO=3.88 NO=8.70
Tensioni nel cordone: τ_P=0.28 τ_O=1.23 σ_O=8.05 σ_{ID}=8.15 Σ_T=9.29
CC 23 SLV (Collegamento -376_-504)
Azioni sul collegamento: N=118.18 Ty=1.14 Tz=-46.31 Mx=0.26 Mz=1.46
Sollecitazioni agenti localmente: Tx_l=1.14 Ty_l=-46.31 N_l=118.18 My_l=-1.46 Mz_l=0.26
Azioni sul cordone: TP=-0.39 TO=3.62 NO=8.70
Tensioni nel cordone: τ_P=0.12 τ_O=1.15 σ_O=4.90 σ_{ID}=5.03 Σ_T=6.05
CC 23 SLV (Collegamento -376_-504)
Azioni sul collegamento: N=118.18 Ty=2.73 Tz=-46.31 Mx=0.60 Mz=3.62
Sollecitazioni agenti localmente: Tx_l=2.73 Ty_l=-46.31 N_l=118.18 My_l=-3.62 Mz_l=0.60
Azioni sul cordone: TP=-0.89 TO=3.88 NO=8.70
Tensioni nel cordone: τ_P=0.28 τ_O=1.23 σ_O=8.05 σ_{ID}=8.15 Σ_T=9.29
CC 23 SLV (Collegamento -376_-504)
Azioni sul collegamento: N=172.15 Ty=1.14 Tz=-54.66 Mx=0.26 Mz=1.46
Sollecitazioni agenti localmente: Tx_l=1.14 Ty_l=-54.66 N_l=172.15 My_l=-1.46 Mz_l=0.26
Azioni sul cordone: TP=-0.39 TO=4.23 NO=12.67
Tensioni nel cordone: τ_P=0.12 τ_O=1.34 σ_O=6.16 σ_{ID}=6.30 Σ_T=7.50
CC 23 SLV (Collegamento -376_-504)
Azioni sul collegamento: N=172.15 Ty=2.73 Tz=-54.66 Mx=0.60 Mz=3.62
Sollecitazioni agenti localmente: Tx_l=2.73 Ty_l=-54.66 N_l=172.15 My_l=-3.62 Mz_l=0.60
Azioni sul cordone: TP=-0.89 TO=4.49 NO=12.67
Tensioni nel cordone: τ_P=0.28 τ_O=1.43 σ_O=9.31 σ_{ID}=9.43 Σ_T=10.74
CC 23 SLV (Collegamento -376_-504)
Azioni sul collegamento: N=172.15 Ty=1.14 Tz=-54.66 Mx=0.26 Mz=1.46
Sollecitazioni agenti localmente: Tx_l=1.14 Ty_l=-54.66 N_l=172.15 My_l=-1.46 Mz_l=0.26
Azioni sul cordone: TP=-0.39 TO=4.23 NO=12.67
Tensioni nel cordone: τ_P=0.12 τ_O=1.34 σ_O=6.16 σ_{ID}=6.30 Σ_T=7.50
CC 23 SLV (Collegamento -376_-504)
Azioni sul collegamento: N=172.15 Ty=2.73 Tz=-54.66 Mx=0.60 Mz=3.62
Sollecitazioni agenti localmente: Tx_l=2.73 Ty_l=-54.66 N_l=172.15 My_l=-3.62 Mz_l=0.60
Azioni sul cordone: TP=-0.89 TO=4.49 NO=12.67
Tensioni nel cordone: τ_P=0.28 τ_O=1.43 σ_O=9.31 σ_{ID}=9.43 Σ_T=10.74
CC 24 SLD (Collegamento -376_-504)
Azioni sul collegamento: N=138.55 Ty=1.38 Tz=-49.47 Mx=0.34 Mz=1.87
Sollecitazioni agenti localmente: Tx_l=1.38 Ty_l=-49.47 N_l=138.55 My_l=-1.87 Mz_l=0.34
Azioni sul cordone: TP=-0.49 TO=3.91 NO=10.20
Tensioni nel cordone: τ_P=0.16 τ_O=1.24 σ_O=5.97 σ_{ID}=6.10 Σ_T=7.21
CC 24 SLD (Collegamento -376_-504)
Azioni sul collegamento: N=138.55 Ty=1.86 Tz=-49.47 Mx=0.44 Mz=2.53
Sollecitazioni agenti localmente: Tx_l=1.86 Ty_l=-49.47 N_l=138.55 My_l=-2.53 Mz_l=0.44
Azioni sul cordone: TP=-0.64 TO=3.99 NO=10.20
Tensioni nel cordone: τ_P=0.20 τ_O=1.27 σ_O=6.93 σ_{ID}=7.05 Σ_T=8.20
CC 24 SLD (Collegamento -376_-504)
Azioni sul collegamento: N=138.55 Ty=1.38 Tz=-49.47 Mx=0.34 Mz=1.87
Sollecitazioni agenti localmente: Tx_l=1.38 Ty_l=-49.47 N_l=138.55 My_l=-1.87 Mz_l=0.34
Azioni sul cordone: TP=-0.49 TO=3.91 NO=10.20
Tensioni nel cordone: τ_P=0.16 τ_O=1.24 σ_O=5.97 σ_{ID}=6.10 Σ_T=7.21
CC 24 SLD (Collegamento -376_-504)
Azioni sul collegamento: N=138.55 Ty=1.86 Tz=-49.47 Mx=0.44 Mz=2.53
Sollecitazioni agenti localmente: Tx_l=1.86 Ty_l=-49.47 N_l=138.55 My_l=-2.53 Mz_l=0.44
Azioni sul cordone: TP=-0.64 TO=3.99 NO=10.20
Tensioni nel cordone: τ_P=0.20 τ_O=1.27 σ_O=6.93 σ_{ID}=7.05 Σ_T=8.20
CC 24 SLD (Collegamento -376_-504)
Azioni sul collegamento: N=155.01 Ty=1.38 Tz=-52.01 Mx=0.34 Mz=1.87
Sollecitazioni agenti localmente: Tx_l=1.38 Ty_l=-52.01 N_l=155.01 My_l=-1.87 Mz_l=0.34
Azioni sul cordone: TP=-0.49 TO=4.09 NO=11.41
Tensioni nel cordone: τ_P=0.16 τ_O=1.30 σ_O=6.35 σ_{ID}=6.49 Σ_T=7.65
CC 24 SLD (Collegamento -376_-504)
Azioni sul collegamento: N=155.01 Ty=1.86 Tz=-52.01 Mx=0.44 Mz=2.53
Sollecitazioni agenti localmente: Tx_l=1.86 Ty_l=-52.01 N_l=155.01 My_l=-2.53 Mz_l=0.44
Azioni sul cordone: TP=-0.64 TO=4.17 NO=11.41
Tensioni nel cordone: τ_P=0.20 τ_O=1.33 σ_O=7.31 σ_{ID}=7.44 Σ_T=8.64
CC 24 SLD (Collegamento -376_-504)
Azioni sul collegamento: N=155.01 Ty=1.38 Tz=-52.01 Mx=0.34 Mz=1.87
Sollecitazioni agenti localmente: Tx_l=1.38 Ty_l=-52.01 N_l=155.01 My_l=-1.87 Mz_l=0.34
Azioni sul cordone: TP=-0.49 TO=4.09 NO=11.41
Tensioni nel cordone: τ_P=0.16 τ_O=1.30 σ_O=6.35 σ_{ID}=6.49 Σ_T=7.65

CC 24 SLD (Collegamento -376_-504)
Azioni sul collegamento: N=155.01 Ty=1.86 Tz=-52.01 Mx=0.44 Mz=2.53
Sollecitazioni agenti localmente: Tx_l=1.86 Ty_l=-52.01 N_l=155.01 My_l=-2.53 Mz_l=0.44
Azioni sul cordone: TP=-0.64 TO=4.17 NO=11.41
Tensioni nel cordone: τ_P=0.20 τ_0=1.33 σ_0=7.31 σ_{ID}=7.44 Σ_T=8.64
CC 25 SLV (Collegamento -376_-504)
Azioni sul collegamento: N=153.40 Ty=2.59 Tz=-51.76 Mx=0.57 Mz=3.23
Sollecitazioni agenti localmente: Tx_l=2.59 Ty_l=-51.76 N_l=153.40 My_l=-3.23 Mz_l=0.57
Azioni sul cordone: TP=-0.85 TO=4.26 NO=11.29
Tensioni nel cordone: τ_P=0.27 τ_0=1.35 σ_0=8.31 σ_{ID}=8.42 Σ_T=9.66
CC 25 SLV (Collegamento -376_-504)
Azioni sul collegamento: N=153.40 Ty=1.28 Tz=-51.76 Mx=0.35 Mz=1.84
Sollecitazioni agenti localmente: Tx_l=1.28 Ty_l=-51.76 N_l=153.40 My_l=-1.84 Mz_l=0.35
Azioni sul cordone: TP=-0.50 TO=4.09 NO=11.29
Tensioni nel cordone: τ_P=0.16 τ_0=1.30 σ_0=6.27 σ_{ID}=6.41 Σ_T=7.57
CC 25 SLV (Collegamento -376_-504)
Azioni sul collegamento: N=153.40 Ty=2.59 Tz=-51.76 Mx=0.57 Mz=3.23
Sollecitazioni agenti localmente: Tx_l=2.59 Ty_l=-51.76 N_l=153.40 My_l=-3.23 Mz_l=0.57
Azioni sul cordone: TP=-0.85 TO=4.26 NO=11.29
Tensioni nel cordone: τ_P=0.27 τ_0=1.35 σ_0=8.31 σ_{ID}=8.42 Σ_T=9.66
CC 25 SLV (Collegamento -376_-504)
Azioni sul collegamento: N=153.40 Ty=1.28 Tz=-51.76 Mx=0.35 Mz=1.84
Sollecitazioni agenti localmente: Tx_l=1.28 Ty_l=-51.76 N_l=153.40 My_l=-1.84 Mz_l=0.35
Azioni sul cordone: TP=-0.50 TO=4.09 NO=11.29
Tensioni nel cordone: τ_P=0.16 τ_0=1.30 σ_0=6.27 σ_{ID}=6.41 Σ_T=7.57
CC 25 SLV (Collegamento -376_-504)
Azioni sul collegamento: N=136.93 Ty=2.59 Tz=-49.21 Mx=0.57 Mz=3.23
Sollecitazioni agenti localmente: Tx_l=2.59 Ty_l=-49.21 N_l=136.93 My_l=-3.23 Mz_l=0.57
Azioni sul cordone: TP=-0.85 TO=4.07 NO=10.08
Tensioni nel cordone: τ_P=0.27 τ_0=1.29 σ_0=7.93 σ_{ID}=8.04 Σ_T=9.22
CC 25 SLV (Collegamento -376_-504)
Azioni sul collegamento: N=136.93 Ty=1.28 Tz=-49.21 Mx=0.35 Mz=1.84
Sollecitazioni agenti localmente: Tx_l=1.28 Ty_l=-49.21 N_l=136.93 My_l=-1.84 Mz_l=0.35
Azioni sul cordone: TP=-0.50 TO=3.90 NO=10.08
Tensioni nel cordone: τ_P=0.16 τ_0=1.24 σ_0=5.89 σ_{ID}=6.02 Σ_T=7.13
CC 25 SLV (Collegamento -376_-504)
Azioni sul collegamento: N=136.93 Ty=2.59 Tz=-49.21 Mx=0.57 Mz=3.23
Sollecitazioni agenti localmente: Tx_l=2.59 Ty_l=-49.21 N_l=136.93 My_l=-3.23 Mz_l=0.57
Azioni sul cordone: TP=-0.85 TO=4.07 NO=10.08
Tensioni nel cordone: τ_P=0.27 τ_0=1.29 σ_0=7.93 σ_{ID}=8.04 Σ_T=9.22
CC 25 SLV (Collegamento -376_-504)
Azioni sul collegamento: N=136.93 Ty=1.28 Tz=-49.21 Mx=0.35 Mz=1.84
Sollecitazioni agenti localmente: Tx_l=1.28 Ty_l=-49.21 N_l=136.93 My_l=-1.84 Mz_l=0.35
Azioni sul cordone: TP=-0.50 TO=3.90 NO=10.08
Tensioni nel cordone: τ_P=0.16 τ_0=1.24 σ_0=5.89 σ_{ID}=6.02 Σ_T=7.13
CC 26 SLD (Collegamento -376_-504)
Azioni sul collegamento: N=149.29 Ty=1.82 Tz=-51.13 Mx=0.43 Mz=2.41
Sollecitazioni agenti localmente: Tx_l=1.82 Ty_l=-51.13 N_l=149.29 My_l=-2.41 Mz_l=0.43
Azioni sul cordone: TP=-0.63 TO=4.10 NO=10.99
Tensioni nel cordone: τ_P=0.20 τ_0=1.30 σ_0=7.01 σ_{ID}=7.13 Σ_T=8.31
CC 26 SLD (Collegamento -376_-504)
Azioni sul collegamento: N=149.29 Ty=1.42 Tz=-51.13 Mx=0.36 Mz=1.98
Sollecitazioni agenti localmente: Tx_l=1.42 Ty_l=-51.13 N_l=149.29 My_l=-1.98 Mz_l=0.36
Azioni sul cordone: TP=-0.52 TO=4.05 NO=10.99
Tensioni nel cordone: τ_P=0.17 τ_0=1.29 σ_0=6.39 σ_{ID}=6.52 Σ_T=7.67
CC 26 SLD (Collegamento -376_-504)
Azioni sul collegamento: N=149.29 Ty=1.82 Tz=-51.13 Mx=0.43 Mz=2.41
Sollecitazioni agenti localmente: Tx_l=1.82 Ty_l=-51.13 N_l=149.29 My_l=-2.41 Mz_l=0.43
Azioni sul cordone: TP=-0.63 TO=4.10 NO=10.99
Tensioni nel cordone: τ_P=0.20 τ_0=1.30 σ_0=7.01 σ_{ID}=7.13 Σ_T=8.31
CC 26 SLD (Collegamento -376_-504)
Azioni sul collegamento: N=149.29 Ty=1.42 Tz=-51.13 Mx=0.36 Mz=1.98
Sollecitazioni agenti localmente: Tx_l=1.42 Ty_l=-51.13 N_l=149.29 My_l=-1.98 Mz_l=0.36
Azioni sul cordone: TP=-0.52 TO=4.05 NO=10.99
Tensioni nel cordone: τ_P=0.17 τ_0=1.29 σ_0=6.39 σ_{ID}=6.52 Σ_T=7.67
CC 26 SLD (Collegamento -376_-504)
Azioni sul collegamento: N=144.27 Ty=1.82 Tz=-50.35 Mx=0.43 Mz=2.41
Sollecitazioni agenti localmente: Tx_l=1.82 Ty_l=-50.35 N_l=144.27 My_l=-2.41 Mz_l=0.43
Azioni sul cordone: TP=-0.63 TO=4.04 NO=10.62
Tensioni nel cordone: τ_P=0.20 τ_0=1.29 σ_0=6.89 σ_{ID}=7.01 Σ_T=8.18
CC 26 SLD (Collegamento -376_-504)
Azioni sul collegamento: N=144.27 Ty=1.42 Tz=-50.35 Mx=0.36 Mz=1.98
Sollecitazioni agenti localmente: Tx_l=1.42 Ty_l=-50.35 N_l=144.27 My_l=-1.98 Mz_l=0.36
Azioni sul cordone: TP=-0.52 TO=3.99 NO=10.62
Tensioni nel cordone: τ_P=0.17 τ_0=1.27 σ_0=6.27 σ_{ID}=6.40 Σ_T=7.54
CC 26 SLD (Collegamento -376_-504)
Azioni sul collegamento: N=144.27 Ty=1.82 Tz=-50.35 Mx=0.43 Mz=2.41
Sollecitazioni agenti localmente: Tx_l=1.82 Ty_l=-50.35 N_l=144.27 My_l=-2.41 Mz_l=0.43
Azioni sul cordone: TP=-0.63 TO=4.04 NO=10.62

Tensioni nel cordone: τ_P=0.20 τ_0=1.29 σ_0=6.89 σ_{ID}=7.01 Σ_T=8.18
CC 26 SLD (Collegamento -376_-504)
Azioni sul collegamento: N=144.27 Ty=1.42 Tz=-50.35 Mx=0.36 Mz=1.98
Sollecitazioni agenti localmente: Tx_l=1.42 Ty_l=-50.35 N_l=144.27 My_l=-1.98 Mz_l=0.36
Azioni sul cordone: TP=-0.52 TO=3.99 NO=10.62
Tensioni nel cordone: τ_P=0.17 τ_0=1.27 σ_0=6.27 σ_{ID}=6.40 Σ_T=7.54
CC 27 SLV (Collegamento -376_-504)
Azioni sul collegamento: N=137.24 Ty=2.20 Tz=-49.26 Mx=0.47 Mz=2.66
Sollecitazioni agenti localmente: Tx_l=2.20 Ty_l=-49.26 N_l=137.24 My_l=-2.66 Mz_l=0.47
Azioni sul cordone: TP=-0.70 TO=3.99 NO=10.10
Tensioni nel cordone: τ_P=0.22 τ_0=1.27 σ_0=7.10 σ_{ID}=7.21 Σ_T=8.37
CC 27 SLV (Collegamento -376_-504)
Azioni sul collegamento: N=137.24 Ty=1.68 Tz=-49.26 Mx=0.43 Mz=2.41
Sollecitazioni agenti localmente: Tx_l=1.68 Ty_l=-49.26 N_l=137.24 My_l=-2.41 Mz_l=0.43
Azioni sul cordone: TP=-0.62 TO=3.96 NO=10.10
Tensioni nel cordone: τ_P=0.20 τ_0=1.26 σ_0=6.74 σ_{ID}=6.86 Σ_T=8.00
CC 27 SLV (Collegamento -376_-504)
Azioni sul collegamento: N=137.24 Ty=2.20 Tz=-49.26 Mx=0.47 Mz=2.66
Sollecitazioni agenti localmente: Tx_l=2.20 Ty_l=-49.26 N_l=137.24 My_l=-2.66 Mz_l=0.47
Azioni sul cordone: TP=-0.70 TO=3.99 NO=10.10
Tensioni nel cordone: τ_P=0.22 τ_0=1.27 σ_0=7.10 σ_{ID}=7.21 Σ_T=8.37
CC 27 SLV (Collegamento -376_-504)
Azioni sul collegamento: N=137.24 Ty=1.68 Tz=-49.26 Mx=0.43 Mz=2.41
Sollecitazioni agenti localmente: Tx_l=1.68 Ty_l=-49.26 N_l=137.24 My_l=-2.41 Mz_l=0.43
Azioni sul cordone: TP=-0.62 TO=3.96 NO=10.10
Tensioni nel cordone: τ_P=0.20 τ_0=1.26 σ_0=6.74 σ_{ID}=6.86 Σ_T=8.00
CC 27 SLV (Collegamento -376_-504)
Azioni sul collegamento: N=153.09 Ty=2.20 Tz=-51.72 Mx=0.47 Mz=2.66
Sollecitazioni agenti localmente: Tx_l=2.20 Ty_l=-51.72 N_l=153.09 My_l=-2.66 Mz_l=0.47
Azioni sul cordone: TP=-0.70 TO=4.17 NO=11.27
Tensioni nel cordone: τ_P=0.22 τ_0=1.33 σ_0=7.47 σ_{ID}=7.59 Σ_T=8.79
CC 27 SLV (Collegamento -376_-504)
Azioni sul collegamento: N=153.09 Ty=1.68 Tz=-51.72 Mx=0.43 Mz=2.41
Sollecitazioni agenti localmente: Tx_l=1.68 Ty_l=-51.72 N_l=153.09 My_l=-2.41 Mz_l=0.43
Azioni sul cordone: TP=-0.62 TO=4.14 NO=11.27
Tensioni nel cordone: τ_P=0.20 τ_0=1.32 σ_0=7.11 σ_{ID}=7.23 Σ_T=8.42
CC 27 SLV (Collegamento -376_-504)
Azioni sul collegamento: N=153.09 Ty=2.20 Tz=-51.72 Mx=0.47 Mz=2.66
Sollecitazioni agenti localmente: Tx_l=2.20 Ty_l=-51.72 N_l=153.09 My_l=-2.66 Mz_l=0.47
Azioni sul cordone: TP=-0.70 TO=4.17 NO=11.27
Tensioni nel cordone: τ_P=0.22 τ_0=1.33 σ_0=7.47 σ_{ID}=7.59 Σ_T=8.79
CC 27 SLV (Collegamento -376_-504)
Azioni sul collegamento: N=153.09 Ty=1.68 Tz=-51.72 Mx=0.43 Mz=2.41
Sollecitazioni agenti localmente: Tx_l=1.68 Ty_l=-51.72 N_l=153.09 My_l=-2.41 Mz_l=0.43
Azioni sul cordone: TP=-0.62 TO=4.14 NO=11.27
Tensioni nel cordone: τ_P=0.20 τ_0=1.32 σ_0=7.11 σ_{ID}=7.23 Σ_T=8.42
CC 28 SLD (Collegamento -376_-504)
Azioni sul collegamento: N=144.37 Ty=1.70 Tz=-50.36 Mx=0.40 Mz=2.23
Sollecitazioni agenti localmente: Tx_l=1.70 Ty_l=-50.36 N_l=144.37 My_l=-2.23 Mz_l=0.40
Azioni sul cordone: TP=-0.59 TO=4.02 NO=10.62
Tensioni nel cordone: τ_P=0.19 τ_0=1.28 σ_0=6.64 σ_{ID}=6.76 Σ_T=7.92
CC 28 SLD (Collegamento -376_-504)
Azioni sul collegamento: N=144.37 Ty=1.54 Tz=-50.36 Mx=0.39 Mz=2.16
Sollecitazioni agenti localmente: Tx_l=1.54 Ty_l=-50.36 N_l=144.37 My_l=-2.16 Mz_l=0.39
Azioni sul cordone: TP=-0.56 TO=4.01 NO=10.62
Tensioni nel cordone: τ_P=0.18 τ_0=1.28 σ_0=6.53 σ_{ID}=6.65 Σ_T=7.80
CC 28 SLD (Collegamento -376_-504)
Azioni sul collegamento: N=144.37 Ty=1.70 Tz=-50.36 Mx=0.40 Mz=2.23
Sollecitazioni agenti localmente: Tx_l=1.70 Ty_l=-50.36 N_l=144.37 My_l=-2.23 Mz_l=0.40
Azioni sul cordone: TP=-0.59 TO=4.02 NO=10.62
Tensioni nel cordone: τ_P=0.19 τ_0=1.28 σ_0=6.64 σ_{ID}=6.76 Σ_T=7.92
CC 28 SLD (Collegamento -376_-504)
Azioni sul collegamento: N=144.37 Ty=1.54 Tz=-50.36 Mx=0.39 Mz=2.16
Sollecitazioni agenti localmente: Tx_l=1.54 Ty_l=-50.36 N_l=144.37 My_l=-2.16 Mz_l=0.39
Azioni sul cordone: TP=-0.56 TO=4.01 NO=10.62
Tensioni nel cordone: τ_P=0.18 τ_0=1.28 σ_0=6.53 σ_{ID}=6.65 Σ_T=7.80
CC 28 SLD (Collegamento -376_-504)
Azioni sul collegamento: N=149.20 Ty=1.70 Tz=-51.11 Mx=0.40 Mz=2.23
Sollecitazioni agenti localmente: Tx_l=1.70 Ty_l=-51.11 N_l=149.20 My_l=-2.23 Mz_l=0.40
Azioni sul cordone: TP=-0.59 TO=4.08 NO=10.98
Tensioni nel cordone: τ_P=0.19 τ_0=1.30 σ_0=6.75 σ_{ID}=6.88 Σ_T=8.05
CC 28 SLD (Collegamento -376_-504)
Azioni sul collegamento: N=149.20 Ty=1.54 Tz=-51.11 Mx=0.39 Mz=2.16
Sollecitazioni agenti localmente: Tx_l=1.54 Ty_l=-51.11 N_l=149.20 My_l=-2.16 Mz_l=0.39
Azioni sul cordone: TP=-0.56 TO=4.07 NO=10.98
Tensioni nel cordone: τ_P=0.18 τ_0=1.29 σ_0=6.64 σ_{ID}=6.77 Σ_T=7.93
CC 28 SLD (Collegamento -376_-504)
Azioni sul collegamento: N=149.20 Ty=1.70 Tz=-51.11 Mx=0.40 Mz=2.23
Sollecitazioni agenti localmente: Tx_l=1.70 Ty_l=-51.11 N_l=149.20 My_l=-2.23 Mz_l=0.40

Azioni sul cordone: TP=-0.59 TO=4.08 NO=10.98
Tensioni nel cordone: τ_P=0.19 τ_0=1.30 σ_0=6.75 σ_{ID}=6.88 Σ_T=8.05
CC 28 SLD (Collegamento -376_-504)
Azioni sul collegamento: N=149.20 Ty=1.54 Tz=-51.11 Mx=0.39 Mz=2.16
Sollecitazioni agenti localmente: Tx_l=1.54 Ty_l=-51.11 N_l=149.20 My_l=-2.16 Mz_l=0.39
Azioni sul cordone: TP=-0.56 TO=4.07 NO=10.98
Tensioni nel cordone: τ_P=0.18 τ_0=1.29 σ_0=6.64 σ_{ID}=6.77 Σ_T=7.93
CC 29 SLV (Collegamento -376_-504)
Azioni sul collegamento: N=153.09 Ty=1.68 Tz=-51.72 Mx=0.43 Mz=2.41
Sollecitazioni agenti localmente: Tx_l=1.68 Ty_l=-51.72 N_l=153.09 My_l=-2.41 Mz_l=0.43
Azioni sul cordone: TP=-0.62 TO=4.15 NO=11.27
Tensioni nel cordone: τ_P=0.20 τ_0=1.32 σ_0=7.11 σ_{ID}=7.23 Σ_T=8.42
CC 29 SLV (Collegamento -376_-504)
Azioni sul collegamento: N=153.09 Ty=2.20 Tz=-51.72 Mx=0.47 Mz=2.66
Sollecitazioni agenti localmente: Tx_l=2.20 Ty_l=-51.72 N_l=153.09 My_l=-2.66 Mz_l=0.47
Azioni sul cordone: TP=-0.70 TO=4.18 NO=11.27
Tensioni nel cordone: τ_P=0.22 τ_0=1.33 σ_0=7.47 σ_{ID}=7.59 Σ_T=8.79
CC 29 SLV (Collegamento -376_-504)
Azioni sul collegamento: N=153.09 Ty=1.68 Tz=-51.72 Mx=0.43 Mz=2.41
Sollecitazioni agenti localmente: Tx_l=1.68 Ty_l=-51.72 N_l=153.09 My_l=-2.41 Mz_l=0.43
Azioni sul cordone: TP=-0.62 TO=4.15 NO=11.27
Tensioni nel cordone: τ_P=0.20 τ_0=1.32 σ_0=7.11 σ_{ID}=7.23 Σ_T=8.42
CC 29 SLV (Collegamento -376_-504)
Azioni sul collegamento: N=153.09 Ty=2.20 Tz=-51.72 Mx=0.47 Mz=2.66
Sollecitazioni agenti localmente: Tx_l=2.20 Ty_l=-51.72 N_l=153.09 My_l=-2.66 Mz_l=0.47
Azioni sul cordone: TP=-0.70 TO=4.18 NO=11.27
Tensioni nel cordone: τ_P=0.22 τ_0=1.33 σ_0=7.47 σ_{ID}=7.59 Σ_T=8.79
CC 29 SLV (Collegamento -376_-504)
Azioni sul collegamento: N=137.24 Ty=1.68 Tz=-49.26 Mx=0.43 Mz=2.41
Sollecitazioni agenti localmente: Tx_l=1.68 Ty_l=-49.26 N_l=137.24 My_l=-2.41 Mz_l=0.43
Azioni sul cordone: TP=-0.62 TO=3.97 NO=10.10
Tensioni nel cordone: τ_P=0.20 τ_0=1.26 σ_0=6.74 σ_{ID}=6.85 Σ_T=8.00
CC 29 SLV (Collegamento -376_-504)
Azioni sul collegamento: N=137.24 Ty=2.20 Tz=-49.26 Mx=0.47 Mz=2.66
Sollecitazioni agenti localmente: Tx_l=2.20 Ty_l=-49.26 N_l=137.24 My_l=-2.66 Mz_l=0.47
Azioni sul cordone: TP=-0.70 TO=4.00 NO=10.10
Tensioni nel cordone: τ_P=0.22 τ_0=1.27 σ_0=7.10 σ_{ID}=7.21 Σ_T=8.37
CC 29 SLV (Collegamento -376_-504)
Azioni sul collegamento: N=137.24 Ty=1.68 Tz=-49.26 Mx=0.43 Mz=2.41
Sollecitazioni agenti localmente: Tx_l=1.68 Ty_l=-49.26 N_l=137.24 My_l=-2.41 Mz_l=0.43
Azioni sul cordone: TP=-0.62 TO=3.97 NO=10.10
Tensioni nel cordone: τ_P=0.20 τ_0=1.26 σ_0=6.74 σ_{ID}=6.85 Σ_T=8.00
CC 29 SLV (Collegamento -376_-504)
Azioni sul collegamento: N=137.24 Ty=2.20 Tz=-49.26 Mx=0.47 Mz=2.66
Sollecitazioni agenti localmente: Tx_l=2.20 Ty_l=-49.26 N_l=137.24 My_l=-2.66 Mz_l=0.47
Azioni sul cordone: TP=-0.70 TO=4.00 NO=10.10
Tensioni nel cordone: τ_P=0.22 τ_0=1.27 σ_0=7.10 σ_{ID}=7.21 Σ_T=8.37
CC 30 SLD (Collegamento -376_-504)
Azioni sul collegamento: N=149.20 Ty=1.54 Tz=-51.11 Mx=0.39 Mz=2.16
Sollecitazioni agenti localmente: Tx_l=1.54 Ty_l=-51.11 N_l=149.20 My_l=-2.16 Mz_l=0.39
Azioni sul cordone: TP=-0.56 TO=4.07 NO=10.98
Tensioni nel cordone: τ_P=0.18 τ_0=1.29 σ_0=6.64 σ_{ID}=6.77 Σ_T=7.93
CC 30 SLD (Collegamento -376_-504)
Azioni sul collegamento: N=149.20 Ty=1.70 Tz=-51.11 Mx=0.40 Mz=2.23
Sollecitazioni agenti localmente: Tx_l=1.70 Ty_l=-51.11 N_l=149.20 My_l=-2.23 Mz_l=0.40
Azioni sul cordone: TP=-0.59 TO=4.08 NO=10.98
Tensioni nel cordone: τ_P=0.19 τ_0=1.30 σ_0=6.75 σ_{ID}=6.88 Σ_T=8.05
CC 30 SLD (Collegamento -376_-504)
Azioni sul collegamento: N=149.20 Ty=1.54 Tz=-51.11 Mx=0.39 Mz=2.16
Sollecitazioni agenti localmente: Tx_l=1.54 Ty_l=-51.11 N_l=149.20 My_l=-2.16 Mz_l=0.39
Azioni sul cordone: TP=-0.56 TO=4.07 NO=10.98
Tensioni nel cordone: τ_P=0.18 τ_0=1.29 σ_0=6.64 σ_{ID}=6.77 Σ_T=7.93
CC 30 SLD (Collegamento -376_-504)
Azioni sul collegamento: N=149.20 Ty=1.70 Tz=-51.11 Mx=0.40 Mz=2.23
Sollecitazioni agenti localmente: Tx_l=1.70 Ty_l=-51.11 N_l=149.20 My_l=-2.23 Mz_l=0.40
Azioni sul cordone: TP=-0.59 TO=4.08 NO=10.98
Tensioni nel cordone: τ_P=0.19 τ_0=1.30 σ_0=6.75 σ_{ID}=6.88 Σ_T=8.05
CC 30 SLD (Collegamento -376_-504)
Azioni sul collegamento: N=144.37 Ty=1.54 Tz=-50.36 Mx=0.39 Mz=2.16
Sollecitazioni agenti localmente: Tx_l=1.54 Ty_l=-50.36 N_l=144.37 My_l=-2.16 Mz_l=0.39
Azioni sul cordone: TP=-0.56 TO=4.01 NO=10.62
Tensioni nel cordone: τ_P=0.18 τ_0=1.28 σ_0=6.53 σ_{ID}=6.65 Σ_T=7.80
CC 30 SLD (Collegamento -376_-504)
Azioni sul collegamento: N=144.37 Ty=1.70 Tz=-50.36 Mx=0.40 Mz=2.23
Sollecitazioni agenti localmente: Tx_l=1.70 Ty_l=-50.36 N_l=144.37 My_l=-2.23 Mz_l=0.40
Azioni sul cordone: TP=-0.59 TO=4.02 NO=10.62
Tensioni nel cordone: τ_P=0.19 τ_0=1.28 σ_0=6.64 σ_{ID}=6.76 Σ_T=7.92
CC 30 SLD (Collegamento -376_-504)
Azioni sul collegamento: N=144.37 Ty=1.54 Tz=-50.36 Mx=0.39 Mz=2.16

Sollecitazioni agenti localmente: Tx_l=1.54 Ty_l=-50.36 N_l=144.37 My_l=-2.16 Mz_l=0.39
Azioni sul cordone: TP=-0.56 TO=4.01 NO=10.62
Tensioni nel cordone: τ_P=0.18 τ_0=1.28 σ_0=6.53 σ_{ID}=6.65 Σ_T=7.80
CC 30 SLD (Collegamento -376_-504)
Azioni sul collegamento: N=144.37 Ty=1.70 Tz=-50.36 Mx=0.40 Mz=2.23
Sollecitazioni agenti localmente: Tx_l=1.70 Ty_l=-50.36 N_l=144.37 My_l=-2.23 Mz_l=0.40
Azioni sul cordone: TP=-0.59 TO=4.02 NO=10.62
Tensioni nel cordone: τ_P=0.19 τ_0=1.28 σ_0=6.64 σ_{ID}=6.76 Σ_T=7.92
CC 31 SLV (Collegamento -376_-504)
Azioni sul collegamento: N=136.93 Ty=1.28 Tz=-49.21 Mx=0.33 Mz=1.84
Sollecitazioni agenti localmente: Tx_l=1.28 Ty_l=-49.21 N_l=136.93 My_l=-1.84 Mz_l=0.33
Azioni sul cordone: TP=-0.48 TO=3.88 NO=10.08
Tensioni nel cordone: τ_P=0.15 τ_0=1.23 σ_0=5.89 σ_{ID}=6.02 Σ_T=7.13
CC 31 SLV (Collegamento -376_-504)
Azioni sul collegamento: N=136.93 Ty=2.59 Tz=-49.21 Mx=0.55 Mz=3.24
Sollecitazioni agenti localmente: Tx_l=2.59 Ty_l=-49.21 N_l=136.93 My_l=-3.24 Mz_l=0.55
Azioni sul cordone: TP=-0.82 TO=4.05 NO=10.08
Tensioni nel cordone: τ_P=0.26 τ_0=1.29 σ_0=7.93 σ_{ID}=8.04 Σ_T=9.22
CC 31 SLV (Collegamento -376_-504)
Azioni sul collegamento: N=136.93 Ty=1.28 Tz=-49.21 Mx=0.33 Mz=1.84
Sollecitazioni agenti localmente: Tx_l=1.28 Ty_l=-49.21 N_l=136.93 My_l=-1.84 Mz_l=0.33
Azioni sul cordone: TP=-0.48 TO=3.88 NO=10.08
Tensioni nel cordone: τ_P=0.15 τ_0=1.23 σ_0=5.89 σ_{ID}=6.02 Σ_T=7.13
CC 31 SLV (Collegamento -376_-504)
Azioni sul collegamento: N=136.93 Ty=2.59 Tz=-49.21 Mx=0.55 Mz=3.24
Sollecitazioni agenti localmente: Tx_l=2.59 Ty_l=-49.21 N_l=136.93 My_l=-3.24 Mz_l=0.55
Azioni sul cordone: TP=-0.82 TO=4.05 NO=10.08
Tensioni nel cordone: τ_P=0.26 τ_0=1.29 σ_0=7.93 σ_{ID}=8.04 Σ_T=9.22
CC 31 SLV (Collegamento -376_-504)
Azioni sul collegamento: N=153.40 Ty=1.28 Tz=-51.76 Mx=0.33 Mz=1.84
Sollecitazioni agenti localmente: Tx_l=1.28 Ty_l=-51.76 N_l=153.40 My_l=-1.84 Mz_l=0.33
Azioni sul cordone: TP=-0.48 TO=4.07 NO=11.29
Tensioni nel cordone: τ_P=0.15 τ_0=1.29 σ_0=6.28 σ_{ID}=6.41 Σ_T=7.57
CC 31 SLV (Collegamento -376_-504)
Azioni sul collegamento: N=153.40 Ty=2.59 Tz=-51.76 Mx=0.55 Mz=3.24
Sollecitazioni agenti localmente: Tx_l=2.59 Ty_l=-51.76 N_l=153.40 My_l=-3.24 Mz_l=0.55
Azioni sul cordone: TP=-0.82 TO=4.24 NO=11.29
Tensioni nel cordone: τ_P=0.26 τ_0=1.35 σ_0=8.32 σ_{ID}=8.43 Σ_T=9.66
CC 31 SLV (Collegamento -376_-504)
Azioni sul collegamento: N=153.40 Ty=1.28 Tz=-51.76 Mx=0.33 Mz=1.84
Sollecitazioni agenti localmente: Tx_l=1.28 Ty_l=-51.76 N_l=153.40 My_l=-1.84 Mz_l=0.33
Azioni sul cordone: TP=-0.48 TO=4.07 NO=11.29
Tensioni nel cordone: τ_P=0.15 τ_0=1.29 σ_0=6.28 σ_{ID}=6.41 Σ_T=7.57
CC 31 SLV (Collegamento -376_-504)
Azioni sul collegamento: N=153.40 Ty=2.59 Tz=-51.76 Mx=0.55 Mz=3.24
Sollecitazioni agenti localmente: Tx_l=2.59 Ty_l=-51.76 N_l=153.40 My_l=-3.24 Mz_l=0.55
Azioni sul cordone: TP=-0.82 TO=4.24 NO=11.29
Tensioni nel cordone: τ_P=0.26 τ_0=1.35 σ_0=8.32 σ_{ID}=8.43 Σ_T=9.66
CC 32 SLD (Collegamento -376_-504)
Azioni sul collegamento: N=144.27 Ty=1.42 Tz=-50.35 Mx=0.36 Mz=1.98
Sollecitazioni agenti localmente: Tx_l=1.42 Ty_l=-50.35 N_l=144.27 My_l=-1.98 Mz_l=0.36
Azioni sul cordone: TP=-0.52 TO=3.99 NO=10.62
Tensioni nel cordone: τ_P=0.16 τ_0=1.27 σ_0=6.27 σ_{ID}=6.40 Σ_T=7.54
CC 32 SLD (Collegamento -376_-504)
Azioni sul collegamento: N=144.27 Ty=1.82 Tz=-50.35 Mx=0.42 Mz=2.41
Sollecitazioni agenti localmente: Tx_l=1.82 Ty_l=-50.35 N_l=144.27 My_l=-2.41 Mz_l=0.42
Azioni sul cordone: TP=-0.62 TO=4.04 NO=10.62
Tensioni nel cordone: τ_P=0.20 τ_0=1.28 σ_0=6.89 σ_{ID}=7.01 Σ_T=8.18
CC 32 SLD (Collegamento -376_-504)
Azioni sul collegamento: N=144.27 Ty=1.42 Tz=-50.35 Mx=0.36 Mz=1.98
Sollecitazioni agenti localmente: Tx_l=1.42 Ty_l=-50.35 N_l=144.27 My_l=-1.98 Mz_l=0.36
Azioni sul cordone: TP=-0.52 TO=3.99 NO=10.62
Tensioni nel cordone: τ_P=0.16 τ_0=1.27 σ_0=6.27 σ_{ID}=6.40 Σ_T=7.54
CC 32 SLD (Collegamento -376_-504)
Azioni sul collegamento: N=144.27 Ty=1.82 Tz=-50.35 Mx=0.42 Mz=2.41
Sollecitazioni agenti localmente: Tx_l=1.82 Ty_l=-50.35 N_l=144.27 My_l=-2.41 Mz_l=0.42
Azioni sul cordone: TP=-0.62 TO=4.04 NO=10.62
Tensioni nel cordone: τ_P=0.20 τ_0=1.28 σ_0=6.89 σ_{ID}=7.01 Σ_T=8.18
CC 32 SLD (Collegamento -376_-504)
Azioni sul collegamento: N=149.29 Ty=1.42 Tz=-51.13 Mx=0.36 Mz=1.98
Sollecitazioni agenti localmente: Tx_l=1.42 Ty_l=-51.13 N_l=149.29 My_l=-1.98 Mz_l=0.36
Azioni sul cordone: TP=-0.52 TO=4.04 NO=10.99
Tensioni nel cordone: τ_P=0.16 τ_0=1.29 σ_0=6.39 σ_{ID}=6.52 Σ_T=7.67
CC 32 SLD (Collegamento -376_-504)
Azioni sul collegamento: N=149.29 Ty=1.82 Tz=-51.13 Mx=0.42 Mz=2.41
Sollecitazioni agenti localmente: Tx_l=1.82 Ty_l=-51.13 N_l=149.29 My_l=-2.41 Mz_l=0.42
Azioni sul cordone: TP=-0.62 TO=4.10 NO=10.99
Tensioni nel cordone: τ_P=0.20 τ_0=1.30 σ_0=7.01 σ_{ID}=7.13 Σ_T=8.31
CC 32 SLD (Collegamento -376_-504)

Azioni sul collegamento: N=149.29 Ty=1.42 Tz=-51.13 Mx=0.36 Mz=1.98
Sollecitazioni agenti localmente: Tx_l=1.42 Ty_l=-51.13 N_l=149.29 My_l=-1.98 Mz_l=0.36
Azioni sul cordone: TP=-0.52 TO=4.04 NO=10.99
Tensioni nel cordone: τ_P=0.16 τ_O=1.29 σ_O=6.39 σ_{ID}=6.52 Σ_T=7.67
CC 32 SLD (Collegamento -376_-504)
Azioni sul collegamento: N=149.29 Ty=1.82 Tz=-51.13 Mx=0.42 Mz=2.41
Sollecitazioni agenti localmente: Tx_l=1.82 Ty_l=-51.13 N_l=149.29 My_l=-2.41 Mz_l=0.42
Azioni sul cordone: TP=-0.62 TO=4.10 NO=10.99
Tensioni nel cordone: τ_P=0.20 τ_O=1.30 σ_O=7.01 σ_{ID}=7.13 Σ_T=8.31
CC 33 SLU (Collegamento -376_-504)
Azioni sul collegamento: N=371.78 Ty=3.15 Tz=-95.37 Mx=0.78 Mz=4.34
Sollecitazioni agenti localmente: Tx_l=3.15 Ty_l=-95.37 N_l=371.78 My_l=-4.34 Mz_l=0.78
Azioni sul cordone: TP=-1.13 TO=7.63 NO=27.36
Tensioni nel cordone: τ_P=0.36 τ_O=2.43 σ_O=15.04 σ_{ID}=15.23 Σ_T=17.46
CC 34 SLU (Collegamento -376_-504)
Azioni sul collegamento: N=366.17 Ty=3.01 Tz=-94.50 Mx=0.75 Mz=4.14
Sollecitazioni agenti localmente: Tx_l=3.01 Ty_l=-94.50 N_l=366.17 My_l=-4.14 Mz_l=0.75
Azioni sul cordone: TP=-1.08 TO=7.54 NO=26.94
Tensioni nel cordone: τ_P=0.34 τ_O=2.40 σ_O=14.61 σ_{ID}=14.81 Σ_T=17.01
CC 35 SLU (Collegamento -376_-504)
Azioni sul collegamento: N=369.00 Ty=3.13 Tz=-94.94 Mx=0.77 Mz=4.28
Sollecitazioni agenti localmente: Tx_l=3.13 Ty_l=-94.94 N_l=369.00 My_l=-4.28 Mz_l=0.77
Azioni sul cordone: TP=-1.12 TO=7.59 NO=27.15
Tensioni nel cordone: τ_P=0.36 τ_O=2.41 σ_O=14.88 σ_{ID}=15.08 Σ_T=17.30
CC 36 SLU (Collegamento -376_-504)
Azioni sul collegamento: N=368.95 Ty=3.03 Tz=-94.93 Mx=0.76 Mz=4.20
Sollecitazioni agenti localmente: Tx_l=3.03 Ty_l=-94.93 N_l=368.95 My_l=-4.20 Mz_l=0.76
Azioni sul cordone: TP=-1.10 TO=7.58 NO=27.15
Tensioni nel cordone: τ_P=0.35 τ_O=2.41 σ_O=14.76 σ_{ID}=14.96 Σ_T=17.17
CC 37 SLU (Collegamento -376_-504)
Azioni sul collegamento: N=304.32 Ty=3.00 Tz=-84.93 Mx=0.77 Mz=4.30
Sollecitazioni agenti localmente: Tx_l=3.00 Ty_l=-84.93 N_l=304.32 My_l=-4.30 Mz_l=0.77
Azioni sul cordone: TP=-1.11 TO=6.86 NO=22.39
Tensioni nel cordone: τ_P=0.35 τ_O=2.18 σ_O=13.40 σ_{ID}=13.58 Σ_T=15.58
CC 38 SLU (Collegamento -376_-504)
Azioni sul collegamento: N=298.72 Ty=2.86 Tz=-84.06 Mx=0.74 Mz=4.10
Sollecitazioni agenti localmente: Tx_l=2.86 Ty_l=-84.06 N_l=298.72 My_l=-4.10 Mz_l=0.74
Azioni sul cordone: TP=-1.06 TO=6.77 NO=21.98
Tensioni nel cordone: τ_P=0.34 τ_O=2.15 σ_O=12.98 σ_{ID}=13.16 Σ_T=15.13
CC 39 SLU (Collegamento -376_-504)
Azioni sul collegamento: N=301.54 Ty=2.98 Tz=-84.50 Mx=0.76 Mz=4.25
Sollecitazioni agenti localmente: Tx_l=2.98 Ty_l=-84.50 N_l=301.54 My_l=-4.25 Mz_l=0.76
Azioni sul cordone: TP=-1.09 TO=6.82 NO=22.19
Tensioni nel cordone: τ_P=0.35 τ_O=2.17 σ_O=13.25 σ_{ID}=13.43 Σ_T=15.42
CC 40 SLU (Collegamento -376_-504)
Azioni sul collegamento: N=301.50 Ty=2.88 Tz=-84.49 Mx=0.75 Mz=4.16
Sollecitazioni agenti localmente: Tx_l=2.88 Ty_l=-84.49 N_l=301.50 My_l=-4.16 Mz_l=0.75
Azioni sul cordone: TP=-1.07 TO=6.81 NO=22.19
Tensioni nel cordone: τ_P=0.34 τ_O=2.16 σ_O=13.13 σ_{ID}=13.31 Σ_T=15.29
CC 41 SLU (Collegamento -376_-504)
Azioni sul collegamento: N=335.80 Ty=-2.05 Tz=-89.80 Mx=-0.48 Mz=-2.83
Sollecitazioni agenti localmente: Tx_l=-2.05 Ty_l=-89.80 N_l=335.80 My_l=2.83 Mz_l=-0.48
Azioni sul cordone: TP=0.71 TO=6.99 NO=24.71
Tensioni nel cordone: τ_P=0.22 τ_O=2.22 σ_O=11.99 σ_{ID}=12.19 Σ_T=14.21
CC 42 SLU (Collegamento -376_-504)
Azioni sul collegamento: N=330.19 Ty=-2.19 Tz=-88.93 Mx=-0.52 Mz=-3.03
Sollecitazioni agenti localmente: Tx_l=-2.19 Ty_l=-88.93 N_l=330.19 My_l=3.03 Mz_l=-0.52
Azioni sul cordone: TP=0.76 TO=6.95 NO=24.30
Tensioni nel cordone: τ_P=0.24 τ_O=2.21 σ_O=12.15 σ_{ID}=12.35 Σ_T=14.36
CC 43 SLU (Collegamento -376_-504)
Azioni sul collegamento: N=333.02 Ty=-2.08 Tz=-89.37 Mx=-0.49 Mz=-2.89
Sollecitazioni agenti localmente: Tx_l=-2.08 Ty_l=-89.37 N_l=333.02 My_l=2.89 Mz_l=-0.49
Azioni sul cordone: TP=0.72 TO=6.96 NO=24.50
Tensioni nel cordone: τ_P=0.23 τ_O=2.21 σ_O=12.01 σ_{ID}=12.21 Σ_T=14.22
CC 44 SLU (Collegamento -376_-504)
Azioni sul collegamento: N=332.97 Ty=-2.17 Tz=-89.36 Mx=-0.51 Mz=-2.97
Sollecitazioni agenti localmente: Tx_l=-2.17 Ty_l=-89.36 N_l=332.97 My_l=2.97 Mz_l=-0.51
Azioni sul cordone: TP=0.74 TO=6.97 NO=24.50
Tensioni nel cordone: τ_P=0.24 τ_O=2.22 σ_O=12.13 σ_{ID}=12.33 Σ_T=14.35
CC 45 SLU (Collegamento -376_-504)
Azioni sul collegamento: N=319.15 Ty=3.14 Tz=-87.22 Mx=0.78 Mz=4.32
Sollecitazioni agenti localmente: Tx_l=3.14 Ty_l=-87.22 N_l=319.15 My_l=-4.32 Mz_l=0.78
Azioni sul cordone: TP=-1.12 TO=7.03 NO=23.48
Tensioni nel cordone: τ_P=0.36 τ_O=2.23 σ_O=13.77 σ_{ID}=13.95 Σ_T=16.00
CC 46 SLU (Collegamento -376_-504)
Azioni sul collegamento: N=313.55 Ty=3.00 Tz=-86.35 Mx=0.74 Mz=4.12
Sollecitazioni agenti localmente: Tx_l=3.00 Ty_l=-86.35 N_l=313.55 My_l=-4.12 Mz_l=0.74
Azioni sul cordone: TP=-1.07 TO=6.94 NO=23.07
Tensioni nel cordone: τ_P=0.34 τ_O=2.21 σ_O=13.34 σ_{ID}=13.53 Σ_T=15.55

CC 47 SLU (Collegamento -376_-504)
Azioni sul collegamento: N=316.37 Ty=3.12 Tz=-86.79 Mx=0.76 Mz=4.26
Sollecitazioni agenti localmente: Tx_l=3.12 Ty_l=-86.79 N_l=316.37 My_l=-4.26 Mz_l=0.76
Azioni sul cordone: TP=-1.11 TO=6.99 NO=23.28
Tensioni nel cordone: τ_P=0.35 τ_0=2.22 σ_0=13.62 σ_{ID}=13.80 Σ_T=15.84
CC 48 SLU (Collegamento -376_-504)
Azioni sul collegamento: N=316.33 Ty=3.02 Tz=-86.79 Mx=0.75 Mz=4.17
Sollecitazioni agenti localmente: Tx_l=3.02 Ty_l=-86.79 N_l=316.33 My_l=-4.17 Mz_l=0.75
Azioni sul cordone: TP=-1.09 TO=6.98 NO=23.28
Tensioni nel cordone: τ_P=0.35 τ_0=2.22 σ_0=13.49 σ_{ID}=13.68 Σ_T=15.71
CC 49 SLU (Collegamento -376_-504)
Azioni sul collegamento: N=268.69 Ty=3.03 Tz=-79.41 Mx=0.77 Mz=4.29
Sollecitazioni agenti localmente: Tx_l=3.03 Ty_l=-79.41 N_l=268.69 My_l=-4.29 Mz_l=0.77
Azioni sul cordone: TP=-1.11 TO=6.45 NO=19.77
Tensioni nel cordone: τ_P=0.35 τ_0=2.05 σ_0=12.55 σ_{ID}=12.72 Σ_T=14.60
CC 50 SLU (Collegamento -376_-504)
Azioni sul collegamento: N=263.08 Ty=2.89 Tz=-78.54 Mx=0.73 Mz=4.09
Sollecitazioni agenti localmente: Tx_l=2.89 Ty_l=-78.54 N_l=263.08 My_l=-4.09 Mz_l=0.73
Azioni sul cordone: TP=-1.06 TO=6.36 NO=19.36
Tensioni nel cordone: τ_P=0.34 τ_0=2.02 σ_0=12.12 σ_{ID}=12.30 Σ_T=14.14
CC 51 SLU (Collegamento -376_-504)
Azioni sul collegamento: N=265.90 Ty=3.00 Tz=-78.98 Mx=0.76 Mz=4.23
Sollecitazioni agenti localmente: Tx_l=3.00 Ty_l=-78.98 N_l=265.90 My_l=-4.23 Mz_l=0.76
Azioni sul cordone: TP=-1.09 TO=6.41 NO=19.57
Tensioni nel cordone: τ_P=0.35 τ_0=2.04 σ_0=12.40 σ_{ID}=12.57 Σ_T=14.43
CC 52 SLU (Collegamento -376_-504)
Azioni sul collegamento: N=265.86 Ty=2.91 Tz=-78.97 Mx=0.74 Mz=4.15
Sollecitazioni agenti localmente: Tx_l=2.91 Ty_l=-78.97 N_l=265.86 My_l=-4.15 Mz_l=0.74
Azioni sul cordone: TP=-1.07 TO=6.40 NO=19.56
Tensioni nel cordone: τ_P=0.34 τ_0=2.03 σ_0=12.27 σ_{ID}=12.45 Σ_T=14.31
CC 53 SLU (Collegamento -376_-504)
Azioni sul collegamento: N=292.23 Ty=-0.75 Tz=-83.06 Mx=-0.17 Mz=-1.05
Sollecitazioni agenti localmente: Tx_l=-0.75 Ty_l=-83.06 N_l=292.23 My_l=1.05 Mz_l=-0.17
Azioni sul cordone: TP=0.25 TO=6.25 NO=21.50
Tensioni nel cordone: τ_P= 0.08 τ_0=1.99 σ_0=8.37 σ_{ID}=8.60 Σ_T=10.35
CC 54 SLU (Collegamento -376_-504)
Azioni sul collegamento: N=286.63 Ty=-0.89 Tz=-82.19 Mx=-0.21 Mz=-1.25
Sollecitazioni agenti localmente: Tx_l=-0.89 Ty_l=-82.19 N_l=286.63 My_l=1.25 Mz_l=-0.21
Azioni sul cordone: TP=0.30 TO=6.21 NO=21.09
Tensioni nel cordone: τ_P= 0.10 τ_0=1.97 σ_0=8.53 σ_{ID}=8.75 Σ_T=10.50
CC 55 SLU (Collegamento -376_-504)
Azioni sul collegamento: N=289.45 Ty=-0.78 Tz=-82.63 Mx=-0.18 Mz=-1.11
Sollecitazioni agenti localmente: Tx_l=-0.78 Ty_l=-82.63 N_l=289.45 My_l=1.11 Mz_l=-0.18
Azioni sul cordone: TP=0.27 TO=6.22 NO=21.30
Tensioni nel cordone: τ_P= 0.08 τ_0=1.98 σ_0=8.39 σ_{ID}=8.62 Σ_T=10.37
CC 56 SLU (Collegamento -376_-504)
Azioni sul collegamento: N=289.41 Ty=-0.87 Tz=-82.62 Mx=-0.20 Mz=-1.19
Sollecitazioni agenti localmente: Tx_l=-0.87 Ty_l=-82.62 N_l=289.41 My_l=1.19 Mz_l=-0.20
Azioni sul cordone: TP=0.29 TO=6.23 NO=21.30
Tensioni nel cordone: τ_P= 0.09 τ_0=1.98 σ_0=8.51 σ_{ID}=8.74 Σ_T=10.49
CC 57 SLU (Collegamento -376_-504)
Azioni sul collegamento: N=303.76 Ty=2.83 Tz=-84.84 Mx=0.70 Mz=3.86
Sollecitazioni agenti localmente: Tx_l=2.83 Ty_l=-84.84 N_l=303.76 My_l=-3.86 Mz_l=0.70
Azioni sul cordone: TP=-1.01 TO=6.79 NO=22.35
Tensioni nel cordone: τ_P=0.32 τ_0=2.16 σ_0=12.74 σ_{ID}=12.93 Σ_T=14.90
CC 58 SLU (Collegamento -376_-504)
Azioni sul collegamento: N=298.15 Ty=2.69 Tz=-83.97 Mx=0.66 Mz=3.66
Sollecitazioni agenti localmente: Tx_l=2.69 Ty_l=-83.97 N_l=298.15 My_l=-3.66 Mz_l=0.66
Azioni sul cordone: TP=-0.96 TO=6.70 NO=21.94
Tensioni nel cordone: τ_P=0.30 τ_0=2.13 σ_0=12.32 σ_{ID}=12.51 Σ_T=14.45
CC 59 SLU (Collegamento -376_-504)
Azioni sul collegamento: N=300.98 Ty=2.80 Tz=-84.41 Mx=0.69 Mz=3.80
Sollecitazioni agenti localmente: Tx_l=2.80 Ty_l=-84.41 N_l=300.98 My_l=-3.80 Mz_l=0.69
Azioni sul cordone: TP=-1.00 TO=6.75 NO=22.15
Tensioni nel cordone: τ_P=0.32 τ_0=2.15 σ_0=12.59 σ_{ID}=12.78 Σ_T=14.74
CC 60 SLU (Collegamento -376_-504)
Azioni sul collegamento: N=300.94 Ty=2.71 Tz=-84.40 Mx=0.67 Mz=3.72
Sollecitazioni agenti localmente: Tx_l=2.71 Ty_l=-84.40 N_l=300.94 My_l=-3.72 Mz_l=0.67
Azioni sul cordone: TP=-0.97 TO=6.74 NO=22.14
Tensioni nel cordone: τ_P=0.31 τ_0=2.14 σ_0=12.47 σ_{ID}=12.66 Σ_T=14.61
CC 61 SLU (Collegamento -376_-504)
Azioni sul collegamento: N=253.29 Ty=2.72 Tz=-77.03 Mx=0.69 Mz=3.83
Sollecitazioni agenti localmente: Tx_l=2.72 Ty_l=-77.03 N_l=253.29 My_l=-3.83 Mz_l=0.69
Azioni sul cordone: TP=-0.99 TO=6.21 NO=18.64
Tensioni nel cordone: τ_P=0.31 τ_0=1.97 σ_0=11.52 σ_{ID}=11.69 Σ_T=13.50
CC 62 SLU (Collegamento -376_-504)
Azioni sul collegamento: N=247.69 Ty=2.58 Tz=-76.16 Mx=0.65 Mz=3.63
Sollecitazioni agenti localmente: Tx_l=2.58 Ty_l=-76.16 N_l=247.69 My_l=-3.63 Mz_l=0.65
Azioni sul cordone: TP=-0.94 TO=6.12 NO=18.23

Tensioni nel cordone: τ_P=0.30 τ_0=1.94 σ_0=11.10 σ_{ID}=11.27 Σ_T=13.04
CC 63 SLU (Collegamento -376_-504)
Azioni sul collegamento: N=250.51 Ty=2.69 Tz=-76.60 Mx=0.68 Mz=3.77
Sollecitazioni agenti localmente: Tx_l=2.69 Ty_l=-76.60 N_l=250.51 My_l=-3.77 Mz_l=0.68
Azioni sul cordone: TP=-0.98 TO=6.17 NO=18.43
Tensioni nel cordone: τ_P=0.31 τ_0=1.96 σ_0=11.37 σ_{ID}=11.54 Σ_T=13.33
CC 64 SLU (Collegamento -376_-504)
Azioni sul collegamento: N=250.47 Ty=2.60 Tz=-76.59 Mx=0.66 Mz=3.69
Sollecitazioni agenti localmente: Tx_l=2.60 Ty_l=-76.59 N_l=250.47 My_l=-3.69 Mz_l=0.66
Azioni sul cordone: TP=-0.95 TO=6.16 NO=18.43
Tensioni nel cordone: τ_P=0.30 τ_0=1.96 σ_0=11.25 σ_{ID}=11.42 Σ_T=13.21
CC 65 SLU (Collegamento -376_-504)
Azioni sul collegamento: N=276.84 Ty=-1.07 Tz=-80.67 Mx=-0.25 Mz=-1.51
Sollecitazioni agenti localmente: Tx_l=-1.07 Ty_l=-80.67 N_l=276.84 My_l=1.51 Mz_l=-0.25
Azioni sul cordone: TP=0.37 TO=6.13 NO=20.37
Tensioni nel cordone: τ_P=0.12 τ_0=1.95 σ_0=8.67 σ_{ID}=8.89 Σ_T=10.62
CC 66 SLU (Collegamento -376_-504)
Azioni sul collegamento: N=271.24 Ty=-1.20 Tz=-79.81 Mx=-0.28 Mz=-1.71
Sollecitazioni agenti localmente: Tx_l=-1.20 Ty_l=-79.81 N_l=271.24 My_l=1.71 Mz_l=-0.28
Azioni sul cordone: TP=0.42 TO=6.10 NO=19.96
Tensioni nel cordone: τ_P=0.13 τ_0=1.94 σ_0=8.83 σ_{ID}=9.05 Σ_T=10.77
CC 67 SLU (Collegamento -376_-504)
Azioni sul collegamento: N=274.06 Ty=-1.09 Tz=-80.24 Mx=-0.26 Mz=-1.56
Sollecitazioni agenti localmente: Tx_l=-1.09 Ty_l=-80.24 N_l=274.06 My_l=1.56 Mz_l=-0.26
Azioni sul cordone: TP=0.38 TO=6.11 NO=20.17
Tensioni nel cordone: τ_P=0.12 τ_0=1.94 σ_0=8.69 σ_{ID}=8.91 Σ_T=10.64
CC 68 SLU (Collegamento -376_-504)
Azioni sul collegamento: N=274.02 Ty=-1.18 Tz=-80.24 Mx=-0.27 Mz=-1.65
Sollecitazioni agenti localmente: Tx_l=-1.18 Ty_l=-80.24 N_l=274.02 My_l=1.65 Mz_l=-0.27
Azioni sul cordone: TP=0.40 TO=6.12 NO=20.16
Tensioni nel cordone: τ_P=0.13 τ_0=1.95 σ_0=8.81 σ_{ID}=9.03 Σ_T=10.76
CC 97 SLU (Collegamento -376_-504)
Azioni sul collegamento: N=317.17 Ty=-4.15 Tz=-77.11 Mx=0.57 Mz=2.29
Sollecitazioni agenti localmente: Tx_l=-4.15 Ty_l=-77.11 N_l=317.17 My_l=-2.29 Mz_l=0.57
Azioni sul cordone: TP=-0.97 TO=-6.13 NO=23.34
Tensioni nel cordone: τ_P=0.31 τ_0=1.95 σ_0=10.76 σ_{ID}=10.94 Σ_T=12.71
CC 98 SLU (Collegamento -376_-504)
Azioni sul collegamento: N=311.56 Ty=-4.28 Tz=-76.24 Mx=0.54 Mz=2.09
Sollecitazioni agenti localmente: Tx_l=-4.28 Ty_l=-76.24 N_l=311.56 My_l=-2.09 Mz_l=0.54
Azioni sul cordone: TP=-0.94 TO=-6.04 NO=22.93
Tensioni nel cordone: τ_P=0.30 τ_0=1.92 σ_0=10.33 σ_{ID}=10.52 Σ_T=12.25
CC 99 SLU (Collegamento -376_-504)
Azioni sul collegamento: N=314.39 Ty=-4.17 Tz=-76.68 Mx=0.56 Mz=2.23
Sollecitazioni agenti localmente: Tx_l=-4.17 Ty_l=-76.68 N_l=314.39 My_l=-2.23 Mz_l=0.56
Azioni sul cordone: TP=-0.96 TO=-6.09 NO=23.13
Tensioni nel cordone: τ_P=0.30 τ_0=1.93 σ_0=10.61 σ_{ID}=10.79 Σ_T=12.54
CC 100 SLU (Collegamento -376_-504)
Azioni sul collegamento: N=314.35 Ty=-4.26 Tz=-76.67 Mx=0.55 Mz=2.14
Sollecitazioni agenti localmente: Tx_l=-4.26 Ty_l=-76.67 N_l=314.35 My_l=-2.14 Mz_l=0.55
Azioni sul cordone: TP=-0.95 TO=-6.08 NO=23.13
Tensioni nel cordone: τ_P=0.30 τ_0=1.93 σ_0=10.48 σ_{ID}=10.67 Σ_T=12.42
CC 101 SLU (Collegamento -376_-504)
Azioni sul collegamento: N=141.43 Ty=1.27 Tz=-49.91 Mx=0.26 Mz=1.59
Sollecitazioni agenti localmente: Tx_l=1.27 Ty_l=-49.91 N_l=141.43 My_l=-1.59 Mz_l=0.26
Azioni sul cordone: TP=-0.40 TO=3.88 NO=10.41
Tensioni nel cordone: τ_P=0.13 τ_0=1.23 σ_0=5.64 σ_{ID}=5.77 Σ_T=6.87
CC 102 SLU (Collegamento -376_-504)
Azioni sul collegamento: N=135.83 Ty=1.13 Tz=-49.04 Mx=0.23 Mz=1.39
Sollecitazioni agenti localmente: Tx_l=1.13 Ty_l=-49.04 N_l=135.83 My_l=-1.39 Mz_l=0.23
Azioni sul cordone: TP=-0.35 TO=3.79 NO=9.99
Tensioni nel cordone: τ_P=0.11 τ_0=1.20 σ_0=5.21 σ_{ID}=5.35 Σ_T=6.42
CC 103 SLU (Collegamento -376_-504)
Azioni sul collegamento: N=138.65 Ty=1.25 Tz=-49.48 Mx=0.25 Mz=1.54
Sollecitazioni agenti localmente: Tx_l=1.25 Ty_l=-49.48 N_l=138.65 My_l=-1.54 Mz_l=0.25
Azioni sul cordone: TP=-0.38 TO=3.84 NO=10.20
Tensioni nel cordone: τ_P=0.12 τ_0=1.22 σ_0=5.49 σ_{ID}=5.62 Σ_T=6.71
CC 104 SLU (Collegamento -376_-504)
Azioni sul collegamento: N=138.61 Ty=1.16 Tz=-49.47 Mx=0.24 Mz=1.45
Sollecitazioni agenti localmente: Tx_l=1.16 Ty_l=-49.47 N_l=138.61 My_l=-1.45 Mz_l=0.24
Azioni sul cordone: TP=-0.36 TO=3.83 NO=10.20
Tensioni nel cordone: τ_P=0.11 τ_0=1.22 σ_0=5.36 σ_{ID}=5.50 Σ_T=6.58

Verifica lato anima della colonna

CC 1 SLV (Collegamento -376_-504)
Azioni sul collegamento: N=176.80 Ty=1.82 Tz=-55.38 Mx=0.47 Mz=2.63
Zona tesa: F=71.19 b_{eff}=13.20 t_w=0.70 σ=7.71
Zona tesa: F=71.19 b_{eff}=13.20 t_w=0.70 σ=7.71
CC 1 SLV (Collegamento -376_-504)

Azioni sul collegamento: N=176.80 Ty=0.22 Tz=-55.38 Mx=0.14 Mz=0.47
Zona tesa: F=71.19 b_{eff}=13.20 t_w=0.70 σ=7.71
Zona tesa: F=71.19 b_{eff}=13.20 t_w=0.70 σ=7.71
CC 1 SLV (Collegamento -376_-504)
Azioni sul collegamento: N=176.80 Ty=1.82 Tz=-55.38 Mx=0.47 Mz=2.63
Zona tesa: F=71.19 b_{eff}=13.20 t_w=0.70 σ=7.71
Zona tesa: F=71.19 b_{eff}=13.20 t_w=0.70 σ=7.71
CC 1 SLV (Collegamento -376_-504)
Azioni sul collegamento: N=176.80 Ty=0.22 Tz=-55.38 Mx=0.14 Mz=0.47
Zona tesa: F=71.19 b_{eff}=13.20 t_w=0.70 σ=7.71
Zona tesa: F=71.19 b_{eff}=13.20 t_w=0.70 σ=7.71
CC 1 SLV (Collegamento -376_-504)
Azioni sul collegamento: N=122.83 Ty=1.82 Tz=-47.03 Mx=0.47 Mz=2.63
Zona tesa: F=49.46 b_{eff}=13.20 t_w=0.70 σ=5.35
Zona tesa: F=49.46 b_{eff}=13.20 t_w=0.70 σ=5.35
CC 1 SLV (Collegamento -376_-504)
Azioni sul collegamento: N=122.83 Ty=0.22 Tz=-47.03 Mx=0.14 Mz=0.47
Zona tesa: F=49.46 b_{eff}=13.20 t_w=0.70 σ=5.35
Zona tesa: F=49.46 b_{eff}=13.20 t_w=0.70 σ=5.35
CC 1 SLV (Collegamento -376_-504)
Azioni sul collegamento: N=122.83 Ty=1.82 Tz=-47.03 Mx=0.47 Mz=2.63
Zona tesa: F=49.46 b_{eff}=13.20 t_w=0.70 σ=5.35
Zona tesa: F=49.46 b_{eff}=13.20 t_w=0.70 σ=5.35
CC 1 SLV (Collegamento -376_-504)
Azioni sul collegamento: N=122.83 Ty=0.22 Tz=-47.03 Mx=0.14 Mz=0.47
Zona tesa: F=49.46 b_{eff}=13.20 t_w=0.70 σ=5.35
Zona tesa: F=49.46 b_{eff}=13.20 t_w=0.70 σ=5.35
CC 2 SLD (Collegamento -376_-504)
Azioni sul collegamento: N=156.43 Ty=1.58 Tz=-52.23 Mx=0.40 Mz=2.22
Zona tesa: F=62.99 b_{eff}=13.20 t_w=0.70 σ=6.82
Zona tesa: F=62.99 b_{eff}=13.20 t_w=0.70 σ=6.82
CC 2 SLD (Collegamento -376_-504)
Azioni sul collegamento: N=156.43 Ty=1.10 Tz=-52.23 Mx=0.30 Mz=1.57
Zona tesa: F=62.99 b_{eff}=13.20 t_w=0.70 σ=6.82
Zona tesa: F=62.99 b_{eff}=13.20 t_w=0.70 σ=6.82
CC 2 SLD (Collegamento -376_-504)
Azioni sul collegamento: N=156.43 Ty=1.58 Tz=-52.23 Mx=0.40 Mz=2.22
Zona tesa: F=62.99 b_{eff}=13.20 t_w=0.70 σ=6.82
Zona tesa: F=62.99 b_{eff}=13.20 t_w=0.70 σ=6.82
CC 2 SLD (Collegamento -376_-504)
Azioni sul collegamento: N=156.43 Ty=1.10 Tz=-52.23 Mx=0.30 Mz=1.57
Zona tesa: F=62.99 b_{eff}=13.20 t_w=0.70 σ=6.82
Zona tesa: F=62.99 b_{eff}=13.20 t_w=0.70 σ=6.82
CC 2 SLD (Collegamento -376_-504)
Azioni sul collegamento: N=139.97 Ty=1.58 Tz=-49.68 Mx=0.40 Mz=2.22
Zona tesa: F=56.36 b_{eff}=13.20 t_w=0.70 σ=6.10
Zona tesa: F=56.36 b_{eff}=13.20 t_w=0.70 σ=6.10
CC 2 SLD (Collegamento -376_-504)
Azioni sul collegamento: N=139.97 Ty=1.10 Tz=-49.68 Mx=0.30 Mz=1.57
Zona tesa: F=56.36 b_{eff}=13.20 t_w=0.70 σ=6.10
Zona tesa: F=56.36 b_{eff}=13.20 t_w=0.70 σ=6.10
CC 2 SLD (Collegamento -376_-504)
Azioni sul collegamento: N=139.97 Ty=1.58 Tz=-49.68 Mx=0.40 Mz=2.22
Zona tesa: F=56.36 b_{eff}=13.20 t_w=0.70 σ=6.10
Zona tesa: F=56.36 b_{eff}=13.20 t_w=0.70 σ=6.10
CC 2 SLD (Collegamento -376_-504)
Azioni sul collegamento: N=139.97 Ty=1.10 Tz=-49.68 Mx=0.30 Mz=1.57
Zona tesa: F=56.36 b_{eff}=13.20 t_w=0.70 σ=6.10
Zona tesa: F=56.36 b_{eff}=13.20 t_w=0.70 σ=6.10
CC 3 SLV (Collegamento -376_-504)
Azioni sul collegamento: N=176.71 Ty=1.54 Tz=-55.37 Mx=0.43 Mz=2.39
Zona tesa: F=71.16 b_{eff}=13.20 t_w=0.70 σ=7.70
Zona tesa: F=71.16 b_{eff}=13.20 t_w=0.70 σ=7.70
CC 3 SLV (Collegamento -376_-504)
Azioni sul collegamento: N=176.71 Ty=0.50 Tz=-55.37 Mx=0.18 Mz=0.72
Zona tesa: F=71.16 b_{eff}=13.20 t_w=0.70 σ=7.70
Zona tesa: F=71.16 b_{eff}=13.20 t_w=0.70 σ=7.70
CC 3 SLV (Collegamento -376_-504)
Azioni sul collegamento: N=176.71 Ty=1.54 Tz=-55.37 Mx=0.43 Mz=2.39
Zona tesa: F=71.16 b_{eff}=13.20 t_w=0.70 σ=7.70
Zona tesa: F=71.16 b_{eff}=13.20 t_w=0.70 σ=7.70
CC 3 SLV (Collegamento -376_-504)
Azioni sul collegamento: N=176.71 Ty=0.50 Tz=-55.37 Mx=0.18 Mz=0.72
Zona tesa: F=71.16 b_{eff}=13.20 t_w=0.70 σ=7.70
Zona tesa: F=71.16 b_{eff}=13.20 t_w=0.70 σ=7.70
CC 3 SLV (Collegamento -376_-504)

Azioni sul collegamento: N=122.93 Ty=1.54 Tz=-47.05 Mx=0.43 Mz=2.39
Zona tesa: F=49.50 b_{eff}=13.20 t_w=0.70 σ=5.36
Zona tesa: F=49.50 b_{eff}=13.20 t_w=0.70 σ=5.36
CC 3 SLV (Collegamento -376_-504)
Azioni sul collegamento: N=122.93 Ty=0.50 Tz=-47.05 Mx=0.18 Mz=0.72
Zona tesa: F=49.50 b_{eff}=13.20 t_w=0.70 σ=5.36
Zona tesa: F=49.50 b_{eff}=13.20 t_w=0.70 σ=5.36
CC 3 SLV (Collegamento -376_-504)
Azioni sul collegamento: N=122.93 Ty=1.54 Tz=-47.05 Mx=0.43 Mz=2.39
Zona tesa: F=49.50 b_{eff}=13.20 t_w=0.70 σ=5.36
Zona tesa: F=49.50 b_{eff}=13.20 t_w=0.70 σ=5.36
CC 3 SLV (Collegamento -376_-504)
Azioni sul collegamento: N=122.93 Ty=0.50 Tz=-47.05 Mx=0.18 Mz=0.72
Zona tesa: F=49.50 b_{eff}=13.20 t_w=0.70 σ=5.36
Zona tesa: F=49.50 b_{eff}=13.20 t_w=0.70 σ=5.36
CC 4 SLD (Collegamento -376_-504)
Azioni sul collegamento: N=156.40 Ty=1.50 Tz=-52.23 Mx=0.39 Mz=2.15
Zona tesa: F=62.98 b_{eff}=13.20 t_w=0.70 σ=6.82
Zona tesa: F=62.98 b_{eff}=13.20 t_w=0.70 σ=6.82
CC 4 SLD (Collegamento -376_-504)
Azioni sul collegamento: N=156.40 Ty=1.18 Tz=-52.23 Mx=0.31 Mz=1.64
Zona tesa: F=62.98 b_{eff}=13.20 t_w=0.70 σ=6.82
Zona tesa: F=62.98 b_{eff}=13.20 t_w=0.70 σ=6.82
CC 4 SLD (Collegamento -376_-504)
Azioni sul collegamento: N=156.40 Ty=1.50 Tz=-52.23 Mx=0.39 Mz=2.15
Zona tesa: F=62.98 b_{eff}=13.20 t_w=0.70 σ=6.82
Zona tesa: F=62.98 b_{eff}=13.20 t_w=0.70 σ=6.82
CC 4 SLD (Collegamento -376_-504)
Azioni sul collegamento: N=156.40 Ty=1.18 Tz=-52.23 Mx=0.31 Mz=1.64
Zona tesa: F=62.98 b_{eff}=13.20 t_w=0.70 σ=6.82
Zona tesa: F=62.98 b_{eff}=13.20 t_w=0.70 σ=6.82
CC 4 SLD (Collegamento -376_-504)
Azioni sul collegamento: N=140.00 Ty=1.50 Tz=-49.69 Mx=0.39 Mz=2.15
Zona tesa: F=56.38 b_{eff}=13.20 t_w=0.70 σ=6.10
Zona tesa: F=56.38 b_{eff}=13.20 t_w=0.70 σ=6.10
CC 4 SLD (Collegamento -376_-504)
Azioni sul collegamento: N=140.00 Ty=1.18 Tz=-49.69 Mx=0.31 Mz=1.64
Zona tesa: F=56.38 b_{eff}=13.20 t_w=0.70 σ=6.10
Zona tesa: F=56.38 b_{eff}=13.20 t_w=0.70 σ=6.10
CC 4 SLD (Collegamento -376_-504)
Azioni sul collegamento: N=140.00 Ty=1.50 Tz=-49.69 Mx=0.39 Mz=2.15
Zona tesa: F=56.38 b_{eff}=13.20 t_w=0.70 σ=6.10
Zona tesa: F=56.38 b_{eff}=13.20 t_w=0.70 σ=6.10
CC 4 SLD (Collegamento -376_-504)
Azioni sul collegamento: N=140.00 Ty=1.18 Tz=-49.69 Mx=0.31 Mz=1.64
Zona tesa: F=56.38 b_{eff}=13.20 t_w=0.70 σ=6.10
Zona tesa: F=56.38 b_{eff}=13.20 t_w=0.70 σ=6.10
CC 5 SLV (Collegamento -376_-504)
Azioni sul collegamento: N=122.93 Ty=0.50 Tz=-47.05 Mx=0.14 Mz=0.72
Zona tesa: F=49.50 b_{eff}=13.20 t_w=0.70 σ=5.36
Zona tesa: F=49.50 b_{eff}=13.20 t_w=0.70 σ=5.36
CC 5 SLV (Collegamento -376_-504)
Azioni sul collegamento: N=122.93 Ty=1.54 Tz=-47.05 Mx=0.40 Mz=2.39
Zona tesa: F=49.50 b_{eff}=13.20 t_w=0.70 σ=5.36
Zona tesa: F=49.50 b_{eff}=13.20 t_w=0.70 σ=5.36
CC 5 SLV (Collegamento -376_-504)
Azioni sul collegamento: N=122.93 Ty=0.50 Tz=-47.05 Mx=0.14 Mz=0.72
Zona tesa: F=49.50 b_{eff}=13.20 t_w=0.70 σ=5.36
Zona tesa: F=49.50 b_{eff}=13.20 t_w=0.70 σ=5.36
CC 5 SLV (Collegamento -376_-504)
Azioni sul collegamento: N=122.93 Ty=1.54 Tz=-47.05 Mx=0.40 Mz=2.39
Zona tesa: F=49.50 b_{eff}=13.20 t_w=0.70 σ=5.36
Zona tesa: F=49.50 b_{eff}=13.20 t_w=0.70 σ=5.36
CC 5 SLV (Collegamento -376_-504)
Azioni sul collegamento: N=176.71 Ty=0.50 Tz=-55.37 Mx=0.14 Mz=0.72
Zona tesa: F=71.16 b_{eff}=13.20 t_w=0.70 σ=7.70
Zona tesa: F=71.16 b_{eff}=13.20 t_w=0.70 σ=7.70
CC 5 SLV (Collegamento -376_-504)
Azioni sul collegamento: N=176.71 Ty=1.54 Tz=-55.37 Mx=0.40 Mz=2.39
Zona tesa: F=71.16 b_{eff}=13.20 t_w=0.70 σ=7.70
Zona tesa: F=71.16 b_{eff}=13.20 t_w=0.70 σ=7.70
CC 5 SLV (Collegamento -376_-504)
Azioni sul collegamento: N=176.71 Ty=0.50 Tz=-55.37 Mx=0.14 Mz=0.72
Zona tesa: F=71.16 b_{eff}=13.20 t_w=0.70 σ=7.70
Zona tesa: F=71.16 b_{eff}=13.20 t_w=0.70 σ=7.70
CC 5 SLV (Collegamento -376_-504)

Azioni sul collegamento: N=176.71 Ty=1.54 Tz=-55.37 Mx=0.40 Mz=2.39
Zona tesa: F=71.16 b_{eff}=13.20 t_w=0.70 σ=7.70
Zona tesa: F=71.16 b_{eff}=13.20 t_w=0.70 σ=7.70
CC 6 SLD (Collegamento -376_-504)
Azioni sul collegamento: N=140.00 Ty=1.18 Tz=-49.69 Mx=0.30 Mz=1.64
Zona tesa: F=56.38 b_{eff}=13.20 t_w=0.70 σ=6.10
Zona tesa: F=56.38 b_{eff}=13.20 t_w=0.70 σ=6.10
CC 6 SLD (Collegamento -376_-504)
Azioni sul collegamento: N=140.00 Ty=1.50 Tz=-49.69 Mx=0.38 Mz=2.15
Zona tesa: F=56.38 b_{eff}=13.20 t_w=0.70 σ=6.10
Zona tesa: F=56.38 b_{eff}=13.20 t_w=0.70 σ=6.10
CC 6 SLD (Collegamento -376_-504)
Azioni sul collegamento: N=140.00 Ty=1.18 Tz=-49.69 Mx=0.30 Mz=1.64
Zona tesa: F=56.38 b_{eff}=13.20 t_w=0.70 σ=6.10
Zona tesa: F=56.38 b_{eff}=13.20 t_w=0.70 σ=6.10
CC 6 SLD (Collegamento -376_-504)
Azioni sul collegamento: N=140.00 Ty=1.50 Tz=-49.69 Mx=0.38 Mz=2.15
Zona tesa: F=56.38 b_{eff}=13.20 t_w=0.70 σ=6.10
Zona tesa: F=56.38 b_{eff}=13.20 t_w=0.70 σ=6.10
CC 6 SLD (Collegamento -376_-504)
Azioni sul collegamento: N=156.40 Ty=1.18 Tz=-52.23 Mx=0.30 Mz=1.64
Zona tesa: F=62.98 b_{eff}=13.20 t_w=0.70 σ=6.82
Zona tesa: F=62.98 b_{eff}=13.20 t_w=0.70 σ=6.82
CC 6 SLD (Collegamento -376_-504)
Azioni sul collegamento: N=156.40 Ty=1.50 Tz=-52.23 Mx=0.38 Mz=2.15
Zona tesa: F=62.98 b_{eff}=13.20 t_w=0.70 σ=6.82
Zona tesa: F=62.98 b_{eff}=13.20 t_w=0.70 σ=6.82
CC 6 SLD (Collegamento -376_-504)
Azioni sul collegamento: N=156.40 Ty=1.18 Tz=-52.23 Mx=0.30 Mz=1.64
Zona tesa: F=62.98 b_{eff}=13.20 t_w=0.70 σ=6.82
Zona tesa: F=62.98 b_{eff}=13.20 t_w=0.70 σ=6.82
CC 6 SLD (Collegamento -376_-504)
Azioni sul collegamento: N=156.40 Ty=1.50 Tz=-52.23 Mx=0.38 Mz=2.15
Zona tesa: F=62.98 b_{eff}=13.20 t_w=0.70 σ=6.82
Zona tesa: F=62.98 b_{eff}=13.20 t_w=0.70 σ=6.82
CC 7 SLV (Collegamento -376_-504)
Azioni sul collegamento: N=122.83 Ty=0.22 Tz=-47.03 Mx=0.10 Mz=0.48
Zona tesa: F=49.46 b_{eff}=13.20 t_w=0.70 σ=5.35
Zona tesa: F=49.46 b_{eff}=13.20 t_w=0.70 σ=5.35
CC 7 SLV (Collegamento -376_-504)
Azioni sul collegamento: N=122.83 Ty=1.82 Tz=-47.03 Mx=0.44 Mz=2.64
Zona tesa: F=49.46 b_{eff}=13.20 t_w=0.70 σ=5.35
Zona tesa: F=49.46 b_{eff}=13.20 t_w=0.70 σ=5.35
CC 7 SLV (Collegamento -376_-504)
Azioni sul collegamento: N=122.83 Ty=0.22 Tz=-47.03 Mx=0.10 Mz=0.48
Zona tesa: F=49.46 b_{eff}=13.20 t_w=0.70 σ=5.35
Zona tesa: F=49.46 b_{eff}=13.20 t_w=0.70 σ=5.35
CC 7 SLV (Collegamento -376_-504)
Azioni sul collegamento: N=122.83 Ty=1.82 Tz=-47.03 Mx=0.44 Mz=2.64
Zona tesa: F=49.46 b_{eff}=13.20 t_w=0.70 σ=5.35
Zona tesa: F=49.46 b_{eff}=13.20 t_w=0.70 σ=5.35
CC 7 SLV (Collegamento -376_-504)
Azioni sul collegamento: N=176.80 Ty=0.22 Tz=-55.38 Mx=0.10 Mz=0.48
Zona tesa: F=71.19 b_{eff}=13.20 t_w=0.70 σ=7.71
Zona tesa: F=71.19 b_{eff}=13.20 t_w=0.70 σ=7.71
CC 7 SLV (Collegamento -376_-504)
Azioni sul collegamento: N=176.80 Ty=1.82 Tz=-55.38 Mx=0.44 Mz=2.64
Zona tesa: F=71.19 b_{eff}=13.20 t_w=0.70 σ=7.71
Zona tesa: F=71.19 b_{eff}=13.20 t_w=0.70 σ=7.71
CC 7 SLV (Collegamento -376_-504)
Azioni sul collegamento: N=176.80 Ty=0.22 Tz=-55.38 Mx=0.10 Mz=0.48
Zona tesa: F=71.19 b_{eff}=13.20 t_w=0.70 σ=7.71
Zona tesa: F=71.19 b_{eff}=13.20 t_w=0.70 σ=7.71
CC 7 SLV (Collegamento -376_-504)
Azioni sul collegamento: N=176.80 Ty=1.82 Tz=-55.38 Mx=0.44 Mz=2.64
Zona tesa: F=71.19 b_{eff}=13.20 t_w=0.70 σ=7.71
Zona tesa: F=71.19 b_{eff}=13.20 t_w=0.70 σ=7.71
CC 8 SLD (Collegamento -376_-504)
Azioni sul collegamento: N=139.97 Ty=1.10 Tz=-49.68 Mx=0.29 Mz=1.57
Zona tesa: F=56.36 b_{eff}=13.20 t_w=0.70 σ=6.10
Zona tesa: F=56.36 b_{eff}=13.20 t_w=0.70 σ=6.10
CC 8 SLD (Collegamento -376_-504)
Azioni sul collegamento: N=139.97 Ty=1.58 Tz=-49.68 Mx=0.39 Mz=2.23
Zona tesa: F=56.36 b_{eff}=13.20 t_w=0.70 σ=6.10
Zona tesa: F=56.36 b_{eff}=13.20 t_w=0.70 σ=6.10
CC 8 SLD (Collegamento -376_-504)

Azioni sul collegamento: N=139.97 Ty=1.10 Tz=-49.68 Mx=0.29 Mz=1.57
Zona tesa: F=56.36 b_{eff}=13.20 t_w=0.70 σ=6.10
Zona tesa: F=56.36 b_{eff}=13.20 t_w=0.70 σ=6.10
CC 8 SLD (Collegamento -376_-504)
Azioni sul collegamento: N=139.97 Ty=1.58 Tz=-49.68 Mx=0.39 Mz=2.23
Zona tesa: F=56.36 b_{eff}=13.20 t_w=0.70 σ=6.10
Zona tesa: F=56.36 b_{eff}=13.20 t_w=0.70 σ=6.10
CC 8 SLD (Collegamento -376_-504)
Azioni sul collegamento: N=156.43 Ty=1.10 Tz=-52.23 Mx=0.29 Mz=1.57
Zona tesa: F=62.99 b_{eff}=13.20 t_w=0.70 σ=6.82
Zona tesa: F=62.99 b_{eff}=13.20 t_w=0.70 σ=6.82
CC 8 SLD (Collegamento -376_-504)
Azioni sul collegamento: N=156.43 Ty=1.58 Tz=-52.23 Mx=0.39 Mz=2.23
Zona tesa: F=62.99 b_{eff}=13.20 t_w=0.70 σ=6.82
Zona tesa: F=62.99 b_{eff}=13.20 t_w=0.70 σ=6.82
CC 8 SLD (Collegamento -376_-504)
Azioni sul collegamento: N=156.43 Ty=1.10 Tz=-52.23 Mx=0.29 Mz=1.57
Zona tesa: F=62.99 b_{eff}=13.20 t_w=0.70 σ=6.82
Zona tesa: F=62.99 b_{eff}=13.20 t_w=0.70 σ=6.82
CC 8 SLD (Collegamento -376_-504)
Azioni sul collegamento: N=156.43 Ty=1.58 Tz=-52.23 Mx=0.39 Mz=2.23
Zona tesa: F=62.99 b_{eff}=13.20 t_w=0.70 σ=6.82
Zona tesa: F=62.99 b_{eff}=13.20 t_w=0.70 σ=6.82
CC 9 SLV (Collegamento -376_-504)
Azioni sul collegamento: N=158.05 Ty=1.67 Tz=-52.48 Mx=0.41 Mz=2.25
Zona tesa: F=63.65 b_{eff}=13.20 t_w=0.70 σ=6.89
Zona tesa: F=63.65 b_{eff}=13.20 t_w=0.70 σ=6.89
CC 9 SLV (Collegamento -376_-504)
Azioni sul collegamento: N=158.05 Ty=0.36 Tz=-52.48 Mx=0.19 Mz=0.85
Zona tesa: F=63.65 b_{eff}=13.20 t_w=0.70 σ=6.89
Zona tesa: F=63.65 b_{eff}=13.20 t_w=0.70 σ=6.89
CC 9 SLV (Collegamento -376_-504)
Azioni sul collegamento: N=158.05 Ty=1.67 Tz=-52.48 Mx=0.41 Mz=2.25
Zona tesa: F=63.65 b_{eff}=13.20 t_w=0.70 σ=6.89
Zona tesa: F=63.65 b_{eff}=13.20 t_w=0.70 σ=6.89
CC 9 SLV (Collegamento -376_-504)
Azioni sul collegamento: N=158.05 Ty=0.36 Tz=-52.48 Mx=0.19 Mz=0.85
Zona tesa: F=63.65 b_{eff}=13.20 t_w=0.70 σ=6.89
Zona tesa: F=63.65 b_{eff}=13.20 t_w=0.70 σ=6.89
CC 9 SLV (Collegamento -376_-504)
Azioni sul collegamento: N=141.58 Ty=1.67 Tz=-49.93 Mx=0.41 Mz=2.25
Zona tesa: F=57.01 b_{eff}=13.20 t_w=0.70 σ=6.17
Zona tesa: F=57.01 b_{eff}=13.20 t_w=0.70 σ=6.17
CC 9 SLV (Collegamento -376_-504)
Azioni sul collegamento: N=141.58 Ty=0.36 Tz=-49.93 Mx=0.19 Mz=0.85
Zona tesa: F=57.01 b_{eff}=13.20 t_w=0.70 σ=6.17
Zona tesa: F=57.01 b_{eff}=13.20 t_w=0.70 σ=6.17
CC 9 SLV (Collegamento -376_-504)
Azioni sul collegamento: N=141.58 Ty=1.67 Tz=-49.93 Mx=0.41 Mz=2.25
Zona tesa: F=57.01 b_{eff}=13.20 t_w=0.70 σ=6.17
Zona tesa: F=57.01 b_{eff}=13.20 t_w=0.70 σ=6.17
CC 9 SLV (Collegamento -376_-504)
Azioni sul collegamento: N=141.58 Ty=0.36 Tz=-49.93 Mx=0.19 Mz=0.85
Zona tesa: F=57.01 b_{eff}=13.20 t_w=0.70 σ=6.17
Zona tesa: F=57.01 b_{eff}=13.20 t_w=0.70 σ=6.17
CC 10 SLD (Collegamento -376_-504)
Azioni sul collegamento: N=150.71 Ty=1.54 Tz=-51.35 Mx=0.38 Mz=2.11
Zona tesa: F=60.69 b_{eff}=13.20 t_w=0.70 σ=6.57
Zona tesa: F=60.69 b_{eff}=13.20 t_w=0.70 σ=6.57
CC 10 SLD (Collegamento -376_-504)
Azioni sul collegamento: N=150.71 Ty=1.14 Tz=-51.35 Mx=0.31 Mz=1.68
Zona tesa: F=60.69 b_{eff}=13.20 t_w=0.70 σ=6.57
Zona tesa: F=60.69 b_{eff}=13.20 t_w=0.70 σ=6.57
CC 10 SLD (Collegamento -376_-504)
Azioni sul collegamento: N=150.71 Ty=1.54 Tz=-51.35 Mx=0.38 Mz=2.11
Zona tesa: F=60.69 b_{eff}=13.20 t_w=0.70 σ=6.57
Zona tesa: F=60.69 b_{eff}=13.20 t_w=0.70 σ=6.57
CC 10 SLD (Collegamento -376_-504)
Azioni sul collegamento: N=150.71 Ty=1.14 Tz=-51.35 Mx=0.31 Mz=1.68
Zona tesa: F=60.69 b_{eff}=13.20 t_w=0.70 σ=6.57
Zona tesa: F=60.69 b_{eff}=13.20 t_w=0.70 σ=6.57
CC 10 SLD (Collegamento -376_-504)
Azioni sul collegamento: N=145.69 Ty=1.54 Tz=-50.57 Mx=0.38 Mz=2.11
Zona tesa: F=58.67 b_{eff}=13.20 t_w=0.70 σ=6.35
Zona tesa: F=58.67 b_{eff}=13.20 t_w=0.70 σ=6.35
CC 10 SLD (Collegamento -376_-504)

Azioni sul collegamento: N=145.69 Ty=1.14 Tz=-50.57 Mx=0.31 Mz=1.68
Zona tesa: F=58.67 b_{eff}=13.20 t_w=0.70 σ=6.35
Zona tesa: F=58.67 b_{eff}=13.20 t_w=0.70 σ=6.35
CC 10 SLD (Collegamento -376_-504)
Azioni sul collegamento: N=145.69 Ty=1.54 Tz=-50.57 Mx=0.38 Mz=2.11
Zona tesa: F=58.67 b_{eff}=13.20 t_w=0.70 σ=6.35
Zona tesa: F=58.67 b_{eff}=13.20 t_w=0.70 σ=6.35
CC 10 SLD (Collegamento -376_-504)
Azioni sul collegamento: N=145.69 Ty=1.14 Tz=-50.57 Mx=0.31 Mz=1.68
Zona tesa: F=58.67 b_{eff}=13.20 t_w=0.70 σ=6.35
Zona tesa: F=58.67 b_{eff}=13.20 t_w=0.70 σ=6.35
CC 11 SLV (Collegamento -376_-504)
Azioni sul collegamento: N=141.89 Ty=1.28 Tz=-49.98 Mx=0.31 Mz=1.68
Zona tesa: F=57.14 b_{eff}=13.20 t_w=0.70 σ=6.18
Zona tesa: F=57.14 b_{eff}=13.20 t_w=0.70 σ=6.18
CC 11 SLV (Collegamento -376_-504)
Azioni sul collegamento: N=141.89 Ty=0.76 Tz=-49.98 Mx=0.27 Mz=1.43
Zona tesa: F=57.14 b_{eff}=13.20 t_w=0.70 σ=6.18
Zona tesa: F=57.14 b_{eff}=13.20 t_w=0.70 σ=6.18
CC 11 SLV (Collegamento -376_-504)
Azioni sul collegamento: N=141.89 Ty=1.28 Tz=-49.98 Mx=0.31 Mz=1.68
Zona tesa: F=57.14 b_{eff}=13.20 t_w=0.70 σ=6.18
Zona tesa: F=57.14 b_{eff}=13.20 t_w=0.70 σ=6.18
CC 11 SLV (Collegamento -376_-504)
Azioni sul collegamento: N=141.89 Ty=0.76 Tz=-49.98 Mx=0.27 Mz=1.43
Zona tesa: F=57.14 b_{eff}=13.20 t_w=0.70 σ=6.18
Zona tesa: F=57.14 b_{eff}=13.20 t_w=0.70 σ=6.18
CC 11 SLV (Collegamento -376_-504)
Azioni sul collegamento: N=157.75 Ty=1.28 Tz=-52.44 Mx=0.31 Mz=1.68
Zona tesa: F=63.52 b_{eff}=13.20 t_w=0.70 σ=6.87
Zona tesa: F=63.52 b_{eff}=13.20 t_w=0.70 σ=6.87
CC 11 SLV (Collegamento -376_-504)
Azioni sul collegamento: N=157.75 Ty=0.76 Tz=-52.44 Mx=0.27 Mz=1.43
Zona tesa: F=63.52 b_{eff}=13.20 t_w=0.70 σ=6.87
Zona tesa: F=63.52 b_{eff}=13.20 t_w=0.70 σ=6.87
CC 11 SLV (Collegamento -376_-504)
Azioni sul collegamento: N=157.75 Ty=1.28 Tz=-52.44 Mx=0.31 Mz=1.68
Zona tesa: F=63.52 b_{eff}=13.20 t_w=0.70 σ=6.87
Zona tesa: F=63.52 b_{eff}=13.20 t_w=0.70 σ=6.87
CC 11 SLV (Collegamento -376_-504)
Azioni sul collegamento: N=157.75 Ty=0.76 Tz=-52.44 Mx=0.27 Mz=1.43
Zona tesa: F=63.52 b_{eff}=13.20 t_w=0.70 σ=6.87
Zona tesa: F=63.52 b_{eff}=13.20 t_w=0.70 σ=6.87
CC 12 SLD (Collegamento -376_-504)
Azioni sul collegamento: N=145.78 Ty=1.42 Tz=-50.58 Mx=0.35 Mz=1.93
Zona tesa: F=58.70 b_{eff}=13.20 t_w=0.70 σ=6.35
Zona tesa: F=58.70 b_{eff}=13.20 t_w=0.70 σ=6.35
CC 12 SLD (Collegamento -376_-504)
Azioni sul collegamento: N=145.78 Ty=1.26 Tz=-50.58 Mx=0.34 Mz=1.86
Zona tesa: F=58.70 b_{eff}=13.20 t_w=0.70 σ=6.35
Zona tesa: F=58.70 b_{eff}=13.20 t_w=0.70 σ=6.35
CC 12 SLD (Collegamento -376_-504)
Azioni sul collegamento: N=145.78 Ty=1.42 Tz=-50.58 Mx=0.35 Mz=1.93
Zona tesa: F=58.70 b_{eff}=13.20 t_w=0.70 σ=6.35
Zona tesa: F=58.70 b_{eff}=13.20 t_w=0.70 σ=6.35
CC 12 SLD (Collegamento -376_-504)
Azioni sul collegamento: N=145.78 Ty=1.26 Tz=-50.58 Mx=0.34 Mz=1.86
Zona tesa: F=58.70 b_{eff}=13.20 t_w=0.70 σ=6.35
Zona tesa: F=58.70 b_{eff}=13.20 t_w=0.70 σ=6.35
CC 12 SLD (Collegamento -376_-504)
Azioni sul collegamento: N=150.62 Ty=1.42 Tz=-51.33 Mx=0.35 Mz=1.93
Zona tesa: F=60.65 b_{eff}=13.20 t_w=0.70 σ=6.56
Zona tesa: F=60.65 b_{eff}=13.20 t_w=0.70 σ=6.56
CC 12 SLD (Collegamento -376_-504)
Azioni sul collegamento: N=150.62 Ty=1.26 Tz=-51.33 Mx=0.34 Mz=1.86
Zona tesa: F=60.65 b_{eff}=13.20 t_w=0.70 σ=6.56
Zona tesa: F=60.65 b_{eff}=13.20 t_w=0.70 σ=6.56
CC 12 SLD (Collegamento -376_-504)
Azioni sul collegamento: N=150.62 Ty=1.42 Tz=-51.33 Mx=0.35 Mz=1.93
Zona tesa: F=60.65 b_{eff}=13.20 t_w=0.70 σ=6.56
Zona tesa: F=60.65 b_{eff}=13.20 t_w=0.70 σ=6.56
CC 12 SLD (Collegamento -376_-504)
Azioni sul collegamento: N=150.62 Ty=1.26 Tz=-51.33 Mx=0.34 Mz=1.86
Zona tesa: F=60.65 b_{eff}=13.20 t_w=0.70 σ=6.56
Zona tesa: F=60.65 b_{eff}=13.20 t_w=0.70 σ=6.56
CC 13 SLV (Collegamento -376_-504)

Azioni sul collegamento: N=157.75 Ty=0.76 Tz=-52.44 Mx=0.27 Mz=1.43
Zona tesa: F=63.52 b_{eff}=13.20 t_w=0.70 σ=6.87
Zona tesa: F=63.52 b_{eff}=13.20 t_w=0.70 σ=6.87
CC 13 SLV (Collegamento -376_-504)
Azioni sul collegamento: N=157.75 Ty=1.28 Tz=-52.44 Mx=0.31 Mz=1.68
Zona tesa: F=63.52 b_{eff}=13.20 t_w=0.70 σ=6.87
Zona tesa: F=63.52 b_{eff}=13.20 t_w=0.70 σ=6.87
CC 13 SLV (Collegamento -376_-504)
Azioni sul collegamento: N=157.75 Ty=0.76 Tz=-52.44 Mx=0.27 Mz=1.43
Zona tesa: F=63.52 b_{eff}=13.20 t_w=0.70 σ=6.87
Zona tesa: F=63.52 b_{eff}=13.20 t_w=0.70 σ=6.87
CC 13 SLV (Collegamento -376_-504)
Azioni sul collegamento: N=157.75 Ty=1.28 Tz=-52.44 Mx=0.31 Mz=1.68
Zona tesa: F=63.52 b_{eff}=13.20 t_w=0.70 σ=6.87
Zona tesa: F=63.52 b_{eff}=13.20 t_w=0.70 σ=6.87
CC 13 SLV (Collegamento -376_-504)
Azioni sul collegamento: N=141.89 Ty=0.76 Tz=-49.98 Mx=0.27 Mz=1.43
Zona tesa: F=57.14 b_{eff}=13.20 t_w=0.70 σ=6.18
Zona tesa: F=57.14 b_{eff}=13.20 t_w=0.70 σ=6.18
CC 13 SLV (Collegamento -376_-504)
Azioni sul collegamento: N=141.89 Ty=1.28 Tz=-49.98 Mx=0.31 Mz=1.68
Zona tesa: F=57.14 b_{eff}=13.20 t_w=0.70 σ=6.18
Zona tesa: F=57.14 b_{eff}=13.20 t_w=0.70 σ=6.18
CC 13 SLV (Collegamento -376_-504)
Azioni sul collegamento: N=141.89 Ty=0.76 Tz=-49.98 Mx=0.27 Mz=1.43
Zona tesa: F=57.14 b_{eff}=13.20 t_w=0.70 σ=6.18
Zona tesa: F=57.14 b_{eff}=13.20 t_w=0.70 σ=6.18
CC 13 SLV (Collegamento -376_-504)
Azioni sul collegamento: N=141.89 Ty=1.28 Tz=-49.98 Mx=0.31 Mz=1.68
Zona tesa: F=57.14 b_{eff}=13.20 t_w=0.70 σ=6.18
Zona tesa: F=57.14 b_{eff}=13.20 t_w=0.70 σ=6.18
CC 14 SLD (Collegamento -376_-504)
Azioni sul collegamento: N=150.62 Ty=1.26 Tz=-51.33 Mx=0.34 Mz=1.86
Zona tesa: F=60.65 b_{eff}=13.20 t_w=0.70 σ=6.56
Zona tesa: F=60.65 b_{eff}=13.20 t_w=0.70 σ=6.56
CC 14 SLD (Collegamento -376_-504)
Azioni sul collegamento: N=150.62 Ty=1.42 Tz=-51.33 Mx=0.35 Mz=1.93
Zona tesa: F=60.65 b_{eff}=13.20 t_w=0.70 σ=6.56
Zona tesa: F=60.65 b_{eff}=13.20 t_w=0.70 σ=6.56
CC 14 SLD (Collegamento -376_-504)
Azioni sul collegamento: N=150.62 Ty=1.26 Tz=-51.33 Mx=0.34 Mz=1.86
Zona tesa: F=60.65 b_{eff}=13.20 t_w=0.70 σ=6.56
Zona tesa: F=60.65 b_{eff}=13.20 t_w=0.70 σ=6.56
CC 14 SLD (Collegamento -376_-504)
Azioni sul collegamento: N=150.62 Ty=1.42 Tz=-51.33 Mx=0.35 Mz=1.93
Zona tesa: F=60.65 b_{eff}=13.20 t_w=0.70 σ=6.56
Zona tesa: F=60.65 b_{eff}=13.20 t_w=0.70 σ=6.56
CC 14 SLD (Collegamento -376_-504)
Azioni sul collegamento: N=145.78 Ty=1.26 Tz=-50.58 Mx=0.34 Mz=1.86
Zona tesa: F=58.70 b_{eff}=13.20 t_w=0.70 σ=6.35
Zona tesa: F=58.70 b_{eff}=13.20 t_w=0.70 σ=6.35
CC 14 SLD (Collegamento -376_-504)
Azioni sul collegamento: N=145.78 Ty=1.42 Tz=-50.58 Mx=0.35 Mz=1.93
Zona tesa: F=58.70 b_{eff}=13.20 t_w=0.70 σ=6.35
Zona tesa: F=58.70 b_{eff}=13.20 t_w=0.70 σ=6.35
CC 14 SLD (Collegamento -376_-504)
Azioni sul collegamento: N=145.78 Ty=1.26 Tz=-50.58 Mx=0.34 Mz=1.86
Zona tesa: F=58.70 b_{eff}=13.20 t_w=0.70 σ=6.35
Zona tesa: F=58.70 b_{eff}=13.20 t_w=0.70 σ=6.35
CC 14 SLD (Collegamento -376_-504)
Azioni sul collegamento: N=145.78 Ty=1.42 Tz=-50.58 Mx=0.35 Mz=1.93
Zona tesa: F=58.70 b_{eff}=13.20 t_w=0.70 σ=6.35
Zona tesa: F=58.70 b_{eff}=13.20 t_w=0.70 σ=6.35
CC 15 SLV (Collegamento -376_-504)
Azioni sul collegamento: N=141.58 Ty=0.36 Tz=-49.93 Mx=0.17 Mz=0.86
Zona tesa: F=57.01 b_{eff}=13.20 t_w=0.70 σ=6.17
Zona tesa: F=57.01 b_{eff}=13.20 t_w=0.70 σ=6.17
CC 15 SLV (Collegamento -376_-504)
Azioni sul collegamento: N=141.58 Ty=1.67 Tz=-49.93 Mx=0.39 Mz=2.25
Zona tesa: F=57.01 b_{eff}=13.20 t_w=0.70 σ=6.17
Zona tesa: F=57.01 b_{eff}=13.20 t_w=0.70 σ=6.17
CC 15 SLV (Collegamento -376_-504)
Azioni sul collegamento: N=141.58 Ty=0.36 Tz=-49.93 Mx=0.17 Mz=0.86
Zona tesa: F=57.01 b_{eff}=13.20 t_w=0.70 σ=6.17
Zona tesa: F=57.01 b_{eff}=13.20 t_w=0.70 σ=6.17
CC 15 SLV (Collegamento -376_-504)

Azioni sul collegamento: N=141.58 Ty=1.67 Tz=-49.93 Mx=0.39 Mz=2.25
Zona tesa: F=57.01 b_{eff}=13.20 t_w=0.70 σ=6.17
Zona tesa: F=57.01 b_{eff}=13.20 t_w=0.70 σ=6.17
CC 15 SLV (Collegamento -376_-504)
Azioni sul collegamento: N=158.05 Ty=0.36 Tz=-52.48 Mx=0.17 Mz=0.86
Zona tesa: F=63.65 b_{eff}=13.20 t_w=0.70 σ=6.89
Zona tesa: F=63.65 b_{eff}=13.20 t_w=0.70 σ=6.89
CC 15 SLV (Collegamento -376_-504)
Azioni sul collegamento: N=158.05 Ty=1.67 Tz=-52.48 Mx=0.39 Mz=2.25
Zona tesa: F=63.65 b_{eff}=13.20 t_w=0.70 σ=6.89
Zona tesa: F=63.65 b_{eff}=13.20 t_w=0.70 σ=6.89
CC 15 SLV (Collegamento -376_-504)
Azioni sul collegamento: N=158.05 Ty=0.36 Tz=-52.48 Mx=0.17 Mz=0.86
Zona tesa: F=63.65 b_{eff}=13.20 t_w=0.70 σ=6.89
Zona tesa: F=63.65 b_{eff}=13.20 t_w=0.70 σ=6.89
CC 15 SLV (Collegamento -376_-504)
Azioni sul collegamento: N=158.05 Ty=1.67 Tz=-52.48 Mx=0.39 Mz=2.25
Zona tesa: F=63.65 b_{eff}=13.20 t_w=0.70 σ=6.89
Zona tesa: F=63.65 b_{eff}=13.20 t_w=0.70 σ=6.89
CC 16 SLD (Collegamento -376_-504)
Azioni sul collegamento: N=145.69 Ty=1.14 Tz=-50.57 Mx=0.31 Mz=1.68
Zona tesa: F=58.67 b_{eff}=13.20 t_w=0.70 σ=6.35
Zona tesa: F=58.67 b_{eff}=13.20 t_w=0.70 σ=6.35
CC 16 SLD (Collegamento -376_-504)
Azioni sul collegamento: N=145.69 Ty=1.54 Tz=-50.57 Mx=0.37 Mz=2.11
Zona tesa: F=58.67 b_{eff}=13.20 t_w=0.70 σ=6.35
Zona tesa: F=58.67 b_{eff}=13.20 t_w=0.70 σ=6.35
CC 16 SLD (Collegamento -376_-504)
Azioni sul collegamento: N=145.69 Ty=1.14 Tz=-50.57 Mx=0.31 Mz=1.68
Zona tesa: F=58.67 b_{eff}=13.20 t_w=0.70 σ=6.35
Zona tesa: F=58.67 b_{eff}=13.20 t_w=0.70 σ=6.35
CC 16 SLD (Collegamento -376_-504)
Azioni sul collegamento: N=145.69 Ty=1.54 Tz=-50.57 Mx=0.37 Mz=2.11
Zona tesa: F=58.67 b_{eff}=13.20 t_w=0.70 σ=6.35
Zona tesa: F=58.67 b_{eff}=13.20 t_w=0.70 σ=6.35
CC 16 SLD (Collegamento -376_-504)
Azioni sul collegamento: N=150.71 Ty=1.14 Tz=-51.35 Mx=0.31 Mz=1.68
Zona tesa: F=60.69 b_{eff}=13.20 t_w=0.70 σ=6.57
Zona tesa: F=60.69 b_{eff}=13.20 t_w=0.70 σ=6.57
CC 16 SLD (Collegamento -376_-504)
Azioni sul collegamento: N=150.71 Ty=1.54 Tz=-51.35 Mx=0.37 Mz=2.11
Zona tesa: F=60.69 b_{eff}=13.20 t_w=0.70 σ=6.57
Zona tesa: F=60.69 b_{eff}=13.20 t_w=0.70 σ=6.57
CC 16 SLD (Collegamento -376_-504)
Azioni sul collegamento: N=150.71 Ty=1.14 Tz=-51.35 Mx=0.31 Mz=1.68
Zona tesa: F=60.69 b_{eff}=13.20 t_w=0.70 σ=6.57
Zona tesa: F=60.69 b_{eff}=13.20 t_w=0.70 σ=6.57
CC 16 SLD (Collegamento -376_-504)
Azioni sul collegamento: N=150.71 Ty=1.54 Tz=-51.35 Mx=0.37 Mz=2.11
Zona tesa: F=60.69 b_{eff}=13.20 t_w=0.70 σ=6.57
Zona tesa: F=60.69 b_{eff}=13.20 t_w=0.70 σ=6.57
CC 17 SLV (Collegamento -376_-504)
Azioni sul collegamento: N=172.15 Ty=2.73 Tz=-54.66 Mx=0.64 Mz=3.62
Zona tesa: F=69.32 b_{eff}=13.20 t_w=0.70 σ=7.50
Zona tesa: F=69.32 b_{eff}=13.20 t_w=0.70 σ=7.50
CC 17 SLV (Collegamento -376_-504)
Azioni sul collegamento: N=172.15 Ty=1.14 Tz=-54.66 Mx=0.30 Mz=1.45
Zona tesa: F=69.32 b_{eff}=13.20 t_w=0.70 σ=7.50
Zona tesa: F=69.32 b_{eff}=13.20 t_w=0.70 σ=7.50
CC 17 SLV (Collegamento -376_-504)
Azioni sul collegamento: N=172.15 Ty=2.73 Tz=-54.66 Mx=0.64 Mz=3.62
Zona tesa: F=69.32 b_{eff}=13.20 t_w=0.70 σ=7.50
Zona tesa: F=69.32 b_{eff}=13.20 t_w=0.70 σ=7.50
CC 17 SLV (Collegamento -376_-504)
Azioni sul collegamento: N=172.15 Ty=1.14 Tz=-54.66 Mx=0.30 Mz=1.45
Zona tesa: F=69.32 b_{eff}=13.20 t_w=0.70 σ=7.50
Zona tesa: F=69.32 b_{eff}=13.20 t_w=0.70 σ=7.50
CC 17 SLV (Collegamento -376_-504)
Azioni sul collegamento: N=118.18 Ty=2.73 Tz=-46.31 Mx=0.64 Mz=3.62
Zona tesa: F=47.59 b_{eff}=13.20 t_w=0.70 σ=5.15
Zona tesa: F=47.59 b_{eff}=13.20 t_w=0.70 σ=5.15
CC 17 SLV (Collegamento -376_-504)
Azioni sul collegamento: N=118.18 Ty=1.14 Tz=-46.31 Mx=0.30 Mz=1.45
Zona tesa: F=47.59 b_{eff}=13.20 t_w=0.70 σ=5.15
Zona tesa: F=47.59 b_{eff}=13.20 t_w=0.70 σ=5.15
CC 17 SLV (Collegamento -376_-504)

Azioni sul collegamento: N=118.18 Ty=2.73 Tz=-46.31 Mx=0.64 Mz=3.62
Zona tesa: F=47.59 b_{eff}=13.20 t_w=0.70 σ=5.15
Zona tesa: F=47.59 b_{eff}=13.20 t_w=0.70 σ=5.15
CC 17 SLV (Collegamento -376_-504)
Azioni sul collegamento: N=118.18 Ty=1.14 Tz=-46.31 Mx=0.30 Mz=1.45
Zona tesa: F=47.59 b_{eff}=13.20 t_w=0.70 σ=5.15
Zona tesa: F=47.59 b_{eff}=13.20 t_w=0.70 σ=5.15
CC 18 SLD (Collegamento -376_-504)
Azioni sul collegamento: N=155.01 Ty=1.86 Tz=-52.01 Mx=0.45 Mz=2.52
Zona tesa: F=62.42 b_{eff}=13.20 t_w=0.70 σ=6.76
Zona tesa: F=62.42 b_{eff}=13.20 t_w=0.70 σ=6.76
CC 18 SLD (Collegamento -376_-504)
Azioni sul collegamento: N=155.01 Ty=1.38 Tz=-52.01 Mx=0.35 Mz=1.87
Zona tesa: F=62.42 b_{eff}=13.20 t_w=0.70 σ=6.76
Zona tesa: F=62.42 b_{eff}=13.20 t_w=0.70 σ=6.76
CC 18 SLD (Collegamento -376_-504)
Azioni sul collegamento: N=155.01 Ty=1.86 Tz=-52.01 Mx=0.45 Mz=2.52
Zona tesa: F=62.42 b_{eff}=13.20 t_w=0.70 σ=6.76
Zona tesa: F=62.42 b_{eff}=13.20 t_w=0.70 σ=6.76
CC 18 SLD (Collegamento -376_-504)
Azioni sul collegamento: N=155.01 Ty=1.38 Tz=-52.01 Mx=0.35 Mz=1.87
Zona tesa: F=62.42 b_{eff}=13.20 t_w=0.70 σ=6.76
Zona tesa: F=62.42 b_{eff}=13.20 t_w=0.70 σ=6.76
CC 18 SLD (Collegamento -376_-504)
Azioni sul collegamento: N=138.55 Ty=1.86 Tz=-49.47 Mx=0.45 Mz=2.52
Zona tesa: F=55.79 b_{eff}=13.20 t_w=0.70 σ=6.04
Zona tesa: F=55.79 b_{eff}=13.20 t_w=0.70 σ=6.04
CC 18 SLD (Collegamento -376_-504)
Azioni sul collegamento: N=138.55 Ty=1.38 Tz=-49.47 Mx=0.35 Mz=1.87
Zona tesa: F=55.79 b_{eff}=13.20 t_w=0.70 σ=6.04
Zona tesa: F=55.79 b_{eff}=13.20 t_w=0.70 σ=6.04
CC 18 SLD (Collegamento -376_-504)
Azioni sul collegamento: N=138.55 Ty=1.86 Tz=-49.47 Mx=0.45 Mz=2.52
Zona tesa: F=55.79 b_{eff}=13.20 t_w=0.70 σ=6.04
Zona tesa: F=55.79 b_{eff}=13.20 t_w=0.70 σ=6.04
CC 18 SLD (Collegamento -376_-504)
Azioni sul collegamento: N=138.55 Ty=1.38 Tz=-49.47 Mx=0.35 Mz=1.87
Zona tesa: F=55.79 b_{eff}=13.20 t_w=0.70 σ=6.04
Zona tesa: F=55.79 b_{eff}=13.20 t_w=0.70 σ=6.04
CC 19 SLV (Collegamento -376_-504)
Azioni sul collegamento: N=172.06 Ty=2.46 Tz=-54.65 Mx=0.60 Mz=3.37
Zona tesa: F=69.28 b_{eff}=13.20 t_w=0.70 σ=7.50
Zona tesa: F=69.28 b_{eff}=13.20 t_w=0.70 σ=7.50
CC 19 SLV (Collegamento -376_-504)
Azioni sul collegamento: N=172.06 Ty=1.41 Tz=-54.65 Mx=0.34 Mz=1.70
Zona tesa: F=69.28 b_{eff}=13.20 t_w=0.70 σ=7.50
Zona tesa: F=69.28 b_{eff}=13.20 t_w=0.70 σ=7.50
CC 19 SLV (Collegamento -376_-504)
Azioni sul collegamento: N=172.06 Ty=2.46 Tz=-54.65 Mx=0.60 Mz=3.37
Zona tesa: F=69.28 b_{eff}=13.20 t_w=0.70 σ=7.50
Zona tesa: F=69.28 b_{eff}=13.20 t_w=0.70 σ=7.50
CC 19 SLV (Collegamento -376_-504)
Azioni sul collegamento: N=172.06 Ty=1.41 Tz=-54.65 Mx=0.34 Mz=1.70
Zona tesa: F=69.28 b_{eff}=13.20 t_w=0.70 σ=7.50
Zona tesa: F=69.28 b_{eff}=13.20 t_w=0.70 σ=7.50
CC 19 SLV (Collegamento -376_-504)
Azioni sul collegamento: N=118.27 Ty=2.46 Tz=-46.33 Mx=0.60 Mz=3.37
Zona tesa: F=47.63 b_{eff}=13.20 t_w=0.70 σ=5.15
Zona tesa: F=47.63 b_{eff}=13.20 t_w=0.70 σ=5.15
CC 19 SLV (Collegamento -376_-504)
Azioni sul collegamento: N=118.27 Ty=1.41 Tz=-46.33 Mx=0.34 Mz=1.70
Zona tesa: F=47.63 b_{eff}=13.20 t_w=0.70 σ=5.15
Zona tesa: F=47.63 b_{eff}=13.20 t_w=0.70 σ=5.15
CC 19 SLV (Collegamento -376_-504)
Azioni sul collegamento: N=118.27 Ty=2.46 Tz=-46.33 Mx=0.60 Mz=3.37
Zona tesa: F=47.63 b_{eff}=13.20 t_w=0.70 σ=5.15
Zona tesa: F=47.63 b_{eff}=13.20 t_w=0.70 σ=5.15
CC 19 SLV (Collegamento -376_-504)
Azioni sul collegamento: N=118.27 Ty=1.41 Tz=-46.33 Mx=0.34 Mz=1.70
Zona tesa: F=47.63 b_{eff}=13.20 t_w=0.70 σ=5.15
Zona tesa: F=47.63 b_{eff}=13.20 t_w=0.70 σ=5.15
CC 20 SLD (Collegamento -376_-504)
Azioni sul collegamento: N=154.98 Ty=1.78 Tz=-52.01 Mx=0.44 Mz=2.45
Zona tesa: F=62.41 b_{eff}=13.20 t_w=0.70 σ=6.75
Zona tesa: F=62.41 b_{eff}=13.20 t_w=0.70 σ=6.75
CC 20 SLD (Collegamento -376_-504)

Azioni sul collegamento: N=154.98 Ty=1.46 Tz=-52.01 Mx=0.36 Mz=1.94
Zona tesa: F=62.41 b_{eff}=13.20 t_w=0.70 σ=6.75
Zona tesa: F=62.41 b_{eff}=13.20 t_w=0.70 σ=6.75
CC 20 SLD (Collegamento -376_-504)
Azioni sul collegamento: N=154.98 Ty=1.78 Tz=-52.01 Mx=0.44 Mz=2.45
Zona tesa: F=62.41 b_{eff}=13.20 t_w=0.70 σ=6.75
Zona tesa: F=62.41 b_{eff}=13.20 t_w=0.70 σ=6.75
CC 20 SLD (Collegamento -376_-504)
Azioni sul collegamento: N=154.98 Ty=1.46 Tz=-52.01 Mx=0.36 Mz=1.94
Zona tesa: F=62.41 b_{eff}=13.20 t_w=0.70 σ=6.75
Zona tesa: F=62.41 b_{eff}=13.20 t_w=0.70 σ=6.75
CC 20 SLD (Collegamento -376_-504)
Azioni sul collegamento: N=138.58 Ty=1.78 Tz=-49.47 Mx=0.44 Mz=2.45
Zona tesa: F=55.80 b_{eff}=13.20 t_w=0.70 σ=6.04
Zona tesa: F=55.80 b_{eff}=13.20 t_w=0.70 σ=6.04
CC 20 SLD (Collegamento -376_-504)
Azioni sul collegamento: N=138.58 Ty=1.46 Tz=-49.47 Mx=0.36 Mz=1.94
Zona tesa: F=55.80 b_{eff}=13.20 t_w=0.70 σ=6.04
Zona tesa: F=55.80 b_{eff}=13.20 t_w=0.70 σ=6.04
CC 20 SLD (Collegamento -376_-504)
Azioni sul collegamento: N=138.58 Ty=1.78 Tz=-49.47 Mx=0.44 Mz=2.45
Zona tesa: F=55.80 b_{eff}=13.20 t_w=0.70 σ=6.04
Zona tesa: F=55.80 b_{eff}=13.20 t_w=0.70 σ=6.04
CC 20 SLD (Collegamento -376_-504)
Azioni sul collegamento: N=138.58 Ty=1.46 Tz=-49.47 Mx=0.36 Mz=1.94
Zona tesa: F=55.80 b_{eff}=13.20 t_w=0.70 σ=6.04
Zona tesa: F=55.80 b_{eff}=13.20 t_w=0.70 σ=6.04
CC 21 SLV (Collegamento -376_-504)
Azioni sul collegamento: N=118.27 Ty=1.41 Tz=-46.33 Mx=0.31 Mz=1.71
Zona tesa: F=47.63 b_{eff}=13.20 t_w=0.70 σ=5.15
Zona tesa: F=47.63 b_{eff}=13.20 t_w=0.70 σ=5.15
CC 21 SLV (Collegamento -376_-504)
Azioni sul collegamento: N=118.27 Ty=2.46 Tz=-46.33 Mx=0.56 Mz=3.37
Zona tesa: F=47.63 b_{eff}=13.20 t_w=0.70 σ=5.15
Zona tesa: F=47.63 b_{eff}=13.20 t_w=0.70 σ=5.15
CC 21 SLV (Collegamento -376_-504)
Azioni sul collegamento: N=118.27 Ty=1.41 Tz=-46.33 Mx=0.31 Mz=1.71
Zona tesa: F=47.63 b_{eff}=13.20 t_w=0.70 σ=5.15
Zona tesa: F=47.63 b_{eff}=13.20 t_w=0.70 σ=5.15
CC 21 SLV (Collegamento -376_-504)
Azioni sul collegamento: N=118.27 Ty=2.46 Tz=-46.33 Mx=0.56 Mz=3.37
Zona tesa: F=47.63 b_{eff}=13.20 t_w=0.70 σ=5.15
Zona tesa: F=47.63 b_{eff}=13.20 t_w=0.70 σ=5.15
CC 21 SLV (Collegamento -376_-504)
Azioni sul collegamento: N=172.06 Ty=1.41 Tz=-54.65 Mx=0.31 Mz=1.71
Zona tesa: F=69.28 b_{eff}=13.20 t_w=0.70 σ=7.50
Zona tesa: F=69.28 b_{eff}=13.20 t_w=0.70 σ=7.50
CC 21 SLV (Collegamento -376_-504)
Azioni sul collegamento: N=172.06 Ty=2.46 Tz=-54.65 Mx=0.56 Mz=3.37
Zona tesa: F=69.28 b_{eff}=13.20 t_w=0.70 σ=7.50
Zona tesa: F=69.28 b_{eff}=13.20 t_w=0.70 σ=7.50
CC 21 SLV (Collegamento -376_-504)
Azioni sul collegamento: N=172.06 Ty=1.41 Tz=-54.65 Mx=0.31 Mz=1.71
Zona tesa: F=69.28 b_{eff}=13.20 t_w=0.70 σ=7.50
Zona tesa: F=69.28 b_{eff}=13.20 t_w=0.70 σ=7.50
CC 21 SLV (Collegamento -376_-504)
Azioni sul collegamento: N=172.06 Ty=2.46 Tz=-54.65 Mx=0.56 Mz=3.37
Zona tesa: F=69.28 b_{eff}=13.20 t_w=0.70 σ=7.50
Zona tesa: F=69.28 b_{eff}=13.20 t_w=0.70 σ=7.50
CC 22 SLD (Collegamento -376_-504)
Azioni sul collegamento: N=138.58 Ty=1.46 Tz=-49.47 Mx=0.35 Mz=1.94
Zona tesa: F=55.80 b_{eff}=13.20 t_w=0.70 σ=6.04
Zona tesa: F=55.80 b_{eff}=13.20 t_w=0.70 σ=6.04
CC 22 SLD (Collegamento -376_-504)
Azioni sul collegamento: N=138.58 Ty=1.78 Tz=-49.47 Mx=0.43 Mz=2.45
Zona tesa: F=55.80 b_{eff}=13.20 t_w=0.70 σ=6.04
Zona tesa: F=55.80 b_{eff}=13.20 t_w=0.70 σ=6.04
CC 22 SLD (Collegamento -376_-504)
Azioni sul collegamento: N=138.58 Ty=1.46 Tz=-49.47 Mx=0.35 Mz=1.94
Zona tesa: F=55.80 b_{eff}=13.20 t_w=0.70 σ=6.04
Zona tesa: F=55.80 b_{eff}=13.20 t_w=0.70 σ=6.04
CC 22 SLD (Collegamento -376_-504)
Azioni sul collegamento: N=138.58 Ty=1.78 Tz=-49.47 Mx=0.43 Mz=2.45
Zona tesa: F=55.80 b_{eff}=13.20 t_w=0.70 σ=6.04
Zona tesa: F=55.80 b_{eff}=13.20 t_w=0.70 σ=6.04
CC 22 SLD (Collegamento -376_-504)

Azioni sul collegamento: N=154.98 Ty=1.46 Tz=-52.01 Mx=0.35 Mz=1.94
Zona tesa: F=62.41 b_{eff}=13.20 t_w=0.70 σ=6.75
Zona tesa: F=62.41 b_{eff}=13.20 t_w=0.70 σ=6.75
CC 22 SLD (Collegamento -376_-504)
Azioni sul collegamento: N=154.98 Ty=1.78 Tz=-52.01 Mx=0.43 Mz=2.45
Zona tesa: F=62.41 b_{eff}=13.20 t_w=0.70 σ=6.75
Zona tesa: F=62.41 b_{eff}=13.20 t_w=0.70 σ=6.75
CC 22 SLD (Collegamento -376_-504)
Azioni sul collegamento: N=154.98 Ty=1.46 Tz=-52.01 Mx=0.35 Mz=1.94
Zona tesa: F=62.41 b_{eff}=13.20 t_w=0.70 σ=6.75
Zona tesa: F=62.41 b_{eff}=13.20 t_w=0.70 σ=6.75
CC 22 SLD (Collegamento -376_-504)
Azioni sul collegamento: N=154.98 Ty=1.78 Tz=-52.01 Mx=0.43 Mz=2.45
Zona tesa: F=62.41 b_{eff}=13.20 t_w=0.70 σ=6.75
Zona tesa: F=62.41 b_{eff}=13.20 t_w=0.70 σ=6.75
CC 23 SLV (Collegamento -376_-504)
Azioni sul collegamento: N=118.18 Ty=1.14 Tz=-46.31 Mx=0.26 Mz=1.46
Zona tesa: F=47.59 b_{eff}=13.20 t_w=0.70 σ=5.15
Zona tesa: F=47.59 b_{eff}=13.20 t_w=0.70 σ=5.15
CC 23 SLV (Collegamento -376_-504)
Azioni sul collegamento: N=118.18 Ty=2.73 Tz=-46.31 Mx=0.60 Mz=3.62
Zona tesa: F=47.59 b_{eff}=13.20 t_w=0.70 σ=5.15
Zona tesa: F=47.59 b_{eff}=13.20 t_w=0.70 σ=5.15
CC 23 SLV (Collegamento -376_-504)
Azioni sul collegamento: N=118.18 Ty=1.14 Tz=-46.31 Mx=0.26 Mz=1.46
Zona tesa: F=47.59 b_{eff}=13.20 t_w=0.70 σ=5.15
Zona tesa: F=47.59 b_{eff}=13.20 t_w=0.70 σ=5.15
CC 23 SLV (Collegamento -376_-504)
Azioni sul collegamento: N=118.18 Ty=2.73 Tz=-46.31 Mx=0.60 Mz=3.62
Zona tesa: F=47.59 b_{eff}=13.20 t_w=0.70 σ=5.15
Zona tesa: F=47.59 b_{eff}=13.20 t_w=0.70 σ=5.15
CC 23 SLV (Collegamento -376_-504)
Azioni sul collegamento: N=172.15 Ty=1.14 Tz=-54.66 Mx=0.26 Mz=1.46
Zona tesa: F=69.32 b_{eff}=13.20 t_w=0.70 σ=7.50
Zona tesa: F=69.32 b_{eff}=13.20 t_w=0.70 σ=7.50
CC 23 SLV (Collegamento -376_-504)
Azioni sul collegamento: N=172.15 Ty=2.73 Tz=-54.66 Mx=0.60 Mz=3.62
Zona tesa: F=69.32 b_{eff}=13.20 t_w=0.70 σ=7.50
Zona tesa: F=69.32 b_{eff}=13.20 t_w=0.70 σ=7.50
CC 23 SLV (Collegamento -376_-504)
Azioni sul collegamento: N=172.15 Ty=1.14 Tz=-54.66 Mx=0.26 Mz=1.46
Zona tesa: F=69.32 b_{eff}=13.20 t_w=0.70 σ=7.50
Zona tesa: F=69.32 b_{eff}=13.20 t_w=0.70 σ=7.50
CC 23 SLV (Collegamento -376_-504)
Azioni sul collegamento: N=172.15 Ty=2.73 Tz=-54.66 Mx=0.60 Mz=3.62
Zona tesa: F=69.32 b_{eff}=13.20 t_w=0.70 σ=7.50
Zona tesa: F=69.32 b_{eff}=13.20 t_w=0.70 σ=7.50
CC 24 SLD (Collegamento -376_-504)
Azioni sul collegamento: N=138.55 Ty=1.38 Tz=-49.47 Mx=0.34 Mz=1.87
Zona tesa: F=55.79 b_{eff}=13.20 t_w=0.70 σ=6.04
Zona tesa: F=55.79 b_{eff}=13.20 t_w=0.70 σ=6.04
CC 24 SLD (Collegamento -376_-504)
Azioni sul collegamento: N=138.55 Ty=1.86 Tz=-49.47 Mx=0.44 Mz=2.53
Zona tesa: F=55.79 b_{eff}=13.20 t_w=0.70 σ=6.04
Zona tesa: F=55.79 b_{eff}=13.20 t_w=0.70 σ=6.04
CC 24 SLD (Collegamento -376_-504)
Azioni sul collegamento: N=138.55 Ty=1.38 Tz=-49.47 Mx=0.34 Mz=1.87
Zona tesa: F=55.79 b_{eff}=13.20 t_w=0.70 σ=6.04
Zona tesa: F=55.79 b_{eff}=13.20 t_w=0.70 σ=6.04
CC 24 SLD (Collegamento -376_-504)
Azioni sul collegamento: N=138.55 Ty=1.86 Tz=-49.47 Mx=0.44 Mz=2.53
Zona tesa: F=55.79 b_{eff}=13.20 t_w=0.70 σ=6.04
Zona tesa: F=55.79 b_{eff}=13.20 t_w=0.70 σ=6.04
CC 24 SLD (Collegamento -376_-504)
Azioni sul collegamento: N=155.01 Ty=1.38 Tz=-52.01 Mx=0.34 Mz=1.87
Zona tesa: F=62.42 b_{eff}=13.20 t_w=0.70 σ=6.76
Zona tesa: F=62.42 b_{eff}=13.20 t_w=0.70 σ=6.76
CC 24 SLD (Collegamento -376_-504)
Azioni sul collegamento: N=155.01 Ty=1.86 Tz=-52.01 Mx=0.44 Mz=2.53
Zona tesa: F=62.42 b_{eff}=13.20 t_w=0.70 σ=6.76
Zona tesa: F=62.42 b_{eff}=13.20 t_w=0.70 σ=6.76
CC 24 SLD (Collegamento -376_-504)
Azioni sul collegamento: N=155.01 Ty=1.38 Tz=-52.01 Mx=0.34 Mz=1.87
Zona tesa: F=62.42 b_{eff}=13.20 t_w=0.70 σ=6.76
Zona tesa: F=62.42 b_{eff}=13.20 t_w=0.70 σ=6.76
CC 24 SLD (Collegamento -376_-504)

Azioni sul collegamento: N=155.01 Ty=1.86 Tz=-52.01 Mx=0.44 Mz=2.53
Zona tesa: F=62.42 b_{eff}=13.20 t_w=0.70 σ=6.76
Zona tesa: F=62.42 b_{eff}=13.20 t_w=0.70 σ=6.76
CC 25 SLV (Collegamento -376_-504)
Azioni sul collegamento: N=153.40 Ty=2.59 Tz=-51.76 Mx=0.57 Mz=3.23
Zona tesa: F=61.77 b_{eff}=13.20 t_w=0.70 σ=6.69
Zona tesa: F=61.77 b_{eff}=13.20 t_w=0.70 σ=6.69
CC 25 SLV (Collegamento -376_-504)
Azioni sul collegamento: N=153.40 Ty=1.28 Tz=-51.76 Mx=0.35 Mz=1.84
Zona tesa: F=61.77 b_{eff}=13.20 t_w=0.70 σ=6.69
Zona tesa: F=61.77 b_{eff}=13.20 t_w=0.70 σ=6.69
CC 25 SLV (Collegamento -376_-504)
Azioni sul collegamento: N=153.40 Ty=2.59 Tz=-51.76 Mx=0.57 Mz=3.23
Zona tesa: F=61.77 b_{eff}=13.20 t_w=0.70 σ=6.69
Zona tesa: F=61.77 b_{eff}=13.20 t_w=0.70 σ=6.69
CC 25 SLV (Collegamento -376_-504)
Azioni sul collegamento: N=153.40 Ty=1.28 Tz=-51.76 Mx=0.35 Mz=1.84
Zona tesa: F=61.77 b_{eff}=13.20 t_w=0.70 σ=6.69
Zona tesa: F=61.77 b_{eff}=13.20 t_w=0.70 σ=6.69
CC 25 SLV (Collegamento -376_-504)
Azioni sul collegamento: N=136.93 Ty=2.59 Tz=-49.21 Mx=0.57 Mz=3.23
Zona tesa: F=55.14 b_{eff}=13.20 t_w=0.70 σ=5.97
Zona tesa: F=55.14 b_{eff}=13.20 t_w=0.70 σ=5.97
CC 25 SLV (Collegamento -376_-504)
Azioni sul collegamento: N=136.93 Ty=1.28 Tz=-49.21 Mx=0.35 Mz=1.84
Zona tesa: F=55.14 b_{eff}=13.20 t_w=0.70 σ=5.97
Zona tesa: F=55.14 b_{eff}=13.20 t_w=0.70 σ=5.97
CC 25 SLV (Collegamento -376_-504)
Azioni sul collegamento: N=136.93 Ty=2.59 Tz=-49.21 Mx=0.57 Mz=3.23
Zona tesa: F=55.14 b_{eff}=13.20 t_w=0.70 σ=5.97
Zona tesa: F=55.14 b_{eff}=13.20 t_w=0.70 σ=5.97
CC 25 SLV (Collegamento -376_-504)
Azioni sul collegamento: N=136.93 Ty=1.28 Tz=-49.21 Mx=0.35 Mz=1.84
Zona tesa: F=55.14 b_{eff}=13.20 t_w=0.70 σ=5.97
Zona tesa: F=55.14 b_{eff}=13.20 t_w=0.70 σ=5.97
CC 26 SLD (Collegamento -376_-504)
Azioni sul collegamento: N=149.29 Ty=1.82 Tz=-51.13 Mx=0.43 Mz=2.41
Zona tesa: F=60.12 b_{eff}=13.20 t_w=0.70 σ=6.51
Zona tesa: F=60.12 b_{eff}=13.20 t_w=0.70 σ=6.51
CC 26 SLD (Collegamento -376_-504)
Azioni sul collegamento: N=149.29 Ty=1.42 Tz=-51.13 Mx=0.36 Mz=1.98
Zona tesa: F=60.12 b_{eff}=13.20 t_w=0.70 σ=6.51
Zona tesa: F=60.12 b_{eff}=13.20 t_w=0.70 σ=6.51
CC 26 SLD (Collegamento -376_-504)
Azioni sul collegamento: N=149.29 Ty=1.82 Tz=-51.13 Mx=0.43 Mz=2.41
Zona tesa: F=60.12 b_{eff}=13.20 t_w=0.70 σ=6.51
Zona tesa: F=60.12 b_{eff}=13.20 t_w=0.70 σ=6.51
CC 26 SLD (Collegamento -376_-504)
Azioni sul collegamento: N=149.29 Ty=1.42 Tz=-51.13 Mx=0.36 Mz=1.98
Zona tesa: F=60.12 b_{eff}=13.20 t_w=0.70 σ=6.51
Zona tesa: F=60.12 b_{eff}=13.20 t_w=0.70 σ=6.51
CC 26 SLD (Collegamento -376_-504)
Azioni sul collegamento: N=144.27 Ty=1.82 Tz=-50.35 Mx=0.43 Mz=2.41
Zona tesa: F=58.10 b_{eff}=13.20 t_w=0.70 σ=6.29
Zona tesa: F=58.10 b_{eff}=13.20 t_w=0.70 σ=6.29
CC 26 SLD (Collegamento -376_-504)
Azioni sul collegamento: N=144.27 Ty=1.42 Tz=-50.35 Mx=0.36 Mz=1.98
Zona tesa: F=58.10 b_{eff}=13.20 t_w=0.70 σ=6.29
Zona tesa: F=58.10 b_{eff}=13.20 t_w=0.70 σ=6.29
CC 26 SLD (Collegamento -376_-504)
Azioni sul collegamento: N=144.27 Ty=1.82 Tz=-50.35 Mx=0.43 Mz=2.41
Zona tesa: F=58.10 b_{eff}=13.20 t_w=0.70 σ=6.29
Zona tesa: F=58.10 b_{eff}=13.20 t_w=0.70 σ=6.29
CC 26 SLD (Collegamento -376_-504)
Azioni sul collegamento: N=144.27 Ty=1.42 Tz=-50.35 Mx=0.36 Mz=1.98
Zona tesa: F=58.10 b_{eff}=13.20 t_w=0.70 σ=6.29
Zona tesa: F=58.10 b_{eff}=13.20 t_w=0.70 σ=6.29
CC 27 SLV (Collegamento -376_-504)
Azioni sul collegamento: N=137.24 Ty=2.20 Tz=-49.26 Mx=0.47 Mz=2.66
Zona tesa: F=55.26 b_{eff}=13.20 t_w=0.70 σ=5.98
Zona tesa: F=55.26 b_{eff}=13.20 t_w=0.70 σ=5.98
CC 27 SLV (Collegamento -376_-504)
Azioni sul collegamento: N=137.24 Ty=1.68 Tz=-49.26 Mx=0.43 Mz=2.41
Zona tesa: F=55.26 b_{eff}=13.20 t_w=0.70 σ=5.98
Zona tesa: F=55.26 b_{eff}=13.20 t_w=0.70 σ=5.98
CC 27 SLV (Collegamento -376_-504)

Azioni sul collegamento: N=137.24 Ty=2.20 Tz=-49.26 Mx=0.47 Mz=2.66
Zona tesa: F=55.26 b_{eff}=13.20 t_w=0.70 σ=5.98
Zona tesa: F=55.26 b_{eff}=13.20 t_w=0.70 σ=5.98
CC 27 SLV (Collegamento -376_-504)
Azioni sul collegamento: N=137.24 Ty=1.68 Tz=-49.26 Mx=0.43 Mz=2.41
Zona tesa: F=55.26 b_{eff}=13.20 t_w=0.70 σ=5.98
Zona tesa: F=55.26 b_{eff}=13.20 t_w=0.70 σ=5.98
CC 27 SLV (Collegamento -376_-504)
Azioni sul collegamento: N=153.09 Ty=2.20 Tz=-51.72 Mx=0.47 Mz=2.66
Zona tesa: F=61.65 b_{eff}=13.20 t_w=0.70 σ=6.67
Zona tesa: F=61.65 b_{eff}=13.20 t_w=0.70 σ=6.67
CC 27 SLV (Collegamento -376_-504)
Azioni sul collegamento: N=153.09 Ty=1.68 Tz=-51.72 Mx=0.43 Mz=2.41
Zona tesa: F=61.65 b_{eff}=13.20 t_w=0.70 σ=6.67
Zona tesa: F=61.65 b_{eff}=13.20 t_w=0.70 σ=6.67
CC 27 SLV (Collegamento -376_-504)
Azioni sul collegamento: N=153.09 Ty=2.20 Tz=-51.72 Mx=0.47 Mz=2.66
Zona tesa: F=61.65 b_{eff}=13.20 t_w=0.70 σ=6.67
Zona tesa: F=61.65 b_{eff}=13.20 t_w=0.70 σ=6.67
CC 27 SLV (Collegamento -376_-504)
Azioni sul collegamento: N=153.09 Ty=1.68 Tz=-51.72 Mx=0.43 Mz=2.41
Zona tesa: F=61.65 b_{eff}=13.20 t_w=0.70 σ=6.67
Zona tesa: F=61.65 b_{eff}=13.20 t_w=0.70 σ=6.67
CC 28 SLD (Collegamento -376_-504)
Azioni sul collegamento: N=144.37 Ty=1.70 Tz=-50.36 Mx=0.40 Mz=2.23
Zona tesa: F=58.13 b_{eff}=13.20 t_w=0.70 σ=6.29
Zona tesa: F=58.13 b_{eff}=13.20 t_w=0.70 σ=6.29
CC 28 SLD (Collegamento -376_-504)
Azioni sul collegamento: N=144.37 Ty=1.54 Tz=-50.36 Mx=0.39 Mz=2.16
Zona tesa: F=58.13 b_{eff}=13.20 t_w=0.70 σ=6.29
Zona tesa: F=58.13 b_{eff}=13.20 t_w=0.70 σ=6.29
CC 28 SLD (Collegamento -376_-504)
Azioni sul collegamento: N=144.37 Ty=1.70 Tz=-50.36 Mx=0.40 Mz=2.23
Zona tesa: F=58.13 b_{eff}=13.20 t_w=0.70 σ=6.29
Zona tesa: F=58.13 b_{eff}=13.20 t_w=0.70 σ=6.29
CC 28 SLD (Collegamento -376_-504)
Azioni sul collegamento: N=144.37 Ty=1.54 Tz=-50.36 Mx=0.39 Mz=2.16
Zona tesa: F=58.13 b_{eff}=13.20 t_w=0.70 σ=6.29
Zona tesa: F=58.13 b_{eff}=13.20 t_w=0.70 σ=6.29
CC 28 SLD (Collegamento -376_-504)
Azioni sul collegamento: N=149.20 Ty=1.70 Tz=-51.11 Mx=0.40 Mz=2.23
Zona tesa: F=60.08 b_{eff}=13.20 t_w=0.70 σ=6.50
Zona tesa: F=60.08 b_{eff}=13.20 t_w=0.70 σ=6.50
CC 28 SLD (Collegamento -376_-504)
Azioni sul collegamento: N=149.20 Ty=1.54 Tz=-51.11 Mx=0.39 Mz=2.16
Zona tesa: F=60.08 b_{eff}=13.20 t_w=0.70 σ=6.50
Zona tesa: F=60.08 b_{eff}=13.20 t_w=0.70 σ=6.50
CC 28 SLD (Collegamento -376_-504)
Azioni sul collegamento: N=149.20 Ty=1.70 Tz=-51.11 Mx=0.40 Mz=2.23
Zona tesa: F=60.08 b_{eff}=13.20 t_w=0.70 σ=6.50
Zona tesa: F=60.08 b_{eff}=13.20 t_w=0.70 σ=6.50
CC 28 SLD (Collegamento -376_-504)
Azioni sul collegamento: N=149.20 Ty=1.54 Tz=-51.11 Mx=0.39 Mz=2.16
Zona tesa: F=60.08 b_{eff}=13.20 t_w=0.70 σ=6.50
Zona tesa: F=60.08 b_{eff}=13.20 t_w=0.70 σ=6.50
CC 29 SLV (Collegamento -376_-504)
Azioni sul collegamento: N=153.09 Ty=1.68 Tz=-51.72 Mx=0.43 Mz=2.41
Zona tesa: F=61.65 b_{eff}=13.20 t_w=0.70 σ=6.67
Zona tesa: F=61.65 b_{eff}=13.20 t_w=0.70 σ=6.67
CC 29 SLV (Collegamento -376_-504)
Azioni sul collegamento: N=153.09 Ty=2.20 Tz=-51.72 Mx=0.47 Mz=2.66
Zona tesa: F=61.65 b_{eff}=13.20 t_w=0.70 σ=6.67
Zona tesa: F=61.65 b_{eff}=13.20 t_w=0.70 σ=6.67
CC 29 SLV (Collegamento -376_-504)
Azioni sul collegamento: N=153.09 Ty=1.68 Tz=-51.72 Mx=0.43 Mz=2.41
Zona tesa: F=61.65 b_{eff}=13.20 t_w=0.70 σ=6.67
Zona tesa: F=61.65 b_{eff}=13.20 t_w=0.70 σ=6.67
CC 29 SLV (Collegamento -376_-504)
Azioni sul collegamento: N=153.09 Ty=2.20 Tz=-51.72 Mx=0.47 Mz=2.66
Zona tesa: F=61.65 b_{eff}=13.20 t_w=0.70 σ=6.67
Zona tesa: F=61.65 b_{eff}=13.20 t_w=0.70 σ=6.67
CC 29 SLV (Collegamento -376_-504)
Azioni sul collegamento: N=137.24 Ty=1.68 Tz=-49.26 Mx=0.43 Mz=2.41
Zona tesa: F=55.26 b_{eff}=13.20 t_w=0.70 σ=5.98
Zona tesa: F=55.26 b_{eff}=13.20 t_w=0.70 σ=5.98
CC 29 SLV (Collegamento -376_-504)

Azioni sul collegamento: N=137.24 Ty=2.20 Tz=-49.26 Mx=0.47 Mz=2.66
Zona tesa: F=55.26 b_{eff}=13.20 t_w=0.70 σ=5.98
Zona tesa: F=55.26 b_{eff}=13.20 t_w=0.70 σ=5.98
CC 29 SLV (Collegamento -376_-504)
Azioni sul collegamento: N=137.24 Ty=1.68 Tz=-49.26 Mx=0.43 Mz=2.41
Zona tesa: F=55.26 b_{eff}=13.20 t_w=0.70 σ=5.98
Zona tesa: F=55.26 b_{eff}=13.20 t_w=0.70 σ=5.98
CC 29 SLV (Collegamento -376_-504)
Azioni sul collegamento: N=137.24 Ty=2.20 Tz=-49.26 Mx=0.47 Mz=2.66
Zona tesa: F=55.26 b_{eff}=13.20 t_w=0.70 σ=5.98
Zona tesa: F=55.26 b_{eff}=13.20 t_w=0.70 σ=5.98
CC 30 SLD (Collegamento -376_-504)
Azioni sul collegamento: N=149.20 Ty=1.54 Tz=-51.11 Mx=0.39 Mz=2.16
Zona tesa: F=60.08 b_{eff}=13.20 t_w=0.70 σ=6.50
Zona tesa: F=60.08 b_{eff}=13.20 t_w=0.70 σ=6.50
CC 30 SLD (Collegamento -376_-504)
Azioni sul collegamento: N=149.20 Ty=1.70 Tz=-51.11 Mx=0.40 Mz=2.23
Zona tesa: F=60.08 b_{eff}=13.20 t_w=0.70 σ=6.50
Zona tesa: F=60.08 b_{eff}=13.20 t_w=0.70 σ=6.50
CC 30 SLD (Collegamento -376_-504)
Azioni sul collegamento: N=149.20 Ty=1.54 Tz=-51.11 Mx=0.39 Mz=2.16
Zona tesa: F=60.08 b_{eff}=13.20 t_w=0.70 σ=6.50
Zona tesa: F=60.08 b_{eff}=13.20 t_w=0.70 σ=6.50
CC 30 SLD (Collegamento -376_-504)
Azioni sul collegamento: N=149.20 Ty=1.70 Tz=-51.11 Mx=0.40 Mz=2.23
Zona tesa: F=60.08 b_{eff}=13.20 t_w=0.70 σ=6.50
Zona tesa: F=60.08 b_{eff}=13.20 t_w=0.70 σ=6.50
CC 30 SLD (Collegamento -376_-504)
Azioni sul collegamento: N=144.37 Ty=1.54 Tz=-50.36 Mx=0.39 Mz=2.16
Zona tesa: F=58.13 b_{eff}=13.20 t_w=0.70 σ=6.29
Zona tesa: F=58.13 b_{eff}=13.20 t_w=0.70 σ=6.29
CC 30 SLD (Collegamento -376_-504)
Azioni sul collegamento: N=144.37 Ty=1.70 Tz=-50.36 Mx=0.40 Mz=2.23
Zona tesa: F=58.13 b_{eff}=13.20 t_w=0.70 σ=6.29
Zona tesa: F=58.13 b_{eff}=13.20 t_w=0.70 σ=6.29
CC 30 SLD (Collegamento -376_-504)
Azioni sul collegamento: N=144.37 Ty=1.54 Tz=-50.36 Mx=0.39 Mz=2.16
Zona tesa: F=58.13 b_{eff}=13.20 t_w=0.70 σ=6.29
Zona tesa: F=58.13 b_{eff}=13.20 t_w=0.70 σ=6.29
CC 30 SLD (Collegamento -376_-504)
Azioni sul collegamento: N=144.37 Ty=1.70 Tz=-50.36 Mx=0.40 Mz=2.23
Zona tesa: F=58.13 b_{eff}=13.20 t_w=0.70 σ=6.29
Zona tesa: F=58.13 b_{eff}=13.20 t_w=0.70 σ=6.29
CC 31 SLV (Collegamento -376_-504)
Azioni sul collegamento: N=136.93 Ty=1.28 Tz=-49.21 Mx=0.33 Mz=1.84
Zona tesa: F=55.14 b_{eff}=13.20 t_w=0.70 σ=5.97
Zona tesa: F=55.14 b_{eff}=13.20 t_w=0.70 σ=5.97
CC 31 SLV (Collegamento -376_-504)
Azioni sul collegamento: N=136.93 Ty=2.59 Tz=-49.21 Mx=0.55 Mz=3.24
Zona tesa: F=55.14 b_{eff}=13.20 t_w=0.70 σ=5.97
Zona tesa: F=55.14 b_{eff}=13.20 t_w=0.70 σ=5.97
CC 31 SLV (Collegamento -376_-504)
Azioni sul collegamento: N=136.93 Ty=1.28 Tz=-49.21 Mx=0.33 Mz=1.84
Zona tesa: F=55.14 b_{eff}=13.20 t_w=0.70 σ=5.97
Zona tesa: F=55.14 b_{eff}=13.20 t_w=0.70 σ=5.97
CC 31 SLV (Collegamento -376_-504)
Azioni sul collegamento: N=136.93 Ty=2.59 Tz=-49.21 Mx=0.55 Mz=3.24
Zona tesa: F=55.14 b_{eff}=13.20 t_w=0.70 σ=5.97
Zona tesa: F=55.14 b_{eff}=13.20 t_w=0.70 σ=5.97
CC 31 SLV (Collegamento -376_-504)
Azioni sul collegamento: N=153.40 Ty=1.28 Tz=-51.76 Mx=0.33 Mz=1.84
Zona tesa: F=61.77 b_{eff}=13.20 t_w=0.70 σ=6.69
Zona tesa: F=61.77 b_{eff}=13.20 t_w=0.70 σ=6.69
CC 31 SLV (Collegamento -376_-504)
Azioni sul collegamento: N=153.40 Ty=2.59 Tz=-51.76 Mx=0.55 Mz=3.24
Zona tesa: F=61.77 b_{eff}=13.20 t_w=0.70 σ=6.69
Zona tesa: F=61.77 b_{eff}=13.20 t_w=0.70 σ=6.69
CC 31 SLV (Collegamento -376_-504)
Azioni sul collegamento: N=153.40 Ty=1.28 Tz=-51.76 Mx=0.33 Mz=1.84
Zona tesa: F=61.77 b_{eff}=13.20 t_w=0.70 σ=6.69
Zona tesa: F=61.77 b_{eff}=13.20 t_w=0.70 σ=6.69
CC 31 SLV (Collegamento -376_-504)
Azioni sul collegamento: N=153.40 Ty=2.59 Tz=-51.76 Mx=0.55 Mz=3.24
Zona tesa: F=61.77 b_{eff}=13.20 t_w=0.70 σ=6.69
Zona tesa: F=61.77 b_{eff}=13.20 t_w=0.70 σ=6.69
CC 32 SLD (Collegamento -376_-504)

Azioni sul collegamento: N=144.27 Ty=1.42 Tz=-50.35 Mx=0.36 Mz=1.98
Zona tesa: F=58.10 b_{eff}=13.20 t_w=0.70 σ=6.29
Zona tesa: F=58.10 b_{eff}=13.20 t_w=0.70 σ=6.29
CC 32 SLD (Collegamento -376_-504)
Azioni sul collegamento: N=144.27 Ty=1.82 Tz=-50.35 Mx=0.42 Mz=2.41
Zona tesa: F=58.10 b_{eff}=13.20 t_w=0.70 σ=6.29
Zona tesa: F=58.10 b_{eff}=13.20 t_w=0.70 σ=6.29
CC 32 SLD (Collegamento -376_-504)
Azioni sul collegamento: N=144.27 Ty=1.42 Tz=-50.35 Mx=0.36 Mz=1.98
Zona tesa: F=58.10 b_{eff}=13.20 t_w=0.70 σ=6.29
Zona tesa: F=58.10 b_{eff}=13.20 t_w=0.70 σ=6.29
CC 32 SLD (Collegamento -376_-504)
Azioni sul collegamento: N=144.27 Ty=1.82 Tz=-50.35 Mx=0.42 Mz=2.41
Zona tesa: F=58.10 b_{eff}=13.20 t_w=0.70 σ=6.29
Zona tesa: F=58.10 b_{eff}=13.20 t_w=0.70 σ=6.29
CC 32 SLD (Collegamento -376_-504)
Azioni sul collegamento: N=149.29 Ty=1.42 Tz=-51.13 Mx=0.36 Mz=1.98
Zona tesa: F=60.12 b_{eff}=13.20 t_w=0.70 σ=6.51
Zona tesa: F=60.12 b_{eff}=13.20 t_w=0.70 σ=6.51
CC 32 SLD (Collegamento -376_-504)
Azioni sul collegamento: N=149.29 Ty=1.82 Tz=-51.13 Mx=0.42 Mz=2.41
Zona tesa: F=60.12 b_{eff}=13.20 t_w=0.70 σ=6.51
Zona tesa: F=60.12 b_{eff}=13.20 t_w=0.70 σ=6.51
CC 32 SLD (Collegamento -376_-504)
Azioni sul collegamento: N=149.29 Ty=1.42 Tz=-51.13 Mx=0.36 Mz=1.98
Zona tesa: F=60.12 b_{eff}=13.20 t_w=0.70 σ=6.51
Zona tesa: F=60.12 b_{eff}=13.20 t_w=0.70 σ=6.51
CC 32 SLD (Collegamento -376_-504)
Azioni sul collegamento: N=149.29 Ty=1.82 Tz=-51.13 Mx=0.42 Mz=2.41
Zona tesa: F=60.12 b_{eff}=13.20 t_w=0.70 σ=6.51
Zona tesa: F=60.12 b_{eff}=13.20 t_w=0.70 σ=6.51
CC 33 SLU (Collegamento -376_-504)
Azioni sul collegamento: N=371.78 Ty=3.15 Tz=-95.37 Mx=0.78 Mz=4.34
Zona tesa: F=149.71 b_{eff}=13.20 t_w=0.70 σ=16.20
Zona tesa: F=149.71 b_{eff}=13.20 t_w=0.70 σ=16.20
CC 34 SLU (Collegamento -376_-504)
Azioni sul collegamento: N=366.17 Ty=3.01 Tz=-94.50 Mx=0.75 Mz=4.14
Zona tesa: F=147.45 b_{eff}=13.20 t_w=0.70 σ=15.96
Zona tesa: F=147.45 b_{eff}=13.20 t_w=0.70 σ=15.96
CC 35 SLU (Collegamento -376_-504)
Azioni sul collegamento: N=369.00 Ty=3.13 Tz=-94.94 Mx=0.77 Mz=4.28
Zona tesa: F=148.59 b_{eff}=13.20 t_w=0.70 σ=16.08
Zona tesa: F=148.59 b_{eff}=13.20 t_w=0.70 σ=16.08
CC 36 SLU (Collegamento -376_-504)
Azioni sul collegamento: N=368.95 Ty=3.03 Tz=-94.93 Mx=0.76 Mz=4.20
Zona tesa: F=148.57 b_{eff}=13.20 t_w=0.70 σ=16.08
Zona tesa: F=148.57 b_{eff}=13.20 t_w=0.70 σ=16.08
CC 37 SLU (Collegamento -376_-504)
Azioni sul collegamento: N=304.32 Ty=3.00 Tz=-84.93 Mx=0.77 Mz=4.30
Zona tesa: F=122.55 b_{eff}=13.20 t_w=0.70 σ=13.26
Zona tesa: F=122.55 b_{eff}=13.20 t_w=0.70 σ=13.26
CC 38 SLU (Collegamento -376_-504)
Azioni sul collegamento: N=298.72 Ty=2.86 Tz=-84.06 Mx=0.74 Mz=4.10
Zona tesa: F=120.29 b_{eff}=13.20 t_w=0.70 σ=13.02
Zona tesa: F=120.29 b_{eff}=13.20 t_w=0.70 σ=13.02
CC 39 SLU (Collegamento -376_-504)
Azioni sul collegamento: N=301.54 Ty=2.98 Tz=-84.50 Mx=0.76 Mz=4.25
Zona tesa: F=121.43 b_{eff}=13.20 t_w=0.70 σ=13.14
Zona tesa: F=121.43 b_{eff}=13.20 t_w=0.70 σ=13.14
CC 40 SLU (Collegamento -376_-504)
Azioni sul collegamento: N=301.50 Ty=2.88 Tz=-84.49 Mx=0.75 Mz=4.16
Zona tesa: F=121.41 b_{eff}=13.20 t_w=0.70 σ=13.14
Zona tesa: F=121.41 b_{eff}=13.20 t_w=0.70 σ=13.14
CC 41 SLU (Collegamento -376_-504)
Azioni sul collegamento: N=335.80 Ty=-2.05 Tz=-89.80 Mx=-0.48 Mz=-2.83
Zona tesa: F=135.22 b_{eff}=13.20 t_w=0.70 σ=14.63
Zona tesa: F=135.22 b_{eff}=13.20 t_w=0.70 σ=14.63
CC 42 SLU (Collegamento -376_-504)
Azioni sul collegamento: N=330.19 Ty=-2.19 Tz=-88.93 Mx=-0.52 Mz=-3.03
Zona tesa: F=132.96 b_{eff}=13.20 t_w=0.70 σ=14.39
Zona tesa: F=132.96 b_{eff}=13.20 t_w=0.70 σ=14.39
CC 43 SLU (Collegamento -376_-504)
Azioni sul collegamento: N=333.02 Ty=-2.08 Tz=-89.37 Mx=-0.49 Mz=-2.89
Zona tesa: F=134.10 b_{eff}=13.20 t_w=0.70 σ=14.51
Zona tesa: F=134.10 b_{eff}=13.20 t_w=0.70 σ=14.51
CC 44 SLU (Collegamento -376_-504)

Azioni sul collegamento: N=332.97 Ty=-2.17 Tz=-89.36 Mx=-0.51 Mz=-2.97
Zona tesa: F=134.08 b_{eff}=13.20 t_w=0.70 σ=14.51
Zona tesa: F=134.08 b_{eff}=13.20 t_w=0.70 σ=14.51
CC 45 SLU (Collegamento -376_-504)
Azioni sul collegamento: N=319.15 Ty=3.14 Tz=-87.22 Mx=0.78 Mz=4.32
Zona tesa: F=128.52 b_{eff}=13.20 t_w=0.70 σ=13.91
Zona tesa: F=128.52 b_{eff}=13.20 t_w=0.70 σ=13.91
CC 46 SLU (Collegamento -376_-504)
Azioni sul collegamento: N=313.55 Ty=3.00 Tz=-86.35 Mx=0.74 Mz=4.12
Zona tesa: F=126.26 b_{eff}=13.20 t_w=0.70 σ=13.66
Zona tesa: F=126.26 b_{eff}=13.20 t_w=0.70 σ=13.66
CC 47 SLU (Collegamento -376_-504)
Azioni sul collegamento: N=316.37 Ty=3.12 Tz=-86.79 Mx=0.76 Mz=4.26
Zona tesa: F=127.40 b_{eff}=13.20 t_w=0.70 σ=13.79
Zona tesa: F=127.40 b_{eff}=13.20 t_w=0.70 σ=13.79
CC 48 SLU (Collegamento -376_-504)
Azioni sul collegamento: N=316.33 Ty=3.02 Tz=-86.79 Mx=0.75 Mz=4.17
Zona tesa: F=127.38 b_{eff}=13.20 t_w=0.70 σ=13.79
Zona tesa: F=127.38 b_{eff}=13.20 t_w=0.70 σ=13.79
CC 49 SLU (Collegamento -376_-504)
Azioni sul collegamento: N=268.69 Ty=3.03 Tz=-79.41 Mx=0.77 Mz=4.29
Zona tesa: F=108.20 b_{eff}=13.20 t_w=0.70 σ=11.71
Zona tesa: F=108.20 b_{eff}=13.20 t_w=0.70 σ=11.71
CC 50 SLU (Collegamento -376_-504)
Azioni sul collegamento: N=263.08 Ty=2.89 Tz=-78.54 Mx=0.73 Mz=4.09
Zona tesa: F=105.94 b_{eff}=13.20 t_w=0.70 σ=11.47
Zona tesa: F=105.94 b_{eff}=13.20 t_w=0.70 σ=11.47
CC 51 SLU (Collegamento -376_-504)
Azioni sul collegamento: N=265.90 Ty=3.00 Tz=-78.98 Mx=0.76 Mz=4.23
Zona tesa: F=107.08 b_{eff}=13.20 t_w=0.70 σ=11.59
Zona tesa: F=107.08 b_{eff}=13.20 t_w=0.70 σ=11.59
CC 52 SLU (Collegamento -376_-504)
Azioni sul collegamento: N=265.86 Ty=2.91 Tz=-78.97 Mx=0.74 Mz=4.15
Zona tesa: F=107.06 b_{eff}=13.20 t_w=0.70 σ=11.59
Zona tesa: F=107.06 b_{eff}=13.20 t_w=0.70 σ=11.59
CC 53 SLU (Collegamento -376_-504)
Azioni sul collegamento: N=292.23 Ty=-0.75 Tz=-83.06 Mx=-0.17 Mz=-1.05
Zona tesa: F=117.68 b_{eff}=13.20 t_w=0.70 σ=12.74
Zona tesa: F=117.68 b_{eff}=13.20 t_w=0.70 σ=12.74
CC 54 SLU (Collegamento -376_-504)
Azioni sul collegamento: N=286.63 Ty=-0.89 Tz=-82.19 Mx=-0.21 Mz=-1.25
Zona tesa: F=115.42 b_{eff}=13.20 t_w=0.70 σ=12.49
Zona tesa: F=115.42 b_{eff}=13.20 t_w=0.70 σ=12.49
CC 55 SLU (Collegamento -376_-504)
Azioni sul collegamento: N=289.45 Ty=-0.78 Tz=-82.63 Mx=-0.18 Mz=-1.11
Zona tesa: F=116.56 b_{eff}=13.20 t_w=0.70 σ=12.61
Zona tesa: F=116.56 b_{eff}=13.20 t_w=0.70 σ=12.61
CC 56 SLU (Collegamento -376_-504)
Azioni sul collegamento: N=289.41 Ty=-0.87 Tz=-82.62 Mx=-0.20 Mz=-1.19
Zona tesa: F=116.54 b_{eff}=13.20 t_w=0.70 σ=12.61
Zona tesa: F=116.54 b_{eff}=13.20 t_w=0.70 σ=12.61
CC 57 SLU (Collegamento -376_-504)
Azioni sul collegamento: N=303.76 Ty=2.83 Tz=-84.84 Mx=0.70 Mz=3.86
Zona tesa: F=122.32 b_{eff}=13.20 t_w=0.70 σ=13.24
Zona tesa: F=122.32 b_{eff}=13.20 t_w=0.70 σ=13.24
CC 58 SLU (Collegamento -376_-504)
Azioni sul collegamento: N=298.15 Ty=2.69 Tz=-83.97 Mx=0.66 Mz=3.66
Zona tesa: F=120.06 b_{eff}=13.20 t_w=0.70 σ=12.99
Zona tesa: F=120.06 b_{eff}=13.20 t_w=0.70 σ=12.99
CC 59 SLU (Collegamento -376_-504)
Azioni sul collegamento: N=300.98 Ty=2.80 Tz=-84.41 Mx=0.69 Mz=3.80
Zona tesa: F=121.20 b_{eff}=13.20 t_w=0.70 σ=13.12
Zona tesa: F=121.20 b_{eff}=13.20 t_w=0.70 σ=13.12
CC 60 SLU (Collegamento -376_-504)
Azioni sul collegamento: N=300.94 Ty=2.71 Tz=-84.40 Mx=0.67 Mz=3.72
Zona tesa: F=121.18 b_{eff}=13.20 t_w=0.70 σ=13.12
Zona tesa: F=121.18 b_{eff}=13.20 t_w=0.70 σ=13.12
CC 61 SLU (Collegamento -376_-504)
Azioni sul collegamento: N=253.29 Ty=2.72 Tz=-77.03 Mx=0.69 Mz=3.83
Zona tesa: F=102.00 b_{eff}=13.20 t_w=0.70 σ=11.04
Zona tesa: F=102.00 b_{eff}=13.20 t_w=0.70 σ=11.04
CC 62 SLU (Collegamento -376_-504)
Azioni sul collegamento: N=247.69 Ty=2.58 Tz=-76.16 Mx=0.65 Mz=3.63
Zona tesa: F=99.74 b_{eff}=13.20 t_w=0.70 σ=10.79
Zona tesa: F=99.74 b_{eff}=13.20 t_w=0.70 σ=10.79
CC 63 SLU (Collegamento -376_-504)

Azioni sul collegamento: N=250.51 Ty=2.69 Tz=-76.60 Mx=0.68 Mz=3.77
Zona tesa: F=100.88 b_{eff}=13.20 t_w=0.70 σ=10.92
Zona tesa: F=100.88 b_{eff}=13.20 t_w=0.70 σ=10.92
CC 64 SLU (Collegamento -376_-504)
Azioni sul collegamento: N=250.47 Ty=2.60 Tz=-76.59 Mx=0.66 Mz=3.69
Zona tesa: F=100.86 b_{eff}=13.20 t_w=0.70 σ=10.92
Zona tesa: F=100.86 b_{eff}=13.20 t_w=0.70 σ=10.92
CC 65 SLU (Collegamento -376_-504)
Azioni sul collegamento: N=276.84 Ty=-1.07 Tz=-80.67 Mx=-0.25 Mz=-1.51
Zona tesa: F=111.48 b_{eff}=13.20 t_w=0.70 σ=12.06
Zona tesa: F=111.48 b_{eff}=13.20 t_w=0.70 σ=12.06
CC 66 SLU (Collegamento -376_-504)
Azioni sul collegamento: N=271.24 Ty=-1.20 Tz=-79.81 Mx=-0.28 Mz=-1.71
Zona tesa: F=109.22 b_{eff}=13.20 t_w=0.70 σ=11.82
Zona tesa: F=109.22 b_{eff}=13.20 t_w=0.70 σ=11.82
CC 67 SLU (Collegamento -376_-504)
Azioni sul collegamento: N=274.06 Ty=-1.09 Tz=-80.24 Mx=-0.26 Mz=-1.56
Zona tesa: F=110.36 b_{eff}=13.20 t_w=0.70 σ=11.94
Zona tesa: F=110.36 b_{eff}=13.20 t_w=0.70 σ=11.94
CC 68 SLU (Collegamento -376_-504)
Azioni sul collegamento: N=274.02 Ty=-1.18 Tz=-80.24 Mx=-0.27 Mz=-1.65
Zona tesa: F=110.34 b_{eff}=13.20 t_w=0.70 σ=11.94
Zona tesa: F=110.34 b_{eff}=13.20 t_w=0.70 σ=11.94
CC 97 SLU (Collegamento -376_-504)
Azioni sul collegamento: N=317.17 Ty=-4.15 Tz=-77.11 Mx=0.57 Mz=2.29
Zona tesa: F=127.72 b_{eff}=13.20 t_w=0.70 σ=13.82
Zona tesa: F=127.72 b_{eff}=13.20 t_w=0.70 σ=13.82
CC 98 SLU (Collegamento -376_-504)
Azioni sul collegamento: N=311.56 Ty=-4.28 Tz=-76.24 Mx=0.54 Mz=2.09
Zona tesa: F=125.46 b_{eff}=13.20 t_w=0.70 σ=13.58
Zona tesa: F=125.46 b_{eff}=13.20 t_w=0.70 σ=13.58
CC 99 SLU (Collegamento -376_-504)
Azioni sul collegamento: N=314.39 Ty=-4.17 Tz=-76.68 Mx=0.56 Mz=2.23
Zona tesa: F=126.60 b_{eff}=13.20 t_w=0.70 σ=13.70
Zona tesa: F=126.60 b_{eff}=13.20 t_w=0.70 σ=13.70
CC 100 SLU (Collegamento -376_-504)
Azioni sul collegamento: N=314.35 Ty=-4.26 Tz=-76.67 Mx=0.55 Mz=2.14
Zona tesa: F=126.58 b_{eff}=13.20 t_w=0.70 σ=13.70
Zona tesa: F=126.58 b_{eff}=13.20 t_w=0.70 σ=13.70
CC 101 SLU (Collegamento -376_-504)
Azioni sul collegamento: N=141.43 Ty=1.27 Tz=-49.91 Mx=0.26 Mz=1.59
Zona tesa: F=56.95 b_{eff}=13.20 t_w=0.70 σ=6.16
Zona tesa: F=56.95 b_{eff}=13.20 t_w=0.70 σ=6.16
CC 102 SLU (Collegamento -376_-504)
Azioni sul collegamento: N=135.83 Ty=1.13 Tz=-49.04 Mx=0.23 Mz=1.39
Zona tesa: F=54.70 b_{eff}=13.20 t_w=0.70 σ=5.92
Zona tesa: F=54.70 b_{eff}=13.20 t_w=0.70 σ=5.92
CC 103 SLU (Collegamento -376_-504)
Azioni sul collegamento: N=138.65 Ty=1.25 Tz=-49.48 Mx=0.25 Mz=1.54
Zona tesa: F=55.83 b_{eff}=13.20 t_w=0.70 σ=6.04
Zona tesa: F=55.83 b_{eff}=13.20 t_w=0.70 σ=6.04
CC 104 SLU (Collegamento -376_-504)
Azioni sul collegamento: N=138.61 Ty=1.16 Tz=-49.47 Mx=0.24 Mz=1.45
Zona tesa: F=55.82 b_{eff}=13.20 t_w=0.70 σ=6.04
Zona tesa: F=55.82 b_{eff}=13.20 t_w=0.70 σ=6.04

Collegamento -377_-511

Saldatura a cordone d'angolo
Altezza di gola saldature: anima 7.07 - ala 7.07

Saldatura profilo-profilo

CC 102 SLU (Collegamento -377_-511)
Azioni sul collegamento: N=337.71 Ty=7.86 Tz=-90.09 Mx=1.05 Mz=7.00
Sollecitazioni agenti localmente: Tx_l=7.86 Ty_l=-90.09 N_l=337.71 My_l=-7.00 Mz_l=1.05
Azioni sul cordone: TP=-1.78 TO=7.45 NO=24.85
Tensioni nel cordone: τ_P=0.57 τ_O=2.37 σ_O=18.13 σ_{ID}=18.29 Σ_T=20.50
CC 128 SLU (Collegamento -377_-511)
Azioni sul collegamento: N=284.00 Ty=9.68 Tz=-81.78 Mx=1.32 Mz=8.82
Sollecitazioni agenti localmente: Tx_l=9.68 Ty_l=-81.78 N_l=284.00 My_l=-8.82 Mz_l=1.32
Azioni sul cordone: TP=-2.24 TO=7.06 NO=20.90
Tensioni nel cordone: τ_P=0.71 τ_O=2.24 σ_O=19.53 σ_{ID}=19.67 Σ_T=21.78

Verifica lato anima della colonna

CC 102 SLU (Collegamento -377_-511)

Azioni sul collegamento: N=337.71 Ty=7.86 Tz=-90.09 Mx=1.05 Mz=7.00
Zona tesa: F=135.99 b_{eff}=13.20 t_w=0.70 σ=14.72
Zona tesa: F=135.99 b_{eff}=13.20 t_w=0.70 σ=14.72

Collegamento -378_-512

Saldatura a cordone d'angolo
Altezza di gola saldature: anima 7.07 - ala 7.07

Saldatura profilo-profilo

CC 1 SLV (Collegamento -378_-512)
Azioni sul collegamento: N=160.81 Ty=1.85 Tz=-52.91 Mx=0.43 Mz=2.64
Sollecitazioni agenti localmente: Tx_l=1.85 Ty_l=-52.91 N_l=160.81 My_l=-2.64 Mz_l=0.43
Azioni sul cordone: TP=-0.63 TO=4.23 NO=11.83
Tensioni nel cordone: τ_P=0.20 τ_O=1.35 σ_O=7.62 σ_{ID}=7.74 Σ_T=8.97
CC 1 SLV (Collegamento -378_-512)
Azioni sul collegamento: N=160.81 Ty=0.00 Tz=-52.91 Mx=0.06 Mz=0.27
Sollecitazioni agenti localmente: Tx_l=0.00 Ty_l=-52.91 N_l=160.81 My_l=-0.27 Mz_l=0.06
Azioni sul cordone: TP=-0.07 TO=-3.94 NO=11.83
Tensioni nel cordone: τ_P= 0.02 τ_O=1.25 σ_O=4.16 σ_{ID}=4.34 Σ_T=5.41
CC 1 SLV (Collegamento -378_-512)
Azioni sul collegamento: N=160.81 Ty=1.85 Tz=-52.91 Mx=0.43 Mz=2.64
Sollecitazioni agenti localmente: Tx_l=1.85 Ty_l=-52.91 N_l=160.81 My_l=-2.64 Mz_l=0.43
Azioni sul cordone: TP=-0.63 TO=4.23 NO=11.83
Tensioni nel cordone: τ_P=0.20 τ_O=1.35 σ_O=7.62 σ_{ID}=7.74 Σ_T=8.97
CC 1 SLV (Collegamento -378_-512)
Azioni sul collegamento: N=160.81 Ty=0.00 Tz=-52.91 Mx=0.06 Mz=0.27
Sollecitazioni agenti localmente: Tx_l=0.00 Ty_l=-52.91 N_l=160.81 My_l=-0.27 Mz_l=0.06
Azioni sul cordone: TP=-0.07 TO=-3.94 NO=11.83
Tensioni nel cordone: τ_P= 0.02 τ_O=1.25 σ_O=4.16 σ_{ID}=4.34 Σ_T=5.41
CC 1 SLV (Collegamento -378_-512)
Azioni sul collegamento: N=118.50 Ty=1.85 Tz=-46.36 Mx=0.43 Mz=2.64
Sollecitazioni agenti localmente: Tx_l=1.85 Ty_l=-46.36 N_l=118.50 My_l=-2.64 Mz_l=0.43
Azioni sul cordone: TP=-0.63 TO=3.75 NO=8.72
Tensioni nel cordone: τ_P=0.20 τ_O=1.19 σ_O=6.63 σ_{ID}=6.74 Σ_T=7.82
CC 1 SLV (Collegamento -378_-512)
Azioni sul collegamento: N=118.50 Ty=0.00 Tz=-46.36 Mx=0.06 Mz=0.27
Sollecitazioni agenti localmente: Tx_l=0.00 Ty_l=-46.36 N_l=118.50 My_l=-0.27 Mz_l=0.06
Azioni sul cordone: TP=-0.07 TO=-3.46 NO=8.72
Tensioni nel cordone: τ_P= 0.02 τ_O=1.10 σ_O=3.17 σ_{ID}=3.35 Σ_T=4.27
CC 1 SLV (Collegamento -378_-512)
Azioni sul collegamento: N=118.50 Ty=1.85 Tz=-46.36 Mx=0.43 Mz=2.64
Sollecitazioni agenti localmente: Tx_l=1.85 Ty_l=-46.36 N_l=118.50 My_l=-2.64 Mz_l=0.43
Azioni sul cordone: TP=-0.63 TO=3.75 NO=8.72
Tensioni nel cordone: τ_P=0.20 τ_O=1.19 σ_O=6.63 σ_{ID}=6.74 Σ_T=7.82
CC 1 SLV (Collegamento -378_-512)
Azioni sul collegamento: N=118.50 Ty=0.00 Tz=-46.36 Mx=0.06 Mz=0.27
Sollecitazioni agenti localmente: Tx_l=0.00 Ty_l=-46.36 N_l=118.50 My_l=-0.27 Mz_l=0.06
Azioni sul cordone: TP=-0.07 TO=-3.46 NO=8.72
Tensioni nel cordone: τ_P= 0.02 τ_O=1.10 σ_O=3.17 σ_{ID}=3.35 Σ_T=4.27
CC 2 SLD (Collegamento -378_-512)
Azioni sul collegamento: N=146.00 Ty=1.67 Tz=-50.62 Mx=0.39 Mz=2.38
Sollecitazioni agenti localmente: Tx_l=1.67 Ty_l=-50.62 N_l=146.00 My_l=-2.38 Mz_l=0.39
Azioni sul cordone: TP=-0.57 TO=4.03 NO=10.74
Tensioni nel cordone: τ_P=0.18 τ_O=1.28 σ_O=6.89 σ_{ID}=7.01 Σ_T=8.18
CC 2 SLD (Collegamento -378_-512)
Azioni sul collegamento: N=146.00 Ty=1.11 Tz=-50.62 Mx=0.28 Mz=1.66
Sollecitazioni agenti localmente: Tx_l=1.11 Ty_l=-50.62 N_l=146.00 My_l=-1.66 Mz_l=0.28
Azioni sul cordone: TP=-0.40 TO=3.94 NO=10.74
Tensioni nel cordone: τ_P=0.13 τ_O=1.25 σ_O=5.84 σ_{ID}=5.97 Σ_T=7.09
CC 2 SLD (Collegamento -378_-512)
Azioni sul collegamento: N=146.00 Ty=1.67 Tz=-50.62 Mx=0.39 Mz=2.38
Sollecitazioni agenti localmente: Tx_l=1.67 Ty_l=-50.62 N_l=146.00 My_l=-2.38 Mz_l=0.39
Azioni sul cordone: TP=-0.57 TO=4.03 NO=10.74
Tensioni nel cordone: τ_P=0.18 τ_O=1.28 σ_O=6.89 σ_{ID}=7.01 Σ_T=8.18
CC 2 SLD (Collegamento -378_-512)
Azioni sul collegamento: N=146.00 Ty=1.11 Tz=-50.62 Mx=0.28 Mz=1.66
Sollecitazioni agenti localmente: Tx_l=1.11 Ty_l=-50.62 N_l=146.00 My_l=-1.66 Mz_l=0.28
Azioni sul cordone: TP=-0.40 TO=3.94 NO=10.74
Tensioni nel cordone: τ_P=0.13 τ_O=1.25 σ_O=5.84 σ_{ID}=5.97 Σ_T=7.09
CC 2 SLD (Collegamento -378_-512)
Azioni sul collegamento: N=133.10 Ty=1.67 Tz=-48.62 Mx=0.39 Mz=2.38
Sollecitazioni agenti localmente: Tx_l=1.67 Ty_l=-48.62 N_l=133.10 My_l=-2.38 Mz_l=0.39
Azioni sul cordone: TP=-0.57 TO=3.88 NO=9.79
Tensioni nel cordone: τ_P=0.18 τ_O=1.23 σ_O=6.59 σ_{ID}=6.71 Σ_T=7.83
CC 2 SLD (Collegamento -378_-512)
Azioni sul collegamento: N=133.10 Ty=1.11 Tz=-48.62 Mx=0.28 Mz=1.66
Sollecitazioni agenti localmente: Tx_l=1.11 Ty_l=-48.62 N_l=133.10 My_l=-1.66 Mz_l=0.28

Azioni sul cordone: TP=-0.40 TO=3.80 NO=9.79
Tensioni nel cordone: τ_P=0.13 τ_0=1.21 σ_0=5.54 σ_{ID}=5.67 Σ_T=6.74
CC 2 SLD (Collegamento -378_-512)
Azioni sul collegamento: N=133.10 Ty=1.67 Tz=-48.62 Mx=0.39 Mz=2.38
Sollecitazioni agenti localmente: Tx_l=1.67 Ty_l=-48.62 N_l=133.10 My_l=-2.38 Mz_l=0.39
Azioni sul cordone: TP=-0.57 TO=3.88 NO=9.79
Tensioni nel cordone: τ_P=0.18 τ_0=1.23 σ_0=6.59 σ_{ID}=6.71 Σ_T=7.83
CC 2 SLD (Collegamento -378_-512)
Azioni sul collegamento: N=133.10 Ty=1.11 Tz=-48.62 Mx=0.28 Mz=1.66
Sollecitazioni agenti localmente: Tx_l=1.11 Ty_l=-48.62 N_l=133.10 My_l=-1.66 Mz_l=0.28
Azioni sul cordone: TP=-0.40 TO=3.80 NO=9.79
Tensioni nel cordone: τ_P=0.13 τ_0=1.21 σ_0=5.54 σ_{ID}=5.67 Σ_T=6.74
CC 3 SLV (Collegamento -378_-512)
Azioni sul collegamento: N=160.63 Ty=1.31 Tz=-52.88 Mx=0.34 Mz=2.08
Sollecitazioni agenti localmente: Tx_l=1.31 Ty_l=-52.88 N_l=160.63 My_l=-2.08 Mz_l=0.34
Azioni sul cordone: TP=-0.49 TO=4.16 NO=11.82
Tensioni nel cordone: τ_P=0.16 τ_0=1.32 σ_0=6.80 σ_{ID}=6.93 Σ_T=8.12
CC 3 SLV (Collegamento -378_-512)
Azioni sul collegamento: N=160.63 Ty=0.54 Tz=-52.88 Mx=0.15 Mz=0.83
Sollecitazioni agenti localmente: Tx_l=0.54 Ty_l=-52.88 N_l=160.63 My_l=-0.83 Mz_l=0.15
Azioni sul cordone: TP=-0.21 TO=4.01 NO=11.82
Tensioni nel cordone: τ_P= 0.07 τ_0=1.27 σ_0=4.97 σ_{ID}=5.13 Σ_T=6.24
CC 3 SLV (Collegamento -378_-512)
Azioni sul collegamento: N=160.63 Ty=1.31 Tz=-52.88 Mx=0.34 Mz=2.08
Sollecitazioni agenti localmente: Tx_l=1.31 Ty_l=-52.88 N_l=160.63 My_l=-2.08 Mz_l=0.34
Azioni sul cordone: TP=-0.49 TO=4.16 NO=11.82
Tensioni nel cordone: τ_P=0.16 τ_0=1.32 σ_0=6.80 σ_{ID}=6.93 Σ_T=8.12
CC 3 SLV (Collegamento -378_-512)
Azioni sul collegamento: N=160.63 Ty=0.54 Tz=-52.88 Mx=0.15 Mz=0.83
Sollecitazioni agenti localmente: Tx_l=0.54 Ty_l=-52.88 N_l=160.63 My_l=-0.83 Mz_l=0.15
Azioni sul cordone: TP=-0.21 TO=4.01 NO=11.82
Tensioni nel cordone: τ_P= 0.07 τ_0=1.27 σ_0=4.97 σ_{ID}=5.13 Σ_T=6.24
CC 3 SLV (Collegamento -378_-512)
Azioni sul collegamento: N=118.67 Ty=1.31 Tz=-46.39 Mx=0.34 Mz=2.08
Sollecitazioni agenti localmente: Tx_l=1.31 Ty_l=-46.39 N_l=118.67 My_l=-2.08 Mz_l=0.34
Azioni sul cordone: TP=-0.49 TO=3.68 NO=8.73
Tensioni nel cordone: τ_P=0.16 τ_0=1.17 σ_0=5.82 σ_{ID}=5.94 Σ_T=6.99
CC 3 SLV (Collegamento -378_-512)
Azioni sul collegamento: N=118.67 Ty=0.54 Tz=-46.39 Mx=0.15 Mz=0.83
Sollecitazioni agenti localmente: Tx_l=0.54 Ty_l=-46.39 N_l=118.67 My_l=-0.83 Mz_l=0.15
Azioni sul cordone: TP=-0.21 TO=3.53 NO=8.73
Tensioni nel cordone: τ_P= 0.07 τ_0=1.12 σ_0=3.99 σ_{ID}=4.14 Σ_T=5.11
CC 3 SLV (Collegamento -378_-512)
Azioni sul collegamento: N=118.67 Ty=1.31 Tz=-46.39 Mx=0.34 Mz=2.08
Sollecitazioni agenti localmente: Tx_l=1.31 Ty_l=-46.39 N_l=118.67 My_l=-2.08 Mz_l=0.34
Azioni sul cordone: TP=-0.49 TO=3.68 NO=8.73
Tensioni nel cordone: τ_P=0.16 τ_0=1.17 σ_0=5.82 σ_{ID}=5.94 Σ_T=6.99
CC 3 SLV (Collegamento -378_-512)
Azioni sul collegamento: N=118.67 Ty=0.54 Tz=-46.39 Mx=0.15 Mz=0.83
Sollecitazioni agenti localmente: Tx_l=0.54 Ty_l=-46.39 N_l=118.67 My_l=-0.83 Mz_l=0.15
Azioni sul cordone: TP=-0.21 TO=3.53 NO=8.73
Tensioni nel cordone: τ_P= 0.07 τ_0=1.12 σ_0=3.99 σ_{ID}=4.14 Σ_T=5.11
CC 4 SLD (Collegamento -378_-512)
Azioni sul collegamento: N=145.94 Ty=1.51 Tz=-50.61 Mx=0.36 Mz=2.21
Sollecitazioni agenti localmente: Tx_l=1.51 Ty_l=-50.61 N_l=145.94 My_l=-2.21 Mz_l=0.36
Azioni sul cordone: TP=-0.53 TO=4.01 NO=10.74
Tensioni nel cordone: τ_P=0.17 τ_0=1.27 σ_0=6.64 σ_{ID}=6.77 Σ_T=7.92
CC 4 SLD (Collegamento -378_-512)
Azioni sul collegamento: N=145.94 Ty=1.27 Tz=-50.61 Mx=0.30 Mz=1.83
Sollecitazioni agenti localmente: Tx_l=1.27 Ty_l=-50.61 N_l=145.94 My_l=-1.83 Mz_l=0.30
Azioni sul cordone: TP=-0.44 TO=3.96 NO=10.74
Tensioni nel cordone: τ_P=0.14 τ_0=1.26 σ_0=6.09 σ_{ID}=6.22 Σ_T=7.35
CC 4 SLD (Collegamento -378_-512)
Azioni sul collegamento: N=145.94 Ty=1.51 Tz=-50.61 Mx=0.36 Mz=2.21
Sollecitazioni agenti localmente: Tx_l=1.51 Ty_l=-50.61 N_l=145.94 My_l=-2.21 Mz_l=0.36
Azioni sul cordone: TP=-0.53 TO=4.01 NO=10.74
Tensioni nel cordone: τ_P=0.17 τ_0=1.27 σ_0=6.64 σ_{ID}=6.77 Σ_T=7.92
CC 4 SLD (Collegamento -378_-512)
Azioni sul collegamento: N=145.94 Ty=1.27 Tz=-50.61 Mx=0.30 Mz=1.83
Sollecitazioni agenti localmente: Tx_l=1.27 Ty_l=-50.61 N_l=145.94 My_l=-1.83 Mz_l=0.30
Azioni sul cordone: TP=-0.44 TO=3.96 NO=10.74
Tensioni nel cordone: τ_P=0.14 τ_0=1.26 σ_0=6.09 σ_{ID}=6.22 Σ_T=7.35
CC 4 SLD (Collegamento -378_-512)
Azioni sul collegamento: N=133.15 Ty=1.51 Tz=-48.63 Mx=0.36 Mz=2.21
Sollecitazioni agenti localmente: Tx_l=1.51 Ty_l=-48.63 N_l=133.15 My_l=-2.21 Mz_l=0.36
Azioni sul cordone: TP=-0.53 TO=3.86 NO=9.80
Tensioni nel cordone: τ_P=0.17 τ_0=1.23 σ_0=6.34 σ_{ID}=6.46 Σ_T=7.57
CC 4 SLD (Collegamento -378_-512)
Azioni sul collegamento: N=133.15 Ty=1.27 Tz=-48.63 Mx=0.30 Mz=1.83

Sollecitazioni agenti localmente: Tx_l=1.27 Ty_l=-48.63 N_l=133.15 My_l=-1.83 Mz_l=0.30
Azioni sul cordone: TP=-0.44 TO=3.82 NO=9.80
Tensioni nel cordone: τ_P=0.14 τ_O=1.21 σ_O=5.79 σ_{ID}=5.91 Σ_T=7.00
CC 4 SLD (Collegamento -378_-512)
Azioni sul collegamento: N=133.15 Ty=1.51 Tz=-48.63 Mx=0.36 Mz=2.21
Sollecitazioni agenti localmente: Tx_l=1.51 Ty_l=-48.63 N_l=133.15 My_l=-2.21 Mz_l=0.36
Azioni sul cordone: TP=-0.53 TO=3.86 NO=9.80
Tensioni nel cordone: τ_P=0.17 τ_O=1.23 σ_O=6.34 σ_{ID}=6.46 Σ_T=7.57
CC 4 SLD (Collegamento -378_-512)
Azioni sul collegamento: N=133.15 Ty=1.27 Tz=-48.63 Mx=0.30 Mz=1.83
Sollecitazioni agenti localmente: Tx_l=1.27 Ty_l=-48.63 N_l=133.15 My_l=-1.83 Mz_l=0.30
Azioni sul cordone: TP=-0.44 TO=3.82 NO=9.80
Tensioni nel cordone: τ_P=0.14 τ_O=1.21 σ_O=5.79 σ_{ID}=5.91 Σ_T=7.00
CC 5 SLV (Collegamento -378_-512)
Azioni sul collegamento: N=118.67 Ty=0.54 Tz=-46.39 Mx=0.14 Mz=0.83
Sollecitazioni agenti localmente: Tx_l=0.54 Ty_l=-46.39 N_l=118.67 My_l=-0.83 Mz_l=0.14
Azioni sul cordone: TP=-0.20 TO=3.52 NO=8.73
Tensioni nel cordone: τ_P= 0.06 τ_O=1.12 σ_O=3.99 σ_{ID}=4.15 Σ_T=5.11
CC 5 SLV (Collegamento -378_-512)
Azioni sul collegamento: N=118.67 Ty=1.31 Tz=-46.39 Mx=0.33 Mz=2.08
Sollecitazioni agenti localmente: Tx_l=1.31 Ty_l=-46.39 N_l=118.67 My_l=-2.08 Mz_l=0.33
Azioni sul cordone: TP=-0.48 TO=3.67 NO=8.73
Tensioni nel cordone: τ_P=0.15 τ_O=1.17 σ_O=5.82 σ_{ID}=5.94 Σ_T=6.99
CC 5 SLV (Collegamento -378_-512)
Azioni sul collegamento: N=118.67 Ty=0.54 Tz=-46.39 Mx=0.14 Mz=0.83
Sollecitazioni agenti localmente: Tx_l=0.54 Ty_l=-46.39 N_l=118.67 My_l=-0.83 Mz_l=0.14
Azioni sul cordone: TP=-0.20 TO=3.52 NO=8.73
Tensioni nel cordone: τ_P= 0.06 τ_O=1.12 σ_O=3.99 σ_{ID}=4.15 Σ_T=5.11
CC 5 SLV (Collegamento -378_-512)
Azioni sul collegamento: N=118.67 Ty=1.31 Tz=-46.39 Mx=0.33 Mz=2.08
Sollecitazioni agenti localmente: Tx_l=1.31 Ty_l=-46.39 N_l=118.67 My_l=-2.08 Mz_l=0.33
Azioni sul cordone: TP=-0.48 TO=3.67 NO=8.73
Tensioni nel cordone: τ_P=0.15 τ_O=1.17 σ_O=5.82 σ_{ID}=5.94 Σ_T=6.99
CC 5 SLV (Collegamento -378_-512)
Azioni sul collegamento: N=160.63 Ty=0.54 Tz=-52.88 Mx=0.14 Mz=0.83
Sollecitazioni agenti localmente: Tx_l=0.54 Ty_l=-52.88 N_l=160.63 My_l=-0.83 Mz_l=0.14
Azioni sul cordone: TP=-0.20 TO=4.00 NO=11.82
Tensioni nel cordone: τ_P= 0.06 τ_O=1.27 σ_O=4.97 σ_{ID}=5.13 Σ_T=6.24
CC 5 SLV (Collegamento -378_-512)
Azioni sul collegamento: N=160.63 Ty=1.31 Tz=-52.88 Mx=0.33 Mz=2.08
Sollecitazioni agenti localmente: Tx_l=1.31 Ty_l=-52.88 N_l=160.63 My_l=-2.08 Mz_l=0.33
Azioni sul cordone: TP=-0.48 TO=4.15 NO=11.82
Tensioni nel cordone: τ_P=0.15 τ_O=1.32 σ_O=6.80 σ_{ID}=6.93 Σ_T=8.12
CC 5 SLV (Collegamento -378_-512)
Azioni sul collegamento: N=160.63 Ty=0.54 Tz=-52.88 Mx=0.14 Mz=0.83
Sollecitazioni agenti localmente: Tx_l=0.54 Ty_l=-52.88 N_l=160.63 My_l=-0.83 Mz_l=0.14
Azioni sul cordone: TP=-0.20 TO=4.00 NO=11.82
Tensioni nel cordone: τ_P= 0.06 τ_O=1.27 σ_O=4.97 σ_{ID}=5.13 Σ_T=6.24
CC 5 SLV (Collegamento -378_-512)
Azioni sul collegamento: N=160.63 Ty=1.31 Tz=-52.88 Mx=0.33 Mz=2.08
Sollecitazioni agenti localmente: Tx_l=1.31 Ty_l=-52.88 N_l=160.63 My_l=-2.08 Mz_l=0.33
Azioni sul cordone: TP=-0.48 TO=4.15 NO=11.82
Tensioni nel cordone: τ_P=0.15 τ_O=1.32 σ_O=6.80 σ_{ID}=6.93 Σ_T=8.12
CC 6 SLD (Collegamento -378_-512)
Azioni sul collegamento: N=133.15 Ty=1.27 Tz=-48.63 Mx=0.30 Mz=1.83
Sollecitazioni agenti localmente: Tx_l=1.27 Ty_l=-48.63 N_l=133.15 My_l=-1.83 Mz_l=0.30
Azioni sul cordone: TP=-0.44 TO=3.81 NO=9.80
Tensioni nel cordone: τ_P=0.14 τ_O=1.21 σ_O=5.79 σ_{ID}=5.91 Σ_T=7.00
CC 6 SLD (Collegamento -378_-512)
Azioni sul collegamento: N=133.15 Ty=1.51 Tz=-48.63 Mx=0.36 Mz=2.21
Sollecitazioni agenti localmente: Tx_l=1.51 Ty_l=-48.63 N_l=133.15 My_l=-2.21 Mz_l=0.36
Azioni sul cordone: TP=-0.52 TO=3.86 NO=9.80
Tensioni nel cordone: τ_P=0.17 τ_O=1.23 σ_O=6.34 σ_{ID}=6.46 Σ_T=7.57
CC 6 SLD (Collegamento -378_-512)
Azioni sul collegamento: N=133.15 Ty=1.27 Tz=-48.63 Mx=0.30 Mz=1.83
Sollecitazioni agenti localmente: Tx_l=1.27 Ty_l=-48.63 N_l=133.15 My_l=-1.83 Mz_l=0.30
Azioni sul cordone: TP=-0.44 TO=3.81 NO=9.80
Tensioni nel cordone: τ_P=0.14 τ_O=1.21 σ_O=5.79 σ_{ID}=5.91 Σ_T=7.00
CC 6 SLD (Collegamento -378_-512)
Azioni sul collegamento: N=133.15 Ty=1.51 Tz=-48.63 Mx=0.36 Mz=2.21
Sollecitazioni agenti localmente: Tx_l=1.51 Ty_l=-48.63 N_l=133.15 My_l=-2.21 Mz_l=0.36
Azioni sul cordone: TP=-0.52 TO=3.86 NO=9.80
Tensioni nel cordone: τ_P=0.17 τ_O=1.23 σ_O=6.34 σ_{ID}=6.46 Σ_T=7.57
CC 6 SLD (Collegamento -378_-512)
Azioni sul collegamento: N=145.94 Ty=1.27 Tz=-50.61 Mx=0.30 Mz=1.83
Sollecitazioni agenti localmente: Tx_l=1.27 Ty_l=-50.61 N_l=145.94 My_l=-1.83 Mz_l=0.30
Azioni sul cordone: TP=-0.44 TO=3.96 NO=10.74
Tensioni nel cordone: τ_P=0.14 τ_O=1.26 σ_O=6.09 σ_{ID}=6.22 Σ_T=7.34
CC 6 SLD (Collegamento -378_-512)

Azioni sul collegamento: N=145.94 Ty=1.51 Tz=-50.61 Mx=0.36 Mz=2.21
Sollecitazioni agenti localmente: Tx_l=1.51 Ty_l=-50.61 N_l=145.94 My_l=-2.21 Mz_l=0.36
Azioni sul cordone: TP=-0.52 TO=4.01 NO=10.74
Tensioni nel cordone: τ_P=0.17 τ_0=1.27 σ_0=6.64 σ_{ID}=6.77 Σ_T=7.92
CC 6 SLD (Collegamento -378_-512)
Azioni sul collegamento: N=145.94 Ty=1.27 Tz=-50.61 Mx=0.30 Mz=1.83
Sollecitazioni agenti localmente: Tx_l=1.27 Ty_l=-50.61 N_l=145.94 My_l=-1.83 Mz_l=0.30
Azioni sul cordone: TP=-0.44 TO=3.96 NO=10.74
Tensioni nel cordone: τ_P=0.14 τ_0=1.26 σ_0=6.09 σ_{ID}=6.22 Σ_T=7.34
CC 6 SLD (Collegamento -378_-512)
Azioni sul collegamento: N=145.94 Ty=1.51 Tz=-50.61 Mx=0.36 Mz=2.21
Sollecitazioni agenti localmente: Tx_l=1.51 Ty_l=-50.61 N_l=145.94 My_l=-2.21 Mz_l=0.36
Azioni sul cordone: TP=-0.52 TO=4.01 NO=10.74
Tensioni nel cordone: τ_P=0.17 τ_0=1.27 σ_0=6.64 σ_{ID}=6.77 Σ_T=7.92
CC 7 SLV (Collegamento -378_-512)
Azioni sul collegamento: N=118.50 Ty=0.00 Tz=-46.36 Mx=0.05 Mz=0.27
Sollecitazioni agenti localmente: Tx_l=0.00 Ty_l=-46.36 N_l=118.50 My_l=-0.27 Mz_l=0.05
Azioni sul cordone: TP=-0.05 TO=-3.45 NO=8.72
Tensioni nel cordone: τ_P= 0.02 τ_0=1.10 σ_0=3.17 σ_{ID}=3.35 Σ_T=4.27
CC 7 SLV (Collegamento -378_-512)
Azioni sul collegamento: N=118.50 Ty=1.85 Tz=-46.36 Mx=0.41 Mz=2.65
Sollecitazioni agenti localmente: Tx_l=1.85 Ty_l=-46.36 N_l=118.50 My_l=-2.65 Mz_l=0.41
Azioni sul cordone: TP=-0.61 TO=3.74 NO=8.72
Tensioni nel cordone: τ_P=0.20 τ_0=1.19 σ_0=6.64 σ_{ID}=6.74 Σ_T=7.82
CC 7 SLV (Collegamento -378_-512)
Azioni sul collegamento: N=118.50 Ty=0.00 Tz=-46.36 Mx=0.05 Mz=0.27
Sollecitazioni agenti localmente: Tx_l=0.00 Ty_l=-46.36 N_l=118.50 My_l=-0.27 Mz_l=0.05
Azioni sul cordone: TP=-0.05 TO=-3.45 NO=8.72
Tensioni nel cordone: τ_P= 0.02 τ_0=1.10 σ_0=3.17 σ_{ID}=3.35 Σ_T=4.27
CC 7 SLV (Collegamento -378_-512)
Azioni sul collegamento: N=118.50 Ty=1.85 Tz=-46.36 Mx=0.41 Mz=2.65
Sollecitazioni agenti localmente: Tx_l=1.85 Ty_l=-46.36 N_l=118.50 My_l=-2.65 Mz_l=0.41
Azioni sul cordone: TP=-0.61 TO=3.74 NO=8.72
Tensioni nel cordone: τ_P=0.20 τ_0=1.19 σ_0=6.64 σ_{ID}=6.74 Σ_T=7.82
CC 7 SLV (Collegamento -378_-512)
Azioni sul collegamento: N=160.81 Ty=0.00 Tz=-52.91 Mx=0.05 Mz=0.27
Sollecitazioni agenti localmente: Tx_l=0.00 Ty_l=-52.91 N_l=160.81 My_l=-0.27 Mz_l=0.05
Azioni sul cordone: TP=-0.05 TO=-3.93 NO=11.83
Tensioni nel cordone: τ_P= 0.02 τ_0=1.25 σ_0=4.16 σ_{ID}=4.34 Σ_T=5.41
CC 7 SLV (Collegamento -378_-512)
Azioni sul collegamento: N=160.81 Ty=1.85 Tz=-52.91 Mx=0.41 Mz=2.65
Sollecitazioni agenti localmente: Tx_l=1.85 Ty_l=-52.91 N_l=160.81 My_l=-2.65 Mz_l=0.41
Azioni sul cordone: TP=-0.61 TO=4.22 NO=11.83
Tensioni nel cordone: τ_P=0.20 τ_0=1.34 σ_0=7.63 σ_{ID}=7.74 Σ_T=8.97
CC 7 SLV (Collegamento -378_-512)
Azioni sul collegamento: N=160.81 Ty=0.00 Tz=-52.91 Mx=0.05 Mz=0.27
Sollecitazioni agenti localmente: Tx_l=0.00 Ty_l=-52.91 N_l=160.81 My_l=-0.27 Mz_l=0.05
Azioni sul cordone: TP=-0.05 TO=-3.93 NO=11.83
Tensioni nel cordone: τ_P= 0.02 τ_0=1.25 σ_0=4.16 σ_{ID}=4.34 Σ_T=5.41
CC 7 SLV (Collegamento -378_-512)
Azioni sul collegamento: N=160.81 Ty=1.85 Tz=-52.91 Mx=0.41 Mz=2.65
Sollecitazioni agenti localmente: Tx_l=1.85 Ty_l=-52.91 N_l=160.81 My_l=-2.65 Mz_l=0.41
Azioni sul cordone: TP=-0.61 TO=4.22 NO=11.83
Tensioni nel cordone: τ_P=0.20 τ_0=1.34 σ_0=7.63 σ_{ID}=7.74 Σ_T=8.97
CC 8 SLD (Collegamento -378_-512)
Azioni sul collegamento: N=133.10 Ty=1.11 Tz=-48.62 Mx=0.27 Mz=1.66
Sollecitazioni agenti localmente: Tx_l=1.11 Ty_l=-48.62 N_l=133.10 My_l=-1.66 Mz_l=0.27
Azioni sul cordone: TP=-0.39 TO=3.79 NO=9.79
Tensioni nel cordone: τ_P=0.13 τ_0=1.21 σ_0=5.54 σ_{ID}=5.67 Σ_T=6.74
CC 8 SLD (Collegamento -378_-512)
Azioni sul collegamento: N=133.10 Ty=1.67 Tz=-48.62 Mx=0.38 Mz=2.38
Sollecitazioni agenti localmente: Tx_l=1.67 Ty_l=-48.62 N_l=133.10 My_l=-2.38 Mz_l=0.38
Azioni sul cordone: TP=-0.57 TO=3.88 NO=9.79
Tensioni nel cordone: τ_P=0.18 τ_0=1.23 σ_0=6.59 σ_{ID}=6.71 Σ_T=7.83
CC 8 SLD (Collegamento -378_-512)
Azioni sul collegamento: N=133.10 Ty=1.11 Tz=-48.62 Mx=0.27 Mz=1.66
Sollecitazioni agenti localmente: Tx_l=1.11 Ty_l=-48.62 N_l=133.10 My_l=-1.66 Mz_l=0.27
Azioni sul cordone: TP=-0.39 TO=3.79 NO=9.79
Tensioni nel cordone: τ_P=0.13 τ_0=1.21 σ_0=5.54 σ_{ID}=5.67 Σ_T=6.74
CC 8 SLD (Collegamento -378_-512)
Azioni sul collegamento: N=133.10 Ty=1.67 Tz=-48.62 Mx=0.38 Mz=2.38
Sollecitazioni agenti localmente: Tx_l=1.67 Ty_l=-48.62 N_l=133.10 My_l=-2.38 Mz_l=0.38
Azioni sul cordone: TP=-0.57 TO=3.88 NO=9.79
Tensioni nel cordone: τ_P=0.18 τ_0=1.23 σ_0=6.59 σ_{ID}=6.71 Σ_T=7.83
CC 8 SLD (Collegamento -378_-512)
Azioni sul collegamento: N=146.00 Ty=1.11 Tz=-50.62 Mx=0.27 Mz=1.66
Sollecitazioni agenti localmente: Tx_l=1.11 Ty_l=-50.62 N_l=146.00 My_l=-1.66 Mz_l=0.27
Azioni sul cordone: TP=-0.39 TO=3.94 NO=10.74
Tensioni nel cordone: τ_P=0.13 τ_0=1.25 σ_0=5.84 σ_{ID}=5.97 Σ_T=7.09

CC 8 SLD (Collegamento -378_-512)
Azioni sul collegamento: N=146.00 Ty=1.67 Tz=-50.62 Mx=0.38 Mz=2.38
Sollecitazioni agenti localmente: Tx_l=1.67 Ty_l=-50.62 N_l=146.00 My_l=-2.38 Mz_l=0.38
Azioni sul cordone: TP=-0.57 TO=4.03 NO=10.74
Tensioni nel cordone: τ_P=0.18 τ_0=1.28 σ_0=6.90 σ_{ID}=7.02 Σ_T=8.18
CC 8 SLD (Collegamento -378_-512)
Azioni sul collegamento: N=146.00 Ty=1.11 Tz=-50.62 Mx=0.27 Mz=1.66
Sollecitazioni agenti localmente: Tx_l=1.11 Ty_l=-50.62 N_l=146.00 My_l=-1.66 Mz_l=0.27
Azioni sul cordone: TP=-0.39 TO=3.94 NO=10.74
Tensioni nel cordone: τ_P=0.13 τ_0=1.25 σ_0=5.84 σ_{ID}=5.97 Σ_T=7.09
CC 8 SLD (Collegamento -378_-512)
Azioni sul collegamento: N=146.00 Ty=1.67 Tz=-50.62 Mx=0.38 Mz=2.38
Sollecitazioni agenti localmente: Tx_l=1.67 Ty_l=-50.62 N_l=146.00 My_l=-2.38 Mz_l=0.38
Azioni sul cordone: TP=-0.57 TO=4.03 NO=10.74
Tensioni nel cordone: τ_P=0.18 τ_0=1.28 σ_0=6.90 σ_{ID}=7.02 Σ_T=8.18
CC 9 SLV (Collegamento -378_-512)
Azioni sul collegamento: N=146.26 Ty=2.01 Tz=-50.66 Mx=0.43 Mz=2.66
Sollecitazioni agenti localmente: Tx_l=2.01 Ty_l=-50.66 N_l=146.26 My_l=-2.66 Mz_l=0.43
Azioni sul cordone: TP=-0.65 TO=4.07 NO=10.76
Tensioni nel cordone: τ_P=0.21 τ_0=1.29 σ_0=7.31 σ_{ID}=7.43 Σ_T=8.60
CC 9 SLV (Collegamento -378_-512)
Azioni sul collegamento: N=146.26 Ty=-0.16 Tz=-50.66 Mx=0.06 Mz=0.25
Sollecitazioni agenti localmente: Tx_l=-0.16 Ty_l=-50.66 N_l=146.26 My_l=-0.25 Mz_l=0.06
Azioni sul cordone: TP=-0.08 TO=-3.77 NO=10.76
Tensioni nel cordone: τ_P= 0.03 τ_0=1.20 σ_0=3.79 σ_{ID}=3.97 Σ_T=4.99
CC 9 SLV (Collegamento -378_-512)
Azioni sul collegamento: N=146.26 Ty=2.01 Tz=-50.66 Mx=0.43 Mz=2.66
Sollecitazioni agenti localmente: Tx_l=2.01 Ty_l=-50.66 N_l=146.26 My_l=-2.66 Mz_l=0.43
Azioni sul cordone: TP=-0.65 TO=4.07 NO=10.76
Tensioni nel cordone: τ_P=0.21 τ_0=1.29 σ_0=7.31 σ_{ID}=7.43 Σ_T=8.60
CC 9 SLV (Collegamento -378_-512)
Azioni sul collegamento: N=146.26 Ty=-0.16 Tz=-50.66 Mx=0.06 Mz=0.25
Sollecitazioni agenti localmente: Tx_l=-0.16 Ty_l=-50.66 N_l=146.26 My_l=-0.25 Mz_l=0.06
Azioni sul cordone: TP=-0.08 TO=-3.77 NO=10.76
Tensioni nel cordone: τ_P= 0.03 τ_0=1.20 σ_0=3.79 σ_{ID}=3.97 Σ_T=4.99
CC 9 SLV (Collegamento -378_-512)
Azioni sul collegamento: N=133.05 Ty=2.01 Tz=-48.61 Mx=0.43 Mz=2.66
Sollecitazioni agenti localmente: Tx_l=2.01 Ty_l=-48.61 N_l=133.05 My_l=-2.66 Mz_l=0.43
Azioni sul cordone: TP=-0.65 TO=3.92 NO=9.79
Tensioni nel cordone: τ_P=0.21 τ_0=1.25 σ_0=7.00 σ_{ID}=7.11 Σ_T=8.25
CC 9 SLV (Collegamento -378_-512)
Azioni sul collegamento: N=133.05 Ty=-0.16 Tz=-48.61 Mx=0.06 Mz=0.25
Sollecitazioni agenti localmente: Tx_l=-0.16 Ty_l=-48.61 N_l=133.05 My_l=-0.25 Mz_l=0.06
Azioni sul cordone: TP=-0.08 TO=-3.62 NO=9.79
Tensioni nel cordone: τ_P= 0.03 τ_0=1.15 σ_0=3.48 σ_{ID}=3.66 Σ_T=4.63
CC 9 SLV (Collegamento -378_-512)
Azioni sul collegamento: N=133.05 Ty=2.01 Tz=-48.61 Mx=0.43 Mz=2.66
Sollecitazioni agenti localmente: Tx_l=2.01 Ty_l=-48.61 N_l=133.05 My_l=-2.66 Mz_l=0.43
Azioni sul cordone: TP=-0.65 TO=3.92 NO=9.79
Tensioni nel cordone: τ_P=0.21 τ_0=1.25 σ_0=7.00 σ_{ID}=7.11 Σ_T=8.25
CC 9 SLV (Collegamento -378_-512)
Azioni sul collegamento: N=133.05 Ty=-0.16 Tz=-48.61 Mx=0.06 Mz=0.25
Sollecitazioni agenti localmente: Tx_l=-0.16 Ty_l=-48.61 N_l=133.05 My_l=-0.25 Mz_l=0.06
Azioni sul cordone: TP=-0.08 TO=-3.62 NO=9.79
Tensioni nel cordone: τ_P= 0.03 τ_0=1.15 σ_0=3.48 σ_{ID}=3.66 Σ_T=4.63
CC 10 SLD (Collegamento -378_-512)
Azioni sul collegamento: N=141.56 Ty=1.72 Tz=-49.93 Mx=0.39 Mz=2.39
Sollecitazioni agenti localmente: Tx_l=1.72 Ty_l=-49.93 N_l=141.56 My_l=-2.39 Mz_l=0.39
Azioni sul cordone: TP=-0.57 TO=3.98 NO=10.42
Tensioni nel cordone: τ_P=0.18 τ_0=1.27 σ_0=6.80 σ_{ID}=6.92 Σ_T=8.06
CC 10 SLD (Collegamento -378_-512)
Azioni sul collegamento: N=141.56 Ty=1.06 Tz=-49.93 Mx=0.28 Mz=1.65
Sollecitazioni agenti localmente: Tx_l=1.06 Ty_l=-49.93 N_l=141.56 My_l=-1.65 Mz_l=0.28
Azioni sul cordone: TP=-0.40 TO=3.89 NO=10.42
Tensioni nel cordone: τ_P=0.13 τ_0=1.24 σ_0=5.72 σ_{ID}=5.86 Σ_T=6.96
CC 10 SLD (Collegamento -378_-512)
Azioni sul collegamento: N=141.56 Ty=1.72 Tz=-49.93 Mx=0.39 Mz=2.39
Sollecitazioni agenti localmente: Tx_l=1.72 Ty_l=-49.93 N_l=141.56 My_l=-2.39 Mz_l=0.39
Azioni sul cordone: TP=-0.57 TO=3.98 NO=10.42
Tensioni nel cordone: τ_P=0.18 τ_0=1.27 σ_0=6.80 σ_{ID}=6.92 Σ_T=8.06
CC 10 SLD (Collegamento -378_-512)
Azioni sul collegamento: N=141.56 Ty=1.06 Tz=-49.93 Mx=0.28 Mz=1.65
Sollecitazioni agenti localmente: Tx_l=1.06 Ty_l=-49.93 N_l=141.56 My_l=-1.65 Mz_l=0.28
Azioni sul cordone: TP=-0.40 TO=3.89 NO=10.42
Tensioni nel cordone: τ_P=0.13 τ_0=1.24 σ_0=5.72 σ_{ID}=5.86 Σ_T=6.96
CC 10 SLD (Collegamento -378_-512)
Azioni sul collegamento: N=137.53 Ty=1.72 Tz=-49.31 Mx=0.39 Mz=2.39
Sollecitazioni agenti localmente: Tx_l=1.72 Ty_l=-49.31 N_l=137.53 My_l=-2.39 Mz_l=0.39
Azioni sul cordone: TP=-0.57 TO=3.93 NO=10.12

Tensioni nel cordone: τ_P=0.18 τ_0=1.25 σ_0=6.70 σ_{ID}=6.82 Σ_T=7.96
CC 10 SLD (Collegamento -378_-512)
Azioni sul collegamento: N=137.53 Ty=1.06 Tz=-49.31 Mx=0.28 Mz=1.65
Sollecitazioni agenti localmente: Tx_l=1.06 Ty_l=-49.31 N_l=137.53 My_l=-1.65 Mz_l=0.28
Azioni sul cordone: TP=-0.40 TO=3.85 NO=10.12
Tensioni nel cordone: τ_P=0.13 τ_0=1.22 σ_0=5.63 σ_{ID}=5.76 Σ_T=6.85
CC 10 SLD (Collegamento -378_-512)
Azioni sul collegamento: N=137.53 Ty=1.72 Tz=-49.31 Mx=0.39 Mz=2.39
Sollecitazioni agenti localmente: Tx_l=1.72 Ty_l=-49.31 N_l=137.53 My_l=-2.39 Mz_l=0.39
Azioni sul cordone: TP=-0.57 TO=3.93 NO=10.12
Tensioni nel cordone: τ_P=0.18 τ_0=1.25 σ_0=6.70 σ_{ID}=6.82 Σ_T=7.96
CC 10 SLD (Collegamento -378_-512)
Azioni sul collegamento: N=137.53 Ty=1.06 Tz=-49.31 Mx=0.28 Mz=1.65
Sollecitazioni agenti localmente: Tx_l=1.06 Ty_l=-49.31 N_l=137.53 My_l=-1.65 Mz_l=0.28
Azioni sul cordone: TP=-0.40 TO=3.85 NO=10.12
Tensioni nel cordone: τ_P=0.13 τ_0=1.22 σ_0=5.63 σ_{ID}=5.76 Σ_T=6.85
CC 11 SLV (Collegamento -378_-512)
Azioni sul collegamento: N=133.62 Ty=1.62 Tz=-48.70 Mx=0.34 Mz=2.12
Sollecitazioni agenti localmente: Tx_l=1.62 Ty_l=-48.70 N_l=133.62 My_l=-2.12 Mz_l=0.34
Azioni sul cordone: TP=-0.52 TO=3.86 NO=9.83
Tensioni nel cordone: τ_P=0.16 τ_0=1.23 σ_0=6.22 σ_{ID}=6.34 Σ_T=7.45
CC 11 SLV (Collegamento -378_-512)
Azioni sul collegamento: N=133.62 Ty=0.23 Tz=-48.70 Mx=0.14 Mz=0.79
Sollecitazioni agenti localmente: Tx_l=0.23 Ty_l=-48.70 N_l=133.62 My_l=-0.79 Mz_l=0.14
Azioni sul cordone: TP=-0.18 TO=3.69 NO=9.83
Tensioni nel cordone: τ_P= 0.06 τ_0=1.17 σ_0=4.29 σ_{ID}=4.44 Σ_T=5.46
CC 11 SLV (Collegamento -378_-512)
Azioni sul collegamento: N=133.62 Ty=1.62 Tz=-48.70 Mx=0.34 Mz=2.12
Sollecitazioni agenti localmente: Tx_l=1.62 Ty_l=-48.70 N_l=133.62 My_l=-2.12 Mz_l=0.34
Azioni sul cordone: TP=-0.52 TO=3.86 NO=9.83
Tensioni nel cordone: τ_P=0.16 τ_0=1.23 σ_0=6.22 σ_{ID}=6.34 Σ_T=7.45
CC 11 SLV (Collegamento -378_-512)
Azioni sul collegamento: N=133.62 Ty=0.23 Tz=-48.70 Mx=0.14 Mz=0.79
Sollecitazioni agenti localmente: Tx_l=0.23 Ty_l=-48.70 N_l=133.62 My_l=-0.79 Mz_l=0.14
Azioni sul cordone: TP=-0.18 TO=3.69 NO=9.83
Tensioni nel cordone: τ_P= 0.06 τ_0=1.17 σ_0=4.29 σ_{ID}=4.44 Σ_T=5.46
CC 11 SLV (Collegamento -378_-512)
Azioni sul collegamento: N=145.69 Ty=1.62 Tz=-50.57 Mx=0.34 Mz=2.12
Sollecitazioni agenti localmente: Tx_l=1.62 Ty_l=-50.57 N_l=145.69 My_l=-2.12 Mz_l=0.34
Azioni sul cordone: TP=-0.52 TO=3.99 NO=10.72
Tensioni nel cordone: τ_P=0.16 τ_0=1.27 σ_0=6.50 σ_{ID}=6.63 Σ_T=7.77
CC 11 SLV (Collegamento -378_-512)
Azioni sul collegamento: N=145.69 Ty=0.23 Tz=-50.57 Mx=0.14 Mz=0.79
Sollecitazioni agenti localmente: Tx_l=0.23 Ty_l=-50.57 N_l=145.69 My_l=-0.79 Mz_l=0.14
Azioni sul cordone: TP=-0.18 TO=3.83 NO=10.72
Tensioni nel cordone: τ_P= 0.06 τ_0=1.22 σ_0=4.57 σ_{ID}=4.73 Σ_T=5.79
CC 11 SLV (Collegamento -378_-512)
Azioni sul collegamento: N=145.69 Ty=1.62 Tz=-50.57 Mx=0.34 Mz=2.12
Sollecitazioni agenti localmente: Tx_l=1.62 Ty_l=-50.57 N_l=145.69 My_l=-2.12 Mz_l=0.34
Azioni sul cordone: TP=-0.52 TO=3.99 NO=10.72
Tensioni nel cordone: τ_P=0.16 τ_0=1.27 σ_0=6.50 σ_{ID}=6.63 Σ_T=7.77
CC 11 SLV (Collegamento -378_-512)
Azioni sul collegamento: N=145.69 Ty=0.23 Tz=-50.57 Mx=0.14 Mz=0.79
Sollecitazioni agenti localmente: Tx_l=0.23 Ty_l=-50.57 N_l=145.69 My_l=-0.79 Mz_l=0.14
Azioni sul cordone: TP=-0.18 TO=3.83 NO=10.72
Tensioni nel cordone: τ_P= 0.06 τ_0=1.22 σ_0=4.57 σ_{ID}=4.73 Σ_T=5.79
CC 12 SLD (Collegamento -378_-512)
Azioni sul collegamento: N=137.71 Ty=1.60 Tz=-49.33 Mx=0.36 Mz=2.22
Sollecitazioni agenti localmente: Tx_l=1.60 Ty_l=-49.33 N_l=137.71 My_l=-2.22 Mz_l=0.36
Azioni sul cordone: TP=-0.54 TO=3.92 NO=10.13
Tensioni nel cordone: τ_P=0.17 τ_0=1.24 σ_0=6.47 σ_{ID}=6.59 Σ_T=7.71
CC 12 SLD (Collegamento -378_-512)
Azioni sul collegamento: N=137.71 Ty=1.18 Tz=-49.33 Mx=0.30 Mz=1.82
Sollecitazioni agenti localmente: Tx_l=1.18 Ty_l=-49.33 N_l=137.71 My_l=-1.82 Mz_l=0.30
Azioni sul cordone: TP=-0.43 TO=3.87 NO=10.13
Tensioni nel cordone: τ_P=0.14 τ_0=1.23 σ_0=5.88 σ_{ID}=6.01 Σ_T=7.11
CC 12 SLD (Collegamento -378_-512)
Azioni sul collegamento: N=137.71 Ty=1.60 Tz=-49.33 Mx=0.36 Mz=2.22
Sollecitazioni agenti localmente: Tx_l=1.60 Ty_l=-49.33 N_l=137.71 My_l=-2.22 Mz_l=0.36
Azioni sul cordone: TP=-0.54 TO=3.92 NO=10.13
Tensioni nel cordone: τ_P=0.17 τ_0=1.24 σ_0=6.47 σ_{ID}=6.59 Σ_T=7.71
CC 12 SLD (Collegamento -378_-512)
Azioni sul collegamento: N=137.71 Ty=1.18 Tz=-49.33 Mx=0.30 Mz=1.82
Sollecitazioni agenti localmente: Tx_l=1.18 Ty_l=-49.33 N_l=137.71 My_l=-1.82 Mz_l=0.30
Azioni sul cordone: TP=-0.43 TO=3.87 NO=10.13
Tensioni nel cordone: τ_P=0.14 τ_0=1.23 σ_0=5.88 σ_{ID}=6.01 Σ_T=7.11
CC 12 SLD (Collegamento -378_-512)
Azioni sul collegamento: N=141.39 Ty=1.60 Tz=-49.90 Mx=0.36 Mz=2.22
Sollecitazioni agenti localmente: Tx_l=1.60 Ty_l=-49.90 N_l=141.39 My_l=-2.22 Mz_l=0.36

Azioni sul cordone: TP=-0.54 TO=3.96 NO=10.40
Tensioni nel cordone: τ_P=0.17 τ_0=1.26 σ_0=6.55 σ_{ID}=6.67 Σ_T=7.81
CC 12 SLD (Collegamento -378_-512)
Azioni sul collegamento: N=141.39 Ty=1.18 Tz=-49.90 Mx=0.30 Mz=1.82
Sollecitazioni agenti localmente: Tx_l=1.18 Ty_l=-49.90 N_l=141.39 My_l=-1.82 Mz_l=0.30
Azioni sul cordone: TP=-0.43 TO=3.91 NO=10.40
Tensioni nel cordone: τ_P=0.14 τ_0=1.24 σ_0=5.96 σ_{ID}=6.09 Σ_T=7.21
CC 12 SLD (Collegamento -378_-512)
Azioni sul collegamento: N=141.39 Ty=1.60 Tz=-49.90 Mx=0.36 Mz=2.22
Sollecitazioni agenti localmente: Tx_l=1.60 Ty_l=-49.90 N_l=141.39 My_l=-2.22 Mz_l=0.36
Azioni sul cordone: TP=-0.54 TO=3.96 NO=10.40
Tensioni nel cordone: τ_P=0.17 τ_0=1.26 σ_0=6.55 σ_{ID}=6.67 Σ_T=7.81
CC 12 SLD (Collegamento -378_-512)
Azioni sul collegamento: N=141.39 Ty=1.18 Tz=-49.90 Mx=0.30 Mz=1.82
Sollecitazioni agenti localmente: Tx_l=1.18 Ty_l=-49.90 N_l=141.39 My_l=-1.82 Mz_l=0.30
Azioni sul cordone: TP=-0.43 TO=3.91 NO=10.40
Tensioni nel cordone: τ_P=0.14 τ_0=1.24 σ_0=5.96 σ_{ID}=6.09 Σ_T=7.21
CC 13 SLV (Collegamento -378_-512)
Azioni sul collegamento: N=145.69 Ty=0.23 Tz=-50.57 Mx=0.13 Mz=0.80
Sollecitazioni agenti localmente: Tx_l=0.23 Ty_l=-50.57 N_l=145.69 My_l=-0.80 Mz_l=0.13
Azioni sul cordone: TP=-0.17 TO=3.83 NO=10.72
Tensioni nel cordone: τ_P= 0.05 τ_0=1.22 σ_0=4.57 σ_{ID}=4.73 Σ_T=5.79
CC 13 SLV (Collegamento -378_-512)
Azioni sul collegamento: N=145.69 Ty=1.62 Tz=-50.57 Mx=0.34 Mz=2.12
Sollecitazioni agenti localmente: Tx_l=1.62 Ty_l=-50.57 N_l=145.69 My_l=-2.12 Mz_l=0.34
Azioni sul cordone: TP=-0.51 TO=3.99 NO=10.72
Tensioni nel cordone: τ_P=0.16 τ_0=1.27 σ_0=6.51 σ_{ID}=6.63 Σ_T=7.77
CC 13 SLV (Collegamento -378_-512)
Azioni sul collegamento: N=145.69 Ty=0.23 Tz=-50.57 Mx=0.13 Mz=0.80
Sollecitazioni agenti localmente: Tx_l=0.23 Ty_l=-50.57 N_l=145.69 My_l=-0.80 Mz_l=0.13
Azioni sul cordone: TP=-0.17 TO=3.83 NO=10.72
Tensioni nel cordone: τ_P= 0.05 τ_0=1.22 σ_0=4.57 σ_{ID}=4.73 Σ_T=5.79
CC 13 SLV (Collegamento -378_-512)
Azioni sul collegamento: N=145.69 Ty=1.62 Tz=-50.57 Mx=0.34 Mz=2.12
Sollecitazioni agenti localmente: Tx_l=1.62 Ty_l=-50.57 N_l=145.69 My_l=-2.12 Mz_l=0.34
Azioni sul cordone: TP=-0.51 TO=3.99 NO=10.72
Tensioni nel cordone: τ_P=0.16 τ_0=1.27 σ_0=6.51 σ_{ID}=6.63 Σ_T=7.77
CC 13 SLV (Collegamento -378_-512)
Azioni sul collegamento: N=133.62 Ty=0.23 Tz=-48.70 Mx=0.13 Mz=0.80
Sollecitazioni agenti localmente: Tx_l=0.23 Ty_l=-48.70 N_l=133.62 My_l=-0.80 Mz_l=0.13
Azioni sul cordone: TP=-0.17 TO=3.69 NO=9.83
Tensioni nel cordone: τ_P= 0.05 τ_0=1.17 σ_0=4.29 σ_{ID}=4.45 Σ_T=5.46
CC 13 SLV (Collegamento -378_-512)
Azioni sul collegamento: N=133.62 Ty=1.62 Tz=-48.70 Mx=0.34 Mz=2.12
Sollecitazioni agenti localmente: Tx_l=1.62 Ty_l=-48.70 N_l=133.62 My_l=-2.12 Mz_l=0.34
Azioni sul cordone: TP=-0.51 TO=3.85 NO=9.83
Tensioni nel cordone: τ_P=0.16 τ_0=1.22 σ_0=6.22 σ_{ID}=6.34 Σ_T=7.45
CC 13 SLV (Collegamento -378_-512)
Azioni sul collegamento: N=133.62 Ty=0.23 Tz=-48.70 Mx=0.13 Mz=0.80
Sollecitazioni agenti localmente: Tx_l=0.23 Ty_l=-48.70 N_l=133.62 My_l=-0.80 Mz_l=0.13
Azioni sul cordone: TP=-0.17 TO=3.69 NO=9.83
Tensioni nel cordone: τ_P= 0.05 τ_0=1.17 σ_0=4.29 σ_{ID}=4.45 Σ_T=5.46
CC 13 SLV (Collegamento -378_-512)
Azioni sul collegamento: N=133.62 Ty=1.62 Tz=-48.70 Mx=0.34 Mz=2.12
Sollecitazioni agenti localmente: Tx_l=1.62 Ty_l=-48.70 N_l=133.62 My_l=-2.12 Mz_l=0.34
Azioni sul cordone: TP=-0.51 TO=3.85 NO=9.83
Tensioni nel cordone: τ_P=0.16 τ_0=1.22 σ_0=6.22 σ_{ID}=6.34 Σ_T=7.45
CC 14 SLD (Collegamento -378_-512)
Azioni sul collegamento: N=141.39 Ty=1.18 Tz=-49.90 Mx=0.30 Mz=1.82
Sollecitazioni agenti localmente: Tx_l=1.18 Ty_l=-49.90 N_l=141.39 My_l=-1.82 Mz_l=0.30
Azioni sul cordone: TP=-0.43 TO=3.91 NO=10.40
Tensioni nel cordone: τ_P=0.14 τ_0=1.24 σ_0=5.96 σ_{ID}=6.09 Σ_T=7.21
CC 14 SLD (Collegamento -378_-512)
Azioni sul collegamento: N=141.39 Ty=1.60 Tz=-49.90 Mx=0.36 Mz=2.22
Sollecitazioni agenti localmente: Tx_l=1.60 Ty_l=-49.90 N_l=141.39 My_l=-2.22 Mz_l=0.36
Azioni sul cordone: TP=-0.53 TO=3.96 NO=10.40
Tensioni nel cordone: τ_P=0.17 τ_0=1.26 σ_0=6.55 σ_{ID}=6.68 Σ_T=7.81
CC 14 SLD (Collegamento -378_-512)
Azioni sul collegamento: N=141.39 Ty=1.18 Tz=-49.90 Mx=0.30 Mz=1.82
Sollecitazioni agenti localmente: Tx_l=1.18 Ty_l=-49.90 N_l=141.39 My_l=-1.82 Mz_l=0.30
Azioni sul cordone: TP=-0.43 TO=3.91 NO=10.40
Tensioni nel cordone: τ_P=0.14 τ_0=1.24 σ_0=5.96 σ_{ID}=6.09 Σ_T=7.21
CC 14 SLD (Collegamento -378_-512)
Azioni sul collegamento: N=141.39 Ty=1.60 Tz=-49.90 Mx=0.36 Mz=2.22
Sollecitazioni agenti localmente: Tx_l=1.60 Ty_l=-49.90 N_l=141.39 My_l=-2.22 Mz_l=0.36
Azioni sul cordone: TP=-0.53 TO=3.96 NO=10.40
Tensioni nel cordone: τ_P=0.17 τ_0=1.26 σ_0=6.55 σ_{ID}=6.68 Σ_T=7.81
CC 14 SLD (Collegamento -378_-512)
Azioni sul collegamento: N=137.71 Ty=1.18 Tz=-49.33 Mx=0.30 Mz=1.82

Sollecitazioni agenti localmente: Tx_l=1.18 Ty_l=-49.33 N_l=137.71 My_l=-1.82 Mz_l=0.30
Azioni sul cordone: TP=-0.43 TO=3.86 NO=10.13
Tensioni nel cordone: τ_P=0.14 τ_0=1.23 σ_0=5.88 σ_{ID}=6.01 Σ_T=7.11
CC 14 SLD (Collegamento -378_-512)
Azioni sul collegamento: N=137.71 Ty=1.60 Tz=-49.33 Mx=0.36 Mz=2.22
Sollecitazioni agenti localmente: Tx_l=1.60 Ty_l=-49.33 N_l=137.71 My_l=-2.22 Mz_l=0.36
Azioni sul cordone: TP=-0.53 TO=3.91 NO=10.13
Tensioni nel cordone: τ_P=0.17 τ_0=1.24 σ_0=6.47 σ_{ID}=6.59 Σ_T=7.71
CC 14 SLD (Collegamento -378_-512)
Azioni sul collegamento: N=137.71 Ty=1.18 Tz=-49.33 Mx=0.30 Mz=1.82
Sollecitazioni agenti localmente: Tx_l=1.18 Ty_l=-49.33 N_l=137.71 My_l=-1.82 Mz_l=0.30
Azioni sul cordone: TP=-0.43 TO=3.86 NO=10.13
Tensioni nel cordone: τ_P=0.14 τ_0=1.23 σ_0=5.88 σ_{ID}=6.01 Σ_T=7.11
CC 14 SLD (Collegamento -378_-512)
Azioni sul collegamento: N=137.71 Ty=1.60 Tz=-49.33 Mx=0.36 Mz=2.22
Sollecitazioni agenti localmente: Tx_l=1.60 Ty_l=-49.33 N_l=137.71 My_l=-2.22 Mz_l=0.36
Azioni sul cordone: TP=-0.53 TO=3.91 NO=10.13
Tensioni nel cordone: τ_P=0.17 τ_0=1.24 σ_0=6.47 σ_{ID}=6.59 Σ_T=7.71
CC 15 SLV (Collegamento -378_-512)
Azioni sul collegamento: N=133.05 Ty=-0.16 Tz=-48.61 Mx=0.05 Mz=0.25
Sollecitazioni agenti localmente: Tx_l=-0.16 Ty_l=-48.61 N_l=133.05 My_l=-0.25 Mz_l=0.05
Azioni sul cordone: TP=-0.06 TO=-3.61 NO=9.79
Tensioni nel cordone: τ_P= 0.02 τ_0=1.15 σ_0=3.48 σ_{ID}=3.67 Σ_T=4.63
CC 15 SLV (Collegamento -378_-512)
Azioni sul collegamento: N=133.05 Ty=2.01 Tz=-48.61 Mx=0.42 Mz=2.67
Sollecitazioni agenti localmente: Tx_l=2.01 Ty_l=-48.61 N_l=133.05 My_l=-2.67 Mz_l=0.42
Azioni sul cordone: TP=-0.63 TO=3.91 NO=9.79
Tensioni nel cordone: τ_P=0.20 τ_0=1.24 σ_0=7.00 σ_{ID}=7.12 Σ_T=8.25
CC 15 SLV (Collegamento -378_-512)
Azioni sul collegamento: N=133.05 Ty=-0.16 Tz=-48.61 Mx=0.05 Mz=0.25
Sollecitazioni agenti localmente: Tx_l=-0.16 Ty_l=-48.61 N_l=133.05 My_l=-0.25 Mz_l=0.05
Azioni sul cordone: TP=-0.06 TO=-3.61 NO=9.79
Tensioni nel cordone: τ_P= 0.02 τ_0=1.15 σ_0=3.48 σ_{ID}=3.67 Σ_T=4.63
CC 15 SLV (Collegamento -378_-512)
Azioni sul collegamento: N=133.05 Ty=2.01 Tz=-48.61 Mx=0.42 Mz=2.67
Sollecitazioni agenti localmente: Tx_l=2.01 Ty_l=-48.61 N_l=133.05 My_l=-2.67 Mz_l=0.42
Azioni sul cordone: TP=-0.63 TO=3.91 NO=9.79
Tensioni nel cordone: τ_P=0.20 τ_0=1.24 σ_0=7.00 σ_{ID}=7.12 Σ_T=8.25
CC 15 SLV (Collegamento -378_-512)
Azioni sul collegamento: N=146.26 Ty=-0.16 Tz=-50.66 Mx=0.05 Mz=0.25
Sollecitazioni agenti localmente: Tx_l=-0.16 Ty_l=-50.66 N_l=146.26 My_l=-0.25 Mz_l=0.05
Azioni sul cordone: TP=-0.06 TO=-3.76 NO=10.76
Tensioni nel cordone: τ_P= 0.02 τ_0=1.20 σ_0=3.79 σ_{ID}=3.97 Σ_T=4.99
CC 15 SLV (Collegamento -378_-512)
Azioni sul collegamento: N=146.26 Ty=2.01 Tz=-50.66 Mx=0.42 Mz=2.67
Sollecitazioni agenti localmente: Tx_l=2.01 Ty_l=-50.66 N_l=146.26 My_l=-2.67 Mz_l=0.42
Azioni sul cordone: TP=-0.63 TO=4.06 NO=10.76
Tensioni nel cordone: τ_P=0.20 τ_0=1.29 σ_0=7.31 σ_{ID}=7.43 Σ_T=8.60
CC 15 SLV (Collegamento -378_-512)
Azioni sul collegamento: N=146.26 Ty=-0.16 Tz=-50.66 Mx=0.05 Mz=0.25
Sollecitazioni agenti localmente: Tx_l=-0.16 Ty_l=-50.66 N_l=146.26 My_l=-0.25 Mz_l=0.05
Azioni sul cordone: TP=-0.06 TO=-3.76 NO=10.76
Tensioni nel cordone: τ_P= 0.02 τ_0=1.20 σ_0=3.79 σ_{ID}=3.97 Σ_T=4.99
CC 15 SLV (Collegamento -378_-512)
Azioni sul collegamento: N=146.26 Ty=2.01 Tz=-50.66 Mx=0.42 Mz=2.67
Sollecitazioni agenti localmente: Tx_l=2.01 Ty_l=-50.66 N_l=146.26 My_l=-2.67 Mz_l=0.42
Azioni sul cordone: TP=-0.63 TO=4.06 NO=10.76
Tensioni nel cordone: τ_P=0.20 τ_0=1.29 σ_0=7.31 σ_{ID}=7.43 Σ_T=8.60
CC 16 SLD (Collegamento -378_-512)
Azioni sul collegamento: N=137.53 Ty=1.06 Tz=-49.31 Mx=0.27 Mz=1.65
Sollecitazioni agenti localmente: Tx_l=1.06 Ty_l=-49.31 N_l=137.53 My_l=-1.65 Mz_l=0.27
Azioni sul cordone: TP=-0.39 TO=3.84 NO=10.12
Tensioni nel cordone: τ_P=0.12 τ_0=1.22 σ_0=5.63 σ_{ID}=5.76 Σ_T=6.85
CC 16 SLD (Collegamento -378_-512)
Azioni sul collegamento: N=137.53 Ty=1.72 Tz=-49.31 Mx=0.39 Mz=2.39
Sollecitazioni agenti localmente: Tx_l=1.72 Ty_l=-49.31 N_l=137.53 My_l=-2.39 Mz_l=0.39
Azioni sul cordone: TP=-0.57 TO=3.93 NO=10.12
Tensioni nel cordone: τ_P=0.18 τ_0=1.25 σ_0=6.71 σ_{ID}=6.82 Σ_T=7.96
CC 16 SLD (Collegamento -378_-512)
Azioni sul collegamento: N=137.53 Ty=1.06 Tz=-49.31 Mx=0.27 Mz=1.65
Sollecitazioni agenti localmente: Tx_l=1.06 Ty_l=-49.31 N_l=137.53 My_l=-1.65 Mz_l=0.27
Azioni sul cordone: TP=-0.39 TO=3.84 NO=10.12
Tensioni nel cordone: τ_P=0.12 τ_0=1.22 σ_0=5.63 σ_{ID}=5.76 Σ_T=6.85
CC 16 SLD (Collegamento -378_-512)
Azioni sul collegamento: N=137.53 Ty=1.72 Tz=-49.31 Mx=0.39 Mz=2.39
Sollecitazioni agenti localmente: Tx_l=1.72 Ty_l=-49.31 N_l=137.53 My_l=-2.39 Mz_l=0.39
Azioni sul cordone: TP=-0.57 TO=3.93 NO=10.12
Tensioni nel cordone: τ_P=0.18 τ_0=1.25 σ_0=6.71 σ_{ID}=6.82 Σ_T=7.96
CC 16 SLD (Collegamento -378_-512)

Azioni sul collegamento: N=141.56 Ty=1.06 Tz=-49.93 Mx=0.27 Mz=1.65
Sollecitazioni agenti localmente: Tx_l=1.06 Ty_l=-49.93 N_l=141.56 My_l=-1.65 Mz_l=0.27
Azioni sul cordone: TP=-0.39 TO=3.89 NO=10.42
Tensioni nel cordone: τ_P=0.12 τ_O=1.24 σ_O=5.73 σ_{ID}=5.86 Σ_T=6.96
CC 16 SLD (Collegamento -378_-512)
Azioni sul collegamento: N=141.56 Ty=1.72 Tz=-49.93 Mx=0.39 Mz=2.39
Sollecitazioni agenti localmente: Tx_l=1.72 Ty_l=-49.93 N_l=141.56 My_l=-2.39 Mz_l=0.39
Azioni sul cordone: TP=-0.57 TO=3.98 NO=10.42
Tensioni nel cordone: τ_P=0.18 τ_O=1.26 σ_O=6.80 σ_{ID}=6.92 Σ_T=8.06
CC 16 SLD (Collegamento -378_-512)
Azioni sul collegamento: N=141.56 Ty=1.06 Tz=-49.93 Mx=0.27 Mz=1.65
Sollecitazioni agenti localmente: Tx_l=1.06 Ty_l=-49.93 N_l=141.56 My_l=-1.65 Mz_l=0.27
Azioni sul cordone: TP=-0.39 TO=3.89 NO=10.42
Tensioni nel cordone: τ_P=0.12 τ_O=1.24 σ_O=5.73 σ_{ID}=5.86 Σ_T=6.96
CC 16 SLD (Collegamento -378_-512)
Azioni sul collegamento: N=141.56 Ty=1.72 Tz=-49.93 Mx=0.39 Mz=2.39
Sollecitazioni agenti localmente: Tx_l=1.72 Ty_l=-49.93 N_l=141.56 My_l=-2.39 Mz_l=0.39
Azioni sul cordone: TP=-0.57 TO=3.98 NO=10.42
Tensioni nel cordone: τ_P=0.18 τ_O=1.26 σ_O=6.80 σ_{ID}=6.92 Σ_T=8.06
CC 17 SLV (Collegamento -378_-512)
Azioni sul collegamento: N=160.50 Ty=3.19 Tz=-52.86 Mx=0.69 Mz=4.26
Sollecitazioni agenti localmente: Tx_l=3.19 Ty_l=-52.86 N_l=160.50 My_l=-4.26 Mz_l=0.69
Azioni sul cordone: TP=-1.03 TO=4.44 NO=11.81
Tensioni nel cordone: τ_P=0.33 τ_O=1.41 σ_O=9.98 σ_{ID}=10.08 Σ_T=11.39
CC 17 SLV (Collegamento -378_-512)
Azioni sul collegamento: N=160.50 Ty=1.35 Tz=-52.86 Mx=0.33 Mz=1.89
Sollecitazioni agenti localmente: Tx_l=1.35 Ty_l=-52.86 N_l=160.50 My_l=-1.89 Mz_l=0.33
Azioni sul cordone: TP=-0.47 TO=4.15 NO=11.81
Tensioni nel cordone: τ_P=0.15 τ_O=1.32 σ_O=6.51 σ_{ID}=6.65 Σ_T=7.83
CC 17 SLV (Collegamento -378_-512)
Azioni sul collegamento: N=160.50 Ty=3.19 Tz=-52.86 Mx=0.69 Mz=4.26
Sollecitazioni agenti localmente: Tx_l=3.19 Ty_l=-52.86 N_l=160.50 My_l=-4.26 Mz_l=0.69
Azioni sul cordone: TP=-1.03 TO=4.44 NO=11.81
Tensioni nel cordone: τ_P=0.33 τ_O=1.41 σ_O=9.98 σ_{ID}=10.08 Σ_T=11.39
CC 17 SLV (Collegamento -378_-512)
Azioni sul collegamento: N=160.50 Ty=1.35 Tz=-52.86 Mx=0.33 Mz=1.89
Sollecitazioni agenti localmente: Tx_l=1.35 Ty_l=-52.86 N_l=160.50 My_l=-1.89 Mz_l=0.33
Azioni sul cordone: TP=-0.47 TO=4.15 NO=11.81
Tensioni nel cordone: τ_P=0.15 τ_O=1.32 σ_O=6.51 σ_{ID}=6.65 Σ_T=7.83
CC 17 SLV (Collegamento -378_-512)
Azioni sul collegamento: N=118.19 Ty=3.19 Tz=-46.31 Mx=0.69 Mz=4.26
Sollecitazioni agenti localmente: Tx_l=3.19 Ty_l=-46.31 N_l=118.19 My_l=-4.26 Mz_l=0.69
Azioni sul cordone: TP=-1.03 TO=3.95 NO=8.70
Tensioni nel cordone: τ_P=0.33 τ_O=1.26 σ_O=8.99 σ_{ID}=9.08 Σ_T=10.25
CC 17 SLV (Collegamento -378_-512)
Azioni sul collegamento: N=118.19 Ty=1.35 Tz=-46.31 Mx=0.33 Mz=1.89
Sollecitazioni agenti localmente: Tx_l=1.35 Ty_l=-46.31 N_l=118.19 My_l=-1.89 Mz_l=0.33
Azioni sul cordone: TP=-0.47 TO=3.66 NO=8.70
Tensioni nel cordone: τ_P=0.15 τ_O=1.16 σ_O=5.52 σ_{ID}=5.65 Σ_T=6.69
CC 17 SLV (Collegamento -378_-512)
Azioni sul collegamento: N=118.19 Ty=3.19 Tz=-46.31 Mx=0.69 Mz=4.26
Sollecitazioni agenti localmente: Tx_l=3.19 Ty_l=-46.31 N_l=118.19 My_l=-4.26 Mz_l=0.69
Azioni sul cordone: TP=-1.03 TO=3.95 NO=8.70
Tensioni nel cordone: τ_P=0.33 τ_O=1.26 σ_O=8.99 σ_{ID}=9.08 Σ_T=10.25
CC 17 SLV (Collegamento -378_-512)
Azioni sul collegamento: N=118.19 Ty=1.35 Tz=-46.31 Mx=0.33 Mz=1.89
Sollecitazioni agenti localmente: Tx_l=1.35 Ty_l=-46.31 N_l=118.19 My_l=-1.89 Mz_l=0.33
Azioni sul cordone: TP=-0.47 TO=3.66 NO=8.70
Tensioni nel cordone: τ_P=0.15 τ_O=1.16 σ_O=5.52 σ_{ID}=5.65 Σ_T=6.69
CC 18 SLD (Collegamento -378_-512)
Azioni sul collegamento: N=145.90 Ty=2.08 Tz=-50.60 Mx=0.47 Mz=2.88
Sollecitazioni agenti localmente: Tx_l=2.08 Ty_l=-50.60 N_l=145.90 My_l=-2.88 Mz_l=0.47
Azioni sul cordone: TP=-0.69 TO=4.09 NO=10.74
Tensioni nel cordone: τ_P=0.22 τ_O=1.30 σ_O=7.61 σ_{ID}=7.73 Σ_T=8.91
CC 18 SLD (Collegamento -378_-512)
Azioni sul collegamento: N=145.90 Ty=1.52 Tz=-50.60 Mx=0.36 Mz=2.15
Sollecitazioni agenti localmente: Tx_l=1.52 Ty_l=-50.60 N_l=145.90 My_l=-2.15 Mz_l=0.36
Azioni sul cordone: TP=-0.52 TO=4.00 NO=10.74
Tensioni nel cordone: τ_P=0.17 τ_O=1.27 σ_O=6.56 σ_{ID}=6.68 Σ_T=7.83
CC 18 SLD (Collegamento -378_-512)
Azioni sul collegamento: N=145.90 Ty=2.08 Tz=-50.60 Mx=0.47 Mz=2.88
Sollecitazioni agenti localmente: Tx_l=2.08 Ty_l=-50.60 N_l=145.90 My_l=-2.88 Mz_l=0.47
Azioni sul cordone: TP=-0.69 TO=4.09 NO=10.74
Tensioni nel cordone: τ_P=0.22 τ_O=1.30 σ_O=7.61 σ_{ID}=7.73 Σ_T=8.91
CC 18 SLD (Collegamento -378_-512)
Azioni sul collegamento: N=145.90 Ty=1.52 Tz=-50.60 Mx=0.36 Mz=2.15
Sollecitazioni agenti localmente: Tx_l=1.52 Ty_l=-50.60 N_l=145.90 My_l=-2.15 Mz_l=0.36
Azioni sul cordone: TP=-0.52 TO=4.00 NO=10.74
Tensioni nel cordone: τ_P=0.17 τ_O=1.27 σ_O=6.56 σ_{ID}=6.68 Σ_T=7.83

CC 18 SLD (Collegamento -378_-512)
Azioni sul collegamento: N=133.00 Ty=2.08 Tz=-48.61 Mx=0.47 Mz=2.88
Sollecitazioni agenti localmente: Tx_l=2.08 Ty_l=-48.61 N_l=133.00 My_l=-2.88 Mz_l=0.47
Azioni sul cordone: TP=-0.69 TO=3.95 NO=9.79
Tensioni nel cordone: τ_P=0.22 τ_0=1.25 σ_0=7.31 σ_{ID}=7.42 Σ_T=8.57
CC 18 SLD (Collegamento -378_-512)
Azioni sul collegamento: N=133.00 Ty=1.52 Tz=-48.61 Mx=0.36 Mz=2.15
Sollecitazioni agenti localmente: Tx_l=1.52 Ty_l=-48.61 N_l=133.00 My_l=-2.15 Mz_l=0.36
Azioni sul cordone: TP=-0.52 TO=3.86 NO=9.79
Tensioni nel cordone: τ_P=0.17 τ_0=1.23 σ_0=6.25 σ_{ID}=6.38 Σ_T=7.48
CC 18 SLD (Collegamento -378_-512)
Azioni sul collegamento: N=133.00 Ty=2.08 Tz=-48.61 Mx=0.47 Mz=2.88
Sollecitazioni agenti localmente: Tx_l=2.08 Ty_l=-48.61 N_l=133.00 My_l=-2.88 Mz_l=0.47
Azioni sul cordone: TP=-0.69 TO=3.95 NO=9.79
Tensioni nel cordone: τ_P=0.22 τ_0=1.25 σ_0=7.31 σ_{ID}=7.42 Σ_T=8.57
CC 18 SLD (Collegamento -378_-512)
Azioni sul collegamento: N=133.00 Ty=1.52 Tz=-48.61 Mx=0.36 Mz=2.15
Sollecitazioni agenti localmente: Tx_l=1.52 Ty_l=-48.61 N_l=133.00 My_l=-2.15 Mz_l=0.36
Azioni sul cordone: TP=-0.52 TO=3.86 NO=9.79
Tensioni nel cordone: τ_P=0.17 τ_0=1.23 σ_0=6.25 σ_{ID}=6.38 Σ_T=7.48
CC 19 SLV (Collegamento -378_-512)
Azioni sul collegamento: N=160.33 Ty=2.66 Tz=-52.83 Mx=0.60 Mz=3.70
Sollecitazioni agenti localmente: Tx_l=2.66 Ty_l=-52.83 N_l=160.33 My_l=-3.70 Mz_l=0.60
Azioni sul cordone: TP=-0.89 TO=4.36 NO=11.80
Tensioni nel cordone: τ_P=0.28 τ_0=1.39 σ_0=9.16 σ_{ID}=9.27 Σ_T=10.54
CC 19 SLV (Collegamento -378_-512)
Azioni sul collegamento: N=160.33 Ty=1.88 Tz=-52.83 Mx=0.41 Mz=2.45
Sollecitazioni agenti localmente: Tx_l=1.88 Ty_l=-52.83 N_l=160.33 My_l=-2.45 Mz_l=0.41
Azioni sul cordone: TP=-0.61 TO=4.21 NO=11.80
Tensioni nel cordone: τ_P=0.19 τ_0=1.34 σ_0=7.33 σ_{ID}=7.45 Σ_T=8.67
CC 19 SLV (Collegamento -378_-512)
Azioni sul collegamento: N=160.33 Ty=2.66 Tz=-52.83 Mx=0.60 Mz=3.70
Sollecitazioni agenti localmente: Tx_l=2.66 Ty_l=-52.83 N_l=160.33 My_l=-3.70 Mz_l=0.60
Azioni sul cordone: TP=-0.89 TO=4.36 NO=11.80
Tensioni nel cordone: τ_P=0.28 τ_0=1.39 σ_0=9.16 σ_{ID}=9.27 Σ_T=10.54
CC 19 SLV (Collegamento -378_-512)
Azioni sul collegamento: N=160.33 Ty=1.88 Tz=-52.83 Mx=0.41 Mz=2.45
Sollecitazioni agenti localmente: Tx_l=1.88 Ty_l=-52.83 N_l=160.33 My_l=-2.45 Mz_l=0.41
Azioni sul cordone: TP=-0.61 TO=4.21 NO=11.80
Tensioni nel cordone: τ_P=0.19 τ_0=1.34 σ_0=7.33 σ_{ID}=7.45 Σ_T=8.67
CC 19 SLV (Collegamento -378_-512)
Azioni sul collegamento: N=118.37 Ty=2.66 Tz=-46.34 Mx=0.60 Mz=3.70
Sollecitazioni agenti localmente: Tx_l=2.66 Ty_l=-46.34 N_l=118.37 My_l=-3.70 Mz_l=0.60
Azioni sul cordone: TP=-0.89 TO=3.88 NO=8.71
Tensioni nel cordone: τ_P=0.28 τ_0=1.23 σ_0=8.18 σ_{ID}=8.27 Σ_T=9.41
CC 19 SLV (Collegamento -378_-512)
Azioni sul collegamento: N=118.37 Ty=1.88 Tz=-46.34 Mx=0.41 Mz=2.45
Sollecitazioni agenti localmente: Tx_l=1.88 Ty_l=-46.34 N_l=118.37 My_l=-2.45 Mz_l=0.41
Azioni sul cordone: TP=-0.61 TO=3.73 NO=8.71
Tensioni nel cordone: τ_P=0.19 τ_0=1.19 σ_0=6.35 σ_{ID}=6.46 Σ_T=7.53
CC 19 SLV (Collegamento -378_-512)
Azioni sul collegamento: N=118.37 Ty=2.66 Tz=-46.34 Mx=0.60 Mz=3.70
Sollecitazioni agenti localmente: Tx_l=2.66 Ty_l=-46.34 N_l=118.37 My_l=-3.70 Mz_l=0.60
Azioni sul cordone: TP=-0.89 TO=3.88 NO=8.71
Tensioni nel cordone: τ_P=0.28 τ_0=1.23 σ_0=8.18 σ_{ID}=8.27 Σ_T=9.41
CC 19 SLV (Collegamento -378_-512)
Azioni sul collegamento: N=118.37 Ty=1.88 Tz=-46.34 Mx=0.41 Mz=2.45
Sollecitazioni agenti localmente: Tx_l=1.88 Ty_l=-46.34 N_l=118.37 My_l=-2.45 Mz_l=0.41
Azioni sul cordone: TP=-0.61 TO=3.73 NO=8.71
Tensioni nel cordone: τ_P=0.19 τ_0=1.19 σ_0=6.35 σ_{ID}=6.46 Σ_T=7.53
CC 20 SLD (Collegamento -378_-512)
Azioni sul collegamento: N=145.85 Ty=1.92 Tz=-50.59 Mx=0.44 Mz=2.71
Sollecitazioni agenti localmente: Tx_l=1.92 Ty_l=-50.59 N_l=145.85 My_l=-2.71 Mz_l=0.44
Azioni sul cordone: TP=-0.65 TO=4.07 NO=10.73
Tensioni nel cordone: τ_P=0.21 τ_0=1.29 σ_0=7.36 σ_{ID}=7.48 Σ_T=8.66
CC 20 SLD (Collegamento -378_-512)
Azioni sul collegamento: N=145.85 Ty=1.68 Tz=-50.59 Mx=0.38 Mz=2.32
Sollecitazioni agenti localmente: Tx_l=1.68 Ty_l=-50.59 N_l=145.85 My_l=-2.32 Mz_l=0.38
Azioni sul cordone: TP=-0.56 TO=4.02 NO=10.73
Tensioni nel cordone: τ_P=0.18 τ_0=1.28 σ_0=6.80 σ_{ID}=6.93 Σ_T=8.08
CC 20 SLD (Collegamento -378_-512)
Azioni sul collegamento: N=145.85 Ty=1.92 Tz=-50.59 Mx=0.44 Mz=2.71
Sollecitazioni agenti localmente: Tx_l=1.92 Ty_l=-50.59 N_l=145.85 My_l=-2.71 Mz_l=0.44
Azioni sul cordone: TP=-0.65 TO=4.07 NO=10.73
Tensioni nel cordone: τ_P=0.21 τ_0=1.29 σ_0=7.36 σ_{ID}=7.48 Σ_T=8.66
CC 20 SLD (Collegamento -378_-512)
Azioni sul collegamento: N=145.85 Ty=1.68 Tz=-50.59 Mx=0.38 Mz=2.32
Sollecitazioni agenti localmente: Tx_l=1.68 Ty_l=-50.59 N_l=145.85 My_l=-2.32 Mz_l=0.38
Azioni sul cordone: TP=-0.56 TO=4.02 NO=10.73

Tensioni nel cordone: τ_P=0.18 τ_0=1.28 σ_0=6.80 σ_{ID}=6.93 Σ_T=8.08
CC 20 SLD (Collegamento -378_-512)
Azioni sul collegamento: N=133.06 Ty=1.92 Tz=-48.61 Mx=0.44 Mz=2.71
Sollecitazioni agenti localmente: Tx_l=1.92 Ty_l=-48.61 N_l=133.06 My_l=-2.71 Mz_l=0.44
Azioni sul cordone: TP=-0.65 TO=3.92 NO=9.79
Tensioni nel cordone: τ_P=0.21 τ_0=1.25 σ_0=7.06 σ_{ID}=7.18 Σ_T=8.31
CC 20 SLD (Collegamento -378_-512)
Azioni sul collegamento: N=133.06 Ty=1.68 Tz=-48.61 Mx=0.38 Mz=2.32
Sollecitazioni agenti localmente: Tx_l=1.68 Ty_l=-48.61 N_l=133.06 My_l=-2.32 Mz_l=0.38
Azioni sul cordone: TP=-0.56 TO=3.88 NO=9.79
Tensioni nel cordone: τ_P=0.18 τ_0=1.23 σ_0=6.51 σ_{ID}=6.62 Σ_T=7.74
CC 20 SLD (Collegamento -378_-512)
Azioni sul collegamento: N=133.06 Ty=1.92 Tz=-48.61 Mx=0.44 Mz=2.71
Sollecitazioni agenti localmente: Tx_l=1.92 Ty_l=-48.61 N_l=133.06 My_l=-2.71 Mz_l=0.44
Azioni sul cordone: TP=-0.65 TO=3.92 NO=9.79
Tensioni nel cordone: τ_P=0.21 τ_0=1.25 σ_0=7.06 σ_{ID}=7.18 Σ_T=8.31
CC 20 SLD (Collegamento -378_-512)
Azioni sul collegamento: N=133.06 Ty=1.68 Tz=-48.61 Mx=0.38 Mz=2.32
Sollecitazioni agenti localmente: Tx_l=1.68 Ty_l=-48.61 N_l=133.06 My_l=-2.32 Mz_l=0.38
Azioni sul cordone: TP=-0.56 TO=3.88 NO=9.79
Tensioni nel cordone: τ_P=0.18 τ_0=1.23 σ_0=6.51 σ_{ID}=6.62 Σ_T=7.74
CC 21 SLV (Collegamento -378_-512)
Azioni sul collegamento: N=118.37 Ty=1.88 Tz=-46.34 Mx=0.40 Mz=2.45
Sollecitazioni agenti localmente: Tx_l=1.88 Ty_l=-46.34 N_l=118.37 My_l=-2.45 Mz_l=0.40
Azioni sul cordone: TP=-0.60 TO=3.72 NO=8.71
Tensioni nel cordone: τ_P=0.19 τ_0=1.18 σ_0=6.35 σ_{ID}=6.46 Σ_T=7.53
CC 21 SLV (Collegamento -378_-512)
Azioni sul collegamento: N=118.37 Ty=2.66 Tz=-46.34 Mx=0.59 Mz=3.70
Sollecitazioni agenti localmente: Tx_l=2.66 Ty_l=-46.34 N_l=118.37 My_l=-3.70 Mz_l=0.59
Azioni sul cordone: TP=-0.88 TO=3.88 NO=8.71
Tensioni nel cordone: τ_P=0.28 τ_0=1.23 σ_0=8.18 σ_{ID}=8.28 Σ_T=9.41
CC 21 SLV (Collegamento -378_-512)
Azioni sul collegamento: N=118.37 Ty=1.88 Tz=-46.34 Mx=0.40 Mz=2.45
Sollecitazioni agenti localmente: Tx_l=1.88 Ty_l=-46.34 N_l=118.37 My_l=-2.45 Mz_l=0.40
Azioni sul cordone: TP=-0.60 TO=3.72 NO=8.71
Tensioni nel cordone: τ_P=0.19 τ_0=1.18 σ_0=6.35 σ_{ID}=6.46 Σ_T=7.53
CC 21 SLV (Collegamento -378_-512)
Azioni sul collegamento: N=118.37 Ty=2.66 Tz=-46.34 Mx=0.59 Mz=3.70
Sollecitazioni agenti localmente: Tx_l=2.66 Ty_l=-46.34 N_l=118.37 My_l=-3.70 Mz_l=0.59
Azioni sul cordone: TP=-0.88 TO=3.88 NO=8.71
Tensioni nel cordone: τ_P=0.28 τ_0=1.23 σ_0=8.18 σ_{ID}=8.28 Σ_T=9.41
CC 21 SLV (Collegamento -378_-512)
Azioni sul collegamento: N=160.33 Ty=1.88 Tz=-52.83 Mx=0.40 Mz=2.45
Sollecitazioni agenti localmente: Tx_l=1.88 Ty_l=-52.83 N_l=160.33 My_l=-2.45 Mz_l=0.40
Azioni sul cordone: TP=-0.60 TO=4.20 NO=11.80
Tensioni nel cordone: τ_P=0.19 τ_0=1.34 σ_0=7.33 σ_{ID}=7.45 Σ_T=8.67
CC 21 SLV (Collegamento -378_-512)
Azioni sul collegamento: N=160.33 Ty=2.66 Tz=-52.83 Mx=0.59 Mz=3.70
Sollecitazioni agenti localmente: Tx_l=2.66 Ty_l=-52.83 N_l=160.33 My_l=-3.70 Mz_l=0.59
Azioni sul cordone: TP=-0.88 TO=4.36 NO=11.80
Tensioni nel cordone: τ_P=0.28 τ_0=1.38 σ_0=9.16 σ_{ID}=9.27 Σ_T=10.54
CC 21 SLV (Collegamento -378_-512)
Azioni sul collegamento: N=160.33 Ty=1.88 Tz=-52.83 Mx=0.40 Mz=2.45
Sollecitazioni agenti localmente: Tx_l=1.88 Ty_l=-52.83 N_l=160.33 My_l=-2.45 Mz_l=0.40
Azioni sul cordone: TP=-0.60 TO=4.20 NO=11.80
Tensioni nel cordone: τ_P=0.19 τ_0=1.34 σ_0=7.33 σ_{ID}=7.45 Σ_T=8.67
CC 21 SLV (Collegamento -378_-512)
Azioni sul collegamento: N=160.33 Ty=2.66 Tz=-52.83 Mx=0.59 Mz=3.70
Sollecitazioni agenti localmente: Tx_l=2.66 Ty_l=-52.83 N_l=160.33 My_l=-3.70 Mz_l=0.59
Azioni sul cordone: TP=-0.88 TO=4.36 NO=11.80
Tensioni nel cordone: τ_P=0.28 τ_0=1.38 σ_0=9.16 σ_{ID}=9.27 Σ_T=10.54
CC 22 SLD (Collegamento -378_-512)
Azioni sul collegamento: N=133.06 Ty=1.68 Tz=-48.61 Mx=0.38 Mz=2.32
Sollecitazioni agenti localmente: Tx_l=1.68 Ty_l=-48.61 N_l=133.06 My_l=-2.32 Mz_l=0.38
Azioni sul cordone: TP=-0.56 TO=3.88 NO=9.79
Tensioni nel cordone: τ_P=0.18 τ_0=1.23 σ_0=6.51 σ_{ID}=6.62 Σ_T=7.74
CC 22 SLD (Collegamento -378_-512)
Azioni sul collegamento: N=133.06 Ty=1.92 Tz=-48.61 Mx=0.44 Mz=2.71
Sollecitazioni agenti localmente: Tx_l=1.92 Ty_l=-48.61 N_l=133.06 My_l=-2.71 Mz_l=0.44
Azioni sul cordone: TP=-0.65 TO=3.92 NO=9.79
Tensioni nel cordone: τ_P=0.21 τ_0=1.25 σ_0=7.06 σ_{ID}=7.18 Σ_T=8.31
CC 22 SLD (Collegamento -378_-512)
Azioni sul collegamento: N=133.06 Ty=1.68 Tz=-48.61 Mx=0.38 Mz=2.32
Sollecitazioni agenti localmente: Tx_l=1.68 Ty_l=-48.61 N_l=133.06 My_l=-2.32 Mz_l=0.38
Azioni sul cordone: TP=-0.56 TO=3.88 NO=9.79
Tensioni nel cordone: τ_P=0.18 τ_0=1.23 σ_0=6.51 σ_{ID}=6.62 Σ_T=7.74
CC 22 SLD (Collegamento -378_-512)
Azioni sul collegamento: N=133.06 Ty=1.92 Tz=-48.61 Mx=0.44 Mz=2.71
Sollecitazioni agenti localmente: Tx_l=1.92 Ty_l=-48.61 N_l=133.06 My_l=-2.71 Mz_l=0.44

Azioni sul cordone: TP=-0.65 TO=3.92 NO=9.79
Tensioni nel cordone: τ_P=0.21 τ_0=1.25 σ_0=7.06 σ_{ID}=7.18 Σ_T=8.31
CC 22 SLD (Collegamento -378_-512)
Azioni sul collegamento: N=145.85 Ty=1.68 Tz=-50.59 Mx=0.38 Mz=2.32
Sollecitazioni agenti localmente: Tx_l=1.68 Ty_l=-50.59 N_l=145.85 My_l=-2.32 Mz_l=0.38
Azioni sul cordone: TP=-0.56 TO=4.02 NO=10.73
Tensioni nel cordone: τ_P=0.18 τ_0=1.28 σ_0=6.81 σ_{ID}=6.93 Σ_T=8.08
CC 22 SLD (Collegamento -378_-512)
Azioni sul collegamento: N=145.85 Ty=1.92 Tz=-50.59 Mx=0.44 Mz=2.71
Sollecitazioni agenti localmente: Tx_l=1.92 Ty_l=-50.59 N_l=145.85 My_l=-2.71 Mz_l=0.44
Azioni sul cordone: TP=-0.65 TO=4.07 NO=10.73
Tensioni nel cordone: τ_P=0.21 τ_0=1.29 σ_0=7.36 σ_{ID}=7.48 Σ_T=8.66
CC 22 SLD (Collegamento -378_-512)
Azioni sul collegamento: N=145.85 Ty=1.68 Tz=-50.59 Mx=0.38 Mz=2.32
Sollecitazioni agenti localmente: Tx_l=1.68 Ty_l=-50.59 N_l=145.85 My_l=-2.32 Mz_l=0.38
Azioni sul cordone: TP=-0.56 TO=4.02 NO=10.73
Tensioni nel cordone: τ_P=0.18 τ_0=1.28 σ_0=6.81 σ_{ID}=6.93 Σ_T=8.08
CC 22 SLD (Collegamento -378_-512)
Azioni sul collegamento: N=145.85 Ty=1.92 Tz=-50.59 Mx=0.44 Mz=2.71
Sollecitazioni agenti localmente: Tx_l=1.92 Ty_l=-50.59 N_l=145.85 My_l=-2.71 Mz_l=0.44
Azioni sul cordone: TP=-0.65 TO=4.07 NO=10.73
Tensioni nel cordone: τ_P=0.21 τ_0=1.29 σ_0=7.36 σ_{ID}=7.48 Σ_T=8.66
CC 23 SLV (Collegamento -378_-512)
Azioni sul collegamento: N=118.19 Ty=1.35 Tz=-46.31 Mx=0.31 Mz=1.89
Sollecitazioni agenti localmente: Tx_l=1.35 Ty_l=-46.31 N_l=118.19 My_l=-1.89 Mz_l=0.31
Azioni sul cordone: TP=-0.46 TO=3.65 NO=8.70
Tensioni nel cordone: τ_P=0.14 τ_0=1.16 σ_0=5.53 σ_{ID}=5.65 Σ_T=6.69
CC 23 SLV (Collegamento -378_-512)
Azioni sul collegamento: N=118.19 Ty=3.19 Tz=-46.31 Mx=0.68 Mz=4.27
Sollecitazioni agenti localmente: Tx_l=3.19 Ty_l=-46.31 N_l=118.19 My_l=-4.27 Mz_l=0.68
Azioni sul cordone: TP=-1.01 TO=3.94 NO=8.70
Tensioni nel cordone: τ_P=0.32 τ_0=1.25 σ_0=8.99 σ_{ID}=9.09 Σ_T=10.25
CC 23 SLV (Collegamento -378_-512)
Azioni sul collegamento: N=118.19 Ty=1.35 Tz=-46.31 Mx=0.31 Mz=1.89
Sollecitazioni agenti localmente: Tx_l=1.35 Ty_l=-46.31 N_l=118.19 My_l=-1.89 Mz_l=0.31
Azioni sul cordone: TP=-0.46 TO=3.65 NO=8.70
Tensioni nel cordone: τ_P=0.14 τ_0=1.16 σ_0=5.53 σ_{ID}=5.65 Σ_T=6.69
CC 23 SLV (Collegamento -378_-512)
Azioni sul collegamento: N=118.19 Ty=3.19 Tz=-46.31 Mx=0.68 Mz=4.27
Sollecitazioni agenti localmente: Tx_l=3.19 Ty_l=-46.31 N_l=118.19 My_l=-4.27 Mz_l=0.68
Azioni sul cordone: TP=-1.01 TO=3.94 NO=8.70
Tensioni nel cordone: τ_P=0.32 τ_0=1.25 σ_0=8.99 σ_{ID}=9.09 Σ_T=10.25
CC 23 SLV (Collegamento -378_-512)
Azioni sul collegamento: N=160.50 Ty=1.35 Tz=-52.86 Mx=0.31 Mz=1.89
Sollecitazioni agenti localmente: Tx_l=1.35 Ty_l=-52.86 N_l=160.50 My_l=-1.89 Mz_l=0.31
Azioni sul cordone: TP=-0.46 TO=4.13 NO=11.81
Tensioni nel cordone: τ_P=0.14 τ_0=1.31 σ_0=6.52 σ_{ID}=6.65 Σ_T=7.83
CC 23 SLV (Collegamento -378_-512)
Azioni sul collegamento: N=160.50 Ty=3.19 Tz=-52.86 Mx=0.68 Mz=4.27
Sollecitazioni agenti localmente: Tx_l=3.19 Ty_l=-52.86 N_l=160.50 My_l=-4.27 Mz_l=0.68
Azioni sul cordone: TP=-1.01 TO=4.42 NO=11.81
Tensioni nel cordone: τ_P=0.32 τ_0=1.41 σ_0=9.98 σ_{ID}=10.09 Σ_T=11.39
CC 23 SLV (Collegamento -378_-512)
Azioni sul collegamento: N=160.50 Ty=1.35 Tz=-52.86 Mx=0.31 Mz=1.89
Sollecitazioni agenti localmente: Tx_l=1.35 Ty_l=-52.86 N_l=160.50 My_l=-1.89 Mz_l=0.31
Azioni sul cordone: TP=-0.46 TO=4.13 NO=11.81
Tensioni nel cordone: τ_P=0.14 τ_0=1.31 σ_0=6.52 σ_{ID}=6.65 Σ_T=7.83
CC 23 SLV (Collegamento -378_-512)
Azioni sul collegamento: N=160.50 Ty=3.19 Tz=-52.86 Mx=0.68 Mz=4.27
Sollecitazioni agenti localmente: Tx_l=3.19 Ty_l=-52.86 N_l=160.50 My_l=-4.27 Mz_l=0.68
Azioni sul cordone: TP=-1.01 TO=4.42 NO=11.81
Tensioni nel cordone: τ_P=0.32 τ_0=1.41 σ_0=9.98 σ_{ID}=10.09 Σ_T=11.39
CC 24 SLD (Collegamento -378_-512)
Azioni sul collegamento: N=133.00 Ty=1.52 Tz=-48.61 Mx=0.35 Mz=2.15
Sollecitazioni agenti localmente: Tx_l=1.52 Ty_l=-48.61 N_l=133.00 My_l=-2.15 Mz_l=0.35
Azioni sul cordone: TP=-0.52 TO=3.85 NO=9.79
Tensioni nel cordone: τ_P=0.16 τ_0=1.22 σ_0=6.26 σ_{ID}=6.38 Σ_T=7.48
CC 24 SLD (Collegamento -378_-512)
Azioni sul collegamento: N=133.00 Ty=2.08 Tz=-48.61 Mx=0.46 Mz=2.88
Sollecitazioni agenti localmente: Tx_l=2.08 Ty_l=-48.61 N_l=133.00 My_l=-2.88 Mz_l=0.46
Azioni sul cordone: TP=-0.69 TO=3.94 NO=9.79
Tensioni nel cordone: τ_P=0.22 τ_0=1.25 σ_0=7.31 σ_{ID}=7.42 Σ_T=8.57
CC 24 SLD (Collegamento -378_-512)
Azioni sul collegamento: N=133.00 Ty=1.52 Tz=-48.61 Mx=0.35 Mz=2.15
Sollecitazioni agenti localmente: Tx_l=1.52 Ty_l=-48.61 N_l=133.00 My_l=-2.15 Mz_l=0.35
Azioni sul cordone: TP=-0.52 TO=3.85 NO=9.79
Tensioni nel cordone: τ_P=0.16 τ_0=1.22 σ_0=6.26 σ_{ID}=6.38 Σ_T=7.48
CC 24 SLD (Collegamento -378_-512)
Azioni sul collegamento: N=133.00 Ty=2.08 Tz=-48.61 Mx=0.46 Mz=2.88

Sollecitazioni agenti localmente: Tx_l=2.08 Ty_l=-48.61 N_l=133.00 My_l=-2.88 Mz_l=0.46
Azioni sul cordone: TP=-0.69 TO=3.94 NO=9.79
Tensioni nel cordone: τ_P=0.22 τ_0=1.25 σ_0=7.31 σ_{ID}=7.42 Σ_T=8.57
CC 24 SLD (Collegamento -378_-512)
Azioni sul collegamento: N=145.90 Ty=1.52 Tz=-50.60 Mx=0.35 Mz=2.15
Sollecitazioni agenti localmente: Tx_l=1.52 Ty_l=-50.60 N_l=145.90 My_l=-2.15 Mz_l=0.35
Azioni sul cordone: TP=-0.52 TO=4.00 NO=10.74
Tensioni nel cordone: τ_P=0.16 τ_0=1.27 σ_0=6.56 σ_{ID}=6.68 Σ_T=7.83
CC 24 SLD (Collegamento -378_-512)
Azioni sul collegamento: N=145.90 Ty=2.08 Tz=-50.60 Mx=0.46 Mz=2.88
Sollecitazioni agenti localmente: Tx_l=2.08 Ty_l=-50.60 N_l=145.90 My_l=-2.88 Mz_l=0.46
Azioni sul cordone: TP=-0.69 TO=4.09 NO=10.74
Tensioni nel cordone: τ_P=0.22 τ_0=1.30 σ_0=7.61 σ_{ID}=7.73 Σ_T=8.91
CC 24 SLD (Collegamento -378_-512)
Azioni sul collegamento: N=145.90 Ty=1.52 Tz=-50.60 Mx=0.35 Mz=2.15
Sollecitazioni agenti localmente: Tx_l=1.52 Ty_l=-50.60 N_l=145.90 My_l=-2.15 Mz_l=0.35
Azioni sul cordone: TP=-0.52 TO=4.00 NO=10.74
Tensioni nel cordone: τ_P=0.16 τ_0=1.27 σ_0=6.56 σ_{ID}=6.68 Σ_T=7.83
CC 24 SLD (Collegamento -378_-512)
Azioni sul collegamento: N=145.90 Ty=2.08 Tz=-50.60 Mx=0.46 Mz=2.88
Sollecitazioni agenti localmente: Tx_l=2.08 Ty_l=-50.60 N_l=145.90 My_l=-2.88 Mz_l=0.46
Azioni sul cordone: TP=-0.69 TO=4.09 NO=10.74
Tensioni nel cordone: τ_P=0.22 τ_0=1.30 σ_0=7.61 σ_{ID}=7.73 Σ_T=8.91
CC 25 SLV (Collegamento -378_-512)
Azioni sul collegamento: N=145.95 Ty=3.35 Tz=-50.61 Mx=0.69 Mz=4.28
Sollecitazioni agenti localmente: Tx_l=3.35 Ty_l=-50.61 N_l=145.95 My_l=-4.28 Mz_l=0.69
Azioni sul cordone: TP=-1.05 TO=4.27 NO=10.74
Tensioni nel cordone: τ_P=0.33 τ_0=1.36 σ_0=9.67 σ_{ID}=9.77 Σ_T=11.03
CC 25 SLV (Collegamento -378_-512)
Azioni sul collegamento: N=145.95 Ty=1.18 Tz=-50.61 Mx=0.32 Mz=1.87
Sollecitazioni agenti localmente: Tx_l=1.18 Ty_l=-50.61 N_l=145.95 My_l=-1.87 Mz_l=0.32
Azioni sul cordone: TP=-0.46 TO=3.98 NO=10.74
Tensioni nel cordone: τ_P=0.15 τ_0=1.26 σ_0=6.14 σ_{ID}=6.28 Σ_T=7.41
CC 25 SLV (Collegamento -378_-512)
Azioni sul collegamento: N=145.95 Ty=3.35 Tz=-50.61 Mx=0.69 Mz=4.28
Sollecitazioni agenti localmente: Tx_l=3.35 Ty_l=-50.61 N_l=145.95 My_l=-4.28 Mz_l=0.69
Azioni sul cordone: TP=-1.05 TO=4.27 NO=10.74
Tensioni nel cordone: τ_P=0.33 τ_0=1.36 σ_0=9.67 σ_{ID}=9.77 Σ_T=11.03
CC 25 SLV (Collegamento -378_-512)
Azioni sul collegamento: N=145.95 Ty=1.18 Tz=-50.61 Mx=0.32 Mz=1.87
Sollecitazioni agenti localmente: Tx_l=1.18 Ty_l=-50.61 N_l=145.95 My_l=-1.87 Mz_l=0.32
Azioni sul cordone: TP=-0.46 TO=3.98 NO=10.74
Tensioni nel cordone: τ_P=0.15 τ_0=1.26 σ_0=6.14 σ_{ID}=6.28 Σ_T=7.41
CC 25 SLV (Collegamento -378_-512)
Azioni sul collegamento: N=132.74 Ty=3.35 Tz=-48.57 Mx=0.69 Mz=4.28
Sollecitazioni agenti localmente: Tx_l=3.35 Ty_l=-48.57 N_l=132.74 My_l=-4.28 Mz_l=0.69
Azioni sul cordone: TP=-1.05 TO=4.12 NO=9.77
Tensioni nel cordone: τ_P=0.33 τ_0=1.31 σ_0=9.36 σ_{ID}=9.46 Σ_T=10.67
CC 25 SLV (Collegamento -378_-512)
Azioni sul collegamento: N=132.74 Ty=1.18 Tz=-48.57 Mx=0.32 Mz=1.87
Sollecitazioni agenti localmente: Tx_l=1.18 Ty_l=-48.57 N_l=132.74 My_l=-1.87 Mz_l=0.32
Azioni sul cordone: TP=-0.46 TO=3.83 NO=9.77
Tensioni nel cordone: τ_P=0.15 τ_0=1.22 σ_0=5.84 σ_{ID}=5.96 Σ_T=7.05
CC 25 SLV (Collegamento -378_-512)
Azioni sul collegamento: N=132.74 Ty=3.35 Tz=-48.57 Mx=0.69 Mz=4.28
Sollecitazioni agenti localmente: Tx_l=3.35 Ty_l=-48.57 N_l=132.74 My_l=-4.28 Mz_l=0.69
Azioni sul cordone: TP=-1.05 TO=4.12 NO=9.77
Tensioni nel cordone: τ_P=0.33 τ_0=1.31 σ_0=9.36 σ_{ID}=9.46 Σ_T=10.67
CC 25 SLV (Collegamento -378_-512)
Azioni sul collegamento: N=132.74 Ty=1.18 Tz=-48.57 Mx=0.32 Mz=1.87
Sollecitazioni agenti localmente: Tx_l=1.18 Ty_l=-48.57 N_l=132.74 My_l=-1.87 Mz_l=0.32
Azioni sul cordone: TP=-0.46 TO=3.83 NO=9.77
Tensioni nel cordone: τ_P=0.15 τ_0=1.22 σ_0=5.84 σ_{ID}=5.96 Σ_T=7.05
CC 26 SLD (Collegamento -378_-512)
Azioni sul collegamento: N=141.47 Ty=2.13 Tz=-49.92 Mx=0.47 Mz=2.88
Sollecitazioni agenti localmente: Tx_l=2.13 Ty_l=-49.92 N_l=141.47 My_l=-2.88 Mz_l=0.47
Azioni sul cordone: TP=-0.70 TO=4.04 NO=10.41
Tensioni nel cordone: τ_P=0.22 τ_0=1.28 σ_0=7.52 σ_{ID}=7.63 Σ_T=8.80
CC 26 SLD (Collegamento -378_-512)
Azioni sul collegamento: N=141.47 Ty=1.47 Tz=-49.92 Mx=0.36 Mz=2.15
Sollecitazioni agenti localmente: Tx_l=1.47 Ty_l=-49.92 N_l=141.47 My_l=-2.15 Mz_l=0.36
Azioni sul cordone: TP=-0.52 TO=3.95 NO=10.41
Tensioni nel cordone: τ_P=0.16 τ_0=1.26 σ_0=6.44 σ_{ID}=6.57 Σ_T=7.70
CC 26 SLD (Collegamento -378_-512)
Azioni sul collegamento: N=141.47 Ty=2.13 Tz=-49.92 Mx=0.47 Mz=2.88
Sollecitazioni agenti localmente: Tx_l=2.13 Ty_l=-49.92 N_l=141.47 My_l=-2.88 Mz_l=0.47
Azioni sul cordone: TP=-0.70 TO=4.04 NO=10.41
Tensioni nel cordone: τ_P=0.22 τ_0=1.28 σ_0=7.52 σ_{ID}=7.63 Σ_T=8.80
CC 26 SLD (Collegamento -378_-512)

Azioni sul collegamento: N=141.47 Ty=1.47 Tz=-49.92 Mx=0.36 Mz=2.15
Sollecitazioni agenti localmente: Tx_l=1.47 Ty_l=-49.92 N_l=141.47 My_l=-2.15 Mz_l=0.36
Azioni sul cordone: TP=-0.52 TO=3.95 NO=10.41
Tensioni nel cordone: τ_P=0.16 τ_0=1.26 σ_0=6.44 σ_{ID}=6.57 Σ_T=7.70
CC 26 SLD (Collegamento -378_-512)
Azioni sul collegamento: N=137.44 Ty=2.13 Tz=-49.29 Mx=0.47 Mz=2.88
Sollecitazioni agenti localmente: Tx_l=2.13 Ty_l=-49.29 N_l=137.44 My_l=-2.88 Mz_l=0.47
Azioni sul cordone: TP=-0.70 TO=4.00 NO=10.11
Tensioni nel cordone: τ_P=0.22 τ_0=1.27 σ_0=7.42 σ_{ID}=7.54 Σ_T=8.69
CC 26 SLD (Collegamento -378_-512)
Azioni sul collegamento: N=137.44 Ty=1.47 Tz=-49.29 Mx=0.36 Mz=2.15
Sollecitazioni agenti localmente: Tx_l=1.47 Ty_l=-49.29 N_l=137.44 My_l=-2.15 Mz_l=0.36
Azioni sul cordone: TP=-0.52 TO=3.91 NO=10.11
Tensioni nel cordone: τ_P=0.16 τ_0=1.24 σ_0=6.35 σ_{ID}=6.47 Σ_T=7.59
CC 26 SLD (Collegamento -378_-512)
Azioni sul collegamento: N=137.44 Ty=2.13 Tz=-49.29 Mx=0.47 Mz=2.88
Sollecitazioni agenti localmente: Tx_l=2.13 Ty_l=-49.29 N_l=137.44 My_l=-2.88 Mz_l=0.47
Azioni sul cordone: TP=-0.70 TO=4.00 NO=10.11
Tensioni nel cordone: τ_P=0.22 τ_0=1.27 σ_0=7.42 σ_{ID}=7.54 Σ_T=8.69
CC 26 SLD (Collegamento -378_-512)
Azioni sul collegamento: N=137.44 Ty=1.47 Tz=-49.29 Mx=0.36 Mz=2.15
Sollecitazioni agenti localmente: Tx_l=1.47 Ty_l=-49.29 N_l=137.44 My_l=-2.15 Mz_l=0.36
Azioni sul cordone: TP=-0.52 TO=3.91 NO=10.11
Tensioni nel cordone: τ_P=0.16 τ_0=1.24 σ_0=6.35 σ_{ID}=6.47 Σ_T=7.59
CC 27 SLV (Collegamento -378_-512)
Azioni sul collegamento: N=133.31 Ty=2.96 Tz=-48.65 Mx=0.61 Mz=3.74
Sollecitazioni agenti localmente: Tx_l=2.96 Ty_l=-48.65 N_l=133.31 My_l=-3.74 Mz_l=0.61
Azioni sul cordone: TP=-0.92 TO=4.06 NO=9.81
Tensioni nel cordone: τ_P=0.29 τ_0=1.29 σ_0=8.58 σ_{ID}=8.68 Σ_T=9.87
CC 27 SLV (Collegamento -378_-512)
Azioni sul collegamento: N=133.31 Ty=1.58 Tz=-48.65 Mx=0.40 Mz=2.41
Sollecitazioni agenti localmente: Tx_l=1.58 Ty_l=-48.65 N_l=133.31 My_l=-2.41 Mz_l=0.40
Azioni sul cordone: TP=-0.58 TO=3.90 NO=9.81
Tensioni nel cordone: τ_P=0.18 τ_0=1.24 σ_0=6.64 σ_{ID}=6.76 Σ_T=7.88
CC 27 SLV (Collegamento -378_-512)
Azioni sul collegamento: N=133.31 Ty=2.96 Tz=-48.65 Mx=0.61 Mz=3.74
Sollecitazioni agenti localmente: Tx_l=2.96 Ty_l=-48.65 N_l=133.31 My_l=-3.74 Mz_l=0.61
Azioni sul cordone: TP=-0.92 TO=4.06 NO=9.81
Tensioni nel cordone: τ_P=0.29 τ_0=1.29 σ_0=8.58 σ_{ID}=8.68 Σ_T=9.87
CC 27 SLV (Collegamento -378_-512)
Azioni sul collegamento: N=133.31 Ty=1.58 Tz=-48.65 Mx=0.40 Mz=2.41
Sollecitazioni agenti localmente: Tx_l=1.58 Ty_l=-48.65 N_l=133.31 My_l=-2.41 Mz_l=0.40
Azioni sul cordone: TP=-0.58 TO=3.90 NO=9.81
Tensioni nel cordone: τ_P=0.18 τ_0=1.24 σ_0=6.64 σ_{ID}=6.76 Σ_T=7.88
CC 27 SLV (Collegamento -378_-512)
Azioni sul collegamento: N=145.38 Ty=2.96 Tz=-50.52 Mx=0.61 Mz=3.74
Sollecitazioni agenti localmente: Tx_l=2.96 Ty_l=-50.52 N_l=145.38 My_l=-3.74 Mz_l=0.61
Azioni sul cordone: TP=-0.92 TO=4.20 NO=10.70
Tensioni nel cordone: τ_P=0.29 τ_0=1.33 σ_0=8.86 σ_{ID}=8.97 Σ_T=10.20
CC 27 SLV (Collegamento -378_-512)
Azioni sul collegamento: N=145.38 Ty=1.58 Tz=-50.52 Mx=0.40 Mz=2.41
Sollecitazioni agenti localmente: Tx_l=1.58 Ty_l=-50.52 N_l=145.38 My_l=-2.41 Mz_l=0.40
Azioni sul cordone: TP=-0.58 TO=4.03 NO=10.70
Tensioni nel cordone: τ_P=0.18 τ_0=1.28 σ_0=6.93 σ_{ID}=7.05 Σ_T=8.21
CC 27 SLV (Collegamento -378_-512)
Azioni sul collegamento: N=145.38 Ty=2.96 Tz=-50.52 Mx=0.61 Mz=3.74
Sollecitazioni agenti localmente: Tx_l=2.96 Ty_l=-50.52 N_l=145.38 My_l=-3.74 Mz_l=0.61
Azioni sul cordone: TP=-0.92 TO=4.20 NO=10.70
Tensioni nel cordone: τ_P=0.29 τ_0=1.33 σ_0=8.86 σ_{ID}=8.97 Σ_T=10.20
CC 27 SLV (Collegamento -378_-512)
Azioni sul collegamento: N=145.38 Ty=1.58 Tz=-50.52 Mx=0.40 Mz=2.41
Sollecitazioni agenti localmente: Tx_l=1.58 Ty_l=-50.52 N_l=145.38 My_l=-2.41 Mz_l=0.40
Azioni sul cordone: TP=-0.58 TO=4.03 NO=10.70
Tensioni nel cordone: τ_P=0.18 τ_0=1.28 σ_0=6.93 σ_{ID}=7.05 Σ_T=8.21
CC 28 SLD (Collegamento -378_-512)
Azioni sul collegamento: N=137.61 Ty=2.01 Tz=-49.32 Mx=0.44 Mz=2.72
Sollecitazioni agenti localmente: Tx_l=2.01 Ty_l=-49.32 N_l=137.61 My_l=-2.72 Mz_l=0.44
Azioni sul cordone: TP=-0.66 TO=3.98 NO=10.13
Tensioni nel cordone: τ_P=0.21 τ_0=1.26 σ_0=7.19 σ_{ID}=7.30 Σ_T=8.45
CC 28 SLD (Collegamento -378_-512)
Azioni sul collegamento: N=137.61 Ty=1.59 Tz=-49.32 Mx=0.38 Mz=2.31
Sollecitazioni agenti localmente: Tx_l=1.59 Ty_l=-49.32 N_l=137.61 My_l=-2.31 Mz_l=0.38
Azioni sul cordone: TP=-0.55 TO=3.93 NO=10.13
Tensioni nel cordone: τ_P=0.18 τ_0=1.25 σ_0=6.60 σ_{ID}=6.72 Σ_T=7.84
CC 28 SLD (Collegamento -378_-512)
Azioni sul collegamento: N=137.61 Ty=2.01 Tz=-49.32 Mx=0.44 Mz=2.72
Sollecitazioni agenti localmente: Tx_l=2.01 Ty_l=-49.32 N_l=137.61 My_l=-2.72 Mz_l=0.44
Azioni sul cordone: TP=-0.66 TO=3.98 NO=10.13
Tensioni nel cordone: τ_P=0.21 τ_0=1.26 σ_0=7.19 σ_{ID}=7.30 Σ_T=8.45

CC 28 SLD (Collegamento -378_-512)
Azioni sul collegamento: N=137.61 Ty=1.59 Tz=-49.32 Mx=0.38 Mz=2.31
Sollecitazioni agenti localmente: Tx_l=1.59 Ty_l=-49.32 N_l=137.61 My_l=-2.31 Mz_l=0.38
Azioni sul cordone: TP=-0.55 TO=3.93 NO=10.13
Tensioni nel cordone: τ_P=0.18 τ_0=1.25 σ_0=6.60 σ_{ID}=6.72 Σ_T=7.84
CC 28 SLD (Collegamento -378_-512)
Azioni sul collegamento: N=141.29 Ty=2.01 Tz=-49.89 Mx=0.44 Mz=2.72
Sollecitazioni agenti localmente: Tx_l=2.01 Ty_l=-49.89 N_l=141.29 My_l=-2.72 Mz_l=0.44
Azioni sul cordone: TP=-0.66 TO=4.02 NO=10.40
Tensioni nel cordone: τ_P=0.21 τ_0=1.28 σ_0=7.27 σ_{ID}=7.39 Σ_T=8.55
CC 28 SLD (Collegamento -378_-512)
Azioni sul collegamento: N=141.29 Ty=1.59 Tz=-49.89 Mx=0.38 Mz=2.31
Sollecitazioni agenti localmente: Tx_l=1.59 Ty_l=-49.89 N_l=141.29 My_l=-2.31 Mz_l=0.38
Azioni sul cordone: TP=-0.55 TO=3.97 NO=10.40
Tensioni nel cordone: τ_P=0.18 τ_0=1.26 σ_0=6.68 σ_{ID}=6.80 Σ_T=7.94
CC 28 SLD (Collegamento -378_-512)
Azioni sul collegamento: N=141.29 Ty=2.01 Tz=-49.89 Mx=0.44 Mz=2.72
Sollecitazioni agenti localmente: Tx_l=2.01 Ty_l=-49.89 N_l=141.29 My_l=-2.72 Mz_l=0.44
Azioni sul cordone: TP=-0.66 TO=4.02 NO=10.40
Tensioni nel cordone: τ_P=0.21 τ_0=1.28 σ_0=7.27 σ_{ID}=7.39 Σ_T=8.55
CC 28 SLD (Collegamento -378_-512)
Azioni sul collegamento: N=141.29 Ty=1.59 Tz=-49.89 Mx=0.38 Mz=2.31
Sollecitazioni agenti localmente: Tx_l=1.59 Ty_l=-49.89 N_l=141.29 My_l=-2.31 Mz_l=0.38
Azioni sul cordone: TP=-0.55 TO=3.97 NO=10.40
Tensioni nel cordone: τ_P=0.18 τ_0=1.26 σ_0=6.68 σ_{ID}=6.80 Σ_T=7.94
CC 29 SLV (Collegamento -378_-512)
Azioni sul collegamento: N=145.38 Ty=1.58 Tz=-50.52 Mx=0.40 Mz=2.42
Sollecitazioni agenti localmente: Tx_l=1.58 Ty_l=-50.52 N_l=145.38 My_l=-2.42 Mz_l=0.40
Azioni sul cordone: TP=-0.57 TO=4.03 NO=10.70
Tensioni nel cordone: τ_P=0.18 τ_0=1.28 σ_0=6.93 σ_{ID}=7.05 Σ_T=8.21
CC 29 SLV (Collegamento -378_-512)
Azioni sul collegamento: N=145.38 Ty=2.96 Tz=-50.52 Mx=0.60 Mz=3.74
Sollecitazioni agenti localmente: Tx_l=2.96 Ty_l=-50.52 N_l=145.38 My_l=-3.74 Mz_l=0.60
Azioni sul cordone: TP=-0.91 TO=4.19 NO=10.70
Tensioni nel cordone: τ_P=0.29 τ_0=1.33 σ_0=8.86 σ_{ID}=8.97 Σ_T=10.20
CC 29 SLV (Collegamento -378_-512)
Azioni sul collegamento: N=145.38 Ty=1.58 Tz=-50.52 Mx=0.40 Mz=2.42
Sollecitazioni agenti localmente: Tx_l=1.58 Ty_l=-50.52 N_l=145.38 My_l=-2.42 Mz_l=0.40
Azioni sul cordone: TP=-0.57 TO=4.03 NO=10.70
Tensioni nel cordone: τ_P=0.18 τ_0=1.28 σ_0=6.93 σ_{ID}=7.05 Σ_T=8.21
CC 29 SLV (Collegamento -378_-512)
Azioni sul collegamento: N=145.38 Ty=2.96 Tz=-50.52 Mx=0.60 Mz=3.74
Sollecitazioni agenti localmente: Tx_l=2.96 Ty_l=-50.52 N_l=145.38 My_l=-3.74 Mz_l=0.60
Azioni sul cordone: TP=-0.91 TO=4.19 NO=10.70
Tensioni nel cordone: τ_P=0.29 τ_0=1.33 σ_0=8.86 σ_{ID}=8.97 Σ_T=10.20
CC 29 SLV (Collegamento -378_-512)
Azioni sul collegamento: N=133.31 Ty=1.58 Tz=-48.65 Mx=0.40 Mz=2.42
Sollecitazioni agenti localmente: Tx_l=1.58 Ty_l=-48.65 N_l=133.31 My_l=-2.42 Mz_l=0.40
Azioni sul cordone: TP=-0.57 TO=3.89 NO=9.81
Tensioni nel cordone: τ_P=0.18 τ_0=1.24 σ_0=6.65 σ_{ID}=6.76 Σ_T=7.88
CC 29 SLV (Collegamento -378_-512)
Azioni sul collegamento: N=133.31 Ty=2.96 Tz=-48.65 Mx=0.60 Mz=3.74
Sollecitazioni agenti localmente: Tx_l=2.96 Ty_l=-48.65 N_l=133.31 My_l=-3.74 Mz_l=0.60
Azioni sul cordone: TP=-0.91 TO=4.05 NO=9.81
Tensioni nel cordone: τ_P=0.29 τ_0=1.29 σ_0=8.58 σ_{ID}=8.68 Σ_T=9.87
CC 29 SLV (Collegamento -378_-512)
Azioni sul collegamento: N=133.31 Ty=1.58 Tz=-48.65 Mx=0.40 Mz=2.42
Sollecitazioni agenti localmente: Tx_l=1.58 Ty_l=-48.65 N_l=133.31 My_l=-2.42 Mz_l=0.40
Azioni sul cordone: TP=-0.57 TO=3.89 NO=9.81
Tensioni nel cordone: τ_P=0.18 τ_0=1.24 σ_0=6.65 σ_{ID}=6.76 Σ_T=7.88
CC 29 SLV (Collegamento -378_-512)
Azioni sul collegamento: N=133.31 Ty=2.96 Tz=-48.65 Mx=0.60 Mz=3.74
Sollecitazioni agenti localmente: Tx_l=2.96 Ty_l=-48.65 N_l=133.31 My_l=-3.74 Mz_l=0.60
Azioni sul cordone: TP=-0.91 TO=4.05 NO=9.81
Tensioni nel cordone: τ_P=0.29 τ_0=1.29 σ_0=8.58 σ_{ID}=8.68 Σ_T=9.87
CC 30 SLD (Collegamento -378_-512)
Azioni sul collegamento: N=141.29 Ty=1.59 Tz=-49.89 Mx=0.38 Mz=2.31
Sollecitazioni agenti localmente: Tx_l=1.59 Ty_l=-49.89 N_l=141.29 My_l=-2.31 Mz_l=0.38
Azioni sul cordone: TP=-0.55 TO=3.97 NO=10.40
Tensioni nel cordone: τ_P=0.18 τ_0=1.26 σ_0=6.68 σ_{ID}=6.80 Σ_T=7.94
CC 30 SLD (Collegamento -378_-512)
Azioni sul collegamento: N=141.29 Ty=2.01 Tz=-49.89 Mx=0.44 Mz=2.72
Sollecitazioni agenti localmente: Tx_l=2.01 Ty_l=-49.89 N_l=141.29 My_l=-2.72 Mz_l=0.44
Azioni sul cordone: TP=-0.66 TO=4.02 NO=10.40
Tensioni nel cordone: τ_P=0.21 τ_0=1.28 σ_0=7.27 σ_{ID}=7.39 Σ_T=8.55
CC 30 SLD (Collegamento -378_-512)
Azioni sul collegamento: N=141.29 Ty=1.59 Tz=-49.89 Mx=0.38 Mz=2.31
Sollecitazioni agenti localmente: Tx_l=1.59 Ty_l=-49.89 N_l=141.29 My_l=-2.31 Mz_l=0.38
Azioni sul cordone: TP=-0.55 TO=3.97 NO=10.40

Tensioni nel cordone: τ_P=0.18 τ_0=1.26 σ_0=6.68 σ_{ID}=6.80 Σ_T=7.94
CC 30 SLD (Collegamento -378_-512)
Azioni sul collegamento: N=141.29 Ty=2.01 Tz=-49.89 Mx=0.44 Mz=2.72
Sollecitazioni agenti localmente: Tx_l=2.01 Ty_l=-49.89 N_l=141.29 My_l=-2.72 Mz_l=0.44
Azioni sul cordone: TP=-0.66 TO=4.02 NO=10.40
Tensioni nel cordone: τ_P=0.21 τ_0=1.28 σ_0=7.27 σ_{ID}=7.39 Σ_T=8.55
CC 30 SLD (Collegamento -378_-512)
Azioni sul collegamento: N=137.61 Ty=1.59 Tz=-49.32 Mx=0.38 Mz=2.31
Sollecitazioni agenti localmente: Tx_l=1.59 Ty_l=-49.32 N_l=137.61 My_l=-2.31 Mz_l=0.38
Azioni sul cordone: TP=-0.55 TO=3.93 NO=10.13
Tensioni nel cordone: τ_P=0.18 τ_0=1.25 σ_0=6.60 σ_{ID}=6.72 Σ_T=7.84
CC 30 SLD (Collegamento -378_-512)
Azioni sul collegamento: N=137.61 Ty=2.01 Tz=-49.32 Mx=0.44 Mz=2.72
Sollecitazioni agenti localmente: Tx_l=2.01 Ty_l=-49.32 N_l=137.61 My_l=-2.72 Mz_l=0.44
Azioni sul cordone: TP=-0.66 TO=3.98 NO=10.13
Tensioni nel cordone: τ_P=0.21 τ_0=1.26 σ_0=7.19 σ_{ID}=7.30 Σ_T=8.45
CC 30 SLD (Collegamento -378_-512)
Azioni sul collegamento: N=137.61 Ty=1.59 Tz=-49.32 Mx=0.38 Mz=2.31
Sollecitazioni agenti localmente: Tx_l=1.59 Ty_l=-49.32 N_l=137.61 My_l=-2.31 Mz_l=0.38
Azioni sul cordone: TP=-0.55 TO=3.93 NO=10.13
Tensioni nel cordone: τ_P=0.18 τ_0=1.25 σ_0=6.60 σ_{ID}=6.72 Σ_T=7.84
CC 30 SLD (Collegamento -378_-512)
Azioni sul collegamento: N=137.61 Ty=2.01 Tz=-49.32 Mx=0.44 Mz=2.72
Sollecitazioni agenti localmente: Tx_l=2.01 Ty_l=-49.32 N_l=137.61 My_l=-2.72 Mz_l=0.44
Azioni sul cordone: TP=-0.66 TO=3.98 NO=10.13
Tensioni nel cordone: τ_P=0.21 τ_0=1.26 σ_0=7.19 σ_{ID}=7.30 Σ_T=8.45
CC 31 SLV (Collegamento -378_-512)
Azioni sul collegamento: N=132.74 Ty=1.18 Tz=-48.57 Mx=0.31 Mz=1.87
Sollecitazioni agenti localmente: Tx_l=1.18 Ty_l=-48.57 N_l=132.74 My_l=-1.87 Mz_l=0.31
Azioni sul cordone: TP=-0.44 TO=3.82 NO=9.77
Tensioni nel cordone: τ_P=0.14 τ_0=1.21 σ_0=5.84 σ_{ID}=5.97 Σ_T=7.05
CC 31 SLV (Collegamento -378_-512)
Azioni sul collegamento: N=132.74 Ty=3.35 Tz=-48.57 Mx=0.68 Mz=4.28
Sollecitazioni agenti localmente: Tx_l=3.35 Ty_l=-48.57 N_l=132.74 My_l=-4.28 Mz_l=0.68
Azioni sul cordone: TP=-1.03 TO=4.11 NO=9.77
Tensioni nel cordone: τ_P=0.33 τ_0=1.31 σ_0=9.36 σ_{ID}=9.46 Σ_T=10.67
CC 31 SLV (Collegamento -378_-512)
Azioni sul collegamento: N=132.74 Ty=1.18 Tz=-48.57 Mx=0.31 Mz=1.87
Sollecitazioni agenti localmente: Tx_l=1.18 Ty_l=-48.57 N_l=132.74 My_l=-1.87 Mz_l=0.31
Azioni sul cordone: TP=-0.44 TO=3.82 NO=9.77
Tensioni nel cordone: τ_P=0.14 τ_0=1.21 σ_0=5.84 σ_{ID}=5.97 Σ_T=7.05
CC 31 SLV (Collegamento -378_-512)
Azioni sul collegamento: N=132.74 Ty=3.35 Tz=-48.57 Mx=0.68 Mz=4.28
Sollecitazioni agenti localmente: Tx_l=3.35 Ty_l=-48.57 N_l=132.74 My_l=-4.28 Mz_l=0.68
Azioni sul cordone: TP=-1.03 TO=4.11 NO=9.77
Tensioni nel cordone: τ_P=0.33 τ_0=1.31 σ_0=9.36 σ_{ID}=9.46 Σ_T=10.67
CC 31 SLV (Collegamento -378_-512)
Azioni sul collegamento: N=145.95 Ty=1.18 Tz=-50.61 Mx=0.31 Mz=1.87
Sollecitazioni agenti localmente: Tx_l=1.18 Ty_l=-50.61 N_l=145.95 My_l=-1.87 Mz_l=0.31
Azioni sul cordone: TP=-0.44 TO=3.97 NO=10.74
Tensioni nel cordone: τ_P=0.14 τ_0=1.26 σ_0=6.15 σ_{ID}=6.28 Σ_T=7.41
CC 31 SLV (Collegamento -378_-512)
Azioni sul collegamento: N=145.95 Ty=3.35 Tz=-50.61 Mx=0.68 Mz=4.28
Sollecitazioni agenti localmente: Tx_l=3.35 Ty_l=-50.61 N_l=145.95 My_l=-4.28 Mz_l=0.68
Azioni sul cordone: TP=-1.03 TO=4.26 NO=10.74
Tensioni nel cordone: τ_P=0.33 τ_0=1.35 σ_0=9.67 σ_{ID}=9.77 Σ_T=11.03
CC 31 SLV (Collegamento -378_-512)
Azioni sul collegamento: N=145.95 Ty=1.18 Tz=-50.61 Mx=0.31 Mz=1.87
Sollecitazioni agenti localmente: Tx_l=1.18 Ty_l=-50.61 N_l=145.95 My_l=-1.87 Mz_l=0.31
Azioni sul cordone: TP=-0.44 TO=3.97 NO=10.74
Tensioni nel cordone: τ_P=0.14 τ_0=1.26 σ_0=6.15 σ_{ID}=6.28 Σ_T=7.41
CC 31 SLV (Collegamento -378_-512)
Azioni sul collegamento: N=145.95 Ty=3.35 Tz=-50.61 Mx=0.68 Mz=4.28
Sollecitazioni agenti localmente: Tx_l=3.35 Ty_l=-50.61 N_l=145.95 My_l=-4.28 Mz_l=0.68
Azioni sul cordone: TP=-1.03 TO=4.26 NO=10.74
Tensioni nel cordone: τ_P=0.33 τ_0=1.35 σ_0=9.67 σ_{ID}=9.77 Σ_T=11.03
CC 32 SLD (Collegamento -378_-512)
Azioni sul collegamento: N=137.44 Ty=1.47 Tz=-49.29 Mx=0.35 Mz=2.15
Sollecitazioni agenti localmente: Tx_l=1.47 Ty_l=-49.29 N_l=137.44 My_l=-2.15 Mz_l=0.35
Azioni sul cordone: TP=-0.51 TO=3.90 NO=10.11
Tensioni nel cordone: τ_P=0.16 τ_0=1.24 σ_0=6.35 σ_{ID}=6.47 Σ_T=7.59
CC 32 SLD (Collegamento -378_-512)
Azioni sul collegamento: N=137.44 Ty=2.13 Tz=-49.29 Mx=0.46 Mz=2.88
Sollecitazioni agenti localmente: Tx_l=2.13 Ty_l=-49.29 N_l=137.44 My_l=-2.88 Mz_l=0.46
Azioni sul cordone: TP=-0.69 TO=3.99 NO=10.11
Tensioni nel cordone: τ_P=0.22 τ_0=1.27 σ_0=7.42 σ_{ID}=7.54 Σ_T=8.69
CC 32 SLD (Collegamento -378_-512)
Azioni sul collegamento: N=137.44 Ty=1.47 Tz=-49.29 Mx=0.35 Mz=2.15
Sollecitazioni agenti localmente: Tx_l=1.47 Ty_l=-49.29 N_l=137.44 My_l=-2.15 Mz_l=0.35

Azioni sul cordone: TP=-0.51 TO=3.90 NO=10.11
Tensioni nel cordone: τ_P=0.16 τ_0=1.24 σ_0=6.35 σ_{ID}=6.47 Σ_T=7.59
CC 32 SLD (Collegamento -378_-512)
Azioni sul collegamento: N=137.44 Ty=2.13 Tz=-49.29 Mx=0.46 Mz=2.88
Sollecitazioni agenti localmente: Tx_l=2.13 Ty_l=-49.29 N_l=137.44 My_l=-2.88 Mz_l=0.46
Azioni sul cordone: TP=-0.69 TO=3.99 NO=10.11
Tensioni nel cordone: τ_P=0.22 τ_0=1.27 σ_0=7.42 σ_{ID}=7.54 Σ_T=8.69
CC 32 SLD (Collegamento -378_-512)
Azioni sul collegamento: N=141.47 Ty=1.47 Tz=-49.92 Mx=0.35 Mz=2.15
Sollecitazioni agenti localmente: Tx_l=1.47 Ty_l=-49.92 N_l=141.47 My_l=-2.15 Mz_l=0.35
Azioni sul cordone: TP=-0.51 TO=3.95 NO=10.41
Tensioni nel cordone: τ_P=0.16 τ_0=1.26 σ_0=6.44 σ_{ID}=6.57 Σ_T=7.70
CC 32 SLD (Collegamento -378_-512)
Azioni sul collegamento: N=141.47 Ty=2.13 Tz=-49.92 Mx=0.46 Mz=2.88
Sollecitazioni agenti localmente: Tx_l=2.13 Ty_l=-49.92 N_l=141.47 My_l=-2.88 Mz_l=0.46
Azioni sul cordone: TP=-0.69 TO=4.04 NO=10.41
Tensioni nel cordone: τ_P=0.22 τ_0=1.28 σ_0=7.52 σ_{ID}=7.63 Σ_T=8.80
CC 32 SLD (Collegamento -378_-512)
Azioni sul collegamento: N=141.47 Ty=1.47 Tz=-49.92 Mx=0.35 Mz=2.15
Sollecitazioni agenti localmente: Tx_l=1.47 Ty_l=-49.92 N_l=141.47 My_l=-2.15 Mz_l=0.35
Azioni sul cordone: TP=-0.51 TO=3.95 NO=10.41
Tensioni nel cordone: τ_P=0.16 τ_0=1.26 σ_0=6.44 σ_{ID}=6.57 Σ_T=7.70
CC 32 SLD (Collegamento -378_-512)
Azioni sul collegamento: N=141.47 Ty=2.13 Tz=-49.92 Mx=0.46 Mz=2.88
Sollecitazioni agenti localmente: Tx_l=2.13 Ty_l=-49.92 N_l=141.47 My_l=-2.88 Mz_l=0.46
Azioni sul cordone: TP=-0.69 TO=4.04 NO=10.41
Tensioni nel cordone: τ_P=0.22 τ_0=1.28 σ_0=7.52 σ_{ID}=7.63 Σ_T=8.80
CC 33 SLU (Collegamento -378_-512)
Azioni sul collegamento: N=353.36 Ty=2.81 Tz=-92.52 Mx=0.65 Mz=4.01
Sollecitazioni agenti localmente: Tx_l=2.81 Ty_l=-92.52 N_l=353.36 My_l=-4.01 Mz_l=0.65
Azioni sul cordone: TP=-0.96 TO=7.32 NO=26.00
Tensioni nel cordone: τ_P=0.30 τ_0=2.33 σ_0=14.12 σ_{ID}=14.32 Σ_T=16.45
CC 34 SLU (Collegamento -378_-512)
Azioni sul collegamento: N=348.98 Ty=2.67 Tz=-91.84 Mx=0.62 Mz=3.82
Sollecitazioni agenti localmente: Tx_l=2.67 Ty_l=-91.84 N_l=348.98 My_l=-3.82 Mz_l=0.62
Azioni sul cordone: TP=-0.91 TO=7.25 NO=25.68
Tensioni nel cordone: τ_P=0.29 τ_0=2.30 σ_0=13.74 σ_{ID}=13.94 Σ_T=16.04
CC 35 SLU (Collegamento -378_-512)
Azioni sul collegamento: N=351.14 Ty=2.83 Tz=-92.17 Mx=0.65 Mz=4.01
Sollecitazioni agenti localmente: Tx_l=2.83 Ty_l=-92.17 N_l=351.14 My_l=-4.01 Mz_l=0.65
Azioni sul cordone: TP=-0.96 TO=7.30 NO=25.84
Tensioni nel cordone: τ_P=0.30 τ_0=2.32 σ_0=14.07 σ_{ID}=14.26 Σ_T=16.39
CC 36 SLU (Collegamento -378_-512)
Azioni sul collegamento: N=351.20 Ty=2.65 Tz=-92.18 Mx=0.62 Mz=3.82
Sollecitazioni agenti localmente: Tx_l=2.65 Ty_l=-92.18 N_l=351.20 My_l=-3.82 Mz_l=0.62
Azioni sul cordone: TP=-0.91 TO=7.27 NO=25.84
Tensioni nel cordone: τ_P=0.29 τ_0=2.31 σ_0=13.79 σ_{ID}=13.99 Σ_T=16.10
CC 37 SLU (Collegamento -378_-512)
Azioni sul collegamento: N=284.39 Ty=3.06 Tz=-81.84 Mx=0.70 Mz=4.33
Sollecitazioni agenti localmente: Tx_l=3.06 Ty_l=-81.84 N_l=284.39 My_l=-4.33 Mz_l=0.70
Azioni sul cordone: TP=-1.04 TO=6.58 NO=20.93
Tensioni nel cordone: τ_P=0.33 τ_0=2.09 σ_0=12.98 σ_{ID}=13.15 Σ_T=15.07
CC 38 SLU (Collegamento -378_-512)
Azioni sul collegamento: N=280.01 Ty=2.92 Tz=-81.16 Mx=0.67 Mz=4.14
Sollecitazioni agenti localmente: Tx_l=2.92 Ty_l=-81.16 N_l=280.01 My_l=-4.14 Mz_l=0.67
Azioni sul cordone: TP=-0.99 TO=6.50 NO=20.60
Tensioni nel cordone: τ_P=0.31 τ_0=2.07 σ_0=12.60 σ_{ID}=12.77 Σ_T=14.67
CC 39 SLU (Collegamento -378_-512)
Azioni sul collegamento: N=282.17 Ty=3.08 Tz=-81.50 Mx=0.70 Mz=4.34
Sollecitazioni agenti localmente: Tx_l=3.08 Ty_l=-81.50 N_l=282.17 My_l=-4.34 Mz_l=0.70
Azioni sul cordone: TP=-1.04 TO=6.55 NO=20.76
Tensioni nel cordone: τ_P=0.33 τ_0=2.08 σ_0=12.93 σ_{ID}=13.10 Σ_T=15.01
CC 40 SLU (Collegamento -378_-512)
Azioni sul collegamento: N=282.23 Ty=2.90 Tz=-81.51 Mx=0.67 Mz=4.14
Sollecitazioni agenti localmente: Tx_l=2.90 Ty_l=-81.51 N_l=282.23 My_l=-4.14 Mz_l=0.67
Azioni sul cordone: TP=-0.99 TO=6.53 NO=20.77
Tensioni nel cordone: τ_P=0.31 τ_0=2.07 σ_0=12.65 σ_{ID}=12.82 Σ_T=14.73
CC 41 SLU (Collegamento -378_-512)
Azioni sul collegamento: N=346.10 Ty=0.73 Tz=-91.39 Mx=0.19 Mz=1.07
Sollecitazioni agenti localmente: Tx_l=0.73 Ty_l=-91.39 N_l=346.10 My_l=-1.07 Mz_l=0.19
Azioni sul cordone: TP=-0.28 TO=6.88 NO=25.47
Tensioni nel cordone: τ_P= 0.09 τ_0=2.19 σ_0=9.65 σ_{ID}=9.90 Σ_T=11.84
CC 42 SLU (Collegamento -378_-512)
Azioni sul collegamento: N=341.71 Ty=0.59 Tz=-90.71 Mx=0.16 Mz=0.88
Sollecitazioni agenti localmente: Tx_l=0.59 Ty_l=-90.71 N_l=341.71 My_l=-0.88 Mz_l=0.16
Azioni sul cordone: TP=-0.23 TO=6.80 NO=25.14
Tensioni nel cordone: τ_P= 0.07 τ_0=2.16 σ_0=9.27 σ_{ID}=9.52 Σ_T=11.43
CC 43 SLU (Collegamento -378_-512)
Azioni sul collegamento: N=343.87 Ty=0.75 Tz=-91.05 Mx=0.19 Mz=1.07

Sollecitazioni agenti localmente: Tx_l=0.75 Ty_l=-91.05 N_l=343.87 My_l=-1.07 Mz_l=0.19
Azioni sul cordone: TP=-0.28 TO=6.85 NO=25.30
Tensioni nel cordone: τ_P= 0.09 τ_0=2.18 σ_0=9.60 σ_{ID}=9.85 Σ_T=11.78
CC 44 SLU (Collegamento -378_-512)
Azioni sul collegamento: N=343.94 Ty=0.57 Tz=-91.06 Mx=0.16 Mz=0.87
Sollecitazioni agenti localmente: Tx_l=0.57 Ty_l=-91.06 N_l=343.94 My_l=-0.87 Mz_l=0.16
Azioni sul cordone: TP=-0.23 TO=6.83 NO=25.31
Tensioni nel cordone: τ_P= 0.07 τ_0=2.17 σ_0=9.32 σ_{ID}=9.57 Σ_T=11.49
CC 45 SLU (Collegamento -378_-512)
Azioni sul collegamento: N=300.34 Ty=2.91 Tz=-84.31 Mx=0.67 Mz=4.15
Sollecitazioni agenti localmente: Tx_l=2.91 Ty_l=-84.31 N_l=300.34 My_l=-4.15 Mz_l=0.67
Azioni sul cordone: TP=-0.99 TO=6.74 NO=22.10
Tensioni nel cordone: τ_P=0.31 τ_0=2.14 σ_0=13.08 σ_{ID}=13.26 Σ_T=15.22
CC 46 SLU (Collegamento -378_-512)
Azioni sul collegamento: N=295.96 Ty=2.77 Tz=-83.63 Mx=0.64 Mz=3.95
Sollecitazioni agenti localmente: Tx_l=2.77 Ty_l=-83.63 N_l=295.96 My_l=-3.95 Mz_l=0.64
Azioni sul cordone: TP=-0.94 TO=6.66 NO=21.78
Tensioni nel cordone: τ_P=0.30 τ_0=2.12 σ_0=12.70 σ_{ID}=12.88 Σ_T=14.81
CC 47 SLU (Collegamento -378_-512)
Azioni sul collegamento: N=298.12 Ty=2.93 Tz=-83.97 Mx=0.67 Mz=4.15
Sollecitazioni agenti localmente: Tx_l=2.93 Ty_l=-83.97 N_l=298.12 My_l=-4.15 Mz_l=0.67
Azioni sul cordone: TP=-0.99 TO=6.71 NO=21.94
Tensioni nel cordone: τ_P=0.32 τ_0=2.13 σ_0=13.03 σ_{ID}=13.21 Σ_T=15.16
CC 48 SLU (Collegamento -378_-512)
Azioni sul collegamento: N=298.18 Ty=2.75 Tz=-83.98 Mx=0.64 Mz=3.95
Sollecitazioni agenti localmente: Tx_l=2.75 Ty_l=-83.98 N_l=298.18 My_l=-3.95 Mz_l=0.64
Azioni sul cordone: TP=-0.94 TO=6.69 NO=21.94
Tensioni nel cordone: τ_P=0.30 τ_0=2.13 σ_0=12.75 σ_{ID}=12.93 Σ_T=14.87
CC 49 SLU (Collegamento -378_-512)
Azioni sul collegamento: N=248.74 Ty=3.10 Tz=-76.33 Mx=0.71 Mz=4.39
Sollecitazioni agenti localmente: Tx_l=3.10 Ty_l=-76.33 N_l=248.74 My_l=-4.39 Mz_l=0.71
Azioni sul cordone: TP=-1.05 TO=6.18 NO=18.30
Tensioni nel cordone: τ_P=0.33 τ_0=1.96 σ_0=12.23 σ_{ID}=12.39 Σ_T=14.19
CC 50 SLU (Collegamento -378_-512)
Azioni sul collegamento: N=244.36 Ty=2.96 Tz=-75.65 Mx=0.68 Mz=4.20
Sollecitazioni agenti localmente: Tx_l=2.96 Ty_l=-75.65 N_l=244.36 My_l=-4.20 Mz_l=0.68
Azioni sul cordone: TP=-1.00 TO=6.10 NO=17.98
Tensioni nel cordone: τ_P=0.32 τ_0=1.94 σ_0=11.84 σ_{ID}=12.01 Σ_T=13.78
CC 51 SLU (Collegamento -378_-512)
Azioni sul collegamento: N=246.52 Ty=3.12 Tz=-75.98 Mx=0.71 Mz=4.39
Sollecitazioni agenti localmente: Tx_l=3.12 Ty_l=-75.98 N_l=246.52 My_l=-4.39 Mz_l=0.71
Azioni sul cordone: TP=-1.05 TO=6.15 NO=18.14
Tensioni nel cordone: τ_P=0.33 τ_0=1.96 σ_0=12.17 σ_{ID}=12.34 Σ_T=14.13
CC 52 SLU (Collegamento -378_-512)
Azioni sul collegamento: N=246.58 Ty=2.94 Tz=-75.99 Mx=0.68 Mz=4.20
Sollecitazioni agenti localmente: Tx_l=2.94 Ty_l=-75.99 N_l=246.58 My_l=-4.20 Mz_l=0.68
Azioni sul cordone: TP=-1.00 TO=6.13 NO=18.14
Tensioni nel cordone: τ_P=0.32 τ_0=1.95 σ_0=11.89 σ_{ID}=12.06 Σ_T=13.84
CC 53 SLU (Collegamento -378_-512)
Azioni sul collegamento: N=294.91 Ty=1.35 Tz=-83.47 Mx=0.33 Mz=1.94
Sollecitazioni agenti localmente: Tx_l=1.35 Ty_l=-83.47 N_l=294.91 My_l=-1.94 Mz_l=0.33
Azioni sul cordone: TP=-0.48 TO=6.40 NO=21.70
Tensioni nel cordone: τ_P=0.15 τ_0=2.04 σ_0=9.73 σ_{ID}=9.95 Σ_T=11.77
CC 54 SLU (Collegamento -378_-512)
Azioni sul collegamento: N=290.52 Ty=1.21 Tz=-82.79 Mx=0.30 Mz=1.75
Sollecitazioni agenti localmente: Tx_l=1.21 Ty_l=-82.79 N_l=290.52 My_l=-1.75 Mz_l=0.30
Azioni sul cordone: TP=-0.44 TO=6.33 NO=21.38
Tensioni nel cordone: τ_P=0.14 τ_0=2.01 σ_0=9.35 σ_{ID}=9.57 Σ_T=11.36
CC 55 SLU (Collegamento -378_-512)
Azioni sul collegamento: N=292.68 Ty=1.37 Tz=-83.13 Mx=0.33 Mz=1.94
Sollecitazioni agenti localmente: Tx_l=1.37 Ty_l=-83.13 N_l=292.68 My_l=-1.94 Mz_l=0.33
Azioni sul cordone: TP=-0.48 TO=6.38 NO=21.54
Tensioni nel cordone: τ_P=0.15 τ_0=2.03 σ_0=9.68 σ_{ID}=9.89 Σ_T=11.71
CC 56 SLU (Collegamento -378_-512)
Azioni sul collegamento: N=292.75 Ty=1.19 Tz=-83.14 Mx=0.30 Mz=1.75
Sollecitazioni agenti localmente: Tx_l=1.19 Ty_l=-83.14 N_l=292.75 My_l=-1.75 Mz_l=0.30
Azioni sul cordone: TP=-0.43 TO=6.36 NO=21.54
Tensioni nel cordone: τ_P=0.14 τ_0=2.02 σ_0=9.40 σ_{ID}=9.62 Σ_T=11.42
CC 57 SLU (Collegamento -378_-512)
Azioni sul collegamento: N=287.70 Ty=2.61 Tz=-82.35 Mx=0.61 Mz=3.73
Sollecitazioni agenti localmente: Tx_l=2.61 Ty_l=-82.35 N_l=287.70 My_l=-3.73 Mz_l=0.61
Azioni sul cordone: TP=-0.89 TO=6.54 NO=21.17
Tensioni nel cordone: τ_P=0.28 τ_0=2.08 σ_0=12.17 σ_{ID}=12.35 Σ_T=14.25
CC 58 SLU (Collegamento -378_-512)
Azioni sul collegamento: N=283.32 Ty=2.47 Tz=-81.68 Mx=0.58 Mz=3.53
Sollecitazioni agenti localmente: Tx_l=2.47 Ty_l=-81.68 N_l=283.32 My_l=-3.53 Mz_l=0.58
Azioni sul cordone: TP=-0.84 TO=6.46 NO=20.85
Tensioni nel cordone: τ_P=0.27 τ_0=2.05 σ_0=11.79 σ_{ID}=11.97 Σ_T=13.84
CC 59 SLU (Collegamento -378_-512)

Azioni sul collegamento: N=285.48 Ty=2.63 Tz=-82.01 Mx=0.61 Mz=3.73
Sollecitazioni agenti localmente: Tx_l=2.63 Ty_l=-82.01 N_l=285.48 My_l=-3.73 Mz_l=0.61
Azioni sul cordone: TP=-0.89 TO=6.51 NO=21.01
Tensioni nel cordone: τ_P=0.28 τ_0=2.07 σ_0=12.12 σ_{ID}=12.30 Σ_T=14.19
CC 60 SLU (Collegamento -378_-512)
Azioni sul collegamento: N=285.54 Ty=2.45 Tz=-82.02 Mx=0.58 Mz=3.53
Sollecitazioni agenti localmente: Tx_l=2.45 Ty_l=-82.02 N_l=285.54 My_l=-3.53 Mz_l=0.58
Azioni sul cordone: TP=-0.84 TO=6.49 NO=21.01
Tensioni nel cordone: τ_P=0.27 τ_0=2.06 σ_0=11.84 σ_{ID}=12.02 Σ_T=13.90
CC 61 SLU (Collegamento -378_-512)
Azioni sul collegamento: N=236.10 Ty=2.79 Tz=-74.37 Mx=0.65 Mz=3.97
Sollecitazioni agenti localmente: Tx_l=2.79 Ty_l=-74.37 N_l=236.10 My_l=-3.97 Mz_l=0.65
Azioni sul cordone: TP=-0.95 TO=5.98 NO=17.37
Tensioni nel cordone: τ_P=0.30 τ_0=1.90 σ_0=11.32 σ_{ID}=11.48 Σ_T=13.22
CC 62 SLU (Collegamento -378_-512)
Azioni sul collegamento: N=231.72 Ty=2.65 Tz=-73.69 Mx=0.62 Mz=3.78
Sollecitazioni agenti localmente: Tx_l=2.65 Ty_l=-73.69 N_l=231.72 My_l=-3.78 Mz_l=0.62
Azioni sul cordone: TP=-0.90 TO=5.91 NO=17.05
Tensioni nel cordone: τ_P=0.29 τ_0=1.88 σ_0=10.94 σ_{ID}=11.10 Σ_T=12.81
CC 63 SLU (Collegamento -378_-512)
Azioni sul collegamento: N=233.88 Ty=2.82 Tz=-74.03 Mx=0.65 Mz=3.97
Sollecitazioni agenti localmente: Tx_l=2.82 Ty_l=-74.03 N_l=233.88 My_l=-3.97 Mz_l=0.65
Azioni sul cordone: TP=-0.95 TO=5.96 NO=17.21
Tensioni nel cordone: τ_P=0.30 τ_0=1.89 σ_0=11.27 σ_{ID}=11.43 Σ_T=13.16
CC 64 SLU (Collegamento -378_-512)
Azioni sul collegamento: N=233.94 Ty=2.63 Tz=-74.04 Mx=0.62 Mz=3.78
Sollecitazioni agenti localmente: Tx_l=2.63 Ty_l=-74.04 N_l=233.94 My_l=-3.78 Mz_l=0.62
Azioni sul cordone: TP=-0.90 TO=5.93 NO=17.21
Tensioni nel cordone: τ_P=0.29 τ_0=1.89 σ_0=10.99 σ_{ID}=11.15 Σ_T=12.87
CC 65 SLU (Collegamento -378_-512)
Azioni sul collegamento: N=282.26 Ty=1.05 Tz=-81.51 Mx=0.26 Mz=1.52
Sollecitazioni agenti localmente: Tx_l=1.05 Ty_l=-81.51 N_l=282.26 My_l=-1.52 Mz_l=0.26
Azioni sul cordone: TP=-0.38 TO=6.21 NO=20.77
Tensioni nel cordone: τ_P=0.12 τ_0=1.97 σ_0=8.83 σ_{ID}=9.05 Σ_T=10.80
CC 66 SLU (Collegamento -378_-512)
Azioni sul collegamento: N=277.88 Ty=0.91 Tz=-80.84 Mx=0.23 Mz=1.33
Sollecitazioni agenti localmente: Tx_l=0.91 Ty_l=-80.84 N_l=277.88 My_l=-1.33 Mz_l=0.23
Azioni sul cordone: TP=-0.34 TO=6.13 NO=20.45
Tensioni nel cordone: τ_P=0.11 τ_0=1.95 σ_0=8.44 σ_{ID}=8.67 Σ_T=10.39
CC 67 SLU (Collegamento -378_-512)
Azioni sul collegamento: N=280.04 Ty=1.07 Tz=-81.17 Mx=0.26 Mz=1.52
Sollecitazioni agenti localmente: Tx_l=1.07 Ty_l=-81.17 N_l=280.04 My_l=-1.52 Mz_l=0.26
Azioni sul cordone: TP=-0.38 TO=6.18 NO=20.61
Tensioni nel cordone: τ_P=0.12 τ_0=1.96 σ_0=8.78 σ_{ID}=8.99 Σ_T=10.74
CC 68 SLU (Collegamento -378_-512)
Azioni sul collegamento: N=280.11 Ty=0.89 Tz=-81.18 Mx=0.23 Mz=1.33
Sollecitazioni agenti localmente: Tx_l=0.89 Ty_l=-81.18 N_l=280.11 My_l=-1.33 Mz_l=0.23
Azioni sul cordone: TP=-0.33 TO=6.16 NO=20.61
Tensioni nel cordone: τ_P=0.11 τ_0=1.96 σ_0=8.50 σ_{ID}=8.72 Σ_T=10.45
CC 97 SLU (Collegamento -378_-512)
Azioni sul collegamento: N=233.77 Ty=-7.63 Tz=-64.20 Mx=-0.37 Mz=-3.01
Sollecitazioni agenti localmente: Tx_l=-7.63 Ty_l=-64.20 N_l=233.77 My_l=3.01 Mz_l=-0.37
Azioni sul cordone: TP=0.99 TO=5.02 NO=17.20
Tensioni nel cordone: τ_P=0.31 τ_0=1.59 σ_0=9.86 σ_{ID}=9.99 Σ_T=11.45
CC 98 SLU (Collegamento -378_-512)
Azioni sul collegamento: N=229.39 Ty=-7.77 Tz=-63.52 Mx=-0.40 Mz=-3.20
Sollecitazioni agenti localmente: Tx_l=-7.77 Ty_l=-63.52 N_l=229.39 My_l=3.20 Mz_l=-0.40
Azioni sul cordone: TP=1.03 TO=4.99 NO=16.88
Tensioni nel cordone: τ_P=0.33 τ_0=1.59 σ_0=10.03 σ_{ID}=10.16 Σ_T=11.62
CC 99 SLU (Collegamento -378_-512)
Azioni sul collegamento: N=231.55 Ty=-7.61 Tz=-63.86 Mx=-0.37 Mz=-3.00
Sollecitazioni agenti localmente: Tx_l=-7.61 Ty_l=-63.86 N_l=231.55 My_l=3.00 Mz_l=-0.37
Azioni sul cordone: TP=0.99 TO=4.99 NO=17.04
Tensioni nel cordone: τ_P=0.31 τ_0=1.59 σ_0=9.80 σ_{ID}=9.94 Σ_T=11.39
CC 100 SLU (Collegamento -378_-512)
Azioni sul collegamento: N=231.61 Ty=-7.79 Tz=-63.87 Mx=-0.40 Mz=-3.20
Sollecitazioni agenti localmente: Tx_l=-7.79 Ty_l=-63.87 N_l=231.61 My_l=3.20 Mz_l=-0.40
Azioni sul cordone: TP=1.03 TO=5.01 NO=17.04
Tensioni nel cordone: τ_P=0.33 τ_0=1.59 σ_0=10.09 σ_{ID}=10.22 Σ_T=11.68
CC 101 SLU (Collegamento -378_-512)
Azioni sul collegamento: N=140.94 Ty=2.83 Tz=-49.83 Mx=0.49 Mz=3.09
Sollecitazioni agenti localmente: Tx_l=2.83 Ty_l=-49.83 N_l=140.94 My_l=-3.09 Mz_l=0.49
Azioni sul cordone: TP=-0.77 TO=4.05 NO=10.37
Tensioni nel cordone: τ_P=0.25 τ_0=1.29 σ_0=7.80 σ_{ID}=7.91 Σ_T=9.09
CC 102 SLU (Collegamento -378_-512)
Azioni sul collegamento: N=136.56 Ty=2.69 Tz=-49.16 Mx=0.46 Mz=2.89
Sollecitazioni agenti localmente: Tx_l=2.69 Ty_l=-49.16 N_l=136.56 My_l=-2.89 Mz_l=0.46
Azioni sul cordone: TP=-0.73 TO=3.98 NO=10.05
Tensioni nel cordone: τ_P=0.23 τ_0=1.26 σ_0=7.42 σ_{ID}=7.53 Σ_T=8.69

CC 103 SLU (Collegamento -378_-512)
Azioni sul collegamento: N=138.72 Ty=2.85 Tz=-49.49 Mx=0.49 Mz=3.09
Sollecitazioni agenti localmente: Tx_l=2.85 Ty_l=-49.49 N_l=138.72 My_l=-3.09 Mz_l=0.49
Azioni sul cordone: TP=-0.77 TO=4.03 NO=10.21
Tensioni nel cordone: τ_P=0.25 τ_0=1.28 σ_0=7.75 σ_{ID}=7.86 Σ_T=9.03
CC 104 SLU (Collegamento -378_-512)
Azioni sul collegamento: N=138.78 Ty=2.67 Tz=-49.50 Mx=0.46 Mz=2.89
Sollecitazioni agenti localmente: Tx_l=2.67 Ty_l=-49.50 N_l=138.78 My_l=-2.89 Mz_l=0.46
Azioni sul cordone: TP=-0.73 TO=4.00 NO=10.21
Tensioni nel cordone: τ_P=0.23 τ_0=1.27 σ_0=7.47 σ_{ID}=7.58 Σ_T=8.75

Verifica lato anima della colonna

CC 1 SLV (Collegamento -378_-512)
Azioni sul collegamento: N=160.81 Ty=1.85 Tz=-52.91 Mx=0.43 Mz=2.64
Zona tesa: F=64.75 b_{eff}=13.20 t_w=0.70 σ=7.01
Zona tesa: F=64.75 b_{eff}=13.20 t_w=0.70 σ=7.01
CC 1 SLV (Collegamento -378_-512)
Azioni sul collegamento: N=160.81 Ty=0.00 Tz=-52.91 Mx=0.06 Mz=0.27
Zona tesa: F=64.75 b_{eff}=13.20 t_w=0.70 σ=7.01
Zona tesa: F=64.75 b_{eff}=13.20 t_w=0.70 σ=7.01
CC 1 SLV (Collegamento -378_-512)
Azioni sul collegamento: N=160.81 Ty=1.85 Tz=-52.91 Mx=0.43 Mz=2.64
Zona tesa: F=64.75 b_{eff}=13.20 t_w=0.70 σ=7.01
Zona tesa: F=64.75 b_{eff}=13.20 t_w=0.70 σ=7.01
CC 1 SLV (Collegamento -378_-512)
Azioni sul collegamento: N=160.81 Ty=0.00 Tz=-52.91 Mx=0.06 Mz=0.27
Zona tesa: F=64.75 b_{eff}=13.20 t_w=0.70 σ=7.01
Zona tesa: F=64.75 b_{eff}=13.20 t_w=0.70 σ=7.01
CC 1 SLV (Collegamento -378_-512)
Azioni sul collegamento: N=118.50 Ty=1.85 Tz=-46.36 Mx=0.43 Mz=2.64
Zona tesa: F=47.72 b_{eff}=13.20 t_w=0.70 σ=5.16
Zona tesa: F=47.72 b_{eff}=13.20 t_w=0.70 σ=5.16
CC 1 SLV (Collegamento -378_-512)
Azioni sul collegamento: N=118.50 Ty=0.00 Tz=-46.36 Mx=0.06 Mz=0.27
Zona tesa: F=47.72 b_{eff}=13.20 t_w=0.70 σ=5.16
Zona tesa: F=47.72 b_{eff}=13.20 t_w=0.70 σ=5.16
CC 1 SLV (Collegamento -378_-512)
Azioni sul collegamento: N=118.50 Ty=1.85 Tz=-46.36 Mx=0.43 Mz=2.64
Zona tesa: F=47.72 b_{eff}=13.20 t_w=0.70 σ=5.16
Zona tesa: F=47.72 b_{eff}=13.20 t_w=0.70 σ=5.16
CC 1 SLV (Collegamento -378_-512)
Azioni sul collegamento: N=118.50 Ty=0.00 Tz=-46.36 Mx=0.06 Mz=0.27
Zona tesa: F=47.72 b_{eff}=13.20 t_w=0.70 σ=5.16
Zona tesa: F=47.72 b_{eff}=13.20 t_w=0.70 σ=5.16
CC 2 SLD (Collegamento -378_-512)
Azioni sul collegamento: N=146.00 Ty=1.67 Tz=-50.62 Mx=0.39 Mz=2.38
Zona tesa: F=58.79 b_{eff}=13.20 t_w=0.70 σ=6.36
Zona tesa: F=58.79 b_{eff}=13.20 t_w=0.70 σ=6.36
CC 2 SLD (Collegamento -378_-512)
Azioni sul collegamento: N=146.00 Ty=1.11 Tz=-50.62 Mx=0.28 Mz=1.66
Zona tesa: F=58.79 b_{eff}=13.20 t_w=0.70 σ=6.36
Zona tesa: F=58.79 b_{eff}=13.20 t_w=0.70 σ=6.36
CC 2 SLD (Collegamento -378_-512)
Azioni sul collegamento: N=146.00 Ty=1.67 Tz=-50.62 Mx=0.39 Mz=2.38
Zona tesa: F=58.79 b_{eff}=13.20 t_w=0.70 σ=6.36
Zona tesa: F=58.79 b_{eff}=13.20 t_w=0.70 σ=6.36
CC 2 SLD (Collegamento -378_-512)
Azioni sul collegamento: N=146.00 Ty=1.11 Tz=-50.62 Mx=0.28 Mz=1.66
Zona tesa: F=58.79 b_{eff}=13.20 t_w=0.70 σ=6.36
Zona tesa: F=58.79 b_{eff}=13.20 t_w=0.70 σ=6.36
CC 2 SLD (Collegamento -378_-512)
Azioni sul collegamento: N=133.10 Ty=1.67 Tz=-48.62 Mx=0.39 Mz=2.38
Zona tesa: F=53.60 b_{eff}=13.20 t_w=0.70 σ=5.80
Zona tesa: F=53.60 b_{eff}=13.20 t_w=0.70 σ=5.80
CC 2 SLD (Collegamento -378_-512)
Azioni sul collegamento: N=133.10 Ty=1.11 Tz=-48.62 Mx=0.28 Mz=1.66
Zona tesa: F=53.60 b_{eff}=13.20 t_w=0.70 σ=5.80
Zona tesa: F=53.60 b_{eff}=13.20 t_w=0.70 σ=5.80
CC 2 SLD (Collegamento -378_-512)
Azioni sul collegamento: N=133.10 Ty=1.67 Tz=-48.62 Mx=0.39 Mz=2.38
Zona tesa: F=53.60 b_{eff}=13.20 t_w=0.70 σ=5.80
Zona tesa: F=53.60 b_{eff}=13.20 t_w=0.70 σ=5.80
CC 2 SLD (Collegamento -378_-512)
Azioni sul collegamento: N=133.10 Ty=1.11 Tz=-48.62 Mx=0.28 Mz=1.66
Zona tesa: F=53.60 b_{eff}=13.20 t_w=0.70 σ=5.80

Zona tesa: F=53.60 b_{eff}=13.20 t_w=0.70 σ=5.80
CC 3 SLV (Collegamento -378_-512)
Azioni sul collegamento: N=160.63 Ty=1.31 Tz=-52.88 Mx=0.34 Mz=2.08
Zona tesa: F=64.69 b_{eff}=13.20 t_w=0.70 σ=7.00
Zona tesa: F=64.69 b_{eff}=13.20 t_w=0.70 σ=7.00
CC 3 SLV (Collegamento -378_-512)
Azioni sul collegamento: N=160.63 Ty=0.54 Tz=-52.88 Mx=0.15 Mz=0.83
Zona tesa: F=64.69 b_{eff}=13.20 t_w=0.70 σ=7.00
Zona tesa: F=64.69 b_{eff}=13.20 t_w=0.70 σ=7.00
CC 3 SLV (Collegamento -378_-512)
Azioni sul collegamento: N=160.63 Ty=1.31 Tz=-52.88 Mx=0.34 Mz=2.08
Zona tesa: F=64.69 b_{eff}=13.20 t_w=0.70 σ=7.00
Zona tesa: F=64.69 b_{eff}=13.20 t_w=0.70 σ=7.00
CC 3 SLV (Collegamento -378_-512)
Azioni sul collegamento: N=160.63 Ty=0.54 Tz=-52.88 Mx=0.15 Mz=0.83
Zona tesa: F=64.69 b_{eff}=13.20 t_w=0.70 σ=7.00
Zona tesa: F=64.69 b_{eff}=13.20 t_w=0.70 σ=7.00
CC 3 SLV (Collegamento -378_-512)
Azioni sul collegamento: N=118.67 Ty=1.31 Tz=-46.39 Mx=0.34 Mz=2.08
Zona tesa: F=47.79 b_{eff}=13.20 t_w=0.70 σ=5.17
Zona tesa: F=47.79 b_{eff}=13.20 t_w=0.70 σ=5.17
CC 3 SLV (Collegamento -378_-512)
Azioni sul collegamento: N=118.67 Ty=0.54 Tz=-46.39 Mx=0.15 Mz=0.83
Zona tesa: F=47.79 b_{eff}=13.20 t_w=0.70 σ=5.17
Zona tesa: F=47.79 b_{eff}=13.20 t_w=0.70 σ=5.17
CC 3 SLV (Collegamento -378_-512)
Azioni sul collegamento: N=118.67 Ty=1.31 Tz=-46.39 Mx=0.34 Mz=2.08
Zona tesa: F=47.79 b_{eff}=13.20 t_w=0.70 σ=5.17
Zona tesa: F=47.79 b_{eff}=13.20 t_w=0.70 σ=5.17
CC 3 SLV (Collegamento -378_-512)
Azioni sul collegamento: N=118.67 Ty=0.54 Tz=-46.39 Mx=0.15 Mz=0.83
Zona tesa: F=47.79 b_{eff}=13.20 t_w=0.70 σ=5.17
Zona tesa: F=47.79 b_{eff}=13.20 t_w=0.70 σ=5.17
CC 4 SLD (Collegamento -378_-512)
Azioni sul collegamento: N=145.94 Ty=1.51 Tz=-50.61 Mx=0.36 Mz=2.21
Zona tesa: F=58.77 b_{eff}=13.20 t_w=0.70 σ=6.36
Zona tesa: F=58.77 b_{eff}=13.20 t_w=0.70 σ=6.36
CC 4 SLD (Collegamento -378_-512)
Azioni sul collegamento: N=145.94 Ty=1.27 Tz=-50.61 Mx=0.30 Mz=1.83
Zona tesa: F=58.77 b_{eff}=13.20 t_w=0.70 σ=6.36
Zona tesa: F=58.77 b_{eff}=13.20 t_w=0.70 σ=6.36
CC 4 SLD (Collegamento -378_-512)
Azioni sul collegamento: N=145.94 Ty=1.51 Tz=-50.61 Mx=0.36 Mz=2.21
Zona tesa: F=58.77 b_{eff}=13.20 t_w=0.70 σ=6.36
Zona tesa: F=58.77 b_{eff}=13.20 t_w=0.70 σ=6.36
CC 4 SLD (Collegamento -378_-512)
Azioni sul collegamento: N=145.94 Ty=1.27 Tz=-50.61 Mx=0.30 Mz=1.83
Zona tesa: F=58.77 b_{eff}=13.20 t_w=0.70 σ=6.36
Zona tesa: F=58.77 b_{eff}=13.20 t_w=0.70 σ=6.36
CC 4 SLD (Collegamento -378_-512)
Azioni sul collegamento: N=133.15 Ty=1.51 Tz=-48.63 Mx=0.36 Mz=2.21
Zona tesa: F=53.62 b_{eff}=13.20 t_w=0.70 σ=5.80
Zona tesa: F=53.62 b_{eff}=13.20 t_w=0.70 σ=5.80
CC 4 SLD (Collegamento -378_-512)
Azioni sul collegamento: N=133.15 Ty=1.27 Tz=-48.63 Mx=0.30 Mz=1.83
Zona tesa: F=53.62 b_{eff}=13.20 t_w=0.70 σ=5.80
Zona tesa: F=53.62 b_{eff}=13.20 t_w=0.70 σ=5.80
CC 4 SLD (Collegamento -378_-512)
Azioni sul collegamento: N=133.15 Ty=1.51 Tz=-48.63 Mx=0.36 Mz=2.21
Zona tesa: F=53.62 b_{eff}=13.20 t_w=0.70 σ=5.80
Zona tesa: F=53.62 b_{eff}=13.20 t_w=0.70 σ=5.80
CC 4 SLD (Collegamento -378_-512)
Azioni sul collegamento: N=133.15 Ty=1.27 Tz=-48.63 Mx=0.30 Mz=1.83
Zona tesa: F=53.62 b_{eff}=13.20 t_w=0.70 σ=5.80
Zona tesa: F=53.62 b_{eff}=13.20 t_w=0.70 σ=5.80
CC 5 SLV (Collegamento -378_-512)
Azioni sul collegamento: N=118.67 Ty=0.54 Tz=-46.39 Mx=0.14 Mz=0.83
Zona tesa: F=47.79 b_{eff}=13.20 t_w=0.70 σ=5.17
Zona tesa: F=47.79 b_{eff}=13.20 t_w=0.70 σ=5.17
CC 5 SLV (Collegamento -378_-512)
Azioni sul collegamento: N=118.67 Ty=1.31 Tz=-46.39 Mx=0.33 Mz=2.08
Zona tesa: F=47.79 b_{eff}=13.20 t_w=0.70 σ=5.17
Zona tesa: F=47.79 b_{eff}=13.20 t_w=0.70 σ=5.17
CC 5 SLV (Collegamento -378_-512)
Azioni sul collegamento: N=118.67 Ty=0.54 Tz=-46.39 Mx=0.14 Mz=0.83
Zona tesa: F=47.79 b_{eff}=13.20 t_w=0.70 σ=5.17

Zona tesa: F=47.79 b_{eff}=13.20 t_w=0.70 σ=5.17
CC 5 SLV (Collegamento -378_-512)
Azioni sul collegamento: N=118.67 Ty=1.31 Tz=-46.39 Mx=0.33 Mz=2.08
Zona tesa: F=47.79 b_{eff}=13.20 t_w=0.70 σ=5.17
Zona tesa: F=47.79 b_{eff}=13.20 t_w=0.70 σ=5.17
CC 5 SLV (Collegamento -378_-512)
Azioni sul collegamento: N=160.63 Ty=0.54 Tz=-52.88 Mx=0.14 Mz=0.83
Zona tesa: F=64.69 b_{eff}=13.20 t_w=0.70 σ=7.00
Zona tesa: F=64.69 b_{eff}=13.20 t_w=0.70 σ=7.00
CC 5 SLV (Collegamento -378_-512)
Azioni sul collegamento: N=160.63 Ty=1.31 Tz=-52.88 Mx=0.33 Mz=2.08
Zona tesa: F=64.69 b_{eff}=13.20 t_w=0.70 σ=7.00
Zona tesa: F=64.69 b_{eff}=13.20 t_w=0.70 σ=7.00
CC 5 SLV (Collegamento -378_-512)
Azioni sul collegamento: N=160.63 Ty=0.54 Tz=-52.88 Mx=0.14 Mz=0.83
Zona tesa: F=64.69 b_{eff}=13.20 t_w=0.70 σ=7.00
Zona tesa: F=64.69 b_{eff}=13.20 t_w=0.70 σ=7.00
CC 5 SLV (Collegamento -378_-512)
Azioni sul collegamento: N=160.63 Ty=1.31 Tz=-52.88 Mx=0.33 Mz=2.08
Zona tesa: F=64.69 b_{eff}=13.20 t_w=0.70 σ=7.00
Zona tesa: F=64.69 b_{eff}=13.20 t_w=0.70 σ=7.00
CC 6 SLD (Collegamento -378_-512)
Azioni sul collegamento: N=133.15 Ty=1.27 Tz=-48.63 Mx=0.30 Mz=1.83
Zona tesa: F=53.62 b_{eff}=13.20 t_w=0.70 σ=5.80
Zona tesa: F=53.62 b_{eff}=13.20 t_w=0.70 σ=5.80
CC 6 SLD (Collegamento -378_-512)
Azioni sul collegamento: N=133.15 Ty=1.51 Tz=-48.63 Mx=0.36 Mz=2.21
Zona tesa: F=53.62 b_{eff}=13.20 t_w=0.70 σ=5.80
Zona tesa: F=53.62 b_{eff}=13.20 t_w=0.70 σ=5.80
CC 6 SLD (Collegamento -378_-512)
Azioni sul collegamento: N=133.15 Ty=1.27 Tz=-48.63 Mx=0.30 Mz=1.83
Zona tesa: F=53.62 b_{eff}=13.20 t_w=0.70 σ=5.80
Zona tesa: F=53.62 b_{eff}=13.20 t_w=0.70 σ=5.80
CC 6 SLD (Collegamento -378_-512)
Azioni sul collegamento: N=133.15 Ty=1.51 Tz=-48.63 Mx=0.36 Mz=2.21
Zona tesa: F=53.62 b_{eff}=13.20 t_w=0.70 σ=5.80
Zona tesa: F=53.62 b_{eff}=13.20 t_w=0.70 σ=5.80
CC 6 SLD (Collegamento -378_-512)
Azioni sul collegamento: N=145.94 Ty=1.27 Tz=-50.61 Mx=0.30 Mz=1.83
Zona tesa: F=58.77 b_{eff}=13.20 t_w=0.70 σ=6.36
Zona tesa: F=58.77 b_{eff}=13.20 t_w=0.70 σ=6.36
CC 6 SLD (Collegamento -378_-512)
Azioni sul collegamento: N=145.94 Ty=1.51 Tz=-50.61 Mx=0.36 Mz=2.21
Zona tesa: F=58.77 b_{eff}=13.20 t_w=0.70 σ=6.36
Zona tesa: F=58.77 b_{eff}=13.20 t_w=0.70 σ=6.36
CC 6 SLD (Collegamento -378_-512)
Azioni sul collegamento: N=145.94 Ty=1.27 Tz=-50.61 Mx=0.30 Mz=1.83
Zona tesa: F=58.77 b_{eff}=13.20 t_w=0.70 σ=6.36
Zona tesa: F=58.77 b_{eff}=13.20 t_w=0.70 σ=6.36
CC 6 SLD (Collegamento -378_-512)
Azioni sul collegamento: N=145.94 Ty=1.51 Tz=-50.61 Mx=0.36 Mz=2.21
Zona tesa: F=58.77 b_{eff}=13.20 t_w=0.70 σ=6.36
Zona tesa: F=58.77 b_{eff}=13.20 t_w=0.70 σ=6.36
CC 7 SLV (Collegamento -378_-512)
Azioni sul collegamento: N=118.50 Ty=0.00 Tz=-46.36 Mx=0.05 Mz=0.27
Zona tesa: F=47.72 b_{eff}=13.20 t_w=0.70 σ=5.16
Zona tesa: F=47.72 b_{eff}=13.20 t_w=0.70 σ=5.16
CC 7 SLV (Collegamento -378_-512)
Azioni sul collegamento: N=118.50 Ty=1.85 Tz=-46.36 Mx=0.41 Mz=2.65
Zona tesa: F=47.72 b_{eff}=13.20 t_w=0.70 σ=5.16
Zona tesa: F=47.72 b_{eff}=13.20 t_w=0.70 σ=5.16
CC 7 SLV (Collegamento -378_-512)
Azioni sul collegamento: N=118.50 Ty=0.00 Tz=-46.36 Mx=0.05 Mz=0.27
Zona tesa: F=47.72 b_{eff}=13.20 t_w=0.70 σ=5.16
Zona tesa: F=47.72 b_{eff}=13.20 t_w=0.70 σ=5.16
CC 7 SLV (Collegamento -378_-512)
Azioni sul collegamento: N=118.50 Ty=1.85 Tz=-46.36 Mx=0.41 Mz=2.65
Zona tesa: F=47.72 b_{eff}=13.20 t_w=0.70 σ=5.16
Zona tesa: F=47.72 b_{eff}=13.20 t_w=0.70 σ=5.16
CC 7 SLV (Collegamento -378_-512)
Azioni sul collegamento: N=160.81 Ty=0.00 Tz=-52.91 Mx=0.05 Mz=0.27
Zona tesa: F=64.75 b_{eff}=13.20 t_w=0.70 σ=7.01
Zona tesa: F=64.75 b_{eff}=13.20 t_w=0.70 σ=7.01
CC 7 SLV (Collegamento -378_-512)
Azioni sul collegamento: N=160.81 Ty=1.85 Tz=-52.91 Mx=0.41 Mz=2.65
Zona tesa: F=64.75 b_{eff}=13.20 t_w=0.70 σ=7.01

Zona tesa: F=64.75 b_{eff}=13.20 t_w=0.70 σ=7.01
CC 7 SLV (Collegamento -378_-512)
Azioni sul collegamento: N=160.81 Ty=0.00 Tz=-52.91 Mx=0.05 Mz=0.27
Zona tesa: F=64.75 b_{eff}=13.20 t_w=0.70 σ=7.01
Zona tesa: F=64.75 b_{eff}=13.20 t_w=0.70 σ=7.01
CC 7 SLV (Collegamento -378_-512)
Azioni sul collegamento: N=160.81 Ty=1.85 Tz=-52.91 Mx=0.41 Mz=2.65
Zona tesa: F=64.75 b_{eff}=13.20 t_w=0.70 σ=7.01
Zona tesa: F=64.75 b_{eff}=13.20 t_w=0.70 σ=7.01
CC 8 SLD (Collegamento -378_-512)
Azioni sul collegamento: N=133.10 Ty=1.11 Tz=-48.62 Mx=0.27 Mz=1.66
Zona tesa: F=53.60 b_{eff}=13.20 t_w=0.70 σ=5.80
Zona tesa: F=53.60 b_{eff}=13.20 t_w=0.70 σ=5.80
CC 8 SLD (Collegamento -378_-512)
Azioni sul collegamento: N=133.10 Ty=1.67 Tz=-48.62 Mx=0.38 Mz=2.38
Zona tesa: F=53.60 b_{eff}=13.20 t_w=0.70 σ=5.80
Zona tesa: F=53.60 b_{eff}=13.20 t_w=0.70 σ=5.80
CC 8 SLD (Collegamento -378_-512)
Azioni sul collegamento: N=133.10 Ty=1.11 Tz=-48.62 Mx=0.27 Mz=1.66
Zona tesa: F=53.60 b_{eff}=13.20 t_w=0.70 σ=5.80
Zona tesa: F=53.60 b_{eff}=13.20 t_w=0.70 σ=5.80
CC 8 SLD (Collegamento -378_-512)
Azioni sul collegamento: N=133.10 Ty=1.67 Tz=-48.62 Mx=0.38 Mz=2.38
Zona tesa: F=53.60 b_{eff}=13.20 t_w=0.70 σ=5.80
Zona tesa: F=53.60 b_{eff}=13.20 t_w=0.70 σ=5.80
CC 8 SLD (Collegamento -378_-512)
Azioni sul collegamento: N=146.00 Ty=1.11 Tz=-50.62 Mx=0.27 Mz=1.66
Zona tesa: F=58.79 b_{eff}=13.20 t_w=0.70 σ=6.36
Zona tesa: F=58.79 b_{eff}=13.20 t_w=0.70 σ=6.36
CC 8 SLD (Collegamento -378_-512)
Azioni sul collegamento: N=146.00 Ty=1.67 Tz=-50.62 Mx=0.38 Mz=2.38
Zona tesa: F=58.79 b_{eff}=13.20 t_w=0.70 σ=6.36
Zona tesa: F=58.79 b_{eff}=13.20 t_w=0.70 σ=6.36
CC 8 SLD (Collegamento -378_-512)
Azioni sul collegamento: N=146.00 Ty=1.11 Tz=-50.62 Mx=0.27 Mz=1.66
Zona tesa: F=58.79 b_{eff}=13.20 t_w=0.70 σ=6.36
Zona tesa: F=58.79 b_{eff}=13.20 t_w=0.70 σ=6.36
CC 8 SLD (Collegamento -378_-512)
Azioni sul collegamento: N=146.00 Ty=1.67 Tz=-50.62 Mx=0.38 Mz=2.38
Zona tesa: F=58.79 b_{eff}=13.20 t_w=0.70 σ=6.36
Zona tesa: F=58.79 b_{eff}=13.20 t_w=0.70 σ=6.36
CC 9 SLV (Collegamento -378_-512)
Azioni sul collegamento: N=146.26 Ty=2.01 Tz=-50.66 Mx=0.43 Mz=2.66
Zona tesa: F=58.90 b_{eff}=13.20 t_w=0.70 σ=6.37
Zona tesa: F=58.90 b_{eff}=13.20 t_w=0.70 σ=6.37
CC 9 SLV (Collegamento -378_-512)
Azioni sul collegamento: N=146.26 Ty=-0.16 Tz=-50.66 Mx=0.06 Mz=0.25
Zona tesa: F=58.90 b_{eff}=13.20 t_w=0.70 σ=6.37
Zona tesa: F=58.90 b_{eff}=13.20 t_w=0.70 σ=6.37
CC 9 SLV (Collegamento -378_-512)
Azioni sul collegamento: N=146.26 Ty=2.01 Tz=-50.66 Mx=0.43 Mz=2.66
Zona tesa: F=58.90 b_{eff}=13.20 t_w=0.70 σ=6.37
Zona tesa: F=58.90 b_{eff}=13.20 t_w=0.70 σ=6.37
CC 9 SLV (Collegamento -378_-512)
Azioni sul collegamento: N=146.26 Ty=-0.16 Tz=-50.66 Mx=0.06 Mz=0.25
Zona tesa: F=58.90 b_{eff}=13.20 t_w=0.70 σ=6.37
Zona tesa: F=58.90 b_{eff}=13.20 t_w=0.70 σ=6.37
CC 9 SLV (Collegamento -378_-512)
Azioni sul collegamento: N=133.05 Ty=2.01 Tz=-48.61 Mx=0.43 Mz=2.66
Zona tesa: F=53.58 b_{eff}=13.20 t_w=0.70 σ=5.80
Zona tesa: F=53.58 b_{eff}=13.20 t_w=0.70 σ=5.80
CC 9 SLV (Collegamento -378_-512)
Azioni sul collegamento: N=133.05 Ty=-0.16 Tz=-48.61 Mx=0.06 Mz=0.25
Zona tesa: F=53.58 b_{eff}=13.20 t_w=0.70 σ=5.80
Zona tesa: F=53.58 b_{eff}=13.20 t_w=0.70 σ=5.80
CC 9 SLV (Collegamento -378_-512)
Azioni sul collegamento: N=133.05 Ty=2.01 Tz=-48.61 Mx=0.43 Mz=2.66
Zona tesa: F=53.58 b_{eff}=13.20 t_w=0.70 σ=5.80
Zona tesa: F=53.58 b_{eff}=13.20 t_w=0.70 σ=5.80
CC 9 SLV (Collegamento -378_-512)
Azioni sul collegamento: N=133.05 Ty=-0.16 Tz=-48.61 Mx=0.06 Mz=0.25
Zona tesa: F=53.58 b_{eff}=13.20 t_w=0.70 σ=5.80
Zona tesa: F=53.58 b_{eff}=13.20 t_w=0.70 σ=5.80
CC 10 SLD (Collegamento -378_-512)
Azioni sul collegamento: N=141.56 Ty=1.72 Tz=-49.93 Mx=0.39 Mz=2.39
Zona tesa: F=57.00 b_{eff}=13.20 t_w=0.70 σ=6.17

Zona tesa: F=57.00 b_{eff}=13.20 t_w=0.70 σ=6.17
CC 10 SLD (Collegamento -378_-512)
Azioni sul collegamento: N=141.56 Ty=1.06 Tz=-49.93 Mx=0.28 Mz=1.65
Zona tesa: F=57.00 b_{eff}=13.20 t_w=0.70 σ=6.17
Zona tesa: F=57.00 b_{eff}=13.20 t_w=0.70 σ=6.17
CC 10 SLD (Collegamento -378_-512)
Azioni sul collegamento: N=141.56 Ty=1.72 Tz=-49.93 Mx=0.39 Mz=2.39
Zona tesa: F=57.00 b_{eff}=13.20 t_w=0.70 σ=6.17
Zona tesa: F=57.00 b_{eff}=13.20 t_w=0.70 σ=6.17
CC 10 SLD (Collegamento -378_-512)
Azioni sul collegamento: N=141.56 Ty=1.06 Tz=-49.93 Mx=0.28 Mz=1.65
Zona tesa: F=57.00 b_{eff}=13.20 t_w=0.70 σ=6.17
Zona tesa: F=57.00 b_{eff}=13.20 t_w=0.70 σ=6.17
CC 10 SLD (Collegamento -378_-512)
Azioni sul collegamento: N=137.53 Ty=1.72 Tz=-49.31 Mx=0.39 Mz=2.39
Zona tesa: F=55.38 b_{eff}=13.20 t_w=0.70 σ=5.99
Zona tesa: F=55.38 b_{eff}=13.20 t_w=0.70 σ=5.99
CC 10 SLD (Collegamento -378_-512)
Azioni sul collegamento: N=137.53 Ty=1.06 Tz=-49.31 Mx=0.28 Mz=1.65
Zona tesa: F=55.38 b_{eff}=13.20 t_w=0.70 σ=5.99
Zona tesa: F=55.38 b_{eff}=13.20 t_w=0.70 σ=5.99
CC 10 SLD (Collegamento -378_-512)
Azioni sul collegamento: N=137.53 Ty=1.72 Tz=-49.31 Mx=0.39 Mz=2.39
Zona tesa: F=55.38 b_{eff}=13.20 t_w=0.70 σ=5.99
Zona tesa: F=55.38 b_{eff}=13.20 t_w=0.70 σ=5.99
CC 10 SLD (Collegamento -378_-512)
Azioni sul collegamento: N=137.53 Ty=1.06 Tz=-49.31 Mx=0.28 Mz=1.65
Zona tesa: F=55.38 b_{eff}=13.20 t_w=0.70 σ=5.99
Zona tesa: F=55.38 b_{eff}=13.20 t_w=0.70 σ=5.99
CC 11 SLV (Collegamento -378_-512)
Azioni sul collegamento: N=133.62 Ty=1.62 Tz=-48.70 Mx=0.34 Mz=2.12
Zona tesa: F=53.81 b_{eff}=13.20 t_w=0.70 σ=5.82
Zona tesa: F=53.81 b_{eff}=13.20 t_w=0.70 σ=5.82
CC 11 SLV (Collegamento -378_-512)
Azioni sul collegamento: N=133.62 Ty=0.23 Tz=-48.70 Mx=0.14 Mz=0.79
Zona tesa: F=53.81 b_{eff}=13.20 t_w=0.70 σ=5.82
Zona tesa: F=53.81 b_{eff}=13.20 t_w=0.70 σ=5.82
CC 11 SLV (Collegamento -378_-512)
Azioni sul collegamento: N=133.62 Ty=1.62 Tz=-48.70 Mx=0.34 Mz=2.12
Zona tesa: F=53.81 b_{eff}=13.20 t_w=0.70 σ=5.82
Zona tesa: F=53.81 b_{eff}=13.20 t_w=0.70 σ=5.82
CC 11 SLV (Collegamento -378_-512)
Azioni sul collegamento: N=133.62 Ty=0.23 Tz=-48.70 Mx=0.14 Mz=0.79
Zona tesa: F=53.81 b_{eff}=13.20 t_w=0.70 σ=5.82
Zona tesa: F=53.81 b_{eff}=13.20 t_w=0.70 σ=5.82
CC 11 SLV (Collegamento -378_-512)
Azioni sul collegamento: N=145.69 Ty=1.62 Tz=-50.57 Mx=0.34 Mz=2.12
Zona tesa: F=58.67 b_{eff}=13.20 t_w=0.70 σ=6.35
Zona tesa: F=58.67 b_{eff}=13.20 t_w=0.70 σ=6.35
CC 11 SLV (Collegamento -378_-512)
Azioni sul collegamento: N=145.69 Ty=0.23 Tz=-50.57 Mx=0.14 Mz=0.79
Zona tesa: F=58.67 b_{eff}=13.20 t_w=0.70 σ=6.35
Zona tesa: F=58.67 b_{eff}=13.20 t_w=0.70 σ=6.35
CC 11 SLV (Collegamento -378_-512)
Azioni sul collegamento: N=145.69 Ty=1.62 Tz=-50.57 Mx=0.34 Mz=2.12
Zona tesa: F=58.67 b_{eff}=13.20 t_w=0.70 σ=6.35
Zona tesa: F=58.67 b_{eff}=13.20 t_w=0.70 σ=6.35
CC 11 SLV (Collegamento -378_-512)
Azioni sul collegamento: N=145.69 Ty=0.23 Tz=-50.57 Mx=0.14 Mz=0.79
Zona tesa: F=58.67 b_{eff}=13.20 t_w=0.70 σ=6.35
Zona tesa: F=58.67 b_{eff}=13.20 t_w=0.70 σ=6.35
CC 12 SLD (Collegamento -378_-512)
Azioni sul collegamento: N=137.71 Ty=1.60 Tz=-49.33 Mx=0.36 Mz=2.22
Zona tesa: F=55.45 b_{eff}=13.20 t_w=0.70 σ=6.00
Zona tesa: F=55.45 b_{eff}=13.20 t_w=0.70 σ=6.00
CC 12 SLD (Collegamento -378_-512)
Azioni sul collegamento: N=137.71 Ty=1.18 Tz=-49.33 Mx=0.30 Mz=1.82
Zona tesa: F=55.45 b_{eff}=13.20 t_w=0.70 σ=6.00
Zona tesa: F=55.45 b_{eff}=13.20 t_w=0.70 σ=6.00
CC 12 SLD (Collegamento -378_-512)
Azioni sul collegamento: N=137.71 Ty=1.60 Tz=-49.33 Mx=0.36 Mz=2.22
Zona tesa: F=55.45 b_{eff}=13.20 t_w=0.70 σ=6.00
Zona tesa: F=55.45 b_{eff}=13.20 t_w=0.70 σ=6.00
CC 12 SLD (Collegamento -378_-512)
Azioni sul collegamento: N=137.71 Ty=1.18 Tz=-49.33 Mx=0.30 Mz=1.82
Zona tesa: F=55.45 b_{eff}=13.20 t_w=0.70 σ=6.00

Zona tesa: F=55.45 b_{eff}=13.20 t_w=0.70 σ=6.00
CC 12 SLD (Collegamento -378_-512)
Azioni sul collegamento: N=141.39 Ty=1.60 Tz=-49.90 Mx=0.36 Mz=2.22
Zona tesa: F=56.93 b_{eff}=13.20 t_w=0.70 σ=6.16
Zona tesa: F=56.93 b_{eff}=13.20 t_w=0.70 σ=6.16
CC 12 SLD (Collegamento -378_-512)
Azioni sul collegamento: N=141.39 Ty=1.18 Tz=-49.90 Mx=0.30 Mz=1.82
Zona tesa: F=56.93 b_{eff}=13.20 t_w=0.70 σ=6.16
Zona tesa: F=56.93 b_{eff}=13.20 t_w=0.70 σ=6.16
CC 12 SLD (Collegamento -378_-512)
Azioni sul collegamento: N=141.39 Ty=1.60 Tz=-49.90 Mx=0.36 Mz=2.22
Zona tesa: F=56.93 b_{eff}=13.20 t_w=0.70 σ=6.16
Zona tesa: F=56.93 b_{eff}=13.20 t_w=0.70 σ=6.16
CC 12 SLD (Collegamento -378_-512)
Azioni sul collegamento: N=141.39 Ty=1.18 Tz=-49.90 Mx=0.30 Mz=1.82
Zona tesa: F=56.93 b_{eff}=13.20 t_w=0.70 σ=6.16
Zona tesa: F=56.93 b_{eff}=13.20 t_w=0.70 σ=6.16
CC 13 SLV (Collegamento -378_-512)
Azioni sul collegamento: N=145.69 Ty=0.23 Tz=-50.57 Mx=0.13 Mz=0.80
Zona tesa: F=58.67 b_{eff}=13.20 t_w=0.70 σ=6.35
Zona tesa: F=58.67 b_{eff}=13.20 t_w=0.70 σ=6.35
CC 13 SLV (Collegamento -378_-512)
Azioni sul collegamento: N=145.69 Ty=1.62 Tz=-50.57 Mx=0.34 Mz=2.12
Zona tesa: F=58.67 b_{eff}=13.20 t_w=0.70 σ=6.35
Zona tesa: F=58.67 b_{eff}=13.20 t_w=0.70 σ=6.35
CC 13 SLV (Collegamento -378_-512)
Azioni sul collegamento: N=145.69 Ty=0.23 Tz=-50.57 Mx=0.13 Mz=0.80
Zona tesa: F=58.67 b_{eff}=13.20 t_w=0.70 σ=6.35
Zona tesa: F=58.67 b_{eff}=13.20 t_w=0.70 σ=6.35
CC 13 SLV (Collegamento -378_-512)
Azioni sul collegamento: N=145.69 Ty=1.62 Tz=-50.57 Mx=0.34 Mz=2.12
Zona tesa: F=58.67 b_{eff}=13.20 t_w=0.70 σ=6.35
Zona tesa: F=58.67 b_{eff}=13.20 t_w=0.70 σ=6.35
CC 13 SLV (Collegamento -378_-512)
Azioni sul collegamento: N=133.62 Ty=0.23 Tz=-48.70 Mx=0.13 Mz=0.80
Zona tesa: F=53.81 b_{eff}=13.20 t_w=0.70 σ=5.82
Zona tesa: F=53.81 b_{eff}=13.20 t_w=0.70 σ=5.82
CC 13 SLV (Collegamento -378_-512)
Azioni sul collegamento: N=133.62 Ty=1.62 Tz=-48.70 Mx=0.34 Mz=2.12
Zona tesa: F=53.81 b_{eff}=13.20 t_w=0.70 σ=5.82
Zona tesa: F=53.81 b_{eff}=13.20 t_w=0.70 σ=5.82
CC 13 SLV (Collegamento -378_-512)
Azioni sul collegamento: N=133.62 Ty=0.23 Tz=-48.70 Mx=0.13 Mz=0.80
Zona tesa: F=53.81 b_{eff}=13.20 t_w=0.70 σ=5.82
Zona tesa: F=53.81 b_{eff}=13.20 t_w=0.70 σ=5.82
CC 13 SLV (Collegamento -378_-512)
Azioni sul collegamento: N=133.62 Ty=1.62 Tz=-48.70 Mx=0.34 Mz=2.12
Zona tesa: F=53.81 b_{eff}=13.20 t_w=0.70 σ=5.82
Zona tesa: F=53.81 b_{eff}=13.20 t_w=0.70 σ=5.82
CC 14 SLD (Collegamento -378_-512)
Azioni sul collegamento: N=141.39 Ty=1.18 Tz=-49.90 Mx=0.30 Mz=1.82
Zona tesa: F=56.93 b_{eff}=13.20 t_w=0.70 σ=6.16
Zona tesa: F=56.93 b_{eff}=13.20 t_w=0.70 σ=6.16
CC 14 SLD (Collegamento -378_-512)
Azioni sul collegamento: N=141.39 Ty=1.60 Tz=-49.90 Mx=0.36 Mz=2.22
Zona tesa: F=56.93 b_{eff}=13.20 t_w=0.70 σ=6.16
Zona tesa: F=56.93 b_{eff}=13.20 t_w=0.70 σ=6.16
CC 14 SLD (Collegamento -378_-512)
Azioni sul collegamento: N=141.39 Ty=1.18 Tz=-49.90 Mx=0.30 Mz=1.82
Zona tesa: F=56.93 b_{eff}=13.20 t_w=0.70 σ=6.16
Zona tesa: F=56.93 b_{eff}=13.20 t_w=0.70 σ=6.16
CC 14 SLD (Collegamento -378_-512)
Azioni sul collegamento: N=141.39 Ty=1.60 Tz=-49.90 Mx=0.36 Mz=2.22
Zona tesa: F=56.93 b_{eff}=13.20 t_w=0.70 σ=6.16
Zona tesa: F=56.93 b_{eff}=13.20 t_w=0.70 σ=6.16
CC 14 SLD (Collegamento -378_-512)
Azioni sul collegamento: N=137.71 Ty=1.18 Tz=-49.33 Mx=0.30 Mz=1.82
Zona tesa: F=55.45 b_{eff}=13.20 t_w=0.70 σ=6.00
Zona tesa: F=55.45 b_{eff}=13.20 t_w=0.70 σ=6.00
CC 14 SLD (Collegamento -378_-512)
Azioni sul collegamento: N=137.71 Ty=1.60 Tz=-49.33 Mx=0.36 Mz=2.22
Zona tesa: F=55.45 b_{eff}=13.20 t_w=0.70 σ=6.00
Zona tesa: F=55.45 b_{eff}=13.20 t_w=0.70 σ=6.00
CC 14 SLD (Collegamento -378_-512)
Azioni sul collegamento: N=137.71 Ty=1.18 Tz=-49.33 Mx=0.30 Mz=1.82
Zona tesa: F=55.45 b_{eff}=13.20 t_w=0.70 σ=6.00

Zona tesa: F=55.45 b_{eff}=13.20 t_w=0.70 σ=6.00
CC 14 SLD (Collegamento -378_-512)
Azioni sul collegamento: N=137.71 Ty=1.60 Tz=-49.33 Mx=0.36 Mz=2.22
Zona tesa: F=55.45 b_{eff}=13.20 t_w=0.70 σ=6.00
Zona tesa: F=55.45 b_{eff}=13.20 t_w=0.70 σ=6.00
CC 15 SLV (Collegamento -378_-512)
Azioni sul collegamento: N=133.05 Ty=-0.16 Tz=-48.61 Mx=0.05 Mz=0.25
Zona tesa: F=53.58 b_{eff}=13.20 t_w=0.70 σ=5.80
Zona tesa: F=53.58 b_{eff}=13.20 t_w=0.70 σ=5.80
CC 15 SLV (Collegamento -378_-512)
Azioni sul collegamento: N=133.05 Ty=2.01 Tz=-48.61 Mx=0.42 Mz=2.67
Zona tesa: F=53.58 b_{eff}=13.20 t_w=0.70 σ=5.80
Zona tesa: F=53.58 b_{eff}=13.20 t_w=0.70 σ=5.80
CC 15 SLV (Collegamento -378_-512)
Azioni sul collegamento: N=133.05 Ty=-0.16 Tz=-48.61 Mx=0.05 Mz=0.25
Zona tesa: F=53.58 b_{eff}=13.20 t_w=0.70 σ=5.80
Zona tesa: F=53.58 b_{eff}=13.20 t_w=0.70 σ=5.80
CC 15 SLV (Collegamento -378_-512)
Azioni sul collegamento: N=133.05 Ty=2.01 Tz=-48.61 Mx=0.42 Mz=2.67
Zona tesa: F=53.58 b_{eff}=13.20 t_w=0.70 σ=5.80
Zona tesa: F=53.58 b_{eff}=13.20 t_w=0.70 σ=5.80
CC 15 SLV (Collegamento -378_-512)
Azioni sul collegamento: N=146.26 Ty=-0.16 Tz=-50.66 Mx=0.05 Mz=0.25
Zona tesa: F=58.90 b_{eff}=13.20 t_w=0.70 σ=6.37
Zona tesa: F=58.90 b_{eff}=13.20 t_w=0.70 σ=6.37
CC 15 SLV (Collegamento -378_-512)
Azioni sul collegamento: N=146.26 Ty=2.01 Tz=-50.66 Mx=0.42 Mz=2.67
Zona tesa: F=58.90 b_{eff}=13.20 t_w=0.70 σ=6.37
Zona tesa: F=58.90 b_{eff}=13.20 t_w=0.70 σ=6.37
CC 15 SLV (Collegamento -378_-512)
Azioni sul collegamento: N=146.26 Ty=-0.16 Tz=-50.66 Mx=0.05 Mz=0.25
Zona tesa: F=58.90 b_{eff}=13.20 t_w=0.70 σ=6.37
Zona tesa: F=58.90 b_{eff}=13.20 t_w=0.70 σ=6.37
CC 15 SLV (Collegamento -378_-512)
Azioni sul collegamento: N=146.26 Ty=2.01 Tz=-50.66 Mx=0.42 Mz=2.67
Zona tesa: F=58.90 b_{eff}=13.20 t_w=0.70 σ=6.37
Zona tesa: F=58.90 b_{eff}=13.20 t_w=0.70 σ=6.37
CC 16 SLD (Collegamento -378_-512)
Azioni sul collegamento: N=137.53 Ty=1.06 Tz=-49.31 Mx=0.27 Mz=1.65
Zona tesa: F=55.38 b_{eff}=13.20 t_w=0.70 σ=5.99
Zona tesa: F=55.38 b_{eff}=13.20 t_w=0.70 σ=5.99
CC 16 SLD (Collegamento -378_-512)
Azioni sul collegamento: N=137.53 Ty=1.72 Tz=-49.31 Mx=0.39 Mz=2.39
Zona tesa: F=55.38 b_{eff}=13.20 t_w=0.70 σ=5.99
Zona tesa: F=55.38 b_{eff}=13.20 t_w=0.70 σ=5.99
CC 16 SLD (Collegamento -378_-512)
Azioni sul collegamento: N=137.53 Ty=1.06 Tz=-49.31 Mx=0.27 Mz=1.65
Zona tesa: F=55.38 b_{eff}=13.20 t_w=0.70 σ=5.99
Zona tesa: F=55.38 b_{eff}=13.20 t_w=0.70 σ=5.99
CC 16 SLD (Collegamento -378_-512)
Azioni sul collegamento: N=137.53 Ty=1.72 Tz=-49.31 Mx=0.39 Mz=2.39
Zona tesa: F=55.38 b_{eff}=13.20 t_w=0.70 σ=5.99
Zona tesa: F=55.38 b_{eff}=13.20 t_w=0.70 σ=5.99
CC 16 SLD (Collegamento -378_-512)
Azioni sul collegamento: N=141.56 Ty=1.06 Tz=-49.93 Mx=0.27 Mz=1.65
Zona tesa: F=57.00 b_{eff}=13.20 t_w=0.70 σ=6.17
Zona tesa: F=57.00 b_{eff}=13.20 t_w=0.70 σ=6.17
CC 16 SLD (Collegamento -378_-512)
Azioni sul collegamento: N=141.56 Ty=1.72 Tz=-49.93 Mx=0.39 Mz=2.39
Zona tesa: F=57.00 b_{eff}=13.20 t_w=0.70 σ=6.17
Zona tesa: F=57.00 b_{eff}=13.20 t_w=0.70 σ=6.17
CC 16 SLD (Collegamento -378_-512)
Azioni sul collegamento: N=141.56 Ty=1.06 Tz=-49.93 Mx=0.27 Mz=1.65
Zona tesa: F=57.00 b_{eff}=13.20 t_w=0.70 σ=6.17
Zona tesa: F=57.00 b_{eff}=13.20 t_w=0.70 σ=6.17
CC 16 SLD (Collegamento -378_-512)
Azioni sul collegamento: N=141.56 Ty=1.72 Tz=-49.93 Mx=0.39 Mz=2.39
Zona tesa: F=57.00 b_{eff}=13.20 t_w=0.70 σ=6.17
Zona tesa: F=57.00 b_{eff}=13.20 t_w=0.70 σ=6.17
CC 17 SLV (Collegamento -378_-512)
Azioni sul collegamento: N=160.50 Ty=3.19 Tz=-52.86 Mx=0.69 Mz=4.26
Zona tesa: F=64.63 b_{eff}=13.20 t_w=0.70 σ=6.99
Zona tesa: F=64.63 b_{eff}=13.20 t_w=0.70 σ=6.99
CC 17 SLV (Collegamento -378_-512)
Azioni sul collegamento: N=160.50 Ty=1.35 Tz=-52.86 Mx=0.33 Mz=1.89
Zona tesa: F=64.63 b_{eff}=13.20 t_w=0.70 σ=6.99

Zona tesa: F=64.63 b_{eff}=13.20 t_w=0.70 σ=6.99
CC 17 SLV (Collegamento -378_-512)
Azioni sul collegamento: N=160.50 Ty=3.19 Tz=-52.86 Mx=0.69 Mz=4.26
Zona tesa: F=64.63 b_{eff}=13.20 t_w=0.70 σ=6.99
Zona tesa: F=64.63 b_{eff}=13.20 t_w=0.70 σ=6.99
CC 17 SLV (Collegamento -378_-512)
Azioni sul collegamento: N=160.50 Ty=1.35 Tz=-52.86 Mx=0.33 Mz=1.89
Zona tesa: F=64.63 b_{eff}=13.20 t_w=0.70 σ=6.99
Zona tesa: F=64.63 b_{eff}=13.20 t_w=0.70 σ=6.99
CC 17 SLV (Collegamento -378_-512)
Azioni sul collegamento: N=118.19 Ty=3.19 Tz=-46.31 Mx=0.69 Mz=4.26
Zona tesa: F=47.59 b_{eff}=13.20 t_w=0.70 σ=5.15
Zona tesa: F=47.59 b_{eff}=13.20 t_w=0.70 σ=5.15
CC 17 SLV (Collegamento -378_-512)
Azioni sul collegamento: N=118.19 Ty=1.35 Tz=-46.31 Mx=0.33 Mz=1.89
Zona tesa: F=47.59 b_{eff}=13.20 t_w=0.70 σ=5.15
Zona tesa: F=47.59 b_{eff}=13.20 t_w=0.70 σ=5.15
CC 17 SLV (Collegamento -378_-512)
Azioni sul collegamento: N=118.19 Ty=3.19 Tz=-46.31 Mx=0.69 Mz=4.26
Zona tesa: F=47.59 b_{eff}=13.20 t_w=0.70 σ=5.15
Zona tesa: F=47.59 b_{eff}=13.20 t_w=0.70 σ=5.15
CC 17 SLV (Collegamento -378_-512)
Azioni sul collegamento: N=118.19 Ty=1.35 Tz=-46.31 Mx=0.33 Mz=1.89
Zona tesa: F=47.59 b_{eff}=13.20 t_w=0.70 σ=5.15
Zona tesa: F=47.59 b_{eff}=13.20 t_w=0.70 σ=5.15
CC 18 SLD (Collegamento -378_-512)
Azioni sul collegamento: N=145.90 Ty=2.08 Tz=-50.60 Mx=0.47 Mz=2.88
Zona tesa: F=58.75 b_{eff}=13.20 t_w=0.70 σ=6.36
Zona tesa: F=58.75 b_{eff}=13.20 t_w=0.70 σ=6.36
CC 18 SLD (Collegamento -378_-512)
Azioni sul collegamento: N=145.90 Ty=1.52 Tz=-50.60 Mx=0.36 Mz=2.15
Zona tesa: F=58.75 b_{eff}=13.20 t_w=0.70 σ=6.36
Zona tesa: F=58.75 b_{eff}=13.20 t_w=0.70 σ=6.36
CC 18 SLD (Collegamento -378_-512)
Azioni sul collegamento: N=145.90 Ty=2.08 Tz=-50.60 Mx=0.47 Mz=2.88
Zona tesa: F=58.75 b_{eff}=13.20 t_w=0.70 σ=6.36
Zona tesa: F=58.75 b_{eff}=13.20 t_w=0.70 σ=6.36
CC 18 SLD (Collegamento -378_-512)
Azioni sul collegamento: N=145.90 Ty=1.52 Tz=-50.60 Mx=0.36 Mz=2.15
Zona tesa: F=58.75 b_{eff}=13.20 t_w=0.70 σ=6.36
Zona tesa: F=58.75 b_{eff}=13.20 t_w=0.70 σ=6.36
CC 18 SLD (Collegamento -378_-512)
Azioni sul collegamento: N=133.00 Ty=2.08 Tz=-48.61 Mx=0.47 Mz=2.88
Zona tesa: F=53.56 b_{eff}=13.20 t_w=0.70 σ=5.80
Zona tesa: F=53.56 b_{eff}=13.20 t_w=0.70 σ=5.80
CC 18 SLD (Collegamento -378_-512)
Azioni sul collegamento: N=133.00 Ty=1.52 Tz=-48.61 Mx=0.36 Mz=2.15
Zona tesa: F=53.56 b_{eff}=13.20 t_w=0.70 σ=5.80
Zona tesa: F=53.56 b_{eff}=13.20 t_w=0.70 σ=5.80
CC 18 SLD (Collegamento -378_-512)
Azioni sul collegamento: N=133.00 Ty=2.08 Tz=-48.61 Mx=0.47 Mz=2.88
Zona tesa: F=53.56 b_{eff}=13.20 t_w=0.70 σ=5.80
Zona tesa: F=53.56 b_{eff}=13.20 t_w=0.70 σ=5.80
CC 18 SLD (Collegamento -378_-512)
Azioni sul collegamento: N=133.00 Ty=1.52 Tz=-48.61 Mx=0.36 Mz=2.15
Zona tesa: F=53.56 b_{eff}=13.20 t_w=0.70 σ=5.80
Zona tesa: F=53.56 b_{eff}=13.20 t_w=0.70 σ=5.80
CC 19 SLV (Collegamento -378_-512)
Azioni sul collegamento: N=160.33 Ty=2.66 Tz=-52.83 Mx=0.60 Mz=3.70
Zona tesa: F=64.56 b_{eff}=13.20 t_w=0.70 σ=6.99
Zona tesa: F=64.56 b_{eff}=13.20 t_w=0.70 σ=6.99
CC 19 SLV (Collegamento -378_-512)
Azioni sul collegamento: N=160.33 Ty=1.88 Tz=-52.83 Mx=0.41 Mz=2.45
Zona tesa: F=64.56 b_{eff}=13.20 t_w=0.70 σ=6.99
Zona tesa: F=64.56 b_{eff}=13.20 t_w=0.70 σ=6.99
CC 19 SLV (Collegamento -378_-512)
Azioni sul collegamento: N=160.33 Ty=2.66 Tz=-52.83 Mx=0.60 Mz=3.70
Zona tesa: F=64.56 b_{eff}=13.20 t_w=0.70 σ=6.99
Zona tesa: F=64.56 b_{eff}=13.20 t_w=0.70 σ=6.99
CC 19 SLV (Collegamento -378_-512)
Azioni sul collegamento: N=160.33 Ty=1.88 Tz=-52.83 Mx=0.41 Mz=2.45
Zona tesa: F=64.56 b_{eff}=13.20 t_w=0.70 σ=6.99
Zona tesa: F=64.56 b_{eff}=13.20 t_w=0.70 σ=6.99
CC 19 SLV (Collegamento -378_-512)
Azioni sul collegamento: N=118.37 Ty=2.66 Tz=-46.34 Mx=0.60 Mz=3.70
Zona tesa: F=47.66 b_{eff}=13.20 t_w=0.70 σ=5.16

Zona tesa: F=47.66 b_{eff}=13.20 t_w=0.70 σ=5.16
CC 19 SLV (Collegamento -378_-512)
Azioni sul collegamento: N=118.37 Ty=1.88 Tz=-46.34 Mx=0.41 Mz=2.45
Zona tesa: F=47.66 b_{eff}=13.20 t_w=0.70 σ=5.16
Zona tesa: F=47.66 b_{eff}=13.20 t_w=0.70 σ=5.16
CC 19 SLV (Collegamento -378_-512)
Azioni sul collegamento: N=118.37 Ty=2.66 Tz=-46.34 Mx=0.60 Mz=3.70
Zona tesa: F=47.66 b_{eff}=13.20 t_w=0.70 σ=5.16
Zona tesa: F=47.66 b_{eff}=13.20 t_w=0.70 σ=5.16
CC 19 SLV (Collegamento -378_-512)
Azioni sul collegamento: N=118.37 Ty=1.88 Tz=-46.34 Mx=0.41 Mz=2.45
Zona tesa: F=47.66 b_{eff}=13.20 t_w=0.70 σ=5.16
Zona tesa: F=47.66 b_{eff}=13.20 t_w=0.70 σ=5.16
CC 20 SLD (Collegamento -378_-512)
Azioni sul collegamento: N=145.85 Ty=1.92 Tz=-50.59 Mx=0.44 Mz=2.71
Zona tesa: F=58.73 b_{eff}=13.20 t_w=0.70 σ=6.36
Zona tesa: F=58.73 b_{eff}=13.20 t_w=0.70 σ=6.36
CC 20 SLD (Collegamento -378_-512)
Azioni sul collegamento: N=145.85 Ty=1.68 Tz=-50.59 Mx=0.38 Mz=2.32
Zona tesa: F=58.73 b_{eff}=13.20 t_w=0.70 σ=6.36
Zona tesa: F=58.73 b_{eff}=13.20 t_w=0.70 σ=6.36
CC 20 SLD (Collegamento -378_-512)
Azioni sul collegamento: N=145.85 Ty=1.92 Tz=-50.59 Mx=0.44 Mz=2.71
Zona tesa: F=58.73 b_{eff}=13.20 t_w=0.70 σ=6.36
Zona tesa: F=58.73 b_{eff}=13.20 t_w=0.70 σ=6.36
CC 20 SLD (Collegamento -378_-512)
Azioni sul collegamento: N=145.85 Ty=1.68 Tz=-50.59 Mx=0.38 Mz=2.32
Zona tesa: F=58.73 b_{eff}=13.20 t_w=0.70 σ=6.36
Zona tesa: F=58.73 b_{eff}=13.20 t_w=0.70 σ=6.36
CC 20 SLD (Collegamento -378_-512)
Azioni sul collegamento: N=133.06 Ty=1.92 Tz=-48.61 Mx=0.44 Mz=2.71
Zona tesa: F=53.58 b_{eff}=13.20 t_w=0.70 σ=5.80
Zona tesa: F=53.58 b_{eff}=13.20 t_w=0.70 σ=5.80
CC 20 SLD (Collegamento -378_-512)
Azioni sul collegamento: N=133.06 Ty=1.68 Tz=-48.61 Mx=0.38 Mz=2.32
Zona tesa: F=53.58 b_{eff}=13.20 t_w=0.70 σ=5.80
Zona tesa: F=53.58 b_{eff}=13.20 t_w=0.70 σ=5.80
CC 20 SLD (Collegamento -378_-512)
Azioni sul collegamento: N=133.06 Ty=1.92 Tz=-48.61 Mx=0.44 Mz=2.71
Zona tesa: F=53.58 b_{eff}=13.20 t_w=0.70 σ=5.80
Zona tesa: F=53.58 b_{eff}=13.20 t_w=0.70 σ=5.80
CC 20 SLD (Collegamento -378_-512)
Azioni sul collegamento: N=133.06 Ty=1.68 Tz=-48.61 Mx=0.38 Mz=2.32
Zona tesa: F=53.58 b_{eff}=13.20 t_w=0.70 σ=5.80
Zona tesa: F=53.58 b_{eff}=13.20 t_w=0.70 σ=5.80
CC 21 SLV (Collegamento -378_-512)
Azioni sul collegamento: N=118.37 Ty=1.88 Tz=-46.34 Mx=0.40 Mz=2.45
Zona tesa: F=47.66 b_{eff}=13.20 t_w=0.70 σ=5.16
Zona tesa: F=47.66 b_{eff}=13.20 t_w=0.70 σ=5.16
CC 21 SLV (Collegamento -378_-512)
Azioni sul collegamento: N=118.37 Ty=2.66 Tz=-46.34 Mx=0.59 Mz=3.70
Zona tesa: F=47.66 b_{eff}=13.20 t_w=0.70 σ=5.16
Zona tesa: F=47.66 b_{eff}=13.20 t_w=0.70 σ=5.16
CC 21 SLV (Collegamento -378_-512)
Azioni sul collegamento: N=118.37 Ty=1.88 Tz=-46.34 Mx=0.40 Mz=2.45
Zona tesa: F=47.66 b_{eff}=13.20 t_w=0.70 σ=5.16
Zona tesa: F=47.66 b_{eff}=13.20 t_w=0.70 σ=5.16
CC 21 SLV (Collegamento -378_-512)
Azioni sul collegamento: N=118.37 Ty=2.66 Tz=-46.34 Mx=0.59 Mz=3.70
Zona tesa: F=47.66 b_{eff}=13.20 t_w=0.70 σ=5.16
Zona tesa: F=47.66 b_{eff}=13.20 t_w=0.70 σ=5.16
CC 21 SLV (Collegamento -378_-512)
Azioni sul collegamento: N=160.33 Ty=1.88 Tz=-52.83 Mx=0.40 Mz=2.45
Zona tesa: F=64.56 b_{eff}=13.20 t_w=0.70 σ=6.99
Zona tesa: F=64.56 b_{eff}=13.20 t_w=0.70 σ=6.99
CC 21 SLV (Collegamento -378_-512)
Azioni sul collegamento: N=160.33 Ty=2.66 Tz=-52.83 Mx=0.59 Mz=3.70
Zona tesa: F=64.56 b_{eff}=13.20 t_w=0.70 σ=6.99
Zona tesa: F=64.56 b_{eff}=13.20 t_w=0.70 σ=6.99
CC 21 SLV (Collegamento -378_-512)
Azioni sul collegamento: N=160.33 Ty=1.88 Tz=-52.83 Mx=0.40 Mz=2.45
Zona tesa: F=64.56 b_{eff}=13.20 t_w=0.70 σ=6.99
Zona tesa: F=64.56 b_{eff}=13.20 t_w=0.70 σ=6.99
CC 21 SLV (Collegamento -378_-512)
Azioni sul collegamento: N=160.33 Ty=2.66 Tz=-52.83 Mx=0.59 Mz=3.70
Zona tesa: F=64.56 b_{eff}=13.20 t_w=0.70 σ=6.99

Zona tesa: F=64.56 b_{eff}=13.20 t_w=0.70 σ=6.99
CC 22 SLD (Collegamento -378_-512)
Azioni sul collegamento: N=133.06 Ty=1.68 Tz=-48.61 Mx=0.38 Mz=2.32
Zona tesa: F=53.58 b_{eff}=13.20 t_w=0.70 σ=5.80
Zona tesa: F=53.58 b_{eff}=13.20 t_w=0.70 σ=5.80
CC 22 SLD (Collegamento -378_-512)
Azioni sul collegamento: N=133.06 Ty=1.92 Tz=-48.61 Mx=0.44 Mz=2.71
Zona tesa: F=53.58 b_{eff}=13.20 t_w=0.70 σ=5.80
Zona tesa: F=53.58 b_{eff}=13.20 t_w=0.70 σ=5.80
CC 22 SLD (Collegamento -378_-512)
Azioni sul collegamento: N=133.06 Ty=1.68 Tz=-48.61 Mx=0.38 Mz=2.32
Zona tesa: F=53.58 b_{eff}=13.20 t_w=0.70 σ=5.80
Zona tesa: F=53.58 b_{eff}=13.20 t_w=0.70 σ=5.80
CC 22 SLD (Collegamento -378_-512)
Azioni sul collegamento: N=133.06 Ty=1.92 Tz=-48.61 Mx=0.44 Mz=2.71
Zona tesa: F=53.58 b_{eff}=13.20 t_w=0.70 σ=5.80
Zona tesa: F=53.58 b_{eff}=13.20 t_w=0.70 σ=5.80
CC 22 SLD (Collegamento -378_-512)
Azioni sul collegamento: N=145.85 Ty=1.68 Tz=-50.59 Mx=0.38 Mz=2.32
Zona tesa: F=58.73 b_{eff}=13.20 t_w=0.70 σ=6.36
Zona tesa: F=58.73 b_{eff}=13.20 t_w=0.70 σ=6.36
CC 22 SLD (Collegamento -378_-512)
Azioni sul collegamento: N=145.85 Ty=1.92 Tz=-50.59 Mx=0.44 Mz=2.71
Zona tesa: F=58.73 b_{eff}=13.20 t_w=0.70 σ=6.36
Zona tesa: F=58.73 b_{eff}=13.20 t_w=0.70 σ=6.36
CC 22 SLD (Collegamento -378_-512)
Azioni sul collegamento: N=145.85 Ty=1.68 Tz=-50.59 Mx=0.38 Mz=2.32
Zona tesa: F=58.73 b_{eff}=13.20 t_w=0.70 σ=6.36
Zona tesa: F=58.73 b_{eff}=13.20 t_w=0.70 σ=6.36
CC 22 SLD (Collegamento -378_-512)
Azioni sul collegamento: N=145.85 Ty=1.92 Tz=-50.59 Mx=0.44 Mz=2.71
Zona tesa: F=58.73 b_{eff}=13.20 t_w=0.70 σ=6.36
Zona tesa: F=58.73 b_{eff}=13.20 t_w=0.70 σ=6.36
CC 23 SLV (Collegamento -378_-512)
Azioni sul collegamento: N=118.19 Ty=1.35 Tz=-46.31 Mx=0.31 Mz=1.89
Zona tesa: F=47.59 b_{eff}=13.20 t_w=0.70 σ=5.15
Zona tesa: F=47.59 b_{eff}=13.20 t_w=0.70 σ=5.15
CC 23 SLV (Collegamento -378_-512)
Azioni sul collegamento: N=118.19 Ty=3.19 Tz=-46.31 Mx=0.68 Mz=4.27
Zona tesa: F=47.59 b_{eff}=13.20 t_w=0.70 σ=5.15
Zona tesa: F=47.59 b_{eff}=13.20 t_w=0.70 σ=5.15
CC 23 SLV (Collegamento -378_-512)
Azioni sul collegamento: N=118.19 Ty=1.35 Tz=-46.31 Mx=0.31 Mz=1.89
Zona tesa: F=47.59 b_{eff}=13.20 t_w=0.70 σ=5.15
Zona tesa: F=47.59 b_{eff}=13.20 t_w=0.70 σ=5.15
CC 23 SLV (Collegamento -378_-512)
Azioni sul collegamento: N=118.19 Ty=3.19 Tz=-46.31 Mx=0.68 Mz=4.27
Zona tesa: F=47.59 b_{eff}=13.20 t_w=0.70 σ=5.15
Zona tesa: F=47.59 b_{eff}=13.20 t_w=0.70 σ=5.15
CC 23 SLV (Collegamento -378_-512)
Azioni sul collegamento: N=160.50 Ty=1.35 Tz=-52.86 Mx=0.31 Mz=1.89
Zona tesa: F=64.63 b_{eff}=13.20 t_w=0.70 σ=6.99
Zona tesa: F=64.63 b_{eff}=13.20 t_w=0.70 σ=6.99
CC 23 SLV (Collegamento -378_-512)
Azioni sul collegamento: N=160.50 Ty=3.19 Tz=-52.86 Mx=0.68 Mz=4.27
Zona tesa: F=64.63 b_{eff}=13.20 t_w=0.70 σ=6.99
Zona tesa: F=64.63 b_{eff}=13.20 t_w=0.70 σ=6.99
CC 23 SLV (Collegamento -378_-512)
Azioni sul collegamento: N=160.50 Ty=1.35 Tz=-52.86 Mx=0.31 Mz=1.89
Zona tesa: F=64.63 b_{eff}=13.20 t_w=0.70 σ=6.99
Zona tesa: F=64.63 b_{eff}=13.20 t_w=0.70 σ=6.99
CC 23 SLV (Collegamento -378_-512)
Azioni sul collegamento: N=160.50 Ty=3.19 Tz=-52.86 Mx=0.68 Mz=4.27
Zona tesa: F=64.63 b_{eff}=13.20 t_w=0.70 σ=6.99
Zona tesa: F=64.63 b_{eff}=13.20 t_w=0.70 σ=6.99
CC 24 SLD (Collegamento -378_-512)
Azioni sul collegamento: N=133.00 Ty=1.52 Tz=-48.61 Mx=0.35 Mz=2.15
Zona tesa: F=53.56 b_{eff}=13.20 t_w=0.70 σ=5.80
Zona tesa: F=53.56 b_{eff}=13.20 t_w=0.70 σ=5.80
CC 24 SLD (Collegamento -378_-512)
Azioni sul collegamento: N=133.00 Ty=2.08 Tz=-48.61 Mx=0.46 Mz=2.88
Zona tesa: F=53.56 b_{eff}=13.20 t_w=0.70 σ=5.80
Zona tesa: F=53.56 b_{eff}=13.20 t_w=0.70 σ=5.80
CC 24 SLD (Collegamento -378_-512)
Azioni sul collegamento: N=133.00 Ty=1.52 Tz=-48.61 Mx=0.35 Mz=2.15
Zona tesa: F=53.56 b_{eff}=13.20 t_w=0.70 σ=5.80

Zona tesa: F=53.56 b_{eff}=13.20 t_w=0.70 σ=5.80
CC 24 SLD (Collegamento -378_-512)
Azioni sul collegamento: N=133.00 Ty=2.08 Tz=-48.61 Mx=0.46 Mz=2.88
Zona tesa: F=53.56 b_{eff}=13.20 t_w=0.70 σ=5.80
Zona tesa: F=53.56 b_{eff}=13.20 t_w=0.70 σ=5.80
CC 24 SLD (Collegamento -378_-512)
Azioni sul collegamento: N=145.90 Ty=1.52 Tz=-50.60 Mx=0.35 Mz=2.15
Zona tesa: F=58.75 b_{eff}=13.20 t_w=0.70 σ=6.36
Zona tesa: F=58.75 b_{eff}=13.20 t_w=0.70 σ=6.36
CC 24 SLD (Collegamento -378_-512)
Azioni sul collegamento: N=145.90 Ty=2.08 Tz=-50.60 Mx=0.46 Mz=2.88
Zona tesa: F=58.75 b_{eff}=13.20 t_w=0.70 σ=6.36
Zona tesa: F=58.75 b_{eff}=13.20 t_w=0.70 σ=6.36
CC 24 SLD (Collegamento -378_-512)
Azioni sul collegamento: N=145.90 Ty=1.52 Tz=-50.60 Mx=0.35 Mz=2.15
Zona tesa: F=58.75 b_{eff}=13.20 t_w=0.70 σ=6.36
Zona tesa: F=58.75 b_{eff}=13.20 t_w=0.70 σ=6.36
CC 24 SLD (Collegamento -378_-512)
Azioni sul collegamento: N=145.90 Ty=2.08 Tz=-50.60 Mx=0.46 Mz=2.88
Zona tesa: F=58.75 b_{eff}=13.20 t_w=0.70 σ=6.36
Zona tesa: F=58.75 b_{eff}=13.20 t_w=0.70 σ=6.36
CC 25 SLV (Collegamento -378_-512)
Azioni sul collegamento: N=145.95 Ty=3.35 Tz=-50.61 Mx=0.69 Mz=4.28
Zona tesa: F=58.77 b_{eff}=13.20 t_w=0.70 σ=6.36
Zona tesa: F=58.77 b_{eff}=13.20 t_w=0.70 σ=6.36
CC 25 SLV (Collegamento -378_-512)
Azioni sul collegamento: N=145.95 Ty=1.18 Tz=-50.61 Mx=0.32 Mz=1.87
Zona tesa: F=58.77 b_{eff}=13.20 t_w=0.70 σ=6.36
Zona tesa: F=58.77 b_{eff}=13.20 t_w=0.70 σ=6.36
CC 25 SLV (Collegamento -378_-512)
Azioni sul collegamento: N=145.95 Ty=3.35 Tz=-50.61 Mx=0.69 Mz=4.28
Zona tesa: F=58.77 b_{eff}=13.20 t_w=0.70 σ=6.36
Zona tesa: F=58.77 b_{eff}=13.20 t_w=0.70 σ=6.36
CC 25 SLV (Collegamento -378_-512)
Azioni sul collegamento: N=145.95 Ty=1.18 Tz=-50.61 Mx=0.32 Mz=1.87
Zona tesa: F=58.77 b_{eff}=13.20 t_w=0.70 σ=6.36
Zona tesa: F=58.77 b_{eff}=13.20 t_w=0.70 σ=6.36
CC 25 SLV (Collegamento -378_-512)
Azioni sul collegamento: N=132.74 Ty=3.35 Tz=-48.57 Mx=0.69 Mz=4.28
Zona tesa: F=53.45 b_{eff}=13.20 t_w=0.70 σ=5.78
Zona tesa: F=53.45 b_{eff}=13.20 t_w=0.70 σ=5.78
CC 25 SLV (Collegamento -378_-512)
Azioni sul collegamento: N=132.74 Ty=1.18 Tz=-48.57 Mx=0.32 Mz=1.87
Zona tesa: F=53.45 b_{eff}=13.20 t_w=0.70 σ=5.78
Zona tesa: F=53.45 b_{eff}=13.20 t_w=0.70 σ=5.78
CC 25 SLV (Collegamento -378_-512)
Azioni sul collegamento: N=132.74 Ty=3.35 Tz=-48.57 Mx=0.69 Mz=4.28
Zona tesa: F=53.45 b_{eff}=13.20 t_w=0.70 σ=5.78
Zona tesa: F=53.45 b_{eff}=13.20 t_w=0.70 σ=5.78
CC 25 SLV (Collegamento -378_-512)
Azioni sul collegamento: N=132.74 Ty=1.18 Tz=-48.57 Mx=0.32 Mz=1.87
Zona tesa: F=53.45 b_{eff}=13.20 t_w=0.70 σ=5.78
Zona tesa: F=53.45 b_{eff}=13.20 t_w=0.70 σ=5.78
CC 26 SLD (Collegamento -378_-512)
Azioni sul collegamento: N=141.47 Ty=2.13 Tz=-49.92 Mx=0.47 Mz=2.88
Zona tesa: F=56.97 b_{eff}=13.20 t_w=0.70 σ=6.17
Zona tesa: F=56.97 b_{eff}=13.20 t_w=0.70 σ=6.17
CC 26 SLD (Collegamento -378_-512)
Azioni sul collegamento: N=141.47 Ty=1.47 Tz=-49.92 Mx=0.36 Mz=2.15
Zona tesa: F=56.97 b_{eff}=13.20 t_w=0.70 σ=6.17
Zona tesa: F=56.97 b_{eff}=13.20 t_w=0.70 σ=6.17
CC 26 SLD (Collegamento -378_-512)
Azioni sul collegamento: N=141.47 Ty=2.13 Tz=-49.92 Mx=0.47 Mz=2.88
Zona tesa: F=56.97 b_{eff}=13.20 t_w=0.70 σ=6.17
Zona tesa: F=56.97 b_{eff}=13.20 t_w=0.70 σ=6.17
CC 26 SLD (Collegamento -378_-512)
Azioni sul collegamento: N=141.47 Ty=1.47 Tz=-49.92 Mx=0.36 Mz=2.15
Zona tesa: F=56.97 b_{eff}=13.20 t_w=0.70 σ=6.17
Zona tesa: F=56.97 b_{eff}=13.20 t_w=0.70 σ=6.17
CC 26 SLD (Collegamento -378_-512)
Azioni sul collegamento: N=137.44 Ty=2.13 Tz=-49.29 Mx=0.47 Mz=2.88
Zona tesa: F=55.34 b_{eff}=13.20 t_w=0.70 σ=5.99
Zona tesa: F=55.34 b_{eff}=13.20 t_w=0.70 σ=5.99
CC 26 SLD (Collegamento -378_-512)
Azioni sul collegamento: N=137.44 Ty=1.47 Tz=-49.29 Mx=0.36 Mz=2.15
Zona tesa: F=55.34 b_{eff}=13.20 t_w=0.70 σ=5.99

Zona tesa: F=55.34 b_{eff}=13.20 t_w=0.70 σ=5.99
CC 26 SLD (Collegamento -378_-512)
Azioni sul collegamento: N=137.44 Ty=2.13 Tz=-49.29 Mx=0.47 Mz=2.88
Zona tesa: F=55.34 b_{eff}=13.20 t_w=0.70 σ=5.99
Zona tesa: F=55.34 b_{eff}=13.20 t_w=0.70 σ=5.99
CC 26 SLD (Collegamento -378_-512)
Azioni sul collegamento: N=137.44 Ty=1.47 Tz=-49.29 Mx=0.36 Mz=2.15
Zona tesa: F=55.34 b_{eff}=13.20 t_w=0.70 σ=5.99
Zona tesa: F=55.34 b_{eff}=13.20 t_w=0.70 σ=5.99
CC 27 SLV (Collegamento -378_-512)
Azioni sul collegamento: N=133.31 Ty=2.96 Tz=-48.65 Mx=0.61 Mz=3.74
Zona tesa: F=53.68 b_{eff}=13.20 t_w=0.70 σ=5.81
Zona tesa: F=53.68 b_{eff}=13.20 t_w=0.70 σ=5.81
CC 27 SLV (Collegamento -378_-512)
Azioni sul collegamento: N=133.31 Ty=1.58 Tz=-48.65 Mx=0.40 Mz=2.41
Zona tesa: F=53.68 b_{eff}=13.20 t_w=0.70 σ=5.81
Zona tesa: F=53.68 b_{eff}=13.20 t_w=0.70 σ=5.81
CC 27 SLV (Collegamento -378_-512)
Azioni sul collegamento: N=133.31 Ty=2.96 Tz=-48.65 Mx=0.61 Mz=3.74
Zona tesa: F=53.68 b_{eff}=13.20 t_w=0.70 σ=5.81
Zona tesa: F=53.68 b_{eff}=13.20 t_w=0.70 σ=5.81
CC 27 SLV (Collegamento -378_-512)
Azioni sul collegamento: N=133.31 Ty=1.58 Tz=-48.65 Mx=0.40 Mz=2.41
Zona tesa: F=53.68 b_{eff}=13.20 t_w=0.70 σ=5.81
Zona tesa: F=53.68 b_{eff}=13.20 t_w=0.70 σ=5.81
CC 27 SLV (Collegamento -378_-512)
Azioni sul collegamento: N=145.38 Ty=2.96 Tz=-50.52 Mx=0.61 Mz=3.74
Zona tesa: F=58.54 b_{eff}=13.20 t_w=0.70 σ=6.34
Zona tesa: F=58.54 b_{eff}=13.20 t_w=0.70 σ=6.34
CC 27 SLV (Collegamento -378_-512)
Azioni sul collegamento: N=145.38 Ty=1.58 Tz=-50.52 Mx=0.40 Mz=2.41
Zona tesa: F=58.54 b_{eff}=13.20 t_w=0.70 σ=6.34
Zona tesa: F=58.54 b_{eff}=13.20 t_w=0.70 σ=6.34
CC 27 SLV (Collegamento -378_-512)
Azioni sul collegamento: N=145.38 Ty=2.96 Tz=-50.52 Mx=0.61 Mz=3.74
Zona tesa: F=58.54 b_{eff}=13.20 t_w=0.70 σ=6.34
Zona tesa: F=58.54 b_{eff}=13.20 t_w=0.70 σ=6.34
CC 27 SLV (Collegamento -378_-512)
Azioni sul collegamento: N=145.38 Ty=1.58 Tz=-50.52 Mx=0.40 Mz=2.41
Zona tesa: F=58.54 b_{eff}=13.20 t_w=0.70 σ=6.34
Zona tesa: F=58.54 b_{eff}=13.20 t_w=0.70 σ=6.34
CC 28 SLD (Collegamento -378_-512)
Azioni sul collegamento: N=137.61 Ty=2.01 Tz=-49.32 Mx=0.44 Mz=2.72
Zona tesa: F=55.42 b_{eff}=13.20 t_w=0.70 σ=6.00
Zona tesa: F=55.42 b_{eff}=13.20 t_w=0.70 σ=6.00
CC 28 SLD (Collegamento -378_-512)
Azioni sul collegamento: N=137.61 Ty=1.59 Tz=-49.32 Mx=0.38 Mz=2.31
Zona tesa: F=55.42 b_{eff}=13.20 t_w=0.70 σ=6.00
Zona tesa: F=55.42 b_{eff}=13.20 t_w=0.70 σ=6.00
CC 28 SLD (Collegamento -378_-512)
Azioni sul collegamento: N=137.61 Ty=2.01 Tz=-49.32 Mx=0.44 Mz=2.72
Zona tesa: F=55.42 b_{eff}=13.20 t_w=0.70 σ=6.00
Zona tesa: F=55.42 b_{eff}=13.20 t_w=0.70 σ=6.00
CC 28 SLD (Collegamento -378_-512)
Azioni sul collegamento: N=137.61 Ty=1.59 Tz=-49.32 Mx=0.38 Mz=2.31
Zona tesa: F=55.42 b_{eff}=13.20 t_w=0.70 σ=6.00
Zona tesa: F=55.42 b_{eff}=13.20 t_w=0.70 σ=6.00
CC 28 SLD (Collegamento -378_-512)
Azioni sul collegamento: N=141.29 Ty=2.01 Tz=-49.89 Mx=0.44 Mz=2.72
Zona tesa: F=56.90 b_{eff}=13.20 t_w=0.70 σ=6.16
Zona tesa: F=56.90 b_{eff}=13.20 t_w=0.70 σ=6.16
CC 28 SLD (Collegamento -378_-512)
Azioni sul collegamento: N=141.29 Ty=1.59 Tz=-49.89 Mx=0.38 Mz=2.31
Zona tesa: F=56.90 b_{eff}=13.20 t_w=0.70 σ=6.16
Zona tesa: F=56.90 b_{eff}=13.20 t_w=0.70 σ=6.16
CC 28 SLD (Collegamento -378_-512)
Azioni sul collegamento: N=141.29 Ty=2.01 Tz=-49.89 Mx=0.44 Mz=2.72
Zona tesa: F=56.90 b_{eff}=13.20 t_w=0.70 σ=6.16
Zona tesa: F=56.90 b_{eff}=13.20 t_w=0.70 σ=6.16
CC 28 SLD (Collegamento -378_-512)
Azioni sul collegamento: N=141.29 Ty=1.59 Tz=-49.89 Mx=0.38 Mz=2.31
Zona tesa: F=56.90 b_{eff}=13.20 t_w=0.70 σ=6.16
Zona tesa: F=56.90 b_{eff}=13.20 t_w=0.70 σ=6.16
CC 29 SLV (Collegamento -378_-512)
Azioni sul collegamento: N=145.38 Ty=1.58 Tz=-50.52 Mx=0.40 Mz=2.42
Zona tesa: F=58.54 b_{eff}=13.20 t_w=0.70 σ=6.34

Zona tesa: F=58.54 b_{eff}=13.20 t_w=0.70 σ=6.34
CC 29 SLV (Collegamento -378_-512)
Azioni sul collegamento: N=145.38 Ty=2.96 Tz=-50.52 Mx=0.60 Mz=3.74
Zona tesa: F=58.54 b_{eff}=13.20 t_w=0.70 σ=6.34
Zona tesa: F=58.54 b_{eff}=13.20 t_w=0.70 σ=6.34
CC 29 SLV (Collegamento -378_-512)
Azioni sul collegamento: N=145.38 Ty=1.58 Tz=-50.52 Mx=0.40 Mz=2.42
Zona tesa: F=58.54 b_{eff}=13.20 t_w=0.70 σ=6.34
Zona tesa: F=58.54 b_{eff}=13.20 t_w=0.70 σ=6.34
CC 29 SLV (Collegamento -378_-512)
Azioni sul collegamento: N=145.38 Ty=2.96 Tz=-50.52 Mx=0.60 Mz=3.74
Zona tesa: F=58.54 b_{eff}=13.20 t_w=0.70 σ=6.34
Zona tesa: F=58.54 b_{eff}=13.20 t_w=0.70 σ=6.34
CC 29 SLV (Collegamento -378_-512)
Azioni sul collegamento: N=133.31 Ty=1.58 Tz=-48.65 Mx=0.40 Mz=2.42
Zona tesa: F=53.68 b_{eff}=13.20 t_w=0.70 σ=5.81
Zona tesa: F=53.68 b_{eff}=13.20 t_w=0.70 σ=5.81
CC 29 SLV (Collegamento -378_-512)
Azioni sul collegamento: N=133.31 Ty=2.96 Tz=-48.65 Mx=0.60 Mz=3.74
Zona tesa: F=53.68 b_{eff}=13.20 t_w=0.70 σ=5.81
Zona tesa: F=53.68 b_{eff}=13.20 t_w=0.70 σ=5.81
CC 29 SLV (Collegamento -378_-512)
Azioni sul collegamento: N=133.31 Ty=1.58 Tz=-48.65 Mx=0.40 Mz=2.42
Zona tesa: F=53.68 b_{eff}=13.20 t_w=0.70 σ=5.81
Zona tesa: F=53.68 b_{eff}=13.20 t_w=0.70 σ=5.81
CC 29 SLV (Collegamento -378_-512)
Azioni sul collegamento: N=133.31 Ty=2.96 Tz=-48.65 Mx=0.60 Mz=3.74
Zona tesa: F=53.68 b_{eff}=13.20 t_w=0.70 σ=5.81
Zona tesa: F=53.68 b_{eff}=13.20 t_w=0.70 σ=5.81
CC 30 SLD (Collegamento -378_-512)
Azioni sul collegamento: N=141.29 Ty=1.59 Tz=-49.89 Mx=0.38 Mz=2.31
Zona tesa: F=56.90 b_{eff}=13.20 t_w=0.70 σ=6.16
Zona tesa: F=56.90 b_{eff}=13.20 t_w=0.70 σ=6.16
CC 30 SLD (Collegamento -378_-512)
Azioni sul collegamento: N=141.29 Ty=2.01 Tz=-49.89 Mx=0.44 Mz=2.72
Zona tesa: F=56.90 b_{eff}=13.20 t_w=0.70 σ=6.16
Zona tesa: F=56.90 b_{eff}=13.20 t_w=0.70 σ=6.16
CC 30 SLD (Collegamento -378_-512)
Azioni sul collegamento: N=141.29 Ty=1.59 Tz=-49.89 Mx=0.38 Mz=2.31
Zona tesa: F=56.90 b_{eff}=13.20 t_w=0.70 σ=6.16
Zona tesa: F=56.90 b_{eff}=13.20 t_w=0.70 σ=6.16
CC 30 SLD (Collegamento -378_-512)
Azioni sul collegamento: N=141.29 Ty=2.01 Tz=-49.89 Mx=0.44 Mz=2.72
Zona tesa: F=56.90 b_{eff}=13.20 t_w=0.70 σ=6.16
Zona tesa: F=56.90 b_{eff}=13.20 t_w=0.70 σ=6.16
CC 30 SLD (Collegamento -378_-512)
Azioni sul collegamento: N=137.61 Ty=1.59 Tz=-49.32 Mx=0.38 Mz=2.31
Zona tesa: F=55.42 b_{eff}=13.20 t_w=0.70 σ=6.00
Zona tesa: F=55.42 b_{eff}=13.20 t_w=0.70 σ=6.00
CC 30 SLD (Collegamento -378_-512)
Azioni sul collegamento: N=137.61 Ty=2.01 Tz=-49.32 Mx=0.44 Mz=2.72
Zona tesa: F=55.42 b_{eff}=13.20 t_w=0.70 σ=6.00
Zona tesa: F=55.42 b_{eff}=13.20 t_w=0.70 σ=6.00
CC 30 SLD (Collegamento -378_-512)
Azioni sul collegamento: N=137.61 Ty=1.59 Tz=-49.32 Mx=0.38 Mz=2.31
Zona tesa: F=55.42 b_{eff}=13.20 t_w=0.70 σ=6.00
Zona tesa: F=55.42 b_{eff}=13.20 t_w=0.70 σ=6.00
CC 30 SLD (Collegamento -378_-512)
Azioni sul collegamento: N=137.61 Ty=2.01 Tz=-49.32 Mx=0.44 Mz=2.72
Zona tesa: F=55.42 b_{eff}=13.20 t_w=0.70 σ=6.00
Zona tesa: F=55.42 b_{eff}=13.20 t_w=0.70 σ=6.00
CC 31 SLV (Collegamento -378_-512)
Azioni sul collegamento: N=132.74 Ty=1.18 Tz=-48.57 Mx=0.31 Mz=1.87
Zona tesa: F=53.45 b_{eff}=13.20 t_w=0.70 σ=5.78
Zona tesa: F=53.45 b_{eff}=13.20 t_w=0.70 σ=5.78
CC 31 SLV (Collegamento -378_-512)
Azioni sul collegamento: N=132.74 Ty=3.35 Tz=-48.57 Mx=0.68 Mz=4.28
Zona tesa: F=53.45 b_{eff}=13.20 t_w=0.70 σ=5.78
Zona tesa: F=53.45 b_{eff}=13.20 t_w=0.70 σ=5.78
CC 31 SLV (Collegamento -378_-512)
Azioni sul collegamento: N=132.74 Ty=1.18 Tz=-48.57 Mx=0.31 Mz=1.87
Zona tesa: F=53.45 b_{eff}=13.20 t_w=0.70 σ=5.78
Zona tesa: F=53.45 b_{eff}=13.20 t_w=0.70 σ=5.78
CC 31 SLV (Collegamento -378_-512)
Azioni sul collegamento: N=132.74 Ty=3.35 Tz=-48.57 Mx=0.68 Mz=4.28
Zona tesa: F=53.45 b_{eff}=13.20 t_w=0.70 σ=5.78

Zona tesa: F=53.45 b_{eff}=13.20 t_w=0.70 σ=5.78
CC 31 SLV (Collegamento -378_-512)
Azioni sul collegamento: N=145.95 Ty=1.18 Tz=-50.61 Mx=0.31 Mz=1.87
Zona tesa: F=58.77 b_{eff}=13.20 t_w=0.70 σ=6.36
Zona tesa: F=58.77 b_{eff}=13.20 t_w=0.70 σ=6.36
CC 31 SLV (Collegamento -378_-512)
Azioni sul collegamento: N=145.95 Ty=3.35 Tz=-50.61 Mx=0.68 Mz=4.28
Zona tesa: F=58.77 b_{eff}=13.20 t_w=0.70 σ=6.36
Zona tesa: F=58.77 b_{eff}=13.20 t_w=0.70 σ=6.36
CC 31 SLV (Collegamento -378_-512)
Azioni sul collegamento: N=145.95 Ty=1.18 Tz=-50.61 Mx=0.31 Mz=1.87
Zona tesa: F=58.77 b_{eff}=13.20 t_w=0.70 σ=6.36
Zona tesa: F=58.77 b_{eff}=13.20 t_w=0.70 σ=6.36
CC 31 SLV (Collegamento -378_-512)
Azioni sul collegamento: N=145.95 Ty=3.35 Tz=-50.61 Mx=0.68 Mz=4.28
Zona tesa: F=58.77 b_{eff}=13.20 t_w=0.70 σ=6.36
Zona tesa: F=58.77 b_{eff}=13.20 t_w=0.70 σ=6.36
CC 32 SLD (Collegamento -378_-512)
Azioni sul collegamento: N=137.44 Ty=1.47 Tz=-49.29 Mx=0.35 Mz=2.15
Zona tesa: F=55.34 b_{eff}=13.20 t_w=0.70 σ=5.99
Zona tesa: F=55.34 b_{eff}=13.20 t_w=0.70 σ=5.99
CC 32 SLD (Collegamento -378_-512)
Azioni sul collegamento: N=137.44 Ty=2.13 Tz=-49.29 Mx=0.46 Mz=2.88
Zona tesa: F=55.34 b_{eff}=13.20 t_w=0.70 σ=5.99
Zona tesa: F=55.34 b_{eff}=13.20 t_w=0.70 σ=5.99
CC 32 SLD (Collegamento -378_-512)
Azioni sul collegamento: N=137.44 Ty=1.47 Tz=-49.29 Mx=0.35 Mz=2.15
Zona tesa: F=55.34 b_{eff}=13.20 t_w=0.70 σ=5.99
Zona tesa: F=55.34 b_{eff}=13.20 t_w=0.70 σ=5.99
CC 32 SLD (Collegamento -378_-512)
Azioni sul collegamento: N=137.44 Ty=2.13 Tz=-49.29 Mx=0.46 Mz=2.88
Zona tesa: F=55.34 b_{eff}=13.20 t_w=0.70 σ=5.99
Zona tesa: F=55.34 b_{eff}=13.20 t_w=0.70 σ=5.99
CC 32 SLD (Collegamento -378_-512)
Azioni sul collegamento: N=141.47 Ty=1.47 Tz=-49.92 Mx=0.35 Mz=2.15
Zona tesa: F=56.97 b_{eff}=13.20 t_w=0.70 σ=6.17
Zona tesa: F=56.97 b_{eff}=13.20 t_w=0.70 σ=6.17
CC 32 SLD (Collegamento -378_-512)
Azioni sul collegamento: N=141.47 Ty=2.13 Tz=-49.92 Mx=0.46 Mz=2.88
Zona tesa: F=56.97 b_{eff}=13.20 t_w=0.70 σ=6.17
Zona tesa: F=56.97 b_{eff}=13.20 t_w=0.70 σ=6.17
CC 32 SLD (Collegamento -378_-512)
Azioni sul collegamento: N=141.47 Ty=1.47 Tz=-49.92 Mx=0.35 Mz=2.15
Zona tesa: F=56.97 b_{eff}=13.20 t_w=0.70 σ=6.17
Zona tesa: F=56.97 b_{eff}=13.20 t_w=0.70 σ=6.17
CC 32 SLD (Collegamento -378_-512)
Azioni sul collegamento: N=141.47 Ty=2.13 Tz=-49.92 Mx=0.46 Mz=2.88
Zona tesa: F=56.97 b_{eff}=13.20 t_w=0.70 σ=6.17
Zona tesa: F=56.97 b_{eff}=13.20 t_w=0.70 σ=6.17
CC 33 SLU (Collegamento -378_-512)
Azioni sul collegamento: N=353.36 Ty=2.81 Tz=-92.52 Mx=0.65 Mz=4.01
Zona tesa: F=142.29 b_{eff}=13.20 t_w=0.70 σ=15.40
Zona tesa: F=142.29 b_{eff}=13.20 t_w=0.70 σ=15.40
CC 34 SLU (Collegamento -378_-512)
Azioni sul collegamento: N=348.98 Ty=2.67 Tz=-91.84 Mx=0.62 Mz=3.82
Zona tesa: F=140.53 b_{eff}=13.20 t_w=0.70 σ=15.21
Zona tesa: F=140.53 b_{eff}=13.20 t_w=0.70 σ=15.21
CC 35 SLU (Collegamento -378_-512)
Azioni sul collegamento: N=351.14 Ty=2.83 Tz=-92.17 Mx=0.65 Mz=4.01
Zona tesa: F=141.40 b_{eff}=13.20 t_w=0.70 σ=15.30
Zona tesa: F=141.40 b_{eff}=13.20 t_w=0.70 σ=15.30
CC 36 SLU (Collegamento -378_-512)
Azioni sul collegamento: N=351.20 Ty=2.65 Tz=-92.18 Mx=0.62 Mz=3.82
Zona tesa: F=141.42 b_{eff}=13.20 t_w=0.70 σ=15.31
Zona tesa: F=141.42 b_{eff}=13.20 t_w=0.70 σ=15.31
CC 37 SLU (Collegamento -378_-512)
Azioni sul collegamento: N=284.39 Ty=3.06 Tz=-81.84 Mx=0.70 Mz=4.33
Zona tesa: F=114.52 b_{eff}=13.20 t_w=0.70 σ=12.39
Zona tesa: F=114.52 b_{eff}=13.20 t_w=0.70 σ=12.39
CC 38 SLU (Collegamento -378_-512)
Azioni sul collegamento: N=280.01 Ty=2.92 Tz=-81.16 Mx=0.67 Mz=4.14
Zona tesa: F=112.76 b_{eff}=13.20 t_w=0.70 σ=12.20
Zona tesa: F=112.76 b_{eff}=13.20 t_w=0.70 σ=12.20
CC 39 SLU (Collegamento -378_-512)
Azioni sul collegamento: N=282.17 Ty=3.08 Tz=-81.50 Mx=0.70 Mz=4.34
Zona tesa: F=113.63 b_{eff}=13.20 t_w=0.70 σ=12.30

Zona tesa: F=113.63 b_{eff}=13.20 t_w=0.70 σ=12.30
CC 40 SLU (Collegamento -378_-512)
Azioni sul collegamento: N=282.23 Ty=2.90 Tz=-81.51 Mx=0.67 Mz=4.14
Zona tesa: F=113.65 b_{eff}=13.20 t_w=0.70 σ=12.30
Zona tesa: F=113.65 b_{eff}=13.20 t_w=0.70 σ=12.30
CC 41 SLU (Collegamento -378_-512)
Azioni sul collegamento: N=346.10 Ty=0.73 Tz=-91.39 Mx=0.19 Mz=1.07
Zona tesa: F=139.37 b_{eff}=13.20 t_w=0.70 σ=15.08
Zona tesa: F=139.37 b_{eff}=13.20 t_w=0.70 σ=15.08
CC 42 SLU (Collegamento -378_-512)
Azioni sul collegamento: N=341.71 Ty=0.59 Tz=-90.71 Mx=0.16 Mz=0.88
Zona tesa: F=137.60 b_{eff}=13.20 t_w=0.70 σ=14.89
Zona tesa: F=137.60 b_{eff}=13.20 t_w=0.70 σ=14.89
CC 43 SLU (Collegamento -378_-512)
Azioni sul collegamento: N=343.87 Ty=0.75 Tz=-91.05 Mx=0.19 Mz=1.07
Zona tesa: F=138.47 b_{eff}=13.20 t_w=0.70 σ=14.99
Zona tesa: F=138.47 b_{eff}=13.20 t_w=0.70 σ=14.99
CC 44 SLU (Collegamento -378_-512)
Azioni sul collegamento: N=343.94 Ty=0.57 Tz=-91.06 Mx=0.16 Mz=0.87
Zona tesa: F=138.50 b_{eff}=13.20 t_w=0.70 σ=14.99
Zona tesa: F=138.50 b_{eff}=13.20 t_w=0.70 σ=14.99
CC 45 SLU (Collegamento -378_-512)
Azioni sul collegamento: N=300.34 Ty=2.91 Tz=-84.31 Mx=0.67 Mz=4.15
Zona tesa: F=120.94 b_{eff}=13.20 t_w=0.70 σ=13.09
Zona tesa: F=120.94 b_{eff}=13.20 t_w=0.70 σ=13.09
CC 46 SLU (Collegamento -378_-512)
Azioni sul collegamento: N=295.96 Ty=2.77 Tz=-83.63 Mx=0.64 Mz=3.95
Zona tesa: F=119.18 b_{eff}=13.20 t_w=0.70 σ=12.90
Zona tesa: F=119.18 b_{eff}=13.20 t_w=0.70 σ=12.90
CC 47 SLU (Collegamento -378_-512)
Azioni sul collegamento: N=298.12 Ty=2.93 Tz=-83.97 Mx=0.67 Mz=4.15
Zona tesa: F=120.05 b_{eff}=13.20 t_w=0.70 σ=12.99
Zona tesa: F=120.05 b_{eff}=13.20 t_w=0.70 σ=12.99
CC 48 SLU (Collegamento -378_-512)
Azioni sul collegamento: N=298.18 Ty=2.75 Tz=-83.98 Mx=0.64 Mz=3.95
Zona tesa: F=120.07 b_{eff}=13.20 t_w=0.70 σ=12.99
Zona tesa: F=120.07 b_{eff}=13.20 t_w=0.70 σ=12.99
CC 49 SLU (Collegamento -378_-512)
Azioni sul collegamento: N=248.74 Ty=3.10 Tz=-76.33 Mx=0.71 Mz=4.39
Zona tesa: F=100.17 b_{eff}=13.20 t_w=0.70 σ=10.84
Zona tesa: F=100.17 b_{eff}=13.20 t_w=0.70 σ=10.84
CC 50 SLU (Collegamento -378_-512)
Azioni sul collegamento: N=244.36 Ty=2.96 Tz=-75.65 Mx=0.68 Mz=4.20
Zona tesa: F=98.40 b_{eff}=13.20 t_w=0.70 σ=10.65
Zona tesa: F=98.40 b_{eff}=13.20 t_w=0.70 σ=10.65
CC 51 SLU (Collegamento -378_-512)
Azioni sul collegamento: N=246.52 Ty=3.12 Tz=-75.98 Mx=0.71 Mz=4.39
Zona tesa: F=99.27 b_{eff}=13.20 t_w=0.70 σ=10.74
Zona tesa: F=99.27 b_{eff}=13.20 t_w=0.70 σ=10.74
CC 52 SLU (Collegamento -378_-512)
Azioni sul collegamento: N=246.58 Ty=2.94 Tz=-75.99 Mx=0.68 Mz=4.20
Zona tesa: F=99.30 b_{eff}=13.20 t_w=0.70 σ=10.75
Zona tesa: F=99.30 b_{eff}=13.20 t_w=0.70 σ=10.75
CC 53 SLU (Collegamento -378_-512)
Azioni sul collegamento: N=294.91 Ty=1.35 Tz=-83.47 Mx=0.33 Mz=1.94
Zona tesa: F=118.75 b_{eff}=13.20 t_w=0.70 σ=12.85
Zona tesa: F=118.75 b_{eff}=13.20 t_w=0.70 σ=12.85
CC 54 SLU (Collegamento -378_-512)
Azioni sul collegamento: N=290.52 Ty=1.21 Tz=-82.79 Mx=0.30 Mz=1.75
Zona tesa: F=116.99 b_{eff}=13.20 t_w=0.70 σ=12.66
Zona tesa: F=116.99 b_{eff}=13.20 t_w=0.70 σ=12.66
CC 55 SLU (Collegamento -378_-512)
Azioni sul collegamento: N=292.68 Ty=1.37 Tz=-83.13 Mx=0.33 Mz=1.94
Zona tesa: F=117.86 b_{eff}=13.20 t_w=0.70 σ=12.76
Zona tesa: F=117.86 b_{eff}=13.20 t_w=0.70 σ=12.76
CC 56 SLU (Collegamento -378_-512)
Azioni sul collegamento: N=292.75 Ty=1.19 Tz=-83.14 Mx=0.30 Mz=1.75
Zona tesa: F=117.89 b_{eff}=13.20 t_w=0.70 σ=12.76
Zona tesa: F=117.89 b_{eff}=13.20 t_w=0.70 σ=12.76
CC 57 SLU (Collegamento -378_-512)
Azioni sul collegamento: N=287.70 Ty=2.61 Tz=-82.35 Mx=0.61 Mz=3.73
Zona tesa: F=115.85 b_{eff}=13.20 t_w=0.70 σ=12.54
Zona tesa: F=115.85 b_{eff}=13.20 t_w=0.70 σ=12.54
CC 58 SLU (Collegamento -378_-512)
Azioni sul collegamento: N=283.32 Ty=2.47 Tz=-81.68 Mx=0.58 Mz=3.53
Zona tesa: F=114.09 b_{eff}=13.20 t_w=0.70 σ=12.35

Zona tesa: F=114.09 b_{eff}=13.20 t_w=0.70 σ=12.35
CC 59 SLU (Collegamento -378_-512)
Azioni sul collegamento: N=285.48 Ty=2.63 Tz=-82.01 Mx=0.61 Mz=3.73
Zona tesa: F=114.96 b_{eff}=13.20 t_w=0.70 σ=12.44
Zona tesa: F=114.96 b_{eff}=13.20 t_w=0.70 σ=12.44
CC 60 SLU (Collegamento -378_-512)
Azioni sul collegamento: N=285.54 Ty=2.45 Tz=-82.02 Mx=0.58 Mz=3.53
Zona tesa: F=114.98 b_{eff}=13.20 t_w=0.70 σ=12.44
Zona tesa: F=114.98 b_{eff}=13.20 t_w=0.70 σ=12.44
CC 61 SLU (Collegamento -378_-512)
Azioni sul collegamento: N=236.10 Ty=2.79 Tz=-74.37 Mx=0.65 Mz=3.97
Zona tesa: F=95.07 b_{eff}=13.20 t_w=0.70 σ=10.29
Zona tesa: F=95.07 b_{eff}=13.20 t_w=0.70 σ=10.29
CC 62 SLU (Collegamento -378_-512)
Azioni sul collegamento: N=231.72 Ty=2.65 Tz=-73.69 Mx=0.62 Mz=3.78
Zona tesa: F=93.31 b_{eff}=13.20 t_w=0.70 σ=10.10
Zona tesa: F=93.31 b_{eff}=13.20 t_w=0.70 σ=10.10
CC 63 SLU (Collegamento -378_-512)
Azioni sul collegamento: N=233.88 Ty=2.82 Tz=-74.03 Mx=0.65 Mz=3.97
Zona tesa: F=94.18 b_{eff}=13.20 t_w=0.70 σ=10.19
Zona tesa: F=94.18 b_{eff}=13.20 t_w=0.70 σ=10.19
CC 64 SLU (Collegamento -378_-512)
Azioni sul collegamento: N=233.94 Ty=2.63 Tz=-74.04 Mx=0.62 Mz=3.78
Zona tesa: F=94.20 b_{eff}=13.20 t_w=0.70 σ=10.20
Zona tesa: F=94.20 b_{eff}=13.20 t_w=0.70 σ=10.20
CC 65 SLU (Collegamento -378_-512)
Azioni sul collegamento: N=282.26 Ty=1.05 Tz=-81.51 Mx=0.26 Mz=1.52
Zona tesa: F=113.66 b_{eff}=13.20 t_w=0.70 σ=12.30
Zona tesa: F=113.66 b_{eff}=13.20 t_w=0.70 σ=12.30
CC 66 SLU (Collegamento -378_-512)
Azioni sul collegamento: N=277.88 Ty=0.91 Tz=-80.84 Mx=0.23 Mz=1.33
Zona tesa: F=111.90 b_{eff}=13.20 t_w=0.70 σ=12.11
Zona tesa: F=111.90 b_{eff}=13.20 t_w=0.70 σ=12.11
CC 67 SLU (Collegamento -378_-512)
Azioni sul collegamento: N=280.04 Ty=1.07 Tz=-81.17 Mx=0.26 Mz=1.52
Zona tesa: F=112.77 b_{eff}=13.20 t_w=0.70 σ=12.20
Zona tesa: F=112.77 b_{eff}=13.20 t_w=0.70 σ=12.20
CC 68 SLU (Collegamento -378_-512)
Azioni sul collegamento: N=280.11 Ty=0.89 Tz=-81.18 Mx=0.23 Mz=1.33
Zona tesa: F=112.79 b_{eff}=13.20 t_w=0.70 σ=12.21
Zona tesa: F=112.79 b_{eff}=13.20 t_w=0.70 σ=12.21
CC 97 SLU (Collegamento -378_-512)
Azioni sul collegamento: N=233.77 Ty=-7.63 Tz=-64.20 Mx=-0.37 Mz=-3.01
Zona tesa: F=94.14 b_{eff}=13.20 t_w=0.70 σ=10.19
Zona tesa: F=94.14 b_{eff}=13.20 t_w=0.70 σ=10.19
CC 98 SLU (Collegamento -378_-512)
Azioni sul collegamento: N=229.39 Ty=-7.77 Tz=-63.52 Mx=-0.40 Mz=-3.20
Zona tesa: F=92.37 b_{eff}=13.20 t_w=0.70 σ=****
Zona tesa: F=92.37 b_{eff}=13.20 t_w=0.70 σ=****
CC 99 SLU (Collegamento -378_-512)
Azioni sul collegamento: N=231.55 Ty=-7.61 Tz=-63.86 Mx=-0.37 Mz=-3.00
Zona tesa: F=93.24 b_{eff}=13.20 t_w=0.70 σ=10.09
Zona tesa: F=93.24 b_{eff}=13.20 t_w=0.70 σ=10.09
CC 100 SLU (Collegamento -378_-512)
Azioni sul collegamento: N=231.61 Ty=-7.79 Tz=-63.87 Mx=-0.40 Mz=-3.20
Zona tesa: F=93.27 b_{eff}=13.20 t_w=0.70 σ=10.09
Zona tesa: F=93.27 b_{eff}=13.20 t_w=0.70 σ=10.09
CC 101 SLU (Collegamento -378_-512)
Azioni sul collegamento: N=140.94 Ty=2.83 Tz=-49.83 Mx=0.49 Mz=3.09
Zona tesa: F=56.75 b_{eff}=13.20 t_w=0.70 σ=6.14
Zona tesa: F=56.75 b_{eff}=13.20 t_w=0.70 σ=6.14
CC 102 SLU (Collegamento -378_-512)
Azioni sul collegamento: N=136.56 Ty=2.69 Tz=-49.16 Mx=0.46 Mz=2.89
Zona tesa: F=54.99 b_{eff}=13.20 t_w=0.70 σ=5.95
Zona tesa: F=54.99 b_{eff}=13.20 t_w=0.70 σ=5.95
CC 103 SLU (Collegamento -378_-512)
Azioni sul collegamento: N=138.72 Ty=2.85 Tz=-49.49 Mx=0.49 Mz=3.09
Zona tesa: F=55.86 b_{eff}=13.20 t_w=0.70 σ=6.05
Zona tesa: F=55.86 b_{eff}=13.20 t_w=0.70 σ=6.05
CC 104 SLU (Collegamento -378_-512)
Azioni sul collegamento: N=138.78 Ty=2.67 Tz=-49.50 Mx=0.46 Mz=2.89
Zona tesa: F=55.88 b_{eff}=13.20 t_w=0.70 σ=6.05
Zona tesa: F=55.88 b_{eff}=13.20 t_w=0.70 σ=6.05

Collegamento -379_-515

Saldatura a cordone d'angolo
Altezza di gola saldature: anima 7.07 - ala 7.07

Saldatura profilo-profilo

CC 65 SLV (Collegamento -379_-515)
Azioni sul collegamento: N=145.56 Ty=5.00 Tz=-50.55 Mx=0.60 Mz=3.65
Sollecitazioni agenti localmente: Tx_l=5.00 Ty_l=-50.55 N_l=145.56 My_l=-3.65 Mz_l=0.60
Azioni sul cordone: TP=-1.06 TO=4.19 NO=10.71
Tensioni nel cordone: τ_P=0.34 τ_O=1.33 σ_O=8.74 σ_{ID}=8.84 Σ_T=10.07
CC 79 SLV (Collegamento -379_-515)
Azioni sul collegamento: N=145.56 Ty=5.00 Tz=-50.55 Mx=0.54 Mz=3.66
Sollecitazioni agenti localmente: Tx_l=5.00 Ty_l=-50.55 N_l=145.56 My_l=-3.66 Mz_l=0.54
Azioni sul cordone: TP=-0.99 TO=4.15 NO=10.71
Tensioni nel cordone: τ_P=0.31 τ_O=1.32 σ_O=8.75 σ_{ID}=8.85 Σ_T=10.07
CC 102 SLU (Collegamento -379_-515)
Azioni sul collegamento: N=328.94 Ty=0.03 Tz=-88.74 Mx=-0.00 Mz=-0.00
Sollecitazioni agenti localmente: Tx_l=0.03 Ty_l=-88.74 N_l=328.94 My_l=0.00 Mz_l=-0.00
Azioni sul cordone: TP=0.00 TO=-6.53 NO=24.20
Tensioni nel cordone: τ_P=9.15E-04 τ_O=2.08 σ_O=7.70 σ_{ID}=7.97 Σ_T=9.78

Verifica lato anima della colonna

CC 102 SLU (Collegamento -379_-515)
Azioni sul collegamento: N=328.94 Ty=0.03 Tz=-88.74 Mx=-0.00 Mz=-0.00
Zona tesa: F=132.46 b_{eff}=13.20 t_w=0.70 σ=14.34
Zona tesa: F=132.46 b_{eff}=13.20 t_w=0.70 σ=14.34

Collegamento -380_-516

Saldatura a cordone d'angolo
Altezza di gola saldature: anima 7.07 - ala 7.07

Saldatura profilo-profilo

CC 1 SLV (Collegamento -380_-516)
Azioni sul collegamento: N=146.87 Ty=-0.28 Tz=-50.75 Mx=-0.08 Mz=-0.44
Sollecitazioni agenti localmente: Tx_l=-0.28 Ty_l=-50.75 N_l=146.87 My_l=0.44 Mz_l=-0.08
Azioni sul cordone: TP=0.11 TO=3.79 NO=10.81
Tensioni nel cordone: τ_P= 0.03 τ_O=1.21 σ_O=4.08 σ_{ID}=4.25 Σ_T=5.29
CC 1 SLV (Collegamento -380_-516)
Azioni sul collegamento: N=146.87 Ty=-1.13 Tz=-50.75 Mx=-0.20 Mz=-1.22
Sollecitazioni agenti localmente: Tx_l=-1.13 Ty_l=-50.75 N_l=146.87 My_l=1.22 Mz_l=-0.20
Azioni sul cordone: TP=0.31 TO=3.89 NO=10.81
Tensioni nel cordone: τ_P= 0.10 τ_O=1.24 σ_O=5.21 σ_{ID}=5.36 Σ_T=6.45
CC 1 SLV (Collegamento -380_-516)
Azioni sul collegamento: N=146.87 Ty=-0.28 Tz=-50.75 Mx=-0.08 Mz=-0.44
Sollecitazioni agenti localmente: Tx_l=-0.28 Ty_l=-50.75 N_l=146.87 My_l=0.44 Mz_l=-0.08
Azioni sul cordone: TP=0.11 TO=3.79 NO=10.81
Tensioni nel cordone: τ_P= 0.03 τ_O=1.21 σ_O=4.08 σ_{ID}=4.25 Σ_T=5.29
CC 1 SLV (Collegamento -380_-516)
Azioni sul collegamento: N=146.87 Ty=-1.13 Tz=-50.75 Mx=-0.20 Mz=-1.22
Sollecitazioni agenti localmente: Tx_l=-1.13 Ty_l=-50.75 N_l=146.87 My_l=1.22 Mz_l=-0.20
Azioni sul cordone: TP=0.31 TO=3.89 NO=10.81
Tensioni nel cordone: τ_P= 0.10 τ_O=1.24 σ_O=5.21 σ_{ID}=5.36 Σ_T=6.45
CC 1 SLV (Collegamento -380_-516)
Azioni sul collegamento: N=110.50 Ty=-0.28 Tz=-45.12 Mx=-0.08 Mz=-0.44
Sollecitazioni agenti localmente: Tx_l=-0.28 Ty_l=-45.12 N_l=110.50 My_l=0.44 Mz_l=-0.08
Azioni sul cordone: TP=0.11 TO=3.38 NO=8.13
Tensioni nel cordone: τ_P= 0.03 τ_O=1.07 σ_O=3.23 σ_{ID}=3.40 Σ_T=4.30
CC 1 SLV (Collegamento -380_-516)
Azioni sul collegamento: N=110.50 Ty=-1.13 Tz=-45.12 Mx=-0.20 Mz=-1.22
Sollecitazioni agenti localmente: Tx_l=-1.13 Ty_l=-45.12 N_l=110.50 My_l=1.22 Mz_l=-0.20
Azioni sul cordone: TP=0.31 TO=3.48 NO=8.13
Tensioni nel cordone: τ_P= 0.10 τ_O=1.10 σ_O=4.36 σ_{ID}=4.50 Σ_T=5.47
CC 1 SLV (Collegamento -380_-516)
Azioni sul collegamento: N=110.50 Ty=-0.28 Tz=-45.12 Mx=-0.08 Mz=-0.44
Sollecitazioni agenti localmente: Tx_l=-0.28 Ty_l=-45.12 N_l=110.50 My_l=0.44 Mz_l=-0.08
Azioni sul cordone: TP=0.11 TO=3.38 NO=8.13
Tensioni nel cordone: τ_P= 0.03 τ_O=1.07 σ_O=3.23 σ_{ID}=3.40 Σ_T=4.30
CC 1 SLV (Collegamento -380_-516)
Azioni sul collegamento: N=110.50 Ty=-1.13 Tz=-45.12 Mx=-0.20 Mz=-1.22
Sollecitazioni agenti localmente: Tx_l=-1.13 Ty_l=-45.12 N_l=110.50 My_l=1.22 Mz_l=-0.20
Azioni sul cordone: TP=0.31 TO=3.48 NO=8.13
Tensioni nel cordone: τ_P= 0.10 τ_O=1.10 σ_O=4.36 σ_{ID}=4.50 Σ_T=5.47
CC 2 SLD (Collegamento -380_-516)
Azioni sul collegamento: N=134.22 Ty=-0.13 Tz=-48.79 Mx=-0.03 Mz=-0.17
Sollecitazioni agenti localmente: Tx_l=-0.13 Ty_l=-48.79 N_l=134.22 My_l=0.17 Mz_l=-0.03
Azioni sul cordone: TP=0.04 TO=3.61 NO=9.88

Tensioni nel cordone: τ_P= 0.01 τ_O=1.15 σ_O=3.39 σ_{ID}=3.58 Σ_T=4.54
CC 2 SLD (Collegamento -380_-516)
Azioni sul collegamento: N=134.22 Ty=-0.39 Tz=-48.79 Mx=-0.07 Mz=-0.41
Sollecitazioni agenti localmente: Tx_l=-0.39 Ty_l=-48.79 N_l=134.22 My_l=0.41 Mz_l=-0.07
Azioni sul cordone: TP=0.10 TO=3.64 NO=9.88
Tensioni nel cordone: τ_P= 0.03 τ_O=1.16 σ_O=3.73 σ_{ID}=3.91 Σ_T=4.89
CC 2 SLD (Collegamento -380_-516)
Azioni sul collegamento: N=134.22 Ty=-0.13 Tz=-48.79 Mx=-0.03 Mz=-0.17
Sollecitazioni agenti localmente: Tx_l=-0.13 Ty_l=-48.79 N_l=134.22 My_l=0.17 Mz_l=-0.03
Azioni sul cordone: TP=0.04 TO=3.61 NO=9.88
Tensioni nel cordone: τ_P= 0.01 τ_O=1.15 σ_O=3.39 σ_{ID}=3.58 Σ_T=4.54
CC 2 SLD (Collegamento -380_-516)
Azioni sul collegamento: N=134.22 Ty=-0.39 Tz=-48.79 Mx=-0.07 Mz=-0.41
Sollecitazioni agenti localmente: Tx_l=-0.39 Ty_l=-48.79 N_l=134.22 My_l=0.41 Mz_l=-0.07
Azioni sul cordone: TP=0.10 TO=3.64 NO=9.88
Tensioni nel cordone: τ_P= 0.03 τ_O=1.16 σ_O=3.73 σ_{ID}=3.91 Σ_T=4.89
CC 2 SLD (Collegamento -380_-516)
Azioni sul collegamento: N=123.13 Ty=-0.13 Tz=-47.08 Mx=-0.03 Mz=-0.17
Sollecitazioni agenti localmente: Tx_l=-0.13 Ty_l=-47.08 N_l=123.13 My_l=0.17 Mz_l=-0.03
Azioni sul cordone: TP=0.04 TO=3.49 NO=9.06
Tensioni nel cordone: τ_P= 0.01 τ_O=1.11 σ_O=3.13 σ_{ID}=3.32 Σ_T=4.24
CC 2 SLD (Collegamento -380_-516)
Azioni sul collegamento: N=123.13 Ty=-0.39 Tz=-47.08 Mx=-0.07 Mz=-0.41
Sollecitazioni agenti localmente: Tx_l=-0.39 Ty_l=-47.08 N_l=123.13 My_l=0.41 Mz_l=-0.07
Azioni sul cordone: TP=0.10 TO=3.52 NO=9.06
Tensioni nel cordone: τ_P= 0.03 τ_O=1.12 σ_O=3.47 σ_{ID}=3.65 Σ_T=4.59
CC 2 SLD (Collegamento -380_-516)
Azioni sul collegamento: N=123.13 Ty=-0.13 Tz=-47.08 Mx=-0.03 Mz=-0.17
Sollecitazioni agenti localmente: Tx_l=-0.13 Ty_l=-47.08 N_l=123.13 My_l=0.17 Mz_l=-0.03
Azioni sul cordone: TP=0.04 TO=3.49 NO=9.06
Tensioni nel cordone: τ_P= 0.01 τ_O=1.11 σ_O=3.13 σ_{ID}=3.32 Σ_T=4.24
CC 2 SLD (Collegamento -380_-516)
Azioni sul collegamento: N=123.13 Ty=-0.39 Tz=-47.08 Mx=-0.07 Mz=-0.41
Sollecitazioni agenti localmente: Tx_l=-0.39 Ty_l=-47.08 N_l=123.13 My_l=0.41 Mz_l=-0.07
Azioni sul cordone: TP=0.10 TO=3.52 NO=9.06
Tensioni nel cordone: τ_P= 0.03 τ_O=1.12 σ_O=3.47 σ_{ID}=3.65 Σ_T=4.59
CC 3 SLV (Collegamento -380_-516)
Azioni sul collegamento: N=146.85 Ty=-1.11 Tz=-50.75 Mx=-0.19 Mz=-1.20
Sollecitazioni agenti localmente: Tx_l=-1.11 Ty_l=-50.75 N_l=146.85 My_l=1.20 Mz_l=-0.19
Azioni sul cordone: TP=0.30 TO=3.88 NO=10.81
Tensioni nel cordone: τ_P= 0.09 τ_O=1.23 σ_O=5.18 σ_{ID}=5.33 Σ_T=6.42
CC 3 SLV (Collegamento -380_-516)
Azioni sul collegamento: N=146.85 Ty=-0.30 Tz=-50.75 Mx=-0.07 Mz=-0.46
Sollecitazioni agenti localmente: Tx_l=-0.30 Ty_l=-50.75 N_l=146.85 My_l=0.46 Mz_l=-0.07
Azioni sul cordone: TP=0.11 TO=3.79 NO=10.81
Tensioni nel cordone: τ_P= 0.03 τ_O=1.21 σ_O=4.11 σ_{ID}=4.29 Σ_T=5.32
CC 3 SLV (Collegamento -380_-516)
Azioni sul collegamento: N=146.85 Ty=-1.11 Tz=-50.75 Mx=-0.19 Mz=-1.20
Sollecitazioni agenti localmente: Tx_l=-1.11 Ty_l=-50.75 N_l=146.85 My_l=1.20 Mz_l=-0.19
Azioni sul cordone: TP=0.30 TO=3.88 NO=10.81
Tensioni nel cordone: τ_P= 0.09 τ_O=1.23 σ_O=5.18 σ_{ID}=5.33 Σ_T=6.42
CC 3 SLV (Collegamento -380_-516)
Azioni sul collegamento: N=146.85 Ty=-0.30 Tz=-50.75 Mx=-0.07 Mz=-0.46
Sollecitazioni agenti localmente: Tx_l=-0.30 Ty_l=-50.75 N_l=146.85 My_l=0.46 Mz_l=-0.07
Azioni sul cordone: TP=0.11 TO=3.79 NO=10.81
Tensioni nel cordone: τ_P= 0.03 τ_O=1.21 σ_O=4.11 σ_{ID}=4.29 Σ_T=5.32
CC 3 SLV (Collegamento -380_-516)
Azioni sul collegamento: N=110.52 Ty=-1.11 Tz=-45.13 Mx=-0.19 Mz=-1.20
Sollecitazioni agenti localmente: Tx_l=-1.11 Ty_l=-45.13 N_l=110.52 My_l=1.20 Mz_l=-0.19
Azioni sul cordone: TP=0.30 TO=3.47 NO=8.13
Tensioni nel cordone: τ_P= 0.09 τ_O=1.10 σ_O=4.33 σ_{ID}=4.47 Σ_T=5.43
CC 3 SLV (Collegamento -380_-516)
Azioni sul collegamento: N=110.52 Ty=-0.30 Tz=-45.13 Mx=-0.07 Mz=-0.46
Sollecitazioni agenti localmente: Tx_l=-0.30 Ty_l=-45.13 N_l=110.52 My_l=0.46 Mz_l=-0.07
Azioni sul cordone: TP=0.11 TO=3.38 NO=8.13
Tensioni nel cordone: τ_P= 0.03 τ_O=1.07 σ_O=3.26 σ_{ID}=3.43 Σ_T=4.34
CC 3 SLV (Collegamento -380_-516)
Azioni sul collegamento: N=110.52 Ty=-1.11 Tz=-45.13 Mx=-0.19 Mz=-1.20
Sollecitazioni agenti localmente: Tx_l=-1.11 Ty_l=-45.13 N_l=110.52 My_l=1.20 Mz_l=-0.19
Azioni sul cordone: TP=0.30 TO=3.47 NO=8.13
Tensioni nel cordone: τ_P= 0.09 τ_O=1.10 σ_O=4.33 σ_{ID}=4.47 Σ_T=5.43
CC 3 SLV (Collegamento -380_-516)
Azioni sul collegamento: N=110.52 Ty=-0.30 Tz=-45.13 Mx=-0.07 Mz=-0.46
Sollecitazioni agenti localmente: Tx_l=-0.30 Ty_l=-45.13 N_l=110.52 My_l=0.46 Mz_l=-0.07
Azioni sul cordone: TP=0.11 TO=3.38 NO=8.13
Tensioni nel cordone: τ_P= 0.03 τ_O=1.07 σ_O=3.26 σ_{ID}=3.43 Σ_T=4.34
CC 4 SLD (Collegamento -380_-516)
Azioni sul collegamento: N=134.21 Ty=-0.38 Tz=-48.79 Mx=-0.06 Mz=-0.40
Sollecitazioni agenti localmente: Tx_l=-0.38 Ty_l=-48.79 N_l=134.21 My_l=0.40 Mz_l=-0.06

Azioni sul cordone: TP=0.10 TO=3.64 NO=9.88
Tensioni nel cordone: τ_P= 0.03 τ_0=1.16 σ_0=3.72 σ_{ID}=3.90 Σ_T=4.88
CC 4 SLD (Collegamento -380_-516)
Azioni sul collegamento: N=134.21 Ty=-0.14 Tz=-48.79 Mx=-0.03 Mz=-0.18
Sollecitazioni agenti localmente: Tx_l=-0.14 Ty_l=-48.79 N_l=134.21 My_l=0.18 Mz_l=-0.03
Azioni sul cordone: TP=0.04 TO=3.61 NO=9.88
Tensioni nel cordone: τ_P= 0.01 τ_0=1.15 σ_0=3.40 σ_{ID}=3.59 Σ_T=4.54
CC 4 SLD (Collegamento -380_-516)
Azioni sul collegamento: N=134.21 Ty=-0.38 Tz=-48.79 Mx=-0.06 Mz=-0.40
Sollecitazioni agenti localmente: Tx_l=-0.38 Ty_l=-48.79 N_l=134.21 My_l=0.40 Mz_l=-0.06
Azioni sul cordone: TP=0.10 TO=3.64 NO=9.88
Tensioni nel cordone: τ_P= 0.03 τ_0=1.16 σ_0=3.72 σ_{ID}=3.90 Σ_T=4.88
CC 4 SLD (Collegamento -380_-516)
Azioni sul collegamento: N=134.21 Ty=-0.14 Tz=-48.79 Mx=-0.03 Mz=-0.18
Sollecitazioni agenti localmente: Tx_l=-0.14 Ty_l=-48.79 N_l=134.21 My_l=0.18 Mz_l=-0.03
Azioni sul cordone: TP=0.04 TO=3.61 NO=9.88
Tensioni nel cordone: τ_P= 0.01 τ_0=1.15 σ_0=3.40 σ_{ID}=3.59 Σ_T=4.54
CC 4 SLD (Collegamento -380_-516)
Azioni sul collegamento: N=123.13 Ty=-0.38 Tz=-47.08 Mx=-0.06 Mz=-0.40
Sollecitazioni agenti localmente: Tx_l=-0.38 Ty_l=-47.08 N_l=123.13 My_l=0.40 Mz_l=-0.06
Azioni sul cordone: TP=0.10 TO=3.51 NO=9.06
Tensioni nel cordone: τ_P= 0.03 τ_0=1.12 σ_0=3.46 σ_{ID}=3.64 Σ_T=4.58
CC 4 SLD (Collegamento -380_-516)
Azioni sul collegamento: N=123.13 Ty=-0.14 Tz=-47.08 Mx=-0.03 Mz=-0.18
Sollecitazioni agenti localmente: Tx_l=-0.14 Ty_l=-47.08 N_l=123.13 My_l=0.18 Mz_l=-0.03
Azioni sul cordone: TP=0.04 TO=3.49 NO=9.06
Tensioni nel cordone: τ_P= 0.01 τ_0=1.11 σ_0=3.14 σ_{ID}=3.33 Σ_T=4.25
CC 4 SLD (Collegamento -380_-516)
Azioni sul collegamento: N=123.13 Ty=-0.38 Tz=-47.08 Mx=-0.06 Mz=-0.40
Sollecitazioni agenti localmente: Tx_l=-0.38 Ty_l=-47.08 N_l=123.13 My_l=0.40 Mz_l=-0.06
Azioni sul cordone: TP=0.10 TO=3.51 NO=9.06
Tensioni nel cordone: τ_P= 0.03 τ_0=1.12 σ_0=3.46 σ_{ID}=3.64 Σ_T=4.58
CC 4 SLD (Collegamento -380_-516)
Azioni sul collegamento: N=123.13 Ty=-0.14 Tz=-47.08 Mx=-0.03 Mz=-0.18
Sollecitazioni agenti localmente: Tx_l=-0.14 Ty_l=-47.08 N_l=123.13 My_l=0.18 Mz_l=-0.03
Azioni sul cordone: TP=0.04 TO=3.49 NO=9.06
Tensioni nel cordone: τ_P= 0.01 τ_0=1.11 σ_0=3.14 σ_{ID}=3.33 Σ_T=4.25
CC 5 SLV (Collegamento -380_-516)
Azioni sul collegamento: N=110.52 Ty=-0.30 Tz=-45.13 Mx=-0.08 Mz=-0.46
Sollecitazioni agenti localmente: Tx_l=-0.30 Ty_l=-45.13 N_l=110.52 My_l=0.46 Mz_l=-0.08
Azioni sul cordone: TP=0.11 TO=3.38 NO=8.13
Tensioni nel cordone: τ_P= 0.04 τ_0=1.08 σ_0=3.26 σ_{ID}=3.43 Σ_T=4.34
CC 5 SLV (Collegamento -380_-516)
Azioni sul collegamento: N=110.52 Ty=-1.11 Tz=-45.13 Mx=-0.19 Mz=-1.20
Sollecitazioni agenti localmente: Tx_l=-1.11 Ty_l=-45.13 N_l=110.52 My_l=1.20 Mz_l=-0.19
Azioni sul cordone: TP=0.30 TO=3.47 NO=8.13
Tensioni nel cordone: τ_P= 0.10 τ_0=1.10 σ_0=4.33 σ_{ID}=4.47 Σ_T=5.43
CC 5 SLV (Collegamento -380_-516)
Azioni sul collegamento: N=110.52 Ty=-0.30 Tz=-45.13 Mx=-0.08 Mz=-0.46
Sollecitazioni agenti localmente: Tx_l=-0.30 Ty_l=-45.13 N_l=110.52 My_l=0.46 Mz_l=-0.08
Azioni sul cordone: TP=0.11 TO=3.38 NO=8.13
Tensioni nel cordone: τ_P= 0.04 τ_0=1.08 σ_0=3.26 σ_{ID}=3.43 Σ_T=4.34
CC 5 SLV (Collegamento -380_-516)
Azioni sul collegamento: N=110.52 Ty=-1.11 Tz=-45.13 Mx=-0.19 Mz=-1.20
Sollecitazioni agenti localmente: Tx_l=-1.11 Ty_l=-45.13 N_l=110.52 My_l=1.20 Mz_l=-0.19
Azioni sul cordone: TP=0.30 TO=3.47 NO=8.13
Tensioni nel cordone: τ_P= 0.10 τ_0=1.10 σ_0=4.33 σ_{ID}=4.47 Σ_T=5.43
CC 5 SLV (Collegamento -380_-516)
Azioni sul collegamento: N=146.85 Ty=-0.30 Tz=-50.75 Mx=-0.08 Mz=-0.46
Sollecitazioni agenti localmente: Tx_l=-0.30 Ty_l=-50.75 N_l=146.85 My_l=0.46 Mz_l=-0.08
Azioni sul cordone: TP=0.11 TO=3.80 NO=10.81
Tensioni nel cordone: τ_P= 0.04 τ_0=1.21 σ_0=4.11 σ_{ID}=4.28 Σ_T=5.32
CC 5 SLV (Collegamento -380_-516)
Azioni sul collegamento: N=146.85 Ty=-1.11 Tz=-50.75 Mx=-0.19 Mz=-1.20
Sollecitazioni agenti localmente: Tx_l=-1.11 Ty_l=-50.75 N_l=146.85 My_l=1.20 Mz_l=-0.19
Azioni sul cordone: TP=0.30 TO=3.89 NO=10.81
Tensioni nel cordone: τ_P= 0.10 τ_0=1.24 σ_0=5.18 σ_{ID}=5.33 Σ_T=6.42
CC 5 SLV (Collegamento -380_-516)
Azioni sul collegamento: N=146.85 Ty=-0.30 Tz=-50.75 Mx=-0.08 Mz=-0.46
Sollecitazioni agenti localmente: Tx_l=-0.30 Ty_l=-50.75 N_l=146.85 My_l=0.46 Mz_l=-0.08
Azioni sul cordone: TP=0.11 TO=3.80 NO=10.81
Tensioni nel cordone: τ_P= 0.04 τ_0=1.21 σ_0=4.11 σ_{ID}=4.28 Σ_T=5.32
CC 5 SLV (Collegamento -380_-516)
Azioni sul collegamento: N=146.85 Ty=-1.11 Tz=-50.75 Mx=-0.19 Mz=-1.20
Sollecitazioni agenti localmente: Tx_l=-1.11 Ty_l=-50.75 N_l=146.85 My_l=1.20 Mz_l=-0.19
Azioni sul cordone: TP=0.30 TO=3.89 NO=10.81
Tensioni nel cordone: τ_P= 0.10 τ_0=1.24 σ_0=5.18 σ_{ID}=5.33 Σ_T=6.42
CC 6 SLD (Collegamento -380_-516)
Azioni sul collegamento: N=123.13 Ty=-0.14 Tz=-47.08 Mx=-0.03 Mz=-0.18

Sollecitazioni agenti localmente: Tx_l=-0.14 Ty_l=-47.08 N_l=123.13 My_l=0.18 Mz_l=-0.03
Azioni sul cordone: TP=0.04 TO=3.49 NO=9.06
Tensioni nel cordone: τ_P= 0.01 τ_0=1.11 σ_0=3.14 σ_{ID}=3.33 Σ_T=4.25
CC 6 SLD (Collegamento -380_-516)
Azioni sul collegamento: N=123.13 Ty=-0.38 Tz=-47.08 Mx=-0.06 Mz=-0.40
Sollecitazioni agenti localmente: Tx_l=-0.38 Ty_l=-47.08 N_l=123.13 My_l=0.40 Mz_l=-0.06
Azioni sul cordone: TP=0.10 TO=3.51 NO=9.06
Tensioni nel cordone: τ_P= 0.03 τ_0=1.12 σ_0=3.46 σ_{ID}=3.64 Σ_T=4.58
CC 6 SLD (Collegamento -380_-516)
Azioni sul collegamento: N=123.13 Ty=-0.14 Tz=-47.08 Mx=-0.03 Mz=-0.18
Sollecitazioni agenti localmente: Tx_l=-0.14 Ty_l=-47.08 N_l=123.13 My_l=0.18 Mz_l=-0.03
Azioni sul cordone: TP=0.04 TO=3.49 NO=9.06
Tensioni nel cordone: τ_P= 0.01 τ_0=1.11 σ_0=3.14 σ_{ID}=3.33 Σ_T=4.25
CC 6 SLD (Collegamento -380_-516)
Azioni sul collegamento: N=123.13 Ty=-0.38 Tz=-47.08 Mx=-0.06 Mz=-0.40
Sollecitazioni agenti localmente: Tx_l=-0.38 Ty_l=-47.08 N_l=123.13 My_l=0.40 Mz_l=-0.06
Azioni sul cordone: TP=0.10 TO=3.51 NO=9.06
Tensioni nel cordone: τ_P= 0.03 τ_0=1.12 σ_0=3.46 σ_{ID}=3.64 Σ_T=4.58
CC 6 SLD (Collegamento -380_-516)
Azioni sul collegamento: N=134.21 Ty=-0.14 Tz=-48.79 Mx=-0.03 Mz=-0.18
Sollecitazioni agenti localmente: Tx_l=-0.14 Ty_l=-48.79 N_l=134.21 My_l=0.18 Mz_l=-0.03
Azioni sul cordone: TP=0.04 TO=3.61 NO=9.88
Tensioni nel cordone: τ_P= 0.01 τ_0=1.15 σ_0=3.40 σ_{ID}=3.59 Σ_T=4.54
CC 6 SLD (Collegamento -380_-516)
Azioni sul collegamento: N=134.21 Ty=-0.38 Tz=-48.79 Mx=-0.06 Mz=-0.40
Sollecitazioni agenti localmente: Tx_l=-0.38 Ty_l=-48.79 N_l=134.21 My_l=0.40 Mz_l=-0.06
Azioni sul cordone: TP=0.10 TO=3.64 NO=9.88
Tensioni nel cordone: τ_P= 0.03 τ_0=1.16 σ_0=3.72 σ_{ID}=3.90 Σ_T=4.88
CC 6 SLD (Collegamento -380_-516)
Azioni sul collegamento: N=134.21 Ty=-0.14 Tz=-48.79 Mx=-0.03 Mz=-0.18
Sollecitazioni agenti localmente: Tx_l=-0.14 Ty_l=-48.79 N_l=134.21 My_l=0.18 Mz_l=-0.03
Azioni sul cordone: TP=0.04 TO=3.61 NO=9.88
Tensioni nel cordone: τ_P= 0.01 τ_0=1.15 σ_0=3.40 σ_{ID}=3.59 Σ_T=4.54
CC 6 SLD (Collegamento -380_-516)
Azioni sul collegamento: N=134.21 Ty=-0.38 Tz=-48.79 Mx=-0.06 Mz=-0.40
Sollecitazioni agenti localmente: Tx_l=-0.38 Ty_l=-48.79 N_l=134.21 My_l=0.40 Mz_l=-0.06
Azioni sul cordone: TP=0.10 TO=3.64 NO=9.88
Tensioni nel cordone: τ_P= 0.03 τ_0=1.16 σ_0=3.72 σ_{ID}=3.90 Σ_T=4.88
CC 7 SLV (Collegamento -380_-516)
Azioni sul collegamento: N=110.50 Ty=-1.13 Tz=-45.12 Mx=-0.19 Mz=-1.22
Sollecitazioni agenti localmente: Tx_l=-1.13 Ty_l=-45.12 N_l=110.50 My_l=1.22 Mz_l=-0.19
Azioni sul cordone: TP=0.30 TO=3.47 NO=8.13
Tensioni nel cordone: τ_P= 0.10 τ_0=1.10 σ_0=4.36 σ_{ID}=4.50 Σ_T=5.47
CC 7 SLV (Collegamento -380_-516)
Azioni sul collegamento: N=110.50 Ty=-0.28 Tz=-45.12 Mx=-0.07 Mz=-0.44
Sollecitazioni agenti localmente: Tx_l=-0.28 Ty_l=-45.12 N_l=110.50 My_l=0.44 Mz_l=-0.07
Azioni sul cordone: TP=0.10 TO=3.38 NO=8.13
Tensioni nel cordone: τ_P= 0.03 τ_0=1.07 σ_0=3.23 σ_{ID}=3.40 Σ_T=4.30
CC 7 SLV (Collegamento -380_-516)
Azioni sul collegamento: N=110.50 Ty=-1.13 Tz=-45.12 Mx=-0.19 Mz=-1.22
Sollecitazioni agenti localmente: Tx_l=-1.13 Ty_l=-45.12 N_l=110.50 My_l=1.22 Mz_l=-0.19
Azioni sul cordone: TP=0.30 TO=3.47 NO=8.13
Tensioni nel cordone: τ_P= 0.10 τ_0=1.10 σ_0=4.36 σ_{ID}=4.50 Σ_T=5.47
CC 7 SLV (Collegamento -380_-516)
Azioni sul collegamento: N=110.50 Ty=-0.28 Tz=-45.12 Mx=-0.07 Mz=-0.44
Sollecitazioni agenti localmente: Tx_l=-0.28 Ty_l=-45.12 N_l=110.50 My_l=0.44 Mz_l=-0.07
Azioni sul cordone: TP=0.10 TO=3.38 NO=8.13
Tensioni nel cordone: τ_P= 0.03 τ_0=1.07 σ_0=3.23 σ_{ID}=3.40 Σ_T=4.30
CC 7 SLV (Collegamento -380_-516)
Azioni sul collegamento: N=146.87 Ty=-1.13 Tz=-50.75 Mx=-0.19 Mz=-1.22
Sollecitazioni agenti localmente: Tx_l=-1.13 Ty_l=-50.75 N_l=146.87 My_l=1.22 Mz_l=-0.19
Azioni sul cordone: TP=0.30 TO=3.89 NO=10.81
Tensioni nel cordone: τ_P= 0.10 τ_0=1.24 σ_0=5.21 σ_{ID}=5.36 Σ_T=6.45
CC 7 SLV (Collegamento -380_-516)
Azioni sul collegamento: N=146.87 Ty=-0.28 Tz=-50.75 Mx=-0.07 Mz=-0.44
Sollecitazioni agenti localmente: Tx_l=-0.28 Ty_l=-50.75 N_l=146.87 My_l=0.44 Mz_l=-0.07
Azioni sul cordone: TP=0.10 TO=3.79 NO=10.81
Tensioni nel cordone: τ_P= 0.03 τ_0=1.20 σ_0=4.08 σ_{ID}=4.26 Σ_T=5.29
CC 7 SLV (Collegamento -380_-516)
Azioni sul collegamento: N=146.87 Ty=-1.13 Tz=-50.75 Mx=-0.19 Mz=-1.22
Sollecitazioni agenti localmente: Tx_l=-1.13 Ty_l=-50.75 N_l=146.87 My_l=1.22 Mz_l=-0.19
Azioni sul cordone: TP=0.30 TO=3.89 NO=10.81
Tensioni nel cordone: τ_P= 0.10 τ_0=1.24 σ_0=5.21 σ_{ID}=5.36 Σ_T=6.45
CC 7 SLV (Collegamento -380_-516)
Azioni sul collegamento: N=146.87 Ty=-0.28 Tz=-50.75 Mx=-0.07 Mz=-0.44
Sollecitazioni agenti localmente: Tx_l=-0.28 Ty_l=-50.75 N_l=146.87 My_l=0.44 Mz_l=-0.07
Azioni sul cordone: TP=0.10 TO=3.79 NO=10.81
Tensioni nel cordone: τ_P= 0.03 τ_0=1.20 σ_0=4.08 σ_{ID}=4.26 Σ_T=5.29
CC 8 SLD (Collegamento -380_-516)

Azioni sul collegamento: N=123.13 Ty=-0.39 Tz=-47.08 Mx=-0.06 Mz=-0.41
Sollecitazioni agenti localmente: Tx_l=-0.39 Ty_l=-47.08 N_l=123.13 My_l=0.41 Mz_l=-0.06
Azioni sul cordone: TP=0.10 TO=3.51 NO=9.06
Tensioni nel cordone: τ_P= 0.03 τ_O=1.12 σ_O=3.47 σ_{ID}=3.65 Σ_T=4.59
CC 8 SLD (Collegamento -380_-516)
Azioni sul collegamento: N=123.13 Ty=-0.13 Tz=-47.08 Mx=-0.03 Mz=-0.17
Sollecitazioni agenti localmente: Tx_l=-0.13 Ty_l=-47.08 N_l=123.13 My_l=0.17 Mz_l=-0.03
Azioni sul cordone: TP=0.04 TO=3.49 NO=9.06
Tensioni nel cordone: τ_P= 0.01 τ_O=1.11 σ_O=3.13 σ_{ID}=3.32 Σ_T=4.24
CC 8 SLD (Collegamento -380_-516)
Azioni sul collegamento: N=123.13 Ty=-0.39 Tz=-47.08 Mx=-0.06 Mz=-0.41
Sollecitazioni agenti localmente: Tx_l=-0.39 Ty_l=-47.08 N_l=123.13 My_l=0.41 Mz_l=-0.06
Azioni sul cordone: TP=0.10 TO=3.51 NO=9.06
Tensioni nel cordone: τ_P= 0.03 τ_O=1.12 σ_O=3.47 σ_{ID}=3.65 Σ_T=4.59
CC 8 SLD (Collegamento -380_-516)
Azioni sul collegamento: N=123.13 Ty=-0.13 Tz=-47.08 Mx=-0.03 Mz=-0.17
Sollecitazioni agenti localmente: Tx_l=-0.13 Ty_l=-47.08 N_l=123.13 My_l=0.17 Mz_l=-0.03
Azioni sul cordone: TP=0.04 TO=3.49 NO=9.06
Tensioni nel cordone: τ_P= 0.01 τ_O=1.11 σ_O=3.13 σ_{ID}=3.32 Σ_T=4.24
CC 8 SLD (Collegamento -380_-516)
Azioni sul collegamento: N=134.22 Ty=-0.39 Tz=-48.79 Mx=-0.06 Mz=-0.41
Sollecitazioni agenti localmente: Tx_l=-0.39 Ty_l=-48.79 N_l=134.22 My_l=0.41 Mz_l=-0.06
Azioni sul cordone: TP=0.10 TO=3.64 NO=9.88
Tensioni nel cordone: τ_P= 0.03 τ_O=1.16 σ_O=3.73 σ_{ID}=3.91 Σ_T=4.89
CC 8 SLD (Collegamento -380_-516)
Azioni sul collegamento: N=134.22 Ty=-0.13 Tz=-48.79 Mx=-0.03 Mz=-0.17
Sollecitazioni agenti localmente: Tx_l=-0.13 Ty_l=-48.79 N_l=134.22 My_l=0.17 Mz_l=-0.03
Azioni sul cordone: TP=0.04 TO=3.61 NO=9.88
Tensioni nel cordone: τ_P= 0.01 τ_O=1.15 σ_O=3.39 σ_{ID}=3.58 Σ_T=4.54
CC 8 SLD (Collegamento -380_-516)
Azioni sul collegamento: N=134.22 Ty=-0.39 Tz=-48.79 Mx=-0.06 Mz=-0.41
Sollecitazioni agenti localmente: Tx_l=-0.39 Ty_l=-48.79 N_l=134.22 My_l=0.41 Mz_l=-0.06
Azioni sul cordone: TP=0.10 TO=3.64 NO=9.88
Tensioni nel cordone: τ_P= 0.03 τ_O=1.16 σ_O=3.73 σ_{ID}=3.91 Σ_T=4.89
CC 8 SLD (Collegamento -380_-516)
Azioni sul collegamento: N=134.22 Ty=-0.13 Tz=-48.79 Mx=-0.03 Mz=-0.17
Sollecitazioni agenti localmente: Tx_l=-0.13 Ty_l=-48.79 N_l=134.22 My_l=0.17 Mz_l=-0.03
Azioni sul cordone: TP=0.04 TO=3.61 NO=9.88
Tensioni nel cordone: τ_P= 0.01 τ_O=1.15 σ_O=3.39 σ_{ID}=3.58 Σ_T=4.54
CC 9 SLV (Collegamento -380_-516)
Azioni sul collegamento: N=134.17 Ty=0.68 Tz=-48.79 Mx=0.05 Mz=0.43
Sollecitazioni agenti localmente: Tx_l=0.68 Ty_l=-48.79 N_l=134.17 My_l=-0.43 Mz_l=0.05
Azioni sul cordone: TP=-0.11 TO=3.63 NO=9.87
Tensioni nel cordone: τ_P= 0.04 τ_O=1.15 σ_O=3.77 σ_{ID}=3.94 Σ_T=4.92
CC 9 SLV (Collegamento -380_-516)
Azioni sul collegamento: N=134.17 Ty=-2.08 Tz=-48.79 Mx=-0.34 Mz=-2.09
Sollecitazioni agenti localmente: Tx_l=-2.08 Ty_l=-48.79 N_l=134.17 My_l=2.09 Mz_l=-0.34
Azioni sul cordone: TP=0.54 TO=3.86 NO=9.87
Tensioni nel cordone: τ_P=0.17 τ_O=1.23 σ_O=6.19 σ_{ID}=6.31 Σ_T=7.41
CC 9 SLV (Collegamento -380_-516)
Azioni sul collegamento: N=134.17 Ty=0.68 Tz=-48.79 Mx=0.05 Mz=0.43
Sollecitazioni agenti localmente: Tx_l=0.68 Ty_l=-48.79 N_l=134.17 My_l=-0.43 Mz_l=0.05
Azioni sul cordone: TP=-0.11 TO=3.63 NO=9.87
Tensioni nel cordone: τ_P= 0.04 τ_O=1.15 σ_O=3.77 σ_{ID}=3.94 Σ_T=4.92
CC 9 SLV (Collegamento -380_-516)
Azioni sul collegamento: N=134.17 Ty=-2.08 Tz=-48.79 Mx=-0.34 Mz=-2.09
Sollecitazioni agenti localmente: Tx_l=-2.08 Ty_l=-48.79 N_l=134.17 My_l=2.09 Mz_l=-0.34
Azioni sul cordone: TP=0.54 TO=3.86 NO=9.87
Tensioni nel cordone: τ_P=0.17 τ_O=1.23 σ_O=6.19 σ_{ID}=6.31 Σ_T=7.41
CC 9 SLV (Collegamento -380_-516)
Azioni sul collegamento: N=123.20 Ty=0.68 Tz=-47.09 Mx=0.05 Mz=0.43
Sollecitazioni agenti localmente: Tx_l=0.68 Ty_l=-47.09 N_l=123.20 My_l=-0.43 Mz_l=0.05
Azioni sul cordone: TP=-0.11 TO=3.51 NO=9.07
Tensioni nel cordone: τ_P= 0.04 τ_O=1.11 σ_O=3.51 σ_{ID}=3.68 Σ_T=4.63
CC 9 SLV (Collegamento -380_-516)
Azioni sul collegamento: N=123.20 Ty=-2.08 Tz=-47.09 Mx=-0.34 Mz=-2.09
Sollecitazioni agenti localmente: Tx_l=-2.08 Ty_l=-47.09 N_l=123.20 My_l=2.09 Mz_l=-0.34
Azioni sul cordone: TP=0.54 TO=3.73 NO=9.07
Tensioni nel cordone: τ_P=0.17 τ_O=1.19 σ_O=5.93 σ_{ID}=6.05 Σ_T=7.12
CC 9 SLV (Collegamento -380_-516)
Azioni sul collegamento: N=123.20 Ty=0.68 Tz=-47.09 Mx=0.05 Mz=0.43
Sollecitazioni agenti localmente: Tx_l=0.68 Ty_l=-47.09 N_l=123.20 My_l=-0.43 Mz_l=0.05
Azioni sul cordone: TP=-0.11 TO=3.51 NO=9.07
Tensioni nel cordone: τ_P= 0.04 τ_O=1.11 σ_O=3.51 σ_{ID}=3.68 Σ_T=4.63
CC 9 SLV (Collegamento -380_-516)
Azioni sul collegamento: N=123.20 Ty=-2.08 Tz=-47.09 Mx=-0.34 Mz=-2.09
Sollecitazioni agenti localmente: Tx_l=-2.08 Ty_l=-47.09 N_l=123.20 My_l=2.09 Mz_l=-0.34
Azioni sul cordone: TP=0.54 TO=3.73 NO=9.07
Tensioni nel cordone: τ_P=0.17 τ_O=1.19 σ_O=5.93 σ_{ID}=6.05 Σ_T=7.12

CC 10 SLD (Collegamento -380_-516)
Azioni sul collegamento: N=130.35 Ty=0.16 Tz=-48.19 Mx=0.01 Mz=0.10
Sollecitazioni agenti localmente: Tx_l=0.16 Ty_l=-48.19 N_l=130.35 My_l=-0.10 Mz_l=0.01
Azioni sul cordone: TP=-0.02 TO=3.55 NO=9.59
Tensioni nel cordone: τ_P=7.75E-03 τ_0=1.13 σ_0=3.19 σ_{ID}=3.38 Σ_T=4.32
CC 10 SLD (Collegamento -380_-516)
Azioni sul collegamento: N=130.35 Ty=-0.68 Tz=-48.19 Mx=-0.11 Mz=-0.67
Sollecitazioni agenti localmente: Tx_l=-0.68 Ty_l=-48.19 N_l=130.35 My_l=0.67 Mz_l=-0.11
Azioni sul cordone: TP=0.17 TO=3.63 NO=9.59
Tensioni nel cordone: τ_P= 0.06 τ_0=1.15 σ_0=4.03 σ_{ID}=4.19 Σ_T=5.18
CC 10 SLD (Collegamento -380_-516)
Azioni sul collegamento: N=130.35 Ty=0.16 Tz=-48.19 Mx=0.01 Mz=0.10
Sollecitazioni agenti localmente: Tx_l=0.16 Ty_l=-48.19 N_l=130.35 My_l=-0.10 Mz_l=0.01
Azioni sul cordone: TP=-0.02 TO=3.55 NO=9.59
Tensioni nel cordone: τ_P=7.75E-03 τ_0=1.13 σ_0=3.19 σ_{ID}=3.38 Σ_T=4.32
CC 10 SLD (Collegamento -380_-516)
Azioni sul collegamento: N=130.35 Ty=-0.68 Tz=-48.19 Mx=-0.11 Mz=-0.67
Sollecitazioni agenti localmente: Tx_l=-0.68 Ty_l=-48.19 N_l=130.35 My_l=0.67 Mz_l=-0.11
Azioni sul cordone: TP=0.17 TO=3.63 NO=9.59
Tensioni nel cordone: τ_P= 0.06 τ_0=1.15 σ_0=4.03 σ_{ID}=4.19 Σ_T=5.18
CC 10 SLD (Collegamento -380_-516)
Azioni sul collegamento: N=127.00 Ty=0.16 Tz=-47.68 Mx=0.01 Mz=0.10
Sollecitazioni agenti localmente: Tx_l=0.16 Ty_l=-47.68 N_l=127.00 My_l=-0.10 Mz_l=0.01
Azioni sul cordone: TP=-0.02 TO=3.52 NO=9.35
Tensioni nel cordone: τ_P=7.75E-03 τ_0=1.12 σ_0=3.11 σ_{ID}=3.31 Σ_T=4.23
CC 10 SLD (Collegamento -380_-516)
Azioni sul collegamento: N=127.00 Ty=-0.68 Tz=-47.68 Mx=-0.11 Mz=-0.67
Sollecitazioni agenti localmente: Tx_l=-0.68 Ty_l=-47.68 N_l=127.00 My_l=0.67 Mz_l=-0.11
Azioni sul cordone: TP=0.17 TO=3.59 NO=9.35
Tensioni nel cordone: τ_P= 0.06 τ_0=1.14 σ_0=3.95 σ_{ID}=4.11 Σ_T=5.09
CC 10 SLD (Collegamento -380_-516)
Azioni sul collegamento: N=127.00 Ty=0.16 Tz=-47.68 Mx=0.01 Mz=0.10
Sollecitazioni agenti localmente: Tx_l=0.16 Ty_l=-47.68 N_l=127.00 My_l=-0.10 Mz_l=0.01
Azioni sul cordone: TP=-0.02 TO=3.52 NO=9.35
Tensioni nel cordone: τ_P=7.75E-03 τ_0=1.12 σ_0=3.11 σ_{ID}=3.31 Σ_T=4.23
CC 10 SLD (Collegamento -380_-516)
Azioni sul collegamento: N=127.00 Ty=-0.68 Tz=-47.68 Mx=-0.11 Mz=-0.67
Sollecitazioni agenti localmente: Tx_l=-0.68 Ty_l=-47.68 N_l=127.00 My_l=0.67 Mz_l=-0.11
Azioni sul cordone: TP=0.17 TO=3.59 NO=9.35
Tensioni nel cordone: τ_P= 0.06 τ_0=1.14 σ_0=3.95 σ_{ID}=4.11 Σ_T=5.09
CC 11 SLV (Collegamento -380_-516)
Azioni sul collegamento: N=123.27 Ty=0.67 Tz=-47.10 Mx=0.05 Mz=0.42
Sollecitazioni agenti localmente: Tx_l=0.67 Ty_l=-47.10 N_l=123.27 My_l=-0.42 Mz_l=0.05
Azioni sul cordone: TP=-0.11 TO=3.51 NO=9.07
Tensioni nel cordone: τ_P= 0.03 τ_0=1.11 σ_0=3.50 σ_{ID}=3.68 Σ_T=4.62
CC 11 SLV (Collegamento -380_-516)
Azioni sul collegamento: N=123.27 Ty=-2.08 Tz=-47.10 Mx=-0.34 Mz=-2.08
Sollecitazioni agenti localmente: Tx_l=-2.08 Ty_l=-47.10 N_l=123.27 My_l=2.08 Mz_l=-0.34
Azioni sul cordone: TP=0.54 TO=3.73 NO=9.07
Tensioni nel cordone: τ_P=0.17 τ_0=1.19 σ_0=5.92 σ_{ID}=6.04 Σ_T=7.11
CC 11 SLV (Collegamento -380_-516)
Azioni sul collegamento: N=123.27 Ty=0.67 Tz=-47.10 Mx=0.05 Mz=0.42
Sollecitazioni agenti localmente: Tx_l=0.67 Ty_l=-47.10 N_l=123.27 My_l=-0.42 Mz_l=0.05
Azioni sul cordone: TP=-0.11 TO=3.51 NO=9.07
Tensioni nel cordone: τ_P= 0.03 τ_0=1.11 σ_0=3.50 σ_{ID}=3.68 Σ_T=4.62
CC 11 SLV (Collegamento -380_-516)
Azioni sul collegamento: N=123.27 Ty=-2.08 Tz=-47.10 Mx=-0.34 Mz=-2.08
Sollecitazioni agenti localmente: Tx_l=-2.08 Ty_l=-47.10 N_l=123.27 My_l=2.08 Mz_l=-0.34
Azioni sul cordone: TP=0.54 TO=3.73 NO=9.07
Tensioni nel cordone: τ_P=0.17 τ_0=1.19 σ_0=5.92 σ_{ID}=6.04 Σ_T=7.11
CC 11 SLV (Collegamento -380_-516)
Azioni sul collegamento: N=134.11 Ty=0.67 Tz=-48.78 Mx=0.05 Mz=0.42
Sollecitazioni agenti localmente: Tx_l=0.67 Ty_l=-48.78 N_l=134.11 My_l=-0.42 Mz_l=0.05
Azioni sul cordone: TP=-0.11 TO=3.63 NO=9.87
Tensioni nel cordone: τ_P= 0.03 τ_0=1.15 σ_0=3.76 σ_{ID}=3.93 Σ_T=4.91
CC 11 SLV (Collegamento -380_-516)
Azioni sul collegamento: N=134.11 Ty=-2.08 Tz=-48.78 Mx=-0.34 Mz=-2.08
Sollecitazioni agenti localmente: Tx_l=-2.08 Ty_l=-48.78 N_l=134.11 My_l=2.08 Mz_l=-0.34
Azioni sul cordone: TP=0.54 TO=3.85 NO=9.87
Tensioni nel cordone: τ_P=0.17 τ_0=1.22 σ_0=6.18 σ_{ID}=6.30 Σ_T=7.40
CC 11 SLV (Collegamento -380_-516)
Azioni sul collegamento: N=134.11 Ty=0.67 Tz=-48.78 Mx=0.05 Mz=0.42
Sollecitazioni agenti localmente: Tx_l=0.67 Ty_l=-48.78 N_l=134.11 My_l=-0.42 Mz_l=0.05
Azioni sul cordone: TP=-0.11 TO=3.63 NO=9.87
Tensioni nel cordone: τ_P= 0.03 τ_0=1.15 σ_0=3.76 σ_{ID}=3.93 Σ_T=4.91
CC 11 SLV (Collegamento -380_-516)
Azioni sul collegamento: N=134.11 Ty=-2.08 Tz=-48.78 Mx=-0.34 Mz=-2.08
Sollecitazioni agenti localmente: Tx_l=-2.08 Ty_l=-48.78 N_l=134.11 My_l=2.08 Mz_l=-0.34
Azioni sul cordone: TP=0.54 TO=3.85 NO=9.87

Tensioni nel cordone: τ_P=0.17 τ_0=1.22 σ_0=6.18 σ_{ID}=6.30 Σ_T=7.40
CC 12 SLD (Collegamento -380_-516)
Azioni sul collegamento: N=127.02 Ty=0.16 Tz=-47.68 Mx=0.01 Mz=0.09
Sollecitazioni agenti localmente: Tx_l=0.16 Ty_l=-47.68 N_l=127.02 My_l=-0.09 Mz_l=0.01
Azioni sul cordone: TP=-0.02 TO=3.52 NO=9.35
Tensioni nel cordone: τ_P=7.60E-03 τ_0=1.12 σ_0=3.11 σ_{ID}=3.30 Σ_T=4.23
CC 12 SLD (Collegamento -380_-516)
Azioni sul collegamento: N=127.02 Ty=-0.68 Tz=-47.68 Mx=-0.11 Mz=-0.67
Sollecitazioni agenti localmente: Tx_l=-0.68 Ty_l=-47.68 N_l=127.02 My_l=0.67 Mz_l=-0.11
Azioni sul cordone: TP=0.17 TO=3.59 NO=9.35
Tensioni nel cordone: τ_P= 0.06 τ_0=1.14 σ_0=3.95 σ_{ID}=4.11 Σ_T=5.09
CC 12 SLD (Collegamento -380_-516)
Azioni sul collegamento: N=127.02 Ty=0.16 Tz=-47.68 Mx=0.01 Mz=0.09
Sollecitazioni agenti localmente: Tx_l=0.16 Ty_l=-47.68 N_l=127.02 My_l=-0.09 Mz_l=0.01
Azioni sul cordone: TP=-0.02 TO=3.52 NO=9.35
Tensioni nel cordone: τ_P=7.60E-03 τ_0=1.12 σ_0=3.11 σ_{ID}=3.30 Σ_T=4.23
CC 12 SLD (Collegamento -380_-516)
Azioni sul collegamento: N=127.02 Ty=-0.68 Tz=-47.68 Mx=-0.11 Mz=-0.67
Sollecitazioni agenti localmente: Tx_l=-0.68 Ty_l=-47.68 N_l=127.02 My_l=0.67 Mz_l=-0.11
Azioni sul cordone: TP=0.17 TO=3.59 NO=9.35
Tensioni nel cordone: τ_P= 0.06 τ_0=1.14 σ_0=3.95 σ_{ID}=4.11 Σ_T=5.09
CC 12 SLD (Collegamento -380_-516)
Azioni sul collegamento: N=130.33 Ty=0.16 Tz=-48.19 Mx=0.01 Mz=0.09
Sollecitazioni agenti localmente: Tx_l=0.16 Ty_l=-48.19 N_l=130.33 My_l=-0.09 Mz_l=0.01
Azioni sul cordone: TP=-0.02 TO=3.55 NO=9.59
Tensioni nel cordone: τ_P=7.60E-03 τ_0=1.13 σ_0=3.19 σ_{ID}=3.38 Σ_T=4.32
CC 12 SLD (Collegamento -380_-516)
Azioni sul collegamento: N=130.33 Ty=-0.68 Tz=-48.19 Mx=-0.11 Mz=-0.67
Sollecitazioni agenti localmente: Tx_l=-0.68 Ty_l=-48.19 N_l=130.33 My_l=0.67 Mz_l=-0.11
Azioni sul cordone: TP=0.17 TO=3.63 NO=9.59
Tensioni nel cordone: τ_P= 0.06 τ_0=1.15 σ_0=4.03 σ_{ID}=4.19 Σ_T=5.18
CC 12 SLD (Collegamento -380_-516)
Azioni sul collegamento: N=130.33 Ty=0.16 Tz=-48.19 Mx=0.01 Mz=0.09
Sollecitazioni agenti localmente: Tx_l=0.16 Ty_l=-48.19 N_l=130.33 My_l=-0.09 Mz_l=0.01
Azioni sul cordone: TP=-0.02 TO=3.55 NO=9.59
Tensioni nel cordone: τ_P=7.60E-03 τ_0=1.13 σ_0=3.19 σ_{ID}=3.38 Σ_T=4.32
CC 12 SLD (Collegamento -380_-516)
Azioni sul collegamento: N=130.33 Ty=-0.68 Tz=-48.19 Mx=-0.11 Mz=-0.67
Sollecitazioni agenti localmente: Tx_l=-0.68 Ty_l=-48.19 N_l=130.33 My_l=0.67 Mz_l=-0.11
Azioni sul cordone: TP=0.17 TO=3.63 NO=9.59
Tensioni nel cordone: τ_P= 0.06 τ_0=1.15 σ_0=4.03 σ_{ID}=4.19 Σ_T=5.18
CC 13 SLV (Collegamento -380_-516)
Azioni sul collegamento: N=134.11 Ty=-2.08 Tz=-48.78 Mx=-0.32 Mz=-2.08
Sollecitazioni agenti localmente: Tx_l=-2.08 Ty_l=-48.78 N_l=134.11 My_l=2.08 Mz_l=-0.32
Azioni sul cordone: TP=0.52 TO=3.84 NO=9.87
Tensioni nel cordone: τ_P=0.17 τ_0=1.22 σ_0=6.18 σ_{ID}=6.30 Σ_T=7.40
CC 13 SLV (Collegamento -380_-516)
Azioni sul collegamento: N=134.11 Ty=0.67 Tz=-48.78 Mx=0.07 Mz=0.42
Sollecitazioni agenti localmente: Tx_l=0.67 Ty_l=-48.78 N_l=134.11 My_l=-0.42 Mz_l=0.07
Azioni sul cordone: TP=-0.13 TO=3.64 NO=9.87
Tensioni nel cordone: τ_P= 0.04 τ_0=1.16 σ_0=3.75 σ_{ID}=3.93 Σ_T=4.91
CC 13 SLV (Collegamento -380_-516)
Azioni sul collegamento: N=134.11 Ty=-2.08 Tz=-48.78 Mx=-0.32 Mz=-2.08
Sollecitazioni agenti localmente: Tx_l=-2.08 Ty_l=-48.78 N_l=134.11 My_l=2.08 Mz_l=-0.32
Azioni sul cordone: TP=0.52 TO=3.84 NO=9.87
Tensioni nel cordone: τ_P=0.17 τ_0=1.22 σ_0=6.18 σ_{ID}=6.30 Σ_T=7.40
CC 13 SLV (Collegamento -380_-516)
Azioni sul collegamento: N=134.11 Ty=0.67 Tz=-48.78 Mx=0.07 Mz=0.42
Sollecitazioni agenti localmente: Tx_l=0.67 Ty_l=-48.78 N_l=134.11 My_l=-0.42 Mz_l=0.07
Azioni sul cordone: TP=-0.13 TO=3.64 NO=9.87
Tensioni nel cordone: τ_P= 0.04 τ_0=1.16 σ_0=3.75 σ_{ID}=3.93 Σ_T=4.91
CC 13 SLV (Collegamento -380_-516)
Azioni sul collegamento: N=123.27 Ty=-2.08 Tz=-47.10 Mx=-0.32 Mz=-2.08
Sollecitazioni agenti localmente: Tx_l=-2.08 Ty_l=-47.10 N_l=123.27 My_l=2.08 Mz_l=-0.32
Azioni sul cordone: TP=0.52 TO=3.72 NO=9.07
Tensioni nel cordone: τ_P=0.17 τ_0=1.18 σ_0=5.93 σ_{ID}=6.05 Σ_T=7.11
CC 13 SLV (Collegamento -380_-516)
Azioni sul collegamento: N=123.27 Ty=0.67 Tz=-47.10 Mx=0.07 Mz=0.42
Sollecitazioni agenti localmente: Tx_l=0.67 Ty_l=-47.10 N_l=123.27 My_l=-0.42 Mz_l=0.07
Azioni sul cordone: TP=-0.13 TO=3.52 NO=9.07
Tensioni nel cordone: τ_P= 0.04 τ_0=1.12 σ_0=3.50 σ_{ID}=3.67 Σ_T=4.62
CC 13 SLV (Collegamento -380_-516)
Azioni sul collegamento: N=123.27 Ty=-2.08 Tz=-47.10 Mx=-0.32 Mz=-2.08
Sollecitazioni agenti localmente: Tx_l=-2.08 Ty_l=-47.10 N_l=123.27 My_l=2.08 Mz_l=-0.32
Azioni sul cordone: TP=0.52 TO=3.72 NO=9.07
Tensioni nel cordone: τ_P=0.17 τ_0=1.18 σ_0=5.93 σ_{ID}=6.05 Σ_T=7.11
CC 13 SLV (Collegamento -380_-516)
Azioni sul collegamento: N=123.27 Ty=0.67 Tz=-47.10 Mx=0.07 Mz=0.42
Sollecitazioni agenti localmente: Tx_l=0.67 Ty_l=-47.10 N_l=123.27 My_l=-0.42 Mz_l=0.07

Azioni sul cordone: TP=-0.13 TO=3.52 NO=9.07
Tensioni nel cordone: τ_P= 0.04 τ_0=1.12 σ_0=3.50 σ_{ID}=3.67 Σ_T=4.62
CC 14 SLD (Collegamento -380_-516)
Azioni sul collegamento: N=130.33 Ty=-0.68 Tz=-48.19 Mx=-0.10 Mz=-0.67
Sollecitazioni agenti localmente: Tx_l=-0.68 Ty_l=-48.19 N_l=130.33 My_l=0.67 Mz_l=-0.10
Azioni sul cordone: TP=0.17 TO=3.63 NO=9.59
Tensioni nel cordone: τ_P= 0.05 τ_0=1.15 σ_0=4.03 σ_{ID}=4.19 Σ_T=5.18
CC 14 SLD (Collegamento -380_-516)
Azioni sul collegamento: N=130.33 Ty=0.16 Tz=-48.19 Mx=0.02 Mz=0.09
Sollecitazioni agenti localmente: Tx_l=0.16 Ty_l=-48.19 N_l=130.33 My_l=-0.09 Mz_l=0.02
Azioni sul cordone: TP=-0.03 TO=3.56 NO=9.59
Tensioni nel cordone: τ_P=9.36E-03 τ_0=1.13 σ_0=3.19 σ_{ID}=3.38 Σ_T=4.32
CC 14 SLD (Collegamento -380_-516)
Azioni sul collegamento: N=130.33 Ty=-0.68 Tz=-48.19 Mx=-0.10 Mz=-0.67
Sollecitazioni agenti localmente: Tx_l=-0.68 Ty_l=-48.19 N_l=130.33 My_l=0.67 Mz_l=-0.10
Azioni sul cordone: TP=0.17 TO=3.63 NO=9.59
Tensioni nel cordone: τ_P= 0.05 τ_0=1.15 σ_0=4.03 σ_{ID}=4.19 Σ_T=5.18
CC 14 SLD (Collegamento -380_-516)
Azioni sul collegamento: N=130.33 Ty=0.16 Tz=-48.19 Mx=0.02 Mz=0.09
Sollecitazioni agenti localmente: Tx_l=0.16 Ty_l=-48.19 N_l=130.33 My_l=-0.09 Mz_l=0.02
Azioni sul cordone: TP=-0.03 TO=3.56 NO=9.59
Tensioni nel cordone: τ_P=9.36E-03 τ_0=1.13 σ_0=3.19 σ_{ID}=3.38 Σ_T=4.32
CC 14 SLD (Collegamento -380_-516)
Azioni sul collegamento: N=127.02 Ty=-0.68 Tz=-47.68 Mx=-0.10 Mz=-0.67
Sollecitazioni agenti localmente: Tx_l=-0.68 Ty_l=-47.68 N_l=127.02 My_l=0.67 Mz_l=-0.10
Azioni sul cordone: TP=0.17 TO=3.59 NO=9.35
Tensioni nel cordone: τ_P= 0.05 τ_0=1.14 σ_0=3.95 σ_{ID}=4.11 Σ_T=5.09
CC 14 SLD (Collegamento -380_-516)
Azioni sul collegamento: N=127.02 Ty=0.16 Tz=-47.68 Mx=0.02 Mz=0.09
Sollecitazioni agenti localmente: Tx_l=0.16 Ty_l=-47.68 N_l=127.02 My_l=-0.09 Mz_l=0.02
Azioni sul cordone: TP=-0.03 TO=3.52 NO=9.35
Tensioni nel cordone: τ_P=9.36E-03 τ_0=1.12 σ_0=3.11 σ_{ID}=3.30 Σ_T=4.23
CC 14 SLD (Collegamento -380_-516)
Azioni sul collegamento: N=127.02 Ty=-0.68 Tz=-47.68 Mx=-0.10 Mz=-0.67
Sollecitazioni agenti localmente: Tx_l=-0.68 Ty_l=-47.68 N_l=127.02 My_l=0.67 Mz_l=-0.10
Azioni sul cordone: TP=0.17 TO=3.59 NO=9.35
Tensioni nel cordone: τ_P= 0.05 τ_0=1.14 σ_0=3.95 σ_{ID}=4.11 Σ_T=5.09
CC 14 SLD (Collegamento -380_-516)
Azioni sul collegamento: N=127.02 Ty=0.16 Tz=-47.68 Mx=0.02 Mz=0.09
Sollecitazioni agenti localmente: Tx_l=0.16 Ty_l=-47.68 N_l=127.02 My_l=-0.09 Mz_l=0.02
Azioni sul cordone: TP=-0.03 TO=3.52 NO=9.35
Tensioni nel cordone: τ_P=9.36E-03 τ_0=1.12 σ_0=3.11 σ_{ID}=3.30 Σ_T=4.23
CC 15 SLV (Collegamento -380_-516)
Azioni sul collegamento: N=123.20 Ty=-2.08 Tz=-47.09 Mx=-0.32 Mz=-2.09
Sollecitazioni agenti localmente: Tx_l=-2.08 Ty_l=-47.09 N_l=123.20 My_l=2.09 Mz_l=-0.32
Azioni sul cordone: TP=0.52 TO=3.72 NO=9.07
Tensioni nel cordone: τ_P=0.17 τ_0=1.18 σ_0=5.94 σ_{ID}=6.05 Σ_T=7.12
CC 15 SLV (Collegamento -380_-516)
Azioni sul collegamento: N=123.20 Ty=0.68 Tz=-47.09 Mx=0.07 Mz=0.43
Sollecitazioni agenti localmente: Tx_l=0.68 Ty_l=-47.09 N_l=123.20 My_l=-0.43 Mz_l=0.07
Azioni sul cordone: TP=-0.13 TO=3.52 NO=9.07
Tensioni nel cordone: τ_P= 0.04 τ_0=1.12 σ_0=3.51 σ_{ID}=3.68 Σ_T=4.63
CC 15 SLV (Collegamento -380_-516)
Azioni sul collegamento: N=123.20 Ty=-2.08 Tz=-47.09 Mx=-0.32 Mz=-2.09
Sollecitazioni agenti localmente: Tx_l=-2.08 Ty_l=-47.09 N_l=123.20 My_l=2.09 Mz_l=-0.32
Azioni sul cordone: TP=0.52 TO=3.72 NO=9.07
Tensioni nel cordone: τ_P=0.17 τ_0=1.18 σ_0=5.94 σ_{ID}=6.05 Σ_T=7.12
CC 15 SLV (Collegamento -380_-516)
Azioni sul collegamento: N=123.20 Ty=0.68 Tz=-47.09 Mx=0.07 Mz=0.43
Sollecitazioni agenti localmente: Tx_l=0.68 Ty_l=-47.09 N_l=123.20 My_l=-0.43 Mz_l=0.07
Azioni sul cordone: TP=-0.13 TO=3.52 NO=9.07
Tensioni nel cordone: τ_P= 0.04 τ_0=1.12 σ_0=3.51 σ_{ID}=3.68 Σ_T=4.63
CC 15 SLV (Collegamento -380_-516)
Azioni sul collegamento: N=134.17 Ty=-2.08 Tz=-48.79 Mx=-0.32 Mz=-2.09
Sollecitazioni agenti localmente: Tx_l=-2.08 Ty_l=-48.79 N_l=134.17 My_l=2.09 Mz_l=-0.32
Azioni sul cordone: TP=0.52 TO=3.84 NO=9.87
Tensioni nel cordone: τ_P=0.17 τ_0=1.22 σ_0=6.19 σ_{ID}=6.31 Σ_T=7.41
CC 15 SLV (Collegamento -380_-516)
Azioni sul collegamento: N=134.17 Ty=0.68 Tz=-48.79 Mx=0.07 Mz=0.43
Sollecitazioni agenti localmente: Tx_l=0.68 Ty_l=-48.79 N_l=134.17 My_l=-0.43 Mz_l=0.07
Azioni sul cordone: TP=-0.13 TO=3.64 NO=9.87
Tensioni nel cordone: τ_P= 0.04 τ_0=1.16 σ_0=3.76 σ_{ID}=3.94 Σ_T=4.92
CC 15 SLV (Collegamento -380_-516)
Azioni sul collegamento: N=134.17 Ty=-2.08 Tz=-48.79 Mx=-0.32 Mz=-2.09
Sollecitazioni agenti localmente: Tx_l=-2.08 Ty_l=-48.79 N_l=134.17 My_l=2.09 Mz_l=-0.32
Azioni sul cordone: TP=0.52 TO=3.84 NO=9.87
Tensioni nel cordone: τ_P=0.17 τ_0=1.22 σ_0=6.19 σ_{ID}=6.31 Σ_T=7.41
CC 15 SLV (Collegamento -380_-516)
Azioni sul collegamento: N=134.17 Ty=0.68 Tz=-48.79 Mx=0.07 Mz=0.43

Sollecitazioni agenti localmente: Tx_l=0.68 Ty_l=-48.79 N_l=134.17 My_l=-0.43 Mz_l=0.07
Azioni sul cordone: TP=-0.13 TO=3.64 NO=9.87
Tensioni nel cordone: τ_P= 0.04 τ_O=1.16 σ_O=3.76 σ_{ID}=3.94 Σ_T=4.92
CC 16 SLD (Collegamento -380_-516)
Azioni sul collegamento: N=127.00 Ty=-0.68 Tz=-47.68 Mx=-0.10 Mz=-0.67
Sollecitazioni agenti localmente: Tx_l=-0.68 Ty_l=-47.68 N_l=127.00 My_l=0.67 Mz_l=-0.10
Azioni sul cordone: TP=0.17 TO=3.59 NO=9.35
Tensioni nel cordone: τ_P= 0.05 τ_O=1.14 σ_O=3.95 σ_{ID}=4.11 Σ_T=5.09
CC 16 SLD (Collegamento -380_-516)
Azioni sul collegamento: N=127.00 Ty=0.16 Tz=-47.68 Mx=0.02 Mz=0.10
Sollecitazioni agenti localmente: Tx_l=0.16 Ty_l=-47.68 N_l=127.00 My_l=-0.10 Mz_l=0.02
Azioni sul cordone: TP=-0.03 TO=3.52 NO=9.35
Tensioni nel cordone: τ_P=9.51E-03 τ_O=1.12 σ_O=3.11 σ_{ID}=3.31 Σ_T=4.23
CC 16 SLD (Collegamento -380_-516)
Azioni sul collegamento: N=127.00 Ty=-0.68 Tz=-47.68 Mx=-0.10 Mz=-0.67
Sollecitazioni agenti localmente: Tx_l=-0.68 Ty_l=-47.68 N_l=127.00 My_l=0.67 Mz_l=-0.10
Azioni sul cordone: TP=0.17 TO=3.59 NO=9.35
Tensioni nel cordone: τ_P= 0.05 τ_O=1.14 σ_O=3.95 σ_{ID}=4.11 Σ_T=5.09
CC 16 SLD (Collegamento -380_-516)
Azioni sul collegamento: N=127.00 Ty=0.16 Tz=-47.68 Mx=0.02 Mz=0.10
Sollecitazioni agenti localmente: Tx_l=0.16 Ty_l=-47.68 N_l=127.00 My_l=-0.10 Mz_l=0.02
Azioni sul cordone: TP=-0.03 TO=3.52 NO=9.35
Tensioni nel cordone: τ_P=9.51E-03 τ_O=1.12 σ_O=3.11 σ_{ID}=3.31 Σ_T=4.23
CC 16 SLD (Collegamento -380_-516)
Azioni sul collegamento: N=130.35 Ty=-0.68 Tz=-48.19 Mx=-0.10 Mz=-0.67
Sollecitazioni agenti localmente: Tx_l=-0.68 Ty_l=-48.19 N_l=130.35 My_l=0.67 Mz_l=-0.10
Azioni sul cordone: TP=0.17 TO=3.63 NO=9.59
Tensioni nel cordone: τ_P= 0.05 τ_O=1.15 σ_O=4.03 σ_{ID}=4.19 Σ_T=5.18
CC 16 SLD (Collegamento -380_-516)
Azioni sul collegamento: N=130.35 Ty=0.16 Tz=-48.19 Mx=0.02 Mz=0.10
Sollecitazioni agenti localmente: Tx_l=0.16 Ty_l=-48.19 N_l=130.35 My_l=-0.10 Mz_l=0.02
Azioni sul cordone: TP=-0.03 TO=3.56 NO=9.59
Tensioni nel cordone: τ_P=9.51E-03 τ_O=1.13 σ_O=3.19 σ_{ID}=3.38 Σ_T=4.32
CC 16 SLD (Collegamento -380_-516)
Azioni sul collegamento: N=130.35 Ty=-0.68 Tz=-48.19 Mx=-0.10 Mz=-0.67
Sollecitazioni agenti localmente: Tx_l=-0.68 Ty_l=-48.19 N_l=130.35 My_l=0.67 Mz_l=-0.10
Azioni sul cordone: TP=0.17 TO=3.63 NO=9.59
Tensioni nel cordone: τ_P= 0.05 τ_O=1.15 σ_O=4.03 σ_{ID}=4.19 Σ_T=5.18
CC 16 SLD (Collegamento -380_-516)
Azioni sul collegamento: N=130.35 Ty=0.16 Tz=-48.19 Mx=0.02 Mz=0.10
Sollecitazioni agenti localmente: Tx_l=0.16 Ty_l=-48.19 N_l=130.35 My_l=-0.10 Mz_l=0.02
Azioni sul cordone: TP=-0.03 TO=3.56 NO=9.59
Tensioni nel cordone: τ_P=9.51E-03 τ_O=1.13 σ_O=3.19 σ_{ID}=3.38 Σ_T=4.32
CC 17 SLV (Collegamento -380_-516)
Azioni sul collegamento: N=146.84 Ty=0.99 Tz=-50.75 Mx=0.18 Mz=1.12
Sollecitazioni agenti localmente: Tx_l=0.99 Ty_l=-50.75 N_l=146.84 My_l=-1.12 Mz_l=0.18
Azioni sul cordone: TP=-0.28 TO=3.88 NO=10.80
Tensioni nel cordone: τ_P= 0.09 τ_O=1.23 σ_O=5.07 σ_{ID}=5.21 Σ_T=6.30
CC 17 SLV (Collegamento -380_-516)
Azioni sul collegamento: N=146.84 Ty=0.14 Tz=-50.75 Mx=0.06 Mz=0.34
Sollecitazioni agenti localmente: Tx_l=0.14 Ty_l=-50.75 N_l=146.84 My_l=-0.34 Mz_l=0.06
Azioni sul cordone: TP=-0.08 TO=3.78 NO=10.80
Tensioni nel cordone: τ_P= 0.03 τ_O=1.20 σ_O=3.93 σ_{ID}=4.11 Σ_T=5.14
CC 17 SLV (Collegamento -380_-516)
Azioni sul collegamento: N=146.84 Ty=0.99 Tz=-50.75 Mx=0.18 Mz=1.12
Sollecitazioni agenti localmente: Tx_l=0.99 Ty_l=-50.75 N_l=146.84 My_l=-1.12 Mz_l=0.18
Azioni sul cordone: TP=-0.28 TO=3.88 NO=10.80
Tensioni nel cordone: τ_P= 0.09 τ_O=1.23 σ_O=5.07 σ_{ID}=5.21 Σ_T=6.30
CC 17 SLV (Collegamento -380_-516)
Azioni sul collegamento: N=146.84 Ty=0.14 Tz=-50.75 Mx=0.06 Mz=0.34
Sollecitazioni agenti localmente: Tx_l=0.14 Ty_l=-50.75 N_l=146.84 My_l=-0.34 Mz_l=0.06
Azioni sul cordone: TP=-0.08 TO=3.78 NO=10.80
Tensioni nel cordone: τ_P= 0.03 τ_O=1.20 σ_O=3.93 σ_{ID}=4.11 Σ_T=5.14
CC 17 SLV (Collegamento -380_-516)
Azioni sul collegamento: N=110.46 Ty=0.99 Tz=-45.12 Mx=0.18 Mz=1.12
Sollecitazioni agenti localmente: Tx_l=0.99 Ty_l=-45.12 N_l=110.46 My_l=-1.12 Mz_l=0.18
Azioni sul cordone: TP=-0.28 TO=3.46 NO=8.13
Tensioni nel cordone: τ_P= 0.09 τ_O=1.10 σ_O=4.21 σ_{ID}=4.36 Σ_T=5.32
CC 17 SLV (Collegamento -380_-516)
Azioni sul collegamento: N=110.46 Ty=0.14 Tz=-45.12 Mx=0.06 Mz=0.34
Sollecitazioni agenti localmente: Tx_l=0.14 Ty_l=-45.12 N_l=110.46 My_l=-0.34 Mz_l=0.06
Azioni sul cordone: TP=-0.08 TO=3.37 NO=8.13
Tensioni nel cordone: τ_P= 0.03 τ_O=1.07 σ_O=3.08 σ_{ID}=3.26 Σ_T=4.15
CC 17 SLV (Collegamento -380_-516)
Azioni sul collegamento: N=110.46 Ty=0.99 Tz=-45.12 Mx=0.18 Mz=1.12
Sollecitazioni agenti localmente: Tx_l=0.99 Ty_l=-45.12 N_l=110.46 My_l=-1.12 Mz_l=0.18
Azioni sul cordone: TP=-0.28 TO=3.46 NO=8.13
Tensioni nel cordone: τ_P= 0.09 τ_O=1.10 σ_O=4.21 σ_{ID}=4.36 Σ_T=5.32
CC 17 SLV (Collegamento -380_-516)

Azioni sul collegamento: N=110.46 Ty=0.14 Tz=-45.12 Mx=0.06 Mz=0.34
Sollecitazioni agenti localmente: Tx_l=0.14 Ty_l=-45.12 N_l=110.46 My_l=-0.34 Mz_l=0.06
Azioni sul cordone: TP=-0.08 TO=3.37 NO=8.13
Tensioni nel cordone: τ_P= 0.03 τ_O=1.07 σ_O=3.08 σ_{ID}=3.26 Σ_T=4.15
CC 18 SLD (Collegamento -380_-516)
Azioni sul collegamento: N=134.21 Ty=0.25 Tz=-48.79 Mx=0.05 Mz=0.31
Sollecitazioni agenti localmente: Tx_l=0.25 Ty_l=-48.79 N_l=134.21 My_l=-0.31 Mz_l=0.05
Azioni sul cordone: TP=-0.08 TO=3.63 NO=9.88
Tensioni nel cordone: τ_P= 0.02 τ_O=1.15 σ_O=3.59 σ_{ID}=3.77 Σ_T=4.74
CC 18 SLD (Collegamento -380_-516)
Azioni sul collegamento: N=134.21 Ty=-0.00 Tz=-48.79 Mx=0.01 Mz=0.07
Sollecitazioni agenti localmente: Tx_l=-0.00 Ty_l=-48.79 N_l=134.21 My_l=-0.07 Mz_l=0.01
Azioni sul cordone: TP=-0.02 TO=-3.60 NO=9.88
Tensioni nel cordone: τ_P=4.98E-03 τ_O=1.14 σ_O=3.24 σ_{ID}=3.44 Σ_T=4.38
CC 18 SLD (Collegamento -380_-516)
Azioni sul collegamento: N=134.21 Ty=0.25 Tz=-48.79 Mx=0.05 Mz=0.31
Sollecitazioni agenti localmente: Tx_l=0.25 Ty_l=-48.79 N_l=134.21 My_l=-0.31 Mz_l=0.05
Azioni sul cordone: TP=-0.08 TO=3.63 NO=9.88
Tensioni nel cordone: τ_P= 0.02 τ_O=1.15 σ_O=3.59 σ_{ID}=3.77 Σ_T=4.74
CC 18 SLD (Collegamento -380_-516)
Azioni sul collegamento: N=134.21 Ty=-0.00 Tz=-48.79 Mx=0.01 Mz=0.07
Sollecitazioni agenti localmente: Tx_l=-0.00 Ty_l=-48.79 N_l=134.21 My_l=-0.07 Mz_l=0.01
Azioni sul cordone: TP=-0.02 TO=-3.60 NO=9.88
Tensioni nel cordone: τ_P=4.98E-03 τ_O=1.14 σ_O=3.24 σ_{ID}=3.44 Σ_T=4.38
CC 18 SLD (Collegamento -380_-516)
Azioni sul collegamento: N=123.12 Ty=0.25 Tz=-47.08 Mx=0.05 Mz=0.31
Sollecitazioni agenti localmente: Tx_l=0.25 Ty_l=-47.08 N_l=123.12 My_l=-0.31 Mz_l=0.05
Azioni sul cordone: TP=-0.08 TO=3.50 NO=9.06
Tensioni nel cordone: τ_P= 0.02 τ_O=1.11 σ_O=3.33 σ_{ID}=3.51 Σ_T=4.44
CC 18 SLD (Collegamento -380_-516)
Azioni sul collegamento: N=123.12 Ty=-0.00 Tz=-47.08 Mx=0.01 Mz=0.07
Sollecitazioni agenti localmente: Tx_l=-0.00 Ty_l=-47.08 N_l=123.12 My_l=-0.07 Mz_l=0.01
Azioni sul cordone: TP=-0.02 TO=-3.47 NO=9.06
Tensioni nel cordone: τ_P=4.98E-03 τ_O=1.10 σ_O=2.98 σ_{ID}=3.18 Σ_T=4.09
CC 18 SLD (Collegamento -380_-516)
Azioni sul collegamento: N=123.12 Ty=0.25 Tz=-47.08 Mx=0.05 Mz=0.31
Sollecitazioni agenti localmente: Tx_l=0.25 Ty_l=-47.08 N_l=123.12 My_l=-0.31 Mz_l=0.05
Azioni sul cordone: TP=-0.08 TO=3.50 NO=9.06
Tensioni nel cordone: τ_P= 0.02 τ_O=1.11 σ_O=3.33 σ_{ID}=3.51 Σ_T=4.44
CC 18 SLD (Collegamento -380_-516)
Azioni sul collegamento: N=123.12 Ty=-0.00 Tz=-47.08 Mx=0.01 Mz=0.07
Sollecitazioni agenti localmente: Tx_l=-0.00 Ty_l=-47.08 N_l=123.12 My_l=-0.07 Mz_l=0.01
Azioni sul cordone: TP=-0.02 TO=-3.47 NO=9.06
Tensioni nel cordone: τ_P=4.98E-03 τ_O=1.10 σ_O=2.98 σ_{ID}=3.18 Σ_T=4.09
CC 19 SLV (Collegamento -380_-516)
Azioni sul collegamento: N=146.82 Ty=0.16 Tz=-50.74 Mx=0.06 Mz=0.36
Sollecitazioni agenti localmente: Tx_l=0.16 Ty_l=-50.74 N_l=146.82 My_l=-0.36 Mz_l=0.06
Azioni sul cordone: TP=-0.08 TO=3.78 NO=10.80
Tensioni nel cordone: τ_P= 0.03 τ_O=1.20 σ_O=3.96 σ_{ID}=4.14 Σ_T=5.17
CC 19 SLV (Collegamento -380_-516)
Azioni sul collegamento: N=146.82 Ty=0.97 Tz=-50.74 Mx=0.17 Mz=1.10
Sollecitazioni agenti localmente: Tx_l=0.97 Ty_l=-50.74 N_l=146.82 My_l=-1.10 Mz_l=0.17
Azioni sul cordone: TP=-0.27 TO=3.87 NO=10.80
Tensioni nel cordone: τ_P= 0.09 τ_O=1.23 σ_O=5.03 σ_{ID}=5.18 Σ_T=6.26
CC 19 SLV (Collegamento -380_-516)
Azioni sul collegamento: N=146.82 Ty=0.16 Tz=-50.74 Mx=0.06 Mz=0.36
Sollecitazioni agenti localmente: Tx_l=0.16 Ty_l=-50.74 N_l=146.82 My_l=-0.36 Mz_l=0.06
Azioni sul cordone: TP=-0.08 TO=3.78 NO=10.80
Tensioni nel cordone: τ_P= 0.03 τ_O=1.20 σ_O=3.96 σ_{ID}=4.14 Σ_T=5.17
CC 19 SLV (Collegamento -380_-516)
Azioni sul collegamento: N=146.82 Ty=0.97 Tz=-50.74 Mx=0.17 Mz=1.10
Sollecitazioni agenti localmente: Tx_l=0.97 Ty_l=-50.74 N_l=146.82 My_l=-1.10 Mz_l=0.17
Azioni sul cordone: TP=-0.27 TO=3.87 NO=10.80
Tensioni nel cordone: τ_P= 0.09 τ_O=1.23 σ_O=5.03 σ_{ID}=5.18 Σ_T=6.26
CC 19 SLV (Collegamento -380_-516)
Azioni sul collegamento: N=110.48 Ty=0.16 Tz=-45.12 Mx=0.06 Mz=0.36
Sollecitazioni agenti localmente: Tx_l=0.16 Ty_l=-45.12 N_l=110.48 My_l=-0.36 Mz_l=0.06
Azioni sul cordone: TP=-0.08 TO=3.37 NO=8.13
Tensioni nel cordone: τ_P= 0.03 τ_O=1.07 σ_O=3.12 σ_{ID}=3.29 Σ_T=4.19
CC 19 SLV (Collegamento -380_-516)
Azioni sul collegamento: N=110.48 Ty=0.97 Tz=-45.12 Mx=0.17 Mz=1.10
Sollecitazioni agenti localmente: Tx_l=0.97 Ty_l=-45.12 N_l=110.48 My_l=-1.10 Mz_l=0.17
Azioni sul cordone: TP=-0.27 TO=3.46 NO=8.13
Tensioni nel cordone: τ_P= 0.09 τ_O=1.10 σ_O=4.18 σ_{ID}=4.33 Σ_T=5.28
CC 19 SLV (Collegamento -380_-516)
Azioni sul collegamento: N=110.48 Ty=0.16 Tz=-45.12 Mx=0.06 Mz=0.36
Sollecitazioni agenti localmente: Tx_l=0.16 Ty_l=-45.12 N_l=110.48 My_l=-0.36 Mz_l=0.06
Azioni sul cordone: TP=-0.08 TO=3.37 NO=8.13
Tensioni nel cordone: τ_P= 0.03 τ_O=1.07 σ_O=3.12 σ_{ID}=3.29 Σ_T=4.19

CC 19 SLV (Collegamento -380_-516)
Azioni sul collegamento: N=110.48 Ty=0.97 Tz=-45.12 Mx=0.17 Mz=1.10
Sollecitazioni agenti localmente: Tx_l=0.97 Ty_l=-45.12 N_l=110.48 My_l=-1.10 Mz_l=0.17
Azioni sul cordone: TP=-0.27 TO=3.46 NO=8.13
Tensioni nel cordone: τ_P= 0.09 τ_O=1.10 σ_O=4.18 σ_{ID}=4.33 Σ_T=5.28
CC 20 SLD (Collegamento -380_-516)
Azioni sul collegamento: N=134.20 Ty=0.00 Tz=-48.79 Mx=0.01 Mz=0.08
Sollecitazioni agenti localmente: Tx_l=0.00 Ty_l=-48.79 N_l=134.20 My_l=-0.08 Mz_l=0.01
Azioni sul cordone: TP=-0.01 TO=-3.60 NO=9.88
Tensioni nel cordone: τ_P=4.69E-03 τ_O=1.14 σ_O=3.25 σ_{ID}=3.45 Σ_T=4.39
CC 20 SLD (Collegamento -380_-516)
Azioni sul collegamento: N=134.20 Ty=0.25 Tz=-48.79 Mx=0.05 Mz=0.30
Sollecitazioni agenti localmente: Tx_l=0.25 Ty_l=-48.79 N_l=134.20 My_l=-0.30 Mz_l=0.05
Azioni sul cordone: TP=-0.07 TO=3.63 NO=9.88
Tensioni nel cordone: τ_P= 0.02 τ_O=1.15 σ_O=3.58 σ_{ID}=3.76 Σ_T=4.73
CC 20 SLD (Collegamento -380_-516)
Azioni sul collegamento: N=134.20 Ty=0.00 Tz=-48.79 Mx=0.01 Mz=0.08
Sollecitazioni agenti localmente: Tx_l=0.00 Ty_l=-48.79 N_l=134.20 My_l=-0.08 Mz_l=0.01
Azioni sul cordone: TP=-0.01 TO=-3.60 NO=9.88
Tensioni nel cordone: τ_P=4.69E-03 τ_O=1.14 σ_O=3.25 σ_{ID}=3.45 Σ_T=4.39
CC 20 SLD (Collegamento -380_-516)
Azioni sul collegamento: N=134.20 Ty=0.25 Tz=-48.79 Mx=0.05 Mz=0.30
Sollecitazioni agenti localmente: Tx_l=0.25 Ty_l=-48.79 N_l=134.20 My_l=-0.30 Mz_l=0.05
Azioni sul cordone: TP=-0.07 TO=3.63 NO=9.88
Tensioni nel cordone: τ_P= 0.02 τ_O=1.15 σ_O=3.58 σ_{ID}=3.76 Σ_T=4.73
CC 20 SLD (Collegamento -380_-516)
Azioni sul collegamento: N=123.12 Ty=0.00 Tz=-47.08 Mx=0.01 Mz=0.08
Sollecitazioni agenti localmente: Tx_l=0.00 Ty_l=-47.08 N_l=123.12 My_l=-0.08 Mz_l=0.01
Azioni sul cordone: TP=-0.01 TO=-3.47 NO=9.06
Tensioni nel cordone: τ_P=4.69E-03 τ_O=1.10 σ_O=2.99 σ_{ID}=3.19 Σ_T=4.09
CC 20 SLD (Collegamento -380_-516)
Azioni sul collegamento: N=123.12 Ty=0.25 Tz=-47.08 Mx=0.05 Mz=0.30
Sollecitazioni agenti localmente: Tx_l=0.25 Ty_l=-47.08 N_l=123.12 My_l=-0.30 Mz_l=0.05
Azioni sul cordone: TP=-0.07 TO=3.50 NO=9.06
Tensioni nel cordone: τ_P= 0.02 τ_O=1.11 σ_O=3.32 σ_{ID}=3.50 Σ_T=4.43
CC 20 SLD (Collegamento -380_-516)
Azioni sul collegamento: N=123.12 Ty=0.00 Tz=-47.08 Mx=0.01 Mz=0.08
Sollecitazioni agenti localmente: Tx_l=0.00 Ty_l=-47.08 N_l=123.12 My_l=-0.08 Mz_l=0.01
Azioni sul cordone: TP=-0.01 TO=-3.47 NO=9.06
Tensioni nel cordone: τ_P=4.69E-03 τ_O=1.10 σ_O=2.99 σ_{ID}=3.19 Σ_T=4.09
CC 20 SLD (Collegamento -380_-516)
Azioni sul collegamento: N=123.12 Ty=0.25 Tz=-47.08 Mx=0.05 Mz=0.30
Sollecitazioni agenti localmente: Tx_l=0.25 Ty_l=-47.08 N_l=123.12 My_l=-0.30 Mz_l=0.05
Azioni sul cordone: TP=-0.07 TO=3.50 NO=9.06
Tensioni nel cordone: τ_P= 0.02 τ_O=1.11 σ_O=3.32 σ_{ID}=3.50 Σ_T=4.43
CC 21 SLV (Collegamento -380_-516)
Azioni sul collegamento: N=110.48 Ty=0.97 Tz=-45.12 Mx=0.18 Mz=1.10
Sollecitazioni agenti localmente: Tx_l=0.97 Ty_l=-45.12 N_l=110.48 My_l=-1.10 Mz_l=0.18
Azioni sul cordone: TP=-0.28 TO=3.46 NO=8.13
Tensioni nel cordone: τ_P= 0.09 τ_O=1.10 σ_O=4.18 σ_{ID}=4.33 Σ_T=5.28
CC 21 SLV (Collegamento -380_-516)
Azioni sul collegamento: N=110.48 Ty=0.16 Tz=-45.12 Mx=0.06 Mz=0.36
Sollecitazioni agenti localmente: Tx_l=0.16 Ty_l=-45.12 N_l=110.48 My_l=-0.36 Mz_l=0.06
Azioni sul cordone: TP=-0.09 TO=3.37 NO=8.13
Tensioni nel cordone: τ_P= 0.03 τ_O=1.07 σ_O=3.11 σ_{ID}=3.29 Σ_T=4.19
CC 21 SLV (Collegamento -380_-516)
Azioni sul collegamento: N=110.48 Ty=0.97 Tz=-45.12 Mx=0.18 Mz=1.10
Sollecitazioni agenti localmente: Tx_l=0.97 Ty_l=-45.12 N_l=110.48 My_l=-1.10 Mz_l=0.18
Azioni sul cordone: TP=-0.28 TO=3.46 NO=8.13
Tensioni nel cordone: τ_P= 0.09 τ_O=1.10 σ_O=4.18 σ_{ID}=4.33 Σ_T=5.28
CC 21 SLV (Collegamento -380_-516)
Azioni sul collegamento: N=110.48 Ty=0.16 Tz=-45.12 Mx=0.06 Mz=0.36
Sollecitazioni agenti localmente: Tx_l=0.16 Ty_l=-45.12 N_l=110.48 My_l=-0.36 Mz_l=0.06
Azioni sul cordone: TP=-0.09 TO=3.37 NO=8.13
Tensioni nel cordone: τ_P= 0.03 τ_O=1.07 σ_O=3.11 σ_{ID}=3.29 Σ_T=4.19
CC 21 SLV (Collegamento -380_-516)
Azioni sul collegamento: N=146.82 Ty=0.97 Tz=-50.74 Mx=0.18 Mz=1.10
Sollecitazioni agenti localmente: Tx_l=0.97 Ty_l=-50.74 N_l=146.82 My_l=-1.10 Mz_l=0.18
Azioni sul cordone: TP=-0.28 TO=3.87 NO=10.80
Tensioni nel cordone: τ_P= 0.09 τ_O=1.23 σ_O=5.03 σ_{ID}=5.18 Σ_T=6.27
CC 21 SLV (Collegamento -380_-516)
Azioni sul collegamento: N=146.82 Ty=0.16 Tz=-50.74 Mx=0.06 Mz=0.36
Sollecitazioni agenti localmente: Tx_l=0.16 Ty_l=-50.74 N_l=146.82 My_l=-0.36 Mz_l=0.06
Azioni sul cordone: TP=-0.09 TO=3.78 NO=10.80
Tensioni nel cordone: τ_P= 0.03 τ_O=1.20 σ_O=3.96 σ_{ID}=4.14 Σ_T=5.17
CC 21 SLV (Collegamento -380_-516)
Azioni sul collegamento: N=146.82 Ty=0.97 Tz=-50.74 Mx=0.18 Mz=1.10
Sollecitazioni agenti localmente: Tx_l=0.97 Ty_l=-50.74 N_l=146.82 My_l=-1.10 Mz_l=0.18
Azioni sul cordone: TP=-0.28 TO=3.87 NO=10.80

Tensioni nel cordone: τ_P= 0.09 τ_O=1.23 σ_O=5.03 σ_{ID}=5.18 Σ_T=6.27
CC 21 SLV (Collegamento -380_-516)
Azioni sul collegamento: N=146.82 Ty=0.16 Tz=-50.74 Mx=0.06 Mz=0.36
Sollecitazioni agenti localmente: Tx_l=0.16 Ty_l=-50.74 N_l=146.82 My_l=-0.36 Mz_l=0.06
Azioni sul cordone: TP=-0.09 TO=3.78 NO=10.80
Tensioni nel cordone: τ_P= 0.03 τ_O=1.20 σ_O=3.96 σ_{ID}=4.14 Σ_T=5.17
CC 22 SLD (Collegamento -380_-516)
Azioni sul collegamento: N=123.12 Ty=0.25 Tz=-47.08 Mx=0.05 Mz=0.30
Sollecitazioni agenti localmente: Tx_l=0.25 Ty_l=-47.08 N_l=123.12 My_l=-0.30 Mz_l=0.05
Azioni sul cordone: TP=-0.07 TO=3.50 NO=9.06
Tensioni nel cordone: τ_P= 0.02 τ_O=1.11 σ_O=3.32 σ_{ID}=3.50 Σ_T=4.43
CC 22 SLD (Collegamento -380_-516)
Azioni sul collegamento: N=123.12 Ty=0.00 Tz=-47.08 Mx=0.01 Mz=0.08
Sollecitazioni agenti localmente: Tx_l=0.00 Ty_l=-47.08 N_l=123.12 My_l=-0.08 Mz_l=0.01
Azioni sul cordone: TP=-0.02 TO=-3.48 NO=9.06
Tensioni nel cordone: τ_P=5.21E-03 τ_O=1.10 σ_O=2.99 σ_{ID}=3.19 Σ_T=4.10
CC 22 SLD (Collegamento -380_-516)
Azioni sul collegamento: N=123.12 Ty=0.25 Tz=-47.08 Mx=0.05 Mz=0.30
Sollecitazioni agenti localmente: Tx_l=0.25 Ty_l=-47.08 N_l=123.12 My_l=-0.30 Mz_l=0.05
Azioni sul cordone: TP=-0.07 TO=3.50 NO=9.06
Tensioni nel cordone: τ_P= 0.02 τ_O=1.11 σ_O=3.32 σ_{ID}=3.50 Σ_T=4.43
CC 22 SLD (Collegamento -380_-516)
Azioni sul collegamento: N=123.12 Ty=0.00 Tz=-47.08 Mx=0.01 Mz=0.08
Sollecitazioni agenti localmente: Tx_l=0.00 Ty_l=-47.08 N_l=123.12 My_l=-0.08 Mz_l=0.01
Azioni sul cordone: TP=-0.02 TO=-3.48 NO=9.06
Tensioni nel cordone: τ_P=5.21E-03 τ_O=1.10 σ_O=2.99 σ_{ID}=3.19 Σ_T=4.10
CC 22 SLD (Collegamento -380_-516)
Azioni sul collegamento: N=134.20 Ty=0.25 Tz=-48.79 Mx=0.05 Mz=0.30
Sollecitazioni agenti localmente: Tx_l=0.25 Ty_l=-48.79 N_l=134.20 My_l=-0.30 Mz_l=0.05
Azioni sul cordone: TP=-0.07 TO=3.63 NO=9.88
Tensioni nel cordone: τ_P= 0.02 τ_O=1.15 σ_O=3.58 σ_{ID}=3.76 Σ_T=4.73
CC 22 SLD (Collegamento -380_-516)
Azioni sul collegamento: N=134.20 Ty=0.00 Tz=-48.79 Mx=0.01 Mz=0.08
Sollecitazioni agenti localmente: Tx_l=0.00 Ty_l=-48.79 N_l=134.20 My_l=-0.08 Mz_l=0.01
Azioni sul cordone: TP=-0.02 TO=-3.60 NO=9.88
Tensioni nel cordone: τ_P=5.21E-03 τ_O=1.14 σ_O=3.25 σ_{ID}=3.45 Σ_T=4.39
CC 22 SLD (Collegamento -380_-516)
Azioni sul collegamento: N=134.20 Ty=0.25 Tz=-48.79 Mx=0.05 Mz=0.30
Sollecitazioni agenti localmente: Tx_l=0.25 Ty_l=-48.79 N_l=134.20 My_l=-0.30 Mz_l=0.05
Azioni sul cordone: TP=-0.07 TO=3.63 NO=9.88
Tensioni nel cordone: τ_P= 0.02 τ_O=1.15 σ_O=3.58 σ_{ID}=3.76 Σ_T=4.73
CC 22 SLD (Collegamento -380_-516)
Azioni sul collegamento: N=134.20 Ty=0.00 Tz=-48.79 Mx=0.01 Mz=0.08
Sollecitazioni agenti localmente: Tx_l=0.00 Ty_l=-48.79 N_l=134.20 My_l=-0.08 Mz_l=0.01
Azioni sul cordone: TP=-0.02 TO=-3.60 NO=9.88
Tensioni nel cordone: τ_P=5.21E-03 τ_O=1.14 σ_O=3.25 σ_{ID}=3.45 Σ_T=4.39
CC 23 SLV (Collegamento -380_-516)
Azioni sul collegamento: N=110.46 Ty=0.14 Tz=-45.12 Mx=0.06 Mz=0.34
Sollecitazioni agenti localmente: Tx_l=0.14 Ty_l=-45.12 N_l=110.46 My_l=-0.34 Mz_l=0.06
Azioni sul cordone: TP=-0.08 TO=3.36 NO=8.13
Tensioni nel cordone: τ_P= 0.02 τ_O=1.07 σ_O=3.08 σ_{ID}=3.26 Σ_T=4.15
CC 23 SLV (Collegamento -380_-516)
Azioni sul collegamento: N=110.46 Ty=0.99 Tz=-45.12 Mx=0.18 Mz=1.12
Sollecitazioni agenti localmente: Tx_l=0.99 Ty_l=-45.12 N_l=110.46 My_l=-1.12 Mz_l=0.18
Azioni sul cordone: TP=-0.28 TO=3.46 NO=8.13
Tensioni nel cordone: τ_P= 0.09 τ_O=1.10 σ_O=4.22 σ_{ID}=4.36 Σ_T=5.32
CC 23 SLV (Collegamento -380_-516)
Azioni sul collegamento: N=110.46 Ty=0.14 Tz=-45.12 Mx=0.06 Mz=0.34
Sollecitazioni agenti localmente: Tx_l=0.14 Ty_l=-45.12 N_l=110.46 My_l=-0.34 Mz_l=0.06
Azioni sul cordone: TP=-0.08 TO=3.36 NO=8.13
Tensioni nel cordone: τ_P= 0.02 τ_O=1.07 σ_O=3.08 σ_{ID}=3.26 Σ_T=4.15
CC 23 SLV (Collegamento -380_-516)
Azioni sul collegamento: N=110.46 Ty=0.99 Tz=-45.12 Mx=0.18 Mz=1.12
Sollecitazioni agenti localmente: Tx_l=0.99 Ty_l=-45.12 N_l=110.46 My_l=-1.12 Mz_l=0.18
Azioni sul cordone: TP=-0.28 TO=3.46 NO=8.13
Tensioni nel cordone: τ_P= 0.09 τ_O=1.10 σ_O=4.22 σ_{ID}=4.36 Σ_T=5.32
CC 23 SLV (Collegamento -380_-516)
Azioni sul collegamento: N=146.84 Ty=0.14 Tz=-50.75 Mx=0.06 Mz=0.34
Sollecitazioni agenti localmente: Tx_l=0.14 Ty_l=-50.75 N_l=146.84 My_l=-0.34 Mz_l=0.06
Azioni sul cordone: TP=-0.08 TO=3.78 NO=10.80
Tensioni nel cordone: τ_P= 0.02 τ_O=1.20 σ_O=3.93 σ_{ID}=4.11 Σ_T=5.13
CC 23 SLV (Collegamento -380_-516)
Azioni sul collegamento: N=146.84 Ty=0.99 Tz=-50.75 Mx=0.18 Mz=1.12
Sollecitazioni agenti localmente: Tx_l=0.99 Ty_l=-50.75 N_l=146.84 My_l=-1.12 Mz_l=0.18
Azioni sul cordone: TP=-0.28 TO=3.87 NO=10.80
Tensioni nel cordone: τ_P= 0.09 τ_O=1.23 σ_O=5.07 σ_{ID}=5.21 Σ_T=6.30
CC 23 SLV (Collegamento -380_-516)
Azioni sul collegamento: N=146.84 Ty=0.14 Tz=-50.75 Mx=0.06 Mz=0.34
Sollecitazioni agenti localmente: Tx_l=0.14 Ty_l=-50.75 N_l=146.84 My_l=-0.34 Mz_l=0.06

Azioni sul cordone: TP=-0.08 TO=3.78 NO=10.80
Tensioni nel cordone: τ_P= 0.02 τ_O=1.20 σ_O=3.93 σ_{ID}=4.11 Σ_T=5.13
CC 23 SLV (Collegamento -380_-516)
Azioni sul collegamento: N=146.84 Ty=0.99 Tz=-50.75 Mx=0.18 Mz=1.12
Sollecitazioni agenti localmente: Tx_l=0.99 Ty_l=-50.75 N_l=146.84 My_l=-1.12 Mz_l=0.18
Azioni sul cordone: TP=-0.28 TO=3.87 NO=10.80
Tensioni nel cordone: τ_P= 0.09 τ_O=1.23 σ_O=5.07 σ_{ID}=5.21 Σ_T=6.30
CC 24 SLD (Collegamento -380_-516)
Azioni sul collegamento: N=123.12 Ty=-0.00 Tz=-47.08 Mx=0.01 Mz=0.07
Sollecitazioni agenti localmente: Tx_l=-0.00 Ty_l=-47.08 N_l=123.12 My_l=-0.07 Mz_l=0.01
Azioni sul cordone: TP=-0.01 TO=-3.47 NO=9.06
Tensioni nel cordone: τ_P=4.45E-03 τ_O=1.10 σ_O=2.98 σ_{ID}=3.18 Σ_T=4.08
CC 24 SLD (Collegamento -380_-516)
Azioni sul collegamento: N=123.12 Ty=0.25 Tz=-47.08 Mx=0.05 Mz=0.31
Sollecitazioni agenti localmente: Tx_l=0.25 Ty_l=-47.08 N_l=123.12 My_l=-0.31 Mz_l=0.05
Azioni sul cordone: TP=-0.07 TO=3.50 NO=9.06
Tensioni nel cordone: τ_P= 0.02 τ_O=1.11 σ_O=3.33 σ_{ID}=3.51 Σ_T=4.44
CC 24 SLD (Collegamento -380_-516)
Azioni sul collegamento: N=123.12 Ty=-0.00 Tz=-47.08 Mx=0.01 Mz=0.07
Sollecitazioni agenti localmente: Tx_l=-0.00 Ty_l=-47.08 N_l=123.12 My_l=-0.07 Mz_l=0.01
Azioni sul cordone: TP=-0.01 TO=-3.47 NO=9.06
Tensioni nel cordone: τ_P=4.45E-03 τ_O=1.10 σ_O=2.98 σ_{ID}=3.18 Σ_T=4.08
CC 24 SLD (Collegamento -380_-516)
Azioni sul collegamento: N=123.12 Ty=0.25 Tz=-47.08 Mx=0.05 Mz=0.31
Sollecitazioni agenti localmente: Tx_l=0.25 Ty_l=-47.08 N_l=123.12 My_l=-0.31 Mz_l=0.05
Azioni sul cordone: TP=-0.07 TO=3.50 NO=9.06
Tensioni nel cordone: τ_P= 0.02 τ_O=1.11 σ_O=3.33 σ_{ID}=3.51 Σ_T=4.44
CC 24 SLD (Collegamento -380_-516)
Azioni sul collegamento: N=134.21 Ty=-0.00 Tz=-48.79 Mx=0.01 Mz=0.07
Sollecitazioni agenti localmente: Tx_l=-0.00 Ty_l=-48.79 N_l=134.21 My_l=-0.07 Mz_l=0.01
Azioni sul cordone: TP=-0.01 TO=-3.60 NO=9.88
Tensioni nel cordone: τ_P=4.45E-03 τ_O=1.14 σ_O=3.24 σ_{ID}=3.44 Σ_T=4.38
CC 24 SLD (Collegamento -380_-516)
Azioni sul collegamento: N=134.21 Ty=0.25 Tz=-48.79 Mx=0.05 Mz=0.31
Sollecitazioni agenti localmente: Tx_l=0.25 Ty_l=-48.79 N_l=134.21 My_l=-0.31 Mz_l=0.05
Azioni sul cordone: TP=-0.07 TO=3.63 NO=9.88
Tensioni nel cordone: τ_P= 0.02 τ_O=1.15 σ_O=3.59 σ_{ID}=3.77 Σ_T=4.74
CC 24 SLD (Collegamento -380_-516)
Azioni sul collegamento: N=134.21 Ty=-0.00 Tz=-48.79 Mx=0.01 Mz=0.07
Sollecitazioni agenti localmente: Tx_l=-0.00 Ty_l=-48.79 N_l=134.21 My_l=-0.07 Mz_l=0.01
Azioni sul cordone: TP=-0.01 TO=-3.60 NO=9.88
Tensioni nel cordone: τ_P=4.45E-03 τ_O=1.14 σ_O=3.24 σ_{ID}=3.44 Σ_T=4.38
CC 24 SLD (Collegamento -380_-516)
Azioni sul collegamento: N=134.21 Ty=0.25 Tz=-48.79 Mx=0.05 Mz=0.31
Sollecitazioni agenti localmente: Tx_l=0.25 Ty_l=-48.79 N_l=134.21 My_l=-0.31 Mz_l=0.05
Azioni sul cordone: TP=-0.07 TO=3.63 NO=9.88
Tensioni nel cordone: τ_P= 0.02 τ_O=1.15 σ_O=3.59 σ_{ID}=3.77 Σ_T=4.74
CC 25 SLV (Collegamento -380_-516)
Azioni sul collegamento: N=134.13 Ty=1.95 Tz=-48.78 Mx=0.32 Mz=1.99
Sollecitazioni agenti localmente: Tx_l=1.95 Ty_l=-48.78 N_l=134.13 My_l=-1.99 Mz_l=0.32
Azioni sul cordone: TP=-0.51 TO=3.84 NO=9.87
Tensioni nel cordone: τ_P=0.16 τ_O=1.22 σ_O=6.04 σ_{ID}=6.17 Σ_T=7.26
CC 25 SLV (Collegamento -380_-516)
Azioni sul collegamento: N=134.13 Ty=-0.81 Tz=-48.78 Mx=-0.07 Mz=-0.53
Sollecitazioni agenti localmente: Tx_l=-0.81 Ty_l=-48.78 N_l=134.13 My_l=0.53 Mz_l=-0.07
Azioni sul cordone: TP=0.14 TO=3.64 NO=9.87
Tensioni nel cordone: τ_P= 0.04 τ_O=1.16 σ_O=3.91 σ_{ID}=4.08 Σ_T=5.07
CC 25 SLV (Collegamento -380_-516)
Azioni sul collegamento: N=134.13 Ty=1.95 Tz=-48.78 Mx=0.32 Mz=1.99
Sollecitazioni agenti localmente: Tx_l=1.95 Ty_l=-48.78 N_l=134.13 My_l=-1.99 Mz_l=0.32
Azioni sul cordone: TP=-0.51 TO=3.84 NO=9.87
Tensioni nel cordone: τ_P=0.16 τ_O=1.22 σ_O=6.04 σ_{ID}=6.17 Σ_T=7.26
CC 25 SLV (Collegamento -380_-516)
Azioni sul collegamento: N=134.13 Ty=-0.81 Tz=-48.78 Mx=-0.07 Mz=-0.53
Sollecitazioni agenti localmente: Tx_l=-0.81 Ty_l=-48.78 N_l=134.13 My_l=0.53 Mz_l=-0.07
Azioni sul cordone: TP=0.14 TO=3.64 NO=9.87
Tensioni nel cordone: τ_P= 0.04 τ_O=1.16 σ_O=3.91 σ_{ID}=4.08 Σ_T=5.07
CC 25 SLV (Collegamento -380_-516)
Azioni sul collegamento: N=123.17 Ty=1.95 Tz=-47.08 Mx=0.32 Mz=1.99
Sollecitazioni agenti localmente: Tx_l=1.95 Ty_l=-47.08 N_l=123.17 My_l=-1.99 Mz_l=0.32
Azioni sul cordone: TP=-0.51 TO=3.72 NO=9.06
Tensioni nel cordone: τ_P=0.16 τ_O=1.18 σ_O=5.78 σ_{ID}=5.91 Σ_T=6.97
CC 25 SLV (Collegamento -380_-516)
Azioni sul collegamento: N=123.17 Ty=-0.81 Tz=-47.08 Mx=-0.07 Mz=-0.53
Sollecitazioni agenti localmente: Tx_l=-0.81 Ty_l=-47.08 N_l=123.17 My_l=0.53 Mz_l=-0.07
Azioni sul cordone: TP=0.14 TO=3.52 NO=9.06
Tensioni nel cordone: τ_P= 0.04 τ_O=1.12 σ_O=3.66 σ_{ID}=3.82 Σ_T=4.78
CC 25 SLV (Collegamento -380_-516)
Azioni sul collegamento: N=123.17 Ty=1.95 Tz=-47.08 Mx=0.32 Mz=1.99

Sollecitazioni agenti localmente: Tx_l=1.95 Ty_l=-47.08 N_l=123.17 My_l=-1.99 Mz_l=0.32
Azioni sul cordone: TP=-0.51 TO=3.72 NO=9.06
Tensioni nel cordone: τ_P=0.16 τ_0=1.18 σ_0=5.78 σ_{ID}=5.91 Σ_T=6.97
CC 25 SLV (Collegamento -380_-516)
Azioni sul collegamento: N=123.17 Ty=-0.81 Tz=-47.08 Mx=-0.07 Mz=-0.53
Sollecitazioni agenti localmente: Tx_l=-0.81 Ty_l=-47.08 N_l=123.17 My_l=0.53 Mz_l=-0.07
Azioni sul cordone: TP=0.14 TO=3.52 NO=9.06
Tensioni nel cordone: τ_P= 0.04 τ_0=1.12 σ_0=3.66 σ_{ID}=3.82 Σ_T=4.78
CC 26 SLD (Collegamento -380_-516)
Azioni sul collegamento: N=130.34 Ty=0.55 Tz=-48.19 Mx=0.09 Mz=0.57
Sollecitazioni agenti localmente: Tx_l=0.55 Ty_l=-48.19 N_l=130.34 My_l=-0.57 Mz_l=0.09
Azioni sul cordone: TP=-0.15 TO=3.62 NO=9.59
Tensioni nel cordone: τ_P= 0.05 τ_0=1.15 σ_0=3.88 σ_{ID}=4.05 Σ_T=5.03
CC 26 SLD (Collegamento -380_-516)
Azioni sul collegamento: N=130.34 Ty=-0.30 Tz=-48.19 Mx=-0.03 Mz=-0.20
Sollecitazioni agenti localmente: Tx_l=-0.30 Ty_l=-48.19 N_l=130.34 My_l=0.20 Mz_l=-0.03
Azioni sul cordone: TP=0.05 TO=3.57 NO=9.59
Tensioni nel cordone: τ_P= 0.02 τ_0=1.13 σ_0=3.34 σ_{ID}=3.52 Σ_T=4.47
CC 26 SLD (Collegamento -380_-516)
Azioni sul collegamento: N=130.34 Ty=0.55 Tz=-48.19 Mx=0.09 Mz=0.57
Sollecitazioni agenti localmente: Tx_l=0.55 Ty_l=-48.19 N_l=130.34 My_l=-0.57 Mz_l=0.09
Azioni sul cordone: TP=-0.15 TO=3.62 NO=9.59
Tensioni nel cordone: τ_P= 0.05 τ_0=1.15 σ_0=3.88 σ_{ID}=4.05 Σ_T=5.03
CC 26 SLD (Collegamento -380_-516)
Azioni sul collegamento: N=130.34 Ty=-0.30 Tz=-48.19 Mx=-0.03 Mz=-0.20
Sollecitazioni agenti localmente: Tx_l=-0.30 Ty_l=-48.19 N_l=130.34 My_l=0.20 Mz_l=-0.03
Azioni sul cordone: TP=0.05 TO=3.57 NO=9.59
Tensioni nel cordone: τ_P= 0.02 τ_0=1.13 σ_0=3.34 σ_{ID}=3.52 Σ_T=4.47
CC 26 SLD (Collegamento -380_-516)
Azioni sul collegamento: N=126.99 Ty=0.55 Tz=-47.68 Mx=0.09 Mz=0.57
Sollecitazioni agenti localmente: Tx_l=0.55 Ty_l=-47.68 N_l=126.99 My_l=-0.57 Mz_l=0.09
Azioni sul cordone: TP=-0.15 TO=3.58 NO=9.34
Tensioni nel cordone: τ_P= 0.05 τ_0=1.14 σ_0=3.80 σ_{ID}=3.97 Σ_T=4.94
CC 26 SLD (Collegamento -380_-516)
Azioni sul collegamento: N=126.99 Ty=-0.30 Tz=-47.68 Mx=-0.03 Mz=-0.20
Sollecitazioni agenti localmente: Tx_l=-0.30 Ty_l=-47.68 N_l=126.99 My_l=0.20 Mz_l=-0.03
Azioni sul cordone: TP=0.05 TO=3.53 NO=9.34
Tensioni nel cordone: τ_P= 0.02 τ_0=1.12 σ_0=3.26 σ_{ID}=3.45 Σ_T=4.38
CC 26 SLD (Collegamento -380_-516)
Azioni sul collegamento: N=126.99 Ty=0.55 Tz=-47.68 Mx=0.09 Mz=0.57
Sollecitazioni agenti localmente: Tx_l=0.55 Ty_l=-47.68 N_l=126.99 My_l=-0.57 Mz_l=0.09
Azioni sul cordone: TP=-0.15 TO=3.58 NO=9.34
Tensioni nel cordone: τ_P= 0.05 τ_0=1.14 σ_0=3.80 σ_{ID}=3.97 Σ_T=4.94
CC 26 SLD (Collegamento -380_-516)
Azioni sul collegamento: N=126.99 Ty=-0.30 Tz=-47.68 Mx=-0.03 Mz=-0.20
Sollecitazioni agenti localmente: Tx_l=-0.30 Ty_l=-47.68 N_l=126.99 My_l=0.20 Mz_l=-0.03
Azioni sul cordone: TP=0.05 TO=3.53 NO=9.34
Tensioni nel cordone: τ_P= 0.02 τ_0=1.12 σ_0=3.26 σ_{ID}=3.45 Σ_T=4.38
CC 27 SLV (Collegamento -380_-516)
Azioni sul collegamento: N=123.23 Ty=1.94 Tz=-47.09 Mx=0.32 Mz=1.98
Sollecitazioni agenti localmente: Tx_l=1.94 Ty_l=-47.09 N_l=123.23 My_l=-1.98 Mz_l=0.32
Azioni sul cordone: TP=-0.51 TO=3.72 NO=9.07
Tensioni nel cordone: τ_P=0.16 τ_0=1.18 σ_0=5.78 σ_{ID}=5.90 Σ_T=6.96
CC 27 SLV (Collegamento -380_-516)
Azioni sul collegamento: N=123.23 Ty=-0.81 Tz=-47.09 Mx=-0.07 Mz=-0.53
Sollecitazioni agenti localmente: Tx_l=-0.81 Ty_l=-47.09 N_l=123.23 My_l=0.53 Mz_l=-0.07
Azioni sul cordone: TP=0.14 TO=3.52 NO=9.07
Tensioni nel cordone: τ_P= 0.04 τ_0=1.12 σ_0=3.65 σ_{ID}=3.82 Σ_T=4.77
CC 27 SLV (Collegamento -380_-516)
Azioni sul collegamento: N=123.23 Ty=1.94 Tz=-47.09 Mx=0.32 Mz=1.98
Sollecitazioni agenti localmente: Tx_l=1.94 Ty_l=-47.09 N_l=123.23 My_l=-1.98 Mz_l=0.32
Azioni sul cordone: TP=-0.51 TO=3.72 NO=9.07
Tensioni nel cordone: τ_P=0.16 τ_0=1.18 σ_0=5.78 σ_{ID}=5.90 Σ_T=6.96
CC 27 SLV (Collegamento -380_-516)
Azioni sul collegamento: N=123.23 Ty=-0.81 Tz=-47.09 Mx=-0.07 Mz=-0.53
Sollecitazioni agenti localmente: Tx_l=-0.81 Ty_l=-47.09 N_l=123.23 My_l=0.53 Mz_l=-0.07
Azioni sul cordone: TP=0.14 TO=3.52 NO=9.07
Tensioni nel cordone: τ_P= 0.04 τ_0=1.12 σ_0=3.65 σ_{ID}=3.82 Σ_T=4.77
CC 27 SLV (Collegamento -380_-516)
Azioni sul collegamento: N=134.07 Ty=1.94 Tz=-48.77 Mx=0.32 Mz=1.98
Sollecitazioni agenti localmente: Tx_l=1.94 Ty_l=-48.77 N_l=134.07 My_l=-1.98 Mz_l=0.32
Azioni sul cordone: TP=-0.51 TO=3.84 NO=9.87
Tensioni nel cordone: τ_P=0.16 τ_0=1.22 σ_0=6.03 σ_{ID}=6.15 Σ_T=7.25
CC 27 SLV (Collegamento -380_-516)
Azioni sul collegamento: N=134.07 Ty=-0.81 Tz=-48.77 Mx=-0.07 Mz=-0.53
Sollecitazioni agenti localmente: Tx_l=-0.81 Ty_l=-48.77 N_l=134.07 My_l=0.53 Mz_l=-0.07
Azioni sul cordone: TP=0.14 TO=3.64 NO=9.87
Tensioni nel cordone: τ_P= 0.04 τ_0=1.16 σ_0=3.90 σ_{ID}=4.07 Σ_T=5.06
CC 27 SLV (Collegamento -380_-516)

Azioni sul collegamento: N=134.07 Ty=1.94 Tz=-48.77 Mx=0.32 Mz=1.98
Sollecitazioni agenti localmente: Tx_l=1.94 Ty_l=-48.77 N_l=134.07 My_l=-1.98 Mz_l=0.32
Azioni sul cordone: TP=-0.51 TO=3.84 NO=9.87
Tensioni nel cordone: τ_P=0.16 τ_O=1.22 σ_O=6.03 σ_{ID}=6.15 Σ_T=7.25
CC 27 SLV (Collegamento -380_-516)
Azioni sul collegamento: N=134.07 Ty=-0.81 Tz=-48.77 Mx=-0.07 Mz=-0.53
Sollecitazioni agenti localmente: Tx_l=-0.81 Ty_l=-48.77 N_l=134.07 My_l=0.53 Mz_l=-0.07
Azioni sul cordone: TP=0.14 TO=3.64 NO=9.87
Tensioni nel cordone: τ_P= 0.04 τ_O=1.16 σ_O=3.90 σ_{ID}=4.07 Σ_T=5.06
CC 28 SLD (Collegamento -380_-516)
Azioni sul collegamento: N=127.01 Ty=0.55 Tz=-47.68 Mx=0.09 Mz=0.57
Sollecitazioni agenti localmente: Tx_l=0.55 Ty_l=-47.68 N_l=127.01 My_l=-0.57 Mz_l=0.09
Azioni sul cordone: TP=-0.15 TO=3.58 NO=9.35
Tensioni nel cordone: τ_P= 0.05 τ_O=1.14 σ_O=3.80 σ_{ID}=3.97 Σ_T=4.94
CC 28 SLD (Collegamento -380_-516)
Azioni sul collegamento: N=127.01 Ty=-0.29 Tz=-47.68 Mx=-0.03 Mz=-0.19
Sollecitazioni agenti localmente: Tx_l=-0.29 Ty_l=-47.68 N_l=127.01 My_l=0.19 Mz_l=-0.03
Azioni sul cordone: TP=0.05 TO=3.53 NO=9.35
Tensioni nel cordone: τ_P= 0.02 τ_O=1.12 σ_O=3.26 σ_{ID}=3.44 Σ_T=4.38
CC 28 SLD (Collegamento -380_-516)
Azioni sul collegamento: N=127.01 Ty=0.55 Tz=-47.68 Mx=0.09 Mz=0.57
Sollecitazioni agenti localmente: Tx_l=0.55 Ty_l=-47.68 N_l=127.01 My_l=-0.57 Mz_l=0.09
Azioni sul cordone: TP=-0.15 TO=3.58 NO=9.35
Tensioni nel cordone: τ_P= 0.05 τ_O=1.14 σ_O=3.80 σ_{ID}=3.97 Σ_T=4.94
CC 28 SLD (Collegamento -380_-516)
Azioni sul collegamento: N=127.01 Ty=-0.29 Tz=-47.68 Mx=-0.03 Mz=-0.19
Sollecitazioni agenti localmente: Tx_l=-0.29 Ty_l=-47.68 N_l=127.01 My_l=0.19 Mz_l=-0.03
Azioni sul cordone: TP=0.05 TO=3.53 NO=9.35
Tensioni nel cordone: τ_P= 0.02 τ_O=1.12 σ_O=3.26 σ_{ID}=3.44 Σ_T=4.38
CC 28 SLD (Collegamento -380_-516)
Azioni sul collegamento: N=130.32 Ty=0.55 Tz=-48.19 Mx=0.09 Mz=0.57
Sollecitazioni agenti localmente: Tx_l=0.55 Ty_l=-48.19 N_l=130.32 My_l=-0.57 Mz_l=0.09
Azioni sul cordone: TP=-0.15 TO=3.62 NO=9.59
Tensioni nel cordone: τ_P= 0.05 τ_O=1.15 σ_O=3.88 σ_{ID}=4.05 Σ_T=5.03
CC 28 SLD (Collegamento -380_-516)
Azioni sul collegamento: N=130.32 Ty=-0.29 Tz=-48.19 Mx=-0.03 Mz=-0.19
Sollecitazioni agenti localmente: Tx_l=-0.29 Ty_l=-48.19 N_l=130.32 My_l=0.19 Mz_l=-0.03
Azioni sul cordone: TP=0.05 TO=3.57 NO=9.59
Tensioni nel cordone: τ_P= 0.02 τ_O=1.13 σ_O=3.33 σ_{ID}=3.52 Σ_T=4.47
CC 28 SLD (Collegamento -380_-516)
Azioni sul collegamento: N=130.32 Ty=0.55 Tz=-48.19 Mx=0.09 Mz=0.57
Sollecitazioni agenti localmente: Tx_l=0.55 Ty_l=-48.19 N_l=130.32 My_l=-0.57 Mz_l=0.09
Azioni sul cordone: TP=-0.15 TO=3.62 NO=9.59
Tensioni nel cordone: τ_P= 0.05 τ_O=1.15 σ_O=3.88 σ_{ID}=4.05 Σ_T=5.03
CC 28 SLD (Collegamento -380_-516)
Azioni sul collegamento: N=130.32 Ty=-0.29 Tz=-48.19 Mx=-0.03 Mz=-0.19
Sollecitazioni agenti localmente: Tx_l=-0.29 Ty_l=-48.19 N_l=130.32 My_l=0.19 Mz_l=-0.03
Azioni sul cordone: TP=0.05 TO=3.57 NO=9.59
Tensioni nel cordone: τ_P= 0.02 τ_O=1.13 σ_O=3.33 σ_{ID}=3.52 Σ_T=4.47
CC 29 SLV (Collegamento -380_-516)
Azioni sul collegamento: N=134.07 Ty=-0.81 Tz=-48.77 Mx=-0.08 Mz=-0.52
Sollecitazioni agenti localmente: Tx_l=-0.81 Ty_l=-48.77 N_l=134.07 My_l=0.52 Mz_l=-0.08
Azioni sul cordone: TP=0.16 TO=3.65 NO=9.87
Tensioni nel cordone: τ_P= 0.05 τ_O=1.16 σ_O=3.90 σ_{ID}=4.07 Σ_T=5.06
CC 29 SLV (Collegamento -380_-516)
Azioni sul collegamento: N=134.07 Ty=1.94 Tz=-48.77 Mx=0.30 Mz=1.98
Sollecitazioni agenti localmente: Tx_l=1.94 Ty_l=-48.77 N_l=134.07 My_l=-1.98 Mz_l=0.30
Azioni sul cordone: TP=-0.49 TO=3.83 NO=9.87
Tensioni nel cordone: τ_P=0.16 τ_O=1.22 σ_O=6.03 σ_{ID}=6.16 Σ_T=7.25
CC 29 SLV (Collegamento -380_-516)
Azioni sul collegamento: N=134.07 Ty=-0.81 Tz=-48.77 Mx=-0.08 Mz=-0.52
Sollecitazioni agenti localmente: Tx_l=-0.81 Ty_l=-48.77 N_l=134.07 My_l=0.52 Mz_l=-0.08
Azioni sul cordone: TP=0.16 TO=3.65 NO=9.87
Tensioni nel cordone: τ_P= 0.05 τ_O=1.16 σ_O=3.90 σ_{ID}=4.07 Σ_T=5.06
CC 29 SLV (Collegamento -380_-516)
Azioni sul collegamento: N=134.07 Ty=1.94 Tz=-48.77 Mx=0.30 Mz=1.98
Sollecitazioni agenti localmente: Tx_l=1.94 Ty_l=-48.77 N_l=134.07 My_l=-1.98 Mz_l=0.30
Azioni sul cordone: TP=-0.49 TO=3.83 NO=9.87
Tensioni nel cordone: τ_P=0.16 τ_O=1.22 σ_O=6.03 σ_{ID}=6.16 Σ_T=7.25
CC 29 SLV (Collegamento -380_-516)
Azioni sul collegamento: N=123.23 Ty=-0.81 Tz=-47.09 Mx=-0.08 Mz=-0.52
Sollecitazioni agenti localmente: Tx_l=-0.81 Ty_l=-47.09 N_l=123.23 My_l=0.52 Mz_l=-0.08
Azioni sul cordone: TP=0.16 TO=3.53 NO=9.07
Tensioni nel cordone: τ_P= 0.05 τ_O=1.12 σ_O=3.65 σ_{ID}=3.81 Σ_T=4.77
CC 29 SLV (Collegamento -380_-516)
Azioni sul collegamento: N=123.23 Ty=1.94 Tz=-47.09 Mx=0.30 Mz=1.98
Sollecitazioni agenti localmente: Tx_l=1.94 Ty_l=-47.09 N_l=123.23 My_l=-1.98 Mz_l=0.30
Azioni sul cordone: TP=-0.49 TO=3.71 NO=9.07
Tensioni nel cordone: τ_P=0.16 τ_O=1.18 σ_O=5.78 σ_{ID}=5.90 Σ_T=6.96

CC 29 SLV (Collegamento -380_-516)
Azioni sul collegamento: N=123.23 Ty=-0.81 Tz=-47.09 Mx=-0.08 Mz=-0.52
Sollecitazioni agenti localmente: Tx_l=-0.81 Ty_l=-47.09 N_l=123.23 My_l=0.52 Mz_l=-0.08
Azioni sul cordone: TP=0.16 TO=3.53 NO=9.07
Tensioni nel cordone: τ_P= 0.05 τ_0=1.12 σ_0=3.65 σ_{ID}=3.81 Σ_T=4.77
CC 29 SLV (Collegamento -380_-516)
Azioni sul collegamento: N=123.23 Ty=1.94 Tz=-47.09 Mx=0.30 Mz=1.98
Sollecitazioni agenti localmente: Tx_l=1.94 Ty_l=-47.09 N_l=123.23 My_l=-1.98 Mz_l=0.30
Azioni sul cordone: TP=-0.49 TO=3.71 NO=9.07
Tensioni nel cordone: τ_P=0.16 τ_0=1.18 σ_0=5.78 σ_{ID}=5.90 Σ_T=6.96
CC 30 SLD (Collegamento -380_-516)
Azioni sul collegamento: N=130.32 Ty=-0.29 Tz=-48.19 Mx=-0.03 Mz=-0.19
Sollecitazioni agenti localmente: Tx_l=-0.29 Ty_l=-48.19 N_l=130.32 My_l=0.19 Mz_l=-0.03
Azioni sul cordone: TP=0.06 TO=3.57 NO=9.59
Tensioni nel cordone: τ_P= 0.02 τ_0=1.13 σ_0=3.33 σ_{ID}=3.52 Σ_T=4.47
CC 30 SLD (Collegamento -380_-516)
Azioni sul collegamento: N=130.32 Ty=0.55 Tz=-48.19 Mx=0.09 Mz=0.57
Sollecitazioni agenti localmente: Tx_l=0.55 Ty_l=-48.19 N_l=130.32 My_l=-0.57 Mz_l=0.09
Azioni sul cordone: TP=-0.14 TO=3.62 NO=9.59
Tensioni nel cordone: τ_P= 0.04 τ_0=1.15 σ_0=3.88 σ_{ID}=4.05 Σ_T=5.03
CC 30 SLD (Collegamento -380_-516)
Azioni sul collegamento: N=130.32 Ty=-0.29 Tz=-48.19 Mx=-0.03 Mz=-0.19
Sollecitazioni agenti localmente: Tx_l=-0.29 Ty_l=-48.19 N_l=130.32 My_l=0.19 Mz_l=-0.03
Azioni sul cordone: TP=0.06 TO=3.57 NO=9.59
Tensioni nel cordone: τ_P= 0.02 τ_0=1.13 σ_0=3.33 σ_{ID}=3.52 Σ_T=4.47
CC 30 SLD (Collegamento -380_-516)
Azioni sul collegamento: N=130.32 Ty=0.55 Tz=-48.19 Mx=0.09 Mz=0.57
Sollecitazioni agenti localmente: Tx_l=0.55 Ty_l=-48.19 N_l=130.32 My_l=-0.57 Mz_l=0.09
Azioni sul cordone: TP=-0.14 TO=3.62 NO=9.59
Tensioni nel cordone: τ_P= 0.04 τ_0=1.15 σ_0=3.88 σ_{ID}=4.05 Σ_T=5.03
CC 30 SLD (Collegamento -380_-516)
Azioni sul collegamento: N=127.01 Ty=-0.29 Tz=-47.68 Mx=-0.03 Mz=-0.19
Sollecitazioni agenti localmente: Tx_l=-0.29 Ty_l=-47.68 N_l=127.01 My_l=0.19 Mz_l=-0.03
Azioni sul cordone: TP=0.06 TO=3.53 NO=9.35
Tensioni nel cordone: τ_P= 0.02 τ_0=1.12 σ_0=3.25 σ_{ID}=3.44 Σ_T=4.38
CC 30 SLD (Collegamento -380_-516)
Azioni sul collegamento: N=127.01 Ty=0.55 Tz=-47.68 Mx=0.09 Mz=0.57
Sollecitazioni agenti localmente: Tx_l=0.55 Ty_l=-47.68 N_l=127.01 My_l=-0.57 Mz_l=0.09
Azioni sul cordone: TP=-0.14 TO=3.58 NO=9.35
Tensioni nel cordone: τ_P= 0.04 τ_0=1.14 σ_0=3.80 σ_{ID}=3.97 Σ_T=4.94
CC 30 SLD (Collegamento -380_-516)
Azioni sul collegamento: N=127.01 Ty=-0.29 Tz=-47.68 Mx=-0.03 Mz=-0.19
Sollecitazioni agenti localmente: Tx_l=-0.29 Ty_l=-47.68 N_l=127.01 My_l=0.19 Mz_l=-0.03
Azioni sul cordone: TP=0.06 TO=3.53 NO=9.35
Tensioni nel cordone: τ_P= 0.02 τ_0=1.12 σ_0=3.25 σ_{ID}=3.44 Σ_T=4.38
CC 30 SLD (Collegamento -380_-516)
Azioni sul collegamento: N=127.01 Ty=0.55 Tz=-47.68 Mx=0.09 Mz=0.57
Sollecitazioni agenti localmente: Tx_l=0.55 Ty_l=-47.68 N_l=127.01 My_l=-0.57 Mz_l=0.09
Azioni sul cordone: TP=-0.14 TO=3.58 NO=9.35
Tensioni nel cordone: τ_P= 0.04 τ_0=1.14 σ_0=3.80 σ_{ID}=3.97 Σ_T=4.94
CC 31 SLV (Collegamento -380_-516)
Azioni sul collegamento: N=123.17 Ty=-0.81 Tz=-47.08 Mx=-0.08 Mz=-0.53
Sollecitazioni agenti localmente: Tx_l=-0.81 Ty_l=-47.08 N_l=123.17 My_l=0.53 Mz_l=-0.08
Azioni sul cordone: TP=0.16 TO=3.53 NO=9.06
Tensioni nel cordone: τ_P= 0.05 τ_0=1.12 σ_0=3.65 σ_{ID}=3.82 Σ_T=4.78
CC 31 SLV (Collegamento -380_-516)
Azioni sul collegamento: N=123.17 Ty=1.95 Tz=-47.08 Mx=0.31 Mz=1.99
Sollecitazioni agenti localmente: Tx_l=1.95 Ty_l=-47.08 N_l=123.17 My_l=-1.99 Mz_l=0.31
Azioni sul cordone: TP=-0.50 TO=3.71 NO=9.06
Tensioni nel cordone: τ_P=0.16 τ_0=1.18 σ_0=5.79 σ_{ID}=5.91 Σ_T=6.97
CC 31 SLV (Collegamento -380_-516)
Azioni sul collegamento: N=123.17 Ty=-0.81 Tz=-47.08 Mx=-0.08 Mz=-0.53
Sollecitazioni agenti localmente: Tx_l=-0.81 Ty_l=-47.08 N_l=123.17 My_l=0.53 Mz_l=-0.08
Azioni sul cordone: TP=0.16 TO=3.53 NO=9.06
Tensioni nel cordone: τ_P= 0.05 τ_0=1.12 σ_0=3.65 σ_{ID}=3.82 Σ_T=4.78
CC 31 SLV (Collegamento -380_-516)
Azioni sul collegamento: N=123.17 Ty=1.95 Tz=-47.08 Mx=0.31 Mz=1.99
Sollecitazioni agenti localmente: Tx_l=1.95 Ty_l=-47.08 N_l=123.17 My_l=-1.99 Mz_l=0.31
Azioni sul cordone: TP=-0.50 TO=3.71 NO=9.06
Tensioni nel cordone: τ_P=0.16 τ_0=1.18 σ_0=5.79 σ_{ID}=5.91 Σ_T=6.97
CC 31 SLV (Collegamento -380_-516)
Azioni sul collegamento: N=134.13 Ty=-0.81 Tz=-48.78 Mx=-0.08 Mz=-0.53
Sollecitazioni agenti localmente: Tx_l=-0.81 Ty_l=-48.78 N_l=134.13 My_l=0.53 Mz_l=-0.08
Azioni sul cordone: TP=0.16 TO=3.66 NO=9.87
Tensioni nel cordone: τ_P= 0.05 τ_0=1.16 σ_0=3.91 σ_{ID}=4.08 Σ_T=5.07
CC 31 SLV (Collegamento -380_-516)
Azioni sul collegamento: N=134.13 Ty=1.95 Tz=-48.78 Mx=0.31 Mz=1.99
Sollecitazioni agenti localmente: Tx_l=1.95 Ty_l=-48.78 N_l=134.13 My_l=-1.99 Mz_l=0.31
Azioni sul cordone: TP=-0.50 TO=3.83 NO=9.87

Tensioni nel cordone: τ_P=0.16 τ_0=1.22 σ_0=6.04 σ_{ID}=6.17 Σ_T=7.26
CC 31 SLV (Collegamento -380_-516)
Azioni sul collegamento: N=134.13 Ty=-0.81 Tz=-48.78 Mx=-0.08 Mz=-0.53
Sollecitazioni agenti localmente: Tx_l=-0.81 Ty_l=-48.78 N_l=134.13 My_l=0.53 Mz_l=-0.08
Azioni sul cordone: TP=0.16 TO=3.66 NO=9.87
Tensioni nel cordone: τ_P= 0.05 τ_0=1.16 σ_0=3.91 σ_{ID}=4.08 Σ_T=5.07
CC 31 SLV (Collegamento -380_-516)
Azioni sul collegamento: N=134.13 Ty=1.95 Tz=-48.78 Mx=0.31 Mz=1.99
Sollecitazioni agenti localmente: Tx_l=1.95 Ty_l=-48.78 N_l=134.13 My_l=-1.99 Mz_l=0.31
Azioni sul cordone: TP=-0.50 TO=3.83 NO=9.87
Tensioni nel cordone: τ_P=0.16 τ_0=1.22 σ_0=6.04 σ_{ID}=6.17 Σ_T=7.26
CC 32 SLD (Collegamento -380_-516)
Azioni sul collegamento: N=126.99 Ty=-0.30 Tz=-47.68 Mx=-0.03 Mz=-0.20
Sollecitazioni agenti localmente: Tx_l=-0.30 Ty_l=-47.68 N_l=126.99 My_l=0.20 Mz_l=-0.03
Azioni sul cordone: TP=0.06 TO=3.53 NO=9.34
Tensioni nel cordone: τ_P= 0.02 τ_0=1.12 σ_0=3.26 σ_{ID}=3.44 Σ_T=4.38
CC 32 SLD (Collegamento -380_-516)
Azioni sul collegamento: N=126.99 Ty=0.55 Tz=-47.68 Mx=0.09 Mz=0.57
Sollecitazioni agenti localmente: Tx_l=0.55 Ty_l=-47.68 N_l=126.99 My_l=-0.57 Mz_l=0.09
Azioni sul cordone: TP=-0.14 TO=3.58 NO=9.34
Tensioni nel cordone: τ_P= 0.05 τ_0=1.14 σ_0=3.81 σ_{ID}=3.97 Σ_T=4.94
CC 32 SLD (Collegamento -380_-516)
Azioni sul collegamento: N=126.99 Ty=-0.30 Tz=-47.68 Mx=-0.03 Mz=-0.20
Sollecitazioni agenti localmente: Tx_l=-0.30 Ty_l=-47.68 N_l=126.99 My_l=0.20 Mz_l=-0.03
Azioni sul cordone: TP=0.06 TO=3.53 NO=9.34
Tensioni nel cordone: τ_P= 0.02 τ_0=1.12 σ_0=3.26 σ_{ID}=3.44 Σ_T=4.38
CC 32 SLD (Collegamento -380_-516)
Azioni sul collegamento: N=126.99 Ty=0.55 Tz=-47.68 Mx=0.09 Mz=0.57
Sollecitazioni agenti localmente: Tx_l=0.55 Ty_l=-47.68 N_l=126.99 My_l=-0.57 Mz_l=0.09
Azioni sul cordone: TP=-0.14 TO=3.58 NO=9.34
Tensioni nel cordone: τ_P= 0.05 τ_0=1.14 σ_0=3.81 σ_{ID}=3.97 Σ_T=4.94
CC 32 SLD (Collegamento -380_-516)
Azioni sul collegamento: N=130.34 Ty=-0.30 Tz=-48.19 Mx=-0.03 Mz=-0.20
Sollecitazioni agenti localmente: Tx_l=-0.30 Ty_l=-48.19 N_l=130.34 My_l=0.20 Mz_l=-0.03
Azioni sul cordone: TP=0.06 TO=3.57 NO=9.59
Tensioni nel cordone: τ_P= 0.02 τ_0=1.13 σ_0=3.33 σ_{ID}=3.52 Σ_T=4.47
CC 32 SLD (Collegamento -380_-516)
Azioni sul collegamento: N=130.34 Ty=0.55 Tz=-48.19 Mx=0.09 Mz=0.57
Sollecitazioni agenti localmente: Tx_l=0.55 Ty_l=-48.19 N_l=130.34 My_l=-0.57 Mz_l=0.09
Azioni sul cordone: TP=-0.14 TO=3.62 NO=9.59
Tensioni nel cordone: τ_P= 0.05 τ_0=1.15 σ_0=3.88 σ_{ID}=4.05 Σ_T=5.03
CC 32 SLD (Collegamento -380_-516)
Azioni sul collegamento: N=130.34 Ty=-0.30 Tz=-48.19 Mx=-0.03 Mz=-0.20
Sollecitazioni agenti localmente: Tx_l=-0.30 Ty_l=-48.19 N_l=130.34 My_l=0.20 Mz_l=-0.03
Azioni sul cordone: TP=0.06 TO=3.57 NO=9.59
Tensioni nel cordone: τ_P= 0.02 τ_0=1.13 σ_0=3.33 σ_{ID}=3.52 Σ_T=4.47
CC 32 SLD (Collegamento -380_-516)
Azioni sul collegamento: N=130.34 Ty=0.55 Tz=-48.19 Mx=0.09 Mz=0.57
Sollecitazioni agenti localmente: Tx_l=0.55 Ty_l=-48.19 N_l=130.34 My_l=-0.57 Mz_l=0.09
Azioni sul cordone: TP=-0.14 TO=3.62 NO=9.59
Tensioni nel cordone: τ_P= 0.05 τ_0=1.15 σ_0=3.88 σ_{ID}=4.05 Σ_T=5.03
CC 33 SLU (Collegamento -380_-516)
Azioni sul collegamento: N=333.98 Ty=-0.11 Tz=-89.52 Mx=-0.01 Mz=-0.07
Sollecitazioni agenti localmente: Tx_l=-0.11 Ty_l=-89.52 N_l=333.98 My_l=0.07 Mz_l=-0.01
Azioni sul cordone: TP=0.00 TO=-6.59 NO=24.57
Tensioni nel cordone: τ_P=1.22E-03 τ_0=2.10 σ_0=7.92 σ_{ID}=8.19 Σ_T=10.01
CC 34 SLU (Collegamento -380_-516)
Azioni sul collegamento: N=330.18 Ty=-0.11 Tz=-88.93 Mx=-0.01 Mz=-0.07
Sollecitazioni agenti localmente: Tx_l=-0.11 Ty_l=-88.93 N_l=330.18 My_l=0.07 Mz_l=-0.01
Azioni sul cordone: TP=0.00 TO=-6.55 NO=24.30
Tensioni nel cordone: τ_P=1.15E-03 τ_0=2.08 σ_0=7.82 σ_{ID}=8.10 Σ_T=9.91
CC 35 SLU (Collegamento -380_-516)
Azioni sul collegamento: N=332.07 Ty=0.03 Tz=-89.22 Mx=0.01 Mz=0.06
Sollecitazioni agenti localmente: Tx_l=0.03 Ty_l=-89.22 N_l=332.07 My_l=-0.06 Mz_l=0.01
Azioni sul cordone: TP=-0.01 TO=-6.57 NO=24.43
Tensioni nel cordone: τ_P=3.17E-03 τ_0=2.09 σ_0=7.85 σ_{ID}=8.13 Σ_T=9.94
CC 36 SLU (Collegamento -380_-516)
Azioni sul collegamento: N=332.08 Ty=-0.25 Tz=-89.22 Mx=-0.03 Mz=-0.20
Sollecitazioni agenti localmente: Tx_l=-0.25 Ty_l=-89.22 N_l=332.08 My_l=0.20 Mz_l=-0.03
Azioni sul cordone: TP=0.05 TO=6.59 NO=24.44
Tensioni nel cordone: τ_P= 0.02 τ_0=2.09 σ_0=8.06 σ_{ID}=8.33 Σ_T=10.16
CC 37 SLU (Collegamento -380_-516)
Azioni sul collegamento: N=265.40 Ty=-0.11 Tz=-78.90 Mx=-0.01 Mz=-0.08
Sollecitazioni agenti localmente: Tx_l=-0.11 Ty_l=-78.90 N_l=265.40 My_l=0.08 Mz_l=-0.01
Azioni sul cordone: TP=0.01 TO=-5.82 NO=19.53
Tensioni nel cordone: τ_P=1.76E-03 τ_0=1.85 σ_0=6.33 σ_{ID}=6.59 Σ_T=8.17
CC 38 SLU (Collegamento -380_-516)
Azioni sul collegamento: N=261.61 Ty=-0.11 Tz=-78.32 Mx=-0.01 Mz=-0.08
Sollecitazioni agenti localmente: Tx_l=-0.11 Ty_l=-78.32 N_l=261.61 My_l=0.08 Mz_l=-0.01

Azioni sul cordone: TP=0.01 TO=-5.77 NO=19.25
Tensioni nel cordone: τ_P=1.69E-03 τ_0=1.83 σ_0=6.23 σ_{ID}=6.50 Σ_T=8.07
CC 39 SLU (Collegamento -380_-516)
Azioni sul collegamento: N=263.50 Ty=0.03 Tz=-78.61 Mx=0.01 Mz=0.05
Sollecitazioni agenti localmente: Tx_l=0.03 Ty_l=-78.61 N_l=263.50 My_l=-0.05 Mz_l=0.01
Azioni sul cordone: TP=-0.01 TO=-5.79 NO=19.39
Tensioni nel cordone: τ_P=2.63E-03 τ_0=1.84 σ_0=6.24 σ_{ID}=6.50 Σ_T=8.08
CC 40 SLU (Collegamento -380_-516)
Azioni sul collegamento: N=263.50 Ty=-0.25 Tz=-78.61 Mx=-0.03 Mz=-0.21
Sollecitazioni agenti localmente: Tx_l=-0.25 Ty_l=-78.61 N_l=263.50 My_l=0.21 Mz_l=-0.03
Azioni sul cordone: TP=0.06 TO=5.81 NO=19.39
Tensioni nel cordone: τ_P= 0.02 τ_0=1.85 σ_0=6.47 σ_{ID}=6.73 Σ_T=8.32
CC 41 SLU (Collegamento -380_-516)
Azioni sul collegamento: N=344.53 Ty=-0.10 Tz=-91.15 Mx=-0.01 Mz=-0.07
Sollecitazioni agenti localmente: Tx_l=-0.10 Ty_l=-91.15 N_l=344.53 My_l=0.07 Mz_l=-0.01
Azioni sul cordone: TP=0.00 TO=-6.71 NO=25.35
Tensioni nel cordone: τ_P=1.31E-03 τ_0=2.13 σ_0=8.16 σ_{ID}=8.43 Σ_T=10.29
CC 42 SLU (Collegamento -380_-516)
Azioni sul collegamento: N=340.73 Ty=-0.10 Tz=-90.56 Mx=-0.01 Mz=-0.07
Sollecitazioni agenti localmente: Tx_l=-0.10 Ty_l=-90.56 N_l=340.73 My_l=0.07 Mz_l=-0.01
Azioni sul cordone: TP=0.00 TO=-6.67 NO=25.07
Tensioni nel cordone: τ_P=1.23E-03 τ_0=2.12 σ_0=8.07 σ_{ID}=8.34 Σ_T=10.19
CC 43 SLU (Collegamento -380_-516)
Azioni sul collegamento: N=342.63 Ty=0.04 Tz=-90.86 Mx=0.01 Mz=0.06
Sollecitazioni agenti localmente: Tx_l=0.04 Ty_l=-90.86 N_l=342.63 My_l=-0.06 Mz_l=0.01
Azioni sul cordone: TP=-0.01 TO=-6.69 NO=25.21
Tensioni nel cordone: τ_P=3.08E-03 τ_0=2.13 σ_0=8.11 σ_{ID}=8.38 Σ_T=10.23
CC 44 SLU (Collegamento -380_-516)
Azioni sul collegamento: N=342.63 Ty=-0.24 Tz=-90.86 Mx=-0.03 Mz=-0.20
Sollecitazioni agenti localmente: Tx_l=-0.24 Ty_l=-90.86 N_l=342.63 My_l=0.20 Mz_l=-0.03
Azioni sul cordone: TP=0.05 TO=6.71 NO=25.21
Tensioni nel cordone: τ_P= 0.02 τ_0=2.13 σ_0=8.30 σ_{ID}=8.57 Σ_T=10.43
CC 45 SLU (Collegamento -380_-516)
Azioni sul collegamento: N=280.60 Ty=-0.11 Tz=-81.26 Mx=-0.01 Mz=-0.08
Sollecitazioni agenti localmente: Tx_l=-0.11 Ty_l=-81.26 N_l=280.60 My_l=0.08 Mz_l=-0.01
Azioni sul cordone: TP=0.01 TO=-5.99 NO=20.65
Tensioni nel cordone: τ_P=1.60E-03 τ_0=1.90 σ_0=6.68 σ_{ID}=6.94 Σ_T=8.58
CC 46 SLU (Collegamento -380_-516)
Azioni sul collegamento: N=276.80 Ty=-0.11 Tz=-80.67 Mx=-0.01 Mz=-0.08
Sollecitazioni agenti localmente: Tx_l=-0.11 Ty_l=-80.67 N_l=276.80 My_l=0.08 Mz_l=-0.01
Azioni sul cordone: TP=0.00 TO=-5.94 NO=20.37
Tensioni nel cordone: τ_P=1.53E-03 τ_0=1.89 σ_0=6.59 σ_{ID}=6.85 Σ_T=8.47
CC 47 SLU (Collegamento -380_-516)
Azioni sul collegamento: N=278.70 Ty=0.03 Tz=-80.96 Mx=0.01 Mz=0.05
Sollecitazioni agenti localmente: Tx_l=0.03 Ty_l=-80.96 N_l=278.70 My_l=-0.05 Mz_l=0.01
Azioni sul cordone: TP=-0.01 TO=-5.96 NO=20.51
Tensioni nel cordone: τ_P=2.79E-03 τ_0=1.90 σ_0=6.60 σ_{ID}=6.86 Σ_T=8.49
CC 48 SLU (Collegamento -380_-516)
Azioni sul collegamento: N=278.70 Ty=-0.25 Tz=-80.96 Mx=-0.03 Mz=-0.21
Sollecitazioni agenti localmente: Tx_l=-0.25 Ty_l=-80.96 N_l=278.70 My_l=0.21 Mz_l=-0.03
Azioni sul cordone: TP=0.06 TO=5.98 NO=20.51
Tensioni nel cordone: τ_P= 0.02 τ_0=1.90 σ_0=6.82 σ_{ID}=7.08 Σ_T=8.72
CC 49 SLU (Collegamento -380_-516)
Azioni sul collegamento: N=229.29 Ty=-0.11 Tz=-73.32 Mx=-0.01 Mz=-0.09
Sollecitazioni agenti localmente: Tx_l=-0.11 Ty_l=-73.32 N_l=229.29 My_l=0.09 Mz_l=-0.01
Azioni sul cordone: TP=0.02 TO=5.40 NO=16.87
Tensioni nel cordone: τ_P=7.32E-03 τ_0=1.72 σ_0=5.49 σ_{ID}=5.75 Σ_T=7.20
CC 50 SLU (Collegamento -380_-516)
Azioni sul collegamento: N=225.50 Ty=-0.11 Tz=-72.73 Mx=-0.01 Mz=-0.08
Sollecitazioni agenti localmente: Tx_l=-0.11 Ty_l=-72.73 N_l=225.50 My_l=0.08 Mz_l=-0.01
Azioni sul cordone: TP=0.02 TO=5.36 NO=16.59
Tensioni nel cordone: τ_P=7.16E-03 τ_0=1.70 σ_0=5.40 σ_{ID}=5.66 Σ_T=7.10
CC 51 SLU (Collegamento -380_-516)
Azioni sul collegamento: N=227.39 Ty=0.03 Tz=-73.02 Mx=0.01 Mz=0.05
Sollecitazioni agenti localmente: Tx_l=0.03 Ty_l=-73.02 N_l=227.39 My_l=-0.05 Mz_l=0.01
Azioni sul cordone: TP=-0.01 TO=-5.38 NO=16.73
Tensioni nel cordone: τ_P=2.38E-03 τ_0=1.71 σ_0=5.39 σ_{ID}=5.65 Σ_T=7.10
CC 52 SLU (Collegamento -380_-516)
Azioni sul collegamento: N=227.40 Ty=-0.26 Tz=-73.02 Mx=-0.03 Mz=-0.21
Sollecitazioni agenti localmente: Tx_l=-0.26 Ty_l=-73.02 N_l=227.40 My_l=0.21 Mz_l=-0.03
Azioni sul cordone: TP=0.06 TO=5.40 NO=16.73
Tensioni nel cordone: τ_P= 0.02 τ_0=1.72 σ_0=5.63 σ_{ID}=5.89 Σ_T=7.35
CC 53 SLU (Collegamento -380_-516)
Azioni sul collegamento: N=288.49 Ty=-0.11 Tz=-82.48 Mx=-0.01 Mz=-0.08
Sollecitazioni agenti localmente: Tx_l=-0.11 Ty_l=-82.48 N_l=288.49 My_l=0.08 Mz_l=-0.01
Azioni sul cordone: TP=0.01 TO=-6.08 NO=21.23
Tensioni nel cordone: τ_P=1.67E-03 τ_0=1.93 σ_0=6.86 σ_{ID}=7.12 Σ_T=8.79
CC 54 SLU (Collegamento -380_-516)
Azioni sul collegamento: N=284.70 Ty=-0.10 Tz=-81.89 Mx=-0.01 Mz=-0.07

Sollecitazioni agenti localmente: Tx_l=-0.10 Ty_l=-81.89 N_l=284.70 My_l=0.07 Mz_l=-0.01
Azioni sul cordone: TP=0.01 TO=-6.03 NO=20.95
Tensioni nel cordone: τ_P=1.60E-03 τ_O=1.92 σ_O=6.77 σ_{ID}=7.03 Σ_T=8.68
CC 55 SLU (Collegamento -380_-516)
Azioni sul collegamento: N=286.59 Ty=0.04 Tz=-82.18 Mx=0.01 Mz=0.06
Sollecitazioni agenti localmente: Tx_l=0.04 Ty_l=-82.18 N_l=286.59 My_l=-0.06 Mz_l=0.01
Azioni sul cordone: TP=-0.01 TO=-6.06 NO=21.09
Tensioni nel cordone: τ_P=2.72E-03 τ_O=1.92 σ_O=6.78 σ_{ID}=7.05 Σ_T=8.71
CC 56 SLU (Collegamento -380_-516)
Azioni sul collegamento: N=286.60 Ty=-0.25 Tz=-82.18 Mx=-0.03 Mz=-0.21
Sollecitazioni agenti localmente: Tx_l=-0.25 Ty_l=-82.18 N_l=286.60 My_l=0.21 Mz_l=-0.03
Azioni sul cordone: TP=0.06 TO=6.07 NO=21.09
Tensioni nel cordone: τ_P= 0.02 τ_O=1.93 σ_O=7.00 σ_{ID}=7.26 Σ_T=8.93
CC 57 SLU (Collegamento -380_-516)
Azioni sul collegamento: N=269.35 Ty=-0.10 Tz=-79.52 Mx=-0.01 Mz=-0.07
Sollecitazioni agenti localmente: Tx_l=-0.10 Ty_l=-79.52 N_l=269.35 My_l=0.07 Mz_l=-0.01
Azioni sul cordone: TP=0.00 TO=-5.86 NO=19.82
Tensioni nel cordone: τ_P=1.46E-03 τ_O=1.86 σ_O=6.41 σ_{ID}=6.67 Σ_T=8.27
CC 58 SLU (Collegamento -380_-516)
Azioni sul collegamento: N=265.56 Ty=-0.10 Tz=-78.93 Mx=-0.01 Mz=-0.07
Sollecitazioni agenti localmente: Tx_l=-0.10 Ty_l=-78.93 N_l=265.56 My_l=0.07 Mz_l=-0.01
Azioni sul cordone: TP=0.00 TO=-5.82 NO=19.54
Tensioni nel cordone: τ_P=1.39E-03 τ_O=1.85 σ_O=6.31 σ_{ID}=6.58 Σ_T=8.16
CC 59 SLU (Collegamento -380_-516)
Azioni sul collegamento: N=267.45 Ty=0.04 Tz=-79.22 Mx=0.01 Mz=0.06
Sollecitazioni agenti localmente: Tx_l=0.04 Ty_l=-79.22 N_l=267.45 My_l=-0.06 Mz_l=0.01
Azioni sul cordone: TP=-0.01 TO=-5.84 NO=19.68
Tensioni nel cordone: τ_P=2.93E-03 τ_O=1.86 σ_O=6.34 σ_{ID}=6.61 Σ_T=8.20
CC 60 SLU (Collegamento -380_-516)
Azioni sul collegamento: N=267.46 Ty=-0.25 Tz=-79.22 Mx=-0.03 Mz=-0.20
Sollecitazioni agenti localmente: Tx_l=-0.25 Ty_l=-79.22 N_l=267.46 My_l=0.20 Mz_l=-0.03
Azioni sul cordone: TP=0.05 TO=5.85 NO=19.68
Tensioni nel cordone: τ_P= 0.02 τ_O=1.86 σ_O=6.55 σ_{ID}=6.81 Σ_T=8.41
CC 61 SLU (Collegamento -380_-516)
Azioni sul collegamento: N=218.05 Ty=-0.11 Tz=-71.58 Mx=-0.01 Mz=-0.08
Sollecitazioni agenti localmente: Tx_l=-0.11 Ty_l=-71.58 N_l=218.05 My_l=0.08 Mz_l=-0.01
Azioni sul cordone: TP=0.02 TO=5.28 NO=16.04
Tensioni nel cordone: τ_P=6.85E-03 τ_O=1.68 σ_O=5.22 σ_{ID}=5.48 Σ_T=6.89
CC 62 SLU (Collegamento -380_-516)
Azioni sul collegamento: N=214.25 Ty=-0.10 Tz=-70.99 Mx=-0.01 Mz=-0.08
Sollecitazioni agenti localmente: Tx_l=-0.10 Ty_l=-70.99 N_l=214.25 My_l=0.08 Mz_l=-0.01
Azioni sul cordone: TP=0.02 TO=5.23 NO=15.77
Tensioni nel cordone: τ_P=6.69E-03 τ_O=1.66 σ_O=5.12 σ_{ID}=5.39 Σ_T=6.79
CC 63 SLU (Collegamento -380_-516)
Azioni sul collegamento: N=216.15 Ty=0.04 Tz=-71.28 Mx=0.01 Mz=0.05
Sollecitazioni agenti localmente: Tx_l=0.04 Ty_l=-71.28 N_l=216.15 My_l=-0.05 Mz_l=0.01
Azioni sul cordone: TP=-0.01 TO=-5.25 NO=15.90
Tensioni nel cordone: τ_P=2.53E-03 τ_O=1.67 σ_O=5.13 σ_{ID}=5.40 Σ_T=6.80
CC 64 SLU (Collegamento -380_-516)
Azioni sul collegamento: N=216.16 Ty=-0.25 Tz=-71.28 Mx=-0.03 Mz=-0.21
Sollecitazioni agenti localmente: Tx_l=-0.25 Ty_l=-71.28 N_l=216.16 My_l=0.21 Mz_l=-0.03
Azioni sul cordone: TP=0.06 TO=5.27 NO=15.91
Tensioni nel cordone: τ_P= 0.02 τ_O=1.68 σ_O=5.36 σ_{ID}=5.62 Σ_T=7.04
CC 65 SLU (Collegamento -380_-516)
Azioni sul collegamento: N=277.25 Ty=-0.10 Tz=-80.74 Mx=-0.01 Mz=-0.07
Sollecitazioni agenti localmente: Tx_l=-0.10 Ty_l=-80.74 N_l=277.25 My_l=0.07 Mz_l=-0.01
Azioni sul cordone: TP=0.00 TO=-5.95 NO=20.40
Tensioni nel cordone: τ_P=1.52E-03 τ_O=1.89 σ_O=6.59 σ_{ID}=6.85 Σ_T=8.48
CC 66 SLU (Collegamento -380_-516)
Azioni sul collegamento: N=273.45 Ty=-0.10 Tz=-80.15 Mx=-0.01 Mz=-0.07
Sollecitazioni agenti localmente: Tx_l=-0.10 Ty_l=-80.15 N_l=273.45 My_l=0.07 Mz_l=-0.01
Azioni sul cordone: TP=0.00 TO=-5.91 NO=20.12
Tensioni nel cordone: τ_P=1.45E-03 τ_O=1.88 σ_O=6.49 σ_{ID}=6.76 Σ_T=8.37
CC 67 SLU (Collegamento -380_-516)
Azioni sul collegamento: N=275.35 Ty=0.05 Tz=-80.44 Mx=0.01 Mz=0.06
Sollecitazioni agenti localmente: Tx_l=0.05 Ty_l=-80.44 N_l=275.35 My_l=-0.06 Mz_l=0.01
Azioni sul cordone: TP=-0.01 TO=-5.93 NO=20.26
Tensioni nel cordone: τ_P=2.87E-03 τ_O=1.88 σ_O=6.53 σ_{ID}=6.80 Σ_T=8.41
CC 68 SLU (Collegamento -380_-516)
Azioni sul collegamento: N=275.36 Ty=-0.24 Tz=-80.44 Mx=-0.03 Mz=-0.20
Sollecitazioni agenti localmente: Tx_l=-0.24 Ty_l=-80.44 N_l=275.36 My_l=0.20 Mz_l=-0.03
Azioni sul cordone: TP=0.05 TO=5.94 NO=20.26
Tensioni nel cordone: τ_P= 0.02 τ_O=1.89 σ_O=6.73 σ_{ID}=6.99 Σ_T=8.62
CC 97 SLU (Collegamento -380_-516)
Azioni sul collegamento: N=182.32 Ty=-12.54 Tz=-56.24 Mx=-1.50 Mz=-9.93
Sollecitazioni agenti localmente: Tx_l=-12.54 Ty_l=-56.24 N_l=182.32 My_l=9.93 Mz_l=-1.50
Azioni sul cordone: TP=2.65 TO=5.32 NO=13.42
Tensioni nel cordone: τ_P=0.84 τ_O=1.69 σ_O=18.77 σ_{ID}=18.86 Σ_T=20.46
CC 98 SLU (Collegamento -380_-516)

Azioni sul collegamento: N=178.53 Ty=-12.54 Tz=-55.65 Mx=-1.50 Mz=-9.93
Sollecitazioni agenti localmente: Tx_l=-12.54 Ty_l=-55.65 N_l=178.53 My_l=9.93 Mz_l=-1.50
Azioni sul cordone: TP=2.65 TO=5.28 NO=13.14
Tensioni nel cordone: τ_P=0.84 τ_O=1.68 σ_O=18.67 σ_{ID}=18.77 Σ_T=20.35
CC 99 SLU (Collegamento -380_-516)
Azioni sul collegamento: N=180.42 Ty=-12.40 Tz=-55.94 Mx=-1.48 Mz=-9.80
Sollecitazioni agenti localmente: Tx_l=-12.40 Ty_l=-55.94 N_l=180.42 My_l=9.80 Mz_l=-1.48
Azioni sul cordone: TP=2.61 TO=5.28 NO=13.28
Tensioni nel cordone: τ_P=0.83 τ_O=1.68 σ_O=18.53 σ_{ID}=18.62 Σ_T=20.21
CC 100 SLU (Collegamento -380_-516)
Azioni sul collegamento: N=180.43 Ty=-12.68 Tz=-55.95 Mx=-1.52 Mz=-10.06
Sollecitazioni agenti localmente: Tx_l=-12.68 Ty_l=-55.95 N_l=180.43 My_l=10.06 Mz_l=-1.52
Azioni sul cordone: TP=2.68 TO=5.32 NO=13.28
Tensioni nel cordone: τ_P=0.85 τ_O=1.69 σ_O=18.91 σ_{ID}=19.01 Σ_T=20.60
CC 101 SLU (Collegamento -380_-516)
Azioni sul collegamento: N=134.06 Ty=1.86 Tz=-48.77 Mx=0.26 Mz=1.69
Sollecitazioni agenti localmente: Tx_l=1.86 Ty_l=-48.77 N_l=134.06 My_l=-1.69 Mz_l=0.26
Azioni sul cordone: TP=-0.44 TO=3.80 NO=9.86
Tensioni nel cordone: τ_P=0.14 τ_O=1.21 σ_O=5.60 σ_{ID}=5.73 Σ_T=6.81
CC 102 SLU (Collegamento -380_-516)
Azioni sul collegamento: N=130.26 Ty=1.86 Tz=-48.18 Mx=0.26 Mz=1.69
Sollecitazioni agenti localmente: Tx_l=1.86 Ty_l=-48.18 N_l=130.26 My_l=-1.69 Mz_l=0.26
Azioni sul cordone: TP=-0.44 TO=3.75 NO=9.58
Tensioni nel cordone: τ_P=0.14 τ_O=1.19 σ_O=5.52 σ_{ID}=5.65 Σ_T=6.71
CC 103 SLU (Collegamento -380_-516)
Azioni sul collegamento: N=132.16 Ty=2.00 Tz=-48.47 Mx=0.28 Mz=1.82
Sollecitazioni agenti localmente: Tx_l=2.00 Ty_l=-48.47 N_l=132.16 My_l=-1.82 Mz_l=0.28
Azioni sul cordone: TP=-0.47 TO=3.79 NO=9.72
Tensioni nel cordone: τ_P=0.15 τ_O=1.20 σ_O=5.75 σ_{ID}=5.88 Σ_T=6.96
CC 104 SLU (Collegamento -380_-516)
Azioni sul collegamento: N=132.16 Ty=1.72 Tz=-48.48 Mx=0.24 Mz=1.56
Sollecitazioni agenti localmente: Tx_l=1.72 Ty_l=-48.48 N_l=132.16 My_l=-1.56 Mz_l=0.24
Azioni sul cordone: TP=-0.40 TO=3.76 NO=9.72
Tensioni nel cordone: τ_P=0.13 τ_O=1.19 σ_O=5.37 σ_{ID}=5.50 Σ_T=6.56

Verifica lato anima della colonna

CC 1 SLV (Collegamento -380_-516)
Azioni sul collegamento: N=146.87 Ty=-0.28 Tz=-50.75 Mx=-0.08 Mz=-0.44
Zona tesa: F=59.14 b_{eff}=13.20 t_w=0.70 σ=6.40
Zona tesa: F=59.14 b_{eff}=13.20 t_w=0.70 σ=6.40
CC 1 SLV (Collegamento -380_-516)
Azioni sul collegamento: N=146.87 Ty=-1.13 Tz=-50.75 Mx=-0.20 Mz=-1.22
Zona tesa: F=59.14 b_{eff}=13.20 t_w=0.70 σ=6.40
Zona tesa: F=59.14 b_{eff}=13.20 t_w=0.70 σ=6.40
CC 1 SLV (Collegamento -380_-516)
Azioni sul collegamento: N=146.87 Ty=-0.28 Tz=-50.75 Mx=-0.08 Mz=-0.44
Zona tesa: F=59.14 b_{eff}=13.20 t_w=0.70 σ=6.40
Zona tesa: F=59.14 b_{eff}=13.20 t_w=0.70 σ=6.40
CC 1 SLV (Collegamento -380_-516)
Azioni sul collegamento: N=146.87 Ty=-1.13 Tz=-50.75 Mx=-0.20 Mz=-1.22
Zona tesa: F=59.14 b_{eff}=13.20 t_w=0.70 σ=6.40
Zona tesa: F=59.14 b_{eff}=13.20 t_w=0.70 σ=6.40
CC 1 SLV (Collegamento -380_-516)
Azioni sul collegamento: N=110.50 Ty=-0.28 Tz=-45.12 Mx=-0.08 Mz=-0.44
Zona tesa: F=44.50 b_{eff}=13.20 t_w=0.70 σ=4.82
Zona tesa: F=44.50 b_{eff}=13.20 t_w=0.70 σ=4.82
CC 1 SLV (Collegamento -380_-516)
Azioni sul collegamento: N=110.50 Ty=-1.13 Tz=-45.12 Mx=-0.20 Mz=-1.22
Zona tesa: F=44.50 b_{eff}=13.20 t_w=0.70 σ=4.82
Zona tesa: F=44.50 b_{eff}=13.20 t_w=0.70 σ=4.82
CC 1 SLV (Collegamento -380_-516)
Azioni sul collegamento: N=110.50 Ty=-0.28 Tz=-45.12 Mx=-0.08 Mz=-0.44
Zona tesa: F=44.50 b_{eff}=13.20 t_w=0.70 σ=4.82
Zona tesa: F=44.50 b_{eff}=13.20 t_w=0.70 σ=4.82
CC 1 SLV (Collegamento -380_-516)
Azioni sul collegamento: N=110.50 Ty=-1.13 Tz=-45.12 Mx=-0.20 Mz=-1.22
Zona tesa: F=44.50 b_{eff}=13.20 t_w=0.70 σ=4.82
Zona tesa: F=44.50 b_{eff}=13.20 t_w=0.70 σ=4.82
CC 2 SLD (Collegamento -380_-516)
Azioni sul collegamento: N=134.22 Ty=-0.13 Tz=-48.79 Mx=-0.03 Mz=-0.17
Zona tesa: F=54.05 b_{eff}=13.20 t_w=0.70 σ=5.85
Zona tesa: F=54.05 b_{eff}=13.20 t_w=0.70 σ=5.85
CC 2 SLD (Collegamento -380_-516)
Azioni sul collegamento: N=134.22 Ty=-0.39 Tz=-48.79 Mx=-0.07 Mz=-0.41
Zona tesa: F=54.05 b_{eff}=13.20 t_w=0.70 σ=5.85
Zona tesa: F=54.05 b_{eff}=13.20 t_w=0.70 σ=5.85

CC 2 SLD (Collegamento -380_-516)
Azioni sul collegamento: N=134.22 Ty=-0.13 Tz=-48.79 Mx=-0.03 Mz=-0.17
Zona tesa: F=54.05 b_{eff}=13.20 t_w=0.70 σ=5.85
Zona tesa: F=54.05 b_{eff}=13.20 t_w=0.70 σ=5.85
CC 2 SLD (Collegamento -380_-516)
Azioni sul collegamento: N=134.22 Ty=-0.39 Tz=-48.79 Mx=-0.07 Mz=-0.41
Zona tesa: F=54.05 b_{eff}=13.20 t_w=0.70 σ=5.85
Zona tesa: F=54.05 b_{eff}=13.20 t_w=0.70 σ=5.85
CC 2 SLD (Collegamento -380_-516)
Azioni sul collegamento: N=123.13 Ty=-0.13 Tz=-47.08 Mx=-0.03 Mz=-0.17
Zona tesa: F=49.58 b_{eff}=13.20 t_w=0.70 σ=5.37
Zona tesa: F=49.58 b_{eff}=13.20 t_w=0.70 σ=5.37
CC 2 SLD (Collegamento -380_-516)
Azioni sul collegamento: N=123.13 Ty=-0.39 Tz=-47.08 Mx=-0.07 Mz=-0.41
Zona tesa: F=49.58 b_{eff}=13.20 t_w=0.70 σ=5.37
Zona tesa: F=49.58 b_{eff}=13.20 t_w=0.70 σ=5.37
CC 2 SLD (Collegamento -380_-516)
Azioni sul collegamento: N=123.13 Ty=-0.13 Tz=-47.08 Mx=-0.03 Mz=-0.17
Zona tesa: F=49.58 b_{eff}=13.20 t_w=0.70 σ=5.37
Zona tesa: F=49.58 b_{eff}=13.20 t_w=0.70 σ=5.37
CC 2 SLD (Collegamento -380_-516)
Azioni sul collegamento: N=123.13 Ty=-0.39 Tz=-47.08 Mx=-0.07 Mz=-0.41
Zona tesa: F=49.58 b_{eff}=13.20 t_w=0.70 σ=5.37
Zona tesa: F=49.58 b_{eff}=13.20 t_w=0.70 σ=5.37
CC 3 SLV (Collegamento -380_-516)
Azioni sul collegamento: N=146.85 Ty=-1.11 Tz=-50.75 Mx=-0.19 Mz=-1.20
Zona tesa: F=59.14 b_{eff}=13.20 t_w=0.70 σ=6.40
Zona tesa: F=59.14 b_{eff}=13.20 t_w=0.70 σ=6.40
CC 3 SLV (Collegamento -380_-516)
Azioni sul collegamento: N=146.85 Ty=-0.30 Tz=-50.75 Mx=-0.07 Mz=-0.46
Zona tesa: F=59.14 b_{eff}=13.20 t_w=0.70 σ=6.40
Zona tesa: F=59.14 b_{eff}=13.20 t_w=0.70 σ=6.40
CC 3 SLV (Collegamento -380_-516)
Azioni sul collegamento: N=146.85 Ty=-1.11 Tz=-50.75 Mx=-0.19 Mz=-1.20
Zona tesa: F=59.14 b_{eff}=13.20 t_w=0.70 σ=6.40
Zona tesa: F=59.14 b_{eff}=13.20 t_w=0.70 σ=6.40
CC 3 SLV (Collegamento -380_-516)
Azioni sul collegamento: N=146.85 Ty=-0.30 Tz=-50.75 Mx=-0.07 Mz=-0.46
Zona tesa: F=59.14 b_{eff}=13.20 t_w=0.70 σ=6.40
Zona tesa: F=59.14 b_{eff}=13.20 t_w=0.70 σ=6.40
CC 3 SLV (Collegamento -380_-516)
Azioni sul collegamento: N=110.52 Ty=-1.11 Tz=-45.13 Mx=-0.19 Mz=-1.20
Zona tesa: F=44.50 b_{eff}=13.20 t_w=0.70 σ=4.82
Zona tesa: F=44.50 b_{eff}=13.20 t_w=0.70 σ=4.82
CC 3 SLV (Collegamento -380_-516)
Azioni sul collegamento: N=110.52 Ty=-0.30 Tz=-45.13 Mx=-0.07 Mz=-0.46
Zona tesa: F=44.50 b_{eff}=13.20 t_w=0.70 σ=4.82
Zona tesa: F=44.50 b_{eff}=13.20 t_w=0.70 σ=4.82
CC 3 SLV (Collegamento -380_-516)
Azioni sul collegamento: N=110.52 Ty=-1.11 Tz=-45.13 Mx=-0.19 Mz=-1.20
Zona tesa: F=44.50 b_{eff}=13.20 t_w=0.70 σ=4.82
Zona tesa: F=44.50 b_{eff}=13.20 t_w=0.70 σ=4.82
CC 3 SLV (Collegamento -380_-516)
Azioni sul collegamento: N=110.52 Ty=-0.30 Tz=-45.13 Mx=-0.07 Mz=-0.46
Zona tesa: F=44.50 b_{eff}=13.20 t_w=0.70 σ=4.82
Zona tesa: F=44.50 b_{eff}=13.20 t_w=0.70 σ=4.82
CC 4 SLD (Collegamento -380_-516)
Azioni sul collegamento: N=134.21 Ty=-0.38 Tz=-48.79 Mx=-0.06 Mz=-0.40
Zona tesa: F=54.05 b_{eff}=13.20 t_w=0.70 σ=5.85
Zona tesa: F=54.05 b_{eff}=13.20 t_w=0.70 σ=5.85
CC 4 SLD (Collegamento -380_-516)
Azioni sul collegamento: N=134.21 Ty=-0.14 Tz=-48.79 Mx=-0.03 Mz=-0.18
Zona tesa: F=54.05 b_{eff}=13.20 t_w=0.70 σ=5.85
Zona tesa: F=54.05 b_{eff}=13.20 t_w=0.70 σ=5.85
CC 4 SLD (Collegamento -380_-516)
Azioni sul collegamento: N=134.21 Ty=-0.38 Tz=-48.79 Mx=-0.06 Mz=-0.40
Zona tesa: F=54.05 b_{eff}=13.20 t_w=0.70 σ=5.85
Zona tesa: F=54.05 b_{eff}=13.20 t_w=0.70 σ=5.85
CC 4 SLD (Collegamento -380_-516)
Azioni sul collegamento: N=134.21 Ty=-0.14 Tz=-48.79 Mx=-0.03 Mz=-0.18
Zona tesa: F=54.05 b_{eff}=13.20 t_w=0.70 σ=5.85
Zona tesa: F=54.05 b_{eff}=13.20 t_w=0.70 σ=5.85
CC 4 SLD (Collegamento -380_-516)
Azioni sul collegamento: N=123.13 Ty=-0.38 Tz=-47.08 Mx=-0.06 Mz=-0.40
Zona tesa: F=49.58 b_{eff}=13.20 t_w=0.70 σ=5.37
Zona tesa: F=49.58 b_{eff}=13.20 t_w=0.70 σ=5.37

CC 4 SLD (Collegamento -380_-516)
Azioni sul collegamento: N=123.13 Ty=-0.14 Tz=-47.08 Mx=-0.03 Mz=-0.18
Zona tesa: F=49.58 b_{eff}=13.20 t_w=0.70 σ=5.37
Zona tesa: F=49.58 b_{eff}=13.20 t_w=0.70 σ=5.37
CC 4 SLD (Collegamento -380_-516)
Azioni sul collegamento: N=123.13 Ty=-0.38 Tz=-47.08 Mx=-0.06 Mz=-0.40
Zona tesa: F=49.58 b_{eff}=13.20 t_w=0.70 σ=5.37
Zona tesa: F=49.58 b_{eff}=13.20 t_w=0.70 σ=5.37
CC 4 SLD (Collegamento -380_-516)
Azioni sul collegamento: N=123.13 Ty=-0.14 Tz=-47.08 Mx=-0.03 Mz=-0.18
Zona tesa: F=49.58 b_{eff}=13.20 t_w=0.70 σ=5.37
Zona tesa: F=49.58 b_{eff}=13.20 t_w=0.70 σ=5.37
CC 5 SLV (Collegamento -380_-516)
Azioni sul collegamento: N=110.52 Ty=-0.30 Tz=-45.13 Mx=-0.08 Mz=-0.46
Zona tesa: F=44.50 b_{eff}=13.20 t_w=0.70 σ=4.82
Zona tesa: F=44.50 b_{eff}=13.20 t_w=0.70 σ=4.82
CC 5 SLV (Collegamento -380_-516)
Azioni sul collegamento: N=110.52 Ty=-1.11 Tz=-45.13 Mx=-0.19 Mz=-1.20
Zona tesa: F=44.50 b_{eff}=13.20 t_w=0.70 σ=4.82
Zona tesa: F=44.50 b_{eff}=13.20 t_w=0.70 σ=4.82
CC 5 SLV (Collegamento -380_-516)
Azioni sul collegamento: N=110.52 Ty=-0.30 Tz=-45.13 Mx=-0.08 Mz=-0.46
Zona tesa: F=44.50 b_{eff}=13.20 t_w=0.70 σ=4.82
Zona tesa: F=44.50 b_{eff}=13.20 t_w=0.70 σ=4.82
CC 5 SLV (Collegamento -380_-516)
Azioni sul collegamento: N=110.52 Ty=-1.11 Tz=-45.13 Mx=-0.19 Mz=-1.20
Zona tesa: F=44.50 b_{eff}=13.20 t_w=0.70 σ=4.82
Zona tesa: F=44.50 b_{eff}=13.20 t_w=0.70 σ=4.82
CC 5 SLV (Collegamento -380_-516)
Azioni sul collegamento: N=146.85 Ty=-0.30 Tz=-50.75 Mx=-0.08 Mz=-0.46
Zona tesa: F=59.14 b_{eff}=13.20 t_w=0.70 σ=6.40
Zona tesa: F=59.14 b_{eff}=13.20 t_w=0.70 σ=6.40
CC 5 SLV (Collegamento -380_-516)
Azioni sul collegamento: N=146.85 Ty=-1.11 Tz=-50.75 Mx=-0.19 Mz=-1.20
Zona tesa: F=59.14 b_{eff}=13.20 t_w=0.70 σ=6.40
Zona tesa: F=59.14 b_{eff}=13.20 t_w=0.70 σ=6.40
CC 5 SLV (Collegamento -380_-516)
Azioni sul collegamento: N=146.85 Ty=-0.30 Tz=-50.75 Mx=-0.08 Mz=-0.46
Zona tesa: F=59.14 b_{eff}=13.20 t_w=0.70 σ=6.40
Zona tesa: F=59.14 b_{eff}=13.20 t_w=0.70 σ=6.40
CC 5 SLV (Collegamento -380_-516)
Azioni sul collegamento: N=146.85 Ty=-1.11 Tz=-50.75 Mx=-0.19 Mz=-1.20
Zona tesa: F=59.14 b_{eff}=13.20 t_w=0.70 σ=6.40
Zona tesa: F=59.14 b_{eff}=13.20 t_w=0.70 σ=6.40
CC 6 SLD (Collegamento -380_-516)
Azioni sul collegamento: N=123.13 Ty=-0.14 Tz=-47.08 Mx=-0.03 Mz=-0.18
Zona tesa: F=49.58 b_{eff}=13.20 t_w=0.70 σ=5.37
Zona tesa: F=49.58 b_{eff}=13.20 t_w=0.70 σ=5.37
CC 6 SLD (Collegamento -380_-516)
Azioni sul collegamento: N=123.13 Ty=-0.38 Tz=-47.08 Mx=-0.06 Mz=-0.40
Zona tesa: F=49.58 b_{eff}=13.20 t_w=0.70 σ=5.37
Zona tesa: F=49.58 b_{eff}=13.20 t_w=0.70 σ=5.37
CC 6 SLD (Collegamento -380_-516)
Azioni sul collegamento: N=123.13 Ty=-0.14 Tz=-47.08 Mx=-0.03 Mz=-0.18
Zona tesa: F=49.58 b_{eff}=13.20 t_w=0.70 σ=5.37
Zona tesa: F=49.58 b_{eff}=13.20 t_w=0.70 σ=5.37
CC 6 SLD (Collegamento -380_-516)
Azioni sul collegamento: N=123.13 Ty=-0.38 Tz=-47.08 Mx=-0.06 Mz=-0.40
Zona tesa: F=49.58 b_{eff}=13.20 t_w=0.70 σ=5.37
Zona tesa: F=49.58 b_{eff}=13.20 t_w=0.70 σ=5.37
CC 6 SLD (Collegamento -380_-516)
Azioni sul collegamento: N=134.21 Ty=-0.14 Tz=-48.79 Mx=-0.03 Mz=-0.18
Zona tesa: F=54.05 b_{eff}=13.20 t_w=0.70 σ=5.85
Zona tesa: F=54.05 b_{eff}=13.20 t_w=0.70 σ=5.85
CC 6 SLD (Collegamento -380_-516)
Azioni sul collegamento: N=134.21 Ty=-0.38 Tz=-48.79 Mx=-0.06 Mz=-0.40
Zona tesa: F=54.05 b_{eff}=13.20 t_w=0.70 σ=5.85
Zona tesa: F=54.05 b_{eff}=13.20 t_w=0.70 σ=5.85
CC 6 SLD (Collegamento -380_-516)
Azioni sul collegamento: N=134.21 Ty=-0.14 Tz=-48.79 Mx=-0.03 Mz=-0.18
Zona tesa: F=54.05 b_{eff}=13.20 t_w=0.70 σ=5.85
Zona tesa: F=54.05 b_{eff}=13.20 t_w=0.70 σ=5.85
CC 6 SLD (Collegamento -380_-516)
Azioni sul collegamento: N=134.21 Ty=-0.38 Tz=-48.79 Mx=-0.06 Mz=-0.40
Zona tesa: F=54.05 b_{eff}=13.20 t_w=0.70 σ=5.85
Zona tesa: F=54.05 b_{eff}=13.20 t_w=0.70 σ=5.85

CC 7 SLV (Collegamento -380_-516)
Azioni sul collegamento: N=110.50 Ty=-1.13 Tz=-45.12 Mx=-0.19 Mz=-1.22
Zona tesa: F=44.50 b_{eff}=13.20 t_w=0.70 σ=4.82
Zona tesa: F=44.50 b_{eff}=13.20 t_w=0.70 σ=4.82
CC 7 SLV (Collegamento -380_-516)
Azioni sul collegamento: N=110.50 Ty=-0.28 Tz=-45.12 Mx=-0.07 Mz=-0.44
Zona tesa: F=44.50 b_{eff}=13.20 t_w=0.70 σ=4.82
Zona tesa: F=44.50 b_{eff}=13.20 t_w=0.70 σ=4.82
CC 7 SLV (Collegamento -380_-516)
Azioni sul collegamento: N=110.50 Ty=-1.13 Tz=-45.12 Mx=-0.19 Mz=-1.22
Zona tesa: F=44.50 b_{eff}=13.20 t_w=0.70 σ=4.82
Zona tesa: F=44.50 b_{eff}=13.20 t_w=0.70 σ=4.82
CC 7 SLV (Collegamento -380_-516)
Azioni sul collegamento: N=110.50 Ty=-0.28 Tz=-45.12 Mx=-0.07 Mz=-0.44
Zona tesa: F=44.50 b_{eff}=13.20 t_w=0.70 σ=4.82
Zona tesa: F=44.50 b_{eff}=13.20 t_w=0.70 σ=4.82
CC 7 SLV (Collegamento -380_-516)
Azioni sul collegamento: N=146.87 Ty=-1.13 Tz=-50.75 Mx=-0.19 Mz=-1.22
Zona tesa: F=59.14 b_{eff}=13.20 t_w=0.70 σ=6.40
Zona tesa: F=59.14 b_{eff}=13.20 t_w=0.70 σ=6.40
CC 7 SLV (Collegamento -380_-516)
Azioni sul collegamento: N=146.87 Ty=-0.28 Tz=-50.75 Mx=-0.07 Mz=-0.44
Zona tesa: F=59.14 b_{eff}=13.20 t_w=0.70 σ=6.40
Zona tesa: F=59.14 b_{eff}=13.20 t_w=0.70 σ=6.40
CC 7 SLV (Collegamento -380_-516)
Azioni sul collegamento: N=146.87 Ty=-1.13 Tz=-50.75 Mx=-0.19 Mz=-1.22
Zona tesa: F=59.14 b_{eff}=13.20 t_w=0.70 σ=6.40
Zona tesa: F=59.14 b_{eff}=13.20 t_w=0.70 σ=6.40
CC 7 SLV (Collegamento -380_-516)
Azioni sul collegamento: N=146.87 Ty=-0.28 Tz=-50.75 Mx=-0.07 Mz=-0.44
Zona tesa: F=59.14 b_{eff}=13.20 t_w=0.70 σ=6.40
Zona tesa: F=59.14 b_{eff}=13.20 t_w=0.70 σ=6.40
CC 8 SLD (Collegamento -380_-516)
Azioni sul collegamento: N=123.13 Ty=-0.39 Tz=-47.08 Mx=-0.06 Mz=-0.41
Zona tesa: F=49.58 b_{eff}=13.20 t_w=0.70 σ=5.37
Zona tesa: F=49.58 b_{eff}=13.20 t_w=0.70 σ=5.37
CC 8 SLD (Collegamento -380_-516)
Azioni sul collegamento: N=123.13 Ty=-0.13 Tz=-47.08 Mx=-0.03 Mz=-0.17
Zona tesa: F=49.58 b_{eff}=13.20 t_w=0.70 σ=5.37
Zona tesa: F=49.58 b_{eff}=13.20 t_w=0.70 σ=5.37
CC 8 SLD (Collegamento -380_-516)
Azioni sul collegamento: N=123.13 Ty=-0.39 Tz=-47.08 Mx=-0.06 Mz=-0.41
Zona tesa: F=49.58 b_{eff}=13.20 t_w=0.70 σ=5.37
Zona tesa: F=49.58 b_{eff}=13.20 t_w=0.70 σ=5.37
CC 8 SLD (Collegamento -380_-516)
Azioni sul collegamento: N=123.13 Ty=-0.13 Tz=-47.08 Mx=-0.03 Mz=-0.17
Zona tesa: F=49.58 b_{eff}=13.20 t_w=0.70 σ=5.37
Zona tesa: F=49.58 b_{eff}=13.20 t_w=0.70 σ=5.37
CC 8 SLD (Collegamento -380_-516)
Azioni sul collegamento: N=134.22 Ty=-0.39 Tz=-48.79 Mx=-0.06 Mz=-0.41
Zona tesa: F=54.05 b_{eff}=13.20 t_w=0.70 σ=5.85
Zona tesa: F=54.05 b_{eff}=13.20 t_w=0.70 σ=5.85
CC 8 SLD (Collegamento -380_-516)
Azioni sul collegamento: N=134.22 Ty=-0.13 Tz=-48.79 Mx=-0.03 Mz=-0.17
Zona tesa: F=54.05 b_{eff}=13.20 t_w=0.70 σ=5.85
Zona tesa: F=54.05 b_{eff}=13.20 t_w=0.70 σ=5.85
CC 8 SLD (Collegamento -380_-516)
Azioni sul collegamento: N=134.22 Ty=-0.39 Tz=-48.79 Mx=-0.06 Mz=-0.41
Zona tesa: F=54.05 b_{eff}=13.20 t_w=0.70 σ=5.85
Zona tesa: F=54.05 b_{eff}=13.20 t_w=0.70 σ=5.85
CC 8 SLD (Collegamento -380_-516)
Azioni sul collegamento: N=134.22 Ty=-0.13 Tz=-48.79 Mx=-0.03 Mz=-0.17
Zona tesa: F=54.05 b_{eff}=13.20 t_w=0.70 σ=5.85
Zona tesa: F=54.05 b_{eff}=13.20 t_w=0.70 σ=5.85
CC 9 SLV (Collegamento -380_-516)
Azioni sul collegamento: N=134.17 Ty=0.68 Tz=-48.79 Mx=0.05 Mz=0.43
Zona tesa: F=54.03 b_{eff}=13.20 t_w=0.70 σ=5.85
Zona tesa: F=54.03 b_{eff}=13.20 t_w=0.70 σ=5.85
CC 9 SLV (Collegamento -380_-516)
Azioni sul collegamento: N=134.17 Ty=-2.08 Tz=-48.79 Mx=-0.34 Mz=-2.09
Zona tesa: F=54.03 b_{eff}=13.20 t_w=0.70 σ=5.85
Zona tesa: F=54.03 b_{eff}=13.20 t_w=0.70 σ=5.85
CC 9 SLV (Collegamento -380_-516)
Azioni sul collegamento: N=134.17 Ty=0.68 Tz=-48.79 Mx=0.05 Mz=0.43
Zona tesa: F=54.03 b_{eff}=13.20 t_w=0.70 σ=5.85
Zona tesa: F=54.03 b_{eff}=13.20 t_w=0.70 σ=5.85

CC 9 SLV (Collegamento -380_-516)
Azioni sul collegamento: N=134.17 Ty=-2.08 Tz=-48.79 Mx=-0.34 Mz=-2.09
Zona tesa: F=54.03 b_{eff}=13.20 t_w=0.70 σ=5.85
Zona tesa: F=54.03 b_{eff}=13.20 t_w=0.70 σ=5.85
CC 9 SLV (Collegamento -380_-516)
Azioni sul collegamento: N=123.20 Ty=0.68 Tz=-47.09 Mx=0.05 Mz=0.43
Zona tesa: F=49.61 b_{eff}=13.20 t_w=0.70 σ=5.37
Zona tesa: F=49.61 b_{eff}=13.20 t_w=0.70 σ=5.37
CC 9 SLV (Collegamento -380_-516)
Azioni sul collegamento: N=123.20 Ty=-2.08 Tz=-47.09 Mx=-0.34 Mz=-2.09
Zona tesa: F=49.61 b_{eff}=13.20 t_w=0.70 σ=5.37
Zona tesa: F=49.61 b_{eff}=13.20 t_w=0.70 σ=5.37
CC 9 SLV (Collegamento -380_-516)
Azioni sul collegamento: N=123.20 Ty=0.68 Tz=-47.09 Mx=0.05 Mz=0.43
Zona tesa: F=49.61 b_{eff}=13.20 t_w=0.70 σ=5.37
Zona tesa: F=49.61 b_{eff}=13.20 t_w=0.70 σ=5.37
CC 9 SLV (Collegamento -380_-516)
Azioni sul collegamento: N=123.20 Ty=-2.08 Tz=-47.09 Mx=-0.34 Mz=-2.09
Zona tesa: F=49.61 b_{eff}=13.20 t_w=0.70 σ=5.37
Zona tesa: F=49.61 b_{eff}=13.20 t_w=0.70 σ=5.37
CC 10 SLD (Collegamento -380_-516)
Azioni sul collegamento: N=130.35 Ty=0.16 Tz=-48.19 Mx=0.01 Mz=0.10
Zona tesa: F=52.49 b_{eff}=13.20 t_w=0.70 σ=5.68
Zona tesa: F=52.49 b_{eff}=13.20 t_w=0.70 σ=5.68
CC 10 SLD (Collegamento -380_-516)
Azioni sul collegamento: N=130.35 Ty=-0.68 Tz=-48.19 Mx=-0.11 Mz=-0.67
Zona tesa: F=52.49 b_{eff}=13.20 t_w=0.70 σ=5.68
Zona tesa: F=52.49 b_{eff}=13.20 t_w=0.70 σ=5.68
CC 10 SLD (Collegamento -380_-516)
Azioni sul collegamento: N=130.35 Ty=0.16 Tz=-48.19 Mx=0.01 Mz=0.10
Zona tesa: F=52.49 b_{eff}=13.20 t_w=0.70 σ=5.68
Zona tesa: F=52.49 b_{eff}=13.20 t_w=0.70 σ=5.68
CC 10 SLD (Collegamento -380_-516)
Azioni sul collegamento: N=130.35 Ty=-0.68 Tz=-48.19 Mx=-0.11 Mz=-0.67
Zona tesa: F=52.49 b_{eff}=13.20 t_w=0.70 σ=5.68
Zona tesa: F=52.49 b_{eff}=13.20 t_w=0.70 σ=5.68
CC 10 SLD (Collegamento -380_-516)
Azioni sul collegamento: N=127.00 Ty=0.16 Tz=-47.68 Mx=0.01 Mz=0.10
Zona tesa: F=51.14 b_{eff}=13.20 t_w=0.70 σ=5.53
Zona tesa: F=51.14 b_{eff}=13.20 t_w=0.70 σ=5.53
CC 10 SLD (Collegamento -380_-516)
Azioni sul collegamento: N=127.00 Ty=-0.68 Tz=-47.68 Mx=-0.11 Mz=-0.67
Zona tesa: F=51.14 b_{eff}=13.20 t_w=0.70 σ=5.53
Zona tesa: F=51.14 b_{eff}=13.20 t_w=0.70 σ=5.53
CC 10 SLD (Collegamento -380_-516)
Azioni sul collegamento: N=127.00 Ty=0.16 Tz=-47.68 Mx=0.01 Mz=0.10
Zona tesa: F=51.14 b_{eff}=13.20 t_w=0.70 σ=5.53
Zona tesa: F=51.14 b_{eff}=13.20 t_w=0.70 σ=5.53
CC 10 SLD (Collegamento -380_-516)
Azioni sul collegamento: N=127.00 Ty=-0.68 Tz=-47.68 Mx=-0.11 Mz=-0.67
Zona tesa: F=51.14 b_{eff}=13.20 t_w=0.70 σ=5.53
Zona tesa: F=51.14 b_{eff}=13.20 t_w=0.70 σ=5.53
CC 11 SLV (Collegamento -380_-516)
Azioni sul collegamento: N=123.27 Ty=0.67 Tz=-47.10 Mx=0.05 Mz=0.42
Zona tesa: F=49.64 b_{eff}=13.20 t_w=0.70 σ=5.37
Zona tesa: F=49.64 b_{eff}=13.20 t_w=0.70 σ=5.37
CC 11 SLV (Collegamento -380_-516)
Azioni sul collegamento: N=123.27 Ty=-2.08 Tz=-47.10 Mx=-0.34 Mz=-2.08
Zona tesa: F=49.64 b_{eff}=13.20 t_w=0.70 σ=5.37
Zona tesa: F=49.64 b_{eff}=13.20 t_w=0.70 σ=5.37
CC 11 SLV (Collegamento -380_-516)
Azioni sul collegamento: N=123.27 Ty=0.67 Tz=-47.10 Mx=0.05 Mz=0.42
Zona tesa: F=49.64 b_{eff}=13.20 t_w=0.70 σ=5.37
Zona tesa: F=49.64 b_{eff}=13.20 t_w=0.70 σ=5.37
CC 11 SLV (Collegamento -380_-516)
Azioni sul collegamento: N=123.27 Ty=-2.08 Tz=-47.10 Mx=-0.34 Mz=-2.08
Zona tesa: F=49.64 b_{eff}=13.20 t_w=0.70 σ=5.37
Zona tesa: F=49.64 b_{eff}=13.20 t_w=0.70 σ=5.37
CC 11 SLV (Collegamento -380_-516)
Azioni sul collegamento: N=134.11 Ty=0.67 Tz=-48.78 Mx=0.05 Mz=0.42
Zona tesa: F=54.00 b_{eff}=13.20 t_w=0.70 σ=5.84
Zona tesa: F=54.00 b_{eff}=13.20 t_w=0.70 σ=5.84
CC 11 SLV (Collegamento -380_-516)
Azioni sul collegamento: N=134.11 Ty=-2.08 Tz=-48.78 Mx=-0.34 Mz=-2.08
Zona tesa: F=54.00 b_{eff}=13.20 t_w=0.70 σ=5.84
Zona tesa: F=54.00 b_{eff}=13.20 t_w=0.70 σ=5.84

CC 11 SLV (Collegamento -380_-516)
Azioni sul collegamento: N=134.11 Ty=0.67 Tz=-48.78 Mx=0.05 Mz=0.42
Zona tesa: F=54.00 b_{eff}=13.20 t_w=0.70 σ=5.84
Zona tesa: F=54.00 b_{eff}=13.20 t_w=0.70 σ=5.84
CC 11 SLV (Collegamento -380_-516)
Azioni sul collegamento: N=134.11 Ty=-2.08 Tz=-48.78 Mx=-0.34 Mz=-2.08
Zona tesa: F=54.00 b_{eff}=13.20 t_w=0.70 σ=5.84
Zona tesa: F=54.00 b_{eff}=13.20 t_w=0.70 σ=5.84
CC 12 SLD (Collegamento -380_-516)
Azioni sul collegamento: N=127.02 Ty=0.16 Tz=-47.68 Mx=0.01 Mz=0.09
Zona tesa: F=51.15 b_{eff}=13.20 t_w=0.70 σ=5.54
Zona tesa: F=51.15 b_{eff}=13.20 t_w=0.70 σ=5.54
CC 12 SLD (Collegamento -380_-516)
Azioni sul collegamento: N=127.02 Ty=-0.68 Tz=-47.68 Mx=-0.11 Mz=-0.67
Zona tesa: F=51.15 b_{eff}=13.20 t_w=0.70 σ=5.54
Zona tesa: F=51.15 b_{eff}=13.20 t_w=0.70 σ=5.54
CC 12 SLD (Collegamento -380_-516)
Azioni sul collegamento: N=127.02 Ty=0.16 Tz=-47.68 Mx=0.01 Mz=0.09
Zona tesa: F=51.15 b_{eff}=13.20 t_w=0.70 σ=5.54
Zona tesa: F=51.15 b_{eff}=13.20 t_w=0.70 σ=5.54
CC 12 SLD (Collegamento -380_-516)
Azioni sul collegamento: N=127.02 Ty=-0.68 Tz=-47.68 Mx=-0.11 Mz=-0.67
Zona tesa: F=51.15 b_{eff}=13.20 t_w=0.70 σ=5.54
Zona tesa: F=51.15 b_{eff}=13.20 t_w=0.70 σ=5.54
CC 12 SLD (Collegamento -380_-516)
Azioni sul collegamento: N=130.33 Ty=0.16 Tz=-48.19 Mx=0.01 Mz=0.09
Zona tesa: F=52.48 b_{eff}=13.20 t_w=0.70 σ=5.68
Zona tesa: F=52.48 b_{eff}=13.20 t_w=0.70 σ=5.68
CC 12 SLD (Collegamento -380_-516)
Azioni sul collegamento: N=130.33 Ty=-0.68 Tz=-48.19 Mx=-0.11 Mz=-0.67
Zona tesa: F=52.48 b_{eff}=13.20 t_w=0.70 σ=5.68
Zona tesa: F=52.48 b_{eff}=13.20 t_w=0.70 σ=5.68
CC 12 SLD (Collegamento -380_-516)
Azioni sul collegamento: N=130.33 Ty=0.16 Tz=-48.19 Mx=0.01 Mz=0.09
Zona tesa: F=52.48 b_{eff}=13.20 t_w=0.70 σ=5.68
Zona tesa: F=52.48 b_{eff}=13.20 t_w=0.70 σ=5.68
CC 12 SLD (Collegamento -380_-516)
Azioni sul collegamento: N=130.33 Ty=-0.68 Tz=-48.19 Mx=-0.11 Mz=-0.67
Zona tesa: F=52.48 b_{eff}=13.20 t_w=0.70 σ=5.68
Zona tesa: F=52.48 b_{eff}=13.20 t_w=0.70 σ=5.68
CC 13 SLV (Collegamento -380_-516)
Azioni sul collegamento: N=134.11 Ty=-2.08 Tz=-48.78 Mx=-0.32 Mz=-2.08
Zona tesa: F=54.00 b_{eff}=13.20 t_w=0.70 σ=5.84
Zona tesa: F=54.00 b_{eff}=13.20 t_w=0.70 σ=5.84
CC 13 SLV (Collegamento -380_-516)
Azioni sul collegamento: N=134.11 Ty=0.67 Tz=-48.78 Mx=0.07 Mz=0.42
Zona tesa: F=54.00 b_{eff}=13.20 t_w=0.70 σ=5.84
Zona tesa: F=54.00 b_{eff}=13.20 t_w=0.70 σ=5.84
CC 13 SLV (Collegamento -380_-516)
Azioni sul collegamento: N=134.11 Ty=-2.08 Tz=-48.78 Mx=-0.32 Mz=-2.08
Zona tesa: F=54.00 b_{eff}=13.20 t_w=0.70 σ=5.84
Zona tesa: F=54.00 b_{eff}=13.20 t_w=0.70 σ=5.84
CC 13 SLV (Collegamento -380_-516)
Azioni sul collegamento: N=134.11 Ty=0.67 Tz=-48.78 Mx=0.07 Mz=0.42
Zona tesa: F=54.00 b_{eff}=13.20 t_w=0.70 σ=5.84
Zona tesa: F=54.00 b_{eff}=13.20 t_w=0.70 σ=5.84
CC 13 SLV (Collegamento -380_-516)
Azioni sul collegamento: N=123.27 Ty=-2.08 Tz=-47.10 Mx=-0.32 Mz=-2.08
Zona tesa: F=49.64 b_{eff}=13.20 t_w=0.70 σ=5.37
Zona tesa: F=49.64 b_{eff}=13.20 t_w=0.70 σ=5.37
CC 13 SLV (Collegamento -380_-516)
Azioni sul collegamento: N=123.27 Ty=0.67 Tz=-47.10 Mx=0.07 Mz=0.42
Zona tesa: F=49.64 b_{eff}=13.20 t_w=0.70 σ=5.37
Zona tesa: F=49.64 b_{eff}=13.20 t_w=0.70 σ=5.37
CC 13 SLV (Collegamento -380_-516)
Azioni sul collegamento: N=123.27 Ty=-2.08 Tz=-47.10 Mx=-0.32 Mz=-2.08
Zona tesa: F=49.64 b_{eff}=13.20 t_w=0.70 σ=5.37
Zona tesa: F=49.64 b_{eff}=13.20 t_w=0.70 σ=5.37
CC 13 SLV (Collegamento -380_-516)
Azioni sul collegamento: N=123.27 Ty=0.67 Tz=-47.10 Mx=0.07 Mz=0.42
Zona tesa: F=49.64 b_{eff}=13.20 t_w=0.70 σ=5.37
Zona tesa: F=49.64 b_{eff}=13.20 t_w=0.70 σ=5.37
CC 14 SLD (Collegamento -380_-516)
Azioni sul collegamento: N=130.33 Ty=-0.68 Tz=-48.19 Mx=-0.10 Mz=-0.67
Zona tesa: F=52.48 b_{eff}=13.20 t_w=0.70 σ=5.68
Zona tesa: F=52.48 b_{eff}=13.20 t_w=0.70 σ=5.68

CC 14 SLD (Collegamento -380_-516)
Azioni sul collegamento: N=130.33 Ty=0.16 Tz=-48.19 Mx=0.02 Mz=0.09
Zona tesa: F=52.48 b_{eff}=13.20 t_w=0.70 σ=5.68
Zona tesa: F=52.48 b_{eff}=13.20 t_w=0.70 σ=5.68
CC 14 SLD (Collegamento -380_-516)
Azioni sul collegamento: N=130.33 Ty=-0.68 Tz=-48.19 Mx=-0.10 Mz=-0.67
Zona tesa: F=52.48 b_{eff}=13.20 t_w=0.70 σ=5.68
Zona tesa: F=52.48 b_{eff}=13.20 t_w=0.70 σ=5.68
CC 14 SLD (Collegamento -380_-516)
Azioni sul collegamento: N=130.33 Ty=0.16 Tz=-48.19 Mx=0.02 Mz=0.09
Zona tesa: F=52.48 b_{eff}=13.20 t_w=0.70 σ=5.68
Zona tesa: F=52.48 b_{eff}=13.20 t_w=0.70 σ=5.68
CC 14 SLD (Collegamento -380_-516)
Azioni sul collegamento: N=127.02 Ty=-0.68 Tz=-47.68 Mx=-0.10 Mz=-0.67
Zona tesa: F=51.15 b_{eff}=13.20 t_w=0.70 σ=5.54
Zona tesa: F=51.15 b_{eff}=13.20 t_w=0.70 σ=5.54
CC 14 SLD (Collegamento -380_-516)
Azioni sul collegamento: N=127.02 Ty=0.16 Tz=-47.68 Mx=0.02 Mz=0.09
Zona tesa: F=51.15 b_{eff}=13.20 t_w=0.70 σ=5.54
Zona tesa: F=51.15 b_{eff}=13.20 t_w=0.70 σ=5.54
CC 14 SLD (Collegamento -380_-516)
Azioni sul collegamento: N=127.02 Ty=-0.68 Tz=-47.68 Mx=-0.10 Mz=-0.67
Zona tesa: F=51.15 b_{eff}=13.20 t_w=0.70 σ=5.54
Zona tesa: F=51.15 b_{eff}=13.20 t_w=0.70 σ=5.54
CC 14 SLD (Collegamento -380_-516)
Azioni sul collegamento: N=127.02 Ty=0.16 Tz=-47.68 Mx=0.02 Mz=0.09
Zona tesa: F=51.15 b_{eff}=13.20 t_w=0.70 σ=5.54
Zona tesa: F=51.15 b_{eff}=13.20 t_w=0.70 σ=5.54
CC 15 SLV (Collegamento -380_-516)
Azioni sul collegamento: N=123.20 Ty=-2.08 Tz=-47.09 Mx=-0.32 Mz=-2.09
Zona tesa: F=49.61 b_{eff}=13.20 t_w=0.70 σ=5.37
Zona tesa: F=49.61 b_{eff}=13.20 t_w=0.70 σ=5.37
CC 15 SLV (Collegamento -380_-516)
Azioni sul collegamento: N=123.20 Ty=0.68 Tz=-47.09 Mx=0.07 Mz=0.43
Zona tesa: F=49.61 b_{eff}=13.20 t_w=0.70 σ=5.37
Zona tesa: F=49.61 b_{eff}=13.20 t_w=0.70 σ=5.37
CC 15 SLV (Collegamento -380_-516)
Azioni sul collegamento: N=123.20 Ty=-2.08 Tz=-47.09 Mx=-0.32 Mz=-2.09
Zona tesa: F=49.61 b_{eff}=13.20 t_w=0.70 σ=5.37
Zona tesa: F=49.61 b_{eff}=13.20 t_w=0.70 σ=5.37
CC 15 SLV (Collegamento -380_-516)
Azioni sul collegamento: N=123.20 Ty=0.68 Tz=-47.09 Mx=0.07 Mz=0.43
Zona tesa: F=49.61 b_{eff}=13.20 t_w=0.70 σ=5.37
Zona tesa: F=49.61 b_{eff}=13.20 t_w=0.70 σ=5.37
CC 15 SLV (Collegamento -380_-516)
Azioni sul collegamento: N=134.17 Ty=-2.08 Tz=-48.79 Mx=-0.32 Mz=-2.09
Zona tesa: F=54.03 b_{eff}=13.20 t_w=0.70 σ=5.85
Zona tesa: F=54.03 b_{eff}=13.20 t_w=0.70 σ=5.85
CC 15 SLV (Collegamento -380_-516)
Azioni sul collegamento: N=134.17 Ty=0.68 Tz=-48.79 Mx=0.07 Mz=0.43
Zona tesa: F=54.03 b_{eff}=13.20 t_w=0.70 σ=5.85
Zona tesa: F=54.03 b_{eff}=13.20 t_w=0.70 σ=5.85
CC 15 SLV (Collegamento -380_-516)
Azioni sul collegamento: N=134.17 Ty=-2.08 Tz=-48.79 Mx=-0.32 Mz=-2.09
Zona tesa: F=54.03 b_{eff}=13.20 t_w=0.70 σ=5.85
Zona tesa: F=54.03 b_{eff}=13.20 t_w=0.70 σ=5.85
CC 15 SLV (Collegamento -380_-516)
Azioni sul collegamento: N=134.17 Ty=0.68 Tz=-48.79 Mx=0.07 Mz=0.43
Zona tesa: F=54.03 b_{eff}=13.20 t_w=0.70 σ=5.85
Zona tesa: F=54.03 b_{eff}=13.20 t_w=0.70 σ=5.85
CC 16 SLD (Collegamento -380_-516)
Azioni sul collegamento: N=127.00 Ty=-0.68 Tz=-47.68 Mx=-0.10 Mz=-0.67
Zona tesa: F=51.14 b_{eff}=13.20 t_w=0.70 σ=5.53
Zona tesa: F=51.14 b_{eff}=13.20 t_w=0.70 σ=5.53
CC 16 SLD (Collegamento -380_-516)
Azioni sul collegamento: N=127.00 Ty=0.16 Tz=-47.68 Mx=0.02 Mz=0.10
Zona tesa: F=51.14 b_{eff}=13.20 t_w=0.70 σ=5.53
Zona tesa: F=51.14 b_{eff}=13.20 t_w=0.70 σ=5.53
CC 16 SLD (Collegamento -380_-516)
Azioni sul collegamento: N=127.00 Ty=-0.68 Tz=-47.68 Mx=-0.10 Mz=-0.67
Zona tesa: F=51.14 b_{eff}=13.20 t_w=0.70 σ=5.53
Zona tesa: F=51.14 b_{eff}=13.20 t_w=0.70 σ=5.53
CC 16 SLD (Collegamento -380_-516)
Azioni sul collegamento: N=127.00 Ty=0.16 Tz=-47.68 Mx=0.02 Mz=0.10
Zona tesa: F=51.14 b_{eff}=13.20 t_w=0.70 σ=5.53
Zona tesa: F=51.14 b_{eff}=13.20 t_w=0.70 σ=5.53

CC 16 SLD (Collegamento -380_-516)
Azioni sul collegamento: N=130.35 Ty=-0.68 Tz=-48.19 Mx=-0.10 Mz=-0.67
Zona tesa: F=52.49 b_{eff}=13.20 t_w=0.70 σ=5.68
Zona tesa: F=52.49 b_{eff}=13.20 t_w=0.70 σ=5.68
CC 16 SLD (Collegamento -380_-516)
Azioni sul collegamento: N=130.35 Ty=0.16 Tz=-48.19 Mx=0.02 Mz=0.10
Zona tesa: F=52.49 b_{eff}=13.20 t_w=0.70 σ=5.68
Zona tesa: F=52.49 b_{eff}=13.20 t_w=0.70 σ=5.68
CC 16 SLD (Collegamento -380_-516)
Azioni sul collegamento: N=130.35 Ty=-0.68 Tz=-48.19 Mx=-0.10 Mz=-0.67
Zona tesa: F=52.49 b_{eff}=13.20 t_w=0.70 σ=5.68
Zona tesa: F=52.49 b_{eff}=13.20 t_w=0.70 σ=5.68
CC 16 SLD (Collegamento -380_-516)
Azioni sul collegamento: N=130.35 Ty=0.16 Tz=-48.19 Mx=0.02 Mz=0.10
Zona tesa: F=52.49 b_{eff}=13.20 t_w=0.70 σ=5.68
Zona tesa: F=52.49 b_{eff}=13.20 t_w=0.70 σ=5.68
CC 17 SLV (Collegamento -380_-516)
Azioni sul collegamento: N=146.84 Ty=0.99 Tz=-50.75 Mx=0.18 Mz=1.12
Zona tesa: F=59.13 b_{eff}=13.20 t_w=0.70 σ=6.40
Zona tesa: F=59.13 b_{eff}=13.20 t_w=0.70 σ=6.40
CC 17 SLV (Collegamento -380_-516)
Azioni sul collegamento: N=146.84 Ty=0.14 Tz=-50.75 Mx=0.06 Mz=0.34
Zona tesa: F=59.13 b_{eff}=13.20 t_w=0.70 σ=6.40
Zona tesa: F=59.13 b_{eff}=13.20 t_w=0.70 σ=6.40
CC 17 SLV (Collegamento -380_-516)
Azioni sul collegamento: N=146.84 Ty=0.99 Tz=-50.75 Mx=0.18 Mz=1.12
Zona tesa: F=59.13 b_{eff}=13.20 t_w=0.70 σ=6.40
Zona tesa: F=59.13 b_{eff}=13.20 t_w=0.70 σ=6.40
CC 17 SLV (Collegamento -380_-516)
Azioni sul collegamento: N=146.84 Ty=0.14 Tz=-50.75 Mx=0.06 Mz=0.34
Zona tesa: F=59.13 b_{eff}=13.20 t_w=0.70 σ=6.40
Zona tesa: F=59.13 b_{eff}=13.20 t_w=0.70 σ=6.40
CC 17 SLV (Collegamento -380_-516)
Azioni sul collegamento: N=110.46 Ty=0.99 Tz=-45.12 Mx=0.18 Mz=1.12
Zona tesa: F=44.48 b_{eff}=13.20 t_w=0.70 σ=4.81
Zona tesa: F=44.48 b_{eff}=13.20 t_w=0.70 σ=4.81
CC 17 SLV (Collegamento -380_-516)
Azioni sul collegamento: N=110.46 Ty=0.14 Tz=-45.12 Mx=0.06 Mz=0.34
Zona tesa: F=44.48 b_{eff}=13.20 t_w=0.70 σ=4.81
Zona tesa: F=44.48 b_{eff}=13.20 t_w=0.70 σ=4.81
CC 17 SLV (Collegamento -380_-516)
Azioni sul collegamento: N=110.46 Ty=0.99 Tz=-45.12 Mx=0.18 Mz=1.12
Zona tesa: F=44.48 b_{eff}=13.20 t_w=0.70 σ=4.81
Zona tesa: F=44.48 b_{eff}=13.20 t_w=0.70 σ=4.81
CC 17 SLV (Collegamento -380_-516)
Azioni sul collegamento: N=110.46 Ty=0.14 Tz=-45.12 Mx=0.06 Mz=0.34
Zona tesa: F=44.48 b_{eff}=13.20 t_w=0.70 σ=4.81
Zona tesa: F=44.48 b_{eff}=13.20 t_w=0.70 σ=4.81
CC 18 SLD (Collegamento -380_-516)
Azioni sul collegamento: N=134.21 Ty=0.25 Tz=-48.79 Mx=0.05 Mz=0.31
Zona tesa: F=54.04 b_{eff}=13.20 t_w=0.70 σ=5.85
Zona tesa: F=54.04 b_{eff}=13.20 t_w=0.70 σ=5.85
CC 18 SLD (Collegamento -380_-516)
Azioni sul collegamento: N=134.21 Ty=-0.00 Tz=-48.79 Mx=0.01 Mz=0.07
Zona tesa: F=54.04 b_{eff}=13.20 t_w=0.70 σ=5.85
Zona tesa: F=54.04 b_{eff}=13.20 t_w=0.70 σ=5.85
CC 18 SLD (Collegamento -380_-516)
Azioni sul collegamento: N=134.21 Ty=0.25 Tz=-48.79 Mx=0.05 Mz=0.31
Zona tesa: F=54.04 b_{eff}=13.20 t_w=0.70 σ=5.85
Zona tesa: F=54.04 b_{eff}=13.20 t_w=0.70 σ=5.85
CC 18 SLD (Collegamento -380_-516)
Azioni sul collegamento: N=134.21 Ty=-0.00 Tz=-48.79 Mx=0.01 Mz=0.07
Zona tesa: F=54.04 b_{eff}=13.20 t_w=0.70 σ=5.85
Zona tesa: F=54.04 b_{eff}=13.20 t_w=0.70 σ=5.85
CC 18 SLD (Collegamento -380_-516)
Azioni sul collegamento: N=123.12 Ty=0.25 Tz=-47.08 Mx=0.05 Mz=0.31
Zona tesa: F=49.58 b_{eff}=13.20 t_w=0.70 σ=5.37
Zona tesa: F=49.58 b_{eff}=13.20 t_w=0.70 σ=5.37
CC 18 SLD (Collegamento -380_-516)
Azioni sul collegamento: N=123.12 Ty=-0.00 Tz=-47.08 Mx=0.01 Mz=0.07
Zona tesa: F=49.58 b_{eff}=13.20 t_w=0.70 σ=5.37
Zona tesa: F=49.58 b_{eff}=13.20 t_w=0.70 σ=5.37
CC 18 SLD (Collegamento -380_-516)
Azioni sul collegamento: N=123.12 Ty=0.25 Tz=-47.08 Mx=0.05 Mz=0.31
Zona tesa: F=49.58 b_{eff}=13.20 t_w=0.70 σ=5.37
Zona tesa: F=49.58 b_{eff}=13.20 t_w=0.70 σ=5.37

CC 18 SLD (Collegamento -380_-516)
Azioni sul collegamento: N=123.12 Ty=-0.00 Tz=-47.08 Mx=0.01 Mz=0.07
Zona tesa: F=49.58 b_{eff}=13.20 t_w=0.70 σ=5.37
Zona tesa: F=49.58 b_{eff}=13.20 t_w=0.70 σ=5.37
CC 19 SLV (Collegamento -380_-516)
Azioni sul collegamento: N=146.82 Ty=0.16 Tz=-50.74 Mx=0.06 Mz=0.36
Zona tesa: F=59.12 b_{eff}=13.20 t_w=0.70 σ=6.40
Zona tesa: F=59.12 b_{eff}=13.20 t_w=0.70 σ=6.40
CC 19 SLV (Collegamento -380_-516)
Azioni sul collegamento: N=146.82 Ty=0.97 Tz=-50.74 Mx=0.17 Mz=1.10
Zona tesa: F=59.12 b_{eff}=13.20 t_w=0.70 σ=6.40
Zona tesa: F=59.12 b_{eff}=13.20 t_w=0.70 σ=6.40
CC 19 SLV (Collegamento -380_-516)
Azioni sul collegamento: N=146.82 Ty=0.16 Tz=-50.74 Mx=0.06 Mz=0.36
Zona tesa: F=59.12 b_{eff}=13.20 t_w=0.70 σ=6.40
Zona tesa: F=59.12 b_{eff}=13.20 t_w=0.70 σ=6.40
CC 19 SLV (Collegamento -380_-516)
Azioni sul collegamento: N=146.82 Ty=0.97 Tz=-50.74 Mx=0.17 Mz=1.10
Zona tesa: F=59.12 b_{eff}=13.20 t_w=0.70 σ=6.40
Zona tesa: F=59.12 b_{eff}=13.20 t_w=0.70 σ=6.40
CC 19 SLV (Collegamento -380_-516)
Azioni sul collegamento: N=110.48 Ty=0.16 Tz=-45.12 Mx=0.06 Mz=0.36
Zona tesa: F=44.49 b_{eff}=13.20 t_w=0.70 σ=4.81
Zona tesa: F=44.49 b_{eff}=13.20 t_w=0.70 σ=4.81
CC 19 SLV (Collegamento -380_-516)
Azioni sul collegamento: N=110.48 Ty=0.97 Tz=-45.12 Mx=0.17 Mz=1.10
Zona tesa: F=44.49 b_{eff}=13.20 t_w=0.70 σ=4.81
Zona tesa: F=44.49 b_{eff}=13.20 t_w=0.70 σ=4.81
CC 19 SLV (Collegamento -380_-516)
Azioni sul collegamento: N=110.48 Ty=0.16 Tz=-45.12 Mx=0.06 Mz=0.36
Zona tesa: F=44.49 b_{eff}=13.20 t_w=0.70 σ=4.81
Zona tesa: F=44.49 b_{eff}=13.20 t_w=0.70 σ=4.81
CC 19 SLV (Collegamento -380_-516)
Azioni sul collegamento: N=110.48 Ty=0.97 Tz=-45.12 Mx=0.17 Mz=1.10
Zona tesa: F=44.49 b_{eff}=13.20 t_w=0.70 σ=4.81
Zona tesa: F=44.49 b_{eff}=13.20 t_w=0.70 σ=4.81
CC 20 SLD (Collegamento -380_-516)
Azioni sul collegamento: N=134.20 Ty=0.00 Tz=-48.79 Mx=0.01 Mz=0.08
Zona tesa: F=54.04 b_{eff}=13.20 t_w=0.70 σ=5.85
Zona tesa: F=54.04 b_{eff}=13.20 t_w=0.70 σ=5.85
CC 20 SLD (Collegamento -380_-516)
Azioni sul collegamento: N=134.20 Ty=0.25 Tz=-48.79 Mx=0.05 Mz=0.30
Zona tesa: F=54.04 b_{eff}=13.20 t_w=0.70 σ=5.85
Zona tesa: F=54.04 b_{eff}=13.20 t_w=0.70 σ=5.85
CC 20 SLD (Collegamento -380_-516)
Azioni sul collegamento: N=134.20 Ty=0.00 Tz=-48.79 Mx=0.01 Mz=0.08
Zona tesa: F=54.04 b_{eff}=13.20 t_w=0.70 σ=5.85
Zona tesa: F=54.04 b_{eff}=13.20 t_w=0.70 σ=5.85
CC 20 SLD (Collegamento -380_-516)
Azioni sul collegamento: N=134.20 Ty=0.25 Tz=-48.79 Mx=0.05 Mz=0.30
Zona tesa: F=54.04 b_{eff}=13.20 t_w=0.70 σ=5.85
Zona tesa: F=54.04 b_{eff}=13.20 t_w=0.70 σ=5.85
CC 20 SLD (Collegamento -380_-516)
Azioni sul collegamento: N=123.12 Ty=0.00 Tz=-47.08 Mx=0.01 Mz=0.08
Zona tesa: F=49.58 b_{eff}=13.20 t_w=0.70 σ=5.37
Zona tesa: F=49.58 b_{eff}=13.20 t_w=0.70 σ=5.37
CC 20 SLD (Collegamento -380_-516)
Azioni sul collegamento: N=123.12 Ty=0.25 Tz=-47.08 Mx=0.05 Mz=0.30
Zona tesa: F=49.58 b_{eff}=13.20 t_w=0.70 σ=5.37
Zona tesa: F=49.58 b_{eff}=13.20 t_w=0.70 σ=5.37
CC 20 SLD (Collegamento -380_-516)
Azioni sul collegamento: N=123.12 Ty=0.00 Tz=-47.08 Mx=0.01 Mz=0.08
Zona tesa: F=49.58 b_{eff}=13.20 t_w=0.70 σ=5.37
Zona tesa: F=49.58 b_{eff}=13.20 t_w=0.70 σ=5.37
CC 20 SLD (Collegamento -380_-516)
Azioni sul collegamento: N=123.12 Ty=0.25 Tz=-47.08 Mx=0.05 Mz=0.30
Zona tesa: F=49.58 b_{eff}=13.20 t_w=0.70 σ=5.37
Zona tesa: F=49.58 b_{eff}=13.20 t_w=0.70 σ=5.37
CC 21 SLV (Collegamento -380_-516)
Azioni sul collegamento: N=110.48 Ty=0.97 Tz=-45.12 Mx=0.18 Mz=1.10
Zona tesa: F=44.49 b_{eff}=13.20 t_w=0.70 σ=4.81
Zona tesa: F=44.49 b_{eff}=13.20 t_w=0.70 σ=4.81
CC 21 SLV (Collegamento -380_-516)
Azioni sul collegamento: N=110.48 Ty=0.16 Tz=-45.12 Mx=0.06 Mz=0.36
Zona tesa: F=44.49 b_{eff}=13.20 t_w=0.70 σ=4.81
Zona tesa: F=44.49 b_{eff}=13.20 t_w=0.70 σ=4.81

CC 21 SLV (Collegamento -380_-516)
Azioni sul collegamento: N=110.48 Ty=0.97 Tz=-45.12 Mx=0.18 Mz=1.10
Zona tesa: F=44.49 b_{eff}=13.20 t_w=0.70 σ=4.81
Zona tesa: F=44.49 b_{eff}=13.20 t_w=0.70 σ=4.81
CC 21 SLV (Collegamento -380_-516)
Azioni sul collegamento: N=110.48 Ty=0.16 Tz=-45.12 Mx=0.06 Mz=0.36
Zona tesa: F=44.49 b_{eff}=13.20 t_w=0.70 σ=4.81
Zona tesa: F=44.49 b_{eff}=13.20 t_w=0.70 σ=4.81
CC 21 SLV (Collegamento -380_-516)
Azioni sul collegamento: N=146.82 Ty=0.97 Tz=-50.74 Mx=0.18 Mz=1.10
Zona tesa: F=59.12 b_{eff}=13.20 t_w=0.70 σ=6.40
Zona tesa: F=59.12 b_{eff}=13.20 t_w=0.70 σ=6.40
CC 21 SLV (Collegamento -380_-516)
Azioni sul collegamento: N=146.82 Ty=0.16 Tz=-50.74 Mx=0.06 Mz=0.36
Zona tesa: F=59.12 b_{eff}=13.20 t_w=0.70 σ=6.40
Zona tesa: F=59.12 b_{eff}=13.20 t_w=0.70 σ=6.40
CC 21 SLV (Collegamento -380_-516)
Azioni sul collegamento: N=146.82 Ty=0.97 Tz=-50.74 Mx=0.18 Mz=1.10
Zona tesa: F=59.12 b_{eff}=13.20 t_w=0.70 σ=6.40
Zona tesa: F=59.12 b_{eff}=13.20 t_w=0.70 σ=6.40
CC 21 SLV (Collegamento -380_-516)
Azioni sul collegamento: N=146.82 Ty=0.16 Tz=-50.74 Mx=0.06 Mz=0.36
Zona tesa: F=59.12 b_{eff}=13.20 t_w=0.70 σ=6.40
Zona tesa: F=59.12 b_{eff}=13.20 t_w=0.70 σ=6.40
CC 22 SLD (Collegamento -380_-516)
Azioni sul collegamento: N=123.12 Ty=0.25 Tz=-47.08 Mx=0.05 Mz=0.30
Zona tesa: F=49.58 b_{eff}=13.20 t_w=0.70 σ=5.37
Zona tesa: F=49.58 b_{eff}=13.20 t_w=0.70 σ=5.37
CC 22 SLD (Collegamento -380_-516)
Azioni sul collegamento: N=123.12 Ty=0.00 Tz=-47.08 Mx=0.01 Mz=0.08
Zona tesa: F=49.58 b_{eff}=13.20 t_w=0.70 σ=5.37
Zona tesa: F=49.58 b_{eff}=13.20 t_w=0.70 σ=5.37
CC 22 SLD (Collegamento -380_-516)
Azioni sul collegamento: N=123.12 Ty=0.25 Tz=-47.08 Mx=0.05 Mz=0.30
Zona tesa: F=49.58 b_{eff}=13.20 t_w=0.70 σ=5.37
Zona tesa: F=49.58 b_{eff}=13.20 t_w=0.70 σ=5.37
CC 22 SLD (Collegamento -380_-516)
Azioni sul collegamento: N=123.12 Ty=0.00 Tz=-47.08 Mx=0.01 Mz=0.08
Zona tesa: F=49.58 b_{eff}=13.20 t_w=0.70 σ=5.37
Zona tesa: F=49.58 b_{eff}=13.20 t_w=0.70 σ=5.37
CC 22 SLD (Collegamento -380_-516)
Azioni sul collegamento: N=134.20 Ty=0.25 Tz=-48.79 Mx=0.05 Mz=0.30
Zona tesa: F=54.04 b_{eff}=13.20 t_w=0.70 σ=5.85
Zona tesa: F=54.04 b_{eff}=13.20 t_w=0.70 σ=5.85
CC 22 SLD (Collegamento -380_-516)
Azioni sul collegamento: N=134.20 Ty=0.00 Tz=-48.79 Mx=0.01 Mz=0.08
Zona tesa: F=54.04 b_{eff}=13.20 t_w=0.70 σ=5.85
Zona tesa: F=54.04 b_{eff}=13.20 t_w=0.70 σ=5.85
CC 22 SLD (Collegamento -380_-516)
Azioni sul collegamento: N=134.20 Ty=0.25 Tz=-48.79 Mx=0.05 Mz=0.30
Zona tesa: F=54.04 b_{eff}=13.20 t_w=0.70 σ=5.85
Zona tesa: F=54.04 b_{eff}=13.20 t_w=0.70 σ=5.85
CC 22 SLD (Collegamento -380_-516)
Azioni sul collegamento: N=134.20 Ty=0.00 Tz=-48.79 Mx=0.01 Mz=0.08
Zona tesa: F=54.04 b_{eff}=13.20 t_w=0.70 σ=5.85
Zona tesa: F=54.04 b_{eff}=13.20 t_w=0.70 σ=5.85
CC 23 SLV (Collegamento -380_-516)
Azioni sul collegamento: N=110.46 Ty=0.14 Tz=-45.12 Mx=0.06 Mz=0.34
Zona tesa: F=44.48 b_{eff}=13.20 t_w=0.70 σ=4.81
Zona tesa: F=44.48 b_{eff}=13.20 t_w=0.70 σ=4.81
CC 23 SLV (Collegamento -380_-516)
Azioni sul collegamento: N=110.46 Ty=0.99 Tz=-45.12 Mx=0.18 Mz=1.12
Zona tesa: F=44.48 b_{eff}=13.20 t_w=0.70 σ=4.81
Zona tesa: F=44.48 b_{eff}=13.20 t_w=0.70 σ=4.81
CC 23 SLV (Collegamento -380_-516)
Azioni sul collegamento: N=110.46 Ty=0.14 Tz=-45.12 Mx=0.06 Mz=0.34
Zona tesa: F=44.48 b_{eff}=13.20 t_w=0.70 σ=4.81
Zona tesa: F=44.48 b_{eff}=13.20 t_w=0.70 σ=4.81
CC 23 SLV (Collegamento -380_-516)
Azioni sul collegamento: N=110.46 Ty=0.99 Tz=-45.12 Mx=0.18 Mz=1.12
Zona tesa: F=44.48 b_{eff}=13.20 t_w=0.70 σ=4.81
Zona tesa: F=44.48 b_{eff}=13.20 t_w=0.70 σ=4.81
CC 23 SLV (Collegamento -380_-516)
Azioni sul collegamento: N=146.84 Ty=0.14 Tz=-50.75 Mx=0.06 Mz=0.34
Zona tesa: F=59.13 b_{eff}=13.20 t_w=0.70 σ=6.40
Zona tesa: F=59.13 b_{eff}=13.20 t_w=0.70 σ=6.40

CC 23 SLV (Collegamento -380_-516)
Azioni sul collegamento: N=146.84 Ty=0.99 Tz=-50.75 Mx=0.18 Mz=1.12
Zona tesa: F=59.13 b_{eff}=13.20 t_w=0.70 σ=6.40
Zona tesa: F=59.13 b_{eff}=13.20 t_w=0.70 σ=6.40
CC 23 SLV (Collegamento -380_-516)
Azioni sul collegamento: N=146.84 Ty=0.14 Tz=-50.75 Mx=0.06 Mz=0.34
Zona tesa: F=59.13 b_{eff}=13.20 t_w=0.70 σ=6.40
Zona tesa: F=59.13 b_{eff}=13.20 t_w=0.70 σ=6.40
CC 23 SLV (Collegamento -380_-516)
Azioni sul collegamento: N=146.84 Ty=0.99 Tz=-50.75 Mx=0.18 Mz=1.12
Zona tesa: F=59.13 b_{eff}=13.20 t_w=0.70 σ=6.40
Zona tesa: F=59.13 b_{eff}=13.20 t_w=0.70 σ=6.40
CC 24 SLD (Collegamento -380_-516)
Azioni sul collegamento: N=123.12 Ty=-0.00 Tz=-47.08 Mx=0.01 Mz=0.07
Zona tesa: F=49.58 b_{eff}=13.20 t_w=0.70 σ=5.37
Zona tesa: F=49.58 b_{eff}=13.20 t_w=0.70 σ=5.37
CC 24 SLD (Collegamento -380_-516)
Azioni sul collegamento: N=123.12 Ty=0.25 Tz=-47.08 Mx=0.05 Mz=0.31
Zona tesa: F=49.58 b_{eff}=13.20 t_w=0.70 σ=5.37
Zona tesa: F=49.58 b_{eff}=13.20 t_w=0.70 σ=5.37
CC 24 SLD (Collegamento -380_-516)
Azioni sul collegamento: N=123.12 Ty=-0.00 Tz=-47.08 Mx=0.01 Mz=0.07
Zona tesa: F=49.58 b_{eff}=13.20 t_w=0.70 σ=5.37
Zona tesa: F=49.58 b_{eff}=13.20 t_w=0.70 σ=5.37
CC 24 SLD (Collegamento -380_-516)
Azioni sul collegamento: N=123.12 Ty=0.25 Tz=-47.08 Mx=0.05 Mz=0.31
Zona tesa: F=49.58 b_{eff}=13.20 t_w=0.70 σ=5.37
Zona tesa: F=49.58 b_{eff}=13.20 t_w=0.70 σ=5.37
CC 24 SLD (Collegamento -380_-516)
Azioni sul collegamento: N=134.21 Ty=-0.00 Tz=-48.79 Mx=0.01 Mz=0.07
Zona tesa: F=54.04 b_{eff}=13.20 t_w=0.70 σ=5.85
Zona tesa: F=54.04 b_{eff}=13.20 t_w=0.70 σ=5.85
CC 24 SLD (Collegamento -380_-516)
Azioni sul collegamento: N=134.21 Ty=0.25 Tz=-48.79 Mx=0.05 Mz=0.31
Zona tesa: F=54.04 b_{eff}=13.20 t_w=0.70 σ=5.85
Zona tesa: F=54.04 b_{eff}=13.20 t_w=0.70 σ=5.85
CC 24 SLD (Collegamento -380_-516)
Azioni sul collegamento: N=134.21 Ty=-0.00 Tz=-48.79 Mx=0.01 Mz=0.07
Zona tesa: F=54.04 b_{eff}=13.20 t_w=0.70 σ=5.85
Zona tesa: F=54.04 b_{eff}=13.20 t_w=0.70 σ=5.85
CC 24 SLD (Collegamento -380_-516)
Azioni sul collegamento: N=134.21 Ty=0.25 Tz=-48.79 Mx=0.05 Mz=0.31
Zona tesa: F=54.04 b_{eff}=13.20 t_w=0.70 σ=5.85
Zona tesa: F=54.04 b_{eff}=13.20 t_w=0.70 σ=5.85
CC 25 SLV (Collegamento -380_-516)
Azioni sul collegamento: N=134.13 Ty=1.95 Tz=-48.78 Mx=0.32 Mz=1.99
Zona tesa: F=54.01 b_{eff}=13.20 t_w=0.70 σ=5.85
Zona tesa: F=54.01 b_{eff}=13.20 t_w=0.70 σ=5.85
CC 25 SLV (Collegamento -380_-516)
Azioni sul collegamento: N=134.13 Ty=-0.81 Tz=-48.78 Mx=-0.07 Mz=-0.53
Zona tesa: F=54.01 b_{eff}=13.20 t_w=0.70 σ=5.85
Zona tesa: F=54.01 b_{eff}=13.20 t_w=0.70 σ=5.85
CC 25 SLV (Collegamento -380_-516)
Azioni sul collegamento: N=134.13 Ty=1.95 Tz=-48.78 Mx=0.32 Mz=1.99
Zona tesa: F=54.01 b_{eff}=13.20 t_w=0.70 σ=5.85
Zona tesa: F=54.01 b_{eff}=13.20 t_w=0.70 σ=5.85
CC 25 SLV (Collegamento -380_-516)
Azioni sul collegamento: N=134.13 Ty=-0.81 Tz=-48.78 Mx=-0.07 Mz=-0.53
Zona tesa: F=54.01 b_{eff}=13.20 t_w=0.70 σ=5.85
Zona tesa: F=54.01 b_{eff}=13.20 t_w=0.70 σ=5.85
CC 25 SLV (Collegamento -380_-516)
Azioni sul collegamento: N=123.17 Ty=1.95 Tz=-47.08 Mx=0.32 Mz=1.99
Zona tesa: F=49.60 b_{eff}=13.20 t_w=0.70 σ=5.37
Zona tesa: F=49.60 b_{eff}=13.20 t_w=0.70 σ=5.37
CC 25 SLV (Collegamento -380_-516)
Azioni sul collegamento: N=123.17 Ty=-0.81 Tz=-47.08 Mx=-0.07 Mz=-0.53
Zona tesa: F=49.60 b_{eff}=13.20 t_w=0.70 σ=5.37
Zona tesa: F=49.60 b_{eff}=13.20 t_w=0.70 σ=5.37
CC 25 SLV (Collegamento -380_-516)
Azioni sul collegamento: N=123.17 Ty=1.95 Tz=-47.08 Mx=0.32 Mz=1.99
Zona tesa: F=49.60 b_{eff}=13.20 t_w=0.70 σ=5.37
Zona tesa: F=49.60 b_{eff}=13.20 t_w=0.70 σ=5.37
CC 25 SLV (Collegamento -380_-516)
Azioni sul collegamento: N=123.17 Ty=-0.81 Tz=-47.08 Mx=-0.07 Mz=-0.53
Zona tesa: F=49.60 b_{eff}=13.20 t_w=0.70 σ=5.37
Zona tesa: F=49.60 b_{eff}=13.20 t_w=0.70 σ=5.37

CC 26 SLD (Collegamento -380_-516)
Azioni sul collegamento: N=130.34 Ty=0.55 Tz=-48.19 Mx=0.09 Mz=0.57
Zona tesa: F=52.48 b_{eff}=13.20 t_w=0.70 σ=5.68
Zona tesa: F=52.48 b_{eff}=13.20 t_w=0.70 σ=5.68
CC 26 SLD (Collegamento -380_-516)
Azioni sul collegamento: N=130.34 Ty=-0.30 Tz=-48.19 Mx=-0.03 Mz=-0.20
Zona tesa: F=52.48 b_{eff}=13.20 t_w=0.70 σ=5.68
Zona tesa: F=52.48 b_{eff}=13.20 t_w=0.70 σ=5.68
CC 26 SLD (Collegamento -380_-516)
Azioni sul collegamento: N=130.34 Ty=0.55 Tz=-48.19 Mx=0.09 Mz=0.57
Zona tesa: F=52.48 b_{eff}=13.20 t_w=0.70 σ=5.68
Zona tesa: F=52.48 b_{eff}=13.20 t_w=0.70 σ=5.68
CC 26 SLD (Collegamento -380_-516)
Azioni sul collegamento: N=130.34 Ty=-0.30 Tz=-48.19 Mx=-0.03 Mz=-0.20
Zona tesa: F=52.48 b_{eff}=13.20 t_w=0.70 σ=5.68
Zona tesa: F=52.48 b_{eff}=13.20 t_w=0.70 σ=5.68
CC 26 SLD (Collegamento -380_-516)
Azioni sul collegamento: N=126.99 Ty=0.55 Tz=-47.68 Mx=0.09 Mz=0.57
Zona tesa: F=51.14 b_{eff}=13.20 t_w=0.70 σ=5.53
Zona tesa: F=51.14 b_{eff}=13.20 t_w=0.70 σ=5.53
CC 26 SLD (Collegamento -380_-516)
Azioni sul collegamento: N=126.99 Ty=-0.30 Tz=-47.68 Mx=-0.03 Mz=-0.20
Zona tesa: F=51.14 b_{eff}=13.20 t_w=0.70 σ=5.53
Zona tesa: F=51.14 b_{eff}=13.20 t_w=0.70 σ=5.53
CC 26 SLD (Collegamento -380_-516)
Azioni sul collegamento: N=126.99 Ty=0.55 Tz=-47.68 Mx=0.09 Mz=0.57
Zona tesa: F=51.14 b_{eff}=13.20 t_w=0.70 σ=5.53
Zona tesa: F=51.14 b_{eff}=13.20 t_w=0.70 σ=5.53
CC 26 SLD (Collegamento -380_-516)
Azioni sul collegamento: N=126.99 Ty=-0.30 Tz=-47.68 Mx=-0.03 Mz=-0.20
Zona tesa: F=51.14 b_{eff}=13.20 t_w=0.70 σ=5.53
Zona tesa: F=51.14 b_{eff}=13.20 t_w=0.70 σ=5.53
CC 27 SLV (Collegamento -380_-516)
Azioni sul collegamento: N=123.23 Ty=1.94 Tz=-47.09 Mx=0.32 Mz=1.98
Zona tesa: F=49.62 b_{eff}=13.20 t_w=0.70 σ=5.37
Zona tesa: F=49.62 b_{eff}=13.20 t_w=0.70 σ=5.37
CC 27 SLV (Collegamento -380_-516)
Azioni sul collegamento: N=123.23 Ty=-0.81 Tz=-47.09 Mx=-0.07 Mz=-0.53
Zona tesa: F=49.62 b_{eff}=13.20 t_w=0.70 σ=5.37
Zona tesa: F=49.62 b_{eff}=13.20 t_w=0.70 σ=5.37
CC 27 SLV (Collegamento -380_-516)
Azioni sul collegamento: N=123.23 Ty=1.94 Tz=-47.09 Mx=0.32 Mz=1.98
Zona tesa: F=49.62 b_{eff}=13.20 t_w=0.70 σ=5.37
Zona tesa: F=49.62 b_{eff}=13.20 t_w=0.70 σ=5.37
CC 27 SLV (Collegamento -380_-516)
Azioni sul collegamento: N=123.23 Ty=-0.81 Tz=-47.09 Mx=-0.07 Mz=-0.53
Zona tesa: F=49.62 b_{eff}=13.20 t_w=0.70 σ=5.37
Zona tesa: F=49.62 b_{eff}=13.20 t_w=0.70 σ=5.37
CC 27 SLV (Collegamento -380_-516)
Azioni sul collegamento: N=134.07 Ty=1.94 Tz=-48.77 Mx=0.32 Mz=1.98
Zona tesa: F=53.99 b_{eff}=13.20 t_w=0.70 σ=5.84
Zona tesa: F=53.99 b_{eff}=13.20 t_w=0.70 σ=5.84
CC 27 SLV (Collegamento -380_-516)
Azioni sul collegamento: N=134.07 Ty=-0.81 Tz=-48.77 Mx=-0.07 Mz=-0.53
Zona tesa: F=53.99 b_{eff}=13.20 t_w=0.70 σ=5.84
Zona tesa: F=53.99 b_{eff}=13.20 t_w=0.70 σ=5.84
CC 27 SLV (Collegamento -380_-516)
Azioni sul collegamento: N=134.07 Ty=1.94 Tz=-48.77 Mx=0.32 Mz=1.98
Zona tesa: F=53.99 b_{eff}=13.20 t_w=0.70 σ=5.84
Zona tesa: F=53.99 b_{eff}=13.20 t_w=0.70 σ=5.84
CC 27 SLV (Collegamento -380_-516)
Azioni sul collegamento: N=134.07 Ty=-0.81 Tz=-48.77 Mx=-0.07 Mz=-0.53
Zona tesa: F=53.99 b_{eff}=13.20 t_w=0.70 σ=5.84
Zona tesa: F=53.99 b_{eff}=13.20 t_w=0.70 σ=5.84
CC 28 SLD (Collegamento -380_-516)
Azioni sul collegamento: N=127.01 Ty=0.55 Tz=-47.68 Mx=0.09 Mz=0.57
Zona tesa: F=51.14 b_{eff}=13.20 t_w=0.70 σ=5.54
Zona tesa: F=51.14 b_{eff}=13.20 t_w=0.70 σ=5.54
CC 28 SLD (Collegamento -380_-516)
Azioni sul collegamento: N=127.01 Ty=-0.29 Tz=-47.68 Mx=-0.03 Mz=-0.19
Zona tesa: F=51.14 b_{eff}=13.20 t_w=0.70 σ=5.54
Zona tesa: F=51.14 b_{eff}=13.20 t_w=0.70 σ=5.54
CC 28 SLD (Collegamento -380_-516)
Azioni sul collegamento: N=127.01 Ty=0.55 Tz=-47.68 Mx=0.09 Mz=0.57
Zona tesa: F=51.14 b_{eff}=13.20 t_w=0.70 σ=5.54
Zona tesa: F=51.14 b_{eff}=13.20 t_w=0.70 σ=5.54

CC 28 SLD (Collegamento -380_-516)
Azioni sul collegamento: N=127.01 Ty=-0.29 Tz=-47.68 Mx=-0.03 Mz=-0.19
Zona tesa: F=51.14 b_{eff}=13.20 t_w=0.70 σ=5.54
Zona tesa: F=51.14 b_{eff}=13.20 t_w=0.70 σ=5.54
CC 28 SLD (Collegamento -380_-516)
Azioni sul collegamento: N=130.32 Ty=0.55 Tz=-48.19 Mx=0.09 Mz=0.57
Zona tesa: F=52.48 b_{eff}=13.20 t_w=0.70 σ=5.68
Zona tesa: F=52.48 b_{eff}=13.20 t_w=0.70 σ=5.68
CC 28 SLD (Collegamento -380_-516)
Azioni sul collegamento: N=130.32 Ty=-0.29 Tz=-48.19 Mx=-0.03 Mz=-0.19
Zona tesa: F=52.48 b_{eff}=13.20 t_w=0.70 σ=5.68
Zona tesa: F=52.48 b_{eff}=13.20 t_w=0.70 σ=5.68
CC 28 SLD (Collegamento -380_-516)
Azioni sul collegamento: N=130.32 Ty=0.55 Tz=-48.19 Mx=0.09 Mz=0.57
Zona tesa: F=52.48 b_{eff}=13.20 t_w=0.70 σ=5.68
Zona tesa: F=52.48 b_{eff}=13.20 t_w=0.70 σ=5.68
CC 28 SLD (Collegamento -380_-516)
Azioni sul collegamento: N=130.32 Ty=-0.29 Tz=-48.19 Mx=-0.03 Mz=-0.19
Zona tesa: F=52.48 b_{eff}=13.20 t_w=0.70 σ=5.68
Zona tesa: F=52.48 b_{eff}=13.20 t_w=0.70 σ=5.68
CC 29 SLV (Collegamento -380_-516)
Azioni sul collegamento: N=134.07 Ty=-0.81 Tz=-48.77 Mx=-0.08 Mz=-0.52
Zona tesa: F=53.99 b_{eff}=13.20 t_w=0.70 σ=5.84
Zona tesa: F=53.99 b_{eff}=13.20 t_w=0.70 σ=5.84
CC 29 SLV (Collegamento -380_-516)
Azioni sul collegamento: N=134.07 Ty=1.94 Tz=-48.77 Mx=0.30 Mz=1.98
Zona tesa: F=53.99 b_{eff}=13.20 t_w=0.70 σ=5.84
Zona tesa: F=53.99 b_{eff}=13.20 t_w=0.70 σ=5.84
CC 29 SLV (Collegamento -380_-516)
Azioni sul collegamento: N=134.07 Ty=-0.81 Tz=-48.77 Mx=-0.08 Mz=-0.52
Zona tesa: F=53.99 b_{eff}=13.20 t_w=0.70 σ=5.84
Zona tesa: F=53.99 b_{eff}=13.20 t_w=0.70 σ=5.84
CC 29 SLV (Collegamento -380_-516)
Azioni sul collegamento: N=134.07 Ty=1.94 Tz=-48.77 Mx=0.30 Mz=1.98
Zona tesa: F=53.99 b_{eff}=13.20 t_w=0.70 σ=5.84
Zona tesa: F=53.99 b_{eff}=13.20 t_w=0.70 σ=5.84
CC 29 SLV (Collegamento -380_-516)
Azioni sul collegamento: N=123.23 Ty=-0.81 Tz=-47.09 Mx=-0.08 Mz=-0.52
Zona tesa: F=49.62 b_{eff}=13.20 t_w=0.70 σ=5.37
Zona tesa: F=49.62 b_{eff}=13.20 t_w=0.70 σ=5.37
CC 29 SLV (Collegamento -380_-516)
Azioni sul collegamento: N=123.23 Ty=1.94 Tz=-47.09 Mx=0.30 Mz=1.98
Zona tesa: F=49.62 b_{eff}=13.20 t_w=0.70 σ=5.37
Zona tesa: F=49.62 b_{eff}=13.20 t_w=0.70 σ=5.37
CC 29 SLV (Collegamento -380_-516)
Azioni sul collegamento: N=123.23 Ty=-0.81 Tz=-47.09 Mx=-0.08 Mz=-0.52
Zona tesa: F=49.62 b_{eff}=13.20 t_w=0.70 σ=5.37
Zona tesa: F=49.62 b_{eff}=13.20 t_w=0.70 σ=5.37
CC 29 SLV (Collegamento -380_-516)
Azioni sul collegamento: N=123.23 Ty=1.94 Tz=-47.09 Mx=0.30 Mz=1.98
Zona tesa: F=49.62 b_{eff}=13.20 t_w=0.70 σ=5.37
Zona tesa: F=49.62 b_{eff}=13.20 t_w=0.70 σ=5.37
CC 30 SLD (Collegamento -380_-516)
Azioni sul collegamento: N=130.32 Ty=-0.29 Tz=-48.19 Mx=-0.03 Mz=-0.19
Zona tesa: F=52.48 b_{eff}=13.20 t_w=0.70 σ=5.68
Zona tesa: F=52.48 b_{eff}=13.20 t_w=0.70 σ=5.68
CC 30 SLD (Collegamento -380_-516)
Azioni sul collegamento: N=130.32 Ty=0.55 Tz=-48.19 Mx=0.09 Mz=0.57
Zona tesa: F=52.48 b_{eff}=13.20 t_w=0.70 σ=5.68
Zona tesa: F=52.48 b_{eff}=13.20 t_w=0.70 σ=5.68
CC 30 SLD (Collegamento -380_-516)
Azioni sul collegamento: N=130.32 Ty=-0.29 Tz=-48.19 Mx=-0.03 Mz=-0.19
Zona tesa: F=52.48 b_{eff}=13.20 t_w=0.70 σ=5.68
Zona tesa: F=52.48 b_{eff}=13.20 t_w=0.70 σ=5.68
CC 30 SLD (Collegamento -380_-516)
Azioni sul collegamento: N=130.32 Ty=0.55 Tz=-48.19 Mx=0.09 Mz=0.57
Zona tesa: F=52.48 b_{eff}=13.20 t_w=0.70 σ=5.68
Zona tesa: F=52.48 b_{eff}=13.20 t_w=0.70 σ=5.68
CC 30 SLD (Collegamento -380_-516)
Azioni sul collegamento: N=127.01 Ty=-0.29 Tz=-47.68 Mx=-0.03 Mz=-0.19
Zona tesa: F=51.14 b_{eff}=13.20 t_w=0.70 σ=5.54
Zona tesa: F=51.14 b_{eff}=13.20 t_w=0.70 σ=5.54
CC 30 SLD (Collegamento -380_-516)
Azioni sul collegamento: N=127.01 Ty=0.55 Tz=-47.68 Mx=0.09 Mz=0.57
Zona tesa: F=51.14 b_{eff}=13.20 t_w=0.70 σ=5.54
Zona tesa: F=51.14 b_{eff}=13.20 t_w=0.70 σ=5.54

CC 30 SLD (Collegamento -380_-516)
Azioni sul collegamento: N=127.01 Ty=-0.29 Tz=-47.68 Mx=-0.03 Mz=-0.19
Zona tesa: F=51.14 b_{eff}=13.20 t_w=0.70 σ=5.54
Zona tesa: F=51.14 b_{eff}=13.20 t_w=0.70 σ=5.54
CC 30 SLD (Collegamento -380_-516)
Azioni sul collegamento: N=127.01 Ty=0.55 Tz=-47.68 Mx=0.09 Mz=0.57
Zona tesa: F=51.14 b_{eff}=13.20 t_w=0.70 σ=5.54
Zona tesa: F=51.14 b_{eff}=13.20 t_w=0.70 σ=5.54
CC 31 SLV (Collegamento -380_-516)
Azioni sul collegamento: N=123.17 Ty=-0.81 Tz=-47.08 Mx=-0.08 Mz=-0.53
Zona tesa: F=49.60 b_{eff}=13.20 t_w=0.70 σ=5.37
Zona tesa: F=49.60 b_{eff}=13.20 t_w=0.70 σ=5.37
CC 31 SLV (Collegamento -380_-516)
Azioni sul collegamento: N=123.17 Ty=1.95 Tz=-47.08 Mx=0.31 Mz=1.99
Zona tesa: F=49.60 b_{eff}=13.20 t_w=0.70 σ=5.37
Zona tesa: F=49.60 b_{eff}=13.20 t_w=0.70 σ=5.37
CC 31 SLV (Collegamento -380_-516)
Azioni sul collegamento: N=123.17 Ty=-0.81 Tz=-47.08 Mx=-0.08 Mz=-0.53
Zona tesa: F=49.60 b_{eff}=13.20 t_w=0.70 σ=5.37
Zona tesa: F=49.60 b_{eff}=13.20 t_w=0.70 σ=5.37
CC 31 SLV (Collegamento -380_-516)
Azioni sul collegamento: N=123.17 Ty=1.95 Tz=-47.08 Mx=0.31 Mz=1.99
Zona tesa: F=49.60 b_{eff}=13.20 t_w=0.70 σ=5.37
Zona tesa: F=49.60 b_{eff}=13.20 t_w=0.70 σ=5.37
CC 31 SLV (Collegamento -380_-516)
Azioni sul collegamento: N=134.13 Ty=-0.81 Tz=-48.78 Mx=-0.08 Mz=-0.53
Zona tesa: F=54.01 b_{eff}=13.20 t_w=0.70 σ=5.85
Zona tesa: F=54.01 b_{eff}=13.20 t_w=0.70 σ=5.85
CC 31 SLV (Collegamento -380_-516)
Azioni sul collegamento: N=134.13 Ty=1.95 Tz=-48.78 Mx=0.31 Mz=1.99
Zona tesa: F=54.01 b_{eff}=13.20 t_w=0.70 σ=5.85
Zona tesa: F=54.01 b_{eff}=13.20 t_w=0.70 σ=5.85
CC 31 SLV (Collegamento -380_-516)
Azioni sul collegamento: N=134.13 Ty=-0.81 Tz=-48.78 Mx=-0.08 Mz=-0.53
Zona tesa: F=54.01 b_{eff}=13.20 t_w=0.70 σ=5.85
Zona tesa: F=54.01 b_{eff}=13.20 t_w=0.70 σ=5.85
CC 31 SLV (Collegamento -380_-516)
Azioni sul collegamento: N=134.13 Ty=1.95 Tz=-48.78 Mx=0.31 Mz=1.99
Zona tesa: F=54.01 b_{eff}=13.20 t_w=0.70 σ=5.85
Zona tesa: F=54.01 b_{eff}=13.20 t_w=0.70 σ=5.85
CC 32 SLD (Collegamento -380_-516)
Azioni sul collegamento: N=126.99 Ty=-0.30 Tz=-47.68 Mx=-0.03 Mz=-0.20
Zona tesa: F=51.14 b_{eff}=13.20 t_w=0.70 σ=5.53
Zona tesa: F=51.14 b_{eff}=13.20 t_w=0.70 σ=5.53
CC 32 SLD (Collegamento -380_-516)
Azioni sul collegamento: N=126.99 Ty=0.55 Tz=-47.68 Mx=0.09 Mz=0.57
Zona tesa: F=51.14 b_{eff}=13.20 t_w=0.70 σ=5.53
Zona tesa: F=51.14 b_{eff}=13.20 t_w=0.70 σ=5.53
CC 32 SLD (Collegamento -380_-516)
Azioni sul collegamento: N=126.99 Ty=-0.30 Tz=-47.68 Mx=-0.03 Mz=-0.20
Zona tesa: F=51.14 b_{eff}=13.20 t_w=0.70 σ=5.53
Zona tesa: F=51.14 b_{eff}=13.20 t_w=0.70 σ=5.53
CC 32 SLD (Collegamento -380_-516)
Azioni sul collegamento: N=126.99 Ty=0.55 Tz=-47.68 Mx=0.09 Mz=0.57
Zona tesa: F=51.14 b_{eff}=13.20 t_w=0.70 σ=5.53
Zona tesa: F=51.14 b_{eff}=13.20 t_w=0.70 σ=5.53
CC 32 SLD (Collegamento -380_-516)
Azioni sul collegamento: N=130.34 Ty=-0.30 Tz=-48.19 Mx=-0.03 Mz=-0.20
Zona tesa: F=52.48 b_{eff}=13.20 t_w=0.70 σ=5.68
Zona tesa: F=52.48 b_{eff}=13.20 t_w=0.70 σ=5.68
CC 32 SLD (Collegamento -380_-516)
Azioni sul collegamento: N=130.34 Ty=0.55 Tz=-48.19 Mx=0.09 Mz=0.57
Zona tesa: F=52.48 b_{eff}=13.20 t_w=0.70 σ=5.68
Zona tesa: F=52.48 b_{eff}=13.20 t_w=0.70 σ=5.68
CC 32 SLD (Collegamento -380_-516)
Azioni sul collegamento: N=130.34 Ty=-0.30 Tz=-48.19 Mx=-0.03 Mz=-0.20
Zona tesa: F=52.48 b_{eff}=13.20 t_w=0.70 σ=5.68
Zona tesa: F=52.48 b_{eff}=13.20 t_w=0.70 σ=5.68
CC 32 SLD (Collegamento -380_-516)
Azioni sul collegamento: N=130.34 Ty=0.55 Tz=-48.19 Mx=0.09 Mz=0.57
Zona tesa: F=52.48 b_{eff}=13.20 t_w=0.70 σ=5.68
Zona tesa: F=52.48 b_{eff}=13.20 t_w=0.70 σ=5.68
CC 33 SLU (Collegamento -380_-516)
Azioni sul collegamento: N=333.98 Ty=-0.11 Tz=-89.52 Mx=-0.01 Mz=-0.07
Zona tesa: F=134.49 b_{eff}=13.20 t_w=0.70 σ=14.55
Zona tesa: F=134.49 b_{eff}=13.20 t_w=0.70 σ=14.55

CC 34 SLU (Collegamento -380_-516)
Azioni sul collegamento: N=330.18 Ty=-0.11 Tz=-88.93 Mx=-0.01 Mz=-0.07
Zona tesa: F=132.96 b_{eff}=13.20 t_w=0.70 σ=14.39
Zona tesa: F=132.96 b_{eff}=13.20 t_w=0.70 σ=14.39
CC 35 SLU (Collegamento -380_-516)
Azioni sul collegamento: N=332.07 Ty=0.03 Tz=-89.22 Mx=0.01 Mz=0.06
Zona tesa: F=133.72 b_{eff}=13.20 t_w=0.70 σ=14.47
Zona tesa: F=133.72 b_{eff}=13.20 t_w=0.70 σ=14.47
CC 36 SLU (Collegamento -380_-516)
Azioni sul collegamento: N=332.08 Ty=-0.25 Tz=-89.22 Mx=-0.03 Mz=-0.20
Zona tesa: F=133.72 b_{eff}=13.20 t_w=0.70 σ=14.47
Zona tesa: F=133.72 b_{eff}=13.20 t_w=0.70 σ=14.47
CC 37 SLU (Collegamento -380_-516)
Azioni sul collegamento: N=265.40 Ty=-0.11 Tz=-78.90 Mx=-0.01 Mz=-0.08
Zona tesa: F=106.87 b_{eff}=13.20 t_w=0.70 σ=11.57
Zona tesa: F=106.87 b_{eff}=13.20 t_w=0.70 σ=11.57
CC 38 SLU (Collegamento -380_-516)
Azioni sul collegamento: N=261.61 Ty=-0.11 Tz=-78.32 Mx=-0.01 Mz=-0.08
Zona tesa: F=105.34 b_{eff}=13.20 t_w=0.70 σ=11.40
Zona tesa: F=105.34 b_{eff}=13.20 t_w=0.70 σ=11.40
CC 39 SLU (Collegamento -380_-516)
Azioni sul collegamento: N=263.50 Ty=0.03 Tz=-78.61 Mx=0.01 Mz=0.05
Zona tesa: F=106.11 b_{eff}=13.20 t_w=0.70 σ=11.48
Zona tesa: F=106.11 b_{eff}=13.20 t_w=0.70 σ=11.48
CC 40 SLU (Collegamento -380_-516)
Azioni sul collegamento: N=263.50 Ty=-0.25 Tz=-78.61 Mx=-0.03 Mz=-0.21
Zona tesa: F=106.11 b_{eff}=13.20 t_w=0.70 σ=11.48
Zona tesa: F=106.11 b_{eff}=13.20 t_w=0.70 σ=11.48
CC 41 SLU (Collegamento -380_-516)
Azioni sul collegamento: N=344.53 Ty=-0.10 Tz=-91.15 Mx=-0.01 Mz=-0.07
Zona tesa: F=138.74 b_{eff}=13.20 t_w=0.70 σ=15.01
Zona tesa: F=138.74 b_{eff}=13.20 t_w=0.70 σ=15.01
CC 42 SLU (Collegamento -380_-516)
Azioni sul collegamento: N=340.73 Ty=-0.10 Tz=-90.56 Mx=-0.01 Mz=-0.07
Zona tesa: F=137.21 b_{eff}=13.20 t_w=0.70 σ=14.85
Zona tesa: F=137.21 b_{eff}=13.20 t_w=0.70 σ=14.85
CC 43 SLU (Collegamento -380_-516)
Azioni sul collegamento: N=342.63 Ty=0.04 Tz=-90.86 Mx=0.01 Mz=0.06
Zona tesa: F=137.97 b_{eff}=13.20 t_w=0.70 σ=14.93
Zona tesa: F=137.97 b_{eff}=13.20 t_w=0.70 σ=14.93
CC 44 SLU (Collegamento -380_-516)
Azioni sul collegamento: N=342.63 Ty=-0.24 Tz=-90.86 Mx=-0.03 Mz=-0.20
Zona tesa: F=137.97 b_{eff}=13.20 t_w=0.70 σ=14.93
Zona tesa: F=137.97 b_{eff}=13.20 t_w=0.70 σ=14.93
CC 45 SLU (Collegamento -380_-516)
Azioni sul collegamento: N=280.60 Ty=-0.11 Tz=-81.26 Mx=-0.01 Mz=-0.08
Zona tesa: F=112.99 b_{eff}=13.20 t_w=0.70 σ=12.23
Zona tesa: F=112.99 b_{eff}=13.20 t_w=0.70 σ=12.23
CC 46 SLU (Collegamento -380_-516)
Azioni sul collegamento: N=276.80 Ty=-0.11 Tz=-80.67 Mx=-0.01 Mz=-0.08
Zona tesa: F=111.46 b_{eff}=13.20 t_w=0.70 σ=12.06
Zona tesa: F=111.46 b_{eff}=13.20 t_w=0.70 σ=12.06
CC 47 SLU (Collegamento -380_-516)
Azioni sul collegamento: N=278.70 Ty=0.03 Tz=-80.96 Mx=0.01 Mz=0.05
Zona tesa: F=112.23 b_{eff}=13.20 t_w=0.70 σ=12.15
Zona tesa: F=112.23 b_{eff}=13.20 t_w=0.70 σ=12.15
CC 48 SLU (Collegamento -380_-516)
Azioni sul collegamento: N=278.70 Ty=-0.25 Tz=-80.96 Mx=-0.03 Mz=-0.21
Zona tesa: F=112.23 b_{eff}=13.20 t_w=0.70 σ=12.15
Zona tesa: F=112.23 b_{eff}=13.20 t_w=0.70 σ=12.15
CC 49 SLU (Collegamento -380_-516)
Azioni sul collegamento: N=229.29 Ty=-0.11 Tz=-73.32 Mx=-0.01 Mz=-0.09
Zona tesa: F=92.33 b_{eff}=13.20 t_w=0.70 σ=9.99
Zona tesa: F=92.33 b_{eff}=13.20 t_w=0.70 σ=9.99
CC 50 SLU (Collegamento -380_-516)
Azioni sul collegamento: N=225.50 Ty=-0.11 Tz=-72.73 Mx=-0.01 Mz=-0.08
Zona tesa: F=90.80 b_{eff}=13.20 t_w=0.70 σ=9.83
Zona tesa: F=90.80 b_{eff}=13.20 t_w=0.70 σ=9.83
CC 51 SLU (Collegamento -380_-516)
Azioni sul collegamento: N=227.39 Ty=0.03 Tz=-73.02 Mx=0.01 Mz=0.05
Zona tesa: F=91.57 b_{eff}=13.20 t_w=0.70 σ=9.91
Zona tesa: F=91.57 b_{eff}=13.20 t_w=0.70 σ=9.91
CC 52 SLU (Collegamento -380_-516)
Azioni sul collegamento: N=227.40 Ty=-0.26 Tz=-73.02 Mx=-0.03 Mz=-0.21
Zona tesa: F=91.57 b_{eff}=13.20 t_w=0.70 σ=9.91
Zona tesa: F=91.57 b_{eff}=13.20 t_w=0.70 σ=9.91

CC 53 SLU (Collegamento -380_-516)
Azioni sul collegamento: N=288.49 Ty=-0.11 Tz=-82.48 Mx=-0.01 Mz=-0.08
Zona tesa: F=116.17 b_{eff}=13.20 t_w=0.70 σ=12.57
Zona tesa: F=116.17 b_{eff}=13.20 t_w=0.70 σ=12.57
CC 54 SLU (Collegamento -380_-516)
Azioni sul collegamento: N=284.70 Ty=-0.10 Tz=-81.89 Mx=-0.01 Mz=-0.07
Zona tesa: F=114.64 b_{eff}=13.20 t_w=0.70 σ=12.41
Zona tesa: F=114.64 b_{eff}=13.20 t_w=0.70 σ=12.41
CC 55 SLU (Collegamento -380_-516)
Azioni sul collegamento: N=286.59 Ty=0.04 Tz=-82.18 Mx=0.01 Mz=0.06
Zona tesa: F=115.41 b_{eff}=13.20 t_w=0.70 σ=12.49
Zona tesa: F=115.41 b_{eff}=13.20 t_w=0.70 σ=12.49
CC 56 SLU (Collegamento -380_-516)
Azioni sul collegamento: N=286.60 Ty=-0.25 Tz=-82.18 Mx=-0.03 Mz=-0.21
Zona tesa: F=115.41 b_{eff}=13.20 t_w=0.70 σ=12.49
Zona tesa: F=115.41 b_{eff}=13.20 t_w=0.70 σ=12.49
CC 57 SLU (Collegamento -380_-516)
Azioni sul collegamento: N=269.35 Ty=-0.10 Tz=-79.52 Mx=-0.01 Mz=-0.07
Zona tesa: F=108.47 b_{eff}=13.20 t_w=0.70 σ=11.74
Zona tesa: F=108.47 b_{eff}=13.20 t_w=0.70 σ=11.74
CC 58 SLU (Collegamento -380_-516)
Azioni sul collegamento: N=265.56 Ty=-0.10 Tz=-78.93 Mx=-0.01 Mz=-0.07
Zona tesa: F=106.94 b_{eff}=13.20 t_w=0.70 σ=11.57
Zona tesa: F=106.94 b_{eff}=13.20 t_w=0.70 σ=11.57
CC 59 SLU (Collegamento -380_-516)
Azioni sul collegamento: N=267.45 Ty=0.04 Tz=-79.22 Mx=0.01 Mz=0.06
Zona tesa: F=107.70 b_{eff}=13.20 t_w=0.70 σ=11.66
Zona tesa: F=107.70 b_{eff}=13.20 t_w=0.70 σ=11.66
CC 60 SLU (Collegamento -380_-516)
Azioni sul collegamento: N=267.46 Ty=-0.25 Tz=-79.22 Mx=-0.03 Mz=-0.20
Zona tesa: F=107.70 b_{eff}=13.20 t_w=0.70 σ=11.66
Zona tesa: F=107.70 b_{eff}=13.20 t_w=0.70 σ=11.66
CC 61 SLU (Collegamento -380_-516)
Azioni sul collegamento: N=218.05 Ty=-0.11 Tz=-71.58 Mx=-0.01 Mz=-0.08
Zona tesa: F=87.81 b_{eff}=13.20 t_w=0.70 σ=9.50
Zona tesa: F=87.81 b_{eff}=13.20 t_w=0.70 σ=9.50
CC 62 SLU (Collegamento -380_-516)
Azioni sul collegamento: N=214.25 Ty=-0.10 Tz=-70.99 Mx=-0.01 Mz=-0.08
Zona tesa: F=86.28 b_{eff}=13.20 t_w=0.70 σ=9.34
Zona tesa: F=86.28 b_{eff}=13.20 t_w=0.70 σ=9.34
CC 63 SLU (Collegamento -380_-516)
Azioni sul collegamento: N=216.15 Ty=0.04 Tz=-71.28 Mx=0.01 Mz=0.05
Zona tesa: F=87.04 b_{eff}=13.20 t_w=0.70 σ=9.42
Zona tesa: F=87.04 b_{eff}=13.20 t_w=0.70 σ=9.42
CC 64 SLU (Collegamento -380_-516)
Azioni sul collegamento: N=216.16 Ty=-0.25 Tz=-71.28 Mx=-0.03 Mz=-0.21
Zona tesa: F=87.04 b_{eff}=13.20 t_w=0.70 σ=9.42
Zona tesa: F=87.04 b_{eff}=13.20 t_w=0.70 σ=9.42
CC 65 SLU (Collegamento -380_-516)
Azioni sul collegamento: N=277.25 Ty=-0.10 Tz=-80.74 Mx=-0.01 Mz=-0.07
Zona tesa: F=111.64 b_{eff}=13.20 t_w=0.70 σ=12.08
Zona tesa: F=111.64 b_{eff}=13.20 t_w=0.70 σ=12.08
CC 66 SLU (Collegamento -380_-516)
Azioni sul collegamento: N=273.45 Ty=-0.10 Tz=-80.15 Mx=-0.01 Mz=-0.07
Zona tesa: F=110.12 b_{eff}=13.20 t_w=0.70 σ=11.92
Zona tesa: F=110.12 b_{eff}=13.20 t_w=0.70 σ=11.92
CC 67 SLU (Collegamento -380_-516)
Azioni sul collegamento: N=275.35 Ty=0.05 Tz=-80.44 Mx=0.01 Mz=0.06
Zona tesa: F=110.88 b_{eff}=13.20 t_w=0.70 σ=12.00
Zona tesa: F=110.88 b_{eff}=13.20 t_w=0.70 σ=12.00
CC 68 SLU (Collegamento -380_-516)
Azioni sul collegamento: N=275.36 Ty=-0.24 Tz=-80.44 Mx=-0.03 Mz=-0.20
Zona tesa: F=110.88 b_{eff}=13.20 t_w=0.70 σ=12.00
Zona tesa: F=110.88 b_{eff}=13.20 t_w=0.70 σ=12.00
CC 97 SLU (Collegamento -380_-516)
Azioni sul collegamento: N=182.32 Ty=-12.54 Tz=-56.24 Mx=-1.50 Mz=-9.93
Zona tesa: F=73.42 b_{eff}=13.20 t_w=0.70 σ=7.95
Zona tesa: F=73.42 b_{eff}=13.20 t_w=0.70 σ=7.95
CC 98 SLU (Collegamento -380_-516)
Azioni sul collegamento: N=178.53 Ty=-12.54 Tz=-55.65 Mx=-1.50 Mz=-9.93
Zona tesa: F=71.89 b_{eff}=13.20 t_w=0.70 σ=7.78
Zona tesa: F=71.89 b_{eff}=13.20 t_w=0.70 σ=7.78
CC 99 SLU (Collegamento -380_-516)
Azioni sul collegamento: N=180.42 Ty=-12.40 Tz=-55.94 Mx=-1.48 Mz=-9.80
Zona tesa: F=72.65 b_{eff}=13.20 t_w=0.70 σ=7.86
Zona tesa: F=72.65 b_{eff}=13.20 t_w=0.70 σ=7.86

CC 100 SLU (Collegamento -380_-516)
Azioni sul collegamento: N=180.43 Ty=-12.68 Tz=-55.95 Mx=-1.52 Mz=-10.06
Zona tesa: F=72.66 b_{eff}=13.20 t_w=0.70 σ=7.86
Zona tesa: F=72.66 b_{eff}=13.20 t_w=0.70 σ=7.86
CC 101 SLU (Collegamento -380_-516)
Azioni sul collegamento: N=134.06 Ty=1.86 Tz=-48.77 Mx=0.26 Mz=1.69
Zona tesa: F=53.98 b_{eff}=13.20 t_w=0.70 σ=5.84
Zona tesa: F=53.98 b_{eff}=13.20 t_w=0.70 σ=5.84
CC 102 SLU (Collegamento -380_-516)
Azioni sul collegamento: N=130.26 Ty=1.86 Tz=-48.18 Mx=0.26 Mz=1.69
Zona tesa: F=52.45 b_{eff}=13.20 t_w=0.70 σ=5.68
Zona tesa: F=52.45 b_{eff}=13.20 t_w=0.70 σ=5.68
CC 103 SLU (Collegamento -380_-516)
Azioni sul collegamento: N=132.16 Ty=2.00 Tz=-48.47 Mx=0.28 Mz=1.82
Zona tesa: F=53.22 b_{eff}=13.20 t_w=0.70 σ=5.76
Zona tesa: F=53.22 b_{eff}=13.20 t_w=0.70 σ=5.76
CC 104 SLU (Collegamento -380_-516)
Azioni sul collegamento: N=132.16 Ty=1.72 Tz=-48.48 Mx=0.24 Mz=1.56
Zona tesa: F=53.22 b_{eff}=13.20 t_w=0.70 σ=5.76
Zona tesa: F=53.22 b_{eff}=13.20 t_w=0.70 σ=5.76

Collegamento -381_-519

Saldatura a cordone d'angolo
Altezza di gola saldature: anima 7.07 - ala 7.07

Saldatura profilo-profilo

CC 102 SLU (Collegamento -381_-519)
Azioni sul collegamento: N=336.97 Ty=-7.77 Tz=-89.98 Mx=-1.04 Mz=-6.96
Sollecitazioni agenti localmente: Tx_l=-7.77 Ty_l=-89.98 N_l=336.97 My_l=6.96 Mz_l=-1.04
Azioni sul cordone: TP=1.77 TO=7.44 NO=24.79
Tensioni nel cordone: τ_P=0.56 τ_O=2.36 σ_O=18.04 σ_{ID}=18.20 Σ_T=20.40
CC 127 SLU (Collegamento -381_-519)
Azioni sul collegamento: N=283.38 Ty=-9.58 Tz=-81.69 Mx=-1.32 Mz=-8.76
Sollecitazioni agenti localmente: Tx_l=-9.58 Ty_l=-81.69 N_l=283.38 My_l=8.76 Mz_l=-1.32
Azioni sul cordone: TP=2.22 TO=7.05 NO=20.85
Tensioni nel cordone: τ_P=0.71 τ_O=2.24 σ_O=19.42 σ_{ID}=19.56 Σ_T=21.66

Verifica lato anima della colonna

CC 102 SLU (Collegamento -381_-519)
Azioni sul collegamento: N=336.97 Ty=-7.77 Tz=-89.98 Mx=-1.04 Mz=-6.96
Zona tesa: F=135.69 b_{eff}=13.20 t_w=0.70 σ=14.69
Zona tesa: F=135.69 b_{eff}=13.20 t_w=0.70 σ=14.69

Collegamento -382_-520

Saldatura a cordone d'angolo
Altezza di gola saldature: anima 7.07 - ala 7.07

Saldatura profilo-profilo

CC 1 SLV (Collegamento -382_-520)
Azioni sul collegamento: N=159.97 Ty=-1.47 Tz=-52.78 Mx=-0.34 Mz=-1.98
Sollecitazioni agenti localmente: Tx_l=-1.47 Ty_l=-52.78 N_l=159.97 My_l=1.98 Mz_l=-0.34
Azioni sul cordone: TP=0.50 TO=4.15 NO=11.77
Tensioni nel cordone: τ_P=0.16 τ_O=1.32 σ_O=6.64 σ_{ID}=6.77 Σ_T=7.96
CC 1 SLV (Collegamento -382_-520)
Azioni sul collegamento: N=159.97 Ty=-3.35 Tz=-52.78 Mx=-0.71 Mz=-4.39
Sollecitazioni agenti localmente: Tx_l=-3.35 Ty_l=-52.78 N_l=159.97 My_l=4.39 Mz_l=-0.71
Azioni sul cordone: TP=1.07 TO=4.44 NO=11.77
Tensioni nel cordone: τ_P=0.34 τ_O=1.41 σ_O=10.16 σ_{ID}=10.26 Σ_T=11.57
CC 1 SLV (Collegamento -382_-520)
Azioni sul collegamento: N=159.97 Ty=-1.47 Tz=-52.78 Mx=-0.34 Mz=-1.98
Sollecitazioni agenti localmente: Tx_l=-1.47 Ty_l=-52.78 N_l=159.97 My_l=1.98 Mz_l=-0.34
Azioni sul cordone: TP=0.50 TO=4.15 NO=11.77
Tensioni nel cordone: τ_P=0.16 τ_O=1.32 σ_O=6.64 σ_{ID}=6.77 Σ_T=7.96
CC 1 SLV (Collegamento -382_-520)
Azioni sul collegamento: N=159.97 Ty=-3.35 Tz=-52.78 Mx=-0.71 Mz=-4.39
Sollecitazioni agenti localmente: Tx_l=-3.35 Ty_l=-52.78 N_l=159.97 My_l=4.39 Mz_l=-0.71
Azioni sul cordone: TP=1.07 TO=4.44 NO=11.77
Tensioni nel cordone: τ_P=0.34 τ_O=1.41 σ_O=10.16 σ_{ID}=10.26 Σ_T=11.57
CC 1 SLV (Collegamento -382_-520)
Azioni sul collegamento: N=117.75 Ty=-1.47 Tz=-46.25 Mx=-0.34 Mz=-1.98
Sollecitazioni agenti localmente: Tx_l=-1.47 Ty_l=-46.25 N_l=117.75 My_l=1.98 Mz_l=-0.34
Azioni sul cordone: TP=0.50 TO=3.67 NO=8.66
Tensioni nel cordone: τ_P=0.16 τ_O=1.17 σ_O=5.65 σ_{ID}=5.77 Σ_T=6.82

CC 1 SLV (Collegamento -382_-520)
Azioni sul collegamento: N=117.75 Ty=-3.35 Tz=-46.25 Mx=-0.71 Mz=-4.39
Sollecitazioni agenti localmente: Tx_l=-3.35 Ty_l=-46.25 N_l=117.75 My_l=4.39 Mz_l=-0.71
Azioni sul cordone: TP=1.07 TO=3.96 NO=8.66
Tensioni nel cordone: τ_P=0.34 τ_0=1.26 σ_0=9.17 σ_{ID}=9.26 Σ_T=10.43
CC 1 SLV (Collegamento -382_-520)
Azioni sul collegamento: N=117.75 Ty=-1.47 Tz=-46.25 Mx=-0.34 Mz=-1.98
Sollecitazioni agenti localmente: Tx_l=-1.47 Ty_l=-46.25 N_l=117.75 My_l=1.98 Mz_l=-0.34
Azioni sul cordone: TP=0.50 TO=3.67 NO=8.66
Tensioni nel cordone: τ_P=0.16 τ_0=1.17 σ_0=5.65 σ_{ID}=5.77 Σ_T=6.82
CC 1 SLV (Collegamento -382_-520)
Azioni sul collegamento: N=117.75 Ty=-3.35 Tz=-46.25 Mx=-0.71 Mz=-4.39
Sollecitazioni agenti localmente: Tx_l=-3.35 Ty_l=-46.25 N_l=117.75 My_l=4.39 Mz_l=-0.71
Azioni sul cordone: TP=1.07 TO=3.96 NO=8.66
Tensioni nel cordone: τ_P=0.34 τ_0=1.26 σ_0=9.17 σ_{ID}=9.26 Σ_T=10.43
CC 2 SLD (Collegamento -382_-520)
Azioni sul collegamento: N=145.42 Ty=-1.66 Tz=-50.53 Mx=-0.37 Mz=-2.26
Sollecitazioni agenti localmente: Tx_l=-1.66 Ty_l=-50.53 N_l=145.42 My_l=2.26 Mz_l=-0.37
Azioni sul cordone: TP=0.55 TO=4.01 NO=10.70
Tensioni nel cordone: τ_P=0.17 τ_0=1.27 σ_0=6.70 σ_{ID}=6.82 Σ_T=7.97
CC 2 SLD (Collegamento -382_-520)
Azioni sul collegamento: N=145.42 Ty=-2.23 Tz=-50.53 Mx=-0.49 Mz=-2.99
Sollecitazioni agenti localmente: Tx_l=-2.23 Ty_l=-50.53 N_l=145.42 My_l=2.99 Mz_l=-0.49
Azioni sul cordone: TP=0.72 TO=4.10 NO=10.70
Tensioni nel cordone: τ_P=0.23 τ_0=1.30 σ_0=7.77 σ_{ID}=7.88 Σ_T=9.07
CC 2 SLD (Collegamento -382_-520)
Azioni sul collegamento: N=145.42 Ty=-1.66 Tz=-50.53 Mx=-0.37 Mz=-2.26
Sollecitazioni agenti localmente: Tx_l=-1.66 Ty_l=-50.53 N_l=145.42 My_l=2.26 Mz_l=-0.37
Azioni sul cordone: TP=0.55 TO=4.01 NO=10.70
Tensioni nel cordone: τ_P=0.17 τ_0=1.27 σ_0=6.70 σ_{ID}=6.82 Σ_T=7.97
CC 2 SLD (Collegamento -382_-520)
Azioni sul collegamento: N=145.42 Ty=-2.23 Tz=-50.53 Mx=-0.49 Mz=-2.99
Sollecitazioni agenti localmente: Tx_l=-2.23 Ty_l=-50.53 N_l=145.42 My_l=2.99 Mz_l=-0.49
Azioni sul cordone: TP=0.72 TO=4.10 NO=10.70
Tensioni nel cordone: τ_P=0.23 τ_0=1.30 σ_0=7.77 σ_{ID}=7.88 Σ_T=9.07
CC 2 SLD (Collegamento -382_-520)
Azioni sul collegamento: N=132.54 Ty=-1.66 Tz=-48.53 Mx=-0.37 Mz=-2.26
Sollecitazioni agenti localmente: Tx_l=-1.66 Ty_l=-48.53 N_l=132.54 My_l=2.26 Mz_l=-0.37
Azioni sul cordone: TP=0.55 TO=3.86 NO=9.75
Tensioni nel cordone: τ_P=0.17 τ_0=1.23 σ_0=6.40 σ_{ID}=6.52 Σ_T=7.63
CC 2 SLD (Collegamento -382_-520)
Azioni sul collegamento: N=132.54 Ty=-2.23 Tz=-48.53 Mx=-0.49 Mz=-2.99
Sollecitazioni agenti localmente: Tx_l=-2.23 Ty_l=-48.53 N_l=132.54 My_l=2.99 Mz_l=-0.49
Azioni sul cordone: TP=0.72 TO=3.95 NO=9.75
Tensioni nel cordone: τ_P=0.23 τ_0=1.26 σ_0=7.47 σ_{ID}=7.58 Σ_T=8.73
CC 2 SLD (Collegamento -382_-520)
Azioni sul collegamento: N=132.54 Ty=-1.66 Tz=-48.53 Mx=-0.37 Mz=-2.26
Sollecitazioni agenti localmente: Tx_l=-1.66 Ty_l=-48.53 N_l=132.54 My_l=2.26 Mz_l=-0.37
Azioni sul cordone: TP=0.55 TO=3.86 NO=9.75
Tensioni nel cordone: τ_P=0.17 τ_0=1.23 σ_0=6.40 σ_{ID}=6.52 Σ_T=7.63
CC 2 SLD (Collegamento -382_-520)
Azioni sul collegamento: N=132.54 Ty=-2.23 Tz=-48.53 Mx=-0.49 Mz=-2.99
Sollecitazioni agenti localmente: Tx_l=-2.23 Ty_l=-48.53 N_l=132.54 My_l=2.99 Mz_l=-0.49
Azioni sul cordone: TP=0.72 TO=3.95 NO=9.75
Tensioni nel cordone: τ_P=0.23 τ_0=1.26 σ_0=7.47 σ_{ID}=7.58 Σ_T=8.73
CC 3 SLV (Collegamento -382_-520)
Azioni sul collegamento: N=159.78 Ty=-2.01 Tz=-52.75 Mx=-0.42 Mz=-2.55
Sollecitazioni agenti localmente: Tx_l=-2.01 Ty_l=-52.75 N_l=159.78 My_l=2.55 Mz_l=-0.42
Azioni sul cordone: TP=0.64 TO=4.22 NO=11.76
Tensioni nel cordone: τ_P=0.20 τ_0=1.34 σ_0=7.46 σ_{ID}=7.58 Σ_T=8.80
CC 3 SLV (Collegamento -382_-520)
Azioni sul collegamento: N=159.78 Ty=-2.81 Tz=-52.75 Mx=-0.62 Mz=-3.83
Sollecitazioni agenti localmente: Tx_l=-2.81 Ty_l=-52.75 N_l=159.78 My_l=3.83 Mz_l=-0.62
Azioni sul cordone: TP=0.92 TO=4.37 NO=11.76
Tensioni nel cordone: τ_P=0.29 τ_0=1.39 σ_0=9.33 σ_{ID}=9.44 Σ_T=10.72
CC 3 SLV (Collegamento -382_-520)
Azioni sul collegamento: N=159.78 Ty=-2.01 Tz=-52.75 Mx=-0.42 Mz=-2.55
Sollecitazioni agenti localmente: Tx_l=-2.01 Ty_l=-52.75 N_l=159.78 My_l=2.55 Mz_l=-0.42
Azioni sul cordone: TP=0.64 TO=4.22 NO=11.76
Tensioni nel cordone: τ_P=0.20 τ_0=1.34 σ_0=7.46 σ_{ID}=7.58 Σ_T=8.80
CC 3 SLV (Collegamento -382_-520)
Azioni sul collegamento: N=159.78 Ty=-2.81 Tz=-52.75 Mx=-0.62 Mz=-3.83
Sollecitazioni agenti localmente: Tx_l=-2.81 Ty_l=-52.75 N_l=159.78 My_l=3.83 Mz_l=-0.62
Azioni sul cordone: TP=0.92 TO=4.37 NO=11.76
Tensioni nel cordone: τ_P=0.29 τ_0=1.39 σ_0=9.33 σ_{ID}=9.44 Σ_T=10.72
CC 3 SLV (Collegamento -382_-520)
Azioni sul collegamento: N=117.94 Ty=-2.01 Tz=-46.27 Mx=-0.42 Mz=-2.55
Sollecitazioni agenti localmente: Tx_l=-2.01 Ty_l=-46.27 N_l=117.94 My_l=2.55 Mz_l=-0.42
Azioni sul cordone: TP=0.64 TO=3.74 NO=8.68

Tensioni nel cordone: τ_P=0.20 τ_0=1.19 σ_0=6.48 σ_{ID}=6.59 Σ_T=7.67
CC 3 SLV (Collegamento -382_-520)
Azioni sul collegamento: N=117.94 Ty=-2.81 Tz=-46.27 Mx=-0.62 Mz=-3.83
Sollecitazioni agenti localmente: Tx_l=-2.81 Ty_l=-46.27 N_l=117.94 My_l=3.83 Mz_l=-0.62
Azioni sul cordone: TP=0.92 TO=3.90 NO=8.68
Tensioni nel cordone: τ_P=0.29 τ_0=1.24 σ_0=8.35 σ_{ID}=8.45 Σ_T=9.59
CC 3 SLV (Collegamento -382_-520)
Azioni sul collegamento: N=117.94 Ty=-2.01 Tz=-46.27 Mx=-0.42 Mz=-2.55
Sollecitazioni agenti localmente: Tx_l=-2.01 Ty_l=-46.27 N_l=117.94 My_l=2.55 Mz_l=-0.42
Azioni sul cordone: TP=0.64 TO=3.74 NO=8.68
Tensioni nel cordone: τ_P=0.20 τ_0=1.19 σ_0=6.48 σ_{ID}=6.59 Σ_T=7.67
CC 3 SLV (Collegamento -382_-520)
Azioni sul collegamento: N=117.94 Ty=-2.81 Tz=-46.27 Mx=-0.62 Mz=-3.83
Sollecitazioni agenti localmente: Tx_l=-2.81 Ty_l=-46.27 N_l=117.94 My_l=3.83 Mz_l=-0.62
Azioni sul cordone: TP=0.92 TO=3.90 NO=8.68
Tensioni nel cordone: τ_P=0.29 τ_0=1.24 σ_0=8.35 σ_{ID}=8.45 Σ_T=9.59
CC 4 SLD (Collegamento -382_-520)
Azioni sul collegamento: N=145.36 Ty=-1.82 Tz=-50.52 Mx=-0.40 Mz=-2.43
Sollecitazioni agenti localmente: Tx_l=-1.82 Ty_l=-50.52 N_l=145.36 My_l=2.43 Mz_l=-0.40
Azioni sul cordone: TP=0.59 TO=4.03 NO=10.70
Tensioni nel cordone: τ_P=0.19 τ_0=1.28 σ_0=6.95 σ_{ID}=7.07 Σ_T=8.23
CC 4 SLD (Collegamento -382_-520)
Azioni sul collegamento: N=145.36 Ty=-2.06 Tz=-50.52 Mx=-0.46 Mz=-2.82
Sollecitazioni agenti localmente: Tx_l=-2.06 Ty_l=-50.52 N_l=145.36 My_l=2.82 Mz_l=-0.46
Azioni sul cordone: TP=0.68 TO=4.08 NO=10.70
Tensioni nel cordone: τ_P=0.22 τ_0=1.30 σ_0=7.52 σ_{ID}=7.63 Σ_T=8.82
CC 4 SLD (Collegamento -382_-520)
Azioni sul collegamento: N=145.36 Ty=-1.82 Tz=-50.52 Mx=-0.40 Mz=-2.43
Sollecitazioni agenti localmente: Tx_l=-1.82 Ty_l=-50.52 N_l=145.36 My_l=2.43 Mz_l=-0.40
Azioni sul cordone: TP=0.59 TO=4.03 NO=10.70
Tensioni nel cordone: τ_P=0.19 τ_0=1.28 σ_0=6.95 σ_{ID}=7.07 Σ_T=8.23
CC 4 SLD (Collegamento -382_-520)
Azioni sul collegamento: N=145.36 Ty=-2.06 Tz=-50.52 Mx=-0.46 Mz=-2.82
Sollecitazioni agenti localmente: Tx_l=-2.06 Ty_l=-50.52 N_l=145.36 My_l=2.82 Mz_l=-0.46
Azioni sul cordone: TP=0.68 TO=4.08 NO=10.70
Tensioni nel cordone: τ_P=0.22 τ_0=1.30 σ_0=7.52 σ_{ID}=7.63 Σ_T=8.82
CC 4 SLD (Collegamento -382_-520)
Azioni sul collegamento: N=132.60 Ty=-1.82 Tz=-48.54 Mx=-0.40 Mz=-2.43
Sollecitazioni agenti localmente: Tx_l=-1.82 Ty_l=-48.54 N_l=132.60 My_l=2.43 Mz_l=-0.40
Azioni sul cordone: TP=0.59 TO=3.89 NO=9.76
Tensioni nel cordone: τ_P=0.19 τ_0=1.24 σ_0=6.65 σ_{ID}=6.77 Σ_T=7.88
CC 4 SLD (Collegamento -382_-520)
Azioni sul collegamento: N=132.60 Ty=-2.06 Tz=-48.54 Mx=-0.46 Mz=-2.82
Sollecitazioni agenti localmente: Tx_l=-2.06 Ty_l=-48.54 N_l=132.60 My_l=2.82 Mz_l=-0.46
Azioni sul cordone: TP=0.68 TO=3.93 NO=9.76
Tensioni nel cordone: τ_P=0.22 τ_0=1.25 σ_0=7.22 σ_{ID}=7.33 Σ_T=8.47
CC 4 SLD (Collegamento -382_-520)
Azioni sul collegamento: N=132.60 Ty=-1.82 Tz=-48.54 Mx=-0.40 Mz=-2.43
Sollecitazioni agenti localmente: Tx_l=-1.82 Ty_l=-48.54 N_l=132.60 My_l=2.43 Mz_l=-0.40
Azioni sul cordone: TP=0.59 TO=3.89 NO=9.76
Tensioni nel cordone: τ_P=0.19 τ_0=1.24 σ_0=6.65 σ_{ID}=6.77 Σ_T=7.88
CC 4 SLD (Collegamento -382_-520)
Azioni sul collegamento: N=132.60 Ty=-2.06 Tz=-48.54 Mx=-0.46 Mz=-2.82
Sollecitazioni agenti localmente: Tx_l=-2.06 Ty_l=-48.54 N_l=132.60 My_l=2.82 Mz_l=-0.46
Azioni sul cordone: TP=0.68 TO=3.93 NO=9.76
Tensioni nel cordone: τ_P=0.22 τ_0=1.25 σ_0=7.22 σ_{ID}=7.33 Σ_T=8.47
CC 5 SLV (Collegamento -382_-520)
Azioni sul collegamento: N=117.94 Ty=-2.81 Tz=-46.27 Mx=-0.61 Mz=-3.83
Sollecitazioni agenti localmente: Tx_l=-2.81 Ty_l=-46.27 N_l=117.94 My_l=3.83 Mz_l=-0.61
Azioni sul cordone: TP=0.91 TO=3.89 NO=8.68
Tensioni nel cordone: τ_P=0.29 τ_0=1.24 σ_0=8.36 σ_{ID}=8.45 Σ_T=9.59
CC 5 SLV (Collegamento -382_-520)
Azioni sul collegamento: N=117.94 Ty=-2.01 Tz=-46.27 Mx=-0.41 Mz=-2.55
Sollecitazioni agenti localmente: Tx_l=-2.01 Ty_l=-46.27 N_l=117.94 My_l=2.55 Mz_l=-0.41
Azioni sul cordone: TP=0.62 TO=3.73 NO=8.68
Tensioni nel cordone: τ_P=0.20 τ_0=1.19 σ_0=6.48 σ_{ID}=6.59 Σ_T=7.67
CC 5 SLV (Collegamento -382_-520)
Azioni sul collegamento: N=117.94 Ty=-2.81 Tz=-46.27 Mx=-0.61 Mz=-3.83
Sollecitazioni agenti localmente: Tx_l=-2.81 Ty_l=-46.27 N_l=117.94 My_l=3.83 Mz_l=-0.61
Azioni sul cordone: TP=0.91 TO=3.89 NO=8.68
Tensioni nel cordone: τ_P=0.29 τ_0=1.24 σ_0=8.36 σ_{ID}=8.45 Σ_T=9.59
CC 5 SLV (Collegamento -382_-520)
Azioni sul collegamento: N=117.94 Ty=-2.01 Tz=-46.27 Mx=-0.41 Mz=-2.55
Sollecitazioni agenti localmente: Tx_l=-2.01 Ty_l=-46.27 N_l=117.94 My_l=2.55 Mz_l=-0.41
Azioni sul cordone: TP=0.62 TO=3.73 NO=8.68
Tensioni nel cordone: τ_P=0.20 τ_0=1.19 σ_0=6.48 σ_{ID}=6.59 Σ_T=7.67
CC 5 SLV (Collegamento -382_-520)
Azioni sul collegamento: N=159.78 Ty=-2.81 Tz=-52.75 Mx=-0.61 Mz=-3.83
Sollecitazioni agenti localmente: Tx_l=-2.81 Ty_l=-52.75 N_l=159.78 My_l=3.83 Mz_l=-0.61

Azioni sul cordone: TP=0.91 TO=4.36 NO=11.76
Tensioni nel cordone: τ_P=0.29 τ_0=1.39 σ_0=9.34 σ_{ID}=9.44 Σ_T=10.72
CC 5 SLV (Collegamento -382_-520)
Azioni sul collegamento: N=159.78 Ty=-2.01 Tz=-52.75 Mx=-0.41 Mz=-2.55
Sollecitazioni agenti localmente: Tx_l=-2.01 Ty_l=-52.75 N_l=159.78 My_l=2.55 Mz_l=-0.41
Azioni sul cordone: TP=0.62 TO=4.21 NO=11.76
Tensioni nel cordone: τ_P=0.20 τ_0=1.34 σ_0=7.46 σ_{ID}=7.58 Σ_T=8.80
CC 5 SLV (Collegamento -382_-520)
Azioni sul collegamento: N=159.78 Ty=-2.81 Tz=-52.75 Mx=-0.61 Mz=-3.83
Sollecitazioni agenti localmente: Tx_l=-2.81 Ty_l=-52.75 N_l=159.78 My_l=3.83 Mz_l=-0.61
Azioni sul cordone: TP=0.91 TO=4.36 NO=11.76
Tensioni nel cordone: τ_P=0.29 τ_0=1.39 σ_0=9.34 σ_{ID}=9.44 Σ_T=10.72
CC 5 SLV (Collegamento -382_-520)
Azioni sul collegamento: N=159.78 Ty=-2.01 Tz=-52.75 Mx=-0.41 Mz=-2.55
Sollecitazioni agenti localmente: Tx_l=-2.01 Ty_l=-52.75 N_l=159.78 My_l=2.55 Mz_l=-0.41
Azioni sul cordone: TP=0.62 TO=4.21 NO=11.76
Tensioni nel cordone: τ_P=0.20 τ_0=1.34 σ_0=7.46 σ_{ID}=7.58 Σ_T=8.80
CC 6 SLD (Collegamento -382_-520)
Azioni sul collegamento: N=132.60 Ty=-2.06 Tz=-48.54 Mx=-0.46 Mz=-2.82
Sollecitazioni agenti localmente: Tx_l=-2.06 Ty_l=-48.54 N_l=132.60 My_l=2.82 Mz_l=-0.46
Azioni sul cordone: TP=0.68 TO=3.93 NO=9.76
Tensioni nel cordone: τ_P=0.21 τ_0=1.25 σ_0=7.22 σ_{ID}=7.33 Σ_T=8.47
CC 6 SLD (Collegamento -382_-520)
Azioni sul collegamento: N=132.60 Ty=-1.82 Tz=-48.54 Mx=-0.39 Mz=-2.43
Sollecitazioni agenti localmente: Tx_l=-1.82 Ty_l=-48.54 N_l=132.60 My_l=2.43 Mz_l=-0.39
Azioni sul cordone: TP=0.59 TO=3.88 NO=9.76
Tensioni nel cordone: τ_P=0.19 τ_0=1.23 σ_0=6.65 σ_{ID}=6.77 Σ_T=7.88
CC 6 SLD (Collegamento -382_-520)
Azioni sul collegamento: N=132.60 Ty=-2.06 Tz=-48.54 Mx=-0.46 Mz=-2.82
Sollecitazioni agenti localmente: Tx_l=-2.06 Ty_l=-48.54 N_l=132.60 My_l=2.82 Mz_l=-0.46
Azioni sul cordone: TP=0.68 TO=3.93 NO=9.76
Tensioni nel cordone: τ_P=0.21 τ_0=1.25 σ_0=7.22 σ_{ID}=7.33 Σ_T=8.47
CC 6 SLD (Collegamento -382_-520)
Azioni sul collegamento: N=132.60 Ty=-1.82 Tz=-48.54 Mx=-0.39 Mz=-2.43
Sollecitazioni agenti localmente: Tx_l=-1.82 Ty_l=-48.54 N_l=132.60 My_l=2.43 Mz_l=-0.39
Azioni sul cordone: TP=0.59 TO=3.88 NO=9.76
Tensioni nel cordone: τ_P=0.19 τ_0=1.23 σ_0=6.65 σ_{ID}=6.77 Σ_T=7.88
CC 6 SLD (Collegamento -382_-520)
Azioni sul collegamento: N=145.36 Ty=-2.06 Tz=-50.52 Mx=-0.46 Mz=-2.82
Sollecitazioni agenti localmente: Tx_l=-2.06 Ty_l=-50.52 N_l=145.36 My_l=2.82 Mz_l=-0.46
Azioni sul cordone: TP=0.68 TO=4.08 NO=10.70
Tensioni nel cordone: τ_P=0.21 τ_0=1.30 σ_0=7.52 σ_{ID}=7.63 Σ_T=8.82
CC 6 SLD (Collegamento -382_-520)
Azioni sul collegamento: N=145.36 Ty=-1.82 Tz=-50.52 Mx=-0.39 Mz=-2.43
Sollecitazioni agenti localmente: Tx_l=-1.82 Ty_l=-50.52 N_l=145.36 My_l=2.43 Mz_l=-0.39
Azioni sul cordone: TP=0.59 TO=4.03 NO=10.70
Tensioni nel cordone: τ_P=0.19 τ_0=1.28 σ_0=6.95 σ_{ID}=7.07 Σ_T=8.23
CC 6 SLD (Collegamento -382_-520)
Azioni sul collegamento: N=145.36 Ty=-2.06 Tz=-50.52 Mx=-0.46 Mz=-2.82
Sollecitazioni agenti localmente: Tx_l=-2.06 Ty_l=-50.52 N_l=145.36 My_l=2.82 Mz_l=-0.46
Azioni sul cordone: TP=0.68 TO=4.08 NO=10.70
Tensioni nel cordone: τ_P=0.21 τ_0=1.30 σ_0=7.52 σ_{ID}=7.63 Σ_T=8.82
CC 6 SLD (Collegamento -382_-520)
Azioni sul collegamento: N=145.36 Ty=-1.82 Tz=-50.52 Mx=-0.39 Mz=-2.43
Sollecitazioni agenti localmente: Tx_l=-1.82 Ty_l=-50.52 N_l=145.36 My_l=2.43 Mz_l=-0.39
Azioni sul cordone: TP=0.59 TO=4.03 NO=10.70
Tensioni nel cordone: τ_P=0.19 τ_0=1.28 σ_0=6.95 σ_{ID}=7.07 Σ_T=8.23
CC 7 SLV (Collegamento -382_-520)
Azioni sul collegamento: N=117.75 Ty=-3.35 Tz=-46.25 Mx=-0.70 Mz=-4.40
Sollecitazioni agenti localmente: Tx_l=-3.35 Ty_l=-46.25 N_l=117.75 My_l=4.40 Mz_l=-0.70
Azioni sul cordone: TP=1.05 TO=3.95 NO=8.66
Tensioni nel cordone: τ_P=0.33 τ_0=1.26 σ_0=9.17 σ_{ID}=9.27 Σ_T=10.43
CC 7 SLV (Collegamento -382_-520)
Azioni sul collegamento: N=117.75 Ty=-1.47 Tz=-46.25 Mx=-0.32 Mz=-1.99
Sollecitazioni agenti localmente: Tx_l=-1.47 Ty_l=-46.25 N_l=117.75 My_l=1.99 Mz_l=-0.32
Azioni sul cordone: TP=0.48 TO=3.66 NO=8.66
Tensioni nel cordone: τ_P=0.15 τ_0=1.16 σ_0=5.66 σ_{ID}=5.78 Σ_T=6.82
CC 7 SLV (Collegamento -382_-520)
Azioni sul collegamento: N=117.75 Ty=-3.35 Tz=-46.25 Mx=-0.70 Mz=-4.40
Sollecitazioni agenti localmente: Tx_l=-3.35 Ty_l=-46.25 N_l=117.75 My_l=4.40 Mz_l=-0.70
Azioni sul cordone: TP=1.05 TO=3.95 NO=8.66
Tensioni nel cordone: τ_P=0.33 τ_0=1.26 σ_0=9.17 σ_{ID}=9.27 Σ_T=10.43
CC 7 SLV (Collegamento -382_-520)
Azioni sul collegamento: N=117.75 Ty=-1.47 Tz=-46.25 Mx=-0.32 Mz=-1.99
Sollecitazioni agenti localmente: Tx_l=-1.47 Ty_l=-46.25 N_l=117.75 My_l=1.99 Mz_l=-0.32
Azioni sul cordone: TP=0.48 TO=3.66 NO=8.66
Tensioni nel cordone: τ_P=0.15 τ_0=1.16 σ_0=5.66 σ_{ID}=5.78 Σ_T=6.82
CC 7 SLV (Collegamento -382_-520)
Azioni sul collegamento: N=159.97 Ty=-3.35 Tz=-52.78 Mx=-0.70 Mz=-4.40

Sollecitazioni agenti localmente: Tx_l=-3.35 Ty_l=-52.78 N_l=159.97 My_l=4.40 Mz_l=-0.70
Azioni sul cordone: TP=1.05 TO=4.43 NO=11.77
Tensioni nel cordone: τ_P=0.33 τ_0=1.41 σ_0=10.16 σ_{ID}=10.26 Σ_T=11.57
CC 7 SLV (Collegamento -382_-520)
Azioni sul collegamento: N=159.97 Ty=-1.47 Tz=-52.78 Mx=-0.32 Mz=-1.99
Sollecitazioni agenti localmente: Tx_l=-1.47 Ty_l=-52.78 N_l=159.97 My_l=1.99 Mz_l=-0.32
Azioni sul cordone: TP=0.48 TO=4.14 NO=11.77
Tensioni nel cordone: τ_P=0.15 τ_0=1.32 σ_0=6.64 σ_{ID}=6.77 Σ_T=7.96
CC 7 SLV (Collegamento -382_-520)
Azioni sul collegamento: N=159.97 Ty=-3.35 Tz=-52.78 Mx=-0.70 Mz=-4.40
Sollecitazioni agenti localmente: Tx_l=-3.35 Ty_l=-52.78 N_l=159.97 My_l=4.40 Mz_l=-0.70
Azioni sul cordone: TP=1.05 TO=4.43 NO=11.77
Tensioni nel cordone: τ_P=0.33 τ_0=1.41 σ_0=10.16 σ_{ID}=10.26 Σ_T=11.57
CC 7 SLV (Collegamento -382_-520)
Azioni sul collegamento: N=159.97 Ty=-1.47 Tz=-52.78 Mx=-0.32 Mz=-1.99
Sollecitazioni agenti localmente: Tx_l=-1.47 Ty_l=-52.78 N_l=159.97 My_l=1.99 Mz_l=-0.32
Azioni sul cordone: TP=0.48 TO=4.14 NO=11.77
Tensioni nel cordone: τ_P=0.15 τ_0=1.32 σ_0=6.64 σ_{ID}=6.77 Σ_T=7.96
CC 8 SLD (Collegamento -382_-520)
Azioni sul collegamento: N=132.54 Ty=-2.23 Tz=-48.53 Mx=-0.48 Mz=-2.99
Sollecitazioni agenti localmente: Tx_l=-2.23 Ty_l=-48.53 N_l=132.54 My_l=2.99 Mz_l=-0.48
Azioni sul cordone: TP=0.72 TO=3.95 NO=9.75
Tensioni nel cordone: τ_P=0.23 τ_0=1.26 σ_0=7.47 σ_{ID}=7.58 Σ_T=8.73
CC 8 SLD (Collegamento -382_-520)
Azioni sul collegamento: N=132.54 Ty=-1.66 Tz=-48.53 Mx=-0.37 Mz=-2.26
Sollecitazioni agenti localmente: Tx_l=-1.66 Ty_l=-48.53 N_l=132.54 My_l=2.26 Mz_l=-0.37
Azioni sul cordone: TP=0.54 TO=3.86 NO=9.75
Tensioni nel cordone: τ_P=0.17 τ_0=1.23 σ_0=6.40 σ_{ID}=6.52 Σ_T=7.63
CC 8 SLD (Collegamento -382_-520)
Azioni sul collegamento: N=132.54 Ty=-2.23 Tz=-48.53 Mx=-0.48 Mz=-2.99
Sollecitazioni agenti localmente: Tx_l=-2.23 Ty_l=-48.53 N_l=132.54 My_l=2.99 Mz_l=-0.48
Azioni sul cordone: TP=0.72 TO=3.95 NO=9.75
Tensioni nel cordone: τ_P=0.23 τ_0=1.26 σ_0=7.47 σ_{ID}=7.58 Σ_T=8.73
CC 8 SLD (Collegamento -382_-520)
Azioni sul collegamento: N=132.54 Ty=-1.66 Tz=-48.53 Mx=-0.37 Mz=-2.26
Sollecitazioni agenti localmente: Tx_l=-1.66 Ty_l=-48.53 N_l=132.54 My_l=2.26 Mz_l=-0.37
Azioni sul cordone: TP=0.54 TO=3.86 NO=9.75
Tensioni nel cordone: τ_P=0.17 τ_0=1.23 σ_0=6.40 σ_{ID}=6.52 Σ_T=7.63
CC 8 SLD (Collegamento -382_-520)
Azioni sul collegamento: N=145.42 Ty=-2.23 Tz=-50.53 Mx=-0.48 Mz=-2.99
Sollecitazioni agenti localmente: Tx_l=-2.23 Ty_l=-50.53 N_l=145.42 My_l=2.99 Mz_l=-0.48
Azioni sul cordone: TP=0.72 TO=4.10 NO=10.70
Tensioni nel cordone: τ_P=0.23 τ_0=1.30 σ_0=7.77 σ_{ID}=7.88 Σ_T=9.07
CC 8 SLD (Collegamento -382_-520)
Azioni sul collegamento: N=145.42 Ty=-1.66 Tz=-50.53 Mx=-0.37 Mz=-2.26
Sollecitazioni agenti localmente: Tx_l=-1.66 Ty_l=-50.53 N_l=145.42 My_l=2.26 Mz_l=-0.37
Azioni sul cordone: TP=0.54 TO=4.01 NO=10.70
Tensioni nel cordone: τ_P=0.17 τ_0=1.27 σ_0=6.70 σ_{ID}=6.82 Σ_T=7.97
CC 8 SLD (Collegamento -382_-520)
Azioni sul collegamento: N=145.42 Ty=-2.23 Tz=-50.53 Mx=-0.48 Mz=-2.99
Sollecitazioni agenti localmente: Tx_l=-2.23 Ty_l=-50.53 N_l=145.42 My_l=2.99 Mz_l=-0.48
Azioni sul cordone: TP=0.72 TO=4.10 NO=10.70
Tensioni nel cordone: τ_P=0.23 τ_0=1.30 σ_0=7.77 σ_{ID}=7.88 Σ_T=9.07
CC 8 SLD (Collegamento -382_-520)
Azioni sul collegamento: N=145.42 Ty=-1.66 Tz=-50.53 Mx=-0.37 Mz=-2.26
Sollecitazioni agenti localmente: Tx_l=-1.66 Ty_l=-50.53 N_l=145.42 My_l=2.26 Mz_l=-0.37
Azioni sul cordone: TP=0.54 TO=4.01 NO=10.70
Tensioni nel cordone: τ_P=0.17 τ_0=1.27 σ_0=6.70 σ_{ID}=6.82 Σ_T=7.97
CC 9 SLV (Collegamento -382_-520)
Azioni sul collegamento: N=145.48 Ty=-1.32 Tz=-50.54 Mx=-0.34 Mz=-1.97
Sollecitazioni agenti localmente: Tx_l=-1.32 Ty_l=-50.54 N_l=145.48 My_l=1.97 Mz_l=-0.34
Azioni sul cordone: TP=0.49 TO=3.98 NO=10.70
Tensioni nel cordone: τ_P=0.15 τ_0=1.27 σ_0=6.29 σ_{ID}=6.42 Σ_T=7.55
CC 9 SLV (Collegamento -382_-520)
Azioni sul collegamento: N=145.48 Ty=-3.50 Tz=-50.54 Mx=-0.71 Mz=-4.40
Sollecitazioni agenti localmente: Tx_l=-3.50 Ty_l=-50.54 N_l=145.48 My_l=4.40 Mz_l=-0.71
Azioni sul cordone: TP=1.08 TO=4.28 NO=10.70
Tensioni nel cordone: τ_P=0.34 τ_0=1.36 σ_0=9.83 σ_{ID}=9.93 Σ_T=11.19
CC 9 SLV (Collegamento -382_-520)
Azioni sul collegamento: N=145.48 Ty=-1.32 Tz=-50.54 Mx=-0.34 Mz=-1.97
Sollecitazioni agenti localmente: Tx_l=-1.32 Ty_l=-50.54 N_l=145.48 My_l=1.97 Mz_l=-0.34
Azioni sul cordone: TP=0.49 TO=3.98 NO=10.70
Tensioni nel cordone: τ_P=0.15 τ_0=1.27 σ_0=6.29 σ_{ID}=6.42 Σ_T=7.55
CC 9 SLV (Collegamento -382_-520)
Azioni sul collegamento: N=145.48 Ty=-3.50 Tz=-50.54 Mx=-0.71 Mz=-4.40
Sollecitazioni agenti localmente: Tx_l=-3.50 Ty_l=-50.54 N_l=145.48 My_l=4.40 Mz_l=-0.71
Azioni sul cordone: TP=1.08 TO=4.28 NO=10.70
Tensioni nel cordone: τ_P=0.34 τ_0=1.36 σ_0=9.83 σ_{ID}=9.93 Σ_T=11.19
CC 9 SLV (Collegamento -382_-520)

Azioni sul collegamento: N=132.24 Ty=-1.32 Tz=-48.49 Mx=-0.34 Mz=-1.97
Sollecitazioni agenti localmente: Tx_l=-1.32 Ty_l=-48.49 N_l=132.24 My_l=1.97 Mz_l=-0.34
Azioni sul cordone: TP=0.49 TO=3.83 NO=9.73
Tensioni nel cordone: τ_P=0.15 τ_0=1.22 σ_0=5.98 σ_{ID}=6.10 Σ_T=7.20
CC 9 SLV (Collegamento -382_-520)
Azioni sul collegamento: N=132.24 Ty=-3.50 Tz=-48.49 Mx=-0.71 Mz=-4.40
Sollecitazioni agenti localmente: Tx_l=-3.50 Ty_l=-48.49 N_l=132.24 My_l=4.40 Mz_l=-0.71
Azioni sul cordone: TP=1.08 TO=4.13 NO=9.73
Tensioni nel cordone: τ_P=0.34 τ_0=1.31 σ_0=9.52 σ_{ID}=9.62 Σ_T=10.84
CC 9 SLV (Collegamento -382_-520)
Azioni sul collegamento: N=132.24 Ty=-1.32 Tz=-48.49 Mx=-0.34 Mz=-1.97
Sollecitazioni agenti localmente: Tx_l=-1.32 Ty_l=-48.49 N_l=132.24 My_l=1.97 Mz_l=-0.34
Azioni sul cordone: TP=0.49 TO=3.83 NO=9.73
Tensioni nel cordone: τ_P=0.15 τ_0=1.22 σ_0=5.98 σ_{ID}=6.10 Σ_T=7.20
CC 9 SLV (Collegamento -382_-520)
Azioni sul collegamento: N=132.24 Ty=-3.50 Tz=-48.49 Mx=-0.71 Mz=-4.40
Sollecitazioni agenti localmente: Tx_l=-3.50 Ty_l=-48.49 N_l=132.24 My_l=4.40 Mz_l=-0.71
Azioni sul cordone: TP=1.08 TO=4.13 NO=9.73
Tensioni nel cordone: τ_P=0.34 τ_0=1.31 σ_0=9.52 σ_{ID}=9.62 Σ_T=10.84
CC 10 SLD (Collegamento -382_-520)
Azioni sul collegamento: N=141.00 Ty=-1.61 Tz=-49.84 Mx=-0.37 Mz=-2.25
Sollecitazioni agenti localmente: Tx_l=-1.61 Ty_l=-49.84 N_l=141.00 My_l=2.25 Mz_l=-0.37
Azioni sul cordone: TP=0.55 TO=3.96 NO=10.38
Tensioni nel cordone: τ_P=0.17 τ_0=1.26 σ_0=6.59 σ_{ID}=6.71 Σ_T=7.85
CC 10 SLD (Collegamento -382_-520)
Azioni sul collegamento: N=141.00 Ty=-2.27 Tz=-49.84 Mx=-0.49 Mz=-3.00
Sollecitazioni agenti localmente: Tx_l=-2.27 Ty_l=-49.84 N_l=141.00 My_l=3.00 Mz_l=-0.49
Azioni sul cordone: TP=0.73 TO=4.05 NO=10.38
Tensioni nel cordone: τ_P=0.23 τ_0=1.29 σ_0=7.67 σ_{ID}=7.78 Σ_T=8.96
CC 10 SLD (Collegamento -382_-520)
Azioni sul collegamento: N=141.00 Ty=-1.61 Tz=-49.84 Mx=-0.37 Mz=-2.25
Sollecitazioni agenti localmente: Tx_l=-1.61 Ty_l=-49.84 N_l=141.00 My_l=2.25 Mz_l=-0.37
Azioni sul cordone: TP=0.55 TO=3.96 NO=10.38
Tensioni nel cordone: τ_P=0.17 τ_0=1.26 σ_0=6.59 σ_{ID}=6.71 Σ_T=7.85
CC 10 SLD (Collegamento -382_-520)
Azioni sul collegamento: N=141.00 Ty=-2.27 Tz=-49.84 Mx=-0.49 Mz=-3.00
Sollecitazioni agenti localmente: Tx_l=-2.27 Ty_l=-49.84 N_l=141.00 My_l=3.00 Mz_l=-0.49
Azioni sul cordone: TP=0.73 TO=4.05 NO=10.38
Tensioni nel cordone: τ_P=0.23 τ_0=1.29 σ_0=7.67 σ_{ID}=7.78 Σ_T=8.96
CC 10 SLD (Collegamento -382_-520)
Azioni sul collegamento: N=136.96 Ty=-1.61 Tz=-49.22 Mx=-0.37 Mz=-2.25
Sollecitazioni agenti localmente: Tx_l=-1.61 Ty_l=-49.22 N_l=136.96 My_l=2.25 Mz_l=-0.37
Azioni sul cordone: TP=0.55 TO=3.91 NO=10.08
Tensioni nel cordone: τ_P=0.17 τ_0=1.24 σ_0=6.50 σ_{ID}=6.62 Σ_T=7.74
CC 10 SLD (Collegamento -382_-520)
Azioni sul collegamento: N=136.96 Ty=-2.27 Tz=-49.22 Mx=-0.49 Mz=-3.00
Sollecitazioni agenti localmente: Tx_l=-2.27 Ty_l=-49.22 N_l=136.96 My_l=3.00 Mz_l=-0.49
Azioni sul cordone: TP=0.73 TO=4.00 NO=10.08
Tensioni nel cordone: τ_P=0.23 τ_0=1.27 σ_0=7.58 σ_{ID}=7.69 Σ_T=8.85
CC 10 SLD (Collegamento -382_-520)
Azioni sul collegamento: N=136.96 Ty=-1.61 Tz=-49.22 Mx=-0.37 Mz=-2.25
Sollecitazioni agenti localmente: Tx_l=-1.61 Ty_l=-49.22 N_l=136.96 My_l=2.25 Mz_l=-0.37
Azioni sul cordone: TP=0.55 TO=3.91 NO=10.08
Tensioni nel cordone: τ_P=0.17 τ_0=1.24 σ_0=6.50 σ_{ID}=6.62 Σ_T=7.74
CC 10 SLD (Collegamento -382_-520)
Azioni sul collegamento: N=136.96 Ty=-2.27 Tz=-49.22 Mx=-0.49 Mz=-3.00
Sollecitazioni agenti localmente: Tx_l=-2.27 Ty_l=-49.22 N_l=136.96 My_l=3.00 Mz_l=-0.49
Azioni sul cordone: TP=0.73 TO=4.00 NO=10.08
Tensioni nel cordone: τ_P=0.23 τ_0=1.27 σ_0=7.58 σ_{ID}=7.69 Σ_T=8.85
CC 11 SLV (Collegamento -382_-520)
Azioni sul collegamento: N=132.87 Ty=-1.72 Tz=-48.59 Mx=-0.42 Mz=-2.53
Sollecitazioni agenti localmente: Tx_l=-1.72 Ty_l=-48.59 N_l=132.87 My_l=2.53 Mz_l=-0.42
Azioni sul cordone: TP=0.61 TO=3.91 NO=9.78
Tensioni nel cordone: τ_P=0.19 τ_0=1.24 σ_0=6.80 σ_{ID}=6.92 Σ_T=8.04
CC 11 SLV (Collegamento -382_-520)
Azioni sul collegamento: N=132.87 Ty=-3.10 Tz=-48.59 Mx=-0.62 Mz=-3.85
Sollecitazioni agenti localmente: Tx_l=-3.10 Ty_l=-48.59 N_l=132.87 My_l=3.85 Mz_l=-0.62
Azioni sul cordone: TP=0.95 TO=4.07 NO=9.78
Tensioni nel cordone: τ_P=0.30 τ_0=1.29 σ_0=8.73 σ_{ID}=8.83 Σ_T=10.02
CC 11 SLV (Collegamento -382_-520)
Azioni sul collegamento: N=132.87 Ty=-1.72 Tz=-48.59 Mx=-0.42 Mz=-2.53
Sollecitazioni agenti localmente: Tx_l=-1.72 Ty_l=-48.59 N_l=132.87 My_l=2.53 Mz_l=-0.42
Azioni sul cordone: TP=0.61 TO=3.91 NO=9.78
Tensioni nel cordone: τ_P=0.19 τ_0=1.24 σ_0=6.80 σ_{ID}=6.92 Σ_T=8.04
CC 11 SLV (Collegamento -382_-520)
Azioni sul collegamento: N=132.87 Ty=-3.10 Tz=-48.59 Mx=-0.62 Mz=-3.85
Sollecitazioni agenti localmente: Tx_l=-3.10 Ty_l=-48.59 N_l=132.87 My_l=3.85 Mz_l=-0.62
Azioni sul cordone: TP=0.95 TO=4.07 NO=9.78
Tensioni nel cordone: τ_P=0.30 τ_0=1.29 σ_0=8.73 σ_{ID}=8.83 Σ_T=10.02

CC 11 SLV (Collegamento -382_-520)
Azioni sul collegamento: N=144.84 Ty=-1.72 Tz=-50.44 Mx=-0.42 Mz=-2.53
Sollecitazioni agenti localmente: Tx_l=-1.72 Ty_l=-50.44 N_l=144.84 My_l=2.53 Mz_l=-0.42
Azioni sul cordone: TP=0.61 TO=4.04 NO=10.66
Tensioni nel cordone: τ_P=0.19 τ_0=1.28 σ_0=7.08 σ_{ID}=7.20 Σ_T=8.37
CC 11 SLV (Collegamento -382_-520)
Azioni sul collegamento: N=144.84 Ty=-3.10 Tz=-50.44 Mx=-0.62 Mz=-3.85
Sollecitazioni agenti localmente: Tx_l=-3.10 Ty_l=-50.44 N_l=144.84 My_l=3.85 Mz_l=-0.62
Azioni sul cordone: TP=0.95 TO=4.20 NO=10.66
Tensioni nel cordone: τ_P=0.30 τ_0=1.34 σ_0=9.01 σ_{ID}=9.11 Σ_T=10.35
CC 11 SLV (Collegamento -382_-520)
Azioni sul collegamento: N=144.84 Ty=-1.72 Tz=-50.44 Mx=-0.42 Mz=-2.53
Sollecitazioni agenti localmente: Tx_l=-1.72 Ty_l=-50.44 N_l=144.84 My_l=2.53 Mz_l=-0.42
Azioni sul cordone: TP=0.61 TO=4.04 NO=10.66
Tensioni nel cordone: τ_P=0.19 τ_0=1.28 σ_0=7.08 σ_{ID}=7.20 Σ_T=8.37
CC 11 SLV (Collegamento -382_-520)
Azioni sul collegamento: N=144.84 Ty=-3.10 Tz=-50.44 Mx=-0.62 Mz=-3.85
Sollecitazioni agenti localmente: Tx_l=-3.10 Ty_l=-50.44 N_l=144.84 My_l=3.85 Mz_l=-0.62
Azioni sul cordone: TP=0.95 TO=4.20 NO=10.66
Tensioni nel cordone: τ_P=0.30 τ_0=1.34 σ_0=9.01 σ_{ID}=9.11 Σ_T=10.35
CC 12 SLD (Collegamento -382_-520)
Azioni sul collegamento: N=137.16 Ty=-1.73 Tz=-49.25 Mx=-0.40 Mz=-2.42
Sollecitazioni agenti localmente: Tx_l=-1.73 Ty_l=-49.25 N_l=137.16 My_l=2.42 Mz_l=-0.40
Azioni sul cordone: TP=0.58 TO=3.94 NO=10.09
Tensioni nel cordone: τ_P=0.19 τ_0=1.25 σ_0=6.75 σ_{ID}=6.87 Σ_T=8.00
CC 12 SLD (Collegamento -382_-520)
Azioni sul collegamento: N=137.16 Ty=-2.15 Tz=-49.25 Mx=-0.46 Mz=-2.83
Sollecitazioni agenti localmente: Tx_l=-2.15 Ty_l=-49.25 N_l=137.16 My_l=2.83 Mz_l=-0.46
Azioni sul cordone: TP=0.69 TO=3.99 NO=10.09
Tensioni nel cordone: τ_P=0.22 τ_0=1.27 σ_0=7.34 σ_{ID}=7.45 Σ_T=8.60
CC 12 SLD (Collegamento -382_-520)
Azioni sul collegamento: N=137.16 Ty=-1.73 Tz=-49.25 Mx=-0.40 Mz=-2.42
Sollecitazioni agenti localmente: Tx_l=-1.73 Ty_l=-49.25 N_l=137.16 My_l=2.42 Mz_l=-0.40
Azioni sul cordone: TP=0.58 TO=3.94 NO=10.09
Tensioni nel cordone: τ_P=0.19 τ_0=1.25 σ_0=6.75 σ_{ID}=6.87 Σ_T=8.00
CC 12 SLD (Collegamento -382_-520)
Azioni sul collegamento: N=137.16 Ty=-2.15 Tz=-49.25 Mx=-0.46 Mz=-2.83
Sollecitazioni agenti localmente: Tx_l=-2.15 Ty_l=-49.25 N_l=137.16 My_l=2.83 Mz_l=-0.46
Azioni sul cordone: TP=0.69 TO=3.99 NO=10.09
Tensioni nel cordone: τ_P=0.22 τ_0=1.27 σ_0=7.34 σ_{ID}=7.45 Σ_T=8.60
CC 12 SLD (Collegamento -382_-520)
Azioni sul collegamento: N=140.81 Ty=-1.73 Tz=-49.81 Mx=-0.40 Mz=-2.42
Sollecitazioni agenti localmente: Tx_l=-1.73 Ty_l=-49.81 N_l=140.81 My_l=2.42 Mz_l=-0.40
Azioni sul cordone: TP=0.58 TO=3.98 NO=10.36
Tensioni nel cordone: τ_P=0.19 τ_0=1.26 σ_0=6.83 σ_{ID}=6.95 Σ_T=8.10
CC 12 SLD (Collegamento -382_-520)
Azioni sul collegamento: N=140.81 Ty=-2.15 Tz=-49.81 Mx=-0.46 Mz=-2.83
Sollecitazioni agenti localmente: Tx_l=-2.15 Ty_l=-49.81 N_l=140.81 My_l=2.83 Mz_l=-0.46
Azioni sul cordone: TP=0.69 TO=4.03 NO=10.36
Tensioni nel cordone: τ_P=0.22 τ_0=1.28 σ_0=7.42 σ_{ID}=7.53 Σ_T=8.70
CC 12 SLD (Collegamento -382_-520)
Azioni sul collegamento: N=140.81 Ty=-1.73 Tz=-49.81 Mx=-0.40 Mz=-2.42
Sollecitazioni agenti localmente: Tx_l=-1.73 Ty_l=-49.81 N_l=140.81 My_l=2.42 Mz_l=-0.40
Azioni sul cordone: TP=0.58 TO=3.98 NO=10.36
Tensioni nel cordone: τ_P=0.19 τ_0=1.26 σ_0=6.83 σ_{ID}=6.95 Σ_T=8.10
CC 12 SLD (Collegamento -382_-520)
Azioni sul collegamento: N=140.81 Ty=-2.15 Tz=-49.81 Mx=-0.46 Mz=-2.83
Sollecitazioni agenti localmente: Tx_l=-2.15 Ty_l=-49.81 N_l=140.81 My_l=2.83 Mz_l=-0.46
Azioni sul cordone: TP=0.69 TO=4.03 NO=10.36
Tensioni nel cordone: τ_P=0.22 τ_0=1.28 σ_0=7.42 σ_{ID}=7.53 Σ_T=8.70
CC 13 SLV (Collegamento -382_-520)
Azioni sul collegamento: N=144.84 Ty=-3.10 Tz=-50.44 Mx=-0.62 Mz=-3.85
Sollecitazioni agenti localmente: Tx_l=-3.10 Ty_l=-50.44 N_l=144.84 My_l=3.85 Mz_l=-0.62
Azioni sul cordone: TP=0.94 TO=4.20 NO=10.66
Tensioni nel cordone: τ_P=0.30 τ_0=1.33 σ_0=9.01 σ_{ID}=9.11 Σ_T=10.35
CC 13 SLV (Collegamento -382_-520)
Azioni sul collegamento: N=144.84 Ty=-1.72 Tz=-50.44 Mx=-0.41 Mz=-2.53
Sollecitazioni agenti localmente: Tx_l=-1.72 Ty_l=-50.44 N_l=144.84 My_l=2.53 Mz_l=-0.41
Azioni sul cordone: TP=0.60 TO=4.04 NO=10.66
Tensioni nel cordone: τ_P=0.19 τ_0=1.28 σ_0=7.08 σ_{ID}=7.20 Σ_T=8.37
CC 13 SLV (Collegamento -382_-520)
Azioni sul collegamento: N=144.84 Ty=-3.10 Tz=-50.44 Mx=-0.62 Mz=-3.85
Sollecitazioni agenti localmente: Tx_l=-3.10 Ty_l=-50.44 N_l=144.84 My_l=3.85 Mz_l=-0.62
Azioni sul cordone: TP=0.94 TO=4.20 NO=10.66
Tensioni nel cordone: τ_P=0.30 τ_0=1.33 σ_0=9.01 σ_{ID}=9.11 Σ_T=10.35
CC 13 SLV (Collegamento -382_-520)
Azioni sul collegamento: N=144.84 Ty=-1.72 Tz=-50.44 Mx=-0.41 Mz=-2.53
Sollecitazioni agenti localmente: Tx_l=-1.72 Ty_l=-50.44 N_l=144.84 My_l=2.53 Mz_l=-0.41
Azioni sul cordone: TP=0.60 TO=4.04 NO=10.66

Tensioni nel cordone: τ_P=0.19 τ_0=1.28 σ_0=7.08 σ_{ID}=7.20 Σ_T=8.37
CC 13 SLV (Collegamento -382_-520)
Azioni sul collegamento: N=132.87 Ty=-3.10 Tz=-48.59 Mx=-0.62 Mz=-3.85
Sollecitazioni agenti localmente: Tx_l=-3.10 Ty_l=-48.59 N_l=132.87 My_l=3.85 Mz_l=-0.62
Azioni sul cordone: TP=0.94 TO=4.06 NO=9.78
Tensioni nel cordone: τ_P=0.30 τ_0=1.29 σ_0=8.73 σ_{ID}=8.83 Σ_T=10.02
CC 13 SLV (Collegamento -382_-520)
Azioni sul collegamento: N=132.87 Ty=-1.72 Tz=-48.59 Mx=-0.41 Mz=-2.53
Sollecitazioni agenti localmente: Tx_l=-1.72 Ty_l=-48.59 N_l=132.87 My_l=2.53 Mz_l=-0.41
Azioni sul cordone: TP=0.60 TO=3.90 NO=9.78
Tensioni nel cordone: τ_P=0.19 τ_0=1.24 σ_0=6.80 σ_{ID}=6.92 Σ_T=8.04
CC 13 SLV (Collegamento -382_-520)
Azioni sul collegamento: N=132.87 Ty=-3.10 Tz=-48.59 Mx=-0.62 Mz=-3.85
Sollecitazioni agenti localmente: Tx_l=-3.10 Ty_l=-48.59 N_l=132.87 My_l=3.85 Mz_l=-0.62
Azioni sul cordone: TP=0.94 TO=4.06 NO=9.78
Tensioni nel cordone: τ_P=0.30 τ_0=1.29 σ_0=8.73 σ_{ID}=8.83 Σ_T=10.02
CC 13 SLV (Collegamento -382_-520)
Azioni sul collegamento: N=132.87 Ty=-1.72 Tz=-48.59 Mx=-0.41 Mz=-2.53
Sollecitazioni agenti localmente: Tx_l=-1.72 Ty_l=-48.59 N_l=132.87 My_l=2.53 Mz_l=-0.41
Azioni sul cordone: TP=0.60 TO=3.90 NO=9.78
Tensioni nel cordone: τ_P=0.19 τ_0=1.24 σ_0=6.80 σ_{ID}=6.92 Σ_T=8.04
CC 14 SLD (Collegamento -382_-520)
Azioni sul collegamento: N=140.81 Ty=-2.15 Tz=-49.81 Mx=-0.46 Mz=-2.83
Sollecitazioni agenti localmente: Tx_l=-2.15 Ty_l=-49.81 N_l=140.81 My_l=2.83 Mz_l=-0.46
Azioni sul cordone: TP=0.68 TO=4.03 NO=10.36
Tensioni nel cordone: τ_P=0.22 τ_0=1.28 σ_0=7.42 σ_{ID}=7.53 Σ_T=8.70
CC 14 SLD (Collegamento -382_-520)
Azioni sul collegamento: N=140.81 Ty=-1.73 Tz=-49.81 Mx=-0.39 Mz=-2.42
Sollecitazioni agenti localmente: Tx_l=-1.73 Ty_l=-49.81 N_l=140.81 My_l=2.42 Mz_l=-0.39
Azioni sul cordone: TP=0.58 TO=3.98 NO=10.36
Tensioni nel cordone: τ_P=0.18 τ_0=1.26 σ_0=6.83 σ_{ID}=6.95 Σ_T=8.10
CC 14 SLD (Collegamento -382_-520)
Azioni sul collegamento: N=140.81 Ty=-2.15 Tz=-49.81 Mx=-0.46 Mz=-2.83
Sollecitazioni agenti localmente: Tx_l=-2.15 Ty_l=-49.81 N_l=140.81 My_l=2.83 Mz_l=-0.46
Azioni sul cordone: TP=0.68 TO=4.03 NO=10.36
Tensioni nel cordone: τ_P=0.22 τ_0=1.28 σ_0=7.42 σ_{ID}=7.53 Σ_T=8.70
CC 14 SLD (Collegamento -382_-520)
Azioni sul collegamento: N=140.81 Ty=-1.73 Tz=-49.81 Mx=-0.39 Mz=-2.42
Sollecitazioni agenti localmente: Tx_l=-1.73 Ty_l=-49.81 N_l=140.81 My_l=2.42 Mz_l=-0.39
Azioni sul cordone: TP=0.58 TO=3.98 NO=10.36
Tensioni nel cordone: τ_P=0.18 τ_0=1.26 σ_0=6.83 σ_{ID}=6.95 Σ_T=8.10
CC 14 SLD (Collegamento -382_-520)
Azioni sul collegamento: N=137.16 Ty=-2.15 Tz=-49.25 Mx=-0.46 Mz=-2.83
Sollecitazioni agenti localmente: Tx_l=-2.15 Ty_l=-49.25 N_l=137.16 My_l=2.83 Mz_l=-0.46
Azioni sul cordone: TP=0.68 TO=3.98 NO=10.09
Tensioni nel cordone: τ_P=0.22 τ_0=1.27 σ_0=7.34 σ_{ID}=7.45 Σ_T=8.60
CC 14 SLD (Collegamento -382_-520)
Azioni sul collegamento: N=137.16 Ty=-1.73 Tz=-49.25 Mx=-0.39 Mz=-2.42
Sollecitazioni agenti localmente: Tx_l=-1.73 Ty_l=-49.25 N_l=137.16 My_l=2.42 Mz_l=-0.39
Azioni sul cordone: TP=0.58 TO=3.93 NO=10.09
Tensioni nel cordone: τ_P=0.18 τ_0=1.25 σ_0=6.75 σ_{ID}=6.87 Σ_T=8.00
CC 14 SLD (Collegamento -382_-520)
Azioni sul collegamento: N=137.16 Ty=-2.15 Tz=-49.25 Mx=-0.46 Mz=-2.83
Sollecitazioni agenti localmente: Tx_l=-2.15 Ty_l=-49.25 N_l=137.16 My_l=2.83 Mz_l=-0.46
Azioni sul cordone: TP=0.68 TO=3.98 NO=10.09
Tensioni nel cordone: τ_P=0.22 τ_0=1.27 σ_0=7.34 σ_{ID}=7.45 Σ_T=8.60
CC 14 SLD (Collegamento -382_-520)
Azioni sul collegamento: N=137.16 Ty=-1.73 Tz=-49.25 Mx=-0.39 Mz=-2.42
Sollecitazioni agenti localmente: Tx_l=-1.73 Ty_l=-49.25 N_l=137.16 My_l=2.42 Mz_l=-0.39
Azioni sul cordone: TP=0.58 TO=3.93 NO=10.09
Tensioni nel cordone: τ_P=0.18 τ_0=1.25 σ_0=6.75 σ_{ID}=6.87 Σ_T=8.00
CC 15 SLV (Collegamento -382_-520)
Azioni sul collegamento: N=132.24 Ty=-3.50 Tz=-48.49 Mx=-0.70 Mz=-4.40
Sollecitazioni agenti localmente: Tx_l=-3.50 Ty_l=-48.49 N_l=132.24 My_l=4.40 Mz_l=-0.70
Azioni sul cordone: TP=1.06 TO=4.12 NO=9.73
Tensioni nel cordone: τ_P=0.34 τ_0=1.31 σ_0=9.53 σ_{ID}=9.62 Σ_T=10.84
CC 15 SLV (Collegamento -382_-520)
Azioni sul collegamento: N=132.24 Ty=-1.32 Tz=-48.49 Mx=-0.32 Mz=-1.98
Sollecitazioni agenti localmente: Tx_l=-1.32 Ty_l=-48.49 N_l=132.24 My_l=1.98 Mz_l=-0.32
Azioni sul cordone: TP=0.47 TO=3.82 NO=9.73
Tensioni nel cordone: τ_P=0.15 τ_0=1.22 σ_0=5.98 σ_{ID}=6.10 Σ_T=7.20
CC 15 SLV (Collegamento -382_-520)
Azioni sul collegamento: N=132.24 Ty=-3.50 Tz=-48.49 Mx=-0.70 Mz=-4.40
Sollecitazioni agenti localmente: Tx_l=-3.50 Ty_l=-48.49 N_l=132.24 My_l=4.40 Mz_l=-0.70
Azioni sul cordone: TP=1.06 TO=4.12 NO=9.73
Tensioni nel cordone: τ_P=0.34 τ_0=1.31 σ_0=9.53 σ_{ID}=9.62 Σ_T=10.84
CC 15 SLV (Collegamento -382_-520)
Azioni sul collegamento: N=132.24 Ty=-1.32 Tz=-48.49 Mx=-0.32 Mz=-1.98
Sollecitazioni agenti localmente: Tx_l=-1.32 Ty_l=-48.49 N_l=132.24 My_l=1.98 Mz_l=-0.32

Azioni sul cordone: TP=0.47 TO=3.82 NO=9.73
Tensioni nel cordone: τ_P=0.15 τ_0=1.22 σ_0=5.98 σ_{ID}=6.10 Σ_T=7.20
CC 15 SLV (Collegamento -382_-520)
Azioni sul collegamento: N=145.48 Ty=-3.50 Tz=-50.54 Mx=-0.70 Mz=-4.40
Sollecitazioni agenti localmente: Tx_l=-3.50 Ty_l=-50.54 N_l=145.48 My_l=4.40 Mz_l=-0.70
Azioni sul cordone: TP=1.06 TO=4.27 NO=10.70
Tensioni nel cordone: τ_P=0.34 τ_0=1.36 σ_0=9.84 σ_{ID}=9.94 Σ_T=11.19
CC 15 SLV (Collegamento -382_-520)
Azioni sul collegamento: N=145.48 Ty=-1.32 Tz=-50.54 Mx=-0.32 Mz=-1.98
Sollecitazioni agenti localmente: Tx_l=-1.32 Ty_l=-50.54 N_l=145.48 My_l=1.98 Mz_l=-0.32
Azioni sul cordone: TP=0.47 TO=3.97 NO=10.70
Tensioni nel cordone: τ_P=0.15 τ_0=1.26 σ_0=6.29 σ_{ID}=6.42 Σ_T=7.55
CC 15 SLV (Collegamento -382_-520)
Azioni sul collegamento: N=145.48 Ty=-3.50 Tz=-50.54 Mx=-0.70 Mz=-4.40
Sollecitazioni agenti localmente: Tx_l=-3.50 Ty_l=-50.54 N_l=145.48 My_l=4.40 Mz_l=-0.70
Azioni sul cordone: TP=1.06 TO=4.27 NO=10.70
Tensioni nel cordone: τ_P=0.34 τ_0=1.36 σ_0=9.84 σ_{ID}=9.94 Σ_T=11.19
CC 15 SLV (Collegamento -382_-520)
Azioni sul collegamento: N=145.48 Ty=-1.32 Tz=-50.54 Mx=-0.32 Mz=-1.98
Sollecitazioni agenti localmente: Tx_l=-1.32 Ty_l=-50.54 N_l=145.48 My_l=1.98 Mz_l=-0.32
Azioni sul cordone: TP=0.47 TO=3.97 NO=10.70
Tensioni nel cordone: τ_P=0.15 τ_0=1.26 σ_0=6.29 σ_{ID}=6.42 Σ_T=7.55
CC 16 SLD (Collegamento -382_-520)
Azioni sul collegamento: N=136.96 Ty=-2.27 Tz=-49.22 Mx=-0.48 Mz=-3.00
Sollecitazioni agenti localmente: Tx_l=-2.27 Ty_l=-49.22 N_l=136.96 My_l=3.00 Mz_l=-0.48
Azioni sul cordone: TP=0.72 TO=4.00 NO=10.08
Tensioni nel cordone: τ_P=0.23 τ_0=1.27 σ_0=7.58 σ_{ID}=7.69 Σ_T=8.85
CC 16 SLD (Collegamento -382_-520)
Azioni sul collegamento: N=136.96 Ty=-1.61 Tz=-49.22 Mx=-0.37 Mz=-2.26
Sollecitazioni agenti localmente: Tx_l=-1.61 Ty_l=-49.22 N_l=136.96 My_l=2.26 Mz_l=-0.37
Azioni sul cordone: TP=0.54 TO=3.91 NO=10.08
Tensioni nel cordone: τ_P=0.17 τ_0=1.24 σ_0=6.50 σ_{ID}=6.62 Σ_T=7.74
CC 16 SLD (Collegamento -382_-520)
Azioni sul collegamento: N=136.96 Ty=-2.27 Tz=-49.22 Mx=-0.48 Mz=-3.00
Sollecitazioni agenti localmente: Tx_l=-2.27 Ty_l=-49.22 N_l=136.96 My_l=3.00 Mz_l=-0.48
Azioni sul cordone: TP=0.72 TO=4.00 NO=10.08
Tensioni nel cordone: τ_P=0.23 τ_0=1.27 σ_0=7.58 σ_{ID}=7.69 Σ_T=8.85
CC 16 SLD (Collegamento -382_-520)
Azioni sul collegamento: N=136.96 Ty=-1.61 Tz=-49.22 Mx=-0.37 Mz=-2.26
Sollecitazioni agenti localmente: Tx_l=-1.61 Ty_l=-49.22 N_l=136.96 My_l=2.26 Mz_l=-0.37
Azioni sul cordone: TP=0.54 TO=3.91 NO=10.08
Tensioni nel cordone: τ_P=0.17 τ_0=1.24 σ_0=6.50 σ_{ID}=6.62 Σ_T=7.74
CC 16 SLD (Collegamento -382_-520)
Azioni sul collegamento: N=141.00 Ty=-2.27 Tz=-49.84 Mx=-0.48 Mz=-3.00
Sollecitazioni agenti localmente: Tx_l=-2.27 Ty_l=-49.84 N_l=141.00 My_l=3.00 Mz_l=-0.48
Azioni sul cordone: TP=0.72 TO=4.05 NO=10.38
Tensioni nel cordone: τ_P=0.23 τ_0=1.29 σ_0=7.67 σ_{ID}=7.78 Σ_T=8.96
CC 16 SLD (Collegamento -382_-520)
Azioni sul collegamento: N=141.00 Ty=-1.61 Tz=-49.84 Mx=-0.37 Mz=-2.26
Sollecitazioni agenti localmente: Tx_l=-1.61 Ty_l=-49.84 N_l=141.00 My_l=2.26 Mz_l=-0.37
Azioni sul cordone: TP=0.54 TO=3.96 NO=10.38
Tensioni nel cordone: τ_P=0.17 τ_0=1.26 σ_0=6.59 σ_{ID}=6.71 Σ_T=7.85
CC 16 SLD (Collegamento -382_-520)
Azioni sul collegamento: N=141.00 Ty=-2.27 Tz=-49.84 Mx=-0.48 Mz=-3.00
Sollecitazioni agenti localmente: Tx_l=-2.27 Ty_l=-49.84 N_l=141.00 My_l=3.00 Mz_l=-0.48
Azioni sul cordone: TP=0.72 TO=4.05 NO=10.38
Tensioni nel cordone: τ_P=0.23 τ_0=1.29 σ_0=7.67 σ_{ID}=7.78 Σ_T=8.96
CC 16 SLD (Collegamento -382_-520)
Azioni sul collegamento: N=141.00 Ty=-1.61 Tz=-49.84 Mx=-0.37 Mz=-2.26
Sollecitazioni agenti localmente: Tx_l=-1.61 Ty_l=-49.84 N_l=141.00 My_l=2.26 Mz_l=-0.37
Azioni sul cordone: TP=0.54 TO=3.96 NO=10.38
Tensioni nel cordone: τ_P=0.17 τ_0=1.26 σ_0=6.59 σ_{ID}=6.71 Σ_T=7.85
CC 17 SLV (Collegamento -382_-520)
Azioni sul collegamento: N=160.31 Ty=-0.12 Tz=-52.83 Mx=-0.08 Mz=-0.36
Sollecitazioni agenti localmente: Tx_l=-0.12 Ty_l=-52.83 N_l=160.31 My_l=0.36 Mz_l=-0.08
Azioni sul cordone: TP=0.10 TO=3.95 NO=11.80
Tensioni nel cordone: τ_P= 0.03 τ_0=1.25 σ_0=4.28 σ_{ID}=4.46 Σ_T=5.53
CC 17 SLV (Collegamento -382_-520)
Azioni sul collegamento: N=160.31 Ty=-2.00 Tz=-52.83 Mx=-0.45 Mz=-2.77
Sollecitazioni agenti localmente: Tx_l=-2.00 Ty_l=-52.83 N_l=160.31 My_l=2.77 Mz_l=-0.45
Azioni sul cordone: TP=0.66 TO=4.24 NO=11.80
Tensioni nel cordone: τ_P=0.21 τ_0=1.35 σ_0=7.79 σ_{ID}=7.91 Σ_T=9.14
CC 17 SLV (Collegamento -382_-520)
Azioni sul collegamento: N=160.31 Ty=-0.12 Tz=-52.83 Mx=-0.08 Mz=-0.36
Sollecitazioni agenti localmente: Tx_l=-0.12 Ty_l=-52.83 N_l=160.31 My_l=0.36 Mz_l=-0.08
Azioni sul cordone: TP=0.10 TO=3.95 NO=11.80
Tensioni nel cordone: τ_P= 0.03 τ_0=1.25 σ_0=4.28 σ_{ID}=4.46 Σ_T=5.53
CC 17 SLV (Collegamento -382_-520)
Azioni sul collegamento: N=160.31 Ty=-2.00 Tz=-52.83 Mx=-0.45 Mz=-2.77

Sollecitazioni agenti localmente: Tx_l=-2.00 Ty_l=-52.83 N_l=160.31 My_l=2.77 Mz_l=-0.45
Azioni sul cordone: TP=0.66 TO=4.24 NO=11.80
Tensioni nel cordone: τ_P=0.21 τ_0=1.35 σ_0=7.79 σ_{ID}=7.91 Σ_T=9.14
CC 17 SLV (Collegamento -382_-520)
Azioni sul collegamento: N=118.10 Ty=-0.12 Tz=-46.30 Mx=-0.08 Mz=-0.36
Sollecitazioni agenti localmente: Tx_l=-0.12 Ty_l=-46.30 N_l=118.10 My_l=0.36 Mz_l=-0.08
Azioni sul cordone: TP=0.10 TO=3.47 NO=8.69
Tensioni nel cordone: τ_P= 0.03 τ_0=1.10 σ_0=3.29 σ_{ID}=3.47 Σ_T=4.39
CC 17 SLV (Collegamento -382_-520)
Azioni sul collegamento: N=118.10 Ty=-2.00 Tz=-46.30 Mx=-0.45 Mz=-2.77
Sollecitazioni agenti localmente: Tx_l=-2.00 Ty_l=-46.30 N_l=118.10 My_l=2.77 Mz_l=-0.45
Azioni sul cordone: TP=0.66 TO=3.76 NO=8.69
Tensioni nel cordone: τ_P=0.21 τ_0=1.20 σ_0=6.81 σ_{ID}=6.91 Σ_T=8.00
CC 17 SLV (Collegamento -382_-520)
Azioni sul collegamento: N=118.10 Ty=-0.12 Tz=-46.30 Mx=-0.08 Mz=-0.36
Sollecitazioni agenti localmente: Tx_l=-0.12 Ty_l=-46.30 N_l=118.10 My_l=0.36 Mz_l=-0.08
Azioni sul cordone: TP=0.10 TO=3.47 NO=8.69
Tensioni nel cordone: τ_P= 0.03 τ_0=1.10 σ_0=3.29 σ_{ID}=3.47 Σ_T=4.39
CC 17 SLV (Collegamento -382_-520)
Azioni sul collegamento: N=118.10 Ty=-2.00 Tz=-46.30 Mx=-0.45 Mz=-2.77
Sollecitazioni agenti localmente: Tx_l=-2.00 Ty_l=-46.30 N_l=118.10 My_l=2.77 Mz_l=-0.45
Azioni sul cordone: TP=0.66 TO=3.76 NO=8.69
Tensioni nel cordone: τ_P=0.21 τ_0=1.20 σ_0=6.81 σ_{ID}=6.91 Σ_T=8.00
CC 18 SLD (Collegamento -382_-520)
Azioni sul collegamento: N=145.52 Ty=-1.24 Tz=-50.54 Mx=-0.29 Mz=-1.76
Sollecitazioni agenti localmente: Tx_l=-1.24 Ty_l=-50.54 N_l=145.52 My_l=1.76 Mz_l=-0.29
Azioni sul cordone: TP=0.43 TO=3.95 NO=10.71
Tensioni nel cordone: τ_P=0.14 τ_0=1.26 σ_0=5.98 σ_{ID}=6.11 Σ_T=7.23
CC 18 SLD (Collegamento -382_-520)
Azioni sul collegamento: N=145.52 Ty=-1.82 Tz=-50.54 Mx=-0.41 Mz=-2.50
Sollecitazioni agenti localmente: Tx_l=-1.82 Ty_l=-50.54 N_l=145.52 My_l=2.50 Mz_l=-0.41
Azioni sul cordone: TP=0.60 TO=4.04 NO=10.71
Tensioni nel cordone: τ_P=0.19 τ_0=1.28 σ_0=7.05 σ_{ID}=7.17 Σ_T=8.33
CC 18 SLD (Collegamento -382_-520)
Azioni sul collegamento: N=145.52 Ty=-1.24 Tz=-50.54 Mx=-0.29 Mz=-1.76
Sollecitazioni agenti localmente: Tx_l=-1.24 Ty_l=-50.54 N_l=145.52 My_l=1.76 Mz_l=-0.29
Azioni sul cordone: TP=0.43 TO=3.95 NO=10.71
Tensioni nel cordone: τ_P=0.14 τ_0=1.26 σ_0=5.98 σ_{ID}=6.11 Σ_T=7.23
CC 18 SLD (Collegamento -382_-520)
Azioni sul collegamento: N=145.52 Ty=-1.82 Tz=-50.54 Mx=-0.41 Mz=-2.50
Sollecitazioni agenti localmente: Tx_l=-1.82 Ty_l=-50.54 N_l=145.52 My_l=2.50 Mz_l=-0.41
Azioni sul cordone: TP=0.60 TO=4.04 NO=10.71
Tensioni nel cordone: τ_P=0.19 τ_0=1.28 σ_0=7.05 σ_{ID}=7.17 Σ_T=8.33
CC 18 SLD (Collegamento -382_-520)
Azioni sul collegamento: N=132.65 Ty=-1.24 Tz=-48.55 Mx=-0.29 Mz=-1.76
Sollecitazioni agenti localmente: Tx_l=-1.24 Ty_l=-48.55 N_l=132.65 My_l=1.76 Mz_l=-0.29
Azioni sul cordone: TP=0.43 TO=3.80 NO=9.76
Tensioni nel cordone: τ_P=0.14 τ_0=1.21 σ_0=5.68 σ_{ID}=5.81 Σ_T=6.89
CC 18 SLD (Collegamento -382_-520)
Azioni sul collegamento: N=132.65 Ty=-1.82 Tz=-48.55 Mx=-0.41 Mz=-2.50
Sollecitazioni agenti localmente: Tx_l=-1.82 Ty_l=-48.55 N_l=132.65 My_l=2.50 Mz_l=-0.41
Azioni sul cordone: TP=0.60 TO=3.89 NO=9.76
Tensioni nel cordone: τ_P=0.19 τ_0=1.24 σ_0=6.75 σ_{ID}=6.86 Σ_T=7.99
CC 18 SLD (Collegamento -382_-520)
Azioni sul collegamento: N=132.65 Ty=-1.24 Tz=-48.55 Mx=-0.29 Mz=-1.76
Sollecitazioni agenti localmente: Tx_l=-1.24 Ty_l=-48.55 N_l=132.65 My_l=1.76 Mz_l=-0.29
Azioni sul cordone: TP=0.43 TO=3.80 NO=9.76
Tensioni nel cordone: τ_P=0.14 τ_0=1.21 σ_0=5.68 σ_{ID}=5.81 Σ_T=6.89
CC 18 SLD (Collegamento -382_-520)
Azioni sul collegamento: N=132.65 Ty=-1.82 Tz=-48.55 Mx=-0.41 Mz=-2.50
Sollecitazioni agenti localmente: Tx_l=-1.82 Ty_l=-48.55 N_l=132.65 My_l=2.50 Mz_l=-0.41
Azioni sul cordone: TP=0.60 TO=3.89 NO=9.76
Tensioni nel cordone: τ_P=0.19 τ_0=1.24 σ_0=6.75 σ_{ID}=6.86 Σ_T=7.99
CC 19 SLV (Collegamento -382_-520)
Azioni sul collegamento: N=160.12 Ty=-0.66 Tz=-52.80 Mx=-0.16 Mz=-0.92
Sollecitazioni agenti localmente: Tx_l=-0.66 Ty_l=-52.80 N_l=160.12 My_l=0.92 Mz_l=-0.16
Azioni sul cordone: TP=0.23 TO=4.01 NO=11.78
Tensioni nel cordone: τ_P= 0.07 τ_0=1.28 σ_0=5.09 σ_{ID}=5.25 Σ_T=6.37
CC 19 SLV (Collegamento -382_-520)
Azioni sul collegamento: N=160.12 Ty=-1.47 Tz=-52.80 Mx=-0.36 Mz=-2.21
Sollecitazioni agenti localmente: Tx_l=-1.47 Ty_l=-52.80 N_l=160.12 My_l=2.21 Mz_l=-0.36
Azioni sul cordone: TP=0.52 TO=4.17 NO=11.78
Tensioni nel cordone: τ_P=0.17 τ_0=1.33 σ_0=6.97 σ_{ID}=7.10 Σ_T=8.29
CC 19 SLV (Collegamento -382_-520)
Azioni sul collegamento: N=160.12 Ty=-0.66 Tz=-52.80 Mx=-0.16 Mz=-0.92
Sollecitazioni agenti localmente: Tx_l=-0.66 Ty_l=-52.80 N_l=160.12 My_l=0.92 Mz_l=-0.16
Azioni sul cordone: TP=0.23 TO=4.01 NO=11.78
Tensioni nel cordone: τ_P= 0.07 τ_0=1.28 σ_0=5.09 σ_{ID}=5.25 Σ_T=6.37
CC 19 SLV (Collegamento -382_-520)

Azioni sul collegamento: N=160.12 Ty=-1.47 Tz=-52.80 Mx=-0.36 Mz=-2.21
Sollecitazioni agenti localmente: Tx_l=-1.47 Ty_l=-52.80 N_l=160.12 My_l=2.21 Mz_l=-0.36
Azioni sul cordone: TP=0.52 TO=4.17 NO=11.78
Tensioni nel cordone: τ_P=0.17 τ_O=1.33 σ_O=6.97 σ_{ID}=7.10 Σ_T=8.29
CC 19 SLV (Collegamento -382_-520)
Azioni sul collegamento: N=118.29 Ty=-0.66 Tz=-46.33 Mx=-0.16 Mz=-0.92
Sollecitazioni agenti localmente: Tx_l=-0.66 Ty_l=-46.33 N_l=118.29 My_l=0.92 Mz_l=-0.16
Azioni sul cordone: TP=0.23 TO=3.54 NO=8.70
Tensioni nel cordone: τ_P= 0.07 τ_O=1.12 σ_O=4.11 σ_{ID}=4.27 Σ_T=5.24
CC 19 SLV (Collegamento -382_-520)
Azioni sul collegamento: N=118.29 Ty=-1.47 Tz=-46.33 Mx=-0.36 Mz=-2.21
Sollecitazioni agenti localmente: Tx_l=-1.47 Ty_l=-46.33 N_l=118.29 My_l=2.21 Mz_l=-0.36
Azioni sul cordone: TP=0.52 TO=3.69 NO=8.70
Tensioni nel cordone: τ_P=0.17 τ_O=1.17 σ_O=5.99 σ_{ID}=6.11 Σ_T=7.16
CC 19 SLV (Collegamento -382_-520)
Azioni sul collegamento: N=118.29 Ty=-0.66 Tz=-46.33 Mx=-0.16 Mz=-0.92
Sollecitazioni agenti localmente: Tx_l=-0.66 Ty_l=-46.33 N_l=118.29 My_l=0.92 Mz_l=-0.16
Azioni sul cordone: TP=0.23 TO=3.54 NO=8.70
Tensioni nel cordone: τ_P= 0.07 τ_O=1.12 σ_O=4.11 σ_{ID}=4.27 Σ_T=5.24
CC 19 SLV (Collegamento -382_-520)
Azioni sul collegamento: N=118.29 Ty=-1.47 Tz=-46.33 Mx=-0.36 Mz=-2.21
Sollecitazioni agenti localmente: Tx_l=-1.47 Ty_l=-46.33 N_l=118.29 My_l=2.21 Mz_l=-0.36
Azioni sul cordone: TP=0.52 TO=3.69 NO=8.70
Tensioni nel cordone: τ_P=0.17 τ_O=1.17 σ_O=5.99 σ_{ID}=6.11 Σ_T=7.16
CC 20 SLD (Collegamento -382_-520)
Azioni sul collegamento: N=145.46 Ty=-1.41 Tz=-50.53 Mx=-0.32 Mz=-1.93
Sollecitazioni agenti localmente: Tx_l=-1.41 Ty_l=-50.53 N_l=145.46 My_l=1.93 Mz_l=-0.32
Azioni sul cordone: TP=0.47 TO=3.97 NO=10.70
Tensioni nel cordone: τ_P=0.15 τ_O=1.26 σ_O=6.23 σ_{ID}=6.36 Σ_T=7.49
CC 20 SLD (Collegamento -382_-520)
Azioni sul collegamento: N=145.46 Ty=-1.65 Tz=-50.53 Mx=-0.38 Mz=-2.33
Sollecitazioni agenti localmente: Tx_l=-1.65 Ty_l=-50.53 N_l=145.46 My_l=2.33 Mz_l=-0.38
Azioni sul cordone: TP=0.56 TO=4.02 NO=10.70
Tensioni nel cordone: τ_P=0.18 τ_O=1.28 σ_O=6.80 σ_{ID}=6.92 Σ_T=8.08
CC 20 SLD (Collegamento -382_-520)
Azioni sul collegamento: N=145.46 Ty=-1.41 Tz=-50.53 Mx=-0.32 Mz=-1.93
Sollecitazioni agenti localmente: Tx_l=-1.41 Ty_l=-50.53 N_l=145.46 My_l=1.93 Mz_l=-0.32
Azioni sul cordone: TP=0.47 TO=3.97 NO=10.70
Tensioni nel cordone: τ_P=0.15 τ_O=1.26 σ_O=6.23 σ_{ID}=6.36 Σ_T=7.49
CC 20 SLD (Collegamento -382_-520)
Azioni sul collegamento: N=145.46 Ty=-1.65 Tz=-50.53 Mx=-0.38 Mz=-2.33
Sollecitazioni agenti localmente: Tx_l=-1.65 Ty_l=-50.53 N_l=145.46 My_l=2.33 Mz_l=-0.38
Azioni sul cordone: TP=0.56 TO=4.02 NO=10.70
Tensioni nel cordone: τ_P=0.18 τ_O=1.28 σ_O=6.80 σ_{ID}=6.92 Σ_T=8.08
CC 20 SLD (Collegamento -382_-520)
Azioni sul collegamento: N=132.71 Ty=-1.41 Tz=-48.56 Mx=-0.32 Mz=-1.93
Sollecitazioni agenti localmente: Tx_l=-1.41 Ty_l=-48.56 N_l=132.71 My_l=1.93 Mz_l=-0.32
Azioni sul cordone: TP=0.47 TO=3.82 NO=9.77
Tensioni nel cordone: τ_P=0.15 τ_O=1.22 σ_O=5.93 σ_{ID}=6.05 Σ_T=7.14
CC 20 SLD (Collegamento -382_-520)
Azioni sul collegamento: N=132.71 Ty=-1.65 Tz=-48.56 Mx=-0.38 Mz=-2.33
Sollecitazioni agenti localmente: Tx_l=-1.65 Ty_l=-48.56 N_l=132.71 My_l=2.33 Mz_l=-0.38
Azioni sul cordone: TP=0.56 TO=3.87 NO=9.77
Tensioni nel cordone: τ_P=0.18 τ_O=1.23 σ_O=6.50 σ_{ID}=6.62 Σ_T=7.73
CC 20 SLD (Collegamento -382_-520)
Azioni sul collegamento: N=132.71 Ty=-1.41 Tz=-48.56 Mx=-0.32 Mz=-1.93
Sollecitazioni agenti localmente: Tx_l=-1.41 Ty_l=-48.56 N_l=132.71 My_l=1.93 Mz_l=-0.32
Azioni sul cordone: TP=0.47 TO=3.82 NO=9.77
Tensioni nel cordone: τ_P=0.15 τ_O=1.22 σ_O=5.93 σ_{ID}=6.05 Σ_T=7.14
CC 20 SLD (Collegamento -382_-520)
Azioni sul collegamento: N=132.71 Ty=-1.65 Tz=-48.56 Mx=-0.38 Mz=-2.33
Sollecitazioni agenti localmente: Tx_l=-1.65 Ty_l=-48.56 N_l=132.71 My_l=2.33 Mz_l=-0.38
Azioni sul cordone: TP=0.56 TO=3.87 NO=9.77
Tensioni nel cordone: τ_P=0.18 τ_O=1.23 σ_O=6.50 σ_{ID}=6.62 Σ_T=7.73
CC 21 SLV (Collegamento -382_-520)
Azioni sul collegamento: N=118.29 Ty=-1.47 Tz=-46.33 Mx=-0.35 Mz=-2.21
Sollecitazioni agenti localmente: Tx_l=-1.47 Ty_l=-46.33 N_l=118.29 My_l=2.21 Mz_l=-0.35
Azioni sul cordone: TP=0.51 TO=3.68 NO=8.70
Tensioni nel cordone: τ_P=0.16 τ_O=1.17 σ_O=5.99 σ_{ID}=6.11 Σ_T=7.16
CC 21 SLV (Collegamento -382_-520)
Azioni sul collegamento: N=118.29 Ty=-0.66 Tz=-46.33 Mx=-0.15 Mz=-0.92
Sollecitazioni agenti localmente: Tx_l=-0.66 Ty_l=-46.33 N_l=118.29 My_l=0.92 Mz_l=-0.15
Azioni sul cordone: TP=0.22 TO=3.53 NO=8.70
Tensioni nel cordone: τ_P= 0.07 τ_O=1.12 σ_O=4.12 σ_{ID}=4.27 Σ_T=5.24
CC 21 SLV (Collegamento -382_-520)
Azioni sul collegamento: N=118.29 Ty=-1.47 Tz=-46.33 Mx=-0.35 Mz=-2.21
Sollecitazioni agenti localmente: Tx_l=-1.47 Ty_l=-46.33 N_l=118.29 My_l=2.21 Mz_l=-0.35
Azioni sul cordone: TP=0.51 TO=3.68 NO=8.70
Tensioni nel cordone: τ_P=0.16 τ_O=1.17 σ_O=5.99 σ_{ID}=6.11 Σ_T=7.16

CC 21 SLV (Collegamento -382_-520)
Azioni sul collegamento: N=118.29 Ty=-0.66 Tz=-46.33 Mx=-0.15 Mz=-0.92
Sollecitazioni agenti localmente: Tx_l=-0.66 Ty_l=-46.33 N_l=118.29 My_l=0.92 Mz_l=-0.15
Azioni sul cordone: TP=0.22 TO=3.53 NO=8.70
Tensioni nel cordone: τ_P= 0.07 τ_0=1.12 σ_0=4.12 σ_{ID}=4.27 Σ_T=5.24
CC 21 SLV (Collegamento -382_-520)
Azioni sul collegamento: N=160.12 Ty=-1.47 Tz=-52.80 Mx=-0.35 Mz=-2.21
Sollecitazioni agenti localmente: Tx_l=-1.47 Ty_l=-52.80 N_l=160.12 My_l=2.21 Mz_l=-0.35
Azioni sul cordone: TP=0.51 TO=4.16 NO=11.78
Tensioni nel cordone: τ_P=0.16 τ_0=1.32 σ_0=6.97 σ_{ID}=7.10 Σ_T=8.29
CC 21 SLV (Collegamento -382_-520)
Azioni sul collegamento: N=160.12 Ty=-0.66 Tz=-52.80 Mx=-0.15 Mz=-0.92
Sollecitazioni agenti localmente: Tx_l=-0.66 Ty_l=-52.80 N_l=160.12 My_l=0.92 Mz_l=-0.15
Azioni sul cordone: TP=0.22 TO=4.00 NO=11.78
Tensioni nel cordone: τ_P= 0.07 τ_0=1.27 σ_0=5.09 σ_{ID}=5.25 Σ_T=6.37
CC 21 SLV (Collegamento -382_-520)
Azioni sul collegamento: N=160.12 Ty=-1.47 Tz=-52.80 Mx=-0.35 Mz=-2.21
Sollecitazioni agenti localmente: Tx_l=-1.47 Ty_l=-52.80 N_l=160.12 My_l=2.21 Mz_l=-0.35
Azioni sul cordone: TP=0.51 TO=4.16 NO=11.78
Tensioni nel cordone: τ_P=0.16 τ_0=1.32 σ_0=6.97 σ_{ID}=7.10 Σ_T=8.29
CC 21 SLV (Collegamento -382_-520)
Azioni sul collegamento: N=160.12 Ty=-0.66 Tz=-52.80 Mx=-0.15 Mz=-0.92
Sollecitazioni agenti localmente: Tx_l=-0.66 Ty_l=-52.80 N_l=160.12 My_l=0.92 Mz_l=-0.15
Azioni sul cordone: TP=0.22 TO=4.00 NO=11.78
Tensioni nel cordone: τ_P= 0.07 τ_0=1.27 σ_0=5.09 σ_{ID}=5.25 Σ_T=6.37
CC 22 SLD (Collegamento -382_-520)
Azioni sul collegamento: N=132.71 Ty=-1.65 Tz=-48.56 Mx=-0.38 Mz=-2.33
Sollecitazioni agenti localmente: Tx_l=-1.65 Ty_l=-48.56 N_l=132.71 My_l=2.33 Mz_l=-0.38
Azioni sul cordone: TP=0.55 TO=3.87 NO=9.77
Tensioni nel cordone: τ_P=0.18 τ_0=1.23 σ_0=6.50 σ_{ID}=6.62 Σ_T=7.73
CC 22 SLD (Collegamento -382_-520)
Azioni sul collegamento: N=132.71 Ty=-1.41 Tz=-48.56 Mx=-0.31 Mz=-1.93
Sollecitazioni agenti localmente: Tx_l=-1.41 Ty_l=-48.56 N_l=132.71 My_l=1.93 Mz_l=-0.31
Azioni sul cordone: TP=0.47 TO=3.82 NO=9.77
Tensioni nel cordone: τ_P=0.15 τ_0=1.21 σ_0=5.93 σ_{ID}=6.05 Σ_T=7.14
CC 22 SLD (Collegamento -382_-520)
Azioni sul collegamento: N=132.71 Ty=-1.65 Tz=-48.56 Mx=-0.38 Mz=-2.33
Sollecitazioni agenti localmente: Tx_l=-1.65 Ty_l=-48.56 N_l=132.71 My_l=2.33 Mz_l=-0.38
Azioni sul cordone: TP=0.55 TO=3.87 NO=9.77
Tensioni nel cordone: τ_P=0.18 τ_0=1.23 σ_0=6.50 σ_{ID}=6.62 Σ_T=7.73
CC 22 SLD (Collegamento -382_-520)
Azioni sul collegamento: N=132.71 Ty=-1.41 Tz=-48.56 Mx=-0.31 Mz=-1.93
Sollecitazioni agenti localmente: Tx_l=-1.41 Ty_l=-48.56 N_l=132.71 My_l=1.93 Mz_l=-0.31
Azioni sul cordone: TP=0.47 TO=3.82 NO=9.77
Tensioni nel cordone: τ_P=0.15 τ_0=1.21 σ_0=5.93 σ_{ID}=6.05 Σ_T=7.14
CC 22 SLD (Collegamento -382_-520)
Azioni sul collegamento: N=145.46 Ty=-1.65 Tz=-50.53 Mx=-0.38 Mz=-2.33
Sollecitazioni agenti localmente: Tx_l=-1.65 Ty_l=-50.53 N_l=145.46 My_l=2.33 Mz_l=-0.38
Azioni sul cordone: TP=0.55 TO=4.01 NO=10.70
Tensioni nel cordone: τ_P=0.18 τ_0=1.28 σ_0=6.80 σ_{ID}=6.92 Σ_T=8.08
CC 22 SLD (Collegamento -382_-520)
Azioni sul collegamento: N=145.46 Ty=-1.41 Tz=-50.53 Mx=-0.31 Mz=-1.93
Sollecitazioni agenti localmente: Tx_l=-1.41 Ty_l=-50.53 N_l=145.46 My_l=1.93 Mz_l=-0.31
Azioni sul cordone: TP=0.47 TO=3.97 NO=10.70
Tensioni nel cordone: τ_P=0.15 τ_0=1.26 σ_0=6.23 σ_{ID}=6.36 Σ_T=7.49
CC 22 SLD (Collegamento -382_-520)
Azioni sul collegamento: N=145.46 Ty=-1.65 Tz=-50.53 Mx=-0.38 Mz=-2.33
Sollecitazioni agenti localmente: Tx_l=-1.65 Ty_l=-50.53 N_l=145.46 My_l=2.33 Mz_l=-0.38
Azioni sul cordone: TP=0.55 TO=4.01 NO=10.70
Tensioni nel cordone: τ_P=0.18 τ_0=1.28 σ_0=6.80 σ_{ID}=6.92 Σ_T=8.08
CC 22 SLD (Collegamento -382_-520)
Azioni sul collegamento: N=145.46 Ty=-1.41 Tz=-50.53 Mx=-0.31 Mz=-1.93
Sollecitazioni agenti localmente: Tx_l=-1.41 Ty_l=-50.53 N_l=145.46 My_l=1.93 Mz_l=-0.31
Azioni sul cordone: TP=0.47 TO=3.97 NO=10.70
Tensioni nel cordone: τ_P=0.15 τ_0=1.26 σ_0=6.23 σ_{ID}=6.36 Σ_T=7.49
CC 23 SLV (Collegamento -382_-520)
Azioni sul collegamento: N=118.10 Ty=-2.00 Tz=-46.30 Mx=-0.43 Mz=-2.77
Sollecitazioni agenti localmente: Tx_l=-2.00 Ty_l=-46.30 N_l=118.10 My_l=2.77 Mz_l=-0.43
Azioni sul cordone: TP=0.65 TO=3.75 NO=8.69
Tensioni nel cordone: τ_P=0.21 τ_0=1.19 σ_0=6.81 σ_{ID}=6.92 Σ_T=8.00
CC 23 SLV (Collegamento -382_-520)
Azioni sul collegamento: N=118.10 Ty=-0.12 Tz=-46.30 Mx=-0.06 Mz=-0.36
Sollecitazioni agenti localmente: Tx_l=-0.12 Ty_l=-46.30 N_l=118.10 My_l=0.36 Mz_l=-0.06
Azioni sul cordone: TP=0.08 TO=3.45 NO=8.69
Tensioni nel cordone: τ_P= 0.03 τ_0=1.10 σ_0=3.29 σ_{ID}=3.47 Σ_T=4.39
CC 23 SLV (Collegamento -382_-520)
Azioni sul collegamento: N=118.10 Ty=-2.00 Tz=-46.30 Mx=-0.43 Mz=-2.77
Sollecitazioni agenti localmente: Tx_l=-2.00 Ty_l=-46.30 N_l=118.10 My_l=2.77 Mz_l=-0.43
Azioni sul cordone: TP=0.65 TO=3.75 NO=8.69

Tensioni nel cordone: τ_P=0.21 τ_0=1.19 σ_0=6.81 σ_{ID}=6.92 Σ_T=8.00
CC 23 SLV (Collegamento -382_-520)
Azioni sul collegamento: N=118.10 Ty=-0.12 Tz=-46.30 Mx=-0.06 Mz=-0.36
Sollecitazioni agenti localmente: Tx_l=-0.12 Ty_l=-46.30 N_l=118.10 My_l=0.36 Mz_l=-0.06
Azioni sul cordone: TP=0.08 TO=3.45 NO=8.69
Tensioni nel cordone: τ_P= 0.03 τ_0=1.10 σ_0=3.29 σ_{ID}=3.47 Σ_T=4.39
CC 23 SLV (Collegamento -382_-520)
Azioni sul collegamento: N=160.31 Ty=-2.00 Tz=-52.83 Mx=-0.43 Mz=-2.77
Sollecitazioni agenti localmente: Tx_l=-2.00 Ty_l=-52.83 N_l=160.31 My_l=2.77 Mz_l=-0.43
Azioni sul cordone: TP=0.65 TO=4.23 NO=11.80
Tensioni nel cordone: τ_P=0.21 τ_0=1.34 σ_0=7.80 σ_{ID}=7.91 Σ_T=9.14
CC 23 SLV (Collegamento -382_-520)
Azioni sul collegamento: N=160.31 Ty=-0.12 Tz=-52.83 Mx=-0.06 Mz=-0.36
Sollecitazioni agenti localmente: Tx_l=-0.12 Ty_l=-52.83 N_l=160.31 My_l=0.36 Mz_l=-0.06
Azioni sul cordone: TP=0.08 TO=3.94 NO=11.80
Tensioni nel cordone: τ_P= 0.03 τ_0=1.25 σ_0=4.28 σ_{ID}=4.46 Σ_T=5.53
CC 23 SLV (Collegamento -382_-520)
Azioni sul collegamento: N=160.31 Ty=-2.00 Tz=-52.83 Mx=-0.43 Mz=-2.77
Sollecitazioni agenti localmente: Tx_l=-2.00 Ty_l=-52.83 N_l=160.31 My_l=2.77 Mz_l=-0.43
Azioni sul cordone: TP=0.65 TO=4.23 NO=11.80
Tensioni nel cordone: τ_P=0.21 τ_0=1.34 σ_0=7.80 σ_{ID}=7.91 Σ_T=9.14
CC 23 SLV (Collegamento -382_-520)
Azioni sul collegamento: N=160.31 Ty=-0.12 Tz=-52.83 Mx=-0.06 Mz=-0.36
Sollecitazioni agenti localmente: Tx_l=-0.12 Ty_l=-52.83 N_l=160.31 My_l=0.36 Mz_l=-0.06
Azioni sul cordone: TP=0.08 TO=3.94 NO=11.80
Tensioni nel cordone: τ_P= 0.03 τ_0=1.25 σ_0=4.28 σ_{ID}=4.46 Σ_T=5.53
CC 24 SLD (Collegamento -382_-520)
Azioni sul collegamento: N=132.65 Ty=-1.82 Tz=-48.55 Mx=-0.40 Mz=-2.50
Sollecitazioni agenti localmente: Tx_l=-1.82 Ty_l=-48.55 N_l=132.65 My_l=2.50 Mz_l=-0.40
Azioni sul cordone: TP=0.60 TO=3.89 NO=9.76
Tensioni nel cordone: τ_P=0.19 τ_0=1.24 σ_0=6.75 σ_{ID}=6.87 Σ_T=7.99
CC 24 SLD (Collegamento -382_-520)
Azioni sul collegamento: N=132.65 Ty=-1.24 Tz=-48.55 Mx=-0.29 Mz=-1.76
Sollecitazioni agenti localmente: Tx_l=-1.24 Ty_l=-48.55 N_l=132.65 My_l=1.76 Mz_l=-0.29
Azioni sul cordone: TP=0.42 TO=3.80 NO=9.76
Tensioni nel cordone: τ_P=0.13 τ_0=1.21 σ_0=5.68 σ_{ID}=5.81 Σ_T=6.89
CC 24 SLD (Collegamento -382_-520)
Azioni sul collegamento: N=132.65 Ty=-1.82 Tz=-48.55 Mx=-0.40 Mz=-2.50
Sollecitazioni agenti localmente: Tx_l=-1.82 Ty_l=-48.55 N_l=132.65 My_l=2.50 Mz_l=-0.40
Azioni sul cordone: TP=0.60 TO=3.89 NO=9.76
Tensioni nel cordone: τ_P=0.19 τ_0=1.24 σ_0=6.75 σ_{ID}=6.87 Σ_T=7.99
CC 24 SLD (Collegamento -382_-520)
Azioni sul collegamento: N=132.65 Ty=-1.24 Tz=-48.55 Mx=-0.29 Mz=-1.76
Sollecitazioni agenti localmente: Tx_l=-1.24 Ty_l=-48.55 N_l=132.65 My_l=1.76 Mz_l=-0.29
Azioni sul cordone: TP=0.42 TO=3.80 NO=9.76
Tensioni nel cordone: τ_P=0.13 τ_0=1.21 σ_0=5.68 σ_{ID}=5.81 Σ_T=6.89
CC 24 SLD (Collegamento -382_-520)
Azioni sul collegamento: N=145.52 Ty=-1.82 Tz=-50.54 Mx=-0.40 Mz=-2.50
Sollecitazioni agenti localmente: Tx_l=-1.82 Ty_l=-50.54 N_l=145.52 My_l=2.50 Mz_l=-0.40
Azioni sul cordone: TP=0.60 TO=4.04 NO=10.71
Tensioni nel cordone: τ_P=0.19 τ_0=1.28 σ_0=7.05 σ_{ID}=7.17 Σ_T=8.33
CC 24 SLD (Collegamento -382_-520)
Azioni sul collegamento: N=145.52 Ty=-1.24 Tz=-50.54 Mx=-0.29 Mz=-1.76
Sollecitazioni agenti localmente: Tx_l=-1.24 Ty_l=-50.54 N_l=145.52 My_l=1.76 Mz_l=-0.29
Azioni sul cordone: TP=0.42 TO=3.95 NO=10.71
Tensioni nel cordone: τ_P=0.13 τ_0=1.25 σ_0=5.98 σ_{ID}=6.11 Σ_T=7.23
CC 24 SLD (Collegamento -382_-520)
Azioni sul collegamento: N=145.52 Ty=-1.82 Tz=-50.54 Mx=-0.40 Mz=-2.50
Sollecitazioni agenti localmente: Tx_l=-1.82 Ty_l=-50.54 N_l=145.52 My_l=2.50 Mz_l=-0.40
Azioni sul cordone: TP=0.60 TO=4.04 NO=10.71
Tensioni nel cordone: τ_P=0.19 τ_0=1.28 σ_0=7.05 σ_{ID}=7.17 Σ_T=8.33
CC 24 SLD (Collegamento -382_-520)
Azioni sul collegamento: N=145.52 Ty=-1.24 Tz=-50.54 Mx=-0.29 Mz=-1.76
Sollecitazioni agenti localmente: Tx_l=-1.24 Ty_l=-50.54 N_l=145.52 My_l=1.76 Mz_l=-0.29
Azioni sul cordone: TP=0.42 TO=3.95 NO=10.71
Tensioni nel cordone: τ_P=0.13 τ_0=1.25 σ_0=5.98 σ_{ID}=6.11 Σ_T=7.23
CC 25 SLV (Collegamento -382_-520)
Azioni sul collegamento: N=145.83 Ty=0.03 Tz=-50.59 Mx=-0.07 Mz=-0.35
Sollecitazioni agenti localmente: Tx_l=0.03 Ty_l=-50.59 N_l=145.83 My_l=0.35 Mz_l=-0.07
Azioni sul cordone: TP=0.09 TO=-3.78 NO=10.73
Tensioni nel cordone: τ_P= 0.03 τ_0=1.20 σ_0=3.92 σ_{ID}=4.10 Σ_T=5.12
CC 25 SLV (Collegamento -382_-520)
Azioni sul collegamento: N=145.83 Ty=-2.15 Tz=-50.59 Mx=-0.45 Mz=-2.78
Sollecitazioni agenti localmente: Tx_l=-2.15 Ty_l=-50.59 N_l=145.83 My_l=2.78 Mz_l=-0.45
Azioni sul cordone: TP=0.68 TO=4.08 NO=10.73
Tensioni nel cordone: τ_P=0.21 τ_0=1.30 σ_0=7.47 σ_{ID}=7.58 Σ_T=8.76
CC 25 SLV (Collegamento -382_-520)
Azioni sul collegamento: N=145.83 Ty=0.03 Tz=-50.59 Mx=-0.07 Mz=-0.35
Sollecitazioni agenti localmente: Tx_l=0.03 Ty_l=-50.59 N_l=145.83 My_l=0.35 Mz_l=-0.07

Azioni sul cordone: TP=0.09 TO=-3.78 NO=10.73
Tensioni nel cordone: τ_P= 0.03 τ_0=1.20 σ_0=3.92 σ_{ID}=4.10 Σ_T=5.12
CC 25 SLV (Collegamento -382_-520)
Azioni sul collegamento: N=145.83 Ty=-2.15 Tz=-50.59 Mx=-0.45 Mz=-2.78
Sollecitazioni agenti localmente: Tx_l=-2.15 Ty_l=-50.59 N_l=145.83 My_l=2.78 Mz_l=-0.45
Azioni sul cordone: TP=0.68 TO=4.08 NO=10.73
Tensioni nel cordone: τ_P=0.21 τ_0=1.30 σ_0=7.47 σ_{ID}=7.58 Σ_T=8.76
CC 25 SLV (Collegamento -382_-520)
Azioni sul collegamento: N=132.59 Ty=0.03 Tz=-48.54 Mx=-0.07 Mz=-0.35
Sollecitazioni agenti localmente: Tx_l=0.03 Ty_l=-48.54 N_l=132.59 My_l=0.35 Mz_l=-0.07
Azioni sul cordone: TP=0.09 TO=-3.63 NO=9.76
Tensioni nel cordone: τ_P= 0.03 τ_0=1.15 σ_0=3.61 σ_{ID}=3.79 Σ_T=4.77
CC 25 SLV (Collegamento -382_-520)
Azioni sul collegamento: N=132.59 Ty=-2.15 Tz=-48.54 Mx=-0.45 Mz=-2.78
Sollecitazioni agenti localmente: Tx_l=-2.15 Ty_l=-48.54 N_l=132.59 My_l=2.78 Mz_l=-0.45
Azioni sul cordone: TP=0.68 TO=3.93 NO=9.76
Tensioni nel cordone: τ_P=0.21 τ_0=1.25 σ_0=7.16 σ_{ID}=7.27 Σ_T=8.41
CC 25 SLV (Collegamento -382_-520)
Azioni sul collegamento: N=132.59 Ty=0.03 Tz=-48.54 Mx=-0.07 Mz=-0.35
Sollecitazioni agenti localmente: Tx_l=0.03 Ty_l=-48.54 N_l=132.59 My_l=0.35 Mz_l=-0.07
Azioni sul cordone: TP=0.09 TO=-3.63 NO=9.76
Tensioni nel cordone: τ_P= 0.03 τ_0=1.15 σ_0=3.61 σ_{ID}=3.79 Σ_T=4.77
CC 25 SLV (Collegamento -382_-520)
Azioni sul collegamento: N=132.59 Ty=-2.15 Tz=-48.54 Mx=-0.45 Mz=-2.78
Sollecitazioni agenti localmente: Tx_l=-2.15 Ty_l=-48.54 N_l=132.59 My_l=2.78 Mz_l=-0.45
Azioni sul cordone: TP=0.68 TO=3.93 NO=9.76
Tensioni nel cordone: τ_P=0.21 τ_0=1.25 σ_0=7.16 σ_{ID}=7.27 Σ_T=8.41
CC 26 SLD (Collegamento -382_-520)
Azioni sul collegamento: N=141.11 Ty=-1.20 Tz=-49.86 Mx=-0.29 Mz=-1.76
Sollecitazioni agenti localmente: Tx_l=-1.20 Ty_l=-49.86 N_l=141.11 My_l=1.76 Mz_l=-0.29
Azioni sul cordone: TP=0.42 TO=3.90 NO=10.38
Tensioni nel cordone: τ_P=0.13 τ_0=1.24 σ_0=5.87 σ_{ID}=6.00 Σ_T=7.11
CC 26 SLD (Collegamento -382_-520)
Azioni sul collegamento: N=141.11 Ty=-1.86 Tz=-49.86 Mx=-0.41 Mz=-2.50
Sollecitazioni agenti localmente: Tx_l=-1.86 Ty_l=-49.86 N_l=141.11 My_l=2.50 Mz_l=-0.41
Azioni sul cordone: TP=0.60 TO=3.99 NO=10.38
Tensioni nel cordone: τ_P=0.19 τ_0=1.27 σ_0=6.95 σ_{ID}=7.07 Σ_T=8.22
CC 26 SLD (Collegamento -382_-520)
Azioni sul collegamento: N=141.11 Ty=-1.20 Tz=-49.86 Mx=-0.29 Mz=-1.76
Sollecitazioni agenti localmente: Tx_l=-1.20 Ty_l=-49.86 N_l=141.11 My_l=1.76 Mz_l=-0.29
Azioni sul cordone: TP=0.42 TO=3.90 NO=10.38
Tensioni nel cordone: τ_P=0.13 τ_0=1.24 σ_0=5.87 σ_{ID}=6.00 Σ_T=7.11
CC 26 SLD (Collegamento -382_-520)
Azioni sul collegamento: N=141.11 Ty=-1.86 Tz=-49.86 Mx=-0.41 Mz=-2.50
Sollecitazioni agenti localmente: Tx_l=-1.86 Ty_l=-49.86 N_l=141.11 My_l=2.50 Mz_l=-0.41
Azioni sul cordone: TP=0.60 TO=3.99 NO=10.38
Tensioni nel cordone: τ_P=0.19 τ_0=1.27 σ_0=6.95 σ_{ID}=7.07 Σ_T=8.22
CC 26 SLD (Collegamento -382_-520)
Azioni sul collegamento: N=137.07 Ty=-1.20 Tz=-49.23 Mx=-0.29 Mz=-1.76
Sollecitazioni agenti localmente: Tx_l=-1.20 Ty_l=-49.23 N_l=137.07 My_l=1.76 Mz_l=-0.29
Azioni sul cordone: TP=0.42 TO=3.85 NO=10.09
Tensioni nel cordone: τ_P=0.13 τ_0=1.22 σ_0=5.78 σ_{ID}=5.91 Σ_T=7.00
CC 26 SLD (Collegamento -382_-520)
Azioni sul collegamento: N=137.07 Ty=-1.86 Tz=-49.23 Mx=-0.41 Mz=-2.50
Sollecitazioni agenti localmente: Tx_l=-1.86 Ty_l=-49.23 N_l=137.07 My_l=2.50 Mz_l=-0.41
Azioni sul cordone: TP=0.60 TO=3.94 NO=10.09
Tensioni nel cordone: τ_P=0.19 τ_0=1.25 σ_0=6.86 σ_{ID}=6.97 Σ_T=8.11
CC 26 SLD (Collegamento -382_-520)
Azioni sul collegamento: N=137.07 Ty=-1.20 Tz=-49.23 Mx=-0.29 Mz=-1.76
Sollecitazioni agenti localmente: Tx_l=-1.20 Ty_l=-49.23 N_l=137.07 My_l=1.76 Mz_l=-0.29
Azioni sul cordone: TP=0.42 TO=3.85 NO=10.09
Tensioni nel cordone: τ_P=0.13 τ_0=1.22 σ_0=5.78 σ_{ID}=5.91 Σ_T=7.00
CC 26 SLD (Collegamento -382_-520)
Azioni sul collegamento: N=137.07 Ty=-1.86 Tz=-49.23 Mx=-0.41 Mz=-2.50
Sollecitazioni agenti localmente: Tx_l=-1.86 Ty_l=-49.23 N_l=137.07 My_l=2.50 Mz_l=-0.41
Azioni sul cordone: TP=0.60 TO=3.94 NO=10.09
Tensioni nel cordone: τ_P=0.19 τ_0=1.25 σ_0=6.86 σ_{ID}=6.97 Σ_T=8.11
CC 27 SLV (Collegamento -382_-520)
Azioni sul collegamento: N=133.22 Ty=-0.37 Tz=-48.64 Mx=-0.16 Mz=-0.91
Sollecitazioni agenti localmente: Tx_l=-0.37 Ty_l=-48.64 N_l=133.22 My_l=0.91 Mz_l=-0.16
Azioni sul cordone: TP=0.21 TO=3.70 NO=9.80
Tensioni nel cordone: τ_P= 0.07 τ_0=1.18 σ_0=4.44 σ_{ID}=4.59 Σ_T=5.61
CC 27 SLV (Collegamento -382_-520)
Azioni sul collegamento: N=133.22 Ty=-1.75 Tz=-48.64 Mx=-0.36 Mz=-2.23
Sollecitazioni agenti localmente: Tx_l=-1.75 Ty_l=-48.64 N_l=133.22 My_l=2.23 Mz_l=-0.36
Azioni sul cordone: TP=0.54 TO=3.86 NO=9.80
Tensioni nel cordone: τ_P=0.17 τ_0=1.23 σ_0=6.37 σ_{ID}=6.49 Σ_T=7.59
CC 27 SLV (Collegamento -382_-520)
Azioni sul collegamento: N=133.22 Ty=-0.37 Tz=-48.64 Mx=-0.16 Mz=-0.91

Sollecitazioni agenti localmente: Tx_l=-0.37 Ty_l=-48.64 N_l=133.22 My_l=0.91 Mz_l=-0.16
Azioni sul cordone: TP=0.21 TO=3.70 NO=9.80
Tensioni nel cordone: τ_P= 0.07 τ_0=1.18 σ_0=4.44 σ_{ID}=4.59 Σ_T=5.61
CC 27 SLV (Collegamento -382_-520)
Azioni sul collegamento: N=133.22 Ty=-1.75 Tz=-48.64 Mx=-0.36 Mz=-2.23
Sollecitazioni agenti localmente: Tx_l=-1.75 Ty_l=-48.64 N_l=133.22 My_l=2.23 Mz_l=-0.36
Azioni sul cordone: TP=0.54 TO=3.86 NO=9.80
Tensioni nel cordone: τ_P=0.17 τ_0=1.23 σ_0=6.37 σ_{ID}=6.49 Σ_T=7.59
CC 27 SLV (Collegamento -382_-520)
Azioni sul collegamento: N=145.19 Ty=-0.37 Tz=-50.49 Mx=-0.16 Mz=-0.91
Sollecitazioni agenti localmente: Tx_l=-0.37 Ty_l=-50.49 N_l=145.19 My_l=0.91 Mz_l=-0.16
Azioni sul cordone: TP=0.21 TO=3.84 NO=10.68
Tensioni nel cordone: τ_P= 0.07 τ_0=1.22 σ_0=4.72 σ_{ID}=4.87 Σ_T=5.94
CC 27 SLV (Collegamento -382_-520)
Azioni sul collegamento: N=145.19 Ty=-1.75 Tz=-50.49 Mx=-0.36 Mz=-2.23
Sollecitazioni agenti localmente: Tx_l=-1.75 Ty_l=-50.49 N_l=145.19 My_l=2.23 Mz_l=-0.36
Azioni sul cordone: TP=0.54 TO=4.00 NO=10.68
Tensioni nel cordone: τ_P=0.17 τ_0=1.27 σ_0=6.65 σ_{ID}=6.77 Σ_T=7.92
CC 27 SLV (Collegamento -382_-520)
Azioni sul collegamento: N=145.19 Ty=-0.37 Tz=-50.49 Mx=-0.16 Mz=-0.91
Sollecitazioni agenti localmente: Tx_l=-0.37 Ty_l=-50.49 N_l=145.19 My_l=0.91 Mz_l=-0.16
Azioni sul cordone: TP=0.21 TO=3.84 NO=10.68
Tensioni nel cordone: τ_P= 0.07 τ_0=1.22 σ_0=4.72 σ_{ID}=4.87 Σ_T=5.94
CC 27 SLV (Collegamento -382_-520)
Azioni sul collegamento: N=145.19 Ty=-1.75 Tz=-50.49 Mx=-0.36 Mz=-2.23
Sollecitazioni agenti localmente: Tx_l=-1.75 Ty_l=-50.49 N_l=145.19 My_l=2.23 Mz_l=-0.36
Azioni sul cordone: TP=0.54 TO=4.00 NO=10.68
Tensioni nel cordone: τ_P=0.17 τ_0=1.27 σ_0=6.65 σ_{ID}=6.77 Σ_T=7.92
CC 28 SLD (Collegamento -382_-520)
Azioni sul collegamento: N=137.26 Ty=-1.32 Tz=-49.26 Mx=-0.32 Mz=-1.93
Sollecitazioni agenti localmente: Tx_l=-1.32 Ty_l=-49.26 N_l=137.26 My_l=1.93 Mz_l=-0.32
Azioni sul cordone: TP=0.46 TO=3.87 NO=10.10
Tensioni nel cordone: τ_P=0.15 τ_0=1.23 σ_0=6.03 σ_{ID}=6.15 Σ_T=7.26
CC 28 SLD (Collegamento -382_-520)
Azioni sul collegamento: N=137.26 Ty=-1.74 Tz=-49.26 Mx=-0.38 Mz=-2.33
Sollecitazioni agenti localmente: Tx_l=-1.74 Ty_l=-49.26 N_l=137.26 My_l=2.33 Mz_l=-0.38
Azioni sul cordone: TP=0.56 TO=3.92 NO=10.10
Tensioni nel cordone: τ_P=0.18 τ_0=1.25 σ_0=6.62 σ_{ID}=6.73 Σ_T=7.86
CC 28 SLD (Collegamento -382_-520)
Azioni sul collegamento: N=137.26 Ty=-1.32 Tz=-49.26 Mx=-0.32 Mz=-1.93
Sollecitazioni agenti localmente: Tx_l=-1.32 Ty_l=-49.26 N_l=137.26 My_l=1.93 Mz_l=-0.32
Azioni sul cordone: TP=0.46 TO=3.87 NO=10.10
Tensioni nel cordone: τ_P=0.15 τ_0=1.23 σ_0=6.03 σ_{ID}=6.15 Σ_T=7.26
CC 28 SLD (Collegamento -382_-520)
Azioni sul collegamento: N=137.26 Ty=-1.74 Tz=-49.26 Mx=-0.38 Mz=-2.33
Sollecitazioni agenti localmente: Tx_l=-1.74 Ty_l=-49.26 N_l=137.26 My_l=2.33 Mz_l=-0.38
Azioni sul cordone: TP=0.56 TO=3.92 NO=10.10
Tensioni nel cordone: τ_P=0.18 τ_0=1.25 σ_0=6.62 σ_{ID}=6.73 Σ_T=7.86
CC 28 SLD (Collegamento -382_-520)
Azioni sul collegamento: N=140.91 Ty=-1.32 Tz=-49.83 Mx=-0.32 Mz=-1.93
Sollecitazioni agenti localmente: Tx_l=-1.32 Ty_l=-49.83 N_l=140.91 My_l=1.93 Mz_l=-0.32
Azioni sul cordone: TP=0.46 TO=3.92 NO=10.37
Tensioni nel cordone: τ_P=0.15 τ_0=1.24 σ_0=6.11 σ_{ID}=6.24 Σ_T=7.36
CC 28 SLD (Collegamento -382_-520)
Azioni sul collegamento: N=140.91 Ty=-1.74 Tz=-49.83 Mx=-0.38 Mz=-2.33
Sollecitazioni agenti localmente: Tx_l=-1.74 Ty_l=-49.83 N_l=140.91 My_l=2.33 Mz_l=-0.38
Azioni sul cordone: TP=0.56 TO=3.96 NO=10.37
Tensioni nel cordone: τ_P=0.18 τ_0=1.26 σ_0=6.70 σ_{ID}=6.82 Σ_T=7.96
CC 28 SLD (Collegamento -382_-520)
Azioni sul collegamento: N=140.91 Ty=-1.32 Tz=-49.83 Mx=-0.32 Mz=-1.93
Sollecitazioni agenti localmente: Tx_l=-1.32 Ty_l=-49.83 N_l=140.91 My_l=1.93 Mz_l=-0.32
Azioni sul cordone: TP=0.46 TO=3.92 NO=10.37
Tensioni nel cordone: τ_P=0.15 τ_0=1.24 σ_0=6.11 σ_{ID}=6.24 Σ_T=7.36
CC 28 SLD (Collegamento -382_-520)
Azioni sul collegamento: N=140.91 Ty=-1.74 Tz=-49.83 Mx=-0.38 Mz=-2.33
Sollecitazioni agenti localmente: Tx_l=-1.74 Ty_l=-49.83 N_l=140.91 My_l=2.33 Mz_l=-0.38
Azioni sul cordone: TP=0.56 TO=3.96 NO=10.37
Tensioni nel cordone: τ_P=0.18 τ_0=1.26 σ_0=6.70 σ_{ID}=6.82 Σ_T=7.96
CC 29 SLV (Collegamento -382_-520)
Azioni sul collegamento: N=145.19 Ty=-1.75 Tz=-50.49 Mx=-0.35 Mz=-2.23
Sollecitazioni agenti localmente: Tx_l=-1.75 Ty_l=-50.49 N_l=145.19 My_l=2.23 Mz_l=-0.35
Azioni sul cordone: TP=0.54 TO=3.99 NO=10.68
Tensioni nel cordone: τ_P=0.17 τ_0=1.27 σ_0=6.65 σ_{ID}=6.77 Σ_T=7.92
CC 29 SLV (Collegamento -382_-520)
Azioni sul collegamento: N=145.19 Ty=-0.37 Tz=-50.49 Mx=-0.15 Mz=-0.91
Sollecitazioni agenti localmente: Tx_l=-0.37 Ty_l=-50.49 N_l=145.19 My_l=0.91 Mz_l=-0.15
Azioni sul cordone: TP=0.20 TO=3.83 NO=10.68
Tensioni nel cordone: τ_P= 0.06 τ_0=1.22 σ_0=4.72 σ_{ID}=4.87 Σ_T=5.94
CC 29 SLV (Collegamento -382_-520)

Azioni sul collegamento: N=145.19 Ty=-1.75 Tz=-50.49 Mx=-0.35 Mz=-2.23
Sollecitazioni agenti localmente: Tx_l=-1.75 Ty_l=-50.49 N_l=145.19 My_l=2.23 Mz_l=-0.35
Azioni sul cordone: TP=0.54 TO=3.99 NO=10.68
Tensioni nel cordone: τ_P=0.17 τ_0=1.27 σ_0=6.65 σ_{ID}=6.77 Σ_T=7.92
CC 29 SLV (Collegamento -382_-520)
Azioni sul collegamento: N=145.19 Ty=-0.37 Tz=-50.49 Mx=-0.15 Mz=-0.91
Sollecitazioni agenti localmente: Tx_l=-0.37 Ty_l=-50.49 N_l=145.19 My_l=0.91 Mz_l=-0.15
Azioni sul cordone: TP=0.20 TO=3.83 NO=10.68
Tensioni nel cordone: τ_P= 0.06 τ_0=1.22 σ_0=4.72 σ_{ID}=4.87 Σ_T=5.94
CC 29 SLV (Collegamento -382_-520)
Azioni sul collegamento: N=133.22 Ty=-1.75 Tz=-48.64 Mx=-0.35 Mz=-2.23
Sollecitazioni agenti localmente: Tx_l=-1.75 Ty_l=-48.64 N_l=133.22 My_l=2.23 Mz_l=-0.35
Azioni sul cordone: TP=0.54 TO=3.86 NO=9.80
Tensioni nel cordone: τ_P=0.17 τ_0=1.23 σ_0=6.37 σ_{ID}=6.49 Σ_T=7.59
CC 29 SLV (Collegamento -382_-520)
Azioni sul collegamento: N=133.22 Ty=-0.37 Tz=-48.64 Mx=-0.15 Mz=-0.91
Sollecitazioni agenti localmente: Tx_l=-0.37 Ty_l=-48.64 N_l=133.22 My_l=0.91 Mz_l=-0.15
Azioni sul cordone: TP=0.20 TO=3.70 NO=9.80
Tensioni nel cordone: τ_P= 0.06 τ_0=1.18 σ_0=4.44 σ_{ID}=4.59 Σ_T=5.61
CC 29 SLV (Collegamento -382_-520)
Azioni sul collegamento: N=133.22 Ty=-1.75 Tz=-48.64 Mx=-0.35 Mz=-2.23
Sollecitazioni agenti localmente: Tx_l=-1.75 Ty_l=-48.64 N_l=133.22 My_l=2.23 Mz_l=-0.35
Azioni sul cordone: TP=0.54 TO=3.86 NO=9.80
Tensioni nel cordone: τ_P=0.17 τ_0=1.23 σ_0=6.37 σ_{ID}=6.49 Σ_T=7.59
CC 29 SLV (Collegamento -382_-520)
Azioni sul collegamento: N=133.22 Ty=-0.37 Tz=-48.64 Mx=-0.15 Mz=-0.91
Sollecitazioni agenti localmente: Tx_l=-0.37 Ty_l=-48.64 N_l=133.22 My_l=0.91 Mz_l=-0.15
Azioni sul cordone: TP=0.20 TO=3.70 NO=9.80
Tensioni nel cordone: τ_P= 0.06 τ_0=1.18 σ_0=4.44 σ_{ID}=4.59 Σ_T=5.61
CC 30 SLD (Collegamento -382_-520)
Azioni sul collegamento: N=140.91 Ty=-1.74 Tz=-49.83 Mx=-0.38 Mz=-2.33
Sollecitazioni agenti localmente: Tx_l=-1.74 Ty_l=-49.83 N_l=140.91 My_l=2.33 Mz_l=-0.38
Azioni sul cordone: TP=0.56 TO=3.96 NO=10.37
Tensioni nel cordone: τ_P=0.18 τ_0=1.26 σ_0=6.70 σ_{ID}=6.82 Σ_T=7.96
CC 30 SLD (Collegamento -382_-520)
Azioni sul collegamento: N=140.91 Ty=-1.32 Tz=-49.83 Mx=-0.31 Mz=-1.93
Sollecitazioni agenti localmente: Tx_l=-1.32 Ty_l=-49.83 N_l=140.91 My_l=1.93 Mz_l=-0.31
Azioni sul cordone: TP=0.46 TO=3.91 NO=10.37
Tensioni nel cordone: τ_P=0.15 τ_0=1.24 σ_0=6.11 σ_{ID}=6.24 Σ_T=7.36
CC 30 SLD (Collegamento -382_-520)
Azioni sul collegamento: N=140.91 Ty=-1.74 Tz=-49.83 Mx=-0.38 Mz=-2.33
Sollecitazioni agenti localmente: Tx_l=-1.74 Ty_l=-49.83 N_l=140.91 My_l=2.33 Mz_l=-0.38
Azioni sul cordone: TP=0.56 TO=3.96 NO=10.37
Tensioni nel cordone: τ_P=0.18 τ_0=1.26 σ_0=6.70 σ_{ID}=6.82 Σ_T=7.96
CC 30 SLD (Collegamento -382_-520)
Azioni sul collegamento: N=140.91 Ty=-1.32 Tz=-49.83 Mx=-0.31 Mz=-1.93
Sollecitazioni agenti localmente: Tx_l=-1.32 Ty_l=-49.83 N_l=140.91 My_l=1.93 Mz_l=-0.31
Azioni sul cordone: TP=0.46 TO=3.91 NO=10.37
Tensioni nel cordone: τ_P=0.15 τ_0=1.24 σ_0=6.11 σ_{ID}=6.24 Σ_T=7.36
CC 30 SLD (Collegamento -382_-520)
Azioni sul collegamento: N=137.26 Ty=-1.74 Tz=-49.26 Mx=-0.38 Mz=-2.33
Sollecitazioni agenti localmente: Tx_l=-1.74 Ty_l=-49.26 N_l=137.26 My_l=2.33 Mz_l=-0.38
Azioni sul cordone: TP=0.56 TO=3.92 NO=10.10
Tensioni nel cordone: τ_P=0.18 τ_0=1.25 σ_0=6.62 σ_{ID}=6.73 Σ_T=7.86
CC 30 SLD (Collegamento -382_-520)
Azioni sul collegamento: N=137.26 Ty=-1.32 Tz=-49.26 Mx=-0.31 Mz=-1.93
Sollecitazioni agenti localmente: Tx_l=-1.32 Ty_l=-49.26 N_l=137.26 My_l=1.93 Mz_l=-0.31
Azioni sul cordone: TP=0.46 TO=3.87 NO=10.10
Tensioni nel cordone: τ_P=0.15 τ_0=1.23 σ_0=6.03 σ_{ID}=6.15 Σ_T=7.26
CC 30 SLD (Collegamento -382_-520)
Azioni sul collegamento: N=137.26 Ty=-1.74 Tz=-49.26 Mx=-0.38 Mz=-2.33
Sollecitazioni agenti localmente: Tx_l=-1.74 Ty_l=-49.26 N_l=137.26 My_l=2.33 Mz_l=-0.38
Azioni sul cordone: TP=0.56 TO=3.92 NO=10.10
Tensioni nel cordone: τ_P=0.18 τ_0=1.25 σ_0=6.62 σ_{ID}=6.73 Σ_T=7.86
CC 30 SLD (Collegamento -382_-520)
Azioni sul collegamento: N=137.26 Ty=-1.32 Tz=-49.26 Mx=-0.31 Mz=-1.93
Sollecitazioni agenti localmente: Tx_l=-1.32 Ty_l=-49.26 N_l=137.26 My_l=1.93 Mz_l=-0.31
Azioni sul cordone: TP=0.46 TO=3.87 NO=10.10
Tensioni nel cordone: τ_P=0.15 τ_0=1.23 σ_0=6.03 σ_{ID}=6.15 Σ_T=7.26
CC 31 SLV (Collegamento -382_-520)
Azioni sul collegamento: N=132.59 Ty=-2.15 Tz=-48.54 Mx=-0.44 Mz=-2.78
Sollecitazioni agenti localmente: Tx_l=-2.15 Ty_l=-48.54 N_l=132.59 My_l=2.78 Mz_l=-0.44
Azioni sul cordone: TP=0.66 TO=3.92 NO=9.76
Tensioni nel cordone: τ_P=0.21 τ_0=1.24 σ_0=7.16 σ_{ID}=7.27 Σ_T=8.41
CC 31 SLV (Collegamento -382_-520)
Azioni sul collegamento: N=132.59 Ty=0.03 Tz=-48.54 Mx=-0.06 Mz=-0.35
Sollecitazioni agenti localmente: Tx_l=0.03 Ty_l=-48.54 N_l=132.59 My_l=0.35 Mz_l=-0.06
Azioni sul cordone: TP=0.07 TO=-3.62 NO=9.76
Tensioni nel cordone: τ_P= 0.02 τ_0=1.15 σ_0=3.62 σ_{ID}=3.79 Σ_T=4.77

CC 31 SLV (Collegamento -382_-520)
Azioni sul collegamento: N=132.59 Ty=-2.15 Tz=-48.54 Mx=-0.44 Mz=-2.78
Sollecitazioni agenti localmente: Tx_l=-2.15 Ty_l=-48.54 N_l=132.59 My_l=2.78 Mz_l=-0.44
Azioni sul cordone: TP=0.66 TO=3.92 NO=9.76
Tensioni nel cordone: τ_P=0.21 τ_0=1.24 σ_0=7.16 σ_{ID}=7.27 Σ_T=8.41
CC 31 SLV (Collegamento -382_-520)
Azioni sul collegamento: N=132.59 Ty=0.03 Tz=-48.54 Mx=-0.06 Mz=-0.35
Sollecitazioni agenti localmente: Tx_l=0.03 Ty_l=-48.54 N_l=132.59 My_l=0.35 Mz_l=-0.06
Azioni sul cordone: TP=0.07 TO=-3.62 NO=9.76
Tensioni nel cordone: τ_P= 0.02 τ_0=1.15 σ_0=3.62 σ_{ID}=3.79 Σ_T=4.77
CC 31 SLV (Collegamento -382_-520)
Azioni sul collegamento: N=145.83 Ty=-2.15 Tz=-50.59 Mx=-0.44 Mz=-2.78
Sollecitazioni agenti localmente: Tx_l=-2.15 Ty_l=-50.59 N_l=145.83 My_l=2.78 Mz_l=-0.44
Azioni sul cordone: TP=0.66 TO=4.07 NO=10.73
Tensioni nel cordone: τ_P=0.21 τ_0=1.29 σ_0=7.47 σ_{ID}=7.59 Σ_T=8.76
CC 31 SLV (Collegamento -382_-520)
Azioni sul collegamento: N=145.83 Ty=0.03 Tz=-50.59 Mx=-0.06 Mz=-0.35
Sollecitazioni agenti localmente: Tx_l=0.03 Ty_l=-50.59 N_l=145.83 My_l=0.35 Mz_l=-0.06
Azioni sul cordone: TP=0.07 TO=-3.77 NO=10.73
Tensioni nel cordone: τ_P= 0.02 τ_0=1.20 σ_0=3.93 σ_{ID}=4.10 Σ_T=5.12
CC 31 SLV (Collegamento -382_-520)
Azioni sul collegamento: N=145.83 Ty=-2.15 Tz=-50.59 Mx=-0.44 Mz=-2.78
Sollecitazioni agenti localmente: Tx_l=-2.15 Ty_l=-50.59 N_l=145.83 My_l=2.78 Mz_l=-0.44
Azioni sul cordone: TP=0.66 TO=4.07 NO=10.73
Tensioni nel cordone: τ_P=0.21 τ_0=1.29 σ_0=7.47 σ_{ID}=7.59 Σ_T=8.76
CC 31 SLV (Collegamento -382_-520)
Azioni sul collegamento: N=145.83 Ty=0.03 Tz=-50.59 Mx=-0.06 Mz=-0.35
Sollecitazioni agenti localmente: Tx_l=0.03 Ty_l=-50.59 N_l=145.83 My_l=0.35 Mz_l=-0.06
Azioni sul cordone: TP=0.07 TO=-3.77 NO=10.73
Tensioni nel cordone: τ_P= 0.02 τ_0=1.20 σ_0=3.93 σ_{ID}=4.10 Σ_T=5.12
CC 32 SLD (Collegamento -382_-520)
Azioni sul collegamento: N=137.07 Ty=-1.86 Tz=-49.23 Mx=-0.40 Mz=-2.50
Sollecitazioni agenti localmente: Tx_l=-1.86 Ty_l=-49.23 N_l=137.07 My_l=2.50 Mz_l=-0.40
Azioni sul cordone: TP=0.60 TO=3.94 NO=10.09
Tensioni nel cordone: τ_P=0.19 τ_0=1.25 σ_0=6.86 σ_{ID}=6.97 Σ_T=8.11
CC 32 SLD (Collegamento -382_-520)
Azioni sul collegamento: N=137.07 Ty=-1.20 Tz=-49.23 Mx=-0.29 Mz=-1.76
Sollecitazioni agenti localmente: Tx_l=-1.20 Ty_l=-49.23 N_l=137.07 My_l=1.76 Mz_l=-0.29
Azioni sul cordone: TP=0.42 TO=3.85 NO=10.09
Tensioni nel cordone: τ_P=0.13 τ_0=1.22 σ_0=5.78 σ_{ID}=5.91 Σ_T=7.00
CC 32 SLD (Collegamento -382_-520)
Azioni sul collegamento: N=137.07 Ty=-1.86 Tz=-49.23 Mx=-0.40 Mz=-2.50
Sollecitazioni agenti localmente: Tx_l=-1.86 Ty_l=-49.23 N_l=137.07 My_l=2.50 Mz_l=-0.40
Azioni sul cordone: TP=0.60 TO=3.94 NO=10.09
Tensioni nel cordone: τ_P=0.19 τ_0=1.25 σ_0=6.86 σ_{ID}=6.97 Σ_T=8.11
CC 32 SLD (Collegamento -382_-520)
Azioni sul collegamento: N=137.07 Ty=-1.20 Tz=-49.23 Mx=-0.29 Mz=-1.76
Sollecitazioni agenti localmente: Tx_l=-1.20 Ty_l=-49.23 N_l=137.07 My_l=1.76 Mz_l=-0.29
Azioni sul cordone: TP=0.42 TO=3.85 NO=10.09
Tensioni nel cordone: τ_P=0.13 τ_0=1.22 σ_0=5.78 σ_{ID}=5.91 Σ_T=7.00
CC 32 SLD (Collegamento -382_-520)
Azioni sul collegamento: N=141.11 Ty=-1.86 Tz=-49.86 Mx=-0.40 Mz=-2.50
Sollecitazioni agenti localmente: Tx_l=-1.86 Ty_l=-49.86 N_l=141.11 My_l=2.50 Mz_l=-0.40
Azioni sul cordone: TP=0.60 TO=3.99 NO=10.38
Tensioni nel cordone: τ_P=0.19 τ_0=1.27 σ_0=6.95 σ_{ID}=7.07 Σ_T=8.22
CC 32 SLD (Collegamento -382_-520)
Azioni sul collegamento: N=141.11 Ty=-1.20 Tz=-49.86 Mx=-0.29 Mz=-1.76
Sollecitazioni agenti localmente: Tx_l=-1.20 Ty_l=-49.86 N_l=141.11 My_l=1.76 Mz_l=-0.29
Azioni sul cordone: TP=0.42 TO=3.90 NO=10.38
Tensioni nel cordone: τ_P=0.13 τ_0=1.24 σ_0=5.87 σ_{ID}=6.00 Σ_T=7.11
CC 32 SLD (Collegamento -382_-520)
Azioni sul collegamento: N=141.11 Ty=-1.86 Tz=-49.86 Mx=-0.40 Mz=-2.50
Sollecitazioni agenti localmente: Tx_l=-1.86 Ty_l=-49.86 N_l=141.11 My_l=2.50 Mz_l=-0.40
Azioni sul cordone: TP=0.60 TO=3.99 NO=10.38
Tensioni nel cordone: τ_P=0.19 τ_0=1.27 σ_0=6.95 σ_{ID}=7.07 Σ_T=8.22
CC 32 SLD (Collegamento -382_-520)
Azioni sul collegamento: N=141.11 Ty=-1.20 Tz=-49.86 Mx=-0.29 Mz=-1.76
Sollecitazioni agenti localmente: Tx_l=-1.20 Ty_l=-49.86 N_l=141.11 My_l=1.76 Mz_l=-0.29
Azioni sul cordone: TP=0.42 TO=3.90 NO=10.38
Tensioni nel cordone: τ_P=0.13 τ_0=1.24 σ_0=5.87 σ_{ID}=6.00 Σ_T=7.11
CC 33 SLU (Collegamento -382_-520)
Azioni sul collegamento: N=352.43 Ty=-3.05 Tz=-92.37 Mx=-0.68 Mz=-4.20
Sollecitazioni agenti localmente: Tx_l=-3.05 Ty_l=-92.37 N_l=352.43 My_l=4.20 Mz_l=-0.68
Azioni sul cordone: TP=1.01 TO=7.33 NO=25.93
Tensioni nel cordone: τ_P=0.32 τ_0=2.33 σ_0=14.38 σ_{ID}=14.57 Σ_T=16.71
CC 34 SLU (Collegamento -382_-520)
Azioni sul collegamento: N=348.06 Ty=-2.90 Tz=-91.70 Mx=-0.65 Mz=-4.01
Sollecitazioni agenti localmente: Tx_l=-2.90 Ty_l=-91.70 N_l=348.06 My_l=4.01 Mz_l=-0.65
Azioni sul cordone: TP=0.96 TO=7.26 NO=25.61

Tensioni nel cordone: τ_P=0.30 τ_0=2.31 σ_0=13.99 σ_{ID}=14.18 Σ_T=16.30
CC 35 SLU (Collegamento -382_-520)
Azioni sul collegamento: N=350.28 Ty=-2.88 Tz=-92.04 Mx=-0.65 Mz=-4.01
Sollecitazioni agenti localmente: Tx_l=-2.88 Ty_l=-92.04 N_l=350.28 My_l=4.01 Mz_l=-0.65
Azioni sul cordone: TP=0.96 TO=7.28 NO=25.77
Tensioni nel cordone: τ_P=0.30 τ_0=2.31 σ_0=14.04 σ_{ID}=14.24 Σ_T=16.36
CC 36 SLU (Collegamento -382_-520)
Azioni sul collegamento: N=350.21 Ty=-3.07 Tz=-92.03 Mx=-0.68 Mz=-4.20
Sollecitazioni agenti localmente: Tx_l=-3.07 Ty_l=-92.03 N_l=350.21 My_l=4.20 Mz_l=-0.68
Azioni sul cordone: TP=1.01 TO=7.31 NO=25.77
Tensioni nel cordone: τ_P=0.32 τ_0=2.32 σ_0=14.32 σ_{ID}=14.52 Σ_T=16.65
CC 37 SLU (Collegamento -382_-520)
Azioni sul collegamento: N=283.55 Ty=-3.29 Tz=-81.71 Mx=-0.73 Mz=-4.52
Sollecitazioni agenti localmente: Tx_l=-3.29 Ty_l=-81.71 N_l=283.55 My_l=4.52 Mz_l=-0.73
Azioni sul cordone: TP=1.08 TO=6.59 NO=20.86
Tensioni nel cordone: τ_P=0.34 τ_0=2.09 σ_0=13.23 σ_{ID}=13.40 Σ_T=15.32
CC 38 SLU (Collegamento -382_-520)
Azioni sul collegamento: N=279.18 Ty=-3.15 Tz=-81.04 Mx=-0.70 Mz=-4.32
Sollecitazioni agenti localmente: Tx_l=-3.15 Ty_l=-81.04 N_l=279.18 My_l=4.32 Mz_l=-0.70
Azioni sul cordone: TP=1.04 TO=6.51 NO=20.54
Tensioni nel cordone: τ_P=0.33 τ_0=2.07 σ_0=12.84 σ_{ID}=13.01 Σ_T=14.91
CC 39 SLU (Collegamento -382_-520)
Azioni sul collegamento: N=281.40 Ty=-3.13 Tz=-81.38 Mx=-0.70 Mz=-4.32
Sollecitazioni agenti localmente: Tx_l=-3.13 Ty_l=-81.38 N_l=281.40 My_l=4.32 Mz_l=-0.70
Azioni sul cordone: TP=1.04 TO=6.54 NO=20.71
Tensioni nel cordone: τ_P=0.33 τ_0=2.08 σ_0=12.90 σ_{ID}=13.07 Σ_T=14.98
CC 40 SLU (Collegamento -382_-520)
Azioni sul collegamento: N=281.33 Ty=-3.31 Tz=-81.37 Mx=-0.73 Mz=-4.52
Sollecitazioni agenti localmente: Tx_l=-3.31 Ty_l=-81.37 N_l=281.33 My_l=4.52 Mz_l=-0.73
Azioni sul cordone: TP=1.09 TO=6.56 NO=20.70
Tensioni nel cordone: τ_P=0.35 τ_0=2.09 σ_0=13.18 σ_{ID}=13.35 Σ_T=15.26
CC 41 SLU (Collegamento -382_-520)
Azioni sul collegamento: N=345.02 Ty=-0.94 Tz=-91.23 Mx=-0.22 Mz=-1.24
Sollecitazioni agenti localmente: Tx_l=-0.94 Ty_l=-91.23 N_l=345.02 My_l=1.24 Mz_l=-0.22
Azioni sul cordone: TP=0.32 TO=6.89 NO=25.39
Tensioni nel cordone: τ_P=0.10 τ_0=2.19 σ_0=9.88 σ_{ID}=10.12 Σ_T=12.07
CC 42 SLU (Collegamento -382_-520)
Azioni sul collegamento: N=340.65 Ty=-0.80 Tz=-90.55 Mx=-0.19 Mz=-1.04
Sollecitazioni agenti localmente: Tx_l=-0.80 Ty_l=-90.55 N_l=340.65 My_l=1.04 Mz_l=-0.19
Azioni sul cordone: TP=0.28 TO=6.81 NO=25.07
Tensioni nel cordone: τ_P= 0.09 τ_0=2.17 σ_0=9.49 σ_{ID}=9.73 Σ_T=11.66
CC 43 SLU (Collegamento -382_-520)
Azioni sul collegamento: N=342.87 Ty=-0.77 Tz=-90.89 Mx=-0.19 Mz=-1.04
Sollecitazioni agenti localmente: Tx_l=-0.77 Ty_l=-90.89 N_l=342.87 My_l=1.04 Mz_l=-0.19
Azioni sul cordone: TP=0.27 TO=6.84 NO=25.23
Tensioni nel cordone: τ_P= 0.09 τ_0=2.17 σ_0=9.54 σ_{ID}=9.79 Σ_T=11.72
CC 44 SLU (Collegamento -382_-520)
Azioni sul collegamento: N=342.80 Ty=-0.96 Tz=-90.88 Mx=-0.22 Mz=-1.24
Sollecitazioni agenti localmente: Tx_l=-0.96 Ty_l=-90.88 N_l=342.80 My_l=1.24 Mz_l=-0.22
Azioni sul cordone: TP=0.32 TO=6.86 NO=25.22
Tensioni nel cordone: τ_P=0.10 τ_0=2.18 σ_0=9.82 σ_{ID}=10.06 Σ_T=12.00
CC 45 SLU (Collegamento -382_-520)
Azioni sul collegamento: N=299.47 Ty=-3.14 Tz=-84.18 Mx=-0.70 Mz=-4.33
Sollecitazioni agenti localmente: Tx_l=-3.14 Ty_l=-84.18 N_l=299.47 My_l=4.33 Mz_l=-0.70
Azioni sul cordone: TP=1.04 TO=6.75 NO=22.04
Tensioni nel cordone: τ_P=0.33 τ_0=2.14 σ_0=13.33 σ_{ID}=13.51 Σ_T=15.47
CC 46 SLU (Collegamento -382_-520)
Azioni sul collegamento: N=295.10 Ty=-3.00 Tz=-83.50 Mx=-0.67 Mz=-4.14
Sollecitazioni agenti localmente: Tx_l=-3.00 Ty_l=-83.50 N_l=295.10 My_l=4.14 Mz_l=-0.67
Azioni sul cordone: TP=0.99 TO=6.67 NO=21.71
Tensioni nel cordone: τ_P=0.32 τ_0=2.12 σ_0=12.94 σ_{ID}=13.12 Σ_T=15.06
CC 47 SLU (Collegamento -382_-520)
Azioni sul collegamento: N=297.32 Ty=-2.98 Tz=-83.84 Mx=-0.67 Mz=-4.14
Sollecitazioni agenti localmente: Tx_l=-2.98 Ty_l=-83.84 N_l=297.32 My_l=4.14 Mz_l=-0.67
Azioni sul cordone: TP=0.99 TO=6.70 NO=21.88
Tensioni nel cordone: τ_P=0.32 τ_0=2.13 σ_0=13.00 σ_{ID}=13.17 Σ_T=15.13
CC 48 SLU (Collegamento -382_-520)
Azioni sul collegamento: N=297.25 Ty=-3.16 Tz=-83.83 Mx=-0.70 Mz=-4.33
Sollecitazioni agenti localmente: Tx_l=-3.16 Ty_l=-83.83 N_l=297.25 My_l=4.33 Mz_l=-0.70
Azioni sul cordone: TP=1.04 TO=6.72 NO=21.87
Tensioni nel cordone: τ_P=0.33 τ_0=2.14 σ_0=13.28 σ_{ID}=13.45 Σ_T=15.41
CC 49 SLU (Collegamento -382_-520)
Azioni sul collegamento: N=247.94 Ty=-3.32 Tz=-76.20 Mx=-0.74 Mz=-4.57
Sollecitazioni agenti localmente: Tx_l=-3.32 Ty_l=-76.20 N_l=247.94 My_l=4.57 Mz_l=-0.74
Azioni sul cordone: TP=1.10 TO=6.19 NO=18.24
Tensioni nel cordone: τ_P=0.35 τ_0=1.97 σ_0=12.47 σ_{ID}=12.63 Σ_T=14.44
CC 50 SLU (Collegamento -382_-520)
Azioni sul collegamento: N=243.57 Ty=-3.18 Tz=-75.52 Mx=-0.71 Mz=-4.37
Sollecitazioni agenti localmente: Tx_l=-3.18 Ty_l=-75.52 N_l=243.57 My_l=4.37 Mz_l=-0.71

Azioni sul cordone: TP=1.05 TO=6.12 NO=17.92
Tensioni nel cordone: τ_P=0.33 τ_0=1.94 σ_0=12.09 σ_{ID}=12.25 Σ_T=14.03
CC 51 SLU (Collegamento -382_-520)
Azioni sul collegamento: N=245.79 Ty=-3.16 Tz=-75.87 Mx=-0.71 Mz=-4.38
Sollecitazioni agenti localmente: Tx_l=-3.16 Ty_l=-75.87 N_l=245.79 My_l=4.38 Mz_l=-0.71
Azioni sul cordone: TP=1.05 TO=6.14 NO=18.09
Tensioni nel cordone: τ_P=0.33 τ_0=1.95 σ_0=12.14 σ_{ID}=12.30 Σ_T=14.09
CC 52 SLU (Collegamento -382_-520)
Azioni sul collegamento: N=245.72 Ty=-3.34 Tz=-75.86 Mx=-0.74 Mz=-4.57
Sollecitazioni agenti localmente: Tx_l=-3.34 Ty_l=-75.86 N_l=245.72 My_l=4.57 Mz_l=-0.74
Azioni sul cordone: TP=1.10 TO=6.17 NO=18.08
Tensioni nel cordone: τ_P=0.35 τ_0=1.96 σ_0=12.42 σ_{ID}=12.58 Σ_T=14.38
CC 53 SLU (Collegamento -382_-520)
Azioni sul collegamento: N=293.93 Ty=-1.56 Tz=-83.32 Mx=-0.36 Mz=-2.11
Sollecitazioni agenti localmente: Tx_l=-1.56 Ty_l=-83.32 N_l=293.93 My_l=2.11 Mz_l=-0.36
Azioni sul cordone: TP=0.53 TO=6.41 NO=21.63
Tensioni nel cordone: τ_P=0.17 τ_0=2.04 σ_0=9.96 σ_{ID}=10.17 Σ_T=12.00
CC 54 SLU (Collegamento -382_-520)
Azioni sul collegamento: N=289.56 Ty=-1.42 Tz=-82.64 Mx=-0.33 Mz=-1.92
Sollecitazioni agenti localmente: Tx_l=-1.42 Ty_l=-82.64 N_l=289.56 My_l=1.92 Mz_l=-0.33
Azioni sul cordone: TP=0.48 TO=6.34 NO=21.31
Tensioni nel cordone: τ_P=0.15 τ_0=2.01 σ_0=9.58 σ_{ID}=9.79 Σ_T=11.59
CC 55 SLU (Collegamento -382_-520)
Azioni sul collegamento: N=291.78 Ty=-1.40 Tz=-82.99 Mx=-0.33 Mz=-1.92
Sollecitazioni agenti localmente: Tx_l=-1.40 Ty_l=-82.99 N_l=291.78 My_l=1.92 Mz_l=-0.33
Azioni sul cordone: TP=0.48 TO=6.36 NO=21.47
Tensioni nel cordone: τ_P=0.15 τ_0=2.02 σ_0=9.63 σ_{ID}=9.84 Σ_T=11.65
CC 56 SLU (Collegamento -382_-520)
Azioni sul collegamento: N=291.71 Ty=-1.58 Tz=-82.98 Mx=-0.36 Mz=-2.11
Sollecitazioni agenti localmente: Tx_l=-1.58 Ty_l=-82.98 N_l=291.71 My_l=2.11 Mz_l=-0.36
Azioni sul cordone: TP=0.53 TO=6.39 NO=21.46
Tensioni nel cordone: τ_P=0.17 τ_0=2.03 σ_0=9.91 σ_{ID}=10.12 Σ_T=11.94
CC 57 SLU (Collegamento -382_-520)
Azioni sul collegamento: N=286.88 Ty=-2.83 Tz=-82.23 Mx=-0.63 Mz=-3.90
Sollecitazioni agenti localmente: Tx_l=-2.83 Ty_l=-82.23 N_l=286.88 My_l=3.90 Mz_l=-0.63
Azioni sul cordone: TP=0.94 TO=6.55 NO=21.11
Tensioni nel cordone: τ_P=0.30 τ_0=2.08 σ_0=12.41 σ_{ID}=12.59 Σ_T=14.49
CC 58 SLU (Collegamento -382_-520)
Azioni sul collegamento: N=282.51 Ty=-2.69 Tz=-81.55 Mx=-0.60 Mz=-3.71
Sollecitazioni agenti localmente: Tx_l=-2.69 Ty_l=-81.55 N_l=282.51 My_l=3.71 Mz_l=-0.60
Azioni sul cordone: TP=0.89 TO=6.47 NO=20.79
Tensioni nel cordone: τ_P=0.28 τ_0=2.06 σ_0=12.02 σ_{ID}=12.20 Σ_T=14.08
CC 59 SLU (Collegamento -382_-520)
Azioni sul collegamento: N=284.73 Ty=-2.67 Tz=-81.89 Mx=-0.60 Mz=-3.71
Sollecitazioni agenti localmente: Tx_l=-2.67 Ty_l=-81.89 N_l=284.73 My_l=3.71 Mz_l=-0.60
Azioni sul cordone: TP=0.89 TO=6.50 NO=20.95
Tensioni nel cordone: τ_P=0.28 τ_0=2.07 σ_0=12.08 σ_{ID}=12.26 Σ_T=14.14
CC 60 SLU (Collegamento -382_-520)
Azioni sul collegamento: N=284.66 Ty=-2.85 Tz=-81.88 Mx=-0.63 Mz=-3.90
Sollecitazioni agenti localmente: Tx_l=-2.85 Ty_l=-81.88 N_l=284.66 My_l=3.90 Mz_l=-0.63
Azioni sul cordone: TP=0.94 TO=6.52 NO=20.95
Tensioni nel cordone: τ_P=0.30 τ_0=2.07 σ_0=12.36 σ_{ID}=12.53 Σ_T=14.43
CC 61 SLU (Collegamento -382_-520)
Azioni sul collegamento: N=235.34 Ty=-3.01 Tz=-74.25 Mx=-0.67 Mz=-4.14
Sollecitazioni agenti localmente: Tx_l=-3.01 Ty_l=-74.25 N_l=235.34 My_l=4.14 Mz_l=-0.67
Azioni sul cordone: TP=1.00 TO=5.99 NO=17.32
Tensioni nel cordone: τ_P=0.32 τ_0=1.90 σ_0=11.55 σ_{ID}=11.71 Σ_T=13.46
CC 62 SLU (Collegamento -382_-520)
Azioni sul collegamento: N=230.97 Ty=-2.87 Tz=-73.58 Mx=-0.64 Mz=-3.95
Sollecitazioni agenti localmente: Tx_l=-2.87 Ty_l=-73.58 N_l=230.97 My_l=3.95 Mz_l=-0.64
Azioni sul cordone: TP=0.95 TO=5.92 NO=17.00
Tensioni nel cordone: τ_P=0.30 τ_0=1.88 σ_0=11.17 σ_{ID}=11.33 Σ_T=13.05
CC 63 SLU (Collegamento -382_-520)
Azioni sul collegamento: N=233.19 Ty=-2.85 Tz=-73.92 Mx=-0.64 Mz=-3.95
Sollecitazioni agenti localmente: Tx_l=-2.85 Ty_l=-73.92 N_l=233.19 My_l=3.95 Mz_l=-0.64
Azioni sul cordone: TP=0.95 TO=5.94 NO=17.16
Tensioni nel cordone: τ_P=0.30 τ_0=1.89 σ_0=11.22 σ_{ID}=11.38 Σ_T=13.11
CC 64 SLU (Collegamento -382_-520)
Azioni sul collegamento: N=233.13 Ty=-3.03 Tz=-73.91 Mx=-0.67 Mz=-4.14
Sollecitazioni agenti localmente: Tx_l=-3.03 Ty_l=-73.91 N_l=233.13 My_l=4.14 Mz_l=-0.67
Azioni sul cordone: TP=1.00 TO=5.97 NO=17.15
Tensioni nel cordone: τ_P=0.32 τ_0=1.90 σ_0=11.50 σ_{ID}=11.66 Σ_T=13.40
CC 65 SLU (Collegamento -382_-520)
Azioni sul collegamento: N=281.34 Ty=-1.25 Tz=-81.37 Mx=-0.29 Mz=-1.69
Sollecitazioni agenti localmente: Tx_l=-1.25 Ty_l=-81.37 N_l=281.34 My_l=1.69 Mz_l=-0.29
Azioni sul cordone: TP=0.43 TO=6.22 NO=20.70
Tensioni nel cordone: τ_P=0.14 τ_0=1.98 σ_0=9.04 σ_{ID}=9.26 Σ_T=11.02
CC 66 SLU (Collegamento -382_-520)
Azioni sul collegamento: N=276.97 Ty=-1.11 Tz=-80.69 Mx=-0.26 Mz=-1.49

Sollecitazioni agenti localmente: Tx_l=-1.11 Ty_l=-80.69 N_l=276.97 My_l=1.49 Mz_l=-0.26
Azioni sul cordone: TP=0.38 TO=6.14 NO=20.38
Tensioni nel cordone: τ_P=0.12 τ_0=1.95 σ_0=8.66 σ_{ID}=8.87 Σ_T=10.61
CC 67 SLU (Collegamento -382_-520)
Azioni sul collegamento: N=279.19 Ty=-1.09 Tz=-81.04 Mx=-0.26 Mz=-1.49
Sollecitazioni agenti localmente: Tx_l=-1.09 Ty_l=-81.04 N_l=279.19 My_l=1.49 Mz_l=-0.26
Azioni sul cordone: TP=0.38 TO=6.17 NO=20.54
Tensioni nel cordone: τ_P=0.12 τ_0=1.96 σ_0=8.71 σ_{ID}=8.93 Σ_T=10.67
CC 68 SLU (Collegamento -382_-520)
Azioni sul collegamento: N=279.12 Ty=-1.27 Tz=-81.03 Mx=-0.29 Mz=-1.69
Sollecitazioni agenti localmente: Tx_l=-1.27 Ty_l=-81.03 N_l=279.12 My_l=1.69 Mz_l=-0.29
Azioni sul cordone: TP=0.43 TO=6.19 NO=20.54
Tensioni nel cordone: τ_P=0.14 τ_0=1.97 σ_0=8.99 σ_{ID}=9.20 Σ_T=10.96
CC 97 SLU (Collegamento -382_-520)
Azioni sul collegamento: N=177.78 Ty=-15.09 Tz=-55.54 Mx=-2.10 Mz=-13.62
Sollecitazioni agenti localmente: Tx_l=-15.09 Ty_l=-55.54 N_l=177.78 My_l=13.62 Mz_l=-2.10
Azioni sul cordone: TP=3.53 TO=5.74 NO=13.08
Tensioni nel cordone: τ_P=1.12 τ_0=1.82 σ_0=24.06 σ_{ID}=24.15 Σ_T=25.88
CC 98 SLU (Collegamento -382_-520)
Azioni sul collegamento: N=173.41 Ty=-14.95 Tz=-54.86 Mx=-2.07 Mz=-13.43
Sollecitazioni agenti localmente: Tx_l=-14.95 Ty_l=-54.86 N_l=173.41 My_l=13.43 Mz_l=-2.07
Azioni sul cordone: TP=3.48 TO=5.67 NO=12.76
Tensioni nel cordone: τ_P=1.11 τ_0=1.80 σ_0=23.67 σ_{ID}=23.76 Σ_T=25.47
CC 99 SLU (Collegamento -382_-520)
Azioni sul collegamento: N=175.63 Ty=-14.93 Tz=-55.20 Mx=-2.07 Mz=-13.43
Sollecitazioni agenti localmente: Tx_l=-14.93 Ty_l=-55.20 N_l=175.63 My_l=13.43 Mz_l=-2.07
Azioni sul cordone: TP=3.48 TO=5.69 NO=12.92
Tensioni nel cordone: τ_P=1.11 τ_0=1.81 σ_0=23.72 σ_{ID}=23.82 Σ_T=25.53
CC 100 SLU (Collegamento -382_-520)
Azioni sul collegamento: N=175.56 Ty=-15.11 Tz=-55.19 Mx=-2.10 Mz=-13.62
Sollecitazioni agenti localmente: Tx_l=-15.11 Ty_l=-55.19 N_l=175.56 My_l=13.62 Mz_l=-2.10
Azioni sul cordone: TP=3.53 TO=5.71 NO=12.92
Tensioni nel cordone: τ_P=1.12 τ_0=1.82 σ_0=24.00 σ_{ID}=24.10 Σ_T=25.82
CC 101 SLU (Collegamento -382_-520)
Azioni sul collegamento: N=143.52 Ty=0.14 Tz=-50.23 Mx=-0.12 Mz=-0.65
Sollecitazioni agenti localmente: Tx_l=0.14 Ty_l=-50.23 N_l=143.52 My_l=0.65 Mz_l=-0.12
Azioni sul cordone: TP=0.15 TO=-3.79 NO=10.56
Tensioni nel cordone: τ_P= 0.05 τ_0=1.20 σ_0=4.30 σ_{ID}=4.47 Σ_T=5.51
CC 102 SLU (Collegamento -382_-520)
Azioni sul collegamento: N=139.15 Ty=0.28 Tz=-49.56 Mx=-0.09 Mz=-0.45
Sollecitazioni agenti localmente: Tx_l=0.28 Ty_l=-49.56 N_l=139.15 My_l=0.45 Mz_l=-0.09
Azioni sul cordone: TP=0.12 TO=-3.72 NO=10.24
Tensioni nel cordone: τ_P= 0.04 τ_0=1.18 σ_0=3.92 σ_{ID}=4.09 Σ_T=5.10
CC 103 SLU (Collegamento -382_-520)
Azioni sul collegamento: N=141.37 Ty=0.30 Tz=-49.90 Mx=-0.09 Mz=-0.46
Sollecitazioni agenti localmente: Tx_l=0.30 Ty_l=-49.90 N_l=141.37 My_l=0.46 Mz_l=-0.09
Azioni sul cordone: TP=0.12 TO=-3.74 NO=10.40
Tensioni nel cordone: τ_P= 0.04 τ_0=1.19 σ_0=3.97 σ_{ID}=4.15 Σ_T=5.16
CC 104 SLU (Collegamento -382_-520)
Azioni sul collegamento: N=141.30 Ty=0.12 Tz=-49.89 Mx=-0.12 Mz=-0.65
Sollecitazioni agenti localmente: Tx_l=0.12 Ty_l=-49.89 N_l=141.30 My_l=0.65 Mz_l=-0.12
Azioni sul cordone: TP=0.15 TO=-3.76 NO=10.40
Tensioni nel cordone: τ_P= 0.05 τ_0=1.20 σ_0=4.25 σ_{ID}=4.42 Σ_T=5.45

Verifica lato anima della colonna

CC 1 SLV (Collegamento -382_-520)
Azioni sul collegamento: N=159.97 Ty=-1.47 Tz=-52.78 Mx=-0.34 Mz=-1.98
Zona tesa: F=64.42 b_{eff}=13.20 t_w=0.70 σ=6.97
Zona tesa: F=64.42 b_{eff}=13.20 t_w=0.70 σ=6.97
CC 1 SLV (Collegamento -382_-520)
Azioni sul collegamento: N=159.97 Ty=-3.35 Tz=-52.78 Mx=-0.71 Mz=-4.39
Zona tesa: F=64.42 b_{eff}=13.20 t_w=0.70 σ=6.97
Zona tesa: F=64.42 b_{eff}=13.20 t_w=0.70 σ=6.97
CC 1 SLV (Collegamento -382_-520)
Azioni sul collegamento: N=159.97 Ty=-1.47 Tz=-52.78 Mx=-0.34 Mz=-1.98
Zona tesa: F=64.42 b_{eff}=13.20 t_w=0.70 σ=6.97
Zona tesa: F=64.42 b_{eff}=13.20 t_w=0.70 σ=6.97
CC 1 SLV (Collegamento -382_-520)
Azioni sul collegamento: N=159.97 Ty=-3.35 Tz=-52.78 Mx=-0.71 Mz=-4.39
Zona tesa: F=64.42 b_{eff}=13.20 t_w=0.70 σ=6.97
Zona tesa: F=64.42 b_{eff}=13.20 t_w=0.70 σ=6.97
CC 1 SLV (Collegamento -382_-520)
Azioni sul collegamento: N=117.75 Ty=-1.47 Tz=-46.25 Mx=-0.34 Mz=-1.98
Zona tesa: F=47.42 b_{eff}=13.20 t_w=0.70 σ=5.13
Zona tesa: F=47.42 b_{eff}=13.20 t_w=0.70 σ=5.13
CC 1 SLV (Collegamento -382_-520)
Azioni sul collegamento: N=117.75 Ty=-3.35 Tz=-46.25 Mx=-0.71 Mz=-4.39

Zona tesa: F=47.42 b_{eff}=13.20 t_w=0.70 σ=5.13
Zona tesa: F=47.42 b_{eff}=13.20 t_w=0.70 σ=5.13
CC 1 SLV (Collegamento -382_-520)
Azioni sul collegamento: N=117.75 Ty=-1.47 Tz=-46.25 Mx=-0.34 Mz=-1.98
Zona tesa: F=47.42 b_{eff}=13.20 t_w=0.70 σ=5.13
Zona tesa: F=47.42 b_{eff}=13.20 t_w=0.70 σ=5.13
CC 1 SLV (Collegamento -382_-520)
Azioni sul collegamento: N=117.75 Ty=-3.35 Tz=-46.25 Mx=-0.71 Mz=-4.39
Zona tesa: F=47.42 b_{eff}=13.20 t_w=0.70 σ=5.13
Zona tesa: F=47.42 b_{eff}=13.20 t_w=0.70 σ=5.13
CC 2 SLD (Collegamento -382_-520)
Azioni sul collegamento: N=145.42 Ty=-1.66 Tz=-50.53 Mx=-0.37 Mz=-2.26
Zona tesa: F=58.56 b_{eff}=13.20 t_w=0.70 σ=6.34
Zona tesa: F=58.56 b_{eff}=13.20 t_w=0.70 σ=6.34
CC 2 SLD (Collegamento -382_-520)
Azioni sul collegamento: N=145.42 Ty=-2.23 Tz=-50.53 Mx=-0.49 Mz=-2.99
Zona tesa: F=58.56 b_{eff}=13.20 t_w=0.70 σ=6.34
Zona tesa: F=58.56 b_{eff}=13.20 t_w=0.70 σ=6.34
CC 2 SLD (Collegamento -382_-520)
Azioni sul collegamento: N=145.42 Ty=-1.66 Tz=-50.53 Mx=-0.37 Mz=-2.26
Zona tesa: F=58.56 b_{eff}=13.20 t_w=0.70 σ=6.34
Zona tesa: F=58.56 b_{eff}=13.20 t_w=0.70 σ=6.34
CC 2 SLD (Collegamento -382_-520)
Azioni sul collegamento: N=145.42 Ty=-2.23 Tz=-50.53 Mx=-0.49 Mz=-2.99
Zona tesa: F=58.56 b_{eff}=13.20 t_w=0.70 σ=6.34
Zona tesa: F=58.56 b_{eff}=13.20 t_w=0.70 σ=6.34
CC 2 SLD (Collegamento -382_-520)
Azioni sul collegamento: N=132.54 Ty=-1.66 Tz=-48.53 Mx=-0.37 Mz=-2.26
Zona tesa: F=53.37 b_{eff}=13.20 t_w=0.70 σ=5.78
Zona tesa: F=53.37 b_{eff}=13.20 t_w=0.70 σ=5.78
CC 2 SLD (Collegamento -382_-520)
Azioni sul collegamento: N=132.54 Ty=-2.23 Tz=-48.53 Mx=-0.49 Mz=-2.99
Zona tesa: F=53.37 b_{eff}=13.20 t_w=0.70 σ=5.78
Zona tesa: F=53.37 b_{eff}=13.20 t_w=0.70 σ=5.78
CC 2 SLD (Collegamento -382_-520)
Azioni sul collegamento: N=132.54 Ty=-1.66 Tz=-48.53 Mx=-0.37 Mz=-2.26
Zona tesa: F=53.37 b_{eff}=13.20 t_w=0.70 σ=5.78
Zona tesa: F=53.37 b_{eff}=13.20 t_w=0.70 σ=5.78
CC 2 SLD (Collegamento -382_-520)
Azioni sul collegamento: N=132.54 Ty=-2.23 Tz=-48.53 Mx=-0.49 Mz=-2.99
Zona tesa: F=53.37 b_{eff}=13.20 t_w=0.70 σ=5.78
Zona tesa: F=53.37 b_{eff}=13.20 t_w=0.70 σ=5.78
CC 3 SLV (Collegamento -382_-520)
Azioni sul collegamento: N=159.78 Ty=-2.01 Tz=-52.75 Mx=-0.42 Mz=-2.55
Zona tesa: F=64.34 b_{eff}=13.20 t_w=0.70 σ=6.96
Zona tesa: F=64.34 b_{eff}=13.20 t_w=0.70 σ=6.96
CC 3 SLV (Collegamento -382_-520)
Azioni sul collegamento: N=159.78 Ty=-2.81 Tz=-52.75 Mx=-0.62 Mz=-3.83
Zona tesa: F=64.34 b_{eff}=13.20 t_w=0.70 σ=6.96
Zona tesa: F=64.34 b_{eff}=13.20 t_w=0.70 σ=6.96
CC 3 SLV (Collegamento -382_-520)
Azioni sul collegamento: N=159.78 Ty=-2.01 Tz=-52.75 Mx=-0.42 Mz=-2.55
Zona tesa: F=64.34 b_{eff}=13.20 t_w=0.70 σ=6.96
Zona tesa: F=64.34 b_{eff}=13.20 t_w=0.70 σ=6.96
CC 3 SLV (Collegamento -382_-520)
Azioni sul collegamento: N=159.78 Ty=-2.81 Tz=-52.75 Mx=-0.62 Mz=-3.83
Zona tesa: F=64.34 b_{eff}=13.20 t_w=0.70 σ=6.96
Zona tesa: F=64.34 b_{eff}=13.20 t_w=0.70 σ=6.96
CC 3 SLV (Collegamento -382_-520)
Azioni sul collegamento: N=117.94 Ty=-2.01 Tz=-46.27 Mx=-0.42 Mz=-2.55
Zona tesa: F=47.49 b_{eff}=13.20 t_w=0.70 σ=5.14
Zona tesa: F=47.49 b_{eff}=13.20 t_w=0.70 σ=5.14
CC 3 SLV (Collegamento -382_-520)
Azioni sul collegamento: N=117.94 Ty=-2.81 Tz=-46.27 Mx=-0.62 Mz=-3.83
Zona tesa: F=47.49 b_{eff}=13.20 t_w=0.70 σ=5.14
Zona tesa: F=47.49 b_{eff}=13.20 t_w=0.70 σ=5.14
CC 3 SLV (Collegamento -382_-520)
Azioni sul collegamento: N=117.94 Ty=-2.01 Tz=-46.27 Mx=-0.42 Mz=-2.55
Zona tesa: F=47.49 b_{eff}=13.20 t_w=0.70 σ=5.14
Zona tesa: F=47.49 b_{eff}=13.20 t_w=0.70 σ=5.14
CC 3 SLV (Collegamento -382_-520)
Azioni sul collegamento: N=117.94 Ty=-2.81 Tz=-46.27 Mx=-0.62 Mz=-3.83
Zona tesa: F=47.49 b_{eff}=13.20 t_w=0.70 σ=5.14
Zona tesa: F=47.49 b_{eff}=13.20 t_w=0.70 σ=5.14
CC 4 SLD (Collegamento -382_-520)
Azioni sul collegamento: N=145.36 Ty=-1.82 Tz=-50.52 Mx=-0.40 Mz=-2.43

Zona tesa: F=58.53 b_{eff}=13.20 t_w=0.70 σ=6.33
Zona tesa: F=58.53 b_{eff}=13.20 t_w=0.70 σ=6.33
CC 4 SLD (Collegamento -382_-520)
Azioni sul collegamento: N=145.36 Ty=-2.06 Tz=-50.52 Mx=-0.46 Mz=-2.82
Zona tesa: F=58.53 b_{eff}=13.20 t_w=0.70 σ=6.33
Zona tesa: F=58.53 b_{eff}=13.20 t_w=0.70 σ=6.33
CC 4 SLD (Collegamento -382_-520)
Azioni sul collegamento: N=145.36 Ty=-1.82 Tz=-50.52 Mx=-0.40 Mz=-2.43
Zona tesa: F=58.53 b_{eff}=13.20 t_w=0.70 σ=6.33
Zona tesa: F=58.53 b_{eff}=13.20 t_w=0.70 σ=6.33
CC 4 SLD (Collegamento -382_-520)
Azioni sul collegamento: N=145.36 Ty=-2.06 Tz=-50.52 Mx=-0.46 Mz=-2.82
Zona tesa: F=58.53 b_{eff}=13.20 t_w=0.70 σ=6.33
Zona tesa: F=58.53 b_{eff}=13.20 t_w=0.70 σ=6.33
CC 4 SLD (Collegamento -382_-520)
Azioni sul collegamento: N=132.60 Ty=-1.82 Tz=-48.54 Mx=-0.40 Mz=-2.43
Zona tesa: F=53.40 b_{eff}=13.20 t_w=0.70 σ=5.78
Zona tesa: F=53.40 b_{eff}=13.20 t_w=0.70 σ=5.78
CC 4 SLD (Collegamento -382_-520)
Azioni sul collegamento: N=132.60 Ty=-2.06 Tz=-48.54 Mx=-0.46 Mz=-2.82
Zona tesa: F=53.40 b_{eff}=13.20 t_w=0.70 σ=5.78
Zona tesa: F=53.40 b_{eff}=13.20 t_w=0.70 σ=5.78
CC 4 SLD (Collegamento -382_-520)
Azioni sul collegamento: N=132.60 Ty=-1.82 Tz=-48.54 Mx=-0.40 Mz=-2.43
Zona tesa: F=53.40 b_{eff}=13.20 t_w=0.70 σ=5.78
Zona tesa: F=53.40 b_{eff}=13.20 t_w=0.70 σ=5.78
CC 4 SLD (Collegamento -382_-520)
Azioni sul collegamento: N=132.60 Ty=-2.06 Tz=-48.54 Mx=-0.46 Mz=-2.82
Zona tesa: F=53.40 b_{eff}=13.20 t_w=0.70 σ=5.78
Zona tesa: F=53.40 b_{eff}=13.20 t_w=0.70 σ=5.78
CC 5 SLV (Collegamento -382_-520)
Azioni sul collegamento: N=117.94 Ty=-2.81 Tz=-46.27 Mx=-0.61 Mz=-3.83
Zona tesa: F=47.49 b_{eff}=13.20 t_w=0.70 σ=5.14
Zona tesa: F=47.49 b_{eff}=13.20 t_w=0.70 σ=5.14
CC 5 SLV (Collegamento -382_-520)
Azioni sul collegamento: N=117.94 Ty=-2.01 Tz=-46.27 Mx=-0.41 Mz=-2.55
Zona tesa: F=47.49 b_{eff}=13.20 t_w=0.70 σ=5.14
Zona tesa: F=47.49 b_{eff}=13.20 t_w=0.70 σ=5.14
CC 5 SLV (Collegamento -382_-520)
Azioni sul collegamento: N=117.94 Ty=-2.81 Tz=-46.27 Mx=-0.61 Mz=-3.83
Zona tesa: F=47.49 b_{eff}=13.20 t_w=0.70 σ=5.14
Zona tesa: F=47.49 b_{eff}=13.20 t_w=0.70 σ=5.14
CC 5 SLV (Collegamento -382_-520)
Azioni sul collegamento: N=117.94 Ty=-2.01 Tz=-46.27 Mx=-0.41 Mz=-2.55
Zona tesa: F=47.49 b_{eff}=13.20 t_w=0.70 σ=5.14
Zona tesa: F=47.49 b_{eff}=13.20 t_w=0.70 σ=5.14
CC 5 SLV (Collegamento -382_-520)
Azioni sul collegamento: N=159.78 Ty=-2.81 Tz=-52.75 Mx=-0.61 Mz=-3.83
Zona tesa: F=64.34 b_{eff}=13.20 t_w=0.70 σ=6.96
Zona tesa: F=64.34 b_{eff}=13.20 t_w=0.70 σ=6.96
CC 5 SLV (Collegamento -382_-520)
Azioni sul collegamento: N=159.78 Ty=-2.01 Tz=-52.75 Mx=-0.41 Mz=-2.55
Zona tesa: F=64.34 b_{eff}=13.20 t_w=0.70 σ=6.96
Zona tesa: F=64.34 b_{eff}=13.20 t_w=0.70 σ=6.96
CC 5 SLV (Collegamento -382_-520)
Azioni sul collegamento: N=159.78 Ty=-2.81 Tz=-52.75 Mx=-0.61 Mz=-3.83
Zona tesa: F=64.34 b_{eff}=13.20 t_w=0.70 σ=6.96
Zona tesa: F=64.34 b_{eff}=13.20 t_w=0.70 σ=6.96
CC 5 SLV (Collegamento -382_-520)
Azioni sul collegamento: N=159.78 Ty=-2.01 Tz=-52.75 Mx=-0.41 Mz=-2.55
Zona tesa: F=64.34 b_{eff}=13.20 t_w=0.70 σ=6.96
Zona tesa: F=64.34 b_{eff}=13.20 t_w=0.70 σ=6.96
CC 6 SLD (Collegamento -382_-520)
Azioni sul collegamento: N=132.60 Ty=-2.06 Tz=-48.54 Mx=-0.46 Mz=-2.82
Zona tesa: F=53.40 b_{eff}=13.20 t_w=0.70 σ=5.78
Zona tesa: F=53.40 b_{eff}=13.20 t_w=0.70 σ=5.78
CC 6 SLD (Collegamento -382_-520)
Azioni sul collegamento: N=132.60 Ty=-1.82 Tz=-48.54 Mx=-0.39 Mz=-2.43
Zona tesa: F=53.40 b_{eff}=13.20 t_w=0.70 σ=5.78
Zona tesa: F=53.40 b_{eff}=13.20 t_w=0.70 σ=5.78
CC 6 SLD (Collegamento -382_-520)
Azioni sul collegamento: N=132.60 Ty=-2.06 Tz=-48.54 Mx=-0.46 Mz=-2.82
Zona tesa: F=53.40 b_{eff}=13.20 t_w=0.70 σ=5.78
Zona tesa: F=53.40 b_{eff}=13.20 t_w=0.70 σ=5.78
CC 6 SLD (Collegamento -382_-520)
Azioni sul collegamento: N=132.60 Ty=-1.82 Tz=-48.54 Mx=-0.39 Mz=-2.43

Zona tesa: F=53.40 b_{eff}=13.20 t_w=0.70 σ=5.78
Zona tesa: F=53.40 b_{eff}=13.20 t_w=0.70 σ=5.78
CC 6 SLD (Collegamento -382_-520)
Azioni sul collegamento: N=145.36 Ty=-2.06 Tz=-50.52 Mx=-0.46 Mz=-2.82
Zona tesa: F=58.53 b_{eff}=13.20 t_w=0.70 σ=6.33
Zona tesa: F=58.53 b_{eff}=13.20 t_w=0.70 σ=6.33
CC 6 SLD (Collegamento -382_-520)
Azioni sul collegamento: N=145.36 Ty=-1.82 Tz=-50.52 Mx=-0.39 Mz=-2.43
Zona tesa: F=58.53 b_{eff}=13.20 t_w=0.70 σ=6.33
Zona tesa: F=58.53 b_{eff}=13.20 t_w=0.70 σ=6.33
CC 6 SLD (Collegamento -382_-520)
Azioni sul collegamento: N=145.36 Ty=-2.06 Tz=-50.52 Mx=-0.46 Mz=-2.82
Zona tesa: F=58.53 b_{eff}=13.20 t_w=0.70 σ=6.33
Zona tesa: F=58.53 b_{eff}=13.20 t_w=0.70 σ=6.33
CC 6 SLD (Collegamento -382_-520)
Azioni sul collegamento: N=145.36 Ty=-1.82 Tz=-50.52 Mx=-0.39 Mz=-2.43
Zona tesa: F=58.53 b_{eff}=13.20 t_w=0.70 σ=6.33
Zona tesa: F=58.53 b_{eff}=13.20 t_w=0.70 σ=6.33
CC 7 SLV (Collegamento -382_-520)
Azioni sul collegamento: N=117.75 Ty=-3.35 Tz=-46.25 Mx=-0.70 Mz=-4.40
Zona tesa: F=47.42 b_{eff}=13.20 t_w=0.70 σ=5.13
Zona tesa: F=47.42 b_{eff}=13.20 t_w=0.70 σ=5.13
CC 7 SLV (Collegamento -382_-520)
Azioni sul collegamento: N=117.75 Ty=-1.47 Tz=-46.25 Mx=-0.32 Mz=-1.99
Zona tesa: F=47.42 b_{eff}=13.20 t_w=0.70 σ=5.13
Zona tesa: F=47.42 b_{eff}=13.20 t_w=0.70 σ=5.13
CC 7 SLV (Collegamento -382_-520)
Azioni sul collegamento: N=117.75 Ty=-3.35 Tz=-46.25 Mx=-0.70 Mz=-4.40
Zona tesa: F=47.42 b_{eff}=13.20 t_w=0.70 σ=5.13
Zona tesa: F=47.42 b_{eff}=13.20 t_w=0.70 σ=5.13
CC 7 SLV (Collegamento -382_-520)
Azioni sul collegamento: N=117.75 Ty=-1.47 Tz=-46.25 Mx=-0.32 Mz=-1.99
Zona tesa: F=47.42 b_{eff}=13.20 t_w=0.70 σ=5.13
Zona tesa: F=47.42 b_{eff}=13.20 t_w=0.70 σ=5.13
CC 7 SLV (Collegamento -382_-520)
Azioni sul collegamento: N=159.97 Ty=-3.35 Tz=-52.78 Mx=-0.70 Mz=-4.40
Zona tesa: F=64.42 b_{eff}=13.20 t_w=0.70 σ=6.97
Zona tesa: F=64.42 b_{eff}=13.20 t_w=0.70 σ=6.97
CC 7 SLV (Collegamento -382_-520)
Azioni sul collegamento: N=159.97 Ty=-1.47 Tz=-52.78 Mx=-0.32 Mz=-1.99
Zona tesa: F=64.42 b_{eff}=13.20 t_w=0.70 σ=6.97
Zona tesa: F=64.42 b_{eff}=13.20 t_w=0.70 σ=6.97
CC 7 SLV (Collegamento -382_-520)
Azioni sul collegamento: N=159.97 Ty=-3.35 Tz=-52.78 Mx=-0.70 Mz=-4.40
Zona tesa: F=64.42 b_{eff}=13.20 t_w=0.70 σ=6.97
Zona tesa: F=64.42 b_{eff}=13.20 t_w=0.70 σ=6.97
CC 7 SLV (Collegamento -382_-520)
Azioni sul collegamento: N=159.97 Ty=-1.47 Tz=-52.78 Mx=-0.32 Mz=-1.99
Zona tesa: F=64.42 b_{eff}=13.20 t_w=0.70 σ=6.97
Zona tesa: F=64.42 b_{eff}=13.20 t_w=0.70 σ=6.97
CC 8 SLD (Collegamento -382_-520)
Azioni sul collegamento: N=132.54 Ty=-2.23 Tz=-48.53 Mx=-0.48 Mz=-2.99
Zona tesa: F=53.37 b_{eff}=13.20 t_w=0.70 σ=5.78
Zona tesa: F=53.37 b_{eff}=13.20 t_w=0.70 σ=5.78
CC 8 SLD (Collegamento -382_-520)
Azioni sul collegamento: N=132.54 Ty=-1.66 Tz=-48.53 Mx=-0.37 Mz=-2.26
Zona tesa: F=53.37 b_{eff}=13.20 t_w=0.70 σ=5.78
Zona tesa: F=53.37 b_{eff}=13.20 t_w=0.70 σ=5.78
CC 8 SLD (Collegamento -382_-520)
Azioni sul collegamento: N=132.54 Ty=-2.23 Tz=-48.53 Mx=-0.48 Mz=-2.99
Zona tesa: F=53.37 b_{eff}=13.20 t_w=0.70 σ=5.78
Zona tesa: F=53.37 b_{eff}=13.20 t_w=0.70 σ=5.78
CC 8 SLD (Collegamento -382_-520)
Azioni sul collegamento: N=132.54 Ty=-1.66 Tz=-48.53 Mx=-0.37 Mz=-2.26
Zona tesa: F=53.37 b_{eff}=13.20 t_w=0.70 σ=5.78
Zona tesa: F=53.37 b_{eff}=13.20 t_w=0.70 σ=5.78
CC 8 SLD (Collegamento -382_-520)
Azioni sul collegamento: N=145.42 Ty=-2.23 Tz=-50.53 Mx=-0.48 Mz=-2.99
Zona tesa: F=58.56 b_{eff}=13.20 t_w=0.70 σ=6.34
Zona tesa: F=58.56 b_{eff}=13.20 t_w=0.70 σ=6.34
CC 8 SLD (Collegamento -382_-520)
Azioni sul collegamento: N=145.42 Ty=-1.66 Tz=-50.53 Mx=-0.37 Mz=-2.26
Zona tesa: F=58.56 b_{eff}=13.20 t_w=0.70 σ=6.34
Zona tesa: F=58.56 b_{eff}=13.20 t_w=0.70 σ=6.34
CC 8 SLD (Collegamento -382_-520)
Azioni sul collegamento: N=145.42 Ty=-2.23 Tz=-50.53 Mx=-0.48 Mz=-2.99

Zona tesa: F=58.56 b_{eff}=13.20 t_w=0.70 σ=6.34
Zona tesa: F=58.56 b_{eff}=13.20 t_w=0.70 σ=6.34
CC 8 SLD (Collegamento -382_-520)
Azioni sul collegamento: N=145.42 Ty=-1.66 Tz=-50.53 Mx=-0.37 Mz=-2.26
Zona tesa: F=58.56 b_{eff}=13.20 t_w=0.70 σ=6.34
Zona tesa: F=58.56 b_{eff}=13.20 t_w=0.70 σ=6.34
CC 9 SLV (Collegamento -382_-520)
Azioni sul collegamento: N=145.48 Ty=-1.32 Tz=-50.54 Mx=-0.34 Mz=-1.97
Zona tesa: F=58.58 b_{eff}=13.20 t_w=0.70 σ=6.34
Zona tesa: F=58.58 b_{eff}=13.20 t_w=0.70 σ=6.34
CC 9 SLV (Collegamento -382_-520)
Azioni sul collegamento: N=145.48 Ty=-3.50 Tz=-50.54 Mx=-0.71 Mz=-4.40
Zona tesa: F=58.58 b_{eff}=13.20 t_w=0.70 σ=6.34
Zona tesa: F=58.58 b_{eff}=13.20 t_w=0.70 σ=6.34
CC 9 SLV (Collegamento -382_-520)
Azioni sul collegamento: N=145.48 Ty=-1.32 Tz=-50.54 Mx=-0.34 Mz=-1.97
Zona tesa: F=58.58 b_{eff}=13.20 t_w=0.70 σ=6.34
Zona tesa: F=58.58 b_{eff}=13.20 t_w=0.70 σ=6.34
CC 9 SLV (Collegamento -382_-520)
Azioni sul collegamento: N=145.48 Ty=-3.50 Tz=-50.54 Mx=-0.71 Mz=-4.40
Zona tesa: F=58.58 b_{eff}=13.20 t_w=0.70 σ=6.34
Zona tesa: F=58.58 b_{eff}=13.20 t_w=0.70 σ=6.34
CC 9 SLV (Collegamento -382_-520)
Azioni sul collegamento: N=132.24 Ty=-1.32 Tz=-48.49 Mx=-0.34 Mz=-1.97
Zona tesa: F=53.25 b_{eff}=13.20 t_w=0.70 σ=5.76
Zona tesa: F=53.25 b_{eff}=13.20 t_w=0.70 σ=5.76
CC 9 SLV (Collegamento -382_-520)
Azioni sul collegamento: N=132.24 Ty=-3.50 Tz=-48.49 Mx=-0.71 Mz=-4.40
Zona tesa: F=53.25 b_{eff}=13.20 t_w=0.70 σ=5.76
Zona tesa: F=53.25 b_{eff}=13.20 t_w=0.70 σ=5.76
CC 9 SLV (Collegamento -382_-520)
Azioni sul collegamento: N=132.24 Ty=-1.32 Tz=-48.49 Mx=-0.34 Mz=-1.97
Zona tesa: F=53.25 b_{eff}=13.20 t_w=0.70 σ=5.76
Zona tesa: F=53.25 b_{eff}=13.20 t_w=0.70 σ=5.76
CC 9 SLV (Collegamento -382_-520)
Azioni sul collegamento: N=132.24 Ty=-3.50 Tz=-48.49 Mx=-0.71 Mz=-4.40
Zona tesa: F=53.25 b_{eff}=13.20 t_w=0.70 σ=5.76
Zona tesa: F=53.25 b_{eff}=13.20 t_w=0.70 σ=5.76
CC 10 SLD (Collegamento -382_-520)
Azioni sul collegamento: N=141.00 Ty=-1.61 Tz=-49.84 Mx=-0.37 Mz=-2.25
Zona tesa: F=56.78 b_{eff}=13.20 t_w=0.70 σ=6.14
Zona tesa: F=56.78 b_{eff}=13.20 t_w=0.70 σ=6.14
CC 10 SLD (Collegamento -382_-520)
Azioni sul collegamento: N=141.00 Ty=-2.27 Tz=-49.84 Mx=-0.49 Mz=-3.00
Zona tesa: F=56.78 b_{eff}=13.20 t_w=0.70 σ=6.14
Zona tesa: F=56.78 b_{eff}=13.20 t_w=0.70 σ=6.14
CC 10 SLD (Collegamento -382_-520)
Azioni sul collegamento: N=141.00 Ty=-1.61 Tz=-49.84 Mx=-0.37 Mz=-2.25
Zona tesa: F=56.78 b_{eff}=13.20 t_w=0.70 σ=6.14
Zona tesa: F=56.78 b_{eff}=13.20 t_w=0.70 σ=6.14
CC 10 SLD (Collegamento -382_-520)
Azioni sul collegamento: N=141.00 Ty=-2.27 Tz=-49.84 Mx=-0.49 Mz=-3.00
Zona tesa: F=56.78 b_{eff}=13.20 t_w=0.70 σ=6.14
Zona tesa: F=56.78 b_{eff}=13.20 t_w=0.70 σ=6.14
CC 10 SLD (Collegamento -382_-520)
Azioni sul collegamento: N=136.96 Ty=-1.61 Tz=-49.22 Mx=-0.37 Mz=-2.25
Zona tesa: F=55.15 b_{eff}=13.20 t_w=0.70 σ=5.97
Zona tesa: F=55.15 b_{eff}=13.20 t_w=0.70 σ=5.97
CC 10 SLD (Collegamento -382_-520)
Azioni sul collegamento: N=136.96 Ty=-2.27 Tz=-49.22 Mx=-0.49 Mz=-3.00
Zona tesa: F=55.15 b_{eff}=13.20 t_w=0.70 σ=5.97
Zona tesa: F=55.15 b_{eff}=13.20 t_w=0.70 σ=5.97
CC 10 SLD (Collegamento -382_-520)
Azioni sul collegamento: N=136.96 Ty=-1.61 Tz=-49.22 Mx=-0.37 Mz=-2.25
Zona tesa: F=55.15 b_{eff}=13.20 t_w=0.70 σ=5.97
Zona tesa: F=55.15 b_{eff}=13.20 t_w=0.70 σ=5.97
CC 10 SLD (Collegamento -382_-520)
Azioni sul collegamento: N=136.96 Ty=-2.27 Tz=-49.22 Mx=-0.49 Mz=-3.00
Zona tesa: F=55.15 b_{eff}=13.20 t_w=0.70 σ=5.97
Zona tesa: F=55.15 b_{eff}=13.20 t_w=0.70 σ=5.97
CC 11 SLV (Collegamento -382_-520)
Azioni sul collegamento: N=132.87 Ty=-1.72 Tz=-48.59 Mx=-0.42 Mz=-2.53
Zona tesa: F=53.51 b_{eff}=13.20 t_w=0.70 σ=5.79
Zona tesa: F=53.51 b_{eff}=13.20 t_w=0.70 σ=5.79
CC 11 SLV (Collegamento -382_-520)
Azioni sul collegamento: N=132.87 Ty=-3.10 Tz=-48.59 Mx=-0.62 Mz=-3.85

Zona tesa: F=53.51 b_{eff}=13.20 t_w=0.70 σ=5.79
Zona tesa: F=53.51 b_{eff}=13.20 t_w=0.70 σ=5.79
CC 11 SLV (Collegamento -382_-520)
Azioni sul collegamento: N=132.87 Ty=-1.72 Tz=-48.59 Mx=-0.42 Mz=-2.53
Zona tesa: F=53.51 b_{eff}=13.20 t_w=0.70 σ=5.79
Zona tesa: F=53.51 b_{eff}=13.20 t_w=0.70 σ=5.79
CC 11 SLV (Collegamento -382_-520)
Azioni sul collegamento: N=132.87 Ty=-3.10 Tz=-48.59 Mx=-0.62 Mz=-3.85
Zona tesa: F=53.51 b_{eff}=13.20 t_w=0.70 σ=5.79
Zona tesa: F=53.51 b_{eff}=13.20 t_w=0.70 σ=5.79
CC 11 SLV (Collegamento -382_-520)
Azioni sul collegamento: N=144.84 Ty=-1.72 Tz=-50.44 Mx=-0.42 Mz=-2.53
Zona tesa: F=58.33 b_{eff}=13.20 t_w=0.70 σ=6.31
Zona tesa: F=58.33 b_{eff}=13.20 t_w=0.70 σ=6.31
CC 11 SLV (Collegamento -382_-520)
Azioni sul collegamento: N=144.84 Ty=-3.10 Tz=-50.44 Mx=-0.62 Mz=-3.85
Zona tesa: F=58.33 b_{eff}=13.20 t_w=0.70 σ=6.31
Zona tesa: F=58.33 b_{eff}=13.20 t_w=0.70 σ=6.31
CC 11 SLV (Collegamento -382_-520)
Azioni sul collegamento: N=144.84 Ty=-1.72 Tz=-50.44 Mx=-0.42 Mz=-2.53
Zona tesa: F=58.33 b_{eff}=13.20 t_w=0.70 σ=6.31
Zona tesa: F=58.33 b_{eff}=13.20 t_w=0.70 σ=6.31
CC 11 SLV (Collegamento -382_-520)
Azioni sul collegamento: N=144.84 Ty=-3.10 Tz=-50.44 Mx=-0.62 Mz=-3.85
Zona tesa: F=58.33 b_{eff}=13.20 t_w=0.70 σ=6.31
Zona tesa: F=58.33 b_{eff}=13.20 t_w=0.70 σ=6.31
CC 12 SLD (Collegamento -382_-520)
Azioni sul collegamento: N=137.16 Ty=-1.73 Tz=-49.25 Mx=-0.40 Mz=-2.42
Zona tesa: F=55.23 b_{eff}=13.20 t_w=0.70 σ=5.98
Zona tesa: F=55.23 b_{eff}=13.20 t_w=0.70 σ=5.98
CC 12 SLD (Collegamento -382_-520)
Azioni sul collegamento: N=137.16 Ty=-2.15 Tz=-49.25 Mx=-0.46 Mz=-2.83
Zona tesa: F=55.23 b_{eff}=13.20 t_w=0.70 σ=5.98
Zona tesa: F=55.23 b_{eff}=13.20 t_w=0.70 σ=5.98
CC 12 SLD (Collegamento -382_-520)
Azioni sul collegamento: N=137.16 Ty=-1.73 Tz=-49.25 Mx=-0.40 Mz=-2.42
Zona tesa: F=55.23 b_{eff}=13.20 t_w=0.70 σ=5.98
Zona tesa: F=55.23 b_{eff}=13.20 t_w=0.70 σ=5.98
CC 12 SLD (Collegamento -382_-520)
Azioni sul collegamento: N=137.16 Ty=-2.15 Tz=-49.25 Mx=-0.46 Mz=-2.83
Zona tesa: F=55.23 b_{eff}=13.20 t_w=0.70 σ=5.98
Zona tesa: F=55.23 b_{eff}=13.20 t_w=0.70 σ=5.98
CC 12 SLD (Collegamento -382_-520)
Azioni sul collegamento: N=140.81 Ty=-1.73 Tz=-49.81 Mx=-0.40 Mz=-2.42
Zona tesa: F=56.70 b_{eff}=13.20 t_w=0.70 σ=6.14
Zona tesa: F=56.70 b_{eff}=13.20 t_w=0.70 σ=6.14
CC 12 SLD (Collegamento -382_-520)
Azioni sul collegamento: N=140.81 Ty=-2.15 Tz=-49.81 Mx=-0.46 Mz=-2.83
Zona tesa: F=56.70 b_{eff}=13.20 t_w=0.70 σ=6.14
Zona tesa: F=56.70 b_{eff}=13.20 t_w=0.70 σ=6.14
CC 12 SLD (Collegamento -382_-520)
Azioni sul collegamento: N=140.81 Ty=-1.73 Tz=-49.81 Mx=-0.40 Mz=-2.42
Zona tesa: F=56.70 b_{eff}=13.20 t_w=0.70 σ=6.14
Zona tesa: F=56.70 b_{eff}=13.20 t_w=0.70 σ=6.14
CC 12 SLD (Collegamento -382_-520)
Azioni sul collegamento: N=140.81 Ty=-2.15 Tz=-49.81 Mx=-0.46 Mz=-2.83
Zona tesa: F=56.70 b_{eff}=13.20 t_w=0.70 σ=6.14
Zona tesa: F=56.70 b_{eff}=13.20 t_w=0.70 σ=6.14
CC 13 SLV (Collegamento -382_-520)
Azioni sul collegamento: N=144.84 Ty=-3.10 Tz=-50.44 Mx=-0.62 Mz=-3.85
Zona tesa: F=58.33 b_{eff}=13.20 t_w=0.70 σ=6.31
Zona tesa: F=58.33 b_{eff}=13.20 t_w=0.70 σ=6.31
CC 13 SLV (Collegamento -382_-520)
Azioni sul collegamento: N=144.84 Ty=-1.72 Tz=-50.44 Mx=-0.41 Mz=-2.53
Zona tesa: F=58.33 b_{eff}=13.20 t_w=0.70 σ=6.31
Zona tesa: F=58.33 b_{eff}=13.20 t_w=0.70 σ=6.31
CC 13 SLV (Collegamento -382_-520)
Azioni sul collegamento: N=144.84 Ty=-3.10 Tz=-50.44 Mx=-0.62 Mz=-3.85
Zona tesa: F=58.33 b_{eff}=13.20 t_w=0.70 σ=6.31
Zona tesa: F=58.33 b_{eff}=13.20 t_w=0.70 σ=6.31
CC 13 SLV (Collegamento -382_-520)
Azioni sul collegamento: N=144.84 Ty=-1.72 Tz=-50.44 Mx=-0.41 Mz=-2.53
Zona tesa: F=58.33 b_{eff}=13.20 t_w=0.70 σ=6.31
Zona tesa: F=58.33 b_{eff}=13.20 t_w=0.70 σ=6.31
CC 13 SLV (Collegamento -382_-520)
Azioni sul collegamento: N=132.87 Ty=-3.10 Tz=-48.59 Mx=-0.62 Mz=-3.85

Zona tesa: F=53.51 b_{eff}=13.20 t_w=0.70 σ=5.79
Zona tesa: F=53.51 b_{eff}=13.20 t_w=0.70 σ=5.79
CC 13 SLV (Collegamento -382_-520)
Azioni sul collegamento: N=132.87 Ty=-1.72 Tz=-48.59 Mx=-0.41 Mz=-2.53
Zona tesa: F=53.51 b_{eff}=13.20 t_w=0.70 σ=5.79
Zona tesa: F=53.51 b_{eff}=13.20 t_w=0.70 σ=5.79
CC 13 SLV (Collegamento -382_-520)
Azioni sul collegamento: N=132.87 Ty=-3.10 Tz=-48.59 Mx=-0.62 Mz=-3.85
Zona tesa: F=53.51 b_{eff}=13.20 t_w=0.70 σ=5.79
Zona tesa: F=53.51 b_{eff}=13.20 t_w=0.70 σ=5.79
CC 13 SLV (Collegamento -382_-520)
Azioni sul collegamento: N=132.87 Ty=-1.72 Tz=-48.59 Mx=-0.41 Mz=-2.53
Zona tesa: F=53.51 b_{eff}=13.20 t_w=0.70 σ=5.79
Zona tesa: F=53.51 b_{eff}=13.20 t_w=0.70 σ=5.79
CC 14 SLD (Collegamento -382_-520)
Azioni sul collegamento: N=140.81 Ty=-2.15 Tz=-49.81 Mx=-0.46 Mz=-2.83
Zona tesa: F=56.70 b_{eff}=13.20 t_w=0.70 σ=6.14
Zona tesa: F=56.70 b_{eff}=13.20 t_w=0.70 σ=6.14
CC 14 SLD (Collegamento -382_-520)
Azioni sul collegamento: N=140.81 Ty=-1.73 Tz=-49.81 Mx=-0.39 Mz=-2.42
Zona tesa: F=56.70 b_{eff}=13.20 t_w=0.70 σ=6.14
Zona tesa: F=56.70 b_{eff}=13.20 t_w=0.70 σ=6.14
CC 14 SLD (Collegamento -382_-520)
Azioni sul collegamento: N=140.81 Ty=-2.15 Tz=-49.81 Mx=-0.46 Mz=-2.83
Zona tesa: F=56.70 b_{eff}=13.20 t_w=0.70 σ=6.14
Zona tesa: F=56.70 b_{eff}=13.20 t_w=0.70 σ=6.14
CC 14 SLD (Collegamento -382_-520)
Azioni sul collegamento: N=140.81 Ty=-1.73 Tz=-49.81 Mx=-0.39 Mz=-2.42
Zona tesa: F=56.70 b_{eff}=13.20 t_w=0.70 σ=6.14
Zona tesa: F=56.70 b_{eff}=13.20 t_w=0.70 σ=6.14
CC 14 SLD (Collegamento -382_-520)
Azioni sul collegamento: N=137.16 Ty=-2.15 Tz=-49.25 Mx=-0.46 Mz=-2.83
Zona tesa: F=55.23 b_{eff}=13.20 t_w=0.70 σ=5.98
Zona tesa: F=55.23 b_{eff}=13.20 t_w=0.70 σ=5.98
CC 14 SLD (Collegamento -382_-520)
Azioni sul collegamento: N=137.16 Ty=-1.73 Tz=-49.25 Mx=-0.39 Mz=-2.42
Zona tesa: F=55.23 b_{eff}=13.20 t_w=0.70 σ=5.98
Zona tesa: F=55.23 b_{eff}=13.20 t_w=0.70 σ=5.98
CC 14 SLD (Collegamento -382_-520)
Azioni sul collegamento: N=137.16 Ty=-2.15 Tz=-49.25 Mx=-0.46 Mz=-2.83
Zona tesa: F=55.23 b_{eff}=13.20 t_w=0.70 σ=5.98
Zona tesa: F=55.23 b_{eff}=13.20 t_w=0.70 σ=5.98
CC 14 SLD (Collegamento -382_-520)
Azioni sul collegamento: N=137.16 Ty=-1.73 Tz=-49.25 Mx=-0.39 Mz=-2.42
Zona tesa: F=55.23 b_{eff}=13.20 t_w=0.70 σ=5.98
Zona tesa: F=55.23 b_{eff}=13.20 t_w=0.70 σ=5.98
CC 15 SLV (Collegamento -382_-520)
Azioni sul collegamento: N=132.24 Ty=-3.50 Tz=-48.49 Mx=-0.70 Mz=-4.40
Zona tesa: F=53.25 b_{eff}=13.20 t_w=0.70 σ=5.76
Zona tesa: F=53.25 b_{eff}=13.20 t_w=0.70 σ=5.76
CC 15 SLV (Collegamento -382_-520)
Azioni sul collegamento: N=132.24 Ty=-1.32 Tz=-48.49 Mx=-0.32 Mz=-1.98
Zona tesa: F=53.25 b_{eff}=13.20 t_w=0.70 σ=5.76
Zona tesa: F=53.25 b_{eff}=13.20 t_w=0.70 σ=5.76
CC 15 SLV (Collegamento -382_-520)
Azioni sul collegamento: N=132.24 Ty=-3.50 Tz=-48.49 Mx=-0.70 Mz=-4.40
Zona tesa: F=53.25 b_{eff}=13.20 t_w=0.70 σ=5.76
Zona tesa: F=53.25 b_{eff}=13.20 t_w=0.70 σ=5.76
CC 15 SLV (Collegamento -382_-520)
Azioni sul collegamento: N=132.24 Ty=-1.32 Tz=-48.49 Mx=-0.32 Mz=-1.98
Zona tesa: F=53.25 b_{eff}=13.20 t_w=0.70 σ=5.76
Zona tesa: F=53.25 b_{eff}=13.20 t_w=0.70 σ=5.76
CC 15 SLV (Collegamento -382_-520)
Azioni sul collegamento: N=145.48 Ty=-3.50 Tz=-50.54 Mx=-0.70 Mz=-4.40
Zona tesa: F=58.58 b_{eff}=13.20 t_w=0.70 σ=6.34
Zona tesa: F=58.58 b_{eff}=13.20 t_w=0.70 σ=6.34
CC 15 SLV (Collegamento -382_-520)
Azioni sul collegamento: N=145.48 Ty=-1.32 Tz=-50.54 Mx=-0.32 Mz=-1.98
Zona tesa: F=58.58 b_{eff}=13.20 t_w=0.70 σ=6.34
Zona tesa: F=58.58 b_{eff}=13.20 t_w=0.70 σ=6.34
CC 15 SLV (Collegamento -382_-520)
Azioni sul collegamento: N=145.48 Ty=-3.50 Tz=-50.54 Mx=-0.70 Mz=-4.40
Zona tesa: F=58.58 b_{eff}=13.20 t_w=0.70 σ=6.34
Zona tesa: F=58.58 b_{eff}=13.20 t_w=0.70 σ=6.34
CC 15 SLV (Collegamento -382_-520)
Azioni sul collegamento: N=145.48 Ty=-1.32 Tz=-50.54 Mx=-0.32 Mz=-1.98

Zona tesa: F=58.58 b_{eff}=13.20 t_w=0.70 σ=6.34
Zona tesa: F=58.58 b_{eff}=13.20 t_w=0.70 σ=6.34
CC 16 SLD (Collegamento -382_-520)
Azioni sul collegamento: N=136.96 Ty=-2.27 Tz=-49.22 Mx=-0.48 Mz=-3.00
Zona tesa: F=55.15 b_{eff}=13.20 t_w=0.70 σ=5.97
Zona tesa: F=55.15 b_{eff}=13.20 t_w=0.70 σ=5.97
CC 16 SLD (Collegamento -382_-520)
Azioni sul collegamento: N=136.96 Ty=-1.61 Tz=-49.22 Mx=-0.37 Mz=-2.26
Zona tesa: F=55.15 b_{eff}=13.20 t_w=0.70 σ=5.97
Zona tesa: F=55.15 b_{eff}=13.20 t_w=0.70 σ=5.97
CC 16 SLD (Collegamento -382_-520)
Azioni sul collegamento: N=136.96 Ty=-2.27 Tz=-49.22 Mx=-0.48 Mz=-3.00
Zona tesa: F=55.15 b_{eff}=13.20 t_w=0.70 σ=5.97
Zona tesa: F=55.15 b_{eff}=13.20 t_w=0.70 σ=5.97
CC 16 SLD (Collegamento -382_-520)
Azioni sul collegamento: N=136.96 Ty=-1.61 Tz=-49.22 Mx=-0.37 Mz=-2.26
Zona tesa: F=55.15 b_{eff}=13.20 t_w=0.70 σ=5.97
Zona tesa: F=55.15 b_{eff}=13.20 t_w=0.70 σ=5.97
CC 16 SLD (Collegamento -382_-520)
Azioni sul collegamento: N=141.00 Ty=-2.27 Tz=-49.84 Mx=-0.48 Mz=-3.00
Zona tesa: F=56.78 b_{eff}=13.20 t_w=0.70 σ=6.14
Zona tesa: F=56.78 b_{eff}=13.20 t_w=0.70 σ=6.14
CC 16 SLD (Collegamento -382_-520)
Azioni sul collegamento: N=141.00 Ty=-1.61 Tz=-49.84 Mx=-0.37 Mz=-2.26
Zona tesa: F=56.78 b_{eff}=13.20 t_w=0.70 σ=6.14
Zona tesa: F=56.78 b_{eff}=13.20 t_w=0.70 σ=6.14
CC 16 SLD (Collegamento -382_-520)
Azioni sul collegamento: N=141.00 Ty=-2.27 Tz=-49.84 Mx=-0.48 Mz=-3.00
Zona tesa: F=56.78 b_{eff}=13.20 t_w=0.70 σ=6.14
Zona tesa: F=56.78 b_{eff}=13.20 t_w=0.70 σ=6.14
CC 16 SLD (Collegamento -382_-520)
Azioni sul collegamento: N=141.00 Ty=-1.61 Tz=-49.84 Mx=-0.37 Mz=-2.26
Zona tesa: F=56.78 b_{eff}=13.20 t_w=0.70 σ=6.14
Zona tesa: F=56.78 b_{eff}=13.20 t_w=0.70 σ=6.14
CC 17 SLV (Collegamento -382_-520)
Azioni sul collegamento: N=160.31 Ty=-0.12 Tz=-52.83 Mx=-0.08 Mz=-0.36
Zona tesa: F=64.56 b_{eff}=13.20 t_w=0.70 σ=6.99
Zona tesa: F=64.56 b_{eff}=13.20 t_w=0.70 σ=6.99
CC 17 SLV (Collegamento -382_-520)
Azioni sul collegamento: N=160.31 Ty=-2.00 Tz=-52.83 Mx=-0.45 Mz=-2.77
Zona tesa: F=64.56 b_{eff}=13.20 t_w=0.70 σ=6.99
Zona tesa: F=64.56 b_{eff}=13.20 t_w=0.70 σ=6.99
CC 17 SLV (Collegamento -382_-520)
Azioni sul collegamento: N=160.31 Ty=-0.12 Tz=-52.83 Mx=-0.08 Mz=-0.36
Zona tesa: F=64.56 b_{eff}=13.20 t_w=0.70 σ=6.99
Zona tesa: F=64.56 b_{eff}=13.20 t_w=0.70 σ=6.99
CC 17 SLV (Collegamento -382_-520)
Azioni sul collegamento: N=160.31 Ty=-2.00 Tz=-52.83 Mx=-0.45 Mz=-2.77
Zona tesa: F=64.56 b_{eff}=13.20 t_w=0.70 σ=6.99
Zona tesa: F=64.56 b_{eff}=13.20 t_w=0.70 σ=6.99
CC 17 SLV (Collegamento -382_-520)
Azioni sul collegamento: N=118.10 Ty=-0.12 Tz=-46.30 Mx=-0.08 Mz=-0.36
Zona tesa: F=47.56 b_{eff}=13.20 t_w=0.70 σ=5.15
Zona tesa: F=47.56 b_{eff}=13.20 t_w=0.70 σ=5.15
CC 17 SLV (Collegamento -382_-520)
Azioni sul collegamento: N=118.10 Ty=-2.00 Tz=-46.30 Mx=-0.45 Mz=-2.77
Zona tesa: F=47.56 b_{eff}=13.20 t_w=0.70 σ=5.15
Zona tesa: F=47.56 b_{eff}=13.20 t_w=0.70 σ=5.15
CC 17 SLV (Collegamento -382_-520)
Azioni sul collegamento: N=118.10 Ty=-0.12 Tz=-46.30 Mx=-0.08 Mz=-0.36
Zona tesa: F=47.56 b_{eff}=13.20 t_w=0.70 σ=5.15
Zona tesa: F=47.56 b_{eff}=13.20 t_w=0.70 σ=5.15
CC 17 SLV (Collegamento -382_-520)
Azioni sul collegamento: N=118.10 Ty=-2.00 Tz=-46.30 Mx=-0.45 Mz=-2.77
Zona tesa: F=47.56 b_{eff}=13.20 t_w=0.70 σ=5.15
Zona tesa: F=47.56 b_{eff}=13.20 t_w=0.70 σ=5.15
CC 18 SLD (Collegamento -382_-520)
Azioni sul collegamento: N=145.52 Ty=-1.24 Tz=-50.54 Mx=-0.29 Mz=-1.76
Zona tesa: F=58.60 b_{eff}=13.20 t_w=0.70 σ=6.34
Zona tesa: F=58.60 b_{eff}=13.20 t_w=0.70 σ=6.34
CC 18 SLD (Collegamento -382_-520)
Azioni sul collegamento: N=145.52 Ty=-1.82 Tz=-50.54 Mx=-0.41 Mz=-2.50
Zona tesa: F=58.60 b_{eff}=13.20 t_w=0.70 σ=6.34
Zona tesa: F=58.60 b_{eff}=13.20 t_w=0.70 σ=6.34
CC 18 SLD (Collegamento -382_-520)
Azioni sul collegamento: N=145.52 Ty=-1.24 Tz=-50.54 Mx=-0.29 Mz=-1.76

Zona tesa: F=58.60 b_{eff}=13.20 t_w=0.70 σ=6.34
Zona tesa: F=58.60 b_{eff}=13.20 t_w=0.70 σ=6.34
CC 18 SLD (Collegamento -382_-520)
Azioni sul collegamento: N=145.52 Ty=-1.82 Tz=-50.54 Mx=-0.41 Mz=-2.50
Zona tesa: F=58.60 b_{eff}=13.20 t_w=0.70 σ=6.34
Zona tesa: F=58.60 b_{eff}=13.20 t_w=0.70 σ=6.34
CC 18 SLD (Collegamento -382_-520)
Azioni sul collegamento: N=132.65 Ty=-1.24 Tz=-48.55 Mx=-0.29 Mz=-1.76
Zona tesa: F=53.42 b_{eff}=13.20 t_w=0.70 σ=5.78
Zona tesa: F=53.42 b_{eff}=13.20 t_w=0.70 σ=5.78
CC 18 SLD (Collegamento -382_-520)
Azioni sul collegamento: N=132.65 Ty=-1.82 Tz=-48.55 Mx=-0.41 Mz=-2.50
Zona tesa: F=53.42 b_{eff}=13.20 t_w=0.70 σ=5.78
Zona tesa: F=53.42 b_{eff}=13.20 t_w=0.70 σ=5.78
CC 18 SLD (Collegamento -382_-520)
Azioni sul collegamento: N=132.65 Ty=-1.24 Tz=-48.55 Mx=-0.29 Mz=-1.76
Zona tesa: F=53.42 b_{eff}=13.20 t_w=0.70 σ=5.78
Zona tesa: F=53.42 b_{eff}=13.20 t_w=0.70 σ=5.78
CC 18 SLD (Collegamento -382_-520)
Azioni sul collegamento: N=132.65 Ty=-1.82 Tz=-48.55 Mx=-0.41 Mz=-2.50
Zona tesa: F=53.42 b_{eff}=13.20 t_w=0.70 σ=5.78
Zona tesa: F=53.42 b_{eff}=13.20 t_w=0.70 σ=5.78
CC 19 SLV (Collegamento -382_-520)
Azioni sul collegamento: N=160.12 Ty=-0.66 Tz=-52.80 Mx=-0.16 Mz=-0.92
Zona tesa: F=64.48 b_{eff}=13.20 t_w=0.70 σ=6.98
Zona tesa: F=64.48 b_{eff}=13.20 t_w=0.70 σ=6.98
CC 19 SLV (Collegamento -382_-520)
Azioni sul collegamento: N=160.12 Ty=-1.47 Tz=-52.80 Mx=-0.36 Mz=-2.21
Zona tesa: F=64.48 b_{eff}=13.20 t_w=0.70 σ=6.98
Zona tesa: F=64.48 b_{eff}=13.20 t_w=0.70 σ=6.98
CC 19 SLV (Collegamento -382_-520)
Azioni sul collegamento: N=160.12 Ty=-0.66 Tz=-52.80 Mx=-0.16 Mz=-0.92
Zona tesa: F=64.48 b_{eff}=13.20 t_w=0.70 σ=6.98
Zona tesa: F=64.48 b_{eff}=13.20 t_w=0.70 σ=6.98
CC 19 SLV (Collegamento -382_-520)
Azioni sul collegamento: N=160.12 Ty=-1.47 Tz=-52.80 Mx=-0.36 Mz=-2.21
Zona tesa: F=64.48 b_{eff}=13.20 t_w=0.70 σ=6.98
Zona tesa: F=64.48 b_{eff}=13.20 t_w=0.70 σ=6.98
CC 19 SLV (Collegamento -382_-520)
Azioni sul collegamento: N=118.29 Ty=-0.66 Tz=-46.33 Mx=-0.16 Mz=-0.92
Zona tesa: F=47.63 b_{eff}=13.20 t_w=0.70 σ=5.16
Zona tesa: F=47.63 b_{eff}=13.20 t_w=0.70 σ=5.16
CC 19 SLV (Collegamento -382_-520)
Azioni sul collegamento: N=118.29 Ty=-1.47 Tz=-46.33 Mx=-0.36 Mz=-2.21
Zona tesa: F=47.63 b_{eff}=13.20 t_w=0.70 σ=5.16
Zona tesa: F=47.63 b_{eff}=13.20 t_w=0.70 σ=5.16
CC 19 SLV (Collegamento -382_-520)
Azioni sul collegamento: N=118.29 Ty=-0.66 Tz=-46.33 Mx=-0.16 Mz=-0.92
Zona tesa: F=47.63 b_{eff}=13.20 t_w=0.70 σ=5.16
Zona tesa: F=47.63 b_{eff}=13.20 t_w=0.70 σ=5.16
CC 19 SLV (Collegamento -382_-520)
Azioni sul collegamento: N=118.29 Ty=-1.47 Tz=-46.33 Mx=-0.36 Mz=-2.21
Zona tesa: F=47.63 b_{eff}=13.20 t_w=0.70 σ=5.16
Zona tesa: F=47.63 b_{eff}=13.20 t_w=0.70 σ=5.16
CC 20 SLD (Collegamento -382_-520)
Azioni sul collegamento: N=145.46 Ty=-1.41 Tz=-50.53 Mx=-0.32 Mz=-1.93
Zona tesa: F=58.58 b_{eff}=13.20 t_w=0.70 σ=6.34
Zona tesa: F=58.58 b_{eff}=13.20 t_w=0.70 σ=6.34
CC 20 SLD (Collegamento -382_-520)
Azioni sul collegamento: N=145.46 Ty=-1.65 Tz=-50.53 Mx=-0.38 Mz=-2.33
Zona tesa: F=58.58 b_{eff}=13.20 t_w=0.70 σ=6.34
Zona tesa: F=58.58 b_{eff}=13.20 t_w=0.70 σ=6.34
CC 20 SLD (Collegamento -382_-520)
Azioni sul collegamento: N=145.46 Ty=-1.41 Tz=-50.53 Mx=-0.32 Mz=-1.93
Zona tesa: F=58.58 b_{eff}=13.20 t_w=0.70 σ=6.34
Zona tesa: F=58.58 b_{eff}=13.20 t_w=0.70 σ=6.34
CC 20 SLD (Collegamento -382_-520)
Azioni sul collegamento: N=145.46 Ty=-1.65 Tz=-50.53 Mx=-0.38 Mz=-2.33
Zona tesa: F=58.58 b_{eff}=13.20 t_w=0.70 σ=6.34
Zona tesa: F=58.58 b_{eff}=13.20 t_w=0.70 σ=6.34
CC 20 SLD (Collegamento -382_-520)
Azioni sul collegamento: N=132.71 Ty=-1.41 Tz=-48.56 Mx=-0.32 Mz=-1.93
Zona tesa: F=53.44 b_{eff}=13.20 t_w=0.70 σ=5.78
Zona tesa: F=53.44 b_{eff}=13.20 t_w=0.70 σ=5.78
CC 20 SLD (Collegamento -382_-520)
Azioni sul collegamento: N=132.71 Ty=-1.65 Tz=-48.56 Mx=-0.38 Mz=-2.33

Zona tesa: F=53.44 b_{eff}=13.20 t_w=0.70 σ=5.78
Zona tesa: F=53.44 b_{eff}=13.20 t_w=0.70 σ=5.78
CC 20 SLD (Collegamento -382_-520)
Azioni sul collegamento: N=132.71 Ty=-1.41 Tz=-48.56 Mx=-0.32 Mz=-1.93
Zona tesa: F=53.44 b_{eff}=13.20 t_w=0.70 σ=5.78
Zona tesa: F=53.44 b_{eff}=13.20 t_w=0.70 σ=5.78
CC 20 SLD (Collegamento -382_-520)
Azioni sul collegamento: N=132.71 Ty=-1.65 Tz=-48.56 Mx=-0.38 Mz=-2.33
Zona tesa: F=53.44 b_{eff}=13.20 t_w=0.70 σ=5.78
Zona tesa: F=53.44 b_{eff}=13.20 t_w=0.70 σ=5.78
CC 21 SLV (Collegamento -382_-520)
Azioni sul collegamento: N=118.29 Ty=-1.47 Tz=-46.33 Mx=-0.35 Mz=-2.21
Zona tesa: F=47.63 b_{eff}=13.20 t_w=0.70 σ=5.16
Zona tesa: F=47.63 b_{eff}=13.20 t_w=0.70 σ=5.16
CC 21 SLV (Collegamento -382_-520)
Azioni sul collegamento: N=118.29 Ty=-0.66 Tz=-46.33 Mx=-0.15 Mz=-0.92
Zona tesa: F=47.63 b_{eff}=13.20 t_w=0.70 σ=5.16
Zona tesa: F=47.63 b_{eff}=13.20 t_w=0.70 σ=5.16
CC 21 SLV (Collegamento -382_-520)
Azioni sul collegamento: N=118.29 Ty=-1.47 Tz=-46.33 Mx=-0.35 Mz=-2.21
Zona tesa: F=47.63 b_{eff}=13.20 t_w=0.70 σ=5.16
Zona tesa: F=47.63 b_{eff}=13.20 t_w=0.70 σ=5.16
CC 21 SLV (Collegamento -382_-520)
Azioni sul collegamento: N=118.29 Ty=-0.66 Tz=-46.33 Mx=-0.15 Mz=-0.92
Zona tesa: F=47.63 b_{eff}=13.20 t_w=0.70 σ=5.16
Zona tesa: F=47.63 b_{eff}=13.20 t_w=0.70 σ=5.16
CC 21 SLV (Collegamento -382_-520)
Azioni sul collegamento: N=160.12 Ty=-1.47 Tz=-52.80 Mx=-0.35 Mz=-2.21
Zona tesa: F=64.48 b_{eff}=13.20 t_w=0.70 σ=6.98
Zona tesa: F=64.48 b_{eff}=13.20 t_w=0.70 σ=6.98
CC 21 SLV (Collegamento -382_-520)
Azioni sul collegamento: N=160.12 Ty=-0.66 Tz=-52.80 Mx=-0.15 Mz=-0.92
Zona tesa: F=64.48 b_{eff}=13.20 t_w=0.70 σ=6.98
Zona tesa: F=64.48 b_{eff}=13.20 t_w=0.70 σ=6.98
CC 21 SLV (Collegamento -382_-520)
Azioni sul collegamento: N=160.12 Ty=-1.47 Tz=-52.80 Mx=-0.35 Mz=-2.21
Zona tesa: F=64.48 b_{eff}=13.20 t_w=0.70 σ=6.98
Zona tesa: F=64.48 b_{eff}=13.20 t_w=0.70 σ=6.98
CC 21 SLV (Collegamento -382_-520)
Azioni sul collegamento: N=160.12 Ty=-0.66 Tz=-52.80 Mx=-0.15 Mz=-0.92
Zona tesa: F=64.48 b_{eff}=13.20 t_w=0.70 σ=6.98
Zona tesa: F=64.48 b_{eff}=13.20 t_w=0.70 σ=6.98
CC 22 SLD (Collegamento -382_-520)
Azioni sul collegamento: N=132.71 Ty=-1.65 Tz=-48.56 Mx=-0.38 Mz=-2.33
Zona tesa: F=53.44 b_{eff}=13.20 t_w=0.70 σ=5.78
Zona tesa: F=53.44 b_{eff}=13.20 t_w=0.70 σ=5.78
CC 22 SLD (Collegamento -382_-520)
Azioni sul collegamento: N=132.71 Ty=-1.41 Tz=-48.56 Mx=-0.31 Mz=-1.93
Zona tesa: F=53.44 b_{eff}=13.20 t_w=0.70 σ=5.78
Zona tesa: F=53.44 b_{eff}=13.20 t_w=0.70 σ=5.78
CC 22 SLD (Collegamento -382_-520)
Azioni sul collegamento: N=132.71 Ty=-1.65 Tz=-48.56 Mx=-0.38 Mz=-2.33
Zona tesa: F=53.44 b_{eff}=13.20 t_w=0.70 σ=5.78
Zona tesa: F=53.44 b_{eff}=13.20 t_w=0.70 σ=5.78
CC 22 SLD (Collegamento -382_-520)
Azioni sul collegamento: N=132.71 Ty=-1.41 Tz=-48.56 Mx=-0.31 Mz=-1.93
Zona tesa: F=53.44 b_{eff}=13.20 t_w=0.70 σ=5.78
Zona tesa: F=53.44 b_{eff}=13.20 t_w=0.70 σ=5.78
CC 22 SLD (Collegamento -382_-520)
Azioni sul collegamento: N=145.46 Ty=-1.65 Tz=-50.53 Mx=-0.38 Mz=-2.33
Zona tesa: F=58.58 b_{eff}=13.20 t_w=0.70 σ=6.34
Zona tesa: F=58.58 b_{eff}=13.20 t_w=0.70 σ=6.34
CC 22 SLD (Collegamento -382_-520)
Azioni sul collegamento: N=145.46 Ty=-1.41 Tz=-50.53 Mx=-0.31 Mz=-1.93
Zona tesa: F=58.58 b_{eff}=13.20 t_w=0.70 σ=6.34
Zona tesa: F=58.58 b_{eff}=13.20 t_w=0.70 σ=6.34
CC 22 SLD (Collegamento -382_-520)
Azioni sul collegamento: N=145.46 Ty=-1.65 Tz=-50.53 Mx=-0.38 Mz=-2.33
Zona tesa: F=58.58 b_{eff}=13.20 t_w=0.70 σ=6.34
Zona tesa: F=58.58 b_{eff}=13.20 t_w=0.70 σ=6.34
CC 22 SLD (Collegamento -382_-520)
Azioni sul collegamento: N=145.46 Ty=-1.41 Tz=-50.53 Mx=-0.31 Mz=-1.93
Zona tesa: F=58.58 b_{eff}=13.20 t_w=0.70 σ=6.34
Zona tesa: F=58.58 b_{eff}=13.20 t_w=0.70 σ=6.34
CC 23 SLV (Collegamento -382_-520)
Azioni sul collegamento: N=118.10 Ty=-2.00 Tz=-46.30 Mx=-0.43 Mz=-2.77

Zona tesa: F=47.56 b_{eff}=13.20 t_w=0.70 σ=5.15
Zona tesa: F=47.56 b_{eff}=13.20 t_w=0.70 σ=5.15
CC 23 SLV (Collegamento -382_-520)
Azioni sul collegamento: N=118.10 Ty=-0.12 Tz=-46.30 Mx=-0.06 Mz=-0.36
Zona tesa: F=47.56 b_{eff}=13.20 t_w=0.70 σ=5.15
Zona tesa: F=47.56 b_{eff}=13.20 t_w=0.70 σ=5.15
CC 23 SLV (Collegamento -382_-520)
Azioni sul collegamento: N=118.10 Ty=-2.00 Tz=-46.30 Mx=-0.43 Mz=-2.77
Zona tesa: F=47.56 b_{eff}=13.20 t_w=0.70 σ=5.15
Zona tesa: F=47.56 b_{eff}=13.20 t_w=0.70 σ=5.15
CC 23 SLV (Collegamento -382_-520)
Azioni sul collegamento: N=118.10 Ty=-0.12 Tz=-46.30 Mx=-0.06 Mz=-0.36
Zona tesa: F=47.56 b_{eff}=13.20 t_w=0.70 σ=5.15
Zona tesa: F=47.56 b_{eff}=13.20 t_w=0.70 σ=5.15
CC 23 SLV (Collegamento -382_-520)
Azioni sul collegamento: N=160.31 Ty=-2.00 Tz=-52.83 Mx=-0.43 Mz=-2.77
Zona tesa: F=64.56 b_{eff}=13.20 t_w=0.70 σ=6.99
Zona tesa: F=64.56 b_{eff}=13.20 t_w=0.70 σ=6.99
CC 23 SLV (Collegamento -382_-520)
Azioni sul collegamento: N=160.31 Ty=-0.12 Tz=-52.83 Mx=-0.06 Mz=-0.36
Zona tesa: F=64.56 b_{eff}=13.20 t_w=0.70 σ=6.99
Zona tesa: F=64.56 b_{eff}=13.20 t_w=0.70 σ=6.99
CC 23 SLV (Collegamento -382_-520)
Azioni sul collegamento: N=160.31 Ty=-2.00 Tz=-52.83 Mx=-0.43 Mz=-2.77
Zona tesa: F=64.56 b_{eff}=13.20 t_w=0.70 σ=6.99
Zona tesa: F=64.56 b_{eff}=13.20 t_w=0.70 σ=6.99
CC 23 SLV (Collegamento -382_-520)
Azioni sul collegamento: N=160.31 Ty=-0.12 Tz=-52.83 Mx=-0.06 Mz=-0.36
Zona tesa: F=64.56 b_{eff}=13.20 t_w=0.70 σ=6.99
Zona tesa: F=64.56 b_{eff}=13.20 t_w=0.70 σ=6.99
CC 24 SLD (Collegamento -382_-520)
Azioni sul collegamento: N=132.65 Ty=-1.82 Tz=-48.55 Mx=-0.40 Mz=-2.50
Zona tesa: F=53.42 b_{eff}=13.20 t_w=0.70 σ=5.78
Zona tesa: F=53.42 b_{eff}=13.20 t_w=0.70 σ=5.78
CC 24 SLD (Collegamento -382_-520)
Azioni sul collegamento: N=132.65 Ty=-1.24 Tz=-48.55 Mx=-0.29 Mz=-1.76
Zona tesa: F=53.42 b_{eff}=13.20 t_w=0.70 σ=5.78
Zona tesa: F=53.42 b_{eff}=13.20 t_w=0.70 σ=5.78
CC 24 SLD (Collegamento -382_-520)
Azioni sul collegamento: N=132.65 Ty=-1.82 Tz=-48.55 Mx=-0.40 Mz=-2.50
Zona tesa: F=53.42 b_{eff}=13.20 t_w=0.70 σ=5.78
Zona tesa: F=53.42 b_{eff}=13.20 t_w=0.70 σ=5.78
CC 24 SLD (Collegamento -382_-520)
Azioni sul collegamento: N=132.65 Ty=-1.24 Tz=-48.55 Mx=-0.29 Mz=-1.76
Zona tesa: F=53.42 b_{eff}=13.20 t_w=0.70 σ=5.78
Zona tesa: F=53.42 b_{eff}=13.20 t_w=0.70 σ=5.78
CC 24 SLD (Collegamento -382_-520)
Azioni sul collegamento: N=145.52 Ty=-1.82 Tz=-50.54 Mx=-0.40 Mz=-2.50
Zona tesa: F=58.60 b_{eff}=13.20 t_w=0.70 σ=6.34
Zona tesa: F=58.60 b_{eff}=13.20 t_w=0.70 σ=6.34
CC 24 SLD (Collegamento -382_-520)
Azioni sul collegamento: N=145.52 Ty=-1.24 Tz=-50.54 Mx=-0.29 Mz=-1.76
Zona tesa: F=58.60 b_{eff}=13.20 t_w=0.70 σ=6.34
Zona tesa: F=58.60 b_{eff}=13.20 t_w=0.70 σ=6.34
CC 24 SLD (Collegamento -382_-520)
Azioni sul collegamento: N=145.52 Ty=-1.82 Tz=-50.54 Mx=-0.40 Mz=-2.50
Zona tesa: F=58.60 b_{eff}=13.20 t_w=0.70 σ=6.34
Zona tesa: F=58.60 b_{eff}=13.20 t_w=0.70 σ=6.34
CC 24 SLD (Collegamento -382_-520)
Azioni sul collegamento: N=145.52 Ty=-1.24 Tz=-50.54 Mx=-0.29 Mz=-1.76
Zona tesa: F=58.60 b_{eff}=13.20 t_w=0.70 σ=6.34
Zona tesa: F=58.60 b_{eff}=13.20 t_w=0.70 σ=6.34
CC 25 SLV (Collegamento -382_-520)
Azioni sul collegamento: N=145.83 Ty=0.03 Tz=-50.59 Mx=-0.07 Mz=-0.35
Zona tesa: F=58.72 b_{eff}=13.20 t_w=0.70 σ=6.36
Zona tesa: F=58.72 b_{eff}=13.20 t_w=0.70 σ=6.36
CC 25 SLV (Collegamento -382_-520)
Azioni sul collegamento: N=145.83 Ty=-2.15 Tz=-50.59 Mx=-0.45 Mz=-2.78
Zona tesa: F=58.72 b_{eff}=13.20 t_w=0.70 σ=6.36
Zona tesa: F=58.72 b_{eff}=13.20 t_w=0.70 σ=6.36
CC 25 SLV (Collegamento -382_-520)
Azioni sul collegamento: N=145.83 Ty=0.03 Tz=-50.59 Mx=-0.07 Mz=-0.35
Zona tesa: F=58.72 b_{eff}=13.20 t_w=0.70 σ=6.36
Zona tesa: F=58.72 b_{eff}=13.20 t_w=0.70 σ=6.36
CC 25 SLV (Collegamento -382_-520)
Azioni sul collegamento: N=145.83 Ty=-2.15 Tz=-50.59 Mx=-0.45 Mz=-2.78

Zona tesa: F=58.72 b_{eff}=13.20 t_w=0.70 σ=6.36
Zona tesa: F=58.72 b_{eff}=13.20 t_w=0.70 σ=6.36
CC 25 SLV (Collegamento -382_-520)
Azioni sul collegamento: N=132.59 Ty=0.03 Tz=-48.54 Mx=-0.07 Mz=-0.35
Zona tesa: F=53.39 b_{eff}=13.20 t_w=0.70 σ=5.78
Zona tesa: F=53.39 b_{eff}=13.20 t_w=0.70 σ=5.78
CC 25 SLV (Collegamento -382_-520)
Azioni sul collegamento: N=132.59 Ty=-2.15 Tz=-48.54 Mx=-0.45 Mz=-2.78
Zona tesa: F=53.39 b_{eff}=13.20 t_w=0.70 σ=5.78
Zona tesa: F=53.39 b_{eff}=13.20 t_w=0.70 σ=5.78
CC 25 SLV (Collegamento -382_-520)
Azioni sul collegamento: N=132.59 Ty=0.03 Tz=-48.54 Mx=-0.07 Mz=-0.35
Zona tesa: F=53.39 b_{eff}=13.20 t_w=0.70 σ=5.78
Zona tesa: F=53.39 b_{eff}=13.20 t_w=0.70 σ=5.78
CC 25 SLV (Collegamento -382_-520)
Azioni sul collegamento: N=132.59 Ty=-2.15 Tz=-48.54 Mx=-0.45 Mz=-2.78
Zona tesa: F=53.39 b_{eff}=13.20 t_w=0.70 σ=5.78
Zona tesa: F=53.39 b_{eff}=13.20 t_w=0.70 σ=5.78
CC 26 SLD (Collegamento -382_-520)
Azioni sul collegamento: N=141.11 Ty=-1.20 Tz=-49.86 Mx=-0.29 Mz=-1.76
Zona tesa: F=56.82 b_{eff}=13.20 t_w=0.70 σ=6.15
Zona tesa: F=56.82 b_{eff}=13.20 t_w=0.70 σ=6.15
CC 26 SLD (Collegamento -382_-520)
Azioni sul collegamento: N=141.11 Ty=-1.86 Tz=-49.86 Mx=-0.41 Mz=-2.50
Zona tesa: F=56.82 b_{eff}=13.20 t_w=0.70 σ=6.15
Zona tesa: F=56.82 b_{eff}=13.20 t_w=0.70 σ=6.15
CC 26 SLD (Collegamento -382_-520)
Azioni sul collegamento: N=141.11 Ty=-1.20 Tz=-49.86 Mx=-0.29 Mz=-1.76
Zona tesa: F=56.82 b_{eff}=13.20 t_w=0.70 σ=6.15
Zona tesa: F=56.82 b_{eff}=13.20 t_w=0.70 σ=6.15
CC 26 SLD (Collegamento -382_-520)
Azioni sul collegamento: N=141.11 Ty=-1.86 Tz=-49.86 Mx=-0.41 Mz=-2.50
Zona tesa: F=56.82 b_{eff}=13.20 t_w=0.70 σ=6.15
Zona tesa: F=56.82 b_{eff}=13.20 t_w=0.70 σ=6.15
CC 26 SLD (Collegamento -382_-520)
Azioni sul collegamento: N=137.07 Ty=-1.20 Tz=-49.23 Mx=-0.29 Mz=-1.76
Zona tesa: F=55.19 b_{eff}=13.20 t_w=0.70 σ=5.97
Zona tesa: F=55.19 b_{eff}=13.20 t_w=0.70 σ=5.97
CC 26 SLD (Collegamento -382_-520)
Azioni sul collegamento: N=137.07 Ty=-1.86 Tz=-49.23 Mx=-0.41 Mz=-2.50
Zona tesa: F=55.19 b_{eff}=13.20 t_w=0.70 σ=5.97
Zona tesa: F=55.19 b_{eff}=13.20 t_w=0.70 σ=5.97
CC 26 SLD (Collegamento -382_-520)
Azioni sul collegamento: N=137.07 Ty=-1.20 Tz=-49.23 Mx=-0.29 Mz=-1.76
Zona tesa: F=55.19 b_{eff}=13.20 t_w=0.70 σ=5.97
Zona tesa: F=55.19 b_{eff}=13.20 t_w=0.70 σ=5.97
CC 26 SLD (Collegamento -382_-520)
Azioni sul collegamento: N=137.07 Ty=-1.86 Tz=-49.23 Mx=-0.41 Mz=-2.50
Zona tesa: F=55.19 b_{eff}=13.20 t_w=0.70 σ=5.97
Zona tesa: F=55.19 b_{eff}=13.20 t_w=0.70 σ=5.97
CC 27 SLV (Collegamento -382_-520)
Azioni sul collegamento: N=133.22 Ty=-0.37 Tz=-48.64 Mx=-0.16 Mz=-0.91
Zona tesa: F=53.65 b_{eff}=13.20 t_w=0.70 σ=5.81
Zona tesa: F=53.65 b_{eff}=13.20 t_w=0.70 σ=5.81
CC 27 SLV (Collegamento -382_-520)
Azioni sul collegamento: N=133.22 Ty=-1.75 Tz=-48.64 Mx=-0.36 Mz=-2.23
Zona tesa: F=53.65 b_{eff}=13.20 t_w=0.70 σ=5.81
Zona tesa: F=53.65 b_{eff}=13.20 t_w=0.70 σ=5.81
CC 27 SLV (Collegamento -382_-520)
Azioni sul collegamento: N=133.22 Ty=-0.37 Tz=-48.64 Mx=-0.16 Mz=-0.91
Zona tesa: F=53.65 b_{eff}=13.20 t_w=0.70 σ=5.81
Zona tesa: F=53.65 b_{eff}=13.20 t_w=0.70 σ=5.81
CC 27 SLV (Collegamento -382_-520)
Azioni sul collegamento: N=133.22 Ty=-1.75 Tz=-48.64 Mx=-0.36 Mz=-2.23
Zona tesa: F=53.65 b_{eff}=13.20 t_w=0.70 σ=5.81
Zona tesa: F=53.65 b_{eff}=13.20 t_w=0.70 σ=5.81
CC 27 SLV (Collegamento -382_-520)
Azioni sul collegamento: N=145.19 Ty=-0.37 Tz=-50.49 Mx=-0.16 Mz=-0.91
Zona tesa: F=58.47 b_{eff}=13.20 t_w=0.70 σ=6.33
Zona tesa: F=58.47 b_{eff}=13.20 t_w=0.70 σ=6.33
CC 27 SLV (Collegamento -382_-520)
Azioni sul collegamento: N=145.19 Ty=-1.75 Tz=-50.49 Mx=-0.36 Mz=-2.23
Zona tesa: F=58.47 b_{eff}=13.20 t_w=0.70 σ=6.33
Zona tesa: F=58.47 b_{eff}=13.20 t_w=0.70 σ=6.33
CC 27 SLV (Collegamento -382_-520)
Azioni sul collegamento: N=145.19 Ty=-0.37 Tz=-50.49 Mx=-0.16 Mz=-0.91

Zona tesa: F=58.47 b_{eff}=13.20 t_w=0.70 σ=6.33
Zona tesa: F=58.47 b_{eff}=13.20 t_w=0.70 σ=6.33
CC 27 SLV (Collegamento -382_-520)
Azioni sul collegamento: N=145.19 Ty=-1.75 Tz=-50.49 Mx=-0.36 Mz=-2.23
Zona tesa: F=58.47 b_{eff}=13.20 t_w=0.70 σ=6.33
Zona tesa: F=58.47 b_{eff}=13.20 t_w=0.70 σ=6.33
CC 28 SLD (Collegamento -382_-520)
Azioni sul collegamento: N=137.26 Ty=-1.32 Tz=-49.26 Mx=-0.32 Mz=-1.93
Zona tesa: F=55.27 b_{eff}=13.20 t_w=0.70 σ=5.98
Zona tesa: F=55.27 b_{eff}=13.20 t_w=0.70 σ=5.98
CC 28 SLD (Collegamento -382_-520)
Azioni sul collegamento: N=137.26 Ty=-1.74 Tz=-49.26 Mx=-0.38 Mz=-2.33
Zona tesa: F=55.27 b_{eff}=13.20 t_w=0.70 σ=5.98
Zona tesa: F=55.27 b_{eff}=13.20 t_w=0.70 σ=5.98
CC 28 SLD (Collegamento -382_-520)
Azioni sul collegamento: N=137.26 Ty=-1.32 Tz=-49.26 Mx=-0.32 Mz=-1.93
Zona tesa: F=55.27 b_{eff}=13.20 t_w=0.70 σ=5.98
Zona tesa: F=55.27 b_{eff}=13.20 t_w=0.70 σ=5.98
CC 28 SLD (Collegamento -382_-520)
Azioni sul collegamento: N=137.26 Ty=-1.74 Tz=-49.26 Mx=-0.38 Mz=-2.33
Zona tesa: F=55.27 b_{eff}=13.20 t_w=0.70 σ=5.98
Zona tesa: F=55.27 b_{eff}=13.20 t_w=0.70 σ=5.98
CC 28 SLD (Collegamento -382_-520)
Azioni sul collegamento: N=140.91 Ty=-1.32 Tz=-49.83 Mx=-0.32 Mz=-1.93
Zona tesa: F=56.74 b_{eff}=13.20 t_w=0.70 σ=6.14
Zona tesa: F=56.74 b_{eff}=13.20 t_w=0.70 σ=6.14
CC 28 SLD (Collegamento -382_-520)
Azioni sul collegamento: N=140.91 Ty=-1.74 Tz=-49.83 Mx=-0.38 Mz=-2.33
Zona tesa: F=56.74 b_{eff}=13.20 t_w=0.70 σ=6.14
Zona tesa: F=56.74 b_{eff}=13.20 t_w=0.70 σ=6.14
CC 28 SLD (Collegamento -382_-520)
Azioni sul collegamento: N=140.91 Ty=-1.32 Tz=-49.83 Mx=-0.32 Mz=-1.93
Zona tesa: F=56.74 b_{eff}=13.20 t_w=0.70 σ=6.14
Zona tesa: F=56.74 b_{eff}=13.20 t_w=0.70 σ=6.14
CC 28 SLD (Collegamento -382_-520)
Azioni sul collegamento: N=140.91 Ty=-1.74 Tz=-49.83 Mx=-0.38 Mz=-2.33
Zona tesa: F=56.74 b_{eff}=13.20 t_w=0.70 σ=6.14
Zona tesa: F=56.74 b_{eff}=13.20 t_w=0.70 σ=6.14
CC 29 SLV (Collegamento -382_-520)
Azioni sul collegamento: N=145.19 Ty=-1.75 Tz=-50.49 Mx=-0.35 Mz=-2.23
Zona tesa: F=58.47 b_{eff}=13.20 t_w=0.70 σ=6.33
Zona tesa: F=58.47 b_{eff}=13.20 t_w=0.70 σ=6.33
CC 29 SLV (Collegamento -382_-520)
Azioni sul collegamento: N=145.19 Ty=-0.37 Tz=-50.49 Mx=-0.15 Mz=-0.91
Zona tesa: F=58.47 b_{eff}=13.20 t_w=0.70 σ=6.33
Zona tesa: F=58.47 b_{eff}=13.20 t_w=0.70 σ=6.33
CC 29 SLV (Collegamento -382_-520)
Azioni sul collegamento: N=145.19 Ty=-1.75 Tz=-50.49 Mx=-0.35 Mz=-2.23
Zona tesa: F=58.47 b_{eff}=13.20 t_w=0.70 σ=6.33
Zona tesa: F=58.47 b_{eff}=13.20 t_w=0.70 σ=6.33
CC 29 SLV (Collegamento -382_-520)
Azioni sul collegamento: N=145.19 Ty=-0.37 Tz=-50.49 Mx=-0.15 Mz=-0.91
Zona tesa: F=58.47 b_{eff}=13.20 t_w=0.70 σ=6.33
Zona tesa: F=58.47 b_{eff}=13.20 t_w=0.70 σ=6.33
CC 29 SLV (Collegamento -382_-520)
Azioni sul collegamento: N=133.22 Ty=-1.75 Tz=-48.64 Mx=-0.35 Mz=-2.23
Zona tesa: F=53.65 b_{eff}=13.20 t_w=0.70 σ=5.81
Zona tesa: F=53.65 b_{eff}=13.20 t_w=0.70 σ=5.81
CC 29 SLV (Collegamento -382_-520)
Azioni sul collegamento: N=133.22 Ty=-0.37 Tz=-48.64 Mx=-0.15 Mz=-0.91
Zona tesa: F=53.65 b_{eff}=13.20 t_w=0.70 σ=5.81
Zona tesa: F=53.65 b_{eff}=13.20 t_w=0.70 σ=5.81
CC 29 SLV (Collegamento -382_-520)
Azioni sul collegamento: N=133.22 Ty=-1.75 Tz=-48.64 Mx=-0.35 Mz=-2.23
Zona tesa: F=53.65 b_{eff}=13.20 t_w=0.70 σ=5.81
Zona tesa: F=53.65 b_{eff}=13.20 t_w=0.70 σ=5.81
CC 29 SLV (Collegamento -382_-520)
Azioni sul collegamento: N=133.22 Ty=-0.37 Tz=-48.64 Mx=-0.15 Mz=-0.91
Zona tesa: F=53.65 b_{eff}=13.20 t_w=0.70 σ=5.81
Zona tesa: F=53.65 b_{eff}=13.20 t_w=0.70 σ=5.81
CC 30 SLD (Collegamento -382_-520)
Azioni sul collegamento: N=140.91 Ty=-1.74 Tz=-49.83 Mx=-0.38 Mz=-2.33
Zona tesa: F=56.74 b_{eff}=13.20 t_w=0.70 σ=6.14
Zona tesa: F=56.74 b_{eff}=13.20 t_w=0.70 σ=6.14
CC 30 SLD (Collegamento -382_-520)
Azioni sul collegamento: N=140.91 Ty=-1.32 Tz=-49.83 Mx=-0.31 Mz=-1.93

Zona tesa: F=56.74 b_{eff}=13.20 t_w=0.70 σ=6.14
Zona tesa: F=56.74 b_{eff}=13.20 t_w=0.70 σ=6.14
CC 30 SLD (Collegamento -382_-520)
Azioni sul collegamento: N=140.91 Ty=-1.74 Tz=-49.83 Mx=-0.38 Mz=-2.33
Zona tesa: F=56.74 b_{eff}=13.20 t_w=0.70 σ=6.14
Zona tesa: F=56.74 b_{eff}=13.20 t_w=0.70 σ=6.14
CC 30 SLD (Collegamento -382_-520)
Azioni sul collegamento: N=140.91 Ty=-1.32 Tz=-49.83 Mx=-0.31 Mz=-1.93
Zona tesa: F=56.74 b_{eff}=13.20 t_w=0.70 σ=6.14
Zona tesa: F=56.74 b_{eff}=13.20 t_w=0.70 σ=6.14
CC 30 SLD (Collegamento -382_-520)
Azioni sul collegamento: N=137.26 Ty=-1.74 Tz=-49.26 Mx=-0.38 Mz=-2.33
Zona tesa: F=55.27 b_{eff}=13.20 t_w=0.70 σ=5.98
Zona tesa: F=55.27 b_{eff}=13.20 t_w=0.70 σ=5.98
CC 30 SLD (Collegamento -382_-520)
Azioni sul collegamento: N=137.26 Ty=-1.32 Tz=-49.26 Mx=-0.31 Mz=-1.93
Zona tesa: F=55.27 b_{eff}=13.20 t_w=0.70 σ=5.98
Zona tesa: F=55.27 b_{eff}=13.20 t_w=0.70 σ=5.98
CC 30 SLD (Collegamento -382_-520)
Azioni sul collegamento: N=137.26 Ty=-1.74 Tz=-49.26 Mx=-0.38 Mz=-2.33
Zona tesa: F=55.27 b_{eff}=13.20 t_w=0.70 σ=5.98
Zona tesa: F=55.27 b_{eff}=13.20 t_w=0.70 σ=5.98
CC 30 SLD (Collegamento -382_-520)
Azioni sul collegamento: N=137.26 Ty=-1.32 Tz=-49.26 Mx=-0.31 Mz=-1.93
Zona tesa: F=55.27 b_{eff}=13.20 t_w=0.70 σ=5.98
Zona tesa: F=55.27 b_{eff}=13.20 t_w=0.70 σ=5.98
CC 31 SLV (Collegamento -382_-520)
Azioni sul collegamento: N=132.59 Ty=-2.15 Tz=-48.54 Mx=-0.44 Mz=-2.78
Zona tesa: F=53.39 b_{eff}=13.20 t_w=0.70 σ=5.78
Zona tesa: F=53.39 b_{eff}=13.20 t_w=0.70 σ=5.78
CC 31 SLV (Collegamento -382_-520)
Azioni sul collegamento: N=132.59 Ty=0.03 Tz=-48.54 Mx=-0.06 Mz=-0.35
Zona tesa: F=53.39 b_{eff}=13.20 t_w=0.70 σ=5.78
Zona tesa: F=53.39 b_{eff}=13.20 t_w=0.70 σ=5.78
CC 31 SLV (Collegamento -382_-520)
Azioni sul collegamento: N=132.59 Ty=-2.15 Tz=-48.54 Mx=-0.44 Mz=-2.78
Zona tesa: F=53.39 b_{eff}=13.20 t_w=0.70 σ=5.78
Zona tesa: F=53.39 b_{eff}=13.20 t_w=0.70 σ=5.78
CC 31 SLV (Collegamento -382_-520)
Azioni sul collegamento: N=132.59 Ty=0.03 Tz=-48.54 Mx=-0.06 Mz=-0.35
Zona tesa: F=53.39 b_{eff}=13.20 t_w=0.70 σ=5.78
Zona tesa: F=53.39 b_{eff}=13.20 t_w=0.70 σ=5.78
CC 31 SLV (Collegamento -382_-520)
Azioni sul collegamento: N=145.83 Ty=-2.15 Tz=-50.59 Mx=-0.44 Mz=-2.78
Zona tesa: F=58.72 b_{eff}=13.20 t_w=0.70 σ=6.36
Zona tesa: F=58.72 b_{eff}=13.20 t_w=0.70 σ=6.36
CC 31 SLV (Collegamento -382_-520)
Azioni sul collegamento: N=145.83 Ty=0.03 Tz=-50.59 Mx=-0.06 Mz=-0.35
Zona tesa: F=58.72 b_{eff}=13.20 t_w=0.70 σ=6.36
Zona tesa: F=58.72 b_{eff}=13.20 t_w=0.70 σ=6.36
CC 31 SLV (Collegamento -382_-520)
Azioni sul collegamento: N=145.83 Ty=-2.15 Tz=-50.59 Mx=-0.44 Mz=-2.78
Zona tesa: F=58.72 b_{eff}=13.20 t_w=0.70 σ=6.36
Zona tesa: F=58.72 b_{eff}=13.20 t_w=0.70 σ=6.36
CC 31 SLV (Collegamento -382_-520)
Azioni sul collegamento: N=145.83 Ty=0.03 Tz=-50.59 Mx=-0.06 Mz=-0.35
Zona tesa: F=58.72 b_{eff}=13.20 t_w=0.70 σ=6.36
Zona tesa: F=58.72 b_{eff}=13.20 t_w=0.70 σ=6.36
CC 32 SLD (Collegamento -382_-520)
Azioni sul collegamento: N=137.07 Ty=-1.86 Tz=-49.23 Mx=-0.40 Mz=-2.50
Zona tesa: F=55.19 b_{eff}=13.20 t_w=0.70 σ=5.97
Zona tesa: F=55.19 b_{eff}=13.20 t_w=0.70 σ=5.97
CC 32 SLD (Collegamento -382_-520)
Azioni sul collegamento: N=137.07 Ty=-1.20 Tz=-49.23 Mx=-0.29 Mz=-1.76
Zona tesa: F=55.19 b_{eff}=13.20 t_w=0.70 σ=5.97
Zona tesa: F=55.19 b_{eff}=13.20 t_w=0.70 σ=5.97
CC 32 SLD (Collegamento -382_-520)
Azioni sul collegamento: N=137.07 Ty=-1.86 Tz=-49.23 Mx=-0.40 Mz=-2.50
Zona tesa: F=55.19 b_{eff}=13.20 t_w=0.70 σ=5.97
Zona tesa: F=55.19 b_{eff}=13.20 t_w=0.70 σ=5.97
CC 32 SLD (Collegamento -382_-520)
Azioni sul collegamento: N=137.07 Ty=-1.20 Tz=-49.23 Mx=-0.29 Mz=-1.76
Zona tesa: F=55.19 b_{eff}=13.20 t_w=0.70 σ=5.97
Zona tesa: F=55.19 b_{eff}=13.20 t_w=0.70 σ=5.97
CC 32 SLD (Collegamento -382_-520)
Azioni sul collegamento: N=141.11 Ty=-1.86 Tz=-49.86 Mx=-0.40 Mz=-2.50

Zona tesa: F=56.82 b_{eff}=13.20 t_w=0.70 σ=6.15
Zona tesa: F=56.82 b_{eff}=13.20 t_w=0.70 σ=6.15
CC 32 SLD (Collegamento -382_-520)
Azioni sul collegamento: N=141.11 Ty=-1.20 Tz=-49.86 Mx=-0.29 Mz=-1.76
Zona tesa: F=56.82 b_{eff}=13.20 t_w=0.70 σ=6.15
Zona tesa: F=56.82 b_{eff}=13.20 t_w=0.70 σ=6.15
CC 32 SLD (Collegamento -382_-520)
Azioni sul collegamento: N=141.11 Ty=-1.86 Tz=-49.86 Mx=-0.40 Mz=-2.50
Zona tesa: F=56.82 b_{eff}=13.20 t_w=0.70 σ=6.15
Zona tesa: F=56.82 b_{eff}=13.20 t_w=0.70 σ=6.15
CC 32 SLD (Collegamento -382_-520)
Azioni sul collegamento: N=141.11 Ty=-1.20 Tz=-49.86 Mx=-0.29 Mz=-1.76
Zona tesa: F=56.82 b_{eff}=13.20 t_w=0.70 σ=6.15
Zona tesa: F=56.82 b_{eff}=13.20 t_w=0.70 σ=6.15
CC 33 SLU (Collegamento -382_-520)
Azioni sul collegamento: N=352.43 Ty=-3.05 Tz=-92.37 Mx=-0.68 Mz=-4.20
Zona tesa: F=141.92 b_{eff}=13.20 t_w=0.70 σ=15.36
Zona tesa: F=141.92 b_{eff}=13.20 t_w=0.70 σ=15.36
CC 34 SLU (Collegamento -382_-520)
Azioni sul collegamento: N=348.06 Ty=-2.90 Tz=-91.70 Mx=-0.65 Mz=-4.01
Zona tesa: F=140.16 b_{eff}=13.20 t_w=0.70 σ=15.17
Zona tesa: F=140.16 b_{eff}=13.20 t_w=0.70 σ=15.17
CC 35 SLU (Collegamento -382_-520)
Azioni sul collegamento: N=350.28 Ty=-2.88 Tz=-92.04 Mx=-0.65 Mz=-4.01
Zona tesa: F=141.05 b_{eff}=13.20 t_w=0.70 σ=15.27
Zona tesa: F=141.05 b_{eff}=13.20 t_w=0.70 σ=15.27
CC 36 SLU (Collegamento -382_-520)
Azioni sul collegamento: N=350.21 Ty=-3.07 Tz=-92.03 Mx=-0.68 Mz=-4.20
Zona tesa: F=141.02 b_{eff}=13.20 t_w=0.70 σ=15.26
Zona tesa: F=141.02 b_{eff}=13.20 t_w=0.70 σ=15.26
CC 37 SLU (Collegamento -382_-520)
Azioni sul collegamento: N=283.55 Ty=-3.29 Tz=-81.71 Mx=-0.73 Mz=-4.52
Zona tesa: F=114.18 b_{eff}=13.20 t_w=0.70 σ=12.36
Zona tesa: F=114.18 b_{eff}=13.20 t_w=0.70 σ=12.36
CC 38 SLU (Collegamento -382_-520)
Azioni sul collegamento: N=279.18 Ty=-3.15 Tz=-81.04 Mx=-0.70 Mz=-4.32
Zona tesa: F=112.42 b_{eff}=13.20 t_w=0.70 σ=12.17
Zona tesa: F=112.42 b_{eff}=13.20 t_w=0.70 σ=12.17
CC 39 SLU (Collegamento -382_-520)
Azioni sul collegamento: N=281.40 Ty=-3.13 Tz=-81.38 Mx=-0.70 Mz=-4.32
Zona tesa: F=113.31 b_{eff}=13.20 t_w=0.70 σ=12.26
Zona tesa: F=113.31 b_{eff}=13.20 t_w=0.70 σ=12.26
CC 40 SLU (Collegamento -382_-520)
Azioni sul collegamento: N=281.33 Ty=-3.31 Tz=-81.37 Mx=-0.73 Mz=-4.52
Zona tesa: F=113.29 b_{eff}=13.20 t_w=0.70 σ=12.26
Zona tesa: F=113.29 b_{eff}=13.20 t_w=0.70 σ=12.26
CC 41 SLU (Collegamento -382_-520)
Azioni sul collegamento: N=345.02 Ty=-0.94 Tz=-91.23 Mx=-0.22 Mz=-1.24
Zona tesa: F=138.93 b_{eff}=13.20 t_w=0.70 σ=15.04
Zona tesa: F=138.93 b_{eff}=13.20 t_w=0.70 σ=15.04
CC 42 SLU (Collegamento -382_-520)
Azioni sul collegamento: N=340.65 Ty=-0.80 Tz=-90.55 Mx=-0.19 Mz=-1.04
Zona tesa: F=137.18 b_{eff}=13.20 t_w=0.70 σ=14.85
Zona tesa: F=137.18 b_{eff}=13.20 t_w=0.70 σ=14.85
CC 43 SLU (Collegamento -382_-520)
Azioni sul collegamento: N=342.87 Ty=-0.77 Tz=-90.89 Mx=-0.19 Mz=-1.04
Zona tesa: F=138.07 b_{eff}=13.20 t_w=0.70 σ=14.94
Zona tesa: F=138.07 b_{eff}=13.20 t_w=0.70 σ=14.94
CC 44 SLU (Collegamento -382_-520)
Azioni sul collegamento: N=342.80 Ty=-0.96 Tz=-90.88 Mx=-0.22 Mz=-1.24
Zona tesa: F=138.04 b_{eff}=13.20 t_w=0.70 σ=14.94
Zona tesa: F=138.04 b_{eff}=13.20 t_w=0.70 σ=14.94
CC 45 SLU (Collegamento -382_-520)
Azioni sul collegamento: N=299.47 Ty=-3.14 Tz=-84.18 Mx=-0.70 Mz=-4.33
Zona tesa: F=120.59 b_{eff}=13.20 t_w=0.70 σ=13.05
Zona tesa: F=120.59 b_{eff}=13.20 t_w=0.70 σ=13.05
CC 46 SLU (Collegamento -382_-520)
Azioni sul collegamento: N=295.10 Ty=-3.00 Tz=-83.50 Mx=-0.67 Mz=-4.14
Zona tesa: F=118.83 b_{eff}=13.20 t_w=0.70 σ=12.86
Zona tesa: F=118.83 b_{eff}=13.20 t_w=0.70 σ=12.86
CC 47 SLU (Collegamento -382_-520)
Azioni sul collegamento: N=297.32 Ty=-2.98 Tz=-83.84 Mx=-0.67 Mz=-4.14
Zona tesa: F=119.73 b_{eff}=13.20 t_w=0.70 σ=12.96
Zona tesa: F=119.73 b_{eff}=13.20 t_w=0.70 σ=12.96
CC 48 SLU (Collegamento -382_-520)
Azioni sul collegamento: N=297.25 Ty=-3.16 Tz=-83.83 Mx=-0.70 Mz=-4.33

Zona tesa: F=119.70 b_{eff}=13.20 t_w=0.70 σ=12.95
Zona tesa: F=119.70 b_{eff}=13.20 t_w=0.70 σ=12.95
CC 49 SLU (Collegamento -382_-520)
Azioni sul collegamento: N=247.94 Ty=-3.32 Tz=-76.20 Mx=-0.74 Mz=-4.57
Zona tesa: F=99.84 b_{eff}=13.20 t_w=0.70 σ=10.81
Zona tesa: F=99.84 b_{eff}=13.20 t_w=0.70 σ=10.81
CC 50 SLU (Collegamento -382_-520)
Azioni sul collegamento: N=243.57 Ty=-3.18 Tz=-75.52 Mx=-0.71 Mz=-4.37
Zona tesa: F=98.08 b_{eff}=13.20 t_w=0.70 σ=10.61
Zona tesa: F=98.08 b_{eff}=13.20 t_w=0.70 σ=10.61
CC 51 SLU (Collegamento -382_-520)
Azioni sul collegamento: N=245.79 Ty=-3.16 Tz=-75.87 Mx=-0.71 Mz=-4.38
Zona tesa: F=98.97 b_{eff}=13.20 t_w=0.70 σ=10.71
Zona tesa: F=98.97 b_{eff}=13.20 t_w=0.70 σ=10.71
CC 52 SLU (Collegamento -382_-520)
Azioni sul collegamento: N=245.72 Ty=-3.34 Tz=-75.86 Mx=-0.74 Mz=-4.57
Zona tesa: F=98.95 b_{eff}=13.20 t_w=0.70 σ=10.71
Zona tesa: F=98.95 b_{eff}=13.20 t_w=0.70 σ=10.71
CC 53 SLU (Collegamento -382_-520)
Azioni sul collegamento: N=293.93 Ty=-1.56 Tz=-83.32 Mx=-0.36 Mz=-2.11
Zona tesa: F=118.36 b_{eff}=13.20 t_w=0.70 σ=12.81
Zona tesa: F=118.36 b_{eff}=13.20 t_w=0.70 σ=12.81
CC 54 SLU (Collegamento -382_-520)
Azioni sul collegamento: N=289.56 Ty=-1.42 Tz=-82.64 Mx=-0.33 Mz=-1.92
Zona tesa: F=116.60 b_{eff}=13.20 t_w=0.70 σ=12.62
Zona tesa: F=116.60 b_{eff}=13.20 t_w=0.70 σ=12.62
CC 55 SLU (Collegamento -382_-520)
Azioni sul collegamento: N=291.78 Ty=-1.40 Tz=-82.99 Mx=-0.33 Mz=-1.92
Zona tesa: F=117.50 b_{eff}=13.20 t_w=0.70 σ=12.72
Zona tesa: F=117.50 b_{eff}=13.20 t_w=0.70 σ=12.72
CC 56 SLU (Collegamento -382_-520)
Azioni sul collegamento: N=291.71 Ty=-1.58 Tz=-82.98 Mx=-0.36 Mz=-2.11
Zona tesa: F=117.47 b_{eff}=13.20 t_w=0.70 σ=12.71
Zona tesa: F=117.47 b_{eff}=13.20 t_w=0.70 σ=12.71
CC 57 SLU (Collegamento -382_-520)
Azioni sul collegamento: N=286.88 Ty=-2.83 Tz=-82.23 Mx=-0.63 Mz=-3.90
Zona tesa: F=115.52 b_{eff}=13.20 t_w=0.70 σ=12.50
Zona tesa: F=115.52 b_{eff}=13.20 t_w=0.70 σ=12.50
CC 58 SLU (Collegamento -382_-520)
Azioni sul collegamento: N=282.51 Ty=-2.69 Tz=-81.55 Mx=-0.60 Mz=-3.71
Zona tesa: F=113.76 b_{eff}=13.20 t_w=0.70 σ=12.31
Zona tesa: F=113.76 b_{eff}=13.20 t_w=0.70 σ=12.31
CC 59 SLU (Collegamento -382_-520)
Azioni sul collegamento: N=284.73 Ty=-2.67 Tz=-81.89 Mx=-0.60 Mz=-3.71
Zona tesa: F=114.66 b_{eff}=13.20 t_w=0.70 σ=12.41
Zona tesa: F=114.66 b_{eff}=13.20 t_w=0.70 σ=12.41
CC 60 SLU (Collegamento -382_-520)
Azioni sul collegamento: N=284.66 Ty=-2.85 Tz=-81.88 Mx=-0.63 Mz=-3.90
Zona tesa: F=114.63 b_{eff}=13.20 t_w=0.70 σ=12.41
Zona tesa: F=114.63 b_{eff}=13.20 t_w=0.70 σ=12.41
CC 61 SLU (Collegamento -382_-520)
Azioni sul collegamento: N=235.34 Ty=-3.01 Tz=-74.25 Mx=-0.67 Mz=-4.14
Zona tesa: F=94.77 b_{eff}=13.20 t_w=0.70 σ=10.26
Zona tesa: F=94.77 b_{eff}=13.20 t_w=0.70 σ=10.26
CC 62 SLU (Collegamento -382_-520)
Azioni sul collegamento: N=230.97 Ty=-2.87 Tz=-73.58 Mx=-0.64 Mz=-3.95
Zona tesa: F=93.01 b_{eff}=13.20 t_w=0.70 σ=10.07
Zona tesa: F=93.01 b_{eff}=13.20 t_w=0.70 σ=10.07
CC 63 SLU (Collegamento -382_-520)
Azioni sul collegamento: N=233.19 Ty=-2.85 Tz=-73.92 Mx=-0.64 Mz=-3.95
Zona tesa: F=93.90 b_{eff}=13.20 t_w=0.70 σ=10.16
Zona tesa: F=93.90 b_{eff}=13.20 t_w=0.70 σ=10.16
CC 64 SLU (Collegamento -382_-520)
Azioni sul collegamento: N=233.13 Ty=-3.03 Tz=-73.91 Mx=-0.67 Mz=-4.14
Zona tesa: F=93.88 b_{eff}=13.20 t_w=0.70 σ=10.16
Zona tesa: F=93.88 b_{eff}=13.20 t_w=0.70 σ=10.16
CC 65 SLU (Collegamento -382_-520)
Azioni sul collegamento: N=281.34 Ty=-1.25 Tz=-81.37 Mx=-0.29 Mz=-1.69
Zona tesa: F=113.29 b_{eff}=13.20 t_w=0.70 σ=12.26
Zona tesa: F=113.29 b_{eff}=13.20 t_w=0.70 σ=12.26
CC 66 SLU (Collegamento -382_-520)
Azioni sul collegamento: N=276.97 Ty=-1.11 Tz=-80.69 Mx=-0.26 Mz=-1.49
Zona tesa: F=111.53 b_{eff}=13.20 t_w=0.70 σ=12.07
Zona tesa: F=111.53 b_{eff}=13.20 t_w=0.70 σ=12.07
CC 67 SLU (Collegamento -382_-520)
Azioni sul collegamento: N=279.19 Ty=-1.09 Tz=-81.04 Mx=-0.26 Mz=-1.49

Zona tesa: F=112.42 b_{eff}=13.20 t_w=0.70 σ=12.17
Zona tesa: F=112.42 b_{eff}=13.20 t_w=0.70 σ=12.17
CC 68 SLU (Collegamento -382_-520)
Azioni sul collegamento: N=279.12 Ty=-1.27 Tz=-81.03 Mx=-0.29 Mz=-1.69
Zona tesa: F=112.40 b_{eff}=13.20 t_w=0.70 σ=12.16
Zona tesa: F=112.40 b_{eff}=13.20 t_w=0.70 σ=12.16
CC 97 SLU (Collegamento -382_-520)
Azioni sul collegamento: N=177.78 Ty=-15.09 Tz=-55.54 Mx=-2.10 Mz=-13.62
Zona tesa: F=71.59 b_{eff}=13.20 t_w=0.70 σ=7.75
Zona tesa: F=71.59 b_{eff}=13.20 t_w=0.70 σ=7.75
CC 98 SLU (Collegamento -382_-520)
Azioni sul collegamento: N=173.41 Ty=-14.95 Tz=-54.86 Mx=-2.07 Mz=-13.43
Zona tesa: F=69.83 b_{eff}=13.20 t_w=0.70 σ=7.56
Zona tesa: F=69.83 b_{eff}=13.20 t_w=0.70 σ=7.56
CC 99 SLU (Collegamento -382_-520)
Azioni sul collegamento: N=175.63 Ty=-14.93 Tz=-55.20 Mx=-2.07 Mz=-13.43
Zona tesa: F=70.72 b_{eff}=13.20 t_w=0.70 σ=7.65
Zona tesa: F=70.72 b_{eff}=13.20 t_w=0.70 σ=7.65
CC 100 SLU (Collegamento -382_-520)
Azioni sul collegamento: N=175.56 Ty=-15.11 Tz=-55.19 Mx=-2.10 Mz=-13.62
Zona tesa: F=70.70 b_{eff}=13.20 t_w=0.70 σ=7.65
Zona tesa: F=70.70 b_{eff}=13.20 t_w=0.70 σ=7.65
CC 101 SLU (Collegamento -382_-520)
Azioni sul collegamento: N=143.52 Ty=0.14 Tz=-50.23 Mx=-0.12 Mz=-0.65
Zona tesa: F=57.79 b_{eff}=13.20 t_w=0.70 σ=6.25
Zona tesa: F=57.79 b_{eff}=13.20 t_w=0.70 σ=6.25
CC 102 SLU (Collegamento -382_-520)
Azioni sul collegamento: N=139.15 Ty=0.28 Tz=-49.56 Mx=-0.09 Mz=-0.45
Zona tesa: F=56.03 b_{eff}=13.20 t_w=0.70 σ=6.06
Zona tesa: F=56.03 b_{eff}=13.20 t_w=0.70 σ=6.06
CC 103 SLU (Collegamento -382_-520)
Azioni sul collegamento: N=141.37 Ty=0.30 Tz=-49.90 Mx=-0.09 Mz=-0.46
Zona tesa: F=56.93 b_{eff}=13.20 t_w=0.70 σ=6.16
Zona tesa: F=56.93 b_{eff}=13.20 t_w=0.70 σ=6.16
CC 104 SLU (Collegamento -382_-520)
Azioni sul collegamento: N=141.30 Ty=0.12 Tz=-49.89 Mx=-0.12 Mz=-0.65
Zona tesa: F=56.90 b_{eff}=13.20 t_w=0.70 σ=6.16
Zona tesa: F=56.90 b_{eff}=13.20 t_w=0.70 σ=6.16

Collegamento -383_-527

Saldatura a cordone d'angolo
Altezza di gola saldature: anima 7.07 - ala 7.07

Saldatura profilo-profilo

CC 102 SLU (Collegamento -383_-527)
Azioni sul collegamento: N=350.98 Ty=-8.94 Tz=-92.15 Mx=-1.16 Mz=-7.55
Sollecitazioni agenti localmente: Tx_l=-8.94 Ty_l=-92.15 N_l=350.98 My_l=7.55 Mz_l=-1.16
Azioni sul cordone: TP=1.99 TO=7.69 NO=25.83
Tensioni nel cordone: τ_P=0.63 τ_O=2.44 σ_O=19.24 σ_{ID}=19.40 Σ_T=21.68
CC 126 SLU (Collegamento -383_-527)
Azioni sul collegamento: N=312.86 Ty=-12.43 Tz=-86.25 Mx=-1.43 Mz=-9.46
Sollecitazioni agenti localmente: Tx_l=-12.43 Ty_l=-86.25 N_l=312.86 My_l=9.46 Mz_l=-1.43
Azioni sul cordone: TP=2.57 TO=7.48 NO=23.02
Tensioni nel cordone: τ_P=0.82 τ_O=2.38 σ_O=21.14 σ_{ID}=21.29 Σ_T=23.52
CC 127 SLU (Collegamento -383_-527)
Azioni sul collegamento: N=310.93 Ty=-12.43 Tz=-85.95 Mx=-1.44 Mz=-9.49
Sollecitazioni agenti localmente: Tx_l=-12.43 Ty_l=-85.95 N_l=310.93 My_l=9.49 Mz_l=-1.44
Azioni sul cordone: TP=2.57 TO=7.46 NO=22.88
Tensioni nel cordone: τ_P=0.82 τ_O=2.37 σ_O=21.14 σ_{ID}=21.28 Σ_T=23.51

Verifica lato anima della colonna

CC 98 SLU (Collegamento -383_-527)
Azioni sul collegamento: N=361.07 Ty=-5.20 Tz=-93.71 Mx=-0.35 Mz=-2.82
Zona tesa: F=145.40 b_{eff}=13.20 t_w=0.70 σ=15.74
Zona tesa: F=145.40 b_{eff}=13.20 t_w=0.70 σ=15.74

Collegamento -384_-528

Saldatura a cordone d'angolo
Altezza di gola saldature: anima 7.07 - ala 7.07

Saldatura profilo-profilo

CC 1 SLV (Collegamento -384_-528)

Azioni sul collegamento: N=171.09 Ty=-1.22 Tz=-54.50 Mx=-0.31 Mz=-1.48
Sollecitazioni agenti localmente: Tx_l=-1.22 Ty_l=-54.50 N_l=171.09 My_l=1.48 Mz_l=-0.31
Azioni sul cordone: TP=0.44 TO=4.25 NO=12.59
Tensioni nel cordone: τ_P=0.14 τ_0=1.35 σ_0=6.16 σ_{ID}=6.31 Σ_T=7.52
CC 1 SLV (Collegamento -384_-528)
Azioni sul collegamento: N=171.09 Ty=-2.83 Tz=-54.50 Mx=-0.64 Mz=-3.66
Sollecitazioni agenti localmente: Tx_l=-2.83 Ty_l=-54.50 N_l=171.09 My_l=3.66 Mz_l=-0.64
Azioni sul cordone: TP=0.95 TO=4.52 NO=12.59
Tensioni nel cordone: τ_P=0.30 τ_0=1.44 σ_0=9.34 σ_{ID}=9.46 Σ_T=10.78
CC 1 SLV (Collegamento -384_-528)
Azioni sul collegamento: N=171.09 Ty=-1.22 Tz=-54.50 Mx=-0.31 Mz=-1.48
Sollecitazioni agenti localmente: Tx_l=-1.22 Ty_l=-54.50 N_l=171.09 My_l=1.48 Mz_l=-0.31
Azioni sul cordone: TP=0.44 TO=4.25 NO=12.59
Tensioni nel cordone: τ_P=0.14 τ_0=1.35 σ_0=6.16 σ_{ID}=6.31 Σ_T=7.52
CC 1 SLV (Collegamento -384_-528)
Azioni sul collegamento: N=171.09 Ty=-2.83 Tz=-54.50 Mx=-0.64 Mz=-3.66
Sollecitazioni agenti localmente: Tx_l=-2.83 Ty_l=-54.50 N_l=171.09 My_l=3.66 Mz_l=-0.64
Azioni sul cordone: TP=0.95 TO=4.52 NO=12.59
Tensioni nel cordone: τ_P=0.30 τ_0=1.44 σ_0=9.34 σ_{ID}=9.46 Σ_T=10.78
CC 1 SLV (Collegamento -384_-528)
Azioni sul collegamento: N=117.30 Ty=-1.22 Tz=-46.18 Mx=-0.31 Mz=-1.48
Sollecitazioni agenti localmente: Tx_l=-1.22 Ty_l=-46.18 N_l=117.30 My_l=1.48 Mz_l=-0.31
Azioni sul cordone: TP=0.44 TO=3.64 NO=8.63
Tensioni nel cordone: τ_P=0.14 τ_0=1.16 σ_0=4.91 σ_{ID}=5.04 Σ_T=6.06
CC 1 SLV (Collegamento -384_-528)
Azioni sul collegamento: N=117.30 Ty=-2.83 Tz=-46.18 Mx=-0.64 Mz=-3.66
Sollecitazioni agenti localmente: Tx_l=-2.83 Ty_l=-46.18 N_l=117.30 My_l=3.66 Mz_l=-0.64
Azioni sul cordone: TP=0.95 TO=3.90 NO=8.63
Tensioni nel cordone: τ_P=0.30 τ_0=1.24 σ_0=8.09 σ_{ID}=8.19 Σ_T=9.33
CC 1 SLV (Collegamento -384_-528)
Azioni sul collegamento: N=117.30 Ty=-1.22 Tz=-46.18 Mx=-0.31 Mz=-1.48
Sollecitazioni agenti localmente: Tx_l=-1.22 Ty_l=-46.18 N_l=117.30 My_l=1.48 Mz_l=-0.31
Azioni sul cordone: TP=0.44 TO=3.64 NO=8.63
Tensioni nel cordone: τ_P=0.14 τ_0=1.16 σ_0=4.91 σ_{ID}=5.04 Σ_T=6.06
CC 1 SLV (Collegamento -384_-528)
Azioni sul collegamento: N=117.30 Ty=-2.83 Tz=-46.18 Mx=-0.64 Mz=-3.66
Sollecitazioni agenti localmente: Tx_l=-2.83 Ty_l=-46.18 N_l=117.30 My_l=3.66 Mz_l=-0.64
Azioni sul cordone: TP=0.95 TO=3.90 NO=8.63
Tensioni nel cordone: τ_P=0.30 τ_0=1.24 σ_0=8.09 σ_{ID}=8.19 Σ_T=9.33
CC 2 SLD (Collegamento -384_-528)
Azioni sul collegamento: N=154.01 Ty=-1.46 Tz=-51.86 Mx=-0.35 Mz=-1.90
Sollecitazioni agenti localmente: Tx_l=-1.46 Ty_l=-51.86 N_l=154.01 My_l=1.90 Mz_l=-0.35
Azioni sul cordone: TP=0.51 TO=4.09 NO=11.33
Tensioni nel cordone: τ_P=0.16 τ_0=1.30 σ_0=6.37 σ_{ID}=6.51 Σ_T=7.67
CC 2 SLD (Collegamento -384_-528)
Azioni sul collegamento: N=154.01 Ty=-1.95 Tz=-51.86 Mx=-0.46 Mz=-2.56
Sollecitazioni agenti localmente: Tx_l=-1.95 Ty_l=-51.86 N_l=154.01 My_l=2.56 Mz_l=-0.46
Azioni sul cordone: TP=0.67 TO=4.17 NO=11.33
Tensioni nel cordone: τ_P=0.21 τ_0=1.33 σ_0=7.34 σ_{ID}=7.46 Σ_T=8.67
CC 2 SLD (Collegamento -384_-528)
Azioni sul collegamento: N=154.01 Ty=-1.46 Tz=-51.86 Mx=-0.35 Mz=-1.90
Sollecitazioni agenti localmente: Tx_l=-1.46 Ty_l=-51.86 N_l=154.01 My_l=1.90 Mz_l=-0.35
Azioni sul cordone: TP=0.51 TO=4.09 NO=11.33
Tensioni nel cordone: τ_P=0.16 τ_0=1.30 σ_0=6.37 σ_{ID}=6.51 Σ_T=7.67
CC 2 SLD (Collegamento -384_-528)
Azioni sul collegamento: N=154.01 Ty=-1.95 Tz=-51.86 Mx=-0.46 Mz=-2.56
Sollecitazioni agenti localmente: Tx_l=-1.95 Ty_l=-51.86 N_l=154.01 My_l=2.56 Mz_l=-0.46
Azioni sul cordone: TP=0.67 TO=4.17 NO=11.33
Tensioni nel cordone: τ_P=0.21 τ_0=1.33 σ_0=7.34 σ_{ID}=7.46 Σ_T=8.67
CC 2 SLD (Collegamento -384_-528)
Azioni sul collegamento: N=137.61 Ty=-1.46 Tz=-49.32 Mx=-0.35 Mz=-1.90
Sollecitazioni agenti localmente: Tx_l=-1.46 Ty_l=-49.32 N_l=137.61 My_l=1.90 Mz_l=-0.35
Azioni sul cordone: TP=0.51 TO=3.91 NO=10.13
Tensioni nel cordone: τ_P=0.16 τ_0=1.24 σ_0=5.99 σ_{ID}=6.12 Σ_T=7.23
CC 2 SLD (Collegamento -384_-528)
Azioni sul collegamento: N=137.61 Ty=-1.95 Tz=-49.32 Mx=-0.46 Mz=-2.56
Sollecitazioni agenti localmente: Tx_l=-1.95 Ty_l=-49.32 N_l=137.61 My_l=2.56 Mz_l=-0.46
Azioni sul cordone: TP=0.67 TO=3.99 NO=10.13
Tensioni nel cordone: τ_P=0.21 τ_0=1.27 σ_0=6.96 σ_{ID}=7.08 Σ_T=8.23
CC 2 SLD (Collegamento -384_-528)
Azioni sul collegamento: N=137.61 Ty=-1.46 Tz=-49.32 Mx=-0.35 Mz=-1.90
Sollecitazioni agenti localmente: Tx_l=-1.46 Ty_l=-49.32 N_l=137.61 My_l=1.90 Mz_l=-0.35
Azioni sul cordone: TP=0.51 TO=3.91 NO=10.13
Tensioni nel cordone: τ_P=0.16 τ_0=1.24 σ_0=5.99 σ_{ID}=6.12 Σ_T=7.23
CC 2 SLD (Collegamento -384_-528)
Azioni sul collegamento: N=137.61 Ty=-1.95 Tz=-49.32 Mx=-0.46 Mz=-2.56
Sollecitazioni agenti localmente: Tx_l=-1.95 Ty_l=-49.32 N_l=137.61 My_l=2.56 Mz_l=-0.46
Azioni sul cordone: TP=0.67 TO=3.99 NO=10.13
Tensioni nel cordone: τ_P=0.21 τ_0=1.27 σ_0=6.96 σ_{ID}=7.08 Σ_T=8.23

CC 3 SLV (Collegamento -384_-528)
Azioni sul collegamento: N=171.00 Ty=-1.50 Tz=-54.49 Mx=-0.34 Mz=-1.73
Sollecitazioni agenti localmente: Tx_l=-1.50 Ty_l=-54.49 N_l=171.00 My_l=1.73 Mz_l=-0.34
Azioni sul cordone: TP=0.50 TO=4.28 NO=12.58
Tensioni nel cordone: τ_P=0.16 τ_0=1.36 σ_0=6.52 σ_{ID}=6.66 Σ_T=7.88
CC 3 SLV (Collegamento -384_-528)
Azioni sul collegamento: N=171.00 Ty=-2.56 Tz=-54.49 Mx=-0.60 Mz=-3.41
Sollecitazioni agenti localmente: Tx_l=-2.56 Ty_l=-54.49 N_l=171.00 My_l=3.41 Mz_l=-0.60
Azioni sul cordone: TP=0.88 TO=4.48 NO=12.58
Tensioni nel cordone: τ_P=0.28 τ_0=1.43 σ_0=8.98 σ_{ID}=9.10 Σ_T=10.41
CC 3 SLV (Collegamento -384_-528)
Azioni sul collegamento: N=171.00 Ty=-1.50 Tz=-54.49 Mx=-0.34 Mz=-1.73
Sollecitazioni agenti localmente: Tx_l=-1.50 Ty_l=-54.49 N_l=171.00 My_l=1.73 Mz_l=-0.34
Azioni sul cordone: TP=0.50 TO=4.28 NO=12.58
Tensioni nel cordone: τ_P=0.16 τ_0=1.36 σ_0=6.52 σ_{ID}=6.66 Σ_T=7.88
CC 3 SLV (Collegamento -384_-528)
Azioni sul collegamento: N=171.00 Ty=-2.56 Tz=-54.49 Mx=-0.60 Mz=-3.41
Sollecitazioni agenti localmente: Tx_l=-2.56 Ty_l=-54.49 N_l=171.00 My_l=3.41 Mz_l=-0.60
Azioni sul cordone: TP=0.88 TO=4.48 NO=12.58
Tensioni nel cordone: τ_P=0.28 τ_0=1.43 σ_0=8.98 σ_{ID}=9.10 Σ_T=10.41
CC 3 SLV (Collegamento -384_-528)
Azioni sul collegamento: N=117.40 Ty=-1.50 Tz=-46.19 Mx=-0.34 Mz=-1.73
Sollecitazioni agenti localmente: Tx_l=-1.50 Ty_l=-46.19 N_l=117.40 My_l=1.73 Mz_l=-0.34
Azioni sul cordone: TP=0.50 TO=3.67 NO=8.64
Tensioni nel cordone: τ_P=0.16 τ_0=1.17 σ_0=5.27 σ_{ID}=5.40 Σ_T=6.43
CC 3 SLV (Collegamento -384_-528)
Azioni sul collegamento: N=117.40 Ty=-2.56 Tz=-46.19 Mx=-0.60 Mz=-3.41
Sollecitazioni agenti localmente: Tx_l=-2.56 Ty_l=-46.19 N_l=117.40 My_l=3.41 Mz_l=-0.60
Azioni sul cordone: TP=0.88 TO=3.87 NO=8.64
Tensioni nel cordone: τ_P=0.28 τ_0=1.23 σ_0=7.73 σ_{ID}=7.83 Σ_T=8.96
CC 3 SLV (Collegamento -384_-528)
Azioni sul collegamento: N=117.40 Ty=-1.50 Tz=-46.19 Mx=-0.34 Mz=-1.73
Sollecitazioni agenti localmente: Tx_l=-1.50 Ty_l=-46.19 N_l=117.40 My_l=1.73 Mz_l=-0.34
Azioni sul cordone: TP=0.50 TO=3.67 NO=8.64
Tensioni nel cordone: τ_P=0.16 τ_0=1.17 σ_0=5.27 σ_{ID}=5.40 Σ_T=6.43
CC 3 SLV (Collegamento -384_-528)
Azioni sul collegamento: N=117.40 Ty=-2.56 Tz=-46.19 Mx=-0.60 Mz=-3.41
Sollecitazioni agenti localmente: Tx_l=-2.56 Ty_l=-46.19 N_l=117.40 My_l=3.41 Mz_l=-0.60
Azioni sul cordone: TP=0.88 TO=3.87 NO=8.64
Tensioni nel cordone: τ_P=0.28 τ_0=1.23 σ_0=7.73 σ_{ID}=7.83 Σ_T=8.96
CC 4 SLD (Collegamento -384_-528)
Azioni sul collegamento: N=153.99 Ty=-1.54 Tz=-51.85 Mx=-0.36 Mz=-1.97
Sollecitazioni agenti localmente: Tx_l=-1.54 Ty_l=-51.85 N_l=153.99 My_l=1.97 Mz_l=-0.36
Azioni sul cordone: TP=0.53 TO=4.10 NO=11.33
Tensioni nel cordone: τ_P=0.17 τ_0=1.30 σ_0=6.48 σ_{ID}=6.61 Σ_T=7.79
CC 4 SLD (Collegamento -384_-528)
Azioni sul collegamento: N=153.99 Ty=-1.87 Tz=-51.85 Mx=-0.44 Mz=-2.49
Sollecitazioni agenti localmente: Tx_l=-1.87 Ty_l=-51.85 N_l=153.99 My_l=2.49 Mz_l=-0.44
Azioni sul cordone: TP=0.65 TO=4.16 NO=11.33
Tensioni nel cordone: τ_P=0.21 τ_0=1.32 σ_0=7.23 σ_{ID}=7.36 Σ_T=8.56
CC 4 SLD (Collegamento -384_-528)
Azioni sul collegamento: N=153.99 Ty=-1.54 Tz=-51.85 Mx=-0.36 Mz=-1.97
Sollecitazioni agenti localmente: Tx_l=-1.54 Ty_l=-51.85 N_l=153.99 My_l=1.97 Mz_l=-0.36
Azioni sul cordone: TP=0.53 TO=4.10 NO=11.33
Tensioni nel cordone: τ_P=0.17 τ_0=1.30 σ_0=6.48 σ_{ID}=6.61 Σ_T=7.79
CC 4 SLD (Collegamento -384_-528)
Azioni sul collegamento: N=153.99 Ty=-1.87 Tz=-51.85 Mx=-0.44 Mz=-2.49
Sollecitazioni agenti localmente: Tx_l=-1.87 Ty_l=-51.85 N_l=153.99 My_l=2.49 Mz_l=-0.44
Azioni sul cordone: TP=0.65 TO=4.16 NO=11.33
Tensioni nel cordone: τ_P=0.21 τ_0=1.32 σ_0=7.23 σ_{ID}=7.36 Σ_T=8.56
CC 4 SLD (Collegamento -384_-528)
Azioni sul collegamento: N=137.64 Ty=-1.54 Tz=-49.32 Mx=-0.36 Mz=-1.97
Sollecitazioni agenti localmente: Tx_l=-1.54 Ty_l=-49.32 N_l=137.64 My_l=1.97 Mz_l=-0.36
Azioni sul cordone: TP=0.53 TO=3.92 NO=10.13
Tensioni nel cordone: τ_P=0.17 τ_0=1.24 σ_0=6.10 σ_{ID}=6.23 Σ_T=7.34
CC 4 SLD (Collegamento -384_-528)
Azioni sul collegamento: N=137.64 Ty=-1.87 Tz=-49.32 Mx=-0.44 Mz=-2.49
Sollecitazioni agenti localmente: Tx_l=-1.87 Ty_l=-49.32 N_l=137.64 My_l=2.49 Mz_l=-0.44
Azioni sul cordone: TP=0.65 TO=3.98 NO=10.13
Tensioni nel cordone: τ_P=0.21 τ_0=1.26 σ_0=6.85 σ_{ID}=6.97 Σ_T=8.11
CC 4 SLD (Collegamento -384_-528)
Azioni sul collegamento: N=137.64 Ty=-1.54 Tz=-49.32 Mx=-0.36 Mz=-1.97
Sollecitazioni agenti localmente: Tx_l=-1.54 Ty_l=-49.32 N_l=137.64 My_l=1.97 Mz_l=-0.36
Azioni sul cordone: TP=0.53 TO=3.92 NO=10.13
Tensioni nel cordone: τ_P=0.17 τ_0=1.24 σ_0=6.10 σ_{ID}=6.23 Σ_T=7.34
CC 4 SLD (Collegamento -384_-528)
Azioni sul collegamento: N=137.64 Ty=-1.87 Tz=-49.32 Mx=-0.44 Mz=-2.49
Sollecitazioni agenti localmente: Tx_l=-1.87 Ty_l=-49.32 N_l=137.64 My_l=2.49 Mz_l=-0.44
Azioni sul cordone: TP=0.65 TO=3.98 NO=10.13

Tensioni nel cordone: τ_P=0.21 τ_0=1.26 σ_0=6.85 σ_{ID}=6.97 Σ_T=8.11
CC 5 SLV (Collegamento -384_-528)
Azioni sul collegamento: N=117.40 Ty=-2.56 Tz=-46.19 Mx=-0.57 Mz=-3.42
Sollecitazioni agenti localmente: Tx_l=-2.56 Ty_l=-46.19 N_l=117.40 My_l=3.42 Mz_l=-0.57
Azioni sul cordone: TP=0.84 TO=3.85 NO=8.64
Tensioni nel cordone: τ_P=0.27 τ_0=1.22 σ_0=7.74 σ_{ID}=7.84 Σ_T=8.96
CC 5 SLV (Collegamento -384_-528)
Azioni sul collegamento: N=117.40 Ty=-1.50 Tz=-46.19 Mx=-0.31 Mz=-1.73
Sollecitazioni agenti localmente: Tx_l=-1.50 Ty_l=-46.19 N_l=117.40 My_l=1.73 Mz_l=-0.31
Azioni sul cordone: TP=0.47 TO=3.64 NO=8.64
Tensioni nel cordone: τ_P=0.15 τ_0=1.16 σ_0=5.28 σ_{ID}=5.40 Σ_T=6.43
CC 5 SLV (Collegamento -384_-528)
Azioni sul collegamento: N=117.40 Ty=-2.56 Tz=-46.19 Mx=-0.57 Mz=-3.42
Sollecitazioni agenti localmente: Tx_l=-2.56 Ty_l=-46.19 N_l=117.40 My_l=3.42 Mz_l=-0.57
Azioni sul cordone: TP=0.84 TO=3.85 NO=8.64
Tensioni nel cordone: τ_P=0.27 τ_0=1.22 σ_0=7.74 σ_{ID}=7.84 Σ_T=8.96
CC 5 SLV (Collegamento -384_-528)
Azioni sul collegamento: N=117.40 Ty=-1.50 Tz=-46.19 Mx=-0.31 Mz=-1.73
Sollecitazioni agenti localmente: Tx_l=-1.50 Ty_l=-46.19 N_l=117.40 My_l=1.73 Mz_l=-0.31
Azioni sul cordone: TP=0.47 TO=3.64 NO=8.64
Tensioni nel cordone: τ_P=0.15 τ_0=1.16 σ_0=5.28 σ_{ID}=5.40 Σ_T=6.43
CC 5 SLV (Collegamento -384_-528)
Azioni sul collegamento: N=171.00 Ty=-2.56 Tz=-54.49 Mx=-0.57 Mz=-3.42
Sollecitazioni agenti localmente: Tx_l=-2.56 Ty_l=-54.49 N_l=171.00 My_l=3.42 Mz_l=-0.57
Azioni sul cordone: TP=0.84 TO=4.46 NO=12.58
Tensioni nel cordone: τ_P=0.27 τ_0=1.42 σ_0=8.99 σ_{ID}=9.10 Σ_T=10.41
CC 5 SLV (Collegamento -384_-528)
Azioni sul collegamento: N=171.00 Ty=-1.50 Tz=-54.49 Mx=-0.31 Mz=-1.73
Sollecitazioni agenti localmente: Tx_l=-1.50 Ty_l=-54.49 N_l=171.00 My_l=1.73 Mz_l=-0.31
Azioni sul cordone: TP=0.47 TO=4.25 NO=12.58
Tensioni nel cordone: τ_P=0.15 τ_0=1.35 σ_0=6.53 σ_{ID}=6.67 Σ_T=7.88
CC 5 SLV (Collegamento -384_-528)
Azioni sul collegamento: N=171.00 Ty=-2.56 Tz=-54.49 Mx=-0.57 Mz=-3.42
Sollecitazioni agenti localmente: Tx_l=-2.56 Ty_l=-54.49 N_l=171.00 My_l=3.42 Mz_l=-0.57
Azioni sul cordone: TP=0.84 TO=4.46 NO=12.58
Tensioni nel cordone: τ_P=0.27 τ_0=1.42 σ_0=8.99 σ_{ID}=9.10 Σ_T=10.41
CC 5 SLV (Collegamento -384_-528)
Azioni sul collegamento: N=171.00 Ty=-1.50 Tz=-54.49 Mx=-0.31 Mz=-1.73
Sollecitazioni agenti localmente: Tx_l=-1.50 Ty_l=-54.49 N_l=171.00 My_l=1.73 Mz_l=-0.31
Azioni sul cordone: TP=0.47 TO=4.25 NO=12.58
Tensioni nel cordone: τ_P=0.15 τ_0=1.35 σ_0=6.53 σ_{ID}=6.67 Σ_T=7.88
CC 6 SLD (Collegamento -384_-528)
Azioni sul collegamento: N=137.64 Ty=-1.87 Tz=-49.32 Mx=-0.43 Mz=-2.49
Sollecitazioni agenti localmente: Tx_l=-1.87 Ty_l=-49.32 N_l=137.64 My_l=2.49 Mz_l=-0.43
Azioni sul cordone: TP=0.64 TO=3.97 NO=10.13
Tensioni nel cordone: τ_P=0.20 τ_0=1.26 σ_0=6.85 σ_{ID}=6.97 Σ_T=8.11
CC 6 SLD (Collegamento -384_-528)
Azioni sul collegamento: N=137.64 Ty=-1.54 Tz=-49.32 Mx=-0.35 Mz=-1.97
Sollecitazioni agenti localmente: Tx_l=-1.54 Ty_l=-49.32 N_l=137.64 My_l=1.97 Mz_l=-0.35
Azioni sul cordone: TP=0.52 TO=3.91 NO=10.13
Tensioni nel cordone: τ_P=0.17 τ_0=1.24 σ_0=6.10 σ_{ID}=6.23 Σ_T=7.34
CC 6 SLD (Collegamento -384_-528)
Azioni sul collegamento: N=137.64 Ty=-1.87 Tz=-49.32 Mx=-0.43 Mz=-2.49
Sollecitazioni agenti localmente: Tx_l=-1.87 Ty_l=-49.32 N_l=137.64 My_l=2.49 Mz_l=-0.43
Azioni sul cordone: TP=0.64 TO=3.97 NO=10.13
Tensioni nel cordone: τ_P=0.20 τ_0=1.26 σ_0=6.85 σ_{ID}=6.97 Σ_T=8.11
CC 6 SLD (Collegamento -384_-528)
Azioni sul collegamento: N=137.64 Ty=-1.54 Tz=-49.32 Mx=-0.35 Mz=-1.97
Sollecitazioni agenti localmente: Tx_l=-1.54 Ty_l=-49.32 N_l=137.64 My_l=1.97 Mz_l=-0.35
Azioni sul cordone: TP=0.52 TO=3.91 NO=10.13
Tensioni nel cordone: τ_P=0.17 τ_0=1.24 σ_0=6.10 σ_{ID}=6.23 Σ_T=7.34
CC 6 SLD (Collegamento -384_-528)
Azioni sul collegamento: N=153.99 Ty=-1.87 Tz=-51.85 Mx=-0.43 Mz=-2.49
Sollecitazioni agenti localmente: Tx_l=-1.87 Ty_l=-51.85 N_l=153.99 My_l=2.49 Mz_l=-0.43
Azioni sul cordone: TP=0.64 TO=4.16 NO=11.33
Tensioni nel cordone: τ_P=0.20 τ_0=1.32 σ_0=7.23 σ_{ID}=7.36 Σ_T=8.56
CC 6 SLD (Collegamento -384_-528)
Azioni sul collegamento: N=153.99 Ty=-1.54 Tz=-51.85 Mx=-0.35 Mz=-1.97
Sollecitazioni agenti localmente: Tx_l=-1.54 Ty_l=-51.85 N_l=153.99 My_l=1.97 Mz_l=-0.35
Azioni sul cordone: TP=0.52 TO=4.09 NO=11.33
Tensioni nel cordone: τ_P=0.17 τ_0=1.30 σ_0=6.48 σ_{ID}=6.62 Σ_T=7.79
CC 6 SLD (Collegamento -384_-528)
Azioni sul collegamento: N=153.99 Ty=-1.87 Tz=-51.85 Mx=-0.43 Mz=-2.49
Sollecitazioni agenti localmente: Tx_l=-1.87 Ty_l=-51.85 N_l=153.99 My_l=2.49 Mz_l=-0.43
Azioni sul cordone: TP=0.64 TO=4.16 NO=11.33
Tensioni nel cordone: τ_P=0.20 τ_0=1.32 σ_0=7.23 σ_{ID}=7.36 Σ_T=8.56
CC 6 SLD (Collegamento -384_-528)
Azioni sul collegamento: N=153.99 Ty=-1.54 Tz=-51.85 Mx=-0.35 Mz=-1.97
Sollecitazioni agenti localmente: Tx_l=-1.54 Ty_l=-51.85 N_l=153.99 My_l=1.97 Mz_l=-0.35

Azioni sul cordone: TP=0.52 TO=4.09 NO=11.33
Tensioni nel cordone: τ_P=0.17 τ_0=1.30 σ_0=6.48 σ_{ID}=6.62 Σ_T=7.79
CC 7 SLV (Collegamento -384_-528)
Azioni sul collegamento: N=117.30 Ty=-2.83 Tz=-46.18 Mx=-0.60 Mz=-3.66
Sollecitazioni agenti localmente: Tx_l=-2.83 Ty_l=-46.18 N_l=117.30 My_l=3.66 Mz_l=-0.60
Azioni sul cordone: TP=0.90 TO=3.87 NO=8.63
Tensioni nel cordone: τ_P=0.29 τ_0=1.23 σ_0=8.09 σ_{ID}=8.19 Σ_T=9.33
CC 7 SLV (Collegamento -384_-528)
Azioni sul collegamento: N=117.30 Ty=-1.22 Tz=-46.18 Mx=-0.27 Mz=-1.49
Sollecitazioni agenti localmente: Tx_l=-1.22 Ty_l=-46.18 N_l=117.30 My_l=1.49 Mz_l=-0.27
Azioni sul cordone: TP=0.40 TO=3.61 NO=8.63
Tensioni nel cordone: τ_P=0.13 τ_0=1.15 σ_0=4.91 σ_{ID}=5.05 Σ_T=6.06
CC 7 SLV (Collegamento -384_-528)
Azioni sul collegamento: N=117.30 Ty=-2.83 Tz=-46.18 Mx=-0.60 Mz=-3.66
Sollecitazioni agenti localmente: Tx_l=-2.83 Ty_l=-46.18 N_l=117.30 My_l=3.66 Mz_l=-0.60
Azioni sul cordone: TP=0.90 TO=3.87 NO=8.63
Tensioni nel cordone: τ_P=0.29 τ_0=1.23 σ_0=8.09 σ_{ID}=8.19 Σ_T=9.33
CC 7 SLV (Collegamento -384_-528)
Azioni sul collegamento: N=117.30 Ty=-1.22 Tz=-46.18 Mx=-0.27 Mz=-1.49
Sollecitazioni agenti localmente: Tx_l=-1.22 Ty_l=-46.18 N_l=117.30 My_l=1.49 Mz_l=-0.27
Azioni sul cordone: TP=0.40 TO=3.61 NO=8.63
Tensioni nel cordone: τ_P=0.13 τ_0=1.15 σ_0=4.91 σ_{ID}=5.05 Σ_T=6.06
CC 7 SLV (Collegamento -384_-528)
Azioni sul collegamento: N=171.09 Ty=-2.83 Tz=-54.50 Mx=-0.60 Mz=-3.66
Sollecitazioni agenti localmente: Tx_l=-2.83 Ty_l=-54.50 N_l=171.09 My_l=3.66 Mz_l=-0.60
Azioni sul cordone: TP=0.90 TO=4.49 NO=12.59
Tensioni nel cordone: τ_P=0.29 τ_0=1.43 σ_0=9.35 σ_{ID}=9.46 Σ_T=10.78
CC 7 SLV (Collegamento -384_-528)
Azioni sul collegamento: N=171.09 Ty=-1.22 Tz=-54.50 Mx=-0.27 Mz=-1.49
Sollecitazioni agenti localmente: Tx_l=-1.22 Ty_l=-54.50 N_l=171.09 My_l=1.49 Mz_l=-0.27
Azioni sul cordone: TP=0.40 TO=4.22 NO=12.59
Tensioni nel cordone: τ_P=0.13 τ_0=1.34 σ_0=6.17 σ_{ID}=6.32 Σ_T=7.51
CC 7 SLV (Collegamento -384_-528)
Azioni sul collegamento: N=171.09 Ty=-2.83 Tz=-54.50 Mx=-0.60 Mz=-3.66
Sollecitazioni agenti localmente: Tx_l=-2.83 Ty_l=-54.50 N_l=171.09 My_l=3.66 Mz_l=-0.60
Azioni sul cordone: TP=0.90 TO=4.49 NO=12.59
Tensioni nel cordone: τ_P=0.29 τ_0=1.43 σ_0=9.35 σ_{ID}=9.46 Σ_T=10.78
CC 7 SLV (Collegamento -384_-528)
Azioni sul collegamento: N=171.09 Ty=-1.22 Tz=-54.50 Mx=-0.27 Mz=-1.49
Sollecitazioni agenti localmente: Tx_l=-1.22 Ty_l=-54.50 N_l=171.09 My_l=1.49 Mz_l=-0.27
Azioni sul cordone: TP=0.40 TO=4.22 NO=12.59
Tensioni nel cordone: τ_P=0.13 τ_0=1.34 σ_0=6.17 σ_{ID}=6.32 Σ_T=7.51
CC 8 SLD (Collegamento -384_-528)
Azioni sul collegamento: N=137.61 Ty=-1.95 Tz=-49.32 Mx=-0.44 Mz=-2.56
Sollecitazioni agenti localmente: Tx_l=-1.95 Ty_l=-49.32 N_l=137.61 My_l=2.56 Mz_l=-0.44
Azioni sul cordone: TP=0.65 TO=3.98 NO=10.13
Tensioni nel cordone: τ_P=0.21 τ_0=1.26 σ_0=6.96 σ_{ID}=7.08 Σ_T=8.23
CC 8 SLD (Collegamento -384_-528)
Azioni sul collegamento: N=137.61 Ty=-1.46 Tz=-49.32 Mx=-0.34 Mz=-1.90
Sollecitazioni agenti localmente: Tx_l=-1.46 Ty_l=-49.32 N_l=137.61 My_l=1.90 Mz_l=-0.34
Azioni sul cordone: TP=0.50 TO=3.90 NO=10.13
Tensioni nel cordone: τ_P=0.16 τ_0=1.24 σ_0=5.99 σ_{ID}=6.12 Σ_T=7.23
CC 8 SLD (Collegamento -384_-528)
Azioni sul collegamento: N=137.61 Ty=-1.95 Tz=-49.32 Mx=-0.44 Mz=-2.56
Sollecitazioni agenti localmente: Tx_l=-1.95 Ty_l=-49.32 N_l=137.61 My_l=2.56 Mz_l=-0.44
Azioni sul cordone: TP=0.65 TO=3.98 NO=10.13
Tensioni nel cordone: τ_P=0.21 τ_0=1.26 σ_0=6.96 σ_{ID}=7.08 Σ_T=8.23
CC 8 SLD (Collegamento -384_-528)
Azioni sul collegamento: N=137.61 Ty=-1.46 Tz=-49.32 Mx=-0.34 Mz=-1.90
Sollecitazioni agenti localmente: Tx_l=-1.46 Ty_l=-49.32 N_l=137.61 My_l=1.90 Mz_l=-0.34
Azioni sul cordone: TP=0.50 TO=3.90 NO=10.13
Tensioni nel cordone: τ_P=0.16 τ_0=1.24 σ_0=5.99 σ_{ID}=6.12 Σ_T=7.23
CC 8 SLD (Collegamento -384_-528)
Azioni sul collegamento: N=154.01 Ty=-1.95 Tz=-51.86 Mx=-0.44 Mz=-2.56
Sollecitazioni agenti localmente: Tx_l=-1.95 Ty_l=-51.86 N_l=154.01 My_l=2.56 Mz_l=-0.44
Azioni sul cordone: TP=0.65 TO=4.17 NO=11.33
Tensioni nel cordone: τ_P=0.21 τ_0=1.32 σ_0=7.35 σ_{ID}=7.47 Σ_T=8.67
CC 8 SLD (Collegamento -384_-528)
Azioni sul collegamento: N=154.01 Ty=-1.46 Tz=-51.86 Mx=-0.34 Mz=-1.90
Sollecitazioni agenti localmente: Tx_l=-1.46 Ty_l=-51.86 N_l=154.01 My_l=1.90 Mz_l=-0.34
Azioni sul cordone: TP=0.50 TO=4.08 NO=11.33
Tensioni nel cordone: τ_P=0.16 τ_0=1.30 σ_0=6.38 σ_{ID}=6.51 Σ_T=7.67
CC 8 SLD (Collegamento -384_-528)
Azioni sul collegamento: N=154.01 Ty=-1.95 Tz=-51.86 Mx=-0.44 Mz=-2.56
Sollecitazioni agenti localmente: Tx_l=-1.95 Ty_l=-51.86 N_l=154.01 My_l=2.56 Mz_l=-0.44
Azioni sul cordone: TP=0.65 TO=4.17 NO=11.33
Tensioni nel cordone: τ_P=0.21 τ_0=1.32 σ_0=7.35 σ_{ID}=7.47 Σ_T=8.67
CC 8 SLD (Collegamento -384_-528)
Azioni sul collegamento: N=154.01 Ty=-1.46 Tz=-51.86 Mx=-0.34 Mz=-1.90

Sollecitazioni agenti localmente: Tx_l=-1.46 Ty_l=-51.86 N_l=154.01 My_l=1.90 Mz_l=-0.34
Azioni sul cordone: TP=0.50 TO=4.08 NO=11.33
Tensioni nel cordone: τ_P=0.16 τ_0=1.30 σ_0=6.38 σ_{ID}=6.51 Σ_T=7.67
CC 9 SLV (Collegamento -384_-528)
Azioni sul collegamento: N=152.41 Ty=-1.37 Tz=-51.61 Mx=-0.36 Mz=-1.87
Sollecitazioni agenti localmente: Tx_l=-1.37 Ty_l=-51.61 N_l=152.41 My_l=1.87 Mz_l=-0.36
Azioni sul cordone: TP=0.51 TO=4.08 NO=11.21
Tensioni nel cordone: τ_P=0.16 τ_0=1.30 σ_0=6.30 σ_{ID}=6.43 Σ_T=7.59
CC 9 SLV (Collegamento -384_-528)
Azioni sul collegamento: N=152.41 Ty=-2.68 Tz=-51.61 Mx=-0.57 Mz=-3.27
Sollecitazioni agenti localmente: Tx_l=-2.68 Ty_l=-51.61 N_l=152.41 My_l=3.27 Mz_l=-0.57
Azioni sul cordone: TP=0.86 TO=4.25 NO=11.21
Tensioni nel cordone: τ_P=0.27 τ_0=1.35 σ_0=8.34 σ_{ID}=8.45 Σ_T=9.69
CC 9 SLV (Collegamento -384_-528)
Azioni sul collegamento: N=152.41 Ty=-1.37 Tz=-51.61 Mx=-0.36 Mz=-1.87
Sollecitazioni agenti localmente: Tx_l=-1.37 Ty_l=-51.61 N_l=152.41 My_l=1.87 Mz_l=-0.36
Azioni sul cordone: TP=0.51 TO=4.08 NO=11.21
Tensioni nel cordone: τ_P=0.16 τ_0=1.30 σ_0=6.30 σ_{ID}=6.43 Σ_T=7.59
CC 9 SLV (Collegamento -384_-528)
Azioni sul collegamento: N=152.41 Ty=-2.68 Tz=-51.61 Mx=-0.57 Mz=-3.27
Sollecitazioni agenti localmente: Tx_l=-2.68 Ty_l=-51.61 N_l=152.41 My_l=3.27 Mz_l=-0.57
Azioni sul cordone: TP=0.86 TO=4.25 NO=11.21
Tensioni nel cordone: τ_P=0.27 τ_0=1.35 σ_0=8.34 σ_{ID}=8.45 Σ_T=9.69
CC 9 SLV (Collegamento -384_-528)
Azioni sul collegamento: N=135.99 Ty=-1.37 Tz=-49.07 Mx=-0.36 Mz=-1.87
Sollecitazioni agenti localmente: Tx_l=-1.37 Ty_l=-49.07 N_l=135.99 My_l=1.87 Mz_l=-0.36
Azioni sul cordone: TP=0.51 TO=3.89 NO=10.01
Tensioni nel cordone: τ_P=0.16 τ_0=1.24 σ_0=5.91 σ_{ID}=6.04 Σ_T=7.15
CC 9 SLV (Collegamento -384_-528)
Azioni sul collegamento: N=135.99 Ty=-2.68 Tz=-49.07 Mx=-0.57 Mz=-3.27
Sollecitazioni agenti localmente: Tx_l=-2.68 Ty_l=-49.07 N_l=135.99 My_l=3.27 Mz_l=-0.57
Azioni sul cordone: TP=0.86 TO=4.06 NO=10.01
Tensioni nel cordone: τ_P=0.27 τ_0=1.29 σ_0=7.96 σ_{ID}=8.07 Σ_T=9.25
CC 9 SLV (Collegamento -384_-528)
Azioni sul collegamento: N=135.99 Ty=-1.37 Tz=-49.07 Mx=-0.36 Mz=-1.87
Sollecitazioni agenti localmente: Tx_l=-1.37 Ty_l=-49.07 N_l=135.99 My_l=1.87 Mz_l=-0.36
Azioni sul cordone: TP=0.51 TO=3.89 NO=10.01
Tensioni nel cordone: τ_P=0.16 τ_0=1.24 σ_0=5.91 σ_{ID}=6.04 Σ_T=7.15
CC 9 SLV (Collegamento -384_-528)
Azioni sul collegamento: N=135.99 Ty=-2.68 Tz=-49.07 Mx=-0.57 Mz=-3.27
Sollecitazioni agenti localmente: Tx_l=-2.68 Ty_l=-49.07 N_l=135.99 My_l=3.27 Mz_l=-0.57
Azioni sul cordone: TP=0.86 TO=4.06 NO=10.01
Tensioni nel cordone: τ_P=0.27 τ_0=1.29 σ_0=7.96 σ_{ID}=8.07 Σ_T=9.25
CC 10 SLD (Collegamento -384_-528)
Azioni sul collegamento: N=148.32 Ty=-1.51 Tz=-50.98 Mx=-0.37 Mz=-2.02
Sollecitazioni agenti localmente: Tx_l=-1.51 Ty_l=-50.98 N_l=148.32 My_l=2.02 Mz_l=-0.37
Azioni sul cordone: TP=0.54 TO=4.04 NO=10.91
Tensioni nel cordone: τ_P=0.17 τ_0=1.28 σ_0=6.41 σ_{ID}=6.54 Σ_T=7.70
CC 10 SLD (Collegamento -384_-528)
Azioni sul collegamento: N=148.32 Ty=-1.91 Tz=-50.98 Mx=-0.43 Mz=-2.44
Sollecitazioni agenti localmente: Tx_l=-1.91 Ty_l=-50.98 N_l=148.32 My_l=2.44 Mz_l=-0.43
Azioni sul cordone: TP=0.64 TO=4.09 NO=10.91
Tensioni nel cordone: τ_P=0.20 τ_0=1.30 σ_0=7.04 σ_{ID}=7.16 Σ_T=8.34
CC 10 SLD (Collegamento -384_-528)
Azioni sul collegamento: N=148.32 Ty=-1.51 Tz=-50.98 Mx=-0.37 Mz=-2.02
Sollecitazioni agenti localmente: Tx_l=-1.51 Ty_l=-50.98 N_l=148.32 My_l=2.02 Mz_l=-0.37
Azioni sul cordone: TP=0.54 TO=4.04 NO=10.91
Tensioni nel cordone: τ_P=0.17 τ_0=1.28 σ_0=6.41 σ_{ID}=6.54 Σ_T=7.70
CC 10 SLD (Collegamento -384_-528)
Azioni sul collegamento: N=148.32 Ty=-1.91 Tz=-50.98 Mx=-0.43 Mz=-2.44
Sollecitazioni agenti localmente: Tx_l=-1.91 Ty_l=-50.98 N_l=148.32 My_l=2.44 Mz_l=-0.43
Azioni sul cordone: TP=0.64 TO=4.09 NO=10.91
Tensioni nel cordone: τ_P=0.20 τ_0=1.30 σ_0=7.04 σ_{ID}=7.16 Σ_T=8.34
CC 10 SLD (Collegamento -384_-528)
Azioni sul collegamento: N=143.31 Ty=-1.51 Tz=-50.20 Mx=-0.37 Mz=-2.02
Sollecitazioni agenti localmente: Tx_l=-1.51 Ty_l=-50.20 N_l=143.31 My_l=2.02 Mz_l=-0.37
Azioni sul cordone: TP=0.54 TO=3.98 NO=10.55
Tensioni nel cordone: τ_P=0.17 τ_0=1.27 σ_0=6.30 σ_{ID}=6.42 Σ_T=7.56
CC 10 SLD (Collegamento -384_-528)
Azioni sul collegamento: N=143.31 Ty=-1.91 Tz=-50.20 Mx=-0.43 Mz=-2.44
Sollecitazioni agenti localmente: Tx_l=-1.91 Ty_l=-50.20 N_l=143.31 My_l=2.44 Mz_l=-0.43
Azioni sul cordone: TP=0.64 TO=4.04 NO=10.55
Tensioni nel cordone: τ_P=0.20 τ_0=1.28 σ_0=6.92 σ_{ID}=7.04 Σ_T=8.20
CC 10 SLD (Collegamento -384_-528)
Azioni sul collegamento: N=143.31 Ty=-1.51 Tz=-50.20 Mx=-0.37 Mz=-2.02
Sollecitazioni agenti localmente: Tx_l=-1.51 Ty_l=-50.20 N_l=143.31 My_l=2.02 Mz_l=-0.37
Azioni sul cordone: TP=0.54 TO=3.98 NO=10.55
Tensioni nel cordone: τ_P=0.17 τ_0=1.27 σ_0=6.30 σ_{ID}=6.42 Σ_T=7.56
CC 10 SLD (Collegamento -384_-528)

Azioni sul collegamento: N=143.31 Ty=-1.91 Tz=-50.20 Mx=-0.43 Mz=-2.44
Sollecitazioni agenti localmente: Tx_l=-1.91 Ty_l=-50.20 N_l=143.31 My_l=2.44 Mz_l=-0.43
Azioni sul cordone: TP=0.64 TO=4.04 NO=10.55
Tensioni nel cordone: τ_P=0.20 τ_0=1.28 σ_0=6.92 σ_{ID}=7.04 Σ_T=8.20
CC 11 SLV (Collegamento -384_-528)
Azioni sul collegamento: N=136.30 Ty=-1.77 Tz=-49.12 Mx=-0.44 Mz=-2.45
Sollecitazioni agenti localmente: Tx_l=-1.77 Ty_l=-49.12 N_l=136.30 My_l=2.45 Mz_l=-0.44
Azioni sul cordone: TP=0.63 TO=3.96 NO=10.03
Tensioni nel cordone: τ_P=0.20 τ_0=1.26 σ_0=6.77 σ_{ID}=6.89 Σ_T=8.03
CC 11 SLV (Collegamento -384_-528)
Azioni sul collegamento: N=136.30 Ty=-2.28 Tz=-49.12 Mx=-0.47 Mz=-2.69
Sollecitazioni agenti localmente: Tx_l=-2.28 Ty_l=-49.12 N_l=136.30 My_l=2.69 Mz_l=-0.47
Azioni sul cordone: TP=0.71 TO=3.99 NO=10.03
Tensioni nel cordone: τ_P=0.23 τ_0=1.27 σ_0=7.12 σ_{ID}=7.24 Σ_T=8.39
CC 11 SLV (Collegamento -384_-528)
Azioni sul collegamento: N=136.30 Ty=-1.77 Tz=-49.12 Mx=-0.44 Mz=-2.45
Sollecitazioni agenti localmente: Tx_l=-1.77 Ty_l=-49.12 N_l=136.30 My_l=2.45 Mz_l=-0.44
Azioni sul cordone: TP=0.63 TO=3.96 NO=10.03
Tensioni nel cordone: τ_P=0.20 τ_0=1.26 σ_0=6.77 σ_{ID}=6.89 Σ_T=8.03
CC 11 SLV (Collegamento -384_-528)
Azioni sul collegamento: N=136.30 Ty=-2.28 Tz=-49.12 Mx=-0.47 Mz=-2.69
Sollecitazioni agenti localmente: Tx_l=-2.28 Ty_l=-49.12 N_l=136.30 My_l=2.69 Mz_l=-0.47
Azioni sul cordone: TP=0.71 TO=3.99 NO=10.03
Tensioni nel cordone: τ_P=0.23 τ_0=1.27 σ_0=7.12 σ_{ID}=7.24 Σ_T=8.39
CC 11 SLV (Collegamento -384_-528)
Azioni sul collegamento: N=152.10 Ty=-1.77 Tz=-51.56 Mx=-0.44 Mz=-2.45
Sollecitazioni agenti localmente: Tx_l=-1.77 Ty_l=-51.56 N_l=152.10 My_l=2.45 Mz_l=-0.44
Azioni sul cordone: TP=0.63 TO=4.14 NO=11.19
Tensioni nel cordone: τ_P=0.20 τ_0=1.31 σ_0=7.14 σ_{ID}=7.26 Σ_T=8.45
CC 11 SLV (Collegamento -384_-528)
Azioni sul collegamento: N=152.10 Ty=-2.28 Tz=-51.56 Mx=-0.47 Mz=-2.69
Sollecitazioni agenti localmente: Tx_l=-2.28 Ty_l=-51.56 N_l=152.10 My_l=2.69 Mz_l=-0.47
Azioni sul cordone: TP=0.71 TO=4.17 NO=11.19
Tensioni nel cordone: τ_P=0.23 τ_0=1.32 σ_0=7.49 σ_{ID}=7.61 Σ_T=8.81
CC 11 SLV (Collegamento -384_-528)
Azioni sul collegamento: N=152.10 Ty=-1.77 Tz=-51.56 Mx=-0.44 Mz=-2.45
Sollecitazioni agenti localmente: Tx_l=-1.77 Ty_l=-51.56 N_l=152.10 My_l=2.45 Mz_l=-0.44
Azioni sul cordone: TP=0.63 TO=4.14 NO=11.19
Tensioni nel cordone: τ_P=0.20 τ_0=1.31 σ_0=7.14 σ_{ID}=7.26 Σ_T=8.45
CC 11 SLV (Collegamento -384_-528)
Azioni sul collegamento: N=152.10 Ty=-2.28 Tz=-51.56 Mx=-0.47 Mz=-2.69
Sollecitazioni agenti localmente: Tx_l=-2.28 Ty_l=-51.56 N_l=152.10 My_l=2.69 Mz_l=-0.47
Azioni sul cordone: TP=0.71 TO=4.17 NO=11.19
Tensioni nel cordone: τ_P=0.23 τ_0=1.32 σ_0=7.49 σ_{ID}=7.61 Σ_T=8.81
CC 12 SLD (Collegamento -384_-528)
Azioni sul collegamento: N=143.41 Ty=-1.63 Tz=-50.22 Mx=-0.39 Mz=-2.19
Sollecitazioni agenti localmente: Tx_l=-1.63 Ty_l=-50.22 N_l=143.41 My_l=2.19 Mz_l=-0.39
Azioni sul cordone: TP=0.57 TO=4.00 NO=10.55
Tensioni nel cordone: τ_P=0.18 τ_0=1.27 σ_0=6.56 σ_{ID}=6.68 Σ_T=7.83
CC 12 SLD (Collegamento -384_-528)
Azioni sul collegamento: N=143.41 Ty=-1.78 Tz=-50.22 Mx=-0.40 Mz=-2.27
Sollecitazioni agenti localmente: Tx_l=-1.78 Ty_l=-50.22 N_l=143.41 My_l=2.27 Mz_l=-0.40
Azioni sul cordone: TP=0.60 TO=4.01 NO=10.55
Tensioni nel cordone: τ_P=0.19 τ_0=1.28 σ_0=6.66 σ_{ID}=6.79 Σ_T=7.94
CC 12 SLD (Collegamento -384_-528)
Azioni sul collegamento: N=143.41 Ty=-1.63 Tz=-50.22 Mx=-0.39 Mz=-2.19
Sollecitazioni agenti localmente: Tx_l=-1.63 Ty_l=-50.22 N_l=143.41 My_l=2.19 Mz_l=-0.39
Azioni sul cordone: TP=0.57 TO=4.00 NO=10.55
Tensioni nel cordone: τ_P=0.18 τ_0=1.27 σ_0=6.56 σ_{ID}=6.68 Σ_T=7.83
CC 12 SLD (Collegamento -384_-528)
Azioni sul collegamento: N=143.41 Ty=-1.78 Tz=-50.22 Mx=-0.40 Mz=-2.27
Sollecitazioni agenti localmente: Tx_l=-1.78 Ty_l=-50.22 N_l=143.41 My_l=2.27 Mz_l=-0.40
Azioni sul cordone: TP=0.60 TO=4.01 NO=10.55
Tensioni nel cordone: τ_P=0.19 τ_0=1.28 σ_0=6.66 σ_{ID}=6.79 Σ_T=7.94
CC 12 SLD (Collegamento -384_-528)
Azioni sul collegamento: N=148.22 Ty=-1.63 Tz=-50.96 Mx=-0.39 Mz=-2.19
Sollecitazioni agenti localmente: Tx_l=-1.63 Ty_l=-50.96 N_l=148.22 My_l=2.19 Mz_l=-0.39
Azioni sul cordone: TP=0.57 TO=4.06 NO=10.91
Tensioni nel cordone: τ_P=0.18 τ_0=1.29 σ_0=6.67 σ_{ID}=6.80 Σ_T=7.96
CC 12 SLD (Collegamento -384_-528)
Azioni sul collegamento: N=148.22 Ty=-1.78 Tz=-50.96 Mx=-0.40 Mz=-2.27
Sollecitazioni agenti localmente: Tx_l=-1.78 Ty_l=-50.96 N_l=148.22 My_l=2.27 Mz_l=-0.40
Azioni sul cordone: TP=0.60 TO=4.07 NO=10.91
Tensioni nel cordone: τ_P=0.19 τ_0=1.29 σ_0=6.78 σ_{ID}=6.90 Σ_T=8.07
CC 12 SLD (Collegamento -384_-528)
Azioni sul collegamento: N=148.22 Ty=-1.63 Tz=-50.96 Mx=-0.39 Mz=-2.19
Sollecitazioni agenti localmente: Tx_l=-1.63 Ty_l=-50.96 N_l=148.22 My_l=2.19 Mz_l=-0.39
Azioni sul cordone: TP=0.57 TO=4.06 NO=10.91
Tensioni nel cordone: τ_P=0.18 τ_0=1.29 σ_0=6.67 σ_{ID}=6.80 Σ_T=7.96

CC 12 SLD (Collegamento -384_-528)
Azioni sul collegamento: N=148.22 Ty=-1.78 Tz=-50.96 Mx=-0.40 Mz=-2.27
Sollecitazioni agenti localmente: Tx_l=-1.78 Ty_l=-50.96 N_l=148.22 My_l=2.27 Mz_l=-0.40
Azioni sul cordone: TP=0.60 TO=4.07 NO=10.91
Tensioni nel cordone: τ_P=0.19 τ_0=1.29 σ_0=6.78 σ_{ID}=6.90 Σ_T=8.07
CC 13 SLV (Collegamento -384_-528)
Azioni sul collegamento: N=152.10 Ty=-2.28 Tz=-51.56 Mx=-0.48 Mz=-2.69
Sollecitazioni agenti localmente: Tx_l=-2.28 Ty_l=-51.56 N_l=152.10 My_l=2.69 Mz_l=-0.48
Azioni sul cordone: TP=0.71 TO=4.17 NO=11.19
Tensioni nel cordone: τ_P=0.23 τ_0=1.32 σ_0=7.49 σ_{ID}=7.61 Σ_T=8.81
CC 13 SLV (Collegamento -384_-528)
Azioni sul collegamento: N=152.10 Ty=-1.77 Tz=-51.56 Mx=-0.44 Mz=-2.45
Sollecitazioni agenti localmente: Tx_l=-1.77 Ty_l=-51.56 N_l=152.10 My_l=2.45 Mz_l=-0.44
Azioni sul cordone: TP=0.63 TO=4.14 NO=11.19
Tensioni nel cordone: τ_P=0.20 τ_0=1.32 σ_0=7.14 σ_{ID}=7.26 Σ_T=8.45
CC 13 SLV (Collegamento -384_-528)
Azioni sul collegamento: N=152.10 Ty=-2.28 Tz=-51.56 Mx=-0.48 Mz=-2.69
Sollecitazioni agenti localmente: Tx_l=-2.28 Ty_l=-51.56 N_l=152.10 My_l=2.69 Mz_l=-0.48
Azioni sul cordone: TP=0.71 TO=4.17 NO=11.19
Tensioni nel cordone: τ_P=0.23 τ_0=1.32 σ_0=7.49 σ_{ID}=7.61 Σ_T=8.81
CC 13 SLV (Collegamento -384_-528)
Azioni sul collegamento: N=152.10 Ty=-1.77 Tz=-51.56 Mx=-0.44 Mz=-2.45
Sollecitazioni agenti localmente: Tx_l=-1.77 Ty_l=-51.56 N_l=152.10 My_l=2.45 Mz_l=-0.44
Azioni sul cordone: TP=0.63 TO=4.14 NO=11.19
Tensioni nel cordone: τ_P=0.20 τ_0=1.32 σ_0=7.14 σ_{ID}=7.26 Σ_T=8.45
CC 13 SLV (Collegamento -384_-528)
Azioni sul collegamento: N=136.30 Ty=-2.28 Tz=-49.12 Mx=-0.48 Mz=-2.69
Sollecitazioni agenti localmente: Tx_l=-2.28 Ty_l=-49.12 N_l=136.30 My_l=2.69 Mz_l=-0.48
Azioni sul cordone: TP=0.71 TO=3.99 NO=10.03
Tensioni nel cordone: τ_P=0.23 τ_0=1.27 σ_0=7.12 σ_{ID}=7.24 Σ_T=8.39
CC 13 SLV (Collegamento -384_-528)
Azioni sul collegamento: N=136.30 Ty=-1.77 Tz=-49.12 Mx=-0.44 Mz=-2.45
Sollecitazioni agenti localmente: Tx_l=-1.77 Ty_l=-49.12 N_l=136.30 My_l=2.45 Mz_l=-0.44
Azioni sul cordone: TP=0.63 TO=3.96 NO=10.03
Tensioni nel cordone: τ_P=0.20 τ_0=1.26 σ_0=6.77 σ_{ID}=6.89 Σ_T=8.03
CC 13 SLV (Collegamento -384_-528)
Azioni sul collegamento: N=136.30 Ty=-2.28 Tz=-49.12 Mx=-0.48 Mz=-2.69
Sollecitazioni agenti localmente: Tx_l=-2.28 Ty_l=-49.12 N_l=136.30 My_l=2.69 Mz_l=-0.48
Azioni sul cordone: TP=0.71 TO=3.99 NO=10.03
Tensioni nel cordone: τ_P=0.23 τ_0=1.27 σ_0=7.12 σ_{ID}=7.24 Σ_T=8.39
CC 13 SLV (Collegamento -384_-528)
Azioni sul collegamento: N=136.30 Ty=-1.77 Tz=-49.12 Mx=-0.44 Mz=-2.45
Sollecitazioni agenti localmente: Tx_l=-1.77 Ty_l=-49.12 N_l=136.30 My_l=2.45 Mz_l=-0.44
Azioni sul cordone: TP=0.63 TO=3.96 NO=10.03
Tensioni nel cordone: τ_P=0.20 τ_0=1.26 σ_0=6.77 σ_{ID}=6.89 Σ_T=8.03
CC 14 SLD (Collegamento -384_-528)
Azioni sul collegamento: N=148.22 Ty=-1.78 Tz=-50.96 Mx=-0.40 Mz=-2.27
Sollecitazioni agenti localmente: Tx_l=-1.78 Ty_l=-50.96 N_l=148.22 My_l=2.27 Mz_l=-0.40
Azioni sul cordone: TP=0.60 TO=4.07 NO=10.91
Tensioni nel cordone: τ_P=0.19 τ_0=1.29 σ_0=6.78 σ_{ID}=6.90 Σ_T=8.07
CC 14 SLD (Collegamento -384_-528)
Azioni sul collegamento: N=148.22 Ty=-1.63 Tz=-50.96 Mx=-0.39 Mz=-2.19
Sollecitazioni agenti localmente: Tx_l=-1.63 Ty_l=-50.96 N_l=148.22 My_l=2.19 Mz_l=-0.39
Azioni sul cordone: TP=0.57 TO=4.06 NO=10.91
Tensioni nel cordone: τ_P=0.18 τ_0=1.29 σ_0=6.67 σ_{ID}=6.80 Σ_T=7.96
CC 14 SLD (Collegamento -384_-528)
Azioni sul collegamento: N=148.22 Ty=-1.78 Tz=-50.96 Mx=-0.40 Mz=-2.27
Sollecitazioni agenti localmente: Tx_l=-1.78 Ty_l=-50.96 N_l=148.22 My_l=2.27 Mz_l=-0.40
Azioni sul cordone: TP=0.60 TO=4.07 NO=10.91
Tensioni nel cordone: τ_P=0.19 τ_0=1.29 σ_0=6.78 σ_{ID}=6.90 Σ_T=8.07
CC 14 SLD (Collegamento -384_-528)
Azioni sul collegamento: N=148.22 Ty=-1.63 Tz=-50.96 Mx=-0.39 Mz=-2.19
Sollecitazioni agenti localmente: Tx_l=-1.63 Ty_l=-50.96 N_l=148.22 My_l=2.19 Mz_l=-0.39
Azioni sul cordone: TP=0.57 TO=4.06 NO=10.91
Tensioni nel cordone: τ_P=0.18 τ_0=1.29 σ_0=6.67 σ_{ID}=6.80 Σ_T=7.96
CC 14 SLD (Collegamento -384_-528)
Azioni sul collegamento: N=143.41 Ty=-1.78 Tz=-50.22 Mx=-0.40 Mz=-2.27
Sollecitazioni agenti localmente: Tx_l=-1.78 Ty_l=-50.22 N_l=143.41 My_l=2.27 Mz_l=-0.40
Azioni sul cordone: TP=0.60 TO=4.01 NO=10.55
Tensioni nel cordone: τ_P=0.19 τ_0=1.28 σ_0=6.66 σ_{ID}=6.79 Σ_T=7.94
CC 14 SLD (Collegamento -384_-528)
Azioni sul collegamento: N=143.41 Ty=-1.63 Tz=-50.22 Mx=-0.39 Mz=-2.19
Sollecitazioni agenti localmente: Tx_l=-1.63 Ty_l=-50.22 N_l=143.41 My_l=2.19 Mz_l=-0.39
Azioni sul cordone: TP=0.57 TO=4.00 NO=10.55
Tensioni nel cordone: τ_P=0.18 τ_0=1.27 σ_0=6.56 σ_{ID}=6.68 Σ_T=7.83
CC 14 SLD (Collegamento -384_-528)
Azioni sul collegamento: N=143.41 Ty=-1.78 Tz=-50.22 Mx=-0.40 Mz=-2.27
Sollecitazioni agenti localmente: Tx_l=-1.78 Ty_l=-50.22 N_l=143.41 My_l=2.27 Mz_l=-0.40
Azioni sul cordone: TP=0.60 TO=4.01 NO=10.55

Tensioni nel cordone: τ_P=0.19 τ_0=1.28 σ_0=6.66 σ_{ID}=6.79 Σ_T=7.94
CC 14 SLD (Collegamento -384_-528)
Azioni sul collegamento: N=143.41 Ty=-1.63 Tz=-50.22 Mx=-0.39 Mz=-2.19
Sollecitazioni agenti localmente: Tx_l=-1.63 Ty_l=-50.22 N_l=143.41 My_l=2.19 Mz_l=-0.39
Azioni sul cordone: TP=0.57 TO=4.00 NO=10.55
Tensioni nel cordone: τ_P=0.18 τ_0=1.27 σ_0=6.56 σ_{ID}=6.68 Σ_T=7.83
CC 15 SLV (Collegamento -384_-528)
Azioni sul collegamento: N=135.99 Ty=-2.68 Tz=-49.07 Mx=-0.55 Mz=-3.27
Sollecitazioni agenti localmente: Tx_l=-2.68 Ty_l=-49.07 N_l=135.99 My_l=3.27 Mz_l=-0.55
Azioni sul cordone: TP=0.84 TO=4.05 NO=10.01
Tensioni nel cordone: τ_P=0.27 τ_0=1.29 σ_0=7.96 σ_{ID}=8.07 Σ_T=9.25
CC 15 SLV (Collegamento -384_-528)
Azioni sul collegamento: N=135.99 Ty=-1.37 Tz=-49.07 Mx=-0.34 Mz=-1.87
Sollecitazioni agenti localmente: Tx_l=-1.37 Ty_l=-49.07 N_l=135.99 My_l=1.87 Mz_l=-0.34
Azioni sul cordone: TP=0.49 TO=3.88 NO=10.01
Tensioni nel cordone: τ_P=0.16 τ_0=1.23 σ_0=5.92 σ_{ID}=6.05 Σ_T=7.15
CC 15 SLV (Collegamento -384_-528)
Azioni sul collegamento: N=135.99 Ty=-2.68 Tz=-49.07 Mx=-0.55 Mz=-3.27
Sollecitazioni agenti localmente: Tx_l=-2.68 Ty_l=-49.07 N_l=135.99 My_l=3.27 Mz_l=-0.55
Azioni sul cordone: TP=0.84 TO=4.05 NO=10.01
Tensioni nel cordone: τ_P=0.27 τ_0=1.29 σ_0=7.96 σ_{ID}=8.07 Σ_T=9.25
CC 15 SLV (Collegamento -384_-528)
Azioni sul collegamento: N=135.99 Ty=-1.37 Tz=-49.07 Mx=-0.34 Mz=-1.87
Sollecitazioni agenti localmente: Tx_l=-1.37 Ty_l=-49.07 N_l=135.99 My_l=1.87 Mz_l=-0.34
Azioni sul cordone: TP=0.49 TO=3.88 NO=10.01
Tensioni nel cordone: τ_P=0.16 τ_0=1.23 σ_0=5.92 σ_{ID}=6.05 Σ_T=7.15
CC 15 SLV (Collegamento -384_-528)
Azioni sul collegamento: N=152.41 Ty=-2.68 Tz=-51.61 Mx=-0.55 Mz=-3.27
Sollecitazioni agenti localmente: Tx_l=-2.68 Ty_l=-51.61 N_l=152.41 My_l=3.27 Mz_l=-0.55
Azioni sul cordone: TP=0.84 TO=4.23 NO=11.21
Tensioni nel cordone: τ_P=0.27 τ_0=1.35 σ_0=8.35 σ_{ID}=8.46 Σ_T=9.69
CC 15 SLV (Collegamento -384_-528)
Azioni sul collegamento: N=152.41 Ty=-1.37 Tz=-51.61 Mx=-0.34 Mz=-1.87
Sollecitazioni agenti localmente: Tx_l=-1.37 Ty_l=-51.61 N_l=152.41 My_l=1.87 Mz_l=-0.34
Azioni sul cordone: TP=0.49 TO=4.06 NO=11.21
Tensioni nel cordone: τ_P=0.16 τ_0=1.29 σ_0=6.30 σ_{ID}=6.43 Σ_T=7.59
CC 15 SLV (Collegamento -384_-528)
Azioni sul collegamento: N=152.41 Ty=-2.68 Tz=-51.61 Mx=-0.55 Mz=-3.27
Sollecitazioni agenti localmente: Tx_l=-2.68 Ty_l=-51.61 N_l=152.41 My_l=3.27 Mz_l=-0.55
Azioni sul cordone: TP=0.84 TO=4.23 NO=11.21
Tensioni nel cordone: τ_P=0.27 τ_0=1.35 σ_0=8.35 σ_{ID}=8.46 Σ_T=9.69
CC 15 SLV (Collegamento -384_-528)
Azioni sul collegamento: N=152.41 Ty=-1.37 Tz=-51.61 Mx=-0.34 Mz=-1.87
Sollecitazioni agenti localmente: Tx_l=-1.37 Ty_l=-51.61 N_l=152.41 My_l=1.87 Mz_l=-0.34
Azioni sul cordone: TP=0.49 TO=4.06 NO=11.21
Tensioni nel cordone: τ_P=0.16 τ_0=1.29 σ_0=6.30 σ_{ID}=6.43 Σ_T=7.59
CC 16 SLD (Collegamento -384_-528)
Azioni sul collegamento: N=143.31 Ty=-1.91 Tz=-50.20 Mx=-0.43 Mz=-2.44
Sollecitazioni agenti localmente: Tx_l=-1.91 Ty_l=-50.20 N_l=143.31 My_l=2.44 Mz_l=-0.43
Azioni sul cordone: TP=0.63 TO=4.03 NO=10.55
Tensioni nel cordone: τ_P=0.20 τ_0=1.28 σ_0=6.92 σ_{ID}=7.04 Σ_T=8.20
CC 16 SLD (Collegamento -384_-528)
Azioni sul collegamento: N=143.31 Ty=-1.51 Tz=-50.20 Mx=-0.36 Mz=-2.02
Sollecitazioni agenti localmente: Tx_l=-1.51 Ty_l=-50.20 N_l=143.31 My_l=2.02 Mz_l=-0.36
Azioni sul cordone: TP=0.53 TO=3.98 NO=10.55
Tensioni nel cordone: τ_P=0.17 τ_0=1.26 σ_0=6.30 σ_{ID}=6.43 Σ_T=7.56
CC 16 SLD (Collegamento -384_-528)
Azioni sul collegamento: N=143.31 Ty=-1.91 Tz=-50.20 Mx=-0.43 Mz=-2.44
Sollecitazioni agenti localmente: Tx_l=-1.91 Ty_l=-50.20 N_l=143.31 My_l=2.44 Mz_l=-0.43
Azioni sul cordone: TP=0.63 TO=4.03 NO=10.55
Tensioni nel cordone: τ_P=0.20 τ_0=1.28 σ_0=6.92 σ_{ID}=7.04 Σ_T=8.20
CC 16 SLD (Collegamento -384_-528)
Azioni sul collegamento: N=143.31 Ty=-1.51 Tz=-50.20 Mx=-0.36 Mz=-2.02
Sollecitazioni agenti localmente: Tx_l=-1.51 Ty_l=-50.20 N_l=143.31 My_l=2.02 Mz_l=-0.36
Azioni sul cordone: TP=0.53 TO=3.98 NO=10.55
Tensioni nel cordone: τ_P=0.17 τ_0=1.26 σ_0=6.30 σ_{ID}=6.43 Σ_T=7.56
CC 16 SLD (Collegamento -384_-528)
Azioni sul collegamento: N=148.32 Ty=-1.91 Tz=-50.98 Mx=-0.43 Mz=-2.44
Sollecitazioni agenti localmente: Tx_l=-1.91 Ty_l=-50.98 N_l=148.32 My_l=2.44 Mz_l=-0.43
Azioni sul cordone: TP=0.63 TO=4.09 NO=10.91
Tensioni nel cordone: τ_P=0.20 τ_0=1.30 σ_0=7.04 σ_{ID}=7.16 Σ_T=8.34
CC 16 SLD (Collegamento -384_-528)
Azioni sul collegamento: N=148.32 Ty=-1.51 Tz=-50.98 Mx=-0.36 Mz=-2.02
Sollecitazioni agenti localmente: Tx_l=-1.51 Ty_l=-50.98 N_l=148.32 My_l=2.02 Mz_l=-0.36
Azioni sul cordone: TP=0.53 TO=4.04 NO=10.91
Tensioni nel cordone: τ_P=0.17 τ_0=1.28 σ_0=6.41 σ_{ID}=6.54 Σ_T=7.70
CC 16 SLD (Collegamento -384_-528)
Azioni sul collegamento: N=148.32 Ty=-1.91 Tz=-50.98 Mx=-0.43 Mz=-2.44
Sollecitazioni agenti localmente: Tx_l=-1.91 Ty_l=-50.98 N_l=148.32 My_l=2.44 Mz_l=-0.43

Azioni sul cordone: TP=0.63 TO=4.09 NO=10.91
Tensioni nel cordone: τ_P=0.20 τ_0=1.30 σ_0=7.04 σ_{ID}=7.16 Σ_T=8.34
CC 16 SLD (Collegamento -384_-528)
Azioni sul collegamento: N=148.32 Ty=-1.51 Tz=-50.98 Mx=-0.36 Mz=-2.02
Sollecitazioni agenti localmente: Tx_l=-1.51 Ty_l=-50.98 N_l=148.32 My_l=2.02 Mz_l=-0.36
Azioni sul cordone: TP=0.53 TO=4.04 NO=10.91
Tensioni nel cordone: τ_P=0.17 τ_0=1.28 σ_0=6.41 σ_{ID}=6.54 Σ_T=7.70
CC 17 SLV (Collegamento -384_-528)
Azioni sul collegamento: N=175.74 Ty=-0.30 Tz=-55.22 Mx=-0.14 Mz=-0.50
Sollecitazioni agenti localmente: Tx_l=-0.30 Ty_l=-55.22 N_l=175.74 My_l=0.50 Mz_l=-0.14
Azioni sul cordone: TP=0.19 TO=4.18 NO=12.93
Tensioni nel cordone: τ_P= 0.06 τ_0=1.33 σ_0=4.84 σ_{ID}=5.02 Σ_T=6.16
CC 17 SLV (Collegamento -384_-528)
Azioni sul collegamento: N=175.74 Ty=-1.91 Tz=-55.22 Mx=-0.48 Mz=-2.67
Sollecitazioni agenti localmente: Tx_l=-1.91 Ty_l=-55.22 N_l=175.74 My_l=2.67 Mz_l=-0.48
Azioni sul cordone: TP=0.69 TO=4.44 NO=12.93
Tensioni nel cordone: τ_P=0.22 τ_0=1.41 σ_0=8.02 σ_{ID}=8.14 Σ_T=9.43
CC 17 SLV (Collegamento -384_-528)
Azioni sul collegamento: N=175.74 Ty=-0.30 Tz=-55.22 Mx=-0.14 Mz=-0.50
Sollecitazioni agenti localmente: Tx_l=-0.30 Ty_l=-55.22 N_l=175.74 My_l=0.50 Mz_l=-0.14
Azioni sul cordone: TP=0.19 TO=4.18 NO=12.93
Tensioni nel cordone: τ_P= 0.06 τ_0=1.33 σ_0=4.84 σ_{ID}=5.02 Σ_T=6.16
CC 17 SLV (Collegamento -384_-528)
Azioni sul collegamento: N=175.74 Ty=-1.91 Tz=-55.22 Mx=-0.48 Mz=-2.67
Sollecitazioni agenti localmente: Tx_l=-1.91 Ty_l=-55.22 N_l=175.74 My_l=2.67 Mz_l=-0.48
Azioni sul cordone: TP=0.69 TO=4.44 NO=12.93
Tensioni nel cordone: τ_P=0.22 τ_0=1.41 σ_0=8.02 σ_{ID}=8.14 Σ_T=9.43
CC 17 SLV (Collegamento -384_-528)
Azioni sul collegamento: N=121.95 Ty=-0.30 Tz=-46.90 Mx=-0.14 Mz=-0.50
Sollecitazioni agenti localmente: Tx_l=-0.30 Ty_l=-46.90 N_l=121.95 My_l=0.50 Mz_l=-0.14
Azioni sul cordone: TP=0.19 TO=3.56 NO=8.97
Tensioni nel cordone: τ_P= 0.06 τ_0=1.13 σ_0=3.58 σ_{ID}=3.75 Σ_T=4.71
CC 17 SLV (Collegamento -384_-528)
Azioni sul collegamento: N=121.95 Ty=-1.91 Tz=-46.90 Mx=-0.48 Mz=-2.67
Sollecitazioni agenti localmente: Tx_l=-1.91 Ty_l=-46.90 N_l=121.95 My_l=2.67 Mz_l=-0.48
Azioni sul cordone: TP=0.69 TO=3.83 NO=8.97
Tensioni nel cordone: τ_P=0.22 τ_0=1.22 σ_0=6.76 σ_{ID}=6.87 Σ_T=7.97
CC 17 SLV (Collegamento -384_-528)
Azioni sul collegamento: N=121.95 Ty=-0.30 Tz=-46.90 Mx=-0.14 Mz=-0.50
Sollecitazioni agenti localmente: Tx_l=-0.30 Ty_l=-46.90 N_l=121.95 My_l=0.50 Mz_l=-0.14
Azioni sul cordone: TP=0.19 TO=3.56 NO=8.97
Tensioni nel cordone: τ_P= 0.06 τ_0=1.13 σ_0=3.58 σ_{ID}=3.75 Σ_T=4.71
CC 17 SLV (Collegamento -384_-528)
Azioni sul collegamento: N=121.95 Ty=-1.91 Tz=-46.90 Mx=-0.48 Mz=-2.67
Sollecitazioni agenti localmente: Tx_l=-1.91 Ty_l=-46.90 N_l=121.95 My_l=2.67 Mz_l=-0.48
Azioni sul cordone: TP=0.69 TO=3.83 NO=8.97
Tensioni nel cordone: τ_P=0.22 τ_0=1.22 σ_0=6.76 σ_{ID}=6.87 Σ_T=7.97
CC 18 SLD (Collegamento -384_-528)
Azioni sul collegamento: N=155.43 Ty=-1.18 Tz=-52.08 Mx=-0.30 Mz=-1.60
Sollecitazioni agenti localmente: Tx_l=-1.18 Ty_l=-52.08 N_l=155.43 My_l=1.60 Mz_l=-0.30
Azioni sul cordone: TP=0.44 TO=4.07 NO=11.44
Tensioni nel cordone: τ_P=0.14 τ_0=1.29 σ_0=5.97 σ_{ID}=6.11 Σ_T=7.26
CC 18 SLD (Collegamento -384_-528)
Azioni sul collegamento: N=155.43 Ty=-1.67 Tz=-52.08 Mx=-0.41 Mz=-2.26
Sollecitazioni agenti localmente: Tx_l=-1.67 Ty_l=-52.08 N_l=155.43 My_l=2.26 Mz_l=-0.41
Azioni sul cordone: TP=0.59 TO=4.15 NO=11.44
Tensioni nel cordone: τ_P=0.19 τ_0=1.32 σ_0=6.94 σ_{ID}=7.06 Σ_T=8.26
CC 18 SLD (Collegamento -384_-528)
Azioni sul collegamento: N=155.43 Ty=-1.18 Tz=-52.08 Mx=-0.30 Mz=-1.60
Sollecitazioni agenti localmente: Tx_l=-1.18 Ty_l=-52.08 N_l=155.43 My_l=1.60 Mz_l=-0.30
Azioni sul cordone: TP=0.44 TO=4.07 NO=11.44
Tensioni nel cordone: τ_P=0.14 τ_0=1.29 σ_0=5.97 σ_{ID}=6.11 Σ_T=7.26
CC 18 SLD (Collegamento -384_-528)
Azioni sul collegamento: N=155.43 Ty=-1.67 Tz=-52.08 Mx=-0.41 Mz=-2.26
Sollecitazioni agenti localmente: Tx_l=-1.67 Ty_l=-52.08 N_l=155.43 My_l=2.26 Mz_l=-0.41
Azioni sul cordone: TP=0.59 TO=4.15 NO=11.44
Tensioni nel cordone: τ_P=0.19 τ_0=1.32 σ_0=6.94 σ_{ID}=7.06 Σ_T=8.26
CC 18 SLD (Collegamento -384_-528)
Azioni sul collegamento: N=139.03 Ty=-1.18 Tz=-49.54 Mx=-0.30 Mz=-1.60
Sollecitazioni agenti localmente: Tx_l=-1.18 Ty_l=-49.54 N_l=139.03 My_l=1.60 Mz_l=-0.30
Azioni sul cordone: TP=0.44 TO=3.88 NO=10.23
Tensioni nel cordone: τ_P=0.14 τ_0=1.23 σ_0=5.58 σ_{ID}=5.72 Σ_T=6.82
CC 18 SLD (Collegamento -384_-528)
Azioni sul collegamento: N=139.03 Ty=-1.67 Tz=-49.54 Mx=-0.41 Mz=-2.26
Sollecitazioni agenti localmente: Tx_l=-1.67 Ty_l=-49.54 N_l=139.03 My_l=2.26 Mz_l=-0.41
Azioni sul cordone: TP=0.59 TO=3.97 NO=10.23
Tensioni nel cordone: τ_P=0.19 τ_0=1.26 σ_0=6.55 σ_{ID}=6.68 Σ_T=7.81
CC 18 SLD (Collegamento -384_-528)
Azioni sul collegamento: N=139.03 Ty=-1.18 Tz=-49.54 Mx=-0.30 Mz=-1.60

Sollecitazioni agenti localmente: Tx_l=-1.18 Ty_l=-49.54 N_l=139.03 My_l=1.60 Mz_l=-0.30
Azioni sul cordone: TP=0.44 TO=3.88 NO=10.23
Tensioni nel cordone: τ_P=0.14 τ_0=1.23 σ_0=5.58 σ_{ID}=5.72 Σ_T=6.82
CC 18 SLD (Collegamento -384_-528)
Azioni sul collegamento: N=139.03 Ty=-1.67 Tz=-49.54 Mx=-0.41 Mz=-2.26
Sollecitazioni agenti localmente: Tx_l=-1.67 Ty_l=-49.54 N_l=139.03 My_l=2.26 Mz_l=-0.41
Azioni sul cordone: TP=0.59 TO=3.97 NO=10.23
Tensioni nel cordone: τ_P=0.19 τ_0=1.26 σ_0=6.55 σ_{ID}=6.68 Σ_T=7.81
CC 19 SLV (Collegamento -384_-528)
Azioni sul collegamento: N=175.65 Ty=-0.58 Tz=-55.21 Mx=-0.18 Mz=-0.74
Sollecitazioni agenti localmente: Tx_l=-0.58 Ty_l=-55.21 N_l=175.65 My_l=0.74 Mz_l=-0.18
Azioni sul cordone: TP=0.25 TO=4.20 NO=12.92
Tensioni nel cordone: τ_P= 0.08 τ_0=1.34 σ_0=5.19 σ_{ID}=5.36 Σ_T=6.53
CC 19 SLV (Collegamento -384_-528)
Azioni sul collegamento: N=175.65 Ty=-1.64 Tz=-55.21 Mx=-0.44 Mz=-2.43
Sollecitazioni agenti localmente: Tx_l=-1.64 Ty_l=-55.21 N_l=175.65 My_l=2.43 Mz_l=-0.44
Azioni sul cordone: TP=0.63 TO=4.41 NO=12.92
Tensioni nel cordone: τ_P=0.20 τ_0=1.40 σ_0=7.65 σ_{ID}=7.78 Σ_T=9.06
CC 19 SLV (Collegamento -384_-528)
Azioni sul collegamento: N=175.65 Ty=-0.58 Tz=-55.21 Mx=-0.18 Mz=-0.74
Sollecitazioni agenti localmente: Tx_l=-0.58 Ty_l=-55.21 N_l=175.65 My_l=0.74 Mz_l=-0.18
Azioni sul cordone: TP=0.25 TO=4.20 NO=12.92
Tensioni nel cordone: τ_P= 0.08 τ_0=1.34 σ_0=5.19 σ_{ID}=5.36 Σ_T=6.53
CC 19 SLV (Collegamento -384_-528)
Azioni sul collegamento: N=175.65 Ty=-1.64 Tz=-55.21 Mx=-0.44 Mz=-2.43
Sollecitazioni agenti localmente: Tx_l=-1.64 Ty_l=-55.21 N_l=175.65 My_l=2.43 Mz_l=-0.44
Azioni sul cordone: TP=0.63 TO=4.41 NO=12.92
Tensioni nel cordone: τ_P=0.20 τ_0=1.40 σ_0=7.65 σ_{ID}=7.78 Σ_T=9.06
CC 19 SLV (Collegamento -384_-528)
Azioni sul collegamento: N=122.04 Ty=-0.58 Tz=-46.91 Mx=-0.18 Mz=-0.74
Sollecitazioni agenti localmente: Tx_l=-0.58 Ty_l=-46.91 N_l=122.04 My_l=0.74 Mz_l=-0.18
Azioni sul cordone: TP=0.25 TO=3.59 NO=8.98
Tensioni nel cordone: τ_P= 0.08 τ_0=1.14 σ_0=3.94 σ_{ID}=4.10 Σ_T=5.08
CC 19 SLV (Collegamento -384_-528)
Azioni sul collegamento: N=122.04 Ty=-1.64 Tz=-46.91 Mx=-0.44 Mz=-2.43
Sollecitazioni agenti localmente: Tx_l=-1.64 Ty_l=-46.91 N_l=122.04 My_l=2.43 Mz_l=-0.44
Azioni sul cordone: TP=0.63 TO=3.80 NO=8.98
Tensioni nel cordone: τ_P=0.20 τ_0=1.21 σ_0=6.40 σ_{ID}=6.52 Σ_T=7.61
CC 19 SLV (Collegamento -384_-528)
Azioni sul collegamento: N=122.04 Ty=-0.58 Tz=-46.91 Mx=-0.18 Mz=-0.74
Sollecitazioni agenti localmente: Tx_l=-0.58 Ty_l=-46.91 N_l=122.04 My_l=0.74 Mz_l=-0.18
Azioni sul cordone: TP=0.25 TO=3.59 NO=8.98
Tensioni nel cordone: τ_P= 0.08 τ_0=1.14 σ_0=3.94 σ_{ID}=4.10 Σ_T=5.08
CC 19 SLV (Collegamento -384_-528)
Azioni sul collegamento: N=122.04 Ty=-1.64 Tz=-46.91 Mx=-0.44 Mz=-2.43
Sollecitazioni agenti localmente: Tx_l=-1.64 Ty_l=-46.91 N_l=122.04 My_l=2.43 Mz_l=-0.44
Azioni sul cordone: TP=0.63 TO=3.80 NO=8.98
Tensioni nel cordone: τ_P=0.20 τ_0=1.21 σ_0=6.40 σ_{ID}=6.52 Σ_T=7.61
CC 20 SLD (Collegamento -384_-528)
Azioni sul collegamento: N=155.40 Ty=-1.26 Tz=-52.07 Mx=-0.31 Mz=-1.67
Sollecitazioni agenti localmente: Tx_l=-1.26 Ty_l=-52.07 N_l=155.40 My_l=1.67 Mz_l=-0.31
Azioni sul cordone: TP=0.45 TO=4.08 NO=11.44
Tensioni nel cordone: τ_P=0.14 τ_0=1.30 σ_0=6.08 σ_{ID}=6.22 Σ_T=7.37
CC 20 SLD (Collegamento -384_-528)
Azioni sul collegamento: N=155.40 Ty=-1.59 Tz=-52.07 Mx=-0.39 Mz=-2.19
Sollecitazioni agenti localmente: Tx_l=-1.59 Ty_l=-52.07 N_l=155.40 My_l=2.19 Mz_l=-0.39
Azioni sul cordone: TP=0.57 TO=4.14 NO=11.44
Tensioni nel cordone: τ_P=0.18 τ_0=1.32 σ_0=6.83 σ_{ID}=6.96 Σ_T=8.14
CC 20 SLD (Collegamento -384_-528)
Azioni sul collegamento: N=155.40 Ty=-1.26 Tz=-52.07 Mx=-0.31 Mz=-1.67
Sollecitazioni agenti localmente: Tx_l=-1.26 Ty_l=-52.07 N_l=155.40 My_l=1.67 Mz_l=-0.31
Azioni sul cordone: TP=0.45 TO=4.08 NO=11.44
Tensioni nel cordone: τ_P=0.14 τ_0=1.30 σ_0=6.08 σ_{ID}=6.22 Σ_T=7.37
CC 20 SLD (Collegamento -384_-528)
Azioni sul collegamento: N=155.40 Ty=-1.59 Tz=-52.07 Mx=-0.39 Mz=-2.19
Sollecitazioni agenti localmente: Tx_l=-1.59 Ty_l=-52.07 N_l=155.40 My_l=2.19 Mz_l=-0.39
Azioni sul cordone: TP=0.57 TO=4.14 NO=11.44
Tensioni nel cordone: τ_P=0.18 τ_0=1.32 σ_0=6.83 σ_{ID}=6.96 Σ_T=8.14
CC 20 SLD (Collegamento -384_-528)
Azioni sul collegamento: N=139.06 Ty=-1.26 Tz=-49.54 Mx=-0.31 Mz=-1.67
Sollecitazioni agenti localmente: Tx_l=-1.26 Ty_l=-49.54 N_l=139.06 My_l=1.67 Mz_l=-0.31
Azioni sul cordone: TP=0.45 TO=3.89 NO=10.23
Tensioni nel cordone: τ_P=0.14 τ_0=1.24 σ_0=5.70 σ_{ID}=5.83 Σ_T=6.93
CC 20 SLD (Collegamento -384_-528)
Azioni sul collegamento: N=139.06 Ty=-1.59 Tz=-49.54 Mx=-0.39 Mz=-2.19
Sollecitazioni agenti localmente: Tx_l=-1.59 Ty_l=-49.54 N_l=139.06 My_l=2.19 Mz_l=-0.39
Azioni sul cordone: TP=0.57 TO=3.96 NO=10.23
Tensioni nel cordone: τ_P=0.18 τ_0=1.26 σ_0=6.45 σ_{ID}=6.57 Σ_T=7.70
CC 20 SLD (Collegamento -384_-528)

Azioni sul collegamento: N=139.06 Ty=-1.26 Tz=-49.54 Mx=-0.31 Mz=-1.67
Sollecitazioni agenti localmente: Tx_l=-1.26 Ty_l=-49.54 N_l=139.06 My_l=1.67 Mz_l=-0.31
Azioni sul cordone: TP=0.45 TO=3.89 NO=10.23
Tensioni nel cordone: τ_P=0.14 τ_0=1.24 σ_0=5.70 σ_{ID}=5.83 Σ_T=6.93
CC 20 SLD (Collegamento -384_-528)
Azioni sul collegamento: N=139.06 Ty=-1.59 Tz=-49.54 Mx=-0.39 Mz=-2.19
Sollecitazioni agenti localmente: Tx_l=-1.59 Ty_l=-49.54 N_l=139.06 My_l=2.19 Mz_l=-0.39
Azioni sul cordone: TP=0.57 TO=3.96 NO=10.23
Tensioni nel cordone: τ_P=0.18 τ_0=1.26 σ_0=6.45 σ_{ID}=6.57 Σ_T=7.70
CC 21 SLV (Collegamento -384_-528)
Azioni sul collegamento: N=122.04 Ty=-1.64 Tz=-46.91 Mx=-0.41 Mz=-2.43
Sollecitazioni agenti localmente: Tx_l=-1.64 Ty_l=-46.91 N_l=122.04 My_l=2.43 Mz_l=-0.41
Azioni sul cordone: TP=0.59 TO=3.77 NO=8.98
Tensioni nel cordone: τ_P=0.19 τ_0=1.20 σ_0=6.41 σ_{ID}=6.52 Σ_T=7.61
CC 21 SLV (Collegamento -384_-528)
Azioni sul collegamento: N=122.04 Ty=-0.58 Tz=-46.91 Mx=-0.15 Mz=-0.75
Sollecitazioni agenti localmente: Tx_l=-0.58 Ty_l=-46.91 N_l=122.04 My_l=0.75 Mz_l=-0.15
Azioni sul cordone: TP=0.21 TO=3.57 NO=8.98
Tensioni nel cordone: τ_P= 0.07 τ_0=1.13 σ_0=3.95 σ_{ID}=4.11 Σ_T=5.08
CC 21 SLV (Collegamento -384_-528)
Azioni sul collegamento: N=122.04 Ty=-1.64 Tz=-46.91 Mx=-0.41 Mz=-2.43
Sollecitazioni agenti localmente: Tx_l=-1.64 Ty_l=-46.91 N_l=122.04 My_l=2.43 Mz_l=-0.41
Azioni sul cordone: TP=0.59 TO=3.77 NO=8.98
Tensioni nel cordone: τ_P=0.19 τ_0=1.20 σ_0=6.41 σ_{ID}=6.52 Σ_T=7.61
CC 21 SLV (Collegamento -384_-528)
Azioni sul collegamento: N=122.04 Ty=-0.58 Tz=-46.91 Mx=-0.15 Mz=-0.75
Sollecitazioni agenti localmente: Tx_l=-0.58 Ty_l=-46.91 N_l=122.04 My_l=0.75 Mz_l=-0.15
Azioni sul cordone: TP=0.21 TO=3.57 NO=8.98
Tensioni nel cordone: τ_P= 0.07 τ_0=1.13 σ_0=3.95 σ_{ID}=4.11 Σ_T=5.08
CC 21 SLV (Collegamento -384_-528)
Azioni sul collegamento: N=175.65 Ty=-1.64 Tz=-55.21 Mx=-0.41 Mz=-2.43
Sollecitazioni agenti localmente: Tx_l=-1.64 Ty_l=-55.21 N_l=175.65 My_l=2.43 Mz_l=-0.41
Azioni sul cordone: TP=0.59 TO=4.38 NO=12.92
Tensioni nel cordone: τ_P=0.19 τ_0=1.39 σ_0=7.66 σ_{ID}=7.79 Σ_T=9.05
CC 21 SLV (Collegamento -384_-528)
Azioni sul collegamento: N=175.65 Ty=-0.58 Tz=-55.21 Mx=-0.15 Mz=-0.75
Sollecitazioni agenti localmente: Tx_l=-0.58 Ty_l=-55.21 N_l=175.65 My_l=0.75 Mz_l=-0.15
Azioni sul cordone: TP=0.21 TO=4.18 NO=12.92
Tensioni nel cordone: τ_P= 0.07 τ_0=1.33 σ_0=5.20 σ_{ID}=5.37 Σ_T=6.53
CC 21 SLV (Collegamento -384_-528)
Azioni sul collegamento: N=175.65 Ty=-1.64 Tz=-55.21 Mx=-0.41 Mz=-2.43
Sollecitazioni agenti localmente: Tx_l=-1.64 Ty_l=-55.21 N_l=175.65 My_l=2.43 Mz_l=-0.41
Azioni sul cordone: TP=0.59 TO=4.38 NO=12.92
Tensioni nel cordone: τ_P=0.19 τ_0=1.39 σ_0=7.66 σ_{ID}=7.79 Σ_T=9.05
CC 21 SLV (Collegamento -384_-528)
Azioni sul collegamento: N=175.65 Ty=-0.58 Tz=-55.21 Mx=-0.15 Mz=-0.75
Sollecitazioni agenti localmente: Tx_l=-0.58 Ty_l=-55.21 N_l=175.65 My_l=0.75 Mz_l=-0.15
Azioni sul cordone: TP=0.21 TO=4.18 NO=12.92
Tensioni nel cordone: τ_P= 0.07 τ_0=1.33 σ_0=5.20 σ_{ID}=5.37 Σ_T=6.53
CC 22 SLD (Collegamento -384_-528)
Azioni sul collegamento: N=139.06 Ty=-1.59 Tz=-49.54 Mx=-0.38 Mz=-2.19
Sollecitazioni agenti localmente: Tx_l=-1.59 Ty_l=-49.54 N_l=139.06 My_l=2.19 Mz_l=-0.38
Azioni sul cordone: TP=0.56 TO=3.95 NO=10.23
Tensioni nel cordone: τ_P=0.18 τ_0=1.25 σ_0=6.45 σ_{ID}=6.57 Σ_T=7.70
CC 22 SLD (Collegamento -384_-528)
Azioni sul collegamento: N=139.06 Ty=-1.26 Tz=-49.54 Mx=-0.30 Mz=-1.67
Sollecitazioni agenti localmente: Tx_l=-1.26 Ty_l=-49.54 N_l=139.06 My_l=1.67 Mz_l=-0.30
Azioni sul cordone: TP=0.44 TO=3.89 NO=10.23
Tensioni nel cordone: τ_P=0.14 τ_0=1.23 σ_0=5.70 σ_{ID}=5.83 Σ_T=6.93
CC 22 SLD (Collegamento -384_-528)
Azioni sul collegamento: N=139.06 Ty=-1.59 Tz=-49.54 Mx=-0.38 Mz=-2.19
Sollecitazioni agenti localmente: Tx_l=-1.59 Ty_l=-49.54 N_l=139.06 My_l=2.19 Mz_l=-0.38
Azioni sul cordone: TP=0.56 TO=3.95 NO=10.23
Tensioni nel cordone: τ_P=0.18 τ_0=1.25 σ_0=6.45 σ_{ID}=6.57 Σ_T=7.70
CC 22 SLD (Collegamento -384_-528)
Azioni sul collegamento: N=139.06 Ty=-1.26 Tz=-49.54 Mx=-0.30 Mz=-1.67
Sollecitazioni agenti localmente: Tx_l=-1.26 Ty_l=-49.54 N_l=139.06 My_l=1.67 Mz_l=-0.30
Azioni sul cordone: TP=0.44 TO=3.89 NO=10.23
Tensioni nel cordone: τ_P=0.14 τ_0=1.23 σ_0=5.70 σ_{ID}=5.83 Σ_T=6.93
CC 22 SLD (Collegamento -384_-528)
Azioni sul collegamento: N=155.40 Ty=-1.59 Tz=-52.07 Mx=-0.38 Mz=-2.19
Sollecitazioni agenti localmente: Tx_l=-1.59 Ty_l=-52.07 N_l=155.40 My_l=2.19 Mz_l=-0.38
Azioni sul cordone: TP=0.56 TO=4.13 NO=11.44
Tensioni nel cordone: τ_P=0.18 τ_0=1.31 σ_0=6.83 σ_{ID}=6.96 Σ_T=8.14
CC 22 SLD (Collegamento -384_-528)
Azioni sul collegamento: N=155.40 Ty=-1.26 Tz=-52.07 Mx=-0.30 Mz=-1.67
Sollecitazioni agenti localmente: Tx_l=-1.26 Ty_l=-52.07 N_l=155.40 My_l=1.67 Mz_l=-0.30
Azioni sul cordone: TP=0.44 TO=4.07 NO=11.44
Tensioni nel cordone: τ_P=0.14 τ_0=1.29 σ_0=6.08 σ_{ID}=6.22 Σ_T=7.37

CC 22 SLD (Collegamento -384_-528)
Azioni sul collegamento: N=155.40 Ty=-1.59 Tz=-52.07 Mx=-0.38 Mz=-2.19
Sollecitazioni agenti localmente: Tx_l=-1.59 Ty_l=-52.07 N_l=155.40 My_l=2.19 Mz_l=-0.38
Azioni sul cordone: TP=0.56 TO=4.13 NO=11.44
Tensioni nel cordone: τ_P=0.18 τ_0=1.31 σ_0=6.83 σ_{ID}=6.96 Σ_T=8.14
CC 22 SLD (Collegamento -384_-528)
Azioni sul collegamento: N=155.40 Ty=-1.26 Tz=-52.07 Mx=-0.30 Mz=-1.67
Sollecitazioni agenti localmente: Tx_l=-1.26 Ty_l=-52.07 N_l=155.40 My_l=1.67 Mz_l=-0.30
Azioni sul cordone: TP=0.44 TO=4.07 NO=11.44
Tensioni nel cordone: τ_P=0.14 τ_0=1.29 σ_0=6.08 σ_{ID}=6.22 Σ_T=7.37
CC 23 SLV (Collegamento -384_-528)
Azioni sul collegamento: N=121.95 Ty=-1.91 Tz=-46.90 Mx=-0.44 Mz=-2.68
Sollecitazioni agenti localmente: Tx_l=-1.91 Ty_l=-46.90 N_l=121.95 My_l=2.68 Mz_l=-0.44
Azioni sul cordone: TP=0.65 TO=3.80 NO=8.97
Tensioni nel cordone: τ_P=0.21 τ_0=1.21 σ_0=6.77 σ_{ID}=6.88 Σ_T=7.97
CC 23 SLV (Collegamento -384_-528)
Azioni sul collegamento: N=121.95 Ty=-0.30 Tz=-46.90 Mx=-0.10 Mz=-0.50
Sollecitazioni agenti localmente: Tx_l=-0.30 Ty_l=-46.90 N_l=121.95 My_l=0.50 Mz_l=-0.10
Azioni sul cordone: TP=0.14 TO=3.53 NO=8.97
Tensioni nel cordone: τ_P= 0.05 τ_0=1.12 σ_0=3.59 σ_{ID}=3.76 Σ_T=4.71
CC 23 SLV (Collegamento -384_-528)
Azioni sul collegamento: N=121.95 Ty=-1.91 Tz=-46.90 Mx=-0.44 Mz=-2.68
Sollecitazioni agenti localmente: Tx_l=-1.91 Ty_l=-46.90 N_l=121.95 My_l=2.68 Mz_l=-0.44
Azioni sul cordone: TP=0.65 TO=3.80 NO=8.97
Tensioni nel cordone: τ_P=0.21 τ_0=1.21 σ_0=6.77 σ_{ID}=6.88 Σ_T=7.97
CC 23 SLV (Collegamento -384_-528)
Azioni sul collegamento: N=121.95 Ty=-0.30 Tz=-46.90 Mx=-0.10 Mz=-0.50
Sollecitazioni agenti localmente: Tx_l=-0.30 Ty_l=-46.90 N_l=121.95 My_l=0.50 Mz_l=-0.10
Azioni sul cordone: TP=0.14 TO=3.53 NO=8.97
Tensioni nel cordone: τ_P= 0.05 τ_0=1.12 σ_0=3.59 σ_{ID}=3.76 Σ_T=4.71
CC 23 SLV (Collegamento -384_-528)
Azioni sul collegamento: N=175.74 Ty=-1.91 Tz=-55.22 Mx=-0.44 Mz=-2.68
Sollecitazioni agenti localmente: Tx_l=-1.91 Ty_l=-55.22 N_l=175.74 My_l=2.68 Mz_l=-0.44
Azioni sul cordone: TP=0.65 TO=4.41 NO=12.93
Tensioni nel cordone: τ_P=0.21 τ_0=1.40 σ_0=8.02 σ_{ID}=8.15 Σ_T=9.43
CC 23 SLV (Collegamento -384_-528)
Azioni sul collegamento: N=175.74 Ty=-0.30 Tz=-55.22 Mx=-0.10 Mz=-0.50
Sollecitazioni agenti localmente: Tx_l=-0.30 Ty_l=-55.22 N_l=175.74 My_l=0.50 Mz_l=-0.10
Azioni sul cordone: TP=0.14 TO=4.15 NO=12.93
Tensioni nel cordone: τ_P= 0.05 τ_0=1.32 σ_0=4.84 σ_{ID}=5.02 Σ_T=6.16
CC 23 SLV (Collegamento -384_-528)
Azioni sul collegamento: N=175.74 Ty=-1.91 Tz=-55.22 Mx=-0.44 Mz=-2.68
Sollecitazioni agenti localmente: Tx_l=-1.91 Ty_l=-55.22 N_l=175.74 My_l=2.68 Mz_l=-0.44
Azioni sul cordone: TP=0.65 TO=4.41 NO=12.93
Tensioni nel cordone: τ_P=0.21 τ_0=1.40 σ_0=8.02 σ_{ID}=8.15 Σ_T=9.43
CC 23 SLV (Collegamento -384_-528)
Azioni sul collegamento: N=175.74 Ty=-0.30 Tz=-55.22 Mx=-0.10 Mz=-0.50
Sollecitazioni agenti localmente: Tx_l=-0.30 Ty_l=-55.22 N_l=175.74 My_l=0.50 Mz_l=-0.10
Azioni sul cordone: TP=0.14 TO=4.15 NO=12.93
Tensioni nel cordone: τ_P= 0.05 τ_0=1.32 σ_0=4.84 σ_{ID}=5.02 Σ_T=6.16
CC 24 SLD (Collegamento -384_-528)
Azioni sul collegamento: N=139.03 Ty=-1.67 Tz=-49.54 Mx=-0.39 Mz=-2.26
Sollecitazioni agenti localmente: Tx_l=-1.67 Ty_l=-49.54 N_l=139.03 My_l=2.26 Mz_l=-0.39
Azioni sul cordone: TP=0.58 TO=3.96 NO=10.23
Tensioni nel cordone: τ_P=0.18 τ_0=1.26 σ_0=6.56 σ_{ID}=6.68 Σ_T=7.81
CC 24 SLD (Collegamento -384_-528)
Azioni sul collegamento: N=139.03 Ty=-1.18 Tz=-49.54 Mx=-0.29 Mz=-1.60
Sollecitazioni agenti localmente: Tx_l=-1.18 Ty_l=-49.54 N_l=139.03 My_l=1.60 Mz_l=-0.29
Azioni sul cordone: TP=0.42 TO=3.88 NO=10.23
Tensioni nel cordone: τ_P=0.13 τ_0=1.23 σ_0=5.59 σ_{ID}=5.72 Σ_T=6.82
CC 24 SLD (Collegamento -384_-528)
Azioni sul collegamento: N=139.03 Ty=-1.67 Tz=-49.54 Mx=-0.39 Mz=-2.26
Sollecitazioni agenti localmente: Tx_l=-1.67 Ty_l=-49.54 N_l=139.03 My_l=2.26 Mz_l=-0.39
Azioni sul cordone: TP=0.58 TO=3.96 NO=10.23
Tensioni nel cordone: τ_P=0.18 τ_0=1.26 σ_0=6.56 σ_{ID}=6.68 Σ_T=7.81
CC 24 SLD (Collegamento -384_-528)
Azioni sul collegamento: N=139.03 Ty=-1.18 Tz=-49.54 Mx=-0.29 Mz=-1.60
Sollecitazioni agenti localmente: Tx_l=-1.18 Ty_l=-49.54 N_l=139.03 My_l=1.60 Mz_l=-0.29
Azioni sul cordone: TP=0.42 TO=3.88 NO=10.23
Tensioni nel cordone: τ_P=0.13 τ_0=1.23 σ_0=5.59 σ_{ID}=5.72 Σ_T=6.82
CC 24 SLD (Collegamento -384_-528)
Azioni sul collegamento: N=155.43 Ty=-1.67 Tz=-52.08 Mx=-0.39 Mz=-2.26
Sollecitazioni agenti localmente: Tx_l=-1.67 Ty_l=-52.08 N_l=155.43 My_l=2.26 Mz_l=-0.39
Azioni sul cordone: TP=0.58 TO=4.14 NO=11.44
Tensioni nel cordone: τ_P=0.18 τ_0=1.32 σ_0=6.94 σ_{ID}=7.07 Σ_T=8.26
CC 24 SLD (Collegamento -384_-528)
Azioni sul collegamento: N=155.43 Ty=-1.18 Tz=-52.08 Mx=-0.29 Mz=-1.60
Sollecitazioni agenti localmente: Tx_l=-1.18 Ty_l=-52.08 N_l=155.43 My_l=1.60 Mz_l=-0.29
Azioni sul cordone: TP=0.42 TO=4.06 NO=11.44

Tensioni nel cordone: τ_P=0.13 τ_0=1.29 σ_0=5.97 σ_{ID}=6.11 Σ_T=7.26
CC 24 SLD (Collegamento -384_-528)
Azioni sul collegamento: N=155.43 Ty=-1.67 Tz=-52.08 Mx=-0.39 Mz=-2.26
Sollecitazioni agenti localmente: Tx_l=-1.67 Ty_l=-52.08 N_l=155.43 My_l=2.26 Mz_l=-0.39
Azioni sul cordone: TP=0.58 TO=4.14 NO=11.44
Tensioni nel cordone: τ_P=0.18 τ_0=1.32 σ_0=6.94 σ_{ID}=7.07 Σ_T=8.26
CC 24 SLD (Collegamento -384_-528)
Azioni sul collegamento: N=155.43 Ty=-1.18 Tz=-52.08 Mx=-0.29 Mz=-1.60
Sollecitazioni agenti localmente: Tx_l=-1.18 Ty_l=-52.08 N_l=155.43 My_l=1.60 Mz_l=-0.29
Azioni sul cordone: TP=0.42 TO=4.06 NO=11.44
Tensioni nel cordone: τ_P=0.13 τ_0=1.29 σ_0=5.97 σ_{ID}=6.11 Σ_T=7.26
CC 25 SLV (Collegamento -384_-528)
Azioni sul collegamento: N=157.06 Ty=-0.45 Tz=-52.33 Mx=-0.19 Mz=-0.89
Sollecitazioni agenti localmente: Tx_l=-0.45 Ty_l=-52.33 N_l=157.06 My_l=0.89 Mz_l=-0.19
Azioni sul cordone: TP=0.26 TO=4.00 NO=11.56
Tensioni nel cordone: τ_P= 0.08 τ_0=1.27 σ_0=4.97 σ_{ID}=5.13 Σ_T=6.24
CC 25 SLV (Collegamento -384_-528)
Azioni sul collegamento: N=157.06 Ty=-1.76 Tz=-52.33 Mx=-0.41 Mz=-2.29
Sollecitazioni agenti localmente: Tx_l=-1.76 Ty_l=-52.33 N_l=157.06 My_l=2.29 Mz_l=-0.41
Azioni sul cordone: TP=0.60 TO=4.17 NO=11.56
Tensioni nel cordone: τ_P=0.19 τ_0=1.33 σ_0=7.01 σ_{ID}=7.14 Σ_T=8.34
CC 25 SLV (Collegamento -384_-528)
Azioni sul collegamento: N=157.06 Ty=-0.45 Tz=-52.33 Mx=-0.19 Mz=-0.89
Sollecitazioni agenti localmente: Tx_l=-0.45 Ty_l=-52.33 N_l=157.06 My_l=0.89 Mz_l=-0.19
Azioni sul cordone: TP=0.26 TO=4.00 NO=11.56
Tensioni nel cordone: τ_P= 0.08 τ_0=1.27 σ_0=4.97 σ_{ID}=5.13 Σ_T=6.24
CC 25 SLV (Collegamento -384_-528)
Azioni sul collegamento: N=157.06 Ty=-1.76 Tz=-52.33 Mx=-0.41 Mz=-2.29
Sollecitazioni agenti localmente: Tx_l=-1.76 Ty_l=-52.33 N_l=157.06 My_l=2.29 Mz_l=-0.41
Azioni sul cordone: TP=0.60 TO=4.17 NO=11.56
Tensioni nel cordone: τ_P=0.19 τ_0=1.33 σ_0=7.01 σ_{ID}=7.14 Σ_T=8.34
CC 25 SLV (Collegamento -384_-528)
Azioni sul collegamento: N=140.63 Ty=-0.45 Tz=-49.79 Mx=-0.19 Mz=-0.89
Sollecitazioni agenti localmente: Tx_l=-0.45 Ty_l=-49.79 N_l=140.63 My_l=0.89 Mz_l=-0.19
Azioni sul cordone: TP=0.26 TO=3.82 NO=10.35
Tensioni nel cordone: τ_P= 0.08 τ_0=1.21 σ_0=4.58 σ_{ID}=4.74 Σ_T=5.80
CC 25 SLV (Collegamento -384_-528)
Azioni sul collegamento: N=140.63 Ty=-1.76 Tz=-49.79 Mx=-0.41 Mz=-2.29
Sollecitazioni agenti localmente: Tx_l=-1.76 Ty_l=-49.79 N_l=140.63 My_l=2.29 Mz_l=-0.41
Azioni sul cordone: TP=0.60 TO=3.99 NO=10.35
Tensioni nel cordone: τ_P=0.19 τ_0=1.27 σ_0=6.63 σ_{ID}=6.75 Σ_T=7.90
CC 25 SLV (Collegamento -384_-528)
Azioni sul collegamento: N=140.63 Ty=-0.45 Tz=-49.79 Mx=-0.19 Mz=-0.89
Sollecitazioni agenti localmente: Tx_l=-0.45 Ty_l=-49.79 N_l=140.63 My_l=0.89 Mz_l=-0.19
Azioni sul cordone: TP=0.26 TO=3.82 NO=10.35
Tensioni nel cordone: τ_P= 0.08 τ_0=1.21 σ_0=4.58 σ_{ID}=4.74 Σ_T=5.80
CC 25 SLV (Collegamento -384_-528)
Azioni sul collegamento: N=140.63 Ty=-1.76 Tz=-49.79 Mx=-0.41 Mz=-2.29
Sollecitazioni agenti localmente: Tx_l=-1.76 Ty_l=-49.79 N_l=140.63 My_l=2.29 Mz_l=-0.41
Azioni sul cordone: TP=0.60 TO=3.99 NO=10.35
Tensioni nel cordone: τ_P=0.19 τ_0=1.27 σ_0=6.63 σ_{ID}=6.75 Σ_T=7.90
CC 26 SLD (Collegamento -384_-528)
Azioni sul collegamento: N=149.73 Ty=-1.23 Tz=-51.20 Mx=-0.32 Mz=-1.72
Sollecitazioni agenti localmente: Tx_l=-1.23 Ty_l=-51.20 N_l=149.73 My_l=1.72 Mz_l=-0.32
Azioni sul cordone: TP=0.46 TO=4.02 NO=11.02
Tensioni nel cordone: τ_P=0.15 τ_0=1.28 σ_0=6.01 σ_{ID}=6.14 Σ_T=7.29
CC 26 SLD (Collegamento -384_-528)
Azioni sul collegamento: N=149.73 Ty=-1.63 Tz=-51.20 Mx=-0.38 Mz=-2.14
Sollecitazioni agenti localmente: Tx_l=-1.63 Ty_l=-51.20 N_l=149.73 My_l=2.14 Mz_l=-0.38
Azioni sul cordone: TP=0.56 TO=4.07 NO=11.02
Tensioni nel cordone: τ_P=0.18 τ_0=1.29 σ_0=6.63 σ_{ID}=6.76 Σ_T=7.93
CC 26 SLD (Collegamento -384_-528)
Azioni sul collegamento: N=149.73 Ty=-1.23 Tz=-51.20 Mx=-0.32 Mz=-1.72
Sollecitazioni agenti localmente: Tx_l=-1.23 Ty_l=-51.20 N_l=149.73 My_l=1.72 Mz_l=-0.32
Azioni sul cordone: TP=0.46 TO=4.02 NO=11.02
Tensioni nel cordone: τ_P=0.15 τ_0=1.28 σ_0=6.01 σ_{ID}=6.14 Σ_T=7.29
CC 26 SLD (Collegamento -384_-528)
Azioni sul collegamento: N=149.73 Ty=-1.63 Tz=-51.20 Mx=-0.38 Mz=-2.14
Sollecitazioni agenti localmente: Tx_l=-1.63 Ty_l=-51.20 N_l=149.73 My_l=2.14 Mz_l=-0.38
Azioni sul cordone: TP=0.56 TO=4.07 NO=11.02
Tensioni nel cordone: τ_P=0.18 τ_0=1.29 σ_0=6.63 σ_{ID}=6.76 Σ_T=7.93
CC 26 SLD (Collegamento -384_-528)
Azioni sul collegamento: N=144.73 Ty=-1.23 Tz=-50.42 Mx=-0.32 Mz=-1.72
Sollecitazioni agenti localmente: Tx_l=-1.23 Ty_l=-50.42 N_l=144.73 My_l=1.72 Mz_l=-0.32
Azioni sul cordone: TP=0.46 TO=3.96 NO=10.65
Tensioni nel cordone: τ_P=0.15 τ_0=1.26 σ_0=5.89 σ_{ID}=6.03 Σ_T=7.15
CC 26 SLD (Collegamento -384_-528)
Azioni sul collegamento: N=144.73 Ty=-1.63 Tz=-50.42 Mx=-0.38 Mz=-2.14
Sollecitazioni agenti localmente: Tx_l=-1.63 Ty_l=-50.42 N_l=144.73 My_l=2.14 Mz_l=-0.38

Azioni sul cordone: TP=0.56 TO=4.01 NO=10.65
Tensioni nel cordone: τ_P=0.18 τ_0=1.28 σ_0=6.52 σ_{ID}=6.64 Σ_T=7.79
CC 26 SLD (Collegamento -384_-528)
Azioni sul collegamento: N=144.73 Ty=-1.23 Tz=-50.42 Mx=-0.32 Mz=-1.72
Sollecitazioni agenti localmente: Tx_l=-1.23 Ty_l=-50.42 N_l=144.73 My_l=1.72 Mz_l=-0.32
Azioni sul cordone: TP=0.46 TO=3.96 NO=10.65
Tensioni nel cordone: τ_P=0.15 τ_0=1.26 σ_0=5.89 σ_{ID}=6.03 Σ_T=7.15
CC 26 SLD (Collegamento -384_-528)
Azioni sul collegamento: N=144.73 Ty=-1.63 Tz=-50.42 Mx=-0.38 Mz=-2.14
Sollecitazioni agenti localmente: Tx_l=-1.63 Ty_l=-50.42 N_l=144.73 My_l=2.14 Mz_l=-0.38
Azioni sul cordone: TP=0.56 TO=4.01 NO=10.65
Tensioni nel cordone: τ_P=0.18 τ_0=1.28 σ_0=6.52 σ_{ID}=6.64 Σ_T=7.79
CC 27 SLV (Collegamento -384_-528)
Azioni sul collegamento: N=140.95 Ty=-0.85 Tz=-49.84 Mx=-0.27 Mz=-1.47
Sollecitazioni agenti localmente: Tx_l=-0.85 Ty_l=-49.84 N_l=140.95 My_l=1.47 Mz_l=-0.27
Azioni sul cordone: TP=0.38 TO=3.88 NO=10.37
Tensioni nel cordone: τ_P=0.12 τ_0=1.23 σ_0=5.44 σ_{ID}=5.58 Σ_T=6.67
CC 27 SLV (Collegamento -384_-528)
Azioni sul collegamento: N=140.95 Ty=-1.36 Tz=-49.84 Mx=-0.31 Mz=-1.71
Sollecitazioni agenti localmente: Tx_l=-1.36 Ty_l=-49.84 N_l=140.95 My_l=1.71 Mz_l=-0.31
Azioni sul cordone: TP=0.46 TO=3.91 NO=10.37
Tensioni nel cordone: τ_P=0.15 τ_0=1.24 σ_0=5.79 σ_{ID}=5.93 Σ_T=7.04
CC 27 SLV (Collegamento -384_-528)
Azioni sul collegamento: N=140.95 Ty=-0.85 Tz=-49.84 Mx=-0.27 Mz=-1.47
Sollecitazioni agenti localmente: Tx_l=-0.85 Ty_l=-49.84 N_l=140.95 My_l=1.47 Mz_l=-0.27
Azioni sul cordone: TP=0.38 TO=3.88 NO=10.37
Tensioni nel cordone: τ_P=0.12 τ_0=1.23 σ_0=5.44 σ_{ID}=5.58 Σ_T=6.67
CC 27 SLV (Collegamento -384_-528)
Azioni sul collegamento: N=140.95 Ty=-1.36 Tz=-49.84 Mx=-0.31 Mz=-1.71
Sollecitazioni agenti localmente: Tx_l=-1.36 Ty_l=-49.84 N_l=140.95 My_l=1.71 Mz_l=-0.31
Azioni sul cordone: TP=0.46 TO=3.91 NO=10.37
Tensioni nel cordone: τ_P=0.15 τ_0=1.24 σ_0=5.79 σ_{ID}=5.93 Σ_T=7.04
CC 27 SLV (Collegamento -384_-528)
Azioni sul collegamento: N=156.74 Ty=-0.85 Tz=-52.28 Mx=-0.27 Mz=-1.47
Sollecitazioni agenti localmente: Tx_l=-0.85 Ty_l=-52.28 N_l=156.74 My_l=1.47 Mz_l=-0.27
Azioni sul cordone: TP=0.38 TO=4.06 NO=11.53
Tensioni nel cordone: τ_P=0.12 τ_0=1.29 σ_0=5.81 σ_{ID}=5.95 Σ_T=7.10
CC 27 SLV (Collegamento -384_-528)
Azioni sul collegamento: N=156.74 Ty=-1.36 Tz=-52.28 Mx=-0.31 Mz=-1.71
Sollecitazioni agenti localmente: Tx_l=-1.36 Ty_l=-52.28 N_l=156.74 My_l=1.71 Mz_l=-0.31
Azioni sul cordone: TP=0.46 TO=4.09 NO=11.53
Tensioni nel cordone: τ_P=0.15 τ_0=1.30 σ_0=6.16 σ_{ID}=6.30 Σ_T=7.46
CC 27 SLV (Collegamento -384_-528)
Azioni sul collegamento: N=156.74 Ty=-0.85 Tz=-52.28 Mx=-0.27 Mz=-1.47
Sollecitazioni agenti localmente: Tx_l=-0.85 Ty_l=-52.28 N_l=156.74 My_l=1.47 Mz_l=-0.27
Azioni sul cordone: TP=0.38 TO=4.06 NO=11.53
Tensioni nel cordone: τ_P=0.12 τ_0=1.29 σ_0=5.81 σ_{ID}=5.95 Σ_T=7.10
CC 27 SLV (Collegamento -384_-528)
Azioni sul collegamento: N=156.74 Ty=-1.36 Tz=-52.28 Mx=-0.31 Mz=-1.71
Sollecitazioni agenti localmente: Tx_l=-1.36 Ty_l=-52.28 N_l=156.74 My_l=1.71 Mz_l=-0.31
Azioni sul cordone: TP=0.46 TO=4.09 NO=11.53
Tensioni nel cordone: τ_P=0.15 τ_0=1.30 σ_0=6.16 σ_{ID}=6.30 Σ_T=7.46
CC 28 SLD (Collegamento -384_-528)
Azioni sul collegamento: N=144.82 Ty=-1.35 Tz=-50.44 Mx=-0.34 Mz=-1.89
Sollecitazioni agenti localmente: Tx_l=-1.35 Ty_l=-50.44 N_l=144.82 My_l=1.89 Mz_l=-0.34
Azioni sul cordone: TP=0.49 TO=3.98 NO=10.66
Tensioni nel cordone: τ_P=0.16 τ_0=1.27 σ_0=6.15 σ_{ID}=6.28 Σ_T=7.42
CC 28 SLD (Collegamento -384_-528)
Azioni sul collegamento: N=144.82 Ty=-1.50 Tz=-50.44 Mx=-0.35 Mz=-1.97
Sollecitazioni agenti localmente: Tx_l=-1.50 Ty_l=-50.44 N_l=144.82 My_l=1.97 Mz_l=-0.35
Azioni sul cordone: TP=0.52 TO=3.99 NO=10.66
Tensioni nel cordone: τ_P=0.16 τ_0=1.27 σ_0=6.26 σ_{ID}=6.39 Σ_T=7.53
CC 28 SLD (Collegamento -384_-528)
Azioni sul collegamento: N=144.82 Ty=-1.35 Tz=-50.44 Mx=-0.34 Mz=-1.89
Sollecitazioni agenti localmente: Tx_l=-1.35 Ty_l=-50.44 N_l=144.82 My_l=1.89 Mz_l=-0.34
Azioni sul cordone: TP=0.49 TO=3.98 NO=10.66
Tensioni nel cordone: τ_P=0.16 τ_0=1.27 σ_0=6.15 σ_{ID}=6.28 Σ_T=7.42
CC 28 SLD (Collegamento -384_-528)
Azioni sul collegamento: N=144.82 Ty=-1.50 Tz=-50.44 Mx=-0.35 Mz=-1.97
Sollecitazioni agenti localmente: Tx_l=-1.50 Ty_l=-50.44 N_l=144.82 My_l=1.97 Mz_l=-0.35
Azioni sul cordone: TP=0.52 TO=3.99 NO=10.66
Tensioni nel cordone: τ_P=0.16 τ_0=1.27 σ_0=6.26 σ_{ID}=6.39 Σ_T=7.53
CC 28 SLD (Collegamento -384_-528)
Azioni sul collegamento: N=149.64 Ty=-1.35 Tz=-51.18 Mx=-0.34 Mz=-1.89
Sollecitazioni agenti localmente: Tx_l=-1.35 Ty_l=-51.18 N_l=149.64 My_l=1.89 Mz_l=-0.34
Azioni sul cordone: TP=0.49 TO=4.04 NO=11.01
Tensioni nel cordone: τ_P=0.16 τ_0=1.28 σ_0=6.27 σ_{ID}=6.40 Σ_T=7.55
CC 28 SLD (Collegamento -384_-528)
Azioni sul collegamento: N=149.64 Ty=-1.50 Tz=-51.18 Mx=-0.35 Mz=-1.97

Sollecitazioni agenti localmente: Tx_l=-1.50 Ty_l=-51.18 N_l=149.64 My_l=1.97 Mz_l=-0.35
Azioni sul cordone: TP=0.52 TO=4.05 NO=11.01
Tensioni nel cordone: τ_P=0.16 τ_0=1.29 σ_0=6.37 σ_{ID}=6.50 Σ_T=7.66
CC 28 SLD (Collegamento -384_-528)
Azioni sul collegamento: N=149.64 Ty=-1.35 Tz=-51.18 Mx=-0.34 Mz=-1.89
Sollecitazioni agenti localmente: Tx_l=-1.35 Ty_l=-51.18 N_l=149.64 My_l=1.89 Mz_l=-0.34
Azioni sul cordone: TP=0.49 TO=4.04 NO=11.01
Tensioni nel cordone: τ_P=0.16 τ_0=1.28 σ_0=6.27 σ_{ID}=6.40 Σ_T=7.55
CC 28 SLD (Collegamento -384_-528)
Azioni sul collegamento: N=149.64 Ty=-1.50 Tz=-51.18 Mx=-0.35 Mz=-1.97
Sollecitazioni agenti localmente: Tx_l=-1.50 Ty_l=-51.18 N_l=149.64 My_l=1.97 Mz_l=-0.35
Azioni sul cordone: TP=0.52 TO=4.05 NO=11.01
Tensioni nel cordone: τ_P=0.16 τ_0=1.29 σ_0=6.37 σ_{ID}=6.50 Σ_T=7.66
CC 29 SLV (Collegamento -384_-528)
Azioni sul collegamento: N=156.74 Ty=-1.36 Tz=-52.28 Mx=-0.31 Mz=-1.71
Sollecitazioni agenti localmente: Tx_l=-1.36 Ty_l=-52.28 N_l=156.74 My_l=1.71 Mz_l=-0.31
Azioni sul cordone: TP=0.46 TO=4.09 NO=11.53
Tensioni nel cordone: τ_P=0.15 τ_0=1.30 σ_0=6.16 σ_{ID}=6.30 Σ_T=7.46
CC 29 SLV (Collegamento -384_-528)
Azioni sul collegamento: N=156.74 Ty=-0.85 Tz=-52.28 Mx=-0.27 Mz=-1.47
Sollecitazioni agenti localmente: Tx_l=-0.85 Ty_l=-52.28 N_l=156.74 My_l=1.47 Mz_l=-0.27
Azioni sul cordone: TP=0.38 TO=4.06 NO=11.53
Tensioni nel cordone: τ_P=0.12 τ_0=1.29 σ_0=5.81 σ_{ID}=5.95 Σ_T=7.10
CC 29 SLV (Collegamento -384_-528)
Azioni sul collegamento: N=156.74 Ty=-1.36 Tz=-52.28 Mx=-0.31 Mz=-1.71
Sollecitazioni agenti localmente: Tx_l=-1.36 Ty_l=-52.28 N_l=156.74 My_l=1.71 Mz_l=-0.31
Azioni sul cordone: TP=0.46 TO=4.09 NO=11.53
Tensioni nel cordone: τ_P=0.15 τ_0=1.30 σ_0=6.16 σ_{ID}=6.30 Σ_T=7.46
CC 29 SLV (Collegamento -384_-528)
Azioni sul collegamento: N=156.74 Ty=-0.85 Tz=-52.28 Mx=-0.27 Mz=-1.47
Sollecitazioni agenti localmente: Tx_l=-0.85 Ty_l=-52.28 N_l=156.74 My_l=1.47 Mz_l=-0.27
Azioni sul cordone: TP=0.38 TO=4.06 NO=11.53
Tensioni nel cordone: τ_P=0.12 τ_0=1.29 σ_0=5.81 σ_{ID}=5.95 Σ_T=7.10
CC 29 SLV (Collegamento -384_-528)
Azioni sul collegamento: N=140.95 Ty=-1.36 Tz=-49.84 Mx=-0.31 Mz=-1.71
Sollecitazioni agenti localmente: Tx_l=-1.36 Ty_l=-49.84 N_l=140.95 My_l=1.71 Mz_l=-0.31
Azioni sul cordone: TP=0.46 TO=3.91 NO=10.37
Tensioni nel cordone: τ_P=0.15 τ_0=1.24 σ_0=5.79 σ_{ID}=5.93 Σ_T=7.04
CC 29 SLV (Collegamento -384_-528)
Azioni sul collegamento: N=140.95 Ty=-0.85 Tz=-49.84 Mx=-0.27 Mz=-1.47
Sollecitazioni agenti localmente: Tx_l=-0.85 Ty_l=-49.84 N_l=140.95 My_l=1.47 Mz_l=-0.27
Azioni sul cordone: TP=0.38 TO=3.88 NO=10.37
Tensioni nel cordone: τ_P=0.12 τ_0=1.23 σ_0=5.44 σ_{ID}=5.58 Σ_T=6.67
CC 29 SLV (Collegamento -384_-528)
Azioni sul collegamento: N=140.95 Ty=-1.36 Tz=-49.84 Mx=-0.31 Mz=-1.71
Sollecitazioni agenti localmente: Tx_l=-1.36 Ty_l=-49.84 N_l=140.95 My_l=1.71 Mz_l=-0.31
Azioni sul cordone: TP=0.46 TO=3.91 NO=10.37
Tensioni nel cordone: τ_P=0.15 τ_0=1.24 σ_0=5.79 σ_{ID}=5.93 Σ_T=7.04
CC 29 SLV (Collegamento -384_-528)
Azioni sul collegamento: N=140.95 Ty=-0.85 Tz=-49.84 Mx=-0.27 Mz=-1.47
Sollecitazioni agenti localmente: Tx_l=-0.85 Ty_l=-49.84 N_l=140.95 My_l=1.47 Mz_l=-0.27
Azioni sul cordone: TP=0.38 TO=3.88 NO=10.37
Tensioni nel cordone: τ_P=0.12 τ_0=1.23 σ_0=5.44 σ_{ID}=5.58 Σ_T=6.67
CC 30 SLD (Collegamento -384_-528)
Azioni sul collegamento: N=149.64 Ty=-1.50 Tz=-51.18 Mx=-0.36 Mz=-1.97
Sollecitazioni agenti localmente: Tx_l=-1.50 Ty_l=-51.18 N_l=149.64 My_l=1.97 Mz_l=-0.36
Azioni sul cordone: TP=0.52 TO=4.05 NO=11.01
Tensioni nel cordone: τ_P=0.17 τ_0=1.29 σ_0=6.37 σ_{ID}=6.50 Σ_T=7.66
CC 30 SLD (Collegamento -384_-528)
Azioni sul collegamento: N=149.64 Ty=-1.35 Tz=-51.18 Mx=-0.34 Mz=-1.89
Sollecitazioni agenti localmente: Tx_l=-1.35 Ty_l=-51.18 N_l=149.64 My_l=1.89 Mz_l=-0.34
Azioni sul cordone: TP=0.49 TO=4.04 NO=11.01
Tensioni nel cordone: τ_P=0.16 τ_0=1.28 σ_0=6.26 σ_{ID}=6.40 Σ_T=7.55
CC 30 SLD (Collegamento -384_-528)
Azioni sul collegamento: N=149.64 Ty=-1.50 Tz=-51.18 Mx=-0.36 Mz=-1.97
Sollecitazioni agenti localmente: Tx_l=-1.50 Ty_l=-51.18 N_l=149.64 My_l=1.97 Mz_l=-0.36
Azioni sul cordone: TP=0.52 TO=4.05 NO=11.01
Tensioni nel cordone: τ_P=0.17 τ_0=1.29 σ_0=6.37 σ_{ID}=6.50 Σ_T=7.66
CC 30 SLD (Collegamento -384_-528)
Azioni sul collegamento: N=149.64 Ty=-1.35 Tz=-51.18 Mx=-0.34 Mz=-1.89
Sollecitazioni agenti localmente: Tx_l=-1.35 Ty_l=-51.18 N_l=149.64 My_l=1.89 Mz_l=-0.34
Azioni sul cordone: TP=0.49 TO=4.04 NO=11.01
Tensioni nel cordone: τ_P=0.16 τ_0=1.28 σ_0=6.26 σ_{ID}=6.40 Σ_T=7.55
CC 30 SLD (Collegamento -384_-528)
Azioni sul collegamento: N=144.82 Ty=-1.50 Tz=-50.44 Mx=-0.36 Mz=-1.97
Sollecitazioni agenti localmente: Tx_l=-1.50 Ty_l=-50.44 N_l=144.82 My_l=1.97 Mz_l=-0.36
Azioni sul cordone: TP=0.52 TO=3.99 NO=10.66
Tensioni nel cordone: τ_P=0.17 τ_0=1.27 σ_0=6.26 σ_{ID}=6.39 Σ_T=7.53
CC 30 SLD (Collegamento -384_-528)

Azioni sul collegamento: N=144.82 Ty=-1.35 Tz=-50.44 Mx=-0.34 Mz=-1.89
Sollecitazioni agenti localmente: Tx_l=-1.35 Ty_l=-50.44 N_l=144.82 My_l=1.89 Mz_l=-0.34
Azioni sul cordone: TP=0.49 TO=3.98 NO=10.66
Tensioni nel cordone: τ_P=0.16 τ_0=1.27 σ_0=6.15 σ_{ID}=6.28 Σ_T=7.42
CC 30 SLD (Collegamento -384_-528)
Azioni sul collegamento: N=144.82 Ty=-1.50 Tz=-50.44 Mx=-0.36 Mz=-1.97
Sollecitazioni agenti localmente: Tx_l=-1.50 Ty_l=-50.44 N_l=144.82 My_l=1.97 Mz_l=-0.36
Azioni sul cordone: TP=0.52 TO=3.99 NO=10.66
Tensioni nel cordone: τ_P=0.17 τ_0=1.27 σ_0=6.26 σ_{ID}=6.39 Σ_T=7.53
CC 30 SLD (Collegamento -384_-528)
Azioni sul collegamento: N=144.82 Ty=-1.35 Tz=-50.44 Mx=-0.34 Mz=-1.89
Sollecitazioni agenti localmente: Tx_l=-1.35 Ty_l=-50.44 N_l=144.82 My_l=1.89 Mz_l=-0.34
Azioni sul cordone: TP=0.49 TO=3.98 NO=10.66
Tensioni nel cordone: τ_P=0.16 τ_0=1.27 σ_0=6.15 σ_{ID}=6.28 Σ_T=7.42
CC 31 SLV (Collegamento -384_-528)
Azioni sul collegamento: N=140.63 Ty=-1.76 Tz=-49.79 Mx=-0.39 Mz=-2.29
Sollecitazioni agenti localmente: Tx_l=-1.76 Ty_l=-49.79 N_l=140.63 My_l=2.29 Mz_l=-0.39
Azioni sul cordone: TP=0.58 TO=3.97 NO=10.35
Tensioni nel cordone: τ_P=0.18 τ_0=1.26 σ_0=6.63 σ_{ID}=6.76 Σ_T=7.90
CC 31 SLV (Collegamento -384_-528)
Azioni sul collegamento: N=140.63 Ty=-0.45 Tz=-49.79 Mx=-0.17 Mz=-0.89
Sollecitazioni agenti localmente: Tx_l=-0.45 Ty_l=-49.79 N_l=140.63 My_l=0.89 Mz_l=-0.17
Azioni sul cordone: TP=0.23 TO=3.80 NO=10.35
Tensioni nel cordone: τ_P= 0.07 τ_0=1.21 σ_0=4.59 σ_{ID}=4.75 Σ_T=5.80
CC 31 SLV (Collegamento -384_-528)
Azioni sul collegamento: N=140.63 Ty=-1.76 Tz=-49.79 Mx=-0.39 Mz=-2.29
Sollecitazioni agenti localmente: Tx_l=-1.76 Ty_l=-49.79 N_l=140.63 My_l=2.29 Mz_l=-0.39
Azioni sul cordone: TP=0.58 TO=3.97 NO=10.35
Tensioni nel cordone: τ_P=0.18 τ_0=1.26 σ_0=6.63 σ_{ID}=6.76 Σ_T=7.90
CC 31 SLV (Collegamento -384_-528)
Azioni sul collegamento: N=140.63 Ty=-0.45 Tz=-49.79 Mx=-0.17 Mz=-0.89
Sollecitazioni agenti localmente: Tx_l=-0.45 Ty_l=-49.79 N_l=140.63 My_l=0.89 Mz_l=-0.17
Azioni sul cordone: TP=0.23 TO=3.80 NO=10.35
Tensioni nel cordone: τ_P= 0.07 τ_0=1.21 σ_0=4.59 σ_{ID}=4.75 Σ_T=5.80
CC 31 SLV (Collegamento -384_-528)
Azioni sul collegamento: N=157.06 Ty=-1.76 Tz=-52.33 Mx=-0.39 Mz=-2.29
Sollecitazioni agenti localmente: Tx_l=-1.76 Ty_l=-52.33 N_l=157.06 My_l=2.29 Mz_l=-0.39
Azioni sul cordone: TP=0.58 TO=4.16 NO=11.56
Tensioni nel cordone: τ_P=0.18 τ_0=1.32 σ_0=7.02 σ_{ID}=7.14 Σ_T=8.34
CC 31 SLV (Collegamento -384_-528)
Azioni sul collegamento: N=157.06 Ty=-0.45 Tz=-52.33 Mx=-0.17 Mz=-0.89
Sollecitazioni agenti localmente: Tx_l=-0.45 Ty_l=-52.33 N_l=157.06 My_l=0.89 Mz_l=-0.17
Azioni sul cordone: TP=0.23 TO=3.99 NO=11.56
Tensioni nel cordone: τ_P= 0.07 τ_0=1.27 σ_0=4.97 σ_{ID}=5.13 Σ_T=6.24
CC 31 SLV (Collegamento -384_-528)
Azioni sul collegamento: N=157.06 Ty=-1.76 Tz=-52.33 Mx=-0.39 Mz=-2.29
Sollecitazioni agenti localmente: Tx_l=-1.76 Ty_l=-52.33 N_l=157.06 My_l=2.29 Mz_l=-0.39
Azioni sul cordone: TP=0.58 TO=4.16 NO=11.56
Tensioni nel cordone: τ_P=0.18 τ_0=1.32 σ_0=7.02 σ_{ID}=7.14 Σ_T=8.34
CC 31 SLV (Collegamento -384_-528)
Azioni sul collegamento: N=157.06 Ty=-0.45 Tz=-52.33 Mx=-0.17 Mz=-0.89
Sollecitazioni agenti localmente: Tx_l=-0.45 Ty_l=-52.33 N_l=157.06 My_l=0.89 Mz_l=-0.17
Azioni sul cordone: TP=0.23 TO=3.99 NO=11.56
Tensioni nel cordone: τ_P= 0.07 τ_0=1.27 σ_0=4.97 σ_{ID}=5.13 Σ_T=6.24
CC 32 SLD (Collegamento -384_-528)
Azioni sul collegamento: N=144.73 Ty=-1.63 Tz=-50.42 Mx=-0.38 Mz=-2.14
Sollecitazioni agenti localmente: Tx_l=-1.63 Ty_l=-50.42 N_l=144.73 My_l=2.14 Mz_l=-0.38
Azioni sul cordone: TP=0.56 TO=4.01 NO=10.65
Tensioni nel cordone: τ_P=0.18 τ_0=1.27 σ_0=6.52 σ_{ID}=6.64 Σ_T=7.79
CC 32 SLD (Collegamento -384_-528)
Azioni sul collegamento: N=144.73 Ty=-1.23 Tz=-50.42 Mx=-0.31 Mz=-1.72
Sollecitazioni agenti localmente: Tx_l=-1.23 Ty_l=-50.42 N_l=144.73 My_l=1.72 Mz_l=-0.31
Azioni sul cordone: TP=0.45 TO=3.96 NO=10.65
Tensioni nel cordone: τ_P=0.14 τ_0=1.26 σ_0=5.89 σ_{ID}=6.03 Σ_T=7.15
CC 32 SLD (Collegamento -384_-528)
Azioni sul collegamento: N=144.73 Ty=-1.63 Tz=-50.42 Mx=-0.38 Mz=-2.14
Sollecitazioni agenti localmente: Tx_l=-1.63 Ty_l=-50.42 N_l=144.73 My_l=2.14 Mz_l=-0.38
Azioni sul cordone: TP=0.56 TO=4.01 NO=10.65
Tensioni nel cordone: τ_P=0.18 τ_0=1.27 σ_0=6.52 σ_{ID}=6.64 Σ_T=7.79
CC 32 SLD (Collegamento -384_-528)
Azioni sul collegamento: N=144.73 Ty=-1.23 Tz=-50.42 Mx=-0.31 Mz=-1.72
Sollecitazioni agenti localmente: Tx_l=-1.23 Ty_l=-50.42 N_l=144.73 My_l=1.72 Mz_l=-0.31
Azioni sul cordone: TP=0.45 TO=3.96 NO=10.65
Tensioni nel cordone: τ_P=0.14 τ_0=1.26 σ_0=5.89 σ_{ID}=6.03 Σ_T=7.15
CC 32 SLD (Collegamento -384_-528)
Azioni sul collegamento: N=149.73 Ty=-1.63 Tz=-51.20 Mx=-0.38 Mz=-2.14
Sollecitazioni agenti localmente: Tx_l=-1.63 Ty_l=-51.20 N_l=149.73 My_l=2.14 Mz_l=-0.38
Azioni sul cordone: TP=0.56 TO=4.07 NO=11.02
Tensioni nel cordone: τ_P=0.18 τ_0=1.29 σ_0=6.63 σ_{ID}=6.76 Σ_T=7.93

CC 32 SLD (Collegamento -384_-528)
Azioni sul collegamento: N=149.73 Ty=-1.23 Tz=-51.20 Mx=-0.31 Mz=-1.72
Sollecitazioni agenti localmente: Tx_l=-1.23 Ty_l=-51.20 N_l=149.73 My_l=1.72 Mz_l=-0.31
Azioni sul cordone: TP=0.45 TO=4.01 NO=11.02
Tensioni nel cordone: τ_P=0.14 τ_0=1.28 σ_0=6.01 σ_{ID}=6.15 Σ_T=7.29
CC 32 SLD (Collegamento -384_-528)
Azioni sul collegamento: N=149.73 Ty=-1.63 Tz=-51.20 Mx=-0.38 Mz=-2.14
Sollecitazioni agenti localmente: Tx_l=-1.63 Ty_l=-51.20 N_l=149.73 My_l=2.14 Mz_l=-0.38
Azioni sul cordone: TP=0.56 TO=4.07 NO=11.02
Tensioni nel cordone: τ_P=0.18 τ_0=1.29 σ_0=6.63 σ_{ID}=6.76 Σ_T=7.93
CC 32 SLD (Collegamento -384_-528)
Azioni sul collegamento: N=149.73 Ty=-1.23 Tz=-51.20 Mx=-0.31 Mz=-1.72
Sollecitazioni agenti localmente: Tx_l=-1.23 Ty_l=-51.20 N_l=149.73 My_l=1.72 Mz_l=-0.31
Azioni sul cordone: TP=0.45 TO=4.01 NO=11.02
Tensioni nel cordone: τ_P=0.14 τ_0=1.28 σ_0=6.01 σ_{ID}=6.15 Σ_T=7.29
CC 33 SLU (Collegamento -384_-528)
Azioni sul collegamento: N=369.96 Ty=-3.32 Tz=-95.09 Mx=-0.79 Mz=-4.42
Sollecitazioni agenti localmente: Tx_l=-3.32 Ty_l=-95.09 N_l=369.96 My_l=4.42 Mz_l=-0.79
Azioni sul cordone: TP=1.16 TO=7.62 NO=27.22
Tensioni nel cordone: τ_P=0.37 τ_0=2.42 σ_0=15.11 σ_{ID}=15.31 Σ_T=17.53
CC 34 SLU (Collegamento -384_-528)
Azioni sul collegamento: N=364.37 Ty=-3.18 Tz=-94.22 Mx=-0.76 Mz=-4.22
Sollecitazioni agenti localmente: Tx_l=-3.18 Ty_l=-94.22 N_l=364.37 My_l=4.22 Mz_l=-0.76
Azioni sul cordone: TP=1.11 TO=7.53 NO=26.81
Tensioni nel cordone: τ_P=0.35 τ_0=2.39 σ_0=14.68 σ_{ID}=14.88 Σ_T=17.08
CC 35 SLU (Collegamento -384_-528)
Azioni sul collegamento: N=367.15 Ty=-3.20 Tz=-94.65 Mx=-0.77 Mz=-4.28
Sollecitazioni agenti localmente: Tx_l=-3.20 Ty_l=-94.65 N_l=367.15 My_l=4.28 Mz_l=-0.77
Azioni sul cordone: TP=1.12 TO=7.57 NO=27.02
Tensioni nel cordone: τ_P=0.36 τ_0=2.41 σ_0=14.84 σ_{ID}=15.03 Σ_T=17.24
CC 36 SLU (Collegamento -384_-528)
Azioni sul collegamento: N=367.19 Ty=-3.29 Tz=-94.66 Mx=-0.78 Mz=-4.36
Sollecitazioni agenti localmente: Tx_l=-3.29 Ty_l=-94.66 N_l=367.19 My_l=4.36 Mz_l=-0.78
Azioni sul cordone: TP=1.14 TO=7.58 NO=27.02
Tensioni nel cordone: τ_P=0.36 τ_0=2.41 σ_0=14.96 σ_{ID}=15.16 Σ_T=17.37
CC 37 SLU (Collegamento -384_-528)
Azioni sul collegamento: N=302.66 Ty=-3.15 Tz=-84.67 Mx=-0.78 Mz=-4.37
Sollecitazioni agenti localmente: Tx_l=-3.15 Ty_l=-84.67 N_l=302.66 My_l=4.37 Mz_l=-0.78
Azioni sul cordone: TP=1.13 TO=6.84 NO=22.27
Tensioni nel cordone: τ_P=0.36 τ_0=2.18 σ_0=13.46 σ_{ID}=13.64 Σ_T=15.64
CC 38 SLU (Collegamento -384_-528)
Azioni sul collegamento: N=297.07 Ty=-3.01 Tz=-83.81 Mx=-0.74 Mz=-4.17
Sollecitazioni agenti localmente: Tx_l=-3.01 Ty_l=-83.81 N_l=297.07 My_l=4.17 Mz_l=-0.74
Azioni sul cordone: TP=1.08 TO=6.75 NO=21.86
Tensioni nel cordone: τ_P=0.34 τ_0=2.15 σ_0=13.04 σ_{ID}=13.22 Σ_T=15.18
CC 39 SLU (Collegamento -384_-528)
Azioni sul collegamento: N=299.85 Ty=-3.03 Tz=-84.23 Mx=-0.76 Mz=-4.23
Sollecitazioni agenti localmente: Tx_l=-3.03 Ty_l=-84.23 N_l=299.85 My_l=4.23 Mz_l=-0.76
Azioni sul cordone: TP=1.09 TO=6.79 NO=22.06
Tensioni nel cordone: τ_P=0.35 τ_0=2.16 σ_0=13.19 σ_{ID}=13.37 Σ_T=15.35
CC 40 SLU (Collegamento -384_-528)
Azioni sul collegamento: N=299.89 Ty=-3.13 Tz=-84.24 Mx=-0.77 Mz=-4.31
Sollecitazioni agenti localmente: Tx_l=-3.13 Ty_l=-84.24 N_l=299.89 My_l=4.31 Mz_l=-0.77
Azioni sul cordone: TP=1.12 TO=6.80 NO=22.07
Tensioni nel cordone: τ_P=0.35 τ_0=2.16 σ_0=13.31 σ_{ID}=13.49 Σ_T=15.47
CC 41 SLU (Collegamento -384_-528)
Azioni sul collegamento: N=334.14 Ty=1.91 Tz=-89.54 Mx=0.47 Mz=2.77
Sollecitazioni agenti localmente: Tx_l=1.91 Ty_l=-89.54 N_l=334.14 My_l=-2.77 Mz_l=0.47
Azioni sul cordone: TP=-0.69 TO=6.96 NO=24.59
Tensioni nel cordone: τ_P=0.22 τ_0=2.21 σ_0=11.86 σ_{ID}=12.07 Σ_T=14.07
CC 42 SLU (Collegamento -384_-528)
Azioni sul collegamento: N=328.55 Ty=2.05 Tz=-88.68 Mx=0.51 Mz=2.97
Sollecitazioni agenti localmente: Tx_l=2.05 Ty_l=-88.68 N_l=328.55 My_l=-2.97 Mz_l=0.51
Azioni sul cordone: TP=-0.74 TO=6.93 NO=24.18
Tensioni nel cordone: τ_P=0.23 τ_0=2.20 σ_0=12.02 σ_{ID}=12.22 Σ_T=14.22
CC 43 SLU (Collegamento -384_-528)
Azioni sul collegamento: N=331.32 Ty=2.03 Tz=-89.11 Mx=0.50 Mz=2.91
Sollecitazioni agenti localmente: Tx_l=2.03 Ty_l=-89.11 N_l=331.32 My_l=-2.91 Mz_l=0.50
Azioni sul cordone: TP=-0.72 TO=6.95 NO=24.38
Tensioni nel cordone: τ_P=0.23 τ_0=2.21 σ_0=12.00 σ_{ID}=12.20 Σ_T=14.21
CC 44 SLU (Collegamento -384_-528)
Azioni sul collegamento: N=331.37 Ty=1.94 Tz=-89.11 Mx=0.48 Mz=2.83
Sollecitazioni agenti localmente: Tx_l=1.94 Ty_l=-89.11 N_l=331.37 My_l=-2.83 Mz_l=0.48
Azioni sul cordone: TP=-0.70 TO=6.94 NO=24.38
Tensioni nel cordone: τ_P=0.22 τ_0=2.21 σ_0=11.88 σ_{ID}=12.08 Σ_T=14.09
CC 45 SLU (Collegamento -384_-528)
Azioni sul collegamento: N=317.41 Ty=-3.30 Tz=-86.95 Mx=-0.78 Mz=-4.39
Sollecitazioni agenti localmente: Tx_l=-3.30 Ty_l=-86.95 N_l=317.41 My_l=4.39 Mz_l=-0.78
Azioni sul cordone: TP=1.15 TO=7.02 NO=23.36

Tensioni nel cordone: τ_P=0.36 τ_0=2.23 σ_0=13.83 σ_{ID}=14.01 Σ_T=16.06
CC 46 SLU (Collegamento -384_-528)
Azioni sul collegamento: N=311.82 Ty=-3.16 Tz=-86.09 Mx=-0.75 Mz=-4.19
Sollecitazioni agenti localmente: Tx_l=-3.16 Ty_l=-86.09 N_l=311.82 My_l=4.19 Mz_l=-0.75
Azioni sul cordone: TP=1.10 TO=6.93 NO=22.94
Tensioni nel cordone: τ_P=0.35 τ_0=2.20 σ_0=13.41 σ_{ID}=13.59 Σ_T=15.61
CC 47 SLU (Collegamento -384_-528)
Azioni sul collegamento: N=314.59 Ty=-3.18 Tz=-86.52 Mx=-0.76 Mz=-4.24
Sollecitazioni agenti localmente: Tx_l=-3.18 Ty_l=-86.52 N_l=314.59 My_l=4.24 Mz_l=-0.76
Azioni sul cordone: TP=1.11 TO=6.96 NO=23.15
Tensioni nel cordone: τ_P=0.35 τ_0=2.21 σ_0=13.56 σ_{ID}=13.74 Σ_T=15.77
CC 48 SLU (Collegamento -384_-528)
Azioni sul collegamento: N=314.64 Ty=-3.28 Tz=-86.52 Mx=-0.77 Mz=-4.33
Sollecitazioni agenti localmente: Tx_l=-3.28 Ty_l=-86.52 N_l=314.64 My_l=4.33 Mz_l=-0.77
Azioni sul cordone: TP=1.13 TO=6.98 NO=23.15
Tensioni nel cordone: τ_P=0.36 τ_0=2.22 σ_0=13.68 σ_{ID}=13.86 Σ_T=15.90
CC 49 SLU (Collegamento -384_-528)
Azioni sul collegamento: N=267.06 Ty=-3.17 Tz=-79.16 Mx=-0.77 Mz=-4.35
Sollecitazioni agenti localmente: Tx_l=-3.17 Ty_l=-79.16 N_l=267.06 My_l=4.35 Mz_l=-0.77
Azioni sul cordone: TP=1.12 TO=6.43 NO=19.65
Tensioni nel cordone: τ_P=0.36 τ_0=2.05 σ_0=12.60 σ_{ID}=12.77 Σ_T=14.64
CC 50 SLU (Collegamento -384_-528)
Azioni sul collegamento: N=261.47 Ty=-3.03 Tz=-78.30 Mx=-0.74 Mz=-4.15
Sollecitazioni agenti localmente: Tx_l=-3.03 Ty_l=-78.30 N_l=261.47 My_l=4.15 Mz_l=-0.74
Azioni sul cordone: TP=1.07 TO=6.34 NO=19.24
Tensioni nel cordone: τ_P=0.34 τ_0=2.02 σ_0=12.17 σ_{ID}=12.34 Σ_T=14.19
CC 51 SLU (Collegamento -384_-528)
Azioni sul collegamento: N=264.24 Ty=-3.06 Tz=-78.72 Mx=-0.75 Mz=-4.21
Sollecitazioni agenti localmente: Tx_l=-3.06 Ty_l=-78.72 N_l=264.24 My_l=4.21 Mz_l=-0.75
Azioni sul cordone: TP=1.09 TO=6.38 NO=19.44
Tensioni nel cordone: τ_P=0.35 τ_0=2.03 σ_0=12.33 σ_{ID}=12.50 Σ_T=14.35
CC 52 SLU (Collegamento -384_-528)
Azioni sul collegamento: N=264.29 Ty=-3.15 Tz=-78.73 Mx=-0.76 Mz=-4.29
Sollecitazioni agenti localmente: Tx_l=-3.15 Ty_l=-78.73 N_l=264.29 My_l=4.29 Mz_l=-0.76
Azioni sul cordone: TP=1.11 TO=6.39 NO=19.45
Tensioni nel cordone: τ_P=0.35 τ_0=2.03 σ_0=12.45 σ_{ID}=12.62 Σ_T=14.48
CC 53 SLU (Collegamento -384_-528)
Azioni sul collegamento: N=290.61 Ty=0.61 Tz=-82.80 Mx=0.16 Mz=0.99
Sollecitazioni agenti localmente: Tx_l=0.61 Ty_l=-82.80 N_l=290.61 My_l=-0.99 Mz_l=0.16
Azioni sul cordone: TP=-0.23 TO=6.22 NO=21.38
Tensioni nel cordone: τ_P= 0.07 τ_0=1.98 σ_0=8.25 σ_{ID}=8.48 Σ_T=10.22
CC 54 SLU (Collegamento -384_-528)
Azioni sul collegamento: N=285.02 Ty=0.75 Tz=-81.94 Mx=0.20 Mz=1.19
Sollecitazioni agenti localmente: Tx_l=0.75 Ty_l=-81.94 N_l=285.02 My_l=-1.19 Mz_l=0.20
Azioni sul cordone: TP=-0.28 TO=6.19 NO=20.97
Tensioni nel cordone: τ_P= 0.09 τ_0=1.97 σ_0=8.41 σ_{ID}=8.64 Σ_T=10.37
CC 55 SLU (Collegamento -384_-528)
Azioni sul collegamento: N=287.79 Ty=0.73 Tz=-82.37 Mx=0.19 Mz=1.13
Sollecitazioni agenti localmente: Tx_l=0.73 Ty_l=-82.37 N_l=287.79 My_l=-1.13 Mz_l=0.19
Azioni sul cordone: TP=-0.27 TO=6.21 NO=21.18
Tensioni nel cordone: τ_P= 0.09 τ_0=1.97 σ_0=8.39 σ_{ID}=8.62 Σ_T=10.36
CC 56 SLU (Collegamento -384_-528)
Azioni sul collegamento: N=287.83 Ty=0.64 Tz=-82.38 Mx=0.17 Mz=1.05
Sollecitazioni agenti localmente: Tx_l=0.64 Ty_l=-82.38 N_l=287.83 My_l=-1.05 Mz_l=0.17
Azioni sul cordone: TP=-0.25 TO=6.20 NO=21.18
Tensioni nel cordone: τ_P= 0.08 τ_0=1.97 σ_0=8.27 σ_{ID}=8.50 Σ_T=10.24
CC 57 SLU (Collegamento -384_-528)
Azioni sul collegamento: N=302.11 Ty=-2.98 Tz=-84.58 Mx=-0.70 Mz=-3.93
Sollecitazioni agenti localmente: Tx_l=-2.98 Ty_l=-84.58 N_l=302.11 My_l=3.93 Mz_l=-0.70
Azioni sul cordone: TP=1.03 TO=6.78 NO=22.23
Tensioni nel cordone: τ_P=0.33 τ_0=2.15 σ_0=12.80 σ_{ID}=12.99 Σ_T=14.96
CC 58 SLU (Collegamento -384_-528)
Azioni sul collegamento: N=296.52 Ty=-2.84 Tz=-83.72 Mx=-0.67 Mz=-3.73
Sollecitazioni agenti localmente: Tx_l=-2.84 Ty_l=-83.72 N_l=296.52 My_l=3.73 Mz_l=-0.67
Azioni sul cordone: TP=0.98 TO=6.69 NO=21.82
Tensioni nel cordone: τ_P=0.31 τ_0=2.13 σ_0=12.38 σ_{ID}=12.56 Σ_T=14.50
CC 59 SLU (Collegamento -384_-528)
Azioni sul collegamento: N=299.29 Ty=-2.86 Tz=-84.15 Mx=-0.68 Mz=-3.79
Sollecitazioni agenti localmente: Tx_l=-2.86 Ty_l=-84.15 N_l=299.29 My_l=3.79 Mz_l=-0.68
Azioni sul cordone: TP=0.99 TO=6.73 NO=22.02
Tensioni nel cordone: τ_P=0.32 τ_0=2.14 σ_0=12.53 σ_{ID}=12.71 Σ_T=14.67
CC 60 SLU (Collegamento -384_-528)
Azioni sul collegamento: N=299.34 Ty=-2.96 Tz=-84.16 Mx=-0.69 Mz=-3.87
Sollecitazioni agenti localmente: Tx_l=-2.96 Ty_l=-84.16 N_l=299.34 My_l=3.87 Mz_l=-0.69
Azioni sul cordone: TP=1.02 TO=6.74 NO=22.03
Tensioni nel cordone: τ_P=0.32 τ_0=2.14 σ_0=12.65 σ_{ID}=12.84 Σ_T=14.79
CC 61 SLU (Collegamento -384_-528)
Azioni sul collegamento: N=251.76 Ty=-2.85 Tz=-76.79 Mx=-0.69 Mz=-3.89
Sollecitazioni agenti localmente: Tx_l=-2.85 Ty_l=-76.79 N_l=251.76 My_l=3.89 Mz_l=-0.69

Azioni sul cordone: TP=1.01 TO=6.20 NO=18.53
Tensioni nel cordone: τ_P=0.32 τ_0=1.97 σ_0=11.57 σ_{ID}=11.74 Σ_T=13.54
CC 62 SLU (Collegamento -384_-528)
Azioni sul collegamento: N=246.17 Ty=-2.71 Tz=-75.93 Mx=-0.66 Mz=-3.69
Sollecitazioni agenti localmente: Tx_l=-2.71 Ty_l=-75.93 N_l=246.17 My_l=3.69 Mz_l=-0.66
Azioni sul cordone: TP=0.96 TO=6.11 NO=18.11
Tensioni nel cordone: τ_P=0.30 τ_0=1.94 σ_0=11.15 σ_{ID}=11.32 Σ_T=13.09
CC 63 SLU (Collegamento -384_-528)
Azioni sul collegamento: N=248.94 Ty=-2.74 Tz=-76.36 Mx=-0.67 Mz=-3.75
Sollecitazioni agenti localmente: Tx_l=-2.74 Ty_l=-76.36 N_l=248.94 My_l=3.75 Mz_l=-0.67
Azioni sul cordone: TP=0.97 TO=6.15 NO=18.32
Tensioni nel cordone: τ_P=0.31 τ_0=1.95 σ_0=11.30 σ_{ID}=11.47 Σ_T=13.25
CC 64 SLU (Collegamento -384_-528)
Azioni sul collegamento: N=248.99 Ty=-2.83 Tz=-76.36 Mx=-0.68 Mz=-3.83
Sollecitazioni agenti localmente: Tx_l=-2.83 Ty_l=-76.36 N_l=248.99 My_l=3.83 Mz_l=-0.68
Azioni sul cordone: TP=1.00 TO=6.16 NO=18.32
Tensioni nel cordone: τ_P=0.32 τ_0=1.96 σ_0=11.42 σ_{ID}=11.59 Σ_T=13.38
CC 65 SLU (Collegamento -384_-528)
Azioni sul collegamento: N=275.31 Ty=0.93 Tz=-80.44 Mx=0.24 Mz=1.45
Sollecitazioni agenti localmente: Tx_l=0.93 Ty_l=-80.44 N_l=275.31 My_l=-1.45 Mz_l=0.24
Azioni sul cordone: TP=-0.35 TO=6.11 NO=20.26
Tensioni nel cordone: τ_P=0.11 τ_0=1.94 σ_0=8.56 σ_{ID}=8.78 Σ_T=10.50
CC 66 SLU (Collegamento -384_-528)
Azioni sul collegamento: N=269.72 Ty=1.07 Tz=-79.57 Mx=0.28 Mz=1.65
Sollecitazioni agenti localmente: Tx_l=1.07 Ty_l=-79.57 N_l=269.72 My_l=-1.65 Mz_l=0.28
Azioni sul cordone: TP=-0.40 TO=6.07 NO=19.85
Tensioni nel cordone: τ_P=0.13 τ_0=1.93 σ_0=8.72 σ_{ID}=8.93 Σ_T=10.65
CC 67 SLU (Collegamento -384_-528)
Azioni sul collegamento: N=272.49 Ty=1.05 Tz=-80.00 Mx=0.27 Mz=1.59
Sollecitazioni agenti localmente: Tx_l=1.05 Ty_l=-80.00 N_l=272.49 My_l=-1.59 Mz_l=0.27
Azioni sul cordone: TP=-0.39 TO=6.10 NO=20.05
Tensioni nel cordone: τ_P=0.12 τ_0=1.94 σ_0=8.70 σ_{ID}=8.91 Σ_T=10.64
CC 68 SLU (Collegamento -384_-528)
Azioni sul collegamento: N=272.54 Ty=0.96 Tz=-80.01 Mx=0.25 Mz=1.51
Sollecitazioni agenti localmente: Tx_l=0.96 Ty_l=-80.01 N_l=272.54 My_l=-1.51 Mz_l=0.25
Azioni sul cordone: TP=-0.36 TO=6.09 NO=20.05
Tensioni nel cordone: τ_P=0.12 τ_0=1.93 σ_0=8.58 σ_{ID}=8.79 Σ_T=10.51
CC 97 SLU (Collegamento -384_-528)
Azioni sul collegamento: N=150.79 Ty=-11.89 Tz=-51.36 Mx=-1.38 Mz=-8.76
Sollecitazioni agenti localmente: Tx_l=-11.89 Ty_l=-51.36 N_l=150.79 My_l=8.76 Mz_l=-1.38
Azioni sul cordone: TP=2.46 TO=4.86 NO=11.10
Tensioni nel cordone: τ_P=0.78 τ_0=1.55 σ_0=16.32 σ_{ID}=16.42 Σ_T=17.87
CC 98 SLU (Collegamento -384_-528)
Azioni sul collegamento: N=145.20 Ty=-11.75 Tz=-50.49 Mx=-1.34 Mz=-8.56
Sollecitazioni agenti localmente: Tx_l=-11.75 Ty_l=-50.49 N_l=145.20 My_l=8.56 Mz_l=-1.34
Azioni sul cordone: TP=2.41 TO=4.77 NO=10.68
Tensioni nel cordone: τ_P=0.77 τ_0=1.52 σ_0=15.90 σ_{ID}=15.99 Σ_T=17.42
CC 99 SLU (Collegamento -384_-528)
Azioni sul collegamento: N=147.97 Ty=-11.78 Tz=-50.92 Mx=-1.35 Mz=-8.62
Sollecitazioni agenti localmente: Tx_l=-11.78 Ty_l=-50.92 N_l=147.97 My_l=8.62 Mz_l=-1.35
Azioni sul cordone: TP=2.42 TO=4.81 NO=10.89
Tensioni nel cordone: τ_P=0.77 τ_0=1.53 σ_0=16.05 σ_{ID}=16.14 Σ_T=17.58
CC 100 SLU (Collegamento -384_-528)
Azioni sul collegamento: N=148.01 Ty=-11.87 Tz=-50.93 Mx=-1.37 Mz=-8.70
Sollecitazioni agenti localmente: Tx_l=-11.87 Ty_l=-50.93 N_l=148.01 My_l=8.70 Mz_l=-1.37
Azioni sul cordone: TP=2.45 TO=4.82 NO=10.89
Tensioni nel cordone: τ_P=0.78 τ_0=1.53 σ_0=16.17 σ_{ID}=16.26 Σ_T=17.71
CC 101 SLU (Collegamento -384_-528)
Azioni sul collegamento: N=153.59 Ty=-0.22 Tz=-51.79 Mx=-0.23 Mz=-1.11
Sollecitazioni agenti localmente: Tx_l=-0.22 Ty_l=-51.79 N_l=153.59 My_l=1.11 Mz_l=-0.23
Azioni sul cordone: TP=0.28 TO=3.99 NO=11.30
Tensioni nel cordone: τ_P= 0.09 τ_0=1.27 σ_0=5.21 σ_{ID}=5.36 Σ_T=6.48
CC 102 SLU (Collegamento -384_-528)
Azioni sul collegamento: N=148.00 Ty=-0.08 Tz=-50.93 Mx=-0.19 Mz=-0.91
Sollecitazioni agenti localmente: Tx_l=-0.08 Ty_l=-50.93 N_l=148.00 My_l=0.91 Mz_l=-0.19
Azioni sul cordone: TP=0.22 TO=3.90 NO=10.89
Tensioni nel cordone: τ_P= 0.07 τ_0=1.24 σ_0=4.79 σ_{ID}=4.94 Σ_T=6.03
CC 103 SLU (Collegamento -384_-528)
Azioni sul collegamento: N=150.77 Ty=-0.10 Tz=-51.36 Mx=-0.20 Mz=-0.97
Sollecitazioni agenti localmente: Tx_l=-0.10 Ty_l=-51.36 N_l=150.77 My_l=0.97 Mz_l=-0.20
Azioni sul cordone: TP=0.24 TO=3.94 NO=11.09
Tensioni nel cordone: τ_P= 0.08 τ_0=1.25 σ_0=4.94 σ_{ID}=5.09 Σ_T=6.19
CC 104 SLU (Collegamento -384_-528)
Azioni sul collegamento: N=150.82 Ty=-0.19 Tz=-51.36 Mx=-0.21 Mz=-1.05
Sollecitazioni agenti localmente: Tx_l=-0.19 Ty_l=-51.36 N_l=150.82 My_l=1.05 Mz_l=-0.21
Azioni sul cordone: TP=0.26 TO=3.95 NO=11.10
Tensioni nel cordone: τ_P= 0.08 τ_0=1.26 σ_0=5.06 σ_{ID}=5.21 Σ_T=6.32

Verifica lato anima della colonna

CC 1 SLV (Collegamento -384_-528)
Azioni sul collegamento: N=171.09 Ty=-1.22 Tz=-54.50 Mx=-0.31 Mz=-1.48
Zona tesa: F=68.90 b_{eff}=13.20 t_w=0.70 σ=7.46
Zona tesa: F=68.90 b_{eff}=13.20 t_w=0.70 σ=7.46
CC 1 SLV (Collegamento -384_-528)
Azioni sul collegamento: N=171.09 Ty=-2.83 Tz=-54.50 Mx=-0.64 Mz=-3.66
Zona tesa: F=68.90 b_{eff}=13.20 t_w=0.70 σ=7.46
Zona tesa: F=68.90 b_{eff}=13.20 t_w=0.70 σ=7.46
CC 1 SLV (Collegamento -384_-528)
Azioni sul collegamento: N=171.09 Ty=-1.22 Tz=-54.50 Mx=-0.31 Mz=-1.48
Zona tesa: F=68.90 b_{eff}=13.20 t_w=0.70 σ=7.46
Zona tesa: F=68.90 b_{eff}=13.20 t_w=0.70 σ=7.46
CC 1 SLV (Collegamento -384_-528)
Azioni sul collegamento: N=171.09 Ty=-2.83 Tz=-54.50 Mx=-0.64 Mz=-3.66
Zona tesa: F=68.90 b_{eff}=13.20 t_w=0.70 σ=7.46
Zona tesa: F=68.90 b_{eff}=13.20 t_w=0.70 σ=7.46
CC 1 SLV (Collegamento -384_-528)
Azioni sul collegamento: N=117.30 Ty=-1.22 Tz=-46.18 Mx=-0.31 Mz=-1.48
Zona tesa: F=47.24 b_{eff}=13.20 t_w=0.70 σ=5.11
Zona tesa: F=47.24 b_{eff}=13.20 t_w=0.70 σ=5.11
CC 1 SLV (Collegamento -384_-528)
Azioni sul collegamento: N=117.30 Ty=-2.83 Tz=-46.18 Mx=-0.64 Mz=-3.66
Zona tesa: F=47.24 b_{eff}=13.20 t_w=0.70 σ=5.11
Zona tesa: F=47.24 b_{eff}=13.20 t_w=0.70 σ=5.11
CC 1 SLV (Collegamento -384_-528)
Azioni sul collegamento: N=117.30 Ty=-1.22 Tz=-46.18 Mx=-0.31 Mz=-1.48
Zona tesa: F=47.24 b_{eff}=13.20 t_w=0.70 σ=5.11
Zona tesa: F=47.24 b_{eff}=13.20 t_w=0.70 σ=5.11
CC 1 SLV (Collegamento -384_-528)
Azioni sul collegamento: N=117.30 Ty=-2.83 Tz=-46.18 Mx=-0.64 Mz=-3.66
Zona tesa: F=47.24 b_{eff}=13.20 t_w=0.70 σ=5.11
Zona tesa: F=47.24 b_{eff}=13.20 t_w=0.70 σ=5.11
CC 2 SLD (Collegamento -384_-528)
Azioni sul collegamento: N=154.01 Ty=-1.46 Tz=-51.86 Mx=-0.35 Mz=-1.90
Zona tesa: F=62.02 b_{eff}=13.20 t_w=0.70 σ=6.71
Zona tesa: F=62.02 b_{eff}=13.20 t_w=0.70 σ=6.71
CC 2 SLD (Collegamento -384_-528)
Azioni sul collegamento: N=154.01 Ty=-1.95 Tz=-51.86 Mx=-0.46 Mz=-2.56
Zona tesa: F=62.02 b_{eff}=13.20 t_w=0.70 σ=6.71
Zona tesa: F=62.02 b_{eff}=13.20 t_w=0.70 σ=6.71
CC 2 SLD (Collegamento -384_-528)
Azioni sul collegamento: N=154.01 Ty=-1.46 Tz=-51.86 Mx=-0.35 Mz=-1.90
Zona tesa: F=62.02 b_{eff}=13.20 t_w=0.70 σ=6.71
Zona tesa: F=62.02 b_{eff}=13.20 t_w=0.70 σ=6.71
CC 2 SLD (Collegamento -384_-528)
Azioni sul collegamento: N=154.01 Ty=-1.95 Tz=-51.86 Mx=-0.46 Mz=-2.56
Zona tesa: F=62.02 b_{eff}=13.20 t_w=0.70 σ=6.71
Zona tesa: F=62.02 b_{eff}=13.20 t_w=0.70 σ=6.71
CC 2 SLD (Collegamento -384_-528)
Azioni sul collegamento: N=137.61 Ty=-1.46 Tz=-49.32 Mx=-0.35 Mz=-1.90
Zona tesa: F=55.41 b_{eff}=13.20 t_w=0.70 σ=6.00
Zona tesa: F=55.41 b_{eff}=13.20 t_w=0.70 σ=6.00
CC 2 SLD (Collegamento -384_-528)
Azioni sul collegamento: N=137.61 Ty=-1.95 Tz=-49.32 Mx=-0.46 Mz=-2.56
Zona tesa: F=55.41 b_{eff}=13.20 t_w=0.70 σ=6.00
Zona tesa: F=55.41 b_{eff}=13.20 t_w=0.70 σ=6.00
CC 2 SLD (Collegamento -384_-528)
Azioni sul collegamento: N=137.61 Ty=-1.46 Tz=-49.32 Mx=-0.35 Mz=-1.90
Zona tesa: F=55.41 b_{eff}=13.20 t_w=0.70 σ=6.00
Zona tesa: F=55.41 b_{eff}=13.20 t_w=0.70 σ=6.00
CC 2 SLD (Collegamento -384_-528)
Azioni sul collegamento: N=137.61 Ty=-1.95 Tz=-49.32 Mx=-0.46 Mz=-2.56
Zona tesa: F=55.41 b_{eff}=13.20 t_w=0.70 σ=6.00
Zona tesa: F=55.41 b_{eff}=13.20 t_w=0.70 σ=6.00
CC 3 SLV (Collegamento -384_-528)
Azioni sul collegamento: N=171.00 Ty=-1.50 Tz=-54.49 Mx=-0.34 Mz=-1.73
Zona tesa: F=68.86 b_{eff}=13.20 t_w=0.70 σ=7.45
Zona tesa: F=68.86 b_{eff}=13.20 t_w=0.70 σ=7.45
CC 3 SLV (Collegamento -384_-528)
Azioni sul collegamento: N=171.00 Ty=-2.56 Tz=-54.49 Mx=-0.60 Mz=-3.41
Zona tesa: F=68.86 b_{eff}=13.20 t_w=0.70 σ=7.45
Zona tesa: F=68.86 b_{eff}=13.20 t_w=0.70 σ=7.45
CC 3 SLV (Collegamento -384_-528)
Azioni sul collegamento: N=171.00 Ty=-1.50 Tz=-54.49 Mx=-0.34 Mz=-1.73
Zona tesa: F=68.86 b_{eff}=13.20 t_w=0.70 σ=7.45

Zona tesa: F=68.86 b_{eff}=13.20 t_w=0.70 σ=7.45
CC 3 SLV (Collegamento -384_-528)
Azioni sul collegamento: N=171.00 Ty=-2.56 Tz=-54.49 Mx=-0.60 Mz=-3.41
Zona tesa: F=68.86 b_{eff}=13.20 t_w=0.70 σ=7.45
Zona tesa: F=68.86 b_{eff}=13.20 t_w=0.70 σ=7.45
CC 3 SLV (Collegamento -384_-528)
Azioni sul collegamento: N=117.40 Ty=-1.50 Tz=-46.19 Mx=-0.34 Mz=-1.73
Zona tesa: F=47.27 b_{eff}=13.20 t_w=0.70 σ=5.12
Zona tesa: F=47.27 b_{eff}=13.20 t_w=0.70 σ=5.12
CC 3 SLV (Collegamento -384_-528)
Azioni sul collegamento: N=117.40 Ty=-2.56 Tz=-46.19 Mx=-0.60 Mz=-3.41
Zona tesa: F=47.27 b_{eff}=13.20 t_w=0.70 σ=5.12
Zona tesa: F=47.27 b_{eff}=13.20 t_w=0.70 σ=5.12
CC 3 SLV (Collegamento -384_-528)
Azioni sul collegamento: N=117.40 Ty=-1.50 Tz=-46.19 Mx=-0.34 Mz=-1.73
Zona tesa: F=47.27 b_{eff}=13.20 t_w=0.70 σ=5.12
Zona tesa: F=47.27 b_{eff}=13.20 t_w=0.70 σ=5.12
CC 3 SLV (Collegamento -384_-528)
Azioni sul collegamento: N=117.40 Ty=-2.56 Tz=-46.19 Mx=-0.60 Mz=-3.41
Zona tesa: F=47.27 b_{eff}=13.20 t_w=0.70 σ=5.12
Zona tesa: F=47.27 b_{eff}=13.20 t_w=0.70 σ=5.12
CC 4 SLD (Collegamento -384_-528)
Azioni sul collegamento: N=153.99 Ty=-1.54 Tz=-51.85 Mx=-0.36 Mz=-1.97
Zona tesa: F=62.01 b_{eff}=13.20 t_w=0.70 σ=6.71
Zona tesa: F=62.01 b_{eff}=13.20 t_w=0.70 σ=6.71
CC 4 SLD (Collegamento -384_-528)
Azioni sul collegamento: N=153.99 Ty=-1.87 Tz=-51.85 Mx=-0.44 Mz=-2.49
Zona tesa: F=62.01 b_{eff}=13.20 t_w=0.70 σ=6.71
Zona tesa: F=62.01 b_{eff}=13.20 t_w=0.70 σ=6.71
CC 4 SLD (Collegamento -384_-528)
Azioni sul collegamento: N=153.99 Ty=-1.54 Tz=-51.85 Mx=-0.36 Mz=-1.97
Zona tesa: F=62.01 b_{eff}=13.20 t_w=0.70 σ=6.71
Zona tesa: F=62.01 b_{eff}=13.20 t_w=0.70 σ=6.71
CC 4 SLD (Collegamento -384_-528)
Azioni sul collegamento: N=153.99 Ty=-1.87 Tz=-51.85 Mx=-0.44 Mz=-2.49
Zona tesa: F=62.01 b_{eff}=13.20 t_w=0.70 σ=6.71
Zona tesa: F=62.01 b_{eff}=13.20 t_w=0.70 σ=6.71
CC 4 SLD (Collegamento -384_-528)
Azioni sul collegamento: N=137.64 Ty=-1.54 Tz=-49.32 Mx=-0.36 Mz=-1.97
Zona tesa: F=55.43 b_{eff}=13.20 t_w=0.70 σ=6.00
Zona tesa: F=55.43 b_{eff}=13.20 t_w=0.70 σ=6.00
CC 4 SLD (Collegamento -384_-528)
Azioni sul collegamento: N=137.64 Ty=-1.87 Tz=-49.32 Mx=-0.44 Mz=-2.49
Zona tesa: F=55.43 b_{eff}=13.20 t_w=0.70 σ=6.00
Zona tesa: F=55.43 b_{eff}=13.20 t_w=0.70 σ=6.00
CC 4 SLD (Collegamento -384_-528)
Azioni sul collegamento: N=137.64 Ty=-1.54 Tz=-49.32 Mx=-0.36 Mz=-1.97
Zona tesa: F=55.43 b_{eff}=13.20 t_w=0.70 σ=6.00
Zona tesa: F=55.43 b_{eff}=13.20 t_w=0.70 σ=6.00
CC 4 SLD (Collegamento -384_-528)
Azioni sul collegamento: N=137.64 Ty=-1.87 Tz=-49.32 Mx=-0.44 Mz=-2.49
Zona tesa: F=55.43 b_{eff}=13.20 t_w=0.70 σ=6.00
Zona tesa: F=55.43 b_{eff}=13.20 t_w=0.70 σ=6.00
CC 5 SLV (Collegamento -384_-528)
Azioni sul collegamento: N=117.40 Ty=-2.56 Tz=-46.19 Mx=-0.57 Mz=-3.42
Zona tesa: F=47.27 b_{eff}=13.20 t_w=0.70 σ=5.12
Zona tesa: F=47.27 b_{eff}=13.20 t_w=0.70 σ=5.12
CC 5 SLV (Collegamento -384_-528)
Azioni sul collegamento: N=117.40 Ty=-1.50 Tz=-46.19 Mx=-0.31 Mz=-1.73
Zona tesa: F=47.27 b_{eff}=13.20 t_w=0.70 σ=5.12
Zona tesa: F=47.27 b_{eff}=13.20 t_w=0.70 σ=5.12
CC 5 SLV (Collegamento -384_-528)
Azioni sul collegamento: N=117.40 Ty=-2.56 Tz=-46.19 Mx=-0.57 Mz=-3.42
Zona tesa: F=47.27 b_{eff}=13.20 t_w=0.70 σ=5.12
Zona tesa: F=47.27 b_{eff}=13.20 t_w=0.70 σ=5.12
CC 5 SLV (Collegamento -384_-528)
Azioni sul collegamento: N=117.40 Ty=-1.50 Tz=-46.19 Mx=-0.31 Mz=-1.73
Zona tesa: F=47.27 b_{eff}=13.20 t_w=0.70 σ=5.12
Zona tesa: F=47.27 b_{eff}=13.20 t_w=0.70 σ=5.12
CC 5 SLV (Collegamento -384_-528)
Azioni sul collegamento: N=171.00 Ty=-2.56 Tz=-54.49 Mx=-0.57 Mz=-3.42
Zona tesa: F=68.86 b_{eff}=13.20 t_w=0.70 σ=7.45
Zona tesa: F=68.86 b_{eff}=13.20 t_w=0.70 σ=7.45
CC 5 SLV (Collegamento -384_-528)
Azioni sul collegamento: N=171.00 Ty=-1.50 Tz=-54.49 Mx=-0.31 Mz=-1.73
Zona tesa: F=68.86 b_{eff}=13.20 t_w=0.70 σ=7.45

Zona tesa: F=68.86 b_{eff}=13.20 t_w=0.70 σ=7.45
CC 5 SLV (Collegamento -384_-528)
Azioni sul collegamento: N=171.00 Ty=-2.56 Tz=-54.49 Mx=-0.57 Mz=-3.42
Zona tesa: F=68.86 b_{eff}=13.20 t_w=0.70 σ=7.45
Zona tesa: F=68.86 b_{eff}=13.20 t_w=0.70 σ=7.45
CC 5 SLV (Collegamento -384_-528)
Azioni sul collegamento: N=171.00 Ty=-1.50 Tz=-54.49 Mx=-0.31 Mz=-1.73
Zona tesa: F=68.86 b_{eff}=13.20 t_w=0.70 σ=7.45
Zona tesa: F=68.86 b_{eff}=13.20 t_w=0.70 σ=7.45
CC 6 SLD (Collegamento -384_-528)
Azioni sul collegamento: N=137.64 Ty=-1.87 Tz=-49.32 Mx=-0.43 Mz=-2.49
Zona tesa: F=55.43 b_{eff}=13.20 t_w=0.70 σ=6.00
Zona tesa: F=55.43 b_{eff}=13.20 t_w=0.70 σ=6.00
CC 6 SLD (Collegamento -384_-528)
Azioni sul collegamento: N=137.64 Ty=-1.54 Tz=-49.32 Mx=-0.35 Mz=-1.97
Zona tesa: F=55.43 b_{eff}=13.20 t_w=0.70 σ=6.00
Zona tesa: F=55.43 b_{eff}=13.20 t_w=0.70 σ=6.00
CC 6 SLD (Collegamento -384_-528)
Azioni sul collegamento: N=137.64 Ty=-1.87 Tz=-49.32 Mx=-0.43 Mz=-2.49
Zona tesa: F=55.43 b_{eff}=13.20 t_w=0.70 σ=6.00
Zona tesa: F=55.43 b_{eff}=13.20 t_w=0.70 σ=6.00
CC 6 SLD (Collegamento -384_-528)
Azioni sul collegamento: N=137.64 Ty=-1.54 Tz=-49.32 Mx=-0.35 Mz=-1.97
Zona tesa: F=55.43 b_{eff}=13.20 t_w=0.70 σ=6.00
Zona tesa: F=55.43 b_{eff}=13.20 t_w=0.70 σ=6.00
CC 6 SLD (Collegamento -384_-528)
Azioni sul collegamento: N=153.99 Ty=-1.87 Tz=-51.85 Mx=-0.43 Mz=-2.49
Zona tesa: F=62.01 b_{eff}=13.20 t_w=0.70 σ=6.71
Zona tesa: F=62.01 b_{eff}=13.20 t_w=0.70 σ=6.71
CC 6 SLD (Collegamento -384_-528)
Azioni sul collegamento: N=153.99 Ty=-1.54 Tz=-51.85 Mx=-0.35 Mz=-1.97
Zona tesa: F=62.01 b_{eff}=13.20 t_w=0.70 σ=6.71
Zona tesa: F=62.01 b_{eff}=13.20 t_w=0.70 σ=6.71
CC 6 SLD (Collegamento -384_-528)
Azioni sul collegamento: N=153.99 Ty=-1.87 Tz=-51.85 Mx=-0.43 Mz=-2.49
Zona tesa: F=62.01 b_{eff}=13.20 t_w=0.70 σ=6.71
Zona tesa: F=62.01 b_{eff}=13.20 t_w=0.70 σ=6.71
CC 6 SLD (Collegamento -384_-528)
Azioni sul collegamento: N=153.99 Ty=-1.54 Tz=-51.85 Mx=-0.35 Mz=-1.97
Zona tesa: F=62.01 b_{eff}=13.20 t_w=0.70 σ=6.71
Zona tesa: F=62.01 b_{eff}=13.20 t_w=0.70 σ=6.71
CC 7 SLV (Collegamento -384_-528)
Azioni sul collegamento: N=117.30 Ty=-2.83 Tz=-46.18 Mx=-0.60 Mz=-3.66
Zona tesa: F=47.24 b_{eff}=13.20 t_w=0.70 σ=5.11
Zona tesa: F=47.24 b_{eff}=13.20 t_w=0.70 σ=5.11
CC 7 SLV (Collegamento -384_-528)
Azioni sul collegamento: N=117.30 Ty=-1.22 Tz=-46.18 Mx=-0.27 Mz=-1.49
Zona tesa: F=47.24 b_{eff}=13.20 t_w=0.70 σ=5.11
Zona tesa: F=47.24 b_{eff}=13.20 t_w=0.70 σ=5.11
CC 7 SLV (Collegamento -384_-528)
Azioni sul collegamento: N=117.30 Ty=-2.83 Tz=-46.18 Mx=-0.60 Mz=-3.66
Zona tesa: F=47.24 b_{eff}=13.20 t_w=0.70 σ=5.11
Zona tesa: F=47.24 b_{eff}=13.20 t_w=0.70 σ=5.11
CC 7 SLV (Collegamento -384_-528)
Azioni sul collegamento: N=117.30 Ty=-1.22 Tz=-46.18 Mx=-0.27 Mz=-1.49
Zona tesa: F=47.24 b_{eff}=13.20 t_w=0.70 σ=5.11
Zona tesa: F=47.24 b_{eff}=13.20 t_w=0.70 σ=5.11
CC 7 SLV (Collegamento -384_-528)
Azioni sul collegamento: N=171.09 Ty=-2.83 Tz=-54.50 Mx=-0.60 Mz=-3.66
Zona tesa: F=68.90 b_{eff}=13.20 t_w=0.70 σ=7.46
Zona tesa: F=68.90 b_{eff}=13.20 t_w=0.70 σ=7.46
CC 7 SLV (Collegamento -384_-528)
Azioni sul collegamento: N=171.09 Ty=-1.22 Tz=-54.50 Mx=-0.27 Mz=-1.49
Zona tesa: F=68.90 b_{eff}=13.20 t_w=0.70 σ=7.46
Zona tesa: F=68.90 b_{eff}=13.20 t_w=0.70 σ=7.46
CC 7 SLV (Collegamento -384_-528)
Azioni sul collegamento: N=171.09 Ty=-2.83 Tz=-54.50 Mx=-0.60 Mz=-3.66
Zona tesa: F=68.90 b_{eff}=13.20 t_w=0.70 σ=7.46
Zona tesa: F=68.90 b_{eff}=13.20 t_w=0.70 σ=7.46
CC 7 SLV (Collegamento -384_-528)
Azioni sul collegamento: N=171.09 Ty=-1.22 Tz=-54.50 Mx=-0.27 Mz=-1.49
Zona tesa: F=68.90 b_{eff}=13.20 t_w=0.70 σ=7.46
Zona tesa: F=68.90 b_{eff}=13.20 t_w=0.70 σ=7.46
CC 8 SLD (Collegamento -384_-528)
Azioni sul collegamento: N=137.61 Ty=-1.95 Tz=-49.32 Mx=-0.44 Mz=-2.56
Zona tesa: F=55.41 b_{eff}=13.20 t_w=0.70 σ=6.00

Zona tesa: F=55.41 b_{eff}=13.20 t_w=0.70 σ=6.00
CC 8 SLD (Collegamento -384_-528)
Azioni sul collegamento: N=137.61 Ty=-1.46 Tz=-49.32 Mx=-0.34 Mz=-1.90
Zona tesa: F=55.41 b_{eff}=13.20 t_w=0.70 σ=6.00
Zona tesa: F=55.41 b_{eff}=13.20 t_w=0.70 σ=6.00
CC 8 SLD (Collegamento -384_-528)
Azioni sul collegamento: N=137.61 Ty=-1.95 Tz=-49.32 Mx=-0.44 Mz=-2.56
Zona tesa: F=55.41 b_{eff}=13.20 t_w=0.70 σ=6.00
Zona tesa: F=55.41 b_{eff}=13.20 t_w=0.70 σ=6.00
CC 8 SLD (Collegamento -384_-528)
Azioni sul collegamento: N=137.61 Ty=-1.46 Tz=-49.32 Mx=-0.34 Mz=-1.90
Zona tesa: F=55.41 b_{eff}=13.20 t_w=0.70 σ=6.00
Zona tesa: F=55.41 b_{eff}=13.20 t_w=0.70 σ=6.00
CC 8 SLD (Collegamento -384_-528)
Azioni sul collegamento: N=154.01 Ty=-1.95 Tz=-51.86 Mx=-0.44 Mz=-2.56
Zona tesa: F=62.02 b_{eff}=13.20 t_w=0.70 σ=6.71
Zona tesa: F=62.02 b_{eff}=13.20 t_w=0.70 σ=6.71
CC 8 SLD (Collegamento -384_-528)
Azioni sul collegamento: N=154.01 Ty=-1.46 Tz=-51.86 Mx=-0.34 Mz=-1.90
Zona tesa: F=62.02 b_{eff}=13.20 t_w=0.70 σ=6.71
Zona tesa: F=62.02 b_{eff}=13.20 t_w=0.70 σ=6.71
CC 8 SLD (Collegamento -384_-528)
Azioni sul collegamento: N=154.01 Ty=-1.95 Tz=-51.86 Mx=-0.44 Mz=-2.56
Zona tesa: F=62.02 b_{eff}=13.20 t_w=0.70 σ=6.71
Zona tesa: F=62.02 b_{eff}=13.20 t_w=0.70 σ=6.71
CC 8 SLD (Collegamento -384_-528)
Azioni sul collegamento: N=154.01 Ty=-1.46 Tz=-51.86 Mx=-0.34 Mz=-1.90
Zona tesa: F=62.02 b_{eff}=13.20 t_w=0.70 σ=6.71
Zona tesa: F=62.02 b_{eff}=13.20 t_w=0.70 σ=6.71
CC 9 SLV (Collegamento -384_-528)
Azioni sul collegamento: N=152.41 Ty=-1.37 Tz=-51.61 Mx=-0.36 Mz=-1.87
Zona tesa: F=61.37 b_{eff}=13.20 t_w=0.70 σ=6.64
Zona tesa: F=61.37 b_{eff}=13.20 t_w=0.70 σ=6.64
CC 9 SLV (Collegamento -384_-528)
Azioni sul collegamento: N=152.41 Ty=-2.68 Tz=-51.61 Mx=-0.57 Mz=-3.27
Zona tesa: F=61.37 b_{eff}=13.20 t_w=0.70 σ=6.64
Zona tesa: F=61.37 b_{eff}=13.20 t_w=0.70 σ=6.64
CC 9 SLV (Collegamento -384_-528)
Azioni sul collegamento: N=152.41 Ty=-1.37 Tz=-51.61 Mx=-0.36 Mz=-1.87
Zona tesa: F=61.37 b_{eff}=13.20 t_w=0.70 σ=6.64
Zona tesa: F=61.37 b_{eff}=13.20 t_w=0.70 σ=6.64
CC 9 SLV (Collegamento -384_-528)
Azioni sul collegamento: N=152.41 Ty=-2.68 Tz=-51.61 Mx=-0.57 Mz=-3.27
Zona tesa: F=61.37 b_{eff}=13.20 t_w=0.70 σ=6.64
Zona tesa: F=61.37 b_{eff}=13.20 t_w=0.70 σ=6.64
CC 9 SLV (Collegamento -384_-528)
Azioni sul collegamento: N=135.99 Ty=-1.37 Tz=-49.07 Mx=-0.36 Mz=-1.87
Zona tesa: F=54.76 b_{eff}=13.20 t_w=0.70 σ=5.93
Zona tesa: F=54.76 b_{eff}=13.20 t_w=0.70 σ=5.93
CC 9 SLV (Collegamento -384_-528)
Azioni sul collegamento: N=135.99 Ty=-2.68 Tz=-49.07 Mx=-0.57 Mz=-3.27
Zona tesa: F=54.76 b_{eff}=13.20 t_w=0.70 σ=5.93
Zona tesa: F=54.76 b_{eff}=13.20 t_w=0.70 σ=5.93
CC 9 SLV (Collegamento -384_-528)
Azioni sul collegamento: N=135.99 Ty=-1.37 Tz=-49.07 Mx=-0.36 Mz=-1.87
Zona tesa: F=54.76 b_{eff}=13.20 t_w=0.70 σ=5.93
Zona tesa: F=54.76 b_{eff}=13.20 t_w=0.70 σ=5.93
CC 9 SLV (Collegamento -384_-528)
Azioni sul collegamento: N=135.99 Ty=-2.68 Tz=-49.07 Mx=-0.57 Mz=-3.27
Zona tesa: F=54.76 b_{eff}=13.20 t_w=0.70 σ=5.93
Zona tesa: F=54.76 b_{eff}=13.20 t_w=0.70 σ=5.93
CC 10 SLD (Collegamento -384_-528)
Azioni sul collegamento: N=148.32 Ty=-1.51 Tz=-50.98 Mx=-0.37 Mz=-2.02
Zona tesa: F=59.73 b_{eff}=13.20 t_w=0.70 σ=6.46
Zona tesa: F=59.73 b_{eff}=13.20 t_w=0.70 σ=6.46
CC 10 SLD (Collegamento -384_-528)
Azioni sul collegamento: N=148.32 Ty=-1.91 Tz=-50.98 Mx=-0.43 Mz=-2.44
Zona tesa: F=59.73 b_{eff}=13.20 t_w=0.70 σ=6.46
Zona tesa: F=59.73 b_{eff}=13.20 t_w=0.70 σ=6.46
CC 10 SLD (Collegamento -384_-528)
Azioni sul collegamento: N=148.32 Ty=-1.51 Tz=-50.98 Mx=-0.37 Mz=-2.02
Zona tesa: F=59.73 b_{eff}=13.20 t_w=0.70 σ=6.46
Zona tesa: F=59.73 b_{eff}=13.20 t_w=0.70 σ=6.46
CC 10 SLD (Collegamento -384_-528)
Azioni sul collegamento: N=148.32 Ty=-1.91 Tz=-50.98 Mx=-0.43 Mz=-2.44
Zona tesa: F=59.73 b_{eff}=13.20 t_w=0.70 σ=6.46

Zona tesa: F=59.73 b_{eff}=13.20 t_w=0.70 σ=6.46
CC 10 SLD (Collegamento -384_-528)
Azioni sul collegamento: N=143.31 Ty=-1.51 Tz=-50.20 Mx=-0.37 Mz=-2.02
Zona tesa: F=57.71 b_{eff}=13.20 t_w=0.70 σ=6.25
Zona tesa: F=57.71 b_{eff}=13.20 t_w=0.70 σ=6.25
CC 10 SLD (Collegamento -384_-528)
Azioni sul collegamento: N=143.31 Ty=-1.91 Tz=-50.20 Mx=-0.43 Mz=-2.44
Zona tesa: F=57.71 b_{eff}=13.20 t_w=0.70 σ=6.25
Zona tesa: F=57.71 b_{eff}=13.20 t_w=0.70 σ=6.25
CC 10 SLD (Collegamento -384_-528)
Azioni sul collegamento: N=143.31 Ty=-1.51 Tz=-50.20 Mx=-0.37 Mz=-2.02
Zona tesa: F=57.71 b_{eff}=13.20 t_w=0.70 σ=6.25
Zona tesa: F=57.71 b_{eff}=13.20 t_w=0.70 σ=6.25
CC 10 SLD (Collegamento -384_-528)
Azioni sul collegamento: N=143.31 Ty=-1.91 Tz=-50.20 Mx=-0.43 Mz=-2.44
Zona tesa: F=57.71 b_{eff}=13.20 t_w=0.70 σ=6.25
Zona tesa: F=57.71 b_{eff}=13.20 t_w=0.70 σ=6.25
CC 11 SLV (Collegamento -384_-528)
Azioni sul collegamento: N=136.30 Ty=-1.77 Tz=-49.12 Mx=-0.44 Mz=-2.45
Zona tesa: F=54.89 b_{eff}=13.20 t_w=0.70 σ=5.94
Zona tesa: F=54.89 b_{eff}=13.20 t_w=0.70 σ=5.94
CC 11 SLV (Collegamento -384_-528)
Azioni sul collegamento: N=136.30 Ty=-2.28 Tz=-49.12 Mx=-0.47 Mz=-2.69
Zona tesa: F=54.89 b_{eff}=13.20 t_w=0.70 σ=5.94
Zona tesa: F=54.89 b_{eff}=13.20 t_w=0.70 σ=5.94
CC 11 SLV (Collegamento -384_-528)
Azioni sul collegamento: N=136.30 Ty=-1.77 Tz=-49.12 Mx=-0.44 Mz=-2.45
Zona tesa: F=54.89 b_{eff}=13.20 t_w=0.70 σ=5.94
Zona tesa: F=54.89 b_{eff}=13.20 t_w=0.70 σ=5.94
CC 11 SLV (Collegamento -384_-528)
Azioni sul collegamento: N=136.30 Ty=-2.28 Tz=-49.12 Mx=-0.47 Mz=-2.69
Zona tesa: F=54.89 b_{eff}=13.20 t_w=0.70 σ=5.94
Zona tesa: F=54.89 b_{eff}=13.20 t_w=0.70 σ=5.94
CC 11 SLV (Collegamento -384_-528)
Azioni sul collegamento: N=152.10 Ty=-1.77 Tz=-51.56 Mx=-0.44 Mz=-2.45
Zona tesa: F=61.25 b_{eff}=13.20 t_w=0.70 σ=6.63
Zona tesa: F=61.25 b_{eff}=13.20 t_w=0.70 σ=6.63
CC 11 SLV (Collegamento -384_-528)
Azioni sul collegamento: N=152.10 Ty=-2.28 Tz=-51.56 Mx=-0.47 Mz=-2.69
Zona tesa: F=61.25 b_{eff}=13.20 t_w=0.70 σ=6.63
Zona tesa: F=61.25 b_{eff}=13.20 t_w=0.70 σ=6.63
CC 11 SLV (Collegamento -384_-528)
Azioni sul collegamento: N=152.10 Ty=-1.77 Tz=-51.56 Mx=-0.44 Mz=-2.45
Zona tesa: F=61.25 b_{eff}=13.20 t_w=0.70 σ=6.63
Zona tesa: F=61.25 b_{eff}=13.20 t_w=0.70 σ=6.63
CC 11 SLV (Collegamento -384_-528)
Azioni sul collegamento: N=152.10 Ty=-2.28 Tz=-51.56 Mx=-0.47 Mz=-2.69
Zona tesa: F=61.25 b_{eff}=13.20 t_w=0.70 σ=6.63
Zona tesa: F=61.25 b_{eff}=13.20 t_w=0.70 σ=6.63
CC 12 SLD (Collegamento -384_-528)
Azioni sul collegamento: N=143.41 Ty=-1.63 Tz=-50.22 Mx=-0.39 Mz=-2.19
Zona tesa: F=57.75 b_{eff}=13.20 t_w=0.70 σ=6.25
Zona tesa: F=57.75 b_{eff}=13.20 t_w=0.70 σ=6.25
CC 12 SLD (Collegamento -384_-528)
Azioni sul collegamento: N=143.41 Ty=-1.78 Tz=-50.22 Mx=-0.40 Mz=-2.27
Zona tesa: F=57.75 b_{eff}=13.20 t_w=0.70 σ=6.25
Zona tesa: F=57.75 b_{eff}=13.20 t_w=0.70 σ=6.25
CC 12 SLD (Collegamento -384_-528)
Azioni sul collegamento: N=143.41 Ty=-1.63 Tz=-50.22 Mx=-0.39 Mz=-2.19
Zona tesa: F=57.75 b_{eff}=13.20 t_w=0.70 σ=6.25
Zona tesa: F=57.75 b_{eff}=13.20 t_w=0.70 σ=6.25
CC 12 SLD (Collegamento -384_-528)
Azioni sul collegamento: N=143.41 Ty=-1.78 Tz=-50.22 Mx=-0.40 Mz=-2.27
Zona tesa: F=57.75 b_{eff}=13.20 t_w=0.70 σ=6.25
Zona tesa: F=57.75 b_{eff}=13.20 t_w=0.70 σ=6.25
CC 12 SLD (Collegamento -384_-528)
Azioni sul collegamento: N=148.22 Ty=-1.63 Tz=-50.96 Mx=-0.39 Mz=-2.19
Zona tesa: F=59.69 b_{eff}=13.20 t_w=0.70 σ=6.46
Zona tesa: F=59.69 b_{eff}=13.20 t_w=0.70 σ=6.46
CC 12 SLD (Collegamento -384_-528)
Azioni sul collegamento: N=148.22 Ty=-1.78 Tz=-50.96 Mx=-0.40 Mz=-2.27
Zona tesa: F=59.69 b_{eff}=13.20 t_w=0.70 σ=6.46
Zona tesa: F=59.69 b_{eff}=13.20 t_w=0.70 σ=6.46
CC 12 SLD (Collegamento -384_-528)
Azioni sul collegamento: N=148.22 Ty=-1.63 Tz=-50.96 Mx=-0.39 Mz=-2.19
Zona tesa: F=59.69 b_{eff}=13.20 t_w=0.70 σ=6.46

Zona tesa: F=59.69 b_{eff}=13.20 t_w=0.70 σ=6.46
CC 12 SLD (Collegamento -384_-528)
Azioni sul collegamento: N=148.22 Ty=-1.78 Tz=-50.96 Mx=-0.40 Mz=-2.27
Zona tesa: F=59.69 b_{eff}=13.20 t_w=0.70 σ=6.46
Zona tesa: F=59.69 b_{eff}=13.20 t_w=0.70 σ=6.46
CC 13 SLV (Collegamento -384_-528)
Azioni sul collegamento: N=152.10 Ty=-2.28 Tz=-51.56 Mx=-0.48 Mz=-2.69
Zona tesa: F=61.25 b_{eff}=13.20 t_w=0.70 σ=6.63
Zona tesa: F=61.25 b_{eff}=13.20 t_w=0.70 σ=6.63
CC 13 SLV (Collegamento -384_-528)
Azioni sul collegamento: N=152.10 Ty=-1.77 Tz=-51.56 Mx=-0.44 Mz=-2.45
Zona tesa: F=61.25 b_{eff}=13.20 t_w=0.70 σ=6.63
Zona tesa: F=61.25 b_{eff}=13.20 t_w=0.70 σ=6.63
CC 13 SLV (Collegamento -384_-528)
Azioni sul collegamento: N=152.10 Ty=-2.28 Tz=-51.56 Mx=-0.48 Mz=-2.69
Zona tesa: F=61.25 b_{eff}=13.20 t_w=0.70 σ=6.63
Zona tesa: F=61.25 b_{eff}=13.20 t_w=0.70 σ=6.63
CC 13 SLV (Collegamento -384_-528)
Azioni sul collegamento: N=152.10 Ty=-1.77 Tz=-51.56 Mx=-0.44 Mz=-2.45
Zona tesa: F=61.25 b_{eff}=13.20 t_w=0.70 σ=6.63
Zona tesa: F=61.25 b_{eff}=13.20 t_w=0.70 σ=6.63
CC 13 SLV (Collegamento -384_-528)
Azioni sul collegamento: N=136.30 Ty=-2.28 Tz=-49.12 Mx=-0.48 Mz=-2.69
Zona tesa: F=54.89 b_{eff}=13.20 t_w=0.70 σ=5.94
Zona tesa: F=54.89 b_{eff}=13.20 t_w=0.70 σ=5.94
CC 13 SLV (Collegamento -384_-528)
Azioni sul collegamento: N=136.30 Ty=-1.77 Tz=-49.12 Mx=-0.44 Mz=-2.45
Zona tesa: F=54.89 b_{eff}=13.20 t_w=0.70 σ=5.94
Zona tesa: F=54.89 b_{eff}=13.20 t_w=0.70 σ=5.94
CC 13 SLV (Collegamento -384_-528)
Azioni sul collegamento: N=136.30 Ty=-2.28 Tz=-49.12 Mx=-0.48 Mz=-2.69
Zona tesa: F=54.89 b_{eff}=13.20 t_w=0.70 σ=5.94
Zona tesa: F=54.89 b_{eff}=13.20 t_w=0.70 σ=5.94
CC 13 SLV (Collegamento -384_-528)
Azioni sul collegamento: N=136.30 Ty=-1.77 Tz=-49.12 Mx=-0.44 Mz=-2.45
Zona tesa: F=54.89 b_{eff}=13.20 t_w=0.70 σ=5.94
Zona tesa: F=54.89 b_{eff}=13.20 t_w=0.70 σ=5.94
CC 14 SLD (Collegamento -384_-528)
Azioni sul collegamento: N=148.22 Ty=-1.78 Tz=-50.96 Mx=-0.40 Mz=-2.27
Zona tesa: F=59.69 b_{eff}=13.20 t_w=0.70 σ=6.46
Zona tesa: F=59.69 b_{eff}=13.20 t_w=0.70 σ=6.46
CC 14 SLD (Collegamento -384_-528)
Azioni sul collegamento: N=148.22 Ty=-1.63 Tz=-50.96 Mx=-0.39 Mz=-2.19
Zona tesa: F=59.69 b_{eff}=13.20 t_w=0.70 σ=6.46
Zona tesa: F=59.69 b_{eff}=13.20 t_w=0.70 σ=6.46
CC 14 SLD (Collegamento -384_-528)
Azioni sul collegamento: N=148.22 Ty=-1.78 Tz=-50.96 Mx=-0.40 Mz=-2.27
Zona tesa: F=59.69 b_{eff}=13.20 t_w=0.70 σ=6.46
Zona tesa: F=59.69 b_{eff}=13.20 t_w=0.70 σ=6.46
CC 14 SLD (Collegamento -384_-528)
Azioni sul collegamento: N=148.22 Ty=-1.63 Tz=-50.96 Mx=-0.39 Mz=-2.19
Zona tesa: F=59.69 b_{eff}=13.20 t_w=0.70 σ=6.46
Zona tesa: F=59.69 b_{eff}=13.20 t_w=0.70 σ=6.46
CC 14 SLD (Collegamento -384_-528)
Azioni sul collegamento: N=143.41 Ty=-1.78 Tz=-50.22 Mx=-0.40 Mz=-2.27
Zona tesa: F=57.75 b_{eff}=13.20 t_w=0.70 σ=6.25
Zona tesa: F=57.75 b_{eff}=13.20 t_w=0.70 σ=6.25
CC 14 SLD (Collegamento -384_-528)
Azioni sul collegamento: N=143.41 Ty=-1.63 Tz=-50.22 Mx=-0.39 Mz=-2.19
Zona tesa: F=57.75 b_{eff}=13.20 t_w=0.70 σ=6.25
Zona tesa: F=57.75 b_{eff}=13.20 t_w=0.70 σ=6.25
CC 14 SLD (Collegamento -384_-528)
Azioni sul collegamento: N=143.41 Ty=-1.78 Tz=-50.22 Mx=-0.40 Mz=-2.27
Zona tesa: F=57.75 b_{eff}=13.20 t_w=0.70 σ=6.25
Zona tesa: F=57.75 b_{eff}=13.20 t_w=0.70 σ=6.25
CC 14 SLD (Collegamento -384_-528)
Azioni sul collegamento: N=143.41 Ty=-1.63 Tz=-50.22 Mx=-0.39 Mz=-2.19
Zona tesa: F=57.75 b_{eff}=13.20 t_w=0.70 σ=6.25
Zona tesa: F=57.75 b_{eff}=13.20 t_w=0.70 σ=6.25
CC 15 SLV (Collegamento -384_-528)
Azioni sul collegamento: N=135.99 Ty=-2.68 Tz=-49.07 Mx=-0.55 Mz=-3.27
Zona tesa: F=54.76 b_{eff}=13.20 t_w=0.70 σ=5.93
Zona tesa: F=54.76 b_{eff}=13.20 t_w=0.70 σ=5.93
CC 15 SLV (Collegamento -384_-528)
Azioni sul collegamento: N=135.99 Ty=-1.37 Tz=-49.07 Mx=-0.34 Mz=-1.87
Zona tesa: F=54.76 b_{eff}=13.20 t_w=0.70 σ=5.93

Zona tesa: F=54.76 b_{eff}=13.20 t_w=0.70 σ=5.93
CC 15 SLV (Collegamento -384_-528)
Azioni sul collegamento: N=135.99 Ty=-2.68 Tz=-49.07 Mx=-0.55 Mz=-3.27
Zona tesa: F=54.76 b_{eff}=13.20 t_w=0.70 σ=5.93
Zona tesa: F=54.76 b_{eff}=13.20 t_w=0.70 σ=5.93
CC 15 SLV (Collegamento -384_-528)
Azioni sul collegamento: N=135.99 Ty=-1.37 Tz=-49.07 Mx=-0.34 Mz=-1.87
Zona tesa: F=54.76 b_{eff}=13.20 t_w=0.70 σ=5.93
Zona tesa: F=54.76 b_{eff}=13.20 t_w=0.70 σ=5.93
CC 15 SLV (Collegamento -384_-528)
Azioni sul collegamento: N=152.41 Ty=-2.68 Tz=-51.61 Mx=-0.55 Mz=-3.27
Zona tesa: F=61.37 b_{eff}=13.20 t_w=0.70 σ=6.64
Zona tesa: F=61.37 b_{eff}=13.20 t_w=0.70 σ=6.64
CC 15 SLV (Collegamento -384_-528)
Azioni sul collegamento: N=152.41 Ty=-1.37 Tz=-51.61 Mx=-0.34 Mz=-1.87
Zona tesa: F=61.37 b_{eff}=13.20 t_w=0.70 σ=6.64
Zona tesa: F=61.37 b_{eff}=13.20 t_w=0.70 σ=6.64
CC 15 SLV (Collegamento -384_-528)
Azioni sul collegamento: N=152.41 Ty=-2.68 Tz=-51.61 Mx=-0.55 Mz=-3.27
Zona tesa: F=61.37 b_{eff}=13.20 t_w=0.70 σ=6.64
Zona tesa: F=61.37 b_{eff}=13.20 t_w=0.70 σ=6.64
CC 15 SLV (Collegamento -384_-528)
Azioni sul collegamento: N=152.41 Ty=-1.37 Tz=-51.61 Mx=-0.34 Mz=-1.87
Zona tesa: F=61.37 b_{eff}=13.20 t_w=0.70 σ=6.64
Zona tesa: F=61.37 b_{eff}=13.20 t_w=0.70 σ=6.64
CC 16 SLD (Collegamento -384_-528)
Azioni sul collegamento: N=143.31 Ty=-1.91 Tz=-50.20 Mx=-0.43 Mz=-2.44
Zona tesa: F=57.71 b_{eff}=13.20 t_w=0.70 σ=6.25
Zona tesa: F=57.71 b_{eff}=13.20 t_w=0.70 σ=6.25
CC 16 SLD (Collegamento -384_-528)
Azioni sul collegamento: N=143.31 Ty=-1.51 Tz=-50.20 Mx=-0.36 Mz=-2.02
Zona tesa: F=57.71 b_{eff}=13.20 t_w=0.70 σ=6.25
Zona tesa: F=57.71 b_{eff}=13.20 t_w=0.70 σ=6.25
CC 16 SLD (Collegamento -384_-528)
Azioni sul collegamento: N=143.31 Ty=-1.91 Tz=-50.20 Mx=-0.43 Mz=-2.44
Zona tesa: F=57.71 b_{eff}=13.20 t_w=0.70 σ=6.25
Zona tesa: F=57.71 b_{eff}=13.20 t_w=0.70 σ=6.25
CC 16 SLD (Collegamento -384_-528)
Azioni sul collegamento: N=143.31 Ty=-1.51 Tz=-50.20 Mx=-0.36 Mz=-2.02
Zona tesa: F=57.71 b_{eff}=13.20 t_w=0.70 σ=6.25
Zona tesa: F=57.71 b_{eff}=13.20 t_w=0.70 σ=6.25
CC 16 SLD (Collegamento -384_-528)
Azioni sul collegamento: N=148.32 Ty=-1.91 Tz=-50.98 Mx=-0.43 Mz=-2.44
Zona tesa: F=59.73 b_{eff}=13.20 t_w=0.70 σ=6.46
Zona tesa: F=59.73 b_{eff}=13.20 t_w=0.70 σ=6.46
CC 16 SLD (Collegamento -384_-528)
Azioni sul collegamento: N=148.32 Ty=-1.51 Tz=-50.98 Mx=-0.36 Mz=-2.02
Zona tesa: F=59.73 b_{eff}=13.20 t_w=0.70 σ=6.46
Zona tesa: F=59.73 b_{eff}=13.20 t_w=0.70 σ=6.46
CC 16 SLD (Collegamento -384_-528)
Azioni sul collegamento: N=148.32 Ty=-1.91 Tz=-50.98 Mx=-0.43 Mz=-2.44
Zona tesa: F=59.73 b_{eff}=13.20 t_w=0.70 σ=6.46
Zona tesa: F=59.73 b_{eff}=13.20 t_w=0.70 σ=6.46
CC 16 SLD (Collegamento -384_-528)
Azioni sul collegamento: N=148.32 Ty=-1.51 Tz=-50.98 Mx=-0.36 Mz=-2.02
Zona tesa: F=59.73 b_{eff}=13.20 t_w=0.70 σ=6.46
Zona tesa: F=59.73 b_{eff}=13.20 t_w=0.70 σ=6.46
CC 17 SLV (Collegamento -384_-528)
Azioni sul collegamento: N=175.74 Ty=-0.30 Tz=-55.22 Mx=-0.14 Mz=-0.50
Zona tesa: F=70.77 b_{eff}=13.20 t_w=0.70 σ=7.66
Zona tesa: F=70.77 b_{eff}=13.20 t_w=0.70 σ=7.66
CC 17 SLV (Collegamento -384_-528)
Azioni sul collegamento: N=175.74 Ty=-1.91 Tz=-55.22 Mx=-0.48 Mz=-2.67
Zona tesa: F=70.77 b_{eff}=13.20 t_w=0.70 σ=7.66
Zona tesa: F=70.77 b_{eff}=13.20 t_w=0.70 σ=7.66
CC 17 SLV (Collegamento -384_-528)
Azioni sul collegamento: N=175.74 Ty=-0.30 Tz=-55.22 Mx=-0.14 Mz=-0.50
Zona tesa: F=70.77 b_{eff}=13.20 t_w=0.70 σ=7.66
Zona tesa: F=70.77 b_{eff}=13.20 t_w=0.70 σ=7.66
CC 17 SLV (Collegamento -384_-528)
Azioni sul collegamento: N=175.74 Ty=-1.91 Tz=-55.22 Mx=-0.48 Mz=-2.67
Zona tesa: F=70.77 b_{eff}=13.20 t_w=0.70 σ=7.66
Zona tesa: F=70.77 b_{eff}=13.20 t_w=0.70 σ=7.66
CC 17 SLV (Collegamento -384_-528)
Azioni sul collegamento: N=121.95 Ty=-0.30 Tz=-46.90 Mx=-0.14 Mz=-0.50
Zona tesa: F=49.11 b_{eff}=13.20 t_w=0.70 σ=5.31

Zona tesa: F=49.11 b_{eff}=13.20 t_w=0.70 σ=5.31
CC 17 SLV (Collegamento -384_-528)
Azioni sul collegamento: N=121.95 Ty=-1.91 Tz=-46.90 Mx=-0.48 Mz=-2.67
Zona tesa: F=49.11 b_{eff}=13.20 t_w=0.70 σ=5.31
Zona tesa: F=49.11 b_{eff}=13.20 t_w=0.70 σ=5.31
CC 17 SLV (Collegamento -384_-528)
Azioni sul collegamento: N=121.95 Ty=-0.30 Tz=-46.90 Mx=-0.14 Mz=-0.50
Zona tesa: F=49.11 b_{eff}=13.20 t_w=0.70 σ=5.31
Zona tesa: F=49.11 b_{eff}=13.20 t_w=0.70 σ=5.31
CC 17 SLV (Collegamento -384_-528)
Azioni sul collegamento: N=121.95 Ty=-1.91 Tz=-46.90 Mx=-0.48 Mz=-2.67
Zona tesa: F=49.11 b_{eff}=13.20 t_w=0.70 σ=5.31
Zona tesa: F=49.11 b_{eff}=13.20 t_w=0.70 σ=5.31
CC 18 SLD (Collegamento -384_-528)
Azioni sul collegamento: N=155.43 Ty=-1.18 Tz=-52.08 Mx=-0.30 Mz=-1.60
Zona tesa: F=62.59 b_{eff}=13.20 t_w=0.70 σ=6.77
Zona tesa: F=62.59 b_{eff}=13.20 t_w=0.70 σ=6.77
CC 18 SLD (Collegamento -384_-528)
Azioni sul collegamento: N=155.43 Ty=-1.67 Tz=-52.08 Mx=-0.41 Mz=-2.26
Zona tesa: F=62.59 b_{eff}=13.20 t_w=0.70 σ=6.77
Zona tesa: F=62.59 b_{eff}=13.20 t_w=0.70 σ=6.77
CC 18 SLD (Collegamento -384_-528)
Azioni sul collegamento: N=155.43 Ty=-1.18 Tz=-52.08 Mx=-0.30 Mz=-1.60
Zona tesa: F=62.59 b_{eff}=13.20 t_w=0.70 σ=6.77
Zona tesa: F=62.59 b_{eff}=13.20 t_w=0.70 σ=6.77
CC 18 SLD (Collegamento -384_-528)
Azioni sul collegamento: N=155.43 Ty=-1.67 Tz=-52.08 Mx=-0.41 Mz=-2.26
Zona tesa: F=62.59 b_{eff}=13.20 t_w=0.70 σ=6.77
Zona tesa: F=62.59 b_{eff}=13.20 t_w=0.70 σ=6.77
CC 18 SLD (Collegamento -384_-528)
Azioni sul collegamento: N=139.03 Ty=-1.18 Tz=-49.54 Mx=-0.30 Mz=-1.60
Zona tesa: F=55.98 b_{eff}=13.20 t_w=0.70 σ=6.06
Zona tesa: F=55.98 b_{eff}=13.20 t_w=0.70 σ=6.06
CC 18 SLD (Collegamento -384_-528)
Azioni sul collegamento: N=139.03 Ty=-1.67 Tz=-49.54 Mx=-0.41 Mz=-2.26
Zona tesa: F=55.98 b_{eff}=13.20 t_w=0.70 σ=6.06
Zona tesa: F=55.98 b_{eff}=13.20 t_w=0.70 σ=6.06
CC 18 SLD (Collegamento -384_-528)
Azioni sul collegamento: N=139.03 Ty=-1.18 Tz=-49.54 Mx=-0.30 Mz=-1.60
Zona tesa: F=55.98 b_{eff}=13.20 t_w=0.70 σ=6.06
Zona tesa: F=55.98 b_{eff}=13.20 t_w=0.70 σ=6.06
CC 18 SLD (Collegamento -384_-528)
Azioni sul collegamento: N=139.03 Ty=-1.67 Tz=-49.54 Mx=-0.41 Mz=-2.26
Zona tesa: F=55.98 b_{eff}=13.20 t_w=0.70 σ=6.06
Zona tesa: F=55.98 b_{eff}=13.20 t_w=0.70 σ=6.06
CC 19 SLV (Collegamento -384_-528)
Azioni sul collegamento: N=175.65 Ty=-0.58 Tz=-55.21 Mx=-0.18 Mz=-0.74
Zona tesa: F=70.73 b_{eff}=13.20 t_w=0.70 σ=7.65
Zona tesa: F=70.73 b_{eff}=13.20 t_w=0.70 σ=7.65
CC 19 SLV (Collegamento -384_-528)
Azioni sul collegamento: N=175.65 Ty=-1.64 Tz=-55.21 Mx=-0.44 Mz=-2.43
Zona tesa: F=70.73 b_{eff}=13.20 t_w=0.70 σ=7.65
Zona tesa: F=70.73 b_{eff}=13.20 t_w=0.70 σ=7.65
CC 19 SLV (Collegamento -384_-528)
Azioni sul collegamento: N=175.65 Ty=-0.58 Tz=-55.21 Mx=-0.18 Mz=-0.74
Zona tesa: F=70.73 b_{eff}=13.20 t_w=0.70 σ=7.65
Zona tesa: F=70.73 b_{eff}=13.20 t_w=0.70 σ=7.65
CC 19 SLV (Collegamento -384_-528)
Azioni sul collegamento: N=175.65 Ty=-1.64 Tz=-55.21 Mx=-0.44 Mz=-2.43
Zona tesa: F=70.73 b_{eff}=13.20 t_w=0.70 σ=7.65
Zona tesa: F=70.73 b_{eff}=13.20 t_w=0.70 σ=7.65
CC 19 SLV (Collegamento -384_-528)
Azioni sul collegamento: N=122.04 Ty=-0.58 Tz=-46.91 Mx=-0.18 Mz=-0.74
Zona tesa: F=49.14 b_{eff}=13.20 t_w=0.70 σ=5.32
Zona tesa: F=49.14 b_{eff}=13.20 t_w=0.70 σ=5.32
CC 19 SLV (Collegamento -384_-528)
Azioni sul collegamento: N=122.04 Ty=-1.64 Tz=-46.91 Mx=-0.44 Mz=-2.43
Zona tesa: F=49.14 b_{eff}=13.20 t_w=0.70 σ=5.32
Zona tesa: F=49.14 b_{eff}=13.20 t_w=0.70 σ=5.32
CC 19 SLV (Collegamento -384_-528)
Azioni sul collegamento: N=122.04 Ty=-0.58 Tz=-46.91 Mx=-0.18 Mz=-0.74
Zona tesa: F=49.14 b_{eff}=13.20 t_w=0.70 σ=5.32
Zona tesa: F=49.14 b_{eff}=13.20 t_w=0.70 σ=5.32
CC 19 SLV (Collegamento -384_-528)
Azioni sul collegamento: N=122.04 Ty=-1.64 Tz=-46.91 Mx=-0.44 Mz=-2.43
Zona tesa: F=49.14 b_{eff}=13.20 t_w=0.70 σ=5.32

Zona tesa: F=49.14 b_{eff}=13.20 t_w=0.70 σ=5.32
CC 20 SLD (Collegamento -384_-528)
Azioni sul collegamento: N=155.40 Ty=-1.26 Tz=-52.07 Mx=-0.31 Mz=-1.67
Zona tesa: F=62.58 b_{eff}=13.20 t_w=0.70 σ=6.77
Zona tesa: F=62.58 b_{eff}=13.20 t_w=0.70 σ=6.77
CC 20 SLD (Collegamento -384_-528)
Azioni sul collegamento: N=155.40 Ty=-1.59 Tz=-52.07 Mx=-0.39 Mz=-2.19
Zona tesa: F=62.58 b_{eff}=13.20 t_w=0.70 σ=6.77
Zona tesa: F=62.58 b_{eff}=13.20 t_w=0.70 σ=6.77
CC 20 SLD (Collegamento -384_-528)
Azioni sul collegamento: N=155.40 Ty=-1.26 Tz=-52.07 Mx=-0.31 Mz=-1.67
Zona tesa: F=62.58 b_{eff}=13.20 t_w=0.70 σ=6.77
Zona tesa: F=62.58 b_{eff}=13.20 t_w=0.70 σ=6.77
CC 20 SLD (Collegamento -384_-528)
Azioni sul collegamento: N=155.40 Ty=-1.59 Tz=-52.07 Mx=-0.39 Mz=-2.19
Zona tesa: F=62.58 b_{eff}=13.20 t_w=0.70 σ=6.77
Zona tesa: F=62.58 b_{eff}=13.20 t_w=0.70 σ=6.77
CC 20 SLD (Collegamento -384_-528)
Azioni sul collegamento: N=139.06 Ty=-1.26 Tz=-49.54 Mx=-0.31 Mz=-1.67
Zona tesa: F=56.00 b_{eff}=13.20 t_w=0.70 σ=6.06
Zona tesa: F=56.00 b_{eff}=13.20 t_w=0.70 σ=6.06
CC 20 SLD (Collegamento -384_-528)
Azioni sul collegamento: N=139.06 Ty=-1.59 Tz=-49.54 Mx=-0.39 Mz=-2.19
Zona tesa: F=56.00 b_{eff}=13.20 t_w=0.70 σ=6.06
Zona tesa: F=56.00 b_{eff}=13.20 t_w=0.70 σ=6.06
CC 20 SLD (Collegamento -384_-528)
Azioni sul collegamento: N=139.06 Ty=-1.26 Tz=-49.54 Mx=-0.31 Mz=-1.67
Zona tesa: F=56.00 b_{eff}=13.20 t_w=0.70 σ=6.06
Zona tesa: F=56.00 b_{eff}=13.20 t_w=0.70 σ=6.06
CC 20 SLD (Collegamento -384_-528)
Azioni sul collegamento: N=139.06 Ty=-1.59 Tz=-49.54 Mx=-0.39 Mz=-2.19
Zona tesa: F=56.00 b_{eff}=13.20 t_w=0.70 σ=6.06
Zona tesa: F=56.00 b_{eff}=13.20 t_w=0.70 σ=6.06
CC 21 SLV (Collegamento -384_-528)
Azioni sul collegamento: N=122.04 Ty=-1.64 Tz=-46.91 Mx=-0.41 Mz=-2.43
Zona tesa: F=49.14 b_{eff}=13.20 t_w=0.70 σ=5.32
Zona tesa: F=49.14 b_{eff}=13.20 t_w=0.70 σ=5.32
CC 21 SLV (Collegamento -384_-528)
Azioni sul collegamento: N=122.04 Ty=-0.58 Tz=-46.91 Mx=-0.15 Mz=-0.75
Zona tesa: F=49.14 b_{eff}=13.20 t_w=0.70 σ=5.32
Zona tesa: F=49.14 b_{eff}=13.20 t_w=0.70 σ=5.32
CC 21 SLV (Collegamento -384_-528)
Azioni sul collegamento: N=122.04 Ty=-1.64 Tz=-46.91 Mx=-0.41 Mz=-2.43
Zona tesa: F=49.14 b_{eff}=13.20 t_w=0.70 σ=5.32
Zona tesa: F=49.14 b_{eff}=13.20 t_w=0.70 σ=5.32
CC 21 SLV (Collegamento -384_-528)
Azioni sul collegamento: N=122.04 Ty=-0.58 Tz=-46.91 Mx=-0.15 Mz=-0.75
Zona tesa: F=49.14 b_{eff}=13.20 t_w=0.70 σ=5.32
Zona tesa: F=49.14 b_{eff}=13.20 t_w=0.70 σ=5.32
CC 21 SLV (Collegamento -384_-528)
Azioni sul collegamento: N=175.65 Ty=-1.64 Tz=-55.21 Mx=-0.41 Mz=-2.43
Zona tesa: F=70.73 b_{eff}=13.20 t_w=0.70 σ=7.65
Zona tesa: F=70.73 b_{eff}=13.20 t_w=0.70 σ=7.65
CC 21 SLV (Collegamento -384_-528)
Azioni sul collegamento: N=175.65 Ty=-0.58 Tz=-55.21 Mx=-0.15 Mz=-0.75
Zona tesa: F=70.73 b_{eff}=13.20 t_w=0.70 σ=7.65
Zona tesa: F=70.73 b_{eff}=13.20 t_w=0.70 σ=7.65
CC 21 SLV (Collegamento -384_-528)
Azioni sul collegamento: N=175.65 Ty=-1.64 Tz=-55.21 Mx=-0.41 Mz=-2.43
Zona tesa: F=70.73 b_{eff}=13.20 t_w=0.70 σ=7.65
Zona tesa: F=70.73 b_{eff}=13.20 t_w=0.70 σ=7.65
CC 21 SLV (Collegamento -384_-528)
Azioni sul collegamento: N=175.65 Ty=-0.58 Tz=-55.21 Mx=-0.15 Mz=-0.75
Zona tesa: F=70.73 b_{eff}=13.20 t_w=0.70 σ=7.65
Zona tesa: F=70.73 b_{eff}=13.20 t_w=0.70 σ=7.65
CC 22 SLD (Collegamento -384_-528)
Azioni sul collegamento: N=139.06 Ty=-1.59 Tz=-49.54 Mx=-0.38 Mz=-2.19
Zona tesa: F=56.00 b_{eff}=13.20 t_w=0.70 σ=6.06
Zona tesa: F=56.00 b_{eff}=13.20 t_w=0.70 σ=6.06
CC 22 SLD (Collegamento -384_-528)
Azioni sul collegamento: N=139.06 Ty=-1.26 Tz=-49.54 Mx=-0.30 Mz=-1.67
Zona tesa: F=56.00 b_{eff}=13.20 t_w=0.70 σ=6.06
Zona tesa: F=56.00 b_{eff}=13.20 t_w=0.70 σ=6.06
CC 22 SLD (Collegamento -384_-528)
Azioni sul collegamento: N=139.06 Ty=-1.59 Tz=-49.54 Mx=-0.38 Mz=-2.19
Zona tesa: F=56.00 b_{eff}=13.20 t_w=0.70 σ=6.06

Zona tesa: F=56.00 b_{eff}=13.20 t_w=0.70 σ=6.06
CC 22 SLD (Collegamento -384_-528)
Azioni sul collegamento: N=139.06 Ty=-1.26 Tz=-49.54 Mx=-0.30 Mz=-1.67
Zona tesa: F=56.00 b_{eff}=13.20 t_w=0.70 σ=6.06
Zona tesa: F=56.00 b_{eff}=13.20 t_w=0.70 σ=6.06
CC 22 SLD (Collegamento -384_-528)
Azioni sul collegamento: N=155.40 Ty=-1.59 Tz=-52.07 Mx=-0.38 Mz=-2.19
Zona tesa: F=62.58 b_{eff}=13.20 t_w=0.70 σ=6.77
Zona tesa: F=62.58 b_{eff}=13.20 t_w=0.70 σ=6.77
CC 22 SLD (Collegamento -384_-528)
Azioni sul collegamento: N=155.40 Ty=-1.26 Tz=-52.07 Mx=-0.30 Mz=-1.67
Zona tesa: F=62.58 b_{eff}=13.20 t_w=0.70 σ=6.77
Zona tesa: F=62.58 b_{eff}=13.20 t_w=0.70 σ=6.77
CC 22 SLD (Collegamento -384_-528)
Azioni sul collegamento: N=155.40 Ty=-1.59 Tz=-52.07 Mx=-0.38 Mz=-2.19
Zona tesa: F=62.58 b_{eff}=13.20 t_w=0.70 σ=6.77
Zona tesa: F=62.58 b_{eff}=13.20 t_w=0.70 σ=6.77
CC 22 SLD (Collegamento -384_-528)
Azioni sul collegamento: N=155.40 Ty=-1.26 Tz=-52.07 Mx=-0.30 Mz=-1.67
Zona tesa: F=62.58 b_{eff}=13.20 t_w=0.70 σ=6.77
Zona tesa: F=62.58 b_{eff}=13.20 t_w=0.70 σ=6.77
CC 23 SLV (Collegamento -384_-528)
Azioni sul collegamento: N=121.95 Ty=-1.91 Tz=-46.90 Mx=-0.44 Mz=-2.68
Zona tesa: F=49.11 b_{eff}=13.20 t_w=0.70 σ=5.31
Zona tesa: F=49.11 b_{eff}=13.20 t_w=0.70 σ=5.31
CC 23 SLV (Collegamento -384_-528)
Azioni sul collegamento: N=121.95 Ty=-0.30 Tz=-46.90 Mx=-0.10 Mz=-0.50
Zona tesa: F=49.11 b_{eff}=13.20 t_w=0.70 σ=5.31
Zona tesa: F=49.11 b_{eff}=13.20 t_w=0.70 σ=5.31
CC 23 SLV (Collegamento -384_-528)
Azioni sul collegamento: N=121.95 Ty=-1.91 Tz=-46.90 Mx=-0.44 Mz=-2.68
Zona tesa: F=49.11 b_{eff}=13.20 t_w=0.70 σ=5.31
Zona tesa: F=49.11 b_{eff}=13.20 t_w=0.70 σ=5.31
CC 23 SLV (Collegamento -384_-528)
Azioni sul collegamento: N=121.95 Ty=-0.30 Tz=-46.90 Mx=-0.10 Mz=-0.50
Zona tesa: F=49.11 b_{eff}=13.20 t_w=0.70 σ=5.31
Zona tesa: F=49.11 b_{eff}=13.20 t_w=0.70 σ=5.31
CC 23 SLV (Collegamento -384_-528)
Azioni sul collegamento: N=175.74 Ty=-1.91 Tz=-55.22 Mx=-0.44 Mz=-2.68
Zona tesa: F=70.77 b_{eff}=13.20 t_w=0.70 σ=7.66
Zona tesa: F=70.77 b_{eff}=13.20 t_w=0.70 σ=7.66
CC 23 SLV (Collegamento -384_-528)
Azioni sul collegamento: N=175.74 Ty=-0.30 Tz=-55.22 Mx=-0.10 Mz=-0.50
Zona tesa: F=70.77 b_{eff}=13.20 t_w=0.70 σ=7.66
Zona tesa: F=70.77 b_{eff}=13.20 t_w=0.70 σ=7.66
CC 23 SLV (Collegamento -384_-528)
Azioni sul collegamento: N=175.74 Ty=-1.91 Tz=-55.22 Mx=-0.44 Mz=-2.68
Zona tesa: F=70.77 b_{eff}=13.20 t_w=0.70 σ=7.66
Zona tesa: F=70.77 b_{eff}=13.20 t_w=0.70 σ=7.66
CC 23 SLV (Collegamento -384_-528)
Azioni sul collegamento: N=175.74 Ty=-0.30 Tz=-55.22 Mx=-0.10 Mz=-0.50
Zona tesa: F=70.77 b_{eff}=13.20 t_w=0.70 σ=7.66
Zona tesa: F=70.77 b_{eff}=13.20 t_w=0.70 σ=7.66
CC 24 SLD (Collegamento -384_-528)
Azioni sul collegamento: N=139.03 Ty=-1.67 Tz=-49.54 Mx=-0.39 Mz=-2.26
Zona tesa: F=55.98 b_{eff}=13.20 t_w=0.70 σ=6.06
Zona tesa: F=55.98 b_{eff}=13.20 t_w=0.70 σ=6.06
CC 24 SLD (Collegamento -384_-528)
Azioni sul collegamento: N=139.03 Ty=-1.18 Tz=-49.54 Mx=-0.29 Mz=-1.60
Zona tesa: F=55.98 b_{eff}=13.20 t_w=0.70 σ=6.06
Zona tesa: F=55.98 b_{eff}=13.20 t_w=0.70 σ=6.06
CC 24 SLD (Collegamento -384_-528)
Azioni sul collegamento: N=139.03 Ty=-1.67 Tz=-49.54 Mx=-0.39 Mz=-2.26
Zona tesa: F=55.98 b_{eff}=13.20 t_w=0.70 σ=6.06
Zona tesa: F=55.98 b_{eff}=13.20 t_w=0.70 σ=6.06
CC 24 SLD (Collegamento -384_-528)
Azioni sul collegamento: N=139.03 Ty=-1.18 Tz=-49.54 Mx=-0.29 Mz=-1.60
Zona tesa: F=55.98 b_{eff}=13.20 t_w=0.70 σ=6.06
Zona tesa: F=55.98 b_{eff}=13.20 t_w=0.70 σ=6.06
CC 24 SLD (Collegamento -384_-528)
Azioni sul collegamento: N=155.43 Ty=-1.67 Tz=-52.08 Mx=-0.39 Mz=-2.26
Zona tesa: F=62.59 b_{eff}=13.20 t_w=0.70 σ=6.77
Zona tesa: F=62.59 b_{eff}=13.20 t_w=0.70 σ=6.77
CC 24 SLD (Collegamento -384_-528)
Azioni sul collegamento: N=155.43 Ty=-1.18 Tz=-52.08 Mx=-0.29 Mz=-1.60
Zona tesa: F=62.59 b_{eff}=13.20 t_w=0.70 σ=6.77

Zona tesa: F=62.59 b_{eff}=13.20 t_w=0.70 σ=6.77
CC 24 SLD (Collegamento -384_-528)
Azioni sul collegamento: N=155.43 Ty=-1.67 Tz=-52.08 Mx=-0.39 Mz=-2.26
Zona tesa: F=62.59 b_{eff}=13.20 t_w=0.70 σ=6.77
Zona tesa: F=62.59 b_{eff}=13.20 t_w=0.70 σ=6.77
CC 24 SLD (Collegamento -384_-528)
Azioni sul collegamento: N=155.43 Ty=-1.18 Tz=-52.08 Mx=-0.29 Mz=-1.60
Zona tesa: F=62.59 b_{eff}=13.20 t_w=0.70 σ=6.77
Zona tesa: F=62.59 b_{eff}=13.20 t_w=0.70 σ=6.77
CC 25 SLV (Collegamento -384_-528)
Azioni sul collegamento: N=157.06 Ty=-0.45 Tz=-52.33 Mx=-0.19 Mz=-0.89
Zona tesa: F=63.24 b_{eff}=13.20 t_w=0.70 σ=6.84
Zona tesa: F=63.24 b_{eff}=13.20 t_w=0.70 σ=6.84
CC 25 SLV (Collegamento -384_-528)
Azioni sul collegamento: N=157.06 Ty=-1.76 Tz=-52.33 Mx=-0.41 Mz=-2.29
Zona tesa: F=63.24 b_{eff}=13.20 t_w=0.70 σ=6.84
Zona tesa: F=63.24 b_{eff}=13.20 t_w=0.70 σ=6.84
CC 25 SLV (Collegamento -384_-528)
Azioni sul collegamento: N=157.06 Ty=-0.45 Tz=-52.33 Mx=-0.19 Mz=-0.89
Zona tesa: F=63.24 b_{eff}=13.20 t_w=0.70 σ=6.84
Zona tesa: F=63.24 b_{eff}=13.20 t_w=0.70 σ=6.84
CC 25 SLV (Collegamento -384_-528)
Azioni sul collegamento: N=157.06 Ty=-1.76 Tz=-52.33 Mx=-0.41 Mz=-2.29
Zona tesa: F=63.24 b_{eff}=13.20 t_w=0.70 σ=6.84
Zona tesa: F=63.24 b_{eff}=13.20 t_w=0.70 σ=6.84
CC 25 SLV (Collegamento -384_-528)
Azioni sul collegamento: N=140.63 Ty=-0.45 Tz=-49.79 Mx=-0.19 Mz=-0.89
Zona tesa: F=56.63 b_{eff}=13.20 t_w=0.70 σ=6.13
Zona tesa: F=56.63 b_{eff}=13.20 t_w=0.70 σ=6.13
CC 25 SLV (Collegamento -384_-528)
Azioni sul collegamento: N=140.63 Ty=-1.76 Tz=-49.79 Mx=-0.41 Mz=-2.29
Zona tesa: F=56.63 b_{eff}=13.20 t_w=0.70 σ=6.13
Zona tesa: F=56.63 b_{eff}=13.20 t_w=0.70 σ=6.13
CC 25 SLV (Collegamento -384_-528)
Azioni sul collegamento: N=140.63 Ty=-0.45 Tz=-49.79 Mx=-0.19 Mz=-0.89
Zona tesa: F=56.63 b_{eff}=13.20 t_w=0.70 σ=6.13
Zona tesa: F=56.63 b_{eff}=13.20 t_w=0.70 σ=6.13
CC 25 SLV (Collegamento -384_-528)
Azioni sul collegamento: N=140.63 Ty=-1.76 Tz=-49.79 Mx=-0.41 Mz=-2.29
Zona tesa: F=56.63 b_{eff}=13.20 t_w=0.70 σ=6.13
Zona tesa: F=56.63 b_{eff}=13.20 t_w=0.70 σ=6.13
CC 26 SLD (Collegamento -384_-528)
Azioni sul collegamento: N=149.73 Ty=-1.23 Tz=-51.20 Mx=-0.32 Mz=-1.72
Zona tesa: F=60.30 b_{eff}=13.20 t_w=0.70 σ=6.53
Zona tesa: F=60.30 b_{eff}=13.20 t_w=0.70 σ=6.53
CC 26 SLD (Collegamento -384_-528)
Azioni sul collegamento: N=149.73 Ty=-1.63 Tz=-51.20 Mx=-0.38 Mz=-2.14
Zona tesa: F=60.30 b_{eff}=13.20 t_w=0.70 σ=6.53
Zona tesa: F=60.30 b_{eff}=13.20 t_w=0.70 σ=6.53
CC 26 SLD (Collegamento -384_-528)
Azioni sul collegamento: N=149.73 Ty=-1.23 Tz=-51.20 Mx=-0.32 Mz=-1.72
Zona tesa: F=60.30 b_{eff}=13.20 t_w=0.70 σ=6.53
Zona tesa: F=60.30 b_{eff}=13.20 t_w=0.70 σ=6.53
CC 26 SLD (Collegamento -384_-528)
Azioni sul collegamento: N=149.73 Ty=-1.63 Tz=-51.20 Mx=-0.38 Mz=-2.14
Zona tesa: F=60.30 b_{eff}=13.20 t_w=0.70 σ=6.53
Zona tesa: F=60.30 b_{eff}=13.20 t_w=0.70 σ=6.53
CC 26 SLD (Collegamento -384_-528)
Azioni sul collegamento: N=144.73 Ty=-1.23 Tz=-50.42 Mx=-0.32 Mz=-1.72
Zona tesa: F=58.28 b_{eff}=13.20 t_w=0.70 σ=6.31
Zona tesa: F=58.28 b_{eff}=13.20 t_w=0.70 σ=6.31
CC 26 SLD (Collegamento -384_-528)
Azioni sul collegamento: N=144.73 Ty=-1.63 Tz=-50.42 Mx=-0.38 Mz=-2.14
Zona tesa: F=58.28 b_{eff}=13.20 t_w=0.70 σ=6.31
Zona tesa: F=58.28 b_{eff}=13.20 t_w=0.70 σ=6.31
CC 26 SLD (Collegamento -384_-528)
Azioni sul collegamento: N=144.73 Ty=-1.23 Tz=-50.42 Mx=-0.32 Mz=-1.72
Zona tesa: F=58.28 b_{eff}=13.20 t_w=0.70 σ=6.31
Zona tesa: F=58.28 b_{eff}=13.20 t_w=0.70 σ=6.31
CC 26 SLD (Collegamento -384_-528)
Azioni sul collegamento: N=144.73 Ty=-1.63 Tz=-50.42 Mx=-0.38 Mz=-2.14
Zona tesa: F=58.28 b_{eff}=13.20 t_w=0.70 σ=6.31
Zona tesa: F=58.28 b_{eff}=13.20 t_w=0.70 σ=6.31
CC 27 SLV (Collegamento -384_-528)
Azioni sul collegamento: N=140.95 Ty=-0.85 Tz=-49.84 Mx=-0.27 Mz=-1.47
Zona tesa: F=56.76 b_{eff}=13.20 t_w=0.70 σ=6.14

Zona tesa: F=56.76 b_{eff}=13.20 t_w=0.70 σ=6.14
CC 27 SLV (Collegamento -384_-528)
Azioni sul collegamento: N=140.95 Ty=-1.36 Tz=-49.84 Mx=-0.31 Mz=-1.71
Zona tesa: F=56.76 b_{eff}=13.20 t_w=0.70 σ=6.14
Zona tesa: F=56.76 b_{eff}=13.20 t_w=0.70 σ=6.14
CC 27 SLV (Collegamento -384_-528)
Azioni sul collegamento: N=140.95 Ty=-0.85 Tz=-49.84 Mx=-0.27 Mz=-1.47
Zona tesa: F=56.76 b_{eff}=13.20 t_w=0.70 σ=6.14
Zona tesa: F=56.76 b_{eff}=13.20 t_w=0.70 σ=6.14
CC 27 SLV (Collegamento -384_-528)
Azioni sul collegamento: N=140.95 Ty=-1.36 Tz=-49.84 Mx=-0.31 Mz=-1.71
Zona tesa: F=56.76 b_{eff}=13.20 t_w=0.70 σ=6.14
Zona tesa: F=56.76 b_{eff}=13.20 t_w=0.70 σ=6.14
CC 27 SLV (Collegamento -384_-528)
Azioni sul collegamento: N=156.74 Ty=-0.85 Tz=-52.28 Mx=-0.27 Mz=-1.47
Zona tesa: F=63.12 b_{eff}=13.20 t_w=0.70 σ=6.83
Zona tesa: F=63.12 b_{eff}=13.20 t_w=0.70 σ=6.83
CC 27 SLV (Collegamento -384_-528)
Azioni sul collegamento: N=156.74 Ty=-1.36 Tz=-52.28 Mx=-0.31 Mz=-1.71
Zona tesa: F=63.12 b_{eff}=13.20 t_w=0.70 σ=6.83
Zona tesa: F=63.12 b_{eff}=13.20 t_w=0.70 σ=6.83
CC 27 SLV (Collegamento -384_-528)
Azioni sul collegamento: N=156.74 Ty=-0.85 Tz=-52.28 Mx=-0.27 Mz=-1.47
Zona tesa: F=63.12 b_{eff}=13.20 t_w=0.70 σ=6.83
Zona tesa: F=63.12 b_{eff}=13.20 t_w=0.70 σ=6.83
CC 27 SLV (Collegamento -384_-528)
Azioni sul collegamento: N=156.74 Ty=-1.36 Tz=-52.28 Mx=-0.31 Mz=-1.71
Zona tesa: F=63.12 b_{eff}=13.20 t_w=0.70 σ=6.83
Zona tesa: F=63.12 b_{eff}=13.20 t_w=0.70 σ=6.83
CC 28 SLD (Collegamento -384_-528)
Azioni sul collegamento: N=144.82 Ty=-1.35 Tz=-50.44 Mx=-0.34 Mz=-1.89
Zona tesa: F=58.32 b_{eff}=13.20 t_w=0.70 σ=6.31
Zona tesa: F=58.32 b_{eff}=13.20 t_w=0.70 σ=6.31
CC 28 SLD (Collegamento -384_-528)
Azioni sul collegamento: N=144.82 Ty=-1.50 Tz=-50.44 Mx=-0.35 Mz=-1.97
Zona tesa: F=58.32 b_{eff}=13.20 t_w=0.70 σ=6.31
Zona tesa: F=58.32 b_{eff}=13.20 t_w=0.70 σ=6.31
CC 28 SLD (Collegamento -384_-528)
Azioni sul collegamento: N=144.82 Ty=-1.35 Tz=-50.44 Mx=-0.34 Mz=-1.89
Zona tesa: F=58.32 b_{eff}=13.20 t_w=0.70 σ=6.31
Zona tesa: F=58.32 b_{eff}=13.20 t_w=0.70 σ=6.31
CC 28 SLD (Collegamento -384_-528)
Azioni sul collegamento: N=144.82 Ty=-1.50 Tz=-50.44 Mx=-0.35 Mz=-1.97
Zona tesa: F=58.32 b_{eff}=13.20 t_w=0.70 σ=6.31
Zona tesa: F=58.32 b_{eff}=13.20 t_w=0.70 σ=6.31
CC 28 SLD (Collegamento -384_-528)
Azioni sul collegamento: N=149.64 Ty=-1.35 Tz=-51.18 Mx=-0.34 Mz=-1.89
Zona tesa: F=60.26 b_{eff}=13.20 t_w=0.70 σ=6.52
Zona tesa: F=60.26 b_{eff}=13.20 t_w=0.70 σ=6.52
CC 28 SLD (Collegamento -384_-528)
Azioni sul collegamento: N=149.64 Ty=-1.50 Tz=-51.18 Mx=-0.35 Mz=-1.97
Zona tesa: F=60.26 b_{eff}=13.20 t_w=0.70 σ=6.52
Zona tesa: F=60.26 b_{eff}=13.20 t_w=0.70 σ=6.52
CC 28 SLD (Collegamento -384_-528)
Azioni sul collegamento: N=149.64 Ty=-1.35 Tz=-51.18 Mx=-0.34 Mz=-1.89
Zona tesa: F=60.26 b_{eff}=13.20 t_w=0.70 σ=6.52
Zona tesa: F=60.26 b_{eff}=13.20 t_w=0.70 σ=6.52
CC 28 SLD (Collegamento -384_-528)
Azioni sul collegamento: N=149.64 Ty=-1.50 Tz=-51.18 Mx=-0.35 Mz=-1.97
Zona tesa: F=60.26 b_{eff}=13.20 t_w=0.70 σ=6.52
Zona tesa: F=60.26 b_{eff}=13.20 t_w=0.70 σ=6.52
CC 29 SLV (Collegamento -384_-528)
Azioni sul collegamento: N=156.74 Ty=-1.36 Tz=-52.28 Mx=-0.31 Mz=-1.71
Zona tesa: F=63.12 b_{eff}=13.20 t_w=0.70 σ=6.83
Zona tesa: F=63.12 b_{eff}=13.20 t_w=0.70 σ=6.83
CC 29 SLV (Collegamento -384_-528)
Azioni sul collegamento: N=156.74 Ty=-0.85 Tz=-52.28 Mx=-0.27 Mz=-1.47
Zona tesa: F=63.12 b_{eff}=13.20 t_w=0.70 σ=6.83
Zona tesa: F=63.12 b_{eff}=13.20 t_w=0.70 σ=6.83
CC 29 SLV (Collegamento -384_-528)
Azioni sul collegamento: N=156.74 Ty=-1.36 Tz=-52.28 Mx=-0.31 Mz=-1.71
Zona tesa: F=63.12 b_{eff}=13.20 t_w=0.70 σ=6.83
Zona tesa: F=63.12 b_{eff}=13.20 t_w=0.70 σ=6.83
CC 29 SLV (Collegamento -384_-528)
Azioni sul collegamento: N=156.74 Ty=-0.85 Tz=-52.28 Mx=-0.27 Mz=-1.47
Zona tesa: F=63.12 b_{eff}=13.20 t_w=0.70 σ=6.83

Zona tesa: F=63.12 b_{eff}=13.20 t_w=0.70 σ=6.83
CC 29 SLV (Collegamento -384_-528)
Azioni sul collegamento: N=140.95 Ty=-1.36 Tz=-49.84 Mx=-0.31 Mz=-1.71
Zona tesa: F=56.76 b_{eff}=13.20 t_w=0.70 σ=6.14
Zona tesa: F=56.76 b_{eff}=13.20 t_w=0.70 σ=6.14
CC 29 SLV (Collegamento -384_-528)
Azioni sul collegamento: N=140.95 Ty=-0.85 Tz=-49.84 Mx=-0.27 Mz=-1.47
Zona tesa: F=56.76 b_{eff}=13.20 t_w=0.70 σ=6.14
Zona tesa: F=56.76 b_{eff}=13.20 t_w=0.70 σ=6.14
CC 29 SLV (Collegamento -384_-528)
Azioni sul collegamento: N=140.95 Ty=-1.36 Tz=-49.84 Mx=-0.31 Mz=-1.71
Zona tesa: F=56.76 b_{eff}=13.20 t_w=0.70 σ=6.14
Zona tesa: F=56.76 b_{eff}=13.20 t_w=0.70 σ=6.14
CC 29 SLV (Collegamento -384_-528)
Azioni sul collegamento: N=140.95 Ty=-0.85 Tz=-49.84 Mx=-0.27 Mz=-1.47
Zona tesa: F=56.76 b_{eff}=13.20 t_w=0.70 σ=6.14
Zona tesa: F=56.76 b_{eff}=13.20 t_w=0.70 σ=6.14
CC 30 SLD (Collegamento -384_-528)
Azioni sul collegamento: N=149.64 Ty=-1.50 Tz=-51.18 Mx=-0.36 Mz=-1.97
Zona tesa: F=60.26 b_{eff}=13.20 t_w=0.70 σ=6.52
Zona tesa: F=60.26 b_{eff}=13.20 t_w=0.70 σ=6.52
CC 30 SLD (Collegamento -384_-528)
Azioni sul collegamento: N=149.64 Ty=-1.35 Tz=-51.18 Mx=-0.34 Mz=-1.89
Zona tesa: F=60.26 b_{eff}=13.20 t_w=0.70 σ=6.52
Zona tesa: F=60.26 b_{eff}=13.20 t_w=0.70 σ=6.52
CC 30 SLD (Collegamento -384_-528)
Azioni sul collegamento: N=149.64 Ty=-1.50 Tz=-51.18 Mx=-0.36 Mz=-1.97
Zona tesa: F=60.26 b_{eff}=13.20 t_w=0.70 σ=6.52
Zona tesa: F=60.26 b_{eff}=13.20 t_w=0.70 σ=6.52
CC 30 SLD (Collegamento -384_-528)
Azioni sul collegamento: N=149.64 Ty=-1.35 Tz=-51.18 Mx=-0.34 Mz=-1.89
Zona tesa: F=60.26 b_{eff}=13.20 t_w=0.70 σ=6.52
Zona tesa: F=60.26 b_{eff}=13.20 t_w=0.70 σ=6.52
CC 30 SLD (Collegamento -384_-528)
Azioni sul collegamento: N=144.82 Ty=-1.50 Tz=-50.44 Mx=-0.36 Mz=-1.97
Zona tesa: F=58.32 b_{eff}=13.20 t_w=0.70 σ=6.31
Zona tesa: F=58.32 b_{eff}=13.20 t_w=0.70 σ=6.31
CC 30 SLD (Collegamento -384_-528)
Azioni sul collegamento: N=144.82 Ty=-1.35 Tz=-50.44 Mx=-0.34 Mz=-1.89
Zona tesa: F=58.32 b_{eff}=13.20 t_w=0.70 σ=6.31
Zona tesa: F=58.32 b_{eff}=13.20 t_w=0.70 σ=6.31
CC 30 SLD (Collegamento -384_-528)
Azioni sul collegamento: N=144.82 Ty=-1.50 Tz=-50.44 Mx=-0.36 Mz=-1.97
Zona tesa: F=58.32 b_{eff}=13.20 t_w=0.70 σ=6.31
Zona tesa: F=58.32 b_{eff}=13.20 t_w=0.70 σ=6.31
CC 30 SLD (Collegamento -384_-528)
Azioni sul collegamento: N=144.82 Ty=-1.35 Tz=-50.44 Mx=-0.34 Mz=-1.89
Zona tesa: F=58.32 b_{eff}=13.20 t_w=0.70 σ=6.31
Zona tesa: F=58.32 b_{eff}=13.20 t_w=0.70 σ=6.31
CC 31 SLV (Collegamento -384_-528)
Azioni sul collegamento: N=140.63 Ty=-1.76 Tz=-49.79 Mx=-0.39 Mz=-2.29
Zona tesa: F=56.63 b_{eff}=13.20 t_w=0.70 σ=6.13
Zona tesa: F=56.63 b_{eff}=13.20 t_w=0.70 σ=6.13
CC 31 SLV (Collegamento -384_-528)
Azioni sul collegamento: N=140.63 Ty=-0.45 Tz=-49.79 Mx=-0.17 Mz=-0.89
Zona tesa: F=56.63 b_{eff}=13.20 t_w=0.70 σ=6.13
Zona tesa: F=56.63 b_{eff}=13.20 t_w=0.70 σ=6.13
CC 31 SLV (Collegamento -384_-528)
Azioni sul collegamento: N=140.63 Ty=-1.76 Tz=-49.79 Mx=-0.39 Mz=-2.29
Zona tesa: F=56.63 b_{eff}=13.20 t_w=0.70 σ=6.13
Zona tesa: F=56.63 b_{eff}=13.20 t_w=0.70 σ=6.13
CC 31 SLV (Collegamento -384_-528)
Azioni sul collegamento: N=140.63 Ty=-0.45 Tz=-49.79 Mx=-0.17 Mz=-0.89
Zona tesa: F=56.63 b_{eff}=13.20 t_w=0.70 σ=6.13
Zona tesa: F=56.63 b_{eff}=13.20 t_w=0.70 σ=6.13
CC 31 SLV (Collegamento -384_-528)
Azioni sul collegamento: N=157.06 Ty=-1.76 Tz=-52.33 Mx=-0.39 Mz=-2.29
Zona tesa: F=63.24 b_{eff}=13.20 t_w=0.70 σ=6.84
Zona tesa: F=63.24 b_{eff}=13.20 t_w=0.70 σ=6.84
CC 31 SLV (Collegamento -384_-528)
Azioni sul collegamento: N=157.06 Ty=-0.45 Tz=-52.33 Mx=-0.17 Mz=-0.89
Zona tesa: F=63.24 b_{eff}=13.20 t_w=0.70 σ=6.84
Zona tesa: F=63.24 b_{eff}=13.20 t_w=0.70 σ=6.84
CC 31 SLV (Collegamento -384_-528)
Azioni sul collegamento: N=157.06 Ty=-1.76 Tz=-52.33 Mx=-0.39 Mz=-2.29
Zona tesa: F=63.24 b_{eff}=13.20 t_w=0.70 σ=6.84

Zona tesa: F=63.24 b_{eff}=13.20 t_w=0.70 σ=6.84
CC 31 SLV (Collegamento -384_-528)
Azioni sul collegamento: N=157.06 Ty=-0.45 Tz=-52.33 Mx=-0.17 Mz=-0.89
Zona tesa: F=63.24 b_{eff}=13.20 t_w=0.70 σ=6.84
Zona tesa: F=63.24 b_{eff}=13.20 t_w=0.70 σ=6.84
CC 32 SLD (Collegamento -384_-528)
Azioni sul collegamento: N=144.73 Ty=-1.63 Tz=-50.42 Mx=-0.38 Mz=-2.14
Zona tesa: F=58.28 b_{eff}=13.20 t_w=0.70 σ=6.31
Zona tesa: F=58.28 b_{eff}=13.20 t_w=0.70 σ=6.31
CC 32 SLD (Collegamento -384_-528)
Azioni sul collegamento: N=144.73 Ty=-1.23 Tz=-50.42 Mx=-0.31 Mz=-1.72
Zona tesa: F=58.28 b_{eff}=13.20 t_w=0.70 σ=6.31
Zona tesa: F=58.28 b_{eff}=13.20 t_w=0.70 σ=6.31
CC 32 SLD (Collegamento -384_-528)
Azioni sul collegamento: N=144.73 Ty=-1.63 Tz=-50.42 Mx=-0.38 Mz=-2.14
Zona tesa: F=58.28 b_{eff}=13.20 t_w=0.70 σ=6.31
Zona tesa: F=58.28 b_{eff}=13.20 t_w=0.70 σ=6.31
CC 32 SLD (Collegamento -384_-528)
Azioni sul collegamento: N=144.73 Ty=-1.23 Tz=-50.42 Mx=-0.31 Mz=-1.72
Zona tesa: F=58.28 b_{eff}=13.20 t_w=0.70 σ=6.31
Zona tesa: F=58.28 b_{eff}=13.20 t_w=0.70 σ=6.31
CC 32 SLD (Collegamento -384_-528)
Azioni sul collegamento: N=149.73 Ty=-1.63 Tz=-51.20 Mx=-0.38 Mz=-2.14
Zona tesa: F=60.30 b_{eff}=13.20 t_w=0.70 σ=6.53
Zona tesa: F=60.30 b_{eff}=13.20 t_w=0.70 σ=6.53
CC 32 SLD (Collegamento -384_-528)
Azioni sul collegamento: N=149.73 Ty=-1.23 Tz=-51.20 Mx=-0.31 Mz=-1.72
Zona tesa: F=60.30 b_{eff}=13.20 t_w=0.70 σ=6.53
Zona tesa: F=60.30 b_{eff}=13.20 t_w=0.70 σ=6.53
CC 32 SLD (Collegamento -384_-528)
Azioni sul collegamento: N=149.73 Ty=-1.63 Tz=-51.20 Mx=-0.38 Mz=-2.14
Zona tesa: F=60.30 b_{eff}=13.20 t_w=0.70 σ=6.53
Zona tesa: F=60.30 b_{eff}=13.20 t_w=0.70 σ=6.53
CC 32 SLD (Collegamento -384_-528)
Azioni sul collegamento: N=149.73 Ty=-1.23 Tz=-51.20 Mx=-0.31 Mz=-1.72
Zona tesa: F=60.30 b_{eff}=13.20 t_w=0.70 σ=6.53
Zona tesa: F=60.30 b_{eff}=13.20 t_w=0.70 σ=6.53
CC 33 SLU (Collegamento -384_-528)
Azioni sul collegamento: N=369.96 Ty=-3.32 Tz=-95.09 Mx=-0.79 Mz=-4.42
Zona tesa: F=148.98 b_{eff}=13.20 t_w=0.70 σ=16.12
Zona tesa: F=148.98 b_{eff}=13.20 t_w=0.70 σ=16.12
CC 34 SLU (Collegamento -384_-528)
Azioni sul collegamento: N=364.37 Ty=-3.18 Tz=-94.22 Mx=-0.76 Mz=-4.22
Zona tesa: F=146.73 b_{eff}=13.20 t_w=0.70 σ=15.88
Zona tesa: F=146.73 b_{eff}=13.20 t_w=0.70 σ=15.88
CC 35 SLU (Collegamento -384_-528)
Azioni sul collegamento: N=367.15 Ty=-3.20 Tz=-94.65 Mx=-0.77 Mz=-4.28
Zona tesa: F=147.84 b_{eff}=13.20 t_w=0.70 σ=16.00
Zona tesa: F=147.84 b_{eff}=13.20 t_w=0.70 σ=16.00
CC 36 SLU (Collegamento -384_-528)
Azioni sul collegamento: N=367.19 Ty=-3.29 Tz=-94.66 Mx=-0.78 Mz=-4.36
Zona tesa: F=147.86 b_{eff}=13.20 t_w=0.70 σ=16.00
Zona tesa: F=147.86 b_{eff}=13.20 t_w=0.70 σ=16.00
CC 37 SLU (Collegamento -384_-528)
Azioni sul collegamento: N=302.66 Ty=-3.15 Tz=-84.67 Mx=-0.78 Mz=-4.37
Zona tesa: F=121.88 b_{eff}=13.20 t_w=0.70 σ=13.19
Zona tesa: F=121.88 b_{eff}=13.20 t_w=0.70 σ=13.19
CC 38 SLU (Collegamento -384_-528)
Azioni sul collegamento: N=297.07 Ty=-3.01 Tz=-83.81 Mx=-0.74 Mz=-4.17
Zona tesa: F=119.63 b_{eff}=13.20 t_w=0.70 σ=12.95
Zona tesa: F=119.63 b_{eff}=13.20 t_w=0.70 σ=12.95
CC 39 SLU (Collegamento -384_-528)
Azioni sul collegamento: N=299.85 Ty=-3.03 Tz=-84.23 Mx=-0.76 Mz=-4.23
Zona tesa: F=120.74 b_{eff}=13.20 t_w=0.70 σ=13.07
Zona tesa: F=120.74 b_{eff}=13.20 t_w=0.70 σ=13.07
CC 40 SLU (Collegamento -384_-528)
Azioni sul collegamento: N=299.89 Ty=-3.13 Tz=-84.24 Mx=-0.77 Mz=-4.31
Zona tesa: F=120.76 b_{eff}=13.20 t_w=0.70 σ=13.07
Zona tesa: F=120.76 b_{eff}=13.20 t_w=0.70 σ=13.07
CC 41 SLU (Collegamento -384_-528)
Azioni sul collegamento: N=334.14 Ty=1.91 Tz=-89.54 Mx=0.47 Mz=2.77
Zona tesa: F=134.55 b_{eff}=13.20 t_w=0.70 σ=14.56
Zona tesa: F=134.55 b_{eff}=13.20 t_w=0.70 σ=14.56
CC 42 SLU (Collegamento -384_-528)
Azioni sul collegamento: N=328.55 Ty=2.05 Tz=-88.68 Mx=0.51 Mz=2.97
Zona tesa: F=132.30 b_{eff}=13.20 t_w=0.70 σ=14.32

Zona tesa: F=132.30 b_{eff}=13.20 t_w=0.70 σ=14.32
CC 43 SLU (Collegamento -384_-528)
Azioni sul collegamento: N=331.32 Ty=2.03 Tz=-89.11 Mx=0.50 Mz=2.91
Zona tesa: F=133.42 b_{eff}=13.20 t_w=0.70 σ=14.44
Zona tesa: F=133.42 b_{eff}=13.20 t_w=0.70 σ=14.44
CC 44 SLU (Collegamento -384_-528)
Azioni sul collegamento: N=331.37 Ty=1.94 Tz=-89.11 Mx=0.48 Mz=2.83
Zona tesa: F=133.44 b_{eff}=13.20 t_w=0.70 σ=14.44
Zona tesa: F=133.44 b_{eff}=13.20 t_w=0.70 σ=14.44
CC 45 SLU (Collegamento -384_-528)
Azioni sul collegamento: N=317.41 Ty=-3.30 Tz=-86.95 Mx=-0.78 Mz=-4.39
Zona tesa: F=127.82 b_{eff}=13.20 t_w=0.70 σ=13.83
Zona tesa: F=127.82 b_{eff}=13.20 t_w=0.70 σ=13.83
CC 46 SLU (Collegamento -384_-528)
Azioni sul collegamento: N=311.82 Ty=-3.16 Tz=-86.09 Mx=-0.75 Mz=-4.19
Zona tesa: F=125.56 b_{eff}=13.20 t_w=0.70 σ=13.59
Zona tesa: F=125.56 b_{eff}=13.20 t_w=0.70 σ=13.59
CC 47 SLU (Collegamento -384_-528)
Azioni sul collegamento: N=314.59 Ty=-3.18 Tz=-86.52 Mx=-0.76 Mz=-4.24
Zona tesa: F=126.68 b_{eff}=13.20 t_w=0.70 σ=13.71
Zona tesa: F=126.68 b_{eff}=13.20 t_w=0.70 σ=13.71
CC 48 SLU (Collegamento -384_-528)
Azioni sul collegamento: N=314.64 Ty=-3.28 Tz=-86.52 Mx=-0.77 Mz=-4.33
Zona tesa: F=126.70 b_{eff}=13.20 t_w=0.70 σ=13.71
Zona tesa: F=126.70 b_{eff}=13.20 t_w=0.70 σ=13.71
CC 49 SLU (Collegamento -384_-528)
Azioni sul collegamento: N=267.06 Ty=-3.17 Tz=-79.16 Mx=-0.77 Mz=-4.35
Zona tesa: F=107.54 b_{eff}=13.20 t_w=0.70 σ=11.64
Zona tesa: F=107.54 b_{eff}=13.20 t_w=0.70 σ=11.64
CC 50 SLU (Collegamento -384_-528)
Azioni sul collegamento: N=261.47 Ty=-3.03 Tz=-78.30 Mx=-0.74 Mz=-4.15
Zona tesa: F=105.29 b_{eff}=13.20 t_w=0.70 σ=11.39
Zona tesa: F=105.29 b_{eff}=13.20 t_w=0.70 σ=11.39
CC 51 SLU (Collegamento -384_-528)
Azioni sul collegamento: N=264.24 Ty=-3.06 Tz=-78.72 Mx=-0.75 Mz=-4.21
Zona tesa: F=106.41 b_{eff}=13.20 t_w=0.70 σ=11.52
Zona tesa: F=106.41 b_{eff}=13.20 t_w=0.70 σ=11.52
CC 52 SLU (Collegamento -384_-528)
Azioni sul collegamento: N=264.29 Ty=-3.15 Tz=-78.73 Mx=-0.76 Mz=-4.29
Zona tesa: F=106.42 b_{eff}=13.20 t_w=0.70 σ=11.52
Zona tesa: F=106.42 b_{eff}=13.20 t_w=0.70 σ=11.52
CC 53 SLU (Collegamento -384_-528)
Azioni sul collegamento: N=290.61 Ty=0.61 Tz=-82.80 Mx=0.16 Mz=0.99
Zona tesa: F=117.02 b_{eff}=13.20 t_w=0.70 σ=12.66
Zona tesa: F=117.02 b_{eff}=13.20 t_w=0.70 σ=12.66
CC 54 SLU (Collegamento -384_-528)
Azioni sul collegamento: N=285.02 Ty=0.75 Tz=-81.94 Mx=0.20 Mz=1.19
Zona tesa: F=114.77 b_{eff}=13.20 t_w=0.70 σ=12.42
Zona tesa: F=114.77 b_{eff}=13.20 t_w=0.70 σ=12.42
CC 55 SLU (Collegamento -384_-528)
Azioni sul collegamento: N=287.79 Ty=0.73 Tz=-82.37 Mx=0.19 Mz=1.13
Zona tesa: F=115.89 b_{eff}=13.20 t_w=0.70 σ=12.54
Zona tesa: F=115.89 b_{eff}=13.20 t_w=0.70 σ=12.54
CC 56 SLU (Collegamento -384_-528)
Azioni sul collegamento: N=287.83 Ty=0.64 Tz=-82.38 Mx=0.17 Mz=1.05
Zona tesa: F=115.91 b_{eff}=13.20 t_w=0.70 σ=12.54
Zona tesa: F=115.91 b_{eff}=13.20 t_w=0.70 σ=12.54
CC 57 SLU (Collegamento -384_-528)
Azioni sul collegamento: N=302.11 Ty=-2.98 Tz=-84.58 Mx=-0.70 Mz=-3.93
Zona tesa: F=121.66 b_{eff}=13.20 t_w=0.70 σ=13.17
Zona tesa: F=121.66 b_{eff}=13.20 t_w=0.70 σ=13.17
CC 58 SLU (Collegamento -384_-528)
Azioni sul collegamento: N=296.52 Ty=-2.84 Tz=-83.72 Mx=-0.67 Mz=-3.73
Zona tesa: F=119.40 b_{eff}=13.20 t_w=0.70 σ=12.92
Zona tesa: F=119.40 b_{eff}=13.20 t_w=0.70 σ=12.92
CC 59 SLU (Collegamento -384_-528)
Azioni sul collegamento: N=299.29 Ty=-2.86 Tz=-84.15 Mx=-0.68 Mz=-3.79
Zona tesa: F=120.52 b_{eff}=13.20 t_w=0.70 σ=13.04
Zona tesa: F=120.52 b_{eff}=13.20 t_w=0.70 σ=13.04
CC 60 SLU (Collegamento -384_-528)
Azioni sul collegamento: N=299.34 Ty=-2.96 Tz=-84.16 Mx=-0.69 Mz=-3.87
Zona tesa: F=120.54 b_{eff}=13.20 t_w=0.70 σ=13.05
Zona tesa: F=120.54 b_{eff}=13.20 t_w=0.70 σ=13.05
CC 61 SLU (Collegamento -384_-528)
Azioni sul collegamento: N=251.76 Ty=-2.85 Tz=-76.79 Mx=-0.69 Mz=-3.89
Zona tesa: F=101.38 b_{eff}=13.20 t_w=0.70 σ=10.97

Zona tesa: F=101.38 b_{eff}=13.20 t_w=0.70 σ=10.97
CC 62 SLU (Collegamento -384_-528)
Azioni sul collegamento: N=246.17 Ty=-2.71 Tz=-75.93 Mx=-0.66 Mz=-3.69
Zona tesa: F=99.13 b_{eff}=13.20 t_w=0.70 σ=10.73
Zona tesa: F=99.13 b_{eff}=13.20 t_w=0.70 σ=10.73
CC 63 SLU (Collegamento -384_-528)
Azioni sul collegamento: N=248.94 Ty=-2.74 Tz=-76.36 Mx=-0.67 Mz=-3.75
Zona tesa: F=100.25 b_{eff}=13.20 t_w=0.70 σ=10.85
Zona tesa: F=100.25 b_{eff}=13.20 t_w=0.70 σ=10.85
CC 64 SLU (Collegamento -384_-528)
Azioni sul collegamento: N=248.99 Ty=-2.83 Tz=-76.36 Mx=-0.68 Mz=-3.83
Zona tesa: F=100.26 b_{eff}=13.20 t_w=0.70 σ=10.85
Zona tesa: F=100.26 b_{eff}=13.20 t_w=0.70 σ=10.85
CC 65 SLU (Collegamento -384_-528)
Azioni sul collegamento: N=275.31 Ty=0.93 Tz=-80.44 Mx=0.24 Mz=1.45
Zona tesa: F=110.86 b_{eff}=13.20 t_w=0.70 σ=12.00
Zona tesa: F=110.86 b_{eff}=13.20 t_w=0.70 σ=12.00
CC 66 SLU (Collegamento -384_-528)
Azioni sul collegamento: N=269.72 Ty=1.07 Tz=-79.57 Mx=0.28 Mz=1.65
Zona tesa: F=108.61 b_{eff}=13.20 t_w=0.70 σ=11.75
Zona tesa: F=108.61 b_{eff}=13.20 t_w=0.70 σ=11.75
CC 67 SLU (Collegamento -384_-528)
Azioni sul collegamento: N=272.49 Ty=1.05 Tz=-80.00 Mx=0.27 Mz=1.59
Zona tesa: F=109.73 b_{eff}=13.20 t_w=0.70 σ=11.88
Zona tesa: F=109.73 b_{eff}=13.20 t_w=0.70 σ=11.88
CC 68 SLU (Collegamento -384_-528)
Azioni sul collegamento: N=272.54 Ty=0.96 Tz=-80.01 Mx=0.25 Mz=1.51
Zona tesa: F=109.75 b_{eff}=13.20 t_w=0.70 σ=11.88
Zona tesa: F=109.75 b_{eff}=13.20 t_w=0.70 σ=11.88
CC 97 SLU (Collegamento -384_-528)
Azioni sul collegamento: N=150.79 Ty=-11.89 Tz=-51.36 Mx=-1.38 Mz=-8.76
Zona tesa: F=60.72 b_{eff}=13.20 t_w=0.70 σ=6.57
Zona tesa: F=60.72 b_{eff}=13.20 t_w=0.70 σ=6.57
CC 98 SLU (Collegamento -384_-528)
Azioni sul collegamento: N=145.20 Ty=-11.75 Tz=-50.49 Mx=-1.34 Mz=-8.56
Zona tesa: F=58.47 b_{eff}=13.20 t_w=0.70 σ=6.33
Zona tesa: F=58.47 b_{eff}=13.20 t_w=0.70 σ=6.33
CC 99 SLU (Collegamento -384_-528)
Azioni sul collegamento: N=147.97 Ty=-11.78 Tz=-50.92 Mx=-1.35 Mz=-8.62
Zona tesa: F=59.59 b_{eff}=13.20 t_w=0.70 σ=6.45
Zona tesa: F=59.59 b_{eff}=13.20 t_w=0.70 σ=6.45
CC 100 SLU (Collegamento -384_-528)
Azioni sul collegamento: N=148.01 Ty=-11.87 Tz=-50.93 Mx=-1.37 Mz=-8.70
Zona tesa: F=59.60 b_{eff}=13.20 t_w=0.70 σ=6.45
Zona tesa: F=59.60 b_{eff}=13.20 t_w=0.70 σ=6.45
CC 101 SLU (Collegamento -384_-528)
Azioni sul collegamento: N=153.59 Ty=-0.22 Tz=-51.79 Mx=-0.23 Mz=-1.11
Zona tesa: F=61.85 b_{eff}=13.20 t_w=0.70 σ=6.69
Zona tesa: F=61.85 b_{eff}=13.20 t_w=0.70 σ=6.69
CC 102 SLU (Collegamento -384_-528)
Azioni sul collegamento: N=148.00 Ty=-0.08 Tz=-50.93 Mx=-0.19 Mz=-0.91
Zona tesa: F=59.60 b_{eff}=13.20 t_w=0.70 σ=6.45
Zona tesa: F=59.60 b_{eff}=13.20 t_w=0.70 σ=6.45
CC 103 SLU (Collegamento -384_-528)
Azioni sul collegamento: N=150.77 Ty=-0.10 Tz=-51.36 Mx=-0.20 Mz=-0.97
Zona tesa: F=60.71 b_{eff}=13.20 t_w=0.70 σ=6.57
Zona tesa: F=60.71 b_{eff}=13.20 t_w=0.70 σ=6.57
CC 104 SLU (Collegamento -384_-528)
Azioni sul collegamento: N=150.82 Ty=-0.19 Tz=-51.36 Mx=-0.21 Mz=-1.05
Zona tesa: F=60.73 b_{eff}=13.20 t_w=0.70 σ=6.57
Zona tesa: F=60.73 b_{eff}=13.20 t_w=0.70 σ=6.57

Collegamento -503_0010

Piastra 400.00 x 340.00 s=20.00 - 12 Tirafondi ϕ 22 - Profondità di infissione: 300.00
4 righe ad interasse 94.00
4 colonne ad interasse variabile
Altezza di gola saldature: anima 7.07 - ala 7.07
Irrigidimenti:
Laterali parallele all'anima s=10.00
Trasversali s=10.00

Tirafondi e calcestruzzo

CC 98 SLU (Collegamento -503_0010)
Azioni sul collegamento: N=25468.10 Ty=-8.63 Tz=-79.67 Mx=0.23 Mz=-2.23

Sollecitazioni agenti localmente: Tx_l=-8.63 Ty_l=-79.67 N_l=25468.10 Mx_l=0.00 My_l=-2.23 Mz_l=0.23
Taglio nei bulloni: Fv,Ed=6.78 Fv,Rd=14597.10
Rifollamento lato piastra: Fb,Ed,p=6.78 Fb,Rd,p=11154.80
Trazione nei bulloni: Ft,Ed=2123.77 Ft,Rd=17452.80
Azione di punzonamento di progetto lato piastra: Bp,Ed,p=2123.77 Bb,Rd,p=57061.40
Int. V-T=0.09
Tirafondi:LT=0.41 (0.25) σ_{cR}=119.86 σ_{fR}=138.84
Compressione nel calcestruzzo: σ_c=0.00
CC 110 SLU (Collegamento -503_0010)
Azioni sul collegamento: N=20222.50 Ty=-8.96 Tz=-79.67 Mx=0.22 Mz=-3.79
Sollecitazioni agenti localmente: Tx_l=-8.96 Ty_l=-79.67 N_l=20222.50 Mx_l=0.00 My_l=-3.79 Mz_l=0.22
Taglio nei bulloni: Fv,Ed=6.78 Fv,Rd=14597.10
Rifollamento lato piastra: Fb,Ed,p=6.78 Fb,Rd,p=11169.50
Trazione nei bulloni: Ft,Ed=1687.64 Ft,Rd=17452.80
Azione di punzonamento di progetto lato piastra: Bp,Ed,p=1687.64 Bb,Rd,p=57061.40
Int. V-T=0.07
Tirafondi:LT=0.41 (0.25) σ_{cR}=95.25 σ_{fR}=110.33
Compressione nel calcestruzzo: σ_c=0.00
CC 121 SLU (Collegamento -503_0010)
Azioni sul collegamento: N=20091.60 Ty=-4.00 Tz=-79.67 Mx=0.17 Mz=4.90
Sollecitazioni agenti localmente: Tx_l=-4.00 Ty_l=-79.67 N_l=20091.60 Mx_l=0.00 My_l=4.90 Mz_l=0.17
Taglio nei bulloni: Fv,Ed=6.72 Fv,Rd=14597.10
Rifollamento lato piastra: Fb,Ed,p=6.72 Fb,Rd,p=10983.40
Trazione nei bulloni: Ft,Ed=1677.45 Ft,Rd=17452.80
Azione di punzonamento di progetto lato piastra: Bp,Ed,p=1677.45 Bb,Rd,p=57061.40
Int. V-T=0.07
Tirafondi:LT=0.41 (0.25) σ_{cR}=94.67 σ_{fR}=109.66
Compressione nel calcestruzzo: σ_c=0.00

Saldatura profilo-piastra

CC 17 SLV (Collegamento -503_0010)
Azioni sul collegamento: N=10413.90 Ty=-10.69 Tz=-59.01 Mx=0.28 Mz=-5.81
Sollecitazioni agenti localmente: Tx_l=-10.69 Ty_l=-59.01 N_l=10413.90 My_l=5.81 Mz_l=0.28
Azioni sul cordone: TP=3.32 TO=11.76 NO=2075.85
Tensioni nel cordone: τ_P=0.39 τ_0=1.39 σ_0=253.17 σ_{ID}=253.18 Σ_T=254.56
CC 98 SLU (Collegamento -503_0010)
Azioni sul collegamento: N=25468.10 Ty=-8.63 Tz=-79.67 Mx=0.23 Mz=-2.23
Sollecitazioni agenti localmente: Tx_l=-8.63 Ty_l=-79.67 N_l=25468.10 My_l=2.23 Mz_l=0.23
Azioni sul cordone: TP=-0.90 TO=-5.70 NO=1882.61
Tensioni nel cordone: τ_P=0.29 τ_0=1.81 σ_0=601.64 σ_{ID}=601.64 Σ_T=603.45
CC 122 SLU (Collegamento -503_0010)
Azioni sul collegamento: N=20486.10 Ty=-4.20 Tz=-79.67 Mx=0.17 Mz=4.81
Sollecitazioni agenti localmente: Tx_l=-4.20 Ty_l=-79.67 N_l=20486.10 My_l=-4.81 Mz_l=0.17
Azioni sul cordone: TP=-0.51 TO=-6.03 NO=1514.34
Tensioni nel cordone: τ_P=0.16 τ_0=1.92 σ_0=488.35 σ_{ID}=488.36 Σ_T=490.27

Flessione attacco superiore piastra

Bnetta=20.00 Hnetta=400.00 irrigidita (W=54.53)
CC 98 SLU (Collegamento -503_0010)
Azioni sul collegamento: N=25468.10 Ty=-8.63 Tz=-79.67 Mx=0.23 Mz=-2.23
Sollecitazioni agenti localmente: Ty_l=8489.36 Mx_l=602.75
Tensioni nella sezione: σ=1105.33 τ=530.59

Flessione attacco inferiore piastra

Bnetta=20.00 Hnetta=400.00 irrigidita (W=54.53)
CC 98 SLU (Collegamento -503_0010)
Azioni sul collegamento: N=25468.10 Ty=-8.63 Tz=-79.67 Mx=0.23 Mz=-2.23
Sollecitazioni agenti localmente: Ty_l=8489.36 Mx_l=602.75
Tensioni nella sezione: σ=1105.33 τ=530.59

Flessione attacco destro piastra

Bnetta=20.00 Hnetta=340.00 irrigidita (W=53.66)
CC 98 SLU (Collegamento -503_0010)
Azioni sul collegamento: N=25468.10 Ty=-8.63 Tz=-79.67 Mx=0.23 Mz=-2.23
Sollecitazioni agenti localmente: Ty_l=12741.30 My_l=942.93
Tensioni nella sezione: σ=1757.33 τ=796.33

Flessione attacco sinistro piastra

Bnetta=20.00 Hnetta=340.00 irrigidita (W=53.66)
CC 98 SLU (Collegamento -503_0010)
Azioni sul collegamento: N=25468.10 Ty=-8.63 Tz=-79.67 Mx=0.23 Mz=-2.23
Sollecitazioni agenti localmente: Ty_l=12726.80 My_l=941.71
Tensioni nella sezione: σ=1755.06 τ=795.43

Flessione locale sinistra

Bullone in x=-171.00 y=-47.00
Bnetta=26.00 Hnetta=20.00
CC 98 SLU (Collegamento -503_0010)
Azioni sul collegamento: N=25468.10 Ty=-8.63 Tz=-79.67 Mx=0.23 Mz=-2.23
Sollecitazioni agenti localmente: Mx_l=27.57
Tensioni nella sezione: σ=1590.68 τ=0.00

Flessione locale destra

Bullone in x=171.00 y=-47.00
Bnetta=26.00 Hnetta=20.00
CC 98 SLU (Collegamento -503_0010)
Azioni sul collegamento: N=25468.10 Ty=-8.63 Tz=-79.67 Mx=0.23 Mz=-2.23
Sollecitazioni agenti localmente: Mx_l=27.61
Tensioni nella sezione: σ=1592.83 τ=0.00

Flessione locale angolo superiore sinistro

Bullone in x=-90.00 y=141.00
Bnetta=20.00 Hnetta=20.00
CC 98 SLU (Collegamento -503_0010)
Azioni sul collegamento: N=25468.10 Ty=-8.63 Tz=-79.67 Mx=0.23 Mz=-2.23
Sollecitazioni agenti localmente: My_l=21.22
Tensioni nella sezione: σ=1591.19 τ=0.00

Flessione locale angolo superiore destro

Bullone in x=90.00 y=141.00
Bnetta=20.00 Hnetta=20.00
CC 98 SLU (Collegamento -503_0010)
Azioni sul collegamento: N=25468.10 Ty=-8.63 Tz=-79.67 Mx=0.23 Mz=-2.23
Sollecitazioni agenti localmente: My_l=21.23
Tensioni nella sezione: σ=1592.32 τ=0.00

Flessione locale angolo inferiore sinistro

Bullone in x=-90.00 y=-141.00
Bnetta=20.00 Hnetta=20.00
CC 98 SLU (Collegamento -503_0010)
Azioni sul collegamento: N=25468.10 Ty=-8.63 Tz=-79.67 Mx=0.23 Mz=-2.23
Sollecitazioni agenti localmente: My_l=21.22
Tensioni nella sezione: σ=1591.19 τ=0.00

Flessione locale angolo inferiore destro

Bullone in x=90.00 y=-141.00
Bnetta=20.00 Hnetta=20.00
CC 98 SLU (Collegamento -503_0010)
Azioni sul collegamento: N=25468.10 Ty=-8.63 Tz=-79.67 Mx=0.23 Mz=-2.23
Sollecitazioni agenti localmente: My_l=21.23
Tensioni nella sezione: σ=1592.32 τ=0.00

Collegamento -504_0011

Piastra 400.00 x 340.00 s=20.00 - 12 Tirafondi ϕ 22 - Profondità di infissione: 300.00
4 righe ad interasse 94.00
4 colonne ad interasse variabile
Altezza di gola saldature: anima 7.07 - ala 7.07
Irrigidimenti:
Laterali parallele all'anima s=10.00
Trasversali s=10.00

Tirafondi e calcestruzzo

CC 97 SLU (Collegamento -504_0011)
Azioni sul collegamento: N=25468.10 Ty=8.63 Tz=-79.67 Mx=-0.23 Mz=2.23
Sollecitazioni agenti localmente: Tx_l=8.63 Ty_l=-79.67 N_l=25468.10 Mx_l=0.00 My_l=2.23 Mz_l=-0.23
Taglio nei bulloni: Fv,Ed=6.78 Fv,Rd=14597.10
Rifollamento lato piastra: Fb,Ed,p=6.78 Fb,Rd,p=11154.80
Trazione nei bulloni: Ft,Ed=2123.77 Ft,Rd=17452.80
Azione di punzonamento di progetto lato piastra: Bp,Ed,p=2123.77 Bb,Rd,p=57061.40
Int. V-T=0.09
Tirafondi:LT=0.41 (0.25) σ_{cR}=119.86 σ_{fR}=138.84
Compressione nel calcestruzzo: σ_c=0.00
CC 102 SLU (Collegamento -504_0011)
Azioni sul collegamento: N=19161.50 Ty=7.75 Tz=-79.67 Mx=-0.20 Mz=2.74
Sollecitazioni agenti localmente: Tx_l=7.75 Ty_l=-79.67 N_l=19161.50 Mx_l=0.00 My_l=2.74 Mz_l=-0.20
Taglio nei bulloni: Fv,Ed=6.75 Fv,Rd=14597.10
Rifollamento lato piastra: Fb,Ed,p=6.75 Fb,Rd,p=11110.50

Trazione nei bulloni: Ft,Ed=1598.55 Ft,Rd=17452.80
Azione di punzonamento di progetto lato piastra: Bp,Ed,p=1598.55 Bb,Rd,p=57061.40
Int. V-T=0.07
Tirafondi:LT=0.41 (0.25) σ_{cR}=90.22 σ_{fR}=104.50
Compressione nel calcestruzzo: σ_c=0.00
CC 121 SLU (Collegamento -504_0011)
Azioni sul collegamento: N=18891.00 Ty=13.35 Tz=-79.67 Mx=-0.26 Mz=12.28
Sollecitazioni agenti localmente: Tx_l=13.35 Ty_l=-79.67 N_l=18891.00 Mx_l=0.00 My_l=12.28 Mz_l=-0.26
Taglio nei bulloni: Fv,Ed=6.85 Fv,Rd=14597.10
Rifollamento lato piastra: Fb,Ed,p=6.85 Fb,Rd,p=11441.00
Trazione nei bulloni: Ft,Ed=1582.14 Ft,Rd=17452.80
Azione di punzonamento di progetto lato piastra: Bp,Ed,p=1582.14 Bb,Rd,p=57061.40
Int. V-T=0.07
Tirafondi:LT=0.41 (0.25) σ_{cR}=89.29 σ_{fR}=103.43
Compressione nel calcestruzzo: σ_c=0.00

Saldatura profilo-piastra

CC 97 SLU (Collegamento -504_0011)
Azioni sul collegamento: N=25468.10 Ty=8.63 Tz=-79.67 Mx=-0.23 Mz=2.23
Sollecitazioni agenti localmente: Tx_l=8.63 Ty_l=-79.67 N_l=25468.10 My_l=-2.23 Mz_l=-0.23
Azioni sul cordone: TP=0.90 TO=-5.70 NO=1882.61
Tensioni nel cordone: τ_P=0.29 τ_0=1.81 σ_0=601.64 σ_{ID}=601.64 Σ_T=603.45
CC 102 SLU (Collegamento -504_0011)
Azioni sul collegamento: N=19161.50 Ty=7.75 Tz=-79.67 Mx=-0.20 Mz=2.74
Sollecitazioni agenti localmente: Tx_l=7.75 Ty_l=-79.67 N_l=19161.50 My_l=-2.74 Mz_l=-0.20
Azioni sul cordone: TP=-2.38 TO=15.88 NO=3819.57
Tensioni nel cordone: τ_P=0.28 τ_0=1.87 σ_0=454.21 σ_{ID}=454.21 Σ_T=456.08
CC 121 SLU (Collegamento -504_0011)
Azioni sul collegamento: N=18891.00 Ty=13.35 Tz=-79.67 Mx=-0.26 Mz=12.28
Sollecitazioni agenti localmente: Tx_l=13.35 Ty_l=-79.67 N_l=18891.00 My_l=-12.28 Mz_l=-0.26
Azioni sul cordone: TP=-3.75 TO=15.88 NO=3765.65
Tensioni nel cordone: τ_P=0.44 τ_0=1.87 σ_0=461.80 σ_{ID}=461.80 Σ_T=463.67

Flessione attacco superiore piastra

Bnetta=20.00 Hnetta=400.00 irrigidita (W=54.53)
CC 97 SLU (Collegamento -504_0011)
Azioni sul collegamento: N=25468.10 Ty=8.63 Tz=-79.67 Mx=-0.23 Mz=2.23
Sollecitazioni agenti localmente: Ty_l=8489.36 Mx_l=602.74
Tensioni nella sezione: σ=1105.33 τ=530.59

Flessione attacco inferiore piastra

Bnetta=20.00 Hnetta=400.00 irrigidita (W=54.53)
CC 97 SLU (Collegamento -504_0011)
Azioni sul collegamento: N=25468.10 Ty=8.63 Tz=-79.67 Mx=-0.23 Mz=2.23
Sollecitazioni agenti localmente: Ty_l=8489.36 Mx_l=602.75
Tensioni nella sezione: σ=1105.33 τ=530.59

Flessione attacco destro piastra

Bnetta=20.00 Hnetta=340.00 irrigidita (W=53.66)
CC 97 SLU (Collegamento -504_0011)
Azioni sul collegamento: N=25468.10 Ty=8.63 Tz=-79.67 Mx=-0.23 Mz=2.23
Sollecitazioni agenti localmente: Ty_l=12726.80 My_l=941.71
Tensioni nella sezione: σ=1755.06 τ=795.43

Flessione attacco sinistro piastra

Bnetta=20.00 Hnetta=340.00 irrigidita (W=53.66)
CC 97 SLU (Collegamento -504_0011)
Azioni sul collegamento: N=25468.10 Ty=8.63 Tz=-79.67 Mx=-0.23 Mz=2.23
Sollecitazioni agenti localmente: Ty_l=12741.30 My_l=942.93
Tensioni nella sezione: σ=1757.33 τ=796.33

Flessione locale sinistra

Bullone in x=-171.00 y=-47.00
Bnetta=26.00 Hnetta=20.00
CC 97 SLU (Collegamento -504_0011)
Azioni sul collegamento: N=25468.10 Ty=8.63 Tz=-79.67 Mx=-0.23 Mz=2.23
Sollecitazioni agenti localmente: Mx_l=27.61
Tensioni nella sezione: σ=1592.83 τ=0.00

Flessione locale destra

Bullone in x=171.00 y=-47.00
Bnetta=26.00 Hnetta=20.00
CC 97 SLU (Collegamento -504_0011)

Azioni sul collegamento: N=25468.10 Ty=8.63 Tz=-79.67 Mx=-0.23 Mz=2.23
Sollecitazioni agenti localmente: Mx_l=27.57
Tensioni nella sezione: σ=1590.68 τ=0.00

Flessione locale angolo superiore sinistro

Bullone in x=-90.00 y=141.00
Bnetta=20.00 Hnetta=20.00
CC 97 SLU (Collegamento -504_0011)
Azioni sul collegamento: N=25468.10 Ty=8.63 Tz=-79.67 Mx=-0.23 Mz=2.23
Sollecitazioni agenti localmente: My_l=21.23
Tensioni nella sezione: σ=1592.32 τ=0.00

Flessione locale angolo superiore destro

Bullone in x=90.00 y=141.00
Bnetta=20.00 Hnetta=20.00
CC 97 SLU (Collegamento -504_0011)
Azioni sul collegamento: N=25468.10 Ty=8.63 Tz=-79.67 Mx=-0.23 Mz=2.23
Sollecitazioni agenti localmente: My_l=21.22
Tensioni nella sezione: σ=1591.19 τ=0.00

Flessione locale angolo inferiore sinistro

Bullone in x=-90.00 y=-141.00
Bnetta=20.00 Hnetta=20.00
CC 97 SLU (Collegamento -504_0011)
Azioni sul collegamento: N=25468.10 Ty=8.63 Tz=-79.67 Mx=-0.23 Mz=2.23
Sollecitazioni agenti localmente: My_l=21.23
Tensioni nella sezione: σ=1592.32 τ=0.00

Flessione locale angolo inferiore destro

Bullone in x=90.00 y=-141.00
Bnetta=20.00 Hnetta=20.00
CC 97 SLU (Collegamento -504_0011)
Azioni sul collegamento: N=25468.10 Ty=8.63 Tz=-79.67 Mx=-0.23 Mz=2.23
Sollecitazioni agenti localmente: My_l=21.22
Tensioni nella sezione: σ=1591.19 τ=0.00

Collegamento -511_0012

Piastra 400.00 x 340.00 s=20.00 - 12 Tirafondi ϕ 22 - Profondità di infissione: 300.00
4 righe ad interasse 94.00
4 colonne ad interasse variabile
Altezza di gola saldature: anima 7.07 - ala 7.07
Irrigidimenti:
Laterali parallele all'anima s=10.00
Trasversali s=10.00

Tirafondi e calcestruzzo

CC 98 SLU (Collegamento -511_0012)
Azioni sul collegamento: N=22520.10 Ty=-2.61 Tz=-79.67 Mx=0.09 Mz=1.78
Sollecitazioni agenti localmente: Tx_l=-2.61 Ty_l=-79.67 N_l=22520.10 Mx_l=0.00 My_l=1.78 Mz_l=0.09
Taglio nei bulloni: Fv,Ed=6.68 Fv,Rd=14597.10
Rifollamento lato piastra: Fb,Ed,p=6.68 Fb,Rd,p=10951.30
Trazione nei bulloni: Ft,Ed=1877.82 Ft,Rd=17452.80
Azione di punzonamento di progetto lato piastra: Bp,Ed,p=1877.82 Bb,Rd,p=57061.40
Int. V-T=0.08
Tirafondi:LT=0.41 (0.25) σ_{cR}=105.98 σ_{fR}=122.76
Compressione nel calcestruzzo: σ_c=0.00
CC 102 SLU (Collegamento -511_0012)
Azioni sul collegamento: N=24068.30 Ty=0.22 Tz=-79.67 Mx=0.05 Mz=4.69
Sollecitazioni agenti localmente: Tx_l=0.22 Ty_l=-79.67 N_l=24068.30 Mx_l=0.00 My_l=4.69 Mz_l=0.05
Taglio nei bulloni: Fv,Ed=6.66 Fv,Rd=14597.10
Rifollamento lato piastra: Fb,Ed,p=6.66 Fb,Rd,p=10928.90
Trazione nei bulloni: Ft,Ed=2008.70 Ft,Rd=17452.80
Azione di punzonamento di progetto lato piastra: Bp,Ed,p=2008.70 Bb,Rd,p=57061.40
Int. V-T=0.08
Tirafondi:LT=0.41 (0.25) σ_{cR}=113.37 σ_{fR}=131.32
Compressione nel calcestruzzo: σ_c=0.00
CC 118 SLU (Collegamento -511_0012)
Azioni sul collegamento: N=13106.40 Ty=-3.57 Tz=-79.67 Mx=0.09 Mz=-0.87
Sollecitazioni agenti localmente: Tx_l=-3.57 Ty_l=-79.67 N_l=13106.40 Mx_l=0.00 My_l=-0.87 Mz_l=0.09
Taglio nei bulloni: Fv,Ed=6.68 Fv,Rd=14597.10
Rifollamento lato piastra: Fb,Ed,p=6.68 Fb,Rd,p=10968.10
Trazione nei bulloni: Ft,Ed=1092.76 Ft,Rd=17452.80
Azione di punzonamento di progetto lato piastra: Bp,Ed,p=1092.76 Bb,Rd,p=57061.40
Int. V-T=0.05

Tirafondi:LT=0.41 (0.25) σ_{cR}=61.67 σ_{fR}=71.44
Compressione nel calcestruzzo: σ_c=0.00

Saldatura profilo-piastra

CC 17 SLV (Collegamento -511_0012)
Azioni sul collegamento: N=6920.45 Ty=-5.95 Tz=-59.01 Mx=0.17 Mz=-2.82
Sollecitazioni agenti localmente: Tx_l=-5.95 Ty_l=-59.01 N_l=6920.45 My_l=2.82 Mz_l=0.17
Azioni sul cordone: TP=1.92 TO=11.76 NO=1379.49
Tensioni nel cordone: τ_P=0.23 τ_O=1.39 σ_O=166.72 σ_{ID}=166.72 Σ_T=168.10
CC 102 SLU (Collegamento -511_0012)
Azioni sul collegamento: N=24068.30 Ty=0.22 Tz=-79.67 Mx=0.05 Mz=4.69
Sollecitazioni agenti localmente: Tx_l=0.22 Ty_l=-79.67 N_l=24068.30 My_l=-4.69 Mz_l=0.05
Azioni sul cordone: TP=-0.04 TO=-5.93 NO=1779.14
Tensioni nel cordone: τ_P= 0.01 τ_O=1.88 σ_O=572.35 σ_{ID}=572.35 Σ_T=574.23
CC 110 SLU (Collegamento -511_0012)
Azioni sul collegamento: N=17338.20 Ty=-3.27 Tz=-79.67 Mx=0.10 Mz=0.17
Sollecitazioni agenti localmente: Tx_l=-3.27 Ty_l=-79.67 N_l=17338.20 My_l=-0.17 Mz_l=0.10
Azioni sul cordone: TP=-0.35 TO=-5.97 NO=1281.65
Tensioni nel cordone: τ_P=0.11 τ_O=1.90 σ_O=407.62 σ_{ID}=407.62 Σ_T=409.51

Flessione attacco superiore piastra

Bnetta=20.00 Hnetta=400.00 irrigidita (W=54.53)
CC 102 SLU (Collegamento -511_0012)
Azioni sul collegamento: N=24068.30 Ty=0.22 Tz=-79.67 Mx=0.05 Mz=4.69
Sollecitazioni agenti localmente: Ty_l=8022.77 Mx_l=569.62
Tensioni nella sezione: σ=1044.58 τ=501.42

Flessione attacco inferiore piastra

Bnetta=20.00 Hnetta=400.00 irrigidita (W=54.53)
CC 102 SLU (Collegamento -511_0012)
Azioni sul collegamento: N=24068.30 Ty=0.22 Tz=-79.67 Mx=0.05 Mz=4.69
Sollecitazioni agenti localmente: Ty_l=8022.77 Mx_l=569.62
Tensioni nella sezione: σ=1044.58 τ=501.42

Flessione attacco destro piastra

Bnetta=20.00 Hnetta=340.00 irrigidita (W=53.66)
CC 102 SLU (Collegamento -511_0012)
Azioni sul collegamento: N=24068.30 Ty=0.22 Tz=-79.67 Mx=0.05 Mz=4.69
Sollecitazioni agenti localmente: Ty_l=12018.90 My_l=889.25
Tensioni nella sezione: σ=1657.29 τ=751.18

Flessione attacco sinistro piastra

Bnetta=20.00 Hnetta=340.00 irrigidita (W=53.66)
CC 102 SLU (Collegamento -511_0012)
Azioni sul collegamento: N=24068.30 Ty=0.22 Tz=-79.67 Mx=0.05 Mz=4.69
Sollecitazioni agenti localmente: Ty_l=12049.40 My_l=891.81
Tensioni nella sezione: σ=1662.06 τ=753.09

Flessione locale sinistra

Bullone in x=-171.00 y=-47.00
Bnetta=26.00 Hnetta=20.00
CC 102 SLU (Collegamento -511_0012)
Azioni sul collegamento: N=24068.30 Ty=0.22 Tz=-79.67 Mx=0.05 Mz=4.69
Sollecitazioni agenti localmente: Mx_l=26.11
Tensioni nella sezione: σ=1506.53 τ=0.00

Flessione locale destra

Bullone in x=171.00 y=-47.00
Bnetta=26.00 Hnetta=20.00
CC 102 SLU (Collegamento -511_0012)
Azioni sul collegamento: N=24068.30 Ty=0.22 Tz=-79.67 Mx=0.05 Mz=4.69
Sollecitazioni agenti localmente: Mx_l=26.03
Tensioni nella sezione: σ=1502.01 τ=0.00

Flessione locale angolo superiore sinistro

Bullone in x=-90.00 y=141.00
Bnetta=20.00 Hnetta=20.00
CC 102 SLU (Collegamento -511_0012)
Azioni sul collegamento: N=24068.30 Ty=0.22 Tz=-79.67 Mx=0.05 Mz=4.69
Sollecitazioni agenti localmente: My_l=20.07
Tensioni nella sezione: σ=1505.46 τ=0.00

Flessione locale angolo superiore destro

Bullone in x=90.00 y=141.00
Bnetta=20.00 Hnetta=20.00
CC 102 SLU (Collegamento -511_0012)
Azioni sul collegamento: N=24068.30 Ty=0.22 Tz=-79.67 Mx=0.05 Mz=4.69
Sollecitazioni agenti localmente: My_l=20.04
Tensioni nella sezione: σ=1503.08 τ=0.00

Flessione locale angolo inferiore sinistro

Bullone in x=-90.00 y=-141.00
Bnetta=20.00 Hnetta=20.00
CC 102 SLU (Collegamento -511_0012)
Azioni sul collegamento: N=24068.30 Ty=0.22 Tz=-79.67 Mx=0.05 Mz=4.69
Sollecitazioni agenti localmente: My_l=20.07
Tensioni nella sezione: σ=1505.46 τ=0.00

Flessione locale angolo inferiore destro

Bullone in x=90.00 y=-141.00
Bnetta=20.00 Hnetta=20.00
CC 102 SLU (Collegamento -511_0012)
Azioni sul collegamento: N=24068.30 Ty=0.22 Tz=-79.67 Mx=0.05 Mz=4.69
Sollecitazioni agenti localmente: My_l=20.04
Tensioni nella sezione: σ=1503.08 τ=0.00

Collegamento -512_0013

Piastra 400.00 x 340.00 s=20.00 - 12 Tirafondi ϕ 22 - Profondità di infissione: 300.00
4 righe ad interasse 94.00
4 colonne ad interasse variabile
Altezza di gola saldature: anima 7.07 - ala 7.07
Irrigidimenti:
Laterali parallele all'anima s=10.00
Trasversali s=10.00

Tirafondi e calcestruzzo

CC 97 SLU (Collegamento -512_0013)
Azioni sul collegamento: N=22520.10 Ty=2.61 Tz=-79.67 Mx=-0.09 Mz=-1.78
Sollecitazioni agenti localmente: Tx_l=2.61 Ty_l=-79.67 N_l=22520.10 Mx_l=0.00 My_l=-1.78 Mz_l=-0.09
Taglio nei bulloni: Fv,Ed=6.68 Fv,Rd=14597.10
Rifollamento lato piastra: Fb,Ed,p=6.68 Fb,Rd,p=10951.40
Trazione nei bulloni: Ft,Ed=1877.82 Ft,Rd=17452.80
Azione di punzonamento di progetto lato piastra: Bp,Ed,p=1877.82 Bb,Rd,p=57061.40
Int. V-T=0.08
Tirafondi:LT=0.41 (0.25) σ_{cR}=105.98 σ_{fR}=122.76
Compressione nel calcestruzzo: σ_c=0.00
CC 105 SLU (Collegamento -512_0013)
Azioni sul collegamento: N=24067.60 Ty=-0.22 Tz=-79.67 Mx=-0.05 Mz=-4.69
Sollecitazioni agenti localmente: Tx_l=-0.22 Ty_l=-79.67 N_l=24067.60 Mx_l=0.00 My_l=-4.69 Mz_l=-0.05
Taglio nei bulloni: Fv,Ed=6.66 Fv,Rd=14597.10
Rifollamento lato piastra: Fb,Ed,p=6.66 Fb,Rd,p=10928.90
Trazione nei bulloni: Ft,Ed=2008.65 Ft,Rd=17452.80
Azione di punzonamento di progetto lato piastra: Bp,Ed,p=2008.65 Bb,Rd,p=57061.40
Int. V-T=0.08
Tirafondi:LT=0.41 (0.25) σ_{cR}=113.36 σ_{fR}=131.31
Compressione nel calcestruzzo: σ_c=0.00
CC 125 SLU (Collegamento -512_0013)
Azioni sul collegamento: N=11525.30 Ty=5.62 Tz=-79.67 Mx=-0.11 Mz=4.87
Sollecitazioni agenti localmente: Tx_l=5.62 Ty_l=-79.67 N_l=11525.30 Mx_l=0.00 My_l=4.87 Mz_l=-0.11
Taglio nei bulloni: Fv,Ed=6.70 Fv,Rd=14597.10
Rifollamento lato piastra: Fb,Ed,p=6.70 Fb,Rd,p=11021.40
Trazione nei bulloni: Ft,Ed=963.57 Ft,Rd=17452.80
Azione di punzonamento di progetto lato piastra: Bp,Ed,p=963.57 Bb,Rd,p=57061.40
Int. V-T=0.04
Tirafondi:LT=0.41 (0.25) σ_{cR}=54.38 σ_{fR}=62.99
Compressione nel calcestruzzo: σ_c=0.00

Saldatura profilo-piastra

CC 65 SLV (Collegamento -512_0013)
Azioni sul collegamento: N=3372.49 Ty=5.95 Tz=-59.01 Mx=-0.17 Mz=2.82
Sollecitazioni agenti localmente: Tx_l=5.95 Ty_l=-59.01 N_l=3372.49 My_l=-2.82 Mz_l=-0.17
Azioni sul cordone: TP=-1.92 TO=11.76 NO=672.26
Tensioni nel cordone: τ_P=0.23 τ_O=1.39 σ_O=83.35 σ_{ID}=83.37 Σ_T=84.74
CC 105 SLU (Collegamento -512_0013)
Azioni sul collegamento: N=24067.60 Ty=-0.22 Tz=-79.67 Mx=-0.05 Mz=-4.69
Sollecitazioni agenti localmente: Tx_l=-0.22 Ty_l=-79.67 N_l=24067.60 My_l=4.69 Mz_l=-0.05

Azioni sul cordone: TP=0.04 TO=-5.93 NO=1779.08
Tensioni nel cordone: τ_P= 0.01 τ_O=1.88 σ_O=572.33 σ_{ID}=572.34 Σ_T=574.22
CC 109 SLU (Collegamento -512_0013)
Azioni sul collegamento: N=17338.20 Ty=3.27 Tz=-79.67 Mx=-0.10 Mz=-0.17
Sollecitazioni agenti localmente: Tx_l=3.27 Ty_l=-79.67 N_l=17338.20 My_l=0.17 Mz_l=-0.10
Azioni sul cordone: TP=0.35 TO=-5.97 NO=1281.65
Tensioni nel cordone: τ_P=0.11 τ_O=1.90 σ_O=407.62 σ_{ID}=407.62 Σ_T=409.51

Flessione attacco superiore piastra

Bnetta=20.00 Hnetta=400.00 irrigidita (W=54.53)
CC 105 SLU (Collegamento -512_0013)
Azioni sul collegamento: N=24067.60 Ty=-0.22 Tz=-79.67 Mx=-0.05 Mz=-4.69
Sollecitazioni agenti localmente: Ty_l=8022.54 Mx_l=569.60
Tensioni nella sezione: σ=1044.55 τ=501.41

Flessione attacco inferiore piastra

Bnetta=20.00 Hnetta=400.00 irrigidita (W=54.53)
CC 105 SLU (Collegamento -512_0013)
Azioni sul collegamento: N=24067.60 Ty=-0.22 Tz=-79.67 Mx=-0.05 Mz=-4.69
Sollecitazioni agenti localmente: Ty_l=8022.54 Mx_l=569.60
Tensioni nella sezione: σ=1044.55 τ=501.41

Flessione attacco destro piastra

Bnetta=20.00 Hnetta=340.00 irrigidita (W=53.66)
CC 105 SLU (Collegamento -512_0013)
Azioni sul collegamento: N=24067.60 Ty=-0.22 Tz=-79.67 Mx=-0.05 Mz=-4.69
Sollecitazioni agenti localmente: Ty_l=12049.00 My_l=891.78
Tensioni nella sezione: σ=1662.01 τ=753.06

Flessione attacco sinistro piastra

Bnetta=20.00 Hnetta=340.00 irrigidita (W=53.66)
CC 105 SLU (Collegamento -512_0013)
Azioni sul collegamento: N=24067.60 Ty=-0.22 Tz=-79.67 Mx=-0.05 Mz=-4.69
Sollecitazioni agenti localmente: Ty_l=12018.60 My_l=889.22
Tensioni nella sezione: σ=1657.24 τ=751.16

Flessione locale sinistra

Bullone in x=-171.00 y=-47.00
Bnetta=26.00 Hnetta=20.00
CC 105 SLU (Collegamento -512_0013)
Azioni sul collegamento: N=24067.60 Ty=-0.22 Tz=-79.67 Mx=-0.05 Mz=-4.69
Sollecitazioni agenti localmente: Mx_l=26.03
Tensioni nella sezione: σ=1501.97 τ=0.00

Flessione locale destra

Bullone in x=171.00 y=-47.00
Bnetta=26.00 Hnetta=20.00
CC 105 SLU (Collegamento -512_0013)
Azioni sul collegamento: N=24067.60 Ty=-0.22 Tz=-79.67 Mx=-0.05 Mz=-4.69
Sollecitazioni agenti localmente: Mx_l=26.11
Tensioni nella sezione: σ=1506.48 τ=0.00

Flessione locale angolo superiore sinistro

Bullone in x=-90.00 y=141.00
Bnetta=20.00 Hnetta=20.00
CC 105 SLU (Collegamento -512_0013)
Azioni sul collegamento: N=24067.60 Ty=-0.22 Tz=-79.67 Mx=-0.05 Mz=-4.69
Sollecitazioni agenti localmente: My_l=20.04
Tensioni nella sezione: σ=1503.04 τ=0.00

Flessione locale angolo superiore destro

Bullone in x=90.00 y=141.00
Bnetta=20.00 Hnetta=20.00
CC 105 SLU (Collegamento -512_0013)
Azioni sul collegamento: N=24067.60 Ty=-0.22 Tz=-79.67 Mx=-0.05 Mz=-4.69
Sollecitazioni agenti localmente: My_l=20.07
Tensioni nella sezione: σ=1505.41 τ=0.00

Flessione locale angolo inferiore sinistro

Bullone in x=-90.00 y=-141.00
Bnetta=20.00 Hnetta=20.00

CC 105 SLU (Collegamento -512_0013)
Azioni sul collegamento: N=24067.60 Ty=-0.22 Tz=-79.67 Mx=-0.05 Mz=-4.69
Sollecitazioni agenti localmente: My_l=20.04
Tensioni nella sezione: σ=1503.04 τ=0.00

Flessione locale angolo inferiore destro

Bullone in x=90.00 y=-141.00
Bnetta=20.00 Hnetta=20.00
CC 105 SLU (Collegamento -512_0013)
Azioni sul collegamento: N=24067.60 Ty=-0.22 Tz=-79.67 Mx=-0.05 Mz=-4.69
Sollecitazioni agenti localmente: My_l=20.07
Tensioni nella sezione: σ=1505.41 τ=0.00

Collegamento -515_0014

Piastra 400.00 x 340.00 s=20.00 - 12 Tirafondi ϕ 22 - Profondità di infissione: 300.00
4 righe ad interasse 94.00
4 colonne ad interasse variabile
Altezza di gola saldature: anima 7.07 - ala 7.07
Irrigidimenti:
Laterali parallele all'anima s=10.00
Trasversali s=10.00

Tirafondi e calcestruzzo

CC 102 SLU (Collegamento -515_0014)
Azioni sul collegamento: N=22780.60 Ty=-0.02 Tz=-79.67 Mx=0.00 Mz=-0.02
Sollecitazioni agenti localmente: Tx_l=-0.02 Ty_l=-79.67 N_l=22780.60 Mx_l=0.00 My_l=-0.02 Mz_l=0.00
Taglio nei bulloni: Fv,Ed=6.64 Fv,Rd=14597.10
Rifollamento lato piastra: Fb,Ed,p=6.64 Fb,Rd,p=10928.90
Trazione nei bulloni: Ft,Ed=1898.39 Ft,Rd=17452.80
Azione di punzonamento di progetto lato piastra: Bp,Ed,p=1898.39 Bb,Rd,p=57061.40
Int. V-T=0.08
Tirafondi:LT=0.41 (0.25) σ_{cR}=107.14 σ_{fR}=124.11
Compressione nel calcestruzzo: σ_c=0.00
CC 124 SLU (Collegamento -515_0014)
Azioni sul collegamento: N=17045.90 Ty=-0.02 Tz=-79.67 Mx=0.00 Mz=-0.03
Sollecitazioni agenti localmente: Tx_l=-0.02 Ty_l=-79.67 N_l=17045.90 Mx_l=0.00 My_l=-0.03 Mz_l=0.00
Taglio nei bulloni: Fv,Ed=6.64 Fv,Rd=14597.10
Rifollamento lato piastra: Fb,Ed,p=6.64 Fb,Rd,p=10928.90
Trazione nei bulloni: Ft,Ed=1420.51 Ft,Rd=17452.80
Azione di punzonamento di progetto lato piastra: Bp,Ed,p=1420.51 Bb,Rd,p=57061.40
Int. V-T=0.06
Tirafondi:LT=0.41 (0.25) σ_{cR}=80.17 σ_{fR}=92.86
Compressione nel calcestruzzo: σ_c=0.00

Saldatura profilo-piastra

CC 79 SLV (Collegamento -515_0014)
Azioni sul collegamento: N=4329.84 Ty=2.93 Tz=-59.01 Mx=0.09 Mz=-1.77
Sollecitazioni agenti localmente: Tx_l=2.93 Ty_l=-59.01 N_l=4329.84 My_l=1.77 Mz_l=0.09
Azioni sul cordone: TP=0.98 TO=-11.76 NO=863.09
Tensioni nel cordone: τ_P=0.12 τ_O=1.39 σ_O=104.32 σ_{ID}=104.33 Σ_T=105.71
CC 102 SLU (Collegamento -515_0014)
Azioni sul collegamento: N=22780.60 Ty=-0.02 Tz=-79.67 Mx=0.00 Mz=-0.02
Sollecitazioni agenti localmente: Tx_l=-0.02 Ty_l=-79.67 N_l=22780.60 My_l=0.02 Mz_l=0.00
Azioni sul cordone: TP=-0.00 TO=-5.89 NO=1683.95
Tensioni nel cordone: τ_P=6.97E-04 τ_O=1.87 σ_O=535.27 σ_{ID}=535.27 Σ_T=537.14
CC 115 SLU (Collegamento -515_0014)
Azioni sul collegamento: N=17155.70 Ty=-0.02 Tz=-79.67 Mx=0.00 Mz=-0.02
Sollecitazioni agenti localmente: Tx_l=-0.02 Ty_l=-79.67 N_l=17155.70 My_l=0.02 Mz_l=0.00
Azioni sul cordone: TP=-0.00 TO=-5.89 NO=1268.15
Tensioni nel cordone: τ_P=7.88E-04 τ_O=1.87 σ_O=403.11 σ_{ID}=403.11 Σ_T=404.98

Flessione attacco superiore piastra

Bnetta=20.00 Hnetta=400.00 irrigidita (W=54.53)
CC 102 SLU (Collegamento -515_0014)
Azioni sul collegamento: N=22780.60 Ty=-0.02 Tz=-79.67 Mx=0.00 Mz=-0.02
Sollecitazioni agenti localmente: Ty_l=7593.53 Mx_l=539.14
Tensioni nella sezione: σ=988.69 τ=474.60

Flessione attacco inferiore piastra

Bnetta=20.00 Hnetta=400.00 irrigidita (W=54.53)
CC 102 SLU (Collegamento -515_0014)
Azioni sul collegamento: N=22780.60 Ty=-0.02 Tz=-79.67 Mx=0.00 Mz=-0.02
Sollecitazioni agenti localmente: Ty_l=7593.53 Mx_l=539.14
Tensioni nella sezione: σ=988.69 τ=474.60

Flessione attacco destro piastra

Bnetta=20.00 Hnetta=340.00 irrigidita (W=53.66)
CC 102 SLU (Collegamento -515_0014)
Azioni sul collegamento: N=22780.60 Ty=-0.02 Tz=-79.67 Mx=0.00 Mz=-0.02
Sollecitazioni agenti localmente: Ty_l=11390.40 My_l=842.89
Tensioni nella sezione: σ=1570.88 τ=711.90

Flessione attacco sinistro piastra

Bnetta=20.00 Hnetta=340.00 irrigidita (W=53.66)
CC 102 SLU (Collegamento -515_0014)
Azioni sul collegamento: N=22780.60 Ty=-0.02 Tz=-79.67 Mx=0.00 Mz=-0.02
Sollecitazioni agenti localmente: Ty_l=11390.20 My_l=842.88
Tensioni nella sezione: σ=1570.87 τ=711.89

Flessione locale sinistra

Bullone in x=-171.00 y=-47.00
Bnetta=26.00 Hnetta=20.00
CC 102 SLU (Collegamento -515_0014)
Azioni sul collegamento: N=22780.60 Ty=-0.02 Tz=-79.67 Mx=0.00 Mz=-0.02
Sollecitazioni agenti localmente: Mx_l=24.68
Tensioni nella sezione: σ=1423.78 τ=0.00

Flessione locale destra

Bullone in x=171.00 y=-47.00
Bnetta=26.00 Hnetta=20.00
CC 102 SLU (Collegamento -515_0014)
Azioni sul collegamento: N=22780.60 Ty=-0.02 Tz=-79.67 Mx=0.00 Mz=-0.02
Sollecitazioni agenti localmente: Mx_l=24.68
Tensioni nella sezione: σ=1423.80 τ=0.00

Flessione locale angolo superiore sinistro

Bullone in x=-90.00 y=141.00
Bnetta=20.00 Hnetta=20.00
CC 102 SLU (Collegamento -515_0014)
Azioni sul collegamento: N=22780.60 Ty=-0.02 Tz=-79.67 Mx=0.00 Mz=-0.02
Sollecitazioni agenti localmente: My_l=18.98
Tensioni nella sezione: σ=1423.78 τ=0.00

Flessione locale angolo superiore destro

Bullone in x=90.00 y=141.00
Bnetta=20.00 Hnetta=20.00
CC 102 SLU (Collegamento -515_0014)
Azioni sul collegamento: N=22780.60 Ty=-0.02 Tz=-79.67 Mx=0.00 Mz=-0.02
Sollecitazioni agenti localmente: My_l=18.98
Tensioni nella sezione: σ=1423.79 τ=0.00

Flessione locale angolo inferiore sinistro

Bullone in x=-90.00 y=-141.00
Bnetta=20.00 Hnetta=20.00
CC 102 SLU (Collegamento -515_0014)
Azioni sul collegamento: N=22780.60 Ty=-0.02 Tz=-79.67 Mx=0.00 Mz=-0.02
Sollecitazioni agenti localmente: My_l=18.98
Tensioni nella sezione: σ=1423.78 τ=0.00

Flessione locale angolo inferiore destro

Bullone in x=90.00 y=-141.00
Bnetta=20.00 Hnetta=20.00
CC 102 SLU (Collegamento -515_0014)
Azioni sul collegamento: N=22780.60 Ty=-0.02 Tz=-79.67 Mx=0.00 Mz=-0.02
Sollecitazioni agenti localmente: My_l=18.98
Tensioni nella sezione: σ=1423.79 τ=0.00

Collegamento -516_0015

Piastra 400.00 x 340.00 s=20.00 - 12 Tirafondi ϕ 22 - Profondità di infissione: 300.00
4 righe ad interasse 94.00
4 colonne ad interasse variabile
Altezza di gola saldature: anima 7.07 - ala 7.07
Irrigidimenti:
Laterali parallele all'anima s=10.00
Trasversali s=10.00

Tirafondi e calcestruzzo

CC 100 SLU (Collegamento -516_0015)
Azioni sul collegamento: N=21458.60 Ty=0.02 Tz=-79.67 Mx=-0.00 Mz=0.03
Sollecitazioni agenti localmente: Tx_l=0.02 Ty_l=-79.67 N_l=21458.60 Mx_l=0.00 My_l=0.03 Mz_l=-0.00
Taglio nei bulloni: Fv,Ed=6.64 Fv,Rd=14597.10
Rifollamento lato piastra: Fb,Ed,p=6.64 Fb,Rd,p=10928.90
Trazione nei bulloni: Ft,Ed=1788.23 Ft,Rd=17452.80
Azione di punzonamento di progetto lato piastra: Bp,Ed,p=1788.23 Bb,Rd,p=57061.40
Int. V-T=0.07
Tirafondi:LT=0.41 (0.25) σ_{cR}=100.92 σ_{fR}=116.90
Compressione nel calcestruzzo: σ_c=0.00
CC 105 SLU (Collegamento -516_0015)
Azioni sul collegamento: N=22780.00 Ty=0.02 Tz=-79.67 Mx=-0.00 Mz=0.02
Sollecitazioni agenti localmente: Tx_l=0.02 Ty_l=-79.67 N_l=22780.00 Mx_l=0.00 My_l=0.02 Mz_l=-0.00
Taglio nei bulloni: Fv,Ed=6.64 Fv,Rd=14597.10
Rifollamento lato piastra: Fb,Ed,p=6.64 Fb,Rd,p=10928.90
Trazione nei bulloni: Ft,Ed=1898.34 Ft,Rd=17452.80
Azione di punzonamento di progetto lato piastra: Bp,Ed,p=1898.34 Bb,Rd,p=57061.40
Int. V-T=0.08
Tirafondi:LT=0.41 (0.25) σ_{cR}=107.14 σ_{fR}=124.10
Compressione nel calcestruzzo: σ_c=0.00

Saldatura profilo-piastra

CC 31 SLV (Collegamento -516_0015)
Azioni sul collegamento: N=4329.84 Ty=-2.93 Tz=-59.01 Mx=-0.09 Mz=1.77
Sollecitazioni agenti localmente: Tx_l=-2.93 Ty_l=-59.01 N_l=4329.84 My_l=-1.77 Mz_l=-0.09
Azioni sul cordone: TP=-0.98 TO=-11.76 NO=863.09
Tensioni nel cordone: τ_P=0.12 τ_O=1.39 σ_O=104.32 σ_{ID}=104.33 Σ_T=105.71
CC 105 SLU (Collegamento -516_0015)
Azioni sul collegamento: N=22780.00 Ty=0.02 Tz=-79.67 Mx=-0.00 Mz=0.02
Sollecitazioni agenti localmente: Tx_l=0.02 Ty_l=-79.67 N_l=22780.00 My_l=-0.02 Mz_l=-0.00
Azioni sul cordone: TP=0.00 TO=-5.89 NO=1683.90
Tensioni nel cordone: τ_P=6.97E-04 τ_O=1.87 σ_O=535.25 σ_{ID}=535.26 Σ_T=537.12
CC 128 SLU (Collegamento -516_0015)
Azioni sul collegamento: N=10411.20 Ty=-0.00 Tz=-79.67 Mx=-0.00 Mz=-0.01
Sollecitazioni agenti localmente: Tx_l=-0.00 Ty_l=-79.67 N_l=10411.20 My_l=0.01 Mz_l=-0.00
Azioni sul cordone: TP=0.00 TO=-5.89 NO=769.60
Tensioni nel cordone: τ_P=2.32E-04 τ_O=1.87 σ_O=244.64 σ_{ID}=244.64 Σ_T=246.51

Flessione attacco superiore piastra

Bnetta=20.00 Hnetta=400.00 irrigidita (W=54.53)
CC 105 SLU (Collegamento -516_0015)
Azioni sul collegamento: N=22780.00 Ty=0.02 Tz=-79.67 Mx=-0.00 Mz=0.02
Sollecitazioni agenti localmente: Ty_l=7593.32 Mx_l=539.13
Tensioni nella sezione: σ=988.67 τ=474.58

Flessione attacco inferiore piastra

Bnetta=20.00 Hnetta=400.00 irrigidita (W=54.53)
CC 105 SLU (Collegamento -516_0015)
Azioni sul collegamento: N=22780.00 Ty=0.02 Tz=-79.67 Mx=-0.00 Mz=0.02
Sollecitazioni agenti localmente: Ty_l=7593.32 Mx_l=539.13
Tensioni nella sezione: σ=988.67 τ=474.58

Flessione attacco destro piastra

Bnetta=20.00 Hnetta=340.00 irrigidita (W=53.66)
CC 105 SLU (Collegamento -516_0015)
Azioni sul collegamento: N=22780.00 Ty=0.02 Tz=-79.67 Mx=-0.00 Mz=0.02
Sollecitazioni agenti localmente: Ty_l=11389.90 My_l=842.85
Tensioni nella sezione: σ=1570.82 τ=711.87

Flessione attacco sinistro piastra

Bnetta=20.00 Hnetta=340.00 irrigidita (W=53.66)
CC 105 SLU (Collegamento -516_0015)
Azioni sul collegamento: N=22780.00 Ty=0.02 Tz=-79.67 Mx=-0.00 Mz=0.02
Sollecitazioni agenti localmente: Ty_l=11390.00 My_l=842.86
Tensioni nella sezione: σ=1570.84 τ=711.88

Flessione locale sinistra

Bullone in x=-171.00 y=-47.00
Bnetta=26.00 Hnetta=20.00
CC 105 SLU (Collegamento -516_0015)
Azioni sul collegamento: N=22780.00 Ty=0.02 Tz=-79.67 Mx=-0.00 Mz=0.02

Sollecitazioni agenti localmente: Mx_l=24.68
Tensioni nella sezione: σ=1423.76 τ=0.00

Flessione locale destra

Bullone in x=171.00 y=-47.00
Bnetta=26.00 Hnetta=20.00
CC 105 SLU (Collegamento -516_0015)
Azioni sul collegamento: N=22780.00 Ty=0.02 Tz=-79.67 Mx=-0.00 Mz=0.02
Sollecitazioni agenti localmente: Mx_l=24.68
Tensioni nella sezione: σ=1423.74 τ=0.00

Flessione locale angolo superiore sinistro

Bullone in x=-90.00 y=141.00
Bnetta=20.00 Hnetta=20.00
CC 105 SLU (Collegamento -516_0015)
Azioni sul collegamento: N=22780.00 Ty=0.02 Tz=-79.67 Mx=-0.00 Mz=0.02
Sollecitazioni agenti localmente: My_l=18.98
Tensioni nella sezione: σ=1423.75 τ=0.00

Flessione locale angolo superiore destro

Bullone in x=90.00 y=141.00
Bnetta=20.00 Hnetta=20.00
CC 105 SLU (Collegamento -516_0015)
Azioni sul collegamento: N=22780.00 Ty=0.02 Tz=-79.67 Mx=-0.00 Mz=0.02
Sollecitazioni agenti localmente: My_l=18.98
Tensioni nella sezione: σ=1423.74 τ=0.00

Flessione locale angolo inferiore sinistro

Bullone in x=-90.00 y=-141.00
Bnetta=20.00 Hnetta=20.00
CC 105 SLU (Collegamento -516_0015)
Azioni sul collegamento: N=22780.00 Ty=0.02 Tz=-79.67 Mx=-0.00 Mz=0.02
Sollecitazioni agenti localmente: My_l=18.98
Tensioni nella sezione: σ=1423.75 τ=0.00

Flessione locale angolo inferiore destro

Bullone in x=90.00 y=-141.00
Bnetta=20.00 Hnetta=20.00
CC 105 SLU (Collegamento -516_0015)
Azioni sul collegamento: N=22780.00 Ty=0.02 Tz=-79.67 Mx=-0.00 Mz=0.02
Sollecitazioni agenti localmente: My_l=18.98
Tensioni nella sezione: σ=1423.74 τ=0.00

Collegamento -519_0016

Piastra 400.00 x 340.00 s=20.00 - 12 Tirafondi ϕ 22 - Profondità di infissione: 300.00
4 righe ad interasse 94.00
4 colonne ad interasse variabile
Altezza di gola saldature: anima 7.07 - ala 7.07
Irrigidimenti:
Laterali parallele all'anima s=10.00
Trasversali s=10.00

Tirafondi e calcestruzzo

CC 98 SLU (Collegamento -519_0016)
Azioni sul collegamento: N=22450.10 Ty=2.47 Tz=-79.67 Mx=-0.09 Mz=-1.93
Sollecitazioni agenti localmente: Tx_l=2.47 Ty_l=-79.67 N_l=22450.10 Mx_l=0.00 My_l=-1.93 Mz_l=-0.09
Taglio nei bulloni: Fv,Ed=6.68 Fv,Rd=14597.10
Rifollamento lato piastra: Fb,Ed,p=6.68 Fb,Rd,p=10949.10
Trazione nei bulloni: Ft,Ed=1872.09 Ft,Rd=17452.80
Azione di punzonamento di progetto lato piastra: Bp,Ed,p=1872.09 Bb,Rd,p=57061.40
Int. V-T=0.08
Tirafondi:LT=0.41 (0.25) σ_{cR}=105.66 σ_{fR}=122.39
Compressione nel calcestruzzo: σ_c=0.00
CC 102 SLU (Collegamento -519_0016)
Azioni sul collegamento: N=23995.20 Ty=-0.34 Tz=-79.67 Mx=-0.04 Mz=-4.83
Sollecitazioni agenti localmente: Tx_l=-0.34 Ty_l=-79.67 N_l=23995.20 Mx_l=0.00 My_l=-4.83 Mz_l=-0.04
Taglio nei bulloni: Fv,Ed=6.66 Fv,Rd=14597.10
Rifollamento lato piastra: Fb,Ed,p=6.66 Fb,Rd,p=10929.00
Trazione nei bulloni: Ft,Ed=2002.70 Ft,Rd=17452.80
Azione di punzonamento di progetto lato piastra: Bp,Ed,p=2002.70 Bb,Rd,p=57061.40
Int. V-T=0.08
Tirafondi:LT=0.41 (0.25) σ_{cR}=113.03 σ_{fR}=130.93
Compressione nel calcestruzzo: σ_c=0.00

CC 118 SLU (Collegamento -519_0016)
Azioni sul collegamento: N=13049.90 Ty=3.45 Tz=-79.67 Mx=-0.09 Mz=0.78
Sollecitazioni agenti localmente: Tx_l=3.45 Ty_l=-79.67 N_l=13049.90 Mx_l=0.00 My_l=0.78 Mz_l=-0.09
Taglio nei bulloni: Fv,Ed=6.68 Fv,Rd=14597.10
Rifollamento lato piastra: Fb,Ed,p=6.68 Fb,Rd,p=10965.50
Trazione nei bulloni: Ft,Ed=1087.99 Ft,Rd=17452.80
Azione di punzonamento di progetto lato piastra: Bp,Ed,p=1087.99 Bb,Rd,p=57061.40
Int. V-T=0.05
Tirafondi:LT=0.41 (0.25) σ_{cR}=61.40 σ_{fR}=71.13
Compressione nel calcestruzzo: σ_c=0.00

Saldatura profilo-piastra

CC 65 SLV (Collegamento -519_0016)
Azioni sul collegamento: N=6925.52 Ty=5.86 Tz=-59.01 Mx=-0.17 Mz=2.74
Sollecitazioni agenti localmente: Tx_l=5.86 Ty_l=-59.01 N_l=6925.52 My_l=-2.74 Mz_l=-0.17
Azioni sul cordone: TP=-1.89 TO=11.76 NO=1380.50
Tensioni nel cordone: τ_P=0.22 τ_O=1.39 σ_O=166.72 σ_{ID}=166.72 Σ_T=168.10
CC 102 SLU (Collegamento -519_0016)
Azioni sul collegamento: N=23995.20 Ty=-0.34 Tz=-79.67 Mx=-0.04 Mz=-4.83
Sollecitazioni agenti localmente: Tx_l=-0.34 Ty_l=-79.67 N_l=23995.20 My_l=4.83 Mz_l=-0.04
Azioni sul cordone: TP=0.02 TO=-5.92 NO=1773.73
Tensioni nel cordone: τ_P=7.56E-03 τ_O=1.88 σ_O=570.83 σ_{ID}=570.83 Σ_T=572.71
CC 110 SLU (Collegamento -519_0016)
Azioni sul collegamento: N=17275.60 Ty=3.14 Tz=-79.67 Mx=-0.09 Mz=-0.30
Sollecitazioni agenti localmente: Tx_l=3.14 Ty_l=-79.67 N_l=17275.60 My_l=0.30 Mz_l=-0.09
Azioni sul cordone: TP=0.34 TO=-5.96 NO=1277.02
Tensioni nel cordone: τ_P=0.11 τ_O=1.90 σ_O=406.34 σ_{ID}=406.35 Σ_T=408.24

Flessione attacco superiore piastra

Bnetta=20.00 Hnetta=400.00 irrigidita (W=54.53)
CC 102 SLU (Collegamento -519_0016)
Azioni sul collegamento: N=23995.20 Ty=-0.34 Tz=-79.67 Mx=-0.04 Mz=-4.83
Sollecitazioni agenti localmente: Ty_l=7998.41 Mx_l=567.89
Tensioni nella sezione: σ=1041.41 τ=499.90

Flessione attacco inferiore piastra

Bnetta=20.00 Hnetta=400.00 irrigidita (W=54.53)
CC 102 SLU (Collegamento -519_0016)
Azioni sul collegamento: N=23995.20 Ty=-0.34 Tz=-79.67 Mx=-0.04 Mz=-4.83
Sollecitazioni agenti localmente: Ty_l=7998.41 Mx_l=567.89
Tensioni nella sezione: σ=1041.41 τ=499.90

Flessione attacco destro piastra

Bnetta=20.00 Hnetta=340.00 irrigidita (W=53.66)
CC 102 SLU (Collegamento -519_0016)
Azioni sul collegamento: N=23995.20 Ty=-0.34 Tz=-79.67 Mx=-0.04 Mz=-4.83
Sollecitazioni agenti localmente: Ty_l=12013.30 My_l=889.14
Tensioni nella sezione: σ=1657.09 τ=750.83

Flessione attacco sinistro piastra

Bnetta=20.00 Hnetta=340.00 irrigidita (W=53.66)
CC 102 SLU (Collegamento -519_0016)
Azioni sul collegamento: N=23995.20 Ty=-0.34 Tz=-79.67 Mx=-0.04 Mz=-4.83
Sollecitazioni agenti localmente: Ty_l=11982.00 My_l=886.51
Tensioni nella sezione: σ=1652.18 τ=748.87

Flessione locale sinistra

Bullone in x=-171.00 y=-47.00
Bnetta=26.00 Hnetta=20.00
CC 102 SLU (Collegamento -519_0016)
Azioni sul collegamento: N=23995.20 Ty=-0.34 Tz=-79.67 Mx=-0.04 Mz=-4.83
Sollecitazioni agenti localmente: Mx_l=25.95
Tensioni nella sezione: σ=1497.38 τ=0.00

Flessione locale destra

Bullone in x=171.00 y=-47.00
Bnetta=26.00 Hnetta=20.00
CC 102 SLU (Collegamento -519_0016)
Azioni sul collegamento: N=23995.20 Ty=-0.34 Tz=-79.67 Mx=-0.04 Mz=-4.83
Sollecitazioni agenti localmente: Mx_l=26.04
Tensioni nella sezione: σ=1502.03 τ=0.00

Flessione locale angolo superiore sinistro

Bullone in x=-90.00 y=141.00
Bnetta=20.00 Hnetta=20.00
CC 102 SLU (Collegamento -519_0016)
Azioni sul collegamento: N=23995.20 Ty=-0.34 Tz=-79.67 Mx=-0.04 Mz=-4.83
Sollecitazioni agenti localmente: My_l=19.98
Tensioni nella sezione: σ=1498.48 τ=0.00

Flessione locale angolo superiore destro

Bullone in x=90.00 y=141.00
Bnetta=20.00 Hnetta=20.00
CC 102 SLU (Collegamento -519_0016)
Azioni sul collegamento: N=23995.20 Ty=-0.34 Tz=-79.67 Mx=-0.04 Mz=-4.83
Sollecitazioni agenti localmente: My_l=20.01
Tensioni nella sezione: σ=1500.93 τ=0.00

Flessione locale angolo inferiore sinistro

Bullone in x=-90.00 y=-141.00
Bnetta=20.00 Hnetta=20.00
CC 102 SLU (Collegamento -519_0016)
Azioni sul collegamento: N=23995.20 Ty=-0.34 Tz=-79.67 Mx=-0.04 Mz=-4.83
Sollecitazioni agenti localmente: My_l=19.98
Tensioni nella sezione: σ=1498.48 τ=0.00

Flessione locale angolo inferiore destro

Bullone in x=90.00 y=-141.00
Bnetta=20.00 Hnetta=20.00
CC 102 SLU (Collegamento -519_0016)
Azioni sul collegamento: N=23995.20 Ty=-0.34 Tz=-79.67 Mx=-0.04 Mz=-4.83
Sollecitazioni agenti localmente: My_l=20.01
Tensioni nella sezione: σ=1500.93 τ=0.00

Collegamento -520_0017

Piastra 400.00 x 340.00 s=20.00 - 12 Tirafondi ϕ 22 - Profondità di infissione: 300.00
4 righe ad interasse 94.00
4 colonne ad interasse variabile
Altezza di gola saldature: anima 7.07 - ala 7.07
Irrigidimenti:
Laterali parallele all'anima s=10.00
Trasversali s=10.00

Tirafondi e calcestruzzo

CC 97 SLU (Collegamento -520_0017)
Azioni sul collegamento: N=22450.10 Ty=-2.47 Tz=-79.67 Mx=0.09 Mz=1.93
Sollecitazioni agenti localmente: Tx_l=-2.47 Ty_l=-79.67 N_l=22450.10 Mx_l=0.00 My_l=1.93 Mz_l=0.09
Taglio nei bulloni: Fv,Ed=6.68 Fv,Rd=14597.10
Rifollamento lato piastra: Fb,Ed,p=6.68 Fb,Rd,p=10949.10
Trazione nei bulloni: Ft,Ed=1872.09 Ft,Rd=17452.80
Azione di punzonamento di progetto lato piastra: Bp,Ed,p=1872.09 Bb,Rd,p=57061.40
Int. V-T=0.08
Tirafondi:LT=0.41 (0.25) σ_{cR}=105.66 σ_{fR}=122.39
Compressione nel calcestruzzo: σ_c=0.00
CC 105 SLU (Collegamento -520_0017)
Azioni sul collegamento: N=23994.50 Ty=0.34 Tz=-79.67 Mx=0.04 Mz=4.82
Sollecitazioni agenti localmente: Tx_l=0.34 Ty_l=-79.67 N_l=23994.50 Mx_l=0.00 My_l=4.82 Mz_l=0.04
Taglio nei bulloni: Fv,Ed=6.66 Fv,Rd=14597.10
Rifollamento lato piastra: Fb,Ed,p=6.66 Fb,Rd,p=10929.00
Trazione nei bulloni: Ft,Ed=2002.64 Ft,Rd=17452.80
Azione di punzonamento di progetto lato piastra: Bp,Ed,p=2002.64 Bb,Rd,p=57061.40
Int. V-T=0.08
Tirafondi:LT=0.41 (0.25) σ_{cR}=113.03 σ_{fR}=130.92
Compressione nel calcestruzzo: σ_c=0.00
CC 125 SLU (Collegamento -520_0017)
Azioni sul collegamento: N=11474.40 Ty=-5.51 Tz=-79.67 Mx=0.11 Mz=-4.77
Sollecitazioni agenti localmente: Tx_l=-5.51 Ty_l=-79.67 N_l=11474.40 Mx_l=0.00 My_l=-4.77 Mz_l=0.11
Taglio nei bulloni: Fv,Ed=6.70 Fv,Rd=14597.10
Rifollamento lato piastra: Fb,Ed,p=6.70 Fb,Rd,p=11017.70
Trazione nei bulloni: Ft,Ed=959.27 Ft,Rd=17452.80
Azione di punzonamento di progetto lato piastra: Bp,Ed,p=959.27 Bb,Rd,p=57061.40
Int. V-T=0.04
Tirafondi:LT=0.41 (0.25) σ_{cR}=54.14 σ_{fR}=62.71
Compressione nel calcestruzzo: σ_c=0.00

Saldatura profilo-piastra

CC 17 SLV (Collegamento -520_0017)
Azioni sul collegamento: N=3307.39 Ty=-5.86 Tz=-59.01 Mx=0.17 Mz=-2.74
Sollecitazioni agenti localmente: Tx_l=-5.86 Ty_l=-59.01 N_l=3307.39 My_l=2.74 Mz_l=0.17
Azioni sul cordone: TP=1.89 TO=11.76 NO=659.28
Tensioni nel cordone: τ_P=0.22 τ_0=1.39 σ_0=81.71 σ_{ID}=81.72 Σ_T=83.09
CC 105 SLU (Collegamento -520_0017)
Azioni sul collegamento: N=23994.50 Ty=0.34 Tz=-79.67 Mx=0.04 Mz=4.82
Sollecitazioni agenti localmente: Tx_l=0.34 Ty_l=-79.67 N_l=23994.50 My_l=-4.82 Mz_l=0.04
Azioni sul cordone: TP=-0.02 TO=-5.92 NO=1773.68
Tensioni nel cordone: τ_P=7.56E-03 τ_0=1.88 σ_0=570.81 σ_{ID}=570.82 Σ_T=572.70
CC 109 SLU (Collegamento -520_0017)
Azioni sul collegamento: N=17275.60 Ty=-3.14 Tz=-79.67 Mx=0.09 Mz=0.30
Sollecitazioni agenti localmente: Tx_l=-3.14 Ty_l=-79.67 N_l=17275.60 My_l=-0.30 Mz_l=0.09
Azioni sul cordone: TP=-0.34 TO=-5.96 NO=1277.02
Tensioni nel cordone: τ_P=0.11 τ_0=1.90 σ_0=406.34 σ_{ID}=406.35 Σ_T=408.24

Flessione attacco superiore piastra

Bnetta=20.00 Hnetta=400.00 irrigidita (W=54.53)
CC 105 SLU (Collegamento -520_0017)
Azioni sul collegamento: N=23994.50 Ty=0.34 Tz=-79.67 Mx=0.04 Mz=4.82
Sollecitazioni agenti localmente: Ty_l=7998.18 Mx_l=567.87
Tensioni nella sezione: σ=1041.38 τ=499.89

Flessione attacco inferiore piastra

Bnetta=20.00 Hnetta=400.00 irrigidita (W=54.53)
CC 105 SLU (Collegamento -520_0017)
Azioni sul collegamento: N=23994.50 Ty=0.34 Tz=-79.67 Mx=0.04 Mz=4.82
Sollecitazioni agenti localmente: Ty_l=7998.18 Mx_l=567.87
Tensioni nella sezione: σ=1041.38 τ=499.89

Flessione attacco destro piastra

Bnetta=20.00 Hnetta=340.00 irrigidita (W=53.66)
CC 105 SLU (Collegamento -520_0017)
Azioni sul collegamento: N=23994.50 Ty=0.34 Tz=-79.67 Mx=0.04 Mz=4.82
Sollecitazioni agenti localmente: Ty_l=11981.60 My_l=886.48
Tensioni nella sezione: σ=1652.13 τ=748.85

Flessione attacco sinistro piastra

Bnetta=20.00 Hnetta=340.00 irrigidita (W=53.66)
CC 105 SLU (Collegamento -520_0017)
Azioni sul collegamento: N=23994.50 Ty=0.34 Tz=-79.67 Mx=0.04 Mz=4.82
Sollecitazioni agenti localmente: Ty_l=12012.90 My_l=889.12
Tensioni nella sezione: σ=1657.04 τ=750.81

Flessione locale sinistra

Bullone in x=-171.00 y=-47.00
Bnetta=26.00 Hnetta=20.00
CC 105 SLU (Collegamento -520_0017)
Azioni sul collegamento: N=23994.50 Ty=0.34 Tz=-79.67 Mx=0.04 Mz=4.82
Sollecitazioni agenti localmente: Mx_l=26.03
Tensioni nella sezione: σ=1501.98 τ=0.00

Flessione locale destra

Bullone in x=171.00 y=-47.00
Bnetta=26.00 Hnetta=20.00
CC 105 SLU (Collegamento -520_0017)
Azioni sul collegamento: N=23994.50 Ty=0.34 Tz=-79.67 Mx=0.04 Mz=4.82
Sollecitazioni agenti localmente: Mx_l=25.95
Tensioni nella sezione: σ=1497.34 τ=0.00

Flessione locale angolo superiore sinistro

Bullone in x=-90.00 y=141.00
Bnetta=20.00 Hnetta=20.00
CC 105 SLU (Collegamento -520_0017)
Azioni sul collegamento: N=23994.50 Ty=0.34 Tz=-79.67 Mx=0.04 Mz=4.82
Sollecitazioni agenti localmente: My_l=20.01
Tensioni nella sezione: σ=1500.88 τ=0.00

Flessione locale angolo superiore destro

Bullone in x=90.00 y=141.00
Bnetta=20.00 Hnetta=20.00
CC 105 SLU (Collegamento -520_0017)

Azioni sul collegamento: N=23994.50 Ty=0.34 Tz=-79.67 Mx=0.04 Mz=4.82
Sollecitazioni agenti localmente: My_l=19.98
Tensioni nella sezione: σ=1498.44 τ=0.00

Flessione locale angolo inferiore sinistro

Bullone in x=-90.00 y=-141.00
Bnetta=20.00 Hnetta=20.00
CC 105 SLU (Collegamento -520_0017)
Azioni sul collegamento: N=23994.50 Ty=0.34 Tz=-79.67 Mx=0.04 Mz=4.82
Sollecitazioni agenti localmente: My_l=20.01
Tensioni nella sezione: σ=1500.88 τ=0.00

Flessione locale angolo inferiore destro

Bullone in x=90.00 y=-141.00
Bnetta=20.00 Hnetta=20.00
CC 105 SLU (Collegamento -520_0017)
Azioni sul collegamento: N=23994.50 Ty=0.34 Tz=-79.67 Mx=0.04 Mz=4.82
Sollecitazioni agenti localmente: My_l=19.98
Tensioni nella sezione: σ=1498.44 τ=0.00

Collegamento -527_0018

Piastra 400.00 x 340.00 s=20.00 - 12 Tirafondi ϕ 22 - Profondità di infissione: 300.00
4 righe ad interasse 94.00
4 colonne ad interasse variabile
Altezza di gola saldature: anima 7.07 - ala 7.07
Irrigidimenti:
Laterali parallele all'anima s=10.00
Trasversali s=10.00

Tirafondi e calcestruzzo

CC 98 SLU (Collegamento -527_0018)
Azioni sul collegamento: N=25340.80 Ty=8.47 Tz=-79.67 Mx=-0.22 Mz=2.07
Sollecitazioni agenti localmente: Tx_l=8.47 Ty_l=-79.67 N_l=25340.80 Mx_l=0.00 My_l=2.07 Mz_l=-0.22
Taglio nei bulloni: Fv,Ed=6.77 Fv,Rd=14597.10
Rifollamento lato piastra: Fb,Ed,p=6.77 Fb,Rd,p=11146.30
Trazione nei bulloni: Ft,Ed=2113.06 Ft,Rd=17452.80
Azione di punzonamento di progetto lato piastra: Bp,Ed,p=2113.06 Bb,Rd,p=57061.40
Int. V-T=0.09
Tirafondi:LT=0.41 (0.25) σ_{cR}=119.26 σ_{fR}=138.14
Compressione nel calcestruzzo: σ_c=0.00
CC 123 SLU (Collegamento -527_0018)
Azioni sul collegamento: N=20168.70 Ty=3.92 Tz=-79.67 Mx=-0.17 Mz=-5.01
Sollecitazioni agenti localmente: Tx_l=3.92 Ty_l=-79.67 N_l=20168.70 Mx_l=0.00 My_l=-5.01 Mz_l=-0.17
Taglio nei bulloni: Fv,Ed=6.72 Fv,Rd=14597.10
Rifollamento lato piastra: Fb,Ed,p=6.72 Fb,Rd,p=10981.20
Trazione nei bulloni: Ft,Ed=1683.94 Ft,Rd=17452.80
Azione di punzonamento di progetto lato piastra: Bp,Ed,p=1683.94 Bb,Rd,p=57061.40
Int. V-T=0.07
Tirafondi:LT=0.41 (0.25) σ_{cR}=95.04 σ_{fR}=110.09
Compressione nel calcestruzzo: σ_c=0.00

Saldatura profilo-piastra

CC 65 SLV (Collegamento -527_0018)
Azioni sul collegamento: N=10376.40 Ty=10.54 Tz=-59.01 Mx=-0.28 Mz=5.70
Sollecitazioni agenti localmente: Tx_l=10.54 Ty_l=-59.01 N_l=10376.40 My_l=-5.70 Mz_l=-0.28
Azioni sul cordone: TP=-3.27 TO=11.76 NO=2068.38
Tensioni nel cordone: τ_P=0.39 τ_O=1.39 σ_O=252.12 σ_{ID}=252.13 Σ_T=253.51
CC 98 SLU (Collegamento -527_0018)
Azioni sul collegamento: N=25340.80 Ty=8.47 Tz=-79.67 Mx=-0.22 Mz=2.07
Sollecitazioni agenti localmente: Tx_l=8.47 Ty_l=-79.67 N_l=25340.80 My_l=-2.07 Mz_l=-0.22
Azioni sul cordone: TP=0.89 TO=-5.71 NO=1873.20
Tensioni nel cordone: τ_P=0.28 τ_O=1.81 σ_O=598.42 σ_{ID}=598.42 Σ_T=600.24
CC 122 SLU (Collegamento -527_0018)
Azioni sul collegamento: N=20365.20 Ty=4.02 Tz=-79.67 Mx=-0.17 Mz=-4.95
Sollecitazioni agenti localmente: Tx_l=4.02 Ty_l=-79.67 N_l=20365.20 My_l=4.95 Mz_l=-0.17
Azioni sul cordone: TP=0.49 TO=-6.03 NO=1505.40
Tensioni nel cordone: τ_P=0.16 τ_O=1.92 σ_O=485.72 σ_{ID}=485.72 Σ_T=487.64

Flessione attacco superiore piastra

Bnetta=20.00 Hnetta=400.00 irrigidita (W=54.53)
CC 98 SLU (Collegamento -527_0018)
Azioni sul collegamento: N=25340.80 Ty=8.47 Tz=-79.67 Mx=-0.22 Mz=2.07
Sollecitazioni agenti localmente: Ty_l=8446.94 Mx_l=599.73
Tensioni nella sezione: σ=1099.81 τ=527.93

Flessione attacco inferiore piastra

Bnetta=20.00 Hnetta=400.00 irrigidita (W=54.53)
CC 98 SLU (Collegamento -527_0018)
Azioni sul collegamento: N=25340.80 Ty=8.47 Tz=-79.67 Mx=-0.22 Mz=2.07
Sollecitazioni agenti localmente: Ty_l=8446.94 Mx_l=599.73
Tensioni nella sezione: σ=1099.81 τ=527.93

Flessione attacco destro piastra

Bnetta=20.00 Hnetta=340.00 irrigidita (W=53.66)
CC 98 SLU (Collegamento -527_0018)
Azioni sul collegamento: N=25340.80 Ty=8.47 Tz=-79.67 Mx=-0.22 Mz=2.07
Sollecitazioni agenti localmente: Ty_l=12663.70 My_l=937.04
Tensioni nella sezione: σ=1746.37 τ=791.48

Flessione attacco sinistro piastra

Bnetta=20.00 Hnetta=340.00 irrigidita (W=53.66)
CC 98 SLU (Collegamento -527_0018)
Azioni sul collegamento: N=25340.80 Ty=8.47 Tz=-79.67 Mx=-0.22 Mz=2.07
Sollecitazioni agenti localmente: Ty_l=12677.10 My_l=938.17
Tensioni nella sezione: σ=1748.47 τ=792.32

Flessione locale sinistra

Bullone in x=-171.00 y=-47.00
Bnetta=26.00 Hnetta=20.00
CC 98 SLU (Collegamento -527_0018)
Azioni sul collegamento: N=25340.80 Ty=8.47 Tz=-79.67 Mx=-0.22 Mz=2.07
Sollecitazioni agenti localmente: Mx_l=27.47
Tensioni nella sezione: σ=1584.80 τ=0.00

Flessione locale destra

Bullone in x=171.00 y=-47.00
Bnetta=26.00 Hnetta=20.00
CC 98 SLU (Collegamento -527_0018)
Azioni sul collegamento: N=25340.80 Ty=8.47 Tz=-79.67 Mx=-0.22 Mz=2.07
Sollecitazioni agenti localmente: Mx_l=27.44
Tensioni nella sezione: σ=1582.80 τ=0.00

Flessione locale angolo superiore sinistro

Bullone in x=-90.00 y=141.00
Bnetta=20.00 Hnetta=20.00
CC 98 SLU (Collegamento -527_0018)
Azioni sul collegamento: N=25340.80 Ty=8.47 Tz=-79.67 Mx=-0.22 Mz=2.07
Sollecitazioni agenti localmente: My_l=21.12
Tensioni nella sezione: σ=1584.33 τ=0.00

Flessione locale angolo superiore destro

Bullone in x=90.00 y=141.00
Bnetta=20.00 Hnetta=20.00
CC 98 SLU (Collegamento -527_0018)
Azioni sul collegamento: N=25340.80 Ty=8.47 Tz=-79.67 Mx=-0.22 Mz=2.07
Sollecitazioni agenti localmente: My_l=21.11
Tensioni nella sezione: σ=1583.28 τ=0.00

Flessione locale angolo inferiore sinistro

Bullone in x=-90.00 y=-141.00
Bnetta=20.00 Hnetta=20.00
CC 98 SLU (Collegamento -527_0018)
Azioni sul collegamento: N=25340.80 Ty=8.47 Tz=-79.67 Mx=-0.22 Mz=2.07
Sollecitazioni agenti localmente: My_l=21.12
Tensioni nella sezione: σ=1584.33 τ=0.00

Flessione locale angolo inferiore destro

Bullone in x=90.00 y=-141.00
Bnetta=20.00 Hnetta=20.00
CC 98 SLU (Collegamento -527_0018)
Azioni sul collegamento: N=25340.80 Ty=8.47 Tz=-79.67 Mx=-0.22 Mz=2.07
Sollecitazioni agenti localmente: My_l=21.11
Tensioni nella sezione: σ=1583.28 τ=0.00

Collegamento -528_0019

Piastra 400.00 x 340.00 s=20.00 - 12 Tirafondi ϕ 22 - Profondità di infissione: 300.00
4 righe ad interasse 94.00
4 colonne ad interasse variabile
Altezza di gola saldature: anima 7.07 - ala 7.07
Irrigidimenti:
Laterali parallele all'anima s=10.00
Trasversali s=10.00

Tirafondi e calcestruzzo

CC 97 SLU (Collegamento -528_0019)
Azioni sul collegamento: N=25340.80 Ty=-8.47 Tz=-79.67 Mx=0.22 Mz=-2.07
Sollecitazioni agenti localmente: Tx_l=-8.47 Ty_l=-79.67 N_l=25340.80 Mx_l=0.00 My_l=-2.07 Mz_l=0.22
Taglio nei bulloni: Fv,Ed=6.77 Fv,Rd=14597.10
Rifollamento lato piastra: Fb,Ed,p=6.77 Fb,Rd,p=11146.30
Trazione nei bulloni: Ft,Ed=2113.06 Ft,Rd=17452.80
Azione di punzonamento di progetto lato piastra: Bp,Ed,p=2113.06 Bb,Rd,p=57061.40
Int. V-T=0.09
Tirafondi:LT=0.41 (0.25) σ_{cR}=119.26 σ_{fR}=138.14
Compressione nel calcestruzzo: σ_c=0.00
CC 102 SLU (Collegamento -528_0019)
Azioni sul collegamento: N=19040.80 Ty=-7.58 Tz=-79.67 Mx=0.19 Mz=-2.61
Sollecitazioni agenti localmente: Tx_l=-7.58 Ty_l=-79.67 N_l=19040.80 Mx_l=0.00 My_l=-2.61 Mz_l=0.19
Taglio nei bulloni: Fv,Ed=6.75 Fv,Rd=14597.10
Rifollamento lato piastra: Fb,Ed,p=6.75 Fb,Rd,p=11102.50
Trazione nei bulloni: Ft,Ed=1588.41 Ft,Rd=17452.80
Azione di punzonamento di progetto lato piastra: Bp,Ed,p=1588.41 Bb,Rd,p=57061.40
Int. V-T=0.07
Tirafondi:LT=0.41 (0.25) σ_{cR}=89.65 σ_{fR}=103.84
Compressione nel calcestruzzo: σ_c=0.00
CC 121 SLU (Collegamento -528_0019)
Azioni sul collegamento: N=18779.70 Ty=-13.19 Tz=-79.67 Mx=0.25 Mz=-12.14
Sollecitazioni agenti localmente: Tx_l=-13.19 Ty_l=-79.67 N_l=18779.70 Mx_l=0.00 My_l=-12.14 Mz_l=0.25
Taglio nei bulloni: Fv,Ed=6.84 Fv,Rd=14597.10
Rifollamento lato piastra: Fb,Ed,p=6.84 Fb,Rd,p=11428.90
Trazione nei bulloni: Ft,Ed=1572.77 Ft,Rd=17452.80
Azione di punzonamento di progetto lato piastra: Bp,Ed,p=1572.77 Bb,Rd,p=57061.40
Int. V-T=0.06
Tirafondi:LT=0.41 (0.25) σ_{cR}=88.76 σ_{fR}=102.82
Compressione nel calcestruzzo: σ_c=0.00

Saldatura profilo-piastra

CC 97 SLU (Collegamento -528_0019)
Azioni sul collegamento: N=25340.80 Ty=-8.47 Tz=-79.67 Mx=0.22 Mz=-2.07
Sollecitazioni agenti localmente: Tx_l=-8.47 Ty_l=-79.67 N_l=25340.80 My_l=2.07 Mz_l=0.22
Azioni sul cordone: TP=-0.89 TO=-5.71 NO=1873.20
Tensioni nel cordone: τ_P=0.28 τ_O=1.81 σ_O=598.42 σ_{ID}=598.42 Σ_T=600.24
CC 104 SLU (Collegamento -528_0019)
Azioni sul collegamento: N=19237.20 Ty=-7.69 Tz=-79.67 Mx=0.20 Mz=-2.67
Sollecitazioni agenti localmente: Tx_l=-7.69 Ty_l=-79.67 N_l=19237.20 My_l=2.67 Mz_l=0.20
Azioni sul cordone: TP=2.36 TO=15.88 NO=3834.66
Tensioni nel cordone: τ_P=0.28 τ_O=1.87 σ_O=455.89 σ_{ID}=455.90 Σ_T=457.76
CC 121 SLU (Collegamento -528_0019)
Azioni sul collegamento: N=18779.70 Ty=-13.19 Tz=-79.67 Mx=0.25 Mz=-12.14
Sollecitazioni agenti localmente: Tx_l=-13.19 Ty_l=-79.67 N_l=18779.70 My_l=12.14 Mz_l=0.25
Azioni sul cordone: TP=3.70 TO=15.88 NO=3743.46
Tensioni nel cordone: τ_P=0.44 τ_O=1.87 σ_O=458.97 σ_{ID}=458.98 Σ_T=460.84

Flessione attacco superiore piastra

Bnetta=20.00 Hnetta=400.00 irrigidita (W=54.53)
CC 97 SLU (Collegamento -528_0019)
Azioni sul collegamento: N=25340.80 Ty=-8.47 Tz=-79.67 Mx=0.22 Mz=-2.07
Sollecitazioni agenti localmente: Ty_l=8446.94 Mx_l=599.73
Tensioni nella sezione: σ=1099.81 τ=527.93

Flessione attacco inferiore piastra

Bnetta=20.00 Hnetta=400.00 irrigidita (W=54.53)
CC 97 SLU (Collegamento -528_0019)
Azioni sul collegamento: N=25340.80 Ty=-8.47 Tz=-79.67 Mx=0.22 Mz=-2.07
Sollecitazioni agenti localmente: Ty_l=8446.93 Mx_l=599.73
Tensioni nella sezione: σ=1099.81 τ=527.93

Flessione attacco destro piastra

Bnetta=20.00 Hnetta=340.00 irrigidita (W=53.66)
CC 97 SLU (Collegamento -528_0019)

Azioni sul collegamento: N=25340.80 Ty=-8.47 Tz=-79.67 Mx=0.22 Mz=-2.07
Sollecitazioni agenti localmente: Ty_l=12677.10 My_l=938.17
Tensioni nella sezione: σ=1748.47 τ=792.32

Flessione attacco sinistro piastra

Bnetta=20.00 Hnetta=340.00 irrigidita (W=53.66)
CC 97 SLU (Collegamento -528_0019)
Azioni sul collegamento: N=25340.80 Ty=-8.47 Tz=-79.67 Mx=0.22 Mz=-2.07
Sollecitazioni agenti localmente: Ty_l=12663.70 My_l=937.04
Tensioni nella sezione: σ=1746.37 τ=791.48

Flessione locale sinistra

Bullone in x=-171.00 y=47.00
Bnetta=26.00 Hnetta=20.00
CC 97 SLU (Collegamento -528_0019)
Azioni sul collegamento: N=25340.80 Ty=-8.47 Tz=-79.67 Mx=0.22 Mz=-2.07
Sollecitazioni agenti localmente: Mx_l=27.44
Tensioni nella sezione: σ=1582.80 τ=0.00

Flessione locale destra

Bullone in x=171.00 y=-47.00
Bnetta=26.00 Hnetta=20.00
CC 97 SLU (Collegamento -528_0019)
Azioni sul collegamento: N=25340.80 Ty=-8.47 Tz=-79.67 Mx=0.22 Mz=-2.07
Sollecitazioni agenti localmente: Mx_l=27.47
Tensioni nella sezione: σ=1584.80 τ=0.00

Flessione locale angolo superiore sinistro

Bullone in x=-90.00 y=141.00
Bnetta=20.00 Hnetta=20.00
CC 97 SLU (Collegamento -528_0019)
Azioni sul collegamento: N=25340.80 Ty=-8.47 Tz=-79.67 Mx=0.22 Mz=-2.07
Sollecitazioni agenti localmente: My_l=21.11
Tensioni nella sezione: σ=1583.28 τ=0.00

Flessione locale angolo superiore destro

Bullone in x=90.00 y=141.00
Bnetta=20.00 Hnetta=20.00
CC 97 SLU (Collegamento -528_0019)
Azioni sul collegamento: N=25340.80 Ty=-8.47 Tz=-79.67 Mx=0.22 Mz=-2.07
Sollecitazioni agenti localmente: My_l=21.12
Tensioni nella sezione: σ=1584.33 τ=0.00

Flessione locale angolo inferiore sinistro

Bullone in x=-90.00 y=-141.00
Bnetta=20.00 Hnetta=20.00
CC 97 SLU (Collegamento -528_0019)
Azioni sul collegamento: N=25340.80 Ty=-8.47 Tz=-79.67 Mx=0.22 Mz=-2.07
Sollecitazioni agenti localmente: My_l=21.11
Tensioni nella sezione: σ=1583.28 τ=0.00

Flessione locale angolo inferiore destro

Bullone in x=90.00 y=-141.00
Bnetta=20.00 Hnetta=20.00
CC 97 SLU (Collegamento -528_0019)
Azioni sul collegamento: N=25340.80 Ty=-8.47 Tz=-79.67 Mx=0.22 Mz=-2.07
Sollecitazioni agenti localmente: My_l=21.12
Tensioni nella sezione: σ=1584.33 τ=0.00

Collegamento -594_-595

Piastre anima 300.00 x 186.00 s= 12.00 - 8+8 bulloni ϕ 16
2 righe ad interasse 79.00
4 colonne ad interasse variabile
Piastre ala 650.00 x 120.00 s= 12.00 - 10+10 bulloni ϕ 16
5 righe ad interasse 67.00
2 colonne ad interasse 78.00
Piastre inferiori ala 650.00 x 41.00 s= 12.00

Bullonatura sull'anima

CC 97 SLU
Azioni sul collegamento: N=3945.19 Ty=-2.49 Tz=-3603.07 My=650.41 Mz=-5.87

Sollecitazioni agenti localmente: Tx_l=1449.79 Ty_l=-3603.07 Mz_l=380.90
Taglio nei bulloni: Fv,Ed=666.60 Fv,Rd=6028.80
Azione di rifollamento di progetto lato asta: Fb,Ed,a=969.62 Fb,Rd,a=5235.01
Rifollamento lato piastra: Fb,Ed,p=666.60 Fb,Rd,p=10716.60

Piastra di anima

Bnetta=24.00 Hnetta=186.00
CC 97 SLU
Azioni sul collegamento: N=3945.19 Ty=-2.49 Tz=-3603.07 My=650.41 Mz=-5.87
Sollecitazioni agenti localmente: Tx_l=1449.79 Ty_l=-3603.07 Mz_l=380.90
Tensioni nella sezione: σ=307.72 τ=80.71
CC 98 SLU
Azioni sul collegamento: N=3714.62 Ty=-2.53 Tz=-3646.59 My=592.11 Mz=-6.00
Sollecitazioni agenti localmente: Tx_l=1365.06 Ty_l=-3646.59 Mz_l=375.52
Tensioni nella sezione: σ=301.94 τ=81.69

Verifica a taglio anima forata

Bnetta=6.20 Hnetta=152.40
CC 98 SLU
Azioni sul collegamento: N=3714.62 Ty=-2.53 Tz=-3646.59 My=592.11 Mz=-6.00
Sollecitazioni agenti localmente: Ty_l=-1823.30
Tensioni nella sezione: σ=0.00 τ=192.97

Bullonatura ali superiori

CC 130 SLU (Collegamento -594_-595)
Azioni sul collegamento: N=-949.25 Ty=-3.69 Tz=-1403.11 My=-598.17 Mz=-3.64
Sollecitazioni agenti localmente: Tx_l=1906.52 Ty_l=-1.85 Mz_l=-2.13
Taglio nei bulloni: Fv,Ed=95.73 Fv,Rd=6028.80
Azione di rifollamento di progetto lato asta: Fb,Ed,a=191.47 Fb,Rd,a=6140.71
Rifollamento lato piastra: Fb,Ed,p=95.73 Fb,Rd,p=5012.42
CC 101 SLU
Azioni sul collegamento: N=5117.30 Ty=3.26 Tz=-1111.33 My=1341.45 Mz=3.87
Sollecitazioni agenti localmente: Tx_l=-3330.39 Ty_l=1.63 Mz_l=2.21
Taglio nei bulloni: Fv,Ed=166.94 Fv,Rd=6028.80
Azione di rifollamento di progetto lato asta: Fb,Ed,a=333.86 Fb,Rd,a=9486.95
Rifollamento lato piastra: Fb,Ed,p=166.93 Fb,Rd,p=11616.70

Bullonatura ali inferiori

CC 101 SLU
Azioni sul collegamento: N=5117.30 Ty=3.26 Tz=-1111.33 My=1341.45 Mz=3.87
Sollecitazioni agenti localmente: Tx_l=6567.17 Ty_l=1.63 Mz_l=2.21
Taglio nei bulloni: Fv,Ed=328.77 Fv,Rd=6028.80
Azione di rifollamento di progetto lato asta: Fb,Ed,a=657.54 Fb,Rd,a=6138.80
Rifollamento lato piastra: Fb,Ed,p=328.77 Fb,Rd,p=5011.23

Piastre esterne sulle ali

Bnetta=12.00 Hnetta=120.00
CC 101 SLU (Collegamento -594_-595)
Azioni sul collegamento: N=5447.45 Ty=4.95 Tz=-739.21 My=1304.90 Mz=3.80
Sollecitazioni agenti localmente: Tx_l=-1836.33 Ty_l=1.47 Mz_l=1.90
Tensioni nella sezione: σ=134.12 τ=0.10
CC 101 SLU
Azioni sul collegamento: N=5117.30 Ty=3.26 Tz=-1111.33 My=1341.45 Mz=3.87
Sollecitazioni agenti localmente: Tx_l=3901.29 Ty_l=0.97 Mz_l=1.93
Tensioni nella sezione: σ=277.64 τ= 0.07

Piastre interne sulle ali

Bnetta=12.00 Hnetta=41.00
CC 101 SLU (Collegamento -594_-595)
Azioni sul collegamento: N=5447.45 Ty=4.95 Tz=-739.21 My=1304.90 Mz=3.80
Sollecitazioni agenti localmente: Tx_l=-627.41 Ty_l=0.50
Tensioni nella sezione: σ=127.52 τ=0.10
CC 101 SLU
Azioni sul collegamento: N=5117.30 Ty=3.26 Tz=-1111.33 My=1341.45 Mz=3.87
Sollecitazioni agenti localmente: Tx_l=1332.94 Ty_l=0.33
Tensioni nella sezione: σ=270.92 τ= 0.07

Collegamento -605_-604

Piastre anima 300.00 x 186.00 s= 12.00 - 8+8 bulloni ϕ 16
2 righe ad interasse 79.00
4 colonne ad interasse variabile
Piastre ala 650.00 x 120.00 s= 12.00 - 10+10 bulloni ϕ 16
5 righe ad interasse 67.00

2 colonne ad interasse 78.00
Piastre inferiori ala 650.00 x 41.00 s= 12.00

Bullonatura sull'anima

CC 98 SLU
Azioni sul collegamento: N=3945.19 Ty=2.49 Tz=-3603.07 My=650.42 Mz=5.87
Sollecitazioni agenti localmente: Tx_l=1449.79 Ty_l=-3603.07 Mz_l=380.90
Taglio nei bulloni: Fv,Ed=666.60 Fv,Rd=6028.80
Azione di rifollamento di progetto lato asta: Fb,Ed,a=969.62 Fb,Rd,a=5235.01
Rifollamento lato piastra: Fb,Ed,p=666.60 Fb,Rd,p=10716.60

Piastra di anima

Bnetta=24.00 Hnetta=186.00
CC 97 SLU
Azioni sul collegamento: N=3714.61 Ty=2.53 Tz=-3646.59 My=592.12 Mz=6.00
Sollecitazioni agenti localmente: Tx_l=1365.06 Ty_l=-3646.59 Mz_l=375.52
Tensioni nella sezione: σ=301.94 τ=81.69
CC 98 SLU
Azioni sul collegamento: N=3945.19 Ty=2.49 Tz=-3603.07 My=650.42 Mz=5.87
Sollecitazioni agenti localmente: Tx_l=1449.79 Ty_l=-3603.07 Mz_l=380.90
Tensioni nella sezione: σ=307.73 τ=80.71

Verifica a taglio anima forata

Bnetta=6.20 Hnetta=152.40
CC 97 SLU
Azioni sul collegamento: N=3714.61 Ty=2.53 Tz=-3646.59 My=592.12 Mz=6.00
Sollecitazioni agenti localmente: Ty_l=-1823.30
Tensioni nella sezione: σ=0.00 τ=192.97

Bullonatura ali superiori

CC 1 SLV (Collegamento -605_-604)
Azioni sul collegamento: N=2438.17 Ty=2.57 Tz=-217.60 My=-285.90 Mz=2.67
Sollecitazioni agenti localmente: Tx_l=1825.80 Ty_l=1.29 Mz_l=1.55
Taglio nei bulloni: Fv,Ed=91.58 Fv,Rd=6028.80
Azione di rifollamento di progetto lato asta: Fb,Ed,a=183.17 Fb,Rd,a=6139.82
Rifollamento lato piastra: Fb,Ed,p=91.58 Fb,Rd,p=5011.87
CC 106 SLU
Azioni sul collegamento: N=5117.13 Ty=-3.26 Tz=-1111.36 My=1341.41 Mz=-3.87
Sollecitazioni agenti localmente: Tx_l=-3330.32 Ty_l=-1.63 Mz_l=-2.21
Taglio nei bulloni: Fv,Ed=166.93 Fv,Rd=6028.80
Azione di rifollamento di progetto lato asta: Fb,Ed,a=333.85 Fb,Rd,a=9486.95
Rifollamento lato piastra: Fb,Ed,p=166.93 Fb,Rd,p=11616.70

Bullonatura ali inferiori

CC 106 SLU
Azioni sul collegamento: N=5117.13 Ty=-3.26 Tz=-1111.36 My=1341.41 Mz=-3.87
Sollecitazioni agenti localmente: Tx_l=6566.99 Ty_l=-1.63 Mz_l=-2.21
Taglio nei bulloni: Fv,Ed=328.76 Fv,Rd=6028.80
Azione di rifollamento di progetto lato asta: Fb,Ed,a=657.52 Fb,Rd,a=6138.80
Rifollamento lato piastra: Fb,Ed,p=328.76 Fb,Rd,p=5011.23

Piastre esterne sulle ali

Bnetta=12.00 Hnetta=120.00
CC 106 SLU (Collegamento -605_-604)
Azioni sul collegamento: N=5447.30 Ty=-4.95 Tz=-739.25 My=1304.87 Mz=-3.80
Sollecitazioni agenti localmente: Tx_l=-1836.28 Ty_l=-1.47 Mz_l=-1.90
Tensioni nella sezione: σ=134.11 τ=0.10
CC 106 SLU
Azioni sul collegamento: N=5117.13 Ty=-3.26 Tz=-1111.36 My=1341.41 Mz=-3.87
Sollecitazioni agenti localmente: Tx_l=3901.18 Ty_l=-0.97 Mz_l=-1.93
Tensioni nella sezione: σ=277.63 τ= 0.07

Piastre interne sulle ali

Bnetta=12.00 Hnetta=41.00
CC 106 SLU (Collegamento -605_-604)
Azioni sul collegamento: N=5447.30 Ty=-4.95 Tz=-739.25 My=1304.87 Mz=-3.80
Sollecitazioni agenti localmente: Tx_l=-627.40 Ty_l=-0.50
Tensioni nella sezione: σ=127.52 τ=0.10
CC 106 SLU
Azioni sul collegamento: N=5117.13 Ty=-3.26 Tz=-1111.36 My=1341.41 Mz=-3.87
Sollecitazioni agenti localmente: Tx_l=1332.90 Ty_l=-0.33
Tensioni nella sezione: σ=270.92 τ= 0.07

Collegamento -632_-631

Piastre anima 300.00 x 186.00 s= 12.00 - 8+8 bulloni ϕ 16
2 righe ad interasse 79.00
4 colonne ad interasse variabile
Piastre ala 650.00 x 120.00 s= 12.00 - 10+10 bulloni ϕ 16
5 righe ad interasse 67.00
2 colonne ad interasse 78.00
Piastre inferiori ala 650.00 x 41.00 s= 12.00

Bullonatura sull'anima

CC 97 SLU (Collegamento -632_-631)
Azioni sul collegamento: N=3941.45 Ty=-2.70 Tz=3134.30 My=594.54 Mz=6.10
Sollecitazioni agenti localmente: Tx_l=1448.42 Ty_l=3134.30 Mz_l=335.68
Taglio nei bulloni: Fv,Ed=593.53 Fv,Rd=6028.80
Azione di rifollamento di progetto lato asta: Fb,Ed,a=1187.06 Fb,Rd,a=6845.03
Rifollamento lato piastra: Fb,Ed,p=437.97 Fb,Rd,p=7794.82

Piastra di anima

Bnetta=24.00 Hnetta=186.00
CC 97 SLU (Collegamento -632_-631)
Azioni sul collegamento: N=3941.45 Ty=-2.70 Tz=3134.30 My=594.54 Mz=6.10
Sollecitazioni agenti localmente: Tx_l=1448.42 Ty_l=3134.30 Mz_l=335.68
Tensioni nella sezione: σ=275.01 τ=70.21
CC 98 SLU (Collegamento -632_-631)
Azioni sul collegamento: N=3717.33 Ty=-2.74 Tz=3173.35 My=536.16 Mz=6.24
Sollecitazioni agenti localmente: Tx_l=1366.06 Ty_l=3173.35 Mz_l=329.94
Tensioni nella sezione: σ=269.02 τ=71.09

Verifica a taglio anima forata

Bnetta=6.20 Hnetta=152.40
CC 98 SLU (Collegamento -632_-631)
Azioni sul collegamento: N=3717.33 Ty=-2.74 Tz=3173.35 My=536.16 Mz=6.24
Sollecitazioni agenti localmente: Ty_l=1586.67
Tensioni nella sezione: σ=0.00 τ=167.92

Bullonatura ali superiori

CC 101 SLU (Collegamento -632_-631)
Azioni sul collegamento: N=5090.04 Ty=4.86 Tz=688.56 My=1358.34 Mz=-3.58
Sollecitazioni agenti localmente: Tx_l=-3401.34 Ty_l=2.43 Mz_l=-1.38
Taglio nei bulloni: Fv,Ed=170.33 Fv,Rd=6028.80
Azione di rifollamento di progetto lato asta: Fb,Ed,a=340.65 Fb,Rd,a=9486.96
Rifollamento lato piastra: Fb,Ed,p=170.32 Fb,Rd,p=11616.70
CC 130 SLU
Azioni sul collegamento: N=-850.51 Ty=-4.08 Tz=1281.31 My=-584.39 Mz=3.91
Sollecitazioni agenti localmente: Tx_l=1886.92 Ty_l=-2.04 Mz_l=1.61
Taglio nei bulloni: Fv,Ed=94.65 Fv,Rd=6028.80
Azione di rifollamento di progetto lato asta: Fb,Ed,a=189.30 Fb,Rd,a=6139.49
Rifollamento lato piastra: Fb,Ed,p=94.65 Fb,Rd,p=5012.17

Bullonatura ali inferiori

CC 101 SLU (Collegamento -632_-631)
Azioni sul collegamento: N=5090.04 Ty=4.86 Tz=688.56 My=1358.34 Mz=-3.58
Sollecitazioni agenti localmente: Tx_l=6620.87 Ty_l=2.43 Mz_l=-1.38
Taglio nei bulloni: Fv,Ed=331.30 Fv,Rd=6028.80
Azione di rifollamento di progetto lato asta: Fb,Ed,a=662.60 Fb,Rd,a=6138.66
Rifollamento lato piastra: Fb,Ed,p=331.30 Fb,Rd,p=5011.18

Piastre esterne sulle ali

Bnetta=12.00 Hnetta=120.00
CC 101 SLU (Collegamento -632_-631)
Azioni sul collegamento: N=5090.04 Ty=4.86 Tz=688.56 My=1358.34 Mz=-3.58
Sollecitazioni agenti localmente: Tx_l=3933.19 Ty_l=1.44 Mz_l=-1.79
Tensioni nella sezione: σ=279.35 τ=0.10
CC 98 SLU
Azioni sul collegamento: N=5251.93 Ty=-5.41 Tz=2863.24 My=366.18 Mz=6.76
Sollecitazioni agenti localmente: Tx_l=184.21 Ty_l=-1.61 Mz_l=3.38
Tensioni nella sezione: σ=24.52 τ=0.11

Piastre interne sulle ali

Bnetta=12.00 Hnetta=41.00
CC 101 SLU (Collegamento -632_-631)
Azioni sul collegamento: N=5090.04 Ty=4.86 Tz=688.56 My=1358.34 Mz=-3.58

Sollecitazioni agenti localmente: Tx_l=1343.84 Ty_l=0.49
Tensioni nella sezione: σ=273.14 τ=0.10
CC 98 SLU
Azioni sul collegamento: N=5251.93 Ty=-5.41 Tz=2863.24 My=366.18 Mz=6.76
Sollecitazioni agenti localmente: Tx_l=62.94 Ty_l=-0.55
Tensioni nella sezione: σ=12.79 τ=0.11

Collegamento -632_-633

Piastre anima 300.00 x 186.00 s= 12.00 - 8+8 bulloni ϕ 16
2 righe ad interasse 79.00
4 colonne ad interasse variabile
Piastre ala 650.00 x 120.00 s= 12.00 - 10+10 bulloni ϕ 16
5 righe ad interasse 67.00
2 colonne ad interasse 78.00
Piastre inferiori ala 650.00 x 41.00 s= 12.00

Bullonatura sull'anima

CC 97 SLU
Azioni sul collegamento: N=3941.45 Ty=-2.70 Tz=-3134.30 My=594.54 Mz=-6.10
Sollecitazioni agenti localmente: Tx_l=1448.42 Ty_l=-3134.30 Mz_l=335.68
Taglio nei bulloni: Fv,Ed=593.53 Fv,Rd=6028.80
Azione di rifollamento di progetto lato asta: Fb,Ed,a=875.93 Fb,Rd,a=5235.52
Rifollamento lato piastra: Fb,Ed,p=593.53 Fb,Rd,p=10563.50

Piastra di anima

Bnetta=24.00 Hnetta=186.00
CC 97 SLU
Azioni sul collegamento: N=3941.45 Ty=-2.70 Tz=-3134.30 My=594.54 Mz=-6.10
Sollecitazioni agenti localmente: Tx_l=1448.42 Ty_l=-3134.30 Mz_l=335.68
Tensioni nella sezione: σ=275.01 τ=70.21
CC 98 SLU
Azioni sul collegamento: N=3717.33 Ty=-2.74 Tz=-3173.35 My=536.16 Mz=-6.24
Sollecitazioni agenti localmente: Tx_l=1366.06 Ty_l=-3173.35 Mz_l=329.94
Tensioni nella sezione: σ=269.02 τ=71.09

Verifica a taglio anima forata

Bnetta=6.20 Hnetta=152.40
CC 98 SLU
Azioni sul collegamento: N=3717.33 Ty=-2.74 Tz=-3173.35 My=536.16 Mz=-6.24
Sollecitazioni agenti localmente: Ty_l=-1586.67
Tensioni nella sezione: σ=0.00 τ=167.92

Bullonatura ali superiori

CC 130 SLU (Collegamento -632_-633)
Azioni sul collegamento: N=-850.51 Ty=-4.08 Tz=-1281.31 My=-584.39 Mz=-3.91
Sollecitazioni agenti localmente: Tx_l=1886.92 Ty_l=-2.04 Mz_l=-2.30
Taglio nei bulloni: Fv,Ed=94.79 Fv,Rd=6028.80
Azione di rifollamento di progetto lato asta: Fb,Ed,a=189.57 Fb,Rd,a=6141.10
Rifollamento lato piastra: Fb,Ed,p=94.78 Fb,Rd,p=5012.65
CC 101 SLU
Azioni sul collegamento: N=5090.04 Ty=4.86 Tz=-688.56 My=1358.34 Mz=3.58
Sollecitazioni agenti localmente: Tx_l=-3401.34 Ty_l=2.43 Mz_l=2.20
Taglio nei bulloni: Fv,Ed=170.48 Fv,Rd=6028.80
Azione di rifollamento di progetto lato asta: Fb,Ed,a=340.95 Fb,Rd,a=9486.96
Rifollamento lato piastra: Fb,Ed,p=170.47 Fb,Rd,p=11616.70

Bullonatura ali inferiori

CC 101 SLU
Azioni sul collegamento: N=5090.04 Ty=4.86 Tz=-688.56 My=1358.34 Mz=3.58
Sollecitazioni agenti localmente: Tx_l=6620.87 Ty_l=2.43 Mz_l=2.20
Taglio nei bulloni: Fv,Ed=331.45 Fv,Rd=6028.80
Azione di rifollamento di progetto lato asta: Fb,Ed,a=662.91 Fb,Rd,a=6138.81
Rifollamento lato piastra: Fb,Ed,p=331.45 Fb,Rd,p=5011.22

Piastre esterne sulle ali

Bnetta=12.00 Hnetta=120.00
CC 98 SLU (Collegamento -632_-633)
Azioni sul collegamento: N=5251.93 Ty=-5.41 Tz=-2863.24 My=366.18 Mz=-6.76
Sollecitazioni agenti localmente: Tx_l=184.21 Ty_l=-1.61 Mz_l=-3.38
Tensioni nella sezione: σ=24.52 τ=0.11
CC 101 SLU
Azioni sul collegamento: N=5090.04 Ty=4.86 Tz=-688.56 My=1358.34 Mz=3.58
Sollecitazioni agenti localmente: Tx_l=3933.19 Ty_l=1.44 Mz_l=1.79

Tensioni nella sezione: σ=279.35 τ=0.10

Piastre interne sulle ali

Bnetta=12.00 Hnetta=41.00
CC 98 SLU (Collegamento -632_-633)
Azioni sul collegamento: N=5251.93 Ty=-5.41 Tz=-2863.24 My=366.18 Mz=-6.76
Sollecitazioni agenti localmente: Tx_l=62.94 Ty_l=-0.55
Tensioni nella sezione: σ=12.79 τ=0.11
CC 101 SLU
Azioni sul collegamento: N=5090.04 Ty=4.86 Tz=-688.56 My=1358.34 Mz=3.58
Sollecitazioni agenti localmente: Tx_l=1343.84 Ty_l=0.49
Tensioni nella sezione: σ=273.14 τ=0.10

Collegamento -646_-645

Piastre anima 300.00 x 186.00 s= 12.00 - 8+8 bulloni ϕ 16
2 righe ad interasse 79.00
4 colonne ad interasse variabile
Piastre ala 650.00 x 120.00 s= 12.00 - 10+10 bulloni ϕ 16
5 righe ad interasse 67.00
2 colonne ad interasse 78.00
Piastre inferiori ala 650.00 x 41.00 s= 12.00

Bullonatura sull'anima

CC 98 SLU
Azioni sul collegamento: N=3941.44 Ty=2.70 Tz=-3134.30 My=594.54 Mz=6.10
Sollecitazioni agenti localmente: Tx_l=1448.41 Ty_l=-3134.30 Mz_l=335.68
Taglio nei bulloni: Fv,Ed=593.53 Fv,Rd=6028.80
Azione di rifollamento di progetto lato asta: Fb,Ed,a=875.93 Fb,Rd,a=5235.52
Rifollamento lato piastra: Fb,Ed,p=593.53 Fb,Rd,p=10563.50

Piastra di anima

Bnetta=24.00 Hnetta=186.00
CC 97 SLU
Azioni sul collegamento: N=3717.32 Ty=2.74 Tz=-3173.35 My=536.16 Mz=6.24
Sollecitazioni agenti localmente: Tx_l=1366.05 Ty_l=-3173.35 Mz_l=329.94
Tensioni nella sezione: σ=269.02 τ=71.09
CC 98 SLU
Azioni sul collegamento: N=3941.44 Ty=2.70 Tz=-3134.30 My=594.54 Mz=6.10
Sollecitazioni agenti localmente: Tx_l=1448.41 Ty_l=-3134.30 Mz_l=335.68
Tensioni nella sezione: σ=275.01 τ=70.21

Verifica a taglio anima forata

Bnetta=6.20 Hnetta=152.40
CC 97 SLU
Azioni sul collegamento: N=3717.32 Ty=2.74 Tz=-3173.35 My=536.16 Mz=6.24
Sollecitazioni agenti localmente: Ty_l=-1586.67
Tensioni nella sezione: σ=0.00 τ=167.92

Bullonatura ali superiori

CC 1 SLV (Collegamento -646_-645)
Azioni sul collegamento: N=2321.59 Ty=2.61 Tz=-201.16 My=-277.47 Mz=2.66
Sollecitazioni agenti localmente: Tx_l=1757.84 Ty_l=1.30 Mz_l=1.55
Taglio nei bulloni: Fv,Ed=88.19 Fv,Rd=6028.80
Azione di rifollamento di progetto lato asta: Fb,Ed,a=176.37 Fb,Rd,a=6139.91
Rifollamento lato piastra: Fb,Ed,p=88.18 Fb,Rd,p=5011.93
CC 106 SLU
Azioni sul collegamento: N=5089.87 Ty=-4.86 Tz=-688.59 My=1358.31 Mz=-3.58
Sollecitazioni agenti localmente: Tx_l=-3401.27 Ty_l=-2.43 Mz_l=-2.20
Taglio nei bulloni: Fv,Ed=170.48 Fv,Rd=6028.80
Azione di rifollamento di progetto lato asta: Fb,Ed,a=340.94 Fb,Rd,a=9486.96
Rifollamento lato piastra: Fb,Ed,p=170.47 Fb,Rd,p=11616.70

Bullonatura ali inferiori

CC 106 SLU
Azioni sul collegamento: N=5089.87 Ty=-4.86 Tz=-688.59 My=1358.31 Mz=-3.58
Sollecitazioni agenti localmente: Tx_l=6620.70 Ty_l=-2.43 Mz_l=-2.20
Taglio nei bulloni: Fv,Ed=331.45 Fv,Rd=6028.80
Azione di rifollamento di progetto lato asta: Fb,Ed,a=662.89 Fb,Rd,a=6138.81
Rifollamento lato piastra: Fb,Ed,p=331.44 Fb,Rd,p=5011.22

Piastre esterne sulle ali

Bnetta=12.00 Hnetta=120.00

CC 97 SLU (Collegamento -646_-645)
Azioni sul collegamento: N=5251.93 Ty=5.41 Tz=-2863.24 My=366.18 Mz=6.76
Sollecitazioni agenti localmente: Tx_l=184.20 Ty_l=1.61 Mz_l=3.38
Tensioni nella sezione: σ=24.52 τ=0.11
CC 106 SLU
Azioni sul collegamento: N=5089.87 Ty=-4.86 Tz=-688.59 My=1358.31 Mz=-3.58
Sollecitazioni agenti localmente: Tx_l=3933.09 Ty_l=-1.44 Mz_l=-1.79
Tensioni nella sezione: σ=279.35 τ=0.10

Piastre interne sulle ali

Bnetta=12.00 Hnetta=41.00
CC 97 SLU (Collegamento -646_-645)
Azioni sul collegamento: N=5251.93 Ty=5.41 Tz=-2863.24 My=366.18 Mz=6.76
Sollecitazioni agenti localmente: Tx_l=62.94 Ty_l=0.55
Tensioni nella sezione: σ=12.79 τ=0.11
CC 106 SLU
Azioni sul collegamento: N=5089.87 Ty=-4.86 Tz=-688.59 My=1358.31 Mz=-3.58
Sollecitazioni agenti localmente: Tx_l=1343.81 Ty_l=-0.49
Tensioni nella sezione: σ=273.13 τ=0.10

Collegamento -719_-718

Piastre anima 300.00 x 186.00 s= 12.00 - 8+8 bulloni ϕ 16
2 righe ad interasse 79.00
4 colonne ad interasse variabile
Piastre ala 650.00 x 120.00 s= 12.00 - 10+10 bulloni ϕ 16
5 righe ad interasse 67.00
2 colonne ad interasse 78.00
Piastre inferiori ala 650.00 x 41.00 s= 12.00

Bullonatura sull'anima

CC 97 SLU (Collegamento -719_-718)
Azioni sul collegamento: N=3925.82 Ty=-3.44 Tz=3077.67 My=487.96 Mz=4.23
Sollecitazioni agenti localmente: Tx_l=1442.67 Ty_l=3077.67 Mz_l=315.16
Taglio nei bulloni: Fv,Ed=566.77 Fv,Rd=6028.80
Azione di rifollamento di progetto lato asta: Fb,Ed,a=1133.55 Fb,Rd,a=6845.03
Rifollamento lato piastra: Fb,Ed,p=416.29 Fb,Rd,p=7793.21

Piastra di anima

Bnetta=24.00 Hnetta=186.00
CC 97 SLU (Collegamento -719_-718)
Azioni sul collegamento: N=3925.82 Ty=-3.44 Tz=3077.67 My=487.96 Mz=4.23
Sollecitazioni agenti localmente: Tx_l=1442.67 Ty_l=3077.67 Mz_l=315.16
Tensioni nella sezione: σ=260.06 τ=68.94
CC 98 SLU (Collegamento -719_-718)
Azioni sul collegamento: N=3698.93 Ty=-3.48 Tz=3117.34 My=427.90 Mz=4.35
Sollecitazioni agenti localmente: Tx_l=1359.30 Ty_l=3117.34 Mz_l=309.22
Tensioni nella sezione: σ=253.90 τ=69.83

Verifica a taglio anima forata

Bnetta=6.20 Hnetta=152.40
CC 98 SLU (Collegamento -719_-718)
Azioni sul collegamento: N=3698.93 Ty=-3.48 Tz=3117.34 My=427.90 Mz=4.35
Sollecitazioni agenti localmente: Ty_l=1558.67
Tensioni nella sezione: σ=0.00 τ=164.96

Bullonatura ali superiori

CC 101 SLU (Collegamento -719_-718)
Azioni sul collegamento: N=5156.21 Ty=2.72 Tz=611.41 My=1296.30 Mz=-2.16
Sollecitazioni agenti localmente: Tx_l=-3151.52 Ty_l=1.36 Mz_l=-0.85
Taglio nei bulloni: Fv,Ed=157.74 Fv,Rd=6028.80
Azione di rifollamento di progetto lato asta: Fb,Ed,a=315.47 Fb,Rd,a=9486.95
Rifollamento lato piastra: Fb,Ed,p=157.74 Fb,Rd,p=11616.70
CC 130 SLU
Azioni sul collegamento: N=-921.98 Ty=-3.36 Tz=1317.80 My=-615.92 Mz=3.31
Sollecitazioni agenti localmente: Tx_l=1980.64 Ty_l=-1.68 Mz_l=1.38
Taglio nei bulloni: Fv,Ed=99.29 Fv,Rd=6028.80
Azione di rifollamento di progetto lato asta: Fb,Ed,a=198.58 Fb,Rd,a=6139.20
Rifollamento lato piastra: Fb,Ed,p=99.29 Fb,Rd,p=5011.81

Bullonatura ali inferiori

CC 101 SLU (Collegamento -719_-718)
Azioni sul collegamento: N=5156.21 Ty=2.72 Tz=611.41 My=1296.30 Mz=-2.16
Sollecitazioni agenti localmente: Tx_l=6412.92 Ty_l=1.36 Mz_l=-0.85

Taglio nei bulloni: Fv,Ed=320.81 Fv,Rd=6028.80
Azione di rifollamento di progetto lato asta: Fb,Ed,a=641.61 Fb,Rd,a=6138.63
Rifollamento lato piastra: Fb,Ed,p=320.81 Fb,Rd,p=5011.14

Piastre esterne sulle ali

Bnetta=12.00 Hnetta=120.00
CC 101 SLU (Collegamento -719_-718)
Azioni sul collegamento: N=5156.21 Ty=2.72 Tz=611.41 My=1296.30 Mz=-2.16
Sollecitazioni agenti localmente: Tx_l=3809.65 Ty_l=0.81 Mz_l=-1.08
Tensioni nella sezione: σ=268.31 τ= 0.06
CC 98 SLU
Azioni sul collegamento: N=5272.20 Ty=-5.47 Tz=2797.88 My=253.48 Mz=4.78
Sollecitazioni agenti localmente: Tx_l=435.00 Ty_l=-1.62 Mz_l=2.39
Tensioni nella sezione: σ=38.50 τ=0.11

Piastre interne sulle ali

Bnetta=12.00 Hnetta=41.00
CC 101 SLU (Collegamento -719_-718)
Azioni sul collegamento: N=5156.21 Ty=2.72 Tz=611.41 My=1296.30 Mz=-2.16
Sollecitazioni agenti localmente: Tx_l=1301.63 Ty_l=0.28
Tensioni nella sezione: σ=264.56 τ= 0.06
CC 98 SLU
Azioni sul collegamento: N=5272.20 Ty=-5.47 Tz=2797.88 My=253.48 Mz=4.78
Sollecitazioni agenti localmente: Tx_l=148.63 Ty_l=-0.56
Tensioni nella sezione: σ=30.21 τ=0.11

Collegamento -733_-732

Piastre anima 300.00 x 186.00 s= 12.00 - 8+8 bulloni ϕ 16
2 righe ad interasse 79.00
4 colonne ad interasse variabile
Piastre ala 650.00 x 120.00 s= 12.00 - 10+10 bulloni ϕ 16
5 righe ad interasse 67.00
2 colonne ad interasse 78.00
Piastre inferiori ala 650.00 x 41.00 s= 12.00

Bullonatura sull'anima

CC 98 SLU
Azioni sul collegamento: N=3925.81 Ty=3.44 Tz=-3077.67 My=487.96 Mz=4.23
Sollecitazioni agenti localmente: Tx_l=1442.67 Ty_l=-3077.67 Mz_l=315.16
Taglio nei bulloni: Fv,Ed=566.77 Fv,Rd=6028.80
Azione di rifollamento di progetto lato asta: Fb,Ed,a=832.58 Fb,Rd,a=5234.44
Rifollamento lato piastra: Fb,Ed,p=566.77 Fb,Rd,p=10610.30

Piastra di anima

Bnetta=24.00 Hnetta=186.00
CC 97 SLU
Azioni sul collegamento: N=3698.92 Ty=3.48 Tz=-3117.34 My=427.90 Mz=4.35
Sollecitazioni agenti localmente: Tx_l=1359.29 Ty_l=-3117.34 Mz_l=309.22
Tensioni nella sezione: σ=253.90 τ=69.83
CC 98 SLU
Azioni sul collegamento: N=3925.81 Ty=3.44 Tz=-3077.67 My=487.96 Mz=4.23
Sollecitazioni agenti localmente: Tx_l=1442.67 Ty_l=-3077.67 Mz_l=315.16
Tensioni nella sezione: σ=260.06 τ=68.94

Verifica a taglio anima forata

Bnetta=6.20 Hnetta=152.40
CC 97 SLU
Azioni sul collegamento: N=3698.92 Ty=3.48 Tz=-3117.34 My=427.90 Mz=4.35
Sollecitazioni agenti localmente: Ty_l=-1558.67
Tensioni nella sezione: σ=0.00 τ=164.96

Bullonatura ali superiori

CC 1 SLV (Collegamento -733_-732)
Azioni sul collegamento: N=2251.54 Ty=2.35 Tz=-222.33 My=-286.70 Mz=2.10
Sollecitazioni agenti localmente: Tx_l=1769.76 Ty_l=1.17 Mz_l=1.25
Taglio nei bulloni: Fv,Ed=88.72 Fv,Rd=6028.80
Azione di rifollamento di progetto lato asta: Fb,Ed,a=177.45 Fb,Rd,a=6139.46
Rifollamento lato piastra: Fb,Ed,p=88.72 Fb,Rd,p=5011.63
CC 106 SLU
Azioni sul collegamento: N=5156.04 Ty=-2.72 Tz=-611.43 My=1296.27 Mz=-2.16
Sollecitazioni agenti localmente: Tx_l=-3151.47 Ty_l=-1.36 Mz_l=-1.31
Taglio nei bulloni: Fv,Ed=157.82 Fv,Rd=6028.80
Azione di rifollamento di progetto lato asta: Fb,Ed,a=315.63 Fb,Rd,a=9486.95

Rifollamento lato piastra: Fb,Ed,p=157.82 Fb,Rd,p=11616.70

Bullonatura ali inferiori

CC 106 SLU
Azioni sul collegamento: N=5156.04 Ty=-2.72 Tz=-611.43 My=1296.27 Mz=-2.16
Sollecitazioni agenti localmente: Tx_l=6412.75 Ty_l=-1.36 Mz_l=-1.31
Taglio nei bulloni: Fv,Ed=320.88 Fv,Rd=6028.80
Azione di rifollamento di progetto lato asta: Fb,Ed,a=641.76 Fb,Rd,a=6138.68
Rifollamento lato piastra: Fb,Ed,p=320.88 Fb,Rd,p=5011.16

Piastre esterne sulle ali

Bnetta=12.00 Hnetta=120.00
CC 97 SLU (Collegamento -733_-732)
Azioni sul collegamento: N=5272.19 Ty=5.47 Tz=-2797.88 My=253.48 Mz=4.78
Sollecitazioni agenti localmente: Tx_l=435.00 Ty_l=1.62 Mz_l=2.39
Tensioni nella sezione: σ=38.50 τ=0.11
CC 106 SLU
Azioni sul collegamento: N=5156.04 Ty=-2.72 Tz=-611.43 My=1296.27 Mz=-2.16
Sollecitazioni agenti localmente: Tx_l=3809.56 Ty_l=-0.81 Mz_l=-1.08
Tensioni nella sezione: σ=268.31 τ= 0.06

Piastre interne sulle ali

Bnetta=12.00 Hnetta=41.00
CC 97 SLU (Collegamento -733_-732)
Azioni sul collegamento: N=5272.19 Ty=5.47 Tz=-2797.88 My=253.48 Mz=4.78
Sollecitazioni agenti localmente: Tx_l=148.62 Ty_l=0.56
Tensioni nella sezione: σ=30.21 τ=0.11
CC 106 SLU
Azioni sul collegamento: N=5156.04 Ty=-2.72 Tz=-611.43 My=1296.27 Mz=-2.16
Sollecitazioni agenti localmente: Tx_l=1301.60 Ty_l=-0.28
Tensioni nella sezione: σ=264.55 τ= 0.06

Collegamento -808_-809

Piastre anima 300.00 x 186.00 s= 12.00 - 8+8 bulloni ϕ 16
2 righe ad interasse 79.00
4 colonne ad interasse variabile
Piastre ala 650.00 x 120.00 s= 12.00 - 10+10 bulloni ϕ 16
5 righe ad interasse 67.00
2 colonne ad interasse 78.00
Piastre inferiori ala 650.00 x 41.00 s= 12.00

Bullonatura sull'anima

CC 97 SLU
Azioni sul collegamento: N=3924.65 Ty=-4.40 Tz=-2968.94 My=459.25 Mz=-0.92
Sollecitazioni agenti localmente: Tx_l=1442.24 Ty_l=-2968.94 Mz_l=302.30
Taglio nei bulloni: Fv,Ed=547.04 Fv,Rd=6028.80
Azione di rifollamento di progetto lato asta: Fb,Ed,a=805.91 Fb,Rd,a=5234.46
Rifollamento lato piastra: Fb,Ed,p=547.04 Fb,Rd,p=10579.90

Piastra di anima

Bnetta=24.00 Hnetta=186.00
CC 97 SLU
Azioni sul collegamento: N=3924.65 Ty=-4.40 Tz=-2968.94 My=459.25 Mz=-0.92
Sollecitazioni agenti localmente: Tx_l=1442.24 Ty_l=-2968.94 Mz_l=302.30
Tensioni nella sezione: σ=250.76 τ=66.51
CC 98 SLU
Azioni sul collegamento: N=3695.74 Ty=-4.43 Tz=-3006.84 My=398.10 Mz=-1.00
Sollecitazioni agenti localmente: Tx_l=1358.12 Ty_l=-3006.84 Mz_l=296.05
Tensioni nella sezione: σ=244.36 τ=67.36

Verifica a taglio anima forata

Bnetta=6.20 Hnetta=152.40
CC 98 SLU
Azioni sul collegamento: N=3695.74 Ty=-4.43 Tz=-3006.84 My=398.10 Mz=-1.00
Sollecitazioni agenti localmente: Ty_l=-1503.42
Tensioni nella sezione: σ=0.00 τ=159.11

Bullonatura ali superiori

CC 130 SLU (Collegamento -808_-809)
Azioni sul collegamento: N=-969.82 Ty=-2.11 Tz=-1336.30 My=-640.77 Mz=-2.31
Sollecitazioni agenti localmente: Tx_l=2057.18 Ty_l=-1.06 Mz_l=-1.33
Taglio nei bulloni: Fv,Ed=103.11 Fv,Rd=6028.80

Azione di rifollamento di progetto lato asta: Fb,Ed,a=206.22 Fb,Rd,a=6139.31
Rifollamento lato piastra: Fb,Ed,p=103.11 Fb,Rd,p=5011.56
CC 101 SLU
Azioni sul collegamento: N=5192.16 Ty=-4.85 Tz=-496.53 My=1333.16 Mz=0.43
Sollecitazioni agenti localmente: Tx_l=-3276.16 Ty_l=-2.42 Mz_l=-0.19
Taglio nei bulloni: Fv,Ed=163.84 Fv,Rd=6028.80
Azione di rifollamento di progetto lato asta: Fb,Ed,a=327.69 Fb,Rd,a=9486.95
Rifollamento lato piastra: Fb,Ed,p=163.84 Fb,Rd,p=11616.70

Bullonatura ali inferiori

CC 101 SLU
Azioni sul collegamento: N=5192.16 Ty=-4.85 Tz=-496.53 My=1333.16 Mz=0.43
Sollecitazioni agenti localmente: Tx_l=6560.29 Ty_l=-2.42 Mz_l=-0.19
Taglio nei bulloni: Fv,Ed=328.05 Fv,Rd=6028.80
Azione di rifollamento di progetto lato asta: Fb,Ed,a=656.10 Fb,Rd,a=6138.62
Rifollamento lato piastra: Fb,Ed,p=328.05 Fb,Rd,p=5011.11

Piastre esterne sulle ali

Bnetta=12.00 Hnetta=120.00
CC 98 SLU (Collegamento -808_-809)
Azioni sul collegamento: N=5301.36 Ty=-5.13 Tz=-2834.08 My=220.07 Mz=-1.29
Sollecitazioni agenti localmente: Tx_l=513.69 Ty_l=-1.52 Mz_l=-0.64
Tensioni nella sezione: σ=37.91 τ=0.11
CC 101 SLU
Azioni sul collegamento: N=5192.16 Ty=-4.85 Tz=-496.53 My=1333.16 Mz=0.43
Sollecitazioni agenti localmente: Tx_l=3897.20 Ty_l=-1.44 Mz_l=0.21
Tensioni nella sezione: σ=271.38 τ= 0.10

Piastre interne sulle ali

Bnetta=12.00 Hnetta=41.00
CC 98 SLU (Collegamento -808_-809)
Azioni sul collegamento: N=5301.36 Ty=-5.13 Tz=-2834.08 My=220.07 Mz=-1.29
Sollecitazioni agenti localmente: Tx_l=175.51 Ty_l=-0.52
Tensioni nella sezione: σ=35.67 τ=0.11
CC 101 SLU
Azioni sul collegamento: N=5192.16 Ty=-4.85 Tz=-496.53 My=1333.16 Mz=0.43
Sollecitazioni agenti localmente: Tx_l=1331.54 Ty_l=-0.49
Tensioni nella sezione: σ=270.64 τ= 0.10

Collegamento -822_-823

Piastre anima 300.00 x 186.00 s= 12.00 - 8+8 bulloni ϕ 16
2 righe ad interasse 79.00
4 colonne ad interasse variabile
Piastre ala 650.00 x 120.00 s= 12.00 - 10+10 bulloni ϕ 16
5 righe ad interasse 67.00
2 colonne ad interasse 78.00
Piastre inferiori ala 650.00 x 41.00 s= 12.00

Bullonatura sull'anima

CC 98 SLU (Collegamento -822_-823)
Azioni sul collegamento: N=3924.64 Ty=4.40 Tz=2968.94 My=459.25 Mz=-0.92
Sollecitazioni agenti localmente: Tx_l=1442.24 Ty_l=2968.94 Mz_l=302.30
Taglio nei bulloni: Fv,Ed=547.04 Fv,Rd=6028.80
Azione di rifollamento di progetto lato asta: Fb,Ed,a=1094.08 Fb,Rd,a=6845.03
Rifollamento lato piastra: Fb,Ed,p=402.95 Fb,Rd,p=7793.24

Piastra di anima

Bnetta=24.00 Hnetta=186.00
CC 97 SLU (Collegamento -822_-823)
Azioni sul collegamento: N=3695.73 Ty=4.43 Tz=3006.83 My=398.10 Mz=-1.00
Sollecitazioni agenti localmente: Tx_l=1358.12 Ty_l=3006.83 Mz_l=296.06
Tensioni nella sezione: σ=244.36 τ=67.36
CC 98 SLU (Collegamento -822_-823)
Azioni sul collegamento: N=3924.64 Ty=4.40 Tz=2968.94 My=459.25 Mz=-0.92
Sollecitazioni agenti localmente: Tx_l=1442.24 Ty_l=2968.94 Mz_l=302.30
Tensioni nella sezione: σ=250.76 τ=66.51

Verifica a taglio anima forata

Bnetta=6.20 Hnetta=152.40
CC 97 SLU (Collegamento -822_-823)
Azioni sul collegamento: N=3695.73 Ty=4.43 Tz=3006.83 My=398.10 Mz=-1.00
Sollecitazioni agenti localmente: Ty_l=1503.42
Tensioni nella sezione: σ=0.00 τ=159.11

Bullonatura ali superiori

CC 106 SLU (Collegamento -822_-823)
Azioni sul collegamento: N=5191.98 Ty=4.85 Tz=496.55 My=1333.13 Mz=0.43
Sollecitazioni agenti localmente: Tx_l=-3276.10 Ty_l=2.42 Mz_l=0.62
Taglio nei bulloni: Fv,Ed=163.92 Fv,Rd=6028.80
Azione di rifollamento di progetto lato asta: Fb,Ed,a=327.84 Fb,Rd,a=9486.95
Rifollamento lato piastra: Fb,Ed,p=163.92 Fb,Rd,p=11616.70
CC 101 SLU
Azioni sul collegamento: N=58.58 Ty=2.46 Tz=1562.14 My=-481.69 Mz=-2.36
Sollecitazioni agenti localmente: Tx_l=1795.53 Ty_l=1.23 Mz_l=-0.98
Taglio nei bulloni: Fv,Ed=89.96 Fv,Rd=6028.80
Azione di rifollamento di progetto lato asta: Fb,Ed,a=179.92 Fb,Rd,a=6138.97
Rifollamento lato piastra: Fb,Ed,p=89.96 Fb,Rd,p=5011.54

Bullonatura ali inferiori

CC 106 SLU (Collegamento -822_-823)
Azioni sul collegamento: N=5191.98 Ty=4.85 Tz=496.55 My=1333.13 Mz=0.43
Sollecitazioni agenti localmente: Tx_l=6560.12 Ty_l=2.42 Mz_l=0.62
Taglio nei bulloni: Fv,Ed=328.12 Fv,Rd=6028.80
Azione di rifollamento di progetto lato asta: Fb,Ed,a=656.24 Fb,Rd,a=6138.64
Rifollamento lato piastra: Fb,Ed,p=328.12 Fb,Rd,p=5011.12

Piastre esterne sulle ali

Bnetta=12.00 Hnetta=120.00
CC 106 SLU (Collegamento -822_-823)
Azioni sul collegamento: N=5191.98 Ty=4.85 Tz=496.55 My=1333.13 Mz=0.43
Sollecitazioni agenti localmente: Tx_l=3897.10 Ty_l=1.44 Mz_l=0.21
Tensioni nella sezione: σ=271.37 τ= 0.10
CC 97 SLU
Azioni sul collegamento: N=5301.35 Ty=5.13 Tz=2834.08 My=220.08 Mz=-1.29
Sollecitazioni agenti localmente: Tx_l=513.68 Ty_l=1.52 Mz_l=-0.64
Tensioni nella sezione: σ=37.91 τ=0.11

Piastre interne sulle ali

Bnetta=12.00 Hnetta=41.00
CC 106 SLU (Collegamento -822_-823)
Azioni sul collegamento: N=5191.98 Ty=4.85 Tz=496.55 My=1333.13 Mz=0.43
Sollecitazioni agenti localmente: Tx_l=1331.51 Ty_l=0.49
Tensioni nella sezione: σ=270.63 τ= 0.10
CC 97 SLU
Azioni sul collegamento: N=5301.35 Ty=5.13 Tz=2834.08 My=220.08 Mz=-1.29
Sollecitazioni agenti localmente: Tx_l=175.51 Ty_l=0.52
Tensioni nella sezione: σ=35.67 τ=0.11

Collegamento -852_-853

Piastre anima 300.00 x 186.00 s= 12.00 - 8+8 bulloni ϕ 16
2 righe ad interasse 79.00
4 colonne ad interasse variabile
Piastre ala 650.00 x 120.00 s= 12.00 - 10+10 bulloni ϕ 16
5 righe ad interasse 67.00
2 colonne ad interasse 78.00
Piastre inferiori ala 650.00 x 41.00 s= 12.00

Bullonatura sull'anima

CC 97 SLU
Azioni sul collegamento: N=3928.24 Ty=-2.84 Tz=-3139.64 My=450.42 Mz=0.42
Sollecitazioni agenti localmente: Tx_l=1443.56 Ty_l=-3139.64 Mz_l=314.37
Taglio nei bulloni: Fv,Ed=568.52 Fv,Rd=6028.80
Azione di rifollamento di progetto lato asta: Fb,Ed,a=831.10 Fb,Rd,a=5234.74
Rifollamento lato piastra: Fb,Ed,p=568.52 Fb,Rd,p=10662.60

Piastra di anima

Bnetta=24.00 Hnetta=186.00
CC 97 SLU
Azioni sul collegamento: N=3928.24 Ty=-2.84 Tz=-3139.64 My=450.42 Mz=0.42
Sollecitazioni agenti localmente: Tx_l=1443.56 Ty_l=-3139.64 Mz_l=314.37
Tensioni nella sezione: σ=259.51 τ=70.33
CC 98 SLU
Azioni sul collegamento: N=3698.01 Ty=-2.85 Tz=-3179.24 My=388.36 Mz=0.38
Sollecitazioni agenti localmente: Tx_l=1358.96 Ty_l=-3179.24 Mz_l=308.12
Tensioni nella sezione: σ=253.10 τ=71.22

Verifica a taglio anima forata

Bnetta=6.20 Hnetta=152.40
CC 98 SLU
Azioni sul collegamento: N=3698.01 Ty=-2.85 Tz=-3179.24 My=388.36 Mz=0.38
Sollecitazioni agenti localmente: Ty_l=-1589.62
Tensioni nella sezione: σ=0.00 τ=168.24

Bullonatura ali superiori

CC 130 SLU (Collegamento -852_-853)
Azioni sul collegamento: N=-999.05 Ty=-0.93 Tz=-1374.09 My=-668.84 Mz=-1.17
Sollecitazioni agenti localmente: Tx_l=2151.50 Ty_l=-0.47 Mz_l=-0.66
Taglio nei bulloni: Fv,Ed=107.70 Fv,Rd=6028.80
Azione di rifollamento di progetto lato asta: Fb,Ed,a=215.40 Fb,Rd,a=6138.77
Rifollamento lato piastra: Fb,Ed,p=107.70 Fb,Rd,p=5011.21
CC 101 SLU
Azioni sul collegamento: N=5196.05 Ty=-5.34 Tz=-770.57 My=1417.29 Mz=-0.48
Sollecitazioni agenti localmente: Tx_l=-3585.29 Ty_l=-2.67 Mz_l=-0.69
Taglio nei bulloni: Fv,Ed=179.39 Fv,Rd=6028.80
Azione di rifollamento di progetto lato asta: Fb,Ed,a=358.78 Fb,Rd,a=9486.95
Rifollamento lato piastra: Fb,Ed,p=179.39 Fb,Rd,p=11616.70

Bullonatura ali inferiori

CC 101 SLU
Azioni sul collegamento: N=5196.05 Ty=-5.34 Tz=-770.57 My=1417.29 Mz=-0.48
Sollecitazioni agenti localmente: Tx_l=6871.87 Ty_l=-2.67 Mz_l=-0.69
Taglio nei bulloni: Fv,Ed=343.72 Fv,Rd=6028.80
Azione di rifollamento di progetto lato asta: Fb,Ed,a=687.44 Fb,Rd,a=6138.64
Rifollamento lato piastra: Fb,Ed,p=343.72 Fb,Rd,p=5011.12

Piastre esterne sulle ali

Bnetta=12.00 Hnetta=120.00
CC 101 SLU
Azioni sul collegamento: N=5196.05 Ty=-5.34 Tz=-770.57 My=1417.29 Mz=-0.48
Sollecitazioni agenti localmente: Tx_l=4082.30 Ty_l=-1.59 Mz_l=-0.24
Tensioni nella sezione: σ=284.33 τ=0.11
CC 102 SLU
Azioni sul collegamento: N=4965.81 Ty=-5.35 Tz=-810.17 My=1355.24 Mz=-0.53
Sollecitazioni agenti localmente: Tx_l=-2037.13 Ty_l=-1.59 Mz_l=-0.26
Tensioni nella sezione: σ=142.38 τ=0.11

Piastre interne sulle ali

Bnetta=12.00 Hnetta=41.00
CC 101 SLU
Azioni sul collegamento: N=5196.05 Ty=-5.34 Tz=-770.57 My=1417.29 Mz=-0.48
Sollecitazioni agenti localmente: Tx_l=1394.79 Ty_l=-0.54
Tensioni nella sezione: σ=283.49 τ=0.11
CC 102 SLU
Azioni sul collegamento: N=4965.81 Ty=-5.35 Tz=-810.17 My=1355.24 Mz=-0.53
Sollecitazioni agenti localmente: Tx_l=-696.02 Ty_l=-0.54
Tensioni nella sezione: σ=141.47 τ=0.11

Collegamento -866_-867

Piastre anima 300.00 x 186.00 s= 12.00 - 8+8 bulloni ϕ 16
2 righe ad interasse 79.00
4 colonne ad interasse variabile
Piastre ala 650.00 x 120.00 s= 12.00 - 10+10 bulloni ϕ 16
5 righe ad interasse 67.00
2 colonne ad interasse 78.00
Piastre inferiori ala 650.00 x 41.00 s= 12.00

Bullonatura sull'anima

CC 98 SLU (Collegamento -866_-867)
Azioni sul collegamento: N=3928.23 Ty=2.84 Tz=3139.64 My=450.42 Mz=0.42
Sollecitazioni agenti localmente: Tx_l=1443.56 Ty_l=3139.64 Mz_l=314.37
Taglio nei bulloni: Fv,Ed=568.52 Fv,Rd=6028.80
Azione di rifollamento di progetto lato asta: Fb,Ed,a=1137.04 Fb,Rd,a=6845.03
Rifollamento lato piastra: Fb,Ed,p=415.55 Fb,Rd,p=7793.66

Piastra di anima

Bnetta=24.00 Hnetta=186.00
CC 97 SLU (Collegamento -866_-867)
Azioni sul collegamento: N=3698.00 Ty=2.85 Tz=3179.24 My=388.37 Mz=0.38

Sollecitazioni agenti localmente: Tx_l=1358.95 Ty_l=3179.24 Mz_l=308.12
Tensioni nella sezione: σ=253.10 τ=71.22
CC 98 SLU (Collegamento -866_-867)
Azioni sul collegamento: N=3928.23 Ty=2.84 Tz=3139.64 My=450.42 Mz=0.42
Sollecitazioni agenti localmente: Tx_l=1443.56 Ty_l=3139.64 Mz_l=314.37
Tensioni nella sezione: σ=259.51 τ=70.33

Verifica a taglio anima forata

Bnetta=6.20 Hnetta=152.40
CC 97 SLU (Collegamento -866_-867)
Azioni sul collegamento: N=3698.00 Ty=2.85 Tz=3179.24 My=388.37 Mz=0.38
Sollecitazioni agenti localmente: Ty_l=1589.62
Tensioni nella sezione: σ=0.00 τ=168.24

Bullonatura ali superiori

CC 106 SLU (Collegamento -866_-867)
Azioni sul collegamento: N=5195.87 Ty=5.34 Tz=770.60 My=1417.26 Mz=-0.48
Sollecitazioni agenti localmente: Tx_l=-3585.22 Ty_l=2.67 Mz_l=0.20
Taglio nei bulloni: Fv,Ed=179.30 Fv,Rd=6028.80
Azione di rifollamento di progetto lato asta: Fb,Ed,a=358.60 Fb,Rd,a=9486.95
Rifollamento lato piastra: Fb,Ed,p=179.30 Fb,Rd,p=11616.70
CC 101 SLU
Azioni sul collegamento: N=34.88 Ty=1.13 Tz=1601.87 My=-508.12 Mz=-1.18
Sollecitazioni agenti localmente: Tx_l=1885.57 Ty_l=0.57 Mz_l=-0.50
Taglio nei bulloni: Fv,Ed=94.37 Fv,Rd=6028.80
Azione di rifollamento di progetto lato asta: Fb,Ed,a=188.74 Fb,Rd,a=6138.70
Rifollamento lato piastra: Fb,Ed,p=94.37 Fb,Rd,p=5011.21

Bullonatura ali inferiori

CC 106 SLU (Collegamento -866_-867)
Azioni sul collegamento: N=5195.87 Ty=5.34 Tz=770.60 My=1417.26 Mz=-0.48
Sollecitazioni agenti localmente: Tx_l=6871.70 Ty_l=2.67 Mz_l=0.20
Taglio nei bulloni: Fv,Ed=343.62 Fv,Rd=6028.80
Azione di rifollamento di progetto lato asta: Fb,Ed,a=687.25 Fb,Rd,a=6138.62
Rifollamento lato piastra: Fb,Ed,p=343.62 Fb,Rd,p=5011.11

Piastre esterne sulle ali

Bnetta=12.00 Hnetta=120.00
CC 105 SLU (Collegamento -866_-867)
Azioni sul collegamento: N=4965.63 Ty=5.35 Tz=810.19 My=1355.20 Mz=-0.53
Sollecitazioni agenti localmente: Tx_l=-2037.09 Ty_l=1.59 Mz_l=-0.26
Tensioni nella sezione: σ=142.38 τ=0.11
CC 106 SLU (Collegamento -866_-867)
Azioni sul collegamento: N=5195.87 Ty=5.34 Tz=770.60 My=1417.26 Mz=-0.48
Sollecitazioni agenti localmente: Tx_l=4082.20 Ty_l=1.59 Mz_l=-0.24
Tensioni nella sezione: σ=284.32 τ=0.11

Piastre interne sulle ali

Bnetta=12.00 Hnetta=41.00
CC 105 SLU (Collegamento -866_-867)
Azioni sul collegamento: N=4965.63 Ty=5.35 Tz=810.19 My=1355.20 Mz=-0.53
Sollecitazioni agenti localmente: Tx_l=-696.01 Ty_l=0.54
Tensioni nella sezione: σ=141.47 τ=0.11
CC 106 SLU (Collegamento -866_-867)
Azioni sul collegamento: N=5195.87 Ty=5.34 Tz=770.60 My=1417.26 Mz=-0.48
Sollecitazioni agenti localmente: Tx_l=1394.75 Ty_l=0.54
Tensioni nella sezione: σ=283.49 τ=0.11

Collegamento -896_-897

Piastre anima 300.00 x 186.00 s= 12.00 - 8+8 bulloni ϕ 16
2 righe ad interasse 79.00
4 colonne ad interasse variabile
Piastre ala 650.00 x 120.00 s= 12.00 - 10+10 bulloni ϕ 16
5 righe ad interasse 67.00
2 colonne ad interasse 78.00
Piastre inferiori ala 650.00 x 41.00 s= 12.00

Bullonatura sull'anima

CC 97 SLU
Azioni sul collegamento: N=3931.95 Ty=0.03 Tz=-3074.53 My=462.80 Mz=-0.01
Sollecitazioni agenti localmente: Tx_l=1444.93 Ty_l=-3074.53 Mz_l=311.12
Taglio nei bulloni: Fv,Ed=562.00 Fv,Rd=6028.80
Azione di rifollamento di progetto lato asta: Fb,Ed,a=824.52 Fb,Rd,a=5234.52

Rifollamento lato piastra: Fb,Ed,p=562.00 Fb,Rd,p=10624.10

Piastra di anima

Bnetta=24.00 Hnetta=186.00
CC 97 SLU
Azioni sul collegamento: N=3931.95 Ty=0.03 Tz=-3074.53 My=462.80 Mz=-0.01
Sollecitazioni agenti localmente: Tx_l=1444.93 Ty_l=-3074.53 Mz_l=311.12
Tensioni nella sezione: σ=257.19 τ=68.87
CC 98 SLU
Azioni sul collegamento: N=3701.35 Ty=0.03 Tz=-3112.78 My=400.57 Mz=-0.01
Sollecitazioni agenti localmente: Tx_l=1360.19 Ty_l=-3112.78 Mz_l=304.74
Tensioni nella sezione: σ=250.69 τ=69.73

Verifica a taglio anima forata

Bnetta=6.20 Hnetta=152.40
CC 98 SLU
Azioni sul collegamento: N=3701.35 Ty=0.03 Tz=-3112.78 My=400.57 Mz=-0.01
Sollecitazioni agenti localmente: Ty_l=-1556.39
Tensioni nella sezione: σ=0.00 τ=164.72

Bullonatura ali superiori

CC 1 SLV (Collegamento -896_-897)
Azioni sul collegamento: N=2105.41 Ty=-1.21 Tz=-271.45 My=-283.67 Mz=-0.16
Sollecitazioni agenti localmente: Tx_l=1712.36 Ty_l=-0.60 Mz_l=-0.18
Taglio nei bulloni: Fv,Ed=85.65 Fv,Rd=6028.80
Azione di rifollamento di progetto lato asta: Fb,Ed,a=171.30 Fb,Rd,a=6138.64
Rifollamento lato piastra: Fb,Ed,p=85.65 Fb,Rd,p=5011.12
CC 101 SLU
Azioni sul collegamento: N=5193.11 Ty=0.06 Tz=-766.55 My=1466.83 Mz=-0.01
Sollecitazioni agenti localmente: Tx_l=-3768.97 Ty_l=0.03 Mz_l=0.00
Taglio nei bulloni: Fv,Ed=188.45 Fv,Rd=6028.80
Azione di rifollamento di progetto lato asta: Fb,Ed,a=376.90 Fb,Rd,a=9486.95
Rifollamento lato piastra: Fb,Ed,p=188.45 Fb,Rd,p=11616.70

Bullonatura ali inferiori

CC 101 SLU
Azioni sul collegamento: N=5193.11 Ty=0.06 Tz=-766.55 My=1466.83 Mz=-0.01
Sollecitazioni agenti localmente: Tx_l=7053.70 Ty_l=0.03 Mz_l=0.00
Taglio nei bulloni: Fv,Ed=352.69 Fv,Rd=6028.80
Azione di rifollamento di progetto lato asta: Fb,Ed,a=705.37 Fb,Rd,a=6138.61
Rifollamento lato piastra: Fb,Ed,p=352.69 Fb,Rd,p=5011.11

Piastre esterne sulle ali

Bnetta=12.00 Hnetta=120.00
CC 65 SLV
Azioni sul collegamento: N=1104.04 Ty=4.85 Tz=-616.79 My=274.35 Mz=0.67
Sollecitazioni agenti localmente: Tx_l=-393.83 Ty_l=1.44 Mz_l=0.34
Tensioni nella sezione: σ=28.52 τ= 0.10
CC 101 SLU
Azioni sul collegamento: N=5193.11 Ty=0.06 Tz=-766.55 My=1466.83 Mz=-0.01
Sollecitazioni agenti localmente: Tx_l=4190.32 Ty_l=0.02 Mz_l=-0.00
Tensioni nella sezione: σ=291.01 τ=1.14E-03

Piastre interne sulle ali

Bnetta=12.00 Hnetta=41.00
CC 65 SLV
Azioni sul collegamento: N=1104.04 Ty=4.85 Tz=-616.79 My=274.35 Mz=0.67
Sollecitazioni agenti localmente: Tx_l=-134.56 Ty_l=0.49
Tensioni nella sezione: σ=27.35 τ= 0.10
CC 101 SLU
Azioni sul collegamento: N=5193.11 Ty=0.06 Tz=-766.55 My=1466.83 Mz=-0.01
Sollecitazioni agenti localmente: Tx_l=1431.69 Ty_l=0.01
Tensioni nella sezione: σ=290.99 τ=1.14E-03

Collegamento -910_-911

Piastre anima 300.00 x 186.00 s= 12.00 - 8+8 bulloni ϕ 16
2 righe ad interasse 79.00
4 colonne ad interasse variabile
Piastre ala 650.00 x 120.00 s= 12.00 - 10+10 bulloni ϕ 16
5 righe ad interasse 67.00
2 colonne ad interasse 78.00
Piastre inferiori ala 650.00 x 41.00 s= 12.00

Bullonatura sull'anima

CC 98 SLU (Collegamento -910_-911)
Azioni sul collegamento: N=3931.94 Ty=-0.03 Tz=3074.53 My=462.80 Mz=-0.01
Sollecitazioni agenti localmente: Tx_l=1444.92 Ty_l=3074.53 Mz_l=311.12
Taglio nei bulloni: Fv,Ed=562.00 Fv,Rd=6028.80
Azione di rifollamento di progetto lato asta: Fb,Ed,a=1124.00 Fb,Rd,a=6845.03
Rifollamento lato piastra: Fb,Ed,p=412.26 Fb,Rd,p=7793.34

Piastra di anima

Bnetta=24.00 Hnetta=186.00
CC 97 SLU (Collegamento -910_-911)
Azioni sul collegamento: N=3701.34 Ty=-0.03 Tz=3112.78 My=400.57 Mz=-0.01
Sollecitazioni agenti localmente: Tx_l=1360.18 Ty_l=3112.78 Mz_l=304.74
Tensioni nella sezione: σ=250.69 τ=69.73
CC 98 SLU (Collegamento -910_-911)
Azioni sul collegamento: N=3931.94 Ty=-0.03 Tz=3074.53 My=462.80 Mz=-0.01
Sollecitazioni agenti localmente: Tx_l=1444.92 Ty_l=3074.53 Mz_l=311.12
Tensioni nella sezione: σ=257.19 τ=68.87

Verifica a taglio anima forata

Bnetta=6.20 Hnetta=152.40
CC 97 SLU (Collegamento -910_-911)
Azioni sul collegamento: N=3701.34 Ty=-0.03 Tz=3112.78 My=400.57 Mz=-0.01
Sollecitazioni agenti localmente: Ty_l=1556.39
Tensioni nella sezione: σ=0.00 τ=164.72

Bullonatura ali superiori

CC 106 SLU (Collegamento -910_-911)
Azioni sul collegamento: N=5192.93 Ty=-0.06 Tz=766.58 My=1466.80 Mz=-0.01
Sollecitazioni agenti localmente: Tx_l=-3768.90 Ty_l=-0.03 Mz_l=-0.01
Taglio nei bulloni: Fv,Ed=188.45 Fv,Rd=6028.80
Azione di rifollamento di progetto lato asta: Fb,Ed,a=376.89 Fb,Rd,a=9486.95
Rifollamento lato piastra: Fb,Ed,p=188.45 Fb,Rd,p=11616.70
CC 49 SLV
Azioni sul collegamento: N=2105.41 Ty=-1.06 Tz=271.45 My=-283.67 Mz=0.02
Sollecitazioni agenti localmente: Tx_l=1712.36 Ty_l=-0.53 Mz_l=-0.08
Taglio nei bulloni: Fv,Ed=85.63 Fv,Rd=6028.80
Azione di rifollamento di progetto lato asta: Fb,Ed,a=171.26 Fb,Rd,a=6138.62
Rifollamento lato piastra: Fb,Ed,p=85.63 Fb,Rd,p=5011.11

Bullonatura ali inferiori

CC 106 SLU (Collegamento -910_-911)
Azioni sul collegamento: N=5192.93 Ty=-0.06 Tz=766.58 My=1466.80 Mz=-0.01
Sollecitazioni agenti localmente: Tx_l=7053.52 Ty_l=-0.03 Mz_l=-0.01
Taglio nei bulloni: Fv,Ed=352.68 Fv,Rd=6028.80
Azione di rifollamento di progetto lato asta: Fb,Ed,a=705.36 Fb,Rd,a=6138.61
Rifollamento lato piastra: Fb,Ed,p=352.68 Fb,Rd,p=5011.11

Piastre esterne sulle ali

Bnetta=12.00 Hnetta=120.00
CC 17 SLV (Collegamento -910_-911)
Azioni sul collegamento: N=1104.04 Ty=-4.85 Tz=616.79 My=274.35 Mz=0.67
Sollecitazioni agenti localmente: Tx_l=-393.83 Ty_l=-1.44 Mz_l=0.34
Tensioni nella sezione: σ=28.52 τ= 0.10
CC 106 SLU (Collegamento -910_-911)
Azioni sul collegamento: N=5192.93 Ty=-0.06 Tz=766.58 My=1466.80 Mz=-0.01
Sollecitazioni agenti localmente: Tx_l=4190.21 Ty_l=-0.02 Mz_l=-0.00
Tensioni nella sezione: σ=291.00 τ=1.14E-03

Piastre interne sulle ali

Bnetta=12.00 Hnetta=41.00
CC 17 SLV (Collegamento -910_-911)
Azioni sul collegamento: N=1104.04 Ty=-4.85 Tz=616.79 My=274.35 Mz=0.67
Sollecitazioni agenti localmente: Tx_l=-134.56 Ty_l=-0.49
Tensioni nella sezione: σ=27.35 τ= 0.10
CC 106 SLU (Collegamento -910_-911)
Azioni sul collegamento: N=5192.93 Ty=-0.06 Tz=766.58 My=1466.80 Mz=-0.01
Sollecitazioni agenti localmente: Tx_l=1431.65 Ty_l=-0.01
Tensioni nella sezione: σ=290.99 τ=1.14E-03

Collegamento -940_-941

Piastre anima 300.00 x 186.00 s= 12.00 - 8+8 bulloni ϕ 16

2 righe ad interasse 79.00
4 colonne ad interasse variabile
Piastre ala 650.00 x 120.00 s= 12.00 - 10+10 bulloni ϕ 16
5 righe ad interasse 67.00
2 colonne ad interasse 78.00
Piastre inferiori ala 650.00 x 41.00 s= 12.00

Bullonatura sull'anima

CC 97 SLU
Azioni sul collegamento: N=3924.68 Ty=2.85 Tz=-3138.42 My=450.65 Mz=-0.43
Sollecitazioni agenti localmente: Tx_l=1442.25 Ty_l=-3138.42 Mz_l=314.31
Taglio nei bulloni: Fv,Ed=568.33 Fv,Rd=6028.80
Azione di rifollamento di progetto lato asta: Fb,Ed,a=830.80 Fb,Rd,a=5234.73
Rifollamento lato piastra: Fb,Ed,p=568.33 Fb,Rd,p=10662.90

Piastra di anima

Bnetta=24.00 Hnetta=186.00
CC 97 SLU
Azioni sul collegamento: N=3924.68 Ty=2.85 Tz=-3138.42 My=450.65 Mz=-0.43
Sollecitazioni agenti localmente: Tx_l=1442.25 Ty_l=-3138.42 Mz_l=314.31
Tensioni nella sezione: σ=259.44 τ=70.31
CC 98 SLU
Azioni sul collegamento: N=3694.47 Ty=2.86 Tz=-3178.01 My=388.60 Mz=-0.39
Sollecitazioni agenti localmente: Tx_l=1357.66 Ty_l=-3178.01 Mz_l=308.06
Tensioni nella sezione: σ=253.03 τ=71.19

Verifica a taglio anima forata

Bnetta=6.20 Hnetta=152.40
CC 98 SLU
Azioni sul collegamento: N=3694.47 Ty=2.86 Tz=-3178.01 My=388.60 Mz=-0.39
Sollecitazioni agenti localmente: Ty_l=-1589.01
Tensioni nella sezione: σ=0.00 τ=168.17

Bullonatura ali superiori

CC 130 SLU (Collegamento -940_-941)
Azioni sul collegamento: N=-1001.72 Ty=0.97 Tz=-1373.06 My=-668.91 Mz=1.17
Sollecitazioni agenti localmente: Tx_l=2150.89 Ty_l=0.49 Mz_l=0.67
Taglio nei bulloni: Fv,Ed=107.67 Fv,Rd=6028.80
Azione di rifollamento di progetto lato asta: Fb,Ed,a=215.34 Fb,Rd,a=6138.77
Rifollamento lato piastra: Fb,Ed,p=107.67 Fb,Rd,p=5011.22
CC 101 SLU
Azioni sul collegamento: N=5192.47 Ty=5.36 Tz=-769.38 My=1417.58 Mz=0.46
Sollecitazioni agenti localmente: Tx_l=-3587.50 Ty_l=2.68 Mz_l=0.68
Taglio nei bulloni: Fv,Ed=179.50 Fv,Rd=6028.80
Azione di rifollamento di progetto lato asta: Fb,Ed,a=359.00 Fb,Rd,a=9486.95
Rifollamento lato piastra: Fb,Ed,p=179.50 Fb,Rd,p=11616.70

Bullonatura ali inferiori

CC 101 SLU
Azioni sul collegamento: N=5192.47 Ty=5.36 Tz=-769.38 My=1417.58 Mz=0.46
Sollecitazioni agenti localmente: Tx_l=6871.82 Ty_l=2.68 Mz_l=0.68
Taglio nei bulloni: Fv,Ed=343.72 Fv,Rd=6028.80
Azione di rifollamento di progetto lato asta: Fb,Ed,a=687.43 Fb,Rd,a=6138.64
Rifollamento lato piastra: Fb,Ed,p=343.72 Fb,Rd,p=5011.12

Piastre esterne sulle ali

Bnetta=12.00 Hnetta=120.00
CC 101 SLU
Azioni sul collegamento: N=5192.47 Ty=5.36 Tz=-769.38 My=1417.58 Mz=0.46
Sollecitazioni agenti localmente: Tx_l=4082.27 Ty_l=1.59 Mz_l=0.23
Tensioni nella sezione: σ=284.29 τ=0.11
CC 102 SLU
Azioni sul collegamento: N=4962.26 Ty=5.37 Tz=-808.96 My=1355.53 Mz=0.51
Sollecitazioni agenti localmente: Tx_l=-2038.45 Ty_l=1.60 Mz_l=0.25
Tensioni nella sezione: σ=142.44 τ=0.11

Piastre interne sulle ali

Bnetta=12.00 Hnetta=41.00
CC 101 SLU
Azioni sul collegamento: N=5192.47 Ty=5.36 Tz=-769.38 My=1417.58 Mz=0.46
Sollecitazioni agenti localmente: Tx_l=1394.78 Ty_l=0.54
Tensioni nella sezione: σ=283.49 τ=0.11
CC 102 SLU
Azioni sul collegamento: N=4962.26 Ty=5.37 Tz=-808.96 My=1355.53 Mz=0.51

Sollecitazioni agenti localmente: Tx_l=-696.47 Ty_l=0.55
Tensioni nella sezione: σ=141.56 τ=0.11

Collegamento -954_-955

Piastre anima 300.00 x 186.00 s= 12.00 - 8+8 bulloni ϕ 16
2 righe ad interasse 79.00
4 colonne ad interasse variabile
Piastre ala 650.00 x 120.00 s= 12.00 - 10+10 bulloni ϕ 16
5 righe ad interasse 67.00
2 colonne ad interasse 78.00
Piastre inferiori ala 650.00 x 41.00 s= 12.00

Bullonatura sull'anima

CC 98 SLU (Collegamento -954_-955)
Azioni sul collegamento: N=3924.67 Ty=-2.85 Tz=3138.42 My=450.65 Mz=-0.43
Sollecitazioni agenti localmente: Tx_l=1442.25 Ty_l=3138.42 Mz_l=314.31
Taglio nei bulloni: Fv,Ed=568.33 Fv,Rd=6028.80
Azione di rifollamento di progetto lato asta: Fb,Ed,a=1136.67 Fb,Rd,a=6845.03
Rifollamento lato piastra: Fb,Ed,p=415.40 Fb,Rd,p=7793.65

Piastra di anima

Bnetta=24.00 Hnetta=186.00
CC 97 SLU (Collegamento -954_-955)
Azioni sul collegamento: N=3694.46 Ty=-2.86 Tz=3178.01 My=388.60 Mz=-0.39
Sollecitazioni agenti localmente: Tx_l=1357.65 Ty_l=3178.01 Mz_l=308.06
Tensioni nella sezione: σ=253.03 τ=71.19
CC 98 SLU (Collegamento -954_-955)
Azioni sul collegamento: N=3924.67 Ty=-2.85 Tz=3138.42 My=450.65 Mz=-0.43
Sollecitazioni agenti localmente: Tx_l=1442.25 Ty_l=3138.42 Mz_l=314.31
Tensioni nella sezione: σ=259.44 τ=70.31

Verifica a taglio anima forata

Bnetta=6.20 Hnetta=152.40
CC 97 SLU (Collegamento -954_-955)
Azioni sul collegamento: N=3694.46 Ty=-2.86 Tz=3178.01 My=388.60 Mz=-0.39
Sollecitazioni agenti localmente: Ty_l=1589.01
Tensioni nella sezione: σ=0.00 τ=168.17

Bullonatura ali superiori

CC 106 SLU (Collegamento -954_-955)
Azioni sul collegamento: N=5192.29 Ty=-5.36 Tz=769.40 My=1417.55 Mz=0.46
Sollecitazioni agenti localmente: Tx_l=-3587.43 Ty_l=-2.68 Mz_l=-0.22
Taglio nei bulloni: Fv,Ed=179.41 Fv,Rd=6028.80
Azione di rifollamento di progetto lato asta: Fb,Ed,a=358.82 Fb,Rd,a=9486.95
Rifollamento lato piastra: Fb,Ed,p=179.41 Fb,Rd,p=11616.70
CC 101 SLU
Azioni sul collegamento: N=32.09 Ty=-1.16 Tz=1600.79 My=-508.11 Mz=1.18
Sollecitazioni agenti localmente: Tx_l=1884.64 Ty_l=-0.58 Mz_l=0.49
Taglio nei bulloni: Fv,Ed=94.32 Fv,Rd=6028.80
Azione di rifollamento di progetto lato asta: Fb,Ed,a=188.65 Fb,Rd,a=6138.70
Rifollamento lato piastra: Fb,Ed,p=94.32 Fb,Rd,p=5011.21

Bullonatura ali inferiori

CC 106 SLU (Collegamento -954_-955)
Azioni sul collegamento: N=5192.29 Ty=-5.36 Tz=769.40 My=1417.55 Mz=0.46
Sollecitazioni agenti localmente: Tx_l=6871.64 Ty_l=-2.68 Mz_l=-0.22
Taglio nei bulloni: Fv,Ed=343.62 Fv,Rd=6028.80
Azione di rifollamento di progetto lato asta: Fb,Ed,a=687.25 Fb,Rd,a=6138.62
Rifollamento lato piastra: Fb,Ed,p=343.62 Fb,Rd,p=5011.11

Piastre esterne sulle ali

Bnetta=12.00 Hnetta=120.00
CC 105 SLU (Collegamento -954_-955)
Azioni sul collegamento: N=4962.08 Ty=-5.37 Tz=808.99 My=1355.50 Mz=0.51
Sollecitazioni agenti localmente: Tx_l=-2038.41 Ty_l=-1.60 Mz_l=0.25
Tensioni nella sezione: σ=142.43 τ=0.11
CC 106 SLU (Collegamento -954_-955)
Azioni sul collegamento: N=5192.29 Ty=-5.36 Tz=769.40 My=1417.55 Mz=0.46
Sollecitazioni agenti localmente: Tx_l=4082.16 Ty_l=-1.59 Mz_l=0.23
Tensioni nella sezione: σ=284.29 τ=0.11

Piastre interne sulle ali

Bnetta=12.00 Hnetta=41.00
CC 105 SLU (Collegamento -954_-955)
Azioni sul collegamento: N=4962.08 Ty=-5.37 Tz=808.99 My=1355.50 Mz=0.51
Sollecitazioni agenti localmente: Tx_l=-696.46 Ty_l=-0.55
Tensioni nella sezione: σ=141.56 τ=0.11
CC 106 SLU (Collegamento -954_-955)
Azioni sul collegamento: N=5192.29 Ty=-5.36 Tz=769.40 My=1417.55 Mz=0.46
Sollecitazioni agenti localmente: Tx_l=1394.74 Ty_l=-0.54
Tensioni nella sezione: σ=283.48 τ=0.11

Collegamento -984_-985

Piastre anima 300.00 x 186.00 s= 12.00 - 8+8 bulloni ϕ 16
2 righe ad interasse 79.00
4 colonne ad interasse variabile
Piastre ala 650.00 x 120.00 s= 12.00 - 10+10 bulloni ϕ 16
5 righe ad interasse 67.00
2 colonne ad interasse 78.00
Piastre inferiori ala 650.00 x 41.00 s= 12.00

Bullonatura sull'anima

CC 97 SLU
Azioni sul collegamento: N=3917.34 Ty=4.43 Tz=-2968.43 My=458.90 Mz=0.90
Sollecitazioni agenti localmente: Tx_l=1439.56 Ty_l=-2968.43 Mz_l=302.21
Taglio nei bulloni: Fv,Ed=546.79 Fv,Rd=6028.80
Azione di rifollamento di progetto lato asta: Fb,Ed,a=805.38 Fb,Rd,a=5234.46
Rifollamento lato piastra: Fb,Ed,p=546.79 Fb,Rd,p=10581.90

Piastra di anima

Bnetta=24.00 Hnetta=186.00
CC 97 SLU
Azioni sul collegamento: N=3917.34 Ty=4.43 Tz=-2968.43 My=458.90 Mz=0.90
Sollecitazioni agenti localmente: Tx_l=1439.56 Ty_l=-2968.43 Mz_l=302.21
Tensioni nella sezione: σ=250.63 τ=66.50
CC 98 SLU
Azioni sul collegamento: N=3688.48 Ty=4.46 Tz=-3006.34 My=397.75 Mz=0.99
Sollecitazioni agenti localmente: Tx_l=1355.45 Ty_l=-3006.34 Mz_l=295.96
Tensioni nella sezione: σ=244.24 τ=67.35

Verifica a taglio anima forata

Bnetta=6.20 Hnetta=152.40
CC 98 SLU
Azioni sul collegamento: N=3688.48 Ty=4.46 Tz=-3006.34 My=397.75 Mz=0.99
Sollecitazioni agenti localmente: Ty_l=-1503.17
Tensioni nella sezione: σ=0.00 τ=159.09

Bullonatura ali superiori

CC 130 SLU (Collegamento -984_-985)
Azioni sul collegamento: N=-975.27 Ty=2.15 Tz=-1334.96 My=-641.30 Mz=2.31
Sollecitazioni agenti localmente: Tx_l=2057.42 Ty_l=1.08 Mz_l=1.33
Taglio nei bulloni: Fv,Ed=103.12 Fv,Rd=6028.80
Azione di rifollamento di progetto lato asta: Fb,Ed,a=206.25 Fb,Rd,a=6139.31
Rifollamento lato piastra: Fb,Ed,p=103.12 Fb,Rd,p=5011.56
CC 101 SLU
Azioni sul collegamento: N=5185.25 Ty=4.91 Tz=-495.90 My=1332.88 Mz=-0.43
Sollecitazioni agenti localmente: Tx_l=-3277.31 Ty_l=2.45 Mz_l=0.19
Taglio nei bulloni: Fv,Ed=163.90 Fv,Rd=6028.80
Azione di rifollamento di progetto lato asta: Fb,Ed,a=327.80 Fb,Rd,a=9486.95
Rifollamento lato piastra: Fb,Ed,p=163.90 Fb,Rd,p=11616.70

Bullonatura ali inferiori

CC 101 SLU
Azioni sul collegamento: N=5185.25 Ty=4.91 Tz=-495.90 My=1332.88 Mz=-0.43
Sollecitazioni agenti localmente: Tx_l=6557.06 Ty_l=2.45 Mz_l=0.19
Taglio nei bulloni: Fv,Ed=327.89 Fv,Rd=6028.80
Azione di rifollamento di progetto lato asta: Fb,Ed,a=655.78 Fb,Rd,a=6138.62
Rifollamento lato piastra: Fb,Ed,p=327.89 Fb,Rd,p=5011.11

Piastre esterne sulle ali

Bnetta=12.00 Hnetta=120.00
CC 98 SLU (Collegamento -984_-985)
Azioni sul collegamento: N=5293.45 Ty=5.14 Tz=-2833.37 My=219.80 Mz=1.28
Sollecitazioni agenti localmente: Tx_l=512.82 Ty_l=1.53 Mz_l=0.64
Tensioni nella sezione: σ=37.83 τ=0.11

CC 101 SLU
Azioni sul collegamento: N=5185.25 Ty=4.91 Tz=-495.90 My=1332.88 Mz=-0.43
Sollecitazioni agenti localmente: Tx_l=3895.29 Ty_l=1.46 Mz_l=-0.22
Tensioni nella sezione: σ=271.26 τ=0.10

Piastre interne sulle ali

Bnetta=12.00 Hnetta=41.00
CC 98 SLU (Collegamento -984_-985)
Azioni sul collegamento: N=5293.45 Ty=5.14 Tz=-2833.37 My=219.80 Mz=1.28
Sollecitazioni agenti localmente: Tx_l=175.21 Ty_l=0.52
Tensioni nella sezione: σ=35.61 τ=0.11
CC 101 SLU
Azioni sul collegamento: N=5185.25 Ty=4.91 Tz=-495.90 My=1332.88 Mz=-0.43
Sollecitazioni agenti localmente: Tx_l=1330.89 Ty_l=0.50
Tensioni nella sezione: σ=270.51 τ=0.10

Collegamento -998_-999

Piastre anima 300.00 x 186.00 s= 12.00 - 8+8 bulloni ϕ 16
2 righe ad interasse 79.00
4 colonne ad interasse variabile
Piastre ala 650.00 x 120.00 s= 12.00 - 10+10 bulloni ϕ 16
5 righe ad interasse 67.00
2 colonne ad interasse 78.00
Piastre inferiori ala 650.00 x 41.00 s= 12.00

Bullonatura sull'anima

CC 98 SLU (Collegamento -998_-999)
Azioni sul collegamento: N=3917.33 Ty=-4.43 Tz=2968.43 My=458.90 Mz=0.90
Sollecitazioni agenti localmente: Tx_l=1439.55 Ty_l=2968.43 Mz_l=302.21
Taglio nei bulloni: Fv,Ed=546.79 Fv,Rd=6028.80
Azione di rifollamento di progetto lato asta: Fb,Ed,a=1093.58 Fb,Rd,a=6845.03
Rifollamento lato piastra: Fb,Ed,p=402.69 Fb,Rd,p=7793.24

Piastra di anima

Bnetta=24.00 Hnetta=186.00
CC 97 SLU (Collegamento -998_-999)
Azioni sul collegamento: N=3688.47 Ty=-4.46 Tz=3006.34 My=397.75 Mz=0.99
Sollecitazioni agenti localmente: Tx_l=1355.45 Ty_l=3006.34 Mz_l=295.96
Tensioni nella sezione: σ=244.24 τ=67.35
CC 98 SLU (Collegamento -998_-999)
Azioni sul collegamento: N=3917.33 Ty=-4.43 Tz=2968.43 My=458.90 Mz=0.90
Sollecitazioni agenti localmente: Tx_l=1439.55 Ty_l=2968.43 Mz_l=302.21
Tensioni nella sezione: σ=250.63 τ=66.50

Verifica a taglio anima forata

Bnetta=6.20 Hnetta=152.40
CC 97 SLU (Collegamento -998_-999)
Azioni sul collegamento: N=3688.47 Ty=-4.46 Tz=3006.34 My=397.75 Mz=0.99
Sollecitazioni agenti localmente: Ty_l=1503.17
Tensioni nella sezione: σ=0.00 τ=159.09

Bullonatura ali superiori

CC 106 SLU (Collegamento -998_-999)
Azioni sul collegamento: N=5185.07 Ty=-4.91 Tz=495.93 My=1332.85 Mz=-0.43
Sollecitazioni agenti localmente: Tx_l=-3277.25 Ty_l=-2.45 Mz_l=-0.63
Taglio nei bulloni: Fv,Ed=163.98 Fv,Rd=6028.80
Azione di rifollamento di progetto lato asta: Fb,Ed,a=327.96 Fb,Rd,a=9486.95
Rifollamento lato piastra: Fb,Ed,p=163.98 Fb,Rd,p=11616.70
CC 101 SLU
Azioni sul collegamento: N=52.85 Ty=-2.49 Tz=1560.89 My=-482.17 Mz=2.35
Sollecitazioni agenti localmente: Tx_l=1795.51 Ty_l=-1.25 Mz_l=0.97
Taglio nei bulloni: Fv,Ed=89.96 Fv,Rd=6028.80
Azione di rifollamento di progetto lato asta: Fb,Ed,a=179.91 Fb,Rd,a=6138.96
Rifollamento lato piastra: Fb,Ed,p=89.96 Fb,Rd,p=5011.54

Bullonatura ali inferiori

CC 106 SLU (Collegamento -998_-999)
Azioni sul collegamento: N=5185.07 Ty=-4.91 Tz=495.93 My=1332.85 Mz=-0.43
Sollecitazioni agenti localmente: Tx_l=6556.90 Ty_l=-2.45 Mz_l=-0.63
Taglio nei bulloni: Fv,Ed=327.96 Fv,Rd=6028.80
Azione di rifollamento di progetto lato asta: Fb,Ed,a=655.92 Fb,Rd,a=6138.64
Rifollamento lato piastra: Fb,Ed,p=327.96 Fb,Rd,p=5011.12

Piastre esterne sulle ali

Bnetta=12.00 Hnetta=120.00
CC 106 SLU (Collegamento -998_-999)
Azioni sul collegamento: N=5185.07 Ty=-4.91 Tz=495.93 My=1332.85 Mz=-0.43
Sollecitazioni agenti localmente: Tx_l=3895.19 Ty_l=-1.46 Mz_l=-0.22
Tensioni nella sezione: σ=271.25 τ=0.10
CC 97 SLU
Azioni sul collegamento: N=5293.44 Ty=-5.14 Tz=2833.37 My=219.80 Mz=1.28
Sollecitazioni agenti localmente: Tx_l=512.81 Ty_l=-1.53 Mz_l=0.64
Tensioni nella sezione: σ=37.83 τ=0.11

Piastre interne sulle ali

Bnetta=12.00 Hnetta=41.00
CC 106 SLU (Collegamento -998_-999)
Azioni sul collegamento: N=5185.07 Ty=-4.91 Tz=495.93 My=1332.85 Mz=-0.43
Sollecitazioni agenti localmente: Tx_l=1330.86 Ty_l=-0.50
Tensioni nella sezione: σ=270.50 τ=0.10
CC 97 SLU
Azioni sul collegamento: N=5293.44 Ty=-5.14 Tz=2833.37 My=219.80 Mz=1.28
Sollecitazioni agenti localmente: Tx_l=175.21 Ty_l=-0.52
Tensioni nella sezione: σ=35.61 τ=0.11

Collegamento 0010_-503

Saldatura a cordone d'angolo
Altezza di gola saldature: anima 7.07 - ala 7.07

Verifica lato anima della colonna: F=46200.00
F_{co}=39205.80 A_{co}=11.40 FR_{co}=31350.00
F_{cd}=69203.50 A_{cd}=11.40 FR_{cd}=31350.00

Saldatura profilo-profilo

CC 1 SLV (Collegamento 0010_-503)
Azioni sul collegamento: N=10342.50 Ty=-7.67 Tz=-59.01 Mx=0.32 Mz=-19.74
Sollecitazioni agenti localmente: Tx_l=-7.67 Ty_l=-59.01 N_l=10342.50 My_l=19.74 Mz_l=0.32
Azioni sul cordone: TP=2.89 TO=11.76 NO=2061.64
Tensioni nel cordone: τ_P=0.34 τ_O=1.39 σ_O=271.85 σ_{ID}=271.85 Σ_T=273.23
CC 1 SLV (Collegamento 0010_-503)
Azioni sul collegamento: N=10342.50 Ty=-16.11 Tz=-59.01 Mx=0.32 Mz=-41.29
Sollecitazioni agenti localmente: Tx_l=-16.11 Ty_l=-59.01 N_l=10342.50 My_l=41.29 Mz_l=0.32
Azioni sul cordone: TP=4.57 TO=11.76 NO=2061.64
Tensioni nel cordone: τ_P=0.54 τ_O=1.39 σ_O=303.33 σ_{ID}=303.33 Σ_T=304.71
CC 1 SLV (Collegamento 0010_-503)
Azioni sul collegamento: N=10342.50 Ty=-7.67 Tz=-59.01 Mx=0.32 Mz=-19.74
Sollecitazioni agenti localmente: Tx_l=-7.67 Ty_l=-59.01 N_l=10342.50 My_l=19.74 Mz_l=0.32
Azioni sul cordone: TP=2.89 TO=11.76 NO=2061.64
Tensioni nel cordone: τ_P=0.34 τ_O=1.39 σ_O=271.85 σ_{ID}=271.85 Σ_T=273.23
CC 1 SLV (Collegamento 0010_-503)
Azioni sul collegamento: N=10342.50 Ty=-16.11 Tz=-59.01 Mx=0.32 Mz=-41.29
Sollecitazioni agenti localmente: Tx_l=-16.11 Ty_l=-59.01 N_l=10342.50 My_l=41.29 Mz_l=0.32
Azioni sul cordone: TP=4.57 TO=11.76 NO=2061.64
Tensioni nel cordone: τ_P=0.54 τ_O=1.39 σ_O=303.33 σ_{ID}=303.33 Σ_T=304.71
CC 1 SLV (Collegamento 0010_-503)
Azioni sul collegamento: N=4412.89 Ty=-7.67 Tz=-59.01 Mx=0.32 Mz=-19.74
Sollecitazioni agenti localmente: Tx_l=-7.67 Ty_l=-59.01 N_l=4412.89 My_l=19.74 Mz_l=0.32
Azioni sul cordone: TP=2.89 TO=11.76 NO=879.65
Tensioni nel cordone: τ_P=0.34 τ_O=1.39 σ_O=132.53 σ_{ID}=132.54 Σ_T=133.91
CC 1 SLV (Collegamento 0010_-503)
Azioni sul collegamento: N=4412.89 Ty=-16.11 Tz=-59.01 Mx=0.32 Mz=-41.29
Sollecitazioni agenti localmente: Tx_l=-16.11 Ty_l=-59.01 N_l=4412.89 My_l=41.29 Mz_l=0.32
Azioni sul cordone: TP=4.57 TO=11.76 NO=879.65
Tensioni nel cordone: τ_P=0.54 τ_O=1.39 σ_O=164.01 σ_{ID}=164.01 Σ_T=165.39
CC 1 SLV (Collegamento 0010_-503)
Azioni sul collegamento: N=4412.89 Ty=-7.67 Tz=-59.01 Mx=0.32 Mz=-19.74
Sollecitazioni agenti localmente: Tx_l=-7.67 Ty_l=-59.01 N_l=4412.89 My_l=19.74 Mz_l=0.32
Azioni sul cordone: TP=2.89 TO=11.76 NO=879.65
Tensioni nel cordone: τ_P=0.34 τ_O=1.39 σ_O=132.53 σ_{ID}=132.54 Σ_T=133.91
CC 1 SLV (Collegamento 0010_-503)
Azioni sul collegamento: N=4412.89 Ty=-16.11 Tz=-59.01 Mx=0.32 Mz=-41.29
Sollecitazioni agenti localmente: Tx_l=-16.11 Ty_l=-59.01 N_l=4412.89 My_l=41.29 Mz_l=0.32
Azioni sul cordone: TP=4.57 TO=11.76 NO=879.65
Tensioni nel cordone: τ_P=0.54 τ_O=1.39 σ_O=164.01 σ_{ID}=164.01 Σ_T=165.39
CC 2 SLD (Collegamento 0010_-503)
Azioni sul collegamento: N=8355.44 Ty=-10.46 Tz=-59.01 Mx=0.26 Mz=-26.76
Sollecitazioni agenti localmente: Tx_l=-10.46 Ty_l=-59.01 N_l=8355.44 My_l=26.76 Mz_l=0.26
Azioni sul cordone: TP=3.18 TO=11.76 NO=1665.53

Tensioni nel cordone: τ_P=0.38 τ_0=1.39 σ_0=235.41 σ_{ID}=235.42 Σ_T=236.80
CC 2 SLD (Collegamento 0010_-503)
Azioni sul collegamento: N=8355.44 Ty=-13.03 Tz=-59.01 Mx=0.26 Mz=-33.33
Sollecitazioni agenti localmente: Tx_l=-13.03 Ty_l=-59.01 N_l=8355.44 My_l=33.33 Mz_l=0.26
Azioni sul cordone: TP=3.70 TO=11.76 NO=1665.53
Tensioni nel cordone: τ_P=0.44 τ_0=1.39 σ_0=245.01 σ_{ID}=245.02 Σ_T=246.40
CC 2 SLD (Collegamento 0010_-503)
Azioni sul collegamento: N=8355.44 Ty=-10.46 Tz=-59.01 Mx=0.26 Mz=-26.76
Sollecitazioni agenti localmente: Tx_l=-10.46 Ty_l=-59.01 N_l=8355.44 My_l=26.76 Mz_l=0.26
Azioni sul cordone: TP=3.18 TO=11.76 NO=1665.53
Tensioni nel cordone: τ_P=0.38 τ_0=1.39 σ_0=235.41 σ_{ID}=235.42 Σ_T=236.80
CC 2 SLD (Collegamento 0010_-503)
Azioni sul collegamento: N=8355.44 Ty=-13.03 Tz=-59.01 Mx=0.26 Mz=-33.33
Sollecitazioni agenti localmente: Tx_l=-13.03 Ty_l=-59.01 N_l=8355.44 My_l=33.33 Mz_l=0.26
Azioni sul cordone: TP=3.70 TO=11.76 NO=1665.53
Tensioni nel cordone: τ_P=0.44 τ_0=1.39 σ_0=245.01 σ_{ID}=245.02 Σ_T=246.40
CC 2 SLD (Collegamento 0010_-503)
Azioni sul collegamento: N=6547.30 Ty=-10.46 Tz=-59.01 Mx=0.26 Mz=-26.76
Sollecitazioni agenti localmente: Tx_l=-10.46 Ty_l=-59.01 N_l=6547.30 My_l=26.76 Mz_l=0.26
Azioni sul cordone: TP=3.18 TO=11.76 NO=1305.11
Tensioni nel cordone: τ_P=0.38 τ_0=1.39 σ_0=192.93 σ_{ID}=192.94 Σ_T=194.32
CC 2 SLD (Collegamento 0010_-503)
Azioni sul collegamento: N=6547.30 Ty=-13.03 Tz=-59.01 Mx=0.26 Mz=-33.33
Sollecitazioni agenti localmente: Tx_l=-13.03 Ty_l=-59.01 N_l=6547.30 My_l=33.33 Mz_l=0.26
Azioni sul cordone: TP=3.70 TO=11.76 NO=1305.11
Tensioni nel cordone: τ_P=0.44 τ_0=1.39 σ_0=202.53 σ_{ID}=202.53 Σ_T=203.91
CC 2 SLD (Collegamento 0010_-503)
Azioni sul collegamento: N=6547.30 Ty=-10.46 Tz=-59.01 Mx=0.26 Mz=-26.76
Sollecitazioni agenti localmente: Tx_l=-10.46 Ty_l=-59.01 N_l=6547.30 My_l=26.76 Mz_l=0.26
Azioni sul cordone: TP=3.18 TO=11.76 NO=1305.11
Tensioni nel cordone: τ_P=0.38 τ_0=1.39 σ_0=192.93 σ_{ID}=192.94 Σ_T=194.32
CC 2 SLD (Collegamento 0010_-503)
Azioni sul collegamento: N=6547.30 Ty=-13.03 Tz=-59.01 Mx=0.26 Mz=-33.33
Sollecitazioni agenti localmente: Tx_l=-13.03 Ty_l=-59.01 N_l=6547.30 My_l=33.33 Mz_l=0.26
Azioni sul cordone: TP=3.70 TO=11.76 NO=1305.11
Tensioni nel cordone: τ_P=0.44 τ_0=1.39 σ_0=202.53 σ_{ID}=202.53 Σ_T=203.91
CC 3 SLV (Collegamento 0010_-503)
Azioni sul collegamento: N=10338.60 Ty=-7.76 Tz=-59.01 Mx=0.32 Mz=-19.99
Sollecitazioni agenti localmente: Tx_l=-7.76 Ty_l=-59.01 N_l=10338.60 My_l=19.99 Mz_l=0.32
Azioni sul cordone: TP=2.90 TO=11.76 NO=2060.85
Tensioni nel cordone: τ_P=0.34 τ_0=1.39 σ_0=272.11 σ_{ID}=272.11 Σ_T=273.50
CC 3 SLV (Collegamento 0010_-503)
Azioni sul collegamento: N=10338.60 Ty=-16.02 Tz=-59.01 Mx=0.32 Mz=-41.05
Sollecitazioni agenti localmente: Tx_l=-16.02 Ty_l=-59.01 N_l=10338.60 My_l=41.05 Mz_l=0.32
Azioni sul cordone: TP=4.55 TO=11.76 NO=2060.85
Tensioni nel cordone: τ_P=0.54 τ_0=1.39 σ_0=302.88 σ_{ID}=302.88 Σ_T=304.27
CC 3 SLV (Collegamento 0010_-503)
Azioni sul collegamento: N=10338.60 Ty=-7.76 Tz=-59.01 Mx=0.32 Mz=-19.99
Sollecitazioni agenti localmente: Tx_l=-7.76 Ty_l=-59.01 N_l=10338.60 My_l=19.99 Mz_l=0.32
Azioni sul cordone: TP=2.90 TO=11.76 NO=2060.85
Tensioni nel cordone: τ_P=0.34 τ_0=1.39 σ_0=272.11 σ_{ID}=272.11 Σ_T=273.50
CC 3 SLV (Collegamento 0010_-503)
Azioni sul collegamento: N=10338.60 Ty=-16.02 Tz=-59.01 Mx=0.32 Mz=-41.05
Sollecitazioni agenti localmente: Tx_l=-16.02 Ty_l=-59.01 N_l=10338.60 My_l=41.05 Mz_l=0.32
Azioni sul cordone: TP=4.55 TO=11.76 NO=2060.85
Tensioni nel cordone: τ_P=0.54 τ_0=1.39 σ_0=302.88 σ_{ID}=302.88 Σ_T=304.27
CC 3 SLV (Collegamento 0010_-503)
Azioni sul collegamento: N=4416.83 Ty=-7.76 Tz=-59.01 Mx=0.32 Mz=-19.99
Sollecitazioni agenti localmente: Tx_l=-7.76 Ty_l=-59.01 N_l=4416.83 My_l=19.99 Mz_l=0.32
Azioni sul cordone: TP=2.90 TO=11.76 NO=880.43
Tensioni nel cordone: τ_P=0.34 τ_0=1.39 σ_0=132.97 σ_{ID}=132.98 Σ_T=134.36
CC 3 SLV (Collegamento 0010_-503)
Azioni sul collegamento: N=4416.83 Ty=-16.02 Tz=-59.01 Mx=0.32 Mz=-41.05
Sollecitazioni agenti localmente: Tx_l=-16.02 Ty_l=-59.01 N_l=4416.83 My_l=41.05 Mz_l=0.32
Azioni sul cordone: TP=4.55 TO=11.76 NO=880.43
Tensioni nel cordone: τ_P=0.54 τ_0=1.39 σ_0=163.74 σ_{ID}=163.75 Σ_T=165.13
CC 3 SLV (Collegamento 0010_-503)
Azioni sul collegamento: N=4416.83 Ty=-7.76 Tz=-59.01 Mx=0.32 Mz=-19.99
Sollecitazioni agenti localmente: Tx_l=-7.76 Ty_l=-59.01 N_l=4416.83 My_l=19.99 Mz_l=0.32
Azioni sul cordone: TP=2.90 TO=11.76 NO=880.43
Tensioni nel cordone: τ_P=0.34 τ_0=1.39 σ_0=132.97 σ_{ID}=132.98 Σ_T=134.36
CC 3 SLV (Collegamento 0010_-503)
Azioni sul collegamento: N=4416.83 Ty=-16.02 Tz=-59.01 Mx=0.32 Mz=-41.05
Sollecitazioni agenti localmente: Tx_l=-16.02 Ty_l=-59.01 N_l=4416.83 My_l=41.05 Mz_l=0.32
Azioni sul cordone: TP=4.55 TO=11.76 NO=880.43
Tensioni nel cordone: τ_P=0.54 τ_0=1.39 σ_0=163.74 σ_{ID}=163.75 Σ_T=165.13
CC 4 SLD (Collegamento 0010_-503)
Azioni sul collegamento: N=8354.23 Ty=-10.49 Tz=-59.01 Mx=0.26 Mz=-26.84
Sollecitazioni agenti localmente: Tx_l=-10.49 Ty_l=-59.01 N_l=8354.23 My_l=26.84 Mz_l=0.26

Azioni sul cordone: TP=3.19 TO=11.76 NO=1665.30
Tensioni nel cordone: τ_P=0.38 τ_0=1.39 σ_0=235.49 σ_{ID}=235.50 Σ_T=236.88
CC 4 SLD (Collegamento 0010_-503)
Azioni sul collegamento: N=8354.23 Ty=-13.00 Tz=-59.01 Mx=0.26 Mz=-33.26
Sollecitazioni agenti localmente: Tx_l=-13.00 Ty_l=-59.01 N_l=8354.23 My_l=33.26 Mz_l=0.26
Azioni sul cordone: TP=3.69 TO=11.76 NO=1665.30
Tensioni nel cordone: τ_P=0.43 τ_0=1.39 σ_0=244.88 σ_{ID}=244.88 Σ_T=246.26
CC 4 SLD (Collegamento 0010_-503)
Azioni sul collegamento: N=8354.23 Ty=-10.49 Tz=-59.01 Mx=0.26 Mz=-26.84
Sollecitazioni agenti localmente: Tx_l=-10.49 Ty_l=-59.01 N_l=8354.23 My_l=26.84 Mz_l=0.26
Azioni sul cordone: TP=3.19 TO=11.76 NO=1665.30
Tensioni nel cordone: τ_P=0.38 τ_0=1.39 σ_0=235.49 σ_{ID}=235.50 Σ_T=236.88
CC 4 SLD (Collegamento 0010_-503)
Azioni sul collegamento: N=8354.23 Ty=-13.00 Tz=-59.01 Mx=0.26 Mz=-33.26
Sollecitazioni agenti localmente: Tx_l=-13.00 Ty_l=-59.01 N_l=8354.23 My_l=33.26 Mz_l=0.26
Azioni sul cordone: TP=3.69 TO=11.76 NO=1665.30
Tensioni nel cordone: τ_P=0.43 τ_0=1.39 σ_0=244.88 σ_{ID}=244.88 Σ_T=246.26
CC 4 SLD (Collegamento 0010_-503)
Azioni sul collegamento: N=6548.50 Ty=-10.49 Tz=-59.01 Mx=0.26 Mz=-26.84
Sollecitazioni agenti localmente: Tx_l=-10.49 Ty_l=-59.01 N_l=6548.50 My_l=26.84 Mz_l=0.26
Azioni sul cordone: TP=3.19 TO=11.76 NO=1305.35
Tensioni nel cordone: τ_P=0.38 τ_0=1.39 σ_0=193.07 σ_{ID}=193.07 Σ_T=194.45
CC 4 SLD (Collegamento 0010_-503)
Azioni sul collegamento: N=6548.50 Ty=-13.00 Tz=-59.01 Mx=0.26 Mz=-33.26
Sollecitazioni agenti localmente: Tx_l=-13.00 Ty_l=-59.01 N_l=6548.50 My_l=33.26 Mz_l=0.26
Azioni sul cordone: TP=3.69 TO=11.76 NO=1305.35
Tensioni nel cordone: τ_P=0.43 τ_0=1.39 σ_0=202.45 σ_{ID}=202.45 Σ_T=203.84
CC 4 SLD (Collegamento 0010_-503)
Azioni sul collegamento: N=6548.50 Ty=-10.49 Tz=-59.01 Mx=0.26 Mz=-26.84
Sollecitazioni agenti localmente: Tx_l=-10.49 Ty_l=-59.01 N_l=6548.50 My_l=26.84 Mz_l=0.26
Azioni sul cordone: TP=3.19 TO=11.76 NO=1305.35
Tensioni nel cordone: τ_P=0.38 τ_0=1.39 σ_0=193.07 σ_{ID}=193.07 Σ_T=194.45
CC 4 SLD (Collegamento 0010_-503)
Azioni sul collegamento: N=6548.50 Ty=-13.00 Tz=-59.01 Mx=0.26 Mz=-33.26
Sollecitazioni agenti localmente: Tx_l=-13.00 Ty_l=-59.01 N_l=6548.50 My_l=33.26 Mz_l=0.26
Azioni sul cordone: TP=3.69 TO=11.76 NO=1305.35
Tensioni nel cordone: τ_P=0.43 τ_0=1.39 σ_0=202.45 σ_{ID}=202.45 Σ_T=203.84
CC 5 SLV (Collegamento 0010_-503)
Azioni sul collegamento: N=4416.83 Ty=-16.02 Tz=-59.01 Mx=0.15 Mz=-41.05
Sollecitazioni agenti localmente: Tx_l=-16.02 Ty_l=-59.01 N_l=4416.83 My_l=41.05 Mz_l=0.15
Azioni sul cordone: TP=3.85 TO=11.76 NO=880.43
Tensioni nel cordone: τ_P=0.45 τ_0=1.39 σ_0=163.74 σ_{ID}=163.75 Σ_T=165.13
CC 5 SLV (Collegamento 0010_-503)
Azioni sul collegamento: N=4416.83 Ty=-7.76 Tz=-59.01 Mx=0.15 Mz=-19.99
Sollecitazioni agenti localmente: Tx_l=-7.76 Ty_l=-59.01 N_l=4416.83 My_l=19.99 Mz_l=0.15
Azioni sul cordone: TP=2.20 TO=11.76 NO=880.43
Tensioni nel cordone: τ_P=0.26 τ_0=1.39 σ_0=132.97 σ_{ID}=132.98 Σ_T=134.36
CC 5 SLV (Collegamento 0010_-503)
Azioni sul collegamento: N=4416.83 Ty=-16.02 Tz=-59.01 Mx=0.15 Mz=-41.05
Sollecitazioni agenti localmente: Tx_l=-16.02 Ty_l=-59.01 N_l=4416.83 My_l=41.05 Mz_l=0.15
Azioni sul cordone: TP=3.85 TO=11.76 NO=880.43
Tensioni nel cordone: τ_P=0.45 τ_0=1.39 σ_0=163.74 σ_{ID}=163.75 Σ_T=165.13
CC 5 SLV (Collegamento 0010_-503)
Azioni sul collegamento: N=4416.83 Ty=-7.76 Tz=-59.01 Mx=0.15 Mz=-19.99
Sollecitazioni agenti localmente: Tx_l=-7.76 Ty_l=-59.01 N_l=4416.83 My_l=19.99 Mz_l=0.15
Azioni sul cordone: TP=2.20 TO=11.76 NO=880.43
Tensioni nel cordone: τ_P=0.26 τ_0=1.39 σ_0=132.97 σ_{ID}=132.98 Σ_T=134.36
CC 5 SLV (Collegamento 0010_-503)
Azioni sul collegamento: N=10338.60 Ty=-16.02 Tz=-59.01 Mx=0.15 Mz=-41.05
Sollecitazioni agenti localmente: Tx_l=-16.02 Ty_l=-59.01 N_l=10338.60 My_l=41.05 Mz_l=0.15
Azioni sul cordone: TP=3.85 TO=11.76 NO=2060.85
Tensioni nel cordone: τ_P=0.45 τ_0=1.39 σ_0=302.88 σ_{ID}=302.88 Σ_T=304.27
CC 5 SLV (Collegamento 0010_-503)
Azioni sul collegamento: N=10338.60 Ty=-7.76 Tz=-59.01 Mx=0.15 Mz=-19.99
Sollecitazioni agenti localmente: Tx_l=-7.76 Ty_l=-59.01 N_l=10338.60 My_l=19.99 Mz_l=0.15
Azioni sul cordone: TP=2.20 TO=11.76 NO=2060.85
Tensioni nel cordone: τ_P=0.26 τ_0=1.39 σ_0=272.11 σ_{ID}=272.11 Σ_T=273.50
CC 5 SLV (Collegamento 0010_-503)
Azioni sul collegamento: N=10338.60 Ty=-16.02 Tz=-59.01 Mx=0.15 Mz=-41.05
Sollecitazioni agenti localmente: Tx_l=-16.02 Ty_l=-59.01 N_l=10338.60 My_l=41.05 Mz_l=0.15
Azioni sul cordone: TP=3.85 TO=11.76 NO=2060.85
Tensioni nel cordone: τ_P=0.45 τ_0=1.39 σ_0=302.88 σ_{ID}=302.88 Σ_T=304.27
CC 5 SLV (Collegamento 0010_-503)
Azioni sul collegamento: N=10338.60 Ty=-7.76 Tz=-59.01 Mx=0.15 Mz=-19.99
Sollecitazioni agenti localmente: Tx_l=-7.76 Ty_l=-59.01 N_l=10338.60 My_l=19.99 Mz_l=0.15
Azioni sul cordone: TP=2.20 TO=11.76 NO=2060.85
Tensioni nel cordone: τ_P=0.26 τ_0=1.39 σ_0=272.11 σ_{ID}=272.11 Σ_T=273.50
CC 6 SLD (Collegamento 0010_-503)
Azioni sul collegamento: N=6548.50 Ty=-13.00 Tz=-59.01 Mx=0.21 Mz=-33.26

Sollecitazioni agenti localmente: Tx_l=-13.00 Ty_l=-59.01 N_l=6548.50 My_l=33.26 Mz_l=0.21
Azioni sul cordone: TP=3.48 TO=11.76 NO=1305.35
Tensioni nel cordone: τ_P=0.41 τ_0=1.39 σ_0=202.45 σ_{ID}=202.45 Σ_T=203.84
CC 6 SLD (Collegamento 0010_-503)
Azioni sul collegamento: N=6548.50 Ty=-10.49 Tz=-59.01 Mx=0.21 Mz=-26.84
Sollecitazioni agenti localmente: Tx_l=-10.49 Ty_l=-59.01 N_l=6548.50 My_l=26.84 Mz_l=0.21
Azioni sul cordone: TP=2.97 TO=11.76 NO=1305.35
Tensioni nel cordone: τ_P=0.35 τ_0=1.39 σ_0=193.07 σ_{ID}=193.07 Σ_T=194.45
CC 6 SLD (Collegamento 0010_-503)
Azioni sul collegamento: N=6548.50 Ty=-13.00 Tz=-59.01 Mx=0.21 Mz=-33.26
Sollecitazioni agenti localmente: Tx_l=-13.00 Ty_l=-59.01 N_l=6548.50 My_l=33.26 Mz_l=0.21
Azioni sul cordone: TP=3.48 TO=11.76 NO=1305.35
Tensioni nel cordone: τ_P=0.41 τ_0=1.39 σ_0=202.45 σ_{ID}=202.45 Σ_T=203.84
CC 6 SLD (Collegamento 0010_-503)
Azioni sul collegamento: N=6548.50 Ty=-10.49 Tz=-59.01 Mx=0.21 Mz=-26.84
Sollecitazioni agenti localmente: Tx_l=-10.49 Ty_l=-59.01 N_l=6548.50 My_l=26.84 Mz_l=0.21
Azioni sul cordone: TP=2.97 TO=11.76 NO=1305.35
Tensioni nel cordone: τ_P=0.35 τ_0=1.39 σ_0=193.07 σ_{ID}=193.07 Σ_T=194.45
CC 6 SLD (Collegamento 0010_-503)
Azioni sul collegamento: N=8354.23 Ty=-13.00 Tz=-59.01 Mx=0.21 Mz=-33.26
Sollecitazioni agenti localmente: Tx_l=-13.00 Ty_l=-59.01 N_l=8354.23 My_l=33.26 Mz_l=0.21
Azioni sul cordone: TP=3.48 TO=11.76 NO=1665.30
Tensioni nel cordone: τ_P=0.41 τ_0=1.39 σ_0=244.88 σ_{ID}=244.88 Σ_T=246.26
CC 6 SLD (Collegamento 0010_-503)
Azioni sul collegamento: N=8354.23 Ty=-10.49 Tz=-59.01 Mx=0.21 Mz=-26.84
Sollecitazioni agenti localmente: Tx_l=-10.49 Ty_l=-59.01 N_l=8354.23 My_l=26.84 Mz_l=0.21
Azioni sul cordone: TP=2.97 TO=11.76 NO=1665.30
Tensioni nel cordone: τ_P=0.35 τ_0=1.39 σ_0=235.49 σ_{ID}=235.50 Σ_T=236.88
CC 6 SLD (Collegamento 0010_-503)
Azioni sul collegamento: N=8354.23 Ty=-13.00 Tz=-59.01 Mx=0.21 Mz=-33.26
Sollecitazioni agenti localmente: Tx_l=-13.00 Ty_l=-59.01 N_l=8354.23 My_l=33.26 Mz_l=0.21
Azioni sul cordone: TP=3.48 TO=11.76 NO=1665.30
Tensioni nel cordone: τ_P=0.41 τ_0=1.39 σ_0=244.88 σ_{ID}=244.88 Σ_T=246.26
CC 6 SLD (Collegamento 0010_-503)
Azioni sul collegamento: N=8354.23 Ty=-10.49 Tz=-59.01 Mx=0.21 Mz=-26.84
Sollecitazioni agenti localmente: Tx_l=-10.49 Ty_l=-59.01 N_l=8354.23 My_l=26.84 Mz_l=0.21
Azioni sul cordone: TP=2.97 TO=11.76 NO=1665.30
Tensioni nel cordone: τ_P=0.35 τ_0=1.39 σ_0=235.49 σ_{ID}=235.50 Σ_T=236.88
CC 7 SLV (Collegamento 0010_-503)
Azioni sul collegamento: N=4412.89 Ty=-16.11 Tz=-59.01 Mx=0.15 Mz=-41.29
Sollecitazioni agenti localmente: Tx_l=-16.11 Ty_l=-59.01 N_l=4412.89 My_l=41.29 Mz_l=0.15
Azioni sul cordone: TP=3.86 TO=11.76 NO=879.65
Tensioni nel cordone: τ_P=0.45 τ_0=1.39 σ_0=164.01 σ_{ID}=164.01 Σ_T=165.39
CC 7 SLV (Collegamento 0010_-503)
Azioni sul collegamento: N=4412.89 Ty=-7.67 Tz=-59.01 Mx=0.15 Mz=-19.74
Sollecitazioni agenti localmente: Tx_l=-7.67 Ty_l=-59.01 N_l=4412.89 My_l=19.74 Mz_l=0.15
Azioni sul cordone: TP=2.18 TO=11.76 NO=879.65
Tensioni nel cordone: τ_P=0.26 τ_0=1.39 σ_0=132.53 σ_{ID}=132.54 Σ_T=133.91
CC 7 SLV (Collegamento 0010_-503)
Azioni sul collegamento: N=4412.89 Ty=-16.11 Tz=-59.01 Mx=0.15 Mz=-41.29
Sollecitazioni agenti localmente: Tx_l=-16.11 Ty_l=-59.01 N_l=4412.89 My_l=41.29 Mz_l=0.15
Azioni sul cordone: TP=3.86 TO=11.76 NO=879.65
Tensioni nel cordone: τ_P=0.45 τ_0=1.39 σ_0=164.01 σ_{ID}=164.01 Σ_T=165.39
CC 7 SLV (Collegamento 0010_-503)
Azioni sul collegamento: N=4412.89 Ty=-7.67 Tz=-59.01 Mx=0.15 Mz=-19.74
Sollecitazioni agenti localmente: Tx_l=-7.67 Ty_l=-59.01 N_l=4412.89 My_l=19.74 Mz_l=0.15
Azioni sul cordone: TP=2.18 TO=11.76 NO=879.65
Tensioni nel cordone: τ_P=0.26 τ_0=1.39 σ_0=132.53 σ_{ID}=132.54 Σ_T=133.91
CC 7 SLV (Collegamento 0010_-503)
Azioni sul collegamento: N=10342.50 Ty=-16.11 Tz=-59.01 Mx=0.15 Mz=-41.29
Sollecitazioni agenti localmente: Tx_l=-16.11 Ty_l=-59.01 N_l=10342.50 My_l=41.29 Mz_l=0.15
Azioni sul cordone: TP=3.86 TO=11.76 NO=2061.64
Tensioni nel cordone: τ_P=0.45 τ_0=1.39 σ_0=303.33 σ_{ID}=303.33 Σ_T=304.71
CC 7 SLV (Collegamento 0010_-503)
Azioni sul collegamento: N=10342.50 Ty=-7.67 Tz=-59.01 Mx=0.15 Mz=-19.74
Sollecitazioni agenti localmente: Tx_l=-7.67 Ty_l=-59.01 N_l=10342.50 My_l=19.74 Mz_l=0.15
Azioni sul cordone: TP=2.18 TO=11.76 NO=2061.64
Tensioni nel cordone: τ_P=0.26 τ_0=1.39 σ_0=271.85 σ_{ID}=271.85 Σ_T=273.23
CC 7 SLV (Collegamento 0010_-503)
Azioni sul collegamento: N=10342.50 Ty=-16.11 Tz=-59.01 Mx=0.15 Mz=-41.29
Sollecitazioni agenti localmente: Tx_l=-16.11 Ty_l=-59.01 N_l=10342.50 My_l=41.29 Mz_l=0.15
Azioni sul cordone: TP=3.86 TO=11.76 NO=2061.64
Tensioni nel cordone: τ_P=0.45 τ_0=1.39 σ_0=303.33 σ_{ID}=303.33 Σ_T=304.71
CC 7 SLV (Collegamento 0010_-503)
Azioni sul collegamento: N=10342.50 Ty=-7.67 Tz=-59.01 Mx=0.15 Mz=-19.74
Sollecitazioni agenti localmente: Tx_l=-7.67 Ty_l=-59.01 N_l=10342.50 My_l=19.74 Mz_l=0.15
Azioni sul cordone: TP=2.18 TO=11.76 NO=2061.64
Tensioni nel cordone: τ_P=0.26 τ_0=1.39 σ_0=271.85 σ_{ID}=271.85 Σ_T=273.23
CC 8 SLD (Collegamento 0010_-503)

Azioni sul collegamento: N=6547.30 Ty=-13.03 Tz=-59.01 Mx=0.21 Mz=-33.33
Sollecitazioni agenti localmente: Tx_l=-13.03 Ty_l=-59.01 N_l=6547.30 My_l=33.33 Mz_l=0.21
Azioni sul cordone: TP=3.48 TO=11.76 NO=1305.11
Tensioni nel cordone: τ_P=0.41 τ_0=1.39 σ_0=202.53 σ_{ID}=202.53 Σ_T=203.91
CC 8 SLD (Collegamento 0010_-503)
Azioni sul collegamento: N=6547.30 Ty=-10.46 Tz=-59.01 Mx=0.21 Mz=-26.76
Sollecitazioni agenti localmente: Tx_l=-10.46 Ty_l=-59.01 N_l=6547.30 My_l=26.76 Mz_l=0.21
Azioni sul cordone: TP=2.97 TO=11.76 NO=1305.11
Tensioni nel cordone: τ_P=0.35 τ_0=1.39 σ_0=192.93 σ_{ID}=192.94 Σ_T=194.32
CC 8 SLD (Collegamento 0010_-503)
Azioni sul collegamento: N=6547.30 Ty=-13.03 Tz=-59.01 Mx=0.21 Mz=-33.33
Sollecitazioni agenti localmente: Tx_l=-13.03 Ty_l=-59.01 N_l=6547.30 My_l=33.33 Mz_l=0.21
Azioni sul cordone: TP=3.48 TO=11.76 NO=1305.11
Tensioni nel cordone: τ_P=0.41 τ_0=1.39 σ_0=202.53 σ_{ID}=202.53 Σ_T=203.91
CC 8 SLD (Collegamento 0010_-503)
Azioni sul collegamento: N=6547.30 Ty=-10.46 Tz=-59.01 Mx=0.21 Mz=-26.76
Sollecitazioni agenti localmente: Tx_l=-10.46 Ty_l=-59.01 N_l=6547.30 My_l=26.76 Mz_l=0.21
Azioni sul cordone: TP=2.97 TO=11.76 NO=1305.11
Tensioni nel cordone: τ_P=0.35 τ_0=1.39 σ_0=192.93 σ_{ID}=192.94 Σ_T=194.32
CC 8 SLD (Collegamento 0010_-503)
Azioni sul collegamento: N=8355.44 Ty=-13.03 Tz=-59.01 Mx=0.21 Mz=-33.33
Sollecitazioni agenti localmente: Tx_l=-13.03 Ty_l=-59.01 N_l=8355.44 My_l=33.33 Mz_l=0.21
Azioni sul cordone: TP=3.48 TO=11.76 NO=1665.53
Tensioni nel cordone: τ_P=0.41 τ_0=1.39 σ_0=245.01 σ_{ID}=245.02 Σ_T=246.40
CC 8 SLD (Collegamento 0010_-503)
Azioni sul collegamento: N=8355.44 Ty=-10.46 Tz=-59.01 Mx=0.21 Mz=-26.76
Sollecitazioni agenti localmente: Tx_l=-10.46 Ty_l=-59.01 N_l=8355.44 My_l=26.76 Mz_l=0.21
Azioni sul cordone: TP=2.97 TO=11.76 NO=1665.53
Tensioni nel cordone: τ_P=0.35 τ_0=1.39 σ_0=235.41 σ_{ID}=235.42 Σ_T=236.80
CC 8 SLD (Collegamento 0010_-503)
Azioni sul collegamento: N=8355.44 Ty=-13.03 Tz=-59.01 Mx=0.21 Mz=-33.33
Sollecitazioni agenti localmente: Tx_l=-13.03 Ty_l=-59.01 N_l=8355.44 My_l=33.33 Mz_l=0.21
Azioni sul cordone: TP=3.48 TO=11.76 NO=1665.53
Tensioni nel cordone: τ_P=0.41 τ_0=1.39 σ_0=245.01 σ_{ID}=245.02 Σ_T=246.40
CC 8 SLD (Collegamento 0010_-503)
Azioni sul collegamento: N=8355.44 Ty=-10.46 Tz=-59.01 Mx=0.21 Mz=-26.76
Sollecitazioni agenti localmente: Tx_l=-10.46 Ty_l=-59.01 N_l=8355.44 My_l=26.76 Mz_l=0.21
Azioni sul cordone: TP=2.97 TO=11.76 NO=1665.53
Tensioni nel cordone: τ_P=0.35 τ_0=1.39 σ_0=235.41 σ_{ID}=235.42 Σ_T=236.80
CC 9 SLV (Collegamento 0010_-503)
Azioni sul collegamento: N=8273.14 Ty=-10.48 Tz=-59.01 Mx=0.26 Mz=-26.92
Sollecitazioni agenti localmente: Tx_l=-10.48 Ty_l=-59.01 N_l=8273.14 My_l=26.92 Mz_l=0.26
Azioni sul cordone: TP=3.21 TO=11.76 NO=1649.13
Tensioni nel cordone: τ_P=0.38 τ_0=1.39 σ_0=233.71 σ_{ID}=233.71 Σ_T=235.09
CC 9 SLV (Collegamento 0010_-503)
Azioni sul collegamento: N=8273.14 Ty=-13.30 Tz=-59.01 Mx=0.26 Mz=-34.12
Sollecitazioni agenti localmente: Tx_l=-13.30 Ty_l=-59.01 N_l=8273.14 My_l=34.12 Mz_l=0.26
Azioni sul cordone: TP=3.77 TO=11.76 NO=1649.13
Tensioni nel cordone: τ_P=0.44 τ_0=1.39 σ_0=244.22 σ_{ID}=244.23 Σ_T=245.61
CC 9 SLV (Collegamento 0010_-503)
Azioni sul collegamento: N=8273.14 Ty=-10.48 Tz=-59.01 Mx=0.26 Mz=-26.92
Sollecitazioni agenti localmente: Tx_l=-10.48 Ty_l=-59.01 N_l=8273.14 My_l=26.92 Mz_l=0.26
Azioni sul cordone: TP=3.21 TO=11.76 NO=1649.13
Tensioni nel cordone: τ_P=0.38 τ_0=1.39 σ_0=233.71 σ_{ID}=233.71 Σ_T=235.09
CC 9 SLV (Collegamento 0010_-503)
Azioni sul collegamento: N=8273.14 Ty=-13.30 Tz=-59.01 Mx=0.26 Mz=-34.12
Sollecitazioni agenti localmente: Tx_l=-13.30 Ty_l=-59.01 N_l=8273.14 My_l=34.12 Mz_l=0.26
Azioni sul cordone: TP=3.77 TO=11.76 NO=1649.13
Tensioni nel cordone: τ_P=0.44 τ_0=1.39 σ_0=244.22 σ_{ID}=244.23 Σ_T=245.61
CC 9 SLV (Collegamento 0010_-503)
Azioni sul collegamento: N=6482.30 Ty=-10.48 Tz=-59.01 Mx=0.26 Mz=-26.92
Sollecitazioni agenti localmente: Tx_l=-10.48 Ty_l=-59.01 N_l=6482.30 My_l=26.92 Mz_l=0.26
Azioni sul cordone: TP=3.21 TO=11.76 NO=1292.15
Tensioni nel cordone: τ_P=0.38 τ_0=1.39 σ_0=191.63 σ_{ID}=191.63 Σ_T=193.02
CC 9 SLV (Collegamento 0010_-503)
Azioni sul collegamento: N=6482.30 Ty=-13.30 Tz=-59.01 Mx=0.26 Mz=-34.12
Sollecitazioni agenti localmente: Tx_l=-13.30 Ty_l=-59.01 N_l=6482.30 My_l=34.12 Mz_l=0.26
Azioni sul cordone: TP=3.77 TO=11.76 NO=1292.15
Tensioni nel cordone: τ_P=0.44 τ_0=1.39 σ_0=202.15 σ_{ID}=202.15 Σ_T=203.53
CC 9 SLV (Collegamento 0010_-503)
Azioni sul collegamento: N=6482.30 Ty=-10.48 Tz=-59.01 Mx=0.26 Mz=-26.92
Sollecitazioni agenti localmente: Tx_l=-10.48 Ty_l=-59.01 N_l=6482.30 My_l=26.92 Mz_l=0.26
Azioni sul cordone: TP=3.21 TO=11.76 NO=1292.15
Tensioni nel cordone: τ_P=0.38 τ_0=1.39 σ_0=191.63 σ_{ID}=191.63 Σ_T=193.02
CC 9 SLV (Collegamento 0010_-503)
Azioni sul collegamento: N=6482.30 Ty=-13.30 Tz=-59.01 Mx=0.26 Mz=-34.12
Sollecitazioni agenti localmente: Tx_l=-13.30 Ty_l=-59.01 N_l=6482.30 My_l=34.12 Mz_l=0.26
Azioni sul cordone: TP=3.77 TO=11.76 NO=1292.15
Tensioni nel cordone: τ_P=0.44 τ_0=1.39 σ_0=202.15 σ_{ID}=202.15 Σ_T=203.53

CC 10 SLD (Collegamento 0010_-503)
Azioni sul collegamento: N=7724.41 Ty=-11.32 Tz=-59.01 Mx=0.24 Mz=-28.95
Sollecitazioni agenti localmente: Tx_l=-11.32 Ty_l=-59.01 N_l=7724.41 My_l=28.95 Mz_l=0.24
Azioni sul cordone: TP=3.28 TO=11.76 NO=1539.75
Tensioni nel cordone: τ_P=0.39 τ_0=1.39 σ_0=223.78 σ_{ID}=223.79 Σ_T=225.17
CC 10 SLD (Collegamento 0010_-503)
Azioni sul collegamento: N=7724.41 Ty=-12.17 Tz=-59.01 Mx=0.24 Mz=-31.15
Sollecitazioni agenti localmente: Tx_l=-12.17 Ty_l=-59.01 N_l=7724.41 My_l=31.15 Mz_l=0.24
Azioni sul cordone: TP=3.45 TO=11.76 NO=1539.75
Tensioni nel cordone: τ_P=0.41 τ_0=1.39 σ_0=226.99 σ_{ID}=227.00 Σ_T=228.38
CC 10 SLD (Collegamento 0010_-503)
Azioni sul collegamento: N=7724.41 Ty=-11.32 Tz=-59.01 Mx=0.24 Mz=-28.95
Sollecitazioni agenti localmente: Tx_l=-11.32 Ty_l=-59.01 N_l=7724.41 My_l=28.95 Mz_l=0.24
Azioni sul cordone: TP=3.28 TO=11.76 NO=1539.75
Tensioni nel cordone: τ_P=0.39 τ_0=1.39 σ_0=223.78 σ_{ID}=223.79 Σ_T=225.17
CC 10 SLD (Collegamento 0010_-503)
Azioni sul collegamento: N=7724.41 Ty=-12.17 Tz=-59.01 Mx=0.24 Mz=-31.15
Sollecitazioni agenti localmente: Tx_l=-12.17 Ty_l=-59.01 N_l=7724.41 My_l=31.15 Mz_l=0.24
Azioni sul cordone: TP=3.45 TO=11.76 NO=1539.75
Tensioni nel cordone: τ_P=0.41 τ_0=1.39 σ_0=226.99 σ_{ID}=227.00 Σ_T=228.38
CC 10 SLD (Collegamento 0010_-503)
Azioni sul collegamento: N=7178.32 Ty=-11.32 Tz=-59.01 Mx=0.24 Mz=-28.95
Sollecitazioni agenti localmente: Tx_l=-11.32 Ty_l=-59.01 N_l=7178.32 My_l=28.95 Mz_l=0.24
Azioni sul cordone: TP=3.28 TO=11.76 NO=1430.89
Tensioni nel cordone: τ_P=0.39 τ_0=1.39 σ_0=210.95 σ_{ID}=210.96 Σ_T=212.34
CC 10 SLD (Collegamento 0010_-503)
Azioni sul collegamento: N=7178.32 Ty=-12.17 Tz=-59.01 Mx=0.24 Mz=-31.15
Sollecitazioni agenti localmente: Tx_l=-12.17 Ty_l=-59.01 N_l=7178.32 My_l=31.15 Mz_l=0.24
Azioni sul cordone: TP=3.45 TO=11.76 NO=1430.89
Tensioni nel cordone: τ_P=0.41 τ_0=1.39 σ_0=214.16 σ_{ID}=214.16 Σ_T=215.55
CC 10 SLD (Collegamento 0010_-503)
Azioni sul collegamento: N=7178.32 Ty=-11.32 Tz=-59.01 Mx=0.24 Mz=-28.95
Sollecitazioni agenti localmente: Tx_l=-11.32 Ty_l=-59.01 N_l=7178.32 My_l=28.95 Mz_l=0.24
Azioni sul cordone: TP=3.28 TO=11.76 NO=1430.89
Tensioni nel cordone: τ_P=0.39 τ_0=1.39 σ_0=210.95 σ_{ID}=210.96 Σ_T=212.34
CC 10 SLD (Collegamento 0010_-503)
Azioni sul collegamento: N=7178.32 Ty=-12.17 Tz=-59.01 Mx=0.24 Mz=-31.15
Sollecitazioni agenti localmente: Tx_l=-12.17 Ty_l=-59.01 N_l=7178.32 My_l=31.15 Mz_l=0.24
Azioni sul cordone: TP=3.45 TO=11.76 NO=1430.89
Tensioni nel cordone: τ_P=0.41 τ_0=1.39 σ_0=214.16 σ_{ID}=214.16 Σ_T=215.55
CC 11 SLV (Collegamento 0010_-503)
Azioni sul collegamento: N=6495.42 Ty=-12.99 Tz=-59.01 Mx=0.21 Mz=-33.31
Sollecitazioni agenti localmente: Tx_l=-12.99 Ty_l=-59.01 N_l=6495.42 My_l=33.31 Mz_l=0.21
Azioni sul cordone: TP=3.50 TO=11.76 NO=1294.77
Tensioni nel cordone: τ_P=0.41 τ_0=1.39 σ_0=201.28 σ_{ID}=201.28 Σ_T=202.66
CC 11 SLV (Collegamento 0010_-503)
Azioni sul collegamento: N=6495.42 Ty=-10.79 Tz=-59.01 Mx=0.21 Mz=-27.73
Sollecitazioni agenti localmente: Tx_l=-10.79 Ty_l=-59.01 N_l=6495.42 My_l=27.73 Mz_l=0.21
Azioni sul cordone: TP=3.06 TO=11.76 NO=1294.77
Tensioni nel cordone: τ_P=0.36 τ_0=1.39 σ_0=193.12 σ_{ID}=193.13 Σ_T=194.51
CC 11 SLV (Collegamento 0010_-503)
Azioni sul collegamento: N=6495.42 Ty=-12.99 Tz=-59.01 Mx=0.21 Mz=-33.31
Sollecitazioni agenti localmente: Tx_l=-12.99 Ty_l=-59.01 N_l=6495.42 My_l=33.31 Mz_l=0.21
Azioni sul cordone: TP=3.50 TO=11.76 NO=1294.77
Tensioni nel cordone: τ_P=0.41 τ_0=1.39 σ_0=201.28 σ_{ID}=201.28 Σ_T=202.66
CC 11 SLV (Collegamento 0010_-503)
Azioni sul collegamento: N=6495.42 Ty=-10.79 Tz=-59.01 Mx=0.21 Mz=-27.73
Sollecitazioni agenti localmente: Tx_l=-10.79 Ty_l=-59.01 N_l=6495.42 My_l=27.73 Mz_l=0.21
Azioni sul cordone: TP=3.06 TO=11.76 NO=1294.77
Tensioni nel cordone: τ_P=0.36 τ_0=1.39 σ_0=193.12 σ_{ID}=193.13 Σ_T=194.51
CC 11 SLV (Collegamento 0010_-503)
Azioni sul collegamento: N=8260.01 Ty=-12.99 Tz=-59.01 Mx=0.21 Mz=-33.31
Sollecitazioni agenti localmente: Tx_l=-12.99 Ty_l=-59.01 N_l=8260.01 My_l=33.31 Mz_l=0.21
Azioni sul cordone: TP=3.50 TO=11.76 NO=1646.51
Tensioni nel cordone: τ_P=0.41 τ_0=1.39 σ_0=242.74 σ_{ID}=242.74 Σ_T=244.12
CC 11 SLV (Collegamento 0010_-503)
Azioni sul collegamento: N=8260.01 Ty=-10.79 Tz=-59.01 Mx=0.21 Mz=-27.73
Sollecitazioni agenti localmente: Tx_l=-10.79 Ty_l=-59.01 N_l=8260.01 My_l=27.73 Mz_l=0.21
Azioni sul cordone: TP=3.06 TO=11.76 NO=1646.51
Tensioni nel cordone: τ_P=0.36 τ_0=1.39 σ_0=234.58 σ_{ID}=234.58 Σ_T=235.97
CC 11 SLV (Collegamento 0010_-503)
Azioni sul collegamento: N=8260.01 Ty=-12.99 Tz=-59.01 Mx=0.21 Mz=-33.31
Sollecitazioni agenti localmente: Tx_l=-12.99 Ty_l=-59.01 N_l=8260.01 My_l=33.31 Mz_l=0.21
Azioni sul cordone: TP=3.50 TO=11.76 NO=1646.51
Tensioni nel cordone: τ_P=0.41 τ_0=1.39 σ_0=242.74 σ_{ID}=242.74 Σ_T=244.12
CC 11 SLV (Collegamento 0010_-503)
Azioni sul collegamento: N=8260.01 Ty=-10.79 Tz=-59.01 Mx=0.21 Mz=-27.73
Sollecitazioni agenti localmente: Tx_l=-10.79 Ty_l=-59.01 N_l=8260.01 My_l=27.73 Mz_l=0.21
Azioni sul cordone: TP=3.06 TO=11.76 NO=1646.51

Tensioni nel cordone: τ_P=0.36 τ_0=1.39 σ_0=234.58 σ_{ID}=234.58 Σ_T=235.97
CC 12 SLD (Collegamento 0010_-503)
Azioni sul collegamento: N=7182.33 Ty=-12.08 Tz=-59.01 Mx=0.23 Mz=-30.90
Sollecitazioni agenti localmente: Tx_l=-12.08 Ty_l=-59.01 N_l=7182.33 My_l=30.90 Mz_l=0.23
Azioni sul cordone: TP=3.37 TO=11.76 NO=1431.69
Tensioni nel cordone: τ_P=0.40 τ_0=1.39 σ_0=213.89 σ_{ID}=213.90 Σ_T=215.28
CC 12 SLD (Collegamento 0010_-503)
Azioni sul collegamento: N=7182.33 Ty=-11.41 Tz=-59.01 Mx=0.23 Mz=-29.20
Sollecitazioni agenti localmente: Tx_l=-11.41 Ty_l=-59.01 N_l=7182.33 My_l=29.20 Mz_l=0.23
Azioni sul cordone: TP=3.24 TO=11.76 NO=1431.69
Tensioni nel cordone: τ_P=0.38 τ_0=1.39 σ_0=211.41 σ_{ID}=211.41 Σ_T=212.79
CC 12 SLD (Collegamento 0010_-503)
Azioni sul collegamento: N=7182.33 Ty=-12.08 Tz=-59.01 Mx=0.23 Mz=-30.90
Sollecitazioni agenti localmente: Tx_l=-12.08 Ty_l=-59.01 N_l=7182.33 My_l=30.90 Mz_l=0.23
Azioni sul cordone: TP=3.37 TO=11.76 NO=1431.69
Tensioni nel cordone: τ_P=0.40 τ_0=1.39 σ_0=213.89 σ_{ID}=213.90 Σ_T=215.28
CC 12 SLD (Collegamento 0010_-503)
Azioni sul collegamento: N=7182.33 Ty=-11.41 Tz=-59.01 Mx=0.23 Mz=-29.20
Sollecitazioni agenti localmente: Tx_l=-11.41 Ty_l=-59.01 N_l=7182.33 My_l=29.20 Mz_l=0.23
Azioni sul cordone: TP=3.24 TO=11.76 NO=1431.69
Tensioni nel cordone: τ_P=0.38 τ_0=1.39 σ_0=211.41 σ_{ID}=211.41 Σ_T=212.79
CC 12 SLD (Collegamento 0010_-503)
Azioni sul collegamento: N=7720.41 Ty=-12.08 Tz=-59.01 Mx=0.23 Mz=-30.90
Sollecitazioni agenti localmente: Tx_l=-12.08 Ty_l=-59.01 N_l=7720.41 My_l=30.90 Mz_l=0.23
Azioni sul cordone: TP=3.37 TO=11.76 NO=1538.95
Tensioni nel cordone: τ_P=0.40 τ_0=1.39 σ_0=226.54 σ_{ID}=226.54 Σ_T=227.92
CC 12 SLD (Collegamento 0010_-503)
Azioni sul collegamento: N=7720.41 Ty=-11.41 Tz=-59.01 Mx=0.23 Mz=-29.20
Sollecitazioni agenti localmente: Tx_l=-11.41 Ty_l=-59.01 N_l=7720.41 My_l=29.20 Mz_l=0.23
Azioni sul cordone: TP=3.24 TO=11.76 NO=1538.95
Tensioni nel cordone: τ_P=0.38 τ_0=1.39 σ_0=224.05 σ_{ID}=224.05 Σ_T=225.44
CC 12 SLD (Collegamento 0010_-503)
Azioni sul collegamento: N=7720.41 Ty=-12.08 Tz=-59.01 Mx=0.23 Mz=-30.90
Sollecitazioni agenti localmente: Tx_l=-12.08 Ty_l=-59.01 N_l=7720.41 My_l=30.90 Mz_l=0.23
Azioni sul cordone: TP=3.37 TO=11.76 NO=1538.95
Tensioni nel cordone: τ_P=0.40 τ_0=1.39 σ_0=226.54 σ_{ID}=226.54 Σ_T=227.92
CC 12 SLD (Collegamento 0010_-503)
Azioni sul collegamento: N=7720.41 Ty=-11.41 Tz=-59.01 Mx=0.23 Mz=-29.20
Sollecitazioni agenti localmente: Tx_l=-11.41 Ty_l=-59.01 N_l=7720.41 My_l=29.20 Mz_l=0.23
Azioni sul cordone: TP=3.24 TO=11.76 NO=1538.95
Tensioni nel cordone: τ_P=0.38 τ_0=1.39 σ_0=224.05 σ_{ID}=224.05 Σ_T=225.44
CC 13 SLV (Collegamento 0010_-503)
Azioni sul collegamento: N=8260.01 Ty=-10.79 Tz=-59.01 Mx=0.26 Mz=-27.73
Sollecitazioni agenti localmente: Tx_l=-10.79 Ty_l=-59.01 N_l=8260.01 My_l=27.73 Mz_l=0.26
Azioni sul cordone: TP=3.25 TO=11.76 NO=1646.51
Tensioni nel cordone: τ_P=0.38 τ_0=1.39 σ_0=234.58 σ_{ID}=234.58 Σ_T=235.97
CC 13 SLV (Collegamento 0010_-503)
Azioni sul collegamento: N=8260.01 Ty=-12.99 Tz=-59.01 Mx=0.26 Mz=-33.31
Sollecitazioni agenti localmente: Tx_l=-12.99 Ty_l=-59.01 N_l=8260.01 My_l=33.31 Mz_l=0.26
Azioni sul cordone: TP=3.69 TO=11.76 NO=1646.51
Tensioni nel cordone: τ_P=0.43 τ_0=1.39 σ_0=242.74 σ_{ID}=242.74 Σ_T=244.12
CC 13 SLV (Collegamento 0010_-503)
Azioni sul collegamento: N=8260.01 Ty=-10.79 Tz=-59.01 Mx=0.26 Mz=-27.73
Sollecitazioni agenti localmente: Tx_l=-10.79 Ty_l=-59.01 N_l=8260.01 My_l=27.73 Mz_l=0.26
Azioni sul cordone: TP=3.25 TO=11.76 NO=1646.51
Tensioni nel cordone: τ_P=0.38 τ_0=1.39 σ_0=234.58 σ_{ID}=234.58 Σ_T=235.97
CC 13 SLV (Collegamento 0010_-503)
Azioni sul collegamento: N=8260.01 Ty=-12.99 Tz=-59.01 Mx=0.26 Mz=-33.31
Sollecitazioni agenti localmente: Tx_l=-12.99 Ty_l=-59.01 N_l=8260.01 My_l=33.31 Mz_l=0.26
Azioni sul cordone: TP=3.69 TO=11.76 NO=1646.51
Tensioni nel cordone: τ_P=0.43 τ_0=1.39 σ_0=242.74 σ_{ID}=242.74 Σ_T=244.12
CC 13 SLV (Collegamento 0010_-503)
Azioni sul collegamento: N=6495.42 Ty=-10.79 Tz=-59.01 Mx=0.26 Mz=-27.73
Sollecitazioni agenti localmente: Tx_l=-10.79 Ty_l=-59.01 N_l=6495.42 My_l=27.73 Mz_l=0.26
Azioni sul cordone: TP=3.25 TO=11.76 NO=1294.77
Tensioni nel cordone: τ_P=0.38 τ_0=1.39 σ_0=193.12 σ_{ID}=193.13 Σ_T=194.51
CC 13 SLV (Collegamento 0010_-503)
Azioni sul collegamento: N=6495.42 Ty=-12.99 Tz=-59.01 Mx=0.26 Mz=-33.31
Sollecitazioni agenti localmente: Tx_l=-12.99 Ty_l=-59.01 N_l=6495.42 My_l=33.31 Mz_l=0.26
Azioni sul cordone: TP=3.69 TO=11.76 NO=1294.77
Tensioni nel cordone: τ_P=0.43 τ_0=1.39 σ_0=201.28 σ_{ID}=201.28 Σ_T=202.66
CC 13 SLV (Collegamento 0010_-503)
Azioni sul collegamento: N=6495.42 Ty=-10.79 Tz=-59.01 Mx=0.26 Mz=-27.73
Sollecitazioni agenti localmente: Tx_l=-10.79 Ty_l=-59.01 N_l=6495.42 My_l=27.73 Mz_l=0.26
Azioni sul cordone: TP=3.25 TO=11.76 NO=1294.77
Tensioni nel cordone: τ_P=0.38 τ_0=1.39 σ_0=193.12 σ_{ID}=193.13 Σ_T=194.51
CC 13 SLV (Collegamento 0010_-503)
Azioni sul collegamento: N=6495.42 Ty=-12.99 Tz=-59.01 Mx=0.26 Mz=-33.31
Sollecitazioni agenti localmente: Tx_l=-12.99 Ty_l=-59.01 N_l=6495.42 My_l=33.31 Mz_l=0.26

Azioni sul cordone: TP=3.69 TO=11.76 NO=1294.77
Tensioni nel cordone: τ_P=0.43 τ_0=1.39 σ_0=201.28 σ_{ID}=201.28 Σ_T=202.66
CC 14 SLD (Collegamento 0010_-503)
Azioni sul collegamento: N=7720.41 Ty=-11.41 Tz=-59.01 Mx=0.24 Mz=-29.20
Sollecitazioni agenti localmente: Tx_l=-11.41 Ty_l=-59.01 N_l=7720.41 My_l=29.20 Mz_l=0.24
Azioni sul cordone: TP=3.29 TO=11.76 NO=1538.95
Tensioni nel cordone: τ_P=0.39 τ_0=1.39 σ_0=224.05 σ_{ID}=224.05 Σ_T=225.44
CC 14 SLD (Collegamento 0010_-503)
Azioni sul collegamento: N=7720.41 Ty=-12.08 Tz=-59.01 Mx=0.24 Mz=-30.90
Sollecitazioni agenti localmente: Tx_l=-12.08 Ty_l=-59.01 N_l=7720.41 My_l=30.90 Mz_l=0.24
Azioni sul cordone: TP=3.43 TO=11.76 NO=1538.95
Tensioni nel cordone: τ_P=0.40 τ_0=1.39 σ_0=226.54 σ_{ID}=226.54 Σ_T=227.92
CC 14 SLD (Collegamento 0010_-503)
Azioni sul collegamento: N=7720.41 Ty=-11.41 Tz=-59.01 Mx=0.24 Mz=-29.20
Sollecitazioni agenti localmente: Tx_l=-11.41 Ty_l=-59.01 N_l=7720.41 My_l=29.20 Mz_l=0.24
Azioni sul cordone: TP=3.29 TO=11.76 NO=1538.95
Tensioni nel cordone: τ_P=0.39 τ_0=1.39 σ_0=224.05 σ_{ID}=224.05 Σ_T=225.44
CC 14 SLD (Collegamento 0010_-503)
Azioni sul collegamento: N=7720.41 Ty=-12.08 Tz=-59.01 Mx=0.24 Mz=-30.90
Sollecitazioni agenti localmente: Tx_l=-12.08 Ty_l=-59.01 N_l=7720.41 My_l=30.90 Mz_l=0.24
Azioni sul cordone: TP=3.43 TO=11.76 NO=1538.95
Tensioni nel cordone: τ_P=0.40 τ_0=1.39 σ_0=226.54 σ_{ID}=226.54 Σ_T=227.92
CC 14 SLD (Collegamento 0010_-503)
Azioni sul collegamento: N=7182.33 Ty=-11.41 Tz=-59.01 Mx=0.24 Mz=-29.20
Sollecitazioni agenti localmente: Tx_l=-11.41 Ty_l=-59.01 N_l=7182.33 My_l=29.20 Mz_l=0.24
Azioni sul cordone: TP=3.29 TO=11.76 NO=1431.69
Tensioni nel cordone: τ_P=0.39 τ_0=1.39 σ_0=211.41 σ_{ID}=211.41 Σ_T=212.79
CC 14 SLD (Collegamento 0010_-503)
Azioni sul collegamento: N=7182.33 Ty=-12.08 Tz=-59.01 Mx=0.24 Mz=-30.90
Sollecitazioni agenti localmente: Tx_l=-12.08 Ty_l=-59.01 N_l=7182.33 My_l=30.90 Mz_l=0.24
Azioni sul cordone: TP=3.43 TO=11.76 NO=1431.69
Tensioni nel cordone: τ_P=0.40 τ_0=1.39 σ_0=213.89 σ_{ID}=213.90 Σ_T=215.28
CC 14 SLD (Collegamento 0010_-503)
Azioni sul collegamento: N=7182.33 Ty=-11.41 Tz=-59.01 Mx=0.24 Mz=-29.20
Sollecitazioni agenti localmente: Tx_l=-11.41 Ty_l=-59.01 N_l=7182.33 My_l=29.20 Mz_l=0.24
Azioni sul cordone: TP=3.29 TO=11.76 NO=1431.69
Tensioni nel cordone: τ_P=0.39 τ_0=1.39 σ_0=211.41 σ_{ID}=211.41 Σ_T=212.79
CC 14 SLD (Collegamento 0010_-503)
Azioni sul collegamento: N=7182.33 Ty=-12.08 Tz=-59.01 Mx=0.24 Mz=-30.90
Sollecitazioni agenti localmente: Tx_l=-12.08 Ty_l=-59.01 N_l=7182.33 My_l=30.90 Mz_l=0.24
Azioni sul cordone: TP=3.43 TO=11.76 NO=1431.69
Tensioni nel cordone: τ_P=0.40 τ_0=1.39 σ_0=213.89 σ_{ID}=213.90 Σ_T=215.28
CC 15 SLV (Collegamento 0010_-503)
Azioni sul collegamento: N=6482.30 Ty=-13.30 Tz=-59.01 Mx=0.21 Mz=-34.12
Sollecitazioni agenti localmente: Tx_l=-13.30 Ty_l=-59.01 N_l=6482.30 My_l=34.12 Mz_l=0.21
Azioni sul cordone: TP=3.54 TO=11.76 NO=1292.15
Tensioni nel cordone: τ_P=0.42 τ_0=1.39 σ_0=202.15 σ_{ID}=202.15 Σ_T=203.53
CC 15 SLV (Collegamento 0010_-503)
Azioni sul collegamento: N=6482.30 Ty=-10.48 Tz=-59.01 Mx=0.21 Mz=-26.92
Sollecitazioni agenti localmente: Tx_l=-10.48 Ty_l=-59.01 N_l=6482.30 My_l=26.92 Mz_l=0.21
Azioni sul cordone: TP=2.98 TO=11.76 NO=1292.15
Tensioni nel cordone: τ_P=0.35 τ_0=1.39 σ_0=191.63 σ_{ID}=191.63 Σ_T=193.02
CC 15 SLV (Collegamento 0010_-503)
Azioni sul collegamento: N=6482.30 Ty=-13.30 Tz=-59.01 Mx=0.21 Mz=-34.12
Sollecitazioni agenti localmente: Tx_l=-13.30 Ty_l=-59.01 N_l=6482.30 My_l=34.12 Mz_l=0.21
Azioni sul cordone: TP=3.54 TO=11.76 NO=1292.15
Tensioni nel cordone: τ_P=0.42 τ_0=1.39 σ_0=202.15 σ_{ID}=202.15 Σ_T=203.53
CC 15 SLV (Collegamento 0010_-503)
Azioni sul collegamento: N=6482.30 Ty=-10.48 Tz=-59.01 Mx=0.21 Mz=-26.92
Sollecitazioni agenti localmente: Tx_l=-10.48 Ty_l=-59.01 N_l=6482.30 My_l=26.92 Mz_l=0.21
Azioni sul cordone: TP=2.98 TO=11.76 NO=1292.15
Tensioni nel cordone: τ_P=0.35 τ_0=1.39 σ_0=191.63 σ_{ID}=191.63 Σ_T=193.02
CC 15 SLV (Collegamento 0010_-503)
Azioni sul collegamento: N=8273.14 Ty=-13.30 Tz=-59.01 Mx=0.21 Mz=-34.12
Sollecitazioni agenti localmente: Tx_l=-13.30 Ty_l=-59.01 N_l=8273.14 My_l=34.12 Mz_l=0.21
Azioni sul cordone: TP=3.54 TO=11.76 NO=1649.13
Tensioni nel cordone: τ_P=0.42 τ_0=1.39 σ_0=244.22 σ_{ID}=244.23 Σ_T=245.61
CC 15 SLV (Collegamento 0010_-503)
Azioni sul collegamento: N=8273.14 Ty=-10.48 Tz=-59.01 Mx=0.21 Mz=-26.92
Sollecitazioni agenti localmente: Tx_l=-10.48 Ty_l=-59.01 N_l=8273.14 My_l=26.92 Mz_l=0.21
Azioni sul cordone: TP=2.98 TO=11.76 NO=1649.13
Tensioni nel cordone: τ_P=0.35 τ_0=1.39 σ_0=233.71 σ_{ID}=233.71 Σ_T=235.09
CC 15 SLV (Collegamento 0010_-503)
Azioni sul collegamento: N=8273.14 Ty=-13.30 Tz=-59.01 Mx=0.21 Mz=-34.12
Sollecitazioni agenti localmente: Tx_l=-13.30 Ty_l=-59.01 N_l=8273.14 My_l=34.12 Mz_l=0.21
Azioni sul cordone: TP=3.54 TO=11.76 NO=1649.13
Tensioni nel cordone: τ_P=0.42 τ_0=1.39 σ_0=244.22 σ_{ID}=244.23 Σ_T=245.61
CC 15 SLV (Collegamento 0010_-503)
Azioni sul collegamento: N=8273.14 Ty=-10.48 Tz=-59.01 Mx=0.21 Mz=-26.92

Sollecitazioni agenti localmente: Tx_l=-10.48 Ty_l=-59.01 N_l=8273.14 My_l=26.92 Mz_l=0.21
Azioni sul cordone: TP=2.98 TO=11.76 NO=1649.13
Tensioni nel cordone: τ_P=0.35 τ_0=1.39 σ_0=233.71 σ_{ID}=233.71 Σ_T=235.09
CC 16 SLD (Collegamento 0010_-503)
Azioni sul collegamento: N=7178.32 Ty=-12.17 Tz=-59.01 Mx=0.23 Mz=-31.15
Sollecitazioni agenti localmente: Tx_l=-12.17 Ty_l=-59.01 N_l=7178.32 My_l=31.15 Mz_l=0.23
Azioni sul cordone: TP=3.38 TO=11.76 NO=1430.89
Tensioni nel cordone: τ_P=0.40 τ_0=1.39 σ_0=214.16 σ_{ID}=214.16 Σ_T=215.55
CC 16 SLD (Collegamento 0010_-503)
Azioni sul collegamento: N=7178.32 Ty=-11.32 Tz=-59.01 Mx=0.23 Mz=-28.95
Sollecitazioni agenti localmente: Tx_l=-11.32 Ty_l=-59.01 N_l=7178.32 My_l=28.95 Mz_l=0.23
Azioni sul cordone: TP=3.21 TO=11.76 NO=1430.89
Tensioni nel cordone: τ_P=0.38 τ_0=1.39 σ_0=210.95 σ_{ID}=210.96 Σ_T=212.34
CC 16 SLD (Collegamento 0010_-503)
Azioni sul collegamento: N=7178.32 Ty=-12.17 Tz=-59.01 Mx=0.23 Mz=-31.15
Sollecitazioni agenti localmente: Tx_l=-12.17 Ty_l=-59.01 N_l=7178.32 My_l=31.15 Mz_l=0.23
Azioni sul cordone: TP=3.38 TO=11.76 NO=1430.89
Tensioni nel cordone: τ_P=0.40 τ_0=1.39 σ_0=214.16 σ_{ID}=214.16 Σ_T=215.55
CC 16 SLD (Collegamento 0010_-503)
Azioni sul collegamento: N=7178.32 Ty=-11.32 Tz=-59.01 Mx=0.23 Mz=-28.95
Sollecitazioni agenti localmente: Tx_l=-11.32 Ty_l=-59.01 N_l=7178.32 My_l=28.95 Mz_l=0.23
Azioni sul cordone: TP=3.21 TO=11.76 NO=1430.89
Tensioni nel cordone: τ_P=0.38 τ_0=1.39 σ_0=210.95 σ_{ID}=210.96 Σ_T=212.34
CC 16 SLD (Collegamento 0010_-503)
Azioni sul collegamento: N=7724.41 Ty=-12.17 Tz=-59.01 Mx=0.23 Mz=-31.15
Sollecitazioni agenti localmente: Tx_l=-12.17 Ty_l=-59.01 N_l=7724.41 My_l=31.15 Mz_l=0.23
Azioni sul cordone: TP=3.38 TO=11.76 NO=1539.75
Tensioni nel cordone: τ_P=0.40 τ_0=1.39 σ_0=226.99 σ_{ID}=227.00 Σ_T=228.38
CC 16 SLD (Collegamento 0010_-503)
Azioni sul collegamento: N=7724.41 Ty=-11.32 Tz=-59.01 Mx=0.23 Mz=-28.95
Sollecitazioni agenti localmente: Tx_l=-11.32 Ty_l=-59.01 N_l=7724.41 My_l=28.95 Mz_l=0.23
Azioni sul cordone: TP=3.21 TO=11.76 NO=1539.75
Tensioni nel cordone: τ_P=0.38 τ_0=1.39 σ_0=223.78 σ_{ID}=223.79 Σ_T=225.17
CC 16 SLD (Collegamento 0010_-503)
Azioni sul collegamento: N=7724.41 Ty=-12.17 Tz=-59.01 Mx=0.23 Mz=-31.15
Sollecitazioni agenti localmente: Tx_l=-12.17 Ty_l=-59.01 N_l=7724.41 My_l=31.15 Mz_l=0.23
Azioni sul cordone: TP=3.38 TO=11.76 NO=1539.75
Tensioni nel cordone: τ_P=0.40 τ_0=1.39 σ_0=226.99 σ_{ID}=227.00 Σ_T=228.38
CC 16 SLD (Collegamento 0010_-503)
Azioni sul collegamento: N=7724.41 Ty=-11.32 Tz=-59.01 Mx=0.23 Mz=-28.95
Sollecitazioni agenti localmente: Tx_l=-11.32 Ty_l=-59.01 N_l=7724.41 My_l=28.95 Mz_l=0.23
Azioni sul cordone: TP=3.21 TO=11.76 NO=1539.75
Tensioni nel cordone: τ_P=0.38 τ_0=1.39 σ_0=223.78 σ_{ID}=223.79 Σ_T=225.17
CC 17 SLV (Collegamento 0010_-503)
Azioni sul collegamento: N=10554.50 Ty=-7.25 Tz=-59.01 Mx=0.31 Mz=-18.39
Sollecitazioni agenti localmente: Tx_l=-7.25 Ty_l=-59.01 N_l=10554.50 My_l=18.39 Mz_l=0.31
Azioni sul cordone: TP=2.77 TO=11.76 NO=2103.88
Tensioni nel cordone: τ_P=0.33 τ_0=1.39 σ_0=274.85 σ_{ID}=274.86 Σ_T=276.24
CC 17 SLV (Collegamento 0010_-503)
Azioni sul collegamento: N=10554.50 Ty=-15.69 Tz=-59.01 Mx=0.31 Mz=-39.94
Sollecitazioni agenti localmente: Tx_l=-15.69 Ty_l=-59.01 N_l=10554.50 My_l=39.94 Mz_l=0.31
Azioni sul cordone: TP=4.45 TO=11.76 NO=2103.88
Tensioni nel cordone: τ_P=0.52 τ_0=1.39 σ_0=306.33 σ_{ID}=306.33 Σ_T=307.72
CC 17 SLV (Collegamento 0010_-503)
Azioni sul collegamento: N=10554.50 Ty=-7.25 Tz=-59.01 Mx=0.31 Mz=-18.39
Sollecitazioni agenti localmente: Tx_l=-7.25 Ty_l=-59.01 N_l=10554.50 My_l=18.39 Mz_l=0.31
Azioni sul cordone: TP=2.77 TO=11.76 NO=2103.88
Tensioni nel cordone: τ_P=0.33 τ_0=1.39 σ_0=274.85 σ_{ID}=274.86 Σ_T=276.24
CC 17 SLV (Collegamento 0010_-503)
Azioni sul collegamento: N=10554.50 Ty=-15.69 Tz=-59.01 Mx=0.31 Mz=-39.94
Sollecitazioni agenti localmente: Tx_l=-15.69 Ty_l=-59.01 N_l=10554.50 My_l=39.94 Mz_l=0.31
Azioni sul cordone: TP=4.45 TO=11.76 NO=2103.88
Tensioni nel cordone: τ_P=0.52 τ_0=1.39 σ_0=306.33 σ_{ID}=306.33 Σ_T=307.72
CC 17 SLV (Collegamento 0010_-503)
Azioni sul collegamento: N=4624.81 Ty=-7.25 Tz=-59.01 Mx=0.31 Mz=-18.39
Sollecitazioni agenti localmente: Tx_l=-7.25 Ty_l=-59.01 N_l=4624.81 My_l=18.39 Mz_l=0.31
Azioni sul cordone: TP=2.77 TO=11.76 NO=921.89
Tensioni nel cordone: τ_P=0.33 τ_0=1.39 σ_0=135.53 σ_{ID}=135.54 Σ_T=136.92
CC 17 SLV (Collegamento 0010_-503)
Azioni sul collegamento: N=4624.81 Ty=-15.69 Tz=-59.01 Mx=0.31 Mz=-39.94
Sollecitazioni agenti localmente: Tx_l=-15.69 Ty_l=-59.01 N_l=4624.81 My_l=39.94 Mz_l=0.31
Azioni sul cordone: TP=4.45 TO=11.76 NO=921.89
Tensioni nel cordone: τ_P=0.52 τ_0=1.39 σ_0=167.01 σ_{ID}=167.02 Σ_T=168.40
CC 17 SLV (Collegamento 0010_-503)
Azioni sul collegamento: N=4624.81 Ty=-7.25 Tz=-59.01 Mx=0.31 Mz=-18.39
Sollecitazioni agenti localmente: Tx_l=-7.25 Ty_l=-59.01 N_l=4624.81 My_l=18.39 Mz_l=0.31
Azioni sul cordone: TP=2.77 TO=11.76 NO=921.89
Tensioni nel cordone: τ_P=0.33 τ_0=1.39 σ_0=135.53 σ_{ID}=135.54 Σ_T=136.92
CC 17 SLV (Collegamento 0010_-503)

Azioni sul collegamento: N=4624.81 Ty=-15.69 Tz=-59.01 Mx=0.31 Mz=-39.94
Sollecitazioni agenti localmente: Tx_l=-15.69 Ty_l=-59.01 N_l=4624.81 My_l=39.94 Mz_l=0.31
Azioni sul cordone: TP=4.45 TO=11.76 NO=921.89
Tensioni nel cordone: τ_P=0.52 τ_0=1.39 σ_0=167.01 σ_{ID}=167.02 Σ_T=168.40
CC 18 SLD (Collegamento 0010_-503)
Azioni sul collegamento: N=8420.06 Ty=-10.33 Tz=-59.01 Mx=0.26 Mz=-26.35
Sollecitazioni agenti localmente: Tx_l=-10.33 Ty_l=-59.01 N_l=8420.06 My_l=26.35 Mz_l=0.26
Azioni sul cordone: TP=3.15 TO=11.76 NO=1678.42
Tensioni nel cordone: τ_P=0.37 τ_0=1.39 σ_0=236.33 σ_{ID}=236.33 Σ_T=237.72
CC 18 SLD (Collegamento 0010_-503)
Azioni sul collegamento: N=8420.06 Ty=-12.90 Tz=-59.01 Mx=0.26 Mz=-32.92
Sollecitazioni agenti localmente: Tx_l=-12.90 Ty_l=-59.01 N_l=8420.06 My_l=32.92 Mz_l=0.26
Azioni sul cordone: TP=3.66 TO=11.76 NO=1678.42
Tensioni nel cordone: τ_P=0.43 τ_0=1.39 σ_0=245.93 σ_{ID}=245.93 Σ_T=247.31
CC 18 SLD (Collegamento 0010_-503)
Azioni sul collegamento: N=8420.06 Ty=-10.33 Tz=-59.01 Mx=0.26 Mz=-26.35
Sollecitazioni agenti localmente: Tx_l=-10.33 Ty_l=-59.01 N_l=8420.06 My_l=26.35 Mz_l=0.26
Azioni sul cordone: TP=3.15 TO=11.76 NO=1678.42
Tensioni nel cordone: τ_P=0.37 τ_0=1.39 σ_0=236.33 σ_{ID}=236.33 Σ_T=237.72
CC 18 SLD (Collegamento 0010_-503)
Azioni sul collegamento: N=8420.06 Ty=-12.90 Tz=-59.01 Mx=0.26 Mz=-32.92
Sollecitazioni agenti localmente: Tx_l=-12.90 Ty_l=-59.01 N_l=8420.06 My_l=32.92 Mz_l=0.26
Azioni sul cordone: TP=3.66 TO=11.76 NO=1678.42
Tensioni nel cordone: τ_P=0.43 τ_0=1.39 σ_0=245.93 σ_{ID}=245.93 Σ_T=247.31
CC 18 SLD (Collegamento 0010_-503)
Azioni sul collegamento: N=6611.92 Ty=-10.33 Tz=-59.01 Mx=0.26 Mz=-26.35
Sollecitazioni agenti localmente: Tx_l=-10.33 Ty_l=-59.01 N_l=6611.92 My_l=26.35 Mz_l=0.26
Azioni sul cordone: TP=3.15 TO=11.76 NO=1317.99
Tensioni nel cordone: τ_P=0.37 τ_0=1.39 σ_0=193.85 σ_{ID}=193.85 Σ_T=195.23
CC 18 SLD (Collegamento 0010_-503)
Azioni sul collegamento: N=6611.92 Ty=-12.90 Tz=-59.01 Mx=0.26 Mz=-32.92
Sollecitazioni agenti localmente: Tx_l=-12.90 Ty_l=-59.01 N_l=6611.92 My_l=32.92 Mz_l=0.26
Azioni sul cordone: TP=3.66 TO=11.76 NO=1317.99
Tensioni nel cordone: τ_P=0.43 τ_0=1.39 σ_0=203.44 σ_{ID}=203.45 Σ_T=204.83
CC 18 SLD (Collegamento 0010_-503)
Azioni sul collegamento: N=6611.92 Ty=-10.33 Tz=-59.01 Mx=0.26 Mz=-26.35
Sollecitazioni agenti localmente: Tx_l=-10.33 Ty_l=-59.01 N_l=6611.92 My_l=26.35 Mz_l=0.26
Azioni sul cordone: TP=3.15 TO=11.76 NO=1317.99
Tensioni nel cordone: τ_P=0.37 τ_0=1.39 σ_0=193.85 σ_{ID}=193.85 Σ_T=195.23
CC 18 SLD (Collegamento 0010_-503)
Azioni sul collegamento: N=6611.92 Ty=-12.90 Tz=-59.01 Mx=0.26 Mz=-32.92
Sollecitazioni agenti localmente: Tx_l=-12.90 Ty_l=-59.01 N_l=6611.92 My_l=32.92 Mz_l=0.26
Azioni sul cordone: TP=3.66 TO=11.76 NO=1317.99
Tensioni nel cordone: τ_P=0.43 τ_0=1.39 σ_0=203.44 σ_{ID}=203.45 Σ_T=204.83
CC 19 SLV (Collegamento 0010_-503)
Azioni sul collegamento: N=10550.50 Ty=-7.34 Tz=-59.01 Mx=0.31 Mz=-18.64
Sollecitazioni agenti localmente: Tx_l=-7.34 Ty_l=-59.01 N_l=10550.50 My_l=18.64 Mz_l=0.31
Azioni sul cordone: TP=2.78 TO=11.76 NO=2103.09
Tensioni nel cordone: τ_P=0.33 τ_0=1.39 σ_0=275.11 σ_{ID}=275.12 Σ_T=276.50
CC 19 SLV (Collegamento 0010_-503)
Azioni sul collegamento: N=10550.50 Ty=-15.60 Tz=-59.01 Mx=0.31 Mz=-39.70
Sollecitazioni agenti localmente: Tx_l=-15.60 Ty_l=-59.01 N_l=10550.50 My_l=39.70 Mz_l=0.31
Azioni sul cordone: TP=4.43 TO=11.76 NO=2103.09
Tensioni nel cordone: τ_P=0.52 τ_0=1.39 σ_0=305.88 σ_{ID}=305.89 Σ_T=307.27
CC 19 SLV (Collegamento 0010_-503)
Azioni sul collegamento: N=10550.50 Ty=-7.34 Tz=-59.01 Mx=0.31 Mz=-18.64
Sollecitazioni agenti localmente: Tx_l=-7.34 Ty_l=-59.01 N_l=10550.50 My_l=18.64 Mz_l=0.31
Azioni sul cordone: TP=2.78 TO=11.76 NO=2103.09
Tensioni nel cordone: τ_P=0.33 τ_0=1.39 σ_0=275.11 σ_{ID}=275.12 Σ_T=276.50
CC 19 SLV (Collegamento 0010_-503)
Azioni sul collegamento: N=10550.50 Ty=-15.60 Tz=-59.01 Mx=0.31 Mz=-39.70
Sollecitazioni agenti localmente: Tx_l=-15.60 Ty_l=-59.01 N_l=10550.50 My_l=39.70 Mz_l=0.31
Azioni sul cordone: TP=4.43 TO=11.76 NO=2103.09
Tensioni nel cordone: τ_P=0.52 τ_0=1.39 σ_0=305.88 σ_{ID}=305.89 Σ_T=307.27
CC 19 SLV (Collegamento 0010_-503)
Azioni sul collegamento: N=4628.75 Ty=-7.34 Tz=-59.01 Mx=0.31 Mz=-18.64
Sollecitazioni agenti localmente: Tx_l=-7.34 Ty_l=-59.01 N_l=4628.75 My_l=18.64 Mz_l=0.31
Azioni sul cordone: TP=2.78 TO=11.76 NO=922.67
Tensioni nel cordone: τ_P=0.33 τ_0=1.39 σ_0=135.98 σ_{ID}=135.99 Σ_T=137.37
CC 19 SLV (Collegamento 0010_-503)
Azioni sul collegamento: N=4628.75 Ty=-15.60 Tz=-59.01 Mx=0.31 Mz=-39.70
Sollecitazioni agenti localmente: Tx_l=-15.60 Ty_l=-59.01 N_l=4628.75 My_l=39.70 Mz_l=0.31
Azioni sul cordone: TP=4.43 TO=11.76 NO=922.67
Tensioni nel cordone: τ_P=0.52 τ_0=1.39 σ_0=166.75 σ_{ID}=166.75 Σ_T=168.13
CC 19 SLV (Collegamento 0010_-503)
Azioni sul collegamento: N=4628.75 Ty=-7.34 Tz=-59.01 Mx=0.31 Mz=-18.64
Sollecitazioni agenti localmente: Tx_l=-7.34 Ty_l=-59.01 N_l=4628.75 My_l=18.64 Mz_l=0.31
Azioni sul cordone: TP=2.78 TO=11.76 NO=922.67
Tensioni nel cordone: τ_P=0.33 τ_0=1.39 σ_0=135.98 σ_{ID}=135.99 Σ_T=137.37

CC 19 SLV (Collegamento 0010_-503)
Azioni sul collegamento: N=4628.75 Ty=-15.60 Tz=-59.01 Mx=0.31 Mz=-39.70
Sollecitazioni agenti localmente: Tx_l=-15.60 Ty_l=-59.01 N_l=4628.75 My_l=39.70 Mz_l=0.31
Azioni sul cordone: TP=4.43 TO=11.76 NO=922.67
Tensioni nel cordone: τ_P=0.52 τ_0=1.39 σ_0=166.75 σ_{ID}=166.75 Σ_T=168.13
CC 20 SLD (Collegamento 0010_-503)
Azioni sul collegamento: N=8418.85 Ty=-10.36 Tz=-59.01 Mx=0.26 Mz=-26.42
Sollecitazioni agenti localmente: Tx_l=-10.36 Ty_l=-59.01 N_l=8418.85 My_l=26.42 Mz_l=0.26
Azioni sul cordone: TP=3.15 TO=11.76 NO=1678.18
Tensioni nel cordone: τ_P=0.37 τ_0=1.39 σ_0=236.41 σ_{ID}=236.41 Σ_T=237.80
CC 20 SLD (Collegamento 0010_-503)
Azioni sul collegamento: N=8418.85 Ty=-12.87 Tz=-59.01 Mx=0.26 Mz=-32.85
Sollecitazioni agenti localmente: Tx_l=-12.87 Ty_l=-59.01 N_l=8418.85 My_l=32.85 Mz_l=0.26
Azioni sul cordone: TP=3.65 TO=11.76 NO=1678.18
Tensioni nel cordone: τ_P=0.43 τ_0=1.39 σ_0=245.79 σ_{ID}=245.80 Σ_T=247.18
CC 20 SLD (Collegamento 0010_-503)
Azioni sul collegamento: N=8418.85 Ty=-10.36 Tz=-59.01 Mx=0.26 Mz=-26.42
Sollecitazioni agenti localmente: Tx_l=-10.36 Ty_l=-59.01 N_l=8418.85 My_l=26.42 Mz_l=0.26
Azioni sul cordone: TP=3.15 TO=11.76 NO=1678.18
Tensioni nel cordone: τ_P=0.37 τ_0=1.39 σ_0=236.41 σ_{ID}=236.41 Σ_T=237.80
CC 20 SLD (Collegamento 0010_-503)
Azioni sul collegamento: N=8418.85 Ty=-12.87 Tz=-59.01 Mx=0.26 Mz=-32.85
Sollecitazioni agenti localmente: Tx_l=-12.87 Ty_l=-59.01 N_l=8418.85 My_l=32.85 Mz_l=0.26
Azioni sul cordone: TP=3.65 TO=11.76 NO=1678.18
Tensioni nel cordone: τ_P=0.43 τ_0=1.39 σ_0=245.79 σ_{ID}=245.80 Σ_T=247.18
CC 20 SLD (Collegamento 0010_-503)
Azioni sul collegamento: N=6613.12 Ty=-10.36 Tz=-59.01 Mx=0.26 Mz=-26.42
Sollecitazioni agenti localmente: Tx_l=-10.36 Ty_l=-59.01 N_l=6613.12 My_l=26.42 Mz_l=0.26
Azioni sul cordone: TP=3.15 TO=11.76 NO=1318.23
Tensioni nel cordone: τ_P=0.37 τ_0=1.39 σ_0=193.98 σ_{ID}=193.99 Σ_T=195.37
CC 20 SLD (Collegamento 0010_-503)
Azioni sul collegamento: N=6613.12 Ty=-12.87 Tz=-59.01 Mx=0.26 Mz=-32.85
Sollecitazioni agenti localmente: Tx_l=-12.87 Ty_l=-59.01 N_l=6613.12 My_l=32.85 Mz_l=0.26
Azioni sul cordone: TP=3.65 TO=11.76 NO=1318.23
Tensioni nel cordone: τ_P=0.43 τ_0=1.39 σ_0=203.37 σ_{ID}=203.37 Σ_T=204.75
CC 20 SLD (Collegamento 0010_-503)
Azioni sul collegamento: N=6613.12 Ty=-10.36 Tz=-59.01 Mx=0.26 Mz=-26.42
Sollecitazioni agenti localmente: Tx_l=-10.36 Ty_l=-59.01 N_l=6613.12 My_l=26.42 Mz_l=0.26
Azioni sul cordone: TP=3.15 TO=11.76 NO=1318.23
Tensioni nel cordone: τ_P=0.37 τ_0=1.39 σ_0=193.98 σ_{ID}=193.99 Σ_T=195.37
CC 20 SLD (Collegamento 0010_-503)
Azioni sul collegamento: N=6613.12 Ty=-12.87 Tz=-59.01 Mx=0.26 Mz=-32.85
Sollecitazioni agenti localmente: Tx_l=-12.87 Ty_l=-59.01 N_l=6613.12 My_l=32.85 Mz_l=0.26
Azioni sul cordone: TP=3.65 TO=11.76 NO=1318.23
Tensioni nel cordone: τ_P=0.43 τ_0=1.39 σ_0=203.37 σ_{ID}=203.37 Σ_T=204.75
CC 21 SLV (Collegamento 0010_-503)
Azioni sul collegamento: N=4628.75 Ty=-15.60 Tz=-59.01 Mx=0.15 Mz=-39.70
Sollecitazioni agenti localmente: Tx_l=-15.60 Ty_l=-59.01 N_l=4628.75 My_l=39.70 Mz_l=0.15
Azioni sul cordone: TP=3.73 TO=11.76 NO=922.67
Tensioni nel cordone: τ_P=0.44 τ_0=1.39 σ_0=166.75 σ_{ID}=166.75 Σ_T=168.13
CC 21 SLV (Collegamento 0010_-503)
Azioni sul collegamento: N=4628.75 Ty=-7.34 Tz=-59.01 Mx=0.15 Mz=-18.64
Sollecitazioni agenti localmente: Tx_l=-7.34 Ty_l=-59.01 N_l=4628.75 My_l=18.64 Mz_l=0.15
Azioni sul cordone: TP=2.08 TO=11.76 NO=922.67
Tensioni nel cordone: τ_P=0.25 τ_0=1.39 σ_0=135.98 σ_{ID}=135.99 Σ_T=137.37
CC 21 SLV (Collegamento 0010_-503)
Azioni sul collegamento: N=4628.75 Ty=-15.60 Tz=-59.01 Mx=0.15 Mz=-39.70
Sollecitazioni agenti localmente: Tx_l=-15.60 Ty_l=-59.01 N_l=4628.75 My_l=39.70 Mz_l=0.15
Azioni sul cordone: TP=3.73 TO=11.76 NO=922.67
Tensioni nel cordone: τ_P=0.44 τ_0=1.39 σ_0=166.75 σ_{ID}=166.75 Σ_T=168.13
CC 21 SLV (Collegamento 0010_-503)
Azioni sul collegamento: N=4628.75 Ty=-7.34 Tz=-59.01 Mx=0.15 Mz=-18.64
Sollecitazioni agenti localmente: Tx_l=-7.34 Ty_l=-59.01 N_l=4628.75 My_l=18.64 Mz_l=0.15
Azioni sul cordone: TP=2.08 TO=11.76 NO=922.67
Tensioni nel cordone: τ_P=0.25 τ_0=1.39 σ_0=135.98 σ_{ID}=135.99 Σ_T=137.37
CC 21 SLV (Collegamento 0010_-503)
Azioni sul collegamento: N=10550.50 Ty=-15.60 Tz=-59.01 Mx=0.15 Mz=-39.70
Sollecitazioni agenti localmente: Tx_l=-15.60 Ty_l=-59.01 N_l=10550.50 My_l=39.70 Mz_l=0.15
Azioni sul cordone: TP=-1.32 TO=-4.24 NO=779.90
Tensioni nel cordone: τ_P=0.42 τ_0=1.35 σ_0=305.88 σ_{ID}=305.89 Σ_T=307.23
CC 21 SLV (Collegamento 0010_-503)
Azioni sul collegamento: N=10550.50 Ty=-7.34 Tz=-59.01 Mx=0.15 Mz=-18.64
Sollecitazioni agenti localmente: Tx_l=-7.34 Ty_l=-59.01 N_l=10550.50 My_l=18.64 Mz_l=0.15
Azioni sul cordone: TP=2.08 TO=11.76 NO=2103.09
Tensioni nel cordone: τ_P=0.25 τ_0=1.39 σ_0=275.11 σ_{ID}=275.12 Σ_T=276.50
CC 21 SLV (Collegamento 0010_-503)
Azioni sul collegamento: N=10550.50 Ty=-15.60 Tz=-59.01 Mx=0.15 Mz=-39.70
Sollecitazioni agenti localmente: Tx_l=-15.60 Ty_l=-59.01 N_l=10550.50 My_l=39.70 Mz_l=0.15
Azioni sul cordone: TP=-1.32 TO=-4.24 NO=779.90

Tensioni nel cordone: τ_P=0.42 τ_0=1.35 σ_0=305.88 σ_{ID}=305.89 Σ_T=307.23
CC 21 SLV (Collegamento 0010_-503)
Azioni sul collegamento: N=10550.50 Ty=-7.34 Tz=-59.01 Mx=0.15 Mz=-18.64
Sollecitazioni agenti localmente: Tx_l=-7.34 Ty_l=-59.01 N_l=10550.50 My_l=18.64 Mz_l=0.15
Azioni sul cordone: TP=2.08 TO=11.76 NO=2103.09
Tensioni nel cordone: τ_P=0.25 τ_0=1.39 σ_0=275.11 σ_{ID}=275.12 Σ_T=276.50
CC 22 SLD (Collegamento 0010_-503)
Azioni sul collegamento: N=6613.12 Ty=-12.87 Tz=-59.01 Mx=0.21 Mz=-32.85
Sollecitazioni agenti localmente: Tx_l=-12.87 Ty_l=-59.01 N_l=6613.12 My_l=32.85 Mz_l=0.21
Azioni sul cordone: TP=3.44 TO=11.76 NO=1318.23
Tensioni nel cordone: τ_P=0.41 τ_0=1.39 σ_0=203.37 σ_{ID}=203.37 Σ_T=204.75
CC 22 SLD (Collegamento 0010_-503)
Azioni sul collegamento: N=6613.12 Ty=-10.36 Tz=-59.01 Mx=0.21 Mz=-26.42
Sollecitazioni agenti localmente: Tx_l=-10.36 Ty_l=-59.01 N_l=6613.12 My_l=26.42 Mz_l=0.21
Azioni sul cordone: TP=2.94 TO=11.76 NO=1318.23
Tensioni nel cordone: τ_P=0.35 τ_0=1.39 σ_0=193.98 σ_{ID}=193.99 Σ_T=195.37
CC 22 SLD (Collegamento 0010_-503)
Azioni sul collegamento: N=6613.12 Ty=-12.87 Tz=-59.01 Mx=0.21 Mz=-32.85
Sollecitazioni agenti localmente: Tx_l=-12.87 Ty_l=-59.01 N_l=6613.12 My_l=32.85 Mz_l=0.21
Azioni sul cordone: TP=3.44 TO=11.76 NO=1318.23
Tensioni nel cordone: τ_P=0.41 τ_0=1.39 σ_0=203.37 σ_{ID}=203.37 Σ_T=204.75
CC 22 SLD (Collegamento 0010_-503)
Azioni sul collegamento: N=6613.12 Ty=-10.36 Tz=-59.01 Mx=0.21 Mz=-26.42
Sollecitazioni agenti localmente: Tx_l=-10.36 Ty_l=-59.01 N_l=6613.12 My_l=26.42 Mz_l=0.21
Azioni sul cordone: TP=2.94 TO=11.76 NO=1318.23
Tensioni nel cordone: τ_P=0.35 τ_0=1.39 σ_0=193.98 σ_{ID}=193.99 Σ_T=195.37
CC 22 SLD (Collegamento 0010_-503)
Azioni sul collegamento: N=8418.85 Ty=-12.87 Tz=-59.01 Mx=0.21 Mz=-32.85
Sollecitazioni agenti localmente: Tx_l=-12.87 Ty_l=-59.01 N_l=8418.85 My_l=32.85 Mz_l=0.21
Azioni sul cordone: TP=3.44 TO=11.76 NO=1678.18
Tensioni nel cordone: τ_P=0.41 τ_0=1.39 σ_0=245.79 σ_{ID}=245.80 Σ_T=247.18
CC 22 SLD (Collegamento 0010_-503)
Azioni sul collegamento: N=8418.85 Ty=-10.36 Tz=-59.01 Mx=0.21 Mz=-26.42
Sollecitazioni agenti localmente: Tx_l=-10.36 Ty_l=-59.01 N_l=8418.85 My_l=26.42 Mz_l=0.21
Azioni sul cordone: TP=2.94 TO=11.76 NO=1678.18
Tensioni nel cordone: τ_P=0.35 τ_0=1.39 σ_0=236.41 σ_{ID}=236.41 Σ_T=237.80
CC 22 SLD (Collegamento 0010_-503)
Azioni sul collegamento: N=8418.85 Ty=-12.87 Tz=-59.01 Mx=0.21 Mz=-32.85
Sollecitazioni agenti localmente: Tx_l=-12.87 Ty_l=-59.01 N_l=8418.85 My_l=32.85 Mz_l=0.21
Azioni sul cordone: TP=3.44 TO=11.76 NO=1678.18
Tensioni nel cordone: τ_P=0.41 τ_0=1.39 σ_0=245.79 σ_{ID}=245.80 Σ_T=247.18
CC 22 SLD (Collegamento 0010_-503)
Azioni sul collegamento: N=8418.85 Ty=-10.36 Tz=-59.01 Mx=0.21 Mz=-26.42
Sollecitazioni agenti localmente: Tx_l=-10.36 Ty_l=-59.01 N_l=8418.85 My_l=26.42 Mz_l=0.21
Azioni sul cordone: TP=2.94 TO=11.76 NO=1678.18
Tensioni nel cordone: τ_P=0.35 τ_0=1.39 σ_0=236.41 σ_{ID}=236.41 Σ_T=237.80
CC 23 SLV (Collegamento 0010_-503)
Azioni sul collegamento: N=4624.81 Ty=-15.69 Tz=-59.01 Mx=0.14 Mz=-39.94
Sollecitazioni agenti localmente: Tx_l=-15.69 Ty_l=-59.01 N_l=4624.81 My_l=39.94 Mz_l=0.14
Azioni sul cordone: TP=3.74 TO=11.76 NO=921.89
Tensioni nel cordone: τ_P=0.44 τ_0=1.39 σ_0=167.01 σ_{ID}=167.02 Σ_T=168.40
CC 23 SLV (Collegamento 0010_-503)
Azioni sul collegamento: N=4624.81 Ty=-7.25 Tz=-59.01 Mx=0.14 Mz=-18.39
Sollecitazioni agenti localmente: Tx_l=-7.25 Ty_l=-59.01 N_l=4624.81 My_l=18.39 Mz_l=0.14
Azioni sul cordone: TP=2.06 TO=11.76 NO=921.89
Tensioni nel cordone: τ_P=0.24 τ_0=1.39 σ_0=135.53 σ_{ID}=135.54 Σ_T=136.92
CC 23 SLV (Collegamento 0010_-503)
Azioni sul collegamento: N=4624.81 Ty=-15.69 Tz=-59.01 Mx=0.14 Mz=-39.94
Sollecitazioni agenti localmente: Tx_l=-15.69 Ty_l=-59.01 N_l=4624.81 My_l=39.94 Mz_l=0.14
Azioni sul cordone: TP=3.74 TO=11.76 NO=921.89
Tensioni nel cordone: τ_P=0.44 τ_0=1.39 σ_0=167.01 σ_{ID}=167.02 Σ_T=168.40
CC 23 SLV (Collegamento 0010_-503)
Azioni sul collegamento: N=4624.81 Ty=-7.25 Tz=-59.01 Mx=0.14 Mz=-18.39
Sollecitazioni agenti localmente: Tx_l=-7.25 Ty_l=-59.01 N_l=4624.81 My_l=18.39 Mz_l=0.14
Azioni sul cordone: TP=2.06 TO=11.76 NO=921.89
Tensioni nel cordone: τ_P=0.24 τ_0=1.39 σ_0=135.53 σ_{ID}=135.54 Σ_T=136.92
CC 23 SLV (Collegamento 0010_-503)
Azioni sul collegamento: N=10554.50 Ty=-15.69 Tz=-59.01 Mx=0.14 Mz=-39.94
Sollecitazioni agenti localmente: Tx_l=-15.69 Ty_l=-59.01 N_l=10554.50 My_l=39.94 Mz_l=0.14
Azioni sul cordone: TP=-1.33 TO=-4.25 NO=780.19
Tensioni nel cordone: τ_P=0.42 τ_0=1.35 σ_0=306.33 σ_{ID}=306.33 Σ_T=307.68
CC 23 SLV (Collegamento 0010_-503)
Azioni sul collegamento: N=10554.50 Ty=-7.25 Tz=-59.01 Mx=0.14 Mz=-18.39
Sollecitazioni agenti localmente: Tx_l=-7.25 Ty_l=-59.01 N_l=10554.50 My_l=18.39 Mz_l=0.14
Azioni sul cordone: TP=2.06 TO=11.76 NO=2103.88
Tensioni nel cordone: τ_P=0.24 τ_0=1.39 σ_0=274.85 σ_{ID}=274.86 Σ_T=276.24
CC 23 SLV (Collegamento 0010_-503)
Azioni sul collegamento: N=10554.50 Ty=-15.69 Tz=-59.01 Mx=0.14 Mz=-39.94
Sollecitazioni agenti localmente: Tx_l=-15.69 Ty_l=-59.01 N_l=10554.50 My_l=39.94 Mz_l=0.14

Azioni sul cordone: TP=-1.33 TO=-4.25 NO=780.19
Tensioni nel cordone: τ_P=0.42 τ_0=1.35 σ_0=306.33 σ_{ID}=306.33 Σ_T=307.68
CC 23 SLV (Collegamento 0010_-503)
Azioni sul collegamento: N=10554.50 Ty=-7.25 Tz=-59.01 Mx=0.14 Mz=-18.39
Sollecitazioni agenti localmente: Tx_l=-7.25 Ty_l=-59.01 N_l=10554.50 My_l=18.39 Mz_l=0.14
Azioni sul cordone: TP=2.06 TO=11.76 NO=2103.88
Tensioni nel cordone: τ_P=0.24 τ_0=1.39 σ_0=274.85 σ_{ID}=274.86 Σ_T=276.24
CC 24 SLD (Collegamento 0010_-503)
Azioni sul collegamento: N=6611.92 Ty=-12.90 Tz=-59.01 Mx=0.21 Mz=-32.92
Sollecitazioni agenti localmente: Tx_l=-12.90 Ty_l=-59.01 N_l=6611.92 My_l=32.92 Mz_l=0.21
Azioni sul cordone: TP=3.44 TO=11.76 NO=1317.99
Tensioni nel cordone: τ_P=0.41 τ_0=1.39 σ_0=203.44 σ_{ID}=203.45 Σ_T=204.83
CC 24 SLD (Collegamento 0010_-503)
Azioni sul collegamento: N=6611.92 Ty=-10.33 Tz=-59.01 Mx=0.21 Mz=-26.35
Sollecitazioni agenti localmente: Tx_l=-10.33 Ty_l=-59.01 N_l=6611.92 My_l=26.35 Mz_l=0.21
Azioni sul cordone: TP=2.93 TO=11.76 NO=1317.99
Tensioni nel cordone: τ_P=0.35 τ_0=1.39 σ_0=193.85 σ_{ID}=193.85 Σ_T=195.23
CC 24 SLD (Collegamento 0010_-503)
Azioni sul collegamento: N=6611.92 Ty=-12.90 Tz=-59.01 Mx=0.21 Mz=-32.92
Sollecitazioni agenti localmente: Tx_l=-12.90 Ty_l=-59.01 N_l=6611.92 My_l=32.92 Mz_l=0.21
Azioni sul cordone: TP=3.44 TO=11.76 NO=1317.99
Tensioni nel cordone: τ_P=0.41 τ_0=1.39 σ_0=203.44 σ_{ID}=203.45 Σ_T=204.83
CC 24 SLD (Collegamento 0010_-503)
Azioni sul collegamento: N=6611.92 Ty=-10.33 Tz=-59.01 Mx=0.21 Mz=-26.35
Sollecitazioni agenti localmente: Tx_l=-10.33 Ty_l=-59.01 N_l=6611.92 My_l=26.35 Mz_l=0.21
Azioni sul cordone: TP=2.93 TO=11.76 NO=1317.99
Tensioni nel cordone: τ_P=0.35 τ_0=1.39 σ_0=193.85 σ_{ID}=193.85 Σ_T=195.23
CC 24 SLD (Collegamento 0010_-503)
Azioni sul collegamento: N=8420.06 Ty=-12.90 Tz=-59.01 Mx=0.21 Mz=-32.92
Sollecitazioni agenti localmente: Tx_l=-12.90 Ty_l=-59.01 N_l=8420.06 My_l=32.92 Mz_l=0.21
Azioni sul cordone: TP=3.44 TO=11.76 NO=1678.42
Tensioni nel cordone: τ_P=0.41 τ_0=1.39 σ_0=245.93 σ_{ID}=245.93 Σ_T=247.31
CC 24 SLD (Collegamento 0010_-503)
Azioni sul collegamento: N=8420.06 Ty=-10.33 Tz=-59.01 Mx=0.21 Mz=-26.35
Sollecitazioni agenti localmente: Tx_l=-10.33 Ty_l=-59.01 N_l=8420.06 My_l=26.35 Mz_l=0.21
Azioni sul cordone: TP=2.93 TO=11.76 NO=1678.42
Tensioni nel cordone: τ_P=0.35 τ_0=1.39 σ_0=236.33 σ_{ID}=236.33 Σ_T=237.72
CC 24 SLD (Collegamento 0010_-503)
Azioni sul collegamento: N=8420.06 Ty=-12.90 Tz=-59.01 Mx=0.21 Mz=-32.92
Sollecitazioni agenti localmente: Tx_l=-12.90 Ty_l=-59.01 N_l=8420.06 My_l=32.92 Mz_l=0.21
Azioni sul cordone: TP=3.44 TO=11.76 NO=1678.42
Tensioni nel cordone: τ_P=0.41 τ_0=1.39 σ_0=245.93 σ_{ID}=245.93 Σ_T=247.31
CC 24 SLD (Collegamento 0010_-503)
Azioni sul collegamento: N=8420.06 Ty=-10.33 Tz=-59.01 Mx=0.21 Mz=-26.35
Sollecitazioni agenti localmente: Tx_l=-10.33 Ty_l=-59.01 N_l=8420.06 My_l=26.35 Mz_l=0.21
Azioni sul cordone: TP=2.93 TO=11.76 NO=1678.42
Tensioni nel cordone: τ_P=0.35 τ_0=1.39 σ_0=236.33 σ_{ID}=236.33 Σ_T=237.72
CC 25 SLV (Collegamento 0010_-503)
Azioni sul collegamento: N=8485.05 Ty=-10.06 Tz=-59.01 Mx=0.26 Mz=-25.57
Sollecitazioni agenti localmente: Tx_l=-10.06 Ty_l=-59.01 N_l=8485.05 My_l=25.57 Mz_l=0.26
Azioni sul cordone: TP=3.09 TO=11.76 NO=1691.37
Tensioni nel cordone: τ_P=0.36 τ_0=1.39 σ_0=236.71 σ_{ID}=236.71 Σ_T=238.10
CC 25 SLV (Collegamento 0010_-503)
Azioni sul collegamento: N=8485.05 Ty=-12.88 Tz=-59.01 Mx=0.26 Mz=-32.77
Sollecitazioni agenti localmente: Tx_l=-12.88 Ty_l=-59.01 N_l=8485.05 My_l=32.77 Mz_l=0.26
Azioni sul cordone: TP=3.65 TO=11.76 NO=1691.37
Tensioni nel cordone: τ_P=0.43 τ_0=1.39 σ_0=247.23 σ_{ID}=247.23 Σ_T=248.62
CC 25 SLV (Collegamento 0010_-503)
Azioni sul collegamento: N=8485.05 Ty=-10.06 Tz=-59.01 Mx=0.26 Mz=-25.57
Sollecitazioni agenti localmente: Tx_l=-10.06 Ty_l=-59.01 N_l=8485.05 My_l=25.57 Mz_l=0.26
Azioni sul cordone: TP=3.09 TO=11.76 NO=1691.37
Tensioni nel cordone: τ_P=0.36 τ_0=1.39 σ_0=236.71 σ_{ID}=236.71 Σ_T=238.10
CC 25 SLV (Collegamento 0010_-503)
Azioni sul collegamento: N=8485.05 Ty=-12.88 Tz=-59.01 Mx=0.26 Mz=-32.77
Sollecitazioni agenti localmente: Tx_l=-12.88 Ty_l=-59.01 N_l=8485.05 My_l=32.77 Mz_l=0.26
Azioni sul cordone: TP=3.65 TO=11.76 NO=1691.37
Tensioni nel cordone: τ_P=0.43 τ_0=1.39 σ_0=247.23 σ_{ID}=247.23 Σ_T=248.62
CC 25 SLV (Collegamento 0010_-503)
Azioni sul collegamento: N=6694.21 Ty=-10.06 Tz=-59.01 Mx=0.26 Mz=-25.57
Sollecitazioni agenti localmente: Tx_l=-10.06 Ty_l=-59.01 N_l=6694.21 My_l=25.57 Mz_l=0.26
Azioni sul cordone: TP=3.09 TO=11.76 NO=1334.39
Tensioni nel cordone: τ_P=0.36 τ_0=1.39 σ_0=194.63 σ_{ID}=194.64 Σ_T=196.02
CC 25 SLV (Collegamento 0010_-503)
Azioni sul collegamento: N=6694.21 Ty=-12.88 Tz=-59.01 Mx=0.26 Mz=-32.77
Sollecitazioni agenti localmente: Tx_l=-12.88 Ty_l=-59.01 N_l=6694.21 My_l=32.77 Mz_l=0.26
Azioni sul cordone: TP=3.65 TO=11.76 NO=1334.39
Tensioni nel cordone: τ_P=0.43 τ_0=1.39 σ_0=205.15 σ_{ID}=205.16 Σ_T=206.54
CC 25 SLV (Collegamento 0010_-503)
Azioni sul collegamento: N=6694.21 Ty=-10.06 Tz=-59.01 Mx=0.26 Mz=-25.57

Sollecitazioni agenti localmente: Tx_l=-10.06 Ty_l=-59.01 N_l=6694.21 My_l=25.57 Mz_l=0.26
Azioni sul cordone: TP=3.09 TO=11.76 NO=1334.39
Tensioni nel cordone: τ_P=0.36 τ_0=1.39 σ_0=194.63 σ_{ID}=194.64 Σ_T=196.02
CC 25 SLV (Collegamento 0010_-503)
Azioni sul collegamento: N=6694.21 Ty=-12.88 Tz=-59.01 Mx=0.26 Mz=-32.77
Sollecitazioni agenti localmente: Tx_l=-12.88 Ty_l=-59.01 N_l=6694.21 My_l=32.77 Mz_l=0.26
Azioni sul cordone: TP=3.65 TO=11.76 NO=1334.39
Tensioni nel cordone: τ_P=0.43 τ_0=1.39 σ_0=205.15 σ_{ID}=205.16 Σ_T=206.54
CC 26 SLD (Collegamento 0010_-503)
Azioni sul collegamento: N=7789.03 Ty=-11.19 Tz=-59.01 Mx=0.24 Mz=-28.54
Sollecitazioni agenti localmente: Tx_l=-11.19 Ty_l=-59.01 N_l=7789.03 My_l=28.54 Mz_l=0.24
Azioni sul cordone: TP=3.25 TO=11.76 NO=1552.63
Tensioni nel cordone: τ_P=0.38 τ_0=1.39 σ_0=224.70 σ_{ID}=224.70 Σ_T=226.09
CC 26 SLD (Collegamento 0010_-503)
Azioni sul collegamento: N=7789.03 Ty=-12.04 Tz=-59.01 Mx=0.24 Mz=-30.73
Sollecitazioni agenti localmente: Tx_l=-12.04 Ty_l=-59.01 N_l=7789.03 My_l=30.73 Mz_l=0.24
Azioni sul cordone: TP=3.42 TO=11.76 NO=1552.63
Tensioni nel cordone: τ_P=0.40 τ_0=1.39 σ_0=227.91 σ_{ID}=227.91 Σ_T=229.29
CC 26 SLD (Collegamento 0010_-503)
Azioni sul collegamento: N=7789.03 Ty=-11.19 Tz=-59.01 Mx=0.24 Mz=-28.54
Sollecitazioni agenti localmente: Tx_l=-11.19 Ty_l=-59.01 N_l=7789.03 My_l=28.54 Mz_l=0.24
Azioni sul cordone: TP=3.25 TO=11.76 NO=1552.63
Tensioni nel cordone: τ_P=0.38 τ_0=1.39 σ_0=224.70 σ_{ID}=224.70 Σ_T=226.09
CC 26 SLD (Collegamento 0010_-503)
Azioni sul collegamento: N=7789.03 Ty=-12.04 Tz=-59.01 Mx=0.24 Mz=-30.73
Sollecitazioni agenti localmente: Tx_l=-12.04 Ty_l=-59.01 N_l=7789.03 My_l=30.73 Mz_l=0.24
Azioni sul cordone: TP=3.42 TO=11.76 NO=1552.63
Tensioni nel cordone: τ_P=0.40 τ_0=1.39 σ_0=227.91 σ_{ID}=227.91 Σ_T=229.29
CC 26 SLD (Collegamento 0010_-503)
Azioni sul collegamento: N=7242.94 Ty=-11.19 Tz=-59.01 Mx=0.24 Mz=-28.54
Sollecitazioni agenti localmente: Tx_l=-11.19 Ty_l=-59.01 N_l=7242.94 My_l=28.54 Mz_l=0.24
Azioni sul cordone: TP=3.25 TO=11.76 NO=1443.78
Tensioni nel cordone: τ_P=0.38 τ_0=1.39 σ_0=211.87 σ_{ID}=211.87 Σ_T=213.25
CC 26 SLD (Collegamento 0010_-503)
Azioni sul collegamento: N=7242.94 Ty=-12.04 Tz=-59.01 Mx=0.24 Mz=-30.73
Sollecitazioni agenti localmente: Tx_l=-12.04 Ty_l=-59.01 N_l=7242.94 My_l=30.73 Mz_l=0.24
Azioni sul cordone: TP=3.42 TO=11.76 NO=1443.78
Tensioni nel cordone: τ_P=0.40 τ_0=1.39 σ_0=215.08 σ_{ID}=215.08 Σ_T=216.46
CC 26 SLD (Collegamento 0010_-503)
Azioni sul collegamento: N=7242.94 Ty=-11.19 Tz=-59.01 Mx=0.24 Mz=-28.54
Sollecitazioni agenti localmente: Tx_l=-11.19 Ty_l=-59.01 N_l=7242.94 My_l=28.54 Mz_l=0.24
Azioni sul cordone: TP=3.25 TO=11.76 NO=1443.78
Tensioni nel cordone: τ_P=0.38 τ_0=1.39 σ_0=211.87 σ_{ID}=211.87 Σ_T=213.25
CC 26 SLD (Collegamento 0010_-503)
Azioni sul collegamento: N=7242.94 Ty=-12.04 Tz=-59.01 Mx=0.24 Mz=-30.73
Sollecitazioni agenti localmente: Tx_l=-12.04 Ty_l=-59.01 N_l=7242.94 My_l=30.73 Mz_l=0.24
Azioni sul cordone: TP=3.42 TO=11.76 NO=1443.78
Tensioni nel cordone: τ_P=0.40 τ_0=1.39 σ_0=215.08 σ_{ID}=215.08 Σ_T=216.46
CC 27 SLV (Collegamento 0010_-503)
Azioni sul collegamento: N=6707.34 Ty=-12.57 Tz=-59.01 Mx=0.21 Mz=-31.96
Sollecitazioni agenti localmente: Tx_l=-12.57 Ty_l=-59.01 N_l=6707.34 My_l=31.96 Mz_l=0.21
Azioni sul cordone: TP=3.38 TO=11.76 NO=1337.01
Tensioni nel cordone: τ_P=0.40 τ_0=1.39 σ_0=204.28 σ_{ID}=204.28 Σ_T=205.66
CC 27 SLV (Collegamento 0010_-503)
Azioni sul collegamento: N=6707.34 Ty=-10.37 Tz=-59.01 Mx=0.21 Mz=-26.37
Sollecitazioni agenti localmente: Tx_l=-10.37 Ty_l=-59.01 N_l=6707.34 My_l=26.37 Mz_l=0.21
Azioni sul cordone: TP=2.94 TO=11.76 NO=1337.01
Tensioni nel cordone: τ_P=0.35 τ_0=1.39 σ_0=196.12 σ_{ID}=196.13 Σ_T=197.51
CC 27 SLV (Collegamento 0010_-503)
Azioni sul collegamento: N=6707.34 Ty=-12.57 Tz=-59.01 Mx=0.21 Mz=-31.96
Sollecitazioni agenti localmente: Tx_l=-12.57 Ty_l=-59.01 N_l=6707.34 My_l=31.96 Mz_l=0.21
Azioni sul cordone: TP=3.38 TO=11.76 NO=1337.01
Tensioni nel cordone: τ_P=0.40 τ_0=1.39 σ_0=204.28 σ_{ID}=204.28 Σ_T=205.66
CC 27 SLV (Collegamento 0010_-503)
Azioni sul collegamento: N=6707.34 Ty=-10.37 Tz=-59.01 Mx=0.21 Mz=-26.37
Sollecitazioni agenti localmente: Tx_l=-10.37 Ty_l=-59.01 N_l=6707.34 My_l=26.37 Mz_l=0.21
Azioni sul cordone: TP=2.94 TO=11.76 NO=1337.01
Tensioni nel cordone: τ_P=0.35 τ_0=1.39 σ_0=196.12 σ_{ID}=196.13 Σ_T=197.51
CC 27 SLV (Collegamento 0010_-503)
Azioni sul collegamento: N=8471.93 Ty=-12.57 Tz=-59.01 Mx=0.21 Mz=-31.96
Sollecitazioni agenti localmente: Tx_l=-12.57 Ty_l=-59.01 N_l=8471.93 My_l=31.96 Mz_l=0.21
Azioni sul cordone: TP=3.38 TO=11.76 NO=1688.76
Tensioni nel cordone: τ_P=0.40 τ_0=1.39 σ_0=245.74 σ_{ID}=245.74 Σ_T=247.13
CC 27 SLV (Collegamento 0010_-503)
Azioni sul collegamento: N=8471.93 Ty=-10.37 Tz=-59.01 Mx=0.21 Mz=-26.37
Sollecitazioni agenti localmente: Tx_l=-10.37 Ty_l=-59.01 N_l=8471.93 My_l=26.37 Mz_l=0.21
Azioni sul cordone: TP=2.94 TO=11.76 NO=1688.76
Tensioni nel cordone: τ_P=0.35 τ_0=1.39 σ_0=237.58 σ_{ID}=237.59 Σ_T=238.97
CC 27 SLV (Collegamento 0010_-503)

Azioni sul collegamento: N=8471.93 Ty=-12.57 Tz=-59.01 Mx=0.21 Mz=-31.96
Sollecitazioni agenti localmente: Tx_l=-12.57 Ty_l=-59.01 N_l=8471.93 My_l=31.96 Mz_l=0.21
Azioni sul cordone: TP=3.38 TO=11.76 NO=1688.76
Tensioni nel cordone: τ_P=0.40 τ_0=1.39 σ_0=245.74 σ_{ID}=245.74 Σ_T=247.13
CC 27 SLV (Collegamento 0010_-503)
Azioni sul collegamento: N=8471.93 Ty=-10.37 Tz=-59.01 Mx=0.21 Mz=-26.37
Sollecitazioni agenti localmente: Tx_l=-10.37 Ty_l=-59.01 N_l=8471.93 My_l=26.37 Mz_l=0.21
Azioni sul cordone: TP=2.94 TO=11.76 NO=1688.76
Tensioni nel cordone: τ_P=0.35 τ_0=1.39 σ_0=237.58 σ_{ID}=237.59 Σ_T=238.97
CC 28 SLD (Collegamento 0010_-503)
Azioni sul collegamento: N=7246.95 Ty=-11.95 Tz=-59.01 Mx=0.23 Mz=-30.49
Sollecitazioni agenti localmente: Tx_l=-11.95 Ty_l=-59.01 N_l=7246.95 My_l=30.49 Mz_l=0.23
Azioni sul cordone: TP=3.33 TO=11.76 NO=1444.57
Tensioni nel cordone: τ_P=0.39 τ_0=1.39 σ_0=214.81 σ_{ID}=214.81 Σ_T=216.20
CC 28 SLD (Collegamento 0010_-503)
Azioni sul collegamento: N=7246.95 Ty=-11.28 Tz=-59.01 Mx=0.23 Mz=-28.78
Sollecitazioni agenti localmente: Tx_l=-11.28 Ty_l=-59.01 N_l=7246.95 My_l=28.78 Mz_l=0.23
Azioni sul cordone: TP=3.20 TO=11.76 NO=1444.57
Tensioni nel cordone: τ_P=0.38 τ_0=1.39 σ_0=212.32 σ_{ID}=212.33 Σ_T=213.71
CC 28 SLD (Collegamento 0010_-503)
Azioni sul collegamento: N=7246.95 Ty=-11.95 Tz=-59.01 Mx=0.23 Mz=-30.49
Sollecitazioni agenti localmente: Tx_l=-11.95 Ty_l=-59.01 N_l=7246.95 My_l=30.49 Mz_l=0.23
Azioni sul cordone: TP=3.33 TO=11.76 NO=1444.57
Tensioni nel cordone: τ_P=0.39 τ_0=1.39 σ_0=214.81 σ_{ID}=214.81 Σ_T=216.20
CC 28 SLD (Collegamento 0010_-503)
Azioni sul collegamento: N=7246.95 Ty=-11.28 Tz=-59.01 Mx=0.23 Mz=-28.78
Sollecitazioni agenti localmente: Tx_l=-11.28 Ty_l=-59.01 N_l=7246.95 My_l=28.78 Mz_l=0.23
Azioni sul cordone: TP=3.20 TO=11.76 NO=1444.57
Tensioni nel cordone: τ_P=0.38 τ_0=1.39 σ_0=212.32 σ_{ID}=212.33 Σ_T=213.71
CC 28 SLD (Collegamento 0010_-503)
Azioni sul collegamento: N=7785.03 Ty=-11.95 Tz=-59.01 Mx=0.23 Mz=-30.49
Sollecitazioni agenti localmente: Tx_l=-11.95 Ty_l=-59.01 N_l=7785.03 My_l=30.49 Mz_l=0.23
Azioni sul cordone: TP=3.33 TO=11.76 NO=1551.83
Tensioni nel cordone: τ_P=0.39 τ_0=1.39 σ_0=227.45 σ_{ID}=227.46 Σ_T=228.84
CC 28 SLD (Collegamento 0010_-503)
Azioni sul collegamento: N=7785.03 Ty=-11.28 Tz=-59.01 Mx=0.23 Mz=-28.78
Sollecitazioni agenti localmente: Tx_l=-11.28 Ty_l=-59.01 N_l=7785.03 My_l=28.78 Mz_l=0.23
Azioni sul cordone: TP=3.20 TO=11.76 NO=1551.83
Tensioni nel cordone: τ_P=0.38 τ_0=1.39 σ_0=224.97 σ_{ID}=224.97 Σ_T=226.35
CC 28 SLD (Collegamento 0010_-503)
Azioni sul collegamento: N=7785.03 Ty=-11.95 Tz=-59.01 Mx=0.23 Mz=-30.49
Sollecitazioni agenti localmente: Tx_l=-11.95 Ty_l=-59.01 N_l=7785.03 My_l=30.49 Mz_l=0.23
Azioni sul cordone: TP=3.33 TO=11.76 NO=1551.83
Tensioni nel cordone: τ_P=0.39 τ_0=1.39 σ_0=227.45 σ_{ID}=227.46 Σ_T=228.84
CC 28 SLD (Collegamento 0010_-503)
Azioni sul collegamento: N=7785.03 Ty=-11.28 Tz=-59.01 Mx=0.23 Mz=-28.78
Sollecitazioni agenti localmente: Tx_l=-11.28 Ty_l=-59.01 N_l=7785.03 My_l=28.78 Mz_l=0.23
Azioni sul cordone: TP=3.20 TO=11.76 NO=1551.83
Tensioni nel cordone: τ_P=0.38 τ_0=1.39 σ_0=224.97 σ_{ID}=224.97 Σ_T=226.35
CC 29 SLV (Collegamento 0010_-503)
Azioni sul collegamento: N=8471.93 Ty=-10.37 Tz=-59.01 Mx=0.25 Mz=-26.37
Sollecitazioni agenti localmente: Tx_l=-10.37 Ty_l=-59.01 N_l=8471.93 My_l=26.37 Mz_l=0.25
Azioni sul cordone: TP=3.13 TO=11.76 NO=1688.76
Tensioni nel cordone: τ_P=0.37 τ_0=1.39 σ_0=237.58 σ_{ID}=237.59 Σ_T=238.97
CC 29 SLV (Collegamento 0010_-503)
Azioni sul collegamento: N=8471.93 Ty=-12.57 Tz=-59.01 Mx=0.25 Mz=-31.96
Sollecitazioni agenti localmente: Tx_l=-12.57 Ty_l=-59.01 N_l=8471.93 My_l=31.96 Mz_l=0.25
Azioni sul cordone: TP=3.57 TO=11.76 NO=1688.76
Tensioni nel cordone: τ_P=0.42 τ_0=1.39 σ_0=245.74 σ_{ID}=245.74 Σ_T=247.13
CC 29 SLV (Collegamento 0010_-503)
Azioni sul collegamento: N=8471.93 Ty=-10.37 Tz=-59.01 Mx=0.25 Mz=-26.37
Sollecitazioni agenti localmente: Tx_l=-10.37 Ty_l=-59.01 N_l=8471.93 My_l=26.37 Mz_l=0.25
Azioni sul cordone: TP=3.13 TO=11.76 NO=1688.76
Tensioni nel cordone: τ_P=0.37 τ_0=1.39 σ_0=237.58 σ_{ID}=237.59 Σ_T=238.97
CC 29 SLV (Collegamento 0010_-503)
Azioni sul collegamento: N=8471.93 Ty=-12.57 Tz=-59.01 Mx=0.25 Mz=-31.96
Sollecitazioni agenti localmente: Tx_l=-12.57 Ty_l=-59.01 N_l=8471.93 My_l=31.96 Mz_l=0.25
Azioni sul cordone: TP=3.57 TO=11.76 NO=1688.76
Tensioni nel cordone: τ_P=0.42 τ_0=1.39 σ_0=245.74 σ_{ID}=245.74 Σ_T=247.13
CC 29 SLV (Collegamento 0010_-503)
Azioni sul collegamento: N=6707.34 Ty=-10.37 Tz=-59.01 Mx=0.25 Mz=-26.37
Sollecitazioni agenti localmente: Tx_l=-10.37 Ty_l=-59.01 N_l=6707.34 My_l=26.37 Mz_l=0.25
Azioni sul cordone: TP=3.13 TO=11.76 NO=1337.01
Tensioni nel cordone: τ_P=0.37 τ_0=1.39 σ_0=196.12 σ_{ID}=196.13 Σ_T=197.51
CC 29 SLV (Collegamento 0010_-503)
Azioni sul collegamento: N=6707.34 Ty=-12.57 Tz=-59.01 Mx=0.25 Mz=-31.96
Sollecitazioni agenti localmente: Tx_l=-12.57 Ty_l=-59.01 N_l=6707.34 My_l=31.96 Mz_l=0.25
Azioni sul cordone: TP=3.57 TO=11.76 NO=1337.01
Tensioni nel cordone: τ_P=0.42 τ_0=1.39 σ_0=204.28 σ_{ID}=204.28 Σ_T=205.66

CC 29 SLV (Collegamento 0010_-503)
Azioni sul collegamento: N=6707.34 Ty=-10.37 Tz=-59.01 Mx=0.25 Mz=-26.37
Sollecitazioni agenti localmente: Tx_l=-10.37 Ty_l=-59.01 N_l=6707.34 My_l=26.37 Mz_l=0.25
Azioni sul cordone: TP=3.13 TO=11.76 NO=1337.01
Tensioni nel cordone: τ_P=0.37 τ_0=1.39 σ_0=196.12 σ_{ID}=196.13 Σ_T=197.51
CC 29 SLV (Collegamento 0010_-503)
Azioni sul collegamento: N=6707.34 Ty=-12.57 Tz=-59.01 Mx=0.25 Mz=-31.96
Sollecitazioni agenti localmente: Tx_l=-12.57 Ty_l=-59.01 N_l=6707.34 My_l=31.96 Mz_l=0.25
Azioni sul cordone: TP=3.57 TO=11.76 NO=1337.01
Tensioni nel cordone: τ_P=0.42 τ_0=1.39 σ_0=204.28 σ_{ID}=204.28 Σ_T=205.66
CC 30 SLD (Collegamento 0010_-503)
Azioni sul collegamento: N=7785.03 Ty=-11.28 Tz=-59.01 Mx=0.24 Mz=-28.78
Sollecitazioni agenti localmente: Tx_l=-11.28 Ty_l=-59.01 N_l=7785.03 My_l=28.78 Mz_l=0.24
Azioni sul cordone: TP=3.26 TO=11.76 NO=1551.83
Tensioni nel cordone: τ_P=0.38 τ_0=1.39 σ_0=224.97 σ_{ID}=224.97 Σ_T=226.35
CC 30 SLD (Collegamento 0010_-503)
Azioni sul collegamento: N=7785.03 Ty=-11.95 Tz=-59.01 Mx=0.24 Mz=-30.49
Sollecitazioni agenti localmente: Tx_l=-11.95 Ty_l=-59.01 N_l=7785.03 My_l=30.49 Mz_l=0.24
Azioni sul cordone: TP=3.39 TO=11.76 NO=1551.83
Tensioni nel cordone: τ_P=0.40 τ_0=1.39 σ_0=227.45 σ_{ID}=227.46 Σ_T=228.84
CC 30 SLD (Collegamento 0010_-503)
Azioni sul collegamento: N=7785.03 Ty=-11.28 Tz=-59.01 Mx=0.24 Mz=-28.78
Sollecitazioni agenti localmente: Tx_l=-11.28 Ty_l=-59.01 N_l=7785.03 My_l=28.78 Mz_l=0.24
Azioni sul cordone: TP=3.26 TO=11.76 NO=1551.83
Tensioni nel cordone: τ_P=0.38 τ_0=1.39 σ_0=224.97 σ_{ID}=224.97 Σ_T=226.35
CC 30 SLD (Collegamento 0010_-503)
Azioni sul collegamento: N=7785.03 Ty=-11.95 Tz=-59.01 Mx=0.24 Mz=-30.49
Sollecitazioni agenti localmente: Tx_l=-11.95 Ty_l=-59.01 N_l=7785.03 My_l=30.49 Mz_l=0.24
Azioni sul cordone: TP=3.39 TO=11.76 NO=1551.83
Tensioni nel cordone: τ_P=0.40 τ_0=1.39 σ_0=227.45 σ_{ID}=227.46 Σ_T=228.84
CC 30 SLD (Collegamento 0010_-503)
Azioni sul collegamento: N=7246.95 Ty=-11.28 Tz=-59.01 Mx=0.24 Mz=-28.78
Sollecitazioni agenti localmente: Tx_l=-11.28 Ty_l=-59.01 N_l=7246.95 My_l=28.78 Mz_l=0.24
Azioni sul cordone: TP=3.26 TO=11.76 NO=1444.57
Tensioni nel cordone: τ_P=0.38 τ_0=1.39 σ_0=212.32 σ_{ID}=212.33 Σ_T=213.71
CC 30 SLD (Collegamento 0010_-503)
Azioni sul collegamento: N=7246.95 Ty=-11.95 Tz=-59.01 Mx=0.24 Mz=-30.49
Sollecitazioni agenti localmente: Tx_l=-11.95 Ty_l=-59.01 N_l=7246.95 My_l=30.49 Mz_l=0.24
Azioni sul cordone: TP=3.39 TO=11.76 NO=1444.57
Tensioni nel cordone: τ_P=0.40 τ_0=1.39 σ_0=214.81 σ_{ID}=214.81 Σ_T=216.20
CC 30 SLD (Collegamento 0010_-503)
Azioni sul collegamento: N=7246.95 Ty=-11.28 Tz=-59.01 Mx=0.24 Mz=-28.78
Sollecitazioni agenti localmente: Tx_l=-11.28 Ty_l=-59.01 N_l=7246.95 My_l=28.78 Mz_l=0.24
Azioni sul cordone: TP=3.26 TO=11.76 NO=1444.57
Tensioni nel cordone: τ_P=0.38 τ_0=1.39 σ_0=212.32 σ_{ID}=212.33 Σ_T=213.71
CC 30 SLD (Collegamento 0010_-503)
Azioni sul collegamento: N=7246.95 Ty=-11.95 Tz=-59.01 Mx=0.24 Mz=-30.49
Sollecitazioni agenti localmente: Tx_l=-11.95 Ty_l=-59.01 N_l=7246.95 My_l=30.49 Mz_l=0.24
Azioni sul cordone: TP=3.39 TO=11.76 NO=1444.57
Tensioni nel cordone: τ_P=0.40 τ_0=1.39 σ_0=214.81 σ_{ID}=214.81 Σ_T=216.20
CC 31 SLV (Collegamento 0010_-503)
Azioni sul collegamento: N=6694.21 Ty=-12.88 Tz=-59.01 Mx=0.20 Mz=-32.77
Sollecitazioni agenti localmente: Tx_l=-12.88 Ty_l=-59.01 N_l=6694.21 My_l=32.77 Mz_l=0.20
Azioni sul cordone: TP=3.42 TO=11.76 NO=1334.39
Tensioni nel cordone: τ_P=0.40 τ_0=1.39 σ_0=205.15 σ_{ID}=205.16 Σ_T=206.54
CC 31 SLV (Collegamento 0010_-503)
Azioni sul collegamento: N=6694.21 Ty=-10.06 Tz=-59.01 Mx=0.20 Mz=-25.57
Sollecitazioni agenti localmente: Tx_l=-10.06 Ty_l=-59.01 N_l=6694.21 My_l=25.57 Mz_l=0.20
Azioni sul cordone: TP=2.86 TO=11.76 NO=1334.39
Tensioni nel cordone: τ_P=0.34 τ_0=1.39 σ_0=194.63 σ_{ID}=194.64 Σ_T=196.02
CC 31 SLV (Collegamento 0010_-503)
Azioni sul collegamento: N=6694.21 Ty=-12.88 Tz=-59.01 Mx=0.20 Mz=-32.77
Sollecitazioni agenti localmente: Tx_l=-12.88 Ty_l=-59.01 N_l=6694.21 My_l=32.77 Mz_l=0.20
Azioni sul cordone: TP=3.42 TO=11.76 NO=1334.39
Tensioni nel cordone: τ_P=0.40 τ_0=1.39 σ_0=205.15 σ_{ID}=205.16 Σ_T=206.54
CC 31 SLV (Collegamento 0010_-503)
Azioni sul collegamento: N=6694.21 Ty=-10.06 Tz=-59.01 Mx=0.20 Mz=-25.57
Sollecitazioni agenti localmente: Tx_l=-10.06 Ty_l=-59.01 N_l=6694.21 My_l=25.57 Mz_l=0.20
Azioni sul cordone: TP=2.86 TO=11.76 NO=1334.39
Tensioni nel cordone: τ_P=0.34 τ_0=1.39 σ_0=194.63 σ_{ID}=194.64 Σ_T=196.02
CC 31 SLV (Collegamento 0010_-503)
Azioni sul collegamento: N=8485.05 Ty=-12.88 Tz=-59.01 Mx=0.20 Mz=-32.77
Sollecitazioni agenti localmente: Tx_l=-12.88 Ty_l=-59.01 N_l=8485.05 My_l=32.77 Mz_l=0.20
Azioni sul cordone: TP=3.42 TO=11.76 NO=1691.37
Tensioni nel cordone: τ_P=0.40 τ_0=1.39 σ_0=247.23 σ_{ID}=247.23 Σ_T=248.62
CC 31 SLV (Collegamento 0010_-503)
Azioni sul collegamento: N=8485.05 Ty=-10.06 Tz=-59.01 Mx=0.20 Mz=-25.57
Sollecitazioni agenti localmente: Tx_l=-10.06 Ty_l=-59.01 N_l=8485.05 My_l=25.57 Mz_l=0.20
Azioni sul cordone: TP=2.86 TO=11.76 NO=1691.37

Tensioni nel cordone: τ_P=0.34 τ_0=1.39 σ_0=236.71 σ_{ID}=236.71 Σ_T=238.10
CC 31 SLV (Collegamento 0010_-503)
Azioni sul collegamento: N=8485.05 Ty=-12.88 Tz=-59.01 Mx=0.20 Mz=-32.77
Sollecitazioni agenti localmente: Tx_l=-12.88 Ty_l=-59.01 N_l=8485.05 My_l=32.77 Mz_l=0.20
Azioni sul cordone: TP=3.42 TO=11.76 NO=1691.37
Tensioni nel cordone: τ_P=0.40 τ_0=1.39 σ_0=247.23 σ_{ID}=247.23 Σ_T=248.62
CC 31 SLV (Collegamento 0010_-503)
Azioni sul collegamento: N=8485.05 Ty=-10.06 Tz=-59.01 Mx=0.20 Mz=-25.57
Sollecitazioni agenti localmente: Tx_l=-10.06 Ty_l=-59.01 N_l=8485.05 My_l=25.57 Mz_l=0.20
Azioni sul cordone: TP=2.86 TO=11.76 NO=1691.37
Tensioni nel cordone: τ_P=0.34 τ_0=1.39 σ_0=236.71 σ_{ID}=236.71 Σ_T=238.10
CC 32 SLD (Collegamento 0010_-503)
Azioni sul collegamento: N=7242.94 Ty=-12.04 Tz=-59.01 Mx=0.22 Mz=-30.73
Sollecitazioni agenti localmente: Tx_l=-12.04 Ty_l=-59.01 N_l=7242.94 My_l=30.73 Mz_l=0.22
Azioni sul cordone: TP=3.35 TO=11.76 NO=1443.78
Tensioni nel cordone: τ_P=0.39 τ_0=1.39 σ_0=215.08 σ_{ID}=215.08 Σ_T=216.46
CC 32 SLD (Collegamento 0010_-503)
Azioni sul collegamento: N=7242.94 Ty=-11.19 Tz=-59.01 Mx=0.22 Mz=-28.54
Sollecitazioni agenti localmente: Tx_l=-11.19 Ty_l=-59.01 N_l=7242.94 My_l=28.54 Mz_l=0.22
Azioni sul cordone: TP=3.17 TO=11.76 NO=1443.78
Tensioni nel cordone: τ_P=0.37 τ_0=1.39 σ_0=211.87 σ_{ID}=211.87 Σ_T=213.25
CC 32 SLD (Collegamento 0010_-503)
Azioni sul collegamento: N=7242.94 Ty=-12.04 Tz=-59.01 Mx=0.22 Mz=-30.73
Sollecitazioni agenti localmente: Tx_l=-12.04 Ty_l=-59.01 N_l=7242.94 My_l=30.73 Mz_l=0.22
Azioni sul cordone: TP=3.35 TO=11.76 NO=1443.78
Tensioni nel cordone: τ_P=0.39 τ_0=1.39 σ_0=215.08 σ_{ID}=215.08 Σ_T=216.46
CC 32 SLD (Collegamento 0010_-503)
Azioni sul collegamento: N=7242.94 Ty=-11.19 Tz=-59.01 Mx=0.22 Mz=-28.54
Sollecitazioni agenti localmente: Tx_l=-11.19 Ty_l=-59.01 N_l=7242.94 My_l=28.54 Mz_l=0.22
Azioni sul cordone: TP=3.17 TO=11.76 NO=1443.78
Tensioni nel cordone: τ_P=0.37 τ_0=1.39 σ_0=211.87 σ_{ID}=211.87 Σ_T=213.25
CC 32 SLD (Collegamento 0010_-503)
Azioni sul collegamento: N=7789.03 Ty=-12.04 Tz=-59.01 Mx=0.22 Mz=-30.73
Sollecitazioni agenti localmente: Tx_l=-12.04 Ty_l=-59.01 N_l=7789.03 My_l=30.73 Mz_l=0.22
Azioni sul cordone: TP=3.35 TO=11.76 NO=1552.63
Tensioni nel cordone: τ_P=0.39 τ_0=1.39 σ_0=227.91 σ_{ID}=227.91 Σ_T=229.29
CC 32 SLD (Collegamento 0010_-503)
Azioni sul collegamento: N=7789.03 Ty=-11.19 Tz=-59.01 Mx=0.22 Mz=-28.54
Sollecitazioni agenti localmente: Tx_l=-11.19 Ty_l=-59.01 N_l=7789.03 My_l=28.54 Mz_l=0.22
Azioni sul cordone: TP=3.17 TO=11.76 NO=1552.63
Tensioni nel cordone: τ_P=0.37 τ_0=1.39 σ_0=224.70 σ_{ID}=224.70 Σ_T=226.09
CC 32 SLD (Collegamento 0010_-503)
Azioni sul collegamento: N=7789.03 Ty=-12.04 Tz=-59.01 Mx=0.22 Mz=-30.73
Sollecitazioni agenti localmente: Tx_l=-12.04 Ty_l=-59.01 N_l=7789.03 My_l=30.73 Mz_l=0.22
Azioni sul cordone: TP=3.35 TO=11.76 NO=1552.63
Tensioni nel cordone: τ_P=0.39 τ_0=1.39 σ_0=227.91 σ_{ID}=227.91 Σ_T=229.29
CC 32 SLD (Collegamento 0010_-503)
Azioni sul collegamento: N=7789.03 Ty=-11.19 Tz=-59.01 Mx=0.22 Mz=-28.54
Sollecitazioni agenti localmente: Tx_l=-11.19 Ty_l=-59.01 N_l=7789.03 My_l=28.54 Mz_l=0.22
Azioni sul cordone: TP=3.17 TO=11.76 NO=1552.63
Tensioni nel cordone: τ_P=0.37 τ_0=1.39 σ_0=224.70 σ_{ID}=224.70 Σ_T=226.09
CC 33 SLU (Collegamento 0010_-503)
Azioni sul collegamento: N=27571.30 Ty=-23.30 Tz=-79.67 Mx=0.47 Mz=-59.64
Sollecitazioni agenti localmente: Tx_l=-23.30 Ty_l=-79.67 N_l=27571.30 My_l=59.64 Mz_l=0.47
Azioni sul cordone: TP=-2.26 TO=-5.51 NO=2038.08
Tensioni nel cordone: τ_P=0.72 τ_0=1.75 σ_0=734.93 σ_{ID}=734.93 Σ_T=736.68
CC 34 SLU (Collegamento 0010_-503)
Azioni sul collegamento: N=28188.30 Ty=-24.17 Tz=-79.67 Mx=0.48 Mz=-61.86
Sollecitazioni agenti localmente: Tx_l=-24.17 Ty_l=-79.67 N_l=28188.30 My_l=61.86 Mz_l=0.48
Azioni sul cordone: TP=-2.35 TO=-5.50 NO=2083.69
Tensioni nel cordone: τ_P=0.75 τ_0=1.75 σ_0=752.67 σ_{ID}=752.67 Σ_T=754.42
CC 35 SLU (Collegamento 0010_-503)
Azioni sul collegamento: N=27879.10 Ty=-23.75 Tz=-79.67 Mx=0.47 Mz=-60.79
Sollecitazioni agenti localmente: Tx_l=-23.75 Ty_l=-79.67 N_l=27879.10 My_l=60.79 Mz_l=0.47
Azioni sul cordone: TP=-2.31 TO=-5.51 NO=2060.83
Tensioni nel cordone: τ_P=0.73 τ_0=1.75 σ_0=743.85 σ_{ID}=743.85 Σ_T=745.60
CC 36 SLU (Collegamento 0010_-503)
Azioni sul collegamento: N=27880.50 Ty=-23.72 Tz=-79.67 Mx=0.47 Mz=-60.71
Sollecitazioni agenti localmente: Tx_l=-23.72 Ty_l=-79.67 N_l=27880.50 My_l=60.71 Mz_l=0.47
Azioni sul cordone: TP=-2.30 TO=-5.51 NO=2060.94
Tensioni nel cordone: τ_P=0.73 τ_0=1.75 σ_0=743.75 σ_{ID}=743.76 Σ_T=745.50
CC 37 SLU (Collegamento 0010_-503)
Azioni sul collegamento: N=22442.50 Ty=11.55 Tz=-79.67 Mx=-0.23 Mz=29.35
Sollecitazioni agenti localmente: Tx_l=11.55 Ty_l=-79.67 N_l=22442.50 My_l=-29.35 Mz_l=-0.23
Azioni sul cordone: TP=1.12 TO=-5.71 NO=1658.96
Tensioni nel cordone: τ_P=0.36 τ_0=1.81 σ_0=570.17 σ_{ID}=570.17 Σ_T=571.98
CC 38 SLU (Collegamento 0010_-503)
Azioni sul collegamento: N=23059.40 Ty=10.68 Tz=-79.67 Mx=-0.21 Mz=27.13
Sollecitazioni agenti localmente: Tx_l=10.68 Ty_l=-79.67 N_l=23059.40 My_l=-27.13 Mz_l=-0.21

Azioni sul cordone: TP=1.03 TO=-5.72 NO=1704.56
Tensioni nel cordone: τ_P=0.33 τ_0=1.82 σ_0=581.42 σ_{ID}=581.42 Σ_T=583.24
CC 39 SLU (Collegamento 0010_-503)
Azioni sul collegamento: N=22750.30 Ty=11.10 Tz=-79.67 Mx=-0.22 Mz=28.19
Sollecitazioni agenti localmente: Tx_l=11.10 Ty_l=-79.67 N_l=22750.30 My_l=-28.19 Mz_l=-0.22
Azioni sul cordone: TP=1.08 TO=-5.71 NO=1681.71
Tensioni nel cordone: τ_P=0.34 τ_0=1.82 σ_0=575.72 σ_{ID}=575.72 Σ_T=577.53
CC 40 SLU (Collegamento 0010_-503)
Azioni sul collegamento: N=22751.70 Ty=11.13 Tz=-79.67 Mx=-0.22 Mz=28.28
Sollecitazioni agenti localmente: Tx_l=11.13 Ty_l=-79.67 N_l=22751.70 My_l=-28.28 Mz_l=-0.22
Azioni sul cordone: TP=1.08 TO=-5.71 NO=1681.81
Tensioni nel cordone: τ_P=0.34 τ_0=1.82 σ_0=575.87 σ_{ID}=575.88 Σ_T=577.69
CC 41 SLU (Collegamento 0010_-503)
Azioni sul collegamento: N=20629.10 Ty=-22.50 Tz=-79.67 Mx=0.45 Mz=-57.50
Sollecitazioni agenti localmente: Tx_l=-22.50 Ty_l=-79.67 N_l=20629.10 My_l=57.50 Mz_l=0.45
Azioni sul cordone: TP=6.39 TO=15.88 NO=4112.11
Tensioni nel cordone: τ_P=0.75 τ_0=1.87 σ_0=568.70 σ_{ID}=568.70 Σ_T=570.57
CC 42 SLU (Collegamento 0010_-503)
Azioni sul collegamento: N=21246.00 Ty=-23.37 Tz=-79.67 Mx=0.47 Mz=-59.72
Sollecitazioni agenti localmente: Tx_l=-23.37 Ty_l=-79.67 N_l=21246.00 My_l=59.72 Mz_l=0.47
Azioni sul cordone: TP=6.63 TO=15.88 NO=4235.09
Tensioni nel cordone: τ_P=0.78 τ_0=1.87 σ_0=586.43 σ_{ID}=586.44 Σ_T=588.31
CC 43 SLU (Collegamento 0010_-503)
Azioni sul collegamento: N=20936.90 Ty=-22.95 Tz=-79.67 Mx=0.46 Mz=-58.65
Sollecitazioni agenti localmente: Tx_l=-22.95 Ty_l=-79.67 N_l=20936.90 My_l=58.65 Mz_l=0.46
Azioni sul cordone: TP=6.51 TO=15.88 NO=4173.46
Tensioni nel cordone: τ_P=0.77 τ_0=1.87 σ_0=577.61 σ_{ID}=577.61 Σ_T=579.48
CC 44 SLU (Collegamento 0010_-503)
Azioni sul collegamento: N=20938.30 Ty=-22.92 Tz=-79.67 Mx=0.46 Mz=-58.57
Sollecitazioni agenti localmente: Tx_l=-22.92 Ty_l=-79.67 N_l=20938.30 My_l=58.57 Mz_l=0.46
Azioni sul cordone: TP=6.51 TO=15.88 NO=4173.74
Tensioni nel cordone: τ_P=0.77 τ_0=1.87 σ_0=577.52 σ_{ID}=577.52 Σ_T=579.39
CC 45 SLU (Collegamento 0010_-503)
Azioni sul collegamento: N=22155.70 Ty=-22.60 Tz=-79.67 Mx=0.45 Mz=-57.80
Sollecitazioni agenti localmente: Tx_l=-22.60 Ty_l=-79.67 N_l=22155.70 My_l=57.80 Mz_l=0.45
Azioni sul cordone: TP=-2.19 TO=-5.53 NO=1637.76
Tensioni nel cordone: τ_P=0.70 τ_0=1.76 σ_0=605.00 σ_{ID}=605.00 Σ_T=606.75
CC 46 SLU (Collegamento 0010_-503)
Azioni sul collegamento: N=22772.60 Ty=-23.47 Tz=-79.67 Mx=0.47 Mz=-60.02
Sollecitazioni agenti localmente: Tx_l=-23.47 Ty_l=-79.67 N_l=22772.60 My_l=60.02 Mz_l=0.47
Azioni sul cordone: TP=6.66 TO=15.88 NO=4539.39
Tensioni nel cordone: τ_P=0.78 τ_0=1.87 σ_0=622.74 σ_{ID}=622.74 Σ_T=624.61
CC 47 SLU (Collegamento 0010_-503)
Azioni sul collegamento: N=22463.40 Ty=-23.05 Tz=-79.67 Mx=0.46 Mz=-58.95
Sollecitazioni agenti localmente: Tx_l=-23.05 Ty_l=-79.67 N_l=22463.40 My_l=58.95 Mz_l=0.46
Azioni sul cordone: TP=6.54 TO=15.88 NO=4477.76
Tensioni nel cordone: τ_P=0.77 τ_0=1.87 σ_0=613.91 σ_{ID}=613.92 Σ_T=615.78
CC 48 SLU (Collegamento 0010_-503)
Azioni sul collegamento: N=22464.90 Ty=-23.02 Tz=-79.67 Mx=0.46 Mz=-58.87
Sollecitazioni agenti localmente: Tx_l=-23.02 Ty_l=-79.67 N_l=22464.90 My_l=58.87 Mz_l=0.46
Azioni sul cordone: TP=6.53 TO=15.88 NO=4478.05
Tensioni nel cordone: τ_P=0.77 τ_0=1.87 σ_0=613.82 σ_{ID}=613.83 Σ_T=615.69
CC 49 SLU (Collegamento 0010_-503)
Azioni sul collegamento: N=18318.60 Ty=3.48 Tz=-79.67 Mx=-0.07 Mz=8.78
Sollecitazioni agenti localmente: Tx_l=3.48 Ty_l=-79.67 N_l=18318.60 My_l=-8.78 Mz_l=-0.07
Azioni sul cordone: TP=0.34 TO=-5.83 NO=1354.11
Tensioni nel cordone: τ_P=0.11 τ_0=1.85 σ_0=443.22 σ_{ID}=443.23 Σ_T=445.08
CC 50 SLU (Collegamento 0010_-503)
Azioni sul collegamento: N=18935.50 Ty=2.61 Tz=-79.67 Mx=-0.05 Mz=6.55
Sollecitazioni agenti localmente: Tx_l=2.61 Ty_l=-79.67 N_l=18935.50 My_l=-6.55 Mz_l=-0.05
Azioni sul cordone: TP=0.25 TO=-5.85 NO=1399.72
Tensioni nel cordone: τ_P= 0.08 τ_0=1.86 σ_0=454.47 σ_{ID}=454.48 Σ_T=456.33
CC 51 SLU (Collegamento 0010_-503)
Azioni sul collegamento: N=18626.30 Ty=3.03 Tz=-79.67 Mx=-0.06 Mz=7.62
Sollecitazioni agenti localmente: Tx_l=3.03 Ty_l=-79.67 N_l=18626.30 My_l=-7.62 Mz_l=-0.06
Azioni sul cordone: TP=0.29 TO=-5.84 NO=1376.86
Tensioni nel cordone: τ_P= 0.09 τ_0=1.86 σ_0=448.77 σ_{ID}=448.77 Σ_T=450.63
CC 52 SLU (Collegamento 0010_-503)
Azioni sul collegamento: N=18627.70 Ty=3.06 Tz=-79.67 Mx=-0.06 Mz=7.71
Sollecitazioni agenti localmente: Tx_l=3.06 Ty_l=-79.67 N_l=18627.70 My_l=-7.71 Mz_l=-0.06
Azioni sul cordone: TP=0.30 TO=-5.84 NO=1376.97
Tensioni nel cordone: τ_P= 0.09 τ_0=1.86 σ_0=448.93 σ_{ID}=448.93 Σ_T=450.79
CC 53 SLU (Collegamento 0010_-503)
Azioni sul collegamento: N=16961.90 Ty=-21.99 Tz=-79.67 Mx=0.44 Mz=-56.20
Sollecitazioni agenti localmente: Tx_l=-21.99 Ty_l=-79.67 N_l=16961.90 My_l=56.20 Mz_l=0.44
Azioni sul cordone: TP=6.24 TO=15.88 NO=3381.10
Tensioni nel cordone: τ_P=0.74 τ_0=1.87 σ_0=480.63 σ_{ID}=480.63 Σ_T=482.50
CC 54 SLU (Collegamento 0010_-503)
Azioni sul collegamento: N=17578.80 Ty=-22.86 Tz=-79.67 Mx=0.46 Mz=-58.42

Sollecitazioni agenti localmente: Tx_l=-22.86 Ty_l=-79.67 N_l=17578.80 My_l=58.42 Mz_l=0.46
Azioni sul cordone: TP=6.49 TO=15.88 NO=3504.08
Tensioni nel cordone: τ_P=0.76 τ_0=1.87 σ_0=498.37 σ_{ID}=498.37 Σ_T=500.24
CC 55 SLU (Collegamento 0010_-503)
Azioni sul collegamento: N=17269.60 Ty=-22.45 Tz=-79.67 Mx=0.45 Mz=-57.35
Sollecitazioni agenti localmente: Tx_l=-22.45 Ty_l=-79.67 N_l=17269.60 My_l=57.35 Mz_l=0.45
Azioni sul cordone: TP=6.37 TO=15.88 NO=3442.45
Tensioni nel cordone: τ_P=0.75 τ_0=1.87 σ_0=489.55 σ_{ID}=489.55 Σ_T=491.42
CC 56 SLU (Collegamento 0010_-503)
Azioni sul collegamento: N=17271.00 Ty=-22.41 Tz=-79.67 Mx=0.45 Mz=-57.27
Sollecitazioni agenti localmente: Tx_l=-22.41 Ty_l=-79.67 N_l=17271.00 My_l=57.27 Mz_l=0.45
Azioni sul cordone: TP=6.36 TO=15.88 NO=3442.73
Tensioni nel cordone: τ_P=0.75 τ_0=1.87 σ_0=489.45 σ_{ID}=489.46 Σ_T=491.33
CC 57 SLU (Collegamento 0010_-503)
Azioni sul collegamento: N=22716.80 Ty=-23.73 Tz=-79.67 Mx=0.47 Mz=-60.70
Sollecitazioni agenti localmente: Tx_l=-23.73 Ty_l=-79.67 N_l=22716.80 My_l=60.70 Mz_l=0.47
Azioni sul cordone: TP=6.73 TO=15.88 NO=4528.27
Tensioni nel cordone: τ_P=0.79 τ_0=1.87 σ_0=622.41 σ_{ID}=622.42 Σ_T=624.29
CC 58 SLU (Collegamento 0010_-503)
Azioni sul collegamento: N=23333.80 Ty=-24.60 Tz=-79.67 Mx=0.49 Mz=-62.92
Sollecitazioni agenti localmente: Tx_l=-24.60 Ty_l=-79.67 N_l=23333.80 My_l=62.92 Mz_l=0.49
Azioni sul cordone: TP=6.98 TO=15.88 NO=4651.25
Tensioni nel cordone: τ_P=0.82 τ_0=1.87 σ_0=640.15 σ_{ID}=640.16 Σ_T=642.03
CC 59 SLU (Collegamento 0010_-503)
Azioni sul collegamento: N=23024.60 Ty=-24.18 Tz=-79.67 Mx=0.48 Mz=-61.85
Sollecitazioni agenti localmente: Tx_l=-24.18 Ty_l=-79.67 N_l=23024.60 My_l=61.85 Mz_l=0.48
Azioni sul cordone: TP=6.86 TO=15.88 NO=4589.62
Tensioni nel cordone: τ_P=0.81 τ_0=1.87 σ_0=631.33 σ_{ID}=631.33 Σ_T=633.20
CC 60 SLU (Collegamento 0010_-503)
Azioni sul collegamento: N=23026.00 Ty=-24.15 Tz=-79.67 Mx=0.48 Mz=-61.76
Sollecitazioni agenti localmente: Tx_l=-24.15 Ty_l=-79.67 N_l=23026.00 My_l=61.76 Mz_l=0.48
Azioni sul cordone: TP=6.85 TO=15.88 NO=4589.90
Tensioni nel cordone: τ_P=0.81 τ_0=1.87 σ_0=631.24 σ_{ID}=631.24 Σ_T=633.11
CC 61 SLU (Collegamento 0010_-503)
Azioni sul collegamento: N=18879.70 Ty=2.34 Tz=-79.67 Mx=-0.05 Mz=5.88
Sollecitazioni agenti localmente: Tx_l=2.34 Ty_l=-79.67 N_l=18879.70 My_l=-5.88 Mz_l=-0.05
Azioni sul cordone: TP=0.23 TO=-5.85 NO=1395.59
Tensioni nel cordone: τ_P= 0.07 τ_0=1.86 σ_0=452.18 σ_{ID}=452.18 Σ_T=454.04
CC 62 SLU (Collegamento 0010_-503)
Azioni sul collegamento: N=19496.60 Ty=1.47 Tz=-79.67 Mx=-0.03 Mz=3.66
Sollecitazioni agenti localmente: Tx_l=1.47 Ty_l=-79.67 N_l=19496.60 My_l=-3.66 Mz_l=-0.03
Azioni sul cordone: TP=0.14 TO=-5.87 NO=1441.20
Tensioni nel cordone: τ_P= 0.04 τ_0=1.86 σ_0=463.43 σ_{ID}=463.43 Σ_T=465.29
CC 63 SLU (Collegamento 0010_-503)
Azioni sul collegamento: N=19187.50 Ty=1.89 Tz=-79.67 Mx=-0.04 Mz=4.73
Sollecitazioni agenti localmente: Tx_l=1.89 Ty_l=-79.67 N_l=19187.50 My_l=-4.73 Mz_l=-0.04
Azioni sul cordone: TP=0.18 TO=-5.86 NO=1418.34
Tensioni nel cordone: τ_P= 0.06 τ_0=1.86 σ_0=457.72 σ_{ID}=457.73 Σ_T=459.58
CC 64 SLU (Collegamento 0010_-503)
Azioni sul collegamento: N=19188.90 Ty=1.92 Tz=-79.67 Mx=-0.04 Mz=4.81
Sollecitazioni agenti localmente: Tx_l=1.92 Ty_l=-79.67 N_l=19188.90 My_l=-4.81 Mz_l=-0.04
Azioni sul cordone: TP=0.18 TO=-5.86 NO=1418.45
Tensioni nel cordone: τ_P= 0.06 τ_0=1.86 σ_0=457.88 σ_{ID}=457.88 Σ_T=459.74
CC 65 SLU (Collegamento 0010_-503)
Azioni sul collegamento: N=17523.00 Ty=-23.13 Tz=-79.67 Mx=0.46 Mz=-59.10
Sollecitazioni agenti localmente: Tx_l=-23.13 Ty_l=-79.67 N_l=17523.00 My_l=59.10 Mz_l=0.46
Azioni sul cordone: TP=6.56 TO=15.88 NO=3492.96
Tensioni nel cordone: τ_P=0.77 τ_0=1.87 σ_0=498.05 σ_{ID}=498.05 Σ_T=499.92
CC 66 SLU (Collegamento 0010_-503)
Azioni sul collegamento: N=18139.90 Ty=-24.00 Tz=-79.67 Mx=0.48 Mz=-61.32
Sollecitazioni agenti localmente: Tx_l=-24.00 Ty_l=-79.67 N_l=18139.90 My_l=61.32 Mz_l=0.48
Azioni sul cordone: TP=6.81 TO=15.88 NO=3615.94
Tensioni nel cordone: τ_P=0.80 τ_0=1.87 σ_0=515.79 σ_{ID}=515.79 Σ_T=517.66
CC 67 SLU (Collegamento 0010_-503)
Azioni sul collegamento: N=17830.80 Ty=-23.58 Tz=-79.67 Mx=0.47 Mz=-60.25
Sollecitazioni agenti localmente: Tx_l=-23.58 Ty_l=-79.67 N_l=17830.80 My_l=60.25 Mz_l=0.47
Azioni sul cordone: TP=6.69 TO=15.88 NO=3554.31
Tensioni nel cordone: τ_P=0.79 τ_0=1.87 σ_0=506.96 σ_{ID}=506.97 Σ_T=508.83
CC 68 SLU (Collegamento 0010_-503)
Azioni sul collegamento: N=17832.20 Ty=-23.55 Tz=-79.67 Mx=0.47 Mz=-60.16
Sollecitazioni agenti localmente: Tx_l=-23.55 Ty_l=-79.67 N_l=17832.20 My_l=60.16 Mz_l=0.47
Azioni sul cordone: TP=6.68 TO=15.88 NO=3554.59
Tensioni nel cordone: τ_P=0.79 τ_0=1.87 σ_0=506.87 σ_{ID}=506.88 Σ_T=508.74
CC 97 SLU (Collegamento 0010_-503)
Azioni sul collegamento: N=23402.50 Ty=-44.00 Tz=-59.01 Mx=0.97 Mz=-113.14
Sollecitazioni agenti localmente: Tx_l=-44.00 Ty_l=-59.01 N_l=23402.50 My_l=113.14 Mz_l=0.97
Azioni sul cordone: TP=12.85 TO=11.76 NO=4664.96
Tensioni nel cordone: τ_P=1.51 τ_0=1.39 σ_0=715.13 σ_{ID}=715.14 Σ_T=716.52
CC 98 SLU (Collegamento 0010_-503)

Azioni sul collegamento: N=24019.50 Ty=-44.87 Tz=-59.01 Mx=0.98 Mz=-115.36
Sollecitazioni agenti localmente: Tx_l=-44.87 Ty_l=-59.01 N_l=24019.50 My_l=115.36 Mz_l=0.98
Azioni sul cordone: TP=13.10 TO=11.76 NO=4787.93
Tensioni nel cordone: τ_P=1.54 τ_0=1.39 σ_0=732.88 σ_{ID}=732.88 Σ_T=734.26
CC 99 SLU (Collegamento 0010_-503)
Azioni sul collegamento: N=23710.30 Ty=-44.45 Tz=-59.01 Mx=0.97 Mz=-114.29
Sollecitazioni agenti localmente: Tx_l=-44.45 Ty_l=-59.01 N_l=23710.30 My_l=114.29 Mz_l=0.97
Azioni sul cordone: TP=12.98 TO=11.76 NO=4726.30
Tensioni nel cordone: τ_P=1.53 τ_0=1.39 σ_0=724.05 σ_{ID}=724.05 Σ_T=725.44
CC 100 SLU (Collegamento 0010_-503)
Azioni sul collegamento: N=23711.70 Ty=-44.41 Tz=-59.01 Mx=0.97 Mz=-114.20
Sollecitazioni agenti localmente: Tx_l=-44.41 Ty_l=-59.01 N_l=23711.70 My_l=114.20 Mz_l=0.97
Azioni sul cordone: TP=12.97 TO=11.76 NO=4726.59
Tensioni nel cordone: τ_P=1.53 τ_0=1.39 σ_0=723.96 σ_{ID}=723.96 Σ_T=725.35
CC 101 SLU (Collegamento 0010_-503)
Azioni sul collegamento: N=6173.84 Ty=-4.41 Tz=-59.01 Mx=0.08 Mz=-11.20
Sollecitazioni agenti localmente: Tx_l=-4.41 Ty_l=-59.01 N_l=6173.84 My_l=11.20 Mz_l=0.08
Azioni sul cordone: TP=1.23 TO=11.76 NO=1230.66
Tensioni nel cordone: τ_P=0.14 τ_0=1.39 σ_0=161.42 σ_{ID}=161.43 Σ_T=162.81
CC 102 SLU (Collegamento 0010_-503)
Azioni sul collegamento: N=6790.76 Ty=-5.28 Tz=-59.01 Mx=0.10 Mz=-13.42
Sollecitazioni agenti localmente: Tx_l=-5.28 Ty_l=-59.01 N_l=6790.76 My_l=13.42 Mz_l=0.10
Azioni sul cordone: TP=1.48 TO=11.76 NO=1353.64
Tensioni nel cordone: τ_P=0.17 τ_0=1.39 σ_0=179.16 σ_{ID}=179.17 Σ_T=180.55
CC 103 SLU (Collegamento 0010_-503)
Azioni sul collegamento: N=6481.58 Ty=-4.86 Tz=-59.01 Mx=0.09 Mz=-12.35
Sollecitazioni agenti localmente: Tx_l=-4.86 Ty_l=-59.01 N_l=6481.58 My_l=12.35 Mz_l=0.09
Azioni sul cordone: TP=1.36 TO=11.76 NO=1292.01
Tensioni nel cordone: τ_P=0.16 τ_0=1.39 σ_0=170.34 σ_{ID}=170.34 Σ_T=171.72
CC 104 SLU (Collegamento 0010_-503)
Azioni sul collegamento: N=6483.01 Ty=-4.83 Tz=-59.01 Mx=0.09 Mz=-12.27
Sollecitazioni agenti localmente: Tx_l=-4.83 Ty_l=-59.01 N_l=6483.01 My_l=12.27 Mz_l=0.09
Azioni sul cordone: TP=1.35 TO=11.76 NO=1292.29
Tensioni nel cordone: τ_P=0.16 τ_0=1.39 σ_0=170.25 σ_{ID}=170.25 Σ_T=171.63

Collegamento 0020_-377

Piastra 220.00 x 220.00 s=15.00 - 6 Tirafondi ϕ 16 - Profondità di infissione: 350.00
3 righe ad interasse 89.00
2 colonne ad interasse 178.00
Altezza di gola saldature: anima 7.07 - ala 7.07

Tirafondi e calcestruzzo

CC 1 SLV (Collegamento 0020_-377)
Azioni sul collegamento: N=-3875.57 Ty=-4.02 Tz=-9.21 Mx=0.02 Mz=2.16
Sollecitazioni agenti localmente: Tx_l=-4.02 Ty_l=-9.21 N_l=-3875.57 Mx_l=-0.00 My_l=2.16 Mz_l=0.02
Taglio nei bulloni: Fv,Ed=1.71 Fv,Rd=7720.78
Rifollamento lato piastra: Fb,Ed,p=1.71 Fb,Rd,p=7758.79
Tirafondi:LT=0.45 (0.31) σ_{cR}=0.00 σ_{fR}=0.00
Compressione nel calcestruzzo: σ_c=8.13
CC 1 SLV (Collegamento 0020_-377)
Azioni sul collegamento: N=-3875.57 Ty=-0.64 Tz=-9.21 Mx=0.02 Mz=-1.09
Sollecitazioni agenti localmente: Tx_l=-0.64 Ty_l=-9.21 N_l=-3875.57 Mx_l=-0.00 My_l=-1.09 Mz_l=0.02
Taglio nei bulloni: Fv,Ed=1.56 Fv,Rd=7720.78
Rifollamento lato piastra: Fb,Ed,p=1.56 Fb,Rd,p=6040.85
Tirafondi:LT=0.45 (0.31) σ_{cR}=0.00 σ_{fR}=0.00
Compressione nel calcestruzzo: σ_c=8.07
CC 1 SLV (Collegamento 0020_-377)
Azioni sul collegamento: N=-3875.57 Ty=-4.02 Tz=10.50 Mx=0.02 Mz=2.16
Sollecitazioni agenti localmente: Tx_l=-4.02 Ty_l=10.50 N_l=-3875.57 Mx_l=-0.00 My_l=2.16 Mz_l=0.02
Taglio nei bulloni: Fv,Ed=1.90 Fv,Rd=7720.78
Rifollamento lato piastra: Fb,Ed,p=1.89 Fb,Rd,p=7168.83
Tirafondi:LT=0.45 (0.31) σ_{cR}=0.00 σ_{fR}=0.00
Compressione nel calcestruzzo: σ_c=8.13
CC 1 SLV (Collegamento 0020_-377)
Azioni sul collegamento: N=-3875.57 Ty=-0.64 Tz=10.50 Mx=0.02 Mz=-1.09
Sollecitazioni agenti localmente: Tx_l=-0.64 Ty_l=10.50 N_l=-3875.57 Mx_l=-0.00 My_l=-1.09 Mz_l=0.02
Taglio nei bulloni: Fv,Ed=1.78 Fv,Rd=7720.78
Rifollamento lato piastra: Fb,Ed,p=1.78 Fb,Rd,p=5998.64
Tirafondi:LT=0.45 (0.31) σ_{cR}=0.00 σ_{fR}=0.00
Compressione nel calcestruzzo: σ_c=8.07
CC 1 SLV (Collegamento 0020_-377)
Azioni sul collegamento: N=-9172.38 Ty=-4.02 Tz=-9.21 Mx=0.02 Mz=2.16
Sollecitazioni agenti localmente: Tx_l=-4.02 Ty_l=-9.21 N_l=-9172.38 Mx_l=-0.00 My_l=2.16 Mz_l=0.02
Taglio nei bulloni: Fv,Ed=1.71 Fv,Rd=7720.78
Rifollamento lato piastra: Fb,Ed,p=1.71 Fb,Rd,p=7758.90
Tirafondi:LT=0.45 (0.31) σ_{cR}=0.00 σ_{fR}=0.00
Compressione nel calcestruzzo: σ_c=19.07

CC 1 SLV (Collegamento 0020_-377)
Azioni sul collegamento: N=-9172.38 Ty=-0.64 Tz=-9.21 Mx=0.02 Mz=-1.09
Sollecitazioni agenti localmente: Tx_l=-0.64 Ty_l=-9.21 N_l=-9172.38 Mx_l=-0.00 My_l=-1.09 Mz_l=0.02
Taglio nei bulloni: Fv,Ed=1.56 Fv,Rd=7720.78
Rifollamento lato piastra: Fb,Ed,p=1.56 Fb,Rd,p=6040.85
Tirafondi:LT=0.45 (0.31) σ_{cR}=0.00 σ_{fR}=0.00
Compressione nel calcestruzzo: σ_c=19.01
CC 1 SLV (Collegamento 0020_-377)
Azioni sul collegamento: N=-9172.38 Ty=-4.02 Tz=10.50 Mx=0.02 Mz=2.16
Sollecitazioni agenti localmente: Tx_l=-4.02 Ty_l=10.50 N_l=-9172.38 Mx_l=-0.00 My_l=2.16 Mz_l=0.02
Taglio nei bulloni: Fv,Ed=1.90 Fv,Rd=7720.78
Rifollamento lato piastra: Fb,Ed,p=1.89 Fb,Rd,p=7168.81
Tirafondi:LT=0.45 (0.31) σ_{cR}=0.00 σ_{fR}=0.00
Compressione nel calcestruzzo: σ_c=19.07
CC 1 SLV (Collegamento 0020_-377)
Azioni sul collegamento: N=-9172.38 Ty=-0.64 Tz=10.50 Mx=0.02 Mz=-1.09
Sollecitazioni agenti localmente: Tx_l=-0.64 Ty_l=10.50 N_l=-9172.38 Mx_l=-0.00 My_l=-1.09 Mz_l=0.02
Taglio nei bulloni: Fv,Ed=1.78 Fv,Rd=7720.78
Rifollamento lato piastra: Fb,Ed,p=1.78 Fb,Rd,p=5998.64
Tirafondi:LT=0.45 (0.31) σ_{cR}=0.00 σ_{fR}=0.00
Compressione nel calcestruzzo: σ_c=19.01
CC 2 SLD (Collegamento 0020_-377)
Azioni sul collegamento: N=-5748.85 Ty=-2.66 Tz=-2.23 Mx=0.01 Mz=-1.05
Sollecitazioni agenti localmente: Tx_l=-2.66 Ty_l=-2.23 N_l=-5748.85 Mx_l=-0.00 My_l=-1.05 Mz_l=0.01
Taglio nei bulloni: Fv,Ed=0.59 Fv,Rd=9650.97
Rifollamento lato piastra: Fb,Ed,p=0.58 Fb,Rd,p=13600.60
Tirafondi:LT=0.45 (0.31) σ_{cR}=0.00 σ_{fR}=0.00
Compressione nel calcestruzzo: σ_c=11.94
CC 2 SLD (Collegamento 0020_-377)
Azioni sul collegamento: N=-5748.85 Ty=-3.69 Tz=-2.23 Mx=0.01 Mz=-2.04
Sollecitazioni agenti localmente: Tx_l=-3.69 Ty_l=-2.23 N_l=-5748.85 Mx_l=-0.00 My_l=-2.04 Mz_l=0.01
Taglio nei bulloni: Fv,Ed=0.73 Fv,Rd=9650.97
Rifollamento lato piastra: Fb,Ed,p=0.72 Fb,Rd,p=11286.20
Tirafondi:LT=0.45 (0.31) σ_{cR}=0.00 σ_{fR}=0.00
Compressione nel calcestruzzo: σ_c=11.99
CC 2 SLD (Collegamento 0020_-377)
Azioni sul collegamento: N=-5748.85 Ty=-2.66 Tz=3.78 Mx=0.01 Mz=-1.05
Sollecitazioni agenti localmente: Tx_l=-2.66 Ty_l=3.78 N_l=-5748.85 Mx_l=-0.00 My_l=-1.05 Mz_l=0.01
Taglio nei bulloni: Fv,Ed=0.78 Fv,Rd=9650.97
Rifollamento lato piastra: Fb,Ed,p=0.77 Fb,Rd,p=12706.00
Tirafondi:LT=0.45 (0.31) σ_{cR}=0.00 σ_{fR}=0.00
Compressione nel calcestruzzo: σ_c=11.94
CC 2 SLD (Collegamento 0020_-377)
Azioni sul collegamento: N=-5748.85 Ty=-3.69 Tz=3.78 Mx=0.01 Mz=-2.04
Sollecitazioni agenti localmente: Tx_l=-3.69 Ty_l=3.78 N_l=-5748.85 Mx_l=-0.00 My_l=-2.04 Mz_l=0.01
Taglio nei bulloni: Fv,Ed=0.89 Fv,Rd=9650.97
Rifollamento lato piastra: Fb,Ed,p=0.88 Fb,Rd,p=14617.90
Tirafondi:LT=0.45 (0.31) σ_{cR}=0.00 σ_{fR}=0.00
Compressione nel calcestruzzo: σ_c=11.99
CC 2 SLD (Collegamento 0020_-377)
Azioni sul collegamento: N=-7364.01 Ty=-2.66 Tz=-2.23 Mx=0.01 Mz=-1.05
Sollecitazioni agenti localmente: Tx_l=-2.66 Ty_l=-2.23 N_l=-7364.01 Mx_l=-0.00 My_l=-1.05 Mz_l=0.01
Taglio nei bulloni: Fv,Ed=0.59 Fv,Rd=9650.97
Rifollamento lato piastra: Fb,Ed,p=0.58 Fb,Rd,p=13600.50
Tirafondi:LT=0.45 (0.31) σ_{cR}=0.00 σ_{fR}=0.00
Compressione nel calcestruzzo: σ_c=15.27
CC 2 SLD (Collegamento 0020_-377)
Azioni sul collegamento: N=-7364.01 Ty=-3.69 Tz=-2.23 Mx=0.01 Mz=-2.04
Sollecitazioni agenti localmente: Tx_l=-3.69 Ty_l=-2.23 N_l=-7364.01 Mx_l=-0.00 My_l=-2.04 Mz_l=0.01
Taglio nei bulloni: Fv,Ed=0.73 Fv,Rd=9650.97
Rifollamento lato piastra: Fb,Ed,p=0.72 Fb,Rd,p=11286.10
Tirafondi:LT=0.45 (0.31) σ_{cR}=0.00 σ_{fR}=0.00
Compressione nel calcestruzzo: σ_c=15.33
CC 2 SLD (Collegamento 0020_-377)
Azioni sul collegamento: N=-7364.01 Ty=-2.66 Tz=3.78 Mx=0.01 Mz=-1.05
Sollecitazioni agenti localmente: Tx_l=-2.66 Ty_l=3.78 N_l=-7364.01 Mx_l=-0.00 My_l=-1.05 Mz_l=0.01
Taglio nei bulloni: Fv,Ed=0.78 Fv,Rd=9650.97
Rifollamento lato piastra: Fb,Ed,p=0.77 Fb,Rd,p=12705.00
Tirafondi:LT=0.45 (0.31) σ_{cR}=0.00 σ_{fR}=0.00
Compressione nel calcestruzzo: σ_c=15.27
CC 2 SLD (Collegamento 0020_-377)
Azioni sul collegamento: N=-7364.01 Ty=-3.69 Tz=3.78 Mx=0.01 Mz=-2.04
Sollecitazioni agenti localmente: Tx_l=-3.69 Ty_l=3.78 N_l=-7364.01 Mx_l=-0.00 My_l=-2.04 Mz_l=0.01
Taglio nei bulloni: Fv,Ed=0.89 Fv,Rd=9650.97
Rifollamento lato piastra: Fb,Ed,p=0.88 Fb,Rd,p=14617.30
Tirafondi:LT=0.45 (0.31) σ_{cR}=0.00 σ_{fR}=0.00
Compressione nel calcestruzzo: σ_c=15.33
CC 3 SLV (Collegamento 0020_-377)

Azioni sul collegamento: N=-3881.26 Ty=-3.39 Tz=-9.09 Mx=0.02 Mz=0.91
Sollecitazioni agenti localmente: Tx_l=-3.39 Ty_l=-9.09 N_l=-3881.26 Mx_l=-0.00 My_l=0.91 Mz_l=0.02
Taglio nei bulloni: Fv,Ed=1.64 Fv,Rd=7720.78
Rifollamento lato piastra: Fb,Ed,p=1.64 Fb,Rd,p=7274.04
Tirafondi:LT=0.45 (0.31) σ_{cR}=0.00 σ_{fR}=0.00
Compressione nel calcestruzzo: σ_c=8.07
CC 3 SLV (Collegamento 0020_-377)
Azioni sul collegamento: N=-3881.26 Ty=-1.27 Tz=-9.09 Mx=0.02 Mz=0.17
Sollecitazioni agenti localmente: Tx_l=-1.27 Ty_l=-9.09 N_l=-3881.26 Mx_l=-0.00 My_l=0.17 Mz_l=0.02
Taglio nei bulloni: Fv,Ed=1.55 Fv,Rd=7720.78
Rifollamento lato piastra: Fb,Ed,p=1.55 Fb,Rd,p=6179.84
Tirafondi:LT=0.45 (0.31) σ_{cR}=0.00 σ_{fR}=0.00
Compressione nel calcestruzzo: σ_c=8.03
CC 3 SLV (Collegamento 0020_-377)
Azioni sul collegamento: N=-3881.26 Ty=-3.39 Tz=10.37 Mx=0.02 Mz=0.91
Sollecitazioni agenti localmente: Tx_l=-3.39 Ty_l=10.37 N_l=-3881.26 Mx_l=-0.00 My_l=0.91 Mz_l=0.02
Taglio nei bulloni: Fv,Ed=1.84 Fv,Rd=7720.78
Rifollamento lato piastra: Fb,Ed,p=1.83 Fb,Rd,p=6852.26
Tirafondi:LT=0.45 (0.31) σ_{cR}=0.00 σ_{fR}=0.00
Compressione nel calcestruzzo: σ_c=8.07
CC 3 SLV (Collegamento 0020_-377)
Azioni sul collegamento: N=-3881.26 Ty=-1.27 Tz=10.37 Mx=0.02 Mz=0.17
Sollecitazioni agenti localmente: Tx_l=-1.27 Ty_l=10.37 N_l=-3881.26 Mx_l=-0.00 My_l=0.17 Mz_l=0.02
Taglio nei bulloni: Fv,Ed=1.76 Fv,Rd=7720.78
Rifollamento lato piastra: Fb,Ed,p=1.76 Fb,Rd,p=6088.73
Tirafondi:LT=0.45 (0.31) σ_{cR}=0.00 σ_{fR}=0.00
Compressione nel calcestruzzo: σ_c=8.03
CC 3 SLV (Collegamento 0020_-377)
Azioni sul collegamento: N=-9166.69 Ty=-3.39 Tz=-9.09 Mx=0.02 Mz=0.91
Sollecitazioni agenti localmente: Tx_l=-3.39 Ty_l=-9.09 N_l=-9166.69 Mx_l=-0.00 My_l=0.91 Mz_l=0.02
Taglio nei bulloni: Fv,Ed=1.64 Fv,Rd=7720.78
Rifollamento lato piastra: Fb,Ed,p=1.64 Fb,Rd,p=7274.04
Tirafondi:LT=0.45 (0.31) σ_{cR}=0.00 σ_{fR}=0.00
Compressione nel calcestruzzo: σ_c=18.99
CC 3 SLV (Collegamento 0020_-377)
Azioni sul collegamento: N=-9166.69 Ty=-1.27 Tz=-9.09 Mx=0.02 Mz=0.17
Sollecitazioni agenti localmente: Tx_l=-1.27 Ty_l=-9.09 N_l=-9166.69 Mx_l=-0.00 My_l=0.17 Mz_l=0.02
Taglio nei bulloni: Fv,Ed=1.55 Fv,Rd=7720.78
Rifollamento lato piastra: Fb,Ed,p=1.55 Fb,Rd,p=6179.84
Tirafondi:LT=0.45 (0.31) σ_{cR}=0.00 σ_{fR}=0.00
Compressione nel calcestruzzo: σ_c=18.95
CC 3 SLV (Collegamento 0020_-377)
Azioni sul collegamento: N=-9166.69 Ty=-3.39 Tz=10.38 Mx=0.02 Mz=0.91
Sollecitazioni agenti localmente: Tx_l=-3.39 Ty_l=10.38 N_l=-9166.69 Mx_l=-0.00 My_l=0.91 Mz_l=0.02
Taglio nei bulloni: Fv,Ed=1.84 Fv,Rd=7720.78
Rifollamento lato piastra: Fb,Ed,p=1.83 Fb,Rd,p=6852.21
Tirafondi:LT=0.45 (0.31) σ_{cR}=0.00 σ_{fR}=0.00
Compressione nel calcestruzzo: σ_c=18.99
CC 3 SLV (Collegamento 0020_-377)
Azioni sul collegamento: N=-9166.69 Ty=-1.27 Tz=10.38 Mx=0.02 Mz=0.17
Sollecitazioni agenti localmente: Tx_l=-1.27 Ty_l=10.38 N_l=-9166.69 Mx_l=-0.00 My_l=0.17 Mz_l=0.02
Taglio nei bulloni: Fv,Ed=1.76 Fv,Rd=7720.78
Rifollamento lato piastra: Fb,Ed,p=1.76 Fb,Rd,p=6088.73
Tirafondi:LT=0.45 (0.31) σ_{cR}=0.00 σ_{fR}=0.00
Compressione nel calcestruzzo: σ_c=18.95
CC 4 SLD (Collegamento 0020_-377)
Azioni sul collegamento: N=-5750.58 Ty=-2.85 Tz=-2.19 Mx=0.01 Mz=-1.43
Sollecitazioni agenti localmente: Tx_l=-2.85 Ty_l=-2.19 N_l=-5750.58 Mx_l=-0.00 My_l=-1.43 Mz_l=0.01
Taglio nei bulloni: Fv,Ed=0.61 Fv,Rd=9650.97
Rifollamento lato piastra: Fb,Ed,p=0.60 Fb,Rd,p=13207.60
Tirafondi:LT=0.45 (0.31) σ_{cR}=0.00 σ_{fR}=0.00
Compressione nel calcestruzzo: σ_c=11.96
CC 4 SLD (Collegamento 0020_-377)
Azioni sul collegamento: N=-5750.58 Ty=-3.50 Tz=-2.19 Mx=0.01 Mz=-1.66
Sollecitazioni agenti localmente: Tx_l=-3.50 Ty_l=-2.19 N_l=-5750.58 Mx_l=-0.00 My_l=-1.66 Mz_l=0.01
Taglio nei bulloni: Fv,Ed=0.70 Fv,Rd=9650.97
Rifollamento lato piastra: Fb,Ed,p=0.69 Fb,Rd,p=11627.80
Tirafondi:LT=0.45 (0.31) σ_{cR}=0.00 σ_{fR}=0.00
Compressione nel calcestruzzo: σ_c=11.97
CC 4 SLD (Collegamento 0020_-377)
Azioni sul collegamento: N=-5750.58 Ty=-2.85 Tz=3.74 Mx=0.01 Mz=-1.43
Sollecitazioni agenti localmente: Tx_l=-2.85 Ty_l=3.74 N_l=-5750.58 Mx_l=-0.00 My_l=-1.43 Mz_l=0.01
Taglio nei bulloni: Fv,Ed=0.80 Fv,Rd=9650.97
Rifollamento lato piastra: Fb,Ed,p=0.79 Fb,Rd,p=13209.60
Tirafondi:LT=0.45 (0.31) σ_{cR}=0.00 σ_{fR}=0.00
Compressione nel calcestruzzo: σ_c=11.96
CC 4 SLD (Collegamento 0020_-377)
Azioni sul collegamento: N=-5750.58 Ty=-3.50 Tz=3.74 Mx=0.01 Mz=-1.66

Sollecitazioni agenti localmente: Tx_l=-3.50 Ty_l=3.74 N_l=-5750.58 Mx_l=-0.00 My_l=-1.66 Mz_l=0.01
Taglio nei bulloni: Fv,Ed=0.87 Fv,Rd=9650.97
Rifollamento lato piastra: Fb,Ed,p=0.85 Fb,Rd,p=14356.20
Tirafondi:LT=0.45 (0.31) σ_{cR}=0.00 σ_{fR}=0.00
Compressione nel calcestruzzo: σ_c=11.97
CC 4 SLD (Collegamento 0020_-377)
Azioni sul collegamento: N=-7362.28 Ty=-2.85 Tz=-2.19 Mx=0.01 Mz=-1.43
Sollecitazioni agenti localmente: Tx_l=-2.85 Ty_l=-2.19 N_l=-7362.28 Mx_l=-0.00 My_l=-1.43 Mz_l=0.01
Taglio nei bulloni: Fv,Ed=0.61 Fv,Rd=9650.97
Rifollamento lato piastra: Fb,Ed,p=0.60 Fb,Rd,p=13208.30
Tirafondi:LT=0.45 (0.31) σ_{cR}=0.00 σ_{fR}=0.00
Compressione nel calcestruzzo: σ_c=15.29
CC 4 SLD (Collegamento 0020_-377)
Azioni sul collegamento: N=-7362.28 Ty=-3.50 Tz=-2.19 Mx=0.01 Mz=-1.66
Sollecitazioni agenti localmente: Tx_l=-3.50 Ty_l=-2.19 N_l=-7362.28 Mx_l=-0.00 My_l=-1.66 Mz_l=0.01
Taglio nei bulloni: Fv,Ed=0.70 Fv,Rd=9650.97
Rifollamento lato piastra: Fb,Ed,p=0.69 Fb,Rd,p=11629.00
Tirafondi:LT=0.45 (0.31) σ_{cR}=0.00 σ_{fR}=0.00
Compressione nel calcestruzzo: σ_c=15.30
CC 4 SLD (Collegamento 0020_-377)
Azioni sul collegamento: N=-7362.28 Ty=-2.85 Tz=3.74 Mx=0.01 Mz=-1.43
Sollecitazioni agenti localmente: Tx_l=-2.85 Ty_l=3.74 N_l=-7362.28 Mx_l=-0.00 My_l=-1.43 Mz_l=0.01
Taglio nei bulloni: Fv,Ed=0.80 Fv,Rd=9650.97
Rifollamento lato piastra: Fb,Ed,p=0.79 Fb,Rd,p=13209.60
Tirafondi:LT=0.45 (0.31) σ_{cR}=0.00 σ_{fR}=0.00
Compressione nel calcestruzzo: σ_c=15.29
CC 4 SLD (Collegamento 0020_-377)
Azioni sul collegamento: N=-7362.28 Ty=-3.50 Tz=3.74 Mx=0.01 Mz=-1.66
Sollecitazioni agenti localmente: Tx_l=-3.50 Ty_l=3.74 N_l=-7362.28 Mx_l=-0.00 My_l=-1.66 Mz_l=0.01
Taglio nei bulloni: Fv,Ed=0.87 Fv,Rd=9650.97
Rifollamento lato piastra: Fb,Ed,p=0.85 Fb,Rd,p=14356.10
Tirafondi:LT=0.45 (0.31) σ_{cR}=0.00 σ_{fR}=0.00
Compressione nel calcestruzzo: σ_c=15.30
CC 5 SLV (Collegamento 0020_-377)
Azioni sul collegamento: N=-9166.69 Ty=-1.27 Tz=10.38 Mx=0.02 Mz=0.17
Sollecitazioni agenti localmente: Tx_l=-1.27 Ty_l=10.38 N_l=-9166.69 Mx_l=-0.00 My_l=0.17 Mz_l=0.02
Taglio nei bulloni: Fv,Ed=1.76 Fv,Rd=7720.78
Rifollamento lato piastra: Fb,Ed,p=1.76 Fb,Rd,p=6086.02
Tirafondi:LT=0.45 (0.31) σ_{cR}=0.00 σ_{fR}=0.00
Compressione nel calcestruzzo: σ_c=18.95
CC 5 SLV (Collegamento 0020_-377)
Azioni sul collegamento: N=-9166.69 Ty=-3.39 Tz=10.38 Mx=0.02 Mz=0.91
Sollecitazioni agenti localmente: Tx_l=-3.39 Ty_l=10.38 N_l=-9166.69 Mx_l=-0.00 My_l=0.91 Mz_l=0.02
Taglio nei bulloni: Fv,Ed=1.84 Fv,Rd=7720.78
Rifollamento lato piastra: Fb,Ed,p=1.83 Fb,Rd,p=6843.07
Tirafondi:LT=0.45 (0.31) σ_{cR}=0.00 σ_{fR}=0.00
Compressione nel calcestruzzo: σ_c=18.99
CC 5 SLV (Collegamento 0020_-377)
Azioni sul collegamento: N=-9166.69 Ty=-1.27 Tz=-9.09 Mx=0.02 Mz=0.17
Sollecitazioni agenti localmente: Tx_l=-1.27 Ty_l=-9.09 N_l=-9166.69 Mx_l=-0.00 My_l=0.17 Mz_l=0.02
Taglio nei bulloni: Fv,Ed=1.55 Fv,Rd=7720.78
Rifollamento lato piastra: Fb,Ed,p=1.55 Fb,Rd,p=6183.07
Tirafondi:LT=0.45 (0.31) σ_{cR}=0.00 σ_{fR}=0.00
Compressione nel calcestruzzo: σ_c=18.95
CC 5 SLV (Collegamento 0020_-377)
Azioni sul collegamento: N=-9166.69 Ty=-3.39 Tz=-9.09 Mx=0.02 Mz=0.91
Sollecitazioni agenti localmente: Tx_l=-3.39 Ty_l=-9.09 N_l=-9166.69 Mx_l=-0.00 My_l=0.91 Mz_l=0.02
Taglio nei bulloni: Fv,Ed=1.64 Fv,Rd=7720.78
Rifollamento lato piastra: Fb,Ed,p=1.64 Fb,Rd,p=7280.08
Tirafondi:LT=0.45 (0.31) σ_{cR}=0.00 σ_{fR}=0.00
Compressione nel calcestruzzo: σ_c=18.99
CC 5 SLV (Collegamento 0020_-377)
Azioni sul collegamento: N=-3881.26 Ty=-1.27 Tz=10.37 Mx=0.02 Mz=0.17
Sollecitazioni agenti localmente: Tx_l=-1.27 Ty_l=10.37 N_l=-3881.26 Mx_l=-0.00 My_l=0.17 Mz_l=0.02
Taglio nei bulloni: Fv,Ed=1.76 Fv,Rd=7720.78
Rifollamento lato piastra: Fb,Ed,p=1.76 Fb,Rd,p=6086.03
Tirafondi:LT=0.45 (0.31) σ_{cR}=0.00 σ_{fR}=0.00
Compressione nel calcestruzzo: σ_c=8.03
CC 5 SLV (Collegamento 0020_-377)
Azioni sul collegamento: N=-3881.26 Ty=-3.39 Tz=10.37 Mx=0.02 Mz=0.91
Sollecitazioni agenti localmente: Tx_l=-3.39 Ty_l=10.37 N_l=-3881.26 Mx_l=-0.00 My_l=0.91 Mz_l=0.02
Taglio nei bulloni: Fv,Ed=1.84 Fv,Rd=7720.78
Rifollamento lato piastra: Fb,Ed,p=1.83 Fb,Rd,p=6843.12
Tirafondi:LT=0.45 (0.31) σ_{cR}=0.00 σ_{fR}=0.00
Compressione nel calcestruzzo: σ_c=8.07
CC 5 SLV (Collegamento 0020_-377)
Azioni sul collegamento: N=-3881.26 Ty=-1.27 Tz=-9.09 Mx=0.02 Mz=0.17
Sollecitazioni agenti localmente: Tx_l=-1.27 Ty_l=-9.09 N_l=-3881.26 Mx_l=-0.00 My_l=0.17 Mz_l=0.02

Taglio nei bulloni: Fv,Ed=1.55 Fv,Rd=7720.78
Rifollamento lato piastra: Fb,Ed,p=1.55 Fb,Rd,p=6183.07
Tirafondi:LT=0.45 (0.31) σ_{cR}=0.00 σ_{fR}=0.00
Compressione nel calcestruzzo: σ_c=8.03
CC 5 SLV (Collegamento 0020_-377)
Azioni sul collegamento: N=-3881.26 Ty=-3.39 Tz=-9.09 Mx=0.02 Mz=0.91
Sollecitazioni agenti localmente: Tx_l=-3.39 Ty_l=-9.09 N_l=-3881.26 Mx_l=-0.00 My_l=0.91 Mz_l=0.02
Taglio nei bulloni: Fv,Ed=1.64 Fv,Rd=7720.78
Rifollamento lato piastra: Fb,Ed,p=1.64 Fb,Rd,p=7280.09
Tirafondi:LT=0.45 (0.31) σ_{cR}=0.00 σ_{fR}=0.00
Compressione nel calcestruzzo: σ_c=8.07
CC 6 SLD (Collegamento 0020_-377)
Azioni sul collegamento: N=-7362.28 Ty=-3.50 Tz=3.74 Mx=0.01 Mz=-1.66
Sollecitazioni agenti localmente: Tx_l=-3.50 Ty_l=3.74 N_l=-7362.28 Mx_l=-0.00 My_l=-1.66 Mz_l=0.01
Taglio nei bulloni: Fv,Ed=0.87 Fv,Rd=9650.97
Rifollamento lato piastra: Fb,Ed,p=0.85 Fb,Rd,p=14341.90
Tirafondi:LT=0.45 (0.31) σ_{cR}=0.00 σ_{fR}=0.00
Compressione nel calcestruzzo: σ_c=15.30
CC 6 SLD (Collegamento 0020_-377)
Azioni sul collegamento: N=-7362.28 Ty=-2.85 Tz=3.74 Mx=0.01 Mz=-1.43
Sollecitazioni agenti localmente: Tx_l=-2.85 Ty_l=3.74 N_l=-7362.28 Mx_l=-0.00 My_l=-1.43 Mz_l=0.01
Taglio nei bulloni: Fv,Ed=0.80 Fv,Rd=9650.97
Rifollamento lato piastra: Fb,Ed,p=0.79 Fb,Rd,p=13198.10
Tirafondi:LT=0.45 (0.31) σ_{cR}=0.00 σ_{fR}=0.00
Compressione nel calcestruzzo: σ_c=15.29
CC 6 SLD (Collegamento 0020_-377)
Azioni sul collegamento: N=-7362.28 Ty=-3.50 Tz=-2.19 Mx=0.01 Mz=-1.66
Sollecitazioni agenti localmente: Tx_l=-3.50 Ty_l=-2.19 N_l=-7362.28 Mx_l=-0.00 My_l=-1.66 Mz_l=0.01
Taglio nei bulloni: Fv,Ed=0.70 Fv,Rd=9650.97
Rifollamento lato piastra: Fb,Ed,p=0.69 Fb,Rd,p=11603.80
Tirafondi:LT=0.45 (0.31) σ_{cR}=0.00 σ_{fR}=0.00
Compressione nel calcestruzzo: σ_c=15.30
CC 6 SLD (Collegamento 0020_-377)
Azioni sul collegamento: N=-7362.28 Ty=-2.85 Tz=-2.19 Mx=0.01 Mz=-1.43
Sollecitazioni agenti localmente: Tx_l=-2.85 Ty_l=-2.19 N_l=-7362.28 Mx_l=-0.00 My_l=-1.43 Mz_l=0.01
Taglio nei bulloni: Fv,Ed=0.61 Fv,Rd=9650.97
Rifollamento lato piastra: Fb,Ed,p=0.60 Fb,Rd,p=13193.30
Tirafondi:LT=0.45 (0.31) σ_{cR}=0.00 σ_{fR}=0.00
Compressione nel calcestruzzo: σ_c=15.29
CC 6 SLD (Collegamento 0020_-377)
Azioni sul collegamento: N=-5750.58 Ty=-3.50 Tz=3.74 Mx=0.01 Mz=-1.66
Sollecitazioni agenti localmente: Tx_l=-3.50 Ty_l=3.74 N_l=-5750.58 Mx_l=-0.00 My_l=-1.66 Mz_l=0.01
Taglio nei bulloni: Fv,Ed=0.87 Fv,Rd=9650.97
Rifollamento lato piastra: Fb,Ed,p=0.85 Fb,Rd,p=14341.90
Tirafondi:LT=0.45 (0.31) σ_{cR}=0.00 σ_{fR}=0.00
Compressione nel calcestruzzo: σ_c=11.97
CC 6 SLD (Collegamento 0020_-377)
Azioni sul collegamento: N=-5750.58 Ty=-2.85 Tz=3.74 Mx=0.01 Mz=-1.43
Sollecitazioni agenti localmente: Tx_l=-2.85 Ty_l=3.74 N_l=-5750.58 Mx_l=-0.00 My_l=-1.43 Mz_l=0.01
Taglio nei bulloni: Fv,Ed=0.80 Fv,Rd=9650.97
Rifollamento lato piastra: Fb,Ed,p=0.79 Fb,Rd,p=13198.20
Tirafondi:LT=0.45 (0.31) σ_{cR}=0.00 σ_{fR}=0.00
Compressione nel calcestruzzo: σ_c=11.96
CC 6 SLD (Collegamento 0020_-377)
Azioni sul collegamento: N=-5750.58 Ty=-3.50 Tz=-2.19 Mx=0.01 Mz=-1.66
Sollecitazioni agenti localmente: Tx_l=-3.50 Ty_l=-2.19 N_l=-5750.58 Mx_l=-0.00 My_l=-1.66 Mz_l=0.01
Taglio nei bulloni: Fv,Ed=0.70 Fv,Rd=9650.97
Rifollamento lato piastra: Fb,Ed,p=0.69 Fb,Rd,p=11602.70
Tirafondi:LT=0.45 (0.31) σ_{cR}=0.00 σ_{fR}=0.00
Compressione nel calcestruzzo: σ_c=11.97
CC 6 SLD (Collegamento 0020_-377)
Azioni sul collegamento: N=-5750.58 Ty=-2.85 Tz=-2.19 Mx=0.01 Mz=-1.43
Sollecitazioni agenti localmente: Tx_l=-2.85 Ty_l=-2.19 N_l=-5750.58 Mx_l=-0.00 My_l=-1.43 Mz_l=0.01
Taglio nei bulloni: Fv,Ed=0.61 Fv,Rd=9650.97
Rifollamento lato piastra: Fb,Ed,p=0.60 Fb,Rd,p=13192.60
Tirafondi:LT=0.45 (0.31) σ_{cR}=0.00 σ_{fR}=0.00
Compressione nel calcestruzzo: σ_c=11.96
CC 7 SLV (Collegamento 0020_-377)
Azioni sul collegamento: N=-9172.38 Ty=-0.64 Tz=10.50 Mx=0.01 Mz=-1.09
Sollecitazioni agenti localmente: Tx_l=-0.64 Ty_l=10.50 N_l=-9172.38 Mx_l=-0.00 My_l=-1.09 Mz_l=0.01
Taglio nei bulloni: Fv,Ed=1.77 Fv,Rd=7720.78
Rifollamento lato piastra: Fb,Ed,p=1.77 Fb,Rd,p=6003.06
Tirafondi:LT=0.45 (0.31) σ_{cR}=0.00 σ_{fR}=0.00
Compressione nel calcestruzzo: σ_c=19.01
CC 7 SLV (Collegamento 0020_-377)
Azioni sul collegamento: N=-9172.38 Ty=-4.02 Tz=10.50 Mx=0.01 Mz=2.16
Sollecitazioni agenti localmente: Tx_l=-4.02 Ty_l=10.50 N_l=-9172.38 Mx_l=-0.00 My_l=2.16 Mz_l=0.01
Taglio nei bulloni: Fv,Ed=1.89 Fv,Rd=7720.78

Rifollamento lato piastra: Fb,Ed,p=1.88 Fb,Rd,p=7212.56
Tirafondi:LT=0.45 (0.31) σ_{cR}=0.00 σ_{fR}=0.00
Compressione nel calcestruzzo: σ_c=19.07
CC 7 SLV (Collegamento 0020_-377)
Azioni sul collegamento: N=-9172.38 Ty=-0.64 Tz=-9.21 Mx=0.01 Mz=-1.09
Sollecitazioni agenti localmente: Tx_l=-0.64 Ty_l=-9.21 N_l=-9172.38 Mx_l=-0.00 My_l=-1.09 Mz_l=0.01
Taglio nei bulloni: Fv,Ed=1.56 Fv,Rd=7720.78
Rifollamento lato piastra: Fb,Ed,p=1.56 Fb,Rd,p=6033.62
Tirafondi:LT=0.45 (0.31) σ_{cR}=0.00 σ_{fR}=0.00
Compressione nel calcestruzzo: σ_c=19.01
CC 7 SLV (Collegamento 0020_-377)
Azioni sul collegamento: N=-9172.38 Ty=-4.02 Tz=-9.21 Mx=0.01 Mz=2.16
Sollecitazioni agenti localmente: Tx_l=-4.02 Ty_l=-9.21 N_l=-9172.38 Mx_l=-0.00 My_l=2.16 Mz_l=0.01
Taglio nei bulloni: Fv,Ed=1.70 Fv,Rd=7720.78
Rifollamento lato piastra: Fb,Ed,p=1.70 Fb,Rd,p=7734.27
Tirafondi:LT=0.45 (0.31) σ_{cR}=0.00 σ_{fR}=0.00
Compressione nel calcestruzzo: σ_c=19.07
CC 7 SLV (Collegamento 0020_-377)
Azioni sul collegamento: N=-3875.57 Ty=-0.64 Tz=10.50 Mx=0.01 Mz=-1.09
Sollecitazioni agenti localmente: Tx_l=-0.64 Ty_l=10.50 N_l=-3875.57 Mx_l=-0.00 My_l=-1.09 Mz_l=0.01
Taglio nei bulloni: Fv,Ed=1.77 Fv,Rd=7720.78
Rifollamento lato piastra: Fb,Ed,p=1.77 Fb,Rd,p=6003.06
Tirafondi:LT=0.45 (0.31) σ_{cR}=0.00 σ_{fR}=0.00
Compressione nel calcestruzzo: σ_c=8.07
CC 7 SLV (Collegamento 0020_-377)
Azioni sul collegamento: N=-3875.57 Ty=-4.02 Tz=10.50 Mx=0.01 Mz=2.16
Sollecitazioni agenti localmente: Tx_l=-4.02 Ty_l=10.50 N_l=-3875.57 Mx_l=-0.00 My_l=2.16 Mz_l=0.01
Taglio nei bulloni: Fv,Ed=1.89 Fv,Rd=7720.78
Rifollamento lato piastra: Fb,Ed,p=1.88 Fb,Rd,p=7212.58
Tirafondi:LT=0.45 (0.31) σ_{cR}=0.00 σ_{fR}=0.00
Compressione nel calcestruzzo: σ_c=8.13
CC 7 SLV (Collegamento 0020_-377)
Azioni sul collegamento: N=-3875.57 Ty=-0.64 Tz=-9.21 Mx=0.01 Mz=-1.09
Sollecitazioni agenti localmente: Tx_l=-0.64 Ty_l=-9.21 N_l=-3875.57 Mx_l=-0.00 My_l=-1.09 Mz_l=0.01
Taglio nei bulloni: Fv,Ed=1.56 Fv,Rd=7720.78
Rifollamento lato piastra: Fb,Ed,p=1.56 Fb,Rd,p=6033.63
Tirafondi:LT=0.45 (0.31) σ_{cR}=0.00 σ_{fR}=0.00
Compressione nel calcestruzzo: σ_c=8.07
CC 7 SLV (Collegamento 0020_-377)
Azioni sul collegamento: N=-3875.57 Ty=-4.02 Tz=-9.21 Mx=0.01 Mz=2.16
Sollecitazioni agenti localmente: Tx_l=-4.02 Ty_l=-9.21 N_l=-3875.57 Mx_l=-0.00 My_l=2.16 Mz_l=0.01
Taglio nei bulloni: Fv,Ed=1.70 Fv,Rd=7720.78
Rifollamento lato piastra: Fb,Ed,p=1.70 Fb,Rd,p=7734.17
Tirafondi:LT=0.45 (0.31) σ_{cR}=0.00 σ_{fR}=0.00
Compressione nel calcestruzzo: σ_c=8.13
CC 8 SLD (Collegamento 0020_-377)
Azioni sul collegamento: N=-7364.01 Ty=-3.69 Tz=3.78 Mx=0.01 Mz=-2.04
Sollecitazioni agenti localmente: Tx_l=-3.69 Ty_l=3.78 N_l=-7364.01 Mx_l=-0.00 My_l=-2.04 Mz_l=0.01
Taglio nei bulloni: Fv,Ed=0.89 Fv,Rd=9650.97
Rifollamento lato piastra: Fb,Ed,p=0.88 Fb,Rd,p=14675.20
Tirafondi:LT=0.45 (0.31) σ_{cR}=0.00 σ_{fR}=0.00
Compressione nel calcestruzzo: σ_c=15.33
CC 8 SLD (Collegamento 0020_-377)
Azioni sul collegamento: N=-7364.01 Ty=-2.66 Tz=3.78 Mx=0.01 Mz=-1.05
Sollecitazioni agenti localmente: Tx_l=-2.66 Ty_l=3.78 N_l=-7364.01 Mx_l=-0.00 My_l=-1.05 Mz_l=0.01
Taglio nei bulloni: Fv,Ed=0.78 Fv,Rd=9650.97
Rifollamento lato piastra: Fb,Ed,p=0.77 Fb,Rd,p=12813.70
Tirafondi:LT=0.45 (0.31) σ_{cR}=0.00 σ_{fR}=0.00
Compressione nel calcestruzzo: σ_c=15.27
CC 8 SLD (Collegamento 0020_-377)
Azioni sul collegamento: N=-7364.01 Ty=-3.69 Tz=-2.23 Mx=0.01 Mz=-2.04
Sollecitazioni agenti localmente: Tx_l=-3.69 Ty_l=-2.23 N_l=-7364.01 Mx_l=-0.00 My_l=-2.04 Mz_l=0.01
Taglio nei bulloni: Fv,Ed=0.73 Fv,Rd=9650.97
Rifollamento lato piastra: Fb,Ed,p=0.72 Fb,Rd,p=11375.00
Tirafondi:LT=0.45 (0.31) σ_{cR}=0.00 σ_{fR}=0.00
Compressione nel calcestruzzo: σ_c=15.33
CC 8 SLD (Collegamento 0020_-377)
Azioni sul collegamento: N=-7364.01 Ty=-2.66 Tz=-2.23 Mx=0.01 Mz=-1.05
Sollecitazioni agenti localmente: Tx_l=-2.66 Ty_l=-2.23 N_l=-7364.01 Mx_l=-0.00 My_l=-1.05 Mz_l=0.01
Taglio nei bulloni: Fv,Ed=0.59 Fv,Rd=9650.97
Rifollamento lato piastra: Fb,Ed,p=0.58 Fb,Rd,p=13669.50
Tirafondi:LT=0.45 (0.31) σ_{cR}=0.00 σ_{fR}=0.00
Compressione nel calcestruzzo: σ_c=15.27
CC 8 SLD (Collegamento 0020_-377)
Azioni sul collegamento: N=-5748.85 Ty=-3.69 Tz=3.78 Mx=0.01 Mz=-2.04
Sollecitazioni agenti localmente: Tx_l=-3.69 Ty_l=3.78 N_l=-5748.85 Mx_l=-0.00 My_l=-2.04 Mz_l=0.01
Taglio nei bulloni: Fv,Ed=0.89 Fv,Rd=9650.97
Rifollamento lato piastra: Fb,Ed,p=0.88 Fb,Rd,p=14675.90

Tirafondi:LT=0.45 (0.31) σ_{cR}=0.00 σ_{fR}=0.00
Compressione nel calcestruzzo: σ_c=11.99
CC 8 SLD (Collegamento 0020_-377)
Azioni sul collegamento: N=-5748.85 Ty=-2.66 Tz=3.78 Mx=0.01 Mz=-1.05
Sollecitazioni agenti localmente: Tx_l=-2.66 Ty_l=3.78 N_l=-5748.85 Mx_l=-0.00 My_l=-1.05 Mz_l=0.01
Taglio nei bulloni: Fv,Ed=0.78 Fv,Rd=9650.97
Rifollamento lato piastra: Fb,Ed,p=0.77 Fb,Rd,p=12814.80
Tirafondi:LT=0.45 (0.31) σ_{cR}=0.00 σ_{fR}=0.00
Compressione nel calcestruzzo: σ_c=11.94
CC 8 SLD (Collegamento 0020_-377)
Azioni sul collegamento: N=-5748.85 Ty=-3.69 Tz=-2.23 Mx=0.01 Mz=-2.04
Sollecitazioni agenti localmente: Tx_l=-3.69 Ty_l=-2.23 N_l=-5748.85 Mx_l=-0.00 My_l=-2.04 Mz_l=0.01
Taglio nei bulloni: Fv,Ed=0.73 Fv,Rd=9650.97
Rifollamento lato piastra: Fb,Ed,p=0.72 Fb,Rd,p=11375.20
Tirafondi:LT=0.45 (0.31) σ_{cR}=0.00 σ_{fR}=0.00
Compressione nel calcestruzzo: σ_c=11.99
CC 8 SLD (Collegamento 0020_-377)
Azioni sul collegamento: N=-5748.85 Ty=-2.66 Tz=-2.23 Mx=0.01 Mz=-1.05
Sollecitazioni agenti localmente: Tx_l=-2.66 Ty_l=-2.23 N_l=-5748.85 Mx_l=-0.00 My_l=-1.05 Mz_l=0.01
Taglio nei bulloni: Fv,Ed=0.59 Fv,Rd=9650.97
Rifollamento lato piastra: Fb,Ed,p=0.58 Fb,Rd,p=13669.70
Tirafondi:LT=0.45 (0.31) σ_{cR}=0.00 σ_{fR}=0.00
Compressione nel calcestruzzo: σ_c=11.94
CC 9 SLV (Collegamento 0020_-377)
Azioni sul collegamento: N=-5720.83 Ty=-3.80 Tz=-2.51 Mx=0.03 Mz=2.93
Sollecitazioni agenti localmente: Tx_l=-3.80 Ty_l=-2.51 N_l=-5720.83 Mx_l=-0.00 My_l=2.93 Mz_l=0.03
Taglio nei bulloni: Fv,Ed=0.80 Fv,Rd=7720.78
Rifollamento lato piastra: Fb,Ed,p=0.77 Fb,Rd,p=9125.65
Tirafondi:LT=0.45 (0.31) σ_{cR}=0.00 σ_{fR}=0.00
Compressione nel calcestruzzo: σ_c=11.98
CC 9 SLV (Collegamento 0020_-377)
Azioni sul collegamento: N=-5720.83 Ty=-0.86 Tz=-2.51 Mx=0.03 Mz=-1.85
Sollecitazioni agenti localmente: Tx_l=-0.86 Ty_l=-2.51 N_l=-5720.83 Mx_l=-0.00 My_l=-1.85 Mz_l=0.03
Taglio nei bulloni: Fv,Ed=0.48 Fv,Rd=7720.78
Rifollamento lato piastra: Fb,Ed,p=0.48 Fb,Rd,p=7310.91
Tirafondi:LT=0.45 (0.31) σ_{cR}=0.00 σ_{fR}=0.00
Compressione nel calcestruzzo: σ_c=11.92
CC 9 SLV (Collegamento 0020_-377)
Azioni sul collegamento: N=-5720.83 Ty=-3.80 Tz=3.80 Mx=0.03 Mz=2.93
Sollecitazioni agenti localmente: Tx_l=-3.80 Ty_l=3.80 N_l=-5720.83 Mx_l=-0.00 My_l=2.93 Mz_l=0.03
Taglio nei bulloni: Fv,Ed=0.94 Fv,Rd=7720.78
Rifollamento lato piastra: Fb,Ed,p=0.94 Fb,Rd,p=12018.30
Tirafondi:LT=0.45 (0.31) σ_{cR}=0.00 σ_{fR}=0.00
Compressione nel calcestruzzo: σ_c=11.98
CC 9 SLV (Collegamento 0020_-377)
Azioni sul collegamento: N=-5720.83 Ty=-0.86 Tz=3.80 Mx=0.03 Mz=-1.85
Sollecitazioni agenti localmente: Tx_l=-0.86 Ty_l=3.80 N_l=-5720.83 Mx_l=-0.00 My_l=-1.85 Mz_l=0.03
Taglio nei bulloni: Fv,Ed=0.68 Fv,Rd=7720.78
Rifollamento lato piastra: Fb,Ed,p=0.67 Fb,Rd,p=6247.57
Tirafondi:LT=0.45 (0.31) σ_{cR}=0.00 σ_{fR}=0.00
Compressione nel calcestruzzo: σ_c=11.92
CC 9 SLV (Collegamento 0020_-377)
Azioni sul collegamento: N=-7327.12 Ty=-3.80 Tz=-2.51 Mx=0.03 Mz=2.93
Sollecitazioni agenti localmente: Tx_l=-3.80 Ty_l=-2.51 N_l=-7327.12 Mx_l=-0.00 My_l=2.93 Mz_l=0.03
Taglio nei bulloni: Fv,Ed=0.80 Fv,Rd=7720.78
Rifollamento lato piastra: Fb,Ed,p=0.77 Fb,Rd,p=9126.39
Tirafondi:LT=0.45 (0.31) σ_{cR}=0.00 σ_{fR}=0.00
Compressione nel calcestruzzo: σ_c=15.30
CC 9 SLV (Collegamento 0020_-377)
Azioni sul collegamento: N=-7327.12 Ty=-0.86 Tz=-2.51 Mx=0.03 Mz=-1.85
Sollecitazioni agenti localmente: Tx_l=-0.86 Ty_l=-2.51 N_l=-7327.12 Mx_l=-0.00 My_l=-1.85 Mz_l=0.03
Taglio nei bulloni: Fv,Ed=0.48 Fv,Rd=7720.78
Rifollamento lato piastra: Fb,Ed,p=0.48 Fb,Rd,p=7310.63
Tirafondi:LT=0.45 (0.31) σ_{cR}=0.00 σ_{fR}=0.00
Compressione nel calcestruzzo: σ_c=15.24
CC 9 SLV (Collegamento 0020_-377)
Azioni sul collegamento: N=-7327.12 Ty=-3.80 Tz=3.80 Mx=0.03 Mz=2.93
Sollecitazioni agenti localmente: Tx_l=-3.80 Ty_l=3.80 N_l=-7327.12 Mx_l=-0.00 My_l=2.93 Mz_l=0.03
Taglio nei bulloni: Fv,Ed=0.94 Fv,Rd=7720.78
Rifollamento lato piastra: Fb,Ed,p=0.94 Fb,Rd,p=12018.40
Tirafondi:LT=0.45 (0.31) σ_{cR}=0.00 σ_{fR}=0.00
Compressione nel calcestruzzo: σ_c=15.30
CC 9 SLV (Collegamento 0020_-377)
Azioni sul collegamento: N=-7327.12 Ty=-0.86 Tz=3.80 Mx=0.03 Mz=-1.85
Sollecitazioni agenti localmente: Tx_l=-0.86 Ty_l=3.80 N_l=-7327.12 Mx_l=-0.00 My_l=-1.85 Mz_l=0.03
Taglio nei bulloni: Fv,Ed=0.68 Fv,Rd=7720.78
Rifollamento lato piastra: Fb,Ed,p=0.67 Fb,Rd,p=6247.56
Tirafondi:LT=0.45 (0.31) σ_{cR}=0.00 σ_{fR}=0.00

Compressione nel calcestruzzo: σ_c=15.24
CC 10 SLD (Collegamento 0020_-377)
Azioni sul collegamento: N=-6311.52 Ty=-2.73 Tz=-0.19 Mx=0.01 Mz=-0.81
Sollecitazioni agenti localmente: Tx_l=-2.73 Ty_l=-0.19 N_l=-6311.52 Mx_l=-0.00 My_l=-0.81 Mz_l=0.01
Taglio nei bulloni: Fv,Ed=0.47 Fv,Rd=9650.97
Rifollamento lato piastra: Fb,Ed,p=0.47 Fb,Rd,p=7494.02
Tirafondi:LT=0.45 (0.31) σ_{cR}=0.00 σ_{fR}=0.00
Compressione nel calcestruzzo: σ_c=13.09
CC 10 SLD (Collegamento 0020_-377)
Azioni sul collegamento: N=-6311.52 Ty=-3.62 Tz=-0.19 Mx=0.01 Mz=-2.27
Sollecitazioni agenti localmente: Tx_l=-3.62 Ty_l=-0.19 N_l=-6311.52 Mx_l=-0.00 My_l=-2.27 Mz_l=0.01
Taglio nei bulloni: Fv,Ed=0.62 Fv,Rd=9650.97
Rifollamento lato piastra: Fb,Ed,p=0.62 Fb,Rd,p=7485.46
Tirafondi:LT=0.45 (0.31) σ_{cR}=0.00 σ_{fR}=0.00
Compressione nel calcestruzzo: σ_c=13.17
CC 10 SLD (Collegamento 0020_-377)
Azioni sul collegamento: N=-6311.52 Ty=-2.73 Tz=1.73 Mx=0.01 Mz=-0.81
Sollecitazioni agenti localmente: Tx_l=-2.73 Ty_l=1.73 N_l=-6311.52 Mx_l=-0.00 My_l=-0.81 Mz_l=0.01
Taglio nei bulloni: Fv,Ed=0.55 Fv,Rd=9650.97
Rifollamento lato piastra: Fb,Ed,p=0.55 Fb,Rd,p=12219.30
Tirafondi:LT=0.45 (0.31) σ_{cR}=0.00 σ_{fR}=0.00
Compressione nel calcestruzzo: σ_c=13.09
CC 10 SLD (Collegamento 0020_-377)
Azioni sul collegamento: N=-6311.52 Ty=-3.62 Tz=1.73 Mx=0.01 Mz=-2.27
Sollecitazioni agenti localmente: Tx_l=-3.62 Ty_l=1.73 N_l=-6311.52 Mx_l=-0.00 My_l=-2.27 Mz_l=0.01
Taglio nei bulloni: Fv,Ed=0.68 Fv,Rd=9650.97
Rifollamento lato piastra: Fb,Ed,p=0.68 Fb,Rd,p=10167.30
Tirafondi:LT=0.45 (0.31) σ_{cR}=0.00 σ_{fR}=0.00
Compressione nel calcestruzzo: σ_c=13.17
CC 10 SLD (Collegamento 0020_-377)
Azioni sul collegamento: N=-6801.33 Ty=-2.73 Tz=-0.19 Mx=0.01 Mz=-0.81
Sollecitazioni agenti localmente: Tx_l=-2.73 Ty_l=-0.19 N_l=-6801.33 Mx_l=-0.00 My_l=-0.81 Mz_l=0.01
Taglio nei bulloni: Fv,Ed=0.47 Fv,Rd=9650.97
Rifollamento lato piastra: Fb,Ed,p=0.47 Fb,Rd,p=7494.01
Tirafondi:LT=0.45 (0.31) σ_{cR}=0.00 σ_{fR}=0.00
Compressione nel calcestruzzo: σ_c=14.10
CC 10 SLD (Collegamento 0020_-377)
Azioni sul collegamento: N=-6801.33 Ty=-3.62 Tz=-0.19 Mx=0.01 Mz=-2.27
Sollecitazioni agenti localmente: Tx_l=-3.62 Ty_l=-0.19 N_l=-6801.33 Mx_l=-0.00 My_l=-2.27 Mz_l=0.01
Taglio nei bulloni: Fv,Ed=0.62 Fv,Rd=9650.97
Rifollamento lato piastra: Fb,Ed,p=0.62 Fb,Rd,p=7485.46
Tirafondi:LT=0.45 (0.31) σ_{cR}=0.00 σ_{fR}=0.00
Compressione nel calcestruzzo: σ_c=14.18
CC 10 SLD (Collegamento 0020_-377)
Azioni sul collegamento: N=-6801.33 Ty=-2.73 Tz=1.73 Mx=0.01 Mz=-0.81
Sollecitazioni agenti localmente: Tx_l=-2.73 Ty_l=1.73 N_l=-6801.33 Mx_l=-0.00 My_l=-0.81 Mz_l=0.01
Taglio nei bulloni: Fv,Ed=0.55 Fv,Rd=9650.97
Rifollamento lato piastra: Fb,Ed,p=0.55 Fb,Rd,p=12219.30
Tirafondi:LT=0.45 (0.31) σ_{cR}=0.00 σ_{fR}=0.00
Compressione nel calcestruzzo: σ_c=14.10
CC 10 SLD (Collegamento 0020_-377)
Azioni sul collegamento: N=-6801.33 Ty=-3.62 Tz=1.73 Mx=0.01 Mz=-2.27
Sollecitazioni agenti localmente: Tx_l=-3.62 Ty_l=1.73 N_l=-6801.33 Mx_l=-0.00 My_l=-2.27 Mz_l=0.01
Taglio nei bulloni: Fv,Ed=0.68 Fv,Rd=9650.97
Rifollamento lato piastra: Fb,Ed,p=0.68 Fb,Rd,p=10167.30
Tirafondi:LT=0.45 (0.31) σ_{cR}=0.00 σ_{fR}=0.00
Compressione nel calcestruzzo: σ_c=14.18
CC 11 SLV (Collegamento 0020_-377)
Azioni sul collegamento: N=-7308.16 Ty=-2.97 Tz=3.37 Mx=0.02 Mz=2.33
Sollecitazioni agenti localmente: Tx_l=-2.97 Ty_l=3.37 N_l=-7308.16 Mx_l=-0.00 My_l=2.33 Mz_l=0.02
Taglio nei bulloni: Fv,Ed=0.79 Fv,Rd=7720.78
Rifollamento lato piastra: Fb,Ed,p=0.75 Fb,Rd,p=10854.20
Tirafondi:LT=0.45 (0.31) σ_{cR}=0.00 σ_{fR}=0.00
Compressione nel calcestruzzo: σ_c=15.23
CC 11 SLV (Collegamento 0020_-377)
Azioni sul collegamento: N=-7308.16 Ty=-1.68 Tz=3.37 Mx=0.02 Mz=-1.26
Sollecitazioni agenti localmente: Tx_l=-1.68 Ty_l=3.37 N_l=-7308.16 Mx_l=-0.00 My_l=-1.26 Mz_l=0.02
Taglio nei bulloni: Fv,Ed=0.67 Fv,Rd=7720.78
Rifollamento lato piastra: Fb,Ed,p=0.64 Fb,Rd,p=7639.48
Tirafondi:LT=0.45 (0.31) σ_{cR}=0.00 σ_{fR}=0.00
Compressione nel calcestruzzo: σ_c=15.17
CC 11 SLV (Collegamento 0020_-377)
Azioni sul collegamento: N=-7308.16 Ty=-2.97 Tz=-2.08 Mx=0.02 Mz=2.33
Sollecitazioni agenti localmente: Tx_l=-2.97 Ty_l=-2.08 N_l=-7308.16 Mx_l=-0.00 My_l=2.33 Mz_l=0.02
Taglio nei bulloni: Fv,Ed=0.64 Fv,Rd=7720.78
Rifollamento lato piastra: Fb,Ed,p=0.61 Fb,Rd,p=9360.60
Tirafondi:LT=0.45 (0.31) σ_{cR}=0.00 σ_{fR}=0.00
Compressione nel calcestruzzo: σ_c=15.23

CC 11 SLV (Collegamento 0020_-377)
Azioni sul collegamento: N=-7308.16 Ty=-1.68 Tz=-2.08 Mx=0.02 Mz=-1.26
Sollecitazioni agenti localmente: Tx_l=-1.68 Ty_l=-2.08 N_l=-7308.16 Mx_l=-0.00 My_l=-1.26 Mz_l=0.02
Taglio nei bulloni: Fv,Ed=0.48 Fv,Rd=7720.78
Rifollamento lato piastra: Fb,Ed,p=0.48 Fb,Rd,p=11012.70
Tirafondi:LT=0.45 (0.31) σ_{cR}=0.00 σ_{fR}=0.00
Compressione nel calcestruzzo: σ_c=15.17
CC 11 SLV (Collegamento 0020_-377)
Azioni sul collegamento: N=-5739.79 Ty=-2.97 Tz=3.37 Mx=0.02 Mz=2.33
Sollecitazioni agenti localmente: Tx_l=-2.97 Ty_l=3.37 N_l=-5739.79 Mx_l=-0.00 My_l=2.33 Mz_l=0.02
Taglio nei bulloni: Fv,Ed=0.79 Fv,Rd=7720.78
Rifollamento lato piastra: Fb,Ed,p=0.75 Fb,Rd,p=10854.10
Tirafondi:LT=0.45 (0.31) σ_{cR}=0.00 σ_{fR}=0.00
Compressione nel calcestruzzo: σ_c=11.99
CC 11 SLV (Collegamento 0020_-377)
Azioni sul collegamento: N=-5739.79 Ty=-1.68 Tz=3.37 Mx=0.02 Mz=-1.26
Sollecitazioni agenti localmente: Tx_l=-1.68 Ty_l=3.37 N_l=-5739.79 Mx_l=-0.00 My_l=-1.26 Mz_l=0.02
Taglio nei bulloni: Fv,Ed=0.67 Fv,Rd=7720.78
Rifollamento lato piastra: Fb,Ed,p=0.64 Fb,Rd,p=7639.44
Tirafondi:LT=0.45 (0.31) σ_{cR}=0.00 σ_{fR}=0.00
Compressione nel calcestruzzo: σ_c=11.93
CC 11 SLV (Collegamento 0020_-377)
Azioni sul collegamento: N=-5739.79 Ty=-2.97 Tz=-2.08 Mx=0.02 Mz=2.33
Sollecitazioni agenti localmente: Tx_l=-2.97 Ty_l=-2.08 N_l=-5739.79 Mx_l=-0.00 My_l=2.33 Mz_l=0.02
Taglio nei bulloni: Fv,Ed=0.64 Fv,Rd=7720.78
Rifollamento lato piastra: Fb,Ed,p=0.61 Fb,Rd,p=9359.83
Tirafondi:LT=0.45 (0.31) σ_{cR}=0.00 σ_{fR}=0.00
Compressione nel calcestruzzo: σ_c=11.99
CC 11 SLV (Collegamento 0020_-377)
Azioni sul collegamento: N=-5739.79 Ty=-1.68 Tz=-2.08 Mx=0.02 Mz=-1.26
Sollecitazioni agenti localmente: Tx_l=-1.68 Ty_l=-2.08 N_l=-5739.79 Mx_l=-0.00 My_l=-1.26 Mz_l=0.02
Taglio nei bulloni: Fv,Ed=0.48 Fv,Rd=7720.78
Rifollamento lato piastra: Fb,Ed,p=0.48 Fb,Rd,p=11013.10
Tirafondi:LT=0.45 (0.31) σ_{cR}=0.00 σ_{fR}=0.00
Compressione nel calcestruzzo: σ_c=11.93
CC 12 SLD (Collegamento 0020_-377)
Azioni sul collegamento: N=-6795.55 Ty=-2.98 Tz=1.60 Mx=0.01 Mz=-1.00
Sollecitazioni agenti localmente: Tx_l=-2.98 Ty_l=1.60 N_l=-6795.55 Mx_l=-0.00 My_l=-1.00 Mz_l=0.01
Taglio nei bulloni: Fv,Ed=0.58 Fv,Rd=9650.97
Rifollamento lato piastra: Fb,Ed,p=0.58 Fb,Rd,p=10884.40
Tirafondi:LT=0.45 (0.31) σ_{cR}=0.00 σ_{fR}=0.00
Compressione nel calcestruzzo: σ_c=14.10
CC 12 SLD (Collegamento 0020_-377)
Azioni sul collegamento: N=-6795.55 Ty=-3.37 Tz=1.60 Mx=0.01 Mz=-2.09
Sollecitazioni agenti localmente: Tx_l=-3.37 Ty_l=1.60 N_l=-6795.55 Mx_l=-0.00 My_l=-2.09 Mz_l=0.01
Taglio nei bulloni: Fv,Ed=0.64 Fv,Rd=9650.97
Rifollamento lato piastra: Fb,Ed,p=0.64 Fb,Rd,p=10138.20
Tirafondi:LT=0.45 (0.31) σ_{cR}=0.00 σ_{fR}=0.00
Compressione nel calcestruzzo: σ_c=14.16
CC 12 SLD (Collegamento 0020_-377)
Azioni sul collegamento: N=-6795.55 Ty=-2.98 Tz=-0.06 Mx=0.01 Mz=-1.00
Sollecitazioni agenti localmente: Tx_l=-2.98 Ty_l=-0.06 N_l=-6795.55 Mx_l=-0.00 My_l=-1.00 Mz_l=0.01
Taglio nei bulloni: Fv,Ed=0.51 Fv,Rd=9650.97
Rifollamento lato piastra: Fb,Ed,p=0.51 Fb,Rd,p=7474.08
Tirafondi:LT=0.45 (0.31) σ_{cR}=0.00 σ_{fR}=0.00
Compressione nel calcestruzzo: σ_c=14.10
CC 12 SLD (Collegamento 0020_-377)
Azioni sul collegamento: N=-6795.55 Ty=-3.37 Tz=-0.06 Mx=0.01 Mz=-2.09
Sollecitazioni agenti localmente: Tx_l=-3.37 Ty_l=-0.06 N_l=-6795.55 Mx_l=-0.00 My_l=-2.09 Mz_l=0.01
Taglio nei bulloni: Fv,Ed=0.57 Fv,Rd=9650.97
Rifollamento lato piastra: Fb,Ed,p=0.57 Fb,Rd,p=7474.05
Tirafondi:LT=0.45 (0.31) σ_{cR}=0.00 σ_{fR}=0.00
Compressione nel calcestruzzo: σ_c=14.16
CC 12 SLD (Collegamento 0020_-377)
Azioni sul collegamento: N=-6317.31 Ty=-2.98 Tz=1.60 Mx=0.01 Mz=-1.00
Sollecitazioni agenti localmente: Tx_l=-2.98 Ty_l=1.60 N_l=-6317.31 Mx_l=-0.00 My_l=-1.00 Mz_l=0.01
Taglio nei bulloni: Fv,Ed=0.58 Fv,Rd=9650.97
Rifollamento lato piastra: Fb,Ed,p=0.58 Fb,Rd,p=10885.10
Tirafondi:LT=0.45 (0.31) σ_{cR}=0.00 σ_{fR}=0.00
Compressione nel calcestruzzo: σ_c=13.11
CC 12 SLD (Collegamento 0020_-377)
Azioni sul collegamento: N=-6317.31 Ty=-3.37 Tz=1.60 Mx=0.01 Mz=-2.09
Sollecitazioni agenti localmente: Tx_l=-3.37 Ty_l=1.60 N_l=-6317.31 Mx_l=-0.00 My_l=-2.09 Mz_l=0.01
Taglio nei bulloni: Fv,Ed=0.64 Fv,Rd=9650.97
Rifollamento lato piastra: Fb,Ed,p=0.64 Fb,Rd,p=10138.80
Tirafondi:LT=0.45 (0.31) σ_{cR}=0.00 σ_{fR}=0.00
Compressione nel calcestruzzo: σ_c=13.17
CC 12 SLD (Collegamento 0020_-377)

Azioni sul collegamento: N=-6317.31 Ty=-2.98 Tz=-0.06 Mx=0.01 Mz=-1.00
Sollecitazioni agenti localmente: Tx_l=-2.98 Ty_l=-0.06 N_l=-6317.31 Mx_l=-0.00 My_l=-1.00 Mz_l=0.01
Taglio nei bulloni: Fv,Ed=0.51 Fv,Rd=9650.97
Rifollamento lato piastra: Fb,Ed,p=0.51 Fb,Rd,p=7474.07
Tirafondi:LT=0.45 (0.31) σ_{cR}=0.00 σ_{fR}=0.00
Compressione nel calcestruzzo: σ_c=13.11
CC 12 SLD (Collegamento 0020_-377)
Azioni sul collegamento: N=-6317.31 Ty=-3.37 Tz=-0.06 Mx=0.01 Mz=-2.09
Sollecitazioni agenti localmente: Tx_l=-3.37 Ty_l=-0.06 N_l=-6317.31 Mx_l=-0.00 My_l=-2.09 Mz_l=0.01
Taglio nei bulloni: Fv,Ed=0.57 Fv,Rd=9650.97
Rifollamento lato piastra: Fb,Ed,p=0.57 Fb,Rd,p=7474.05
Tirafondi:LT=0.45 (0.31) σ_{cR}=0.00 σ_{fR}=0.00
Compressione nel calcestruzzo: σ_c=13.17
CC 13 SLV (Collegamento 0020_-377)
Azioni sul collegamento: N=-5739.79 Ty=-1.68 Tz=-2.08 Mx=0.01 Mz=-1.26
Sollecitazioni agenti localmente: Tx_l=-1.68 Ty_l=-2.08 N_l=-5739.79 Mx_l=-0.00 My_l=-1.26 Mz_l=0.01
Taglio nei bulloni: Fv,Ed=0.46 Fv,Rd=7720.78
Rifollamento lato piastra: Fb,Ed,p=0.46 Fb,Rd,p=10968.40
Tirafondi:LT=0.45 (0.31) σ_{cR}=0.00 σ_{fR}=0.00
Compressione nel calcestruzzo: σ_c=11.93
CC 13 SLV (Collegamento 0020_-377)
Azioni sul collegamento: N=-5739.79 Ty=-2.97 Tz=-2.08 Mx=0.01 Mz=2.33
Sollecitazioni agenti localmente: Tx_l=-2.97 Ty_l=-2.08 N_l=-5739.79 Mx_l=-0.00 My_l=2.33 Mz_l=0.01
Taglio nei bulloni: Fv,Ed=0.62 Fv,Rd=7720.78
Rifollamento lato piastra: Fb,Ed,p=0.61 Fb,Rd,p=9995.25
Tirafondi:LT=0.45 (0.31) σ_{cR}=0.00 σ_{fR}=0.00
Compressione nel calcestruzzo: σ_c=11.99
CC 13 SLV (Collegamento 0020_-377)
Azioni sul collegamento: N=-5739.79 Ty=-1.68 Tz=3.37 Mx=0.01 Mz=-1.26
Sollecitazioni agenti localmente: Tx_l=-1.68 Ty_l=3.37 N_l=-5739.79 Mx_l=-0.00 My_l=-1.26 Mz_l=0.01
Taglio nei bulloni: Fv,Ed=0.64 Fv,Rd=7720.78
Rifollamento lato piastra: Fb,Ed,p=0.63 Fb,Rd,p=7985.71
Tirafondi:LT=0.45 (0.31) σ_{cR}=0.00 σ_{fR}=0.00
Compressione nel calcestruzzo: σ_c=11.93
CC 13 SLV (Collegamento 0020_-377)
Azioni sul collegamento: N=-5739.79 Ty=-2.97 Tz=3.37 Mx=0.01 Mz=2.33
Sollecitazioni agenti localmente: Tx_l=-2.97 Ty_l=3.37 N_l=-5739.79 Mx_l=-0.00 My_l=2.33 Mz_l=0.01
Taglio nei bulloni: Fv,Ed=0.76 Fv,Rd=7720.78
Rifollamento lato piastra: Fb,Ed,p=0.75 Fb,Rd,p=11139.00
Tirafondi:LT=0.45 (0.31) σ_{cR}=0.00 σ_{fR}=0.00
Compressione nel calcestruzzo: σ_c=11.99
CC 13 SLV (Collegamento 0020_-377)
Azioni sul collegamento: N=-7308.16 Ty=-1.68 Tz=-2.08 Mx=0.01 Mz=-1.26
Sollecitazioni agenti localmente: Tx_l=-1.68 Ty_l=-2.08 N_l=-7308.16 Mx_l=-0.00 My_l=-1.26 Mz_l=0.01
Taglio nei bulloni: Fv,Ed=0.46 Fv,Rd=7720.78
Rifollamento lato piastra: Fb,Ed,p=0.46 Fb,Rd,p=10968.00
Tirafondi:LT=0.45 (0.31) σ_{cR}=0.00 σ_{fR}=0.00
Compressione nel calcestruzzo: σ_c=15.17
CC 13 SLV (Collegamento 0020_-377)
Azioni sul collegamento: N=-7308.16 Ty=-2.97 Tz=-2.08 Mx=0.01 Mz=2.33
Sollecitazioni agenti localmente: Tx_l=-2.97 Ty_l=-2.08 N_l=-7308.16 Mx_l=-0.00 My_l=2.33 Mz_l=0.01
Taglio nei bulloni: Fv,Ed=0.62 Fv,Rd=7720.78
Rifollamento lato piastra: Fb,Ed,p=0.61 Fb,Rd,p=9996.13
Tirafondi:LT=0.45 (0.31) σ_{cR}=0.00 σ_{fR}=0.00
Compressione nel calcestruzzo: σ_c=15.23
CC 13 SLV (Collegamento 0020_-377)
Azioni sul collegamento: N=-7308.16 Ty=-1.68 Tz=3.37 Mx=0.01 Mz=-1.26
Sollecitazioni agenti localmente: Tx_l=-1.68 Ty_l=3.37 N_l=-7308.16 Mx_l=-0.00 My_l=-1.26 Mz_l=0.01
Taglio nei bulloni: Fv,Ed=0.64 Fv,Rd=7720.78
Rifollamento lato piastra: Fb,Ed,p=0.63 Fb,Rd,p=7985.74
Tirafondi:LT=0.45 (0.31) σ_{cR}=0.00 σ_{fR}=0.00
Compressione nel calcestruzzo: σ_c=15.17
CC 13 SLV (Collegamento 0020_-377)
Azioni sul collegamento: N=-7308.16 Ty=-2.97 Tz=3.37 Mx=0.01 Mz=2.33
Sollecitazioni agenti localmente: Tx_l=-2.97 Ty_l=3.37 N_l=-7308.16 Mx_l=-0.00 My_l=2.33 Mz_l=0.01
Taglio nei bulloni: Fv,Ed=0.76 Fv,Rd=7720.78
Rifollamento lato piastra: Fb,Ed,p=0.75 Fb,Rd,p=11139.00
Tirafondi:LT=0.45 (0.31) σ_{cR}=0.00 σ_{fR}=0.00
Compressione nel calcestruzzo: σ_c=15.23
CC 14 SLD (Collegamento 0020_-377)
Azioni sul collegamento: N=-6317.31 Ty=-3.37 Tz=-0.06 Mx=0.01 Mz=-2.09
Sollecitazioni agenti localmente: Tx_l=-3.37 Ty_l=-0.06 N_l=-6317.31 Mx_l=-0.00 My_l=-2.09 Mz_l=0.01
Taglio nei bulloni: Fv,Ed=0.57 Fv,Rd=9650.97
Rifollamento lato piastra: Fb,Ed,p=0.57 Fb,Rd,p=7474.38
Tirafondi:LT=0.45 (0.31) σ_{cR}=0.00 σ_{fR}=0.00
Compressione nel calcestruzzo: σ_c=13.17
CC 14 SLD (Collegamento 0020_-377)
Azioni sul collegamento: N=-6317.31 Ty=-2.98 Tz=-0.06 Mx=0.01 Mz=-1.00

Sollecitazioni agenti localmente: Tx_l=-2.98 Ty_l=-0.06 N_l=-6317.31 Mx_l=-0.00 My_l=-1.00 Mz_l=0.01
Taglio nei bulloni: Fv,Ed=0.50 Fv,Rd=9650.97
Rifollamento lato piastra: Fb,Ed,p=0.50 Fb,Rd,p=7474.49
Tirafondi:LT=0.45 (0.31) σ_{cR}=0.00 σ_{fR}=0.00
Compressione nel calcestruzzo: σ_c=13.11
CC 14 SLD (Collegamento 0020_-377)
Azioni sul collegamento: N=-6317.31 Ty=-3.37 Tz=1.60 Mx=0.01 Mz=-2.09
Sollecitazioni agenti localmente: Tx_l=-3.37 Ty_l=1.60 N_l=-6317.31 Mx_l=-0.00 My_l=-2.09 Mz_l=0.01
Taglio nei bulloni: Fv,Ed=0.63 Fv,Rd=9650.97
Rifollamento lato piastra: Fb,Ed,p=0.63 Fb,Rd,p=10087.30
Tirafondi:LT=0.45 (0.31) σ_{cR}=0.00 σ_{fR}=0.00
Compressione nel calcestruzzo: σ_c=13.17
CC 14 SLD (Collegamento 0020_-377)
Azioni sul collegamento: N=-6317.31 Ty=-2.98 Tz=1.60 Mx=0.01 Mz=-1.00
Sollecitazioni agenti localmente: Tx_l=-2.98 Ty_l=1.60 N_l=-6317.31 Mx_l=-0.00 My_l=-1.00 Mz_l=0.01
Taglio nei bulloni: Fv,Ed=0.57 Fv,Rd=9650.97
Rifollamento lato piastra: Fb,Ed,p=0.57 Fb,Rd,p=10826.90
Tirafondi:LT=0.45 (0.31) σ_{cR}=0.00 σ_{fR}=0.00
Compressione nel calcestruzzo: σ_c=13.11
CC 14 SLD (Collegamento 0020_-377)
Azioni sul collegamento: N=-6795.55 Ty=-3.37 Tz=-0.06 Mx=0.01 Mz=-2.09
Sollecitazioni agenti localmente: Tx_l=-3.37 Ty_l=-0.06 N_l=-6795.55 Mx_l=-0.00 My_l=-2.09 Mz_l=0.01
Taglio nei bulloni: Fv,Ed=0.57 Fv,Rd=9650.97
Rifollamento lato piastra: Fb,Ed,p=0.57 Fb,Rd,p=7474.38
Tirafondi:LT=0.45 (0.31) σ_{cR}=0.00 σ_{fR}=0.00
Compressione nel calcestruzzo: σ_c=14.16
CC 14 SLD (Collegamento 0020_-377)
Azioni sul collegamento: N=-6795.55 Ty=-2.98 Tz=-0.06 Mx=0.01 Mz=-1.00
Sollecitazioni agenti localmente: Tx_l=-2.98 Ty_l=-0.06 N_l=-6795.55 Mx_l=-0.00 My_l=-1.00 Mz_l=0.01
Taglio nei bulloni: Fv,Ed=0.50 Fv,Rd=9650.97
Rifollamento lato piastra: Fb,Ed,p=0.50 Fb,Rd,p=7474.49
Tirafondi:LT=0.45 (0.31) σ_{cR}=0.00 σ_{fR}=0.00
Compressione nel calcestruzzo: σ_c=14.10
CC 14 SLD (Collegamento 0020_-377)
Azioni sul collegamento: N=-6795.55 Ty=-3.37 Tz=1.60 Mx=0.01 Mz=-2.09
Sollecitazioni agenti localmente: Tx_l=-3.37 Ty_l=1.60 N_l=-6795.55 Mx_l=-0.00 My_l=-2.09 Mz_l=0.01
Taglio nei bulloni: Fv,Ed=0.63 Fv,Rd=9650.97
Rifollamento lato piastra: Fb,Ed,p=0.63 Fb,Rd,p=10086.70
Tirafondi:LT=0.45 (0.31) σ_{cR}=0.00 σ_{fR}=0.00
Compressione nel calcestruzzo: σ_c=14.16
CC 14 SLD (Collegamento 0020_-377)
Azioni sul collegamento: N=-6795.55 Ty=-2.98 Tz=1.60 Mx=0.01 Mz=-1.00
Sollecitazioni agenti localmente: Tx_l=-2.98 Ty_l=1.60 N_l=-6795.55 Mx_l=-0.00 My_l=-1.00 Mz_l=0.01
Taglio nei bulloni: Fv,Ed=0.57 Fv,Rd=9650.97
Rifollamento lato piastra: Fb,Ed,p=0.57 Fb,Rd,p=10826.20
Tirafondi:LT=0.45 (0.31) σ_{cR}=0.00 σ_{fR}=0.00
Compressione nel calcestruzzo: σ_c=14.10
CC 15 SLV (Collegamento 0020_-377)
Azioni sul collegamento: N=-7327.12 Ty=-0.86 Tz=3.80 Mx=0.01 Mz=-1.85
Sollecitazioni agenti localmente: Tx_l=-0.86 Ty_l=3.80 N_l=-7327.12 Mx_l=-0.00 My_l=-1.85 Mz_l=0.01
Taglio nei bulloni: Fv,Ed=0.66 Fv,Rd=7720.78
Rifollamento lato piastra: Fb,Ed,p=0.66 Fb,Rd,p=6364.18
Tirafondi:LT=0.45 (0.31) σ_{cR}=0.00 σ_{fR}=0.00
Compressione nel calcestruzzo: σ_c=15.24
CC 15 SLV (Collegamento 0020_-377)
Azioni sul collegamento: N=-7327.12 Ty=-3.80 Tz=3.80 Mx=0.01 Mz=2.93
Sollecitazioni agenti localmente: Tx_l=-3.80 Ty_l=3.80 N_l=-7327.12 Mx_l=-0.00 My_l=2.93 Mz_l=0.01
Taglio nei bulloni: Fv,Ed=0.91 Fv,Rd=7720.78
Rifollamento lato piastra: Fb,Ed,p=0.91 Fb,Rd,p=12018.40
Tirafondi:LT=0.45 (0.31) σ_{cR}=0.00 σ_{fR}=0.00
Compressione nel calcestruzzo: σ_c=15.30
CC 15 SLV (Collegamento 0020_-377)
Azioni sul collegamento: N=-7327.12 Ty=-0.86 Tz=-2.51 Mx=0.01 Mz=-1.85
Sollecitazioni agenti localmente: Tx_l=-0.86 Ty_l=-2.51 N_l=-7327.12 Mx_l=-0.00 My_l=-1.85 Mz_l=0.01
Taglio nei bulloni: Fv,Ed=0.45 Fv,Rd=7720.78
Rifollamento lato piastra: Fb,Ed,p=0.45 Fb,Rd,p=7129.27
Tirafondi:LT=0.45 (0.31) σ_{cR}=0.00 σ_{fR}=0.00
Compressione nel calcestruzzo: σ_c=15.24
CC 15 SLV (Collegamento 0020_-377)
Azioni sul collegamento: N=-7327.12 Ty=-3.80 Tz=-2.51 Mx=0.01 Mz=2.93
Sollecitazioni agenti localmente: Tx_l=-3.80 Ty_l=-2.51 N_l=-7327.12 Mx_l=-0.00 My_l=2.93 Mz_l=0.01
Taglio nei bulloni: Fv,Ed=0.77 Fv,Rd=7720.78
Rifollamento lato piastra: Fb,Ed,p=0.76 Fb,Rd,p=9653.47
Tirafondi:LT=0.45 (0.31) σ_{cR}=0.00 σ_{fR}=0.00
Compressione nel calcestruzzo: σ_c=15.30
CC 15 SLV (Collegamento 0020_-377)
Azioni sul collegamento: N=-5720.83 Ty=-0.86 Tz=3.80 Mx=0.01 Mz=-1.85
Sollecitazioni agenti localmente: Tx_l=-0.86 Ty_l=3.80 N_l=-5720.83 Mx_l=-0.00 My_l=-1.85 Mz_l=0.01

Taglio nei bulloni: Fv,Ed=0.66 Fv,Rd=7720.78
Rifollamento lato piastra: Fb,Ed,p=0.66 Fb,Rd,p=6364.21
Tirafondi:LT=0.45 (0.31) σ_{cR}=0.00 σ_{fR}=0.00
Compressione nel calcestruzzo: σ_c=11.92
CC 15 SLV (Collegamento 0020_-377)
Azioni sul collegamento: N=-5720.83 Ty=-3.80 Tz=3.80 Mx=0.01 Mz=2.93
Sollecitazioni agenti localmente: Tx_l=-3.80 Ty_l=3.80 N_l=-5720.83 Mx_l=-0.00 My_l=2.93 Mz_l=0.01
Taglio nei bulloni: Fv,Ed=0.91 Fv,Rd=7720.78
Rifollamento lato piastra: Fb,Ed,p=0.91 Fb,Rd,p=12018.20
Tirafondi:LT=0.45 (0.31) σ_{cR}=0.00 σ_{fR}=0.00
Compressione nel calcestruzzo: σ_c=11.98
CC 15 SLV (Collegamento 0020_-377)
Azioni sul collegamento: N=-5720.83 Ty=-0.86 Tz=-2.51 Mx=0.01 Mz=-1.85
Sollecitazioni agenti localmente: Tx_l=-0.86 Ty_l=-2.51 N_l=-5720.83 Mx_l=-0.00 My_l=-1.85 Mz_l=0.01
Taglio nei bulloni: Fv,Ed=0.45 Fv,Rd=7720.78
Rifollamento lato piastra: Fb,Ed,p=0.45 Fb,Rd,p=7129.51
Tirafondi:LT=0.45 (0.31) σ_{cR}=0.00 σ_{fR}=0.00
Compressione nel calcestruzzo: σ_c=11.92
CC 15 SLV (Collegamento 0020_-377)
Azioni sul collegamento: N=-5720.83 Ty=-3.80 Tz=-2.51 Mx=0.01 Mz=2.93
Sollecitazioni agenti localmente: Tx_l=-3.80 Ty_l=-2.51 N_l=-5720.83 Mx_l=-0.00 My_l=2.93 Mz_l=0.01
Taglio nei bulloni: Fv,Ed=0.77 Fv,Rd=7720.78
Rifollamento lato piastra: Fb,Ed,p=0.76 Fb,Rd,p=9652.64
Tirafondi:LT=0.45 (0.31) σ_{cR}=0.00 σ_{fR}=0.00
Compressione nel calcestruzzo: σ_c=11.98
CC 16 SLD (Collegamento 0020_-377)
Azioni sul collegamento: N=-6801.33 Ty=-3.62 Tz=1.73 Mx=0.01 Mz=-2.27
Sollecitazioni agenti localmente: Tx_l=-3.62 Ty_l=1.73 N_l=-6801.33 Mx_l=-0.00 My_l=-2.27 Mz_l=0.01
Taglio nei bulloni: Fv,Ed=0.68 Fv,Rd=9650.97
Rifollamento lato piastra: Fb,Ed,p=0.68 Fb,Rd,p=10113.80
Tirafondi:LT=0.45 (0.31) σ_{cR}=0.00 σ_{fR}=0.00
Compressione nel calcestruzzo: σ_c=14.18
CC 16 SLD (Collegamento 0020_-377)
Azioni sul collegamento: N=-6801.33 Ty=-2.73 Tz=1.73 Mx=0.01 Mz=-0.81
Sollecitazioni agenti localmente: Tx_l=-2.73 Ty_l=1.73 N_l=-6801.33 Mx_l=-0.00 My_l=-0.81 Mz_l=0.01
Taglio nei bulloni: Fv,Ed=0.55 Fv,Rd=9650.97
Rifollamento lato piastra: Fb,Ed,p=0.55 Fb,Rd,p=12153.20
Tirafondi:LT=0.45 (0.31) σ_{cR}=0.00 σ_{fR}=0.00
Compressione nel calcestruzzo: σ_c=14.10
CC 16 SLD (Collegamento 0020_-377)
Azioni sul collegamento: N=-6801.33 Ty=-3.62 Tz=-0.19 Mx=0.01 Mz=-2.27
Sollecitazioni agenti localmente: Tx_l=-3.62 Ty_l=-0.19 N_l=-6801.33 Mx_l=-0.00 My_l=-2.27 Mz_l=0.01
Taglio nei bulloni: Fv,Ed=0.61 Fv,Rd=9650.97
Rifollamento lato piastra: Fb,Ed,p=0.61 Fb,Rd,p=7493.42
Tirafondi:LT=0.45 (0.31) σ_{cR}=0.00 σ_{fR}=0.00
Compressione nel calcestruzzo: σ_c=14.18
CC 16 SLD (Collegamento 0020_-377)
Azioni sul collegamento: N=-6801.33 Ty=-2.73 Tz=-0.19 Mx=0.01 Mz=-0.81
Sollecitazioni agenti localmente: Tx_l=-2.73 Ty_l=-0.19 N_l=-6801.33 Mx_l=-0.00 My_l=-0.81 Mz_l=0.01
Taglio nei bulloni: Fv,Ed=0.46 Fv,Rd=9650.97
Rifollamento lato piastra: Fb,Ed,p=0.46 Fb,Rd,p=7508.08
Tirafondi:LT=0.45 (0.31) σ_{cR}=0.00 σ_{fR}=0.00
Compressione nel calcestruzzo: σ_c=14.10
CC 16 SLD (Collegamento 0020_-377)
Azioni sul collegamento: N=-6311.52 Ty=-3.62 Tz=1.73 Mx=0.01 Mz=-2.27
Sollecitazioni agenti localmente: Tx_l=-3.62 Ty_l=1.73 N_l=-6311.52 Mx_l=-0.00 My_l=-2.27 Mz_l=0.01
Taglio nei bulloni: Fv,Ed=0.68 Fv,Rd=9650.97
Rifollamento lato piastra: Fb,Ed,p=0.68 Fb,Rd,p=10113.90
Tirafondi:LT=0.45 (0.31) σ_{cR}=0.00 σ_{fR}=0.00
Compressione nel calcestruzzo: σ_c=13.17
CC 16 SLD (Collegamento 0020_-377)
Azioni sul collegamento: N=-6311.52 Ty=-2.73 Tz=1.73 Mx=0.01 Mz=-0.81
Sollecitazioni agenti localmente: Tx_l=-2.73 Ty_l=1.73 N_l=-6311.52 Mx_l=-0.00 My_l=-0.81 Mz_l=0.01
Taglio nei bulloni: Fv,Ed=0.55 Fv,Rd=9650.97
Rifollamento lato piastra: Fb,Ed,p=0.55 Fb,Rd,p=12153.20
Tirafondi:LT=0.45 (0.31) σ_{cR}=0.00 σ_{fR}=0.00
Compressione nel calcestruzzo: σ_c=13.09
CC 16 SLD (Collegamento 0020_-377)
Azioni sul collegamento: N=-6311.52 Ty=-3.62 Tz=-0.19 Mx=0.01 Mz=-2.27
Sollecitazioni agenti localmente: Tx_l=-3.62 Ty_l=-0.19 N_l=-6311.52 Mx_l=-0.00 My_l=-2.27 Mz_l=0.01
Taglio nei bulloni: Fv,Ed=0.61 Fv,Rd=9650.97
Rifollamento lato piastra: Fb,Ed,p=0.61 Fb,Rd,p=7493.42
Tirafondi:LT=0.45 (0.31) σ_{cR}=0.00 σ_{fR}=0.00
Compressione nel calcestruzzo: σ_c=13.17
CC 16 SLD (Collegamento 0020_-377)
Azioni sul collegamento: N=-6311.52 Ty=-2.73 Tz=-0.19 Mx=0.01 Mz=-0.81
Sollecitazioni agenti localmente: Tx_l=-2.73 Ty_l=-0.19 N_l=-6311.52 Mx_l=-0.00 My_l=-0.81 Mz_l=0.01
Taglio nei bulloni: Fv,Ed=0.46 Fv,Rd=9650.97

Rifollamento lato piastra: Fb,Ed,p=0.46 Fb,Rd,p=7508.10
Tirafondi:LT=0.45 (0.31) σ_{cR}=0.00 σ_{fR}=0.00
Compressione nel calcestruzzo: σ_c=13.09
CC 17 SLV (Collegamento 0020_-377)
Azioni sul collegamento: N=-3968.96 Ty=-3.07 Tz=-8.85 Mx=-0.01 Mz=-3.83
Sollecitazioni agenti localmente: Tx_l=-3.07 Ty_l=-8.85 N_l=-3968.96 Mx_l=-0.00 My_l=-3.83 Mz_l=-0.01
Taglio nei bulloni: Fv,Ed=1.58 Fv,Rd=7720.78
Rifollamento lato piastra: Fb,Ed,p=1.57 Fb,Rd,p=6972.70
Tirafondi:LT=0.45 (0.31) σ_{cR}=0.00 σ_{fR}=0.00
Compressione nel calcestruzzo: σ_c=8.42
CC 17 SLV (Collegamento 0020_-377)
Azioni sul collegamento: N=-3968.96 Ty=-6.45 Tz=-8.85 Mx=-0.01 Mz=-7.08
Sollecitazioni agenti localmente: Tx_l=-6.45 Ty_l=-8.85 N_l=-3968.96 Mx_l=-0.00 My_l=-7.08 Mz_l=-0.01
Taglio nei bulloni: Fv,Ed=1.85 Fv,Rd=7720.78
Rifollamento lato piastra: Fb,Ed,p=1.83 Fb,Rd,p=10430.50
Tirafondi:LT=0.45 (0.31) σ_{cR}=0.00 σ_{fR}=0.00
Compressione nel calcestruzzo: σ_c=8.60
CC 17 SLV (Collegamento 0020_-377)
Azioni sul collegamento: N=-3968.96 Ty=-3.07 Tz=10.87 Mx=-0.01 Mz=-3.83
Sollecitazioni agenti localmente: Tx_l=-3.07 Ty_l=10.87 N_l=-3968.96 Mx_l=-0.00 My_l=-3.83 Mz_l=-0.01
Taglio nei bulloni: Fv,Ed=1.90 Fv,Rd=7720.78
Rifollamento lato piastra: Fb,Ed,p=1.90 Fb,Rd,p=6720.63
Tirafondi:LT=0.45 (0.31) σ_{cR}=0.00 σ_{fR}=0.00
Compressione nel calcestruzzo: σ_c=8.42
CC 17 SLV (Collegamento 0020_-377)
Azioni sul collegamento: N=-3968.96 Ty=-6.45 Tz=10.87 Mx=-0.01 Mz=-7.08
Sollecitazioni agenti localmente: Tx_l=-6.45 Ty_l=10.87 N_l=-3968.96 Mx_l=-0.00 My_l=-7.08 Mz_l=-0.01
Taglio nei bulloni: Fv,Ed=2.13 Fv,Rd=7720.78
Rifollamento lato piastra: Fb,Ed,p=2.13 Fb,Rd,p=9213.70
Tirafondi:LT=0.45 (0.31) σ_{cR}=0.00 σ_{fR}=0.00
Compressione nel calcestruzzo: σ_c=8.60
CC 17 SLV (Collegamento 0020_-377)
Azioni sul collegamento: N=-9265.76 Ty=-3.07 Tz=-8.85 Mx=-0.01 Mz=-3.83
Sollecitazioni agenti localmente: Tx_l=-3.07 Ty_l=-8.85 N_l=-9265.76 Mx_l=-0.00 My_l=-3.83 Mz_l=-0.01
Taglio nei bulloni: Fv,Ed=1.58 Fv,Rd=7720.78
Rifollamento lato piastra: Fb,Ed,p=1.57 Fb,Rd,p=6972.72
Tirafondi:LT=0.45 (0.31) σ_{cR}=0.00 σ_{fR}=0.00
Compressione nel calcestruzzo: σ_c=19.36
CC 17 SLV (Collegamento 0020_-377)
Azioni sul collegamento: N=-9265.76 Ty=-6.45 Tz=-8.85 Mx=-0.01 Mz=-7.08
Sollecitazioni agenti localmente: Tx_l=-6.45 Ty_l=-8.85 N_l=-9265.76 Mx_l=-0.00 My_l=-7.08 Mz_l=-0.01
Taglio nei bulloni: Fv,Ed=1.85 Fv,Rd=7720.78
Rifollamento lato piastra: Fb,Ed,p=1.83 Fb,Rd,p=10430.50
Tirafondi:LT=0.45 (0.31) σ_{cR}=0.00 σ_{fR}=0.00
Compressione nel calcestruzzo: σ_c=19.54
CC 17 SLV (Collegamento 0020_-377)
Azioni sul collegamento: N=-9265.76 Ty=-3.07 Tz=10.87 Mx=-0.01 Mz=-3.83
Sollecitazioni agenti localmente: Tx_l=-3.07 Ty_l=10.87 N_l=-9265.76 Mx_l=-0.00 My_l=-3.83 Mz_l=-0.01
Taglio nei bulloni: Fv,Ed=1.90 Fv,Rd=7720.78
Rifollamento lato piastra: Fb,Ed,p=1.90 Fb,Rd,p=6720.59
Tirafondi:LT=0.45 (0.31) σ_{cR}=0.00 σ_{fR}=0.00
Compressione nel calcestruzzo: σ_c=19.36
CC 17 SLV (Collegamento 0020_-377)
Azioni sul collegamento: N=-9265.76 Ty=-6.45 Tz=10.87 Mx=-0.01 Mz=-7.08
Sollecitazioni agenti localmente: Tx_l=-6.45 Ty_l=10.87 N_l=-9265.76 Mx_l=-0.00 My_l=-7.08 Mz_l=-0.01
Taglio nei bulloni: Fv,Ed=2.13 Fv,Rd=7720.78
Rifollamento lato piastra: Fb,Ed,p=2.13 Fb,Rd,p=9213.54
Tirafondi:LT=0.45 (0.31) σ_{cR}=0.00 σ_{fR}=0.00
Compressione nel calcestruzzo: σ_c=19.54
CC 18 SLD (Collegamento 0020_-377)
Azioni sul collegamento: N=-5777.32 Ty=-3.40 Tz=-2.12 Mx=-0.00 Mz=-2.87
Sollecitazioni agenti localmente: Tx_l=-3.40 Ty_l=-2.12 N_l=-5777.32 Mx_l=-0.00 My_l=-2.87 Mz_l=-0.00
Taglio nei bulloni: Fv,Ed=0.67 Fv,Rd=9650.97
Rifollamento lato piastra: Fb,Ed,p=0.67 Fb,Rd,p=11924.50
Tirafondi:LT=0.45 (0.31) σ_{cR}=0.00 σ_{fR}=0.00
Compressione nel calcestruzzo: σ_c=12.10
CC 18 SLD (Collegamento 0020_-377)
Azioni sul collegamento: N=-5777.32 Ty=-4.43 Tz=-2.12 Mx=-0.00 Mz=-3.87
Sollecitazioni agenti localmente: Tx_l=-4.43 Ty_l=-2.12 N_l=-5777.32 Mx_l=-0.00 My_l=-3.87 Mz_l=-0.00
Taglio nei bulloni: Fv,Ed=0.82 Fv,Rd=9650.97
Rifollamento lato piastra: Fb,Ed,p=0.82 Fb,Rd,p=10072.60
Tirafondi:LT=0.45 (0.31) σ_{cR}=0.00 σ_{fR}=0.00
Compressione nel calcestruzzo: σ_c=12.15
CC 18 SLD (Collegamento 0020_-377)
Azioni sul collegamento: N=-5777.32 Ty=-3.40 Tz=3.89 Mx=-0.00 Mz=-2.87
Sollecitazioni agenti localmente: Tx_l=-3.40 Ty_l=3.89 N_l=-5777.32 Mx_l=-0.00 My_l=-2.87 Mz_l=-0.00
Taglio nei bulloni: Fv,Ed=0.86 Fv,Rd=9650.97
Rifollamento lato piastra: Fb,Ed,p=0.86 Fb,Rd,p=14109.10

Tirafondi:LT=0.45 (0.31) σ_{cR}=0.00 σ_{fR}=0.00
Compressione nel calcestruzzo: σ_c=12.10
CC 18 SLD (Collegamento 0020_-377)
Azioni sul collegamento: N=-5777.32 Ty=-4.43 Tz=3.89 Mx=-0.00 Mz=-3.87
Sollecitazioni agenti localmente: Tx_l=-4.43 Ty_l=3.89 N_l=-5777.32 Mx_l=-0.00 My_l=-3.87 Mz_l=-0.00
Taglio nei bulloni: Fv,Ed=0.98 Fv,Rd=9650.97
Rifollamento lato piastra: Fb,Ed,p=0.98 Fb,Rd,p=14109.50
Tirafondi:LT=0.45 (0.31) σ_{cR}=0.00 σ_{fR}=0.00
Compressione nel calcestruzzo: σ_c=12.15
CC 18 SLD (Collegamento 0020_-377)
Azioni sul collegamento: N=-7392.49 Ty=-3.40 Tz=-2.12 Mx=-0.00 Mz=-2.87
Sollecitazioni agenti localmente: Tx_l=-3.40 Ty_l=-2.12 N_l=-7392.49 Mx_l=-0.00 My_l=-2.87 Mz_l=-0.00
Taglio nei bulloni: Fv,Ed=0.67 Fv,Rd=9650.97
Rifollamento lato piastra: Fb,Ed,p=0.67 Fb,Rd,p=11924.30
Tirafondi:LT=0.45 (0.31) σ_{cR}=0.00 σ_{fR}=0.00
Compressione nel calcestruzzo: σ_c=15.44
CC 18 SLD (Collegamento 0020_-377)
Azioni sul collegamento: N=-7392.49 Ty=-4.43 Tz=-2.12 Mx=-0.00 Mz=-3.87
Sollecitazioni agenti localmente: Tx_l=-4.43 Ty_l=-2.12 N_l=-7392.49 Mx_l=-0.00 My_l=-3.87 Mz_l=-0.00
Taglio nei bulloni: Fv,Ed=0.82 Fv,Rd=9650.97
Rifollamento lato piastra: Fb,Ed,p=0.82 Fb,Rd,p=10072.50
Tirafondi:LT=0.45 (0.31) σ_{cR}=0.00 σ_{fR}=0.00
Compressione nel calcestruzzo: σ_c=15.49
CC 18 SLD (Collegamento 0020_-377)
Azioni sul collegamento: N=-7392.49 Ty=-3.40 Tz=3.89 Mx=-0.00 Mz=-2.87
Sollecitazioni agenti localmente: Tx_l=-3.40 Ty_l=3.89 N_l=-7392.49 Mx_l=-0.00 My_l=-2.87 Mz_l=-0.00
Taglio nei bulloni: Fv,Ed=0.86 Fv,Rd=9650.97
Rifollamento lato piastra: Fb,Ed,p=0.86 Fb,Rd,p=14108.50
Tirafondi:LT=0.45 (0.31) σ_{cR}=0.00 σ_{fR}=0.00
Compressione nel calcestruzzo: σ_c=15.44
CC 18 SLD (Collegamento 0020_-377)
Azioni sul collegamento: N=-7392.49 Ty=-4.43 Tz=3.89 Mx=-0.00 Mz=-3.87
Sollecitazioni agenti localmente: Tx_l=-4.43 Ty_l=3.89 N_l=-7392.49 Mx_l=-0.00 My_l=-3.87 Mz_l=-0.00
Taglio nei bulloni: Fv,Ed=0.99 Fv,Rd=9650.97
Rifollamento lato piastra: Fb,Ed,p=0.98 Fb,Rd,p=14110.10
Tirafondi:LT=0.45 (0.31) σ_{cR}=0.00 σ_{fR}=0.00
Compressione nel calcestruzzo: σ_c=15.49
CC 19 SLV (Collegamento 0020_-377)
Azioni sul collegamento: N=-3974.65 Ty=-3.70 Tz=-8.72 Mx=-0.01 Mz=-5.08
Sollecitazioni agenti localmente: Tx_l=-3.70 Ty_l=-8.72 N_l=-3974.65 Mx_l=-0.00 My_l=-5.08 Mz_l=-0.01
Taglio nei bulloni: Fv,Ed=1.59 Fv,Rd=7720.78
Rifollamento lato piastra: Fb,Ed,p=1.58 Fb,Rd,p=7528.19
Tirafondi:LT=0.45 (0.31) σ_{cR}=0.00 σ_{fR}=0.00
Compressione nel calcestruzzo: σ_c=8.50
CC 19 SLV (Collegamento 0020_-377)
Azioni sul collegamento: N=-3974.65 Ty=-5.81 Tz=-8.72 Mx=-0.01 Mz=-5.82
Sollecitazioni agenti localmente: Tx_l=-5.81 Ty_l=-8.72 N_l=-3974.65 Mx_l=-0.00 My_l=-5.82 Mz_l=-0.01
Taglio nei bulloni: Fv,Ed=1.76 Fv,Rd=7720.78
Rifollamento lato piastra: Fb,Ed,p=1.75 Fb,Rd,p=9905.65
Tirafondi:LT=0.45 (0.31) σ_{cR}=0.00 σ_{fR}=0.00
Compressione nel calcestruzzo: σ_c=8.54
CC 19 SLV (Collegamento 0020_-377)
Azioni sul collegamento: N=-3974.65 Ty=-3.70 Tz=10.74 Mx=-0.01 Mz=-5.08
Sollecitazioni agenti localmente: Tx_l=-3.70 Ty_l=10.74 N_l=-3974.65 Mx_l=-0.00 My_l=-5.08 Mz_l=-0.01
Taglio nei bulloni: Fv,Ed=1.91 Fv,Rd=7720.78
Rifollamento lato piastra: Fb,Ed,p=1.91 Fb,Rd,p=7064.53
Tirafondi:LT=0.45 (0.31) σ_{cR}=0.00 σ_{fR}=0.00
Compressione nel calcestruzzo: σ_c=8.50
CC 19 SLV (Collegamento 0020_-377)
Azioni sul collegamento: N=-3974.65 Ty=-5.81 Tz=10.74 Mx=-0.01 Mz=-5.82
Sollecitazioni agenti localmente: Tx_l=-5.81 Ty_l=10.74 N_l=-3974.65 Mx_l=-0.00 My_l=-5.82 Mz_l=-0.01
Taglio nei bulloni: Fv,Ed=2.05 Fv,Rd=7720.78
Rifollamento lato piastra: Fb,Ed,p=2.05 Fb,Rd,p=8656.83
Tirafondi:LT=0.45 (0.31) σ_{cR}=0.00 σ_{fR}=0.00
Compressione nel calcestruzzo: σ_c=8.54
CC 19 SLV (Collegamento 0020_-377)
Azioni sul collegamento: N=-9260.08 Ty=-3.70 Tz=-8.72 Mx=-0.01 Mz=-5.08
Sollecitazioni agenti localmente: Tx_l=-3.70 Ty_l=-8.72 N_l=-9260.08 Mx_l=-0.00 My_l=-5.08 Mz_l=-0.01
Taglio nei bulloni: Fv,Ed=1.59 Fv,Rd=7720.78
Rifollamento lato piastra: Fb,Ed,p=1.58 Fb,Rd,p=7528.33
Tirafondi:LT=0.45 (0.31) σ_{cR}=0.00 σ_{fR}=0.00
Compressione nel calcestruzzo: σ_c=19.42
CC 19 SLV (Collegamento 0020_-377)
Azioni sul collegamento: N=-9260.08 Ty=-5.81 Tz=-8.72 Mx=-0.01 Mz=-5.82
Sollecitazioni agenti localmente: Tx_l=-5.81 Ty_l=-8.72 N_l=-9260.08 Mx_l=-0.00 My_l=-5.82 Mz_l=-0.01
Taglio nei bulloni: Fv,Ed=1.76 Fv,Rd=7720.78
Rifollamento lato piastra: Fb,Ed,p=1.75 Fb,Rd,p=9906.01
Tirafondi:LT=0.45 (0.31) σ_{cR}=0.00 σ_{fR}=0.00

Compressione nel calcestruzzo: σ_c=19.46
CC 19 SLV (Collegamento 0020_-377)
Azioni sul collegamento: N=-9260.08 Ty=-3.70 Tz=10.74 Mx=-0.01 Mz=-5.08
Sollecitazioni agenti localmente: Tx_l=-3.70 Ty_l=10.74 N_l=-9260.08 Mx_l=-0.00 My_l=-5.08 Mz_l=-0.01
Taglio nei bulloni: Fv,Ed=1.91 Fv,Rd=7720.78
Rifollamento lato piastra: Fb,Ed,p=1.91 Fb,Rd,p=7064.48
Tirafondi:LT=0.45 (0.31) σ_{cR}=0.00 σ_{fR}=0.00
Compressione nel calcestruzzo: σ_c=19.42
CC 19 SLV (Collegamento 0020_-377)
Azioni sul collegamento: N=-9260.08 Ty=-5.81 Tz=10.74 Mx=-0.01 Mz=-5.82
Sollecitazioni agenti localmente: Tx_l=-5.81 Ty_l=10.74 N_l=-9260.08 Mx_l=-0.00 My_l=-5.82 Mz_l=-0.01
Taglio nei bulloni: Fv,Ed=2.05 Fv,Rd=7720.78
Rifollamento lato piastra: Fb,Ed,p=2.05 Fb,Rd,p=8656.71
Tirafondi:LT=0.45 (0.31) σ_{cR}=0.00 σ_{fR}=0.00
Compressione nel calcestruzzo: σ_c=19.46
CC 20 SLD (Collegamento 0020_-377)
Azioni sul collegamento: N=-5779.06 Ty=-3.59 Tz=-2.08 Mx=-0.00 Mz=-3.26
Sollecitazioni agenti localmente: Tx_l=-3.59 Ty_l=-2.08 N_l=-5779.06 Mx_l=-0.00 My_l=-3.26 Mz_l=-0.00
Taglio nei bulloni: Fv,Ed=0.69 Fv,Rd=9650.97
Rifollamento lato piastra: Fb,Ed,p=0.69 Fb,Rd,p=11287.20
Tirafondi:LT=0.45 (0.31) σ_{cR}=0.00 σ_{fR}=0.00
Compressione nel calcestruzzo: σ_c=12.12
CC 20 SLD (Collegamento 0020_-377)
Azioni sul collegamento: N=-5779.06 Ty=-4.24 Tz=-2.08 Mx=-0.00 Mz=-3.48
Sollecitazioni agenti localmente: Tx_l=-4.24 Ty_l=-2.08 N_l=-5779.06 Mx_l=-0.00 My_l=-3.48 Mz_l=-0.00
Taglio nei bulloni: Fv,Ed=0.79 Fv,Rd=9650.97
Rifollamento lato piastra: Fb,Ed,p=0.79 Fb,Rd,p=10200.00
Tirafondi:LT=0.45 (0.31) σ_{cR}=0.00 σ_{fR}=0.00
Compressione nel calcestruzzo: σ_c=12.14
CC 20 SLD (Collegamento 0020_-377)
Azioni sul collegamento: N=-5779.06 Ty=-3.59 Tz=3.85 Mx=-0.00 Mz=-3.26
Sollecitazioni agenti localmente: Tx_l=-3.59 Ty_l=3.85 N_l=-5779.06 Mx_l=-0.00 My_l=-3.26 Mz_l=-0.00
Taglio nei bulloni: Fv,Ed=0.88 Fv,Rd=9650.97
Rifollamento lato piastra: Fb,Ed,p=0.88 Fb,Rd,p=14527.20
Tirafondi:LT=0.45 (0.31) σ_{cR}=0.00 σ_{fR}=0.00
Compressione nel calcestruzzo: σ_c=12.12
CC 20 SLD (Collegamento 0020_-377)
Azioni sul collegamento: N=-5779.06 Ty=-4.24 Tz=3.85 Mx=-0.00 Mz=-3.48
Sollecitazioni agenti localmente: Tx_l=-4.24 Ty_l=3.85 N_l=-5779.06 Mx_l=-0.00 My_l=-3.48 Mz_l=-0.00
Taglio nei bulloni: Fv,Ed=0.95 Fv,Rd=9650.97
Rifollamento lato piastra: Fb,Ed,p=0.95 Fb,Rd,p=14356.80
Tirafondi:LT=0.45 (0.31) σ_{cR}=0.00 σ_{fR}=0.00
Compressione nel calcestruzzo: σ_c=12.14
CC 20 SLD (Collegamento 0020_-377)
Azioni sul collegamento: N=-7390.75 Ty=-3.59 Tz=-2.08 Mx=-0.00 Mz=-3.26
Sollecitazioni agenti localmente: Tx_l=-3.59 Ty_l=-2.08 N_l=-7390.75 Mx_l=-0.00 My_l=-3.26 Mz_l=-0.00
Taglio nei bulloni: Fv,Ed=0.69 Fv,Rd=9650.97
Rifollamento lato piastra: Fb,Ed,p=0.69 Fb,Rd,p=11287.10
Tirafondi:LT=0.45 (0.31) σ_{cR}=0.00 σ_{fR}=0.00
Compressione nel calcestruzzo: σ_c=15.45
CC 20 SLD (Collegamento 0020_-377)
Azioni sul collegamento: N=-7390.75 Ty=-4.24 Tz=-2.08 Mx=-0.00 Mz=-3.48
Sollecitazioni agenti localmente: Tx_l=-4.24 Ty_l=-2.08 N_l=-7390.75 Mx_l=-0.00 My_l=-3.48 Mz_l=-0.00
Taglio nei bulloni: Fv,Ed=0.79 Fv,Rd=9650.97
Rifollamento lato piastra: Fb,Ed,p=0.79 Fb,Rd,p=10200.00
Tirafondi:LT=0.45 (0.31) σ_{cR}=0.00 σ_{fR}=0.00
Compressione nel calcestruzzo: σ_c=15.47
CC 20 SLD (Collegamento 0020_-377)
Azioni sul collegamento: N=-7390.75 Ty=-3.59 Tz=3.85 Mx=-0.00 Mz=-3.26
Sollecitazioni agenti localmente: Tx_l=-3.59 Ty_l=3.85 N_l=-7390.75 Mx_l=-0.00 My_l=-3.26 Mz_l=-0.00
Taglio nei bulloni: Fv,Ed=0.88 Fv,Rd=9650.97
Rifollamento lato piastra: Fb,Ed,p=0.88 Fb,Rd,p=14527.20
Tirafondi:LT=0.45 (0.31) σ_{cR}=0.00 σ_{fR}=0.00
Compressione nel calcestruzzo: σ_c=15.45
CC 20 SLD (Collegamento 0020_-377)
Azioni sul collegamento: N=-7390.75 Ty=-4.24 Tz=3.85 Mx=-0.00 Mz=-3.48
Sollecitazioni agenti localmente: Tx_l=-4.24 Ty_l=3.85 N_l=-7390.75 Mx_l=-0.00 My_l=-3.48 Mz_l=-0.00
Taglio nei bulloni: Fv,Ed=0.95 Fv,Rd=9650.97
Rifollamento lato piastra: Fb,Ed,p=0.95 Fb,Rd,p=14356.80
Tirafondi:LT=0.45 (0.31) σ_{cR}=0.00 σ_{fR}=0.00
Compressione nel calcestruzzo: σ_c=15.47
CC 21 SLV (Collegamento 0020_-377)
Azioni sul collegamento: N=-9260.08 Ty=-5.81 Tz=10.74 Mx=-0.01 Mz=-5.82
Sollecitazioni agenti localmente: Tx_l=-5.81 Ty_l=10.74 N_l=-9260.08 Mx_l=-0.00 My_l=-5.82 Mz_l=-0.01
Taglio nei bulloni: Fv,Ed=2.05 Fv,Rd=7720.78
Rifollamento lato piastra: Fb,Ed,p=2.05 Fb,Rd,p=8662.22
Tirafondi:LT=0.45 (0.31) σ_{cR}=0.00 σ_{fR}=0.00
Compressione nel calcestruzzo: σ_c=19.46

CC 21 SLV (Collegamento 0020_-377)
Azioni sul collegamento: N=-9260.08 Ty=-3.70 Tz=10.74 Mx=-0.01 Mz=-5.08
Sollecitazioni agenti localmente: Tx_l=-3.70 Ty_l=10.74 N_l=-9260.08 Mx_l=-0.00 My_l=-5.08 Mz_l=-0.01
Taglio nei bulloni: Fv,Ed=1.91 Fv,Rd=7720.78
Rifollamento lato piastra: Fb,Ed,p=1.91 Fb,Rd,p=7069.42
Tirafondi:LT=0.45 (0.31) σ_{cR}=0.00 σ_{fR}=0.00
Compressione nel calcestruzzo: σ_c=19.42
CC 21 SLV (Collegamento 0020_-377)
Azioni sul collegamento: N=-9260.08 Ty=-5.81 Tz=-8.72 Mx=-0.01 Mz=-5.82
Sollecitazioni agenti localmente: Tx_l=-5.81 Ty_l=-8.72 N_l=-9260.08 Mx_l=-0.00 My_l=-5.82 Mz_l=-0.01
Taglio nei bulloni: Fv,Ed=1.76 Fv,Rd=7720.78
Rifollamento lato piastra: Fb,Ed,p=1.75 Fb,Rd,p=9876.00
Tirafondi:LT=0.45 (0.31) σ_{cR}=0.00 σ_{fR}=0.00
Compressione nel calcestruzzo: σ_c=19.46
CC 21 SLV (Collegamento 0020_-377)
Azioni sul collegamento: N=-9260.08 Ty=-3.70 Tz=-8.72 Mx=-0.01 Mz=-5.08
Sollecitazioni agenti localmente: Tx_l=-3.70 Ty_l=-8.72 N_l=-9260.08 Mx_l=-0.00 My_l=-5.08 Mz_l=-0.01
Taglio nei bulloni: Fv,Ed=1.59 Fv,Rd=7720.78
Rifollamento lato piastra: Fb,Ed,p=1.58 Fb,Rd,p=7512.54
Tirafondi:LT=0.45 (0.31) σ_{cR}=0.00 σ_{fR}=0.00
Compressione nel calcestruzzo: σ_c=19.42
CC 21 SLV (Collegamento 0020_-377)
Azioni sul collegamento: N=-3974.65 Ty=-5.81 Tz=10.74 Mx=-0.01 Mz=-5.82
Sollecitazioni agenti localmente: Tx_l=-5.81 Ty_l=10.74 N_l=-3974.65 Mx_l=-0.00 My_l=-5.82 Mz_l=-0.01
Taglio nei bulloni: Fv,Ed=2.05 Fv,Rd=7720.78
Rifollamento lato piastra: Fb,Ed,p=2.05 Fb,Rd,p=8662.34
Tirafondi:LT=0.45 (0.31) σ_{cR}=0.00 σ_{fR}=0.00
Compressione nel calcestruzzo: σ_c=8.54
CC 21 SLV (Collegamento 0020_-377)
Azioni sul collegamento: N=-3974.65 Ty=-3.70 Tz=10.74 Mx=-0.01 Mz=-5.08
Sollecitazioni agenti localmente: Tx_l=-3.70 Ty_l=10.74 N_l=-3974.65 Mx_l=-0.00 My_l=-5.08 Mz_l=-0.01
Taglio nei bulloni: Fv,Ed=1.91 Fv,Rd=7720.78
Rifollamento lato piastra: Fb,Ed,p=1.91 Fb,Rd,p=7069.47
Tirafondi:LT=0.45 (0.31) σ_{cR}=0.00 σ_{fR}=0.00
Compressione nel calcestruzzo: σ_c=8.50
CC 21 SLV (Collegamento 0020_-377)
Azioni sul collegamento: N=-3974.65 Ty=-5.81 Tz=-8.72 Mx=-0.01 Mz=-5.82
Sollecitazioni agenti localmente: Tx_l=-5.81 Ty_l=-8.72 N_l=-3974.65 Mx_l=-0.00 My_l=-5.82 Mz_l=-0.01
Taglio nei bulloni: Fv,Ed=1.76 Fv,Rd=7720.78
Rifollamento lato piastra: Fb,Ed,p=1.75 Fb,Rd,p=9875.63
Tirafondi:LT=0.45 (0.31) σ_{cR}=0.00 σ_{fR}=0.00
Compressione nel calcestruzzo: σ_c=8.54
CC 21 SLV (Collegamento 0020_-377)
Azioni sul collegamento: N=-3974.65 Ty=-3.70 Tz=-8.72 Mx=-0.01 Mz=-5.08
Sollecitazioni agenti localmente: Tx_l=-3.70 Ty_l=-8.72 N_l=-3974.65 Mx_l=-0.00 My_l=-5.08 Mz_l=-0.01
Taglio nei bulloni: Fv,Ed=1.59 Fv,Rd=7720.78
Rifollamento lato piastra: Fb,Ed,p=1.58 Fb,Rd,p=7512.40
Tirafondi:LT=0.45 (0.31) σ_{cR}=0.00 σ_{fR}=0.00
Compressione nel calcestruzzo: σ_c=8.50
CC 22 SLD (Collegamento 0020_-377)
Azioni sul collegamento: N=-7390.75 Ty=-4.24 Tz=3.85 Mx=-0.00 Mz=-3.48
Sollecitazioni agenti localmente: Tx_l=-4.24 Ty_l=3.85 N_l=-7390.75 Mx_l=-0.00 My_l=-3.48 Mz_l=-0.00
Taglio nei bulloni: Fv,Ed=0.96 Fv,Rd=9650.97
Rifollamento lato piastra: Fb,Ed,p=0.95 Fb,Rd,p=14344.10
Tirafondi:LT=0.45 (0.31) σ_{cR}=0.00 σ_{fR}=0.00
Compressione nel calcestruzzo: σ_c=15.47
CC 22 SLD (Collegamento 0020_-377)
Azioni sul collegamento: N=-7390.75 Ty=-3.59 Tz=3.85 Mx=-0.00 Mz=-3.26
Sollecitazioni agenti localmente: Tx_l=-3.59 Ty_l=3.85 N_l=-7390.75 Mx_l=-0.00 My_l=-3.26 Mz_l=-0.00
Taglio nei bulloni: Fv,Ed=0.88 Fv,Rd=9650.97
Rifollamento lato piastra: Fb,Ed,p=0.88 Fb,Rd,p=14527.70
Tirafondi:LT=0.45 (0.31) σ_{cR}=0.00 σ_{fR}=0.00
Compressione nel calcestruzzo: σ_c=15.45
CC 22 SLD (Collegamento 0020_-377)
Azioni sul collegamento: N=-7390.75 Ty=-4.24 Tz=-2.08 Mx=-0.00 Mz=-3.48
Sollecitazioni agenti localmente: Tx_l=-4.24 Ty_l=-2.08 N_l=-7390.75 Mx_l=-0.00 My_l=-3.48 Mz_l=-0.00
Taglio nei bulloni: Fv,Ed=0.79 Fv,Rd=9650.97
Rifollamento lato piastra: Fb,Ed,p=0.79 Fb,Rd,p=10205.30
Tirafondi:LT=0.45 (0.31) σ_{cR}=0.00 σ_{fR}=0.00
Compressione nel calcestruzzo: σ_c=15.47
CC 22 SLD (Collegamento 0020_-377)
Azioni sul collegamento: N=-7390.75 Ty=-3.59 Tz=-2.08 Mx=-0.00 Mz=-3.26
Sollecitazioni agenti localmente: Tx_l=-3.59 Ty_l=-2.08 N_l=-7390.75 Mx_l=-0.00 My_l=-3.26 Mz_l=-0.00
Taglio nei bulloni: Fv,Ed=0.69 Fv,Rd=9650.97
Rifollamento lato piastra: Fb,Ed,p=0.69 Fb,Rd,p=11293.40
Tirafondi:LT=0.45 (0.31) σ_{cR}=0.00 σ_{fR}=0.00
Compressione nel calcestruzzo: σ_c=15.45
CC 22 SLD (Collegamento 0020_-377)

Azioni sul collegamento: N=-5779.06 Ty=-4.24 Tz=3.85 Mx=-0.00 Mz=-3.48
Sollecitazioni agenti localmente: Tx_l=-4.24 Ty_l=3.85 N_l=-5779.06 Mx_l=-0.00 My_l=-3.48 Mz_l=-0.00
Taglio nei bulloni: Fv,Ed=0.96 Fv,Rd=9650.97
Rifollamento lato piastra: Fb,Ed,p=0.95 Fb,Rd,p=14344.00
Tirafondi:LT=0.45 (0.31) σ_{cR}=0.00 σ_{fR}=0.00
Compressione nel calcestruzzo: σ_c=12.14
CC 22 SLD (Collegamento 0020_-377)
Azioni sul collegamento: N=-5779.06 Ty=-3.59 Tz=3.85 Mx=-0.00 Mz=-3.26
Sollecitazioni agenti localmente: Tx_l=-3.59 Ty_l=3.85 N_l=-5779.06 Mx_l=-0.00 My_l=-3.26 Mz_l=-0.00
Taglio nei bulloni: Fv,Ed=0.88 Fv,Rd=9650.97
Rifollamento lato piastra: Fb,Ed,p=0.88 Fb,Rd,p=14527.70
Tirafondi:LT=0.45 (0.31) σ_{cR}=0.00 σ_{fR}=0.00
Compressione nel calcestruzzo: σ_c=12.12
CC 22 SLD (Collegamento 0020_-377)
Azioni sul collegamento: N=-5779.06 Ty=-4.24 Tz=-2.08 Mx=-0.00 Mz=-3.48
Sollecitazioni agenti localmente: Tx_l=-4.24 Ty_l=-2.08 N_l=-5779.06 Mx_l=-0.00 My_l=-3.48 Mz_l=-0.00
Taglio nei bulloni: Fv,Ed=0.79 Fv,Rd=9650.97
Rifollamento lato piastra: Fb,Ed,p=0.79 Fb,Rd,p=10205.40
Tirafondi:LT=0.45 (0.31) σ_{cR}=0.00 σ_{fR}=0.00
Compressione nel calcestruzzo: σ_c=12.14
CC 22 SLD (Collegamento 0020_-377)
Azioni sul collegamento: N=-5779.06 Ty=-3.59 Tz=-2.08 Mx=-0.00 Mz=-3.26
Sollecitazioni agenti localmente: Tx_l=-3.59 Ty_l=-2.08 N_l=-5779.06 Mx_l=-0.00 My_l=-3.26 Mz_l=-0.00
Taglio nei bulloni: Fv,Ed=0.69 Fv,Rd=9650.97
Rifollamento lato piastra: Fb,Ed,p=0.69 Fb,Rd,p=11293.50
Tirafondi:LT=0.45 (0.31) σ_{cR}=0.00 σ_{fR}=0.00
Compressione nel calcestruzzo: σ_c=12.12
CC 23 SLV (Collegamento 0020_-377)
Azioni sul collegamento: N=-9265.76 Ty=-6.45 Tz=10.87 Mx=-0.01 Mz=-7.08
Sollecitazioni agenti localmente: Tx_l=-6.45 Ty_l=10.87 N_l=-9265.76 Mx_l=-0.00 My_l=-7.08 Mz_l=-0.01
Taglio nei bulloni: Fv,Ed=2.12 Fv,Rd=7720.78
Rifollamento lato piastra: Fb,Ed,p=2.12 Fb,Rd,p=9192.68
Tirafondi:LT=0.45 (0.31) σ_{cR}=0.00 σ_{fR}=0.00
Compressione nel calcestruzzo: σ_c=19.54
CC 23 SLV (Collegamento 0020_-377)
Azioni sul collegamento: N=-9265.76 Ty=-3.07 Tz=10.87 Mx=-0.01 Mz=-3.83
Sollecitazioni agenti localmente: Tx_l=-3.07 Ty_l=10.87 N_l=-9265.76 Mx_l=-0.00 My_l=-3.83 Mz_l=-0.01
Taglio nei bulloni: Fv,Ed=1.89 Fv,Rd=7720.78
Rifollamento lato piastra: Fb,Ed,p=1.89 Fb,Rd,p=6703.44
Tirafondi:LT=0.45 (0.31) σ_{cR}=0.00 σ_{fR}=0.00
Compressione nel calcestruzzo: σ_c=19.36
CC 23 SLV (Collegamento 0020_-377)
Azioni sul collegamento: N=-9265.76 Ty=-6.45 Tz=-8.85 Mx=-0.01 Mz=-7.08
Sollecitazioni agenti localmente: Tx_l=-6.45 Ty_l=-8.85 N_l=-9265.76 Mx_l=-0.00 My_l=-7.08 Mz_l=-0.01
Taglio nei bulloni: Fv,Ed=1.83 Fv,Rd=7720.78
Rifollamento lato piastra: Fb,Ed,p=1.83 Fb,Rd,p=10479.20
Tirafondi:LT=0.45 (0.31) σ_{cR}=0.00 σ_{fR}=0.00
Compressione nel calcestruzzo: σ_c=19.54
CC 23 SLV (Collegamento 0020_-377)
Azioni sul collegamento: N=-9265.76 Ty=-3.07 Tz=-8.85 Mx=-0.01 Mz=-3.83
Sollecitazioni agenti localmente: Tx_l=-3.07 Ty_l=-8.85 N_l=-9265.76 Mx_l=-0.00 My_l=-3.83 Mz_l=-0.01
Taglio nei bulloni: Fv,Ed=1.57 Fv,Rd=7720.78
Rifollamento lato piastra: Fb,Ed,p=1.56 Fb,Rd,p=7019.31
Tirafondi:LT=0.45 (0.31) σ_{cR}=0.00 σ_{fR}=0.00
Compressione nel calcestruzzo: σ_c=19.36
CC 23 SLV (Collegamento 0020_-377)
Azioni sul collegamento: N=-3968.96 Ty=-6.45 Tz=10.87 Mx=-0.01 Mz=-7.08
Sollecitazioni agenti localmente: Tx_l=-6.45 Ty_l=10.87 N_l=-3968.96 Mx_l=-0.00 My_l=-7.08 Mz_l=-0.01
Taglio nei bulloni: Fv,Ed=2.12 Fv,Rd=7720.78
Rifollamento lato piastra: Fb,Ed,p=2.12 Fb,Rd,p=9192.84
Tirafondi:LT=0.45 (0.31) σ_{cR}=0.00 σ_{fR}=0.00
Compressione nel calcestruzzo: σ_c=8.60
CC 23 SLV (Collegamento 0020_-377)
Azioni sul collegamento: N=-3968.96 Ty=-3.07 Tz=10.87 Mx=-0.01 Mz=-3.83
Sollecitazioni agenti localmente: Tx_l=-3.07 Ty_l=10.87 N_l=-3968.96 Mx_l=-0.00 My_l=-3.83 Mz_l=-0.01
Taglio nei bulloni: Fv,Ed=1.89 Fv,Rd=7720.78
Rifollamento lato piastra: Fb,Ed,p=1.89 Fb,Rd,p=6703.48
Tirafondi:LT=0.45 (0.31) σ_{cR}=0.00 σ_{fR}=0.00
Compressione nel calcestruzzo: σ_c=8.42
CC 23 SLV (Collegamento 0020_-377)
Azioni sul collegamento: N=-3968.96 Ty=-6.45 Tz=-8.85 Mx=-0.01 Mz=-7.08
Sollecitazioni agenti localmente: Tx_l=-6.45 Ty_l=-8.85 N_l=-3968.96 Mx_l=-0.00 My_l=-7.08 Mz_l=-0.01
Taglio nei bulloni: Fv,Ed=1.83 Fv,Rd=7720.78
Rifollamento lato piastra: Fb,Ed,p=1.83 Fb,Rd,p=10479.10
Tirafondi:LT=0.45 (0.31) σ_{cR}=0.00 σ_{fR}=0.00
Compressione nel calcestruzzo: σ_c=8.60
CC 23 SLV (Collegamento 0020_-377)
Azioni sul collegamento: N=-3968.96 Ty=-3.07 Tz=-8.85 Mx=-0.01 Mz=-3.83

Sollecitazioni agenti localmente: Tx_l=-3.07 Ty_l=-8.85 N_l=-3968.96 Mx_l=-0.00 My_l=-3.83 Mz_l=-0.01
Taglio nei bulloni: Fv,Ed=1.57 Fv,Rd=7720.78
Rifollamento lato piastra: Fb,Ed,p=1.56 Fb,Rd,p=7019.29
Tirafondi:LT=0.45 (0.31) σ_{cR}=0.00 σ_{fR}=0.00
Compressione nel calcestruzzo: σ_c=8.42
CC 24 SLD (Collegamento 0020_-377)
Azioni sul collegamento: N=-7392.49 Ty=-4.43 Tz=3.89 Mx=0.00 Mz=-3.87
Sollecitazioni agenti localmente: Tx_l=-4.43 Ty_l=3.89 N_l=-7392.49 Mx_l=-0.00 My_l=-3.87 Mz_l=0.00
Taglio nei bulloni: Fv,Ed=0.98 Fv,Rd=9650.97
Rifollamento lato piastra: Fb,Ed,p=0.98 Fb,Rd,p=14141.00
Tirafondi:LT=0.45 (0.31) σ_{cR}=0.00 σ_{fR}=0.00
Compressione nel calcestruzzo: σ_c=15.49
CC 24 SLD (Collegamento 0020_-377)
Azioni sul collegamento: N=-7392.49 Ty=-3.40 Tz=3.89 Mx=0.00 Mz=-2.87
Sollecitazioni agenti localmente: Tx_l=-3.40 Ty_l=3.89 N_l=-7392.49 Mx_l=-0.00 My_l=-2.87 Mz_l=0.00
Taglio nei bulloni: Fv,Ed=0.86 Fv,Rd=9650.97
Rifollamento lato piastra: Fb,Ed,p=0.86 Fb,Rd,p=14087.70
Tirafondi:LT=0.45 (0.31) σ_{cR}=0.00 σ_{fR}=0.00
Compressione nel calcestruzzo: σ_c=15.44
CC 24 SLD (Collegamento 0020_-377)
Azioni sul collegamento: N=-7392.49 Ty=-4.43 Tz=-2.12 Mx=0.00 Mz=-3.87
Sollecitazioni agenti localmente: Tx_l=-4.43 Ty_l=-2.12 N_l=-7392.49 Mx_l=-0.00 My_l=-3.87 Mz_l=0.00
Taglio nei bulloni: Fv,Ed=0.82 Fv,Rd=9650.97
Rifollamento lato piastra: Fb,Ed,p=0.82 Fb,Rd,p=10039.50
Tirafondi:LT=0.45 (0.31) σ_{cR}=0.00 σ_{fR}=0.00
Compressione nel calcestruzzo: σ_c=15.49
CC 24 SLD (Collegamento 0020_-377)
Azioni sul collegamento: N=-7392.49 Ty=-3.40 Tz=-2.12 Mx=0.00 Mz=-2.87
Sollecitazioni agenti localmente: Tx_l=-3.40 Ty_l=-2.12 N_l=-7392.49 Mx_l=-0.00 My_l=-2.87 Mz_l=0.00
Taglio nei bulloni: Fv,Ed=0.67 Fv,Rd=9650.97
Rifollamento lato piastra: Fb,Ed,p=0.67 Fb,Rd,p=11870.10
Tirafondi:LT=0.45 (0.31) σ_{cR}=0.00 σ_{fR}=0.00
Compressione nel calcestruzzo: σ_c=15.44
CC 24 SLD (Collegamento 0020_-377)
Azioni sul collegamento: N=-5777.32 Ty=-4.43 Tz=3.89 Mx=0.00 Mz=-3.87
Sollecitazioni agenti localmente: Tx_l=-4.43 Ty_l=3.89 N_l=-5777.32 Mx_l=-0.00 My_l=-3.87 Mz_l=0.00
Taglio nei bulloni: Fv,Ed=0.98 Fv,Rd=9650.97
Rifollamento lato piastra: Fb,Ed,p=0.98 Fb,Rd,p=14140.40
Tirafondi:LT=0.45 (0.31) σ_{cR}=0.00 σ_{fR}=0.00
Compressione nel calcestruzzo: σ_c=12.15
CC 24 SLD (Collegamento 0020_-377)
Azioni sul collegamento: N=-5777.32 Ty=-3.40 Tz=3.89 Mx=0.00 Mz=-2.87
Sollecitazioni agenti localmente: Tx_l=-3.40 Ty_l=3.89 N_l=-5777.32 Mx_l=-0.00 My_l=-2.87 Mz_l=0.00
Taglio nei bulloni: Fv,Ed=0.86 Fv,Rd=9650.97
Rifollamento lato piastra: Fb,Ed,p=0.86 Fb,Rd,p=14088.30
Tirafondi:LT=0.45 (0.31) σ_{cR}=0.00 σ_{fR}=0.00
Compressione nel calcestruzzo: σ_c=12.10
CC 24 SLD (Collegamento 0020_-377)
Azioni sul collegamento: N=-5777.32 Ty=-4.43 Tz=-2.12 Mx=0.00 Mz=-3.87
Sollecitazioni agenti localmente: Tx_l=-4.43 Ty_l=-2.12 N_l=-5777.32 Mx_l=-0.00 My_l=-3.87 Mz_l=0.00
Taglio nei bulloni: Fv,Ed=0.82 Fv,Rd=9650.97
Rifollamento lato piastra: Fb,Ed,p=0.82 Fb,Rd,p=10039.60
Tirafondi:LT=0.45 (0.31) σ_{cR}=0.00 σ_{fR}=0.00
Compressione nel calcestruzzo: σ_c=12.15
CC 24 SLD (Collegamento 0020_-377)
Azioni sul collegamento: N=-5777.32 Ty=-3.40 Tz=-2.12 Mx=0.00 Mz=-2.87
Sollecitazioni agenti localmente: Tx_l=-3.40 Ty_l=-2.12 N_l=-5777.32 Mx_l=-0.00 My_l=-2.87 Mz_l=0.00
Taglio nei bulloni: Fv,Ed=0.67 Fv,Rd=9650.97
Rifollamento lato piastra: Fb,Ed,p=0.67 Fb,Rd,p=11870.30
Tirafondi:LT=0.45 (0.31) σ_{cR}=0.00 σ_{fR}=0.00
Compressione nel calcestruzzo: σ_c=12.10
CC 25 SLV (Collegamento 0020_-377)
Azioni sul collegamento: N=-5814.21 Ty=-3.29 Tz=-2.14 Mx=-0.02 Mz=-3.06
Sollecitazioni agenti localmente: Tx_l=-3.29 Ty_l=-2.14 N_l=-5814.21 Mx_l=-0.00 My_l=-3.06 Mz_l=-0.02
Taglio nei bulloni: Fv,Ed=0.68 Fv,Rd=7720.78
Rifollamento lato piastra: Fb,Ed,p=0.68 Fb,Rd,p=9989.68
Tirafondi:LT=0.45 (0.31) σ_{cR}=0.00 σ_{fR}=0.00
Compressione nel calcestruzzo: σ_c=12.19
CC 25 SLV (Collegamento 0020_-377)
Azioni sul collegamento: N=-5814.21 Ty=-6.23 Tz=-2.14 Mx=-0.02 Mz=-7.84
Sollecitazioni agenti localmente: Tx_l=-6.23 Ty_l=-2.14 N_l=-5814.21 Mx_l=-0.00 My_l=-7.84 Mz_l=-0.02
Taglio nei bulloni: Fv,Ed=1.12 Fv,Rd=7720.78
Rifollamento lato piastra: Fb,Ed,p=1.12 Fb,Rd,p=7114.96
Tirafondi:LT=0.45 (0.31) σ_{cR}=0.00 σ_{fR}=0.00
Compressione nel calcestruzzo: σ_c=12.45
CC 25 SLV (Collegamento 0020_-377)
Azioni sul collegamento: N=-5814.21 Ty=-3.29 Tz=4.16 Mx=-0.02 Mz=-3.06
Sollecitazioni agenti localmente: Tx_l=-3.29 Ty_l=4.16 N_l=-5814.21 Mx_l=-0.00 My_l=-3.06 Mz_l=-0.02

Taglio nei bulloni: Fv,Ed=0.91 Fv,Rd=7720.78
Rifollamento lato piastra: Fb,Ed,p=0.91 Fb,Rd,p=10862.80
Tirafondi:LT=0.45 (0.31) σ_{cR}=0.00 σ_{fR}=0.00
Compressione nel calcestruzzo: σ_c=12.19
CC 25 SLV (Collegamento 0020_-377)
Azioni sul collegamento: N=-5814.21 Ty=-6.23 Tz=4.16 Mx=-0.02 Mz=-7.84
Sollecitazioni agenti localmente: Tx_l=-6.23 Ty_l=4.16 N_l=-5814.21 Mx_l=-0.00 My_l=-7.84 Mz_l=-0.02
Taglio nei bulloni: Fv,Ed=1.28 Fv,Rd=7720.78
Rifollamento lato piastra: Fb,Ed,p=1.25 Fb,Rd,p=9676.63
Tirafondi:LT=0.45 (0.31) σ_{cR}=0.00 σ_{fR}=0.00
Compressione nel calcestruzzo: σ_c=12.45
CC 25 SLV (Collegamento 0020_-377)
Azioni sul collegamento: N=-7420.51 Ty=-3.29 Tz=-2.14 Mx=-0.02 Mz=-3.06
Sollecitazioni agenti localmente: Tx_l=-3.29 Ty_l=-2.14 N_l=-7420.51 Mx_l=-0.00 My_l=-3.06 Mz_l=-0.02
Taglio nei bulloni: Fv,Ed=0.68 Fv,Rd=7720.78
Rifollamento lato piastra: Fb,Ed,p=0.68 Fb,Rd,p=9990.65
Tirafondi:LT=0.45 (0.31) σ_{cR}=0.00 σ_{fR}=0.00
Compressione nel calcestruzzo: σ_c=15.50
CC 25 SLV (Collegamento 0020_-377)
Azioni sul collegamento: N=-7420.51 Ty=-6.23 Tz=-2.14 Mx=-0.02 Mz=-7.84
Sollecitazioni agenti localmente: Tx_l=-6.23 Ty_l=-2.14 N_l=-7420.51 Mx_l=-0.00 My_l=-7.84 Mz_l=-0.02
Taglio nei bulloni: Fv,Ed=1.12 Fv,Rd=7720.78
Rifollamento lato piastra: Fb,Ed,p=1.12 Fb,Rd,p=7115.23
Tirafondi:LT=0.45 (0.31) σ_{cR}=0.00 σ_{fR}=0.00
Compressione nel calcestruzzo: σ_c=15.77
CC 25 SLV (Collegamento 0020_-377)
Azioni sul collegamento: N=-7420.51 Ty=-3.29 Tz=4.16 Mx=-0.02 Mz=-3.06
Sollecitazioni agenti localmente: Tx_l=-3.29 Ty_l=4.16 N_l=-7420.51 Mx_l=-0.00 My_l=-3.06 Mz_l=-0.02
Taglio nei bulloni: Fv,Ed=0.91 Fv,Rd=7720.78
Rifollamento lato piastra: Fb,Ed,p=0.91 Fb,Rd,p=10862.30
Tirafondi:LT=0.45 (0.31) σ_{cR}=0.00 σ_{fR}=0.00
Compressione nel calcestruzzo: σ_c=15.50
CC 25 SLV (Collegamento 0020_-377)
Azioni sul collegamento: N=-7420.51 Ty=-6.23 Tz=4.16 Mx=-0.02 Mz=-7.84
Sollecitazioni agenti localmente: Tx_l=-6.23 Ty_l=4.16 N_l=-7420.51 Mx_l=-0.00 My_l=-7.84 Mz_l=-0.02
Taglio nei bulloni: Fv,Ed=1.28 Fv,Rd=7720.78
Rifollamento lato piastra: Fb,Ed,p=1.25 Fb,Rd,p=9677.42
Tirafondi:LT=0.45 (0.31) σ_{cR}=0.00 σ_{fR}=0.00
Compressione nel calcestruzzo: σ_c=15.77
CC 26 SLD (Collegamento 0020_-377)
Azioni sul collegamento: N=-6340.00 Ty=-3.47 Tz=-0.08 Mx=-0.00 Mz=-2.64
Sollecitazioni agenti localmente: Tx_l=-3.47 Ty_l=-0.08 N_l=-6340.00 Mx_l=-0.00 My_l=-2.64 Mz_l=-0.00
Taglio nei bulloni: Fv,Ed=0.58 Fv,Rd=9650.97
Rifollamento lato piastra: Fb,Ed,p=0.58 Fb,Rd,p=7482.40
Tirafondi:LT=0.45 (0.31) σ_{cR}=0.00 σ_{fR}=0.00
Compressione nel calcestruzzo: σ_c=13.25
CC 26 SLD (Collegamento 0020_-377)
Azioni sul collegamento: N=-6340.00 Ty=-4.36 Tz=-0.08 Mx=-0.00 Mz=-4.10
Sollecitazioni agenti localmente: Tx_l=-4.36 Ty_l=-0.08 N_l=-6340.00 Mx_l=-0.00 My_l=-4.10 Mz_l=-0.00
Taglio nei bulloni: Fv,Ed=0.73 Fv,Rd=9650.97
Rifollamento lato piastra: Fb,Ed,p=0.73 Fb,Rd,p=7479.30
Tirafondi:LT=0.45 (0.31) σ_{cR}=0.00 σ_{fR}=0.00
Compressione nel calcestruzzo: σ_c=13.33
CC 26 SLD (Collegamento 0020_-377)
Azioni sul collegamento: N=-6340.00 Ty=-3.47 Tz=1.85 Mx=-0.00 Mz=-2.64
Sollecitazioni agenti localmente: Tx_l=-3.47 Ty_l=1.85 N_l=-6340.00 Mx_l=-0.00 My_l=-2.64 Mz_l=-0.00
Taglio nei bulloni: Fv,Ed=0.66 Fv,Rd=9650.97
Rifollamento lato piastra: Fb,Ed,p=0.66 Fb,Rd,p=10577.30
Tirafondi:LT=0.45 (0.31) σ_{cR}=0.00 σ_{fR}=0.00
Compressione nel calcestruzzo: σ_c=13.25
CC 26 SLD (Collegamento 0020_-377)
Azioni sul collegamento: N=-6340.00 Ty=-4.36 Tz=1.85 Mx=-0.00 Mz=-4.10
Sollecitazioni agenti localmente: Tx_l=-4.36 Ty_l=1.85 N_l=-6340.00 Mx_l=-0.00 My_l=-4.10 Mz_l=-0.00
Taglio nei bulloni: Fv,Ed=0.79 Fv,Rd=9650.97
Rifollamento lato piastra: Fb,Ed,p=0.79 Fb,Rd,p=9425.47
Tirafondi:LT=0.45 (0.31) σ_{cR}=0.00 σ_{fR}=0.00
Compressione nel calcestruzzo: σ_c=13.33
CC 26 SLD (Collegamento 0020_-377)
Azioni sul collegamento: N=-6829.81 Ty=-3.47 Tz=-0.08 Mx=-0.00 Mz=-2.64
Sollecitazioni agenti localmente: Tx_l=-3.47 Ty_l=-0.08 N_l=-6829.81 Mx_l=-0.00 My_l=-2.64 Mz_l=-0.00
Taglio nei bulloni: Fv,Ed=0.58 Fv,Rd=9650.97
Rifollamento lato piastra: Fb,Ed,p=0.58 Fb,Rd,p=7482.34
Tirafondi:LT=0.45 (0.31) σ_{cR}=0.00 σ_{fR}=0.00
Compressione nel calcestruzzo: σ_c=14.26
CC 26 SLD (Collegamento 0020_-377)
Azioni sul collegamento: N=-6829.81 Ty=-4.36 Tz=-0.08 Mx=-0.00 Mz=-4.10
Sollecitazioni agenti localmente: Tx_l=-4.36 Ty_l=-0.08 N_l=-6829.81 Mx_l=-0.00 My_l=-4.10 Mz_l=-0.00
Taglio nei bulloni: Fv,Ed=0.73 Fv,Rd=9650.97

Rifollamento lato piastra: Fb,Ed,p=0.73 Fb,Rd,p=7479.26
Tirafondi:LT=0.45 (0.31) σ_{cR}=0.00 σ_{fR}=0.00
Compressione nel calcestruzzo: σ_c=14.34
CC 26 SLD (Collegamento 0020_-377)
Azioni sul collegamento: N=-6829.81 Ty=-3.47 Tz=1.85 Mx=-0.00 Mz=-2.64
Sollecitazioni agenti localmente: Tx_l=-3.47 Ty_l=1.85 N_l=-6829.81 Mx_l=-0.00 My_l=-2.64 Mz_l=-0.00
Taglio nei bulloni: Fv,Ed=0.66 Fv,Rd=9650.97
Rifollamento lato piastra: Fb,Ed,p=0.66 Fb,Rd,p=10577.20
Tirafondi:LT=0.45 (0.31) σ_{cR}=0.00 σ_{fR}=0.00
Compressione nel calcestruzzo: σ_c=14.26
CC 26 SLD (Collegamento 0020_-377)
Azioni sul collegamento: N=-6829.81 Ty=-4.36 Tz=1.85 Mx=-0.00 Mz=-4.10
Sollecitazioni agenti localmente: Tx_l=-4.36 Ty_l=1.85 N_l=-6829.81 Mx_l=-0.00 My_l=-4.10 Mz_l=-0.00
Taglio nei bulloni: Fv,Ed=0.79 Fv,Rd=9650.97
Rifollamento lato piastra: Fb,Ed,p=0.79 Fb,Rd,p=9425.46
Tirafondi:LT=0.45 (0.31) σ_{cR}=0.00 σ_{fR}=0.00
Compressione nel calcestruzzo: σ_c=14.34
CC 27 SLV (Collegamento 0020_-377)
Azioni sul collegamento: N=-7401.55 Ty=-4.11 Tz=3.74 Mx=-0.02 Mz=-3.66
Sollecitazioni agenti localmente: Tx_l=-4.11 Ty_l=3.74 N_l=-7401.55 Mx_l=-0.00 My_l=-3.66 Mz_l=-0.02
Taglio nei bulloni: Fv,Ed=0.95 Fv,Rd=7720.78
Rifollamento lato piastra: Fb,Ed,p=0.93 Fb,Rd,p=11188.50
Tirafondi:LT=0.45 (0.31) σ_{cR}=0.00 σ_{fR}=0.00
Compressione nel calcestruzzo: σ_c=15.50
CC 27 SLV (Collegamento 0020_-377)
Azioni sul collegamento: N=-7401.55 Ty=-5.40 Tz=3.74 Mx=-0.02 Mz=-7.25
Sollecitazioni agenti localmente: Tx_l=-5.40 Ty_l=3.74 N_l=-7401.55 Mx_l=-0.00 My_l=-7.25 Mz_l=-0.02
Taglio nei bulloni: Fv,Ed=1.12 Fv,Rd=7720.78
Rifollamento lato piastra: Fb,Ed,p=1.10 Fb,Rd,p=9909.17
Tirafondi:LT=0.45 (0.31) σ_{cR}=0.00 σ_{fR}=0.00
Compressione nel calcestruzzo: σ_c=15.70
CC 27 SLV (Collegamento 0020_-377)
Azioni sul collegamento: N=-7401.55 Ty=-4.11 Tz=-1.71 Mx=-0.02 Mz=-3.66
Sollecitazioni agenti localmente: Tx_l=-4.11 Ty_l=-1.71 N_l=-7401.55 Mx_l=-0.00 My_l=-3.66 Mz_l=-0.02
Taglio nei bulloni: Fv,Ed=0.77 Fv,Rd=7720.78
Rifollamento lato piastra: Fb,Ed,p=0.77 Fb,Rd,p=7658.03
Tirafondi:LT=0.45 (0.31) σ_{cR}=0.00 σ_{fR}=0.00
Compressione nel calcestruzzo: σ_c=15.50
CC 27 SLV (Collegamento 0020_-377)
Azioni sul collegamento: N=-7401.55 Ty=-5.40 Tz=-1.71 Mx=-0.02 Mz=-7.25
Sollecitazioni agenti localmente: Tx_l=-5.40 Ty_l=-1.71 N_l=-7401.55 Mx_l=-0.00 My_l=-7.25 Mz_l=-0.02
Taglio nei bulloni: Fv,Ed=0.97 Fv,Rd=7720.78
Rifollamento lato piastra: Fb,Ed,p=0.97 Fb,Rd,p=6959.97
Tirafondi:LT=0.45 (0.31) σ_{cR}=0.00 σ_{fR}=0.00
Compressione nel calcestruzzo: σ_c=15.70
CC 27 SLV (Collegamento 0020_-377)
Azioni sul collegamento: N=-5833.17 Ty=-4.11 Tz=3.74 Mx=-0.02 Mz=-3.66
Sollecitazioni agenti localmente: Tx_l=-4.11 Ty_l=3.74 N_l=-5833.17 Mx_l=-0.00 My_l=-3.66 Mz_l=-0.02
Taglio nei bulloni: Fv,Ed=0.95 Fv,Rd=7720.78
Rifollamento lato piastra: Fb,Ed,p=0.93 Fb,Rd,p=11188.50
Tirafondi:LT=0.45 (0.31) σ_{cR}=0.00 σ_{fR}=0.00
Compressione nel calcestruzzo: σ_c=12.26
CC 27 SLV (Collegamento 0020_-377)
Azioni sul collegamento: N=-5833.17 Ty=-5.40 Tz=3.74 Mx=-0.02 Mz=-7.25
Sollecitazioni agenti localmente: Tx_l=-5.40 Ty_l=3.74 N_l=-5833.17 Mx_l=-0.00 My_l=-7.25 Mz_l=-0.02
Taglio nei bulloni: Fv,Ed=1.12 Fv,Rd=7720.78
Rifollamento lato piastra: Fb,Ed,p=1.10 Fb,Rd,p=9909.23
Tirafondi:LT=0.45 (0.31) σ_{cR}=0.00 σ_{fR}=0.00
Compressione nel calcestruzzo: σ_c=12.46
CC 27 SLV (Collegamento 0020_-377)
Azioni sul collegamento: N=-5833.17 Ty=-4.11 Tz=-1.71 Mx=-0.02 Mz=-3.66
Sollecitazioni agenti localmente: Tx_l=-4.11 Ty_l=-1.71 N_l=-5833.17 Mx_l=-0.00 My_l=-3.66 Mz_l=-0.02
Taglio nei bulloni: Fv,Ed=0.77 Fv,Rd=7720.78
Rifollamento lato piastra: Fb,Ed,p=0.77 Fb,Rd,p=7657.98
Tirafondi:LT=0.45 (0.31) σ_{cR}=0.00 σ_{fR}=0.00
Compressione nel calcestruzzo: σ_c=12.26
CC 27 SLV (Collegamento 0020_-377)
Azioni sul collegamento: N=-5833.17 Ty=-5.40 Tz=-1.71 Mx=-0.02 Mz=-7.25
Sollecitazioni agenti localmente: Tx_l=-5.40 Ty_l=-1.71 N_l=-5833.17 Mx_l=-0.00 My_l=-7.25 Mz_l=-0.02
Taglio nei bulloni: Fv,Ed=0.97 Fv,Rd=7720.78
Rifollamento lato piastra: Fb,Ed,p=0.97 Fb,Rd,p=6959.94
Tirafondi:LT=0.45 (0.31) σ_{cR}=0.00 σ_{fR}=0.00
Compressione nel calcestruzzo: σ_c=12.46
CC 28 SLD (Collegamento 0020_-377)
Azioni sul collegamento: N=-6824.03 Ty=-3.72 Tz=1.72 Mx=-0.00 Mz=-2.82
Sollecitazioni agenti localmente: Tx_l=-3.72 Ty_l=1.72 N_l=-6824.03 Mx_l=-0.00 My_l=-2.82 Mz_l=-0.00
Taglio nei bulloni: Fv,Ed=0.69 Fv,Rd=9650.97
Rifollamento lato piastra: Fb,Ed,p=0.68 Fb,Rd,p=9797.89

Tirafondi:LT=0.45 (0.31) σ_{cR}=0.00 σ_{fR}=0.00
Compressione nel calcestruzzo: σ_c=14.26
CC 28 SLD (Collegamento 0020_-377)
Azioni sul collegamento: N=-6824.03 Ty=-4.11 Tz=1.72 Mx=-0.00 Mz=-3.92
Sollecitazioni agenti localmente: Tx_l=-4.11 Ty_l=1.72 N_l=-6824.03 Mx_l=-0.00 My_l=-3.92 Mz_l=-0.00
Taglio nei bulloni: Fv,Ed=0.75 Fv,Rd=9650.97
Rifollamento lato piastra: Fb,Ed,p=0.74 Fb,Rd,p=9371.61
Tirafondi:LT=0.45 (0.31) σ_{cR}=0.00 σ_{fR}=0.00
Compressione nel calcestruzzo: σ_c=14.32
CC 28 SLD (Collegamento 0020_-377)
Azioni sul collegamento: N=-6824.03 Ty=-3.72 Tz=0.05 Mx=-0.00 Mz=-2.82
Sollecitazioni agenti localmente: Tx_l=-3.72 Ty_l=0.05 N_l=-6824.03 Mx_l=-0.00 My_l=-2.82 Mz_l=-0.00
Taglio nei bulloni: Fv,Ed=0.62 Fv,Rd=9650.97
Rifollamento lato piastra: Fb,Ed,p=0.62 Fb,Rd,p=7475.01
Tirafondi:LT=0.45 (0.31) σ_{cR}=0.00 σ_{fR}=0.00
Compressione nel calcestruzzo: σ_c=14.26
CC 28 SLD (Collegamento 0020_-377)
Azioni sul collegamento: N=-6824.03 Ty=-4.11 Tz=0.05 Mx=-0.00 Mz=-3.92
Sollecitazioni agenti localmente: Tx_l=-4.11 Ty_l=0.05 N_l=-6824.03 Mx_l=-0.00 My_l=-3.92 Mz_l=-0.00
Taglio nei bulloni: Fv,Ed=0.69 Fv,Rd=9650.97
Rifollamento lato piastra: Fb,Ed,p=0.69 Fb,Rd,p=7474.82
Tirafondi:LT=0.45 (0.31) σ_{cR}=0.00 σ_{fR}=0.00
Compressione nel calcestruzzo: σ_c=14.32
CC 28 SLD (Collegamento 0020_-377)
Azioni sul collegamento: N=-6345.78 Ty=-3.72 Tz=1.72 Mx=-0.00 Mz=-2.82
Sollecitazioni agenti localmente: Tx_l=-3.72 Ty_l=1.72 N_l=-6345.78 Mx_l=-0.00 My_l=-2.82 Mz_l=-0.00
Taglio nei bulloni: Fv,Ed=0.69 Fv,Rd=9650.97
Rifollamento lato piastra: Fb,Ed,p=0.68 Fb,Rd,p=9798.36
Tirafondi:LT=0.45 (0.31) σ_{cR}=0.00 σ_{fR}=0.00
Compressione nel calcestruzzo: σ_c=13.27
CC 28 SLD (Collegamento 0020_-377)
Azioni sul collegamento: N=-6345.78 Ty=-4.11 Tz=1.72 Mx=-0.00 Mz=-3.92
Sollecitazioni agenti localmente: Tx_l=-4.11 Ty_l=1.72 N_l=-6345.78 Mx_l=-0.00 My_l=-3.92 Mz_l=-0.00
Taglio nei bulloni: Fv,Ed=0.75 Fv,Rd=9650.97
Rifollamento lato piastra: Fb,Ed,p=0.74 Fb,Rd,p=9372.00
Tirafondi:LT=0.45 (0.31) σ_{cR}=0.00 σ_{fR}=0.00
Compressione nel calcestruzzo: σ_c=13.33
CC 28 SLD (Collegamento 0020_-377)
Azioni sul collegamento: N=-6345.78 Ty=-3.72 Tz=0.05 Mx=-0.00 Mz=-2.82
Sollecitazioni agenti localmente: Tx_l=-3.72 Ty_l=0.05 N_l=-6345.78 Mx_l=-0.00 My_l=-2.82 Mz_l=-0.00
Taglio nei bulloni: Fv,Ed=0.62 Fv,Rd=9650.97
Rifollamento lato piastra: Fb,Ed,p=0.62 Fb,Rd,p=7475.00
Tirafondi:LT=0.45 (0.31) σ_{cR}=0.00 σ_{fR}=0.00
Compressione nel calcestruzzo: σ_c=13.27
CC 28 SLD (Collegamento 0020_-377)
Azioni sul collegamento: N=-6345.78 Ty=-4.11 Tz=0.05 Mx=-0.00 Mz=-3.92
Sollecitazioni agenti localmente: Tx_l=-4.11 Ty_l=0.05 N_l=-6345.78 Mx_l=-0.00 My_l=-3.92 Mz_l=-0.00
Taglio nei bulloni: Fv,Ed=0.69 Fv,Rd=9650.97
Rifollamento lato piastra: Fb,Ed,p=0.69 Fb,Rd,p=7474.81
Tirafondi:LT=0.45 (0.31) σ_{cR}=0.00 σ_{fR}=0.00
Compressione nel calcestruzzo: σ_c=13.33
CC 29 SLV (Collegamento 0020_-377)
Azioni sul collegamento: N=-5833.17 Ty=-5.40 Tz=-1.71 Mx=-0.00 Mz=-7.25
Sollecitazioni agenti localmente: Tx_l=-5.40 Ty_l=-1.71 N_l=-5833.17 Mx_l=-0.00 My_l=-7.25 Mz_l=-0.00
Taglio nei bulloni: Fv,Ed=0.95 Fv,Rd=7720.78
Rifollamento lato piastra: Fb,Ed,p=0.95 Fb,Rd,p=6886.86
Tirafondi:LT=0.45 (0.31) σ_{cR}=0.00 σ_{fR}=0.00
Compressione nel calcestruzzo: σ_c=12.46
CC 29 SLV (Collegamento 0020_-377)
Azioni sul collegamento: N=-5833.17 Ty=-4.11 Tz=-1.71 Mx=-0.00 Mz=-3.66
Sollecitazioni agenti localmente: Tx_l=-4.11 Ty_l=-1.71 N_l=-5833.17 Mx_l=-0.00 My_l=-3.66 Mz_l=-0.00
Taglio nei bulloni: Fv,Ed=0.75 Fv,Rd=7720.78
Rifollamento lato piastra: Fb,Ed,p=0.75 Fb,Rd,p=7550.38
Tirafondi:LT=0.45 (0.31) σ_{cR}=0.00 σ_{fR}=0.00
Compressione nel calcestruzzo: σ_c=12.26
CC 29 SLV (Collegamento 0020_-377)
Azioni sul collegamento: N=-5833.17 Ty=-5.40 Tz=3.74 Mx=-0.00 Mz=-7.25
Sollecitazioni agenti localmente: Tx_l=-5.40 Ty_l=3.74 N_l=-5833.17 Mx_l=-0.00 My_l=-7.25 Mz_l=-0.00
Taglio nei bulloni: Fv,Ed=1.10 Fv,Rd=7720.78
Rifollamento lato piastra: Fb,Ed,p=1.10 Fb,Rd,p=10297.90
Tirafondi:LT=0.45 (0.31) σ_{cR}=0.00 σ_{fR}=0.00
Compressione nel calcestruzzo: σ_c=12.46
CC 29 SLV (Collegamento 0020_-377)
Azioni sul collegamento: N=-5833.17 Ty=-4.11 Tz=3.74 Mx=-0.00 Mz=-3.66
Sollecitazioni agenti localmente: Tx_l=-4.11 Ty_l=3.74 N_l=-5833.17 Mx_l=-0.00 My_l=-3.66 Mz_l=-0.00
Taglio nei bulloni: Fv,Ed=0.93 Fv,Rd=7720.78
Rifollamento lato piastra: Fb,Ed,p=0.93 Fb,Rd,p=11443.60
Tirafondi:LT=0.45 (0.31) σ_{cR}=0.00 σ_{fR}=0.00

Compressione nel calcestruzzo: σ_c=12.26
CC 29 SLV (Collegamento 0020_-377)
Azioni sul collegamento: N=-7401.55 Ty=-5.40 Tz=-1.71 Mx=-0.00 Mz=-7.25
Sollecitazioni agenti localmente: Tx_l=-5.40 Ty_l=-1.71 N_l=-7401.55 Mx_l=-0.00 My_l=-7.25 Mz_l=-0.00
Taglio nei bulloni: Fv,Ed=0.95 Fv,Rd=7720.78
Rifollamento lato piastra: Fb,Ed,p=0.95 Fb,Rd,p=6886.88
Tirafondi:LT=0.45 (0.31) σ_{cR}=0.00 σ_{fR}=0.00
Compressione nel calcestruzzo: σ_c=15.70
CC 29 SLV (Collegamento 0020_-377)
Azioni sul collegamento: N=-7401.55 Ty=-4.11 Tz=-1.71 Mx=-0.00 Mz=-3.66
Sollecitazioni agenti localmente: Tx_l=-4.11 Ty_l=-1.71 N_l=-7401.55 Mx_l=-0.00 My_l=-3.66 Mz_l=-0.00
Taglio nei bulloni: Fv,Ed=0.75 Fv,Rd=7720.78
Rifollamento lato piastra: Fb,Ed,p=0.75 Fb,Rd,p=7550.43
Tirafondi:LT=0.45 (0.31) σ_{cR}=0.00 σ_{fR}=0.00
Compressione nel calcestruzzo: σ_c=15.50
CC 29 SLV (Collegamento 0020_-377)
Azioni sul collegamento: N=-7401.55 Ty=-5.40 Tz=3.74 Mx=-0.00 Mz=-7.25
Sollecitazioni agenti localmente: Tx_l=-5.40 Ty_l=3.74 N_l=-7401.55 Mx_l=-0.00 My_l=-7.25 Mz_l=-0.00
Taglio nei bulloni: Fv,Ed=1.10 Fv,Rd=7720.78
Rifollamento lato piastra: Fb,Ed,p=1.10 Fb,Rd,p=10297.80
Tirafondi:LT=0.45 (0.31) σ_{cR}=0.00 σ_{fR}=0.00
Compressione nel calcestruzzo: σ_c=15.70
CC 29 SLV (Collegamento 0020_-377)
Azioni sul collegamento: N=-7401.55 Ty=-4.11 Tz=3.74 Mx=-0.00 Mz=-3.66
Sollecitazioni agenti localmente: Tx_l=-4.11 Ty_l=3.74 N_l=-7401.55 Mx_l=-0.00 My_l=-3.66 Mz_l=-0.00
Taglio nei bulloni: Fv,Ed=0.93 Fv,Rd=7720.78
Rifollamento lato piastra: Fb,Ed,p=0.93 Fb,Rd,p=11443.50
Tirafondi:LT=0.45 (0.31) σ_{cR}=0.00 σ_{fR}=0.00
Compressione nel calcestruzzo: σ_c=15.50
CC 30 SLD (Collegamento 0020_-377)
Azioni sul collegamento: N=-6345.78 Ty=-4.11 Tz=0.05 Mx=0.00 Mz=-3.92
Sollecitazioni agenti localmente: Tx_l=-4.11 Ty_l=0.05 N_l=-6345.78 Mx_l=-0.00 My_l=-3.92 Mz_l=0.00
Taglio nei bulloni: Fv,Ed=0.69 Fv,Rd=9650.97
Rifollamento lato piastra: Fb,Ed,p=0.69 Fb,Rd,p=7476.88
Tirafondi:LT=0.45 (0.31) σ_{cR}=0.00 σ_{fR}=0.00
Compressione nel calcestruzzo: σ_c=13.33
CC 30 SLD (Collegamento 0020_-377)
Azioni sul collegamento: N=-6345.78 Ty=-3.72 Tz=0.05 Mx=0.00 Mz=-2.82
Sollecitazioni agenti localmente: Tx_l=-3.72 Ty_l=0.05 N_l=-6345.78 Mx_l=-0.00 My_l=-2.82 Mz_l=0.00
Taglio nei bulloni: Fv,Ed=0.62 Fv,Rd=9650.97
Rifollamento lato piastra: Fb,Ed,p=0.62 Fb,Rd,p=7477.53
Tirafondi:LT=0.45 (0.31) σ_{cR}=0.00 σ_{fR}=0.00
Compressione nel calcestruzzo: σ_c=13.27
CC 30 SLD (Collegamento 0020_-377)
Azioni sul collegamento: N=-6345.78 Ty=-4.11 Tz=1.72 Mx=0.00 Mz=-3.92
Sollecitazioni agenti localmente: Tx_l=-4.11 Ty_l=1.72 N_l=-6345.78 Mx_l=-0.00 My_l=-3.92 Mz_l=0.00
Taglio nei bulloni: Fv,Ed=0.75 Fv,Rd=9650.97
Rifollamento lato piastra: Fb,Ed,p=0.75 Fb,Rd,p=9446.78
Tirafondi:LT=0.45 (0.31) σ_{cR}=0.00 σ_{fR}=0.00
Compressione nel calcestruzzo: σ_c=13.33
CC 30 SLD (Collegamento 0020_-377)
Azioni sul collegamento: N=-6345.78 Ty=-3.72 Tz=1.72 Mx=0.00 Mz=-2.82
Sollecitazioni agenti localmente: Tx_l=-3.72 Ty_l=1.72 N_l=-6345.78 Mx_l=-0.00 My_l=-2.82 Mz_l=0.00
Taglio nei bulloni: Fv,Ed=0.69 Fv,Rd=9650.97
Rifollamento lato piastra: Fb,Ed,p=0.69 Fb,Rd,p=9890.72
Tirafondi:LT=0.45 (0.31) σ_{cR}=0.00 σ_{fR}=0.00
Compressione nel calcestruzzo: σ_c=13.27
CC 30 SLD (Collegamento 0020_-377)
Azioni sul collegamento: N=-6824.03 Ty=-4.11 Tz=0.05 Mx=0.00 Mz=-3.92
Sollecitazioni agenti localmente: Tx_l=-4.11 Ty_l=0.05 N_l=-6824.03 Mx_l=-0.00 My_l=-3.92 Mz_l=0.00
Taglio nei bulloni: Fv,Ed=0.69 Fv,Rd=9650.97
Rifollamento lato piastra: Fb,Ed,p=0.69 Fb,Rd,p=7476.89
Tirafondi:LT=0.45 (0.31) σ_{cR}=0.00 σ_{fR}=0.00
Compressione nel calcestruzzo: σ_c=14.32
CC 30 SLD (Collegamento 0020_-377)
Azioni sul collegamento: N=-6824.03 Ty=-3.72 Tz=0.05 Mx=0.00 Mz=-2.82
Sollecitazioni agenti localmente: Tx_l=-3.72 Ty_l=0.05 N_l=-6824.03 Mx_l=-0.00 My_l=-2.82 Mz_l=0.00
Taglio nei bulloni: Fv,Ed=0.62 Fv,Rd=9650.97
Rifollamento lato piastra: Fb,Ed,p=0.62 Fb,Rd,p=7477.54
Tirafondi:LT=0.45 (0.31) σ_{cR}=0.00 σ_{fR}=0.00
Compressione nel calcestruzzo: σ_c=14.26
CC 30 SLD (Collegamento 0020_-377)
Azioni sul collegamento: N=-6824.03 Ty=-4.11 Tz=1.72 Mx=0.00 Mz=-3.92
Sollecitazioni agenti localmente: Tx_l=-4.11 Ty_l=1.72 N_l=-6824.03 Mx_l=-0.00 My_l=-3.92 Mz_l=0.00
Taglio nei bulloni: Fv,Ed=0.75 Fv,Rd=9650.97
Rifollamento lato piastra: Fb,Ed,p=0.75 Fb,Rd,p=9446.40
Tirafondi:LT=0.45 (0.31) σ_{cR}=0.00 σ_{fR}=0.00
Compressione nel calcestruzzo: σ_c=14.32

CC 30 SLD (Collegamento 0020_-377)
Azioni sul collegamento: N=-6824.03 Ty=-3.72 Tz=1.72 Mx=0.00 Mz=-2.82
Sollecitazioni agenti localmente: Tx_l=-3.72 Ty_l=1.72 N_l=-6824.03 Mx_l=-0.00 My_l=-2.82 Mz_l=0.00
Taglio nei bulloni: Fv,Ed=0.69 Fv,Rd=9650.97
Rifollamento lato piastra: Fb,Ed,p=0.69 Fb,Rd,p=9890.25
Tirafondi:LT=0.45 (0.31) σ_{cR}=0.00 σ_{fR}=0.00
Compressione nel calcestruzzo: σ_c=14.26
CC 31 SLV (Collegamento 0020_-377)
Azioni sul collegamento: N=-7420.51 Ty=-6.23 Tz=4.16 Mx=-0.00 Mz=-7.84
Sollecitazioni agenti localmente: Tx_l=-6.23 Ty_l=4.16 N_l=-7420.51 Mx_l=-0.00 My_l=-7.84 Mz_l=-0.00
Taglio nei bulloni: Fv,Ed=1.25 Fv,Rd=7720.78
Rifollamento lato piastra: Fb,Ed,p=1.25 Fb,Rd,p=10036.90
Tirafondi:LT=0.45 (0.31) σ_{cR}=0.00 σ_{fR}=0.00
Compressione nel calcestruzzo: σ_c=15.77
CC 31 SLV (Collegamento 0020_-377)
Azioni sul collegamento: N=-7420.51 Ty=-3.29 Tz=4.16 Mx=-0.00 Mz=-3.06
Sollecitazioni agenti localmente: Tx_l=-3.29 Ty_l=4.16 N_l=-7420.51 Mx_l=-0.00 My_l=-3.06 Mz_l=-0.00
Taglio nei bulloni: Fv,Ed=0.89 Fv,Rd=7720.78
Rifollamento lato piastra: Fb,Ed,p=0.89 Fb,Rd,p=10833.30
Tirafondi:LT=0.45 (0.31) σ_{cR}=0.00 σ_{fR}=0.00
Compressione nel calcestruzzo: σ_c=15.50
CC 31 SLV (Collegamento 0020_-377)
Azioni sul collegamento: N=-7420.51 Ty=-6.23 Tz=-2.14 Mx=-0.00 Mz=-7.84
Sollecitazioni agenti localmente: Tx_l=-6.23 Ty_l=-2.14 N_l=-7420.51 Mx_l=-0.00 My_l=-7.84 Mz_l=-0.00
Taglio nei bulloni: Fv,Ed=1.10 Fv,Rd=7720.78
Rifollamento lato piastra: Fb,Ed,p=1.10 Fb,Rd,p=7041.72
Tirafondi:LT=0.45 (0.31) σ_{cR}=0.00 σ_{fR}=0.00
Compressione nel calcestruzzo: σ_c=15.77
CC 31 SLV (Collegamento 0020_-377)
Azioni sul collegamento: N=-7420.51 Ty=-3.29 Tz=-2.14 Mx=-0.00 Mz=-3.06
Sollecitazioni agenti localmente: Tx_l=-3.29 Ty_l=-2.14 N_l=-7420.51 Mx_l=-0.00 My_l=-3.06 Mz_l=-0.00
Taglio nei bulloni: Fv,Ed=0.66 Fv,Rd=7720.78
Rifollamento lato piastra: Fb,Ed,p=0.66 Fb,Rd,p=9849.45
Tirafondi:LT=0.45 (0.31) σ_{cR}=0.00 σ_{fR}=0.00
Compressione nel calcestruzzo: σ_c=15.50
CC 31 SLV (Collegamento 0020_-377)
Azioni sul collegamento: N=-5814.21 Ty=-6.23 Tz=4.16 Mx=-0.00 Mz=-7.84
Sollecitazioni agenti localmente: Tx_l=-6.23 Ty_l=4.16 N_l=-5814.21 Mx_l=-0.00 My_l=-7.84 Mz_l=-0.00
Taglio nei bulloni: Fv,Ed=1.25 Fv,Rd=7720.78
Rifollamento lato piastra: Fb,Ed,p=1.25 Fb,Rd,p=10036.10
Tirafondi:LT=0.45 (0.31) σ_{cR}=0.00 σ_{fR}=0.00
Compressione nel calcestruzzo: σ_c=12.45
CC 31 SLV (Collegamento 0020_-377)
Azioni sul collegamento: N=-5814.21 Ty=-3.29 Tz=4.16 Mx=-0.00 Mz=-3.06
Sollecitazioni agenti localmente: Tx_l=-3.29 Ty_l=4.16 N_l=-5814.21 Mx_l=-0.00 My_l=-3.06 Mz_l=-0.00
Taglio nei bulloni: Fv,Ed=0.89 Fv,Rd=7720.78
Rifollamento lato piastra: Fb,Ed,p=0.89 Fb,Rd,p=10833.70
Tirafondi:LT=0.45 (0.31) σ_{cR}=0.00 σ_{fR}=0.00
Compressione nel calcestruzzo: σ_c=12.19
CC 31 SLV (Collegamento 0020_-377)
Azioni sul collegamento: N=-5814.21 Ty=-6.23 Tz=-2.14 Mx=-0.00 Mz=-7.84
Sollecitazioni agenti localmente: Tx_l=-6.23 Ty_l=-2.14 N_l=-5814.21 Mx_l=-0.00 My_l=-7.84 Mz_l=-0.00
Taglio nei bulloni: Fv,Ed=1.10 Fv,Rd=7720.78
Rifollamento lato piastra: Fb,Ed,p=1.10 Fb,Rd,p=7041.45
Tirafondi:LT=0.45 (0.31) σ_{cR}=0.00 σ_{fR}=0.00
Compressione nel calcestruzzo: σ_c=12.45
CC 31 SLV (Collegamento 0020_-377)
Azioni sul collegamento: N=-5814.21 Ty=-3.29 Tz=-2.14 Mx=-0.00 Mz=-3.06
Sollecitazioni agenti localmente: Tx_l=-3.29 Ty_l=-2.14 N_l=-5814.21 Mx_l=-0.00 My_l=-3.06 Mz_l=-0.00
Taglio nei bulloni: Fv,Ed=0.66 Fv,Rd=7720.78
Rifollamento lato piastra: Fb,Ed,p=0.66 Fb,Rd,p=9848.45
Tirafondi:LT=0.45 (0.31) σ_{cR}=0.00 σ_{fR}=0.00
Compressione nel calcestruzzo: σ_c=12.19
CC 32 SLD (Collegamento 0020_-377)
Azioni sul collegamento: N=-6829.81 Ty=-4.36 Tz=1.85 Mx=0.00 Mz=-4.10
Sollecitazioni agenti localmente: Tx_l=-4.36 Ty_l=1.85 N_l=-6829.81 Mx_l=-0.00 My_l=-4.10 Mz_l=0.00
Taglio nei bulloni: Fv,Ed=0.79 Fv,Rd=9650.97
Rifollamento lato piastra: Fb,Ed,p=0.79 Fb,Rd,p=9504.63
Tirafondi:LT=0.45 (0.31) σ_{cR}=0.00 σ_{fR}=0.00
Compressione nel calcestruzzo: σ_c=14.34
CC 32 SLD (Collegamento 0020_-377)
Azioni sul collegamento: N=-6829.81 Ty=-3.47 Tz=1.85 Mx=0.00 Mz=-2.64
Sollecitazioni agenti localmente: Tx_l=-3.47 Ty_l=1.85 N_l=-6829.81 Mx_l=-0.00 My_l=-2.64 Mz_l=0.00
Taglio nei bulloni: Fv,Ed=0.66 Fv,Rd=9650.97
Rifollamento lato piastra: Fb,Ed,p=0.66 Fb,Rd,p=10705.60
Tirafondi:LT=0.45 (0.31) σ_{cR}=0.00 σ_{fR}=0.00
Compressione nel calcestruzzo: σ_c=14.26
CC 32 SLD (Collegamento 0020_-377)

Azioni sul collegamento: N=-6829.81 Ty=-4.36 Tz=-0.08 Mx=0.00 Mz=-4.10
Sollecitazioni agenti localmente: Tx_l=-4.36 Ty_l=-0.08 N_l=-6829.81 Mx_l=-0.00 My_l=-4.10 Mz_l=0.00
Taglio nei bulloni: Fv,Ed=0.73 Fv,Rd=9650.97
Rifollamento lato piastra: Fb,Ed,p=0.73 Fb,Rd,p=7476.14
Tirafondi:LT=0.45 (0.31) σ_{cR}=0.00 σ_{fR}=0.00
Compressione nel calcestruzzo: σ_c=14.34
CC 32 SLD (Collegamento 0020_-377)
Azioni sul collegamento: N=-6829.81 Ty=-3.47 Tz=-0.08 Mx=0.00 Mz=-2.64
Sollecitazioni agenti localmente: Tx_l=-3.47 Ty_l=-0.08 N_l=-6829.81 Mx_l=-0.00 My_l=-2.64 Mz_l=0.00
Taglio nei bulloni: Fv,Ed=0.58 Fv,Rd=9650.97
Rifollamento lato piastra: Fb,Ed,p=0.58 Fb,Rd,p=7477.41
Tirafondi:LT=0.45 (0.31) σ_{cR}=0.00 σ_{fR}=0.00
Compressione nel calcestruzzo: σ_c=14.26
CC 32 SLD (Collegamento 0020_-377)
Azioni sul collegamento: N=-6340.00 Ty=-4.36 Tz=1.85 Mx=0.00 Mz=-4.10
Sollecitazioni agenti localmente: Tx_l=-4.36 Ty_l=1.85 N_l=-6340.00 Mx_l=-0.00 My_l=-4.10 Mz_l=0.00
Taglio nei bulloni: Fv,Ed=0.79 Fv,Rd=9650.97
Rifollamento lato piastra: Fb,Ed,p=0.79 Fb,Rd,p=9504.64
Tirafondi:LT=0.45 (0.31) σ_{cR}=0.00 σ_{fR}=0.00
Compressione nel calcestruzzo: σ_c=13.33
CC 32 SLD (Collegamento 0020_-377)
Azioni sul collegamento: N=-6340.00 Ty=-3.47 Tz=1.85 Mx=0.00 Mz=-2.64
Sollecitazioni agenti localmente: Tx_l=-3.47 Ty_l=1.85 N_l=-6340.00 Mx_l=-0.00 My_l=-2.64 Mz_l=0.00
Taglio nei bulloni: Fv,Ed=0.66 Fv,Rd=9650.97
Rifollamento lato piastra: Fb,Ed,p=0.66 Fb,Rd,p=10705.60
Tirafondi:LT=0.45 (0.31) σ_{cR}=0.00 σ_{fR}=0.00
Compressione nel calcestruzzo: σ_c=13.25
CC 32 SLD (Collegamento 0020_-377)
Azioni sul collegamento: N=-6340.00 Ty=-4.36 Tz=-0.08 Mx=0.00 Mz=-4.10
Sollecitazioni agenti localmente: Tx_l=-4.36 Ty_l=-0.08 N_l=-6340.00 Mx_l=-0.00 My_l=-4.10 Mz_l=0.00
Taglio nei bulloni: Fv,Ed=0.73 Fv,Rd=9650.97
Rifollamento lato piastra: Fb,Ed,p=0.73 Fb,Rd,p=7476.17
Tirafondi:LT=0.45 (0.31) σ_{cR}=0.00 σ_{fR}=0.00
Compressione nel calcestruzzo: σ_c=13.33
CC 32 SLD (Collegamento 0020_-377)
Azioni sul collegamento: N=-6340.00 Ty=-3.47 Tz=-0.08 Mx=0.00 Mz=-2.64
Sollecitazioni agenti localmente: Tx_l=-3.47 Ty_l=-0.08 N_l=-6340.00 Mx_l=-0.00 My_l=-2.64 Mz_l=0.00
Taglio nei bulloni: Fv,Ed=0.58 Fv,Rd=9650.97
Rifollamento lato piastra: Fb,Ed,p=0.58 Fb,Rd,p=7477.45
Tirafondi:LT=0.45 (0.31) σ_{cR}=0.00 σ_{fR}=0.00
Compressione nel calcestruzzo: σ_c=13.25
CC 33 SLU (Collegamento 0020_-377)
Azioni sul collegamento: N=-30337.70 Ty=-5.16 Tz=79.98 Mx=0.01 Mz=-3.50
Sollecitazioni agenti localmente: Tx_l=-5.16 Ty_l=79.98 N_l=-30337.70 Mx_l=-0.00 My_l=-3.50 Mz_l=0.01
Taglio nei bulloni: Fv,Ed=13.37 Fv,Rd=7720.78
Rifollamento lato piastra: Fb,Ed,p=13.36 Fb,Rd,p=6015.33
Tirafondi:LT=0.45 (0.31) σ_{cR}=0.00 σ_{fR}=0.00
Compressione nel calcestruzzo: σ_c=62.88
CC 34 SLU (Collegamento 0020_-377)
Azioni sul collegamento: N=-30888.30 Ty=-5.44 Tz=82.02 Mx=0.01 Mz=-3.71
Sollecitazioni agenti localmente: Tx_l=-5.44 Ty_l=82.02 N_l=-30888.30 Mx_l=-0.00 My_l=-3.71 Mz_l=0.01
Taglio nei bulloni: Fv,Ed=13.71 Fv,Rd=7720.78
Rifollamento lato piastra: Fb,Ed,p=13.71 Fb,Rd,p=6017.49
Tirafondi:LT=0.45 (0.31) σ_{cR}=0.00 σ_{fR}=0.00
Compressione nel calcestruzzo: σ_c=64.03
CC 35 SLU (Collegamento 0020_-377)
Azioni sul collegamento: N=-30612.00 Ty=-5.19 Tz=81.02 Mx=0.01 Mz=-3.39
Sollecitazioni agenti localmente: Tx_l=-5.19 Ty_l=81.02 N_l=-30612.00 Mx_l=-0.00 My_l=-3.39 Mz_l=0.01
Taglio nei bulloni: Fv,Ed=13.54 Fv,Rd=7720.78
Rifollamento lato piastra: Fb,Ed,p=13.54 Fb,Rd,p=6014.95
Tirafondi:LT=0.45 (0.31) σ_{cR}=0.00 σ_{fR}=0.00
Compressione nel calcestruzzo: σ_c=63.44
CC 36 SLU (Collegamento 0020_-377)
Azioni sul collegamento: N=-30614.00 Ty=-5.41 Tz=80.97 Mx=0.01 Mz=-3.82
Sollecitazioni agenti localmente: Tx_l=-5.41 Ty_l=80.97 N_l=-30614.00 Mx_l=-0.00 My_l=-3.82 Mz_l=0.01
Taglio nei bulloni: Fv,Ed=13.54 Fv,Rd=7720.78
Rifollamento lato piastra: Fb,Ed,p=13.53 Fb,Rd,p=6017.92
Tirafondi:LT=0.45 (0.31) σ_{cR}=0.00 σ_{fR}=0.00
Compressione nel calcestruzzo: σ_c=63.47
CC 37 SLU (Collegamento 0020_-377)
Azioni sul collegamento: N=-32266.80 Ty=-5.04 Tz=86.42 Mx=-0.00 Mz=-3.56
Sollecitazioni agenti localmente: Tx_l=-5.04 Ty_l=86.42 N_l=-32266.80 Mx_l=-0.00 My_l=-3.56 Mz_l=-0.00
Taglio nei bulloni: Fv,Ed=14.43 Fv,Rd=7720.78
Rifollamento lato piastra: Fb,Ed,p=14.43 Fb,Rd,p=6009.56
Tirafondi:LT=0.45 (0.31) σ_{cR}=0.00 σ_{fR}=0.00
Compressione nel calcestruzzo: σ_c=66.87
CC 38 SLU (Collegamento 0020_-377)
Azioni sul collegamento: N=-32817.30 Ty=-5.33 Tz=88.46 Mx=-0.00 Mz=-3.76

Sollecitazioni agenti localmente: Tx_l=-5.33 Ty_l=88.46 N_l=-32817.30 Mx_l=-0.00 My_l=-3.76 Mz_l=-0.00
Taglio nei bulloni: Fv,Ed=14.77 Fv,Rd=7720.78
Rifollamento lato piastra: Fb,Ed,p=14.77 Fb,Rd,p=6011.53
Tirafondi:LT=0.45 (0.31) σ_{cR}=0.00 σ_{fR}=0.00
Compressione nel calcestruzzo: σ_c=68.02
CC 39 SLU (Collegamento 0020_-377)
Azioni sul collegamento: N=-32541.00 Ty=-5.08 Tz=87.47 Mx=-0.00 Mz=-3.44
Sollecitazioni agenti localmente: Tx_l=-5.08 Ty_l=87.47 N_l=-32541.00 Mx_l=-0.00 My_l=-3.44 Mz_l=-0.00
Taglio nei bulloni: Fv,Ed=14.61 Fv,Rd=7720.78
Rifollamento lato piastra: Fb,Ed,p=14.61 Fb,Rd,p=6009.29
Tirafondi:LT=0.45 (0.31) σ_{cR}=0.00 σ_{fR}=0.00
Compressione nel calcestruzzo: σ_c=67.43
CC 40 SLU (Collegamento 0020_-377)
Azioni sul collegamento: N=-32543.00 Ty=-5.30 Tz=87.42 Mx=-0.00 Mz=-3.88
Sollecitazioni agenti localmente: Tx_l=-5.30 Ty_l=87.42 N_l=-32543.00 Mx_l=-0.00 My_l=-3.88 Mz_l=-0.00
Taglio nei bulloni: Fv,Ed=14.60 Fv,Rd=7720.78
Rifollamento lato piastra: Fb,Ed,p=14.60 Fb,Rd,p=6011.83
Tirafondi:LT=0.45 (0.31) σ_{cR}=0.00 σ_{fR}=0.00
Compressione nel calcestruzzo: σ_c=67.46
CC 41 SLU (Collegamento 0020_-377)
Azioni sul collegamento: N=-21046.60 Ty=-6.03 Tz=45.82 Mx=0.01 Mz=-4.13
Sollecitazioni agenti localmente: Tx_l=-6.03 Ty_l=45.82 N_l=-21046.60 Mx_l=-0.00 My_l=-4.13 Mz_l=0.01
Taglio nei bulloni: Fv,Ed=7.71 Fv,Rd=7720.78
Rifollamento lato piastra: Fb,Ed,p=7.71 Fb,Rd,p=6130.52
Tirafondi:LT=0.45 (0.31) σ_{cR}=0.00 σ_{fR}=0.00
Compressione nel calcestruzzo: σ_c=43.72
CC 42 SLU (Collegamento 0020_-377)
Azioni sul collegamento: N=-21597.10 Ty=-6.32 Tz=47.86 Mx=0.01 Mz=-4.34
Sollecitazioni agenti localmente: Tx_l=-6.32 Ty_l=47.86 N_l=-21597.10 Mx_l=-0.00 My_l=-4.34 Mz_l=0.01
Taglio nei bulloni: Fv,Ed=8.06 Fv,Rd=7720.78
Rifollamento lato piastra: Fb,Ed,p=8.05 Fb,Rd,p=6131.38
Tirafondi:LT=0.45 (0.31) σ_{cR}=0.00 σ_{fR}=0.00
Compressione nel calcestruzzo: σ_c=44.87
CC 43 SLU (Collegamento 0020_-377)
Azioni sul collegamento: N=-21320.90 Ty=-6.07 Tz=46.87 Mx=0.01 Mz=-4.02
Sollecitazioni agenti localmente: Tx_l=-6.07 Ty_l=46.87 N_l=-21320.90 Mx_l=-0.00 My_l=-4.02 Mz_l=0.01
Taglio nei bulloni: Fv,Ed=7.88 Fv,Rd=7720.78
Rifollamento lato piastra: Fb,Ed,p=7.88 Fb,Rd,p=6125.75
Tirafondi:LT=0.45 (0.31) σ_{cR}=0.00 σ_{fR}=0.00
Compressione nel calcestruzzo: σ_c=44.28
CC 44 SLU (Collegamento 0020_-377)
Azioni sul collegamento: N=-21322.80 Ty=-6.29 Tz=46.82 Mx=0.01 Mz=-4.45
Sollecitazioni agenti localmente: Tx_l=-6.29 Ty_l=46.82 N_l=-21322.80 Mx_l=-0.00 My_l=-4.45 Mz_l=0.01
Taglio nei bulloni: Fv,Ed=7.88 Fv,Rd=7720.78
Rifollamento lato piastra: Fb,Ed,p=7.88 Fb,Rd,p=6136.27
Tirafondi:LT=0.45 (0.31) σ_{cR}=0.00 σ_{fR}=0.00
Compressione nel calcestruzzo: σ_c=44.31
CC 45 SLU (Collegamento 0020_-377)
Azioni sul collegamento: N=-23139.00 Ty=-5.73 Tz=53.57 Mx=0.01 Mz=-3.96
Sollecitazioni agenti localmente: Tx_l=-5.73 Ty_l=53.57 N_l=-23139.00 Mx_l=-0.00 My_l=-3.96 Mz_l=0.01
Taglio nei bulloni: Fv,Ed=8.99 Fv,Rd=7720.78
Rifollamento lato piastra: Fb,Ed,p=8.99 Fb,Rd,p=6078.77
Tirafondi:LT=0.45 (0.31) σ_{cR}=0.00 σ_{fR}=0.00
Compressione nel calcestruzzo: σ_c=48.03
CC 46 SLU (Collegamento 0020_-377)
Azioni sul collegamento: N=-23689.50 Ty=-6.01 Tz=55.60 Mx=0.01 Mz=-4.17
Sollecitazioni agenti localmente: Tx_l=-6.01 Ty_l=55.60 N_l=-23689.50 Mx_l=-0.00 My_l=-4.17 Mz_l=0.01
Taglio nei bulloni: Fv,Ed=9.33 Fv,Rd=7720.78
Rifollamento lato piastra: Fb,Ed,p=9.33 Fb,Rd,p=6081.09
Tirafondi:LT=0.45 (0.31) σ_{cR}=0.00 σ_{fR}=0.00
Compressione nel calcestruzzo: σ_c=49.18
CC 47 SLU (Collegamento 0020_-377)
Azioni sul collegamento: N=-23413.30 Ty=-5.76 Tz=54.61 Mx=0.01 Mz=-3.84
Sollecitazioni agenti localmente: Tx_l=-5.76 Ty_l=54.61 N_l=-23413.30 Mx_l=-0.00 My_l=-3.84 Mz_l=0.01
Taglio nei bulloni: Fv,Ed=9.16 Fv,Rd=7720.78
Rifollamento lato piastra: Fb,Ed,p=9.16 Fb,Rd,p=6076.32
Tirafondi:LT=0.45 (0.31) σ_{cR}=0.00 σ_{fR}=0.00
Compressione nel calcestruzzo: σ_c=48.59
CC 48 SLU (Collegamento 0020_-377)
Azioni sul collegamento: N=-23415.20 Ty=-5.98 Tz=54.56 Mx=0.01 Mz=-4.28
Sollecitazioni agenti localmente: Tx_l=-5.98 Ty_l=54.56 N_l=-23415.20 Mx_l=-0.00 My_l=-4.28 Mz_l=0.01
Taglio nei bulloni: Fv,Ed=9.16 Fv,Rd=7720.78
Rifollamento lato piastra: Fb,Ed,p=9.16 Fb,Rd,p=6083.64
Tirafondi:LT=0.45 (0.31) σ_{cR}=0.00 σ_{fR}=0.00
Compressione nel calcestruzzo: σ_c=48.62
CC 49 SLU (Collegamento 0020_-377)
Azioni sul collegamento: N=-24582.20 Ty=-5.64 Tz=58.39 Mx=0.00 Mz=-4.00
Sollecitazioni agenti localmente: Tx_l=-5.64 Ty_l=58.39 N_l=-24582.20 Mx_l=-0.00 My_l=-4.00 Mz_l=0.00

Taglio nei bulloni: Fv,Ed=9.78 Fv,Rd=7720.78
Rifollamento lato piastra: Fb,Ed,p=9.78 Fb,Rd,p=6062.03
Tirafondi:LT=0.45 (0.31) σ_{cR}=0.00 σ_{fR}=0.00
Compressione nel calcestruzzo: σ_c=51.02
CC 50 SLU (Collegamento 0020_-377)
Azioni sul collegamento: N=-25132.70 Ty=-5.93 Tz=60.42 Mx=0.00 Mz=-4.21
Sollecitazioni agenti localmente: Tx_l=-5.93 Ty_l=60.42 N_l=-25132.70 Mx_l=-0.00 My_l=-4.21 Mz_l=0.00
Taglio nei bulloni: Fv,Ed=10.12 Fv,Rd=7720.78
Rifollamento lato piastra: Fb,Ed,p=10.12 Fb,Rd,p=6064.52
Tirafondi:LT=0.45 (0.31) σ_{cR}=0.00 σ_{fR}=0.00
Compressione nel calcestruzzo: σ_c=52.16
CC 51 SLU (Collegamento 0020_-377)
Azioni sul collegamento: N=-24856.40 Ty=-5.68 Tz=59.43 Mx=-0.00 Mz=-3.89
Sollecitazioni agenti localmente: Tx_l=-5.68 Ty_l=59.43 N_l=-24856.40 Mx_l=-0.00 My_l=-3.89 Mz_l=-0.00
Taglio nei bulloni: Fv,Ed=9.95 Fv,Rd=7720.78
Rifollamento lato piastra: Fb,Ed,p=9.95 Fb,Rd,p=6060.23
Tirafondi:LT=0.45 (0.31) σ_{cR}=0.00 σ_{fR}=0.00
Compressione nel calcestruzzo: σ_c=51.58
CC 52 SLU (Collegamento 0020_-377)
Azioni sul collegamento: N=-24858.40 Ty=-5.89 Tz=59.38 Mx=0.00 Mz=-4.32
Sollecitazioni agenti localmente: Tx_l=-5.89 Ty_l=59.38 N_l=-24858.40 Mx_l=-0.00 My_l=-4.32 Mz_l=0.00
Taglio nei bulloni: Fv,Ed=9.95 Fv,Rd=7720.78
Rifollamento lato piastra: Fb,Ed,p=9.95 Fb,Rd,p=6066.40
Tirafondi:LT=0.45 (0.31) σ_{cR}=0.00 σ_{fR}=0.00
Compressione nel calcestruzzo: σ_c=51.60
CC 53 SLU (Collegamento 0020_-377)
Azioni sul collegamento: N=-16187.80 Ty=-6.38 Tz=28.01 Mx=0.01 Mz=-4.43
Sollecitazioni agenti localmente: Tx_l=-6.38 Ty_l=28.01 N_l=-16187.80 Mx_l=-0.00 My_l=-4.43 Mz_l=0.01
Taglio nei bulloni: Fv,Ed=4.80 Fv,Rd=7720.78
Rifollamento lato piastra: Fb,Ed,p=4.79 Fb,Rd,p=6433.27
Tirafondi:LT=0.45 (0.31) σ_{cR}=0.00 σ_{fR}=0.00
Compressione nel calcestruzzo: σ_c=33.70
CC 54 SLU (Collegamento 0020_-377)
Azioni sul collegamento: N=-16738.30 Ty=-6.67 Tz=30.05 Mx=0.01 Mz=-4.64
Sollecitazioni agenti localmente: Tx_l=-6.67 Ty_l=30.05 N_l=-16738.30 Mx_l=-0.00 My_l=-4.64 Mz_l=0.01
Taglio nei bulloni: Fv,Ed=5.14 Fv,Rd=7720.78
Rifollamento lato piastra: Fb,Ed,p=5.14 Fb,Rd,p=6409.88
Tirafondi:LT=0.45 (0.31) σ_{cR}=0.00 σ_{fR}=0.00
Compressione nel calcestruzzo: σ_c=34.84
CC 55 SLU (Collegamento 0020_-377)
Azioni sul collegamento: N=-16462.10 Ty=-6.42 Tz=29.05 Mx=0.01 Mz=-4.32
Sollecitazioni agenti localmente: Tx_l=-6.42 Ty_l=29.05 N_l=-16462.10 Mx_l=-0.00 My_l=-4.32 Mz_l=0.01
Taglio nei bulloni: Fv,Ed=4.97 Fv,Rd=7720.78
Rifollamento lato piastra: Fb,Ed,p=4.96 Fb,Rd,p=6406.47
Tirafondi:LT=0.45 (0.31) σ_{cR}=0.00 σ_{fR}=0.00
Compressione nel calcestruzzo: σ_c=34.26
CC 56 SLU (Collegamento 0020_-377)
Azioni sul collegamento: N=-16464.10 Ty=-6.64 Tz=29.01 Mx=0.01 Mz=-4.75
Sollecitazioni agenti localmente: Tx_l=-6.64 Ty_l=29.01 N_l=-16464.10 Mx_l=-0.00 My_l=-4.75 Mz_l=0.01
Taglio nei bulloni: Fv,Ed=4.97 Fv,Rd=7720.78
Rifollamento lato piastra: Fb,Ed,p=4.97 Fb,Rd,p=6435.96
Tirafondi:LT=0.45 (0.31) σ_{cR}=0.00 σ_{fR}=0.00
Compressione nel calcestruzzo: σ_c=34.28
CC 57 SLU (Collegamento 0020_-377)
Azioni sul collegamento: N=-23519.50 Ty=-6.15 Tz=55.00 Mx=0.01 Mz=-4.26
Sollecitazioni agenti localmente: Tx_l=-6.15 Ty_l=55.00 N_l=-23519.50 Mx_l=-0.00 My_l=-4.26 Mz_l=0.01
Taglio nei bulloni: Fv,Ed=9.23 Fv,Rd=7720.78
Rifollamento lato piastra: Fb,Ed,p=9.23 Fb,Rd,p=6088.01
Tirafondi:LT=0.45 (0.31) σ_{cR}=0.00 σ_{fR}=0.00
Compressione nel calcestruzzo: σ_c=48.83
CC 58 SLU (Collegamento 0020_-377)
Azioni sul collegamento: N=-24070.10 Ty=-6.43 Tz=57.04 Mx=0.01 Mz=-4.47
Sollecitazioni agenti localmente: Tx_l=-6.43 Ty_l=57.04 N_l=-24070.10 Mx_l=-0.00 My_l=-4.47 Mz_l=0.01
Taglio nei bulloni: Fv,Ed=9.58 Fv,Rd=7720.78
Rifollamento lato piastra: Fb,Ed,p=9.58 Fb,Rd,p=6090.03
Tirafondi:LT=0.45 (0.31) σ_{cR}=0.00 σ_{fR}=0.00
Compressione nel calcestruzzo: σ_c=49.98
CC 59 SLU (Collegamento 0020_-377)
Azioni sul collegamento: N=-23793.80 Ty=-6.18 Tz=56.05 Mx=0.01 Mz=-4.15
Sollecitazioni agenti localmente: Tx_l=-6.18 Ty_l=56.05 N_l=-23793.80 Mx_l=-0.00 My_l=-4.15 Mz_l=0.01
Taglio nei bulloni: Fv,Ed=9.41 Fv,Rd=7720.78
Rifollamento lato piastra: Fb,Ed,p=9.40 Fb,Rd,p=6085.34
Tirafondi:LT=0.45 (0.31) σ_{cR}=0.00 σ_{fR}=0.00
Compressione nel calcestruzzo: σ_c=49.39
CC 60 SLU (Collegamento 0020_-377)
Azioni sul collegamento: N=-23795.80 Ty=-6.40 Tz=56.00 Mx=0.01 Mz=-4.58
Sollecitazioni agenti localmente: Tx_l=-6.40 Ty_l=56.00 N_l=-23795.80 Mx_l=-0.00 My_l=-4.58 Mz_l=0.01
Taglio nei bulloni: Fv,Ed=9.41 Fv,Rd=7720.78

Rifollamento lato piastra: Fb,Ed,p=9.40 Fb,Rd,p=6092.80
Tirafondi:LT=0.45 (0.31) σ_{cR}=0.00 σ_{fR}=0.00
Compressione nel calcestruzzo: σ_c=49.42
CC 61 SLU (Collegamento 0020_-377)
Azioni sul collegamento: N=-24962.70 Ty=-6.06 Tz=59.83 Mx=0.00 Mz=-4.30
Sollecitazioni agenti localmente: Tx_l=-6.06 Ty_l=59.83 N_l=-24962.70 Mx_l=-0.00 My_l=-4.30 Mz_l=0.00
Taglio nei bulloni: Fv,Ed=10.02 Fv,Rd=7720.78
Rifollamento lato piastra: Fb,Ed,p=10.02 Fb,Rd,p=6070.19
Tirafondi:LT=0.45 (0.31) σ_{cR}=0.00 σ_{fR}=0.00
Compressione nel calcestruzzo: σ_c=51.82
CC 62 SLU (Collegamento 0020_-377)
Azioni sul collegamento: N=-25513.20 Ty=-6.35 Tz=61.87 Mx=0.00 Mz=-4.51
Sollecitazioni agenti localmente: Tx_l=-6.35 Ty_l=61.87 N_l=-25513.20 Mx_l=-0.00 My_l=-4.51 Mz_l=0.00
Taglio nei bulloni: Fv,Ed=10.37 Fv,Rd=7720.78
Rifollamento lato piastra: Fb,Ed,p=10.37 Fb,Rd,p=6072.46
Tirafondi:LT=0.45 (0.31) σ_{cR}=0.00 σ_{fR}=0.00
Compressione nel calcestruzzo: σ_c=52.97
CC 63 SLU (Collegamento 0020_-377)
Azioni sul collegamento: N=-25237.00 Ty=-6.10 Tz=60.87 Mx=-0.00 Mz=-4.19
Sollecitazioni agenti localmente: Tx_l=-6.10 Ty_l=60.87 N_l=-25237.00 Mx_l=-0.00 My_l=-4.19 Mz_l=-0.00
Taglio nei bulloni: Fv,Ed=10.20 Fv,Rd=7720.78
Rifollamento lato piastra: Fb,Ed,p=10.20 Fb,Rd,p=6068.22
Tirafondi:LT=0.45 (0.31) σ_{cR}=0.00 σ_{fR}=0.00
Compressione nel calcestruzzo: σ_c=52.38
CC 64 SLU (Collegamento 0020_-377)
Azioni sul collegamento: N=-25238.90 Ty=-6.31 Tz=60.82 Mx=0.00 Mz=-4.62
Sollecitazioni agenti localmente: Tx_l=-6.31 Ty_l=60.82 N_l=-25238.90 Mx_l=-0.00 My_l=-4.62 Mz_l=0.00
Taglio nei bulloni: Fv,Ed=10.19 Fv,Rd=7720.78
Rifollamento lato piastra: Fb,Ed,p=10.19 Fb,Rd,p=6074.51
Tirafondi:LT=0.45 (0.31) σ_{cR}=0.00 σ_{fR}=0.00
Compressione nel calcestruzzo: σ_c=52.41
CC 65 SLU (Collegamento 0020_-377)
Azioni sul collegamento: N=-16568.40 Ty=-6.80 Tz=29.45 Mx=0.01 Mz=-4.74
Sollecitazioni agenti localmente: Tx_l=-6.80 Ty_l=29.45 N_l=-16568.40 Mx_l=-0.00 My_l=-4.74 Mz_l=0.01
Taglio nei bulloni: Fv,Ed=5.05 Fv,Rd=7720.78
Rifollamento lato piastra: Fb,Ed,p=5.04 Fb,Rd,p=6445.83
Tirafondi:LT=0.45 (0.31) σ_{cR}=0.00 σ_{fR}=0.00
Compressione nel calcestruzzo: σ_c=34.50
CC 66 SLU (Collegamento 0020_-377)
Azioni sul collegamento: N=-17118.90 Ty=-7.09 Tz=31.49 Mx=0.01 Mz=-4.94
Sollecitazioni agenti localmente: Tx_l=-7.09 Ty_l=31.49 N_l=-17118.90 Mx_l=-0.00 My_l=-4.94 Mz_l=0.01
Taglio nei bulloni: Fv,Ed=5.39 Fv,Rd=7720.78
Rifollamento lato piastra: Fb,Ed,p=5.39 Fb,Rd,p=6422.38
Tirafondi:LT=0.45 (0.31) σ_{cR}=0.00 σ_{fR}=0.00
Compressione nel calcestruzzo: σ_c=35.65
CC 67 SLU (Collegamento 0020_-377)
Azioni sul collegamento: N=-16842.60 Ty=-6.84 Tz=30.49 Mx=0.01 Mz=-4.62
Sollecitazioni agenti localmente: Tx_l=-6.84 Ty_l=30.49 N_l=-16842.60 Mx_l=-0.00 My_l=-4.62 Mz_l=0.01
Taglio nei bulloni: Fv,Ed=5.22 Fv,Rd=7720.78
Rifollamento lato piastra: Fb,Ed,p=5.21 Fb,Rd,p=6419.52
Tirafondi:LT=0.45 (0.31) σ_{cR}=0.00 σ_{fR}=0.00
Compressione nel calcestruzzo: σ_c=35.06
CC 68 SLU (Collegamento 0020_-377)
Azioni sul collegamento: N=-16844.60 Ty=-7.06 Tz=30.45 Mx=0.01 Mz=-5.06
Sollecitazioni agenti localmente: Tx_l=-7.06 Ty_l=30.45 N_l=-16844.60 Mx_l=-0.00 My_l=-5.06 Mz_l=0.01
Taglio nei bulloni: Fv,Ed=5.22 Fv,Rd=7720.78
Rifollamento lato piastra: Fb,Ed,p=5.22 Fb,Rd,p=6448.02
Tirafondi:LT=0.45 (0.31) σ_{cR}=0.00 σ_{fR}=0.00
Compressione nel calcestruzzo: σ_c=35.09
CC 97 SLU (Collegamento 0020_-377)
Azioni sul collegamento: N=-16826.20 Ty=-0.37 Tz=38.55 Mx=0.05 Mz=7.28
Sollecitazioni agenti localmente: Tx_l=-0.37 Ty_l=38.55 N_l=-16826.20 Mx_l=-0.00 My_l=7.28 Mz_l=0.05
Taglio nei bulloni: Fv,Ed=6.48 Fv,Rd=7720.78
Rifollamento lato piastra: Fb,Ed,p=6.48 Fb,Rd,p=5979.18
Tirafondi:LT=0.45 (0.31) σ_{cR}=0.00 σ_{fR}=0.00
Compressione nel calcestruzzo: σ_c=35.17
CC 98 SLU (Collegamento 0020_-377)
Azioni sul collegamento: N=-17376.70 Ty=-0.65 Tz=40.58 Mx=0.05 Mz=7.07
Sollecitazioni agenti localmente: Tx_l=-0.65 Ty_l=40.58 N_l=-17376.70 Mx_l=-0.00 My_l=7.07 Mz_l=0.05
Taglio nei bulloni: Fv,Ed=6.82 Fv,Rd=7720.78
Rifollamento lato piastra: Fb,Ed,p=6.82 Fb,Rd,p=5979.75
Tirafondi:LT=0.45 (0.31) σ_{cR}=0.00 σ_{fR}=0.00
Compressione nel calcestruzzo: σ_c=36.30
CC 99 SLU (Collegamento 0020_-377)
Azioni sul collegamento: N=-17100.50 Ty=-0.40 Tz=39.59 Mx=0.05 Mz=7.39
Sollecitazioni agenti localmente: Tx_l=-0.40 Ty_l=39.59 N_l=-17100.50 Mx_l=-0.00 My_l=7.39 Mz_l=0.05
Taglio nei bulloni: Fv,Ed=6.65 Fv,Rd=7720.78
Rifollamento lato piastra: Fb,Ed,p=6.65 Fb,Rd,p=5979.21

Tirafondi:LT=0.45 (0.31) σ_{cR}=0.00 σ_{fR}=0.00
Compressione nel calcestruzzo: σ_c=35.75
CC 100 SLU (Collegamento 0020_-377)
Azioni sul collegamento: N=-17102.50 Ty=-0.62 Tz=39.54 Mx=0.05 Mz=6.96
Sollecitazioni agenti localmente: Tx_l=-0.62 Ty_l=39.54 N_l=-17102.50 Mx_l=-0.00 My_l=6.96 Mz_l=0.05
Taglio nei bulloni: Fv,Ed=6.65 Fv,Rd=7720.78
Rifollamento lato piastra: Fb,Ed,p=6.65 Fb,Rd,p=5979.64
Tirafondi:LT=0.45 (0.31) σ_{cR}=0.00 σ_{fR}=0.00
Compressione nel calcestruzzo: σ_c=35.73
CC 101 SLU (Collegamento 0020_-377)
Azioni sul collegamento: N=-6585.90 Ty=-4.08 Tz=0.92 Mx=-0.00 Mz=-3.64
Sollecitazioni agenti localmente: Tx_l=-4.08 Ty_l=0.92 N_l=-6585.90 Mx_l=-0.00 My_l=-3.64 Mz_l=-0.00
Taglio nei bulloni: Fv,Ed=0.70 Fv,Rd=7720.78
Rifollamento lato piastra: Fb,Ed,p=0.70 Fb,Rd,p=6402.40
Tirafondi:LT=0.45 (0.31) σ_{cR}=0.00 σ_{fR}=0.00
Compressione nel calcestruzzo: σ_c=13.81
CC 102 SLU (Collegamento 0020_-377)
Azioni sul collegamento: N=-7136.43 Ty=-4.37 Tz=2.96 Mx=-0.00 Mz=-3.85
Sollecitazioni agenti localmente: Tx_l=-4.37 Ty_l=2.96 N_l=-7136.43 Mx_l=-0.00 My_l=-3.85 Mz_l=-0.00
Taglio nei bulloni: Fv,Ed=0.88 Fv,Rd=7720.78
Rifollamento lato piastra: Fb,Ed,p=0.88 Fb,Rd,p=10065.60
Tirafondi:LT=0.45 (0.31) σ_{cR}=0.00 σ_{fR}=0.00
Compressione nel calcestruzzo: σ_c=14.96
CC 103 SLU (Collegamento 0020_-377)
Azioni sul collegamento: N=-6860.18 Ty=-4.11 Tz=1.96 Mx=-0.00 Mz=-3.53
Sollecitazioni agenti localmente: Tx_l=-4.11 Ty_l=1.96 N_l=-6860.18 Mx_l=-0.00 My_l=-3.53 Mz_l=-0.00
Taglio nei bulloni: Fv,Ed=0.77 Fv,Rd=7720.78
Rifollamento lato piastra: Fb,Ed,p=0.76 Fb,Rd,p=7939.55
Tirafondi:LT=0.45 (0.31) σ_{cR}=0.00 σ_{fR}=0.00
Compressione nel calcestruzzo: σ_c=14.37
CC 104 SLU (Collegamento 0020_-377)
Azioni sul collegamento: N=-6862.15 Ty=-4.33 Tz=1.92 Mx=-0.00 Mz=-3.96
Sollecitazioni agenti localmente: Tx_l=-4.33 Ty_l=1.92 N_l=-6862.15 Mx_l=-0.00 My_l=-3.96 Mz_l=-0.00
Taglio nei bulloni: Fv,Ed=0.79 Fv,Rd=7720.78
Rifollamento lato piastra: Fb,Ed,p=0.79 Fb,Rd,p=7691.03
Tirafondi:LT=0.45 (0.31) σ_{cR}=0.00 σ_{fR}=0.00
Compressione nel calcestruzzo: σ_c=14.40

Saldatura profilo-piastra

CC 1 SLV (Collegamento 0020_-377)
Azioni sul collegamento: N=-3875.57 Ty=-4.02 Tz=-9.21 Mx=0.02 Mz=2.16
Sollecitazioni agenti localmente: Tx_l=-4.02 Ty_l=-9.21 N_l=-3875.57 My_l=-2.16 Mz_l=0.02
Azioni sul cordone: TP=-0.32 TO=-0.66 NO=-286.48
Tensioni nel cordone: τ_P=0.10 τ_0=0.21 σ_0=94.22 σ_{ID}=94.22 Σ_T=94.43
CC 1 SLV (Collegamento 0020_-377)
Azioni sul collegamento: N=-3875.57 Ty=-0.64 Tz=-9.21 Mx=0.02 Mz=-1.09
Sollecitazioni agenti localmente: Tx_l=-0.64 Ty_l=-9.21 N_l=-3875.57 My_l=1.09 Mz_l=0.02
Azioni sul cordone: TP=-0.07 TO=-0.70 NO=-286.48
Tensioni nel cordone: τ_P= 0.02 τ_0=0.22 σ_0=92.64 σ_{ID}=92.64 Σ_T=92.87
CC 1 SLV (Collegamento 0020_-377)
Azioni sul collegamento: N=-3875.57 Ty=-4.02 Tz=10.50 Mx=0.02 Mz=2.16
Sollecitazioni agenti localmente: Tx_l=-4.02 Ty_l=10.50 N_l=-3875.57 My_l=-2.16 Mz_l=0.02
Azioni sul cordone: TP=-0.32 TO=0.79 NO=-286.48
Tensioni nel cordone: τ_P=0.10 τ_0=0.25 σ_0=94.22 σ_{ID}=94.22 Σ_T=94.47
CC 1 SLV (Collegamento 0020_-377)
Azioni sul collegamento: N=-3875.57 Ty=-0.64 Tz=10.50 Mx=0.02 Mz=-1.09
Sollecitazioni agenti localmente: Tx_l=-0.64 Ty_l=10.50 N_l=-3875.57 My_l=1.09 Mz_l=0.02
Azioni sul cordone: TP=-0.07 TO=0.76 NO=-286.48
Tensioni nel cordone: τ_P= 0.02 τ_0=0.24 σ_0=92.64 σ_{ID}=92.64 Σ_T=92.89
CC 1 SLV (Collegamento 0020_-377)
Azioni sul collegamento: N=-9172.38 Ty=-4.02 Tz=-9.21 Mx=0.02 Mz=2.16
Sollecitazioni agenti localmente: Tx_l=-4.02 Ty_l=-9.21 N_l=-9172.38 My_l=-2.16 Mz_l=0.02
Azioni sul cordone: TP=-0.32 TO=-0.66 NO=-678.02
Tensioni nel cordone: τ_P=0.10 τ_0=0.21 σ_0=218.67 σ_{ID}=218.67 Σ_T=218.88
CC 1 SLV (Collegamento 0020_-377)
Azioni sul collegamento: N=-9172.38 Ty=-0.64 Tz=-9.21 Mx=0.02 Mz=-1.09
Sollecitazioni agenti localmente: Tx_l=-0.64 Ty_l=-9.21 N_l=-9172.38 My_l=1.09 Mz_l=0.02
Azioni sul cordone: TP=-0.07 TO=-0.70 NO=-678.02
Tensioni nel cordone: τ_P= 0.02 τ_0=0.22 σ_0=217.09 σ_{ID}=217.09 Σ_T=217.32
CC 1 SLV (Collegamento 0020_-377)
Azioni sul collegamento: N=-9172.38 Ty=-4.02 Tz=10.50 Mx=0.02 Mz=2.16
Sollecitazioni agenti localmente: Tx_l=-4.02 Ty_l=10.50 N_l=-9172.38 My_l=-2.16 Mz_l=0.02
Azioni sul cordone: TP=-0.32 TO=0.79 NO=-678.02
Tensioni nel cordone: τ_P=0.10 τ_0=0.25 σ_0=218.67 σ_{ID}=218.67 Σ_T=218.92
CC 1 SLV (Collegamento 0020_-377)
Azioni sul collegamento: N=-9172.38 Ty=-0.64 Tz=10.50 Mx=0.02 Mz=-1.09
Sollecitazioni agenti localmente: Tx_l=-0.64 Ty_l=10.50 N_l=-9172.38 My_l=1.09 Mz_l=0.02
Azioni sul cordone: TP=-0.07 TO=0.76 NO=-678.02

Tensioni nel cordone: τ_P= 0.02 τ_O=0.24 σ_O=217.09 σ_{ID}=217.09 Σ_T=217.34
CC 2 SLD (Collegamento 0020_-377)
Azioni sul collegamento: N=-5748.85 Ty=-2.66 Tz=-2.23 Mx=0.01 Mz=-1.05
Sollecitazioni agenti localmente: Tx_l=-2.66 Ty_l=-2.23 N_l=-5748.85 My_l=1.05 Mz_l=0.01
Azioni sul cordone: TP=-0.21 TO=-0.17 NO=-424.96
Tensioni nel cordone: τ_P= 0.07 τ_O= 0.05 σ_O=136.60 σ_{ID}=136.60 Σ_T=136.66
CC 2 SLD (Collegamento 0020_-377)
Azioni sul collegamento: N=-5748.85 Ty=-3.69 Tz=-2.23 Mx=0.01 Mz=-2.04
Sollecitazioni agenti localmente: Tx_l=-3.69 Ty_l=-2.23 N_l=-5748.85 My_l=2.04 Mz_l=0.01
Azioni sul cordone: TP=-0.28 TO=-0.17 NO=-424.96
Tensioni nel cordone: τ_P= 0.09 τ_O= 0.05 σ_O=138.05 σ_{ID}=138.05 Σ_T=138.10
CC 2 SLD (Collegamento 0020_-377)
Azioni sul collegamento: N=-5748.85 Ty=-2.66 Tz=3.78 Mx=0.01 Mz=-1.05
Sollecitazioni agenti localmente: Tx_l=-2.66 Ty_l=3.78 N_l=-5748.85 My_l=1.05 Mz_l=0.01
Azioni sul cordone: TP=-0.21 TO=0.27 NO=-424.96
Tensioni nel cordone: τ_P= 0.07 τ_O= 0.09 σ_O=136.60 σ_{ID}=136.60 Σ_T=136.69
CC 2 SLD (Collegamento 0020_-377)
Azioni sul collegamento: N=-5748.85 Ty=-3.69 Tz=3.78 Mx=0.01 Mz=-2.04
Sollecitazioni agenti localmente: Tx_l=-3.69 Ty_l=3.78 N_l=-5748.85 My_l=2.04 Mz_l=0.01
Azioni sul cordone: TP=-0.28 TO=0.27 NO=-424.96
Tensioni nel cordone: τ_P= 0.09 τ_O= 0.09 σ_O=138.05 σ_{ID}=138.05 Σ_T=138.14
CC 2 SLD (Collegamento 0020_-377)
Azioni sul collegamento: N=-7364.01 Ty=-2.66 Tz=-2.23 Mx=0.01 Mz=-1.05
Sollecitazioni agenti localmente: Tx_l=-2.66 Ty_l=-2.23 N_l=-7364.01 My_l=1.05 Mz_l=0.01
Azioni sul cordone: TP=-0.21 TO=-0.17 NO=-544.35
Tensioni nel cordone: τ_P= 0.07 τ_O= 0.05 σ_O=174.55 σ_{ID}=174.55 Σ_T=174.61
CC 2 SLD (Collegamento 0020_-377)
Azioni sul collegamento: N=-7364.01 Ty=-3.69 Tz=-2.23 Mx=0.01 Mz=-2.04
Sollecitazioni agenti localmente: Tx_l=-3.69 Ty_l=-2.23 N_l=-7364.01 My_l=2.04 Mz_l=0.01
Azioni sul cordone: TP=-0.28 TO=-0.17 NO=-544.35
Tensioni nel cordone: τ_P= 0.09 τ_O= 0.05 σ_O=176.00 σ_{ID}=176.00 Σ_T=176.05
CC 2 SLD (Collegamento 0020_-377)
Azioni sul collegamento: N=-7364.01 Ty=-2.66 Tz=3.78 Mx=0.01 Mz=-1.05
Sollecitazioni agenti localmente: Tx_l=-2.66 Ty_l=3.78 N_l=-7364.01 My_l=1.05 Mz_l=0.01
Azioni sul cordone: TP=-0.21 TO=0.27 NO=-544.35
Tensioni nel cordone: τ_P= 0.07 τ_O= 0.09 σ_O=174.55 σ_{ID}=174.55 Σ_T=174.64
CC 2 SLD (Collegamento 0020_-377)
Azioni sul collegamento: N=-7364.01 Ty=-3.69 Tz=3.78 Mx=0.01 Mz=-2.04
Sollecitazioni agenti localmente: Tx_l=-3.69 Ty_l=3.78 N_l=-7364.01 My_l=2.04 Mz_l=0.01
Azioni sul cordone: TP=-0.28 TO=0.27 NO=-544.35
Tensioni nel cordone: τ_P= 0.09 τ_O= 0.09 σ_O=176.00 σ_{ID}=176.00 Σ_T=176.09
CC 3 SLV (Collegamento 0020_-377)
Azioni sul collegamento: N=-3881.26 Ty=-3.39 Tz=-9.09 Mx=0.02 Mz=0.91
Sollecitazioni agenti localmente: Tx_l=-3.39 Ty_l=-9.09 N_l=-3881.26 My_l=-0.91 Mz_l=0.02
Azioni sul cordone: TP=-0.27 TO=-0.66 NO=-286.90
Tensioni nel cordone: τ_P= 0.09 τ_O=0.21 σ_O=92.52 σ_{ID}=92.52 Σ_T=92.73
CC 3 SLV (Collegamento 0020_-377)
Azioni sul collegamento: N=-3881.26 Ty=-1.27 Tz=-9.09 Mx=0.02 Mz=0.17
Sollecitazioni agenti localmente: Tx_l=-1.27 Ty_l=-9.09 N_l=-3881.26 My_l=-0.17 Mz_l=0.02
Azioni sul cordone: TP=-0.11 TO=-0.66 NO=-286.90
Tensioni nel cordone: τ_P= 0.04 τ_O=0.21 σ_O=91.44 σ_{ID}=91.44 Σ_T=91.65
CC 3 SLV (Collegamento 0020_-377)
Azioni sul collegamento: N=-3881.26 Ty=-3.39 Tz=10.37 Mx=0.02 Mz=0.91
Sollecitazioni agenti localmente: Tx_l=-3.39 Ty_l=10.37 N_l=-3881.26 My_l=-0.91 Mz_l=0.02
Azioni sul cordone: TP=-0.27 TO=0.78 NO=-286.90
Tensioni nel cordone: τ_P= 0.09 τ_O=0.25 σ_O=92.52 σ_{ID}=92.52 Σ_T=92.76
CC 3 SLV (Collegamento 0020_-377)
Azioni sul collegamento: N=-3881.26 Ty=-1.27 Tz=10.37 Mx=0.02 Mz=0.17
Sollecitazioni agenti localmente: Tx_l=-1.27 Ty_l=10.37 N_l=-3881.26 My_l=-0.17 Mz_l=0.02
Azioni sul cordone: TP=-0.11 TO=0.78 NO=-286.90
Tensioni nel cordone: τ_P= 0.04 τ_O=0.25 σ_O=91.44 σ_{ID}=91.44 Σ_T=91.69
CC 3 SLV (Collegamento 0020_-377)
Azioni sul collegamento: N=-9166.69 Ty=-3.39 Tz=-9.09 Mx=0.02 Mz=0.91
Sollecitazioni agenti localmente: Tx_l=-3.39 Ty_l=-9.09 N_l=-9166.69 My_l=-0.91 Mz_l=0.02
Azioni sul cordone: TP=-0.27 TO=-0.66 NO=-677.60
Tensioni nel cordone: τ_P= 0.09 τ_O=0.21 σ_O=216.70 σ_{ID}=216.70 Σ_T=216.91
CC 3 SLV (Collegamento 0020_-377)
Azioni sul collegamento: N=-9166.69 Ty=-1.27 Tz=-9.09 Mx=0.02 Mz=0.17
Sollecitazioni agenti localmente: Tx_l=-1.27 Ty_l=-9.09 N_l=-9166.69 My_l=-0.17 Mz_l=0.02
Azioni sul cordone: TP=-0.11 TO=-0.66 NO=-677.60
Tensioni nel cordone: τ_P= 0.04 τ_O=0.21 σ_O=215.63 σ_{ID}=215.63 Σ_T=215.84
CC 3 SLV (Collegamento 0020_-377)
Azioni sul collegamento: N=-9166.69 Ty=-3.39 Tz=10.38 Mx=0.02 Mz=0.91
Sollecitazioni agenti localmente: Tx_l=-3.39 Ty_l=10.38 N_l=-9166.69 My_l=-0.91 Mz_l=0.02
Azioni sul cordone: TP=-0.27 TO=0.78 NO=-677.60
Tensioni nel cordone: τ_P= 0.09 τ_O=0.25 σ_O=216.70 σ_{ID}=216.70 Σ_T=216.95
CC 3 SLV (Collegamento 0020_-377)
Azioni sul collegamento: N=-9166.69 Ty=-1.27 Tz=10.38 Mx=0.02 Mz=0.17
Sollecitazioni agenti localmente: Tx_l=-1.27 Ty_l=10.38 N_l=-9166.69 My_l=-0.17 Mz_l=0.02

Azioni sul cordone: TP=-0.11 TO=0.78 NO=-677.60
Tensioni nel cordone: τ_P= 0.04 τ_O=0.25 σ_O=215.63 σ_{ID}=215.63 Σ_T=215.87
CC 4 SLD (Collegamento 0020_-377)
Azioni sul collegamento: N=-5750.58 Ty=-2.85 Tz=-2.19 Mx=0.01 Mz=-1.43
Sollecitazioni agenti localmente: Tx_l=-2.85 Ty_l=-2.19 N_l=-5750.58 My_l=1.43 Mz_l=0.01
Azioni sul cordone: TP=-0.22 TO=-0.17 NO=-425.08
Tensioni nel cordone: τ_P= 0.07 τ_O= 0.05 σ_O=137.20 σ_{ID}=137.20 Σ_T=137.26
CC 4 SLD (Collegamento 0020_-377)
Azioni sul collegamento: N=-5750.58 Ty=-3.50 Tz=-2.19 Mx=0.01 Mz=-1.66
Sollecitazioni agenti localmente: Tx_l=-3.50 Ty_l=-2.19 N_l=-5750.58 My_l=1.66 Mz_l=0.01
Azioni sul cordone: TP=-0.27 TO=-0.17 NO=-425.08
Tensioni nel cordone: τ_P= 0.08 τ_O= 0.05 σ_O=137.53 σ_{ID}=137.53 Σ_T=137.59
CC 4 SLD (Collegamento 0020_-377)
Azioni sul collegamento: N=-5750.58 Ty=-2.85 Tz=3.74 Mx=0.01 Mz=-1.43
Sollecitazioni agenti localmente: Tx_l=-2.85 Ty_l=3.74 N_l=-5750.58 My_l=1.43 Mz_l=0.01
Azioni sul cordone: TP=-0.22 TO=0.27 NO=-425.08
Tensioni nel cordone: τ_P= 0.07 τ_O= 0.09 σ_O=137.20 σ_{ID}=137.20 Σ_T=137.29
CC 4 SLD (Collegamento 0020_-377)
Azioni sul collegamento: N=-5750.58 Ty=-3.50 Tz=3.74 Mx=0.01 Mz=-1.66
Sollecitazioni agenti localmente: Tx_l=-3.50 Ty_l=3.74 N_l=-5750.58 My_l=1.66 Mz_l=0.01
Azioni sul cordone: TP=-0.27 TO=0.27 NO=-425.08
Tensioni nel cordone: τ_P= 0.08 τ_O= 0.09 σ_O=137.53 σ_{ID}=137.53 Σ_T=137.62
CC 4 SLD (Collegamento 0020_-377)
Azioni sul collegamento: N=-7362.28 Ty=-2.85 Tz=-2.19 Mx=0.01 Mz=-1.43
Sollecitazioni agenti localmente: Tx_l=-2.85 Ty_l=-2.19 N_l=-7362.28 My_l=1.43 Mz_l=0.01
Azioni sul cordone: TP=-0.22 TO=-0.17 NO=-544.22
Tensioni nel cordone: τ_P= 0.07 τ_O= 0.05 σ_O=175.07 σ_{ID}=175.07 Σ_T=175.13
CC 4 SLD (Collegamento 0020_-377)
Azioni sul collegamento: N=-7362.28 Ty=-3.50 Tz=-2.19 Mx=0.01 Mz=-1.66
Sollecitazioni agenti localmente: Tx_l=-3.50 Ty_l=-2.19 N_l=-7362.28 My_l=1.66 Mz_l=0.01
Azioni sul cordone: TP=-0.27 TO=-0.17 NO=-544.22
Tensioni nel cordone: τ_P= 0.08 τ_O= 0.05 σ_O=175.40 σ_{ID}=175.40 Σ_T=175.45
CC 4 SLD (Collegamento 0020_-377)
Azioni sul collegamento: N=-7362.28 Ty=-2.85 Tz=3.74 Mx=0.01 Mz=-1.43
Sollecitazioni agenti localmente: Tx_l=-2.85 Ty_l=3.74 N_l=-7362.28 My_l=1.43 Mz_l=0.01
Azioni sul cordone: TP=-0.22 TO=0.27 NO=-544.22
Tensioni nel cordone: τ_P= 0.07 τ_O= 0.09 σ_O=175.07 σ_{ID}=175.07 Σ_T=175.16
CC 4 SLD (Collegamento 0020_-377)
Azioni sul collegamento: N=-7362.28 Ty=-3.50 Tz=3.74 Mx=0.01 Mz=-1.66
Sollecitazioni agenti localmente: Tx_l=-3.50 Ty_l=3.74 N_l=-7362.28 My_l=1.66 Mz_l=0.01
Azioni sul cordone: TP=-0.27 TO=0.27 NO=-544.22
Tensioni nel cordone: τ_P= 0.08 τ_O= 0.09 σ_O=175.40 σ_{ID}=175.40 Σ_T=175.49
CC 5 SLV (Collegamento 0020_-377)
Azioni sul collegamento: N=-9166.69 Ty=-1.27 Tz=10.38 Mx=0.02 Mz=0.17
Sollecitazioni agenti localmente: Tx_l=-1.27 Ty_l=10.38 N_l=-9166.69 My_l=-0.17 Mz_l=0.02
Azioni sul cordone: TP=-0.12 TO=0.78 NO=-677.60
Tensioni nel cordone: τ_P= 0.04 τ_O=0.25 σ_O=215.63 σ_{ID}=215.63 Σ_T=215.87
CC 5 SLV (Collegamento 0020_-377)
Azioni sul collegamento: N=-9166.69 Ty=-3.39 Tz=10.38 Mx=0.02 Mz=0.91
Sollecitazioni agenti localmente: Tx_l=-3.39 Ty_l=10.38 N_l=-9166.69 My_l=-0.91 Mz_l=0.02
Azioni sul cordone: TP=-0.27 TO=0.78 NO=-677.60
Tensioni nel cordone: τ_P= 0.09 τ_O=0.25 σ_O=216.70 σ_{ID}=216.70 Σ_T=216.95
CC 5 SLV (Collegamento 0020_-377)
Azioni sul collegamento: N=-9166.69 Ty=-1.27 Tz=-9.09 Mx=0.02 Mz=0.17
Sollecitazioni agenti localmente: Tx_l=-1.27 Ty_l=-9.09 N_l=-9166.69 My_l=-0.17 Mz_l=0.02
Azioni sul cordone: TP=-0.12 TO=-0.66 NO=-677.60
Tensioni nel cordone: τ_P= 0.04 τ_O=0.21 σ_O=215.63 σ_{ID}=215.63 Σ_T=215.83
CC 5 SLV (Collegamento 0020_-377)
Azioni sul collegamento: N=-9166.69 Ty=-3.39 Tz=-9.09 Mx=0.02 Mz=0.91
Sollecitazioni agenti localmente: Tx_l=-3.39 Ty_l=-9.09 N_l=-9166.69 My_l=-0.91 Mz_l=0.02
Azioni sul cordone: TP=-0.27 TO=-0.66 NO=-677.60
Tensioni nel cordone: τ_P= 0.09 τ_O=0.21 σ_O=216.70 σ_{ID}=216.70 Σ_T=216.91
CC 5 SLV (Collegamento 0020_-377)
Azioni sul collegamento: N=-3881.26 Ty=-1.27 Tz=10.37 Mx=0.02 Mz=0.17
Sollecitazioni agenti localmente: Tx_l=-1.27 Ty_l=10.37 N_l=-3881.26 My_l=-0.17 Mz_l=0.02
Azioni sul cordone: TP=-0.12 TO=0.78 NO=-286.90
Tensioni nel cordone: τ_P= 0.04 τ_O=0.25 σ_O=91.44 σ_{ID}=91.44 Σ_T=91.69
CC 5 SLV (Collegamento 0020_-377)
Azioni sul collegamento: N=-3881.26 Ty=-3.39 Tz=10.37 Mx=0.02 Mz=0.91
Sollecitazioni agenti localmente: Tx_l=-3.39 Ty_l=10.37 N_l=-3881.26 My_l=-0.91 Mz_l=0.02
Azioni sul cordone: TP=-0.27 TO=0.78 NO=-286.90
Tensioni nel cordone: τ_P= 0.09 τ_O=0.25 σ_O=92.52 σ_{ID}=92.52 Σ_T=92.76
CC 5 SLV (Collegamento 0020_-377)
Azioni sul collegamento: N=-3881.26 Ty=-1.27 Tz=-9.09 Mx=0.02 Mz=0.17
Sollecitazioni agenti localmente: Tx_l=-1.27 Ty_l=-9.09 N_l=-3881.26 My_l=-0.17 Mz_l=0.02
Azioni sul cordone: TP=-0.12 TO=-0.66 NO=-286.90
Tensioni nel cordone: τ_P= 0.04 τ_O=0.21 σ_O=91.44 σ_{ID}=91.44 Σ_T=91.65
CC 5 SLV (Collegamento 0020_-377)
Azioni sul collegamento: N=-3881.26 Ty=-3.39 Tz=-9.09 Mx=0.02 Mz=0.91

Sollecitazioni agenti localmente: Tx_l=-3.39 Ty_l=-9.09 N_l=-3881.26 My_l=-0.91 Mz_l=0.02
Azioni sul cordone: TP=-0.27 TO=-0.66 NO=-286.90
Tensioni nel cordone: τ_P= 0.09 τ_O=0.21 σ_O=92.52 σ_{ID}=92.52 Σ_T=92.72
CC 6 SLD (Collegamento 0020_-377)
Azioni sul collegamento: N=-7362.28 Ty=-3.50 Tz=3.74 Mx=0.01 Mz=-1.66
Sollecitazioni agenti localmente: Tx_l=-3.50 Ty_l=3.74 N_l=-7362.28 My_l=1.66 Mz_l=0.01
Azioni sul cordone: TP=-0.27 TO=0.27 NO=-544.22
Tensioni nel cordone: τ_P= 0.09 τ_O= 0.09 σ_O=175.40 σ_{ID}=175.40 Σ_T=175.49
CC 6 SLD (Collegamento 0020_-377)
Azioni sul collegamento: N=-7362.28 Ty=-2.85 Tz=3.74 Mx=0.01 Mz=-1.43
Sollecitazioni agenti localmente: Tx_l=-2.85 Ty_l=3.74 N_l=-7362.28 My_l=1.43 Mz_l=0.01
Azioni sul cordone: TP=-0.22 TO=0.27 NO=-544.22
Tensioni nel cordone: τ_P= 0.07 τ_O= 0.09 σ_O=175.07 σ_{ID}=175.07 Σ_T=175.16
CC 6 SLD (Collegamento 0020_-377)
Azioni sul collegamento: N=-7362.28 Ty=-3.50 Tz=-2.19 Mx=0.01 Mz=-1.66
Sollecitazioni agenti localmente: Tx_l=-3.50 Ty_l=-2.19 N_l=-7362.28 My_l=1.66 Mz_l=0.01
Azioni sul cordone: TP=-0.27 TO=-0.17 NO=-544.22
Tensioni nel cordone: τ_P= 0.09 τ_O= 0.05 σ_O=175.40 σ_{ID}=175.40 Σ_T=175.45
CC 6 SLD (Collegamento 0020_-377)
Azioni sul collegamento: N=-7362.28 Ty=-2.85 Tz=-2.19 Mx=0.01 Mz=-1.43
Sollecitazioni agenti localmente: Tx_l=-2.85 Ty_l=-2.19 N_l=-7362.28 My_l=1.43 Mz_l=0.01
Azioni sul cordone: TP=-0.22 TO=-0.17 NO=-544.22
Tensioni nel cordone: τ_P= 0.07 τ_O= 0.05 σ_O=175.07 σ_{ID}=175.07 Σ_T=175.13
CC 6 SLD (Collegamento 0020_-377)
Azioni sul collegamento: N=-5750.58 Ty=-3.50 Tz=3.74 Mx=0.01 Mz=-1.66
Sollecitazioni agenti localmente: Tx_l=-3.50 Ty_l=3.74 N_l=-5750.58 My_l=1.66 Mz_l=0.01
Azioni sul cordone: TP=-0.27 TO=0.27 NO=-425.08
Tensioni nel cordone: τ_P= 0.09 τ_O= 0.09 σ_O=137.53 σ_{ID}=137.53 Σ_T=137.62
CC 6 SLD (Collegamento 0020_-377)
Azioni sul collegamento: N=-5750.58 Ty=-2.85 Tz=3.74 Mx=0.01 Mz=-1.43
Sollecitazioni agenti localmente: Tx_l=-2.85 Ty_l=3.74 N_l=-5750.58 My_l=1.43 Mz_l=0.01
Azioni sul cordone: TP=-0.22 TO=0.27 NO=-425.08
Tensioni nel cordone: τ_P= 0.07 τ_O= 0.09 σ_O=137.20 σ_{ID}=137.20 Σ_T=137.29
CC 6 SLD (Collegamento 0020_-377)
Azioni sul collegamento: N=-5750.58 Ty=-3.50 Tz=-2.19 Mx=0.01 Mz=-1.66
Sollecitazioni agenti localmente: Tx_l=-3.50 Ty_l=-2.19 N_l=-5750.58 My_l=1.66 Mz_l=0.01
Azioni sul cordone: TP=-0.27 TO=-0.17 NO=-425.08
Tensioni nel cordone: τ_P= 0.09 τ_O= 0.05 σ_O=137.53 σ_{ID}=137.53 Σ_T=137.59
CC 6 SLD (Collegamento 0020_-377)
Azioni sul collegamento: N=-5750.58 Ty=-2.85 Tz=-2.19 Mx=0.01 Mz=-1.43
Sollecitazioni agenti localmente: Tx_l=-2.85 Ty_l=-2.19 N_l=-5750.58 My_l=1.43 Mz_l=0.01
Azioni sul cordone: TP=-0.22 TO=-0.17 NO=-425.08
Tensioni nel cordone: τ_P= 0.07 τ_O= 0.05 σ_O=137.20 σ_{ID}=137.20 Σ_T=137.26
CC 7 SLV (Collegamento 0020_-377)
Azioni sul collegamento: N=-9172.38 Ty=-0.64 Tz=10.50 Mx=0.01 Mz=-1.09
Sollecitazioni agenti localmente: Tx_l=-0.64 Ty_l=10.50 N_l=-9172.38 My_l=1.09 Mz_l=0.01
Azioni sul cordone: TP=-0.06 TO=0.77 NO=-678.02
Tensioni nel cordone: τ_P= 0.02 τ_O=0.24 σ_O=217.09 σ_{ID}=217.09 Σ_T=217.34
CC 7 SLV (Collegamento 0020_-377)
Azioni sul collegamento: N=-9172.38 Ty=-4.02 Tz=10.50 Mx=0.01 Mz=2.16
Sollecitazioni agenti localmente: Tx_l=-4.02 Ty_l=10.50 N_l=-9172.38 My_l=-2.16 Mz_l=0.01
Azioni sul cordone: TP=-0.31 TO=0.79 NO=-678.02
Tensioni nel cordone: τ_P= 0.10 τ_O=0.25 σ_O=218.67 σ_{ID}=218.67 Σ_T=218.92
CC 7 SLV (Collegamento 0020_-377)
Azioni sul collegamento: N=-9172.38 Ty=-0.64 Tz=-9.21 Mx=0.01 Mz=-1.09
Sollecitazioni agenti localmente: Tx_l=-0.64 Ty_l=-9.21 N_l=-9172.38 My_l=1.09 Mz_l=0.01
Azioni sul cordone: TP=-0.06 TO=-0.69 NO=-678.02
Tensioni nel cordone: τ_P= 0.02 τ_O=0.22 σ_O=217.09 σ_{ID}=217.09 Σ_T=217.31
CC 7 SLV (Collegamento 0020_-377)
Azioni sul collegamento: N=-9172.38 Ty=-4.02 Tz=-9.21 Mx=0.01 Mz=2.16
Sollecitazioni agenti localmente: Tx_l=-4.02 Ty_l=-9.21 N_l=-9172.38 My_l=-2.16 Mz_l=0.01
Azioni sul cordone: TP=-0.31 TO=-0.67 NO=-678.02
Tensioni nel cordone: τ_P= 0.10 τ_O=0.21 σ_O=218.67 σ_{ID}=218.67 Σ_T=218.88
CC 7 SLV (Collegamento 0020_-377)
Azioni sul collegamento: N=-3875.57 Ty=-0.64 Tz=10.50 Mx=0.01 Mz=-1.09
Sollecitazioni agenti localmente: Tx_l=-0.64 Ty_l=10.50 N_l=-3875.57 My_l=1.09 Mz_l=0.01
Azioni sul cordone: TP=-0.06 TO=0.77 NO=-286.48
Tensioni nel cordone: τ_P= 0.02 τ_O=0.24 σ_O=92.64 σ_{ID}=92.64 Σ_T=92.89
CC 7 SLV (Collegamento 0020_-377)
Azioni sul collegamento: N=-3875.57 Ty=-4.02 Tz=10.50 Mx=0.01 Mz=2.16
Sollecitazioni agenti localmente: Tx_l=-4.02 Ty_l=10.50 N_l=-3875.57 My_l=-2.16 Mz_l=0.01
Azioni sul cordone: TP=-0.31 TO=0.79 NO=-286.48
Tensioni nel cordone: τ_P= 0.10 τ_O=0.25 σ_O=94.22 σ_{ID}=94.22 Σ_T=94.47
CC 7 SLV (Collegamento 0020_-377)
Azioni sul collegamento: N=-3875.57 Ty=-0.64 Tz=-9.21 Mx=0.01 Mz=-1.09
Sollecitazioni agenti localmente: Tx_l=-0.64 Ty_l=-9.21 N_l=-3875.57 My_l=1.09 Mz_l=0.01
Azioni sul cordone: TP=-0.06 TO=-0.69 NO=-286.48
Tensioni nel cordone: τ_P= 0.02 τ_O=0.22 σ_O=92.64 σ_{ID}=92.64 Σ_T=92.86
CC 7 SLV (Collegamento 0020_-377)

Azioni sul collegamento: N=-3875.57 Ty=-4.02 Tz=-9.21 Mx=0.01 Mz=2.16
Sollecitazioni agenti localmente: Tx_l=-4.02 Ty_l=-9.21 N_l=-3875.57 My_l=-2.16 Mz_l=0.01
Azioni sul cordone: TP=-0.31 TO=-0.67 NO=-286.48
Tensioni nel cordone: τ_P= 0.10 τ_O=0.21 σ_O=94.22 σ_{ID}=94.22 Σ_T=94.43
CC 8 SLD (Collegamento 0020_-377)
Azioni sul collegamento: N=-7364.01 Ty=-3.69 Tz=3.78 Mx=0.01 Mz=-2.04
Sollecitazioni agenti localmente: Tx_l=-3.69 Ty_l=3.78 N_l=-7364.01 My_l=2.04 Mz_l=0.01
Azioni sul cordone: TP=-0.28 TO=0.27 NO=-544.35
Tensioni nel cordone: τ_P= 0.09 τ_O= 0.09 σ_O=176.00 σ_{ID}=176.00 Σ_T=176.09
CC 8 SLD (Collegamento 0020_-377)
Azioni sul collegamento: N=-7364.01 Ty=-2.66 Tz=3.78 Mx=0.01 Mz=-1.05
Sollecitazioni agenti localmente: Tx_l=-2.66 Ty_l=3.78 N_l=-7364.01 My_l=1.05 Mz_l=0.01
Azioni sul cordone: TP=-0.20 TO=0.27 NO=-544.35
Tensioni nel cordone: τ_P= 0.06 τ_O= 0.09 σ_O=174.55 σ_{ID}=174.55 Σ_T=174.64
CC 8 SLD (Collegamento 0020_-377)
Azioni sul collegamento: N=-7364.01 Ty=-3.69 Tz=-2.23 Mx=0.01 Mz=-2.04
Sollecitazioni agenti localmente: Tx_l=-3.69 Ty_l=-2.23 N_l=-7364.01 My_l=2.04 Mz_l=0.01
Azioni sul cordone: TP=-0.28 TO=-0.17 NO=-544.35
Tensioni nel cordone: τ_P= 0.09 τ_O= 0.05 σ_O=176.00 σ_{ID}=176.00 Σ_T=176.05
CC 8 SLD (Collegamento 0020_-377)
Azioni sul collegamento: N=-7364.01 Ty=-2.66 Tz=-2.23 Mx=0.01 Mz=-1.05
Sollecitazioni agenti localmente: Tx_l=-2.66 Ty_l=-2.23 N_l=-7364.01 My_l=1.05 Mz_l=0.01
Azioni sul cordone: TP=-0.20 TO=-0.17 NO=-544.35
Tensioni nel cordone: τ_P= 0.06 τ_O= 0.05 σ_O=174.55 σ_{ID}=174.55 Σ_T=174.61
CC 8 SLD (Collegamento 0020_-377)
Azioni sul collegamento: N=-5748.85 Ty=-3.69 Tz=3.78 Mx=0.01 Mz=-2.04
Sollecitazioni agenti localmente: Tx_l=-3.69 Ty_l=3.78 N_l=-5748.85 My_l=2.04 Mz_l=0.01
Azioni sul cordone: TP=-0.28 TO=0.27 NO=-424.96
Tensioni nel cordone: τ_P= 0.09 τ_O= 0.09 σ_O=138.05 σ_{ID}=138.05 Σ_T=138.14
CC 8 SLD (Collegamento 0020_-377)
Azioni sul collegamento: N=-5748.85 Ty=-2.66 Tz=3.78 Mx=0.01 Mz=-1.05
Sollecitazioni agenti localmente: Tx_l=-2.66 Ty_l=3.78 N_l=-5748.85 My_l=1.05 Mz_l=0.01
Azioni sul cordone: TP=-0.20 TO=0.27 NO=-424.96
Tensioni nel cordone: τ_P= 0.06 τ_O= 0.09 σ_O=136.60 σ_{ID}=136.60 Σ_T=136.69
CC 8 SLD (Collegamento 0020_-377)
Azioni sul collegamento: N=-5748.85 Ty=-3.69 Tz=-2.23 Mx=0.01 Mz=-2.04
Sollecitazioni agenti localmente: Tx_l=-3.69 Ty_l=-2.23 N_l=-5748.85 My_l=2.04 Mz_l=0.01
Azioni sul cordone: TP=-0.28 TO=-0.17 NO=-424.96
Tensioni nel cordone: τ_P= 0.09 τ_O= 0.05 σ_O=138.05 σ_{ID}=138.05 Σ_T=138.10
CC 8 SLD (Collegamento 0020_-377)
Azioni sul collegamento: N=-5748.85 Ty=-2.66 Tz=-2.23 Mx=0.01 Mz=-1.05
Sollecitazioni agenti localmente: Tx_l=-2.66 Ty_l=-2.23 N_l=-5748.85 My_l=1.05 Mz_l=0.01
Azioni sul cordone: TP=-0.20 TO=-0.17 NO=-424.96
Tensioni nel cordone: τ_P= 0.06 τ_O= 0.05 σ_O=136.60 σ_{ID}=136.60 Σ_T=136.66
CC 9 SLV (Collegamento 0020_-377)
Azioni sul collegamento: N=-5720.83 Ty=-3.80 Tz=-2.51 Mx=0.03 Mz=2.93
Sollecitazioni agenti localmente: Tx_l=-3.80 Ty_l=-2.51 N_l=-5720.83 My_l=-2.93 Mz_l=0.03
Azioni sul cordone: TP=-0.31 TO=-0.16 NO=-422.88
Tensioni nel cordone: τ_P= 0.10 τ_O= 0.05 σ_O=138.69 σ_{ID}=138.69 Σ_T=138.75
CC 9 SLV (Collegamento 0020_-377)
Azioni sul collegamento: N=-5720.83 Ty=-0.86 Tz=-2.51 Mx=0.03 Mz=-1.85
Sollecitazioni agenti localmente: Tx_l=-0.86 Ty_l=-2.51 N_l=-5720.83 My_l=1.85 Mz_l=0.03
Azioni sul cordone: TP=-0.09 TO=-0.21 NO=-422.88
Tensioni nel cordone: τ_P= 0.03 τ_O= 0.07 σ_O=137.12 σ_{ID}=137.12 Σ_T=137.19
CC 9 SLV (Collegamento 0020_-377)
Azioni sul collegamento: N=-5720.83 Ty=-3.80 Tz=3.80 Mx=0.03 Mz=2.93
Sollecitazioni agenti localmente: Tx_l=-3.80 Ty_l=3.80 N_l=-5720.83 My_l=-2.93 Mz_l=0.03
Azioni sul cordone: TP=-0.31 TO=0.30 NO=-422.88
Tensioni nel cordone: τ_P= 0.10 τ_O= 0.10 σ_O=138.69 σ_{ID}=138.69 Σ_T=138.79
CC 9 SLV (Collegamento 0020_-377)
Azioni sul collegamento: N=-5720.83 Ty=-0.86 Tz=3.80 Mx=0.03 Mz=-1.85
Sollecitazioni agenti localmente: Tx_l=-0.86 Ty_l=3.80 N_l=-5720.83 My_l=1.85 Mz_l=0.03
Azioni sul cordone: TP=-0.09 TO=0.26 NO=-422.88
Tensioni nel cordone: τ_P= 0.03 τ_O= 0.08 σ_O=137.12 σ_{ID}=137.12 Σ_T=137.20
CC 9 SLV (Collegamento 0020_-377)
Azioni sul collegamento: N=-7327.12 Ty=-3.80 Tz=-2.51 Mx=0.03 Mz=2.93
Sollecitazioni agenti localmente: Tx_l=-3.80 Ty_l=-2.51 N_l=-7327.12 My_l=-2.93 Mz_l=0.03
Azioni sul cordone: TP=-0.31 TO=-0.16 NO=-541.62
Tensioni nel cordone: τ_P= 0.10 τ_O= 0.05 σ_O=176.44 σ_{ID}=176.44 Σ_T=176.49
CC 9 SLV (Collegamento 0020_-377)
Azioni sul collegamento: N=-7327.12 Ty=-0.86 Tz=-2.51 Mx=0.03 Mz=-1.85
Sollecitazioni agenti localmente: Tx_l=-0.86 Ty_l=-2.51 N_l=-7327.12 My_l=1.85 Mz_l=0.03
Azioni sul cordone: TP=-0.09 TO=-0.21 NO=-541.62
Tensioni nel cordone: τ_P= 0.03 τ_O= 0.07 σ_O=174.86 σ_{ID}=174.86 Σ_T=174.93
CC 9 SLV (Collegamento 0020_-377)
Azioni sul collegamento: N=-7327.12 Ty=-3.80 Tz=3.80 Mx=0.03 Mz=2.93
Sollecitazioni agenti localmente: Tx_l=-3.80 Ty_l=3.80 N_l=-7327.12 My_l=-2.93 Mz_l=0.03
Azioni sul cordone: TP=-0.31 TO=0.30 NO=-541.62
Tensioni nel cordone: τ_P= 0.10 τ_O= 0.10 σ_O=176.44 σ_{ID}=176.44 Σ_T=176.53

CC 9 SLV (Collegamento 0020_-377)
Azioni sul collegamento: N=-7327.12 Ty=-0.86 Tz=3.80 Mx=0.03 Mz=-1.85
Sollecitazioni agenti localmente: Tx_l=-0.86 Ty_l=3.80 N_l=-7327.12 My_l=1.85 Mz_l=0.03
Azioni sul cordone: TP=-0.09 TO=0.26 NO=-541.62
Tensioni nel cordone: τ_P= 0.03 τ_0= 0.08 σ_0=174.86 σ_{ID}=174.86 Σ_T=174.94
CC 10 SLD (Collegamento 0020_-377)
Azioni sul collegamento: N=-6311.52 Ty=-2.73 Tz=-0.19 Mx=0.01 Mz=-0.81
Sollecitazioni agenti localmente: Tx_l=-2.73 Ty_l=-0.19 N_l=-6311.52 My_l=0.81 Mz_l=0.01
Azioni sul cordone: TP=-0.21 TO=-0.02 NO=-466.55
Tensioni nel cordone: τ_P= 0.07 τ_0=7.08E-03 σ_0=149.48 σ_{ID}=149.48 Σ_T=149.49
CC 10 SLD (Collegamento 0020_-377)
Azioni sul collegamento: N=-6311.52 Ty=-3.62 Tz=-0.19 Mx=0.01 Mz=-2.27
Sollecitazioni agenti localmente: Tx_l=-3.62 Ty_l=-0.19 N_l=-6311.52 My_l=2.27 Mz_l=0.01
Azioni sul cordone: TP=-0.28 TO=-0.02 NO=-466.55
Tensioni nel cordone: τ_P= 0.09 τ_0=7.08E-03 σ_0=151.61 σ_{ID}=151.61 Σ_T=151.62
CC 10 SLD (Collegamento 0020_-377)
Azioni sul collegamento: N=-6311.52 Ty=-2.73 Tz=1.73 Mx=0.01 Mz=-0.81
Sollecitazioni agenti localmente: Tx_l=-2.73 Ty_l=1.73 N_l=-6311.52 My_l=0.81 Mz_l=0.01
Azioni sul cordone: TP=-0.21 TO=0.12 NO=-466.55
Tensioni nel cordone: τ_P= 0.07 τ_0= 0.04 σ_0=149.48 σ_{ID}=149.48 Σ_T=149.52
CC 10 SLD (Collegamento 0020_-377)
Azioni sul collegamento: N=-6311.52 Ty=-3.62 Tz=1.73 Mx=0.01 Mz=-2.27
Sollecitazioni agenti localmente: Tx_l=-3.62 Ty_l=1.73 N_l=-6311.52 My_l=2.27 Mz_l=0.01
Azioni sul cordone: TP=-0.28 TO=0.12 NO=-466.55
Tensioni nel cordone: τ_P= 0.09 τ_0= 0.04 σ_0=151.61 σ_{ID}=151.61 Σ_T=151.65
CC 10 SLD (Collegamento 0020_-377)
Azioni sul collegamento: N=-6801.33 Ty=-2.73 Tz=-0.19 Mx=0.01 Mz=-0.81
Sollecitazioni agenti localmente: Tx_l=-2.73 Ty_l=-0.19 N_l=-6801.33 My_l=0.81 Mz_l=0.01
Azioni sul cordone: TP=-0.21 TO=-0.02 NO=-502.76
Tensioni nel cordone: τ_P= 0.07 τ_0=7.08E-03 σ_0=160.99 σ_{ID}=160.99 Σ_T=161.00
CC 10 SLD (Collegamento 0020_-377)
Azioni sul collegamento: N=-6801.33 Ty=-3.62 Tz=-0.19 Mx=0.01 Mz=-2.27
Sollecitazioni agenti localmente: Tx_l=-3.62 Ty_l=-0.19 N_l=-6801.33 My_l=2.27 Mz_l=0.01
Azioni sul cordone: TP=-0.28 TO=-0.02 NO=-502.76
Tensioni nel cordone: τ_P= 0.09 τ_0=7.08E-03 σ_0=163.12 σ_{ID}=163.12 Σ_T=163.13
CC 10 SLD (Collegamento 0020_-377)
Azioni sul collegamento: N=-6801.33 Ty=-2.73 Tz=1.73 Mx=0.01 Mz=-0.81
Sollecitazioni agenti localmente: Tx_l=-2.73 Ty_l=1.73 N_l=-6801.33 My_l=0.81 Mz_l=0.01
Azioni sul cordone: TP=-0.21 TO=0.12 NO=-502.76
Tensioni nel cordone: τ_P= 0.07 τ_0= 0.04 σ_0=160.99 σ_{ID}=160.99 Σ_T=161.03
CC 10 SLD (Collegamento 0020_-377)
Azioni sul collegamento: N=-6801.33 Ty=-3.62 Tz=1.73 Mx=0.01 Mz=-2.27
Sollecitazioni agenti localmente: Tx_l=-3.62 Ty_l=1.73 N_l=-6801.33 My_l=2.27 Mz_l=0.01
Azioni sul cordone: TP=-0.28 TO=0.12 NO=-502.76
Tensioni nel cordone: τ_P= 0.09 τ_0= 0.04 σ_0=163.12 σ_{ID}=163.12 Σ_T=163.16
CC 11 SLV (Collegamento 0020_-377)
Azioni sul collegamento: N=-7308.16 Ty=-2.97 Tz=3.37 Mx=0.02 Mz=2.33
Sollecitazioni agenti localmente: Tx_l=-2.97 Ty_l=3.37 N_l=-7308.16 My_l=-2.33 Mz_l=0.02
Azioni sul cordone: TP=-0.25 TO=0.27 NO=-540.22
Tensioni nel cordone: τ_P= 0.08 τ_0= 0.09 σ_0=175.12 σ_{ID}=175.12 Σ_T=175.20
CC 11 SLV (Collegamento 0020_-377)
Azioni sul collegamento: N=-7308.16 Ty=-1.68 Tz=3.37 Mx=0.02 Mz=-1.26
Sollecitazioni agenti localmente: Tx_l=-1.68 Ty_l=3.37 N_l=-7308.16 My_l=1.26 Mz_l=0.02
Azioni sul cordone: TP=-0.15 TO=0.23 NO=-540.22
Tensioni nel cordone: τ_P= 0.05 τ_0= 0.07 σ_0=173.54 σ_{ID}=173.54 Σ_T=173.62
CC 11 SLV (Collegamento 0020_-377)
Azioni sul collegamento: N=-7308.16 Ty=-2.97 Tz=-2.08 Mx=0.02 Mz=2.33
Sollecitazioni agenti localmente: Tx_l=-2.97 Ty_l=-2.08 N_l=-7308.16 My_l=-2.33 Mz_l=0.02
Azioni sul cordone: TP=-0.25 TO=-0.13 NO=-540.22
Tensioni nel cordone: τ_P= 0.08 τ_0= 0.04 σ_0=175.12 σ_{ID}=175.12 Σ_T=175.16
CC 11 SLV (Collegamento 0020_-377)
Azioni sul collegamento: N=-7308.16 Ty=-1.68 Tz=-2.08 Mx=0.02 Mz=-1.26
Sollecitazioni agenti localmente: Tx_l=-1.68 Ty_l=-2.08 N_l=-7308.16 My_l=1.26 Mz_l=0.02
Azioni sul cordone: TP=-0.15 TO=-0.17 NO=-540.22
Tensioni nel cordone: τ_P= 0.05 τ_0= 0.06 σ_0=173.54 σ_{ID}=173.54 Σ_T=173.60
CC 11 SLV (Collegamento 0020_-377)
Azioni sul collegamento: N=-5739.79 Ty=-2.97 Tz=3.37 Mx=0.02 Mz=2.33
Sollecitazioni agenti localmente: Tx_l=-2.97 Ty_l=3.37 N_l=-5739.79 My_l=-2.33 Mz_l=0.02
Azioni sul cordone: TP=-0.25 TO=0.27 NO=-424.29
Tensioni nel cordone: τ_P= 0.08 τ_0= 0.09 σ_0=138.27 σ_{ID}=138.27 Σ_T=138.35
CC 11 SLV (Collegamento 0020_-377)
Azioni sul collegamento: N=-5739.79 Ty=-1.68 Tz=3.37 Mx=0.02 Mz=-1.26
Sollecitazioni agenti localmente: Tx_l=-1.68 Ty_l=3.37 N_l=-5739.79 My_l=1.26 Mz_l=0.02
Azioni sul cordone: TP=-0.15 TO=0.23 NO=-424.29
Tensioni nel cordone: τ_P= 0.05 τ_0= 0.07 σ_0=136.69 σ_{ID}=136.69 Σ_T=136.77
CC 11 SLV (Collegamento 0020_-377)
Azioni sul collegamento: N=-5739.79 Ty=-2.97 Tz=-2.08 Mx=0.02 Mz=2.33
Sollecitazioni agenti localmente: Tx_l=-2.97 Ty_l=-2.08 N_l=-5739.79 My_l=-2.33 Mz_l=0.02
Azioni sul cordone: TP=-0.25 TO=-0.13 NO=-424.29

Tensioni nel cordone: τ_P= 0.08 τ_O= 0.04 σ_O=138.27 σ_{ID}=138.27 Σ_T=138.31
CC 11 SLV (Collegamento 0020_-377)
Azioni sul collegamento: N=-5739.79 Ty=-1.68 Tz=-2.08 Mx=0.02 Mz=-1.26
Sollecitazioni agenti localmente: Tx_l=-1.68 Ty_l=-2.08 N_l=-5739.79 My_l=1.26 Mz_l=0.02
Azioni sul cordone: TP=-0.15 TO=-0.17 NO=-424.29
Tensioni nel cordone: τ_P= 0.05 τ_O= 0.06 σ_O=136.69 σ_{ID}=136.69 Σ_T=136.75
CC 12 SLD (Collegamento 0020_-377)
Azioni sul collegamento: N=-6795.55 Ty=-2.98 Tz=1.60 Mx=0.01 Mz=-1.00
Sollecitazioni agenti localmente: Tx_l=-2.98 Ty_l=1.60 N_l=-6795.55 My_l=1.00 Mz_l=0.01
Azioni sul cordone: TP=-0.23 TO=0.11 NO=-502.33
Tensioni nel cordone: τ_P= 0.07 τ_O= 0.04 σ_O=161.12 σ_{ID}=161.12 Σ_T=161.16
CC 12 SLD (Collegamento 0020_-377)
Azioni sul collegamento: N=-6795.55 Ty=-3.37 Tz=1.60 Mx=0.01 Mz=-2.09
Sollecitazioni agenti localmente: Tx_l=-3.37 Ty_l=1.60 N_l=-6795.55 My_l=2.09 Mz_l=0.01
Azioni sul cordone: TP=-0.26 TO=0.11 NO=-502.33
Tensioni nel cordone: τ_P= 0.08 τ_O= 0.04 σ_O=162.72 σ_{ID}=162.72 Σ_T=162.75
CC 12 SLD (Collegamento 0020_-377)
Azioni sul collegamento: N=-6795.55 Ty=-2.98 Tz=-0.06 Mx=0.01 Mz=-1.00
Sollecitazioni agenti localmente: Tx_l=-2.98 Ty_l=-0.06 N_l=-6795.55 My_l=1.00 Mz_l=0.01
Azioni sul cordone: TP=-0.23 TO=-0.01 NO=-502.33
Tensioni nel cordone: τ_P= 0.07 τ_O=3.94E-03 σ_O=161.12 σ_{ID}=161.12 Σ_T=161.12
CC 12 SLD (Collegamento 0020_-377)
Azioni sul collegamento: N=-6795.55 Ty=-3.37 Tz=-0.06 Mx=0.01 Mz=-2.09
Sollecitazioni agenti localmente: Tx_l=-3.37 Ty_l=-0.06 N_l=-6795.55 My_l=2.09 Mz_l=0.01
Azioni sul cordone: TP=-0.26 TO=-0.01 NO=-502.33
Tensioni nel cordone: τ_P= 0.08 τ_O=3.94E-03 σ_O=162.72 σ_{ID}=162.72 Σ_T=162.72
CC 12 SLD (Collegamento 0020_-377)
Azioni sul collegamento: N=-6317.31 Ty=-2.98 Tz=1.60 Mx=0.01 Mz=-1.00
Sollecitazioni agenti localmente: Tx_l=-2.98 Ty_l=1.60 N_l=-6317.31 My_l=1.00 Mz_l=0.01
Azioni sul cordone: TP=-0.23 TO=0.11 NO=-466.98
Tensioni nel cordone: τ_P= 0.07 τ_O= 0.04 σ_O=149.88 σ_{ID}=149.88 Σ_T=149.92
CC 12 SLD (Collegamento 0020_-377)
Azioni sul collegamento: N=-6317.31 Ty=-3.37 Tz=1.60 Mx=0.01 Mz=-2.09
Sollecitazioni agenti localmente: Tx_l=-3.37 Ty_l=1.60 N_l=-6317.31 My_l=2.09 Mz_l=0.01
Azioni sul cordone: TP=-0.26 TO=0.11 NO=-466.98
Tensioni nel cordone: τ_P= 0.08 τ_O= 0.04 σ_O=151.48 σ_{ID}=151.48 Σ_T=151.52
CC 12 SLD (Collegamento 0020_-377)
Azioni sul collegamento: N=-6317.31 Ty=-2.98 Tz=-0.06 Mx=0.01 Mz=-1.00
Sollecitazioni agenti localmente: Tx_l=-2.98 Ty_l=-0.06 N_l=-6317.31 My_l=1.00 Mz_l=0.01
Azioni sul cordone: TP=-0.23 TO=-0.01 NO=-466.98
Tensioni nel cordone: τ_P= 0.07 τ_O=3.94E-03 σ_O=149.88 σ_{ID}=149.88 Σ_T=149.89
CC 12 SLD (Collegamento 0020_-377)
Azioni sul collegamento: N=-6317.31 Ty=-3.37 Tz=-0.06 Mx=0.01 Mz=-2.09
Sollecitazioni agenti localmente: Tx_l=-3.37 Ty_l=-0.06 N_l=-6317.31 My_l=2.09 Mz_l=0.01
Azioni sul cordone: TP=-0.26 TO=-0.01 NO=-466.98
Tensioni nel cordone: τ_P= 0.08 τ_O=3.94E-03 σ_O=151.48 σ_{ID}=151.48 Σ_T=151.49
CC 13 SLV (Collegamento 0020_-377)
Azioni sul collegamento: N=-5739.79 Ty=-1.68 Tz=-2.08 Mx=0.01 Mz=-1.26
Sollecitazioni agenti localmente: Tx_l=-1.68 Ty_l=-2.08 N_l=-5739.79 My_l=1.26 Mz_l=0.01
Azioni sul cordone: TP=-0.14 TO=-0.16 NO=-424.29
Tensioni nel cordone: τ_P= 0.04 τ_O= 0.05 σ_O=136.69 σ_{ID}=136.69 Σ_T=136.75
CC 13 SLV (Collegamento 0020_-377)
Azioni sul collegamento: N=-5739.79 Ty=-2.97 Tz=-2.08 Mx=0.01 Mz=2.33
Sollecitazioni agenti localmente: Tx_l=-2.97 Ty_l=-2.08 N_l=-5739.79 My_l=-2.33 Mz_l=0.01
Azioni sul cordone: TP=-0.23 TO=-0.15 NO=-424.29
Tensioni nel cordone: τ_P= 0.07 τ_O= 0.05 σ_O=138.27 σ_{ID}=138.27 Σ_T=138.31
CC 13 SLV (Collegamento 0020_-377)
Azioni sul collegamento: N=-5739.79 Ty=-1.68 Tz=3.37 Mx=0.01 Mz=-1.26
Sollecitazioni agenti localmente: Tx_l=-1.68 Ty_l=3.37 N_l=-5739.79 My_l=1.26 Mz_l=0.01
Azioni sul cordone: TP=-0.14 TO=0.24 NO=-424.29
Tensioni nel cordone: τ_P= 0.04 τ_O= 0.08 σ_O=136.69 σ_{ID}=136.69 Σ_T=136.77
CC 13 SLV (Collegamento 0020_-377)
Azioni sul collegamento: N=-5739.79 Ty=-2.97 Tz=3.37 Mx=0.01 Mz=2.33
Sollecitazioni agenti localmente: Tx_l=-2.97 Ty_l=3.37 N_l=-5739.79 My_l=-2.33 Mz_l=0.01
Azioni sul cordone: TP=-0.23 TO=0.26 NO=-424.29
Tensioni nel cordone: τ_P= 0.07 τ_O= 0.08 σ_O=138.27 σ_{ID}=138.27 Σ_T=138.35
CC 13 SLV (Collegamento 0020_-377)
Azioni sul collegamento: N=-7308.16 Ty=-1.68 Tz=-2.08 Mx=0.01 Mz=-1.26
Sollecitazioni agenti localmente: Tx_l=-1.68 Ty_l=-2.08 N_l=-7308.16 My_l=1.26 Mz_l=0.01
Azioni sul cordone: TP=-0.14 TO=-0.16 NO=-540.22
Tensioni nel cordone: τ_P= 0.04 τ_O= 0.05 σ_O=173.54 σ_{ID}=173.54 Σ_T=173.59
CC 13 SLV (Collegamento 0020_-377)
Azioni sul collegamento: N=-7308.16 Ty=-2.97 Tz=-2.08 Mx=0.01 Mz=2.33
Sollecitazioni agenti localmente: Tx_l=-2.97 Ty_l=-2.08 N_l=-7308.16 My_l=-2.33 Mz_l=0.01
Azioni sul cordone: TP=-0.23 TO=-0.15 NO=-540.22
Tensioni nel cordone: τ_P= 0.07 τ_O= 0.05 σ_O=175.12 σ_{ID}=175.12 Σ_T=175.16
CC 13 SLV (Collegamento 0020_-377)
Azioni sul collegamento: N=-7308.16 Ty=-1.68 Tz=3.37 Mx=0.01 Mz=-1.26
Sollecitazioni agenti localmente: Tx_l=-1.68 Ty_l=3.37 N_l=-7308.16 My_l=1.26 Mz_l=0.01

Azioni sul cordone: TP=-0.14 TO=0.24 NO=-540.22
Tensioni nel cordone: τ_P= 0.04 τ_O= 0.08 σ_O=173.54 σ_{ID}=173.54 Σ_T=173.62
CC 13 SLV (Collegamento 0020_-377)
Azioni sul collegamento: N=-7308.16 Ty=-2.97 Tz=3.37 Mx=0.01 Mz=2.33
Sollecitazioni agenti localmente: Tx_l=-2.97 Ty_l=3.37 N_l=-7308.16 My_l=-2.33 Mz_l=0.01
Azioni sul cordone: TP=-0.23 TO=0.26 NO=-540.22
Tensioni nel cordone: τ_P= 0.07 τ_O= 0.08 σ_O=175.12 σ_{ID}=175.12 Σ_T=175.20
CC 14 SLD (Collegamento 0020_-377)
Azioni sul collegamento: N=-6317.31 Ty=-3.37 Tz=-0.06 Mx=0.01 Mz=-2.09
Sollecitazioni agenti localmente: Tx_l=-3.37 Ty_l=-0.06 N_l=-6317.31 My_l=2.09 Mz_l=0.01
Azioni sul cordone: TP=-0.26 TO=-0.01 NO=-466.98
Tensioni nel cordone: τ_P= 0.08 τ_O=2.78E-03 σ_O=151.48 σ_{ID}=151.48 Σ_T=151.49
CC 14 SLD (Collegamento 0020_-377)
Azioni sul collegamento: N=-6317.31 Ty=-2.98 Tz=-0.06 Mx=0.01 Mz=-1.00
Sollecitazioni agenti localmente: Tx_l=-2.98 Ty_l=-0.06 N_l=-6317.31 My_l=1.00 Mz_l=0.01
Azioni sul cordone: TP=-0.23 TO=-0.01 NO=-466.98
Tensioni nel cordone: τ_P= 0.07 τ_O=2.78E-03 σ_O=149.88 σ_{ID}=149.88 Σ_T=149.89
CC 14 SLD (Collegamento 0020_-377)
Azioni sul collegamento: N=-6317.31 Ty=-3.37 Tz=1.60 Mx=0.01 Mz=-2.09
Sollecitazioni agenti localmente: Tx_l=-3.37 Ty_l=1.60 N_l=-6317.31 My_l=2.09 Mz_l=0.01
Azioni sul cordone: TP=-0.26 TO=0.11 NO=-466.98
Tensioni nel cordone: τ_P= 0.08 τ_O= 0.04 σ_O=151.48 σ_{ID}=151.48 Σ_T=151.52
CC 14 SLD (Collegamento 0020_-377)
Azioni sul collegamento: N=-6317.31 Ty=-2.98 Tz=1.60 Mx=0.01 Mz=-1.00
Sollecitazioni agenti localmente: Tx_l=-2.98 Ty_l=1.60 N_l=-6317.31 My_l=1.00 Mz_l=0.01
Azioni sul cordone: TP=-0.23 TO=0.11 NO=-466.98
Tensioni nel cordone: τ_P= 0.07 τ_O= 0.04 σ_O=149.88 σ_{ID}=149.88 Σ_T=149.92
CC 14 SLD (Collegamento 0020_-377)
Azioni sul collegamento: N=-6795.55 Ty=-3.37 Tz=-0.06 Mx=0.01 Mz=-2.09
Sollecitazioni agenti localmente: Tx_l=-3.37 Ty_l=-0.06 N_l=-6795.55 My_l=2.09 Mz_l=0.01
Azioni sul cordone: TP=-0.26 TO=-0.01 NO=-502.33
Tensioni nel cordone: τ_P= 0.08 τ_O=2.77E-03 σ_O=162.72 σ_{ID}=162.72 Σ_T=162.72
CC 14 SLD (Collegamento 0020_-377)
Azioni sul collegamento: N=-6795.55 Ty=-2.98 Tz=-0.06 Mx=0.01 Mz=-1.00
Sollecitazioni agenti localmente: Tx_l=-2.98 Ty_l=-0.06 N_l=-6795.55 My_l=1.00 Mz_l=0.01
Azioni sul cordone: TP=-0.23 TO=-0.01 NO=-502.33
Tensioni nel cordone: τ_P= 0.07 τ_O=2.77E-03 σ_O=161.12 σ_{ID}=161.12 Σ_T=161.12
CC 14 SLD (Collegamento 0020_-377)
Azioni sul collegamento: N=-6795.55 Ty=-3.37 Tz=1.60 Mx=0.01 Mz=-2.09
Sollecitazioni agenti localmente: Tx_l=-3.37 Ty_l=1.60 N_l=-6795.55 My_l=2.09 Mz_l=0.01
Azioni sul cordone: TP=-0.26 TO=0.11 NO=-502.33
Tensioni nel cordone: τ_P= 0.08 τ_O= 0.04 σ_O=162.72 σ_{ID}=162.72 Σ_T=162.75
CC 14 SLD (Collegamento 0020_-377)
Azioni sul collegamento: N=-6795.55 Ty=-2.98 Tz=1.60 Mx=0.01 Mz=-1.00
Sollecitazioni agenti localmente: Tx_l=-2.98 Ty_l=1.60 N_l=-6795.55 My_l=1.00 Mz_l=0.01
Azioni sul cordone: TP=-0.23 TO=0.11 NO=-502.33
Tensioni nel cordone: τ_P= 0.07 τ_O= 0.04 σ_O=161.12 σ_{ID}=161.12 Σ_T=161.16
CC 15 SLV (Collegamento 0020_-377)
Azioni sul collegamento: N=-7327.12 Ty=-0.86 Tz=3.80 Mx=0.01 Mz=-1.85
Sollecitazioni agenti localmente: Tx_l=-0.86 Ty_l=3.80 N_l=-7327.12 My_l=1.85 Mz_l=0.01
Azioni sul cordone: TP=-0.07 TO=0.27 NO=-541.62
Tensioni nel cordone: τ_P= 0.02 τ_O= 0.09 σ_O=174.86 σ_{ID}=174.86 Σ_T=174.95
CC 15 SLV (Collegamento 0020_-377)
Azioni sul collegamento: N=-7327.12 Ty=-3.80 Tz=3.80 Mx=0.01 Mz=2.93
Sollecitazioni agenti localmente: Tx_l=-3.80 Ty_l=3.80 N_l=-7327.12 My_l=-2.93 Mz_l=0.01
Azioni sul cordone: TP=-0.29 TO=0.29 NO=-541.62
Tensioni nel cordone: τ_P= 0.09 τ_O= 0.09 σ_O=176.44 σ_{ID}=176.44 Σ_T=176.53
CC 15 SLV (Collegamento 0020_-377)
Azioni sul collegamento: N=-7327.12 Ty=-0.86 Tz=-2.51 Mx=0.01 Mz=-1.85
Sollecitazioni agenti localmente: Tx_l=-0.86 Ty_l=-2.51 N_l=-7327.12 My_l=1.85 Mz_l=0.01
Azioni sul cordone: TP=-0.07 TO=-0.19 NO=-541.62
Tensioni nel cordone: τ_P= 0.02 τ_O= 0.06 σ_O=174.86 σ_{ID}=174.86 Σ_T=174.92
CC 15 SLV (Collegamento 0020_-377)
Azioni sul collegamento: N=-7327.12 Ty=-3.80 Tz=-2.51 Mx=0.01 Mz=2.93
Sollecitazioni agenti localmente: Tx_l=-3.80 Ty_l=-2.51 N_l=-7327.12 My_l=-2.93 Mz_l=0.01
Azioni sul cordone: TP=-0.29 TO=-0.18 NO=-541.62
Tensioni nel cordone: τ_P= 0.09 τ_O= 0.06 σ_O=176.44 σ_{ID}=176.44 Σ_T=176.49
CC 15 SLV (Collegamento 0020_-377)
Azioni sul collegamento: N=-5720.83 Ty=-0.86 Tz=3.80 Mx=0.01 Mz=-1.85
Sollecitazioni agenti localmente: Tx_l=-0.86 Ty_l=3.80 N_l=-5720.83 My_l=1.85 Mz_l=0.01
Azioni sul cordone: TP=-0.07 TO=0.27 NO=-422.88
Tensioni nel cordone: τ_P= 0.02 τ_O= 0.09 σ_O=137.12 σ_{ID}=137.12 Σ_T=137.21
CC 15 SLV (Collegamento 0020_-377)
Azioni sul collegamento: N=-5720.83 Ty=-3.80 Tz=3.80 Mx=0.01 Mz=2.93
Sollecitazioni agenti localmente: Tx_l=-3.80 Ty_l=3.80 N_l=-5720.83 My_l=-2.93 Mz_l=0.01
Azioni sul cordone: TP=-0.29 TO=0.29 NO=-422.88
Tensioni nel cordone: τ_P= 0.09 τ_O= 0.09 σ_O=138.69 σ_{ID}=138.69 Σ_T=138.79
CC 15 SLV (Collegamento 0020_-377)
Azioni sul collegamento: N=-5720.83 Ty=-0.86 Tz=-2.51 Mx=0.01 Mz=-1.85

Sollecitazioni agenti localmente: Tx_l=-0.86 Ty_l=-2.51 N_l=-5720.83 My_l=1.85 Mz_l=0.01
Azioni sul cordone: TP=-0.07 TO=-0.19 NO=-422.88
Tensioni nel cordone: τ_P= 0.02 τ_O= 0.06 σ_O=137.12 σ_{ID}=137.12 Σ_T=137.18
CC 15 SLV (Collegamento 0020_-377)
Azioni sul collegamento: N=-5720.83 Ty=-3.80 Tz=-2.51 Mx=0.01 Mz=2.93
Sollecitazioni agenti localmente: Tx_l=-3.80 Ty_l=-2.51 N_l=-5720.83 My_l=-2.93 Mz_l=0.01
Azioni sul cordone: TP=-0.29 TO=-0.18 NO=-422.88
Tensioni nel cordone: τ_P= 0.09 τ_O= 0.06 σ_O=138.69 σ_{ID}=138.69 Σ_T=138.75
CC 16 SLD (Collegamento 0020_-377)
Azioni sul collegamento: N=-6801.33 Ty=-3.62 Tz=1.73 Mx=0.01 Mz=-2.27
Sollecitazioni agenti localmente: Tx_l=-3.62 Ty_l=1.73 N_l=-6801.33 My_l=2.27 Mz_l=0.01
Azioni sul cordone: TP=-0.27 TO=0.12 NO=-502.76
Tensioni nel cordone: τ_P= 0.09 τ_O= 0.04 σ_O=163.12 σ_{ID}=163.12 Σ_T=163.16
CC 16 SLD (Collegamento 0020_-377)
Azioni sul collegamento: N=-6801.33 Ty=-2.73 Tz=1.73 Mx=0.01 Mz=-0.81
Sollecitazioni agenti localmente: Tx_l=-2.73 Ty_l=1.73 N_l=-6801.33 My_l=0.81 Mz_l=0.01
Azioni sul cordone: TP=-0.21 TO=0.12 NO=-502.76
Tensioni nel cordone: τ_P= 0.07 τ_O= 0.04 σ_O=160.99 σ_{ID}=160.99 Σ_T=161.03
CC 16 SLD (Collegamento 0020_-377)
Azioni sul collegamento: N=-6801.33 Ty=-3.62 Tz=-0.19 Mx=0.01 Mz=-2.27
Sollecitazioni agenti localmente: Tx_l=-3.62 Ty_l=-0.19 N_l=-6801.33 My_l=2.27 Mz_l=0.01
Azioni sul cordone: TP=-0.27 TO=-0.02 NO=-502.76
Tensioni nel cordone: τ_P= 0.09 τ_O=5.77E-03 σ_O=163.12 σ_{ID}=163.12 Σ_T=163.13
CC 16 SLD (Collegamento 0020_-377)
Azioni sul collegamento: N=-6801.33 Ty=-2.73 Tz=-0.19 Mx=0.01 Mz=-0.81
Sollecitazioni agenti localmente: Tx_l=-2.73 Ty_l=-0.19 N_l=-6801.33 My_l=0.81 Mz_l=0.01
Azioni sul cordone: TP=-0.21 TO=-0.02 NO=-502.76
Tensioni nel cordone: τ_P= 0.07 τ_O=5.77E-03 σ_O=160.99 σ_{ID}=160.99 Σ_T=161.00
CC 16 SLD (Collegamento 0020_-377)
Azioni sul collegamento: N=-6311.52 Ty=-3.62 Tz=1.73 Mx=0.01 Mz=-2.27
Sollecitazioni agenti localmente: Tx_l=-3.62 Ty_l=1.73 N_l=-6311.52 My_l=2.27 Mz_l=0.01
Azioni sul cordone: TP=-0.27 TO=0.12 NO=-466.55
Tensioni nel cordone: τ_P= 0.09 τ_O= 0.04 σ_O=151.61 σ_{ID}=151.61 Σ_T=151.65
CC 16 SLD (Collegamento 0020_-377)
Azioni sul collegamento: N=-6311.52 Ty=-2.73 Tz=1.73 Mx=0.01 Mz=-0.81
Sollecitazioni agenti localmente: Tx_l=-2.73 Ty_l=1.73 N_l=-6311.52 My_l=0.81 Mz_l=0.01
Azioni sul cordone: TP=-0.21 TO=0.12 NO=-466.55
Tensioni nel cordone: τ_P= 0.07 τ_O= 0.04 σ_O=149.48 σ_{ID}=149.48 Σ_T=149.52
CC 16 SLD (Collegamento 0020_-377)
Azioni sul collegamento: N=-6311.52 Ty=-3.62 Tz=-0.19 Mx=0.01 Mz=-2.27
Sollecitazioni agenti localmente: Tx_l=-3.62 Ty_l=-0.19 N_l=-6311.52 My_l=2.27 Mz_l=0.01
Azioni sul cordone: TP=-0.27 TO=-0.02 NO=-466.55
Tensioni nel cordone: τ_P= 0.09 τ_O=5.78E-03 σ_O=151.61 σ_{ID}=151.61 Σ_T=151.62
CC 16 SLD (Collegamento 0020_-377)
Azioni sul collegamento: N=-6311.52 Ty=-2.73 Tz=-0.19 Mx=0.01 Mz=-0.81
Sollecitazioni agenti localmente: Tx_l=-2.73 Ty_l=-0.19 N_l=-6311.52 My_l=0.81 Mz_l=0.01
Azioni sul cordone: TP=-0.21 TO=-0.02 NO=-466.55
Tensioni nel cordone: τ_P= 0.07 τ_O=5.78E-03 σ_O=149.48 σ_{ID}=149.48 Σ_T=149.49
CC 17 SLV (Collegamento 0020_-377)
Azioni sul collegamento: N=-3968.96 Ty=-3.07 Tz=-8.85 Mx=-0.01 Mz=-3.83
Sollecitazioni agenti localmente: Tx_l=-3.07 Ty_l=-8.85 N_l=-3968.96 My_l=3.83 Mz_l=-0.01
Azioni sul cordone: TP=-0.21 TO=-0.64 NO=-293.39
Tensioni nel cordone: τ_P= 0.07 τ_O=0.20 σ_O=98.85 σ_{ID}=98.85 Σ_T=99.05
CC 17 SLV (Collegamento 0020_-377)
Azioni sul collegamento: N=-3968.96 Ty=-6.45 Tz=-8.85 Mx=-0.01 Mz=-7.08
Sollecitazioni agenti localmente: Tx_l=-6.45 Ty_l=-8.85 N_l=-3968.96 My_l=7.08 Mz_l=-0.01
Azioni sul cordone: TP=-0.46 TO=-0.64 NO=-293.39
Tensioni nel cordone: τ_P=0.15 τ_O=0.20 σ_O=103.59 σ_{ID}=103.59 Σ_T=103.79
CC 17 SLV (Collegamento 0020_-377)
Azioni sul collegamento: N=-3968.96 Ty=-3.07 Tz=10.87 Mx=-0.01 Mz=-3.83
Sollecitazioni agenti localmente: Tx_l=-3.07 Ty_l=10.87 N_l=-3968.96 My_l=3.83 Mz_l=-0.01
Azioni sul cordone: TP=-0.21 TO=0.81 NO=-293.39
Tensioni nel cordone: τ_P= 0.07 τ_O=0.26 σ_O=98.85 σ_{ID}=98.85 Σ_T=99.10
CC 17 SLV (Collegamento 0020_-377)
Azioni sul collegamento: N=-3968.96 Ty=-6.45 Tz=10.87 Mx=-0.01 Mz=-7.08
Sollecitazioni agenti localmente: Tx_l=-6.45 Ty_l=10.87 N_l=-3968.96 My_l=7.08 Mz_l=-0.01
Azioni sul cordone: TP=-0.46 TO=0.81 NO=-293.39
Tensioni nel cordone: τ_P=0.15 τ_O=0.26 σ_O=103.59 σ_{ID}=103.59 Σ_T=103.85
CC 17 SLV (Collegamento 0020_-377)
Azioni sul collegamento: N=-9265.76 Ty=-3.07 Tz=-8.85 Mx=-0.01 Mz=-3.83
Sollecitazioni agenti localmente: Tx_l=-3.07 Ty_l=-8.85 N_l=-9265.76 My_l=3.83 Mz_l=-0.01
Azioni sul cordone: TP=-0.21 TO=-0.64 NO=-684.93
Tensioni nel cordone: τ_P= 0.07 τ_O=0.20 σ_O=223.30 σ_{ID}=223.30 Σ_T=223.50
CC 17 SLV (Collegamento 0020_-377)
Azioni sul collegamento: N=-9265.76 Ty=-6.45 Tz=-8.85 Mx=-0.01 Mz=-7.08
Sollecitazioni agenti localmente: Tx_l=-6.45 Ty_l=-8.85 N_l=-9265.76 My_l=7.08 Mz_l=-0.01
Azioni sul cordone: TP=-0.46 TO=-0.64 NO=-684.93
Tensioni nel cordone: τ_P=0.15 τ_O=0.20 σ_O=228.04 σ_{ID}=228.04 Σ_T=228.25
CC 17 SLV (Collegamento 0020_-377)

Azioni sul collegamento: N=-9265.76 Ty=-3.07 Tz=10.87 Mx=-0.01 Mz=-3.83
Sollecitazioni agenti localmente: Tx_l=-3.07 Ty_l=10.87 N_l=-9265.76 My_l=3.83 Mz_l=-0.01
Azioni sul cordone: TP=-0.21 TO=0.81 NO=-684.93
Tensioni nel cordone: τ_P= 0.07 τ_0=0.26 σ_0=223.30 σ_{ID}=223.30 Σ_T=223.56
CC 17 SLV (Collegamento 0020_-377)
Azioni sul collegamento: N=-9265.76 Ty=-6.45 Tz=10.87 Mx=-0.01 Mz=-7.08
Sollecitazioni agenti localmente: Tx_l=-6.45 Ty_l=10.87 N_l=-9265.76 My_l=7.08 Mz_l=-0.01
Azioni sul cordone: TP=-0.46 TO=0.81 NO=-684.93
Tensioni nel cordone: τ_P=0.15 τ_0=0.26 σ_0=228.04 σ_{ID}=228.04 Σ_T=228.30
CC 18 SLD (Collegamento 0020_-377)
Azioni sul collegamento: N=-5777.32 Ty=-3.40 Tz=-2.12 Mx=-0.00 Mz=-2.87
Sollecitazioni agenti localmente: Tx_l=-3.40 Ty_l=-2.12 N_l=-5777.32 My_l=2.87 Mz_l=-0.00
Azioni sul cordone: TP=-0.25 TO=-0.16 NO=-427.06
Tensioni nel cordone: τ_P= 0.08 τ_0= 0.05 σ_0=139.94 σ_{ID}=139.94 Σ_T=139.99
CC 18 SLD (Collegamento 0020_-377)
Azioni sul collegamento: N=-5777.32 Ty=-4.43 Tz=-2.12 Mx=-0.00 Mz=-3.87
Sollecitazioni agenti localmente: Tx_l=-4.43 Ty_l=-2.12 N_l=-5777.32 My_l=3.87 Mz_l=-0.00
Azioni sul cordone: TP=-0.33 TO=-0.16 NO=-427.06
Tensioni nel cordone: τ_P=0.10 τ_0= 0.05 σ_0=141.39 σ_{ID}=141.39 Σ_T=141.44
CC 18 SLD (Collegamento 0020_-377)
Azioni sul collegamento: N=-5777.32 Ty=-3.40 Tz=3.89 Mx=-0.00 Mz=-2.87
Sollecitazioni agenti localmente: Tx_l=-3.40 Ty_l=3.89 N_l=-5777.32 My_l=2.87 Mz_l=-0.00
Azioni sul cordone: TP=-0.25 TO=0.29 NO=-427.06
Tensioni nel cordone: τ_P= 0.08 τ_0= 0.09 σ_0=139.94 σ_{ID}=139.94 Σ_T=140.03
CC 18 SLD (Collegamento 0020_-377)
Azioni sul collegamento: N=-5777.32 Ty=-4.43 Tz=3.89 Mx=-0.00 Mz=-3.87
Sollecitazioni agenti localmente: Tx_l=-4.43 Ty_l=3.89 N_l=-5777.32 My_l=3.87 Mz_l=-0.00
Azioni sul cordone: TP=-0.33 TO=0.29 NO=-427.06
Tensioni nel cordone: τ_P=0.10 τ_0= 0.09 σ_0=141.39 σ_{ID}=141.39 Σ_T=141.48
CC 18 SLD (Collegamento 0020_-377)
Azioni sul collegamento: N=-7392.49 Ty=-3.40 Tz=-2.12 Mx=-0.00 Mz=-2.87
Sollecitazioni agenti localmente: Tx_l=-3.40 Ty_l=-2.12 N_l=-7392.49 My_l=2.87 Mz_l=-0.00
Azioni sul cordone: TP=-0.25 TO=-0.16 NO=-546.46
Tensioni nel cordone: τ_P= 0.08 τ_0= 0.05 σ_0=177.89 σ_{ID}=177.89 Σ_T=177.94
CC 18 SLD (Collegamento 0020_-377)
Azioni sul collegamento: N=-7392.49 Ty=-4.43 Tz=-2.12 Mx=-0.00 Mz=-3.87
Sollecitazioni agenti localmente: Tx_l=-4.43 Ty_l=-2.12 N_l=-7392.49 My_l=3.87 Mz_l=-0.00
Azioni sul cordone: TP=-0.33 TO=-0.16 NO=-546.46
Tensioni nel cordone: τ_P=0.10 τ_0= 0.05 σ_0=179.34 σ_{ID}=179.34 Σ_T=179.39
CC 18 SLD (Collegamento 0020_-377)
Azioni sul collegamento: N=-7392.49 Ty=-3.40 Tz=3.89 Mx=-0.00 Mz=-2.87
Sollecitazioni agenti localmente: Tx_l=-3.40 Ty_l=3.89 N_l=-7392.49 My_l=2.87 Mz_l=-0.00
Azioni sul cordone: TP=-0.25 TO=0.29 NO=-546.46
Tensioni nel cordone: τ_P= 0.08 τ_0= 0.09 σ_0=177.89 σ_{ID}=177.89 Σ_T=177.98
CC 18 SLD (Collegamento 0020_-377)
Azioni sul collegamento: N=-7392.49 Ty=-4.43 Tz=3.89 Mx=-0.00 Mz=-3.87
Sollecitazioni agenti localmente: Tx_l=-4.43 Ty_l=3.89 N_l=-7392.49 My_l=3.87 Mz_l=-0.00
Azioni sul cordone: TP=-0.33 TO=0.29 NO=-546.46
Tensioni nel cordone: τ_P=0.10 τ_0= 0.09 σ_0=179.34 σ_{ID}=179.34 Σ_T=179.43
CC 19 SLV (Collegamento 0020_-377)
Azioni sul collegamento: N=-3974.65 Ty=-3.70 Tz=-8.72 Mx=-0.01 Mz=-5.08
Sollecitazioni agenti localmente: Tx_l=-3.70 Ty_l=-8.72 N_l=-3974.65 My_l=5.08 Mz_l=-0.01
Azioni sul cordone: TP=-0.26 TO=-0.64 NO=-293.81
Tensioni nel cordone: τ_P= 0.08 τ_0=0.20 σ_0=100.81 σ_{ID}=100.81 Σ_T=101.02
CC 19 SLV (Collegamento 0020_-377)
Azioni sul collegamento: N=-3974.65 Ty=-5.81 Tz=-8.72 Mx=-0.01 Mz=-5.82
Sollecitazioni agenti localmente: Tx_l=-5.81 Ty_l=-8.72 N_l=-3974.65 My_l=5.82 Mz_l=-0.01
Azioni sul cordone: TP=-0.42 TO=-0.64 NO=-293.81
Tensioni nel cordone: τ_P=0.13 τ_0=0.20 σ_0=101.89 σ_{ID}=101.89 Σ_T=102.09
CC 19 SLV (Collegamento 0020_-377)
Azioni sul collegamento: N=-3974.65 Ty=-3.70 Tz=10.74 Mx=-0.01 Mz=-5.08
Sollecitazioni agenti localmente: Tx_l=-3.70 Ty_l=10.74 N_l=-3974.65 My_l=5.08 Mz_l=-0.01
Azioni sul cordone: TP=-0.26 TO=0.80 NO=-293.81
Tensioni nel cordone: τ_P= 0.08 τ_0=0.25 σ_0=100.81 σ_{ID}=100.81 Σ_T=101.07
CC 19 SLV (Collegamento 0020_-377)
Azioni sul collegamento: N=-3974.65 Ty=-5.81 Tz=10.74 Mx=-0.01 Mz=-5.82
Sollecitazioni agenti localmente: Tx_l=-5.81 Ty_l=10.74 N_l=-3974.65 My_l=5.82 Mz_l=-0.01
Azioni sul cordone: TP=-0.42 TO=0.80 NO=-293.81
Tensioni nel cordone: τ_P=0.13 τ_0=0.25 σ_0=101.89 σ_{ID}=101.89 Σ_T=102.14
CC 19 SLV (Collegamento 0020_-377)
Azioni sul collegamento: N=-9260.08 Ty=-3.70 Tz=-8.72 Mx=-0.01 Mz=-5.08
Sollecitazioni agenti localmente: Tx_l=-3.70 Ty_l=-8.72 N_l=-9260.08 My_l=5.08 Mz_l=-0.01
Azioni sul cordone: TP=-0.26 TO=-0.64 NO=-684.51
Tensioni nel cordone: τ_P= 0.08 τ_0=0.20 σ_0=225.00 σ_{ID}=225.00 Σ_T=225.20
CC 19 SLV (Collegamento 0020_-377)
Azioni sul collegamento: N=-9260.08 Ty=-5.81 Tz=-8.72 Mx=-0.01 Mz=-5.82
Sollecitazioni agenti localmente: Tx_l=-5.81 Ty_l=-8.72 N_l=-9260.08 My_l=5.82 Mz_l=-0.01
Azioni sul cordone: TP=-0.42 TO=-0.64 NO=-684.51
Tensioni nel cordone: τ_P=0.13 τ_0=0.20 σ_0=226.07 σ_{ID}=226.07 Σ_T=226.28

CC 19 SLV (Collegamento 0020_-377)
Azioni sul collegamento: N=-9260.08 Ty=-3.70 Tz=10.74 Mx=-0.01 Mz=-5.08
Sollecitazioni agenti localmente: Tx_l=-3.70 Ty_l=10.74 N_l=-9260.08 My_l=5.08 Mz_l=-0.01
Azioni sul cordone: TP=-0.26 TO=0.80 NO=-684.51
Tensioni nel cordone: τ_P= 0.08 τ_0=0.25 σ_0=225.00 σ_{ID}=225.00 Σ_T=225.25
CC 19 SLV (Collegamento 0020_-377)
Azioni sul collegamento: N=-9260.08 Ty=-5.81 Tz=10.74 Mx=-0.01 Mz=-5.82
Sollecitazioni agenti localmente: Tx_l=-5.81 Ty_l=10.74 N_l=-9260.08 My_l=5.82 Mz_l=-0.01
Azioni sul cordone: TP=-0.42 TO=0.80 NO=-684.51
Tensioni nel cordone: τ_P=0.13 τ_0=0.25 σ_0=226.07 σ_{ID}=226.07 Σ_T=226.33
CC 20 SLD (Collegamento 0020_-377)
Azioni sul collegamento: N=-5779.06 Ty=-3.59 Tz=-2.08 Mx=-0.00 Mz=-3.26
Sollecitazioni agenti localmente: Tx_l=-3.59 Ty_l=-2.08 N_l=-5779.06 My_l=3.26 Mz_l=-0.00
Azioni sul cordone: TP=-0.27 TO=-0.15 NO=-427.19
Tensioni nel cordone: τ_P= 0.08 τ_0= 0.05 σ_0=140.54 σ_{ID}=140.54 Σ_T=140.59
CC 20 SLD (Collegamento 0020_-377)
Azioni sul collegamento: N=-5779.06 Ty=-4.24 Tz=-2.08 Mx=-0.00 Mz=-3.48
Sollecitazioni agenti localmente: Tx_l=-4.24 Ty_l=-2.08 N_l=-5779.06 My_l=3.48 Mz_l=-0.00
Azioni sul cordone: TP=-0.31 TO=-0.15 NO=-427.19
Tensioni nel cordone: τ_P= 0.10 τ_0= 0.05 σ_0=140.87 σ_{ID}=140.87 Σ_T=140.92
CC 20 SLD (Collegamento 0020_-377)
Azioni sul collegamento: N=-5779.06 Ty=-3.59 Tz=3.85 Mx=-0.00 Mz=-3.26
Sollecitazioni agenti localmente: Tx_l=-3.59 Ty_l=3.85 N_l=-5779.06 My_l=3.26 Mz_l=-0.00
Azioni sul cordone: TP=-0.27 TO=0.28 NO=-427.19
Tensioni nel cordone: τ_P= 0.08 τ_0= 0.09 σ_0=140.54 σ_{ID}=140.54 Σ_T=140.63
CC 20 SLD (Collegamento 0020_-377)
Azioni sul collegamento: N=-5779.06 Ty=-4.24 Tz=3.85 Mx=-0.00 Mz=-3.48
Sollecitazioni agenti localmente: Tx_l=-4.24 Ty_l=3.85 N_l=-5779.06 My_l=3.48 Mz_l=-0.00
Azioni sul cordone: TP=-0.31 TO=0.28 NO=-427.19
Tensioni nel cordone: τ_P= 0.10 τ_0= 0.09 σ_0=140.87 σ_{ID}=140.87 Σ_T=140.96
CC 20 SLD (Collegamento 0020_-377)
Azioni sul collegamento: N=-7390.75 Ty=-3.59 Tz=-2.08 Mx=-0.00 Mz=-3.26
Sollecitazioni agenti localmente: Tx_l=-3.59 Ty_l=-2.08 N_l=-7390.75 My_l=3.26 Mz_l=-0.00
Azioni sul cordone: TP=-0.27 TO=-0.15 NO=-546.33
Tensioni nel cordone: τ_P= 0.08 τ_0= 0.05 σ_0=178.41 σ_{ID}=178.41 Σ_T=178.46
CC 20 SLD (Collegamento 0020_-377)
Azioni sul collegamento: N=-7390.75 Ty=-4.24 Tz=-2.08 Mx=-0.00 Mz=-3.48
Sollecitazioni agenti localmente: Tx_l=-4.24 Ty_l=-2.08 N_l=-7390.75 My_l=3.48 Mz_l=-0.00
Azioni sul cordone: TP=-0.31 TO=-0.15 NO=-546.33
Tensioni nel cordone: τ_P= 0.10 τ_0= 0.05 σ_0=178.74 σ_{ID}=178.74 Σ_T=178.78
CC 20 SLD (Collegamento 0020_-377)
Azioni sul collegamento: N=-7390.75 Ty=-3.59 Tz=3.85 Mx=-0.00 Mz=-3.26
Sollecitazioni agenti localmente: Tx_l=-3.59 Ty_l=3.85 N_l=-7390.75 My_l=3.26 Mz_l=-0.00
Azioni sul cordone: TP=-0.27 TO=0.28 NO=-546.33
Tensioni nel cordone: τ_P= 0.08 τ_0= 0.09 σ_0=178.41 σ_{ID}=178.41 Σ_T=178.50
CC 20 SLD (Collegamento 0020_-377)
Azioni sul collegamento: N=-7390.75 Ty=-4.24 Tz=3.85 Mx=-0.00 Mz=-3.48
Sollecitazioni agenti localmente: Tx_l=-4.24 Ty_l=3.85 N_l=-7390.75 My_l=3.48 Mz_l=-0.00
Azioni sul cordone: TP=-0.31 TO=0.28 NO=-546.33
Tensioni nel cordone: τ_P= 0.10 τ_0= 0.09 σ_0=178.74 σ_{ID}=178.74 Σ_T=178.83
CC 21 SLV (Collegamento 0020_-377)
Azioni sul collegamento: N=-9260.08 Ty=-5.81 Tz=10.74 Mx=-0.01 Mz=-5.82
Sollecitazioni agenti localmente: Tx_l=-5.81 Ty_l=10.74 N_l=-9260.08 My_l=5.82 Mz_l=-0.01
Azioni sul cordone: TP=-0.42 TO=0.80 NO=-684.51
Tensioni nel cordone: τ_P=0.13 τ_0=0.26 σ_0=226.07 σ_{ID}=226.07 Σ_T=226.33
CC 21 SLV (Collegamento 0020_-377)
Azioni sul collegamento: N=-9260.08 Ty=-3.70 Tz=10.74 Mx=-0.01 Mz=-5.08
Sollecitazioni agenti localmente: Tx_l=-3.70 Ty_l=10.74 N_l=-9260.08 My_l=5.08 Mz_l=-0.01
Azioni sul cordone: TP=-0.26 TO=0.80 NO=-684.51
Tensioni nel cordone: τ_P= 0.08 τ_0=0.26 σ_0=225.00 σ_{ID}=225.00 Σ_T=225.25
CC 21 SLV (Collegamento 0020_-377)
Azioni sul collegamento: N=-9260.08 Ty=-5.81 Tz=-8.72 Mx=-0.01 Mz=-5.82
Sollecitazioni agenti localmente: Tx_l=-5.81 Ty_l=-8.72 N_l=-9260.08 My_l=5.82 Mz_l=-0.01
Azioni sul cordone: TP=-0.42 TO=-0.64 NO=-684.51
Tensioni nel cordone: τ_P=0.13 τ_0=0.20 σ_0=226.07 σ_{ID}=226.07 Σ_T=226.27
CC 21 SLV (Collegamento 0020_-377)
Azioni sul collegamento: N=-9260.08 Ty=-3.70 Tz=-8.72 Mx=-0.01 Mz=-5.08
Sollecitazioni agenti localmente: Tx_l=-3.70 Ty_l=-8.72 N_l=-9260.08 My_l=5.08 Mz_l=-0.01
Azioni sul cordone: TP=-0.26 TO=-0.64 NO=-684.51
Tensioni nel cordone: τ_P= 0.08 τ_0=0.20 σ_0=225.00 σ_{ID}=225.00 Σ_T=225.20
CC 21 SLV (Collegamento 0020_-377)
Azioni sul collegamento: N=-3974.65 Ty=-5.81 Tz=10.74 Mx=-0.01 Mz=-5.82
Sollecitazioni agenti localmente: Tx_l=-5.81 Ty_l=10.74 N_l=-3974.65 My_l=5.82 Mz_l=-0.01
Azioni sul cordone: TP=-0.42 TO=0.80 NO=-293.81
Tensioni nel cordone: τ_P=0.13 τ_0=0.26 σ_0=101.89 σ_{ID}=101.89 Σ_T=102.14
CC 21 SLV (Collegamento 0020_-377)
Azioni sul collegamento: N=-3974.65 Ty=-3.70 Tz=10.74 Mx=-0.01 Mz=-5.08
Sollecitazioni agenti localmente: Tx_l=-3.70 Ty_l=10.74 N_l=-3974.65 My_l=5.08 Mz_l=-0.01
Azioni sul cordone: TP=-0.26 TO=0.80 NO=-293.81

Tensioni nel cordone: τ_P= 0.08 τ_0=0.26 σ_0=100.81 σ_{ID}=100.81 Σ_T=101.07
CC 21 SLV (Collegamento 0020_-377)
Azioni sul collegamento: N=-3974.65 Ty=-5.81 Tz=-8.72 Mx=-0.01 Mz=-5.82
Sollecitazioni agenti localmente: Tx_l=-5.81 Ty_l=-8.72 N_l=-3974.65 My_l=5.82 Mz_l=-0.01
Azioni sul cordone: TP=-0.42 TO=-0.64 NO=-293.81
Tensioni nel cordone: τ_P=0.13 τ_0=0.20 σ_0=101.89 σ_{ID}=101.89 Σ_T=102.09
CC 21 SLV (Collegamento 0020_-377)
Azioni sul collegamento: N=-3974.65 Ty=-3.70 Tz=-8.72 Mx=-0.01 Mz=-5.08
Sollecitazioni agenti localmente: Tx_l=-3.70 Ty_l=-8.72 N_l=-3974.65 My_l=5.08 Mz_l=-0.01
Azioni sul cordone: TP=-0.26 TO=-0.64 NO=-293.81
Tensioni nel cordone: τ_P= 0.08 τ_0=0.20 σ_0=100.81 σ_{ID}=100.81 Σ_T=101.02
CC 22 SLD (Collegamento 0020_-377)
Azioni sul collegamento: N=-7390.75 Ty=-4.24 Tz=3.85 Mx=-0.00 Mz=-3.48
Sollecitazioni agenti localmente: Tx_l=-4.24 Ty_l=3.85 N_l=-7390.75 My_l=3.48 Mz_l=-0.00
Azioni sul cordone: TP=-0.31 TO=0.29 NO=-546.33
Tensioni nel cordone: τ_P= 0.10 τ_0= 0.09 σ_0=178.74 σ_{ID}=178.74 Σ_T=178.83
CC 22 SLD (Collegamento 0020_-377)
Azioni sul collegamento: N=-7390.75 Ty=-3.59 Tz=3.85 Mx=-0.00 Mz=-3.26
Sollecitazioni agenti localmente: Tx_l=-3.59 Ty_l=3.85 N_l=-7390.75 My_l=3.26 Mz_l=-0.00
Azioni sul cordone: TP=-0.26 TO=0.29 NO=-546.33
Tensioni nel cordone: τ_P= 0.08 τ_0= 0.09 σ_0=178.41 σ_{ID}=178.41 Σ_T=178.50
CC 22 SLD (Collegamento 0020_-377)
Azioni sul collegamento: N=-7390.75 Ty=-4.24 Tz=-2.08 Mx=-0.00 Mz=-3.48
Sollecitazioni agenti localmente: Tx_l=-4.24 Ty_l=-2.08 N_l=-7390.75 My_l=3.48 Mz_l=-0.00
Azioni sul cordone: TP=-0.31 TO=-0.15 NO=-546.33
Tensioni nel cordone: τ_P= 0.10 τ_0= 0.05 σ_0=178.74 σ_{ID}=178.74 Σ_T=178.78
CC 22 SLD (Collegamento 0020_-377)
Azioni sul collegamento: N=-7390.75 Ty=-3.59 Tz=-2.08 Mx=-0.00 Mz=-3.26
Sollecitazioni agenti localmente: Tx_l=-3.59 Ty_l=-2.08 N_l=-7390.75 My_l=3.26 Mz_l=-0.00
Azioni sul cordone: TP=-0.26 TO=-0.15 NO=-546.33
Tensioni nel cordone: τ_P= 0.08 τ_0= 0.05 σ_0=178.41 σ_{ID}=178.41 Σ_T=178.46
CC 22 SLD (Collegamento 0020_-377)
Azioni sul collegamento: N=-5779.06 Ty=-4.24 Tz=3.85 Mx=-0.00 Mz=-3.48
Sollecitazioni agenti localmente: Tx_l=-4.24 Ty_l=3.85 N_l=-5779.06 My_l=3.48 Mz_l=-0.00
Azioni sul cordone: TP=-0.31 TO=0.29 NO=-427.19
Tensioni nel cordone: τ_P= 0.10 τ_0= 0.09 σ_0=140.87 σ_{ID}=140.87 Σ_T=140.96
CC 22 SLD (Collegamento 0020_-377)
Azioni sul collegamento: N=-5779.06 Ty=-3.59 Tz=3.85 Mx=-0.00 Mz=-3.26
Sollecitazioni agenti localmente: Tx_l=-3.59 Ty_l=3.85 N_l=-5779.06 My_l=3.26 Mz_l=-0.00
Azioni sul cordone: TP=-0.26 TO=0.29 NO=-427.19
Tensioni nel cordone: τ_P= 0.08 τ_0= 0.09 σ_0=140.54 σ_{ID}=140.54 Σ_T=140.63
CC 22 SLD (Collegamento 0020_-377)
Azioni sul collegamento: N=-5779.06 Ty=-4.24 Tz=-2.08 Mx=-0.00 Mz=-3.48
Sollecitazioni agenti localmente: Tx_l=-4.24 Ty_l=-2.08 N_l=-5779.06 My_l=3.48 Mz_l=-0.00
Azioni sul cordone: TP=-0.31 TO=-0.15 NO=-427.19
Tensioni nel cordone: τ_P= 0.10 τ_0= 0.05 σ_0=140.87 σ_{ID}=140.87 Σ_T=140.92
CC 22 SLD (Collegamento 0020_-377)
Azioni sul collegamento: N=-5779.06 Ty=-3.59 Tz=-2.08 Mx=-0.00 Mz=-3.26
Sollecitazioni agenti localmente: Tx_l=-3.59 Ty_l=-2.08 N_l=-5779.06 My_l=3.26 Mz_l=-0.00
Azioni sul cordone: TP=-0.26 TO=-0.15 NO=-427.19
Tensioni nel cordone: τ_P= 0.08 τ_0= 0.05 σ_0=140.54 σ_{ID}=140.54 Σ_T=140.59
CC 23 SLV (Collegamento 0020_-377)
Azioni sul collegamento: N=-9265.76 Ty=-6.45 Tz=10.87 Mx=-0.01 Mz=-7.08
Sollecitazioni agenti localmente: Tx_l=-6.45 Ty_l=10.87 N_l=-9265.76 My_l=7.08 Mz_l=-0.01
Azioni sul cordone: TP=-0.47 TO=0.81 NO=-684.93
Tensioni nel cordone: τ_P=0.15 τ_0=0.26 σ_0=228.04 σ_{ID}=228.04 Σ_T=228.30
CC 23 SLV (Collegamento 0020_-377)
Azioni sul collegamento: N=-9265.76 Ty=-3.07 Tz=10.87 Mx=-0.01 Mz=-3.83
Sollecitazioni agenti localmente: Tx_l=-3.07 Ty_l=10.87 N_l=-9265.76 My_l=3.83 Mz_l=-0.01
Azioni sul cordone: TP=-0.22 TO=0.81 NO=-684.93
Tensioni nel cordone: τ_P= 0.07 τ_0=0.26 σ_0=223.30 σ_{ID}=223.30 Σ_T=223.55
CC 23 SLV (Collegamento 0020_-377)
Azioni sul collegamento: N=-9265.76 Ty=-6.45 Tz=-8.85 Mx=-0.01 Mz=-7.08
Sollecitazioni agenti localmente: Tx_l=-6.45 Ty_l=-8.85 N_l=-9265.76 My_l=7.08 Mz_l=-0.01
Azioni sul cordone: TP=-0.47 TO=-0.65 NO=-684.93
Tensioni nel cordone: τ_P=0.15 τ_0=0.21 σ_0=228.04 σ_{ID}=228.04 Σ_T=228.25
CC 23 SLV (Collegamento 0020_-377)
Azioni sul collegamento: N=-9265.76 Ty=-3.07 Tz=-8.85 Mx=-0.01 Mz=-3.83
Sollecitazioni agenti localmente: Tx_l=-3.07 Ty_l=-8.85 N_l=-9265.76 My_l=3.83 Mz_l=-0.01
Azioni sul cordone: TP=-0.22 TO=-0.65 NO=-684.93
Tensioni nel cordone: τ_P= 0.07 τ_0=0.21 σ_0=223.30 σ_{ID}=223.30 Σ_T=223.50
CC 23 SLV (Collegamento 0020_-377)
Azioni sul collegamento: N=-3968.96 Ty=-6.45 Tz=10.87 Mx=-0.01 Mz=-7.08
Sollecitazioni agenti localmente: Tx_l=-6.45 Ty_l=10.87 N_l=-3968.96 My_l=7.08 Mz_l=-0.01
Azioni sul cordone: TP=-0.47 TO=0.81 NO=-293.39
Tensioni nel cordone: τ_P=0.15 τ_0=0.26 σ_0=103.59 σ_{ID}=103.59 Σ_T=103.85
CC 23 SLV (Collegamento 0020_-377)
Azioni sul collegamento: N=-3968.96 Ty=-3.07 Tz=10.87 Mx=-0.01 Mz=-3.83
Sollecitazioni agenti localmente: Tx_l=-3.07 Ty_l=10.87 N_l=-3968.96 My_l=3.83 Mz_l=-0.01

Azioni sul cordone: TP=-0.22 TO=0.81 NO=-293.39
Tensioni nel cordone: τ_P= 0.07 τ_0=0.26 σ_0=98.85 σ_{ID}=98.85 Σ_T=99.10
CC 23 SLV (Collegamento 0020_-377)
Azioni sul collegamento: N=-3968.96 Ty=-6.45 Tz=-8.85 Mx=-0.01 Mz=-7.08
Sollecitazioni agenti localmente: Tx_l=-6.45 Ty_l=-8.85 N_l=-3968.96 My_l=7.08 Mz_l=-0.01
Azioni sul cordone: TP=-0.47 TO=-0.65 NO=-293.39
Tensioni nel cordone: τ_P=0.15 τ_0=0.21 σ_0=103.59 σ_{ID}=103.59 Σ_T=103.80
CC 23 SLV (Collegamento 0020_-377)
Azioni sul collegamento: N=-3968.96 Ty=-3.07 Tz=-8.85 Mx=-0.01 Mz=-3.83
Sollecitazioni agenti localmente: Tx_l=-3.07 Ty_l=-8.85 N_l=-3968.96 My_l=3.83 Mz_l=-0.01
Azioni sul cordone: TP=-0.22 TO=-0.65 NO=-293.39
Tensioni nel cordone: τ_P= 0.07 τ_0=0.21 σ_0=98.85 σ_{ID}=98.85 Σ_T=99.05
CC 24 SLD (Collegamento 0020_-377)
Azioni sul collegamento: N=-7392.49 Ty=-4.43 Tz=3.89 Mx=0.00 Mz=-3.87
Sollecitazioni agenti localmente: Tx_l=-4.43 Ty_l=3.89 N_l=-7392.49 My_l=3.87 Mz_l=0.00
Azioni sul cordone: TP=-0.33 TO=0.29 NO=-546.46
Tensioni nel cordone: τ_P=0.10 τ_0= 0.09 σ_0=179.34 σ_{ID}=179.34 Σ_T=179.43
CC 24 SLD (Collegamento 0020_-377)
Azioni sul collegamento: N=-7392.49 Ty=-3.40 Tz=3.89 Mx=0.00 Mz=-2.87
Sollecitazioni agenti localmente: Tx_l=-3.40 Ty_l=3.89 N_l=-7392.49 My_l=2.87 Mz_l=0.00
Azioni sul cordone: TP=-0.25 TO=0.29 NO=-546.46
Tensioni nel cordone: τ_P= 0.08 τ_0= 0.09 σ_0=177.89 σ_{ID}=177.89 Σ_T=177.98
CC 24 SLD (Collegamento 0020_-377)
Azioni sul collegamento: N=-7392.49 Ty=-4.43 Tz=-2.12 Mx=0.00 Mz=-3.87
Sollecitazioni agenti localmente: Tx_l=-4.43 Ty_l=-2.12 N_l=-7392.49 My_l=3.87 Mz_l=0.00
Azioni sul cordone: TP=-0.33 TO=-0.16 NO=-546.46
Tensioni nel cordone: τ_P=0.10 τ_0= 0.05 σ_0=179.34 σ_{ID}=179.34 Σ_T=179.39
CC 24 SLD (Collegamento 0020_-377)
Azioni sul collegamento: N=-7392.49 Ty=-3.40 Tz=-2.12 Mx=0.00 Mz=-2.87
Sollecitazioni agenti localmente: Tx_l=-3.40 Ty_l=-2.12 N_l=-7392.49 My_l=2.87 Mz_l=0.00
Azioni sul cordone: TP=-0.25 TO=-0.16 NO=-546.46
Tensioni nel cordone: τ_P= 0.08 τ_0= 0.05 σ_0=177.89 σ_{ID}=177.89 Σ_T=177.94
CC 24 SLD (Collegamento 0020_-377)
Azioni sul collegamento: N=-5777.32 Ty=-4.43 Tz=3.89 Mx=0.00 Mz=-3.87
Sollecitazioni agenti localmente: Tx_l=-4.43 Ty_l=3.89 N_l=-5777.32 My_l=3.87 Mz_l=0.00
Azioni sul cordone: TP=-0.33 TO=0.29 NO=-427.06
Tensioni nel cordone: τ_P=0.10 τ_0= 0.09 σ_0=141.39 σ_{ID}=141.39 Σ_T=141.48
CC 24 SLD (Collegamento 0020_-377)
Azioni sul collegamento: N=-5777.32 Ty=-3.40 Tz=3.89 Mx=0.00 Mz=-2.87
Sollecitazioni agenti localmente: Tx_l=-3.40 Ty_l=3.89 N_l=-5777.32 My_l=2.87 Mz_l=0.00
Azioni sul cordone: TP=-0.25 TO=0.29 NO=-427.06
Tensioni nel cordone: τ_P= 0.08 τ_0= 0.09 σ_0=139.94 σ_{ID}=139.94 Σ_T=140.03
CC 24 SLD (Collegamento 0020_-377)
Azioni sul collegamento: N=-5777.32 Ty=-4.43 Tz=-2.12 Mx=0.00 Mz=-3.87
Sollecitazioni agenti localmente: Tx_l=-4.43 Ty_l=-2.12 N_l=-5777.32 My_l=3.87 Mz_l=0.00
Azioni sul cordone: TP=-0.33 TO=-0.16 NO=-427.06
Tensioni nel cordone: τ_P=0.10 τ_0= 0.05 σ_0=141.39 σ_{ID}=141.39 Σ_T=141.44
CC 24 SLD (Collegamento 0020_-377)
Azioni sul collegamento: N=-5777.32 Ty=-3.40 Tz=-2.12 Mx=0.00 Mz=-2.87
Sollecitazioni agenti localmente: Tx_l=-3.40 Ty_l=-2.12 N_l=-5777.32 My_l=2.87 Mz_l=0.00
Azioni sul cordone: TP=-0.25 TO=-0.16 NO=-427.06
Tensioni nel cordone: τ_P= 0.08 τ_0= 0.05 σ_0=139.94 σ_{ID}=139.94 Σ_T=139.99
CC 25 SLV (Collegamento 0020_-377)
Azioni sul collegamento: N=-5814.21 Ty=-3.29 Tz=-2.14 Mx=-0.02 Mz=-3.06
Sollecitazioni agenti localmente: Tx_l=-3.29 Ty_l=-2.14 N_l=-5814.21 My_l=3.06 Mz_l=-0.02
Azioni sul cordone: TP=-0.22 TO=-0.14 NO=-429.79
Tensioni nel cordone: τ_P= 0.07 τ_0= 0.05 σ_0=141.08 σ_{ID}=141.08 Σ_T=141.12
CC 25 SLV (Collegamento 0020_-377)
Azioni sul collegamento: N=-5814.21 Ty=-6.23 Tz=-2.14 Mx=-0.02 Mz=-7.84
Sollecitazioni agenti localmente: Tx_l=-6.23 Ty_l=-2.14 N_l=-5814.21 My_l=7.84 Mz_l=-0.02
Azioni sul cordone: TP=-0.44 TO=-0.14 NO=-429.79
Tensioni nel cordone: τ_P=0.14 τ_0= 0.05 σ_0=148.07 σ_{ID}=148.07 Σ_T=148.11
CC 25 SLV (Collegamento 0020_-377)
Azioni sul collegamento: N=-5814.21 Ty=-3.29 Tz=4.16 Mx=-0.02 Mz=-3.06
Sollecitazioni agenti localmente: Tx_l=-3.29 Ty_l=4.16 N_l=-5814.21 My_l=3.06 Mz_l=-0.02
Azioni sul cordone: TP=-0.22 TO=0.32 NO=-429.79
Tensioni nel cordone: τ_P= 0.07 τ_0=0.10 σ_0=141.08 σ_{ID}=141.08 Σ_T=141.18
CC 25 SLV (Collegamento 0020_-377)
Azioni sul collegamento: N=-5814.21 Ty=-6.23 Tz=4.16 Mx=-0.02 Mz=-7.84
Sollecitazioni agenti localmente: Tx_l=-6.23 Ty_l=4.16 N_l=-5814.21 My_l=7.84 Mz_l=-0.02
Azioni sul cordone: TP=-0.44 TO=0.32 NO=-429.79
Tensioni nel cordone: τ_P=0.14 τ_0=0.10 σ_0=148.07 σ_{ID}=148.07 Σ_T=148.17
CC 25 SLV (Collegamento 0020_-377)
Azioni sul collegamento: N=-7420.51 Ty=-3.29 Tz=-2.14 Mx=-0.02 Mz=-3.06
Sollecitazioni agenti localmente: Tx_l=-3.29 Ty_l=-2.14 N_l=-7420.51 My_l=3.06 Mz_l=-0.02
Azioni sul cordone: TP=-0.22 TO=-0.14 NO=-548.53
Tensioni nel cordone: τ_P= 0.07 τ_0= 0.05 σ_0=178.82 σ_{ID}=178.82 Σ_T=178.86
CC 25 SLV (Collegamento 0020_-377)
Azioni sul collegamento: N=-7420.51 Ty=-6.23 Tz=-2.14 Mx=-0.02 Mz=-7.84

Sollecitazioni agenti localmente: Tx_l=-6.23 Ty_l=-2.14 N_l=-7420.51 My_l=7.84 Mz_l=-0.02
Azioni sul cordone: TP=-0.44 TO=-0.14 NO=-548.53
Tensioni nel cordone: τ_P=0.14 τ_0= 0.05 σ_0=185.81 σ_{ID}=185.81 Σ_T=185.85
CC 25 SLV (Collegamento 0020_-377)
Azioni sul collegamento: N=-7420.51 Ty=-3.29 Tz=4.16 Mx=-0.02 Mz=-3.06
Sollecitazioni agenti localmente: Tx_l=-3.29 Ty_l=4.16 N_l=-7420.51 My_l=3.06 Mz_l=-0.02
Azioni sul cordone: TP=-0.22 TO=0.32 NO=-548.53
Tensioni nel cordone: τ_P= 0.07 τ_0=0.10 σ_0=178.82 σ_{ID}=178.82 Σ_T=178.92
CC 25 SLV (Collegamento 0020_-377)
Azioni sul collegamento: N=-7420.51 Ty=-6.23 Tz=4.16 Mx=-0.02 Mz=-7.84
Sollecitazioni agenti localmente: Tx_l=-6.23 Ty_l=4.16 N_l=-7420.51 My_l=7.84 Mz_l=-0.02
Azioni sul cordone: TP=-0.44 TO=0.32 NO=-548.53
Tensioni nel cordone: τ_P=0.14 τ_0=0.10 σ_0=185.81 σ_{ID}=185.81 Σ_T=185.91
CC 26 SLD (Collegamento 0020_-377)
Azioni sul collegamento: N=-6340.00 Ty=-3.47 Tz=-0.08 Mx=-0.00 Mz=-2.64
Sollecitazioni agenti localmente: Tx_l=-3.47 Ty_l=-0.08 N_l=-6340.00 My_l=2.64 Mz_l=-0.00
Azioni sul cordone: TP=-0.25 TO=-0.00 NO=-468.65
Tensioni nel cordone: τ_P= 0.08 τ_0=1.06E-03 σ_0=152.82 σ_{ID}=152.82 Σ_T=152.82
CC 26 SLD (Collegamento 0020_-377)
Azioni sul collegamento: N=-6340.00 Ty=-4.36 Tz=-0.08 Mx=-0.00 Mz=-4.10
Sollecitazioni agenti localmente: Tx_l=-4.36 Ty_l=-0.08 N_l=-6340.00 My_l=4.10 Mz_l=-0.00
Azioni sul cordone: TP=-0.32 TO=-0.00 NO=-468.65
Tensioni nel cordone: τ_P=0.10 τ_0=1.06E-03 σ_0=154.95 σ_{ID}=154.95 Σ_T=154.95
CC 26 SLD (Collegamento 0020_-377)
Azioni sul collegamento: N=-6340.00 Ty=-3.47 Tz=1.85 Mx=-0.00 Mz=-2.64
Sollecitazioni agenti localmente: Tx_l=-3.47 Ty_l=1.85 N_l=-6340.00 My_l=2.64 Mz_l=-0.00
Azioni sul cordone: TP=-0.25 TO=0.14 NO=-468.65
Tensioni nel cordone: τ_P= 0.08 τ_0= 0.04 σ_0=152.82 σ_{ID}=152.82 Σ_T=152.86
CC 26 SLD (Collegamento 0020_-377)
Azioni sul collegamento: N=-6340.00 Ty=-4.36 Tz=1.85 Mx=-0.00 Mz=-4.10
Sollecitazioni agenti localmente: Tx_l=-4.36 Ty_l=1.85 N_l=-6340.00 My_l=4.10 Mz_l=-0.00
Azioni sul cordone: TP=-0.32 TO=0.14 NO=-468.65
Tensioni nel cordone: τ_P=0.10 τ_0= 0.04 σ_0=154.95 σ_{ID}=154.95 Σ_T=155.00
CC 26 SLD (Collegamento 0020_-377)
Azioni sul collegamento: N=-6829.81 Ty=-3.47 Tz=-0.08 Mx=-0.00 Mz=-2.64
Sollecitazioni agenti localmente: Tx_l=-3.47 Ty_l=-0.08 N_l=-6829.81 My_l=2.64 Mz_l=-0.00
Azioni sul cordone: TP=-0.25 TO=-0.00 NO=-504.86
Tensioni nel cordone: τ_P= 0.08 τ_0=1.06E-03 σ_0=164.33 σ_{ID}=164.33 Σ_T=164.33
CC 26 SLD (Collegamento 0020_-377)
Azioni sul collegamento: N=-6829.81 Ty=-4.36 Tz=-0.08 Mx=-0.00 Mz=-4.10
Sollecitazioni agenti localmente: Tx_l=-4.36 Ty_l=-0.08 N_l=-6829.81 My_l=4.10 Mz_l=-0.00
Azioni sul cordone: TP=-0.32 TO=-0.00 NO=-504.86
Tensioni nel cordone: τ_P=0.10 τ_0=1.06E-03 σ_0=166.46 σ_{ID}=166.46 Σ_T=166.46
CC 26 SLD (Collegamento 0020_-377)
Azioni sul collegamento: N=-6829.81 Ty=-3.47 Tz=1.85 Mx=-0.00 Mz=-2.64
Sollecitazioni agenti localmente: Tx_l=-3.47 Ty_l=1.85 N_l=-6829.81 My_l=2.64 Mz_l=-0.00
Azioni sul cordone: TP=-0.25 TO=0.14 NO=-504.86
Tensioni nel cordone: τ_P= 0.08 τ_0= 0.04 σ_0=164.33 σ_{ID}=164.33 Σ_T=164.37
CC 26 SLD (Collegamento 0020_-377)
Azioni sul collegamento: N=-6829.81 Ty=-4.36 Tz=1.85 Mx=-0.00 Mz=-4.10
Sollecitazioni agenti localmente: Tx_l=-4.36 Ty_l=1.85 N_l=-6829.81 My_l=4.10 Mz_l=-0.00
Azioni sul cordone: TP=-0.32 TO=0.14 NO=-504.86
Tensioni nel cordone: τ_P=0.10 τ_0= 0.04 σ_0=166.46 σ_{ID}=166.46 Σ_T=166.50
CC 27 SLV (Collegamento 0020_-377)
Azioni sul collegamento: N=-7401.55 Ty=-4.11 Tz=3.74 Mx=-0.02 Mz=-3.66
Sollecitazioni agenti localmente: Tx_l=-4.11 Ty_l=3.74 N_l=-7401.55 My_l=3.66 Mz_l=-0.02
Azioni sul cordone: TP=-0.28 TO=0.29 NO=-547.13
Tensioni nel cordone: τ_P= 0.09 τ_0= 0.09 σ_0=179.25 σ_{ID}=179.25 Σ_T=179.34
CC 27 SLV (Collegamento 0020_-377)
Azioni sul collegamento: N=-7401.55 Ty=-5.40 Tz=3.74 Mx=-0.02 Mz=-7.25
Sollecitazioni agenti localmente: Tx_l=-5.40 Ty_l=3.74 N_l=-7401.55 My_l=7.25 Mz_l=-0.02
Azioni sul cordone: TP=-0.38 TO=0.29 NO=-547.13
Tensioni nel cordone: τ_P=0.12 τ_0= 0.09 σ_0=184.49 σ_{ID}=184.49 Σ_T=184.58
CC 27 SLV (Collegamento 0020_-377)
Azioni sul collegamento: N=-7401.55 Ty=-4.11 Tz=-1.71 Mx=-0.02 Mz=-3.66
Sollecitazioni agenti localmente: Tx_l=-4.11 Ty_l=-1.71 N_l=-7401.55 My_l=3.66 Mz_l=-0.02
Azioni sul cordone: TP=-0.28 TO=-0.11 NO=-547.13
Tensioni nel cordone: τ_P= 0.09 τ_0= 0.04 σ_0=179.25 σ_{ID}=179.25 Σ_T=179.28
CC 27 SLV (Collegamento 0020_-377)
Azioni sul collegamento: N=-7401.55 Ty=-5.40 Tz=-1.71 Mx=-0.02 Mz=-7.25
Sollecitazioni agenti localmente: Tx_l=-5.40 Ty_l=-1.71 N_l=-7401.55 My_l=7.25 Mz_l=-0.02
Azioni sul cordone: TP=-0.38 TO=-0.11 NO=-547.13
Tensioni nel cordone: τ_P=0.12 τ_0= 0.04 σ_0=184.49 σ_{ID}=184.49 Σ_T=184.53
CC 27 SLV (Collegamento 0020_-377)
Azioni sul collegamento: N=-5833.17 Ty=-4.11 Tz=3.74 Mx=-0.02 Mz=-3.66
Sollecitazioni agenti localmente: Tx_l=-4.11 Ty_l=3.74 N_l=-5833.17 My_l=3.66 Mz_l=-0.02
Azioni sul cordone: TP=-0.28 TO=0.29 NO=-431.19
Tensioni nel cordone: τ_P= 0.09 τ_0= 0.09 σ_0=142.40 σ_{ID}=142.40 Σ_T=142.49
CC 27 SLV (Collegamento 0020_-377)

Azioni sul collegamento: N=-5833.17 Ty=-5.40 Tz=3.74 Mx=-0.02 Mz=-7.25
Sollecitazioni agenti localmente: Tx_l=-5.40 Ty_l=3.74 N_l=-5833.17 My_l=7.25 Mz_l=-0.02
Azioni sul cordone: TP=-0.38 TO=0.29 NO=-431.19
Tensioni nel cordone: τ_P=0.12 τ_0= 0.09 σ_0=147.64 σ_{ID}=147.64 Σ_T=147.73
CC 27 SLV (Collegamento 0020_-377)
Azioni sul collegamento: N=-5833.17 Ty=-4.11 Tz=-1.71 Mx=-0.02 Mz=-3.66
Sollecitazioni agenti localmente: Tx_l=-4.11 Ty_l=-1.71 N_l=-5833.17 My_l=3.66 Mz_l=-0.02
Azioni sul cordone: TP=-0.28 TO=-0.11 NO=-431.19
Tensioni nel cordone: τ_P= 0.09 τ_0= 0.04 σ_0=142.40 σ_{ID}=142.40 Σ_T=142.43
CC 27 SLV (Collegamento 0020_-377)
Azioni sul collegamento: N=-5833.17 Ty=-5.40 Tz=-1.71 Mx=-0.02 Mz=-7.25
Sollecitazioni agenti localmente: Tx_l=-5.40 Ty_l=-1.71 N_l=-5833.17 My_l=7.25 Mz_l=-0.02
Azioni sul cordone: TP=-0.38 TO=-0.11 NO=-431.19
Tensioni nel cordone: τ_P=0.12 τ_0= 0.04 σ_0=147.64 σ_{ID}=147.64 Σ_T=147.68
CC 28 SLD (Collegamento 0020_-377)
Azioni sul collegamento: N=-6824.03 Ty=-3.72 Tz=1.72 Mx=-0.00 Mz=-2.82
Sollecitazioni agenti localmente: Tx_l=-3.72 Ty_l=1.72 N_l=-6824.03 My_l=2.82 Mz_l=-0.00
Azioni sul cordone: TP=-0.27 TO=0.13 NO=-504.43
Tensioni nel cordone: τ_P= 0.09 τ_0= 0.04 σ_0=164.46 σ_{ID}=164.46 Σ_T=164.50
CC 28 SLD (Collegamento 0020_-377)
Azioni sul collegamento: N=-6824.03 Ty=-4.11 Tz=1.72 Mx=-0.00 Mz=-3.92
Sollecitazioni agenti localmente: Tx_l=-4.11 Ty_l=1.72 N_l=-6824.03 My_l=3.92 Mz_l=-0.00
Azioni sul cordone: TP=-0.30 TO=0.13 NO=-504.43
Tensioni nel cordone: τ_P= 0.10 τ_0= 0.04 σ_0=166.06 σ_{ID}=166.06 Σ_T=166.10
CC 28 SLD (Collegamento 0020_-377)
Azioni sul collegamento: N=-6824.03 Ty=-3.72 Tz=0.05 Mx=-0.00 Mz=-2.82
Sollecitazioni agenti localmente: Tx_l=-3.72 Ty_l=0.05 N_l=-6824.03 My_l=2.82 Mz_l=-0.00
Azioni sul cordone: TP=-0.27 TO=0.01 NO=-504.43
Tensioni nel cordone: τ_P= 0.09 τ_0=1.94E-03 σ_0=164.46 σ_{ID}=164.46 Σ_T=164.46
CC 28 SLD (Collegamento 0020_-377)
Azioni sul collegamento: N=-6824.03 Ty=-4.11 Tz=0.05 Mx=-0.00 Mz=-3.92
Sollecitazioni agenti localmente: Tx_l=-4.11 Ty_l=0.05 N_l=-6824.03 My_l=3.92 Mz_l=-0.00
Azioni sul cordone: TP=-0.30 TO=0.01 NO=-504.43
Tensioni nel cordone: τ_P= 0.10 τ_0=1.94E-03 σ_0=166.06 σ_{ID}=166.06 Σ_T=166.06
CC 28 SLD (Collegamento 0020_-377)
Azioni sul collegamento: N=-6345.78 Ty=-3.72 Tz=1.72 Mx=-0.00 Mz=-2.82
Sollecitazioni agenti localmente: Tx_l=-3.72 Ty_l=1.72 N_l=-6345.78 My_l=2.82 Mz_l=-0.00
Azioni sul cordone: TP=-0.27 TO=0.13 NO=-469.08
Tensioni nel cordone: τ_P= 0.09 τ_0= 0.04 σ_0=153.22 σ_{ID}=153.22 Σ_T=153.26
CC 28 SLD (Collegamento 0020_-377)
Azioni sul collegamento: N=-6345.78 Ty=-4.11 Tz=1.72 Mx=-0.00 Mz=-3.92
Sollecitazioni agenti localmente: Tx_l=-4.11 Ty_l=1.72 N_l=-6345.78 My_l=3.92 Mz_l=-0.00
Azioni sul cordone: TP=-0.30 TO=0.13 NO=-469.08
Tensioni nel cordone: τ_P= 0.10 τ_0= 0.04 σ_0=154.82 σ_{ID}=154.82 Σ_T=154.86
CC 28 SLD (Collegamento 0020_-377)
Azioni sul collegamento: N=-6345.78 Ty=-3.72 Tz=0.05 Mx=-0.00 Mz=-2.82
Sollecitazioni agenti localmente: Tx_l=-3.72 Ty_l=0.05 N_l=-6345.78 My_l=2.82 Mz_l=-0.00
Azioni sul cordone: TP=-0.27 TO=0.01 NO=-469.08
Tensioni nel cordone: τ_P= 0.09 τ_0=1.94E-03 σ_0=153.22 σ_{ID}=153.22 Σ_T=153.22
CC 28 SLD (Collegamento 0020_-377)
Azioni sul collegamento: N=-6345.78 Ty=-4.11 Tz=0.05 Mx=-0.00 Mz=-3.92
Sollecitazioni agenti localmente: Tx_l=-4.11 Ty_l=0.05 N_l=-6345.78 My_l=3.92 Mz_l=-0.00
Azioni sul cordone: TP=-0.30 TO=0.01 NO=-469.08
Tensioni nel cordone: τ_P= 0.10 τ_0=1.94E-03 σ_0=154.82 σ_{ID}=154.82 Σ_T=154.82
CC 29 SLV (Collegamento 0020_-377)
Azioni sul collegamento: N=-5833.17 Ty=-5.40 Tz=-1.71 Mx=-0.00 Mz=-7.25
Sollecitazioni agenti localmente: Tx_l=-5.40 Ty_l=-1.71 N_l=-5833.17 My_l=7.25 Mz_l=-0.00
Azioni sul cordone: TP=-0.40 TO=-0.12 NO=-431.19
Tensioni nel cordone: τ_P=0.13 τ_0= 0.04 σ_0=147.64 σ_{ID}=147.64 Σ_T=147.68
CC 29 SLV (Collegamento 0020_-377)
Azioni sul collegamento: N=-5833.17 Ty=-4.11 Tz=-1.71 Mx=-0.00 Mz=-3.66
Sollecitazioni agenti localmente: Tx_l=-4.11 Ty_l=-1.71 N_l=-5833.17 My_l=3.66 Mz_l=-0.00
Azioni sul cordone: TP=-0.30 TO=-0.12 NO=-431.19
Tensioni nel cordone: τ_P= 0.10 τ_0= 0.04 σ_0=142.40 σ_{ID}=142.40 Σ_T=142.44
CC 29 SLV (Collegamento 0020_-377)
Azioni sul collegamento: N=-5833.17 Ty=-5.40 Tz=3.74 Mx=-0.00 Mz=-7.25
Sollecitazioni agenti localmente: Tx_l=-5.40 Ty_l=3.74 N_l=-5833.17 My_l=7.25 Mz_l=-0.00
Azioni sul cordone: TP=-0.40 TO=0.28 NO=-431.19
Tensioni nel cordone: τ_P=0.13 τ_0= 0.09 σ_0=147.64 σ_{ID}=147.64 Σ_T=147.73
CC 29 SLV (Collegamento 0020_-377)
Azioni sul collegamento: N=-5833.17 Ty=-4.11 Tz=3.74 Mx=-0.00 Mz=-3.66
Sollecitazioni agenti localmente: Tx_l=-4.11 Ty_l=3.74 N_l=-5833.17 My_l=3.66 Mz_l=-0.00
Azioni sul cordone: TP=-0.30 TO=0.28 NO=-431.19
Tensioni nel cordone: τ_P= 0.10 τ_0= 0.09 σ_0=142.40 σ_{ID}=142.40 Σ_T=142.49
CC 29 SLV (Collegamento 0020_-377)
Azioni sul collegamento: N=-7401.55 Ty=-5.40 Tz=-1.71 Mx=-0.00 Mz=-7.25
Sollecitazioni agenti localmente: Tx_l=-5.40 Ty_l=-1.71 N_l=-7401.55 My_l=7.25 Mz_l=-0.00
Azioni sul cordone: TP=-0.40 TO=-0.12 NO=-547.13
Tensioni nel cordone: τ_P=0.13 τ_0= 0.04 σ_0=184.49 σ_{ID}=184.49 Σ_T=184.53

CC 29 SLV (Collegamento 0020_-377)
Azioni sul collegamento: N=-7401.55 Ty=-4.11 Tz=-1.71 Mx=-0.00 Mz=-3.66
Sollecitazioni agenti localmente: Tx_l=-4.11 Ty_l=-1.71 N_l=-7401.55 My_l=3.66 Mz_l=-0.00
Azioni sul cordone: TP=-0.30 TO=-0.12 NO=-547.13
Tensioni nel cordone: τ_P= 0.10 τ_0= 0.04 σ_0=179.25 σ_{ID}=179.25 Σ_T=179.29
CC 29 SLV (Collegamento 0020_-377)
Azioni sul collegamento: N=-7401.55 Ty=-5.40 Tz=3.74 Mx=-0.00 Mz=-7.25
Sollecitazioni agenti localmente: Tx_l=-5.40 Ty_l=3.74 N_l=-7401.55 My_l=7.25 Mz_l=-0.00
Azioni sul cordone: TP=-0.40 TO=0.28 NO=-547.13
Tensioni nel cordone: τ_P=0.13 τ_0= 0.09 σ_0=184.49 σ_{ID}=184.49 Σ_T=184.58
CC 29 SLV (Collegamento 0020_-377)
Azioni sul collegamento: N=-7401.55 Ty=-4.11 Tz=3.74 Mx=-0.00 Mz=-3.66
Sollecitazioni agenti localmente: Tx_l=-4.11 Ty_l=3.74 N_l=-7401.55 My_l=3.66 Mz_l=-0.00
Azioni sul cordone: TP=-0.30 TO=0.28 NO=-547.13
Tensioni nel cordone: τ_P= 0.10 τ_0= 0.09 σ_0=179.25 σ_{ID}=179.25 Σ_T=179.33
CC 30 SLD (Collegamento 0020_-377)
Azioni sul collegamento: N=-6345.78 Ty=-4.11 Tz=0.05 Mx=0.00 Mz=-3.92
Sollecitazioni agenti localmente: Tx_l=-4.11 Ty_l=0.05 N_l=-6345.78 My_l=3.92 Mz_l=0.00
Azioni sul cordone: TP=-0.31 TO=0.00 NO=-469.08
Tensioni nel cordone: τ_P= 0.10 τ_0=7.66E-04 σ_0=154.82 σ_{ID}=154.82 Σ_T=154.82
CC 30 SLD (Collegamento 0020_-377)
Azioni sul collegamento: N=-6345.78 Ty=-3.72 Tz=0.05 Mx=0.00 Mz=-2.82
Sollecitazioni agenti localmente: Tx_l=-3.72 Ty_l=0.05 N_l=-6345.78 My_l=2.82 Mz_l=0.00
Azioni sul cordone: TP=-0.28 TO=0.00 NO=-469.08
Tensioni nel cordone: τ_P= 0.09 τ_0=7.66E-04 σ_0=153.22 σ_{ID}=153.22 Σ_T=153.22
CC 30 SLD (Collegamento 0020_-377)
Azioni sul collegamento: N=-6345.78 Ty=-4.11 Tz=1.72 Mx=0.00 Mz=-3.92
Sollecitazioni agenti localmente: Tx_l=-4.11 Ty_l=1.72 N_l=-6345.78 My_l=3.92 Mz_l=0.00
Azioni sul cordone: TP=-0.31 TO=0.13 NO=-469.08
Tensioni nel cordone: τ_P= 0.10 τ_0= 0.04 σ_0=154.82 σ_{ID}=154.82 Σ_T=154.86
CC 30 SLD (Collegamento 0020_-377)
Azioni sul collegamento: N=-6345.78 Ty=-3.72 Tz=1.72 Mx=0.00 Mz=-2.82
Sollecitazioni agenti localmente: Tx_l=-3.72 Ty_l=1.72 N_l=-6345.78 My_l=2.82 Mz_l=0.00
Azioni sul cordone: TP=-0.28 TO=0.13 NO=-469.08
Tensioni nel cordone: τ_P= 0.09 τ_0= 0.04 σ_0=153.22 σ_{ID}=153.22 Σ_T=153.26
CC 30 SLD (Collegamento 0020_-377)
Azioni sul collegamento: N=-6824.03 Ty=-4.11 Tz=0.05 Mx=0.00 Mz=-3.92
Sollecitazioni agenti localmente: Tx_l=-4.11 Ty_l=0.05 N_l=-6824.03 My_l=3.92 Mz_l=0.00
Azioni sul cordone: TP=-0.31 TO=0.00 NO=-504.43
Tensioni nel cordone: τ_P= 0.10 τ_0=7.70E-04 σ_0=166.06 σ_{ID}=166.06 Σ_T=166.06
CC 30 SLD (Collegamento 0020_-377)
Azioni sul collegamento: N=-6824.03 Ty=-3.72 Tz=0.05 Mx=0.00 Mz=-2.82
Sollecitazioni agenti localmente: Tx_l=-3.72 Ty_l=0.05 N_l=-6824.03 My_l=2.82 Mz_l=0.00
Azioni sul cordone: TP=-0.28 TO=0.00 NO=-504.43
Tensioni nel cordone: τ_P= 0.09 τ_0=7.70E-04 σ_0=164.46 σ_{ID}=164.46 Σ_T=164.46
CC 30 SLD (Collegamento 0020_-377)
Azioni sul collegamento: N=-6824.03 Ty=-4.11 Tz=1.72 Mx=0.00 Mz=-3.92
Sollecitazioni agenti localmente: Tx_l=-4.11 Ty_l=1.72 N_l=-6824.03 My_l=3.92 Mz_l=0.00
Azioni sul cordone: TP=-0.31 TO=0.13 NO=-504.43
Tensioni nel cordone: τ_P= 0.10 τ_0= 0.04 σ_0=166.06 σ_{ID}=166.06 Σ_T=166.10
CC 30 SLD (Collegamento 0020_-377)
Azioni sul collegamento: N=-6824.03 Ty=-3.72 Tz=1.72 Mx=0.00 Mz=-2.82
Sollecitazioni agenti localmente: Tx_l=-3.72 Ty_l=1.72 N_l=-6824.03 My_l=2.82 Mz_l=0.00
Azioni sul cordone: TP=-0.28 TO=0.13 NO=-504.43
Tensioni nel cordone: τ_P= 0.09 τ_0= 0.04 σ_0=164.46 σ_{ID}=164.46 Σ_T=164.50
CC 31 SLV (Collegamento 0020_-377)
Azioni sul collegamento: N=-7420.51 Ty=-6.23 Tz=4.16 Mx=-0.00 Mz=-7.84
Sollecitazioni agenti localmente: Tx_l=-6.23 Ty_l=4.16 N_l=-7420.51 My_l=7.84 Mz_l=-0.00
Azioni sul cordone: TP=-0.46 TO=0.31 NO=-548.53
Tensioni nel cordone: τ_P=0.15 τ_0= 0.10 σ_0=185.81 σ_{ID}=185.81 Σ_T=185.91
CC 31 SLV (Collegamento 0020_-377)
Azioni sul collegamento: N=-7420.51 Ty=-3.29 Tz=4.16 Mx=-0.00 Mz=-3.06
Sollecitazioni agenti localmente: Tx_l=-3.29 Ty_l=4.16 N_l=-7420.51 My_l=3.06 Mz_l=-0.00
Azioni sul cordone: TP=-0.24 TO=0.31 NO=-548.53
Tensioni nel cordone: τ_P= 0.08 τ_0= 0.10 σ_0=178.82 σ_{ID}=178.82 Σ_T=178.92
CC 31 SLV (Collegamento 0020_-377)
Azioni sul collegamento: N=-7420.51 Ty=-6.23 Tz=-2.14 Mx=-0.00 Mz=-7.84
Sollecitazioni agenti localmente: Tx_l=-6.23 Ty_l=-2.14 N_l=-7420.51 My_l=7.84 Mz_l=-0.00
Azioni sul cordone: TP=-0.46 TO=-0.16 NO=-548.53
Tensioni nel cordone: τ_P=0.15 τ_0= 0.05 σ_0=185.81 σ_{ID}=185.81 Σ_T=185.86
CC 31 SLV (Collegamento 0020_-377)
Azioni sul collegamento: N=-7420.51 Ty=-3.29 Tz=-2.14 Mx=-0.00 Mz=-3.06
Sollecitazioni agenti localmente: Tx_l=-3.29 Ty_l=-2.14 N_l=-7420.51 My_l=3.06 Mz_l=-0.00
Azioni sul cordone: TP=-0.24 TO=-0.16 NO=-548.53
Tensioni nel cordone: τ_P= 0.08 τ_0= 0.05 σ_0=178.82 σ_{ID}=178.82 Σ_T=178.87
CC 31 SLV (Collegamento 0020_-377)
Azioni sul collegamento: N=-5814.21 Ty=-6.23 Tz=4.16 Mx=-0.00 Mz=-7.84
Sollecitazioni agenti localmente: Tx_l=-6.23 Ty_l=4.16 N_l=-5814.21 My_l=7.84 Mz_l=-0.00
Azioni sul cordone: TP=-0.46 TO=0.31 NO=-429.79

Tensioni nel cordone: τ_P=0.15 τ_0= 0.10 σ_0=148.07 σ_{ID}=148.07 Σ_T=148.16
CC 31 SLV (Collegamento 0020_-377)
Azioni sul collegamento: N=-5814.21 Ty=-3.29 Tz=4.16 Mx=-0.00 Mz=-3.06
Sollecitazioni agenti localmente: Tx_l=-3.29 Ty_l=4.16 N_l=-5814.21 My_l=3.06 Mz_l=-0.00
Azioni sul cordone: TP=-0.24 TO=0.31 NO=-429.79
Tensioni nel cordone: τ_P= 0.08 τ_0= 0.10 σ_0=141.08 σ_{ID}=141.08 Σ_T=141.18
CC 31 SLV (Collegamento 0020_-377)
Azioni sul collegamento: N=-5814.21 Ty=-6.23 Tz=-2.14 Mx=-0.00 Mz=-7.84
Sollecitazioni agenti localmente: Tx_l=-6.23 Ty_l=-2.14 N_l=-5814.21 My_l=7.84 Mz_l=-0.00
Azioni sul cordone: TP=-0.46 TO=-0.16 NO=-429.79
Tensioni nel cordone: τ_P=0.15 τ_0= 0.05 σ_0=148.07 σ_{ID}=148.07 Σ_T=148.12
CC 31 SLV (Collegamento 0020_-377)
Azioni sul collegamento: N=-5814.21 Ty=-3.29 Tz=-2.14 Mx=-0.00 Mz=-3.06
Sollecitazioni agenti localmente: Tx_l=-3.29 Ty_l=-2.14 N_l=-5814.21 My_l=3.06 Mz_l=-0.00
Azioni sul cordone: TP=-0.24 TO=-0.16 NO=-429.79
Tensioni nel cordone: τ_P= 0.08 τ_0= 0.05 σ_0=141.08 σ_{ID}=141.08 Σ_T=141.13
CC 32 SLD (Collegamento 0020_-377)
Azioni sul collegamento: N=-6829.81 Ty=-4.36 Tz=1.85 Mx=0.00 Mz=-4.10
Sollecitazioni agenti localmente: Tx_l=-4.36 Ty_l=1.85 N_l=-6829.81 My_l=4.10 Mz_l=0.00
Azioni sul cordone: TP=-0.33 TO=0.13 NO=-504.86
Tensioni nel cordone: τ_P=0.10 τ_0= 0.04 σ_0=166.46 σ_{ID}=166.46 Σ_T=166.50
CC 32 SLD (Collegamento 0020_-377)
Azioni sul collegamento: N=-6829.81 Ty=-3.47 Tz=1.85 Mx=0.00 Mz=-2.64
Sollecitazioni agenti localmente: Tx_l=-3.47 Ty_l=1.85 N_l=-6829.81 My_l=2.64 Mz_l=0.00
Azioni sul cordone: TP=-0.26 TO=0.13 NO=-504.86
Tensioni nel cordone: τ_P= 0.08 τ_0= 0.04 σ_0=164.33 σ_{ID}=164.33 Σ_T=164.37
CC 32 SLD (Collegamento 0020_-377)
Azioni sul collegamento: N=-6829.81 Ty=-4.36 Tz=-0.08 Mx=0.00 Mz=-4.10
Sollecitazioni agenti localmente: Tx_l=-4.36 Ty_l=-0.08 N_l=-6829.81 My_l=4.10 Mz_l=0.00
Azioni sul cordone: TP=-0.33 TO=-0.01 NO=-504.86
Tensioni nel cordone: τ_P=0.10 τ_0=2.36E-03 σ_0=166.46 σ_{ID}=166.46 Σ_T=166.46
CC 32 SLD (Collegamento 0020_-377)
Azioni sul collegamento: N=-6829.81 Ty=-3.47 Tz=-0.08 Mx=0.00 Mz=-2.64
Sollecitazioni agenti localmente: Tx_l=-3.47 Ty_l=-0.08 N_l=-6829.81 My_l=2.64 Mz_l=0.00
Azioni sul cordone: TP=-0.26 TO=-0.01 NO=-504.86
Tensioni nel cordone: τ_P= 0.08 τ_0=2.36E-03 σ_0=164.33 σ_{ID}=164.33 Σ_T=164.33
CC 32 SLD (Collegamento 0020_-377)
Azioni sul collegamento: N=-6340.00 Ty=-4.36 Tz=1.85 Mx=0.00 Mz=-4.10
Sollecitazioni agenti localmente: Tx_l=-4.36 Ty_l=1.85 N_l=-6340.00 My_l=4.10 Mz_l=0.00
Azioni sul cordone: TP=-0.33 TO=0.13 NO=-468.65
Tensioni nel cordone: τ_P=0.10 τ_0= 0.04 σ_0=154.95 σ_{ID}=154.95 Σ_T=154.99
CC 32 SLD (Collegamento 0020_-377)
Azioni sul collegamento: N=-6340.00 Ty=-3.47 Tz=1.85 Mx=0.00 Mz=-2.64
Sollecitazioni agenti localmente: Tx_l=-3.47 Ty_l=1.85 N_l=-6340.00 My_l=2.64 Mz_l=0.00
Azioni sul cordone: TP=-0.26 TO=0.13 NO=-468.65
Tensioni nel cordone: τ_P= 0.08 τ_0= 0.04 σ_0=152.82 σ_{ID}=152.82 Σ_T=152.86
CC 32 SLD (Collegamento 0020_-377)
Azioni sul collegamento: N=-6340.00 Ty=-4.36 Tz=-0.08 Mx=0.00 Mz=-4.10
Sollecitazioni agenti localmente: Tx_l=-4.36 Ty_l=-0.08 N_l=-6340.00 My_l=4.10 Mz_l=0.00
Azioni sul cordone: TP=-0.33 TO=-0.01 NO=-468.65
Tensioni nel cordone: τ_P=0.10 τ_0=2.37E-03 σ_0=154.95 σ_{ID}=154.95 Σ_T=154.95
CC 32 SLD (Collegamento 0020_-377)
Azioni sul collegamento: N=-6340.00 Ty=-3.47 Tz=-0.08 Mx=0.00 Mz=-2.64
Sollecitazioni agenti localmente: Tx_l=-3.47 Ty_l=-0.08 N_l=-6340.00 My_l=2.64 Mz_l=0.00
Azioni sul cordone: TP=-0.26 TO=-0.01 NO=-468.65
Tensioni nel cordone: τ_P= 0.08 τ_0=2.37E-03 σ_0=152.82 σ_{ID}=152.82 Σ_T=152.82
CC 33 SLU (Collegamento 0020_-377)
Azioni sul collegamento: N=-30337.70 Ty=-5.16 Tz=79.98 Mx=0.01 Mz=-3.50
Sollecitazioni agenti localmente: Tx_l=-5.16 Ty_l=79.98 N_l=-30337.70 My_l=3.50 Mz_l=0.01
Azioni sul cordone: TP=-0.39 TO=5.91 NO=-2242.58
Tensioni nel cordone: τ_P=0.12 τ_0=1.88 σ_0=717.91 σ_{ID}=717.92 Σ_T=719.79
CC 34 SLU (Collegamento 0020_-377)
Azioni sul collegamento: N=-30888.30 Ty=-5.44 Tz=82.02 Mx=0.01 Mz=-3.71
Sollecitazioni agenti localmente: Tx_l=-5.44 Ty_l=82.02 N_l=-30888.30 My_l=3.71 Mz_l=0.01
Azioni sul cordone: TP=-0.41 TO=6.06 NO=-2283.27
Tensioni nel cordone: τ_P=0.13 τ_0=1.93 σ_0=731.15 σ_{ID}=731.15 Σ_T=733.08
CC 35 SLU (Collegamento 0020_-377)
Azioni sul collegamento: N=-30612.00 Ty=-5.19 Tz=81.02 Mx=0.01 Mz=-3.39
Sollecitazioni agenti localmente: Tx_l=-5.19 Ty_l=81.02 N_l=-30612.00 My_l=3.39 Mz_l=0.01
Azioni sul cordone: TP=-0.39 TO=5.98 NO=-2262.85
Tensioni nel cordone: τ_P=0.12 τ_0=1.90 σ_0=724.19 σ_{ID}=724.20 Σ_T=726.09
CC 36 SLU (Collegamento 0020_-377)
Azioni sul collegamento: N=-30614.00 Ty=-5.41 Tz=80.97 Mx=0.01 Mz=-3.82
Sollecitazioni agenti localmente: Tx_l=-5.41 Ty_l=80.97 N_l=-30614.00 My_l=3.82 Mz_l=0.01
Azioni sul cordone: TP=-0.41 TO=5.98 NO=-2263.00
Tensioni nel cordone: τ_P=0.13 τ_0=1.90 σ_0=724.88 σ_{ID}=724.88 Σ_T=726.77
CC 37 SLU (Collegamento 0020_-377)
Azioni sul collegamento: N=-32266.80 Ty=-5.04 Tz=86.42 Mx=-0.00 Mz=-3.56
Sollecitazioni agenti localmente: Tx_l=-5.04 Ty_l=86.42 N_l=-32266.80 My_l=3.56 Mz_l=-0.00

Azioni sul cordone: TP=-0.37 TO=6.39 NO=-2385.17
Tensioni nel cordone: τ_P=0.12 τ_0=2.03 σ_0=763.32 σ_{ID}=763.32 Σ_T=765.35
CC 38 SLU (Collegamento 0020_-377)
Azioni sul collegamento: N=-32817.30 Ty=-5.33 Tz=88.46 Mx=-0.00 Mz=-3.76
Sollecitazioni agenti localmente: Tx_l=-5.33 Ty_l=88.46 N_l=-32817.30 My_l=3.76 Mz_l=-0.00
Azioni sul cordone: TP=-0.39 TO=6.54 NO=-2425.86
Tensioni nel cordone: τ_P=0.12 τ_0=2.08 σ_0=776.55 σ_{ID}=776.56 Σ_T=778.63
CC 39 SLU (Collegamento 0020_-377)
Azioni sul collegamento: N=-32541.00 Ty=-5.08 Tz=87.47 Mx=-0.00 Mz=-3.44
Sollecitazioni agenti localmente: Tx_l=-5.08 Ty_l=87.47 N_l=-32541.00 My_l=3.44 Mz_l=-0.00
Azioni sul cordone: TP=-0.37 TO=6.47 NO=-2405.44
Tensioni nel cordone: τ_P=0.12 τ_0=2.06 σ_0=769.60 σ_{ID}=769.60 Σ_T=771.65
CC 40 SLU (Collegamento 0020_-377)
Azioni sul collegamento: N=-32543.00 Ty=-5.30 Tz=87.42 Mx=-0.00 Mz=-3.88
Sollecitazioni agenti localmente: Tx_l=-5.30 Ty_l=87.42 N_l=-32543.00 My_l=3.88 Mz_l=-0.00
Azioni sul cordone: TP=-0.39 TO=6.46 NO=-2405.59
Tensioni nel cordone: τ_P=0.12 τ_0=2.05 σ_0=770.28 σ_{ID}=770.28 Σ_T=772.33
CC 41 SLU (Collegamento 0020_-377)
Azioni sul collegamento: N=-21046.60 Ty=-6.03 Tz=45.82 Mx=0.01 Mz=-4.13
Sollecitazioni agenti localmente: Tx_l=-6.03 Ty_l=45.82 N_l=-21046.60 My_l=4.13 Mz_l=0.01
Azioni sul cordone: TP=-0.45 TO=3.38 NO=-1555.77
Tensioni nel cordone: τ_P=0.14 τ_0=1.07 σ_0=500.54 σ_{ID}=500.54 Σ_T=501.61
CC 42 SLU (Collegamento 0020_-377)
Azioni sul collegamento: N=-21597.10 Ty=-6.32 Tz=47.86 Mx=0.01 Mz=-4.34
Sollecitazioni agenti localmente: Tx_l=-6.32 Ty_l=47.86 N_l=-21597.10 My_l=4.34 Mz_l=0.01
Azioni sul cordone: TP=-0.48 TO=3.53 NO=-1596.47
Tensioni nel cordone: τ_P=0.15 τ_0=1.12 σ_0=513.78 σ_{ID}=513.78 Σ_T=514.90
CC 43 SLU (Collegamento 0020_-377)
Azioni sul collegamento: N=-21320.90 Ty=-6.07 Tz=46.87 Mx=0.01 Mz=-4.02
Sollecitazioni agenti localmente: Tx_l=-6.07 Ty_l=46.87 N_l=-21320.90 My_l=4.02 Mz_l=0.01
Azioni sul cordone: TP=-0.46 TO=3.46 NO=-1576.05
Tensioni nel cordone: τ_P=0.14 τ_0=1.10 σ_0=506.82 σ_{ID}=506.82 Σ_T=507.92
CC 44 SLU (Collegamento 0020_-377)
Azioni sul collegamento: N=-21322.80 Ty=-6.29 Tz=46.82 Mx=0.01 Mz=-4.45
Sollecitazioni agenti localmente: Tx_l=-6.29 Ty_l=46.82 N_l=-21322.80 My_l=4.45 Mz_l=0.01
Azioni sul cordone: TP=-0.47 TO=3.45 NO=-1576.19
Tensioni nel cordone: τ_P=0.15 τ_0=1.10 σ_0=507.50 σ_{ID}=507.50 Σ_T=508.60
CC 45 SLU (Collegamento 0020_-377)
Azioni sul collegamento: N=-23139.00 Ty=-5.73 Tz=53.57 Mx=0.01 Mz=-3.96
Sollecitazioni agenti localmente: Tx_l=-5.73 Ty_l=53.57 N_l=-23139.00 My_l=3.96 Mz_l=0.01
Azioni sul cordone: TP=-0.43 TO=3.95 NO=-1710.44
Tensioni nel cordone: τ_P=0.14 τ_0=1.26 σ_0=549.44 σ_{ID}=549.45 Σ_T=550.70
CC 46 SLU (Collegamento 0020_-377)
Azioni sul collegamento: N=-23689.50 Ty=-6.01 Tz=55.60 Mx=0.01 Mz=-4.17
Sollecitazioni agenti localmente: Tx_l=-6.01 Ty_l=55.60 N_l=-23689.50 My_l=4.17 Mz_l=0.01
Azioni sul cordone: TP=-0.45 TO=4.10 NO=-1751.14
Tensioni nel cordone: τ_P=0.14 τ_0=1.30 σ_0=562.68 σ_{ID}=562.68 Σ_T=563.99
CC 47 SLU (Collegamento 0020_-377)
Azioni sul collegamento: N=-23413.30 Ty=-5.76 Tz=54.61 Mx=0.01 Mz=-3.84
Sollecitazioni agenti localmente: Tx_l=-5.76 Ty_l=54.61 N_l=-23413.30 My_l=3.84 Mz_l=0.01
Azioni sul cordone: TP=-0.43 TO=4.03 NO=-1730.71
Tensioni nel cordone: τ_P=0.14 τ_0=1.28 σ_0=555.72 σ_{ID}=555.72 Σ_T=557.00
CC 48 SLU (Collegamento 0020_-377)
Azioni sul collegamento: N=-23415.20 Ty=-5.98 Tz=54.56 Mx=0.01 Mz=-4.28
Sollecitazioni agenti localmente: Tx_l=-5.98 Ty_l=54.56 N_l=-23415.20 My_l=4.28 Mz_l=0.01
Azioni sul cordone: TP=-0.45 TO=4.03 NO=-1730.86
Tensioni nel cordone: τ_P=0.14 τ_0=1.28 σ_0=556.40 σ_{ID}=556.41 Σ_T=557.68
CC 49 SLU (Collegamento 0020_-377)
Azioni sul collegamento: N=-24582.20 Ty=-5.64 Tz=58.39 Mx=0.00 Mz=-4.00
Sollecitazioni agenti localmente: Tx_l=-5.64 Ty_l=58.39 N_l=-24582.20 My_l=4.00 Mz_l=0.00
Azioni sul cordone: TP=-0.42 TO=4.32 NO=-1817.12
Tensioni nel cordone: τ_P=0.13 τ_0=1.37 σ_0=583.41 σ_{ID}=583.41 Σ_T=584.78
CC 50 SLU (Collegamento 0020_-377)
Azioni sul collegamento: N=-25132.70 Ty=-5.93 Tz=60.42 Mx=0.00 Mz=-4.21
Sollecitazioni agenti localmente: Tx_l=-5.93 Ty_l=60.42 N_l=-25132.70 My_l=4.21 Mz_l=0.00
Azioni sul cordone: TP=-0.44 TO=4.47 NO=-1857.82
Tensioni nel cordone: τ_P=0.14 τ_0=1.42 σ_0=596.65 σ_{ID}=596.65 Σ_T=598.07
CC 51 SLU (Collegamento 0020_-377)
Azioni sul collegamento: N=-24856.40 Ty=-5.68 Tz=59.43 Mx=-0.00 Mz=-3.89
Sollecitazioni agenti localmente: Tx_l=-5.68 Ty_l=59.43 N_l=-24856.40 My_l=3.89 Mz_l=-0.00
Azioni sul cordone: TP=-0.42 TO=4.39 NO=-1837.40
Tensioni nel cordone: τ_P=0.13 τ_0=1.40 σ_0=589.69 σ_{ID}=589.69 Σ_T=591.09
CC 52 SLU (Collegamento 0020_-377)
Azioni sul collegamento: N=-24858.40 Ty=-5.89 Tz=59.38 Mx=0.00 Mz=-4.32
Sollecitazioni agenti localmente: Tx_l=-5.89 Ty_l=59.38 N_l=-24858.40 My_l=4.32 Mz_l=0.00
Azioni sul cordone: TP=-0.44 TO=4.39 NO=-1837.54
Tensioni nel cordone: τ_P=0.14 τ_0=1.39 σ_0=590.37 σ_{ID}=590.37 Σ_T=591.77
CC 53 SLU (Collegamento 0020_-377)
Azioni sul collegamento: N=-16187.80 Ty=-6.38 Tz=28.01 Mx=0.01 Mz=-4.43

Sollecitazioni agenti localmente: Tx_l=-6.38 Ty_l=28.01 N_l=-16187.80 My_l=4.43 Mz_l=0.01
Azioni sul cordone: TP=-0.48 TO=2.07 NO=-1196.61
Tensioni nel cordone: τ_P=0.15 τ_0=0.66 σ_0=386.81 σ_{ID}=386.81 Σ_T=387.47
CC 54 SLU (Collegamento 0020_-377)
Azioni sul collegamento: N=-16738.30 Ty=-6.67 Tz=30.05 Mx=0.01 Mz=-4.64
Sollecitazioni agenti localmente: Tx_l=-6.67 Ty_l=30.05 N_l=-16738.30 My_l=4.64 Mz_l=0.01
Azioni sul cordone: TP=-0.50 TO=2.22 NO=-1237.30
Tensioni nel cordone: τ_P=0.16 τ_0=0.70 σ_0=400.05 σ_{ID}=400.05 Σ_T=400.76
CC 55 SLU (Collegamento 0020_-377)
Azioni sul collegamento: N=-16462.10 Ty=-6.42 Tz=29.05 Mx=0.01 Mz=-4.32
Sollecitazioni agenti localmente: Tx_l=-6.42 Ty_l=29.05 N_l=-16462.10 My_l=4.32 Mz_l=0.01
Azioni sul cordone: TP=-0.48 TO=2.14 NO=-1216.88
Tensioni nel cordone: τ_P=0.15 τ_0=0.68 σ_0=393.09 σ_{ID}=393.09 Σ_T=393.77
CC 56 SLU (Collegamento 0020_-377)
Azioni sul collegamento: N=-16464.10 Ty=-6.64 Tz=29.01 Mx=0.01 Mz=-4.75
Sollecitazioni agenti localmente: Tx_l=-6.64 Ty_l=29.01 N_l=-16464.10 My_l=4.75 Mz_l=0.01
Azioni sul cordone: TP=-0.50 TO=2.14 NO=-1217.03
Tensioni nel cordone: τ_P=0.16 τ_0=0.68 σ_0=393.77 σ_{ID}=393.77 Σ_T=394.45
CC 57 SLU (Collegamento 0020_-377)
Azioni sul collegamento: N=-23519.50 Ty=-6.15 Tz=55.00 Mx=0.01 Mz=-4.26
Sollecitazioni agenti localmente: Tx_l=-6.15 Ty_l=55.00 N_l=-23519.50 My_l=4.26 Mz_l=0.01
Azioni sul cordone: TP=-0.46 TO=4.06 NO=-1738.57
Tensioni nel cordone: τ_P=0.15 τ_0=1.29 σ_0=558.83 σ_{ID}=558.83 Σ_T=560.12
CC 58 SLU (Collegamento 0020_-377)
Azioni sul collegamento: N=-24070.10 Ty=-6.43 Tz=57.04 Mx=0.01 Mz=-4.47
Sollecitazioni agenti localmente: Tx_l=-6.43 Ty_l=57.04 N_l=-24070.10 My_l=4.47 Mz_l=0.01
Azioni sul cordone: TP=-0.48 TO=4.21 NO=-1779.27
Tensioni nel cordone: τ_P=0.15 τ_0=1.34 σ_0=572.07 σ_{ID}=572.07 Σ_T=573.40
CC 59 SLU (Collegamento 0020_-377)
Azioni sul collegamento: N=-23793.80 Ty=-6.18 Tz=56.05 Mx=0.01 Mz=-4.15
Sollecitazioni agenti localmente: Tx_l=-6.18 Ty_l=56.05 N_l=-23793.80 My_l=4.15 Mz_l=0.01
Azioni sul cordone: TP=-0.46 TO=4.14 NO=-1758.85
Tensioni nel cordone: τ_P=0.15 τ_0=1.32 σ_0=565.11 σ_{ID}=565.11 Σ_T=566.42
CC 60 SLU (Collegamento 0020_-377)
Azioni sul collegamento: N=-23795.80 Ty=-6.40 Tz=56.00 Mx=0.01 Mz=-4.58
Sollecitazioni agenti localmente: Tx_l=-6.40 Ty_l=56.00 N_l=-23795.80 My_l=4.58 Mz_l=0.01
Azioni sul cordone: TP=-0.48 TO=4.13 NO=-1758.99
Tensioni nel cordone: τ_P=0.15 τ_0=1.31 σ_0=565.79 σ_{ID}=565.79 Σ_T=567.10
CC 61 SLU (Collegamento 0020_-377)
Azioni sul collegamento: N=-24962.70 Ty=-6.06 Tz=59.83 Mx=0.00 Mz=-4.30
Sollecitazioni agenti localmente: Tx_l=-6.06 Ty_l=59.83 N_l=-24962.70 My_l=4.30 Mz_l=0.00
Azioni sul cordone: TP=-0.45 TO=4.42 NO=-1845.25
Tensioni nel cordone: τ_P=0.14 τ_0=1.41 σ_0=592.80 σ_{ID}=592.80 Σ_T=594.20
CC 62 SLU (Collegamento 0020_-377)
Azioni sul collegamento: N=-25513.20 Ty=-6.35 Tz=61.87 Mx=0.00 Mz=-4.51
Sollecitazioni agenti localmente: Tx_l=-6.35 Ty_l=61.87 N_l=-25513.20 My_l=4.51 Mz_l=0.00
Azioni sul cordone: TP=-0.47 TO=4.57 NO=-1885.95
Tensioni nel cordone: τ_P=0.15 τ_0=1.45 σ_0=606.03 σ_{ID}=606.04 Σ_T=607.49
CC 63 SLU (Collegamento 0020_-377)
Azioni sul collegamento: N=-25237.00 Ty=-6.10 Tz=60.87 Mx=-0.00 Mz=-4.19
Sollecitazioni agenti localmente: Tx_l=-6.10 Ty_l=60.87 N_l=-25237.00 My_l=4.19 Mz_l=-0.00
Azioni sul cordone: TP=-0.45 TO=4.50 NO=-1865.53
Tensioni nel cordone: τ_P=0.14 τ_0=1.43 σ_0=599.08 σ_{ID}=599.08 Σ_T=600.50
CC 64 SLU (Collegamento 0020_-377)
Azioni sul collegamento: N=-25238.90 Ty=-6.31 Tz=60.82 Mx=0.00 Mz=-4.62
Sollecitazioni agenti localmente: Tx_l=-6.31 Ty_l=60.82 N_l=-25238.90 My_l=4.62 Mz_l=0.00
Azioni sul cordone: TP=-0.47 TO=4.49 NO=-1865.67
Tensioni nel cordone: τ_P=0.15 τ_0=1.43 σ_0=599.76 σ_{ID}=599.76 Σ_T=601.19
CC 65 SLU (Collegamento 0020_-377)
Azioni sul collegamento: N=-16568.40 Ty=-6.80 Tz=29.45 Mx=0.01 Mz=-4.74
Sollecitazioni agenti localmente: Tx_l=-6.80 Ty_l=29.45 N_l=-16568.40 My_l=4.74 Mz_l=0.01
Azioni sul cordone: TP=-0.51 TO=2.17 NO=-1224.74
Tensioni nel cordone: τ_P=0.16 τ_0=0.69 σ_0=396.20 σ_{ID}=396.20 Σ_T=396.89
CC 66 SLU (Collegamento 0020_-377)
Azioni sul collegamento: N=-17118.90 Ty=-7.09 Tz=31.49 Mx=0.01 Mz=-4.94
Sollecitazioni agenti localmente: Tx_l=-7.09 Ty_l=31.49 N_l=-17118.90 My_l=4.94 Mz_l=0.01
Azioni sul cordone: TP=-0.53 TO=2.32 NO=-1265.43
Tensioni nel cordone: τ_P=0.17 τ_0=0.74 σ_0=409.44 σ_{ID}=409.44 Σ_T=410.18
CC 67 SLU (Collegamento 0020_-377)
Azioni sul collegamento: N=-16842.60 Ty=-6.84 Tz=30.49 Mx=0.01 Mz=-4.62
Sollecitazioni agenti localmente: Tx_l=-6.84 Ty_l=30.49 N_l=-16842.60 My_l=4.62 Mz_l=0.01
Azioni sul cordone: TP=-0.51 TO=2.25 NO=-1245.01
Tensioni nel cordone: τ_P=0.16 τ_0=0.71 σ_0=402.48 σ_{ID}=402.48 Σ_T=403.19
CC 68 SLU (Collegamento 0020_-377)
Azioni sul collegamento: N=-16844.60 Ty=-7.06 Tz=30.45 Mx=0.01 Mz=-5.06
Sollecitazioni agenti localmente: Tx_l=-7.06 Ty_l=30.45 N_l=-16844.60 My_l=5.06 Mz_l=0.01
Azioni sul cordone: TP=-0.53 TO=2.24 NO=-1245.16
Tensioni nel cordone: τ_P=0.17 τ_0=0.71 σ_0=403.16 σ_{ID}=403.16 Σ_T=403.87
CC 97 SLU (Collegamento 0020_-377)

Azioni sul collegamento: N=-16826.20 Ty=-0.37 Tz=38.55 Mx=0.05 Mz=7.28
Sollecitazioni agenti localmente: Tx_l=-0.37 Ty_l=38.55 N_l=-16826.20 My_l=-7.28 Mz_l=0.05
Azioni sul cordone: TP=-0.08 TO=2.89 NO=-1243.80
Tensioni nel cordone: τ_P= 0.03 τ_O=0.92 σ_O=405.97 σ_{ID}=405.97 Σ_T=406.89
CC 98 SLU (Collegamento 0020_-377)
Azioni sul collegamento: N=-17376.70 Ty=-0.65 Tz=40.58 Mx=0.05 Mz=7.07
Sollecitazioni agenti localmente: Tx_l=-0.65 Ty_l=40.58 N_l=-17376.70 My_l=-7.07 Mz_l=0.05
Azioni sul cordone: TP=-0.10 TO=3.04 NO=-1284.49
Tensioni nel cordone: τ_P= 0.03 τ_O=0.97 σ_O=418.60 σ_{ID}=418.61 Σ_T=419.57
CC 99 SLU (Collegamento 0020_-377)
Azioni sul collegamento: N=-17100.50 Ty=-0.40 Tz=39.59 Mx=0.05 Mz=7.39
Sollecitazioni agenti localmente: Tx_l=-0.40 Ty_l=39.59 N_l=-17100.50 My_l=-7.39 Mz_l=0.05
Azioni sul cordone: TP=-0.08 TO=2.96 NO=-1264.07
Tensioni nel cordone: τ_P= 0.03 τ_O=0.94 σ_O=412.58 σ_{ID}=412.58 Σ_T=413.52
CC 100 SLU (Collegamento 0020_-377)
Azioni sul collegamento: N=-17102.50 Ty=-0.62 Tz=39.54 Mx=0.05 Mz=6.96
Sollecitazioni agenti localmente: Tx_l=-0.62 Ty_l=39.54 N_l=-17102.50 My_l=-6.96 Mz_l=0.05
Azioni sul cordone: TP=-0.10 TO=2.96 NO=-1264.22
Tensioni nel cordone: τ_P= 0.03 τ_O=0.94 σ_O=411.99 σ_{ID}=411.99 Σ_T=412.93
CC 101 SLU (Collegamento 0020_-377)
Azioni sul collegamento: N=-6585.90 Ty=-4.08 Tz=0.92 Mx=-0.00 Mz=-3.64
Sollecitazioni agenti localmente: Tx_l=-4.08 Ty_l=0.92 N_l=-6585.90 My_l=3.64 Mz_l=-0.00
Azioni sul cordone: TP=-0.30 TO=0.07 NO=-486.83
Tensioni nel cordone: τ_P= 0.09 τ_O= 0.02 σ_O=160.06 σ_{ID}=160.06 Σ_T=160.08
CC 102 SLU (Collegamento 0020_-377)
Azioni sul collegamento: N=-7136.43 Ty=-4.37 Tz=2.96 Mx=-0.00 Mz=-3.85
Sollecitazioni agenti localmente: Tx_l=-4.37 Ty_l=2.96 N_l=-7136.43 My_l=3.85 Mz_l=-0.00
Azioni sul cordone: TP=-0.32 TO=0.22 NO=-527.53
Tensioni nel cordone: τ_P=0.10 τ_O= 0.07 σ_O=173.30 σ_{ID}=173.30 Σ_T=173.37
CC 103 SLU (Collegamento 0020_-377)
Azioni sul collegamento: N=-6860.18 Ty=-4.11 Tz=1.96 Mx=-0.00 Mz=-3.53
Sollecitazioni agenti localmente: Tx_l=-4.11 Ty_l=1.96 N_l=-6860.18 My_l=3.53 Mz_l=-0.00
Azioni sul cordone: TP=-0.30 TO=0.15 NO=-507.11
Tensioni nel cordone: τ_P= 0.10 τ_O= 0.05 σ_O=166.34 σ_{ID}=166.34 Σ_T=166.38
CC 104 SLU (Collegamento 0020_-377)
Azioni sul collegamento: N=-6862.15 Ty=-4.33 Tz=1.92 Mx=-0.00 Mz=-3.96
Sollecitazioni agenti localmente: Tx_l=-4.33 Ty_l=1.92 N_l=-6862.15 My_l=3.96 Mz_l=-0.00
Azioni sul cordone: TP=-0.32 TO=0.14 NO=-507.25
Tensioni nel cordone: τ_P=0.10 τ_O= 0.05 σ_O=167.02 σ_{ID}=167.02 Σ_T=167.06

Flessione attacco superiore piastra

Bnetta=220.00 Hnetta=15.00
CC 1 SLV (Collegamento 0020_-377)
Azioni sul collegamento: N=-3875.57 Ty=-4.02 Tz=-9.21 Mx=0.02 Mz=2.16
Sollecitazioni agenti localmente: Ty_l=-704.65 Mx_l=-14.09
Tensioni nella sezione: σ=170.82 τ=21.35
CC 1 SLV (Collegamento 0020_-377)
Azioni sul collegamento: N=-3875.57 Ty=-0.64 Tz=-9.21 Mx=0.02 Mz=-1.09
Sollecitazioni agenti localmente: Ty_l=-704.65 Mx_l=-14.09
Tensioni nella sezione: σ=170.82 τ=21.35
CC 1 SLV (Collegamento 0020_-377)
Azioni sul collegamento: N=-3875.57 Ty=-4.02 Tz=10.50 Mx=0.02 Mz=2.16
Sollecitazioni agenti localmente: Ty_l=-704.65 Mx_l=-14.09
Tensioni nella sezione: σ=170.82 τ=21.35
CC 1 SLV (Collegamento 0020_-377)
Azioni sul collegamento: N=-3875.57 Ty=-0.64 Tz=10.50 Mx=0.02 Mz=-1.09
Sollecitazioni agenti localmente: Ty_l=-704.65 Mx_l=-14.09
Tensioni nella sezione: σ=170.82 τ=21.35
CC 1 SLV (Collegamento 0020_-377)
Azioni sul collegamento: N=-9172.38 Ty=-4.02 Tz=-9.21 Mx=0.02 Mz=2.16
Sollecitazioni agenti localmente: Ty_l=-1667.70 Mx_l=-33.35
Tensioni nella sezione: σ=404.29 τ=50.54
CC 1 SLV (Collegamento 0020_-377)
Azioni sul collegamento: N=-9172.38 Ty=-0.64 Tz=-9.21 Mx=0.02 Mz=-1.09
Sollecitazioni agenti localmente: Ty_l=-1667.70 Mx_l=-33.35
Tensioni nella sezione: σ=404.29 τ=50.54
CC 1 SLV (Collegamento 0020_-377)
Azioni sul collegamento: N=-9172.38 Ty=-4.02 Tz=10.50 Mx=0.02 Mz=2.16
Sollecitazioni agenti localmente: Ty_l=-1667.70 Mx_l=-33.35
Tensioni nella sezione: σ=404.29 τ=50.54
CC 1 SLV (Collegamento 0020_-377)
Azioni sul collegamento: N=-9172.38 Ty=-0.64 Tz=10.50 Mx=0.02 Mz=-1.09
Sollecitazioni agenti localmente: Ty_l=-1667.70 Mx_l=-33.35
Tensioni nella sezione: σ=404.29 τ=50.54
CC 2 SLD (Collegamento 0020_-377)
Azioni sul collegamento: N=-5748.85 Ty=-2.66 Tz=-2.23 Mx=0.01 Mz=-1.05
Sollecitazioni agenti localmente: Ty_l=-1045.24 Mx_l=-20.90
Tensioni nella sezione: σ=253.39 τ=31.67

CC 2 SLD (Collegamento 0020_-377)
Azioni sul collegamento: N=-5748.85 Ty=-3.69 Tz=-2.23 Mx=0.01 Mz=-2.04
Sollecitazioni agenti localmente: Ty_l=-1045.24 Mx_l=-20.90
Tensioni nella sezione: σ=253.39 τ=31.67
CC 2 SLD (Collegamento 0020_-377)
Azioni sul collegamento: N=-5748.85 Ty=-2.66 Tz=3.78 Mx=0.01 Mz=-1.05
Sollecitazioni agenti localmente: Ty_l=-1045.24 Mx_l=-20.90
Tensioni nella sezione: σ=253.39 τ=31.67
CC 2 SLD (Collegamento 0020_-377)
Azioni sul collegamento: N=-5748.85 Ty=-3.69 Tz=3.78 Mx=0.01 Mz=-2.04
Sollecitazioni agenti localmente: Ty_l=-1045.24 Mx_l=-20.90
Tensioni nella sezione: σ=253.39 τ=31.67
CC 2 SLD (Collegamento 0020_-377)
Azioni sul collegamento: N=-7364.01 Ty=-2.66 Tz=-2.23 Mx=0.01 Mz=-1.05
Sollecitazioni agenti localmente: Ty_l=-1338.91 Mx_l=-26.78
Tensioni nella sezione: σ=324.58 τ=40.57
CC 2 SLD (Collegamento 0020_-377)
Azioni sul collegamento: N=-7364.01 Ty=-3.69 Tz=-2.23 Mx=0.01 Mz=-2.04
Sollecitazioni agenti localmente: Ty_l=-1338.91 Mx_l=-26.78
Tensioni nella sezione: σ=324.58 τ=40.57
CC 2 SLD (Collegamento 0020_-377)
Azioni sul collegamento: N=-7364.01 Ty=-2.66 Tz=3.78 Mx=0.01 Mz=-1.05
Sollecitazioni agenti localmente: Ty_l=-1338.91 Mx_l=-26.78
Tensioni nella sezione: σ=324.58 τ=40.57
CC 2 SLD (Collegamento 0020_-377)
Azioni sul collegamento: N=-7364.01 Ty=-3.69 Tz=3.78 Mx=0.01 Mz=-2.04
Sollecitazioni agenti localmente: Ty_l=-1338.91 Mx_l=-26.78
Tensioni nella sezione: σ=324.58 τ=40.57
CC 3 SLV (Collegamento 0020_-377)
Azioni sul collegamento: N=-3881.26 Ty=-3.39 Tz=-9.09 Mx=0.02 Mz=0.91
Sollecitazioni agenti localmente: Ty_l=-705.68 Mx_l=-14.11
Tensioni nella sezione: σ=171.07 τ=21.38
CC 3 SLV (Collegamento 0020_-377)
Azioni sul collegamento: N=-3881.26 Ty=-1.27 Tz=-9.09 Mx=0.02 Mz=0.17
Sollecitazioni agenti localmente: Ty_l=-705.68 Mx_l=-14.11
Tensioni nella sezione: σ=171.07 τ=21.38
CC 3 SLV (Collegamento 0020_-377)
Azioni sul collegamento: N=-3881.26 Ty=-3.39 Tz=10.37 Mx=0.02 Mz=0.91
Sollecitazioni agenti localmente: Ty_l=-705.68 Mx_l=-14.11
Tensioni nella sezione: σ=171.07 τ=21.38
CC 3 SLV (Collegamento 0020_-377)
Azioni sul collegamento: N=-3881.26 Ty=-1.27 Tz=10.37 Mx=0.02 Mz=0.17
Sollecitazioni agenti localmente: Ty_l=-705.68 Mx_l=-14.11
Tensioni nella sezione: σ=171.07 τ=21.38
CC 3 SLV (Collegamento 0020_-377)
Azioni sul collegamento: N=-9166.69 Ty=-3.39 Tz=-9.09 Mx=0.02 Mz=0.91
Sollecitazioni agenti localmente: Ty_l=-1666.67 Mx_l=-33.33
Tensioni nella sezione: σ=404.04 τ=50.51
CC 3 SLV (Collegamento 0020_-377)
Azioni sul collegamento: N=-9166.69 Ty=-1.27 Tz=-9.09 Mx=0.02 Mz=0.17
Sollecitazioni agenti localmente: Ty_l=-1666.67 Mx_l=-33.33
Tensioni nella sezione: σ=404.04 τ=50.51
CC 3 SLV (Collegamento 0020_-377)
Azioni sul collegamento: N=-9166.69 Ty=-3.39 Tz=10.38 Mx=0.02 Mz=0.91
Sollecitazioni agenti localmente: Ty_l=-1666.67 Mx_l=-33.33
Tensioni nella sezione: σ=404.04 τ=50.51
CC 3 SLV (Collegamento 0020_-377)
Azioni sul collegamento: N=-9166.69 Ty=-1.27 Tz=10.38 Mx=0.02 Mz=0.17
Sollecitazioni agenti localmente: Ty_l=-1666.67 Mx_l=-33.33
Tensioni nella sezione: σ=404.04 τ=50.51
CC 4 SLD (Collegamento 0020_-377)
Azioni sul collegamento: N=-5750.58 Ty=-2.85 Tz=-2.19 Mx=0.01 Mz=-1.43
Sollecitazioni agenti localmente: Ty_l=-1045.56 Mx_l=-20.91
Tensioni nella sezione: σ=253.47 τ=31.68
CC 4 SLD (Collegamento 0020_-377)
Azioni sul collegamento: N=-5750.58 Ty=-3.50 Tz=-2.19 Mx=0.01 Mz=-1.66
Sollecitazioni agenti localmente: Ty_l=-1045.56 Mx_l=-20.91
Tensioni nella sezione: σ=253.47 τ=31.68
CC 4 SLD (Collegamento 0020_-377)
Azioni sul collegamento: N=-5750.58 Ty=-2.85 Tz=3.74 Mx=0.01 Mz=-1.43
Sollecitazioni agenti localmente: Ty_l=-1045.56 Mx_l=-20.91
Tensioni nella sezione: σ=253.47 τ=31.68
CC 4 SLD (Collegamento 0020_-377)
Azioni sul collegamento: N=-5750.58 Ty=-3.50 Tz=3.74 Mx=0.01 Mz=-1.66
Sollecitazioni agenti localmente: Ty_l=-1045.56 Mx_l=-20.91
Tensioni nella sezione: σ=253.47 τ=31.68
CC 4 SLD (Collegamento 0020_-377)
Azioni sul collegamento: N=-7362.28 Ty=-2.85 Tz=-2.19 Mx=0.01 Mz=-1.43
Sollecitazioni agenti localmente: Ty_l=-1338.60 Mx_l=-26.77

Tensioni nella sezione: σ=324.51 τ=40.56
CC 4 SLD (Collegamento 0020_-377)
Azioni sul collegamento: N=-7362.28 Ty=-3.50 Tz=-2.19 Mx=0.01 Mz=-1.66
Sollecitazioni agenti localmente: Ty_l=-1338.60 Mx_l=-26.77
Tensioni nella sezione: σ=324.51 τ=40.56
CC 4 SLD (Collegamento 0020_-377)
Azioni sul collegamento: N=-7362.28 Ty=-2.85 Tz=3.74 Mx=0.01 Mz=-1.43
Sollecitazioni agenti localmente: Ty_l=-1338.60 Mx_l=-26.77
Tensioni nella sezione: σ=324.51 τ=40.56
CC 4 SLD (Collegamento 0020_-377)
Azioni sul collegamento: N=-7362.28 Ty=-3.50 Tz=3.74 Mx=0.01 Mz=-1.66
Sollecitazioni agenti localmente: Ty_l=-1338.60 Mx_l=-26.77
Tensioni nella sezione: σ=324.51 τ=40.56
CC 5 SLV (Collegamento 0020_-377)
Azioni sul collegamento: N=-9166.69 Ty=-1.27 Tz=10.38 Mx=0.02 Mz=0.17
Sollecitazioni agenti localmente: Ty_l=-1666.67 Mx_l=-33.33
Tensioni nella sezione: σ=404.04 τ=50.51
CC 5 SLV (Collegamento 0020_-377)
Azioni sul collegamento: N=-9166.69 Ty=-3.39 Tz=10.38 Mx=0.02 Mz=0.91
Sollecitazioni agenti localmente: Ty_l=-1666.67 Mx_l=-33.33
Tensioni nella sezione: σ=404.04 τ=50.51
CC 5 SLV (Collegamento 0020_-377)
Azioni sul collegamento: N=-9166.69 Ty=-1.27 Tz=-9.09 Mx=0.02 Mz=0.17
Sollecitazioni agenti localmente: Ty_l=-1666.67 Mx_l=-33.33
Tensioni nella sezione: σ=404.04 τ=50.51
CC 5 SLV (Collegamento 0020_-377)
Azioni sul collegamento: N=-9166.69 Ty=-3.39 Tz=-9.09 Mx=0.02 Mz=0.91
Sollecitazioni agenti localmente: Ty_l=-1666.67 Mx_l=-33.33
Tensioni nella sezione: σ=404.04 τ=50.51
CC 5 SLV (Collegamento 0020_-377)
Azioni sul collegamento: N=-3881.26 Ty=-1.27 Tz=10.37 Mx=0.02 Mz=0.17
Sollecitazioni agenti localmente: Ty_l=-705.68 Mx_l=-14.11
Tensioni nella sezione: σ=171.07 τ=21.38
CC 5 SLV (Collegamento 0020_-377)
Azioni sul collegamento: N=-3881.26 Ty=-3.39 Tz=10.37 Mx=0.02 Mz=0.91
Sollecitazioni agenti localmente: Ty_l=-705.68 Mx_l=-14.11
Tensioni nella sezione: σ=171.07 τ=21.38
CC 5 SLV (Collegamento 0020_-377)
Azioni sul collegamento: N=-3881.26 Ty=-1.27 Tz=-9.09 Mx=0.02 Mz=0.17
Sollecitazioni agenti localmente: Ty_l=-705.68 Mx_l=-14.11
Tensioni nella sezione: σ=171.07 τ=21.38
CC 5 SLV (Collegamento 0020_-377)
Azioni sul collegamento: N=-3881.26 Ty=-3.39 Tz=-9.09 Mx=0.02 Mz=0.91
Sollecitazioni agenti localmente: Ty_l=-705.68 Mx_l=-14.11
Tensioni nella sezione: σ=171.07 τ=21.38
CC 6 SLD (Collegamento 0020_-377)
Azioni sul collegamento: N=-7362.28 Ty=-3.50 Tz=3.74 Mx=0.01 Mz=-1.66
Sollecitazioni agenti localmente: Ty_l=-1338.60 Mx_l=-26.77
Tensioni nella sezione: σ=324.51 τ=40.56
CC 6 SLD (Collegamento 0020_-377)
Azioni sul collegamento: N=-7362.28 Ty=-2.85 Tz=3.74 Mx=0.01 Mz=-1.43
Sollecitazioni agenti localmente: Ty_l=-1338.60 Mx_l=-26.77
Tensioni nella sezione: σ=324.51 τ=40.56
CC 6 SLD (Collegamento 0020_-377)
Azioni sul collegamento: N=-7362.28 Ty=-3.50 Tz=-2.19 Mx=0.01 Mz=-1.66
Sollecitazioni agenti localmente: Ty_l=-1338.60 Mx_l=-26.77
Tensioni nella sezione: σ=324.51 τ=40.56
CC 6 SLD (Collegamento 0020_-377)
Azioni sul collegamento: N=-7362.28 Ty=-2.85 Tz=-2.19 Mx=0.01 Mz=-1.43
Sollecitazioni agenti localmente: Ty_l=-1338.60 Mx_l=-26.77
Tensioni nella sezione: σ=324.51 τ=40.56
CC 6 SLD (Collegamento 0020_-377)
Azioni sul collegamento: N=-5750.58 Ty=-3.50 Tz=3.74 Mx=0.01 Mz=-1.66
Sollecitazioni agenti localmente: Ty_l=-1045.56 Mx_l=-20.91
Tensioni nella sezione: σ=253.47 τ=31.68
CC 6 SLD (Collegamento 0020_-377)
Azioni sul collegamento: N=-5750.58 Ty=-2.85 Tz=3.74 Mx=0.01 Mz=-1.43
Sollecitazioni agenti localmente: Ty_l=-1045.56 Mx_l=-20.91
Tensioni nella sezione: σ=253.47 τ=31.68
CC 6 SLD (Collegamento 0020_-377)
Azioni sul collegamento: N=-5750.58 Ty=-3.50 Tz=-2.19 Mx=0.01 Mz=-1.66
Sollecitazioni agenti localmente: Ty_l=-1045.56 Mx_l=-20.91
Tensioni nella sezione: σ=253.47 τ=31.68
CC 6 SLD (Collegamento 0020_-377)
Azioni sul collegamento: N=-5750.58 Ty=-2.85 Tz=-2.19 Mx=0.01 Mz=-1.43
Sollecitazioni agenti localmente: Ty_l=-1045.56 Mx_l=-20.91
Tensioni nella sezione: σ=253.47 τ=31.68
CC 7 SLV (Collegamento 0020_-377)
Azioni sul collegamento: N=-9172.38 Ty=-0.64 Tz=10.50 Mx=0.01 Mz=-1.09

Sollecitazioni agenti localmente: Ty_l=-1667.70 Mx_l=-33.35
Tensioni nella sezione: σ=404.29 τ=50.54
CC 7 SLV (Collegamento 0020_-377)
Azioni sul collegamento: N=-9172.38 Ty=-4.02 Tz=10.50 Mx=0.01 Mz=2.16
Sollecitazioni agenti localmente: Ty_l=-1667.70 Mx_l=-33.35
Tensioni nella sezione: σ=404.29 τ=50.54
CC 7 SLV (Collegamento 0020_-377)
Azioni sul collegamento: N=-9172.38 Ty=-0.64 Tz=-9.21 Mx=0.01 Mz=-1.09
Sollecitazioni agenti localmente: Ty_l=-1667.70 Mx_l=-33.35
Tensioni nella sezione: σ=404.29 τ=50.54
CC 7 SLV (Collegamento 0020_-377)
Azioni sul collegamento: N=-9172.38 Ty=-4.02 Tz=-9.21 Mx=0.01 Mz=2.16
Sollecitazioni agenti localmente: Ty_l=-1667.70 Mx_l=-33.35
Tensioni nella sezione: σ=404.29 τ=50.54
CC 7 SLV (Collegamento 0020_-377)
Azioni sul collegamento: N=-3875.57 Ty=-0.64 Tz=10.50 Mx=0.01 Mz=-1.09
Sollecitazioni agenti localmente: Ty_l=-704.65 Mx_l=-14.09
Tensioni nella sezione: σ=170.82 τ=21.35
CC 7 SLV (Collegamento 0020_-377)
Azioni sul collegamento: N=-3875.57 Ty=-4.02 Tz=10.50 Mx=0.01 Mz=2.16
Sollecitazioni agenti localmente: Ty_l=-704.65 Mx_l=-14.09
Tensioni nella sezione: σ=170.82 τ=21.35
CC 7 SLV (Collegamento 0020_-377)
Azioni sul collegamento: N=-3875.57 Ty=-0.64 Tz=-9.21 Mx=0.01 Mz=-1.09
Sollecitazioni agenti localmente: Ty_l=-704.65 Mx_l=-14.09
Tensioni nella sezione: σ=170.82 τ=21.35
CC 7 SLV (Collegamento 0020_-377)
Azioni sul collegamento: N=-3875.57 Ty=-4.02 Tz=-9.21 Mx=0.01 Mz=2.16
Sollecitazioni agenti localmente: Ty_l=-704.65 Mx_l=-14.09
Tensioni nella sezione: σ=170.82 τ=21.35
CC 8 SLD (Collegamento 0020_-377)
Azioni sul collegamento: N=-7364.01 Ty=-3.69 Tz=3.78 Mx=0.01 Mz=-2.04
Sollecitazioni agenti localmente: Ty_l=-1338.91 Mx_l=-26.78
Tensioni nella sezione: σ=324.58 τ=40.57
CC 8 SLD (Collegamento 0020_-377)
Azioni sul collegamento: N=-7364.01 Ty=-2.66 Tz=3.78 Mx=0.01 Mz=-1.05
Sollecitazioni agenti localmente: Ty_l=-1338.91 Mx_l=-26.78
Tensioni nella sezione: σ=324.58 τ=40.57
CC 8 SLD (Collegamento 0020_-377)
Azioni sul collegamento: N=-7364.01 Ty=-3.69 Tz=-2.23 Mx=0.01 Mz=-2.04
Sollecitazioni agenti localmente: Ty_l=-1338.91 Mx_l=-26.78
Tensioni nella sezione: σ=324.58 τ=40.57
CC 8 SLD (Collegamento 0020_-377)
Azioni sul collegamento: N=-7364.01 Ty=-2.66 Tz=-2.23 Mx=0.01 Mz=-1.05
Sollecitazioni agenti localmente: Ty_l=-1338.91 Mx_l=-26.78
Tensioni nella sezione: σ=324.58 τ=40.57
CC 8 SLD (Collegamento 0020_-377)
Azioni sul collegamento: N=-5748.85 Ty=-3.69 Tz=3.78 Mx=0.01 Mz=-2.04
Sollecitazioni agenti localmente: Ty_l=-1045.24 Mx_l=-20.90
Tensioni nella sezione: σ=253.39 τ=31.67
CC 8 SLD (Collegamento 0020_-377)
Azioni sul collegamento: N=-5748.85 Ty=-2.66 Tz=3.78 Mx=0.01 Mz=-1.05
Sollecitazioni agenti localmente: Ty_l=-1045.24 Mx_l=-20.90
Tensioni nella sezione: σ=253.39 τ=31.67
CC 8 SLD (Collegamento 0020_-377)
Azioni sul collegamento: N=-5748.85 Ty=-3.69 Tz=-2.23 Mx=0.01 Mz=-2.04
Sollecitazioni agenti localmente: Ty_l=-1045.24 Mx_l=-20.90
Tensioni nella sezione: σ=253.39 τ=31.67
CC 8 SLD (Collegamento 0020_-377)
Azioni sul collegamento: N=-5748.85 Ty=-2.66 Tz=-2.23 Mx=0.01 Mz=-1.05
Sollecitazioni agenti localmente: Ty_l=-1045.24 Mx_l=-20.90
Tensioni nella sezione: σ=253.39 τ=31.67
CC 9 SLV (Collegamento 0020_-377)
Azioni sul collegamento: N=-5720.83 Ty=-3.80 Tz=-2.51 Mx=0.03 Mz=2.93
Sollecitazioni agenti localmente: Ty_l=-1040.15 Mx_l=-20.80
Tensioni nella sezione: σ=252.16 τ=31.52
CC 9 SLV (Collegamento 0020_-377)
Azioni sul collegamento: N=-5720.83 Ty=-0.86 Tz=-2.51 Mx=0.03 Mz=-1.85
Sollecitazioni agenti localmente: Ty_l=-1040.15 Mx_l=-20.80
Tensioni nella sezione: σ=252.16 τ=31.52
CC 9 SLV (Collegamento 0020_-377)
Azioni sul collegamento: N=-5720.83 Ty=-3.80 Tz=3.80 Mx=0.03 Mz=2.93
Sollecitazioni agenti localmente: Ty_l=-1040.15 Mx_l=-20.80
Tensioni nella sezione: σ=252.16 τ=31.52
CC 9 SLV (Collegamento 0020_-377)
Azioni sul collegamento: N=-5720.83 Ty=-0.86 Tz=3.80 Mx=0.03 Mz=-1.85
Sollecitazioni agenti localmente: Ty_l=-1040.15 Mx_l=-20.80
Tensioni nella sezione: σ=252.16 τ=31.52
CC 9 SLV (Collegamento 0020_-377)

Azioni sul collegamento: N=-7327.12 Ty=-3.80 Tz=-2.51 Mx=0.03 Mz=2.93
Sollecitazioni agenti localmente: Ty_l=-1332.20 Mx_l=-26.64
Tensioni nella sezione: σ=322.96 τ=40.37
CC 9 SLV (Collegamento 0020_-377)
Azioni sul collegamento: N=-7327.12 Ty=-0.86 Tz=-2.51 Mx=0.03 Mz=-1.85
Sollecitazioni agenti localmente: Ty_l=-1332.20 Mx_l=-26.64
Tensioni nella sezione: σ=322.96 τ=40.37
CC 9 SLV (Collegamento 0020_-377)
Azioni sul collegamento: N=-7327.12 Ty=-3.80 Tz=3.80 Mx=0.03 Mz=2.93
Sollecitazioni agenti localmente: Ty_l=-1332.20 Mx_l=-26.64
Tensioni nella sezione: σ=322.96 τ=40.37
CC 9 SLV (Collegamento 0020_-377)
Azioni sul collegamento: N=-7327.12 Ty=-0.86 Tz=3.80 Mx=0.03 Mz=-1.85
Sollecitazioni agenti localmente: Ty_l=-1332.20 Mx_l=-26.64
Tensioni nella sezione: σ=322.96 τ=40.37
CC 10 SLD (Collegamento 0020_-377)
Azioni sul collegamento: N=-6311.52 Ty=-2.73 Tz=-0.19 Mx=0.01 Mz=-0.81
Sollecitazioni agenti localmente: Ty_l=-1147.55 Mx_l=-22.95
Tensioni nella sezione: σ=278.19 τ=34.77
CC 10 SLD (Collegamento 0020_-377)
Azioni sul collegamento: N=-6311.52 Ty=-3.62 Tz=-0.19 Mx=0.01 Mz=-2.27
Sollecitazioni agenti localmente: Ty_l=-1147.55 Mx_l=-22.95
Tensioni nella sezione: σ=278.19 τ=34.77
CC 10 SLD (Collegamento 0020_-377)
Azioni sul collegamento: N=-6311.52 Ty=-2.73 Tz=1.73 Mx=0.01 Mz=-0.81
Sollecitazioni agenti localmente: Ty_l=-1147.55 Mx_l=-22.95
Tensioni nella sezione: σ=278.19 τ=34.77
CC 10 SLD (Collegamento 0020_-377)
Azioni sul collegamento: N=-6311.52 Ty=-3.62 Tz=1.73 Mx=0.01 Mz=-2.27
Sollecitazioni agenti localmente: Ty_l=-1147.55 Mx_l=-22.95
Tensioni nella sezione: σ=278.19 τ=34.77
CC 10 SLD (Collegamento 0020_-377)
Azioni sul collegamento: N=-6801.33 Ty=-2.73 Tz=-0.19 Mx=0.01 Mz=-0.81
Sollecitazioni agenti localmente: Ty_l=-1236.61 Mx_l=-24.73
Tensioni nella sezione: σ=299.78 τ=37.47
CC 10 SLD (Collegamento 0020_-377)
Azioni sul collegamento: N=-6801.33 Ty=-3.62 Tz=-0.19 Mx=0.01 Mz=-2.27
Sollecitazioni agenti localmente: Ty_l=-1236.61 Mx_l=-24.73
Tensioni nella sezione: σ=299.78 τ=37.47
CC 10 SLD (Collegamento 0020_-377)
Azioni sul collegamento: N=-6801.33 Ty=-2.73 Tz=1.73 Mx=0.01 Mz=-0.81
Sollecitazioni agenti localmente: Ty_l=-1236.61 Mx_l=-24.73
Tensioni nella sezione: σ=299.78 τ=37.47
CC 10 SLD (Collegamento 0020_-377)
Azioni sul collegamento: N=-6801.33 Ty=-3.62 Tz=1.73 Mx=0.01 Mz=-2.27
Sollecitazioni agenti localmente: Ty_l=-1236.61 Mx_l=-24.73
Tensioni nella sezione: σ=299.78 τ=37.47
CC 11 SLV (Collegamento 0020_-377)
Azioni sul collegamento: N=-7308.16 Ty=-2.97 Tz=3.37 Mx=0.02 Mz=2.33
Sollecitazioni agenti localmente: Ty_l=-1328.76 Mx_l=-26.58
Tensioni nella sezione: σ=322.12 τ=40.27
CC 11 SLV (Collegamento 0020_-377)
Azioni sul collegamento: N=-7308.16 Ty=-1.68 Tz=3.37 Mx=0.02 Mz=-1.26
Sollecitazioni agenti localmente: Ty_l=-1328.76 Mx_l=-26.58
Tensioni nella sezione: σ=322.12 τ=40.27
CC 11 SLV (Collegamento 0020_-377)
Azioni sul collegamento: N=-7308.16 Ty=-2.97 Tz=-2.08 Mx=0.02 Mz=2.33
Sollecitazioni agenti localmente: Ty_l=-1328.76 Mx_l=-26.58
Tensioni nella sezione: σ=322.12 τ=40.27
CC 11 SLV (Collegamento 0020_-377)
Azioni sul collegamento: N=-7308.16 Ty=-1.68 Tz=-2.08 Mx=0.02 Mz=-1.26
Sollecitazioni agenti localmente: Ty_l=-1328.76 Mx_l=-26.58
Tensioni nella sezione: σ=322.12 τ=40.27
CC 11 SLV (Collegamento 0020_-377)
Azioni sul collegamento: N=-5739.79 Ty=-2.97 Tz=3.37 Mx=0.02 Mz=2.33
Sollecitazioni agenti localmente: Ty_l=-1043.60 Mx_l=-20.87
Tensioni nella sezione: σ=252.99 τ=31.62
CC 11 SLV (Collegamento 0020_-377)
Azioni sul collegamento: N=-5739.79 Ty=-1.68 Tz=3.37 Mx=0.02 Mz=-1.26
Sollecitazioni agenti localmente: Ty_l=-1043.60 Mx_l=-20.87
Tensioni nella sezione: σ=252.99 τ=31.62
CC 11 SLV (Collegamento 0020_-377)
Azioni sul collegamento: N=-5739.79 Ty=-2.97 Tz=-2.08 Mx=0.02 Mz=2.33
Sollecitazioni agenti localmente: Ty_l=-1043.60 Mx_l=-20.87
Tensioni nella sezione: σ=252.99 τ=31.62
CC 11 SLV (Collegamento 0020_-377)
Azioni sul collegamento: N=-5739.79 Ty=-1.68 Tz=-2.08 Mx=0.02 Mz=-1.26
Sollecitazioni agenti localmente: Ty_l=-1043.60 Mx_l=-20.87
Tensioni nella sezione: σ=252.99 τ=31.62

CC 12 SLD (Collegamento 0020_-377)
Azioni sul collegamento: N=-6795.55 Ty=-2.98 Tz=1.60 Mx=0.01 Mz=-1.00
Sollecitazioni agenti localmente: Ty_l=-1235.55 Mx_l=-24.71
Tensioni nella sezione: σ=299.53 τ=37.44
CC 12 SLD (Collegamento 0020_-377)
Azioni sul collegamento: N=-6795.55 Ty=-3.37 Tz=1.60 Mx=0.01 Mz=-2.09
Sollecitazioni agenti localmente: Ty_l=-1235.55 Mx_l=-24.71
Tensioni nella sezione: σ=299.53 τ=37.44
CC 12 SLD (Collegamento 0020_-377)
Azioni sul collegamento: N=-6795.55 Ty=-2.98 Tz=-0.06 Mx=0.01 Mz=-1.00
Sollecitazioni agenti localmente: Ty_l=-1235.55 Mx_l=-24.71
Tensioni nella sezione: σ=299.53 τ=37.44
CC 12 SLD (Collegamento 0020_-377)
Azioni sul collegamento: N=-6795.55 Ty=-3.37 Tz=-0.06 Mx=0.01 Mz=-2.09
Sollecitazioni agenti localmente: Ty_l=-1235.55 Mx_l=-24.71
Tensioni nella sezione: σ=299.53 τ=37.44
CC 12 SLD (Collegamento 0020_-377)
Azioni sul collegamento: N=-6317.31 Ty=-2.98 Tz=1.60 Mx=0.01 Mz=-1.00
Sollecitazioni agenti localmente: Ty_l=-1148.60 Mx_l=-22.97
Tensioni nella sezione: σ=278.45 τ=34.81
CC 12 SLD (Collegamento 0020_-377)
Azioni sul collegamento: N=-6317.31 Ty=-3.37 Tz=1.60 Mx=0.01 Mz=-2.09
Sollecitazioni agenti localmente: Ty_l=-1148.60 Mx_l=-22.97
Tensioni nella sezione: σ=278.45 τ=34.81
CC 12 SLD (Collegamento 0020_-377)
Azioni sul collegamento: N=-6317.31 Ty=-2.98 Tz=-0.06 Mx=0.01 Mz=-1.00
Sollecitazioni agenti localmente: Ty_l=-1148.60 Mx_l=-22.97
Tensioni nella sezione: σ=278.45 τ=34.81
CC 12 SLD (Collegamento 0020_-377)
Azioni sul collegamento: N=-6317.31 Ty=-3.37 Tz=-0.06 Mx=0.01 Mz=-2.09
Sollecitazioni agenti localmente: Ty_l=-1148.60 Mx_l=-22.97
Tensioni nella sezione: σ=278.45 τ=34.81
CC 13 SLV (Collegamento 0020_-377)
Azioni sul collegamento: N=-5739.79 Ty=-1.68 Tz=-2.08 Mx=0.01 Mz=-1.26
Sollecitazioni agenti localmente: Ty_l=-1043.60 Mx_l=-20.87
Tensioni nella sezione: σ=252.99 τ=31.62
CC 13 SLV (Collegamento 0020_-377)
Azioni sul collegamento: N=-5739.79 Ty=-2.97 Tz=-2.08 Mx=0.01 Mz=2.33
Sollecitazioni agenti localmente: Ty_l=-1043.60 Mx_l=-20.87
Tensioni nella sezione: σ=252.99 τ=31.62
CC 13 SLV (Collegamento 0020_-377)
Azioni sul collegamento: N=-5739.79 Ty=-1.68 Tz=3.37 Mx=0.01 Mz=-1.26
Sollecitazioni agenti localmente: Ty_l=-1043.60 Mx_l=-20.87
Tensioni nella sezione: σ=252.99 τ=31.62
CC 13 SLV (Collegamento 0020_-377)
Azioni sul collegamento: N=-5739.79 Ty=-2.97 Tz=3.37 Mx=0.01 Mz=2.33
Sollecitazioni agenti localmente: Ty_l=-1043.60 Mx_l=-20.87
Tensioni nella sezione: σ=252.99 τ=31.62
CC 13 SLV (Collegamento 0020_-377)
Azioni sul collegamento: N=-7308.16 Ty=-1.68 Tz=-2.08 Mx=0.01 Mz=-1.26
Sollecitazioni agenti localmente: Ty_l=-1328.76 Mx_l=-26.58
Tensioni nella sezione: σ=322.12 τ=40.27
CC 13 SLV (Collegamento 0020_-377)
Azioni sul collegamento: N=-7308.16 Ty=-2.97 Tz=-2.08 Mx=0.01 Mz=2.33
Sollecitazioni agenti localmente: Ty_l=-1328.76 Mx_l=-26.58
Tensioni nella sezione: σ=322.12 τ=40.27
CC 13 SLV (Collegamento 0020_-377)
Azioni sul collegamento: N=-7308.16 Ty=-1.68 Tz=3.37 Mx=0.01 Mz=-1.26
Sollecitazioni agenti localmente: Ty_l=-1328.76 Mx_l=-26.58
Tensioni nella sezione: σ=322.12 τ=40.27
CC 13 SLV (Collegamento 0020_-377)
Azioni sul collegamento: N=-7308.16 Ty=-2.97 Tz=3.37 Mx=0.01 Mz=2.33
Sollecitazioni agenti localmente: Ty_l=-1328.76 Mx_l=-26.58
Tensioni nella sezione: σ=322.12 τ=40.27
CC 14 SLD (Collegamento 0020_-377)
Azioni sul collegamento: N=-6317.31 Ty=-3.37 Tz=-0.06 Mx=0.01 Mz=-2.09
Sollecitazioni agenti localmente: Ty_l=-1148.60 Mx_l=-22.97
Tensioni nella sezione: σ=278.45 τ=34.81
CC 14 SLD (Collegamento 0020_-377)
Azioni sul collegamento: N=-6317.31 Ty=-2.98 Tz=-0.06 Mx=0.01 Mz=-1.00
Sollecitazioni agenti localmente: Ty_l=-1148.60 Mx_l=-22.97
Tensioni nella sezione: σ=278.45 τ=34.81
CC 14 SLD (Collegamento 0020_-377)
Azioni sul collegamento: N=-6317.31 Ty=-3.37 Tz=1.60 Mx=0.01 Mz=-2.09
Sollecitazioni agenti localmente: Ty_l=-1148.60 Mx_l=-22.97
Tensioni nella sezione: σ=278.45 τ=34.81
CC 14 SLD (Collegamento 0020_-377)
Azioni sul collegamento: N=-6317.31 Ty=-2.98 Tz=1.60 Mx=0.01 Mz=-1.00
Sollecitazioni agenti localmente: Ty_l=-1148.60 Mx_l=-22.97

Tensioni nella sezione: σ=278.45 τ=34.81
CC 14 SLD (Collegamento 0020_-377)
Azioni sul collegamento: N=-6795.55 Ty=-3.37 Tz=-0.06 Mx=0.01 Mz=-2.09
Sollecitazioni agenti localmente: Ty_l=-1235.55 Mx_l=-24.71
Tensioni nella sezione: σ=299.53 τ=37.44
CC 14 SLD (Collegamento 0020_-377)
Azioni sul collegamento: N=-6795.55 Ty=-2.98 Tz=-0.06 Mx=0.01 Mz=-1.00
Sollecitazioni agenti localmente: Ty_l=-1235.55 Mx_l=-24.71
Tensioni nella sezione: σ=299.53 τ=37.44
CC 14 SLD (Collegamento 0020_-377)
Azioni sul collegamento: N=-6795.55 Ty=-3.37 Tz=1.60 Mx=0.01 Mz=-2.09
Sollecitazioni agenti localmente: Ty_l=-1235.55 Mx_l=-24.71
Tensioni nella sezione: σ=299.53 τ=37.44
CC 14 SLD (Collegamento 0020_-377)
Azioni sul collegamento: N=-6795.55 Ty=-2.98 Tz=1.60 Mx=0.01 Mz=-1.00
Sollecitazioni agenti localmente: Ty_l=-1235.55 Mx_l=-24.71
Tensioni nella sezione: σ=299.53 τ=37.44
CC 15 SLV (Collegamento 0020_-377)
Azioni sul collegamento: N=-7327.12 Ty=-0.86 Tz=3.80 Mx=0.01 Mz=-1.85
Sollecitazioni agenti localmente: Ty_l=-1332.20 Mx_l=-26.64
Tensioni nella sezione: σ=322.96 τ=40.37
CC 15 SLV (Collegamento 0020_-377)
Azioni sul collegamento: N=-7327.12 Ty=-3.80 Tz=3.80 Mx=0.01 Mz=2.93
Sollecitazioni agenti localmente: Ty_l=-1332.20 Mx_l=-26.64
Tensioni nella sezione: σ=322.96 τ=40.37
CC 15 SLV (Collegamento 0020_-377)
Azioni sul collegamento: N=-7327.12 Ty=-0.86 Tz=-2.51 Mx=0.01 Mz=-1.85
Sollecitazioni agenti localmente: Ty_l=-1332.20 Mx_l=-26.64
Tensioni nella sezione: σ=322.96 τ=40.37
CC 15 SLV (Collegamento 0020_-377)
Azioni sul collegamento: N=-7327.12 Ty=-3.80 Tz=-2.51 Mx=0.01 Mz=2.93
Sollecitazioni agenti localmente: Ty_l=-1332.20 Mx_l=-26.64
Tensioni nella sezione: σ=322.96 τ=40.37
CC 15 SLV (Collegamento 0020_-377)
Azioni sul collegamento: N=-5720.83 Ty=-0.86 Tz=3.80 Mx=0.01 Mz=-1.85
Sollecitazioni agenti localmente: Ty_l=-1040.15 Mx_l=-20.80
Tensioni nella sezione: σ=252.16 τ=31.52
CC 15 SLV (Collegamento 0020_-377)
Azioni sul collegamento: N=-5720.83 Ty=-3.80 Tz=3.80 Mx=0.01 Mz=2.93
Sollecitazioni agenti localmente: Ty_l=-1040.15 Mx_l=-20.80
Tensioni nella sezione: σ=252.16 τ=31.52
CC 15 SLV (Collegamento 0020_-377)
Azioni sul collegamento: N=-5720.83 Ty=-0.86 Tz=-2.51 Mx=0.01 Mz=-1.85
Sollecitazioni agenti localmente: Ty_l=-1040.15 Mx_l=-20.80
Tensioni nella sezione: σ=252.16 τ=31.52
CC 15 SLV (Collegamento 0020_-377)
Azioni sul collegamento: N=-5720.83 Ty=-3.80 Tz=-2.51 Mx=0.01 Mz=2.93
Sollecitazioni agenti localmente: Ty_l=-1040.15 Mx_l=-20.80
Tensioni nella sezione: σ=252.16 τ=31.52
CC 16 SLD (Collegamento 0020_-377)
Azioni sul collegamento: N=-6801.33 Ty=-3.62 Tz=1.73 Mx=0.01 Mz=-2.27
Sollecitazioni agenti localmente: Ty_l=-1236.61 Mx_l=-24.73
Tensioni nella sezione: σ=299.78 τ=37.47
CC 16 SLD (Collegamento 0020_-377)
Azioni sul collegamento: N=-6801.33 Ty=-2.73 Tz=1.73 Mx=0.01 Mz=-0.81
Sollecitazioni agenti localmente: Ty_l=-1236.61 Mx_l=-24.73
Tensioni nella sezione: σ=299.78 τ=37.47
CC 16 SLD (Collegamento 0020_-377)
Azioni sul collegamento: N=-6801.33 Ty=-3.62 Tz=-0.19 Mx=0.01 Mz=-2.27
Sollecitazioni agenti localmente: Ty_l=-1236.61 Mx_l=-24.73
Tensioni nella sezione: σ=299.78 τ=37.47
CC 16 SLD (Collegamento 0020_-377)
Azioni sul collegamento: N=-6801.33 Ty=-2.73 Tz=-0.19 Mx=0.01 Mz=-0.81
Sollecitazioni agenti localmente: Ty_l=-1236.61 Mx_l=-24.73
Tensioni nella sezione: σ=299.78 τ=37.47
CC 16 SLD (Collegamento 0020_-377)
Azioni sul collegamento: N=-6311.52 Ty=-3.62 Tz=1.73 Mx=0.01 Mz=-2.27
Sollecitazioni agenti localmente: Ty_l=-1147.55 Mx_l=-22.95
Tensioni nella sezione: σ=278.19 τ=34.77
CC 16 SLD (Collegamento 0020_-377)
Azioni sul collegamento: N=-6311.52 Ty=-2.73 Tz=1.73 Mx=0.01 Mz=-0.81
Sollecitazioni agenti localmente: Ty_l=-1147.55 Mx_l=-22.95
Tensioni nella sezione: σ=278.19 τ=34.77
CC 16 SLD (Collegamento 0020_-377)
Azioni sul collegamento: N=-6311.52 Ty=-3.62 Tz=-0.19 Mx=0.01 Mz=-2.27
Sollecitazioni agenti localmente: Ty_l=-1147.55 Mx_l=-22.95
Tensioni nella sezione: σ=278.19 τ=34.77
CC 16 SLD (Collegamento 0020_-377)
Azioni sul collegamento: N=-6311.52 Ty=-2.73 Tz=-0.19 Mx=0.01 Mz=-0.81

Sollecitazioni agenti localmente: Ty_l=-1147.55 Mx_l=-22.95
Tensioni nella sezione: σ=278.19 τ=34.77
CC 17 SLV (Collegamento 0020_-377)
Azioni sul collegamento: N=-3968.96 Ty=-3.07 Tz=-8.85 Mx=-0.01 Mz=-3.83
Sollecitazioni agenti localmente: Ty_l=-721.63 Mx_l=-14.43
Tensioni nella sezione: σ=174.94 τ=21.87
CC 17 SLV (Collegamento 0020_-377)
Azioni sul collegamento: N=-3968.96 Ty=-6.45 Tz=-8.85 Mx=-0.01 Mz=-7.08
Sollecitazioni agenti localmente: Ty_l=-721.63 Mx_l=-14.43
Tensioni nella sezione: σ=174.94 τ=21.87
CC 17 SLV (Collegamento 0020_-377)
Azioni sul collegamento: N=-3968.96 Ty=-3.07 Tz=10.87 Mx=-0.01 Mz=-3.83
Sollecitazioni agenti localmente: Ty_l=-721.63 Mx_l=-14.43
Tensioni nella sezione: σ=174.94 τ=21.87
CC 17 SLV (Collegamento 0020_-377)
Azioni sul collegamento: N=-3968.96 Ty=-6.45 Tz=10.87 Mx=-0.01 Mz=-7.08
Sollecitazioni agenti localmente: Ty_l=-721.63 Mx_l=-14.43
Tensioni nella sezione: σ=174.94 τ=21.87
CC 17 SLV (Collegamento 0020_-377)
Azioni sul collegamento: N=-9265.76 Ty=-3.07 Tz=-8.85 Mx=-0.01 Mz=-3.83
Sollecitazioni agenti localmente: Ty_l=-1684.68 Mx_l=-33.69
Tensioni nella sezione: σ=408.41 τ=51.05
CC 17 SLV (Collegamento 0020_-377)
Azioni sul collegamento: N=-9265.76 Ty=-6.45 Tz=-8.85 Mx=-0.01 Mz=-7.08
Sollecitazioni agenti localmente: Ty_l=-1684.68 Mx_l=-33.69
Tensioni nella sezione: σ=408.41 τ=51.05
CC 17 SLV (Collegamento 0020_-377)
Azioni sul collegamento: N=-9265.76 Ty=-3.07 Tz=10.87 Mx=-0.01 Mz=-3.83
Sollecitazioni agenti localmente: Ty_l=-1684.68 Mx_l=-33.69
Tensioni nella sezione: σ=408.41 τ=51.05
CC 17 SLV (Collegamento 0020_-377)
Azioni sul collegamento: N=-9265.76 Ty=-6.45 Tz=10.87 Mx=-0.01 Mz=-7.08
Sollecitazioni agenti localmente: Ty_l=-1684.68 Mx_l=-33.69
Tensioni nella sezione: σ=408.41 τ=51.05
CC 18 SLD (Collegamento 0020_-377)
Azioni sul collegamento: N=-5777.32 Ty=-3.40 Tz=-2.12 Mx=-0.00 Mz=-2.87
Sollecitazioni agenti localmente: Ty_l=-1050.42 Mx_l=-21.01
Tensioni nella sezione: σ=254.65 τ=31.83
CC 18 SLD (Collegamento 0020_-377)
Azioni sul collegamento: N=-5777.32 Ty=-4.43 Tz=-2.12 Mx=-0.00 Mz=-3.87
Sollecitazioni agenti localmente: Ty_l=-1050.42 Mx_l=-21.01
Tensioni nella sezione: σ=254.65 τ=31.83
CC 18 SLD (Collegamento 0020_-377)
Azioni sul collegamento: N=-5777.32 Ty=-3.40 Tz=3.89 Mx=-0.00 Mz=-2.87
Sollecitazioni agenti localmente: Ty_l=-1050.42 Mx_l=-21.01
Tensioni nella sezione: σ=254.65 τ=31.83
CC 18 SLD (Collegamento 0020_-377)
Azioni sul collegamento: N=-5777.32 Ty=-4.43 Tz=3.89 Mx=-0.00 Mz=-3.87
Sollecitazioni agenti localmente: Ty_l=-1050.42 Mx_l=-21.01
Tensioni nella sezione: σ=254.65 τ=31.83
CC 18 SLD (Collegamento 0020_-377)
Azioni sul collegamento: N=-7392.49 Ty=-3.40 Tz=-2.12 Mx=-0.00 Mz=-2.87
Sollecitazioni agenti localmente: Ty_l=-1344.09 Mx_l=-26.88
Tensioni nella sezione: σ=325.84 τ=40.73
CC 18 SLD (Collegamento 0020_-377)
Azioni sul collegamento: N=-7392.49 Ty=-4.43 Tz=-2.12 Mx=-0.00 Mz=-3.87
Sollecitazioni agenti localmente: Ty_l=-1344.09 Mx_l=-26.88
Tensioni nella sezione: σ=325.84 τ=40.73
CC 18 SLD (Collegamento 0020_-377)
Azioni sul collegamento: N=-7392.49 Ty=-3.40 Tz=3.89 Mx=-0.00 Mz=-2.87
Sollecitazioni agenti localmente: Ty_l=-1344.09 Mx_l=-26.88
Tensioni nella sezione: σ=325.84 τ=40.73
CC 18 SLD (Collegamento 0020_-377)
Azioni sul collegamento: N=-7392.49 Ty=-4.43 Tz=3.89 Mx=-0.00 Mz=-3.87
Sollecitazioni agenti localmente: Ty_l=-1344.09 Mx_l=-26.88
Tensioni nella sezione: σ=325.84 τ=40.73
CC 19 SLV (Collegamento 0020_-377)
Azioni sul collegamento: N=-3974.65 Ty=-3.70 Tz=-8.72 Mx=-0.01 Mz=-5.08
Sollecitazioni agenti localmente: Ty_l=-722.66 Mx_l=-14.45
Tensioni nella sezione: σ=175.19 τ=21.90
CC 19 SLV (Collegamento 0020_-377)
Azioni sul collegamento: N=-3974.65 Ty=-5.81 Tz=-8.72 Mx=-0.01 Mz=-5.82
Sollecitazioni agenti localmente: Ty_l=-722.66 Mx_l=-14.45
Tensioni nella sezione: σ=175.19 τ=21.90
CC 19 SLV (Collegamento 0020_-377)
Azioni sul collegamento: N=-3974.65 Ty=-3.70 Tz=10.74 Mx=-0.01 Mz=-5.08
Sollecitazioni agenti localmente: Ty_l=-722.66 Mx_l=-14.45
Tensioni nella sezione: σ=175.19 τ=21.90
CC 19 SLV (Collegamento 0020_-377)

Azioni sul collegamento: N=-3974.65 Ty=-5.81 Tz=10.74 Mx=-0.01 Mz=-5.82
Sollecitazioni agenti localmente: Ty_l=-722.66 Mx_l=-14.45
Tensioni nella sezione: σ=175.19 τ=21.90
CC 19 SLV (Collegamento 0020_-377)
Azioni sul collegamento: N=-9260.08 Ty=-3.70 Tz=-8.72 Mx=-0.01 Mz=-5.08
Sollecitazioni agenti localmente: Ty_l=-1683.65 Mx_l=-33.67
Tensioni nella sezione: σ=408.16 τ=51.02
CC 19 SLV (Collegamento 0020_-377)
Azioni sul collegamento: N=-9260.08 Ty=-5.81 Tz=-8.72 Mx=-0.01 Mz=-5.82
Sollecitazioni agenti localmente: Ty_l=-1683.65 Mx_l=-33.67
Tensioni nella sezione: σ=408.16 τ=51.02
CC 19 SLV (Collegamento 0020_-377)
Azioni sul collegamento: N=-9260.08 Ty=-3.70 Tz=10.74 Mx=-0.01 Mz=-5.08
Sollecitazioni agenti localmente: Ty_l=-1683.65 Mx_l=-33.67
Tensioni nella sezione: σ=408.16 τ=51.02
CC 19 SLV (Collegamento 0020_-377)
Azioni sul collegamento: N=-9260.08 Ty=-5.81 Tz=10.74 Mx=-0.01 Mz=-5.82
Sollecitazioni agenti localmente: Ty_l=-1683.65 Mx_l=-33.67
Tensioni nella sezione: σ=408.16 τ=51.02
CC 20 SLD (Collegamento 0020_-377)
Azioni sul collegamento: N=-5779.06 Ty=-3.59 Tz=-2.08 Mx=-0.00 Mz=-3.26
Sollecitazioni agenti localmente: Ty_l=-1050.74 Mx_l=-21.01
Tensioni nella sezione: σ=254.72 τ=31.84
CC 20 SLD (Collegamento 0020_-377)
Azioni sul collegamento: N=-5779.06 Ty=-4.24 Tz=-2.08 Mx=-0.00 Mz=-3.48
Sollecitazioni agenti localmente: Ty_l=-1050.74 Mx_l=-21.01
Tensioni nella sezione: σ=254.72 τ=31.84
CC 20 SLD (Collegamento 0020_-377)
Azioni sul collegamento: N=-5779.06 Ty=-3.59 Tz=3.85 Mx=-0.00 Mz=-3.26
Sollecitazioni agenti localmente: Ty_l=-1050.74 Mx_l=-21.01
Tensioni nella sezione: σ=254.72 τ=31.84
CC 20 SLD (Collegamento 0020_-377)
Azioni sul collegamento: N=-5779.06 Ty=-4.24 Tz=3.85 Mx=-0.00 Mz=-3.48
Sollecitazioni agenti localmente: Ty_l=-1050.74 Mx_l=-21.01
Tensioni nella sezione: σ=254.72 τ=31.84
CC 20 SLD (Collegamento 0020_-377)
Azioni sul collegamento: N=-7390.75 Ty=-3.59 Tz=-2.08 Mx=-0.00 Mz=-3.26
Sollecitazioni agenti localmente: Ty_l=-1343.77 Mx_l=-26.88
Tensioni nella sezione: σ=325.76 τ=40.72
CC 20 SLD (Collegamento 0020_-377)
Azioni sul collegamento: N=-7390.75 Ty=-4.24 Tz=-2.08 Mx=-0.00 Mz=-3.48
Sollecitazioni agenti localmente: Ty_l=-1343.77 Mx_l=-26.88
Tensioni nella sezione: σ=325.76 τ=40.72
CC 20 SLD (Collegamento 0020_-377)
Azioni sul collegamento: N=-7390.75 Ty=-3.59 Tz=3.85 Mx=-0.00 Mz=-3.26
Sollecitazioni agenti localmente: Ty_l=-1343.77 Mx_l=-26.88
Tensioni nella sezione: σ=325.76 τ=40.72
CC 20 SLD (Collegamento 0020_-377)
Azioni sul collegamento: N=-7390.75 Ty=-4.24 Tz=3.85 Mx=-0.00 Mz=-3.48
Sollecitazioni agenti localmente: Ty_l=-1343.77 Mx_l=-26.88
Tensioni nella sezione: σ=325.76 τ=40.72
CC 21 SLV (Collegamento 0020_-377)
Azioni sul collegamento: N=-9260.08 Ty=-5.81 Tz=10.74 Mx=-0.01 Mz=-5.82
Sollecitazioni agenti localmente: Ty_l=-1683.65 Mx_l=-33.67
Tensioni nella sezione: σ=408.16 τ=51.02
CC 21 SLV (Collegamento 0020_-377)
Azioni sul collegamento: N=-9260.08 Ty=-3.70 Tz=10.74 Mx=-0.01 Mz=-5.08
Sollecitazioni agenti localmente: Ty_l=-1683.65 Mx_l=-33.67
Tensioni nella sezione: σ=408.16 τ=51.02
CC 21 SLV (Collegamento 0020_-377)
Azioni sul collegamento: N=-9260.08 Ty=-5.81 Tz=-8.72 Mx=-0.01 Mz=-5.82
Sollecitazioni agenti localmente: Ty_l=-1683.65 Mx_l=-33.67
Tensioni nella sezione: σ=408.16 τ=51.02
CC 21 SLV (Collegamento 0020_-377)
Azioni sul collegamento: N=-9260.08 Ty=-3.70 Tz=-8.72 Mx=-0.01 Mz=-5.08
Sollecitazioni agenti localmente: Ty_l=-1683.65 Mx_l=-33.67
Tensioni nella sezione: σ=408.16 τ=51.02
CC 21 SLV (Collegamento 0020_-377)
Azioni sul collegamento: N=-3974.65 Ty=-5.81 Tz=10.74 Mx=-0.01 Mz=-5.82
Sollecitazioni agenti localmente: Ty_l=-722.66 Mx_l=-14.45
Tensioni nella sezione: σ=175.19 τ=21.90
CC 21 SLV (Collegamento 0020_-377)
Azioni sul collegamento: N=-3974.65 Ty=-3.70 Tz=10.74 Mx=-0.01 Mz=-5.08
Sollecitazioni agenti localmente: Ty_l=-722.66 Mx_l=-14.45
Tensioni nella sezione: σ=175.19 τ=21.90
CC 21 SLV (Collegamento 0020_-377)
Azioni sul collegamento: N=-3974.65 Ty=-5.81 Tz=-8.72 Mx=-0.01 Mz=-5.82
Sollecitazioni agenti localmente: Ty_l=-722.66 Mx_l=-14.45
Tensioni nella sezione: σ=175.19 τ=21.90

CC 21 SLV (Collegamento 0020_-377)
Azioni sul collegamento: N=-3974.65 Ty=-3.70 Tz=-8.72 Mx=-0.01 Mz=-5.08
Sollecitazioni agenti localmente: Ty_l=-722.66 Mx_l=-14.45
Tensioni nella sezione: σ=175.19 τ=21.90
CC 22 SLD (Collegamento 0020_-377)
Azioni sul collegamento: N=-7390.75 Ty=-4.24 Tz=3.85 Mx=-0.00 Mz=-3.48
Sollecitazioni agenti localmente: Ty_l=-1343.77 Mx_l=-26.88
Tensioni nella sezione: σ=325.76 τ=40.72
CC 22 SLD (Collegamento 0020_-377)
Azioni sul collegamento: N=-7390.75 Ty=-3.59 Tz=3.85 Mx=-0.00 Mz=-3.26
Sollecitazioni agenti localmente: Ty_l=-1343.77 Mx_l=-26.88
Tensioni nella sezione: σ=325.76 τ=40.72
CC 22 SLD (Collegamento 0020_-377)
Azioni sul collegamento: N=-7390.75 Ty=-4.24 Tz=-2.08 Mx=-0.00 Mz=-3.48
Sollecitazioni agenti localmente: Ty_l=-1343.77 Mx_l=-26.88
Tensioni nella sezione: σ=325.76 τ=40.72
CC 22 SLD (Collegamento 0020_-377)
Azioni sul collegamento: N=-7390.75 Ty=-3.59 Tz=-2.08 Mx=-0.00 Mz=-3.26
Sollecitazioni agenti localmente: Ty_l=-1343.77 Mx_l=-26.88
Tensioni nella sezione: σ=325.76 τ=40.72
CC 22 SLD (Collegamento 0020_-377)
Azioni sul collegamento: N=-5779.06 Ty=-4.24 Tz=3.85 Mx=-0.00 Mz=-3.48
Sollecitazioni agenti localmente: Ty_l=-1050.74 Mx_l=-21.01
Tensioni nella sezione: σ=254.72 τ=31.84
CC 22 SLD (Collegamento 0020_-377)
Azioni sul collegamento: N=-5779.06 Ty=-3.59 Tz=3.85 Mx=-0.00 Mz=-3.26
Sollecitazioni agenti localmente: Ty_l=-1050.74 Mx_l=-21.01
Tensioni nella sezione: σ=254.72 τ=31.84
CC 22 SLD (Collegamento 0020_-377)
Azioni sul collegamento: N=-5779.06 Ty=-4.24 Tz=-2.08 Mx=-0.00 Mz=-3.48
Sollecitazioni agenti localmente: Ty_l=-1050.74 Mx_l=-21.01
Tensioni nella sezione: σ=254.72 τ=31.84
CC 22 SLD (Collegamento 0020_-377)
Azioni sul collegamento: N=-5779.06 Ty=-3.59 Tz=-2.08 Mx=-0.00 Mz=-3.26
Sollecitazioni agenti localmente: Ty_l=-1050.74 Mx_l=-21.01
Tensioni nella sezione: σ=254.72 τ=31.84
CC 23 SLV (Collegamento 0020_-377)
Azioni sul collegamento: N=-9265.76 Ty=-6.45 Tz=10.87 Mx=-0.01 Mz=-7.08
Sollecitazioni agenti localmente: Ty_l=-1684.68 Mx_l=-33.69
Tensioni nella sezione: σ=408.41 τ=51.05
CC 23 SLV (Collegamento 0020_-377)
Azioni sul collegamento: N=-9265.76 Ty=-3.07 Tz=10.87 Mx=-0.01 Mz=-3.83
Sollecitazioni agenti localmente: Ty_l=-1684.68 Mx_l=-33.69
Tensioni nella sezione: σ=408.41 τ=51.05
CC 23 SLV (Collegamento 0020_-377)
Azioni sul collegamento: N=-9265.76 Ty=-6.45 Tz=-8.85 Mx=-0.01 Mz=-7.08
Sollecitazioni agenti localmente: Ty_l=-1684.68 Mx_l=-33.69
Tensioni nella sezione: σ=408.41 τ=51.05
CC 23 SLV (Collegamento 0020_-377)
Azioni sul collegamento: N=-9265.76 Ty=-3.07 Tz=-8.85 Mx=-0.01 Mz=-3.83
Sollecitazioni agenti localmente: Ty_l=-1684.68 Mx_l=-33.69
Tensioni nella sezione: σ=408.41 τ=51.05
CC 23 SLV (Collegamento 0020_-377)
Azioni sul collegamento: N=-3968.96 Ty=-6.45 Tz=10.87 Mx=-0.01 Mz=-7.08
Sollecitazioni agenti localmente: Ty_l=-721.63 Mx_l=-14.43
Tensioni nella sezione: σ=174.94 τ=21.87
CC 23 SLV (Collegamento 0020_-377)
Azioni sul collegamento: N=-3968.96 Ty=-3.07 Tz=10.87 Mx=-0.01 Mz=-3.83
Sollecitazioni agenti localmente: Ty_l=-721.63 Mx_l=-14.43
Tensioni nella sezione: σ=174.94 τ=21.87
CC 23 SLV (Collegamento 0020_-377)
Azioni sul collegamento: N=-3968.96 Ty=-6.45 Tz=-8.85 Mx=-0.01 Mz=-7.08
Sollecitazioni agenti localmente: Ty_l=-721.63 Mx_l=-14.43
Tensioni nella sezione: σ=174.94 τ=21.87
CC 23 SLV (Collegamento 0020_-377)
Azioni sul collegamento: N=-3968.96 Ty=-3.07 Tz=-8.85 Mx=-0.01 Mz=-3.83
Sollecitazioni agenti localmente: Ty_l=-721.63 Mx_l=-14.43
Tensioni nella sezione: σ=174.94 τ=21.87
CC 24 SLD (Collegamento 0020_-377)
Azioni sul collegamento: N=-7392.49 Ty=-4.43 Tz=3.89 Mx=0.00 Mz=-3.87
Sollecitazioni agenti localmente: Ty_l=-1344.09 Mx_l=-26.88
Tensioni nella sezione: σ=325.84 τ=40.73
CC 24 SLD (Collegamento 0020_-377)
Azioni sul collegamento: N=-7392.49 Ty=-3.40 Tz=3.89 Mx=0.00 Mz=-2.87
Sollecitazioni agenti localmente: Ty_l=-1344.09 Mx_l=-26.88
Tensioni nella sezione: σ=325.84 τ=40.73
CC 24 SLD (Collegamento 0020_-377)
Azioni sul collegamento: N=-7392.49 Ty=-4.43 Tz=-2.12 Mx=0.00 Mz=-3.87
Sollecitazioni agenti localmente: Ty_l=-1344.09 Mx_l=-26.88

Tensioni nella sezione: σ=325.84 τ=40.73
CC 24 SLD (Collegamento 0020_-377)
Azioni sul collegamento: N=-7392.49 Ty=-3.40 Tz=-2.12 Mx=0.00 Mz=-2.87
Sollecitazioni agenti localmente: Ty_l=-1344.09 Mx_l=-26.88
Tensioni nella sezione: σ=325.84 τ=40.73
CC 24 SLD (Collegamento 0020_-377)
Azioni sul collegamento: N=-5777.32 Ty=-4.43 Tz=3.89 Mx=0.00 Mz=-3.87
Sollecitazioni agenti localmente: Ty_l=-1050.42 Mx_l=-21.01
Tensioni nella sezione: σ=254.65 τ=31.83
CC 24 SLD (Collegamento 0020_-377)
Azioni sul collegamento: N=-5777.32 Ty=-3.40 Tz=3.89 Mx=0.00 Mz=-2.87
Sollecitazioni agenti localmente: Ty_l=-1050.42 Mx_l=-21.01
Tensioni nella sezione: σ=254.65 τ=31.83
CC 24 SLD (Collegamento 0020_-377)
Azioni sul collegamento: N=-5777.32 Ty=-4.43 Tz=-2.12 Mx=0.00 Mz=-3.87
Sollecitazioni agenti localmente: Ty_l=-1050.42 Mx_l=-21.01
Tensioni nella sezione: σ=254.65 τ=31.83
CC 24 SLD (Collegamento 0020_-377)
Azioni sul collegamento: N=-5777.32 Ty=-3.40 Tz=-2.12 Mx=0.00 Mz=-2.87
Sollecitazioni agenti localmente: Ty_l=-1050.42 Mx_l=-21.01
Tensioni nella sezione: σ=254.65 τ=31.83
CC 25 SLV (Collegamento 0020_-377)
Azioni sul collegamento: N=-5814.21 Ty=-3.29 Tz=-2.14 Mx=-0.02 Mz=-3.06
Sollecitazioni agenti localmente: Ty_l=-1057.13 Mx_l=-21.14
Tensioni nella sezione: σ=256.27 τ=32.03
CC 25 SLV (Collegamento 0020_-377)
Azioni sul collegamento: N=-5814.21 Ty=-6.23 Tz=-2.14 Mx=-0.02 Mz=-7.84
Sollecitazioni agenti localmente: Ty_l=-1057.13 Mx_l=-21.14
Tensioni nella sezione: σ=256.27 τ=32.03
CC 25 SLV (Collegamento 0020_-377)
Azioni sul collegamento: N=-5814.21 Ty=-3.29 Tz=4.16 Mx=-0.02 Mz=-3.06
Sollecitazioni agenti localmente: Ty_l=-1057.13 Mx_l=-21.14
Tensioni nella sezione: σ=256.27 τ=32.03
CC 25 SLV (Collegamento 0020_-377)
Azioni sul collegamento: N=-5814.21 Ty=-6.23 Tz=4.16 Mx=-0.02 Mz=-7.84
Sollecitazioni agenti localmente: Ty_l=-1057.13 Mx_l=-21.14
Tensioni nella sezione: σ=256.27 τ=32.03
CC 25 SLV (Collegamento 0020_-377)
Azioni sul collegamento: N=-7420.51 Ty=-3.29 Tz=-2.14 Mx=-0.02 Mz=-3.06
Sollecitazioni agenti localmente: Ty_l=-1349.18 Mx_l=-26.98
Tensioni nella sezione: σ=327.07 τ=40.88
CC 25 SLV (Collegamento 0020_-377)
Azioni sul collegamento: N=-7420.51 Ty=-6.23 Tz=-2.14 Mx=-0.02 Mz=-7.84
Sollecitazioni agenti localmente: Ty_l=-1349.18 Mx_l=-26.98
Tensioni nella sezione: σ=327.07 τ=40.88
CC 25 SLV (Collegamento 0020_-377)
Azioni sul collegamento: N=-7420.51 Ty=-3.29 Tz=4.16 Mx=-0.02 Mz=-3.06
Sollecitazioni agenti localmente: Ty_l=-1349.18 Mx_l=-26.98
Tensioni nella sezione: σ=327.07 τ=40.88
CC 25 SLV (Collegamento 0020_-377)
Azioni sul collegamento: N=-7420.51 Ty=-6.23 Tz=4.16 Mx=-0.02 Mz=-7.84
Sollecitazioni agenti localmente: Ty_l=-1349.18 Mx_l=-26.98
Tensioni nella sezione: σ=327.07 τ=40.88
CC 26 SLD (Collegamento 0020_-377)
Azioni sul collegamento: N=-6340.00 Ty=-3.47 Tz=-0.08 Mx=-0.00 Mz=-2.64
Sollecitazioni agenti localmente: Ty_l=-1152.73 Mx_l=-23.05
Tensioni nella sezione: σ=279.45 τ=34.93
CC 26 SLD (Collegamento 0020_-377)
Azioni sul collegamento: N=-6340.00 Ty=-4.36 Tz=-0.08 Mx=-0.00 Mz=-4.10
Sollecitazioni agenti localmente: Ty_l=-1152.73 Mx_l=-23.05
Tensioni nella sezione: σ=279.45 τ=34.93
CC 26 SLD (Collegamento 0020_-377)
Azioni sul collegamento: N=-6340.00 Ty=-3.47 Tz=1.85 Mx=-0.00 Mz=-2.64
Sollecitazioni agenti localmente: Ty_l=-1152.73 Mx_l=-23.05
Tensioni nella sezione: σ=279.45 τ=34.93
CC 26 SLD (Collegamento 0020_-377)
Azioni sul collegamento: N=-6340.00 Ty=-4.36 Tz=1.85 Mx=-0.00 Mz=-4.10
Sollecitazioni agenti localmente: Ty_l=-1152.73 Mx_l=-23.05
Tensioni nella sezione: σ=279.45 τ=34.93
CC 26 SLD (Collegamento 0020_-377)
Azioni sul collegamento: N=-6829.81 Ty=-3.47 Tz=-0.08 Mx=-0.00 Mz=-2.64
Sollecitazioni agenti localmente: Ty_l=-1241.78 Mx_l=-24.84
Tensioni nella sezione: σ=301.04 τ=37.63
CC 26 SLD (Collegamento 0020_-377)
Azioni sul collegamento: N=-6829.81 Ty=-4.36 Tz=-0.08 Mx=-0.00 Mz=-4.10
Sollecitazioni agenti localmente: Ty_l=-1241.78 Mx_l=-24.84
Tensioni nella sezione: σ=301.04 τ=37.63
CC 26 SLD (Collegamento 0020_-377)
Azioni sul collegamento: N=-6829.81 Ty=-3.47 Tz=1.85 Mx=-0.00 Mz=-2.64

Sollecitazioni agenti localmente: Ty_l=-1241.78 Mx_l=-24.84
Tensioni nella sezione: σ=301.04 τ=37.63
CC 26 SLD (Collegamento 0020_-377)
Azioni sul collegamento: N=-6829.81 Ty=-4.36 Tz=1.85 Mx=-0.00 Mz=-4.10
Sollecitazioni agenti localmente: Ty_l=-1241.78 Mx_l=-24.84
Tensioni nella sezione: σ=301.04 τ=37.63
CC 27 SLV (Collegamento 0020_-377)
Azioni sul collegamento: N=-7401.55 Ty=-4.11 Tz=3.74 Mx=-0.02 Mz=-3.66
Sollecitazioni agenti localmente: Ty_l=-1345.74 Mx_l=-26.91
Tensioni nella sezione: σ=326.24 τ=40.78
CC 27 SLV (Collegamento 0020_-377)
Azioni sul collegamento: N=-7401.55 Ty=-5.40 Tz=3.74 Mx=-0.02 Mz=-7.25
Sollecitazioni agenti localmente: Ty_l=-1345.74 Mx_l=-26.91
Tensioni nella sezione: σ=326.24 τ=40.78
CC 27 SLV (Collegamento 0020_-377)
Azioni sul collegamento: N=-7401.55 Ty=-4.11 Tz=-1.71 Mx=-0.02 Mz=-3.66
Sollecitazioni agenti localmente: Ty_l=-1345.74 Mx_l=-26.91
Tensioni nella sezione: σ=326.24 τ=40.78
CC 27 SLV (Collegamento 0020_-377)
Azioni sul collegamento: N=-7401.55 Ty=-5.40 Tz=-1.71 Mx=-0.02 Mz=-7.25
Sollecitazioni agenti localmente: Ty_l=-1345.74 Mx_l=-26.91
Tensioni nella sezione: σ=326.24 τ=40.78
CC 27 SLV (Collegamento 0020_-377)
Azioni sul collegamento: N=-5833.17 Ty=-4.11 Tz=3.74 Mx=-0.02 Mz=-3.66
Sollecitazioni agenti localmente: Ty_l=-1060.58 Mx_l=-21.21
Tensioni nella sezione: σ=257.11 τ=32.14
CC 27 SLV (Collegamento 0020_-377)
Azioni sul collegamento: N=-5833.17 Ty=-5.40 Tz=3.74 Mx=-0.02 Mz=-7.25
Sollecitazioni agenti localmente: Ty_l=-1060.58 Mx_l=-21.21
Tensioni nella sezione: σ=257.11 τ=32.14
CC 27 SLV (Collegamento 0020_-377)
Azioni sul collegamento: N=-5833.17 Ty=-4.11 Tz=-1.71 Mx=-0.02 Mz=-3.66
Sollecitazioni agenti localmente: Ty_l=-1060.58 Mx_l=-21.21
Tensioni nella sezione: σ=257.11 τ=32.14
CC 27 SLV (Collegamento 0020_-377)
Azioni sul collegamento: N=-5833.17 Ty=-5.40 Tz=-1.71 Mx=-0.02 Mz=-7.25
Sollecitazioni agenti localmente: Ty_l=-1060.58 Mx_l=-21.21
Tensioni nella sezione: σ=257.11 τ=32.14
CC 28 SLD (Collegamento 0020_-377)
Azioni sul collegamento: N=-6824.03 Ty=-3.72 Tz=1.72 Mx=-0.00 Mz=-2.82
Sollecitazioni agenti localmente: Ty_l=-1240.73 Mx_l=-24.81
Tensioni nella sezione: σ=300.78 τ=37.60
CC 28 SLD (Collegamento 0020_-377)
Azioni sul collegamento: N=-6824.03 Ty=-4.11 Tz=1.72 Mx=-0.00 Mz=-3.92
Sollecitazioni agenti localmente: Ty_l=-1240.73 Mx_l=-24.81
Tensioni nella sezione: σ=300.78 τ=37.60
CC 28 SLD (Collegamento 0020_-377)
Azioni sul collegamento: N=-6824.03 Ty=-3.72 Tz=0.05 Mx=-0.00 Mz=-2.82
Sollecitazioni agenti localmente: Ty_l=-1240.73 Mx_l=-24.81
Tensioni nella sezione: σ=300.78 τ=37.60
CC 28 SLD (Collegamento 0020_-377)
Azioni sul collegamento: N=-6824.03 Ty=-4.11 Tz=0.05 Mx=-0.00 Mz=-3.92
Sollecitazioni agenti localmente: Ty_l=-1240.73 Mx_l=-24.81
Tensioni nella sezione: σ=300.78 τ=37.60
CC 28 SLD (Collegamento 0020_-377)
Azioni sul collegamento: N=-6345.78 Ty=-3.72 Tz=1.72 Mx=-0.00 Mz=-2.82
Sollecitazioni agenti localmente: Ty_l=-1153.78 Mx_l=-23.08
Tensioni nella sezione: σ=279.70 τ=34.96
CC 28 SLD (Collegamento 0020_-377)
Azioni sul collegamento: N=-6345.78 Ty=-4.11 Tz=1.72 Mx=-0.00 Mz=-3.92
Sollecitazioni agenti localmente: Ty_l=-1153.78 Mx_l=-23.08
Tensioni nella sezione: σ=279.70 τ=34.96
CC 28 SLD (Collegamento 0020_-377)
Azioni sul collegamento: N=-6345.78 Ty=-3.72 Tz=0.05 Mx=-0.00 Mz=-2.82
Sollecitazioni agenti localmente: Ty_l=-1153.78 Mx_l=-23.08
Tensioni nella sezione: σ=279.70 τ=34.96
CC 28 SLD (Collegamento 0020_-377)
Azioni sul collegamento: N=-6345.78 Ty=-4.11 Tz=0.05 Mx=-0.00 Mz=-3.92
Sollecitazioni agenti localmente: Ty_l=-1153.78 Mx_l=-23.08
Tensioni nella sezione: σ=279.70 τ=34.96
CC 29 SLV (Collegamento 0020_-377)
Azioni sul collegamento: N=-5833.17 Ty=-5.40 Tz=-1.71 Mx=-0.00 Mz=-7.25
Sollecitazioni agenti localmente: Ty_l=-1060.58 Mx_l=-21.21
Tensioni nella sezione: σ=257.11 τ=32.14
CC 29 SLV (Collegamento 0020_-377)
Azioni sul collegamento: N=-5833.17 Ty=-4.11 Tz=-1.71 Mx=-0.00 Mz=-3.66
Sollecitazioni agenti localmente: Ty_l=-1060.58 Mx_l=-21.21
Tensioni nella sezione: σ=257.11 τ=32.14
CC 29 SLV (Collegamento 0020_-377)

Azioni sul collegamento: N=-5833.17 Ty=-5.40 Tz=3.74 Mx=-0.00 Mz=-7.25
Sollecitazioni agenti localmente: Ty_l=-1060.58 Mx_l=-21.21
Tensioni nella sezione: σ=257.11 τ=32.14
CC 29 SLV (Collegamento 0020_-377)
Azioni sul collegamento: N=-5833.17 Ty=-4.11 Tz=3.74 Mx=-0.00 Mz=-3.66
Sollecitazioni agenti localmente: Ty_l=-1060.58 Mx_l=-21.21
Tensioni nella sezione: σ=257.11 τ=32.14
CC 29 SLV (Collegamento 0020_-377)
Azioni sul collegamento: N=-7401.55 Ty=-5.40 Tz=-1.71 Mx=-0.00 Mz=-7.25
Sollecitazioni agenti localmente: Ty_l=-1345.74 Mx_l=-26.91
Tensioni nella sezione: σ=326.24 τ=40.78
CC 29 SLV (Collegamento 0020_-377)
Azioni sul collegamento: N=-7401.55 Ty=-4.11 Tz=-1.71 Mx=-0.00 Mz=-3.66
Sollecitazioni agenti localmente: Ty_l=-1345.74 Mx_l=-26.91
Tensioni nella sezione: σ=326.24 τ=40.78
CC 29 SLV (Collegamento 0020_-377)
Azioni sul collegamento: N=-7401.55 Ty=-5.40 Tz=3.74 Mx=-0.00 Mz=-7.25
Sollecitazioni agenti localmente: Ty_l=-1345.74 Mx_l=-26.91
Tensioni nella sezione: σ=326.24 τ=40.78
CC 29 SLV (Collegamento 0020_-377)
Azioni sul collegamento: N=-7401.55 Ty=-4.11 Tz=3.74 Mx=-0.00 Mz=-3.66
Sollecitazioni agenti localmente: Ty_l=-1345.74 Mx_l=-26.91
Tensioni nella sezione: σ=326.24 τ=40.78
CC 30 SLD (Collegamento 0020_-377)
Azioni sul collegamento: N=-6345.78 Ty=-4.11 Tz=0.05 Mx=0.00 Mz=-3.92
Sollecitazioni agenti localmente: Ty_l=-1153.78 Mx_l=-23.08
Tensioni nella sezione: σ=279.70 τ=34.96
CC 30 SLD (Collegamento 0020_-377)
Azioni sul collegamento: N=-6345.78 Ty=-3.72 Tz=0.05 Mx=0.00 Mz=-2.82
Sollecitazioni agenti localmente: Ty_l=-1153.78 Mx_l=-23.08
Tensioni nella sezione: σ=279.70 τ=34.96
CC 30 SLD (Collegamento 0020_-377)
Azioni sul collegamento: N=-6345.78 Ty=-4.11 Tz=1.72 Mx=0.00 Mz=-3.92
Sollecitazioni agenti localmente: Ty_l=-1153.78 Mx_l=-23.08
Tensioni nella sezione: σ=279.70 τ=34.96
CC 30 SLD (Collegamento 0020_-377)
Azioni sul collegamento: N=-6345.78 Ty=-3.72 Tz=1.72 Mx=0.00 Mz=-2.82
Sollecitazioni agenti localmente: Ty_l=-1153.78 Mx_l=-23.08
Tensioni nella sezione: σ=279.70 τ=34.96
CC 30 SLD (Collegamento 0020_-377)
Azioni sul collegamento: N=-6824.03 Ty=-4.11 Tz=0.05 Mx=0.00 Mz=-3.92
Sollecitazioni agenti localmente: Ty_l=-1240.73 Mx_l=-24.81
Tensioni nella sezione: σ=300.78 τ=37.60
CC 30 SLD (Collegamento 0020_-377)
Azioni sul collegamento: N=-6824.03 Ty=-3.72 Tz=0.05 Mx=0.00 Mz=-2.82
Sollecitazioni agenti localmente: Ty_l=-1240.73 Mx_l=-24.81
Tensioni nella sezione: σ=300.78 τ=37.60
CC 30 SLD (Collegamento 0020_-377)
Azioni sul collegamento: N=-6824.03 Ty=-4.11 Tz=1.72 Mx=0.00 Mz=-3.92
Sollecitazioni agenti localmente: Ty_l=-1240.73 Mx_l=-24.81
Tensioni nella sezione: σ=300.78 τ=37.60
CC 30 SLD (Collegamento 0020_-377)
Azioni sul collegamento: N=-6824.03 Ty=-3.72 Tz=1.72 Mx=0.00 Mz=-2.82
Sollecitazioni agenti localmente: Ty_l=-1240.73 Mx_l=-24.81
Tensioni nella sezione: σ=300.78 τ=37.60
CC 31 SLV (Collegamento 0020_-377)
Azioni sul collegamento: N=-7420.51 Ty=-6.23 Tz=4.16 Mx=-0.00 Mz=-7.84
Sollecitazioni agenti localmente: Ty_l=-1349.18 Mx_l=-26.98
Tensioni nella sezione: σ=327.07 τ=40.88
CC 31 SLV (Collegamento 0020_-377)
Azioni sul collegamento: N=-7420.51 Ty=-3.29 Tz=4.16 Mx=-0.00 Mz=-3.06
Sollecitazioni agenti localmente: Ty_l=-1349.18 Mx_l=-26.98
Tensioni nella sezione: σ=327.07 τ=40.88
CC 31 SLV (Collegamento 0020_-377)
Azioni sul collegamento: N=-7420.51 Ty=-6.23 Tz=-2.14 Mx=-0.00 Mz=-7.84
Sollecitazioni agenti localmente: Ty_l=-1349.18 Mx_l=-26.98
Tensioni nella sezione: σ=327.07 τ=40.88
CC 31 SLV (Collegamento 0020_-377)
Azioni sul collegamento: N=-7420.51 Ty=-3.29 Tz=-2.14 Mx=-0.00 Mz=-3.06
Sollecitazioni agenti localmente: Ty_l=-1349.18 Mx_l=-26.98
Tensioni nella sezione: σ=327.07 τ=40.88
CC 31 SLV (Collegamento 0020_-377)
Azioni sul collegamento: N=-5814.21 Ty=-6.23 Tz=4.16 Mx=-0.00 Mz=-7.84
Sollecitazioni agenti localmente: Ty_l=-1057.13 Mx_l=-21.14
Tensioni nella sezione: σ=256.27 τ=32.03
CC 31 SLV (Collegamento 0020_-377)
Azioni sul collegamento: N=-5814.21 Ty=-3.29 Tz=4.16 Mx=-0.00 Mz=-3.06
Sollecitazioni agenti localmente: Ty_l=-1057.13 Mx_l=-21.14
Tensioni nella sezione: σ=256.27 τ=32.03

CC 31 SLV (Collegamento 0020_-377)
Azioni sul collegamento: N=-5814.21 Ty=-6.23 Tz=-2.14 Mx=-0.00 Mz=-7.84
Sollecitazioni agenti localmente: Ty_l=-1057.13 Mx_l=-21.14
Tensioni nella sezione: σ=256.27 τ=32.03
CC 31 SLV (Collegamento 0020_-377)
Azioni sul collegamento: N=-5814.21 Ty=-3.29 Tz=-2.14 Mx=-0.00 Mz=-3.06
Sollecitazioni agenti localmente: Ty_l=-1057.13 Mx_l=-21.14
Tensioni nella sezione: σ=256.27 τ=32.03
CC 32 SLD (Collegamento 0020_-377)
Azioni sul collegamento: N=-6829.81 Ty=-4.36 Tz=1.85 Mx=0.00 Mz=-4.10
Sollecitazioni agenti localmente: Ty_l=-1241.78 Mx_l=-24.84
Tensioni nella sezione: σ=301.04 τ=37.63
CC 32 SLD (Collegamento 0020_-377)
Azioni sul collegamento: N=-6829.81 Ty=-3.47 Tz=1.85 Mx=0.00 Mz=-2.64
Sollecitazioni agenti localmente: Ty_l=-1241.78 Mx_l=-24.84
Tensioni nella sezione: σ=301.04 τ=37.63
CC 32 SLD (Collegamento 0020_-377)
Azioni sul collegamento: N=-6829.81 Ty=-4.36 Tz=-0.08 Mx=0.00 Mz=-4.10
Sollecitazioni agenti localmente: Ty_l=-1241.78 Mx_l=-24.84
Tensioni nella sezione: σ=301.04 τ=37.63
CC 32 SLD (Collegamento 0020_-377)
Azioni sul collegamento: N=-6829.81 Ty=-3.47 Tz=-0.08 Mx=0.00 Mz=-2.64
Sollecitazioni agenti localmente: Ty_l=-1241.78 Mx_l=-24.84
Tensioni nella sezione: σ=301.04 τ=37.63
CC 32 SLD (Collegamento 0020_-377)
Azioni sul collegamento: N=-6340.00 Ty=-4.36 Tz=1.85 Mx=0.00 Mz=-4.10
Sollecitazioni agenti localmente: Ty_l=-1152.73 Mx_l=-23.05
Tensioni nella sezione: σ=279.45 τ=34.93
CC 32 SLD (Collegamento 0020_-377)
Azioni sul collegamento: N=-6340.00 Ty=-3.47 Tz=1.85 Mx=0.00 Mz=-2.64
Sollecitazioni agenti localmente: Ty_l=-1152.73 Mx_l=-23.05
Tensioni nella sezione: σ=279.45 τ=34.93
CC 32 SLD (Collegamento 0020_-377)
Azioni sul collegamento: N=-6340.00 Ty=-4.36 Tz=-0.08 Mx=0.00 Mz=-4.10
Sollecitazioni agenti localmente: Ty_l=-1152.73 Mx_l=-23.05
Tensioni nella sezione: σ=279.45 τ=34.93
CC 32 SLD (Collegamento 0020_-377)
Azioni sul collegamento: N=-6340.00 Ty=-3.47 Tz=-0.08 Mx=0.00 Mz=-2.64
Sollecitazioni agenti localmente: Ty_l=-1152.73 Mx_l=-23.05
Tensioni nella sezione: σ=279.45 τ=34.93
CC 33 SLU (Collegamento 0020_-377)
Azioni sul collegamento: N=-30337.70 Ty=-5.16 Tz=79.98 Mx=0.01 Mz=-3.50
Sollecitazioni agenti localmente: Ty_l=-5515.96 Mx_l=-110.32
Tensioni nella sezione: σ=1337.20 τ=167.15
CC 34 SLU (Collegamento 0020_-377)
Azioni sul collegamento: N=-30888.30 Ty=-5.44 Tz=82.02 Mx=0.01 Mz=-3.71
Sollecitazioni agenti localmente: Ty_l=-5616.05 Mx_l=-112.32
Tensioni nella sezione: σ=1361.46 τ=170.18
CC 35 SLU (Collegamento 0020_-377)
Azioni sul collegamento: N=-30612.00 Ty=-5.19 Tz=81.02 Mx=0.01 Mz=-3.39
Sollecitazioni agenti localmente: Ty_l=-5565.82 Mx_l=-111.32
Tensioni nella sezione: σ=1349.29 τ=168.66
CC 36 SLU (Collegamento 0020_-377)
Azioni sul collegamento: N=-30614.00 Ty=-5.41 Tz=80.97 Mx=0.01 Mz=-3.82
Sollecitazioni agenti localmente: Ty_l=-5566.18 Mx_l=-111.32
Tensioni nella sezione: σ=1349.37 τ=168.67
CC 37 SLU (Collegamento 0020_-377)
Azioni sul collegamento: N=-32266.80 Ty=-5.04 Tz=86.42 Mx=-0.00 Mz=-3.56
Sollecitazioni agenti localmente: Ty_l=-5866.68 Mx_l=-117.33
Tensioni nella sezione: σ=1422.22 τ=177.78
CC 38 SLU (Collegamento 0020_-377)
Azioni sul collegamento: N=-32817.30 Ty=-5.33 Tz=88.46 Mx=-0.00 Mz=-3.76
Sollecitazioni agenti localmente: Ty_l=-5966.78 Mx_l=-119.33
Tensioni nella sezione: σ=1446.49 τ=180.81
CC 39 SLU (Collegamento 0020_-377)
Azioni sul collegamento: N=-32541.00 Ty=-5.08 Tz=87.47 Mx=-0.00 Mz=-3.44
Sollecitazioni agenti localmente: Ty_l=-5916.55 Mx_l=-118.33
Tensioni nella sezione: σ=1434.31 τ=179.29
CC 40 SLU (Collegamento 0020_-377)
Azioni sul collegamento: N=-32543.00 Ty=-5.30 Tz=87.42 Mx=-0.00 Mz=-3.88
Sollecitazioni agenti localmente: Ty_l=-5916.91 Mx_l=-118.34
Tensioni nella sezione: σ=1434.40 τ=179.30
CC 41 SLU (Collegamento 0020_-377)
Azioni sul collegamento: N=-21046.60 Ty=-6.03 Tz=45.82 Mx=0.01 Mz=-4.13
Sollecitazioni agenti localmente: Ty_l=-3826.65 Mx_l=-76.53
Tensioni nella sezione: σ=927.67 τ=115.96
CC 42 SLU (Collegamento 0020_-377)
Azioni sul collegamento: N=-21597.10 Ty=-6.32 Tz=47.86 Mx=0.01 Mz=-4.34
Sollecitazioni agenti localmente: Ty_l=-3926.75 Mx_l=-78.53

Tensioni nella sezione: σ=951.94 τ=118.99
CC 43 SLU (Collegamento 0020_-377)
Azioni sul collegamento: N=-21320.90 Ty=-6.07 Tz=46.87 Mx=0.01 Mz=-4.02
Sollecitazioni agenti localmente: Ty_l=-3876.52 Mx_l=-77.53
Tensioni nella sezione: σ=939.76 τ=117.47
CC 44 SLU (Collegamento 0020_-377)
Azioni sul collegamento: N=-21322.80 Ty=-6.29 Tz=46.82 Mx=0.01 Mz=-4.45
Sollecitazioni agenti localmente: Ty_l=-3876.88 Mx_l=-77.54
Tensioni nella sezione: σ=939.85 τ=117.48
CC 45 SLU (Collegamento 0020_-377)
Azioni sul collegamento: N=-23139.00 Ty=-5.73 Tz=53.57 Mx=0.01 Mz=-3.96
Sollecitazioni agenti localmente: Ty_l=-4207.09 Mx_l=-84.14
Tensioni nella sezione: σ=1019.90 τ=127.49
CC 46 SLU (Collegamento 0020_-377)
Azioni sul collegamento: N=-23689.50 Ty=-6.01 Tz=55.60 Mx=0.01 Mz=-4.17
Sollecitazioni agenti localmente: Ty_l=-4307.18 Mx_l=-86.14
Tensioni nella sezione: σ=1044.16 τ=130.52
CC 47 SLU (Collegamento 0020_-377)
Azioni sul collegamento: N=-23413.30 Ty=-5.76 Tz=54.61 Mx=0.01 Mz=-3.84
Sollecitazioni agenti localmente: Ty_l=-4256.95 Mx_l=-85.14
Tensioni nella sezione: σ=1031.99 τ=129.00
CC 48 SLU (Collegamento 0020_-377)
Azioni sul collegamento: N=-23415.20 Ty=-5.98 Tz=54.56 Mx=0.01 Mz=-4.28
Sollecitazioni agenti localmente: Ty_l=-4257.31 Mx_l=-85.15
Tensioni nella sezione: σ=1032.07 τ=129.01
CC 49 SLU (Collegamento 0020_-377)
Azioni sul collegamento: N=-24582.20 Ty=-5.64 Tz=58.39 Mx=0.00 Mz=-4.00
Sollecitazioni agenti localmente: Ty_l=-4469.48 Mx_l=-89.39
Tensioni nella sezione: σ=1083.51 τ=135.44
CC 50 SLU (Collegamento 0020_-377)
Azioni sul collegamento: N=-25132.70 Ty=-5.93 Tz=60.42 Mx=0.00 Mz=-4.21
Sollecitazioni agenti localmente: Ty_l=-4569.58 Mx_l=-91.39
Tensioni nella sezione: σ=1107.77 τ=138.47
CC 51 SLU (Collegamento 0020_-377)
Azioni sul collegamento: N=-24856.40 Ty=-5.68 Tz=59.43 Mx=-0.00 Mz=-3.89
Sollecitazioni agenti localmente: Ty_l=-4519.35 Mx_l=-90.39
Tensioni nella sezione: σ=1095.60 τ=136.95
CC 52 SLU (Collegamento 0020_-377)
Azioni sul collegamento: N=-24858.40 Ty=-5.89 Tz=59.38 Mx=0.00 Mz=-4.32
Sollecitazioni agenti localmente: Ty_l=-4519.71 Mx_l=-90.39
Tensioni nella sezione: σ=1095.68 τ=136.96
CC 53 SLU (Collegamento 0020_-377)
Azioni sul collegamento: N=-16187.80 Ty=-6.38 Tz=28.01 Mx=0.01 Mz=-4.43
Sollecitazioni agenti localmente: Ty_l=-2943.24 Mx_l=-58.86
Tensioni nella sezione: σ=713.51 τ=89.19
CC 54 SLU (Collegamento 0020_-377)
Azioni sul collegamento: N=-16738.30 Ty=-6.67 Tz=30.05 Mx=0.01 Mz=-4.64
Sollecitazioni agenti localmente: Ty_l=-3043.34 Mx_l=-60.87
Tensioni nella sezione: σ=737.78 τ=92.22
CC 55 SLU (Collegamento 0020_-377)
Azioni sul collegamento: N=-16462.10 Ty=-6.42 Tz=29.05 Mx=0.01 Mz=-4.32
Sollecitazioni agenti localmente: Ty_l=-2993.11 Mx_l=-59.86
Tensioni nella sezione: σ=725.60 τ=90.70
CC 56 SLU (Collegamento 0020_-377)
Azioni sul collegamento: N=-16464.10 Ty=-6.64 Tz=29.01 Mx=0.01 Mz=-4.75
Sollecitazioni agenti localmente: Ty_l=-2993.47 Mx_l=-59.87
Tensioni nella sezione: σ=725.69 τ=90.71
CC 57 SLU (Collegamento 0020_-377)
Azioni sul collegamento: N=-23519.50 Ty=-6.15 Tz=55.00 Mx=0.01 Mz=-4.26
Sollecitazioni agenti localmente: Ty_l=-4276.28 Mx_l=-85.53
Tensioni nella sezione: σ=1036.67 τ=129.58
CC 58 SLU (Collegamento 0020_-377)
Azioni sul collegamento: N=-24070.10 Ty=-6.43 Tz=57.04 Mx=0.01 Mz=-4.47
Sollecitazioni agenti localmente: Ty_l=-4376.37 Mx_l=-87.53
Tensioni nella sezione: σ=1060.94 τ=132.62
CC 59 SLU (Collegamento 0020_-377)
Azioni sul collegamento: N=-23793.80 Ty=-6.18 Tz=56.05 Mx=0.01 Mz=-4.15
Sollecitazioni agenti localmente: Ty_l=-4326.14 Mx_l=-86.52
Tensioni nella sezione: σ=1048.76 τ=131.09
CC 60 SLU (Collegamento 0020_-377)
Azioni sul collegamento: N=-23795.80 Ty=-6.40 Tz=56.00 Mx=0.01 Mz=-4.58
Sollecitazioni agenti localmente: Ty_l=-4326.50 Mx_l=-86.53
Tensioni nella sezione: σ=1048.85 τ=131.11
CC 61 SLU (Collegamento 0020_-377)
Azioni sul collegamento: N=-24962.70 Ty=-6.06 Tz=59.83 Mx=0.00 Mz=-4.30
Sollecitazioni agenti localmente: Ty_l=-4538.67 Mx_l=-90.77
Tensioni nella sezione: σ=1100.28 τ=137.54
CC 62 SLU (Collegamento 0020_-377)
Azioni sul collegamento: N=-25513.20 Ty=-6.35 Tz=61.87 Mx=0.00 Mz=-4.51

Sollecitazioni agenti localmente: Ty_l=-4638.77 Mx_l=-92.78
Tensioni nella sezione: σ=1124.55 τ=140.57
CC 63 SLU (Collegamento 0020_-377)
Azioni sul collegamento: N=-25237.00 Ty=-6.10 Tz=60.87 Mx=-0.00 Mz=-4.19
Sollecitazioni agenti localmente: Ty_l=-4588.54 Mx_l=-91.77
Tensioni nella sezione: σ=1112.37 τ=139.05
CC 64 SLU (Collegamento 0020_-377)
Azioni sul collegamento: N=-25238.90 Ty=-6.31 Tz=60.82 Mx=0.00 Mz=-4.62
Sollecitazioni agenti localmente: Ty_l=-4588.90 Mx_l=-91.78
Tensioni nella sezione: σ=1112.46 τ=139.06
CC 65 SLU (Collegamento 0020_-377)
Azioni sul collegamento: N=-16568.40 Ty=-6.80 Tz=29.45 Mx=0.01 Mz=-4.74
Sollecitazioni agenti localmente: Ty_l=-3012.43 Mx_l=-60.25
Tensioni nella sezione: σ=730.28 τ=91.29
CC 66 SLU (Collegamento 0020_-377)
Azioni sul collegamento: N=-17118.90 Ty=-7.09 Tz=31.49 Mx=0.01 Mz=-4.94
Sollecitazioni agenti localmente: Ty_l=-3112.53 Mx_l=-62.25
Tensioni nella sezione: σ=754.55 τ=94.32
CC 67 SLU (Collegamento 0020_-377)
Azioni sul collegamento: N=-16842.60 Ty=-6.84 Tz=30.49 Mx=0.01 Mz=-4.62
Sollecitazioni agenti localmente: Ty_l=-3062.30 Mx_l=-61.25
Tensioni nella sezione: σ=742.37 τ=92.80
CC 68 SLU (Collegamento 0020_-377)
Azioni sul collegamento: N=-16844.60 Ty=-7.06 Tz=30.45 Mx=0.01 Mz=-5.06
Sollecitazioni agenti localmente: Ty_l=-3062.66 Mx_l=-61.25
Tensioni nella sezione: σ=742.46 τ=92.81
CC 97 SLU (Collegamento 0020_-377)
Azioni sul collegamento: N=-16826.20 Ty=-0.37 Tz=38.55 Mx=0.05 Mz=7.28
Sollecitazioni agenti localmente: Ty_l=-3059.31 Mx_l=-61.19
Tensioni nella sezione: σ=741.65 τ=92.71
CC 98 SLU (Collegamento 0020_-377)
Azioni sul collegamento: N=-17376.70 Ty=-0.65 Tz=40.58 Mx=0.05 Mz=7.07
Sollecitazioni agenti localmente: Ty_l=-3159.41 Mx_l=-63.19
Tensioni nella sezione: σ=765.91 τ=95.74
CC 99 SLU (Collegamento 0020_-377)
Azioni sul collegamento: N=-17100.50 Ty=-0.40 Tz=39.59 Mx=0.05 Mz=7.39
Sollecitazioni agenti localmente: Ty_l=-3109.18 Mx_l=-62.18
Tensioni nella sezione: σ=753.74 τ=94.22
CC 100 SLU (Collegamento 0020_-377)
Azioni sul collegamento: N=-17102.50 Ty=-0.62 Tz=39.54 Mx=0.05 Mz=6.96
Sollecitazioni agenti localmente: Ty_l=-3109.54 Mx_l=-62.19
Tensioni nella sezione: σ=753.83 τ=94.23
CC 101 SLU (Collegamento 0020_-377)
Azioni sul collegamento: N=-6585.90 Ty=-4.08 Tz=0.92 Mx=-0.00 Mz=-3.64
Sollecitazioni agenti localmente: Ty_l=-1197.44 Mx_l=-23.95
Tensioni nella sezione: σ=290.29 τ=36.29
CC 102 SLU (Collegamento 0020_-377)
Azioni sul collegamento: N=-7136.43 Ty=-4.37 Tz=2.96 Mx=-0.00 Mz=-3.85
Sollecitazioni agenti localmente: Ty_l=-1297.53 Mx_l=-25.95
Tensioni nella sezione: σ=314.55 τ=39.32
CC 103 SLU (Collegamento 0020_-377)
Azioni sul collegamento: N=-6860.18 Ty=-4.11 Tz=1.96 Mx=-0.00 Mz=-3.53
Sollecitazioni agenti localmente: Ty_l=-1247.31 Mx_l=-24.95
Tensioni nella sezione: σ=302.38 τ=37.80
CC 104 SLU (Collegamento 0020_-377)
Azioni sul collegamento: N=-6862.15 Ty=-4.33 Tz=1.92 Mx=-0.00 Mz=-3.96
Sollecitazioni agenti localmente: Ty_l=-1247.66 Mx_l=-24.95
Tensioni nella sezione: σ=302.46 τ=37.81

Flessione attacco inferiore piastra

Bnetta=220.00 Hnetta=15.00
CC 1 SLV (Collegamento 0020_-377)
Azioni sul collegamento: N=-3875.57 Ty=-4.02 Tz=-9.21 Mx=0.02 Mz=2.16
Sollecitazioni agenti localmente: Ty_l=-704.65 Mx_l=-14.09
Tensioni nella sezione: σ=170.82 τ=21.35
CC 1 SLV (Collegamento 0020_-377)
Azioni sul collegamento: N=-3875.57 Ty=-0.64 Tz=-9.21 Mx=0.02 Mz=-1.09
Sollecitazioni agenti localmente: Ty_l=-704.65 Mx_l=-14.09
Tensioni nella sezione: σ=170.82 τ=21.35
CC 1 SLV (Collegamento 0020_-377)
Azioni sul collegamento: N=-3875.57 Ty=-4.02 Tz=10.50 Mx=0.02 Mz=2.16
Sollecitazioni agenti localmente: Ty_l=-704.65 Mx_l=-14.09
Tensioni nella sezione: σ=170.82 τ=21.35
CC 1 SLV (Collegamento 0020_-377)
Azioni sul collegamento: N=-3875.57 Ty=-0.64 Tz=10.50 Mx=0.02 Mz=-1.09
Sollecitazioni agenti localmente: Ty_l=-704.65 Mx_l=-14.09
Tensioni nella sezione: σ=170.82 τ=21.35
CC 1 SLV (Collegamento 0020_-377)

Azioni sul collegamento: N=-9172.38 Ty=-4.02 Tz=-9.21 Mx=0.02 Mz=2.16
Sollecitazioni agenti localmente: Ty_l=-1667.71 Mx_l=-33.35
Tensioni nella sezione: σ=404.29 τ=50.54
CC 1 SLV (Collegamento 0020_-377)
Azioni sul collegamento: N=-9172.38 Ty=-0.64 Tz=-9.21 Mx=0.02 Mz=-1.09
Sollecitazioni agenti localmente: Ty_l=-1667.71 Mx_l=-33.35
Tensioni nella sezione: σ=404.29 τ=50.54
CC 1 SLV (Collegamento 0020_-377)
Azioni sul collegamento: N=-9172.38 Ty=-4.02 Tz=10.50 Mx=0.02 Mz=2.16
Sollecitazioni agenti localmente: Ty_l=-1667.71 Mx_l=-33.35
Tensioni nella sezione: σ=404.29 τ=50.54
CC 1 SLV (Collegamento 0020_-377)
Azioni sul collegamento: N=-9172.38 Ty=-0.64 Tz=10.50 Mx=0.02 Mz=-1.09
Sollecitazioni agenti localmente: Ty_l=-1667.71 Mx_l=-33.35
Tensioni nella sezione: σ=404.29 τ=50.54
CC 2 SLD (Collegamento 0020_-377)
Azioni sul collegamento: N=-5748.85 Ty=-2.66 Tz=-2.23 Mx=0.01 Mz=-1.05
Sollecitazioni agenti localmente: Ty_l=-1045.24 Mx_l=-20.90
Tensioni nella sezione: σ=253.39 τ=31.67
CC 2 SLD (Collegamento 0020_-377)
Azioni sul collegamento: N=-5748.85 Ty=-3.69 Tz=-2.23 Mx=0.01 Mz=-2.04
Sollecitazioni agenti localmente: Ty_l=-1045.24 Mx_l=-20.90
Tensioni nella sezione: σ=253.39 τ=31.67
CC 2 SLD (Collegamento 0020_-377)
Azioni sul collegamento: N=-5748.85 Ty=-2.66 Tz=3.78 Mx=0.01 Mz=-1.05
Sollecitazioni agenti localmente: Ty_l=-1045.24 Mx_l=-20.90
Tensioni nella sezione: σ=253.39 τ=31.67
CC 2 SLD (Collegamento 0020_-377)
Azioni sul collegamento: N=-5748.85 Ty=-3.69 Tz=3.78 Mx=0.01 Mz=-2.04
Sollecitazioni agenti localmente: Ty_l=-1045.24 Mx_l=-20.90
Tensioni nella sezione: σ=253.39 τ=31.67
CC 2 SLD (Collegamento 0020_-377)
Azioni sul collegamento: N=-7364.01 Ty=-2.66 Tz=-2.23 Mx=0.01 Mz=-1.05
Sollecitazioni agenti localmente: Ty_l=-1338.91 Mx_l=-26.78
Tensioni nella sezione: σ=324.58 τ=40.57
CC 2 SLD (Collegamento 0020_-377)
Azioni sul collegamento: N=-7364.01 Ty=-3.69 Tz=-2.23 Mx=0.01 Mz=-2.04
Sollecitazioni agenti localmente: Ty_l=-1338.91 Mx_l=-26.78
Tensioni nella sezione: σ=324.58 τ=40.57
CC 2 SLD (Collegamento 0020_-377)
Azioni sul collegamento: N=-7364.01 Ty=-2.66 Tz=3.78 Mx=0.01 Mz=-1.05
Sollecitazioni agenti localmente: Ty_l=-1338.91 Mx_l=-26.78
Tensioni nella sezione: σ=324.58 τ=40.57
CC 2 SLD (Collegamento 0020_-377)
Azioni sul collegamento: N=-7364.01 Ty=-3.69 Tz=3.78 Mx=0.01 Mz=-2.04
Sollecitazioni agenti localmente: Ty_l=-1338.91 Mx_l=-26.78
Tensioni nella sezione: σ=324.58 τ=40.57
CC 3 SLV (Collegamento 0020_-377)
Azioni sul collegamento: N=-3881.26 Ty=-3.39 Tz=-9.09 Mx=0.02 Mz=0.91
Sollecitazioni agenti localmente: Ty_l=-705.68 Mx_l=-14.11
Tensioni nella sezione: σ=171.07 τ=21.38
CC 3 SLV (Collegamento 0020_-377)
Azioni sul collegamento: N=-3881.26 Ty=-1.27 Tz=-9.09 Mx=0.02 Mz=0.17
Sollecitazioni agenti localmente: Ty_l=-705.68 Mx_l=-14.11
Tensioni nella sezione: σ=171.07 τ=21.38
CC 3 SLV (Collegamento 0020_-377)
Azioni sul collegamento: N=-3881.26 Ty=-3.39 Tz=10.37 Mx=0.02 Mz=0.91
Sollecitazioni agenti localmente: Ty_l=-705.68 Mx_l=-14.11
Tensioni nella sezione: σ=171.07 τ=21.38
CC 3 SLV (Collegamento 0020_-377)
Azioni sul collegamento: N=-3881.26 Ty=-1.27 Tz=10.37 Mx=0.02 Mz=0.17
Sollecitazioni agenti localmente: Ty_l=-705.68 Mx_l=-14.11
Tensioni nella sezione: σ=171.07 τ=21.38
CC 3 SLV (Collegamento 0020_-377)
Azioni sul collegamento: N=-9166.69 Ty=-3.39 Tz=-9.09 Mx=0.02 Mz=0.91
Sollecitazioni agenti localmente: Ty_l=-1666.67 Mx_l=-33.33
Tensioni nella sezione: σ=404.04 τ=50.51
CC 3 SLV (Collegamento 0020_-377)
Azioni sul collegamento: N=-9166.69 Ty=-1.27 Tz=-9.09 Mx=0.02 Mz=0.17
Sollecitazioni agenti localmente: Ty_l=-1666.67 Mx_l=-33.33
Tensioni nella sezione: σ=404.04 τ=50.51
CC 3 SLV (Collegamento 0020_-377)
Azioni sul collegamento: N=-9166.69 Ty=-3.39 Tz=10.38 Mx=0.02 Mz=0.91
Sollecitazioni agenti localmente: Ty_l=-1666.67 Mx_l=-33.33
Tensioni nella sezione: σ=404.04 τ=50.51
CC 3 SLV (Collegamento 0020_-377)
Azioni sul collegamento: N=-9166.69 Ty=-1.27 Tz=10.38 Mx=0.02 Mz=0.17
Sollecitazioni agenti localmente: Ty_l=-1666.67 Mx_l=-33.33
Tensioni nella sezione: σ=404.04 τ=50.51

CC 4 SLD (Collegamento 0020_-377)
Azioni sul collegamento: N=-5750.58 Ty=-2.85 Tz=-2.19 Mx=0.01 Mz=-1.43
Sollecitazioni agenti localmente: Ty_l=-1045.56 Mx_l=-20.91
Tensioni nella sezione: σ=253.47 τ=31.68
CC 4 SLD (Collegamento 0020_-377)
Azioni sul collegamento: N=-5750.58 Ty=-3.50 Tz=-2.19 Mx=0.01 Mz=-1.66
Sollecitazioni agenti localmente: Ty_l=-1045.56 Mx_l=-20.91
Tensioni nella sezione: σ=253.47 τ=31.68
CC 4 SLD (Collegamento 0020_-377)
Azioni sul collegamento: N=-5750.58 Ty=-2.85 Tz=3.74 Mx=0.01 Mz=-1.43
Sollecitazioni agenti localmente: Ty_l=-1045.56 Mx_l=-20.91
Tensioni nella sezione: σ=253.47 τ=31.68
CC 4 SLD (Collegamento 0020_-377)
Azioni sul collegamento: N=-5750.58 Ty=-3.50 Tz=3.74 Mx=0.01 Mz=-1.66
Sollecitazioni agenti localmente: Ty_l=-1045.56 Mx_l=-20.91
Tensioni nella sezione: σ=253.47 τ=31.68
CC 4 SLD (Collegamento 0020_-377)
Azioni sul collegamento: N=-7362.28 Ty=-2.85 Tz=-2.19 Mx=0.01 Mz=-1.43
Sollecitazioni agenti localmente: Ty_l=-1338.60 Mx_l=-26.77
Tensioni nella sezione: σ=324.51 τ=40.56
CC 4 SLD (Collegamento 0020_-377)
Azioni sul collegamento: N=-7362.28 Ty=-3.50 Tz=-2.19 Mx=0.01 Mz=-1.66
Sollecitazioni agenti localmente: Ty_l=-1338.60 Mx_l=-26.77
Tensioni nella sezione: σ=324.51 τ=40.56
CC 4 SLD (Collegamento 0020_-377)
Azioni sul collegamento: N=-7362.28 Ty=-2.85 Tz=3.74 Mx=0.01 Mz=-1.43
Sollecitazioni agenti localmente: Ty_l=-1338.60 Mx_l=-26.77
Tensioni nella sezione: σ=324.51 τ=40.56
CC 4 SLD (Collegamento 0020_-377)
Azioni sul collegamento: N=-7362.28 Ty=-3.50 Tz=3.74 Mx=0.01 Mz=-1.66
Sollecitazioni agenti localmente: Ty_l=-1338.60 Mx_l=-26.77
Tensioni nella sezione: σ=324.51 τ=40.56
CC 5 SLV (Collegamento 0020_-377)
Azioni sul collegamento: N=-9166.69 Ty=-1.27 Tz=10.38 Mx=0.02 Mz=0.17
Sollecitazioni agenti localmente: Ty_l=-1666.67 Mx_l=-33.33
Tensioni nella sezione: σ=404.04 τ=50.51
CC 5 SLV (Collegamento 0020_-377)
Azioni sul collegamento: N=-9166.69 Ty=-3.39 Tz=10.38 Mx=0.02 Mz=0.91
Sollecitazioni agenti localmente: Ty_l=-1666.67 Mx_l=-33.33
Tensioni nella sezione: σ=404.04 τ=50.51
CC 5 SLV (Collegamento 0020_-377)
Azioni sul collegamento: N=-9166.69 Ty=-1.27 Tz=-9.09 Mx=0.02 Mz=0.17
Sollecitazioni agenti localmente: Ty_l=-1666.67 Mx_l=-33.33
Tensioni nella sezione: σ=404.04 τ=50.51
CC 5 SLV (Collegamento 0020_-377)
Azioni sul collegamento: N=-9166.69 Ty=-3.39 Tz=-9.09 Mx=0.02 Mz=0.91
Sollecitazioni agenti localmente: Ty_l=-1666.67 Mx_l=-33.33
Tensioni nella sezione: σ=404.04 τ=50.51
CC 5 SLV (Collegamento 0020_-377)
Azioni sul collegamento: N=-3881.26 Ty=-1.27 Tz=10.37 Mx=0.02 Mz=0.17
Sollecitazioni agenti localmente: Ty_l=-705.68 Mx_l=-14.11
Tensioni nella sezione: σ=171.07 τ=21.38
CC 5 SLV (Collegamento 0020_-377)
Azioni sul collegamento: N=-3881.26 Ty=-3.39 Tz=10.37 Mx=0.02 Mz=0.91
Sollecitazioni agenti localmente: Ty_l=-705.68 Mx_l=-14.11
Tensioni nella sezione: σ=171.07 τ=21.38
CC 5 SLV (Collegamento 0020_-377)
Azioni sul collegamento: N=-3881.26 Ty=-1.27 Tz=-9.09 Mx=0.02 Mz=0.17
Sollecitazioni agenti localmente: Ty_l=-705.68 Mx_l=-14.11
Tensioni nella sezione: σ=171.07 τ=21.38
CC 5 SLV (Collegamento 0020_-377)
Azioni sul collegamento: N=-3881.26 Ty=-3.39 Tz=-9.09 Mx=0.02 Mz=0.91
Sollecitazioni agenti localmente: Ty_l=-705.68 Mx_l=-14.11
Tensioni nella sezione: σ=171.07 τ=21.38
CC 6 SLD (Collegamento 0020_-377)
Azioni sul collegamento: N=-7362.28 Ty=-3.50 Tz=3.74 Mx=0.01 Mz=-1.66
Sollecitazioni agenti localmente: Ty_l=-1338.60 Mx_l=-26.77
Tensioni nella sezione: σ=324.51 τ=40.56
CC 6 SLD (Collegamento 0020_-377)
Azioni sul collegamento: N=-7362.28 Ty=-2.85 Tz=3.74 Mx=0.01 Mz=-1.43
Sollecitazioni agenti localmente: Ty_l=-1338.60 Mx_l=-26.77
Tensioni nella sezione: σ=324.51 τ=40.56
CC 6 SLD (Collegamento 0020_-377)
Azioni sul collegamento: N=-7362.28 Ty=-3.50 Tz=-2.19 Mx=0.01 Mz=-1.66
Sollecitazioni agenti localmente: Ty_l=-1338.60 Mx_l=-26.77
Tensioni nella sezione: σ=324.51 τ=40.56
CC 6 SLD (Collegamento 0020_-377)
Azioni sul collegamento: N=-7362.28 Ty=-2.85 Tz=-2.19 Mx=0.01 Mz=-1.43
Sollecitazioni agenti localmente: Ty_l=-1338.60 Mx_l=-26.77

Tensioni nella sezione: σ=324.51 τ=40.56
CC 6 SLD (Collegamento 0020_-377)
Azioni sul collegamento: N=-5750.58 Ty=-3.50 Tz=3.74 Mx=0.01 Mz=-1.66
Sollecitazioni agenti localmente: Ty_l=-1045.56 Mx_l=-20.91
Tensioni nella sezione: σ=253.47 τ=31.68
CC 6 SLD (Collegamento 0020_-377)
Azioni sul collegamento: N=-5750.58 Ty=-2.85 Tz=3.74 Mx=0.01 Mz=-1.43
Sollecitazioni agenti localmente: Ty_l=-1045.56 Mx_l=-20.91
Tensioni nella sezione: σ=253.47 τ=31.68
CC 6 SLD (Collegamento 0020_-377)
Azioni sul collegamento: N=-5750.58 Ty=-3.50 Tz=-2.19 Mx=0.01 Mz=-1.66
Sollecitazioni agenti localmente: Ty_l=-1045.56 Mx_l=-20.91
Tensioni nella sezione: σ=253.47 τ=31.68
CC 6 SLD (Collegamento 0020_-377)
Azioni sul collegamento: N=-5750.58 Ty=-2.85 Tz=-2.19 Mx=0.01 Mz=-1.43
Sollecitazioni agenti localmente: Ty_l=-1045.56 Mx_l=-20.91
Tensioni nella sezione: σ=253.47 τ=31.68
CC 7 SLV (Collegamento 0020_-377)
Azioni sul collegamento: N=-9172.38 Ty=-0.64 Tz=10.50 Mx=0.01 Mz=-1.09
Sollecitazioni agenti localmente: Ty_l=-1667.71 Mx_l=-33.35
Tensioni nella sezione: σ=404.29 τ=50.54
CC 7 SLV (Collegamento 0020_-377)
Azioni sul collegamento: N=-9172.38 Ty=-4.02 Tz=10.50 Mx=0.01 Mz=2.16
Sollecitazioni agenti localmente: Ty_l=-1667.71 Mx_l=-33.35
Tensioni nella sezione: σ=404.29 τ=50.54
CC 7 SLV (Collegamento 0020_-377)
Azioni sul collegamento: N=-9172.38 Ty=-0.64 Tz=-9.21 Mx=0.01 Mz=-1.09
Sollecitazioni agenti localmente: Ty_l=-1667.71 Mx_l=-33.35
Tensioni nella sezione: σ=404.29 τ=50.54
CC 7 SLV (Collegamento 0020_-377)
Azioni sul collegamento: N=-9172.38 Ty=-4.02 Tz=-9.21 Mx=0.01 Mz=2.16
Sollecitazioni agenti localmente: Ty_l=-1667.71 Mx_l=-33.35
Tensioni nella sezione: σ=404.29 τ=50.54
CC 7 SLV (Collegamento 0020_-377)
Azioni sul collegamento: N=-3875.57 Ty=-0.64 Tz=10.50 Mx=0.01 Mz=-1.09
Sollecitazioni agenti localmente: Ty_l=-704.65 Mx_l=-14.09
Tensioni nella sezione: σ=170.82 τ=21.35
CC 7 SLV (Collegamento 0020_-377)
Azioni sul collegamento: N=-3875.57 Ty=-4.02 Tz=10.50 Mx=0.01 Mz=2.16
Sollecitazioni agenti localmente: Ty_l=-704.65 Mx_l=-14.09
Tensioni nella sezione: σ=170.82 τ=21.35
CC 7 SLV (Collegamento 0020_-377)
Azioni sul collegamento: N=-3875.57 Ty=-0.64 Tz=-9.21 Mx=0.01 Mz=-1.09
Sollecitazioni agenti localmente: Ty_l=-704.65 Mx_l=-14.09
Tensioni nella sezione: σ=170.82 τ=21.35
CC 7 SLV (Collegamento 0020_-377)
Azioni sul collegamento: N=-3875.57 Ty=-4.02 Tz=-9.21 Mx=0.01 Mz=2.16
Sollecitazioni agenti localmente: Ty_l=-704.65 Mx_l=-14.09
Tensioni nella sezione: σ=170.82 τ=21.35
CC 8 SLD (Collegamento 0020_-377)
Azioni sul collegamento: N=-7364.01 Ty=-3.69 Tz=3.78 Mx=0.01 Mz=-2.04
Sollecitazioni agenti localmente: Ty_l=-1338.91 Mx_l=-26.78
Tensioni nella sezione: σ=324.58 τ=40.57
CC 8 SLD (Collegamento 0020_-377)
Azioni sul collegamento: N=-7364.01 Ty=-2.66 Tz=3.78 Mx=0.01 Mz=-1.05
Sollecitazioni agenti localmente: Ty_l=-1338.91 Mx_l=-26.78
Tensioni nella sezione: σ=324.58 τ=40.57
CC 8 SLD (Collegamento 0020_-377)
Azioni sul collegamento: N=-7364.01 Ty=-3.69 Tz=-2.23 Mx=0.01 Mz=-2.04
Sollecitazioni agenti localmente: Ty_l=-1338.91 Mx_l=-26.78
Tensioni nella sezione: σ=324.58 τ=40.57
CC 8 SLD (Collegamento 0020_-377)
Azioni sul collegamento: N=-7364.01 Ty=-2.66 Tz=-2.23 Mx=0.01 Mz=-1.05
Sollecitazioni agenti localmente: Ty_l=-1338.91 Mx_l=-26.78
Tensioni nella sezione: σ=324.58 τ=40.57
CC 8 SLD (Collegamento 0020_-377)
Azioni sul collegamento: N=-5748.85 Ty=-3.69 Tz=3.78 Mx=0.01 Mz=-2.04
Sollecitazioni agenti localmente: Ty_l=-1045.24 Mx_l=-20.90
Tensioni nella sezione: σ=253.39 τ=31.67
CC 8 SLD (Collegamento 0020_-377)
Azioni sul collegamento: N=-5748.85 Ty=-2.66 Tz=3.78 Mx=0.01 Mz=-1.05
Sollecitazioni agenti localmente: Ty_l=-1045.24 Mx_l=-20.90
Tensioni nella sezione: σ=253.39 τ=31.67
CC 8 SLD (Collegamento 0020_-377)
Azioni sul collegamento: N=-5748.85 Ty=-3.69 Tz=-2.23 Mx=0.01 Mz=-2.04
Sollecitazioni agenti localmente: Ty_l=-1045.24 Mx_l=-20.90
Tensioni nella sezione: σ=253.39 τ=31.67
CC 8 SLD (Collegamento 0020_-377)
Azioni sul collegamento: N=-5748.85 Ty=-2.66 Tz=-2.23 Mx=0.01 Mz=-1.05

Sollecitazioni agenti localmente: Ty_l=-1045.24 Mx_l=-20.90
Tensioni nella sezione: σ=253.39 τ=31.67
CC 9 SLV (Collegamento 0020_-377)
Azioni sul collegamento: N=-5720.83 Ty=-3.80 Tz=-2.51 Mx=0.03 Mz=2.93
Sollecitazioni agenti localmente: Ty_l=-1040.15 Mx_l=-20.80
Tensioni nella sezione: σ=252.16 τ=31.52
CC 9 SLV (Collegamento 0020_-377)
Azioni sul collegamento: N=-5720.83 Ty=-0.86 Tz=-2.51 Mx=0.03 Mz=-1.85
Sollecitazioni agenti localmente: Ty_l=-1040.15 Mx_l=-20.80
Tensioni nella sezione: σ=252.16 τ=31.52
CC 9 SLV (Collegamento 0020_-377)
Azioni sul collegamento: N=-5720.83 Ty=-3.80 Tz=3.80 Mx=0.03 Mz=2.93
Sollecitazioni agenti localmente: Ty_l=-1040.15 Mx_l=-20.80
Tensioni nella sezione: σ=252.16 τ=31.52
CC 9 SLV (Collegamento 0020_-377)
Azioni sul collegamento: N=-5720.83 Ty=-0.86 Tz=3.80 Mx=0.03 Mz=-1.85
Sollecitazioni agenti localmente: Ty_l=-1040.15 Mx_l=-20.80
Tensioni nella sezione: σ=252.16 τ=31.52
CC 9 SLV (Collegamento 0020_-377)
Azioni sul collegamento: N=-7327.12 Ty=-3.80 Tz=-2.51 Mx=0.03 Mz=2.93
Sollecitazioni agenti localmente: Ty_l=-1332.20 Mx_l=-26.64
Tensioni nella sezione: σ=322.96 τ=40.37
CC 9 SLV (Collegamento 0020_-377)
Azioni sul collegamento: N=-7327.12 Ty=-0.86 Tz=-2.51 Mx=0.03 Mz=-1.85
Sollecitazioni agenti localmente: Ty_l=-1332.20 Mx_l=-26.64
Tensioni nella sezione: σ=322.96 τ=40.37
CC 9 SLV (Collegamento 0020_-377)
Azioni sul collegamento: N=-7327.12 Ty=-3.80 Tz=3.80 Mx=0.03 Mz=2.93
Sollecitazioni agenti localmente: Ty_l=-1332.20 Mx_l=-26.64
Tensioni nella sezione: σ=322.96 τ=40.37
CC 9 SLV (Collegamento 0020_-377)
Azioni sul collegamento: N=-7327.12 Ty=-0.86 Tz=3.80 Mx=0.03 Mz=-1.85
Sollecitazioni agenti localmente: Ty_l=-1332.20 Mx_l=-26.64
Tensioni nella sezione: σ=322.96 τ=40.37
CC 10 SLD (Collegamento 0020_-377)
Azioni sul collegamento: N=-6311.52 Ty=-2.73 Tz=-0.19 Mx=0.01 Mz=-0.81
Sollecitazioni agenti localmente: Ty_l=-1147.55 Mx_l=-22.95
Tensioni nella sezione: σ=278.19 τ=34.77
CC 10 SLD (Collegamento 0020_-377)
Azioni sul collegamento: N=-6311.52 Ty=-3.62 Tz=-0.19 Mx=0.01 Mz=-2.27
Sollecitazioni agenti localmente: Ty_l=-1147.55 Mx_l=-22.95
Tensioni nella sezione: σ=278.19 τ=34.77
CC 10 SLD (Collegamento 0020_-377)
Azioni sul collegamento: N=-6311.52 Ty=-2.73 Tz=1.73 Mx=0.01 Mz=-0.81
Sollecitazioni agenti localmente: Ty_l=-1147.55 Mx_l=-22.95
Tensioni nella sezione: σ=278.19 τ=34.77
CC 10 SLD (Collegamento 0020_-377)
Azioni sul collegamento: N=-6311.52 Ty=-3.62 Tz=1.73 Mx=0.01 Mz=-2.27
Sollecitazioni agenti localmente: Ty_l=-1147.55 Mx_l=-22.95
Tensioni nella sezione: σ=278.19 τ=34.77
CC 10 SLD (Collegamento 0020_-377)
Azioni sul collegamento: N=-6801.33 Ty=-2.73 Tz=-0.19 Mx=0.01 Mz=-0.81
Sollecitazioni agenti localmente: Ty_l=-1236.61 Mx_l=-24.73
Tensioni nella sezione: σ=299.78 τ=37.47
CC 10 SLD (Collegamento 0020_-377)
Azioni sul collegamento: N=-6801.33 Ty=-3.62 Tz=-0.19 Mx=0.01 Mz=-2.27
Sollecitazioni agenti localmente: Ty_l=-1236.61 Mx_l=-24.73
Tensioni nella sezione: σ=299.78 τ=37.47
CC 10 SLD (Collegamento 0020_-377)
Azioni sul collegamento: N=-6801.33 Ty=-2.73 Tz=1.73 Mx=0.01 Mz=-0.81
Sollecitazioni agenti localmente: Ty_l=-1236.61 Mx_l=-24.73
Tensioni nella sezione: σ=299.78 τ=37.47
CC 10 SLD (Collegamento 0020_-377)
Azioni sul collegamento: N=-6801.33 Ty=-3.62 Tz=1.73 Mx=0.01 Mz=-2.27
Sollecitazioni agenti localmente: Ty_l=-1236.61 Mx_l=-24.73
Tensioni nella sezione: σ=299.78 τ=37.47
CC 11 SLV (Collegamento 0020_-377)
Azioni sul collegamento: N=-7308.16 Ty=-2.97 Tz=3.37 Mx=0.02 Mz=2.33
Sollecitazioni agenti localmente: Ty_l=-1328.76 Mx_l=-26.58
Tensioni nella sezione: σ=322.12 τ=40.27
CC 11 SLV (Collegamento 0020_-377)
Azioni sul collegamento: N=-7308.16 Ty=-1.68 Tz=3.37 Mx=0.02 Mz=-1.26
Sollecitazioni agenti localmente: Ty_l=-1328.76 Mx_l=-26.58
Tensioni nella sezione: σ=322.12 τ=40.27
CC 11 SLV (Collegamento 0020_-377)
Azioni sul collegamento: N=-7308.16 Ty=-2.97 Tz=-2.08 Mx=0.02 Mz=2.33
Sollecitazioni agenti localmente: Ty_l=-1328.76 Mx_l=-26.58
Tensioni nella sezione: σ=322.12 τ=40.27
CC 11 SLV (Collegamento 0020_-377)

Azioni sul collegamento: N=-7308.16 Ty=-1.68 Tz=-2.08 Mx=0.02 Mz=-1.26
Sollecitazioni agenti localmente: Ty_l=-1328.76 Mx_l=-26.58
Tensioni nella sezione: σ=322.12 τ=40.27
CC 11 SLV (Collegamento 0020_-377)
Azioni sul collegamento: N=-5739.79 Ty=-2.97 Tz=3.37 Mx=0.02 Mz=2.33
Sollecitazioni agenti localmente: Ty_l=-1043.60 Mx_l=-20.87
Tensioni nella sezione: σ=252.99 τ=31.62
CC 11 SLV (Collegamento 0020_-377)
Azioni sul collegamento: N=-5739.79 Ty=-1.68 Tz=3.37 Mx=0.02 Mz=-1.26
Sollecitazioni agenti localmente: Ty_l=-1043.60 Mx_l=-20.87
Tensioni nella sezione: σ=252.99 τ=31.62
CC 11 SLV (Collegamento 0020_-377)
Azioni sul collegamento: N=-5739.79 Ty=-2.97 Tz=-2.08 Mx=0.02 Mz=2.33
Sollecitazioni agenti localmente: Ty_l=-1043.60 Mx_l=-20.87
Tensioni nella sezione: σ=252.99 τ=31.62
CC 11 SLV (Collegamento 0020_-377)
Azioni sul collegamento: N=-5739.79 Ty=-1.68 Tz=-2.08 Mx=0.02 Mz=-1.26
Sollecitazioni agenti localmente: Ty_l=-1043.60 Mx_l=-20.87
Tensioni nella sezione: σ=252.99 τ=31.62
CC 12 SLD (Collegamento 0020_-377)
Azioni sul collegamento: N=-6795.55 Ty=-2.98 Tz=1.60 Mx=0.01 Mz=-1.00
Sollecitazioni agenti localmente: Ty_l=-1235.56 Mx_l=-24.71
Tensioni nella sezione: σ=299.53 τ=37.44
CC 12 SLD (Collegamento 0020_-377)
Azioni sul collegamento: N=-6795.55 Ty=-3.37 Tz=1.60 Mx=0.01 Mz=-2.09
Sollecitazioni agenti localmente: Ty_l=-1235.56 Mx_l=-24.71
Tensioni nella sezione: σ=299.53 τ=37.44
CC 12 SLD (Collegamento 0020_-377)
Azioni sul collegamento: N=-6795.55 Ty=-2.98 Tz=-0.06 Mx=0.01 Mz=-1.00
Sollecitazioni agenti localmente: Ty_l=-1235.56 Mx_l=-24.71
Tensioni nella sezione: σ=299.53 τ=37.44
CC 12 SLD (Collegamento 0020_-377)
Azioni sul collegamento: N=-6795.55 Ty=-3.37 Tz=-0.06 Mx=0.01 Mz=-2.09
Sollecitazioni agenti localmente: Ty_l=-1235.56 Mx_l=-24.71
Tensioni nella sezione: σ=299.53 τ=37.44
CC 12 SLD (Collegamento 0020_-377)
Azioni sul collegamento: N=-6317.31 Ty=-2.98 Tz=1.60 Mx=0.01 Mz=-1.00
Sollecitazioni agenti localmente: Ty_l=-1148.60 Mx_l=-22.97
Tensioni nella sezione: σ=278.45 τ=34.81
CC 12 SLD (Collegamento 0020_-377)
Azioni sul collegamento: N=-6317.31 Ty=-3.37 Tz=1.60 Mx=0.01 Mz=-2.09
Sollecitazioni agenti localmente: Ty_l=-1148.60 Mx_l=-22.97
Tensioni nella sezione: σ=278.45 τ=34.81
CC 12 SLD (Collegamento 0020_-377)
Azioni sul collegamento: N=-6317.31 Ty=-2.98 Tz=-0.06 Mx=0.01 Mz=-1.00
Sollecitazioni agenti localmente: Ty_l=-1148.60 Mx_l=-22.97
Tensioni nella sezione: σ=278.45 τ=34.81
CC 12 SLD (Collegamento 0020_-377)
Azioni sul collegamento: N=-6317.31 Ty=-3.37 Tz=-0.06 Mx=0.01 Mz=-2.09
Sollecitazioni agenti localmente: Ty_l=-1148.60 Mx_l=-22.97
Tensioni nella sezione: σ=278.45 τ=34.81
CC 13 SLV (Collegamento 0020_-377)
Azioni sul collegamento: N=-5739.79 Ty=-1.68 Tz=-2.08 Mx=0.01 Mz=-1.26
Sollecitazioni agenti localmente: Ty_l=-1043.60 Mx_l=-20.87
Tensioni nella sezione: σ=252.99 τ=31.62
CC 13 SLV (Collegamento 0020_-377)
Azioni sul collegamento: N=-5739.79 Ty=-2.97 Tz=-2.08 Mx=0.01 Mz=2.33
Sollecitazioni agenti localmente: Ty_l=-1043.60 Mx_l=-20.87
Tensioni nella sezione: σ=252.99 τ=31.62
CC 13 SLV (Collegamento 0020_-377)
Azioni sul collegamento: N=-5739.79 Ty=-1.68 Tz=3.37 Mx=0.01 Mz=-1.26
Sollecitazioni agenti localmente: Ty_l=-1043.60 Mx_l=-20.87
Tensioni nella sezione: σ=252.99 τ=31.62
CC 13 SLV (Collegamento 0020_-377)
Azioni sul collegamento: N=-5739.79 Ty=-2.97 Tz=3.37 Mx=0.01 Mz=2.33
Sollecitazioni agenti localmente: Ty_l=-1043.60 Mx_l=-20.87
Tensioni nella sezione: σ=252.99 τ=31.62
CC 13 SLV (Collegamento 0020_-377)
Azioni sul collegamento: N=-7308.16 Ty=-1.68 Tz=-2.08 Mx=0.01 Mz=-1.26
Sollecitazioni agenti localmente: Ty_l=-1328.76 Mx_l=-26.58
Tensioni nella sezione: σ=322.12 τ=40.27
CC 13 SLV (Collegamento 0020_-377)
Azioni sul collegamento: N=-7308.16 Ty=-2.97 Tz=-2.08 Mx=0.01 Mz=2.33
Sollecitazioni agenti localmente: Ty_l=-1328.76 Mx_l=-26.58
Tensioni nella sezione: σ=322.12 τ=40.27
CC 13 SLV (Collegamento 0020_-377)
Azioni sul collegamento: N=-7308.16 Ty=-1.68 Tz=3.37 Mx=0.01 Mz=-1.26
Sollecitazioni agenti localmente: Ty_l=-1328.76 Mx_l=-26.58
Tensioni nella sezione: σ=322.12 τ=40.27

CC 13 SLV (Collegamento 0020_-377)
Azioni sul collegamento: N=-7308.16 Ty=-2.97 Tz=3.37 Mx=0.01 Mz=2.33
Sollecitazioni agenti localmente: Ty_l=-1328.76 Mx_l=-26.58
Tensioni nella sezione: σ=322.12 τ=40.27
CC 14 SLD (Collegamento 0020_-377)
Azioni sul collegamento: N=-6317.31 Ty=-3.37 Tz=-0.06 Mx=0.01 Mz=-2.09
Sollecitazioni agenti localmente: Ty_l=-1148.60 Mx_l=-22.97
Tensioni nella sezione: σ=278.45 τ=34.81
CC 14 SLD (Collegamento 0020_-377)
Azioni sul collegamento: N=-6317.31 Ty=-2.98 Tz=-0.06 Mx=0.01 Mz=-1.00
Sollecitazioni agenti localmente: Ty_l=-1148.60 Mx_l=-22.97
Tensioni nella sezione: σ=278.45 τ=34.81
CC 14 SLD (Collegamento 0020_-377)
Azioni sul collegamento: N=-6317.31 Ty=-3.37 Tz=1.60 Mx=0.01 Mz=-2.09
Sollecitazioni agenti localmente: Ty_l=-1148.60 Mx_l=-22.97
Tensioni nella sezione: σ=278.45 τ=34.81
CC 14 SLD (Collegamento 0020_-377)
Azioni sul collegamento: N=-6317.31 Ty=-2.98 Tz=1.60 Mx=0.01 Mz=-1.00
Sollecitazioni agenti localmente: Ty_l=-1148.60 Mx_l=-22.97
Tensioni nella sezione: σ=278.45 τ=34.81
CC 14 SLD (Collegamento 0020_-377)
Azioni sul collegamento: N=-6795.55 Ty=-3.37 Tz=-0.06 Mx=0.01 Mz=-2.09
Sollecitazioni agenti localmente: Ty_l=-1235.56 Mx_l=-24.71
Tensioni nella sezione: σ=299.53 τ=37.44
CC 14 SLD (Collegamento 0020_-377)
Azioni sul collegamento: N=-6795.55 Ty=-2.98 Tz=-0.06 Mx=0.01 Mz=-1.00
Sollecitazioni agenti localmente: Ty_l=-1235.56 Mx_l=-24.71
Tensioni nella sezione: σ=299.53 τ=37.44
CC 14 SLD (Collegamento 0020_-377)
Azioni sul collegamento: N=-6795.55 Ty=-3.37 Tz=1.60 Mx=0.01 Mz=-2.09
Sollecitazioni agenti localmente: Ty_l=-1235.56 Mx_l=-24.71
Tensioni nella sezione: σ=299.53 τ=37.44
CC 14 SLD (Collegamento 0020_-377)
Azioni sul collegamento: N=-6795.55 Ty=-2.98 Tz=1.60 Mx=0.01 Mz=-1.00
Sollecitazioni agenti localmente: Ty_l=-1235.56 Mx_l=-24.71
Tensioni nella sezione: σ=299.53 τ=37.44
CC 15 SLV (Collegamento 0020_-377)
Azioni sul collegamento: N=-7327.12 Ty=-0.86 Tz=3.80 Mx=0.01 Mz=-1.85
Sollecitazioni agenti localmente: Ty_l=-1332.20 Mx_l=-26.64
Tensioni nella sezione: σ=322.96 τ=40.37
CC 15 SLV (Collegamento 0020_-377)
Azioni sul collegamento: N=-7327.12 Ty=-3.80 Tz=3.80 Mx=0.01 Mz=2.93
Sollecitazioni agenti localmente: Ty_l=-1332.20 Mx_l=-26.64
Tensioni nella sezione: σ=322.96 τ=40.37
CC 15 SLV (Collegamento 0020_-377)
Azioni sul collegamento: N=-7327.12 Ty=-0.86 Tz=-2.51 Mx=0.01 Mz=-1.85
Sollecitazioni agenti localmente: Ty_l=-1332.20 Mx_l=-26.64
Tensioni nella sezione: σ=322.96 τ=40.37
CC 15 SLV (Collegamento 0020_-377)
Azioni sul collegamento: N=-7327.12 Ty=-3.80 Tz=-2.51 Mx=0.01 Mz=2.93
Sollecitazioni agenti localmente: Ty_l=-1332.20 Mx_l=-26.64
Tensioni nella sezione: σ=322.96 τ=40.37
CC 15 SLV (Collegamento 0020_-377)
Azioni sul collegamento: N=-5720.83 Ty=-0.86 Tz=3.80 Mx=0.01 Mz=-1.85
Sollecitazioni agenti localmente: Ty_l=-1040.15 Mx_l=-20.80
Tensioni nella sezione: σ=252.16 τ=31.52
CC 15 SLV (Collegamento 0020_-377)
Azioni sul collegamento: N=-5720.83 Ty=-3.80 Tz=3.80 Mx=0.01 Mz=2.93
Sollecitazioni agenti localmente: Ty_l=-1040.15 Mx_l=-20.80
Tensioni nella sezione: σ=252.16 τ=31.52
CC 15 SLV (Collegamento 0020_-377)
Azioni sul collegamento: N=-5720.83 Ty=-0.86 Tz=-2.51 Mx=0.01 Mz=-1.85
Sollecitazioni agenti localmente: Ty_l=-1040.15 Mx_l=-20.80
Tensioni nella sezione: σ=252.16 τ=31.52
CC 15 SLV (Collegamento 0020_-377)
Azioni sul collegamento: N=-5720.83 Ty=-3.80 Tz=-2.51 Mx=0.01 Mz=2.93
Sollecitazioni agenti localmente: Ty_l=-1040.15 Mx_l=-20.80
Tensioni nella sezione: σ=252.16 τ=31.52
CC 16 SLD (Collegamento 0020_-377)
Azioni sul collegamento: N=-6801.33 Ty=-3.62 Tz=1.73 Mx=0.01 Mz=-2.27
Sollecitazioni agenti localmente: Ty_l=-1236.61 Mx_l=-24.73
Tensioni nella sezione: σ=299.78 τ=37.47
CC 16 SLD (Collegamento 0020_-377)
Azioni sul collegamento: N=-6801.33 Ty=-2.73 Tz=1.73 Mx=0.01 Mz=-0.81
Sollecitazioni agenti localmente: Ty_l=-1236.61 Mx_l=-24.73
Tensioni nella sezione: σ=299.78 τ=37.47
CC 16 SLD (Collegamento 0020_-377)
Azioni sul collegamento: N=-6801.33 Ty=-3.62 Tz=-0.19 Mx=0.01 Mz=-2.27
Sollecitazioni agenti localmente: Ty_l=-1236.61 Mx_l=-24.73

Tensioni nella sezione: σ=299.78 τ=37.47
CC 16 SLD (Collegamento 0020_-377)
Azioni sul collegamento: N=-6801.33 Ty=-2.73 Tz=-0.19 Mx=0.01 Mz=-0.81
Sollecitazioni agenti localmente: Ty_l=-1236.61 Mx_l=-24.73
Tensioni nella sezione: σ=299.78 τ=37.47
CC 16 SLD (Collegamento 0020_-377)
Azioni sul collegamento: N=-6311.52 Ty=-3.62 Tz=1.73 Mx=0.01 Mz=-2.27
Sollecitazioni agenti localmente: Ty_l=-1147.55 Mx_l=-22.95
Tensioni nella sezione: σ=278.19 τ=34.77
CC 16 SLD (Collegamento 0020_-377)
Azioni sul collegamento: N=-6311.52 Ty=-2.73 Tz=1.73 Mx=0.01 Mz=-0.81
Sollecitazioni agenti localmente: Ty_l=-1147.55 Mx_l=-22.95
Tensioni nella sezione: σ=278.19 τ=34.77
CC 16 SLD (Collegamento 0020_-377)
Azioni sul collegamento: N=-6311.52 Ty=-3.62 Tz=-0.19 Mx=0.01 Mz=-2.27
Sollecitazioni agenti localmente: Ty_l=-1147.55 Mx_l=-22.95
Tensioni nella sezione: σ=278.19 τ=34.77
CC 16 SLD (Collegamento 0020_-377)
Azioni sul collegamento: N=-6311.52 Ty=-2.73 Tz=-0.19 Mx=0.01 Mz=-0.81
Sollecitazioni agenti localmente: Ty_l=-1147.55 Mx_l=-22.95
Tensioni nella sezione: σ=278.19 τ=34.77
CC 17 SLV (Collegamento 0020_-377)
Azioni sul collegamento: N=-3968.96 Ty=-3.07 Tz=-8.85 Mx=-0.01 Mz=-3.83
Sollecitazioni agenti localmente: Ty_l=-721.63 Mx_l=-14.43
Tensioni nella sezione: σ=174.94 τ=21.87
CC 17 SLV (Collegamento 0020_-377)
Azioni sul collegamento: N=-3968.96 Ty=-6.45 Tz=-8.85 Mx=-0.01 Mz=-7.08
Sollecitazioni agenti localmente: Ty_l=-721.63 Mx_l=-14.43
Tensioni nella sezione: σ=174.94 τ=21.87
CC 17 SLV (Collegamento 0020_-377)
Azioni sul collegamento: N=-3968.96 Ty=-3.07 Tz=10.87 Mx=-0.01 Mz=-3.83
Sollecitazioni agenti localmente: Ty_l=-721.63 Mx_l=-14.43
Tensioni nella sezione: σ=174.94 τ=21.87
CC 17 SLV (Collegamento 0020_-377)
Azioni sul collegamento: N=-3968.96 Ty=-6.45 Tz=10.87 Mx=-0.01 Mz=-7.08
Sollecitazioni agenti localmente: Ty_l=-721.63 Mx_l=-14.43
Tensioni nella sezione: σ=174.94 τ=21.87
CC 17 SLV (Collegamento 0020_-377)
Azioni sul collegamento: N=-9265.76 Ty=-3.07 Tz=-8.85 Mx=-0.01 Mz=-3.83
Sollecitazioni agenti localmente: Ty_l=-1684.68 Mx_l=-33.69
Tensioni nella sezione: σ=408.41 τ=51.05
CC 17 SLV (Collegamento 0020_-377)
Azioni sul collegamento: N=-9265.76 Ty=-6.45 Tz=-8.85 Mx=-0.01 Mz=-7.08
Sollecitazioni agenti localmente: Ty_l=-1684.68 Mx_l=-33.69
Tensioni nella sezione: σ=408.41 τ=51.05
CC 17 SLV (Collegamento 0020_-377)
Azioni sul collegamento: N=-9265.76 Ty=-3.07 Tz=10.87 Mx=-0.01 Mz=-3.83
Sollecitazioni agenti localmente: Ty_l=-1684.68 Mx_l=-33.69
Tensioni nella sezione: σ=408.41 τ=51.05
CC 17 SLV (Collegamento 0020_-377)
Azioni sul collegamento: N=-9265.76 Ty=-6.45 Tz=10.87 Mx=-0.01 Mz=-7.08
Sollecitazioni agenti localmente: Ty_l=-1684.68 Mx_l=-33.69
Tensioni nella sezione: σ=408.41 τ=51.05
CC 18 SLD (Collegamento 0020_-377)
Azioni sul collegamento: N=-5777.32 Ty=-3.40 Tz=-2.12 Mx=-0.00 Mz=-2.87
Sollecitazioni agenti localmente: Ty_l=-1050.42 Mx_l=-21.01
Tensioni nella sezione: σ=254.65 τ=31.83
CC 18 SLD (Collegamento 0020_-377)
Azioni sul collegamento: N=-5777.32 Ty=-4.43 Tz=-2.12 Mx=-0.00 Mz=-3.87
Sollecitazioni agenti localmente: Ty_l=-1050.42 Mx_l=-21.01
Tensioni nella sezione: σ=254.65 τ=31.83
CC 18 SLD (Collegamento 0020_-377)
Azioni sul collegamento: N=-5777.32 Ty=-3.40 Tz=3.89 Mx=-0.00 Mz=-2.87
Sollecitazioni agenti localmente: Ty_l=-1050.42 Mx_l=-21.01
Tensioni nella sezione: σ=254.65 τ=31.83
CC 18 SLD (Collegamento 0020_-377)
Azioni sul collegamento: N=-5777.32 Ty=-4.43 Tz=3.89 Mx=-0.00 Mz=-3.87
Sollecitazioni agenti localmente: Ty_l=-1050.42 Mx_l=-21.01
Tensioni nella sezione: σ=254.65 τ=31.83
CC 18 SLD (Collegamento 0020_-377)
Azioni sul collegamento: N=-7392.49 Ty=-3.40 Tz=-2.12 Mx=-0.00 Mz=-2.87
Sollecitazioni agenti localmente: Ty_l=-1344.09 Mx_l=-26.88
Tensioni nella sezione: σ=325.84 τ=40.73
CC 18 SLD (Collegamento 0020_-377)
Azioni sul collegamento: N=-7392.49 Ty=-4.43 Tz=-2.12 Mx=-0.00 Mz=-3.87
Sollecitazioni agenti localmente: Ty_l=-1344.09 Mx_l=-26.88
Tensioni nella sezione: σ=325.84 τ=40.73
CC 18 SLD (Collegamento 0020_-377)
Azioni sul collegamento: N=-7392.49 Ty=-3.40 Tz=3.89 Mx=-0.00 Mz=-2.87

Sollecitazioni agenti localmente: Ty_l=-1344.09 Mx_l=-26.88
Tensioni nella sezione: σ=325.84 τ=40.73
CC 18 SLD (Collegamento 0020_-377)
Azioni sul collegamento: N=-7392.49 Ty=-4.43 Tz=3.89 Mx=-0.00 Mz=-3.87
Sollecitazioni agenti localmente: Ty_l=-1344.09 Mx_l=-26.88
Tensioni nella sezione: σ=325.84 τ=40.73
CC 19 SLV (Collegamento 0020_-377)
Azioni sul collegamento: N=-3974.65 Ty=-3.70 Tz=-8.72 Mx=-0.01 Mz=-5.08
Sollecitazioni agenti localmente: Ty_l=-722.66 Mx_l=-14.45
Tensioni nella sezione: σ=175.19 τ=21.90
CC 19 SLV (Collegamento 0020_-377)
Azioni sul collegamento: N=-3974.65 Ty=-5.81 Tz=-8.72 Mx=-0.01 Mz=-5.82
Sollecitazioni agenti localmente: Ty_l=-722.66 Mx_l=-14.45
Tensioni nella sezione: σ=175.19 τ=21.90
CC 19 SLV (Collegamento 0020_-377)
Azioni sul collegamento: N=-3974.65 Ty=-3.70 Tz=10.74 Mx=-0.01 Mz=-5.08
Sollecitazioni agenti localmente: Ty_l=-722.66 Mx_l=-14.45
Tensioni nella sezione: σ=175.19 τ=21.90
CC 19 SLV (Collegamento 0020_-377)
Azioni sul collegamento: N=-3974.65 Ty=-5.81 Tz=10.74 Mx=-0.01 Mz=-5.82
Sollecitazioni agenti localmente: Ty_l=-722.66 Mx_l=-14.45
Tensioni nella sezione: σ=175.19 τ=21.90
CC 19 SLV (Collegamento 0020_-377)
Azioni sul collegamento: N=-9260.08 Ty=-3.70 Tz=-8.72 Mx=-0.01 Mz=-5.08
Sollecitazioni agenti localmente: Ty_l=-1683.65 Mx_l=-33.67
Tensioni nella sezione: σ=408.16 τ=51.02
CC 19 SLV (Collegamento 0020_-377)
Azioni sul collegamento: N=-9260.08 Ty=-5.81 Tz=-8.72 Mx=-0.01 Mz=-5.82
Sollecitazioni agenti localmente: Ty_l=-1683.65 Mx_l=-33.67
Tensioni nella sezione: σ=408.16 τ=51.02
CC 19 SLV (Collegamento 0020_-377)
Azioni sul collegamento: N=-9260.08 Ty=-3.70 Tz=10.74 Mx=-0.01 Mz=-5.08
Sollecitazioni agenti localmente: Ty_l=-1683.65 Mx_l=-33.67
Tensioni nella sezione: σ=408.16 τ=51.02
CC 19 SLV (Collegamento 0020_-377)
Azioni sul collegamento: N=-9260.08 Ty=-5.81 Tz=10.74 Mx=-0.01 Mz=-5.82
Sollecitazioni agenti localmente: Ty_l=-1683.65 Mx_l=-33.67
Tensioni nella sezione: σ=408.16 τ=51.02
CC 20 SLD (Collegamento 0020_-377)
Azioni sul collegamento: N=-5779.06 Ty=-3.59 Tz=-2.08 Mx=-0.00 Mz=-3.26
Sollecitazioni agenti localmente: Ty_l=-1050.74 Mx_l=-21.01
Tensioni nella sezione: σ=254.72 τ=31.84
CC 20 SLD (Collegamento 0020_-377)
Azioni sul collegamento: N=-5779.06 Ty=-4.24 Tz=-2.08 Mx=-0.00 Mz=-3.48
Sollecitazioni agenti localmente: Ty_l=-1050.74 Mx_l=-21.01
Tensioni nella sezione: σ=254.72 τ=31.84
CC 20 SLD (Collegamento 0020_-377)
Azioni sul collegamento: N=-5779.06 Ty=-3.59 Tz=3.85 Mx=-0.00 Mz=-3.26
Sollecitazioni agenti localmente: Ty_l=-1050.74 Mx_l=-21.01
Tensioni nella sezione: σ=254.72 τ=31.84
CC 20 SLD (Collegamento 0020_-377)
Azioni sul collegamento: N=-5779.06 Ty=-4.24 Tz=3.85 Mx=-0.00 Mz=-3.48
Sollecitazioni agenti localmente: Ty_l=-1050.74 Mx_l=-21.01
Tensioni nella sezione: σ=254.72 τ=31.84
CC 20 SLD (Collegamento 0020_-377)
Azioni sul collegamento: N=-7390.75 Ty=-3.59 Tz=-2.08 Mx=-0.00 Mz=-3.26
Sollecitazioni agenti localmente: Ty_l=-1343.77 Mx_l=-26.88
Tensioni nella sezione: σ=325.76 τ=40.72
CC 20 SLD (Collegamento 0020_-377)
Azioni sul collegamento: N=-7390.75 Ty=-4.24 Tz=-2.08 Mx=-0.00 Mz=-3.48
Sollecitazioni agenti localmente: Ty_l=-1343.77 Mx_l=-26.88
Tensioni nella sezione: σ=325.76 τ=40.72
CC 20 SLD (Collegamento 0020_-377)
Azioni sul collegamento: N=-7390.75 Ty=-3.59 Tz=3.85 Mx=-0.00 Mz=-3.26
Sollecitazioni agenti localmente: Ty_l=-1343.77 Mx_l=-26.88
Tensioni nella sezione: σ=325.76 τ=40.72
CC 20 SLD (Collegamento 0020_-377)
Azioni sul collegamento: N=-7390.75 Ty=-4.24 Tz=3.85 Mx=-0.00 Mz=-3.48
Sollecitazioni agenti localmente: Ty_l=-1343.77 Mx_l=-26.88
Tensioni nella sezione: σ=325.76 τ=40.72
CC 21 SLV (Collegamento 0020_-377)
Azioni sul collegamento: N=-9260.08 Ty=-5.81 Tz=10.74 Mx=-0.01 Mz=-5.82
Sollecitazioni agenti localmente: Ty_l=-1683.65 Mx_l=-33.67
Tensioni nella sezione: σ=408.16 τ=51.02
CC 21 SLV (Collegamento 0020_-377)
Azioni sul collegamento: N=-9260.08 Ty=-3.70 Tz=10.74 Mx=-0.01 Mz=-5.08
Sollecitazioni agenti localmente: Ty_l=-1683.65 Mx_l=-33.67
Tensioni nella sezione: σ=408.16 τ=51.02
CC 21 SLV (Collegamento 0020_-377)

Azioni sul collegamento: N=-9260.08 Ty=-5.81 Tz=-8.72 Mx=-0.01 Mz=-5.82
Sollecitazioni agenti localmente: Ty_l=-1683.65 Mx_l=-33.67
Tensioni nella sezione: σ=408.16 τ=51.02
CC 21 SLV (Collegamento 0020_-377)
Azioni sul collegamento: N=-9260.08 Ty=-3.70 Tz=-8.72 Mx=-0.01 Mz=-5.08
Sollecitazioni agenti localmente: Ty_l=-1683.65 Mx_l=-33.67
Tensioni nella sezione: σ=408.16 τ=51.02
CC 21 SLV (Collegamento 0020_-377)
Azioni sul collegamento: N=-3974.65 Ty=-5.81 Tz=10.74 Mx=-0.01 Mz=-5.82
Sollecitazioni agenti localmente: Ty_l=-722.66 Mx_l=-14.45
Tensioni nella sezione: σ=175.19 τ=21.90
CC 21 SLV (Collegamento 0020_-377)
Azioni sul collegamento: N=-3974.65 Ty=-3.70 Tz=10.74 Mx=-0.01 Mz=-5.08
Sollecitazioni agenti localmente: Ty_l=-722.66 Mx_l=-14.45
Tensioni nella sezione: σ=175.19 τ=21.90
CC 21 SLV (Collegamento 0020_-377)
Azioni sul collegamento: N=-3974.65 Ty=-5.81 Tz=-8.72 Mx=-0.01 Mz=-5.82
Sollecitazioni agenti localmente: Ty_l=-722.66 Mx_l=-14.45
Tensioni nella sezione: σ=175.19 τ=21.90
CC 21 SLV (Collegamento 0020_-377)
Azioni sul collegamento: N=-3974.65 Ty=-3.70 Tz=-8.72 Mx=-0.01 Mz=-5.08
Sollecitazioni agenti localmente: Ty_l=-722.66 Mx_l=-14.45
Tensioni nella sezione: σ=175.19 τ=21.90
CC 22 SLD (Collegamento 0020_-377)
Azioni sul collegamento: N=-7390.75 Ty=-4.24 Tz=3.85 Mx=-0.00 Mz=-3.48
Sollecitazioni agenti localmente: Ty_l=-1343.77 Mx_l=-26.88
Tensioni nella sezione: σ=325.76 τ=40.72
CC 22 SLD (Collegamento 0020_-377)
Azioni sul collegamento: N=-7390.75 Ty=-3.59 Tz=3.85 Mx=-0.00 Mz=-3.26
Sollecitazioni agenti localmente: Ty_l=-1343.77 Mx_l=-26.88
Tensioni nella sezione: σ=325.76 τ=40.72
CC 22 SLD (Collegamento 0020_-377)
Azioni sul collegamento: N=-7390.75 Ty=-4.24 Tz=-2.08 Mx=-0.00 Mz=-3.48
Sollecitazioni agenti localmente: Ty_l=-1343.77 Mx_l=-26.88
Tensioni nella sezione: σ=325.76 τ=40.72
CC 22 SLD (Collegamento 0020_-377)
Azioni sul collegamento: N=-7390.75 Ty=-3.59 Tz=-2.08 Mx=-0.00 Mz=-3.26
Sollecitazioni agenti localmente: Ty_l=-1343.77 Mx_l=-26.88
Tensioni nella sezione: σ=325.76 τ=40.72
CC 22 SLD (Collegamento 0020_-377)
Azioni sul collegamento: N=-5779.06 Ty=-4.24 Tz=3.85 Mx=-0.00 Mz=-3.48
Sollecitazioni agenti localmente: Ty_l=-1050.74 Mx_l=-21.01
Tensioni nella sezione: σ=254.72 τ=31.84
CC 22 SLD (Collegamento 0020_-377)
Azioni sul collegamento: N=-5779.06 Ty=-3.59 Tz=3.85 Mx=-0.00 Mz=-3.26
Sollecitazioni agenti localmente: Ty_l=-1050.74 Mx_l=-21.01
Tensioni nella sezione: σ=254.72 τ=31.84
CC 22 SLD (Collegamento 0020_-377)
Azioni sul collegamento: N=-5779.06 Ty=-4.24 Tz=-2.08 Mx=-0.00 Mz=-3.48
Sollecitazioni agenti localmente: Ty_l=-1050.74 Mx_l=-21.01
Tensioni nella sezione: σ=254.72 τ=31.84
CC 22 SLD (Collegamento 0020_-377)
Azioni sul collegamento: N=-5779.06 Ty=-3.59 Tz=-2.08 Mx=-0.00 Mz=-3.26
Sollecitazioni agenti localmente: Ty_l=-1050.74 Mx_l=-21.01
Tensioni nella sezione: σ=254.72 τ=31.84
CC 23 SLV (Collegamento 0020_-377)
Azioni sul collegamento: N=-9265.76 Ty=-6.45 Tz=10.87 Mx=-0.01 Mz=-7.08
Sollecitazioni agenti localmente: Ty_l=-1684.68 Mx_l=-33.69
Tensioni nella sezione: σ=408.41 τ=51.05
CC 23 SLV (Collegamento 0020_-377)
Azioni sul collegamento: N=-9265.76 Ty=-3.07 Tz=10.87 Mx=-0.01 Mz=-3.83
Sollecitazioni agenti localmente: Ty_l=-1684.68 Mx_l=-33.69
Tensioni nella sezione: σ=408.41 τ=51.05
CC 23 SLV (Collegamento 0020_-377)
Azioni sul collegamento: N=-9265.76 Ty=-6.45 Tz=-8.85 Mx=-0.01 Mz=-7.08
Sollecitazioni agenti localmente: Ty_l=-1684.68 Mx_l=-33.69
Tensioni nella sezione: σ=408.41 τ=51.05
CC 23 SLV (Collegamento 0020_-377)
Azioni sul collegamento: N=-9265.76 Ty=-3.07 Tz=-8.85 Mx=-0.01 Mz=-3.83
Sollecitazioni agenti localmente: Ty_l=-1684.68 Mx_l=-33.69
Tensioni nella sezione: σ=408.41 τ=51.05
CC 23 SLV (Collegamento 0020_-377)
Azioni sul collegamento: N=-3968.96 Ty=-6.45 Tz=10.87 Mx=-0.01 Mz=-7.08
Sollecitazioni agenti localmente: Ty_l=-721.63 Mx_l=-14.43
Tensioni nella sezione: σ=174.94 τ=21.87
CC 23 SLV (Collegamento 0020_-377)
Azioni sul collegamento: N=-3968.96 Ty=-3.07 Tz=10.87 Mx=-0.01 Mz=-3.83
Sollecitazioni agenti localmente: Ty_l=-721.63 Mx_l=-14.43
Tensioni nella sezione: σ=174.94 τ=21.87

CC 23 SLV (Collegamento 0020_-377)
Azioni sul collegamento: N=-3968.96 Ty=-6.45 Tz=-8.85 Mx=-0.01 Mz=-7.08
Sollecitazioni agenti localmente: Ty_l=-721.63 Mx_l=-14.43
Tensioni nella sezione: σ=174.94 τ=21.87
CC 23 SLV (Collegamento 0020_-377)
Azioni sul collegamento: N=-3968.96 Ty=-3.07 Tz=-8.85 Mx=-0.01 Mz=-3.83
Sollecitazioni agenti localmente: Ty_l=-721.63 Mx_l=-14.43
Tensioni nella sezione: σ=174.94 τ=21.87
CC 24 SLD (Collegamento 0020_-377)
Azioni sul collegamento: N=-7392.49 Ty=-4.43 Tz=3.89 Mx=0.00 Mz=-3.87
Sollecitazioni agenti localmente: Ty_l=-1344.09 Mx_l=-26.88
Tensioni nella sezione: σ=325.84 τ=40.73
CC 24 SLD (Collegamento 0020_-377)
Azioni sul collegamento: N=-7392.49 Ty=-3.40 Tz=3.89 Mx=0.00 Mz=-2.87
Sollecitazioni agenti localmente: Ty_l=-1344.09 Mx_l=-26.88
Tensioni nella sezione: σ=325.84 τ=40.73
CC 24 SLD (Collegamento 0020_-377)
Azioni sul collegamento: N=-7392.49 Ty=-4.43 Tz=-2.12 Mx=0.00 Mz=-3.87
Sollecitazioni agenti localmente: Ty_l=-1344.09 Mx_l=-26.88
Tensioni nella sezione: σ=325.84 τ=40.73
CC 24 SLD (Collegamento 0020_-377)
Azioni sul collegamento: N=-7392.49 Ty=-3.40 Tz=-2.12 Mx=0.00 Mz=-2.87
Sollecitazioni agenti localmente: Ty_l=-1344.09 Mx_l=-26.88
Tensioni nella sezione: σ=325.84 τ=40.73
CC 24 SLD (Collegamento 0020_-377)
Azioni sul collegamento: N=-5777.32 Ty=-4.43 Tz=3.89 Mx=0.00 Mz=-3.87
Sollecitazioni agenti localmente: Ty_l=-1050.42 Mx_l=-21.01
Tensioni nella sezione: σ=254.65 τ=31.83
CC 24 SLD (Collegamento 0020_-377)
Azioni sul collegamento: N=-5777.32 Ty=-3.40 Tz=3.89 Mx=0.00 Mz=-2.87
Sollecitazioni agenti localmente: Ty_l=-1050.42 Mx_l=-21.01
Tensioni nella sezione: σ=254.65 τ=31.83
CC 24 SLD (Collegamento 0020_-377)
Azioni sul collegamento: N=-5777.32 Ty=-4.43 Tz=-2.12 Mx=0.00 Mz=-3.87
Sollecitazioni agenti localmente: Ty_l=-1050.42 Mx_l=-21.01
Tensioni nella sezione: σ=254.65 τ=31.83
CC 24 SLD (Collegamento 0020_-377)
Azioni sul collegamento: N=-5777.32 Ty=-3.40 Tz=-2.12 Mx=0.00 Mz=-2.87
Sollecitazioni agenti localmente: Ty_l=-1050.42 Mx_l=-21.01
Tensioni nella sezione: σ=254.65 τ=31.83
CC 25 SLV (Collegamento 0020_-377)
Azioni sul collegamento: N=-5814.21 Ty=-3.29 Tz=-2.14 Mx=-0.02 Mz=-3.06
Sollecitazioni agenti localmente: Ty_l=-1057.13 Mx_l=-21.14
Tensioni nella sezione: σ=256.27 τ=32.03
CC 25 SLV (Collegamento 0020_-377)
Azioni sul collegamento: N=-5814.21 Ty=-6.23 Tz=-2.14 Mx=-0.02 Mz=-7.84
Sollecitazioni agenti localmente: Ty_l=-1057.13 Mx_l=-21.14
Tensioni nella sezione: σ=256.27 τ=32.03
CC 25 SLV (Collegamento 0020_-377)
Azioni sul collegamento: N=-5814.21 Ty=-3.29 Tz=4.16 Mx=-0.02 Mz=-3.06
Sollecitazioni agenti localmente: Ty_l=-1057.13 Mx_l=-21.14
Tensioni nella sezione: σ=256.27 τ=32.03
CC 25 SLV (Collegamento 0020_-377)
Azioni sul collegamento: N=-5814.21 Ty=-6.23 Tz=4.16 Mx=-0.02 Mz=-7.84
Sollecitazioni agenti localmente: Ty_l=-1057.13 Mx_l=-21.14
Tensioni nella sezione: σ=256.27 τ=32.03
CC 25 SLV (Collegamento 0020_-377)
Azioni sul collegamento: N=-7420.51 Ty=-3.29 Tz=-2.14 Mx=-0.02 Mz=-3.06
Sollecitazioni agenti localmente: Ty_l=-1349.18 Mx_l=-26.98
Tensioni nella sezione: σ=327.07 τ=40.88
CC 25 SLV (Collegamento 0020_-377)
Azioni sul collegamento: N=-7420.51 Ty=-6.23 Tz=-2.14 Mx=-0.02 Mz=-7.84
Sollecitazioni agenti localmente: Ty_l=-1349.18 Mx_l=-26.98
Tensioni nella sezione: σ=327.07 τ=40.88
CC 25 SLV (Collegamento 0020_-377)
Azioni sul collegamento: N=-7420.51 Ty=-3.29 Tz=4.16 Mx=-0.02 Mz=-3.06
Sollecitazioni agenti localmente: Ty_l=-1349.18 Mx_l=-26.98
Tensioni nella sezione: σ=327.07 τ=40.88
CC 25 SLV (Collegamento 0020_-377)
Azioni sul collegamento: N=-7420.51 Ty=-6.23 Tz=4.16 Mx=-0.02 Mz=-7.84
Sollecitazioni agenti localmente: Ty_l=-1349.18 Mx_l=-26.98
Tensioni nella sezione: σ=327.07 τ=40.88
CC 26 SLD (Collegamento 0020_-377)
Azioni sul collegamento: N=-6340.00 Ty=-3.47 Tz=-0.08 Mx=-0.00 Mz=-2.64
Sollecitazioni agenti localmente: Ty_l=-1152.73 Mx_l=-23.05
Tensioni nella sezione: σ=279.45 τ=34.93
CC 26 SLD (Collegamento 0020_-377)
Azioni sul collegamento: N=-6340.00 Ty=-4.36 Tz=-0.08 Mx=-0.00 Mz=-4.10
Sollecitazioni agenti localmente: Ty_l=-1152.73 Mx_l=-23.05

Tensioni nella sezione: σ=279.45 τ=34.93
CC 26 SLD (Collegamento 0020_-377)
Azioni sul collegamento: N=-6340.00 Ty=-3.47 Tz=1.85 Mx=-0.00 Mz=-2.64
Sollecitazioni agenti localmente: Ty_l=-1152.73 Mx_l=-23.05
Tensioni nella sezione: σ=279.45 τ=34.93
CC 26 SLD (Collegamento 0020_-377)
Azioni sul collegamento: N=-6340.00 Ty=-4.36 Tz=1.85 Mx=-0.00 Mz=-4.10
Sollecitazioni agenti localmente: Ty_l=-1152.73 Mx_l=-23.05
Tensioni nella sezione: σ=279.45 τ=34.93
CC 26 SLD (Collegamento 0020_-377)
Azioni sul collegamento: N=-6829.81 Ty=-3.47 Tz=-0.08 Mx=-0.00 Mz=-2.64
Sollecitazioni agenti localmente: Ty_l=-1241.78 Mx_l=-24.84
Tensioni nella sezione: σ=301.04 τ=37.63
CC 26 SLD (Collegamento 0020_-377)
Azioni sul collegamento: N=-6829.81 Ty=-4.36 Tz=-0.08 Mx=-0.00 Mz=-4.10
Sollecitazioni agenti localmente: Ty_l=-1241.78 Mx_l=-24.84
Tensioni nella sezione: σ=301.04 τ=37.63
CC 26 SLD (Collegamento 0020_-377)
Azioni sul collegamento: N=-6829.81 Ty=-3.47 Tz=1.85 Mx=-0.00 Mz=-2.64
Sollecitazioni agenti localmente: Ty_l=-1241.78 Mx_l=-24.84
Tensioni nella sezione: σ=301.04 τ=37.63
CC 26 SLD (Collegamento 0020_-377)
Azioni sul collegamento: N=-6829.81 Ty=-4.36 Tz=1.85 Mx=-0.00 Mz=-4.10
Sollecitazioni agenti localmente: Ty_l=-1241.78 Mx_l=-24.84
Tensioni nella sezione: σ=301.04 τ=37.63
CC 27 SLV (Collegamento 0020_-377)
Azioni sul collegamento: N=-7401.55 Ty=-4.11 Tz=3.74 Mx=-0.02 Mz=-3.66
Sollecitazioni agenti localmente: Ty_l=-1345.74 Mx_l=-26.91
Tensioni nella sezione: σ=326.24 τ=40.78
CC 27 SLV (Collegamento 0020_-377)
Azioni sul collegamento: N=-7401.55 Ty=-5.40 Tz=3.74 Mx=-0.02 Mz=-7.25
Sollecitazioni agenti localmente: Ty_l=-1345.74 Mx_l=-26.91
Tensioni nella sezione: σ=326.24 τ=40.78
CC 27 SLV (Collegamento 0020_-377)
Azioni sul collegamento: N=-7401.55 Ty=-4.11 Tz=-1.71 Mx=-0.02 Mz=-3.66
Sollecitazioni agenti localmente: Ty_l=-1345.74 Mx_l=-26.91
Tensioni nella sezione: σ=326.24 τ=40.78
CC 27 SLV (Collegamento 0020_-377)
Azioni sul collegamento: N=-7401.55 Ty=-5.40 Tz=-1.71 Mx=-0.02 Mz=-7.25
Sollecitazioni agenti localmente: Ty_l=-1345.74 Mx_l=-26.91
Tensioni nella sezione: σ=326.24 τ=40.78
CC 27 SLV (Collegamento 0020_-377)
Azioni sul collegamento: N=-5833.17 Ty=-4.11 Tz=3.74 Mx=-0.02 Mz=-3.66
Sollecitazioni agenti localmente: Ty_l=-1060.58 Mx_l=-21.21
Tensioni nella sezione: σ=257.11 τ=32.14
CC 27 SLV (Collegamento 0020_-377)
Azioni sul collegamento: N=-5833.17 Ty=-5.40 Tz=3.74 Mx=-0.02 Mz=-7.25
Sollecitazioni agenti localmente: Ty_l=-1060.58 Mx_l=-21.21
Tensioni nella sezione: σ=257.11 τ=32.14
CC 27 SLV (Collegamento 0020_-377)
Azioni sul collegamento: N=-5833.17 Ty=-4.11 Tz=-1.71 Mx=-0.02 Mz=-3.66
Sollecitazioni agenti localmente: Ty_l=-1060.58 Mx_l=-21.21
Tensioni nella sezione: σ=257.11 τ=32.14
CC 27 SLV (Collegamento 0020_-377)
Azioni sul collegamento: N=-5833.17 Ty=-5.40 Tz=-1.71 Mx=-0.02 Mz=-7.25
Sollecitazioni agenti localmente: Ty_l=-1060.58 Mx_l=-21.21
Tensioni nella sezione: σ=257.11 τ=32.14
CC 28 SLD (Collegamento 0020_-377)
Azioni sul collegamento: N=-6824.03 Ty=-3.72 Tz=1.72 Mx=-0.00 Mz=-2.82
Sollecitazioni agenti localmente: Ty_l=-1240.73 Mx_l=-24.81
Tensioni nella sezione: σ=300.78 τ=37.60
CC 28 SLD (Collegamento 0020_-377)
Azioni sul collegamento: N=-6824.03 Ty=-4.11 Tz=1.72 Mx=-0.00 Mz=-3.92
Sollecitazioni agenti localmente: Ty_l=-1240.73 Mx_l=-24.81
Tensioni nella sezione: σ=300.78 τ=37.60
CC 28 SLD (Collegamento 0020_-377)
Azioni sul collegamento: N=-6824.03 Ty=-3.72 Tz=0.05 Mx=-0.00 Mz=-2.82
Sollecitazioni agenti localmente: Ty_l=-1240.73 Mx_l=-24.81
Tensioni nella sezione: σ=300.78 τ=37.60
CC 28 SLD (Collegamento 0020_-377)
Azioni sul collegamento: N=-6824.03 Ty=-4.11 Tz=0.05 Mx=-0.00 Mz=-3.92
Sollecitazioni agenti localmente: Ty_l=-1240.73 Mx_l=-24.81
Tensioni nella sezione: σ=300.78 τ=37.60
CC 28 SLD (Collegamento 0020_-377)
Azioni sul collegamento: N=-6345.78 Ty=-3.72 Tz=1.72 Mx=-0.00 Mz=-2.82
Sollecitazioni agenti localmente: Ty_l=-1153.78 Mx_l=-23.08
Tensioni nella sezione: σ=279.70 τ=34.96
CC 28 SLD (Collegamento 0020_-377)
Azioni sul collegamento: N=-6345.78 Ty=-4.11 Tz=1.72 Mx=-0.00 Mz=-3.92

Sollecitazioni agenti localmente: Ty_l=-1153.78 Mx_l=-23.08
Tensioni nella sezione: σ=279.70 τ=34.96
CC 28 SLD (Collegamento 0020_-377)
Azioni sul collegamento: N=-6345.78 Ty=-3.72 Tz=0.05 Mx=-0.00 Mz=-2.82
Sollecitazioni agenti localmente: Ty_l=-1153.78 Mx_l=-23.08
Tensioni nella sezione: σ=279.70 τ=34.96
CC 28 SLD (Collegamento 0020_-377)
Azioni sul collegamento: N=-6345.78 Ty=-4.11 Tz=0.05 Mx=-0.00 Mz=-3.92
Sollecitazioni agenti localmente: Ty_l=-1153.78 Mx_l=-23.08
Tensioni nella sezione: σ=279.70 τ=34.96
CC 29 SLV (Collegamento 0020_-377)
Azioni sul collegamento: N=-5833.17 Ty=-5.40 Tz=-1.71 Mx=-0.00 Mz=-7.25
Sollecitazioni agenti localmente: Ty_l=-1060.58 Mx_l=-21.21
Tensioni nella sezione: σ=257.11 τ=32.14
CC 29 SLV (Collegamento 0020_-377)
Azioni sul collegamento: N=-5833.17 Ty=-4.11 Tz=-1.71 Mx=-0.00 Mz=-3.66
Sollecitazioni agenti localmente: Ty_l=-1060.58 Mx_l=-21.21
Tensioni nella sezione: σ=257.11 τ=32.14
CC 29 SLV (Collegamento 0020_-377)
Azioni sul collegamento: N=-5833.17 Ty=-5.40 Tz=3.74 Mx=-0.00 Mz=-7.25
Sollecitazioni agenti localmente: Ty_l=-1060.58 Mx_l=-21.21
Tensioni nella sezione: σ=257.11 τ=32.14
CC 29 SLV (Collegamento 0020_-377)
Azioni sul collegamento: N=-5833.17 Ty=-4.11 Tz=3.74 Mx=-0.00 Mz=-3.66
Sollecitazioni agenti localmente: Ty_l=-1060.58 Mx_l=-21.21
Tensioni nella sezione: σ=257.11 τ=32.14
CC 29 SLV (Collegamento 0020_-377)
Azioni sul collegamento: N=-7401.55 Ty=-5.40 Tz=-1.71 Mx=-0.00 Mz=-7.25
Sollecitazioni agenti localmente: Ty_l=-1345.74 Mx_l=-26.91
Tensioni nella sezione: σ=326.24 τ=40.78
CC 29 SLV (Collegamento 0020_-377)
Azioni sul collegamento: N=-7401.55 Ty=-4.11 Tz=-1.71 Mx=-0.00 Mz=-3.66
Sollecitazioni agenti localmente: Ty_l=-1345.74 Mx_l=-26.91
Tensioni nella sezione: σ=326.24 τ=40.78
CC 29 SLV (Collegamento 0020_-377)
Azioni sul collegamento: N=-7401.55 Ty=-5.40 Tz=3.74 Mx=-0.00 Mz=-7.25
Sollecitazioni agenti localmente: Ty_l=-1345.74 Mx_l=-26.91
Tensioni nella sezione: σ=326.24 τ=40.78
CC 29 SLV (Collegamento 0020_-377)
Azioni sul collegamento: N=-7401.55 Ty=-4.11 Tz=3.74 Mx=-0.00 Mz=-3.66
Sollecitazioni agenti localmente: Ty_l=-1345.74 Mx_l=-26.91
Tensioni nella sezione: σ=326.24 τ=40.78
CC 30 SLD (Collegamento 0020_-377)
Azioni sul collegamento: N=-6345.78 Ty=-4.11 Tz=0.05 Mx=0.00 Mz=-3.92
Sollecitazioni agenti localmente: Ty_l=-1153.78 Mx_l=-23.08
Tensioni nella sezione: σ=279.70 τ=34.96
CC 30 SLD (Collegamento 0020_-377)
Azioni sul collegamento: N=-6345.78 Ty=-3.72 Tz=0.05 Mx=0.00 Mz=-2.82
Sollecitazioni agenti localmente: Ty_l=-1153.78 Mx_l=-23.08
Tensioni nella sezione: σ=279.70 τ=34.96
CC 30 SLD (Collegamento 0020_-377)
Azioni sul collegamento: N=-6345.78 Ty=-4.11 Tz=1.72 Mx=0.00 Mz=-3.92
Sollecitazioni agenti localmente: Ty_l=-1153.78 Mx_l=-23.08
Tensioni nella sezione: σ=279.70 τ=34.96
CC 30 SLD (Collegamento 0020_-377)
Azioni sul collegamento: N=-6345.78 Ty=-3.72 Tz=1.72 Mx=0.00 Mz=-2.82
Sollecitazioni agenti localmente: Ty_l=-1153.78 Mx_l=-23.08
Tensioni nella sezione: σ=279.70 τ=34.96
CC 30 SLD (Collegamento 0020_-377)
Azioni sul collegamento: N=-6824.03 Ty=-4.11 Tz=0.05 Mx=0.00 Mz=-3.92
Sollecitazioni agenti localmente: Ty_l=-1240.73 Mx_l=-24.81
Tensioni nella sezione: σ=300.78 τ=37.60
CC 30 SLD (Collegamento 0020_-377)
Azioni sul collegamento: N=-6824.03 Ty=-3.72 Tz=0.05 Mx=0.00 Mz=-2.82
Sollecitazioni agenti localmente: Ty_l=-1240.73 Mx_l=-24.81
Tensioni nella sezione: σ=300.78 τ=37.60
CC 30 SLD (Collegamento 0020_-377)
Azioni sul collegamento: N=-6824.03 Ty=-4.11 Tz=1.72 Mx=0.00 Mz=-3.92
Sollecitazioni agenti localmente: Ty_l=-1240.73 Mx_l=-24.81
Tensioni nella sezione: σ=300.78 τ=37.60
CC 30 SLD (Collegamento 0020_-377)
Azioni sul collegamento: N=-6824.03 Ty=-3.72 Tz=1.72 Mx=0.00 Mz=-2.82
Sollecitazioni agenti localmente: Ty_l=-1240.73 Mx_l=-24.81
Tensioni nella sezione: σ=300.78 τ=37.60
CC 31 SLV (Collegamento 0020_-377)
Azioni sul collegamento: N=-7420.51 Ty=-6.23 Tz=4.16 Mx=-0.00 Mz=-7.84
Sollecitazioni agenti localmente: Ty_l=-1349.18 Mx_l=-26.98
Tensioni nella sezione: σ=327.07 τ=40.88
CC 31 SLV (Collegamento 0020_-377)

Azioni sul collegamento: N=-7420.51 Ty=-3.29 Tz=4.16 Mx=-0.00 Mz=-3.06
Sollecitazioni agenti localmente: Ty_l=-1349.18 Mx_l=-26.98
Tensioni nella sezione: σ=327.07 τ=40.88
CC 31 SLV (Collegamento 0020_-377)
Azioni sul collegamento: N=-7420.51 Ty=-6.23 Tz=-2.14 Mx=-0.00 Mz=-7.84
Sollecitazioni agenti localmente: Ty_l=-1349.18 Mx_l=-26.98
Tensioni nella sezione: σ=327.07 τ=40.88
CC 31 SLV (Collegamento 0020_-377)
Azioni sul collegamento: N=-7420.51 Ty=-3.29 Tz=-2.14 Mx=-0.00 Mz=-3.06
Sollecitazioni agenti localmente: Ty_l=-1349.18 Mx_l=-26.98
Tensioni nella sezione: σ=327.07 τ=40.88
CC 31 SLV (Collegamento 0020_-377)
Azioni sul collegamento: N=-5814.21 Ty=-6.23 Tz=4.16 Mx=-0.00 Mz=-7.84
Sollecitazioni agenti localmente: Ty_l=-1057.13 Mx_l=-21.14
Tensioni nella sezione: σ=256.27 τ=32.03
CC 31 SLV (Collegamento 0020_-377)
Azioni sul collegamento: N=-5814.21 Ty=-3.29 Tz=4.16 Mx=-0.00 Mz=-3.06
Sollecitazioni agenti localmente: Ty_l=-1057.13 Mx_l=-21.14
Tensioni nella sezione: σ=256.27 τ=32.03
CC 31 SLV (Collegamento 0020_-377)
Azioni sul collegamento: N=-5814.21 Ty=-6.23 Tz=-2.14 Mx=-0.00 Mz=-7.84
Sollecitazioni agenti localmente: Ty_l=-1057.13 Mx_l=-21.14
Tensioni nella sezione: σ=256.27 τ=32.03
CC 31 SLV (Collegamento 0020_-377)
Azioni sul collegamento: N=-5814.21 Ty=-3.29 Tz=-2.14 Mx=-0.00 Mz=-3.06
Sollecitazioni agenti localmente: Ty_l=-1057.13 Mx_l=-21.14
Tensioni nella sezione: σ=256.27 τ=32.03
CC 32 SLD (Collegamento 0020_-377)
Azioni sul collegamento: N=-6829.81 Ty=-4.36 Tz=1.85 Mx=0.00 Mz=-4.10
Sollecitazioni agenti localmente: Ty_l=-1241.78 Mx_l=-24.84
Tensioni nella sezione: σ=301.04 τ=37.63
CC 32 SLD (Collegamento 0020_-377)
Azioni sul collegamento: N=-6829.81 Ty=-3.47 Tz=1.85 Mx=0.00 Mz=-2.64
Sollecitazioni agenti localmente: Ty_l=-1241.78 Mx_l=-24.84
Tensioni nella sezione: σ=301.04 τ=37.63
CC 32 SLD (Collegamento 0020_-377)
Azioni sul collegamento: N=-6829.81 Ty=-4.36 Tz=-0.08 Mx=0.00 Mz=-4.10
Sollecitazioni agenti localmente: Ty_l=-1241.78 Mx_l=-24.84
Tensioni nella sezione: σ=301.04 τ=37.63
CC 32 SLD (Collegamento 0020_-377)
Azioni sul collegamento: N=-6829.81 Ty=-3.47 Tz=-0.08 Mx=0.00 Mz=-2.64
Sollecitazioni agenti localmente: Ty_l=-1241.78 Mx_l=-24.84
Tensioni nella sezione: σ=301.04 τ=37.63
CC 32 SLD (Collegamento 0020_-377)
Azioni sul collegamento: N=-6340.00 Ty=-4.36 Tz=1.85 Mx=0.00 Mz=-4.10
Sollecitazioni agenti localmente: Ty_l=-1152.73 Mx_l=-23.05
Tensioni nella sezione: σ=279.45 τ=34.93
CC 32 SLD (Collegamento 0020_-377)
Azioni sul collegamento: N=-6340.00 Ty=-3.47 Tz=1.85 Mx=0.00 Mz=-2.64
Sollecitazioni agenti localmente: Ty_l=-1152.73 Mx_l=-23.05
Tensioni nella sezione: σ=279.45 τ=34.93
CC 32 SLD (Collegamento 0020_-377)
Azioni sul collegamento: N=-6340.00 Ty=-4.36 Tz=-0.08 Mx=0.00 Mz=-4.10
Sollecitazioni agenti localmente: Ty_l=-1152.73 Mx_l=-23.05
Tensioni nella sezione: σ=279.45 τ=34.93
CC 32 SLD (Collegamento 0020_-377)
Azioni sul collegamento: N=-6340.00 Ty=-3.47 Tz=-0.08 Mx=0.00 Mz=-2.64
Sollecitazioni agenti localmente: Ty_l=-1152.73 Mx_l=-23.05
Tensioni nella sezione: σ=279.45 τ=34.93
CC 33 SLU (Collegamento 0020_-377)
Azioni sul collegamento: N=-30337.70 Ty=-5.16 Tz=79.98 Mx=0.01 Mz=-3.50
Sollecitazioni agenti localmente: Ty_l=-5515.96 Mx_l=-110.32
Tensioni nella sezione: σ=1337.20 τ=167.15
CC 34 SLU (Collegamento 0020_-377)
Azioni sul collegamento: N=-30888.30 Ty=-5.44 Tz=82.02 Mx=0.01 Mz=-3.71
Sollecitazioni agenti localmente: Ty_l=-5616.05 Mx_l=-112.32
Tensioni nella sezione: σ=1361.46 τ=170.18
CC 35 SLU (Collegamento 0020_-377)
Azioni sul collegamento: N=-30612.00 Ty=-5.19 Tz=81.02 Mx=0.01 Mz=-3.39
Sollecitazioni agenti localmente: Ty_l=-5565.82 Mx_l=-111.32
Tensioni nella sezione: σ=1349.29 τ=168.66
CC 36 SLU (Collegamento 0020_-377)
Azioni sul collegamento: N=-30614.00 Ty=-5.41 Tz=80.97 Mx=0.01 Mz=-3.82
Sollecitazioni agenti localmente: Ty_l=-5566.18 Mx_l=-111.32
Tensioni nella sezione: σ=1349.37 τ=168.67
CC 37 SLU (Collegamento 0020_-377)
Azioni sul collegamento: N=-32266.80 Ty=-5.04 Tz=86.42 Mx=-0.00 Mz=-3.56
Sollecitazioni agenti localmente: Ty_l=-5866.68 Mx_l=-117.33
Tensioni nella sezione: σ=1422.22 τ=177.78

CC 38 SLU (Collegamento 0020_-377)
Azioni sul collegamento: N=-32817.30 Ty=-5.33 Tz=88.46 Mx=-0.00 Mz=-3.76
Sollecitazioni agenti localmente: Ty_l=-5966.78 Mx_l=-119.33
Tensioni nella sezione: σ=1446.49 τ=180.81
CC 39 SLU (Collegamento 0020_-377)
Azioni sul collegamento: N=-32541.00 Ty=-5.08 Tz=87.47 Mx=-0.00 Mz=-3.44
Sollecitazioni agenti localmente: Ty_l=-5916.55 Mx_l=-118.33
Tensioni nella sezione: σ=1434.31 τ=179.29
CC 40 SLU (Collegamento 0020_-377)
Azioni sul collegamento: N=-32543.00 Ty=-5.30 Tz=87.42 Mx=-0.00 Mz=-3.88
Sollecitazioni agenti localmente: Ty_l=-5916.91 Mx_l=-118.34
Tensioni nella sezione: σ=1434.40 τ=179.30
CC 41 SLU (Collegamento 0020_-377)
Azioni sul collegamento: N=-21046.60 Ty=-6.03 Tz=45.82 Mx=0.01 Mz=-4.13
Sollecitazioni agenti localmente: Ty_l=-3826.65 Mx_l=-76.53
Tensioni nella sezione: σ=927.67 τ=115.96
CC 42 SLU (Collegamento 0020_-377)
Azioni sul collegamento: N=-21597.10 Ty=-6.32 Tz=47.86 Mx=0.01 Mz=-4.34
Sollecitazioni agenti localmente: Ty_l=-3926.75 Mx_l=-78.53
Tensioni nella sezione: σ=951.94 τ=118.99
CC 43 SLU (Collegamento 0020_-377)
Azioni sul collegamento: N=-21320.90 Ty=-6.07 Tz=46.87 Mx=0.01 Mz=-4.02
Sollecitazioni agenti localmente: Ty_l=-3876.52 Mx_l=-77.53
Tensioni nella sezione: σ=939.76 τ=117.47
CC 44 SLU (Collegamento 0020_-377)
Azioni sul collegamento: N=-21322.80 Ty=-6.29 Tz=46.82 Mx=0.01 Mz=-4.45
Sollecitazioni agenti localmente: Ty_l=-3876.88 Mx_l=-77.54
Tensioni nella sezione: σ=939.85 τ=117.48
CC 45 SLU (Collegamento 0020_-377)
Azioni sul collegamento: N=-23139.00 Ty=-5.73 Tz=53.57 Mx=0.01 Mz=-3.96
Sollecitazioni agenti localmente: Ty_l=-4207.09 Mx_l=-84.14
Tensioni nella sezione: σ=1019.90 τ=127.49
CC 46 SLU (Collegamento 0020_-377)
Azioni sul collegamento: N=-23689.50 Ty=-6.01 Tz=55.60 Mx=0.01 Mz=-4.17
Sollecitazioni agenti localmente: Ty_l=-4307.19 Mx_l=-86.14
Tensioni nella sezione: σ=1044.16 τ=130.52
CC 47 SLU (Collegamento 0020_-377)
Azioni sul collegamento: N=-23413.30 Ty=-5.76 Tz=54.61 Mx=0.01 Mz=-3.84
Sollecitazioni agenti localmente: Ty_l=-4256.96 Mx_l=-85.14
Tensioni nella sezione: σ=1031.99 τ=129.00
CC 48 SLU (Collegamento 0020_-377)
Azioni sul collegamento: N=-23415.20 Ty=-5.98 Tz=54.56 Mx=0.01 Mz=-4.28
Sollecitazioni agenti localmente: Ty_l=-4257.31 Mx_l=-85.15
Tensioni nella sezione: σ=1032.07 τ=129.01
CC 49 SLU (Collegamento 0020_-377)
Azioni sul collegamento: N=-24582.20 Ty=-5.64 Tz=58.39 Mx=0.00 Mz=-4.00
Sollecitazioni agenti localmente: Ty_l=-4469.48 Mx_l=-89.39
Tensioni nella sezione: σ=1083.51 τ=135.44
CC 50 SLU (Collegamento 0020_-377)
Azioni sul collegamento: N=-25132.70 Ty=-5.93 Tz=60.42 Mx=0.00 Mz=-4.21
Sollecitazioni agenti localmente: Ty_l=-4569.58 Mx_l=-91.39
Tensioni nella sezione: σ=1107.77 τ=138.47
CC 51 SLU (Collegamento 0020_-377)
Azioni sul collegamento: N=-24856.40 Ty=-5.68 Tz=59.43 Mx=-0.00 Mz=-3.89
Sollecitazioni agenti localmente: Ty_l=-4519.35 Mx_l=-90.39
Tensioni nella sezione: σ=1095.60 τ=136.95
CC 52 SLU (Collegamento 0020_-377)
Azioni sul collegamento: N=-24858.40 Ty=-5.89 Tz=59.38 Mx=0.00 Mz=-4.32
Sollecitazioni agenti localmente: Ty_l=-4519.71 Mx_l=-90.39
Tensioni nella sezione: σ=1095.69 τ=136.96
CC 53 SLU (Collegamento 0020_-377)
Azioni sul collegamento: N=-16187.80 Ty=-6.38 Tz=28.01 Mx=0.01 Mz=-4.43
Sollecitazioni agenti localmente: Ty_l=-2943.24 Mx_l=-58.86
Tensioni nella sezione: σ=713.51 τ=89.19
CC 54 SLU (Collegamento 0020_-377)
Azioni sul collegamento: N=-16738.30 Ty=-6.67 Tz=30.05 Mx=0.01 Mz=-4.64
Sollecitazioni agenti localmente: Ty_l=-3043.34 Mx_l=-60.87
Tensioni nella sezione: σ=737.78 τ=92.22
CC 55 SLU (Collegamento 0020_-377)
Azioni sul collegamento: N=-16462.10 Ty=-6.42 Tz=29.05 Mx=0.01 Mz=-4.32
Sollecitazioni agenti localmente: Ty_l=-2993.11 Mx_l=-59.86
Tensioni nella sezione: σ=725.60 τ=90.70
CC 56 SLU (Collegamento 0020_-377)
Azioni sul collegamento: N=-16464.10 Ty=-6.64 Tz=29.01 Mx=0.01 Mz=-4.75
Sollecitazioni agenti localmente: Ty_l=-2993.47 Mx_l=-59.87
Tensioni nella sezione: σ=725.69 τ=90.71
CC 57 SLU (Collegamento 0020_-377)
Azioni sul collegamento: N=-23519.50 Ty=-6.15 Tz=55.00 Mx=0.01 Mz=-4.26
Sollecitazioni agenti localmente: Ty_l=-4276.28 Mx_l=-85.53

Tensioni nella sezione: σ=1036.67 τ=129.58
CC 58 SLU (Collegamento 0020_-377)
Azioni sul collegamento: N=-24070.10 Ty=-6.43 Tz=57.04 Mx=0.01 Mz=-4.47
Sollecitazioni agenti localmente: Ty_l=-4376.37 Mx_l=-87.53
Tensioni nella sezione: σ=1060.94 τ=132.62
CC 59 SLU (Collegamento 0020_-377)
Azioni sul collegamento: N=-23793.80 Ty=-6.18 Tz=56.05 Mx=0.01 Mz=-4.15
Sollecitazioni agenti localmente: Ty_l=-4326.15 Mx_l=-86.52
Tensioni nella sezione: σ=1048.76 τ=131.09
CC 60 SLU (Collegamento 0020_-377)
Azioni sul collegamento: N=-23795.80 Ty=-6.40 Tz=56.00 Mx=0.01 Mz=-4.58
Sollecitazioni agenti localmente: Ty_l=-4326.50 Mx_l=-86.53
Tensioni nella sezione: σ=1048.85 τ=131.11
CC 61 SLU (Collegamento 0020_-377)
Azioni sul collegamento: N=-24962.70 Ty=-6.06 Tz=59.83 Mx=0.00 Mz=-4.30
Sollecitazioni agenti localmente: Ty_l=-4538.67 Mx_l=-90.77
Tensioni nella sezione: σ=1100.28 τ=137.54
CC 62 SLU (Collegamento 0020_-377)
Azioni sul collegamento: N=-25513.20 Ty=-6.35 Tz=61.87 Mx=0.00 Mz=-4.51
Sollecitazioni agenti localmente: Ty_l=-4638.77 Mx_l=-92.78
Tensioni nella sezione: σ=1124.55 τ=140.57
CC 63 SLU (Collegamento 0020_-377)
Azioni sul collegamento: N=-25237.00 Ty=-6.10 Tz=60.87 Mx=-0.00 Mz=-4.19
Sollecitazioni agenti localmente: Ty_l=-4588.54 Mx_l=-91.77
Tensioni nella sezione: σ=1112.37 τ=139.05
CC 64 SLU (Collegamento 0020_-377)
Azioni sul collegamento: N=-25238.90 Ty=-6.31 Tz=60.82 Mx=0.00 Mz=-4.62
Sollecitazioni agenti localmente: Ty_l=-4588.90 Mx_l=-91.78
Tensioni nella sezione: σ=1112.46 τ=139.06
CC 65 SLU (Collegamento 0020_-377)
Azioni sul collegamento: N=-16568.40 Ty=-6.80 Tz=29.45 Mx=0.01 Mz=-4.74
Sollecitazioni agenti localmente: Ty_l=-3012.43 Mx_l=-60.25
Tensioni nella sezione: σ=730.28 τ=91.29
CC 66 SLU (Collegamento 0020_-377)
Azioni sul collegamento: N=-17118.90 Ty=-7.09 Tz=31.49 Mx=0.01 Mz=-4.94
Sollecitazioni agenti localmente: Ty_l=-3112.53 Mx_l=-62.25
Tensioni nella sezione: σ=754.55 τ=94.32
CC 67 SLU (Collegamento 0020_-377)
Azioni sul collegamento: N=-16842.60 Ty=-6.84 Tz=30.49 Mx=0.01 Mz=-4.62
Sollecitazioni agenti localmente: Ty_l=-3062.30 Mx_l=-61.25
Tensioni nella sezione: σ=742.37 τ=92.80
CC 68 SLU (Collegamento 0020_-377)
Azioni sul collegamento: N=-16844.60 Ty=-7.06 Tz=30.45 Mx=0.01 Mz=-5.06
Sollecitazioni agenti localmente: Ty_l=-3062.66 Mx_l=-61.25
Tensioni nella sezione: σ=742.46 τ=92.81
CC 97 SLU (Collegamento 0020_-377)
Azioni sul collegamento: N=-16826.20 Ty=-0.37 Tz=38.55 Mx=0.05 Mz=7.28
Sollecitazioni agenti localmente: Ty_l=-3059.31 Mx_l=-61.19
Tensioni nella sezione: σ=741.65 τ=92.71
CC 98 SLU (Collegamento 0020_-377)
Azioni sul collegamento: N=-17376.70 Ty=-0.65 Tz=40.58 Mx=0.05 Mz=7.07
Sollecitazioni agenti localmente: Ty_l=-3159.41 Mx_l=-63.19
Tensioni nella sezione: σ=765.92 τ=95.74
CC 99 SLU (Collegamento 0020_-377)
Azioni sul collegamento: N=-17100.50 Ty=-0.40 Tz=39.59 Mx=0.05 Mz=7.39
Sollecitazioni agenti localmente: Ty_l=-3109.18 Mx_l=-62.18
Tensioni nella sezione: σ=753.74 τ=94.22
CC 100 SLU (Collegamento 0020_-377)
Azioni sul collegamento: N=-17102.50 Ty=-0.62 Tz=39.54 Mx=0.05 Mz=6.96
Sollecitazioni agenti localmente: Ty_l=-3109.54 Mx_l=-62.19
Tensioni nella sezione: σ=753.83 τ=94.23
CC 101 SLU (Collegamento 0020_-377)
Azioni sul collegamento: N=-6585.90 Ty=-4.08 Tz=0.92 Mx=-0.00 Mz=-3.64
Sollecitazioni agenti localmente: Ty_l=-1197.44 Mx_l=-23.95
Tensioni nella sezione: σ=290.29 τ=36.29
CC 102 SLU (Collegamento 0020_-377)
Azioni sul collegamento: N=-7136.43 Ty=-4.37 Tz=2.96 Mx=-0.00 Mz=-3.85
Sollecitazioni agenti localmente: Ty_l=-1297.53 Mx_l=-25.95
Tensioni nella sezione: σ=314.55 τ=39.32
CC 103 SLU (Collegamento 0020_-377)
Azioni sul collegamento: N=-6860.18 Ty=-4.11 Tz=1.96 Mx=-0.00 Mz=-3.53
Sollecitazioni agenti localmente: Ty_l=-1247.31 Mx_l=-24.95
Tensioni nella sezione: σ=302.38 τ=37.80
CC 104 SLU (Collegamento 0020_-377)
Azioni sul collegamento: N=-6862.15 Ty=-4.33 Tz=1.92 Mx=-0.00 Mz=-3.96
Sollecitazioni agenti localmente: Ty_l=-1247.66 Mx_l=-24.95
Tensioni nella sezione: σ=302.46 τ=37.81

Flessione attacco destro piastra

Bnetta=220.00 Hnetta=15.00
CC 1 SLV (Collegamento 0020_-377)
Azioni sul collegamento: N=-3875.57 Ty=-4.02 Tz=-9.21 Mx=0.02 Mz=2.16
Sollecitazioni agenti localmente: Ty_l=-695.63 My_l=-14.27
Tensioni nella sezione: σ=173.00 τ=21.08
CC 1 SLV (Collegamento 0020_-377)
Azioni sul collegamento: N=-3875.57 Ty=-0.64 Tz=-9.21 Mx=0.02 Mz=-1.09
Sollecitazioni agenti localmente: Ty_l=-682.72 My_l=-13.99
Tensioni nella sezione: σ=169.57 τ=20.69
CC 1 SLV (Collegamento 0020_-377)
Azioni sul collegamento: N=-3875.57 Ty=-4.02 Tz=10.50 Mx=0.02 Mz=2.16
Sollecitazioni agenti localmente: Ty_l=-695.63 My_l=-14.27
Tensioni nella sezione: σ=173.00 τ=21.08
CC 1 SLV (Collegamento 0020_-377)
Azioni sul collegamento: N=-3875.57 Ty=-0.64 Tz=10.50 Mx=0.02 Mz=-1.09
Sollecitazioni agenti localmente: Ty_l=-682.72 My_l=-13.99
Tensioni nella sezione: σ=169.57 τ=20.69
CC 1 SLV (Collegamento 0020_-377)
Azioni sul collegamento: N=-9172.38 Ty=-4.02 Tz=-9.21 Mx=0.02 Mz=2.16
Sollecitazioni agenti localmente: Ty_l=-1634.61 My_l=-33.52
Tensioni nella sezione: σ=406.32 τ=49.53
CC 1 SLV (Collegamento 0020_-377)
Azioni sul collegamento: N=-9172.38 Ty=-0.64 Tz=-9.21 Mx=0.02 Mz=-1.09
Sollecitazioni agenti localmente: Ty_l=-1621.70 My_l=-33.24
Tensioni nella sezione: σ=402.89 τ=49.14
CC 1 SLV (Collegamento 0020_-377)
Azioni sul collegamento: N=-9172.38 Ty=-4.02 Tz=10.50 Mx=0.02 Mz=2.16
Sollecitazioni agenti localmente: Ty_l=-1634.61 My_l=-33.52
Tensioni nella sezione: σ=406.32 τ=49.53
CC 1 SLV (Collegamento 0020_-377)
Azioni sul collegamento: N=-9172.38 Ty=-0.64 Tz=10.50 Mx=0.02 Mz=-1.09
Sollecitazioni agenti localmente: Ty_l=-1621.70 My_l=-33.24
Tensioni nella sezione: σ=402.89 τ=49.14
CC 2 SLD (Collegamento 0020_-377)
Azioni sul collegamento: N=-5748.85 Ty=-2.66 Tz=-2.23 Mx=0.01 Mz=-1.05
Sollecitazioni agenti localmente: Ty_l=-1014.94 My_l=-20.80
Tensioni nella sezione: σ=252.13 τ=30.76
CC 2 SLD (Collegamento 0020_-377)
Azioni sul collegamento: N=-5748.85 Ty=-3.69 Tz=-2.23 Mx=0.01 Mz=-2.04
Sollecitazioni agenti localmente: Ty_l=-1011.01 My_l=-20.71
Tensioni nella sezione: σ=251.08 τ=30.64
CC 2 SLD (Collegamento 0020_-377)
Azioni sul collegamento: N=-5748.85 Ty=-2.66 Tz=3.78 Mx=0.01 Mz=-1.05
Sollecitazioni agenti localmente: Ty_l=-1014.94 My_l=-20.80
Tensioni nella sezione: σ=252.13 τ=30.76
CC 2 SLD (Collegamento 0020_-377)
Azioni sul collegamento: N=-5748.85 Ty=-3.69 Tz=3.78 Mx=0.01 Mz=-2.04
Sollecitazioni agenti localmente: Ty_l=-1011.01 My_l=-20.71
Tensioni nella sezione: σ=251.08 τ=30.64
CC 2 SLD (Collegamento 0020_-377)
Azioni sul collegamento: N=-7364.01 Ty=-2.66 Tz=-2.23 Mx=0.01 Mz=-1.05
Sollecitazioni agenti localmente: Ty_l=-1301.27 My_l=-26.67
Tensioni nella sezione: σ=323.27 τ=39.43
CC 2 SLD (Collegamento 0020_-377)
Azioni sul collegamento: N=-7364.01 Ty=-3.69 Tz=-2.23 Mx=0.01 Mz=-2.04
Sollecitazioni agenti localmente: Ty_l=-1297.33 My_l=-26.58
Tensioni nella sezione: σ=322.23 τ=39.31
CC 2 SLD (Collegamento 0020_-377)
Azioni sul collegamento: N=-7364.01 Ty=-2.66 Tz=3.78 Mx=0.01 Mz=-1.05
Sollecitazioni agenti localmente: Ty_l=-1301.27 My_l=-26.67
Tensioni nella sezione: σ=323.27 τ=39.43
CC 2 SLD (Collegamento 0020_-377)
Azioni sul collegamento: N=-7364.01 Ty=-3.69 Tz=3.78 Mx=0.01 Mz=-2.04
Sollecitazioni agenti localmente: Ty_l=-1297.33 My_l=-26.58
Tensioni nella sezione: σ=322.23 τ=39.31
CC 3 SLV (Collegamento 0020_-377)
Azioni sul collegamento: N=-3881.26 Ty=-3.39 Tz=-9.09 Mx=0.02 Mz=0.91
Sollecitazioni agenti localmente: Ty_l=-691.65 My_l=-14.18
Tensioni nella sezione: σ=171.93 τ=20.96
CC 3 SLV (Collegamento 0020_-377)
Azioni sul collegamento: N=-3881.26 Ty=-1.27 Tz=-9.09 Mx=0.02 Mz=0.17
Sollecitazioni agenti localmente: Ty_l=-688.72 My_l=-14.12
Tensioni nella sezione: σ=171.15 τ=20.87
CC 3 SLV (Collegamento 0020_-377)
Azioni sul collegamento: N=-3881.26 Ty=-3.39 Tz=10.37 Mx=0.02 Mz=0.91
Sollecitazioni agenti localmente: Ty_l=-691.65 My_l=-14.18
Tensioni nella sezione: σ=171.93 τ=20.96
CC 3 SLV (Collegamento 0020_-377)

Azioni sul collegamento: N=-3881.26 Ty=-1.27 Tz=10.37 Mx=0.02 Mz=0.17
Sollecitazioni agenti localmente: Ty_l=-688.72 My_l=-14.12
Tensioni nella sezione: σ=171.15 τ=20.87
CC 3 SLV (Collegamento 0020_-377)
Azioni sul collegamento: N=-9166.69 Ty=-3.39 Tz=-9.09 Mx=0.02 Mz=0.91
Sollecitazioni agenti localmente: Ty_l=-1628.61 My_l=-33.39
Tensioni nella sezione: σ=404.75 τ=49.35
CC 3 SLV (Collegamento 0020_-377)
Azioni sul collegamento: N=-9166.69 Ty=-1.27 Tz=-9.09 Mx=0.02 Mz=0.17
Sollecitazioni agenti localmente: Ty_l=-1625.68 My_l=-33.33
Tensioni nella sezione: σ=403.97 τ=49.26
CC 3 SLV (Collegamento 0020_-377)
Azioni sul collegamento: N=-9166.69 Ty=-3.39 Tz=10.38 Mx=0.02 Mz=0.91
Sollecitazioni agenti localmente: Ty_l=-1628.61 My_l=-33.39
Tensioni nella sezione: σ=404.75 τ=49.35
CC 3 SLV (Collegamento 0020_-377)
Azioni sul collegamento: N=-9166.69 Ty=-1.27 Tz=10.38 Mx=0.02 Mz=0.17
Sollecitazioni agenti localmente: Ty_l=-1625.68 My_l=-33.33
Tensioni nella sezione: σ=403.97 τ=49.26
CC 4 SLD (Collegamento 0020_-377)
Azioni sul collegamento: N=-5750.58 Ty=-2.85 Tz=-2.19 Mx=0.01 Mz=-1.43
Sollecitazioni agenti localmente: Ty_l=-1013.73 My_l=-20.77
Tensioni nella sezione: σ=251.80 τ=30.72
CC 4 SLD (Collegamento 0020_-377)
Azioni sul collegamento: N=-5750.58 Ty=-3.50 Tz=-2.19 Mx=0.01 Mz=-1.66
Sollecitazioni agenti localmente: Ty_l=-1012.84 My_l=-20.75
Tensioni nella sezione: σ=251.56 τ=30.69
CC 4 SLD (Collegamento 0020_-377)
Azioni sul collegamento: N=-5750.58 Ty=-2.85 Tz=3.74 Mx=0.01 Mz=-1.43
Sollecitazioni agenti localmente: Ty_l=-1013.73 My_l=-20.77
Tensioni nella sezione: σ=251.80 τ=30.72
CC 4 SLD (Collegamento 0020_-377)
Azioni sul collegamento: N=-5750.58 Ty=-3.50 Tz=3.74 Mx=0.01 Mz=-1.66
Sollecitazioni agenti localmente: Ty_l=-1012.84 My_l=-20.75
Tensioni nella sezione: σ=251.56 τ=30.69
CC 4 SLD (Collegamento 0020_-377)
Azioni sul collegamento: N=-7362.28 Ty=-2.85 Tz=-2.19 Mx=0.01 Mz=-1.43
Sollecitazioni agenti localmente: Ty_l=-1299.44 My_l=-26.63
Tensioni nella sezione: σ=322.79 τ=39.38
CC 4 SLD (Collegamento 0020_-377)
Azioni sul collegamento: N=-7362.28 Ty=-3.50 Tz=-2.19 Mx=0.01 Mz=-1.66
Sollecitazioni agenti localmente: Ty_l=-1298.55 My_l=-26.61
Tensioni nella sezione: σ=322.56 τ=39.35
CC 4 SLD (Collegamento 0020_-377)
Azioni sul collegamento: N=-7362.28 Ty=-2.85 Tz=3.74 Mx=0.01 Mz=-1.43
Sollecitazioni agenti localmente: Ty_l=-1299.44 My_l=-26.63
Tensioni nella sezione: σ=322.79 τ=39.38
CC 4 SLD (Collegamento 0020_-377)
Azioni sul collegamento: N=-7362.28 Ty=-3.50 Tz=3.74 Mx=0.01 Mz=-1.66
Sollecitazioni agenti localmente: Ty_l=-1298.55 My_l=-26.61
Tensioni nella sezione: σ=322.56 τ=39.35
CC 5 SLV (Collegamento 0020_-377)
Azioni sul collegamento: N=-9166.69 Ty=-1.27 Tz=10.38 Mx=0.02 Mz=0.17
Sollecitazioni agenti localmente: Ty_l=-1625.68 My_l=-33.33
Tensioni nella sezione: σ=403.97 τ=49.26
CC 5 SLV (Collegamento 0020_-377)
Azioni sul collegamento: N=-9166.69 Ty=-3.39 Tz=10.38 Mx=0.02 Mz=0.91
Sollecitazioni agenti localmente: Ty_l=-1628.61 My_l=-33.39
Tensioni nella sezione: σ=404.75 τ=49.35
CC 5 SLV (Collegamento 0020_-377)
Azioni sul collegamento: N=-9166.69 Ty=-1.27 Tz=-9.09 Mx=0.02 Mz=0.17
Sollecitazioni agenti localmente: Ty_l=-1625.68 My_l=-33.33
Tensioni nella sezione: σ=403.97 τ=49.26
CC 5 SLV (Collegamento 0020_-377)
Azioni sul collegamento: N=-9166.69 Ty=-3.39 Tz=-9.09 Mx=0.02 Mz=0.91
Sollecitazioni agenti localmente: Ty_l=-1628.61 My_l=-33.39
Tensioni nella sezione: σ=404.75 τ=49.35
CC 5 SLV (Collegamento 0020_-377)
Azioni sul collegamento: N=-3881.26 Ty=-1.27 Tz=10.37 Mx=0.02 Mz=0.17
Sollecitazioni agenti localmente: Ty_l=-688.72 My_l=-14.12
Tensioni nella sezione: σ=171.15 τ=20.87
CC 5 SLV (Collegamento 0020_-377)
Azioni sul collegamento: N=-3881.26 Ty=-3.39 Tz=10.37 Mx=0.02 Mz=0.91
Sollecitazioni agenti localmente: Ty_l=-691.65 My_l=-14.18
Tensioni nella sezione: σ=171.93 τ=20.96
CC 5 SLV (Collegamento 0020_-377)
Azioni sul collegamento: N=-3881.26 Ty=-1.27 Tz=-9.09 Mx=0.02 Mz=0.17
Sollecitazioni agenti localmente: Ty_l=-688.72 My_l=-14.12
Tensioni nella sezione: σ=171.15 τ=20.87

CC 5 SLV (Collegamento 0020_-377)
Azioni sul collegamento: N=-3881.26 Ty=-3.39 Tz=-9.09 Mx=0.02 Mz=0.91
Sollecitazioni agenti localmente: Ty_l=-691.65 My_l=-14.18
Tensioni nella sezione: σ=171.93 τ=20.96
CC 6 SLD (Collegamento 0020_-377)
Azioni sul collegamento: N=-7362.28 Ty=-3.50 Tz=3.74 Mx=0.01 Mz=-1.66
Sollecitazioni agenti localmente: Ty_l=-1298.55 My_l=-26.61
Tensioni nella sezione: σ=322.56 τ=39.35
CC 6 SLD (Collegamento 0020_-377)
Azioni sul collegamento: N=-7362.28 Ty=-2.85 Tz=3.74 Mx=0.01 Mz=-1.43
Sollecitazioni agenti localmente: Ty_l=-1299.44 My_l=-26.63
Tensioni nella sezione: σ=322.79 τ=39.38
CC 6 SLD (Collegamento 0020_-377)
Azioni sul collegamento: N=-7362.28 Ty=-3.50 Tz=-2.19 Mx=0.01 Mz=-1.66
Sollecitazioni agenti localmente: Ty_l=-1298.55 My_l=-26.61
Tensioni nella sezione: σ=322.56 τ=39.35
CC 6 SLD (Collegamento 0020_-377)
Azioni sul collegamento: N=-7362.28 Ty=-2.85 Tz=-2.19 Mx=0.01 Mz=-1.43
Sollecitazioni agenti localmente: Ty_l=-1299.44 My_l=-26.63
Tensioni nella sezione: σ=322.79 τ=39.38
CC 6 SLD (Collegamento 0020_-377)
Azioni sul collegamento: N=-5750.58 Ty=-3.50 Tz=3.74 Mx=0.01 Mz=-1.66
Sollecitazioni agenti localmente: Ty_l=-1012.84 My_l=-20.75
Tensioni nella sezione: σ=251.56 τ=30.69
CC 6 SLD (Collegamento 0020_-377)
Azioni sul collegamento: N=-5750.58 Ty=-2.85 Tz=3.74 Mx=0.01 Mz=-1.43
Sollecitazioni agenti localmente: Ty_l=-1013.73 My_l=-20.77
Tensioni nella sezione: σ=251.80 τ=30.72
CC 6 SLD (Collegamento 0020_-377)
Azioni sul collegamento: N=-5750.58 Ty=-3.50 Tz=-2.19 Mx=0.01 Mz=-1.66
Sollecitazioni agenti localmente: Ty_l=-1012.84 My_l=-20.75
Tensioni nella sezione: σ=251.56 τ=30.69
CC 6 SLD (Collegamento 0020_-377)
Azioni sul collegamento: N=-5750.58 Ty=-2.85 Tz=-2.19 Mx=0.01 Mz=-1.43
Sollecitazioni agenti localmente: Ty_l=-1013.73 My_l=-20.77
Tensioni nella sezione: σ=251.80 τ=30.72
CC 7 SLV (Collegamento 0020_-377)
Azioni sul collegamento: N=-9172.38 Ty=-0.64 Tz=10.50 Mx=0.01 Mz=-1.09
Sollecitazioni agenti localmente: Ty_l=-1621.70 My_l=-33.24
Tensioni nella sezione: σ=402.89 τ=49.14
CC 7 SLV (Collegamento 0020_-377)
Azioni sul collegamento: N=-9172.38 Ty=-4.02 Tz=10.50 Mx=0.01 Mz=2.16
Sollecitazioni agenti localmente: Ty_l=-1634.61 My_l=-33.52
Tensioni nella sezione: σ=406.32 τ=49.53
CC 7 SLV (Collegamento 0020_-377)
Azioni sul collegamento: N=-9172.38 Ty=-0.64 Tz=-9.21 Mx=0.01 Mz=-1.09
Sollecitazioni agenti localmente: Ty_l=-1621.70 My_l=-33.24
Tensioni nella sezione: σ=402.89 τ=49.14
CC 7 SLV (Collegamento 0020_-377)
Azioni sul collegamento: N=-9172.38 Ty=-4.02 Tz=-9.21 Mx=0.01 Mz=2.16
Sollecitazioni agenti localmente: Ty_l=-1634.61 My_l=-33.52
Tensioni nella sezione: σ=406.32 τ=49.53
CC 7 SLV (Collegamento 0020_-377)
Azioni sul collegamento: N=-3875.57 Ty=-0.64 Tz=10.50 Mx=0.01 Mz=-1.09
Sollecitazioni agenti localmente: Ty_l=-682.72 My_l=-13.99
Tensioni nella sezione: σ=169.57 τ=20.69
CC 7 SLV (Collegamento 0020_-377)
Azioni sul collegamento: N=-3875.57 Ty=-4.02 Tz=10.50 Mx=0.01 Mz=2.16
Sollecitazioni agenti localmente: Ty_l=-695.63 My_l=-14.27
Tensioni nella sezione: σ=173.00 τ=21.08
CC 7 SLV (Collegamento 0020_-377)
Azioni sul collegamento: N=-3875.57 Ty=-0.64 Tz=-9.21 Mx=0.01 Mz=-1.09
Sollecitazioni agenti localmente: Ty_l=-682.72 My_l=-13.99
Tensioni nella sezione: σ=169.57 τ=20.69
CC 7 SLV (Collegamento 0020_-377)
Azioni sul collegamento: N=-3875.57 Ty=-4.02 Tz=-9.21 Mx=0.01 Mz=2.16
Sollecitazioni agenti localmente: Ty_l=-695.63 My_l=-14.27
Tensioni nella sezione: σ=173.00 τ=21.08
CC 8 SLD (Collegamento 0020_-377)
Azioni sul collegamento: N=-7364.01 Ty=-3.69 Tz=3.78 Mx=0.01 Mz=-2.04
Sollecitazioni agenti localmente: Ty_l=-1297.33 My_l=-26.58
Tensioni nella sezione: σ=322.23 τ=39.31
CC 8 SLD (Collegamento 0020_-377)
Azioni sul collegamento: N=-7364.01 Ty=-2.66 Tz=3.78 Mx=0.01 Mz=-1.05
Sollecitazioni agenti localmente: Ty_l=-1301.27 My_l=-26.67
Tensioni nella sezione: σ=323.27 τ=39.43
CC 8 SLD (Collegamento 0020_-377)
Azioni sul collegamento: N=-7364.01 Ty=-3.69 Tz=-2.23 Mx=0.01 Mz=-2.04
Sollecitazioni agenti localmente: Ty_l=-1297.33 My_l=-26.58

Tensioni nella sezione: σ=322.23 τ=39.31
CC 8 SLD (Collegamento 0020_-377)
Azioni sul collegamento: N=-7364.01 Ty=-2.66 Tz=-2.23 Mx=0.01 Mz=-1.05
Sollecitazioni agenti localmente: Ty_l=-1301.27 My_l=-26.67
Tensioni nella sezione: σ=323.27 τ=39.43
CC 8 SLD (Collegamento 0020_-377)
Azioni sul collegamento: N=-5748.85 Ty=-3.69 Tz=3.78 Mx=0.01 Mz=-2.04
Sollecitazioni agenti localmente: Ty_l=-1011.01 My_l=-20.71
Tensioni nella sezione: σ=251.08 τ=30.64
CC 8 SLD (Collegamento 0020_-377)
Azioni sul collegamento: N=-5748.85 Ty=-2.66 Tz=3.78 Mx=0.01 Mz=-1.05
Sollecitazioni agenti localmente: Ty_l=-1014.94 My_l=-20.80
Tensioni nella sezione: σ=252.13 τ=30.76
CC 8 SLD (Collegamento 0020_-377)
Azioni sul collegamento: N=-5748.85 Ty=-3.69 Tz=-2.23 Mx=0.01 Mz=-2.04
Sollecitazioni agenti localmente: Ty_l=-1011.01 My_l=-20.71
Tensioni nella sezione: σ=251.08 τ=30.64
CC 8 SLD (Collegamento 0020_-377)
Azioni sul collegamento: N=-5748.85 Ty=-2.66 Tz=-2.23 Mx=0.01 Mz=-1.05
Sollecitazioni agenti localmente: Ty_l=-1014.94 My_l=-20.80
Tensioni nella sezione: σ=252.13 τ=30.76
CC 9 SLV (Collegamento 0020_-377)
Azioni sul collegamento: N=-5720.83 Ty=-3.80 Tz=-2.51 Mx=0.03 Mz=2.93
Sollecitazioni agenti localmente: Ty_l=-1025.80 My_l=-21.05
Tensioni nella sezione: σ=255.09 τ=31.09
CC 9 SLV (Collegamento 0020_-377)
Azioni sul collegamento: N=-5720.83 Ty=-0.86 Tz=-2.51 Mx=0.03 Mz=-1.85
Sollecitazioni agenti localmente: Ty_l=-1006.77 My_l=-20.63
Tensioni nella sezione: σ=250.04 τ=30.51
CC 9 SLV (Collegamento 0020_-377)
Azioni sul collegamento: N=-5720.83 Ty=-3.80 Tz=3.80 Mx=0.03 Mz=2.93
Sollecitazioni agenti localmente: Ty_l=-1025.80 My_l=-21.05
Tensioni nella sezione: σ=255.09 τ=31.09
CC 9 SLV (Collegamento 0020_-377)
Azioni sul collegamento: N=-5720.83 Ty=-0.86 Tz=3.80 Mx=0.03 Mz=-1.85
Sollecitazioni agenti localmente: Ty_l=-1006.77 My_l=-20.63
Tensioni nella sezione: σ=250.04 τ=30.51
CC 9 SLV (Collegamento 0020_-377)
Azioni sul collegamento: N=-7327.12 Ty=-3.80 Tz=-2.51 Mx=0.03 Mz=2.93
Sollecitazioni agenti localmente: Ty_l=-1310.56 My_l=-26.88
Tensioni nella sezione: σ=325.85 τ=39.71
CC 9 SLV (Collegamento 0020_-377)
Azioni sul collegamento: N=-7327.12 Ty=-0.86 Tz=-2.51 Mx=0.03 Mz=-1.85
Sollecitazioni agenti localmente: Ty_l=-1291.53 My_l=-26.47
Tensioni nella sezione: σ=320.80 τ=39.14
CC 9 SLV (Collegamento 0020_-377)
Azioni sul collegamento: N=-7327.12 Ty=-3.80 Tz=3.80 Mx=0.03 Mz=2.93
Sollecitazioni agenti localmente: Ty_l=-1310.56 My_l=-26.88
Tensioni nella sezione: σ=325.85 τ=39.71
CC 9 SLV (Collegamento 0020_-377)
Azioni sul collegamento: N=-7327.12 Ty=-0.86 Tz=3.80 Mx=0.03 Mz=-1.85
Sollecitazioni agenti localmente: Ty_l=-1291.53 My_l=-26.47
Tensioni nella sezione: σ=320.80 τ=39.14
CC 10 SLD (Collegamento 0020_-377)
Azioni sul collegamento: N=-6311.52 Ty=-2.73 Tz=-0.19 Mx=0.01 Mz=-0.81
Sollecitazioni agenti localmente: Ty_l=-1115.62 My_l=-22.87
Tensioni nella sezione: σ=277.16 τ=33.81
CC 10 SLD (Collegamento 0020_-377)
Azioni sul collegamento: N=-6311.52 Ty=-3.62 Tz=-0.19 Mx=0.01 Mz=-2.27
Sollecitazioni agenti localmente: Ty_l=-1109.82 My_l=-22.74
Tensioni nella sezione: σ=275.62 τ=33.63
CC 10 SLD (Collegamento 0020_-377)
Azioni sul collegamento: N=-6311.52 Ty=-2.73 Tz=1.73 Mx=0.01 Mz=-0.81
Sollecitazioni agenti localmente: Ty_l=-1115.62 My_l=-22.87
Tensioni nella sezione: σ=277.16 τ=33.81
CC 10 SLD (Collegamento 0020_-377)
Azioni sul collegamento: N=-6311.52 Ty=-3.62 Tz=1.73 Mx=0.01 Mz=-2.27
Sollecitazioni agenti localmente: Ty_l=-1109.82 My_l=-22.74
Tensioni nella sezione: σ=275.62 τ=33.63
CC 10 SLD (Collegamento 0020_-377)
Azioni sul collegamento: N=-6801.33 Ty=-2.73 Tz=-0.19 Mx=0.01 Mz=-0.81
Sollecitazioni agenti localmente: Ty_l=-1202.45 My_l=-24.65
Tensioni nella sezione: σ=298.74 τ=36.44
CC 10 SLD (Collegamento 0020_-377)
Azioni sul collegamento: N=-6801.33 Ty=-3.62 Tz=-0.19 Mx=0.01 Mz=-2.27
Sollecitazioni agenti localmente: Ty_l=-1196.65 My_l=-24.52
Tensioni nella sezione: σ=297.20 τ=36.26
CC 10 SLD (Collegamento 0020_-377)
Azioni sul collegamento: N=-6801.33 Ty=-2.73 Tz=1.73 Mx=0.01 Mz=-0.81

Sollecitazioni agenti localmente: Ty_l=-1202.45 My_l=-24.65
Tensioni nella sezione: σ=298.74 τ=36.44
CC 10 SLD (Collegamento 0020_-377)
Azioni sul collegamento: N=-6801.33 Ty=-3.62 Tz=1.73 Mx=0.01 Mz=-2.27
Sollecitazioni agenti localmente: Ty_l=-1196.65 My_l=-24.52
Tensioni nella sezione: σ=297.20 τ=36.26
CC 11 SLV (Collegamento 0020_-377)
Azioni sul collegamento: N=-7308.16 Ty=-2.97 Tz=3.37 Mx=0.02 Mz=2.33
Sollecitazioni agenti localmente: Ty_l=-1304.82 My_l=-26.76
Tensioni nella sezione: σ=324.38 τ=39.54
CC 11 SLV (Collegamento 0020_-377)
Azioni sul collegamento: N=-7308.16 Ty=-1.68 Tz=3.37 Mx=0.02 Mz=-1.26
Sollecitazioni agenti localmente: Ty_l=-1290.54 My_l=-26.45
Tensioni nella sezione: σ=320.60 τ=39.11
CC 11 SLV (Collegamento 0020_-377)
Azioni sul collegamento: N=-7308.16 Ty=-2.97 Tz=-2.08 Mx=0.02 Mz=2.33
Sollecitazioni agenti localmente: Ty_l=-1304.82 My_l=-26.76
Tensioni nella sezione: σ=324.38 τ=39.54
CC 11 SLV (Collegamento 0020_-377)
Azioni sul collegamento: N=-7308.16 Ty=-1.68 Tz=-2.08 Mx=0.02 Mz=-1.26
Sollecitazioni agenti localmente: Ty_l=-1290.54 My_l=-26.45
Tensioni nella sezione: σ=320.60 τ=39.11
CC 11 SLV (Collegamento 0020_-377)
Azioni sul collegamento: N=-5739.79 Ty=-2.97 Tz=3.37 Mx=0.02 Mz=2.33
Sollecitazioni agenti localmente: Ty_l=-1026.79 My_l=-21.06
Tensioni nella sezione: σ=255.30 τ=31.11
CC 11 SLV (Collegamento 0020_-377)
Azioni sul collegamento: N=-5739.79 Ty=-1.68 Tz=3.37 Mx=0.02 Mz=-1.26
Sollecitazioni agenti localmente: Ty_l=-1012.51 My_l=-20.75
Tensioni nella sezione: σ=251.51 τ=30.68
CC 11 SLV (Collegamento 0020_-377)
Azioni sul collegamento: N=-5739.79 Ty=-2.97 Tz=-2.08 Mx=0.02 Mz=2.33
Sollecitazioni agenti localmente: Ty_l=-1026.79 My_l=-21.06
Tensioni nella sezione: σ=255.30 τ=31.11
CC 11 SLV (Collegamento 0020_-377)
Azioni sul collegamento: N=-5739.79 Ty=-1.68 Tz=-2.08 Mx=0.02 Mz=-1.26
Sollecitazioni agenti localmente: Ty_l=-1012.51 My_l=-20.75
Tensioni nella sezione: σ=251.51 τ=30.68
CC 12 SLD (Collegamento 0020_-377)
Azioni sul collegamento: N=-6795.55 Ty=-2.98 Tz=1.60 Mx=0.01 Mz=-1.00
Sollecitazioni agenti localmente: Ty_l=-1200.70 My_l=-24.61
Tensioni nella sezione: σ=298.29 τ=36.38
CC 12 SLD (Collegamento 0020_-377)
Azioni sul collegamento: N=-6795.55 Ty=-3.37 Tz=1.60 Mx=0.01 Mz=-2.09
Sollecitazioni agenti localmente: Ty_l=-1196.35 My_l=-24.51
Tensioni nella sezione: σ=297.13 τ=36.25
CC 12 SLD (Collegamento 0020_-377)
Azioni sul collegamento: N=-6795.55 Ty=-2.98 Tz=-0.06 Mx=0.01 Mz=-1.00
Sollecitazioni agenti localmente: Ty_l=-1200.70 My_l=-24.61
Tensioni nella sezione: σ=298.29 τ=36.38
CC 12 SLD (Collegamento 0020_-377)
Azioni sul collegamento: N=-6795.55 Ty=-3.37 Tz=-0.06 Mx=0.01 Mz=-2.09
Sollecitazioni agenti localmente: Ty_l=-1196.35 My_l=-24.51
Tensioni nella sezione: σ=297.13 τ=36.25
CC 12 SLD (Collegamento 0020_-377)
Azioni sul collegamento: N=-6317.31 Ty=-2.98 Tz=1.60 Mx=0.01 Mz=-1.00
Sollecitazioni agenti localmente: Ty_l=-1115.92 My_l=-22.87
Tensioni nella sezione: σ=277.22 τ=33.82
CC 12 SLD (Collegamento 0020_-377)
Azioni sul collegamento: N=-6317.31 Ty=-3.37 Tz=1.60 Mx=0.01 Mz=-2.09
Sollecitazioni agenti localmente: Ty_l=-1111.57 My_l=-22.78
Tensioni nella sezione: σ=276.07 τ=33.68
CC 12 SLD (Collegamento 0020_-377)
Azioni sul collegamento: N=-6317.31 Ty=-2.98 Tz=-0.06 Mx=0.01 Mz=-1.00
Sollecitazioni agenti localmente: Ty_l=-1115.92 My_l=-22.87
Tensioni nella sezione: σ=277.22 τ=33.82
CC 12 SLD (Collegamento 0020_-377)
Azioni sul collegamento: N=-6317.31 Ty=-3.37 Tz=-0.06 Mx=0.01 Mz=-2.09
Sollecitazioni agenti localmente: Ty_l=-1111.57 My_l=-22.78
Tensioni nella sezione: σ=276.07 τ=33.68
CC 13 SLV (Collegamento 0020_-377)
Azioni sul collegamento: N=-5739.79 Ty=-1.68 Tz=-2.08 Mx=0.01 Mz=-1.26
Sollecitazioni agenti localmente: Ty_l=-1012.51 My_l=-20.75
Tensioni nella sezione: σ=251.51 τ=30.68
CC 13 SLV (Collegamento 0020_-377)
Azioni sul collegamento: N=-5739.79 Ty=-2.97 Tz=-2.08 Mx=0.01 Mz=2.33
Sollecitazioni agenti localmente: Ty_l=-1026.79 My_l=-21.06
Tensioni nella sezione: σ=255.30 τ=31.11
CC 13 SLV (Collegamento 0020_-377)

Azioni sul collegamento: N=-5739.79 Ty=-1.68 Tz=3.37 Mx=0.01 Mz=-1.26
Sollecitazioni agenti localmente: Ty_l=-1012.51 My_l=-20.75
Tensioni nella sezione: σ=251.51 τ=30.68
CC 13 SLV (Collegamento 0020_-377)
Azioni sul collegamento: N=-5739.79 Ty=-2.97 Tz=3.37 Mx=0.01 Mz=2.33
Sollecitazioni agenti localmente: Ty_l=-1026.79 My_l=-21.06
Tensioni nella sezione: σ=255.30 τ=31.11
CC 13 SLV (Collegamento 0020_-377)
Azioni sul collegamento: N=-7308.16 Ty=-1.68 Tz=-2.08 Mx=0.01 Mz=-1.26
Sollecitazioni agenti localmente: Ty_l=-1290.54 My_l=-26.45
Tensioni nella sezione: σ=320.60 τ=39.11
CC 13 SLV (Collegamento 0020_-377)
Azioni sul collegamento: N=-7308.16 Ty=-2.97 Tz=-2.08 Mx=0.01 Mz=2.33
Sollecitazioni agenti localmente: Ty_l=-1304.82 My_l=-26.76
Tensioni nella sezione: σ=324.38 τ=39.54
CC 13 SLV (Collegamento 0020_-377)
Azioni sul collegamento: N=-7308.16 Ty=-1.68 Tz=3.37 Mx=0.01 Mz=-1.26
Sollecitazioni agenti localmente: Ty_l=-1290.54 My_l=-26.45
Tensioni nella sezione: σ=320.60 τ=39.11
CC 13 SLV (Collegamento 0020_-377)
Azioni sul collegamento: N=-7308.16 Ty=-2.97 Tz=3.37 Mx=0.01 Mz=2.33
Sollecitazioni agenti localmente: Ty_l=-1304.82 My_l=-26.76
Tensioni nella sezione: σ=324.38 τ=39.54
CC 14 SLD (Collegamento 0020_-377)
Azioni sul collegamento: N=-6317.31 Ty=-3.37 Tz=-0.06 Mx=0.01 Mz=-2.09
Sollecitazioni agenti localmente: Ty_l=-1111.57 My_l=-22.78
Tensioni nella sezione: σ=276.07 τ=33.68
CC 14 SLD (Collegamento 0020_-377)
Azioni sul collegamento: N=-6317.31 Ty=-2.98 Tz=-0.06 Mx=0.01 Mz=-1.00
Sollecitazioni agenti localmente: Ty_l=-1115.92 My_l=-22.87
Tensioni nella sezione: σ=277.22 τ=33.82
CC 14 SLD (Collegamento 0020_-377)
Azioni sul collegamento: N=-6317.31 Ty=-3.37 Tz=1.60 Mx=0.01 Mz=-2.09
Sollecitazioni agenti localmente: Ty_l=-1111.57 My_l=-22.78
Tensioni nella sezione: σ=276.07 τ=33.68
CC 14 SLD (Collegamento 0020_-377)
Azioni sul collegamento: N=-6317.31 Ty=-2.98 Tz=1.60 Mx=0.01 Mz=-1.00
Sollecitazioni agenti localmente: Ty_l=-1115.92 My_l=-22.87
Tensioni nella sezione: σ=277.22 τ=33.82
CC 14 SLD (Collegamento 0020_-377)
Azioni sul collegamento: N=-6795.55 Ty=-3.37 Tz=-0.06 Mx=0.01 Mz=-2.09
Sollecitazioni agenti localmente: Ty_l=-1196.35 My_l=-24.51
Tensioni nella sezione: σ=297.13 τ=36.25
CC 14 SLD (Collegamento 0020_-377)
Azioni sul collegamento: N=-6795.55 Ty=-2.98 Tz=-0.06 Mx=0.01 Mz=-1.00
Sollecitazioni agenti localmente: Ty_l=-1200.70 My_l=-24.61
Tensioni nella sezione: σ=298.29 τ=36.38
CC 14 SLD (Collegamento 0020_-377)
Azioni sul collegamento: N=-6795.55 Ty=-3.37 Tz=1.60 Mx=0.01 Mz=-2.09
Sollecitazioni agenti localmente: Ty_l=-1196.35 My_l=-24.51
Tensioni nella sezione: σ=297.13 τ=36.25
CC 14 SLD (Collegamento 0020_-377)
Azioni sul collegamento: N=-6795.55 Ty=-2.98 Tz=1.60 Mx=0.01 Mz=-1.00
Sollecitazioni agenti localmente: Ty_l=-1200.70 My_l=-24.61
Tensioni nella sezione: σ=298.29 τ=36.38
CC 15 SLV (Collegamento 0020_-377)
Azioni sul collegamento: N=-7327.12 Ty=-0.86 Tz=3.80 Mx=0.01 Mz=-1.85
Sollecitazioni agenti localmente: Ty_l=-1291.53 My_l=-26.47
Tensioni nella sezione: σ=320.80 τ=39.14
CC 15 SLV (Collegamento 0020_-377)
Azioni sul collegamento: N=-7327.12 Ty=-3.80 Tz=3.80 Mx=0.01 Mz=2.93
Sollecitazioni agenti localmente: Ty_l=-1310.56 My_l=-26.88
Tensioni nella sezione: σ=325.85 τ=39.71
CC 15 SLV (Collegamento 0020_-377)
Azioni sul collegamento: N=-7327.12 Ty=-0.86 Tz=-2.51 Mx=0.01 Mz=-1.85
Sollecitazioni agenti localmente: Ty_l=-1291.53 My_l=-26.47
Tensioni nella sezione: σ=320.80 τ=39.14
CC 15 SLV (Collegamento 0020_-377)
Azioni sul collegamento: N=-7327.12 Ty=-3.80 Tz=-2.51 Mx=0.01 Mz=2.93
Sollecitazioni agenti localmente: Ty_l=-1310.56 My_l=-26.88
Tensioni nella sezione: σ=325.85 τ=39.71
CC 15 SLV (Collegamento 0020_-377)
Azioni sul collegamento: N=-5720.83 Ty=-0.86 Tz=3.80 Mx=0.01 Mz=-1.85
Sollecitazioni agenti localmente: Ty_l=-1006.77 My_l=-20.63
Tensioni nella sezione: σ=250.04 τ=30.51
CC 15 SLV (Collegamento 0020_-377)
Azioni sul collegamento: N=-5720.83 Ty=-3.80 Tz=3.80 Mx=0.01 Mz=2.93
Sollecitazioni agenti localmente: Ty_l=-1025.80 My_l=-21.05
Tensioni nella sezione: σ=255.09 τ=31.09

CC 15 SLV (Collegamento 0020_-377)
Azioni sul collegamento: N=-5720.83 Ty=-0.86 Tz=-2.51 Mx=0.01 Mz=-1.85
Sollecitazioni agenti localmente: Ty_l=-1006.77 My_l=-20.63
Tensioni nella sezione: σ=250.04 τ=30.51
CC 15 SLV (Collegamento 0020_-377)
Azioni sul collegamento: N=-5720.83 Ty=-3.80 Tz=-2.51 Mx=0.01 Mz=2.93
Sollecitazioni agenti localmente: Ty_l=-1025.80 My_l=-21.05
Tensioni nella sezione: σ=255.09 τ=31.09
CC 16 SLD (Collegamento 0020_-377)
Azioni sul collegamento: N=-6801.33 Ty=-3.62 Tz=1.73 Mx=0.01 Mz=-2.27
Sollecitazioni agenti localmente: Ty_l=-1196.65 My_l=-24.52
Tensioni nella sezione: σ=297.20 τ=36.26
CC 16 SLD (Collegamento 0020_-377)
Azioni sul collegamento: N=-6801.33 Ty=-2.73 Tz=1.73 Mx=0.01 Mz=-0.81
Sollecitazioni agenti localmente: Ty_l=-1202.45 My_l=-24.65
Tensioni nella sezione: σ=298.74 τ=36.44
CC 16 SLD (Collegamento 0020_-377)
Azioni sul collegamento: N=-6801.33 Ty=-3.62 Tz=-0.19 Mx=0.01 Mz=-2.27
Sollecitazioni agenti localmente: Ty_l=-1196.65 My_l=-24.52
Tensioni nella sezione: σ=297.20 τ=36.26
CC 16 SLD (Collegamento 0020_-377)
Azioni sul collegamento: N=-6801.33 Ty=-2.73 Tz=-0.19 Mx=0.01 Mz=-0.81
Sollecitazioni agenti localmente: Ty_l=-1202.45 My_l=-24.65
Tensioni nella sezione: σ=298.74 τ=36.44
CC 16 SLD (Collegamento 0020_-377)
Azioni sul collegamento: N=-6311.52 Ty=-3.62 Tz=1.73 Mx=0.01 Mz=-2.27
Sollecitazioni agenti localmente: Ty_l=-1109.82 My_l=-22.74
Tensioni nella sezione: σ=275.62 τ=33.63
CC 16 SLD (Collegamento 0020_-377)
Azioni sul collegamento: N=-6311.52 Ty=-2.73 Tz=1.73 Mx=0.01 Mz=-0.81
Sollecitazioni agenti localmente: Ty_l=-1115.62 My_l=-22.87
Tensioni nella sezione: σ=277.16 τ=33.81
CC 16 SLD (Collegamento 0020_-377)
Azioni sul collegamento: N=-6311.52 Ty=-3.62 Tz=-0.19 Mx=0.01 Mz=-2.27
Sollecitazioni agenti localmente: Ty_l=-1109.82 My_l=-22.74
Tensioni nella sezione: σ=275.62 τ=33.63
CC 16 SLD (Collegamento 0020_-377)
Azioni sul collegamento: N=-6311.52 Ty=-2.73 Tz=-0.19 Mx=0.01 Mz=-0.81
Sollecitazioni agenti localmente: Ty_l=-1115.62 My_l=-22.87
Tensioni nella sezione: σ=277.16 τ=33.81
CC 17 SLV (Collegamento 0020_-377)
Azioni sul collegamento: N=-3968.96 Ty=-3.07 Tz=-8.85 Mx=-0.01 Mz=-3.83
Sollecitazioni agenti localmente: Ty_l=-688.36 My_l=-14.09
Tensioni nella sezione: σ=170.79 τ=20.86
CC 17 SLV (Collegamento 0020_-377)
Azioni sul collegamento: N=-3968.96 Ty=-6.45 Tz=-8.85 Mx=-0.01 Mz=-7.08
Sollecitazioni agenti localmente: Ty_l=-675.44 My_l=-13.81
Tensioni nella sezione: σ=167.36 τ=20.47
CC 17 SLV (Collegamento 0020_-377)
Azioni sul collegamento: N=-3968.96 Ty=-3.07 Tz=10.87 Mx=-0.01 Mz=-3.83
Sollecitazioni agenti localmente: Ty_l=-688.36 My_l=-14.09
Tensioni nella sezione: σ=170.79 τ=20.86
CC 17 SLV (Collegamento 0020_-377)
Azioni sul collegamento: N=-3968.96 Ty=-6.45 Tz=10.87 Mx=-0.01 Mz=-7.08
Sollecitazioni agenti localmente: Ty_l=-675.44 My_l=-13.81
Tensioni nella sezione: σ=167.36 τ=20.47
CC 17 SLV (Collegamento 0020_-377)
Azioni sul collegamento: N=-9265.76 Ty=-3.07 Tz=-8.85 Mx=-0.01 Mz=-3.83
Sollecitazioni agenti localmente: Ty_l=-1627.34 My_l=-33.34
Tensioni nella sezione: σ=404.11 τ=49.31
CC 17 SLV (Collegamento 0020_-377)
Azioni sul collegamento: N=-9265.76 Ty=-6.45 Tz=-8.85 Mx=-0.01 Mz=-7.08
Sollecitazioni agenti localmente: Ty_l=-1614.42 My_l=-33.06
Tensioni nella sezione: σ=400.68 τ=48.92
CC 17 SLV (Collegamento 0020_-377)
Azioni sul collegamento: N=-9265.76 Ty=-3.07 Tz=10.87 Mx=-0.01 Mz=-3.83
Sollecitazioni agenti localmente: Ty_l=-1627.34 My_l=-33.34
Tensioni nella sezione: σ=404.11 τ=49.31
CC 17 SLV (Collegamento 0020_-377)
Azioni sul collegamento: N=-9265.76 Ty=-6.45 Tz=10.87 Mx=-0.01 Mz=-7.08
Sollecitazioni agenti localmente: Ty_l=-1614.42 My_l=-33.06
Tensioni nella sezione: σ=400.68 τ=48.92
CC 18 SLD (Collegamento 0020_-377)
Azioni sul collegamento: N=-5777.32 Ty=-3.40 Tz=-2.12 Mx=-0.00 Mz=-2.87
Sollecitazioni agenti localmente: Ty_l=-1012.73 My_l=-20.74
Tensioni nella sezione: σ=251.45 τ=30.69
CC 18 SLD (Collegamento 0020_-377)
Azioni sul collegamento: N=-5777.32 Ty=-4.43 Tz=-2.12 Mx=-0.00 Mz=-3.87
Sollecitazioni agenti localmente: Ty_l=-1008.79 My_l=-20.66

Tensioni nella sezione: σ=250.41 τ=30.57
CC 18 SLD (Collegamento 0020_-377)
Azioni sul collegamento: N=-5777.32 Ty=-3.40 Tz=3.89 Mx=-0.00 Mz=-2.87
Sollecitazioni agenti localmente: Ty_l=-1012.73 My_l=-20.74
Tensioni nella sezione: σ=251.45 τ=30.69
CC 18 SLD (Collegamento 0020_-377)
Azioni sul collegamento: N=-5777.32 Ty=-4.43 Tz=3.89 Mx=-0.00 Mz=-3.87
Sollecitazioni agenti localmente: Ty_l=-1008.79 My_l=-20.66
Tensioni nella sezione: σ=250.41 τ=30.57
CC 18 SLD (Collegamento 0020_-377)
Azioni sul collegamento: N=-7392.49 Ty=-3.40 Tz=-2.12 Mx=-0.00 Mz=-2.87
Sollecitazioni agenti localmente: Ty_l=-1299.05 My_l=-26.61
Tensioni nella sezione: σ=322.60 τ=39.37
CC 18 SLD (Collegamento 0020_-377)
Azioni sul collegamento: N=-7392.49 Ty=-4.43 Tz=-2.12 Mx=-0.00 Mz=-3.87
Sollecitazioni agenti localmente: Ty_l=-1295.11 My_l=-26.53
Tensioni nella sezione: σ=321.56 τ=39.25
CC 18 SLD (Collegamento 0020_-377)
Azioni sul collegamento: N=-7392.49 Ty=-3.40 Tz=3.89 Mx=-0.00 Mz=-2.87
Sollecitazioni agenti localmente: Ty_l=-1299.05 My_l=-26.61
Tensioni nella sezione: σ=322.60 τ=39.37
CC 18 SLD (Collegamento 0020_-377)
Azioni sul collegamento: N=-7392.49 Ty=-4.43 Tz=3.89 Mx=-0.00 Mz=-3.87
Sollecitazioni agenti localmente: Ty_l=-1295.11 My_l=-26.53
Tensioni nella sezione: σ=321.56 τ=39.25
CC 19 SLV (Collegamento 0020_-377)
Azioni sul collegamento: N=-3974.65 Ty=-3.70 Tz=-8.72 Mx=-0.01 Mz=-5.08
Sollecitazioni agenti localmente: Ty_l=-684.37 My_l=-14.00
Tensioni nella sezione: σ=169.71 τ=20.74
CC 19 SLV (Collegamento 0020_-377)
Azioni sul collegamento: N=-3974.65 Ty=-5.81 Tz=-8.72 Mx=-0.01 Mz=-5.82
Sollecitazioni agenti localmente: Ty_l=-681.45 My_l=-13.94
Tensioni nella sezione: σ=168.94 τ=20.65
CC 19 SLV (Collegamento 0020_-377)
Azioni sul collegamento: N=-3974.65 Ty=-3.70 Tz=10.74 Mx=-0.01 Mz=-5.08
Sollecitazioni agenti localmente: Ty_l=-684.37 My_l=-14.00
Tensioni nella sezione: σ=169.71 τ=20.74
CC 19 SLV (Collegamento 0020_-377)
Azioni sul collegamento: N=-3974.65 Ty=-5.81 Tz=10.74 Mx=-0.01 Mz=-5.82
Sollecitazioni agenti localmente: Ty_l=-681.45 My_l=-13.94
Tensioni nella sezione: σ=168.94 τ=20.65
CC 19 SLV (Collegamento 0020_-377)
Azioni sul collegamento: N=-9260.08 Ty=-3.70 Tz=-8.72 Mx=-0.01 Mz=-5.08
Sollecitazioni agenti localmente: Ty_l=-1621.34 My_l=-33.21
Tensioni nella sezione: σ=402.53 τ=49.13
CC 19 SLV (Collegamento 0020_-377)
Azioni sul collegamento: N=-9260.08 Ty=-5.81 Tz=-8.72 Mx=-0.01 Mz=-5.82
Sollecitazioni agenti localmente: Ty_l=-1618.41 My_l=-33.15
Tensioni nella sezione: σ=401.76 τ=49.04
CC 19 SLV (Collegamento 0020_-377)
Azioni sul collegamento: N=-9260.08 Ty=-3.70 Tz=10.74 Mx=-0.01 Mz=-5.08
Sollecitazioni agenti localmente: Ty_l=-1621.34 My_l=-33.21
Tensioni nella sezione: σ=402.53 τ=49.13
CC 19 SLV (Collegamento 0020_-377)
Azioni sul collegamento: N=-9260.08 Ty=-5.81 Tz=10.74 Mx=-0.01 Mz=-5.82
Sollecitazioni agenti localmente: Ty_l=-1618.41 My_l=-33.15
Tensioni nella sezione: σ=401.76 τ=49.04
CC 20 SLD (Collegamento 0020_-377)
Azioni sul collegamento: N=-5779.06 Ty=-3.59 Tz=-2.08 Mx=-0.00 Mz=-3.26
Sollecitazioni agenti localmente: Ty_l=-1011.51 My_l=-20.72
Tensioni nella sezione: σ=251.13 τ=30.65
CC 20 SLD (Collegamento 0020_-377)
Azioni sul collegamento: N=-5779.06 Ty=-4.24 Tz=-2.08 Mx=-0.00 Mz=-3.48
Sollecitazioni agenti localmente: Ty_l=-1010.62 My_l=-20.70
Tensioni nella sezione: σ=250.89 τ=30.62
CC 20 SLD (Collegamento 0020_-377)
Azioni sul collegamento: N=-5779.06 Ty=-3.59 Tz=3.85 Mx=-0.00 Mz=-3.26
Sollecitazioni agenti localmente: Ty_l=-1011.51 My_l=-20.72
Tensioni nella sezione: σ=251.13 τ=30.65
CC 20 SLD (Collegamento 0020_-377)
Azioni sul collegamento: N=-5779.06 Ty=-4.24 Tz=3.85 Mx=-0.00 Mz=-3.48
Sollecitazioni agenti localmente: Ty_l=-1010.62 My_l=-20.70
Tensioni nella sezione: σ=250.89 τ=30.62
CC 20 SLD (Collegamento 0020_-377)
Azioni sul collegamento: N=-7390.75 Ty=-3.59 Tz=-2.08 Mx=-0.00 Mz=-3.26
Sollecitazioni agenti localmente: Ty_l=-1297.22 My_l=-26.57
Tensioni nella sezione: σ=322.12 τ=39.31
CC 20 SLD (Collegamento 0020_-377)
Azioni sul collegamento: N=-7390.75 Ty=-4.24 Tz=-2.08 Mx=-0.00 Mz=-3.48

Sollecitazioni agenti localmente: Ty_l=-1296.33 My_l=-26.56
Tensioni nella sezione: σ=321.88 τ=39.28
CC 20 SLD (Collegamento 0020_-377)
Azioni sul collegamento: N=-7390.75 Ty=-3.59 Tz=3.85 Mx=-0.00 Mz=-3.26
Sollecitazioni agenti localmente: Ty_l=-1297.22 My_l=-26.57
Tensioni nella sezione: σ=322.12 τ=39.31
CC 20 SLD (Collegamento 0020_-377)
Azioni sul collegamento: N=-7390.75 Ty=-4.24 Tz=3.85 Mx=-0.00 Mz=-3.48
Sollecitazioni agenti localmente: Ty_l=-1296.33 My_l=-26.56
Tensioni nella sezione: σ=321.88 τ=39.28
CC 21 SLV (Collegamento 0020_-377)
Azioni sul collegamento: N=-9260.08 Ty=-5.81 Tz=10.74 Mx=-0.01 Mz=-5.82
Sollecitazioni agenti localmente: Ty_l=-1618.41 My_l=-33.15
Tensioni nella sezione: σ=401.76 τ=49.04
CC 21 SLV (Collegamento 0020_-377)
Azioni sul collegamento: N=-9260.08 Ty=-3.70 Tz=10.74 Mx=-0.01 Mz=-5.08
Sollecitazioni agenti localmente: Ty_l=-1621.34 My_l=-33.21
Tensioni nella sezione: σ=402.53 τ=49.13
CC 21 SLV (Collegamento 0020_-377)
Azioni sul collegamento: N=-9260.08 Ty=-5.81 Tz=-8.72 Mx=-0.01 Mz=-5.82
Sollecitazioni agenti localmente: Ty_l=-1618.41 My_l=-33.15
Tensioni nella sezione: σ=401.76 τ=49.04
CC 21 SLV (Collegamento 0020_-377)
Azioni sul collegamento: N=-9260.08 Ty=-3.70 Tz=-8.72 Mx=-0.01 Mz=-5.08
Sollecitazioni agenti localmente: Ty_l=-1621.34 My_l=-33.21
Tensioni nella sezione: σ=402.53 τ=49.13
CC 21 SLV (Collegamento 0020_-377)
Azioni sul collegamento: N=-3974.65 Ty=-5.81 Tz=10.74 Mx=-0.01 Mz=-5.82
Sollecitazioni agenti localmente: Ty_l=-681.45 My_l=-13.94
Tensioni nella sezione: σ=168.94 τ=20.65
CC 21 SLV (Collegamento 0020_-377)
Azioni sul collegamento: N=-3974.65 Ty=-3.70 Tz=10.74 Mx=-0.01 Mz=-5.08
Sollecitazioni agenti localmente: Ty_l=-684.37 My_l=-14.00
Tensioni nella sezione: σ=169.71 τ=20.74
CC 21 SLV (Collegamento 0020_-377)
Azioni sul collegamento: N=-3974.65 Ty=-5.81 Tz=-8.72 Mx=-0.01 Mz=-5.82
Sollecitazioni agenti localmente: Ty_l=-681.45 My_l=-13.94
Tensioni nella sezione: σ=168.94 τ=20.65
CC 21 SLV (Collegamento 0020_-377)
Azioni sul collegamento: N=-3974.65 Ty=-3.70 Tz=-8.72 Mx=-0.01 Mz=-5.08
Sollecitazioni agenti localmente: Ty_l=-684.37 My_l=-14.00
Tensioni nella sezione: σ=169.71 τ=20.74
CC 22 SLD (Collegamento 0020_-377)
Azioni sul collegamento: N=-7390.75 Ty=-4.24 Tz=3.85 Mx=-0.00 Mz=-3.48
Sollecitazioni agenti localmente: Ty_l=-1296.33 My_l=-26.56
Tensioni nella sezione: σ=321.88 τ=39.28
CC 22 SLD (Collegamento 0020_-377)
Azioni sul collegamento: N=-7390.75 Ty=-3.59 Tz=3.85 Mx=-0.00 Mz=-3.26
Sollecitazioni agenti localmente: Ty_l=-1297.22 My_l=-26.57
Tensioni nella sezione: σ=322.12 τ=39.31
CC 22 SLD (Collegamento 0020_-377)
Azioni sul collegamento: N=-7390.75 Ty=-4.24 Tz=-2.08 Mx=-0.00 Mz=-3.48
Sollecitazioni agenti localmente: Ty_l=-1296.33 My_l=-26.56
Tensioni nella sezione: σ=321.88 τ=39.28
CC 22 SLD (Collegamento 0020_-377)
Azioni sul collegamento: N=-7390.75 Ty=-3.59 Tz=-2.08 Mx=-0.00 Mz=-3.26
Sollecitazioni agenti localmente: Ty_l=-1297.22 My_l=-26.57
Tensioni nella sezione: σ=322.12 τ=39.31
CC 22 SLD (Collegamento 0020_-377)
Azioni sul collegamento: N=-5779.06 Ty=-4.24 Tz=3.85 Mx=-0.00 Mz=-3.48
Sollecitazioni agenti localmente: Ty_l=-1010.62 My_l=-20.70
Tensioni nella sezione: σ=250.89 τ=30.62
CC 22 SLD (Collegamento 0020_-377)
Azioni sul collegamento: N=-5779.06 Ty=-3.59 Tz=3.85 Mx=-0.00 Mz=-3.26
Sollecitazioni agenti localmente: Ty_l=-1011.51 My_l=-20.72
Tensioni nella sezione: σ=251.13 τ=30.65
CC 22 SLD (Collegamento 0020_-377)
Azioni sul collegamento: N=-5779.06 Ty=-4.24 Tz=-2.08 Mx=-0.00 Mz=-3.48
Sollecitazioni agenti localmente: Ty_l=-1010.62 My_l=-20.70
Tensioni nella sezione: σ=250.89 τ=30.62
CC 22 SLD (Collegamento 0020_-377)
Azioni sul collegamento: N=-5779.06 Ty=-3.59 Tz=-2.08 Mx=-0.00 Mz=-3.26
Sollecitazioni agenti localmente: Ty_l=-1011.51 My_l=-20.72
Tensioni nella sezione: σ=251.13 τ=30.65
CC 23 SLV (Collegamento 0020_-377)
Azioni sul collegamento: N=-9265.76 Ty=-6.45 Tz=10.87 Mx=-0.01 Mz=-7.08
Sollecitazioni agenti localmente: Ty_l=-1614.42 My_l=-33.06
Tensioni nella sezione: σ=400.68 τ=48.92
CC 23 SLV (Collegamento 0020_-377)

Azioni sul collegamento: N=-9265.76 Ty=-3.07 Tz=10.87 Mx=-0.01 Mz=-3.83
Sollecitazioni agenti localmente: Ty_l=-1627.34 My_l=-33.34
Tensioni nella sezione: σ=404.11 τ=49.31
CC 23 SLV (Collegamento 0020_-377)
Azioni sul collegamento: N=-9265.76 Ty=-6.45 Tz=-8.85 Mx=-0.01 Mz=-7.08
Sollecitazioni agenti localmente: Ty_l=-1614.42 My_l=-33.06
Tensioni nella sezione: σ=400.68 τ=48.92
CC 23 SLV (Collegamento 0020_-377)
Azioni sul collegamento: N=-9265.76 Ty=-3.07 Tz=-8.85 Mx=-0.01 Mz=-3.83
Sollecitazioni agenti localmente: Ty_l=-1627.34 My_l=-33.34
Tensioni nella sezione: σ=404.11 τ=49.31
CC 23 SLV (Collegamento 0020_-377)
Azioni sul collegamento: N=-3968.96 Ty=-6.45 Tz=10.87 Mx=-0.01 Mz=-7.08
Sollecitazioni agenti localmente: Ty_l=-675.44 My_l=-13.81
Tensioni nella sezione: σ=167.36 τ=20.47
CC 23 SLV (Collegamento 0020_-377)
Azioni sul collegamento: N=-3968.96 Ty=-3.07 Tz=10.87 Mx=-0.01 Mz=-3.83
Sollecitazioni agenti localmente: Ty_l=-688.36 My_l=-14.09
Tensioni nella sezione: σ=170.79 τ=20.86
CC 23 SLV (Collegamento 0020_-377)
Azioni sul collegamento: N=-3968.96 Ty=-6.45 Tz=-8.85 Mx=-0.01 Mz=-7.08
Sollecitazioni agenti localmente: Ty_l=-675.44 My_l=-13.81
Tensioni nella sezione: σ=167.36 τ=20.47
CC 23 SLV (Collegamento 0020_-377)
Azioni sul collegamento: N=-3968.96 Ty=-3.07 Tz=-8.85 Mx=-0.01 Mz=-3.83
Sollecitazioni agenti localmente: Ty_l=-688.36 My_l=-14.09
Tensioni nella sezione: σ=170.79 τ=20.86
CC 24 SLD (Collegamento 0020_-377)
Azioni sul collegamento: N=-7392.49 Ty=-4.43 Tz=3.89 Mx=0.00 Mz=-3.87
Sollecitazioni agenti localmente: Ty_l=-1295.11 My_l=-26.53
Tensioni nella sezione: σ=321.56 τ=39.25
CC 24 SLD (Collegamento 0020_-377)
Azioni sul collegamento: N=-7392.49 Ty=-3.40 Tz=3.89 Mx=0.00 Mz=-2.87
Sollecitazioni agenti localmente: Ty_l=-1299.05 My_l=-26.61
Tensioni nella sezione: σ=322.60 τ=39.37
CC 24 SLD (Collegamento 0020_-377)
Azioni sul collegamento: N=-7392.49 Ty=-4.43 Tz=-2.12 Mx=0.00 Mz=-3.87
Sollecitazioni agenti localmente: Ty_l=-1295.11 My_l=-26.53
Tensioni nella sezione: σ=321.56 τ=39.25
CC 24 SLD (Collegamento 0020_-377)
Azioni sul collegamento: N=-7392.49 Ty=-3.40 Tz=-2.12 Mx=0.00 Mz=-2.87
Sollecitazioni agenti localmente: Ty_l=-1299.05 My_l=-26.61
Tensioni nella sezione: σ=322.60 τ=39.37
CC 24 SLD (Collegamento 0020_-377)
Azioni sul collegamento: N=-5777.32 Ty=-4.43 Tz=3.89 Mx=0.00 Mz=-3.87
Sollecitazioni agenti localmente: Ty_l=-1008.79 My_l=-20.66
Tensioni nella sezione: σ=250.41 τ=30.57
CC 24 SLD (Collegamento 0020_-377)
Azioni sul collegamento: N=-5777.32 Ty=-3.40 Tz=3.89 Mx=0.00 Mz=-2.87
Sollecitazioni agenti localmente: Ty_l=-1012.73 My_l=-20.74
Tensioni nella sezione: σ=251.45 τ=30.69
CC 24 SLD (Collegamento 0020_-377)
Azioni sul collegamento: N=-5777.32 Ty=-4.43 Tz=-2.12 Mx=0.00 Mz=-3.87
Sollecitazioni agenti localmente: Ty_l=-1008.79 My_l=-20.66
Tensioni nella sezione: σ=250.41 τ=30.57
CC 24 SLD (Collegamento 0020_-377)
Azioni sul collegamento: N=-5777.32 Ty=-3.40 Tz=-2.12 Mx=0.00 Mz=-2.87
Sollecitazioni agenti localmente: Ty_l=-1012.73 My_l=-20.74
Tensioni nella sezione: σ=251.45 τ=30.69
CC 25 SLV (Collegamento 0020_-377)
Azioni sul collegamento: N=-5814.21 Ty=-3.29 Tz=-2.14 Mx=-0.02 Mz=-3.06
Sollecitazioni agenti localmente: Ty_l=-1018.53 My_l=-20.86
Tensioni nella sezione: σ=252.88 τ=30.86
CC 25 SLV (Collegamento 0020_-377)
Azioni sul collegamento: N=-5814.21 Ty=-6.23 Tz=-2.14 Mx=-0.02 Mz=-7.84
Sollecitazioni agenti localmente: Ty_l=-999.50 My_l=-20.45
Tensioni nella sezione: σ=247.83 τ=30.29
CC 25 SLV (Collegamento 0020_-377)
Azioni sul collegamento: N=-5814.21 Ty=-3.29 Tz=4.16 Mx=-0.02 Mz=-3.06
Sollecitazioni agenti localmente: Ty_l=-1018.53 My_l=-20.86
Tensioni nella sezione: σ=252.88 τ=30.86
CC 25 SLV (Collegamento 0020_-377)
Azioni sul collegamento: N=-5814.21 Ty=-6.23 Tz=4.16 Mx=-0.02 Mz=-7.84
Sollecitazioni agenti localmente: Ty_l=-999.50 My_l=-20.45
Tensioni nella sezione: σ=247.83 τ=30.29
CC 25 SLV (Collegamento 0020_-377)
Azioni sul collegamento: N=-7420.51 Ty=-3.29 Tz=-2.14 Mx=-0.02 Mz=-3.06
Sollecitazioni agenti localmente: Ty_l=-1303.28 My_l=-26.70
Tensioni nella sezione: σ=323.64 τ=39.49

CC 25 SLV (Collegamento 0020_-377)
Azioni sul collegamento: N=-7420.51 Ty=-6.23 Tz=-2.14 Mx=-0.02 Mz=-7.84
Sollecitazioni agenti localmente: Ty_l=-1284.25 My_l=-26.28
Tensioni nella sezione: σ=318.59 τ=38.92
CC 25 SLV (Collegamento 0020_-377)
Azioni sul collegamento: N=-7420.51 Ty=-3.29 Tz=4.16 Mx=-0.02 Mz=-3.06
Sollecitazioni agenti localmente: Ty_l=-1303.28 My_l=-26.70
Tensioni nella sezione: σ=323.64 τ=39.49
CC 25 SLV (Collegamento 0020_-377)
Azioni sul collegamento: N=-7420.51 Ty=-6.23 Tz=4.16 Mx=-0.02 Mz=-7.84
Sollecitazioni agenti localmente: Ty_l=-1284.25 My_l=-26.28
Tensioni nella sezione: σ=318.59 τ=38.92
CC 26 SLD (Collegamento 0020_-377)
Azioni sul collegamento: N=-6340.00 Ty=-3.47 Tz=-0.08 Mx=-0.00 Mz=-2.64
Sollecitazioni agenti localmente: Ty_l=-1113.41 My_l=-22.81
Tensioni nella sezione: σ=276.49 τ=33.74
CC 26 SLD (Collegamento 0020_-377)
Azioni sul collegamento: N=-6340.00 Ty=-4.36 Tz=-0.08 Mx=-0.00 Mz=-4.10
Sollecitazioni agenti localmente: Ty_l=-1107.60 My_l=-22.68
Tensioni nella sezione: σ=274.95 τ=33.56
CC 26 SLD (Collegamento 0020_-377)
Azioni sul collegamento: N=-6340.00 Ty=-3.47 Tz=1.85 Mx=-0.00 Mz=-2.64
Sollecitazioni agenti localmente: Ty_l=-1113.41 My_l=-22.81
Tensioni nella sezione: σ=276.49 τ=33.74
CC 26 SLD (Collegamento 0020_-377)
Azioni sul collegamento: N=-6340.00 Ty=-4.36 Tz=1.85 Mx=-0.00 Mz=-4.10
Sollecitazioni agenti localmente: Ty_l=-1107.60 My_l=-22.68
Tensioni nella sezione: σ=274.95 τ=33.56
CC 26 SLD (Collegamento 0020_-377)
Azioni sul collegamento: N=-6829.81 Ty=-3.47 Tz=-0.08 Mx=-0.00 Mz=-2.64
Sollecitazioni agenti localmente: Ty_l=-1200.24 My_l=-24.59
Tensioni nella sezione: σ=298.06 τ=36.37
CC 26 SLD (Collegamento 0020_-377)
Azioni sul collegamento: N=-6829.81 Ty=-4.36 Tz=-0.08 Mx=-0.00 Mz=-4.10
Sollecitazioni agenti localmente: Ty_l=-1194.43 My_l=-24.46
Tensioni nella sezione: σ=296.52 τ=36.19
CC 26 SLD (Collegamento 0020_-377)
Azioni sul collegamento: N=-6829.81 Ty=-3.47 Tz=1.85 Mx=-0.00 Mz=-2.64
Sollecitazioni agenti localmente: Ty_l=-1200.24 My_l=-24.59
Tensioni nella sezione: σ=298.06 τ=36.37
CC 26 SLD (Collegamento 0020_-377)
Azioni sul collegamento: N=-6829.81 Ty=-4.36 Tz=1.85 Mx=-0.00 Mz=-4.10
Sollecitazioni agenti localmente: Ty_l=-1194.43 My_l=-24.46
Tensioni nella sezione: σ=296.52 τ=36.19
CC 27 SLV (Collegamento 0020_-377)
Azioni sul collegamento: N=-7401.55 Ty=-4.11 Tz=3.74 Mx=-0.02 Mz=-3.66
Sollecitazioni agenti localmente: Ty_l=-1297.54 My_l=-26.58
Tensioni nella sezione: σ=322.17 τ=39.32
CC 27 SLV (Collegamento 0020_-377)
Azioni sul collegamento: N=-7401.55 Ty=-5.40 Tz=3.74 Mx=-0.02 Mz=-7.25
Sollecitazioni agenti localmente: Ty_l=-1283.27 My_l=-26.27
Tensioni nella sezione: σ=318.38 τ=38.89
CC 27 SLV (Collegamento 0020_-377)
Azioni sul collegamento: N=-7401.55 Ty=-4.11 Tz=-1.71 Mx=-0.02 Mz=-3.66
Sollecitazioni agenti localmente: Ty_l=-1297.54 My_l=-26.58
Tensioni nella sezione: σ=322.17 τ=39.32
CC 27 SLV (Collegamento 0020_-377)
Azioni sul collegamento: N=-7401.55 Ty=-5.40 Tz=-1.71 Mx=-0.02 Mz=-7.25
Sollecitazioni agenti localmente: Ty_l=-1283.27 My_l=-26.27
Tensioni nella sezione: σ=318.38 τ=38.89
CC 27 SLV (Collegamento 0020_-377)
Azioni sul collegamento: N=-5833.17 Ty=-4.11 Tz=3.74 Mx=-0.02 Mz=-3.66
Sollecitazioni agenti localmente: Ty_l=-1019.51 My_l=-20.88
Tensioni nella sezione: σ=253.09 τ=30.89
CC 27 SLV (Collegamento 0020_-377)
Azioni sul collegamento: N=-5833.17 Ty=-5.40 Tz=3.74 Mx=-0.02 Mz=-7.25
Sollecitazioni agenti localmente: Ty_l=-1005.24 My_l=-20.57
Tensioni nella sezione: σ=249.30 τ=30.46
CC 27 SLV (Collegamento 0020_-377)
Azioni sul collegamento: N=-5833.17 Ty=-4.11 Tz=-1.71 Mx=-0.02 Mz=-3.66
Sollecitazioni agenti localmente: Ty_l=-1019.51 My_l=-20.88
Tensioni nella sezione: σ=253.09 τ=30.89
CC 27 SLV (Collegamento 0020_-377)
Azioni sul collegamento: N=-5833.17 Ty=-5.40 Tz=-1.71 Mx=-0.02 Mz=-7.25
Sollecitazioni agenti localmente: Ty_l=-1005.24 My_l=-20.57
Tensioni nella sezione: σ=249.30 τ=30.46
CC 28 SLD (Collegamento 0020_-377)
Azioni sul collegamento: N=-6824.03 Ty=-3.72 Tz=1.72 Mx=-0.00 Mz=-2.82
Sollecitazioni agenti localmente: Ty_l=-1198.49 My_l=-24.55

Tensioni nella sezione: σ=297.62 τ=36.32
CC 28 SLD (Collegamento 0020_-377)
Azioni sul collegamento: N=-6824.03 Ty=-4.11 Tz=1.72 Mx=-0.00 Mz=-3.92
Sollecitazioni agenti localmente: Ty_l=-1194.13 My_l=-24.46
Tensioni nella sezione: σ=296.46 τ=36.19
CC 28 SLD (Collegamento 0020_-377)
Azioni sul collegamento: N=-6824.03 Ty=-3.72 Tz=0.05 Mx=-0.00 Mz=-2.82
Sollecitazioni agenti localmente: Ty_l=-1198.49 My_l=-24.55
Tensioni nella sezione: σ=297.62 τ=36.32
CC 28 SLD (Collegamento 0020_-377)
Azioni sul collegamento: N=-6824.03 Ty=-4.11 Tz=0.05 Mx=-0.00 Mz=-3.92
Sollecitazioni agenti localmente: Ty_l=-1194.13 My_l=-24.46
Tensioni nella sezione: σ=296.46 τ=36.19
CC 28 SLD (Collegamento 0020_-377)
Azioni sul collegamento: N=-6345.78 Ty=-3.72 Tz=1.72 Mx=-0.00 Mz=-2.82
Sollecitazioni agenti localmente: Ty_l=-1113.71 My_l=-22.82
Tensioni nella sezione: σ=276.55 τ=33.75
CC 28 SLD (Collegamento 0020_-377)
Azioni sul collegamento: N=-6345.78 Ty=-4.11 Tz=1.72 Mx=-0.00 Mz=-3.92
Sollecitazioni agenti localmente: Ty_l=-1109.35 My_l=-22.72
Tensioni nella sezione: σ=275.39 τ=33.62
CC 28 SLD (Collegamento 0020_-377)
Azioni sul collegamento: N=-6345.78 Ty=-3.72 Tz=0.05 Mx=-0.00 Mz=-2.82
Sollecitazioni agenti localmente: Ty_l=-1113.71 My_l=-22.82
Tensioni nella sezione: σ=276.55 τ=33.75
CC 28 SLD (Collegamento 0020_-377)
Azioni sul collegamento: N=-6345.78 Ty=-4.11 Tz=0.05 Mx=-0.00 Mz=-3.92
Sollecitazioni agenti localmente: Ty_l=-1109.35 My_l=-22.72
Tensioni nella sezione: σ=275.39 τ=33.62
CC 29 SLV (Collegamento 0020_-377)
Azioni sul collegamento: N=-5833.17 Ty=-5.40 Tz=-1.71 Mx=-0.00 Mz=-7.25
Sollecitazioni agenti localmente: Ty_l=-1005.24 My_l=-20.57
Tensioni nella sezione: σ=249.30 τ=30.46
CC 29 SLV (Collegamento 0020_-377)
Azioni sul collegamento: N=-5833.17 Ty=-4.11 Tz=-1.71 Mx=-0.00 Mz=-3.66
Sollecitazioni agenti localmente: Ty_l=-1019.51 My_l=-20.88
Tensioni nella sezione: σ=253.09 τ=30.89
CC 29 SLV (Collegamento 0020_-377)
Azioni sul collegamento: N=-5833.17 Ty=-5.40 Tz=3.74 Mx=-0.00 Mz=-7.25
Sollecitazioni agenti localmente: Ty_l=-1005.24 My_l=-20.57
Tensioni nella sezione: σ=249.30 τ=30.46
CC 29 SLV (Collegamento 0020_-377)
Azioni sul collegamento: N=-5833.17 Ty=-4.11 Tz=3.74 Mx=-0.00 Mz=-3.66
Sollecitazioni agenti localmente: Ty_l=-1019.51 My_l=-20.88
Tensioni nella sezione: σ=253.09 τ=30.89
CC 29 SLV (Collegamento 0020_-377)
Azioni sul collegamento: N=-7401.55 Ty=-5.40 Tz=-1.71 Mx=-0.00 Mz=-7.25
Sollecitazioni agenti localmente: Ty_l=-1283.27 My_l=-26.27
Tensioni nella sezione: σ=318.38 τ=38.89
CC 29 SLV (Collegamento 0020_-377)
Azioni sul collegamento: N=-7401.55 Ty=-4.11 Tz=-1.71 Mx=-0.00 Mz=-3.66
Sollecitazioni agenti localmente: Ty_l=-1297.54 My_l=-26.58
Tensioni nella sezione: σ=322.17 τ=39.32
CC 29 SLV (Collegamento 0020_-377)
Azioni sul collegamento: N=-7401.55 Ty=-5.40 Tz=3.74 Mx=-0.00 Mz=-7.25
Sollecitazioni agenti localmente: Ty_l=-1283.27 My_l=-26.27
Tensioni nella sezione: σ=318.38 τ=38.89
CC 29 SLV (Collegamento 0020_-377)
Azioni sul collegamento: N=-7401.55 Ty=-4.11 Tz=3.74 Mx=-0.00 Mz=-3.66
Sollecitazioni agenti localmente: Ty_l=-1297.54 My_l=-26.58
Tensioni nella sezione: σ=322.17 τ=39.32
CC 30 SLD (Collegamento 0020_-377)
Azioni sul collegamento: N=-6345.78 Ty=-4.11 Tz=0.05 Mx=0.00 Mz=-3.92
Sollecitazioni agenti localmente: Ty_l=-1109.35 My_l=-22.72
Tensioni nella sezione: σ=275.39 τ=33.62
CC 30 SLD (Collegamento 0020_-377)
Azioni sul collegamento: N=-6345.78 Ty=-3.72 Tz=0.05 Mx=0.00 Mz=-2.82
Sollecitazioni agenti localmente: Ty_l=-1113.71 My_l=-22.82
Tensioni nella sezione: σ=276.55 τ=33.75
CC 30 SLD (Collegamento 0020_-377)
Azioni sul collegamento: N=-6345.78 Ty=-4.11 Tz=1.72 Mx=0.00 Mz=-3.92
Sollecitazioni agenti localmente: Ty_l=-1109.35 My_l=-22.72
Tensioni nella sezione: σ=275.39 τ=33.62
CC 30 SLD (Collegamento 0020_-377)
Azioni sul collegamento: N=-6345.78 Ty=-3.72 Tz=1.72 Mx=0.00 Mz=-2.82
Sollecitazioni agenti localmente: Ty_l=-1113.71 My_l=-22.82
Tensioni nella sezione: σ=276.55 τ=33.75
CC 30 SLD (Collegamento 0020_-377)
Azioni sul collegamento: N=-6824.03 Ty=-4.11 Tz=0.05 Mx=0.00 Mz=-3.92

Sollecitazioni agenti localmente: Ty_l=-1194.13 My_l=-24.46
Tensioni nella sezione: σ=296.46 τ=36.19
CC 30 SLD (Collegamento 0020_-377)
Azioni sul collegamento: N=-6824.03 Ty=-3.72 Tz=0.05 Mx=0.00 Mz=-2.82
Sollecitazioni agenti localmente: Ty_l=-1198.49 My_l=-24.55
Tensioni nella sezione: σ=297.62 τ=36.32
CC 30 SLD (Collegamento 0020_-377)
Azioni sul collegamento: N=-6824.03 Ty=-4.11 Tz=1.72 Mx=0.00 Mz=-3.92
Sollecitazioni agenti localmente: Ty_l=-1194.13 My_l=-24.46
Tensioni nella sezione: σ=296.46 τ=36.19
CC 30 SLD (Collegamento 0020_-377)
Azioni sul collegamento: N=-6824.03 Ty=-3.72 Tz=1.72 Mx=0.00 Mz=-2.82
Sollecitazioni agenti localmente: Ty_l=-1198.49 My_l=-24.55
Tensioni nella sezione: σ=297.62 τ=36.32
CC 31 SLV (Collegamento 0020_-377)
Azioni sul collegamento: N=-7420.51 Ty=-6.23 Tz=4.16 Mx=-0.00 Mz=-7.84
Sollecitazioni agenti localmente: Ty_l=-1284.25 My_l=-26.28
Tensioni nella sezione: σ=318.59 τ=38.92
CC 31 SLV (Collegamento 0020_-377)
Azioni sul collegamento: N=-7420.51 Ty=-3.29 Tz=4.16 Mx=-0.00 Mz=-3.06
Sollecitazioni agenti localmente: Ty_l=-1303.28 My_l=-26.70
Tensioni nella sezione: σ=323.64 τ=39.49
CC 31 SLV (Collegamento 0020_-377)
Azioni sul collegamento: N=-7420.51 Ty=-6.23 Tz=-2.14 Mx=-0.00 Mz=-7.84
Sollecitazioni agenti localmente: Ty_l=-1284.25 My_l=-26.28
Tensioni nella sezione: σ=318.59 τ=38.92
CC 31 SLV (Collegamento 0020_-377)
Azioni sul collegamento: N=-7420.51 Ty=-3.29 Tz=-2.14 Mx=-0.00 Mz=-3.06
Sollecitazioni agenti localmente: Ty_l=-1303.28 My_l=-26.70
Tensioni nella sezione: σ=323.64 τ=39.49
CC 31 SLV (Collegamento 0020_-377)
Azioni sul collegamento: N=-5814.21 Ty=-6.23 Tz=4.16 Mx=-0.00 Mz=-7.84
Sollecitazioni agenti localmente: Ty_l=-999.50 My_l=-20.45
Tensioni nella sezione: σ=247.83 τ=30.29
CC 31 SLV (Collegamento 0020_-377)
Azioni sul collegamento: N=-5814.21 Ty=-3.29 Tz=4.16 Mx=-0.00 Mz=-3.06
Sollecitazioni agenti localmente: Ty_l=-1018.53 My_l=-20.86
Tensioni nella sezione: σ=252.88 τ=30.86
CC 31 SLV (Collegamento 0020_-377)
Azioni sul collegamento: N=-5814.21 Ty=-6.23 Tz=-2.14 Mx=-0.00 Mz=-7.84
Sollecitazioni agenti localmente: Ty_l=-999.50 My_l=-20.45
Tensioni nella sezione: σ=247.83 τ=30.29
CC 31 SLV (Collegamento 0020_-377)
Azioni sul collegamento: N=-5814.21 Ty=-3.29 Tz=-2.14 Mx=-0.00 Mz=-3.06
Sollecitazioni agenti localmente: Ty_l=-1018.53 My_l=-20.86
Tensioni nella sezione: σ=252.88 τ=30.86
CC 32 SLD (Collegamento 0020_-377)
Azioni sul collegamento: N=-6829.81 Ty=-4.36 Tz=1.85 Mx=0.00 Mz=-4.10
Sollecitazioni agenti localmente: Ty_l=-1194.43 My_l=-24.46
Tensioni nella sezione: σ=296.52 τ=36.19
CC 32 SLD (Collegamento 0020_-377)
Azioni sul collegamento: N=-6829.81 Ty=-3.47 Tz=1.85 Mx=0.00 Mz=-2.64
Sollecitazioni agenti localmente: Ty_l=-1200.24 My_l=-24.59
Tensioni nella sezione: σ=298.06 τ=36.37
CC 32 SLD (Collegamento 0020_-377)
Azioni sul collegamento: N=-6829.81 Ty=-4.36 Tz=-0.08 Mx=0.00 Mz=-4.10
Sollecitazioni agenti localmente: Ty_l=-1194.43 My_l=-24.46
Tensioni nella sezione: σ=296.52 τ=36.19
CC 32 SLD (Collegamento 0020_-377)
Azioni sul collegamento: N=-6829.81 Ty=-3.47 Tz=-0.08 Mx=0.00 Mz=-2.64
Sollecitazioni agenti localmente: Ty_l=-1200.24 My_l=-24.59
Tensioni nella sezione: σ=298.06 τ=36.37
CC 32 SLD (Collegamento 0020_-377)
Azioni sul collegamento: N=-6340.00 Ty=-4.36 Tz=1.85 Mx=0.00 Mz=-4.10
Sollecitazioni agenti localmente: Ty_l=-1107.60 My_l=-22.68
Tensioni nella sezione: σ=274.95 τ=33.56
CC 32 SLD (Collegamento 0020_-377)
Azioni sul collegamento: N=-6340.00 Ty=-3.47 Tz=1.85 Mx=0.00 Mz=-2.64
Sollecitazioni agenti localmente: Ty_l=-1113.41 My_l=-22.81
Tensioni nella sezione: σ=276.49 τ=33.74
CC 32 SLD (Collegamento 0020_-377)
Azioni sul collegamento: N=-6340.00 Ty=-4.36 Tz=-0.08 Mx=0.00 Mz=-4.10
Sollecitazioni agenti localmente: Ty_l=-1107.60 My_l=-22.68
Tensioni nella sezione: σ=274.95 τ=33.56
CC 32 SLD (Collegamento 0020_-377)
Azioni sul collegamento: N=-6340.00 Ty=-3.47 Tz=-0.08 Mx=0.00 Mz=-2.64
Sollecitazioni agenti localmente: Ty_l=-1113.41 My_l=-22.81
Tensioni nella sezione: σ=276.49 τ=33.74
CC 33 SLU (Collegamento 0020_-377)

Azioni sul collegamento: N=-30337.70 Ty=-5.16 Tz=79.98 Mx=0.01 Mz=-3.50
Sollecitazioni agenti localmente: Ty_l=-5364.13 My_l=-109.94
Tensioni nella sezione: σ=1332.67 τ=162.55
CC 34 SLU (Collegamento 0020_-377)
Azioni sul collegamento: N=-30888.30 Ty=-5.44 Tz=82.02 Mx=0.01 Mz=-3.71
Sollecitazioni agenti localmente: Ty_l=-5460.90 My_l=-111.93
Tensioni nella sezione: σ=1356.70 τ=165.48
CC 35 SLU (Collegamento 0020_-377)
Azioni sul collegamento: N=-30612.00 Ty=-5.19 Tz=81.02 Mx=0.01 Mz=-3.39
Sollecitazioni agenti localmente: Ty_l=-5413.21 My_l=-110.95
Tensioni nella sezione: σ=1344.87 τ=164.04
CC 36 SLU (Collegamento 0020_-377)
Azioni sul collegamento: N=-30614.00 Ty=-5.41 Tz=80.97 Mx=0.01 Mz=-3.82
Sollecitazioni agenti localmente: Ty_l=-5411.82 My_l=-110.92
Tensioni nella sezione: σ=1344.50 τ=164.00
CC 37 SLU (Collegamento 0020_-377)
Azioni sul collegamento: N=-32266.80 Ty=-5.04 Tz=86.42 Mx=-0.00 Mz=-3.56
Sollecitazioni agenti localmente: Ty_l=-5705.87 My_l=-116.95
Tensioni nella sezione: σ=1417.58 τ=172.91
CC 38 SLU (Collegamento 0020_-377)
Azioni sul collegamento: N=-32817.30 Ty=-5.33 Tz=88.46 Mx=-0.00 Mz=-3.76
Sollecitazioni agenti localmente: Ty_l=-5802.64 My_l=-118.93
Tensioni nella sezione: σ=1441.61 τ=175.84
CC 39 SLU (Collegamento 0020_-377)
Azioni sul collegamento: N=-32541.00 Ty=-5.08 Tz=87.47 Mx=-0.00 Mz=-3.44
Sollecitazioni agenti localmente: Ty_l=-5754.95 My_l=-117.96
Tensioni nella sezione: σ=1429.78 τ=174.39
CC 40 SLU (Collegamento 0020_-377)
Azioni sul collegamento: N=-32543.00 Ty=-5.30 Tz=87.42 Mx=-0.00 Mz=-3.88
Sollecitazioni agenti localmente: Ty_l=-5753.56 My_l=-117.93
Tensioni nella sezione: σ=1429.41 τ=174.35
CC 41 SLU (Collegamento 0020_-377)
Azioni sul collegamento: N=-21046.60 Ty=-6.03 Tz=45.82 Mx=0.01 Mz=-4.13
Sollecitazioni agenti localmente: Ty_l=-3714.55 My_l=-76.13
Tensioni nella sezione: σ=922.73 τ=112.56
CC 42 SLU (Collegamento 0020_-377)
Azioni sul collegamento: N=-21597.10 Ty=-6.32 Tz=47.86 Mx=0.01 Mz=-4.34
Sollecitazioni agenti localmente: Ty_l=-3811.32 My_l=-78.11
Tensioni nella sezione: σ=946.76 τ=115.49
CC 43 SLU (Collegamento 0020_-377)
Azioni sul collegamento: N=-21320.90 Ty=-6.07 Tz=46.87 Mx=0.01 Mz=-4.02
Sollecitazioni agenti localmente: Ty_l=-3763.62 My_l=-77.13
Tensioni nella sezione: σ=934.93 τ=114.05
CC 44 SLU (Collegamento 0020_-377)
Azioni sul collegamento: N=-21322.80 Ty=-6.29 Tz=46.82 Mx=0.01 Mz=-4.45
Sollecitazioni agenti localmente: Ty_l=-3762.24 My_l=-77.10
Tensioni nella sezione: σ=934.56 τ=114.01
CC 45 SLU (Collegamento 0020_-377)
Azioni sul collegamento: N=-23139.00 Ty=-5.73 Tz=53.57 Mx=0.01 Mz=-3.96
Sollecitazioni agenti localmente: Ty_l=-4086.16 My_l=-83.74
Tensioni nella sezione: σ=1015.08 τ=123.82
CC 46 SLU (Collegamento 0020_-377)
Azioni sul collegamento: N=-23689.50 Ty=-6.01 Tz=55.60 Mx=0.01 Mz=-4.17
Sollecitazioni agenti localmente: Ty_l=-4182.93 My_l=-85.73
Tensioni nella sezione: σ=1039.11 τ=126.76
CC 47 SLU (Collegamento 0020_-377)
Azioni sul collegamento: N=-23413.30 Ty=-5.76 Tz=54.61 Mx=0.01 Mz=-3.84
Sollecitazioni agenti localmente: Ty_l=-4135.24 My_l=-84.75
Tensioni nella sezione: σ=1027.29 τ=125.31
CC 48 SLU (Collegamento 0020_-377)
Azioni sul collegamento: N=-23415.20 Ty=-5.98 Tz=54.56 Mx=0.01 Mz=-4.28
Sollecitazioni agenti localmente: Ty_l=-4133.86 My_l=-84.72
Tensioni nella sezione: σ=1026.91 τ=125.27
CC 49 SLU (Collegamento 0020_-377)
Azioni sul collegamento: N=-24582.20 Ty=-5.64 Tz=58.39 Mx=0.00 Mz=-4.00
Sollecitazioni agenti localmente: Ty_l=-4341.84 My_l=-88.99
Tensioni nella sezione: σ=1078.61 τ=131.57
CC 50 SLU (Collegamento 0020_-377)
Azioni sul collegamento: N=-25132.70 Ty=-5.93 Tz=60.42 Mx=0.00 Mz=-4.21
Sollecitazioni agenti localmente: Ty_l=-4438.61 My_l=-90.97
Tensioni nella sezione: σ=1102.64 τ=134.50
CC 51 SLU (Collegamento 0020_-377)
Azioni sul collegamento: N=-24856.40 Ty=-5.68 Tz=59.43 Mx=-0.00 Mz=-3.89
Sollecitazioni agenti localmente: Ty_l=-4390.91 My_l=-89.99
Tensioni nella sezione: σ=1090.81 τ=133.06
CC 52 SLU (Collegamento 0020_-377)
Azioni sul collegamento: N=-24858.40 Ty=-5.89 Tz=59.38 Mx=0.00 Mz=-4.32
Sollecitazioni agenti localmente: Ty_l=-4389.53 My_l=-89.96
Tensioni nella sezione: σ=1090.44 τ=133.02

CC 53 SLU (Collegamento 0020_-377)
Azioni sul collegamento: N=-16187.80 Ty=-6.38 Tz=28.01 Mx=0.01 Mz=-4.43
Sollecitazioni agenti localmente: Ty_l=-2852.03 My_l=-58.44
Tensioni nella sezione: σ=708.39 τ=86.43
CC 54 SLU (Collegamento 0020_-377)
Azioni sul collegamento: N=-16738.30 Ty=-6.67 Tz=30.05 Mx=0.01 Mz=-4.64
Sollecitazioni agenti localmente: Ty_l=-2948.80 My_l=-60.42
Tensioni nella sezione: σ=732.42 τ=89.36
CC 55 SLU (Collegamento 0020_-377)
Azioni sul collegamento: N=-16462.10 Ty=-6.42 Tz=29.05 Mx=0.01 Mz=-4.32
Sollecitazioni agenti localmente: Ty_l=-2901.11 My_l=-59.45
Tensioni nella sezione: σ=720.59 τ=87.91
CC 56 SLU (Collegamento 0020_-377)
Azioni sul collegamento: N=-16464.10 Ty=-6.64 Tz=29.01 Mx=0.01 Mz=-4.75
Sollecitazioni agenti localmente: Ty_l=-2899.72 My_l=-59.42
Tensioni nella sezione: σ=720.22 τ=87.87
CC 57 SLU (Collegamento 0020_-377)
Azioni sul collegamento: N=-23519.50 Ty=-6.15 Tz=55.00 Mx=0.01 Mz=-4.26
Sollecitazioni agenti localmente: Ty_l=-4152.42 My_l=-85.10
Tensioni nella sezione: σ=1031.52 τ=125.83
CC 58 SLU (Collegamento 0020_-377)
Azioni sul collegamento: N=-24070.10 Ty=-6.43 Tz=57.04 Mx=0.01 Mz=-4.47
Sollecitazioni agenti localmente: Ty_l=-4249.19 My_l=-87.08
Tensioni nella sezione: σ=1055.56 τ=128.76
CC 59 SLU (Collegamento 0020_-377)
Azioni sul collegamento: N=-23793.80 Ty=-6.18 Tz=56.05 Mx=0.01 Mz=-4.15
Sollecitazioni agenti localmente: Ty_l=-4201.49 My_l=-86.11
Tensioni nella sezione: σ=1043.73 τ=127.32
CC 60 SLU (Collegamento 0020_-377)
Azioni sul collegamento: N=-23795.80 Ty=-6.40 Tz=56.00 Mx=0.01 Mz=-4.58
Sollecitazioni agenti localmente: Ty_l=-4200.11 My_l=-86.08
Tensioni nella sezione: σ=1043.35 τ=127.28
CC 61 SLU (Collegamento 0020_-377)
Azioni sul collegamento: N=-24962.70 Ty=-6.06 Tz=59.83 Mx=0.00 Mz=-4.30
Sollecitazioni agenti localmente: Ty_l=-4408.09 My_l=-90.34
Tensioni nella sezione: σ=1095.05 τ=133.58
CC 62 SLU (Collegamento 0020_-377)
Azioni sul collegamento: N=-25513.20 Ty=-6.35 Tz=61.87 Mx=0.00 Mz=-4.51
Sollecitazioni agenti localmente: Ty_l=-4504.86 My_l=-92.32
Tensioni nella sezione: σ=1119.08 τ=136.51
CC 63 SLU (Collegamento 0020_-377)
Azioni sul collegamento: N=-25237.00 Ty=-6.10 Tz=60.87 Mx=-0.00 Mz=-4.19
Sollecitazioni agenti localmente: Ty_l=-4457.17 My_l=-91.35
Tensioni nella sezione: σ=1107.26 τ=135.07
CC 64 SLU (Collegamento 0020_-377)
Azioni sul collegamento: N=-25238.90 Ty=-6.31 Tz=60.82 Mx=0.00 Mz=-4.62
Sollecitazioni agenti localmente: Ty_l=-4455.78 My_l=-91.32
Tensioni nella sezione: σ=1106.88 τ=135.02
CC 65 SLU (Collegamento 0020_-377)
Azioni sul collegamento: N=-16568.40 Ty=-6.80 Tz=29.45 Mx=0.01 Mz=-4.74
Sollecitazioni agenti localmente: Ty_l=-2918.28 My_l=-59.80
Tensioni nella sezione: σ=724.83 τ=88.43
CC 66 SLU (Collegamento 0020_-377)
Azioni sul collegamento: N=-17118.90 Ty=-7.09 Tz=31.49 Mx=0.01 Mz=-4.94
Sollecitazioni agenti localmente: Ty_l=-3015.05 My_l=-61.78
Tensioni nella sezione: σ=748.86 τ=91.37
CC 67 SLU (Collegamento 0020_-377)
Azioni sul collegamento: N=-16842.60 Ty=-6.84 Tz=30.49 Mx=0.01 Mz=-4.62
Sollecitazioni agenti localmente: Ty_l=-2967.36 My_l=-60.81
Tensioni nella sezione: σ=737.03 τ=89.92
CC 68 SLU (Collegamento 0020_-377)
Azioni sul collegamento: N=-16844.60 Ty=-7.06 Tz=30.45 Mx=0.01 Mz=-5.06
Sollecitazioni agenti localmente: Ty_l=-2965.98 My_l=-60.77
Tensioni nella sezione: σ=736.66 τ=89.88
CC 97 SLU (Collegamento 0020_-377)
Azioni sul collegamento: N=-16826.20 Ty=-0.37 Tz=38.55 Mx=0.05 Mz=7.28
Sollecitazioni agenti localmente: Ty_l=-3011.77 My_l=-61.78
Tensioni nella sezione: σ=748.87 τ=91.27
CC 98 SLU (Collegamento 0020_-377)
Azioni sul collegamento: N=-17376.70 Ty=-0.65 Tz=40.58 Mx=0.05 Mz=7.07
Sollecitazioni agenti localmente: Ty_l=-3108.55 My_l=-63.76
Tensioni nella sezione: σ=772.90 τ=94.20
CC 99 SLU (Collegamento 0020_-377)
Azioni sul collegamento: N=-17100.50 Ty=-0.40 Tz=39.59 Mx=0.05 Mz=7.39
Sollecitazioni agenti localmente: Ty_l=-3060.85 My_l=-62.79
Tensioni nella sezione: σ=761.07 τ=92.75
CC 100 SLU (Collegamento 0020_-377)
Azioni sul collegamento: N=-17102.50 Ty=-0.62 Tz=39.54 Mx=0.05 Mz=6.96
Sollecitazioni agenti localmente: Ty_l=-3059.47 My_l=-62.76

Tensioni nella sezione: σ=760.70 τ=92.71
CC 101 SLU (Collegamento 0020_-377)
Azioni sul collegamento: N=-6585.90 Ty=-4.08 Tz=0.92 Mx=-0.00 Mz=-3.64
Sollecitazioni agenti localmente: Ty_l=-1153.02 My_l=-23.62
Tensioni nella sezione: σ=286.26 τ=34.94
CC 102 SLU (Collegamento 0020_-377)
Azioni sul collegamento: N=-7136.43 Ty=-4.37 Tz=2.96 Mx=-0.00 Mz=-3.85
Sollecitazioni agenti localmente: Ty_l=-1249.79 My_l=-25.60
Tensioni nella sezione: σ=310.29 τ=37.87
CC 103 SLU (Collegamento 0020_-377)
Azioni sul collegamento: N=-6860.18 Ty=-4.11 Tz=1.96 Mx=-0.00 Mz=-3.53
Sollecitazioni agenti localmente: Ty_l=-1202.09 My_l=-24.62
Tensioni nella sezione: σ=298.46 τ=36.43
CC 104 SLU (Collegamento 0020_-377)
Azioni sul collegamento: N=-6862.15 Ty=-4.33 Tz=1.92 Mx=-0.00 Mz=-3.96
Sollecitazioni agenti localmente: Ty_l=-1200.71 My_l=-24.59
Tensioni nella sezione: σ=298.09 τ=36.39

Flessione attacco sinistro piastra

Bnetta=220.00 Hnetta=15.00
CC 1 SLV (Collegamento 0020_-377)
Azioni sul collegamento: N=-3875.57 Ty=-4.02 Tz=-9.21 Mx=0.02 Mz=2.16
Sollecitazioni agenti localmente: Ty_l=-678.43 My_l=-13.90
Tensioni nella sezione: σ=168.43 τ=20.56
CC 1 SLV (Collegamento 0020_-377)
Azioni sul collegamento: N=-3875.57 Ty=-0.64 Tz=-9.21 Mx=0.02 Mz=-1.09
Sollecitazioni agenti localmente: Ty_l=-691.35 My_l=-14.18
Tensioni nella sezione: σ=171.86 τ=20.95
CC 1 SLV (Collegamento 0020_-377)
Azioni sul collegamento: N=-3875.57 Ty=-4.02 Tz=10.50 Mx=0.02 Mz=2.16
Sollecitazioni agenti localmente: Ty_l=-678.43 My_l=-13.90
Tensioni nella sezione: σ=168.43 τ=20.56
CC 1 SLV (Collegamento 0020_-377)
Azioni sul collegamento: N=-3875.57 Ty=-0.64 Tz=10.50 Mx=0.02 Mz=-1.09
Sollecitazioni agenti localmente: Ty_l=-691.35 My_l=-14.18
Tensioni nella sezione: σ=171.86 τ=20.95
CC 1 SLV (Collegamento 0020_-377)
Azioni sul collegamento: N=-9172.38 Ty=-4.02 Tz=-9.21 Mx=0.02 Mz=2.16
Sollecitazioni agenti localmente: Ty_l=-1617.41 My_l=-33.14
Tensioni nella sezione: σ=401.76 τ=49.01
CC 1 SLV (Collegamento 0020_-377)
Azioni sul collegamento: N=-9172.38 Ty=-0.64 Tz=-9.21 Mx=0.02 Mz=-1.09
Sollecitazioni agenti localmente: Ty_l=-1630.33 My_l=-33.43
Tensioni nella sezione: σ=405.19 τ=49.40
CC 1 SLV (Collegamento 0020_-377)
Azioni sul collegamento: N=-9172.38 Ty=-4.02 Tz=10.50 Mx=0.02 Mz=2.16
Sollecitazioni agenti localmente: Ty_l=-1617.41 My_l=-33.14
Tensioni nella sezione: σ=401.76 τ=49.01
CC 1 SLV (Collegamento 0020_-377)
Azioni sul collegamento: N=-9172.38 Ty=-0.64 Tz=10.50 Mx=0.02 Mz=-1.09
Sollecitazioni agenti localmente: Ty_l=-1630.33 My_l=-33.43
Tensioni nella sezione: σ=405.19 τ=49.40
CC 2 SLD (Collegamento 0020_-377)
Azioni sul collegamento: N=-5748.85 Ty=-2.66 Tz=-2.23 Mx=0.01 Mz=-1.05
Sollecitazioni agenti localmente: Ty_l=-1023.28 My_l=-20.98
Tensioni nella sezione: σ=254.34 τ=31.01
CC 2 SLD (Collegamento 0020_-377)
Azioni sul collegamento: N=-5748.85 Ty=-3.69 Tz=-2.23 Mx=0.01 Mz=-2.04
Sollecitazioni agenti localmente: Ty_l=-1027.22 My_l=-21.07
Tensioni nella sezione: σ=255.39 τ=31.13
CC 2 SLD (Collegamento 0020_-377)
Azioni sul collegamento: N=-5748.85 Ty=-2.66 Tz=3.78 Mx=0.01 Mz=-1.05
Sollecitazioni agenti localmente: Ty_l=-1023.28 My_l=-20.98
Tensioni nella sezione: σ=254.34 τ=31.01
CC 2 SLD (Collegamento 0020_-377)
Azioni sul collegamento: N=-5748.85 Ty=-3.69 Tz=3.78 Mx=0.01 Mz=-2.04
Sollecitazioni agenti localmente: Ty_l=-1027.22 My_l=-21.07
Tensioni nella sezione: σ=255.39 τ=31.13
CC 2 SLD (Collegamento 0020_-377)
Azioni sul collegamento: N=-7364.01 Ty=-2.66 Tz=-2.23 Mx=0.01 Mz=-1.05
Sollecitazioni agenti localmente: Ty_l=-1309.61 My_l=-26.85
Tensioni nella sezione: σ=325.49 τ=39.69
CC 2 SLD (Collegamento 0020_-377)
Azioni sul collegamento: N=-7364.01 Ty=-3.69 Tz=-2.23 Mx=0.01 Mz=-2.04
Sollecitazioni agenti localmente: Ty_l=-1313.55 My_l=-26.94
Tensioni nella sezione: σ=326.53 τ=39.80
CC 2 SLD (Collegamento 0020_-377)
Azioni sul collegamento: N=-7364.01 Ty=-2.66 Tz=3.78 Mx=0.01 Mz=-1.05

Sollecitazioni agenti localmente: Ty_l=-1309.61 My_l=-26.85
Tensioni nella sezione: σ=325.49 τ=39.69
CC 2 SLD (Collegamento 0020_-377)
Azioni sul collegamento: N=-7364.01 Ty=-3.69 Tz=3.78 Mx=0.01 Mz=-2.04
Sollecitazioni agenti localmente: Ty_l=-1313.55 My_l=-26.94
Tensioni nella sezione: σ=326.53 τ=39.80
CC 3 SLV (Collegamento 0020_-377)
Azioni sul collegamento: N=-3881.26 Ty=-3.39 Tz=-9.09 Mx=0.02 Mz=0.91
Sollecitazioni agenti localmente: Ty_l=-684.44 My_l=-14.03
Tensioni nella sezione: σ=170.01 τ=20.74
CC 3 SLV (Collegamento 0020_-377)
Azioni sul collegamento: N=-3881.26 Ty=-1.27 Tz=-9.09 Mx=0.02 Mz=0.17
Sollecitazioni agenti localmente: Ty_l=-687.36 My_l=-14.09
Tensioni nella sezione: σ=170.79 τ=20.83
CC 3 SLV (Collegamento 0020_-377)
Azioni sul collegamento: N=-3881.26 Ty=-3.39 Tz=10.37 Mx=0.02 Mz=0.91
Sollecitazioni agenti localmente: Ty_l=-684.44 My_l=-14.03
Tensioni nella sezione: σ=170.01 τ=20.74
CC 3 SLV (Collegamento 0020_-377)
Azioni sul collegamento: N=-3881.26 Ty=-1.27 Tz=10.37 Mx=0.02 Mz=0.17
Sollecitazioni agenti localmente: Ty_l=-687.36 My_l=-14.09
Tensioni nella sezione: σ=170.79 τ=20.83
CC 3 SLV (Collegamento 0020_-377)
Azioni sul collegamento: N=-9166.69 Ty=-3.39 Tz=-9.09 Mx=0.02 Mz=0.91
Sollecitazioni agenti localmente: Ty_l=-1621.40 My_l=-33.23
Tensioni nella sezione: σ=402.83 τ=49.13
CC 3 SLV (Collegamento 0020_-377)
Azioni sul collegamento: N=-9166.69 Ty=-1.27 Tz=-9.09 Mx=0.02 Mz=0.17
Sollecitazioni agenti localmente: Ty_l=-1624.32 My_l=-33.30
Tensioni nella sezione: σ=403.61 τ=49.22
CC 3 SLV (Collegamento 0020_-377)
Azioni sul collegamento: N=-9166.69 Ty=-3.39 Tz=10.38 Mx=0.02 Mz=0.91
Sollecitazioni agenti localmente: Ty_l=-1621.40 My_l=-33.23
Tensioni nella sezione: σ=402.83 τ=49.13
CC 3 SLV (Collegamento 0020_-377)
Azioni sul collegamento: N=-9166.69 Ty=-1.27 Tz=10.38 Mx=0.02 Mz=0.17
Sollecitazioni agenti localmente: Ty_l=-1624.32 My_l=-33.30
Tensioni nella sezione: σ=403.61 τ=49.22
CC 4 SLD (Collegamento 0020_-377)
Azioni sul collegamento: N=-5750.58 Ty=-2.85 Tz=-2.19 Mx=0.01 Mz=-1.43
Sollecitazioni agenti localmente: Ty_l=-1025.11 My_l=-21.02
Tensioni nella sezione: σ=254.82 τ=31.06
CC 4 SLD (Collegamento 0020_-377)
Azioni sul collegamento: N=-5750.58 Ty=-3.50 Tz=-2.19 Mx=0.01 Mz=-1.66
Sollecitazioni agenti localmente: Ty_l=-1026.01 My_l=-21.04
Tensioni nella sezione: σ=255.06 τ=31.09
CC 4 SLD (Collegamento 0020_-377)
Azioni sul collegamento: N=-5750.58 Ty=-2.85 Tz=3.74 Mx=0.01 Mz=-1.43
Sollecitazioni agenti localmente: Ty_l=-1025.11 My_l=-21.02
Tensioni nella sezione: σ=254.82 τ=31.06
CC 4 SLD (Collegamento 0020_-377)
Azioni sul collegamento: N=-5750.58 Ty=-3.50 Tz=3.74 Mx=0.01 Mz=-1.66
Sollecitazioni agenti localmente: Ty_l=-1026.01 My_l=-21.04
Tensioni nella sezione: σ=255.06 τ=31.09
CC 4 SLD (Collegamento 0020_-377)
Azioni sul collegamento: N=-7362.28 Ty=-2.85 Tz=-2.19 Mx=0.01 Mz=-1.43
Sollecitazioni agenti localmente: Ty_l=-1310.82 My_l=-26.88
Tensioni nella sezione: σ=325.82 τ=39.72
CC 4 SLD (Collegamento 0020_-377)
Azioni sul collegamento: N=-7362.28 Ty=-3.50 Tz=-2.19 Mx=0.01 Mz=-1.66
Sollecitazioni agenti localmente: Ty_l=-1311.72 My_l=-26.90
Tensioni nella sezione: σ=326.05 τ=39.75
CC 4 SLD (Collegamento 0020_-377)
Azioni sul collegamento: N=-7362.28 Ty=-2.85 Tz=3.74 Mx=0.01 Mz=-1.43
Sollecitazioni agenti localmente: Ty_l=-1310.82 My_l=-26.88
Tensioni nella sezione: σ=325.82 τ=39.72
CC 4 SLD (Collegamento 0020_-377)
Azioni sul collegamento: N=-7362.28 Ty=-3.50 Tz=3.74 Mx=0.01 Mz=-1.66
Sollecitazioni agenti localmente: Ty_l=-1311.72 My_l=-26.90
Tensioni nella sezione: σ=326.05 τ=39.75
CC 5 SLV (Collegamento 0020_-377)
Azioni sul collegamento: N=-9166.69 Ty=-1.27 Tz=10.38 Mx=0.02 Mz=0.17
Sollecitazioni agenti localmente: Ty_l=-1624.32 My_l=-33.30
Tensioni nella sezione: σ=403.61 τ=49.22
CC 5 SLV (Collegamento 0020_-377)
Azioni sul collegamento: N=-9166.69 Ty=-3.39 Tz=10.38 Mx=0.02 Mz=0.91
Sollecitazioni agenti localmente: Ty_l=-1621.40 My_l=-33.23
Tensioni nella sezione: σ=402.83 τ=49.13
CC 5 SLV (Collegamento 0020_-377)

Azioni sul collegamento: N=-9166.69 Ty=-1.27 Tz=-9.09 Mx=0.02 Mz=0.17
Sollecitazioni agenti localmente: Ty_l=-1624.32 My_l=-33.30
Tensioni nella sezione: σ=403.61 τ=49.22
CC 5 SLV (Collegamento 0020_-377)
Azioni sul collegamento: N=-9166.69 Ty=-3.39 Tz=-9.09 Mx=0.02 Mz=0.91
Sollecitazioni agenti localmente: Ty_l=-1621.40 My_l=-33.23
Tensioni nella sezione: σ=402.83 τ=49.13
CC 5 SLV (Collegamento 0020_-377)
Azioni sul collegamento: N=-3881.26 Ty=-1.27 Tz=10.37 Mx=0.02 Mz=0.17
Sollecitazioni agenti localmente: Ty_l=-687.36 My_l=-14.09
Tensioni nella sezione: σ=170.79 τ=20.83
CC 5 SLV (Collegamento 0020_-377)
Azioni sul collegamento: N=-3881.26 Ty=-3.39 Tz=10.37 Mx=0.02 Mz=0.91
Sollecitazioni agenti localmente: Ty_l=-684.44 My_l=-14.03
Tensioni nella sezione: σ=170.01 τ=20.74
CC 5 SLV (Collegamento 0020_-377)
Azioni sul collegamento: N=-3881.26 Ty=-1.27 Tz=-9.09 Mx=0.02 Mz=0.17
Sollecitazioni agenti localmente: Ty_l=-687.36 My_l=-14.09
Tensioni nella sezione: σ=170.79 τ=20.83
CC 5 SLV (Collegamento 0020_-377)
Azioni sul collegamento: N=-3881.26 Ty=-3.39 Tz=-9.09 Mx=0.02 Mz=0.91
Sollecitazioni agenti localmente: Ty_l=-684.44 My_l=-14.03
Tensioni nella sezione: σ=170.01 τ=20.74
CC 6 SLD (Collegamento 0020_-377)
Azioni sul collegamento: N=-7362.28 Ty=-3.50 Tz=3.74 Mx=0.01 Mz=-1.66
Sollecitazioni agenti localmente: Ty_l=-1311.72 My_l=-26.90
Tensioni nella sezione: σ=326.05 τ=39.75
CC 6 SLD (Collegamento 0020_-377)
Azioni sul collegamento: N=-7362.28 Ty=-2.85 Tz=3.74 Mx=0.01 Mz=-1.43
Sollecitazioni agenti localmente: Ty_l=-1310.82 My_l=-26.88
Tensioni nella sezione: σ=325.82 τ=39.72
CC 6 SLD (Collegamento 0020_-377)
Azioni sul collegamento: N=-7362.28 Ty=-3.50 Tz=-2.19 Mx=0.01 Mz=-1.66
Sollecitazioni agenti localmente: Ty_l=-1311.72 My_l=-26.90
Tensioni nella sezione: σ=326.05 τ=39.75
CC 6 SLD (Collegamento 0020_-377)
Azioni sul collegamento: N=-7362.28 Ty=-2.85 Tz=-2.19 Mx=0.01 Mz=-1.43
Sollecitazioni agenti localmente: Ty_l=-1310.82 My_l=-26.88
Tensioni nella sezione: σ=325.82 τ=39.72
CC 6 SLD (Collegamento 0020_-377)
Azioni sul collegamento: N=-5750.58 Ty=-3.50 Tz=3.74 Mx=0.01 Mz=-1.66
Sollecitazioni agenti localmente: Ty_l=-1026.01 My_l=-21.04
Tensioni nella sezione: σ=255.06 τ=31.09
CC 6 SLD (Collegamento 0020_-377)
Azioni sul collegamento: N=-5750.58 Ty=-2.85 Tz=3.74 Mx=0.01 Mz=-1.43
Sollecitazioni agenti localmente: Ty_l=-1025.11 My_l=-21.02
Tensioni nella sezione: σ=254.82 τ=31.06
CC 6 SLD (Collegamento 0020_-377)
Azioni sul collegamento: N=-5750.58 Ty=-3.50 Tz=-2.19 Mx=0.01 Mz=-1.66
Sollecitazioni agenti localmente: Ty_l=-1026.01 My_l=-21.04
Tensioni nella sezione: σ=255.06 τ=31.09
CC 6 SLD (Collegamento 0020_-377)
Azioni sul collegamento: N=-5750.58 Ty=-2.85 Tz=-2.19 Mx=0.01 Mz=-1.43
Sollecitazioni agenti localmente: Ty_l=-1025.11 My_l=-21.02
Tensioni nella sezione: σ=254.82 τ=31.06
CC 7 SLV (Collegamento 0020_-377)
Azioni sul collegamento: N=-9172.38 Ty=-0.64 Tz=10.50 Mx=0.01 Mz=-1.09
Sollecitazioni agenti localmente: Ty_l=-1630.33 My_l=-33.43
Tensioni nella sezione: σ=405.19 τ=49.40
CC 7 SLV (Collegamento 0020_-377)
Azioni sul collegamento: N=-9172.38 Ty=-4.02 Tz=10.50 Mx=0.01 Mz=2.16
Sollecitazioni agenti localmente: Ty_l=-1617.41 My_l=-33.14
Tensioni nella sezione: σ=401.76 τ=49.01
CC 7 SLV (Collegamento 0020_-377)
Azioni sul collegamento: N=-9172.38 Ty=-0.64 Tz=-9.21 Mx=0.01 Mz=-1.09
Sollecitazioni agenti localmente: Ty_l=-1630.33 My_l=-33.43
Tensioni nella sezione: σ=405.19 τ=49.40
CC 7 SLV (Collegamento 0020_-377)
Azioni sul collegamento: N=-9172.38 Ty=-4.02 Tz=-9.21 Mx=0.01 Mz=2.16
Sollecitazioni agenti localmente: Ty_l=-1617.41 My_l=-33.14
Tensioni nella sezione: σ=401.76 τ=49.01
CC 7 SLV (Collegamento 0020_-377)
Azioni sul collegamento: N=-3875.57 Ty=-0.64 Tz=10.50 Mx=0.01 Mz=-1.09
Sollecitazioni agenti localmente: Ty_l=-691.35 My_l=-14.18
Tensioni nella sezione: σ=171.86 τ=20.95
CC 7 SLV (Collegamento 0020_-377)
Azioni sul collegamento: N=-3875.57 Ty=-4.02 Tz=10.50 Mx=0.01 Mz=2.16
Sollecitazioni agenti localmente: Ty_l=-678.43 My_l=-13.90
Tensioni nella sezione: σ=168.43 τ=20.56

CC 7 SLV (Collegamento 0020_-377)
Azioni sul collegamento: N=-3875.57 Ty=-0.64 Tz=-9.21 Mx=0.01 Mz=-1.09
Sollecitazioni agenti localmente: Ty_l=-691.35 My_l=-14.18
Tensioni nella sezione: σ=171.86 τ=20.95
CC 7 SLV (Collegamento 0020_-377)
Azioni sul collegamento: N=-3875.57 Ty=-4.02 Tz=-9.21 Mx=0.01 Mz=2.16
Sollecitazioni agenti localmente: Ty_l=-678.43 My_l=-13.90
Tensioni nella sezione: σ=168.43 τ=20.56
CC 8 SLD (Collegamento 0020_-377)
Azioni sul collegamento: N=-7364.01 Ty=-3.69 Tz=3.78 Mx=0.01 Mz=-2.04
Sollecitazioni agenti localmente: Ty_l=-1313.55 My_l=-26.94
Tensioni nella sezione: σ=326.53 τ=39.80
CC 8 SLD (Collegamento 0020_-377)
Azioni sul collegamento: N=-7364.01 Ty=-2.66 Tz=3.78 Mx=0.01 Mz=-1.05
Sollecitazioni agenti localmente: Ty_l=-1309.61 My_l=-26.85
Tensioni nella sezione: σ=325.49 τ=39.69
CC 8 SLD (Collegamento 0020_-377)
Azioni sul collegamento: N=-7364.01 Ty=-3.69 Tz=-2.23 Mx=0.01 Mz=-2.04
Sollecitazioni agenti localmente: Ty_l=-1313.55 My_l=-26.94
Tensioni nella sezione: σ=326.53 τ=39.80
CC 8 SLD (Collegamento 0020_-377)
Azioni sul collegamento: N=-7364.01 Ty=-2.66 Tz=-2.23 Mx=0.01 Mz=-1.05
Sollecitazioni agenti localmente: Ty_l=-1309.61 My_l=-26.85
Tensioni nella sezione: σ=325.49 τ=39.69
CC 8 SLD (Collegamento 0020_-377)
Azioni sul collegamento: N=-5748.85 Ty=-3.69 Tz=3.78 Mx=0.01 Mz=-2.04
Sollecitazioni agenti localmente: Ty_l=-1027.22 My_l=-21.07
Tensioni nella sezione: σ=255.39 τ=31.13
CC 8 SLD (Collegamento 0020_-377)
Azioni sul collegamento: N=-5748.85 Ty=-2.66 Tz=3.78 Mx=0.01 Mz=-1.05
Sollecitazioni agenti localmente: Ty_l=-1023.28 My_l=-20.98
Tensioni nella sezione: σ=254.34 τ=31.01
CC 8 SLD (Collegamento 0020_-377)
Azioni sul collegamento: N=-5748.85 Ty=-3.69 Tz=-2.23 Mx=0.01 Mz=-2.04
Sollecitazioni agenti localmente: Ty_l=-1027.22 My_l=-21.07
Tensioni nella sezione: σ=255.39 τ=31.13
CC 8 SLD (Collegamento 0020_-377)
Azioni sul collegamento: N=-5748.85 Ty=-2.66 Tz=-2.23 Mx=0.01 Mz=-1.05
Sollecitazioni agenti localmente: Ty_l=-1023.28 My_l=-20.98
Tensioni nella sezione: σ=254.34 τ=31.01
CC 9 SLV (Collegamento 0020_-377)
Azioni sul collegamento: N=-5720.83 Ty=-3.80 Tz=-2.51 Mx=0.03 Mz=2.93
Sollecitazioni agenti localmente: Ty_l=-1002.49 My_l=-20.53
Tensioni nella sezione: σ=248.91 τ=30.38
CC 9 SLV (Collegamento 0020_-377)
Azioni sul collegamento: N=-5720.83 Ty=-0.86 Tz=-2.51 Mx=0.03 Mz=-1.85
Sollecitazioni agenti localmente: Ty_l=-1021.52 My_l=-20.95
Tensioni nella sezione: σ=253.96 τ=30.96
CC 9 SLV (Collegamento 0020_-377)
Azioni sul collegamento: N=-5720.83 Ty=-3.80 Tz=3.80 Mx=0.03 Mz=2.93
Sollecitazioni agenti localmente: Ty_l=-1002.49 My_l=-20.53
Tensioni nella sezione: σ=248.91 τ=30.38
CC 9 SLV (Collegamento 0020_-377)
Azioni sul collegamento: N=-5720.83 Ty=-0.86 Tz=3.80 Mx=0.03 Mz=-1.85
Sollecitazioni agenti localmente: Ty_l=-1021.52 My_l=-20.95
Tensioni nella sezione: σ=253.96 τ=30.96
CC 9 SLV (Collegamento 0020_-377)
Azioni sul collegamento: N=-7327.12 Ty=-3.80 Tz=-2.51 Mx=0.03 Mz=2.93
Sollecitazioni agenti localmente: Ty_l=-1287.24 My_l=-26.37
Tensioni nella sezione: σ=319.66 τ=39.01
CC 9 SLV (Collegamento 0020_-377)
Azioni sul collegamento: N=-7327.12 Ty=-0.86 Tz=-2.51 Mx=0.03 Mz=-1.85
Sollecitazioni agenti localmente: Ty_l=-1306.27 My_l=-26.79
Tensioni nella sezione: σ=324.71 τ=39.58
CC 9 SLV (Collegamento 0020_-377)
Azioni sul collegamento: N=-7327.12 Ty=-3.80 Tz=3.80 Mx=0.03 Mz=2.93
Sollecitazioni agenti localmente: Ty_l=-1287.24 My_l=-26.37
Tensioni nella sezione: σ=319.66 τ=39.01
CC 9 SLV (Collegamento 0020_-377)
Azioni sul collegamento: N=-7327.12 Ty=-0.86 Tz=3.80 Mx=0.03 Mz=-1.85
Sollecitazioni agenti localmente: Ty_l=-1306.27 My_l=-26.79
Tensioni nella sezione: σ=324.71 τ=39.58
CC 10 SLD (Collegamento 0020_-377)
Azioni sul collegamento: N=-6311.52 Ty=-2.73 Tz=-0.19 Mx=0.01 Mz=-0.81
Sollecitazioni agenti localmente: Ty_l=-1122.10 My_l=-23.01
Tensioni nella sezione: σ=278.88 τ=34.00
CC 10 SLD (Collegamento 0020_-377)
Azioni sul collegamento: N=-6311.52 Ty=-3.62 Tz=-0.19 Mx=0.01 Mz=-2.27
Sollecitazioni agenti localmente: Ty_l=-1127.90 My_l=-23.13

Tensioni nella sezione: σ=280.42 τ=34.18
CC 10 SLD (Collegamento 0020_-377)
Azioni sul collegamento: N=-6311.52 Ty=-2.73 Tz=1.73 Mx=0.01 Mz=-0.81
Sollecitazioni agenti localmente: Ty_l=-1122.10 My_l=-23.01
Tensioni nella sezione: σ=278.88 τ=34.00
CC 10 SLD (Collegamento 0020_-377)
Azioni sul collegamento: N=-6311.52 Ty=-3.62 Tz=1.73 Mx=0.01 Mz=-2.27
Sollecitazioni agenti localmente: Ty_l=-1127.90 My_l=-23.13
Tensioni nella sezione: σ=280.42 τ=34.18
CC 10 SLD (Collegamento 0020_-377)
Azioni sul collegamento: N=-6801.33 Ty=-2.73 Tz=-0.19 Mx=0.01 Mz=-0.81
Sollecitazioni agenti localmente: Ty_l=-1208.93 My_l=-24.79
Tensioni nella sezione: σ=300.45 τ=36.63
CC 10 SLD (Collegamento 0020_-377)
Azioni sul collegamento: N=-6801.33 Ty=-3.62 Tz=-0.19 Mx=0.01 Mz=-2.27
Sollecitazioni agenti localmente: Ty_l=-1214.73 My_l=-24.91
Tensioni nella sezione: σ=302.00 τ=36.81
CC 10 SLD (Collegamento 0020_-377)
Azioni sul collegamento: N=-6801.33 Ty=-2.73 Tz=1.73 Mx=0.01 Mz=-0.81
Sollecitazioni agenti localmente: Ty_l=-1208.93 My_l=-24.79
Tensioni nella sezione: σ=300.45 τ=36.63
CC 10 SLD (Collegamento 0020_-377)
Azioni sul collegamento: N=-6801.33 Ty=-3.62 Tz=1.73 Mx=0.01 Mz=-2.27
Sollecitazioni agenti localmente: Ty_l=-1214.73 My_l=-24.91
Tensioni nella sezione: σ=302.00 τ=36.81
CC 11 SLV (Collegamento 0020_-377)
Azioni sul collegamento: N=-7308.16 Ty=-2.97 Tz=3.37 Mx=0.02 Mz=2.33
Sollecitazioni agenti localmente: Ty_l=-1286.26 My_l=-26.36
Tensioni nella sezione: σ=319.46 τ=38.98
CC 11 SLV (Collegamento 0020_-377)
Azioni sul collegamento: N=-7308.16 Ty=-1.68 Tz=3.37 Mx=0.02 Mz=-1.26
Sollecitazioni agenti localmente: Ty_l=-1300.53 My_l=-26.67
Tensioni nella sezione: σ=323.25 τ=39.41
CC 11 SLV (Collegamento 0020_-377)
Azioni sul collegamento: N=-7308.16 Ty=-2.97 Tz=-2.08 Mx=0.02 Mz=2.33
Sollecitazioni agenti localmente: Ty_l=-1286.26 My_l=-26.36
Tensioni nella sezione: σ=319.46 τ=38.98
CC 11 SLV (Collegamento 0020_-377)
Azioni sul collegamento: N=-7308.16 Ty=-1.68 Tz=-2.08 Mx=0.02 Mz=-1.26
Sollecitazioni agenti localmente: Ty_l=-1300.53 My_l=-26.67
Tensioni nella sezione: σ=323.25 τ=39.41
CC 11 SLV (Collegamento 0020_-377)
Azioni sul collegamento: N=-5739.79 Ty=-2.97 Tz=3.37 Mx=0.02 Mz=2.33
Sollecitazioni agenti localmente: Ty_l=-1008.23 My_l=-20.66
Tensioni nella sezione: σ=250.37 τ=30.55
CC 11 SLV (Collegamento 0020_-377)
Azioni sul collegamento: N=-5739.79 Ty=-1.68 Tz=3.37 Mx=0.02 Mz=-1.26
Sollecitazioni agenti localmente: Ty_l=-1022.50 My_l=-20.97
Tensioni nella sezione: σ=254.16 τ=30.98
CC 11 SLV (Collegamento 0020_-377)
Azioni sul collegamento: N=-5739.79 Ty=-2.97 Tz=-2.08 Mx=0.02 Mz=2.33
Sollecitazioni agenti localmente: Ty_l=-1008.23 My_l=-20.66
Tensioni nella sezione: σ=250.37 τ=30.55
CC 11 SLV (Collegamento 0020_-377)
Azioni sul collegamento: N=-5739.79 Ty=-1.68 Tz=-2.08 Mx=0.02 Mz=-1.26
Sollecitazioni agenti localmente: Ty_l=-1022.50 My_l=-20.97
Tensioni nella sezione: σ=254.16 τ=30.98
CC 12 SLD (Collegamento 0020_-377)
Azioni sul collegamento: N=-6795.55 Ty=-2.98 Tz=1.60 Mx=0.01 Mz=-1.00
Sollecitazioni agenti localmente: Ty_l=-1208.63 My_l=-24.78
Tensioni nella sezione: σ=300.39 τ=36.63
CC 12 SLD (Collegamento 0020_-377)
Azioni sul collegamento: N=-6795.55 Ty=-3.37 Tz=1.60 Mx=0.01 Mz=-2.09
Sollecitazioni agenti localmente: Ty_l=-1212.98 My_l=-24.88
Tensioni nella sezione: σ=301.55 τ=36.76
CC 12 SLD (Collegamento 0020_-377)
Azioni sul collegamento: N=-6795.55 Ty=-2.98 Tz=-0.06 Mx=0.01 Mz=-1.00
Sollecitazioni agenti localmente: Ty_l=-1208.63 My_l=-24.78
Tensioni nella sezione: σ=300.39 τ=36.63
CC 12 SLD (Collegamento 0020_-377)
Azioni sul collegamento: N=-6795.55 Ty=-3.37 Tz=-0.06 Mx=0.01 Mz=-2.09
Sollecitazioni agenti localmente: Ty_l=-1212.98 My_l=-24.88
Tensioni nella sezione: σ=301.55 τ=36.76
CC 12 SLD (Collegamento 0020_-377)
Azioni sul collegamento: N=-6317.31 Ty=-2.98 Tz=1.60 Mx=0.01 Mz=-1.00
Sollecitazioni agenti localmente: Ty_l=-1123.85 My_l=-23.04
Tensioni nella sezione: σ=279.33 τ=34.06
CC 12 SLD (Collegamento 0020_-377)
Azioni sul collegamento: N=-6317.31 Ty=-3.37 Tz=1.60 Mx=0.01 Mz=-2.09

Sollecitazioni agenti localmente: Ty_l=-1128.20 My_l=-23.14
Tensioni nella sezione: σ=280.48 τ=34.19
CC 12 SLD (Collegamento 0020_-377)
Azioni sul collegamento: N=-6317.31 Ty=-2.98 Tz=-0.06 Mx=0.01 Mz=-1.00
Sollecitazioni agenti localmente: Ty_l=-1123.85 My_l=-23.04
Tensioni nella sezione: σ=279.33 τ=34.06
CC 12 SLD (Collegamento 0020_-377)
Azioni sul collegamento: N=-6317.31 Ty=-3.37 Tz=-0.06 Mx=0.01 Mz=-2.09
Sollecitazioni agenti localmente: Ty_l=-1128.20 My_l=-23.14
Tensioni nella sezione: σ=280.48 τ=34.19
CC 13 SLV (Collegamento 0020_-377)
Azioni sul collegamento: N=-5739.79 Ty=-1.68 Tz=-2.08 Mx=0.01 Mz=-1.26
Sollecitazioni agenti localmente: Ty_l=-1022.50 My_l=-20.97
Tensioni nella sezione: σ=254.16 τ=30.98
CC 13 SLV (Collegamento 0020_-377)
Azioni sul collegamento: N=-5739.79 Ty=-2.97 Tz=-2.08 Mx=0.01 Mz=2.33
Sollecitazioni agenti localmente: Ty_l=-1008.23 My_l=-20.66
Tensioni nella sezione: σ=250.37 τ=30.55
CC 13 SLV (Collegamento 0020_-377)
Azioni sul collegamento: N=-5739.79 Ty=-1.68 Tz=3.37 Mx=0.01 Mz=-1.26
Sollecitazioni agenti localmente: Ty_l=-1022.50 My_l=-20.97
Tensioni nella sezione: σ=254.16 τ=30.98
CC 13 SLV (Collegamento 0020_-377)
Azioni sul collegamento: N=-5739.79 Ty=-2.97 Tz=3.37 Mx=0.01 Mz=2.33
Sollecitazioni agenti localmente: Ty_l=-1008.23 My_l=-20.66
Tensioni nella sezione: σ=250.37 τ=30.55
CC 13 SLV (Collegamento 0020_-377)
Azioni sul collegamento: N=-7308.16 Ty=-1.68 Tz=-2.08 Mx=0.01 Mz=-1.26
Sollecitazioni agenti localmente: Ty_l=-1300.53 My_l=-26.67
Tensioni nella sezione: σ=323.25 τ=39.41
CC 13 SLV (Collegamento 0020_-377)
Azioni sul collegamento: N=-7308.16 Ty=-2.97 Tz=-2.08 Mx=0.01 Mz=2.33
Sollecitazioni agenti localmente: Ty_l=-1286.26 My_l=-26.36
Tensioni nella sezione: σ=319.46 τ=38.98
CC 13 SLV (Collegamento 0020_-377)
Azioni sul collegamento: N=-7308.16 Ty=-1.68 Tz=3.37 Mx=0.01 Mz=-1.26
Sollecitazioni agenti localmente: Ty_l=-1300.53 My_l=-26.67
Tensioni nella sezione: σ=323.25 τ=39.41
CC 13 SLV (Collegamento 0020_-377)
Azioni sul collegamento: N=-7308.16 Ty=-2.97 Tz=3.37 Mx=0.01 Mz=2.33
Sollecitazioni agenti localmente: Ty_l=-1286.26 My_l=-26.36
Tensioni nella sezione: σ=319.46 τ=38.98
CC 14 SLD (Collegamento 0020_-377)
Azioni sul collegamento: N=-6317.31 Ty=-3.37 Tz=-0.06 Mx=0.01 Mz=-2.09
Sollecitazioni agenti localmente: Ty_l=-1128.20 My_l=-23.14
Tensioni nella sezione: σ=280.48 τ=34.19
CC 14 SLD (Collegamento 0020_-377)
Azioni sul collegamento: N=-6317.31 Ty=-2.98 Tz=-0.06 Mx=0.01 Mz=-1.00
Sollecitazioni agenti localmente: Ty_l=-1123.85 My_l=-23.04
Tensioni nella sezione: σ=279.33 τ=34.06
CC 14 SLD (Collegamento 0020_-377)
Azioni sul collegamento: N=-6317.31 Ty=-3.37 Tz=1.60 Mx=0.01 Mz=-2.09
Sollecitazioni agenti localmente: Ty_l=-1128.20 My_l=-23.14
Tensioni nella sezione: σ=280.48 τ=34.19
CC 14 SLD (Collegamento 0020_-377)
Azioni sul collegamento: N=-6317.31 Ty=-2.98 Tz=1.60 Mx=0.01 Mz=-1.00
Sollecitazioni agenti localmente: Ty_l=-1123.85 My_l=-23.04
Tensioni nella sezione: σ=279.33 τ=34.06
CC 14 SLD (Collegamento 0020_-377)
Azioni sul collegamento: N=-6795.55 Ty=-3.37 Tz=-0.06 Mx=0.01 Mz=-2.09
Sollecitazioni agenti localmente: Ty_l=-1212.98 My_l=-24.88
Tensioni nella sezione: σ=301.55 τ=36.76
CC 14 SLD (Collegamento 0020_-377)
Azioni sul collegamento: N=-6795.55 Ty=-2.98 Tz=-0.06 Mx=0.01 Mz=-1.00
Sollecitazioni agenti localmente: Ty_l=-1208.63 My_l=-24.78
Tensioni nella sezione: σ=300.39 τ=36.63
CC 14 SLD (Collegamento 0020_-377)
Azioni sul collegamento: N=-6795.55 Ty=-3.37 Tz=1.60 Mx=0.01 Mz=-2.09
Sollecitazioni agenti localmente: Ty_l=-1212.98 My_l=-24.88
Tensioni nella sezione: σ=301.55 τ=36.76
CC 14 SLD (Collegamento 0020_-377)
Azioni sul collegamento: N=-6795.55 Ty=-2.98 Tz=1.60 Mx=0.01 Mz=-1.00
Sollecitazioni agenti localmente: Ty_l=-1208.63 My_l=-24.78
Tensioni nella sezione: σ=300.39 τ=36.63
CC 15 SLV (Collegamento 0020_-377)
Azioni sul collegamento: N=-7327.12 Ty=-0.86 Tz=3.80 Mx=0.01 Mz=-1.85
Sollecitazioni agenti localmente: Ty_l=-1306.27 My_l=-26.79
Tensioni nella sezione: σ=324.71 τ=39.58
CC 15 SLV (Collegamento 0020_-377)

Azioni sul collegamento: N=-7327.12 Ty=-3.80 Tz=3.80 Mx=0.01 Mz=2.93
Sollecitazioni agenti localmente: Ty_l=-1287.24 My_l=-26.37
Tensioni nella sezione: σ=319.66 τ=39.01
CC 15 SLV (Collegamento 0020_-377)
Azioni sul collegamento: N=-7327.12 Ty=-0.86 Tz=-2.51 Mx=0.01 Mz=-1.85
Sollecitazioni agenti localmente: Ty_l=-1306.27 My_l=-26.79
Tensioni nella sezione: σ=324.71 τ=39.58
CC 15 SLV (Collegamento 0020_-377)
Azioni sul collegamento: N=-7327.12 Ty=-3.80 Tz=-2.51 Mx=0.01 Mz=2.93
Sollecitazioni agenti localmente: Ty_l=-1287.24 My_l=-26.37
Tensioni nella sezione: σ=319.66 τ=39.01
CC 15 SLV (Collegamento 0020_-377)
Azioni sul collegamento: N=-5720.83 Ty=-0.86 Tz=3.80 Mx=0.01 Mz=-1.85
Sollecitazioni agenti localmente: Ty_l=-1021.52 My_l=-20.95
Tensioni nella sezione: σ=253.96 τ=30.96
CC 15 SLV (Collegamento 0020_-377)
Azioni sul collegamento: N=-5720.83 Ty=-3.80 Tz=3.80 Mx=0.01 Mz=2.93
Sollecitazioni agenti localmente: Ty_l=-1002.49 My_l=-20.53
Tensioni nella sezione: σ=248.91 τ=30.38
CC 15 SLV (Collegamento 0020_-377)
Azioni sul collegamento: N=-5720.83 Ty=-0.86 Tz=-2.51 Mx=0.01 Mz=-1.85
Sollecitazioni agenti localmente: Ty_l=-1021.52 My_l=-20.95
Tensioni nella sezione: σ=253.96 τ=30.96
CC 15 SLV (Collegamento 0020_-377)
Azioni sul collegamento: N=-5720.83 Ty=-3.80 Tz=-2.51 Mx=0.01 Mz=2.93
Sollecitazioni agenti localmente: Ty_l=-1002.49 My_l=-20.53
Tensioni nella sezione: σ=248.91 τ=30.38
CC 16 SLD (Collegamento 0020_-377)
Azioni sul collegamento: N=-6801.33 Ty=-3.62 Tz=1.73 Mx=0.01 Mz=-2.27
Sollecitazioni agenti localmente: Ty_l=-1214.73 My_l=-24.91
Tensioni nella sezione: σ=302.00 τ=36.81
CC 16 SLD (Collegamento 0020_-377)
Azioni sul collegamento: N=-6801.33 Ty=-2.73 Tz=1.73 Mx=0.01 Mz=-0.81
Sollecitazioni agenti localmente: Ty_l=-1208.93 My_l=-24.79
Tensioni nella sezione: σ=300.45 τ=36.63
CC 16 SLD (Collegamento 0020_-377)
Azioni sul collegamento: N=-6801.33 Ty=-3.62 Tz=-0.19 Mx=0.01 Mz=-2.27
Sollecitazioni agenti localmente: Ty_l=-1214.73 My_l=-24.91
Tensioni nella sezione: σ=302.00 τ=36.81
CC 16 SLD (Collegamento 0020_-377)
Azioni sul collegamento: N=-6801.33 Ty=-2.73 Tz=-0.19 Mx=0.01 Mz=-0.81
Sollecitazioni agenti localmente: Ty_l=-1208.93 My_l=-24.79
Tensioni nella sezione: σ=300.45 τ=36.63
CC 16 SLD (Collegamento 0020_-377)
Azioni sul collegamento: N=-6311.52 Ty=-3.62 Tz=1.73 Mx=0.01 Mz=-2.27
Sollecitazioni agenti localmente: Ty_l=-1127.90 My_l=-23.13
Tensioni nella sezione: σ=280.42 τ=34.18
CC 16 SLD (Collegamento 0020_-377)
Azioni sul collegamento: N=-6311.52 Ty=-2.73 Tz=1.73 Mx=0.01 Mz=-0.81
Sollecitazioni agenti localmente: Ty_l=-1122.10 My_l=-23.01
Tensioni nella sezione: σ=278.88 τ=34.00
CC 16 SLD (Collegamento 0020_-377)
Azioni sul collegamento: N=-6311.52 Ty=-3.62 Tz=-0.19 Mx=0.01 Mz=-2.27
Sollecitazioni agenti localmente: Ty_l=-1127.90 My_l=-23.13
Tensioni nella sezione: σ=280.42 τ=34.18
CC 16 SLD (Collegamento 0020_-377)
Azioni sul collegamento: N=-6311.52 Ty=-2.73 Tz=-0.19 Mx=0.01 Mz=-0.81
Sollecitazioni agenti localmente: Ty_l=-1122.10 My_l=-23.01
Tensioni nella sezione: σ=278.88 τ=34.00
CC 17 SLV (Collegamento 0020_-377)
Azioni sul collegamento: N=-3968.96 Ty=-3.07 Tz=-8.85 Mx=-0.01 Mz=-3.83
Sollecitazioni agenti localmente: Ty_l=-718.82 My_l=-14.76
Tensioni nella sezione: σ=178.87 τ=21.78
CC 17 SLV (Collegamento 0020_-377)
Azioni sul collegamento: N=-3968.96 Ty=-6.45 Tz=-8.85 Mx=-0.01 Mz=-7.08
Sollecitazioni agenti localmente: Ty_l=-731.73 My_l=-15.04
Tensioni nella sezione: σ=182.30 τ=22.17
CC 17 SLV (Collegamento 0020_-377)
Azioni sul collegamento: N=-3968.96 Ty=-3.07 Tz=10.87 Mx=-0.01 Mz=-3.83
Sollecitazioni agenti localmente: Ty_l=-718.82 My_l=-14.76
Tensioni nella sezione: σ=178.87 τ=21.78
CC 17 SLV (Collegamento 0020_-377)
Azioni sul collegamento: N=-3968.96 Ty=-6.45 Tz=10.87 Mx=-0.01 Mz=-7.08
Sollecitazioni agenti localmente: Ty_l=-731.73 My_l=-15.04
Tensioni nella sezione: σ=182.30 τ=22.17
CC 17 SLV (Collegamento 0020_-377)
Azioni sul collegamento: N=-9265.76 Ty=-3.07 Tz=-8.85 Mx=-0.01 Mz=-3.83
Sollecitazioni agenti localmente: Ty_l=-1657.79 My_l=-34.01
Tensioni nella sezione: σ=412.19 τ=50.24

CC 17 SLV (Collegamento 0020_-377)
Azioni sul collegamento: N=-9265.76 Ty=-6.45 Tz=-8.85 Mx=-0.01 Mz=-7.08
Sollecitazioni agenti localmente: Ty_l=-1670.71 My_l=-34.29
Tensioni nella sezione: σ=415.62 τ=50.63
CC 17 SLV (Collegamento 0020_-377)
Azioni sul collegamento: N=-9265.76 Ty=-3.07 Tz=10.87 Mx=-0.01 Mz=-3.83
Sollecitazioni agenti localmente: Ty_l=-1657.79 My_l=-34.01
Tensioni nella sezione: σ=412.19 τ=50.24
CC 17 SLV (Collegamento 0020_-377)
Azioni sul collegamento: N=-9265.76 Ty=-6.45 Tz=10.87 Mx=-0.01 Mz=-7.08
Sollecitazioni agenti localmente: Ty_l=-1670.71 My_l=-34.29
Tensioni nella sezione: σ=415.62 τ=50.63
CC 18 SLD (Collegamento 0020_-377)
Azioni sul collegamento: N=-5777.32 Ty=-3.40 Tz=-2.12 Mx=-0.00 Mz=-2.87
Sollecitazioni agenti localmente: Ty_l=-1035.60 My_l=-21.25
Tensioni nella sezione: σ=257.52 τ=31.38
CC 18 SLD (Collegamento 0020_-377)
Azioni sul collegamento: N=-5777.32 Ty=-4.43 Tz=-2.12 Mx=-0.00 Mz=-3.87
Sollecitazioni agenti localmente: Ty_l=-1039.54 My_l=-21.33
Tensioni nella sezione: σ=258.57 τ=31.50
CC 18 SLD (Collegamento 0020_-377)
Azioni sul collegamento: N=-5777.32 Ty=-3.40 Tz=3.89 Mx=-0.00 Mz=-2.87
Sollecitazioni agenti localmente: Ty_l=-1035.60 My_l=-21.25
Tensioni nella sezione: σ=257.52 τ=31.38
CC 18 SLD (Collegamento 0020_-377)
Azioni sul collegamento: N=-5777.32 Ty=-4.43 Tz=3.89 Mx=-0.00 Mz=-3.87
Sollecitazioni agenti localmente: Ty_l=-1039.54 My_l=-21.33
Tensioni nella sezione: σ=258.57 τ=31.50
CC 18 SLD (Collegamento 0020_-377)
Azioni sul collegamento: N=-7392.49 Ty=-3.40 Tz=-2.12 Mx=-0.00 Mz=-2.87
Sollecitazioni agenti localmente: Ty_l=-1321.92 My_l=-27.12
Tensioni nella sezione: σ=328.67 τ=40.06
CC 18 SLD (Collegamento 0020_-377)
Azioni sul collegamento: N=-7392.49 Ty=-4.43 Tz=-2.12 Mx=-0.00 Mz=-3.87
Sollecitazioni agenti localmente: Ty_l=-1325.86 My_l=-27.20
Tensioni nella sezione: σ=329.72 τ=40.18
CC 18 SLD (Collegamento 0020_-377)
Azioni sul collegamento: N=-7392.49 Ty=-3.40 Tz=3.89 Mx=-0.00 Mz=-2.87
Sollecitazioni agenti localmente: Ty_l=-1321.92 My_l=-27.12
Tensioni nella sezione: σ=328.67 τ=40.06
CC 18 SLD (Collegamento 0020_-377)
Azioni sul collegamento: N=-7392.49 Ty=-4.43 Tz=3.89 Mx=-0.00 Mz=-3.87
Sollecitazioni agenti localmente: Ty_l=-1325.86 My_l=-27.20
Tensioni nella sezione: σ=329.72 τ=40.18
CC 19 SLV (Collegamento 0020_-377)
Azioni sul collegamento: N=-3974.65 Ty=-3.70 Tz=-8.72 Mx=-0.01 Mz=-5.08
Sollecitazioni agenti localmente: Ty_l=-724.82 My_l=-14.89
Tensioni nella sezione: σ=180.45 τ=21.96
CC 19 SLV (Collegamento 0020_-377)
Azioni sul collegamento: N=-3974.65 Ty=-5.81 Tz=-8.72 Mx=-0.01 Mz=-5.82
Sollecitazioni agenti localmente: Ty_l=-727.75 My_l=-14.95
Tensioni nella sezione: σ=181.23 τ=22.05
CC 19 SLV (Collegamento 0020_-377)
Azioni sul collegamento: N=-3974.65 Ty=-3.70 Tz=10.74 Mx=-0.01 Mz=-5.08
Sollecitazioni agenti localmente: Ty_l=-724.82 My_l=-14.89
Tensioni nella sezione: σ=180.45 τ=21.96
CC 19 SLV (Collegamento 0020_-377)
Azioni sul collegamento: N=-3974.65 Ty=-5.81 Tz=10.74 Mx=-0.01 Mz=-5.82
Sollecitazioni agenti localmente: Ty_l=-727.75 My_l=-14.95
Tensioni nella sezione: σ=181.23 τ=22.05
CC 19 SLV (Collegamento 0020_-377)
Azioni sul collegamento: N=-9260.08 Ty=-3.70 Tz=-8.72 Mx=-0.01 Mz=-5.08
Sollecitazioni agenti localmente: Ty_l=-1661.78 My_l=-34.09
Tensioni nella sezione: σ=413.27 τ=50.36
CC 19 SLV (Collegamento 0020_-377)
Azioni sul collegamento: N=-9260.08 Ty=-5.81 Tz=-8.72 Mx=-0.01 Mz=-5.82
Sollecitazioni agenti localmente: Ty_l=-1664.71 My_l=-34.16
Tensioni nella sezione: σ=414.05 τ=50.45
CC 19 SLV (Collegamento 0020_-377)
Azioni sul collegamento: N=-9260.08 Ty=-3.70 Tz=10.74 Mx=-0.01 Mz=-5.08
Sollecitazioni agenti localmente: Ty_l=-1661.78 My_l=-34.09
Tensioni nella sezione: σ=413.27 τ=50.36
CC 19 SLV (Collegamento 0020_-377)
Azioni sul collegamento: N=-9260.08 Ty=-5.81 Tz=10.74 Mx=-0.01 Mz=-5.82
Sollecitazioni agenti localmente: Ty_l=-1664.71 My_l=-34.16
Tensioni nella sezione: σ=414.05 τ=50.45
CC 20 SLD (Collegamento 0020_-377)
Azioni sul collegamento: N=-5779.06 Ty=-3.59 Tz=-2.08 Mx=-0.00 Mz=-3.26
Sollecitazioni agenti localmente: Ty_l=-1037.43 My_l=-21.29

Tensioni nella sezione: σ=258.00 τ=31.44
CC 20 SLD (Collegamento 0020_-377)
Azioni sul collegamento: N=-5779.06 Ty=-4.24 Tz=-2.08 Mx=-0.00 Mz=-3.48
Sollecitazioni agenti localmente: Ty_l=-1038.32 My_l=-21.30
Tensioni nella sezione: σ=258.24 τ=31.46
CC 20 SLD (Collegamento 0020_-377)
Azioni sul collegamento: N=-5779.06 Ty=-3.59 Tz=3.85 Mx=-0.00 Mz=-3.26
Sollecitazioni agenti localmente: Ty_l=-1037.43 My_l=-21.29
Tensioni nella sezione: σ=258.00 τ=31.44
CC 20 SLD (Collegamento 0020_-377)
Azioni sul collegamento: N=-5779.06 Ty=-4.24 Tz=3.85 Mx=-0.00 Mz=-3.48
Sollecitazioni agenti localmente: Ty_l=-1038.32 My_l=-21.30
Tensioni nella sezione: σ=258.24 τ=31.46
CC 20 SLD (Collegamento 0020_-377)
Azioni sul collegamento: N=-7390.75 Ty=-3.59 Tz=-2.08 Mx=-0.00 Mz=-3.26
Sollecitazioni agenti localmente: Ty_l=-1323.14 My_l=-27.14
Tensioni nella sezione: σ=329.00 τ=40.10
CC 20 SLD (Collegamento 0020_-377)
Azioni sul collegamento: N=-7390.75 Ty=-4.24 Tz=-2.08 Mx=-0.00 Mz=-3.48
Sollecitazioni agenti localmente: Ty_l=-1324.03 My_l=-27.16
Tensioni nella sezione: σ=329.24 τ=40.12
CC 20 SLD (Collegamento 0020_-377)
Azioni sul collegamento: N=-7390.75 Ty=-3.59 Tz=3.85 Mx=-0.00 Mz=-3.26
Sollecitazioni agenti localmente: Ty_l=-1323.14 My_l=-27.14
Tensioni nella sezione: σ=329.00 τ=40.10
CC 20 SLD (Collegamento 0020_-377)
Azioni sul collegamento: N=-7390.75 Ty=-4.24 Tz=3.85 Mx=-0.00 Mz=-3.48
Sollecitazioni agenti localmente: Ty_l=-1324.03 My_l=-27.16
Tensioni nella sezione: σ=329.24 τ=40.12
CC 21 SLV (Collegamento 0020_-377)
Azioni sul collegamento: N=-9260.08 Ty=-5.81 Tz=10.74 Mx=-0.01 Mz=-5.82
Sollecitazioni agenti localmente: Ty_l=-1664.71 My_l=-34.16
Tensioni nella sezione: σ=414.05 τ=50.45
CC 21 SLV (Collegamento 0020_-377)
Azioni sul collegamento: N=-9260.08 Ty=-3.70 Tz=10.74 Mx=-0.01 Mz=-5.08
Sollecitazioni agenti localmente: Ty_l=-1661.78 My_l=-34.09
Tensioni nella sezione: σ=413.27 τ=50.36
CC 21 SLV (Collegamento 0020_-377)
Azioni sul collegamento: N=-9260.08 Ty=-5.81 Tz=-8.72 Mx=-0.01 Mz=-5.82
Sollecitazioni agenti localmente: Ty_l=-1664.71 My_l=-34.16
Tensioni nella sezione: σ=414.05 τ=50.45
CC 21 SLV (Collegamento 0020_-377)
Azioni sul collegamento: N=-9260.08 Ty=-3.70 Tz=-8.72 Mx=-0.01 Mz=-5.08
Sollecitazioni agenti localmente: Ty_l=-1661.78 My_l=-34.09
Tensioni nella sezione: σ=413.27 τ=50.36
CC 21 SLV (Collegamento 0020_-377)
Azioni sul collegamento: N=-3974.65 Ty=-5.81 Tz=10.74 Mx=-0.01 Mz=-5.82
Sollecitazioni agenti localmente: Ty_l=-727.75 My_l=-14.95
Tensioni nella sezione: σ=181.23 τ=22.05
CC 21 SLV (Collegamento 0020_-377)
Azioni sul collegamento: N=-3974.65 Ty=-3.70 Tz=10.74 Mx=-0.01 Mz=-5.08
Sollecitazioni agenti localmente: Ty_l=-724.82 My_l=-14.89
Tensioni nella sezione: σ=180.45 τ=21.96
CC 21 SLV (Collegamento 0020_-377)
Azioni sul collegamento: N=-3974.65 Ty=-5.81 Tz=-8.72 Mx=-0.01 Mz=-5.82
Sollecitazioni agenti localmente: Ty_l=-727.75 My_l=-14.95
Tensioni nella sezione: σ=181.23 τ=22.05
CC 21 SLV (Collegamento 0020_-377)
Azioni sul collegamento: N=-3974.65 Ty=-3.70 Tz=-8.72 Mx=-0.01 Mz=-5.08
Sollecitazioni agenti localmente: Ty_l=-724.82 My_l=-14.89
Tensioni nella sezione: σ=180.45 τ=21.96
CC 22 SLD (Collegamento 0020_-377)
Azioni sul collegamento: N=-7390.75 Ty=-4.24 Tz=3.85 Mx=-0.00 Mz=-3.48
Sollecitazioni agenti localmente: Ty_l=-1324.03 My_l=-27.16
Tensioni nella sezione: σ=329.24 τ=40.12
CC 22 SLD (Collegamento 0020_-377)
Azioni sul collegamento: N=-7390.75 Ty=-3.59 Tz=3.85 Mx=-0.00 Mz=-3.26
Sollecitazioni agenti localmente: Ty_l=-1323.14 My_l=-27.14
Tensioni nella sezione: σ=329.00 τ=40.10
CC 22 SLD (Collegamento 0020_-377)
Azioni sul collegamento: N=-7390.75 Ty=-4.24 Tz=-2.08 Mx=-0.00 Mz=-3.48
Sollecitazioni agenti localmente: Ty_l=-1324.03 My_l=-27.16
Tensioni nella sezione: σ=329.24 τ=40.12
CC 22 SLD (Collegamento 0020_-377)
Azioni sul collegamento: N=-7390.75 Ty=-3.59 Tz=-2.08 Mx=-0.00 Mz=-3.26
Sollecitazioni agenti localmente: Ty_l=-1323.14 My_l=-27.14
Tensioni nella sezione: σ=329.00 τ=40.10
CC 22 SLD (Collegamento 0020_-377)
Azioni sul collegamento: N=-5779.06 Ty=-4.24 Tz=3.85 Mx=-0.00 Mz=-3.48

Sollecitazioni agenti localmente: Ty_l=-1038.32 My_l=-21.30
Tensioni nella sezione: σ=258.24 τ=31.46
CC 22 SLD (Collegamento 0020_-377)
Azioni sul collegamento: N=-5779.06 Ty=-3.59 Tz=3.85 Mx=-0.00 Mz=-3.26
Sollecitazioni agenti localmente: Ty_l=-1037.43 My_l=-21.29
Tensioni nella sezione: σ=258.00 τ=31.44
CC 22 SLD (Collegamento 0020_-377)
Azioni sul collegamento: N=-5779.06 Ty=-4.24 Tz=-2.08 Mx=-0.00 Mz=-3.48
Sollecitazioni agenti localmente: Ty_l=-1038.32 My_l=-21.30
Tensioni nella sezione: σ=258.24 τ=31.46
CC 22 SLD (Collegamento 0020_-377)
Azioni sul collegamento: N=-5779.06 Ty=-3.59 Tz=-2.08 Mx=-0.00 Mz=-3.26
Sollecitazioni agenti localmente: Ty_l=-1037.43 My_l=-21.29
Tensioni nella sezione: σ=258.00 τ=31.44
CC 23 SLV (Collegamento 0020_-377)
Azioni sul collegamento: N=-9265.76 Ty=-6.45 Tz=10.87 Mx=-0.01 Mz=-7.08
Sollecitazioni agenti localmente: Ty_l=-1670.71 My_l=-34.29
Tensioni nella sezione: σ=415.62 τ=50.63
CC 23 SLV (Collegamento 0020_-377)
Azioni sul collegamento: N=-9265.76 Ty=-3.07 Tz=10.87 Mx=-0.01 Mz=-3.83
Sollecitazioni agenti localmente: Ty_l=-1657.79 My_l=-34.01
Tensioni nella sezione: σ=412.19 τ=50.24
CC 23 SLV (Collegamento 0020_-377)
Azioni sul collegamento: N=-9265.76 Ty=-6.45 Tz=-8.85 Mx=-0.01 Mz=-7.08
Sollecitazioni agenti localmente: Ty_l=-1670.71 My_l=-34.29
Tensioni nella sezione: σ=415.62 τ=50.63
CC 23 SLV (Collegamento 0020_-377)
Azioni sul collegamento: N=-9265.76 Ty=-3.07 Tz=-8.85 Mx=-0.01 Mz=-3.83
Sollecitazioni agenti localmente: Ty_l=-1657.79 My_l=-34.01
Tensioni nella sezione: σ=412.19 τ=50.24
CC 23 SLV (Collegamento 0020_-377)
Azioni sul collegamento: N=-3968.96 Ty=-6.45 Tz=10.87 Mx=-0.01 Mz=-7.08
Sollecitazioni agenti localmente: Ty_l=-731.73 My_l=-15.04
Tensioni nella sezione: σ=182.30 τ=22.17
CC 23 SLV (Collegamento 0020_-377)
Azioni sul collegamento: N=-3968.96 Ty=-3.07 Tz=10.87 Mx=-0.01 Mz=-3.83
Sollecitazioni agenti localmente: Ty_l=-718.82 My_l=-14.76
Tensioni nella sezione: σ=178.87 τ=21.78
CC 23 SLV (Collegamento 0020_-377)
Azioni sul collegamento: N=-3968.96 Ty=-6.45 Tz=-8.85 Mx=-0.01 Mz=-7.08
Sollecitazioni agenti localmente: Ty_l=-731.73 My_l=-15.04
Tensioni nella sezione: σ=182.30 τ=22.17
CC 23 SLV (Collegamento 0020_-377)
Azioni sul collegamento: N=-3968.96 Ty=-3.07 Tz=-8.85 Mx=-0.01 Mz=-3.83
Sollecitazioni agenti localmente: Ty_l=-718.82 My_l=-14.76
Tensioni nella sezione: σ=178.87 τ=21.78
CC 24 SLD (Collegamento 0020_-377)
Azioni sul collegamento: N=-7392.49 Ty=-4.43 Tz=3.89 Mx=0.00 Mz=-3.87
Sollecitazioni agenti localmente: Ty_l=-1325.86 My_l=-27.20
Tensioni nella sezione: σ=329.72 τ=40.18
CC 24 SLD (Collegamento 0020_-377)
Azioni sul collegamento: N=-7392.49 Ty=-3.40 Tz=3.89 Mx=0.00 Mz=-2.87
Sollecitazioni agenti localmente: Ty_l=-1321.92 My_l=-27.12
Tensioni nella sezione: σ=328.67 τ=40.06
CC 24 SLD (Collegamento 0020_-377)
Azioni sul collegamento: N=-7392.49 Ty=-4.43 Tz=-2.12 Mx=0.00 Mz=-3.87
Sollecitazioni agenti localmente: Ty_l=-1325.86 My_l=-27.20
Tensioni nella sezione: σ=329.72 τ=40.18
CC 24 SLD (Collegamento 0020_-377)
Azioni sul collegamento: N=-7392.49 Ty=-3.40 Tz=-2.12 Mx=0.00 Mz=-2.87
Sollecitazioni agenti localmente: Ty_l=-1321.92 My_l=-27.12
Tensioni nella sezione: σ=328.67 τ=40.06
CC 24 SLD (Collegamento 0020_-377)
Azioni sul collegamento: N=-5777.32 Ty=-4.43 Tz=3.89 Mx=0.00 Mz=-3.87
Sollecitazioni agenti localmente: Ty_l=-1039.54 My_l=-21.33
Tensioni nella sezione: σ=258.57 τ=31.50
CC 24 SLD (Collegamento 0020_-377)
Azioni sul collegamento: N=-5777.32 Ty=-3.40 Tz=3.89 Mx=0.00 Mz=-2.87
Sollecitazioni agenti localmente: Ty_l=-1035.60 My_l=-21.25
Tensioni nella sezione: σ=257.52 τ=31.38
CC 24 SLD (Collegamento 0020_-377)
Azioni sul collegamento: N=-5777.32 Ty=-4.43 Tz=-2.12 Mx=0.00 Mz=-3.87
Sollecitazioni agenti localmente: Ty_l=-1039.54 My_l=-21.33
Tensioni nella sezione: σ=258.57 τ=31.50
CC 24 SLD (Collegamento 0020_-377)
Azioni sul collegamento: N=-5777.32 Ty=-3.40 Tz=-2.12 Mx=0.00 Mz=-2.87
Sollecitazioni agenti localmente: Ty_l=-1035.60 My_l=-21.25
Tensioni nella sezione: σ=257.52 τ=31.38
CC 25 SLV (Collegamento 0020_-377)

Azioni sul collegamento: N=-5814.21 Ty=-3.29 Tz=-2.14 Mx=-0.02 Mz=-3.06
Sollecitazioni agenti localmente: Ty_l=-1042.87 My_l=-21.40
Tensioni nella sezione: σ=259.35 τ=31.60
CC 25 SLV (Collegamento 0020_-377)
Azioni sul collegamento: N=-5814.21 Ty=-6.23 Tz=-2.14 Mx=-0.02 Mz=-7.84
Sollecitazioni agenti localmente: Ty_l=-1061.90 My_l=-21.81
Tensioni nella sezione: σ=264.40 τ=32.18
CC 25 SLV (Collegamento 0020_-377)
Azioni sul collegamento: N=-5814.21 Ty=-3.29 Tz=4.16 Mx=-0.02 Mz=-3.06
Sollecitazioni agenti localmente: Ty_l=-1042.87 My_l=-21.40
Tensioni nella sezione: σ=259.35 τ=31.60
CC 25 SLV (Collegamento 0020_-377)
Azioni sul collegamento: N=-5814.21 Ty=-6.23 Tz=4.16 Mx=-0.02 Mz=-7.84
Sollecitazioni agenti localmente: Ty_l=-1061.90 My_l=-21.81
Tensioni nella sezione: σ=264.40 τ=32.18
CC 25 SLV (Collegamento 0020_-377)
Azioni sul collegamento: N=-7420.51 Ty=-3.29 Tz=-2.14 Mx=-0.02 Mz=-3.06
Sollecitazioni agenti localmente: Ty_l=-1327.63 My_l=-27.23
Tensioni nella sezione: σ=330.10 τ=40.23
CC 25 SLV (Collegamento 0020_-377)
Azioni sul collegamento: N=-7420.51 Ty=-6.23 Tz=-2.14 Mx=-0.02 Mz=-7.84
Sollecitazioni agenti localmente: Ty_l=-1346.65 My_l=-27.65
Tensioni nella sezione: σ=335.15 τ=40.81
CC 25 SLV (Collegamento 0020_-377)
Azioni sul collegamento: N=-7420.51 Ty=-3.29 Tz=4.16 Mx=-0.02 Mz=-3.06
Sollecitazioni agenti localmente: Ty_l=-1327.63 My_l=-27.23
Tensioni nella sezione: σ=330.10 τ=40.23
CC 25 SLV (Collegamento 0020_-377)
Azioni sul collegamento: N=-7420.51 Ty=-6.23 Tz=4.16 Mx=-0.02 Mz=-7.84
Sollecitazioni agenti localmente: Ty_l=-1346.65 My_l=-27.65
Tensioni nella sezione: σ=335.15 τ=40.81
CC 26 SLD (Collegamento 0020_-377)
Azioni sul collegamento: N=-6340.00 Ty=-3.47 Tz=-0.08 Mx=-0.00 Mz=-2.64
Sollecitazioni agenti localmente: Ty_l=-1134.41 My_l=-23.27
Tensioni nella sezione: σ=282.06 τ=34.38
CC 26 SLD (Collegamento 0020_-377)
Azioni sul collegamento: N=-6340.00 Ty=-4.36 Tz=-0.08 Mx=-0.00 Mz=-4.10
Sollecitazioni agenti localmente: Ty_l=-1140.22 My_l=-23.40
Tensioni nella sezione: σ=283.60 τ=34.55
CC 26 SLD (Collegamento 0020_-377)
Azioni sul collegamento: N=-6340.00 Ty=-3.47 Tz=1.85 Mx=-0.00 Mz=-2.64
Sollecitazioni agenti localmente: Ty_l=-1134.41 My_l=-23.27
Tensioni nella sezione: σ=282.06 τ=34.38
CC 26 SLD (Collegamento 0020_-377)
Azioni sul collegamento: N=-6340.00 Ty=-4.36 Tz=1.85 Mx=-0.00 Mz=-4.10
Sollecitazioni agenti localmente: Ty_l=-1140.22 My_l=-23.40
Tensioni nella sezione: σ=283.60 τ=34.55
CC 26 SLD (Collegamento 0020_-377)
Azioni sul collegamento: N=-6829.81 Ty=-3.47 Tz=-0.08 Mx=-0.00 Mz=-2.64
Sollecitazioni agenti localmente: Ty_l=-1221.24 My_l=-25.05
Tensioni nella sezione: σ=303.64 τ=37.01
CC 26 SLD (Collegamento 0020_-377)
Azioni sul collegamento: N=-6829.81 Ty=-4.36 Tz=-0.08 Mx=-0.00 Mz=-4.10
Sollecitazioni agenti localmente: Ty_l=-1227.05 My_l=-25.18
Tensioni nella sezione: σ=305.18 τ=37.18
CC 26 SLD (Collegamento 0020_-377)
Azioni sul collegamento: N=-6829.81 Ty=-3.47 Tz=1.85 Mx=-0.00 Mz=-2.64
Sollecitazioni agenti localmente: Ty_l=-1221.24 My_l=-25.05
Tensioni nella sezione: σ=303.64 τ=37.01
CC 26 SLD (Collegamento 0020_-377)
Azioni sul collegamento: N=-6829.81 Ty=-4.36 Tz=1.85 Mx=-0.00 Mz=-4.10
Sollecitazioni agenti localmente: Ty_l=-1227.05 My_l=-25.18
Tensioni nella sezione: σ=305.18 τ=37.18
CC 27 SLV (Collegamento 0020_-377)
Azioni sul collegamento: N=-7401.55 Ty=-4.11 Tz=3.74 Mx=-0.02 Mz=-3.66
Sollecitazioni agenti localmente: Ty_l=-1326.64 My_l=-27.22
Tensioni nella sezione: σ=329.90 τ=40.20
CC 27 SLV (Collegamento 0020_-377)
Azioni sul collegamento: N=-7401.55 Ty=-5.40 Tz=3.74 Mx=-0.02 Mz=-7.25
Sollecitazioni agenti localmente: Ty_l=-1340.92 My_l=-27.53
Tensioni nella sezione: σ=333.69 τ=40.63
CC 27 SLV (Collegamento 0020_-377)
Azioni sul collegamento: N=-7401.55 Ty=-4.11 Tz=-1.71 Mx=-0.02 Mz=-3.66
Sollecitazioni agenti localmente: Ty_l=-1326.64 My_l=-27.22
Tensioni nella sezione: σ=329.90 τ=40.20
CC 27 SLV (Collegamento 0020_-377)
Azioni sul collegamento: N=-7401.55 Ty=-5.40 Tz=-1.71 Mx=-0.02 Mz=-7.25
Sollecitazioni agenti localmente: Ty_l=-1340.92 My_l=-27.53
Tensioni nella sezione: σ=333.69 τ=40.63

CC 27 SLV (Collegamento 0020_-377)
Azioni sul collegamento: N=-5833.17 Ty=-4.11 Tz=3.74 Mx=-0.02 Mz=-3.66
Sollecitazioni agenti localmente: Ty_l=-1048.61 My_l=-21.52
Tensioni nella sezione: σ=260.81 τ=31.78
CC 27 SLV (Collegamento 0020_-377)
Azioni sul collegamento: N=-5833.17 Ty=-5.40 Tz=3.74 Mx=-0.02 Mz=-7.25
Sollecitazioni agenti localmente: Ty_l=-1062.89 My_l=-21.83
Tensioni nella sezione: σ=264.60 τ=32.21
CC 27 SLV (Collegamento 0020_-377)
Azioni sul collegamento: N=-5833.17 Ty=-4.11 Tz=-1.71 Mx=-0.02 Mz=-3.66
Sollecitazioni agenti localmente: Ty_l=-1048.61 My_l=-21.52
Tensioni nella sezione: σ=260.81 τ=31.78
CC 27 SLV (Collegamento 0020_-377)
Azioni sul collegamento: N=-5833.17 Ty=-5.40 Tz=-1.71 Mx=-0.02 Mz=-7.25
Sollecitazioni agenti localmente: Ty_l=-1062.89 My_l=-21.83
Tensioni nella sezione: σ=264.60 τ=32.21
CC 28 SLD (Collegamento 0020_-377)
Azioni sul collegamento: N=-6824.03 Ty=-3.72 Tz=1.72 Mx=-0.00 Mz=-2.82
Sollecitazioni agenti localmente: Ty_l=-1220.94 My_l=-25.05
Tensioni nella sezione: σ=303.58 τ=37.00
CC 28 SLD (Collegamento 0020_-377)
Azioni sul collegamento: N=-6824.03 Ty=-4.11 Tz=1.72 Mx=-0.00 Mz=-3.92
Sollecitazioni agenti localmente: Ty_l=-1225.30 My_l=-25.14
Tensioni nella sezione: σ=304.73 τ=37.13
CC 28 SLD (Collegamento 0020_-377)
Azioni sul collegamento: N=-6824.03 Ty=-3.72 Tz=0.05 Mx=-0.00 Mz=-2.82
Sollecitazioni agenti localmente: Ty_l=-1220.94 My_l=-25.05
Tensioni nella sezione: σ=303.58 τ=37.00
CC 28 SLD (Collegamento 0020_-377)
Azioni sul collegamento: N=-6824.03 Ty=-4.11 Tz=0.05 Mx=-0.00 Mz=-3.92
Sollecitazioni agenti localmente: Ty_l=-1225.30 My_l=-25.14
Tensioni nella sezione: σ=304.73 τ=37.13
CC 28 SLD (Collegamento 0020_-377)
Azioni sul collegamento: N=-6345.78 Ty=-3.72 Tz=1.72 Mx=-0.00 Mz=-2.82
Sollecitazioni agenti localmente: Ty_l=-1136.16 My_l=-23.31
Tensioni nella sezione: σ=282.51 τ=34.43
CC 28 SLD (Collegamento 0020_-377)
Azioni sul collegamento: N=-6345.78 Ty=-4.11 Tz=1.72 Mx=-0.00 Mz=-3.92
Sollecitazioni agenti localmente: Ty_l=-1140.52 My_l=-23.40
Tensioni nella sezione: σ=283.67 τ=34.56
CC 28 SLD (Collegamento 0020_-377)
Azioni sul collegamento: N=-6345.78 Ty=-3.72 Tz=0.05 Mx=-0.00 Mz=-2.82
Sollecitazioni agenti localmente: Ty_l=-1136.16 My_l=-23.31
Tensioni nella sezione: σ=282.51 τ=34.43
CC 28 SLD (Collegamento 0020_-377)
Azioni sul collegamento: N=-6345.78 Ty=-4.11 Tz=0.05 Mx=-0.00 Mz=-3.92
Sollecitazioni agenti localmente: Ty_l=-1140.52 My_l=-23.40
Tensioni nella sezione: σ=283.67 τ=34.56
CC 29 SLV (Collegamento 0020_-377)
Azioni sul collegamento: N=-5833.17 Ty=-5.40 Tz=-1.71 Mx=-0.00 Mz=-7.25
Sollecitazioni agenti localmente: Ty_l=-1062.89 My_l=-21.83
Tensioni nella sezione: σ=264.60 τ=32.21
CC 29 SLV (Collegamento 0020_-377)
Azioni sul collegamento: N=-5833.17 Ty=-4.11 Tz=-1.71 Mx=-0.00 Mz=-3.66
Sollecitazioni agenti localmente: Ty_l=-1048.61 My_l=-21.52
Tensioni nella sezione: σ=260.81 τ=31.78
CC 29 SLV (Collegamento 0020_-377)
Azioni sul collegamento: N=-5833.17 Ty=-5.40 Tz=3.74 Mx=-0.00 Mz=-7.25
Sollecitazioni agenti localmente: Ty_l=-1062.89 My_l=-21.83
Tensioni nella sezione: σ=264.60 τ=32.21
CC 29 SLV (Collegamento 0020_-377)
Azioni sul collegamento: N=-5833.17 Ty=-4.11 Tz=3.74 Mx=-0.00 Mz=-3.66
Sollecitazioni agenti localmente: Ty_l=-1048.61 My_l=-21.52
Tensioni nella sezione: σ=260.81 τ=31.78
CC 29 SLV (Collegamento 0020_-377)
Azioni sul collegamento: N=-7401.55 Ty=-5.40 Tz=-1.71 Mx=-0.00 Mz=-7.25
Sollecitazioni agenti localmente: Ty_l=-1340.92 My_l=-27.53
Tensioni nella sezione: σ=333.69 τ=40.63
CC 29 SLV (Collegamento 0020_-377)
Azioni sul collegamento: N=-7401.55 Ty=-4.11 Tz=-1.71 Mx=-0.00 Mz=-3.66
Sollecitazioni agenti localmente: Ty_l=-1326.64 My_l=-27.22
Tensioni nella sezione: σ=329.90 τ=40.20
CC 29 SLV (Collegamento 0020_-377)
Azioni sul collegamento: N=-7401.55 Ty=-5.40 Tz=3.74 Mx=-0.00 Mz=-7.25
Sollecitazioni agenti localmente: Ty_l=-1340.92 My_l=-27.53
Tensioni nella sezione: σ=333.69 τ=40.63
CC 29 SLV (Collegamento 0020_-377)
Azioni sul collegamento: N=-7401.55 Ty=-4.11 Tz=3.74 Mx=-0.00 Mz=-3.66
Sollecitazioni agenti localmente: Ty_l=-1326.64 My_l=-27.22

Tensioni nella sezione: σ=329.90 τ=40.20
CC 30 SLD (Collegamento 0020_-377)
Azioni sul collegamento: N=-6345.78 Ty=-4.11 Tz=0.05 Mx=0.00 Mz=-3.92
Sollecitazioni agenti localmente: Ty_l=-1140.52 My_l=-23.40
Tensioni nella sezione: σ=283.67 τ=34.56
CC 30 SLD (Collegamento 0020_-377)
Azioni sul collegamento: N=-6345.78 Ty=-3.72 Tz=0.05 Mx=0.00 Mz=-2.82
Sollecitazioni agenti localmente: Ty_l=-1136.16 My_l=-23.31
Tensioni nella sezione: σ=282.51 τ=34.43
CC 30 SLD (Collegamento 0020_-377)
Azioni sul collegamento: N=-6345.78 Ty=-4.11 Tz=1.72 Mx=0.00 Mz=-3.92
Sollecitazioni agenti localmente: Ty_l=-1140.52 My_l=-23.40
Tensioni nella sezione: σ=283.67 τ=34.56
CC 30 SLD (Collegamento 0020_-377)
Azioni sul collegamento: N=-6345.78 Ty=-3.72 Tz=1.72 Mx=0.00 Mz=-2.82
Sollecitazioni agenti localmente: Ty_l=-1136.16 My_l=-23.31
Tensioni nella sezione: σ=282.51 τ=34.43
CC 30 SLD (Collegamento 0020_-377)
Azioni sul collegamento: N=-6824.03 Ty=-4.11 Tz=0.05 Mx=0.00 Mz=-3.92
Sollecitazioni agenti localmente: Ty_l=-1225.30 My_l=-25.14
Tensioni nella sezione: σ=304.73 τ=37.13
CC 30 SLD (Collegamento 0020_-377)
Azioni sul collegamento: N=-6824.03 Ty=-3.72 Tz=0.05 Mx=0.00 Mz=-2.82
Sollecitazioni agenti localmente: Ty_l=-1220.94 My_l=-25.05
Tensioni nella sezione: σ=303.58 τ=37.00
CC 30 SLD (Collegamento 0020_-377)
Azioni sul collegamento: N=-6824.03 Ty=-4.11 Tz=1.72 Mx=0.00 Mz=-3.92
Sollecitazioni agenti localmente: Ty_l=-1225.30 My_l=-25.14
Tensioni nella sezione: σ=304.73 τ=37.13
CC 30 SLD (Collegamento 0020_-377)
Azioni sul collegamento: N=-6824.03 Ty=-3.72 Tz=1.72 Mx=0.00 Mz=-2.82
Sollecitazioni agenti localmente: Ty_l=-1220.94 My_l=-25.05
Tensioni nella sezione: σ=303.58 τ=37.00
CC 31 SLV (Collegamento 0020_-377)
Azioni sul collegamento: N=-7420.51 Ty=-6.23 Tz=4.16 Mx=-0.00 Mz=-7.84
Sollecitazioni agenti localmente: Ty_l=-1346.65 My_l=-27.65
Tensioni nella sezione: σ=335.15 τ=40.81
CC 31 SLV (Collegamento 0020_-377)
Azioni sul collegamento: N=-7420.51 Ty=-3.29 Tz=4.16 Mx=-0.00 Mz=-3.06
Sollecitazioni agenti localmente: Ty_l=-1327.63 My_l=-27.23
Tensioni nella sezione: σ=330.10 τ=40.23
CC 31 SLV (Collegamento 0020_-377)
Azioni sul collegamento: N=-7420.51 Ty=-6.23 Tz=-2.14 Mx=-0.00 Mz=-7.84
Sollecitazioni agenti localmente: Ty_l=-1346.65 My_l=-27.65
Tensioni nella sezione: σ=335.15 τ=40.81
CC 31 SLV (Collegamento 0020_-377)
Azioni sul collegamento: N=-7420.51 Ty=-3.29 Tz=-2.14 Mx=-0.00 Mz=-3.06
Sollecitazioni agenti localmente: Ty_l=-1327.63 My_l=-27.23
Tensioni nella sezione: σ=330.10 τ=40.23
CC 31 SLV (Collegamento 0020_-377)
Azioni sul collegamento: N=-5814.21 Ty=-6.23 Tz=4.16 Mx=-0.00 Mz=-7.84
Sollecitazioni agenti localmente: Ty_l=-1061.90 My_l=-21.81
Tensioni nella sezione: σ=264.40 τ=32.18
CC 31 SLV (Collegamento 0020_-377)
Azioni sul collegamento: N=-5814.21 Ty=-3.29 Tz=4.16 Mx=-0.00 Mz=-3.06
Sollecitazioni agenti localmente: Ty_l=-1042.87 My_l=-21.40
Tensioni nella sezione: σ=259.35 τ=31.60
CC 31 SLV (Collegamento 0020_-377)
Azioni sul collegamento: N=-5814.21 Ty=-6.23 Tz=-2.14 Mx=-0.00 Mz=-7.84
Sollecitazioni agenti localmente: Ty_l=-1061.90 My_l=-21.81
Tensioni nella sezione: σ=264.40 τ=32.18
CC 31 SLV (Collegamento 0020_-377)
Azioni sul collegamento: N=-5814.21 Ty=-3.29 Tz=-2.14 Mx=-0.00 Mz=-3.06
Sollecitazioni agenti localmente: Ty_l=-1042.87 My_l=-21.40
Tensioni nella sezione: σ=259.35 τ=31.60
CC 32 SLD (Collegamento 0020_-377)
Azioni sul collegamento: N=-6829.81 Ty=-4.36 Tz=1.85 Mx=0.00 Mz=-4.10
Sollecitazioni agenti localmente: Ty_l=-1227.05 My_l=-25.18
Tensioni nella sezione: σ=305.18 τ=37.18
CC 32 SLD (Collegamento 0020_-377)
Azioni sul collegamento: N=-6829.81 Ty=-3.47 Tz=1.85 Mx=0.00 Mz=-2.64
Sollecitazioni agenti localmente: Ty_l=-1221.24 My_l=-25.05
Tensioni nella sezione: σ=303.64 τ=37.01
CC 32 SLD (Collegamento 0020_-377)
Azioni sul collegamento: N=-6829.81 Ty=-4.36 Tz=-0.08 Mx=0.00 Mz=-4.10
Sollecitazioni agenti localmente: Ty_l=-1227.05 My_l=-25.18
Tensioni nella sezione: σ=305.18 τ=37.18
CC 32 SLD (Collegamento 0020_-377)
Azioni sul collegamento: N=-6829.81 Ty=-3.47 Tz=-0.08 Mx=0.00 Mz=-2.64

Sollecitazioni agenti localmente: Ty_l=-1221.24 My_l=-25.05
Tensioni nella sezione: σ=303.64 τ=37.01
CC 32 SLD (Collegamento 0020_-377)
Azioni sul collegamento: N=-6340.00 Ty=-4.36 Tz=1.85 Mx=0.00 Mz=-4.10
Sollecitazioni agenti localmente: Ty_l=-1140.22 My_l=-23.40
Tensioni nella sezione: σ=283.60 τ=34.55
CC 32 SLD (Collegamento 0020_-377)
Azioni sul collegamento: N=-6340.00 Ty=-3.47 Tz=1.85 Mx=0.00 Mz=-2.64
Sollecitazioni agenti localmente: Ty_l=-1134.41 My_l=-23.27
Tensioni nella sezione: σ=282.06 τ=34.38
CC 32 SLD (Collegamento 0020_-377)
Azioni sul collegamento: N=-6340.00 Ty=-4.36 Tz=-0.08 Mx=0.00 Mz=-4.10
Sollecitazioni agenti localmente: Ty_l=-1140.22 My_l=-23.40
Tensioni nella sezione: σ=283.60 τ=34.55
CC 32 SLD (Collegamento 0020_-377)
Azioni sul collegamento: N=-6340.00 Ty=-3.47 Tz=-0.08 Mx=0.00 Mz=-2.64
Sollecitazioni agenti localmente: Ty_l=-1134.41 My_l=-23.27
Tensioni nella sezione: σ=282.06 τ=34.38
CC 33 SLU (Collegamento 0020_-377)
Azioni sul collegamento: N=-30337.70 Ty=-5.16 Tz=79.98 Mx=0.01 Mz=-3.50
Sollecitazioni agenti localmente: Ty_l=-5391.98 My_l=-110.56
Tensioni nella sezione: σ=1340.06 τ=163.39
CC 34 SLU (Collegamento 0020_-377)
Azioni sul collegamento: N=-30888.30 Ty=-5.44 Tz=82.02 Mx=0.01 Mz=-3.71
Sollecitazioni agenti localmente: Ty_l=-5490.40 My_l=-112.57
Tensioni nella sezione: σ=1364.53 τ=166.38
CC 35 SLU (Collegamento 0020_-377)
Azioni sul collegamento: N=-30612.00 Ty=-5.19 Tz=81.02 Mx=0.01 Mz=-3.39
Sollecitazioni agenti localmente: Ty_l=-5440.15 My_l=-111.54
Tensioni nella sezione: σ=1352.02 τ=164.85
CC 36 SLU (Collegamento 0020_-377)
Azioni sul collegamento: N=-30614.00 Ty=-5.41 Tz=80.97 Mx=0.01 Mz=-3.82
Sollecitazioni agenti localmente: Ty_l=-5442.23 My_l=-111.59
Tensioni nella sezione: σ=1352.57 τ=164.92
CC 37 SLU (Collegamento 0020_-377)
Azioni sul collegamento: N=-32266.80 Ty=-5.04 Tz=86.42 Mx=-0.00 Mz=-3.56
Sollecitazioni agenti localmente: Ty_l=-5734.16 My_l=-117.57
Tensioni nella sezione: σ=1425.09 τ=173.76
CC 38 SLU (Collegamento 0020_-377)
Azioni sul collegamento: N=-32817.30 Ty=-5.33 Tz=88.46 Mx=-0.00 Mz=-3.76
Sollecitazioni agenti localmente: Ty_l=-5832.58 My_l=-119.59
Tensioni nella sezione: σ=1449.56 τ=176.75
CC 39 SLU (Collegamento 0020_-377)
Azioni sul collegamento: N=-32541.00 Ty=-5.08 Tz=87.47 Mx=-0.00 Mz=-3.44
Sollecitazioni agenti localmente: Ty_l=-5782.33 My_l=-118.56
Tensioni nella sezione: σ=1437.05 τ=175.22
CC 40 SLU (Collegamento 0020_-377)
Azioni sul collegamento: N=-32543.00 Ty=-5.30 Tz=87.42 Mx=-0.00 Mz=-3.88
Sollecitazioni agenti localmente: Ty_l=-5784.41 My_l=-118.60
Tensioni nella sezione: σ=1437.60 τ=175.28
CC 41 SLU (Collegamento 0020_-377)
Azioni sul collegamento: N=-21046.60 Ty=-6.03 Tz=45.82 Mx=0.01 Mz=-4.13
Sollecitazioni agenti localmente: Ty_l=-3747.43 My_l=-76.85
Tensioni nella sezione: σ=931.46 τ=113.56
CC 42 SLU (Collegamento 0020_-377)
Azioni sul collegamento: N=-21597.10 Ty=-6.32 Tz=47.86 Mx=0.01 Mz=-4.34
Sollecitazioni agenti localmente: Ty_l=-3845.85 My_l=-78.86
Tensioni nella sezione: σ=955.93 τ=116.54
CC 43 SLU (Collegamento 0020_-377)
Azioni sul collegamento: N=-21320.90 Ty=-6.07 Tz=46.87 Mx=0.01 Mz=-4.02
Sollecitazioni agenti localmente: Ty_l=-3795.60 My_l=-77.83
Tensioni nella sezione: σ=943.42 τ=115.02
CC 44 SLU (Collegamento 0020_-377)
Azioni sul collegamento: N=-21322.80 Ty=-6.29 Tz=46.82 Mx=0.01 Mz=-4.45
Sollecitazioni agenti localmente: Ty_l=-3797.68 My_l=-77.88
Tensioni nella sezione: σ=943.97 τ=115.08
CC 45 SLU (Collegamento 0020_-377)
Azioni sul collegamento: N=-23139.00 Ty=-5.73 Tz=53.57 Mx=0.01 Mz=-3.96
Sollecitazioni agenti localmente: Ty_l=-4117.65 My_l=-84.43
Tensioni nella sezione: σ=1023.44 τ=124.78
CC 46 SLU (Collegamento 0020_-377)
Azioni sul collegamento: N=-23689.50 Ty=-6.01 Tz=55.60 Mx=0.01 Mz=-4.17
Sollecitazioni agenti localmente: Ty_l=-4216.07 My_l=-86.45
Tensioni nella sezione: σ=1047.91 τ=127.76
CC 47 SLU (Collegamento 0020_-377)
Azioni sul collegamento: N=-23413.30 Ty=-5.76 Tz=54.61 Mx=0.01 Mz=-3.84
Sollecitazioni agenti localmente: Ty_l=-4165.82 My_l=-85.42
Tensioni nella sezione: σ=1035.40 τ=126.24
CC 48 SLU (Collegamento 0020_-377)

Azioni sul collegamento: N=-23415.20 Ty=-5.98 Tz=54.56 Mx=0.01 Mz=-4.28
Sollecitazioni agenti localmente: Ty_l=-4167.90 My_l=-85.47
Tensioni nella sezione: σ=1035.95 τ=126.30
CC 49 SLU (Collegamento 0020_-377)
Azioni sul collegamento: N=-24582.20 Ty=-5.64 Tz=58.39 Mx=0.00 Mz=-4.00
Sollecitazioni agenti localmente: Ty_l=-4373.65 My_l=-89.68
Tensioni nella sezione: σ=1087.06 τ=132.53
CC 50 SLU (Collegamento 0020_-377)
Azioni sul collegamento: N=-25132.70 Ty=-5.93 Tz=60.42 Mx=0.00 Mz=-4.21
Sollecitazioni agenti localmente: Ty_l=-4472.07 My_l=-91.70
Tensioni nella sezione: σ=1111.53 τ=135.52
CC 51 SLU (Collegamento 0020_-377)
Azioni sul collegamento: N=-24856.40 Ty=-5.68 Tz=59.43 Mx=-0.00 Mz=-3.89
Sollecitazioni agenti localmente: Ty_l=-4421.82 My_l=-90.67
Tensioni nella sezione: σ=1099.02 τ=134.00
CC 52 SLU (Collegamento 0020_-377)
Azioni sul collegamento: N=-24858.40 Ty=-5.89 Tz=59.38 Mx=0.00 Mz=-4.32
Sollecitazioni agenti localmente: Ty_l=-4423.90 My_l=-90.71
Tensioni nella sezione: σ=1099.56 τ=134.06
CC 53 SLU (Collegamento 0020_-377)
Azioni sul collegamento: N=-16187.80 Ty=-6.38 Tz=28.01 Mx=0.01 Mz=-4.43
Sollecitazioni agenti localmente: Ty_l=-2887.29 My_l=-59.21
Tensioni nella sezione: σ=717.75 τ=87.49
CC 54 SLU (Collegamento 0020_-377)
Azioni sul collegamento: N=-16738.30 Ty=-6.67 Tz=30.05 Mx=0.01 Mz=-4.64
Sollecitazioni agenti localmente: Ty_l=-2985.70 My_l=-61.23
Tensioni nella sezione: σ=742.22 τ=90.48
CC 55 SLU (Collegamento 0020_-377)
Azioni sul collegamento: N=-16462.10 Ty=-6.42 Tz=29.05 Mx=0.01 Mz=-4.32
Sollecitazioni agenti localmente: Ty_l=-2935.45 My_l=-60.20
Tensioni nella sezione: σ=729.71 τ=88.95
CC 56 SLU (Collegamento 0020_-377)
Azioni sul collegamento: N=-16464.10 Ty=-6.64 Tz=29.01 Mx=0.01 Mz=-4.75
Sollecitazioni agenti localmente: Ty_l=-2937.53 My_l=-60.25
Tensioni nella sezione: σ=730.25 τ=89.02
CC 57 SLU (Collegamento 0020_-377)
Azioni sul collegamento: N=-23519.50 Ty=-6.15 Tz=55.00 Mx=0.01 Mz=-4.26
Sollecitazioni agenti localmente: Ty_l=-4186.32 My_l=-85.84
Tensioni nella sezione: σ=1040.53 τ=126.86
CC 58 SLU (Collegamento 0020_-377)
Azioni sul collegamento: N=-24070.10 Ty=-6.43 Tz=57.04 Mx=0.01 Mz=-4.47
Sollecitazioni agenti localmente: Ty_l=-4284.74 My_l=-87.86
Tensioni nella sezione: σ=1064.99 τ=129.84
CC 59 SLU (Collegamento 0020_-377)
Azioni sul collegamento: N=-23793.80 Ty=-6.18 Tz=56.05 Mx=0.01 Mz=-4.15
Sollecitazioni agenti localmente: Ty_l=-4234.49 My_l=-86.83
Tensioni nella sezione: σ=1052.49 τ=128.32
CC 60 SLU (Collegamento 0020_-377)
Azioni sul collegamento: N=-23795.80 Ty=-6.40 Tz=56.00 Mx=0.01 Mz=-4.58
Sollecitazioni agenti localmente: Ty_l=-4236.57 My_l=-86.88
Tensioni nella sezione: σ=1053.03 τ=128.38
CC 61 SLU (Collegamento 0020_-377)
Azioni sul collegamento: N=-24962.70 Ty=-6.06 Tz=59.83 Mx=0.00 Mz=-4.30
Sollecitazioni agenti localmente: Ty_l=-4442.32 My_l=-91.09
Tensioni nella sezione: σ=1104.14 τ=134.62
CC 62 SLU (Collegamento 0020_-377)
Azioni sul collegamento: N=-25513.20 Ty=-6.35 Tz=61.87 Mx=0.00 Mz=-4.51
Sollecitazioni agenti localmente: Ty_l=-4540.74 My_l=-93.11
Tensioni nella sezione: σ=1128.61 τ=137.60
CC 63 SLU (Collegamento 0020_-377)
Azioni sul collegamento: N=-25237.00 Ty=-6.10 Tz=60.87 Mx=-0.00 Mz=-4.19
Sollecitazioni agenti localmente: Ty_l=-4490.49 My_l=-92.08
Tensioni nella sezione: σ=1116.10 τ=136.07
CC 64 SLU (Collegamento 0020_-377)
Azioni sul collegamento: N=-25238.90 Ty=-6.31 Tz=60.82 Mx=0.00 Mz=-4.62
Sollecitazioni agenti localmente: Ty_l=-4492.57 My_l=-92.12
Tensioni nella sezione: σ=1116.65 τ=136.14
CC 65 SLU (Collegamento 0020_-377)
Azioni sul collegamento: N=-16568.40 Ty=-6.80 Tz=29.45 Mx=0.01 Mz=-4.74
Sollecitazioni agenti localmente: Ty_l=-2955.95 My_l=-60.62
Tensioni nella sezione: σ=734.83 τ=89.57
CC 66 SLU (Collegamento 0020_-377)
Azioni sul collegamento: N=-17118.90 Ty=-7.09 Tz=31.49 Mx=0.01 Mz=-4.94
Sollecitazioni agenti localmente: Ty_l=-3054.37 My_l=-62.64
Tensioni nella sezione: σ=759.30 τ=92.56
CC 67 SLU (Collegamento 0020_-377)
Azioni sul collegamento: N=-16842.60 Ty=-6.84 Tz=30.49 Mx=0.01 Mz=-4.62
Sollecitazioni agenti localmente: Ty_l=-3004.12 My_l=-61.61
Tensioni nella sezione: σ=746.79 τ=91.03

CC 68 SLU (Collegamento 0020_-377)
Azioni sul collegamento: N=-16844.60 Ty=-7.06 Tz=30.45 Mx=0.01 Mz=-5.06
Sollecitazioni agenti localmente: Ty_l=-3006.20 My_l=-61.66
Tensioni nella sezione: σ=747.34 τ=91.10
CC 97 SLU (Collegamento 0020_-377)
Azioni sul collegamento: N=-16826.20 Ty=-0.37 Tz=38.55 Mx=0.05 Mz=7.28
Sollecitazioni agenti localmente: Ty_l=-2953.88 My_l=-60.51
Tensioni nella sezione: σ=733.50 τ=89.51
CC 98 SLU (Collegamento 0020_-377)
Azioni sul collegamento: N=-17376.70 Ty=-0.65 Tz=40.58 Mx=0.05 Mz=7.07
Sollecitazioni agenti localmente: Ty_l=-3052.30 My_l=-62.53
Tensioni nella sezione: σ=757.97 τ=92.49
CC 99 SLU (Collegamento 0020_-377)
Azioni sul collegamento: N=-17100.50 Ty=-0.40 Tz=39.59 Mx=0.05 Mz=7.39
Sollecitazioni agenti localmente: Ty_l=-3002.05 My_l=-61.50
Tensioni nella sezione: σ=745.47 τ=90.97
CC 100 SLU (Collegamento 0020_-377)
Azioni sul collegamento: N=-17102.50 Ty=-0.62 Tz=39.54 Mx=0.05 Mz=6.96
Sollecitazioni agenti localmente: Ty_l=-3004.13 My_l=-61.55
Tensioni nella sezione: σ=746.01 τ=91.03
CC 101 SLU (Collegamento 0020_-377)
Azioni sul collegamento: N=-6585.90 Ty=-4.08 Tz=0.92 Mx=-0.00 Mz=-3.64
Sollecitazioni agenti localmente: Ty_l=-1181.98 My_l=-24.25
Tensioni nella sezione: σ=293.95 τ=35.82
CC 102 SLU (Collegamento 0020_-377)
Azioni sul collegamento: N=-7136.43 Ty=-4.37 Tz=2.96 Mx=-0.00 Mz=-3.85
Sollecitazioni agenti localmente: Ty_l=-1280.40 My_l=-26.27
Tensioni nella sezione: σ=318.42 τ=38.80
CC 103 SLU (Collegamento 0020_-377)
Azioni sul collegamento: N=-6860.18 Ty=-4.11 Tz=1.96 Mx=-0.00 Mz=-3.53
Sollecitazioni agenti localmente: Ty_l=-1230.15 My_l=-25.24
Tensioni nella sezione: σ=305.91 τ=37.28
CC 104 SLU (Collegamento 0020_-377)
Azioni sul collegamento: N=-6862.15 Ty=-4.33 Tz=1.92 Mx=-0.00 Mz=-3.96
Sollecitazioni agenti localmente: Ty_l=-1232.23 My_l=-25.28
Tensioni nella sezione: σ=306.46 τ=37.34

Collegamento 0021_-378

Piastra 220.00 x 220.00 s=15.00 - 6 Tirafondi ϕ 16 - Profondità di infissione: 350.00
3 righe ad interasse 89.00
2 colonne ad interasse 178.00
Altezza di gola saldature: anima 7.07 - ala 7.07

Tirafondi e calcestruzzo

CC 1 SLV (Collegamento 0021_-378)
Azioni sul collegamento: N=-3968.96 Ty=6.45 Tz=-8.85 Mx=0.01 Mz=7.08
Sollecitazioni agenti localmente: Tx_l=6.45 Ty_l=-8.85 N_l=-3968.96 Mx_l=-0.00 My_l=7.08 Mz_l=0.01
Taglio nei bulloni: Fv,Ed=1.85 Fv,Rd=7720.78
Rifollamento lato piastra: Fb,Ed,p=1.83 Fb,Rd,p=10430.40
Tirafondi:LT=0.45 (0.31) σ_{cR}=0.00 σ_{fR}=0.00
Compressione nel calcestruzzo: σ_c=8.60
CC 1 SLV (Collegamento 0021_-378)
Azioni sul collegamento: N=-3968.96 Ty=3.07 Tz=-8.85 Mx=0.01 Mz=3.83
Sollecitazioni agenti localmente: Tx_l=3.07 Ty_l=-8.85 N_l=-3968.96 Mx_l=-0.00 My_l=3.83 Mz_l=0.01
Taglio nei bulloni: Fv,Ed=1.58 Fv,Rd=7720.78
Rifollamento lato piastra: Fb,Ed,p=1.57 Fb,Rd,p=6972.73
Tirafondi:LT=0.45 (0.31) σ_{cR}=0.00 σ_{fR}=0.00
Compressione nel calcestruzzo: σ_c=8.42
CC 1 SLV (Collegamento 0021_-378)
Azioni sul collegamento: N=-3968.96 Ty=6.45 Tz=10.87 Mx=0.01 Mz=7.08
Sollecitazioni agenti localmente: Tx_l=6.45 Ty_l=10.87 N_l=-3968.96 Mx_l=-0.00 My_l=7.08 Mz_l=0.01
Taglio nei bulloni: Fv,Ed=2.13 Fv,Rd=7720.78
Rifollamento lato piastra: Fb,Ed,p=2.13 Fb,Rd,p=9213.55
Tirafondi:LT=0.45 (0.31) σ_{cR}=0.00 σ_{fR}=0.00
Compressione nel calcestruzzo: σ_c=8.60
CC 1 SLV (Collegamento 0021_-378)
Azioni sul collegamento: N=-3968.96 Ty=3.07 Tz=10.87 Mx=0.01 Mz=3.83
Sollecitazioni agenti localmente: Tx_l=3.07 Ty_l=10.87 N_l=-3968.96 Mx_l=-0.00 My_l=3.83 Mz_l=0.01
Taglio nei bulloni: Fv,Ed=1.90 Fv,Rd=7720.78
Rifollamento lato piastra: Fb,Ed,p=1.90 Fb,Rd,p=6720.62
Tirafondi:LT=0.45 (0.31) σ_{cR}=0.00 σ_{fR}=0.00
Compressione nel calcestruzzo: σ_c=8.42
CC 1 SLV (Collegamento 0021_-378)
Azioni sul collegamento: N=-9265.76 Ty=6.45 Tz=-8.85 Mx=0.01 Mz=7.08
Sollecitazioni agenti localmente: Tx_l=6.45 Ty_l=-8.85 N_l=-9265.76 Mx_l=-0.00 My_l=7.08 Mz_l=0.01
Taglio nei bulloni: Fv,Ed=1.85 Fv,Rd=7720.78
Rifollamento lato piastra: Fb,Ed,p=1.83 Fb,Rd,p=10430.40

Tirafondi:LT=0.45 (0.31) σ_{cR}=0.00 σ_{fR}=0.00
Compressione nel calcestruzzo: σ_c=19.54
CC 1 SLV (Collegamento 0021_-378)
Azioni sul collegamento: N=-9265.76 Ty=3.07 Tz=-8.85 Mx=0.01 Mz=3.83
Sollecitazioni agenti localmente: Tx_l=3.07 Ty_l=-8.85 N_l=-9265.76 Mx_l=-0.00 My_l=3.83 Mz_l=0.01
Taglio nei bulloni: Fv,Ed=1.58 Fv,Rd=7720.78
Rifollamento lato piastra: Fb,Ed,p=1.57 Fb,Rd,p=6972.70
Tirafondi:LT=0.45 (0.31) σ_{cR}=0.00 σ_{fR}=0.00
Compressione nel calcestruzzo: σ_c=19.36
CC 1 SLV (Collegamento 0021_-378)
Azioni sul collegamento: N=-9265.76 Ty=6.45 Tz=10.87 Mx=0.01 Mz=7.08
Sollecitazioni agenti localmente: Tx_l=6.45 Ty_l=10.87 N_l=-9265.76 Mx_l=-0.00 My_l=7.08 Mz_l=0.01
Taglio nei bulloni: Fv,Ed=2.13 Fv,Rd=7720.78
Rifollamento lato piastra: Fb,Ed,p=2.13 Fb,Rd,p=9213.40
Tirafondi:LT=0.45 (0.31) σ_{cR}=0.00 σ_{fR}=0.00
Compressione nel calcestruzzo: σ_c=19.54
CC 1 SLV (Collegamento 0021_-378)
Azioni sul collegamento: N=-9265.76 Ty=3.07 Tz=10.87 Mx=0.01 Mz=3.83
Sollecitazioni agenti localmente: Tx_l=3.07 Ty_l=10.87 N_l=-9265.76 Mx_l=-0.00 My_l=3.83 Mz_l=0.01
Taglio nei bulloni: Fv,Ed=1.90 Fv,Rd=7720.78
Rifollamento lato piastra: Fb,Ed,p=1.90 Fb,Rd,p=6720.59
Tirafondi:LT=0.45 (0.31) σ_{cR}=0.00 σ_{fR}=0.00
Compressione nel calcestruzzo: σ_c=19.36
CC 2 SLD (Collegamento 0021_-378)
Azioni sul collegamento: N=-5777.33 Ty=4.43 Tz=-2.12 Mx=0.00 Mz=3.87
Sollecitazioni agenti localmente: Tx_l=4.43 Ty_l=-2.12 N_l=-5777.33 Mx_l=-0.00 My_l=3.87 Mz_l=0.00
Taglio nei bulloni: Fv,Ed=0.82 Fv,Rd=9650.97
Rifollamento lato piastra: Fb,Ed,p=0.82 Fb,Rd,p=10072.30
Tirafondi:LT=0.45 (0.31) σ_{cR}=0.00 σ_{fR}=0.00
Compressione nel calcestruzzo: σ_c=12.15
CC 2 SLD (Collegamento 0021_-378)
Azioni sul collegamento: N=-5777.33 Ty=3.40 Tz=-2.12 Mx=0.00 Mz=2.88
Sollecitazioni agenti localmente: Tx_l=3.40 Ty_l=-2.12 N_l=-5777.33 Mx_l=-0.00 My_l=2.88 Mz_l=0.00
Taglio nei bulloni: Fv,Ed=0.67 Fv,Rd=9650.97
Rifollamento lato piastra: Fb,Ed,p=0.67 Fb,Rd,p=11923.90
Tirafondi:LT=0.45 (0.31) σ_{cR}=0.00 σ_{fR}=0.00
Compressione nel calcestruzzo: σ_c=12.10
CC 2 SLD (Collegamento 0021_-378)
Azioni sul collegamento: N=-5777.32 Ty=4.43 Tz=3.89 Mx=0.00 Mz=3.87
Sollecitazioni agenti localmente: Tx_l=4.43 Ty_l=3.89 N_l=-5777.32 Mx_l=-0.00 My_l=3.87 Mz_l=0.00
Taglio nei bulloni: Fv,Ed=0.98 Fv,Rd=9650.97
Rifollamento lato piastra: Fb,Ed,p=0.98 Fb,Rd,p=14109.70
Tirafondi:LT=0.45 (0.31) σ_{cR}=0.00 σ_{fR}=0.00
Compressione nel calcestruzzo: σ_c=12.15
CC 2 SLD (Collegamento 0021_-378)
Azioni sul collegamento: N=-5777.32 Ty=3.40 Tz=3.89 Mx=0.00 Mz=2.88
Sollecitazioni agenti localmente: Tx_l=3.40 Ty_l=3.89 N_l=-5777.32 Mx_l=-0.00 My_l=2.88 Mz_l=0.00
Taglio nei bulloni: Fv,Ed=0.86 Fv,Rd=9650.97
Rifollamento lato piastra: Fb,Ed,p=0.86 Fb,Rd,p=14108.90
Tirafondi:LT=0.45 (0.31) σ_{cR}=0.00 σ_{fR}=0.00
Compressione nel calcestruzzo: σ_c=12.10
CC 2 SLD (Collegamento 0021_-378)
Azioni sul collegamento: N=-7392.49 Ty=4.43 Tz=-2.12 Mx=0.00 Mz=3.87
Sollecitazioni agenti localmente: Tx_l=4.43 Ty_l=-2.12 N_l=-7392.49 Mx_l=-0.00 My_l=3.87 Mz_l=0.00
Taglio nei bulloni: Fv,Ed=0.82 Fv,Rd=9650.97
Rifollamento lato piastra: Fb,Ed,p=0.82 Fb,Rd,p=10072.50
Tirafondi:LT=0.45 (0.31) σ_{cR}=0.00 σ_{fR}=0.00
Compressione nel calcestruzzo: σ_c=15.49
CC 2 SLD (Collegamento 0021_-378)
Azioni sul collegamento: N=-7392.49 Ty=3.40 Tz=-2.12 Mx=0.00 Mz=2.88
Sollecitazioni agenti localmente: Tx_l=3.40 Ty_l=-2.12 N_l=-7392.49 Mx_l=-0.00 My_l=2.88 Mz_l=0.00
Taglio nei bulloni: Fv,Ed=0.67 Fv,Rd=9650.97
Rifollamento lato piastra: Fb,Ed,p=0.67 Fb,Rd,p=11924.30
Tirafondi:LT=0.45 (0.31) σ_{cR}=0.00 σ_{fR}=0.00
Compressione nel calcestruzzo: σ_c=15.44
CC 2 SLD (Collegamento 0021_-378)
Azioni sul collegamento: N=-7392.49 Ty=4.43 Tz=3.89 Mx=0.00 Mz=3.87
Sollecitazioni agenti localmente: Tx_l=4.43 Ty_l=3.89 N_l=-7392.49 Mx_l=-0.00 My_l=3.87 Mz_l=0.00
Taglio nei bulloni: Fv,Ed=0.98 Fv,Rd=9650.97
Rifollamento lato piastra: Fb,Ed,p=0.98 Fb,Rd,p=14109.60
Tirafondi:LT=0.45 (0.31) σ_{cR}=0.00 σ_{fR}=0.00
Compressione nel calcestruzzo: σ_c=15.49
CC 2 SLD (Collegamento 0021_-378)
Azioni sul collegamento: N=-7392.49 Ty=3.40 Tz=3.89 Mx=0.00 Mz=2.88
Sollecitazioni agenti localmente: Tx_l=3.40 Ty_l=3.89 N_l=-7392.49 Mx_l=-0.00 My_l=2.88 Mz_l=0.00
Taglio nei bulloni: Fv,Ed=0.86 Fv,Rd=9650.97
Rifollamento lato piastra: Fb,Ed,p=0.86 Fb,Rd,p=14109.00
Tirafondi:LT=0.45 (0.31) σ_{cR}=0.00 σ_{fR}=0.00

Compressione nel calcestruzzo: σ_c=15.44
CC 3 SLV (Collegamento 0021_-378)
Azioni sul collegamento: N=-3974.64 Ty=5.81 Tz=-8.72 Mx=0.01 Mz=5.82
Sollecitazioni agenti localmente: Tx_l=5.81 Ty_l=-8.72 N_l=-3974.64 Mx_l=-0.00 My_l=5.82 Mz_l=0.01
Taglio nei bulloni: Fv,Ed=1.76 Fv,Rd=7720.78
Rifollamento lato piastra: Fb,Ed,p=1.75 Fb,Rd,p=9905.71
Tirafondi:LT=0.45 (0.31) σ_{cR}=0.00 σ_{fR}=0.00
Compressione nel calcestruzzo: σ_c=8.54
CC 3 SLV (Collegamento 0021_-378)
Azioni sul collegamento: N=-3974.64 Ty=3.70 Tz=-8.72 Mx=0.01 Mz=5.08
Sollecitazioni agenti localmente: Tx_l=3.70 Ty_l=-8.72 N_l=-3974.64 Mx_l=-0.00 My_l=5.08 Mz_l=0.01
Taglio nei bulloni: Fv,Ed=1.59 Fv,Rd=7720.78
Rifollamento lato piastra: Fb,Ed,p=1.58 Fb,Rd,p=7528.15
Tirafondi:LT=0.45 (0.31) σ_{cR}=0.00 σ_{fR}=0.00
Compressione nel calcestruzzo: σ_c=8.50
CC 3 SLV (Collegamento 0021_-378)
Azioni sul collegamento: N=-3974.64 Ty=5.81 Tz=10.74 Mx=0.01 Mz=5.82
Sollecitazioni agenti localmente: Tx_l=5.81 Ty_l=10.74 N_l=-3974.64 Mx_l=-0.00 My_l=5.82 Mz_l=0.01
Taglio nei bulloni: Fv,Ed=2.05 Fv,Rd=7720.78
Rifollamento lato piastra: Fb,Ed,p=2.05 Fb,Rd,p=8656.88
Tirafondi:LT=0.45 (0.31) σ_{cR}=0.00 σ_{fR}=0.00
Compressione nel calcestruzzo: σ_c=8.54
CC 3 SLV (Collegamento 0021_-378)
Azioni sul collegamento: N=-3974.64 Ty=3.70 Tz=10.74 Mx=0.01 Mz=5.08
Sollecitazioni agenti localmente: Tx_l=3.70 Ty_l=10.74 N_l=-3974.64 Mx_l=-0.00 My_l=5.08 Mz_l=0.01
Taglio nei bulloni: Fv,Ed=1.91 Fv,Rd=7720.78
Rifollamento lato piastra: Fb,Ed,p=1.91 Fb,Rd,p=7064.50
Tirafondi:LT=0.45 (0.31) σ_{cR}=0.00 σ_{fR}=0.00
Compressione nel calcestruzzo: σ_c=8.50
CC 3 SLV (Collegamento 0021_-378)
Azioni sul collegamento: N=-9260.08 Ty=5.81 Tz=-8.72 Mx=0.01 Mz=5.82
Sollecitazioni agenti localmente: Tx_l=5.81 Ty_l=-8.72 N_l=-9260.08 Mx_l=-0.00 My_l=5.82 Mz_l=0.01
Taglio nei bulloni: Fv,Ed=1.76 Fv,Rd=7720.78
Rifollamento lato piastra: Fb,Ed,p=1.75 Fb,Rd,p=9905.94
Tirafondi:LT=0.45 (0.31) σ_{cR}=0.00 σ_{fR}=0.00
Compressione nel calcestruzzo: σ_c=19.46
CC 3 SLV (Collegamento 0021_-378)
Azioni sul collegamento: N=-9260.08 Ty=3.70 Tz=-8.72 Mx=0.01 Mz=5.08
Sollecitazioni agenti localmente: Tx_l=3.70 Ty_l=-8.72 N_l=-9260.08 Mx_l=-0.00 My_l=5.08 Mz_l=0.01
Taglio nei bulloni: Fv,Ed=1.59 Fv,Rd=7720.78
Rifollamento lato piastra: Fb,Ed,p=1.58 Fb,Rd,p=7528.23
Tirafondi:LT=0.45 (0.31) σ_{cR}=0.00 σ_{fR}=0.00
Compressione nel calcestruzzo: σ_c=19.42
CC 3 SLV (Collegamento 0021_-378)
Azioni sul collegamento: N=-9260.08 Ty=5.81 Tz=10.74 Mx=0.01 Mz=5.82
Sollecitazioni agenti localmente: Tx_l=5.81 Ty_l=10.74 N_l=-9260.08 Mx_l=-0.00 My_l=5.82 Mz_l=0.01
Taglio nei bulloni: Fv,Ed=2.05 Fv,Rd=7720.78
Rifollamento lato piastra: Fb,Ed,p=2.05 Fb,Rd,p=8656.84
Tirafondi:LT=0.45 (0.31) σ_{cR}=0.00 σ_{fR}=0.00
Compressione nel calcestruzzo: σ_c=19.46
CC 3 SLV (Collegamento 0021_-378)
Azioni sul collegamento: N=-9260.08 Ty=3.70 Tz=10.74 Mx=0.01 Mz=5.08
Sollecitazioni agenti localmente: Tx_l=3.70 Ty_l=10.74 N_l=-9260.08 Mx_l=-0.00 My_l=5.08 Mz_l=0.01
Taglio nei bulloni: Fv,Ed=1.91 Fv,Rd=7720.78
Rifollamento lato piastra: Fb,Ed,p=1.91 Fb,Rd,p=7064.48
Tirafondi:LT=0.45 (0.31) σ_{cR}=0.00 σ_{fR}=0.00
Compressione nel calcestruzzo: σ_c=19.42
CC 4 SLD (Collegamento 0021_-378)
Azioni sul collegamento: N=-5779.06 Ty=4.24 Tz=-2.08 Mx=0.00 Mz=3.48
Sollecitazioni agenti localmente: Tx_l=4.24 Ty_l=-2.08 N_l=-5779.06 Mx_l=-0.00 My_l=3.48 Mz_l=0.00
Taglio nei bulloni: Fv,Ed=0.79 Fv,Rd=9650.97
Rifollamento lato piastra: Fb,Ed,p=0.79 Fb,Rd,p=10200.70
Tirafondi:LT=0.45 (0.31) σ_{cR}=0.00 σ_{fR}=0.00
Compressione nel calcestruzzo: σ_c=12.14
CC 4 SLD (Collegamento 0021_-378)
Azioni sul collegamento: N=-5779.06 Ty=3.59 Tz=-2.08 Mx=0.00 Mz=3.26
Sollecitazioni agenti localmente: Tx_l=3.59 Ty_l=-2.08 N_l=-5779.06 Mx_l=-0.00 My_l=3.26 Mz_l=0.00
Taglio nei bulloni: Fv,Ed=0.69 Fv,Rd=9650.97
Rifollamento lato piastra: Fb,Ed,p=0.69 Fb,Rd,p=11288.20
Tirafondi:LT=0.45 (0.31) σ_{cR}=0.00 σ_{fR}=0.00
Compressione nel calcestruzzo: σ_c=12.12
CC 4 SLD (Collegamento 0021_-378)
Azioni sul collegamento: N=-5779.06 Ty=4.24 Tz=3.85 Mx=0.00 Mz=3.48
Sollecitazioni agenti localmente: Tx_l=4.24 Ty_l=3.85 N_l=-5779.06 Mx_l=-0.00 My_l=3.48 Mz_l=0.00
Taglio nei bulloni: Fv,Ed=0.95 Fv,Rd=9650.97
Rifollamento lato piastra: Fb,Ed,p=0.95 Fb,Rd,p=14357.20
Tirafondi:LT=0.45 (0.31) σ_{cR}=0.00 σ_{fR}=0.00
Compressione nel calcestruzzo: σ_c=12.14

CC 4 SLD (Collegamento 0021_-378)
Azioni sul collegamento: N=-5779.06 Ty=3.59 Tz=3.85 Mx=0.00 Mz=3.26
Sollecitazioni agenti localmente: Tx_l=3.59 Ty_l=3.85 N_l=-5779.06 Mx_l=-0.00 My_l=3.26 Mz_l=0.00
Taglio nei bulloni: Fv,Ed=0.88 Fv,Rd=9650.97
Rifollamento lato piastra: Fb,Ed,p=0.88 Fb,Rd,p=14526.80
Tirafondi:LT=0.45 (0.31) σ_{cR}=0.00 σ_{fR}=0.00
Compressione nel calcestruzzo: σ_c=12.12
CC 4 SLD (Collegamento 0021_-378)
Azioni sul collegamento: N=-7390.75 Ty=4.24 Tz=-2.08 Mx=0.00 Mz=3.48
Sollecitazioni agenti localmente: Tx_l=4.24 Ty_l=-2.08 N_l=-7390.75 Mx_l=-0.00 My_l=3.48 Mz_l=0.00
Taglio nei bulloni: Fv,Ed=0.79 Fv,Rd=9650.97
Rifollamento lato piastra: Fb,Ed,p=0.79 Fb,Rd,p=10200.10
Tirafondi:LT=0.45 (0.31) σ_{cR}=0.00 σ_{fR}=0.00
Compressione nel calcestruzzo: σ_c=15.47
CC 4 SLD (Collegamento 0021_-378)
Azioni sul collegamento: N=-7390.75 Ty=3.59 Tz=-2.08 Mx=0.00 Mz=3.26
Sollecitazioni agenti localmente: Tx_l=3.59 Ty_l=-2.08 N_l=-7390.75 Mx_l=-0.00 My_l=3.26 Mz_l=0.00
Taglio nei bulloni: Fv,Ed=0.69 Fv,Rd=9650.97
Rifollamento lato piastra: Fb,Ed,p=0.69 Fb,Rd,p=11287.40
Tirafondi:LT=0.45 (0.31) σ_{cR}=0.00 σ_{fR}=0.00
Compressione nel calcestruzzo: σ_c=15.45
CC 4 SLD (Collegamento 0021_-378)
Azioni sul collegamento: N=-7390.75 Ty=4.24 Tz=3.85 Mx=0.00 Mz=3.48
Sollecitazioni agenti localmente: Tx_l=4.24 Ty_l=3.85 N_l=-7390.75 Mx_l=-0.00 My_l=3.48 Mz_l=0.00
Taglio nei bulloni: Fv,Ed=0.95 Fv,Rd=9650.97
Rifollamento lato piastra: Fb,Ed,p=0.95 Fb,Rd,p=14356.70
Tirafondi:LT=0.45 (0.31) σ_{cR}=0.00 σ_{fR}=0.00
Compressione nel calcestruzzo: σ_c=15.47
CC 4 SLD (Collegamento 0021_-378)
Azioni sul collegamento: N=-7390.75 Ty=3.59 Tz=3.85 Mx=0.00 Mz=3.26
Sollecitazioni agenti localmente: Tx_l=3.59 Ty_l=3.85 N_l=-7390.75 Mx_l=-0.00 My_l=3.26 Mz_l=0.00
Taglio nei bulloni: Fv,Ed=0.88 Fv,Rd=9650.97
Rifollamento lato piastra: Fb,Ed,p=0.88 Fb,Rd,p=14527.20
Tirafondi:LT=0.45 (0.31) σ_{cR}=0.00 σ_{fR}=0.00
Compressione nel calcestruzzo: σ_c=15.45
CC 5 SLV (Collegamento 0021_-378)
Azioni sul collegamento: N=-9260.08 Ty=3.70 Tz=10.74 Mx=0.01 Mz=5.08
Sollecitazioni agenti localmente: Tx_l=3.70 Ty_l=10.74 N_l=-9260.08 Mx_l=-0.00 My_l=5.08 Mz_l=0.01
Taglio nei bulloni: Fv,Ed=1.91 Fv,Rd=7720.78
Rifollamento lato piastra: Fb,Ed,p=1.91 Fb,Rd,p=7069.42
Tirafondi:LT=0.45 (0.31) σ_{cR}=0.00 σ_{fR}=0.00
Compressione nel calcestruzzo: σ_c=19.42
CC 5 SLV (Collegamento 0021_-378)
Azioni sul collegamento: N=-9260.08 Ty=5.81 Tz=10.74 Mx=0.01 Mz=5.82
Sollecitazioni agenti localmente: Tx_l=5.81 Ty_l=10.74 N_l=-9260.08 Mx_l=-0.00 My_l=5.82 Mz_l=0.01
Taglio nei bulloni: Fv,Ed=2.05 Fv,Rd=7720.78
Rifollamento lato piastra: Fb,Ed,p=2.05 Fb,Rd,p=8662.35
Tirafondi:LT=0.45 (0.31) σ_{cR}=0.00 σ_{fR}=0.00
Compressione nel calcestruzzo: σ_c=19.46
CC 5 SLV (Collegamento 0021_-378)
Azioni sul collegamento: N=-9260.08 Ty=3.70 Tz=-8.72 Mx=0.01 Mz=5.08
Sollecitazioni agenti localmente: Tx_l=3.70 Ty_l=-8.72 N_l=-9260.08 Mx_l=-0.00 My_l=5.08 Mz_l=0.01
Taglio nei bulloni: Fv,Ed=1.59 Fv,Rd=7720.78
Rifollamento lato piastra: Fb,Ed,p=1.58 Fb,Rd,p=7512.44
Tirafondi:LT=0.45 (0.31) σ_{cR}=0.00 σ_{fR}=0.00
Compressione nel calcestruzzo: σ_c=19.42
CC 5 SLV (Collegamento 0021_-378)
Azioni sul collegamento: N=-9260.08 Ty=5.81 Tz=-8.72 Mx=0.01 Mz=5.82
Sollecitazioni agenti localmente: Tx_l=5.81 Ty_l=-8.72 N_l=-9260.08 Mx_l=-0.00 My_l=5.82 Mz_l=0.01
Taglio nei bulloni: Fv,Ed=1.76 Fv,Rd=7720.78
Rifollamento lato piastra: Fb,Ed,p=1.75 Fb,Rd,p=9875.93
Tirafondi:LT=0.45 (0.31) σ_{cR}=0.00 σ_{fR}=0.00
Compressione nel calcestruzzo: σ_c=19.46
CC 5 SLV (Collegamento 0021_-378)
Azioni sul collegamento: N=-3974.64 Ty=3.70 Tz=10.74 Mx=0.01 Mz=5.08
Sollecitazioni agenti localmente: Tx_l=3.70 Ty_l=10.74 N_l=-3974.64 Mx_l=-0.00 My_l=5.08 Mz_l=0.01
Taglio nei bulloni: Fv,Ed=1.91 Fv,Rd=7720.78
Rifollamento lato piastra: Fb,Ed,p=1.91 Fb,Rd,p=7069.44
Tirafondi:LT=0.45 (0.31) σ_{cR}=0.00 σ_{fR}=0.00
Compressione nel calcestruzzo: σ_c=8.50
CC 5 SLV (Collegamento 0021_-378)
Azioni sul collegamento: N=-3974.64 Ty=5.81 Tz=10.74 Mx=0.01 Mz=5.82
Sollecitazioni agenti localmente: Tx_l=5.81 Ty_l=10.74 N_l=-3974.64 Mx_l=-0.00 My_l=5.82 Mz_l=0.01
Taglio nei bulloni: Fv,Ed=2.05 Fv,Rd=7720.78
Rifollamento lato piastra: Fb,Ed,p=2.05 Fb,Rd,p=8662.40
Tirafondi:LT=0.45 (0.31) σ_{cR}=0.00 σ_{fR}=0.00
Compressione nel calcestruzzo: σ_c=8.54
CC 5 SLV (Collegamento 0021_-378)

Azioni sul collegamento: N=-3974.64 Ty=3.70 Tz=-8.72 Mx=0.01 Mz=5.08
Sollecitazioni agenti localmente: Tx_l=3.70 Ty_l=-8.72 N_l=-3974.64 Mx_l=-0.00 My_l=5.08 Mz_l=0.01
Taglio nei bulloni: Fv,Ed=1.59 Fv,Rd=7720.78
Rifollamento lato piastra: Fb,Ed,p=1.58 Fb,Rd,p=7512.36
Tirafondi:LT=0.45 (0.31) σ_{cR}=0.00 σ_{fR}=0.00
Compressione nel calcestruzzo: σ_c=8.50
CC 5 SLV (Collegamento 0021_-378)
Azioni sul collegamento: N=-3974.64 Ty=5.81 Tz=-8.72 Mx=0.01 Mz=5.82
Sollecitazioni agenti localmente: Tx_l=5.81 Ty_l=-8.72 N_l=-3974.64 Mx_l=-0.00 My_l=5.82 Mz_l=0.01
Taglio nei bulloni: Fv,Ed=1.76 Fv,Rd=7720.78
Rifollamento lato piastra: Fb,Ed,p=1.75 Fb,Rd,p=9875.70
Tirafondi:LT=0.45 (0.31) σ_{cR}=0.00 σ_{fR}=0.00
Compressione nel calcestruzzo: σ_c=8.54
CC 6 SLD (Collegamento 0021_-378)
Azioni sul collegamento: N=-7390.75 Ty=3.59 Tz=3.85 Mx=0.00 Mz=3.26
Sollecitazioni agenti localmente: Tx_l=3.59 Ty_l=3.85 N_l=-7390.75 Mx_l=-0.00 My_l=3.26 Mz_l=0.00
Taglio nei bulloni: Fv,Ed=0.88 Fv,Rd=9650.97
Rifollamento lato piastra: Fb,Ed,p=0.88 Fb,Rd,p=14527.70
Tirafondi:LT=0.45 (0.31) σ_{cR}=0.00 σ_{fR}=0.00
Compressione nel calcestruzzo: σ_c=15.45
CC 6 SLD (Collegamento 0021_-378)
Azioni sul collegamento: N=-7390.75 Ty=4.24 Tz=3.85 Mx=0.00 Mz=3.48
Sollecitazioni agenti localmente: Tx_l=4.24 Ty_l=3.85 N_l=-7390.75 Mx_l=-0.00 My_l=3.48 Mz_l=0.00
Taglio nei bulloni: Fv,Ed=0.96 Fv,Rd=9650.97
Rifollamento lato piastra: Fb,Ed,p=0.95 Fb,Rd,p=14344.00
Tirafondi:LT=0.45 (0.31) σ_{cR}=0.00 σ_{fR}=0.00
Compressione nel calcestruzzo: σ_c=15.47
CC 6 SLD (Collegamento 0021_-378)
Azioni sul collegamento: N=-7390.75 Ty=3.59 Tz=-2.08 Mx=0.00 Mz=3.26
Sollecitazioni agenti localmente: Tx_l=3.59 Ty_l=-2.08 N_l=-7390.75 Mx_l=-0.00 My_l=3.26 Mz_l=0.00
Taglio nei bulloni: Fv,Ed=0.69 Fv,Rd=9650.97
Rifollamento lato piastra: Fb,Ed,p=0.69 Fb,Rd,p=11293.60
Tirafondi:LT=0.45 (0.31) σ_{cR}=0.00 σ_{fR}=0.00
Compressione nel calcestruzzo: σ_c=15.45
CC 6 SLD (Collegamento 0021_-378)
Azioni sul collegamento: N=-7390.75 Ty=4.24 Tz=-2.08 Mx=0.00 Mz=3.48
Sollecitazioni agenti localmente: Tx_l=4.24 Ty_l=-2.08 N_l=-7390.75 Mx_l=-0.00 My_l=3.48 Mz_l=0.00
Taglio nei bulloni: Fv,Ed=0.79 Fv,Rd=9650.97
Rifollamento lato piastra: Fb,Ed,p=0.79 Fb,Rd,p=10205.40
Tirafondi:LT=0.45 (0.31) σ_{cR}=0.00 σ_{fR}=0.00
Compressione nel calcestruzzo: σ_c=15.47
CC 6 SLD (Collegamento 0021_-378)
Azioni sul collegamento: N=-5779.06 Ty=3.59 Tz=3.85 Mx=0.00 Mz=3.26
Sollecitazioni agenti localmente: Tx_l=3.59 Ty_l=3.85 N_l=-5779.06 Mx_l=-0.00 My_l=3.26 Mz_l=0.00
Taglio nei bulloni: Fv,Ed=0.88 Fv,Rd=9650.97
Rifollamento lato piastra: Fb,Ed,p=0.88 Fb,Rd,p=14527.30
Tirafondi:LT=0.45 (0.31) σ_{cR}=0.00 σ_{fR}=0.00
Compressione nel calcestruzzo: σ_c=12.12
CC 6 SLD (Collegamento 0021_-378)
Azioni sul collegamento: N=-5779.06 Ty=4.24 Tz=3.85 Mx=0.00 Mz=3.48
Sollecitazioni agenti localmente: Tx_l=4.24 Ty_l=3.85 N_l=-5779.06 Mx_l=-0.00 My_l=3.48 Mz_l=0.00
Taglio nei bulloni: Fv,Ed=0.96 Fv,Rd=9650.97
Rifollamento lato piastra: Fb,Ed,p=0.95 Fb,Rd,p=14344.40
Tirafondi:LT=0.45 (0.31) σ_{cR}=0.00 σ_{fR}=0.00
Compressione nel calcestruzzo: σ_c=12.14
CC 6 SLD (Collegamento 0021_-378)
Azioni sul collegamento: N=-5779.06 Ty=3.59 Tz=-2.08 Mx=0.00 Mz=3.26
Sollecitazioni agenti localmente: Tx_l=3.59 Ty_l=-2.08 N_l=-5779.06 Mx_l=-0.00 My_l=3.26 Mz_l=0.00
Taglio nei bulloni: Fv,Ed=0.69 Fv,Rd=9650.97
Rifollamento lato piastra: Fb,Ed,p=0.69 Fb,Rd,p=11294.50
Tirafondi:LT=0.45 (0.31) σ_{cR}=0.00 σ_{fR}=0.00
Compressione nel calcestruzzo: σ_c=12.12
CC 6 SLD (Collegamento 0021_-378)
Azioni sul collegamento: N=-5779.06 Ty=4.24 Tz=-2.08 Mx=0.00 Mz=3.48
Sollecitazioni agenti localmente: Tx_l=4.24 Ty_l=-2.08 N_l=-5779.06 Mx_l=-0.00 My_l=3.48 Mz_l=0.00
Taglio nei bulloni: Fv,Ed=0.79 Fv,Rd=9650.97
Rifollamento lato piastra: Fb,Ed,p=0.79 Fb,Rd,p=10206.10
Tirafondi:LT=0.45 (0.31) σ_{cR}=0.00 σ_{fR}=0.00
Compressione nel calcestruzzo: σ_c=12.14
CC 7 SLV (Collegamento 0021_-378)
Azioni sul collegamento: N=-9265.76 Ty=3.07 Tz=10.87 Mx=0.01 Mz=3.83
Sollecitazioni agenti localmente: Tx_l=3.07 Ty_l=10.87 N_l=-9265.76 Mx_l=-0.00 My_l=3.83 Mz_l=0.01
Taglio nei bulloni: Fv,Ed=1.89 Fv,Rd=7720.78
Rifollamento lato piastra: Fb,Ed,p=1.89 Fb,Rd,p=6703.44
Tirafondi:LT=0.45 (0.31) σ_{cR}=0.00 σ_{fR}=0.00
Compressione nel calcestruzzo: σ_c=19.36
CC 7 SLV (Collegamento 0021_-378)
Azioni sul collegamento: N=-9265.76 Ty=6.45 Tz=10.87 Mx=0.01 Mz=7.08

Sollecitazioni agenti localmente: Tx_l=6.45 Ty_l=10.87 N_l=-9265.76 Mx_l=-0.00 My_l=7.08 Mz_l=0.01
Taglio nei bulloni: Fv,Ed=2.12 Fv,Rd=7720.78
Rifollamento lato piastra: Fb,Ed,p=2.12 Fb,Rd,p=9192.53
Tirafondi:LT=0.45 (0.31) σ_{cR}=0.00 σ_{fR}=0.00
Compressione nel calcestruzzo: σ_c=19.54
CC 7 SLV (Collegamento 0021_-378)
Azioni sul collegamento: N=-9265.76 Ty=3.07 Tz=-8.85 Mx=0.01 Mz=3.83
Sollecitazioni agenti localmente: Tx_l=3.07 Ty_l=-8.85 N_l=-9265.76 Mx_l=-0.00 My_l=3.83 Mz_l=0.01
Taglio nei bulloni: Fv,Ed=1.57 Fv,Rd=7720.78
Rifollamento lato piastra: Fb,Ed,p=1.56 Fb,Rd,p=7019.31
Tirafondi:LT=0.45 (0.31) σ_{cR}=0.00 σ_{fR}=0.00
Compressione nel calcestruzzo: σ_c=19.36
CC 7 SLV (Collegamento 0021_-378)
Azioni sul collegamento: N=-9265.76 Ty=6.45 Tz=-8.85 Mx=0.01 Mz=7.08
Sollecitazioni agenti localmente: Tx_l=6.45 Ty_l=-8.85 N_l=-9265.76 Mx_l=-0.00 My_l=7.08 Mz_l=0.01
Taglio nei bulloni: Fv,Ed=1.83 Fv,Rd=7720.78
Rifollamento lato piastra: Fb,Ed,p=1.83 Fb,Rd,p=10479.10
Tirafondi:LT=0.45 (0.31) σ_{cR}=0.00 σ_{fR}=0.00
Compressione nel calcestruzzo: σ_c=19.54
CC 7 SLV (Collegamento 0021_-378)
Azioni sul collegamento: N=-3968.96 Ty=3.07 Tz=10.87 Mx=0.01 Mz=3.83
Sollecitazioni agenti localmente: Tx_l=3.07 Ty_l=10.87 N_l=-3968.96 Mx_l=-0.00 My_l=3.83 Mz_l=0.01
Taglio nei bulloni: Fv,Ed=1.89 Fv,Rd=7720.78
Rifollamento lato piastra: Fb,Ed,p=1.89 Fb,Rd,p=6703.48
Tirafondi:LT=0.45 (0.31) σ_{cR}=0.00 σ_{fR}=0.00
Compressione nel calcestruzzo: σ_c=8.42
CC 7 SLV (Collegamento 0021_-378)
Azioni sul collegamento: N=-3968.96 Ty=6.45 Tz=10.87 Mx=0.01 Mz=7.08
Sollecitazioni agenti localmente: Tx_l=6.45 Ty_l=10.87 N_l=-3968.96 Mx_l=-0.00 My_l=7.08 Mz_l=0.01
Taglio nei bulloni: Fv,Ed=2.12 Fv,Rd=7720.78
Rifollamento lato piastra: Fb,Ed,p=2.12 Fb,Rd,p=9192.68
Tirafondi:LT=0.45 (0.31) σ_{cR}=0.00 σ_{fR}=0.00
Compressione nel calcestruzzo: σ_c=8.60
CC 7 SLV (Collegamento 0021_-378)
Azioni sul collegamento: N=-3968.96 Ty=3.07 Tz=-8.85 Mx=0.01 Mz=3.83
Sollecitazioni agenti localmente: Tx_l=3.07 Ty_l=-8.85 N_l=-3968.96 Mx_l=-0.00 My_l=3.83 Mz_l=0.01
Taglio nei bulloni: Fv,Ed=1.57 Fv,Rd=7720.78
Rifollamento lato piastra: Fb,Ed,p=1.56 Fb,Rd,p=7019.33
Tirafondi:LT=0.45 (0.31) σ_{cR}=0.00 σ_{fR}=0.00
Compressione nel calcestruzzo: σ_c=8.42
CC 7 SLV (Collegamento 0021_-378)
Azioni sul collegamento: N=-3968.96 Ty=6.45 Tz=-8.85 Mx=0.01 Mz=7.08
Sollecitazioni agenti localmente: Tx_l=6.45 Ty_l=-8.85 N_l=-3968.96 Mx_l=-0.00 My_l=7.08 Mz_l=0.01
Taglio nei bulloni: Fv,Ed=1.83 Fv,Rd=7720.78
Rifollamento lato piastra: Fb,Ed,p=1.83 Fb,Rd,p=10479.10
Tirafondi:LT=0.45 (0.31) σ_{cR}=0.00 σ_{fR}=0.00
Compressione nel calcestruzzo: σ_c=8.60
CC 8 SLD (Collegamento 0021_-378)
Azioni sul collegamento: N=-7392.49 Ty=3.40 Tz=3.89 Mx=-0.00 Mz=2.88
Sollecitazioni agenti localmente: Tx_l=3.40 Ty_l=3.89 N_l=-7392.49 Mx_l=-0.00 My_l=2.88 Mz_l=-0.00
Taglio nei bulloni: Fv,Ed=0.86 Fv,Rd=9650.97
Rifollamento lato piastra: Fb,Ed,p=0.86 Fb,Rd,p=14088.20
Tirafondi:LT=0.45 (0.31) σ_{cR}=0.00 σ_{fR}=0.00
Compressione nel calcestruzzo: σ_c=15.44
CC 8 SLD (Collegamento 0021_-378)
Azioni sul collegamento: N=-7392.49 Ty=4.43 Tz=3.89 Mx=-0.00 Mz=3.87
Sollecitazioni agenti localmente: Tx_l=4.43 Ty_l=3.89 N_l=-7392.49 Mx_l=-0.00 My_l=3.87 Mz_l=-0.00
Taglio nei bulloni: Fv,Ed=0.98 Fv,Rd=9650.97
Rifollamento lato piastra: Fb,Ed,p=0.98 Fb,Rd,p=14140.50
Tirafondi:LT=0.45 (0.31) σ_{cR}=0.00 σ_{fR}=0.00
Compressione nel calcestruzzo: σ_c=15.49
CC 8 SLD (Collegamento 0021_-378)
Azioni sul collegamento: N=-7392.49 Ty=3.40 Tz=-2.12 Mx=-0.00 Mz=2.88
Sollecitazioni agenti localmente: Tx_l=3.40 Ty_l=-2.12 N_l=-7392.49 Mx_l=-0.00 My_l=2.88 Mz_l=-0.00
Taglio nei bulloni: Fv,Ed=0.67 Fv,Rd=9650.97
Rifollamento lato piastra: Fb,Ed,p=0.67 Fb,Rd,p=11870.10
Tirafondi:LT=0.45 (0.31) σ_{cR}=0.00 σ_{fR}=0.00
Compressione nel calcestruzzo: σ_c=15.44
CC 8 SLD (Collegamento 0021_-378)
Azioni sul collegamento: N=-7392.49 Ty=4.43 Tz=-2.12 Mx=-0.00 Mz=3.87
Sollecitazioni agenti localmente: Tx_l=4.43 Ty_l=-2.12 N_l=-7392.49 Mx_l=-0.00 My_l=3.87 Mz_l=-0.00
Taglio nei bulloni: Fv,Ed=0.82 Fv,Rd=9650.97
Rifollamento lato piastra: Fb,Ed,p=0.82 Fb,Rd,p=10039.50
Tirafondi:LT=0.45 (0.31) σ_{cR}=0.00 σ_{fR}=0.00
Compressione nel calcestruzzo: σ_c=15.49
CC 8 SLD (Collegamento 0021_-378)
Azioni sul collegamento: N=-5777.32 Ty=3.40 Tz=3.89 Mx=-0.00 Mz=2.88
Sollecitazioni agenti localmente: Tx_l=3.40 Ty_l=3.89 N_l=-5777.32 Mx_l=-0.00 My_l=2.88 Mz_l=-0.00

Taglio nei bulloni: Fv,Ed=0.86 Fv,Rd=9650.97
Rifollamento lato piastra: Fb,Ed,p=0.86 Fb,Rd,p=14088.10
Tirafondi:LT=0.45 (0.31) σ_{cR}=0.00 σ_{fR}=0.00
Compressione nel calcestruzzo: σ_c=12.10
CC 8 SLD (Collegamento 0021_-378)
Azioni sul collegamento: N=-5777.32 Ty=4.43 Tz=3.89 Mx=-0.00 Mz=3.87
Sollecitazioni agenti localmente: Tx_l=4.43 Ty_l=3.89 N_l=-5777.32 Mx_l=-0.00 My_l=3.87 Mz_l=-0.00
Taglio nei bulloni: Fv,Ed=0.98 Fv,Rd=9650.97
Rifollamento lato piastra: Fb,Ed,p=0.98 Fb,Rd,p=14140.60
Tirafondi:LT=0.45 (0.31) σ_{cR}=0.00 σ_{fR}=0.00
Compressione nel calcestruzzo: σ_c=12.15
CC 8 SLD (Collegamento 0021_-378)
Azioni sul collegamento: N=-5777.33 Ty=3.40 Tz=-2.12 Mx=-0.00 Mz=2.88
Sollecitazioni agenti localmente: Tx_l=3.40 Ty_l=-2.12 N_l=-5777.33 Mx_l=-0.00 My_l=2.88 Mz_l=-0.00
Taglio nei bulloni: Fv,Ed=0.67 Fv,Rd=9650.97
Rifollamento lato piastra: Fb,Ed,p=0.67 Fb,Rd,p=11869.70
Tirafondi:LT=0.45 (0.31) σ_{cR}=0.00 σ_{fR}=0.00
Compressione nel calcestruzzo: σ_c=12.10
CC 8 SLD (Collegamento 0021_-378)
Azioni sul collegamento: N=-5777.33 Ty=4.43 Tz=-2.12 Mx=-0.00 Mz=3.87
Sollecitazioni agenti localmente: Tx_l=4.43 Ty_l=-2.12 N_l=-5777.33 Mx_l=-0.00 My_l=3.87 Mz_l=-0.00
Taglio nei bulloni: Fv,Ed=0.82 Fv,Rd=9650.97
Rifollamento lato piastra: Fb,Ed,p=0.82 Fb,Rd,p=10039.30
Tirafondi:LT=0.45 (0.31) σ_{cR}=0.00 σ_{fR}=0.00
Compressione nel calcestruzzo: σ_c=12.15
CC 9 SLV (Collegamento 0021_-378)
Azioni sul collegamento: N=-5814.22 Ty=6.23 Tz=-2.14 Mx=0.02 Mz=7.84
Sollecitazioni agenti localmente: Tx_l=6.23 Ty_l=-2.14 N_l=-5814.22 Mx_l=-0.00 My_l=7.84 Mz_l=0.02
Taglio nei bulloni: Fv,Ed=1.12 Fv,Rd=7720.78
Rifollamento lato piastra: Fb,Ed,p=1.12 Fb,Rd,p=7115.19
Tirafondi:LT=0.45 (0.31) σ_{cR}=0.00 σ_{fR}=0.00
Compressione nel calcestruzzo: σ_c=12.45
CC 9 SLV (Collegamento 0021_-378)
Azioni sul collegamento: N=-5814.22 Ty=3.29 Tz=-2.14 Mx=0.02 Mz=3.06
Sollecitazioni agenti localmente: Tx_l=3.29 Ty_l=-2.14 N_l=-5814.22 Mx_l=-0.00 My_l=3.06 Mz_l=0.02
Taglio nei bulloni: Fv,Ed=0.68 Fv,Rd=7720.78
Rifollamento lato piastra: Fb,Ed,p=0.68 Fb,Rd,p=9989.85
Tirafondi:LT=0.45 (0.31) σ_{cR}=0.00 σ_{fR}=0.00
Compressione nel calcestruzzo: σ_c=12.19
CC 9 SLV (Collegamento 0021_-378)
Azioni sul collegamento: N=-5814.22 Ty=6.23 Tz=4.16 Mx=0.02 Mz=7.84
Sollecitazioni agenti localmente: Tx_l=6.23 Ty_l=4.16 N_l=-5814.22 Mx_l=-0.00 My_l=7.84 Mz_l=0.02
Taglio nei bulloni: Fv,Ed=1.28 Fv,Rd=7720.78
Rifollamento lato piastra: Fb,Ed,p=1.25 Fb,Rd,p=9677.09
Tirafondi:LT=0.45 (0.31) σ_{cR}=0.00 σ_{fR}=0.00
Compressione nel calcestruzzo: σ_c=12.45
CC 9 SLV (Collegamento 0021_-378)
Azioni sul collegamento: N=-5814.22 Ty=3.29 Tz=4.16 Mx=0.02 Mz=3.06
Sollecitazioni agenti localmente: Tx_l=3.29 Ty_l=4.16 N_l=-5814.22 Mx_l=-0.00 My_l=3.06 Mz_l=0.02
Taglio nei bulloni: Fv,Ed=0.91 Fv,Rd=7720.78
Rifollamento lato piastra: Fb,Ed,p=0.91 Fb,Rd,p=10862.80
Tirafondi:LT=0.45 (0.31) σ_{cR}=0.00 σ_{fR}=0.00
Compressione nel calcestruzzo: σ_c=12.19
CC 9 SLV (Collegamento 0021_-378)
Azioni sul collegamento: N=-7420.50 Ty=6.23 Tz=-2.14 Mx=0.02 Mz=7.84
Sollecitazioni agenti localmente: Tx_l=6.23 Ty_l=-2.14 N_l=-7420.50 Mx_l=-0.00 My_l=7.84 Mz_l=0.02
Taglio nei bulloni: Fv,Ed=1.12 Fv,Rd=7720.78
Rifollamento lato piastra: Fb,Ed,p=1.12 Fb,Rd,p=7115.09
Tirafondi:LT=0.45 (0.31) σ_{cR}=0.00 σ_{fR}=0.00
Compressione nel calcestruzzo: σ_c=15.77
CC 9 SLV (Collegamento 0021_-378)
Azioni sul collegamento: N=-7420.50 Ty=3.29 Tz=-2.14 Mx=0.02 Mz=3.06
Sollecitazioni agenti localmente: Tx_l=3.29 Ty_l=-2.14 N_l=-7420.50 Mx_l=-0.00 My_l=3.06 Mz_l=0.02
Taglio nei bulloni: Fv,Ed=0.68 Fv,Rd=7720.78
Rifollamento lato piastra: Fb,Ed,p=0.68 Fb,Rd,p=9989.48
Tirafondi:LT=0.45 (0.31) σ_{cR}=0.00 σ_{fR}=0.00
Compressione nel calcestruzzo: σ_c=15.50
CC 9 SLV (Collegamento 0021_-378)
Azioni sul collegamento: N=-7420.50 Ty=6.23 Tz=4.16 Mx=0.02 Mz=7.84
Sollecitazioni agenti localmente: Tx_l=6.23 Ty_l=4.16 N_l=-7420.50 Mx_l=-0.00 My_l=7.84 Mz_l=0.02
Taglio nei bulloni: Fv,Ed=1.28 Fv,Rd=7720.78
Rifollamento lato piastra: Fb,Ed,p=1.25 Fb,Rd,p=9677.28
Tirafondi:LT=0.45 (0.31) σ_{cR}=0.00 σ_{fR}=0.00
Compressione nel calcestruzzo: σ_c=15.77
CC 9 SLV (Collegamento 0021_-378)
Azioni sul collegamento: N=-7420.50 Ty=3.29 Tz=4.16 Mx=0.02 Mz=3.06
Sollecitazioni agenti localmente: Tx_l=3.29 Ty_l=4.16 N_l=-7420.50 Mx_l=-0.00 My_l=3.06 Mz_l=0.02
Taglio nei bulloni: Fv,Ed=0.91 Fv,Rd=7720.78

Rifollamento lato piastra: Fb,Ed,p=0.91 Fb,Rd,p=10862.70
Tirafondi:LT=0.45 (0.31) σ_{cR}=0.00 σ_{fR}=0.00
Compressione nel calcestruzzo: σ_c=15.50
CC 10 SLD (Collegamento 0021_-378)
Azioni sul collegamento: N=-6340.00 Ty=4.36 Tz=-0.08 Mx=0.00 Mz=4.10
Sollecitazioni agenti localmente: Tx_l=4.36 Ty_l=-0.08 N_l=-6340.00 Mx_l=-0.00 My_l=4.10 Mz_l=0.00
Taglio nei bulloni: Fv,Ed=0.73 Fv,Rd=9650.97
Rifollamento lato piastra: Fb,Ed,p=0.73 Fb,Rd,p=7479.28
Tirafondi:LT=0.45 (0.31) σ_{cR}=0.00 σ_{fR}=0.00
Compressione nel calcestruzzo: σ_c=13.33
CC 10 SLD (Collegamento 0021_-378)
Azioni sul collegamento: N=-6340.00 Ty=3.47 Tz=-0.08 Mx=0.00 Mz=2.64
Sollecitazioni agenti localmente: Tx_l=3.47 Ty_l=-0.08 N_l=-6340.00 Mx_l=-0.00 My_l=2.64 Mz_l=0.00
Taglio nei bulloni: Fv,Ed=0.58 Fv,Rd=9650.97
Rifollamento lato piastra: Fb,Ed,p=0.58 Fb,Rd,p=7482.36
Tirafondi:LT=0.45 (0.31) σ_{cR}=0.00 σ_{fR}=0.00
Compressione nel calcestruzzo: σ_c=13.25
CC 10 SLD (Collegamento 0021_-378)
Azioni sul collegamento: N=-6340.00 Ty=4.36 Tz=1.85 Mx=0.00 Mz=4.10
Sollecitazioni agenti localmente: Tx_l=4.36 Ty_l=1.85 N_l=-6340.00 Mx_l=-0.00 My_l=4.10 Mz_l=0.00
Taglio nei bulloni: Fv,Ed=0.79 Fv,Rd=9650.97
Rifollamento lato piastra: Fb,Ed,p=0.79 Fb,Rd,p=9425.15
Tirafondi:LT=0.45 (0.31) σ_{cR}=0.00 σ_{fR}=0.00
Compressione nel calcestruzzo: σ_c=13.33
CC 10 SLD (Collegamento 0021_-378)
Azioni sul collegamento: N=-6340.00 Ty=3.47 Tz=1.85 Mx=0.00 Mz=2.64
Sollecitazioni agenti localmente: Tx_l=3.47 Ty_l=1.85 N_l=-6340.00 Mx_l=-0.00 My_l=2.64 Mz_l=0.00
Taglio nei bulloni: Fv,Ed=0.66 Fv,Rd=9650.97
Rifollamento lato piastra: Fb,Ed,p=0.66 Fb,Rd,p=10576.60
Tirafondi:LT=0.45 (0.31) σ_{cR}=0.00 σ_{fR}=0.00
Compressione nel calcestruzzo: σ_c=13.25
CC 10 SLD (Collegamento 0021_-378)
Azioni sul collegamento: N=-6829.81 Ty=4.36 Tz=-0.08 Mx=0.00 Mz=4.10
Sollecitazioni agenti localmente: Tx_l=4.36 Ty_l=-0.08 N_l=-6829.81 Mx_l=-0.00 My_l=4.10 Mz_l=0.00
Taglio nei bulloni: Fv,Ed=0.73 Fv,Rd=9650.97
Rifollamento lato piastra: Fb,Ed,p=0.73 Fb,Rd,p=7479.32
Tirafondi:LT=0.45 (0.31) σ_{cR}=0.00 σ_{fR}=0.00
Compressione nel calcestruzzo: σ_c=14.34
CC 10 SLD (Collegamento 0021_-378)
Azioni sul collegamento: N=-6829.81 Ty=3.47 Tz=-0.08 Mx=0.00 Mz=2.64
Sollecitazioni agenti localmente: Tx_l=3.47 Ty_l=-0.08 N_l=-6829.81 Mx_l=-0.00 My_l=2.64 Mz_l=0.00
Taglio nei bulloni: Fv,Ed=0.58 Fv,Rd=9650.97
Rifollamento lato piastra: Fb,Ed,p=0.58 Fb,Rd,p=7482.43
Tirafondi:LT=0.45 (0.31) σ_{cR}=0.00 σ_{fR}=0.00
Compressione nel calcestruzzo: σ_c=14.26
CC 10 SLD (Collegamento 0021_-378)
Azioni sul collegamento: N=-6829.81 Ty=4.36 Tz=1.85 Mx=0.00 Mz=4.10
Sollecitazioni agenti localmente: Tx_l=4.36 Ty_l=1.85 N_l=-6829.81 Mx_l=-0.00 My_l=4.10 Mz_l=0.00
Taglio nei bulloni: Fv,Ed=0.79 Fv,Rd=9650.97
Rifollamento lato piastra: Fb,Ed,p=0.79 Fb,Rd,p=9425.82
Tirafondi:LT=0.45 (0.31) σ_{cR}=0.00 σ_{fR}=0.00
Compressione nel calcestruzzo: σ_c=14.34
CC 10 SLD (Collegamento 0021_-378)
Azioni sul collegamento: N=-6829.81 Ty=3.47 Tz=1.85 Mx=0.00 Mz=2.64
Sollecitazioni agenti localmente: Tx_l=3.47 Ty_l=1.85 N_l=-6829.81 Mx_l=-0.00 My_l=2.64 Mz_l=0.00
Taglio nei bulloni: Fv,Ed=0.66 Fv,Rd=9650.97
Rifollamento lato piastra: Fb,Ed,p=0.66 Fb,Rd,p=10577.70
Tirafondi:LT=0.45 (0.31) σ_{cR}=0.00 σ_{fR}=0.00
Compressione nel calcestruzzo: σ_c=14.26
CC 11 SLV (Collegamento 0021_-378)
Azioni sul collegamento: N=-7401.56 Ty=5.40 Tz=3.74 Mx=0.02 Mz=7.25
Sollecitazioni agenti localmente: Tx_l=5.40 Ty_l=3.74 N_l=-7401.56 Mx_l=-0.00 My_l=7.25 Mz_l=0.02
Taglio nei bulloni: Fv,Ed=1.12 Fv,Rd=7720.78
Rifollamento lato piastra: Fb,Ed,p=1.10 Fb,Rd,p=9909.74
Tirafondi:LT=0.45 (0.31) σ_{cR}=0.00 σ_{fR}=0.00
Compressione nel calcestruzzo: σ_c=15.70
CC 11 SLV (Collegamento 0021_-378)
Azioni sul collegamento: N=-7401.56 Ty=4.11 Tz=3.74 Mx=0.02 Mz=3.66
Sollecitazioni agenti localmente: Tx_l=4.11 Ty_l=3.74 N_l=-7401.56 Mx_l=-0.00 My_l=3.66 Mz_l=0.02
Taglio nei bulloni: Fv,Ed=0.95 Fv,Rd=7720.78
Rifollamento lato piastra: Fb,Ed,p=0.93 Fb,Rd,p=11188.50
Tirafondi:LT=0.45 (0.31) σ_{cR}=0.00 σ_{fR}=0.00
Compressione nel calcestruzzo: σ_c=15.50
CC 11 SLV (Collegamento 0021_-378)
Azioni sul collegamento: N=-7401.56 Ty=5.40 Tz=-1.71 Mx=0.02 Mz=7.25
Sollecitazioni agenti localmente: Tx_l=5.40 Ty_l=-1.71 N_l=-7401.56 Mx_l=-0.00 My_l=7.25 Mz_l=0.02
Taglio nei bulloni: Fv,Ed=0.97 Fv,Rd=7720.78
Rifollamento lato piastra: Fb,Ed,p=0.97 Fb,Rd,p=6959.87

Tirafondi:LT=0.45 (0.31) σ_{cR}=0.00 σ_{fR}=0.00
Compressione nel calcestruzzo: σ_c=15.70
CC 11 SLV (Collegamento 0021_-378)
Azioni sul collegamento: N=-7401.56 Ty=4.11 Tz=-1.71 Mx=0.02 Mz=3.66
Sollecitazioni agenti localmente: Tx_l=4.11 Ty_l=-1.71 N_l=-7401.56 Mx_l=-0.00 My_l=3.66 Mz_l=0.02
Taglio nei bulloni: Fv,Ed=0.77 Fv,Rd=7720.78
Rifollamento lato piastra: Fb,Ed,p=0.77 Fb,Rd,p=7657.61
Tirafondi:LT=0.45 (0.31) σ_{cR}=0.00 σ_{fR}=0.00
Compressione nel calcestruzzo: σ_c=15.50
CC 11 SLV (Collegamento 0021_-378)
Azioni sul collegamento: N=-5833.17 Ty=5.40 Tz=3.74 Mx=0.02 Mz=7.25
Sollecitazioni agenti localmente: Tx_l=5.40 Ty_l=3.74 N_l=-5833.17 Mx_l=-0.00 My_l=7.25 Mz_l=0.02
Taglio nei bulloni: Fv,Ed=1.12 Fv,Rd=7720.78
Rifollamento lato piastra: Fb,Ed,p=1.10 Fb,Rd,p=9909.80
Tirafondi:LT=0.45 (0.31) σ_{cR}=0.00 σ_{fR}=0.00
Compressione nel calcestruzzo: σ_c=12.46
CC 11 SLV (Collegamento 0021_-378)
Azioni sul collegamento: N=-5833.17 Ty=4.11 Tz=3.74 Mx=0.02 Mz=3.66
Sollecitazioni agenti localmente: Tx_l=4.11 Ty_l=3.74 N_l=-5833.17 Mx_l=-0.00 My_l=3.66 Mz_l=0.02
Taglio nei bulloni: Fv,Ed=0.95 Fv,Rd=7720.78
Rifollamento lato piastra: Fb,Ed,p=0.93 Fb,Rd,p=11188.50
Tirafondi:LT=0.45 (0.31) σ_{cR}=0.00 σ_{fR}=0.00
Compressione nel calcestruzzo: σ_c=12.26
CC 11 SLV (Collegamento 0021_-378)
Azioni sul collegamento: N=-5833.17 Ty=5.40 Tz=-1.71 Mx=0.02 Mz=7.25
Sollecitazioni agenti localmente: Tx_l=5.40 Ty_l=-1.71 N_l=-5833.17 Mx_l=-0.00 My_l=7.25 Mz_l=0.02
Taglio nei bulloni: Fv,Ed=0.97 Fv,Rd=7720.78
Rifollamento lato piastra: Fb,Ed,p=0.97 Fb,Rd,p=6959.97
Tirafondi:LT=0.45 (0.31) σ_{cR}=0.00 σ_{fR}=0.00
Compressione nel calcestruzzo: σ_c=12.46
CC 11 SLV (Collegamento 0021_-378)
Azioni sul collegamento: N=-5833.17 Ty=4.11 Tz=-1.71 Mx=0.02 Mz=3.66
Sollecitazioni agenti localmente: Tx_l=4.11 Ty_l=-1.71 N_l=-5833.17 Mx_l=-0.00 My_l=3.66 Mz_l=0.02
Taglio nei bulloni: Fv,Ed=0.77 Fv,Rd=7720.78
Rifollamento lato piastra: Fb,Ed,p=0.77 Fb,Rd,p=7657.80
Tirafondi:LT=0.45 (0.31) σ_{cR}=0.00 σ_{fR}=0.00
Compressione nel calcestruzzo: σ_c=12.26
CC 12 SLD (Collegamento 0021_-378)
Azioni sul collegamento: N=-6824.03 Ty=4.11 Tz=1.72 Mx=0.00 Mz=3.92
Sollecitazioni agenti localmente: Tx_l=4.11 Ty_l=1.72 N_l=-6824.03 Mx_l=-0.00 My_l=3.92 Mz_l=0.00
Taglio nei bulloni: Fv,Ed=0.75 Fv,Rd=9650.97
Rifollamento lato piastra: Fb,Ed,p=0.74 Fb,Rd,p=9372.12
Tirafondi:LT=0.45 (0.31) σ_{cR}=0.00 σ_{fR}=0.00
Compressione nel calcestruzzo: σ_c=14.32
CC 12 SLD (Collegamento 0021_-378)
Azioni sul collegamento: N=-6824.03 Ty=3.72 Tz=1.72 Mx=0.00 Mz=2.82
Sollecitazioni agenti localmente: Tx_l=3.72 Ty_l=1.72 N_l=-6824.03 Mx_l=-0.00 My_l=2.82 Mz_l=0.00
Taglio nei bulloni: Fv,Ed=0.69 Fv,Rd=9650.97
Rifollamento lato piastra: Fb,Ed,p=0.68 Fb,Rd,p=9798.39
Tirafondi:LT=0.45 (0.31) σ_{cR}=0.00 σ_{fR}=0.00
Compressione nel calcestruzzo: σ_c=14.26
CC 12 SLD (Collegamento 0021_-378)
Azioni sul collegamento: N=-6824.03 Ty=4.11 Tz=0.05 Mx=0.00 Mz=3.92
Sollecitazioni agenti localmente: Tx_l=4.11 Ty_l=0.05 N_l=-6824.03 Mx_l=-0.00 My_l=3.92 Mz_l=0.00
Taglio nei bulloni: Fv,Ed=0.69 Fv,Rd=9650.97
Rifollamento lato piastra: Fb,Ed,p=0.69 Fb,Rd,p=7474.82
Tirafondi:LT=0.45 (0.31) σ_{cR}=0.00 σ_{fR}=0.00
Compressione nel calcestruzzo: σ_c=14.32
CC 12 SLD (Collegamento 0021_-378)
Azioni sul collegamento: N=-6824.03 Ty=3.72 Tz=0.05 Mx=0.00 Mz=2.82
Sollecitazioni agenti localmente: Tx_l=3.72 Ty_l=0.05 N_l=-6824.03 Mx_l=-0.00 My_l=2.82 Mz_l=0.00
Taglio nei bulloni: Fv,Ed=0.62 Fv,Rd=9650.97
Rifollamento lato piastra: Fb,Ed,p=0.62 Fb,Rd,p=7475.00
Tirafondi:LT=0.45 (0.31) σ_{cR}=0.00 σ_{fR}=0.00
Compressione nel calcestruzzo: σ_c=14.26
CC 12 SLD (Collegamento 0021_-378)
Azioni sul collegamento: N=-6345.78 Ty=4.11 Tz=1.72 Mx=0.00 Mz=3.92
Sollecitazioni agenti localmente: Tx_l=4.11 Ty_l=1.72 N_l=-6345.78 Mx_l=-0.00 My_l=3.92 Mz_l=0.00
Taglio nei bulloni: Fv,Ed=0.75 Fv,Rd=9650.97
Rifollamento lato piastra: Fb,Ed,p=0.74 Fb,Rd,p=9372.39
Tirafondi:LT=0.45 (0.31) σ_{cR}=0.00 σ_{fR}=0.00
Compressione nel calcestruzzo: σ_c=13.33
CC 12 SLD (Collegamento 0021_-378)
Azioni sul collegamento: N=-6345.78 Ty=3.72 Tz=1.72 Mx=0.00 Mz=2.82
Sollecitazioni agenti localmente: Tx_l=3.72 Ty_l=1.72 N_l=-6345.78 Mx_l=-0.00 My_l=2.82 Mz_l=0.00
Taglio nei bulloni: Fv,Ed=0.69 Fv,Rd=9650.97
Rifollamento lato piastra: Fb,Ed,p=0.68 Fb,Rd,p=9798.70
Tirafondi:LT=0.45 (0.31) σ_{cR}=0.00 σ_{fR}=0.00

Compressione nel calcestruzzo: σ_c=13.27
CC 12 SLD (Collegamento 0021_-378)
Azioni sul collegamento: N=-6345.78 Ty=4.11 Tz=0.05 Mx=0.00 Mz=3.92
Sollecitazioni agenti localmente: Tx_l=4.11 Ty_l=0.05 N_l=-6345.78 Mx_l=-0.00 My_l=3.92 Mz_l=0.00
Taglio nei bulloni: Fv,Ed=0.69 Fv,Rd=9650.97
Rifollamento lato piastra: Fb,Ed,p=0.69 Fb,Rd,p=7474.81
Tirafondi:LT=0.45 (0.31) σ_{cR}=0.00 σ_{fR}=0.00
Compressione nel calcestruzzo: σ_c=13.33
CC 12 SLD (Collegamento 0021_-378)
Azioni sul collegamento: N=-6345.78 Ty=3.72 Tz=0.05 Mx=0.00 Mz=2.82
Sollecitazioni agenti localmente: Tx_l=3.72 Ty_l=0.05 N_l=-6345.78 Mx_l=-0.00 My_l=2.82 Mz_l=0.00
Taglio nei bulloni: Fv,Ed=0.62 Fv,Rd=9650.97
Rifollamento lato piastra: Fb,Ed,p=0.62 Fb,Rd,p=7474.99
Tirafondi:LT=0.45 (0.31) σ_{cR}=0.00 σ_{fR}=0.00
Compressione nel calcestruzzo: σ_c=13.27
CC 13 SLV (Collegamento 0021_-378)
Azioni sul collegamento: N=-5833.17 Ty=4.11 Tz=-1.71 Mx=0.00 Mz=3.66
Sollecitazioni agenti localmente: Tx_l=4.11 Ty_l=-1.71 N_l=-5833.17 Mx_l=-0.00 My_l=3.66 Mz_l=0.00
Taglio nei bulloni: Fv,Ed=0.75 Fv,Rd=7720.78
Rifollamento lato piastra: Fb,Ed,p=0.75 Fb,Rd,p=7550.17
Tirafondi:LT=0.45 (0.31) σ_{cR}=0.00 σ_{fR}=0.00
Compressione nel calcestruzzo: σ_c=12.26
CC 13 SLV (Collegamento 0021_-378)
Azioni sul collegamento: N=-5833.17 Ty=5.40 Tz=-1.71 Mx=0.00 Mz=7.25
Sollecitazioni agenti localmente: Tx_l=5.40 Ty_l=-1.71 N_l=-5833.17 Mx_l=-0.00 My_l=7.25 Mz_l=0.00
Taglio nei bulloni: Fv,Ed=0.95 Fv,Rd=7720.78
Rifollamento lato piastra: Fb,Ed,p=0.95 Fb,Rd,p=6886.87
Tirafondi:LT=0.45 (0.31) σ_{cR}=0.00 σ_{fR}=0.00
Compressione nel calcestruzzo: σ_c=12.46
CC 13 SLV (Collegamento 0021_-378)
Azioni sul collegamento: N=-5833.17 Ty=4.11 Tz=3.74 Mx=0.00 Mz=3.66
Sollecitazioni agenti localmente: Tx_l=4.11 Ty_l=3.74 N_l=-5833.17 Mx_l=-0.00 My_l=3.66 Mz_l=0.00
Taglio nei bulloni: Fv,Ed=0.93 Fv,Rd=7720.78
Rifollamento lato piastra: Fb,Ed,p=0.93 Fb,Rd,p=11443.60
Tirafondi:LT=0.45 (0.31) σ_{cR}=0.00 σ_{fR}=0.00
Compressione nel calcestruzzo: σ_c=12.26
CC 13 SLV (Collegamento 0021_-378)
Azioni sul collegamento: N=-5833.17 Ty=5.40 Tz=3.74 Mx=0.00 Mz=7.25
Sollecitazioni agenti localmente: Tx_l=5.40 Ty_l=3.74 N_l=-5833.17 Mx_l=-0.00 My_l=7.25 Mz_l=0.00
Taglio nei bulloni: Fv,Ed=1.10 Fv,Rd=7720.78
Rifollamento lato piastra: Fb,Ed,p=1.10 Fb,Rd,p=10298.60
Tirafondi:LT=0.45 (0.31) σ_{cR}=0.00 σ_{fR}=0.00
Compressione nel calcestruzzo: σ_c=12.46
CC 13 SLV (Collegamento 0021_-378)
Azioni sul collegamento: N=-7401.56 Ty=4.11 Tz=-1.71 Mx=0.00 Mz=3.66
Sollecitazioni agenti localmente: Tx_l=4.11 Ty_l=-1.71 N_l=-7401.56 Mx_l=-0.00 My_l=3.66 Mz_l=0.00
Taglio nei bulloni: Fv,Ed=0.75 Fv,Rd=7720.78
Rifollamento lato piastra: Fb,Ed,p=0.75 Fb,Rd,p=7549.98
Tirafondi:LT=0.45 (0.31) σ_{cR}=0.00 σ_{fR}=0.00
Compressione nel calcestruzzo: σ_c=15.50
CC 13 SLV (Collegamento 0021_-378)
Azioni sul collegamento: N=-7401.56 Ty=5.40 Tz=-1.71 Mx=0.00 Mz=7.25
Sollecitazioni agenti localmente: Tx_l=5.40 Ty_l=-1.71 N_l=-7401.56 Mx_l=-0.00 My_l=7.25 Mz_l=0.00
Taglio nei bulloni: Fv,Ed=0.95 Fv,Rd=7720.78
Rifollamento lato piastra: Fb,Ed,p=0.95 Fb,Rd,p=6886.76
Tirafondi:LT=0.45 (0.31) σ_{cR}=0.00 σ_{fR}=0.00
Compressione nel calcestruzzo: σ_c=15.70
CC 13 SLV (Collegamento 0021_-378)
Azioni sul collegamento: N=-7401.56 Ty=4.11 Tz=3.74 Mx=0.00 Mz=3.66
Sollecitazioni agenti localmente: Tx_l=4.11 Ty_l=3.74 N_l=-7401.56 Mx_l=-0.00 My_l=3.66 Mz_l=0.00
Taglio nei bulloni: Fv,Ed=0.93 Fv,Rd=7720.78
Rifollamento lato piastra: Fb,Ed,p=0.93 Fb,Rd,p=11443.60
Tirafondi:LT=0.45 (0.31) σ_{cR}=0.00 σ_{fR}=0.00
Compressione nel calcestruzzo: σ_c=15.50
CC 13 SLV (Collegamento 0021_-378)
Azioni sul collegamento: N=-7401.56 Ty=5.40 Tz=3.74 Mx=0.00 Mz=7.25
Sollecitazioni agenti localmente: Tx_l=5.40 Ty_l=3.74 N_l=-7401.56 Mx_l=-0.00 My_l=7.25 Mz_l=0.00
Taglio nei bulloni: Fv,Ed=1.10 Fv,Rd=7720.78
Rifollamento lato piastra: Fb,Ed,p=1.10 Fb,Rd,p=10298.50
Tirafondi:LT=0.45 (0.31) σ_{cR}=0.00 σ_{fR}=0.00
Compressione nel calcestruzzo: σ_c=15.70
CC 14 SLD (Collegamento 0021_-378)
Azioni sul collegamento: N=-6345.78 Ty=3.72 Tz=0.05 Mx=-0.00 Mz=2.82
Sollecitazioni agenti localmente: Tx_l=3.72 Ty_l=0.05 N_l=-6345.78 Mx_l=-0.00 My_l=2.82 Mz_l=-0.00
Taglio nei bulloni: Fv,Ed=0.62 Fv,Rd=9650.97
Rifollamento lato piastra: Fb,Ed,p=0.62 Fb,Rd,p=7477.50
Tirafondi:LT=0.45 (0.31) σ_{cR}=0.00 σ_{fR}=0.00
Compressione nel calcestruzzo: σ_c=13.27

CC 14 SLD (Collegamento 0021_-378)
Azioni sul collegamento: N=-6345.78 Ty=4.11 Tz=0.05 Mx=-0.00 Mz=3.92
Sollecitazioni agenti localmente: Tx_l=4.11 Ty_l=0.05 N_l=-6345.78 Mx_l=-0.00 My_l=3.92 Mz_l=-0.00
Taglio nei bulloni: Fv,Ed=0.69 Fv,Rd=9650.97
Rifollamento lato piastra: Fb,Ed,p=0.69 Fb,Rd,p=7476.86
Tirafondi:LT=0.45 (0.31) σ_{cR}=0.00 σ_{fR}=0.00
Compressione nel calcestruzzo: σ_c=13.33
CC 14 SLD (Collegamento 0021_-378)
Azioni sul collegamento: N=-6345.78 Ty=3.72 Tz=1.72 Mx=-0.00 Mz=2.82
Sollecitazioni agenti localmente: Tx_l=3.72 Ty_l=1.72 N_l=-6345.78 Mx_l=-0.00 My_l=2.82 Mz_l=-0.00
Taglio nei bulloni: Fv,Ed=0.69 Fv,Rd=9650.97
Rifollamento lato piastra: Fb,Ed,p=0.69 Fb,Rd,p=9891.11
Tirafondi:LT=0.45 (0.31) σ_{cR}=0.00 σ_{fR}=0.00
Compressione nel calcestruzzo: σ_c=13.27
CC 14 SLD (Collegamento 0021_-378)
Azioni sul collegamento: N=-6345.78 Ty=4.11 Tz=1.72 Mx=-0.00 Mz=3.92
Sollecitazioni agenti localmente: Tx_l=4.11 Ty_l=1.72 N_l=-6345.78 Mx_l=-0.00 My_l=3.92 Mz_l=-0.00
Taglio nei bulloni: Fv,Ed=0.75 Fv,Rd=9650.97
Rifollamento lato piastra: Fb,Ed,p=0.75 Fb,Rd,p=9447.22
Tirafondi:LT=0.45 (0.31) σ_{cR}=0.00 σ_{fR}=0.00
Compressione nel calcestruzzo: σ_c=13.33
CC 14 SLD (Collegamento 0021_-378)
Azioni sul collegamento: N=-6824.03 Ty=3.72 Tz=0.05 Mx=-0.00 Mz=2.82
Sollecitazioni agenti localmente: Tx_l=3.72 Ty_l=0.05 N_l=-6824.03 Mx_l=-0.00 My_l=2.82 Mz_l=-0.00
Taglio nei bulloni: Fv,Ed=0.62 Fv,Rd=9650.97
Rifollamento lato piastra: Fb,Ed,p=0.62 Fb,Rd,p=7477.53
Tirafondi:LT=0.45 (0.31) σ_{cR}=0.00 σ_{fR}=0.00
Compressione nel calcestruzzo: σ_c=14.26
CC 14 SLD (Collegamento 0021_-378)
Azioni sul collegamento: N=-6824.03 Ty=4.11 Tz=0.05 Mx=-0.00 Mz=3.92
Sollecitazioni agenti localmente: Tx_l=4.11 Ty_l=0.05 N_l=-6824.03 Mx_l=-0.00 My_l=3.92 Mz_l=-0.00
Taglio nei bulloni: Fv,Ed=0.69 Fv,Rd=9650.97
Rifollamento lato piastra: Fb,Ed,p=0.69 Fb,Rd,p=7476.88
Tirafondi:LT=0.45 (0.31) σ_{cR}=0.00 σ_{fR}=0.00
Compressione nel calcestruzzo: σ_c=14.32
CC 14 SLD (Collegamento 0021_-378)
Azioni sul collegamento: N=-6824.03 Ty=3.72 Tz=1.72 Mx=-0.00 Mz=2.82
Sollecitazioni agenti localmente: Tx_l=3.72 Ty_l=1.72 N_l=-6824.03 Mx_l=-0.00 My_l=2.82 Mz_l=-0.00
Taglio nei bulloni: Fv,Ed=0.69 Fv,Rd=9650.97
Rifollamento lato piastra: Fb,Ed,p=0.69 Fb,Rd,p=9890.78
Tirafondi:LT=0.45 (0.31) σ_{cR}=0.00 σ_{fR}=0.00
Compressione nel calcestruzzo: σ_c=14.26
CC 14 SLD (Collegamento 0021_-378)
Azioni sul collegamento: N=-6824.03 Ty=4.11 Tz=1.72 Mx=-0.00 Mz=3.92
Sollecitazioni agenti localmente: Tx_l=4.11 Ty_l=1.72 N_l=-6824.03 Mx_l=-0.00 My_l=3.92 Mz_l=-0.00
Taglio nei bulloni: Fv,Ed=0.75 Fv,Rd=9650.97
Rifollamento lato piastra: Fb,Ed,p=0.75 Fb,Rd,p=9446.95
Tirafondi:LT=0.45 (0.31) σ_{cR}=0.00 σ_{fR}=0.00
Compressione nel calcestruzzo: σ_c=14.32
CC 15 SLV (Collegamento 0021_-378)
Azioni sul collegamento: N=-7420.50 Ty=3.29 Tz=4.16 Mx=0.00 Mz=3.06
Sollecitazioni agenti localmente: Tx_l=3.29 Ty_l=4.16 N_l=-7420.50 Mx_l=-0.00 My_l=3.06 Mz_l=0.00
Taglio nei bulloni: Fv,Ed=0.89 Fv,Rd=7720.78
Rifollamento lato piastra: Fb,Ed,p=0.89 Fb,Rd,p=10833.70
Tirafondi:LT=0.45 (0.31) σ_{cR}=0.00 σ_{fR}=0.00
Compressione nel calcestruzzo: σ_c=15.50
CC 15 SLV (Collegamento 0021_-378)
Azioni sul collegamento: N=-7420.50 Ty=6.23 Tz=4.16 Mx=0.00 Mz=7.84
Sollecitazioni agenti localmente: Tx_l=6.23 Ty_l=4.16 N_l=-7420.50 Mx_l=-0.00 My_l=7.84 Mz_l=0.00
Taglio nei bulloni: Fv,Ed=1.25 Fv,Rd=7720.78
Rifollamento lato piastra: Fb,Ed,p=1.25 Fb,Rd,p=10036.90
Tirafondi:LT=0.45 (0.31) σ_{cR}=0.00 σ_{fR}=0.00
Compressione nel calcestruzzo: σ_c=15.77
CC 15 SLV (Collegamento 0021_-378)
Azioni sul collegamento: N=-7420.50 Ty=3.29 Tz=-2.14 Mx=0.00 Mz=3.06
Sollecitazioni agenti localmente: Tx_l=3.29 Ty_l=-2.14 N_l=-7420.50 Mx_l=-0.00 My_l=3.06 Mz_l=0.00
Taglio nei bulloni: Fv,Ed=0.66 Fv,Rd=7720.78
Rifollamento lato piastra: Fb,Ed,p=0.66 Fb,Rd,p=9848.24
Tirafondi:LT=0.45 (0.31) σ_{cR}=0.00 σ_{fR}=0.00
Compressione nel calcestruzzo: σ_c=15.50
CC 15 SLV (Collegamento 0021_-378)
Azioni sul collegamento: N=-7420.50 Ty=6.23 Tz=-2.14 Mx=0.00 Mz=7.84
Sollecitazioni agenti localmente: Tx_l=6.23 Ty_l=-2.14 N_l=-7420.50 Mx_l=-0.00 My_l=7.84 Mz_l=0.00
Taglio nei bulloni: Fv,Ed=1.10 Fv,Rd=7720.78
Rifollamento lato piastra: Fb,Ed,p=1.10 Fb,Rd,p=7041.55
Tirafondi:LT=0.45 (0.31) σ_{cR}=0.00 σ_{fR}=0.00
Compressione nel calcestruzzo: σ_c=15.77
CC 15 SLV (Collegamento 0021_-378)

Azioni sul collegamento: N=-5814.22 Ty=3.29 Tz=4.16 Mx=0.00 Mz=3.06
Sollecitazioni agenti localmente: Tx_l=3.29 Ty_l=4.16 N_l=-5814.22 Mx_l=-0.00 My_l=3.06 Mz_l=0.00
Taglio nei bulloni: Fv,Ed=0.89 Fv,Rd=7720.78
Rifollamento lato piastra: Fb,Ed,p=0.89 Fb,Rd,p=10833.80
Tirafondi:LT=0.45 (0.31) σ_{cR}=0.00 σ_{fR}=0.00
Compressione nel calcestruzzo: σ_c=12.19
CC 15 SLV (Collegamento 0021_-378)
Azioni sul collegamento: N=-5814.22 Ty=6.23 Tz=4.16 Mx=0.00 Mz=7.84
Sollecitazioni agenti localmente: Tx_l=6.23 Ty_l=4.16 N_l=-5814.22 Mx_l=-0.00 My_l=7.84 Mz_l=0.00
Taglio nei bulloni: Fv,Ed=1.25 Fv,Rd=7720.78
Rifollamento lato piastra: Fb,Ed,p=1.25 Fb,Rd,p=10036.70
Tirafondi:LT=0.45 (0.31) σ_{cR}=0.00 σ_{fR}=0.00
Compressione nel calcestruzzo: σ_c=12.45
CC 15 SLV (Collegamento 0021_-378)
Azioni sul collegamento: N=-5814.22 Ty=3.29 Tz=-2.14 Mx=0.00 Mz=3.06
Sollecitazioni agenti localmente: Tx_l=3.29 Ty_l=-2.14 N_l=-5814.22 Mx_l=-0.00 My_l=3.06 Mz_l=0.00
Taglio nei bulloni: Fv,Ed=0.66 Fv,Rd=7720.78
Rifollamento lato piastra: Fb,Ed,p=0.66 Fb,Rd,p=9848.61
Tirafondi:LT=0.45 (0.31) σ_{cR}=0.00 σ_{fR}=0.00
Compressione nel calcestruzzo: σ_c=12.19
CC 15 SLV (Collegamento 0021_-378)
Azioni sul collegamento: N=-5814.22 Ty=6.23 Tz=-2.14 Mx=0.00 Mz=7.84
Sollecitazioni agenti localmente: Tx_l=6.23 Ty_l=-2.14 N_l=-5814.22 Mx_l=-0.00 My_l=7.84 Mz_l=0.00
Taglio nei bulloni: Fv,Ed=1.10 Fv,Rd=7720.78
Rifollamento lato piastra: Fb,Ed,p=1.10 Fb,Rd,p=7041.65
Tirafondi:LT=0.45 (0.31) σ_{cR}=0.00 σ_{fR}=0.00
Compressione nel calcestruzzo: σ_c=12.45
CC 16 SLD (Collegamento 0021_-378)
Azioni sul collegamento: N=-6829.81 Ty=3.47 Tz=1.85 Mx=-0.00 Mz=2.64
Sollecitazioni agenti localmente: Tx_l=3.47 Ty_l=1.85 N_l=-6829.81 Mx_l=-0.00 My_l=2.64 Mz_l=-0.00
Taglio nei bulloni: Fv,Ed=0.66 Fv,Rd=9650.97
Rifollamento lato piastra: Fb,Ed,p=0.66 Fb,Rd,p=10706.00
Tirafondi:LT=0.45 (0.31) σ_{cR}=0.00 σ_{fR}=0.00
Compressione nel calcestruzzo: σ_c=14.26
CC 16 SLD (Collegamento 0021_-378)
Azioni sul collegamento: N=-6829.81 Ty=4.36 Tz=1.85 Mx=-0.00 Mz=4.10
Sollecitazioni agenti localmente: Tx_l=4.36 Ty_l=1.85 N_l=-6829.81 Mx_l=-0.00 My_l=4.10 Mz_l=-0.00
Taglio nei bulloni: Fv,Ed=0.79 Fv,Rd=9650.97
Rifollamento lato piastra: Fb,Ed,p=0.79 Fb,Rd,p=9505.04
Tirafondi:LT=0.45 (0.31) σ_{cR}=0.00 σ_{fR}=0.00
Compressione nel calcestruzzo: σ_c=14.34
CC 16 SLD (Collegamento 0021_-378)
Azioni sul collegamento: N=-6829.81 Ty=3.47 Tz=-0.08 Mx=-0.00 Mz=2.64
Sollecitazioni agenti localmente: Tx_l=3.47 Ty_l=-0.08 N_l=-6829.81 Mx_l=-0.00 My_l=2.64 Mz_l=-0.00
Taglio nei bulloni: Fv,Ed=0.58 Fv,Rd=9650.97
Rifollamento lato piastra: Fb,Ed,p=0.58 Fb,Rd,p=7477.47
Tirafondi:LT=0.45 (0.31) σ_{cR}=0.00 σ_{fR}=0.00
Compressione nel calcestruzzo: σ_c=14.26
CC 16 SLD (Collegamento 0021_-378)
Azioni sul collegamento: N=-6829.81 Ty=4.36 Tz=-0.08 Mx=-0.00 Mz=4.10
Sollecitazioni agenti localmente: Tx_l=4.36 Ty_l=-0.08 N_l=-6829.81 Mx_l=-0.00 My_l=4.10 Mz_l=-0.00
Taglio nei bulloni: Fv,Ed=0.73 Fv,Rd=9650.97
Rifollamento lato piastra: Fb,Ed,p=0.73 Fb,Rd,p=7476.18
Tirafondi:LT=0.45 (0.31) σ_{cR}=0.00 σ_{fR}=0.00
Compressione nel calcestruzzo: σ_c=14.34
CC 16 SLD (Collegamento 0021_-378)
Azioni sul collegamento: N=-6340.00 Ty=3.47 Tz=1.85 Mx=-0.00 Mz=2.64
Sollecitazioni agenti localmente: Tx_l=3.47 Ty_l=1.85 N_l=-6340.00 Mx_l=-0.00 My_l=2.64 Mz_l=-0.00
Taglio nei bulloni: Fv,Ed=0.66 Fv,Rd=9650.97
Rifollamento lato piastra: Fb,Ed,p=0.66 Fb,Rd,p=10704.90
Tirafondi:LT=0.45 (0.31) σ_{cR}=0.00 σ_{fR}=0.00
Compressione nel calcestruzzo: σ_c=13.25
CC 16 SLD (Collegamento 0021_-378)
Azioni sul collegamento: N=-6340.00 Ty=4.36 Tz=1.85 Mx=-0.00 Mz=4.10
Sollecitazioni agenti localmente: Tx_l=4.36 Ty_l=1.85 N_l=-6340.00 Mx_l=-0.00 My_l=4.10 Mz_l=-0.00
Taglio nei bulloni: Fv,Ed=0.79 Fv,Rd=9650.97
Rifollamento lato piastra: Fb,Ed,p=0.79 Fb,Rd,p=9504.35
Tirafondi:LT=0.45 (0.31) σ_{cR}=0.00 σ_{fR}=0.00
Compressione nel calcestruzzo: σ_c=13.33
CC 16 SLD (Collegamento 0021_-378)
Azioni sul collegamento: N=-6340.00 Ty=3.47 Tz=-0.08 Mx=-0.00 Mz=2.64
Sollecitazioni agenti localmente: Tx_l=3.47 Ty_l=-0.08 N_l=-6340.00 Mx_l=-0.00 My_l=2.64 Mz_l=-0.00
Taglio nei bulloni: Fv,Ed=0.58 Fv,Rd=9650.97
Rifollamento lato piastra: Fb,Ed,p=0.58 Fb,Rd,p=7477.43
Tirafondi:LT=0.45 (0.31) σ_{cR}=0.00 σ_{fR}=0.00
Compressione nel calcestruzzo: σ_c=13.25
CC 16 SLD (Collegamento 0021_-378)
Azioni sul collegamento: N=-6340.00 Ty=4.36 Tz=-0.08 Mx=-0.00 Mz=4.10

Sollecitazioni agenti localmente: Tx_l=4.36 Ty_l=-0.08 N_l=-6340.00 Mx_l=-0.00 My_l=4.10 Mz_l=-0.00
Taglio nei bulloni: Fv,Ed=0.73 Fv,Rd=9650.97
Rifollamento lato piastra: Fb,Ed,p=0.73 Fb,Rd,p=7476.15
Tirafondi:LT=0.45 (0.31) σ_{cR}=0.00 σ_{fR}=0.00
Compressione nel calcestruzzo: σ_c=13.33
CC 17 SLV (Collegamento 0021_-378)
Azioni sul collegamento: N=-3875.57 Ty=0.64 Tz=-9.21 Mx=-0.02 Mz=1.09
Sollecitazioni agenti localmente: Tx_l=0.64 Ty_l=-9.21 N_l=-3875.57 Mx_l=-0.00 My_l=1.09 Mz_l=-0.02
Taglio nei bulloni: Fv,Ed=1.56 Fv,Rd=7720.78
Rifollamento lato piastra: Fb,Ed,p=1.56 Fb,Rd,p=6040.86
Tirafondi:LT=0.45 (0.31) σ_{cR}=0.00 σ_{fR}=0.00
Compressione nel calcestruzzo: σ_c=8.07
CC 17 SLV (Collegamento 0021_-378)
Azioni sul collegamento: N=-3875.57 Ty=4.02 Tz=-9.21 Mx=-0.02 Mz=-2.16
Sollecitazioni agenti localmente: Tx_l=4.02 Ty_l=-9.21 N_l=-3875.57 Mx_l=-0.00 My_l=-2.16 Mz_l=-0.02
Taglio nei bulloni: Fv,Ed=1.71 Fv,Rd=7720.78
Rifollamento lato piastra: Fb,Ed,p=1.71 Fb,Rd,p=7758.75
Tirafondi:LT=0.45 (0.31) σ_{cR}=0.00 σ_{fR}=0.00
Compressione nel calcestruzzo: σ_c=8.13
CC 17 SLV (Collegamento 0021_-378)
Azioni sul collegamento: N=-3875.57 Ty=0.64 Tz=10.50 Mx=-0.02 Mz=1.09
Sollecitazioni agenti localmente: Tx_l=0.64 Ty_l=10.50 N_l=-3875.57 Mx_l=-0.00 My_l=1.09 Mz_l=-0.02
Taglio nei bulloni: Fv,Ed=1.78 Fv,Rd=7720.78
Rifollamento lato piastra: Fb,Ed,p=1.78 Fb,Rd,p=5998.65
Tirafondi:LT=0.45 (0.31) σ_{cR}=0.00 σ_{fR}=0.00
Compressione nel calcestruzzo: σ_c=8.07
CC 17 SLV (Collegamento 0021_-378)
Azioni sul collegamento: N=-3875.57 Ty=4.02 Tz=10.50 Mx=-0.02 Mz=-2.16
Sollecitazioni agenti localmente: Tx_l=4.02 Ty_l=10.50 N_l=-3875.57 Mx_l=-0.00 My_l=-2.16 Mz_l=-0.02
Taglio nei bulloni: Fv,Ed=1.90 Fv,Rd=7720.78
Rifollamento lato piastra: Fb,Ed,p=1.89 Fb,Rd,p=7168.80
Tirafondi:LT=0.45 (0.31) σ_{cR}=0.00 σ_{fR}=0.00
Compressione nel calcestruzzo: σ_c=8.13
CC 17 SLV (Collegamento 0021_-378)
Azioni sul collegamento: N=-9172.38 Ty=0.64 Tz=-9.21 Mx=-0.02 Mz=1.09
Sollecitazioni agenti localmente: Tx_l=0.64 Ty_l=-9.21 N_l=-9172.38 Mx_l=-0.00 My_l=1.09 Mz_l=-0.02
Taglio nei bulloni: Fv,Ed=1.56 Fv,Rd=7720.78
Rifollamento lato piastra: Fb,Ed,p=1.56 Fb,Rd,p=6040.86
Tirafondi:LT=0.45 (0.31) σ_{cR}=0.00 σ_{fR}=0.00
Compressione nel calcestruzzo: σ_c=19.01
CC 17 SLV (Collegamento 0021_-378)
Azioni sul collegamento: N=-9172.38 Ty=4.02 Tz=-9.21 Mx=-0.02 Mz=-2.16
Sollecitazioni agenti localmente: Tx_l=4.02 Ty_l=-9.21 N_l=-9172.38 Mx_l=-0.00 My_l=-2.16 Mz_l=-0.02
Taglio nei bulloni: Fv,Ed=1.71 Fv,Rd=7720.78
Rifollamento lato piastra: Fb,Ed,p=1.71 Fb,Rd,p=7758.92
Tirafondi:LT=0.45 (0.31) σ_{cR}=0.00 σ_{fR}=0.00
Compressione nel calcestruzzo: σ_c=19.07
CC 17 SLV (Collegamento 0021_-378)
Azioni sul collegamento: N=-9172.38 Ty=0.64 Tz=10.50 Mx=-0.02 Mz=1.09
Sollecitazioni agenti localmente: Tx_l=0.64 Ty_l=10.50 N_l=-9172.38 Mx_l=-0.00 My_l=1.09 Mz_l=-0.02
Taglio nei bulloni: Fv,Ed=1.78 Fv,Rd=7720.78
Rifollamento lato piastra: Fb,Ed,p=1.78 Fb,Rd,p=5998.64
Tirafondi:LT=0.45 (0.31) σ_{cR}=0.00 σ_{fR}=0.00
Compressione nel calcestruzzo: σ_c=19.01
CC 17 SLV (Collegamento 0021_-378)
Azioni sul collegamento: N=-9172.38 Ty=4.02 Tz=10.50 Mx=-0.02 Mz=-2.16
Sollecitazioni agenti localmente: Tx_l=4.02 Ty_l=10.50 N_l=-9172.38 Mx_l=-0.00 My_l=-2.16 Mz_l=-0.02
Taglio nei bulloni: Fv,Ed=1.90 Fv,Rd=7720.78
Rifollamento lato piastra: Fb,Ed,p=1.89 Fb,Rd,p=7168.75
Tirafondi:LT=0.45 (0.31) σ_{cR}=0.00 σ_{fR}=0.00
Compressione nel calcestruzzo: σ_c=19.07
CC 18 SLD (Collegamento 0021_-378)
Azioni sul collegamento: N=-5748.85 Ty=3.69 Tz=-2.23 Mx=-0.01 Mz=2.04
Sollecitazioni agenti localmente: Tx_l=3.69 Ty_l=-2.23 N_l=-5748.85 Mx_l=-0.00 My_l=2.04 Mz_l=-0.01
Taglio nei bulloni: Fv,Ed=0.73 Fv,Rd=9650.97
Rifollamento lato piastra: Fb,Ed,p=0.72 Fb,Rd,p=11287.00
Tirafondi:LT=0.45 (0.31) σ_{cR}=0.00 σ_{fR}=0.00
Compressione nel calcestruzzo: σ_c=11.99
CC 18 SLD (Collegamento 0021_-378)
Azioni sul collegamento: N=-5748.85 Ty=2.66 Tz=-2.23 Mx=-0.01 Mz=1.05
Sollecitazioni agenti localmente: Tx_l=2.66 Ty_l=-2.23 N_l=-5748.85 Mx_l=-0.00 My_l=1.05 Mz_l=-0.01
Taglio nei bulloni: Fv,Ed=0.59 Fv,Rd=9650.97
Rifollamento lato piastra: Fb,Ed,p=0.58 Fb,Rd,p=13601.00
Tirafondi:LT=0.45 (0.31) σ_{cR}=0.00 σ_{fR}=0.00
Compressione nel calcestruzzo: σ_c=11.94
CC 18 SLD (Collegamento 0021_-378)
Azioni sul collegamento: N=-5748.85 Ty=3.69 Tz=3.78 Mx=-0.01 Mz=2.04
Sollecitazioni agenti localmente: Tx_l=3.69 Ty_l=3.78 N_l=-5748.85 Mx_l=-0.00 My_l=2.04 Mz_l=-0.01

Taglio nei bulloni: Fv,Ed=0.89 Fv,Rd=9650.97
Rifollamento lato piastra: Fb,Ed,p=0.88 Fb,Rd,p=14617.70
Tirafondi:LT=0.45 (0.31) σ_{cR}=0.00 σ_{fR}=0.00
Compressione nel calcestruzzo: σ_c=11.99
CC 18 SLD (Collegamento 0021_-378)
Azioni sul collegamento: N=-5748.85 Ty=2.66 Tz=3.78 Mx=-0.01 Mz=1.05
Sollecitazioni agenti localmente: Tx_l=2.66 Ty_l=3.78 N_l=-5748.85 Mx_l=-0.00 My_l=1.05 Mz_l=-0.01
Taglio nei bulloni: Fv,Ed=0.78 Fv,Rd=9650.97
Rifollamento lato piastra: Fb,Ed,p=0.77 Fb,Rd,p=12705.70
Tirafondi:LT=0.45 (0.31) σ_{cR}=0.00 σ_{fR}=0.00
Compressione nel calcestruzzo: σ_c=11.94
CC 18 SLD (Collegamento 0021_-378)
Azioni sul collegamento: N=-7364.01 Ty=3.69 Tz=-2.23 Mx=-0.01 Mz=2.04
Sollecitazioni agenti localmente: Tx_l=3.69 Ty_l=-2.23 N_l=-7364.01 Mx_l=-0.00 My_l=2.04 Mz_l=-0.01
Taglio nei bulloni: Fv,Ed=0.73 Fv,Rd=9650.97
Rifollamento lato piastra: Fb,Ed,p=0.72 Fb,Rd,p=11287.30
Tirafondi:LT=0.45 (0.31) σ_{cR}=0.00 σ_{fR}=0.00
Compressione nel calcestruzzo: σ_c=15.33
CC 18 SLD (Collegamento 0021_-378)
Azioni sul collegamento: N=-7364.01 Ty=2.66 Tz=-2.23 Mx=-0.01 Mz=1.05
Sollecitazioni agenti localmente: Tx_l=2.66 Ty_l=-2.23 N_l=-7364.01 Mx_l=-0.00 My_l=1.05 Mz_l=-0.01
Taglio nei bulloni: Fv,Ed=0.59 Fv,Rd=9650.97
Rifollamento lato piastra: Fb,Ed,p=0.58 Fb,Rd,p=13601.20
Tirafondi:LT=0.45 (0.31) σ_{cR}=0.00 σ_{fR}=0.00
Compressione nel calcestruzzo: σ_c=15.27
CC 18 SLD (Collegamento 0021_-378)
Azioni sul collegamento: N=-7364.01 Ty=3.69 Tz=3.78 Mx=-0.01 Mz=2.04
Sollecitazioni agenti localmente: Tx_l=3.69 Ty_l=3.78 N_l=-7364.01 Mx_l=-0.00 My_l=2.04 Mz_l=-0.01
Taglio nei bulloni: Fv,Ed=0.89 Fv,Rd=9650.97
Rifollamento lato piastra: Fb,Ed,p=0.88 Fb,Rd,p=14617.80
Tirafondi:LT=0.45 (0.31) σ_{cR}=0.00 σ_{fR}=0.00
Compressione nel calcestruzzo: σ_c=15.33
CC 18 SLD (Collegamento 0021_-378)
Azioni sul collegamento: N=-7364.01 Ty=2.66 Tz=3.78 Mx=-0.01 Mz=1.05
Sollecitazioni agenti localmente: Tx_l=2.66 Ty_l=3.78 N_l=-7364.01 Mx_l=-0.00 My_l=1.05 Mz_l=-0.01
Taglio nei bulloni: Fv,Ed=0.78 Fv,Rd=9650.97
Rifollamento lato piastra: Fb,Ed,p=0.77 Fb,Rd,p=12705.90
Tirafondi:LT=0.45 (0.31) σ_{cR}=0.00 σ_{fR}=0.00
Compressione nel calcestruzzo: σ_c=15.27
CC 19 SLV (Collegamento 0021_-378)
Azioni sul collegamento: N=-3881.26 Ty=1.27 Tz=-9.09 Mx=-0.02 Mz=-0.17
Sollecitazioni agenti localmente: Tx_l=1.27 Ty_l=-9.09 N_l=-3881.26 Mx_l=-0.00 My_l=-0.17 Mz_l=-0.02
Taglio nei bulloni: Fv,Ed=1.55 Fv,Rd=7720.78
Rifollamento lato piastra: Fb,Ed,p=1.55 Fb,Rd,p=6179.83
Tirafondi:LT=0.45 (0.31) σ_{cR}=0.00 σ_{fR}=0.00
Compressione nel calcestruzzo: σ_c=8.03
CC 19 SLV (Collegamento 0021_-378)
Azioni sul collegamento: N=-3881.26 Ty=3.39 Tz=-9.09 Mx=-0.02 Mz=-0.91
Sollecitazioni agenti localmente: Tx_l=3.39 Ty_l=-9.09 N_l=-3881.26 Mx_l=-0.00 My_l=-0.91 Mz_l=-0.02
Taglio nei bulloni: Fv,Ed=1.64 Fv,Rd=7720.78
Rifollamento lato piastra: Fb,Ed,p=1.64 Fb,Rd,p=7274.08
Tirafondi:LT=0.45 (0.31) σ_{cR}=0.00 σ_{fR}=0.00
Compressione nel calcestruzzo: σ_c=8.07
CC 19 SLV (Collegamento 0021_-378)
Azioni sul collegamento: N=-3881.26 Ty=1.27 Tz=10.37 Mx=-0.02 Mz=-0.17
Sollecitazioni agenti localmente: Tx_l=1.27 Ty_l=10.37 N_l=-3881.26 Mx_l=-0.00 My_l=-0.17 Mz_l=-0.02
Taglio nei bulloni: Fv,Ed=1.76 Fv,Rd=7720.78
Rifollamento lato piastra: Fb,Ed,p=1.76 Fb,Rd,p=6088.72
Tirafondi:LT=0.45 (0.31) σ_{cR}=0.00 σ_{fR}=0.00
Compressione nel calcestruzzo: σ_c=8.03
CC 19 SLV (Collegamento 0021_-378)
Azioni sul collegamento: N=-3881.26 Ty=3.39 Tz=10.37 Mx=-0.02 Mz=-0.91
Sollecitazioni agenti localmente: Tx_l=3.39 Ty_l=10.37 N_l=-3881.26 Mx_l=-0.00 My_l=-0.91 Mz_l=-0.02
Taglio nei bulloni: Fv,Ed=1.84 Fv,Rd=7720.78
Rifollamento lato piastra: Fb,Ed,p=1.83 Fb,Rd,p=6852.27
Tirafondi:LT=0.45 (0.31) σ_{cR}=0.00 σ_{fR}=0.00
Compressione nel calcestruzzo: σ_c=8.07
CC 19 SLV (Collegamento 0021_-378)
Azioni sul collegamento: N=-9166.69 Ty=1.27 Tz=-9.09 Mx=-0.02 Mz=-0.17
Sollecitazioni agenti localmente: Tx_l=1.27 Ty_l=-9.09 N_l=-9166.69 Mx_l=-0.00 My_l=-0.17 Mz_l=-0.02
Taglio nei bulloni: Fv,Ed=1.55 Fv,Rd=7720.78
Rifollamento lato piastra: Fb,Ed,p=1.55 Fb,Rd,p=6179.83
Tirafondi:LT=0.45 (0.31) σ_{cR}=0.00 σ_{fR}=0.00
Compressione nel calcestruzzo: σ_c=18.95
CC 19 SLV (Collegamento 0021_-378)
Azioni sul collegamento: N=-9166.69 Ty=3.39 Tz=-9.09 Mx=-0.02 Mz=-0.91
Sollecitazioni agenti localmente: Tx_l=3.39 Ty_l=-9.09 N_l=-9166.69 Mx_l=-0.00 My_l=-0.91 Mz_l=-0.02
Taglio nei bulloni: Fv,Ed=1.64 Fv,Rd=7720.78

Rifollamento lato piastra: Fb,Ed,p=1.64 Fb,Rd,p=7274.11
Tirafondi:LT=0.45 (0.31) σ_{cR}=0.00 σ_{fR}=0.00
Compressione nel calcestruzzo: σ_c=18.99
CC 19 SLV (Collegamento 0021_-378)
Azioni sul collegamento: N=-9166.69 Ty=1.27 Tz=10.37 Mx=-0.02 Mz=-0.17
Sollecitazioni agenti localmente: Tx_l=1.27 Ty_l=10.37 N_l=-9166.69 Mx_l=-0.00 My_l=-0.17 Mz_l=-0.02
Taglio nei bulloni: Fv,Ed=1.76 Fv,Rd=7720.78
Rifollamento lato piastra: Fb,Ed,p=1.76 Fb,Rd,p=6088.72
Tirafondi:LT=0.45 (0.31) σ_{cR}=0.00 σ_{fR}=0.00
Compressione nel calcestruzzo: σ_c=18.95
CC 19 SLV (Collegamento 0021_-378)
Azioni sul collegamento: N=-9166.69 Ty=3.39 Tz=10.37 Mx=-0.02 Mz=-0.91
Sollecitazioni agenti localmente: Tx_l=3.39 Ty_l=10.37 N_l=-9166.69 Mx_l=-0.00 My_l=-0.91 Mz_l=-0.02
Taglio nei bulloni: Fv,Ed=1.84 Fv,Rd=7720.78
Rifollamento lato piastra: Fb,Ed,p=1.83 Fb,Rd,p=6852.28
Tirafondi:LT=0.45 (0.31) σ_{cR}=0.00 σ_{fR}=0.00
Compressione nel calcestruzzo: σ_c=18.99
CC 20 SLD (Collegamento 0021_-378)
Azioni sul collegamento: N=-5750.58 Ty=3.50 Tz=-2.19 Mx=-0.01 Mz=1.66
Sollecitazioni agenti localmente: Tx_l=3.50 Ty_l=-2.19 N_l=-5750.58 Mx_l=-0.00 My_l=1.66 Mz_l=-0.01
Taglio nei bulloni: Fv,Ed=0.70 Fv,Rd=9650.97
Rifollamento lato piastra: Fb,Ed,p=0.69 Fb,Rd,p=11628.80
Tirafondi:LT=0.45 (0.31) σ_{cR}=0.00 σ_{fR}=0.00
Compressione nel calcestruzzo: σ_c=11.97
CC 20 SLD (Collegamento 0021_-378)
Azioni sul collegamento: N=-5750.58 Ty=2.85 Tz=-2.19 Mx=-0.01 Mz=1.43
Sollecitazioni agenti localmente: Tx_l=2.85 Ty_l=-2.19 N_l=-5750.58 Mx_l=-0.00 My_l=1.43 Mz_l=-0.01
Taglio nei bulloni: Fv,Ed=0.61 Fv,Rd=9650.97
Rifollamento lato piastra: Fb,Ed,p=0.60 Fb,Rd,p=13208.20
Tirafondi:LT=0.45 (0.31) σ_{cR}=0.00 σ_{fR}=0.00
Compressione nel calcestruzzo: σ_c=11.96
CC 20 SLD (Collegamento 0021_-378)
Azioni sul collegamento: N=-5750.58 Ty=3.50 Tz=3.74 Mx=-0.01 Mz=1.66
Sollecitazioni agenti localmente: Tx_l=3.50 Ty_l=3.74 N_l=-5750.58 Mx_l=-0.00 My_l=1.66 Mz_l=-0.01
Taglio nei bulloni: Fv,Ed=0.87 Fv,Rd=9650.97
Rifollamento lato piastra: Fb,Ed,p=0.85 Fb,Rd,p=14356.40
Tirafondi:LT=0.45 (0.31) σ_{cR}=0.00 σ_{fR}=0.00
Compressione nel calcestruzzo: σ_c=11.97
CC 20 SLD (Collegamento 0021_-378)
Azioni sul collegamento: N=-5750.58 Ty=2.85 Tz=3.74 Mx=-0.01 Mz=1.43
Sollecitazioni agenti localmente: Tx_l=2.85 Ty_l=3.74 N_l=-5750.58 Mx_l=-0.00 My_l=1.43 Mz_l=-0.01
Taglio nei bulloni: Fv,Ed=0.80 Fv,Rd=9650.97
Rifollamento lato piastra: Fb,Ed,p=0.79 Fb,Rd,p=13209.70
Tirafondi:LT=0.45 (0.31) σ_{cR}=0.00 σ_{fR}=0.00
Compressione nel calcestruzzo: σ_c=11.96
CC 20 SLD (Collegamento 0021_-378)
Azioni sul collegamento: N=-7362.28 Ty=3.50 Tz=-2.19 Mx=-0.01 Mz=1.66
Sollecitazioni agenti localmente: Tx_l=3.50 Ty_l=-2.19 N_l=-7362.28 Mx_l=-0.00 My_l=1.66 Mz_l=-0.01
Taglio nei bulloni: Fv,Ed=0.70 Fv,Rd=9650.97
Rifollamento lato piastra: Fb,Ed,p=0.69 Fb,Rd,p=11627.90
Tirafondi:LT=0.45 (0.31) σ_{cR}=0.00 σ_{fR}=0.00
Compressione nel calcestruzzo: σ_c=15.30
CC 20 SLD (Collegamento 0021_-378)
Azioni sul collegamento: N=-7362.28 Ty=2.85 Tz=-2.19 Mx=-0.01 Mz=1.43
Sollecitazioni agenti localmente: Tx_l=2.85 Ty_l=-2.19 N_l=-7362.28 Mx_l=-0.00 My_l=1.43 Mz_l=-0.01
Taglio nei bulloni: Fv,Ed=0.61 Fv,Rd=9650.97
Rifollamento lato piastra: Fb,Ed,p=0.60 Fb,Rd,p=13207.70
Tirafondi:LT=0.45 (0.31) σ_{cR}=0.00 σ_{fR}=0.00
Compressione nel calcestruzzo: σ_c=15.29
CC 20 SLD (Collegamento 0021_-378)
Azioni sul collegamento: N=-7362.28 Ty=3.50 Tz=3.74 Mx=-0.01 Mz=1.66
Sollecitazioni agenti localmente: Tx_l=3.50 Ty_l=3.74 N_l=-7362.28 Mx_l=-0.00 My_l=1.66 Mz_l=-0.01
Taglio nei bulloni: Fv,Ed=0.87 Fv,Rd=9650.97
Rifollamento lato piastra: Fb,Ed,p=0.85 Fb,Rd,p=14356.30
Tirafondi:LT=0.45 (0.31) σ_{cR}=0.00 σ_{fR}=0.00
Compressione nel calcestruzzo: σ_c=15.30
CC 20 SLD (Collegamento 0021_-378)
Azioni sul collegamento: N=-7362.28 Ty=2.85 Tz=3.74 Mx=-0.01 Mz=1.43
Sollecitazioni agenti localmente: Tx_l=2.85 Ty_l=3.74 N_l=-7362.28 Mx_l=-0.00 My_l=1.43 Mz_l=-0.01
Taglio nei bulloni: Fv,Ed=0.80 Fv,Rd=9650.97
Rifollamento lato piastra: Fb,Ed,p=0.79 Fb,Rd,p=13209.60
Tirafondi:LT=0.45 (0.31) σ_{cR}=0.00 σ_{fR}=0.00
Compressione nel calcestruzzo: σ_c=15.29
CC 21 SLV (Collegamento 0021_-378)
Azioni sul collegamento: N=-9166.69 Ty=3.39 Tz=10.37 Mx=-0.02 Mz=-0.91
Sollecitazioni agenti localmente: Tx_l=3.39 Ty_l=10.37 N_l=-9166.69 Mx_l=-0.00 My_l=-0.91 Mz_l=-0.02
Taglio nei bulloni: Fv,Ed=1.84 Fv,Rd=7720.78
Rifollamento lato piastra: Fb,Ed,p=1.83 Fb,Rd,p=6843.13

Tirafondi:LT=0.45 (0.31) σ_{cR}=0.00 σ_{fR}=0.00
Compressione nel calcestruzzo: σ_c=18.99
CC 21 SLV (Collegamento 0021_-378)
Azioni sul collegamento: N=-9166.69 Ty=1.27 Tz=10.37 Mx=-0.02 Mz=-0.17
Sollecitazioni agenti localmente: Tx_l=1.27 Ty_l=10.37 N_l=-9166.69 Mx_l=-0.00 My_l=-0.17 Mz_l=-0.02
Taglio nei bulloni: Fv,Ed=1.76 Fv,Rd=7720.78
Rifollamento lato piastra: Fb,Ed,p=1.76 Fb,Rd,p=6086.02
Tirafondi:LT=0.45 (0.31) σ_{cR}=0.00 σ_{fR}=0.00
Compressione nel calcestruzzo: σ_c=18.95
CC 21 SLV (Collegamento 0021_-378)
Azioni sul collegamento: N=-9166.69 Ty=3.39 Tz=-9.09 Mx=-0.02 Mz=-0.91
Sollecitazioni agenti localmente: Tx_l=3.39 Ty_l=-9.09 N_l=-9166.69 Mx_l=-0.00 My_l=-0.91 Mz_l=-0.02
Taglio nei bulloni: Fv,Ed=1.64 Fv,Rd=7720.78
Rifollamento lato piastra: Fb,Ed,p=1.64 Fb,Rd,p=7280.16
Tirafondi:LT=0.45 (0.31) σ_{cR}=0.00 σ_{fR}=0.00
Compressione nel calcestruzzo: σ_c=18.99
CC 21 SLV (Collegamento 0021_-378)
Azioni sul collegamento: N=-9166.69 Ty=1.27 Tz=-9.09 Mx=-0.02 Mz=-0.17
Sollecitazioni agenti localmente: Tx_l=1.27 Ty_l=-9.09 N_l=-9166.69 Mx_l=-0.00 My_l=-0.17 Mz_l=-0.02
Taglio nei bulloni: Fv,Ed=1.55 Fv,Rd=7720.78
Rifollamento lato piastra: Fb,Ed,p=1.55 Fb,Rd,p=6183.06
Tirafondi:LT=0.45 (0.31) σ_{cR}=0.00 σ_{fR}=0.00
Compressione nel calcestruzzo: σ_c=18.95
CC 21 SLV (Collegamento 0021_-378)
Azioni sul collegamento: N=-3881.26 Ty=3.39 Tz=10.37 Mx=-0.02 Mz=-0.91
Sollecitazioni agenti localmente: Tx_l=3.39 Ty_l=10.37 N_l=-3881.26 Mx_l=-0.00 My_l=-0.91 Mz_l=-0.02
Taglio nei bulloni: Fv,Ed=1.84 Fv,Rd=7720.78
Rifollamento lato piastra: Fb,Ed,p=1.83 Fb,Rd,p=6843.12
Tirafondi:LT=0.45 (0.31) σ_{cR}=0.00 σ_{fR}=0.00
Compressione nel calcestruzzo: σ_c=8.07
CC 21 SLV (Collegamento 0021_-378)
Azioni sul collegamento: N=-3881.26 Ty=1.27 Tz=10.37 Mx=-0.02 Mz=-0.17
Sollecitazioni agenti localmente: Tx_l=1.27 Ty_l=10.37 N_l=-3881.26 Mx_l=-0.00 My_l=-0.17 Mz_l=-0.02
Taglio nei bulloni: Fv,Ed=1.76 Fv,Rd=7720.78
Rifollamento lato piastra: Fb,Ed,p=1.76 Fb,Rd,p=6086.01
Tirafondi:LT=0.45 (0.31) σ_{cR}=0.00 σ_{fR}=0.00
Compressione nel calcestruzzo: σ_c=8.03
CC 21 SLV (Collegamento 0021_-378)
Azioni sul collegamento: N=-3881.26 Ty=3.39 Tz=-9.09 Mx=-0.02 Mz=-0.91
Sollecitazioni agenti localmente: Tx_l=3.39 Ty_l=-9.09 N_l=-3881.26 Mx_l=-0.00 My_l=-0.91 Mz_l=-0.02
Taglio nei bulloni: Fv,Ed=1.64 Fv,Rd=7720.78
Rifollamento lato piastra: Fb,Ed,p=1.64 Fb,Rd,p=7280.13
Tirafondi:LT=0.45 (0.31) σ_{cR}=0.00 σ_{fR}=0.00
Compressione nel calcestruzzo: σ_c=8.07
CC 21 SLV (Collegamento 0021_-378)
Azioni sul collegamento: N=-3881.26 Ty=1.27 Tz=-9.09 Mx=-0.02 Mz=-0.17
Sollecitazioni agenti localmente: Tx_l=1.27 Ty_l=-9.09 N_l=-3881.26 Mx_l=-0.00 My_l=-0.17 Mz_l=-0.02
Taglio nei bulloni: Fv,Ed=1.55 Fv,Rd=7720.78
Rifollamento lato piastra: Fb,Ed,p=1.55 Fb,Rd,p=6183.06
Tirafondi:LT=0.45 (0.31) σ_{cR}=0.00 σ_{fR}=0.00
Compressione nel calcestruzzo: σ_c=8.03
CC 22 SLD (Collegamento 0021_-378)
Azioni sul collegamento: N=-7362.28 Ty=2.85 Tz=3.74 Mx=-0.01 Mz=1.43
Sollecitazioni agenti localmente: Tx_l=2.85 Ty_l=3.74 N_l=-7362.28 Mx_l=-0.00 My_l=1.43 Mz_l=-0.01
Taglio nei bulloni: Fv,Ed=0.80 Fv,Rd=9650.97
Rifollamento lato piastra: Fb,Ed,p=0.79 Fb,Rd,p=13198.20
Tirafondi:LT=0.45 (0.31) σ_{cR}=0.00 σ_{fR}=0.00
Compressione nel calcestruzzo: σ_c=15.29
CC 22 SLD (Collegamento 0021_-378)
Azioni sul collegamento: N=-7362.28 Ty=3.50 Tz=3.74 Mx=-0.01 Mz=1.66
Sollecitazioni agenti localmente: Tx_l=3.50 Ty_l=3.74 N_l=-7362.28 Mx_l=-0.00 My_l=1.66 Mz_l=-0.01
Taglio nei bulloni: Fv,Ed=0.87 Fv,Rd=9650.97
Rifollamento lato piastra: Fb,Ed,p=0.85 Fb,Rd,p=14342.00
Tirafondi:LT=0.45 (0.31) σ_{cR}=0.00 σ_{fR}=0.00
Compressione nel calcestruzzo: σ_c=15.30
CC 22 SLD (Collegamento 0021_-378)
Azioni sul collegamento: N=-7362.28 Ty=2.85 Tz=-2.19 Mx=-0.01 Mz=1.43
Sollecitazioni agenti localmente: Tx_l=2.85 Ty_l=-2.19 N_l=-7362.28 Mx_l=-0.00 My_l=1.43 Mz_l=-0.01
Taglio nei bulloni: Fv,Ed=0.61 Fv,Rd=9650.97
Rifollamento lato piastra: Fb,Ed,p=0.60 Fb,Rd,p=13192.70
Tirafondi:LT=0.45 (0.31) σ_{cR}=0.00 σ_{fR}=0.00
Compressione nel calcestruzzo: σ_c=15.29
CC 22 SLD (Collegamento 0021_-378)
Azioni sul collegamento: N=-7362.28 Ty=3.50 Tz=-2.19 Mx=-0.01 Mz=1.66
Sollecitazioni agenti localmente: Tx_l=3.50 Ty_l=-2.19 N_l=-7362.28 Mx_l=-0.00 My_l=1.66 Mz_l=-0.01
Taglio nei bulloni: Fv,Ed=0.70 Fv,Rd=9650.97
Rifollamento lato piastra: Fb,Ed,p=0.69 Fb,Rd,p=11602.70
Tirafondi:LT=0.45 (0.31) σ_{cR}=0.00 σ_{fR}=0.00

Compressione nel calcestruzzo: σ_c=15.30
CC 22 SLD (Collegamento 0021_-378)
Azioni sul collegamento: N=-5750.58 Ty=2.85 Tz=3.74 Mx=-0.01 Mz=1.43
Sollecitazioni agenti localmente: Tx_l=2.85 Ty_l=3.74 N_l=-5750.58 Mx_l=-0.00 My_l=1.43 Mz_l=-0.01
Taglio nei bulloni: Fv,Ed=0.80 Fv,Rd=9650.97
Rifollamento lato piastra: Fb,Ed,p=0.79 Fb,Rd,p=13198.20
Tirafondi:LT=0.45 (0.31) σ_{cR}=0.00 σ_{fR}=0.00
Compressione nel calcestruzzo: σ_c=11.96
CC 22 SLD (Collegamento 0021_-378)
Azioni sul collegamento: N=-5750.58 Ty=3.50 Tz=3.74 Mx=-0.01 Mz=1.66
Sollecitazioni agenti localmente: Tx_l=3.50 Ty_l=3.74 N_l=-5750.58 Mx_l=-0.00 My_l=1.66 Mz_l=-0.01
Taglio nei bulloni: Fv,Ed=0.87 Fv,Rd=9650.97
Rifollamento lato piastra: Fb,Ed,p=0.85 Fb,Rd,p=14342.10
Tirafondi:LT=0.45 (0.31) σ_{cR}=0.00 σ_{fR}=0.00
Compressione nel calcestruzzo: σ_c=11.97
CC 22 SLD (Collegamento 0021_-378)
Azioni sul collegamento: N=-5750.58 Ty=2.85 Tz=-2.19 Mx=-0.01 Mz=1.43
Sollecitazioni agenti localmente: Tx_l=2.85 Ty_l=-2.19 N_l=-5750.58 Mx_l=-0.00 My_l=1.43 Mz_l=-0.01
Taglio nei bulloni: Fv,Ed=0.61 Fv,Rd=9650.97
Rifollamento lato piastra: Fb,Ed,p=0.60 Fb,Rd,p=13193.20
Tirafondi:LT=0.45 (0.31) σ_{cR}=0.00 σ_{fR}=0.00
Compressione nel calcestruzzo: σ_c=11.96
CC 22 SLD (Collegamento 0021_-378)
Azioni sul collegamento: N=-5750.58 Ty=3.50 Tz=-2.19 Mx=-0.01 Mz=1.66
Sollecitazioni agenti localmente: Tx_l=3.50 Ty_l=-2.19 N_l=-5750.58 Mx_l=-0.00 My_l=1.66 Mz_l=-0.01
Taglio nei bulloni: Fv,Ed=0.70 Fv,Rd=9650.97
Rifollamento lato piastra: Fb,Ed,p=0.69 Fb,Rd,p=11603.60
Tirafondi:LT=0.45 (0.31) σ_{cR}=0.00 σ_{fR}=0.00
Compressione nel calcestruzzo: σ_c=11.97
CC 23 SLV (Collegamento 0021_-378)
Azioni sul collegamento: N=-9172.38 Ty=4.02 Tz=10.50 Mx=-0.01 Mz=-2.16
Sollecitazioni agenti localmente: Tx_l=4.02 Ty_l=10.50 N_l=-9172.38 Mx_l=-0.00 My_l=-2.16 Mz_l=-0.01
Taglio nei bulloni: Fv,Ed=1.89 Fv,Rd=7720.78
Rifollamento lato piastra: Fb,Ed,p=1.88 Fb,Rd,p=7212.50
Tirafondi:LT=0.45 (0.31) σ_{cR}=0.00 σ_{fR}=0.00
Compressione nel calcestruzzo: σ_c=19.07
CC 23 SLV (Collegamento 0021_-378)
Azioni sul collegamento: N=-9172.38 Ty=0.64 Tz=10.50 Mx=-0.01 Mz=1.09
Sollecitazioni agenti localmente: Tx_l=0.64 Ty_l=10.50 N_l=-9172.38 Mx_l=-0.00 My_l=1.09 Mz_l=-0.01
Taglio nei bulloni: Fv,Ed=1.77 Fv,Rd=7720.78
Rifollamento lato piastra: Fb,Ed,p=1.77 Fb,Rd,p=6003.07
Tirafondi:LT=0.45 (0.31) σ_{cR}=0.00 σ_{fR}=0.00
Compressione nel calcestruzzo: σ_c=19.01
CC 23 SLV (Collegamento 0021_-378)
Azioni sul collegamento: N=-9172.38 Ty=4.02 Tz=-9.21 Mx=-0.01 Mz=-2.16
Sollecitazioni agenti localmente: Tx_l=4.02 Ty_l=-9.21 N_l=-9172.38 Mx_l=-0.00 My_l=-2.16 Mz_l=-0.01
Taglio nei bulloni: Fv,Ed=1.69 Fv,Rd=7720.78
Rifollamento lato piastra: Fb,Ed,p=1.69 Fb,Rd,p=7734.29
Tirafondi:LT=0.45 (0.31) σ_{cR}=0.00 σ_{fR}=0.00
Compressione nel calcestruzzo: σ_c=19.07
CC 23 SLV (Collegamento 0021_-378)
Azioni sul collegamento: N=-9172.38 Ty=0.64 Tz=-9.21 Mx=-0.01 Mz=1.09
Sollecitazioni agenti localmente: Tx_l=0.64 Ty_l=-9.21 N_l=-9172.38 Mx_l=-0.00 My_l=1.09 Mz_l=-0.01
Taglio nei bulloni: Fv,Ed=1.56 Fv,Rd=7720.78
Rifollamento lato piastra: Fb,Ed,p=1.56 Fb,Rd,p=6033.64
Tirafondi:LT=0.45 (0.31) σ_{cR}=0.00 σ_{fR}=0.00
Compressione nel calcestruzzo: σ_c=19.01
CC 23 SLV (Collegamento 0021_-378)
Azioni sul collegamento: N=-3875.57 Ty=4.02 Tz=10.50 Mx=-0.01 Mz=-2.16
Sollecitazioni agenti localmente: Tx_l=4.02 Ty_l=10.50 N_l=-3875.57 Mx_l=-0.00 My_l=-2.16 Mz_l=-0.01
Taglio nei bulloni: Fv,Ed=1.89 Fv,Rd=7720.78
Rifollamento lato piastra: Fb,Ed,p=1.88 Fb,Rd,p=7212.55
Tirafondi:LT=0.45 (0.31) σ_{cR}=0.00 σ_{fR}=0.00
Compressione nel calcestruzzo: σ_c=8.13
CC 23 SLV (Collegamento 0021_-378)
Azioni sul collegamento: N=-3875.57 Ty=0.64 Tz=10.50 Mx=-0.01 Mz=1.09
Sollecitazioni agenti localmente: Tx_l=0.64 Ty_l=10.50 N_l=-3875.57 Mx_l=-0.00 My_l=1.09 Mz_l=-0.01
Taglio nei bulloni: Fv,Ed=1.77 Fv,Rd=7720.78
Rifollamento lato piastra: Fb,Ed,p=1.77 Fb,Rd,p=6003.07
Tirafondi:LT=0.45 (0.31) σ_{cR}=0.00 σ_{fR}=0.00
Compressione nel calcestruzzo: σ_c=8.07
CC 23 SLV (Collegamento 0021_-378)
Azioni sul collegamento: N=-3875.57 Ty=4.02 Tz=-9.21 Mx=-0.01 Mz=-2.16
Sollecitazioni agenti localmente: Tx_l=4.02 Ty_l=-9.21 N_l=-3875.57 Mx_l=-0.00 My_l=-2.16 Mz_l=-0.01
Taglio nei bulloni: Fv,Ed=1.70 Fv,Rd=7720.78
Rifollamento lato piastra: Fb,Ed,p=1.70 Fb,Rd,p=7734.12
Tirafondi:LT=0.45 (0.31) σ_{cR}=0.00 σ_{fR}=0.00
Compressione nel calcestruzzo: σ_c=8.13

CC 23 SLV (Collegamento 0021_-378)
Azioni sul collegamento: N=-3875.57 Ty=0.64 Tz=-9.21 Mx=-0.01 Mz=1.09
Sollecitazioni agenti localmente: Tx_l=0.64 Ty_l=-9.21 N_l=-3875.57 Mx_l=-0.00 My_l=1.09 Mz_l=-0.01
Taglio nei bulloni: Fv,Ed=1.56 Fv,Rd=7720.78
Rifollamento lato piastra: Fb,Ed,p=1.56 Fb,Rd,p=6033.63
Tirafondi:LT=0.45 (0.31) σ_{cR}=0.00 σ_{fR}=0.00
Compressione nel calcestruzzo: σ_c=8.07
CC 24 SLD (Collegamento 0021_-378)
Azioni sul collegamento: N=-7364.01 Ty=2.66 Tz=3.78 Mx=-0.01 Mz=1.05
Sollecitazioni agenti localmente: Tx_l=2.66 Ty_l=3.78 N_l=-7364.01 Mx_l=-0.00 My_l=1.05 Mz_l=-0.01
Taglio nei bulloni: Fv,Ed=0.78 Fv,Rd=9650.97
Rifollamento lato piastra: Fb,Ed,p=0.77 Fb,Rd,p=12814.80
Tirafondi:LT=0.45 (0.31) σ_{cR}=0.00 σ_{fR}=0.00
Compressione nel calcestruzzo: σ_c=15.27
CC 24 SLD (Collegamento 0021_-378)
Azioni sul collegamento: N=-7364.01 Ty=3.69 Tz=3.78 Mx=-0.01 Mz=2.04
Sollecitazioni agenti localmente: Tx_l=3.69 Ty_l=3.78 N_l=-7364.01 Mx_l=-0.00 My_l=2.04 Mz_l=-0.01
Taglio nei bulloni: Fv,Ed=0.89 Fv,Rd=9650.97
Rifollamento lato piastra: Fb,Ed,p=0.88 Fb,Rd,p=14675.70
Tirafondi:LT=0.45 (0.31) σ_{cR}=0.00 σ_{fR}=0.00
Compressione nel calcestruzzo: σ_c=15.33
CC 24 SLD (Collegamento 0021_-378)
Azioni sul collegamento: N=-7364.01 Ty=2.66 Tz=-2.23 Mx=-0.01 Mz=1.05
Sollecitazioni agenti localmente: Tx_l=2.66 Ty_l=-2.23 N_l=-7364.01 Mx_l=-0.00 My_l=1.05 Mz_l=-0.01
Taglio nei bulloni: Fv,Ed=0.59 Fv,Rd=9650.97
Rifollamento lato piastra: Fb,Ed,p=0.58 Fb,Rd,p=13670.30
Tirafondi:LT=0.45 (0.31) σ_{cR}=0.00 σ_{fR}=0.00
Compressione nel calcestruzzo: σ_c=15.27
CC 24 SLD (Collegamento 0021_-378)
Azioni sul collegamento: N=-7364.01 Ty=3.69 Tz=-2.23 Mx=-0.01 Mz=2.04
Sollecitazioni agenti localmente: Tx_l=3.69 Ty_l=-2.23 N_l=-7364.01 Mx_l=-0.00 My_l=2.04 Mz_l=-0.01
Taglio nei bulloni: Fv,Ed=0.73 Fv,Rd=9650.97
Rifollamento lato piastra: Fb,Ed,p=0.72 Fb,Rd,p=11376.20
Tirafondi:LT=0.45 (0.31) σ_{cR}=0.00 σ_{fR}=0.00
Compressione nel calcestruzzo: σ_c=15.33
CC 24 SLD (Collegamento 0021_-378)
Azioni sul collegamento: N=-5748.85 Ty=2.66 Tz=3.78 Mx=-0.01 Mz=1.05
Sollecitazioni agenti localmente: Tx_l=2.66 Ty_l=3.78 N_l=-5748.85 Mx_l=-0.00 My_l=1.05 Mz_l=-0.01
Taglio nei bulloni: Fv,Ed=0.78 Fv,Rd=9650.97
Rifollamento lato piastra: Fb,Ed,p=0.77 Fb,Rd,p=12814.50
Tirafondi:LT=0.45 (0.31) σ_{cR}=0.00 σ_{fR}=0.00
Compressione nel calcestruzzo: σ_c=11.94
CC 24 SLD (Collegamento 0021_-378)
Azioni sul collegamento: N=-5748.85 Ty=3.69 Tz=3.78 Mx=-0.01 Mz=2.04
Sollecitazioni agenti localmente: Tx_l=3.69 Ty_l=3.78 N_l=-5748.85 Mx_l=-0.00 My_l=2.04 Mz_l=-0.01
Taglio nei bulloni: Fv,Ed=0.89 Fv,Rd=9650.97
Rifollamento lato piastra: Fb,Ed,p=0.88 Fb,Rd,p=14675.60
Tirafondi:LT=0.45 (0.31) σ_{cR}=0.00 σ_{fR}=0.00
Compressione nel calcestruzzo: σ_c=11.99
CC 24 SLD (Collegamento 0021_-378)
Azioni sul collegamento: N=-5748.85 Ty=2.66 Tz=-2.23 Mx=-0.01 Mz=1.05
Sollecitazioni agenti localmente: Tx_l=2.66 Ty_l=-2.23 N_l=-5748.85 Mx_l=-0.00 My_l=1.05 Mz_l=-0.01
Taglio nei bulloni: Fv,Ed=0.59 Fv,Rd=9650.97
Rifollamento lato piastra: Fb,Ed,p=0.58 Fb,Rd,p=13670.10
Tirafondi:LT=0.45 (0.31) σ_{cR}=0.00 σ_{fR}=0.00
Compressione nel calcestruzzo: σ_c=11.94
CC 24 SLD (Collegamento 0021_-378)
Azioni sul collegamento: N=-5748.85 Ty=3.69 Tz=-2.23 Mx=-0.01 Mz=2.04
Sollecitazioni agenti localmente: Tx_l=3.69 Ty_l=-2.23 N_l=-5748.85 Mx_l=-0.00 My_l=2.04 Mz_l=-0.01
Taglio nei bulloni: Fv,Ed=0.73 Fv,Rd=9650.97
Rifollamento lato piastra: Fb,Ed,p=0.72 Fb,Rd,p=11375.80
Tirafondi:LT=0.45 (0.31) σ_{cR}=0.00 σ_{fR}=0.00
Compressione nel calcestruzzo: σ_c=11.99
CC 25 SLV (Collegamento 0021_-378)
Azioni sul collegamento: N=-5720.83 Ty=0.86 Tz=-2.51 Mx=-0.03 Mz=1.85
Sollecitazioni agenti localmente: Tx_l=0.86 Ty_l=-2.51 N_l=-5720.83 Mx_l=-0.00 My_l=1.85 Mz_l=-0.03
Taglio nei bulloni: Fv,Ed=0.48 Fv,Rd=7720.78
Rifollamento lato piastra: Fb,Ed,p=0.48 Fb,Rd,p=7311.54
Tirafondi:LT=0.45 (0.31) σ_{cR}=0.00 σ_{fR}=0.00
Compressione nel calcestruzzo: σ_c=11.92
CC 25 SLV (Collegamento 0021_-378)
Azioni sul collegamento: N=-5720.83 Ty=3.80 Tz=-2.51 Mx=-0.03 Mz=-2.93
Sollecitazioni agenti localmente: Tx_l=3.80 Ty_l=-2.51 N_l=-5720.83 Mx_l=-0.00 My_l=-2.93 Mz_l=-0.03
Taglio nei bulloni: Fv,Ed=0.80 Fv,Rd=7720.78
Rifollamento lato piastra: Fb,Ed,p=0.77 Fb,Rd,p=9125.42
Tirafondi:LT=0.45 (0.31) σ_{cR}=0.00 σ_{fR}=0.00
Compressione nel calcestruzzo: σ_c=11.98
CC 25 SLV (Collegamento 0021_-378)

Azioni sul collegamento: N=-5720.83 Ty=0.86 Tz=3.80 Mx=-0.03 Mz=1.85
Sollecitazioni agenti localmente: Tx_l=0.86 Ty_l=3.80 N_l=-5720.83 Mx_l=-0.00 My_l=1.85 Mz_l=-0.03
Taglio nei bulloni: Fv,Ed=0.68 Fv,Rd=7720.78
Rifollamento lato piastra: Fb,Ed,p=0.67 Fb,Rd,p=6247.73
Tirafondi:LT=0.45 (0.31) σ_{cR}=0.00 σ_{fR}=0.00
Compressione nel calcestruzzo: σ_c=11.92
CC 25 SLV (Collegamento 0021_-378)
Azioni sul collegamento: N=-5720.83 Ty=3.80 Tz=3.80 Mx=-0.03 Mz=-2.93
Sollecitazioni agenti localmente: Tx_l=3.80 Ty_l=3.80 N_l=-5720.83 Mx_l=-0.00 My_l=-2.93 Mz_l=-0.03
Taglio nei bulloni: Fv,Ed=0.94 Fv,Rd=7720.78
Rifollamento lato piastra: Fb,Ed,p=0.94 Fb,Rd,p=12018.30
Tirafondi:LT=0.45 (0.31) σ_{cR}=0.00 σ_{fR}=0.00
Compressione nel calcestruzzo: σ_c=11.98
CC 25 SLV (Collegamento 0021_-378)
Azioni sul collegamento: N=-7327.12 Ty=0.86 Tz=-2.51 Mx=-0.03 Mz=1.85
Sollecitazioni agenti localmente: Tx_l=0.86 Ty_l=-2.51 N_l=-7327.12 Mx_l=-0.00 My_l=1.85 Mz_l=-0.03
Taglio nei bulloni: Fv,Ed=0.48 Fv,Rd=7720.78
Rifollamento lato piastra: Fb,Ed,p=0.48 Fb,Rd,p=7311.64
Tirafondi:LT=0.45 (0.31) σ_{cR}=0.00 σ_{fR}=0.00
Compressione nel calcestruzzo: σ_c=15.24
CC 25 SLV (Collegamento 0021_-378)
Azioni sul collegamento: N=-7327.12 Ty=3.80 Tz=-2.51 Mx=-0.03 Mz=-2.93
Sollecitazioni agenti localmente: Tx_l=3.80 Ty_l=-2.51 N_l=-7327.12 Mx_l=-0.00 My_l=-2.93 Mz_l=-0.03
Taglio nei bulloni: Fv,Ed=0.80 Fv,Rd=7720.78
Rifollamento lato piastra: Fb,Ed,p=0.77 Fb,Rd,p=9125.14
Tirafondi:LT=0.45 (0.31) σ_{cR}=0.00 σ_{fR}=0.00
Compressione nel calcestruzzo: σ_c=15.30
CC 25 SLV (Collegamento 0021_-378)
Azioni sul collegamento: N=-7327.12 Ty=0.86 Tz=3.80 Mx=-0.03 Mz=1.85
Sollecitazioni agenti localmente: Tx_l=0.86 Ty_l=3.80 N_l=-7327.12 Mx_l=-0.00 My_l=1.85 Mz_l=-0.03
Taglio nei bulloni: Fv,Ed=0.68 Fv,Rd=7720.78
Rifollamento lato piastra: Fb,Ed,p=0.67 Fb,Rd,p=6247.71
Tirafondi:LT=0.45 (0.31) σ_{cR}=0.00 σ_{fR}=0.00
Compressione nel calcestruzzo: σ_c=15.24
CC 25 SLV (Collegamento 0021_-378)
Azioni sul collegamento: N=-7327.12 Ty=3.80 Tz=3.80 Mx=-0.03 Mz=-2.93
Sollecitazioni agenti localmente: Tx_l=3.80 Ty_l=3.80 N_l=-7327.12 Mx_l=-0.00 My_l=-2.93 Mz_l=-0.03
Taglio nei bulloni: Fv,Ed=0.94 Fv,Rd=7720.78
Rifollamento lato piastra: Fb,Ed,p=0.94 Fb,Rd,p=12018.40
Tirafondi:LT=0.45 (0.31) σ_{cR}=0.00 σ_{fR}=0.00
Compressione nel calcestruzzo: σ_c=15.30
CC 26 SLD (Collegamento 0021_-378)
Azioni sul collegamento: N=-6311.53 Ty=3.62 Tz=-0.19 Mx=-0.01 Mz=2.27
Sollecitazioni agenti localmente: Tx_l=3.62 Ty_l=-0.19 N_l=-6311.53 Mx_l=-0.00 My_l=2.27 Mz_l=-0.01
Taglio nei bulloni: Fv,Ed=0.62 Fv,Rd=9650.97
Rifollamento lato piastra: Fb,Ed,p=0.62 Fb,Rd,p=7485.42
Tirafondi:LT=0.45 (0.31) σ_{cR}=0.00 σ_{fR}=0.00
Compressione nel calcestruzzo: σ_c=13.17
CC 26 SLD (Collegamento 0021_-378)
Azioni sul collegamento: N=-6311.53 Ty=2.73 Tz=-0.19 Mx=-0.01 Mz=0.81
Sollecitazioni agenti localmente: Tx_l=2.73 Ty_l=-0.19 N_l=-6311.53 Mx_l=-0.00 My_l=0.81 Mz_l=-0.01
Taglio nei bulloni: Fv,Ed=0.47 Fv,Rd=9650.97
Rifollamento lato piastra: Fb,Ed,p=0.47 Fb,Rd,p=7493.95
Tirafondi:LT=0.45 (0.31) σ_{cR}=0.00 σ_{fR}=0.00
Compressione nel calcestruzzo: σ_c=13.09
CC 26 SLD (Collegamento 0021_-378)
Azioni sul collegamento: N=-6311.53 Ty=3.62 Tz=1.73 Mx=-0.01 Mz=2.27
Sollecitazioni agenti localmente: Tx_l=3.62 Ty_l=1.73 N_l=-6311.53 Mx_l=-0.00 My_l=2.27 Mz_l=-0.01
Taglio nei bulloni: Fv,Ed=0.68 Fv,Rd=9650.97
Rifollamento lato piastra: Fb,Ed,p=0.68 Fb,Rd,p=10166.90
Tirafondi:LT=0.45 (0.31) σ_{cR}=0.00 σ_{fR}=0.00
Compressione nel calcestruzzo: σ_c=13.17
CC 26 SLD (Collegamento 0021_-378)
Azioni sul collegamento: N=-6311.53 Ty=2.73 Tz=1.73 Mx=-0.01 Mz=0.81
Sollecitazioni agenti localmente: Tx_l=2.73 Ty_l=1.73 N_l=-6311.53 Mx_l=-0.00 My_l=0.81 Mz_l=-0.01
Taglio nei bulloni: Fv,Ed=0.55 Fv,Rd=9650.97
Rifollamento lato piastra: Fb,Ed,p=0.55 Fb,Rd,p=12218.30
Tirafondi:LT=0.45 (0.31) σ_{cR}=0.00 σ_{fR}=0.00
Compressione nel calcestruzzo: σ_c=13.09
CC 26 SLD (Collegamento 0021_-378)
Azioni sul collegamento: N=-6801.33 Ty=3.62 Tz=-0.19 Mx=-0.01 Mz=2.27
Sollecitazioni agenti localmente: Tx_l=3.62 Ty_l=-0.19 N_l=-6801.33 Mx_l=-0.00 My_l=2.27 Mz_l=-0.01
Taglio nei bulloni: Fv,Ed=0.62 Fv,Rd=9650.97
Rifollamento lato piastra: Fb,Ed,p=0.62 Fb,Rd,p=7485.50
Tirafondi:LT=0.45 (0.31) σ_{cR}=0.00 σ_{fR}=0.00
Compressione nel calcestruzzo: σ_c=14.18
CC 26 SLD (Collegamento 0021_-378)
Azioni sul collegamento: N=-6801.33 Ty=2.73 Tz=-0.19 Mx=-0.01 Mz=0.81

Sollecitazioni agenti localmente: Tx_l=2.73 Ty_l=-0.19 N_l=-6801.33 Mx_l=-0.00 My_l=0.81 Mz_l=-0.01
Taglio nei bulloni: Fv,Ed=0.47 Fv,Rd=9650.97
Rifollamento lato piastra: Fb,Ed,p=0.47 Fb,Rd,p=7494.08
Tirafondi:LT=0.45 (0.31) σ_{cR}=0.00 σ_{fR}=0.00
Compressione nel calcestruzzo: σ_c=14.10
CC 26 SLD (Collegamento 0021_-378)
Azioni sul collegamento: N=-6801.33 Ty=3.62 Tz=1.73 Mx=-0.01 Mz=2.27
Sollecitazioni agenti localmente: Tx_l=3.62 Ty_l=1.73 N_l=-6801.33 Mx_l=-0.00 My_l=2.27 Mz_l=-0.01
Taglio nei bulloni: Fv,Ed=0.68 Fv,Rd=9650.97
Rifollamento lato piastra: Fb,Ed,p=0.68 Fb,Rd,p=10166.70
Tirafondi:LT=0.45 (0.31) σ_{cR}=0.00 σ_{fR}=0.00
Compressione nel calcestruzzo: σ_c=14.18
CC 26 SLD (Collegamento 0021_-378)
Azioni sul collegamento: N=-6801.33 Ty=2.73 Tz=1.73 Mx=-0.01 Mz=0.81
Sollecitazioni agenti localmente: Tx_l=2.73 Ty_l=1.73 N_l=-6801.33 Mx_l=-0.00 My_l=0.81 Mz_l=-0.01
Taglio nei bulloni: Fv,Ed=0.55 Fv,Rd=9650.97
Rifollamento lato piastra: Fb,Ed,p=0.55 Fb,Rd,p=12217.90
Tirafondi:LT=0.45 (0.31) σ_{cR}=0.00 σ_{fR}=0.00
Compressione nel calcestruzzo: σ_c=14.10
CC 27 SLV (Collegamento 0021_-378)
Azioni sul collegamento: N=-7308.17 Ty=1.68 Tz=3.37 Mx=-0.02 Mz=1.26
Sollecitazioni agenti localmente: Tx_l=1.68 Ty_l=3.37 N_l=-7308.17 Mx_l=-0.00 My_l=1.26 Mz_l=-0.02
Taglio nei bulloni: Fv,Ed=0.66 Fv,Rd=7720.78
Rifollamento lato piastra: Fb,Ed,p=0.64 Fb,Rd,p=7639.98
Tirafondi:LT=0.45 (0.31) σ_{cR}=0.00 σ_{fR}=0.00
Compressione nel calcestruzzo: σ_c=15.17
CC 27 SLV (Collegamento 0021_-378)
Azioni sul collegamento: N=-7308.17 Ty=2.97 Tz=3.37 Mx=-0.02 Mz=-2.33
Sollecitazioni agenti localmente: Tx_l=2.97 Ty_l=3.37 N_l=-7308.17 Mx_l=-0.00 My_l=-2.33 Mz_l=-0.02
Taglio nei bulloni: Fv,Ed=0.79 Fv,Rd=7720.78
Rifollamento lato piastra: Fb,Ed,p=0.75 Fb,Rd,p=10854.00
Tirafondi:LT=0.45 (0.31) σ_{cR}=0.00 σ_{fR}=0.00
Compressione nel calcestruzzo: σ_c=15.23
CC 27 SLV (Collegamento 0021_-378)
Azioni sul collegamento: N=-7308.17 Ty=1.68 Tz=-2.08 Mx=-0.02 Mz=1.26
Sollecitazioni agenti localmente: Tx_l=1.68 Ty_l=-2.08 N_l=-7308.17 Mx_l=-0.00 My_l=1.26 Mz_l=-0.02
Taglio nei bulloni: Fv,Ed=0.48 Fv,Rd=7720.78
Rifollamento lato piastra: Fb,Ed,p=0.48 Fb,Rd,p=11013.50
Tirafondi:LT=0.45 (0.31) σ_{cR}=0.00 σ_{fR}=0.00
Compressione nel calcestruzzo: σ_c=15.17
CC 27 SLV (Collegamento 0021_-378)
Azioni sul collegamento: N=-7308.17 Ty=2.97 Tz=-2.08 Mx=-0.02 Mz=-2.33
Sollecitazioni agenti localmente: Tx_l=2.97 Ty_l=-2.08 N_l=-7308.17 Mx_l=-0.00 My_l=-2.33 Mz_l=-0.02
Taglio nei bulloni: Fv,Ed=0.64 Fv,Rd=7720.78
Rifollamento lato piastra: Fb,Ed,p=0.61 Fb,Rd,p=9360.30
Tirafondi:LT=0.45 (0.31) σ_{cR}=0.00 σ_{fR}=0.00
Compressione nel calcestruzzo: σ_c=15.23
CC 27 SLV (Collegamento 0021_-378)
Azioni sul collegamento: N=-5739.78 Ty=1.68 Tz=3.37 Mx=-0.02 Mz=1.26
Sollecitazioni agenti localmente: Tx_l=1.68 Ty_l=3.37 N_l=-5739.78 Mx_l=-0.00 My_l=1.26 Mz_l=-0.02
Taglio nei bulloni: Fv,Ed=0.67 Fv,Rd=7720.78
Rifollamento lato piastra: Fb,Ed,p=0.64 Fb,Rd,p=7639.95
Tirafondi:LT=0.45 (0.31) σ_{cR}=0.00 σ_{fR}=0.00
Compressione nel calcestruzzo: σ_c=11.93
CC 27 SLV (Collegamento 0021_-378)
Azioni sul collegamento: N=-5739.78 Ty=2.97 Tz=3.37 Mx=-0.02 Mz=-2.33
Sollecitazioni agenti localmente: Tx_l=2.97 Ty_l=3.37 N_l=-5739.78 Mx_l=-0.00 My_l=-2.33 Mz_l=-0.02
Taglio nei bulloni: Fv,Ed=0.79 Fv,Rd=7720.78
Rifollamento lato piastra: Fb,Ed,p=0.75 Fb,Rd,p=10854.00
Tirafondi:LT=0.45 (0.31) σ_{cR}=0.00 σ_{fR}=0.00
Compressione nel calcestruzzo: σ_c=11.99
CC 27 SLV (Collegamento 0021_-378)
Azioni sul collegamento: N=-5739.78 Ty=1.68 Tz=-2.08 Mx=-0.02 Mz=1.26
Sollecitazioni agenti localmente: Tx_l=1.68 Ty_l=-2.08 N_l=-5739.78 Mx_l=-0.00 My_l=1.26 Mz_l=-0.02
Taglio nei bulloni: Fv,Ed=0.48 Fv,Rd=7720.78
Rifollamento lato piastra: Fb,Ed,p=0.48 Fb,Rd,p=11013.90
Tirafondi:LT=0.45 (0.31) σ_{cR}=0.00 σ_{fR}=0.00
Compressione nel calcestruzzo: σ_c=11.93
CC 27 SLV (Collegamento 0021_-378)
Azioni sul collegamento: N=-5739.78 Ty=2.97 Tz=-2.08 Mx=-0.02 Mz=-2.33
Sollecitazioni agenti localmente: Tx_l=2.97 Ty_l=-2.08 N_l=-5739.78 Mx_l=-0.00 My_l=-2.33 Mz_l=-0.02
Taglio nei bulloni: Fv,Ed=0.64 Fv,Rd=7720.78
Rifollamento lato piastra: Fb,Ed,p=0.61 Fb,Rd,p=9359.51
Tirafondi:LT=0.45 (0.31) σ_{cR}=0.00 σ_{fR}=0.00
Compressione nel calcestruzzo: σ_c=11.99
CC 28 SLD (Collegamento 0021_-378)
Azioni sul collegamento: N=-6795.56 Ty=3.37 Tz=1.60 Mx=-0.01 Mz=2.09
Sollecitazioni agenti localmente: Tx_l=3.37 Ty_l=1.60 N_l=-6795.56 Mx_l=-0.00 My_l=2.09 Mz_l=-0.01

Taglio nei bulloni: Fv,Ed=0.64 Fv,Rd=9650.97
Rifollamento lato piastra: Fb,Ed,p=0.64 Fb,Rd,p=10139.00
Tirafondi:LT=0.45 (0.31) σ_{cR}=0.00 σ_{fR}=0.00
Compressione nel calcestruzzo: σ_c=14.16
CC 28 SLD (Collegamento 0021_-378)
Azioni sul collegamento: N=-6795.56 Ty=2.98 Tz=1.60 Mx=-0.01 Mz=1.00
Sollecitazioni agenti localmente: Tx_l=2.98 Ty_l=1.60 N_l=-6795.56 Mx_l=-0.00 My_l=1.00 Mz_l=-0.01
Taglio nei bulloni: Fv,Ed=0.58 Fv,Rd=9650.97
Rifollamento lato piastra: Fb,Ed,p=0.58 Fb,Rd,p=10885.20
Tirafondi:LT=0.45 (0.31) σ_{cR}=0.00 σ_{fR}=0.00
Compressione nel calcestruzzo: σ_c=14.10
CC 28 SLD (Collegamento 0021_-378)
Azioni sul collegamento: N=-6795.56 Ty=3.37 Tz=-0.06 Mx=-0.01 Mz=2.09
Sollecitazioni agenti localmente: Tx_l=3.37 Ty_l=-0.06 N_l=-6795.56 Mx_l=-0.00 My_l=2.09 Mz_l=-0.01
Taglio nei bulloni: Fv,Ed=0.57 Fv,Rd=9650.97
Rifollamento lato piastra: Fb,Ed,p=0.57 Fb,Rd,p=7474.04
Tirafondi:LT=0.45 (0.31) σ_{cR}=0.00 σ_{fR}=0.00
Compressione nel calcestruzzo: σ_c=14.16
CC 28 SLD (Collegamento 0021_-378)
Azioni sul collegamento: N=-6795.56 Ty=2.98 Tz=-0.06 Mx=-0.01 Mz=1.00
Sollecitazioni agenti localmente: Tx_l=2.98 Ty_l=-0.06 N_l=-6795.56 Mx_l=-0.00 My_l=1.00 Mz_l=-0.01
Taglio nei bulloni: Fv,Ed=0.51 Fv,Rd=9650.97
Rifollamento lato piastra: Fb,Ed,p=0.51 Fb,Rd,p=7474.08
Tirafondi:LT=0.45 (0.31) σ_{cR}=0.00 σ_{fR}=0.00
Compressione nel calcestruzzo: σ_c=14.10
CC 28 SLD (Collegamento 0021_-378)
Azioni sul collegamento: N=-6317.30 Ty=3.37 Tz=1.60 Mx=-0.01 Mz=2.09
Sollecitazioni agenti localmente: Tx_l=3.37 Ty_l=1.60 N_l=-6317.30 Mx_l=-0.00 My_l=2.09 Mz_l=-0.01
Taglio nei bulloni: Fv,Ed=0.64 Fv,Rd=9650.97
Rifollamento lato piastra: Fb,Ed,p=0.64 Fb,Rd,p=10139.40
Tirafondi:LT=0.45 (0.31) σ_{cR}=0.00 σ_{fR}=0.00
Compressione nel calcestruzzo: σ_c=13.17
CC 28 SLD (Collegamento 0021_-378)
Azioni sul collegamento: N=-6317.30 Ty=2.98 Tz=1.60 Mx=-0.01 Mz=1.00
Sollecitazioni agenti localmente: Tx_l=2.98 Ty_l=1.60 N_l=-6317.30 Mx_l=-0.00 My_l=1.00 Mz_l=-0.01
Taglio nei bulloni: Fv,Ed=0.58 Fv,Rd=9650.97
Rifollamento lato piastra: Fb,Ed,p=0.58 Fb,Rd,p=10885.60
Tirafondi:LT=0.45 (0.31) σ_{cR}=0.00 σ_{fR}=0.00
Compressione nel calcestruzzo: σ_c=13.11
CC 28 SLD (Collegamento 0021_-378)
Azioni sul collegamento: N=-6317.30 Ty=3.37 Tz=-0.06 Mx=-0.01 Mz=2.09
Sollecitazioni agenti localmente: Tx_l=3.37 Ty_l=-0.06 N_l=-6317.30 Mx_l=-0.00 My_l=2.09 Mz_l=-0.01
Taglio nei bulloni: Fv,Ed=0.57 Fv,Rd=9650.97
Rifollamento lato piastra: Fb,Ed,p=0.57 Fb,Rd,p=7474.04
Tirafondi:LT=0.45 (0.31) σ_{cR}=0.00 σ_{fR}=0.00
Compressione nel calcestruzzo: σ_c=13.17
CC 28 SLD (Collegamento 0021_-378)
Azioni sul collegamento: N=-6317.30 Ty=2.98 Tz=-0.06 Mx=-0.01 Mz=1.00
Sollecitazioni agenti localmente: Tx_l=2.98 Ty_l=-0.06 N_l=-6317.30 Mx_l=-0.00 My_l=1.00 Mz_l=-0.01
Taglio nei bulloni: Fv,Ed=0.51 Fv,Rd=9650.97
Rifollamento lato piastra: Fb,Ed,p=0.51 Fb,Rd,p=7474.07
Tirafondi:LT=0.45 (0.31) σ_{cR}=0.00 σ_{fR}=0.00
Compressione nel calcestruzzo: σ_c=13.11
CC 29 SLV (Collegamento 0021_-378)
Azioni sul collegamento: N=-5739.78 Ty=2.97 Tz=-2.08 Mx=-0.01 Mz=-2.33
Sollecitazioni agenti localmente: Tx_l=2.97 Ty_l=-2.08 N_l=-5739.78 Mx_l=-0.00 My_l=-2.33 Mz_l=-0.01
Taglio nei bulloni: Fv,Ed=0.62 Fv,Rd=7720.78
Rifollamento lato piastra: Fb,Ed,p=0.61 Fb,Rd,p=9995.14
Tirafondi:LT=0.45 (0.31) σ_{cR}=0.00 σ_{fR}=0.00
Compressione nel calcestruzzo: σ_c=11.99
CC 29 SLV (Collegamento 0021_-378)
Azioni sul collegamento: N=-5739.78 Ty=1.68 Tz=-2.08 Mx=-0.01 Mz=1.26
Sollecitazioni agenti localmente: Tx_l=1.68 Ty_l=-2.08 N_l=-5739.78 Mx_l=-0.00 My_l=1.26 Mz_l=-0.01
Taglio nei bulloni: Fv,Ed=0.46 Fv,Rd=7720.78
Rifollamento lato piastra: Fb,Ed,p=0.46 Fb,Rd,p=10969.20
Tirafondi:LT=0.45 (0.31) σ_{cR}=0.00 σ_{fR}=0.00
Compressione nel calcestruzzo: σ_c=11.93
CC 29 SLV (Collegamento 0021_-378)
Azioni sul collegamento: N=-5739.78 Ty=2.97 Tz=3.37 Mx=-0.01 Mz=-2.33
Sollecitazioni agenti localmente: Tx_l=2.97 Ty_l=3.37 N_l=-5739.78 Mx_l=-0.00 My_l=-2.33 Mz_l=-0.01
Taglio nei bulloni: Fv,Ed=0.76 Fv,Rd=7720.78
Rifollamento lato piastra: Fb,Ed,p=0.75 Fb,Rd,p=11138.90
Tirafondi:LT=0.45 (0.31) σ_{cR}=0.00 σ_{fR}=0.00
Compressione nel calcestruzzo: σ_c=11.99
CC 29 SLV (Collegamento 0021_-378)
Azioni sul collegamento: N=-5739.78 Ty=1.68 Tz=3.37 Mx=-0.01 Mz=1.26
Sollecitazioni agenti localmente: Tx_l=1.68 Ty_l=3.37 N_l=-5739.78 Mx_l=-0.00 My_l=1.26 Mz_l=-0.01
Taglio nei bulloni: Fv,Ed=0.64 Fv,Rd=7720.78

Rifollamento lato piastra: Fb,Ed,p=0.63 Fb,Rd,p=7986.38
Tirafondi:LT=0.45 (0.31) σ_{cR}=0.00 σ_{fR}=0.00
Compressione nel calcestruzzo: σ_c=11.93
CC 29 SLV (Collegamento 0021_-378)
Azioni sul collegamento: N=-7308.17 Ty=2.97 Tz=-2.08 Mx=-0.01 Mz=-2.33
Sollecitazioni agenti localmente: Tx_l=2.97 Ty_l=-2.08 N_l=-7308.17 Mx_l=-0.00 My_l=-2.33 Mz_l=-0.01
Taglio nei bulloni: Fv,Ed=0.62 Fv,Rd=7720.78
Rifollamento lato piastra: Fb,Ed,p=0.61 Fb,Rd,p=9996.02
Tirafondi:LT=0.45 (0.31) σ_{cR}=0.00 σ_{fR}=0.00
Compressione nel calcestruzzo: σ_c=15.23
CC 29 SLV (Collegamento 0021_-378)
Azioni sul collegamento: N=-7308.17 Ty=1.68 Tz=-2.08 Mx=-0.01 Mz=1.26
Sollecitazioni agenti localmente: Tx_l=1.68 Ty_l=-2.08 N_l=-7308.17 Mx_l=-0.00 My_l=1.26 Mz_l=-0.01
Taglio nei bulloni: Fv,Ed=0.46 Fv,Rd=7720.78
Rifollamento lato piastra: Fb,Ed,p=0.46 Fb,Rd,p=10968.80
Tirafondi:LT=0.45 (0.31) σ_{cR}=0.00 σ_{fR}=0.00
Compressione nel calcestruzzo: σ_c=15.17
CC 29 SLV (Collegamento 0021_-378)
Azioni sul collegamento: N=-7308.17 Ty=2.97 Tz=3.37 Mx=-0.01 Mz=-2.33
Sollecitazioni agenti localmente: Tx_l=2.97 Ty_l=3.37 N_l=-7308.17 Mx_l=-0.00 My_l=-2.33 Mz_l=-0.01
Taglio nei bulloni: Fv,Ed=0.76 Fv,Rd=7720.78
Rifollamento lato piastra: Fb,Ed,p=0.75 Fb,Rd,p=11139.00
Tirafondi:LT=0.45 (0.31) σ_{cR}=0.00 σ_{fR}=0.00
Compressione nel calcestruzzo: σ_c=15.23
CC 29 SLV (Collegamento 0021_-378)
Azioni sul collegamento: N=-7308.17 Ty=1.68 Tz=3.37 Mx=-0.01 Mz=1.26
Sollecitazioni agenti localmente: Tx_l=1.68 Ty_l=3.37 N_l=-7308.17 Mx_l=-0.00 My_l=1.26 Mz_l=-0.01
Taglio nei bulloni: Fv,Ed=0.64 Fv,Rd=7720.78
Rifollamento lato piastra: Fb,Ed,p=0.63 Fb,Rd,p=7986.42
Tirafondi:LT=0.45 (0.31) σ_{cR}=0.00 σ_{fR}=0.00
Compressione nel calcestruzzo: σ_c=15.17
CC 30 SLD (Collegamento 0021_-378)
Azioni sul collegamento: N=-6317.30 Ty=2.98 Tz=-0.06 Mx=-0.01 Mz=1.00
Sollecitazioni agenti localmente: Tx_l=2.98 Ty_l=-0.06 N_l=-6317.30 Mx_l=-0.00 My_l=1.00 Mz_l=-0.01
Taglio nei bulloni: Fv,Ed=0.50 Fv,Rd=9650.97
Rifollamento lato piastra: Fb,Ed,p=0.50 Fb,Rd,p=7474.51
Tirafondi:LT=0.45 (0.31) σ_{cR}=0.00 σ_{fR}=0.00
Compressione nel calcestruzzo: σ_c=13.11
CC 30 SLD (Collegamento 0021_-378)
Azioni sul collegamento: N=-6317.30 Ty=3.37 Tz=-0.06 Mx=-0.01 Mz=2.09
Sollecitazioni agenti localmente: Tx_l=3.37 Ty_l=-0.06 N_l=-6317.30 Mx_l=-0.00 My_l=2.09 Mz_l=-0.01
Taglio nei bulloni: Fv,Ed=0.57 Fv,Rd=9650.97
Rifollamento lato piastra: Fb,Ed,p=0.57 Fb,Rd,p=7474.39
Tirafondi:LT=0.45 (0.31) σ_{cR}=0.00 σ_{fR}=0.00
Compressione nel calcestruzzo: σ_c=13.17
CC 30 SLD (Collegamento 0021_-378)
Azioni sul collegamento: N=-6317.30 Ty=2.98 Tz=1.60 Mx=-0.01 Mz=1.00
Sollecitazioni agenti localmente: Tx_l=2.98 Ty_l=1.60 N_l=-6317.30 Mx_l=-0.00 My_l=1.00 Mz_l=-0.01
Taglio nei bulloni: Fv,Ed=0.57 Fv,Rd=9650.97
Rifollamento lato piastra: Fb,Ed,p=0.57 Fb,Rd,p=10827.50
Tirafondi:LT=0.45 (0.31) σ_{cR}=0.00 σ_{fR}=0.00
Compressione nel calcestruzzo: σ_c=13.11
CC 30 SLD (Collegamento 0021_-378)
Azioni sul collegamento: N=-6317.30 Ty=3.37 Tz=1.60 Mx=-0.01 Mz=2.09
Sollecitazioni agenti localmente: Tx_l=3.37 Ty_l=1.60 N_l=-6317.30 Mx_l=-0.00 My_l=2.09 Mz_l=-0.01
Taglio nei bulloni: Fv,Ed=0.63 Fv,Rd=9650.97
Rifollamento lato piastra: Fb,Ed,p=0.63 Fb,Rd,p=10087.90
Tirafondi:LT=0.45 (0.31) σ_{cR}=0.00 σ_{fR}=0.00
Compressione nel calcestruzzo: σ_c=13.17
CC 30 SLD (Collegamento 0021_-378)
Azioni sul collegamento: N=-6795.56 Ty=2.98 Tz=-0.06 Mx=-0.01 Mz=1.00
Sollecitazioni agenti localmente: Tx_l=2.98 Ty_l=-0.06 N_l=-6795.56 Mx_l=-0.00 My_l=1.00 Mz_l=-0.01
Taglio nei bulloni: Fv,Ed=0.50 Fv,Rd=9650.97
Rifollamento lato piastra: Fb,Ed,p=0.50 Fb,Rd,p=7474.49
Tirafondi:LT=0.45 (0.31) σ_{cR}=0.00 σ_{fR}=0.00
Compressione nel calcestruzzo: σ_c=14.10
CC 30 SLD (Collegamento 0021_-378)
Azioni sul collegamento: N=-6795.56 Ty=3.37 Tz=-0.06 Mx=-0.01 Mz=2.09
Sollecitazioni agenti localmente: Tx_l=3.37 Ty_l=-0.06 N_l=-6795.56 Mx_l=-0.00 My_l=2.09 Mz_l=-0.01
Taglio nei bulloni: Fv,Ed=0.57 Fv,Rd=9650.97
Rifollamento lato piastra: Fb,Ed,p=0.57 Fb,Rd,p=7474.38
Tirafondi:LT=0.45 (0.31) σ_{cR}=0.00 σ_{fR}=0.00
Compressione nel calcestruzzo: σ_c=14.16
CC 30 SLD (Collegamento 0021_-378)
Azioni sul collegamento: N=-6795.56 Ty=2.98 Tz=1.60 Mx=-0.01 Mz=1.00
Sollecitazioni agenti localmente: Tx_l=2.98 Ty_l=1.60 N_l=-6795.56 Mx_l=-0.00 My_l=1.00 Mz_l=-0.01
Taglio nei bulloni: Fv,Ed=0.57 Fv,Rd=9650.97
Rifollamento lato piastra: Fb,Ed,p=0.57 Fb,Rd,p=10827.00

Tirafondi:LT=0.45 (0.31) σ_{cR}=0.00 σ_{fR}=0.00
Compressione nel calcestruzzo: σ_c=14.10
CC 30 SLD (Collegamento 0021_-378)
Azioni sul collegamento: N=-6795.56 Ty=3.37 Tz=1.60 Mx=-0.01 Mz=2.09
Sollecitazioni agenti localmente: Tx_l=3.37 Ty_l=1.60 N_l=-6795.56 Mx_l=-0.00 My_l=2.09 Mz_l=-0.01
Taglio nei bulloni: Fv,Ed=0.63 Fv,Rd=9650.97
Rifollamento lato piastra: Fb,Ed,p=0.63 Fb,Rd,p=10087.50
Tirafondi:LT=0.45 (0.31) σ_{cR}=0.00 σ_{fR}=0.00
Compressione nel calcestruzzo: σ_c=14.16
CC 31 SLV (Collegamento 0021_-378)
Azioni sul collegamento: N=-7327.12 Ty=3.80 Tz=3.80 Mx=-0.01 Mz=-2.93
Sollecitazioni agenti localmente: Tx_l=3.80 Ty_l=3.80 N_l=-7327.12 Mx_l=-0.00 My_l=-2.93 Mz_l=-0.01
Taglio nei bulloni: Fv,Ed=0.91 Fv,Rd=7720.78
Rifollamento lato piastra: Fb,Ed,p=0.91 Fb,Rd,p=12018.40
Tirafondi:LT=0.45 (0.31) σ_{cR}=0.00 σ_{fR}=0.00
Compressione nel calcestruzzo: σ_c=15.30
CC 31 SLV (Collegamento 0021_-378)
Azioni sul collegamento: N=-7327.12 Ty=0.86 Tz=3.80 Mx=-0.01 Mz=1.85
Sollecitazioni agenti localmente: Tx_l=0.86 Ty_l=3.80 N_l=-7327.12 Mx_l=-0.00 My_l=1.85 Mz_l=-0.01
Taglio nei bulloni: Fv,Ed=0.66 Fv,Rd=7720.78
Rifollamento lato piastra: Fb,Ed,p=0.66 Fb,Rd,p=6364.41
Tirafondi:LT=0.45 (0.31) σ_{cR}=0.00 σ_{fR}=0.00
Compressione nel calcestruzzo: σ_c=15.24
CC 31 SLV (Collegamento 0021_-378)
Azioni sul collegamento: N=-7327.12 Ty=3.80 Tz=-2.51 Mx=-0.01 Mz=-2.93
Sollecitazioni agenti localmente: Tx_l=3.80 Ty_l=-2.51 N_l=-7327.12 Mx_l=-0.00 My_l=-2.93 Mz_l=-0.01
Taglio nei bulloni: Fv,Ed=0.77 Fv,Rd=7720.78
Rifollamento lato piastra: Fb,Ed,p=0.76 Fb,Rd,p=9652.21
Tirafondi:LT=0.45 (0.31) σ_{cR}=0.00 σ_{fR}=0.00
Compressione nel calcestruzzo: σ_c=15.30
CC 31 SLV (Collegamento 0021_-378)
Azioni sul collegamento: N=-7327.12 Ty=0.86 Tz=-2.51 Mx=-0.01 Mz=1.85
Sollecitazioni agenti localmente: Tx_l=0.86 Ty_l=-2.51 N_l=-7327.12 Mx_l=-0.00 My_l=1.85 Mz_l=-0.01
Taglio nei bulloni: Fv,Ed=0.45 Fv,Rd=7720.78
Rifollamento lato piastra: Fb,Ed,p=0.45 Fb,Rd,p=7130.17
Tirafondi:LT=0.45 (0.31) σ_{cR}=0.00 σ_{fR}=0.00
Compressione nel calcestruzzo: σ_c=15.24
CC 31 SLV (Collegamento 0021_-378)
Azioni sul collegamento: N=-5720.83 Ty=3.80 Tz=3.80 Mx=-0.01 Mz=-2.93
Sollecitazioni agenti localmente: Tx_l=3.80 Ty_l=3.80 N_l=-5720.83 Mx_l=-0.00 My_l=-2.93 Mz_l=-0.01
Taglio nei bulloni: Fv,Ed=0.91 Fv,Rd=7720.78
Rifollamento lato piastra: Fb,Ed,p=0.91 Fb,Rd,p=12018.20
Tirafondi:LT=0.45 (0.31) σ_{cR}=0.00 σ_{fR}=0.00
Compressione nel calcestruzzo: σ_c=11.98
CC 31 SLV (Collegamento 0021_-378)
Azioni sul collegamento: N=-5720.83 Ty=0.86 Tz=3.80 Mx=-0.01 Mz=1.85
Sollecitazioni agenti localmente: Tx_l=0.86 Ty_l=3.80 N_l=-5720.83 Mx_l=-0.00 My_l=1.85 Mz_l=-0.01
Taglio nei bulloni: Fv,Ed=0.66 Fv,Rd=7720.78
Rifollamento lato piastra: Fb,Ed,p=0.66 Fb,Rd,p=6364.43
Tirafondi:LT=0.45 (0.31) σ_{cR}=0.00 σ_{fR}=0.00
Compressione nel calcestruzzo: σ_c=11.92
CC 31 SLV (Collegamento 0021_-378)
Azioni sul collegamento: N=-5720.83 Ty=3.80 Tz=-2.51 Mx=-0.01 Mz=-2.93
Sollecitazioni agenti localmente: Tx_l=3.80 Ty_l=-2.51 N_l=-5720.83 Mx_l=-0.00 My_l=-2.93 Mz_l=-0.01
Taglio nei bulloni: Fv,Ed=0.77 Fv,Rd=7720.78
Rifollamento lato piastra: Fb,Ed,p=0.76 Fb,Rd,p=9652.53
Tirafondi:LT=0.45 (0.31) σ_{cR}=0.00 σ_{fR}=0.00
Compressione nel calcestruzzo: σ_c=11.98
CC 31 SLV (Collegamento 0021_-378)
Azioni sul collegamento: N=-5720.83 Ty=0.86 Tz=-2.51 Mx=-0.01 Mz=1.85
Sollecitazioni agenti localmente: Tx_l=0.86 Ty_l=-2.51 N_l=-5720.83 Mx_l=-0.00 My_l=1.85 Mz_l=-0.01
Taglio nei bulloni: Fv,Ed=0.45 Fv,Rd=7720.78
Rifollamento lato piastra: Fb,Ed,p=0.45 Fb,Rd,p=7130.07
Tirafondi:LT=0.45 (0.31) σ_{cR}=0.00 σ_{fR}=0.00
Compressione nel calcestruzzo: σ_c=11.92
CC 32 SLD (Collegamento 0021_-378)
Azioni sul collegamento: N=-6801.33 Ty=2.73 Tz=1.73 Mx=-0.01 Mz=0.81
Sollecitazioni agenti localmente: Tx_l=2.73 Ty_l=1.73 N_l=-6801.33 Mx_l=-0.00 My_l=0.81 Mz_l=-0.01
Taglio nei bulloni: Fv,Ed=0.55 Fv,Rd=9650.97
Rifollamento lato piastra: Fb,Ed,p=0.55 Fb,Rd,p=12151.80
Tirafondi:LT=0.45 (0.31) σ_{cR}=0.00 σ_{fR}=0.00
Compressione nel calcestruzzo: σ_c=14.10
CC 32 SLD (Collegamento 0021_-378)
Azioni sul collegamento: N=-6801.33 Ty=3.62 Tz=1.73 Mx=-0.01 Mz=2.27
Sollecitazioni agenti localmente: Tx_l=3.62 Ty_l=1.73 N_l=-6801.33 Mx_l=-0.00 My_l=2.27 Mz_l=-0.01
Taglio nei bulloni: Fv,Ed=0.68 Fv,Rd=9650.97
Rifollamento lato piastra: Fb,Ed,p=0.68 Fb,Rd,p=10113.30
Tirafondi:LT=0.45 (0.31) σ_{cR}=0.00 σ_{fR}=0.00

Compressione nel calcestruzzo: σ_c=14.18
CC 32 SLD (Collegamento 0021_-378)
Azioni sul collegamento: N=-6801.33 Ty=2.73 Tz=-0.19 Mx=-0.01 Mz=0.81
Sollecitazioni agenti localmente: Tx_l=2.73 Ty_l=-0.19 N_l=-6801.33 Mx_l=-0.00 My_l=0.81 Mz_l=-0.01
Taglio nei bulloni: Fv,Ed=0.46 Fv,Rd=9650.97
Rifollamento lato piastra: Fb,Ed,p=0.46 Fb,Rd,p=7508.18
Tirafondi:LT=0.45 (0.31) σ_{cR}=0.00 σ_{fR}=0.00
Compressione nel calcestruzzo: σ_c=14.10
CC 32 SLD (Collegamento 0021_-378)
Azioni sul collegamento: N=-6801.33 Ty=3.62 Tz=-0.19 Mx=-0.01 Mz=2.27
Sollecitazioni agenti localmente: Tx_l=3.62 Ty_l=-0.19 N_l=-6801.33 Mx_l=-0.00 My_l=2.27 Mz_l=-0.01
Taglio nei bulloni: Fv,Ed=0.61 Fv,Rd=9650.97
Rifollamento lato piastra: Fb,Ed,p=0.61 Fb,Rd,p=7493.47
Tirafondi:LT=0.45 (0.31) σ_{cR}=0.00 σ_{fR}=0.00
Compressione nel calcestruzzo: σ_c=14.18
CC 32 SLD (Collegamento 0021_-378)
Azioni sul collegamento: N=-6311.53 Ty=2.73 Tz=1.73 Mx=-0.01 Mz=0.81
Sollecitazioni agenti localmente: Tx_l=2.73 Ty_l=1.73 N_l=-6311.53 Mx_l=-0.00 My_l=0.81 Mz_l=-0.01
Taglio nei bulloni: Fv,Ed=0.55 Fv,Rd=9650.97
Rifollamento lato piastra: Fb,Ed,p=0.55 Fb,Rd,p=12152.20
Tirafondi:LT=0.45 (0.31) σ_{cR}=0.00 σ_{fR}=0.00
Compressione nel calcestruzzo: σ_c=13.09
CC 32 SLD (Collegamento 0021_-378)
Azioni sul collegamento: N=-6311.53 Ty=3.62 Tz=1.73 Mx=-0.01 Mz=2.27
Sollecitazioni agenti localmente: Tx_l=3.62 Ty_l=1.73 N_l=-6311.53 Mx_l=-0.00 My_l=2.27 Mz_l=-0.01
Taglio nei bulloni: Fv,Ed=0.68 Fv,Rd=9650.97
Rifollamento lato piastra: Fb,Ed,p=0.68 Fb,Rd,p=10113.50
Tirafondi:LT=0.45 (0.31) σ_{cR}=0.00 σ_{fR}=0.00
Compressione nel calcestruzzo: σ_c=13.17
CC 32 SLD (Collegamento 0021_-378)
Azioni sul collegamento: N=-6311.53 Ty=2.73 Tz=-0.19 Mx=-0.01 Mz=0.81
Sollecitazioni agenti localmente: Tx_l=2.73 Ty_l=-0.19 N_l=-6311.53 Mx_l=-0.00 My_l=0.81 Mz_l=-0.01
Taglio nei bulloni: Fv,Ed=0.46 Fv,Rd=9650.97
Rifollamento lato piastra: Fb,Ed,p=0.46 Fb,Rd,p=7508.01
Tirafondi:LT=0.45 (0.31) σ_{cR}=0.00 σ_{fR}=0.00
Compressione nel calcestruzzo: σ_c=13.09
CC 32 SLD (Collegamento 0021_-378)
Azioni sul collegamento: N=-6311.53 Ty=3.62 Tz=-0.19 Mx=-0.01 Mz=2.27
Sollecitazioni agenti localmente: Tx_l=3.62 Ty_l=-0.19 N_l=-6311.53 Mx_l=-0.00 My_l=2.27 Mz_l=-0.01
Taglio nei bulloni: Fv,Ed=0.61 Fv,Rd=9650.97
Rifollamento lato piastra: Fb,Ed,p=0.61 Fb,Rd,p=7493.37
Tirafondi:LT=0.45 (0.31) σ_{cR}=0.00 σ_{fR}=0.00
Compressione nel calcestruzzo: σ_c=13.17
CC 33 SLU (Collegamento 0021_-378)
Azioni sul collegamento: N=-30888.30 Ty=5.44 Tz=82.02 Mx=-0.01 Mz=3.71
Sollecitazioni agenti localmente: Tx_l=5.44 Ty_l=82.02 N_l=-30888.30 Mx_l=-0.00 My_l=3.71 Mz_l=-0.01
Taglio nei bulloni: Fv,Ed=13.71 Fv,Rd=7720.78
Rifollamento lato piastra: Fb,Ed,p=13.71 Fb,Rd,p=6017.49
Tirafondi:LT=0.45 (0.31) σ_{cR}=0.00 σ_{fR}=0.00
Compressione nel calcestruzzo: σ_c=64.03
CC 34 SLU (Collegamento 0021_-378)
Azioni sul collegamento: N=-30337.70 Ty=5.16 Tz=79.98 Mx=-0.01 Mz=3.50
Sollecitazioni agenti localmente: Tx_l=5.16 Ty_l=79.98 N_l=-30337.70 Mx_l=-0.00 My_l=3.50 Mz_l=-0.01
Taglio nei bulloni: Fv,Ed=13.37 Fv,Rd=7720.78
Rifollamento lato piastra: Fb,Ed,p=13.36 Fb,Rd,p=6015.33
Tirafondi:LT=0.45 (0.31) σ_{cR}=0.00 σ_{fR}=0.00
Compressione nel calcestruzzo: σ_c=62.88
CC 35 SLU (Collegamento 0021_-378)
Azioni sul collegamento: N=-30612.00 Ty=5.19 Tz=81.02 Mx=-0.01 Mz=3.39
Sollecitazioni agenti localmente: Tx_l=5.19 Ty_l=81.02 N_l=-30612.00 Mx_l=-0.00 My_l=3.39 Mz_l=-0.01
Taglio nei bulloni: Fv,Ed=13.54 Fv,Rd=7720.78
Rifollamento lato piastra: Fb,Ed,p=13.54 Fb,Rd,p=6014.95
Tirafondi:LT=0.45 (0.31) σ_{cR}=0.00 σ_{fR}=0.00
Compressione nel calcestruzzo: σ_c=63.44
CC 36 SLU (Collegamento 0021_-378)
Azioni sul collegamento: N=-30614.00 Ty=5.41 Tz=80.97 Mx=-0.01 Mz=3.82
Sollecitazioni agenti localmente: Tx_l=5.41 Ty_l=80.97 N_l=-30614.00 Mx_l=-0.00 My_l=3.82 Mz_l=-0.01
Taglio nei bulloni: Fv,Ed=13.54 Fv,Rd=7720.78
Rifollamento lato piastra: Fb,Ed,p=13.53 Fb,Rd,p=6017.92
Tirafondi:LT=0.45 (0.31) σ_{cR}=0.00 σ_{fR}=0.00
Compressione nel calcestruzzo: σ_c=63.47
CC 37 SLU (Collegamento 0021_-378)
Azioni sul collegamento: N=-21597.10 Ty=6.32 Tz=47.86 Mx=-0.01 Mz=4.34
Sollecitazioni agenti localmente: Tx_l=6.32 Ty_l=47.86 N_l=-21597.10 Mx_l=-0.00 My_l=4.34 Mz_l=-0.01
Taglio nei bulloni: Fv,Ed=8.06 Fv,Rd=7720.78
Rifollamento lato piastra: Fb,Ed,p=8.05 Fb,Rd,p=6131.38
Tirafondi:LT=0.45 (0.31) σ_{cR}=0.00 σ_{fR}=0.00
Compressione nel calcestruzzo: σ_c=44.87

CC 38 SLU (Collegamento 0021_-378)
Azioni sul collegamento: N=-21046.60 Ty=6.03 Tz=45.82 Mx=-0.01 Mz=4.13
Sollecitazioni agenti localmente: Tx_l=6.03 Ty_l=45.82 N_l=-21046.60 Mx_l=-0.00 My_l=4.13 Mz_l=-0.01
Taglio nei bulloni: Fv,Ed=7.71 Fv,Rd=7720.78
Rifollamento lato piastra: Fb,Ed,p=7.71 Fb,Rd,p=6130.52
Tirafondi:LT=0.45 (0.31) σ_{cR}=0.00 σ_{fR}=0.00
Compressione nel calcestruzzo: σ_c=43.72
CC 39 SLU (Collegamento 0021_-378)
Azioni sul collegamento: N=-21320.90 Ty=6.07 Tz=46.87 Mx=-0.01 Mz=4.02
Sollecitazioni agenti localmente: Tx_l=6.07 Ty_l=46.87 N_l=-21320.90 Mx_l=-0.00 My_l=4.02 Mz_l=-0.01
Taglio nei bulloni: Fv,Ed=7.88 Fv,Rd=7720.78
Rifollamento lato piastra: Fb,Ed,p=7.88 Fb,Rd,p=6125.75
Tirafondi:LT=0.45 (0.31) σ_{cR}=0.00 σ_{fR}=0.00
Compressione nel calcestruzzo: σ_c=44.28
CC 40 SLU (Collegamento 0021_-378)
Azioni sul collegamento: N=-21322.80 Ty=6.29 Tz=46.82 Mx=-0.01 Mz=4.45
Sollecitazioni agenti localmente: Tx_l=6.29 Ty_l=46.82 N_l=-21322.80 Mx_l=-0.00 My_l=4.45 Mz_l=-0.01
Taglio nei bulloni: Fv,Ed=7.88 Fv,Rd=7720.78
Rifollamento lato piastra: Fb,Ed,p=7.88 Fb,Rd,p=6136.27
Tirafondi:LT=0.45 (0.31) σ_{cR}=0.00 σ_{fR}=0.00
Compressione nel calcestruzzo: σ_c=44.31
CC 41 SLU (Collegamento 0021_-378)
Azioni sul collegamento: N=-32817.40 Ty=5.33 Tz=88.46 Mx=0.00 Mz=3.76
Sollecitazioni agenti localmente: Tx_l=5.33 Ty_l=88.46 N_l=-32817.40 Mx_l=-0.00 My_l=3.76 Mz_l=0.00
Taglio nei bulloni: Fv,Ed=14.77 Fv,Rd=7720.78
Rifollamento lato piastra: Fb,Ed,p=14.77 Fb,Rd,p=6011.53
Tirafondi:LT=0.45 (0.31) σ_{cR}=0.00 σ_{fR}=0.00
Compressione nel calcestruzzo: σ_c=68.02
CC 42 SLU (Collegamento 0021_-378)
Azioni sul collegamento: N=-32266.90 Ty=5.04 Tz=86.42 Mx=0.00 Mz=3.56
Sollecitazioni agenti localmente: Tx_l=5.04 Ty_l=86.42 N_l=-32266.90 Mx_l=-0.00 My_l=3.56 Mz_l=0.00
Taglio nei bulloni: Fv,Ed=14.43 Fv,Rd=7720.78
Rifollamento lato piastra: Fb,Ed,p=14.43 Fb,Rd,p=6009.56
Tirafondi:LT=0.45 (0.31) σ_{cR}=0.00 σ_{fR}=0.00
Compressione nel calcestruzzo: σ_c=66.87
CC 43 SLU (Collegamento 0021_-378)
Azioni sul collegamento: N=-32541.20 Ty=5.08 Tz=87.47 Mx=0.00 Mz=3.44
Sollecitazioni agenti localmente: Tx_l=5.08 Ty_l=87.47 N_l=-32541.20 Mx_l=-0.00 My_l=3.44 Mz_l=0.00
Taglio nei bulloni: Fv,Ed=14.61 Fv,Rd=7720.78
Rifollamento lato piastra: Fb,Ed,p=14.61 Fb,Rd,p=6009.29
Tirafondi:LT=0.45 (0.31) σ_{cR}=0.00 σ_{fR}=0.00
Compressione nel calcestruzzo: σ_c=67.43
CC 44 SLU (Collegamento 0021_-378)
Azioni sul collegamento: N=-32543.10 Ty=5.30 Tz=87.42 Mx=0.00 Mz=3.88
Sollecitazioni agenti localmente: Tx_l=5.30 Ty_l=87.42 N_l=-32543.10 Mx_l=-0.00 My_l=3.88 Mz_l=0.00
Taglio nei bulloni: Fv,Ed=14.60 Fv,Rd=7720.78
Rifollamento lato piastra: Fb,Ed,p=14.60 Fb,Rd,p=6011.84
Tirafondi:LT=0.45 (0.31) σ_{cR}=0.00 σ_{fR}=0.00
Compressione nel calcestruzzo: σ_c=67.46
CC 45 SLU (Collegamento 0021_-378)
Azioni sul collegamento: N=-23689.50 Ty=6.01 Tz=55.60 Mx=-0.01 Mz=4.17
Sollecitazioni agenti localmente: Tx_l=6.01 Ty_l=55.60 N_l=-23689.50 Mx_l=-0.00 My_l=4.17 Mz_l=-0.01
Taglio nei bulloni: Fv,Ed=9.33 Fv,Rd=7720.78
Rifollamento lato piastra: Fb,Ed,p=9.33 Fb,Rd,p=6081.09
Tirafondi:LT=0.45 (0.31) σ_{cR}=0.00 σ_{fR}=0.00
Compressione nel calcestruzzo: σ_c=49.18
CC 46 SLU (Collegamento 0021_-378)
Azioni sul collegamento: N=-23139.00 Ty=5.73 Tz=53.57 Mx=-0.01 Mz=3.96
Sollecitazioni agenti localmente: Tx_l=5.73 Ty_l=53.57 N_l=-23139.00 Mx_l=-0.00 My_l=3.96 Mz_l=-0.01
Taglio nei bulloni: Fv,Ed=8.99 Fv,Rd=7720.78
Rifollamento lato piastra: Fb,Ed,p=8.99 Fb,Rd,p=6078.77
Tirafondi:LT=0.45 (0.31) σ_{cR}=0.00 σ_{fR}=0.00
Compressione nel calcestruzzo: σ_c=48.03
CC 47 SLU (Collegamento 0021_-378)
Azioni sul collegamento: N=-23413.30 Ty=5.76 Tz=54.61 Mx=-0.01 Mz=3.84
Sollecitazioni agenti localmente: Tx_l=5.76 Ty_l=54.61 N_l=-23413.30 Mx_l=-0.00 My_l=3.84 Mz_l=-0.01
Taglio nei bulloni: Fv,Ed=9.16 Fv,Rd=7720.78
Rifollamento lato piastra: Fb,Ed,p=9.16 Fb,Rd,p=6076.32
Tirafondi:LT=0.45 (0.31) σ_{cR}=0.00 σ_{fR}=0.00
Compressione nel calcestruzzo: σ_c=48.59
CC 48 SLU (Collegamento 0021_-378)
Azioni sul collegamento: N=-23415.20 Ty=5.98 Tz=54.56 Mx=-0.01 Mz=4.28
Sollecitazioni agenti localmente: Tx_l=5.98 Ty_l=54.56 N_l=-23415.20 Mx_l=-0.00 My_l=4.28 Mz_l=-0.01
Taglio nei bulloni: Fv,Ed=9.16 Fv,Rd=7720.78
Rifollamento lato piastra: Fb,Ed,p=9.16 Fb,Rd,p=6083.64
Tirafondi:LT=0.45 (0.31) σ_{cR}=0.00 σ_{fR}=0.00
Compressione nel calcestruzzo: σ_c=48.62
CC 49 SLU (Collegamento 0021_-378)

Azioni sul collegamento: N=-16738.30 Ty=6.67 Tz=30.05 Mx=-0.01 Mz=4.64
Sollecitazioni agenti localmente: Tx_l=6.67 Ty_l=30.05 N_l=-16738.30 Mx_l=-0.00 My_l=4.64 Mz_l=-0.01
Taglio nei bulloni: Fv,Ed=5.14 Fv,Rd=7720.78
Rifollamento lato piastra: Fb,Ed,p=5.14 Fb,Rd,p=6409.88
Tirafondi:LT=0.45 (0.31) σ_{cR}=0.00 σ_{fR}=0.00
Compressione nel calcestruzzo: σ_c=34.84
CC 50 SLU (Collegamento 0021_-378)
Azioni sul collegamento: N=-16187.80 Ty=6.38 Tz=28.01 Mx=-0.01 Mz=4.43
Sollecitazioni agenti localmente: Tx_l=6.38 Ty_l=28.01 N_l=-16187.80 Mx_l=-0.00 My_l=4.43 Mz_l=-0.01
Taglio nei bulloni: Fv,Ed=4.80 Fv,Rd=7720.78
Rifollamento lato piastra: Fb,Ed,p=4.79 Fb,Rd,p=6433.25
Tirafondi:LT=0.45 (0.31) σ_{cR}=0.00 σ_{fR}=0.00
Compressione nel calcestruzzo: σ_c=33.70
CC 51 SLU (Collegamento 0021_-378)
Azioni sul collegamento: N=-16462.10 Ty=6.42 Tz=29.05 Mx=-0.01 Mz=4.32
Sollecitazioni agenti localmente: Tx_l=6.42 Ty_l=29.05 N_l=-16462.10 Mx_l=-0.00 My_l=4.32 Mz_l=-0.01
Taglio nei bulloni: Fv,Ed=4.97 Fv,Rd=7720.78
Rifollamento lato piastra: Fb,Ed,p=4.96 Fb,Rd,p=6406.48
Tirafondi:LT=0.45 (0.31) σ_{cR}=0.00 σ_{fR}=0.00
Compressione nel calcestruzzo: σ_c=34.26
CC 52 SLU (Collegamento 0021_-378)
Azioni sul collegamento: N=-16464.00 Ty=6.64 Tz=29.01 Mx=-0.01 Mz=4.75
Sollecitazioni agenti localmente: Tx_l=6.64 Ty_l=29.01 N_l=-16464.00 Mx_l=-0.00 My_l=4.75 Mz_l=-0.01
Taglio nei bulloni: Fv,Ed=4.97 Fv,Rd=7720.78
Rifollamento lato piastra: Fb,Ed,p=4.97 Fb,Rd,p=6435.97
Tirafondi:LT=0.45 (0.31) σ_{cR}=0.00 σ_{fR}=0.00
Compressione nel calcestruzzo: σ_c=34.28
CC 53 SLU (Collegamento 0021_-378)
Azioni sul collegamento: N=-25132.80 Ty=5.93 Tz=60.42 Mx=-0.00 Mz=4.21
Sollecitazioni agenti localmente: Tx_l=5.93 Ty_l=60.42 N_l=-25132.80 Mx_l=-0.00 My_l=4.21 Mz_l=-0.00
Taglio nei bulloni: Fv,Ed=10.12 Fv,Rd=7720.78
Rifollamento lato piastra: Fb,Ed,p=10.12 Fb,Rd,p=6064.53
Tirafondi:LT=0.45 (0.31) σ_{cR}=0.00 σ_{fR}=0.00
Compressione nel calcestruzzo: σ_c=52.16
CC 54 SLU (Collegamento 0021_-378)
Azioni sul collegamento: N=-24582.20 Ty=5.64 Tz=58.39 Mx=-0.00 Mz=4.00
Sollecitazioni agenti localmente: Tx_l=5.64 Ty_l=58.39 N_l=-24582.20 Mx_l=-0.00 My_l=4.00 Mz_l=-0.00
Taglio nei bulloni: Fv,Ed=9.78 Fv,Rd=7720.78
Rifollamento lato piastra: Fb,Ed,p=9.78 Fb,Rd,p=6062.04
Tirafondi:LT=0.45 (0.31) σ_{cR}=0.00 σ_{fR}=0.00
Compressione nel calcestruzzo: σ_c=51.02
CC 55 SLU (Collegamento 0021_-378)
Azioni sul collegamento: N=-24856.50 Ty=5.68 Tz=59.43 Mx=0.00 Mz=3.89
Sollecitazioni agenti localmente: Tx_l=5.68 Ty_l=59.43 N_l=-24856.50 Mx_l=-0.00 My_l=3.89 Mz_l=0.00
Taglio nei bulloni: Fv,Ed=9.95 Fv,Rd=7720.78
Rifollamento lato piastra: Fb,Ed,p=9.95 Fb,Rd,p=6060.23
Tirafondi:LT=0.45 (0.31) σ_{cR}=0.00 σ_{fR}=0.00
Compressione nel calcestruzzo: σ_c=51.58
CC 56 SLU (Collegamento 0021_-378)
Azioni sul collegamento: N=-24858.50 Ty=5.89 Tz=59.38 Mx=-0.00 Mz=4.32
Sollecitazioni agenti localmente: Tx_l=5.89 Ty_l=59.38 N_l=-24858.50 Mx_l=-0.00 My_l=4.32 Mz_l=-0.00
Taglio nei bulloni: Fv,Ed=9.95 Fv,Rd=7720.78
Rifollamento lato piastra: Fb,Ed,p=9.95 Fb,Rd,p=6066.40
Tirafondi:LT=0.45 (0.31) σ_{cR}=0.00 σ_{fR}=0.00
Compressione nel calcestruzzo: σ_c=51.60
CC 57 SLU (Collegamento 0021_-378)
Azioni sul collegamento: N=-22071.60 Ty=5.40 Tz=49.65 Mx=-0.01 Mz=3.73
Sollecitazioni agenti localmente: Tx_l=5.40 Ty_l=49.65 N_l=-22071.60 Mx_l=-0.00 My_l=3.73 Mz_l=-0.01
Taglio nei bulloni: Fv,Ed=8.33 Fv,Rd=7720.78
Rifollamento lato piastra: Fb,Ed,p=8.33 Fb,Rd,p=6082.25
Tirafondi:LT=0.45 (0.31) σ_{cR}=0.00 σ_{fR}=0.00
Compressione nel calcestruzzo: σ_c=45.81
CC 58 SLU (Collegamento 0021_-378)
Azioni sul collegamento: N=-21521.10 Ty=5.11 Tz=47.61 Mx=-0.01 Mz=3.53
Sollecitazioni agenti localmente: Tx_l=5.11 Ty_l=47.61 N_l=-21521.10 Mx_l=-0.00 My_l=3.53 Mz_l=-0.01
Taglio nei bulloni: Fv,Ed=7.99 Fv,Rd=7720.78
Rifollamento lato piastra: Fb,Ed,p=7.99 Fb,Rd,p=6079.68
Tirafondi:LT=0.45 (0.31) σ_{cR}=0.00 σ_{fR}=0.00
Compressione nel calcestruzzo: σ_c=44.66
CC 59 SLU (Collegamento 0021_-378)
Azioni sul collegamento: N=-21795.30 Ty=5.15 Tz=48.65 Mx=-0.01 Mz=3.41
Sollecitazioni agenti localmente: Tx_l=5.15 Ty_l=48.65 N_l=-21795.30 Mx_l=-0.00 My_l=3.41 Mz_l=-0.01
Taglio nei bulloni: Fv,Ed=8.16 Fv,Rd=7720.78
Rifollamento lato piastra: Fb,Ed,p=8.16 Fb,Rd,p=6076.89
Tirafondi:LT=0.45 (0.31) σ_{cR}=0.00 σ_{fR}=0.00
Compressione nel calcestruzzo: σ_c=45.22
CC 60 SLU (Collegamento 0021_-378)
Azioni sul collegamento: N=-21797.30 Ty=5.37 Tz=48.60 Mx=-0.01 Mz=3.85

Sollecitazioni agenti localmente: Tx_l=5.37 Ty_l=48.60 N_l=-21797.30 Mx_l=-0.00 My_l=3.85 Mz_l=-0.01
Taglio nei bulloni: Fv,Ed=8.16 Fv,Rd=7720.78
Rifollamento lato piastra: Fb,Ed,p=8.16 Fb,Rd,p=6085.16
Tirafondi:LT=0.45 (0.31) σ_{cR}=0.00 σ_{fR}=0.00
Compressione nel calcestruzzo: σ_c=45.25
CC 61 SLU (Collegamento 0021_-378)
Azioni sul collegamento: N=-15120.40 Ty=6.06 Tz=24.09 Mx=-0.01 Mz=4.21
Sollecitazioni agenti localmente: Tx_l=6.06 Ty_l=24.09 N_l=-15120.40 Mx_l=-0.00 My_l=4.21 Mz_l=-0.01
Taglio nei bulloni: Fv,Ed=4.15 Fv,Rd=7720.78
Rifollamento lato piastra: Fb,Ed,p=4.15 Fb,Rd,p=6532.04
Tirafondi:LT=0.45 (0.31) σ_{cR}=0.00 σ_{fR}=0.00
Compressione nel calcestruzzo: σ_c=31.48
CC 62 SLU (Collegamento 0021_-378)
Azioni sul collegamento: N=-14569.90 Ty=5.77 Tz=22.06 Mx=-0.01 Mz=4.00
Sollecitazioni agenti localmente: Tx_l=5.77 Ty_l=22.06 N_l=-14569.90 Mx_l=-0.00 My_l=4.00 Mz_l=-0.01
Taglio nei bulloni: Fv,Ed=3.81 Fv,Rd=7720.78
Rifollamento lato piastra: Fb,Ed,p=3.80 Fb,Rd,p=6578.19
Tirafondi:LT=0.45 (0.31) σ_{cR}=0.00 σ_{fR}=0.00
Compressione nel calcestruzzo: σ_c=30.33
CC 63 SLU (Collegamento 0021_-378)
Azioni sul collegamento: N=-14844.20 Ty=5.80 Tz=23.10 Mx=-0.01 Mz=3.88
Sollecitazioni agenti localmente: Tx_l=5.80 Ty_l=23.10 N_l=-14844.20 Mx_l=-0.00 My_l=3.88 Mz_l=-0.01
Taglio nei bulloni: Fv,Ed=3.98 Fv,Rd=7720.78
Rifollamento lato piastra: Fb,Ed,p=3.97 Fb,Rd,p=6532.80
Tirafondi:LT=0.45 (0.31) σ_{cR}=0.00 σ_{fR}=0.00
Compressione nel calcestruzzo: σ_c=30.89
CC 64 SLU (Collegamento 0021_-378)
Azioni sul collegamento: N=-14846.10 Ty=6.02 Tz=23.05 Mx=-0.01 Mz=4.32
Sollecitazioni agenti localmente: Tx_l=6.02 Ty_l=23.05 N_l=-14846.10 Mx_l=-0.00 My_l=4.32 Mz_l=-0.01
Taglio nei bulloni: Fv,Ed=3.98 Fv,Rd=7720.78
Rifollamento lato piastra: Fb,Ed,p=3.98 Fb,Rd,p=6575.35
Tirafondi:LT=0.45 (0.31) σ_{cR}=0.00 σ_{fR}=0.00
Compressione nel calcestruzzo: σ_c=30.92
CC 65 SLU (Collegamento 0021_-378)
Azioni sul collegamento: N=-23514.90 Ty=5.31 Tz=54.47 Mx=0.00 Mz=3.77
Sollecitazioni agenti localmente: Tx_l=5.31 Ty_l=54.47 N_l=-23514.90 Mx_l=-0.00 My_l=3.77 Mz_l=0.00
Taglio nei bulloni: Fv,Ed=9.12 Fv,Rd=7720.78
Rifollamento lato piastra: Fb,Ed,p=9.12 Fb,Rd,p=6063.75
Tirafondi:LT=0.45 (0.31) σ_{cR}=0.00 σ_{fR}=0.00
Compressione nel calcestruzzo: σ_c=48.80
CC 66 SLU (Collegamento 0021_-378)
Azioni sul collegamento: N=-22964.30 Ty=5.03 Tz=52.43 Mx=0.00 Mz=3.57
Sollecitazioni agenti localmente: Tx_l=5.03 Ty_l=52.43 N_l=-22964.30 Mx_l=-0.00 My_l=3.57 Mz_l=0.00
Taglio nei bulloni: Fv,Ed=8.78 Fv,Rd=7720.78
Rifollamento lato piastra: Fb,Ed,p=8.78 Fb,Rd,p=6060.95
Tirafondi:LT=0.45 (0.31) σ_{cR}=0.00 σ_{fR}=0.00
Compressione nel calcestruzzo: σ_c=47.65
CC 67 SLU (Collegamento 0021_-378)
Azioni sul collegamento: N=-23238.60 Ty=5.06 Tz=53.47 Mx=0.00 Mz=3.45
Sollecitazioni agenti localmente: Tx_l=5.06 Ty_l=53.47 N_l=-23238.60 Mx_l=-0.00 My_l=3.45 Mz_l=0.00
Taglio nei bulloni: Fv,Ed=8.95 Fv,Rd=7720.78
Rifollamento lato piastra: Fb,Ed,p=8.95 Fb,Rd,p=6058.98
Tirafondi:LT=0.45 (0.31) σ_{cR}=0.00 σ_{fR}=0.00
Compressione nel calcestruzzo: σ_c=48.21
CC 68 SLU (Collegamento 0021_-378)
Azioni sul collegamento: N=-23240.60 Ty=5.28 Tz=53.43 Mx=-0.00 Mz=3.89
Sollecitazioni agenti localmente: Tx_l=5.28 Ty_l=53.43 N_l=-23240.60 Mx_l=-0.00 My_l=3.89 Mz_l=-0.00
Taglio nei bulloni: Fv,Ed=8.95 Fv,Rd=7720.78
Rifollamento lato piastra: Fb,Ed,p=8.95 Fb,Rd,p=6065.82
Tirafondi:LT=0.45 (0.31) σ_{cR}=0.00 σ_{fR}=0.00
Compressione nel calcestruzzo: σ_c=48.24
CC 97 SLU (Collegamento 0021_-378)
Azioni sul collegamento: N=-18052.20 Ty=-0.34 Tz=43.06 Mx=-0.05 Mz=-8.83
Sollecitazioni agenti localmente: Tx_l=-0.34 Ty_l=43.06 N_l=-18052.20 Mx_l=-0.00 My_l=-8.83 Mz_l=-0.05
Taglio nei bulloni: Fv,Ed=7.24 Fv,Rd=7720.78
Rifollamento lato piastra: Fb,Ed,p=7.24 Fb,Rd,p=5981.51
Tirafondi:LT=0.45 (0.31) σ_{cR}=0.00 σ_{fR}=0.00
Compressione nel calcestruzzo: σ_c=37.80
CC 98 SLU (Collegamento 0021_-378)
Azioni sul collegamento: N=-17501.60 Ty=-0.63 Tz=41.02 Mx=-0.05 Mz=-9.04
Sollecitazioni agenti localmente: Tx_l=-0.63 Ty_l=41.02 N_l=-17501.60 Mx_l=-0.00 My_l=-9.04 Mz_l=-0.05
Taglio nei bulloni: Fv,Ed=6.90 Fv,Rd=7720.78
Rifollamento lato piastra: Fb,Ed,p=6.90 Fb,Rd,p=5984.24
Tirafondi:LT=0.45 (0.31) σ_{cR}=0.00 σ_{fR}=0.00
Compressione nel calcestruzzo: σ_c=36.67
CC 99 SLU (Collegamento 0021_-378)
Azioni sul collegamento: N=-17775.90 Ty=-0.60 Tz=42.06 Mx=-0.05 Mz=-9.15
Sollecitazioni agenti localmente: Tx_l=-0.60 Ty_l=42.06 N_l=-17775.90 Mx_l=-0.00 My_l=-9.15 Mz_l=-0.05

Taglio nei bulloni: Fv,Ed=7.07 Fv,Rd=7720.78
Rifollamento lato piastra: Fb,Ed,p=7.07 Fb,Rd,p=5983.62
Tirafondi:LT=0.45 (0.31) σ_{cR}=0.00 σ_{fR}=0.00
Compressione nel calcestruzzo: σ_c=37.24
CC 100 SLU (Collegamento 0021_-378)
Azioni sul collegamento: N=-17777.90 Ty=-0.38 Tz=42.01 Mx=-0.05 Mz=-8.71
Sollecitazioni agenti localmente: Tx_l=-0.38 Ty_l=42.01 N_l=-17777.90 Mx_l=-0.00 My_l=-8.71 Mz_l=-0.05
Taglio nei bulloni: Fv,Ed=7.06 Fv,Rd=7720.78
Rifollamento lato piastra: Fb,Ed,p=7.06 Fb,Rd,p=5981.90
Tirafondi:LT=0.45 (0.31) σ_{cR}=0.00 σ_{fR}=0.00
Compressione nel calcestruzzo: σ_c=37.22
CC 101 SLU (Collegamento 0021_-378)
Azioni sul collegamento: N=-7136.43 Ty=4.37 Tz=2.96 Mx=0.00 Mz=3.85
Sollecitazioni agenti localmente: Tx_l=4.37 Ty_l=2.96 N_l=-7136.43 Mx_l=-0.00 My_l=3.85 Mz_l=0.00
Taglio nei bulloni: Fv,Ed=0.88 Fv,Rd=7720.78
Rifollamento lato piastra: Fb,Ed,p=0.88 Fb,Rd,p=10065.50
Tirafondi:LT=0.45 (0.31) σ_{cR}=0.00 σ_{fR}=0.00
Compressione nel calcestruzzo: σ_c=14.96
CC 102 SLU (Collegamento 0021_-378)
Azioni sul collegamento: N=-6585.90 Ty=4.08 Tz=0.92 Mx=0.00 Mz=3.64
Sollecitazioni agenti localmente: Tx_l=4.08 Ty_l=0.92 N_l=-6585.90 Mx_l=-0.00 My_l=3.64 Mz_l=0.00
Taglio nei bulloni: Fv,Ed=0.70 Fv,Rd=7720.78
Rifollamento lato piastra: Fb,Ed,p=0.70 Fb,Rd,p=6402.37
Tirafondi:LT=0.45 (0.31) σ_{cR}=0.00 σ_{fR}=0.00
Compressione nel calcestruzzo: σ_c=13.81
CC 103 SLU (Collegamento 0021_-378)
Azioni sul collegamento: N=-6860.19 Ty=4.11 Tz=1.96 Mx=0.00 Mz=3.53
Sollecitazioni agenti localmente: Tx_l=4.11 Ty_l=1.96 N_l=-6860.19 Mx_l=-0.00 My_l=3.53 Mz_l=0.00
Taglio nei bulloni: Fv,Ed=0.77 Fv,Rd=7720.78
Rifollamento lato piastra: Fb,Ed,p=0.76 Fb,Rd,p=7939.33
Tirafondi:LT=0.45 (0.31) σ_{cR}=0.00 σ_{fR}=0.00
Compressione nel calcestruzzo: σ_c=14.37
CC 104 SLU (Collegamento 0021_-378)
Azioni sul collegamento: N=-6862.15 Ty=4.33 Tz=1.92 Mx=0.00 Mz=3.96
Sollecitazioni agenti localmente: Tx_l=4.33 Ty_l=1.92 N_l=-6862.15 Mx_l=-0.00 My_l=3.96 Mz_l=0.00
Taglio nei bulloni: Fv,Ed=0.79 Fv,Rd=7720.78
Rifollamento lato piastra: Fb,Ed,p=0.79 Fb,Rd,p=7691.06
Tirafondi:LT=0.45 (0.31) σ_{cR}=0.00 σ_{fR}=0.00
Compressione nel calcestruzzo: σ_c=14.40

Saldatura profilo-piastra

CC 1 SLV (Collegamento 0021_-378)
Azioni sul collegamento: N=-3968.96 Ty=6.45 Tz=-8.85 Mx=0.01 Mz=7.08
Sollecitazioni agenti localmente: Tx_l=6.45 Ty_l=-8.85 N_l=-3968.96 My_l=-7.08 Mz_l=0.01
Azioni sul cordone: TP=0.46 TO=-0.64 NO=-293.39
Tensioni nel cordone: τ_P=0.15 τ_0=0.20 σ_0=103.59 σ_{ID}=103.59 Σ_T=103.79
CC 1 SLV (Collegamento 0021_-378)
Azioni sul collegamento: N=-3968.96 Ty=3.07 Tz=-8.85 Mx=0.01 Mz=3.83
Sollecitazioni agenti localmente: Tx_l=3.07 Ty_l=-8.85 N_l=-3968.96 My_l=-3.83 Mz_l=0.01
Azioni sul cordone: TP=0.21 TO=-0.64 NO=-293.39
Tensioni nel cordone: τ_P= 0.07 τ_0=0.20 σ_0=98.85 σ_{ID}=98.85 Σ_T=99.05
CC 1 SLV (Collegamento 0021_-378)
Azioni sul collegamento: N=-3968.96 Ty=6.45 Tz=10.87 Mx=0.01 Mz=7.08
Sollecitazioni agenti localmente: Tx_l=6.45 Ty_l=10.87 N_l=-3968.96 My_l=-7.08 Mz_l=0.01
Azioni sul cordone: TP=0.46 TO=0.81 NO=-293.39
Tensioni nel cordone: τ_P=0.15 τ_0=0.26 σ_0=103.59 σ_{ID}=103.59 Σ_T=103.85
CC 1 SLV (Collegamento 0021_-378)
Azioni sul collegamento: N=-3968.96 Ty=3.07 Tz=10.87 Mx=0.01 Mz=3.83
Sollecitazioni agenti localmente: Tx_l=3.07 Ty_l=10.87 N_l=-3968.96 My_l=-3.83 Mz_l=0.01
Azioni sul cordone: TP=0.21 TO=0.81 NO=-293.39
Tensioni nel cordone: τ_P= 0.07 τ_0=0.26 σ_0=98.85 σ_{ID}=98.85 Σ_T=99.10
CC 1 SLV (Collegamento 0021_-378)
Azioni sul collegamento: N=-9265.76 Ty=6.45 Tz=-8.85 Mx=0.01 Mz=7.08
Sollecitazioni agenti localmente: Tx_l=6.45 Ty_l=-8.85 N_l=-9265.76 My_l=-7.08 Mz_l=0.01
Azioni sul cordone: TP=0.46 TO=-0.64 NO=-684.93
Tensioni nel cordone: τ_P=0.15 τ_0=0.20 σ_0=228.04 σ_{ID}=228.04 Σ_T=228.25
CC 1 SLV (Collegamento 0021_-378)
Azioni sul collegamento: N=-9265.76 Ty=3.07 Tz=-8.85 Mx=0.01 Mz=3.83
Sollecitazioni agenti localmente: Tx_l=3.07 Ty_l=-8.85 N_l=-9265.76 My_l=-3.83 Mz_l=0.01
Azioni sul cordone: TP=0.21 TO=-0.64 NO=-684.93
Tensioni nel cordone: τ_P= 0.07 τ_0=0.20 σ_0=223.30 σ_{ID}=223.30 Σ_T=223.50
CC 1 SLV (Collegamento 0021_-378)
Azioni sul collegamento: N=-9265.76 Ty=6.45 Tz=10.87 Mx=0.01 Mz=7.08
Sollecitazioni agenti localmente: Tx_l=6.45 Ty_l=10.87 N_l=-9265.76 My_l=-7.08 Mz_l=0.01
Azioni sul cordone: TP=0.46 TO=0.81 NO=-684.93
Tensioni nel cordone: τ_P=0.15 τ_0=0.26 σ_0=228.04 σ_{ID}=228.04 Σ_T=228.30
CC 1 SLV (Collegamento 0021_-378)
Azioni sul collegamento: N=-9265.76 Ty=3.07 Tz=10.87 Mx=0.01 Mz=3.83

Sollecitazioni agenti localmente: Tx_l=3.07 Ty_l=10.87 N_l=-9265.76 My_l=-3.83 Mz_l=0.01
Azioni sul cordone: TP=0.21 TO=0.81 NO=-684.93
Tensioni nel cordone: τ_P= 0.07 τ_0=0.26 σ_0=223.30 σ_{ID}=223.30 Σ_T=223.56
CC 2 SLD (Collegamento 0021_-378)
Azioni sul collegamento: N=-5777.33 Ty=4.43 Tz=-2.12 Mx=0.00 Mz=3.87
Sollecitazioni agenti localmente: Tx_l=4.43 Ty_l=-2.12 N_l=-5777.33 My_l=-3.87 Mz_l=0.00
Azioni sul cordone: TP=0.33 TO=-0.16 NO=-427.06
Tensioni nel cordone: τ_P=0.10 τ_0= 0.05 σ_0=141.39 σ_{ID}=141.39 Σ_T=141.44
CC 2 SLD (Collegamento 0021_-378)
Azioni sul collegamento: N=-5777.33 Ty=3.40 Tz=-2.12 Mx=0.00 Mz=2.88
Sollecitazioni agenti localmente: Tx_l=3.40 Ty_l=-2.12 N_l=-5777.33 My_l=-2.88 Mz_l=0.00
Azioni sul cordone: TP=0.25 TO=-0.16 NO=-427.06
Tensioni nel cordone: τ_P= 0.08 τ_0= 0.05 σ_0=139.94 σ_{ID}=139.94 Σ_T=139.99
CC 2 SLD (Collegamento 0021_-378)
Azioni sul collegamento: N=-5777.32 Ty=4.43 Tz=3.89 Mx=0.00 Mz=3.87
Sollecitazioni agenti localmente: Tx_l=4.43 Ty_l=3.89 N_l=-5777.32 My_l=-3.87 Mz_l=0.00
Azioni sul cordone: TP=0.33 TO=0.29 NO=-427.06
Tensioni nel cordone: τ_P=0.10 τ_0= 0.09 σ_0=141.39 σ_{ID}=141.39 Σ_T=141.48
CC 2 SLD (Collegamento 0021_-378)
Azioni sul collegamento: N=-5777.32 Ty=3.40 Tz=3.89 Mx=0.00 Mz=2.88
Sollecitazioni agenti localmente: Tx_l=3.40 Ty_l=3.89 N_l=-5777.32 My_l=-2.88 Mz_l=0.00
Azioni sul cordone: TP=0.25 TO=0.29 NO=-427.06
Tensioni nel cordone: τ_P= 0.08 τ_0= 0.09 σ_0=139.94 σ_{ID}=139.94 Σ_T=140.03
CC 2 SLD (Collegamento 0021_-378)
Azioni sul collegamento: N=-7392.49 Ty=4.43 Tz=-2.12 Mx=0.00 Mz=3.87
Sollecitazioni agenti localmente: Tx_l=4.43 Ty_l=-2.12 N_l=-7392.49 My_l=-3.87 Mz_l=0.00
Azioni sul cordone: TP=0.33 TO=-0.16 NO=-546.46
Tensioni nel cordone: τ_P=0.10 τ_0= 0.05 σ_0=179.34 σ_{ID}=179.34 Σ_T=179.39
CC 2 SLD (Collegamento 0021_-378)
Azioni sul collegamento: N=-7392.49 Ty=3.40 Tz=-2.12 Mx=0.00 Mz=2.88
Sollecitazioni agenti localmente: Tx_l=3.40 Ty_l=-2.12 N_l=-7392.49 My_l=-2.88 Mz_l=0.00
Azioni sul cordone: TP=0.25 TO=-0.16 NO=-546.46
Tensioni nel cordone: τ_P= 0.08 τ_0= 0.05 σ_0=177.89 σ_{ID}=177.89 Σ_T=177.94
CC 2 SLD (Collegamento 0021_-378)
Azioni sul collegamento: N=-7392.49 Ty=4.43 Tz=3.89 Mx=0.00 Mz=3.87
Sollecitazioni agenti localmente: Tx_l=4.43 Ty_l=3.89 N_l=-7392.49 My_l=-3.87 Mz_l=0.00
Azioni sul cordone: TP=0.33 TO=0.29 NO=-546.46
Tensioni nel cordone: τ_P=0.10 τ_0= 0.09 σ_0=179.34 σ_{ID}=179.34 Σ_T=179.43
CC 2 SLD (Collegamento 0021_-378)
Azioni sul collegamento: N=-7392.49 Ty=3.40 Tz=3.89 Mx=0.00 Mz=2.88
Sollecitazioni agenti localmente: Tx_l=3.40 Ty_l=3.89 N_l=-7392.49 My_l=-2.88 Mz_l=0.00
Azioni sul cordone: TP=0.25 TO=0.29 NO=-546.46
Tensioni nel cordone: τ_P= 0.08 τ_0= 0.09 σ_0=177.89 σ_{ID}=177.89 Σ_T=177.98
CC 3 SLV (Collegamento 0021_-378)
Azioni sul collegamento: N=-3974.64 Ty=5.81 Tz=-8.72 Mx=0.01 Mz=5.82
Sollecitazioni agenti localmente: Tx_l=5.81 Ty_l=-8.72 N_l=-3974.64 My_l=-5.82 Mz_l=0.01
Azioni sul cordone: TP=0.42 TO=-0.64 NO=-293.81
Tensioni nel cordone: τ_P=0.13 τ_0=0.20 σ_0=101.89 σ_{ID}=101.89 Σ_T=102.09
CC 3 SLV (Collegamento 0021_-378)
Azioni sul collegamento: N=-3974.64 Ty=3.70 Tz=-8.72 Mx=0.01 Mz=5.08
Sollecitazioni agenti localmente: Tx_l=3.70 Ty_l=-8.72 N_l=-3974.64 My_l=-5.08 Mz_l=0.01
Azioni sul cordone: TP=0.26 TO=-0.64 NO=-293.81
Tensioni nel cordone: τ_P= 0.08 τ_0=0.20 σ_0=100.81 σ_{ID}=100.81 Σ_T=101.02
CC 3 SLV (Collegamento 0021_-378)
Azioni sul collegamento: N=-3974.64 Ty=5.81 Tz=10.74 Mx=0.01 Mz=5.82
Sollecitazioni agenti localmente: Tx_l=5.81 Ty_l=10.74 N_l=-3974.64 My_l=-5.82 Mz_l=0.01
Azioni sul cordone: TP=0.42 TO=0.80 NO=-293.81
Tensioni nel cordone: τ_P=0.13 τ_0=0.25 σ_0=101.89 σ_{ID}=101.89 Σ_T=102.14
CC 3 SLV (Collegamento 0021_-378)
Azioni sul collegamento: N=-3974.64 Ty=3.70 Tz=10.74 Mx=0.01 Mz=5.08
Sollecitazioni agenti localmente: Tx_l=3.70 Ty_l=10.74 N_l=-3974.64 My_l=-5.08 Mz_l=0.01
Azioni sul cordone: TP=0.26 TO=0.80 NO=-293.81
Tensioni nel cordone: τ_P= 0.08 τ_0=0.25 σ_0=100.81 σ_{ID}=100.81 Σ_T=101.07
CC 3 SLV (Collegamento 0021_-378)
Azioni sul collegamento: N=-9260.08 Ty=5.81 Tz=-8.72 Mx=0.01 Mz=5.82
Sollecitazioni agenti localmente: Tx_l=5.81 Ty_l=-8.72 N_l=-9260.08 My_l=-5.82 Mz_l=0.01
Azioni sul cordone: TP=0.42 TO=-0.64 NO=-684.51
Tensioni nel cordone: τ_P=0.13 τ_0=0.20 σ_0=226.07 σ_{ID}=226.07 Σ_T=226.28
CC 3 SLV (Collegamento 0021_-378)
Azioni sul collegamento: N=-9260.08 Ty=3.70 Tz=-8.72 Mx=0.01 Mz=5.08
Sollecitazioni agenti localmente: Tx_l=3.70 Ty_l=-8.72 N_l=-9260.08 My_l=-5.08 Mz_l=0.01
Azioni sul cordone: TP=0.26 TO=-0.64 NO=-684.51
Tensioni nel cordone: τ_P= 0.08 τ_0=0.20 σ_0=225.00 σ_{ID}=225.00 Σ_T=225.20
CC 3 SLV (Collegamento 0021_-378)
Azioni sul collegamento: N=-9260.08 Ty=5.81 Tz=10.74 Mx=0.01 Mz=5.82
Sollecitazioni agenti localmente: Tx_l=5.81 Ty_l=10.74 N_l=-9260.08 My_l=-5.82 Mz_l=0.01
Azioni sul cordone: TP=0.42 TO=0.80 NO=-684.51
Tensioni nel cordone: τ_P=0.13 τ_0=0.25 σ_0=226.07 σ_{ID}=226.07 Σ_T=226.33
CC 3 SLV (Collegamento 0021_-378)

Azioni sul collegamento: N=-9260.08 Ty=3.70 Tz=10.74 Mx=0.01 Mz=5.08
Sollecitazioni agenti localmente: Tx_l=3.70 Ty_l=10.74 N_l=-9260.08 My_l=-5.08 Mz_l=0.01
Azioni sul cordone: TP=0.26 TO=0.80 NO=-684.51
Tensioni nel cordone: τ_P= 0.08 τ_0=0.25 σ_0=225.00 σ_{ID}=225.00 Σ_T=225.25
CC 4 SLD (Collegamento 0021_-378)
Azioni sul collegamento: N=-5779.06 Ty=4.24 Tz=-2.08 Mx=0.00 Mz=3.48
Sollecitazioni agenti localmente: Tx_l=4.24 Ty_l=-2.08 N_l=-5779.06 My_l=-3.48 Mz_l=0.00
Azioni sul cordone: TP=0.31 TO=-0.15 NO=-427.19
Tensioni nel cordone: τ_P= 0.10 τ_0= 0.05 σ_0=140.87 σ_{ID}=140.87 Σ_T=140.92
CC 4 SLD (Collegamento 0021_-378)
Azioni sul collegamento: N=-5779.06 Ty=3.59 Tz=-2.08 Mx=0.00 Mz=3.26
Sollecitazioni agenti localmente: Tx_l=3.59 Ty_l=-2.08 N_l=-5779.06 My_l=-3.26 Mz_l=0.00
Azioni sul cordone: TP=0.27 TO=-0.15 NO=-427.19
Tensioni nel cordone: τ_P= 0.08 τ_0= 0.05 σ_0=140.54 σ_{ID}=140.54 Σ_T=140.59
CC 4 SLD (Collegamento 0021_-378)
Azioni sul collegamento: N=-5779.06 Ty=4.24 Tz=3.85 Mx=0.00 Mz=3.48
Sollecitazioni agenti localmente: Tx_l=4.24 Ty_l=3.85 N_l=-5779.06 My_l=-3.48 Mz_l=0.00
Azioni sul cordone: TP=0.31 TO=0.28 NO=-427.19
Tensioni nel cordone: τ_P= 0.10 τ_0= 0.09 σ_0=140.87 σ_{ID}=140.87 Σ_T=140.96
CC 4 SLD (Collegamento 0021_-378)
Azioni sul collegamento: N=-5779.06 Ty=3.59 Tz=3.85 Mx=0.00 Mz=3.26
Sollecitazioni agenti localmente: Tx_l=3.59 Ty_l=3.85 N_l=-5779.06 My_l=-3.26 Mz_l=0.00
Azioni sul cordone: TP=0.27 TO=0.28 NO=-427.19
Tensioni nel cordone: τ_P= 0.08 τ_0= 0.09 σ_0=140.54 σ_{ID}=140.54 Σ_T=140.63
CC 4 SLD (Collegamento 0021_-378)
Azioni sul collegamento: N=-7390.75 Ty=4.24 Tz=-2.08 Mx=0.00 Mz=3.48
Sollecitazioni agenti localmente: Tx_l=4.24 Ty_l=-2.08 N_l=-7390.75 My_l=-3.48 Mz_l=0.00
Azioni sul cordone: TP=0.31 TO=-0.15 NO=-546.33
Tensioni nel cordone: τ_P= 0.10 τ_0= 0.05 σ_0=178.74 σ_{ID}=178.74 Σ_T=178.79
CC 4 SLD (Collegamento 0021_-378)
Azioni sul collegamento: N=-7390.75 Ty=3.59 Tz=-2.08 Mx=0.00 Mz=3.26
Sollecitazioni agenti localmente: Tx_l=3.59 Ty_l=-2.08 N_l=-7390.75 My_l=-3.26 Mz_l=0.00
Azioni sul cordone: TP=0.27 TO=-0.15 NO=-546.33
Tensioni nel cordone: τ_P= 0.08 τ_0= 0.05 σ_0=178.41 σ_{ID}=178.41 Σ_T=178.46
CC 4 SLD (Collegamento 0021_-378)
Azioni sul collegamento: N=-7390.75 Ty=4.24 Tz=3.85 Mx=0.00 Mz=3.48
Sollecitazioni agenti localmente: Tx_l=4.24 Ty_l=3.85 N_l=-7390.75 My_l=-3.48 Mz_l=0.00
Azioni sul cordone: TP=0.31 TO=0.28 NO=-546.33
Tensioni nel cordone: τ_P= 0.10 τ_0= 0.09 σ_0=178.74 σ_{ID}=178.74 Σ_T=178.83
CC 4 SLD (Collegamento 0021_-378)
Azioni sul collegamento: N=-7390.75 Ty=3.59 Tz=3.85 Mx=0.00 Mz=3.26
Sollecitazioni agenti localmente: Tx_l=3.59 Ty_l=3.85 N_l=-7390.75 My_l=-3.26 Mz_l=0.00
Azioni sul cordone: TP=0.27 TO=0.28 NO=-546.33
Tensioni nel cordone: τ_P= 0.08 τ_0= 0.09 σ_0=178.41 σ_{ID}=178.41 Σ_T=178.50
CC 5 SLV (Collegamento 0021_-378)
Azioni sul collegamento: N=-9260.08 Ty=3.70 Tz=10.74 Mx=0.01 Mz=5.08
Sollecitazioni agenti localmente: Tx_l=3.70 Ty_l=10.74 N_l=-9260.08 My_l=-5.08 Mz_l=0.01
Azioni sul cordone: TP=0.26 TO=0.80 NO=-684.51
Tensioni nel cordone: τ_P= 0.08 τ_0=0.26 σ_0=225.00 σ_{ID}=225.00 Σ_T=225.25
CC 5 SLV (Collegamento 0021_-378)
Azioni sul collegamento: N=-9260.08 Ty=5.81 Tz=10.74 Mx=0.01 Mz=5.82
Sollecitazioni agenti localmente: Tx_l=5.81 Ty_l=10.74 N_l=-9260.08 My_l=-5.82 Mz_l=0.01
Azioni sul cordone: TP=0.42 TO=0.80 NO=-684.51
Tensioni nel cordone: τ_P=0.13 τ_0=0.26 σ_0=226.07 σ_{ID}=226.07 Σ_T=226.33
CC 5 SLV (Collegamento 0021_-378)
Azioni sul collegamento: N=-9260.08 Ty=3.70 Tz=-8.72 Mx=0.01 Mz=5.08
Sollecitazioni agenti localmente: Tx_l=3.70 Ty_l=-8.72 N_l=-9260.08 My_l=-5.08 Mz_l=0.01
Azioni sul cordone: TP=0.26 TO=-0.64 NO=-684.51
Tensioni nel cordone: τ_P= 0.08 τ_0=0.20 σ_0=225.00 σ_{ID}=225.00 Σ_T=225.20
CC 5 SLV (Collegamento 0021_-378)
Azioni sul collegamento: N=-9260.08 Ty=5.81 Tz=-8.72 Mx=0.01 Mz=5.82
Sollecitazioni agenti localmente: Tx_l=5.81 Ty_l=-8.72 N_l=-9260.08 My_l=-5.82 Mz_l=0.01
Azioni sul cordone: TP=0.42 TO=-0.64 NO=-684.51
Tensioni nel cordone: τ_P=0.13 τ_0=0.20 σ_0=226.07 σ_{ID}=226.07 Σ_T=226.27
CC 5 SLV (Collegamento 0021_-378)
Azioni sul collegamento: N=-3974.64 Ty=3.70 Tz=10.74 Mx=0.01 Mz=5.08
Sollecitazioni agenti localmente: Tx_l=3.70 Ty_l=10.74 N_l=-3974.64 My_l=-5.08 Mz_l=0.01
Azioni sul cordone: TP=0.26 TO=0.80 NO=-293.81
Tensioni nel cordone: τ_P= 0.08 τ_0=0.26 σ_0=100.81 σ_{ID}=100.81 Σ_T=101.07
CC 5 SLV (Collegamento 0021_-378)
Azioni sul collegamento: N=-3974.64 Ty=5.81 Tz=10.74 Mx=0.01 Mz=5.82
Sollecitazioni agenti localmente: Tx_l=5.81 Ty_l=10.74 N_l=-3974.64 My_l=-5.82 Mz_l=0.01
Azioni sul cordone: TP=0.42 TO=0.80 NO=-293.81
Tensioni nel cordone: τ_P=0.13 τ_0=0.26 σ_0=101.89 σ_{ID}=101.89 Σ_T=102.14
CC 5 SLV (Collegamento 0021_-378)
Azioni sul collegamento: N=-3974.64 Ty=3.70 Tz=-8.72 Mx=0.01 Mz=5.08
Sollecitazioni agenti localmente: Tx_l=3.70 Ty_l=-8.72 N_l=-3974.64 My_l=-5.08 Mz_l=0.01
Azioni sul cordone: TP=0.26 TO=-0.64 NO=-293.81
Tensioni nel cordone: τ_P= 0.08 τ_0=0.20 σ_0=100.81 σ_{ID}=100.81 Σ_T=101.02

CC 5 SLV (Collegamento 0021_-378)
Azioni sul collegamento: N=-3974.64 Ty=5.81 Tz=-8.72 Mx=0.01 Mz=5.82
Sollecitazioni agenti localmente: Tx_l=5.81 Ty_l=-8.72 N_l=-3974.64 My_l=-5.82 Mz_l=0.01
Azioni sul cordone: TP=0.42 TO=-0.64 NO=-293.81
Tensioni nel cordone: τ_P=0.13 τ_0=0.20 σ_0=101.89 σ_{ID}=101.89 Σ_T=102.09
CC 6 SLD (Collegamento 0021_-378)
Azioni sul collegamento: N=-7390.75 Ty=3.59 Tz=3.85 Mx=0.00 Mz=3.26
Sollecitazioni agenti localmente: Tx_l=3.59 Ty_l=3.85 N_l=-7390.75 My_l=-3.26 Mz_l=0.00
Azioni sul cordone: TP=0.26 TO=0.29 NO=-546.33
Tensioni nel cordone: τ_P= 0.08 τ_0= 0.09 σ_0=178.41 σ_{ID}=178.41 Σ_T=178.50
CC 6 SLD (Collegamento 0021_-378)
Azioni sul collegamento: N=-7390.75 Ty=4.24 Tz=3.85 Mx=0.00 Mz=3.48
Sollecitazioni agenti localmente: Tx_l=4.24 Ty_l=3.85 N_l=-7390.75 My_l=-3.48 Mz_l=0.00
Azioni sul cordone: TP=0.31 TO=0.29 NO=-546.33
Tensioni nel cordone: τ_P= 0.10 τ_0= 0.09 σ_0=178.74 σ_{ID}=178.74 Σ_T=178.83
CC 6 SLD (Collegamento 0021_-378)
Azioni sul collegamento: N=-7390.75 Ty=3.59 Tz=-2.08 Mx=0.00 Mz=3.26
Sollecitazioni agenti localmente: Tx_l=3.59 Ty_l=-2.08 N_l=-7390.75 My_l=-3.26 Mz_l=0.00
Azioni sul cordone: TP=0.26 TO=-0.15 NO=-546.33
Tensioni nel cordone: τ_P= 0.08 τ_0= 0.05 σ_0=178.41 σ_{ID}=178.41 Σ_T=178.46
CC 6 SLD (Collegamento 0021_-378)
Azioni sul collegamento: N=-7390.75 Ty=4.24 Tz=-2.08 Mx=0.00 Mz=3.48
Sollecitazioni agenti localmente: Tx_l=4.24 Ty_l=-2.08 N_l=-7390.75 My_l=-3.48 Mz_l=0.00
Azioni sul cordone: TP=0.31 TO=-0.15 NO=-546.33
Tensioni nel cordone: τ_P= 0.10 τ_0= 0.05 σ_0=178.74 σ_{ID}=178.74 Σ_T=178.78
CC 6 SLD (Collegamento 0021_-378)
Azioni sul collegamento: N=-5779.06 Ty=3.59 Tz=3.85 Mx=0.00 Mz=3.26
Sollecitazioni agenti localmente: Tx_l=3.59 Ty_l=3.85 N_l=-5779.06 My_l=-3.26 Mz_l=0.00
Azioni sul cordone: TP=0.26 TO=0.29 NO=-427.19
Tensioni nel cordone: τ_P= 0.08 τ_0= 0.09 σ_0=140.54 σ_{ID}=140.54 Σ_T=140.63
CC 6 SLD (Collegamento 0021_-378)
Azioni sul collegamento: N=-5779.06 Ty=4.24 Tz=3.85 Mx=0.00 Mz=3.48
Sollecitazioni agenti localmente: Tx_l=4.24 Ty_l=3.85 N_l=-5779.06 My_l=-3.48 Mz_l=0.00
Azioni sul cordone: TP=0.31 TO=0.29 NO=-427.19
Tensioni nel cordone: τ_P= 0.10 τ_0= 0.09 σ_0=140.87 σ_{ID}=140.87 Σ_T=140.96
CC 6 SLD (Collegamento 0021_-378)
Azioni sul collegamento: N=-5779.06 Ty=3.59 Tz=-2.08 Mx=0.00 Mz=3.26
Sollecitazioni agenti localmente: Tx_l=3.59 Ty_l=-2.08 N_l=-5779.06 My_l=-3.26 Mz_l=0.00
Azioni sul cordone: TP=0.26 TO=-0.15 NO=-427.19
Tensioni nel cordone: τ_P= 0.08 τ_0= 0.05 σ_0=140.54 σ_{ID}=140.54 Σ_T=140.59
CC 6 SLD (Collegamento 0021_-378)
Azioni sul collegamento: N=-5779.06 Ty=4.24 Tz=-2.08 Mx=0.00 Mz=3.48
Sollecitazioni agenti localmente: Tx_l=4.24 Ty_l=-2.08 N_l=-5779.06 My_l=-3.48 Mz_l=0.00
Azioni sul cordone: TP=0.31 TO=-0.15 NO=-427.19
Tensioni nel cordone: τ_P= 0.10 τ_0= 0.05 σ_0=140.87 σ_{ID}=140.87 Σ_T=140.92
CC 7 SLV (Collegamento 0021_-378)
Azioni sul collegamento: N=-9265.76 Ty=3.07 Tz=10.87 Mx=0.01 Mz=3.83
Sollecitazioni agenti localmente: Tx_l=3.07 Ty_l=10.87 N_l=-9265.76 My_l=-3.83 Mz_l=0.01
Azioni sul cordone: TP=0.22 TO=0.81 NO=-684.93
Tensioni nel cordone: τ_P= 0.07 τ_0=0.26 σ_0=223.30 σ_{ID}=223.30 Σ_T=223.55
CC 7 SLV (Collegamento 0021_-378)
Azioni sul collegamento: N=-9265.76 Ty=6.45 Tz=10.87 Mx=0.01 Mz=7.08
Sollecitazioni agenti localmente: Tx_l=6.45 Ty_l=10.87 N_l=-9265.76 My_l=-7.08 Mz_l=0.01
Azioni sul cordone: TP=0.47 TO=0.81 NO=-684.93
Tensioni nel cordone: τ_P=0.15 τ_0=0.26 σ_0=228.04 σ_{ID}=228.04 Σ_T=228.30
CC 7 SLV (Collegamento 0021_-378)
Azioni sul collegamento: N=-9265.76 Ty=3.07 Tz=-8.85 Mx=0.01 Mz=3.83
Sollecitazioni agenti localmente: Tx_l=3.07 Ty_l=-8.85 N_l=-9265.76 My_l=-3.83 Mz_l=0.01
Azioni sul cordone: TP=0.22 TO=-0.65 NO=-684.93
Tensioni nel cordone: τ_P= 0.07 τ_0=0.21 σ_0=223.30 σ_{ID}=223.30 Σ_T=223.50
CC 7 SLV (Collegamento 0021_-378)
Azioni sul collegamento: N=-9265.76 Ty=6.45 Tz=-8.85 Mx=0.01 Mz=7.08
Sollecitazioni agenti localmente: Tx_l=6.45 Ty_l=-8.85 N_l=-9265.76 My_l=-7.08 Mz_l=0.01
Azioni sul cordone: TP=0.47 TO=-0.65 NO=-684.93
Tensioni nel cordone: τ_P=0.15 τ_0=0.21 σ_0=228.04 σ_{ID}=228.04 Σ_T=228.25
CC 7 SLV (Collegamento 0021_-378)
Azioni sul collegamento: N=-3968.96 Ty=3.07 Tz=10.87 Mx=0.01 Mz=3.83
Sollecitazioni agenti localmente: Tx_l=3.07 Ty_l=10.87 N_l=-3968.96 My_l=-3.83 Mz_l=0.01
Azioni sul cordone: TP=0.22 TO=0.81 NO=-293.39
Tensioni nel cordone: τ_P= 0.07 τ_0=0.26 σ_0=98.85 σ_{ID}=98.85 Σ_T=99.10
CC 7 SLV (Collegamento 0021_-378)
Azioni sul collegamento: N=-3968.96 Ty=6.45 Tz=10.87 Mx=0.01 Mz=7.08
Sollecitazioni agenti localmente: Tx_l=6.45 Ty_l=10.87 N_l=-3968.96 My_l=-7.08 Mz_l=0.01
Azioni sul cordone: TP=0.47 TO=0.81 NO=-293.39
Tensioni nel cordone: τ_P=0.15 τ_0=0.26 σ_0=103.59 σ_{ID}=103.59 Σ_T=103.85
CC 7 SLV (Collegamento 0021_-378)
Azioni sul collegamento: N=-3968.96 Ty=3.07 Tz=-8.85 Mx=0.01 Mz=3.83
Sollecitazioni agenti localmente: Tx_l=3.07 Ty_l=-8.85 N_l=-3968.96 My_l=-3.83 Mz_l=0.01
Azioni sul cordone: TP=0.22 TO=-0.65 NO=-293.39

Tensioni nel cordone: τ_P= 0.07 τ_0=0.21 σ_0=98.85 σ_{ID}=98.85 Σ_T=99.05
CC 7 SLV (Collegamento 0021_-378)
Azioni sul collegamento: N=-3968.96 Ty=6.45 Tz=-8.85 Mx=0.01 Mz=7.08
Sollecitazioni agenti localmente: Tx_l=6.45 Ty_l=-8.85 N_l=-3968.96 My_l=-7.08 Mz_l=0.01
Azioni sul cordone: TP=0.47 TO=-0.65 NO=-293.39
Tensioni nel cordone: τ_P=0.15 τ_0=0.21 σ_0=103.59 σ_{ID}=103.59 Σ_T=103.80
CC 8 SLD (Collegamento 0021_-378)
Azioni sul collegamento: N=-7392.49 Ty=3.40 Tz=3.89 Mx=-0.00 Mz=2.88
Sollecitazioni agenti localmente: Tx_l=3.40 Ty_l=3.89 N_l=-7392.49 My_l=-2.88 Mz_l=-0.00
Azioni sul cordone: TP=0.25 TO=0.29 NO=-546.46
Tensioni nel cordone: τ_P= 0.08 τ_0= 0.09 σ_0=177.89 σ_{ID}=177.89 Σ_T=177.98
CC 8 SLD (Collegamento 0021_-378)
Azioni sul collegamento: N=-7392.49 Ty=4.43 Tz=3.89 Mx=-0.00 Mz=3.87
Sollecitazioni agenti localmente: Tx_l=4.43 Ty_l=3.89 N_l=-7392.49 My_l=-3.87 Mz_l=-0.00
Azioni sul cordone: TP=0.33 TO=0.29 NO=-546.46
Tensioni nel cordone: τ_P=0.10 τ_0= 0.09 σ_0=179.34 σ_{ID}=179.34 Σ_T=179.43
CC 8 SLD (Collegamento 0021_-378)
Azioni sul collegamento: N=-7392.49 Ty=3.40 Tz=-2.12 Mx=-0.00 Mz=2.88
Sollecitazioni agenti localmente: Tx_l=3.40 Ty_l=-2.12 N_l=-7392.49 My_l=-2.88 Mz_l=-0.00
Azioni sul cordone: TP=0.25 TO=-0.16 NO=-546.46
Tensioni nel cordone: τ_P= 0.08 τ_0= 0.05 σ_0=177.89 σ_{ID}=177.89 Σ_T=177.94
CC 8 SLD (Collegamento 0021_-378)
Azioni sul collegamento: N=-7392.49 Ty=4.43 Tz=-2.12 Mx=-0.00 Mz=3.87
Sollecitazioni agenti localmente: Tx_l=4.43 Ty_l=-2.12 N_l=-7392.49 My_l=-3.87 Mz_l=-0.00
Azioni sul cordone: TP=0.33 TO=-0.16 NO=-546.46
Tensioni nel cordone: τ_P=0.10 τ_0= 0.05 σ_0=179.34 σ_{ID}=179.34 Σ_T=179.39
CC 8 SLD (Collegamento 0021_-378)
Azioni sul collegamento: N=-5777.32 Ty=3.40 Tz=3.89 Mx=-0.00 Mz=2.88
Sollecitazioni agenti localmente: Tx_l=3.40 Ty_l=3.89 N_l=-5777.32 My_l=-2.88 Mz_l=-0.00
Azioni sul cordone: TP=0.25 TO=0.29 NO=-427.06
Tensioni nel cordone: τ_P= 0.08 τ_0= 0.09 σ_0=139.94 σ_{ID}=139.94 Σ_T=140.03
CC 8 SLD (Collegamento 0021_-378)
Azioni sul collegamento: N=-5777.32 Ty=4.43 Tz=3.89 Mx=-0.00 Mz=3.87
Sollecitazioni agenti localmente: Tx_l=4.43 Ty_l=3.89 N_l=-5777.32 My_l=-3.87 Mz_l=-0.00
Azioni sul cordone: TP=0.33 TO=0.29 NO=-427.06
Tensioni nel cordone: τ_P=0.10 τ_0= 0.09 σ_0=141.39 σ_{ID}=141.39 Σ_T=141.48
CC 8 SLD (Collegamento 0021_-378)
Azioni sul collegamento: N=-5777.33 Ty=3.40 Tz=-2.12 Mx=-0.00 Mz=2.88
Sollecitazioni agenti localmente: Tx_l=3.40 Ty_l=-2.12 N_l=-5777.33 My_l=-2.88 Mz_l=-0.00
Azioni sul cordone: TP=0.25 TO=-0.16 NO=-427.06
Tensioni nel cordone: τ_P= 0.08 τ_0= 0.05 σ_0=139.94 σ_{ID}=139.94 Σ_T=139.99
CC 8 SLD (Collegamento 0021_-378)
Azioni sul collegamento: N=-5777.33 Ty=4.43 Tz=-2.12 Mx=-0.00 Mz=3.87
Sollecitazioni agenti localmente: Tx_l=4.43 Ty_l=-2.12 N_l=-5777.33 My_l=-3.87 Mz_l=-0.00
Azioni sul cordone: TP=0.33 TO=-0.16 NO=-427.06
Tensioni nel cordone: τ_P=0.10 τ_0= 0.05 σ_0=141.39 σ_{ID}=141.39 Σ_T=141.44
CC 9 SLV (Collegamento 0021_-378)
Azioni sul collegamento: N=-5814.22 Ty=6.23 Tz=-2.14 Mx=0.02 Mz=7.84
Sollecitazioni agenti localmente: Tx_l=6.23 Ty_l=-2.14 N_l=-5814.22 My_l=-7.84 Mz_l=0.02
Azioni sul cordone: TP=0.44 TO=-0.14 NO=-429.79
Tensioni nel cordone: τ_P=0.14 τ_0= 0.05 σ_0=148.07 σ_{ID}=148.07 Σ_T=148.11
CC 9 SLV (Collegamento 0021_-378)
Azioni sul collegamento: N=-5814.22 Ty=3.29 Tz=-2.14 Mx=0.02 Mz=3.06
Sollecitazioni agenti localmente: Tx_l=3.29 Ty_l=-2.14 N_l=-5814.22 My_l=-3.06 Mz_l=0.02
Azioni sul cordone: TP=0.22 TO=-0.14 NO=-429.79
Tensioni nel cordone: τ_P= 0.07 τ_0= 0.05 σ_0=141.08 σ_{ID}=141.08 Σ_T=141.12
CC 9 SLV (Collegamento 0021_-378)
Azioni sul collegamento: N=-5814.22 Ty=6.23 Tz=4.16 Mx=0.02 Mz=7.84
Sollecitazioni agenti localmente: Tx_l=6.23 Ty_l=4.16 N_l=-5814.22 My_l=-7.84 Mz_l=0.02
Azioni sul cordone: TP=0.44 TO=0.32 NO=-429.79
Tensioni nel cordone: τ_P=0.14 τ_0=0.10 σ_0=148.07 σ_{ID}=148.07 Σ_T=148.17
CC 9 SLV (Collegamento 0021_-378)
Azioni sul collegamento: N=-5814.22 Ty=3.29 Tz=4.16 Mx=0.02 Mz=3.06
Sollecitazioni agenti localmente: Tx_l=3.29 Ty_l=4.16 N_l=-5814.22 My_l=-3.06 Mz_l=0.02
Azioni sul cordone: TP=0.22 TO=0.32 NO=-429.79
Tensioni nel cordone: τ_P= 0.07 τ_0=0.10 σ_0=141.08 σ_{ID}=141.08 Σ_T=141.18
CC 9 SLV (Collegamento 0021_-378)
Azioni sul collegamento: N=-7420.50 Ty=6.23 Tz=-2.14 Mx=0.02 Mz=7.84
Sollecitazioni agenti localmente: Tx_l=6.23 Ty_l=-2.14 N_l=-7420.50 My_l=-7.84 Mz_l=0.02
Azioni sul cordone: TP=0.44 TO=-0.14 NO=-548.53
Tensioni nel cordone: τ_P=0.14 τ_0= 0.05 σ_0=185.81 σ_{ID}=185.81 Σ_T=185.85
CC 9 SLV (Collegamento 0021_-378)
Azioni sul collegamento: N=-7420.50 Ty=3.29 Tz=-2.14 Mx=0.02 Mz=3.06
Sollecitazioni agenti localmente: Tx_l=3.29 Ty_l=-2.14 N_l=-7420.50 My_l=-3.06 Mz_l=0.02
Azioni sul cordone: TP=0.22 TO=-0.14 NO=-548.53
Tensioni nel cordone: τ_P= 0.07 τ_0= 0.05 σ_0=178.82 σ_{ID}=178.82 Σ_T=178.87
CC 9 SLV (Collegamento 0021_-378)
Azioni sul collegamento: N=-7420.50 Ty=6.23 Tz=4.16 Mx=0.02 Mz=7.84
Sollecitazioni agenti localmente: Tx_l=6.23 Ty_l=4.16 N_l=-7420.50 My_l=-7.84 Mz_l=0.02

Azioni sul cordone: TP=0.44 TO=0.32 NO=-548.53
Tensioni nel cordone: τ_P=0.14 τ_0=0.10 σ_0=185.81 σ_{ID}=185.81 Σ_T=185.91
CC 9 SLV (Collegamento 0021_-378)
Azioni sul collegamento: N=-7420.50 Ty=3.29 Tz=4.16 Mx=0.02 Mz=3.06
Sollecitazioni agenti localmente: Tx_l=3.29 Ty_l=4.16 N_l=-7420.50 My_l=-3.06 Mz_l=0.02
Azioni sul cordone: TP=0.22 TO=0.32 NO=-548.53
Tensioni nel cordone: τ_P= 0.07 τ_0=0.10 σ_0=178.82 σ_{ID}=178.82 Σ_T=178.92
CC 10 SLD (Collegamento 0021_-378)
Azioni sul collegamento: N=-6340.00 Ty=4.36 Tz=-0.08 Mx=0.00 Mz=4.10
Sollecitazioni agenti localmente: Tx_l=4.36 Ty_l=-0.08 N_l=-6340.00 My_l=-4.10 Mz_l=0.00
Azioni sul cordone: TP=0.32 TO=-0.00 NO=-468.65
Tensioni nel cordone: τ_P=0.10 τ_0=1.06E-03 σ_0=154.95 σ_{ID}=154.95 Σ_T=154.95
CC 10 SLD (Collegamento 0021_-378)
Azioni sul collegamento: N=-6340.00 Ty=3.47 Tz=-0.08 Mx=0.00 Mz=2.64
Sollecitazioni agenti localmente: Tx_l=3.47 Ty_l=-0.08 N_l=-6340.00 My_l=-2.64 Mz_l=0.00
Azioni sul cordone: TP=0.25 TO=-0.00 NO=-468.65
Tensioni nel cordone: τ_P= 0.08 τ_0=1.06E-03 σ_0=152.82 σ_{ID}=152.82 Σ_T=152.82
CC 10 SLD (Collegamento 0021_-378)
Azioni sul collegamento: N=-6340.00 Ty=4.36 Tz=1.85 Mx=0.00 Mz=4.10
Sollecitazioni agenti localmente: Tx_l=4.36 Ty_l=1.85 N_l=-6340.00 My_l=-4.10 Mz_l=0.00
Azioni sul cordone: TP=0.32 TO=0.14 NO=-468.65
Tensioni nel cordone: τ_P=0.10 τ_0= 0.04 σ_0=154.95 σ_{ID}=154.95 Σ_T=154.99
CC 10 SLD (Collegamento 0021_-378)
Azioni sul collegamento: N=-6340.00 Ty=3.47 Tz=1.85 Mx=0.00 Mz=2.64
Sollecitazioni agenti localmente: Tx_l=3.47 Ty_l=1.85 N_l=-6340.00 My_l=-2.64 Mz_l=0.00
Azioni sul cordone: TP=0.25 TO=0.14 NO=-468.65
Tensioni nel cordone: τ_P= 0.08 τ_0= 0.04 σ_0=152.82 σ_{ID}=152.82 Σ_T=152.86
CC 10 SLD (Collegamento 0021_-378)
Azioni sul collegamento: N=-6829.81 Ty=4.36 Tz=-0.08 Mx=0.00 Mz=4.10
Sollecitazioni agenti localmente: Tx_l=4.36 Ty_l=-0.08 N_l=-6829.81 My_l=-4.10 Mz_l=0.00
Azioni sul cordone: TP=0.32 TO=-0.00 NO=-504.86
Tensioni nel cordone: τ_P=0.10 τ_0=1.07E-03 σ_0=166.46 σ_{ID}=166.46 Σ_T=166.46
CC 10 SLD (Collegamento 0021_-378)
Azioni sul collegamento: N=-6829.81 Ty=3.47 Tz=-0.08 Mx=0.00 Mz=2.64
Sollecitazioni agenti localmente: Tx_l=3.47 Ty_l=-0.08 N_l=-6829.81 My_l=-2.64 Mz_l=0.00
Azioni sul cordone: TP=0.25 TO=-0.00 NO=-504.86
Tensioni nel cordone: τ_P= 0.08 τ_0=1.07E-03 σ_0=164.33 σ_{ID}=164.33 Σ_T=164.33
CC 10 SLD (Collegamento 0021_-378)
Azioni sul collegamento: N=-6829.81 Ty=4.36 Tz=1.85 Mx=0.00 Mz=4.10
Sollecitazioni agenti localmente: Tx_l=4.36 Ty_l=1.85 N_l=-6829.81 My_l=-4.10 Mz_l=0.00
Azioni sul cordone: TP=0.32 TO=0.14 NO=-504.86
Tensioni nel cordone: τ_P=0.10 τ_0= 0.04 σ_0=166.46 σ_{ID}=166.46 Σ_T=166.50
CC 10 SLD (Collegamento 0021_-378)
Azioni sul collegamento: N=-6829.81 Ty=3.47 Tz=1.85 Mx=0.00 Mz=2.64
Sollecitazioni agenti localmente: Tx_l=3.47 Ty_l=1.85 N_l=-6829.81 My_l=-2.64 Mz_l=0.00
Azioni sul cordone: TP=0.25 TO=0.14 NO=-504.86
Tensioni nel cordone: τ_P= 0.08 τ_0= 0.04 σ_0=164.33 σ_{ID}=164.33 Σ_T=164.37
CC 11 SLV (Collegamento 0021_-378)
Azioni sul collegamento: N=-7401.56 Ty=5.40 Tz=3.74 Mx=0.02 Mz=7.25
Sollecitazioni agenti localmente: Tx_l=5.40 Ty_l=3.74 N_l=-7401.56 My_l=-7.25 Mz_l=0.02
Azioni sul cordone: TP=0.38 TO=0.29 NO=-547.13
Tensioni nel cordone: τ_P=0.12 τ_0= 0.09 σ_0=184.49 σ_{ID}=184.49 Σ_T=184.58
CC 11 SLV (Collegamento 0021_-378)
Azioni sul collegamento: N=-7401.56 Ty=4.11 Tz=3.74 Mx=0.02 Mz=3.66
Sollecitazioni agenti localmente: Tx_l=4.11 Ty_l=3.74 N_l=-7401.56 My_l=-3.66 Mz_l=0.02
Azioni sul cordone: TP=0.28 TO=0.29 NO=-547.13
Tensioni nel cordone: τ_P= 0.09 τ_0= 0.09 σ_0=179.25 σ_{ID}=179.25 Σ_T=179.34
CC 11 SLV (Collegamento 0021_-378)
Azioni sul collegamento: N=-7401.56 Ty=5.40 Tz=-1.71 Mx=0.02 Mz=7.25
Sollecitazioni agenti localmente: Tx_l=5.40 Ty_l=-1.71 N_l=-7401.56 My_l=-7.25 Mz_l=0.02
Azioni sul cordone: TP=0.38 TO=-0.11 NO=-547.13
Tensioni nel cordone: τ_P=0.12 τ_0= 0.04 σ_0=184.49 σ_{ID}=184.49 Σ_T=184.53
CC 11 SLV (Collegamento 0021_-378)
Azioni sul collegamento: N=-7401.56 Ty=4.11 Tz=-1.71 Mx=0.02 Mz=3.66
Sollecitazioni agenti localmente: Tx_l=4.11 Ty_l=-1.71 N_l=-7401.56 My_l=-3.66 Mz_l=0.02
Azioni sul cordone: TP=0.28 TO=-0.11 NO=-547.13
Tensioni nel cordone: τ_P= 0.09 τ_0= 0.04 σ_0=179.25 σ_{ID}=179.25 Σ_T=179.28
CC 11 SLV (Collegamento 0021_-378)
Azioni sul collegamento: N=-5833.17 Ty=5.40 Tz=3.74 Mx=0.02 Mz=7.25
Sollecitazioni agenti localmente: Tx_l=5.40 Ty_l=3.74 N_l=-5833.17 My_l=-7.25 Mz_l=0.02
Azioni sul cordone: TP=0.38 TO=0.29 NO=-431.19
Tensioni nel cordone: τ_P=0.12 τ_0= 0.09 σ_0=147.64 σ_{ID}=147.64 Σ_T=147.73
CC 11 SLV (Collegamento 0021_-378)
Azioni sul collegamento: N=-5833.17 Ty=4.11 Tz=3.74 Mx=0.02 Mz=3.66
Sollecitazioni agenti localmente: Tx_l=4.11 Ty_l=3.74 N_l=-5833.17 My_l=-3.66 Mz_l=0.02
Azioni sul cordone: TP=0.28 TO=0.29 NO=-431.19
Tensioni nel cordone: τ_P= 0.09 τ_0= 0.09 σ_0=142.40 σ_{ID}=142.40 Σ_T=142.49
CC 11 SLV (Collegamento 0021_-378)
Azioni sul collegamento: N=-5833.17 Ty=5.40 Tz=-1.71 Mx=0.02 Mz=7.25

Sollecitazioni agenti localmente: Tx_l=5.40 Ty_l=-1.71 N_l=-5833.17 My_l=-7.25 Mz_l=0.02
Azioni sul cordone: TP=0.38 TO=-0.11 NO=-431.19
Tensioni nel cordone: τ_P=0.12 τ_0= 0.04 σ_0=147.64 σ_{ID}=147.64 Σ_T=147.68
CC 11 SLV (Collegamento 0021_-378)
Azioni sul collegamento: N=-5833.17 Ty=4.11 Tz=-1.71 Mx=0.02 Mz=3.66
Sollecitazioni agenti localmente: Tx_l=4.11 Ty_l=-1.71 N_l=-5833.17 My_l=-3.66 Mz_l=0.02
Azioni sul cordone: TP=0.28 TO=-0.11 NO=-431.19
Tensioni nel cordone: τ_P= 0.09 τ_0= 0.04 σ_0=142.40 σ_{ID}=142.40 Σ_T=142.43
CC 12 SLD (Collegamento 0021_-378)
Azioni sul collegamento: N=-6824.03 Ty=4.11 Tz=1.72 Mx=0.00 Mz=3.92
Sollecitazioni agenti localmente: Tx_l=4.11 Ty_l=1.72 N_l=-6824.03 My_l=-3.92 Mz_l=0.00
Azioni sul cordone: TP=0.30 TO=0.13 NO=-504.43
Tensioni nel cordone: τ_P= 0.10 τ_0= 0.04 σ_0=166.06 σ_{ID}=166.06 Σ_T=166.10
CC 12 SLD (Collegamento 0021_-378)
Azioni sul collegamento: N=-6824.03 Ty=3.72 Tz=1.72 Mx=0.00 Mz=2.82
Sollecitazioni agenti localmente: Tx_l=3.72 Ty_l=1.72 N_l=-6824.03 My_l=-2.82 Mz_l=0.00
Azioni sul cordone: TP=0.27 TO=0.13 NO=-504.43
Tensioni nel cordone: τ_P= 0.09 τ_0= 0.04 σ_0=164.46 σ_{ID}=164.46 Σ_T=164.50
CC 12 SLD (Collegamento 0021_-378)
Azioni sul collegamento: N=-6824.03 Ty=4.11 Tz=0.05 Mx=0.00 Mz=3.92
Sollecitazioni agenti localmente: Tx_l=4.11 Ty_l=0.05 N_l=-6824.03 My_l=-3.92 Mz_l=0.00
Azioni sul cordone: TP=0.30 TO=0.01 NO=-504.43
Tensioni nel cordone: τ_P= 0.10 τ_0=1.94E-03 σ_0=166.06 σ_{ID}=166.06 Σ_T=166.06
CC 12 SLD (Collegamento 0021_-378)
Azioni sul collegamento: N=-6824.03 Ty=3.72 Tz=0.05 Mx=0.00 Mz=2.82
Sollecitazioni agenti localmente: Tx_l=3.72 Ty_l=0.05 N_l=-6824.03 My_l=-2.82 Mz_l=0.00
Azioni sul cordone: TP=0.27 TO=0.01 NO=-504.43
Tensioni nel cordone: τ_P= 0.09 τ_0=1.94E-03 σ_0=164.46 σ_{ID}=164.46 Σ_T=164.46
CC 12 SLD (Collegamento 0021_-378)
Azioni sul collegamento: N=-6345.78 Ty=4.11 Tz=1.72 Mx=0.00 Mz=3.92
Sollecitazioni agenti localmente: Tx_l=4.11 Ty_l=1.72 N_l=-6345.78 My_l=-3.92 Mz_l=0.00
Azioni sul cordone: TP=0.30 TO=0.13 NO=-469.08
Tensioni nel cordone: τ_P= 0.10 τ_0= 0.04 σ_0=154.82 σ_{ID}=154.82 Σ_T=154.86
CC 12 SLD (Collegamento 0021_-378)
Azioni sul collegamento: N=-6345.78 Ty=3.72 Tz=1.72 Mx=0.00 Mz=2.82
Sollecitazioni agenti localmente: Tx_l=3.72 Ty_l=1.72 N_l=-6345.78 My_l=-2.82 Mz_l=0.00
Azioni sul cordone: TP=0.27 TO=0.13 NO=-469.08
Tensioni nel cordone: τ_P= 0.09 τ_0= 0.04 σ_0=153.22 σ_{ID}=153.22 Σ_T=153.26
CC 12 SLD (Collegamento 0021_-378)
Azioni sul collegamento: N=-6345.78 Ty=4.11 Tz=0.05 Mx=0.00 Mz=3.92
Sollecitazioni agenti localmente: Tx_l=4.11 Ty_l=0.05 N_l=-6345.78 My_l=-3.92 Mz_l=0.00
Azioni sul cordone: TP=0.30 TO=0.01 NO=-469.08
Tensioni nel cordone: τ_P= 0.10 τ_0=1.93E-03 σ_0=154.82 σ_{ID}=154.82 Σ_T=154.82
CC 12 SLD (Collegamento 0021_-378)
Azioni sul collegamento: N=-6345.78 Ty=3.72 Tz=0.05 Mx=0.00 Mz=2.82
Sollecitazioni agenti localmente: Tx_l=3.72 Ty_l=0.05 N_l=-6345.78 My_l=-2.82 Mz_l=0.00
Azioni sul cordone: TP=0.27 TO=0.01 NO=-469.08
Tensioni nel cordone: τ_P= 0.09 τ_0=1.93E-03 σ_0=153.22 σ_{ID}=153.22 Σ_T=153.22
CC 13 SLV (Collegamento 0021_-378)
Azioni sul collegamento: N=-5833.17 Ty=4.11 Tz=-1.71 Mx=0.00 Mz=3.66
Sollecitazioni agenti localmente: Tx_l=4.11 Ty_l=-1.71 N_l=-5833.17 My_l=-3.66 Mz_l=0.00
Azioni sul cordone: TP=0.30 TO=-0.12 NO=-431.19
Tensioni nel cordone: τ_P= 0.10 τ_0= 0.04 σ_0=142.40 σ_{ID}=142.40 Σ_T=142.44
CC 13 SLV (Collegamento 0021_-378)
Azioni sul collegamento: N=-5833.17 Ty=5.40 Tz=-1.71 Mx=0.00 Mz=7.25
Sollecitazioni agenti localmente: Tx_l=5.40 Ty_l=-1.71 N_l=-5833.17 My_l=-7.25 Mz_l=0.00
Azioni sul cordone: TP=0.40 TO=-0.12 NO=-431.19
Tensioni nel cordone: τ_P=0.13 τ_0= 0.04 σ_0=147.64 σ_{ID}=147.64 Σ_T=147.68
CC 13 SLV (Collegamento 0021_-378)
Azioni sul collegamento: N=-5833.17 Ty=4.11 Tz=3.74 Mx=0.00 Mz=3.66
Sollecitazioni agenti localmente: Tx_l=4.11 Ty_l=3.74 N_l=-5833.17 My_l=-3.66 Mz_l=0.00
Azioni sul cordone: TP=0.30 TO=0.28 NO=-431.19
Tensioni nel cordone: τ_P= 0.10 τ_0= 0.09 σ_0=142.40 σ_{ID}=142.40 Σ_T=142.49
CC 13 SLV (Collegamento 0021_-378)
Azioni sul collegamento: N=-5833.17 Ty=5.40 Tz=3.74 Mx=0.00 Mz=7.25
Sollecitazioni agenti localmente: Tx_l=5.40 Ty_l=3.74 N_l=-5833.17 My_l=-7.25 Mz_l=0.00
Azioni sul cordone: TP=0.40 TO=0.28 NO=-431.19
Tensioni nel cordone: τ_P=0.13 τ_0= 0.09 σ_0=147.64 σ_{ID}=147.64 Σ_T=147.73
CC 13 SLV (Collegamento 0021_-378)
Azioni sul collegamento: N=-7401.56 Ty=4.11 Tz=-1.71 Mx=0.00 Mz=3.66
Sollecitazioni agenti localmente: Tx_l=4.11 Ty_l=-1.71 N_l=-7401.56 My_l=-3.66 Mz_l=0.00
Azioni sul cordone: TP=0.30 TO=-0.12 NO=-547.13
Tensioni nel cordone: τ_P= 0.10 τ_0= 0.04 σ_0=179.25 σ_{ID}=179.25 Σ_T=179.29
CC 13 SLV (Collegamento 0021_-378)
Azioni sul collegamento: N=-7401.56 Ty=5.40 Tz=-1.71 Mx=0.00 Mz=7.25
Sollecitazioni agenti localmente: Tx_l=5.40 Ty_l=-1.71 N_l=-7401.56 My_l=-7.25 Mz_l=0.00
Azioni sul cordone: TP=0.40 TO=-0.12 NO=-547.13
Tensioni nel cordone: τ_P=0.13 τ_0= 0.04 σ_0=184.49 σ_{ID}=184.49 Σ_T=184.53
CC 13 SLV (Collegamento 0021_-378)

Azioni sul collegamento: N=-7401.56 Ty=4.11 Tz=3.74 Mx=0.00 Mz=3.66
Sollecitazioni agenti localmente: Tx_l=4.11 Ty_l=3.74 N_l=-7401.56 My_l=-3.66 Mz_l=0.00
Azioni sul cordone: TP=0.30 TO=0.28 NO=-547.13
Tensioni nel cordone: τ_P= 0.10 τ_0= 0.09 σ_0=179.25 σ_{ID}=179.25 Σ_T=179.34
CC 13 SLV (Collegamento 0021_-378)
Azioni sul collegamento: N=-7401.56 Ty=5.40 Tz=3.74 Mx=0.00 Mz=7.25
Sollecitazioni agenti localmente: Tx_l=5.40 Ty_l=3.74 N_l=-7401.56 My_l=-7.25 Mz_l=0.00
Azioni sul cordone: TP=0.40 TO=0.28 NO=-547.13
Tensioni nel cordone: τ_P=0.13 τ_0= 0.09 σ_0=184.49 σ_{ID}=184.49 Σ_T=184.58
CC 14 SLD (Collegamento 0021_-378)
Azioni sul collegamento: N=-6345.78 Ty=3.72 Tz=0.05 Mx=-0.00 Mz=2.82
Sollecitazioni agenti localmente: Tx_l=3.72 Ty_l=0.05 N_l=-6345.78 My_l=-2.82 Mz_l=-0.00
Azioni sul cordone: TP=0.28 TO=0.00 NO=-469.08
Tensioni nel cordone: τ_P= 0.09 τ_0=7.61E-04 σ_0=153.22 σ_{ID}=153.22 Σ_T=153.22
CC 14 SLD (Collegamento 0021_-378)
Azioni sul collegamento: N=-6345.78 Ty=4.11 Tz=0.05 Mx=-0.00 Mz=3.92
Sollecitazioni agenti localmente: Tx_l=4.11 Ty_l=0.05 N_l=-6345.78 My_l=-3.92 Mz_l=-0.00
Azioni sul cordone: TP=0.31 TO=0.00 NO=-469.08
Tensioni nel cordone: τ_P= 0.10 τ_0=7.61E-04 σ_0=154.82 σ_{ID}=154.82 Σ_T=154.82
CC 14 SLD (Collegamento 0021_-378)
Azioni sul collegamento: N=-6345.78 Ty=3.72 Tz=1.72 Mx=-0.00 Mz=2.82
Sollecitazioni agenti localmente: Tx_l=3.72 Ty_l=1.72 N_l=-6345.78 My_l=-2.82 Mz_l=-0.00
Azioni sul cordone: TP=0.28 TO=0.13 NO=-469.08
Tensioni nel cordone: τ_P= 0.09 τ_0= 0.04 σ_0=153.22 σ_{ID}=153.22 Σ_T=153.26
CC 14 SLD (Collegamento 0021_-378)
Azioni sul collegamento: N=-6345.78 Ty=4.11 Tz=1.72 Mx=-0.00 Mz=3.92
Sollecitazioni agenti localmente: Tx_l=4.11 Ty_l=1.72 N_l=-6345.78 My_l=-3.92 Mz_l=-0.00
Azioni sul cordone: TP=0.31 TO=0.13 NO=-469.08
Tensioni nel cordone: τ_P= 0.10 τ_0= 0.04 σ_0=154.82 σ_{ID}=154.82 Σ_T=154.86
CC 14 SLD (Collegamento 0021_-378)
Azioni sul collegamento: N=-6824.03 Ty=3.72 Tz=0.05 Mx=-0.00 Mz=2.82
Sollecitazioni agenti localmente: Tx_l=3.72 Ty_l=0.05 N_l=-6824.03 My_l=-2.82 Mz_l=-0.00
Azioni sul cordone: TP=0.28 TO=0.00 NO=-504.43
Tensioni nel cordone: τ_P= 0.09 τ_0=7.66E-04 σ_0=164.46 σ_{ID}=164.46 Σ_T=164.46
CC 14 SLD (Collegamento 0021_-378)
Azioni sul collegamento: N=-6824.03 Ty=4.11 Tz=0.05 Mx=-0.00 Mz=3.92
Sollecitazioni agenti localmente: Tx_l=4.11 Ty_l=0.05 N_l=-6824.03 My_l=-3.92 Mz_l=-0.00
Azioni sul cordone: TP=0.31 TO=0.00 NO=-504.43
Tensioni nel cordone: τ_P= 0.10 τ_0=7.66E-04 σ_0=166.06 σ_{ID}=166.06 Σ_T=166.06
CC 14 SLD (Collegamento 0021_-378)
Azioni sul collegamento: N=-6824.03 Ty=3.72 Tz=1.72 Mx=-0.00 Mz=2.82
Sollecitazioni agenti localmente: Tx_l=3.72 Ty_l=1.72 N_l=-6824.03 My_l=-2.82 Mz_l=-0.00
Azioni sul cordone: TP=0.28 TO=0.13 NO=-504.43
Tensioni nel cordone: τ_P= 0.09 τ_0= 0.04 σ_0=164.46 σ_{ID}=164.46 Σ_T=164.50
CC 14 SLD (Collegamento 0021_-378)
Azioni sul collegamento: N=-6824.03 Ty=4.11 Tz=1.72 Mx=-0.00 Mz=3.92
Sollecitazioni agenti localmente: Tx_l=4.11 Ty_l=1.72 N_l=-6824.03 My_l=-3.92 Mz_l=-0.00
Azioni sul cordone: TP=0.31 TO=0.13 NO=-504.43
Tensioni nel cordone: τ_P= 0.10 τ_0= 0.04 σ_0=166.06 σ_{ID}=166.06 Σ_T=166.10
CC 15 SLV (Collegamento 0021_-378)
Azioni sul collegamento: N=-7420.50 Ty=3.29 Tz=4.16 Mx=0.00 Mz=3.06
Sollecitazioni agenti localmente: Tx_l=3.29 Ty_l=4.16 N_l=-7420.50 My_l=-3.06 Mz_l=0.00
Azioni sul cordone: TP=0.24 TO=0.31 NO=-548.53
Tensioni nel cordone: τ_P= 0.08 τ_0= 0.10 σ_0=178.82 σ_{ID}=178.82 Σ_T=178.92
CC 15 SLV (Collegamento 0021_-378)
Azioni sul collegamento: N=-7420.50 Ty=6.23 Tz=4.16 Mx=0.00 Mz=7.84
Sollecitazioni agenti localmente: Tx_l=6.23 Ty_l=4.16 N_l=-7420.50 My_l=-7.84 Mz_l=0.00
Azioni sul cordone: TP=0.46 TO=0.31 NO=-548.53
Tensioni nel cordone: τ_P=0.15 τ_0= 0.10 σ_0=185.81 σ_{ID}=185.81 Σ_T=185.91
CC 15 SLV (Collegamento 0021_-378)
Azioni sul collegamento: N=-7420.50 Ty=3.29 Tz=-2.14 Mx=0.00 Mz=3.06
Sollecitazioni agenti localmente: Tx_l=3.29 Ty_l=-2.14 N_l=-7420.50 My_l=-3.06 Mz_l=0.00
Azioni sul cordone: TP=0.24 TO=-0.16 NO=-548.53
Tensioni nel cordone: τ_P= 0.08 τ_0= 0.05 σ_0=178.82 σ_{ID}=178.82 Σ_T=178.87
CC 15 SLV (Collegamento 0021_-378)
Azioni sul collegamento: N=-7420.50 Ty=6.23 Tz=-2.14 Mx=0.00 Mz=7.84
Sollecitazioni agenti localmente: Tx_l=6.23 Ty_l=-2.14 N_l=-7420.50 My_l=-7.84 Mz_l=0.00
Azioni sul cordone: TP=0.46 TO=-0.16 NO=-548.53
Tensioni nel cordone: τ_P=0.15 τ_0= 0.05 σ_0=185.81 σ_{ID}=185.81 Σ_T=185.86
CC 15 SLV (Collegamento 0021_-378)
Azioni sul collegamento: N=-5814.22 Ty=3.29 Tz=4.16 Mx=0.00 Mz=3.06
Sollecitazioni agenti localmente: Tx_l=3.29 Ty_l=4.16 N_l=-5814.22 My_l=-3.06 Mz_l=0.00
Azioni sul cordone: TP=0.24 TO=0.31 NO=-429.79
Tensioni nel cordone: τ_P= 0.08 τ_0= 0.10 σ_0=141.08 σ_{ID}=141.08 Σ_T=141.18
CC 15 SLV (Collegamento 0021_-378)
Azioni sul collegamento: N=-5814.22 Ty=6.23 Tz=4.16 Mx=0.00 Mz=7.84
Sollecitazioni agenti localmente: Tx_l=6.23 Ty_l=4.16 N_l=-5814.22 My_l=-7.84 Mz_l=0.00
Azioni sul cordone: TP=0.46 TO=0.31 NO=-429.79
Tensioni nel cordone: τ_P=0.15 τ_0= 0.10 σ_0=148.07 σ_{ID}=148.07 Σ_T=148.16

CC 15 SLV (Collegamento 0021_-378)
Azioni sul collegamento: N=-5814.22 Ty=3.29 Tz=-2.14 Mx=0.00 Mz=3.06
Sollecitazioni agenti localmente: Tx_l=3.29 Ty_l=-2.14 N_l=-5814.22 My_l=-3.06 Mz_l=0.00
Azioni sul cordone: TP=0.24 TO=-0.16 NO=-429.79
Tensioni nel cordone: τ_P= 0.08 τ_0= 0.05 σ_0=141.08 σ_{ID}=141.08 Σ_T=141.13
CC 15 SLV (Collegamento 0021_-378)
Azioni sul collegamento: N=-5814.22 Ty=6.23 Tz=-2.14 Mx=0.00 Mz=7.84
Sollecitazioni agenti localmente: Tx_l=6.23 Ty_l=-2.14 N_l=-5814.22 My_l=-7.84 Mz_l=0.00
Azioni sul cordone: TP=0.46 TO=-0.16 NO=-429.79
Tensioni nel cordone: τ_P=0.15 τ_0= 0.05 σ_0=148.07 σ_{ID}=148.07 Σ_T=148.12
CC 16 SLD (Collegamento 0021_-378)
Azioni sul collegamento: N=-6829.81 Ty=3.47 Tz=1.85 Mx=-0.00 Mz=2.64
Sollecitazioni agenti localmente: Tx_l=3.47 Ty_l=1.85 N_l=-6829.81 My_l=-2.64 Mz_l=-0.00
Azioni sul cordone: TP=0.26 TO=0.13 NO=-504.86
Tensioni nel cordone: τ_P= 0.08 τ_0= 0.04 σ_0=164.33 σ_{ID}=164.33 Σ_T=164.37
CC 16 SLD (Collegamento 0021_-378)
Azioni sul collegamento: N=-6829.81 Ty=4.36 Tz=1.85 Mx=-0.00 Mz=4.10
Sollecitazioni agenti localmente: Tx_l=4.36 Ty_l=1.85 N_l=-6829.81 My_l=-4.10 Mz_l=-0.00
Azioni sul cordone: TP=0.33 TO=0.13 NO=-504.86
Tensioni nel cordone: τ_P=0.10 τ_0= 0.04 σ_0=166.46 σ_{ID}=166.46 Σ_T=166.50
CC 16 SLD (Collegamento 0021_-378)
Azioni sul collegamento: N=-6829.81 Ty=3.47 Tz=-0.08 Mx=-0.00 Mz=2.64
Sollecitazioni agenti localmente: Tx_l=3.47 Ty_l=-0.08 N_l=-6829.81 My_l=-2.64 Mz_l=-0.00
Azioni sul cordone: TP=0.26 TO=-0.01 NO=-504.86
Tensioni nel cordone: τ_P= 0.08 τ_0=2.37E-03 σ_0=164.33 σ_{ID}=164.33 Σ_T=164.33
CC 16 SLD (Collegamento 0021_-378)
Azioni sul collegamento: N=-6829.81 Ty=4.36 Tz=-0.08 Mx=-0.00 Mz=4.10
Sollecitazioni agenti localmente: Tx_l=4.36 Ty_l=-0.08 N_l=-6829.81 My_l=-4.10 Mz_l=-0.00
Azioni sul cordone: TP=0.33 TO=-0.01 NO=-504.86
Tensioni nel cordone: τ_P=0.10 τ_0=2.37E-03 σ_0=166.46 σ_{ID}=166.46 Σ_T=166.46
CC 16 SLD (Collegamento 0021_-378)
Azioni sul collegamento: N=-6340.00 Ty=3.47 Tz=1.85 Mx=-0.00 Mz=2.64
Sollecitazioni agenti localmente: Tx_l=3.47 Ty_l=1.85 N_l=-6340.00 My_l=-2.64 Mz_l=-0.00
Azioni sul cordone: TP=0.26 TO=0.13 NO=-468.65
Tensioni nel cordone: τ_P= 0.08 τ_0= 0.04 σ_0=152.82 σ_{ID}=152.82 Σ_T=152.86
CC 16 SLD (Collegamento 0021_-378)
Azioni sul collegamento: N=-6340.00 Ty=4.36 Tz=1.85 Mx=-0.00 Mz=4.10
Sollecitazioni agenti localmente: Tx_l=4.36 Ty_l=1.85 N_l=-6340.00 My_l=-4.10 Mz_l=-0.00
Azioni sul cordone: TP=0.33 TO=0.13 NO=-468.65
Tensioni nel cordone: τ_P=0.10 τ_0= 0.04 σ_0=154.95 σ_{ID}=154.95 Σ_T=154.99
CC 16 SLD (Collegamento 0021_-378)
Azioni sul collegamento: N=-6340.00 Ty=3.47 Tz=-0.08 Mx=-0.00 Mz=2.64
Sollecitazioni agenti localmente: Tx_l=3.47 Ty_l=-0.08 N_l=-6340.00 My_l=-2.64 Mz_l=-0.00
Azioni sul cordone: TP=0.26 TO=-0.01 NO=-468.65
Tensioni nel cordone: τ_P= 0.08 τ_0=2.36E-03 σ_0=152.82 σ_{ID}=152.82 Σ_T=152.82
CC 16 SLD (Collegamento 0021_-378)
Azioni sul collegamento: N=-6340.00 Ty=4.36 Tz=-0.08 Mx=-0.00 Mz=4.10
Sollecitazioni agenti localmente: Tx_l=4.36 Ty_l=-0.08 N_l=-6340.00 My_l=-4.10 Mz_l=-0.00
Azioni sul cordone: TP=0.33 TO=-0.01 NO=-468.65
Tensioni nel cordone: τ_P=0.10 τ_0=2.36E-03 σ_0=154.95 σ_{ID}=154.95 Σ_T=154.95
CC 17 SLV (Collegamento 0021_-378)
Azioni sul collegamento: N=-3875.57 Ty=0.64 Tz=-9.21 Mx=-0.02 Mz=1.09
Sollecitazioni agenti localmente: Tx_l=0.64 Ty_l=-9.21 N_l=-3875.57 My_l=-1.09 Mz_l=-0.02
Azioni sul cordone: TP=0.07 TO=-0.70 NO=-286.48
Tensioni nel cordone: τ_P= 0.02 τ_0=0.22 σ_0=92.64 σ_{ID}=92.64 Σ_T=92.87
CC 17 SLV (Collegamento 0021_-378)
Azioni sul collegamento: N=-3875.57 Ty=4.02 Tz=-9.21 Mx=-0.02 Mz=-2.16
Sollecitazioni agenti localmente: Tx_l=4.02 Ty_l=-9.21 N_l=-3875.57 My_l=2.16 Mz_l=-0.02
Azioni sul cordone: TP=0.32 TO=-0.66 NO=-286.48
Tensioni nel cordone: τ_P=0.10 τ_0=0.21 σ_0=94.22 σ_{ID}=94.22 Σ_T=94.43
CC 17 SLV (Collegamento 0021_-378)
Azioni sul collegamento: N=-3875.57 Ty=0.64 Tz=10.50 Mx=-0.02 Mz=1.09
Sollecitazioni agenti localmente: Tx_l=0.64 Ty_l=10.50 N_l=-3875.57 My_l=-1.09 Mz_l=-0.02
Azioni sul cordone: TP=0.07 TO=0.76 NO=-286.48
Tensioni nel cordone: τ_P= 0.02 τ_0=0.24 σ_0=92.64 σ_{ID}=92.64 Σ_T=92.89
CC 17 SLV (Collegamento 0021_-378)
Azioni sul collegamento: N=-3875.57 Ty=4.02 Tz=10.50 Mx=-0.02 Mz=-2.16
Sollecitazioni agenti localmente: Tx_l=4.02 Ty_l=10.50 N_l=-3875.57 My_l=2.16 Mz_l=-0.02
Azioni sul cordone: TP=0.32 TO=0.79 NO=-286.48
Tensioni nel cordone: τ_P=0.10 τ_0=0.25 σ_0=94.22 σ_{ID}=94.22 Σ_T=94.47
CC 17 SLV (Collegamento 0021_-378)
Azioni sul collegamento: N=-9172.38 Ty=0.64 Tz=-9.21 Mx=-0.02 Mz=1.09
Sollecitazioni agenti localmente: Tx_l=0.64 Ty_l=-9.21 N_l=-9172.38 My_l=-1.09 Mz_l=-0.02
Azioni sul cordone: TP=0.07 TO=-0.70 NO=-678.02
Tensioni nel cordone: τ_P= 0.02 τ_0=0.22 σ_0=217.09 σ_{ID}=217.09 Σ_T=217.32
CC 17 SLV (Collegamento 0021_-378)
Azioni sul collegamento: N=-9172.38 Ty=4.02 Tz=-9.21 Mx=-0.02 Mz=-2.16
Sollecitazioni agenti localmente: Tx_l=4.02 Ty_l=-9.21 N_l=-9172.38 My_l=2.16 Mz_l=-0.02
Azioni sul cordone: TP=0.32 TO=-0.66 NO=-678.02

Tensioni nel cordone: τ_P=0.10 τ_0=0.21 σ_0=218.67 σ_{ID}=218.67 Σ_T=218.88
CC 17 SLV (Collegamento 0021_-378)
Azioni sul collegamento: N=-9172.38 Ty=0.64 Tz=10.50 Mx=-0.02 Mz=1.09
Sollecitazioni agenti localmente: Tx_l=0.64 Ty_l=10.50 N_l=-9172.38 My_l=-1.09 Mz_l=-0.02
Azioni sul cordone: TP=0.07 TO=0.76 NO=-678.02
Tensioni nel cordone: τ_P= 0.02 τ_0=0.24 σ_0=217.09 σ_{ID}=217.09 Σ_T=217.34
CC 17 SLV (Collegamento 0021_-378)
Azioni sul collegamento: N=-9172.38 Ty=4.02 Tz=10.50 Mx=-0.02 Mz=-2.16
Sollecitazioni agenti localmente: Tx_l=4.02 Ty_l=10.50 N_l=-9172.38 My_l=2.16 Mz_l=-0.02
Azioni sul cordone: TP=0.32 TO=0.79 NO=-678.02
Tensioni nel cordone: τ_P=0.10 τ_0=0.25 σ_0=218.67 σ_{ID}=218.67 Σ_T=218.92
CC 18 SLD (Collegamento 0021_-378)
Azioni sul collegamento: N=-5748.85 Ty=3.69 Tz=-2.23 Mx=-0.01 Mz=2.04
Sollecitazioni agenti localmente: Tx_l=3.69 Ty_l=-2.23 N_l=-5748.85 My_l=-2.04 Mz_l=-0.01
Azioni sul cordone: TP=0.28 TO=-0.17 NO=-424.96
Tensioni nel cordone: τ_P= 0.09 τ_0= 0.05 σ_0=138.05 σ_{ID}=138.05 Σ_T=138.10
CC 18 SLD (Collegamento 0021_-378)
Azioni sul collegamento: N=-5748.85 Ty=2.66 Tz=-2.23 Mx=-0.01 Mz=1.05
Sollecitazioni agenti localmente: Tx_l=2.66 Ty_l=-2.23 N_l=-5748.85 My_l=-1.05 Mz_l=-0.01
Azioni sul cordone: TP=0.21 TO=-0.17 NO=-424.96
Tensioni nel cordone: τ_P= 0.07 τ_0= 0.05 σ_0=136.60 σ_{ID}=136.60 Σ_T=136.66
CC 18 SLD (Collegamento 0021_-378)
Azioni sul collegamento: N=-5748.85 Ty=3.69 Tz=3.78 Mx=-0.01 Mz=2.04
Sollecitazioni agenti localmente: Tx_l=3.69 Ty_l=3.78 N_l=-5748.85 My_l=-2.04 Mz_l=-0.01
Azioni sul cordone: TP=0.28 TO=0.27 NO=-424.96
Tensioni nel cordone: τ_P= 0.09 τ_0= 0.09 σ_0=138.05 σ_{ID}=138.05 Σ_T=138.14
CC 18 SLD (Collegamento 0021_-378)
Azioni sul collegamento: N=-5748.85 Ty=2.66 Tz=3.78 Mx=-0.01 Mz=1.05
Sollecitazioni agenti localmente: Tx_l=2.66 Ty_l=3.78 N_l=-5748.85 My_l=-1.05 Mz_l=-0.01
Azioni sul cordone: TP=0.21 TO=0.27 NO=-424.96
Tensioni nel cordone: τ_P= 0.07 τ_0= 0.09 σ_0=136.60 σ_{ID}=136.60 Σ_T=136.69
CC 18 SLD (Collegamento 0021_-378)
Azioni sul collegamento: N=-7364.01 Ty=3.69 Tz=-2.23 Mx=-0.01 Mz=2.04
Sollecitazioni agenti localmente: Tx_l=3.69 Ty_l=-2.23 N_l=-7364.01 My_l=-2.04 Mz_l=-0.01
Azioni sul cordone: TP=0.28 TO=-0.17 NO=-544.35
Tensioni nel cordone: τ_P= 0.09 τ_0= 0.05 σ_0=176.00 σ_{ID}=176.00 Σ_T=176.05
CC 18 SLD (Collegamento 0021_-378)
Azioni sul collegamento: N=-7364.01 Ty=2.66 Tz=-2.23 Mx=-0.01 Mz=1.05
Sollecitazioni agenti localmente: Tx_l=2.66 Ty_l=-2.23 N_l=-7364.01 My_l=-1.05 Mz_l=-0.01
Azioni sul cordone: TP=0.21 TO=-0.17 NO=-544.35
Tensioni nel cordone: τ_P= 0.07 τ_0= 0.05 σ_0=174.55 σ_{ID}=174.55 Σ_T=174.61
CC 18 SLD (Collegamento 0021_-378)
Azioni sul collegamento: N=-7364.01 Ty=3.69 Tz=3.78 Mx=-0.01 Mz=2.04
Sollecitazioni agenti localmente: Tx_l=3.69 Ty_l=3.78 N_l=-7364.01 My_l=-2.04 Mz_l=-0.01
Azioni sul cordone: TP=0.28 TO=0.27 NO=-544.35
Tensioni nel cordone: τ_P= 0.09 τ_0= 0.09 σ_0=176.00 σ_{ID}=176.00 Σ_T=176.09
CC 18 SLD (Collegamento 0021_-378)
Azioni sul collegamento: N=-7364.01 Ty=2.66 Tz=3.78 Mx=-0.01 Mz=1.05
Sollecitazioni agenti localmente: Tx_l=2.66 Ty_l=3.78 N_l=-7364.01 My_l=-1.05 Mz_l=-0.01
Azioni sul cordone: TP=0.21 TO=0.27 NO=-544.35
Tensioni nel cordone: τ_P= 0.07 τ_0= 0.09 σ_0=174.55 σ_{ID}=174.55 Σ_T=174.64
CC 19 SLV (Collegamento 0021_-378)
Azioni sul collegamento: N=-3881.26 Ty=1.27 Tz=-9.09 Mx=-0.02 Mz=-0.17
Sollecitazioni agenti localmente: Tx_l=1.27 Ty_l=-9.09 N_l=-3881.26 My_l=0.17 Mz_l=-0.02
Azioni sul cordone: TP=0.11 TO=-0.66 NO=-286.90
Tensioni nel cordone: τ_P= 0.04 τ_0=0.21 σ_0=91.44 σ_{ID}=91.44 Σ_T=91.65
CC 19 SLV (Collegamento 0021_-378)
Azioni sul collegamento: N=-3881.26 Ty=3.39 Tz=-9.09 Mx=-0.02 Mz=-0.91
Sollecitazioni agenti localmente: Tx_l=3.39 Ty_l=-9.09 N_l=-3881.26 My_l=0.91 Mz_l=-0.02
Azioni sul cordone: TP=0.27 TO=-0.66 NO=-286.90
Tensioni nel cordone: τ_P= 0.09 τ_0=0.21 σ_0=92.52 σ_{ID}=92.52 Σ_T=92.73
CC 19 SLV (Collegamento 0021_-378)
Azioni sul collegamento: N=-3881.26 Ty=1.27 Tz=10.37 Mx=-0.02 Mz=-0.17
Sollecitazioni agenti localmente: Tx_l=1.27 Ty_l=10.37 N_l=-3881.26 My_l=0.17 Mz_l=-0.02
Azioni sul cordone: TP=0.11 TO=0.78 NO=-286.90
Tensioni nel cordone: τ_P= 0.04 τ_0=0.25 σ_0=91.44 σ_{ID}=91.44 Σ_T=91.69
CC 19 SLV (Collegamento 0021_-378)
Azioni sul collegamento: N=-3881.26 Ty=3.39 Tz=10.37 Mx=-0.02 Mz=-0.91
Sollecitazioni agenti localmente: Tx_l=3.39 Ty_l=10.37 N_l=-3881.26 My_l=0.91 Mz_l=-0.02
Azioni sul cordone: TP=0.27 TO=0.78 NO=-286.90
Tensioni nel cordone: τ_P= 0.09 τ_0=0.25 σ_0=92.52 σ_{ID}=92.52 Σ_T=92.76
CC 19 SLV (Collegamento 0021_-378)
Azioni sul collegamento: N=-9166.69 Ty=1.27 Tz=-9.09 Mx=-0.02 Mz=-0.17
Sollecitazioni agenti localmente: Tx_l=1.27 Ty_l=-9.09 N_l=-9166.69 My_l=0.17 Mz_l=-0.02
Azioni sul cordone: TP=0.11 TO=-0.66 NO=-677.61
Tensioni nel cordone: τ_P= 0.04 τ_0=0.21 σ_0=215.63 σ_{ID}=215.63 Σ_T=215.83
CC 19 SLV (Collegamento 0021_-378)
Azioni sul collegamento: N=-9166.69 Ty=3.39 Tz=-9.09 Mx=-0.02 Mz=-0.91
Sollecitazioni agenti localmente: Tx_l=3.39 Ty_l=-9.09 N_l=-9166.69 My_l=0.91 Mz_l=-0.02

Azioni sul cordone: TP=0.27 TO=-0.66 NO=-677.61
Tensioni nel cordone: τ_P= 0.09 τ_O=0.21 σ_O=216.70 σ_{ID}=216.70 Σ_T=216.91
CC 19 SLV (Collegamento 0021_-378)
Azioni sul collegamento: N=-9166.69 Ty=1.27 Tz=10.37 Mx=-0.02 Mz=-0.17
Sollecitazioni agenti localmente: Tx_l=1.27 Ty_l=10.37 N_l=-9166.69 My_l=0.17 Mz_l=-0.02
Azioni sul cordone: TP=0.11 TO=0.78 NO=-677.61
Tensioni nel cordone: τ_P= 0.04 τ_O=0.25 σ_O=215.63 σ_{ID}=215.63 Σ_T=215.87
CC 19 SLV (Collegamento 0021_-378)
Azioni sul collegamento: N=-9166.69 Ty=3.39 Tz=10.37 Mx=-0.02 Mz=-0.91
Sollecitazioni agenti localmente: Tx_l=3.39 Ty_l=10.37 N_l=-9166.69 My_l=0.91 Mz_l=-0.02
Azioni sul cordone: TP=0.27 TO=0.78 NO=-677.61
Tensioni nel cordone: τ_P= 0.09 τ_O=0.25 σ_O=216.70 σ_{ID}=216.70 Σ_T=216.95
CC 20 SLD (Collegamento 0021_-378)
Azioni sul collegamento: N=-5750.58 Ty=3.50 Tz=-2.19 Mx=-0.01 Mz=1.66
Sollecitazioni agenti localmente: Tx_l=3.50 Ty_l=-2.19 N_l=-5750.58 My_l=-1.66 Mz_l=-0.01
Azioni sul cordone: TP=0.27 TO=-0.17 NO=-425.08
Tensioni nel cordone: τ_P= 0.08 τ_O= 0.05 σ_O=137.53 σ_{ID}=137.53 Σ_T=137.59
CC 20 SLD (Collegamento 0021_-378)
Azioni sul collegamento: N=-5750.58 Ty=2.85 Tz=-2.19 Mx=-0.01 Mz=1.43
Sollecitazioni agenti localmente: Tx_l=2.85 Ty_l=-2.19 N_l=-5750.58 My_l=-1.43 Mz_l=-0.01
Azioni sul cordone: TP=0.22 TO=-0.17 NO=-425.08
Tensioni nel cordone: τ_P= 0.07 τ_O= 0.05 σ_O=137.20 σ_{ID}=137.20 Σ_T=137.26
CC 20 SLD (Collegamento 0021_-378)
Azioni sul collegamento: N=-5750.58 Ty=3.50 Tz=3.74 Mx=-0.01 Mz=1.66
Sollecitazioni agenti localmente: Tx_l=3.50 Ty_l=3.74 N_l=-5750.58 My_l=-1.66 Mz_l=-0.01
Azioni sul cordone: TP=0.27 TO=0.27 NO=-425.08
Tensioni nel cordone: τ_P= 0.08 τ_O= 0.09 σ_O=137.53 σ_{ID}=137.53 Σ_T=137.62
CC 20 SLD (Collegamento 0021_-378)
Azioni sul collegamento: N=-5750.58 Ty=2.85 Tz=3.74 Mx=-0.01 Mz=1.43
Sollecitazioni agenti localmente: Tx_l=2.85 Ty_l=3.74 N_l=-5750.58 My_l=-1.43 Mz_l=-0.01
Azioni sul cordone: TP=0.22 TO=0.27 NO=-425.08
Tensioni nel cordone: τ_P= 0.07 τ_O= 0.09 σ_O=137.20 σ_{ID}=137.20 Σ_T=137.29
CC 20 SLD (Collegamento 0021_-378)
Azioni sul collegamento: N=-7362.28 Ty=3.50 Tz=-2.19 Mx=-0.01 Mz=1.66
Sollecitazioni agenti localmente: Tx_l=3.50 Ty_l=-2.19 N_l=-7362.28 My_l=-1.66 Mz_l=-0.01
Azioni sul cordone: TP=0.27 TO=-0.17 NO=-544.22
Tensioni nel cordone: τ_P= 0.08 τ_O= 0.05 σ_O=175.40 σ_{ID}=175.40 Σ_T=175.45
CC 20 SLD (Collegamento 0021_-378)
Azioni sul collegamento: N=-7362.28 Ty=2.85 Tz=-2.19 Mx=-0.01 Mz=1.43
Sollecitazioni agenti localmente: Tx_l=2.85 Ty_l=-2.19 N_l=-7362.28 My_l=-1.43 Mz_l=-0.01
Azioni sul cordone: TP=0.22 TO=-0.17 NO=-544.22
Tensioni nel cordone: τ_P= 0.07 τ_O= 0.05 σ_O=175.07 σ_{ID}=175.07 Σ_T=175.13
CC 20 SLD (Collegamento 0021_-378)
Azioni sul collegamento: N=-7362.28 Ty=3.50 Tz=3.74 Mx=-0.01 Mz=1.66
Sollecitazioni agenti localmente: Tx_l=3.50 Ty_l=3.74 N_l=-7362.28 My_l=-1.66 Mz_l=-0.01
Azioni sul cordone: TP=0.27 TO=0.27 NO=-544.22
Tensioni nel cordone: τ_P= 0.08 τ_O= 0.09 σ_O=175.40 σ_{ID}=175.40 Σ_T=175.49
CC 20 SLD (Collegamento 0021_-378)
Azioni sul collegamento: N=-7362.28 Ty=2.85 Tz=3.74 Mx=-0.01 Mz=1.43
Sollecitazioni agenti localmente: Tx_l=2.85 Ty_l=3.74 N_l=-7362.28 My_l=-1.43 Mz_l=-0.01
Azioni sul cordone: TP=0.22 TO=0.27 NO=-544.22
Tensioni nel cordone: τ_P= 0.07 τ_O= 0.09 σ_O=175.07 σ_{ID}=175.07 Σ_T=175.16
CC 21 SLV (Collegamento 0021_-378)
Azioni sul collegamento: N=-9166.69 Ty=3.39 Tz=10.37 Mx=-0.02 Mz=-0.91
Sollecitazioni agenti localmente: Tx_l=3.39 Ty_l=10.37 N_l=-9166.69 My_l=0.91 Mz_l=-0.02
Azioni sul cordone: TP=0.27 TO=0.78 NO=-677.61
Tensioni nel cordone: τ_P= 0.09 τ_O=0.25 σ_O=216.70 σ_{ID}=216.70 Σ_T=216.95
CC 21 SLV (Collegamento 0021_-378)
Azioni sul collegamento: N=-9166.69 Ty=1.27 Tz=10.37 Mx=-0.02 Mz=-0.17
Sollecitazioni agenti localmente: Tx_l=1.27 Ty_l=10.37 N_l=-9166.69 My_l=0.17 Mz_l=-0.02
Azioni sul cordone: TP=0.12 TO=0.78 NO=-677.61
Tensioni nel cordone: τ_P= 0.04 τ_O=0.25 σ_O=215.63 σ_{ID}=215.63 Σ_T=215.87
CC 21 SLV (Collegamento 0021_-378)
Azioni sul collegamento: N=-9166.69 Ty=3.39 Tz=-9.09 Mx=-0.02 Mz=-0.91
Sollecitazioni agenti localmente: Tx_l=3.39 Ty_l=-9.09 N_l=-9166.69 My_l=0.91 Mz_l=-0.02
Azioni sul cordone: TP=0.27 TO=-0.66 NO=-677.61
Tensioni nel cordone: τ_P= 0.09 τ_O=0.21 σ_O=216.70 σ_{ID}=216.70 Σ_T=216.91
CC 21 SLV (Collegamento 0021_-378)
Azioni sul collegamento: N=-9166.69 Ty=1.27 Tz=-9.09 Mx=-0.02 Mz=-0.17
Sollecitazioni agenti localmente: Tx_l=1.27 Ty_l=-9.09 N_l=-9166.69 My_l=0.17 Mz_l=-0.02
Azioni sul cordone: TP=0.12 TO=-0.66 NO=-677.61
Tensioni nel cordone: τ_P= 0.04 τ_O=0.21 σ_O=215.63 σ_{ID}=215.63 Σ_T=215.83
CC 21 SLV (Collegamento 0021_-378)
Azioni sul collegamento: N=-3881.26 Ty=3.39 Tz=10.37 Mx=-0.02 Mz=-0.91
Sollecitazioni agenti localmente: Tx_l=3.39 Ty_l=10.37 N_l=-3881.26 My_l=0.91 Mz_l=-0.02
Azioni sul cordone: TP=0.27 TO=0.78 NO=-286.90
Tensioni nel cordone: τ_P= 0.09 τ_O=0.25 σ_O=92.52 σ_{ID}=92.52 Σ_T=92.76
CC 21 SLV (Collegamento 0021_-378)
Azioni sul collegamento: N=-3881.26 Ty=1.27 Tz=10.37 Mx=-0.02 Mz=-0.17

Sollecitazioni agenti localmente: Tx_l=1.27 Ty_l=10.37 N_l=-3881.26 My_l=0.17 Mz_l=-0.02
Azioni sul cordone: TP=0.12 TO=0.78 NO=-286.90
Tensioni nel cordone: τ_P= 0.04 τ_O=0.25 σ_O=91.44 σ_{ID}=91.44 Σ_T=91.69
CC 21 SLV (Collegamento 0021_-378)
Azioni sul collegamento: N=-3881.26 Ty=3.39 Tz=-9.09 Mx=-0.02 Mz=-0.91
Sollecitazioni agenti localmente: Tx_l=3.39 Ty_l=-9.09 N_l=-3881.26 My_l=0.91 Mz_l=-0.02
Azioni sul cordone: TP=0.27 TO=-0.66 NO=-286.90
Tensioni nel cordone: τ_P= 0.09 τ_O=0.21 σ_O=92.52 σ_{ID}=92.52 Σ_T=92.72
CC 21 SLV (Collegamento 0021_-378)
Azioni sul collegamento: N=-3881.26 Ty=1.27 Tz=-9.09 Mx=-0.02 Mz=-0.17
Sollecitazioni agenti localmente: Tx_l=1.27 Ty_l=-9.09 N_l=-3881.26 My_l=0.17 Mz_l=-0.02
Azioni sul cordone: TP=0.12 TO=-0.66 NO=-286.90
Tensioni nel cordone: τ_P= 0.04 τ_O=0.21 σ_O=91.44 σ_{ID}=91.44 Σ_T=91.65
CC 22 SLD (Collegamento 0021_-378)
Azioni sul collegamento: N=-7362.28 Ty=2.85 Tz=3.74 Mx=-0.01 Mz=1.43
Sollecitazioni agenti localmente: Tx_l=2.85 Ty_l=3.74 N_l=-7362.28 My_l=-1.43 Mz_l=-0.01
Azioni sul cordone: TP=0.22 TO=0.27 NO=-544.22
Tensioni nel cordone: τ_P= 0.07 τ_O= 0.09 σ_O=175.07 σ_{ID}=175.07 Σ_T=175.16
CC 22 SLD (Collegamento 0021_-378)
Azioni sul collegamento: N=-7362.28 Ty=3.50 Tz=3.74 Mx=-0.01 Mz=1.66
Sollecitazioni agenti localmente: Tx_l=3.50 Ty_l=3.74 N_l=-7362.28 My_l=-1.66 Mz_l=-0.01
Azioni sul cordone: TP=0.27 TO=0.27 NO=-544.22
Tensioni nel cordone: τ_P= 0.09 τ_O= 0.09 σ_O=175.40 σ_{ID}=175.40 Σ_T=175.49
CC 22 SLD (Collegamento 0021_-378)
Azioni sul collegamento: N=-7362.28 Ty=2.85 Tz=-2.19 Mx=-0.01 Mz=1.43
Sollecitazioni agenti localmente: Tx_l=2.85 Ty_l=-2.19 N_l=-7362.28 My_l=-1.43 Mz_l=-0.01
Azioni sul cordone: TP=0.22 TO=-0.17 NO=-544.22
Tensioni nel cordone: τ_P= 0.07 τ_O= 0.05 σ_O=175.07 σ_{ID}=175.07 Σ_T=175.13
CC 22 SLD (Collegamento 0021_-378)
Azioni sul collegamento: N=-7362.28 Ty=3.50 Tz=-2.19 Mx=-0.01 Mz=1.66
Sollecitazioni agenti localmente: Tx_l=3.50 Ty_l=-2.19 N_l=-7362.28 My_l=-1.66 Mz_l=-0.01
Azioni sul cordone: TP=0.27 TO=-0.17 NO=-544.22
Tensioni nel cordone: τ_P= 0.09 τ_O= 0.05 σ_O=175.40 σ_{ID}=175.40 Σ_T=175.45
CC 22 SLD (Collegamento 0021_-378)
Azioni sul collegamento: N=-5750.58 Ty=2.85 Tz=3.74 Mx=-0.01 Mz=1.43
Sollecitazioni agenti localmente: Tx_l=2.85 Ty_l=3.74 N_l=-5750.58 My_l=-1.43 Mz_l=-0.01
Azioni sul cordone: TP=0.22 TO=0.27 NO=-425.08
Tensioni nel cordone: τ_P= 0.07 τ_O= 0.09 σ_O=137.20 σ_{ID}=137.20 Σ_T=137.29
CC 22 SLD (Collegamento 0021_-378)
Azioni sul collegamento: N=-5750.58 Ty=3.50 Tz=3.74 Mx=-0.01 Mz=1.66
Sollecitazioni agenti localmente: Tx_l=3.50 Ty_l=3.74 N_l=-5750.58 My_l=-1.66 Mz_l=-0.01
Azioni sul cordone: TP=0.27 TO=0.27 NO=-425.08
Tensioni nel cordone: τ_P= 0.09 τ_O= 0.09 σ_O=137.53 σ_{ID}=137.53 Σ_T=137.62
CC 22 SLD (Collegamento 0021_-378)
Azioni sul collegamento: N=-5750.58 Ty=2.85 Tz=-2.19 Mx=-0.01 Mz=1.43
Sollecitazioni agenti localmente: Tx_l=2.85 Ty_l=-2.19 N_l=-5750.58 My_l=-1.43 Mz_l=-0.01
Azioni sul cordone: TP=0.22 TO=-0.17 NO=-425.08
Tensioni nel cordone: τ_P= 0.07 τ_O= 0.05 σ_O=137.20 σ_{ID}=137.20 Σ_T=137.26
CC 22 SLD (Collegamento 0021_-378)
Azioni sul collegamento: N=-5750.58 Ty=3.50 Tz=-2.19 Mx=-0.01 Mz=1.66
Sollecitazioni agenti localmente: Tx_l=3.50 Ty_l=-2.19 N_l=-5750.58 My_l=-1.66 Mz_l=-0.01
Azioni sul cordone: TP=0.27 TO=-0.17 NO=-425.08
Tensioni nel cordone: τ_P= 0.09 τ_O= 0.05 σ_O=137.53 σ_{ID}=137.53 Σ_T=137.59
CC 23 SLV (Collegamento 0021_-378)
Azioni sul collegamento: N=-9172.38 Ty=4.02 Tz=10.50 Mx=-0.01 Mz=-2.16
Sollecitazioni agenti localmente: Tx_l=4.02 Ty_l=10.50 N_l=-9172.38 My_l=2.16 Mz_l=-0.01
Azioni sul cordone: TP=0.31 TO=0.79 NO=-678.02
Tensioni nel cordone: τ_P= 0.10 τ_O=0.25 σ_O=218.67 σ_{ID}=218.67 Σ_T=218.92
CC 23 SLV (Collegamento 0021_-378)
Azioni sul collegamento: N=-9172.38 Ty=0.64 Tz=10.50 Mx=-0.01 Mz=1.09
Sollecitazioni agenti localmente: Tx_l=0.64 Ty_l=10.50 N_l=-9172.38 My_l=-1.09 Mz_l=-0.01
Azioni sul cordone: TP=0.06 TO=0.77 NO=-678.02
Tensioni nel cordone: τ_P= 0.02 τ_O=0.24 σ_O=217.09 σ_{ID}=217.09 Σ_T=217.34
CC 23 SLV (Collegamento 0021_-378)
Azioni sul collegamento: N=-9172.38 Ty=4.02 Tz=-9.21 Mx=-0.01 Mz=-2.16
Sollecitazioni agenti localmente: Tx_l=4.02 Ty_l=-9.21 N_l=-9172.38 My_l=2.16 Mz_l=-0.01
Azioni sul cordone: TP=0.31 TO=-0.67 NO=-678.02
Tensioni nel cordone: τ_P= 0.10 τ_O=0.21 σ_O=218.67 σ_{ID}=218.67 Σ_T=218.88
CC 23 SLV (Collegamento 0021_-378)
Azioni sul collegamento: N=-9172.38 Ty=0.64 Tz=-9.21 Mx=-0.01 Mz=1.09
Sollecitazioni agenti localmente: Tx_l=0.64 Ty_l=-9.21 N_l=-9172.38 My_l=-1.09 Mz_l=-0.01
Azioni sul cordone: TP=0.06 TO=-0.69 NO=-678.02
Tensioni nel cordone: τ_P= 0.02 τ_O=0.22 σ_O=217.09 σ_{ID}=217.09 Σ_T=217.31
CC 23 SLV (Collegamento 0021_-378)
Azioni sul collegamento: N=-3875.57 Ty=4.02 Tz=10.50 Mx=-0.01 Mz=-2.16
Sollecitazioni agenti localmente: Tx_l=4.02 Ty_l=10.50 N_l=-3875.57 My_l=2.16 Mz_l=-0.01
Azioni sul cordone: TP=0.31 TO=0.79 NO=-286.48
Tensioni nel cordone: τ_P= 0.10 τ_O=0.25 σ_O=94.22 σ_{ID}=94.22 Σ_T=94.47
CC 23 SLV (Collegamento 0021_-378)

Azioni sul collegamento: N=-3875.57 Ty=0.64 Tz=10.50 Mx=-0.01 Mz=1.09
Sollecitazioni agenti localmente: Tx_l=0.64 Ty_l=10.50 N_l=-3875.57 My_l=-1.09 Mz_l=-0.01
Azioni sul cordone: TP=0.06 TO=0.77 NO=-286.48
Tensioni nel cordone: τ_P= 0.02 τ_O=0.24 σ_O=92.64 σ_{ID}=92.64 Σ_T=92.89
CC 23 SLV (Collegamento 0021_-378)
Azioni sul collegamento: N=-3875.57 Ty=4.02 Tz=-9.21 Mx=-0.01 Mz=-2.16
Sollecitazioni agenti localmente: Tx_l=4.02 Ty_l=-9.21 N_l=-3875.57 My_l=2.16 Mz_l=-0.01
Azioni sul cordone: TP=0.31 TO=-0.67 NO=-286.48
Tensioni nel cordone: τ_P= 0.10 τ_O=0.21 σ_O=94.22 σ_{ID}=94.22 Σ_T=94.43
CC 23 SLV (Collegamento 0021_-378)
Azioni sul collegamento: N=-3875.57 Ty=0.64 Tz=-9.21 Mx=-0.01 Mz=1.09
Sollecitazioni agenti localmente: Tx_l=0.64 Ty_l=-9.21 N_l=-3875.57 My_l=-1.09 Mz_l=-0.01
Azioni sul cordone: TP=0.06 TO=-0.69 NO=-286.48
Tensioni nel cordone: τ_P= 0.02 τ_O=0.22 σ_O=92.64 σ_{ID}=92.64 Σ_T=92.86
CC 24 SLD (Collegamento 0021_-378)
Azioni sul collegamento: N=-7364.01 Ty=2.66 Tz=3.78 Mx=-0.01 Mz=1.05
Sollecitazioni agenti localmente: Tx_l=2.66 Ty_l=3.78 N_l=-7364.01 My_l=-1.05 Mz_l=-0.01
Azioni sul cordone: TP=0.20 TO=0.27 NO=-544.35
Tensioni nel cordone: τ_P= 0.06 τ_O= 0.09 σ_O=174.55 σ_{ID}=174.55 Σ_T=174.64
CC 24 SLD (Collegamento 0021_-378)
Azioni sul collegamento: N=-7364.01 Ty=3.69 Tz=3.78 Mx=-0.01 Mz=2.04
Sollecitazioni agenti localmente: Tx_l=3.69 Ty_l=3.78 N_l=-7364.01 My_l=-2.04 Mz_l=-0.01
Azioni sul cordone: TP=0.28 TO=0.27 NO=-544.35
Tensioni nel cordone: τ_P= 0.09 τ_O= 0.09 σ_O=176.00 σ_{ID}=176.00 Σ_T=176.09
CC 24 SLD (Collegamento 0021_-378)
Azioni sul collegamento: N=-7364.01 Ty=2.66 Tz=-2.23 Mx=-0.01 Mz=1.05
Sollecitazioni agenti localmente: Tx_l=2.66 Ty_l=-2.23 N_l=-7364.01 My_l=-1.05 Mz_l=-0.01
Azioni sul cordone: TP=0.20 TO=-0.17 NO=-544.35
Tensioni nel cordone: τ_P= 0.06 τ_O= 0.05 σ_O=174.55 σ_{ID}=174.55 Σ_T=174.61
CC 24 SLD (Collegamento 0021_-378)
Azioni sul collegamento: N=-7364.01 Ty=3.69 Tz=-2.23 Mx=-0.01 Mz=2.04
Sollecitazioni agenti localmente: Tx_l=3.69 Ty_l=-2.23 N_l=-7364.01 My_l=-2.04 Mz_l=-0.01
Azioni sul cordone: TP=0.28 TO=-0.17 NO=-544.35
Tensioni nel cordone: τ_P= 0.09 τ_O= 0.05 σ_O=176.00 σ_{ID}=176.00 Σ_T=176.05
CC 24 SLD (Collegamento 0021_-378)
Azioni sul collegamento: N=-5748.85 Ty=2.66 Tz=3.78 Mx=-0.01 Mz=1.05
Sollecitazioni agenti localmente: Tx_l=2.66 Ty_l=3.78 N_l=-5748.85 My_l=-1.05 Mz_l=-0.01
Azioni sul cordone: TP=0.20 TO=0.27 NO=-424.96
Tensioni nel cordone: τ_P= 0.06 τ_O= 0.09 σ_O=136.60 σ_{ID}=136.60 Σ_T=136.69
CC 24 SLD (Collegamento 0021_-378)
Azioni sul collegamento: N=-5748.85 Ty=3.69 Tz=3.78 Mx=-0.01 Mz=2.04
Sollecitazioni agenti localmente: Tx_l=3.69 Ty_l=3.78 N_l=-5748.85 My_l=-2.04 Mz_l=-0.01
Azioni sul cordone: TP=0.28 TO=0.27 NO=-424.96
Tensioni nel cordone: τ_P= 0.09 τ_O= 0.09 σ_O=138.05 σ_{ID}=138.05 Σ_T=138.14
CC 24 SLD (Collegamento 0021_-378)
Azioni sul collegamento: N=-5748.85 Ty=2.66 Tz=-2.23 Mx=-0.01 Mz=1.05
Sollecitazioni agenti localmente: Tx_l=2.66 Ty_l=-2.23 N_l=-5748.85 My_l=-1.05 Mz_l=-0.01
Azioni sul cordone: TP=0.20 TO=-0.17 NO=-424.96
Tensioni nel cordone: τ_P= 0.06 τ_O= 0.05 σ_O=136.60 σ_{ID}=136.60 Σ_T=136.66
CC 24 SLD (Collegamento 0021_-378)
Azioni sul collegamento: N=-5748.85 Ty=3.69 Tz=-2.23 Mx=-0.01 Mz=2.04
Sollecitazioni agenti localmente: Tx_l=3.69 Ty_l=-2.23 N_l=-5748.85 My_l=-2.04 Mz_l=-0.01
Azioni sul cordone: TP=0.28 TO=-0.17 NO=-424.96
Tensioni nel cordone: τ_P= 0.09 τ_O= 0.05 σ_O=138.05 σ_{ID}=138.05 Σ_T=138.10
CC 25 SLV (Collegamento 0021_-378)
Azioni sul collegamento: N=-5720.83 Ty=0.86 Tz=-2.51 Mx=-0.03 Mz=1.85
Sollecitazioni agenti localmente: Tx_l=0.86 Ty_l=-2.51 N_l=-5720.83 My_l=-1.85 Mz_l=-0.03
Azioni sul cordone: TP=0.09 TO=-0.21 NO=-422.89
Tensioni nel cordone: τ_P= 0.03 τ_O= 0.07 σ_O=137.12 σ_{ID}=137.12 Σ_T=137.19
CC 25 SLV (Collegamento 0021_-378)
Azioni sul collegamento: N=-5720.83 Ty=3.80 Tz=-2.51 Mx=-0.03 Mz=-2.93
Sollecitazioni agenti localmente: Tx_l=3.80 Ty_l=-2.51 N_l=-5720.83 My_l=2.93 Mz_l=-0.03
Azioni sul cordone: TP=0.31 TO=-0.16 NO=-422.89
Tensioni nel cordone: τ_P= 0.10 τ_O= 0.05 σ_O=138.69 σ_{ID}=138.69 Σ_T=138.75
CC 25 SLV (Collegamento 0021_-378)
Azioni sul collegamento: N=-5720.83 Ty=0.86 Tz=3.80 Mx=-0.03 Mz=1.85
Sollecitazioni agenti localmente: Tx_l=0.86 Ty_l=3.80 N_l=-5720.83 My_l=-1.85 Mz_l=-0.03
Azioni sul cordone: TP=0.09 TO=0.26 NO=-422.89
Tensioni nel cordone: τ_P= 0.03 τ_O= 0.08 σ_O=137.12 σ_{ID}=137.12 Σ_T=137.20
CC 25 SLV (Collegamento 0021_-378)
Azioni sul collegamento: N=-5720.83 Ty=3.80 Tz=3.80 Mx=-0.03 Mz=-2.93
Sollecitazioni agenti localmente: Tx_l=3.80 Ty_l=3.80 N_l=-5720.83 My_l=2.93 Mz_l=-0.03
Azioni sul cordone: TP=0.31 TO=0.30 NO=-422.89
Tensioni nel cordone: τ_P= 0.10 τ_O= 0.10 σ_O=138.69 σ_{ID}=138.69 Σ_T=138.79
CC 25 SLV (Collegamento 0021_-378)
Azioni sul collegamento: N=-7327.12 Ty=0.86 Tz=-2.51 Mx=-0.03 Mz=1.85
Sollecitazioni agenti localmente: Tx_l=0.86 Ty_l=-2.51 N_l=-7327.12 My_l=-1.85 Mz_l=-0.03
Azioni sul cordone: TP=0.09 TO=-0.21 NO=-541.62
Tensioni nel cordone: τ_P= 0.03 τ_O= 0.07 σ_O=174.86 σ_{ID}=174.86 Σ_T=174.93

CC 25 SLV (Collegamento 0021_-378)
Azioni sul collegamento: N=-7327.12 Ty=3.80 Tz=-2.51 Mx=-0.03 Mz=-2.93
Sollecitazioni agenti localmente: Tx_l=3.80 Ty_l=-2.51 N_l=-7327.12 My_l=2.93 Mz_l=-0.03
Azioni sul cordone: TP=0.31 TO=-0.16 NO=-541.62
Tensioni nel cordone: τ_P= 0.10 τ_O= 0.05 σ_O=176.44 σ_{ID}=176.44 Σ_T=176.49
CC 25 SLV (Collegamento 0021_-378)
Azioni sul collegamento: N=-7327.12 Ty=0.86 Tz=3.80 Mx=-0.03 Mz=1.85
Sollecitazioni agenti localmente: Tx_l=0.86 Ty_l=3.80 N_l=-7327.12 My_l=-1.85 Mz_l=-0.03
Azioni sul cordone: TP=0.09 TO=0.26 NO=-541.62
Tensioni nel cordone: τ_P= 0.03 τ_O= 0.08 σ_O=174.86 σ_{ID}=174.86 Σ_T=174.94
CC 25 SLV (Collegamento 0021_-378)
Azioni sul collegamento: N=-7327.12 Ty=3.80 Tz=3.80 Mx=-0.03 Mz=-2.93
Sollecitazioni agenti localmente: Tx_l=3.80 Ty_l=3.80 N_l=-7327.12 My_l=2.93 Mz_l=-0.03
Azioni sul cordone: TP=0.31 TO=0.30 NO=-541.62
Tensioni nel cordone: τ_P= 0.10 τ_O= 0.10 σ_O=176.44 σ_{ID}=176.44 Σ_T=176.53
CC 26 SLD (Collegamento 0021_-378)
Azioni sul collegamento: N=-6311.53 Ty=3.62 Tz=-0.19 Mx=-0.01 Mz=2.27
Sollecitazioni agenti localmente: Tx_l=3.62 Ty_l=-0.19 N_l=-6311.53 My_l=-2.27 Mz_l=-0.01
Azioni sul cordone: TP=0.28 TO=-0.02 NO=-466.55
Tensioni nel cordone: τ_P= 0.09 τ_O=7.07E-03 σ_O=151.61 σ_{ID}=151.61 Σ_T=151.62
CC 26 SLD (Collegamento 0021_-378)
Azioni sul collegamento: N=-6311.53 Ty=2.73 Tz=-0.19 Mx=-0.01 Mz=0.81
Sollecitazioni agenti localmente: Tx_l=2.73 Ty_l=-0.19 N_l=-6311.53 My_l=-0.81 Mz_l=-0.01
Azioni sul cordone: TP=0.21 TO=-0.02 NO=-466.55
Tensioni nel cordone: τ_P= 0.07 τ_O=7.07E-03 σ_O=149.48 σ_{ID}=149.48 Σ_T=149.49
CC 26 SLD (Collegamento 0021_-378)
Azioni sul collegamento: N=-6311.53 Ty=3.62 Tz=1.73 Mx=-0.01 Mz=2.27
Sollecitazioni agenti localmente: Tx_l=3.62 Ty_l=1.73 N_l=-6311.53 My_l=-2.27 Mz_l=-0.01
Azioni sul cordone: TP=0.28 TO=0.12 NO=-466.55
Tensioni nel cordone: τ_P= 0.09 τ_O= 0.04 σ_O=151.61 σ_{ID}=151.61 Σ_T=151.65
CC 26 SLD (Collegamento 0021_-378)
Azioni sul collegamento: N=-6311.53 Ty=2.73 Tz=1.73 Mx=-0.01 Mz=0.81
Sollecitazioni agenti localmente: Tx_l=2.73 Ty_l=1.73 N_l=-6311.53 My_l=-0.81 Mz_l=-0.01
Azioni sul cordone: TP=0.21 TO=0.12 NO=-466.55
Tensioni nel cordone: τ_P= 0.07 τ_O= 0.04 σ_O=149.48 σ_{ID}=149.48 Σ_T=149.52
CC 26 SLD (Collegamento 0021_-378)
Azioni sul collegamento: N=-6801.33 Ty=3.62 Tz=-0.19 Mx=-0.01 Mz=2.27
Sollecitazioni agenti localmente: Tx_l=3.62 Ty_l=-0.19 N_l=-6801.33 My_l=-2.27 Mz_l=-0.01
Azioni sul cordone: TP=0.28 TO=-0.02 NO=-502.76
Tensioni nel cordone: τ_P= 0.09 τ_O=7.08E-03 σ_O=163.12 σ_{ID}=163.12 Σ_T=163.13
CC 26 SLD (Collegamento 0021_-378)
Azioni sul collegamento: N=-6801.33 Ty=2.73 Tz=-0.19 Mx=-0.01 Mz=0.81
Sollecitazioni agenti localmente: Tx_l=2.73 Ty_l=-0.19 N_l=-6801.33 My_l=-0.81 Mz_l=-0.01
Azioni sul cordone: TP=0.21 TO=-0.02 NO=-502.76
Tensioni nel cordone: τ_P= 0.07 τ_O=7.08E-03 σ_O=160.99 σ_{ID}=160.99 Σ_T=161.00
CC 26 SLD (Collegamento 0021_-378)
Azioni sul collegamento: N=-6801.33 Ty=3.62 Tz=1.73 Mx=-0.01 Mz=2.27
Sollecitazioni agenti localmente: Tx_l=3.62 Ty_l=1.73 N_l=-6801.33 My_l=-2.27 Mz_l=-0.01
Azioni sul cordone: TP=0.28 TO=0.12 NO=-502.76
Tensioni nel cordone: τ_P= 0.09 τ_O= 0.04 σ_O=163.12 σ_{ID}=163.12 Σ_T=163.16
CC 26 SLD (Collegamento 0021_-378)
Azioni sul collegamento: N=-6801.33 Ty=2.73 Tz=1.73 Mx=-0.01 Mz=0.81
Sollecitazioni agenti localmente: Tx_l=2.73 Ty_l=1.73 N_l=-6801.33 My_l=-0.81 Mz_l=-0.01
Azioni sul cordone: TP=0.21 TO=0.12 NO=-502.76
Tensioni nel cordone: τ_P= 0.07 τ_O= 0.04 σ_O=160.99 σ_{ID}=160.99 Σ_T=161.03
CC 27 SLV (Collegamento 0021_-378)
Azioni sul collegamento: N=-7308.17 Ty=1.68 Tz=3.37 Mx=-0.02 Mz=1.26
Sollecitazioni agenti localmente: Tx_l=1.68 Ty_l=3.37 N_l=-7308.17 My_l=-1.26 Mz_l=-0.02
Azioni sul cordone: TP=0.15 TO=0.23 NO=-540.22
Tensioni nel cordone: τ_P= 0.05 τ_O= 0.07 σ_O=173.54 σ_{ID}=173.54 Σ_T=173.62
CC 27 SLV (Collegamento 0021_-378)
Azioni sul collegamento: N=-7308.17 Ty=2.97 Tz=3.37 Mx=-0.02 Mz=-2.33
Sollecitazioni agenti localmente: Tx_l=2.97 Ty_l=3.37 N_l=-7308.17 My_l=2.33 Mz_l=-0.02
Azioni sul cordone: TP=0.25 TO=0.27 NO=-540.22
Tensioni nel cordone: τ_P= 0.08 τ_O= 0.09 σ_O=175.12 σ_{ID}=175.12 Σ_T=175.20
CC 27 SLV (Collegamento 0021_-378)
Azioni sul collegamento: N=-7308.17 Ty=1.68 Tz=-2.08 Mx=-0.02 Mz=1.26
Sollecitazioni agenti localmente: Tx_l=1.68 Ty_l=-2.08 N_l=-7308.17 My_l=-1.26 Mz_l=-0.02
Azioni sul cordone: TP=0.15 TO=-0.17 NO=-540.22
Tensioni nel cordone: τ_P= 0.05 τ_O= 0.06 σ_O=173.54 σ_{ID}=173.54 Σ_T=173.60
CC 27 SLV (Collegamento 0021_-378)
Azioni sul collegamento: N=-7308.17 Ty=2.97 Tz=-2.08 Mx=-0.02 Mz=-2.33
Sollecitazioni agenti localmente: Tx_l=2.97 Ty_l=-2.08 N_l=-7308.17 My_l=2.33 Mz_l=-0.02
Azioni sul cordone: TP=0.25 TO=-0.13 NO=-540.22
Tensioni nel cordone: τ_P= 0.08 τ_O= 0.04 σ_O=175.12 σ_{ID}=175.12 Σ_T=175.16
CC 27 SLV (Collegamento 0021_-378)
Azioni sul collegamento: N=-5739.78 Ty=1.68 Tz=3.37 Mx=-0.02 Mz=1.26
Sollecitazioni agenti localmente: Tx_l=1.68 Ty_l=3.37 N_l=-5739.78 My_l=-1.26 Mz_l=-0.02
Azioni sul cordone: TP=0.15 TO=0.23 NO=-424.29

Tensioni nel cordone: τ_P= 0.05 τ_0= 0.07 σ_0=136.69 σ_{ID}=136.69 Σ_T=136.77
CC 27 SLV (Collegamento 0021_-378)
Azioni sul collegamento: N=-5739.78 Ty=2.97 Tz=3.37 Mx=-0.02 Mz=-2.33
Sollecitazioni agenti localmente: Tx_l=2.97 Ty_l=3.37 N_l=-5739.78 My_l=2.33 Mz_l=-0.02
Azioni sul cordone: TP=0.25 TO=0.27 NO=-424.29
Tensioni nel cordone: τ_P= 0.08 τ_0= 0.09 σ_0=138.27 σ_{ID}=138.27 Σ_T=138.35
CC 27 SLV (Collegamento 0021_-378)
Azioni sul collegamento: N=-5739.78 Ty=1.68 Tz=-2.08 Mx=-0.02 Mz=1.26
Sollecitazioni agenti localmente: Tx_l=1.68 Ty_l=-2.08 N_l=-5739.78 My_l=-1.26 Mz_l=-0.02
Azioni sul cordone: TP=0.15 TO=-0.17 NO=-424.29
Tensioni nel cordone: τ_P= 0.05 τ_0= 0.06 σ_0=136.69 σ_{ID}=136.69 Σ_T=136.75
CC 27 SLV (Collegamento 0021_-378)
Azioni sul collegamento: N=-5739.78 Ty=2.97 Tz=-2.08 Mx=-0.02 Mz=-2.33
Sollecitazioni agenti localmente: Tx_l=2.97 Ty_l=-2.08 N_l=-5739.78 My_l=2.33 Mz_l=-0.02
Azioni sul cordone: TP=0.25 TO=-0.13 NO=-424.29
Tensioni nel cordone: τ_P= 0.08 τ_0= 0.04 σ_0=138.27 σ_{ID}=138.27 Σ_T=138.31
CC 28 SLD (Collegamento 0021_-378)
Azioni sul collegamento: N=-6795.56 Ty=3.37 Tz=1.60 Mx=-0.01 Mz=2.09
Sollecitazioni agenti localmente: Tx_l=3.37 Ty_l=1.60 N_l=-6795.56 My_l=-2.09 Mz_l=-0.01
Azioni sul cordone: TP=0.26 TO=0.11 NO=-502.33
Tensioni nel cordone: τ_P= 0.08 τ_0= 0.04 σ_0=162.72 σ_{ID}=162.72 Σ_T=162.75
CC 28 SLD (Collegamento 0021_-378)
Azioni sul collegamento: N=-6795.56 Ty=2.98 Tz=1.60 Mx=-0.01 Mz=1.00
Sollecitazioni agenti localmente: Tx_l=2.98 Ty_l=1.60 N_l=-6795.56 My_l=-1.00 Mz_l=-0.01
Azioni sul cordone: TP=0.23 TO=0.11 NO=-502.33
Tensioni nel cordone: τ_P= 0.07 τ_0= 0.04 σ_0=161.12 σ_{ID}=161.12 Σ_T=161.16
CC 28 SLD (Collegamento 0021_-378)
Azioni sul collegamento: N=-6795.56 Ty=3.37 Tz=-0.06 Mx=-0.01 Mz=2.09
Sollecitazioni agenti localmente: Tx_l=3.37 Ty_l=-0.06 N_l=-6795.56 My_l=-2.09 Mz_l=-0.01
Azioni sul cordone: TP=0.26 TO=-0.01 NO=-502.33
Tensioni nel cordone: τ_P= 0.08 τ_0=3.94E-03 σ_0=162.72 σ_{ID}=162.72 Σ_T=162.72
CC 28 SLD (Collegamento 0021_-378)
Azioni sul collegamento: N=-6795.56 Ty=2.98 Tz=-0.06 Mx=-0.01 Mz=1.00
Sollecitazioni agenti localmente: Tx_l=2.98 Ty_l=-0.06 N_l=-6795.56 My_l=-1.00 Mz_l=-0.01
Azioni sul cordone: TP=0.23 TO=-0.01 NO=-502.33
Tensioni nel cordone: τ_P= 0.07 τ_0=3.94E-03 σ_0=161.12 σ_{ID}=161.12 Σ_T=161.12
CC 28 SLD (Collegamento 0021_-378)
Azioni sul collegamento: N=-6317.30 Ty=3.37 Tz=1.60 Mx=-0.01 Mz=2.09
Sollecitazioni agenti localmente: Tx_l=3.37 Ty_l=1.60 N_l=-6317.30 My_l=-2.09 Mz_l=-0.01
Azioni sul cordone: TP=0.26 TO=0.11 NO=-466.98
Tensioni nel cordone: τ_P= 0.08 τ_0= 0.04 σ_0=151.48 σ_{ID}=151.48 Σ_T=151.52
CC 28 SLD (Collegamento 0021_-378)
Azioni sul collegamento: N=-6317.30 Ty=2.98 Tz=1.60 Mx=-0.01 Mz=1.00
Sollecitazioni agenti localmente: Tx_l=2.98 Ty_l=1.60 N_l=-6317.30 My_l=-1.00 Mz_l=-0.01
Azioni sul cordone: TP=0.23 TO=0.11 NO=-466.98
Tensioni nel cordone: τ_P= 0.07 τ_0= 0.04 σ_0=149.88 σ_{ID}=149.88 Σ_T=149.92
CC 28 SLD (Collegamento 0021_-378)
Azioni sul collegamento: N=-6317.30 Ty=3.37 Tz=-0.06 Mx=-0.01 Mz=2.09
Sollecitazioni agenti localmente: Tx_l=3.37 Ty_l=-0.06 N_l=-6317.30 My_l=-2.09 Mz_l=-0.01
Azioni sul cordone: TP=0.26 TO=-0.01 NO=-466.98
Tensioni nel cordone: τ_P= 0.08 τ_0=3.95E-03 σ_0=151.48 σ_{ID}=151.48 Σ_T=151.49
CC 28 SLD (Collegamento 0021_-378)
Azioni sul collegamento: N=-6317.30 Ty=2.98 Tz=-0.06 Mx=-0.01 Mz=1.00
Sollecitazioni agenti localmente: Tx_l=2.98 Ty_l=-0.06 N_l=-6317.30 My_l=-1.00 Mz_l=-0.01
Azioni sul cordone: TP=0.23 TO=-0.01 NO=-466.98
Tensioni nel cordone: τ_P= 0.07 τ_0=3.95E-03 σ_0=149.88 σ_{ID}=149.88 Σ_T=149.89
CC 29 SLV (Collegamento 0021_-378)
Azioni sul collegamento: N=-5739.78 Ty=2.97 Tz=-2.08 Mx=-0.01 Mz=-2.33
Sollecitazioni agenti localmente: Tx_l=2.97 Ty_l=-2.08 N_l=-5739.78 My_l=2.33 Mz_l=-0.01
Azioni sul cordone: TP=0.23 TO=-0.15 NO=-424.29
Tensioni nel cordone: τ_P= 0.07 τ_0= 0.05 σ_0=138.27 σ_{ID}=138.27 Σ_T=138.31
CC 29 SLV (Collegamento 0021_-378)
Azioni sul collegamento: N=-5739.78 Ty=1.68 Tz=-2.08 Mx=-0.01 Mz=1.26
Sollecitazioni agenti localmente: Tx_l=1.68 Ty_l=-2.08 N_l=-5739.78 My_l=-1.26 Mz_l=-0.01
Azioni sul cordone: TP=0.14 TO=-0.16 NO=-424.29
Tensioni nel cordone: τ_P= 0.04 τ_0= 0.05 σ_0=136.69 σ_{ID}=136.69 Σ_T=136.75
CC 29 SLV (Collegamento 0021_-378)
Azioni sul collegamento: N=-5739.78 Ty=2.97 Tz=3.37 Mx=-0.01 Mz=-2.33
Sollecitazioni agenti localmente: Tx_l=2.97 Ty_l=3.37 N_l=-5739.78 My_l=2.33 Mz_l=-0.01
Azioni sul cordone: TP=0.23 TO=0.26 NO=-424.29
Tensioni nel cordone: τ_P= 0.07 τ_0= 0.08 σ_0=138.27 σ_{ID}=138.27 Σ_T=138.35
CC 29 SLV (Collegamento 0021_-378)
Azioni sul collegamento: N=-5739.78 Ty=1.68 Tz=3.37 Mx=-0.01 Mz=1.26
Sollecitazioni agenti localmente: Tx_l=1.68 Ty_l=3.37 N_l=-5739.78 My_l=-1.26 Mz_l=-0.01
Azioni sul cordone: TP=0.14 TO=0.24 NO=-424.29
Tensioni nel cordone: τ_P= 0.04 τ_0= 0.08 σ_0=136.69 σ_{ID}=136.69 Σ_T=136.77
CC 29 SLV (Collegamento 0021_-378)
Azioni sul collegamento: N=-7308.17 Ty=2.97 Tz=-2.08 Mx=-0.01 Mz=-2.33
Sollecitazioni agenti localmente: Tx_l=2.97 Ty_l=-2.08 N_l=-7308.17 My_l=2.33 Mz_l=-0.01

Azioni sul cordone: TP=0.23 TO=-0.15 NO=-540.22
Tensioni nel cordone: τ_P= 0.07 τ_O= 0.05 σ_O=175.12 σ_{ID}=175.12 Σ_T=175.16
CC 29 SLV (Collegamento 0021_-378)
Azioni sul collegamento: N=-7308.17 Ty=1.68 Tz=-2.08 Mx=-0.01 Mz=1.26
Sollecitazioni agenti localmente: Tx_l=1.68 Ty_l=-2.08 N_l=-7308.17 My_l=-1.26 Mz_l=-0.01
Azioni sul cordone: TP=0.14 TO=-0.16 NO=-540.22
Tensioni nel cordone: τ_P= 0.04 τ_O= 0.05 σ_O=173.54 σ_{ID}=173.54 Σ_T=173.59
CC 29 SLV (Collegamento 0021_-378)
Azioni sul collegamento: N=-7308.17 Ty=2.97 Tz=3.37 Mx=-0.01 Mz=-2.33
Sollecitazioni agenti localmente: Tx_l=2.97 Ty_l=3.37 N_l=-7308.17 My_l=2.33 Mz_l=-0.01
Azioni sul cordone: TP=0.23 TO=0.26 NO=-540.22
Tensioni nel cordone: τ_P= 0.07 τ_O= 0.08 σ_O=175.12 σ_{ID}=175.12 Σ_T=175.20
CC 29 SLV (Collegamento 0021_-378)
Azioni sul collegamento: N=-7308.17 Ty=1.68 Tz=3.37 Mx=-0.01 Mz=1.26
Sollecitazioni agenti localmente: Tx_l=1.68 Ty_l=3.37 N_l=-7308.17 My_l=-1.26 Mz_l=-0.01
Azioni sul cordone: TP=0.14 TO=0.24 NO=-540.22
Tensioni nel cordone: τ_P= 0.04 τ_O= 0.08 σ_O=173.54 σ_{ID}=173.54 Σ_T=173.62
CC 30 SLD (Collegamento 0021_-378)
Azioni sul collegamento: N=-6317.30 Ty=2.98 Tz=-0.06 Mx=-0.01 Mz=1.00
Sollecitazioni agenti localmente: Tx_l=2.98 Ty_l=-0.06 N_l=-6317.30 My_l=-1.00 Mz_l=-0.01
Azioni sul cordone: TP=0.23 TO=-0.01 NO=-466.98
Tensioni nel cordone: τ_P= 0.07 τ_O=2.78E-03 σ_O=149.88 σ_{ID}=149.88 Σ_T=149.89
CC 30 SLD (Collegamento 0021_-378)
Azioni sul collegamento: N=-6317.30 Ty=3.37 Tz=-0.06 Mx=-0.01 Mz=2.09
Sollecitazioni agenti localmente: Tx_l=3.37 Ty_l=-0.06 N_l=-6317.30 My_l=-2.09 Mz_l=-0.01
Azioni sul cordone: TP=0.26 TO=-0.01 NO=-466.98
Tensioni nel cordone: τ_P= 0.08 τ_O=2.78E-03 σ_O=151.48 σ_{ID}=151.48 Σ_T=151.49
CC 30 SLD (Collegamento 0021_-378)
Azioni sul collegamento: N=-6317.30 Ty=2.98 Tz=1.60 Mx=-0.01 Mz=1.00
Sollecitazioni agenti localmente: Tx_l=2.98 Ty_l=1.60 N_l=-6317.30 My_l=-1.00 Mz_l=-0.01
Azioni sul cordone: TP=0.23 TO=0.11 NO=-466.98
Tensioni nel cordone: τ_P= 0.07 τ_O= 0.04 σ_O=149.88 σ_{ID}=149.88 Σ_T=149.92
CC 30 SLD (Collegamento 0021_-378)
Azioni sul collegamento: N=-6317.30 Ty=3.37 Tz=1.60 Mx=-0.01 Mz=2.09
Sollecitazioni agenti localmente: Tx_l=3.37 Ty_l=1.60 N_l=-6317.30 My_l=-2.09 Mz_l=-0.01
Azioni sul cordone: TP=0.26 TO=0.11 NO=-466.98
Tensioni nel cordone: τ_P= 0.08 τ_O= 0.04 σ_O=151.48 σ_{ID}=151.48 Σ_T=151.52
CC 30 SLD (Collegamento 0021_-378)
Azioni sul collegamento: N=-6795.56 Ty=2.98 Tz=-0.06 Mx=-0.01 Mz=1.00
Sollecitazioni agenti localmente: Tx_l=2.98 Ty_l=-0.06 N_l=-6795.56 My_l=-1.00 Mz_l=-0.01
Azioni sul cordone: TP=0.23 TO=-0.01 NO=-502.33
Tensioni nel cordone: τ_P= 0.07 τ_O=2.78E-03 σ_O=161.12 σ_{ID}=161.12 Σ_T=161.12
CC 30 SLD (Collegamento 0021_-378)
Azioni sul collegamento: N=-6795.56 Ty=3.37 Tz=-0.06 Mx=-0.01 Mz=2.09
Sollecitazioni agenti localmente: Tx_l=3.37 Ty_l=-0.06 N_l=-6795.56 My_l=-2.09 Mz_l=-0.01
Azioni sul cordone: TP=0.26 TO=-0.01 NO=-502.33
Tensioni nel cordone: τ_P= 0.08 τ_O=2.78E-03 σ_O=162.72 σ_{ID}=162.72 Σ_T=162.72
CC 30 SLD (Collegamento 0021_-378)
Azioni sul collegamento: N=-6795.56 Ty=2.98 Tz=1.60 Mx=-0.01 Mz=1.00
Sollecitazioni agenti localmente: Tx_l=2.98 Ty_l=1.60 N_l=-6795.56 My_l=-1.00 Mz_l=-0.01
Azioni sul cordone: TP=0.23 TO=0.11 NO=-502.33
Tensioni nel cordone: τ_P= 0.07 τ_O= 0.04 σ_O=161.12 σ_{ID}=161.12 Σ_T=161.16
CC 30 SLD (Collegamento 0021_-378)
Azioni sul collegamento: N=-6795.56 Ty=3.37 Tz=1.60 Mx=-0.01 Mz=2.09
Sollecitazioni agenti localmente: Tx_l=3.37 Ty_l=1.60 N_l=-6795.56 My_l=-2.09 Mz_l=-0.01
Azioni sul cordone: TP=0.26 TO=0.11 NO=-502.33
Tensioni nel cordone: τ_P= 0.08 τ_O= 0.04 σ_O=162.72 σ_{ID}=162.72 Σ_T=162.75
CC 31 SLV (Collegamento 0021_-378)
Azioni sul collegamento: N=-7327.12 Ty=3.80 Tz=3.80 Mx=-0.01 Mz=-2.93
Sollecitazioni agenti localmente: Tx_l=3.80 Ty_l=3.80 N_l=-7327.12 My_l=2.93 Mz_l=-0.01
Azioni sul cordone: TP=0.29 TO=0.29 NO=-541.62
Tensioni nel cordone: τ_P= 0.09 τ_O= 0.09 σ_O=176.44 σ_{ID}=176.44 Σ_T=176.53
CC 31 SLV (Collegamento 0021_-378)
Azioni sul collegamento: N=-7327.12 Ty=0.86 Tz=3.80 Mx=-0.01 Mz=1.85
Sollecitazioni agenti localmente: Tx_l=0.86 Ty_l=3.80 N_l=-7327.12 My_l=-1.85 Mz_l=-0.01
Azioni sul cordone: TP=0.07 TO=0.27 NO=-541.62
Tensioni nel cordone: τ_P= 0.02 τ_O= 0.09 σ_O=174.86 σ_{ID}=174.86 Σ_T=174.95
CC 31 SLV (Collegamento 0021_-378)
Azioni sul collegamento: N=-7327.12 Ty=3.80 Tz=-2.51 Mx=-0.01 Mz=-2.93
Sollecitazioni agenti localmente: Tx_l=3.80 Ty_l=-2.51 N_l=-7327.12 My_l=2.93 Mz_l=-0.01
Azioni sul cordone: TP=0.29 TO=-0.18 NO=-541.62
Tensioni nel cordone: τ_P= 0.09 τ_O= 0.06 σ_O=176.44 σ_{ID}=176.44 Σ_T=176.49
CC 31 SLV (Collegamento 0021_-378)
Azioni sul collegamento: N=-7327.12 Ty=0.86 Tz=-2.51 Mx=-0.01 Mz=1.85
Sollecitazioni agenti localmente: Tx_l=0.86 Ty_l=-2.51 N_l=-7327.12 My_l=-1.85 Mz_l=-0.01
Azioni sul cordone: TP=0.07 TO=-0.19 NO=-541.62
Tensioni nel cordone: τ_P= 0.02 τ_O= 0.06 σ_O=174.86 σ_{ID}=174.86 Σ_T=174.92
CC 31 SLV (Collegamento 0021_-378)
Azioni sul collegamento: N=-5720.83 Ty=3.80 Tz=3.80 Mx=-0.01 Mz=-2.93

Sollecitazioni agenti localmente: Tx_l=3.80 Ty_l=3.80 N_l=-5720.83 My_l=2.93 Mz_l=-0.01
Azioni sul cordone: TP=0.29 TO=0.29 NO=-422.89
Tensioni nel cordone: τ_P= 0.09 τ_O= 0.09 σ_O=138.69 σ_{ID}=138.69 Σ_T=138.79
CC 31 SLV (Collegamento 0021_-378)
Azioni sul collegamento: N=-5720.83 Ty=0.86 Tz=3.80 Mx=-0.01 Mz=1.85
Sollecitazioni agenti localmente: Tx_l=0.86 Ty_l=3.80 N_l=-5720.83 My_l=-1.85 Mz_l=-0.01
Azioni sul cordone: TP=0.07 TO=0.27 NO=-422.89
Tensioni nel cordone: τ_P= 0.02 τ_O= 0.09 σ_O=137.12 σ_{ID}=137.12 Σ_T=137.21
CC 31 SLV (Collegamento 0021_-378)
Azioni sul collegamento: N=-5720.83 Ty=3.80 Tz=-2.51 Mx=-0.01 Mz=-2.93
Sollecitazioni agenti localmente: Tx_l=3.80 Ty_l=-2.51 N_l=-5720.83 My_l=2.93 Mz_l=-0.01
Azioni sul cordone: TP=0.29 TO=-0.18 NO=-422.89
Tensioni nel cordone: τ_P= 0.09 τ_O= 0.06 σ_O=138.69 σ_{ID}=138.69 Σ_T=138.75
CC 31 SLV (Collegamento 0021_-378)
Azioni sul collegamento: N=-5720.83 Ty=0.86 Tz=-2.51 Mx=-0.01 Mz=1.85
Sollecitazioni agenti localmente: Tx_l=0.86 Ty_l=-2.51 N_l=-5720.83 My_l=-1.85 Mz_l=-0.01
Azioni sul cordone: TP=0.07 TO=-0.19 NO=-422.89
Tensioni nel cordone: τ_P= 0.02 τ_O= 0.06 σ_O=137.12 σ_{ID}=137.12 Σ_T=137.18
CC 32 SLD (Collegamento 0021_-378)
Azioni sul collegamento: N=-6801.33 Ty=2.73 Tz=1.73 Mx=-0.01 Mz=0.81
Sollecitazioni agenti localmente: Tx_l=2.73 Ty_l=1.73 N_l=-6801.33 My_l=-0.81 Mz_l=-0.01
Azioni sul cordone: TP=0.21 TO=0.12 NO=-502.76
Tensioni nel cordone: τ_P= 0.07 τ_O= 0.04 σ_O=160.99 σ_{ID}=160.99 Σ_T=161.03
CC 32 SLD (Collegamento 0021_-378)
Azioni sul collegamento: N=-6801.33 Ty=3.62 Tz=1.73 Mx=-0.01 Mz=2.27
Sollecitazioni agenti localmente: Tx_l=3.62 Ty_l=1.73 N_l=-6801.33 My_l=-2.27 Mz_l=-0.01
Azioni sul cordone: TP=0.27 TO=0.12 NO=-502.76
Tensioni nel cordone: τ_P= 0.09 τ_O= 0.04 σ_O=163.12 σ_{ID}=163.12 Σ_T=163.16
CC 32 SLD (Collegamento 0021_-378)
Azioni sul collegamento: N=-6801.33 Ty=2.73 Tz=-0.19 Mx=-0.01 Mz=0.81
Sollecitazioni agenti localmente: Tx_l=2.73 Ty_l=-0.19 N_l=-6801.33 My_l=-0.81 Mz_l=-0.01
Azioni sul cordone: TP=0.21 TO=-0.02 NO=-502.76
Tensioni nel cordone: τ_P= 0.07 τ_O=5.78E-03 σ_O=160.99 σ_{ID}=160.99 Σ_T=161.00
CC 32 SLD (Collegamento 0021_-378)
Azioni sul collegamento: N=-6801.33 Ty=3.62 Tz=-0.19 Mx=-0.01 Mz=2.27
Sollecitazioni agenti localmente: Tx_l=3.62 Ty_l=-0.19 N_l=-6801.33 My_l=-2.27 Mz_l=-0.01
Azioni sul cordone: TP=0.27 TO=-0.02 NO=-502.76
Tensioni nel cordone: τ_P= 0.09 τ_O=5.78E-03 σ_O=163.12 σ_{ID}=163.12 Σ_T=163.13
CC 32 SLD (Collegamento 0021_-378)
Azioni sul collegamento: N=-6311.53 Ty=2.73 Tz=1.73 Mx=-0.01 Mz=0.81
Sollecitazioni agenti localmente: Tx_l=2.73 Ty_l=1.73 N_l=-6311.53 My_l=-0.81 Mz_l=-0.01
Azioni sul cordone: TP=0.21 TO=0.12 NO=-466.55
Tensioni nel cordone: τ_P= 0.07 τ_O= 0.04 σ_O=149.48 σ_{ID}=149.48 Σ_T=149.52
CC 32 SLD (Collegamento 0021_-378)
Azioni sul collegamento: N=-6311.53 Ty=3.62 Tz=1.73 Mx=-0.01 Mz=2.27
Sollecitazioni agenti localmente: Tx_l=3.62 Ty_l=1.73 N_l=-6311.53 My_l=-2.27 Mz_l=-0.01
Azioni sul cordone: TP=0.27 TO=0.12 NO=-466.55
Tensioni nel cordone: τ_P= 0.09 τ_O= 0.04 σ_O=151.61 σ_{ID}=151.61 Σ_T=151.65
CC 32 SLD (Collegamento 0021_-378)
Azioni sul collegamento: N=-6311.53 Ty=2.73 Tz=-0.19 Mx=-0.01 Mz=0.81
Sollecitazioni agenti localmente: Tx_l=2.73 Ty_l=-0.19 N_l=-6311.53 My_l=-0.81 Mz_l=-0.01
Azioni sul cordone: TP=0.21 TO=-0.02 NO=-466.55
Tensioni nel cordone: τ_P= 0.07 τ_O=5.77E-03 σ_O=149.48 σ_{ID}=149.48 Σ_T=149.49
CC 32 SLD (Collegamento 0021_-378)
Azioni sul collegamento: N=-6311.53 Ty=3.62 Tz=-0.19 Mx=-0.01 Mz=2.27
Sollecitazioni agenti localmente: Tx_l=3.62 Ty_l=-0.19 N_l=-6311.53 My_l=-2.27 Mz_l=-0.01
Azioni sul cordone: TP=0.27 TO=-0.02 NO=-466.55
Tensioni nel cordone: τ_P= 0.09 τ_O=5.77E-03 σ_O=151.61 σ_{ID}=151.61 Σ_T=151.62
CC 33 SLU (Collegamento 0021_-378)
Azioni sul collegamento: N=-30888.30 Ty=5.44 Tz=82.02 Mx=-0.01 Mz=3.71
Sollecitazioni agenti localmente: Tx_l=5.44 Ty_l=82.02 N_l=-30888.30 My_l=-3.71 Mz_l=-0.01
Azioni sul cordone: TP=0.41 TO=6.06 NO=-2283.27
Tensioni nel cordone: τ_P=0.13 τ_O=1.93 σ_O=731.15 σ_{ID}=731.15 Σ_T=733.08
CC 34 SLU (Collegamento 0021_-378)
Azioni sul collegamento: N=-30337.70 Ty=5.16 Tz=79.98 Mx=-0.01 Mz=3.50
Sollecitazioni agenti localmente: Tx_l=5.16 Ty_l=79.98 N_l=-30337.70 My_l=-3.50 Mz_l=-0.01
Azioni sul cordone: TP=0.39 TO=5.91 NO=-2242.58
Tensioni nel cordone: τ_P=0.12 τ_O=1.88 σ_O=717.91 σ_{ID}=717.92 Σ_T=719.79
CC 35 SLU (Collegamento 0021_-378)
Azioni sul collegamento: N=-30612.00 Ty=5.19 Tz=81.02 Mx=-0.01 Mz=3.39
Sollecitazioni agenti localmente: Tx_l=5.19 Ty_l=81.02 N_l=-30612.00 My_l=-3.39 Mz_l=-0.01
Azioni sul cordone: TP=0.39 TO=5.98 NO=-2262.85
Tensioni nel cordone: τ_P=0.12 τ_O=1.90 σ_O=724.19 σ_{ID}=724.20 Σ_T=726.09
CC 36 SLU (Collegamento 0021_-378)
Azioni sul collegamento: N=-30614.00 Ty=5.41 Tz=80.97 Mx=-0.01 Mz=3.82
Sollecitazioni agenti localmente: Tx_l=5.41 Ty_l=80.97 N_l=-30614.00 My_l=-3.82 Mz_l=-0.01
Azioni sul cordone: TP=0.41 TO=5.98 NO=-2263.00
Tensioni nel cordone: τ_P=0.13 τ_O=1.90 σ_O=724.88 σ_{ID}=724.88 Σ_T=726.77
CC 37 SLU (Collegamento 0021_-378)

Azioni sul collegamento: N=-21597.10 Ty=6.32 Tz=47.86 Mx=-0.01 Mz=4.34
Sollecitazioni agenti localmente: Tx_l=6.32 Ty_l=47.86 N_l=-21597.10 My_l=-4.34 Mz_l=-0.01
Azioni sul cordone: TP=0.48 TO=3.53 NO=-1596.46
Tensioni nel cordone: τ_P=0.15 τ_0=1.12 σ_0=513.77 σ_{ID}=513.78 Σ_T=514.90
CC 38 SLU (Collegamento 0021_-378)
Azioni sul collegamento: N=-21046.60 Ty=6.03 Tz=45.82 Mx=-0.01 Mz=4.13
Sollecitazioni agenti localmente: Tx_l=6.03 Ty_l=45.82 N_l=-21046.60 My_l=-4.13 Mz_l=-0.01
Azioni sul cordone: TP=0.45 TO=3.38 NO=-1555.77
Tensioni nel cordone: τ_P=0.14 τ_0=1.07 σ_0=500.54 σ_{ID}=500.54 Σ_T=501.61
CC 39 SLU (Collegamento 0021_-378)
Azioni sul collegamento: N=-21320.90 Ty=6.07 Tz=46.87 Mx=-0.01 Mz=4.02
Sollecitazioni agenti localmente: Tx_l=6.07 Ty_l=46.87 N_l=-21320.90 My_l=-4.02 Mz_l=-0.01
Azioni sul cordone: TP=0.46 TO=3.46 NO=-1576.04
Tensioni nel cordone: τ_P=0.14 τ_0=1.10 σ_0=506.81 σ_{ID}=506.82 Σ_T=507.92
CC 40 SLU (Collegamento 0021_-378)
Azioni sul collegamento: N=-21322.80 Ty=6.29 Tz=46.82 Mx=-0.01 Mz=4.45
Sollecitazioni agenti localmente: Tx_l=6.29 Ty_l=46.82 N_l=-21322.80 My_l=-4.45 Mz_l=-0.01
Azioni sul cordone: TP=0.47 TO=3.45 NO=-1576.19
Tensioni nel cordone: τ_P=0.15 τ_0=1.10 σ_0=507.50 σ_{ID}=507.50 Σ_T=508.60
CC 41 SLU (Collegamento 0021_-378)
Azioni sul collegamento: N=-32817.40 Ty=5.33 Tz=88.46 Mx=0.00 Mz=3.76
Sollecitazioni agenti localmente: Tx_l=5.33 Ty_l=88.46 N_l=-32817.40 My_l=-3.76 Mz_l=0.00
Azioni sul cordone: TP=0.39 TO=6.54 NO=-2425.87
Tensioni nel cordone: τ_P=0.12 τ_0=2.08 σ_0=776.56 σ_{ID}=776.56 Σ_T=778.64
CC 42 SLU (Collegamento 0021_-378)
Azioni sul collegamento: N=-32266.90 Ty=5.04 Tz=86.42 Mx=0.00 Mz=3.56
Sollecitazioni agenti localmente: Tx_l=5.04 Ty_l=86.42 N_l=-32266.90 My_l=-3.56 Mz_l=0.00
Azioni sul cordone: TP=0.37 TO=6.39 NO=-2385.18
Tensioni nel cordone: τ_P=0.12 τ_0=2.03 σ_0=763.32 σ_{ID}=763.32 Σ_T=765.35
CC 43 SLU (Collegamento 0021_-378)
Azioni sul collegamento: N=-32541.20 Ty=5.08 Tz=87.47 Mx=0.00 Mz=3.44
Sollecitazioni agenti localmente: Tx_l=5.08 Ty_l=87.47 N_l=-32541.20 My_l=-3.44 Mz_l=0.00
Azioni sul cordone: TP=0.37 TO=6.47 NO=-2405.45
Tensioni nel cordone: τ_P=0.12 τ_0=2.06 σ_0=769.60 σ_{ID}=769.60 Σ_T=771.65
CC 44 SLU (Collegamento 0021_-378)
Azioni sul collegamento: N=-32543.10 Ty=5.30 Tz=87.42 Mx=0.00 Mz=3.88
Sollecitazioni agenti localmente: Tx_l=5.30 Ty_l=87.42 N_l=-32543.10 My_l=-3.88 Mz_l=0.00
Azioni sul cordone: TP=0.39 TO=6.46 NO=-2405.60
Tensioni nel cordone: τ_P=0.12 τ_0=2.05 σ_0=770.28 σ_{ID}=770.28 Σ_T=772.34
CC 45 SLU (Collegamento 0021_-378)
Azioni sul collegamento: N=-23689.50 Ty=6.01 Tz=55.60 Mx=-0.01 Mz=4.17
Sollecitazioni agenti localmente: Tx_l=6.01 Ty_l=55.60 N_l=-23689.50 My_l=-4.17 Mz_l=-0.01
Azioni sul cordone: TP=0.45 TO=4.10 NO=-1751.14
Tensioni nel cordone: τ_P=0.14 τ_0=1.30 σ_0=562.68 σ_{ID}=562.68 Σ_T=563.99
CC 46 SLU (Collegamento 0021_-378)
Azioni sul collegamento: N=-23139.00 Ty=5.73 Tz=53.57 Mx=-0.01 Mz=3.96
Sollecitazioni agenti localmente: Tx_l=5.73 Ty_l=53.57 N_l=-23139.00 My_l=-3.96 Mz_l=-0.01
Azioni sul cordone: TP=0.43 TO=3.95 NO=-1710.44
Tensioni nel cordone: τ_P=0.14 τ_0=1.26 σ_0=549.44 σ_{ID}=549.45 Σ_T=550.70
CC 47 SLU (Collegamento 0021_-378)
Azioni sul collegamento: N=-23413.30 Ty=5.76 Tz=54.61 Mx=-0.01 Mz=3.84
Sollecitazioni agenti localmente: Tx_l=5.76 Ty_l=54.61 N_l=-23413.30 My_l=-3.84 Mz_l=-0.01
Azioni sul cordone: TP=0.43 TO=4.03 NO=-1730.71
Tensioni nel cordone: τ_P=0.14 τ_0=1.28 σ_0=555.72 σ_{ID}=555.72 Σ_T=557.00
CC 48 SLU (Collegamento 0021_-378)
Azioni sul collegamento: N=-23415.20 Ty=5.98 Tz=54.56 Mx=-0.01 Mz=4.28
Sollecitazioni agenti localmente: Tx_l=5.98 Ty_l=54.56 N_l=-23415.20 My_l=-4.28 Mz_l=-0.01
Azioni sul cordone: TP=0.45 TO=4.03 NO=-1730.86
Tensioni nel cordone: τ_P=0.14 τ_0=1.28 σ_0=556.40 σ_{ID}=556.41 Σ_T=557.68
CC 49 SLU (Collegamento 0021_-378)
Azioni sul collegamento: N=-16738.30 Ty=6.67 Tz=30.05 Mx=-0.01 Mz=4.64
Sollecitazioni agenti localmente: Tx_l=6.67 Ty_l=30.05 N_l=-16738.30 My_l=-4.64 Mz_l=-0.01
Azioni sul cordone: TP=0.50 TO=2.22 NO=-1237.30
Tensioni nel cordone: τ_P=0.16 τ_0=0.70 σ_0=400.05 σ_{ID}=400.05 Σ_T=400.76
CC 50 SLU (Collegamento 0021_-378)
Azioni sul collegamento: N=-16187.80 Ty=6.38 Tz=28.01 Mx=-0.01 Mz=4.43
Sollecitazioni agenti localmente: Tx_l=6.38 Ty_l=28.01 N_l=-16187.80 My_l=-4.43 Mz_l=-0.01
Azioni sul cordone: TP=0.48 TO=2.07 NO=-1196.61
Tensioni nel cordone: τ_P=0.15 τ_0=0.66 σ_0=386.81 σ_{ID}=386.81 Σ_T=387.47
CC 51 SLU (Collegamento 0021_-378)
Azioni sul collegamento: N=-16462.10 Ty=6.42 Tz=29.05 Mx=-0.01 Mz=4.32
Sollecitazioni agenti localmente: Tx_l=6.42 Ty_l=29.05 N_l=-16462.10 My_l=-4.32 Mz_l=-0.01
Azioni sul cordone: TP=0.48 TO=2.14 NO=-1216.88
Tensioni nel cordone: τ_P=0.15 τ_0=0.68 σ_0=393.09 σ_{ID}=393.09 Σ_T=393.77
CC 52 SLU (Collegamento 0021_-378)
Azioni sul collegamento: N=-16464.00 Ty=6.64 Tz=29.01 Mx=-0.01 Mz=4.75
Sollecitazioni agenti localmente: Tx_l=6.64 Ty_l=29.01 N_l=-16464.00 My_l=-4.75 Mz_l=-0.01
Azioni sul cordone: TP=0.50 TO=2.14 NO=-1217.03
Tensioni nel cordone: τ_P=0.16 τ_0=0.68 σ_0=393.77 σ_{ID}=393.77 Σ_T=394.45

CC 53 SLU (Collegamento 0021_-378)
Azioni sul collegamento: N=-25132.80 Ty=5.93 Tz=60.42 Mx=-0.00 Mz=4.21
Sollecitazioni agenti localmente: Tx_l=5.93 Ty_l=60.42 N_l=-25132.80 My_l=-4.21 Mz_l=-0.00
Azioni sul cordone: TP=0.44 TO=4.47 NO=-1857.82
Tensioni nel cordone: τ_P=0.14 τ_0=1.42 σ_0=596.65 σ_{ID}=596.65 Σ_T=598.07
CC 54 SLU (Collegamento 0021_-378)
Azioni sul collegamento: N=-24582.20 Ty=5.64 Tz=58.39 Mx=-0.00 Mz=4.00
Sollecitazioni agenti localmente: Tx_l=5.64 Ty_l=58.39 N_l=-24582.20 My_l=-4.00 Mz_l=-0.00
Azioni sul cordone: TP=0.42 TO=4.32 NO=-1817.13
Tensioni nel cordone: τ_P=0.13 τ_0=1.37 σ_0=583.41 σ_{ID}=583.42 Σ_T=584.79
CC 55 SLU (Collegamento 0021_-378)
Azioni sul collegamento: N=-24856.50 Ty=5.68 Tz=59.43 Mx=0.00 Mz=3.89
Sollecitazioni agenti localmente: Tx_l=5.68 Ty_l=59.43 N_l=-24856.50 My_l=-3.89 Mz_l=0.00
Azioni sul cordone: TP=0.42 TO=4.39 NO=-1837.40
Tensioni nel cordone: τ_P=0.13 τ_0=1.40 σ_0=589.69 σ_{ID}=589.69 Σ_T=591.09
CC 56 SLU (Collegamento 0021_-378)
Azioni sul collegamento: N=-24858.50 Ty=5.89 Tz=59.38 Mx=-0.00 Mz=4.32
Sollecitazioni agenti localmente: Tx_l=5.89 Ty_l=59.38 N_l=-24858.50 My_l=-4.32 Mz_l=-0.00
Azioni sul cordone: TP=0.44 TO=4.39 NO=-1837.55
Tensioni nel cordone: τ_P=0.14 τ_0=1.39 σ_0=590.38 σ_{ID}=590.38 Σ_T=591.77
CC 57 SLU (Collegamento 0021_-378)
Azioni sul collegamento: N=-22071.60 Ty=5.40 Tz=49.65 Mx=-0.01 Mz=3.73
Sollecitazioni agenti localmente: Tx_l=5.40 Ty_l=49.65 N_l=-22071.60 My_l=-3.73 Mz_l=-0.01
Azioni sul cordone: TP=0.41 TO=3.66 NO=-1631.54
Tensioni nel cordone: τ_P=0.13 τ_0=1.16 σ_0=524.03 σ_{ID}=524.04 Σ_T=525.20
CC 58 SLU (Collegamento 0021_-378)
Azioni sul collegamento: N=-21521.10 Ty=5.11 Tz=47.61 Mx=-0.01 Mz=3.53
Sollecitazioni agenti localmente: Tx_l=5.11 Ty_l=47.61 N_l=-21521.10 My_l=-3.53 Mz_l=-0.01
Azioni sul cordone: TP=0.39 TO=3.51 NO=-1590.84
Tensioni nel cordone: τ_P=0.12 τ_0=1.12 σ_0=510.80 σ_{ID}=510.80 Σ_T=511.92
CC 59 SLU (Collegamento 0021_-378)
Azioni sul collegamento: N=-21795.30 Ty=5.15 Tz=48.65 Mx=-0.01 Mz=3.41
Sollecitazioni agenti localmente: Tx_l=5.15 Ty_l=48.65 N_l=-21795.30 My_l=-3.41 Mz_l=-0.01
Azioni sul cordone: TP=0.39 TO=3.59 NO=-1611.12
Tensioni nel cordone: τ_P=0.12 τ_0=1.14 σ_0=517.08 σ_{ID}=517.08 Σ_T=518.22
CC 60 SLU (Collegamento 0021_-378)
Azioni sul collegamento: N=-21797.30 Ty=5.37 Tz=48.60 Mx=-0.01 Mz=3.85
Sollecitazioni agenti localmente: Tx_l=5.37 Ty_l=48.60 N_l=-21797.30 My_l=-3.85 Mz_l=-0.01
Azioni sul cordone: TP=0.41 TO=3.59 NO=-1611.26
Tensioni nel cordone: τ_P=0.13 τ_0=1.14 σ_0=517.76 σ_{ID}=517.76 Σ_T=518.90
CC 61 SLU (Collegamento 0021_-378)
Azioni sul collegamento: N=-15120.40 Ty=6.06 Tz=24.09 Mx=-0.01 Mz=4.21
Sollecitazioni agenti localmente: Tx_l=6.06 Ty_l=24.09 N_l=-15120.40 My_l=-4.21 Mz_l=-0.01
Azioni sul cordone: TP=0.46 TO=1.78 NO=-1117.71
Tensioni nel cordone: τ_P=0.14 τ_0=0.56 σ_0=361.40 σ_{ID}=361.41 Σ_T=361.97
CC 62 SLU (Collegamento 0021_-378)
Azioni sul collegamento: N=-14569.90 Ty=5.77 Tz=22.06 Mx=-0.01 Mz=4.00
Sollecitazioni agenti localmente: Tx_l=5.77 Ty_l=22.06 N_l=-14569.90 My_l=-4.00 Mz_l=-0.01
Azioni sul cordone: TP=0.43 TO=1.63 NO=-1077.01
Tensioni nel cordone: τ_P=0.14 τ_0=0.52 σ_0=348.17 σ_{ID}=348.17 Σ_T=348.69
CC 63 SLU (Collegamento 0021_-378)
Azioni sul collegamento: N=-14844.20 Ty=5.80 Tz=23.10 Mx=-0.01 Mz=3.88
Sollecitazioni agenti localmente: Tx_l=5.80 Ty_l=23.10 N_l=-14844.20 My_l=-3.88 Mz_l=-0.01
Azioni sul cordone: TP=0.44 TO=1.70 NO=-1097.29
Tensioni nel cordone: τ_P=0.14 τ_0=0.54 σ_0=354.44 σ_{ID}=354.45 Σ_T=354.99
CC 64 SLU (Collegamento 0021_-378)
Azioni sul collegamento: N=-14846.10 Ty=6.02 Tz=23.05 Mx=-0.01 Mz=4.32
Sollecitazioni agenti localmente: Tx_l=6.02 Ty_l=23.05 N_l=-14846.10 My_l=-4.32 Mz_l=-0.01
Azioni sul cordone: TP=0.45 TO=1.70 NO=-1097.43
Tensioni nel cordone: τ_P=0.14 τ_0=0.54 σ_0=355.13 σ_{ID}=355.13 Σ_T=355.67
CC 65 SLU (Collegamento 0021_-378)
Azioni sul collegamento: N=-23514.90 Ty=5.31 Tz=54.47 Mx=0.00 Mz=3.77
Sollecitazioni agenti localmente: Tx_l=5.31 Ty_l=54.47 N_l=-23514.90 My_l=-3.77 Mz_l=0.00
Azioni sul cordone: TP=0.39 TO=4.03 NO=-1738.23
Tensioni nel cordone: τ_P=0.12 τ_0=1.28 σ_0=558.01 σ_{ID}=558.01 Σ_T=559.29
CC 66 SLU (Collegamento 0021_-378)
Azioni sul collegamento: N=-22964.30 Ty=5.03 Tz=52.43 Mx=0.00 Mz=3.57
Sollecitazioni agenti localmente: Tx_l=5.03 Ty_l=52.43 N_l=-22964.30 My_l=-3.57 Mz_l=0.00
Azioni sul cordone: TP=0.37 TO=3.88 NO=-1697.53
Tensioni nel cordone: τ_P=0.12 τ_0=1.23 σ_0=544.77 σ_{ID}=544.77 Σ_T=546.00
CC 67 SLU (Collegamento 0021_-378)
Azioni sul collegamento: N=-23238.60 Ty=5.06 Tz=53.47 Mx=0.00 Mz=3.45
Sollecitazioni agenti localmente: Tx_l=5.06 Ty_l=53.47 N_l=-23238.60 My_l=-3.45 Mz_l=0.00
Azioni sul cordone: TP=0.37 TO=3.95 NO=-1717.81
Tensioni nel cordone: τ_P=0.12 τ_0=1.26 σ_0=551.05 σ_{ID}=551.05 Σ_T=552.30
CC 68 SLU (Collegamento 0021_-378)
Azioni sul collegamento: N=-23240.60 Ty=5.28 Tz=53.43 Mx=-0.00 Mz=3.89
Sollecitazioni agenti localmente: Tx_l=5.28 Ty_l=53.43 N_l=-23240.60 My_l=-3.89 Mz_l=-0.00
Azioni sul cordone: TP=0.39 TO=3.95 NO=-1717.95

Tensioni nel cordone: τ_P=0.12 τ_0=1.26 σ_0=551.73 σ_{ID}=551.73 Σ_T=552.98
CC 97 SLU (Collegamento 0021_-378)
Azioni sul collegamento: N=-18052.20 Ty=-0.34 Tz=43.06 Mx=-0.05 Mz=-8.83
Sollecitazioni agenti localmente: Tx_l=-0.34 Ty_l=43.06 N_l=-18052.20 My_l=8.83 Mz_l=-0.05
Azioni sul cordone: TP=0.04 TO=3.23 NO=-1334.42
Tensioni nel cordone: τ_P= 0.01 τ_0=1.03 σ_0=437.04 σ_{ID}=437.04 Σ_T=438.07
CC 98 SLU (Collegamento 0021_-378)
Azioni sul collegamento: N=-17501.60 Ty=-0.63 Tz=41.02 Mx=-0.05 Mz=-9.04
Sollecitazioni agenti localmente: Tx_l=-0.63 Ty_l=41.02 N_l=-17501.60 My_l=9.04 Mz_l=-0.05
Azioni sul cordone: TP=0.02 TO=3.07 NO=-1293.73
Tensioni nel cordone: τ_P=4.78E-03 τ_0=0.98 σ_0=424.41 σ_{ID}=424.41 Σ_T=425.39
CC 99 SLU (Collegamento 0021_-378)
Azioni sul collegamento: N=-17775.90 Ty=-0.60 Tz=42.06 Mx=-0.05 Mz=-9.15
Sollecitazioni agenti localmente: Tx_l=-0.60 Ty_l=42.06 N_l=-17775.90 My_l=9.15 Mz_l=-0.05
Azioni sul cordone: TP=0.02 TO=3.15 NO=-1314.00
Tensioni nel cordone: τ_P=5.32E-03 τ_0=1.00 σ_0=431.02 σ_{ID}=431.02 Σ_T=432.02
CC 100 SLU (Collegamento 0021_-378)
Azioni sul collegamento: N=-17777.90 Ty=-0.38 Tz=42.01 Mx=-0.05 Mz=-8.71
Sollecitazioni agenti localmente: Tx_l=-0.38 Ty_l=42.01 N_l=-17777.90 My_l=8.71 Mz_l=-0.05
Azioni sul cordone: TP=0.03 TO=3.15 NO=-1314.15
Tensioni nel cordone: τ_P= 0.01 τ_0=1.00 σ_0=430.43 σ_{ID}=430.43 Σ_T=431.43
CC 101 SLU (Collegamento 0021_-378)
Azioni sul collegamento: N=-7136.43 Ty=4.37 Tz=2.96 Mx=0.00 Mz=3.85
Sollecitazioni agenti localmente: Tx_l=4.37 Ty_l=2.96 N_l=-7136.43 My_l=-3.85 Mz_l=0.00
Azioni sul cordone: TP=0.32 TO=0.22 NO=-527.53
Tensioni nel cordone: τ_P=0.10 τ_0= 0.07 σ_0=173.30 σ_{ID}=173.30 Σ_T=173.37
CC 102 SLU (Collegamento 0021_-378)
Azioni sul collegamento: N=-6585.90 Ty=4.08 Tz=0.92 Mx=0.00 Mz=3.64
Sollecitazioni agenti localmente: Tx_l=4.08 Ty_l=0.92 N_l=-6585.90 My_l=-3.64 Mz_l=0.00
Azioni sul cordone: TP=0.30 TO=0.07 NO=-486.83
Tensioni nel cordone: τ_P= 0.09 τ_0= 0.02 σ_0=160.06 σ_{ID}=160.06 Σ_T=160.08
CC 103 SLU (Collegamento 0021_-378)
Azioni sul collegamento: N=-6860.19 Ty=4.11 Tz=1.96 Mx=0.00 Mz=3.53
Sollecitazioni agenti localmente: Tx_l=4.11 Ty_l=1.96 N_l=-6860.19 My_l=-3.53 Mz_l=0.00
Azioni sul cordone: TP=0.30 TO=0.15 NO=-507.11
Tensioni nel cordone: τ_P= 0.10 τ_0= 0.05 σ_0=166.34 σ_{ID}=166.34 Σ_T=166.38
CC 104 SLU (Collegamento 0021_-378)
Azioni sul collegamento: N=-6862.15 Ty=4.33 Tz=1.92 Mx=0.00 Mz=3.96
Sollecitazioni agenti localmente: Tx_l=4.33 Ty_l=1.92 N_l=-6862.15 My_l=-3.96 Mz_l=0.00
Azioni sul cordone: TP=0.32 TO=0.14 NO=-507.25
Tensioni nel cordone: τ_P=0.10 τ_0= 0.05 σ_0=167.02 σ_{ID}=167.02 Σ_T=167.06

Flessione attacco superiore piastra

Bnetta=220.00 Hnetta=15.00
CC 1 SLV (Collegamento 0021_-378)
Azioni sul collegamento: N=-3968.96 Ty=6.45 Tz=-8.85 Mx=0.01 Mz=7.08
Sollecitazioni agenti localmente: Ty_l=-721.63 Mx_l=-14.43
Tensioni nella sezione: σ=174.94 τ=21.87
CC 1 SLV (Collegamento 0021_-378)
Azioni sul collegamento: N=-3968.96 Ty=3.07 Tz=-8.85 Mx=0.01 Mz=3.83
Sollecitazioni agenti localmente: Ty_l=-721.63 Mx_l=-14.43
Tensioni nella sezione: σ=174.94 τ=21.87
CC 1 SLV (Collegamento 0021_-378)
Azioni sul collegamento: N=-3968.96 Ty=6.45 Tz=10.87 Mx=0.01 Mz=7.08
Sollecitazioni agenti localmente: Ty_l=-721.63 Mx_l=-14.43
Tensioni nella sezione: σ=174.94 τ=21.87
CC 1 SLV (Collegamento 0021_-378)
Azioni sul collegamento: N=-3968.96 Ty=3.07 Tz=10.87 Mx=0.01 Mz=3.83
Sollecitazioni agenti localmente: Ty_l=-721.63 Mx_l=-14.43
Tensioni nella sezione: σ=174.94 τ=21.87
CC 1 SLV (Collegamento 0021_-378)
Azioni sul collegamento: N=-9265.76 Ty=6.45 Tz=-8.85 Mx=0.01 Mz=7.08
Sollecitazioni agenti localmente: Ty_l=-1684.68 Mx_l=-33.69
Tensioni nella sezione: σ=408.41 τ=51.05
CC 1 SLV (Collegamento 0021_-378)
Azioni sul collegamento: N=-9265.76 Ty=3.07 Tz=-8.85 Mx=0.01 Mz=3.83
Sollecitazioni agenti localmente: Ty_l=-1684.68 Mx_l=-33.69
Tensioni nella sezione: σ=408.41 τ=51.05
CC 1 SLV (Collegamento 0021_-378)
Azioni sul collegamento: N=-9265.76 Ty=6.45 Tz=10.87 Mx=0.01 Mz=7.08
Sollecitazioni agenti localmente: Ty_l=-1684.68 Mx_l=-33.69
Tensioni nella sezione: σ=408.41 τ=51.05
CC 1 SLV (Collegamento 0021_-378)
Azioni sul collegamento: N=-9265.76 Ty=3.07 Tz=10.87 Mx=0.01 Mz=3.83
Sollecitazioni agenti localmente: Ty_l=-1684.68 Mx_l=-33.69
Tensioni nella sezione: σ=408.41 τ=51.05
CC 2 SLD (Collegamento 0021_-378)
Azioni sul collegamento: N=-5777.33 Ty=4.43 Tz=-2.12 Mx=0.00 Mz=3.87

Sollecitazioni agenti localmente: Ty_l=-1050.42 Mx_l=-21.01
Tensioni nella sezione: σ=254.65 τ=31.83
CC 2 SLD (Collegamento 0021_-378)
Azioni sul collegamento: N=-5777.33 Ty=3.40 Tz=-2.12 Mx=0.00 Mz=2.88
Sollecitazioni agenti localmente: Ty_l=-1050.42 Mx_l=-21.01
Tensioni nella sezione: σ=254.65 τ=31.83
CC 2 SLD (Collegamento 0021_-378)
Azioni sul collegamento: N=-5777.32 Ty=4.43 Tz=3.89 Mx=0.00 Mz=3.87
Sollecitazioni agenti localmente: Ty_l=-1050.42 Mx_l=-21.01
Tensioni nella sezione: σ=254.65 τ=31.83
CC 2 SLD (Collegamento 0021_-378)
Azioni sul collegamento: N=-5777.32 Ty=3.40 Tz=3.89 Mx=0.00 Mz=2.88
Sollecitazioni agenti localmente: Ty_l=-1050.42 Mx_l=-21.01
Tensioni nella sezione: σ=254.65 τ=31.83
CC 2 SLD (Collegamento 0021_-378)
Azioni sul collegamento: N=-7392.49 Ty=4.43 Tz=-2.12 Mx=0.00 Mz=3.87
Sollecitazioni agenti localmente: Ty_l=-1344.09 Mx_l=-26.88
Tensioni nella sezione: σ=325.84 τ=40.73
CC 2 SLD (Collegamento 0021_-378)
Azioni sul collegamento: N=-7392.49 Ty=3.40 Tz=-2.12 Mx=0.00 Mz=2.88
Sollecitazioni agenti localmente: Ty_l=-1344.09 Mx_l=-26.88
Tensioni nella sezione: σ=325.84 τ=40.73
CC 2 SLD (Collegamento 0021_-378)
Azioni sul collegamento: N=-7392.49 Ty=4.43 Tz=3.89 Mx=0.00 Mz=3.87
Sollecitazioni agenti localmente: Ty_l=-1344.09 Mx_l=-26.88
Tensioni nella sezione: σ=325.84 τ=40.73
CC 2 SLD (Collegamento 0021_-378)
Azioni sul collegamento: N=-7392.49 Ty=3.40 Tz=3.89 Mx=0.00 Mz=2.88
Sollecitazioni agenti localmente: Ty_l=-1344.09 Mx_l=-26.88
Tensioni nella sezione: σ=325.84 τ=40.73
CC 3 SLV (Collegamento 0021_-378)
Azioni sul collegamento: N=-3974.64 Ty=5.81 Tz=-8.72 Mx=0.01 Mz=5.82
Sollecitazioni agenti localmente: Ty_l=-722.66 Mx_l=-14.45
Tensioni nella sezione: σ=175.19 τ=21.90
CC 3 SLV (Collegamento 0021_-378)
Azioni sul collegamento: N=-3974.64 Ty=3.70 Tz=-8.72 Mx=0.01 Mz=5.08
Sollecitazioni agenti localmente: Ty_l=-722.66 Mx_l=-14.45
Tensioni nella sezione: σ=175.19 τ=21.90
CC 3 SLV (Collegamento 0021_-378)
Azioni sul collegamento: N=-3974.64 Ty=5.81 Tz=10.74 Mx=0.01 Mz=5.82
Sollecitazioni agenti localmente: Ty_l=-722.66 Mx_l=-14.45
Tensioni nella sezione: σ=175.19 τ=21.90
CC 3 SLV (Collegamento 0021_-378)
Azioni sul collegamento: N=-3974.64 Ty=3.70 Tz=10.74 Mx=0.01 Mz=5.08
Sollecitazioni agenti localmente: Ty_l=-722.66 Mx_l=-14.45
Tensioni nella sezione: σ=175.19 τ=21.90
CC 3 SLV (Collegamento 0021_-378)
Azioni sul collegamento: N=-9260.08 Ty=5.81 Tz=-8.72 Mx=0.01 Mz=5.82
Sollecitazioni agenti localmente: Ty_l=-1683.65 Mx_l=-33.67
Tensioni nella sezione: σ=408.16 τ=51.02
CC 3 SLV (Collegamento 0021_-378)
Azioni sul collegamento: N=-9260.08 Ty=3.70 Tz=-8.72 Mx=0.01 Mz=5.08
Sollecitazioni agenti localmente: Ty_l=-1683.65 Mx_l=-33.67
Tensioni nella sezione: σ=408.16 τ=51.02
CC 3 SLV (Collegamento 0021_-378)
Azioni sul collegamento: N=-9260.08 Ty=5.81 Tz=10.74 Mx=0.01 Mz=5.82
Sollecitazioni agenti localmente: Ty_l=-1683.65 Mx_l=-33.67
Tensioni nella sezione: σ=408.16 τ=51.02
CC 3 SLV (Collegamento 0021_-378)
Azioni sul collegamento: N=-9260.08 Ty=3.70 Tz=10.74 Mx=0.01 Mz=5.08
Sollecitazioni agenti localmente: Ty_l=-1683.65 Mx_l=-33.67
Tensioni nella sezione: σ=408.16 τ=51.02
CC 4 SLD (Collegamento 0021_-378)
Azioni sul collegamento: N=-5779.06 Ty=4.24 Tz=-2.08 Mx=0.00 Mz=3.48
Sollecitazioni agenti localmente: Ty_l=-1050.74 Mx_l=-21.01
Tensioni nella sezione: σ=254.72 τ=31.84
CC 4 SLD (Collegamento 0021_-378)
Azioni sul collegamento: N=-5779.06 Ty=3.59 Tz=-2.08 Mx=0.00 Mz=3.26
Sollecitazioni agenti localmente: Ty_l=-1050.74 Mx_l=-21.01
Tensioni nella sezione: σ=254.72 τ=31.84
CC 4 SLD (Collegamento 0021_-378)
Azioni sul collegamento: N=-5779.06 Ty=4.24 Tz=3.85 Mx=0.00 Mz=3.48
Sollecitazioni agenti localmente: Ty_l=-1050.74 Mx_l=-21.01
Tensioni nella sezione: σ=254.72 τ=31.84
CC 4 SLD (Collegamento 0021_-378)
Azioni sul collegamento: N=-5779.06 Ty=3.59 Tz=3.85 Mx=0.00 Mz=3.26
Sollecitazioni agenti localmente: Ty_l=-1050.74 Mx_l=-21.01
Tensioni nella sezione: σ=254.72 τ=31.84
CC 4 SLD (Collegamento 0021_-378)

Azioni sul collegamento: N=-7390.75 Ty=4.24 Tz=-2.08 Mx=0.00 Mz=3.48
Sollecitazioni agenti localmente: Ty_l=-1343.77 Mx_l=-26.88
Tensioni nella sezione: σ=325.76 τ=40.72
CC 4 SLD (Collegamento 0021_-378)
Azioni sul collegamento: N=-7390.75 Ty=3.59 Tz=-2.08 Mx=0.00 Mz=3.26
Sollecitazioni agenti localmente: Ty_l=-1343.77 Mx_l=-26.88
Tensioni nella sezione: σ=325.76 τ=40.72
CC 4 SLD (Collegamento 0021_-378)
Azioni sul collegamento: N=-7390.75 Ty=4.24 Tz=3.85 Mx=0.00 Mz=3.48
Sollecitazioni agenti localmente: Ty_l=-1343.77 Mx_l=-26.88
Tensioni nella sezione: σ=325.76 τ=40.72
CC 4 SLD (Collegamento 0021_-378)
Azioni sul collegamento: N=-7390.75 Ty=3.59 Tz=3.85 Mx=0.00 Mz=3.26
Sollecitazioni agenti localmente: Ty_l=-1343.77 Mx_l=-26.88
Tensioni nella sezione: σ=325.76 τ=40.72
CC 5 SLV (Collegamento 0021_-378)
Azioni sul collegamento: N=-9260.08 Ty=3.70 Tz=10.74 Mx=0.01 Mz=5.08
Sollecitazioni agenti localmente: Ty_l=-1683.65 Mx_l=-33.67
Tensioni nella sezione: σ=408.16 τ=51.02
CC 5 SLV (Collegamento 0021_-378)
Azioni sul collegamento: N=-9260.08 Ty=5.81 Tz=10.74 Mx=0.01 Mz=5.82
Sollecitazioni agenti localmente: Ty_l=-1683.65 Mx_l=-33.67
Tensioni nella sezione: σ=408.16 τ=51.02
CC 5 SLV (Collegamento 0021_-378)
Azioni sul collegamento: N=-9260.08 Ty=3.70 Tz=-8.72 Mx=0.01 Mz=5.08
Sollecitazioni agenti localmente: Ty_l=-1683.65 Mx_l=-33.67
Tensioni nella sezione: σ=408.16 τ=51.02
CC 5 SLV (Collegamento 0021_-378)
Azioni sul collegamento: N=-9260.08 Ty=5.81 Tz=-8.72 Mx=0.01 Mz=5.82
Sollecitazioni agenti localmente: Ty_l=-1683.65 Mx_l=-33.67
Tensioni nella sezione: σ=408.16 τ=51.02
CC 5 SLV (Collegamento 0021_-378)
Azioni sul collegamento: N=-3974.64 Ty=3.70 Tz=10.74 Mx=0.01 Mz=5.08
Sollecitazioni agenti localmente: Ty_l=-722.66 Mx_l=-14.45
Tensioni nella sezione: σ=175.19 τ=21.90
CC 5 SLV (Collegamento 0021_-378)
Azioni sul collegamento: N=-3974.64 Ty=5.81 Tz=10.74 Mx=0.01 Mz=5.82
Sollecitazioni agenti localmente: Ty_l=-722.66 Mx_l=-14.45
Tensioni nella sezione: σ=175.19 τ=21.90
CC 5 SLV (Collegamento 0021_-378)
Azioni sul collegamento: N=-3974.64 Ty=3.70 Tz=-8.72 Mx=0.01 Mz=5.08
Sollecitazioni agenti localmente: Ty_l=-722.66 Mx_l=-14.45
Tensioni nella sezione: σ=175.19 τ=21.90
CC 5 SLV (Collegamento 0021_-378)
Azioni sul collegamento: N=-3974.64 Ty=5.81 Tz=-8.72 Mx=0.01 Mz=5.82
Sollecitazioni agenti localmente: Ty_l=-722.66 Mx_l=-14.45
Tensioni nella sezione: σ=175.19 τ=21.90
CC 6 SLD (Collegamento 0021_-378)
Azioni sul collegamento: N=-7390.75 Ty=3.59 Tz=3.85 Mx=0.00 Mz=3.26
Sollecitazioni agenti localmente: Ty_l=-1343.77 Mx_l=-26.88
Tensioni nella sezione: σ=325.76 τ=40.72
CC 6 SLD (Collegamento 0021_-378)
Azioni sul collegamento: N=-7390.75 Ty=4.24 Tz=3.85 Mx=0.00 Mz=3.48
Sollecitazioni agenti localmente: Ty_l=-1343.77 Mx_l=-26.88
Tensioni nella sezione: σ=325.76 τ=40.72
CC 6 SLD (Collegamento 0021_-378)
Azioni sul collegamento: N=-7390.75 Ty=3.59 Tz=-2.08 Mx=0.00 Mz=3.26
Sollecitazioni agenti localmente: Ty_l=-1343.77 Mx_l=-26.88
Tensioni nella sezione: σ=325.76 τ=40.72
CC 6 SLD (Collegamento 0021_-378)
Azioni sul collegamento: N=-7390.75 Ty=4.24 Tz=-2.08 Mx=0.00 Mz=3.48
Sollecitazioni agenti localmente: Ty_l=-1343.77 Mx_l=-26.88
Tensioni nella sezione: σ=325.76 τ=40.72
CC 6 SLD (Collegamento 0021_-378)
Azioni sul collegamento: N=-5779.06 Ty=3.59 Tz=3.85 Mx=0.00 Mz=3.26
Sollecitazioni agenti localmente: Ty_l=-1050.74 Mx_l=-21.01
Tensioni nella sezione: σ=254.72 τ=31.84
CC 6 SLD (Collegamento 0021_-378)
Azioni sul collegamento: N=-5779.06 Ty=4.24 Tz=3.85 Mx=0.00 Mz=3.48
Sollecitazioni agenti localmente: Ty_l=-1050.74 Mx_l=-21.01
Tensioni nella sezione: σ=254.72 τ=31.84
CC 6 SLD (Collegamento 0021_-378)
Azioni sul collegamento: N=-5779.06 Ty=3.59 Tz=-2.08 Mx=0.00 Mz=3.26
Sollecitazioni agenti localmente: Ty_l=-1050.74 Mx_l=-21.01
Tensioni nella sezione: σ=254.72 τ=31.84
CC 6 SLD (Collegamento 0021_-378)
Azioni sul collegamento: N=-5779.06 Ty=4.24 Tz=-2.08 Mx=0.00 Mz=3.48
Sollecitazioni agenti localmente: Ty_l=-1050.74 Mx_l=-21.01
Tensioni nella sezione: σ=254.72 τ=31.84

CC 7 SLV (Collegamento 0021_-378)
Azioni sul collegamento: N=-9265.76 Ty=3.07 Tz=10.87 Mx=0.01 Mz=3.83
Sollecitazioni agenti localmente: Ty_l=-1684.68 Mx_l=-33.69
Tensioni nella sezione: σ=408.41 τ=51.05
CC 7 SLV (Collegamento 0021_-378)
Azioni sul collegamento: N=-9265.76 Ty=6.45 Tz=10.87 Mx=0.01 Mz=7.08
Sollecitazioni agenti localmente: Ty_l=-1684.68 Mx_l=-33.69
Tensioni nella sezione: σ=408.41 τ=51.05
CC 7 SLV (Collegamento 0021_-378)
Azioni sul collegamento: N=-9265.76 Ty=3.07 Tz=-8.85 Mx=0.01 Mz=3.83
Sollecitazioni agenti localmente: Ty_l=-1684.68 Mx_l=-33.69
Tensioni nella sezione: σ=408.41 τ=51.05
CC 7 SLV (Collegamento 0021_-378)
Azioni sul collegamento: N=-9265.76 Ty=6.45 Tz=-8.85 Mx=0.01 Mz=7.08
Sollecitazioni agenti localmente: Ty_l=-1684.68 Mx_l=-33.69
Tensioni nella sezione: σ=408.41 τ=51.05
CC 7 SLV (Collegamento 0021_-378)
Azioni sul collegamento: N=-3968.96 Ty=3.07 Tz=10.87 Mx=0.01 Mz=3.83
Sollecitazioni agenti localmente: Ty_l=-721.63 Mx_l=-14.43
Tensioni nella sezione: σ=174.94 τ=21.87
CC 7 SLV (Collegamento 0021_-378)
Azioni sul collegamento: N=-3968.96 Ty=6.45 Tz=10.87 Mx=0.01 Mz=7.08
Sollecitazioni agenti localmente: Ty_l=-721.63 Mx_l=-14.43
Tensioni nella sezione: σ=174.94 τ=21.87
CC 7 SLV (Collegamento 0021_-378)
Azioni sul collegamento: N=-3968.96 Ty=3.07 Tz=-8.85 Mx=0.01 Mz=3.83
Sollecitazioni agenti localmente: Ty_l=-721.63 Mx_l=-14.43
Tensioni nella sezione: σ=174.94 τ=21.87
CC 7 SLV (Collegamento 0021_-378)
Azioni sul collegamento: N=-3968.96 Ty=6.45 Tz=-8.85 Mx=0.01 Mz=7.08
Sollecitazioni agenti localmente: Ty_l=-721.63 Mx_l=-14.43
Tensioni nella sezione: σ=174.94 τ=21.87
CC 8 SLD (Collegamento 0021_-378)
Azioni sul collegamento: N=-7392.49 Ty=3.40 Tz=3.89 Mx=-0.00 Mz=2.88
Sollecitazioni agenti localmente: Ty_l=-1344.09 Mx_l=-26.88
Tensioni nella sezione: σ=325.84 τ=40.73
CC 8 SLD (Collegamento 0021_-378)
Azioni sul collegamento: N=-7392.49 Ty=4.43 Tz=3.89 Mx=-0.00 Mz=3.87
Sollecitazioni agenti localmente: Ty_l=-1344.09 Mx_l=-26.88
Tensioni nella sezione: σ=325.84 τ=40.73
CC 8 SLD (Collegamento 0021_-378)
Azioni sul collegamento: N=-7392.49 Ty=3.40 Tz=-2.12 Mx=-0.00 Mz=2.88
Sollecitazioni agenti localmente: Ty_l=-1344.09 Mx_l=-26.88
Tensioni nella sezione: σ=325.84 τ=40.73
CC 8 SLD (Collegamento 0021_-378)
Azioni sul collegamento: N=-7392.49 Ty=4.43 Tz=-2.12 Mx=-0.00 Mz=3.87
Sollecitazioni agenti localmente: Ty_l=-1344.09 Mx_l=-26.88
Tensioni nella sezione: σ=325.84 τ=40.73
CC 8 SLD (Collegamento 0021_-378)
Azioni sul collegamento: N=-5777.32 Ty=3.40 Tz=3.89 Mx=-0.00 Mz=2.88
Sollecitazioni agenti localmente: Ty_l=-1050.42 Mx_l=-21.01
Tensioni nella sezione: σ=254.65 τ=31.83
CC 8 SLD (Collegamento 0021_-378)
Azioni sul collegamento: N=-5777.32 Ty=4.43 Tz=3.89 Mx=-0.00 Mz=3.87
Sollecitazioni agenti localmente: Ty_l=-1050.42 Mx_l=-21.01
Tensioni nella sezione: σ=254.65 τ=31.83
CC 8 SLD (Collegamento 0021_-378)
Azioni sul collegamento: N=-5777.33 Ty=3.40 Tz=-2.12 Mx=-0.00 Mz=2.88
Sollecitazioni agenti localmente: Ty_l=-1050.42 Mx_l=-21.01
Tensioni nella sezione: σ=254.65 τ=31.83
CC 8 SLD (Collegamento 0021_-378)
Azioni sul collegamento: N=-5777.33 Ty=4.43 Tz=-2.12 Mx=-0.00 Mz=3.87
Sollecitazioni agenti localmente: Ty_l=-1050.42 Mx_l=-21.01
Tensioni nella sezione: σ=254.65 τ=31.83
CC 9 SLV (Collegamento 0021_-378)
Azioni sul collegamento: N=-5814.22 Ty=6.23 Tz=-2.14 Mx=0.02 Mz=7.84
Sollecitazioni agenti localmente: Ty_l=-1057.13 Mx_l=-21.14
Tensioni nella sezione: σ=256.27 τ=32.03
CC 9 SLV (Collegamento 0021_-378)
Azioni sul collegamento: N=-5814.22 Ty=3.29 Tz=-2.14 Mx=0.02 Mz=3.06
Sollecitazioni agenti localmente: Ty_l=-1057.13 Mx_l=-21.14
Tensioni nella sezione: σ=256.27 τ=32.03
CC 9 SLV (Collegamento 0021_-378)
Azioni sul collegamento: N=-5814.22 Ty=6.23 Tz=4.16 Mx=0.02 Mz=7.84
Sollecitazioni agenti localmente: Ty_l=-1057.13 Mx_l=-21.14
Tensioni nella sezione: σ=256.27 τ=32.03
CC 9 SLV (Collegamento 0021_-378)
Azioni sul collegamento: N=-5814.22 Ty=3.29 Tz=4.16 Mx=0.02 Mz=3.06
Sollecitazioni agenti localmente: Ty_l=-1057.13 Mx_l=-21.14

Tensioni nella sezione: σ=256.27 τ=32.03
CC 9 SLV (Collegamento 0021_-378)
Azioni sul collegamento: N=-7420.50 Ty=6.23 Tz=-2.14 Mx=0.02 Mz=7.84
Sollecitazioni agenti localmente: Ty_l=-1349.18 Mx_l=-26.98
Tensioni nella sezione: σ=327.07 τ=40.88
CC 9 SLV (Collegamento 0021_-378)
Azioni sul collegamento: N=-7420.50 Ty=3.29 Tz=-2.14 Mx=0.02 Mz=3.06
Sollecitazioni agenti localmente: Ty_l=-1349.18 Mx_l=-26.98
Tensioni nella sezione: σ=327.07 τ=40.88
CC 9 SLV (Collegamento 0021_-378)
Azioni sul collegamento: N=-7420.50 Ty=6.23 Tz=4.16 Mx=0.02 Mz=7.84
Sollecitazioni agenti localmente: Ty_l=-1349.18 Mx_l=-26.98
Tensioni nella sezione: σ=327.07 τ=40.88
CC 9 SLV (Collegamento 0021_-378)
Azioni sul collegamento: N=-7420.50 Ty=3.29 Tz=4.16 Mx=0.02 Mz=3.06
Sollecitazioni agenti localmente: Ty_l=-1349.18 Mx_l=-26.98
Tensioni nella sezione: σ=327.07 τ=40.88
CC 10 SLD (Collegamento 0021_-378)
Azioni sul collegamento: N=-6340.00 Ty=4.36 Tz=-0.08 Mx=0.00 Mz=4.10
Sollecitazioni agenti localmente: Ty_l=-1152.73 Mx_l=-23.05
Tensioni nella sezione: σ=279.45 τ=34.93
CC 10 SLD (Collegamento 0021_-378)
Azioni sul collegamento: N=-6340.00 Ty=3.47 Tz=-0.08 Mx=0.00 Mz=2.64
Sollecitazioni agenti localmente: Ty_l=-1152.73 Mx_l=-23.05
Tensioni nella sezione: σ=279.45 τ=34.93
CC 10 SLD (Collegamento 0021_-378)
Azioni sul collegamento: N=-6340.00 Ty=4.36 Tz=1.85 Mx=0.00 Mz=4.10
Sollecitazioni agenti localmente: Ty_l=-1152.73 Mx_l=-23.05
Tensioni nella sezione: σ=279.45 τ=34.93
CC 10 SLD (Collegamento 0021_-378)
Azioni sul collegamento: N=-6340.00 Ty=3.47 Tz=1.85 Mx=0.00 Mz=2.64
Sollecitazioni agenti localmente: Ty_l=-1152.73 Mx_l=-23.05
Tensioni nella sezione: σ=279.45 τ=34.93
CC 10 SLD (Collegamento 0021_-378)
Azioni sul collegamento: N=-6829.81 Ty=4.36 Tz=-0.08 Mx=0.00 Mz=4.10
Sollecitazioni agenti localmente: Ty_l=-1241.78 Mx_l=-24.84
Tensioni nella sezione: σ=301.04 τ=37.63
CC 10 SLD (Collegamento 0021_-378)
Azioni sul collegamento: N=-6829.81 Ty=3.47 Tz=-0.08 Mx=0.00 Mz=2.64
Sollecitazioni agenti localmente: Ty_l=-1241.78 Mx_l=-24.84
Tensioni nella sezione: σ=301.04 τ=37.63
CC 10 SLD (Collegamento 0021_-378)
Azioni sul collegamento: N=-6829.81 Ty=4.36 Tz=1.85 Mx=0.00 Mz=4.10
Sollecitazioni agenti localmente: Ty_l=-1241.78 Mx_l=-24.84
Tensioni nella sezione: σ=301.04 τ=37.63
CC 10 SLD (Collegamento 0021_-378)
Azioni sul collegamento: N=-6829.81 Ty=3.47 Tz=1.85 Mx=0.00 Mz=2.64
Sollecitazioni agenti localmente: Ty_l=-1241.78 Mx_l=-24.84
Tensioni nella sezione: σ=301.04 τ=37.63
CC 11 SLV (Collegamento 0021_-378)
Azioni sul collegamento: N=-7401.56 Ty=5.40 Tz=3.74 Mx=0.02 Mz=7.25
Sollecitazioni agenti localmente: Ty_l=-1345.74 Mx_l=-26.91
Tensioni nella sezione: σ=326.24 τ=40.78
CC 11 SLV (Collegamento 0021_-378)
Azioni sul collegamento: N=-7401.56 Ty=4.11 Tz=3.74 Mx=0.02 Mz=3.66
Sollecitazioni agenti localmente: Ty_l=-1345.74 Mx_l=-26.91
Tensioni nella sezione: σ=326.24 τ=40.78
CC 11 SLV (Collegamento 0021_-378)
Azioni sul collegamento: N=-7401.56 Ty=5.40 Tz=-1.71 Mx=0.02 Mz=7.25
Sollecitazioni agenti localmente: Ty_l=-1345.74 Mx_l=-26.91
Tensioni nella sezione: σ=326.24 τ=40.78
CC 11 SLV (Collegamento 0021_-378)
Azioni sul collegamento: N=-7401.56 Ty=4.11 Tz=-1.71 Mx=0.02 Mz=3.66
Sollecitazioni agenti localmente: Ty_l=-1345.74 Mx_l=-26.91
Tensioni nella sezione: σ=326.24 τ=40.78
CC 11 SLV (Collegamento 0021_-378)
Azioni sul collegamento: N=-5833.17 Ty=5.40 Tz=3.74 Mx=0.02 Mz=7.25
Sollecitazioni agenti localmente: Ty_l=-1060.58 Mx_l=-21.21
Tensioni nella sezione: σ=257.11 τ=32.14
CC 11 SLV (Collegamento 0021_-378)
Azioni sul collegamento: N=-5833.17 Ty=4.11 Tz=3.74 Mx=0.02 Mz=3.66
Sollecitazioni agenti localmente: Ty_l=-1060.58 Mx_l=-21.21
Tensioni nella sezione: σ=257.11 τ=32.14
CC 11 SLV (Collegamento 0021_-378)
Azioni sul collegamento: N=-5833.17 Ty=5.40 Tz=-1.71 Mx=0.02 Mz=7.25
Sollecitazioni agenti localmente: Ty_l=-1060.58 Mx_l=-21.21
Tensioni nella sezione: σ=257.11 τ=32.14
CC 11 SLV (Collegamento 0021_-378)
Azioni sul collegamento: N=-5833.17 Ty=4.11 Tz=-1.71 Mx=0.02 Mz=3.66

Sollecitazioni agenti localmente: Ty_l=-1060.58 Mx_l=-21.21
Tensioni nella sezione: σ=257.11 τ=32.14
CC 12 SLD (Collegamento 0021_-378)
Azioni sul collegamento: N=-6824.03 Ty=4.11 Tz=1.72 Mx=0.00 Mz=3.92
Sollecitazioni agenti localmente: Ty_l=-1240.73 Mx_l=-24.81
Tensioni nella sezione: σ=300.78 τ=37.60
CC 12 SLD (Collegamento 0021_-378)
Azioni sul collegamento: N=-6824.03 Ty=3.72 Tz=1.72 Mx=0.00 Mz=2.82
Sollecitazioni agenti localmente: Ty_l=-1240.73 Mx_l=-24.81
Tensioni nella sezione: σ=300.78 τ=37.60
CC 12 SLD (Collegamento 0021_-378)
Azioni sul collegamento: N=-6824.03 Ty=4.11 Tz=0.05 Mx=0.00 Mz=3.92
Sollecitazioni agenti localmente: Ty_l=-1240.73 Mx_l=-24.81
Tensioni nella sezione: σ=300.78 τ=37.60
CC 12 SLD (Collegamento 0021_-378)
Azioni sul collegamento: N=-6824.03 Ty=3.72 Tz=0.05 Mx=0.00 Mz=2.82
Sollecitazioni agenti localmente: Ty_l=-1240.73 Mx_l=-24.81
Tensioni nella sezione: σ=300.78 τ=37.60
CC 12 SLD (Collegamento 0021_-378)
Azioni sul collegamento: N=-6345.78 Ty=4.11 Tz=1.72 Mx=0.00 Mz=3.92
Sollecitazioni agenti localmente: Ty_l=-1153.78 Mx_l=-23.08
Tensioni nella sezione: σ=279.70 τ=34.96
CC 12 SLD (Collegamento 0021_-378)
Azioni sul collegamento: N=-6345.78 Ty=3.72 Tz=1.72 Mx=0.00 Mz=2.82
Sollecitazioni agenti localmente: Ty_l=-1153.78 Mx_l=-23.08
Tensioni nella sezione: σ=279.70 τ=34.96
CC 12 SLD (Collegamento 0021_-378)
Azioni sul collegamento: N=-6345.78 Ty=4.11 Tz=0.05 Mx=0.00 Mz=3.92
Sollecitazioni agenti localmente: Ty_l=-1153.78 Mx_l=-23.08
Tensioni nella sezione: σ=279.70 τ=34.96
CC 12 SLD (Collegamento 0021_-378)
Azioni sul collegamento: N=-6345.78 Ty=3.72 Tz=0.05 Mx=0.00 Mz=2.82
Sollecitazioni agenti localmente: Ty_l=-1153.78 Mx_l=-23.08
Tensioni nella sezione: σ=279.70 τ=34.96
CC 13 SLV (Collegamento 0021_-378)
Azioni sul collegamento: N=-5833.17 Ty=4.11 Tz=-1.71 Mx=0.00 Mz=3.66
Sollecitazioni agenti localmente: Ty_l=-1060.58 Mx_l=-21.21
Tensioni nella sezione: σ=257.11 τ=32.14
CC 13 SLV (Collegamento 0021_-378)
Azioni sul collegamento: N=-5833.17 Ty=5.40 Tz=-1.71 Mx=0.00 Mz=7.25
Sollecitazioni agenti localmente: Ty_l=-1060.58 Mx_l=-21.21
Tensioni nella sezione: σ=257.11 τ=32.14
CC 13 SLV (Collegamento 0021_-378)
Azioni sul collegamento: N=-5833.17 Ty=4.11 Tz=3.74 Mx=0.00 Mz=3.66
Sollecitazioni agenti localmente: Ty_l=-1060.58 Mx_l=-21.21
Tensioni nella sezione: σ=257.11 τ=32.14
CC 13 SLV (Collegamento 0021_-378)
Azioni sul collegamento: N=-5833.17 Ty=5.40 Tz=3.74 Mx=0.00 Mz=7.25
Sollecitazioni agenti localmente: Ty_l=-1060.58 Mx_l=-21.21
Tensioni nella sezione: σ=257.11 τ=32.14
CC 13 SLV (Collegamento 0021_-378)
Azioni sul collegamento: N=-7401.56 Ty=4.11 Tz=-1.71 Mx=0.00 Mz=3.66
Sollecitazioni agenti localmente: Ty_l=-1345.74 Mx_l=-26.91
Tensioni nella sezione: σ=326.24 τ=40.78
CC 13 SLV (Collegamento 0021_-378)
Azioni sul collegamento: N=-7401.56 Ty=5.40 Tz=-1.71 Mx=0.00 Mz=7.25
Sollecitazioni agenti localmente: Ty_l=-1345.74 Mx_l=-26.91
Tensioni nella sezione: σ=326.24 τ=40.78
CC 13 SLV (Collegamento 0021_-378)
Azioni sul collegamento: N=-7401.56 Ty=4.11 Tz=3.74 Mx=0.00 Mz=3.66
Sollecitazioni agenti localmente: Ty_l=-1345.74 Mx_l=-26.91
Tensioni nella sezione: σ=326.24 τ=40.78
CC 13 SLV (Collegamento 0021_-378)
Azioni sul collegamento: N=-7401.56 Ty=5.40 Tz=3.74 Mx=0.00 Mz=7.25
Sollecitazioni agenti localmente: Ty_l=-1345.74 Mx_l=-26.91
Tensioni nella sezione: σ=326.24 τ=40.78
CC 14 SLD (Collegamento 0021_-378)
Azioni sul collegamento: N=-6345.78 Ty=3.72 Tz=0.05 Mx=-0.00 Mz=2.82
Sollecitazioni agenti localmente: Ty_l=-1153.78 Mx_l=-23.08
Tensioni nella sezione: σ=279.70 τ=34.96
CC 14 SLD (Collegamento 0021_-378)
Azioni sul collegamento: N=-6345.78 Ty=4.11 Tz=0.05 Mx=-0.00 Mz=3.92
Sollecitazioni agenti localmente: Ty_l=-1153.78 Mx_l=-23.08
Tensioni nella sezione: σ=279.70 τ=34.96
CC 14 SLD (Collegamento 0021_-378)
Azioni sul collegamento: N=-6345.78 Ty=3.72 Tz=1.72 Mx=-0.00 Mz=2.82
Sollecitazioni agenti localmente: Ty_l=-1153.78 Mx_l=-23.08
Tensioni nella sezione: σ=279.70 τ=34.96
CC 14 SLD (Collegamento 0021_-378)

Azioni sul collegamento: N=-6345.78 Ty=4.11 Tz=1.72 Mx=-0.00 Mz=3.92
Sollecitazioni agenti localmente: Ty_l=-1153.78 Mx_l=-23.08
Tensioni nella sezione: σ=279.70 τ=34.96
CC 14 SLD (Collegamento 0021_-378)
Azioni sul collegamento: N=-6824.03 Ty=3.72 Tz=0.05 Mx=-0.00 Mz=2.82
Sollecitazioni agenti localmente: Ty_l=-1240.73 Mx_l=-24.81
Tensioni nella sezione: σ=300.78 τ=37.60
CC 14 SLD (Collegamento 0021_-378)
Azioni sul collegamento: N=-6824.03 Ty=4.11 Tz=0.05 Mx=-0.00 Mz=3.92
Sollecitazioni agenti localmente: Ty_l=-1240.73 Mx_l=-24.81
Tensioni nella sezione: σ=300.78 τ=37.60
CC 14 SLD (Collegamento 0021_-378)
Azioni sul collegamento: N=-6824.03 Ty=3.72 Tz=1.72 Mx=-0.00 Mz=2.82
Sollecitazioni agenti localmente: Ty_l=-1240.73 Mx_l=-24.81
Tensioni nella sezione: σ=300.78 τ=37.60
CC 14 SLD (Collegamento 0021_-378)
Azioni sul collegamento: N=-6824.03 Ty=4.11 Tz=1.72 Mx=-0.00 Mz=3.92
Sollecitazioni agenti localmente: Ty_l=-1240.73 Mx_l=-24.81
Tensioni nella sezione: σ=300.78 τ=37.60
CC 15 SLV (Collegamento 0021_-378)
Azioni sul collegamento: N=-7420.50 Ty=3.29 Tz=4.16 Mx=0.00 Mz=3.06
Sollecitazioni agenti localmente: Ty_l=-1349.18 Mx_l=-26.98
Tensioni nella sezione: σ=327.07 τ=40.88
CC 15 SLV (Collegamento 0021_-378)
Azioni sul collegamento: N=-7420.50 Ty=6.23 Tz=4.16 Mx=0.00 Mz=7.84
Sollecitazioni agenti localmente: Ty_l=-1349.18 Mx_l=-26.98
Tensioni nella sezione: σ=327.07 τ=40.88
CC 15 SLV (Collegamento 0021_-378)
Azioni sul collegamento: N=-7420.50 Ty=3.29 Tz=-2.14 Mx=0.00 Mz=3.06
Sollecitazioni agenti localmente: Ty_l=-1349.18 Mx_l=-26.98
Tensioni nella sezione: σ=327.07 τ=40.88
CC 15 SLV (Collegamento 0021_-378)
Azioni sul collegamento: N=-7420.50 Ty=6.23 Tz=-2.14 Mx=0.00 Mz=7.84
Sollecitazioni agenti localmente: Ty_l=-1349.18 Mx_l=-26.98
Tensioni nella sezione: σ=327.07 τ=40.88
CC 15 SLV (Collegamento 0021_-378)
Azioni sul collegamento: N=-5814.22 Ty=3.29 Tz=4.16 Mx=0.00 Mz=3.06
Sollecitazioni agenti localmente: Ty_l=-1057.13 Mx_l=-21.14
Tensioni nella sezione: σ=256.27 τ=32.03
CC 15 SLV (Collegamento 0021_-378)
Azioni sul collegamento: N=-5814.22 Ty=6.23 Tz=4.16 Mx=0.00 Mz=7.84
Sollecitazioni agenti localmente: Ty_l=-1057.13 Mx_l=-21.14
Tensioni nella sezione: σ=256.27 τ=32.03
CC 15 SLV (Collegamento 0021_-378)
Azioni sul collegamento: N=-5814.22 Ty=3.29 Tz=-2.14 Mx=0.00 Mz=3.06
Sollecitazioni agenti localmente: Ty_l=-1057.13 Mx_l=-21.14
Tensioni nella sezione: σ=256.27 τ=32.03
CC 15 SLV (Collegamento 0021_-378)
Azioni sul collegamento: N=-5814.22 Ty=6.23 Tz=-2.14 Mx=0.00 Mz=7.84
Sollecitazioni agenti localmente: Ty_l=-1057.13 Mx_l=-21.14
Tensioni nella sezione: σ=256.27 τ=32.03
CC 16 SLD (Collegamento 0021_-378)
Azioni sul collegamento: N=-6829.81 Ty=3.47 Tz=1.85 Mx=-0.00 Mz=2.64
Sollecitazioni agenti localmente: Ty_l=-1241.78 Mx_l=-24.84
Tensioni nella sezione: σ=301.04 τ=37.63
CC 16 SLD (Collegamento 0021_-378)
Azioni sul collegamento: N=-6829.81 Ty=4.36 Tz=1.85 Mx=-0.00 Mz=4.10
Sollecitazioni agenti localmente: Ty_l=-1241.78 Mx_l=-24.84
Tensioni nella sezione: σ=301.04 τ=37.63
CC 16 SLD (Collegamento 0021_-378)
Azioni sul collegamento: N=-6829.81 Ty=3.47 Tz=-0.08 Mx=-0.00 Mz=2.64
Sollecitazioni agenti localmente: Ty_l=-1241.78 Mx_l=-24.84
Tensioni nella sezione: σ=301.04 τ=37.63
CC 16 SLD (Collegamento 0021_-378)
Azioni sul collegamento: N=-6829.81 Ty=4.36 Tz=-0.08 Mx=-0.00 Mz=4.10
Sollecitazioni agenti localmente: Ty_l=-1241.78 Mx_l=-24.84
Tensioni nella sezione: σ=301.04 τ=37.63
CC 16 SLD (Collegamento 0021_-378)
Azioni sul collegamento: N=-6340.00 Ty=3.47 Tz=1.85 Mx=-0.00 Mz=2.64
Sollecitazioni agenti localmente: Ty_l=-1152.73 Mx_l=-23.05
Tensioni nella sezione: σ=279.45 τ=34.93
CC 16 SLD (Collegamento 0021_-378)
Azioni sul collegamento: N=-6340.00 Ty=4.36 Tz=1.85 Mx=-0.00 Mz=4.10
Sollecitazioni agenti localmente: Ty_l=-1152.73 Mx_l=-23.05
Tensioni nella sezione: σ=279.45 τ=34.93
CC 16 SLD (Collegamento 0021_-378)
Azioni sul collegamento: N=-6340.00 Ty=3.47 Tz=-0.08 Mx=-0.00 Mz=2.64
Sollecitazioni agenti localmente: Ty_l=-1152.73 Mx_l=-23.05
Tensioni nella sezione: σ=279.45 τ=34.93

CC 16 SLD (Collegamento 0021_-378)
Azioni sul collegamento: N=-6340.00 Ty=4.36 Tz=-0.08 Mx=-0.00 Mz=4.10
Sollecitazioni agenti localmente: Ty_l=-1152.73 Mx_l=-23.05
Tensioni nella sezione: σ=279.45 τ=34.93
CC 17 SLV (Collegamento 0021_-378)
Azioni sul collegamento: N=-3875.57 Ty=0.64 Tz=-9.21 Mx=-0.02 Mz=1.09
Sollecitazioni agenti localmente: Ty_l=-704.65 Mx_l=-14.09
Tensioni nella sezione: σ=170.82 τ=21.35
CC 17 SLV (Collegamento 0021_-378)
Azioni sul collegamento: N=-3875.57 Ty=4.02 Tz=-9.21 Mx=-0.02 Mz=-2.16
Sollecitazioni agenti localmente: Ty_l=-704.65 Mx_l=-14.09
Tensioni nella sezione: σ=170.82 τ=21.35
CC 17 SLV (Collegamento 0021_-378)
Azioni sul collegamento: N=-3875.57 Ty=0.64 Tz=10.50 Mx=-0.02 Mz=1.09
Sollecitazioni agenti localmente: Ty_l=-704.65 Mx_l=-14.09
Tensioni nella sezione: σ=170.82 τ=21.35
CC 17 SLV (Collegamento 0021_-378)
Azioni sul collegamento: N=-3875.57 Ty=4.02 Tz=10.50 Mx=-0.02 Mz=-2.16
Sollecitazioni agenti localmente: Ty_l=-704.65 Mx_l=-14.09
Tensioni nella sezione: σ=170.82 τ=21.35
CC 17 SLV (Collegamento 0021_-378)
Azioni sul collegamento: N=-9172.38 Ty=0.64 Tz=-9.21 Mx=-0.02 Mz=1.09
Sollecitazioni agenti localmente: Ty_l=-1667.70 Mx_l=-33.35
Tensioni nella sezione: σ=404.29 τ=50.54
CC 17 SLV (Collegamento 0021_-378)
Azioni sul collegamento: N=-9172.38 Ty=4.02 Tz=-9.21 Mx=-0.02 Mz=-2.16
Sollecitazioni agenti localmente: Ty_l=-1667.70 Mx_l=-33.35
Tensioni nella sezione: σ=404.29 τ=50.54
CC 17 SLV (Collegamento 0021_-378)
Azioni sul collegamento: N=-9172.38 Ty=0.64 Tz=10.50 Mx=-0.02 Mz=1.09
Sollecitazioni agenti localmente: Ty_l=-1667.70 Mx_l=-33.35
Tensioni nella sezione: σ=404.29 τ=50.54
CC 17 SLV (Collegamento 0021_-378)
Azioni sul collegamento: N=-9172.38 Ty=4.02 Tz=10.50 Mx=-0.02 Mz=-2.16
Sollecitazioni agenti localmente: Ty_l=-1667.70 Mx_l=-33.35
Tensioni nella sezione: σ=404.29 τ=50.54
CC 18 SLD (Collegamento 0021_-378)
Azioni sul collegamento: N=-5748.85 Ty=3.69 Tz=-2.23 Mx=-0.01 Mz=2.04
Sollecitazioni agenti localmente: Ty_l=-1045.24 Mx_l=-20.90
Tensioni nella sezione: σ=253.39 τ=31.67
CC 18 SLD (Collegamento 0021_-378)
Azioni sul collegamento: N=-5748.85 Ty=2.66 Tz=-2.23 Mx=-0.01 Mz=1.05
Sollecitazioni agenti localmente: Ty_l=-1045.24 Mx_l=-20.90
Tensioni nella sezione: σ=253.39 τ=31.67
CC 18 SLD (Collegamento 0021_-378)
Azioni sul collegamento: N=-5748.85 Ty=3.69 Tz=3.78 Mx=-0.01 Mz=2.04
Sollecitazioni agenti localmente: Ty_l=-1045.24 Mx_l=-20.90
Tensioni nella sezione: σ=253.39 τ=31.67
CC 18 SLD (Collegamento 0021_-378)
Azioni sul collegamento: N=-5748.85 Ty=2.66 Tz=3.78 Mx=-0.01 Mz=1.05
Sollecitazioni agenti localmente: Ty_l=-1045.24 Mx_l=-20.90
Tensioni nella sezione: σ=253.39 τ=31.67
CC 18 SLD (Collegamento 0021_-378)
Azioni sul collegamento: N=-7364.01 Ty=3.69 Tz=-2.23 Mx=-0.01 Mz=2.04
Sollecitazioni agenti localmente: Ty_l=-1338.91 Mx_l=-26.78
Tensioni nella sezione: σ=324.58 τ=40.57
CC 18 SLD (Collegamento 0021_-378)
Azioni sul collegamento: N=-7364.01 Ty=2.66 Tz=-2.23 Mx=-0.01 Mz=1.05
Sollecitazioni agenti localmente: Ty_l=-1338.91 Mx_l=-26.78
Tensioni nella sezione: σ=324.58 τ=40.57
CC 18 SLD (Collegamento 0021_-378)
Azioni sul collegamento: N=-7364.01 Ty=3.69 Tz=3.78 Mx=-0.01 Mz=2.04
Sollecitazioni agenti localmente: Ty_l=-1338.91 Mx_l=-26.78
Tensioni nella sezione: σ=324.58 τ=40.57
CC 18 SLD (Collegamento 0021_-378)
Azioni sul collegamento: N=-7364.01 Ty=2.66 Tz=3.78 Mx=-0.01 Mz=1.05
Sollecitazioni agenti localmente: Ty_l=-1338.91 Mx_l=-26.78
Tensioni nella sezione: σ=324.58 τ=40.57
CC 19 SLV (Collegamento 0021_-378)
Azioni sul collegamento: N=-3881.26 Ty=1.27 Tz=-9.09 Mx=-0.02 Mz=-0.17
Sollecitazioni agenti localmente: Ty_l=-705.68 Mx_l=-14.11
Tensioni nella sezione: σ=171.07 τ=21.38
CC 19 SLV (Collegamento 0021_-378)
Azioni sul collegamento: N=-3881.26 Ty=3.39 Tz=-9.09 Mx=-0.02 Mz=-0.91
Sollecitazioni agenti localmente: Ty_l=-705.68 Mx_l=-14.11
Tensioni nella sezione: σ=171.07 τ=21.38
CC 19 SLV (Collegamento 0021_-378)
Azioni sul collegamento: N=-3881.26 Ty=1.27 Tz=10.37 Mx=-0.02 Mz=-0.17
Sollecitazioni agenti localmente: Ty_l=-705.68 Mx_l=-14.11

Tensioni nella sezione: σ=171.07 τ=21.38
CC 19 SLV (Collegamento 0021_-378)
Azioni sul collegamento: N=-3881.26 Ty=3.39 Tz=10.37 Mx=-0.02 Mz=-0.91
Sollecitazioni agenti localmente: Ty_l=-705.68 Mx_l=-14.11
Tensioni nella sezione: σ=171.07 τ=21.38
CC 19 SLV (Collegamento 0021_-378)
Azioni sul collegamento: N=-9166.69 Ty=1.27 Tz=-9.09 Mx=-0.02 Mz=-0.17
Sollecitazioni agenti localmente: Ty_l=-1666.67 Mx_l=-33.33
Tensioni nella sezione: σ=404.04 τ=50.51
CC 19 SLV (Collegamento 0021_-378)
Azioni sul collegamento: N=-9166.69 Ty=3.39 Tz=-9.09 Mx=-0.02 Mz=-0.91
Sollecitazioni agenti localmente: Ty_l=-1666.67 Mx_l=-33.33
Tensioni nella sezione: σ=404.04 τ=50.51
CC 19 SLV (Collegamento 0021_-378)
Azioni sul collegamento: N=-9166.69 Ty=1.27 Tz=10.37 Mx=-0.02 Mz=-0.17
Sollecitazioni agenti localmente: Ty_l=-1666.67 Mx_l=-33.33
Tensioni nella sezione: σ=404.04 τ=50.51
CC 19 SLV (Collegamento 0021_-378)
Azioni sul collegamento: N=-9166.69 Ty=3.39 Tz=10.37 Mx=-0.02 Mz=-0.91
Sollecitazioni agenti localmente: Ty_l=-1666.67 Mx_l=-33.33
Tensioni nella sezione: σ=404.04 τ=50.51
CC 20 SLD (Collegamento 0021_-378)
Azioni sul collegamento: N=-5750.58 Ty=3.50 Tz=-2.19 Mx=-0.01 Mz=1.66
Sollecitazioni agenti localmente: Ty_l=-1045.56 Mx_l=-20.91
Tensioni nella sezione: σ=253.47 τ=31.68
CC 20 SLD (Collegamento 0021_-378)
Azioni sul collegamento: N=-5750.58 Ty=2.85 Tz=-2.19 Mx=-0.01 Mz=1.43
Sollecitazioni agenti localmente: Ty_l=-1045.56 Mx_l=-20.91
Tensioni nella sezione: σ=253.47 τ=31.68
CC 20 SLD (Collegamento 0021_-378)
Azioni sul collegamento: N=-5750.58 Ty=3.50 Tz=3.74 Mx=-0.01 Mz=1.66
Sollecitazioni agenti localmente: Ty_l=-1045.56 Mx_l=-20.91
Tensioni nella sezione: σ=253.47 τ=31.68
CC 20 SLD (Collegamento 0021_-378)
Azioni sul collegamento: N=-5750.58 Ty=2.85 Tz=3.74 Mx=-0.01 Mz=1.43
Sollecitazioni agenti localmente: Ty_l=-1045.56 Mx_l=-20.91
Tensioni nella sezione: σ=253.47 τ=31.68
CC 20 SLD (Collegamento 0021_-378)
Azioni sul collegamento: N=-7362.28 Ty=3.50 Tz=-2.19 Mx=-0.01 Mz=1.66
Sollecitazioni agenti localmente: Ty_l=-1338.60 Mx_l=-26.77
Tensioni nella sezione: σ=324.51 τ=40.56
CC 20 SLD (Collegamento 0021_-378)
Azioni sul collegamento: N=-7362.28 Ty=2.85 Tz=-2.19 Mx=-0.01 Mz=1.43
Sollecitazioni agenti localmente: Ty_l=-1338.60 Mx_l=-26.77
Tensioni nella sezione: σ=324.51 τ=40.56
CC 20 SLD (Collegamento 0021_-378)
Azioni sul collegamento: N=-7362.28 Ty=3.50 Tz=3.74 Mx=-0.01 Mz=1.66
Sollecitazioni agenti localmente: Ty_l=-1338.60 Mx_l=-26.77
Tensioni nella sezione: σ=324.51 τ=40.56
CC 20 SLD (Collegamento 0021_-378)
Azioni sul collegamento: N=-7362.28 Ty=2.85 Tz=3.74 Mx=-0.01 Mz=1.43
Sollecitazioni agenti localmente: Ty_l=-1338.60 Mx_l=-26.77
Tensioni nella sezione: σ=324.51 τ=40.56
CC 21 SLV (Collegamento 0021_-378)
Azioni sul collegamento: N=-9166.69 Ty=3.39 Tz=10.37 Mx=-0.02 Mz=-0.91
Sollecitazioni agenti localmente: Ty_l=-1666.67 Mx_l=-33.33
Tensioni nella sezione: σ=404.04 τ=50.51
CC 21 SLV (Collegamento 0021_-378)
Azioni sul collegamento: N=-9166.69 Ty=1.27 Tz=10.37 Mx=-0.02 Mz=-0.17
Sollecitazioni agenti localmente: Ty_l=-1666.67 Mx_l=-33.33
Tensioni nella sezione: σ=404.04 τ=50.51
CC 21 SLV (Collegamento 0021_-378)
Azioni sul collegamento: N=-9166.69 Ty=3.39 Tz=-9.09 Mx=-0.02 Mz=-0.91
Sollecitazioni agenti localmente: Ty_l=-1666.67 Mx_l=-33.33
Tensioni nella sezione: σ=404.04 τ=50.51
CC 21 SLV (Collegamento 0021_-378)
Azioni sul collegamento: N=-9166.69 Ty=1.27 Tz=-9.09 Mx=-0.02 Mz=-0.17
Sollecitazioni agenti localmente: Ty_l=-1666.67 Mx_l=-33.33
Tensioni nella sezione: σ=404.04 τ=50.51
CC 21 SLV (Collegamento 0021_-378)
Azioni sul collegamento: N=-3881.26 Ty=3.39 Tz=10.37 Mx=-0.02 Mz=-0.91
Sollecitazioni agenti localmente: Ty_l=-705.68 Mx_l=-14.11
Tensioni nella sezione: σ=171.07 τ=21.38
CC 21 SLV (Collegamento 0021_-378)
Azioni sul collegamento: N=-3881.26 Ty=1.27 Tz=10.37 Mx=-0.02 Mz=-0.17
Sollecitazioni agenti localmente: Ty_l=-705.68 Mx_l=-14.11
Tensioni nella sezione: σ=171.07 τ=21.38
CC 21 SLV (Collegamento 0021_-378)
Azioni sul collegamento: N=-3881.26 Ty=3.39 Tz=-9.09 Mx=-0.02 Mz=-0.91

Sollecitazioni agenti localmente: Ty_l=-705.68 Mx_l=-14.11
Tensioni nella sezione: σ=171.07 τ=21.38
CC 21 SLV (Collegamento 0021_-378)
Azioni sul collegamento: N=-3881.26 Ty=1.27 Tz=-9.09 Mx=-0.02 Mz=-0.17
Sollecitazioni agenti localmente: Ty_l=-705.68 Mx_l=-14.11
Tensioni nella sezione: σ=171.07 τ=21.38
CC 22 SLD (Collegamento 0021_-378)
Azioni sul collegamento: N=-7362.28 Ty=2.85 Tz=3.74 Mx=-0.01 Mz=1.43
Sollecitazioni agenti localmente: Ty_l=-1338.60 Mx_l=-26.77
Tensioni nella sezione: σ=324.51 τ=40.56
CC 22 SLD (Collegamento 0021_-378)
Azioni sul collegamento: N=-7362.28 Ty=3.50 Tz=3.74 Mx=-0.01 Mz=1.66
Sollecitazioni agenti localmente: Ty_l=-1338.60 Mx_l=-26.77
Tensioni nella sezione: σ=324.51 τ=40.56
CC 22 SLD (Collegamento 0021_-378)
Azioni sul collegamento: N=-7362.28 Ty=2.85 Tz=-2.19 Mx=-0.01 Mz=1.43
Sollecitazioni agenti localmente: Ty_l=-1338.60 Mx_l=-26.77
Tensioni nella sezione: σ=324.51 τ=40.56
CC 22 SLD (Collegamento 0021_-378)
Azioni sul collegamento: N=-7362.28 Ty=3.50 Tz=-2.19 Mx=-0.01 Mz=1.66
Sollecitazioni agenti localmente: Ty_l=-1338.60 Mx_l=-26.77
Tensioni nella sezione: σ=324.51 τ=40.56
CC 22 SLD (Collegamento 0021_-378)
Azioni sul collegamento: N=-5750.58 Ty=2.85 Tz=3.74 Mx=-0.01 Mz=1.43
Sollecitazioni agenti localmente: Ty_l=-1045.56 Mx_l=-20.91
Tensioni nella sezione: σ=253.47 τ=31.68
CC 22 SLD (Collegamento 0021_-378)
Azioni sul collegamento: N=-5750.58 Ty=3.50 Tz=3.74 Mx=-0.01 Mz=1.66
Sollecitazioni agenti localmente: Ty_l=-1045.56 Mx_l=-20.91
Tensioni nella sezione: σ=253.47 τ=31.68
CC 22 SLD (Collegamento 0021_-378)
Azioni sul collegamento: N=-5750.58 Ty=2.85 Tz=-2.19 Mx=-0.01 Mz=1.43
Sollecitazioni agenti localmente: Ty_l=-1045.56 Mx_l=-20.91
Tensioni nella sezione: σ=253.47 τ=31.68
CC 22 SLD (Collegamento 0021_-378)
Azioni sul collegamento: N=-5750.58 Ty=3.50 Tz=-2.19 Mx=-0.01 Mz=1.66
Sollecitazioni agenti localmente: Ty_l=-1045.56 Mx_l=-20.91
Tensioni nella sezione: σ=253.47 τ=31.68
CC 23 SLV (Collegamento 0021_-378)
Azioni sul collegamento: N=-9172.38 Ty=4.02 Tz=10.50 Mx=-0.01 Mz=-2.16
Sollecitazioni agenti localmente: Ty_l=-1667.70 Mx_l=-33.35
Tensioni nella sezione: σ=404.29 τ=50.54
CC 23 SLV (Collegamento 0021_-378)
Azioni sul collegamento: N=-9172.38 Ty=0.64 Tz=10.50 Mx=-0.01 Mz=1.09
Sollecitazioni agenti localmente: Ty_l=-1667.70 Mx_l=-33.35
Tensioni nella sezione: σ=404.29 τ=50.54
CC 23 SLV (Collegamento 0021_-378)
Azioni sul collegamento: N=-9172.38 Ty=4.02 Tz=-9.21 Mx=-0.01 Mz=-2.16
Sollecitazioni agenti localmente: Ty_l=-1667.70 Mx_l=-33.35
Tensioni nella sezione: σ=404.29 τ=50.54
CC 23 SLV (Collegamento 0021_-378)
Azioni sul collegamento: N=-9172.38 Ty=0.64 Tz=-9.21 Mx=-0.01 Mz=1.09
Sollecitazioni agenti localmente: Ty_l=-1667.70 Mx_l=-33.35
Tensioni nella sezione: σ=404.29 τ=50.54
CC 23 SLV (Collegamento 0021_-378)
Azioni sul collegamento: N=-3875.57 Ty=4.02 Tz=10.50 Mx=-0.01 Mz=-2.16
Sollecitazioni agenti localmente: Ty_l=-704.65 Mx_l=-14.09
Tensioni nella sezione: σ=170.82 τ=21.35
CC 23 SLV (Collegamento 0021_-378)
Azioni sul collegamento: N=-3875.57 Ty=0.64 Tz=10.50 Mx=-0.01 Mz=1.09
Sollecitazioni agenti localmente: Ty_l=-704.65 Mx_l=-14.09
Tensioni nella sezione: σ=170.82 τ=21.35
CC 23 SLV (Collegamento 0021_-378)
Azioni sul collegamento: N=-3875.57 Ty=4.02 Tz=-9.21 Mx=-0.01 Mz=-2.16
Sollecitazioni agenti localmente: Ty_l=-704.65 Mx_l=-14.09
Tensioni nella sezione: σ=170.82 τ=21.35
CC 23 SLV (Collegamento 0021_-378)
Azioni sul collegamento: N=-3875.57 Ty=0.64 Tz=-9.21 Mx=-0.01 Mz=1.09
Sollecitazioni agenti localmente: Ty_l=-704.65 Mx_l=-14.09
Tensioni nella sezione: σ=170.82 τ=21.35
CC 24 SLD (Collegamento 0021_-378)
Azioni sul collegamento: N=-7364.01 Ty=2.66 Tz=3.78 Mx=-0.01 Mz=1.05
Sollecitazioni agenti localmente: Ty_l=-1338.91 Mx_l=-26.78
Tensioni nella sezione: σ=324.58 τ=40.57
CC 24 SLD (Collegamento 0021_-378)
Azioni sul collegamento: N=-7364.01 Ty=3.69 Tz=3.78 Mx=-0.01 Mz=2.04
Sollecitazioni agenti localmente: Ty_l=-1338.91 Mx_l=-26.78
Tensioni nella sezione: σ=324.58 τ=40.57
CC 24 SLD (Collegamento 0021_-378)

Azioni sul collegamento: N=-7364.01 Ty=2.66 Tz=-2.23 Mx=-0.01 Mz=1.05
Sollecitazioni agenti localmente: Ty_l=-1338.91 Mx_l=-26.78
Tensioni nella sezione: σ=324.58 τ=40.57
CC 24 SLD (Collegamento 0021_-378)
Azioni sul collegamento: N=-7364.01 Ty=3.69 Tz=-2.23 Mx=-0.01 Mz=2.04
Sollecitazioni agenti localmente: Ty_l=-1338.91 Mx_l=-26.78
Tensioni nella sezione: σ=324.58 τ=40.57
CC 24 SLD (Collegamento 0021_-378)
Azioni sul collegamento: N=-5748.85 Ty=2.66 Tz=3.78 Mx=-0.01 Mz=1.05
Sollecitazioni agenti localmente: Ty_l=-1045.24 Mx_l=-20.90
Tensioni nella sezione: σ=253.39 τ=31.67
CC 24 SLD (Collegamento 0021_-378)
Azioni sul collegamento: N=-5748.85 Ty=3.69 Tz=3.78 Mx=-0.01 Mz=2.04
Sollecitazioni agenti localmente: Ty_l=-1045.24 Mx_l=-20.90
Tensioni nella sezione: σ=253.39 τ=31.67
CC 24 SLD (Collegamento 0021_-378)
Azioni sul collegamento: N=-5748.85 Ty=2.66 Tz=-2.23 Mx=-0.01 Mz=1.05
Sollecitazioni agenti localmente: Ty_l=-1045.24 Mx_l=-20.90
Tensioni nella sezione: σ=253.39 τ=31.67
CC 24 SLD (Collegamento 0021_-378)
Azioni sul collegamento: N=-5748.85 Ty=3.69 Tz=-2.23 Mx=-0.01 Mz=2.04
Sollecitazioni agenti localmente: Ty_l=-1045.24 Mx_l=-20.90
Tensioni nella sezione: σ=253.39 τ=31.67
CC 25 SLV (Collegamento 0021_-378)
Azioni sul collegamento: N=-5720.83 Ty=0.86 Tz=-2.51 Mx=-0.03 Mz=1.85
Sollecitazioni agenti localmente: Ty_l=-1040.15 Mx_l=-20.80
Tensioni nella sezione: σ=252.16 τ=31.52
CC 25 SLV (Collegamento 0021_-378)
Azioni sul collegamento: N=-5720.83 Ty=3.80 Tz=-2.51 Mx=-0.03 Mz=-2.93
Sollecitazioni agenti localmente: Ty_l=-1040.15 Mx_l=-20.80
Tensioni nella sezione: σ=252.16 τ=31.52
CC 25 SLV (Collegamento 0021_-378)
Azioni sul collegamento: N=-5720.83 Ty=0.86 Tz=3.80 Mx=-0.03 Mz=1.85
Sollecitazioni agenti localmente: Ty_l=-1040.15 Mx_l=-20.80
Tensioni nella sezione: σ=252.16 τ=31.52
CC 25 SLV (Collegamento 0021_-378)
Azioni sul collegamento: N=-5720.83 Ty=3.80 Tz=3.80 Mx=-0.03 Mz=-2.93
Sollecitazioni agenti localmente: Ty_l=-1040.15 Mx_l=-20.80
Tensioni nella sezione: σ=252.16 τ=31.52
CC 25 SLV (Collegamento 0021_-378)
Azioni sul collegamento: N=-7327.12 Ty=0.86 Tz=-2.51 Mx=-0.03 Mz=1.85
Sollecitazioni agenti localmente: Ty_l=-1332.20 Mx_l=-26.64
Tensioni nella sezione: σ=322.96 τ=40.37
CC 25 SLV (Collegamento 0021_-378)
Azioni sul collegamento: N=-7327.12 Ty=3.80 Tz=-2.51 Mx=-0.03 Mz=-2.93
Sollecitazioni agenti localmente: Ty_l=-1332.20 Mx_l=-26.64
Tensioni nella sezione: σ=322.96 τ=40.37
CC 25 SLV (Collegamento 0021_-378)
Azioni sul collegamento: N=-7327.12 Ty=0.86 Tz=3.80 Mx=-0.03 Mz=1.85
Sollecitazioni agenti localmente: Ty_l=-1332.20 Mx_l=-26.64
Tensioni nella sezione: σ=322.96 τ=40.37
CC 25 SLV (Collegamento 0021_-378)
Azioni sul collegamento: N=-7327.12 Ty=3.80 Tz=3.80 Mx=-0.03 Mz=-2.93
Sollecitazioni agenti localmente: Ty_l=-1332.20 Mx_l=-26.64
Tensioni nella sezione: σ=322.96 τ=40.37
CC 26 SLD (Collegamento 0021_-378)
Azioni sul collegamento: N=-6311.53 Ty=3.62 Tz=-0.19 Mx=-0.01 Mz=2.27
Sollecitazioni agenti localmente: Ty_l=-1147.55 Mx_l=-22.95
Tensioni nella sezione: σ=278.19 τ=34.77
CC 26 SLD (Collegamento 0021_-378)
Azioni sul collegamento: N=-6311.53 Ty=2.73 Tz=-0.19 Mx=-0.01 Mz=0.81
Sollecitazioni agenti localmente: Ty_l=-1147.55 Mx_l=-22.95
Tensioni nella sezione: σ=278.19 τ=34.77
CC 26 SLD (Collegamento 0021_-378)
Azioni sul collegamento: N=-6311.53 Ty=3.62 Tz=1.73 Mx=-0.01 Mz=2.27
Sollecitazioni agenti localmente: Ty_l=-1147.55 Mx_l=-22.95
Tensioni nella sezione: σ=278.19 τ=34.77
CC 26 SLD (Collegamento 0021_-378)
Azioni sul collegamento: N=-6311.53 Ty=2.73 Tz=1.73 Mx=-0.01 Mz=0.81
Sollecitazioni agenti localmente: Ty_l=-1147.55 Mx_l=-22.95
Tensioni nella sezione: σ=278.19 τ=34.77
CC 26 SLD (Collegamento 0021_-378)
Azioni sul collegamento: N=-6801.33 Ty=3.62 Tz=-0.19 Mx=-0.01 Mz=2.27
Sollecitazioni agenti localmente: Ty_l=-1236.61 Mx_l=-24.73
Tensioni nella sezione: σ=299.78 τ=37.47
CC 26 SLD (Collegamento 0021_-378)
Azioni sul collegamento: N=-6801.33 Ty=2.73 Tz=-0.19 Mx=-0.01 Mz=0.81
Sollecitazioni agenti localmente: Ty_l=-1236.61 Mx_l=-24.73
Tensioni nella sezione: σ=299.78 τ=37.47

CC 26 SLD (Collegamento 0021_-378)
Azioni sul collegamento: N=-6801.33 Ty=3.62 Tz=1.73 Mx=-0.01 Mz=2.27
Sollecitazioni agenti localmente: Ty_l=-1236.61 Mx_l=-24.73
Tensioni nella sezione: σ=299.78 τ=37.47
CC 26 SLD (Collegamento 0021_-378)
Azioni sul collegamento: N=-6801.33 Ty=2.73 Tz=1.73 Mx=-0.01 Mz=0.81
Sollecitazioni agenti localmente: Ty_l=-1236.61 Mx_l=-24.73
Tensioni nella sezione: σ=299.78 τ=37.47
CC 27 SLV (Collegamento 0021_-378)
Azioni sul collegamento: N=-7308.17 Ty=1.68 Tz=3.37 Mx=-0.02 Mz=1.26
Sollecitazioni agenti localmente: Ty_l=-1328.76 Mx_l=-26.58
Tensioni nella sezione: σ=322.12 τ=40.27
CC 27 SLV (Collegamento 0021_-378)
Azioni sul collegamento: N=-7308.17 Ty=2.97 Tz=3.37 Mx=-0.02 Mz=-2.33
Sollecitazioni agenti localmente: Ty_l=-1328.76 Mx_l=-26.58
Tensioni nella sezione: σ=322.12 τ=40.27
CC 27 SLV (Collegamento 0021_-378)
Azioni sul collegamento: N=-7308.17 Ty=1.68 Tz=-2.08 Mx=-0.02 Mz=1.26
Sollecitazioni agenti localmente: Ty_l=-1328.76 Mx_l=-26.58
Tensioni nella sezione: σ=322.12 τ=40.27
CC 27 SLV (Collegamento 0021_-378)
Azioni sul collegamento: N=-7308.17 Ty=2.97 Tz=-2.08 Mx=-0.02 Mz=-2.33
Sollecitazioni agenti localmente: Ty_l=-1328.76 Mx_l=-26.58
Tensioni nella sezione: σ=322.12 τ=40.27
CC 27 SLV (Collegamento 0021_-378)
Azioni sul collegamento: N=-5739.78 Ty=1.68 Tz=3.37 Mx=-0.02 Mz=1.26
Sollecitazioni agenti localmente: Ty_l=-1043.60 Mx_l=-20.87
Tensioni nella sezione: σ=252.99 τ=31.62
CC 27 SLV (Collegamento 0021_-378)
Azioni sul collegamento: N=-5739.78 Ty=2.97 Tz=3.37 Mx=-0.02 Mz=-2.33
Sollecitazioni agenti localmente: Ty_l=-1043.60 Mx_l=-20.87
Tensioni nella sezione: σ=252.99 τ=31.62
CC 27 SLV (Collegamento 0021_-378)
Azioni sul collegamento: N=-5739.78 Ty=1.68 Tz=-2.08 Mx=-0.02 Mz=1.26
Sollecitazioni agenti localmente: Ty_l=-1043.60 Mx_l=-20.87
Tensioni nella sezione: σ=252.99 τ=31.62
CC 27 SLV (Collegamento 0021_-378)
Azioni sul collegamento: N=-5739.78 Ty=2.97 Tz=-2.08 Mx=-0.02 Mz=-2.33
Sollecitazioni agenti localmente: Ty_l=-1043.60 Mx_l=-20.87
Tensioni nella sezione: σ=252.99 τ=31.62
CC 28 SLD (Collegamento 0021_-378)
Azioni sul collegamento: N=-6795.56 Ty=3.37 Tz=1.60 Mx=-0.01 Mz=2.09
Sollecitazioni agenti localmente: Ty_l=-1235.56 Mx_l=-24.71
Tensioni nella sezione: σ=299.53 τ=37.44
CC 28 SLD (Collegamento 0021_-378)
Azioni sul collegamento: N=-6795.56 Ty=2.98 Tz=1.60 Mx=-0.01 Mz=1.00
Sollecitazioni agenti localmente: Ty_l=-1235.56 Mx_l=-24.71
Tensioni nella sezione: σ=299.53 τ=37.44
CC 28 SLD (Collegamento 0021_-378)
Azioni sul collegamento: N=-6795.56 Ty=3.37 Tz=-0.06 Mx=-0.01 Mz=2.09
Sollecitazioni agenti localmente: Ty_l=-1235.56 Mx_l=-24.71
Tensioni nella sezione: σ=299.53 τ=37.44
CC 28 SLD (Collegamento 0021_-378)
Azioni sul collegamento: N=-6795.56 Ty=2.98 Tz=-0.06 Mx=-0.01 Mz=1.00
Sollecitazioni agenti localmente: Ty_l=-1235.56 Mx_l=-24.71
Tensioni nella sezione: σ=299.53 τ=37.44
CC 28 SLD (Collegamento 0021_-378)
Azioni sul collegamento: N=-6317.30 Ty=3.37 Tz=1.60 Mx=-0.01 Mz=2.09
Sollecitazioni agenti localmente: Ty_l=-1148.60 Mx_l=-22.97
Tensioni nella sezione: σ=278.45 τ=34.81
CC 28 SLD (Collegamento 0021_-378)
Azioni sul collegamento: N=-6317.30 Ty=2.98 Tz=1.60 Mx=-0.01 Mz=1.00
Sollecitazioni agenti localmente: Ty_l=-1148.60 Mx_l=-22.97
Tensioni nella sezione: σ=278.45 τ=34.81
CC 28 SLD (Collegamento 0021_-378)
Azioni sul collegamento: N=-6317.30 Ty=3.37 Tz=-0.06 Mx=-0.01 Mz=2.09
Sollecitazioni agenti localmente: Ty_l=-1148.60 Mx_l=-22.97
Tensioni nella sezione: σ=278.45 τ=34.81
CC 28 SLD (Collegamento 0021_-378)
Azioni sul collegamento: N=-6317.30 Ty=2.98 Tz=-0.06 Mx=-0.01 Mz=1.00
Sollecitazioni agenti localmente: Ty_l=-1148.60 Mx_l=-22.97
Tensioni nella sezione: σ=278.45 τ=34.81
CC 29 SLV (Collegamento 0021_-378)
Azioni sul collegamento: N=-5739.78 Ty=2.97 Tz=-2.08 Mx=-0.01 Mz=-2.33
Sollecitazioni agenti localmente: Ty_l=-1043.60 Mx_l=-20.87
Tensioni nella sezione: σ=252.99 τ=31.62
CC 29 SLV (Collegamento 0021_-378)
Azioni sul collegamento: N=-5739.78 Ty=1.68 Tz=-2.08 Mx=-0.01 Mz=1.26
Sollecitazioni agenti localmente: Ty_l=-1043.60 Mx_l=-20.87

Tensioni nella sezione: σ=252.99 τ=31.62
CC 29 SLV (Collegamento 0021_-378)
Azioni sul collegamento: N=-5739.78 Ty=2.97 Tz=3.37 Mx=-0.01 Mz=-2.33
Sollecitazioni agenti localmente: Ty_l=-1043.60 Mx_l=-20.87
Tensioni nella sezione: σ=252.99 τ=31.62
CC 29 SLV (Collegamento 0021_-378)
Azioni sul collegamento: N=-5739.78 Ty=1.68 Tz=3.37 Mx=-0.01 Mz=1.26
Sollecitazioni agenti localmente: Ty_l=-1043.60 Mx_l=-20.87
Tensioni nella sezione: σ=252.99 τ=31.62
CC 29 SLV (Collegamento 0021_-378)
Azioni sul collegamento: N=-7308.17 Ty=2.97 Tz=-2.08 Mx=-0.01 Mz=-2.33
Sollecitazioni agenti localmente: Ty_l=-1328.76 Mx_l=-26.58
Tensioni nella sezione: σ=322.12 τ=40.27
CC 29 SLV (Collegamento 0021_-378)
Azioni sul collegamento: N=-7308.17 Ty=1.68 Tz=-2.08 Mx=-0.01 Mz=1.26
Sollecitazioni agenti localmente: Ty_l=-1328.76 Mx_l=-26.58
Tensioni nella sezione: σ=322.12 τ=40.27
CC 29 SLV (Collegamento 0021_-378)
Azioni sul collegamento: N=-7308.17 Ty=2.97 Tz=3.37 Mx=-0.01 Mz=-2.33
Sollecitazioni agenti localmente: Ty_l=-1328.76 Mx_l=-26.58
Tensioni nella sezione: σ=322.12 τ=40.27
CC 29 SLV (Collegamento 0021_-378)
Azioni sul collegamento: N=-7308.17 Ty=1.68 Tz=3.37 Mx=-0.01 Mz=1.26
Sollecitazioni agenti localmente: Ty_l=-1328.76 Mx_l=-26.58
Tensioni nella sezione: σ=322.12 τ=40.27
CC 30 SLD (Collegamento 0021_-378)
Azioni sul collegamento: N=-6317.30 Ty=2.98 Tz=-0.06 Mx=-0.01 Mz=1.00
Sollecitazioni agenti localmente: Ty_l=-1148.60 Mx_l=-22.97
Tensioni nella sezione: σ=278.45 τ=34.81
CC 30 SLD (Collegamento 0021_-378)
Azioni sul collegamento: N=-6317.30 Ty=3.37 Tz=-0.06 Mx=-0.01 Mz=2.09
Sollecitazioni agenti localmente: Ty_l=-1148.60 Mx_l=-22.97
Tensioni nella sezione: σ=278.45 τ=34.81
CC 30 SLD (Collegamento 0021_-378)
Azioni sul collegamento: N=-6317.30 Ty=2.98 Tz=1.60 Mx=-0.01 Mz=1.00
Sollecitazioni agenti localmente: Ty_l=-1148.60 Mx_l=-22.97
Tensioni nella sezione: σ=278.45 τ=34.81
CC 30 SLD (Collegamento 0021_-378)
Azioni sul collegamento: N=-6317.30 Ty=3.37 Tz=1.60 Mx=-0.01 Mz=2.09
Sollecitazioni agenti localmente: Ty_l=-1148.60 Mx_l=-22.97
Tensioni nella sezione: σ=278.45 τ=34.81
CC 30 SLD (Collegamento 0021_-378)
Azioni sul collegamento: N=-6795.56 Ty=2.98 Tz=-0.06 Mx=-0.01 Mz=1.00
Sollecitazioni agenti localmente: Ty_l=-1235.56 Mx_l=-24.71
Tensioni nella sezione: σ=299.53 τ=37.44
CC 30 SLD (Collegamento 0021_-378)
Azioni sul collegamento: N=-6795.56 Ty=3.37 Tz=-0.06 Mx=-0.01 Mz=2.09
Sollecitazioni agenti localmente: Ty_l=-1235.56 Mx_l=-24.71
Tensioni nella sezione: σ=299.53 τ=37.44
CC 30 SLD (Collegamento 0021_-378)
Azioni sul collegamento: N=-6795.56 Ty=2.98 Tz=1.60 Mx=-0.01 Mz=1.00
Sollecitazioni agenti localmente: Ty_l=-1235.56 Mx_l=-24.71
Tensioni nella sezione: σ=299.53 τ=37.44
CC 30 SLD (Collegamento 0021_-378)
Azioni sul collegamento: N=-6795.56 Ty=3.37 Tz=1.60 Mx=-0.01 Mz=2.09
Sollecitazioni agenti localmente: Ty_l=-1235.56 Mx_l=-24.71
Tensioni nella sezione: σ=299.53 τ=37.44
CC 31 SLV (Collegamento 0021_-378)
Azioni sul collegamento: N=-7327.12 Ty=3.80 Tz=3.80 Mx=-0.01 Mz=-2.93
Sollecitazioni agenti localmente: Ty_l=-1332.20 Mx_l=-26.64
Tensioni nella sezione: σ=322.96 τ=40.37
CC 31 SLV (Collegamento 0021_-378)
Azioni sul collegamento: N=-7327.12 Ty=0.86 Tz=3.80 Mx=-0.01 Mz=1.85
Sollecitazioni agenti localmente: Ty_l=-1332.20 Mx_l=-26.64
Tensioni nella sezione: σ=322.96 τ=40.37
CC 31 SLV (Collegamento 0021_-378)
Azioni sul collegamento: N=-7327.12 Ty=3.80 Tz=-2.51 Mx=-0.01 Mz=-2.93
Sollecitazioni agenti localmente: Ty_l=-1332.20 Mx_l=-26.64
Tensioni nella sezione: σ=322.96 τ=40.37
CC 31 SLV (Collegamento 0021_-378)
Azioni sul collegamento: N=-7327.12 Ty=0.86 Tz=-2.51 Mx=-0.01 Mz=1.85
Sollecitazioni agenti localmente: Ty_l=-1332.20 Mx_l=-26.64
Tensioni nella sezione: σ=322.96 τ=40.37
CC 31 SLV (Collegamento 0021_-378)
Azioni sul collegamento: N=-5720.83 Ty=3.80 Tz=3.80 Mx=-0.01 Mz=-2.93
Sollecitazioni agenti localmente: Ty_l=-1040.15 Mx_l=-20.80
Tensioni nella sezione: σ=252.16 τ=31.52
CC 31 SLV (Collegamento 0021_-378)
Azioni sul collegamento: N=-5720.83 Ty=0.86 Tz=3.80 Mx=-0.01 Mz=1.85

Sollecitazioni agenti localmente: Ty_l=-1040.15 Mx_l=-20.80
Tensioni nella sezione: σ=252.16 τ=31.52
CC 31 SLV (Collegamento 0021_-378)
Azioni sul collegamento: N=-5720.83 Ty=3.80 Tz=-2.51 Mx=-0.01 Mz=-2.93
Sollecitazioni agenti localmente: Ty_l=-1040.15 Mx_l=-20.80
Tensioni nella sezione: σ=252.16 τ=31.52
CC 31 SLV (Collegamento 0021_-378)
Azioni sul collegamento: N=-5720.83 Ty=0.86 Tz=-2.51 Mx=-0.01 Mz=1.85
Sollecitazioni agenti localmente: Ty_l=-1040.15 Mx_l=-20.80
Tensioni nella sezione: σ=252.16 τ=31.52
CC 32 SLD (Collegamento 0021_-378)
Azioni sul collegamento: N=-6801.33 Ty=2.73 Tz=1.73 Mx=-0.01 Mz=0.81
Sollecitazioni agenti localmente: Ty_l=-1236.61 Mx_l=-24.73
Tensioni nella sezione: σ=299.78 τ=37.47
CC 32 SLD (Collegamento 0021_-378)
Azioni sul collegamento: N=-6801.33 Ty=3.62 Tz=1.73 Mx=-0.01 Mz=2.27
Sollecitazioni agenti localmente: Ty_l=-1236.61 Mx_l=-24.73
Tensioni nella sezione: σ=299.78 τ=37.47
CC 32 SLD (Collegamento 0021_-378)
Azioni sul collegamento: N=-6801.33 Ty=2.73 Tz=-0.19 Mx=-0.01 Mz=0.81
Sollecitazioni agenti localmente: Ty_l=-1236.61 Mx_l=-24.73
Tensioni nella sezione: σ=299.78 τ=37.47
CC 32 SLD (Collegamento 0021_-378)
Azioni sul collegamento: N=-6801.33 Ty=3.62 Tz=-0.19 Mx=-0.01 Mz=2.27
Sollecitazioni agenti localmente: Ty_l=-1236.61 Mx_l=-24.73
Tensioni nella sezione: σ=299.78 τ=37.47
CC 32 SLD (Collegamento 0021_-378)
Azioni sul collegamento: N=-6311.53 Ty=2.73 Tz=1.73 Mx=-0.01 Mz=0.81
Sollecitazioni agenti localmente: Ty_l=-1147.55 Mx_l=-22.95
Tensioni nella sezione: σ=278.19 τ=34.77
CC 32 SLD (Collegamento 0021_-378)
Azioni sul collegamento: N=-6311.53 Ty=3.62 Tz=1.73 Mx=-0.01 Mz=2.27
Sollecitazioni agenti localmente: Ty_l=-1147.55 Mx_l=-22.95
Tensioni nella sezione: σ=278.19 τ=34.77
CC 32 SLD (Collegamento 0021_-378)
Azioni sul collegamento: N=-6311.53 Ty=2.73 Tz=-0.19 Mx=-0.01 Mz=0.81
Sollecitazioni agenti localmente: Ty_l=-1147.55 Mx_l=-22.95
Tensioni nella sezione: σ=278.19 τ=34.77
CC 32 SLD (Collegamento 0021_-378)
Azioni sul collegamento: N=-6311.53 Ty=3.62 Tz=-0.19 Mx=-0.01 Mz=2.27
Sollecitazioni agenti localmente: Ty_l=-1147.55 Mx_l=-22.95
Tensioni nella sezione: σ=278.19 τ=34.77
CC 33 SLU (Collegamento 0021_-378)
Azioni sul collegamento: N=-30888.30 Ty=5.44 Tz=82.02 Mx=-0.01 Mz=3.71
Sollecitazioni agenti localmente: Ty_l=-5616.05 Mx_l=-112.32
Tensioni nella sezione: σ=1361.46 τ=170.18
CC 34 SLU (Collegamento 0021_-378)
Azioni sul collegamento: N=-30337.70 Ty=5.16 Tz=79.98 Mx=-0.01 Mz=3.50
Sollecitazioni agenti localmente: Ty_l=-5515.96 Mx_l=-110.32
Tensioni nella sezione: σ=1337.20 τ=167.15
CC 35 SLU (Collegamento 0021_-378)
Azioni sul collegamento: N=-30612.00 Ty=5.19 Tz=81.02 Mx=-0.01 Mz=3.39
Sollecitazioni agenti localmente: Ty_l=-5565.82 Mx_l=-111.32
Tensioni nella sezione: σ=1349.29 τ=168.66
CC 36 SLU (Collegamento 0021_-378)
Azioni sul collegamento: N=-30614.00 Ty=5.41 Tz=80.97 Mx=-0.01 Mz=3.82
Sollecitazioni agenti localmente: Ty_l=-5566.18 Mx_l=-111.32
Tensioni nella sezione: σ=1349.37 τ=168.67
CC 37 SLU (Collegamento 0021_-378)
Azioni sul collegamento: N=-21597.10 Ty=6.32 Tz=47.86 Mx=-0.01 Mz=4.34
Sollecitazioni agenti localmente: Ty_l=-3926.75 Mx_l=-78.53
Tensioni nella sezione: σ=951.94 τ=118.99
CC 38 SLU (Collegamento 0021_-378)
Azioni sul collegamento: N=-21046.60 Ty=6.03 Tz=45.82 Mx=-0.01 Mz=4.13
Sollecitazioni agenti localmente: Ty_l=-3826.65 Mx_l=-76.53
Tensioni nella sezione: σ=927.67 τ=115.96
CC 39 SLU (Collegamento 0021_-378)
Azioni sul collegamento: N=-21320.90 Ty=6.07 Tz=46.87 Mx=-0.01 Mz=4.02
Sollecitazioni agenti localmente: Ty_l=-3876.52 Mx_l=-77.53
Tensioni nella sezione: σ=939.76 τ=117.47
CC 40 SLU (Collegamento 0021_-378)
Azioni sul collegamento: N=-21322.80 Ty=6.29 Tz=46.82 Mx=-0.01 Mz=4.45
Sollecitazioni agenti localmente: Ty_l=-3876.88 Mx_l=-77.54
Tensioni nella sezione: σ=939.85 τ=117.48
CC 41 SLU (Collegamento 0021_-378)
Azioni sul collegamento: N=-32817.40 Ty=5.33 Tz=88.46 Mx=0.00 Mz=3.76
Sollecitazioni agenti localmente: Ty_l=-5966.80 Mx_l=-119.34
Tensioni nella sezione: σ=1446.49 τ=180.81
CC 42 SLU (Collegamento 0021_-378)

Azioni sul collegamento: N=-32266.90 Ty=5.04 Tz=86.42 Mx=0.00 Mz=3.56
Sollecitazioni agenti localmente: Ty_l=-5866.70 Mx_l=-117.33
Tensioni nella sezione: σ=1422.23 τ=177.78
CC 43 SLU (Collegamento 0021_-378)
Azioni sul collegamento: N=-32541.20 Ty=5.08 Tz=87.47 Mx=0.00 Mz=3.44
Sollecitazioni agenti localmente: Ty_l=-5916.58 Mx_l=-118.33
Tensioni nella sezione: σ=1434.32 τ=179.29
CC 44 SLU (Collegamento 0021_-378)
Azioni sul collegamento: N=-32543.10 Ty=5.30 Tz=87.42 Mx=0.00 Mz=3.88
Sollecitazioni agenti localmente: Ty_l=-5916.93 Mx_l=-118.34
Tensioni nella sezione: σ=1434.40 τ=179.30
CC 45 SLU (Collegamento 0021_-378)
Azioni sul collegamento: N=-23689.50 Ty=6.01 Tz=55.60 Mx=-0.01 Mz=4.17
Sollecitazioni agenti localmente: Ty_l=-4307.18 Mx_l=-86.14
Tensioni nella sezione: σ=1044.16 τ=130.52
CC 46 SLU (Collegamento 0021_-378)
Azioni sul collegamento: N=-23139.00 Ty=5.73 Tz=53.57 Mx=-0.01 Mz=3.96
Sollecitazioni agenti localmente: Ty_l=-4207.09 Mx_l=-84.14
Tensioni nella sezione: σ=1019.90 τ=127.49
CC 47 SLU (Collegamento 0021_-378)
Azioni sul collegamento: N=-23413.30 Ty=5.76 Tz=54.61 Mx=-0.01 Mz=3.84
Sollecitazioni agenti localmente: Ty_l=-4256.95 Mx_l=-85.14
Tensioni nella sezione: σ=1031.99 τ=129.00
CC 48 SLU (Collegamento 0021_-378)
Azioni sul collegamento: N=-23415.20 Ty=5.98 Tz=54.56 Mx=-0.01 Mz=4.28
Sollecitazioni agenti localmente: Ty_l=-4257.31 Mx_l=-85.15
Tensioni nella sezione: σ=1032.07 τ=129.01
CC 49 SLU (Collegamento 0021_-378)
Azioni sul collegamento: N=-16738.30 Ty=6.67 Tz=30.05 Mx=-0.01 Mz=4.64
Sollecitazioni agenti localmente: Ty_l=-3043.33 Mx_l=-60.87
Tensioni nella sezione: σ=737.78 τ=92.22
CC 50 SLU (Collegamento 0021_-378)
Azioni sul collegamento: N=-16187.80 Ty=6.38 Tz=28.01 Mx=-0.01 Mz=4.43
Sollecitazioni agenti localmente: Ty_l=-2943.24 Mx_l=-58.86
Tensioni nella sezione: σ=713.51 τ=89.19
CC 51 SLU (Collegamento 0021_-378)
Azioni sul collegamento: N=-16462.10 Ty=6.42 Tz=29.05 Mx=-0.01 Mz=4.32
Sollecitazioni agenti localmente: Ty_l=-2993.11 Mx_l=-59.86
Tensioni nella sezione: σ=725.60 τ=90.70
CC 52 SLU (Collegamento 0021_-378)
Azioni sul collegamento: N=-16464.00 Ty=6.64 Tz=29.01 Mx=-0.01 Mz=4.75
Sollecitazioni agenti localmente: Ty_l=-2993.46 Mx_l=-59.87
Tensioni nella sezione: σ=725.69 τ=90.71
CC 53 SLU (Collegamento 0021_-378)
Azioni sul collegamento: N=-25132.80 Ty=5.93 Tz=60.42 Mx=-0.00 Mz=4.21
Sollecitazioni agenti localmente: Ty_l=-4569.59 Mx_l=-91.39
Tensioni nella sezione: σ=1107.78 τ=138.47
CC 54 SLU (Collegamento 0021_-378)
Azioni sul collegamento: N=-24582.20 Ty=5.64 Tz=58.39 Mx=-0.00 Mz=4.00
Sollecitazioni agenti localmente: Ty_l=-4469.50 Mx_l=-89.39
Tensioni nella sezione: σ=1083.51 τ=135.44
CC 55 SLU (Collegamento 0021_-378)
Azioni sul collegamento: N=-24856.50 Ty=5.68 Tz=59.43 Mx=0.00 Mz=3.89
Sollecitazioni agenti localmente: Ty_l=-4519.37 Mx_l=-90.39
Tensioni nella sezione: σ=1095.60 τ=136.95
CC 56 SLU (Collegamento 0021_-378)
Azioni sul collegamento: N=-24858.50 Ty=5.89 Tz=59.38 Mx=-0.00 Mz=4.32
Sollecitazioni agenti localmente: Ty_l=-4519.73 Mx_l=-90.39
Tensioni nella sezione: σ=1095.69 τ=136.96
CC 57 SLU (Collegamento 0021_-378)
Azioni sul collegamento: N=-22071.60 Ty=5.40 Tz=49.65 Mx=-0.01 Mz=3.73
Sollecitazioni agenti localmente: Ty_l=-4013.02 Mx_l=-80.26
Tensioni nella sezione: σ=972.85 τ=121.61
CC 58 SLU (Collegamento 0021_-378)
Azioni sul collegamento: N=-21521.10 Ty=5.11 Tz=47.61 Mx=-0.01 Mz=3.53
Sollecitazioni agenti localmente: Ty_l=-3912.92 Mx_l=-78.26
Tensioni nella sezione: σ=948.59 τ=118.57
CC 59 SLU (Collegamento 0021_-378)
Azioni sul collegamento: N=-21795.30 Ty=5.15 Tz=48.65 Mx=-0.01 Mz=3.41
Sollecitazioni agenti localmente: Ty_l=-3962.79 Mx_l=-79.26
Tensioni nella sezione: σ=960.67 τ=120.08
CC 60 SLU (Collegamento 0021_-378)
Azioni sul collegamento: N=-21797.30 Ty=5.37 Tz=48.60 Mx=-0.01 Mz=3.85
Sollecitazioni agenti localmente: Ty_l=-3963.15 Mx_l=-79.26
Tensioni nella sezione: σ=960.76 τ=120.09
CC 61 SLU (Collegamento 0021_-378)
Azioni sul collegamento: N=-15120.40 Ty=6.06 Tz=24.09 Mx=-0.01 Mz=4.21
Sollecitazioni agenti localmente: Ty_l=-2749.17 Mx_l=-54.98
Tensioni nella sezione: σ=666.46 τ=83.31

CC 62 SLU (Collegamento 0021_-378)
Azioni sul collegamento: N=-14569.90 Ty=5.77 Tz=22.06 Mx=-0.01 Mz=4.00
Sollecitazioni agenti localmente: Ty_l=-2649.07 Mx_l=-52.98
Tensioni nella sezione: σ=642.20 τ=80.27
CC 63 SLU (Collegamento 0021_-378)
Azioni sul collegamento: N=-14844.20 Ty=5.80 Tz=23.10 Mx=-0.01 Mz=3.88
Sollecitazioni agenti localmente: Ty_l=-2698.94 Mx_l=-53.98
Tensioni nella sezione: σ=654.29 τ=81.79
CC 64 SLU (Collegamento 0021_-378)
Azioni sul collegamento: N=-14846.10 Ty=6.02 Tz=23.05 Mx=-0.01 Mz=4.32
Sollecitazioni agenti localmente: Ty_l=-2699.30 Mx_l=-53.99
Tensioni nella sezione: σ=654.37 τ=81.80
CC 65 SLU (Collegamento 0021_-378)
Azioni sul collegamento: N=-23514.90 Ty=5.31 Tz=54.47 Mx=0.00 Mz=3.77
Sollecitazioni agenti localmente: Ty_l=-4275.43 Mx_l=-85.51
Tensioni nella sezione: σ=1036.47 τ=129.56
CC 66 SLU (Collegamento 0021_-378)
Azioni sul collegamento: N=-22964.30 Ty=5.03 Tz=52.43 Mx=0.00 Mz=3.57
Sollecitazioni agenti localmente: Ty_l=-4175.33 Mx_l=-83.51
Tensioni nella sezione: σ=1012.20 τ=126.53
CC 67 SLU (Collegamento 0021_-378)
Azioni sul collegamento: N=-23238.60 Ty=5.06 Tz=53.47 Mx=0.00 Mz=3.45
Sollecitazioni agenti localmente: Ty_l=-4225.20 Mx_l=-84.50
Tensioni nella sezione: σ=1024.29 τ=128.04
CC 68 SLU (Collegamento 0021_-378)
Azioni sul collegamento: N=-23240.60 Ty=5.28 Tz=53.43 Mx=-0.00 Mz=3.89
Sollecitazioni agenti localmente: Ty_l=-4225.56 Mx_l=-84.51
Tensioni nella sezione: σ=1024.38 τ=128.05
CC 97 SLU (Collegamento 0021_-378)
Azioni sul collegamento: N=-18052.20 Ty=-0.34 Tz=43.06 Mx=-0.05 Mz=-8.83
Sollecitazioni agenti localmente: Ty_l=-3282.21 Mx_l=-65.64
Tensioni nella sezione: σ=795.69 τ=99.46
CC 98 SLU (Collegamento 0021_-378)
Azioni sul collegamento: N=-17501.60 Ty=-0.63 Tz=41.02 Mx=-0.05 Mz=-9.04
Sollecitazioni agenti localmente: Ty_l=-3182.12 Mx_l=-63.64
Tensioni nella sezione: σ=771.42 τ=96.43
CC 99 SLU (Collegamento 0021_-378)
Azioni sul collegamento: N=-17775.90 Ty=-0.60 Tz=42.06 Mx=-0.05 Mz=-9.15
Sollecitazioni agenti localmente: Ty_l=-3231.98 Mx_l=-64.64
Tensioni nella sezione: σ=783.51 τ=97.94
CC 100 SLU (Collegamento 0021_-378)
Azioni sul collegamento: N=-17777.90 Ty=-0.38 Tz=42.01 Mx=-0.05 Mz=-8.71
Sollecitazioni agenti localmente: Ty_l=-3232.34 Mx_l=-64.65
Tensioni nella sezione: σ=783.60 τ=97.95
CC 101 SLU (Collegamento 0021_-378)
Azioni sul collegamento: N=-7136.43 Ty=4.37 Tz=2.96 Mx=0.00 Mz=3.85
Sollecitazioni agenti localmente: Ty_l=-1297.53 Mx_l=-25.95
Tensioni nella sezione: σ=314.55 τ=39.32
CC 102 SLU (Collegamento 0021_-378)
Azioni sul collegamento: N=-6585.90 Ty=4.08 Tz=0.92 Mx=0.00 Mz=3.64
Sollecitazioni agenti localmente: Ty_l=-1197.44 Mx_l=-23.95
Tensioni nella sezione: σ=290.29 τ=36.29
CC 103 SLU (Collegamento 0021_-378)
Azioni sul collegamento: N=-6860.19 Ty=4.11 Tz=1.96 Mx=0.00 Mz=3.53
Sollecitazioni agenti localmente: Ty_l=-1247.31 Mx_l=-24.95
Tensioni nella sezione: σ=302.38 τ=37.80
CC 104 SLU (Collegamento 0021_-378)
Azioni sul collegamento: N=-6862.15 Ty=4.33 Tz=1.92 Mx=0.00 Mz=3.96
Sollecitazioni agenti localmente: Ty_l=-1247.66 Mx_l=-24.95
Tensioni nella sezione: σ=302.46 τ=37.81

Flessione attacco inferiore piastra

Bnetta=220.00 Hnetta=15.00
CC 1 SLV (Collegamento 0021_-378)
Azioni sul collegamento: N=-3968.96 Ty=6.45 Tz=-8.85 Mx=0.01 Mz=7.08
Sollecitazioni agenti localmente: Ty_l=-721.63 Mx_l=-14.43
Tensioni nella sezione: σ=174.94 τ=21.87
CC 1 SLV (Collegamento 0021_-378)
Azioni sul collegamento: N=-3968.96 Ty=3.07 Tz=-8.85 Mx=0.01 Mz=3.83
Sollecitazioni agenti localmente: Ty_l=-721.63 Mx_l=-14.43
Tensioni nella sezione: σ=174.94 τ=21.87
CC 1 SLV (Collegamento 0021_-378)
Azioni sul collegamento: N=-3968.96 Ty=6.45 Tz=10.87 Mx=0.01 Mz=7.08
Sollecitazioni agenti localmente: Ty_l=-721.63 Mx_l=-14.43
Tensioni nella sezione: σ=174.94 τ=21.87
CC 1 SLV (Collegamento 0021_-378)
Azioni sul collegamento: N=-3968.96 Ty=3.07 Tz=10.87 Mx=0.01 Mz=3.83
Sollecitazioni agenti localmente: Ty_l=-721.63 Mx_l=-14.43

Tensioni nella sezione: σ=174.94 τ=21.87
CC 1 SLV (Collegamento 0021_-378)
Azioni sul collegamento: N=-9265.76 Ty=6.45 Tz=-8.85 Mx=0.01 Mz=7.08
Sollecitazioni agenti localmente: Ty_l=-1684.68 Mx_l=-33.69
Tensioni nella sezione: σ=408.41 τ=51.05
CC 1 SLV (Collegamento 0021_-378)
Azioni sul collegamento: N=-9265.76 Ty=3.07 Tz=-8.85 Mx=0.01 Mz=3.83
Sollecitazioni agenti localmente: Ty_l=-1684.68 Mx_l=-33.69
Tensioni nella sezione: σ=408.41 τ=51.05
CC 1 SLV (Collegamento 0021_-378)
Azioni sul collegamento: N=-9265.76 Ty=6.45 Tz=10.87 Mx=0.01 Mz=7.08
Sollecitazioni agenti localmente: Ty_l=-1684.68 Mx_l=-33.69
Tensioni nella sezione: σ=408.41 τ=51.05
CC 1 SLV (Collegamento 0021_-378)
Azioni sul collegamento: N=-9265.76 Ty=3.07 Tz=10.87 Mx=0.01 Mz=3.83
Sollecitazioni agenti localmente: Ty_l=-1684.68 Mx_l=-33.69
Tensioni nella sezione: σ=408.41 τ=51.05
CC 2 SLD (Collegamento 0021_-378)
Azioni sul collegamento: N=-5777.33 Ty=4.43 Tz=-2.12 Mx=0.00 Mz=3.87
Sollecitazioni agenti localmente: Ty_l=-1050.42 Mx_l=-21.01
Tensioni nella sezione: σ=254.65 τ=31.83
CC 2 SLD (Collegamento 0021_-378)
Azioni sul collegamento: N=-5777.33 Ty=3.40 Tz=-2.12 Mx=0.00 Mz=2.88
Sollecitazioni agenti localmente: Ty_l=-1050.42 Mx_l=-21.01
Tensioni nella sezione: σ=254.65 τ=31.83
CC 2 SLD (Collegamento 0021_-378)
Azioni sul collegamento: N=-5777.32 Ty=4.43 Tz=3.89 Mx=0.00 Mz=3.87
Sollecitazioni agenti localmente: Ty_l=-1050.42 Mx_l=-21.01
Tensioni nella sezione: σ=254.65 τ=31.83
CC 2 SLD (Collegamento 0021_-378)
Azioni sul collegamento: N=-5777.32 Ty=3.40 Tz=3.89 Mx=0.00 Mz=2.88
Sollecitazioni agenti localmente: Ty_l=-1050.42 Mx_l=-21.01
Tensioni nella sezione: σ=254.65 τ=31.83
CC 2 SLD (Collegamento 0021_-378)
Azioni sul collegamento: N=-7392.49 Ty=4.43 Tz=-2.12 Mx=0.00 Mz=3.87
Sollecitazioni agenti localmente: Ty_l=-1344.09 Mx_l=-26.88
Tensioni nella sezione: σ=325.84 τ=40.73
CC 2 SLD (Collegamento 0021_-378)
Azioni sul collegamento: N=-7392.49 Ty=3.40 Tz=-2.12 Mx=0.00 Mz=2.88
Sollecitazioni agenti localmente: Ty_l=-1344.09 Mx_l=-26.88
Tensioni nella sezione: σ=325.84 τ=40.73
CC 2 SLD (Collegamento 0021_-378)
Azioni sul collegamento: N=-7392.49 Ty=4.43 Tz=3.89 Mx=0.00 Mz=3.87
Sollecitazioni agenti localmente: Ty_l=-1344.09 Mx_l=-26.88
Tensioni nella sezione: σ=325.84 τ=40.73
CC 2 SLD (Collegamento 0021_-378)
Azioni sul collegamento: N=-7392.49 Ty=3.40 Tz=3.89 Mx=0.00 Mz=2.88
Sollecitazioni agenti localmente: Ty_l=-1344.09 Mx_l=-26.88
Tensioni nella sezione: σ=325.84 τ=40.73
CC 3 SLV (Collegamento 0021_-378)
Azioni sul collegamento: N=-3974.64 Ty=5.81 Tz=-8.72 Mx=0.01 Mz=5.82
Sollecitazioni agenti localmente: Ty_l=-722.66 Mx_l=-14.45
Tensioni nella sezione: σ=175.19 τ=21.90
CC 3 SLV (Collegamento 0021_-378)
Azioni sul collegamento: N=-3974.64 Ty=3.70 Tz=-8.72 Mx=0.01 Mz=5.08
Sollecitazioni agenti localmente: Ty_l=-722.66 Mx_l=-14.45
Tensioni nella sezione: σ=175.19 τ=21.90
CC 3 SLV (Collegamento 0021_-378)
Azioni sul collegamento: N=-3974.64 Ty=5.81 Tz=10.74 Mx=0.01 Mz=5.82
Sollecitazioni agenti localmente: Ty_l=-722.66 Mx_l=-14.45
Tensioni nella sezione: σ=175.19 τ=21.90
CC 3 SLV (Collegamento 0021_-378)
Azioni sul collegamento: N=-3974.64 Ty=3.70 Tz=10.74 Mx=0.01 Mz=5.08
Sollecitazioni agenti localmente: Ty_l=-722.66 Mx_l=-14.45
Tensioni nella sezione: σ=175.19 τ=21.90
CC 3 SLV (Collegamento 0021_-378)
Azioni sul collegamento: N=-9260.08 Ty=5.81 Tz=-8.72 Mx=0.01 Mz=5.82
Sollecitazioni agenti localmente: Ty_l=-1683.65 Mx_l=-33.67
Tensioni nella sezione: σ=408.16 τ=51.02
CC 3 SLV (Collegamento 0021_-378)
Azioni sul collegamento: N=-9260.08 Ty=3.70 Tz=-8.72 Mx=0.01 Mz=5.08
Sollecitazioni agenti localmente: Ty_l=-1683.65 Mx_l=-33.67
Tensioni nella sezione: σ=408.16 τ=51.02
CC 3 SLV (Collegamento 0021_-378)
Azioni sul collegamento: N=-9260.08 Ty=5.81 Tz=10.74 Mx=0.01 Mz=5.82
Sollecitazioni agenti localmente: Ty_l=-1683.65 Mx_l=-33.67
Tensioni nella sezione: σ=408.16 τ=51.02
CC 3 SLV (Collegamento 0021_-378)
Azioni sul collegamento: N=-9260.08 Ty=3.70 Tz=10.74 Mx=0.01 Mz=5.08

Sollecitazioni agenti localmente: Ty_l=-1683.65 Mx_l=-33.67
Tensioni nella sezione: σ=408.16 τ=51.02
CC 4 SLD (Collegamento 0021_-378)
Azioni sul collegamento: N=-5779.06 Ty=4.24 Tz=-2.08 Mx=0.00 Mz=3.48
Sollecitazioni agenti localmente: Ty_l=-1050.74 Mx_l=-21.01
Tensioni nella sezione: σ=254.72 τ=31.84
CC 4 SLD (Collegamento 0021_-378)
Azioni sul collegamento: N=-5779.06 Ty=3.59 Tz=-2.08 Mx=0.00 Mz=3.26
Sollecitazioni agenti localmente: Ty_l=-1050.74 Mx_l=-21.01
Tensioni nella sezione: σ=254.72 τ=31.84
CC 4 SLD (Collegamento 0021_-378)
Azioni sul collegamento: N=-5779.06 Ty=4.24 Tz=3.85 Mx=0.00 Mz=3.48
Sollecitazioni agenti localmente: Ty_l=-1050.74 Mx_l=-21.01
Tensioni nella sezione: σ=254.72 τ=31.84
CC 4 SLD (Collegamento 0021_-378)
Azioni sul collegamento: N=-5779.06 Ty=3.59 Tz=3.85 Mx=0.00 Mz=3.26
Sollecitazioni agenti localmente: Ty_l=-1050.74 Mx_l=-21.01
Tensioni nella sezione: σ=254.72 τ=31.84
CC 4 SLD (Collegamento 0021_-378)
Azioni sul collegamento: N=-7390.75 Ty=4.24 Tz=-2.08 Mx=0.00 Mz=3.48
Sollecitazioni agenti localmente: Ty_l=-1343.77 Mx_l=-26.88
Tensioni nella sezione: σ=325.76 τ=40.72
CC 4 SLD (Collegamento 0021_-378)
Azioni sul collegamento: N=-7390.75 Ty=3.59 Tz=-2.08 Mx=0.00 Mz=3.26
Sollecitazioni agenti localmente: Ty_l=-1343.77 Mx_l=-26.88
Tensioni nella sezione: σ=325.76 τ=40.72
CC 4 SLD (Collegamento 0021_-378)
Azioni sul collegamento: N=-7390.75 Ty=4.24 Tz=3.85 Mx=0.00 Mz=3.48
Sollecitazioni agenti localmente: Ty_l=-1343.77 Mx_l=-26.88
Tensioni nella sezione: σ=325.76 τ=40.72
CC 4 SLD (Collegamento 0021_-378)
Azioni sul collegamento: N=-7390.75 Ty=3.59 Tz=3.85 Mx=0.00 Mz=3.26
Sollecitazioni agenti localmente: Ty_l=-1343.77 Mx_l=-26.88
Tensioni nella sezione: σ=325.76 τ=40.72
CC 5 SLV (Collegamento 0021_-378)
Azioni sul collegamento: N=-9260.08 Ty=3.70 Tz=10.74 Mx=0.01 Mz=5.08
Sollecitazioni agenti localmente: Ty_l=-1683.65 Mx_l=-33.67
Tensioni nella sezione: σ=408.16 τ=51.02
CC 5 SLV (Collegamento 0021_-378)
Azioni sul collegamento: N=-9260.08 Ty=5.81 Tz=10.74 Mx=0.01 Mz=5.82
Sollecitazioni agenti localmente: Ty_l=-1683.65 Mx_l=-33.67
Tensioni nella sezione: σ=408.16 τ=51.02
CC 5 SLV (Collegamento 0021_-378)
Azioni sul collegamento: N=-9260.08 Ty=3.70 Tz=-8.72 Mx=0.01 Mz=5.08
Sollecitazioni agenti localmente: Ty_l=-1683.65 Mx_l=-33.67
Tensioni nella sezione: σ=408.16 τ=51.02
CC 5 SLV (Collegamento 0021_-378)
Azioni sul collegamento: N=-9260.08 Ty=5.81 Tz=-8.72 Mx=0.01 Mz=5.82
Sollecitazioni agenti localmente: Ty_l=-1683.65 Mx_l=-33.67
Tensioni nella sezione: σ=408.16 τ=51.02
CC 5 SLV (Collegamento 0021_-378)
Azioni sul collegamento: N=-3974.64 Ty=3.70 Tz=10.74 Mx=0.01 Mz=5.08
Sollecitazioni agenti localmente: Ty_l=-722.66 Mx_l=-14.45
Tensioni nella sezione: σ=175.19 τ=21.90
CC 5 SLV (Collegamento 0021_-378)
Azioni sul collegamento: N=-3974.64 Ty=5.81 Tz=10.74 Mx=0.01 Mz=5.82
Sollecitazioni agenti localmente: Ty_l=-722.66 Mx_l=-14.45
Tensioni nella sezione: σ=175.19 τ=21.90
CC 5 SLV (Collegamento 0021_-378)
Azioni sul collegamento: N=-3974.64 Ty=3.70 Tz=-8.72 Mx=0.01 Mz=5.08
Sollecitazioni agenti localmente: Ty_l=-722.66 Mx_l=-14.45
Tensioni nella sezione: σ=175.19 τ=21.90
CC 5 SLV (Collegamento 0021_-378)
Azioni sul collegamento: N=-3974.64 Ty=5.81 Tz=-8.72 Mx=0.01 Mz=5.82
Sollecitazioni agenti localmente: Ty_l=-722.66 Mx_l=-14.45
Tensioni nella sezione: σ=175.19 τ=21.90
CC 6 SLD (Collegamento 0021_-378)
Azioni sul collegamento: N=-7390.75 Ty=3.59 Tz=3.85 Mx=0.00 Mz=3.26
Sollecitazioni agenti localmente: Ty_l=-1343.77 Mx_l=-26.88
Tensioni nella sezione: σ=325.76 τ=40.72
CC 6 SLD (Collegamento 0021_-378)
Azioni sul collegamento: N=-7390.75 Ty=4.24 Tz=3.85 Mx=0.00 Mz=3.48
Sollecitazioni agenti localmente: Ty_l=-1343.77 Mx_l=-26.88
Tensioni nella sezione: σ=325.76 τ=40.72
CC 6 SLD (Collegamento 0021_-378)
Azioni sul collegamento: N=-7390.75 Ty=3.59 Tz=-2.08 Mx=0.00 Mz=3.26
Sollecitazioni agenti localmente: Ty_l=-1343.77 Mx_l=-26.88
Tensioni nella sezione: σ=325.76 τ=40.72
CC 6 SLD (Collegamento 0021_-378)

Azioni sul collegamento: N=-7390.75 Ty=4.24 Tz=-2.08 Mx=0.00 Mz=3.48
Sollecitazioni agenti localmente: Ty_l=-1343.77 Mx_l=-26.88
Tensioni nella sezione: σ=325.76 τ=40.72
CC 6 SLD (Collegamento 0021_-378)
Azioni sul collegamento: N=-5779.06 Ty=3.59 Tz=3.85 Mx=0.00 Mz=3.26
Sollecitazioni agenti localmente: Ty_l=-1050.74 Mx_l=-21.01
Tensioni nella sezione: σ=254.72 τ=31.84
CC 6 SLD (Collegamento 0021_-378)
Azioni sul collegamento: N=-5779.06 Ty=4.24 Tz=3.85 Mx=0.00 Mz=3.48
Sollecitazioni agenti localmente: Ty_l=-1050.74 Mx_l=-21.01
Tensioni nella sezione: σ=254.72 τ=31.84
CC 6 SLD (Collegamento 0021_-378)
Azioni sul collegamento: N=-5779.06 Ty=3.59 Tz=-2.08 Mx=0.00 Mz=3.26
Sollecitazioni agenti localmente: Ty_l=-1050.74 Mx_l=-21.01
Tensioni nella sezione: σ=254.72 τ=31.84
CC 6 SLD (Collegamento 0021_-378)
Azioni sul collegamento: N=-5779.06 Ty=4.24 Tz=-2.08 Mx=0.00 Mz=3.48
Sollecitazioni agenti localmente: Ty_l=-1050.74 Mx_l=-21.01
Tensioni nella sezione: σ=254.72 τ=31.84
CC 7 SLV (Collegamento 0021_-378)
Azioni sul collegamento: N=-9265.76 Ty=3.07 Tz=10.87 Mx=0.01 Mz=3.83
Sollecitazioni agenti localmente: Ty_l=-1684.68 Mx_l=-33.69
Tensioni nella sezione: σ=408.41 τ=51.05
CC 7 SLV (Collegamento 0021_-378)
Azioni sul collegamento: N=-9265.76 Ty=6.45 Tz=10.87 Mx=0.01 Mz=7.08
Sollecitazioni agenti localmente: Ty_l=-1684.68 Mx_l=-33.69
Tensioni nella sezione: σ=408.41 τ=51.05
CC 7 SLV (Collegamento 0021_-378)
Azioni sul collegamento: N=-9265.76 Ty=3.07 Tz=-8.85 Mx=0.01 Mz=3.83
Sollecitazioni agenti localmente: Ty_l=-1684.68 Mx_l=-33.69
Tensioni nella sezione: σ=408.41 τ=51.05
CC 7 SLV (Collegamento 0021_-378)
Azioni sul collegamento: N=-9265.76 Ty=6.45 Tz=-8.85 Mx=0.01 Mz=7.08
Sollecitazioni agenti localmente: Ty_l=-1684.68 Mx_l=-33.69
Tensioni nella sezione: σ=408.41 τ=51.05
CC 7 SLV (Collegamento 0021_-378)
Azioni sul collegamento: N=-3968.96 Ty=3.07 Tz=10.87 Mx=0.01 Mz=3.83
Sollecitazioni agenti localmente: Ty_l=-721.63 Mx_l=-14.43
Tensioni nella sezione: σ=174.94 τ=21.87
CC 7 SLV (Collegamento 0021_-378)
Azioni sul collegamento: N=-3968.96 Ty=6.45 Tz=10.87 Mx=0.01 Mz=7.08
Sollecitazioni agenti localmente: Ty_l=-721.63 Mx_l=-14.43
Tensioni nella sezione: σ=174.94 τ=21.87
CC 7 SLV (Collegamento 0021_-378)
Azioni sul collegamento: N=-3968.96 Ty=3.07 Tz=-8.85 Mx=0.01 Mz=3.83
Sollecitazioni agenti localmente: Ty_l=-721.63 Mx_l=-14.43
Tensioni nella sezione: σ=174.94 τ=21.87
CC 7 SLV (Collegamento 0021_-378)
Azioni sul collegamento: N=-3968.96 Ty=6.45 Tz=-8.85 Mx=0.01 Mz=7.08
Sollecitazioni agenti localmente: Ty_l=-721.63 Mx_l=-14.43
Tensioni nella sezione: σ=174.94 τ=21.87
CC 8 SLD (Collegamento 0021_-378)
Azioni sul collegamento: N=-7392.49 Ty=3.40 Tz=3.89 Mx=-0.00 Mz=2.88
Sollecitazioni agenti localmente: Ty_l=-1344.09 Mx_l=-26.88
Tensioni nella sezione: σ=325.84 τ=40.73
CC 8 SLD (Collegamento 0021_-378)
Azioni sul collegamento: N=-7392.49 Ty=4.43 Tz=3.89 Mx=-0.00 Mz=3.87
Sollecitazioni agenti localmente: Ty_l=-1344.09 Mx_l=-26.88
Tensioni nella sezione: σ=325.84 τ=40.73
CC 8 SLD (Collegamento 0021_-378)
Azioni sul collegamento: N=-7392.49 Ty=3.40 Tz=-2.12 Mx=-0.00 Mz=2.88
Sollecitazioni agenti localmente: Ty_l=-1344.09 Mx_l=-26.88
Tensioni nella sezione: σ=325.84 τ=40.73
CC 8 SLD (Collegamento 0021_-378)
Azioni sul collegamento: N=-7392.49 Ty=4.43 Tz=-2.12 Mx=-0.00 Mz=3.87
Sollecitazioni agenti localmente: Ty_l=-1344.09 Mx_l=-26.88
Tensioni nella sezione: σ=325.84 τ=40.73
CC 8 SLD (Collegamento 0021_-378)
Azioni sul collegamento: N=-5777.32 Ty=3.40 Tz=3.89 Mx=-0.00 Mz=2.88
Sollecitazioni agenti localmente: Ty_l=-1050.42 Mx_l=-21.01
Tensioni nella sezione: σ=254.65 τ=31.83
CC 8 SLD (Collegamento 0021_-378)
Azioni sul collegamento: N=-5777.32 Ty=4.43 Tz=3.89 Mx=-0.00 Mz=3.87
Sollecitazioni agenti localmente: Ty_l=-1050.42 Mx_l=-21.01
Tensioni nella sezione: σ=254.65 τ=31.83
CC 8 SLD (Collegamento 0021_-378)
Azioni sul collegamento: N=-5777.33 Ty=3.40 Tz=-2.12 Mx=-0.00 Mz=2.88
Sollecitazioni agenti localmente: Ty_l=-1050.42 Mx_l=-21.01
Tensioni nella sezione: σ=254.65 τ=31.83

CC 8 SLD (Collegamento 0021_-378)
Azioni sul collegamento: N=-5777.33 Ty=4.43 Tz=-2.12 Mx=-0.00 Mz=3.87
Sollecitazioni agenti localmente: Ty_l=-1050.42 Mx_l=-21.01
Tensioni nella sezione: σ=254.65 τ=31.83
CC 9 SLV (Collegamento 0021_-378)
Azioni sul collegamento: N=-5814.22 Ty=6.23 Tz=-2.14 Mx=0.02 Mz=7.84
Sollecitazioni agenti localmente: Ty_l=-1057.13 Mx_l=-21.14
Tensioni nella sezione: σ=256.27 τ=32.03
CC 9 SLV (Collegamento 0021_-378)
Azioni sul collegamento: N=-5814.22 Ty=3.29 Tz=-2.14 Mx=0.02 Mz=3.06
Sollecitazioni agenti localmente: Ty_l=-1057.13 Mx_l=-21.14
Tensioni nella sezione: σ=256.27 τ=32.03
CC 9 SLV (Collegamento 0021_-378)
Azioni sul collegamento: N=-5814.22 Ty=6.23 Tz=4.16 Mx=0.02 Mz=7.84
Sollecitazioni agenti localmente: Ty_l=-1057.13 Mx_l=-21.14
Tensioni nella sezione: σ=256.27 τ=32.03
CC 9 SLV (Collegamento 0021_-378)
Azioni sul collegamento: N=-5814.22 Ty=3.29 Tz=4.16 Mx=0.02 Mz=3.06
Sollecitazioni agenti localmente: Ty_l=-1057.13 Mx_l=-21.14
Tensioni nella sezione: σ=256.27 τ=32.03
CC 9 SLV (Collegamento 0021_-378)
Azioni sul collegamento: N=-7420.50 Ty=6.23 Tz=-2.14 Mx=0.02 Mz=7.84
Sollecitazioni agenti localmente: Ty_l=-1349.18 Mx_l=-26.98
Tensioni nella sezione: σ=327.07 τ=40.88
CC 9 SLV (Collegamento 0021_-378)
Azioni sul collegamento: N=-7420.50 Ty=3.29 Tz=-2.14 Mx=0.02 Mz=3.06
Sollecitazioni agenti localmente: Ty_l=-1349.18 Mx_l=-26.98
Tensioni nella sezione: σ=327.07 τ=40.88
CC 9 SLV (Collegamento 0021_-378)
Azioni sul collegamento: N=-7420.50 Ty=6.23 Tz=4.16 Mx=0.02 Mz=7.84
Sollecitazioni agenti localmente: Ty_l=-1349.18 Mx_l=-26.98
Tensioni nella sezione: σ=327.07 τ=40.88
CC 9 SLV (Collegamento 0021_-378)
Azioni sul collegamento: N=-7420.50 Ty=3.29 Tz=4.16 Mx=0.02 Mz=3.06
Sollecitazioni agenti localmente: Ty_l=-1349.18 Mx_l=-26.98
Tensioni nella sezione: σ=327.07 τ=40.88
CC 10 SLD (Collegamento 0021_-378)
Azioni sul collegamento: N=-6340.00 Ty=4.36 Tz=-0.08 Mx=0.00 Mz=4.10
Sollecitazioni agenti localmente: Ty_l=-1152.73 Mx_l=-23.05
Tensioni nella sezione: σ=279.45 τ=34.93
CC 10 SLD (Collegamento 0021_-378)
Azioni sul collegamento: N=-6340.00 Ty=3.47 Tz=-0.08 Mx=0.00 Mz=2.64
Sollecitazioni agenti localmente: Ty_l=-1152.73 Mx_l=-23.05
Tensioni nella sezione: σ=279.45 τ=34.93
CC 10 SLD (Collegamento 0021_-378)
Azioni sul collegamento: N=-6340.00 Ty=4.36 Tz=1.85 Mx=0.00 Mz=4.10
Sollecitazioni agenti localmente: Ty_l=-1152.73 Mx_l=-23.05
Tensioni nella sezione: σ=279.45 τ=34.93
CC 10 SLD (Collegamento 0021_-378)
Azioni sul collegamento: N=-6340.00 Ty=3.47 Tz=1.85 Mx=0.00 Mz=2.64
Sollecitazioni agenti localmente: Ty_l=-1152.73 Mx_l=-23.05
Tensioni nella sezione: σ=279.45 τ=34.93
CC 10 SLD (Collegamento 0021_-378)
Azioni sul collegamento: N=-6829.81 Ty=4.36 Tz=-0.08 Mx=0.00 Mz=4.10
Sollecitazioni agenti localmente: Ty_l=-1241.78 Mx_l=-24.84
Tensioni nella sezione: σ=301.04 τ=37.63
CC 10 SLD (Collegamento 0021_-378)
Azioni sul collegamento: N=-6829.81 Ty=3.47 Tz=-0.08 Mx=0.00 Mz=2.64
Sollecitazioni agenti localmente: Ty_l=-1241.78 Mx_l=-24.84
Tensioni nella sezione: σ=301.04 τ=37.63
CC 10 SLD (Collegamento 0021_-378)
Azioni sul collegamento: N=-6829.81 Ty=4.36 Tz=1.85 Mx=0.00 Mz=4.10
Sollecitazioni agenti localmente: Ty_l=-1241.78 Mx_l=-24.84
Tensioni nella sezione: σ=301.04 τ=37.63
CC 10 SLD (Collegamento 0021_-378)
Azioni sul collegamento: N=-6829.81 Ty=3.47 Tz=1.85 Mx=0.00 Mz=2.64
Sollecitazioni agenti localmente: Ty_l=-1241.78 Mx_l=-24.84
Tensioni nella sezione: σ=301.04 τ=37.63
CC 11 SLV (Collegamento 0021_-378)
Azioni sul collegamento: N=-7401.56 Ty=5.40 Tz=3.74 Mx=0.02 Mz=7.25
Sollecitazioni agenti localmente: Ty_l=-1345.74 Mx_l=-26.91
Tensioni nella sezione: σ=326.24 τ=40.78
CC 11 SLV (Collegamento 0021_-378)
Azioni sul collegamento: N=-7401.56 Ty=4.11 Tz=3.74 Mx=0.02 Mz=3.66
Sollecitazioni agenti localmente: Ty_l=-1345.74 Mx_l=-26.91
Tensioni nella sezione: σ=326.24 τ=40.78
CC 11 SLV (Collegamento 0021_-378)
Azioni sul collegamento: N=-7401.56 Ty=5.40 Tz=-1.71 Mx=0.02 Mz=7.25
Sollecitazioni agenti localmente: Ty_l=-1345.74 Mx_l=-26.91

Tensioni nella sezione: σ=326.24 τ=40.78
CC 11 SLV (Collegamento 0021_-378)
Azioni sul collegamento: N=-7401.56 Ty=4.11 Tz=-1.71 Mx=0.02 Mz=3.66
Sollecitazioni agenti localmente: Ty_l=-1345.74 Mx_l=-26.91
Tensioni nella sezione: σ=326.24 τ=40.78
CC 11 SLV (Collegamento 0021_-378)
Azioni sul collegamento: N=-5833.17 Ty=5.40 Tz=3.74 Mx=0.02 Mz=7.25
Sollecitazioni agenti localmente: Ty_l=-1060.58 Mx_l=-21.21
Tensioni nella sezione: σ=257.11 τ=32.14
CC 11 SLV (Collegamento 0021_-378)
Azioni sul collegamento: N=-5833.17 Ty=4.11 Tz=3.74 Mx=0.02 Mz=3.66
Sollecitazioni agenti localmente: Ty_l=-1060.58 Mx_l=-21.21
Tensioni nella sezione: σ=257.11 τ=32.14
CC 11 SLV (Collegamento 0021_-378)
Azioni sul collegamento: N=-5833.17 Ty=5.40 Tz=-1.71 Mx=0.02 Mz=7.25
Sollecitazioni agenti localmente: Ty_l=-1060.58 Mx_l=-21.21
Tensioni nella sezione: σ=257.11 τ=32.14
CC 11 SLV (Collegamento 0021_-378)
Azioni sul collegamento: N=-5833.17 Ty=4.11 Tz=-1.71 Mx=0.02 Mz=3.66
Sollecitazioni agenti localmente: Ty_l=-1060.58 Mx_l=-21.21
Tensioni nella sezione: σ=257.11 τ=32.14
CC 12 SLD (Collegamento 0021_-378)
Azioni sul collegamento: N=-6824.03 Ty=4.11 Tz=1.72 Mx=0.00 Mz=3.92
Sollecitazioni agenti localmente: Ty_l=-1240.73 Mx_l=-24.81
Tensioni nella sezione: σ=300.78 τ=37.60
CC 12 SLD (Collegamento 0021_-378)
Azioni sul collegamento: N=-6824.03 Ty=3.72 Tz=1.72 Mx=0.00 Mz=2.82
Sollecitazioni agenti localmente: Ty_l=-1240.73 Mx_l=-24.81
Tensioni nella sezione: σ=300.78 τ=37.60
CC 12 SLD (Collegamento 0021_-378)
Azioni sul collegamento: N=-6824.03 Ty=4.11 Tz=0.05 Mx=0.00 Mz=3.92
Sollecitazioni agenti localmente: Ty_l=-1240.73 Mx_l=-24.81
Tensioni nella sezione: σ=300.78 τ=37.60
CC 12 SLD (Collegamento 0021_-378)
Azioni sul collegamento: N=-6824.03 Ty=3.72 Tz=0.05 Mx=0.00 Mz=2.82
Sollecitazioni agenti localmente: Ty_l=-1240.73 Mx_l=-24.81
Tensioni nella sezione: σ=300.78 τ=37.60
CC 12 SLD (Collegamento 0021_-378)
Azioni sul collegamento: N=-6345.78 Ty=4.11 Tz=1.72 Mx=0.00 Mz=3.92
Sollecitazioni agenti localmente: Ty_l=-1153.78 Mx_l=-23.08
Tensioni nella sezione: σ=279.70 τ=34.96
CC 12 SLD (Collegamento 0021_-378)
Azioni sul collegamento: N=-6345.78 Ty=3.72 Tz=1.72 Mx=0.00 Mz=2.82
Sollecitazioni agenti localmente: Ty_l=-1153.78 Mx_l=-23.08
Tensioni nella sezione: σ=279.70 τ=34.96
CC 12 SLD (Collegamento 0021_-378)
Azioni sul collegamento: N=-6345.78 Ty=4.11 Tz=0.05 Mx=0.00 Mz=3.92
Sollecitazioni agenti localmente: Ty_l=-1153.78 Mx_l=-23.08
Tensioni nella sezione: σ=279.70 τ=34.96
CC 12 SLD (Collegamento 0021_-378)
Azioni sul collegamento: N=-6345.78 Ty=3.72 Tz=0.05 Mx=0.00 Mz=2.82
Sollecitazioni agenti localmente: Ty_l=-1153.78 Mx_l=-23.08
Tensioni nella sezione: σ=279.70 τ=34.96
CC 13 SLV (Collegamento 0021_-378)
Azioni sul collegamento: N=-5833.17 Ty=4.11 Tz=-1.71 Mx=0.00 Mz=3.66
Sollecitazioni agenti localmente: Ty_l=-1060.58 Mx_l=-21.21
Tensioni nella sezione: σ=257.11 τ=32.14
CC 13 SLV (Collegamento 0021_-378)
Azioni sul collegamento: N=-5833.17 Ty=5.40 Tz=-1.71 Mx=0.00 Mz=7.25
Sollecitazioni agenti localmente: Ty_l=-1060.58 Mx_l=-21.21
Tensioni nella sezione: σ=257.11 τ=32.14
CC 13 SLV (Collegamento 0021_-378)
Azioni sul collegamento: N=-5833.17 Ty=4.11 Tz=3.74 Mx=0.00 Mz=3.66
Sollecitazioni agenti localmente: Ty_l=-1060.58 Mx_l=-21.21
Tensioni nella sezione: σ=257.11 τ=32.14
CC 13 SLV (Collegamento 0021_-378)
Azioni sul collegamento: N=-5833.17 Ty=5.40 Tz=3.74 Mx=0.00 Mz=7.25
Sollecitazioni agenti localmente: Ty_l=-1060.58 Mx_l=-21.21
Tensioni nella sezione: σ=257.11 τ=32.14
CC 13 SLV (Collegamento 0021_-378)
Azioni sul collegamento: N=-7401.56 Ty=4.11 Tz=-1.71 Mx=0.00 Mz=3.66
Sollecitazioni agenti localmente: Ty_l=-1345.74 Mx_l=-26.91
Tensioni nella sezione: σ=326.24 τ=40.78
CC 13 SLV (Collegamento 0021_-378)
Azioni sul collegamento: N=-7401.56 Ty=5.40 Tz=-1.71 Mx=0.00 Mz=7.25
Sollecitazioni agenti localmente: Ty_l=-1345.74 Mx_l=-26.91
Tensioni nella sezione: σ=326.24 τ=40.78
CC 13 SLV (Collegamento 0021_-378)
Azioni sul collegamento: N=-7401.56 Ty=4.11 Tz=3.74 Mx=0.00 Mz=3.66

Sollecitazioni agenti localmente: Ty_l=-1345.74 Mx_l=-26.91
Tensioni nella sezione: σ=326.24 τ=40.78
CC 13 SLV (Collegamento 0021_-378)
Azioni sul collegamento: N=-7401.56 Ty=5.40 Tz=3.74 Mx=0.00 Mz=7.25
Sollecitazioni agenti localmente: Ty_l=-1345.74 Mx_l=-26.91
Tensioni nella sezione: σ=326.24 τ=40.78
CC 14 SLD (Collegamento 0021_-378)
Azioni sul collegamento: N=-6345.78 Ty=3.72 Tz=0.05 Mx=-0.00 Mz=2.82
Sollecitazioni agenti localmente: Ty_l=-1153.78 Mx_l=-23.08
Tensioni nella sezione: σ=279.70 τ=34.96
CC 14 SLD (Collegamento 0021_-378)
Azioni sul collegamento: N=-6345.78 Ty=4.11 Tz=0.05 Mx=-0.00 Mz=3.92
Sollecitazioni agenti localmente: Ty_l=-1153.78 Mx_l=-23.08
Tensioni nella sezione: σ=279.70 τ=34.96
CC 14 SLD (Collegamento 0021_-378)
Azioni sul collegamento: N=-6345.78 Ty=3.72 Tz=1.72 Mx=-0.00 Mz=2.82
Sollecitazioni agenti localmente: Ty_l=-1153.78 Mx_l=-23.08
Tensioni nella sezione: σ=279.70 τ=34.96
CC 14 SLD (Collegamento 0021_-378)
Azioni sul collegamento: N=-6345.78 Ty=4.11 Tz=1.72 Mx=-0.00 Mz=3.92
Sollecitazioni agenti localmente: Ty_l=-1153.78 Mx_l=-23.08
Tensioni nella sezione: σ=279.70 τ=34.96
CC 14 SLD (Collegamento 0021_-378)
Azioni sul collegamento: N=-6824.03 Ty=3.72 Tz=0.05 Mx=-0.00 Mz=2.82
Sollecitazioni agenti localmente: Ty_l=-1240.73 Mx_l=-24.81
Tensioni nella sezione: σ=300.78 τ=37.60
CC 14 SLD (Collegamento 0021_-378)
Azioni sul collegamento: N=-6824.03 Ty=4.11 Tz=0.05 Mx=-0.00 Mz=3.92
Sollecitazioni agenti localmente: Ty_l=-1240.73 Mx_l=-24.81
Tensioni nella sezione: σ=300.78 τ=37.60
CC 14 SLD (Collegamento 0021_-378)
Azioni sul collegamento: N=-6824.03 Ty=3.72 Tz=1.72 Mx=-0.00 Mz=2.82
Sollecitazioni agenti localmente: Ty_l=-1240.73 Mx_l=-24.81
Tensioni nella sezione: σ=300.78 τ=37.60
CC 14 SLD (Collegamento 0021_-378)
Azioni sul collegamento: N=-6824.03 Ty=4.11 Tz=1.72 Mx=-0.00 Mz=3.92
Sollecitazioni agenti localmente: Ty_l=-1240.73 Mx_l=-24.81
Tensioni nella sezione: σ=300.78 τ=37.60
CC 15 SLV (Collegamento 0021_-378)
Azioni sul collegamento: N=-7420.50 Ty=3.29 Tz=4.16 Mx=0.00 Mz=3.06
Sollecitazioni agenti localmente: Ty_l=-1349.18 Mx_l=-26.98
Tensioni nella sezione: σ=327.07 τ=40.88
CC 15 SLV (Collegamento 0021_-378)
Azioni sul collegamento: N=-7420.50 Ty=6.23 Tz=4.16 Mx=0.00 Mz=7.84
Sollecitazioni agenti localmente: Ty_l=-1349.18 Mx_l=-26.98
Tensioni nella sezione: σ=327.07 τ=40.88
CC 15 SLV (Collegamento 0021_-378)
Azioni sul collegamento: N=-7420.50 Ty=3.29 Tz=-2.14 Mx=0.00 Mz=3.06
Sollecitazioni agenti localmente: Ty_l=-1349.18 Mx_l=-26.98
Tensioni nella sezione: σ=327.07 τ=40.88
CC 15 SLV (Collegamento 0021_-378)
Azioni sul collegamento: N=-7420.50 Ty=6.23 Tz=-2.14 Mx=0.00 Mz=7.84
Sollecitazioni agenti localmente: Ty_l=-1349.18 Mx_l=-26.98
Tensioni nella sezione: σ=327.07 τ=40.88
CC 15 SLV (Collegamento 0021_-378)
Azioni sul collegamento: N=-5814.22 Ty=3.29 Tz=4.16 Mx=0.00 Mz=3.06
Sollecitazioni agenti localmente: Ty_l=-1057.13 Mx_l=-21.14
Tensioni nella sezione: σ=256.27 τ=32.03
CC 15 SLV (Collegamento 0021_-378)
Azioni sul collegamento: N=-5814.22 Ty=6.23 Tz=4.16 Mx=0.00 Mz=7.84
Sollecitazioni agenti localmente: Ty_l=-1057.13 Mx_l=-21.14
Tensioni nella sezione: σ=256.27 τ=32.03
CC 15 SLV (Collegamento 0021_-378)
Azioni sul collegamento: N=-5814.22 Ty=3.29 Tz=-2.14 Mx=0.00 Mz=3.06
Sollecitazioni agenti localmente: Ty_l=-1057.13 Mx_l=-21.14
Tensioni nella sezione: σ=256.27 τ=32.03
CC 15 SLV (Collegamento 0021_-378)
Azioni sul collegamento: N=-5814.22 Ty=6.23 Tz=-2.14 Mx=0.00 Mz=7.84
Sollecitazioni agenti localmente: Ty_l=-1057.13 Mx_l=-21.14
Tensioni nella sezione: σ=256.27 τ=32.03
CC 16 SLD (Collegamento 0021_-378)
Azioni sul collegamento: N=-6829.81 Ty=3.47 Tz=1.85 Mx=-0.00 Mz=2.64
Sollecitazioni agenti localmente: Ty_l=-1241.78 Mx_l=-24.84
Tensioni nella sezione: σ=301.04 τ=37.63
CC 16 SLD (Collegamento 0021_-378)
Azioni sul collegamento: N=-6829.81 Ty=4.36 Tz=1.85 Mx=-0.00 Mz=4.10
Sollecitazioni agenti localmente: Ty_l=-1241.78 Mx_l=-24.84
Tensioni nella sezione: σ=301.04 τ=37.63
CC 16 SLD (Collegamento 0021_-378)

Azioni sul collegamento: N=-6829.81 Ty=3.47 Tz=-0.08 Mx=-0.00 Mz=2.64
Sollecitazioni agenti localmente: Ty_l=-1241.78 Mx_l=-24.84
Tensioni nella sezione: σ=301.04 τ=37.63
CC 16 SLD (Collegamento 0021_-378)
Azioni sul collegamento: N=-6829.81 Ty=4.36 Tz=-0.08 Mx=-0.00 Mz=4.10
Sollecitazioni agenti localmente: Ty_l=-1241.78 Mx_l=-24.84
Tensioni nella sezione: σ=301.04 τ=37.63
CC 16 SLD (Collegamento 0021_-378)
Azioni sul collegamento: N=-6340.00 Ty=3.47 Tz=1.85 Mx=-0.00 Mz=2.64
Sollecitazioni agenti localmente: Ty_l=-1152.73 Mx_l=-23.05
Tensioni nella sezione: σ=279.45 τ=34.93
CC 16 SLD (Collegamento 0021_-378)
Azioni sul collegamento: N=-6340.00 Ty=4.36 Tz=1.85 Mx=-0.00 Mz=4.10
Sollecitazioni agenti localmente: Ty_l=-1152.73 Mx_l=-23.05
Tensioni nella sezione: σ=279.45 τ=34.93
CC 16 SLD (Collegamento 0021_-378)
Azioni sul collegamento: N=-6340.00 Ty=3.47 Tz=-0.08 Mx=-0.00 Mz=2.64
Sollecitazioni agenti localmente: Ty_l=-1152.73 Mx_l=-23.05
Tensioni nella sezione: σ=279.45 τ=34.93
CC 16 SLD (Collegamento 0021_-378)
Azioni sul collegamento: N=-6340.00 Ty=4.36 Tz=-0.08 Mx=-0.00 Mz=4.10
Sollecitazioni agenti localmente: Ty_l=-1152.73 Mx_l=-23.05
Tensioni nella sezione: σ=279.45 τ=34.93
CC 17 SLV (Collegamento 0021_-378)
Azioni sul collegamento: N=-3875.57 Ty=0.64 Tz=-9.21 Mx=-0.02 Mz=1.09
Sollecitazioni agenti localmente: Ty_l=-704.65 Mx_l=-14.09
Tensioni nella sezione: σ=170.82 τ=21.35
CC 17 SLV (Collegamento 0021_-378)
Azioni sul collegamento: N=-3875.57 Ty=4.02 Tz=-9.21 Mx=-0.02 Mz=-2.16
Sollecitazioni agenti localmente: Ty_l=-704.65 Mx_l=-14.09
Tensioni nella sezione: σ=170.82 τ=21.35
CC 17 SLV (Collegamento 0021_-378)
Azioni sul collegamento: N=-3875.57 Ty=0.64 Tz=10.50 Mx=-0.02 Mz=1.09
Sollecitazioni agenti localmente: Ty_l=-704.65 Mx_l=-14.09
Tensioni nella sezione: σ=170.82 τ=21.35
CC 17 SLV (Collegamento 0021_-378)
Azioni sul collegamento: N=-3875.57 Ty=4.02 Tz=10.50 Mx=-0.02 Mz=-2.16
Sollecitazioni agenti localmente: Ty_l=-704.65 Mx_l=-14.09
Tensioni nella sezione: σ=170.82 τ=21.35
CC 17 SLV (Collegamento 0021_-378)
Azioni sul collegamento: N=-9172.38 Ty=0.64 Tz=-9.21 Mx=-0.02 Mz=1.09
Sollecitazioni agenti localmente: Ty_l=-1667.70 Mx_l=-33.35
Tensioni nella sezione: σ=404.29 τ=50.54
CC 17 SLV (Collegamento 0021_-378)
Azioni sul collegamento: N=-9172.38 Ty=4.02 Tz=-9.21 Mx=-0.02 Mz=-2.16
Sollecitazioni agenti localmente: Ty_l=-1667.70 Mx_l=-33.35
Tensioni nella sezione: σ=404.29 τ=50.54
CC 17 SLV (Collegamento 0021_-378)
Azioni sul collegamento: N=-9172.38 Ty=0.64 Tz=10.50 Mx=-0.02 Mz=1.09
Sollecitazioni agenti localmente: Ty_l=-1667.70 Mx_l=-33.35
Tensioni nella sezione: σ=404.29 τ=50.54
CC 17 SLV (Collegamento 0021_-378)
Azioni sul collegamento: N=-9172.38 Ty=4.02 Tz=10.50 Mx=-0.02 Mz=-2.16
Sollecitazioni agenti localmente: Ty_l=-1667.70 Mx_l=-33.35
Tensioni nella sezione: σ=404.29 τ=50.54
CC 18 SLD (Collegamento 0021_-378)
Azioni sul collegamento: N=-5748.85 Ty=3.69 Tz=-2.23 Mx=-0.01 Mz=2.04
Sollecitazioni agenti localmente: Ty_l=-1045.24 Mx_l=-20.90
Tensioni nella sezione: σ=253.39 τ=31.67
CC 18 SLD (Collegamento 0021_-378)
Azioni sul collegamento: N=-5748.85 Ty=2.66 Tz=-2.23 Mx=-0.01 Mz=1.05
Sollecitazioni agenti localmente: Ty_l=-1045.24 Mx_l=-20.90
Tensioni nella sezione: σ=253.39 τ=31.67
CC 18 SLD (Collegamento 0021_-378)
Azioni sul collegamento: N=-5748.85 Ty=3.69 Tz=3.78 Mx=-0.01 Mz=2.04
Sollecitazioni agenti localmente: Ty_l=-1045.24 Mx_l=-20.90
Tensioni nella sezione: σ=253.39 τ=31.67
CC 18 SLD (Collegamento 0021_-378)
Azioni sul collegamento: N=-5748.85 Ty=2.66 Tz=3.78 Mx=-0.01 Mz=1.05
Sollecitazioni agenti localmente: Ty_l=-1045.24 Mx_l=-20.90
Tensioni nella sezione: σ=253.39 τ=31.67
CC 18 SLD (Collegamento 0021_-378)
Azioni sul collegamento: N=-7364.01 Ty=3.69 Tz=-2.23 Mx=-0.01 Mz=2.04
Sollecitazioni agenti localmente: Ty_l=-1338.91 Mx_l=-26.78
Tensioni nella sezione: σ=324.58 τ=40.57
CC 18 SLD (Collegamento 0021_-378)
Azioni sul collegamento: N=-7364.01 Ty=2.66 Tz=-2.23 Mx=-0.01 Mz=1.05
Sollecitazioni agenti localmente: Ty_l=-1338.91 Mx_l=-26.78
Tensioni nella sezione: σ=324.58 τ=40.57

CC 18 SLD (Collegamento 0021_-378)
Azioni sul collegamento: N=-7364.01 Ty=3.69 Tz=3.78 Mx=-0.01 Mz=2.04
Sollecitazioni agenti localmente: Ty_l=-1338.91 Mx_l=-26.78
Tensioni nella sezione: σ=324.58 τ=40.57
CC 18 SLD (Collegamento 0021_-378)
Azioni sul collegamento: N=-7364.01 Ty=2.66 Tz=3.78 Mx=-0.01 Mz=1.05
Sollecitazioni agenti localmente: Ty_l=-1338.91 Mx_l=-26.78
Tensioni nella sezione: σ=324.58 τ=40.57
CC 19 SLV (Collegamento 0021_-378)
Azioni sul collegamento: N=-3881.26 Ty=1.27 Tz=-9.09 Mx=-0.02 Mz=-0.17
Sollecitazioni agenti localmente: Ty_l=-705.68 Mx_l=-14.11
Tensioni nella sezione: σ=171.07 τ=21.38
CC 19 SLV (Collegamento 0021_-378)
Azioni sul collegamento: N=-3881.26 Ty=3.39 Tz=-9.09 Mx=-0.02 Mz=-0.91
Sollecitazioni agenti localmente: Ty_l=-705.68 Mx_l=-14.11
Tensioni nella sezione: σ=171.07 τ=21.38
CC 19 SLV (Collegamento 0021_-378)
Azioni sul collegamento: N=-3881.26 Ty=1.27 Tz=10.37 Mx=-0.02 Mz=-0.17
Sollecitazioni agenti localmente: Ty_l=-705.68 Mx_l=-14.11
Tensioni nella sezione: σ=171.07 τ=21.38
CC 19 SLV (Collegamento 0021_-378)
Azioni sul collegamento: N=-3881.26 Ty=3.39 Tz=10.37 Mx=-0.02 Mz=-0.91
Sollecitazioni agenti localmente: Ty_l=-705.68 Mx_l=-14.11
Tensioni nella sezione: σ=171.07 τ=21.38
CC 19 SLV (Collegamento 0021_-378)
Azioni sul collegamento: N=-9166.69 Ty=1.27 Tz=-9.09 Mx=-0.02 Mz=-0.17
Sollecitazioni agenti localmente: Ty_l=-1666.67 Mx_l=-33.33
Tensioni nella sezione: σ=404.04 τ=50.51
CC 19 SLV (Collegamento 0021_-378)
Azioni sul collegamento: N=-9166.69 Ty=3.39 Tz=-9.09 Mx=-0.02 Mz=-0.91
Sollecitazioni agenti localmente: Ty_l=-1666.67 Mx_l=-33.33
Tensioni nella sezione: σ=404.04 τ=50.51
CC 19 SLV (Collegamento 0021_-378)
Azioni sul collegamento: N=-9166.69 Ty=1.27 Tz=10.37 Mx=-0.02 Mz=-0.17
Sollecitazioni agenti localmente: Ty_l=-1666.67 Mx_l=-33.33
Tensioni nella sezione: σ=404.04 τ=50.51
CC 19 SLV (Collegamento 0021_-378)
Azioni sul collegamento: N=-9166.69 Ty=3.39 Tz=10.37 Mx=-0.02 Mz=-0.91
Sollecitazioni agenti localmente: Ty_l=-1666.67 Mx_l=-33.33
Tensioni nella sezione: σ=404.04 τ=50.51
CC 20 SLD (Collegamento 0021_-378)
Azioni sul collegamento: N=-5750.58 Ty=3.50 Tz=-2.19 Mx=-0.01 Mz=1.66
Sollecitazioni agenti localmente: Ty_l=-1045.56 Mx_l=-20.91
Tensioni nella sezione: σ=253.47 τ=31.68
CC 20 SLD (Collegamento 0021_-378)
Azioni sul collegamento: N=-5750.58 Ty=2.85 Tz=-2.19 Mx=-0.01 Mz=1.43
Sollecitazioni agenti localmente: Ty_l=-1045.56 Mx_l=-20.91
Tensioni nella sezione: σ=253.47 τ=31.68
CC 20 SLD (Collegamento 0021_-378)
Azioni sul collegamento: N=-5750.58 Ty=3.50 Tz=3.74 Mx=-0.01 Mz=1.66
Sollecitazioni agenti localmente: Ty_l=-1045.56 Mx_l=-20.91
Tensioni nella sezione: σ=253.47 τ=31.68
CC 20 SLD (Collegamento 0021_-378)
Azioni sul collegamento: N=-5750.58 Ty=2.85 Tz=3.74 Mx=-0.01 Mz=1.43
Sollecitazioni agenti localmente: Ty_l=-1045.56 Mx_l=-20.91
Tensioni nella sezione: σ=253.47 τ=31.68
CC 20 SLD (Collegamento 0021_-378)
Azioni sul collegamento: N=-7362.28 Ty=3.50 Tz=-2.19 Mx=-0.01 Mz=1.66
Sollecitazioni agenti localmente: Ty_l=-1338.60 Mx_l=-26.77
Tensioni nella sezione: σ=324.51 τ=40.56
CC 20 SLD (Collegamento 0021_-378)
Azioni sul collegamento: N=-7362.28 Ty=2.85 Tz=-2.19 Mx=-0.01 Mz=1.43
Sollecitazioni agenti localmente: Ty_l=-1338.60 Mx_l=-26.77
Tensioni nella sezione: σ=324.51 τ=40.56
CC 20 SLD (Collegamento 0021_-378)
Azioni sul collegamento: N=-7362.28 Ty=3.50 Tz=3.74 Mx=-0.01 Mz=1.66
Sollecitazioni agenti localmente: Ty_l=-1338.60 Mx_l=-26.77
Tensioni nella sezione: σ=324.51 τ=40.56
CC 20 SLD (Collegamento 0021_-378)
Azioni sul collegamento: N=-7362.28 Ty=2.85 Tz=3.74 Mx=-0.01 Mz=1.43
Sollecitazioni agenti localmente: Ty_l=-1338.60 Mx_l=-26.77
Tensioni nella sezione: σ=324.51 τ=40.56
CC 21 SLV (Collegamento 0021_-378)
Azioni sul collegamento: N=-9166.69 Ty=3.39 Tz=10.37 Mx=-0.02 Mz=-0.91
Sollecitazioni agenti localmente: Ty_l=-1666.67 Mx_l=-33.33
Tensioni nella sezione: σ=404.04 τ=50.51
CC 21 SLV (Collegamento 0021_-378)
Azioni sul collegamento: N=-9166.69 Ty=1.27 Tz=10.37 Mx=-0.02 Mz=-0.17
Sollecitazioni agenti localmente: Ty_l=-1666.67 Mx_l=-33.33

Tensioni nella sezione: σ=404.04 τ=50.51
CC 21 SLV (Collegamento 0021_-378)
Azioni sul collegamento: N=-9166.69 Ty=3.39 Tz=-9.09 Mx=-0.02 Mz=-0.91
Sollecitazioni agenti localmente: Ty_l=-1666.67 Mx_l=-33.33
Tensioni nella sezione: σ=404.04 τ=50.51
CC 21 SLV (Collegamento 0021_-378)
Azioni sul collegamento: N=-9166.69 Ty=1.27 Tz=-9.09 Mx=-0.02 Mz=-0.17
Sollecitazioni agenti localmente: Ty_l=-1666.67 Mx_l=-33.33
Tensioni nella sezione: σ=404.04 τ=50.51
CC 21 SLV (Collegamento 0021_-378)
Azioni sul collegamento: N=-3881.26 Ty=3.39 Tz=10.37 Mx=-0.02 Mz=-0.91
Sollecitazioni agenti localmente: Ty_l=-705.68 Mx_l=-14.11
Tensioni nella sezione: σ=171.07 τ=21.38
CC 21 SLV (Collegamento 0021_-378)
Azioni sul collegamento: N=-3881.26 Ty=1.27 Tz=10.37 Mx=-0.02 Mz=-0.17
Sollecitazioni agenti localmente: Ty_l=-705.68 Mx_l=-14.11
Tensioni nella sezione: σ=171.07 τ=21.38
CC 21 SLV (Collegamento 0021_-378)
Azioni sul collegamento: N=-3881.26 Ty=3.39 Tz=-9.09 Mx=-0.02 Mz=-0.91
Sollecitazioni agenti localmente: Ty_l=-705.68 Mx_l=-14.11
Tensioni nella sezione: σ=171.07 τ=21.38
CC 21 SLV (Collegamento 0021_-378)
Azioni sul collegamento: N=-3881.26 Ty=1.27 Tz=-9.09 Mx=-0.02 Mz=-0.17
Sollecitazioni agenti localmente: Ty_l=-705.68 Mx_l=-14.11
Tensioni nella sezione: σ=171.07 τ=21.38
CC 22 SLD (Collegamento 0021_-378)
Azioni sul collegamento: N=-7362.28 Ty=2.85 Tz=3.74 Mx=-0.01 Mz=1.43
Sollecitazioni agenti localmente: Ty_l=-1338.60 Mx_l=-26.77
Tensioni nella sezione: σ=324.51 τ=40.56
CC 22 SLD (Collegamento 0021_-378)
Azioni sul collegamento: N=-7362.28 Ty=3.50 Tz=3.74 Mx=-0.01 Mz=1.66
Sollecitazioni agenti localmente: Ty_l=-1338.60 Mx_l=-26.77
Tensioni nella sezione: σ=324.51 τ=40.56
CC 22 SLD (Collegamento 0021_-378)
Azioni sul collegamento: N=-7362.28 Ty=2.85 Tz=-2.19 Mx=-0.01 Mz=1.43
Sollecitazioni agenti localmente: Ty_l=-1338.60 Mx_l=-26.77
Tensioni nella sezione: σ=324.51 τ=40.56
CC 22 SLD (Collegamento 0021_-378)
Azioni sul collegamento: N=-7362.28 Ty=3.50 Tz=-2.19 Mx=-0.01 Mz=1.66
Sollecitazioni agenti localmente: Ty_l=-1338.60 Mx_l=-26.77
Tensioni nella sezione: σ=324.51 τ=40.56
CC 22 SLD (Collegamento 0021_-378)
Azioni sul collegamento: N=-5750.58 Ty=2.85 Tz=3.74 Mx=-0.01 Mz=1.43
Sollecitazioni agenti localmente: Ty_l=-1045.56 Mx_l=-20.91
Tensioni nella sezione: σ=253.47 τ=31.68
CC 22 SLD (Collegamento 0021_-378)
Azioni sul collegamento: N=-5750.58 Ty=3.50 Tz=3.74 Mx=-0.01 Mz=1.66
Sollecitazioni agenti localmente: Ty_l=-1045.56 Mx_l=-20.91
Tensioni nella sezione: σ=253.47 τ=31.68
CC 22 SLD (Collegamento 0021_-378)
Azioni sul collegamento: N=-5750.58 Ty=2.85 Tz=-2.19 Mx=-0.01 Mz=1.43
Sollecitazioni agenti localmente: Ty_l=-1045.56 Mx_l=-20.91
Tensioni nella sezione: σ=253.47 τ=31.68
CC 22 SLD (Collegamento 0021_-378)
Azioni sul collegamento: N=-5750.58 Ty=3.50 Tz=-2.19 Mx=-0.01 Mz=1.66
Sollecitazioni agenti localmente: Ty_l=-1045.56 Mx_l=-20.91
Tensioni nella sezione: σ=253.47 τ=31.68
CC 23 SLV (Collegamento 0021_-378)
Azioni sul collegamento: N=-9172.38 Ty=4.02 Tz=10.50 Mx=-0.01 Mz=-2.16
Sollecitazioni agenti localmente: Ty_l=-1667.70 Mx_l=-33.35
Tensioni nella sezione: σ=404.29 τ=50.54
CC 23 SLV (Collegamento 0021_-378)
Azioni sul collegamento: N=-9172.38 Ty=0.64 Tz=10.50 Mx=-0.01 Mz=1.09
Sollecitazioni agenti localmente: Ty_l=-1667.70 Mx_l=-33.35
Tensioni nella sezione: σ=404.29 τ=50.54
CC 23 SLV (Collegamento 0021_-378)
Azioni sul collegamento: N=-9172.38 Ty=4.02 Tz=-9.21 Mx=-0.01 Mz=-2.16
Sollecitazioni agenti localmente: Ty_l=-1667.70 Mx_l=-33.35
Tensioni nella sezione: σ=404.29 τ=50.54
CC 23 SLV (Collegamento 0021_-378)
Azioni sul collegamento: N=-9172.38 Ty=0.64 Tz=-9.21 Mx=-0.01 Mz=1.09
Sollecitazioni agenti localmente: Ty_l=-1667.70 Mx_l=-33.35
Tensioni nella sezione: σ=404.29 τ=50.54
CC 23 SLV (Collegamento 0021_-378)
Azioni sul collegamento: N=-3875.57 Ty=4.02 Tz=10.50 Mx=-0.01 Mz=-2.16
Sollecitazioni agenti localmente: Ty_l=-704.65 Mx_l=-14.09
Tensioni nella sezione: σ=170.82 τ=21.35
CC 23 SLV (Collegamento 0021_-378)
Azioni sul collegamento: N=-3875.57 Ty=0.64 Tz=10.50 Mx=-0.01 Mz=1.09

Sollecitazioni agenti localmente: Ty_l=-704.65 Mx_l=-14.09
Tensioni nella sezione: σ=170.82 τ=21.35
CC 23 SLV (Collegamento 0021_-378)
Azioni sul collegamento: N=-3875.57 Ty=4.02 Tz=-9.21 Mx=-0.01 Mz=-2.16
Sollecitazioni agenti localmente: Ty_l=-704.65 Mx_l=-14.09
Tensioni nella sezione: σ=170.82 τ=21.35
CC 23 SLV (Collegamento 0021_-378)
Azioni sul collegamento: N=-3875.57 Ty=0.64 Tz=-9.21 Mx=-0.01 Mz=1.09
Sollecitazioni agenti localmente: Ty_l=-704.65 Mx_l=-14.09
Tensioni nella sezione: σ=170.82 τ=21.35
CC 24 SLD (Collegamento 0021_-378)
Azioni sul collegamento: N=-7364.01 Ty=2.66 Tz=3.78 Mx=-0.01 Mz=1.05
Sollecitazioni agenti localmente: Ty_l=-1338.91 Mx_l=-26.78
Tensioni nella sezione: σ=324.58 τ=40.57
CC 24 SLD (Collegamento 0021_-378)
Azioni sul collegamento: N=-7364.01 Ty=3.69 Tz=3.78 Mx=-0.01 Mz=2.04
Sollecitazioni agenti localmente: Ty_l=-1338.91 Mx_l=-26.78
Tensioni nella sezione: σ=324.58 τ=40.57
CC 24 SLD (Collegamento 0021_-378)
Azioni sul collegamento: N=-7364.01 Ty=2.66 Tz=-2.23 Mx=-0.01 Mz=1.05
Sollecitazioni agenti localmente: Ty_l=-1338.91 Mx_l=-26.78
Tensioni nella sezione: σ=324.58 τ=40.57
CC 24 SLD (Collegamento 0021_-378)
Azioni sul collegamento: N=-7364.01 Ty=3.69 Tz=-2.23 Mx=-0.01 Mz=2.04
Sollecitazioni agenti localmente: Ty_l=-1338.91 Mx_l=-26.78
Tensioni nella sezione: σ=324.58 τ=40.57
CC 24 SLD (Collegamento 0021_-378)
Azioni sul collegamento: N=-5748.85 Ty=2.66 Tz=3.78 Mx=-0.01 Mz=1.05
Sollecitazioni agenti localmente: Ty_l=-1045.24 Mx_l=-20.90
Tensioni nella sezione: σ=253.39 τ=31.67
CC 24 SLD (Collegamento 0021_-378)
Azioni sul collegamento: N=-5748.85 Ty=3.69 Tz=3.78 Mx=-0.01 Mz=2.04
Sollecitazioni agenti localmente: Ty_l=-1045.24 Mx_l=-20.90
Tensioni nella sezione: σ=253.39 τ=31.67
CC 24 SLD (Collegamento 0021_-378)
Azioni sul collegamento: N=-5748.85 Ty=2.66 Tz=-2.23 Mx=-0.01 Mz=1.05
Sollecitazioni agenti localmente: Ty_l=-1045.24 Mx_l=-20.90
Tensioni nella sezione: σ=253.39 τ=31.67
CC 24 SLD (Collegamento 0021_-378)
Azioni sul collegamento: N=-5748.85 Ty=3.69 Tz=-2.23 Mx=-0.01 Mz=2.04
Sollecitazioni agenti localmente: Ty_l=-1045.24 Mx_l=-20.90
Tensioni nella sezione: σ=253.39 τ=31.67
CC 25 SLV (Collegamento 0021_-378)
Azioni sul collegamento: N=-5720.83 Ty=0.86 Tz=-2.51 Mx=-0.03 Mz=1.85
Sollecitazioni agenti localmente: Ty_l=-1040.15 Mx_l=-20.80
Tensioni nella sezione: σ=252.16 τ=31.52
CC 25 SLV (Collegamento 0021_-378)
Azioni sul collegamento: N=-5720.83 Ty=3.80 Tz=-2.51 Mx=-0.03 Mz=-2.93
Sollecitazioni agenti localmente: Ty_l=-1040.15 Mx_l=-20.80
Tensioni nella sezione: σ=252.16 τ=31.52
CC 25 SLV (Collegamento 0021_-378)
Azioni sul collegamento: N=-5720.83 Ty=0.86 Tz=3.80 Mx=-0.03 Mz=1.85
Sollecitazioni agenti localmente: Ty_l=-1040.15 Mx_l=-20.80
Tensioni nella sezione: σ=252.16 τ=31.52
CC 25 SLV (Collegamento 0021_-378)
Azioni sul collegamento: N=-5720.83 Ty=3.80 Tz=3.80 Mx=-0.03 Mz=-2.93
Sollecitazioni agenti localmente: Ty_l=-1040.15 Mx_l=-20.80
Tensioni nella sezione: σ=252.16 τ=31.52
CC 25 SLV (Collegamento 0021_-378)
Azioni sul collegamento: N=-7327.12 Ty=0.86 Tz=-2.51 Mx=-0.03 Mz=1.85
Sollecitazioni agenti localmente: Ty_l=-1332.20 Mx_l=-26.64
Tensioni nella sezione: σ=322.96 τ=40.37
CC 25 SLV (Collegamento 0021_-378)
Azioni sul collegamento: N=-7327.12 Ty=3.80 Tz=-2.51 Mx=-0.03 Mz=-2.93
Sollecitazioni agenti localmente: Ty_l=-1332.20 Mx_l=-26.64
Tensioni nella sezione: σ=322.96 τ=40.37
CC 25 SLV (Collegamento 0021_-378)
Azioni sul collegamento: N=-7327.12 Ty=0.86 Tz=3.80 Mx=-0.03 Mz=1.85
Sollecitazioni agenti localmente: Ty_l=-1332.20 Mx_l=-26.64
Tensioni nella sezione: σ=322.96 τ=40.37
CC 25 SLV (Collegamento 0021_-378)
Azioni sul collegamento: N=-7327.12 Ty=3.80 Tz=3.80 Mx=-0.03 Mz=-2.93
Sollecitazioni agenti localmente: Ty_l=-1332.20 Mx_l=-26.64
Tensioni nella sezione: σ=322.96 τ=40.37
CC 26 SLD (Collegamento 0021_-378)
Azioni sul collegamento: N=-6311.53 Ty=3.62 Tz=-0.19 Mx=-0.01 Mz=2.27
Sollecitazioni agenti localmente: Ty_l=-1147.55 Mx_l=-22.95
Tensioni nella sezione: σ=278.19 τ=34.77
CC 26 SLD (Collegamento 0021_-378)

Azioni sul collegamento: N=-6311.53 Ty=2.73 Tz=-0.19 Mx=-0.01 Mz=0.81
Sollecitazioni agenti localmente: Ty_l=-1147.55 Mx_l=-22.95
Tensioni nella sezione: σ=278.19 τ=34.77
CC 26 SLD (Collegamento 0021_-378)
Azioni sul collegamento: N=-6311.53 Ty=3.62 Tz=1.73 Mx=-0.01 Mz=2.27
Sollecitazioni agenti localmente: Ty_l=-1147.55 Mx_l=-22.95
Tensioni nella sezione: σ=278.19 τ=34.77
CC 26 SLD (Collegamento 0021_-378)
Azioni sul collegamento: N=-6311.53 Ty=2.73 Tz=1.73 Mx=-0.01 Mz=0.81
Sollecitazioni agenti localmente: Ty_l=-1147.55 Mx_l=-22.95
Tensioni nella sezione: σ=278.19 τ=34.77
CC 26 SLD (Collegamento 0021_-378)
Azioni sul collegamento: N=-6801.33 Ty=3.62 Tz=-0.19 Mx=-0.01 Mz=2.27
Sollecitazioni agenti localmente: Ty_l=-1236.61 Mx_l=-24.73
Tensioni nella sezione: σ=299.78 τ=37.47
CC 26 SLD (Collegamento 0021_-378)
Azioni sul collegamento: N=-6801.33 Ty=2.73 Tz=-0.19 Mx=-0.01 Mz=0.81
Sollecitazioni agenti localmente: Ty_l=-1236.61 Mx_l=-24.73
Tensioni nella sezione: σ=299.78 τ=37.47
CC 26 SLD (Collegamento 0021_-378)
Azioni sul collegamento: N=-6801.33 Ty=3.62 Tz=1.73 Mx=-0.01 Mz=2.27
Sollecitazioni agenti localmente: Ty_l=-1236.61 Mx_l=-24.73
Tensioni nella sezione: σ=299.78 τ=37.47
CC 26 SLD (Collegamento 0021_-378)
Azioni sul collegamento: N=-6801.33 Ty=2.73 Tz=1.73 Mx=-0.01 Mz=0.81
Sollecitazioni agenti localmente: Ty_l=-1236.61 Mx_l=-24.73
Tensioni nella sezione: σ=299.78 τ=37.47
CC 27 SLV (Collegamento 0021_-378)
Azioni sul collegamento: N=-7308.17 Ty=1.68 Tz=3.37 Mx=-0.02 Mz=1.26
Sollecitazioni agenti localmente: Ty_l=-1328.76 Mx_l=-26.58
Tensioni nella sezione: σ=322.12 τ=40.27
CC 27 SLV (Collegamento 0021_-378)
Azioni sul collegamento: N=-7308.17 Ty=2.97 Tz=3.37 Mx=-0.02 Mz=-2.33
Sollecitazioni agenti localmente: Ty_l=-1328.76 Mx_l=-26.58
Tensioni nella sezione: σ=322.12 τ=40.27
CC 27 SLV (Collegamento 0021_-378)
Azioni sul collegamento: N=-7308.17 Ty=1.68 Tz=-2.08 Mx=-0.02 Mz=1.26
Sollecitazioni agenti localmente: Ty_l=-1328.76 Mx_l=-26.58
Tensioni nella sezione: σ=322.12 τ=40.27
CC 27 SLV (Collegamento 0021_-378)
Azioni sul collegamento: N=-7308.17 Ty=2.97 Tz=-2.08 Mx=-0.02 Mz=-2.33
Sollecitazioni agenti localmente: Ty_l=-1328.76 Mx_l=-26.58
Tensioni nella sezione: σ=322.12 τ=40.27
CC 27 SLV (Collegamento 0021_-378)
Azioni sul collegamento: N=-5739.78 Ty=1.68 Tz=3.37 Mx=-0.02 Mz=1.26
Sollecitazioni agenti localmente: Ty_l=-1043.60 Mx_l=-20.87
Tensioni nella sezione: σ=252.99 τ=31.62
CC 27 SLV (Collegamento 0021_-378)
Azioni sul collegamento: N=-5739.78 Ty=2.97 Tz=3.37 Mx=-0.02 Mz=-2.33
Sollecitazioni agenti localmente: Ty_l=-1043.60 Mx_l=-20.87
Tensioni nella sezione: σ=252.99 τ=31.62
CC 27 SLV (Collegamento 0021_-378)
Azioni sul collegamento: N=-5739.78 Ty=1.68 Tz=-2.08 Mx=-0.02 Mz=1.26
Sollecitazioni agenti localmente: Ty_l=-1043.60 Mx_l=-20.87
Tensioni nella sezione: σ=252.99 τ=31.62
CC 27 SLV (Collegamento 0021_-378)
Azioni sul collegamento: N=-5739.78 Ty=2.97 Tz=-2.08 Mx=-0.02 Mz=-2.33
Sollecitazioni agenti localmente: Ty_l=-1043.60 Mx_l=-20.87
Tensioni nella sezione: σ=252.99 τ=31.62
CC 28 SLD (Collegamento 0021_-378)
Azioni sul collegamento: N=-6795.56 Ty=3.37 Tz=1.60 Mx=-0.01 Mz=2.09
Sollecitazioni agenti localmente: Ty_l=-1235.56 Mx_l=-24.71
Tensioni nella sezione: σ=299.53 τ=37.44
CC 28 SLD (Collegamento 0021_-378)
Azioni sul collegamento: N=-6795.56 Ty=2.98 Tz=1.60 Mx=-0.01 Mz=1.00
Sollecitazioni agenti localmente: Ty_l=-1235.56 Mx_l=-24.71
Tensioni nella sezione: σ=299.53 τ=37.44
CC 28 SLD (Collegamento 0021_-378)
Azioni sul collegamento: N=-6795.56 Ty=3.37 Tz=-0.06 Mx=-0.01 Mz=2.09
Sollecitazioni agenti localmente: Ty_l=-1235.56 Mx_l=-24.71
Tensioni nella sezione: σ=299.53 τ=37.44
CC 28 SLD (Collegamento 0021_-378)
Azioni sul collegamento: N=-6795.56 Ty=2.98 Tz=-0.06 Mx=-0.01 Mz=1.00
Sollecitazioni agenti localmente: Ty_l=-1235.56 Mx_l=-24.71
Tensioni nella sezione: σ=299.53 τ=37.44
CC 28 SLD (Collegamento 0021_-378)
Azioni sul collegamento: N=-6317.30 Ty=3.37 Tz=1.60 Mx=-0.01 Mz=2.09
Sollecitazioni agenti localmente: Ty_l=-1148.60 Mx_l=-22.97
Tensioni nella sezione: σ=278.45 τ=34.81

CC 28 SLD (Collegamento 0021_-378)
Azioni sul collegamento: N=-6317.30 Ty=2.98 Tz=1.60 Mx=-0.01 Mz=1.00
Sollecitazioni agenti localmente: Ty_l=-1148.60 Mx_l=-22.97
Tensioni nella sezione: σ=278.45 τ=34.81
CC 28 SLD (Collegamento 0021_-378)
Azioni sul collegamento: N=-6317.30 Ty=3.37 Tz=-0.06 Mx=-0.01 Mz=2.09
Sollecitazioni agenti localmente: Ty_l=-1148.60 Mx_l=-22.97
Tensioni nella sezione: σ=278.45 τ=34.81
CC 28 SLD (Collegamento 0021_-378)
Azioni sul collegamento: N=-6317.30 Ty=2.98 Tz=-0.06 Mx=-0.01 Mz=1.00
Sollecitazioni agenti localmente: Ty_l=-1148.60 Mx_l=-22.97
Tensioni nella sezione: σ=278.45 τ=34.81
CC 29 SLV (Collegamento 0021_-378)
Azioni sul collegamento: N=-5739.78 Ty=2.97 Tz=-2.08 Mx=-0.01 Mz=-2.33
Sollecitazioni agenti localmente: Ty_l=-1043.60 Mx_l=-20.87
Tensioni nella sezione: σ=252.99 τ=31.62
CC 29 SLV (Collegamento 0021_-378)
Azioni sul collegamento: N=-5739.78 Ty=1.68 Tz=-2.08 Mx=-0.01 Mz=1.26
Sollecitazioni agenti localmente: Ty_l=-1043.60 Mx_l=-20.87
Tensioni nella sezione: σ=252.99 τ=31.62
CC 29 SLV (Collegamento 0021_-378)
Azioni sul collegamento: N=-5739.78 Ty=2.97 Tz=3.37 Mx=-0.01 Mz=-2.33
Sollecitazioni agenti localmente: Ty_l=-1043.60 Mx_l=-20.87
Tensioni nella sezione: σ=252.99 τ=31.62
CC 29 SLV (Collegamento 0021_-378)
Azioni sul collegamento: N=-5739.78 Ty=1.68 Tz=3.37 Mx=-0.01 Mz=1.26
Sollecitazioni agenti localmente: Ty_l=-1043.60 Mx_l=-20.87
Tensioni nella sezione: σ=252.99 τ=31.62
CC 29 SLV (Collegamento 0021_-378)
Azioni sul collegamento: N=-7308.17 Ty=2.97 Tz=-2.08 Mx=-0.01 Mz=-2.33
Sollecitazioni agenti localmente: Ty_l=-1328.76 Mx_l=-26.58
Tensioni nella sezione: σ=322.12 τ=40.27
CC 29 SLV (Collegamento 0021_-378)
Azioni sul collegamento: N=-7308.17 Ty=1.68 Tz=-2.08 Mx=-0.01 Mz=1.26
Sollecitazioni agenti localmente: Ty_l=-1328.76 Mx_l=-26.58
Tensioni nella sezione: σ=322.12 τ=40.27
CC 29 SLV (Collegamento 0021_-378)
Azioni sul collegamento: N=-7308.17 Ty=2.97 Tz=3.37 Mx=-0.01 Mz=-2.33
Sollecitazioni agenti localmente: Ty_l=-1328.76 Mx_l=-26.58
Tensioni nella sezione: σ=322.12 τ=40.27
CC 29 SLV (Collegamento 0021_-378)
Azioni sul collegamento: N=-7308.17 Ty=1.68 Tz=3.37 Mx=-0.01 Mz=1.26
Sollecitazioni agenti localmente: Ty_l=-1328.76 Mx_l=-26.58
Tensioni nella sezione: σ=322.12 τ=40.27
CC 30 SLD (Collegamento 0021_-378)
Azioni sul collegamento: N=-6317.30 Ty=2.98 Tz=-0.06 Mx=-0.01 Mz=1.00
Sollecitazioni agenti localmente: Ty_l=-1148.60 Mx_l=-22.97
Tensioni nella sezione: σ=278.45 τ=34.81
CC 30 SLD (Collegamento 0021_-378)
Azioni sul collegamento: N=-6317.30 Ty=3.37 Tz=-0.06 Mx=-0.01 Mz=2.09
Sollecitazioni agenti localmente: Ty_l=-1148.60 Mx_l=-22.97
Tensioni nella sezione: σ=278.45 τ=34.81
CC 30 SLD (Collegamento 0021_-378)
Azioni sul collegamento: N=-6317.30 Ty=2.98 Tz=1.60 Mx=-0.01 Mz=1.00
Sollecitazioni agenti localmente: Ty_l=-1148.60 Mx_l=-22.97
Tensioni nella sezione: σ=278.45 τ=34.81
CC 30 SLD (Collegamento 0021_-378)
Azioni sul collegamento: N=-6317.30 Ty=3.37 Tz=1.60 Mx=-0.01 Mz=2.09
Sollecitazioni agenti localmente: Ty_l=-1148.60 Mx_l=-22.97
Tensioni nella sezione: σ=278.45 τ=34.81
CC 30 SLD (Collegamento 0021_-378)
Azioni sul collegamento: N=-6795.56 Ty=2.98 Tz=-0.06 Mx=-0.01 Mz=1.00
Sollecitazioni agenti localmente: Ty_l=-1235.56 Mx_l=-24.71
Tensioni nella sezione: σ=299.53 τ=37.44
CC 30 SLD (Collegamento 0021_-378)
Azioni sul collegamento: N=-6795.56 Ty=3.37 Tz=-0.06 Mx=-0.01 Mz=2.09
Sollecitazioni agenti localmente: Ty_l=-1235.56 Mx_l=-24.71
Tensioni nella sezione: σ=299.53 τ=37.44
CC 30 SLD (Collegamento 0021_-378)
Azioni sul collegamento: N=-6795.56 Ty=2.98 Tz=1.60 Mx=-0.01 Mz=1.00
Sollecitazioni agenti localmente: Ty_l=-1235.56 Mx_l=-24.71
Tensioni nella sezione: σ=299.53 τ=37.44
CC 30 SLD (Collegamento 0021_-378)
Azioni sul collegamento: N=-6795.56 Ty=3.37 Tz=1.60 Mx=-0.01 Mz=2.09
Sollecitazioni agenti localmente: Ty_l=-1235.56 Mx_l=-24.71
Tensioni nella sezione: σ=299.53 τ=37.44
CC 31 SLV (Collegamento 0021_-378)
Azioni sul collegamento: N=-7327.12 Ty=3.80 Tz=3.80 Mx=-0.01 Mz=-2.93
Sollecitazioni agenti localmente: Ty_l=-1332.20 Mx_l=-26.64

Tensioni nella sezione: σ=322.96 τ=40.37
CC 31 SLV (Collegamento 0021_-378)
Azioni sul collegamento: N=-7327.12 Ty=0.86 Tz=3.80 Mx=-0.01 Mz=1.85
Sollecitazioni agenti localmente: Ty_l=-1332.20 Mx_l=-26.64
Tensioni nella sezione: σ=322.96 τ=40.37
CC 31 SLV (Collegamento 0021_-378)
Azioni sul collegamento: N=-7327.12 Ty=3.80 Tz=-2.51 Mx=-0.01 Mz=-2.93
Sollecitazioni agenti localmente: Ty_l=-1332.20 Mx_l=-26.64
Tensioni nella sezione: σ=322.96 τ=40.37
CC 31 SLV (Collegamento 0021_-378)
Azioni sul collegamento: N=-7327.12 Ty=0.86 Tz=-2.51 Mx=-0.01 Mz=1.85
Sollecitazioni agenti localmente: Ty_l=-1332.20 Mx_l=-26.64
Tensioni nella sezione: σ=322.96 τ=40.37
CC 31 SLV (Collegamento 0021_-378)
Azioni sul collegamento: N=-5720.83 Ty=3.80 Tz=3.80 Mx=-0.01 Mz=-2.93
Sollecitazioni agenti localmente: Ty_l=-1040.15 Mx_l=-20.80
Tensioni nella sezione: σ=252.16 τ=31.52
CC 31 SLV (Collegamento 0021_-378)
Azioni sul collegamento: N=-5720.83 Ty=0.86 Tz=3.80 Mx=-0.01 Mz=1.85
Sollecitazioni agenti localmente: Ty_l=-1040.15 Mx_l=-20.80
Tensioni nella sezione: σ=252.16 τ=31.52
CC 31 SLV (Collegamento 0021_-378)
Azioni sul collegamento: N=-5720.83 Ty=3.80 Tz=-2.51 Mx=-0.01 Mz=-2.93
Sollecitazioni agenti localmente: Ty_l=-1040.15 Mx_l=-20.80
Tensioni nella sezione: σ=252.16 τ=31.52
CC 31 SLV (Collegamento 0021_-378)
Azioni sul collegamento: N=-5720.83 Ty=0.86 Tz=-2.51 Mx=-0.01 Mz=1.85
Sollecitazioni agenti localmente: Ty_l=-1040.15 Mx_l=-20.80
Tensioni nella sezione: σ=252.16 τ=31.52
CC 32 SLD (Collegamento 0021_-378)
Azioni sul collegamento: N=-6801.33 Ty=2.73 Tz=1.73 Mx=-0.01 Mz=0.81
Sollecitazioni agenti localmente: Ty_l=-1236.61 Mx_l=-24.73
Tensioni nella sezione: σ=299.78 τ=37.47
CC 32 SLD (Collegamento 0021_-378)
Azioni sul collegamento: N=-6801.33 Ty=3.62 Tz=1.73 Mx=-0.01 Mz=2.27
Sollecitazioni agenti localmente: Ty_l=-1236.61 Mx_l=-24.73
Tensioni nella sezione: σ=299.78 τ=37.47
CC 32 SLD (Collegamento 0021_-378)
Azioni sul collegamento: N=-6801.33 Ty=2.73 Tz=-0.19 Mx=-0.01 Mz=0.81
Sollecitazioni agenti localmente: Ty_l=-1236.61 Mx_l=-24.73
Tensioni nella sezione: σ=299.78 τ=37.47
CC 32 SLD (Collegamento 0021_-378)
Azioni sul collegamento: N=-6801.33 Ty=3.62 Tz=-0.19 Mx=-0.01 Mz=2.27
Sollecitazioni agenti localmente: Ty_l=-1236.61 Mx_l=-24.73
Tensioni nella sezione: σ=299.78 τ=37.47
CC 32 SLD (Collegamento 0021_-378)
Azioni sul collegamento: N=-6311.53 Ty=2.73 Tz=1.73 Mx=-0.01 Mz=0.81
Sollecitazioni agenti localmente: Ty_l=-1147.55 Mx_l=-22.95
Tensioni nella sezione: σ=278.19 τ=34.77
CC 32 SLD (Collegamento 0021_-378)
Azioni sul collegamento: N=-6311.53 Ty=3.62 Tz=1.73 Mx=-0.01 Mz=2.27
Sollecitazioni agenti localmente: Ty_l=-1147.55 Mx_l=-22.95
Tensioni nella sezione: σ=278.19 τ=34.77
CC 32 SLD (Collegamento 0021_-378)
Azioni sul collegamento: N=-6311.53 Ty=2.73 Tz=-0.19 Mx=-0.01 Mz=0.81
Sollecitazioni agenti localmente: Ty_l=-1147.55 Mx_l=-22.95
Tensioni nella sezione: σ=278.19 τ=34.77
CC 32 SLD (Collegamento 0021_-378)
Azioni sul collegamento: N=-6311.53 Ty=3.62 Tz=-0.19 Mx=-0.01 Mz=2.27
Sollecitazioni agenti localmente: Ty_l=-1147.55 Mx_l=-22.95
Tensioni nella sezione: σ=278.19 τ=34.77
CC 33 SLU (Collegamento 0021_-378)
Azioni sul collegamento: N=-30888.30 Ty=5.44 Tz=82.02 Mx=-0.01 Mz=3.71
Sollecitazioni agenti localmente: Ty_l=-5616.05 Mx_l=-112.32
Tensioni nella sezione: σ=1361.46 τ=170.18
CC 34 SLU (Collegamento 0021_-378)
Azioni sul collegamento: N=-30337.70 Ty=5.16 Tz=79.98 Mx=-0.01 Mz=3.50
Sollecitazioni agenti localmente: Ty_l=-5515.96 Mx_l=-110.32
Tensioni nella sezione: σ=1337.20 τ=167.15
CC 35 SLU (Collegamento 0021_-378)
Azioni sul collegamento: N=-30612.00 Ty=5.19 Tz=81.02 Mx=-0.01 Mz=3.39
Sollecitazioni agenti localmente: Ty_l=-5565.82 Mx_l=-111.32
Tensioni nella sezione: σ=1349.29 τ=168.66
CC 36 SLU (Collegamento 0021_-378)
Azioni sul collegamento: N=-30614.00 Ty=5.41 Tz=80.97 Mx=-0.01 Mz=3.82
Sollecitazioni agenti localmente: Ty_l=-5566.18 Mx_l=-111.32
Tensioni nella sezione: σ=1349.37 τ=168.67
CC 37 SLU (Collegamento 0021_-378)
Azioni sul collegamento: N=-21597.10 Ty=6.32 Tz=47.86 Mx=-0.01 Mz=4.34

Sollecitazioni agenti localmente: Ty_l=-3926.75 Mx_l=-78.53
Tensioni nella sezione: σ=951.94 τ=118.99
CC 38 SLU (Collegamento 0021_-378)
Azioni sul collegamento: N=-21046.60 Ty=6.03 Tz=45.82 Mx=-0.01 Mz=4.13
Sollecitazioni agenti localmente: Ty_l=-3826.65 Mx_l=-76.53
Tensioni nella sezione: σ=927.67 τ=115.96
CC 39 SLU (Collegamento 0021_-378)
Azioni sul collegamento: N=-21320.90 Ty=6.07 Tz=46.87 Mx=-0.01 Mz=4.02
Sollecitazioni agenti localmente: Ty_l=-3876.52 Mx_l=-77.53
Tensioni nella sezione: σ=939.76 τ=117.47
CC 40 SLU (Collegamento 0021_-378)
Azioni sul collegamento: N=-21322.80 Ty=6.29 Tz=46.82 Mx=-0.01 Mz=4.45
Sollecitazioni agenti localmente: Ty_l=-3876.88 Mx_l=-77.54
Tensioni nella sezione: σ=939.85 τ=117.48
CC 41 SLU (Collegamento 0021_-378)
Azioni sul collegamento: N=-32817.40 Ty=5.33 Tz=88.46 Mx=0.00 Mz=3.76
Sollecitazioni agenti localmente: Ty_l=-5966.80 Mx_l=-119.34
Tensioni nella sezione: σ=1446.49 τ=180.81
CC 42 SLU (Collegamento 0021_-378)
Azioni sul collegamento: N=-32266.90 Ty=5.04 Tz=86.42 Mx=0.00 Mz=3.56
Sollecitazioni agenti localmente: Ty_l=-5866.70 Mx_l=-117.33
Tensioni nella sezione: σ=1422.23 τ=177.78
CC 43 SLU (Collegamento 0021_-378)
Azioni sul collegamento: N=-32541.20 Ty=5.08 Tz=87.47 Mx=0.00 Mz=3.44
Sollecitazioni agenti localmente: Ty_l=-5916.58 Mx_l=-118.33
Tensioni nella sezione: σ=1434.32 τ=179.29
CC 44 SLU (Collegamento 0021_-378)
Azioni sul collegamento: N=-32543.10 Ty=5.30 Tz=87.42 Mx=0.00 Mz=3.88
Sollecitazioni agenti localmente: Ty_l=-5916.93 Mx_l=-118.34
Tensioni nella sezione: σ=1434.41 τ=179.30
CC 45 SLU (Collegamento 0021_-378)
Azioni sul collegamento: N=-23689.50 Ty=6.01 Tz=55.60 Mx=-0.01 Mz=4.17
Sollecitazioni agenti localmente: Ty_l=-4307.19 Mx_l=-86.14
Tensioni nella sezione: σ=1044.16 τ=130.52
CC 46 SLU (Collegamento 0021_-378)
Azioni sul collegamento: N=-23139.00 Ty=5.73 Tz=53.57 Mx=-0.01 Mz=3.96
Sollecitazioni agenti localmente: Ty_l=-4207.09 Mx_l=-84.14
Tensioni nella sezione: σ=1019.90 τ=127.49
CC 47 SLU (Collegamento 0021_-378)
Azioni sul collegamento: N=-23413.30 Ty=5.76 Tz=54.61 Mx=-0.01 Mz=3.84
Sollecitazioni agenti localmente: Ty_l=-4256.96 Mx_l=-85.14
Tensioni nella sezione: σ=1031.99 τ=129.00
CC 48 SLU (Collegamento 0021_-378)
Azioni sul collegamento: N=-23415.20 Ty=5.98 Tz=54.56 Mx=-0.01 Mz=4.28
Sollecitazioni agenti localmente: Ty_l=-4257.31 Mx_l=-85.15
Tensioni nella sezione: σ=1032.07 τ=129.01
CC 49 SLU (Collegamento 0021_-378)
Azioni sul collegamento: N=-16738.30 Ty=6.67 Tz=30.05 Mx=-0.01 Mz=4.64
Sollecitazioni agenti localmente: Ty_l=-3043.33 Mx_l=-60.87
Tensioni nella sezione: σ=737.78 τ=92.22
CC 50 SLU (Collegamento 0021_-378)
Azioni sul collegamento: N=-16187.80 Ty=6.38 Tz=28.01 Mx=-0.01 Mz=4.43
Sollecitazioni agenti localmente: Ty_l=-2943.24 Mx_l=-58.86
Tensioni nella sezione: σ=713.51 τ=89.19
CC 51 SLU (Collegamento 0021_-378)
Azioni sul collegamento: N=-16462.10 Ty=6.42 Tz=29.05 Mx=-0.01 Mz=4.32
Sollecitazioni agenti localmente: Ty_l=-2993.11 Mx_l=-59.86
Tensioni nella sezione: σ=725.60 τ=90.70
CC 52 SLU (Collegamento 0021_-378)
Azioni sul collegamento: N=-16464.00 Ty=6.64 Tz=29.01 Mx=-0.01 Mz=4.75
Sollecitazioni agenti localmente: Ty_l=-2993.46 Mx_l=-59.87
Tensioni nella sezione: σ=725.69 τ=90.71
CC 53 SLU (Collegamento 0021_-378)
Azioni sul collegamento: N=-25132.80 Ty=5.93 Tz=60.42 Mx=-0.00 Mz=4.21
Sollecitazioni agenti localmente: Ty_l=-4569.60 Mx_l=-91.39
Tensioni nella sezione: σ=1107.78 τ=138.47
CC 54 SLU (Collegamento 0021_-378)
Azioni sul collegamento: N=-24582.20 Ty=5.64 Tz=58.39 Mx=-0.00 Mz=4.00
Sollecitazioni agenti localmente: Ty_l=-4469.50 Mx_l=-89.39
Tensioni nella sezione: σ=1083.51 τ=135.44
CC 55 SLU (Collegamento 0021_-378)
Azioni sul collegamento: N=-24856.50 Ty=5.68 Tz=59.43 Mx=0.00 Mz=3.89
Sollecitazioni agenti localmente: Ty_l=-4519.37 Mx_l=-90.39
Tensioni nella sezione: σ=1095.60 τ=136.95
CC 56 SLU (Collegamento 0021_-378)
Azioni sul collegamento: N=-24858.50 Ty=5.89 Tz=59.38 Mx=-0.00 Mz=4.32
Sollecitazioni agenti localmente: Ty_l=-4519.73 Mx_l=-90.39
Tensioni nella sezione: σ=1095.69 τ=136.96
CC 57 SLU (Collegamento 0021_-378)

Azioni sul collegamento: N=-22071.60 Ty=5.40 Tz=49.65 Mx=-0.01 Mz=3.73
Sollecitazioni agenti localmente: Ty_l=-4013.02 Mx_l=-80.26
Tensioni nella sezione: σ=972.85 τ=121.61
CC 58 SLU (Collegamento 0021_-378)
Azioni sul collegamento: N=-21521.10 Ty=5.11 Tz=47.61 Mx=-0.01 Mz=3.53
Sollecitazioni agenti localmente: Ty_l=-3912.92 Mx_l=-78.26
Tensioni nella sezione: σ=948.59 τ=118.57
CC 59 SLU (Collegamento 0021_-378)
Azioni sul collegamento: N=-21795.30 Ty=5.15 Tz=48.65 Mx=-0.01 Mz=3.41
Sollecitazioni agenti localmente: Ty_l=-3962.79 Mx_l=-79.26
Tensioni nella sezione: σ=960.67 τ=120.08
CC 60 SLU (Collegamento 0021_-378)
Azioni sul collegamento: N=-21797.30 Ty=5.37 Tz=48.60 Mx=-0.01 Mz=3.85
Sollecitazioni agenti localmente: Ty_l=-3963.15 Mx_l=-79.26
Tensioni nella sezione: σ=960.76 τ=120.09
CC 61 SLU (Collegamento 0021_-378)
Azioni sul collegamento: N=-15120.40 Ty=6.06 Tz=24.09 Mx=-0.01 Mz=4.21
Sollecitazioni agenti localmente: Ty_l=-2749.17 Mx_l=-54.98
Tensioni nella sezione: σ=666.46 τ=83.31
CC 62 SLU (Collegamento 0021_-378)
Azioni sul collegamento: N=-14569.90 Ty=5.77 Tz=22.06 Mx=-0.01 Mz=4.00
Sollecitazioni agenti localmente: Ty_l=-2649.07 Mx_l=-52.98
Tensioni nella sezione: σ=642.20 τ=80.27
CC 63 SLU (Collegamento 0021_-378)
Azioni sul collegamento: N=-14844.20 Ty=5.80 Tz=23.10 Mx=-0.01 Mz=3.88
Sollecitazioni agenti localmente: Ty_l=-2698.94 Mx_l=-53.98
Tensioni nella sezione: σ=654.29 τ=81.79
CC 64 SLU (Collegamento 0021_-378)
Azioni sul collegamento: N=-14846.10 Ty=6.02 Tz=23.05 Mx=-0.01 Mz=4.32
Sollecitazioni agenti localmente: Ty_l=-2699.30 Mx_l=-53.99
Tensioni nella sezione: σ=654.37 τ=81.80
CC 65 SLU (Collegamento 0021_-378)
Azioni sul collegamento: N=-23514.90 Ty=5.31 Tz=54.47 Mx=0.00 Mz=3.77
Sollecitazioni agenti localmente: Ty_l=-4275.43 Mx_l=-85.51
Tensioni nella sezione: σ=1036.47 τ=129.56
CC 66 SLU (Collegamento 0021_-378)
Azioni sul collegamento: N=-22964.30 Ty=5.03 Tz=52.43 Mx=0.00 Mz=3.57
Sollecitazioni agenti localmente: Ty_l=-4175.33 Mx_l=-83.51
Tensioni nella sezione: σ=1012.20 τ=126.53
CC 67 SLU (Collegamento 0021_-378)
Azioni sul collegamento: N=-23238.60 Ty=5.06 Tz=53.47 Mx=0.00 Mz=3.45
Sollecitazioni agenti localmente: Ty_l=-4225.20 Mx_l=-84.50
Tensioni nella sezione: σ=1024.29 τ=128.04
CC 68 SLU (Collegamento 0021_-378)
Azioni sul collegamento: N=-23240.60 Ty=5.28 Tz=53.43 Mx=-0.00 Mz=3.89
Sollecitazioni agenti localmente: Ty_l=-4225.56 Mx_l=-84.51
Tensioni nella sezione: σ=1024.38 τ=128.05
CC 97 SLU (Collegamento 0021_-378)
Azioni sul collegamento: N=-18052.20 Ty=-0.34 Tz=43.06 Mx=-0.05 Mz=-8.83
Sollecitazioni agenti localmente: Ty_l=-3282.21 Mx_l=-65.64
Tensioni nella sezione: σ=795.69 τ=99.46
CC 98 SLU (Collegamento 0021_-378)
Azioni sul collegamento: N=-17501.60 Ty=-0.63 Tz=41.02 Mx=-0.05 Mz=-9.04
Sollecitazioni agenti localmente: Ty_l=-3182.12 Mx_l=-63.64
Tensioni nella sezione: σ=771.42 τ=96.43
CC 99 SLU (Collegamento 0021_-378)
Azioni sul collegamento: N=-17775.90 Ty=-0.60 Tz=42.06 Mx=-0.05 Mz=-9.15
Sollecitazioni agenti localmente: Ty_l=-3231.99 Mx_l=-64.64
Tensioni nella sezione: σ=783.51 τ=97.94
CC 100 SLU (Collegamento 0021_-378)
Azioni sul collegamento: N=-17777.90 Ty=-0.38 Tz=42.01 Mx=-0.05 Mz=-8.71
Sollecitazioni agenti localmente: Ty_l=-3232.34 Mx_l=-64.65
Tensioni nella sezione: σ=783.60 τ=97.95
CC 101 SLU (Collegamento 0021_-378)
Azioni sul collegamento: N=-7136.43 Ty=4.37 Tz=2.96 Mx=0.00 Mz=3.85
Sollecitazioni agenti localmente: Ty_l=-1297.53 Mx_l=-25.95
Tensioni nella sezione: σ=314.55 τ=39.32
CC 102 SLU (Collegamento 0021_-378)
Azioni sul collegamento: N=-6585.90 Ty=4.08 Tz=0.92 Mx=0.00 Mz=3.64
Sollecitazioni agenti localmente: Ty_l=-1197.44 Mx_l=-23.95
Tensioni nella sezione: σ=290.29 τ=36.29
CC 103 SLU (Collegamento 0021_-378)
Azioni sul collegamento: N=-6860.19 Ty=4.11 Tz=1.96 Mx=0.00 Mz=3.53
Sollecitazioni agenti localmente: Ty_l=-1247.31 Mx_l=-24.95
Tensioni nella sezione: σ=302.38 τ=37.80
CC 104 SLU (Collegamento 0021_-378)
Azioni sul collegamento: N=-6862.15 Ty=4.33 Tz=1.92 Mx=0.00 Mz=3.96
Sollecitazioni agenti localmente: Ty_l=-1247.66 Mx_l=-24.95
Tensioni nella sezione: σ=302.46 τ=37.81

Flessione attacco destro piastra

Bnetta=220.00 Hnetta=15.00
CC 1 SLV (Collegamento 0021_-378)
Azioni sul collegamento: N=-3968.96 Ty=6.45 Tz=-8.85 Mx=0.01 Mz=7.08
Sollecitazioni agenti localmente: Ty_l=-731.73 My_l=-15.04
Tensioni nella sezione: σ=182.30 τ=22.17
CC 1 SLV (Collegamento 0021_-378)
Azioni sul collegamento: N=-3968.96 Ty=3.07 Tz=-8.85 Mx=0.01 Mz=3.83
Sollecitazioni agenti localmente: Ty_l=-718.82 My_l=-14.76
Tensioni nella sezione: σ=178.87 τ=21.78
CC 1 SLV (Collegamento 0021_-378)
Azioni sul collegamento: N=-3968.96 Ty=6.45 Tz=10.87 Mx=0.01 Mz=7.08
Sollecitazioni agenti localmente: Ty_l=-731.73 My_l=-15.04
Tensioni nella sezione: σ=182.30 τ=22.17
CC 1 SLV (Collegamento 0021_-378)
Azioni sul collegamento: N=-3968.96 Ty=3.07 Tz=10.87 Mx=0.01 Mz=3.83
Sollecitazioni agenti localmente: Ty_l=-718.82 My_l=-14.76
Tensioni nella sezione: σ=178.87 τ=21.78
CC 1 SLV (Collegamento 0021_-378)
Azioni sul collegamento: N=-9265.76 Ty=6.45 Tz=-8.85 Mx=0.01 Mz=7.08
Sollecitazioni agenti localmente: Ty_l=-1670.71 My_l=-34.29
Tensioni nella sezione: σ=415.62 τ=50.63
CC 1 SLV (Collegamento 0021_-378)
Azioni sul collegamento: N=-9265.76 Ty=3.07 Tz=-8.85 Mx=0.01 Mz=3.83
Sollecitazioni agenti localmente: Ty_l=-1657.79 My_l=-34.01
Tensioni nella sezione: σ=412.19 τ=50.24
CC 1 SLV (Collegamento 0021_-378)
Azioni sul collegamento: N=-9265.76 Ty=6.45 Tz=10.87 Mx=0.01 Mz=7.08
Sollecitazioni agenti localmente: Ty_l=-1670.71 My_l=-34.29
Tensioni nella sezione: σ=415.62 τ=50.63
CC 1 SLV (Collegamento 0021_-378)
Azioni sul collegamento: N=-9265.76 Ty=3.07 Tz=10.87 Mx=0.01 Mz=3.83
Sollecitazioni agenti localmente: Ty_l=-1657.79 My_l=-34.01
Tensioni nella sezione: σ=412.19 τ=50.24
CC 2 SLD (Collegamento 0021_-378)
Azioni sul collegamento: N=-5777.33 Ty=4.43 Tz=-2.12 Mx=0.00 Mz=3.87
Sollecitazioni agenti localmente: Ty_l=-1039.54 My_l=-21.33
Tensioni nella sezione: σ=258.57 τ=31.50
CC 2 SLD (Collegamento 0021_-378)
Azioni sul collegamento: N=-5777.33 Ty=3.40 Tz=-2.12 Mx=0.00 Mz=2.88
Sollecitazioni agenti localmente: Ty_l=-1035.60 My_l=-21.25
Tensioni nella sezione: σ=257.52 τ=31.38
CC 2 SLD (Collegamento 0021_-378)
Azioni sul collegamento: N=-5777.32 Ty=4.43 Tz=3.89 Mx=0.00 Mz=3.87
Sollecitazioni agenti localmente: Ty_l=-1039.54 My_l=-21.33
Tensioni nella sezione: σ=258.57 τ=31.50
CC 2 SLD (Collegamento 0021_-378)
Azioni sul collegamento: N=-5777.32 Ty=3.40 Tz=3.89 Mx=0.00 Mz=2.88
Sollecitazioni agenti localmente: Ty_l=-1035.60 My_l=-21.25
Tensioni nella sezione: σ=257.52 τ=31.38
CC 2 SLD (Collegamento 0021_-378)
Azioni sul collegamento: N=-7392.49 Ty=4.43 Tz=-2.12 Mx=0.00 Mz=3.87
Sollecitazioni agenti localmente: Ty_l=-1325.86 My_l=-27.20
Tensioni nella sezione: σ=329.72 τ=40.18
CC 2 SLD (Collegamento 0021_-378)
Azioni sul collegamento: N=-7392.49 Ty=3.40 Tz=-2.12 Mx=0.00 Mz=2.88
Sollecitazioni agenti localmente: Ty_l=-1321.92 My_l=-27.12
Tensioni nella sezione: σ=328.67 τ=40.06
CC 2 SLD (Collegamento 0021_-378)
Azioni sul collegamento: N=-7392.49 Ty=4.43 Tz=3.89 Mx=0.00 Mz=3.87
Sollecitazioni agenti localmente: Ty_l=-1325.86 My_l=-27.20
Tensioni nella sezione: σ=329.72 τ=40.18
CC 2 SLD (Collegamento 0021_-378)
Azioni sul collegamento: N=-7392.49 Ty=3.40 Tz=3.89 Mx=0.00 Mz=2.88
Sollecitazioni agenti localmente: Ty_l=-1321.92 My_l=-27.12
Tensioni nella sezione: σ=328.67 τ=40.06
CC 3 SLV (Collegamento 0021_-378)
Azioni sul collegamento: N=-3974.64 Ty=5.81 Tz=-8.72 Mx=0.01 Mz=5.82
Sollecitazioni agenti localmente: Ty_l=-727.75 My_l=-14.95
Tensioni nella sezione: σ=181.23 τ=22.05
CC 3 SLV (Collegamento 0021_-378)
Azioni sul collegamento: N=-3974.64 Ty=3.70 Tz=-8.72 Mx=0.01 Mz=5.08
Sollecitazioni agenti localmente: Ty_l=-724.82 My_l=-14.89
Tensioni nella sezione: σ=180.45 τ=21.96
CC 3 SLV (Collegamento 0021_-378)
Azioni sul collegamento: N=-3974.64 Ty=5.81 Tz=10.74 Mx=0.01 Mz=5.82
Sollecitazioni agenti localmente: Ty_l=-727.75 My_l=-14.95

Tensioni nella sezione: σ=181.23 τ=22.05
CC 3 SLV (Collegamento 0021_-378)
Azioni sul collegamento: N=-3974.64 Ty=3.70 Tz=10.74 Mx=0.01 Mz=5.08
Sollecitazioni agenti localmente: Ty_l=-724.82 My_l=-14.89
Tensioni nella sezione: σ=180.45 τ=21.96
CC 3 SLV (Collegamento 0021_-378)
Azioni sul collegamento: N=-9260.08 Ty=5.81 Tz=-8.72 Mx=0.01 Mz=5.82
Sollecitazioni agenti localmente: Ty_l=-1664.71 My_l=-34.16
Tensioni nella sezione: σ=414.05 τ=50.45
CC 3 SLV (Collegamento 0021_-378)
Azioni sul collegamento: N=-9260.08 Ty=3.70 Tz=-8.72 Mx=0.01 Mz=5.08
Sollecitazioni agenti localmente: Ty_l=-1661.78 My_l=-34.09
Tensioni nella sezione: σ=413.27 τ=50.36
CC 3 SLV (Collegamento 0021_-378)
Azioni sul collegamento: N=-9260.08 Ty=5.81 Tz=10.74 Mx=0.01 Mz=5.82
Sollecitazioni agenti localmente: Ty_l=-1664.71 My_l=-34.16
Tensioni nella sezione: σ=414.05 τ=50.45
CC 3 SLV (Collegamento 0021_-378)
Azioni sul collegamento: N=-9260.08 Ty=3.70 Tz=10.74 Mx=0.01 Mz=5.08
Sollecitazioni agenti localmente: Ty_l=-1661.78 My_l=-34.09
Tensioni nella sezione: σ=413.27 τ=50.36
CC 4 SLD (Collegamento 0021_-378)
Azioni sul collegamento: N=-5779.06 Ty=4.24 Tz=-2.08 Mx=0.00 Mz=3.48
Sollecitazioni agenti localmente: Ty_l=-1038.32 My_l=-21.30
Tensioni nella sezione: σ=258.24 τ=31.46
CC 4 SLD (Collegamento 0021_-378)
Azioni sul collegamento: N=-5779.06 Ty=3.59 Tz=-2.08 Mx=0.00 Mz=3.26
Sollecitazioni agenti localmente: Ty_l=-1037.43 My_l=-21.29
Tensioni nella sezione: σ=258.00 τ=31.44
CC 4 SLD (Collegamento 0021_-378)
Azioni sul collegamento: N=-5779.06 Ty=4.24 Tz=3.85 Mx=0.00 Mz=3.48
Sollecitazioni agenti localmente: Ty_l=-1038.32 My_l=-21.30
Tensioni nella sezione: σ=258.24 τ=31.46
CC 4 SLD (Collegamento 0021_-378)
Azioni sul collegamento: N=-5779.06 Ty=3.59 Tz=3.85 Mx=0.00 Mz=3.26
Sollecitazioni agenti localmente: Ty_l=-1037.43 My_l=-21.29
Tensioni nella sezione: σ=258.00 τ=31.44
CC 4 SLD (Collegamento 0021_-378)
Azioni sul collegamento: N=-7390.75 Ty=4.24 Tz=-2.08 Mx=0.00 Mz=3.48
Sollecitazioni agenti localmente: Ty_l=-1324.03 My_l=-27.16
Tensioni nella sezione: σ=329.24 τ=40.12
CC 4 SLD (Collegamento 0021_-378)
Azioni sul collegamento: N=-7390.75 Ty=3.59 Tz=-2.08 Mx=0.00 Mz=3.26
Sollecitazioni agenti localmente: Ty_l=-1323.14 My_l=-27.14
Tensioni nella sezione: σ=329.00 τ=40.10
CC 4 SLD (Collegamento 0021_-378)
Azioni sul collegamento: N=-7390.75 Ty=4.24 Tz=3.85 Mx=0.00 Mz=3.48
Sollecitazioni agenti localmente: Ty_l=-1324.03 My_l=-27.16
Tensioni nella sezione: σ=329.24 τ=40.12
CC 4 SLD (Collegamento 0021_-378)
Azioni sul collegamento: N=-7390.75 Ty=3.59 Tz=3.85 Mx=0.00 Mz=3.26
Sollecitazioni agenti localmente: Ty_l=-1323.14 My_l=-27.14
Tensioni nella sezione: σ=329.00 τ=40.10
CC 5 SLV (Collegamento 0021_-378)
Azioni sul collegamento: N=-9260.08 Ty=3.70 Tz=10.74 Mx=0.01 Mz=5.08
Sollecitazioni agenti localmente: Ty_l=-1661.78 My_l=-34.09
Tensioni nella sezione: σ=413.27 τ=50.36
CC 5 SLV (Collegamento 0021_-378)
Azioni sul collegamento: N=-9260.08 Ty=5.81 Tz=10.74 Mx=0.01 Mz=5.82
Sollecitazioni agenti localmente: Ty_l=-1664.71 My_l=-34.16
Tensioni nella sezione: σ=414.05 τ=50.45
CC 5 SLV (Collegamento 0021_-378)
Azioni sul collegamento: N=-9260.08 Ty=3.70 Tz=-8.72 Mx=0.01 Mz=5.08
Sollecitazioni agenti localmente: Ty_l=-1661.78 My_l=-34.09
Tensioni nella sezione: σ=413.27 τ=50.36
CC 5 SLV (Collegamento 0021_-378)
Azioni sul collegamento: N=-9260.08 Ty=5.81 Tz=-8.72 Mx=0.01 Mz=5.82
Sollecitazioni agenti localmente: Ty_l=-1664.71 My_l=-34.16
Tensioni nella sezione: σ=414.05 τ=50.45
CC 5 SLV (Collegamento 0021_-378)
Azioni sul collegamento: N=-3974.64 Ty=3.70 Tz=10.74 Mx=0.01 Mz=5.08
Sollecitazioni agenti localmente: Ty_l=-724.82 My_l=-14.89
Tensioni nella sezione: σ=180.45 τ=21.96
CC 5 SLV (Collegamento 0021_-378)
Azioni sul collegamento: N=-3974.64 Ty=5.81 Tz=10.74 Mx=0.01 Mz=5.82
Sollecitazioni agenti localmente: Ty_l=-727.75 My_l=-14.95
Tensioni nella sezione: σ=181.23 τ=22.05
CC 5 SLV (Collegamento 0021_-378)
Azioni sul collegamento: N=-3974.64 Ty=3.70 Tz=-8.72 Mx=0.01 Mz=5.08

Sollecitazioni agenti localmente: Ty_l=-724.82 My_l=-14.89
Tensioni nella sezione: σ=180.45 τ=21.96
CC 5 SLV (Collegamento 0021_-378)
Azioni sul collegamento: N=-3974.64 Ty=5.81 Tz=-8.72 Mx=0.01 Mz=5.82
Sollecitazioni agenti localmente: Ty_l=-727.75 My_l=-14.95
Tensioni nella sezione: σ=181.23 τ=22.05
CC 6 SLD (Collegamento 0021_-378)
Azioni sul collegamento: N=-7390.75 Ty=3.59 Tz=3.85 Mx=0.00 Mz=3.26
Sollecitazioni agenti localmente: Ty_l=-1323.14 My_l=-27.14
Tensioni nella sezione: σ=329.00 τ=40.10
CC 6 SLD (Collegamento 0021_-378)
Azioni sul collegamento: N=-7390.75 Ty=4.24 Tz=3.85 Mx=0.00 Mz=3.48
Sollecitazioni agenti localmente: Ty_l=-1324.03 My_l=-27.16
Tensioni nella sezione: σ=329.24 τ=40.12
CC 6 SLD (Collegamento 0021_-378)
Azioni sul collegamento: N=-7390.75 Ty=3.59 Tz=-2.08 Mx=0.00 Mz=3.26
Sollecitazioni agenti localmente: Ty_l=-1323.14 My_l=-27.14
Tensioni nella sezione: σ=329.00 τ=40.10
CC 6 SLD (Collegamento 0021_-378)
Azioni sul collegamento: N=-7390.75 Ty=4.24 Tz=-2.08 Mx=0.00 Mz=3.48
Sollecitazioni agenti localmente: Ty_l=-1324.03 My_l=-27.16
Tensioni nella sezione: σ=329.24 τ=40.12
CC 6 SLD (Collegamento 0021_-378)
Azioni sul collegamento: N=-5779.06 Ty=3.59 Tz=3.85 Mx=0.00 Mz=3.26
Sollecitazioni agenti localmente: Ty_l=-1037.43 My_l=-21.29
Tensioni nella sezione: σ=258.00 τ=31.44
CC 6 SLD (Collegamento 0021_-378)
Azioni sul collegamento: N=-5779.06 Ty=4.24 Tz=3.85 Mx=0.00 Mz=3.48
Sollecitazioni agenti localmente: Ty_l=-1038.32 My_l=-21.30
Tensioni nella sezione: σ=258.24 τ=31.46
CC 6 SLD (Collegamento 0021_-378)
Azioni sul collegamento: N=-5779.06 Ty=3.59 Tz=-2.08 Mx=0.00 Mz=3.26
Sollecitazioni agenti localmente: Ty_l=-1037.43 My_l=-21.29
Tensioni nella sezione: σ=258.00 τ=31.44
CC 6 SLD (Collegamento 0021_-378)
Azioni sul collegamento: N=-5779.06 Ty=4.24 Tz=-2.08 Mx=0.00 Mz=3.48
Sollecitazioni agenti localmente: Ty_l=-1038.32 My_l=-21.30
Tensioni nella sezione: σ=258.24 τ=31.46
CC 7 SLV (Collegamento 0021_-378)
Azioni sul collegamento: N=-9265.76 Ty=3.07 Tz=10.87 Mx=0.01 Mz=3.83
Sollecitazioni agenti localmente: Ty_l=-1657.79 My_l=-34.01
Tensioni nella sezione: σ=412.19 τ=50.24
CC 7 SLV (Collegamento 0021_-378)
Azioni sul collegamento: N=-9265.76 Ty=6.45 Tz=10.87 Mx=0.01 Mz=7.08
Sollecitazioni agenti localmente: Ty_l=-1670.71 My_l=-34.29
Tensioni nella sezione: σ=415.62 τ=50.63
CC 7 SLV (Collegamento 0021_-378)
Azioni sul collegamento: N=-9265.76 Ty=3.07 Tz=-8.85 Mx=0.01 Mz=3.83
Sollecitazioni agenti localmente: Ty_l=-1657.79 My_l=-34.01
Tensioni nella sezione: σ=412.19 τ=50.24
CC 7 SLV (Collegamento 0021_-378)
Azioni sul collegamento: N=-9265.76 Ty=6.45 Tz=-8.85 Mx=0.01 Mz=7.08
Sollecitazioni agenti localmente: Ty_l=-1670.71 My_l=-34.29
Tensioni nella sezione: σ=415.62 τ=50.63
CC 7 SLV (Collegamento 0021_-378)
Azioni sul collegamento: N=-3968.96 Ty=3.07 Tz=10.87 Mx=0.01 Mz=3.83
Sollecitazioni agenti localmente: Ty_l=-718.82 My_l=-14.76
Tensioni nella sezione: σ=178.87 τ=21.78
CC 7 SLV (Collegamento 0021_-378)
Azioni sul collegamento: N=-3968.96 Ty=6.45 Tz=10.87 Mx=0.01 Mz=7.08
Sollecitazioni agenti localmente: Ty_l=-731.73 My_l=-15.04
Tensioni nella sezione: σ=182.30 τ=22.17
CC 7 SLV (Collegamento 0021_-378)
Azioni sul collegamento: N=-3968.96 Ty=3.07 Tz=-8.85 Mx=0.01 Mz=3.83
Sollecitazioni agenti localmente: Ty_l=-718.82 My_l=-14.76
Tensioni nella sezione: σ=178.87 τ=21.78
CC 7 SLV (Collegamento 0021_-378)
Azioni sul collegamento: N=-3968.96 Ty=6.45 Tz=-8.85 Mx=0.01 Mz=7.08
Sollecitazioni agenti localmente: Ty_l=-731.73 My_l=-15.04
Tensioni nella sezione: σ=182.30 τ=22.17
CC 8 SLD (Collegamento 0021_-378)
Azioni sul collegamento: N=-7392.49 Ty=3.40 Tz=3.89 Mx=-0.00 Mz=2.88
Sollecitazioni agenti localmente: Ty_l=-1321.92 My_l=-27.12
Tensioni nella sezione: σ=328.67 τ=40.06
CC 8 SLD (Collegamento 0021_-378)
Azioni sul collegamento: N=-7392.49 Ty=4.43 Tz=3.89 Mx=-0.00 Mz=3.87
Sollecitazioni agenti localmente: Ty_l=-1325.86 My_l=-27.20
Tensioni nella sezione: σ=329.72 τ=40.18
CC 8 SLD (Collegamento 0021_-378)

Azioni sul collegamento: N=-7392.49 Ty=3.40 Tz=-2.12 Mx=-0.00 Mz=2.88
Sollecitazioni agenti localmente: Ty_l=-1321.92 My_l=-27.12
Tensioni nella sezione: σ=328.67 τ=40.06
CC 8 SLD (Collegamento 0021_-378)
Azioni sul collegamento: N=-7392.49 Ty=4.43 Tz=-2.12 Mx=-0.00 Mz=3.87
Sollecitazioni agenti localmente: Ty_l=-1325.86 My_l=-27.20
Tensioni nella sezione: σ=329.72 τ=40.18
CC 8 SLD (Collegamento 0021_-378)
Azioni sul collegamento: N=-5777.32 Ty=3.40 Tz=3.89 Mx=-0.00 Mz=2.88
Sollecitazioni agenti localmente: Ty_l=-1035.60 My_l=-21.25
Tensioni nella sezione: σ=257.52 τ=31.38
CC 8 SLD (Collegamento 0021_-378)
Azioni sul collegamento: N=-5777.32 Ty=4.43 Tz=3.89 Mx=-0.00 Mz=3.87
Sollecitazioni agenti localmente: Ty_l=-1039.54 My_l=-21.33
Tensioni nella sezione: σ=258.57 τ=31.50
CC 8 SLD (Collegamento 0021_-378)
Azioni sul collegamento: N=-5777.33 Ty=3.40 Tz=-2.12 Mx=-0.00 Mz=2.88
Sollecitazioni agenti localmente: Ty_l=-1035.60 My_l=-21.25
Tensioni nella sezione: σ=257.52 τ=31.38
CC 8 SLD (Collegamento 0021_-378)
Azioni sul collegamento: N=-5777.33 Ty=4.43 Tz=-2.12 Mx=-0.00 Mz=3.87
Sollecitazioni agenti localmente: Ty_l=-1039.54 My_l=-21.33
Tensioni nella sezione: σ=258.57 τ=31.50
CC 9 SLV (Collegamento 0021_-378)
Azioni sul collegamento: N=-5814.22 Ty=6.23 Tz=-2.14 Mx=0.02 Mz=7.84
Sollecitazioni agenti localmente: Ty_l=-1061.90 My_l=-21.81
Tensioni nella sezione: σ=264.40 τ=32.18
CC 9 SLV (Collegamento 0021_-378)
Azioni sul collegamento: N=-5814.22 Ty=3.29 Tz=-2.14 Mx=0.02 Mz=3.06
Sollecitazioni agenti localmente: Ty_l=-1042.88 My_l=-21.40
Tensioni nella sezione: σ=259.35 τ=31.60
CC 9 SLV (Collegamento 0021_-378)
Azioni sul collegamento: N=-5814.22 Ty=6.23 Tz=4.16 Mx=0.02 Mz=7.84
Sollecitazioni agenti localmente: Ty_l=-1061.90 My_l=-21.81
Tensioni nella sezione: σ=264.40 τ=32.18
CC 9 SLV (Collegamento 0021_-378)
Azioni sul collegamento: N=-5814.22 Ty=3.29 Tz=4.16 Mx=0.02 Mz=3.06
Sollecitazioni agenti localmente: Ty_l=-1042.88 My_l=-21.40
Tensioni nella sezione: σ=259.35 τ=31.60
CC 9 SLV (Collegamento 0021_-378)
Azioni sul collegamento: N=-7420.50 Ty=6.23 Tz=-2.14 Mx=0.02 Mz=7.84
Sollecitazioni agenti localmente: Ty_l=-1346.65 My_l=-27.65
Tensioni nella sezione: σ=335.15 τ=40.81
CC 9 SLV (Collegamento 0021_-378)
Azioni sul collegamento: N=-7420.50 Ty=3.29 Tz=-2.14 Mx=0.02 Mz=3.06
Sollecitazioni agenti localmente: Ty_l=-1327.63 My_l=-27.23
Tensioni nella sezione: σ=330.10 τ=40.23
CC 9 SLV (Collegamento 0021_-378)
Azioni sul collegamento: N=-7420.50 Ty=6.23 Tz=4.16 Mx=0.02 Mz=7.84
Sollecitazioni agenti localmente: Ty_l=-1346.65 My_l=-27.65
Tensioni nella sezione: σ=335.15 τ=40.81
CC 9 SLV (Collegamento 0021_-378)
Azioni sul collegamento: N=-7420.50 Ty=3.29 Tz=4.16 Mx=0.02 Mz=3.06
Sollecitazioni agenti localmente: Ty_l=-1327.63 My_l=-27.23
Tensioni nella sezione: σ=330.10 τ=40.23
CC 10 SLD (Collegamento 0021_-378)
Azioni sul collegamento: N=-6340.00 Ty=4.36 Tz=-0.08 Mx=0.00 Mz=4.10
Sollecitazioni agenti localmente: Ty_l=-1140.22 My_l=-23.40
Tensioni nella sezione: σ=283.60 τ=34.55
CC 10 SLD (Collegamento 0021_-378)
Azioni sul collegamento: N=-6340.00 Ty=3.47 Tz=-0.08 Mx=0.00 Mz=2.64
Sollecitazioni agenti localmente: Ty_l=-1134.41 My_l=-23.27
Tensioni nella sezione: σ=282.06 τ=34.38
CC 10 SLD (Collegamento 0021_-378)
Azioni sul collegamento: N=-6340.00 Ty=4.36 Tz=1.85 Mx=0.00 Mz=4.10
Sollecitazioni agenti localmente: Ty_l=-1140.22 My_l=-23.40
Tensioni nella sezione: σ=283.60 τ=34.55
CC 10 SLD (Collegamento 0021_-378)
Azioni sul collegamento: N=-6340.00 Ty=3.47 Tz=1.85 Mx=0.00 Mz=2.64
Sollecitazioni agenti localmente: Ty_l=-1134.41 My_l=-23.27
Tensioni nella sezione: σ=282.06 τ=34.38
CC 10 SLD (Collegamento 0021_-378)
Azioni sul collegamento: N=-6829.81 Ty=4.36 Tz=-0.08 Mx=0.00 Mz=4.10
Sollecitazioni agenti localmente: Ty_l=-1227.04 My_l=-25.18
Tensioni nella sezione: σ=305.18 τ=37.18
CC 10 SLD (Collegamento 0021_-378)
Azioni sul collegamento: N=-6829.81 Ty=3.47 Tz=-0.08 Mx=0.00 Mz=2.64
Sollecitazioni agenti localmente: Ty_l=-1221.24 My_l=-25.05
Tensioni nella sezione: σ=303.64 τ=37.01

CC 10 SLD (Collegamento 0021_-378)
Azioni sul collegamento: N=-6829.81 Ty=4.36 Tz=1.85 Mx=0.00 Mz=4.10
Sollecitazioni agenti localmente: Ty_l=-1227.04 My_l=-25.18
Tensioni nella sezione: σ=305.18 τ=37.18
CC 10 SLD (Collegamento 0021_-378)
Azioni sul collegamento: N=-6829.81 Ty=3.47 Tz=1.85 Mx=0.00 Mz=2.64
Sollecitazioni agenti localmente: Ty_l=-1221.24 My_l=-25.05
Tensioni nella sezione: σ=303.64 τ=37.01
CC 11 SLV (Collegamento 0021_-378)
Azioni sul collegamento: N=-7401.56 Ty=5.40 Tz=3.74 Mx=0.02 Mz=7.25
Sollecitazioni agenti localmente: Ty_l=-1340.92 My_l=-27.53
Tensioni nella sezione: σ=333.69 τ=40.63
CC 11 SLV (Collegamento 0021_-378)
Azioni sul collegamento: N=-7401.56 Ty=4.11 Tz=3.74 Mx=0.02 Mz=3.66
Sollecitazioni agenti localmente: Ty_l=-1326.64 My_l=-27.22
Tensioni nella sezione: σ=329.90 τ=40.20
CC 11 SLV (Collegamento 0021_-378)
Azioni sul collegamento: N=-7401.56 Ty=5.40 Tz=-1.71 Mx=0.02 Mz=7.25
Sollecitazioni agenti localmente: Ty_l=-1340.92 My_l=-27.53
Tensioni nella sezione: σ=333.69 τ=40.63
CC 11 SLV (Collegamento 0021_-378)
Azioni sul collegamento: N=-7401.56 Ty=4.11 Tz=-1.71 Mx=0.02 Mz=3.66
Sollecitazioni agenti localmente: Ty_l=-1326.64 My_l=-27.22
Tensioni nella sezione: σ=329.90 τ=40.20
CC 11 SLV (Collegamento 0021_-378)
Azioni sul collegamento: N=-5833.17 Ty=5.40 Tz=3.74 Mx=0.02 Mz=7.25
Sollecitazioni agenti localmente: Ty_l=-1062.88 My_l=-21.83
Tensioni nella sezione: σ=264.60 τ=32.21
CC 11 SLV (Collegamento 0021_-378)
Azioni sul collegamento: N=-5833.17 Ty=4.11 Tz=3.74 Mx=0.02 Mz=3.66
Sollecitazioni agenti localmente: Ty_l=-1048.61 My_l=-21.52
Tensioni nella sezione: σ=260.81 τ=31.78
CC 11 SLV (Collegamento 0021_-378)
Azioni sul collegamento: N=-5833.17 Ty=5.40 Tz=-1.71 Mx=0.02 Mz=7.25
Sollecitazioni agenti localmente: Ty_l=-1062.88 My_l=-21.83
Tensioni nella sezione: σ=264.60 τ=32.21
CC 11 SLV (Collegamento 0021_-378)
Azioni sul collegamento: N=-5833.17 Ty=4.11 Tz=-1.71 Mx=0.02 Mz=3.66
Sollecitazioni agenti localmente: Ty_l=-1048.61 My_l=-21.52
Tensioni nella sezione: σ=260.81 τ=31.78
CC 12 SLD (Collegamento 0021_-378)
Azioni sul collegamento: N=-6824.03 Ty=4.11 Tz=1.72 Mx=0.00 Mz=3.92
Sollecitazioni agenti localmente: Ty_l=-1225.30 My_l=-25.14
Tensioni nella sezione: σ=304.73 τ=37.13
CC 12 SLD (Collegamento 0021_-378)
Azioni sul collegamento: N=-6824.03 Ty=3.72 Tz=1.72 Mx=0.00 Mz=2.82
Sollecitazioni agenti localmente: Ty_l=-1220.94 My_l=-25.05
Tensioni nella sezione: σ=303.58 τ=37.00
CC 12 SLD (Collegamento 0021_-378)
Azioni sul collegamento: N=-6824.03 Ty=4.11 Tz=0.05 Mx=0.00 Mz=3.92
Sollecitazioni agenti localmente: Ty_l=-1225.30 My_l=-25.14
Tensioni nella sezione: σ=304.73 τ=37.13
CC 12 SLD (Collegamento 0021_-378)
Azioni sul collegamento: N=-6824.03 Ty=3.72 Tz=0.05 Mx=0.00 Mz=2.82
Sollecitazioni agenti localmente: Ty_l=-1220.94 My_l=-25.05
Tensioni nella sezione: σ=303.58 τ=37.00
CC 12 SLD (Collegamento 0021_-378)
Azioni sul collegamento: N=-6345.78 Ty=4.11 Tz=1.72 Mx=0.00 Mz=3.92
Sollecitazioni agenti localmente: Ty_l=-1140.52 My_l=-23.40
Tensioni nella sezione: σ=283.67 τ=34.56
CC 12 SLD (Collegamento 0021_-378)
Azioni sul collegamento: N=-6345.78 Ty=3.72 Tz=1.72 Mx=0.00 Mz=2.82
Sollecitazioni agenti localmente: Ty_l=-1136.16 My_l=-23.31
Tensioni nella sezione: σ=282.51 τ=34.43
CC 12 SLD (Collegamento 0021_-378)
Azioni sul collegamento: N=-6345.78 Ty=4.11 Tz=0.05 Mx=0.00 Mz=3.92
Sollecitazioni agenti localmente: Ty_l=-1140.52 My_l=-23.40
Tensioni nella sezione: σ=283.67 τ=34.56
CC 12 SLD (Collegamento 0021_-378)
Azioni sul collegamento: N=-6345.78 Ty=3.72 Tz=0.05 Mx=0.00 Mz=2.82
Sollecitazioni agenti localmente: Ty_l=-1136.16 My_l=-23.31
Tensioni nella sezione: σ=282.51 τ=34.43
CC 13 SLV (Collegamento 0021_-378)
Azioni sul collegamento: N=-5833.17 Ty=4.11 Tz=-1.71 Mx=0.00 Mz=3.66
Sollecitazioni agenti localmente: Ty_l=-1048.61 My_l=-21.52
Tensioni nella sezione: σ=260.81 τ=31.78
CC 13 SLV (Collegamento 0021_-378)
Azioni sul collegamento: N=-5833.17 Ty=5.40 Tz=-1.71 Mx=0.00 Mz=7.25
Sollecitazioni agenti localmente: Ty_l=-1062.88 My_l=-21.83

Tensioni nella sezione: σ=264.60 τ=32.21
CC 13 SLV (Collegamento 0021_-378)
Azioni sul collegamento: N=-5833.17 Ty=4.11 Tz=3.74 Mx=0.00 Mz=3.66
Sollecitazioni agenti localmente: Ty_l=-1048.61 My_l=-21.52
Tensioni nella sezione: σ=260.81 τ=31.78
CC 13 SLV (Collegamento 0021_-378)
Azioni sul collegamento: N=-5833.17 Ty=5.40 Tz=3.74 Mx=0.00 Mz=7.25
Sollecitazioni agenti localmente: Ty_l=-1062.88 My_l=-21.83
Tensioni nella sezione: σ=264.60 τ=32.21
CC 13 SLV (Collegamento 0021_-378)
Azioni sul collegamento: N=-7401.56 Ty=4.11 Tz=-1.71 Mx=0.00 Mz=3.66
Sollecitazioni agenti localmente: Ty_l=-1326.64 My_l=-27.22
Tensioni nella sezione: σ=329.90 τ=40.20
CC 13 SLV (Collegamento 0021_-378)
Azioni sul collegamento: N=-7401.56 Ty=5.40 Tz=-1.71 Mx=0.00 Mz=7.25
Sollecitazioni agenti localmente: Ty_l=-1340.92 My_l=-27.53
Tensioni nella sezione: σ=333.69 τ=40.63
CC 13 SLV (Collegamento 0021_-378)
Azioni sul collegamento: N=-7401.56 Ty=4.11 Tz=3.74 Mx=0.00 Mz=3.66
Sollecitazioni agenti localmente: Ty_l=-1326.64 My_l=-27.22
Tensioni nella sezione: σ=329.90 τ=40.20
CC 13 SLV (Collegamento 0021_-378)
Azioni sul collegamento: N=-7401.56 Ty=5.40 Tz=3.74 Mx=0.00 Mz=7.25
Sollecitazioni agenti localmente: Ty_l=-1340.92 My_l=-27.53
Tensioni nella sezione: σ=333.69 τ=40.63
CC 14 SLD (Collegamento 0021_-378)
Azioni sul collegamento: N=-6345.78 Ty=3.72 Tz=0.05 Mx=-0.00 Mz=2.82
Sollecitazioni agenti localmente: Ty_l=-1136.16 My_l=-23.31
Tensioni nella sezione: σ=282.51 τ=34.43
CC 14 SLD (Collegamento 0021_-378)
Azioni sul collegamento: N=-6345.78 Ty=4.11 Tz=0.05 Mx=-0.00 Mz=3.92
Sollecitazioni agenti localmente: Ty_l=-1140.52 My_l=-23.40
Tensioni nella sezione: σ=283.67 τ=34.56
CC 14 SLD (Collegamento 0021_-378)
Azioni sul collegamento: N=-6345.78 Ty=3.72 Tz=1.72 Mx=-0.00 Mz=2.82
Sollecitazioni agenti localmente: Ty_l=-1136.16 My_l=-23.31
Tensioni nella sezione: σ=282.51 τ=34.43
CC 14 SLD (Collegamento 0021_-378)
Azioni sul collegamento: N=-6345.78 Ty=4.11 Tz=1.72 Mx=-0.00 Mz=3.92
Sollecitazioni agenti localmente: Ty_l=-1140.52 My_l=-23.40
Tensioni nella sezione: σ=283.67 τ=34.56
CC 14 SLD (Collegamento 0021_-378)
Azioni sul collegamento: N=-6824.03 Ty=3.72 Tz=0.05 Mx=-0.00 Mz=2.82
Sollecitazioni agenti localmente: Ty_l=-1220.94 My_l=-25.05
Tensioni nella sezione: σ=303.58 τ=37.00
CC 14 SLD (Collegamento 0021_-378)
Azioni sul collegamento: N=-6824.03 Ty=4.11 Tz=0.05 Mx=-0.00 Mz=3.92
Sollecitazioni agenti localmente: Ty_l=-1225.30 My_l=-25.14
Tensioni nella sezione: σ=304.73 τ=37.13
CC 14 SLD (Collegamento 0021_-378)
Azioni sul collegamento: N=-6824.03 Ty=3.72 Tz=1.72 Mx=-0.00 Mz=2.82
Sollecitazioni agenti localmente: Ty_l=-1220.94 My_l=-25.05
Tensioni nella sezione: σ=303.58 τ=37.00
CC 14 SLD (Collegamento 0021_-378)
Azioni sul collegamento: N=-6824.03 Ty=4.11 Tz=1.72 Mx=-0.00 Mz=3.92
Sollecitazioni agenti localmente: Ty_l=-1225.30 My_l=-25.14
Tensioni nella sezione: σ=304.73 τ=37.13
CC 15 SLV (Collegamento 0021_-378)
Azioni sul collegamento: N=-7420.50 Ty=3.29 Tz=4.16 Mx=0.00 Mz=3.06
Sollecitazioni agenti localmente: Ty_l=-1327.63 My_l=-27.23
Tensioni nella sezione: σ=330.10 τ=40.23
CC 15 SLV (Collegamento 0021_-378)
Azioni sul collegamento: N=-7420.50 Ty=6.23 Tz=4.16 Mx=0.00 Mz=7.84
Sollecitazioni agenti localmente: Ty_l=-1346.65 My_l=-27.65
Tensioni nella sezione: σ=335.15 τ=40.81
CC 15 SLV (Collegamento 0021_-378)
Azioni sul collegamento: N=-7420.50 Ty=3.29 Tz=-2.14 Mx=0.00 Mz=3.06
Sollecitazioni agenti localmente: Ty_l=-1327.63 My_l=-27.23
Tensioni nella sezione: σ=330.10 τ=40.23
CC 15 SLV (Collegamento 0021_-378)
Azioni sul collegamento: N=-7420.50 Ty=6.23 Tz=-2.14 Mx=0.00 Mz=7.84
Sollecitazioni agenti localmente: Ty_l=-1346.65 My_l=-27.65
Tensioni nella sezione: σ=335.15 τ=40.81
CC 15 SLV (Collegamento 0021_-378)
Azioni sul collegamento: N=-5814.22 Ty=3.29 Tz=4.16 Mx=0.00 Mz=3.06
Sollecitazioni agenti localmente: Ty_l=-1042.88 My_l=-21.40
Tensioni nella sezione: σ=259.35 τ=31.60
CC 15 SLV (Collegamento 0021_-378)
Azioni sul collegamento: N=-5814.22 Ty=6.23 Tz=4.16 Mx=0.00 Mz=7.84

Sollecitazioni agenti localmente: Ty_l=-1061.90 My_l=-21.81
Tensioni nella sezione: σ=264.40 τ=32.18
CC 15 SLV (Collegamento 0021_-378)
Azioni sul collegamento: N=-5814.22 Ty=3.29 Tz=-2.14 Mx=0.00 Mz=3.06
Sollecitazioni agenti localmente: Ty_l=-1042.88 My_l=-21.40
Tensioni nella sezione: σ=259.35 τ=31.60
CC 15 SLV (Collegamento 0021_-378)
Azioni sul collegamento: N=-5814.22 Ty=6.23 Tz=-2.14 Mx=0.00 Mz=7.84
Sollecitazioni agenti localmente: Ty_l=-1061.90 My_l=-21.81
Tensioni nella sezione: σ=264.40 τ=32.18
CC 16 SLD (Collegamento 0021_-378)
Azioni sul collegamento: N=-6829.81 Ty=3.47 Tz=1.85 Mx=-0.00 Mz=2.64
Sollecitazioni agenti localmente: Ty_l=-1221.24 My_l=-25.05
Tensioni nella sezione: σ=303.64 τ=37.01
CC 16 SLD (Collegamento 0021_-378)
Azioni sul collegamento: N=-6829.81 Ty=4.36 Tz=1.85 Mx=-0.00 Mz=4.10
Sollecitazioni agenti localmente: Ty_l=-1227.04 My_l=-25.18
Tensioni nella sezione: σ=305.18 τ=37.18
CC 16 SLD (Collegamento 0021_-378)
Azioni sul collegamento: N=-6829.81 Ty=3.47 Tz=-0.08 Mx=-0.00 Mz=2.64
Sollecitazioni agenti localmente: Ty_l=-1221.24 My_l=-25.05
Tensioni nella sezione: σ=303.64 τ=37.01
CC 16 SLD (Collegamento 0021_-378)
Azioni sul collegamento: N=-6829.81 Ty=4.36 Tz=-0.08 Mx=-0.00 Mz=4.10
Sollecitazioni agenti localmente: Ty_l=-1227.04 My_l=-25.18
Tensioni nella sezione: σ=305.18 τ=37.18
CC 16 SLD (Collegamento 0021_-378)
Azioni sul collegamento: N=-6340.00 Ty=3.47 Tz=1.85 Mx=-0.00 Mz=2.64
Sollecitazioni agenti localmente: Ty_l=-1134.41 My_l=-23.27
Tensioni nella sezione: σ=282.06 τ=34.38
CC 16 SLD (Collegamento 0021_-378)
Azioni sul collegamento: N=-6340.00 Ty=4.36 Tz=1.85 Mx=-0.00 Mz=4.10
Sollecitazioni agenti localmente: Ty_l=-1140.22 My_l=-23.40
Tensioni nella sezione: σ=283.60 τ=34.55
CC 16 SLD (Collegamento 0021_-378)
Azioni sul collegamento: N=-6340.00 Ty=3.47 Tz=-0.08 Mx=-0.00 Mz=2.64
Sollecitazioni agenti localmente: Ty_l=-1134.41 My_l=-23.27
Tensioni nella sezione: σ=282.06 τ=34.38
CC 16 SLD (Collegamento 0021_-378)
Azioni sul collegamento: N=-6340.00 Ty=4.36 Tz=-0.08 Mx=-0.00 Mz=4.10
Sollecitazioni agenti localmente: Ty_l=-1140.22 My_l=-23.40
Tensioni nella sezione: σ=283.60 τ=34.55
CC 17 SLV (Collegamento 0021_-378)
Azioni sul collegamento: N=-3875.57 Ty=0.64 Tz=-9.21 Mx=-0.02 Mz=1.09
Sollecitazioni agenti localmente: Ty_l=-691.35 My_l=-14.18
Tensioni nella sezione: σ=171.86 τ=20.95
CC 17 SLV (Collegamento 0021_-378)
Azioni sul collegamento: N=-3875.57 Ty=4.02 Tz=-9.21 Mx=-0.02 Mz=-2.16
Sollecitazioni agenti localmente: Ty_l=-678.43 My_l=-13.90
Tensioni nella sezione: σ=168.44 τ=20.56
CC 17 SLV (Collegamento 0021_-378)
Azioni sul collegamento: N=-3875.57 Ty=0.64 Tz=10.50 Mx=-0.02 Mz=1.09
Sollecitazioni agenti localmente: Ty_l=-691.35 My_l=-14.18
Tensioni nella sezione: σ=171.86 τ=20.95
CC 17 SLV (Collegamento 0021_-378)
Azioni sul collegamento: N=-3875.57 Ty=4.02 Tz=10.50 Mx=-0.02 Mz=-2.16
Sollecitazioni agenti localmente: Ty_l=-678.43 My_l=-13.90
Tensioni nella sezione: σ=168.44 τ=20.56
CC 17 SLV (Collegamento 0021_-378)
Azioni sul collegamento: N=-9172.38 Ty=0.64 Tz=-9.21 Mx=-0.02 Mz=1.09
Sollecitazioni agenti localmente: Ty_l=-1630.33 My_l=-33.43
Tensioni nella sezione: σ=405.19 τ=49.40
CC 17 SLV (Collegamento 0021_-378)
Azioni sul collegamento: N=-9172.38 Ty=4.02 Tz=-9.21 Mx=-0.02 Mz=-2.16
Sollecitazioni agenti localmente: Ty_l=-1617.41 My_l=-33.14
Tensioni nella sezione: σ=401.76 τ=49.01
CC 17 SLV (Collegamento 0021_-378)
Azioni sul collegamento: N=-9172.38 Ty=0.64 Tz=10.50 Mx=-0.02 Mz=1.09
Sollecitazioni agenti localmente: Ty_l=-1630.33 My_l=-33.43
Tensioni nella sezione: σ=405.19 τ=49.40
CC 17 SLV (Collegamento 0021_-378)
Azioni sul collegamento: N=-9172.38 Ty=4.02 Tz=10.50 Mx=-0.02 Mz=-2.16
Sollecitazioni agenti localmente: Ty_l=-1617.41 My_l=-33.14
Tensioni nella sezione: σ=401.76 τ=49.01
CC 18 SLD (Collegamento 0021_-378)
Azioni sul collegamento: N=-5748.85 Ty=3.69 Tz=-2.23 Mx=-0.01 Mz=2.04
Sollecitazioni agenti localmente: Ty_l=-1027.22 My_l=-21.07
Tensioni nella sezione: σ=255.39 τ=31.13
CC 18 SLD (Collegamento 0021_-378)

Azioni sul collegamento: N=-5748.85 Ty=2.66 Tz=-2.23 Mx=-0.01 Mz=1.05
Sollecitazioni agenti localmente: Ty_l=-1023.28 My_l=-20.98
Tensioni nella sezione: σ=254.34 τ=31.01
CC 18 SLD (Collegamento 0021_-378)
Azioni sul collegamento: N=-5748.85 Ty=3.69 Tz=3.78 Mx=-0.01 Mz=2.04
Sollecitazioni agenti localmente: Ty_l=-1027.22 My_l=-21.07
Tensioni nella sezione: σ=255.39 τ=31.13
CC 18 SLD (Collegamento 0021_-378)
Azioni sul collegamento: N=-5748.85 Ty=2.66 Tz=3.78 Mx=-0.01 Mz=1.05
Sollecitazioni agenti localmente: Ty_l=-1023.28 My_l=-20.98
Tensioni nella sezione: σ=254.34 τ=31.01
CC 18 SLD (Collegamento 0021_-378)
Azioni sul collegamento: N=-7364.01 Ty=3.69 Tz=-2.23 Mx=-0.01 Mz=2.04
Sollecitazioni agenti localmente: Ty_l=-1313.55 My_l=-26.94
Tensioni nella sezione: σ=326.53 τ=39.80
CC 18 SLD (Collegamento 0021_-378)
Azioni sul collegamento: N=-7364.01 Ty=2.66 Tz=-2.23 Mx=-0.01 Mz=1.05
Sollecitazioni agenti localmente: Ty_l=-1309.61 My_l=-26.85
Tensioni nella sezione: σ=325.49 τ=39.69
CC 18 SLD (Collegamento 0021_-378)
Azioni sul collegamento: N=-7364.01 Ty=3.69 Tz=3.78 Mx=-0.01 Mz=2.04
Sollecitazioni agenti localmente: Ty_l=-1313.55 My_l=-26.94
Tensioni nella sezione: σ=326.53 τ=39.80
CC 18 SLD (Collegamento 0021_-378)
Azioni sul collegamento: N=-7364.01 Ty=2.66 Tz=3.78 Mx=-0.01 Mz=1.05
Sollecitazioni agenti localmente: Ty_l=-1309.61 My_l=-26.85
Tensioni nella sezione: σ=325.49 τ=39.69
CC 19 SLV (Collegamento 0021_-378)
Azioni sul collegamento: N=-3881.26 Ty=1.27 Tz=-9.09 Mx=-0.02 Mz=-0.17
Sollecitazioni agenti localmente: Ty_l=-687.36 My_l=-14.09
Tensioni nella sezione: σ=170.79 τ=20.83
CC 19 SLV (Collegamento 0021_-378)
Azioni sul collegamento: N=-3881.26 Ty=3.39 Tz=-9.09 Mx=-0.02 Mz=-0.91
Sollecitazioni agenti localmente: Ty_l=-684.44 My_l=-14.03
Tensioni nella sezione: σ=170.01 τ=20.74
CC 19 SLV (Collegamento 0021_-378)
Azioni sul collegamento: N=-3881.26 Ty=1.27 Tz=10.37 Mx=-0.02 Mz=-0.17
Sollecitazioni agenti localmente: Ty_l=-687.36 My_l=-14.09
Tensioni nella sezione: σ=170.79 τ=20.83
CC 19 SLV (Collegamento 0021_-378)
Azioni sul collegamento: N=-3881.26 Ty=3.39 Tz=10.37 Mx=-0.02 Mz=-0.91
Sollecitazioni agenti localmente: Ty_l=-684.44 My_l=-14.03
Tensioni nella sezione: σ=170.01 τ=20.74
CC 19 SLV (Collegamento 0021_-378)
Azioni sul collegamento: N=-9166.69 Ty=1.27 Tz=-9.09 Mx=-0.02 Mz=-0.17
Sollecitazioni agenti localmente: Ty_l=-1624.33 My_l=-33.30
Tensioni nella sezione: σ=403.61 τ=49.22
CC 19 SLV (Collegamento 0021_-378)
Azioni sul collegamento: N=-9166.69 Ty=3.39 Tz=-9.09 Mx=-0.02 Mz=-0.91
Sollecitazioni agenti localmente: Ty_l=-1621.40 My_l=-33.23
Tensioni nella sezione: σ=402.83 τ=49.13
CC 19 SLV (Collegamento 0021_-378)
Azioni sul collegamento: N=-9166.69 Ty=1.27 Tz=10.37 Mx=-0.02 Mz=-0.17
Sollecitazioni agenti localmente: Ty_l=-1624.33 My_l=-33.30
Tensioni nella sezione: σ=403.61 τ=49.22
CC 19 SLV (Collegamento 0021_-378)
Azioni sul collegamento: N=-9166.69 Ty=3.39 Tz=10.37 Mx=-0.02 Mz=-0.91
Sollecitazioni agenti localmente: Ty_l=-1621.40 My_l=-33.23
Tensioni nella sezione: σ=402.83 τ=49.13
CC 20 SLD (Collegamento 0021_-378)
Azioni sul collegamento: N=-5750.58 Ty=3.50 Tz=-2.19 Mx=-0.01 Mz=1.66
Sollecitazioni agenti localmente: Ty_l=-1026.01 My_l=-21.04
Tensioni nella sezione: σ=255.06 τ=31.09
CC 20 SLD (Collegamento 0021_-378)
Azioni sul collegamento: N=-5750.58 Ty=2.85 Tz=-2.19 Mx=-0.01 Mz=1.43
Sollecitazioni agenti localmente: Ty_l=-1025.11 My_l=-21.02
Tensioni nella sezione: σ=254.82 τ=31.06
CC 20 SLD (Collegamento 0021_-378)
Azioni sul collegamento: N=-5750.58 Ty=3.50 Tz=3.74 Mx=-0.01 Mz=1.66
Sollecitazioni agenti localmente: Ty_l=-1026.01 My_l=-21.04
Tensioni nella sezione: σ=255.06 τ=31.09
CC 20 SLD (Collegamento 0021_-378)
Azioni sul collegamento: N=-5750.58 Ty=2.85 Tz=3.74 Mx=-0.01 Mz=1.43
Sollecitazioni agenti localmente: Ty_l=-1025.11 My_l=-21.02
Tensioni nella sezione: σ=254.82 τ=31.06
CC 20 SLD (Collegamento 0021_-378)
Azioni sul collegamento: N=-7362.28 Ty=3.50 Tz=-2.19 Mx=-0.01 Mz=1.66
Sollecitazioni agenti localmente: Ty_l=-1311.72 My_l=-26.90
Tensioni nella sezione: σ=326.05 τ=39.75

CC 20 SLD (Collegamento 0021_-378)
Azioni sul collegamento: N=-7362.28 Ty=2.85 Tz=-2.19 Mx=-0.01 Mz=1.43
Sollecitazioni agenti localmente: Ty_l=-1310.82 My_l=-26.88
Tensioni nella sezione: σ=325.82 τ=39.72
CC 20 SLD (Collegamento 0021_-378)
Azioni sul collegamento: N=-7362.28 Ty=3.50 Tz=3.74 Mx=-0.01 Mz=1.66
Sollecitazioni agenti localmente: Ty_l=-1311.72 My_l=-26.90
Tensioni nella sezione: σ=326.05 τ=39.75
CC 20 SLD (Collegamento 0021_-378)
Azioni sul collegamento: N=-7362.28 Ty=2.85 Tz=3.74 Mx=-0.01 Mz=1.43
Sollecitazioni agenti localmente: Ty_l=-1310.82 My_l=-26.88
Tensioni nella sezione: σ=325.82 τ=39.72
CC 21 SLV (Collegamento 0021_-378)
Azioni sul collegamento: N=-9166.69 Ty=3.39 Tz=10.37 Mx=-0.02 Mz=-0.91
Sollecitazioni agenti localmente: Ty_l=-1621.40 My_l=-33.23
Tensioni nella sezione: σ=402.83 τ=49.13
CC 21 SLV (Collegamento 0021_-378)
Azioni sul collegamento: N=-9166.69 Ty=1.27 Tz=10.37 Mx=-0.02 Mz=-0.17
Sollecitazioni agenti localmente: Ty_l=-1624.33 My_l=-33.30
Tensioni nella sezione: σ=403.61 τ=49.22
CC 21 SLV (Collegamento 0021_-378)
Azioni sul collegamento: N=-9166.69 Ty=3.39 Tz=-9.09 Mx=-0.02 Mz=-0.91
Sollecitazioni agenti localmente: Ty_l=-1621.40 My_l=-33.23
Tensioni nella sezione: σ=402.83 τ=49.13
CC 21 SLV (Collegamento 0021_-378)
Azioni sul collegamento: N=-9166.69 Ty=1.27 Tz=-9.09 Mx=-0.02 Mz=-0.17
Sollecitazioni agenti localmente: Ty_l=-1624.33 My_l=-33.30
Tensioni nella sezione: σ=403.61 τ=49.22
CC 21 SLV (Collegamento 0021_-378)
Azioni sul collegamento: N=-3881.26 Ty=3.39 Tz=10.37 Mx=-0.02 Mz=-0.91
Sollecitazioni agenti localmente: Ty_l=-684.44 My_l=-14.03
Tensioni nella sezione: σ=170.01 τ=20.74
CC 21 SLV (Collegamento 0021_-378)
Azioni sul collegamento: N=-3881.26 Ty=1.27 Tz=10.37 Mx=-0.02 Mz=-0.17
Sollecitazioni agenti localmente: Ty_l=-687.36 My_l=-14.09
Tensioni nella sezione: σ=170.79 τ=20.83
CC 21 SLV (Collegamento 0021_-378)
Azioni sul collegamento: N=-3881.26 Ty=3.39 Tz=-9.09 Mx=-0.02 Mz=-0.91
Sollecitazioni agenti localmente: Ty_l=-684.44 My_l=-14.03
Tensioni nella sezione: σ=170.01 τ=20.74
CC 21 SLV (Collegamento 0021_-378)
Azioni sul collegamento: N=-3881.26 Ty=1.27 Tz=-9.09 Mx=-0.02 Mz=-0.17
Sollecitazioni agenti localmente: Ty_l=-687.36 My_l=-14.09
Tensioni nella sezione: σ=170.79 τ=20.83
CC 22 SLD (Collegamento 0021_-378)
Azioni sul collegamento: N=-7362.28 Ty=2.85 Tz=3.74 Mx=-0.01 Mz=1.43
Sollecitazioni agenti localmente: Ty_l=-1310.82 My_l=-26.88
Tensioni nella sezione: σ=325.82 τ=39.72
CC 22 SLD (Collegamento 0021_-378)
Azioni sul collegamento: N=-7362.28 Ty=3.50 Tz=3.74 Mx=-0.01 Mz=1.66
Sollecitazioni agenti localmente: Ty_l=-1311.72 My_l=-26.90
Tensioni nella sezione: σ=326.05 τ=39.75
CC 22 SLD (Collegamento 0021_-378)
Azioni sul collegamento: N=-7362.28 Ty=2.85 Tz=-2.19 Mx=-0.01 Mz=1.43
Sollecitazioni agenti localmente: Ty_l=-1310.82 My_l=-26.88
Tensioni nella sezione: σ=325.82 τ=39.72
CC 22 SLD (Collegamento 0021_-378)
Azioni sul collegamento: N=-7362.28 Ty=3.50 Tz=-2.19 Mx=-0.01 Mz=1.66
Sollecitazioni agenti localmente: Ty_l=-1311.72 My_l=-26.90
Tensioni nella sezione: σ=326.05 τ=39.75
CC 22 SLD (Collegamento 0021_-378)
Azioni sul collegamento: N=-5750.58 Ty=2.85 Tz=3.74 Mx=-0.01 Mz=1.43
Sollecitazioni agenti localmente: Ty_l=-1025.11 My_l=-21.02
Tensioni nella sezione: σ=254.82 τ=31.06
CC 22 SLD (Collegamento 0021_-378)
Azioni sul collegamento: N=-5750.58 Ty=3.50 Tz=3.74 Mx=-0.01 Mz=1.66
Sollecitazioni agenti localmente: Ty_l=-1026.01 My_l=-21.04
Tensioni nella sezione: σ=255.06 τ=31.09
CC 22 SLD (Collegamento 0021_-378)
Azioni sul collegamento: N=-5750.58 Ty=2.85 Tz=-2.19 Mx=-0.01 Mz=1.43
Sollecitazioni agenti localmente: Ty_l=-1025.11 My_l=-21.02
Tensioni nella sezione: σ=254.82 τ=31.06
CC 22 SLD (Collegamento 0021_-378)
Azioni sul collegamento: N=-5750.58 Ty=3.50 Tz=-2.19 Mx=-0.01 Mz=1.66
Sollecitazioni agenti localmente: Ty_l=-1026.01 My_l=-21.04
Tensioni nella sezione: σ=255.06 τ=31.09
CC 23 SLV (Collegamento 0021_-378)
Azioni sul collegamento: N=-9172.38 Ty=4.02 Tz=10.50 Mx=-0.01 Mz=-2.16
Sollecitazioni agenti localmente: Ty_l=-1617.41 My_l=-33.14

Tensioni nella sezione: σ=401.76 τ=49.01
CC 23 SLV (Collegamento 0021_-378)
Azioni sul collegamento: N=-9172.38 Ty=0.64 Tz=10.50 Mx=-0.01 Mz=1.09
Sollecitazioni agenti localmente: Ty_l=-1630.33 My_l=-33.43
Tensioni nella sezione: σ=405.19 τ=49.40
CC 23 SLV (Collegamento 0021_-378)
Azioni sul collegamento: N=-9172.38 Ty=4.02 Tz=-9.21 Mx=-0.01 Mz=-2.16
Sollecitazioni agenti localmente: Ty_l=-1617.41 My_l=-33.14
Tensioni nella sezione: σ=401.76 τ=49.01
CC 23 SLV (Collegamento 0021_-378)
Azioni sul collegamento: N=-9172.38 Ty=0.64 Tz=-9.21 Mx=-0.01 Mz=1.09
Sollecitazioni agenti localmente: Ty_l=-1630.33 My_l=-33.43
Tensioni nella sezione: σ=405.19 τ=49.40
CC 23 SLV (Collegamento 0021_-378)
Azioni sul collegamento: N=-3875.57 Ty=4.02 Tz=10.50 Mx=-0.01 Mz=-2.16
Sollecitazioni agenti localmente: Ty_l=-678.43 My_l=-13.90
Tensioni nella sezione: σ=168.44 τ=20.56
CC 23 SLV (Collegamento 0021_-378)
Azioni sul collegamento: N=-3875.57 Ty=0.64 Tz=10.50 Mx=-0.01 Mz=1.09
Sollecitazioni agenti localmente: Ty_l=-691.35 My_l=-14.18
Tensioni nella sezione: σ=171.86 τ=20.95
CC 23 SLV (Collegamento 0021_-378)
Azioni sul collegamento: N=-3875.57 Ty=4.02 Tz=-9.21 Mx=-0.01 Mz=-2.16
Sollecitazioni agenti localmente: Ty_l=-678.43 My_l=-13.90
Tensioni nella sezione: σ=168.44 τ=20.56
CC 23 SLV (Collegamento 0021_-378)
Azioni sul collegamento: N=-3875.57 Ty=0.64 Tz=-9.21 Mx=-0.01 Mz=1.09
Sollecitazioni agenti localmente: Ty_l=-691.35 My_l=-14.18
Tensioni nella sezione: σ=171.86 τ=20.95
CC 24 SLD (Collegamento 0021_-378)
Azioni sul collegamento: N=-7364.01 Ty=2.66 Tz=3.78 Mx=-0.01 Mz=1.05
Sollecitazioni agenti localmente: Ty_l=-1309.61 My_l=-26.85
Tensioni nella sezione: σ=325.49 τ=39.69
CC 24 SLD (Collegamento 0021_-378)
Azioni sul collegamento: N=-7364.01 Ty=3.69 Tz=3.78 Mx=-0.01 Mz=2.04
Sollecitazioni agenti localmente: Ty_l=-1313.55 My_l=-26.94
Tensioni nella sezione: σ=326.53 τ=39.80
CC 24 SLD (Collegamento 0021_-378)
Azioni sul collegamento: N=-7364.01 Ty=2.66 Tz=-2.23 Mx=-0.01 Mz=1.05
Sollecitazioni agenti localmente: Ty_l=-1309.61 My_l=-26.85
Tensioni nella sezione: σ=325.49 τ=39.69
CC 24 SLD (Collegamento 0021_-378)
Azioni sul collegamento: N=-7364.01 Ty=3.69 Tz=-2.23 Mx=-0.01 Mz=2.04
Sollecitazioni agenti localmente: Ty_l=-1313.55 My_l=-26.94
Tensioni nella sezione: σ=326.53 τ=39.80
CC 24 SLD (Collegamento 0021_-378)
Azioni sul collegamento: N=-5748.85 Ty=2.66 Tz=3.78 Mx=-0.01 Mz=1.05
Sollecitazioni agenti localmente: Ty_l=-1023.28 My_l=-20.98
Tensioni nella sezione: σ=254.34 τ=31.01
CC 24 SLD (Collegamento 0021_-378)
Azioni sul collegamento: N=-5748.85 Ty=3.69 Tz=3.78 Mx=-0.01 Mz=2.04
Sollecitazioni agenti localmente: Ty_l=-1027.22 My_l=-21.07
Tensioni nella sezione: σ=255.39 τ=31.13
CC 24 SLD (Collegamento 0021_-378)
Azioni sul collegamento: N=-5748.85 Ty=2.66 Tz=-2.23 Mx=-0.01 Mz=1.05
Sollecitazioni agenti localmente: Ty_l=-1023.28 My_l=-20.98
Tensioni nella sezione: σ=254.34 τ=31.01
CC 24 SLD (Collegamento 0021_-378)
Azioni sul collegamento: N=-5748.85 Ty=3.69 Tz=-2.23 Mx=-0.01 Mz=2.04
Sollecitazioni agenti localmente: Ty_l=-1027.22 My_l=-21.07
Tensioni nella sezione: σ=255.39 τ=31.13
CC 25 SLV (Collegamento 0021_-378)
Azioni sul collegamento: N=-5720.83 Ty=0.86 Tz=-2.51 Mx=-0.03 Mz=1.85
Sollecitazioni agenti localmente: Ty_l=-1021.52 My_l=-20.95
Tensioni nella sezione: σ=253.96 τ=30.96
CC 25 SLV (Collegamento 0021_-378)
Azioni sul collegamento: N=-5720.83 Ty=3.80 Tz=-2.51 Mx=-0.03 Mz=-2.93
Sollecitazioni agenti localmente: Ty_l=-1002.49 My_l=-20.53
Tensioni nella sezione: σ=248.91 τ=30.38
CC 25 SLV (Collegamento 0021_-378)
Azioni sul collegamento: N=-5720.83 Ty=0.86 Tz=3.80 Mx=-0.03 Mz=1.85
Sollecitazioni agenti localmente: Ty_l=-1021.52 My_l=-20.95
Tensioni nella sezione: σ=253.96 τ=30.96
CC 25 SLV (Collegamento 0021_-378)
Azioni sul collegamento: N=-5720.83 Ty=3.80 Tz=3.80 Mx=-0.03 Mz=-2.93
Sollecitazioni agenti localmente: Ty_l=-1002.49 My_l=-20.53
Tensioni nella sezione: σ=248.91 τ=30.38
CC 25 SLV (Collegamento 0021_-378)
Azioni sul collegamento: N=-7327.12 Ty=0.86 Tz=-2.51 Mx=-0.03 Mz=1.85

Sollecitazioni agenti localmente: Ty_l=-1306.27 My_l=-26.79
Tensioni nella sezione: σ=324.71 τ=39.58
CC 25 SLV (Collegamento 0021_-378)
Azioni sul collegamento: N=-7327.12 Ty=3.80 Tz=-2.51 Mx=-0.03 Mz=-2.93
Sollecitazioni agenti localmente: Ty_l=-1287.24 My_l=-26.37
Tensioni nella sezione: σ=319.66 τ=39.01
CC 25 SLV (Collegamento 0021_-378)
Azioni sul collegamento: N=-7327.12 Ty=0.86 Tz=3.80 Mx=-0.03 Mz=1.85
Sollecitazioni agenti localmente: Ty_l=-1306.27 My_l=-26.79
Tensioni nella sezione: σ=324.71 τ=39.58
CC 25 SLV (Collegamento 0021_-378)
Azioni sul collegamento: N=-7327.12 Ty=3.80 Tz=3.80 Mx=-0.03 Mz=-2.93
Sollecitazioni agenti localmente: Ty_l=-1287.24 My_l=-26.37
Tensioni nella sezione: σ=319.66 τ=39.01
CC 26 SLD (Collegamento 0021_-378)
Azioni sul collegamento: N=-6311.53 Ty=3.62 Tz=-0.19 Mx=-0.01 Mz=2.27
Sollecitazioni agenti localmente: Ty_l=-1127.90 My_l=-23.13
Tensioni nella sezione: σ=280.42 τ=34.18
CC 26 SLD (Collegamento 0021_-378)
Azioni sul collegamento: N=-6311.53 Ty=2.73 Tz=-0.19 Mx=-0.01 Mz=0.81
Sollecitazioni agenti localmente: Ty_l=-1122.10 My_l=-23.01
Tensioni nella sezione: σ=278.88 τ=34.00
CC 26 SLD (Collegamento 0021_-378)
Azioni sul collegamento: N=-6311.53 Ty=3.62 Tz=1.73 Mx=-0.01 Mz=2.27
Sollecitazioni agenti localmente: Ty_l=-1127.90 My_l=-23.13
Tensioni nella sezione: σ=280.42 τ=34.18
CC 26 SLD (Collegamento 0021_-378)
Azioni sul collegamento: N=-6311.53 Ty=2.73 Tz=1.73 Mx=-0.01 Mz=0.81
Sollecitazioni agenti localmente: Ty_l=-1122.10 My_l=-23.01
Tensioni nella sezione: σ=278.88 τ=34.00
CC 26 SLD (Collegamento 0021_-378)
Azioni sul collegamento: N=-6801.33 Ty=3.62 Tz=-0.19 Mx=-0.01 Mz=2.27
Sollecitazioni agenti localmente: Ty_l=-1214.73 My_l=-24.91
Tensioni nella sezione: σ=302.00 τ=36.81
CC 26 SLD (Collegamento 0021_-378)
Azioni sul collegamento: N=-6801.33 Ty=2.73 Tz=-0.19 Mx=-0.01 Mz=0.81
Sollecitazioni agenti localmente: Ty_l=-1208.93 My_l=-24.79
Tensioni nella sezione: σ=300.45 τ=36.63
CC 26 SLD (Collegamento 0021_-378)
Azioni sul collegamento: N=-6801.33 Ty=3.62 Tz=1.73 Mx=-0.01 Mz=2.27
Sollecitazioni agenti localmente: Ty_l=-1214.73 My_l=-24.91
Tensioni nella sezione: σ=302.00 τ=36.81
CC 26 SLD (Collegamento 0021_-378)
Azioni sul collegamento: N=-6801.33 Ty=2.73 Tz=1.73 Mx=-0.01 Mz=0.81
Sollecitazioni agenti localmente: Ty_l=-1208.93 My_l=-24.79
Tensioni nella sezione: σ=300.46 τ=36.63
CC 27 SLV (Collegamento 0021_-378)
Azioni sul collegamento: N=-7308.17 Ty=1.68 Tz=3.37 Mx=-0.02 Mz=1.26
Sollecitazioni agenti localmente: Ty_l=-1300.53 My_l=-26.67
Tensioni nella sezione: σ=323.25 τ=39.41
CC 27 SLV (Collegamento 0021_-378)
Azioni sul collegamento: N=-7308.17 Ty=2.97 Tz=3.37 Mx=-0.02 Mz=-2.33
Sollecitazioni agenti localmente: Ty_l=-1286.26 My_l=-26.36
Tensioni nella sezione: σ=319.46 τ=38.98
CC 27 SLV (Collegamento 0021_-378)
Azioni sul collegamento: N=-7308.17 Ty=1.68 Tz=-2.08 Mx=-0.02 Mz=1.26
Sollecitazioni agenti localmente: Ty_l=-1300.53 My_l=-26.67
Tensioni nella sezione: σ=323.25 τ=39.41
CC 27 SLV (Collegamento 0021_-378)
Azioni sul collegamento: N=-7308.17 Ty=2.97 Tz=-2.08 Mx=-0.02 Mz=-2.33
Sollecitazioni agenti localmente: Ty_l=-1286.26 My_l=-26.36
Tensioni nella sezione: σ=319.46 τ=38.98
CC 27 SLV (Collegamento 0021_-378)
Azioni sul collegamento: N=-5739.78 Ty=1.68 Tz=3.37 Mx=-0.02 Mz=1.26
Sollecitazioni agenti localmente: Ty_l=-1022.50 My_l=-20.97
Tensioni nella sezione: σ=254.16 τ=30.98
CC 27 SLV (Collegamento 0021_-378)
Azioni sul collegamento: N=-5739.78 Ty=2.97 Tz=3.37 Mx=-0.02 Mz=-2.33
Sollecitazioni agenti localmente: Ty_l=-1008.23 My_l=-20.66
Tensioni nella sezione: σ=250.37 τ=30.55
CC 27 SLV (Collegamento 0021_-378)
Azioni sul collegamento: N=-5739.78 Ty=1.68 Tz=-2.08 Mx=-0.02 Mz=1.26
Sollecitazioni agenti localmente: Ty_l=-1022.50 My_l=-20.97
Tensioni nella sezione: σ=254.16 τ=30.98
CC 27 SLV (Collegamento 0021_-378)
Azioni sul collegamento: N=-5739.78 Ty=2.97 Tz=-2.08 Mx=-0.02 Mz=-2.33
Sollecitazioni agenti localmente: Ty_l=-1008.23 My_l=-20.66
Tensioni nella sezione: σ=250.37 τ=30.55
CC 28 SLD (Collegamento 0021_-378)

Azioni sul collegamento: N=-6795.56 Ty=3.37 Tz=1.60 Mx=-0.01 Mz=2.09
Sollecitazioni agenti localmente: Ty_l=-1212.98 My_l=-24.88
Tensioni nella sezione: σ=301.55 τ=36.76
CC 28 SLD (Collegamento 0021_-378)
Azioni sul collegamento: N=-6795.56 Ty=2.98 Tz=1.60 Mx=-0.01 Mz=1.00
Sollecitazioni agenti localmente: Ty_l=-1208.63 My_l=-24.78
Tensioni nella sezione: σ=300.39 τ=36.63
CC 28 SLD (Collegamento 0021_-378)
Azioni sul collegamento: N=-6795.56 Ty=3.37 Tz=-0.06 Mx=-0.01 Mz=2.09
Sollecitazioni agenti localmente: Ty_l=-1212.98 My_l=-24.88
Tensioni nella sezione: σ=301.55 τ=36.76
CC 28 SLD (Collegamento 0021_-378)
Azioni sul collegamento: N=-6795.56 Ty=2.98 Tz=-0.06 Mx=-0.01 Mz=1.00
Sollecitazioni agenti localmente: Ty_l=-1208.63 My_l=-24.78
Tensioni nella sezione: σ=300.39 τ=36.63
CC 28 SLD (Collegamento 0021_-378)
Azioni sul collegamento: N=-6317.30 Ty=3.37 Tz=1.60 Mx=-0.01 Mz=2.09
Sollecitazioni agenti localmente: Ty_l=-1128.20 My_l=-23.14
Tensioni nella sezione: σ=280.48 τ=34.19
CC 28 SLD (Collegamento 0021_-378)
Azioni sul collegamento: N=-6317.30 Ty=2.98 Tz=1.60 Mx=-0.01 Mz=1.00
Sollecitazioni agenti localmente: Ty_l=-1123.85 My_l=-23.04
Tensioni nella sezione: σ=279.33 τ=34.06
CC 28 SLD (Collegamento 0021_-378)
Azioni sul collegamento: N=-6317.30 Ty=3.37 Tz=-0.06 Mx=-0.01 Mz=2.09
Sollecitazioni agenti localmente: Ty_l=-1128.20 My_l=-23.14
Tensioni nella sezione: σ=280.48 τ=34.19
CC 28 SLD (Collegamento 0021_-378)
Azioni sul collegamento: N=-6317.30 Ty=2.98 Tz=-0.06 Mx=-0.01 Mz=1.00
Sollecitazioni agenti localmente: Ty_l=-1123.85 My_l=-23.04
Tensioni nella sezione: σ=279.33 τ=34.06
CC 29 SLV (Collegamento 0021_-378)
Azioni sul collegamento: N=-5739.78 Ty=2.97 Tz=-2.08 Mx=-0.01 Mz=-2.33
Sollecitazioni agenti localmente: Ty_l=-1008.23 My_l=-20.66
Tensioni nella sezione: σ=250.37 τ=30.55
CC 29 SLV (Collegamento 0021_-378)
Azioni sul collegamento: N=-5739.78 Ty=1.68 Tz=-2.08 Mx=-0.01 Mz=1.26
Sollecitazioni agenti localmente: Ty_l=-1022.50 My_l=-20.97
Tensioni nella sezione: σ=254.16 τ=30.98
CC 29 SLV (Collegamento 0021_-378)
Azioni sul collegamento: N=-5739.78 Ty=2.97 Tz=3.37 Mx=-0.01 Mz=-2.33
Sollecitazioni agenti localmente: Ty_l=-1008.23 My_l=-20.66
Tensioni nella sezione: σ=250.37 τ=30.55
CC 29 SLV (Collegamento 0021_-378)
Azioni sul collegamento: N=-5739.78 Ty=1.68 Tz=3.37 Mx=-0.01 Mz=1.26
Sollecitazioni agenti localmente: Ty_l=-1022.50 My_l=-20.97
Tensioni nella sezione: σ=254.16 τ=30.98
CC 29 SLV (Collegamento 0021_-378)
Azioni sul collegamento: N=-7308.17 Ty=2.97 Tz=-2.08 Mx=-0.01 Mz=-2.33
Sollecitazioni agenti localmente: Ty_l=-1286.26 My_l=-26.36
Tensioni nella sezione: σ=319.46 τ=38.98
CC 29 SLV (Collegamento 0021_-378)
Azioni sul collegamento: N=-7308.17 Ty=1.68 Tz=-2.08 Mx=-0.01 Mz=1.26
Sollecitazioni agenti localmente: Ty_l=-1300.53 My_l=-26.67
Tensioni nella sezione: σ=323.25 τ=39.41
CC 29 SLV (Collegamento 0021_-378)
Azioni sul collegamento: N=-7308.17 Ty=2.97 Tz=3.37 Mx=-0.01 Mz=-2.33
Sollecitazioni agenti localmente: Ty_l=-1286.26 My_l=-26.36
Tensioni nella sezione: σ=319.46 τ=38.98
CC 29 SLV (Collegamento 0021_-378)
Azioni sul collegamento: N=-7308.17 Ty=1.68 Tz=3.37 Mx=-0.01 Mz=1.26
Sollecitazioni agenti localmente: Ty_l=-1300.53 My_l=-26.67
Tensioni nella sezione: σ=323.25 τ=39.41
CC 30 SLD (Collegamento 0021_-378)
Azioni sul collegamento: N=-6317.30 Ty=2.98 Tz=-0.06 Mx=-0.01 Mz=1.00
Sollecitazioni agenti localmente: Ty_l=-1123.85 My_l=-23.04
Tensioni nella sezione: σ=279.33 τ=34.06
CC 30 SLD (Collegamento 0021_-378)
Azioni sul collegamento: N=-6317.30 Ty=3.37 Tz=-0.06 Mx=-0.01 Mz=2.09
Sollecitazioni agenti localmente: Ty_l=-1128.20 My_l=-23.14
Tensioni nella sezione: σ=280.48 τ=34.19
CC 30 SLD (Collegamento 0021_-378)
Azioni sul collegamento: N=-6317.30 Ty=2.98 Tz=1.60 Mx=-0.01 Mz=1.00
Sollecitazioni agenti localmente: Ty_l=-1123.85 My_l=-23.04
Tensioni nella sezione: σ=279.33 τ=34.06
CC 30 SLD (Collegamento 0021_-378)
Azioni sul collegamento: N=-6317.30 Ty=3.37 Tz=1.60 Mx=-0.01 Mz=2.09
Sollecitazioni agenti localmente: Ty_l=-1128.20 My_l=-23.14
Tensioni nella sezione: σ=280.48 τ=34.19

CC 30 SLD (Collegamento 0021_-378)
Azioni sul collegamento: N=-6795.56 Ty=2.98 Tz=-0.06 Mx=-0.01 Mz=1.00
Sollecitazioni agenti localmente: Ty_l=-1208.63 My_l=-24.78
Tensioni nella sezione: σ=300.39 τ=36.63
CC 30 SLD (Collegamento 0021_-378)
Azioni sul collegamento: N=-6795.56 Ty=3.37 Tz=-0.06 Mx=-0.01 Mz=2.09
Sollecitazioni agenti localmente: Ty_l=-1212.98 My_l=-24.88
Tensioni nella sezione: σ=301.55 τ=36.76
CC 30 SLD (Collegamento 0021_-378)
Azioni sul collegamento: N=-6795.56 Ty=2.98 Tz=1.60 Mx=-0.01 Mz=1.00
Sollecitazioni agenti localmente: Ty_l=-1208.63 My_l=-24.78
Tensioni nella sezione: σ=300.39 τ=36.63
CC 30 SLD (Collegamento 0021_-378)
Azioni sul collegamento: N=-6795.56 Ty=3.37 Tz=1.60 Mx=-0.01 Mz=2.09
Sollecitazioni agenti localmente: Ty_l=-1212.98 My_l=-24.88
Tensioni nella sezione: σ=301.55 τ=36.76
CC 31 SLV (Collegamento 0021_-378)
Azioni sul collegamento: N=-7327.12 Ty=3.80 Tz=3.80 Mx=-0.01 Mz=-2.93
Sollecitazioni agenti localmente: Ty_l=-1287.24 My_l=-26.37
Tensioni nella sezione: σ=319.66 τ=39.01
CC 31 SLV (Collegamento 0021_-378)
Azioni sul collegamento: N=-7327.12 Ty=0.86 Tz=3.80 Mx=-0.01 Mz=1.85
Sollecitazioni agenti localmente: Ty_l=-1306.27 My_l=-26.79
Tensioni nella sezione: σ=324.71 τ=39.58
CC 31 SLV (Collegamento 0021_-378)
Azioni sul collegamento: N=-7327.12 Ty=3.80 Tz=-2.51 Mx=-0.01 Mz=-2.93
Sollecitazioni agenti localmente: Ty_l=-1287.24 My_l=-26.37
Tensioni nella sezione: σ=319.66 τ=39.01
CC 31 SLV (Collegamento 0021_-378)
Azioni sul collegamento: N=-7327.12 Ty=0.86 Tz=-2.51 Mx=-0.01 Mz=1.85
Sollecitazioni agenti localmente: Ty_l=-1306.27 My_l=-26.79
Tensioni nella sezione: σ=324.71 τ=39.58
CC 31 SLV (Collegamento 0021_-378)
Azioni sul collegamento: N=-5720.83 Ty=3.80 Tz=3.80 Mx=-0.01 Mz=-2.93
Sollecitazioni agenti localmente: Ty_l=-1002.49 My_l=-20.53
Tensioni nella sezione: σ=248.91 τ=30.38
CC 31 SLV (Collegamento 0021_-378)
Azioni sul collegamento: N=-5720.83 Ty=0.86 Tz=3.80 Mx=-0.01 Mz=1.85
Sollecitazioni agenti localmente: Ty_l=-1021.52 My_l=-20.95
Tensioni nella sezione: σ=253.96 τ=30.96
CC 31 SLV (Collegamento 0021_-378)
Azioni sul collegamento: N=-5720.83 Ty=3.80 Tz=-2.51 Mx=-0.01 Mz=-2.93
Sollecitazioni agenti localmente: Ty_l=-1002.49 My_l=-20.53
Tensioni nella sezione: σ=248.91 τ=30.38
CC 31 SLV (Collegamento 0021_-378)
Azioni sul collegamento: N=-5720.83 Ty=0.86 Tz=-2.51 Mx=-0.01 Mz=1.85
Sollecitazioni agenti localmente: Ty_l=-1021.52 My_l=-20.95
Tensioni nella sezione: σ=253.96 τ=30.96
CC 32 SLD (Collegamento 0021_-378)
Azioni sul collegamento: N=-6801.33 Ty=2.73 Tz=1.73 Mx=-0.01 Mz=0.81
Sollecitazioni agenti localmente: Ty_l=-1208.93 My_l=-24.79
Tensioni nella sezione: σ=300.46 τ=36.63
CC 32 SLD (Collegamento 0021_-378)
Azioni sul collegamento: N=-6801.33 Ty=3.62 Tz=1.73 Mx=-0.01 Mz=2.27
Sollecitazioni agenti localmente: Ty_l=-1214.73 My_l=-24.91
Tensioni nella sezione: σ=302.00 τ=36.81
CC 32 SLD (Collegamento 0021_-378)
Azioni sul collegamento: N=-6801.33 Ty=2.73 Tz=-0.19 Mx=-0.01 Mz=0.81
Sollecitazioni agenti localmente: Ty_l=-1208.93 My_l=-24.79
Tensioni nella sezione: σ=300.45 τ=36.63
CC 32 SLD (Collegamento 0021_-378)
Azioni sul collegamento: N=-6801.33 Ty=3.62 Tz=-0.19 Mx=-0.01 Mz=2.27
Sollecitazioni agenti localmente: Ty_l=-1214.73 My_l=-24.91
Tensioni nella sezione: σ=302.00 τ=36.81
CC 32 SLD (Collegamento 0021_-378)
Azioni sul collegamento: N=-6311.53 Ty=2.73 Tz=1.73 Mx=-0.01 Mz=0.81
Sollecitazioni agenti localmente: Ty_l=-1122.10 My_l=-23.01
Tensioni nella sezione: σ=278.88 τ=34.00
CC 32 SLD (Collegamento 0021_-378)
Azioni sul collegamento: N=-6311.53 Ty=3.62 Tz=1.73 Mx=-0.01 Mz=2.27
Sollecitazioni agenti localmente: Ty_l=-1127.90 My_l=-23.13
Tensioni nella sezione: σ=280.42 τ=34.18
CC 32 SLD (Collegamento 0021_-378)
Azioni sul collegamento: N=-6311.53 Ty=2.73 Tz=-0.19 Mx=-0.01 Mz=0.81
Sollecitazioni agenti localmente: Ty_l=-1122.10 My_l=-23.01
Tensioni nella sezione: σ=278.88 τ=34.00
CC 32 SLD (Collegamento 0021_-378)
Azioni sul collegamento: N=-6311.53 Ty=3.62 Tz=-0.19 Mx=-0.01 Mz=2.27
Sollecitazioni agenti localmente: Ty_l=-1127.90 My_l=-23.13

Tensioni nella sezione: σ=280.42 τ=34.18
CC 33 SLU (Collegamento 0021_-378)
Azioni sul collegamento: N=-30888.30 Ty=5.44 Tz=82.02 Mx=-0.01 Mz=3.71
Sollecitazioni agenti localmente: Ty_l=-5490.40 My_l=-112.57
Tensioni nella sezione: σ=1364.53 τ=166.38
CC 34 SLU (Collegamento 0021_-378)
Azioni sul collegamento: N=-30337.70 Ty=5.16 Tz=79.98 Mx=-0.01 Mz=3.50
Sollecitazioni agenti localmente: Ty_l=-5391.98 My_l=-110.56
Tensioni nella sezione: σ=1340.06 τ=163.39
CC 35 SLU (Collegamento 0021_-378)
Azioni sul collegamento: N=-30612.00 Ty=5.19 Tz=81.02 Mx=-0.01 Mz=3.39
Sollecitazioni agenti localmente: Ty_l=-5440.15 My_l=-111.54
Tensioni nella sezione: σ=1352.02 τ=164.85
CC 36 SLU (Collegamento 0021_-378)
Azioni sul collegamento: N=-30614.00 Ty=5.41 Tz=80.97 Mx=-0.01 Mz=3.82
Sollecitazioni agenti localmente: Ty_l=-5442.23 My_l=-111.59
Tensioni nella sezione: σ=1352.57 τ=164.92
CC 37 SLU (Collegamento 0021_-378)
Azioni sul collegamento: N=-21597.10 Ty=6.32 Tz=47.86 Mx=-0.01 Mz=4.34
Sollecitazioni agenti localmente: Ty_l=-3845.84 My_l=-78.86
Tensioni nella sezione: σ=955.93 τ=116.54
CC 38 SLU (Collegamento 0021_-378)
Azioni sul collegamento: N=-21046.60 Ty=6.03 Tz=45.82 Mx=-0.01 Mz=4.13
Sollecitazioni agenti localmente: Ty_l=-3747.42 My_l=-76.85
Tensioni nella sezione: σ=931.46 τ=113.56
CC 39 SLU (Collegamento 0021_-378)
Azioni sul collegamento: N=-21320.90 Ty=6.07 Tz=46.87 Mx=-0.01 Mz=4.02
Sollecitazioni agenti localmente: Ty_l=-3795.59 My_l=-77.83
Tensioni nella sezione: σ=943.42 τ=115.02
CC 40 SLU (Collegamento 0021_-378)
Azioni sul collegamento: N=-21322.80 Ty=6.29 Tz=46.82 Mx=-0.01 Mz=4.45
Sollecitazioni agenti localmente: Ty_l=-3797.67 My_l=-77.88
Tensioni nella sezione: σ=943.97 τ=115.08
CC 41 SLU (Collegamento 0021_-378)
Azioni sul collegamento: N=-32817.40 Ty=5.33 Tz=88.46 Mx=0.00 Mz=3.76
Sollecitazioni agenti localmente: Ty_l=-5832.60 My_l=-119.59
Tensioni nella sezione: σ=1449.57 τ=176.75
CC 42 SLU (Collegamento 0021_-378)
Azioni sul collegamento: N=-32266.90 Ty=5.04 Tz=86.42 Mx=0.00 Mz=3.56
Sollecitazioni agenti localmente: Ty_l=-5734.18 My_l=-117.57
Tensioni nella sezione: σ=1425.10 τ=173.76
CC 43 SLU (Collegamento 0021_-378)
Azioni sul collegamento: N=-32541.20 Ty=5.08 Tz=87.47 Mx=0.00 Mz=3.44
Sollecitazioni agenti localmente: Ty_l=-5782.35 My_l=-118.56
Tensioni nella sezione: σ=1437.06 τ=175.22
CC 44 SLU (Collegamento 0021_-378)
Azioni sul collegamento: N=-32543.10 Ty=5.30 Tz=87.42 Mx=0.00 Mz=3.88
Sollecitazioni agenti localmente: Ty_l=-5784.43 My_l=-118.60
Tensioni nella sezione: σ=1437.61 τ=175.29
CC 45 SLU (Collegamento 0021_-378)
Azioni sul collegamento: N=-23689.50 Ty=6.01 Tz=55.60 Mx=-0.01 Mz=4.17
Sollecitazioni agenti localmente: Ty_l=-4216.07 My_l=-86.45
Tensioni nella sezione: σ=1047.91 τ=127.76
CC 46 SLU (Collegamento 0021_-378)
Azioni sul collegamento: N=-23139.00 Ty=5.73 Tz=53.57 Mx=-0.01 Mz=3.96
Sollecitazioni agenti localmente: Ty_l=-4117.66 My_l=-84.43
Tensioni nella sezione: σ=1023.44 τ=124.78
CC 47 SLU (Collegamento 0021_-378)
Azioni sul collegamento: N=-23413.30 Ty=5.76 Tz=54.61 Mx=-0.01 Mz=3.84
Sollecitazioni agenti localmente: Ty_l=-4165.82 My_l=-85.42
Tensioni nella sezione: σ=1035.40 τ=126.24
CC 48 SLU (Collegamento 0021_-378)
Azioni sul collegamento: N=-23415.20 Ty=5.98 Tz=54.56 Mx=-0.01 Mz=4.28
Sollecitazioni agenti localmente: Ty_l=-4167.90 My_l=-85.47
Tensioni nella sezione: σ=1035.95 τ=126.30
CC 49 SLU (Collegamento 0021_-378)
Azioni sul collegamento: N=-16738.30 Ty=6.67 Tz=30.05 Mx=-0.01 Mz=4.64
Sollecitazioni agenti localmente: Ty_l=-2985.70 My_l=-61.23
Tensioni nella sezione: σ=742.21 τ=90.48
CC 50 SLU (Collegamento 0021_-378)
Azioni sul collegamento: N=-16187.80 Ty=6.38 Tz=28.01 Mx=-0.01 Mz=4.43
Sollecitazioni agenti localmente: Ty_l=-2887.28 My_l=-59.21
Tensioni nella sezione: σ=717.75 τ=87.49
CC 51 SLU (Collegamento 0021_-378)
Azioni sul collegamento: N=-16462.10 Ty=6.42 Tz=29.05 Mx=-0.01 Mz=4.32
Sollecitazioni agenti localmente: Ty_l=-2935.45 My_l=-60.20
Tensioni nella sezione: σ=729.71 τ=88.95
CC 52 SLU (Collegamento 0021_-378)
Azioni sul collegamento: N=-16464.00 Ty=6.64 Tz=29.01 Mx=-0.01 Mz=4.75

Sollecitazioni agenti localmente: Ty_l=-2937.53 My_l=-60.25
Tensioni nella sezione: σ=730.25 τ=89.02
CC 53 SLU (Collegamento 0021_-378)
Azioni sul collegamento: N=-25132.80 Ty=5.93 Tz=60.42 Mx=-0.00 Mz=4.21
Sollecitazioni agenti localmente: Ty_l=-4472.09 My_l=-91.70
Tensioni nella sezione: σ=1111.53 τ=135.52
CC 54 SLU (Collegamento 0021_-378)
Azioni sul collegamento: N=-24582.20 Ty=5.64 Tz=58.39 Mx=-0.00 Mz=4.00
Sollecitazioni agenti localmente: Ty_l=-4373.67 My_l=-89.68
Tensioni nella sezione: σ=1087.06 τ=132.54
CC 55 SLU (Collegamento 0021_-378)
Azioni sul collegamento: N=-24856.50 Ty=5.68 Tz=59.43 Mx=0.00 Mz=3.89
Sollecitazioni agenti localmente: Ty_l=-4421.84 My_l=-90.67
Tensioni nella sezione: σ=1099.02 τ=134.00
CC 56 SLU (Collegamento 0021_-378)
Azioni sul collegamento: N=-24858.50 Ty=5.89 Tz=59.38 Mx=-0.00 Mz=4.32
Sollecitazioni agenti localmente: Ty_l=-4423.92 My_l=-90.71
Tensioni nella sezione: σ=1099.57 τ=134.06
CC 57 SLU (Collegamento 0021_-378)
Azioni sul collegamento: N=-22071.60 Ty=5.40 Tz=49.65 Mx=-0.01 Mz=3.73
Sollecitazioni agenti localmente: Ty_l=-3927.54 My_l=-80.54
Tensioni nella sezione: σ=976.19 τ=119.02
CC 58 SLU (Collegamento 0021_-378)
Azioni sul collegamento: N=-21521.10 Ty=5.11 Tz=47.61 Mx=-0.01 Mz=3.53
Sollecitazioni agenti localmente: Ty_l=-3829.12 My_l=-78.52
Tensioni nella sezione: σ=951.72 τ=116.03
CC 59 SLU (Collegamento 0021_-378)
Azioni sul collegamento: N=-21795.30 Ty=5.15 Tz=48.65 Mx=-0.01 Mz=3.41
Sollecitazioni agenti localmente: Ty_l=-3877.29 My_l=-79.50
Tensioni nella sezione: σ=963.68 τ=117.49
CC 60 SLU (Collegamento 0021_-378)
Azioni sul collegamento: N=-21797.30 Ty=5.37 Tz=48.60 Mx=-0.01 Mz=3.85
Sollecitazioni agenti localmente: Ty_l=-3879.37 My_l=-79.55
Tensioni nella sezione: σ=964.22 τ=117.56
CC 61 SLU (Collegamento 0021_-378)
Azioni sul collegamento: N=-15120.40 Ty=6.06 Tz=24.09 Mx=-0.01 Mz=4.21
Sollecitazioni agenti localmente: Ty_l=-2697.17 My_l=-55.32
Tensioni nella sezione: σ=670.49 τ=81.73
CC 62 SLU (Collegamento 0021_-378)
Azioni sul collegamento: N=-14569.90 Ty=5.77 Tz=22.06 Mx=-0.01 Mz=4.00
Sollecitazioni agenti localmente: Ty_l=-2598.75 My_l=-53.30
Tensioni nella sezione: σ=646.02 τ=78.75
CC 63 SLU (Collegamento 0021_-378)
Azioni sul collegamento: N=-14844.20 Ty=5.80 Tz=23.10 Mx=-0.01 Mz=3.88
Sollecitazioni agenti localmente: Ty_l=-2646.92 My_l=-54.28
Tensioni nella sezione: σ=657.98 τ=80.21
CC 64 SLU (Collegamento 0021_-378)
Azioni sul collegamento: N=-14846.10 Ty=6.02 Tz=23.05 Mx=-0.01 Mz=4.32
Sollecitazioni agenti localmente: Ty_l=-2649.00 My_l=-54.33
Tensioni nella sezione: σ=658.53 τ=80.27
CC 65 SLU (Collegamento 0021_-378)
Azioni sul collegamento: N=-23514.90 Ty=5.31 Tz=54.47 Mx=0.00 Mz=3.77
Sollecitazioni agenti localmente: Ty_l=-4183.55 My_l=-85.78
Tensioni nella sezione: σ=1039.80 τ=126.77
CC 66 SLU (Collegamento 0021_-378)
Azioni sul collegamento: N=-22964.30 Ty=5.03 Tz=52.43 Mx=0.00 Mz=3.57
Sollecitazioni agenti localmente: Ty_l=-4085.14 My_l=-83.77
Tensioni nella sezione: σ=1015.34 τ=123.79
CC 67 SLU (Collegamento 0021_-378)
Azioni sul collegamento: N=-23238.60 Ty=5.06 Tz=53.47 Mx=0.00 Mz=3.45
Sollecitazioni agenti localmente: Ty_l=-4133.31 My_l=-84.75
Tensioni nella sezione: σ=1027.30 τ=125.25
CC 68 SLU (Collegamento 0021_-378)
Azioni sul collegamento: N=-23240.60 Ty=5.28 Tz=53.43 Mx=-0.00 Mz=3.89
Sollecitazioni agenti localmente: Ty_l=-4135.39 My_l=-84.80
Tensioni nella sezione: σ=1027.84 τ=125.31
CC 97 SLU (Collegamento 0021_-378)
Azioni sul collegamento: N=-18052.20 Ty=-0.34 Tz=43.06 Mx=-0.05 Mz=-8.83
Sollecitazioni agenti localmente: Ty_l=-3165.04 My_l=-64.83
Tensioni nella sezione: σ=785.87 τ=95.91
CC 98 SLU (Collegamento 0021_-378)
Azioni sul collegamento: N=-17501.60 Ty=-0.63 Tz=41.02 Mx=-0.05 Mz=-9.04
Sollecitazioni agenti localmente: Ty_l=-3066.62 My_l=-62.82
Tensioni nella sezione: σ=761.40 τ=92.93
CC 99 SLU (Collegamento 0021_-378)
Azioni sul collegamento: N=-17775.90 Ty=-0.60 Tz=42.06 Mx=-0.05 Mz=-9.15
Sollecitazioni agenti localmente: Ty_l=-3114.79 My_l=-63.80
Tensioni nella sezione: σ=773.36 τ=94.39
CC 100 SLU (Collegamento 0021_-378)

Azioni sul collegamento: N=-17777.90 Ty=-0.38 Tz=42.01 Mx=-0.05 Mz=-8.71
Sollecitazioni agenti localmente: Ty_l=-3116.87 My_l=-63.85
Tensioni nella sezione: σ=773.91 τ=94.45
CC 101 SLU (Collegamento 0021_-378)
Azioni sul collegamento: N=-7136.43 Ty=4.37 Tz=2.96 Mx=0.00 Mz=3.85
Sollecitazioni agenti localmente: Ty_l=-1280.40 My_l=-26.27
Tensioni nella sezione: σ=318.42 τ=38.80
CC 102 SLU (Collegamento 0021_-378)
Azioni sul collegamento: N=-6585.90 Ty=4.08 Tz=0.92 Mx=0.00 Mz=3.64
Sollecitazioni agenti localmente: Ty_l=-1181.98 My_l=-24.25
Tensioni nella sezione: σ=293.95 τ=35.82
CC 103 SLU (Collegamento 0021_-378)
Azioni sul collegamento: N=-6860.19 Ty=4.11 Tz=1.96 Mx=0.00 Mz=3.53
Sollecitazioni agenti localmente: Ty_l=-1230.15 My_l=-25.24
Tensioni nella sezione: σ=305.91 τ=37.28
CC 104 SLU (Collegamento 0021_-378)
Azioni sul collegamento: N=-6862.15 Ty=4.33 Tz=1.92 Mx=0.00 Mz=3.96
Sollecitazioni agenti localmente: Ty_l=-1232.23 My_l=-25.28
Tensioni nella sezione: σ=306.46 τ=37.34

Flessione attacco sinistro piastra

Bnetta=220.00 Hnetta=15.00
CC 1 SLV (Collegamento 0021_-378)
Azioni sul collegamento: N=-3968.96 Ty=6.45 Tz=-8.85 Mx=0.01 Mz=7.08
Sollecitazioni agenti localmente: Ty_l=-675.44 My_l=-13.81
Tensioni nella sezione: σ=167.36 τ=20.47
CC 1 SLV (Collegamento 0021_-378)
Azioni sul collegamento: N=-3968.96 Ty=3.07 Tz=-8.85 Mx=0.01 Mz=3.83
Sollecitazioni agenti localmente: Ty_l=-688.36 My_l=-14.09
Tensioni nella sezione: σ=170.79 τ=20.86
CC 1 SLV (Collegamento 0021_-378)
Azioni sul collegamento: N=-3968.96 Ty=6.45 Tz=10.87 Mx=0.01 Mz=7.08
Sollecitazioni agenti localmente: Ty_l=-675.44 My_l=-13.81
Tensioni nella sezione: σ=167.36 τ=20.47
CC 1 SLV (Collegamento 0021_-378)
Azioni sul collegamento: N=-3968.96 Ty=3.07 Tz=10.87 Mx=0.01 Mz=3.83
Sollecitazioni agenti localmente: Ty_l=-688.36 My_l=-14.09
Tensioni nella sezione: σ=170.79 τ=20.86
CC 1 SLV (Collegamento 0021_-378)
Azioni sul collegamento: N=-9265.76 Ty=6.45 Tz=-8.85 Mx=0.01 Mz=7.08
Sollecitazioni agenti localmente: Ty_l=-1614.42 My_l=-33.06
Tensioni nella sezione: σ=400.68 τ=48.92
CC 1 SLV (Collegamento 0021_-378)
Azioni sul collegamento: N=-9265.76 Ty=3.07 Tz=-8.85 Mx=0.01 Mz=3.83
Sollecitazioni agenti localmente: Ty_l=-1627.34 My_l=-33.34
Tensioni nella sezione: σ=404.11 τ=49.31
CC 1 SLV (Collegamento 0021_-378)
Azioni sul collegamento: N=-9265.76 Ty=6.45 Tz=10.87 Mx=0.01 Mz=7.08
Sollecitazioni agenti localmente: Ty_l=-1614.42 My_l=-33.06
Tensioni nella sezione: σ=400.68 τ=48.92
CC 1 SLV (Collegamento 0021_-378)
Azioni sul collegamento: N=-9265.76 Ty=3.07 Tz=10.87 Mx=0.01 Mz=3.83
Sollecitazioni agenti localmente: Ty_l=-1627.34 My_l=-33.34
Tensioni nella sezione: σ=404.11 τ=49.31
CC 2 SLD (Collegamento 0021_-378)
Azioni sul collegamento: N=-5777.33 Ty=4.43 Tz=-2.12 Mx=0.00 Mz=3.87
Sollecitazioni agenti localmente: Ty_l=-1008.79 My_l=-20.66
Tensioni nella sezione: σ=250.41 τ=30.57
CC 2 SLD (Collegamento 0021_-378)
Azioni sul collegamento: N=-5777.33 Ty=3.40 Tz=-2.12 Mx=0.00 Mz=2.88
Sollecitazioni agenti localmente: Ty_l=-1012.73 My_l=-20.74
Tensioni nella sezione: σ=251.45 τ=30.69
CC 2 SLD (Collegamento 0021_-378)
Azioni sul collegamento: N=-5777.32 Ty=4.43 Tz=3.89 Mx=0.00 Mz=3.87
Sollecitazioni agenti localmente: Ty_l=-1008.79 My_l=-20.66
Tensioni nella sezione: σ=250.41 τ=30.57
CC 2 SLD (Collegamento 0021_-378)
Azioni sul collegamento: N=-5777.32 Ty=3.40 Tz=3.89 Mx=0.00 Mz=2.88
Sollecitazioni agenti localmente: Ty_l=-1012.73 My_l=-20.74
Tensioni nella sezione: σ=251.45 τ=30.69
CC 2 SLD (Collegamento 0021_-378)
Azioni sul collegamento: N=-7392.49 Ty=4.43 Tz=-2.12 Mx=0.00 Mz=3.87
Sollecitazioni agenti localmente: Ty_l=-1295.11 My_l=-26.53
Tensioni nella sezione: σ=321.56 τ=39.25
CC 2 SLD (Collegamento 0021_-378)
Azioni sul collegamento: N=-7392.49 Ty=3.40 Tz=-2.12 Mx=0.00 Mz=2.88
Sollecitazioni agenti localmente: Ty_l=-1299.05 My_l=-26.61
Tensioni nella sezione: σ=322.60 τ=39.37

CC 2 SLD (Collegamento 0021_-378)
Azioni sul collegamento: N=-7392.49 Ty=4.43 Tz=3.89 Mx=0.00 Mz=3.87
Sollecitazioni agenti localmente: Ty_l=-1295.11 My_l=-26.53
Tensioni nella sezione: σ=321.56 τ=39.25
CC 2 SLD (Collegamento 0021_-378)
Azioni sul collegamento: N=-7392.49 Ty=3.40 Tz=3.89 Mx=0.00 Mz=2.88
Sollecitazioni agenti localmente: Ty_l=-1299.05 My_l=-26.61
Tensioni nella sezione: σ=322.60 τ=39.37
CC 3 SLV (Collegamento 0021_-378)
Azioni sul collegamento: N=-3974.64 Ty=5.81 Tz=-8.72 Mx=0.01 Mz=5.82
Sollecitazioni agenti localmente: Ty_l=-681.45 My_l=-13.94
Tensioni nella sezione: σ=168.94 τ=20.65
CC 3 SLV (Collegamento 0021_-378)
Azioni sul collegamento: N=-3974.64 Ty=3.70 Tz=-8.72 Mx=0.01 Mz=5.08
Sollecitazioni agenti localmente: Ty_l=-684.37 My_l=-14.00
Tensioni nella sezione: σ=169.71 τ=20.74
CC 3 SLV (Collegamento 0021_-378)
Azioni sul collegamento: N=-3974.64 Ty=5.81 Tz=10.74 Mx=0.01 Mz=5.82
Sollecitazioni agenti localmente: Ty_l=-681.45 My_l=-13.94
Tensioni nella sezione: σ=168.94 τ=20.65
CC 3 SLV (Collegamento 0021_-378)
Azioni sul collegamento: N=-3974.64 Ty=3.70 Tz=10.74 Mx=0.01 Mz=5.08
Sollecitazioni agenti localmente: Ty_l=-684.37 My_l=-14.00
Tensioni nella sezione: σ=169.71 τ=20.74
CC 3 SLV (Collegamento 0021_-378)
Azioni sul collegamento: N=-9260.08 Ty=5.81 Tz=-8.72 Mx=0.01 Mz=5.82
Sollecitazioni agenti localmente: Ty_l=-1618.41 My_l=-33.15
Tensioni nella sezione: σ=401.76 τ=49.04
CC 3 SLV (Collegamento 0021_-378)
Azioni sul collegamento: N=-9260.08 Ty=3.70 Tz=-8.72 Mx=0.01 Mz=5.08
Sollecitazioni agenti localmente: Ty_l=-1621.34 My_l=-33.21
Tensioni nella sezione: σ=402.53 τ=49.13
CC 3 SLV (Collegamento 0021_-378)
Azioni sul collegamento: N=-9260.08 Ty=5.81 Tz=10.74 Mx=0.01 Mz=5.82
Sollecitazioni agenti localmente: Ty_l=-1618.41 My_l=-33.15
Tensioni nella sezione: σ=401.76 τ=49.04
CC 3 SLV (Collegamento 0021_-378)
Azioni sul collegamento: N=-9260.08 Ty=3.70 Tz=10.74 Mx=0.01 Mz=5.08
Sollecitazioni agenti localmente: Ty_l=-1621.34 My_l=-33.21
Tensioni nella sezione: σ=402.53 τ=49.13
CC 4 SLD (Collegamento 0021_-378)
Azioni sul collegamento: N=-5779.06 Ty=4.24 Tz=-2.08 Mx=0.00 Mz=3.48
Sollecitazioni agenti localmente: Ty_l=-1010.62 My_l=-20.70
Tensioni nella sezione: σ=250.89 τ=30.62
CC 4 SLD (Collegamento 0021_-378)
Azioni sul collegamento: N=-5779.06 Ty=3.59 Tz=-2.08 Mx=0.00 Mz=3.26
Sollecitazioni agenti localmente: Ty_l=-1011.51 My_l=-20.72
Tensioni nella sezione: σ=251.13 τ=30.65
CC 4 SLD (Collegamento 0021_-378)
Azioni sul collegamento: N=-5779.06 Ty=4.24 Tz=3.85 Mx=0.00 Mz=3.48
Sollecitazioni agenti localmente: Ty_l=-1010.62 My_l=-20.70
Tensioni nella sezione: σ=250.89 τ=30.62
CC 4 SLD (Collegamento 0021_-378)
Azioni sul collegamento: N=-5779.06 Ty=3.59 Tz=3.85 Mx=0.00 Mz=3.26
Sollecitazioni agenti localmente: Ty_l=-1011.51 My_l=-20.72
Tensioni nella sezione: σ=251.13 τ=30.65
CC 4 SLD (Collegamento 0021_-378)
Azioni sul collegamento: N=-7390.75 Ty=4.24 Tz=-2.08 Mx=0.00 Mz=3.48
Sollecitazioni agenti localmente: Ty_l=-1296.33 My_l=-26.56
Tensioni nella sezione: σ=321.88 τ=39.28
CC 4 SLD (Collegamento 0021_-378)
Azioni sul collegamento: N=-7390.75 Ty=3.59 Tz=-2.08 Mx=0.00 Mz=3.26
Sollecitazioni agenti localmente: Ty_l=-1297.22 My_l=-26.57
Tensioni nella sezione: σ=322.12 τ=39.31
CC 4 SLD (Collegamento 0021_-378)
Azioni sul collegamento: N=-7390.75 Ty=4.24 Tz=3.85 Mx=0.00 Mz=3.48
Sollecitazioni agenti localmente: Ty_l=-1296.33 My_l=-26.56
Tensioni nella sezione: σ=321.88 τ=39.28
CC 4 SLD (Collegamento 0021_-378)
Azioni sul collegamento: N=-7390.75 Ty=3.59 Tz=3.85 Mx=0.00 Mz=3.26
Sollecitazioni agenti localmente: Ty_l=-1297.22 My_l=-26.57
Tensioni nella sezione: σ=322.12 τ=39.31
CC 5 SLV (Collegamento 0021_-378)
Azioni sul collegamento: N=-9260.08 Ty=3.70 Tz=10.74 Mx=0.01 Mz=5.08
Sollecitazioni agenti localmente: Ty_l=-1621.34 My_l=-33.21
Tensioni nella sezione: σ=402.53 τ=49.13
CC 5 SLV (Collegamento 0021_-378)
Azioni sul collegamento: N=-9260.08 Ty=5.81 Tz=10.74 Mx=0.01 Mz=5.82
Sollecitazioni agenti localmente: Ty_l=-1618.41 My_l=-33.15

Tensioni nella sezione: σ=401.76 τ=49.04
CC 5 SLV (Collegamento 0021_-378)
Azioni sul collegamento: N=-9260.08 Ty=3.70 Tz=-8.72 Mx=0.01 Mz=5.08
Sollecitazioni agenti localmente: Ty_l=-1621.34 My_l=-33.21
Tensioni nella sezione: σ=402.53 τ=49.13
CC 5 SLV (Collegamento 0021_-378)
Azioni sul collegamento: N=-9260.08 Ty=5.81 Tz=-8.72 Mx=0.01 Mz=5.82
Sollecitazioni agenti localmente: Ty_l=-1618.41 My_l=-33.15
Tensioni nella sezione: σ=401.76 τ=49.04
CC 5 SLV (Collegamento 0021_-378)
Azioni sul collegamento: N=-3974.64 Ty=3.70 Tz=10.74 Mx=0.01 Mz=5.08
Sollecitazioni agenti localmente: Ty_l=-684.37 My_l=-14.00
Tensioni nella sezione: σ=169.71 τ=20.74
CC 5 SLV (Collegamento 0021_-378)
Azioni sul collegamento: N=-3974.64 Ty=5.81 Tz=10.74 Mx=0.01 Mz=5.82
Sollecitazioni agenti localmente: Ty_l=-681.45 My_l=-13.94
Tensioni nella sezione: σ=168.94 τ=20.65
CC 5 SLV (Collegamento 0021_-378)
Azioni sul collegamento: N=-3974.64 Ty=3.70 Tz=-8.72 Mx=0.01 Mz=5.08
Sollecitazioni agenti localmente: Ty_l=-684.37 My_l=-14.00
Tensioni nella sezione: σ=169.71 τ=20.74
CC 5 SLV (Collegamento 0021_-378)
Azioni sul collegamento: N=-3974.64 Ty=5.81 Tz=-8.72 Mx=0.01 Mz=5.82
Sollecitazioni agenti localmente: Ty_l=-681.45 My_l=-13.94
Tensioni nella sezione: σ=168.94 τ=20.65
CC 6 SLD (Collegamento 0021_-378)
Azioni sul collegamento: N=-7390.75 Ty=3.59 Tz=3.85 Mx=0.00 Mz=3.26
Sollecitazioni agenti localmente: Ty_l=-1297.22 My_l=-26.57
Tensioni nella sezione: σ=322.12 τ=39.31
CC 6 SLD (Collegamento 0021_-378)
Azioni sul collegamento: N=-7390.75 Ty=4.24 Tz=3.85 Mx=0.00 Mz=3.48
Sollecitazioni agenti localmente: Ty_l=-1296.33 My_l=-26.56
Tensioni nella sezione: σ=321.88 τ=39.28
CC 6 SLD (Collegamento 0021_-378)
Azioni sul collegamento: N=-7390.75 Ty=3.59 Tz=-2.08 Mx=0.00 Mz=3.26
Sollecitazioni agenti localmente: Ty_l=-1297.22 My_l=-26.57
Tensioni nella sezione: σ=322.12 τ=39.31
CC 6 SLD (Collegamento 0021_-378)
Azioni sul collegamento: N=-7390.75 Ty=4.24 Tz=-2.08 Mx=0.00 Mz=3.48
Sollecitazioni agenti localmente: Ty_l=-1296.33 My_l=-26.56
Tensioni nella sezione: σ=321.88 τ=39.28
CC 6 SLD (Collegamento 0021_-378)
Azioni sul collegamento: N=-5779.06 Ty=3.59 Tz=3.85 Mx=0.00 Mz=3.26
Sollecitazioni agenti localmente: Ty_l=-1011.51 My_l=-20.72
Tensioni nella sezione: σ=251.13 τ=30.65
CC 6 SLD (Collegamento 0021_-378)
Azioni sul collegamento: N=-5779.06 Ty=4.24 Tz=3.85 Mx=0.00 Mz=3.48
Sollecitazioni agenti localmente: Ty_l=-1010.62 My_l=-20.70
Tensioni nella sezione: σ=250.89 τ=30.62
CC 6 SLD (Collegamento 0021_-378)
Azioni sul collegamento: N=-5779.06 Ty=3.59 Tz=-2.08 Mx=0.00 Mz=3.26
Sollecitazioni agenti localmente: Ty_l=-1011.51 My_l=-20.72
Tensioni nella sezione: σ=251.13 τ=30.65
CC 6 SLD (Collegamento 0021_-378)
Azioni sul collegamento: N=-5779.06 Ty=4.24 Tz=-2.08 Mx=0.00 Mz=3.48
Sollecitazioni agenti localmente: Ty_l=-1010.62 My_l=-20.70
Tensioni nella sezione: σ=250.89 τ=30.62
CC 7 SLV (Collegamento 0021_-378)
Azioni sul collegamento: N=-9265.76 Ty=3.07 Tz=10.87 Mx=0.01 Mz=3.83
Sollecitazioni agenti localmente: Ty_l=-1627.34 My_l=-33.34
Tensioni nella sezione: σ=404.11 τ=49.31
CC 7 SLV (Collegamento 0021_-378)
Azioni sul collegamento: N=-9265.76 Ty=6.45 Tz=10.87 Mx=0.01 Mz=7.08
Sollecitazioni agenti localmente: Ty_l=-1614.42 My_l=-33.06
Tensioni nella sezione: σ=400.68 τ=48.92
CC 7 SLV (Collegamento 0021_-378)
Azioni sul collegamento: N=-9265.76 Ty=3.07 Tz=-8.85 Mx=0.01 Mz=3.83
Sollecitazioni agenti localmente: Ty_l=-1627.34 My_l=-33.34
Tensioni nella sezione: σ=404.11 τ=49.31
CC 7 SLV (Collegamento 0021_-378)
Azioni sul collegamento: N=-9265.76 Ty=6.45 Tz=-8.85 Mx=0.01 Mz=7.08
Sollecitazioni agenti localmente: Ty_l=-1614.42 My_l=-33.06
Tensioni nella sezione: σ=400.68 τ=48.92
CC 7 SLV (Collegamento 0021_-378)
Azioni sul collegamento: N=-3968.96 Ty=3.07 Tz=10.87 Mx=0.01 Mz=3.83
Sollecitazioni agenti localmente: Ty_l=-688.36 My_l=-14.09
Tensioni nella sezione: σ=170.79 τ=20.86
CC 7 SLV (Collegamento 0021_-378)
Azioni sul collegamento: N=-3968.96 Ty=6.45 Tz=10.87 Mx=0.01 Mz=7.08

Sollecitazioni agenti localmente: Ty_l=-675.44 My_l=-13.81
Tensioni nella sezione: σ=167.36 τ=20.47
CC 7 SLV (Collegamento 0021_-378)
Azioni sul collegamento: N=-3968.96 Ty=3.07 Tz=-8.85 Mx=0.01 Mz=3.83
Sollecitazioni agenti localmente: Ty_l=-688.36 My_l=-14.09
Tensioni nella sezione: σ=170.79 τ=20.86
CC 7 SLV (Collegamento 0021_-378)
Azioni sul collegamento: N=-3968.96 Ty=6.45 Tz=-8.85 Mx=0.01 Mz=7.08
Sollecitazioni agenti localmente: Ty_l=-675.44 My_l=-13.81
Tensioni nella sezione: σ=167.36 τ=20.47
CC 8 SLD (Collegamento 0021_-378)
Azioni sul collegamento: N=-7392.49 Ty=3.40 Tz=3.89 Mx=-0.00 Mz=2.88
Sollecitazioni agenti localmente: Ty_l=-1299.05 My_l=-26.61
Tensioni nella sezione: σ=322.60 τ=39.37
CC 8 SLD (Collegamento 0021_-378)
Azioni sul collegamento: N=-7392.49 Ty=4.43 Tz=3.89 Mx=-0.00 Mz=3.87
Sollecitazioni agenti localmente: Ty_l=-1295.11 My_l=-26.53
Tensioni nella sezione: σ=321.56 τ=39.25
CC 8 SLD (Collegamento 0021_-378)
Azioni sul collegamento: N=-7392.49 Ty=3.40 Tz=-2.12 Mx=-0.00 Mz=2.88
Sollecitazioni agenti localmente: Ty_l=-1299.05 My_l=-26.61
Tensioni nella sezione: σ=322.60 τ=39.37
CC 8 SLD (Collegamento 0021_-378)
Azioni sul collegamento: N=-7392.49 Ty=4.43 Tz=-2.12 Mx=-0.00 Mz=3.87
Sollecitazioni agenti localmente: Ty_l=-1295.11 My_l=-26.53
Tensioni nella sezione: σ=321.56 τ=39.25
CC 8 SLD (Collegamento 0021_-378)
Azioni sul collegamento: N=-5777.32 Ty=3.40 Tz=3.89 Mx=-0.00 Mz=2.88
Sollecitazioni agenti localmente: Ty_l=-1012.73 My_l=-20.74
Tensioni nella sezione: σ=251.45 τ=30.69
CC 8 SLD (Collegamento 0021_-378)
Azioni sul collegamento: N=-5777.32 Ty=4.43 Tz=3.89 Mx=-0.00 Mz=3.87
Sollecitazioni agenti localmente: Ty_l=-1008.79 My_l=-20.66
Tensioni nella sezione: σ=250.41 τ=30.57
CC 8 SLD (Collegamento 0021_-378)
Azioni sul collegamento: N=-5777.33 Ty=3.40 Tz=-2.12 Mx=-0.00 Mz=2.88
Sollecitazioni agenti localmente: Ty_l=-1012.73 My_l=-20.74
Tensioni nella sezione: σ=251.45 τ=30.69
CC 8 SLD (Collegamento 0021_-378)
Azioni sul collegamento: N=-5777.33 Ty=4.43 Tz=-2.12 Mx=-0.00 Mz=3.87
Sollecitazioni agenti localmente: Ty_l=-1008.79 My_l=-20.66
Tensioni nella sezione: σ=250.41 τ=30.57
CC 9 SLV (Collegamento 0021_-378)
Azioni sul collegamento: N=-5814.22 Ty=6.23 Tz=-2.14 Mx=0.02 Mz=7.84
Sollecitazioni agenti localmente: Ty_l=-999.50 My_l=-20.45
Tensioni nella sezione: σ=247.83 τ=30.29
CC 9 SLV (Collegamento 0021_-378)
Azioni sul collegamento: N=-5814.22 Ty=3.29 Tz=-2.14 Mx=0.02 Mz=3.06
Sollecitazioni agenti localmente: Ty_l=-1018.53 My_l=-20.86
Tensioni nella sezione: σ=252.88 τ=30.86
CC 9 SLV (Collegamento 0021_-378)
Azioni sul collegamento: N=-5814.22 Ty=6.23 Tz=4.16 Mx=0.02 Mz=7.84
Sollecitazioni agenti localmente: Ty_l=-999.50 My_l=-20.45
Tensioni nella sezione: σ=247.83 τ=30.29
CC 9 SLV (Collegamento 0021_-378)
Azioni sul collegamento: N=-5814.22 Ty=3.29 Tz=4.16 Mx=0.02 Mz=3.06
Sollecitazioni agenti localmente: Ty_l=-1018.53 My_l=-20.86
Tensioni nella sezione: σ=252.88 τ=30.86
CC 9 SLV (Collegamento 0021_-378)
Azioni sul collegamento: N=-7420.50 Ty=6.23 Tz=-2.14 Mx=0.02 Mz=7.84
Sollecitazioni agenti localmente: Ty_l=-1284.25 My_l=-26.28
Tensioni nella sezione: σ=318.59 τ=38.92
CC 9 SLV (Collegamento 0021_-378)
Azioni sul collegamento: N=-7420.50 Ty=3.29 Tz=-2.14 Mx=0.02 Mz=3.06
Sollecitazioni agenti localmente: Ty_l=-1303.28 My_l=-26.70
Tensioni nella sezione: σ=323.64 τ=39.49
CC 9 SLV (Collegamento 0021_-378)
Azioni sul collegamento: N=-7420.50 Ty=6.23 Tz=4.16 Mx=0.02 Mz=7.84
Sollecitazioni agenti localmente: Ty_l=-1284.25 My_l=-26.28
Tensioni nella sezione: σ=318.59 τ=38.92
CC 9 SLV (Collegamento 0021_-378)
Azioni sul collegamento: N=-7420.50 Ty=3.29 Tz=4.16 Mx=0.02 Mz=3.06
Sollecitazioni agenti localmente: Ty_l=-1303.28 My_l=-26.70
Tensioni nella sezione: σ=323.64 τ=39.49
CC 10 SLD (Collegamento 0021_-378)
Azioni sul collegamento: N=-6340.00 Ty=4.36 Tz=-0.08 Mx=0.00 Mz=4.10
Sollecitazioni agenti localmente: Ty_l=-1107.60 My_l=-22.68
Tensioni nella sezione: σ=274.95 τ=33.56
CC 10 SLD (Collegamento 0021_-378)

Azioni sul collegamento: N=-6340.00 Ty=3.47 Tz=-0.08 Mx=0.00 Mz=2.64
Sollecitazioni agenti localmente: Ty_l=-1113.41 My_l=-22.81
Tensioni nella sezione: σ=276.49 τ=33.74
CC 10 SLD (Collegamento 0021_-378)
Azioni sul collegamento: N=-6340.00 Ty=4.36 Tz=1.85 Mx=0.00 Mz=4.10
Sollecitazioni agenti localmente: Ty_l=-1107.60 My_l=-22.68
Tensioni nella sezione: σ=274.95 τ=33.56
CC 10 SLD (Collegamento 0021_-378)
Azioni sul collegamento: N=-6340.00 Ty=3.47 Tz=1.85 Mx=0.00 Mz=2.64
Sollecitazioni agenti localmente: Ty_l=-1113.41 My_l=-22.81
Tensioni nella sezione: σ=276.49 τ=33.74
CC 10 SLD (Collegamento 0021_-378)
Azioni sul collegamento: N=-6829.81 Ty=4.36 Tz=-0.08 Mx=0.00 Mz=4.10
Sollecitazioni agenti localmente: Ty_l=-1194.43 My_l=-24.46
Tensioni nella sezione: σ=296.52 τ=36.19
CC 10 SLD (Collegamento 0021_-378)
Azioni sul collegamento: N=-6829.81 Ty=3.47 Tz=-0.08 Mx=0.00 Mz=2.64
Sollecitazioni agenti localmente: Ty_l=-1200.23 My_l=-24.59
Tensioni nella sezione: σ=298.06 τ=36.37
CC 10 SLD (Collegamento 0021_-378)
Azioni sul collegamento: N=-6829.81 Ty=4.36 Tz=1.85 Mx=0.00 Mz=4.10
Sollecitazioni agenti localmente: Ty_l=-1194.43 My_l=-24.46
Tensioni nella sezione: σ=296.52 τ=36.19
CC 10 SLD (Collegamento 0021_-378)
Azioni sul collegamento: N=-6829.81 Ty=3.47 Tz=1.85 Mx=0.00 Mz=2.64
Sollecitazioni agenti localmente: Ty_l=-1200.23 My_l=-24.59
Tensioni nella sezione: σ=298.06 τ=36.37
CC 11 SLV (Collegamento 0021_-378)
Azioni sul collegamento: N=-7401.56 Ty=5.40 Tz=3.74 Mx=0.02 Mz=7.25
Sollecitazioni agenti localmente: Ty_l=-1283.27 My_l=-26.27
Tensioni nella sezione: σ=318.38 τ=38.89
CC 11 SLV (Collegamento 0021_-378)
Azioni sul collegamento: N=-7401.56 Ty=4.11 Tz=3.74 Mx=0.02 Mz=3.66
Sollecitazioni agenti localmente: Ty_l=-1297.54 My_l=-26.58
Tensioni nella sezione: σ=322.17 τ=39.32
CC 11 SLV (Collegamento 0021_-378)
Azioni sul collegamento: N=-7401.56 Ty=5.40 Tz=-1.71 Mx=0.02 Mz=7.25
Sollecitazioni agenti localmente: Ty_l=-1283.27 My_l=-26.27
Tensioni nella sezione: σ=318.38 τ=38.89
CC 11 SLV (Collegamento 0021_-378)
Azioni sul collegamento: N=-7401.56 Ty=4.11 Tz=-1.71 Mx=0.02 Mz=3.66
Sollecitazioni agenti localmente: Ty_l=-1297.54 My_l=-26.58
Tensioni nella sezione: σ=322.17 τ=39.32
CC 11 SLV (Collegamento 0021_-378)
Azioni sul collegamento: N=-5833.17 Ty=5.40 Tz=3.74 Mx=0.02 Mz=7.25
Sollecitazioni agenti localmente: Ty_l=-1005.24 My_l=-20.57
Tensioni nella sezione: σ=249.30 τ=30.46
CC 11 SLV (Collegamento 0021_-378)
Azioni sul collegamento: N=-5833.17 Ty=4.11 Tz=3.74 Mx=0.02 Mz=3.66
Sollecitazioni agenti localmente: Ty_l=-1019.51 My_l=-20.88
Tensioni nella sezione: σ=253.09 τ=30.89
CC 11 SLV (Collegamento 0021_-378)
Azioni sul collegamento: N=-5833.17 Ty=5.40 Tz=-1.71 Mx=0.02 Mz=7.25
Sollecitazioni agenti localmente: Ty_l=-1005.24 My_l=-20.57
Tensioni nella sezione: σ=249.30 τ=30.46
CC 11 SLV (Collegamento 0021_-378)
Azioni sul collegamento: N=-5833.17 Ty=4.11 Tz=-1.71 Mx=0.02 Mz=3.66
Sollecitazioni agenti localmente: Ty_l=-1019.51 My_l=-20.88
Tensioni nella sezione: σ=253.09 τ=30.89
CC 12 SLD (Collegamento 0021_-378)
Azioni sul collegamento: N=-6824.03 Ty=4.11 Tz=1.72 Mx=0.00 Mz=3.92
Sollecitazioni agenti localmente: Ty_l=-1194.13 My_l=-24.46
Tensioni nella sezione: σ=296.46 τ=36.19
CC 12 SLD (Collegamento 0021_-378)
Azioni sul collegamento: N=-6824.03 Ty=3.72 Tz=1.72 Mx=0.00 Mz=2.82
Sollecitazioni agenti localmente: Ty_l=-1198.49 My_l=-24.55
Tensioni nella sezione: σ=297.62 τ=36.32
CC 12 SLD (Collegamento 0021_-378)
Azioni sul collegamento: N=-6824.03 Ty=4.11 Tz=0.05 Mx=0.00 Mz=3.92
Sollecitazioni agenti localmente: Ty_l=-1194.13 My_l=-24.46
Tensioni nella sezione: σ=296.46 τ=36.19
CC 12 SLD (Collegamento 0021_-378)
Azioni sul collegamento: N=-6824.03 Ty=3.72 Tz=0.05 Mx=0.00 Mz=2.82
Sollecitazioni agenti localmente: Ty_l=-1198.49 My_l=-24.55
Tensioni nella sezione: σ=297.62 τ=36.32
CC 12 SLD (Collegamento 0021_-378)
Azioni sul collegamento: N=-6345.78 Ty=4.11 Tz=1.72 Mx=0.00 Mz=3.92
Sollecitazioni agenti localmente: Ty_l=-1109.35 My_l=-22.72
Tensioni nella sezione: σ=275.39 τ=33.62

CC 12 SLD (Collegamento 0021_-378)
Azioni sul collegamento: N=-6345.78 Ty=3.72 Tz=1.72 Mx=0.00 Mz=2.82
Sollecitazioni agenti localmente: Ty_l=-1113.70 My_l=-22.82
Tensioni nella sezione: σ=276.55 τ=33.75
CC 12 SLD (Collegamento 0021_-378)
Azioni sul collegamento: N=-6345.78 Ty=4.11 Tz=0.05 Mx=0.00 Mz=3.92
Sollecitazioni agenti localmente: Ty_l=-1109.35 My_l=-22.72
Tensioni nella sezione: σ=275.39 τ=33.62
CC 12 SLD (Collegamento 0021_-378)
Azioni sul collegamento: N=-6345.78 Ty=3.72 Tz=0.05 Mx=0.00 Mz=2.82
Sollecitazioni agenti localmente: Ty_l=-1113.70 My_l=-22.82
Tensioni nella sezione: σ=276.55 τ=33.75
CC 13 SLV (Collegamento 0021_-378)
Azioni sul collegamento: N=-5833.17 Ty=4.11 Tz=-1.71 Mx=0.00 Mz=3.66
Sollecitazioni agenti localmente: Ty_l=-1019.51 My_l=-20.88
Tensioni nella sezione: σ=253.09 τ=30.89
CC 13 SLV (Collegamento 0021_-378)
Azioni sul collegamento: N=-5833.17 Ty=5.40 Tz=-1.71 Mx=0.00 Mz=7.25
Sollecitazioni agenti localmente: Ty_l=-1005.24 My_l=-20.57
Tensioni nella sezione: σ=249.30 τ=30.46
CC 13 SLV (Collegamento 0021_-378)
Azioni sul collegamento: N=-5833.17 Ty=4.11 Tz=3.74 Mx=0.00 Mz=3.66
Sollecitazioni agenti localmente: Ty_l=-1019.51 My_l=-20.88
Tensioni nella sezione: σ=253.09 τ=30.89
CC 13 SLV (Collegamento 0021_-378)
Azioni sul collegamento: N=-5833.17 Ty=5.40 Tz=3.74 Mx=0.00 Mz=7.25
Sollecitazioni agenti localmente: Ty_l=-1005.24 My_l=-20.57
Tensioni nella sezione: σ=249.30 τ=30.46
CC 13 SLV (Collegamento 0021_-378)
Azioni sul collegamento: N=-7401.56 Ty=4.11 Tz=-1.71 Mx=0.00 Mz=3.66
Sollecitazioni agenti localmente: Ty_l=-1297.54 My_l=-26.58
Tensioni nella sezione: σ=322.17 τ=39.32
CC 13 SLV (Collegamento 0021_-378)
Azioni sul collegamento: N=-7401.56 Ty=5.40 Tz=-1.71 Mx=0.00 Mz=7.25
Sollecitazioni agenti localmente: Ty_l=-1283.27 My_l=-26.27
Tensioni nella sezione: σ=318.38 τ=38.89
CC 13 SLV (Collegamento 0021_-378)
Azioni sul collegamento: N=-7401.56 Ty=4.11 Tz=3.74 Mx=0.00 Mz=3.66
Sollecitazioni agenti localmente: Ty_l=-1297.54 My_l=-26.58
Tensioni nella sezione: σ=322.17 τ=39.32
CC 13 SLV (Collegamento 0021_-378)
Azioni sul collegamento: N=-7401.56 Ty=5.40 Tz=3.74 Mx=0.00 Mz=7.25
Sollecitazioni agenti localmente: Ty_l=-1283.27 My_l=-26.27
Tensioni nella sezione: σ=318.38 τ=38.89
CC 14 SLD (Collegamento 0021_-378)
Azioni sul collegamento: N=-6345.78 Ty=3.72 Tz=0.05 Mx=-0.00 Mz=2.82
Sollecitazioni agenti localmente: Ty_l=-1113.70 My_l=-22.82
Tensioni nella sezione: σ=276.55 τ=33.75
CC 14 SLD (Collegamento 0021_-378)
Azioni sul collegamento: N=-6345.78 Ty=4.11 Tz=0.05 Mx=-0.00 Mz=3.92
Sollecitazioni agenti localmente: Ty_l=-1109.35 My_l=-22.72
Tensioni nella sezione: σ=275.39 τ=33.62
CC 14 SLD (Collegamento 0021_-378)
Azioni sul collegamento: N=-6345.78 Ty=3.72 Tz=1.72 Mx=-0.00 Mz=2.82
Sollecitazioni agenti localmente: Ty_l=-1113.70 My_l=-22.82
Tensioni nella sezione: σ=276.55 τ=33.75
CC 14 SLD (Collegamento 0021_-378)
Azioni sul collegamento: N=-6345.78 Ty=4.11 Tz=1.72 Mx=-0.00 Mz=3.92
Sollecitazioni agenti localmente: Ty_l=-1109.35 My_l=-22.72
Tensioni nella sezione: σ=275.39 τ=33.62
CC 14 SLD (Collegamento 0021_-378)
Azioni sul collegamento: N=-6824.03 Ty=3.72 Tz=0.05 Mx=-0.00 Mz=2.82
Sollecitazioni agenti localmente: Ty_l=-1198.49 My_l=-24.55
Tensioni nella sezione: σ=297.62 τ=36.32
CC 14 SLD (Collegamento 0021_-378)
Azioni sul collegamento: N=-6824.03 Ty=4.11 Tz=0.05 Mx=-0.00 Mz=3.92
Sollecitazioni agenti localmente: Ty_l=-1194.13 My_l=-24.46
Tensioni nella sezione: σ=296.46 τ=36.19
CC 14 SLD (Collegamento 0021_-378)
Azioni sul collegamento: N=-6824.03 Ty=3.72 Tz=1.72 Mx=-0.00 Mz=2.82
Sollecitazioni agenti localmente: Ty_l=-1198.49 My_l=-24.55
Tensioni nella sezione: σ=297.62 τ=36.32
CC 14 SLD (Collegamento 0021_-378)
Azioni sul collegamento: N=-6824.03 Ty=4.11 Tz=1.72 Mx=-0.00 Mz=3.92
Sollecitazioni agenti localmente: Ty_l=-1194.13 My_l=-24.46
Tensioni nella sezione: σ=296.46 τ=36.19
CC 15 SLV (Collegamento 0021_-378)
Azioni sul collegamento: N=-7420.50 Ty=3.29 Tz=4.16 Mx=0.00 Mz=3.06
Sollecitazioni agenti localmente: Ty_l=-1303.28 My_l=-26.70

Tensioni nella sezione: σ=323.64 τ=39.49
CC 15 SLV (Collegamento 0021_-378)
Azioni sul collegamento: N=-7420.50 Ty=6.23 Tz=4.16 Mx=0.00 Mz=7.84
Sollecitazioni agenti localmente: Ty_l=-1284.25 My_l=-26.28
Tensioni nella sezione: σ=318.59 τ=38.92
CC 15 SLV (Collegamento 0021_-378)
Azioni sul collegamento: N=-7420.50 Ty=3.29 Tz=-2.14 Mx=0.00 Mz=3.06
Sollecitazioni agenti localmente: Ty_l=-1303.28 My_l=-26.70
Tensioni nella sezione: σ=323.64 τ=39.49
CC 15 SLV (Collegamento 0021_-378)
Azioni sul collegamento: N=-7420.50 Ty=6.23 Tz=-2.14 Mx=0.00 Mz=7.84
Sollecitazioni agenti localmente: Ty_l=-1284.25 My_l=-26.28
Tensioni nella sezione: σ=318.59 τ=38.92
CC 15 SLV (Collegamento 0021_-378)
Azioni sul collegamento: N=-5814.22 Ty=3.29 Tz=4.16 Mx=0.00 Mz=3.06
Sollecitazioni agenti localmente: Ty_l=-1018.53 My_l=-20.86
Tensioni nella sezione: σ=252.88 τ=30.86
CC 15 SLV (Collegamento 0021_-378)
Azioni sul collegamento: N=-5814.22 Ty=6.23 Tz=4.16 Mx=0.00 Mz=7.84
Sollecitazioni agenti localmente: Ty_l=-999.50 My_l=-20.45
Tensioni nella sezione: σ=247.83 τ=30.29
CC 15 SLV (Collegamento 0021_-378)
Azioni sul collegamento: N=-5814.22 Ty=3.29 Tz=-2.14 Mx=0.00 Mz=3.06
Sollecitazioni agenti localmente: Ty_l=-1018.53 My_l=-20.86
Tensioni nella sezione: σ=252.88 τ=30.86
CC 15 SLV (Collegamento 0021_-378)
Azioni sul collegamento: N=-5814.22 Ty=6.23 Tz=-2.14 Mx=0.00 Mz=7.84
Sollecitazioni agenti localmente: Ty_l=-999.50 My_l=-20.45
Tensioni nella sezione: σ=247.83 τ=30.29
CC 16 SLD (Collegamento 0021_-378)
Azioni sul collegamento: N=-6829.81 Ty=3.47 Tz=1.85 Mx=-0.00 Mz=2.64
Sollecitazioni agenti localmente: Ty_l=-1200.23 My_l=-24.59
Tensioni nella sezione: σ=298.06 τ=36.37
CC 16 SLD (Collegamento 0021_-378)
Azioni sul collegamento: N=-6829.81 Ty=4.36 Tz=1.85 Mx=-0.00 Mz=4.10
Sollecitazioni agenti localmente: Ty_l=-1194.43 My_l=-24.46
Tensioni nella sezione: σ=296.52 τ=36.19
CC 16 SLD (Collegamento 0021_-378)
Azioni sul collegamento: N=-6829.81 Ty=3.47 Tz=-0.08 Mx=-0.00 Mz=2.64
Sollecitazioni agenti localmente: Ty_l=-1200.23 My_l=-24.59
Tensioni nella sezione: σ=298.06 τ=36.37
CC 16 SLD (Collegamento 0021_-378)
Azioni sul collegamento: N=-6829.81 Ty=4.36 Tz=-0.08 Mx=-0.00 Mz=4.10
Sollecitazioni agenti localmente: Ty_l=-1194.43 My_l=-24.46
Tensioni nella sezione: σ=296.52 τ=36.19
CC 16 SLD (Collegamento 0021_-378)
Azioni sul collegamento: N=-6340.00 Ty=3.47 Tz=1.85 Mx=-0.00 Mz=2.64
Sollecitazioni agenti localmente: Ty_l=-1113.41 My_l=-22.81
Tensioni nella sezione: σ=276.49 τ=33.74
CC 16 SLD (Collegamento 0021_-378)
Azioni sul collegamento: N=-6340.00 Ty=4.36 Tz=1.85 Mx=-0.00 Mz=4.10
Sollecitazioni agenti localmente: Ty_l=-1107.60 My_l=-22.68
Tensioni nella sezione: σ=274.95 τ=33.56
CC 16 SLD (Collegamento 0021_-378)
Azioni sul collegamento: N=-6340.00 Ty=3.47 Tz=-0.08 Mx=-0.00 Mz=2.64
Sollecitazioni agenti localmente: Ty_l=-1113.41 My_l=-22.81
Tensioni nella sezione: σ=276.49 τ=33.74
CC 16 SLD (Collegamento 0021_-378)
Azioni sul collegamento: N=-6340.00 Ty=4.36 Tz=-0.08 Mx=-0.00 Mz=4.10
Sollecitazioni agenti localmente: Ty_l=-1107.60 My_l=-22.68
Tensioni nella sezione: σ=274.95 τ=33.56
CC 17 SLV (Collegamento 0021_-378)
Azioni sul collegamento: N=-3875.57 Ty=0.64 Tz=-9.21 Mx=-0.02 Mz=1.09
Sollecitazioni agenti localmente: Ty_l=-682.72 My_l=-13.99
Tensioni nella sezione: σ=169.57 τ=20.69
CC 17 SLV (Collegamento 0021_-378)
Azioni sul collegamento: N=-3875.57 Ty=4.02 Tz=-9.21 Mx=-0.02 Mz=-2.16
Sollecitazioni agenti localmente: Ty_l=-695.63 My_l=-14.27
Tensioni nella sezione: σ=173.00 τ=21.08
CC 17 SLV (Collegamento 0021_-378)
Azioni sul collegamento: N=-3875.57 Ty=0.64 Tz=10.50 Mx=-0.02 Mz=1.09
Sollecitazioni agenti localmente: Ty_l=-682.72 My_l=-13.99
Tensioni nella sezione: σ=169.57 τ=20.69
CC 17 SLV (Collegamento 0021_-378)
Azioni sul collegamento: N=-3875.57 Ty=4.02 Tz=10.50 Mx=-0.02 Mz=-2.16
Sollecitazioni agenti localmente: Ty_l=-695.63 My_l=-14.27
Tensioni nella sezione: σ=173.00 τ=21.08
CC 17 SLV (Collegamento 0021_-378)
Azioni sul collegamento: N=-9172.38 Ty=0.64 Tz=-9.21 Mx=-0.02 Mz=1.09

Sollecitazioni agenti localmente: Ty_l=-1621.70 My_l=-33.24
Tensioni nella sezione: σ=402.89 τ=49.14
CC 17 SLV (Collegamento 0021_-378)
Azioni sul collegamento: N=-9172.38 Ty=4.02 Tz=-9.21 Mx=-0.02 Mz=-2.16
Sollecitazioni agenti localmente: Ty_l=-1634.61 My_l=-33.52
Tensioni nella sezione: σ=406.32 τ=49.53
CC 17 SLV (Collegamento 0021_-378)
Azioni sul collegamento: N=-9172.38 Ty=0.64 Tz=10.50 Mx=-0.02 Mz=1.09
Sollecitazioni agenti localmente: Ty_l=-1621.70 My_l=-33.24
Tensioni nella sezione: σ=402.89 τ=49.14
CC 17 SLV (Collegamento 0021_-378)
Azioni sul collegamento: N=-9172.38 Ty=4.02 Tz=10.50 Mx=-0.02 Mz=-2.16
Sollecitazioni agenti localmente: Ty_l=-1634.61 My_l=-33.52
Tensioni nella sezione: σ=406.32 τ=49.53
CC 18 SLD (Collegamento 0021_-378)
Azioni sul collegamento: N=-5748.85 Ty=3.69 Tz=-2.23 Mx=-0.01 Mz=2.04
Sollecitazioni agenti localmente: Ty_l=-1011.01 My_l=-20.71
Tensioni nella sezione: σ=251.08 τ=30.64
CC 18 SLD (Collegamento 0021_-378)
Azioni sul collegamento: N=-5748.85 Ty=2.66 Tz=-2.23 Mx=-0.01 Mz=1.05
Sollecitazioni agenti localmente: Ty_l=-1014.94 My_l=-20.80
Tensioni nella sezione: σ=252.13 τ=30.76
CC 18 SLD (Collegamento 0021_-378)
Azioni sul collegamento: N=-5748.85 Ty=3.69 Tz=3.78 Mx=-0.01 Mz=2.04
Sollecitazioni agenti localmente: Ty_l=-1011.01 My_l=-20.71
Tensioni nella sezione: σ=251.08 τ=30.64
CC 18 SLD (Collegamento 0021_-378)
Azioni sul collegamento: N=-5748.85 Ty=2.66 Tz=3.78 Mx=-0.01 Mz=1.05
Sollecitazioni agenti localmente: Ty_l=-1014.94 My_l=-20.80
Tensioni nella sezione: σ=252.13 τ=30.76
CC 18 SLD (Collegamento 0021_-378)
Azioni sul collegamento: N=-7364.01 Ty=3.69 Tz=-2.23 Mx=-0.01 Mz=2.04
Sollecitazioni agenti localmente: Ty_l=-1297.33 My_l=-26.58
Tensioni nella sezione: σ=322.23 τ=39.31
CC 18 SLD (Collegamento 0021_-378)
Azioni sul collegamento: N=-7364.01 Ty=2.66 Tz=-2.23 Mx=-0.01 Mz=1.05
Sollecitazioni agenti localmente: Ty_l=-1301.27 My_l=-26.67
Tensioni nella sezione: σ=323.27 τ=39.43
CC 18 SLD (Collegamento 0021_-378)
Azioni sul collegamento: N=-7364.01 Ty=3.69 Tz=3.78 Mx=-0.01 Mz=2.04
Sollecitazioni agenti localmente: Ty_l=-1297.33 My_l=-26.58
Tensioni nella sezione: σ=322.23 τ=39.31
CC 18 SLD (Collegamento 0021_-378)
Azioni sul collegamento: N=-7364.01 Ty=2.66 Tz=3.78 Mx=-0.01 Mz=1.05
Sollecitazioni agenti localmente: Ty_l=-1301.27 My_l=-26.67
Tensioni nella sezione: σ=323.27 τ=39.43
CC 19 SLV (Collegamento 0021_-378)
Azioni sul collegamento: N=-3881.26 Ty=1.27 Tz=-9.09 Mx=-0.02 Mz=-0.17
Sollecitazioni agenti localmente: Ty_l=-688.72 My_l=-14.12
Tensioni nella sezione: σ=171.15 τ=20.87
CC 19 SLV (Collegamento 0021_-378)
Azioni sul collegamento: N=-3881.26 Ty=3.39 Tz=-9.09 Mx=-0.02 Mz=-0.91
Sollecitazioni agenti localmente: Ty_l=-691.65 My_l=-14.18
Tensioni nella sezione: σ=171.93 τ=20.96
CC 19 SLV (Collegamento 0021_-378)
Azioni sul collegamento: N=-3881.26 Ty=1.27 Tz=10.37 Mx=-0.02 Mz=-0.17
Sollecitazioni agenti localmente: Ty_l=-688.72 My_l=-14.12
Tensioni nella sezione: σ=171.15 τ=20.87
CC 19 SLV (Collegamento 0021_-378)
Azioni sul collegamento: N=-3881.26 Ty=3.39 Tz=10.37 Mx=-0.02 Mz=-0.91
Sollecitazioni agenti localmente: Ty_l=-691.65 My_l=-14.18
Tensioni nella sezione: σ=171.93 τ=20.96
CC 19 SLV (Collegamento 0021_-378)
Azioni sul collegamento: N=-9166.69 Ty=1.27 Tz=-9.09 Mx=-0.02 Mz=-0.17
Sollecitazioni agenti localmente: Ty_l=-1625.68 My_l=-33.33
Tensioni nella sezione: σ=403.97 τ=49.26
CC 19 SLV (Collegamento 0021_-378)
Azioni sul collegamento: N=-9166.69 Ty=3.39 Tz=-9.09 Mx=-0.02 Mz=-0.91
Sollecitazioni agenti localmente: Ty_l=-1628.61 My_l=-33.39
Tensioni nella sezione: σ=404.75 τ=49.35
CC 19 SLV (Collegamento 0021_-378)
Azioni sul collegamento: N=-9166.69 Ty=1.27 Tz=10.37 Mx=-0.02 Mz=-0.17
Sollecitazioni agenti localmente: Ty_l=-1625.68 My_l=-33.33
Tensioni nella sezione: σ=403.97 τ=49.26
CC 19 SLV (Collegamento 0021_-378)
Azioni sul collegamento: N=-9166.69 Ty=3.39 Tz=10.37 Mx=-0.02 Mz=-0.91
Sollecitazioni agenti localmente: Ty_l=-1628.61 My_l=-33.39
Tensioni nella sezione: σ=404.75 τ=49.35
CC 20 SLD (Collegamento 0021_-378)

Azioni sul collegamento: N=-5750.58 Ty=3.50 Tz=-2.19 Mx=-0.01 Mz=1.66
Sollecitazioni agenti localmente: Ty_l=-1012.84 My_l=-20.75
Tensioni nella sezione: σ=251.56 τ=30.69
CC 20 SLD (Collegamento 0021_-378)
Azioni sul collegamento: N=-5750.58 Ty=2.85 Tz=-2.19 Mx=-0.01 Mz=1.43
Sollecitazioni agenti localmente: Ty_l=-1013.73 My_l=-20.77
Tensioni nella sezione: σ=251.80 τ=30.72
CC 20 SLD (Collegamento 0021_-378)
Azioni sul collegamento: N=-5750.58 Ty=3.50 Tz=3.74 Mx=-0.01 Mz=1.66
Sollecitazioni agenti localmente: Ty_l=-1012.84 My_l=-20.75
Tensioni nella sezione: σ=251.56 τ=30.69
CC 20 SLD (Collegamento 0021_-378)
Azioni sul collegamento: N=-5750.58 Ty=2.85 Tz=3.74 Mx=-0.01 Mz=1.43
Sollecitazioni agenti localmente: Ty_l=-1013.73 My_l=-20.77
Tensioni nella sezione: σ=251.80 τ=30.72
CC 20 SLD (Collegamento 0021_-378)
Azioni sul collegamento: N=-7362.28 Ty=3.50 Tz=-2.19 Mx=-0.01 Mz=1.66
Sollecitazioni agenti localmente: Ty_l=-1298.55 My_l=-26.61
Tensioni nella sezione: σ=322.56 τ=39.35
CC 20 SLD (Collegamento 0021_-378)
Azioni sul collegamento: N=-7362.28 Ty=2.85 Tz=-2.19 Mx=-0.01 Mz=1.43
Sollecitazioni agenti localmente: Ty_l=-1299.44 My_l=-26.63
Tensioni nella sezione: σ=322.79 τ=39.38
CC 20 SLD (Collegamento 0021_-378)
Azioni sul collegamento: N=-7362.28 Ty=3.50 Tz=3.74 Mx=-0.01 Mz=1.66
Sollecitazioni agenti localmente: Ty_l=-1298.55 My_l=-26.61
Tensioni nella sezione: σ=322.56 τ=39.35
CC 20 SLD (Collegamento 0021_-378)
Azioni sul collegamento: N=-7362.28 Ty=2.85 Tz=3.74 Mx=-0.01 Mz=1.43
Sollecitazioni agenti localmente: Ty_l=-1299.44 My_l=-26.63
Tensioni nella sezione: σ=322.79 τ=39.38
CC 21 SLV (Collegamento 0021_-378)
Azioni sul collegamento: N=-9166.69 Ty=3.39 Tz=10.37 Mx=-0.02 Mz=-0.91
Sollecitazioni agenti localmente: Ty_l=-1628.61 My_l=-33.39
Tensioni nella sezione: σ=404.75 τ=49.35
CC 21 SLV (Collegamento 0021_-378)
Azioni sul collegamento: N=-9166.69 Ty=1.27 Tz=10.37 Mx=-0.02 Mz=-0.17
Sollecitazioni agenti localmente: Ty_l=-1625.68 My_l=-33.33
Tensioni nella sezione: σ=403.97 τ=49.26
CC 21 SLV (Collegamento 0021_-378)
Azioni sul collegamento: N=-9166.69 Ty=3.39 Tz=-9.09 Mx=-0.02 Mz=-0.91
Sollecitazioni agenti localmente: Ty_l=-1628.61 My_l=-33.39
Tensioni nella sezione: σ=404.75 τ=49.35
CC 21 SLV (Collegamento 0021_-378)
Azioni sul collegamento: N=-9166.69 Ty=1.27 Tz=-9.09 Mx=-0.02 Mz=-0.17
Sollecitazioni agenti localmente: Ty_l=-1625.68 My_l=-33.33
Tensioni nella sezione: σ=403.97 τ=49.26
CC 21 SLV (Collegamento 0021_-378)
Azioni sul collegamento: N=-3881.26 Ty=3.39 Tz=10.37 Mx=-0.02 Mz=-0.91
Sollecitazioni agenti localmente: Ty_l=-691.65 My_l=-14.18
Tensioni nella sezione: σ=171.93 τ=20.96
CC 21 SLV (Collegamento 0021_-378)
Azioni sul collegamento: N=-3881.26 Ty=1.27 Tz=10.37 Mx=-0.02 Mz=-0.17
Sollecitazioni agenti localmente: Ty_l=-688.72 My_l=-14.12
Tensioni nella sezione: σ=171.15 τ=20.87
CC 21 SLV (Collegamento 0021_-378)
Azioni sul collegamento: N=-3881.26 Ty=3.39 Tz=-9.09 Mx=-0.02 Mz=-0.91
Sollecitazioni agenti localmente: Ty_l=-691.65 My_l=-14.18
Tensioni nella sezione: σ=171.93 τ=20.96
CC 21 SLV (Collegamento 0021_-378)
Azioni sul collegamento: N=-3881.26 Ty=1.27 Tz=-9.09 Mx=-0.02 Mz=-0.17
Sollecitazioni agenti localmente: Ty_l=-688.72 My_l=-14.12
Tensioni nella sezione: σ=171.15 τ=20.87
CC 22 SLD (Collegamento 0021_-378)
Azioni sul collegamento: N=-7362.28 Ty=2.85 Tz=3.74 Mx=-0.01 Mz=1.43
Sollecitazioni agenti localmente: Ty_l=-1299.44 My_l=-26.63
Tensioni nella sezione: σ=322.79 τ=39.38
CC 22 SLD (Collegamento 0021_-378)
Azioni sul collegamento: N=-7362.28 Ty=3.50 Tz=3.74 Mx=-0.01 Mz=1.66
Sollecitazioni agenti localmente: Ty_l=-1298.55 My_l=-26.61
Tensioni nella sezione: σ=322.56 τ=39.35
CC 22 SLD (Collegamento 0021_-378)
Azioni sul collegamento: N=-7362.28 Ty=2.85 Tz=-2.19 Mx=-0.01 Mz=1.43
Sollecitazioni agenti localmente: Ty_l=-1299.44 My_l=-26.63
Tensioni nella sezione: σ=322.79 τ=39.38
CC 22 SLD (Collegamento 0021_-378)
Azioni sul collegamento: N=-7362.28 Ty=3.50 Tz=-2.19 Mx=-0.01 Mz=1.66
Sollecitazioni agenti localmente: Ty_l=-1298.55 My_l=-26.61
Tensioni nella sezione: σ=322.56 τ=39.35

CC 22 SLD (Collegamento 0021_-378)
Azioni sul collegamento: N=-5750.58 Ty=2.85 Tz=3.74 Mx=-0.01 Mz=1.43
Sollecitazioni agenti localmente: Ty_l=-1013.73 My_l=-20.77
Tensioni nella sezione: σ=251.80 τ=30.72
CC 22 SLD (Collegamento 0021_-378)
Azioni sul collegamento: N=-5750.58 Ty=3.50 Tz=3.74 Mx=-0.01 Mz=1.66
Sollecitazioni agenti localmente: Ty_l=-1012.84 My_l=-20.75
Tensioni nella sezione: σ=251.56 τ=30.69
CC 22 SLD (Collegamento 0021_-378)
Azioni sul collegamento: N=-5750.58 Ty=2.85 Tz=-2.19 Mx=-0.01 Mz=1.43
Sollecitazioni agenti localmente: Ty_l=-1013.73 My_l=-20.77
Tensioni nella sezione: σ=251.80 τ=30.72
CC 22 SLD (Collegamento 0021_-378)
Azioni sul collegamento: N=-5750.58 Ty=3.50 Tz=-2.19 Mx=-0.01 Mz=1.66
Sollecitazioni agenti localmente: Ty_l=-1012.84 My_l=-20.75
Tensioni nella sezione: σ=251.56 τ=30.69
CC 23 SLV (Collegamento 0021_-378)
Azioni sul collegamento: N=-9172.38 Ty=4.02 Tz=10.50 Mx=-0.01 Mz=-2.16
Sollecitazioni agenti localmente: Ty_l=-1634.61 My_l=-33.52
Tensioni nella sezione: σ=406.32 τ=49.53
CC 23 SLV (Collegamento 0021_-378)
Azioni sul collegamento: N=-9172.38 Ty=0.64 Tz=10.50 Mx=-0.01 Mz=1.09
Sollecitazioni agenti localmente: Ty_l=-1621.70 My_l=-33.24
Tensioni nella sezione: σ=402.89 τ=49.14
CC 23 SLV (Collegamento 0021_-378)
Azioni sul collegamento: N=-9172.38 Ty=4.02 Tz=-9.21 Mx=-0.01 Mz=-2.16
Sollecitazioni agenti localmente: Ty_l=-1634.61 My_l=-33.52
Tensioni nella sezione: σ=406.32 τ=49.53
CC 23 SLV (Collegamento 0021_-378)
Azioni sul collegamento: N=-9172.38 Ty=0.64 Tz=-9.21 Mx=-0.01 Mz=1.09
Sollecitazioni agenti localmente: Ty_l=-1621.70 My_l=-33.24
Tensioni nella sezione: σ=402.89 τ=49.14
CC 23 SLV (Collegamento 0021_-378)
Azioni sul collegamento: N=-3875.57 Ty=4.02 Tz=10.50 Mx=-0.01 Mz=-2.16
Sollecitazioni agenti localmente: Ty_l=-695.63 My_l=-14.27
Tensioni nella sezione: σ=173.00 τ=21.08
CC 23 SLV (Collegamento 0021_-378)
Azioni sul collegamento: N=-3875.57 Ty=0.64 Tz=10.50 Mx=-0.01 Mz=1.09
Sollecitazioni agenti localmente: Ty_l=-682.72 My_l=-13.99
Tensioni nella sezione: σ=169.57 τ=20.69
CC 23 SLV (Collegamento 0021_-378)
Azioni sul collegamento: N=-3875.57 Ty=4.02 Tz=-9.21 Mx=-0.01 Mz=-2.16
Sollecitazioni agenti localmente: Ty_l=-695.63 My_l=-14.27
Tensioni nella sezione: σ=173.00 τ=21.08
CC 23 SLV (Collegamento 0021_-378)
Azioni sul collegamento: N=-3875.57 Ty=0.64 Tz=-9.21 Mx=-0.01 Mz=1.09
Sollecitazioni agenti localmente: Ty_l=-682.72 My_l=-13.99
Tensioni nella sezione: σ=169.57 τ=20.69
CC 24 SLD (Collegamento 0021_-378)
Azioni sul collegamento: N=-7364.01 Ty=2.66 Tz=3.78 Mx=-0.01 Mz=1.05
Sollecitazioni agenti localmente: Ty_l=-1301.27 My_l=-26.67
Tensioni nella sezione: σ=323.27 τ=39.43
CC 24 SLD (Collegamento 0021_-378)
Azioni sul collegamento: N=-7364.01 Ty=3.69 Tz=3.78 Mx=-0.01 Mz=2.04
Sollecitazioni agenti localmente: Ty_l=-1297.33 My_l=-26.58
Tensioni nella sezione: σ=322.23 τ=39.31
CC 24 SLD (Collegamento 0021_-378)
Azioni sul collegamento: N=-7364.01 Ty=2.66 Tz=-2.23 Mx=-0.01 Mz=1.05
Sollecitazioni agenti localmente: Ty_l=-1301.27 My_l=-26.67
Tensioni nella sezione: σ=323.27 τ=39.43
CC 24 SLD (Collegamento 0021_-378)
Azioni sul collegamento: N=-7364.01 Ty=3.69 Tz=-2.23 Mx=-0.01 Mz=2.04
Sollecitazioni agenti localmente: Ty_l=-1297.33 My_l=-26.58
Tensioni nella sezione: σ=322.23 τ=39.31
CC 24 SLD (Collegamento 0021_-378)
Azioni sul collegamento: N=-5748.85 Ty=2.66 Tz=3.78 Mx=-0.01 Mz=1.05
Sollecitazioni agenti localmente: Ty_l=-1014.94 My_l=-20.80
Tensioni nella sezione: σ=252.13 τ=30.76
CC 24 SLD (Collegamento 0021_-378)
Azioni sul collegamento: N=-5748.85 Ty=3.69 Tz=3.78 Mx=-0.01 Mz=2.04
Sollecitazioni agenti localmente: Ty_l=-1011.01 My_l=-20.71
Tensioni nella sezione: σ=251.08 τ=30.64
CC 24 SLD (Collegamento 0021_-378)
Azioni sul collegamento: N=-5748.85 Ty=2.66 Tz=-2.23 Mx=-0.01 Mz=1.05
Sollecitazioni agenti localmente: Ty_l=-1014.94 My_l=-20.80
Tensioni nella sezione: σ=252.13 τ=30.76
CC 24 SLD (Collegamento 0021_-378)
Azioni sul collegamento: N=-5748.85 Ty=3.69 Tz=-2.23 Mx=-0.01 Mz=2.04
Sollecitazioni agenti localmente: Ty_l=-1011.01 My_l=-20.71

Tensioni nella sezione: σ=251.08 τ=30.64
CC 25 SLV (Collegamento 0021_-378)
Azioni sul collegamento: N=-5720.83 Ty=0.86 Tz=-2.51 Mx=-0.03 Mz=1.85
Sollecitazioni agenti localmente: Ty_l=-1006.78 My_l=-20.63
Tensioni nella sezione: σ=250.04 τ=30.51
CC 25 SLV (Collegamento 0021_-378)
Azioni sul collegamento: N=-5720.83 Ty=3.80 Tz=-2.51 Mx=-0.03 Mz=-2.93
Sollecitazioni agenti localmente: Ty_l=-1025.80 My_l=-21.05
Tensioni nella sezione: σ=255.09 τ=31.08
CC 25 SLV (Collegamento 0021_-378)
Azioni sul collegamento: N=-5720.83 Ty=0.86 Tz=3.80 Mx=-0.03 Mz=1.85
Sollecitazioni agenti localmente: Ty_l=-1006.78 My_l=-20.63
Tensioni nella sezione: σ=250.04 τ=30.51
CC 25 SLV (Collegamento 0021_-378)
Azioni sul collegamento: N=-5720.83 Ty=3.80 Tz=3.80 Mx=-0.03 Mz=-2.93
Sollecitazioni agenti localmente: Ty_l=-1025.80 My_l=-21.05
Tensioni nella sezione: σ=255.09 τ=31.08
CC 25 SLV (Collegamento 0021_-378)
Azioni sul collegamento: N=-7327.12 Ty=0.86 Tz=-2.51 Mx=-0.03 Mz=1.85
Sollecitazioni agenti localmente: Ty_l=-1291.53 My_l=-26.47
Tensioni nella sezione: σ=320.80 τ=39.14
CC 25 SLV (Collegamento 0021_-378)
Azioni sul collegamento: N=-7327.12 Ty=3.80 Tz=-2.51 Mx=-0.03 Mz=-2.93
Sollecitazioni agenti localmente: Ty_l=-1310.55 My_l=-26.88
Tensioni nella sezione: σ=325.85 τ=39.71
CC 25 SLV (Collegamento 0021_-378)
Azioni sul collegamento: N=-7327.12 Ty=0.86 Tz=3.80 Mx=-0.03 Mz=1.85
Sollecitazioni agenti localmente: Ty_l=-1291.53 My_l=-26.47
Tensioni nella sezione: σ=320.80 τ=39.14
CC 25 SLV (Collegamento 0021_-378)
Azioni sul collegamento: N=-7327.12 Ty=3.80 Tz=3.80 Mx=-0.03 Mz=-2.93
Sollecitazioni agenti localmente: Ty_l=-1310.55 My_l=-26.88
Tensioni nella sezione: σ=325.85 τ=39.71
CC 26 SLD (Collegamento 0021_-378)
Azioni sul collegamento: N=-6311.53 Ty=3.62 Tz=-0.19 Mx=-0.01 Mz=2.27
Sollecitazioni agenti localmente: Ty_l=-1109.82 My_l=-22.74
Tensioni nella sezione: σ=275.62 τ=33.63
CC 26 SLD (Collegamento 0021_-378)
Azioni sul collegamento: N=-6311.53 Ty=2.73 Tz=-0.19 Mx=-0.01 Mz=0.81
Sollecitazioni agenti localmente: Ty_l=-1115.62 My_l=-22.87
Tensioni nella sezione: σ=277.16 τ=33.81
CC 26 SLD (Collegamento 0021_-378)
Azioni sul collegamento: N=-6311.53 Ty=3.62 Tz=1.73 Mx=-0.01 Mz=2.27
Sollecitazioni agenti localmente: Ty_l=-1109.82 My_l=-22.74
Tensioni nella sezione: σ=275.62 τ=33.63
CC 26 SLD (Collegamento 0021_-378)
Azioni sul collegamento: N=-6311.53 Ty=2.73 Tz=1.73 Mx=-0.01 Mz=0.81
Sollecitazioni agenti localmente: Ty_l=-1115.62 My_l=-22.87
Tensioni nella sezione: σ=277.16 τ=33.81
CC 26 SLD (Collegamento 0021_-378)
Azioni sul collegamento: N=-6801.33 Ty=3.62 Tz=-0.19 Mx=-0.01 Mz=2.27
Sollecitazioni agenti localmente: Ty_l=-1196.65 My_l=-24.52
Tensioni nella sezione: σ=297.20 τ=36.26
CC 26 SLD (Collegamento 0021_-378)
Azioni sul collegamento: N=-6801.33 Ty=2.73 Tz=-0.19 Mx=-0.01 Mz=0.81
Sollecitazioni agenti localmente: Ty_l=-1202.45 My_l=-24.65
Tensioni nella sezione: σ=298.74 τ=36.44
CC 26 SLD (Collegamento 0021_-378)
Azioni sul collegamento: N=-6801.33 Ty=3.62 Tz=1.73 Mx=-0.01 Mz=2.27
Sollecitazioni agenti localmente: Ty_l=-1196.65 My_l=-24.52
Tensioni nella sezione: σ=297.20 τ=36.26
CC 26 SLD (Collegamento 0021_-378)
Azioni sul collegamento: N=-6801.33 Ty=2.73 Tz=1.73 Mx=-0.01 Mz=0.81
Sollecitazioni agenti localmente: Ty_l=-1202.45 My_l=-24.65
Tensioni nella sezione: σ=298.74 τ=36.44
CC 27 SLV (Collegamento 0021_-378)
Azioni sul collegamento: N=-7308.17 Ty=1.68 Tz=3.37 Mx=-0.02 Mz=1.26
Sollecitazioni agenti localmente: Ty_l=-1290.54 My_l=-26.45
Tensioni nella sezione: σ=320.60 τ=39.11
CC 27 SLV (Collegamento 0021_-378)
Azioni sul collegamento: N=-7308.17 Ty=2.97 Tz=3.37 Mx=-0.02 Mz=-2.33
Sollecitazioni agenti localmente: Ty_l=-1304.82 My_l=-26.76
Tensioni nella sezione: σ=324.38 τ=39.54
CC 27 SLV (Collegamento 0021_-378)
Azioni sul collegamento: N=-7308.17 Ty=1.68 Tz=-2.08 Mx=-0.02 Mz=1.26
Sollecitazioni agenti localmente: Ty_l=-1290.54 My_l=-26.45
Tensioni nella sezione: σ=320.60 τ=39.11
CC 27 SLV (Collegamento 0021_-378)
Azioni sul collegamento: N=-7308.17 Ty=2.97 Tz=-2.08 Mx=-0.02 Mz=-2.33

Sollecitazioni agenti localmente: T_{y_l}=-1304.82 M_{y_l}=-26.76
Tensioni nella sezione: σ=324.38 τ=39.54
CC 27 SLV (Collegamento 0021_-378)
Azioni sul collegamento: N=-5739.78 Ty=1.68 Tz=3.37 Mx=-0.02 Mz=1.26
Sollecitazioni agenti localmente: T_{y_l}=-1012.51 M_{y_l}=-20.75
Tensioni nella sezione: σ=251.51 τ=30.68
CC 27 SLV (Collegamento 0021_-378)
Azioni sul collegamento: N=-5739.78 Ty=2.97 Tz=3.37 Mx=-0.02 Mz=-2.33
Sollecitazioni agenti localmente: T_{y_l}=-1026.79 M_{y_l}=-21.06
Tensioni nella sezione: σ=255.30 τ=31.11
CC 27 SLV (Collegamento 0021_-378)
Azioni sul collegamento: N=-5739.78 Ty=1.68 Tz=-2.08 Mx=-0.02 Mz=1.26
Sollecitazioni agenti localmente: T_{y_l}=-1012.51 M_{y_l}=-20.75
Tensioni nella sezione: σ=251.51 τ=30.68
CC 27 SLV (Collegamento 0021_-378)
Azioni sul collegamento: N=-5739.78 Ty=2.97 Tz=-2.08 Mx=-0.02 Mz=-2.33
Sollecitazioni agenti localmente: T_{y_l}=-1026.79 M_{y_l}=-21.06
Tensioni nella sezione: σ=255.30 τ=31.11
CC 28 SLD (Collegamento 0021_-378)
Azioni sul collegamento: N=-6795.56 Ty=3.37 Tz=1.60 Mx=-0.01 Mz=2.09
Sollecitazioni agenti localmente: T_{y_l}=-1196.35 M_{y_l}=-24.51
Tensioni nella sezione: σ=297.13 τ=36.25
CC 28 SLD (Collegamento 0021_-378)
Azioni sul collegamento: N=-6795.56 Ty=2.98 Tz=1.60 Mx=-0.01 Mz=1.00
Sollecitazioni agenti localmente: T_{y_l}=-1200.70 M_{y_l}=-24.61
Tensioni nella sezione: σ=298.29 τ=36.38
CC 28 SLD (Collegamento 0021_-378)
Azioni sul collegamento: N=-6795.56 Ty=3.37 Tz=-0.06 Mx=-0.01 Mz=2.09
Sollecitazioni agenti localmente: T_{y_l}=-1196.35 M_{y_l}=-24.51
Tensioni nella sezione: σ=297.13 τ=36.25
CC 28 SLD (Collegamento 0021_-378)
Azioni sul collegamento: N=-6795.56 Ty=2.98 Tz=-0.06 Mx=-0.01 Mz=1.00
Sollecitazioni agenti localmente: T_{y_l}=-1200.70 M_{y_l}=-24.61
Tensioni nella sezione: σ=298.29 τ=36.38
CC 28 SLD (Collegamento 0021_-378)
Azioni sul collegamento: N=-6317.30 Ty=3.37 Tz=1.60 Mx=-0.01 Mz=2.09
Sollecitazioni agenti localmente: T_{y_l}=-1111.57 M_{y_l}=-22.78
Tensioni nella sezione: σ=276.07 τ=33.68
CC 28 SLD (Collegamento 0021_-378)
Azioni sul collegamento: N=-6317.30 Ty=2.98 Tz=1.60 Mx=-0.01 Mz=1.00
Sollecitazioni agenti localmente: T_{y_l}=-1115.92 M_{y_l}=-22.87
Tensioni nella sezione: σ=277.22 τ=33.82
CC 28 SLD (Collegamento 0021_-378)
Azioni sul collegamento: N=-6317.30 Ty=3.37 Tz=-0.06 Mx=-0.01 Mz=2.09
Sollecitazioni agenti localmente: T_{y_l}=-1111.57 M_{y_l}=-22.78
Tensioni nella sezione: σ=276.07 τ=33.68
CC 28 SLD (Collegamento 0021_-378)
Azioni sul collegamento: N=-6317.30 Ty=2.98 Tz=-0.06 Mx=-0.01 Mz=1.00
Sollecitazioni agenti localmente: T_{y_l}=-1115.92 M_{y_l}=-22.87
Tensioni nella sezione: σ=277.22 τ=33.82
CC 29 SLV (Collegamento 0021_-378)
Azioni sul collegamento: N=-5739.78 Ty=2.97 Tz=-2.08 Mx=-0.01 Mz=-2.33
Sollecitazioni agenti localmente: T_{y_l}=-1026.79 M_{y_l}=-21.06
Tensioni nella sezione: σ=255.30 τ=31.11
CC 29 SLV (Collegamento 0021_-378)
Azioni sul collegamento: N=-5739.78 Ty=1.68 Tz=-2.08 Mx=-0.01 Mz=1.26
Sollecitazioni agenti localmente: T_{y_l}=-1012.51 M_{y_l}=-20.75
Tensioni nella sezione: σ=251.51 τ=30.68
CC 29 SLV (Collegamento 0021_-378)
Azioni sul collegamento: N=-5739.78 Ty=2.97 Tz=3.37 Mx=-0.01 Mz=-2.33
Sollecitazioni agenti localmente: T_{y_l}=-1026.79 M_{y_l}=-21.06
Tensioni nella sezione: σ=255.30 τ=31.11
CC 29 SLV (Collegamento 0021_-378)
Azioni sul collegamento: N=-5739.78 Ty=1.68 Tz=3.37 Mx=-0.01 Mz=1.26
Sollecitazioni agenti localmente: T_{y_l}=-1012.51 M_{y_l}=-20.75
Tensioni nella sezione: σ=251.51 τ=30.68
CC 29 SLV (Collegamento 0021_-378)
Azioni sul collegamento: N=-7308.17 Ty=2.97 Tz=-2.08 Mx=-0.01 Mz=-2.33
Sollecitazioni agenti localmente: T_{y_l}=-1304.82 M_{y_l}=-26.76
Tensioni nella sezione: σ=324.38 τ=39.54
CC 29 SLV (Collegamento 0021_-378)
Azioni sul collegamento: N=-7308.17 Ty=1.68 Tz=-2.08 Mx=-0.01 Mz=1.26
Sollecitazioni agenti localmente: T_{y_l}=-1290.54 M_{y_l}=-26.45
Tensioni nella sezione: σ=320.60 τ=39.11
CC 29 SLV (Collegamento 0021_-378)
Azioni sul collegamento: N=-7308.17 Ty=2.97 Tz=3.37 Mx=-0.01 Mz=-2.33
Sollecitazioni agenti localmente: T_{y_l}=-1304.82 M_{y_l}=-26.76
Tensioni nella sezione: σ=324.38 τ=39.54
CC 29 SLV (Collegamento 0021_-378)

Azioni sul collegamento: N=-7308.17 Ty=1.68 Tz=3.37 Mx=-0.01 Mz=1.26
Sollecitazioni agenti localmente: Ty_l=-1290.54 My_l=-26.45
Tensioni nella sezione: σ=320.60 τ=39.11
CC 30 SLD (Collegamento 0021_-378)
Azioni sul collegamento: N=-6317.30 Ty=2.98 Tz=-0.06 Mx=-0.01 Mz=1.00
Sollecitazioni agenti localmente: Ty_l=-1115.92 My_l=-22.87
Tensioni nella sezione: σ=277.22 τ=33.82
CC 30 SLD (Collegamento 0021_-378)
Azioni sul collegamento: N=-6317.30 Ty=3.37 Tz=-0.06 Mx=-0.01 Mz=2.09
Sollecitazioni agenti localmente: Ty_l=-1111.57 My_l=-22.78
Tensioni nella sezione: σ=276.07 τ=33.68
CC 30 SLD (Collegamento 0021_-378)
Azioni sul collegamento: N=-6317.30 Ty=2.98 Tz=1.60 Mx=-0.01 Mz=1.00
Sollecitazioni agenti localmente: Ty_l=-1115.92 My_l=-22.87
Tensioni nella sezione: σ=277.22 τ=33.82
CC 30 SLD (Collegamento 0021_-378)
Azioni sul collegamento: N=-6317.30 Ty=3.37 Tz=1.60 Mx=-0.01 Mz=2.09
Sollecitazioni agenti localmente: Ty_l=-1111.57 My_l=-22.78
Tensioni nella sezione: σ=276.07 τ=33.68
CC 30 SLD (Collegamento 0021_-378)
Azioni sul collegamento: N=-6795.56 Ty=2.98 Tz=-0.06 Mx=-0.01 Mz=1.00
Sollecitazioni agenti localmente: Ty_l=-1200.70 My_l=-24.61
Tensioni nella sezione: σ=298.29 τ=36.38
CC 30 SLD (Collegamento 0021_-378)
Azioni sul collegamento: N=-6795.56 Ty=3.37 Tz=-0.06 Mx=-0.01 Mz=2.09
Sollecitazioni agenti localmente: Ty_l=-1196.35 My_l=-24.51
Tensioni nella sezione: σ=297.13 τ=36.25
CC 30 SLD (Collegamento 0021_-378)
Azioni sul collegamento: N=-6795.56 Ty=2.98 Tz=1.60 Mx=-0.01 Mz=1.00
Sollecitazioni agenti localmente: Ty_l=-1200.70 My_l=-24.61
Tensioni nella sezione: σ=298.29 τ=36.38
CC 30 SLD (Collegamento 0021_-378)
Azioni sul collegamento: N=-6795.56 Ty=3.37 Tz=1.60 Mx=-0.01 Mz=2.09
Sollecitazioni agenti localmente: Ty_l=-1196.35 My_l=-24.51
Tensioni nella sezione: σ=297.13 τ=36.25
CC 31 SLV (Collegamento 0021_-378)
Azioni sul collegamento: N=-7327.12 Ty=3.80 Tz=3.80 Mx=-0.01 Mz=-2.93
Sollecitazioni agenti localmente: Ty_l=-1310.55 My_l=-26.88
Tensioni nella sezione: σ=325.85 τ=39.71
CC 31 SLV (Collegamento 0021_-378)
Azioni sul collegamento: N=-7327.12 Ty=0.86 Tz=3.80 Mx=-0.01 Mz=1.85
Sollecitazioni agenti localmente: Ty_l=-1291.53 My_l=-26.47
Tensioni nella sezione: σ=320.80 τ=39.14
CC 31 SLV (Collegamento 0021_-378)
Azioni sul collegamento: N=-7327.12 Ty=3.80 Tz=-2.51 Mx=-0.01 Mz=-2.93
Sollecitazioni agenti localmente: Ty_l=-1310.55 My_l=-26.88
Tensioni nella sezione: σ=325.85 τ=39.71
CC 31 SLV (Collegamento 0021_-378)
Azioni sul collegamento: N=-7327.12 Ty=0.86 Tz=-2.51 Mx=-0.01 Mz=1.85
Sollecitazioni agenti localmente: Ty_l=-1291.53 My_l=-26.47
Tensioni nella sezione: σ=320.80 τ=39.14
CC 31 SLV (Collegamento 0021_-378)
Azioni sul collegamento: N=-5720.83 Ty=3.80 Tz=3.80 Mx=-0.01 Mz=-2.93
Sollecitazioni agenti localmente: Ty_l=-1025.80 My_l=-21.05
Tensioni nella sezione: σ=255.09 τ=31.08
CC 31 SLV (Collegamento 0021_-378)
Azioni sul collegamento: N=-5720.83 Ty=0.86 Tz=3.80 Mx=-0.01 Mz=1.85
Sollecitazioni agenti localmente: Ty_l=-1006.78 My_l=-20.63
Tensioni nella sezione: σ=250.04 τ=30.51
CC 31 SLV (Collegamento 0021_-378)
Azioni sul collegamento: N=-5720.83 Ty=3.80 Tz=-2.51 Mx=-0.01 Mz=-2.93
Sollecitazioni agenti localmente: Ty_l=-1025.80 My_l=-21.05
Tensioni nella sezione: σ=255.09 τ=31.08
CC 31 SLV (Collegamento 0021_-378)
Azioni sul collegamento: N=-5720.83 Ty=0.86 Tz=-2.51 Mx=-0.01 Mz=1.85
Sollecitazioni agenti localmente: Ty_l=-1006.78 My_l=-20.63
Tensioni nella sezione: σ=250.04 τ=30.51
CC 32 SLD (Collegamento 0021_-378)
Azioni sul collegamento: N=-6801.33 Ty=2.73 Tz=1.73 Mx=-0.01 Mz=0.81
Sollecitazioni agenti localmente: Ty_l=-1202.45 My_l=-24.65
Tensioni nella sezione: σ=298.74 τ=36.44
CC 32 SLD (Collegamento 0021_-378)
Azioni sul collegamento: N=-6801.33 Ty=3.62 Tz=1.73 Mx=-0.01 Mz=2.27
Sollecitazioni agenti localmente: Ty_l=-1196.65 My_l=-24.52
Tensioni nella sezione: σ=297.20 τ=36.26
CC 32 SLD (Collegamento 0021_-378)
Azioni sul collegamento: N=-6801.33 Ty=2.73 Tz=-0.19 Mx=-0.01 Mz=0.81
Sollecitazioni agenti localmente: Ty_l=-1202.45 My_l=-24.65
Tensioni nella sezione: σ=298.74 τ=36.44

CC 32 SLD (Collegamento 0021_-378)
Azioni sul collegamento: N=-6801.33 Ty=3.62 Tz=-0.19 Mx=-0.01 Mz=2.27
Sollecitazioni agenti localmente: Ty_l=-1196.65 My_l=-24.52
Tensioni nella sezione: σ=297.20 τ=36.26
CC 32 SLD (Collegamento 0021_-378)
Azioni sul collegamento: N=-6311.53 Ty=2.73 Tz=1.73 Mx=-0.01 Mz=0.81
Sollecitazioni agenti localmente: Ty_l=-1115.62 My_l=-22.87
Tensioni nella sezione: σ=277.16 τ=33.81
CC 32 SLD (Collegamento 0021_-378)
Azioni sul collegamento: N=-6311.53 Ty=3.62 Tz=1.73 Mx=-0.01 Mz=2.27
Sollecitazioni agenti localmente: Ty_l=-1109.82 My_l=-22.74
Tensioni nella sezione: σ=275.62 τ=33.63
CC 32 SLD (Collegamento 0021_-378)
Azioni sul collegamento: N=-6311.53 Ty=2.73 Tz=-0.19 Mx=-0.01 Mz=0.81
Sollecitazioni agenti localmente: Ty_l=-1115.62 My_l=-22.87
Tensioni nella sezione: σ=277.16 τ=33.81
CC 32 SLD (Collegamento 0021_-378)
Azioni sul collegamento: N=-6311.53 Ty=3.62 Tz=-0.19 Mx=-0.01 Mz=2.27
Sollecitazioni agenti localmente: Ty_l=-1109.82 My_l=-22.74
Tensioni nella sezione: σ=275.62 τ=33.63
CC 33 SLU (Collegamento 0021_-378)
Azioni sul collegamento: N=-30888.30 Ty=5.44 Tz=82.02 Mx=-0.01 Mz=3.71
Sollecitazioni agenti localmente: Ty_l=-5460.90 My_l=-111.93
Tensioni nella sezione: σ=1356.70 τ=165.48
CC 34 SLU (Collegamento 0021_-378)
Azioni sul collegamento: N=-30337.70 Ty=5.16 Tz=79.98 Mx=-0.01 Mz=3.50
Sollecitazioni agenti localmente: Ty_l=-5364.13 My_l=-109.94
Tensioni nella sezione: σ=1332.67 τ=162.55
CC 35 SLU (Collegamento 0021_-378)
Azioni sul collegamento: N=-30612.00 Ty=5.19 Tz=81.02 Mx=-0.01 Mz=3.39
Sollecitazioni agenti localmente: Ty_l=-5413.21 My_l=-110.95
Tensioni nella sezione: σ=1344.87 τ=164.04
CC 36 SLU (Collegamento 0021_-378)
Azioni sul collegamento: N=-30614.00 Ty=5.41 Tz=80.97 Mx=-0.01 Mz=3.82
Sollecitazioni agenti localmente: Ty_l=-5411.82 My_l=-110.92
Tensioni nella sezione: σ=1344.50 τ=164.00
CC 37 SLU (Collegamento 0021_-378)
Azioni sul collegamento: N=-21597.10 Ty=6.32 Tz=47.86 Mx=-0.01 Mz=4.34
Sollecitazioni agenti localmente: Ty_l=-3811.31 My_l=-78.11
Tensioni nella sezione: σ=946.76 τ=115.49
CC 38 SLU (Collegamento 0021_-378)
Azioni sul collegamento: N=-21046.60 Ty=6.03 Tz=45.82 Mx=-0.01 Mz=4.13
Sollecitazioni agenti localmente: Ty_l=-3714.54 My_l=-76.13
Tensioni nella sezione: σ=922.73 τ=112.56
CC 39 SLU (Collegamento 0021_-378)
Azioni sul collegamento: N=-21320.90 Ty=6.07 Tz=46.87 Mx=-0.01 Mz=4.02
Sollecitazioni agenti localmente: Ty_l=-3763.62 My_l=-77.13
Tensioni nella sezione: σ=934.93 τ=114.05
CC 40 SLU (Collegamento 0021_-378)
Azioni sul collegamento: N=-21322.80 Ty=6.29 Tz=46.82 Mx=-0.01 Mz=4.45
Sollecitazioni agenti localmente: Ty_l=-3762.24 My_l=-77.10
Tensioni nella sezione: σ=934.56 τ=114.01
CC 41 SLU (Collegamento 0021_-378)
Azioni sul collegamento: N=-32817.40 Ty=5.33 Tz=88.46 Mx=0.00 Mz=3.76
Sollecitazioni agenti localmente: Ty_l=-5802.66 My_l=-118.93
Tensioni nella sezione: σ=1441.62 τ=175.84
CC 42 SLU (Collegamento 0021_-378)
Azioni sul collegamento: N=-32266.90 Ty=5.04 Tz=86.42 Mx=0.00 Mz=3.56
Sollecitazioni agenti localmente: Ty_l=-5705.89 My_l=-116.95
Tensioni nella sezione: σ=1417.59 τ=172.91
CC 43 SLU (Collegamento 0021_-378)
Azioni sul collegamento: N=-32541.20 Ty=5.08 Tz=87.47 Mx=0.00 Mz=3.44
Sollecitazioni agenti localmente: Ty_l=-5754.97 My_l=-117.96
Tensioni nella sezione: σ=1429.79 τ=174.39
CC 44 SLU (Collegamento 0021_-378)
Azioni sul collegamento: N=-32543.10 Ty=5.30 Tz=87.42 Mx=0.00 Mz=3.88
Sollecitazioni agenti localmente: Ty_l=-5753.58 My_l=-117.93
Tensioni nella sezione: σ=1429.42 τ=174.35
CC 45 SLU (Collegamento 0021_-378)
Azioni sul collegamento: N=-23689.50 Ty=6.01 Tz=55.60 Mx=-0.01 Mz=4.17
Sollecitazioni agenti localmente: Ty_l=-4182.93 My_l=-85.73
Tensioni nella sezione: σ=1039.11 τ=126.76
CC 46 SLU (Collegamento 0021_-378)
Azioni sul collegamento: N=-23139.00 Ty=5.73 Tz=53.57 Mx=-0.01 Mz=3.96
Sollecitazioni agenti localmente: Ty_l=-4086.16 My_l=-83.74
Tensioni nella sezione: σ=1015.08 τ=123.82
CC 47 SLU (Collegamento 0021_-378)
Azioni sul collegamento: N=-23413.30 Ty=5.76 Tz=54.61 Mx=-0.01 Mz=3.84
Sollecitazioni agenti localmente: Ty_l=-4135.24 My_l=-84.75

Tensioni nella sezione: σ=1027.29 τ=125.31
CC 48 SLU (Collegamento 0021_-378)
Azioni sul collegamento: N=-23415.20 Ty=5.98 Tz=54.56 Mx=-0.01 Mz=4.28
Sollecitazioni agenti localmente: Ty_l=-4133.86 My_l=-84.72
Tensioni nella sezione: σ=1026.91 τ=125.27
CC 49 SLU (Collegamento 0021_-378)
Azioni sul collegamento: N=-16738.30 Ty=6.67 Tz=30.05 Mx=-0.01 Mz=4.64
Sollecitazioni agenti localmente: Ty_l=-2948.80 My_l=-60.42
Tensioni nella sezione: σ=732.42 τ=89.36
CC 50 SLU (Collegamento 0021_-378)
Azioni sul collegamento: N=-16187.80 Ty=6.38 Tz=28.01 Mx=-0.01 Mz=4.43
Sollecitazioni agenti localmente: Ty_l=-2852.03 My_l=-58.44
Tensioni nella sezione: σ=708.39 τ=86.43
CC 51 SLU (Collegamento 0021_-378)
Azioni sul collegamento: N=-16462.10 Ty=6.42 Tz=29.05 Mx=-0.01 Mz=4.32
Sollecitazioni agenti localmente: Ty_l=-2901.11 My_l=-59.45
Tensioni nella sezione: σ=720.59 τ=87.91
CC 52 SLU (Collegamento 0021_-378)
Azioni sul collegamento: N=-16464.00 Ty=6.64 Tz=29.01 Mx=-0.01 Mz=4.75
Sollecitazioni agenti localmente: Ty_l=-2899.72 My_l=-59.42
Tensioni nella sezione: σ=720.22 τ=87.87
CC 53 SLU (Collegamento 0021_-378)
Azioni sul collegamento: N=-25132.80 Ty=5.93 Tz=60.42 Mx=-0.00 Mz=4.21
Sollecitazioni agenti localmente: Ty_l=-4438.62 My_l=-90.97
Tensioni nella sezione: σ=1102.65 τ=134.50
CC 54 SLU (Collegamento 0021_-378)
Azioni sul collegamento: N=-24582.20 Ty=5.64 Tz=58.39 Mx=-0.00 Mz=4.00
Sollecitazioni agenti localmente: Ty_l=-4341.85 My_l=-88.99
Tensioni nella sezione: σ=1078.61 τ=131.57
CC 55 SLU (Collegamento 0021_-378)
Azioni sul collegamento: N=-24856.50 Ty=5.68 Tz=59.43 Mx=0.00 Mz=3.89
Sollecitazioni agenti localmente: Ty_l=-4390.93 My_l=-89.99
Tensioni nella sezione: σ=1090.82 τ=133.06
CC 56 SLU (Collegamento 0021_-378)
Azioni sul collegamento: N=-24858.50 Ty=5.89 Tz=59.38 Mx=-0.00 Mz=4.32
Sollecitazioni agenti localmente: Ty_l=-4389.54 My_l=-89.96
Tensioni nella sezione: σ=1090.44 τ=133.02
CC 57 SLU (Collegamento 0021_-378)
Azioni sul collegamento: N=-22071.60 Ty=5.40 Tz=49.65 Mx=-0.01 Mz=3.73
Sollecitazioni agenti localmente: Ty_l=-3897.85 My_l=-79.89
Tensioni nella sezione: σ=968.30 τ=118.12
CC 58 SLU (Collegamento 0021_-378)
Azioni sul collegamento: N=-21521.10 Ty=5.11 Tz=47.61 Mx=-0.01 Mz=3.53
Sollecitazioni agenti localmente: Ty_l=-3801.07 My_l=-77.90
Tensioni nella sezione: σ=944.27 τ=115.18
CC 59 SLU (Collegamento 0021_-378)
Azioni sul collegamento: N=-21795.30 Ty=5.15 Tz=48.65 Mx=-0.01 Mz=3.41
Sollecitazioni agenti localmente: Ty_l=-3850.15 My_l=-78.91
Tensioni nella sezione: σ=956.47 τ=116.67
CC 60 SLU (Collegamento 0021_-378)
Azioni sul collegamento: N=-21797.30 Ty=5.37 Tz=48.60 Mx=-0.01 Mz=3.85
Sollecitazioni agenti localmente: Ty_l=-3848.77 My_l=-78.88
Tensioni nella sezione: σ=956.10 τ=116.63
CC 61 SLU (Collegamento 0021_-378)
Azioni sul collegamento: N=-15120.40 Ty=6.06 Tz=24.09 Mx=-0.01 Mz=4.21
Sollecitazioni agenti localmente: Ty_l=-2663.71 My_l=-54.58
Tensioni nella sezione: σ=661.61 τ=80.72
CC 62 SLU (Collegamento 0021_-378)
Azioni sul collegamento: N=-14569.90 Ty=5.77 Tz=22.06 Mx=-0.01 Mz=4.00
Sollecitazioni agenti localmente: Ty_l=-2566.94 My_l=-52.60
Tensioni nella sezione: σ=637.58 τ=77.79
CC 63 SLU (Collegamento 0021_-378)
Azioni sul collegamento: N=-14844.20 Ty=5.80 Tz=23.10 Mx=-0.01 Mz=3.88
Sollecitazioni agenti localmente: Ty_l=-2616.02 My_l=-53.61
Tensioni nella sezione: σ=649.78 τ=79.27
CC 64 SLU (Collegamento 0021_-378)
Azioni sul collegamento: N=-14846.10 Ty=6.02 Tz=23.05 Mx=-0.01 Mz=4.32
Sollecitazioni agenti localmente: Ty_l=-2614.63 My_l=-53.58
Tensioni nella sezione: σ=649.40 τ=79.23
CC 65 SLU (Collegamento 0021_-378)
Azioni sul collegamento: N=-23514.90 Ty=5.31 Tz=54.47 Mx=0.00 Mz=3.77
Sollecitazioni agenti localmente: Ty_l=-4153.53 My_l=-85.13
Tensioni nella sezione: σ=1031.84 τ=125.86
CC 66 SLU (Collegamento 0021_-378)
Azioni sul collegamento: N=-22964.30 Ty=5.03 Tz=52.43 Mx=0.00 Mz=3.57
Sollecitazioni agenti localmente: Ty_l=-4056.76 My_l=-83.14
Tensioni nella sezione: σ=1007.80 τ=122.93
CC 67 SLU (Collegamento 0021_-378)
Azioni sul collegamento: N=-23238.60 Ty=5.06 Tz=53.47 Mx=0.00 Mz=3.45

Sollecitazioni agenti localmente: Ty_l=-4105.84 My_l=-84.15
Tensioni nella sezione: σ=1020.01 τ=124.42
CC 68 SLU (Collegamento 0021_-378)
Azioni sul collegamento: N=-23240.60 Ty=5.28 Tz=53.43 Mx=-0.00 Mz=3.89
Sollecitazioni agenti localmente: Ty_l=-4104.46 My_l=-84.12
Tensioni nella sezione: σ=1019.63 τ=124.38
CC 97 SLU (Collegamento 0021_-378)
Azioni sul collegamento: N=-18052.20 Ty=-0.34 Tz=43.06 Mx=-0.05 Mz=-8.83
Sollecitazioni agenti localmente: Ty_l=-3235.28 My_l=-66.37
Tensioni nella sezione: σ=804.51 τ=98.04
CC 98 SLU (Collegamento 0021_-378)
Azioni sul collegamento: N=-17501.60 Ty=-0.63 Tz=41.02 Mx=-0.05 Mz=-9.04
Sollecitazioni agenti localmente: Ty_l=-3138.50 My_l=-64.39
Tensioni nella sezione: σ=780.48 τ=95.11
CC 99 SLU (Collegamento 0021_-378)
Azioni sul collegamento: N=-17775.90 Ty=-0.60 Tz=42.06 Mx=-0.05 Mz=-9.15
Sollecitazioni agenti localmente: Ty_l=-3187.58 My_l=-65.40
Tensioni nella sezione: σ=792.68 τ=96.59
CC 100 SLU (Collegamento 0021_-378)
Azioni sul collegamento: N=-17777.90 Ty=-0.38 Tz=42.01 Mx=-0.05 Mz=-8.71
Sollecitazioni agenti localmente: Ty_l=-3186.20 My_l=-65.37
Tensioni nella sezione: σ=792.31 τ=96.55
CC 101 SLU (Collegamento 0021_-378)
Azioni sul collegamento: N=-7136.43 Ty=4.37 Tz=2.96 Mx=0.00 Mz=3.85
Sollecitazioni agenti localmente: Ty_l=-1249.79 My_l=-25.60
Tensioni nella sezione: σ=310.29 τ=37.87
CC 102 SLU (Collegamento 0021_-378)
Azioni sul collegamento: N=-6585.90 Ty=4.08 Tz=0.92 Mx=0.00 Mz=3.64
Sollecitazioni agenti localmente: Ty_l=-1153.02 My_l=-23.62
Tensioni nella sezione: σ=286.26 τ=34.94
CC 103 SLU (Collegamento 0021_-378)
Azioni sul collegamento: N=-6860.19 Ty=4.11 Tz=1.96 Mx=0.00 Mz=3.53
Sollecitazioni agenti localmente: Ty_l=-1202.09 My_l=-24.62
Tensioni nella sezione: σ=298.46 τ=36.43
CC 104 SLU (Collegamento 0021_-378)
Azioni sul collegamento: N=-6862.15 Ty=4.33 Tz=1.92 Mx=0.00 Mz=3.96
Sollecitazioni agenti localmente: Ty_l=-1200.71 My_l=-24.59
Tensioni nella sezione: σ=298.09 τ=36.39

Collegamento 0022_-379

Piastra 220.00 x 220.00 s=15.00 - 6 Tirafondi ϕ 16 - Profondità di infissione: 350.00
3 righe ad interasse 89.00
2 colonne ad interasse 178.00
Altezza di gola saldature: anima 7.07 - ala 7.07

Tirafondi e calcestruzzo

CC 1 SLV (Collegamento 0022_-379)
Azioni sul collegamento: N=-3330.52 Ty=1.59 Tz=5.89 Mx=0.02 Mz=3.75
Sollecitazioni agenti localmente: Tx_l=1.59 Ty_l=5.89 N_l=-3330.52 Mx_l=-0.00 My_l=3.75 Mz_l=0.02
Taglio nei bulloni: Fv,Ed=1.04 Fv,Rd=7720.78
Rifollamento lato piastra: Fb,Ed,p=1.04 Fb,Rd,p=6695.56
Tirafondi:LT=0.45 (0.31) σ_{cR}=0.00 σ_{fR}=0.00
Compressione nel calcestruzzo: σ_c=7.09
CC 1 SLV (Collegamento 0022_-379)
Azioni sul collegamento: N=-3330.52 Ty=0.88 Tz=5.89 Mx=0.02 Mz=2.36
Sollecitazioni agenti localmente: Tx_l=0.88 Ty_l=5.89 N_l=-3330.52 Mx_l=-0.00 My_l=2.36 Mz_l=0.02
Taglio nei bulloni: Fv,Ed=1.01 Fv,Rd=7720.78
Rifollamento lato piastra: Fb,Ed,p=1.01 Fb,Rd,p=6223.30
Tirafondi:LT=0.45 (0.31) σ_{cR}=0.00 σ_{fR}=0.00
Compressione nel calcestruzzo: σ_c=7.01
CC 1 SLV (Collegamento 0022_-379)
Azioni sul collegamento: N=-3330.52 Ty=1.59 Tz=-11.19 Mx=0.02 Mz=3.75
Sollecitazioni agenti localmente: Tx_l=1.59 Ty_l=-11.19 N_l=-3330.52 Mx_l=-0.00 My_l=3.75 Mz_l=0.02
Taglio nei bulloni: Fv,Ed=1.90 Fv,Rd=7720.78
Rifollamento lato piastra: Fb,Ed,p=1.90 Fb,Rd,p=6131.51
Tirafondi:LT=0.45 (0.31) σ_{cR}=0.00 σ_{fR}=0.00
Compressione nel calcestruzzo: σ_c=7.09
CC 1 SLV (Collegamento 0022_-379)
Azioni sul collegamento: N=-3330.52 Ty=0.88 Tz=-11.19 Mx=0.02 Mz=2.36
Sollecitazioni agenti localmente: Tx_l=0.88 Ty_l=-11.19 N_l=-3330.52 Mx_l=-0.00 My_l=2.36 Mz_l=0.02
Taglio nei bulloni: Fv,Ed=1.89 Fv,Rd=7720.78
Rifollamento lato piastra: Fb,Ed,p=1.89 Fb,Rd,p=6020.90
Tirafondi:LT=0.45 (0.31) σ_{cR}=0.00 σ_{fR}=0.00
Compressione nel calcestruzzo: σ_c=7.01
CC 1 SLV (Collegamento 0022_-379)
Azioni sul collegamento: N=-7936.99 Ty=1.59 Tz=5.89 Mx=0.02 Mz=3.75

Sollecitazioni agenti localmente: Tx_l=1.59 Ty_l=5.89 N_l=-7936.99 Mx_l=-0.00 My_l=3.75 Mz_l=0.02
Taglio nei bulloni: Fv,Ed=1.04 Fv,Rd=7720.78
Rifollamento lato piastra: Fb,Ed,p=1.04 Fb,Rd,p=6695.54
Tirafondi:LT=0.45 (0.31) σ_{cR}=0.00 σ_{fR}=0.00
Compressione nel calcestruzzo: σ_c=16.61
CC 1 SLV (Collegamento 0022_-379)
Azioni sul collegamento: N=-7936.99 Ty=0.88 Tz=5.89 Mx=0.02 Mz=2.36
Sollecitazioni agenti localmente: Tx_l=0.88 Ty_l=5.89 N_l=-7936.99 Mx_l=-0.00 My_l=2.36 Mz_l=0.02
Taglio nei bulloni: Fv,Ed=1.01 Fv,Rd=7720.78
Rifollamento lato piastra: Fb,Ed,p=1.01 Fb,Rd,p=6223.30
Tirafondi:LT=0.45 (0.31) σ_{cR}=0.00 σ_{fR}=0.00
Compressione nel calcestruzzo: σ_c=16.53
CC 1 SLV (Collegamento 0022_-379)
Azioni sul collegamento: N=-7936.99 Ty=1.59 Tz=-11.19 Mx=0.02 Mz=3.75
Sollecitazioni agenti localmente: Tx_l=1.59 Ty_l=-11.19 N_l=-7936.99 Mx_l=-0.00 My_l=3.75 Mz_l=0.02
Taglio nei bulloni: Fv,Ed=1.90 Fv,Rd=7720.78
Rifollamento lato piastra: Fb,Ed,p=1.90 Fb,Rd,p=6131.51
Tirafondi:LT=0.45 (0.31) σ_{cR}=0.00 σ_{fR}=0.00
Compressione nel calcestruzzo: σ_c=16.61
CC 1 SLV (Collegamento 0022_-379)
Azioni sul collegamento: N=-7936.99 Ty=0.88 Tz=-11.19 Mx=0.02 Mz=2.36
Sollecitazioni agenti localmente: Tx_l=0.88 Ty_l=-11.19 N_l=-7936.99 Mx_l=-0.00 My_l=2.36 Mz_l=0.02
Taglio nei bulloni: Fv,Ed=1.89 Fv,Rd=7720.78
Rifollamento lato piastra: Fb,Ed,p=1.89 Fb,Rd,p=6020.90
Tirafondi:LT=0.45 (0.31) σ_{cR}=0.00 σ_{fR}=0.00
Compressione nel calcestruzzo: σ_c=16.53
CC 2 SLD (Collegamento 0022_-379)
Azioni sul collegamento: N=-4931.25 Ty=0.54 Tz=-0.05 Mx=0.01 Mz=1.22
Sollecitazioni agenti localmente: Tx_l=0.54 Ty_l=-0.05 N_l=-4931.25 Mx_l=-0.00 My_l=1.22 Mz_l=0.01
Rifollamento lato piastra: Fb,Ed,p=0.10 Fb,Rd,p=7714.41
Tirafondi:LT=0.45 (0.31) σ_{cR}=0.00 σ_{fR}=0.00
Compressione nel calcestruzzo: σ_c=10.26
CC 2 SLD (Collegamento 0022_-379)
Azioni sul collegamento: N=-4931.25 Ty=0.32 Tz=-0.05 Mx=0.01 Mz=0.79
Sollecitazioni agenti localmente: Tx_l=0.32 Ty_l=-0.05 N_l=-4931.25 Mx_l=-0.00 My_l=0.79 Mz_l=0.01
Tirafondi:LT=0.45 (0.31) σ_{cR}=0.00 σ_{fR}=0.00
Compressione nel calcestruzzo: σ_c=10.23
CC 2 SLD (Collegamento 0022_-379)
Azioni sul collegamento: N=-4931.25 Ty=0.54 Tz=-5.26 Mx=0.01 Mz=1.22
Sollecitazioni agenti localmente: Tx_l=0.54 Ty_l=-5.26 N_l=-4931.25 Mx_l=-0.00 My_l=1.22 Mz_l=0.01
Taglio nei bulloni: Fv,Ed=0.89 Fv,Rd=9650.97
Rifollamento lato piastra: Fb,Ed,p=0.89 Fb,Rd,p=7573.70
Tirafondi:LT=0.45 (0.31) σ_{cR}=0.00 σ_{fR}=0.00
Compressione nel calcestruzzo: σ_c=10.26
CC 2 SLD (Collegamento 0022_-379)
Azioni sul collegamento: N=-4931.25 Ty=0.32 Tz=-5.26 Mx=0.01 Mz=0.79
Sollecitazioni agenti localmente: Tx_l=0.32 Ty_l=-5.26 N_l=-4931.25 Mx_l=-0.00 My_l=0.79 Mz_l=0.01
Taglio nei bulloni: Fv,Ed=0.88 Fv,Rd=9650.97
Rifollamento lato piastra: Fb,Ed,p=0.88 Fb,Rd,p=7506.51
Tirafondi:LT=0.45 (0.31) σ_{cR}=0.00 σ_{fR}=0.00
Compressione nel calcestruzzo: σ_c=10.23
CC 2 SLD (Collegamento 0022_-379)
Azioni sul collegamento: N=-6335.90 Ty=0.54 Tz=-0.05 Mx=0.01 Mz=1.22
Sollecitazioni agenti localmente: Tx_l=0.54 Ty_l=-0.05 N_l=-6335.90 Mx_l=-0.00 My_l=1.22 Mz_l=0.01
Rifollamento lato piastra: Fb,Ed,p=0.10 Fb,Rd,p=7713.66
Tirafondi:LT=0.45 (0.31) σ_{cR}=0.00 σ_{fR}=0.00
Compressione nel calcestruzzo: σ_c=13.16
CC 2 SLD (Collegamento 0022_-379)
Azioni sul collegamento: N=-6335.90 Ty=0.32 Tz=-0.05 Mx=0.01 Mz=0.79
Sollecitazioni agenti localmente: Tx_l=0.32 Ty_l=-0.05 N_l=-6335.90 Mx_l=-0.00 My_l=0.79 Mz_l=0.01
Tirafondi:LT=0.45 (0.31) σ_{cR}=0.00 σ_{fR}=0.00
Compressione nel calcestruzzo: σ_c=13.14
CC 2 SLD (Collegamento 0022_-379)
Azioni sul collegamento: N=-6335.90 Ty=0.54 Tz=-5.26 Mx=0.01 Mz=1.22
Sollecitazioni agenti localmente: Tx_l=0.54 Ty_l=-5.26 N_l=-6335.90 Mx_l=-0.00 My_l=1.22 Mz_l=0.01
Taglio nei bulloni: Fv,Ed=0.89 Fv,Rd=9650.97
Rifollamento lato piastra: Fb,Ed,p=0.89 Fb,Rd,p=7573.70
Tirafondi:LT=0.45 (0.31) σ_{cR}=0.00 σ_{fR}=0.00
Compressione nel calcestruzzo: σ_c=13.16
CC 2 SLD (Collegamento 0022_-379)
Azioni sul collegamento: N=-6335.90 Ty=0.32 Tz=-5.26 Mx=0.01 Mz=0.79
Sollecitazioni agenti localmente: Tx_l=0.32 Ty_l=-5.26 N_l=-6335.90 Mx_l=-0.00 My_l=0.79 Mz_l=0.01
Taglio nei bulloni: Fv,Ed=0.88 Fv,Rd=9650.97
Rifollamento lato piastra: Fb,Ed,p=0.88 Fb,Rd,p=7506.51
Tirafondi:LT=0.45 (0.31) σ_{cR}=0.00 σ_{fR}=0.00
Compressione nel calcestruzzo: σ_c=13.14
CC 3 SLV (Collegamento 0022_-379)
Azioni sul collegamento: N=-3330.55 Ty=0.90 Tz=5.89 Mx=0.01 Mz=2.40

Sollecitazioni agenti localmente: Tx_l=0.90 Ty_l=5.89 N_l=-3330.55 Mx_l=-0.00 My_l=2.40 Mz_l=0.01
Taglio nei bulloni: Fv,Ed=1.01 Fv,Rd=7720.78
Rifollamento lato piastra: Fb,Ed,p=1.01 Fb,Rd,p=6215.70
Tirafondi:LT=0.45 (0.31) σ_{cR}=0.00 σ_{fR}=0.00
Compressione nel calcestruzzo: σ_c=7.02
CC 3 SLV (Collegamento 0022_-379)
Azioni sul collegamento: N=-3330.55 Ty=1.58 Tz=5.89 Mx=0.01 Mz=3.71
Sollecitazioni agenti localmente: Tx_l=1.58 Ty_l=5.89 N_l=-3330.55 Mx_l=-0.00 My_l=3.71 Mz_l=0.01
Taglio nei bulloni: Fv,Ed=1.03 Fv,Rd=7720.78
Rifollamento lato piastra: Fb,Ed,p=1.03 Fb,Rd,p=6663.17
Tirafondi:LT=0.45 (0.31) σ_{cR}=0.00 σ_{fR}=0.00
Compressione nel calcestruzzo: σ_c=7.09
CC 3 SLV (Collegamento 0022_-379)
Azioni sul collegamento: N=-3330.55 Ty=0.90 Tz=-11.19 Mx=0.01 Mz=2.40
Sollecitazioni agenti localmente: Tx_l=0.90 Ty_l=-11.19 N_l=-3330.55 Mx_l=-0.00 My_l=2.40 Mz_l=0.01
Taglio nei bulloni: Fv,Ed=1.88 Fv,Rd=7720.78
Rifollamento lato piastra: Fb,Ed,p=1.88 Fb,Rd,p=6026.57
Tirafondi:LT=0.45 (0.31) σ_{cR}=0.00 σ_{fR}=0.00
Compressione nel calcestruzzo: σ_c=7.02
CC 3 SLV (Collegamento 0022_-379)
Azioni sul collegamento: N=-3330.55 Ty=1.58 Tz=-11.19 Mx=0.01 Mz=3.71
Sollecitazioni agenti localmente: Tx_l=1.58 Ty_l=-11.19 N_l=-3330.55 Mx_l=-0.00 My_l=3.71 Mz_l=0.01
Taglio nei bulloni: Fv,Ed=1.90 Fv,Rd=7720.78
Rifollamento lato piastra: Fb,Ed,p=1.89 Fb,Rd,p=6136.92
Tirafondi:LT=0.45 (0.31) σ_{cR}=0.00 σ_{fR}=0.00
Compressione nel calcestruzzo: σ_c=7.09
CC 3 SLV (Collegamento 0022_-379)
Azioni sul collegamento: N=-7936.97 Ty=0.90 Tz=5.89 Mx=0.01 Mz=2.40
Sollecitazioni agenti localmente: Tx_l=0.90 Ty_l=5.89 N_l=-7936.97 Mx_l=-0.00 My_l=2.40 Mz_l=0.01
Taglio nei bulloni: Fv,Ed=1.01 Fv,Rd=7720.78
Rifollamento lato piastra: Fb,Ed,p=1.01 Fb,Rd,p=6215.68
Tirafondi:LT=0.45 (0.31) σ_{cR}=0.00 σ_{fR}=0.00
Compressione nel calcestruzzo: σ_c=16.53
CC 3 SLV (Collegamento 0022_-379)
Azioni sul collegamento: N=-7936.97 Ty=1.58 Tz=5.89 Mx=0.01 Mz=3.71
Sollecitazioni agenti localmente: Tx_l=1.58 Ty_l=5.89 N_l=-7936.97 Mx_l=-0.00 My_l=3.71 Mz_l=0.01
Taglio nei bulloni: Fv,Ed=1.03 Fv,Rd=7720.78
Rifollamento lato piastra: Fb,Ed,p=1.03 Fb,Rd,p=6663.11
Tirafondi:LT=0.45 (0.31) σ_{cR}=0.00 σ_{fR}=0.00
Compressione nel calcestruzzo: σ_c=16.61
CC 3 SLV (Collegamento 0022_-379)
Azioni sul collegamento: N=-7936.97 Ty=0.90 Tz=-11.19 Mx=0.01 Mz=2.40
Sollecitazioni agenti localmente: Tx_l=0.90 Ty_l=-11.19 N_l=-7936.97 Mx_l=-0.00 My_l=2.40 Mz_l=0.01
Taglio nei bulloni: Fv,Ed=1.88 Fv,Rd=7720.78
Rifollamento lato piastra: Fb,Ed,p=1.88 Fb,Rd,p=6026.57
Tirafondi:LT=0.45 (0.31) σ_{cR}=0.00 σ_{fR}=0.00
Compressione nel calcestruzzo: σ_c=16.53
CC 3 SLV (Collegamento 0022_-379)
Azioni sul collegamento: N=-7936.97 Ty=1.58 Tz=-11.19 Mx=0.01 Mz=3.71
Sollecitazioni agenti localmente: Tx_l=1.58 Ty_l=-11.19 N_l=-7936.97 Mx_l=-0.00 My_l=3.71 Mz_l=0.01
Taglio nei bulloni: Fv,Ed=1.90 Fv,Rd=7720.78
Rifollamento lato piastra: Fb,Ed,p=1.89 Fb,Rd,p=6136.92
Tirafondi:LT=0.45 (0.31) σ_{cR}=0.00 σ_{fR}=0.00
Compressione nel calcestruzzo: σ_c=16.61
CC 4 SLD (Collegamento 0022_-379)
Azioni sul collegamento: N=-4931.25 Ty=0.33 Tz=-0.05 Mx=0.00 Mz=0.80
Sollecitazioni agenti localmente: Tx_l=0.33 Ty_l=-0.05 N_l=-4931.25 Mx_l=-0.00 My_l=0.80 Mz_l=0.00
Tirafondi:LT=0.45 (0.31) σ_{cR}=0.00 σ_{fR}=0.00
Compressione nel calcestruzzo: σ_c=10.23
CC 4 SLD (Collegamento 0022_-379)
Azioni sul collegamento: N=-4931.25 Ty=0.53 Tz=-0.05 Mx=0.00 Mz=1.20
Sollecitazioni agenti localmente: Tx_l=0.53 Ty_l=-0.05 N_l=-4931.25 Mx_l=-0.00 My_l=1.20 Mz_l=0.00
Rifollamento lato piastra: Fb,Ed,p=0.09 Fb,Rd,p=7668.35
Tirafondi:LT=0.45 (0.31) σ_{cR}=0.00 σ_{fR}=0.00
Compressione nel calcestruzzo: σ_c=10.26
CC 4 SLD (Collegamento 0022_-379)
Azioni sul collegamento: N=-4931.25 Ty=0.33 Tz=-5.26 Mx=0.00 Mz=0.80
Sollecitazioni agenti localmente: Tx_l=0.33 Ty_l=-5.26 N_l=-4931.25 Mx_l=-0.00 My_l=0.80 Mz_l=0.00
Taglio nei bulloni: Fv,Ed=0.88 Fv,Rd=9650.97
Rifollamento lato piastra: Fb,Ed,p=0.88 Fb,Rd,p=7510.11
Tirafondi:LT=0.45 (0.31) σ_{cR}=0.00 σ_{fR}=0.00
Compressione nel calcestruzzo: σ_c=10.23
CC 4 SLD (Collegamento 0022_-379)
Azioni sul collegamento: N=-4931.25 Ty=0.53 Tz=-5.26 Mx=0.00 Mz=1.20
Sollecitazioni agenti localmente: Tx_l=0.53 Ty_l=-5.26 N_l=-4931.25 Mx_l=-0.00 My_l=1.20 Mz_l=0.00
Taglio nei bulloni: Fv,Ed=0.89 Fv,Rd=9650.97
Rifollamento lato piastra: Fb,Ed,p=0.88 Fb,Rd,p=7576.71
Tirafondi:LT=0.45 (0.31) σ_{cR}=0.00 σ_{fR}=0.00

Compressione nel calcestruzzo: σ_c=10.26
CC 4 SLD (Collegamento 0022_-379)
Azioni sul collegamento: N=-6335.90 Ty=0.33 Tz=-0.05 Mx=0.00 Mz=0.80
Sollecitazioni agenti localmente: Tx_l=0.33 Ty_l=-0.05 N_l=-6335.90 Mx_l=-0.00 My_l=0.80 Mz_l=0.00
Tirafondi:LT=0.45 (0.31) σ_{cR}=0.00 σ_{fR}=0.00
Compressione nel calcestruzzo: σ_c=13.14
CC 4 SLD (Collegamento 0022_-379)
Azioni sul collegamento: N=-6335.90 Ty=0.53 Tz=-0.05 Mx=0.00 Mz=1.20
Sollecitazioni agenti localmente: Tx_l=0.53 Ty_l=-0.05 N_l=-6335.90 Mx_l=-0.00 My_l=1.20 Mz_l=0.00
Rifollamento lato piastra: Fb,Ed,p=0.09 Fb,Rd,p=7667.10
Tirafondi:LT=0.45 (0.31) σ_{cR}=0.00 σ_{fR}=0.00
Compressione nel calcestruzzo: σ_c=13.16
CC 4 SLD (Collegamento 0022_-379)
Azioni sul collegamento: N=-6335.90 Ty=0.33 Tz=-5.26 Mx=0.00 Mz=0.80
Sollecitazioni agenti localmente: Tx_l=0.33 Ty_l=-5.26 N_l=-6335.90 Mx_l=-0.00 My_l=0.80 Mz_l=0.00
Taglio nei bulloni: Fv,Ed=0.88 Fv,Rd=9650.97
Rifollamento lato piastra: Fb,Ed,p=0.88 Fb,Rd,p=7510.11
Tirafondi:LT=0.45 (0.31) σ_{cR}=0.00 σ_{fR}=0.00
Compressione nel calcestruzzo: σ_c=13.14
CC 4 SLD (Collegamento 0022_-379)
Azioni sul collegamento: N=-6335.90 Ty=0.53 Tz=-5.26 Mx=0.00 Mz=1.20
Sollecitazioni agenti localmente: Tx_l=0.53 Ty_l=-5.26 N_l=-6335.90 Mx_l=-0.00 My_l=1.20 Mz_l=0.00
Taglio nei bulloni: Fv,Ed=0.89 Fv,Rd=9650.97
Rifollamento lato piastra: Fb,Ed,p=0.88 Fb,Rd,p=7576.71
Tirafondi:LT=0.45 (0.31) σ_{cR}=0.00 σ_{fR}=0.00
Compressione nel calcestruzzo: σ_c=13.16
CC 5 SLV (Collegamento 0022_-379)
Azioni sul collegamento: N=-7936.97 Ty=1.58 Tz=-11.19 Mx=0.02 Mz=3.71
Sollecitazioni agenti localmente: Tx_l=1.58 Ty_l=-11.19 N_l=-7936.97 Mx_l=-0.00 My_l=3.71 Mz_l=0.02
Taglio nei bulloni: Fv,Ed=1.90 Fv,Rd=7720.78
Rifollamento lato piastra: Fb,Ed,p=1.90 Fb,Rd,p=6129.04
Tirafondi:LT=0.45 (0.31) σ_{cR}=0.00 σ_{fR}=0.00
Compressione nel calcestruzzo: σ_c=16.61
CC 5 SLV (Collegamento 0022_-379)
Azioni sul collegamento: N=-7936.97 Ty=0.90 Tz=-11.19 Mx=0.02 Mz=2.40
Sollecitazioni agenti localmente: Tx_l=0.90 Ty_l=-11.19 N_l=-7936.97 Mx_l=-0.00 My_l=2.40 Mz_l=0.02
Taglio nei bulloni: Fv,Ed=1.89 Fv,Rd=7720.78
Rifollamento lato piastra: Fb,Ed,p=1.89 Fb,Rd,p=6022.53
Tirafondi:LT=0.45 (0.31) σ_{cR}=0.00 σ_{fR}=0.00
Compressione nel calcestruzzo: σ_c=16.53
CC 5 SLV (Collegamento 0022_-379)
Azioni sul collegamento: N=-7936.97 Ty=1.58 Tz=5.89 Mx=0.02 Mz=3.71
Sollecitazioni agenti localmente: Tx_l=1.58 Ty_l=5.89 N_l=-7936.97 Mx_l=-0.00 My_l=3.71 Mz_l=0.02
Taglio nei bulloni: Fv,Ed=1.04 Fv,Rd=7720.78
Rifollamento lato piastra: Fb,Ed,p=1.04 Fb,Rd,p=6683.37
Tirafondi:LT=0.45 (0.31) σ_{cR}=0.00 σ_{fR}=0.00
Compressione nel calcestruzzo: σ_c=16.61
CC 5 SLV (Collegamento 0022_-379)
Azioni sul collegamento: N=-7936.97 Ty=0.90 Tz=5.89 Mx=0.02 Mz=2.40
Sollecitazioni agenti localmente: Tx_l=0.90 Ty_l=5.89 N_l=-7936.97 Mx_l=-0.00 My_l=2.40 Mz_l=0.02
Taglio nei bulloni: Fv,Ed=1.01 Fv,Rd=7720.78
Rifollamento lato piastra: Fb,Ed,p=1.01 Fb,Rd,p=6229.49
Tirafondi:LT=0.45 (0.31) σ_{cR}=0.00 σ_{fR}=0.00
Compressione nel calcestruzzo: σ_c=16.53
CC 5 SLV (Collegamento 0022_-379)
Azioni sul collegamento: N=-3330.55 Ty=1.58 Tz=-11.19 Mx=0.02 Mz=3.71
Sollecitazioni agenti localmente: Tx_l=1.58 Ty_l=-11.19 N_l=-3330.55 Mx_l=-0.00 My_l=3.71 Mz_l=0.02
Taglio nei bulloni: Fv,Ed=1.90 Fv,Rd=7720.78
Rifollamento lato piastra: Fb,Ed,p=1.90 Fb,Rd,p=6129.05
Tirafondi:LT=0.45 (0.31) σ_{cR}=0.00 σ_{fR}=0.00
Compressione nel calcestruzzo: σ_c=7.09
CC 5 SLV (Collegamento 0022_-379)
Azioni sul collegamento: N=-3330.55 Ty=0.90 Tz=-11.19 Mx=0.02 Mz=2.40
Sollecitazioni agenti localmente: Tx_l=0.90 Ty_l=-11.19 N_l=-3330.55 Mx_l=-0.00 My_l=2.40 Mz_l=0.02
Taglio nei bulloni: Fv,Ed=1.89 Fv,Rd=7720.78
Rifollamento lato piastra: Fb,Ed,p=1.89 Fb,Rd,p=6022.53
Tirafondi:LT=0.45 (0.31) σ_{cR}=0.00 σ_{fR}=0.00
Compressione nel calcestruzzo: σ_c=7.02
CC 5 SLV (Collegamento 0022_-379)
Azioni sul collegamento: N=-3330.55 Ty=1.58 Tz=5.89 Mx=0.02 Mz=3.71
Sollecitazioni agenti localmente: Tx_l=1.58 Ty_l=5.89 N_l=-3330.55 Mx_l=-0.00 My_l=3.71 Mz_l=0.02
Taglio nei bulloni: Fv,Ed=1.04 Fv,Rd=7720.78
Rifollamento lato piastra: Fb,Ed,p=1.04 Fb,Rd,p=6683.43
Tirafondi:LT=0.45 (0.31) σ_{cR}=0.00 σ_{fR}=0.00
Compressione nel calcestruzzo: σ_c=7.09
CC 5 SLV (Collegamento 0022_-379)
Azioni sul collegamento: N=-3330.55 Ty=0.90 Tz=5.89 Mx=0.02 Mz=2.40
Sollecitazioni agenti localmente: Tx_l=0.90 Ty_l=5.89 N_l=-3330.55 Mx_l=-0.00 My_l=2.40 Mz_l=0.02

Taglio nei bulloni: Fv,Ed=1.01 Fv,Rd=7720.78
Rifollamento lato piastra: Fb,Ed,p=1.01 Fb,Rd,p=6229.50
Tirafondi:LT=0.45 (0.31) σ_{cR}=0.00 σ_{fR}=0.00
Compressione nel calcestruzzo: σ_c=7.02
CC 6 SLD (Collegamento 0022_-379)
Azioni sul collegamento: N=-6335.90 Ty=0.53 Tz=-5.26 Mx=0.01 Mz=1.20
Sollecitazioni agenti localmente: Tx_l=0.53 Ty_l=-5.26 N_l=-6335.90 Mx_l=-0.00 My_l=1.20 Mz_l=0.01
Taglio nei bulloni: Fv,Ed=0.89 Fv,Rd=9650.97
Rifollamento lato piastra: Fb,Ed,p=0.89 Fb,Rd,p=7572.23
Tirafondi:LT=0.45 (0.31) σ_{cR}=0.00 σ_{fR}=0.00
Compressione nel calcestruzzo: σ_c=13.16
CC 6 SLD (Collegamento 0022_-379)
Azioni sul collegamento: N=-6335.90 Ty=0.33 Tz=-5.26 Mx=0.01 Mz=0.80
Sollecitazioni agenti localmente: Tx_l=0.33 Ty_l=-5.26 N_l=-6335.90 Mx_l=-0.00 My_l=0.80 Mz_l=0.01
Taglio nei bulloni: Fv,Ed=0.88 Fv,Rd=9650.97
Rifollamento lato piastra: Fb,Ed,p=0.88 Fb,Rd,p=7507.57
Tirafondi:LT=0.45 (0.31) σ_{cR}=0.00 σ_{fR}=0.00
Compressione nel calcestruzzo: σ_c=13.14
CC 6 SLD (Collegamento 0022_-379)
Azioni sul collegamento: N=-6335.90 Ty=0.53 Tz=-0.05 Mx=0.01 Mz=1.20
Sollecitazioni agenti localmente: Tx_l=0.53 Ty_l=-0.05 N_l=-6335.90 Mx_l=-0.00 My_l=1.20 Mz_l=0.01
Rifollamento lato piastra: Fb,Ed,p=0.10 Fb,Rd,p=7715.83
Tirafondi:LT=0.45 (0.31) σ_{cR}=0.00 σ_{fR}=0.00
Compressione nel calcestruzzo: σ_c=13.16
CC 6 SLD (Collegamento 0022_-379)
Azioni sul collegamento: N=-6335.90 Ty=0.33 Tz=-0.05 Mx=0.01 Mz=0.80
Sollecitazioni agenti localmente: Tx_l=0.33 Ty_l=-0.05 N_l=-6335.90 Mx_l=-0.00 My_l=0.80 Mz_l=0.01
Tirafondi:LT=0.45 (0.31) σ_{cR}=0.00 σ_{fR}=0.00
Compressione nel calcestruzzo: σ_c=13.14
CC 6 SLD (Collegamento 0022_-379)
Azioni sul collegamento: N=-4931.25 Ty=0.53 Tz=-5.26 Mx=0.01 Mz=1.20
Sollecitazioni agenti localmente: Tx_l=0.53 Ty_l=-5.26 N_l=-4931.25 Mx_l=-0.00 My_l=1.20 Mz_l=0.01
Taglio nei bulloni: Fv,Ed=0.89 Fv,Rd=9650.97
Rifollamento lato piastra: Fb,Ed,p=0.89 Fb,Rd,p=7572.23
Tirafondi:LT=0.45 (0.31) σ_{cR}=0.00 σ_{fR}=0.00
Compressione nel calcestruzzo: σ_c=10.26
CC 6 SLD (Collegamento 0022_-379)
Azioni sul collegamento: N=-4931.25 Ty=0.33 Tz=-5.26 Mx=0.01 Mz=0.80
Sollecitazioni agenti localmente: Tx_l=0.33 Ty_l=-5.26 N_l=-4931.25 Mx_l=-0.00 My_l=0.80 Mz_l=0.01
Taglio nei bulloni: Fv,Ed=0.88 Fv,Rd=9650.97
Rifollamento lato piastra: Fb,Ed,p=0.88 Fb,Rd,p=7507.57
Tirafondi:LT=0.45 (0.31) σ_{cR}=0.00 σ_{fR}=0.00
Compressione nel calcestruzzo: σ_c=10.23
CC 6 SLD (Collegamento 0022_-379)
Azioni sul collegamento: N=-4931.25 Ty=0.53 Tz=-0.05 Mx=0.01 Mz=1.20
Sollecitazioni agenti localmente: Tx_l=0.53 Ty_l=-0.05 N_l=-4931.25 Mx_l=-0.00 My_l=1.20 Mz_l=0.01
Rifollamento lato piastra: Fb,Ed,p=0.10 Fb,Rd,p=7717.21
Tirafondi:LT=0.45 (0.31) σ_{cR}=0.00 σ_{fR}=0.00
Compressione nel calcestruzzo: σ_c=10.26
CC 6 SLD (Collegamento 0022_-379)
Azioni sul collegamento: N=-4931.25 Ty=0.33 Tz=-0.05 Mx=0.01 Mz=0.80
Sollecitazioni agenti localmente: Tx_l=0.33 Ty_l=-0.05 N_l=-4931.25 Mx_l=-0.00 My_l=0.80 Mz_l=0.01
Tirafondi:LT=0.45 (0.31) σ_{cR}=0.00 σ_{fR}=0.00
Compressione nel calcestruzzo: σ_c=10.23
CC 7 SLV (Collegamento 0022_-379)
Azioni sul collegamento: N=-7936.99 Ty=0.88 Tz=-11.19 Mx=0.01 Mz=2.36
Sollecitazioni agenti localmente: Tx_l=0.88 Ty_l=-11.19 N_l=-7936.99 Mx_l=-0.00 My_l=2.36 Mz_l=0.01
Taglio nei bulloni: Fv,Ed=1.88 Fv,Rd=7720.78
Rifollamento lato piastra: Fb,Ed,p=1.88 Fb,Rd,p=6025.18
Tirafondi:LT=0.45 (0.31) σ_{cR}=0.00 σ_{fR}=0.00
Compressione nel calcestruzzo: σ_c=16.53
CC 7 SLV (Collegamento 0022_-379)
Azioni sul collegamento: N=-7936.99 Ty=1.59 Tz=-11.19 Mx=0.01 Mz=3.75
Sollecitazioni agenti localmente: Tx_l=1.59 Ty_l=-11.19 N_l=-7936.99 Mx_l=-0.00 My_l=3.75 Mz_l=0.01
Taglio nei bulloni: Fv,Ed=1.90 Fv,Rd=7720.78
Rifollamento lato piastra: Fb,Ed,p=1.89 Fb,Rd,p=6140.08
Tirafondi:LT=0.45 (0.31) σ_{cR}=0.00 σ_{fR}=0.00
Compressione nel calcestruzzo: σ_c=16.61
CC 7 SLV (Collegamento 0022_-379)
Azioni sul collegamento: N=-7936.99 Ty=0.88 Tz=5.89 Mx=0.01 Mz=2.36
Sollecitazioni agenti localmente: Tx_l=0.88 Ty_l=5.89 N_l=-7936.99 Mx_l=-0.00 My_l=2.36 Mz_l=0.01
Taglio nei bulloni: Fv,Ed=1.01 Fv,Rd=7720.78
Rifollamento lato piastra: Fb,Ed,p=1.01 Fb,Rd,p=6208.58
Tirafondi:LT=0.45 (0.31) σ_{cR}=0.00 σ_{fR}=0.00
Compressione nel calcestruzzo: σ_c=16.53
CC 7 SLV (Collegamento 0022_-379)
Azioni sul collegamento: N=-7936.99 Ty=1.59 Tz=5.89 Mx=0.01 Mz=3.75
Sollecitazioni agenti localmente: Tx_l=1.59 Ty_l=5.89 N_l=-7936.99 Mx_l=-0.00 My_l=3.75 Mz_l=0.01

Taglio nei bulloni: Fv,Ed=1.03 Fv,Rd=7720.78
Rifollamento lato piastra: Fb,Ed,p=1.03 Fb,Rd,p=6673.59
Tirafondi:LT=0.45 (0.31) σ_{cR}=0.00 σ_{fR}=0.00
Compressione nel calcestruzzo: σ_c=16.61
CC 7 SLV (Collegamento 0022_-379)
Azioni sul collegamento: N=-3330.52 Ty=0.88 Tz=-11.19 Mx=0.01 Mz=2.36
Sollecitazioni agenti localmente: Tx_l=0.88 Ty_l=-11.19 N_l=-3330.52 Mx_l=-0.00 My_l=2.36 Mz_l=0.01
Taglio nei bulloni: Fv,Ed=1.88 Fv,Rd=7720.78
Rifollamento lato piastra: Fb,Ed,p=1.88 Fb,Rd,p=6025.18
Tirafondi:LT=0.45 (0.31) σ_{cR}=0.00 σ_{fR}=0.00
Compressione nel calcestruzzo: σ_c=7.01
CC 7 SLV (Collegamento 0022_-379)
Azioni sul collegamento: N=-3330.52 Ty=1.59 Tz=-11.19 Mx=0.01 Mz=3.75
Sollecitazioni agenti localmente: Tx_l=1.59 Ty_l=-11.19 N_l=-3330.52 Mx_l=-0.00 My_l=3.75 Mz_l=0.01
Taglio nei bulloni: Fv,Ed=1.90 Fv,Rd=7720.78
Rifollamento lato piastra: Fb,Ed,p=1.89 Fb,Rd,p=6140.09
Tirafondi:LT=0.45 (0.31) σ_{cR}=0.00 σ_{fR}=0.00
Compressione nel calcestruzzo: σ_c=7.09
CC 7 SLV (Collegamento 0022_-379)
Azioni sul collegamento: N=-3330.52 Ty=0.88 Tz=5.89 Mx=0.01 Mz=2.36
Sollecitazioni agenti localmente: Tx_l=0.88 Ty_l=5.89 N_l=-3330.52 Mx_l=-0.00 My_l=2.36 Mz_l=0.01
Taglio nei bulloni: Fv,Ed=1.01 Fv,Rd=7720.78
Rifollamento lato piastra: Fb,Ed,p=1.01 Fb,Rd,p=6208.58
Tirafondi:LT=0.45 (0.31) σ_{cR}=0.00 σ_{fR}=0.00
Compressione nel calcestruzzo: σ_c=7.01
CC 7 SLV (Collegamento 0022_-379)
Azioni sul collegamento: N=-3330.52 Ty=1.59 Tz=5.89 Mx=0.01 Mz=3.75
Sollecitazioni agenti localmente: Tx_l=1.59 Ty_l=5.89 N_l=-3330.52 Mx_l=-0.00 My_l=3.75 Mz_l=0.01
Taglio nei bulloni: Fv,Ed=1.03 Fv,Rd=7720.78
Rifollamento lato piastra: Fb,Ed,p=1.03 Fb,Rd,p=6673.61
Tirafondi:LT=0.45 (0.31) σ_{cR}=0.00 σ_{fR}=0.00
Compressione nel calcestruzzo: σ_c=7.09
CC 8 SLD (Collegamento 0022_-379)
Azioni sul collegamento: N=-6335.90 Ty=0.32 Tz=-5.26 Mx=0.00 Mz=0.79
Sollecitazioni agenti localmente: Tx_l=0.32 Ty_l=-5.26 N_l=-6335.90 Mx_l=-0.00 My_l=0.79 Mz_l=0.00
Taglio nei bulloni: Fv,Ed=0.88 Fv,Rd=9650.97
Rifollamento lato piastra: Fb,Ed,p=0.88 Fb,Rd,p=7509.21
Tirafondi:LT=0.45 (0.31) σ_{cR}=0.00 σ_{fR}=0.00
Compressione nel calcestruzzo: σ_c=13.14
CC 8 SLD (Collegamento 0022_-379)
Azioni sul collegamento: N=-6335.90 Ty=0.54 Tz=-5.26 Mx=0.00 Mz=1.22
Sollecitazioni agenti localmente: Tx_l=0.54 Ty_l=-5.26 N_l=-6335.90 Mx_l=-0.00 My_l=1.22 Mz_l=0.00
Taglio nei bulloni: Fv,Ed=0.89 Fv,Rd=9650.97
Rifollamento lato piastra: Fb,Ed,p=0.88 Fb,Rd,p=7578.58
Tirafondi:LT=0.45 (0.31) σ_{cR}=0.00 σ_{fR}=0.00
Compressione nel calcestruzzo: σ_c=13.16
CC 8 SLD (Collegamento 0022_-379)
Azioni sul collegamento: N=-6335.90 Ty=0.32 Tz=-0.05 Mx=0.00 Mz=0.79
Sollecitazioni agenti localmente: Tx_l=0.32 Ty_l=-0.05 N_l=-6335.90 Mx_l=-0.00 My_l=0.79 Mz_l=0.00
Tirafondi:LT=0.45 (0.31) σ_{cR}=0.00 σ_{fR}=0.00
Compressione nel calcestruzzo: σ_c=13.14
CC 8 SLD (Collegamento 0022_-379)
Azioni sul collegamento: N=-6335.90 Ty=0.54 Tz=-0.05 Mx=0.00 Mz=1.22
Sollecitazioni agenti localmente: Tx_l=0.54 Ty_l=-0.05 N_l=-6335.90 Mx_l=-0.00 My_l=1.22 Mz_l=0.00
Rifollamento lato piastra: Fb,Ed,p=0.09 Fb,Rd,p=7661.85
Tirafondi:LT=0.45 (0.31) σ_{cR}=0.00 σ_{fR}=0.00
Compressione nel calcestruzzo: σ_c=13.16
CC 8 SLD (Collegamento 0022_-379)
Azioni sul collegamento: N=-4931.25 Ty=0.32 Tz=-5.26 Mx=0.00 Mz=0.79
Sollecitazioni agenti localmente: Tx_l=0.32 Ty_l=-5.26 N_l=-4931.25 Mx_l=-0.00 My_l=0.79 Mz_l=0.00
Taglio nei bulloni: Fv,Ed=0.88 Fv,Rd=9650.97
Rifollamento lato piastra: Fb,Ed,p=0.88 Fb,Rd,p=7509.21
Tirafondi:LT=0.45 (0.31) σ_{cR}=0.00 σ_{fR}=0.00
Compressione nel calcestruzzo: σ_c=10.23
CC 8 SLD (Collegamento 0022_-379)
Azioni sul collegamento: N=-4931.25 Ty=0.54 Tz=-5.26 Mx=0.00 Mz=1.22
Sollecitazioni agenti localmente: Tx_l=0.54 Ty_l=-5.26 N_l=-4931.25 Mx_l=-0.00 My_l=1.22 Mz_l=0.00
Taglio nei bulloni: Fv,Ed=0.89 Fv,Rd=9650.97
Rifollamento lato piastra: Fb,Ed,p=0.88 Fb,Rd,p=7578.57
Tirafondi:LT=0.45 (0.31) σ_{cR}=0.00 σ_{fR}=0.00
Compressione nel calcestruzzo: σ_c=10.26
CC 8 SLD (Collegamento 0022_-379)
Azioni sul collegamento: N=-4931.25 Ty=0.32 Tz=-0.05 Mx=0.00 Mz=0.79
Sollecitazioni agenti localmente: Tx_l=0.32 Ty_l=-0.05 N_l=-4931.25 Mx_l=-0.00 My_l=0.79 Mz_l=0.00
Tirafondi:LT=0.45 (0.31) σ_{cR}=0.00 σ_{fR}=0.00
Compressione nel calcestruzzo: σ_c=10.23
CC 8 SLD (Collegamento 0022_-379)
Azioni sul collegamento: N=-4931.25 Ty=0.54 Tz=-0.05 Mx=0.00 Mz=1.22

Sollecitazioni agenti localmente: Tx_l=0.54 Ty_l=-0.05 N_l=-4931.25 Mx_l=-0.00 My_l=1.22 Mz_l=0.00
Rifollamento lato piastra: Fb,Ed,p=0.09 Fb,Rd,p=7662.54
Tirafondi:LT=0.45 (0.31) σ_{cR}=0.00 σ_{fR}=0.00
Compressione nel calcestruzzo: σ_c=10.26
CC 9 SLV (Collegamento 0022_-379)
Azioni sul collegamento: N=-4942.75 Ty=2.39 Tz=-0.09 Mx=0.02 Mz=5.32
Sollecitazioni agenti localmente: Tx_l=2.39 Ty_l=-0.09 N_l=-4942.75 Mx_l=-0.00 My_l=5.32 Mz_l=0.02
Taglio nei bulloni: Fv,Ed=0.43 Fv,Rd=7720.78
Rifollamento lato piastra: Fb,Ed,p=0.43 Fb,Rd,p=6058.13
Tirafondi:LT=0.45 (0.31) σ_{cR}=0.00 σ_{fR}=0.00
Compressione nel calcestruzzo: σ_c=10.51
CC 9 SLV (Collegamento 0022_-379)
Azioni sul collegamento: N=-4942.75 Ty=0.08 Tz=-0.09 Mx=0.02 Mz=0.80
Sollecitazioni agenti localmente: Tx_l=0.08 Ty_l=-0.09 N_l=-4942.75 Mx_l=-0.00 My_l=0.80 Mz_l=0.02
Tirafondi:LT=0.45 (0.31) σ_{cR}=0.00 σ_{fR}=0.00
Compressione nel calcestruzzo: σ_c=10.26
CC 9 SLV (Collegamento 0022_-379)
Azioni sul collegamento: N=-4942.75 Ty=2.39 Tz=-5.22 Mx=0.02 Mz=5.32
Sollecitazioni agenti localmente: Tx_l=2.39 Ty_l=-5.22 N_l=-4942.75 Mx_l=-0.00 My_l=5.32 Mz_l=0.02
Taglio nei bulloni: Fv,Ed=0.99 Fv,Rd=7720.78
Rifollamento lato piastra: Fb,Ed,p=0.97 Fb,Rd,p=7548.27
Tirafondi:LT=0.45 (0.31) σ_{cR}=0.00 σ_{fR}=0.00
Compressione nel calcestruzzo: σ_c=10.51
CC 9 SLV (Collegamento 0022_-379)
Azioni sul collegamento: N=-4942.75 Ty=0.08 Tz=-5.22 Mx=0.02 Mz=0.80
Sollecitazioni agenti localmente: Tx_l=0.08 Ty_l=-5.22 N_l=-4942.75 Mx_l=-0.00 My_l=0.80 Mz_l=0.02
Taglio nei bulloni: Fv,Ed=0.90 Fv,Rd=7720.78
Rifollamento lato piastra: Fb,Ed,p=0.89 Fb,Rd,p=5980.56
Tirafondi:LT=0.45 (0.31) σ_{cR}=0.00 σ_{fR}=0.00
Compressione nel calcestruzzo: σ_c=10.26
CC 9 SLV (Collegamento 0022_-379)
Azioni sul collegamento: N=-6324.76 Ty=2.39 Tz=-0.09 Mx=0.02 Mz=5.32
Sollecitazioni agenti localmente: Tx_l=2.39 Ty_l=-0.09 N_l=-6324.76 Mx_l=-0.00 My_l=5.32 Mz_l=0.02
Taglio nei bulloni: Fv,Ed=0.43 Fv,Rd=7720.78
Rifollamento lato piastra: Fb,Ed,p=0.43 Fb,Rd,p=6057.98
Tirafondi:LT=0.45 (0.31) σ_{cR}=0.00 σ_{fR}=0.00
Compressione nel calcestruzzo: σ_c=13.37
CC 9 SLV (Collegamento 0022_-379)
Azioni sul collegamento: N=-6324.76 Ty=0.08 Tz=-0.09 Mx=0.02 Mz=0.80
Sollecitazioni agenti localmente: Tx_l=0.08 Ty_l=-0.09 N_l=-6324.76 Mx_l=-0.00 My_l=0.80 Mz_l=0.02
Tirafondi:LT=0.45 (0.31) σ_{cR}=0.00 σ_{fR}=0.00
Compressione nel calcestruzzo: σ_c=13.11
CC 9 SLV (Collegamento 0022_-379)
Azioni sul collegamento: N=-6324.76 Ty=2.39 Tz=-5.22 Mx=0.02 Mz=5.32
Sollecitazioni agenti localmente: Tx_l=2.39 Ty_l=-5.22 N_l=-6324.76 Mx_l=-0.00 My_l=5.32 Mz_l=0.02
Taglio nei bulloni: Fv,Ed=0.99 Fv,Rd=7720.78
Rifollamento lato piastra: Fb,Ed,p=0.97 Fb,Rd,p=7548.42
Tirafondi:LT=0.45 (0.31) σ_{cR}=0.00 σ_{fR}=0.00
Compressione nel calcestruzzo: σ_c=13.37
CC 9 SLV (Collegamento 0022_-379)
Azioni sul collegamento: N=-6324.76 Ty=0.08 Tz=-5.22 Mx=0.02 Mz=0.80
Sollecitazioni agenti localmente: Tx_l=0.08 Ty_l=-5.22 N_l=-6324.76 Mx_l=-0.00 My_l=0.80 Mz_l=0.02
Taglio nei bulloni: Fv,Ed=0.90 Fv,Rd=7720.78
Rifollamento lato piastra: Fb,Ed,p=0.89 Fb,Rd,p=5980.56
Tirafondi:LT=0.45 (0.31) σ_{cR}=0.00 σ_{fR}=0.00
Compressione nel calcestruzzo: σ_c=13.11
CC 10 SLD (Collegamento 0022_-379)
Azioni sul collegamento: N=-5422.87 Ty=0.78 Tz=-1.87 Mx=0.01 Mz=1.69
Sollecitazioni agenti localmente: Tx_l=0.78 Ty_l=-1.87 N_l=-5422.87 Mx_l=-0.00 My_l=1.69 Mz_l=0.01
Taglio nei bulloni: Fv,Ed=0.35 Fv,Rd=9650.97
Rifollamento lato piastra: Fb,Ed,p=0.34 Fb,Rd,p=9115.18
Tirafondi:LT=0.45 (0.31) σ_{cR}=0.00 σ_{fR}=0.00
Compressione nel calcestruzzo: σ_c=11.30
CC 10 SLD (Collegamento 0022_-379)
Azioni sul collegamento: N=-5422.87 Ty=0.08 Tz=-1.87 Mx=0.01 Mz=0.31
Sollecitazioni agenti localmente: Tx_l=0.08 Ty_l=-1.87 N_l=-5422.87 Mx_l=-0.00 My_l=0.31 Mz_l=0.01
Taglio nei bulloni: Fv,Ed=0.32 Fv,Rd=9650.97
Rifollamento lato piastra: Fb,Ed,p=0.32 Fb,Rd,p=7476.65
Tirafondi:LT=0.45 (0.31) σ_{cR}=0.00 σ_{fR}=0.00
Compressione nel calcestruzzo: σ_c=11.22
CC 10 SLD (Collegamento 0022_-379)
Azioni sul collegamento: N=-5422.87 Ty=0.78 Tz=-3.44 Mx=0.01 Mz=1.69
Sollecitazioni agenti localmente: Tx_l=0.78 Ty_l=-3.44 N_l=-5422.87 Mx_l=-0.00 My_l=1.69 Mz_l=0.01
Taglio nei bulloni: Fv,Ed=0.60 Fv,Rd=9650.97
Rifollamento lato piastra: Fb,Ed,p=0.59 Fb,Rd,p=7968.54
Tirafondi:LT=0.45 (0.31) σ_{cR}=0.00 σ_{fR}=0.00
Compressione nel calcestruzzo: σ_c=11.30
CC 10 SLD (Collegamento 0022_-379)

Azioni sul collegamento: N=-5422.87 Ty=0.08 Tz=-3.44 Mx=0.01 Mz=0.31
Sollecitazioni agenti localmente: Tx_l=0.08 Ty_l=-3.44 N_l=-5422.87 Mx_l=-0.00 My_l=0.31 Mz_l=0.01
Taglio nei bulloni: Fv,Ed=0.58 Fv,Rd=9650.97
Rifollamento lato piastra: Fb,Ed,p=0.58 Fb,Rd,p=7474.78
Tirafondi:LT=0.45 (0.31) σ_{cR}=0.00 σ_{fR}=0.00
Compressione nel calcestruzzo: σ_c=11.22
CC 10 SLD (Collegamento 0022_-379)
Azioni sul collegamento: N=-5844.28 Ty=0.78 Tz=-1.87 Mx=0.01 Mz=1.69
Sollecitazioni agenti localmente: Tx_l=0.78 Ty_l=-1.87 N_l=-5844.28 Mx_l=-0.00 My_l=1.69 Mz_l=0.01
Taglio nei bulloni: Fv,Ed=0.35 Fv,Rd=9650.97
Rifollamento lato piastra: Fb,Ed,p=0.34 Fb,Rd,p=9114.80
Tirafondi:LT=0.45 (0.31) σ_{cR}=0.00 σ_{fR}=0.00
Compressione nel calcestruzzo: σ_c=12.17
CC 10 SLD (Collegamento 0022_-379)
Azioni sul collegamento: N=-5844.28 Ty=0.08 Tz=-1.87 Mx=0.01 Mz=0.31
Sollecitazioni agenti localmente: Tx_l=0.08 Ty_l=-1.87 N_l=-5844.28 Mx_l=-0.00 My_l=0.31 Mz_l=0.01
Taglio nei bulloni: Fv,Ed=0.32 Fv,Rd=9650.97
Rifollamento lato piastra: Fb,Ed,p=0.32 Fb,Rd,p=7476.65
Tirafondi:LT=0.45 (0.31) σ_{cR}=0.00 σ_{fR}=0.00
Compressione nel calcestruzzo: σ_c=12.09
CC 10 SLD (Collegamento 0022_-379)
Azioni sul collegamento: N=-5844.28 Ty=0.78 Tz=-3.44 Mx=0.01 Mz=1.69
Sollecitazioni agenti localmente: Tx_l=0.78 Ty_l=-3.44 N_l=-5844.28 Mx_l=-0.00 My_l=1.69 Mz_l=0.01
Taglio nei bulloni: Fv,Ed=0.60 Fv,Rd=9650.97
Rifollamento lato piastra: Fb,Ed,p=0.59 Fb,Rd,p=7968.56
Tirafondi:LT=0.45 (0.31) σ_{cR}=0.00 σ_{fR}=0.00
Compressione nel calcestruzzo: σ_c=12.17
CC 10 SLD (Collegamento 0022_-379)
Azioni sul collegamento: N=-5844.28 Ty=0.08 Tz=-3.44 Mx=0.01 Mz=0.31
Sollecitazioni agenti localmente: Tx_l=0.08 Ty_l=-3.44 N_l=-5844.28 Mx_l=-0.00 My_l=0.31 Mz_l=0.01
Taglio nei bulloni: Fv,Ed=0.58 Fv,Rd=9650.97
Rifollamento lato piastra: Fb,Ed,p=0.58 Fb,Rd,p=7474.78
Tirafondi:LT=0.45 (0.31) σ_{cR}=0.00 σ_{fR}=0.00
Compressione nel calcestruzzo: σ_c=12.09
CC 11 SLV (Collegamento 0022_-379)
Azioni sul collegamento: N=-6324.69 Ty=2.39 Tz=-5.21 Mx=0.02 Mz=5.31
Sollecitazioni agenti localmente: Tx_l=2.39 Ty_l=-5.21 N_l=-6324.69 Mx_l=-0.00 My_l=5.31 Mz_l=0.02
Taglio nei bulloni: Fv,Ed=0.99 Fv,Rd=7720.78
Rifollamento lato piastra: Fb,Ed,p=0.97 Fb,Rd,p=7544.53
Tirafondi:LT=0.45 (0.31) σ_{cR}=0.00 σ_{fR}=0.00
Compressione nel calcestruzzo: σ_c=13.37
CC 11 SLV (Collegamento 0022_-379)
Azioni sul collegamento: N=-6324.69 Ty=0.09 Tz=-5.21 Mx=0.02 Mz=0.81
Sollecitazioni agenti localmente: Tx_l=0.09 Ty_l=-5.21 N_l=-6324.69 Mx_l=-0.00 My_l=0.81 Mz_l=0.02
Taglio nei bulloni: Fv,Ed=0.89 Fv,Rd=7720.78
Rifollamento lato piastra: Fb,Ed,p=0.89 Fb,Rd,p=5980.38
Tirafondi:LT=0.45 (0.31) σ_{cR}=0.00 σ_{fR}=0.00
Compressione nel calcestruzzo: σ_c=13.11
CC 11 SLV (Collegamento 0022_-379)
Azioni sul collegamento: N=-6324.69 Ty=2.39 Tz=-0.09 Mx=0.02 Mz=5.31
Sollecitazioni agenti localmente: Tx_l=2.39 Ty_l=-0.09 N_l=-6324.69 Mx_l=-0.00 My_l=5.31 Mz_l=0.02
Taglio nei bulloni: Fv,Ed=0.42 Fv,Rd=7720.78
Rifollamento lato piastra: Fb,Ed,p=0.42 Fb,Rd,p=6059.08
Tirafondi:LT=0.45 (0.31) σ_{cR}=0.00 σ_{fR}=0.00
Compressione nel calcestruzzo: σ_c=13.37
CC 11 SLV (Collegamento 0022_-379)
Azioni sul collegamento: N=-6324.69 Ty=0.09 Tz=-0.09 Mx=0.02 Mz=0.81
Sollecitazioni agenti localmente: Tx_l=0.09 Ty_l=-0.09 N_l=-6324.69 Mx_l=-0.00 My_l=0.81 Mz_l=0.02
Tirafondi:LT=0.45 (0.31) σ_{cR}=0.00 σ_{fR}=0.00
Compressione nel calcestruzzo: σ_c=13.11
CC 11 SLV (Collegamento 0022_-379)
Azioni sul collegamento: N=-4942.83 Ty=2.39 Tz=-5.21 Mx=0.02 Mz=5.31
Sollecitazioni agenti localmente: Tx_l=2.39 Ty_l=-5.21 N_l=-4942.83 Mx_l=-0.00 My_l=5.31 Mz_l=0.02
Taglio nei bulloni: Fv,Ed=0.99 Fv,Rd=7720.78
Rifollamento lato piastra: Fb,Ed,p=0.97 Fb,Rd,p=7544.38
Tirafondi:LT=0.45 (0.31) σ_{cR}=0.00 σ_{fR}=0.00
Compressione nel calcestruzzo: σ_c=10.51
CC 11 SLV (Collegamento 0022_-379)
Azioni sul collegamento: N=-4942.83 Ty=0.09 Tz=-5.21 Mx=0.02 Mz=0.81
Sollecitazioni agenti localmente: Tx_l=0.09 Ty_l=-5.21 N_l=-4942.83 Mx_l=-0.00 My_l=0.81 Mz_l=0.02
Taglio nei bulloni: Fv,Ed=0.89 Fv,Rd=7720.78
Rifollamento lato piastra: Fb,Ed,p=0.89 Fb,Rd,p=5980.38
Tirafondi:LT=0.45 (0.31) σ_{cR}=0.00 σ_{fR}=0.00
Compressione nel calcestruzzo: σ_c=10.26
CC 11 SLV (Collegamento 0022_-379)
Azioni sul collegamento: N=-4942.83 Ty=2.39 Tz=-0.09 Mx=0.02 Mz=5.31
Sollecitazioni agenti localmente: Tx_l=2.39 Ty_l=-0.09 N_l=-4942.83 Mx_l=-0.00 My_l=5.31 Mz_l=0.02
Taglio nei bulloni: Fv,Ed=0.42 Fv,Rd=7720.78

Rifollamento lato piastra: Fb,Ed,p=0.42 Fb,Rd,p=6059.36
Tirafondi:LT=0.45 (0.31) σ_{cR}=0.00 σ_{fR}=0.00
Compressione nel calcestruzzo: σ_c=10.51
CC 11 SLV (Collegamento 0022_-379)
Azioni sul collegamento: N=-4942.83 Ty=0.09 Tz=-0.09 Mx=0.02 Mz=0.81
Sollecitazioni agenti localmente: Tx_l=0.09 Ty_l=-0.09 N_l=-4942.83 Mx_l=-0.00 My_l=0.81 Mz_l=0.02
Tirafondi:LT=0.45 (0.31) σ_{cR}=0.00 σ_{fR}=0.00
Compressione nel calcestruzzo: σ_c=10.26
CC 12 SLD (Collegamento 0022_-379)
Azioni sul collegamento: N=-5844.26 Ty=0.78 Tz=-3.43 Mx=0.01 Mz=1.69
Sollecitazioni agenti localmente: Tx_l=0.78 Ty_l=-3.43 N_l=-5844.26 Mx_l=-0.00 My_l=1.69 Mz_l=0.01
Taglio nei bulloni: Fv,Ed=0.60 Fv,Rd=9650.97
Rifollamento lato piastra: Fb,Ed,p=0.59 Fb,Rd,p=7967.19
Tirafondi:LT=0.45 (0.31) σ_{cR}=0.00 σ_{fR}=0.00
Compressione nel calcestruzzo: σ_c=12.17
CC 12 SLD (Collegamento 0022_-379)
Azioni sul collegamento: N=-5844.26 Ty=0.08 Tz=-3.43 Mx=0.01 Mz=0.32
Sollecitazioni agenti localmente: Tx_l=0.08 Ty_l=-3.43 N_l=-5844.26 Mx_l=-0.00 My_l=0.32 Mz_l=0.01
Taglio nei bulloni: Fv,Ed=0.58 Fv,Rd=9650.97
Rifollamento lato piastra: Fb,Ed,p=0.58 Fb,Rd,p=7474.85
Tirafondi:LT=0.45 (0.31) σ_{cR}=0.00 σ_{fR}=0.00
Compressione nel calcestruzzo: σ_c=12.09
CC 12 SLD (Collegamento 0022_-379)
Azioni sul collegamento: N=-5844.26 Ty=0.78 Tz=-1.87 Mx=0.01 Mz=1.69
Sollecitazioni agenti localmente: Tx_l=0.78 Ty_l=-1.87 N_l=-5844.26 Mx_l=-0.00 My_l=1.69 Mz_l=0.01
Taglio nei bulloni: Fv,Ed=0.35 Fv,Rd=9650.97
Rifollamento lato piastra: Fb,Ed,p=0.34 Fb,Rd,p=9109.12
Tirafondi:LT=0.45 (0.31) σ_{cR}=0.00 σ_{fR}=0.00
Compressione nel calcestruzzo: σ_c=12.17
CC 12 SLD (Collegamento 0022_-379)
Azioni sul collegamento: N=-5844.26 Ty=0.08 Tz=-1.87 Mx=0.01 Mz=0.32
Sollecitazioni agenti localmente: Tx_l=0.08 Ty_l=-1.87 N_l=-5844.26 Mx_l=-0.00 My_l=0.32 Mz_l=0.01
Taglio nei bulloni: Fv,Ed=0.32 Fv,Rd=9650.97
Rifollamento lato piastra: Fb,Ed,p=0.32 Fb,Rd,p=7476.90
Tirafondi:LT=0.45 (0.31) σ_{cR}=0.00 σ_{fR}=0.00
Compressione nel calcestruzzo: σ_c=12.09
CC 12 SLD (Collegamento 0022_-379)
Azioni sul collegamento: N=-5422.89 Ty=0.78 Tz=-3.43 Mx=0.01 Mz=1.69
Sollecitazioni agenti localmente: Tx_l=0.78 Ty_l=-3.43 N_l=-5422.89 Mx_l=-0.00 My_l=1.69 Mz_l=0.01
Taglio nei bulloni: Fv,Ed=0.60 Fv,Rd=9650.97
Rifollamento lato piastra: Fb,Ed,p=0.59 Fb,Rd,p=7967.26
Tirafondi:LT=0.45 (0.31) σ_{cR}=0.00 σ_{fR}=0.00
Compressione nel calcestruzzo: σ_c=11.30
CC 12 SLD (Collegamento 0022_-379)
Azioni sul collegamento: N=-5422.89 Ty=0.08 Tz=-3.43 Mx=0.01 Mz=0.32
Sollecitazioni agenti localmente: Tx_l=0.08 Ty_l=-3.43 N_l=-5422.89 Mx_l=-0.00 My_l=0.32 Mz_l=0.01
Taglio nei bulloni: Fv,Ed=0.58 Fv,Rd=9650.97
Rifollamento lato piastra: Fb,Ed,p=0.58 Fb,Rd,p=7474.85
Tirafondi:LT=0.45 (0.31) σ_{cR}=0.00 σ_{fR}=0.00
Compressione nel calcestruzzo: σ_c=11.22
CC 12 SLD (Collegamento 0022_-379)
Azioni sul collegamento: N=-5422.89 Ty=0.78 Tz=-1.87 Mx=0.01 Mz=1.69
Sollecitazioni agenti localmente: Tx_l=0.78 Ty_l=-1.87 N_l=-5422.89 Mx_l=-0.00 My_l=1.69 Mz_l=0.01
Taglio nei bulloni: Fv,Ed=0.35 Fv,Rd=9650.97
Rifollamento lato piastra: Fb,Ed,p=0.34 Fb,Rd,p=9108.67
Tirafondi:LT=0.45 (0.31) σ_{cR}=0.00 σ_{fR}=0.00
Compressione nel calcestruzzo: σ_c=11.30
CC 12 SLD (Collegamento 0022_-379)
Azioni sul collegamento: N=-5422.89 Ty=0.08 Tz=-1.87 Mx=0.01 Mz=0.32
Sollecitazioni agenti localmente: Tx_l=0.08 Ty_l=-1.87 N_l=-5422.89 Mx_l=-0.00 My_l=0.32 Mz_l=0.01
Taglio nei bulloni: Fv,Ed=0.32 Fv,Rd=9650.97
Rifollamento lato piastra: Fb,Ed,p=0.32 Fb,Rd,p=7476.90
Tirafondi:LT=0.45 (0.31) σ_{cR}=0.00 σ_{fR}=0.00
Compressione nel calcestruzzo: σ_c=11.22
CC 13 SLV (Collegamento 0022_-379)
Azioni sul collegamento: N=-4942.83 Ty=0.09 Tz=-0.09 Mx=0.00 Mz=0.81
Sollecitazioni agenti localmente: Tx_l=0.09 Ty_l=-0.09 N_l=-4942.83 Mx_l=-0.00 My_l=0.81 Mz_l=0.00
Tirafondi:LT=0.45 (0.31) σ_{cR}=0.00 σ_{fR}=0.00
Compressione nel calcestruzzo: σ_c=10.26
CC 13 SLV (Collegamento 0022_-379)
Azioni sul collegamento: N=-4942.83 Ty=2.39 Tz=-0.09 Mx=0.00 Mz=5.31
Sollecitazioni agenti localmente: Tx_l=2.39 Ty_l=-0.09 N_l=-4942.83 Mx_l=-0.00 My_l=5.31 Mz_l=0.00
Taglio nei bulloni: Fv,Ed=0.40 Fv,Rd=7720.78
Rifollamento lato piastra: Fb,Ed,p=0.40 Fb,Rd,p=6002.94
Tirafondi:LT=0.45 (0.31) σ_{cR}=0.00 σ_{fR}=0.00
Compressione nel calcestruzzo: σ_c=10.51
CC 13 SLV (Collegamento 0022_-379)
Azioni sul collegamento: N=-4942.83 Ty=0.09 Tz=-5.21 Mx=0.00 Mz=0.81

Sollecitazioni agenti localmente: Tx_l=0.09 Ty_l=-5.21 N_l=-4942.83 Mx_l=-0.00 My_l=0.81 Mz_l=0.00
Taglio nei bulloni: Fv,Ed=0.87 Fv,Rd=7720.78
Rifollamento lato piastra: Fb,Ed,p=0.87 Fb,Rd,p=5980.08
Tirafondi:LT=0.45 (0.31) σ_{cR}=0.00 σ_{fR}=0.00
Compressione nel calcestruzzo: σ_c=10.26
CC 13 SLV (Collegamento 0022_-379)
Azioni sul collegamento: N=-4942.83 Ty=2.39 Tz=-5.21 Mx=0.00 Mz=5.31
Sollecitazioni agenti localmente: Tx_l=2.39 Ty_l=-5.21 N_l=-4942.83 Mx_l=-0.00 My_l=5.31 Mz_l=0.00
Taglio nei bulloni: Fv,Ed=0.96 Fv,Rd=7720.78
Rifollamento lato piastra: Fb,Ed,p=0.96 Fb,Rd,p=7791.14
Tirafondi:LT=0.45 (0.31) σ_{cR}=0.00 σ_{fR}=0.00
Compressione nel calcestruzzo: σ_c=10.51
CC 13 SLV (Collegamento 0022_-379)
Azioni sul collegamento: N=-6324.69 Ty=0.09 Tz=-0.09 Mx=0.00 Mz=0.81
Sollecitazioni agenti localmente: Tx_l=0.09 Ty_l=-0.09 N_l=-6324.69 Mx_l=-0.00 My_l=0.81 Mz_l=0.00
Tirafondi:LT=0.45 (0.31) σ_{cR}=0.00 σ_{fR}=0.00
Compressione nel calcestruzzo: σ_c=13.11
CC 13 SLV (Collegamento 0022_-379)
Azioni sul collegamento: N=-6324.69 Ty=2.39 Tz=-0.09 Mx=0.00 Mz=5.31
Sollecitazioni agenti localmente: Tx_l=2.39 Ty_l=-0.09 N_l=-6324.69 Mx_l=-0.00 My_l=5.31 Mz_l=0.00
Taglio nei bulloni: Fv,Ed=0.40 Fv,Rd=7720.78
Rifollamento lato piastra: Fb,Ed,p=0.40 Fb,Rd,p=6002.78
Tirafondi:LT=0.45 (0.31) σ_{cR}=0.00 σ_{fR}=0.00
Compressione nel calcestruzzo: σ_c=13.37
CC 13 SLV (Collegamento 0022_-379)
Azioni sul collegamento: N=-6324.69 Ty=0.09 Tz=-5.21 Mx=0.00 Mz=0.81
Sollecitazioni agenti localmente: Tx_l=0.09 Ty_l=-5.21 N_l=-6324.69 Mx_l=-0.00 My_l=0.81 Mz_l=0.00
Taglio nei bulloni: Fv,Ed=0.87 Fv,Rd=7720.78
Rifollamento lato piastra: Fb,Ed,p=0.87 Fb,Rd,p=5980.08
Tirafondi:LT=0.45 (0.31) σ_{cR}=0.00 σ_{fR}=0.00
Compressione nel calcestruzzo: σ_c=13.11
CC 13 SLV (Collegamento 0022_-379)
Azioni sul collegamento: N=-6324.69 Ty=2.39 Tz=-5.21 Mx=0.00 Mz=5.31
Sollecitazioni agenti localmente: Tx_l=2.39 Ty_l=-5.21 N_l=-6324.69 Mx_l=-0.00 My_l=5.31 Mz_l=0.00
Taglio nei bulloni: Fv,Ed=0.96 Fv,Rd=7720.78
Rifollamento lato piastra: Fb,Ed,p=0.96 Fb,Rd,p=7791.30
Tirafondi:LT=0.45 (0.31) σ_{cR}=0.00 σ_{fR}=0.00
Compressione nel calcestruzzo: σ_c=13.37
CC 14 SLD (Collegamento 0022_-379)
Azioni sul collegamento: N=-5422.89 Ty=0.08 Tz=-1.87 Mx=0.00 Mz=0.32
Sollecitazioni agenti localmente: Tx_l=0.08 Ty_l=-1.87 N_l=-5422.89 Mx_l=-0.00 My_l=0.32 Mz_l=0.00
Taglio nei bulloni: Fv,Ed=0.31 Fv,Rd=9650.97
Rifollamento lato piastra: Fb,Ed,p=0.31 Fb,Rd,p=7487.81
Tirafondi:LT=0.45 (0.31) σ_{cR}=0.00 σ_{fR}=0.00
Compressione nel calcestruzzo: σ_c=11.22
CC 14 SLD (Collegamento 0022_-379)
Azioni sul collegamento: N=-5422.89 Ty=0.78 Tz=-1.87 Mx=0.00 Mz=1.69
Sollecitazioni agenti localmente: Tx_l=0.78 Ty_l=-1.87 N_l=-5422.89 Mx_l=-0.00 My_l=1.69 Mz_l=0.00
Taglio nei bulloni: Fv,Ed=0.34 Fv,Rd=9650.97
Rifollamento lato piastra: Fb,Ed,p=0.34 Fb,Rd,p=9340.62
Tirafondi:LT=0.45 (0.31) σ_{cR}=0.00 σ_{fR}=0.00
Compressione nel calcestruzzo: σ_c=11.30
CC 14 SLD (Collegamento 0022_-379)
Azioni sul collegamento: N=-5422.89 Ty=0.08 Tz=-3.43 Mx=0.00 Mz=0.32
Sollecitazioni agenti localmente: Tx_l=0.08 Ty_l=-3.43 N_l=-5422.89 Mx_l=-0.00 My_l=0.32 Mz_l=0.00
Taglio nei bulloni: Fv,Ed=0.57 Fv,Rd=9650.97
Rifollamento lato piastra: Fb,Ed,p=0.57 Fb,Rd,p=7478.10
Tirafondi:LT=0.45 (0.31) σ_{cR}=0.00 σ_{fR}=0.00
Compressione nel calcestruzzo: σ_c=11.22
CC 14 SLD (Collegamento 0022_-379)
Azioni sul collegamento: N=-5422.89 Ty=0.78 Tz=-3.43 Mx=0.00 Mz=1.69
Sollecitazioni agenti localmente: Tx_l=0.78 Ty_l=-3.43 N_l=-5422.89 Mx_l=-0.00 My_l=1.69 Mz_l=0.00
Taglio nei bulloni: Fv,Ed=0.59 Fv,Rd=9650.97
Rifollamento lato piastra: Fb,Ed,p=0.59 Fb,Rd,p=8027.34
Tirafondi:LT=0.45 (0.31) σ_{cR}=0.00 σ_{fR}=0.00
Compressione nel calcestruzzo: σ_c=11.30
CC 14 SLD (Collegamento 0022_-379)
Azioni sul collegamento: N=-5844.26 Ty=0.08 Tz=-1.87 Mx=0.00 Mz=0.32
Sollecitazioni agenti localmente: Tx_l=0.08 Ty_l=-1.87 N_l=-5844.26 Mx_l=-0.00 My_l=0.32 Mz_l=0.00
Taglio nei bulloni: Fv,Ed=0.31 Fv,Rd=9650.97
Rifollamento lato piastra: Fb,Ed,p=0.31 Fb,Rd,p=7487.82
Tirafondi:LT=0.45 (0.31) σ_{cR}=0.00 σ_{fR}=0.00
Compressione nel calcestruzzo: σ_c=12.09
CC 14 SLD (Collegamento 0022_-379)
Azioni sul collegamento: N=-5844.26 Ty=0.78 Tz=-1.87 Mx=0.00 Mz=1.69
Sollecitazioni agenti localmente: Tx_l=0.78 Ty_l=-1.87 N_l=-5844.26 Mx_l=-0.00 My_l=1.69 Mz_l=0.00
Taglio nei bulloni: Fv,Ed=0.34 Fv,Rd=9650.97
Rifollamento lato piastra: Fb,Ed,p=0.34 Fb,Rd,p=9341.13

Tirafondi:LT=0.45 (0.31) σ_{cR}=0.00 σ_{fR}=0.00
Compressione nel calcestruzzo: σ_c=12.17
CC 14 SLD (Collegamento 0022_-379)
Azioni sul collegamento: N=-5844.26 Ty=0.08 Tz=-3.43 Mx=0.00 Mz=0.32
Sollecitazioni agenti localmente: Tx_l=0.08 Ty_l=-3.43 N_l=-5844.26 Mx_l=-0.00 My_l=0.32 Mz_l=0.00
Taglio nei bulloni: Fv,Ed=0.57 Fv,Rd=9650.97
Rifollamento lato piastra: Fb,Ed,p=0.57 Fb,Rd,p=7478.10
Tirafondi:LT=0.45 (0.31) σ_{cR}=0.00 σ_{fR}=0.00
Compressione nel calcestruzzo: σ_c=12.09
CC 14 SLD (Collegamento 0022_-379)
Azioni sul collegamento: N=-5844.26 Ty=0.78 Tz=-3.43 Mx=0.00 Mz=1.69
Sollecitazioni agenti localmente: Tx_l=0.78 Ty_l=-3.43 N_l=-5844.26 Mx_l=-0.00 My_l=1.69 Mz_l=0.00
Taglio nei bulloni: Fv,Ed=0.59 Fv,Rd=9650.97
Rifollamento lato piastra: Fb,Ed,p=0.59 Fb,Rd,p=8027.26
Tirafondi:LT=0.45 (0.31) σ_{cR}=0.00 σ_{fR}=0.00
Compressione nel calcestruzzo: σ_c=12.17
CC 15 SLV (Collegamento 0022_-379)
Azioni sul collegamento: N=-6324.76 Ty=0.08 Tz=-5.22 Mx=0.00 Mz=0.80
Sollecitazioni agenti localmente: Tx_l=0.08 Ty_l=-5.22 N_l=-6324.76 Mx_l=-0.00 My_l=0.80 Mz_l=0.00
Taglio nei bulloni: Fv,Ed=0.87 Fv,Rd=7720.78
Rifollamento lato piastra: Fb,Ed,p=0.87 Fb,Rd,p=5979.95
Tirafondi:LT=0.45 (0.31) σ_{cR}=0.00 σ_{fR}=0.00
Compressione nel calcestruzzo: σ_c=13.11
CC 15 SLV (Collegamento 0022_-379)
Azioni sul collegamento: N=-6324.76 Ty=2.39 Tz=-5.22 Mx=0.00 Mz=5.32
Sollecitazioni agenti localmente: Tx_l=2.39 Ty_l=-5.22 N_l=-6324.76 Mx_l=-0.00 My_l=5.32 Mz_l=0.00
Taglio nei bulloni: Fv,Ed=0.96 Fv,Rd=7720.78
Rifollamento lato piastra: Fb,Ed,p=0.96 Fb,Rd,p=7797.28
Tirafondi:LT=0.45 (0.31) σ_{cR}=0.00 σ_{fR}=0.00
Compressione nel calcestruzzo: σ_c=13.37
CC 15 SLV (Collegamento 0022_-379)
Azioni sul collegamento: N=-6324.76 Ty=0.08 Tz=-0.09 Mx=0.00 Mz=0.80
Sollecitazioni agenti localmente: Tx_l=0.08 Ty_l=-0.09 N_l=-6324.76 Mx_l=-0.00 My_l=0.80 Mz_l=0.00
Tirafondi:LT=0.45 (0.31) σ_{cR}=0.00 σ_{fR}=0.00
Compressione nel calcestruzzo: σ_c=13.11
CC 15 SLV (Collegamento 0022_-379)
Azioni sul collegamento: N=-6324.76 Ty=2.39 Tz=-0.09 Mx=0.00 Mz=5.32
Sollecitazioni agenti localmente: Tx_l=2.39 Ty_l=-0.09 N_l=-6324.76 Mx_l=-0.00 My_l=5.32 Mz_l=0.00
Taglio nei bulloni: Fv,Ed=0.40 Fv,Rd=7720.78
Rifollamento lato piastra: Fb,Ed,p=0.40 Fb,Rd,p=6001.95
Tirafondi:LT=0.45 (0.31) σ_{cR}=0.00 σ_{fR}=0.00
Compressione nel calcestruzzo: σ_c=13.37
CC 15 SLV (Collegamento 0022_-379)
Azioni sul collegamento: N=-4942.75 Ty=0.08 Tz=-5.22 Mx=0.00 Mz=0.80
Sollecitazioni agenti localmente: Tx_l=0.08 Ty_l=-5.22 N_l=-4942.75 Mx_l=-0.00 My_l=0.80 Mz_l=0.00
Taglio nei bulloni: Fv,Ed=0.88 Fv,Rd=7720.78
Rifollamento lato piastra: Fb,Ed,p=0.87 Fb,Rd,p=5979.95
Tirafondi:LT=0.45 (0.31) σ_{cR}=0.00 σ_{fR}=0.00
Compressione nel calcestruzzo: σ_c=10.26
CC 15 SLV (Collegamento 0022_-379)
Azioni sul collegamento: N=-4942.75 Ty=2.39 Tz=-5.22 Mx=0.00 Mz=5.32
Sollecitazioni agenti localmente: Tx_l=2.39 Ty_l=-5.22 N_l=-4942.75 Mx_l=-0.00 My_l=5.32 Mz_l=0.00
Taglio nei bulloni: Fv,Ed=0.96 Fv,Rd=7720.78
Rifollamento lato piastra: Fb,Ed,p=0.96 Fb,Rd,p=7797.09
Tirafondi:LT=0.45 (0.31) σ_{cR}=0.00 σ_{fR}=0.00
Compressione nel calcestruzzo: σ_c=10.51
CC 15 SLV (Collegamento 0022_-379)
Azioni sul collegamento: N=-4942.75 Ty=0.08 Tz=-0.09 Mx=0.00 Mz=0.80
Sollecitazioni agenti localmente: Tx_l=0.08 Ty_l=-0.09 N_l=-4942.75 Mx_l=-0.00 My_l=0.80 Mz_l=0.00
Tirafondi:LT=0.45 (0.31) σ_{cR}=0.00 σ_{fR}=0.00
Compressione nel calcestruzzo: σ_c=10.26
CC 15 SLV (Collegamento 0022_-379)
Azioni sul collegamento: N=-4942.75 Ty=2.39 Tz=-0.09 Mx=0.00 Mz=5.32
Sollecitazioni agenti localmente: Tx_l=2.39 Ty_l=-0.09 N_l=-4942.75 Mx_l=-0.00 My_l=5.32 Mz_l=0.00
Taglio nei bulloni: Fv,Ed=0.40 Fv,Rd=7720.78
Rifollamento lato piastra: Fb,Ed,p=0.40 Fb,Rd,p=6002.03
Tirafondi:LT=0.45 (0.31) σ_{cR}=0.00 σ_{fR}=0.00
Compressione nel calcestruzzo: σ_c=10.51
CC 16 SLD (Collegamento 0022_-379)
Azioni sul collegamento: N=-5844.28 Ty=0.08 Tz=-3.44 Mx=0.00 Mz=0.31
Sollecitazioni agenti localmente: Tx_l=0.08 Ty_l=-3.44 N_l=-5844.28 Mx_l=-0.00 My_l=0.31 Mz_l=0.00
Taglio nei bulloni: Fv,Ed=0.57 Fv,Rd=9650.97
Rifollamento lato piastra: Fb,Ed,p=0.57 Fb,Rd,p=7477.96
Tirafondi:LT=0.45 (0.31) σ_{cR}=0.00 σ_{fR}=0.00
Compressione nel calcestruzzo: σ_c=12.09
CC 16 SLD (Collegamento 0022_-379)
Azioni sul collegamento: N=-5844.28 Ty=0.78 Tz=-3.44 Mx=0.00 Mz=1.69
Sollecitazioni agenti localmente: Tx_l=0.78 Ty_l=-3.44 N_l=-5844.28 Mx_l=-0.00 My_l=1.69 Mz_l=0.00

Taglio nei bulloni: Fv,Ed=0.59 Fv,Rd=9650.97
Rifollamento lato piastra: Fb,Ed,p=0.59 Fb,Rd,p=8029.15
Tirafondi:LT=0.45 (0.31) σ_{cR}=0.00 σ_{fR}=0.00
Compressione nel calcestruzzo: σ_c=12.17
CC 16 SLD (Collegamento 0022_-379)
Azioni sul collegamento: N=-5844.28 Ty=0.08 Tz=-1.87 Mx=0.00 Mz=0.31
Sollecitazioni agenti localmente: Tx_l=0.08 Ty_l=-1.87 N_l=-5844.28 Mx_l=-0.00 My_l=0.31 Mz_l=0.00
Taglio nei bulloni: Fv,Ed=0.31 Fv,Rd=9650.97
Rifollamento lato piastra: Fb,Ed,p=0.31 Fb,Rd,p=7487.36
Tirafondi:LT=0.45 (0.31) σ_{cR}=0.00 σ_{fR}=0.00
Compressione nel calcestruzzo: σ_c=12.09
CC 16 SLD (Collegamento 0022_-379)
Azioni sul collegamento: N=-5844.28 Ty=0.78 Tz=-1.87 Mx=0.00 Mz=1.69
Sollecitazioni agenti localmente: Tx_l=0.78 Ty_l=-1.87 N_l=-5844.28 Mx_l=-0.00 My_l=1.69 Mz_l=0.00
Taglio nei bulloni: Fv,Ed=0.34 Fv,Rd=9650.97
Rifollamento lato piastra: Fb,Ed,p=0.34 Fb,Rd,p=9349.04
Tirafondi:LT=0.45 (0.31) σ_{cR}=0.00 σ_{fR}=0.00
Compressione nel calcestruzzo: σ_c=12.17
CC 16 SLD (Collegamento 0022_-379)
Azioni sul collegamento: N=-5422.87 Ty=0.08 Tz=-3.44 Mx=0.00 Mz=0.31
Sollecitazioni agenti localmente: Tx_l=0.08 Ty_l=-3.44 N_l=-5422.87 Mx_l=-0.00 My_l=0.31 Mz_l=0.00
Taglio nei bulloni: Fv,Ed=0.57 Fv,Rd=9650.97
Rifollamento lato piastra: Fb,Ed,p=0.57 Fb,Rd,p=7477.96
Tirafondi:LT=0.45 (0.31) σ_{cR}=0.00 σ_{fR}=0.00
Compressione nel calcestruzzo: σ_c=11.22
CC 16 SLD (Collegamento 0022_-379)
Azioni sul collegamento: N=-5422.87 Ty=0.78 Tz=-3.44 Mx=0.00 Mz=1.69
Sollecitazioni agenti localmente: Tx_l=0.78 Ty_l=-3.44 N_l=-5422.87 Mx_l=-0.00 My_l=1.69 Mz_l=0.00
Taglio nei bulloni: Fv,Ed=0.59 Fv,Rd=9650.97
Rifollamento lato piastra: Fb,Ed,p=0.59 Fb,Rd,p=8029.12
Tirafondi:LT=0.45 (0.31) σ_{cR}=0.00 σ_{fR}=0.00
Compressione nel calcestruzzo: σ_c=11.30
CC 16 SLD (Collegamento 0022_-379)
Azioni sul collegamento: N=-5422.87 Ty=0.08 Tz=-1.87 Mx=0.00 Mz=0.31
Sollecitazioni agenti localmente: Tx_l=0.08 Ty_l=-1.87 N_l=-5422.87 Mx_l=-0.00 My_l=0.31 Mz_l=0.00
Taglio nei bulloni: Fv,Ed=0.31 Fv,Rd=9650.97
Rifollamento lato piastra: Fb,Ed,p=0.31 Fb,Rd,p=7487.36
Tirafondi:LT=0.45 (0.31) σ_{cR}=0.00 σ_{fR}=0.00
Compressione nel calcestruzzo: σ_c=11.22
CC 16 SLD (Collegamento 0022_-379)
Azioni sul collegamento: N=-5422.87 Ty=0.78 Tz=-1.87 Mx=0.00 Mz=1.69
Sollecitazioni agenti localmente: Tx_l=0.78 Ty_l=-1.87 N_l=-5422.87 Mx_l=-0.00 My_l=1.69 Mz_l=0.00
Taglio nei bulloni: Fv,Ed=0.34 Fv,Rd=9650.97
Rifollamento lato piastra: Fb,Ed,p=0.34 Fb,Rd,p=9349.48
Tirafondi:LT=0.45 (0.31) σ_{cR}=0.00 σ_{fR}=0.00
Compressione nel calcestruzzo: σ_c=11.30
CC 17 SLV (Collegamento 0022_-379)
Azioni sul collegamento: N=-3330.00 Ty=-0.74 Tz=5.89 Mx=-0.02 Mz=-2.16
Sollecitazioni agenti localmente: Tx_l=-0.74 Ty_l=5.89 N_l=-3330.00 Mx_l=-0.00 My_l=-2.16 Mz_l=-0.02
Taglio nei bulloni: Fv,Ed=1.01 Fv,Rd=7720.78
Rifollamento lato piastra: Fb,Ed,p=1.01 Fb,Rd,p=6154.63
Tirafondi:LT=0.45 (0.31) σ_{cR}=0.00 σ_{fR}=0.00
Compressione nel calcestruzzo: σ_c=7.00
CC 17 SLV (Collegamento 0022_-379)
Azioni sul collegamento: N=-3330.00 Ty=-1.44 Tz=5.89 Mx=-0.02 Mz=-3.55
Sollecitazioni agenti localmente: Tx_l=-1.44 Ty_l=5.89 N_l=-3330.00 Mx_l=-0.00 My_l=-3.55 Mz_l=-0.02
Taglio nei bulloni: Fv,Ed=1.03 Fv,Rd=7720.78
Rifollamento lato piastra: Fb,Ed,p=1.03 Fb,Rd,p=6573.72
Tirafondi:LT=0.45 (0.31) σ_{cR}=0.00 σ_{fR}=0.00
Compressione nel calcestruzzo: σ_c=7.08
CC 17 SLV (Collegamento 0022_-379)
Azioni sul collegamento: N=-3330.00 Ty=-0.74 Tz=-11.20 Mx=-0.02 Mz=-2.16
Sollecitazioni agenti localmente: Tx_l=-0.74 Ty_l=-11.20 N_l=-3330.00 Mx_l=-0.00 My_l=-2.16 Mz_l=-0.02
Taglio nei bulloni: Fv,Ed=1.89 Fv,Rd=7720.78
Rifollamento lato piastra: Fb,Ed,p=1.89 Fb,Rd,p=6006.74
Tirafondi:LT=0.45 (0.31) σ_{cR}=0.00 σ_{fR}=0.00
Compressione nel calcestruzzo: σ_c=7.00
CC 17 SLV (Collegamento 0022_-379)
Azioni sul collegamento: N=-3330.00 Ty=-1.44 Tz=-11.20 Mx=-0.02 Mz=-3.55
Sollecitazioni agenti localmente: Tx_l=-1.44 Ty_l=-11.20 N_l=-3330.00 Mx_l=-0.00 My_l=-3.55 Mz_l=-0.02
Taglio nei bulloni: Fv,Ed=1.90 Fv,Rd=7720.78
Rifollamento lato piastra: Fb,Ed,p=1.90 Fb,Rd,p=6103.11
Tirafondi:LT=0.45 (0.31) σ_{cR}=0.00 σ_{fR}=0.00
Compressione nel calcestruzzo: σ_c=7.08
CC 17 SLV (Collegamento 0022_-379)
Azioni sul collegamento: N=-7936.47 Ty=-0.74 Tz=5.89 Mx=-0.02 Mz=-2.16
Sollecitazioni agenti localmente: Tx_l=-0.74 Ty_l=5.89 N_l=-7936.47 Mx_l=-0.00 My_l=-2.16 Mz_l=-0.02
Taglio nei bulloni: Fv,Ed=1.01 Fv,Rd=7720.78

Rifollamento lato piastra: Fb,Ed,p=1.01 Fb,Rd,p=6154.63
Tirafondi:LT=0.45 (0.31) σ_{cR}=0.00 σ_{fR}=0.00
Compressione nel calcestruzzo: σ_c=16.52
CC 17 SLV (Collegamento 0022_-379)
Azioni sul collegamento: N=-7936.47 Ty=-1.44 Tz=5.89 Mx=-0.02 Mz=-3.55
Sollecitazioni agenti localmente: Tx_l=-1.44 Ty_l=5.89 N_l=-7936.47 Mx_l=-0.00 My_l=-3.55 Mz_l=-0.02
Taglio nei bulloni: Fv,Ed=1.03 Fv,Rd=7720.78
Rifollamento lato piastra: Fb,Ed,p=1.03 Fb,Rd,p=6573.73
Tirafondi:LT=0.45 (0.31) σ_{cR}=0.00 σ_{fR}=0.00
Compressione nel calcestruzzo: σ_c=16.60
CC 17 SLV (Collegamento 0022_-379)
Azioni sul collegamento: N=-7936.47 Ty=-0.74 Tz=-11.20 Mx=-0.02 Mz=-2.16
Sollecitazioni agenti localmente: Tx_l=-0.74 Ty_l=-11.20 N_l=-7936.47 Mx_l=-0.00 My_l=-2.16 Mz_l=-0.02
Taglio nei bulloni: Fv,Ed=1.89 Fv,Rd=7720.78
Rifollamento lato piastra: Fb,Ed,p=1.89 Fb,Rd,p=6006.74
Tirafondi:LT=0.45 (0.31) σ_{cR}=0.00 σ_{fR}=0.00
Compressione nel calcestruzzo: σ_c=16.52
CC 17 SLV (Collegamento 0022_-379)
Azioni sul collegamento: N=-7936.47 Ty=-1.44 Tz=-11.20 Mx=-0.02 Mz=-3.55
Sollecitazioni agenti localmente: Tx_l=-1.44 Ty_l=-11.20 N_l=-7936.47 Mx_l=-0.00 My_l=-3.55 Mz_l=-0.02
Taglio nei bulloni: Fv,Ed=1.90 Fv,Rd=7720.78
Rifollamento lato piastra: Fb,Ed,p=1.90 Fb,Rd,p=6103.11
Tirafondi:LT=0.45 (0.31) σ_{cR}=0.00 σ_{fR}=0.00
Compressione nel calcestruzzo: σ_c=16.60
CC 18 SLD (Collegamento 0022_-379)
Azioni sul collegamento: N=-4931.08 Ty=-0.17 Tz=-0.05 Mx=-0.00 Mz=-0.59
Sollecitazioni agenti localmente: Tx_l=-0.17 Ty_l=-0.05 N_l=-4931.08 Mx_l=-0.00 My_l=-0.59 Mz_l=-0.00
Tirafondi:LT=0.45 (0.31) σ_{cR}=0.00 σ_{fR}=0.00
Compressione nel calcestruzzo: σ_c=10.22
CC 18 SLD (Collegamento 0022_-379)
Azioni sul collegamento: N=-4931.08 Ty=-0.39 Tz=-0.05 Mx=-0.00 Mz=-1.01
Sollecitazioni agenti localmente: Tx_l=-0.39 Ty_l=-0.05 N_l=-4931.08 Mx_l=-0.00 My_l=-1.01 Mz_l=-0.00
Tirafondi:LT=0.45 (0.31) σ_{cR}=0.00 σ_{fR}=0.00
Compressione nel calcestruzzo: σ_c=10.25
CC 18 SLD (Collegamento 0022_-379)
Azioni sul collegamento: N=-4931.09 Ty=-0.17 Tz=-5.26 Mx=-0.00 Mz=-0.59
Sollecitazioni agenti localmente: Tx_l=-0.17 Ty_l=-5.26 N_l=-4931.09 Mx_l=-0.00 My_l=-0.59 Mz_l=-0.00
Taglio nei bulloni: Fv,Ed=0.88 Fv,Rd=9650.97
Rifollamento lato piastra: Fb,Ed,p=0.88 Fb,Rd,p=7481.92
Tirafondi:LT=0.45 (0.31) σ_{cR}=0.00 σ_{fR}=0.00
Compressione nel calcestruzzo: σ_c=10.22
CC 18 SLD (Collegamento 0022_-379)
Azioni sul collegamento: N=-4931.09 Ty=-0.39 Tz=-5.26 Mx=-0.00 Mz=-1.01
Sollecitazioni agenti localmente: Tx_l=-0.39 Ty_l=-5.26 N_l=-4931.09 Mx_l=-0.00 My_l=-1.01 Mz_l=-0.00
Taglio nei bulloni: Fv,Ed=0.88 Fv,Rd=9650.97
Rifollamento lato piastra: Fb,Ed,p=0.88 Fb,Rd,p=7524.41
Tirafondi:LT=0.45 (0.31) σ_{cR}=0.00 σ_{fR}=0.00
Compressione nel calcestruzzo: σ_c=10.25
CC 18 SLD (Collegamento 0022_-379)
Azioni sul collegamento: N=-6335.74 Ty=-0.17 Tz=-0.05 Mx=-0.00 Mz=-0.59
Sollecitazioni agenti localmente: Tx_l=-0.17 Ty_l=-0.05 N_l=-6335.74 Mx_l=-0.00 My_l=-0.59 Mz_l=-0.00
Tirafondi:LT=0.45 (0.31) σ_{cR}=0.00 σ_{fR}=0.00
Compressione nel calcestruzzo: σ_c=13.12
CC 18 SLD (Collegamento 0022_-379)
Azioni sul collegamento: N=-6335.74 Ty=-0.39 Tz=-0.05 Mx=-0.00 Mz=-1.01
Sollecitazioni agenti localmente: Tx_l=-0.39 Ty_l=-0.05 N_l=-6335.74 Mx_l=-0.00 My_l=-1.01 Mz_l=-0.00
Tirafondi:LT=0.45 (0.31) σ_{cR}=0.00 σ_{fR}=0.00
Compressione nel calcestruzzo: σ_c=13.15
CC 18 SLD (Collegamento 0022_-379)
Azioni sul collegamento: N=-6335.74 Ty=-0.17 Tz=-5.26 Mx=-0.00 Mz=-0.59
Sollecitazioni agenti localmente: Tx_l=-0.17 Ty_l=-5.26 N_l=-6335.74 Mx_l=-0.00 My_l=-0.59 Mz_l=-0.00
Taglio nei bulloni: Fv,Ed=0.88 Fv,Rd=9650.97
Rifollamento lato piastra: Fb,Ed,p=0.88 Fb,Rd,p=7481.91
Tirafondi:LT=0.45 (0.31) σ_{cR}=0.00 σ_{fR}=0.00
Compressione nel calcestruzzo: σ_c=13.12
CC 18 SLD (Collegamento 0022_-379)
Azioni sul collegamento: N=-6335.74 Ty=-0.39 Tz=-5.26 Mx=-0.00 Mz=-1.01
Sollecitazioni agenti localmente: Tx_l=-0.39 Ty_l=-5.26 N_l=-6335.74 Mx_l=-0.00 My_l=-1.01 Mz_l=-0.00
Taglio nei bulloni: Fv,Ed=0.88 Fv,Rd=9650.97
Rifollamento lato piastra: Fb,Ed,p=0.88 Fb,Rd,p=7524.41
Tirafondi:LT=0.45 (0.31) σ_{cR}=0.00 σ_{fR}=0.00
Compressione nel calcestruzzo: σ_c=13.15
CC 19 SLV (Collegamento 0022_-379)
Azioni sul collegamento: N=-3330.02 Ty=-1.43 Tz=5.88 Mx=-0.01 Mz=-3.51
Sollecitazioni agenti localmente: Tx_l=-1.43 Ty_l=5.88 N_l=-3330.02 Mx_l=-0.00 My_l=-3.51 Mz_l=-0.01
Taglio nei bulloni: Fv,Ed=1.02 Fv,Rd=7720.78
Rifollamento lato piastra: Fb,Ed,p=1.02 Fb,Rd,p=6543.62
Tirafondi:LT=0.45 (0.31) σ_{cR}=0.00 σ_{fR}=0.00

Compressione nel calcestruzzo: σ_c=7.08
CC 19 SLV (Collegamento 0022_-379)
Azioni sul collegamento: N=-3330.02 Ty=-0.75 Tz=5.88 Mx=-0.01 Mz=-2.19
Sollecitazioni agenti localmente: Tx_l=-0.75 Ty_l=5.88 N_l=-3330.02 Mx_l=-0.00 My_l=-2.19 Mz_l=-0.01
Taglio nei bulloni: Fv,Ed=1.00 Fv,Rd=7720.78
Rifollamento lato piastra: Fb,Ed,p=1.00 Fb,Rd,p=6147.83
Tirafondi:LT=0.45 (0.31) σ_{cR}=0.00 σ_{fR}=0.00
Compressione nel calcestruzzo: σ_c=7.00
CC 19 SLV (Collegamento 0022_-379)
Azioni sul collegamento: N=-3330.02 Ty=-1.43 Tz=-11.19 Mx=-0.01 Mz=-3.51
Sollecitazioni agenti localmente: Tx_l=-1.43 Ty_l=-11.19 N_l=-3330.02 Mx_l=-0.00 My_l=-3.51 Mz_l=-0.01
Taglio nei bulloni: Fv,Ed=1.89 Fv,Rd=7720.78
Rifollamento lato piastra: Fb,Ed,p=1.89 Fb,Rd,p=6107.91
Tirafondi:LT=0.45 (0.31) σ_{cR}=0.00 σ_{fR}=0.00
Compressione nel calcestruzzo: σ_c=7.08
CC 19 SLV (Collegamento 0022_-379)
Azioni sul collegamento: N=-3330.02 Ty=-0.75 Tz=-11.19 Mx=-0.01 Mz=-2.19
Sollecitazioni agenti localmente: Tx_l=-0.75 Ty_l=-11.19 N_l=-3330.02 Mx_l=-0.00 My_l=-2.19 Mz_l=-0.01
Taglio nei bulloni: Fv,Ed=1.88 Fv,Rd=7720.78
Rifollamento lato piastra: Fb,Ed,p=1.88 Fb,Rd,p=6011.34
Tirafondi:LT=0.45 (0.31) σ_{cR}=0.00 σ_{fR}=0.00
Compressione nel calcestruzzo: σ_c=7.00
CC 19 SLV (Collegamento 0022_-379)
Azioni sul collegamento: N=-7936.44 Ty=-1.43 Tz=5.88 Mx=-0.01 Mz=-3.51
Sollecitazioni agenti localmente: Tx_l=-1.43 Ty_l=5.88 N_l=-7936.44 Mx_l=-0.00 My_l=-3.51 Mz_l=-0.01
Taglio nei bulloni: Fv,Ed=1.02 Fv,Rd=7720.78
Rifollamento lato piastra: Fb,Ed,p=1.02 Fb,Rd,p=6543.57
Tirafondi:LT=0.45 (0.31) σ_{cR}=0.00 σ_{fR}=0.00
Compressione nel calcestruzzo: σ_c=16.60
CC 19 SLV (Collegamento 0022_-379)
Azioni sul collegamento: N=-7936.44 Ty=-0.75 Tz=5.88 Mx=-0.01 Mz=-2.19
Sollecitazioni agenti localmente: Tx_l=-0.75 Ty_l=5.88 N_l=-7936.44 Mx_l=-0.00 My_l=-2.19 Mz_l=-0.01
Taglio nei bulloni: Fv,Ed=1.00 Fv,Rd=7720.78
Rifollamento lato piastra: Fb,Ed,p=1.00 Fb,Rd,p=6147.81
Tirafondi:LT=0.45 (0.31) σ_{cR}=0.00 σ_{fR}=0.00
Compressione nel calcestruzzo: σ_c=16.52
CC 19 SLV (Collegamento 0022_-379)
Azioni sul collegamento: N=-7936.44 Ty=-1.43 Tz=-11.19 Mx=-0.01 Mz=-3.51
Sollecitazioni agenti localmente: Tx_l=-1.43 Ty_l=-11.19 N_l=-7936.44 Mx_l=-0.00 My_l=-3.51 Mz_l=-0.01
Taglio nei bulloni: Fv,Ed=1.89 Fv,Rd=7720.78
Rifollamento lato piastra: Fb,Ed,p=1.89 Fb,Rd,p=6107.91
Tirafondi:LT=0.45 (0.31) σ_{cR}=0.00 σ_{fR}=0.00
Compressione nel calcestruzzo: σ_c=16.60
CC 19 SLV (Collegamento 0022_-379)
Azioni sul collegamento: N=-7936.44 Ty=-0.75 Tz=-11.19 Mx=-0.01 Mz=-2.19
Sollecitazioni agenti localmente: Tx_l=-0.75 Ty_l=-11.19 N_l=-7936.44 Mx_l=-0.00 My_l=-2.19 Mz_l=-0.01
Taglio nei bulloni: Fv,Ed=1.88 Fv,Rd=7720.78
Rifollamento lato piastra: Fb,Ed,p=1.88 Fb,Rd,p=6011.34
Tirafondi:LT=0.45 (0.31) σ_{cR}=0.00 σ_{fR}=0.00
Compressione nel calcestruzzo: σ_c=16.52
CC 20 SLD (Collegamento 0022_-379)
Azioni sul collegamento: N=-4931.09 Ty=-0.38 Tz=-0.05 Mx=-0.00 Mz=-1.00
Sollecitazioni agenti localmente: Tx_l=-0.38 Ty_l=-0.05 N_l=-4931.09 Mx_l=-0.00 My_l=-1.00 Mz_l=-0.00
Tirafondi:LT=0.45 (0.31) σ_{cR}=0.00 σ_{fR}=0.00
Compressione nel calcestruzzo: σ_c=10.24
CC 20 SLD (Collegamento 0022_-379)
Azioni sul collegamento: N=-4931.09 Ty=-0.18 Tz=-0.05 Mx=-0.00 Mz=-0.60
Sollecitazioni agenti localmente: Tx_l=-0.18 Ty_l=-0.05 N_l=-4931.09 Mx_l=-0.00 My_l=-0.60 Mz_l=-0.00
Tirafondi:LT=0.45 (0.31) σ_{cR}=0.00 σ_{fR}=0.00
Compressione nel calcestruzzo: σ_c=10.22
CC 20 SLD (Collegamento 0022_-379)
Azioni sul collegamento: N=-4931.09 Ty=-0.38 Tz=-5.26 Mx=-0.00 Mz=-1.00
Sollecitazioni agenti localmente: Tx_l=-0.38 Ty_l=-5.26 N_l=-4931.09 Mx_l=-0.00 My_l=-1.00 Mz_l=-0.00
Taglio nei bulloni: Fv,Ed=0.88 Fv,Rd=9650.97
Rifollamento lato piastra: Fb,Ed,p=0.88 Fb,Rd,p=7526.46
Tirafondi:LT=0.45 (0.31) σ_{cR}=0.00 σ_{fR}=0.00
Compressione nel calcestruzzo: σ_c=10.24
CC 20 SLD (Collegamento 0022_-379)
Azioni sul collegamento: N=-4931.09 Ty=-0.18 Tz=-5.26 Mx=-0.00 Mz=-0.60
Sollecitazioni agenti localmente: Tx_l=-0.18 Ty_l=-5.26 N_l=-4931.09 Mx_l=-0.00 My_l=-0.60 Mz_l=-0.00
Taglio nei bulloni: Fv,Ed=0.88 Fv,Rd=9650.97
Rifollamento lato piastra: Fb,Ed,p=0.88 Fb,Rd,p=7483.71
Tirafondi:LT=0.45 (0.31) σ_{cR}=0.00 σ_{fR}=0.00
Compressione nel calcestruzzo: σ_c=10.22
CC 20 SLD (Collegamento 0022_-379)
Azioni sul collegamento: N=-6335.74 Ty=-0.38 Tz=-0.05 Mx=-0.00 Mz=-1.00
Sollecitazioni agenti localmente: Tx_l=-0.38 Ty_l=-0.05 N_l=-6335.74 Mx_l=-0.00 My_l=-1.00 Mz_l=-0.00
Tirafondi:LT=0.45 (0.31) σ_{cR}=0.00 σ_{fR}=0.00

Compressione nel calcestruzzo: σ_c=13.15
CC 20 SLD (Collegamento 0022_-379)
Azioni sul collegamento: N=-6335.74 Ty=-0.18 Tz=-0.05 Mx=-0.00 Mz=-0.60
Sollecitazioni agenti localmente: Tx_l=-0.18 Ty_l=-0.05 N_l=-6335.74 Mx_l=-0.00 My_l=-0.60 Mz_l=-0.00
Tirafondi:LT=0.45 (0.31) σ_{cR}=0.00 σ_{fR}=0.00
Compressione nel calcestruzzo: σ_c=13.12
CC 20 SLD (Collegamento 0022_-379)
Azioni sul collegamento: N=-6335.74 Ty=-0.38 Tz=-5.26 Mx=-0.00 Mz=-1.00
Sollecitazioni agenti localmente: Tx_l=-0.38 Ty_l=-5.26 N_l=-6335.74 Mx_l=-0.00 My_l=-1.00 Mz_l=-0.00
Taglio nei bulloni: Fv,Ed=0.88 Fv,Rd=9650.97
Rifollamento lato piastra: Fb,Ed,p=0.88 Fb,Rd,p=7526.47
Tirafondi:LT=0.45 (0.31) σ_{cR}=0.00 σ_{fR}=0.00
Compressione nel calcestruzzo: σ_c=13.15
CC 20 SLD (Collegamento 0022_-379)
Azioni sul collegamento: N=-6335.74 Ty=-0.18 Tz=-5.26 Mx=-0.00 Mz=-0.60
Sollecitazioni agenti localmente: Tx_l=-0.18 Ty_l=-5.26 N_l=-6335.74 Mx_l=-0.00 My_l=-0.60 Mz_l=-0.00
Taglio nei bulloni: Fv,Ed=0.88 Fv,Rd=9650.97
Rifollamento lato piastra: Fb,Ed,p=0.88 Fb,Rd,p=7483.71
Tirafondi:LT=0.45 (0.31) σ_{cR}=0.00 σ_{fR}=0.00
Compressione nel calcestruzzo: σ_c=13.12
CC 21 SLV (Collegamento 0022_-379)
Azioni sul collegamento: N=-7936.44 Ty=-0.75 Tz=-11.19 Mx=-0.02 Mz=-2.19
Sollecitazioni agenti localmente: Tx_l=-0.75 Ty_l=-11.19 N_l=-7936.44 Mx_l=-0.00 My_l=-2.19 Mz_l=-0.02
Taglio nei bulloni: Fv,Ed=1.89 Fv,Rd=7720.78
Rifollamento lato piastra: Fb,Ed,p=1.89 Fb,Rd,p=6008.07
Tirafondi:LT=0.45 (0.31) σ_{cR}=0.00 σ_{fR}=0.00
Compressione nel calcestruzzo: σ_c=16.52
CC 21 SLV (Collegamento 0022_-379)
Azioni sul collegamento: N=-7936.44 Ty=-1.43 Tz=-11.19 Mx=-0.02 Mz=-3.51
Sollecitazioni agenti localmente: Tx_l=-1.43 Ty_l=-11.19 N_l=-7936.44 Mx_l=-0.00 My_l=-3.51 Mz_l=-0.02
Taglio nei bulloni: Fv,Ed=1.90 Fv,Rd=7720.78
Rifollamento lato piastra: Fb,Ed,p=1.90 Fb,Rd,p=6100.89
Tirafondi:LT=0.45 (0.31) σ_{cR}=0.00 σ_{fR}=0.00
Compressione nel calcestruzzo: σ_c=16.60
CC 21 SLV (Collegamento 0022_-379)
Azioni sul collegamento: N=-7936.44 Ty=-0.75 Tz=5.88 Mx=-0.02 Mz=-2.19
Sollecitazioni agenti localmente: Tx_l=-0.75 Ty_l=5.88 N_l=-7936.44 Mx_l=-0.00 My_l=-2.19 Mz_l=-0.02
Taglio nei bulloni: Fv,Ed=1.01 Fv,Rd=7720.78
Rifollamento lato piastra: Fb,Ed,p=1.01 Fb,Rd,p=6159.86
Tirafondi:LT=0.45 (0.31) σ_{cR}=0.00 σ_{fR}=0.00
Compressione nel calcestruzzo: σ_c=16.52
CC 21 SLV (Collegamento 0022_-379)
Azioni sul collegamento: N=-7936.44 Ty=-1.43 Tz=5.88 Mx=-0.02 Mz=-3.51
Sollecitazioni agenti localmente: Tx_l=-1.43 Ty_l=5.88 N_l=-7936.44 Mx_l=-0.00 My_l=-3.51 Mz_l=-0.02
Taglio nei bulloni: Fv,Ed=1.03 Fv,Rd=7720.78
Rifollamento lato piastra: Fb,Ed,p=1.03 Fb,Rd,p=6562.63
Tirafondi:LT=0.45 (0.31) σ_{cR}=0.00 σ_{fR}=0.00
Compressione nel calcestruzzo: σ_c=16.60
CC 21 SLV (Collegamento 0022_-379)
Azioni sul collegamento: N=-3330.02 Ty=-0.75 Tz=-11.19 Mx=-0.02 Mz=-2.19
Sollecitazioni agenti localmente: Tx_l=-0.75 Ty_l=-11.19 N_l=-3330.02 Mx_l=-0.00 My_l=-2.19 Mz_l=-0.02
Taglio nei bulloni: Fv,Ed=1.89 Fv,Rd=7720.78
Rifollamento lato piastra: Fb,Ed,p=1.89 Fb,Rd,p=6008.07
Tirafondi:LT=0.45 (0.31) σ_{cR}=0.00 σ_{fR}=0.00
Compressione nel calcestruzzo: σ_c=7.00
CC 21 SLV (Collegamento 0022_-379)
Azioni sul collegamento: N=-3330.02 Ty=-1.43 Tz=-11.19 Mx=-0.02 Mz=-3.51
Sollecitazioni agenti localmente: Tx_l=-1.43 Ty_l=-11.19 N_l=-3330.02 Mx_l=-0.00 My_l=-3.51 Mz_l=-0.02
Taglio nei bulloni: Fv,Ed=1.90 Fv,Rd=7720.78
Rifollamento lato piastra: Fb,Ed,p=1.90 Fb,Rd,p=6100.89
Tirafondi:LT=0.45 (0.31) σ_{cR}=0.00 σ_{fR}=0.00
Compressione nel calcestruzzo: σ_c=7.08
CC 21 SLV (Collegamento 0022_-379)
Azioni sul collegamento: N=-3330.02 Ty=-0.75 Tz=5.88 Mx=-0.02 Mz=-2.19
Sollecitazioni agenti localmente: Tx_l=-0.75 Ty_l=5.88 N_l=-3330.02 Mx_l=-0.00 My_l=-2.19 Mz_l=-0.02
Taglio nei bulloni: Fv,Ed=1.01 Fv,Rd=7720.78
Rifollamento lato piastra: Fb,Ed,p=1.01 Fb,Rd,p=6159.88
Tirafondi:LT=0.45 (0.31) σ_{cR}=0.00 σ_{fR}=0.00
Compressione nel calcestruzzo: σ_c=7.00
CC 21 SLV (Collegamento 0022_-379)
Azioni sul collegamento: N=-3330.02 Ty=-1.43 Tz=5.88 Mx=-0.02 Mz=-3.51
Sollecitazioni agenti localmente: Tx_l=-1.43 Ty_l=5.88 N_l=-3330.02 Mx_l=-0.00 My_l=-3.51 Mz_l=-0.02
Taglio nei bulloni: Fv,Ed=1.03 Fv,Rd=7720.78
Rifollamento lato piastra: Fb,Ed,p=1.03 Fb,Rd,p=6562.68
Tirafondi:LT=0.45 (0.31) σ_{cR}=0.00 σ_{fR}=0.00
Compressione nel calcestruzzo: σ_c=7.08
CC 22 SLD (Collegamento 0022_-379)
Azioni sul collegamento: N=-6335.74 Ty=-0.18 Tz=-5.26 Mx=-0.00 Mz=-0.60

Sollecitazioni agenti localmente: Tx_l=-0.18 Ty_l=-5.26 N_l=-6335.74 Mx_l=-0.00 My_l=-0.60 Mz_l=-0.00
Taglio nei bulloni: Fv,Ed=0.88 Fv,Rd=9650.97
Rifollamento lato piastra: Fb,Ed,p=0.88 Fb,Rd,p=7482.44
Tirafondi:LT=0.45 (0.31) σ_{cR}=0.00 σ_{fR}=0.00
Compressione nel calcestruzzo: σ_c=13.12
CC 22 SLD (Collegamento 0022_-379)
Azioni sul collegamento: N=-6335.74 Ty=-0.38 Tz=-5.26 Mx=-0.00 Mz=-1.00
Sollecitazioni agenti localmente: Tx_l=-0.38 Ty_l=-5.26 N_l=-6335.74 Mx_l=-0.00 My_l=-1.00 Mz_l=-0.00
Taglio nei bulloni: Fv,Ed=0.88 Fv,Rd=9650.97
Rifollamento lato piastra: Fb,Ed,p=0.88 Fb,Rd,p=7523.36
Tirafondi:LT=0.45 (0.31) σ_{cR}=0.00 σ_{fR}=0.00
Compressione nel calcestruzzo: σ_c=13.15
CC 22 SLD (Collegamento 0022_-379)
Azioni sul collegamento: N=-6335.74 Ty=-0.18 Tz=-0.05 Mx=-0.00 Mz=-0.60
Sollecitazioni agenti localmente: Tx_l=-0.18 Ty_l=-0.05 N_l=-6335.74 Mx_l=-0.00 My_l=-0.60 Mz_l=-0.00
Tirafondi:LT=0.45 (0.31) σ_{cR}=0.00 σ_{fR}=0.00
Compressione nel calcestruzzo: σ_c=13.12
CC 22 SLD (Collegamento 0022_-379)
Azioni sul collegamento: N=-6335.74 Ty=-0.38 Tz=-0.05 Mx=-0.00 Mz=-1.00
Sollecitazioni agenti localmente: Tx_l=-0.38 Ty_l=-0.05 N_l=-6335.74 Mx_l=-0.00 My_l=-1.00 Mz_l=-0.00
Tirafondi:LT=0.45 (0.31) σ_{cR}=0.00 σ_{fR}=0.00
Compressione nel calcestruzzo: σ_c=13.15
CC 22 SLD (Collegamento 0022_-379)
Azioni sul collegamento: N=-4931.09 Ty=-0.18 Tz=-5.26 Mx=-0.00 Mz=-0.60
Sollecitazioni agenti localmente: Tx_l=-0.18 Ty_l=-5.26 N_l=-4931.09 Mx_l=-0.00 My_l=-0.60 Mz_l=-0.00
Taglio nei bulloni: Fv,Ed=0.88 Fv,Rd=9650.97
Rifollamento lato piastra: Fb,Ed,p=0.88 Fb,Rd,p=7482.44
Tirafondi:LT=0.45 (0.31) σ_{cR}=0.00 σ_{fR}=0.00
Compressione nel calcestruzzo: σ_c=10.22
CC 22 SLD (Collegamento 0022_-379)
Azioni sul collegamento: N=-4931.09 Ty=-0.38 Tz=-5.26 Mx=-0.00 Mz=-1.00
Sollecitazioni agenti localmente: Tx_l=-0.38 Ty_l=-5.26 N_l=-4931.09 Mx_l=-0.00 My_l=-1.00 Mz_l=-0.00
Taglio nei bulloni: Fv,Ed=0.88 Fv,Rd=9650.97
Rifollamento lato piastra: Fb,Ed,p=0.88 Fb,Rd,p=7523.35
Tirafondi:LT=0.45 (0.31) σ_{cR}=0.00 σ_{fR}=0.00
Compressione nel calcestruzzo: σ_c=10.24
CC 22 SLD (Collegamento 0022_-379)
Azioni sul collegamento: N=-4931.09 Ty=-0.18 Tz=-0.05 Mx=-0.00 Mz=-0.60
Sollecitazioni agenti localmente: Tx_l=-0.18 Ty_l=-0.05 N_l=-4931.09 Mx_l=-0.00 My_l=-0.60 Mz_l=-0.00
Tirafondi:LT=0.45 (0.31) σ_{cR}=0.00 σ_{fR}=0.00
Compressione nel calcestruzzo: σ_c=10.22
CC 22 SLD (Collegamento 0022_-379)
Azioni sul collegamento: N=-4931.09 Ty=-0.38 Tz=-0.05 Mx=-0.00 Mz=-1.00
Sollecitazioni agenti localmente: Tx_l=-0.38 Ty_l=-0.05 N_l=-4931.09 Mx_l=-0.00 My_l=-1.00 Mz_l=-0.00
Tirafondi:LT=0.45 (0.31) σ_{cR}=0.00 σ_{fR}=0.00
Compressione nel calcestruzzo: σ_c=10.24
CC 23 SLV (Collegamento 0022_-379)
Azioni sul collegamento: N=-7936.47 Ty=-1.44 Tz=-11.20 Mx=-0.01 Mz=-3.55
Sollecitazioni agenti localmente: Tx_l=-1.44 Ty_l=-11.20 N_l=-7936.47 Mx_l=-0.00 My_l=-3.55 Mz_l=-0.01
Taglio nei bulloni: Fv,Ed=1.89 Fv,Rd=7720.78
Rifollamento lato piastra: Fb,Ed,p=1.89 Fb,Rd,p=6110.76
Tirafondi:LT=0.45 (0.31) σ_{cR}=0.00 σ_{fR}=0.00
Compressione nel calcestruzzo: σ_c=16.60
CC 23 SLV (Collegamento 0022_-379)
Azioni sul collegamento: N=-7936.47 Ty=-0.74 Tz=-11.20 Mx=-0.01 Mz=-2.16
Sollecitazioni agenti localmente: Tx_l=-0.74 Ty_l=-11.20 N_l=-7936.47 Mx_l=-0.00 My_l=-2.16 Mz_l=-0.01
Taglio nei bulloni: Fv,Ed=1.88 Fv,Rd=7720.78
Rifollamento lato piastra: Fb,Ed,p=1.88 Fb,Rd,p=6010.20
Tirafondi:LT=0.45 (0.31) σ_{cR}=0.00 σ_{fR}=0.00
Compressione nel calcestruzzo: σ_c=16.52
CC 23 SLV (Collegamento 0022_-379)
Azioni sul collegamento: N=-7936.47 Ty=-1.44 Tz=5.89 Mx=-0.01 Mz=-3.55
Sollecitazioni agenti localmente: Tx_l=-1.44 Ty_l=5.89 N_l=-7936.47 Mx_l=-0.00 My_l=-3.55 Mz_l=-0.01
Taglio nei bulloni: Fv,Ed=1.02 Fv,Rd=7720.78
Rifollamento lato piastra: Fb,Ed,p=1.02 Fb,Rd,p=6553.06
Tirafondi:LT=0.45 (0.31) σ_{cR}=0.00 σ_{fR}=0.00
Compressione nel calcestruzzo: σ_c=16.60
CC 23 SLV (Collegamento 0022_-379)
Azioni sul collegamento: N=-7936.47 Ty=-0.74 Tz=5.89 Mx=-0.01 Mz=-2.16
Sollecitazioni agenti localmente: Tx_l=-0.74 Ty_l=5.89 N_l=-7936.47 Mx_l=-0.00 My_l=-2.16 Mz_l=-0.01
Taglio nei bulloni: Fv,Ed=1.00 Fv,Rd=7720.78
Rifollamento lato piastra: Fb,Ed,p=1.00 Fb,Rd,p=6141.81
Tirafondi:LT=0.45 (0.31) σ_{cR}=0.00 σ_{fR}=0.00
Compressione nel calcestruzzo: σ_c=16.52
CC 23 SLV (Collegamento 0022_-379)
Azioni sul collegamento: N=-3330.00 Ty=-1.44 Tz=-11.20 Mx=-0.01 Mz=-3.55
Sollecitazioni agenti localmente: Tx_l=-1.44 Ty_l=-11.20 N_l=-3330.00 Mx_l=-0.00 My_l=-3.55 Mz_l=-0.01
Taglio nei bulloni: Fv,Ed=1.89 Fv,Rd=7720.78

Rifollamento lato piastra: Fb,Ed,p=1.89 Fb,Rd,p=6110.77
Tirafondi:LT=0.45 (0.31) σ_{cR}=0.00 σ_{fR}=0.00
Compressione nel calcestruzzo: σ_c=7.08
CC 23 SLV (Collegamento 0022_-379)
Azioni sul collegamento: N=-3330.00 Ty=-0.74 Tz=-11.20 Mx=-0.01 Mz=-2.16
Sollecitazioni agenti localmente: Tx_l=-0.74 Ty_l=-11.20 N_l=-3330.00 Mx_l=-0.00 My_l=-2.16 Mz_l=-0.01
Taglio nei bulloni: Fv,Ed=1.88 Fv,Rd=7720.78
Rifollamento lato piastra: Fb,Ed,p=1.88 Fb,Rd,p=6010.20
Tirafondi:LT=0.45 (0.31) σ_{cR}=0.00 σ_{fR}=0.00
Compressione nel calcestruzzo: σ_c=7.00
CC 23 SLV (Collegamento 0022_-379)
Azioni sul collegamento: N=-3330.00 Ty=-1.44 Tz=5.89 Mx=-0.01 Mz=-3.55
Sollecitazioni agenti localmente: Tx_l=-1.44 Ty_l=5.89 N_l=-3330.00 Mx_l=-0.00 My_l=-3.55 Mz_l=-0.01
Taglio nei bulloni: Fv,Ed=1.02 Fv,Rd=7720.78
Rifollamento lato piastra: Fb,Ed,p=1.02 Fb,Rd,p=6553.05
Tirafondi:LT=0.45 (0.31) σ_{cR}=0.00 σ_{fR}=0.00
Compressione nel calcestruzzo: σ_c=7.08
CC 23 SLV (Collegamento 0022_-379)
Azioni sul collegamento: N=-3330.00 Ty=-0.74 Tz=5.89 Mx=-0.01 Mz=-2.16
Sollecitazioni agenti localmente: Tx_l=-0.74 Ty_l=5.89 N_l=-3330.00 Mx_l=-0.00 My_l=-2.16 Mz_l=-0.01
Taglio nei bulloni: Fv,Ed=1.00 Fv,Rd=7720.78
Rifollamento lato piastra: Fb,Ed,p=1.00 Fb,Rd,p=6141.81
Tirafondi:LT=0.45 (0.31) σ_{cR}=0.00 σ_{fR}=0.00
Compressione nel calcestruzzo: σ_c=7.00
CC 24 SLD (Collegamento 0022_-379)
Azioni sul collegamento: N=-6335.74 Ty=-0.39 Tz=-5.26 Mx=-0.00 Mz=-1.01
Sollecitazioni agenti localmente: Tx_l=-0.39 Ty_l=-5.26 N_l=-6335.74 Mx_l=-0.00 My_l=-1.01 Mz_l=-0.00
Taglio nei bulloni: Fv,Ed=0.88 Fv,Rd=9650.97
Rifollamento lato piastra: Fb,Ed,p=0.88 Fb,Rd,p=7527.80
Tirafondi:LT=0.45 (0.31) σ_{cR}=0.00 σ_{fR}=0.00
Compressione nel calcestruzzo: σ_c=13.15
CC 24 SLD (Collegamento 0022_-379)
Azioni sul collegamento: N=-6335.74 Ty=-0.17 Tz=-5.26 Mx=-0.00 Mz=-0.59
Sollecitazioni agenti localmente: Tx_l=-0.17 Ty_l=-5.26 N_l=-6335.74 Mx_l=-0.00 My_l=-0.59 Mz_l=-0.00
Taglio nei bulloni: Fv,Ed=0.88 Fv,Rd=9650.97
Rifollamento lato piastra: Fb,Ed,p=0.88 Fb,Rd,p=7483.24
Tirafondi:LT=0.45 (0.31) σ_{cR}=0.00 σ_{fR}=0.00
Compressione nel calcestruzzo: σ_c=13.12
CC 24 SLD (Collegamento 0022_-379)
Azioni sul collegamento: N=-6335.74 Ty=-0.39 Tz=-0.05 Mx=-0.00 Mz=-1.01
Sollecitazioni agenti localmente: Tx_l=-0.39 Ty_l=-0.05 N_l=-6335.74 Mx_l=-0.00 My_l=-1.01 Mz_l=-0.00
Tirafondi:LT=0.45 (0.31) σ_{cR}=0.00 σ_{fR}=0.00
Compressione nel calcestruzzo: σ_c=13.15
CC 24 SLD (Collegamento 0022_-379)
Azioni sul collegamento: N=-6335.74 Ty=-0.17 Tz=-0.05 Mx=-0.00 Mz=-0.59
Sollecitazioni agenti localmente: Tx_l=-0.17 Ty_l=-0.05 N_l=-6335.74 Mx_l=-0.00 My_l=-0.59 Mz_l=-0.00
Tirafondi:LT=0.45 (0.31) σ_{cR}=0.00 σ_{fR}=0.00
Compressione nel calcestruzzo: σ_c=13.12
CC 24 SLD (Collegamento 0022_-379)
Azioni sul collegamento: N=-4931.09 Ty=-0.39 Tz=-5.26 Mx=-0.00 Mz=-1.01
Sollecitazioni agenti localmente: Tx_l=-0.39 Ty_l=-5.26 N_l=-4931.09 Mx_l=-0.00 My_l=-1.01 Mz_l=-0.00
Taglio nei bulloni: Fv,Ed=0.88 Fv,Rd=9650.97
Rifollamento lato piastra: Fb,Ed,p=0.88 Fb,Rd,p=7527.80
Tirafondi:LT=0.45 (0.31) σ_{cR}=0.00 σ_{fR}=0.00
Compressione nel calcestruzzo: σ_c=10.25
CC 24 SLD (Collegamento 0022_-379)
Azioni sul collegamento: N=-4931.09 Ty=-0.17 Tz=-5.26 Mx=-0.00 Mz=-0.59
Sollecitazioni agenti localmente: Tx_l=-0.17 Ty_l=-5.26 N_l=-4931.09 Mx_l=-0.00 My_l=-0.59 Mz_l=-0.00
Taglio nei bulloni: Fv,Ed=0.88 Fv,Rd=9650.97
Rifollamento lato piastra: Fb,Ed,p=0.88 Fb,Rd,p=7483.24
Tirafondi:LT=0.45 (0.31) σ_{cR}=0.00 σ_{fR}=0.00
Compressione nel calcestruzzo: σ_c=10.22
CC 24 SLD (Collegamento 0022_-379)
Azioni sul collegamento: N=-4931.08 Ty=-0.39 Tz=-0.05 Mx=-0.00 Mz=-1.01
Sollecitazioni agenti localmente: Tx_l=-0.39 Ty_l=-0.05 N_l=-4931.08 Mx_l=-0.00 My_l=-1.01 Mz_l=-0.00
Tirafondi:LT=0.45 (0.31) σ_{cR}=0.00 σ_{fR}=0.00
Compressione nel calcestruzzo: σ_c=10.25
CC 24 SLD (Collegamento 0022_-379)
Azioni sul collegamento: N=-4931.08 Ty=-0.17 Tz=-0.05 Mx=-0.00 Mz=-0.59
Sollecitazioni agenti localmente: Tx_l=-0.17 Ty_l=-0.05 N_l=-4931.08 Mx_l=-0.00 My_l=-0.59 Mz_l=-0.00
Tirafondi:LT=0.45 (0.31) σ_{cR}=0.00 σ_{fR}=0.00
Compressione nel calcestruzzo: σ_c=10.22
CC 25 SLV (Collegamento 0022_-379)
Azioni sul collegamento: N=-4942.23 Ty=0.07 Tz=-0.09 Mx=-0.02 Mz=-0.59
Sollecitazioni agenti localmente: Tx_l=0.07 Ty_l=-0.09 N_l=-4942.23 Mx_l=-0.00 My_l=-0.59 Mz_l=-0.02
Tirafondi:LT=0.45 (0.31) σ_{cR}=0.00 σ_{fR}=0.00
Compressione nel calcestruzzo: σ_c=10.24
CC 25 SLV (Collegamento 0022_-379)

Azioni sul collegamento: N=-4942.23 Ty=-2.24 Tz=-0.09 Mx=-0.02 Mz=-5.11
Sollecitazioni agenti localmente: Tx_l=-2.24 Ty_l=-0.09 N_l=-4942.23 Mx_l=-0.00 My_l=-5.11 Mz_l=-0.02
Taglio nei bulloni: Fv,Ed=0.40 Fv,Rd=7720.78
Rifollamento lato piastra: Fb,Ed,p=0.40 Fb,Rd,p=6067.48
Tirafondi:LT=0.45 (0.31) σ_{cR}=0.00 σ_{fR}=0.00
Compressione nel calcestruzzo: σ_c=10.50
CC 25 SLV (Collegamento 0022_-379)
Azioni sul collegamento: N=-4942.23 Ty=0.07 Tz=-5.22 Mx=-0.02 Mz=-0.59
Sollecitazioni agenti localmente: Tx_l=0.07 Ty_l=-5.22 N_l=-4942.23 Mx_l=-0.00 My_l=-0.59 Mz_l=-0.02
Taglio nei bulloni: Fv,Ed=0.89 Fv,Rd=7720.78
Rifollamento lato piastra: Fb,Ed,p=0.89 Fb,Rd,p=5993.06
Tirafondi:LT=0.45 (0.31) σ_{cR}=0.00 σ_{fR}=0.00
Compressione nel calcestruzzo: σ_c=10.24
CC 25 SLV (Collegamento 0022_-379)
Azioni sul collegamento: N=-4942.23 Ty=-2.24 Tz=-5.22 Mx=-0.02 Mz=-5.11
Sollecitazioni agenti localmente: Tx_l=-2.24 Ty_l=-5.22 N_l=-4942.23 Mx_l=-0.00 My_l=-5.11 Mz_l=-0.02
Taglio nei bulloni: Fv,Ed=0.98 Fv,Rd=7720.78
Rifollamento lato piastra: Fb,Ed,p=0.96 Fb,Rd,p=7350.44
Tirafondi:LT=0.45 (0.31) σ_{cR}=0.00 σ_{fR}=0.00
Compressione nel calcestruzzo: σ_c=10.50
CC 25 SLV (Collegamento 0022_-379)
Azioni sul collegamento: N=-6324.24 Ty=0.07 Tz=-0.09 Mx=-0.02 Mz=-0.59
Sollecitazioni agenti localmente: Tx_l=0.07 Ty_l=-0.09 N_l=-6324.24 Mx_l=-0.00 My_l=-0.59 Mz_l=-0.02
Tirafondi:LT=0.45 (0.31) σ_{cR}=0.00 σ_{fR}=0.00
Compressione nel calcestruzzo: σ_c=13.10
CC 25 SLV (Collegamento 0022_-379)
Azioni sul collegamento: N=-6324.24 Ty=-2.24 Tz=-0.09 Mx=-0.02 Mz=-5.11
Sollecitazioni agenti localmente: Tx_l=-2.24 Ty_l=-0.09 N_l=-6324.24 Mx_l=-0.00 My_l=-5.11 Mz_l=-0.02
Taglio nei bulloni: Fv,Ed=0.40 Fv,Rd=7720.78
Rifollamento lato piastra: Fb,Ed,p=0.40 Fb,Rd,p=6067.42
Tirafondi:LT=0.45 (0.31) σ_{cR}=0.00 σ_{fR}=0.00
Compressione nel calcestruzzo: σ_c=13.35
CC 25 SLV (Collegamento 0022_-379)
Azioni sul collegamento: N=-6324.24 Ty=0.07 Tz=-5.22 Mx=-0.02 Mz=-0.59
Sollecitazioni agenti localmente: Tx_l=0.07 Ty_l=-5.22 N_l=-6324.24 Mx_l=-0.00 My_l=-0.59 Mz_l=-0.02
Taglio nei bulloni: Fv,Ed=0.89 Fv,Rd=7720.78
Rifollamento lato piastra: Fb,Ed,p=0.89 Fb,Rd,p=5993.06
Tirafondi:LT=0.45 (0.31) σ_{cR}=0.00 σ_{fR}=0.00
Compressione nel calcestruzzo: σ_c=13.10
CC 25 SLV (Collegamento 0022_-379)
Azioni sul collegamento: N=-6324.24 Ty=-2.24 Tz=-5.22 Mx=-0.02 Mz=-5.11
Sollecitazioni agenti localmente: Tx_l=-2.24 Ty_l=-5.22 N_l=-6324.24 Mx_l=-0.00 My_l=-5.11 Mz_l=-0.02
Taglio nei bulloni: Fv,Ed=0.98 Fv,Rd=7720.78
Rifollamento lato piastra: Fb,Ed,p=0.96 Fb,Rd,p=7350.49
Tirafondi:LT=0.45 (0.31) σ_{cR}=0.00 σ_{fR}=0.00
Compressione nel calcestruzzo: σ_c=13.35
CC 26 SLD (Collegamento 0022_-379)
Azioni sul collegamento: N=-5422.71 Ty=0.07 Tz=-1.87 Mx=-0.01 Mz=-0.11
Sollecitazioni agenti localmente: Tx_l=0.07 Ty_l=-1.87 N_l=-5422.71 Mx_l=-0.00 My_l=-0.11 Mz_l=-0.01
Taglio nei bulloni: Fv,Ed=0.32 Fv,Rd=9650.97
Rifollamento lato piastra: Fb,Ed,p=0.32 Fb,Rd,p=7514.01
Tirafondi:LT=0.45 (0.31) σ_{cR}=0.00 σ_{fR}=0.00
Compressione nel calcestruzzo: σ_c=11.21
CC 26 SLD (Collegamento 0022_-379)
Azioni sul collegamento: N=-5422.71 Ty=-0.63 Tz=-1.87 Mx=-0.01 Mz=-1.49
Sollecitazioni agenti localmente: Tx_l=-0.63 Ty_l=-1.87 N_l=-5422.71 Mx_l=-0.00 My_l=-1.49 Mz_l=-0.01
Taglio nei bulloni: Fv,Ed=0.34 Fv,Rd=9650.97
Rifollamento lato piastra: Fb,Ed,p=0.33 Fb,Rd,p=8529.49
Tirafondi:LT=0.45 (0.31) σ_{cR}=0.00 σ_{fR}=0.00
Compressione nel calcestruzzo: σ_c=11.29
CC 26 SLD (Collegamento 0022_-379)
Azioni sul collegamento: N=-5422.71 Ty=0.07 Tz=-3.44 Mx=-0.01 Mz=-0.11
Sollecitazioni agenti localmente: Tx_l=0.07 Ty_l=-3.44 N_l=-5422.71 Mx_l=-0.00 My_l=-0.11 Mz_l=-0.01
Taglio nei bulloni: Fv,Ed=0.58 Fv,Rd=9650.97
Rifollamento lato piastra: Fb,Ed,p=0.58 Fb,Rd,p=7486.10
Tirafondi:LT=0.45 (0.31) σ_{cR}=0.00 σ_{fR}=0.00
Compressione nel calcestruzzo: σ_c=11.21
CC 26 SLD (Collegamento 0022_-379)
Azioni sul collegamento: N=-5422.71 Ty=-0.63 Tz=-3.44 Mx=-0.01 Mz=-1.49
Sollecitazioni agenti localmente: Tx_l=-0.63 Ty_l=-3.44 N_l=-5422.71 Mx_l=-0.00 My_l=-1.49 Mz_l=-0.01
Taglio nei bulloni: Fv,Ed=0.59 Fv,Rd=9650.97
Rifollamento lato piastra: Fb,Ed,p=0.59 Fb,Rd,p=7792.50
Tirafondi:LT=0.45 (0.31) σ_{cR}=0.00 σ_{fR}=0.00
Compressione nel calcestruzzo: σ_c=11.29
CC 26 SLD (Collegamento 0022_-379)
Azioni sul collegamento: N=-5844.12 Ty=0.07 Tz=-1.87 Mx=-0.01 Mz=-0.11
Sollecitazioni agenti localmente: Tx_l=0.07 Ty_l=-1.87 N_l=-5844.12 Mx_l=-0.00 My_l=-0.11 Mz_l=-0.01
Taglio nei bulloni: Fv,Ed=0.32 Fv,Rd=9650.97

Rifollamento lato piastra: Fb,Ed,p=0.32 Fb,Rd,p=7514.01
Tirafondi:LT=0.45 (0.31) σ_{cR}=0.00 σ_{fR}=0.00
Compressione nel calcestruzzo: σ_c=12.08
CC 26 SLD (Collegamento 0022_-379)
Azioni sul collegamento: N=-5844.12 Ty=-0.63 Tz=-1.87 Mx=-0.01 Mz=-1.49
Sollecitazioni agenti localmente: Tx_l=-0.63 Ty_l=-1.87 N_l=-5844.12 Mx_l=-0.00 My_l=-1.49 Mz_l=-0.01
Taglio nei bulloni: Fv,Ed=0.34 Fv,Rd=9650.97
Rifollamento lato piastra: Fb,Ed,p=0.33 Fb,Rd,p=8529.45
Tirafondi:LT=0.45 (0.31) σ_{cR}=0.00 σ_{fR}=0.00
Compressione nel calcestruzzo: σ_c=12.16
CC 26 SLD (Collegamento 0022_-379)
Azioni sul collegamento: N=-5844.12 Ty=0.07 Tz=-3.44 Mx=-0.01 Mz=-0.11
Sollecitazioni agenti localmente: Tx_l=0.07 Ty_l=-3.44 N_l=-5844.12 Mx_l=-0.00 My_l=-0.11 Mz_l=-0.01
Taglio nei bulloni: Fv,Ed=0.58 Fv,Rd=9650.97
Rifollamento lato piastra: Fb,Ed,p=0.58 Fb,Rd,p=7486.10
Tirafondi:LT=0.45 (0.31) σ_{cR}=0.00 σ_{fR}=0.00
Compressione nel calcestruzzo: σ_c=12.08
CC 26 SLD (Collegamento 0022_-379)
Azioni sul collegamento: N=-5844.12 Ty=-0.63 Tz=-3.44 Mx=-0.01 Mz=-1.49
Sollecitazioni agenti localmente: Tx_l=-0.63 Ty_l=-3.44 N_l=-5844.12 Mx_l=-0.00 My_l=-1.49 Mz_l=-0.01
Taglio nei bulloni: Fv,Ed=0.59 Fv,Rd=9650.97
Rifollamento lato piastra: Fb,Ed,p=0.59 Fb,Rd,p=7792.51
Tirafondi:LT=0.45 (0.31) σ_{cR}=0.00 σ_{fR}=0.00
Compressione nel calcestruzzo: σ_c=12.16
CC 27 SLV (Collegamento 0022_-379)
Azioni sul collegamento: N=-6324.16 Ty=0.06 Tz=-5.22 Mx=-0.02 Mz=-0.60
Sollecitazioni agenti localmente: Tx_l=0.06 Ty_l=-5.22 N_l=-6324.16 Mx_l=-0.00 My_l=-0.60 Mz_l=-0.02
Taglio nei bulloni: Fv,Ed=0.89 Fv,Rd=7720.78
Rifollamento lato piastra: Fb,Ed,p=0.89 Fb,Rd,p=5992.49
Tirafondi:LT=0.45 (0.31) σ_{cR}=0.00 σ_{fR}=0.00
Compressione nel calcestruzzo: σ_c=13.10
CC 27 SLV (Collegamento 0022_-379)
Azioni sul collegamento: N=-6324.16 Ty=-2.24 Tz=-5.22 Mx=-0.02 Mz=-5.10
Sollecitazioni agenti localmente: Tx_l=-2.24 Ty_l=-5.22 N_l=-6324.16 Mx_l=-0.00 My_l=-5.10 Mz_l=-0.02
Taglio nei bulloni: Fv,Ed=0.98 Fv,Rd=7720.78
Rifollamento lato piastra: Fb,Ed,p=0.96 Fb,Rd,p=7346.77
Tirafondi:LT=0.45 (0.31) σ_{cR}=0.00 σ_{fR}=0.00
Compressione nel calcestruzzo: σ_c=13.35
CC 27 SLV (Collegamento 0022_-379)
Azioni sul collegamento: N=-6324.16 Ty=0.06 Tz=-0.09 Mx=-0.02 Mz=-0.60
Sollecitazioni agenti localmente: Tx_l=0.06 Ty_l=-0.09 N_l=-6324.16 Mx_l=-0.00 My_l=-0.60 Mz_l=-0.02
Tirafondi:LT=0.45 (0.31) σ_{cR}=0.00 σ_{fR}=0.00
Compressione nel calcestruzzo: σ_c=13.10
CC 27 SLV (Collegamento 0022_-379)
Azioni sul collegamento: N=-6324.16 Ty=-2.24 Tz=-0.09 Mx=-0.02 Mz=-5.10
Sollecitazioni agenti localmente: Tx_l=-2.24 Ty_l=-0.09 N_l=-6324.16 Mx_l=-0.00 My_l=-5.10 Mz_l=-0.02
Taglio nei bulloni: Fv,Ed=0.40 Fv,Rd=7720.78
Rifollamento lato piastra: Fb,Ed,p=0.40 Fb,Rd,p=6068.69
Tirafondi:LT=0.45 (0.31) σ_{cR}=0.00 σ_{fR}=0.00
Compressione nel calcestruzzo: σ_c=13.35
CC 27 SLV (Collegamento 0022_-379)
Azioni sul collegamento: N=-4942.30 Ty=0.06 Tz=-5.22 Mx=-0.02 Mz=-0.60
Sollecitazioni agenti localmente: Tx_l=0.06 Ty_l=-5.22 N_l=-4942.30 Mx_l=-0.00 My_l=-0.60 Mz_l=-0.02
Taglio nei bulloni: Fv,Ed=0.89 Fv,Rd=7720.78
Rifollamento lato piastra: Fb,Ed,p=0.89 Fb,Rd,p=5992.49
Tirafondi:LT=0.45 (0.31) σ_{cR}=0.00 σ_{fR}=0.00
Compressione nel calcestruzzo: σ_c=10.25
CC 27 SLV (Collegamento 0022_-379)
Azioni sul collegamento: N=-4942.30 Ty=-2.24 Tz=-5.22 Mx=-0.02 Mz=-5.10
Sollecitazioni agenti localmente: Tx_l=-2.24 Ty_l=-5.22 N_l=-4942.30 Mx_l=-0.00 My_l=-5.10 Mz_l=-0.02
Taglio nei bulloni: Fv,Ed=0.98 Fv,Rd=7720.78
Rifollamento lato piastra: Fb,Ed,p=0.96 Fb,Rd,p=7346.73
Tirafondi:LT=0.45 (0.31) σ_{cR}=0.00 σ_{fR}=0.00
Compressione nel calcestruzzo: σ_c=10.50
CC 27 SLV (Collegamento 0022_-379)
Azioni sul collegamento: N=-4942.30 Ty=0.06 Tz=-0.09 Mx=-0.02 Mz=-0.60
Sollecitazioni agenti localmente: Tx_l=0.06 Ty_l=-0.09 N_l=-4942.30 Mx_l=-0.00 My_l=-0.60 Mz_l=-0.02
Tirafondi:LT=0.45 (0.31) σ_{cR}=0.00 σ_{fR}=0.00
Compressione nel calcestruzzo: σ_c=10.25
CC 27 SLV (Collegamento 0022_-379)
Azioni sul collegamento: N=-4942.30 Ty=-2.24 Tz=-0.09 Mx=-0.02 Mz=-5.10
Sollecitazioni agenti localmente: Tx_l=-2.24 Ty_l=-0.09 N_l=-4942.30 Mx_l=-0.00 My_l=-5.10 Mz_l=-0.02
Taglio nei bulloni: Fv,Ed=0.40 Fv,Rd=7720.78
Rifollamento lato piastra: Fb,Ed,p=0.40 Fb,Rd,p=6068.88
Tirafondi:LT=0.45 (0.31) σ_{cR}=0.00 σ_{fR}=0.00
Compressione nel calcestruzzo: σ_c=10.50
CC 28 SLD (Collegamento 0022_-379)
Azioni sul collegamento: N=-5844.10 Ty=0.07 Tz=-3.44 Mx=-0.01 Mz=-0.11

Sollecitazioni agenti localmente: Tx_l=0.07 Ty_l=-3.44 N_l=-5844.10 Mx_l=-0.00 My_l=-0.11 Mz_l=-0.01
Taglio nei bulloni: Fv,Ed=0.58 Fv,Rd=9650.97
Rifollamento lato piastra: Fb,Ed,p=0.58 Fb,Rd,p=7485.82
Tirafondi:LT=0.45 (0.31) σ_{cR}=0.00 σ_{fR}=0.00
Compressione nel calcestruzzo: σ_c=12.08
CC 28 SLD (Collegamento 0022_-379)
Azioni sul collegamento: N=-5844.10 Ty=-0.63 Tz=-3.44 Mx=-0.01 Mz=-1.48
Sollecitazioni agenti localmente: Tx_l=-0.63 Ty_l=-3.44 N_l=-5844.10 Mx_l=-0.00 My_l=-1.48 Mz_l=-0.01
Taglio nei bulloni: Fv,Ed=0.59 Fv,Rd=9650.97
Rifollamento lato piastra: Fb,Ed,p=0.59 Fb,Rd,p=7791.39
Tirafondi:LT=0.45 (0.31) σ_{cR}=0.00 σ_{fR}=0.00
Compressione nel calcestruzzo: σ_c=12.16
CC 28 SLD (Collegamento 0022_-379)
Azioni sul collegamento: N=-5844.10 Ty=0.07 Tz=-1.87 Mx=-0.01 Mz=-0.11
Sollecitazioni agenti localmente: Tx_l=0.07 Ty_l=-1.87 N_l=-5844.10 Mx_l=-0.00 My_l=-0.11 Mz_l=-0.01
Taglio nei bulloni: Fv,Ed=0.32 Fv,Rd=9650.97
Rifollamento lato piastra: Fb,Ed,p=0.32 Fb,Rd,p=7513.03
Tirafondi:LT=0.45 (0.31) σ_{cR}=0.00 σ_{fR}=0.00
Compressione nel calcestruzzo: σ_c=12.08
CC 28 SLD (Collegamento 0022_-379)
Azioni sul collegamento: N=-5844.10 Ty=-0.63 Tz=-1.87 Mx=-0.01 Mz=-1.48
Sollecitazioni agenti localmente: Tx_l=-0.63 Ty_l=-1.87 N_l=-5844.10 Mx_l=-0.00 My_l=-1.48 Mz_l=-0.01
Taglio nei bulloni: Fv,Ed=0.34 Fv,Rd=9650.97
Rifollamento lato piastra: Fb,Ed,p=0.33 Fb,Rd,p=8524.81
Tirafondi:LT=0.45 (0.31) σ_{cR}=0.00 σ_{fR}=0.00
Compressione nel calcestruzzo: σ_c=12.16
CC 28 SLD (Collegamento 0022_-379)
Azioni sul collegamento: N=-5422.73 Ty=0.07 Tz=-3.44 Mx=-0.01 Mz=-0.11
Sollecitazioni agenti localmente: Tx_l=0.07 Ty_l=-3.44 N_l=-5422.73 Mx_l=-0.00 My_l=-0.11 Mz_l=-0.01
Taglio nei bulloni: Fv,Ed=0.58 Fv,Rd=9650.97
Rifollamento lato piastra: Fb,Ed,p=0.58 Fb,Rd,p=7485.82
Tirafondi:LT=0.45 (0.31) σ_{cR}=0.00 σ_{fR}=0.00
Compressione nel calcestruzzo: σ_c=11.21
CC 28 SLD (Collegamento 0022_-379)
Azioni sul collegamento: N=-5422.73 Ty=-0.63 Tz=-3.44 Mx=-0.01 Mz=-1.48
Sollecitazioni agenti localmente: Tx_l=-0.63 Ty_l=-3.44 N_l=-5422.73 Mx_l=-0.00 My_l=-1.48 Mz_l=-0.01
Taglio nei bulloni: Fv,Ed=0.59 Fv,Rd=9650.97
Rifollamento lato piastra: Fb,Ed,p=0.59 Fb,Rd,p=7791.43
Tirafondi:LT=0.45 (0.31) σ_{cR}=0.00 σ_{fR}=0.00
Compressione nel calcestruzzo: σ_c=11.29
CC 28 SLD (Collegamento 0022_-379)
Azioni sul collegamento: N=-5422.73 Ty=0.07 Tz=-1.87 Mx=-0.01 Mz=-0.11
Sollecitazioni agenti localmente: Tx_l=0.07 Ty_l=-1.87 N_l=-5422.73 Mx_l=-0.00 My_l=-0.11 Mz_l=-0.01
Taglio nei bulloni: Fv,Ed=0.32 Fv,Rd=9650.97
Rifollamento lato piastra: Fb,Ed,p=0.32 Fb,Rd,p=7513.03
Tirafondi:LT=0.45 (0.31) σ_{cR}=0.00 σ_{fR}=0.00
Compressione nel calcestruzzo: σ_c=11.21
CC 28 SLD (Collegamento 0022_-379)
Azioni sul collegamento: N=-5422.73 Ty=-0.63 Tz=-1.87 Mx=-0.01 Mz=-1.48
Sollecitazioni agenti localmente: Tx_l=-0.63 Ty_l=-1.87 N_l=-5422.73 Mx_l=-0.00 My_l=-1.48 Mz_l=-0.01
Taglio nei bulloni: Fv,Ed=0.34 Fv,Rd=9650.97
Rifollamento lato piastra: Fb,Ed,p=0.33 Fb,Rd,p=8524.73
Tirafondi:LT=0.45 (0.31) σ_{cR}=0.00 σ_{fR}=0.00
Compressione nel calcestruzzo: σ_c=11.29
CC 29 SLV (Collegamento 0022_-379)
Azioni sul collegamento: N=-4942.30 Ty=-2.24 Tz=-0.09 Mx=-0.00 Mz=-5.10
Sollecitazioni agenti localmente: Tx_l=-2.24 Ty_l=-0.09 N_l=-4942.30 Mx_l=-0.00 My_l=-5.10 Mz_l=-0.00
Taglio nei bulloni: Fv,Ed=0.38 Fv,Rd=7720.78
Rifollamento lato piastra: Fb,Ed,p=0.38 Fb,Rd,p=6005.64
Tirafondi:LT=0.45 (0.31) σ_{cR}=0.00 σ_{fR}=0.00
Compressione nel calcestruzzo: σ_c=10.50
CC 29 SLV (Collegamento 0022_-379)
Azioni sul collegamento: N=-4942.30 Ty=0.06 Tz=-0.09 Mx=-0.00 Mz=-0.60
Sollecitazioni agenti localmente: Tx_l=0.06 Ty_l=-0.09 N_l=-4942.30 Mx_l=-0.00 My_l=-0.60 Mz_l=-0.00
Tirafondi:LT=0.45 (0.31) σ_{cR}=0.00 σ_{fR}=0.00
Compressione nel calcestruzzo: σ_c=10.25
CC 29 SLV (Collegamento 0022_-379)
Azioni sul collegamento: N=-4942.30 Ty=-2.24 Tz=-5.22 Mx=-0.00 Mz=-5.10
Sollecitazioni agenti localmente: Tx_l=-2.24 Ty_l=-5.22 N_l=-4942.30 Mx_l=-0.00 My_l=-5.10 Mz_l=-0.00
Taglio nei bulloni: Fv,Ed=0.95 Fv,Rd=7720.78
Rifollamento lato piastra: Fb,Ed,p=0.95 Fb,Rd,p=7572.98
Tirafondi:LT=0.45 (0.31) σ_{cR}=0.00 σ_{fR}=0.00
Compressione nel calcestruzzo: σ_c=10.50
CC 29 SLV (Collegamento 0022_-379)
Azioni sul collegamento: N=-4942.30 Ty=0.06 Tz=-5.22 Mx=-0.00 Mz=-0.60
Sollecitazioni agenti localmente: Tx_l=0.06 Ty_l=-5.22 N_l=-4942.30 Mx_l=-0.00 My_l=-0.60 Mz_l=-0.00
Taglio nei bulloni: Fv,Ed=0.87 Fv,Rd=7720.78
Rifollamento lato piastra: Fb,Ed,p=0.87 Fb,Rd,p=5981.89

Tirafondi:LT=0.45 (0.31) σ_{cR}=0.00 σ_{fR}=0.00
Compressione nel calcestruzzo: σ_c=10.25
CC 29 SLV (Collegamento 0022_-379)
Azioni sul collegamento: N=-6324.16 Ty=-2.24 Tz=-0.09 Mx=-0.00 Mz=-5.10
Sollecitazioni agenti localmente: Tx_l=-2.24 Ty_l=-0.09 N_l=-6324.16 Mx_l=-0.00 My_l=-5.10 Mz_l=-0.00
Taglio nei bulloni: Fv,Ed=0.38 Fv,Rd=7720.78
Rifollamento lato piastra: Fb,Ed,p=0.38 Fb,Rd,p=6005.53
Tirafondi:LT=0.45 (0.31) σ_{cR}=0.00 σ_{fR}=0.00
Compressione nel calcestruzzo: σ_c=13.35
CC 29 SLV (Collegamento 0022_-379)
Azioni sul collegamento: N=-6324.16 Ty=0.06 Tz=-0.09 Mx=-0.00 Mz=-0.60
Sollecitazioni agenti localmente: Tx_l=0.06 Ty_l=-0.09 N_l=-6324.16 Mx_l=-0.00 My_l=-0.60 Mz_l=-0.00
Tirafondi:LT=0.45 (0.31) σ_{cR}=0.00 σ_{fR}=0.00
Compressione nel calcestruzzo: σ_c=13.10
CC 29 SLV (Collegamento 0022_-379)
Azioni sul collegamento: N=-6324.16 Ty=-2.24 Tz=-5.22 Mx=-0.00 Mz=-5.10
Sollecitazioni agenti localmente: Tx_l=-2.24 Ty_l=-5.22 N_l=-6324.16 Mx_l=-0.00 My_l=-5.10 Mz_l=-0.00
Taglio nei bulloni: Fv,Ed=0.95 Fv,Rd=7720.78
Rifollamento lato piastra: Fb,Ed,p=0.95 Fb,Rd,p=7573.03
Tirafondi:LT=0.45 (0.31) σ_{cR}=0.00 σ_{fR}=0.00
Compressione nel calcestruzzo: σ_c=13.35
CC 29 SLV (Collegamento 0022_-379)
Azioni sul collegamento: N=-6324.16 Ty=0.06 Tz=-5.22 Mx=-0.00 Mz=-0.60
Sollecitazioni agenti localmente: Tx_l=0.06 Ty_l=-5.22 N_l=-6324.16 Mx_l=-0.00 My_l=-0.60 Mz_l=-0.00
Taglio nei bulloni: Fv,Ed=0.87 Fv,Rd=7720.78
Rifollamento lato piastra: Fb,Ed,p=0.87 Fb,Rd,p=5981.89
Tirafondi:LT=0.45 (0.31) σ_{cR}=0.00 σ_{fR}=0.00
Compressione nel calcestruzzo: σ_c=13.10
CC 30 SLD (Collegamento 0022_-379)
Azioni sul collegamento: N=-5422.73 Ty=-0.63 Tz=-1.87 Mx=-0.00 Mz=-1.48
Sollecitazioni agenti localmente: Tx_l=-0.63 Ty_l=-1.87 N_l=-5422.73 Mx_l=-0.00 My_l=-1.48 Mz_l=-0.00
Taglio nei bulloni: Fv,Ed=0.33 Fv,Rd=9650.97
Rifollamento lato piastra: Fb,Ed,p=0.33 Fb,Rd,p=8700.91
Tirafondi:LT=0.45 (0.31) σ_{cR}=0.00 σ_{fR}=0.00
Compressione nel calcestruzzo: σ_c=11.29
CC 30 SLD (Collegamento 0022_-379)
Azioni sul collegamento: N=-5422.73 Ty=0.07 Tz=-1.87 Mx=-0.00 Mz=-0.11
Sollecitazioni agenti localmente: Tx_l=0.07 Ty_l=-1.87 N_l=-5422.73 Mx_l=-0.00 My_l=-0.11 Mz_l=-0.00
Taglio nei bulloni: Fv,Ed=0.31 Fv,Rd=9650.97
Rifollamento lato piastra: Fb,Ed,p=0.31 Fb,Rd,p=7493.24
Tirafondi:LT=0.45 (0.31) σ_{cR}=0.00 σ_{fR}=0.00
Compressione nel calcestruzzo: σ_c=11.21
CC 30 SLD (Collegamento 0022_-379)
Azioni sul collegamento: N=-5422.73 Ty=-0.63 Tz=-3.44 Mx=-0.00 Mz=-1.48
Sollecitazioni agenti localmente: Tx_l=-0.63 Ty_l=-3.44 N_l=-5422.73 Mx_l=-0.00 My_l=-1.48 Mz_l=-0.00
Taglio nei bulloni: Fv,Ed=0.58 Fv,Rd=9650.97
Rifollamento lato piastra: Fb,Ed,p=0.58 Fb,Rd,p=7838.19
Tirafondi:LT=0.45 (0.31) σ_{cR}=0.00 σ_{fR}=0.00
Compressione nel calcestruzzo: σ_c=11.29
CC 30 SLD (Collegamento 0022_-379)
Azioni sul collegamento: N=-5422.73 Ty=0.07 Tz=-3.44 Mx=-0.00 Mz=-0.11
Sollecitazioni agenti localmente: Tx_l=0.07 Ty_l=-3.44 N_l=-5422.73 Mx_l=-0.00 My_l=-0.11 Mz_l=-0.00
Taglio nei bulloni: Fv,Ed=0.57 Fv,Rd=9650.97
Rifollamento lato piastra: Fb,Ed,p=0.57 Fb,Rd,p=7479.71
Tirafondi:LT=0.45 (0.31) σ_{cR}=0.00 σ_{fR}=0.00
Compressione nel calcestruzzo: σ_c=11.21
CC 30 SLD (Collegamento 0022_-379)
Azioni sul collegamento: N=-5844.10 Ty=-0.63 Tz=-1.87 Mx=-0.00 Mz=-1.48
Sollecitazioni agenti localmente: Tx_l=-0.63 Ty_l=-1.87 N_l=-5844.10 Mx_l=-0.00 My_l=-1.48 Mz_l=-0.00
Taglio nei bulloni: Fv,Ed=0.33 Fv,Rd=9650.97
Rifollamento lato piastra: Fb,Ed,p=0.33 Fb,Rd,p=8701.00
Tirafondi:LT=0.45 (0.31) σ_{cR}=0.00 σ_{fR}=0.00
Compressione nel calcestruzzo: σ_c=12.16
CC 30 SLD (Collegamento 0022_-379)
Azioni sul collegamento: N=-5844.10 Ty=0.07 Tz=-1.87 Mx=-0.00 Mz=-0.11
Sollecitazioni agenti localmente: Tx_l=0.07 Ty_l=-1.87 N_l=-5844.10 Mx_l=-0.00 My_l=-0.11 Mz_l=-0.00
Taglio nei bulloni: Fv,Ed=0.31 Fv,Rd=9650.97
Rifollamento lato piastra: Fb,Ed,p=0.31 Fb,Rd,p=7493.24
Tirafondi:LT=0.45 (0.31) σ_{cR}=0.00 σ_{fR}=0.00
Compressione nel calcestruzzo: σ_c=12.08
CC 30 SLD (Collegamento 0022_-379)
Azioni sul collegamento: N=-5844.10 Ty=-0.63 Tz=-3.44 Mx=-0.00 Mz=-1.48
Sollecitazioni agenti localmente: Tx_l=-0.63 Ty_l=-3.44 N_l=-5844.10 Mx_l=-0.00 My_l=-1.48 Mz_l=-0.00
Taglio nei bulloni: Fv,Ed=0.58 Fv,Rd=9650.97
Rifollamento lato piastra: Fb,Ed,p=0.58 Fb,Rd,p=7838.14
Tirafondi:LT=0.45 (0.31) σ_{cR}=0.00 σ_{fR}=0.00
Compressione nel calcestruzzo: σ_c=12.16
CC 30 SLD (Collegamento 0022_-379)

Azioni sul collegamento: N=-5844.10 Ty=0.07 Tz=-3.44 Mx=-0.00 Mz=-0.11
Sollecitazioni agenti localmente: Tx_l=0.07 Ty_l=-3.44 N_l=-5844.10 Mx_l=-0.00 My_l=-0.11 Mz_l=-0.00
Taglio nei bulloni: Fv,Ed=0.57 Fv,Rd=9650.97
Rifollamento lato piastra: Fb,Ed,p=0.57 Fb,Rd,p=7479.72
Tirafondi:LT=0.45 (0.31) σ_{cR}=0.00 σ_{fR}=0.00
Compressione nel calcestruzzo: σ_c=12.08
CC 31 SLV (Collegamento 0022_-379)
Azioni sul collegamento: N=-6324.24 Ty=-2.24 Tz=-5.22 Mx=-0.00 Mz=-5.11
Sollecitazioni agenti localmente: Tx_l=-2.24 Ty_l=-5.22 N_l=-6324.24 Mx_l=-0.00 My_l=-5.11 Mz_l=-0.00
Taglio nei bulloni: Fv,Ed=0.95 Fv,Rd=7720.78
Rifollamento lato piastra: Fb,Ed,p=0.95 Fb,Rd,p=7578.67
Tirafondi:LT=0.45 (0.31) σ_{cR}=0.00 σ_{fR}=0.00
Compressione nel calcestruzzo: σ_c=13.35
CC 31 SLV (Collegamento 0022_-379)
Azioni sul collegamento: N=-6324.24 Ty=0.07 Tz=-5.22 Mx=-0.00 Mz=-0.59
Sollecitazioni agenti localmente: Tx_l=0.07 Ty_l=-5.22 N_l=-6324.24 Mx_l=-0.00 My_l=-0.59 Mz_l=-0.00
Taglio nei bulloni: Fv,Ed=0.87 Fv,Rd=7720.78
Rifollamento lato piastra: Fb,Ed,p=0.87 Fb,Rd,p=5982.11
Tirafondi:LT=0.45 (0.31) σ_{cR}=0.00 σ_{fR}=0.00
Compressione nel calcestruzzo: σ_c=13.10
CC 31 SLV (Collegamento 0022_-379)
Azioni sul collegamento: N=-6324.24 Ty=-2.24 Tz=-0.09 Mx=-0.00 Mz=-5.11
Sollecitazioni agenti localmente: Tx_l=-2.24 Ty_l=-0.09 N_l=-6324.24 Mx_l=-0.00 My_l=-5.11 Mz_l=-0.00
Taglio nei bulloni: Fv,Ed=0.38 Fv,Rd=7720.78
Rifollamento lato piastra: Fb,Ed,p=0.38 Fb,Rd,p=6004.59
Tirafondi:LT=0.45 (0.31) σ_{cR}=0.00 σ_{fR}=0.00
Compressione nel calcestruzzo: σ_c=13.35
CC 31 SLV (Collegamento 0022_-379)
Azioni sul collegamento: N=-6324.24 Ty=0.07 Tz=-0.09 Mx=-0.00 Mz=-0.59
Sollecitazioni agenti localmente: Tx_l=0.07 Ty_l=-0.09 N_l=-6324.24 Mx_l=-0.00 My_l=-0.59 Mz_l=-0.00
Tirafondi:LT=0.45 (0.31) σ_{cR}=0.00 σ_{fR}=0.00
Compressione nel calcestruzzo: σ_c=13.10
CC 31 SLV (Collegamento 0022_-379)
Azioni sul collegamento: N=-4942.23 Ty=-2.24 Tz=-5.22 Mx=-0.00 Mz=-5.11
Sollecitazioni agenti localmente: Tx_l=-2.24 Ty_l=-5.22 N_l=-4942.23 Mx_l=-0.00 My_l=-5.11 Mz_l=-0.00
Taglio nei bulloni: Fv,Ed=0.95 Fv,Rd=7720.78
Rifollamento lato piastra: Fb,Ed,p=0.95 Fb,Rd,p=7578.61
Tirafondi:LT=0.45 (0.31) σ_{cR}=0.00 σ_{fR}=0.00
Compressione nel calcestruzzo: σ_c=10.50
CC 31 SLV (Collegamento 0022_-379)
Azioni sul collegamento: N=-4942.23 Ty=0.07 Tz=-5.22 Mx=-0.00 Mz=-0.59
Sollecitazioni agenti localmente: Tx_l=0.07 Ty_l=-5.22 N_l=-4942.23 Mx_l=-0.00 My_l=-0.59 Mz_l=-0.00
Taglio nei bulloni: Fv,Ed=0.87 Fv,Rd=7720.78
Rifollamento lato piastra: Fb,Ed,p=0.87 Fb,Rd,p=5982.11
Tirafondi:LT=0.45 (0.31) σ_{cR}=0.00 σ_{fR}=0.00
Compressione nel calcestruzzo: σ_c=10.24
CC 31 SLV (Collegamento 0022_-379)
Azioni sul collegamento: N=-4942.23 Ty=-2.24 Tz=-0.09 Mx=-0.00 Mz=-5.11
Sollecitazioni agenti localmente: Tx_l=-2.24 Ty_l=-0.09 N_l=-4942.23 Mx_l=-0.00 My_l=-5.11 Mz_l=-0.00
Taglio nei bulloni: Fv,Ed=0.38 Fv,Rd=7720.78
Rifollamento lato piastra: Fb,Ed,p=0.38 Fb,Rd,p=6004.62
Tirafondi:LT=0.45 (0.31) σ_{cR}=0.00 σ_{fR}=0.00
Compressione nel calcestruzzo: σ_c=10.50
CC 31 SLV (Collegamento 0022_-379)
Azioni sul collegamento: N=-4942.23 Ty=0.07 Tz=-0.09 Mx=-0.00 Mz=-0.59
Sollecitazioni agenti localmente: Tx_l=0.07 Ty_l=-0.09 N_l=-4942.23 Mx_l=-0.00 My_l=-0.59 Mz_l=-0.00
Tirafondi:LT=0.45 (0.31) σ_{cR}=0.00 σ_{fR}=0.00
Compressione nel calcestruzzo: σ_c=10.24
CC 32 SLD (Collegamento 0022_-379)
Azioni sul collegamento: N=-5844.12 Ty=-0.63 Tz=-3.44 Mx=-0.00 Mz=-1.49
Sollecitazioni agenti localmente: Tx_l=-0.63 Ty_l=-3.44 N_l=-5844.12 Mx_l=-0.00 My_l=-1.49 Mz_l=-0.00
Taglio nei bulloni: Fv,Ed=0.58 Fv,Rd=9650.97
Rifollamento lato piastra: Fb,Ed,p=0.58 Fb,Rd,p=7839.69
Tirafondi:LT=0.45 (0.31) σ_{cR}=0.00 σ_{fR}=0.00
Compressione nel calcestruzzo: σ_c=12.16
CC 32 SLD (Collegamento 0022_-379)
Azioni sul collegamento: N=-5844.12 Ty=0.07 Tz=-3.44 Mx=-0.00 Mz=-0.11
Sollecitazioni agenti localmente: Tx_l=0.07 Ty_l=-3.44 N_l=-5844.12 Mx_l=-0.00 My_l=-0.11 Mz_l=-0.00
Taglio nei bulloni: Fv,Ed=0.57 Fv,Rd=9650.97
Rifollamento lato piastra: Fb,Ed,p=0.57 Fb,Rd,p=7479.88
Tirafondi:LT=0.45 (0.31) σ_{cR}=0.00 σ_{fR}=0.00
Compressione nel calcestruzzo: σ_c=12.08
CC 32 SLD (Collegamento 0022_-379)
Azioni sul collegamento: N=-5844.12 Ty=-0.63 Tz=-1.87 Mx=-0.00 Mz=-1.49
Sollecitazioni agenti localmente: Tx_l=-0.63 Ty_l=-1.87 N_l=-5844.12 Mx_l=-0.00 My_l=-1.49 Mz_l=-0.00
Taglio nei bulloni: Fv,Ed=0.33 Fv,Rd=9650.97
Rifollamento lato piastra: Fb,Ed,p=0.33 Fb,Rd,p=8707.46
Tirafondi:LT=0.45 (0.31) σ_{cR}=0.00 σ_{fR}=0.00

Compressione nel calcestruzzo: σ_c=12.16
CC 32 SLD (Collegamento 0022_-379)
Azioni sul collegamento: N=-5844.12 Ty=0.07 Tz=-1.87 Mx=-0.00 Mz=-0.11
Sollecitazioni agenti localmente: Tx_l=0.07 Ty_l=-1.87 N_l=-5844.12 Mx_l=-0.00 My_l=-0.11 Mz_l=-0.00
Taglio nei bulloni: Fv,Ed=0.31 Fv,Rd=9650.97
Rifollamento lato piastra: Fb,Ed,p=0.31 Fb,Rd,p=7493.82
Tirafondi:LT=0.45 (0.31) σ_{cR}=0.00 σ_{fR}=0.00
Compressione nel calcestruzzo: σ_c=12.08
CC 32 SLD (Collegamento 0022_-379)
Azioni sul collegamento: N=-5422.71 Ty=-0.63 Tz=-3.44 Mx=-0.00 Mz=-1.49
Sollecitazioni agenti localmente: Tx_l=-0.63 Ty_l=-3.44 N_l=-5422.71 Mx_l=-0.00 My_l=-1.49 Mz_l=-0.00
Taglio nei bulloni: Fv,Ed=0.58 Fv,Rd=9650.97
Rifollamento lato piastra: Fb,Ed,p=0.58 Fb,Rd,p=7839.67
Tirafondi:LT=0.45 (0.31) σ_{cR}=0.00 σ_{fR}=0.00
Compressione nel calcestruzzo: σ_c=11.29
CC 32 SLD (Collegamento 0022_-379)
Azioni sul collegamento: N=-5422.71 Ty=0.07 Tz=-3.44 Mx=-0.00 Mz=-0.11
Sollecitazioni agenti localmente: Tx_l=0.07 Ty_l=-3.44 N_l=-5422.71 Mx_l=-0.00 My_l=-0.11 Mz_l=-0.00
Taglio nei bulloni: Fv,Ed=0.57 Fv,Rd=9650.97
Rifollamento lato piastra: Fb,Ed,p=0.57 Fb,Rd,p=7479.88
Tirafondi:LT=0.45 (0.31) σ_{cR}=0.00 σ_{fR}=0.00
Compressione nel calcestruzzo: σ_c=11.21
CC 32 SLD (Collegamento 0022_-379)
Azioni sul collegamento: N=-5422.71 Ty=-0.63 Tz=-1.87 Mx=-0.00 Mz=-1.49
Sollecitazioni agenti localmente: Tx_l=-0.63 Ty_l=-1.87 N_l=-5422.71 Mx_l=-0.00 My_l=-1.49 Mz_l=-0.00
Taglio nei bulloni: Fv,Ed=0.33 Fv,Rd=9650.97
Rifollamento lato piastra: Fb,Ed,p=0.33 Fb,Rd,p=8707.51
Tirafondi:LT=0.45 (0.31) σ_{cR}=0.00 σ_{fR}=0.00
Compressione nel calcestruzzo: σ_c=11.29
CC 32 SLD (Collegamento 0022_-379)
Azioni sul collegamento: N=-5422.71 Ty=0.07 Tz=-1.87 Mx=-0.00 Mz=-0.11
Sollecitazioni agenti localmente: Tx_l=0.07 Ty_l=-1.87 N_l=-5422.71 Mx_l=-0.00 My_l=-0.11 Mz_l=-0.00
Taglio nei bulloni: Fv,Ed=0.31 Fv,Rd=9650.97
Rifollamento lato piastra: Fb,Ed,p=0.31 Fb,Rd,p=7493.82
Tirafondi:LT=0.45 (0.31) σ_{cR}=0.00 σ_{fR}=0.00
Compressione nel calcestruzzo: σ_c=11.21
CC 33 SLU (Collegamento 0022_-379)
Azioni sul collegamento: N=-28967.90 Ty=0.05 Tz=74.90 Mx=0.00 Mz=0.12
Sollecitazioni agenti localmente: Tx_l=0.05 Ty_l=74.90 N_l=-28967.90 Mx_l=-0.00 My_l=0.12 Mz_l=0.00
Taglio nei bulloni: Fv,Ed=12.48 Fv,Rd=7720.78
Rifollamento lato piastra: Fb,Ed,p=12.48 Fb,Rd,p=5979.18
Tirafondi:LT=0.45 (0.31) σ_{cR}=0.00 σ_{fR}=0.00
Compressione nel calcestruzzo: σ_c=59.86
CC 34 SLU (Collegamento 0022_-379)
Azioni sul collegamento: N=-29447.20 Ty=0.05 Tz=76.67 Mx=0.00 Mz=0.12
Sollecitazioni agenti localmente: Tx_l=0.05 Ty_l=76.67 N_l=-29447.20 Mx_l=-0.00 My_l=0.12 Mz_l=0.00
Taglio nei bulloni: Fv,Ed=12.78 Fv,Rd=7720.78
Rifollamento lato piastra: Fb,Ed,p=12.78 Fb,Rd,p=5979.18
Tirafondi:LT=0.45 (0.31) σ_{cR}=0.00 σ_{fR}=0.00
Compressione nel calcestruzzo: σ_c=60.85
CC 35 SLU (Collegamento 0022_-379)
Azioni sul collegamento: N=-29207.50 Ty=0.17 Tz=75.78 Mx=-0.00 Mz=0.35
Sollecitazioni agenti localmente: Tx_l=0.17 Ty_l=75.78 N_l=-29207.50 Mx_l=-0.00 My_l=0.35 Mz_l=-0.00
Taglio nei bulloni: Fv,Ed=12.63 Fv,Rd=7720.78
Rifollamento lato piastra: Fb,Ed,p=12.63 Fb,Rd,p=5979.21
Tirafondi:LT=0.45 (0.31) σ_{cR}=0.00 σ_{fR}=0.00
Compressione nel calcestruzzo: σ_c=60.37
CC 36 SLU (Collegamento 0022_-379)
Azioni sul collegamento: N=-29207.50 Ty=-0.07 Tz=75.79 Mx=0.00 Mz=-0.12
Sollecitazioni agenti localmente: Tx_l=-0.07 Ty_l=75.79 N_l=-29207.50 Mx_l=-0.00 My_l=-0.12 Mz_l=0.00
Taglio nei bulloni: Fv,Ed=12.63 Fv,Rd=7720.78
Rifollamento lato piastra: Fb,Ed,p=12.63 Fb,Rd,p=5979.18
Tirafondi:LT=0.45 (0.31) σ_{cR}=0.00 σ_{fR}=0.00
Compressione nel calcestruzzo: σ_c=60.35
CC 37 SLU (Collegamento 0022_-379)
Azioni sul collegamento: N=-29152.80 Ty=0.07 Tz=74.88 Mx=0.00 Mz=0.13
Sollecitazioni agenti localmente: Tx_l=0.07 Ty_l=74.88 N_l=-29152.80 Mx_l=-0.00 My_l=0.13 Mz_l=0.00
Taglio nei bulloni: Fv,Ed=12.48 Fv,Rd=7720.78
Rifollamento lato piastra: Fb,Ed,p=12.48 Fb,Rd,p=5979.18
Tirafondi:LT=0.45 (0.31) σ_{cR}=0.00 σ_{fR}=0.00
Compressione nel calcestruzzo: σ_c=60.24
CC 38 SLU (Collegamento 0022_-379)
Azioni sul collegamento: N=-29632.10 Ty=0.07 Tz=76.66 Mx=0.00 Mz=0.13
Sollecitazioni agenti localmente: Tx_l=0.07 Ty_l=76.66 N_l=-29632.10 Mx_l=-0.00 My_l=0.13 Mz_l=0.00
Taglio nei bulloni: Fv,Ed=12.78 Fv,Rd=7720.78
Rifollamento lato piastra: Fb,Ed,p=12.78 Fb,Rd,p=5979.18
Tirafondi:LT=0.45 (0.31) σ_{cR}=0.00 σ_{fR}=0.00
Compressione nel calcestruzzo: σ_c=61.23

CC 39 SLU (Collegamento 0022_-379)
Azioni sul collegamento: N=-29392.40 Ty=0.19 Tz=75.77 Mx=-0.00 Mz=0.36
Sollecitazioni agenti localmente: Tx_l=0.19 Ty_l=75.77 N_l=-29392.40 Mx_l=-0.00 My_l=0.36 Mz_l=-0.00
Taglio nei bulloni: Fv,Ed=12.63 Fv,Rd=7720.78
Rifollamento lato piastra: Fb,Ed,p=12.63 Fb,Rd,p=5979.23
Tirafondi:LT=0.45 (0.31) σ_{cR}=0.00 σ_{fR}=0.00
Compressione nel calcestruzzo: σ_c=60.75
CC 40 SLU (Collegamento 0022_-379)
Azioni sul collegamento: N=-29392.40 Ty=-0.05 Tz=75.77 Mx=0.00 Mz=-0.10
Sollecitazioni agenti localmente: Tx_l=-0.05 Ty_l=75.77 N_l=-29392.40 Mx_l=-0.00 My_l=-0.10 Mz_l=0.00
Taglio nei bulloni: Fv,Ed=12.63 Fv,Rd=7720.78
Rifollamento lato piastra: Fb,Ed,p=12.63 Fb,Rd,p=5979.17
Tirafondi:LT=0.45 (0.31) σ_{cR}=0.00 σ_{fR}=0.00
Compressione nel calcestruzzo: σ_c=60.73
CC 41 SLU (Collegamento 0022_-379)
Azioni sul collegamento: N=-19454.60 Ty=0.08 Tz=39.91 Mx=0.00 Mz=0.13
Sollecitazioni agenti localmente: Tx_l=0.08 Ty_l=39.91 N_l=-19454.60 Mx_l=-0.00 My_l=0.13 Mz_l=0.00
Taglio nei bulloni: Fv,Ed=6.65 Fv,Rd=7720.78
Rifollamento lato piastra: Fb,Ed,p=6.65 Fb,Rd,p=5979.21
Tirafondi:LT=0.45 (0.31) σ_{cR}=0.00 σ_{fR}=0.00
Compressione nel calcestruzzo: σ_c=40.20
CC 42 SLU (Collegamento 0022_-379)
Azioni sul collegamento: N=-19933.90 Ty=0.08 Tz=41.69 Mx=0.00 Mz=0.13
Sollecitazioni agenti localmente: Tx_l=0.08 Ty_l=41.69 N_l=-19933.90 Mx_l=-0.00 My_l=0.13 Mz_l=0.00
Taglio nei bulloni: Fv,Ed=6.95 Fv,Rd=7720.78
Rifollamento lato piastra: Fb,Ed,p=6.95 Fb,Rd,p=5979.20
Tirafondi:LT=0.45 (0.31) σ_{cR}=0.00 σ_{fR}=0.00
Compressione nel calcestruzzo: σ_c=41.19
CC 43 SLU (Collegamento 0022_-379)
Azioni sul collegamento: N=-19694.20 Ty=0.20 Tz=40.80 Mx=-0.00 Mz=0.36
Sollecitazioni agenti localmente: Tx_l=0.20 Ty_l=40.80 N_l=-19694.20 Mx_l=-0.00 My_l=0.36 Mz_l=-0.00
Taglio nei bulloni: Fv,Ed=6.80 Fv,Rd=7720.78
Rifollamento lato piastra: Fb,Ed,p=6.80 Fb,Rd,p=5979.37
Tirafondi:LT=0.45 (0.31) σ_{cR}=0.00 σ_{fR}=0.00
Compressione nel calcestruzzo: σ_c=40.71
CC 44 SLU (Collegamento 0022_-379)
Azioni sul collegamento: N=-19694.20 Ty=-0.04 Tz=40.80 Mx=0.00 Mz=-0.10
Sollecitazioni agenti localmente: Tx_l=-0.04 Ty_l=40.80 N_l=-19694.20 Mx_l=-0.00 My_l=-0.10 Mz_l=0.00
Taglio nei bulloni: Fv,Ed=6.80 Fv,Rd=7720.78
Rifollamento lato piastra: Fb,Ed,p=6.80 Fb,Rd,p=5979.18
Tirafondi:LT=0.45 (0.31) σ_{cR}=0.00 σ_{fR}=0.00
Compressione nel calcestruzzo: σ_c=40.70
CC 45 SLU (Collegamento 0022_-379)
Azioni sul collegamento: N=-21628.70 Ty=0.08 Tz=47.97 Mx=0.00 Mz=0.14
Sollecitazioni agenti localmente: Tx_l=0.08 Ty_l=47.97 N_l=-21628.70 Mx_l=-0.00 My_l=0.14 Mz_l=0.00
Taglio nei bulloni: Fv,Ed=8.00 Fv,Rd=7720.78
Rifollamento lato piastra: Fb,Ed,p=8.00 Fb,Rd,p=5979.19
Tirafondi:LT=0.45 (0.31) σ_{cR}=0.00 σ_{fR}=0.00
Compressione nel calcestruzzo: σ_c=44.70
CC 46 SLU (Collegamento 0022_-379)
Azioni sul collegamento: N=-22108.00 Ty=0.08 Tz=49.75 Mx=0.00 Mz=0.14
Sollecitazioni agenti localmente: Tx_l=0.08 Ty_l=49.75 N_l=-22108.00 Mx_l=-0.00 My_l=0.14 Mz_l=0.00
Taglio nei bulloni: Fv,Ed=8.29 Fv,Rd=7720.78
Rifollamento lato piastra: Fb,Ed,p=8.29 Fb,Rd,p=5979.19
Tirafondi:LT=0.45 (0.31) σ_{cR}=0.00 σ_{fR}=0.00
Compressione nel calcestruzzo: σ_c=45.69
CC 47 SLU (Collegamento 0022_-379)
Azioni sul collegamento: N=-21868.40 Ty=0.20 Tz=48.86 Mx=-0.00 Mz=0.37
Sollecitazioni agenti localmente: Tx_l=0.20 Ty_l=48.86 N_l=-21868.40 Mx_l=-0.00 My_l=0.37 Mz_l=-0.00
Taglio nei bulloni: Fv,Ed=8.14 Fv,Rd=7720.78
Rifollamento lato piastra: Fb,Ed,p=8.14 Fb,Rd,p=5979.31
Tirafondi:LT=0.45 (0.31) σ_{cR}=0.00 σ_{fR}=0.00
Compressione nel calcestruzzo: σ_c=45.20
CC 48 SLU (Collegamento 0022_-379)
Azioni sul collegamento: N=-21868.40 Ty=-0.04 Tz=48.86 Mx=0.00 Mz=-0.10
Sollecitazioni agenti localmente: Tx_l=-0.04 Ty_l=48.86 N_l=-21868.40 Mx_l=-0.00 My_l=-0.10 Mz_l=0.00
Taglio nei bulloni: Fv,Ed=8.14 Fv,Rd=7720.78
Rifollamento lato piastra: Fb,Ed,p=8.14 Fb,Rd,p=5979.18
Tirafondi:LT=0.45 (0.31) σ_{cR}=0.00 σ_{fR}=0.00
Compressione nel calcestruzzo: σ_c=45.19
CC 49 SLU (Collegamento 0022_-379)
Azioni sul collegamento: N=-21767.10 Ty=0.10 Tz=47.96 Mx=0.00 Mz=0.15
Sollecitazioni agenti localmente: Tx_l=0.10 Ty_l=47.96 N_l=-21767.10 Mx_l=-0.00 My_l=0.15 Mz_l=0.00
Taglio nei bulloni: Fv,Ed=7.99 Fv,Rd=7720.78
Rifollamento lato piastra: Fb,Ed,p=7.99 Fb,Rd,p=5979.21
Tirafondi:LT=0.45 (0.31) σ_{cR}=0.00 σ_{fR}=0.00
Compressione nel calcestruzzo: σ_c=44.98
CC 50 SLU (Collegamento 0022_-379)

Azioni sul collegamento: N=-22246.40 Ty=0.10 Tz=49.73 Mx=0.00 Mz=0.15
Sollecitazioni agenti localmente: Tx_l=0.10 Ty_l=49.73 N_l=-22246.40 Mx_l=-0.00 My_l=0.15 Mz_l=0.00
Taglio nei bulloni: Fv,Ed=8.29 Fv,Rd=7720.78
Rifollamento lato piastra: Fb,Ed,p=8.29 Fb,Rd,p=5979.21
Tirafondi:LT=0.45 (0.31) σ_{cR}=0.00 σ_{fR}=0.00
Compressione nel calcestruzzo: σ_c=45.97
CC 51 SLU (Collegamento 0022_-379)
Azioni sul collegamento: N=-22006.70 Ty=0.22 Tz=48.85 Mx=-0.00 Mz=0.38
Sollecitazioni agenti localmente: Tx_l=0.22 Ty_l=48.85 N_l=-22006.70 Mx_l=-0.00 My_l=0.38 Mz_l=-0.00
Taglio nei bulloni: Fv,Ed=8.14 Fv,Rd=7720.78
Rifollamento lato piastra: Fb,Ed,p=8.14 Fb,Rd,p=5979.34
Tirafondi:LT=0.45 (0.31) σ_{cR}=0.00 σ_{fR}=0.00
Compressione nel calcestruzzo: σ_c=45.49
CC 52 SLU (Collegamento 0022_-379)
Azioni sul collegamento: N=-22006.70 Ty=-0.02 Tz=48.85 Mx=0.00 Mz=-0.09
Sollecitazioni agenti localmente: Tx_l=-0.02 Ty_l=48.85 N_l=-22006.70 Mx_l=-0.00 My_l=-0.09 Mz_l=0.00
Taglio nei bulloni: Fv,Ed=8.14 Fv,Rd=7720.78
Rifollamento lato piastra: Fb,Ed,p=8.14 Fb,Rd,p=5979.17
Tirafondi:LT=0.45 (0.31) σ_{cR}=0.00 σ_{fR}=0.00
Compressione nel calcestruzzo: σ_c=45.47
CC 53 SLU (Collegamento 0022_-379)
Azioni sul collegamento: N=-14511.40 Ty=0.10 Tz=21.80 Mx=0.00 Mz=0.15
Sollecitazioni agenti localmente: Tx_l=0.10 Ty_l=21.80 N_l=-14511.40 Mx_l=-0.00 My_l=0.15 Mz_l=0.00
Taglio nei bulloni: Fv,Ed=3.63 Fv,Rd=7720.78
Rifollamento lato piastra: Fb,Ed,p=3.63 Fb,Rd,p=5979.37
Tirafondi:LT=0.45 (0.31) σ_{cR}=0.00 σ_{fR}=0.00
Compressione nel calcestruzzo: σ_c=29.99
CC 54 SLU (Collegamento 0022_-379)
Azioni sul collegamento: N=-14990.70 Ty=0.10 Tz=23.57 Mx=0.00 Mz=0.15
Sollecitazioni agenti localmente: Tx_l=0.10 Ty_l=23.57 N_l=-14990.70 Mx_l=-0.00 My_l=0.15 Mz_l=0.00
Taglio nei bulloni: Fv,Ed=3.93 Fv,Rd=7720.78
Rifollamento lato piastra: Fb,Ed,p=3.93 Fb,Rd,p=5979.34
Tirafondi:LT=0.45 (0.31) σ_{cR}=0.00 σ_{fR}=0.00
Compressione nel calcestruzzo: σ_c=30.98
CC 55 SLU (Collegamento 0022_-379)
Azioni sul collegamento: N=-14751.00 Ty=0.22 Tz=22.69 Mx=-0.00 Mz=0.38
Sollecitazioni agenti localmente: Tx_l=0.22 Ty_l=22.69 N_l=-14751.00 Mx_l=-0.00 My_l=0.38 Mz_l=-0.00
Taglio nei bulloni: Fv,Ed=3.78 Fv,Rd=7720.78
Rifollamento lato piastra: Fb,Ed,p=3.78 Fb,Rd,p=5979.97
Tirafondi:LT=0.45 (0.31) σ_{cR}=0.00 σ_{fR}=0.00
Compressione nel calcestruzzo: σ_c=30.50
CC 56 SLU (Collegamento 0022_-379)
Azioni sul collegamento: N=-14751.00 Ty=-0.02 Tz=22.68 Mx=0.00 Mz=-0.09
Sollecitazioni agenti localmente: Tx_l=-0.02 Ty_l=22.68 N_l=-14751.00 Mx_l=-0.00 My_l=-0.09 Mz_l=0.00
Taglio nei bulloni: Fv,Ed=3.78 Fv,Rd=7720.78
Rifollamento lato piastra: Fb,Ed,p=3.78 Fb,Rd,p=5979.17
Tirafondi:LT=0.45 (0.31) σ_{cR}=0.00 σ_{fR}=0.00
Compressione nel calcestruzzo: σ_c=30.48
CC 57 SLU (Collegamento 0022_-379)
Azioni sul collegamento: N=-21907.00 Ty=0.07 Tz=49.04 Mx=0.00 Mz=0.14
Sollecitazioni agenti localmente: Tx_l=0.07 Ty_l=49.04 N_l=-21907.00 Mx_l=-0.00 My_l=0.14 Mz_l=0.00
Taglio nei bulloni: Fv,Ed=8.17 Fv,Rd=7720.78
Rifollamento lato piastra: Fb,Ed,p=8.17 Fb,Rd,p=5979.19
Tirafondi:LT=0.45 (0.31) σ_{cR}=0.00 σ_{fR}=0.00
Compressione nel calcestruzzo: σ_c=45.27
CC 58 SLU (Collegamento 0022_-379)
Azioni sul collegamento: N=-22386.30 Ty=0.07 Tz=50.82 Mx=0.00 Mz=0.13
Sollecitazioni agenti localmente: Tx_l=0.07 Ty_l=50.82 N_l=-22386.30 Mx_l=-0.00 My_l=0.13 Mz_l=0.00
Taglio nei bulloni: Fv,Ed=8.47 Fv,Rd=7720.78
Rifollamento lato piastra: Fb,Ed,p=8.47 Fb,Rd,p=5979.19
Tirafondi:LT=0.45 (0.31) σ_{cR}=0.00 σ_{fR}=0.00
Compressione nel calcestruzzo: σ_c=46.26
CC 59 SLU (Collegamento 0022_-379)
Azioni sul collegamento: N=-22146.70 Ty=0.19 Tz=49.93 Mx=-0.00 Mz=0.37
Sollecitazioni agenti localmente: Tx_l=0.19 Ty_l=49.93 N_l=-22146.70 Mx_l=-0.00 My_l=0.37 Mz_l=-0.00
Taglio nei bulloni: Fv,Ed=8.32 Fv,Rd=7720.78
Rifollamento lato piastra: Fb,Ed,p=8.32 Fb,Rd,p=5979.30
Tirafondi:LT=0.45 (0.31) σ_{cR}=0.00 σ_{fR}=0.00
Compressione nel calcestruzzo: σ_c=45.78
CC 60 SLU (Collegamento 0022_-379)
Azioni sul collegamento: N=-22146.70 Ty=-0.04 Tz=49.93 Mx=0.00 Mz=-0.10
Sollecitazioni agenti localmente: Tx_l=-0.04 Ty_l=49.93 N_l=-22146.70 Mx_l=-0.00 My_l=-0.10 Mz_l=0.00
Taglio nei bulloni: Fv,Ed=8.32 Fv,Rd=7720.78
Rifollamento lato piastra: Fb,Ed,p=8.32 Fb,Rd,p=5979.18
Tirafondi:LT=0.45 (0.31) σ_{cR}=0.00 σ_{fR}=0.00
Compressione nel calcestruzzo: σ_c=45.76
CC 61 SLU (Collegamento 0022_-379)
Azioni sul collegamento: N=-22045.30 Ty=0.09 Tz=49.02 Mx=0.00 Mz=0.14

Sollecitazioni agenti localmente: Tx_l=0.09 Ty_l=49.02 N_l=-22045.30 Mx_l=-0.00 My_l=0.14 Mz_l=0.00
Taglio nei bulloni: Fv,Ed=8.17 Fv,Rd=7720.78
Rifollamento lato piastra: Fb,Ed,p=8.17 Fb,Rd,p=5979.21
Tirafondi:LT=0.45 (0.31) σ_{cR}=0.00 σ_{fR}=0.00
Compressione nel calcestruzzo: σ_c=45.56
CC 62 SLU (Collegamento 0022_-379)
Azioni sul collegamento: N=-22524.60 Ty=0.09 Tz=50.80 Mx=0.00 Mz=0.14
Sollecitazioni agenti localmente: Tx_l=0.09 Ty_l=50.80 N_l=-22524.60 Mx_l=-0.00 My_l=0.14 Mz_l=0.00
Taglio nei bulloni: Fv,Ed=8.47 Fv,Rd=7720.78
Rifollamento lato piastra: Fb,Ed,p=8.47 Fb,Rd,p=5979.20
Tirafondi:LT=0.45 (0.31) σ_{cR}=0.00 σ_{fR}=0.00
Compressione nel calcestruzzo: σ_c=46.55
CC 63 SLU (Collegamento 0022_-379)
Azioni sul collegamento: N=-22285.00 Ty=0.21 Tz=49.91 Mx=-0.00 Mz=0.38
Sollecitazioni agenti localmente: Tx_l=0.21 Ty_l=49.91 N_l=-22285.00 Mx_l=-0.00 My_l=0.38 Mz_l=-0.00
Taglio nei bulloni: Fv,Ed=8.32 Fv,Rd=7720.78
Rifollamento lato piastra: Fb,Ed,p=8.32 Fb,Rd,p=5979.33
Tirafondi:LT=0.45 (0.31) σ_{cR}=0.00 σ_{fR}=0.00
Compressione nel calcestruzzo: σ_c=46.06
CC 64 SLU (Collegamento 0022_-379)
Azioni sul collegamento: N=-22285.00 Ty=-0.03 Tz=49.91 Mx=0.00 Mz=-0.09
Sollecitazioni agenti localmente: Tx_l=-0.03 Ty_l=49.91 N_l=-22285.00 Mx_l=-0.00 My_l=-0.09 Mz_l=0.00
Taglio nei bulloni: Fv,Ed=8.32 Fv,Rd=7720.78
Rifollamento lato piastra: Fb,Ed,p=8.32 Fb,Rd,p=5979.17
Tirafondi:LT=0.45 (0.31) σ_{cR}=0.00 σ_{fR}=0.00
Compressione nel calcestruzzo: σ_c=46.05
CC 65 SLU (Collegamento 0022_-379)
Azioni sul collegamento: N=-14789.70 Ty=0.10 Tz=22.86 Mx=0.00 Mz=0.14
Sollecitazioni agenti localmente: Tx_l=0.10 Ty_l=22.86 N_l=-14789.70 Mx_l=-0.00 My_l=0.14 Mz_l=0.00
Taglio nei bulloni: Fv,Ed=3.81 Fv,Rd=7720.78
Rifollamento lato piastra: Fb,Ed,p=3.81 Fb,Rd,p=5979.34
Tirafondi:LT=0.45 (0.31) σ_{cR}=0.00 σ_{fR}=0.00
Compressione nel calcestruzzo: σ_c=30.57
CC 66 SLU (Collegamento 0022_-379)
Azioni sul collegamento: N=-15269.00 Ty=0.10 Tz=24.64 Mx=0.00 Mz=0.14
Sollecitazioni agenti localmente: Tx_l=0.10 Ty_l=24.64 N_l=-15269.00 Mx_l=-0.00 My_l=0.14 Mz_l=0.00
Taglio nei bulloni: Fv,Ed=4.11 Fv,Rd=7720.78
Rifollamento lato piastra: Fb,Ed,p=4.11 Fb,Rd,p=5979.31
Tirafondi:LT=0.45 (0.31) σ_{cR}=0.00 σ_{fR}=0.00
Compressione nel calcestruzzo: σ_c=31.56
CC 67 SLU (Collegamento 0022_-379)
Azioni sul collegamento: N=-15029.30 Ty=0.22 Tz=23.75 Mx=-0.00 Mz=0.38
Sollecitazioni agenti localmente: Tx_l=0.22 Ty_l=23.75 N_l=-15029.30 Mx_l=-0.00 My_l=0.38 Mz_l=-0.00
Taglio nei bulloni: Fv,Ed=3.96 Fv,Rd=7720.78
Rifollamento lato piastra: Fb,Ed,p=3.96 Fb,Rd,p=5979.88
Tirafondi:LT=0.45 (0.31) σ_{cR}=0.00 σ_{fR}=0.00
Compressione nel calcestruzzo: σ_c=31.07
CC 68 SLU (Collegamento 0022_-379)
Azioni sul collegamento: N=-15029.30 Ty=-0.02 Tz=23.75 Mx=0.00 Mz=-0.09
Sollecitazioni agenti localmente: Tx_l=-0.02 Ty_l=23.75 N_l=-15029.30 Mx_l=-0.00 My_l=-0.09 Mz_l=0.00
Taglio nei bulloni: Fv,Ed=3.96 Fv,Rd=7720.78
Rifollamento lato piastra: Fb,Ed,p=3.96 Fb,Rd,p=5979.17
Tirafondi:LT=0.45 (0.31) σ_{cR}=0.00 σ_{fR}=0.00
Compressione nel calcestruzzo: σ_c=31.06
CC 97 SLU (Collegamento 0022_-379)
Azioni sul collegamento: N=-11572.90 Ty=11.37 Tz=19.27 Mx=0.04 Mz=15.92
Sollecitazioni agenti localmente: Tx_l=11.37 Ty_l=19.27 N_l=-11572.90 Mx_l=-0.00 My_l=15.92 Mz_l=0.04
Taglio nei bulloni: Fv,Ed=3.78 Fv,Rd=7720.78
Rifollamento lato piastra: Fb,Ed,p=3.78 Fb,Rd,p=9198.44
Tirafondi:LT=0.45 (0.31) σ_{cR}=0.00 σ_{fR}=0.00
Compressione nel calcestruzzo: σ_c=24.81
CC 98 SLU (Collegamento 0022_-379)
Azioni sul collegamento: N=-12052.20 Ty=11.37 Tz=21.05 Mx=0.04 Mz=15.92
Sollecitazioni agenti localmente: Tx_l=11.37 Ty_l=21.05 N_l=-12052.20 Mx_l=-0.00 My_l=15.92 Mz_l=0.04
Taglio nei bulloni: Fv,Ed=4.04 Fv,Rd=7720.78
Rifollamento lato piastra: Fb,Ed,p=4.04 Fb,Rd,p=8673.86
Tirafondi:LT=0.45 (0.31) σ_{cR}=0.00 σ_{fR}=0.00
Compressione nel calcestruzzo: σ_c=25.80
CC 99 SLU (Collegamento 0022_-379)
Azioni sul collegamento: N=-11812.60 Ty=11.49 Tz=20.16 Mx=0.04 Mz=16.15
Sollecitazioni agenti localmente: Tx_l=11.49 Ty_l=20.16 N_l=-11812.60 Mx_l=-0.00 My_l=16.15 Mz_l=0.04
Taglio nei bulloni: Fv,Ed=3.92 Fv,Rd=7720.78
Rifollamento lato piastra: Fb,Ed,p=3.92 Fb,Rd,p=8979.24
Tirafondi:LT=0.45 (0.31) σ_{cR}=0.00 σ_{fR}=0.00
Compressione nel calcestruzzo: σ_c=25.32
CC 100 SLU (Collegamento 0022_-379)
Azioni sul collegamento: N=-11812.60 Ty=11.25 Tz=20.16 Mx=0.04 Mz=15.68
Sollecitazioni agenti localmente: Tx_l=11.25 Ty_l=20.16 N_l=-11812.60 Mx_l=-0.00 My_l=15.68 Mz_l=0.04

Taglio nei bulloni: Fv,Ed=3.90 Fv,Rd=7720.78
Rifollamento lato piastra: Fb,Ed,p=3.90 Fb,Rd,p=8858.72
Tirafondi:LT=0.45 (0.31) σ_{cR}=0.00 σ_{fR}=0.00
Compressione nel calcestruzzo: σ_c=25.29
CC 101 SLU (Collegamento 0022_-379)
Azioni sul collegamento: N=-5887.16 Ty=-2.00 Tz=-1.73 Mx=-0.00 Mz=-2.22
Sollecitazioni agenti localmente: Tx_l=-2.00 Ty_l=-1.73 N_l=-5887.16 Mx_l=-0.00 My_l=-2.22 Mz_l=-0.00
Taglio nei bulloni: Fv,Ed=0.45 Fv,Rd=7720.78
Rifollamento lato piastra: Fb,Ed,p=0.45 Fb,Rd,p=11248.30
Tirafondi:LT=0.45 (0.31) σ_{cR}=0.00 σ_{fR}=0.00
Compressione nel calcestruzzo: σ_c=12.29
CC 102 SLU (Collegamento 0022_-379)
Azioni sul collegamento: N=-6366.46 Ty=-2.01 Tz=0.04 Mx=-0.00 Mz=-2.22
Sollecitazioni agenti localmente: Tx_l=-2.01 Ty_l=0.04 N_l=-6366.46 Mx_l=-0.00 My_l=-2.22 Mz_l=-0.00
Taglio nei bulloni: Fv,Ed=0.34 Fv,Rd=7720.78
Rifollamento lato piastra: Fb,Ed,p=0.34 Fb,Rd,p=5979.37
Tirafondi:LT=0.45 (0.31) σ_{cR}=0.00 σ_{fR}=0.00
Compressione nel calcestruzzo: σ_c=13.28
CC 103 SLU (Collegamento 0022_-379)
Azioni sul collegamento: N=-6126.81 Ty=-1.89 Tz=-0.85 Mx=-0.01 Mz=-1.98
Sollecitazioni agenti localmente: Tx_l=-1.89 Ty_l=-0.85 N_l=-6126.81 Mx_l=-0.00 My_l=-1.98 Mz_l=-0.01
Taglio nei bulloni: Fv,Ed=0.35 Fv,Rd=7720.78
Rifollamento lato piastra: Fb,Ed,p=0.35 Fb,Rd,p=7880.25
Tirafondi:LT=0.45 (0.31) σ_{cR}=0.00 σ_{fR}=0.00
Compressione nel calcestruzzo: σ_c=12.77
CC 104 SLU (Collegamento 0022_-379)
Azioni sul collegamento: N=-6126.80 Ty=-2.12 Tz=-0.84 Mx=-0.00 Mz=-2.45
Sollecitazioni agenti localmente: Tx_l=-2.12 Ty_l=-0.84 N_l=-6126.80 Mx_l=-0.00 My_l=-2.45 Mz_l=-0.00
Taglio nei bulloni: Fv,Ed=0.39 Fv,Rd=7720.78
Rifollamento lato piastra: Fb,Ed,p=0.39 Fb,Rd,p=7454.79
Tirafondi:LT=0.45 (0.31) σ_{cR}=0.00 σ_{fR}=0.00
Compressione nel calcestruzzo: σ_c=12.80

Saldatura profilo-piastra

CC 1 SLV (Collegamento 0022_-379)
Azioni sul collegamento: N=-3330.52 Ty=1.59 Tz=5.89 Mx=0.02 Mz=3.75
Sollecitazioni agenti localmente: Tx_l=1.59 Ty_l=5.89 N_l=-3330.52 My_l=-3.75 Mz_l=0.02
Azioni sul cordone: TP=0.10 TO=0.45 NO=-246.19
Tensioni nel cordone: τ_P= 0.03 τ_O=0.14 σ_O=83.74 σ_{ID}=83.74 Σ_T=83.88
CC 1 SLV (Collegamento 0022_-379)
Azioni sul collegamento: N=-3330.52 Ty=0.88 Tz=5.89 Mx=0.02 Mz=2.36
Sollecitazioni agenti localmente: Tx_l=0.88 Ty_l=5.89 N_l=-3330.52 My_l=-2.36 Mz_l=0.02
Azioni sul cordone: TP=0.05 TO=0.45 NO=-246.19
Tensioni nel cordone: τ_P= 0.01 τ_O=0.14 σ_O=81.70 σ_{ID}=81.70 Σ_T=81.84
CC 1 SLV (Collegamento 0022_-379)
Azioni sul collegamento: N=-3330.52 Ty=1.59 Tz=-11.19 Mx=0.02 Mz=3.75
Sollecitazioni agenti localmente: Tx_l=1.59 Ty_l=-11.19 N_l=-3330.52 My_l=-3.75 Mz_l=0.02
Azioni sul cordone: TP=0.10 TO=-0.81 NO=-246.19
Tensioni nel cordone: τ_P= 0.03 τ_O=0.26 σ_O=83.74 σ_{ID}=83.74 Σ_T=83.99
CC 1 SLV (Collegamento 0022_-379)
Azioni sul collegamento: N=-3330.52 Ty=0.88 Tz=-11.19 Mx=0.02 Mz=2.36
Sollecitazioni agenti localmente: Tx_l=0.88 Ty_l=-11.19 N_l=-3330.52 My_l=-2.36 Mz_l=0.02
Azioni sul cordone: TP=0.05 TO=-0.81 NO=-246.19
Tensioni nel cordone: τ_P= 0.01 τ_O=0.26 σ_O=81.70 σ_{ID}=81.70 Σ_T=81.96
CC 1 SLV (Collegamento 0022_-379)
Azioni sul collegamento: N=-7936.99 Ty=1.59 Tz=5.89 Mx=0.02 Mz=3.75
Sollecitazioni agenti localmente: Tx_l=1.59 Ty_l=5.89 N_l=-7936.99 My_l=-3.75 Mz_l=0.02
Azioni sul cordone: TP=0.10 TO=0.45 NO=-586.71
Tensioni nel cordone: τ_P= 0.03 τ_O=0.14 σ_O=191.97 σ_{ID}=191.97 Σ_T=192.11
CC 1 SLV (Collegamento 0022_-379)
Azioni sul collegamento: N=-7936.99 Ty=0.88 Tz=5.89 Mx=0.02 Mz=2.36
Sollecitazioni agenti localmente: Tx_l=0.88 Ty_l=5.89 N_l=-7936.99 My_l=-2.36 Mz_l=0.02
Azioni sul cordone: TP=0.05 TO=0.45 NO=-586.71
Tensioni nel cordone: τ_P= 0.01 τ_O=0.14 σ_O=189.93 σ_{ID}=189.93 Σ_T=190.08
CC 1 SLV (Collegamento 0022_-379)
Azioni sul collegamento: N=-7936.99 Ty=1.59 Tz=-11.19 Mx=0.02 Mz=3.75
Sollecitazioni agenti localmente: Tx_l=1.59 Ty_l=-11.19 N_l=-7936.99 My_l=-3.75 Mz_l=0.02
Azioni sul cordone: TP=0.10 TO=-0.81 NO=-586.71
Tensioni nel cordone: τ_P= 0.03 τ_O=0.26 σ_O=191.97 σ_{ID}=191.97 Σ_T=192.23
CC 1 SLV (Collegamento 0022_-379)
Azioni sul collegamento: N=-7936.99 Ty=0.88 Tz=-11.19 Mx=0.02 Mz=2.36
Sollecitazioni agenti localmente: Tx_l=0.88 Ty_l=-11.19 N_l=-7936.99 My_l=-2.36 Mz_l=0.02
Azioni sul cordone: TP=0.05 TO=-0.81 NO=-586.71
Tensioni nel cordone: τ_P= 0.01 τ_O=0.26 σ_O=189.93 σ_{ID}=189.93 Σ_T=190.19
CC 2 SLD (Collegamento 0022_-379)
Azioni sul collegamento: N=-4931.25 Ty=0.54 Tz=-0.05 Mx=0.01 Mz=1.22
Sollecitazioni agenti localmente: Tx_l=0.54 Ty_l=-0.05 N_l=-4931.25 My_l=-1.22 Mz_l=0.01
Azioni sul cordone: TP=0.03 TO=0.00 NO=-364.52

Tensioni nel cordone: τ_P= 0.01 τ_0=1.46E-04 σ_0=117.64 σ_{ID}=117.64 Σ_T=117.64
CC 2 SLD (Collegamento 0022_-379)
Azioni sul collegamento: N=-4931.25 Ty=0.32 Tz=-0.05 Mx=0.01 Mz=0.79
Sollecitazioni agenti localmente: Tx_l=0.32 Ty_l=-0.05 N_l=-4931.25 My_l=-0.79 Mz_l=0.01
Azioni sul cordone: TP=0.02 TO=0.00 NO=-364.52
Tensioni nel cordone: τ_P=5.66E-03 τ_0=1.46E-04 σ_0=117.02 σ_{ID}=117.02 Σ_T=117.02
CC 2 SLD (Collegamento 0022_-379)
Azioni sul collegamento: N=-4931.25 Ty=0.54 Tz=-5.26 Mx=0.01 Mz=1.22
Sollecitazioni agenti localmente: Tx_l=0.54 Ty_l=-5.26 N_l=-4931.25 My_l=-1.22 Mz_l=0.01
Azioni sul cordone: TP=0.03 TO=-0.38 NO=-364.52
Tensioni nel cordone: τ_P= 0.01 τ_0=0.12 σ_0=117.64 σ_{ID}=117.64 Σ_T=117.76
CC 2 SLD (Collegamento 0022_-379)
Azioni sul collegamento: N=-4931.25 Ty=0.32 Tz=-5.26 Mx=0.01 Mz=0.79
Sollecitazioni agenti localmente: Tx_l=0.32 Ty_l=-5.26 N_l=-4931.25 My_l=-0.79 Mz_l=0.01
Azioni sul cordone: TP=0.02 TO=-0.38 NO=-364.52
Tensioni nel cordone: τ_P=5.66E-03 τ_0=0.12 σ_0=117.02 σ_{ID}=117.02 Σ_T=117.14
CC 2 SLD (Collegamento 0022_-379)
Azioni sul collegamento: N=-6335.90 Ty=0.54 Tz=-0.05 Mx=0.01 Mz=1.22
Sollecitazioni agenti localmente: Tx_l=0.54 Ty_l=-0.05 N_l=-6335.90 My_l=-1.22 Mz_l=0.01
Azioni sul cordone: TP=0.03 TO=0.00 NO=-468.35
Tensioni nel cordone: τ_P= 0.01 τ_0=1.49E-04 σ_0=150.64 σ_{ID}=150.64 Σ_T=150.64
CC 2 SLD (Collegamento 0022_-379)
Azioni sul collegamento: N=-6335.90 Ty=0.32 Tz=-0.05 Mx=0.01 Mz=0.79
Sollecitazioni agenti localmente: Tx_l=0.32 Ty_l=-0.05 N_l=-6335.90 My_l=-0.79 Mz_l=0.01
Azioni sul cordone: TP=0.02 TO=0.00 NO=-468.35
Tensioni nel cordone: τ_P=5.66E-03 τ_0=1.49E-04 σ_0=150.02 σ_{ID}=150.02 Σ_T=150.02
CC 2 SLD (Collegamento 0022_-379)
Azioni sul collegamento: N=-6335.90 Ty=0.54 Tz=-5.26 Mx=0.01 Mz=1.22
Sollecitazioni agenti localmente: Tx_l=0.54 Ty_l=-5.26 N_l=-6335.90 My_l=-1.22 Mz_l=0.01
Azioni sul cordone: TP=0.03 TO=-0.38 NO=-468.35
Tensioni nel cordone: τ_P= 0.01 τ_0=0.12 σ_0=150.64 σ_{ID}=150.64 Σ_T=150.76
CC 2 SLD (Collegamento 0022_-379)
Azioni sul collegamento: N=-6335.90 Ty=0.32 Tz=-5.26 Mx=0.01 Mz=0.79
Sollecitazioni agenti localmente: Tx_l=0.32 Ty_l=-5.26 N_l=-6335.90 My_l=-0.79 Mz_l=0.01
Azioni sul cordone: TP=0.02 TO=-0.38 NO=-468.35
Tensioni nel cordone: τ_P=5.66E-03 τ_0=0.12 σ_0=150.02 σ_{ID}=150.02 Σ_T=150.14
CC 3 SLV (Collegamento 0022_-379)
Azioni sul collegamento: N=-3330.55 Ty=0.90 Tz=5.89 Mx=0.01 Mz=2.40
Sollecitazioni agenti localmente: Tx_l=0.90 Ty_l=5.89 N_l=-3330.55 My_l=-2.40 Mz_l=0.01
Azioni sul cordone: TP=0.05 TO=0.44 NO=-246.19
Tensioni nel cordone: τ_P= 0.02 τ_0=0.14 σ_0=81.76 σ_{ID}=81.76 Σ_T=81.90
CC 3 SLV (Collegamento 0022_-379)
Azioni sul collegamento: N=-3330.55 Ty=1.58 Tz=5.89 Mx=0.01 Mz=3.71
Sollecitazioni agenti localmente: Tx_l=1.58 Ty_l=5.89 N_l=-3330.55 My_l=-3.71 Mz_l=0.01
Azioni sul cordone: TP=0.10 TO=0.44 NO=-246.19
Tensioni nel cordone: τ_P= 0.03 τ_0=0.14 σ_0=83.68 σ_{ID}=83.68 Σ_T=83.82
CC 3 SLV (Collegamento 0022_-379)
Azioni sul collegamento: N=-3330.55 Ty=0.90 Tz=-11.19 Mx=0.01 Mz=2.40
Sollecitazioni agenti localmente: Tx_l=0.90 Ty_l=-11.19 N_l=-3330.55 My_l=-2.40 Mz_l=0.01
Azioni sul cordone: TP=0.05 TO=-0.82 NO=-246.19
Tensioni nel cordone: τ_P= 0.02 τ_0=0.26 σ_0=81.76 σ_{ID}=81.76 Σ_T=82.02
CC 3 SLV (Collegamento 0022_-379)
Azioni sul collegamento: N=-3330.55 Ty=1.58 Tz=-11.19 Mx=0.01 Mz=3.71
Sollecitazioni agenti localmente: Tx_l=1.58 Ty_l=-11.19 N_l=-3330.55 My_l=-3.71 Mz_l=0.01
Azioni sul cordone: TP=0.10 TO=-0.82 NO=-246.19
Tensioni nel cordone: τ_P= 0.03 τ_0=0.26 σ_0=83.68 σ_{ID}=83.68 Σ_T=83.94
CC 3 SLV (Collegamento 0022_-379)
Azioni sul collegamento: N=-7936.97 Ty=0.90 Tz=5.89 Mx=0.01 Mz=2.40
Sollecitazioni agenti localmente: Tx_l=0.90 Ty_l=5.89 N_l=-7936.97 My_l=-2.40 Mz_l=0.01
Azioni sul cordone: TP=0.05 TO=0.44 NO=-586.70
Tensioni nel cordone: τ_P= 0.02 τ_0=0.14 σ_0=189.99 σ_{ID}=189.99 Σ_T=190.13
CC 3 SLV (Collegamento 0022_-379)
Azioni sul collegamento: N=-7936.97 Ty=1.58 Tz=5.89 Mx=0.01 Mz=3.71
Sollecitazioni agenti localmente: Tx_l=1.58 Ty_l=5.89 N_l=-7936.97 My_l=-3.71 Mz_l=0.01
Azioni sul cordone: TP=0.10 TO=0.44 NO=-586.70
Tensioni nel cordone: τ_P= 0.03 τ_0=0.14 σ_0=191.91 σ_{ID}=191.91 Σ_T=192.05
CC 3 SLV (Collegamento 0022_-379)
Azioni sul collegamento: N=-7936.97 Ty=0.90 Tz=-11.19 Mx=0.01 Mz=2.40
Sollecitazioni agenti localmente: Tx_l=0.90 Ty_l=-11.19 N_l=-7936.97 My_l=-2.40 Mz_l=0.01
Azioni sul cordone: TP=0.05 TO=-0.82 NO=-586.70
Tensioni nel cordone: τ_P= 0.02 τ_0=0.26 σ_0=189.99 σ_{ID}=189.99 Σ_T=190.25
CC 3 SLV (Collegamento 0022_-379)
Azioni sul collegamento: N=-7936.97 Ty=1.58 Tz=-11.19 Mx=0.01 Mz=3.71
Sollecitazioni agenti localmente: Tx_l=1.58 Ty_l=-11.19 N_l=-7936.97 My_l=-3.71 Mz_l=0.01
Azioni sul cordone: TP=0.10 TO=-0.82 NO=-586.70
Tensioni nel cordone: τ_P= 0.03 τ_0=0.26 σ_0=191.91 σ_{ID}=191.91 Σ_T=192.17
CC 4 SLD (Collegamento 0022_-379)
Azioni sul collegamento: N=-4931.25 Ty=0.33 Tz=-0.05 Mx=0.00 Mz=0.80
Sollecitazioni agenti localmente: Tx_l=0.33 Ty_l=-0.05 N_l=-4931.25 My_l=-0.80 Mz_l=0.00

Azioni sul cordone: TP=0.02 TO=-0.00 NO=-364.52
Tensioni nel cordone: τ_P=6.34E-03 τ_O=2.62E-04 σ_O=117.04 σ_{ID}=117.04 Σ_T=117.04
CC 4 SLD (Collegamento 0022_-379)
Azioni sul collegamento: N=-4931.25 Ty=0.53 Tz=-0.05 Mx=0.00 Mz=1.20
Sollecitazioni agenti localmente: Tx_l=0.53 Ty_l=-0.05 N_l=-4931.25 My_l=-1.20 Mz_l=0.00
Azioni sul cordone: TP=0.04 TO=-0.00 NO=-364.52
Tensioni nel cordone: τ_P= 0.01 τ_O=2.62E-04 σ_O=117.62 σ_{ID}=117.62 Σ_T=117.62
CC 4 SLD (Collegamento 0022_-379)
Azioni sul collegamento: N=-4931.25 Ty=0.33 Tz=-5.26 Mx=0.00 Mz=0.80
Sollecitazioni agenti localmente: Tx_l=0.33 Ty_l=-5.26 N_l=-4931.25 My_l=-0.80 Mz_l=0.00
Azioni sul cordone: TP=0.02 TO=-0.39 NO=-364.52
Tensioni nel cordone: τ_P=6.34E-03 τ_O=0.12 σ_O=117.04 σ_{ID}=117.04 Σ_T=117.16
CC 4 SLD (Collegamento 0022_-379)
Azioni sul collegamento: N=-4931.25 Ty=0.53 Tz=-5.26 Mx=0.00 Mz=1.20
Sollecitazioni agenti localmente: Tx_l=0.53 Ty_l=-5.26 N_l=-4931.25 My_l=-1.20 Mz_l=0.00
Azioni sul cordone: TP=0.04 TO=-0.39 NO=-364.52
Tensioni nel cordone: τ_P= 0.01 τ_O=0.12 σ_O=117.62 σ_{ID}=117.62 Σ_T=117.74
CC 4 SLD (Collegamento 0022_-379)
Azioni sul collegamento: N=-6335.90 Ty=0.33 Tz=-0.05 Mx=0.00 Mz=0.80
Sollecitazioni agenti localmente: Tx_l=0.33 Ty_l=-0.05 N_l=-6335.90 My_l=-0.80 Mz_l=0.00
Azioni sul cordone: TP=0.02 TO=-0.00 NO=-468.35
Tensioni nel cordone: τ_P=6.34E-03 τ_O=2.57E-04 σ_O=150.04 σ_{ID}=150.04 Σ_T=150.04
CC 4 SLD (Collegamento 0022_-379)
Azioni sul collegamento: N=-6335.90 Ty=0.53 Tz=-0.05 Mx=0.00 Mz=1.20
Sollecitazioni agenti localmente: Tx_l=0.53 Ty_l=-0.05 N_l=-6335.90 My_l=-1.20 Mz_l=0.00
Azioni sul cordone: TP=0.04 TO=-0.00 NO=-468.35
Tensioni nel cordone: τ_P= 0.01 τ_O=2.57E-04 σ_O=150.62 σ_{ID}=150.62 Σ_T=150.63
CC 4 SLD (Collegamento 0022_-379)
Azioni sul collegamento: N=-6335.90 Ty=0.33 Tz=-5.26 Mx=0.00 Mz=0.80
Sollecitazioni agenti localmente: Tx_l=0.33 Ty_l=-5.26 N_l=-6335.90 My_l=-0.80 Mz_l=0.00
Azioni sul cordone: TP=0.02 TO=-0.39 NO=-468.35
Tensioni nel cordone: τ_P=6.34E-03 τ_O=0.12 σ_O=150.04 σ_{ID}=150.04 Σ_T=150.16
CC 4 SLD (Collegamento 0022_-379)
Azioni sul collegamento: N=-6335.90 Ty=0.53 Tz=-5.26 Mx=0.00 Mz=1.20
Sollecitazioni agenti localmente: Tx_l=0.53 Ty_l=-5.26 N_l=-6335.90 My_l=-1.20 Mz_l=0.00
Azioni sul cordone: TP=0.04 TO=-0.39 NO=-468.35
Tensioni nel cordone: τ_P= 0.01 τ_O=0.12 σ_O=150.62 σ_{ID}=150.62 Σ_T=150.75
CC 5 SLV (Collegamento 0022_-379)
Azioni sul collegamento: N=-7936.97 Ty=1.58 Tz=-11.19 Mx=0.02 Mz=3.71
Sollecitazioni agenti localmente: Tx_l=1.58 Ty_l=-11.19 N_l=-7936.97 My_l=-3.71 Mz_l=0.02
Azioni sul cordone: TP=0.10 TO=-0.81 NO=-586.70
Tensioni nel cordone: τ_P= 0.03 τ_O=0.26 σ_O=191.91 σ_{ID}=191.91 Σ_T=192.17
CC 5 SLV (Collegamento 0022_-379)
Azioni sul collegamento: N=-7936.97 Ty=0.90 Tz=-11.19 Mx=0.02 Mz=2.40
Sollecitazioni agenti localmente: Tx_l=0.90 Ty_l=-11.19 N_l=-7936.97 My_l=-2.40 Mz_l=0.02
Azioni sul cordone: TP=0.05 TO=-0.81 NO=-586.70
Tensioni nel cordone: τ_P= 0.02 τ_O=0.26 σ_O=189.99 σ_{ID}=189.99 Σ_T=190.25
CC 5 SLV (Collegamento 0022_-379)
Azioni sul collegamento: N=-7936.97 Ty=1.58 Tz=5.89 Mx=0.02 Mz=3.71
Sollecitazioni agenti localmente: Tx_l=1.58 Ty_l=5.89 N_l=-7936.97 My_l=-3.71 Mz_l=0.02
Azioni sul cordone: TP=0.10 TO=0.45 NO=-586.70
Tensioni nel cordone: τ_P= 0.03 τ_O=0.14 σ_O=191.91 σ_{ID}=191.91 Σ_T=192.05
CC 5 SLV (Collegamento 0022_-379)
Azioni sul collegamento: N=-7936.97 Ty=0.90 Tz=5.89 Mx=0.02 Mz=2.40
Sollecitazioni agenti localmente: Tx_l=0.90 Ty_l=5.89 N_l=-7936.97 My_l=-2.40 Mz_l=0.02
Azioni sul cordone: TP=0.05 TO=0.45 NO=-586.70
Tensioni nel cordone: τ_P= 0.02 τ_O=0.14 σ_O=189.99 σ_{ID}=189.99 Σ_T=190.13
CC 5 SLV (Collegamento 0022_-379)
Azioni sul collegamento: N=-3330.55 Ty=1.58 Tz=-11.19 Mx=0.02 Mz=3.71
Sollecitazioni agenti localmente: Tx_l=1.58 Ty_l=-11.19 N_l=-3330.55 My_l=-3.71 Mz_l=0.02
Azioni sul cordone: TP=0.10 TO=-0.81 NO=-246.19
Tensioni nel cordone: τ_P= 0.03 τ_O=0.26 σ_O=83.68 σ_{ID}=83.68 Σ_T=83.94
CC 5 SLV (Collegamento 0022_-379)
Azioni sul collegamento: N=-3330.55 Ty=0.90 Tz=-11.19 Mx=0.02 Mz=2.40
Sollecitazioni agenti localmente: Tx_l=0.90 Ty_l=-11.19 N_l=-3330.55 My_l=-2.40 Mz_l=0.02
Azioni sul cordone: TP=0.05 TO=-0.81 NO=-246.19
Tensioni nel cordone: τ_P= 0.02 τ_O=0.26 σ_O=81.76 σ_{ID}=81.76 Σ_T=82.02
CC 5 SLV (Collegamento 0022_-379)
Azioni sul collegamento: N=-3330.55 Ty=1.58 Tz=5.89 Mx=0.02 Mz=3.71
Sollecitazioni agenti localmente: Tx_l=1.58 Ty_l=5.89 N_l=-3330.55 My_l=-3.71 Mz_l=0.02
Azioni sul cordone: TP=0.10 TO=0.45 NO=-246.19
Tensioni nel cordone: τ_P= 0.03 τ_O=0.14 σ_O=83.68 σ_{ID}=83.68 Σ_T=83.82
CC 5 SLV (Collegamento 0022_-379)
Azioni sul collegamento: N=-3330.55 Ty=0.90 Tz=5.89 Mx=0.02 Mz=2.40
Sollecitazioni agenti localmente: Tx_l=0.90 Ty_l=5.89 N_l=-3330.55 My_l=-2.40 Mz_l=0.02
Azioni sul cordone: TP=0.05 TO=0.45 NO=-246.19
Tensioni nel cordone: τ_P= 0.02 τ_O=0.14 σ_O=81.76 σ_{ID}=81.76 Σ_T=81.90
CC 6 SLD (Collegamento 0022_-379)
Azioni sul collegamento: N=-6335.90 Ty=0.53 Tz=-5.26 Mx=0.01 Mz=1.20

Sollecitazioni agenti localmente: Tx_l=0.53 Ty_l=-5.26 N_l=-6335.90 My_l=-1.20 Mz_l=0.01
Azioni sul cordone: TP=0.03 TO=-0.38 NO=-468.35
Tensioni nel cordone: τ_P= 0.01 τ_O=0.12 σ_O=150.62 σ_{ID}=150.62 Σ_T=150.75
CC 6 SLD (Collegamento 0022_-379)
Azioni sul collegamento: N=-6335.90 Ty=0.33 Tz=-5.26 Mx=0.01 Mz=0.80
Sollecitazioni agenti localmente: Tx_l=0.33 Ty_l=-5.26 N_l=-6335.90 My_l=-0.80 Mz_l=0.01
Azioni sul cordone: TP=0.02 TO=-0.38 NO=-468.35
Tensioni nel cordone: τ_P=5.78E-03 τ_O=0.12 σ_O=150.04 σ_{ID}=150.04 Σ_T=150.16
CC 6 SLD (Collegamento 0022_-379)
Azioni sul collegamento: N=-6335.90 Ty=0.53 Tz=-0.05 Mx=0.01 Mz=1.20
Sollecitazioni agenti localmente: Tx_l=0.53 Ty_l=-0.05 N_l=-6335.90 My_l=-1.20 Mz_l=0.01
Azioni sul cordone: TP=0.03 TO=0.00 NO=-468.35
Tensioni nel cordone: τ_P= 0.01 τ_O=1.31E-04 σ_O=150.62 σ_{ID}=150.62 Σ_T=150.62
CC 6 SLD (Collegamento 0022_-379)
Azioni sul collegamento: N=-6335.90 Ty=0.33 Tz=-0.05 Mx=0.01 Mz=0.80
Sollecitazioni agenti localmente: Tx_l=0.33 Ty_l=-0.05 N_l=-6335.90 My_l=-0.80 Mz_l=0.01
Azioni sul cordone: TP=0.02 TO=0.00 NO=-468.35
Tensioni nel cordone: τ_P=5.78E-03 τ_O=1.31E-04 σ_O=150.04 σ_{ID}=150.04 Σ_T=150.04
CC 6 SLD (Collegamento 0022_-379)
Azioni sul collegamento: N=-4931.25 Ty=0.53 Tz=-5.26 Mx=0.01 Mz=1.20
Sollecitazioni agenti localmente: Tx_l=0.53 Ty_l=-5.26 N_l=-4931.25 My_l=-1.20 Mz_l=0.01
Azioni sul cordone: TP=0.03 TO=-0.38 NO=-364.52
Tensioni nel cordone: τ_P= 0.01 τ_O=0.12 σ_O=117.62 σ_{ID}=117.62 Σ_T=117.74
CC 6 SLD (Collegamento 0022_-379)
Azioni sul collegamento: N=-4931.25 Ty=0.33 Tz=-5.26 Mx=0.01 Mz=0.80
Sollecitazioni agenti localmente: Tx_l=0.33 Ty_l=-5.26 N_l=-4931.25 My_l=-0.80 Mz_l=0.01
Azioni sul cordone: TP=0.02 TO=-0.38 NO=-364.52
Tensioni nel cordone: τ_P=5.78E-03 τ_O=0.12 σ_O=117.04 σ_{ID}=117.04 Σ_T=117.16
CC 6 SLD (Collegamento 0022_-379)
Azioni sul collegamento: N=-4931.25 Ty=0.53 Tz=-0.05 Mx=0.01 Mz=1.20
Sollecitazioni agenti localmente: Tx_l=0.53 Ty_l=-0.05 N_l=-4931.25 My_l=-1.20 Mz_l=0.01
Azioni sul cordone: TP=0.03 TO=0.00 NO=-364.52
Tensioni nel cordone: τ_P= 0.01 τ_O=1.26E-04 σ_O=117.62 σ_{ID}=117.62 Σ_T=117.62
CC 6 SLD (Collegamento 0022_-379)
Azioni sul collegamento: N=-4931.25 Ty=0.33 Tz=-0.05 Mx=0.01 Mz=0.80
Sollecitazioni agenti localmente: Tx_l=0.33 Ty_l=-0.05 N_l=-4931.25 My_l=-0.80 Mz_l=0.01
Azioni sul cordone: TP=0.02 TO=0.00 NO=-364.52
Tensioni nel cordone: τ_P=5.78E-03 τ_O=1.26E-04 σ_O=117.04 σ_{ID}=117.04 Σ_T=117.04
CC 7 SLV (Collegamento 0022_-379)
Azioni sul collegamento: N=-7936.99 Ty=0.88 Tz=-11.19 Mx=0.01 Mz=2.36
Sollecitazioni agenti localmente: Tx_l=0.88 Ty_l=-11.19 N_l=-7936.99 My_l=-2.36 Mz_l=0.01
Azioni sul cordone: TP=0.05 TO=-0.82 NO=-586.71
Tensioni nel cordone: τ_P= 0.02 τ_O=0.26 σ_O=189.93 σ_{ID}=189.93 Σ_T=190.19
CC 7 SLV (Collegamento 0022_-379)
Azioni sul collegamento: N=-7936.99 Ty=1.59 Tz=-11.19 Mx=0.01 Mz=3.75
Sollecitazioni agenti localmente: Tx_l=1.59 Ty_l=-11.19 N_l=-7936.99 My_l=-3.75 Mz_l=0.01
Azioni sul cordone: TP=0.10 TO=-0.82 NO=-586.71
Tensioni nel cordone: τ_P= 0.03 τ_O=0.26 σ_O=191.97 σ_{ID}=191.97 Σ_T=192.23
CC 7 SLV (Collegamento 0022_-379)
Azioni sul collegamento: N=-7936.99 Ty=0.88 Tz=5.89 Mx=0.01 Mz=2.36
Sollecitazioni agenti localmente: Tx_l=0.88 Ty_l=5.89 N_l=-7936.99 My_l=-2.36 Mz_l=0.01
Azioni sul cordone: TP=0.05 TO=0.44 NO=-586.71
Tensioni nel cordone: τ_P= 0.02 τ_O=0.14 σ_O=189.93 σ_{ID}=189.93 Σ_T=190.07
CC 7 SLV (Collegamento 0022_-379)
Azioni sul collegamento: N=-7936.99 Ty=1.59 Tz=5.89 Mx=0.01 Mz=3.75
Sollecitazioni agenti localmente: Tx_l=1.59 Ty_l=5.89 N_l=-7936.99 My_l=-3.75 Mz_l=0.01
Azioni sul cordone: TP=0.10 TO=0.44 NO=-586.71
Tensioni nel cordone: τ_P= 0.03 τ_O=0.14 σ_O=191.97 σ_{ID}=191.97 Σ_T=192.11
CC 7 SLV (Collegamento 0022_-379)
Azioni sul collegamento: N=-3330.52 Ty=0.88 Tz=-11.19 Mx=0.01 Mz=2.36
Sollecitazioni agenti localmente: Tx_l=0.88 Ty_l=-11.19 N_l=-3330.52 My_l=-2.36 Mz_l=0.01
Azioni sul cordone: TP=0.05 TO=-0.82 NO=-246.19
Tensioni nel cordone: τ_P= 0.02 τ_O=0.26 σ_O=81.70 σ_{ID}=81.70 Σ_T=81.96
CC 7 SLV (Collegamento 0022_-379)
Azioni sul collegamento: N=-3330.52 Ty=1.59 Tz=-11.19 Mx=0.01 Mz=3.75
Sollecitazioni agenti localmente: Tx_l=1.59 Ty_l=-11.19 N_l=-3330.52 My_l=-3.75 Mz_l=0.01
Azioni sul cordone: TP=0.10 TO=-0.82 NO=-246.19
Tensioni nel cordone: τ_P= 0.03 τ_O=0.26 σ_O=83.74 σ_{ID}=83.74 Σ_T=84.00
CC 7 SLV (Collegamento 0022_-379)
Azioni sul collegamento: N=-3330.52 Ty=0.88 Tz=5.89 Mx=0.01 Mz=2.36
Sollecitazioni agenti localmente: Tx_l=0.88 Ty_l=5.89 N_l=-3330.52 My_l=-2.36 Mz_l=0.01
Azioni sul cordone: TP=0.05 TO=0.44 NO=-246.19
Tensioni nel cordone: τ_P= 0.02 τ_O=0.14 σ_O=81.70 σ_{ID}=81.70 Σ_T=81.84
CC 7 SLV (Collegamento 0022_-379)
Azioni sul collegamento: N=-3330.52 Ty=1.59 Tz=5.89 Mx=0.01 Mz=3.75
Sollecitazioni agenti localmente: Tx_l=1.59 Ty_l=5.89 N_l=-3330.52 My_l=-3.75 Mz_l=0.01
Azioni sul cordone: TP=0.10 TO=0.44 NO=-246.19
Tensioni nel cordone: τ_P= 0.03 τ_O=0.14 σ_O=83.74 σ_{ID}=83.74 Σ_T=83.88
CC 8 SLD (Collegamento 0022_-379)

Azioni sul collegamento: N=-6335.90 Ty=0.32 Tz=-5.26 Mx=0.00 Mz=0.79
Sollecitazioni agenti localmente: Tx_l=0.32 Ty_l=-5.26 N_l=-6335.90 My_l=-0.79 Mz_l=0.00
Azioni sul cordone: TP=0.02 TO=-0.39 NO=-468.35
Tensioni nel cordone: τ_P=6.26E-03 τ_O=0.12 σ_O=150.02 σ_{ID}=150.02 Σ_T=150.14
CC 8 SLD (Collegamento 0022_-379)
Azioni sul collegamento: N=-6335.90 Ty=0.54 Tz=-5.26 Mx=0.00 Mz=1.22
Sollecitazioni agenti localmente: Tx_l=0.54 Ty_l=-5.26 N_l=-6335.90 My_l=-1.22 Mz_l=0.00
Azioni sul cordone: TP=0.04 TO=-0.39 NO=-468.35
Tensioni nel cordone: τ_P= 0.01 τ_O=0.12 σ_O=150.64 σ_{ID}=150.64 Σ_T=150.76
CC 8 SLD (Collegamento 0022_-379)
Azioni sul collegamento: N=-6335.90 Ty=0.32 Tz=-0.05 Mx=0.00 Mz=0.79
Sollecitazioni agenti localmente: Tx_l=0.32 Ty_l=-0.05 N_l=-6335.90 My_l=-0.79 Mz_l=0.00
Azioni sul cordone: TP=0.02 TO=-0.00 NO=-468.35
Tensioni nel cordone: τ_P=6.26E-03 τ_O=2.70E-04 σ_O=150.02 σ_{ID}=150.02 Σ_T=150.02
CC 8 SLD (Collegamento 0022_-379)
Azioni sul collegamento: N=-6335.90 Ty=0.54 Tz=-0.05 Mx=0.00 Mz=1.22
Sollecitazioni agenti localmente: Tx_l=0.54 Ty_l=-0.05 N_l=-6335.90 My_l=-1.22 Mz_l=0.00
Azioni sul cordone: TP=0.04 TO=-0.00 NO=-468.35
Tensioni nel cordone: τ_P= 0.01 τ_O=2.70E-04 σ_O=150.64 σ_{ID}=150.64 Σ_T=150.64
CC 8 SLD (Collegamento 0022_-379)
Azioni sul collegamento: N=-4931.25 Ty=0.32 Tz=-5.26 Mx=0.00 Mz=0.79
Sollecitazioni agenti localmente: Tx_l=0.32 Ty_l=-5.26 N_l=-4931.25 My_l=-0.79 Mz_l=0.00
Azioni sul cordone: TP=0.02 TO=-0.39 NO=-364.52
Tensioni nel cordone: τ_P=6.26E-03 τ_O=0.12 σ_O=117.02 σ_{ID}=117.02 Σ_T=117.14
CC 8 SLD (Collegamento 0022_-379)
Azioni sul collegamento: N=-4931.25 Ty=0.54 Tz=-5.26 Mx=0.00 Mz=1.22
Sollecitazioni agenti localmente: Tx_l=0.54 Ty_l=-5.26 N_l=-4931.25 My_l=-1.22 Mz_l=0.00
Azioni sul cordone: TP=0.04 TO=-0.39 NO=-364.52
Tensioni nel cordone: τ_P= 0.01 τ_O=0.12 σ_O=117.64 σ_{ID}=117.64 Σ_T=117.76
CC 8 SLD (Collegamento 0022_-379)
Azioni sul collegamento: N=-4931.25 Ty=0.32 Tz=-0.05 Mx=0.00 Mz=0.79
Sollecitazioni agenti localmente: Tx_l=0.32 Ty_l=-0.05 N_l=-4931.25 My_l=-0.79 Mz_l=0.00
Azioni sul cordone: TP=0.02 TO=-0.00 NO=-364.52
Tensioni nel cordone: τ_P=6.26E-03 τ_O=2.73E-04 σ_O=117.02 σ_{ID}=117.02 Σ_T=117.02
CC 8 SLD (Collegamento 0022_-379)
Azioni sul collegamento: N=-4931.25 Ty=0.54 Tz=-0.05 Mx=0.00 Mz=1.22
Sollecitazioni agenti localmente: Tx_l=0.54 Ty_l=-0.05 N_l=-4931.25 My_l=-1.22 Mz_l=0.00
Azioni sul cordone: TP=0.04 TO=-0.00 NO=-364.52
Tensioni nel cordone: τ_P= 0.01 τ_O=2.73E-04 σ_O=117.64 σ_{ID}=117.64 Σ_T=117.64
CC 9 SLV (Collegamento 0022_-379)
Azioni sul collegamento: N=-4942.75 Ty=2.39 Tz=-0.09 Mx=0.02 Mz=5.32
Sollecitazioni agenti localmente: Tx_l=2.39 Ty_l=-0.09 N_l=-4942.75 My_l=-5.32 Mz_l=0.02
Azioni sul cordone: TP=0.15 TO=0.01 NO=-365.37
Tensioni nel cordone: τ_P= 0.05 τ_O=3.55E-03 σ_O=123.90 σ_{ID}=123.90 Σ_T=123.91
CC 9 SLV (Collegamento 0022_-379)
Azioni sul collegamento: N=-4942.75 Ty=0.08 Tz=-0.09 Mx=0.02 Mz=0.80
Sollecitazioni agenti localmente: Tx_l=0.08 Ty_l=-0.09 N_l=-4942.75 My_l=-0.80 Mz_l=0.02
Azioni sul cordone: TP=-0.02 TO=0.01 NO=-365.37
Tensioni nel cordone: τ_P=6.25E-03 τ_O=3.55E-03 σ_O=117.30 σ_{ID}=117.30 Σ_T=117.30
CC 9 SLV (Collegamento 0022_-379)
Azioni sul collegamento: N=-4942.75 Ty=2.39 Tz=-5.22 Mx=0.02 Mz=5.32
Sollecitazioni agenti localmente: Tx_l=2.39 Ty_l=-5.22 N_l=-4942.75 My_l=-5.32 Mz_l=0.02
Azioni sul cordone: TP=0.15 TO=-0.37 NO=-365.37
Tensioni nel cordone: τ_P= 0.05 τ_O=0.12 σ_O=123.90 σ_{ID}=123.90 Σ_T=124.02
CC 9 SLV (Collegamento 0022_-379)
Azioni sul collegamento: N=-4942.75 Ty=0.08 Tz=-5.22 Mx=0.02 Mz=0.80
Sollecitazioni agenti localmente: Tx_l=0.08 Ty_l=-5.22 N_l=-4942.75 My_l=-0.80 Mz_l=0.02
Azioni sul cordone: TP=-0.02 TO=-0.37 NO=-365.37
Tensioni nel cordone: τ_P=6.25E-03 τ_O=0.12 σ_O=117.30 σ_{ID}=117.30 Σ_T=117.41
CC 9 SLV (Collegamento 0022_-379)
Azioni sul collegamento: N=-6324.76 Ty=2.39 Tz=-0.09 Mx=0.02 Mz=5.32
Sollecitazioni agenti localmente: Tx_l=2.39 Ty_l=-0.09 N_l=-6324.76 My_l=-5.32 Mz_l=0.02
Azioni sul cordone: TP=0.15 TO=0.01 NO=-467.53
Tensioni nel cordone: τ_P= 0.05 τ_O=3.56E-03 σ_O=156.37 σ_{ID}=156.37 Σ_T=156.38
CC 9 SLV (Collegamento 0022_-379)
Azioni sul collegamento: N=-6324.76 Ty=0.08 Tz=-0.09 Mx=0.02 Mz=0.80
Sollecitazioni agenti localmente: Tx_l=0.08 Ty_l=-0.09 N_l=-6324.76 My_l=-0.80 Mz_l=0.02
Azioni sul cordone: TP=-0.02 TO=0.01 NO=-467.53
Tensioni nel cordone: τ_P=6.25E-03 τ_O=3.56E-03 σ_O=149.77 σ_{ID}=149.77 Σ_T=149.77
CC 9 SLV (Collegamento 0022_-379)
Azioni sul collegamento: N=-6324.76 Ty=2.39 Tz=-5.22 Mx=0.02 Mz=5.32
Sollecitazioni agenti localmente: Tx_l=2.39 Ty_l=-5.22 N_l=-6324.76 My_l=-5.32 Mz_l=0.02
Azioni sul cordone: TP=0.15 TO=-0.37 NO=-467.53
Tensioni nel cordone: τ_P= 0.05 τ_O=0.12 σ_O=156.37 σ_{ID}=156.37 Σ_T=156.49
CC 9 SLV (Collegamento 0022_-379)
Azioni sul collegamento: N=-6324.76 Ty=0.08 Tz=-5.22 Mx=0.02 Mz=0.80
Sollecitazioni agenti localmente: Tx_l=0.08 Ty_l=-5.22 N_l=-6324.76 My_l=-0.80 Mz_l=0.02
Azioni sul cordone: TP=-0.02 TO=-0.37 NO=-467.53
Tensioni nel cordone: τ_P=6.25E-03 τ_O=0.12 σ_O=149.77 σ_{ID}=149.77 Σ_T=149.88

CC 10 SLD (Collegamento 0022_-379)
Azioni sul collegamento: N=-5422.87 Ty=0.78 Tz=-1.87 Mx=0.01 Mz=1.69
Sollecitazioni agenti localmente: Tx_l=0.78 Ty_l=-1.87 N_l=-5422.87 My_l=-1.69 Mz_l=0.01
Azioni sul cordone: TP=0.05 TO=-0.13 NO=-400.86
Tensioni nel cordone: τ_P= 0.02 τ_O= 0.04 σ_O=129.89 σ_{ID}=129.89 Σ_T=129.93
CC 10 SLD (Collegamento 0022_-379)
Azioni sul collegamento: N=-5422.87 Ty=0.08 Tz=-1.87 Mx=0.01 Mz=0.31
Sollecitazioni agenti localmente: Tx_l=0.08 Ty_l=-1.87 N_l=-5422.87 My_l=-0.31 Mz_l=0.01
Azioni sul cordone: TP=-0.00 TO=-0.13 NO=-400.86
Tensioni nel cordone: τ_P=7.57E-04 τ_O= 0.04 σ_O=127.87 σ_{ID}=127.87 Σ_T=127.91
CC 10 SLD (Collegamento 0022_-379)
Azioni sul collegamento: N=-5422.87 Ty=0.78 Tz=-3.44 Mx=0.01 Mz=1.69
Sollecitazioni agenti localmente: Tx_l=0.78 Ty_l=-3.44 N_l=-5422.87 My_l=-1.69 Mz_l=0.01
Azioni sul cordone: TP=0.05 TO=-0.25 NO=-400.86
Tensioni nel cordone: τ_P= 0.02 τ_O= 0.08 σ_O=129.89 σ_{ID}=129.89 Σ_T=129.97
CC 10 SLD (Collegamento 0022_-379)
Azioni sul collegamento: N=-5422.87 Ty=0.08 Tz=-3.44 Mx=0.01 Mz=0.31
Sollecitazioni agenti localmente: Tx_l=0.08 Ty_l=-3.44 N_l=-5422.87 My_l=-0.31 Mz_l=0.01
Azioni sul cordone: TP=-0.00 TO=-0.25 NO=-400.86
Tensioni nel cordone: τ_P=7.57E-04 τ_O= 0.08 σ_O=127.87 σ_{ID}=127.87 Σ_T=127.95
CC 10 SLD (Collegamento 0022_-379)
Azioni sul collegamento: N=-5844.28 Ty=0.78 Tz=-1.87 Mx=0.01 Mz=1.69
Sollecitazioni agenti localmente: Tx_l=0.78 Ty_l=-1.87 N_l=-5844.28 My_l=-1.69 Mz_l=0.01
Azioni sul cordone: TP=0.05 TO=-0.13 NO=-432.01
Tensioni nel cordone: τ_P= 0.02 τ_O= 0.04 σ_O=139.79 σ_{ID}=139.79 Σ_T=139.83
CC 10 SLD (Collegamento 0022_-379)
Azioni sul collegamento: N=-5844.28 Ty=0.08 Tz=-1.87 Mx=0.01 Mz=0.31
Sollecitazioni agenti localmente: Tx_l=0.08 Ty_l=-1.87 N_l=-5844.28 My_l=-0.31 Mz_l=0.01
Azioni sul cordone: TP=-0.00 TO=-0.13 NO=-432.01
Tensioni nel cordone: τ_P=7.57E-04 τ_O= 0.04 σ_O=137.77 σ_{ID}=137.77 Σ_T=137.82
CC 10 SLD (Collegamento 0022_-379)
Azioni sul collegamento: N=-5844.28 Ty=0.78 Tz=-3.44 Mx=0.01 Mz=1.69
Sollecitazioni agenti localmente: Tx_l=0.78 Ty_l=-3.44 N_l=-5844.28 My_l=-1.69 Mz_l=0.01
Azioni sul cordone: TP=0.05 TO=-0.25 NO=-432.01
Tensioni nel cordone: τ_P= 0.02 τ_O= 0.08 σ_O=139.79 σ_{ID}=139.79 Σ_T=139.87
CC 10 SLD (Collegamento 0022_-379)
Azioni sul collegamento: N=-5844.28 Ty=0.08 Tz=-3.44 Mx=0.01 Mz=0.31
Sollecitazioni agenti localmente: Tx_l=0.08 Ty_l=-3.44 N_l=-5844.28 My_l=-0.31 Mz_l=0.01
Azioni sul cordone: TP=-0.00 TO=-0.25 NO=-432.01
Tensioni nel cordone: τ_P=7.57E-04 τ_O= 0.08 σ_O=137.77 σ_{ID}=137.77 Σ_T=137.85
CC 11 SLV (Collegamento 0022_-379)
Azioni sul collegamento: N=-6324.69 Ty=2.39 Tz=-5.21 Mx=0.02 Mz=5.31
Sollecitazioni agenti localmente: Tx_l=2.39 Ty_l=-5.21 N_l=-6324.69 My_l=-5.31 Mz_l=0.02
Azioni sul cordone: TP=0.15 TO=-0.37 NO=-467.52
Tensioni nel cordone: τ_P= 0.05 τ_O=0.12 σ_O=156.35 σ_{ID}=156.35 Σ_T=156.47
CC 11 SLV (Collegamento 0022_-379)
Azioni sul collegamento: N=-6324.69 Ty=0.09 Tz=-5.21 Mx=0.02 Mz=0.81
Sollecitazioni agenti localmente: Tx_l=0.09 Ty_l=-5.21 N_l=-6324.69 My_l=-0.81 Mz_l=0.02
Azioni sul cordone: TP=-0.02 TO=-0.37 NO=-467.52
Tensioni nel cordone: τ_P=6.13E-03 τ_O=0.12 σ_O=149.78 σ_{ID}=149.78 Σ_T=149.90
CC 11 SLV (Collegamento 0022_-379)
Azioni sul collegamento: N=-6324.69 Ty=2.39 Tz=-0.09 Mx=0.02 Mz=5.31
Sollecitazioni agenti localmente: Tx_l=2.39 Ty_l=-0.09 N_l=-6324.69 My_l=-5.31 Mz_l=0.02
Azioni sul cordone: TP=0.15 TO=0.01 NO=-467.52
Tensioni nel cordone: τ_P= 0.05 τ_O=3.50E-03 σ_O=156.35 σ_{ID}=156.35 Σ_T=156.36
CC 11 SLV (Collegamento 0022_-379)
Azioni sul collegamento: N=-6324.69 Ty=0.09 Tz=-0.09 Mx=0.02 Mz=0.81
Sollecitazioni agenti localmente: Tx_l=0.09 Ty_l=-0.09 N_l=-6324.69 My_l=-0.81 Mz_l=0.02
Azioni sul cordone: TP=-0.02 TO=0.01 NO=-467.52
Tensioni nel cordone: τ_P=6.13E-03 τ_O=3.50E-03 σ_O=149.78 σ_{ID}=149.78 Σ_T=149.78
CC 11 SLV (Collegamento 0022_-379)
Azioni sul collegamento: N=-4942.83 Ty=2.39 Tz=-5.21 Mx=0.02 Mz=5.31
Sollecitazioni agenti localmente: Tx_l=2.39 Ty_l=-5.21 N_l=-4942.83 My_l=-5.31 Mz_l=0.02
Azioni sul cordone: TP=0.15 TO=-0.37 NO=-365.38
Tensioni nel cordone: τ_P= 0.05 τ_O=0.12 σ_O=123.89 σ_{ID}=123.89 Σ_T=124.00
CC 11 SLV (Collegamento 0022_-379)
Azioni sul collegamento: N=-4942.83 Ty=0.09 Tz=-5.21 Mx=0.02 Mz=0.81
Sollecitazioni agenti localmente: Tx_l=0.09 Ty_l=-5.21 N_l=-4942.83 My_l=-0.81 Mz_l=0.02
Azioni sul cordone: TP=-0.02 TO=-0.37 NO=-365.38
Tensioni nel cordone: τ_P=6.13E-03 τ_O=0.12 σ_O=117.31 σ_{ID}=117.31 Σ_T=117.43
CC 11 SLV (Collegamento 0022_-379)
Azioni sul collegamento: N=-4942.83 Ty=2.39 Tz=-0.09 Mx=0.02 Mz=5.31
Sollecitazioni agenti localmente: Tx_l=2.39 Ty_l=-0.09 N_l=-4942.83 My_l=-5.31 Mz_l=0.02
Azioni sul cordone: TP=0.15 TO=0.01 NO=-365.38
Tensioni nel cordone: τ_P= 0.05 τ_O=3.49E-03 σ_O=123.89 σ_{ID}=123.89 Σ_T=123.89
CC 11 SLV (Collegamento 0022_-379)
Azioni sul collegamento: N=-4942.83 Ty=0.09 Tz=-0.09 Mx=0.02 Mz=0.81
Sollecitazioni agenti localmente: Tx_l=0.09 Ty_l=-0.09 N_l=-4942.83 My_l=-0.81 Mz_l=0.02
Azioni sul cordone: TP=-0.02 TO=0.01 NO=-365.38

Tensioni nel cordone: τ_P=6.13E-03 τ_O=3.49E-03 σ_O=117.31 σ_{ID}=117.31 Σ_T=117.32
CC 12 SLD (Collegamento 0022_-379)
Azioni sul collegamento: N=-5844.26 Ty=0.78 Tz=-3.43 Mx=0.01 Mz=1.69
Sollecitazioni agenti localmente: Tx_l=0.78 Ty_l=-3.43 N_l=-5844.26 My_l=-1.69 Mz_l=0.01
Azioni sul cordone: TP=0.05 TO=-0.25 NO=-432.01
Tensioni nel cordone: τ_P= 0.02 τ_O= 0.08 σ_O=139.78 σ_{ID}=139.78 Σ_T=139.86
CC 12 SLD (Collegamento 0022_-379)
Azioni sul collegamento: N=-5844.26 Ty=0.08 Tz=-3.43 Mx=0.01 Mz=0.32
Sollecitazioni agenti localmente: Tx_l=0.08 Ty_l=-3.43 N_l=-5844.26 My_l=-0.32 Mz_l=0.01
Azioni sul cordone: TP=-0.00 TO=-0.25 NO=-432.01
Tensioni nel cordone: τ_P=7.21E-04 τ_O= 0.08 σ_O=137.78 σ_{ID}=137.78 Σ_T=137.86
CC 12 SLD (Collegamento 0022_-379)
Azioni sul collegamento: N=-5844.26 Ty=0.78 Tz=-1.87 Mx=0.01 Mz=1.69
Sollecitazioni agenti localmente: Tx_l=0.78 Ty_l=-1.87 N_l=-5844.26 My_l=-1.69 Mz_l=0.01
Azioni sul cordone: TP=0.05 TO=-0.13 NO=-432.01
Tensioni nel cordone: τ_P= 0.02 τ_O= 0.04 σ_O=139.78 σ_{ID}=139.78 Σ_T=139.82
CC 12 SLD (Collegamento 0022_-379)
Azioni sul collegamento: N=-5844.26 Ty=0.08 Tz=-1.87 Mx=0.01 Mz=0.32
Sollecitazioni agenti localmente: Tx_l=0.08 Ty_l=-1.87 N_l=-5844.26 My_l=-0.32 Mz_l=0.01
Azioni sul cordone: TP=-0.00 TO=-0.13 NO=-432.01
Tensioni nel cordone: τ_P=7.21E-04 τ_O= 0.04 σ_O=137.78 σ_{ID}=137.78 Σ_T=137.82
CC 12 SLD (Collegamento 0022_-379)
Azioni sul collegamento: N=-5422.89 Ty=0.78 Tz=-3.43 Mx=0.01 Mz=1.69
Sollecitazioni agenti localmente: Tx_l=0.78 Ty_l=-3.43 N_l=-5422.89 My_l=-1.69 Mz_l=0.01
Azioni sul cordone: TP=0.05 TO=-0.25 NO=-400.86
Tensioni nel cordone: τ_P= 0.02 τ_O= 0.08 σ_O=129.88 σ_{ID}=129.88 Σ_T=129.96
CC 12 SLD (Collegamento 0022_-379)
Azioni sul collegamento: N=-5422.89 Ty=0.08 Tz=-3.43 Mx=0.01 Mz=0.32
Sollecitazioni agenti localmente: Tx_l=0.08 Ty_l=-3.43 N_l=-5422.89 My_l=-0.32 Mz_l=0.01
Azioni sul cordone: TP=-0.00 TO=-0.25 NO=-400.86
Tensioni nel cordone: τ_P=7.21E-04 τ_O= 0.08 σ_O=127.88 σ_{ID}=127.88 Σ_T=127.96
CC 12 SLD (Collegamento 0022_-379)
Azioni sul collegamento: N=-5422.89 Ty=0.78 Tz=-1.87 Mx=0.01 Mz=1.69
Sollecitazioni agenti localmente: Tx_l=0.78 Ty_l=-1.87 N_l=-5422.89 My_l=-1.69 Mz_l=0.01
Azioni sul cordone: TP=0.05 TO=-0.13 NO=-400.86
Tensioni nel cordone: τ_P= 0.02 τ_O= 0.04 σ_O=129.88 σ_{ID}=129.88 Σ_T=129.92
CC 12 SLD (Collegamento 0022_-379)
Azioni sul collegamento: N=-5422.89 Ty=0.08 Tz=-1.87 Mx=0.01 Mz=0.32
Sollecitazioni agenti localmente: Tx_l=0.08 Ty_l=-1.87 N_l=-5422.89 My_l=-0.32 Mz_l=0.01
Azioni sul cordone: TP=-0.00 TO=-0.13 NO=-400.86
Tensioni nel cordone: τ_P=7.21E-04 τ_O= 0.04 σ_O=127.88 σ_{ID}=127.88 Σ_T=127.92
CC 13 SLV (Collegamento 0022_-379)
Azioni sul collegamento: N=-4942.83 Ty=0.09 Tz=-0.09 Mx=0.00 Mz=0.81
Sollecitazioni agenti localmente: Tx_l=0.09 Ty_l=-0.09 N_l=-4942.83 My_l=-0.81 Mz_l=0.00
Azioni sul cordone: TP=0.00 TO=-0.00 NO=-365.38
Tensioni nel cordone: τ_P=2.07E-04 τ_O=8.98E-04 σ_O=117.31 σ_{ID}=117.31 Σ_T=117.31
CC 13 SLV (Collegamento 0022_-379)
Azioni sul collegamento: N=-4942.83 Ty=2.39 Tz=-0.09 Mx=0.00 Mz=5.31
Sollecitazioni agenti localmente: Tx_l=2.39 Ty_l=-0.09 N_l=-4942.83 My_l=-5.31 Mz_l=0.00
Azioni sul cordone: TP=0.17 TO=-0.00 NO=-365.38
Tensioni nel cordone: τ_P= 0.05 τ_O=8.98E-04 σ_O=123.89 σ_{ID}=123.89 Σ_T=123.89
CC 13 SLV (Collegamento 0022_-379)
Azioni sul collegamento: N=-4942.83 Ty=0.09 Tz=-5.21 Mx=0.00 Mz=0.81
Sollecitazioni agenti localmente: Tx_l=0.09 Ty_l=-5.21 N_l=-4942.83 My_l=-0.81 Mz_l=0.00
Azioni sul cordone: TP=0.00 TO=-0.38 NO=-365.38
Tensioni nel cordone: τ_P=2.07E-04 τ_O=0.12 σ_O=117.31 σ_{ID}=117.31 Σ_T=117.44
CC 13 SLV (Collegamento 0022_-379)
Azioni sul collegamento: N=-4942.83 Ty=2.39 Tz=-5.21 Mx=0.00 Mz=5.31
Sollecitazioni agenti localmente: Tx_l=2.39 Ty_l=-5.21 N_l=-4942.83 My_l=-5.31 Mz_l=0.00
Azioni sul cordone: TP=0.17 TO=-0.38 NO=-365.38
Tensioni nel cordone: τ_P= 0.05 τ_O=0.12 σ_O=123.89 σ_{ID}=123.89 Σ_T=124.01
CC 13 SLV (Collegamento 0022_-379)
Azioni sul collegamento: N=-6324.69 Ty=0.09 Tz=-0.09 Mx=0.00 Mz=0.81
Sollecitazioni agenti localmente: Tx_l=0.09 Ty_l=-0.09 N_l=-6324.69 My_l=-0.81 Mz_l=0.00
Azioni sul cordone: TP=0.00 TO=-0.00 NO=-467.52
Tensioni nel cordone: τ_P=2.07E-04 τ_O=8.88E-04 σ_O=149.78 σ_{ID}=149.78 Σ_T=149.78
CC 13 SLV (Collegamento 0022_-379)
Azioni sul collegamento: N=-6324.69 Ty=2.39 Tz=-0.09 Mx=0.00 Mz=5.31
Sollecitazioni agenti localmente: Tx_l=2.39 Ty_l=-0.09 N_l=-6324.69 My_l=-5.31 Mz_l=0.00
Azioni sul cordone: TP=0.17 TO=-0.00 NO=-467.52
Tensioni nel cordone: τ_P= 0.05 τ_O=8.88E-04 σ_O=156.35 σ_{ID}=156.35 Σ_T=156.36
CC 13 SLV (Collegamento 0022_-379)
Azioni sul collegamento: N=-6324.69 Ty=0.09 Tz=-5.21 Mx=0.00 Mz=0.81
Sollecitazioni agenti localmente: Tx_l=0.09 Ty_l=-5.21 N_l=-6324.69 My_l=-0.81 Mz_l=0.00
Azioni sul cordone: TP=0.00 TO=-0.38 NO=-467.52
Tensioni nel cordone: τ_P=2.07E-04 τ_O=0.12 σ_O=149.78 σ_{ID}=149.78 Σ_T=149.90
CC 13 SLV (Collegamento 0022_-379)
Azioni sul collegamento: N=-6324.69 Ty=2.39 Tz=-5.21 Mx=0.00 Mz=5.31
Sollecitazioni agenti localmente: Tx_l=2.39 Ty_l=-5.21 N_l=-6324.69 My_l=-5.31 Mz_l=0.00

Azioni sul cordone: TP=0.17 TO=-0.38 NO=-467.52
Tensioni nel cordone: τ_P= 0.05 τ_O=0.12 σ_O=156.35 σ_{ID}=156.35 Σ_T=156.48
CC 14 SLD (Collegamento 0022_-379)
Azioni sul collegamento: N=-5422.89 Ty=0.08 Tz=-1.87 Mx=0.00 Mz=0.32
Sollecitazioni agenti localmente: Tx_l=0.08 Ty_l=-1.87 N_l=-5422.89 My_l=-0.32 Mz_l=0.00
Azioni sul cordone: TP=0.00 TO=-0.14 NO=-400.86
Tensioni nel cordone: τ_P=1.21E-03 τ_O= 0.04 σ_O=127.88 σ_{ID}=127.88 Σ_T=127.92
CC 14 SLD (Collegamento 0022_-379)
Azioni sul collegamento: N=-5422.89 Ty=0.78 Tz=-1.87 Mx=0.00 Mz=1.69
Sollecitazioni agenti localmente: Tx_l=0.78 Ty_l=-1.87 N_l=-5422.89 My_l=-1.69 Mz_l=0.00
Azioni sul cordone: TP=0.06 TO=-0.14 NO=-400.86
Tensioni nel cordone: τ_P= 0.02 τ_O= 0.04 σ_O=129.88 σ_{ID}=129.88 Σ_T=129.93
CC 14 SLD (Collegamento 0022_-379)
Azioni sul collegamento: N=-5422.89 Ty=0.08 Tz=-3.43 Mx=0.00 Mz=0.32
Sollecitazioni agenti localmente: Tx_l=0.08 Ty_l=-3.43 N_l=-5422.89 My_l=-0.32 Mz_l=0.00
Azioni sul cordone: TP=0.00 TO=-0.25 NO=-400.86
Tensioni nel cordone: τ_P=1.21E-03 τ_O= 0.08 σ_O=127.88 σ_{ID}=127.88 Σ_T=127.96
CC 14 SLD (Collegamento 0022_-379)
Azioni sul collegamento: N=-5422.89 Ty=0.78 Tz=-3.43 Mx=0.00 Mz=1.69
Sollecitazioni agenti localmente: Tx_l=0.78 Ty_l=-3.43 N_l=-5422.89 My_l=-1.69 Mz_l=0.00
Azioni sul cordone: TP=0.06 TO=-0.25 NO=-400.86
Tensioni nel cordone: τ_P= 0.02 τ_O= 0.08 σ_O=129.88 σ_{ID}=129.88 Σ_T=129.96
CC 14 SLD (Collegamento 0022_-379)
Azioni sul collegamento: N=-5844.26 Ty=0.08 Tz=-1.87 Mx=0.00 Mz=0.32
Sollecitazioni agenti localmente: Tx_l=0.08 Ty_l=-1.87 N_l=-5844.26 My_l=-0.32 Mz_l=0.00
Azioni sul cordone: TP=0.00 TO=-0.14 NO=-432.01
Tensioni nel cordone: τ_P=1.21E-03 τ_O= 0.04 σ_O=137.78 σ_{ID}=137.78 Σ_T=137.82
CC 14 SLD (Collegamento 0022_-379)
Azioni sul collegamento: N=-5844.26 Ty=0.78 Tz=-1.87 Mx=0.00 Mz=1.69
Sollecitazioni agenti localmente: Tx_l=0.78 Ty_l=-1.87 N_l=-5844.26 My_l=-1.69 Mz_l=0.00
Azioni sul cordone: TP=0.06 TO=-0.14 NO=-432.01
Tensioni nel cordone: τ_P= 0.02 τ_O= 0.04 σ_O=139.78 σ_{ID}=139.78 Σ_T=139.83
CC 14 SLD (Collegamento 0022_-379)
Azioni sul collegamento: N=-5844.26 Ty=0.08 Tz=-3.43 Mx=0.00 Mz=0.32
Sollecitazioni agenti localmente: Tx_l=0.08 Ty_l=-3.43 N_l=-5844.26 My_l=-0.32 Mz_l=0.00
Azioni sul cordone: TP=0.00 TO=-0.25 NO=-432.01
Tensioni nel cordone: τ_P=1.21E-03 τ_O= 0.08 σ_O=137.78 σ_{ID}=137.78 Σ_T=137.86
CC 14 SLD (Collegamento 0022_-379)
Azioni sul collegamento: N=-5844.26 Ty=0.78 Tz=-3.43 Mx=0.00 Mz=1.69
Sollecitazioni agenti localmente: Tx_l=0.78 Ty_l=-3.43 N_l=-5844.26 My_l=-1.69 Mz_l=0.00
Azioni sul cordone: TP=0.06 TO=-0.25 NO=-432.01
Tensioni nel cordone: τ_P= 0.02 τ_O= 0.08 σ_O=139.78 σ_{ID}=139.78 Σ_T=139.86
CC 15 SLV (Collegamento 0022_-379)
Azioni sul collegamento: N=-6324.76 Ty=0.08 Tz=-5.22 Mx=0.00 Mz=0.80
Sollecitazioni agenti localmente: Tx_l=0.08 Ty_l=-5.22 N_l=-6324.76 My_l=-0.80 Mz_l=0.00
Azioni sul cordone: TP=0.00 TO=-0.38 NO=-467.53
Tensioni nel cordone: τ_P=1.33E-04 τ_O=0.12 σ_O=149.77 σ_{ID}=149.77 Σ_T=149.89
CC 15 SLV (Collegamento 0022_-379)
Azioni sul collegamento: N=-6324.76 Ty=2.39 Tz=-5.22 Mx=0.00 Mz=5.32
Sollecitazioni agenti localmente: Tx_l=2.39 Ty_l=-5.22 N_l=-6324.76 My_l=-5.32 Mz_l=0.00
Azioni sul cordone: TP=0.17 TO=-0.38 NO=-467.53
Tensioni nel cordone: τ_P= 0.05 τ_O=0.12 σ_O=156.37 σ_{ID}=156.37 Σ_T=156.50
CC 15 SLV (Collegamento 0022_-379)
Azioni sul collegamento: N=-6324.76 Ty=0.08 Tz=-0.09 Mx=0.00 Mz=0.80
Sollecitazioni agenti localmente: Tx_l=0.08 Ty_l=-0.09 N_l=-6324.76 My_l=-0.80 Mz_l=0.00
Azioni sul cordone: TP=0.00 TO=-0.00 NO=-467.53
Tensioni nel cordone: τ_P=1.33E-04 τ_O=8.64E-04 σ_O=149.77 σ_{ID}=149.77 Σ_T=149.77
CC 15 SLV (Collegamento 0022_-379)
Azioni sul collegamento: N=-6324.76 Ty=2.39 Tz=-0.09 Mx=0.00 Mz=5.32
Sollecitazioni agenti localmente: Tx_l=2.39 Ty_l=-0.09 N_l=-6324.76 My_l=-5.32 Mz_l=0.00
Azioni sul cordone: TP=0.17 TO=-0.00 NO=-467.53
Tensioni nel cordone: τ_P= 0.05 τ_O=8.64E-04 σ_O=156.37 σ_{ID}=156.37 Σ_T=156.37
CC 15 SLV (Collegamento 0022_-379)
Azioni sul collegamento: N=-4942.75 Ty=0.08 Tz=-5.22 Mx=0.00 Mz=0.80
Sollecitazioni agenti localmente: Tx_l=0.08 Ty_l=-5.22 N_l=-4942.75 My_l=-0.80 Mz_l=0.00
Azioni sul cordone: TP=0.00 TO=-0.38 NO=-365.37
Tensioni nel cordone: τ_P=1.33E-04 τ_O=0.12 σ_O=117.30 σ_{ID}=117.30 Σ_T=117.42
CC 15 SLV (Collegamento 0022_-379)
Azioni sul collegamento: N=-4942.75 Ty=2.39 Tz=-5.22 Mx=0.00 Mz=5.32
Sollecitazioni agenti localmente: Tx_l=2.39 Ty_l=-5.22 N_l=-4942.75 My_l=-5.32 Mz_l=0.00
Azioni sul cordone: TP=0.17 TO=-0.38 NO=-365.37
Tensioni nel cordone: τ_P= 0.05 τ_O=0.12 σ_O=123.90 σ_{ID}=123.90 Σ_T=124.02
CC 15 SLV (Collegamento 0022_-379)
Azioni sul collegamento: N=-4942.75 Ty=0.08 Tz=-0.09 Mx=0.00 Mz=0.80
Sollecitazioni agenti localmente: Tx_l=0.08 Ty_l=-0.09 N_l=-4942.75 My_l=-0.80 Mz_l=0.00
Azioni sul cordone: TP=0.00 TO=-0.00 NO=-365.37
Tensioni nel cordone: τ_P=1.33E-04 τ_O=8.70E-04 σ_O=117.30 σ_{ID}=117.30 Σ_T=117.30
CC 15 SLV (Collegamento 0022_-379)
Azioni sul collegamento: N=-4942.75 Ty=2.39 Tz=-0.09 Mx=0.00 Mz=5.32

Sollecitazioni agenti localmente: Tx_l=2.39 Ty_l=-0.09 N_l=-4942.75 My_l=-5.32 Mz_l=0.00
Azioni sul cordone: TP=0.17 TO=-0.00 NO=-365.37
Tensioni nel cordone: τ_P= 0.05 τ_O=8.70E-04 σ_O=123.90 σ_{ID}=123.90 Σ_T=123.90
CC 16 SLD (Collegamento 0022_-379)
Azioni sul collegamento: N=-5844.28 Ty=0.08 Tz=-3.44 Mx=0.00 Mz=0.31
Sollecitazioni agenti localmente: Tx_l=0.08 Ty_l=-3.44 N_l=-5844.28 My_l=-0.31 Mz_l=0.00
Azioni sul cordone: TP=0.00 TO=-0.25 NO=-432.01
Tensioni nel cordone: τ_P=1.19E-03 τ_O= 0.08 σ_O=137.77 σ_{ID}=137.77 Σ_T=137.85
CC 16 SLD (Collegamento 0022_-379)
Azioni sul collegamento: N=-5844.28 Ty=0.78 Tz=-3.44 Mx=0.00 Mz=1.69
Sollecitazioni agenti localmente: Tx_l=0.78 Ty_l=-3.44 N_l=-5844.28 My_l=-1.69 Mz_l=0.00
Azioni sul cordone: TP=0.06 TO=-0.25 NO=-432.01
Tensioni nel cordone: τ_P= 0.02 τ_O= 0.08 σ_O=139.79 σ_{ID}=139.79 Σ_T=139.87
CC 16 SLD (Collegamento 0022_-379)
Azioni sul collegamento: N=-5844.28 Ty=0.08 Tz=-1.87 Mx=0.00 Mz=0.31
Sollecitazioni agenti localmente: Tx_l=0.08 Ty_l=-1.87 N_l=-5844.28 My_l=-0.31 Mz_l=0.00
Azioni sul cordone: TP=0.00 TO=-0.14 NO=-432.01
Tensioni nel cordone: τ_P=1.19E-03 τ_O= 0.04 σ_O=137.77 σ_{ID}=137.77 Σ_T=137.82
CC 16 SLD (Collegamento 0022_-379)
Azioni sul collegamento: N=-5844.28 Ty=0.78 Tz=-1.87 Mx=0.00 Mz=1.69
Sollecitazioni agenti localmente: Tx_l=0.78 Ty_l=-1.87 N_l=-5844.28 My_l=-1.69 Mz_l=0.00
Azioni sul cordone: TP=0.06 TO=-0.14 NO=-432.01
Tensioni nel cordone: τ_P= 0.02 τ_O= 0.04 σ_O=139.79 σ_{ID}=139.79 Σ_T=139.83
CC 16 SLD (Collegamento 0022_-379)
Azioni sul collegamento: N=-5422.87 Ty=0.08 Tz=-3.44 Mx=0.00 Mz=0.31
Sollecitazioni agenti localmente: Tx_l=0.08 Ty_l=-3.44 N_l=-5422.87 My_l=-0.31 Mz_l=0.00
Azioni sul cordone: TP=0.00 TO=-0.25 NO=-400.86
Tensioni nel cordone: τ_P=1.19E-03 τ_O= 0.08 σ_O=127.87 σ_{ID}=127.87 Σ_T=127.95
CC 16 SLD (Collegamento 0022_-379)
Azioni sul collegamento: N=-5422.87 Ty=0.78 Tz=-3.44 Mx=0.00 Mz=1.69
Sollecitazioni agenti localmente: Tx_l=0.78 Ty_l=-3.44 N_l=-5422.87 My_l=-1.69 Mz_l=0.00
Azioni sul cordone: TP=0.06 TO=-0.25 NO=-400.86
Tensioni nel cordone: τ_P= 0.02 τ_O= 0.08 σ_O=129.89 σ_{ID}=129.89 Σ_T=129.97
CC 16 SLD (Collegamento 0022_-379)
Azioni sul collegamento: N=-5422.87 Ty=0.08 Tz=-1.87 Mx=0.00 Mz=0.31
Sollecitazioni agenti localmente: Tx_l=0.08 Ty_l=-1.87 N_l=-5422.87 My_l=-0.31 Mz_l=0.00
Azioni sul cordone: TP=0.00 TO=-0.14 NO=-400.86
Tensioni nel cordone: τ_P=1.19E-03 τ_O= 0.04 σ_O=127.87 σ_{ID}=127.87 Σ_T=127.92
CC 16 SLD (Collegamento 0022_-379)
Azioni sul collegamento: N=-5422.87 Ty=0.78 Tz=-1.87 Mx=0.00 Mz=1.69
Sollecitazioni agenti localmente: Tx_l=0.78 Ty_l=-1.87 N_l=-5422.87 My_l=-1.69 Mz_l=0.00
Azioni sul cordone: TP=0.06 TO=-0.14 NO=-400.86
Tensioni nel cordone: τ_P= 0.02 τ_O= 0.04 σ_O=129.89 σ_{ID}=129.89 Σ_T=129.93
CC 17 SLV (Collegamento 0022_-379)
Azioni sul collegamento: N=-3330.00 Ty=-0.74 Tz=5.89 Mx=-0.02 Mz=-2.16
Sollecitazioni agenti localmente: Tx_l=-0.74 Ty_l=5.89 N_l=-3330.00 My_l=2.16 Mz_l=-0.02
Azioni sul cordone: TP=-0.04 TO=0.45 NO=-246.15
Tensioni nel cordone: τ_P= 0.01 τ_O=0.14 σ_O=81.39 σ_{ID}=81.39 Σ_T=81.53
CC 17 SLV (Collegamento 0022_-379)
Azioni sul collegamento: N=-3330.00 Ty=-1.44 Tz=5.89 Mx=-0.02 Mz=-3.55
Sollecitazioni agenti localmente: Tx_l=-1.44 Ty_l=5.89 N_l=-3330.00 My_l=3.55 Mz_l=-0.02
Azioni sul cordone: TP=-0.09 TO=0.45 NO=-246.15
Tensioni nel cordone: τ_P= 0.03 τ_O=0.14 σ_O=83.42 σ_{ID}=83.42 Σ_T=83.56
CC 17 SLV (Collegamento 0022_-379)
Azioni sul collegamento: N=-3330.00 Ty=-0.74 Tz=-11.20 Mx=-0.02 Mz=-2.16
Sollecitazioni agenti localmente: Tx_l=-0.74 Ty_l=-11.20 N_l=-3330.00 My_l=2.16 Mz_l=-0.02
Azioni sul cordone: TP=-0.04 TO=-0.81 NO=-246.15
Tensioni nel cordone: τ_P= 0.01 τ_O=0.26 σ_O=81.39 σ_{ID}=81.39 Σ_T=81.65
CC 17 SLV (Collegamento 0022_-379)
Azioni sul collegamento: N=-3330.00 Ty=-1.44 Tz=-11.20 Mx=-0.02 Mz=-3.55
Sollecitazioni agenti localmente: Tx_l=-1.44 Ty_l=-11.20 N_l=-3330.00 My_l=3.55 Mz_l=-0.02
Azioni sul cordone: TP=-0.09 TO=-0.81 NO=-246.15
Tensioni nel cordone: τ_P= 0.03 τ_O=0.26 σ_O=83.42 σ_{ID}=83.42 Σ_T=83.68
CC 17 SLV (Collegamento 0022_-379)
Azioni sul collegamento: N=-7936.47 Ty=-0.74 Tz=5.89 Mx=-0.02 Mz=-2.16
Sollecitazioni agenti localmente: Tx_l=-0.74 Ty_l=5.89 N_l=-7936.47 My_l=2.16 Mz_l=-0.02
Azioni sul cordone: TP=-0.04 TO=0.45 NO=-586.67
Tensioni nel cordone: τ_P= 0.01 τ_O=0.14 σ_O=189.62 σ_{ID}=189.62 Σ_T=189.76
CC 17 SLV (Collegamento 0022_-379)
Azioni sul collegamento: N=-7936.47 Ty=-1.44 Tz=5.89 Mx=-0.02 Mz=-3.55
Sollecitazioni agenti localmente: Tx_l=-1.44 Ty_l=5.89 N_l=-7936.47 My_l=3.55 Mz_l=-0.02
Azioni sul cordone: TP=-0.09 TO=0.45 NO=-586.67
Tensioni nel cordone: τ_P= 0.03 τ_O=0.14 σ_O=191.65 σ_{ID}=191.65 Σ_T=191.80
CC 17 SLV (Collegamento 0022_-379)
Azioni sul collegamento: N=-7936.47 Ty=-0.74 Tz=-11.20 Mx=-0.02 Mz=-2.16
Sollecitazioni agenti localmente: Tx_l=-0.74 Ty_l=-11.20 N_l=-7936.47 My_l=2.16 Mz_l=-0.02
Azioni sul cordone: TP=-0.04 TO=-0.81 NO=-586.67
Tensioni nel cordone: τ_P= 0.01 τ_O=0.26 σ_O=189.62 σ_{ID}=189.62 Σ_T=189.88
CC 17 SLV (Collegamento 0022_-379)

Azioni sul collegamento: N=-7936.47 Ty=-1.44 Tz=-11.20 Mx=-0.02 Mz=-3.55
Sollecitazioni agenti localmente: Tx_l=-1.44 Ty_l=-11.20 N_l=-7936.47 My_l=3.55 Mz_l=-0.02
Azioni sul cordone: TP=-0.09 TO=-0.81 NO=-586.67
Tensioni nel cordone: τ_P= 0.03 τ_O=0.26 σ_O=191.65 σ_{ID}=191.65 Σ_T=191.91
CC 18 SLD (Collegamento 0022_-379)
Azioni sul collegamento: N=-4931.08 Ty=-0.17 Tz=-0.05 Mx=-0.00 Mz=-0.59
Sollecitazioni agenti localmente: Tx_l=-0.17 Ty_l=-0.05 N_l=-4931.08 My_l=0.59 Mz_l=-0.00
Azioni sul cordone: TP=-0.01 TO=0.00 NO=-364.51
Tensioni nel cordone: τ_P=2.36E-03 τ_O=2.54E-06 σ_O=116.71 σ_{ID}=116.71 Σ_T=116.71
CC 18 SLD (Collegamento 0022_-379)
Azioni sul collegamento: N=-4931.08 Ty=-0.39 Tz=-0.05 Mx=-0.00 Mz=-1.01
Sollecitazioni agenti localmente: Tx_l=-0.39 Ty_l=-0.05 N_l=-4931.08 My_l=1.01 Mz_l=-0.00
Azioni sul cordone: TP=-0.02 TO=0.00 NO=-364.51
Tensioni nel cordone: τ_P=7.41E-03 τ_O=2.54E-06 σ_O=117.33 σ_{ID}=117.33 Σ_T=117.33
CC 18 SLD (Collegamento 0022_-379)
Azioni sul collegamento: N=-4931.09 Ty=-0.17 Tz=-5.26 Mx=-0.00 Mz=-0.59
Sollecitazioni agenti localmente: Tx_l=-0.17 Ty_l=-5.26 N_l=-4931.09 My_l=0.59 Mz_l=-0.00
Azioni sul cordone: TP=-0.01 TO=-0.38 NO=-364.51
Tensioni nel cordone: τ_P=2.36E-03 τ_O=0.12 σ_O=116.71 σ_{ID}=116.71 Σ_T=116.84
CC 18 SLD (Collegamento 0022_-379)
Azioni sul collegamento: N=-4931.09 Ty=-0.39 Tz=-5.26 Mx=-0.00 Mz=-1.01
Sollecitazioni agenti localmente: Tx_l=-0.39 Ty_l=-5.26 N_l=-4931.09 My_l=1.01 Mz_l=-0.00
Azioni sul cordone: TP=-0.02 TO=-0.38 NO=-364.51
Tensioni nel cordone: τ_P=7.41E-03 τ_O=0.12 σ_O=117.33 σ_{ID}=117.33 Σ_T=117.46
CC 18 SLD (Collegamento 0022_-379)
Azioni sul collegamento: N=-6335.74 Ty=-0.17 Tz=-0.05 Mx=-0.00 Mz=-0.59
Sollecitazioni agenti localmente: Tx_l=-0.17 Ty_l=-0.05 N_l=-6335.74 My_l=0.59 Mz_l=-0.00
Azioni sul cordone: TP=-0.01 TO=0.00 NO=-468.34
Tensioni nel cordone: τ_P=2.36E-03 τ_O=9.99E-06 σ_O=149.72 σ_{ID}=149.72 Σ_T=149.72
CC 18 SLD (Collegamento 0022_-379)
Azioni sul collegamento: N=-6335.74 Ty=-0.39 Tz=-0.05 Mx=-0.00 Mz=-1.01
Sollecitazioni agenti localmente: Tx_l=-0.39 Ty_l=-0.05 N_l=-6335.74 My_l=1.01 Mz_l=-0.00
Azioni sul cordone: TP=-0.02 TO=0.00 NO=-468.34
Tensioni nel cordone: τ_P=7.41E-03 τ_O=9.99E-06 σ_O=150.34 σ_{ID}=150.34 Σ_T=150.34
CC 18 SLD (Collegamento 0022_-379)
Azioni sul collegamento: N=-6335.74 Ty=-0.17 Tz=-5.26 Mx=-0.00 Mz=-0.59
Sollecitazioni agenti localmente: Tx_l=-0.17 Ty_l=-5.26 N_l=-6335.74 My_l=0.59 Mz_l=-0.00
Azioni sul cordone: TP=-0.01 TO=-0.38 NO=-468.34
Tensioni nel cordone: τ_P=2.36E-03 τ_O=0.12 σ_O=149.72 σ_{ID}=149.72 Σ_T=149.84
CC 18 SLD (Collegamento 0022_-379)
Azioni sul collegamento: N=-6335.74 Ty=-0.39 Tz=-5.26 Mx=-0.00 Mz=-1.01
Sollecitazioni agenti localmente: Tx_l=-0.39 Ty_l=-5.26 N_l=-6335.74 My_l=1.01 Mz_l=-0.00
Azioni sul cordone: TP=-0.02 TO=-0.38 NO=-468.34
Tensioni nel cordone: τ_P=7.41E-03 τ_O=0.12 σ_O=150.34 σ_{ID}=150.34 Σ_T=150.46
CC 19 SLV (Collegamento 0022_-379)
Azioni sul collegamento: N=-3330.02 Ty=-1.43 Tz=5.88 Mx=-0.01 Mz=-3.51
Sollecitazioni agenti localmente: Tx_l=-1.43 Ty_l=5.88 N_l=-3330.02 My_l=3.51 Mz_l=-0.01
Azioni sul cordone: TP=-0.09 TO=0.44 NO=-246.16
Tensioni nel cordone: τ_P= 0.03 τ_O=0.14 σ_O=83.37 σ_{ID}=83.37 Σ_T=83.51
CC 19 SLV (Collegamento 0022_-379)
Azioni sul collegamento: N=-3330.02 Ty=-0.75 Tz=5.88 Mx=-0.01 Mz=-2.19
Sollecitazioni agenti localmente: Tx_l=-0.75 Ty_l=5.88 N_l=-3330.02 My_l=2.19 Mz_l=-0.01
Azioni sul cordone: TP=-0.04 TO=0.44 NO=-246.16
Tensioni nel cordone: τ_P= 0.01 τ_O=0.14 σ_O=81.45 σ_{ID}=81.45 Σ_T=81.59
CC 19 SLV (Collegamento 0022_-379)
Azioni sul collegamento: N=-3330.02 Ty=-1.43 Tz=-11.19 Mx=-0.01 Mz=-3.51
Sollecitazioni agenti localmente: Tx_l=-1.43 Ty_l=-11.19 N_l=-3330.02 My_l=3.51 Mz_l=-0.01
Azioni sul cordone: TP=-0.09 TO=-0.82 NO=-246.16
Tensioni nel cordone: τ_P= 0.03 τ_O=0.26 σ_O=83.37 σ_{ID}=83.37 Σ_T=83.63
CC 19 SLV (Collegamento 0022_-379)
Azioni sul collegamento: N=-3330.02 Ty=-0.75 Tz=-11.19 Mx=-0.01 Mz=-2.19
Sollecitazioni agenti localmente: Tx_l=-0.75 Ty_l=-11.19 N_l=-3330.02 My_l=2.19 Mz_l=-0.01
Azioni sul cordone: TP=-0.04 TO=-0.82 NO=-246.16
Tensioni nel cordone: τ_P= 0.01 τ_O=0.26 σ_O=81.45 σ_{ID}=81.45 Σ_T=81.71
CC 19 SLV (Collegamento 0022_-379)
Azioni sul collegamento: N=-7936.44 Ty=-1.43 Tz=5.88 Mx=-0.01 Mz=-3.51
Sollecitazioni agenti localmente: Tx_l=-1.43 Ty_l=5.88 N_l=-7936.44 My_l=3.51 Mz_l=-0.01
Azioni sul cordone: TP=-0.09 TO=0.44 NO=-586.66
Tensioni nel cordone: τ_P= 0.03 τ_O=0.14 σ_O=191.60 σ_{ID}=191.60 Σ_T=191.74
CC 19 SLV (Collegamento 0022_-379)
Azioni sul collegamento: N=-7936.44 Ty=-0.75 Tz=5.88 Mx=-0.01 Mz=-2.19
Sollecitazioni agenti localmente: Tx_l=-0.75 Ty_l=5.88 N_l=-7936.44 My_l=2.19 Mz_l=-0.01
Azioni sul cordone: TP=-0.04 TO=0.44 NO=-586.66
Tensioni nel cordone: τ_P= 0.01 τ_O=0.14 σ_O=189.68 σ_{ID}=189.68 Σ_T=189.82
CC 19 SLV (Collegamento 0022_-379)
Azioni sul collegamento: N=-7936.44 Ty=-1.43 Tz=-11.19 Mx=-0.01 Mz=-3.51
Sollecitazioni agenti localmente: Tx_l=-1.43 Ty_l=-11.19 N_l=-7936.44 My_l=3.51 Mz_l=-0.01
Azioni sul cordone: TP=-0.09 TO=-0.82 NO=-586.66
Tensioni nel cordone: τ_P= 0.03 τ_O=0.26 σ_O=191.60 σ_{ID}=191.60 Σ_T=191.86

CC 19 SLV (Collegamento 0022_-379)
Azioni sul collegamento: N=-7936.44 Ty=-0.75 Tz=-11.19 Mx=-0.01 Mz=-2.19
Sollecitazioni agenti localmente: Tx_l=-0.75 Ty_l=-11.19 N_l=-7936.44 My_l=2.19 Mz_l=-0.01
Azioni sul cordone: TP=-0.04 TO=-0.82 NO=-586.66
Tensioni nel cordone: τ_P= 0.01 τ_0=0.26 σ_0=189.68 σ_{ID}=189.68 Σ_T=189.94
CC 20 SLD (Collegamento 0022_-379)
Azioni sul collegamento: N=-4931.09 Ty=-0.38 Tz=-0.05 Mx=-0.00 Mz=-1.00
Sollecitazioni agenti localmente: Tx_l=-0.38 Ty_l=-0.05 N_l=-4931.09 My_l=1.00 Mz_l=-0.00
Azioni sul cordone: TP=-0.02 TO=-0.00 NO=-364.51
Tensioni nel cordone: τ_P=7.89E-03 τ_0=4.06E-04 σ_0=117.32 σ_{ID}=117.32 Σ_T=117.32
CC 20 SLD (Collegamento 0022_-379)
Azioni sul collegamento: N=-4931.09 Ty=-0.18 Tz=-0.05 Mx=-0.00 Mz=-0.60
Sollecitazioni agenti localmente: Tx_l=-0.18 Ty_l=-0.05 N_l=-4931.09 My_l=0.60 Mz_l=-0.00
Azioni sul cordone: TP=-0.01 TO=-0.00 NO=-364.51
Tensioni nel cordone: τ_P=3.04E-03 τ_0=4.06E-04 σ_0=116.73 σ_{ID}=116.73 Σ_T=116.73
CC 20 SLD (Collegamento 0022_-379)
Azioni sul collegamento: N=-4931.09 Ty=-0.38 Tz=-5.26 Mx=-0.00 Mz=-1.00
Sollecitazioni agenti localmente: Tx_l=-0.38 Ty_l=-5.26 N_l=-4931.09 My_l=1.00 Mz_l=-0.00
Azioni sul cordone: TP=-0.02 TO=-0.39 NO=-364.51
Tensioni nel cordone: τ_P=7.89E-03 τ_0=0.12 σ_0=117.32 σ_{ID}=117.32 Σ_T=117.44
CC 20 SLD (Collegamento 0022_-379)
Azioni sul collegamento: N=-4931.09 Ty=-0.18 Tz=-5.26 Mx=-0.00 Mz=-0.60
Sollecitazioni agenti localmente: Tx_l=-0.18 Ty_l=-5.26 N_l=-4931.09 My_l=0.60 Mz_l=-0.00
Azioni sul cordone: TP=-0.01 TO=-0.39 NO=-364.51
Tensioni nel cordone: τ_P=3.04E-03 τ_0=0.12 σ_0=116.73 σ_{ID}=116.73 Σ_T=116.85
CC 20 SLD (Collegamento 0022_-379)
Azioni sul collegamento: N=-6335.74 Ty=-0.38 Tz=-0.05 Mx=-0.00 Mz=-1.00
Sollecitazioni agenti localmente: Tx_l=-0.38 Ty_l=-0.05 N_l=-6335.74 My_l=1.00 Mz_l=-0.00
Azioni sul cordone: TP=-0.02 TO=-0.00 NO=-468.34
Tensioni nel cordone: τ_P=7.89E-03 τ_0=4.04E-04 σ_0=150.32 σ_{ID}=150.32 Σ_T=150.32
CC 20 SLD (Collegamento 0022_-379)
Azioni sul collegamento: N=-6335.74 Ty=-0.18 Tz=-0.05 Mx=-0.00 Mz=-0.60
Sollecitazioni agenti localmente: Tx_l=-0.18 Ty_l=-0.05 N_l=-6335.74 My_l=0.60 Mz_l=-0.00
Azioni sul cordone: TP=-0.01 TO=-0.00 NO=-468.34
Tensioni nel cordone: τ_P=3.04E-03 τ_0=4.04E-04 σ_0=149.73 σ_{ID}=149.73 Σ_T=149.74
CC 20 SLD (Collegamento 0022_-379)
Azioni sul collegamento: N=-6335.74 Ty=-0.38 Tz=-5.26 Mx=-0.00 Mz=-1.00
Sollecitazioni agenti localmente: Tx_l=-0.38 Ty_l=-5.26 N_l=-6335.74 My_l=1.00 Mz_l=-0.00
Azioni sul cordone: TP=-0.02 TO=-0.39 NO=-468.34
Tensioni nel cordone: τ_P=7.89E-03 τ_0=0.12 σ_0=150.32 σ_{ID}=150.32 Σ_T=150.44
CC 20 SLD (Collegamento 0022_-379)
Azioni sul collegamento: N=-6335.74 Ty=-0.18 Tz=-5.26 Mx=-0.00 Mz=-0.60
Sollecitazioni agenti localmente: Tx_l=-0.18 Ty_l=-5.26 N_l=-6335.74 My_l=0.60 Mz_l=-0.00
Azioni sul cordone: TP=-0.01 TO=-0.39 NO=-468.34
Tensioni nel cordone: τ_P=3.04E-03 τ_0=0.12 σ_0=149.73 σ_{ID}=149.73 Σ_T=149.86
CC 21 SLV (Collegamento 0022_-379)
Azioni sul collegamento: N=-7936.44 Ty=-0.75 Tz=-11.19 Mx=-0.02 Mz=-2.19
Sollecitazioni agenti localmente: Tx_l=-0.75 Ty_l=-11.19 N_l=-7936.44 My_l=2.19 Mz_l=-0.02
Azioni sul cordone: TP=-0.04 TO=-0.82 NO=-586.66
Tensioni nel cordone: τ_P= 0.01 τ_0=0.26 σ_0=189.68 σ_{ID}=189.68 Σ_T=189.94
CC 21 SLV (Collegamento 0022_-379)
Azioni sul collegamento: N=-7936.44 Ty=-1.43 Tz=-11.19 Mx=-0.02 Mz=-3.51
Sollecitazioni agenti localmente: Tx_l=-1.43 Ty_l=-11.19 N_l=-7936.44 My_l=3.51 Mz_l=-0.02
Azioni sul cordone: TP=-0.09 TO=-0.82 NO=-586.66
Tensioni nel cordone: τ_P= 0.03 τ_0=0.26 σ_0=191.60 σ_{ID}=191.60 Σ_T=191.86
CC 21 SLV (Collegamento 0022_-379)
Azioni sul collegamento: N=-7936.44 Ty=-0.75 Tz=5.88 Mx=-0.02 Mz=-2.19
Sollecitazioni agenti localmente: Tx_l=-0.75 Ty_l=5.88 N_l=-7936.44 My_l=2.19 Mz_l=-0.02
Azioni sul cordone: TP=-0.04 TO=0.45 NO=-586.66
Tensioni nel cordone: τ_P= 0.01 τ_0=0.14 σ_0=189.68 σ_{ID}=189.68 Σ_T=189.82
CC 21 SLV (Collegamento 0022_-379)
Azioni sul collegamento: N=-7936.44 Ty=-1.43 Tz=5.88 Mx=-0.02 Mz=-3.51
Sollecitazioni agenti localmente: Tx_l=-1.43 Ty_l=5.88 N_l=-7936.44 My_l=3.51 Mz_l=-0.02
Azioni sul cordone: TP=-0.09 TO=0.45 NO=-586.66
Tensioni nel cordone: τ_P= 0.03 τ_0=0.14 σ_0=191.60 σ_{ID}=191.60 Σ_T=191.74
CC 21 SLV (Collegamento 0022_-379)
Azioni sul collegamento: N=-3330.02 Ty=-0.75 Tz=-11.19 Mx=-0.02 Mz=-2.19
Sollecitazioni agenti localmente: Tx_l=-0.75 Ty_l=-11.19 N_l=-3330.02 My_l=2.19 Mz_l=-0.02
Azioni sul cordone: TP=-0.04 TO=-0.82 NO=-246.16
Tensioni nel cordone: τ_P= 0.01 τ_0=0.26 σ_0=81.45 σ_{ID}=81.45 Σ_T=81.71
CC 21 SLV (Collegamento 0022_-379)
Azioni sul collegamento: N=-3330.02 Ty=-1.43 Tz=-11.19 Mx=-0.02 Mz=-3.51
Sollecitazioni agenti localmente: Tx_l=-1.43 Ty_l=-11.19 N_l=-3330.02 My_l=3.51 Mz_l=-0.02
Azioni sul cordone: TP=-0.09 TO=-0.82 NO=-246.16
Tensioni nel cordone: τ_P= 0.03 τ_0=0.26 σ_0=83.37 σ_{ID}=83.37 Σ_T=83.63
CC 21 SLV (Collegamento 0022_-379)
Azioni sul collegamento: N=-3330.02 Ty=-0.75 Tz=5.88 Mx=-0.02 Mz=-2.19
Sollecitazioni agenti localmente: Tx_l=-0.75 Ty_l=5.88 N_l=-3330.02 My_l=2.19 Mz_l=-0.02
Azioni sul cordone: TP=-0.04 TO=0.45 NO=-246.16

Tensioni nel cordone: τ_P= 0.01 τ_0=0.14 σ_0=81.45 σ_{ID}=81.45 Σ_T=81.59
CC 21 SLV (Collegamento 0022_-379)
Azioni sul collegamento: N=-3330.02 Ty=-1.43 Tz=5.88 Mx=-0.02 Mz=-3.51
Sollecitazioni agenti localmente: Tx_l=-1.43 Ty_l=5.88 N_l=-3330.02 My_l=3.51 Mz_l=-0.02
Azioni sul cordone: TP=-0.09 TO=0.45 NO=-246.16
Tensioni nel cordone: τ_P= 0.03 τ_0=0.14 σ_0=83.37 σ_{ID}=83.37 Σ_T=83.51
CC 22 SLD (Collegamento 0022_-379)
Azioni sul collegamento: N=-6335.74 Ty=-0.18 Tz=-5.26 Mx=-0.00 Mz=-0.60
Sollecitazioni agenti localmente: Tx_l=-0.18 Ty_l=-5.26 N_l=-6335.74 My_l=0.60 Mz_l=-0.00
Azioni sul cordone: TP=-0.01 TO=-0.39 NO=-468.34
Tensioni nel cordone: τ_P=2.48E-03 τ_0=0.12 σ_0=149.73 σ_{ID}=149.73 Σ_T=149.86
CC 22 SLD (Collegamento 0022_-379)
Azioni sul collegamento: N=-6335.74 Ty=-0.38 Tz=-5.26 Mx=-0.00 Mz=-1.00
Sollecitazioni agenti localmente: Tx_l=-0.38 Ty_l=-5.26 N_l=-6335.74 My_l=1.00 Mz_l=-0.00
Azioni sul cordone: TP=-0.02 TO=-0.39 NO=-468.34
Tensioni nel cordone: τ_P=7.33E-03 τ_0=0.12 σ_0=150.32 σ_{ID}=150.32 Σ_T=150.44
CC 22 SLD (Collegamento 0022_-379)
Azioni sul collegamento: N=-6335.74 Ty=-0.18 Tz=-0.05 Mx=-0.00 Mz=-0.60
Sollecitazioni agenti localmente: Tx_l=-0.18 Ty_l=-0.05 N_l=-6335.74 My_l=0.60 Mz_l=-0.00
Azioni sul cordone: TP=-0.01 TO=-0.00 NO=-468.34
Tensioni nel cordone: τ_P=2.48E-03 τ_0=1.65E-05 σ_0=149.73 σ_{ID}=149.73 Σ_T=149.73
CC 22 SLD (Collegamento 0022_-379)
Azioni sul collegamento: N=-6335.74 Ty=-0.38 Tz=-0.05 Mx=-0.00 Mz=-1.00
Sollecitazioni agenti localmente: Tx_l=-0.38 Ty_l=-0.05 N_l=-6335.74 My_l=1.00 Mz_l=-0.00
Azioni sul cordone: TP=-0.02 TO=-0.00 NO=-468.34
Tensioni nel cordone: τ_P=7.33E-03 τ_0=1.65E-05 σ_0=150.32 σ_{ID}=150.32 Σ_T=150.32
CC 22 SLD (Collegamento 0022_-379)
Azioni sul collegamento: N=-4931.09 Ty=-0.18 Tz=-5.26 Mx=-0.00 Mz=-0.60
Sollecitazioni agenti localmente: Tx_l=-0.18 Ty_l=-5.26 N_l=-4931.09 My_l=0.60 Mz_l=-0.00
Azioni sul cordone: TP=-0.01 TO=-0.39 NO=-364.51
Tensioni nel cordone: τ_P=2.48E-03 τ_0=0.12 σ_0=116.73 σ_{ID}=116.73 Σ_T=116.85
CC 22 SLD (Collegamento 0022_-379)
Azioni sul collegamento: N=-4931.09 Ty=-0.38 Tz=-5.26 Mx=-0.00 Mz=-1.00
Sollecitazioni agenti localmente: Tx_l=-0.38 Ty_l=-5.26 N_l=-4931.09 My_l=1.00 Mz_l=-0.00
Azioni sul cordone: TP=-0.02 TO=-0.39 NO=-364.51
Tensioni nel cordone: τ_P=7.33E-03 τ_0=0.12 σ_0=117.32 σ_{ID}=117.32 Σ_T=117.44
CC 22 SLD (Collegamento 0022_-379)
Azioni sul collegamento: N=-4931.09 Ty=-0.18 Tz=-0.05 Mx=-0.00 Mz=-0.60
Sollecitazioni agenti localmente: Tx_l=-0.18 Ty_l=-0.05 N_l=-4931.09 My_l=0.60 Mz_l=-0.00
Azioni sul cordone: TP=-0.01 TO=-0.00 NO=-364.51
Tensioni nel cordone: τ_P=2.48E-03 τ_0=1.77E-05 σ_0=116.73 σ_{ID}=116.73 Σ_T=116.73
CC 22 SLD (Collegamento 0022_-379)
Azioni sul collegamento: N=-4931.09 Ty=-0.38 Tz=-0.05 Mx=-0.00 Mz=-1.00
Sollecitazioni agenti localmente: Tx_l=-0.38 Ty_l=-0.05 N_l=-4931.09 My_l=1.00 Mz_l=-0.00
Azioni sul cordone: TP=-0.02 TO=-0.00 NO=-364.51
Tensioni nel cordone: τ_P=7.33E-03 τ_0=1.77E-05 σ_0=117.32 σ_{ID}=117.32 Σ_T=117.32
CC 23 SLV (Collegamento 0022_-379)
Azioni sul collegamento: N=-7936.47 Ty=-1.44 Tz=-11.20 Mx=-0.01 Mz=-3.55
Sollecitazioni agenti localmente: Tx_l=-1.44 Ty_l=-11.20 N_l=-7936.47 My_l=3.55 Mz_l=-0.01
Azioni sul cordone: TP=-0.09 TO=-0.82 NO=-586.67
Tensioni nel cordone: τ_P= 0.03 τ_0=0.26 σ_0=191.65 σ_{ID}=191.65 Σ_T=191.91
CC 23 SLV (Collegamento 0022_-379)
Azioni sul collegamento: N=-7936.47 Ty=-0.74 Tz=-11.20 Mx=-0.01 Mz=-2.16
Sollecitazioni agenti localmente: Tx_l=-0.74 Ty_l=-11.20 N_l=-7936.47 My_l=2.16 Mz_l=-0.01
Azioni sul cordone: TP=-0.04 TO=-0.82 NO=-586.67
Tensioni nel cordone: τ_P= 0.01 τ_0=0.26 σ_0=189.62 σ_{ID}=189.62 Σ_T=189.88
CC 23 SLV (Collegamento 0022_-379)
Azioni sul collegamento: N=-7936.47 Ty=-1.44 Tz=5.89 Mx=-0.01 Mz=-3.55
Sollecitazioni agenti localmente: Tx_l=-1.44 Ty_l=5.89 N_l=-7936.47 My_l=3.55 Mz_l=-0.01
Azioni sul cordone: TP=-0.09 TO=0.44 NO=-586.67
Tensioni nel cordone: τ_P= 0.03 τ_0=0.14 σ_0=191.65 σ_{ID}=191.65 Σ_T=191.79
CC 23 SLV (Collegamento 0022_-379)
Azioni sul collegamento: N=-7936.47 Ty=-0.74 Tz=5.89 Mx=-0.01 Mz=-2.16
Sollecitazioni agenti localmente: Tx_l=-0.74 Ty_l=5.89 N_l=-7936.47 My_l=2.16 Mz_l=-0.01
Azioni sul cordone: TP=-0.04 TO=0.44 NO=-586.67
Tensioni nel cordone: τ_P= 0.01 τ_0=0.14 σ_0=189.62 σ_{ID}=189.62 Σ_T=189.76
CC 23 SLV (Collegamento 0022_-379)
Azioni sul collegamento: N=-3330.00 Ty=-1.44 Tz=-11.20 Mx=-0.01 Mz=-3.55
Sollecitazioni agenti localmente: Tx_l=-1.44 Ty_l=-11.20 N_l=-3330.00 My_l=3.55 Mz_l=-0.01
Azioni sul cordone: TP=-0.09 TO=-0.82 NO=-246.15
Tensioni nel cordone: τ_P= 0.03 τ_0=0.26 σ_0=83.42 σ_{ID}=83.42 Σ_T=83.68
CC 23 SLV (Collegamento 0022_-379)
Azioni sul collegamento: N=-3330.00 Ty=-0.74 Tz=-11.20 Mx=-0.01 Mz=-2.16
Sollecitazioni agenti localmente: Tx_l=-0.74 Ty_l=-11.20 N_l=-3330.00 My_l=2.16 Mz_l=-0.01
Azioni sul cordone: TP=-0.04 TO=-0.82 NO=-246.15
Tensioni nel cordone: τ_P= 0.01 τ_0=0.26 σ_0=81.39 σ_{ID}=81.39 Σ_T=81.65
CC 23 SLV (Collegamento 0022_-379)
Azioni sul collegamento: N=-3330.00 Ty=-1.44 Tz=5.89 Mx=-0.01 Mz=-3.55
Sollecitazioni agenti localmente: Tx_l=-1.44 Ty_l=5.89 N_l=-3330.00 My_l=3.55 Mz_l=-0.01

Azioni sul cordone: TP=-0.09 TO=0.44 NO=-246.15
Tensioni nel cordone: τ_P= 0.03 τ_O=0.14 σ_O=83.42 σ_{ID}=83.42 Σ_T=83.56
CC 23 SLV (Collegamento 0022_-379)
Azioni sul collegamento: N=-3330.00 Ty=-0.74 Tz=5.89 Mx=-0.01 Mz=-2.16
Sollecitazioni agenti localmente: Tx_l=-0.74 Ty_l=5.89 N_l=-3330.00 My_l=2.16 Mz_l=-0.01
Azioni sul cordone: TP=-0.04 TO=0.44 NO=-246.15
Tensioni nel cordone: τ_P= 0.01 τ_O=0.14 σ_O=81.39 σ_{ID}=81.39 Σ_T=81.53
CC 24 SLD (Collegamento 0022_-379)
Azioni sul collegamento: N=-6335.74 Ty=-0.39 Tz=-5.26 Mx=-0.00 Mz=-1.01
Sollecitazioni agenti localmente: Tx_l=-0.39 Ty_l=-5.26 N_l=-6335.74 My_l=1.01 Mz_l=-0.00
Azioni sul cordone: TP=-0.03 TO=-0.39 NO=-468.34
Tensioni nel cordone: τ_P=8.01E-03 τ_O=0.12 σ_O=150.34 σ_{ID}=150.34 Σ_T=150.46
CC 24 SLD (Collegamento 0022_-379)
Azioni sul collegamento: N=-6335.74 Ty=-0.17 Tz=-5.26 Mx=-0.00 Mz=-0.59
Sollecitazioni agenti localmente: Tx_l=-0.17 Ty_l=-5.26 N_l=-6335.74 My_l=0.59 Mz_l=-0.00
Azioni sul cordone: TP=-0.01 TO=-0.39 NO=-468.34
Tensioni nel cordone: τ_P=2.96E-03 τ_O=0.12 σ_O=149.72 σ_{ID}=149.72 Σ_T=149.84
CC 24 SLD (Collegamento 0022_-379)
Azioni sul collegamento: N=-6335.74 Ty=-0.39 Tz=-0.05 Mx=-0.00 Mz=-1.01
Sollecitazioni agenti localmente: Tx_l=-0.39 Ty_l=-0.05 N_l=-6335.74 My_l=1.01 Mz_l=-0.00
Azioni sul cordone: TP=-0.03 TO=-0.00 NO=-468.34
Tensioni nel cordone: τ_P=8.01E-03 τ_O=4.08E-04 σ_O=150.34 σ_{ID}=150.34 Σ_T=150.34
CC 24 SLD (Collegamento 0022_-379)
Azioni sul collegamento: N=-6335.74 Ty=-0.17 Tz=-0.05 Mx=-0.00 Mz=-0.59
Sollecitazioni agenti localmente: Tx_l=-0.17 Ty_l=-0.05 N_l=-6335.74 My_l=0.59 Mz_l=-0.00
Azioni sul cordone: TP=-0.01 TO=-0.00 NO=-468.34
Tensioni nel cordone: τ_P=2.96E-03 τ_O=4.08E-04 σ_O=149.72 σ_{ID}=149.72 Σ_T=149.72
CC 24 SLD (Collegamento 0022_-379)
Azioni sul collegamento: N=-4931.09 Ty=-0.39 Tz=-5.26 Mx=-0.00 Mz=-1.01
Sollecitazioni agenti localmente: Tx_l=-0.39 Ty_l=-5.26 N_l=-4931.09 My_l=1.01 Mz_l=-0.00
Azioni sul cordone: TP=-0.03 TO=-0.39 NO=-364.51
Tensioni nel cordone: τ_P=8.01E-03 τ_O=0.12 σ_O=117.33 σ_{ID}=117.33 Σ_T=117.46
CC 24 SLD (Collegamento 0022_-379)
Azioni sul collegamento: N=-4931.09 Ty=-0.17 Tz=-5.26 Mx=-0.00 Mz=-0.59
Sollecitazioni agenti localmente: Tx_l=-0.17 Ty_l=-5.26 N_l=-4931.09 My_l=0.59 Mz_l=-0.00
Azioni sul cordone: TP=-0.01 TO=-0.39 NO=-364.51
Tensioni nel cordone: τ_P=2.96E-03 τ_O=0.12 σ_O=116.71 σ_{ID}=116.71 Σ_T=116.84
CC 24 SLD (Collegamento 0022_-379)
Azioni sul collegamento: N=-4931.08 Ty=-0.39 Tz=-0.05 Mx=-0.00 Mz=-1.01
Sollecitazioni agenti localmente: Tx_l=-0.39 Ty_l=-0.05 N_l=-4931.08 My_l=1.01 Mz_l=-0.00
Azioni sul cordone: TP=-0.03 TO=-0.00 NO=-364.51
Tensioni nel cordone: τ_P=8.01E-03 τ_O=4.16E-04 σ_O=117.33 σ_{ID}=117.33 Σ_T=117.33
CC 24 SLD (Collegamento 0022_-379)
Azioni sul collegamento: N=-4931.08 Ty=-0.17 Tz=-0.05 Mx=-0.00 Mz=-0.59
Sollecitazioni agenti localmente: Tx_l=-0.17 Ty_l=-0.05 N_l=-4931.08 My_l=0.59 Mz_l=-0.00
Azioni sul cordone: TP=-0.01 TO=-0.00 NO=-364.51
Tensioni nel cordone: τ_P=2.96E-03 τ_O=4.16E-04 σ_O=116.71 σ_{ID}=116.71 Σ_T=116.71
CC 25 SLV (Collegamento 0022_-379)
Azioni sul collegamento: N=-4942.23 Ty=0.07 Tz=-0.09 Mx=-0.02 Mz=-0.59
Sollecitazioni agenti localmente: Tx_l=0.07 Ty_l=-0.09 N_l=-4942.23 My_l=0.59 Mz_l=-0.02
Azioni sul cordone: TP=0.03 TO=0.01 NO=-365.33
Tensioni nel cordone: τ_P=9.55E-03 τ_O=3.38E-03 σ_O=116.98 σ_{ID}=116.98 Σ_T=116.99
CC 25 SLV (Collegamento 0022_-379)
Azioni sul collegamento: N=-4942.23 Ty=-2.24 Tz=-0.09 Mx=-0.02 Mz=-5.11
Sollecitazioni agenti localmente: Tx_l=-2.24 Ty_l=-0.09 N_l=-4942.23 My_l=5.11 Mz_l=-0.02
Azioni sul cordone: TP=-0.14 TO=0.01 NO=-365.33
Tensioni nel cordone: τ_P= 0.04 τ_O=3.38E-03 σ_O=123.59 σ_{ID}=123.59 Σ_T=123.59
CC 25 SLV (Collegamento 0022_-379)
Azioni sul collegamento: N=-4942.23 Ty=0.07 Tz=-5.22 Mx=-0.02 Mz=-0.59
Sollecitazioni agenti localmente: Tx_l=0.07 Ty_l=-5.22 N_l=-4942.23 My_l=0.59 Mz_l=-0.02
Azioni sul cordone: TP=0.03 TO=-0.37 NO=-365.33
Tensioni nel cordone: τ_P=9.55E-03 τ_O=0.12 σ_O=116.98 σ_{ID}=116.98 Σ_T=117.10
CC 25 SLV (Collegamento 0022_-379)
Azioni sul collegamento: N=-4942.23 Ty=-2.24 Tz=-5.22 Mx=-0.02 Mz=-5.11
Sollecitazioni agenti localmente: Tx_l=-2.24 Ty_l=-5.22 N_l=-4942.23 My_l=5.11 Mz_l=-0.02
Azioni sul cordone: TP=-0.14 TO=-0.37 NO=-365.33
Tensioni nel cordone: τ_P= 0.04 τ_O=0.12 σ_O=123.59 σ_{ID}=123.59 Σ_T=123.71
CC 25 SLV (Collegamento 0022_-379)
Azioni sul collegamento: N=-6324.24 Ty=0.07 Tz=-0.09 Mx=-0.02 Mz=-0.59
Sollecitazioni agenti localmente: Tx_l=0.07 Ty_l=-0.09 N_l=-6324.24 My_l=0.59 Mz_l=-0.02
Azioni sul cordone: TP=0.03 TO=0.01 NO=-467.49
Tensioni nel cordone: τ_P=9.55E-03 τ_O=3.38E-03 σ_O=149.45 σ_{ID}=149.45 Σ_T=149.46
CC 25 SLV (Collegamento 0022_-379)
Azioni sul collegamento: N=-6324.24 Ty=-2.24 Tz=-0.09 Mx=-0.02 Mz=-5.11
Sollecitazioni agenti localmente: Tx_l=-2.24 Ty_l=-0.09 N_l=-6324.24 My_l=5.11 Mz_l=-0.02
Azioni sul cordone: TP=-0.14 TO=0.01 NO=-467.49
Tensioni nel cordone: τ_P= 0.04 τ_O=3.38E-03 σ_O=156.06 σ_{ID}=156.06 Σ_T=156.06
CC 25 SLV (Collegamento 0022_-379)
Azioni sul collegamento: N=-6324.24 Ty=0.07 Tz=-5.22 Mx=-0.02 Mz=-0.59

Sollecitazioni agenti localmente: Tx_l=0.07 Ty_l=-5.22 N_l=-6324.24 My_l=0.59 Mz_l=-0.02
Azioni sul cordone: TP=0.03 TO=-0.37 NO=-467.49
Tensioni nel cordone: τ_P=9.55E-03 τ_O=0.12 σ_O=149.45 σ_{ID}=149.45 Σ_T=149.57
CC 25 SLV (Collegamento 0022_-379)
Azioni sul collegamento: N=-6324.24 Ty=-2.24 Tz=-5.22 Mx=-0.02 Mz=-5.11
Sollecitazioni agenti localmente: Tx_l=-2.24 Ty_l=-5.22 N_l=-6324.24 My_l=5.11 Mz_l=-0.02
Azioni sul cordone: TP=-0.14 TO=-0.37 NO=-467.49
Tensioni nel cordone: τ_P= 0.04 τ_O=0.12 σ_O=156.06 σ_{ID}=156.06 Σ_T=156.18
CC 26 SLD (Collegamento 0022_-379)
Azioni sul collegamento: N=-5422.71 Ty=0.07 Tz=-1.87 Mx=-0.01 Mz=-0.11
Sollecitazioni agenti localmente: Tx_l=0.07 Ty_l=-1.87 N_l=-5422.71 My_l=0.11 Mz_l=-0.01
Azioni sul cordone: TP=0.01 TO=-0.13 NO=-400.85
Tensioni nel cordone: τ_P=4.06E-03 τ_O= 0.04 σ_O=127.57 σ_{ID}=127.57 Σ_T=127.61
CC 26 SLD (Collegamento 0022_-379)
Azioni sul collegamento: N=-5422.71 Ty=-0.63 Tz=-1.87 Mx=-0.01 Mz=-1.49
Sollecitazioni agenti localmente: Tx_l=-0.63 Ty_l=-1.87 N_l=-5422.71 My_l=1.49 Mz_l=-0.01
Azioni sul cordone: TP=-0.04 TO=-0.13 NO=-400.85
Tensioni nel cordone: τ_P= 0.01 τ_O= 0.04 σ_O=129.58 σ_{ID}=129.58 Σ_T=129.62
CC 26 SLD (Collegamento 0022_-379)
Azioni sul collegamento: N=-5422.71 Ty=0.07 Tz=-3.44 Mx=-0.01 Mz=-0.11
Sollecitazioni agenti localmente: Tx_l=0.07 Ty_l=-3.44 N_l=-5422.71 My_l=0.11 Mz_l=-0.01
Azioni sul cordone: TP=0.01 TO=-0.25 NO=-400.85
Tensioni nel cordone: τ_P=4.06E-03 τ_O= 0.08 σ_O=127.57 σ_{ID}=127.57 Σ_T=127.65
CC 26 SLD (Collegamento 0022_-379)
Azioni sul collegamento: N=-5422.71 Ty=-0.63 Tz=-3.44 Mx=-0.01 Mz=-1.49
Sollecitazioni agenti localmente: Tx_l=-0.63 Ty_l=-3.44 N_l=-5422.71 My_l=1.49 Mz_l=-0.01
Azioni sul cordone: TP=-0.04 TO=-0.25 NO=-400.85
Tensioni nel cordone: τ_P= 0.01 τ_O= 0.08 σ_O=129.58 σ_{ID}=129.58 Σ_T=129.66
CC 26 SLD (Collegamento 0022_-379)
Azioni sul collegamento: N=-5844.12 Ty=0.07 Tz=-1.87 Mx=-0.01 Mz=-0.11
Sollecitazioni agenti localmente: Tx_l=0.07 Ty_l=-1.87 N_l=-5844.12 My_l=0.11 Mz_l=-0.01
Azioni sul cordone: TP=0.01 TO=-0.13 NO=-432.00
Tensioni nel cordone: τ_P=4.06E-03 τ_O= 0.04 σ_O=137.47 σ_{ID}=137.47 Σ_T=137.51
CC 26 SLD (Collegamento 0022_-379)
Azioni sul collegamento: N=-5844.12 Ty=-0.63 Tz=-1.87 Mx=-0.01 Mz=-1.49
Sollecitazioni agenti localmente: Tx_l=-0.63 Ty_l=-1.87 N_l=-5844.12 My_l=1.49 Mz_l=-0.01
Azioni sul cordone: TP=-0.04 TO=-0.13 NO=-432.00
Tensioni nel cordone: τ_P= 0.01 τ_O= 0.04 σ_O=139.48 σ_{ID}=139.48 Σ_T=139.53
CC 26 SLD (Collegamento 0022_-379)
Azioni sul collegamento: N=-5844.12 Ty=0.07 Tz=-3.44 Mx=-0.01 Mz=-0.11
Sollecitazioni agenti localmente: Tx_l=0.07 Ty_l=-3.44 N_l=-5844.12 My_l=0.11 Mz_l=-0.01
Azioni sul cordone: TP=0.01 TO=-0.25 NO=-432.00
Tensioni nel cordone: τ_P=4.06E-03 τ_O= 0.08 σ_O=137.47 σ_{ID}=137.47 Σ_T=137.55
CC 26 SLD (Collegamento 0022_-379)
Azioni sul collegamento: N=-5844.12 Ty=-0.63 Tz=-3.44 Mx=-0.01 Mz=-1.49
Sollecitazioni agenti localmente: Tx_l=-0.63 Ty_l=-3.44 N_l=-5844.12 My_l=1.49 Mz_l=-0.01
Azioni sul cordone: TP=-0.04 TO=-0.25 NO=-432.00
Tensioni nel cordone: τ_P= 0.01 τ_O= 0.08 σ_O=139.48 σ_{ID}=139.48 Σ_T=139.56
CC 27 SLV (Collegamento 0022_-379)
Azioni sul collegamento: N=-6324.16 Ty=0.06 Tz=-5.22 Mx=-0.02 Mz=-0.60
Sollecitazioni agenti localmente: Tx_l=0.06 Ty_l=-5.22 N_l=-6324.16 My_l=0.60 Mz_l=-0.02
Azioni sul cordone: TP=0.03 TO=-0.37 NO=-467.48
Tensioni nel cordone: τ_P=9.43E-03 τ_O=0.12 σ_O=149.47 σ_{ID}=149.47 Σ_T=149.59
CC 27 SLV (Collegamento 0022_-379)
Azioni sul collegamento: N=-6324.16 Ty=-2.24 Tz=-5.22 Mx=-0.02 Mz=-5.10
Sollecitazioni agenti localmente: Tx_l=-2.24 Ty_l=-5.22 N_l=-6324.16 My_l=5.10 Mz_l=-0.02
Azioni sul cordone: TP=-0.14 TO=-0.37 NO=-467.48
Tensioni nel cordone: τ_P= 0.04 τ_O=0.12 σ_O=156.04 σ_{ID}=156.04 Σ_T=156.16
CC 27 SLV (Collegamento 0022_-379)
Azioni sul collegamento: N=-6324.16 Ty=0.06 Tz=-0.09 Mx=-0.02 Mz=-0.60
Sollecitazioni agenti localmente: Tx_l=0.06 Ty_l=-0.09 N_l=-6324.16 My_l=0.60 Mz_l=-0.02
Azioni sul cordone: TP=0.03 TO=0.01 NO=-467.48
Tensioni nel cordone: τ_P=9.43E-03 τ_O=3.33E-03 σ_O=149.47 σ_{ID}=149.47 Σ_T=149.47
CC 27 SLV (Collegamento 0022_-379)
Azioni sul collegamento: N=-6324.16 Ty=-2.24 Tz=-0.09 Mx=-0.02 Mz=-5.10
Sollecitazioni agenti localmente: Tx_l=-2.24 Ty_l=-0.09 N_l=-6324.16 My_l=5.10 Mz_l=-0.02
Azioni sul cordone: TP=-0.14 TO=0.01 NO=-467.48
Tensioni nel cordone: τ_P= 0.04 τ_O=3.33E-03 σ_O=156.04 σ_{ID}=156.04 Σ_T=156.04
CC 27 SLV (Collegamento 0022_-379)
Azioni sul collegamento: N=-4942.30 Ty=0.06 Tz=-5.22 Mx=-0.02 Mz=-0.60
Sollecitazioni agenti localmente: Tx_l=0.06 Ty_l=-5.22 N_l=-4942.30 My_l=0.60 Mz_l=-0.02
Azioni sul cordone: TP=0.03 TO=-0.37 NO=-365.34
Tensioni nel cordone: τ_P=9.43E-03 τ_O=0.12 σ_O=117.00 σ_{ID}=117.00 Σ_T=117.12
CC 27 SLV (Collegamento 0022_-379)
Azioni sul collegamento: N=-4942.30 Ty=-2.24 Tz=-5.22 Mx=-0.02 Mz=-5.10
Sollecitazioni agenti localmente: Tx_l=-2.24 Ty_l=-5.22 N_l=-4942.30 My_l=5.10 Mz_l=-0.02
Azioni sul cordone: TP=-0.14 TO=-0.37 NO=-365.34
Tensioni nel cordone: τ_P= 0.04 τ_O=0.12 σ_O=123.57 σ_{ID}=123.57 Σ_T=123.69
CC 27 SLV (Collegamento 0022_-379)

Azioni sul collegamento: N=-4942.30 Ty=0.06 Tz=-0.09 Mx=-0.02 Mz=-0.60
Sollecitazioni agenti localmente: Tx_l=0.06 Ty_l=-0.09 N_l=-4942.30 My_l=0.60 Mz_l=-0.02
Azioni sul cordone: TP=0.03 TO=0.01 NO=-365.34
Tensioni nel cordone: τ_P=9.43E-03 τ_O=3.32E-03 σ_O=117.00 σ_{ID}=117.00 Σ_T=117.00
CC 27 SLV (Collegamento 0022_-379)
Azioni sul collegamento: N=-4942.30 Ty=-2.24 Tz=-0.09 Mx=-0.02 Mz=-5.10
Sollecitazioni agenti localmente: Tx_l=-2.24 Ty_l=-0.09 N_l=-4942.30 My_l=5.10 Mz_l=-0.02
Azioni sul cordone: TP=-0.14 TO=0.01 NO=-365.34
Tensioni nel cordone: τ_P= 0.04 τ_O=3.32E-03 σ_O=123.57 σ_{ID}=123.57 Σ_T=123.58
CC 28 SLD (Collegamento 0022_-379)
Azioni sul collegamento: N=-5844.10 Ty=0.07 Tz=-3.44 Mx=-0.01 Mz=-0.11
Sollecitazioni agenti localmente: Tx_l=0.07 Ty_l=-3.44 N_l=-5844.10 My_l=0.11 Mz_l=-0.01
Azioni sul cordone: TP=0.01 TO=-0.25 NO=-432.00
Tensioni nel cordone: τ_P=4.02E-03 τ_O= 0.08 σ_O=137.47 σ_{ID}=137.47 Σ_T=137.55
CC 28 SLD (Collegamento 0022_-379)
Azioni sul collegamento: N=-5844.10 Ty=-0.63 Tz=-3.44 Mx=-0.01 Mz=-1.48
Sollecitazioni agenti localmente: Tx_l=-0.63 Ty_l=-3.44 N_l=-5844.10 My_l=1.48 Mz_l=-0.01
Azioni sul cordone: TP=-0.04 TO=-0.25 NO=-432.00
Tensioni nel cordone: τ_P= 0.01 τ_O= 0.08 σ_O=139.48 σ_{ID}=139.48 Σ_T=139.56
CC 28 SLD (Collegamento 0022_-379)
Azioni sul collegamento: N=-5844.10 Ty=0.07 Tz=-1.87 Mx=-0.01 Mz=-0.11
Sollecitazioni agenti localmente: Tx_l=0.07 Ty_l=-1.87 N_l=-5844.10 My_l=0.11 Mz_l=-0.01
Azioni sul cordone: TP=0.01 TO=-0.13 NO=-432.00
Tensioni nel cordone: τ_P=4.02E-03 τ_O= 0.04 σ_O=137.47 σ_{ID}=137.47 Σ_T=137.52
CC 28 SLD (Collegamento 0022_-379)
Azioni sul collegamento: N=-5844.10 Ty=-0.63 Tz=-1.87 Mx=-0.01 Mz=-1.48
Sollecitazioni agenti localmente: Tx_l=-0.63 Ty_l=-1.87 N_l=-5844.10 My_l=1.48 Mz_l=-0.01
Azioni sul cordone: TP=-0.04 TO=-0.13 NO=-432.00
Tensioni nel cordone: τ_P= 0.01 τ_O= 0.04 σ_O=139.48 σ_{ID}=139.48 Σ_T=139.52
CC 28 SLD (Collegamento 0022_-379)
Azioni sul collegamento: N=-5422.73 Ty=0.07 Tz=-3.44 Mx=-0.01 Mz=-0.11
Sollecitazioni agenti localmente: Tx_l=0.07 Ty_l=-3.44 N_l=-5422.73 My_l=0.11 Mz_l=-0.01
Azioni sul cordone: TP=0.01 TO=-0.25 NO=-400.85
Tensioni nel cordone: τ_P=4.02E-03 τ_O= 0.08 σ_O=127.57 σ_{ID}=127.57 Σ_T=127.65
CC 28 SLD (Collegamento 0022_-379)
Azioni sul collegamento: N=-5422.73 Ty=-0.63 Tz=-3.44 Mx=-0.01 Mz=-1.48
Sollecitazioni agenti localmente: Tx_l=-0.63 Ty_l=-3.44 N_l=-5422.73 My_l=1.48 Mz_l=-0.01
Azioni sul cordone: TP=-0.04 TO=-0.25 NO=-400.85
Tensioni nel cordone: τ_P= 0.01 τ_O= 0.08 σ_O=129.58 σ_{ID}=129.58 Σ_T=129.66
CC 28 SLD (Collegamento 0022_-379)
Azioni sul collegamento: N=-5422.73 Ty=0.07 Tz=-1.87 Mx=-0.01 Mz=-0.11
Sollecitazioni agenti localmente: Tx_l=0.07 Ty_l=-1.87 N_l=-5422.73 My_l=0.11 Mz_l=-0.01
Azioni sul cordone: TP=0.01 TO=-0.13 NO=-400.85
Tensioni nel cordone: τ_P=4.02E-03 τ_O= 0.04 σ_O=127.57 σ_{ID}=127.57 Σ_T=127.62
CC 28 SLD (Collegamento 0022_-379)
Azioni sul collegamento: N=-5422.73 Ty=-0.63 Tz=-1.87 Mx=-0.01 Mz=-1.48
Sollecitazioni agenti localmente: Tx_l=-0.63 Ty_l=-1.87 N_l=-5422.73 My_l=1.48 Mz_l=-0.01
Azioni sul cordone: TP=-0.04 TO=-0.13 NO=-400.85
Tensioni nel cordone: τ_P= 0.01 τ_O= 0.04 σ_O=129.58 σ_{ID}=129.58 Σ_T=129.62
CC 29 SLV (Collegamento 0022_-379)
Azioni sul collegamento: N=-4942.30 Ty=-2.24 Tz=-0.09 Mx=-0.00 Mz=-5.10
Sollecitazioni agenti localmente: Tx_l=-2.24 Ty_l=-0.09 N_l=-4942.30 My_l=5.10 Mz_l=-0.00
Azioni sul cordone: TP=-0.16 TO=-0.00 NO=-365.34
Tensioni nel cordone: τ_P= 0.05 τ_O=1.07E-03 σ_O=123.57 σ_{ID}=123.57 Σ_T=123.58
CC 29 SLV (Collegamento 0022_-379)
Azioni sul collegamento: N=-4942.30 Ty=0.06 Tz=-0.09 Mx=-0.00 Mz=-0.60
Sollecitazioni agenti localmente: Tx_l=0.06 Ty_l=-0.09 N_l=-4942.30 My_l=0.60 Mz_l=-0.00
Azioni sul cordone: TP=0.01 TO=-0.00 NO=-365.34
Tensioni nel cordone: τ_P=3.10E-03 τ_O=1.07E-03 σ_O=117.00 σ_{ID}=117.00 Σ_T=117.00
CC 29 SLV (Collegamento 0022_-379)
Azioni sul collegamento: N=-4942.30 Ty=-2.24 Tz=-5.22 Mx=-0.00 Mz=-5.10
Sollecitazioni agenti localmente: Tx_l=-2.24 Ty_l=-5.22 N_l=-4942.30 My_l=5.10 Mz_l=-0.00
Azioni sul cordone: TP=-0.16 TO=-0.38 NO=-365.34
Tensioni nel cordone: τ_P= 0.05 τ_O=0.12 σ_O=123.57 σ_{ID}=123.57 Σ_T=123.70
CC 29 SLV (Collegamento 0022_-379)
Azioni sul collegamento: N=-4942.30 Ty=0.06 Tz=-5.22 Mx=-0.00 Mz=-0.60
Sollecitazioni agenti localmente: Tx_l=0.06 Ty_l=-5.22 N_l=-4942.30 My_l=0.60 Mz_l=-0.00
Azioni sul cordone: TP=0.01 TO=-0.38 NO=-365.34
Tensioni nel cordone: τ_P=3.10E-03 τ_O=0.12 σ_O=117.00 σ_{ID}=117.00 Σ_T=117.12
CC 29 SLV (Collegamento 0022_-379)
Azioni sul collegamento: N=-6324.16 Ty=-2.24 Tz=-0.09 Mx=-0.00 Mz=-5.10
Sollecitazioni agenti localmente: Tx_l=-2.24 Ty_l=-0.09 N_l=-6324.16 My_l=5.10 Mz_l=-0.00
Azioni sul cordone: TP=-0.16 TO=-0.00 NO=-467.48
Tensioni nel cordone: τ_P= 0.05 τ_O=1.07E-03 σ_O=156.04 σ_{ID}=156.04 Σ_T=156.04
CC 29 SLV (Collegamento 0022_-379)
Azioni sul collegamento: N=-6324.16 Ty=0.06 Tz=-0.09 Mx=-0.00 Mz=-0.60
Sollecitazioni agenti localmente: Tx_l=0.06 Ty_l=-0.09 N_l=-6324.16 My_l=0.60 Mz_l=-0.00
Azioni sul cordone: TP=0.01 TO=-0.00 NO=-467.48
Tensioni nel cordone: τ_P=3.10E-03 τ_O=1.07E-03 σ_O=149.47 σ_{ID}=149.47 Σ_T=149.47

CC 29 SLV (Collegamento 0022_-379)
Azioni sul collegamento: N=-6324.16 Ty=-2.24 Tz=-5.22 Mx=-0.00 Mz=-5.10
Sollecitazioni agenti localmente: Tx_l=-2.24 Ty_l=-5.22 N_l=-6324.16 My_l=5.10 Mz_l=-0.00
Azioni sul cordone: TP=-0.16 TO=-0.38 NO=-467.48
Tensioni nel cordone: τ_P= 0.05 τ_0=0.12 σ_0=156.04 σ_{ID}=156.04 Σ_T=156.16
CC 29 SLV (Collegamento 0022_-379)
Azioni sul collegamento: N=-6324.16 Ty=0.06 Tz=-5.22 Mx=-0.00 Mz=-0.60
Sollecitazioni agenti localmente: Tx_l=0.06 Ty_l=-5.22 N_l=-6324.16 My_l=0.60 Mz_l=-0.00
Azioni sul cordone: TP=0.01 TO=-0.38 NO=-467.48
Tensioni nel cordone: τ_P=3.10E-03 τ_0=0.12 σ_0=149.47 σ_{ID}=149.47 Σ_T=149.59
CC 30 SLD (Collegamento 0022_-379)
Azioni sul collegamento: N=-5422.73 Ty=-0.63 Tz=-1.87 Mx=-0.00 Mz=-1.48
Sollecitazioni agenti localmente: Tx_l=-0.63 Ty_l=-1.87 N_l=-5422.73 My_l=1.48 Mz_l=-0.00
Azioni sul cordone: TP=-0.05 TO=-0.14 NO=-400.85
Tensioni nel cordone: τ_P= 0.01 τ_0= 0.04 σ_0=129.58 σ_{ID}=129.58 Σ_T=129.62
CC 30 SLD (Collegamento 0022_-379)
Azioni sul collegamento: N=-5422.73 Ty=0.07 Tz=-1.87 Mx=-0.00 Mz=-0.11
Sollecitazioni agenti localmente: Tx_l=0.07 Ty_l=-1.87 N_l=-5422.73 My_l=0.11 Mz_l=-0.00
Azioni sul cordone: TP=0.01 TO=-0.14 NO=-400.85
Tensioni nel cordone: τ_P=2.09E-03 τ_0= 0.04 σ_0=127.57 σ_{ID}=127.57 Σ_T=127.62
CC 30 SLD (Collegamento 0022_-379)
Azioni sul collegamento: N=-5422.73 Ty=-0.63 Tz=-3.44 Mx=-0.00 Mz=-1.48
Sollecitazioni agenti localmente: Tx_l=-0.63 Ty_l=-3.44 N_l=-5422.73 My_l=1.48 Mz_l=-0.00
Azioni sul cordone: TP=-0.05 TO=-0.25 NO=-400.85
Tensioni nel cordone: τ_P= 0.01 τ_0= 0.08 σ_0=129.58 σ_{ID}=129.58 Σ_T=129.66
CC 30 SLD (Collegamento 0022_-379)
Azioni sul collegamento: N=-5422.73 Ty=0.07 Tz=-3.44 Mx=-0.00 Mz=-0.11
Sollecitazioni agenti localmente: Tx_l=0.07 Ty_l=-3.44 N_l=-5422.73 My_l=0.11 Mz_l=-0.00
Azioni sul cordone: TP=0.01 TO=-0.25 NO=-400.85
Tensioni nel cordone: τ_P=2.09E-03 τ_0= 0.08 σ_0=127.57 σ_{ID}=127.57 Σ_T=127.65
CC 30 SLD (Collegamento 0022_-379)
Azioni sul collegamento: N=-5844.10 Ty=-0.63 Tz=-1.87 Mx=-0.00 Mz=-1.48
Sollecitazioni agenti localmente: Tx_l=-0.63 Ty_l=-1.87 N_l=-5844.10 My_l=1.48 Mz_l=-0.00
Azioni sul cordone: TP=-0.05 TO=-0.14 NO=-432.00
Tensioni nel cordone: τ_P= 0.01 τ_0= 0.04 σ_0=139.48 σ_{ID}=139.48 Σ_T=139.52
CC 30 SLD (Collegamento 0022_-379)
Azioni sul collegamento: N=-5844.10 Ty=0.07 Tz=-1.87 Mx=-0.00 Mz=-0.11
Sollecitazioni agenti localmente: Tx_l=0.07 Ty_l=-1.87 N_l=-5844.10 My_l=0.11 Mz_l=-0.00
Azioni sul cordone: TP=0.01 TO=-0.14 NO=-432.00
Tensioni nel cordone: τ_P=2.09E-03 τ_0= 0.04 σ_0=137.47 σ_{ID}=137.47 Σ_T=137.52
CC 30 SLD (Collegamento 0022_-379)
Azioni sul collegamento: N=-5844.10 Ty=-0.63 Tz=-3.44 Mx=-0.00 Mz=-1.48
Sollecitazioni agenti localmente: Tx_l=-0.63 Ty_l=-3.44 N_l=-5844.10 My_l=1.48 Mz_l=-0.00
Azioni sul cordone: TP=-0.05 TO=-0.25 NO=-432.00
Tensioni nel cordone: τ_P= 0.01 τ_0= 0.08 σ_0=139.48 σ_{ID}=139.48 Σ_T=139.56
CC 30 SLD (Collegamento 0022_-379)
Azioni sul collegamento: N=-5844.10 Ty=0.07 Tz=-3.44 Mx=-0.00 Mz=-0.11
Sollecitazioni agenti localmente: Tx_l=0.07 Ty_l=-3.44 N_l=-5844.10 My_l=0.11 Mz_l=-0.00
Azioni sul cordone: TP=0.01 TO=-0.25 NO=-432.00
Tensioni nel cordone: τ_P=2.09E-03 τ_0= 0.08 σ_0=137.47 σ_{ID}=137.47 Σ_T=137.55
CC 31 SLV (Collegamento 0022_-379)
Azioni sul collegamento: N=-6324.24 Ty=-2.24 Tz=-5.22 Mx=-0.00 Mz=-5.11
Sollecitazioni agenti localmente: Tx_l=-2.24 Ty_l=-5.22 N_l=-6324.24 My_l=5.11 Mz_l=-0.00
Azioni sul cordone: TP=-0.16 TO=-0.38 NO=-467.49
Tensioni nel cordone: τ_P= 0.05 τ_0=0.12 σ_0=156.06 σ_{ID}=156.06 Σ_T=156.18
CC 31 SLV (Collegamento 0022_-379)
Azioni sul collegamento: N=-6324.24 Ty=0.07 Tz=-5.22 Mx=-0.00 Mz=-0.59
Sollecitazioni agenti localmente: Tx_l=0.07 Ty_l=-5.22 N_l=-6324.24 My_l=0.59 Mz_l=-0.00
Azioni sul cordone: TP=0.01 TO=-0.38 NO=-467.49
Tensioni nel cordone: τ_P=3.17E-03 τ_0=0.12 σ_0=149.45 σ_{ID}=149.45 Σ_T=149.57
CC 31 SLV (Collegamento 0022_-379)
Azioni sul collegamento: N=-6324.24 Ty=-2.24 Tz=-0.09 Mx=-0.00 Mz=-5.11
Sollecitazioni agenti localmente: Tx_l=-2.24 Ty_l=-0.09 N_l=-6324.24 My_l=5.11 Mz_l=-0.00
Azioni sul cordone: TP=-0.16 TO=-0.00 NO=-467.49
Tensioni nel cordone: τ_P= 0.05 τ_0=1.04E-03 σ_0=156.06 σ_{ID}=156.06 Σ_T=156.06
CC 31 SLV (Collegamento 0022_-379)
Azioni sul collegamento: N=-6324.24 Ty=0.07 Tz=-0.09 Mx=-0.00 Mz=-0.59
Sollecitazioni agenti localmente: Tx_l=0.07 Ty_l=-0.09 N_l=-6324.24 My_l=0.59 Mz_l=-0.00
Azioni sul cordone: TP=0.01 TO=-0.00 NO=-467.49
Tensioni nel cordone: τ_P=3.17E-03 τ_0=1.04E-03 σ_0=149.45 σ_{ID}=149.45 Σ_T=149.46
CC 31 SLV (Collegamento 0022_-379)
Azioni sul collegamento: N=-4942.23 Ty=-2.24 Tz=-5.22 Mx=-0.00 Mz=-5.11
Sollecitazioni agenti localmente: Tx_l=-2.24 Ty_l=-5.22 N_l=-4942.23 My_l=5.11 Mz_l=-0.00
Azioni sul cordone: TP=-0.16 TO=-0.38 NO=-365.33
Tensioni nel cordone: τ_P= 0.05 τ_0=0.12 σ_0=123.59 σ_{ID}=123.59 Σ_T=123.71
CC 31 SLV (Collegamento 0022_-379)
Azioni sul collegamento: N=-4942.23 Ty=0.07 Tz=-5.22 Mx=-0.00 Mz=-0.59
Sollecitazioni agenti localmente: Tx_l=0.07 Ty_l=-5.22 N_l=-4942.23 My_l=0.59 Mz_l=-0.00
Azioni sul cordone: TP=0.01 TO=-0.38 NO=-365.33

Tensioni nel cordone: τ_P=3.17E-03 τ_0=0.12 σ_0=116.98 σ_{ID}=116.98 Σ_T=117.10
CC 31 SLV (Collegamento 0022_-379)
Azioni sul collegamento: N=-4942.23 Ty=-2.24 Tz=-0.09 Mx=-0.00 Mz=-5.11
Sollecitazioni agenti localmente: Tx_l=-2.24 Ty_l=-0.09 N_l=-4942.23 My_l=5.11 Mz_l=-0.00
Azioni sul cordone: TP=-0.16 TO=-0.00 NO=-365.33
Tensioni nel cordone: τ_P= 0.05 τ_0=1.04E-03 σ_0=123.59 σ_{ID}=123.59 Σ_T=123.59
CC 31 SLV (Collegamento 0022_-379)
Azioni sul collegamento: N=-4942.23 Ty=0.07 Tz=-0.09 Mx=-0.00 Mz=-0.59
Sollecitazioni agenti localmente: Tx_l=0.07 Ty_l=-0.09 N_l=-4942.23 My_l=0.59 Mz_l=-0.00
Azioni sul cordone: TP=0.01 TO=-0.00 NO=-365.33
Tensioni nel cordone: τ_P=3.17E-03 τ_0=1.04E-03 σ_0=116.98 σ_{ID}=116.98 Σ_T=116.98
CC 32 SLD (Collegamento 0022_-379)
Azioni sul collegamento: N=-5844.12 Ty=-0.63 Tz=-3.44 Mx=-0.00 Mz=-1.49
Sollecitazioni agenti localmente: Tx_l=-0.63 Ty_l=-3.44 N_l=-5844.12 My_l=1.49 Mz_l=-0.00
Azioni sul cordone: TP=-0.05 TO=-0.25 NO=-432.00
Tensioni nel cordone: τ_P= 0.01 τ_0= 0.08 σ_0=139.48 σ_{ID}=139.48 Σ_T=139.56
CC 32 SLD (Collegamento 0022_-379)
Azioni sul collegamento: N=-5844.12 Ty=0.07 Tz=-3.44 Mx=-0.00 Mz=-0.11
Sollecitazioni agenti localmente: Tx_l=0.07 Ty_l=-3.44 N_l=-5844.12 My_l=0.11 Mz_l=-0.00
Azioni sul cordone: TP=0.01 TO=-0.25 NO=-432.00
Tensioni nel cordone: τ_P=2.11E-03 τ_0= 0.08 σ_0=137.47 σ_{ID}=137.47 Σ_T=137.55
CC 32 SLD (Collegamento 0022_-379)
Azioni sul collegamento: N=-5844.12 Ty=-0.63 Tz=-1.87 Mx=-0.00 Mz=-1.49
Sollecitazioni agenti localmente: Tx_l=-0.63 Ty_l=-1.87 N_l=-5844.12 My_l=1.49 Mz_l=-0.00
Azioni sul cordone: TP=-0.05 TO=-0.14 NO=-432.00
Tensioni nel cordone: τ_P= 0.01 τ_0= 0.04 σ_0=139.48 σ_{ID}=139.48 Σ_T=139.53
CC 32 SLD (Collegamento 0022_-379)
Azioni sul collegamento: N=-5844.12 Ty=0.07 Tz=-1.87 Mx=-0.00 Mz=-0.11
Sollecitazioni agenti localmente: Tx_l=0.07 Ty_l=-1.87 N_l=-5844.12 My_l=0.11 Mz_l=-0.00
Azioni sul cordone: TP=0.01 TO=-0.14 NO=-432.00
Tensioni nel cordone: τ_P=2.11E-03 τ_0= 0.04 σ_0=137.47 σ_{ID}=137.47 Σ_T=137.51
CC 32 SLD (Collegamento 0022_-379)
Azioni sul collegamento: N=-5422.71 Ty=-0.63 Tz=-3.44 Mx=-0.00 Mz=-1.49
Sollecitazioni agenti localmente: Tx_l=-0.63 Ty_l=-3.44 N_l=-5422.71 My_l=1.49 Mz_l=-0.00
Azioni sul cordone: TP=-0.05 TO=-0.25 NO=-400.85
Tensioni nel cordone: τ_P= 0.01 τ_0= 0.08 σ_0=129.58 σ_{ID}=129.58 Σ_T=129.66
CC 32 SLD (Collegamento 0022_-379)
Azioni sul collegamento: N=-5422.71 Ty=0.07 Tz=-3.44 Mx=-0.00 Mz=-0.11
Sollecitazioni agenti localmente: Tx_l=0.07 Ty_l=-3.44 N_l=-5422.71 My_l=0.11 Mz_l=-0.00
Azioni sul cordone: TP=0.01 TO=-0.25 NO=-400.85
Tensioni nel cordone: τ_P=2.11E-03 τ_0= 0.08 σ_0=127.57 σ_{ID}=127.57 Σ_T=127.65
CC 32 SLD (Collegamento 0022_-379)
Azioni sul collegamento: N=-5422.71 Ty=-0.63 Tz=-1.87 Mx=-0.00 Mz=-1.49
Sollecitazioni agenti localmente: Tx_l=-0.63 Ty_l=-1.87 N_l=-5422.71 My_l=1.49 Mz_l=-0.00
Azioni sul cordone: TP=-0.05 TO=-0.14 NO=-400.85
Tensioni nel cordone: τ_P= 0.01 τ_0= 0.04 σ_0=129.58 σ_{ID}=129.58 Σ_T=129.63
CC 32 SLD (Collegamento 0022_-379)
Azioni sul collegamento: N=-5422.71 Ty=0.07 Tz=-1.87 Mx=-0.00 Mz=-0.11
Sollecitazioni agenti localmente: Tx_l=0.07 Ty_l=-1.87 N_l=-5422.71 My_l=0.11 Mz_l=-0.00
Azioni sul cordone: TP=0.01 TO=-0.14 NO=-400.85
Tensioni nel cordone: τ_P=2.11E-03 τ_0= 0.04 σ_0=127.57 σ_{ID}=127.57 Σ_T=127.61
CC 33 SLU (Collegamento 0022_-379)
Azioni sul collegamento: N=-28967.90 Ty=0.05 Tz=74.90 Mx=0.00 Mz=0.12
Sollecitazioni agenti localmente: Tx_l=0.05 Ty_l=74.90 N_l=-28967.90 My_l=-0.12 Mz_l=0.00
Azioni sul cordone: TP=0.00 TO=5.54 NO=-2141.31
Tensioni nel cordone: τ_P=9.40E-04 τ_0=1.76 σ_0=680.79 σ_{ID}=680.79 Σ_T=682.55
CC 34 SLU (Collegamento 0022_-379)
Azioni sul collegamento: N=-29447.20 Ty=0.05 Tz=76.67 Mx=0.00 Mz=0.12
Sollecitazioni agenti localmente: Tx_l=0.05 Ty_l=76.67 N_l=-29447.20 My_l=-0.12 Mz_l=0.00
Azioni sul cordone: TP=0.00 TO=5.67 NO=-2176.74
Tensioni nel cordone: τ_P=9.22E-04 τ_0=1.80 σ_0=692.04 σ_{ID}=692.05 Σ_T=693.85
CC 35 SLU (Collegamento 0022_-379)
Azioni sul collegamento: N=-29207.50 Ty=0.17 Tz=75.78 Mx=-0.00 Mz=0.35
Sollecitazioni agenti localmente: Tx_l=0.17 Ty_l=75.78 N_l=-29207.50 My_l=-0.35 Mz_l=-0.00
Azioni sul cordone: TP=0.01 TO=5.60 NO=-2159.03
Tensioni nel cordone: τ_P=4.07E-03 τ_0=1.78 σ_0=686.76 σ_{ID}=686.76 Σ_T=688.54
CC 36 SLU (Collegamento 0022_-379)
Azioni sul collegamento: N=-29207.50 Ty=-0.07 Tz=75.79 Mx=0.00 Mz=-0.12
Sollecitazioni agenti localmente: Tx_l=-0.07 Ty_l=75.79 N_l=-29207.50 My_l=0.12 Mz_l=0.00
Azioni sul cordone: TP=-0.01 TO=5.60 NO=-2159.03
Tensioni nel cordone: τ_P=2.20E-03 τ_0=1.78 σ_0=686.41 σ_{ID}=686.42 Σ_T=688.20
CC 37 SLU (Collegamento 0022_-379)
Azioni sul collegamento: N=-29152.80 Ty=0.07 Tz=74.88 Mx=0.00 Mz=0.13
Sollecitazioni agenti localmente: Tx_l=0.07 Ty_l=74.88 N_l=-29152.80 My_l=-0.13 Mz_l=0.00
Azioni sul cordone: TP=0.00 TO=5.54 NO=-2154.98
Tensioni nel cordone: τ_P=1.57E-03 τ_0=1.76 σ_0=685.15 σ_{ID}=685.15 Σ_T=686.91
CC 38 SLU (Collegamento 0022_-379)
Azioni sul collegamento: N=-29632.10 Ty=0.07 Tz=76.66 Mx=0.00 Mz=0.13
Sollecitazioni agenti localmente: Tx_l=0.07 Ty_l=76.66 N_l=-29632.10 My_l=-0.13 Mz_l=0.00

Azioni sul cordone: TP=0.00 TO=5.67 NO=-2190.41
Tensioni nel cordone: τ_P=1.55E-03 τ_0=1.80 σ_0=696.41 σ_{ID}=696.41 Σ_T=698.21
CC 39 SLU (Collegamento 0022_-379)
Azioni sul collegamento: N=-29392.40 Ty=0.19 Tz=75.77 Mx=-0.00 Mz=0.36
Sollecitazioni agenti localmente: Tx_l=0.19 Ty_l=75.77 N_l=-29392.40 My_l=-0.36 Mz_l=-0.00
Azioni sul cordone: TP=0.01 TO=5.60 NO=-2172.70
Tensioni nel cordone: τ_P=4.69E-03 τ_0=1.78 σ_0=691.12 σ_{ID}=691.12 Σ_T=692.90
CC 40 SLU (Collegamento 0022_-379)
Azioni sul collegamento: N=-29392.40 Ty=-0.05 Tz=75.77 Mx=0.00 Mz=-0.10
Sollecitazioni agenti localmente: Tx_l=-0.05 Ty_l=75.77 N_l=-29392.40 My_l=0.10 Mz_l=0.00
Azioni sul cordone: TP=-0.00 TO=5.60 NO=-2172.70
Tensioni nel cordone: τ_P=1.58E-03 τ_0=1.78 σ_0=690.74 σ_{ID}=690.74 Σ_T=692.52
CC 41 SLU (Collegamento 0022_-379)
Azioni sul collegamento: N=-19454.60 Ty=0.08 Tz=39.91 Mx=0.00 Mz=0.13
Sollecitazioni agenti localmente: Tx_l=0.08 Ty_l=39.91 N_l=-19454.60 My_l=-0.13 Mz_l=0.00
Azioni sul cordone: TP=0.01 TO=2.95 NO=-1438.09
Tensioni nel cordone: τ_P=1.68E-03 τ_0=0.94 σ_0=457.29 σ_{ID}=457.29 Σ_T=458.22
CC 42 SLU (Collegamento 0022_-379)
Azioni sul collegamento: N=-19933.90 Ty=0.08 Tz=41.69 Mx=0.00 Mz=0.13
Sollecitazioni agenti localmente: Tx_l=0.08 Ty_l=41.69 N_l=-19933.90 My_l=-0.13 Mz_l=0.00
Azioni sul cordone: TP=0.01 TO=3.08 NO=-1473.52
Tensioni nel cordone: τ_P=1.67E-03 τ_0=0.98 σ_0=468.54 σ_{ID}=468.54 Σ_T=469.52
CC 43 SLU (Collegamento 0022_-379)
Azioni sul collegamento: N=-19694.20 Ty=0.20 Tz=40.80 Mx=-0.00 Mz=0.36
Sollecitazioni agenti localmente: Tx_l=0.20 Ty_l=40.80 N_l=-19694.20 My_l=-0.36 Mz_l=-0.00
Azioni sul cordone: TP=0.02 TO=3.02 NO=-1455.80
Tensioni nel cordone: τ_P=4.81E-03 τ_0=0.96 σ_0=463.26 σ_{ID}=463.26 Σ_T=464.21
CC 44 SLU (Collegamento 0022_-379)
Azioni sul collegamento: N=-19694.20 Ty=-0.04 Tz=40.80 Mx=0.00 Mz=-0.10
Sollecitazioni agenti localmente: Tx_l=-0.04 Ty_l=40.80 N_l=-19694.20 My_l=0.10 Mz_l=0.00
Azioni sul cordone: TP=-0.00 TO=3.01 NO=-1455.80
Tensioni nel cordone: τ_P=1.46E-03 τ_0=0.96 σ_0=462.88 σ_{ID}=462.88 Σ_T=463.84
CC 45 SLU (Collegamento 0022_-379)
Azioni sul collegamento: N=-21628.70 Ty=0.08 Tz=47.97 Mx=0.00 Mz=0.14
Sollecitazioni agenti localmente: Tx_l=0.08 Ty_l=47.97 N_l=-21628.70 My_l=-0.14 Mz_l=0.00
Azioni sul cordone: TP=0.01 TO=3.55 NO=-1598.80
Tensioni nel cordone: τ_P=1.66E-03 τ_0=1.13 σ_0=508.38 σ_{ID}=508.38 Σ_T=509.51
CC 46 SLU (Collegamento 0022_-379)
Azioni sul collegamento: N=-22108.00 Ty=0.08 Tz=49.75 Mx=0.00 Mz=0.14
Sollecitazioni agenti localmente: Tx_l=0.08 Ty_l=49.75 N_l=-22108.00 My_l=-0.14 Mz_l=0.00
Azioni sul cordone: TP=0.01 TO=3.68 NO=-1634.23
Tensioni nel cordone: τ_P=1.64E-03 τ_0=1.17 σ_0=519.64 σ_{ID}=519.64 Σ_T=520.81
CC 47 SLU (Collegamento 0022_-379)
Azioni sul collegamento: N=-21868.40 Ty=0.20 Tz=48.86 Mx=-0.00 Mz=0.37
Sollecitazioni agenti localmente: Tx_l=0.20 Ty_l=48.86 N_l=-21868.40 My_l=-0.37 Mz_l=-0.00
Azioni sul cordone: TP=0.02 TO=3.61 NO=-1616.52
Tensioni nel cordone: τ_P=4.79E-03 τ_0=1.15 σ_0=514.35 σ_{ID}=514.35 Σ_T=515.50
CC 48 SLU (Collegamento 0022_-379)
Azioni sul collegamento: N=-21868.40 Ty=-0.04 Tz=48.86 Mx=0.00 Mz=-0.10
Sollecitazioni agenti localmente: Tx_l=-0.04 Ty_l=48.86 N_l=-21868.40 My_l=0.10 Mz_l=0.00
Azioni sul cordone: TP=-0.00 TO=3.61 NO=-1616.52
Tensioni nel cordone: τ_P=1.49E-03 τ_0=1.15 σ_0=513.95 σ_{ID}=513.95 Σ_T=515.10
CC 49 SLU (Collegamento 0022_-379)
Azioni sul collegamento: N=-21767.10 Ty=0.10 Tz=47.96 Mx=0.00 Mz=0.15
Sollecitazioni agenti localmente: Tx_l=0.10 Ty_l=47.96 N_l=-21767.10 My_l=-0.15 Mz_l=0.00
Azioni sul cordone: TP=0.01 TO=3.55 NO=-1609.03
Tensioni nel cordone: τ_P=2.13E-03 τ_0=1.13 σ_0=511.64 σ_{ID}=511.65 Σ_T=512.77
CC 50 SLU (Collegamento 0022_-379)
Azioni sul collegamento: N=-22246.40 Ty=0.10 Tz=49.73 Mx=0.00 Mz=0.15
Sollecitazioni agenti localmente: Tx_l=0.10 Ty_l=49.73 N_l=-22246.40 My_l=-0.15 Mz_l=0.00
Azioni sul cordone: TP=0.01 TO=3.68 NO=-1644.46
Tensioni nel cordone: τ_P=2.11E-03 τ_0=1.17 σ_0=522.90 σ_{ID}=522.90 Σ_T=524.07
CC 51 SLU (Collegamento 0022_-379)
Azioni sul collegamento: N=-22006.70 Ty=0.22 Tz=48.85 Mx=-0.00 Mz=0.38
Sollecitazioni agenti localmente: Tx_l=0.22 Ty_l=48.85 N_l=-22006.70 My_l=-0.38 Mz_l=-0.00
Azioni sul cordone: TP=0.02 TO=3.61 NO=-1626.74
Tensioni nel cordone: τ_P=5.25E-03 τ_0=1.15 σ_0=517.62 σ_{ID}=517.62 Σ_T=518.76
CC 52 SLU (Collegamento 0022_-379)
Azioni sul collegamento: N=-22006.70 Ty=-0.02 Tz=48.85 Mx=0.00 Mz=-0.09
Sollecitazioni agenti localmente: Tx_l=-0.02 Ty_l=48.85 N_l=-22006.70 My_l=0.09 Mz_l=0.00
Azioni sul cordone: TP=-0.00 TO=3.61 NO=-1626.74
Tensioni nel cordone: τ_P=1.02E-03 τ_0=1.15 σ_0=517.18 σ_{ID}=517.19 Σ_T=518.33
CC 53 SLU (Collegamento 0022_-379)
Azioni sul collegamento: N=-14511.40 Ty=0.10 Tz=21.80 Mx=0.00 Mz=0.15
Sollecitazioni agenti localmente: Tx_l=0.10 Ty_l=21.80 N_l=-14511.40 My_l=-0.15 Mz_l=0.00
Azioni sul cordone: TP=0.01 TO=1.61 NO=-1072.69
Tensioni nel cordone: τ_P=2.22E-03 τ_0=0.51 σ_0=341.17 σ_{ID}=341.17 Σ_T=341.68
CC 54 SLU (Collegamento 0022_-379)
Azioni sul collegamento: N=-14990.70 Ty=0.10 Tz=23.57 Mx=0.00 Mz=0.15

Sollecitazioni agenti localmente: Tx_l=0.10 Ty_l=23.57 N_l=-14990.70 My_l=-0.15 Mz_l=0.00
Azioni sul cordone: TP=0.01 TO=1.74 NO=-1108.12
Tensioni nel cordone: τ_P=2.20E-03 τ_0=0.55 σ_0=352.43 σ_{ID}=352.43 Σ_T=352.98
CC 55 SLU (Collegamento 0022_-379)
Azioni sul collegamento: N=-14751.00 Ty=0.22 Tz=22.69 Mx=-0.00 Mz=0.38
Sollecitazioni agenti localmente: Tx_l=0.22 Ty_l=22.69 N_l=-14751.00 My_l=-0.38 Mz_l=-0.00
Azioni sul cordone: TP=0.02 TO=1.68 NO=-1090.40
Tensioni nel cordone: τ_P=5.34E-03 τ_0=0.53 σ_0=347.14 σ_{ID}=347.14 Σ_T=347.67
CC 56 SLU (Collegamento 0022_-379)
Azioni sul collegamento: N=-14751.00 Ty=-0.02 Tz=22.68 Mx=0.00 Mz=-0.09
Sollecitazioni agenti localmente: Tx_l=-0.02 Ty_l=22.68 N_l=-14751.00 My_l=0.09 Mz_l=0.00
Azioni sul cordone: TP=-0.00 TO=1.68 NO=-1090.40
Tensioni nel cordone: τ_P=9.29E-04 τ_0=0.53 σ_0=346.71 σ_{ID}=346.71 Σ_T=347.24
CC 57 SLU (Collegamento 0022_-379)
Azioni sul collegamento: N=-21907.00 Ty=0.07 Tz=49.04 Mx=0.00 Mz=0.14
Sollecitazioni agenti localmente: Tx_l=0.07 Ty_l=49.04 N_l=-21907.00 My_l=-0.14 Mz_l=0.00
Azioni sul cordone: TP=0.01 TO=3.63 NO=-1619.37
Tensioni nel cordone: τ_P=1.60E-03 τ_0=1.15 σ_0=514.91 σ_{ID}=514.92 Σ_T=516.07
CC 58 SLU (Collegamento 0022_-379)
Azioni sul collegamento: N=-22386.30 Ty=0.07 Tz=50.82 Mx=0.00 Mz=0.13
Sollecitazioni agenti localmente: Tx_l=0.07 Ty_l=50.82 N_l=-22386.30 My_l=-0.13 Mz_l=0.00
Azioni sul cordone: TP=0.00 TO=3.76 NO=-1654.80
Tensioni nel cordone: τ_P=1.59E-03 τ_0=1.19 σ_0=526.17 σ_{ID}=526.17 Σ_T=527.37
CC 59 SLU (Collegamento 0022_-379)
Azioni sul collegamento: N=-22146.70 Ty=0.19 Tz=49.93 Mx=-0.00 Mz=0.37
Sollecitazioni agenti localmente: Tx_l=0.19 Ty_l=49.93 N_l=-22146.70 My_l=-0.37 Mz_l=-0.00
Azioni sul cordone: TP=0.01 TO=3.69 NO=-1637.09
Tensioni nel cordone: τ_P=4.73E-03 τ_0=1.17 σ_0=520.88 σ_{ID}=520.89 Σ_T=522.06
CC 60 SLU (Collegamento 0022_-379)
Azioni sul collegamento: N=-22146.70 Ty=-0.04 Tz=49.93 Mx=0.00 Mz=-0.10
Sollecitazioni agenti localmente: Tx_l=-0.04 Ty_l=49.93 N_l=-22146.70 My_l=0.10 Mz_l=0.00
Azioni sul cordone: TP=-0.00 TO=3.69 NO=-1637.09
Tensioni nel cordone: τ_P=1.54E-03 τ_0=1.17 σ_0=520.49 σ_{ID}=520.49 Σ_T=521.66
CC 61 SLU (Collegamento 0022_-379)
Azioni sul collegamento: N=-22045.30 Ty=0.09 Tz=49.02 Mx=0.00 Mz=0.14
Sollecitazioni agenti localmente: Tx_l=0.09 Ty_l=49.02 N_l=-22045.30 My_l=-0.14 Mz_l=0.00
Azioni sul cordone: TP=0.01 TO=3.62 NO=-1629.60
Tensioni nel cordone: τ_P=2.07E-03 τ_0=1.15 σ_0=518.18 σ_{ID}=518.18 Σ_T=519.33
CC 62 SLU (Collegamento 0022_-379)
Azioni sul collegamento: N=-22524.60 Ty=0.09 Tz=50.80 Mx=0.00 Mz=0.14
Sollecitazioni agenti localmente: Tx_l=0.09 Ty_l=50.80 N_l=-22524.60 My_l=-0.14 Mz_l=0.00
Azioni sul cordone: TP=0.01 TO=3.76 NO=-1665.03
Tensioni nel cordone: τ_P=2.05E-03 τ_0=1.19 σ_0=529.43 σ_{ID}=529.44 Σ_T=530.63
CC 63 SLU (Collegamento 0022_-379)
Azioni sul collegamento: N=-22285.00 Ty=0.21 Tz=49.91 Mx=-0.00 Mz=0.38
Sollecitazioni agenti localmente: Tx_l=0.21 Ty_l=49.91 N_l=-22285.00 My_l=-0.38 Mz_l=-0.00
Azioni sul cordone: TP=0.02 TO=3.69 NO=-1647.31
Tensioni nel cordone: τ_P=5.20E-03 τ_0=1.17 σ_0=524.15 σ_{ID}=524.15 Σ_T=525.32
CC 64 SLU (Collegamento 0022_-379)
Azioni sul collegamento: N=-22285.00 Ty=-0.03 Tz=49.91 Mx=0.00 Mz=-0.09
Sollecitazioni agenti localmente: Tx_l=-0.03 Ty_l=49.91 N_l=-22285.00 My_l=0.09 Mz_l=0.00
Azioni sul cordone: TP=-0.00 TO=3.69 NO=-1647.31
Tensioni nel cordone: τ_P=1.07E-03 τ_0=1.17 σ_0=523.73 σ_{ID}=523.73 Σ_T=524.90
CC 65 SLU (Collegamento 0022_-379)
Azioni sul collegamento: N=-14789.70 Ty=0.10 Tz=22.86 Mx=0.00 Mz=0.14
Sollecitazioni agenti localmente: Tx_l=0.10 Ty_l=22.86 N_l=-14789.70 My_l=-0.14 Mz_l=0.00
Azioni sul cordone: TP=0.01 TO=1.69 NO=-1093.26
Tensioni nel cordone: τ_P=2.16E-03 τ_0=0.54 σ_0=347.70 σ_{ID}=347.70 Σ_T=348.24
CC 66 SLU (Collegamento 0022_-379)
Azioni sul collegamento: N=-15269.00 Ty=0.10 Tz=24.64 Mx=0.00 Mz=0.14
Sollecitazioni agenti localmente: Tx_l=0.10 Ty_l=24.64 N_l=-15269.00 My_l=-0.14 Mz_l=0.00
Azioni sul cordone: TP=0.01 TO=1.82 NO=-1128.69
Tensioni nel cordone: τ_P=2.14E-03 τ_0=0.58 σ_0=358.96 σ_{ID}=358.96 Σ_T=359.54
CC 67 SLU (Collegamento 0022_-379)
Azioni sul collegamento: N=-15029.30 Ty=0.22 Tz=23.75 Mx=-0.00 Mz=0.38
Sollecitazioni agenti localmente: Tx_l=0.22 Ty_l=23.75 N_l=-15029.30 My_l=-0.38 Mz_l=-0.00
Azioni sul cordone: TP=0.02 TO=1.76 NO=-1110.97
Tensioni nel cordone: τ_P=5.29E-03 τ_0=0.56 σ_0=353.67 σ_{ID}=353.67 Σ_T=354.23
CC 68 SLU (Collegamento 0022_-379)
Azioni sul collegamento: N=-15029.30 Ty=-0.02 Tz=23.75 Mx=0.00 Mz=-0.09
Sollecitazioni agenti localmente: Tx_l=-0.02 Ty_l=23.75 N_l=-15029.30 My_l=0.09 Mz_l=0.00
Azioni sul cordone: TP=-0.00 TO=1.75 NO=-1110.97
Tensioni nel cordone: τ_P=9.84E-04 τ_0=0.56 σ_0=353.25 σ_{ID}=353.25 Σ_T=353.81
CC 97 SLU (Collegamento 0022_-379)
Azioni sul collegamento: N=-11572.90 Ty=11.37 Tz=19.27 Mx=0.04 Mz=15.92
Sollecitazioni agenti localmente: Tx_l=11.37 Ty_l=19.27 N_l=-11572.90 My_l=-15.92 Mz_l=0.04
Azioni sul cordone: TP=0.80 TO=1.45 NO=-855.47
Tensioni nel cordone: τ_P=0.25 τ_0=0.46 σ_0=295.17 σ_{ID}=295.17 Σ_T=295.63
CC 98 SLU (Collegamento 0022_-379)

Azioni sul collegamento: N=-12052.20 Ty=11.37 Tz=21.05 Mx=0.04 Mz=15.92
Sollecitazioni agenti localmente: Tx_l=11.37 Ty_l=21.05 N_l=-12052.20 My_l=-15.92 Mz_l=0.04
Azioni sul cordone: TP=0.80 TO=1.58 NO=-890.90
Tensioni nel cordone: τ_P=0.25 τ_O=0.50 σ_O=306.42 σ_{ID}=306.43 Σ_T=306.93
CC 99 SLU (Collegamento 0022_-379)
Azioni sul collegamento: N=-11812.60 Ty=11.49 Tz=20.16 Mx=0.04 Mz=16.15
Sollecitazioni agenti localmente: Tx_l=11.49 Ty_l=20.16 N_l=-11812.60 My_l=-16.15 Mz_l=0.04
Azioni sul cordone: TP=0.81 TO=1.52 NO=-873.19
Tensioni nel cordone: τ_P=0.26 τ_O=0.48 σ_O=301.14 σ_{ID}=301.14 Σ_T=301.62
CC 100 SLU (Collegamento 0022_-379)
Azioni sul collegamento: N=-11812.60 Ty=11.25 Tz=20.16 Mx=0.04 Mz=15.68
Sollecitazioni agenti localmente: Tx_l=11.25 Ty_l=20.16 N_l=-11812.60 My_l=-15.68 Mz_l=0.04
Azioni sul cordone: TP=0.79 TO=1.52 NO=-873.19
Tensioni nel cordone: τ_P=0.25 τ_O=0.48 σ_O=300.45 σ_{ID}=300.45 Σ_T=300.94
CC 101 SLU (Collegamento 0022_-379)
Azioni sul collegamento: N=-5887.16 Ty=-2.00 Tz=-1.73 Mx=-0.00 Mz=-2.22
Sollecitazioni agenti localmente: Tx_l=-2.00 Ty_l=-1.73 N_l=-5887.16 My_l=2.22 Mz_l=-0.00
Azioni sul cordone: TP=-0.14 TO=-0.12 NO=-435.18
Tensioni nel cordone: τ_P= 0.05 τ_O= 0.04 σ_O=141.56 σ_{ID}=141.56 Σ_T=141.60
CC 102 SLU (Collegamento 0022_-379)
Azioni sul collegamento: N=-6366.46 Ty=-2.01 Tz=0.04 Mx=-0.00 Mz=-2.22
Sollecitazioni agenti localmente: Tx_l=-2.01 Ty_l=0.04 N_l=-6366.46 My_l=2.22 Mz_l=-0.00
Azioni sul cordone: TP=-0.14 TO=0.01 NO=-470.61
Tensioni nel cordone: τ_P= 0.05 τ_O=2.29E-03 σ_O=152.83 σ_{ID}=152.83 Σ_T=152.83
CC 103 SLU (Collegamento 0022_-379)
Azioni sul collegamento: N=-6126.81 Ty=-1.89 Tz=-0.85 Mx=-0.01 Mz=-1.98
Sollecitazioni agenti localmente: Tx_l=-1.89 Ty_l=-0.85 N_l=-6126.81 My_l=1.98 Mz_l=-0.01
Azioni sul cordone: TP=-0.13 TO=-0.06 NO=-452.90
Tensioni nel cordone: τ_P= 0.04 τ_O= 0.02 σ_O=146.85 σ_{ID}=146.85 Σ_T=146.87
CC 104 SLU (Collegamento 0022_-379)
Azioni sul collegamento: N=-6126.80 Ty=-2.12 Tz=-0.84 Mx=-0.00 Mz=-2.45
Sollecitazioni agenti localmente: Tx_l=-2.12 Ty_l=-0.84 N_l=-6126.80 My_l=2.45 Mz_l=-0.00
Azioni sul cordone: TP=-0.15 TO=-0.06 NO=-452.89
Tensioni nel cordone: τ_P= 0.05 τ_O= 0.02 σ_O=147.53 σ_{ID}=147.53 Σ_T=147.55

Flessione attacco superiore piastra

Bnetta=220.00 Hnetta=15.00
CC 1 SLV (Collegamento 0022_-379)
Azioni sul collegamento: N=-3330.52 Ty=1.59 Tz=5.89 Mx=0.02 Mz=3.75
Sollecitazioni agenti localmente: Ty_l=-605.55 Mx_l=-12.11
Tensioni nella sezione: σ=146.80 τ=18.35
CC 1 SLV (Collegamento 0022_-379)
Azioni sul collegamento: N=-3330.52 Ty=0.88 Tz=5.89 Mx=0.02 Mz=2.36
Sollecitazioni agenti localmente: Ty_l=-605.55 Mx_l=-12.11
Tensioni nella sezione: σ=146.80 τ=18.35
CC 1 SLV (Collegamento 0022_-379)
Azioni sul collegamento: N=-3330.52 Ty=1.59 Tz=-11.19 Mx=0.02 Mz=3.75
Sollecitazioni agenti localmente: Ty_l=-605.55 Mx_l=-12.11
Tensioni nella sezione: σ=146.80 τ=18.35
CC 1 SLV (Collegamento 0022_-379)
Azioni sul collegamento: N=-3330.52 Ty=0.88 Tz=-11.19 Mx=0.02 Mz=2.36
Sollecitazioni agenti localmente: Ty_l=-605.55 Mx_l=-12.11
Tensioni nella sezione: σ=146.80 τ=18.35
CC 1 SLV (Collegamento 0022_-379)
Azioni sul collegamento: N=-7936.99 Ty=1.59 Tz=5.89 Mx=0.02 Mz=3.75
Sollecitazioni agenti localmente: Ty_l=-1443.09 Mx_l=-28.86
Tensioni nella sezione: σ=349.84 τ=43.73
CC 1 SLV (Collegamento 0022_-379)
Azioni sul collegamento: N=-7936.99 Ty=0.88 Tz=5.89 Mx=0.02 Mz=2.36
Sollecitazioni agenti localmente: Ty_l=-1443.09 Mx_l=-28.86
Tensioni nella sezione: σ=349.84 τ=43.73
CC 1 SLV (Collegamento 0022_-379)
Azioni sul collegamento: N=-7936.99 Ty=1.59 Tz=-11.19 Mx=0.02 Mz=3.75
Sollecitazioni agenti localmente: Ty_l=-1443.09 Mx_l=-28.86
Tensioni nella sezione: σ=349.84 τ=43.73
CC 1 SLV (Collegamento 0022_-379)
Azioni sul collegamento: N=-7936.99 Ty=0.88 Tz=-11.19 Mx=0.02 Mz=2.36
Sollecitazioni agenti localmente: Ty_l=-1443.09 Mx_l=-28.86
Tensioni nella sezione: σ=349.84 τ=43.73
CC 2 SLD (Collegamento 0022_-379)
Azioni sul collegamento: N=-4931.25 Ty=0.54 Tz=-0.05 Mx=0.01 Mz=1.22
Sollecitazioni agenti localmente: Ty_l=-896.59 Mx_l=-17.93
Tensioni nella sezione: σ=217.35 τ=27.17
CC 2 SLD (Collegamento 0022_-379)
Azioni sul collegamento: N=-4931.25 Ty=0.32 Tz=-0.05 Mx=0.01 Mz=0.79
Sollecitazioni agenti localmente: Ty_l=-896.59 Mx_l=-17.93
Tensioni nella sezione: σ=217.35 τ=27.17
CC 2 SLD (Collegamento 0022_-379)

Azioni sul collegamento: N=-4931.25 Ty=0.54 Tz=-5.26 Mx=0.01 Mz=1.22
Sollecitazioni agenti localmente: Ty_l=-896.59 Mx_l=-17.93
Tensioni nella sezione: σ=217.35 τ=27.17
CC 2 SLD (Collegamento 0022_-379)
Azioni sul collegamento: N=-4931.25 Ty=0.32 Tz=-5.26 Mx=0.01 Mz=0.79
Sollecitazioni agenti localmente: Ty_l=-896.59 Mx_l=-17.93
Tensioni nella sezione: σ=217.35 τ=27.17
CC 2 SLD (Collegamento 0022_-379)
Azioni sul collegamento: N=-6335.90 Ty=0.54 Tz=-0.05 Mx=0.01 Mz=1.22
Sollecitazioni agenti localmente: Ty_l=-1151.98 Mx_l=-23.04
Tensioni nella sezione: σ=279.27 τ=34.91
CC 2 SLD (Collegamento 0022_-379)
Azioni sul collegamento: N=-6335.90 Ty=0.32 Tz=-0.05 Mx=0.01 Mz=0.79
Sollecitazioni agenti localmente: Ty_l=-1151.98 Mx_l=-23.04
Tensioni nella sezione: σ=279.27 τ=34.91
CC 2 SLD (Collegamento 0022_-379)
Azioni sul collegamento: N=-6335.90 Ty=0.54 Tz=-5.26 Mx=0.01 Mz=1.22
Sollecitazioni agenti localmente: Ty_l=-1151.98 Mx_l=-23.04
Tensioni nella sezione: σ=279.27 τ=34.91
CC 2 SLD (Collegamento 0022_-379)
Azioni sul collegamento: N=-6335.90 Ty=0.32 Tz=-5.26 Mx=0.01 Mz=0.79
Sollecitazioni agenti localmente: Ty_l=-1151.98 Mx_l=-23.04
Tensioni nella sezione: σ=279.27 τ=34.91
CC 3 SLV (Collegamento 0022_-379)
Azioni sul collegamento: N=-3330.55 Ty=0.90 Tz=5.89 Mx=0.01 Mz=2.40
Sollecitazioni agenti localmente: Ty_l=-605.55 Mx_l=-12.11
Tensioni nella sezione: σ=146.80 τ=18.35
CC 3 SLV (Collegamento 0022_-379)
Azioni sul collegamento: N=-3330.55 Ty=1.58 Tz=5.89 Mx=0.01 Mz=3.71
Sollecitazioni agenti localmente: Ty_l=-605.55 Mx_l=-12.11
Tensioni nella sezione: σ=146.80 τ=18.35
CC 3 SLV (Collegamento 0022_-379)
Azioni sul collegamento: N=-3330.55 Ty=0.90 Tz=-11.19 Mx=0.01 Mz=2.40
Sollecitazioni agenti localmente: Ty_l=-605.55 Mx_l=-12.11
Tensioni nella sezione: σ=146.80 τ=18.35
CC 3 SLV (Collegamento 0022_-379)
Azioni sul collegamento: N=-3330.55 Ty=1.58 Tz=-11.19 Mx=0.01 Mz=3.71
Sollecitazioni agenti localmente: Ty_l=-605.55 Mx_l=-12.11
Tensioni nella sezione: σ=146.80 τ=18.35
CC 3 SLV (Collegamento 0022_-379)
Azioni sul collegamento: N=-7936.97 Ty=0.90 Tz=5.89 Mx=0.01 Mz=2.40
Sollecitazioni agenti localmente: Ty_l=-1443.09 Mx_l=-28.86
Tensioni nella sezione: σ=349.84 τ=43.73
CC 3 SLV (Collegamento 0022_-379)
Azioni sul collegamento: N=-7936.97 Ty=1.58 Tz=5.89 Mx=0.01 Mz=3.71
Sollecitazioni agenti localmente: Ty_l=-1443.09 Mx_l=-28.86
Tensioni nella sezione: σ=349.84 τ=43.73
CC 3 SLV (Collegamento 0022_-379)
Azioni sul collegamento: N=-7936.97 Ty=0.90 Tz=-11.19 Mx=0.01 Mz=2.40
Sollecitazioni agenti localmente: Ty_l=-1443.09 Mx_l=-28.86
Tensioni nella sezione: σ=349.84 τ=43.73
CC 3 SLV (Collegamento 0022_-379)
Azioni sul collegamento: N=-7936.97 Ty=1.58 Tz=-11.19 Mx=0.01 Mz=3.71
Sollecitazioni agenti localmente: Ty_l=-1443.09 Mx_l=-28.86
Tensioni nella sezione: σ=349.84 τ=43.73
CC 4 SLD (Collegamento 0022_-379)
Azioni sul collegamento: N=-4931.25 Ty=0.33 Tz=-0.05 Mx=0.00 Mz=0.80
Sollecitazioni agenti localmente: Ty_l=-896.59 Mx_l=-17.93
Tensioni nella sezione: σ=217.35 τ=27.17
CC 4 SLD (Collegamento 0022_-379)
Azioni sul collegamento: N=-4931.25 Ty=0.53 Tz=-0.05 Mx=0.00 Mz=1.20
Sollecitazioni agenti localmente: Ty_l=-896.59 Mx_l=-17.93
Tensioni nella sezione: σ=217.35 τ=27.17
CC 4 SLD (Collegamento 0022_-379)
Azioni sul collegamento: N=-4931.25 Ty=0.33 Tz=-5.26 Mx=0.00 Mz=0.80
Sollecitazioni agenti localmente: Ty_l=-896.59 Mx_l=-17.93
Tensioni nella sezione: σ=217.35 τ=27.17
CC 4 SLD (Collegamento 0022_-379)
Azioni sul collegamento: N=-4931.25 Ty=0.53 Tz=-5.26 Mx=0.00 Mz=1.20
Sollecitazioni agenti localmente: Ty_l=-896.59 Mx_l=-17.93
Tensioni nella sezione: σ=217.35 τ=27.17
CC 4 SLD (Collegamento 0022_-379)
Azioni sul collegamento: N=-6335.90 Ty=0.33 Tz=-0.05 Mx=0.00 Mz=0.80
Sollecitazioni agenti localmente: Ty_l=-1151.98 Mx_l=-23.04
Tensioni nella sezione: σ=279.27 τ=34.91
CC 4 SLD (Collegamento 0022_-379)
Azioni sul collegamento: N=-6335.90 Ty=0.53 Tz=-0.05 Mx=0.00 Mz=1.20
Sollecitazioni agenti localmente: Ty_l=-1151.98 Mx_l=-23.04
Tensioni nella sezione: σ=279.27 τ=34.91

CC 4 SLD (Collegamento 0022_-379)
Azioni sul collegamento: N=-6335.90 Ty=0.33 Tz=-5.26 Mx=0.00 Mz=0.80
Sollecitazioni agenti localmente: Ty_l=-1151.98 Mx_l=-23.04
Tensioni nella sezione: σ=279.27 τ=34.91
CC 4 SLD (Collegamento 0022_-379)
Azioni sul collegamento: N=-6335.90 Ty=0.53 Tz=-5.26 Mx=0.00 Mz=1.20
Sollecitazioni agenti localmente: Ty_l=-1151.98 Mx_l=-23.04
Tensioni nella sezione: σ=279.27 τ=34.91
CC 5 SLV (Collegamento 0022_-379)
Azioni sul collegamento: N=-7936.97 Ty=1.58 Tz=-11.19 Mx=0.02 Mz=3.71
Sollecitazioni agenti localmente: Ty_l=-1443.09 Mx_l=-28.86
Tensioni nella sezione: σ=349.84 τ=43.73
CC 5 SLV (Collegamento 0022_-379)
Azioni sul collegamento: N=-7936.97 Ty=0.90 Tz=-11.19 Mx=0.02 Mz=2.40
Sollecitazioni agenti localmente: Ty_l=-1443.09 Mx_l=-28.86
Tensioni nella sezione: σ=349.84 τ=43.73
CC 5 SLV (Collegamento 0022_-379)
Azioni sul collegamento: N=-7936.97 Ty=1.58 Tz=5.89 Mx=0.02 Mz=3.71
Sollecitazioni agenti localmente: Ty_l=-1443.09 Mx_l=-28.86
Tensioni nella sezione: σ=349.84 τ=43.73
CC 5 SLV (Collegamento 0022_-379)
Azioni sul collegamento: N=-7936.97 Ty=0.90 Tz=5.89 Mx=0.02 Mz=2.40
Sollecitazioni agenti localmente: Ty_l=-1443.09 Mx_l=-28.86
Tensioni nella sezione: σ=349.84 τ=43.73
CC 5 SLV (Collegamento 0022_-379)
Azioni sul collegamento: N=-3330.55 Ty=1.58 Tz=-11.19 Mx=0.02 Mz=3.71
Sollecitazioni agenti localmente: Ty_l=-605.55 Mx_l=-12.11
Tensioni nella sezione: σ=146.80 τ=18.35
CC 5 SLV (Collegamento 0022_-379)
Azioni sul collegamento: N=-3330.55 Ty=0.90 Tz=-11.19 Mx=0.02 Mz=2.40
Sollecitazioni agenti localmente: Ty_l=-605.55 Mx_l=-12.11
Tensioni nella sezione: σ=146.80 τ=18.35
CC 5 SLV (Collegamento 0022_-379)
Azioni sul collegamento: N=-3330.55 Ty=1.58 Tz=5.89 Mx=0.02 Mz=3.71
Sollecitazioni agenti localmente: Ty_l=-605.55 Mx_l=-12.11
Tensioni nella sezione: σ=146.80 τ=18.35
CC 5 SLV (Collegamento 0022_-379)
Azioni sul collegamento: N=-3330.55 Ty=0.90 Tz=5.89 Mx=0.02 Mz=2.40
Sollecitazioni agenti localmente: Ty_l=-605.55 Mx_l=-12.11
Tensioni nella sezione: σ=146.80 τ=18.35
CC 6 SLD (Collegamento 0022_-379)
Azioni sul collegamento: N=-6335.90 Ty=0.53 Tz=-5.26 Mx=0.01 Mz=1.20
Sollecitazioni agenti localmente: Ty_l=-1151.98 Mx_l=-23.04
Tensioni nella sezione: σ=279.27 τ=34.91
CC 6 SLD (Collegamento 0022_-379)
Azioni sul collegamento: N=-6335.90 Ty=0.33 Tz=-5.26 Mx=0.01 Mz=0.80
Sollecitazioni agenti localmente: Ty_l=-1151.98 Mx_l=-23.04
Tensioni nella sezione: σ=279.27 τ=34.91
CC 6 SLD (Collegamento 0022_-379)
Azioni sul collegamento: N=-6335.90 Ty=0.53 Tz=-0.05 Mx=0.01 Mz=1.20
Sollecitazioni agenti localmente: Ty_l=-1151.98 Mx_l=-23.04
Tensioni nella sezione: σ=279.27 τ=34.91
CC 6 SLD (Collegamento 0022_-379)
Azioni sul collegamento: N=-6335.90 Ty=0.33 Tz=-0.05 Mx=0.01 Mz=0.80
Sollecitazioni agenti localmente: Ty_l=-1151.98 Mx_l=-23.04
Tensioni nella sezione: σ=279.27 τ=34.91
CC 6 SLD (Collegamento 0022_-379)
Azioni sul collegamento: N=-4931.25 Ty=0.53 Tz=-5.26 Mx=0.01 Mz=1.20
Sollecitazioni agenti localmente: Ty_l=-896.59 Mx_l=-17.93
Tensioni nella sezione: σ=217.35 τ=27.17
CC 6 SLD (Collegamento 0022_-379)
Azioni sul collegamento: N=-4931.25 Ty=0.33 Tz=-5.26 Mx=0.01 Mz=0.80
Sollecitazioni agenti localmente: Ty_l=-896.59 Mx_l=-17.93
Tensioni nella sezione: σ=217.35 τ=27.17
CC 6 SLD (Collegamento 0022_-379)
Azioni sul collegamento: N=-4931.25 Ty=0.53 Tz=-0.05 Mx=0.01 Mz=1.20
Sollecitazioni agenti localmente: Ty_l=-896.59 Mx_l=-17.93
Tensioni nella sezione: σ=217.35 τ=27.17
CC 6 SLD (Collegamento 0022_-379)
Azioni sul collegamento: N=-4931.25 Ty=0.33 Tz=-0.05 Mx=0.01 Mz=0.80
Sollecitazioni agenti localmente: Ty_l=-896.59 Mx_l=-17.93
Tensioni nella sezione: σ=217.35 τ=27.17
CC 7 SLV (Collegamento 0022_-379)
Azioni sul collegamento: N=-7936.99 Ty=0.88 Tz=-11.19 Mx=0.01 Mz=2.36
Sollecitazioni agenti localmente: Ty_l=-1443.09 Mx_l=-28.86
Tensioni nella sezione: σ=349.84 τ=43.73
CC 7 SLV (Collegamento 0022_-379)
Azioni sul collegamento: N=-7936.99 Ty=1.59 Tz=-11.19 Mx=0.01 Mz=3.75
Sollecitazioni agenti localmente: Ty_l=-1443.09 Mx_l=-28.86

Tensioni nella sezione: σ=349.84 τ=43.73
CC 7 SLV (Collegamento 0022_-379)
Azioni sul collegamento: N=-7936.99 Ty=0.88 Tz=5.89 Mx=0.01 Mz=2.36
Sollecitazioni agenti localmente: Ty_l=-1443.09 Mx_l=-28.86
Tensioni nella sezione: σ=349.84 τ=43.73
CC 7 SLV (Collegamento 0022_-379)
Azioni sul collegamento: N=-7936.99 Ty=1.59 Tz=5.89 Mx=0.01 Mz=3.75
Sollecitazioni agenti localmente: Ty_l=-1443.09 Mx_l=-28.86
Tensioni nella sezione: σ=349.84 τ=43.73
CC 7 SLV (Collegamento 0022_-379)
Azioni sul collegamento: N=-3330.52 Ty=0.88 Tz=-11.19 Mx=0.01 Mz=2.36
Sollecitazioni agenti localmente: Ty_l=-605.55 Mx_l=-12.11
Tensioni nella sezione: σ=146.80 τ=18.35
CC 7 SLV (Collegamento 0022_-379)
Azioni sul collegamento: N=-3330.52 Ty=1.59 Tz=-11.19 Mx=0.01 Mz=3.75
Sollecitazioni agenti localmente: Ty_l=-605.55 Mx_l=-12.11
Tensioni nella sezione: σ=146.80 τ=18.35
CC 7 SLV (Collegamento 0022_-379)
Azioni sul collegamento: N=-3330.52 Ty=0.88 Tz=5.89 Mx=0.01 Mz=2.36
Sollecitazioni agenti localmente: Ty_l=-605.55 Mx_l=-12.11
Tensioni nella sezione: σ=146.80 τ=18.35
CC 7 SLV (Collegamento 0022_-379)
Azioni sul collegamento: N=-3330.52 Ty=1.59 Tz=5.89 Mx=0.01 Mz=3.75
Sollecitazioni agenti localmente: Ty_l=-605.55 Mx_l=-12.11
Tensioni nella sezione: σ=146.80 τ=18.35
CC 8 SLD (Collegamento 0022_-379)
Azioni sul collegamento: N=-6335.90 Ty=0.32 Tz=-5.26 Mx=0.00 Mz=0.79
Sollecitazioni agenti localmente: Ty_l=-1151.98 Mx_l=-23.04
Tensioni nella sezione: σ=279.27 τ=34.91
CC 8 SLD (Collegamento 0022_-379)
Azioni sul collegamento: N=-6335.90 Ty=0.54 Tz=-5.26 Mx=0.00 Mz=1.22
Sollecitazioni agenti localmente: Ty_l=-1151.98 Mx_l=-23.04
Tensioni nella sezione: σ=279.27 τ=34.91
CC 8 SLD (Collegamento 0022_-379)
Azioni sul collegamento: N=-6335.90 Ty=0.32 Tz=-0.05 Mx=0.00 Mz=0.79
Sollecitazioni agenti localmente: Ty_l=-1151.98 Mx_l=-23.04
Tensioni nella sezione: σ=279.27 τ=34.91
CC 8 SLD (Collegamento 0022_-379)
Azioni sul collegamento: N=-6335.90 Ty=0.54 Tz=-0.05 Mx=0.00 Mz=1.22
Sollecitazioni agenti localmente: Ty_l=-1151.98 Mx_l=-23.04
Tensioni nella sezione: σ=279.27 τ=34.91
CC 8 SLD (Collegamento 0022_-379)
Azioni sul collegamento: N=-4931.25 Ty=0.32 Tz=-5.26 Mx=0.00 Mz=0.79
Sollecitazioni agenti localmente: Ty_l=-896.59 Mx_l=-17.93
Tensioni nella sezione: σ=217.35 τ=27.17
CC 8 SLD (Collegamento 0022_-379)
Azioni sul collegamento: N=-4931.25 Ty=0.54 Tz=-5.26 Mx=0.00 Mz=1.22
Sollecitazioni agenti localmente: Ty_l=-896.59 Mx_l=-17.93
Tensioni nella sezione: σ=217.35 τ=27.17
CC 8 SLD (Collegamento 0022_-379)
Azioni sul collegamento: N=-4931.25 Ty=0.32 Tz=-0.05 Mx=0.00 Mz=0.79
Sollecitazioni agenti localmente: Ty_l=-896.59 Mx_l=-17.93
Tensioni nella sezione: σ=217.35 τ=27.17
CC 8 SLD (Collegamento 0022_-379)
Azioni sul collegamento: N=-4931.25 Ty=0.54 Tz=-0.05 Mx=0.00 Mz=1.22
Sollecitazioni agenti localmente: Ty_l=-896.59 Mx_l=-17.93
Tensioni nella sezione: σ=217.35 τ=27.17
CC 9 SLV (Collegamento 0022_-379)
Azioni sul collegamento: N=-4942.75 Ty=2.39 Tz=-0.09 Mx=0.02 Mz=5.32
Sollecitazioni agenti localmente: Ty_l=-898.68 Mx_l=-17.97
Tensioni nella sezione: σ=217.86 τ=27.23
CC 9 SLV (Collegamento 0022_-379)
Azioni sul collegamento: N=-4942.75 Ty=0.08 Tz=-0.09 Mx=0.02 Mz=0.80
Sollecitazioni agenti localmente: Ty_l=-898.68 Mx_l=-17.97
Tensioni nella sezione: σ=217.86 τ=27.23
CC 9 SLV (Collegamento 0022_-379)
Azioni sul collegamento: N=-4942.75 Ty=2.39 Tz=-5.22 Mx=0.02 Mz=5.32
Sollecitazioni agenti localmente: Ty_l=-898.68 Mx_l=-17.97
Tensioni nella sezione: σ=217.86 τ=27.23
CC 9 SLV (Collegamento 0022_-379)
Azioni sul collegamento: N=-4942.75 Ty=0.08 Tz=-5.22 Mx=0.02 Mz=0.80
Sollecitazioni agenti localmente: Ty_l=-898.68 Mx_l=-17.97
Tensioni nella sezione: σ=217.86 τ=27.23
CC 9 SLV (Collegamento 0022_-379)
Azioni sul collegamento: N=-6324.76 Ty=2.39 Tz=-0.09 Mx=0.02 Mz=5.32
Sollecitazioni agenti localmente: Ty_l=-1149.96 Mx_l=-23.00
Tensioni nella sezione: σ=278.78 τ=34.85
CC 9 SLV (Collegamento 0022_-379)
Azioni sul collegamento: N=-6324.76 Ty=0.08 Tz=-0.09 Mx=0.02 Mz=0.80

Sollecitazioni agenti localmente: Ty_l=-1149.96 Mx_l=-23.00
Tensioni nella sezione: σ=278.78 τ=34.85
CC 9 SLV (Collegamento 0022_-379)
Azioni sul collegamento: N=-6324.76 Ty=2.39 Tz=-5.22 Mx=0.02 Mz=5.32
Sollecitazioni agenti localmente: Ty_l=-1149.96 Mx_l=-23.00
Tensioni nella sezione: σ=278.78 τ=34.85
CC 9 SLV (Collegamento 0022_-379)
Azioni sul collegamento: N=-6324.76 Ty=0.08 Tz=-5.22 Mx=0.02 Mz=0.80
Sollecitazioni agenti localmente: Ty_l=-1149.96 Mx_l=-23.00
Tensioni nella sezione: σ=278.78 τ=34.85
CC 10 SLD (Collegamento 0022_-379)
Azioni sul collegamento: N=-5422.87 Ty=0.78 Tz=-1.87 Mx=0.01 Mz=1.69
Sollecitazioni agenti localmente: Ty_l=-985.98 Mx_l=-19.72
Tensioni nella sezione: σ=239.02 τ=29.88
CC 10 SLD (Collegamento 0022_-379)
Azioni sul collegamento: N=-5422.87 Ty=0.08 Tz=-1.87 Mx=0.01 Mz=0.31
Sollecitazioni agenti localmente: Ty_l=-985.98 Mx_l=-19.72
Tensioni nella sezione: σ=239.02 τ=29.88
CC 10 SLD (Collegamento 0022_-379)
Azioni sul collegamento: N=-5422.87 Ty=0.78 Tz=-3.44 Mx=0.01 Mz=1.69
Sollecitazioni agenti localmente: Ty_l=-985.98 Mx_l=-19.72
Tensioni nella sezione: σ=239.02 τ=29.88
CC 10 SLD (Collegamento 0022_-379)
Azioni sul collegamento: N=-5422.87 Ty=0.08 Tz=-3.44 Mx=0.01 Mz=0.31
Sollecitazioni agenti localmente: Ty_l=-985.98 Mx_l=-19.72
Tensioni nella sezione: σ=239.02 τ=29.88
CC 10 SLD (Collegamento 0022_-379)
Azioni sul collegamento: N=-5844.28 Ty=0.78 Tz=-1.87 Mx=0.01 Mz=1.69
Sollecitazioni agenti localmente: Ty_l=-1062.60 Mx_l=-21.25
Tensioni nella sezione: σ=257.60 τ=32.20
CC 10 SLD (Collegamento 0022_-379)
Azioni sul collegamento: N=-5844.28 Ty=0.08 Tz=-1.87 Mx=0.01 Mz=0.31
Sollecitazioni agenti localmente: Ty_l=-1062.60 Mx_l=-21.25
Tensioni nella sezione: σ=257.60 τ=32.20
CC 10 SLD (Collegamento 0022_-379)
Azioni sul collegamento: N=-5844.28 Ty=0.78 Tz=-3.44 Mx=0.01 Mz=1.69
Sollecitazioni agenti localmente: Ty_l=-1062.60 Mx_l=-21.25
Tensioni nella sezione: σ=257.60 τ=32.20
CC 10 SLD (Collegamento 0022_-379)
Azioni sul collegamento: N=-5844.28 Ty=0.08 Tz=-3.44 Mx=0.01 Mz=0.31
Sollecitazioni agenti localmente: Ty_l=-1062.60 Mx_l=-21.25
Tensioni nella sezione: σ=257.60 τ=32.20
CC 11 SLV (Collegamento 0022_-379)
Azioni sul collegamento: N=-6324.69 Ty=2.39 Tz=-5.21 Mx=0.02 Mz=5.31
Sollecitazioni agenti localmente: Ty_l=-1149.94 Mx_l=-23.00
Tensioni nella sezione: σ=278.77 τ=34.85
CC 11 SLV (Collegamento 0022_-379)
Azioni sul collegamento: N=-6324.69 Ty=0.09 Tz=-5.21 Mx=0.02 Mz=0.81
Sollecitazioni agenti localmente: Ty_l=-1149.94 Mx_l=-23.00
Tensioni nella sezione: σ=278.77 τ=34.85
CC 11 SLV (Collegamento 0022_-379)
Azioni sul collegamento: N=-6324.69 Ty=2.39 Tz=-0.09 Mx=0.02 Mz=5.31
Sollecitazioni agenti localmente: Ty_l=-1149.94 Mx_l=-23.00
Tensioni nella sezione: σ=278.77 τ=34.85
CC 11 SLV (Collegamento 0022_-379)
Azioni sul collegamento: N=-6324.69 Ty=0.09 Tz=-0.09 Mx=0.02 Mz=0.81
Sollecitazioni agenti localmente: Ty_l=-1149.94 Mx_l=-23.00
Tensioni nella sezione: σ=278.77 τ=34.85
CC 11 SLV (Collegamento 0022_-379)
Azioni sul collegamento: N=-4942.83 Ty=2.39 Tz=-5.21 Mx=0.02 Mz=5.31
Sollecitazioni agenti localmente: Ty_l=-898.70 Mx_l=-17.97
Tensioni nella sezione: σ=217.87 τ=27.23
CC 11 SLV (Collegamento 0022_-379)
Azioni sul collegamento: N=-4942.83 Ty=0.09 Tz=-5.21 Mx=0.02 Mz=0.81
Sollecitazioni agenti localmente: Ty_l=-898.70 Mx_l=-17.97
Tensioni nella sezione: σ=217.87 τ=27.23
CC 11 SLV (Collegamento 0022_-379)
Azioni sul collegamento: N=-4942.83 Ty=2.39 Tz=-0.09 Mx=0.02 Mz=5.31
Sollecitazioni agenti localmente: Ty_l=-898.70 Mx_l=-17.97
Tensioni nella sezione: σ=217.87 τ=27.23
CC 11 SLV (Collegamento 0022_-379)
Azioni sul collegamento: N=-4942.83 Ty=0.09 Tz=-0.09 Mx=0.02 Mz=0.81
Sollecitazioni agenti localmente: Ty_l=-898.70 Mx_l=-17.97
Tensioni nella sezione: σ=217.87 τ=27.23
CC 12 SLD (Collegamento 0022_-379)
Azioni sul collegamento: N=-5844.26 Ty=0.78 Tz=-3.43 Mx=0.01 Mz=1.69
Sollecitazioni agenti localmente: Ty_l=-1062.59 Mx_l=-21.25
Tensioni nella sezione: σ=257.60 τ=32.20
CC 12 SLD (Collegamento 0022_-379)

Azioni sul collegamento: N=-5844.26 Ty=0.08 Tz=-3.43 Mx=0.01 Mz=0.32
Sollecitazioni agenti localmente: Ty_l=-1062.59 Mx_l=-21.25
Tensioni nella sezione: σ=257.60 τ=32.20
CC 12 SLD (Collegamento 0022_-379)
Azioni sul collegamento: N=-5844.26 Ty=0.78 Tz=-1.87 Mx=0.01 Mz=1.69
Sollecitazioni agenti localmente: Ty_l=-1062.59 Mx_l=-21.25
Tensioni nella sezione: σ=257.60 τ=32.20
CC 12 SLD (Collegamento 0022_-379)
Azioni sul collegamento: N=-5844.26 Ty=0.08 Tz=-1.87 Mx=0.01 Mz=0.32
Sollecitazioni agenti localmente: Ty_l=-1062.59 Mx_l=-21.25
Tensioni nella sezione: σ=257.60 τ=32.20
CC 12 SLD (Collegamento 0022_-379)
Azioni sul collegamento: N=-5422.89 Ty=0.78 Tz=-3.43 Mx=0.01 Mz=1.69
Sollecitazioni agenti localmente: Ty_l=-985.98 Mx_l=-19.72
Tensioni nella sezione: σ=239.03 τ=29.88
CC 12 SLD (Collegamento 0022_-379)
Azioni sul collegamento: N=-5422.89 Ty=0.08 Tz=-3.43 Mx=0.01 Mz=0.32
Sollecitazioni agenti localmente: Ty_l=-985.98 Mx_l=-19.72
Tensioni nella sezione: σ=239.03 τ=29.88
CC 12 SLD (Collegamento 0022_-379)
Azioni sul collegamento: N=-5422.89 Ty=0.78 Tz=-1.87 Mx=0.01 Mz=1.69
Sollecitazioni agenti localmente: Ty_l=-985.98 Mx_l=-19.72
Tensioni nella sezione: σ=239.03 τ=29.88
CC 12 SLD (Collegamento 0022_-379)
Azioni sul collegamento: N=-5422.89 Ty=0.08 Tz=-1.87 Mx=0.01 Mz=0.32
Sollecitazioni agenti localmente: Ty_l=-985.98 Mx_l=-19.72
Tensioni nella sezione: σ=239.03 τ=29.88
CC 13 SLV (Collegamento 0022_-379)
Azioni sul collegamento: N=-4942.83 Ty=0.09 Tz=-0.09 Mx=0.00 Mz=0.81
Sollecitazioni agenti localmente: Ty_l=-898.70 Mx_l=-17.97
Tensioni nella sezione: σ=217.87 τ=27.23
CC 13 SLV (Collegamento 0022_-379)
Azioni sul collegamento: N=-4942.83 Ty=2.39 Tz=-0.09 Mx=0.00 Mz=5.31
Sollecitazioni agenti localmente: Ty_l=-898.70 Mx_l=-17.97
Tensioni nella sezione: σ=217.87 τ=27.23
CC 13 SLV (Collegamento 0022_-379)
Azioni sul collegamento: N=-4942.83 Ty=0.09 Tz=-5.21 Mx=0.00 Mz=0.81
Sollecitazioni agenti localmente: Ty_l=-898.70 Mx_l=-17.97
Tensioni nella sezione: σ=217.87 τ=27.23
CC 13 SLV (Collegamento 0022_-379)
Azioni sul collegamento: N=-4942.83 Ty=2.39 Tz=-5.21 Mx=0.00 Mz=5.31
Sollecitazioni agenti localmente: Ty_l=-898.70 Mx_l=-17.97
Tensioni nella sezione: σ=217.87 τ=27.23
CC 13 SLV (Collegamento 0022_-379)
Azioni sul collegamento: N=-6324.69 Ty=0.09 Tz=-0.09 Mx=0.00 Mz=0.81
Sollecitazioni agenti localmente: Ty_l=-1149.94 Mx_l=-23.00
Tensioni nella sezione: σ=278.77 τ=34.85
CC 13 SLV (Collegamento 0022_-379)
Azioni sul collegamento: N=-6324.69 Ty=2.39 Tz=-0.09 Mx=0.00 Mz=5.31
Sollecitazioni agenti localmente: Ty_l=-1149.94 Mx_l=-23.00
Tensioni nella sezione: σ=278.77 τ=34.85
CC 13 SLV (Collegamento 0022_-379)
Azioni sul collegamento: N=-6324.69 Ty=0.09 Tz=-5.21 Mx=0.00 Mz=0.81
Sollecitazioni agenti localmente: Ty_l=-1149.94 Mx_l=-23.00
Tensioni nella sezione: σ=278.77 τ=34.85
CC 13 SLV (Collegamento 0022_-379)
Azioni sul collegamento: N=-6324.69 Ty=2.39 Tz=-5.21 Mx=0.00 Mz=5.31
Sollecitazioni agenti localmente: Ty_l=-1149.94 Mx_l=-23.00
Tensioni nella sezione: σ=278.77 τ=34.85
CC 14 SLD (Collegamento 0022_-379)
Azioni sul collegamento: N=-5422.89 Ty=0.08 Tz=-1.87 Mx=0.00 Mz=0.32
Sollecitazioni agenti localmente: Ty_l=-985.98 Mx_l=-19.72
Tensioni nella sezione: σ=239.03 τ=29.88
CC 14 SLD (Collegamento 0022_-379)
Azioni sul collegamento: N=-5422.89 Ty=0.78 Tz=-1.87 Mx=0.00 Mz=1.69
Sollecitazioni agenti localmente: Ty_l=-985.98 Mx_l=-19.72
Tensioni nella sezione: σ=239.03 τ=29.88
CC 14 SLD (Collegamento 0022_-379)
Azioni sul collegamento: N=-5422.89 Ty=0.08 Tz=-3.43 Mx=0.00 Mz=0.32
Sollecitazioni agenti localmente: Ty_l=-985.98 Mx_l=-19.72
Tensioni nella sezione: σ=239.03 τ=29.88
CC 14 SLD (Collegamento 0022_-379)
Azioni sul collegamento: N=-5422.89 Ty=0.78 Tz=-3.43 Mx=0.00 Mz=1.69
Sollecitazioni agenti localmente: Ty_l=-985.98 Mx_l=-19.72
Tensioni nella sezione: σ=239.03 τ=29.88
CC 14 SLD (Collegamento 0022_-379)
Azioni sul collegamento: N=-5844.26 Ty=0.08 Tz=-1.87 Mx=0.00 Mz=0.32
Sollecitazioni agenti localmente: Ty_l=-1062.59 Mx_l=-21.25
Tensioni nella sezione: σ=257.60 τ=32.20

CC 14 SLD (Collegamento 0022_-379)
Azioni sul collegamento: N=-5844.26 Ty=0.78 Tz=-1.87 Mx=0.00 Mz=1.69
Sollecitazioni agenti localmente: Ty_l=-1062.59 Mx_l=-21.25
Tensioni nella sezione: σ=257.60 τ=32.20
CC 14 SLD (Collegamento 0022_-379)
Azioni sul collegamento: N=-5844.26 Ty=0.08 Tz=-3.43 Mx=0.00 Mz=0.32
Sollecitazioni agenti localmente: Ty_l=-1062.59 Mx_l=-21.25
Tensioni nella sezione: σ=257.60 τ=32.20
CC 14 SLD (Collegamento 0022_-379)
Azioni sul collegamento: N=-5844.26 Ty=0.78 Tz=-3.43 Mx=0.00 Mz=1.69
Sollecitazioni agenti localmente: Ty_l=-1062.59 Mx_l=-21.25
Tensioni nella sezione: σ=257.60 τ=32.20
CC 15 SLV (Collegamento 0022_-379)
Azioni sul collegamento: N=-6324.76 Ty=0.08 Tz=-5.22 Mx=0.00 Mz=0.80
Sollecitazioni agenti localmente: Ty_l=-1149.96 Mx_l=-23.00
Tensioni nella sezione: σ=278.78 τ=34.85
CC 15 SLV (Collegamento 0022_-379)
Azioni sul collegamento: N=-6324.76 Ty=2.39 Tz=-5.22 Mx=0.00 Mz=5.32
Sollecitazioni agenti localmente: Ty_l=-1149.96 Mx_l=-23.00
Tensioni nella sezione: σ=278.78 τ=34.85
CC 15 SLV (Collegamento 0022_-379)
Azioni sul collegamento: N=-6324.76 Ty=0.08 Tz=-0.09 Mx=0.00 Mz=0.80
Sollecitazioni agenti localmente: Ty_l=-1149.96 Mx_l=-23.00
Tensioni nella sezione: σ=278.78 τ=34.85
CC 15 SLV (Collegamento 0022_-379)
Azioni sul collegamento: N=-6324.76 Ty=2.39 Tz=-0.09 Mx=0.00 Mz=5.32
Sollecitazioni agenti localmente: Ty_l=-1149.96 Mx_l=-23.00
Tensioni nella sezione: σ=278.78 τ=34.85
CC 15 SLV (Collegamento 0022_-379)
Azioni sul collegamento: N=-4942.75 Ty=0.08 Tz=-5.22 Mx=0.00 Mz=0.80
Sollecitazioni agenti localmente: Ty_l=-898.68 Mx_l=-17.97
Tensioni nella sezione: σ=217.86 τ=27.23
CC 15 SLV (Collegamento 0022_-379)
Azioni sul collegamento: N=-4942.75 Ty=2.39 Tz=-5.22 Mx=0.00 Mz=5.32
Sollecitazioni agenti localmente: Ty_l=-898.68 Mx_l=-17.97
Tensioni nella sezione: σ=217.86 τ=27.23
CC 15 SLV (Collegamento 0022_-379)
Azioni sul collegamento: N=-4942.75 Ty=0.08 Tz=-0.09 Mx=0.00 Mz=0.80
Sollecitazioni agenti localmente: Ty_l=-898.68 Mx_l=-17.97
Tensioni nella sezione: σ=217.86 τ=27.23
CC 15 SLV (Collegamento 0022_-379)
Azioni sul collegamento: N=-4942.75 Ty=2.39 Tz=-0.09 Mx=0.00 Mz=5.32
Sollecitazioni agenti localmente: Ty_l=-898.68 Mx_l=-17.97
Tensioni nella sezione: σ=217.86 τ=27.23
CC 16 SLD (Collegamento 0022_-379)
Azioni sul collegamento: N=-5844.28 Ty=0.08 Tz=-3.44 Mx=0.00 Mz=0.31
Sollecitazioni agenti localmente: Ty_l=-1062.60 Mx_l=-21.25
Tensioni nella sezione: σ=257.60 τ=32.20
CC 16 SLD (Collegamento 0022_-379)
Azioni sul collegamento: N=-5844.28 Ty=0.78 Tz=-3.44 Mx=0.00 Mz=1.69
Sollecitazioni agenti localmente: Ty_l=-1062.60 Mx_l=-21.25
Tensioni nella sezione: σ=257.60 τ=32.20
CC 16 SLD (Collegamento 0022_-379)
Azioni sul collegamento: N=-5844.28 Ty=0.08 Tz=-1.87 Mx=0.00 Mz=0.31
Sollecitazioni agenti localmente: Ty_l=-1062.60 Mx_l=-21.25
Tensioni nella sezione: σ=257.60 τ=32.20
CC 16 SLD (Collegamento 0022_-379)
Azioni sul collegamento: N=-5844.28 Ty=0.78 Tz=-1.87 Mx=0.00 Mz=1.69
Sollecitazioni agenti localmente: Ty_l=-1062.60 Mx_l=-21.25
Tensioni nella sezione: σ=257.60 τ=32.20
CC 16 SLD (Collegamento 0022_-379)
Azioni sul collegamento: N=-5422.87 Ty=0.08 Tz=-3.44 Mx=0.00 Mz=0.31
Sollecitazioni agenti localmente: Ty_l=-985.98 Mx_l=-19.72
Tensioni nella sezione: σ=239.02 τ=29.88
CC 16 SLD (Collegamento 0022_-379)
Azioni sul collegamento: N=-5422.87 Ty=0.78 Tz=-3.44 Mx=0.00 Mz=1.69
Sollecitazioni agenti localmente: Ty_l=-985.98 Mx_l=-19.72
Tensioni nella sezione: σ=239.02 τ=29.88
CC 16 SLD (Collegamento 0022_-379)
Azioni sul collegamento: N=-5422.87 Ty=0.08 Tz=-1.87 Mx=0.00 Mz=0.31
Sollecitazioni agenti localmente: Ty_l=-985.98 Mx_l=-19.72
Tensioni nella sezione: σ=239.02 τ=29.88
CC 16 SLD (Collegamento 0022_-379)
Azioni sul collegamento: N=-5422.87 Ty=0.78 Tz=-1.87 Mx=0.00 Mz=1.69
Sollecitazioni agenti localmente: Ty_l=-985.98 Mx_l=-19.72
Tensioni nella sezione: σ=239.02 τ=29.88
CC 17 SLV (Collegamento 0022_-379)
Azioni sul collegamento: N=-3330.00 Ty=-0.74 Tz=5.89 Mx=-0.02 Mz=-2.16
Sollecitazioni agenti localmente: Ty_l=-605.45 Mx_l=-12.11

Tensioni nella sezione: σ=146.78 τ=18.35
CC 17 SLV (Collegamento 0022_-379)
Azioni sul collegamento: N=-3330.00 Ty=-1.44 Tz=5.89 Mx=-0.02 Mz=-3.55
Sollecitazioni agenti localmente: Ty_l=-605.45 Mx_l=-12.11
Tensioni nella sezione: σ=146.78 τ=18.35
CC 17 SLV (Collegamento 0022_-379)
Azioni sul collegamento: N=-3330.00 Ty=-0.74 Tz=-11.20 Mx=-0.02 Mz=-2.16
Sollecitazioni agenti localmente: Ty_l=-605.45 Mx_l=-12.11
Tensioni nella sezione: σ=146.78 τ=18.35
CC 17 SLV (Collegamento 0022_-379)
Azioni sul collegamento: N=-3330.00 Ty=-1.44 Tz=-11.20 Mx=-0.02 Mz=-3.55
Sollecitazioni agenti localmente: Ty_l=-605.45 Mx_l=-12.11
Tensioni nella sezione: σ=146.78 τ=18.35
CC 17 SLV (Collegamento 0022_-379)
Azioni sul collegamento: N=-7936.47 Ty=-0.74 Tz=5.89 Mx=-0.02 Mz=-2.16
Sollecitazioni agenti localmente: Ty_l=-1442.99 Mx_l=-28.86
Tensioni nella sezione: σ=349.82 τ=43.73
CC 17 SLV (Collegamento 0022_-379)
Azioni sul collegamento: N=-7936.47 Ty=-1.44 Tz=5.89 Mx=-0.02 Mz=-3.55
Sollecitazioni agenti localmente: Ty_l=-1442.99 Mx_l=-28.86
Tensioni nella sezione: σ=349.82 τ=43.73
CC 17 SLV (Collegamento 0022_-379)
Azioni sul collegamento: N=-7936.47 Ty=-0.74 Tz=-11.20 Mx=-0.02 Mz=-2.16
Sollecitazioni agenti localmente: Ty_l=-1442.99 Mx_l=-28.86
Tensioni nella sezione: σ=349.82 τ=43.73
CC 17 SLV (Collegamento 0022_-379)
Azioni sul collegamento: N=-7936.47 Ty=-1.44 Tz=-11.20 Mx=-0.02 Mz=-3.55
Sollecitazioni agenti localmente: Ty_l=-1442.99 Mx_l=-28.86
Tensioni nella sezione: σ=349.82 τ=43.73
CC 18 SLD (Collegamento 0022_-379)
Azioni sul collegamento: N=-4931.08 Ty=-0.17 Tz=-0.05 Mx=-0.00 Mz=-0.59
Sollecitazioni agenti localmente: Ty_l=-896.56 Mx_l=-17.93
Tensioni nella sezione: σ=217.35 τ=27.17
CC 18 SLD (Collegamento 0022_-379)
Azioni sul collegamento: N=-4931.08 Ty=-0.39 Tz=-0.05 Mx=-0.00 Mz=-1.01
Sollecitazioni agenti localmente: Ty_l=-896.56 Mx_l=-17.93
Tensioni nella sezione: σ=217.35 τ=27.17
CC 18 SLD (Collegamento 0022_-379)
Azioni sul collegamento: N=-4931.09 Ty=-0.17 Tz=-5.26 Mx=-0.00 Mz=-0.59
Sollecitazioni agenti localmente: Ty_l=-896.56 Mx_l=-17.93
Tensioni nella sezione: σ=217.35 τ=27.17
CC 18 SLD (Collegamento 0022_-379)
Azioni sul collegamento: N=-4931.09 Ty=-0.39 Tz=-5.26 Mx=-0.00 Mz=-1.01
Sollecitazioni agenti localmente: Ty_l=-896.56 Mx_l=-17.93
Tensioni nella sezione: σ=217.35 τ=27.17
CC 18 SLD (Collegamento 0022_-379)
Azioni sul collegamento: N=-6335.74 Ty=-0.17 Tz=-0.05 Mx=-0.00 Mz=-0.59
Sollecitazioni agenti localmente: Ty_l=-1151.95 Mx_l=-23.04
Tensioni nella sezione: σ=279.26 τ=34.91
CC 18 SLD (Collegamento 0022_-379)
Azioni sul collegamento: N=-6335.74 Ty=-0.39 Tz=-0.05 Mx=-0.00 Mz=-1.01
Sollecitazioni agenti localmente: Ty_l=-1151.95 Mx_l=-23.04
Tensioni nella sezione: σ=279.26 τ=34.91
CC 18 SLD (Collegamento 0022_-379)
Azioni sul collegamento: N=-6335.74 Ty=-0.17 Tz=-5.26 Mx=-0.00 Mz=-0.59
Sollecitazioni agenti localmente: Ty_l=-1151.95 Mx_l=-23.04
Tensioni nella sezione: σ=279.26 τ=34.91
CC 18 SLD (Collegamento 0022_-379)
Azioni sul collegamento: N=-6335.74 Ty=-0.39 Tz=-5.26 Mx=-0.00 Mz=-1.01
Sollecitazioni agenti localmente: Ty_l=-1151.95 Mx_l=-23.04
Tensioni nella sezione: σ=279.26 τ=34.91
CC 19 SLV (Collegamento 0022_-379)
Azioni sul collegamento: N=-3330.02 Ty=-1.43 Tz=5.88 Mx=-0.01 Mz=-3.51
Sollecitazioni agenti localmente: Ty_l=-605.46 Mx_l=-12.11
Tensioni nella sezione: σ=146.78 τ=18.35
CC 19 SLV (Collegamento 0022_-379)
Azioni sul collegamento: N=-3330.02 Ty=-0.75 Tz=5.88 Mx=-0.01 Mz=-2.19
Sollecitazioni agenti localmente: Ty_l=-605.46 Mx_l=-12.11
Tensioni nella sezione: σ=146.78 τ=18.35
CC 19 SLV (Collegamento 0022_-379)
Azioni sul collegamento: N=-3330.02 Ty=-1.43 Tz=-11.19 Mx=-0.01 Mz=-3.51
Sollecitazioni agenti localmente: Ty_l=-605.46 Mx_l=-12.11
Tensioni nella sezione: σ=146.78 τ=18.35
CC 19 SLV (Collegamento 0022_-379)
Azioni sul collegamento: N=-3330.02 Ty=-0.75 Tz=-11.19 Mx=-0.01 Mz=-2.19
Sollecitazioni agenti localmente: Ty_l=-605.46 Mx_l=-12.11
Tensioni nella sezione: σ=146.78 τ=18.35
CC 19 SLV (Collegamento 0022_-379)
Azioni sul collegamento: N=-7936.44 Ty=-1.43 Tz=5.88 Mx=-0.01 Mz=-3.51

Sollecitazioni agenti localmente: Ty_l=-1442.99 Mx_l=-28.86
Tensioni nella sezione: σ=349.81 τ=43.73
CC 19 SLV (Collegamento 0022_-379)
Azioni sul collegamento: N=-7936.44 Ty=-0.75 Tz=5.88 Mx=-0.01 Mz=-2.19
Sollecitazioni agenti localmente: Ty_l=-1442.99 Mx_l=-28.86
Tensioni nella sezione: σ=349.81 τ=43.73
CC 19 SLV (Collegamento 0022_-379)
Azioni sul collegamento: N=-7936.44 Ty=-1.43 Tz=-11.19 Mx=-0.01 Mz=-3.51
Sollecitazioni agenti localmente: Ty_l=-1442.99 Mx_l=-28.86
Tensioni nella sezione: σ=349.81 τ=43.73
CC 19 SLV (Collegamento 0022_-379)
Azioni sul collegamento: N=-7936.44 Ty=-0.75 Tz=-11.19 Mx=-0.01 Mz=-2.19
Sollecitazioni agenti localmente: Ty_l=-1442.99 Mx_l=-28.86
Tensioni nella sezione: σ=349.81 τ=43.73
CC 20 SLD (Collegamento 0022_-379)
Azioni sul collegamento: N=-4931.09 Ty=-0.38 Tz=-0.05 Mx=-0.00 Mz=-1.00
Sollecitazioni agenti localmente: Ty_l=-896.56 Mx_l=-17.93
Tensioni nella sezione: σ=217.35 τ=27.17
CC 20 SLD (Collegamento 0022_-379)
Azioni sul collegamento: N=-4931.09 Ty=-0.18 Tz=-0.05 Mx=-0.00 Mz=-0.60
Sollecitazioni agenti localmente: Ty_l=-896.56 Mx_l=-17.93
Tensioni nella sezione: σ=217.35 τ=27.17
CC 20 SLD (Collegamento 0022_-379)
Azioni sul collegamento: N=-4931.09 Ty=-0.38 Tz=-5.26 Mx=-0.00 Mz=-1.00
Sollecitazioni agenti localmente: Ty_l=-896.56 Mx_l=-17.93
Tensioni nella sezione: σ=217.35 τ=27.17
CC 20 SLD (Collegamento 0022_-379)
Azioni sul collegamento: N=-4931.09 Ty=-0.18 Tz=-5.26 Mx=-0.00 Mz=-0.60
Sollecitazioni agenti localmente: Ty_l=-896.56 Mx_l=-17.93
Tensioni nella sezione: σ=217.35 τ=27.17
CC 20 SLD (Collegamento 0022_-379)
Azioni sul collegamento: N=-6335.74 Ty=-0.38 Tz=-0.05 Mx=-0.00 Mz=-1.00
Sollecitazioni agenti localmente: Ty_l=-1151.95 Mx_l=-23.04
Tensioni nella sezione: σ=279.26 τ=34.91
CC 20 SLD (Collegamento 0022_-379)
Azioni sul collegamento: N=-6335.74 Ty=-0.18 Tz=-0.05 Mx=-0.00 Mz=-0.60
Sollecitazioni agenti localmente: Ty_l=-1151.95 Mx_l=-23.04
Tensioni nella sezione: σ=279.26 τ=34.91
CC 20 SLD (Collegamento 0022_-379)
Azioni sul collegamento: N=-6335.74 Ty=-0.38 Tz=-5.26 Mx=-0.00 Mz=-1.00
Sollecitazioni agenti localmente: Ty_l=-1151.95 Mx_l=-23.04
Tensioni nella sezione: σ=279.26 τ=34.91
CC 20 SLD (Collegamento 0022_-379)
Azioni sul collegamento: N=-6335.74 Ty=-0.18 Tz=-5.26 Mx=-0.00 Mz=-0.60
Sollecitazioni agenti localmente: Ty_l=-1151.95 Mx_l=-23.04
Tensioni nella sezione: σ=279.26 τ=34.91
CC 21 SLV (Collegamento 0022_-379)
Azioni sul collegamento: N=-7936.44 Ty=-0.75 Tz=-11.19 Mx=-0.02 Mz=-2.19
Sollecitazioni agenti localmente: Ty_l=-1442.99 Mx_l=-28.86
Tensioni nella sezione: σ=349.81 τ=43.73
CC 21 SLV (Collegamento 0022_-379)
Azioni sul collegamento: N=-7936.44 Ty=-1.43 Tz=-11.19 Mx=-0.02 Mz=-3.51
Sollecitazioni agenti localmente: Ty_l=-1442.99 Mx_l=-28.86
Tensioni nella sezione: σ=349.81 τ=43.73
CC 21 SLV (Collegamento 0022_-379)
Azioni sul collegamento: N=-7936.44 Ty=-0.75 Tz=5.88 Mx=-0.02 Mz=-2.19
Sollecitazioni agenti localmente: Ty_l=-1442.99 Mx_l=-28.86
Tensioni nella sezione: σ=349.81 τ=43.73
CC 21 SLV (Collegamento 0022_-379)
Azioni sul collegamento: N=-7936.44 Ty=-1.43 Tz=5.88 Mx=-0.02 Mz=-3.51
Sollecitazioni agenti localmente: Ty_l=-1442.99 Mx_l=-28.86
Tensioni nella sezione: σ=349.81 τ=43.73
CC 21 SLV (Collegamento 0022_-379)
Azioni sul collegamento: N=-3330.02 Ty=-0.75 Tz=-11.19 Mx=-0.02 Mz=-2.19
Sollecitazioni agenti localmente: Ty_l=-605.46 Mx_l=-12.11
Tensioni nella sezione: σ=146.78 τ=18.35
CC 21 SLV (Collegamento 0022_-379)
Azioni sul collegamento: N=-3330.02 Ty=-1.43 Tz=-11.19 Mx=-0.02 Mz=-3.51
Sollecitazioni agenti localmente: Ty_l=-605.46 Mx_l=-12.11
Tensioni nella sezione: σ=146.78 τ=18.35
CC 21 SLV (Collegamento 0022_-379)
Azioni sul collegamento: N=-3330.02 Ty=-0.75 Tz=5.88 Mx=-0.02 Mz=-2.19
Sollecitazioni agenti localmente: Ty_l=-605.46 Mx_l=-12.11
Tensioni nella sezione: σ=146.78 τ=18.35
CC 21 SLV (Collegamento 0022_-379)
Azioni sul collegamento: N=-3330.02 Ty=-1.43 Tz=5.88 Mx=-0.02 Mz=-3.51
Sollecitazioni agenti localmente: Ty_l=-605.46 Mx_l=-12.11
Tensioni nella sezione: σ=146.78 τ=18.35
CC 22 SLD (Collegamento 0022_-379)

Azioni sul collegamento: N=-6335.74 Ty=-0.18 Tz=-5.26 Mx=-0.00 Mz=-0.60
Sollecitazioni agenti localmente: Ty_l=-1151.95 Mx_l=-23.04
Tensioni nella sezione: σ=279.26 τ=34.91
CC 22 SLD (Collegamento 0022_-379)
Azioni sul collegamento: N=-6335.74 Ty=-0.38 Tz=-5.26 Mx=-0.00 Mz=-1.00
Sollecitazioni agenti localmente: Ty_l=-1151.95 Mx_l=-23.04
Tensioni nella sezione: σ=279.26 τ=34.91
CC 22 SLD (Collegamento 0022_-379)
Azioni sul collegamento: N=-6335.74 Ty=-0.18 Tz=-0.05 Mx=-0.00 Mz=-0.60
Sollecitazioni agenti localmente: Ty_l=-1151.95 Mx_l=-23.04
Tensioni nella sezione: σ=279.26 τ=34.91
CC 22 SLD (Collegamento 0022_-379)
Azioni sul collegamento: N=-6335.74 Ty=-0.38 Tz=-0.05 Mx=-0.00 Mz=-1.00
Sollecitazioni agenti localmente: Ty_l=-1151.95 Mx_l=-23.04
Tensioni nella sezione: σ=279.26 τ=34.91
CC 22 SLD (Collegamento 0022_-379)
Azioni sul collegamento: N=-4931.09 Ty=-0.18 Tz=-5.26 Mx=-0.00 Mz=-0.60
Sollecitazioni agenti localmente: Ty_l=-896.56 Mx_l=-17.93
Tensioni nella sezione: σ=217.35 τ=27.17
CC 22 SLD (Collegamento 0022_-379)
Azioni sul collegamento: N=-4931.09 Ty=-0.38 Tz=-5.26 Mx=-0.00 Mz=-1.00
Sollecitazioni agenti localmente: Ty_l=-896.56 Mx_l=-17.93
Tensioni nella sezione: σ=217.35 τ=27.17
CC 22 SLD (Collegamento 0022_-379)
Azioni sul collegamento: N=-4931.09 Ty=-0.18 Tz=-0.05 Mx=-0.00 Mz=-0.60
Sollecitazioni agenti localmente: Ty_l=-896.56 Mx_l=-17.93
Tensioni nella sezione: σ=217.35 τ=27.17
CC 22 SLD (Collegamento 0022_-379)
Azioni sul collegamento: N=-4931.09 Ty=-0.38 Tz=-0.05 Mx=-0.00 Mz=-1.00
Sollecitazioni agenti localmente: Ty_l=-896.56 Mx_l=-17.93
Tensioni nella sezione: σ=217.35 τ=27.17
CC 23 SLV (Collegamento 0022_-379)
Azioni sul collegamento: N=-7936.47 Ty=-1.44 Tz=-11.20 Mx=-0.01 Mz=-3.55
Sollecitazioni agenti localmente: Ty_l=-1442.99 Mx_l=-28.86
Tensioni nella sezione: σ=349.82 τ=43.73
CC 23 SLV (Collegamento 0022_-379)
Azioni sul collegamento: N=-7936.47 Ty=-0.74 Tz=-11.20 Mx=-0.01 Mz=-2.16
Sollecitazioni agenti localmente: Ty_l=-1442.99 Mx_l=-28.86
Tensioni nella sezione: σ=349.82 τ=43.73
CC 23 SLV (Collegamento 0022_-379)
Azioni sul collegamento: N=-7936.47 Ty=-1.44 Tz=5.89 Mx=-0.01 Mz=-3.55
Sollecitazioni agenti localmente: Ty_l=-1442.99 Mx_l=-28.86
Tensioni nella sezione: σ=349.82 τ=43.73
CC 23 SLV (Collegamento 0022_-379)
Azioni sul collegamento: N=-7936.47 Ty=-0.74 Tz=5.89 Mx=-0.01 Mz=-2.16
Sollecitazioni agenti localmente: Ty_l=-1442.99 Mx_l=-28.86
Tensioni nella sezione: σ=349.82 τ=43.73
CC 23 SLV (Collegamento 0022_-379)
Azioni sul collegamento: N=-3330.00 Ty=-1.44 Tz=-11.20 Mx=-0.01 Mz=-3.55
Sollecitazioni agenti localmente: Ty_l=-605.45 Mx_l=-12.11
Tensioni nella sezione: σ=146.78 τ=18.35
CC 23 SLV (Collegamento 0022_-379)
Azioni sul collegamento: N=-3330.00 Ty=-0.74 Tz=-11.20 Mx=-0.01 Mz=-2.16
Sollecitazioni agenti localmente: Ty_l=-605.45 Mx_l=-12.11
Tensioni nella sezione: σ=146.78 τ=18.35
CC 23 SLV (Collegamento 0022_-379)
Azioni sul collegamento: N=-3330.00 Ty=-1.44 Tz=5.89 Mx=-0.01 Mz=-3.55
Sollecitazioni agenti localmente: Ty_l=-605.45 Mx_l=-12.11
Tensioni nella sezione: σ=146.78 τ=18.35
CC 23 SLV (Collegamento 0022_-379)
Azioni sul collegamento: N=-3330.00 Ty=-0.74 Tz=5.89 Mx=-0.01 Mz=-2.16
Sollecitazioni agenti localmente: Ty_l=-605.45 Mx_l=-12.11
Tensioni nella sezione: σ=146.78 τ=18.35
CC 24 SLD (Collegamento 0022_-379)
Azioni sul collegamento: N=-6335.74 Ty=-0.39 Tz=-5.26 Mx=-0.00 Mz=-1.01
Sollecitazioni agenti localmente: Ty_l=-1151.95 Mx_l=-23.04
Tensioni nella sezione: σ=279.26 τ=34.91
CC 24 SLD (Collegamento 0022_-379)
Azioni sul collegamento: N=-6335.74 Ty=-0.17 Tz=-5.26 Mx=-0.00 Mz=-0.59
Sollecitazioni agenti localmente: Ty_l=-1151.95 Mx_l=-23.04
Tensioni nella sezione: σ=279.26 τ=34.91
CC 24 SLD (Collegamento 0022_-379)
Azioni sul collegamento: N=-6335.74 Ty=-0.39 Tz=-0.05 Mx=-0.00 Mz=-1.01
Sollecitazioni agenti localmente: Ty_l=-1151.95 Mx_l=-23.04
Tensioni nella sezione: σ=279.26 τ=34.91
CC 24 SLD (Collegamento 0022_-379)
Azioni sul collegamento: N=-6335.74 Ty=-0.17 Tz=-0.05 Mx=-0.00 Mz=-0.59
Sollecitazioni agenti localmente: Ty_l=-1151.95 Mx_l=-23.04
Tensioni nella sezione: σ=279.26 τ=34.91

CC 24 SLD (Collegamento 0022_-379)
Azioni sul collegamento: N=-4931.09 Ty=-0.39 Tz=-5.26 Mx=-0.00 Mz=-1.01
Sollecitazioni agenti localmente: Ty_l=-896.56 Mx_l=-17.93
Tensioni nella sezione: σ=217.35 τ=27.17
CC 24 SLD (Collegamento 0022_-379)
Azioni sul collegamento: N=-4931.09 Ty=-0.17 Tz=-5.26 Mx=-0.00 Mz=-0.59
Sollecitazioni agenti localmente: Ty_l=-896.56 Mx_l=-17.93
Tensioni nella sezione: σ=217.35 τ=27.17
CC 24 SLD (Collegamento 0022_-379)
Azioni sul collegamento: N=-4931.08 Ty=-0.39 Tz=-0.05 Mx=-0.00 Mz=-1.01
Sollecitazioni agenti localmente: Ty_l=-896.56 Mx_l=-17.93
Tensioni nella sezione: σ=217.35 τ=27.17
CC 24 SLD (Collegamento 0022_-379)
Azioni sul collegamento: N=-4931.08 Ty=-0.17 Tz=-0.05 Mx=-0.00 Mz=-0.59
Sollecitazioni agenti localmente: Ty_l=-896.56 Mx_l=-17.93
Tensioni nella sezione: σ=217.35 τ=27.17
CC 25 SLV (Collegamento 0022_-379)
Azioni sul collegamento: N=-4942.23 Ty=0.07 Tz=-0.09 Mx=-0.02 Mz=-0.59
Sollecitazioni agenti localmente: Ty_l=-898.59 Mx_l=-17.97
Tensioni nella sezione: σ=217.84 τ=27.23
CC 25 SLV (Collegamento 0022_-379)
Azioni sul collegamento: N=-4942.23 Ty=-2.24 Tz=-0.09 Mx=-0.02 Mz=-5.11
Sollecitazioni agenti localmente: Ty_l=-898.59 Mx_l=-17.97
Tensioni nella sezione: σ=217.84 τ=27.23
CC 25 SLV (Collegamento 0022_-379)
Azioni sul collegamento: N=-4942.23 Ty=0.07 Tz=-5.22 Mx=-0.02 Mz=-0.59
Sollecitazioni agenti localmente: Ty_l=-898.59 Mx_l=-17.97
Tensioni nella sezione: σ=217.84 τ=27.23
CC 25 SLV (Collegamento 0022_-379)
Azioni sul collegamento: N=-4942.23 Ty=-2.24 Tz=-5.22 Mx=-0.02 Mz=-5.11
Sollecitazioni agenti localmente: Ty_l=-898.59 Mx_l=-17.97
Tensioni nella sezione: σ=217.84 τ=27.23
CC 25 SLV (Collegamento 0022_-379)
Azioni sul collegamento: N=-6324.24 Ty=0.07 Tz=-0.09 Mx=-0.02 Mz=-0.59
Sollecitazioni agenti localmente: Ty_l=-1149.86 Mx_l=-23.00
Tensioni nella sezione: σ=278.75 τ=34.84
CC 25 SLV (Collegamento 0022_-379)
Azioni sul collegamento: N=-6324.24 Ty=-2.24 Tz=-0.09 Mx=-0.02 Mz=-5.11
Sollecitazioni agenti localmente: Ty_l=-1149.86 Mx_l=-23.00
Tensioni nella sezione: σ=278.75 τ=34.84
CC 25 SLV (Collegamento 0022_-379)
Azioni sul collegamento: N=-6324.24 Ty=0.07 Tz=-5.22 Mx=-0.02 Mz=-0.59
Sollecitazioni agenti localmente: Ty_l=-1149.86 Mx_l=-23.00
Tensioni nella sezione: σ=278.75 τ=34.84
CC 25 SLV (Collegamento 0022_-379)
Azioni sul collegamento: N=-6324.24 Ty=-2.24 Tz=-5.22 Mx=-0.02 Mz=-5.11
Sollecitazioni agenti localmente: Ty_l=-1149.86 Mx_l=-23.00
Tensioni nella sezione: σ=278.75 τ=34.84
CC 26 SLD (Collegamento 0022_-379)
Azioni sul collegamento: N=-5422.71 Ty=0.07 Tz=-1.87 Mx=-0.01 Mz=-0.11
Sollecitazioni agenti localmente: Ty_l=-985.95 Mx_l=-19.72
Tensioni nella sezione: σ=239.02 τ=29.88
CC 26 SLD (Collegamento 0022_-379)
Azioni sul collegamento: N=-5422.71 Ty=-0.63 Tz=-1.87 Mx=-0.01 Mz=-1.49
Sollecitazioni agenti localmente: Ty_l=-985.95 Mx_l=-19.72
Tensioni nella sezione: σ=239.02 τ=29.88
CC 26 SLD (Collegamento 0022_-379)
Azioni sul collegamento: N=-5422.71 Ty=0.07 Tz=-3.44 Mx=-0.01 Mz=-0.11
Sollecitazioni agenti localmente: Ty_l=-985.95 Mx_l=-19.72
Tensioni nella sezione: σ=239.02 τ=29.88
CC 26 SLD (Collegamento 0022_-379)
Azioni sul collegamento: N=-5422.71 Ty=-0.63 Tz=-3.44 Mx=-0.01 Mz=-1.49
Sollecitazioni agenti localmente: Ty_l=-985.95 Mx_l=-19.72
Tensioni nella sezione: σ=239.02 τ=29.88
CC 26 SLD (Collegamento 0022_-379)
Azioni sul collegamento: N=-5844.12 Ty=0.07 Tz=-1.87 Mx=-0.01 Mz=-0.11
Sollecitazioni agenti localmente: Ty_l=-1062.57 Mx_l=-21.25
Tensioni nella sezione: σ=257.59 τ=32.20
CC 26 SLD (Collegamento 0022_-379)
Azioni sul collegamento: N=-5844.12 Ty=-0.63 Tz=-1.87 Mx=-0.01 Mz=-1.49
Sollecitazioni agenti localmente: Ty_l=-1062.57 Mx_l=-21.25
Tensioni nella sezione: σ=257.59 τ=32.20
CC 26 SLD (Collegamento 0022_-379)
Azioni sul collegamento: N=-5844.12 Ty=0.07 Tz=-3.44 Mx=-0.01 Mz=-0.11
Sollecitazioni agenti localmente: Ty_l=-1062.57 Mx_l=-21.25
Tensioni nella sezione: σ=257.59 τ=32.20
CC 26 SLD (Collegamento 0022_-379)
Azioni sul collegamento: N=-5844.12 Ty=-0.63 Tz=-3.44 Mx=-0.01 Mz=-1.49
Sollecitazioni agenti localmente: Ty_l=-1062.57 Mx_l=-21.25

Tensioni nella sezione: σ=257.59 τ=32.20
CC 27 SLV (Collegamento 0022_-379)
Azioni sul collegamento: N=-6324.16 Ty=0.06 Tz=-5.22 Mx=-0.02 Mz=-0.60
Sollecitazioni agenti localmente: Ty_l=-1149.85 Mx_l=-23.00
Tensioni nella sezione: σ=278.75 τ=34.84
CC 27 SLV (Collegamento 0022_-379)
Azioni sul collegamento: N=-6324.16 Ty=-2.24 Tz=-5.22 Mx=-0.02 Mz=-5.10
Sollecitazioni agenti localmente: Ty_l=-1149.85 Mx_l=-23.00
Tensioni nella sezione: σ=278.75 τ=34.84
CC 27 SLV (Collegamento 0022_-379)
Azioni sul collegamento: N=-6324.16 Ty=0.06 Tz=-0.09 Mx=-0.02 Mz=-0.60
Sollecitazioni agenti localmente: Ty_l=-1149.85 Mx_l=-23.00
Tensioni nella sezione: σ=278.75 τ=34.84
CC 27 SLV (Collegamento 0022_-379)
Azioni sul collegamento: N=-6324.16 Ty=-2.24 Tz=-0.09 Mx=-0.02 Mz=-5.10
Sollecitazioni agenti localmente: Ty_l=-1149.85 Mx_l=-23.00
Tensioni nella sezione: σ=278.75 τ=34.84
CC 27 SLV (Collegamento 0022_-379)
Azioni sul collegamento: N=-4942.30 Ty=0.06 Tz=-5.22 Mx=-0.02 Mz=-0.60
Sollecitazioni agenti localmente: Ty_l=-898.60 Mx_l=-17.97
Tensioni nella sezione: σ=217.84 τ=27.23
CC 27 SLV (Collegamento 0022_-379)
Azioni sul collegamento: N=-4942.30 Ty=-2.24 Tz=-5.22 Mx=-0.02 Mz=-5.10
Sollecitazioni agenti localmente: Ty_l=-898.60 Mx_l=-17.97
Tensioni nella sezione: σ=217.84 τ=27.23
CC 27 SLV (Collegamento 0022_-379)
Azioni sul collegamento: N=-4942.30 Ty=0.06 Tz=-0.09 Mx=-0.02 Mz=-0.60
Sollecitazioni agenti localmente: Ty_l=-898.60 Mx_l=-17.97
Tensioni nella sezione: σ=217.84 τ=27.23
CC 27 SLV (Collegamento 0022_-379)
Azioni sul collegamento: N=-4942.30 Ty=-2.24 Tz=-0.09 Mx=-0.02 Mz=-5.10
Sollecitazioni agenti localmente: Ty_l=-898.60 Mx_l=-17.97
Tensioni nella sezione: σ=217.84 τ=27.23
CC 28 SLD (Collegamento 0022_-379)
Azioni sul collegamento: N=-5844.10 Ty=0.07 Tz=-3.44 Mx=-0.01 Mz=-0.11
Sollecitazioni agenti localmente: Ty_l=-1062.56 Mx_l=-21.25
Tensioni nella sezione: σ=257.59 τ=32.20
CC 28 SLD (Collegamento 0022_-379)
Azioni sul collegamento: N=-5844.10 Ty=-0.63 Tz=-3.44 Mx=-0.01 Mz=-1.48
Sollecitazioni agenti localmente: Ty_l=-1062.56 Mx_l=-21.25
Tensioni nella sezione: σ=257.59 τ=32.20
CC 28 SLD (Collegamento 0022_-379)
Azioni sul collegamento: N=-5844.10 Ty=0.07 Tz=-1.87 Mx=-0.01 Mz=-0.11
Sollecitazioni agenti localmente: Ty_l=-1062.56 Mx_l=-21.25
Tensioni nella sezione: σ=257.59 τ=32.20
CC 28 SLD (Collegamento 0022_-379)
Azioni sul collegamento: N=-5844.10 Ty=-0.63 Tz=-1.87 Mx=-0.01 Mz=-1.48
Sollecitazioni agenti localmente: Ty_l=-1062.56 Mx_l=-21.25
Tensioni nella sezione: σ=257.59 τ=32.20
CC 28 SLD (Collegamento 0022_-379)
Azioni sul collegamento: N=-5422.73 Ty=0.07 Tz=-3.44 Mx=-0.01 Mz=-0.11
Sollecitazioni agenti localmente: Ty_l=-985.95 Mx_l=-19.72
Tensioni nella sezione: σ=239.02 τ=29.88
CC 28 SLD (Collegamento 0022_-379)
Azioni sul collegamento: N=-5422.73 Ty=-0.63 Tz=-3.44 Mx=-0.01 Mz=-1.48
Sollecitazioni agenti localmente: Ty_l=-985.95 Mx_l=-19.72
Tensioni nella sezione: σ=239.02 τ=29.88
CC 28 SLD (Collegamento 0022_-379)
Azioni sul collegamento: N=-5422.73 Ty=0.07 Tz=-1.87 Mx=-0.01 Mz=-0.11
Sollecitazioni agenti localmente: Ty_l=-985.95 Mx_l=-19.72
Tensioni nella sezione: σ=239.02 τ=29.88
CC 28 SLD (Collegamento 0022_-379)
Azioni sul collegamento: N=-5422.73 Ty=-0.63 Tz=-1.87 Mx=-0.01 Mz=-1.48
Sollecitazioni agenti localmente: Ty_l=-985.95 Mx_l=-19.72
Tensioni nella sezione: σ=239.02 τ=29.88
CC 29 SLV (Collegamento 0022_-379)
Azioni sul collegamento: N=-4942.30 Ty=-2.24 Tz=-0.09 Mx=-0.00 Mz=-5.10
Sollecitazioni agenti localmente: Ty_l=-898.60 Mx_l=-17.97
Tensioni nella sezione: σ=217.84 τ=27.23
CC 29 SLV (Collegamento 0022_-379)
Azioni sul collegamento: N=-4942.30 Ty=0.06 Tz=-0.09 Mx=-0.00 Mz=-0.60
Sollecitazioni agenti localmente: Ty_l=-898.60 Mx_l=-17.97
Tensioni nella sezione: σ=217.84 τ=27.23
CC 29 SLV (Collegamento 0022_-379)
Azioni sul collegamento: N=-4942.30 Ty=-2.24 Tz=-5.22 Mx=-0.00 Mz=-5.10
Sollecitazioni agenti localmente: Ty_l=-898.60 Mx_l=-17.97
Tensioni nella sezione: σ=217.84 τ=27.23
CC 29 SLV (Collegamento 0022_-379)
Azioni sul collegamento: N=-4942.30 Ty=0.06 Tz=-5.22 Mx=-0.00 Mz=-0.60

Sollecitazioni agenti localmente: Ty_l=-898.60 Mx_l=-17.97
Tensioni nella sezione: σ=217.84 τ=27.23
CC 29 SLV (Collegamento 0022_-379)
Azioni sul collegamento: N=-6324.16 Ty=-2.24 Tz=-0.09 Mx=-0.00 Mz=-5.10
Sollecitazioni agenti localmente: Ty_l=-1149.85 Mx_l=-23.00
Tensioni nella sezione: σ=278.75 τ=34.84
CC 29 SLV (Collegamento 0022_-379)
Azioni sul collegamento: N=-6324.16 Ty=0.06 Tz=-0.09 Mx=-0.00 Mz=-0.60
Sollecitazioni agenti localmente: Ty_l=-1149.85 Mx_l=-23.00
Tensioni nella sezione: σ=278.75 τ=34.84
CC 29 SLV (Collegamento 0022_-379)
Azioni sul collegamento: N=-6324.16 Ty=-2.24 Tz=-5.22 Mx=-0.00 Mz=-5.10
Sollecitazioni agenti localmente: Ty_l=-1149.85 Mx_l=-23.00
Tensioni nella sezione: σ=278.75 τ=34.84
CC 29 SLV (Collegamento 0022_-379)
Azioni sul collegamento: N=-6324.16 Ty=0.06 Tz=-5.22 Mx=-0.00 Mz=-0.60
Sollecitazioni agenti localmente: Ty_l=-1149.85 Mx_l=-23.00
Tensioni nella sezione: σ=278.75 τ=34.84
CC 30 SLD (Collegamento 0022_-379)
Azioni sul collegamento: N=-5422.73 Ty=-0.63 Tz=-1.87 Mx=-0.00 Mz=-1.48
Sollecitazioni agenti localmente: Ty_l=-985.95 Mx_l=-19.72
Tensioni nella sezione: σ=239.02 τ=29.88
CC 30 SLD (Collegamento 0022_-379)
Azioni sul collegamento: N=-5422.73 Ty=0.07 Tz=-1.87 Mx=-0.00 Mz=-0.11
Sollecitazioni agenti localmente: Ty_l=-985.95 Mx_l=-19.72
Tensioni nella sezione: σ=239.02 τ=29.88
CC 30 SLD (Collegamento 0022_-379)
Azioni sul collegamento: N=-5422.73 Ty=-0.63 Tz=-3.44 Mx=-0.00 Mz=-1.48
Sollecitazioni agenti localmente: Ty_l=-985.95 Mx_l=-19.72
Tensioni nella sezione: σ=239.02 τ=29.88
CC 30 SLD (Collegamento 0022_-379)
Azioni sul collegamento: N=-5422.73 Ty=0.07 Tz=-3.44 Mx=-0.00 Mz=-0.11
Sollecitazioni agenti localmente: Ty_l=-985.95 Mx_l=-19.72
Tensioni nella sezione: σ=239.02 τ=29.88
CC 30 SLD (Collegamento 0022_-379)
Azioni sul collegamento: N=-5844.10 Ty=-0.63 Tz=-1.87 Mx=-0.00 Mz=-1.48
Sollecitazioni agenti localmente: Ty_l=-1062.56 Mx_l=-21.25
Tensioni nella sezione: σ=257.59 τ=32.20
CC 30 SLD (Collegamento 0022_-379)
Azioni sul collegamento: N=-5844.10 Ty=0.07 Tz=-1.87 Mx=-0.00 Mz=-0.11
Sollecitazioni agenti localmente: Ty_l=-1062.56 Mx_l=-21.25
Tensioni nella sezione: σ=257.59 τ=32.20
CC 30 SLD (Collegamento 0022_-379)
Azioni sul collegamento: N=-5844.10 Ty=-0.63 Tz=-3.44 Mx=-0.00 Mz=-1.48
Sollecitazioni agenti localmente: Ty_l=-1062.56 Mx_l=-21.25
Tensioni nella sezione: σ=257.59 τ=32.20
CC 30 SLD (Collegamento 0022_-379)
Azioni sul collegamento: N=-5844.10 Ty=0.07 Tz=-3.44 Mx=-0.00 Mz=-0.11
Sollecitazioni agenti localmente: Ty_l=-1062.56 Mx_l=-21.25
Tensioni nella sezione: σ=257.59 τ=32.20
CC 31 SLV (Collegamento 0022_-379)
Azioni sul collegamento: N=-6324.24 Ty=-2.24 Tz=-5.22 Mx=-0.00 Mz=-5.11
Sollecitazioni agenti localmente: Ty_l=-1149.86 Mx_l=-23.00
Tensioni nella sezione: σ=278.75 τ=34.84
CC 31 SLV (Collegamento 0022_-379)
Azioni sul collegamento: N=-6324.24 Ty=0.07 Tz=-5.22 Mx=-0.00 Mz=-0.59
Sollecitazioni agenti localmente: Ty_l=-1149.86 Mx_l=-23.00
Tensioni nella sezione: σ=278.75 τ=34.84
CC 31 SLV (Collegamento 0022_-379)
Azioni sul collegamento: N=-6324.24 Ty=-2.24 Tz=-0.09 Mx=-0.00 Mz=-5.11
Sollecitazioni agenti localmente: Ty_l=-1149.86 Mx_l=-23.00
Tensioni nella sezione: σ=278.75 τ=34.84
CC 31 SLV (Collegamento 0022_-379)
Azioni sul collegamento: N=-6324.24 Ty=0.07 Tz=-0.09 Mx=-0.00 Mz=-0.59
Sollecitazioni agenti localmente: Ty_l=-1149.86 Mx_l=-23.00
Tensioni nella sezione: σ=278.75 τ=34.84
CC 31 SLV (Collegamento 0022_-379)
Azioni sul collegamento: N=-4942.23 Ty=-2.24 Tz=-5.22 Mx=-0.00 Mz=-5.11
Sollecitazioni agenti localmente: Ty_l=-898.59 Mx_l=-17.97
Tensioni nella sezione: σ=217.84 τ=27.23
CC 31 SLV (Collegamento 0022_-379)
Azioni sul collegamento: N=-4942.23 Ty=0.07 Tz=-5.22 Mx=-0.00 Mz=-0.59
Sollecitazioni agenti localmente: Ty_l=-898.59 Mx_l=-17.97
Tensioni nella sezione: σ=217.84 τ=27.23
CC 31 SLV (Collegamento 0022_-379)
Azioni sul collegamento: N=-4942.23 Ty=-2.24 Tz=-0.09 Mx=-0.00 Mz=-5.11
Sollecitazioni agenti localmente: Ty_l=-898.59 Mx_l=-17.97
Tensioni nella sezione: σ=217.84 τ=27.23
CC 31 SLV (Collegamento 0022_-379)

Azioni sul collegamento: N=-4942.23 Ty=0.07 Tz=-0.09 Mx=-0.00 Mz=-0.59
Sollecitazioni agenti localmente: Ty_l=-898.59 Mx_l=-17.97
Tensioni nella sezione: σ=217.84 τ=27.23
CC 32 SLD (Collegamento 0022_-379)
Azioni sul collegamento: N=-5844.12 Ty=-0.63 Tz=-3.44 Mx=-0.00 Mz=-1.49
Sollecitazioni agenti localmente: Ty_l=-1062.57 Mx_l=-21.25
Tensioni nella sezione: σ=257.59 τ=32.20
CC 32 SLD (Collegamento 0022_-379)
Azioni sul collegamento: N=-5844.12 Ty=0.07 Tz=-3.44 Mx=-0.00 Mz=-0.11
Sollecitazioni agenti localmente: Ty_l=-1062.57 Mx_l=-21.25
Tensioni nella sezione: σ=257.59 τ=32.20
CC 32 SLD (Collegamento 0022_-379)
Azioni sul collegamento: N=-5844.12 Ty=-0.63 Tz=-1.87 Mx=-0.00 Mz=-1.49
Sollecitazioni agenti localmente: Ty_l=-1062.57 Mx_l=-21.25
Tensioni nella sezione: σ=257.59 τ=32.20
CC 32 SLD (Collegamento 0022_-379)
Azioni sul collegamento: N=-5844.12 Ty=0.07 Tz=-1.87 Mx=-0.00 Mz=-0.11
Sollecitazioni agenti localmente: Ty_l=-1062.57 Mx_l=-21.25
Tensioni nella sezione: σ=257.59 τ=32.20
CC 32 SLD (Collegamento 0022_-379)
Azioni sul collegamento: N=-5422.71 Ty=-0.63 Tz=-3.44 Mx=-0.00 Mz=-1.49
Sollecitazioni agenti localmente: Ty_l=-985.95 Mx_l=-19.72
Tensioni nella sezione: σ=239.02 τ=29.88
CC 32 SLD (Collegamento 0022_-379)
Azioni sul collegamento: N=-5422.71 Ty=0.07 Tz=-3.44 Mx=-0.00 Mz=-0.11
Sollecitazioni agenti localmente: Ty_l=-985.95 Mx_l=-19.72
Tensioni nella sezione: σ=239.02 τ=29.88
CC 32 SLD (Collegamento 0022_-379)
Azioni sul collegamento: N=-5422.71 Ty=-0.63 Tz=-1.87 Mx=-0.00 Mz=-1.49
Sollecitazioni agenti localmente: Ty_l=-985.95 Mx_l=-19.72
Tensioni nella sezione: σ=239.02 τ=29.88
CC 32 SLD (Collegamento 0022_-379)
Azioni sul collegamento: N=-5422.71 Ty=0.07 Tz=-1.87 Mx=-0.00 Mz=-0.11
Sollecitazioni agenti localmente: Ty_l=-985.95 Mx_l=-19.72
Tensioni nella sezione: σ=239.02 τ=29.88
CC 33 SLU (Collegamento 0022_-379)
Azioni sul collegamento: N=-28967.90 Ty=0.05 Tz=74.90 Mx=0.00 Mz=0.12
Sollecitazioni agenti localmente: Ty_l=-5266.89 Mx_l=-105.34
Tensioni nella sezione: σ=1276.82 τ=159.60
CC 34 SLU (Collegamento 0022_-379)
Azioni sul collegamento: N=-29447.20 Ty=0.05 Tz=76.67 Mx=0.00 Mz=0.12
Sollecitazioni agenti localmente: Ty_l=-5354.03 Mx_l=-107.08
Tensioni nella sezione: σ=1297.94 τ=162.24
CC 35 SLU (Collegamento 0022_-379)
Azioni sul collegamento: N=-29207.50 Ty=0.17 Tz=75.78 Mx=-0.00 Mz=0.35
Sollecitazioni agenti localmente: Ty_l=-5310.46 Mx_l=-106.21
Tensioni nella sezione: σ=1287.38 τ=160.92
CC 36 SLU (Collegamento 0022_-379)
Azioni sul collegamento: N=-29207.50 Ty=-0.07 Tz=75.79 Mx=0.00 Mz=-0.12
Sollecitazioni agenti localmente: Ty_l=-5310.46 Mx_l=-106.21
Tensioni nella sezione: σ=1287.38 τ=160.92
CC 37 SLU (Collegamento 0022_-379)
Azioni sul collegamento: N=-29152.80 Ty=0.07 Tz=74.88 Mx=0.00 Mz=0.13
Sollecitazioni agenti localmente: Ty_l=-5300.50 Mx_l=-106.01
Tensioni nella sezione: σ=1284.97 τ=160.62
CC 38 SLU (Collegamento 0022_-379)
Azioni sul collegamento: N=-29632.10 Ty=0.07 Tz=76.66 Mx=0.00 Mz=0.13
Sollecitazioni agenti localmente: Ty_l=-5387.65 Mx_l=-107.75
Tensioni nella sezione: σ=1306.09 τ=163.26
CC 39 SLU (Collegamento 0022_-379)
Azioni sul collegamento: N=-29392.40 Ty=0.19 Tz=75.77 Mx=-0.00 Mz=0.36
Sollecitazioni agenti localmente: Ty_l=-5344.08 Mx_l=-106.88
Tensioni nella sezione: σ=1295.53 τ=161.94
CC 40 SLU (Collegamento 0022_-379)
Azioni sul collegamento: N=-29392.40 Ty=-0.05 Tz=75.77 Mx=0.00 Mz=-0.10
Sollecitazioni agenti localmente: Ty_l=-5344.08 Mx_l=-106.88
Tensioni nella sezione: σ=1295.53 τ=161.94
CC 41 SLU (Collegamento 0022_-379)
Azioni sul collegamento: N=-19454.60 Ty=0.08 Tz=39.91 Mx=0.00 Mz=0.13
Sollecitazioni agenti localmente: Ty_l=-3537.20 Mx_l=-70.74
Tensioni nella sezione: σ=857.50 τ=107.19
CC 42 SLU (Collegamento 0022_-379)
Azioni sul collegamento: N=-19933.90 Ty=0.08 Tz=41.69 Mx=0.00 Mz=0.13
Sollecitazioni agenti localmente: Ty_l=-3624.34 Mx_l=-72.49
Tensioni nella sezione: σ=878.63 τ=109.83
CC 43 SLU (Collegamento 0022_-379)
Azioni sul collegamento: N=-19694.20 Ty=0.20 Tz=40.80 Mx=-0.00 Mz=0.36
Sollecitazioni agenti localmente: Ty_l=-3580.77 Mx_l=-71.62
Tensioni nella sezione: σ=868.06 τ=108.51

CC 44 SLU (Collegamento 0022_-379)
Azioni sul collegamento: N=-19694.20 Ty=-0.04 Tz=40.80 Mx=0.00 Mz=-0.10
Sollecitazioni agenti localmente: Ty_l=-3580.77 Mx_l=-71.62
Tensioni nella sezione: σ=868.06 τ=108.51
CC 45 SLU (Collegamento 0022_-379)
Azioni sul collegamento: N=-21628.70 Ty=0.08 Tz=47.97 Mx=0.00 Mz=0.14
Sollecitazioni agenti localmente: Ty_l=-3932.50 Mx_l=-78.65
Tensioni nella sezione: σ=953.33 τ=119.17
CC 46 SLU (Collegamento 0022_-379)
Azioni sul collegamento: N=-22108.00 Ty=0.08 Tz=49.75 Mx=0.00 Mz=0.14
Sollecitazioni agenti localmente: Ty_l=-4019.65 Mx_l=-80.39
Tensioni nella sezione: σ=974.46 τ=121.81
CC 47 SLU (Collegamento 0022_-379)
Azioni sul collegamento: N=-21868.40 Ty=0.20 Tz=48.86 Mx=-0.00 Mz=0.37
Sollecitazioni agenti localmente: Ty_l=-3976.07 Mx_l=-79.52
Tensioni nella sezione: σ=963.89 τ=120.49
CC 48 SLU (Collegamento 0022_-379)
Azioni sul collegamento: N=-21868.40 Ty=-0.04 Tz=48.86 Mx=0.00 Mz=-0.10
Sollecitazioni agenti localmente: Ty_l=-3976.07 Mx_l=-79.52
Tensioni nella sezione: σ=963.89 τ=120.49
CC 49 SLU (Collegamento 0022_-379)
Azioni sul collegamento: N=-21767.10 Ty=0.10 Tz=47.96 Mx=0.00 Mz=0.15
Sollecitazioni agenti localmente: Ty_l=-3957.65 Mx_l=-79.15
Tensioni nella sezione: σ=959.43 τ=119.93
CC 50 SLU (Collegamento 0022_-379)
Azioni sul collegamento: N=-22246.40 Ty=0.10 Tz=49.73 Mx=0.00 Mz=0.15
Sollecitazioni agenti localmente: Ty_l=-4044.79 Mx_l=-80.90
Tensioni nella sezione: σ=980.55 τ=122.57
CC 51 SLU (Collegamento 0022_-379)
Azioni sul collegamento: N=-22006.70 Ty=0.22 Tz=48.85 Mx=-0.00 Mz=0.38
Sollecitazioni agenti localmente: Ty_l=-4001.22 Mx_l=-80.02
Tensioni nella sezione: σ=969.99 τ=121.25
CC 52 SLU (Collegamento 0022_-379)
Azioni sul collegamento: N=-22006.70 Ty=-0.02 Tz=48.85 Mx=0.00 Mz=-0.09
Sollecitazioni agenti localmente: Ty_l=-4001.22 Mx_l=-80.02
Tensioni nella sezione: σ=969.99 τ=121.25
CC 53 SLU (Collegamento 0022_-379)
Azioni sul collegamento: N=-14511.40 Ty=0.10 Tz=21.80 Mx=0.00 Mz=0.15
Sollecitazioni agenti localmente: Ty_l=-2638.43 Mx_l=-52.77
Tensioni nella sezione: σ=639.62 τ=79.95
CC 54 SLU (Collegamento 0022_-379)
Azioni sul collegamento: N=-14990.70 Ty=0.10 Tz=23.57 Mx=0.00 Mz=0.15
Sollecitazioni agenti localmente: Ty_l=-2725.58 Mx_l=-54.51
Tensioni nella sezione: σ=660.75 τ=82.59
CC 55 SLU (Collegamento 0022_-379)
Azioni sul collegamento: N=-14751.00 Ty=0.22 Tz=22.69 Mx=-0.00 Mz=0.38
Sollecitazioni agenti localmente: Ty_l=-2682.01 Mx_l=-53.64
Tensioni nella sezione: σ=650.18 τ=81.27
CC 56 SLU (Collegamento 0022_-379)
Azioni sul collegamento: N=-14751.00 Ty=-0.02 Tz=22.68 Mx=0.00 Mz=-0.09
Sollecitazioni agenti localmente: Ty_l=-2682.00 Mx_l=-53.64
Tensioni nella sezione: σ=650.18 τ=81.27
CC 57 SLU (Collegamento 0022_-379)
Azioni sul collegamento: N=-21907.00 Ty=0.07 Tz=49.04 Mx=0.00 Mz=0.14
Sollecitazioni agenti localmente: Ty_l=-3983.09 Mx_l=-79.66
Tensioni nella sezione: σ=965.60 τ=120.70
CC 58 SLU (Collegamento 0022_-379)
Azioni sul collegamento: N=-22386.30 Ty=0.07 Tz=50.82 Mx=0.00 Mz=0.13
Sollecitazioni agenti localmente: Ty_l=-4070.24 Mx_l=-81.40
Tensioni nella sezione: σ=986.72 τ=123.34
CC 59 SLU (Collegamento 0022_-379)
Azioni sul collegamento: N=-22146.70 Ty=0.19 Tz=49.93 Mx=-0.00 Mz=0.37
Sollecitazioni agenti localmente: Ty_l=-4026.67 Mx_l=-80.53
Tensioni nella sezione: σ=976.16 τ=122.02
CC 60 SLU (Collegamento 0022_-379)
Azioni sul collegamento: N=-22146.70 Ty=-0.04 Tz=49.93 Mx=0.00 Mz=-0.10
Sollecitazioni agenti localmente: Ty_l=-4026.67 Mx_l=-80.53
Tensioni nella sezione: σ=976.16 τ=122.02
CC 61 SLU (Collegamento 0022_-379)
Azioni sul collegamento: N=-22045.30 Ty=0.09 Tz=49.02 Mx=0.00 Mz=0.14
Sollecitazioni agenti localmente: Ty_l=-4008.24 Mx_l=-80.16
Tensioni nella sezione: σ=971.69 τ=121.46
CC 62 SLU (Collegamento 0022_-379)
Azioni sul collegamento: N=-22524.60 Ty=0.09 Tz=50.80 Mx=0.00 Mz=0.14
Sollecitazioni agenti localmente: Ty_l=-4095.39 Mx_l=-81.91
Tensioni nella sezione: σ=992.82 τ=124.10
CC 63 SLU (Collegamento 0022_-379)
Azioni sul collegamento: N=-22285.00 Ty=0.21 Tz=49.91 Mx=-0.00 Mz=0.38
Sollecitazioni agenti localmente: Ty_l=-4051.82 Mx_l=-81.04

Tensioni nella sezione: σ=982.26 τ=122.78
CC 64 SLU (Collegamento 0022_-379)
Azioni sul collegamento: N=-22285.00 Ty=-0.03 Tz=49.91 Mx=0.00 Mz=-0.09
Sollecitazioni agenti localmente: Ty_l=-4051.82 Mx_l=-81.04
Tensioni nella sezione: σ=982.26 τ=122.78
CC 65 SLU (Collegamento 0022_-379)
Azioni sul collegamento: N=-14789.70 Ty=0.10 Tz=22.86 Mx=0.00 Mz=0.14
Sollecitazioni agenti localmente: Ty_l=-2689.03 Mx_l=-53.78
Tensioni nella sezione: σ=651.88 τ=81.49
CC 66 SLU (Collegamento 0022_-379)
Azioni sul collegamento: N=-15269.00 Ty=0.10 Tz=24.64 Mx=0.00 Mz=0.14
Sollecitazioni agenti localmente: Ty_l=-2776.17 Mx_l=-55.52
Tensioni nella sezione: σ=673.01 τ=84.13
CC 67 SLU (Collegamento 0022_-379)
Azioni sul collegamento: N=-15029.30 Ty=0.22 Tz=23.75 Mx=-0.00 Mz=0.38
Sollecitazioni agenti localmente: Ty_l=-2732.60 Mx_l=-54.65
Tensioni nella sezione: σ=662.45 τ=82.81
CC 68 SLU (Collegamento 0022_-379)
Azioni sul collegamento: N=-15029.30 Ty=-0.02 Tz=23.75 Mx=0.00 Mz=-0.09
Sollecitazioni agenti localmente: Ty_l=-2732.60 Mx_l=-54.65
Tensioni nella sezione: σ=662.45 τ=82.81
CC 97 SLU (Collegamento 0022_-379)
Azioni sul collegamento: N=-11572.90 Ty=11.37 Tz=19.27 Mx=0.04 Mz=15.92
Sollecitazioni agenti localmente: Ty_l=-2104.17 Mx_l=-42.08
Tensioni nella sezione: σ=510.10 τ=63.76
CC 98 SLU (Collegamento 0022_-379)
Azioni sul collegamento: N=-12052.20 Ty=11.37 Tz=21.05 Mx=0.04 Mz=15.92
Sollecitazioni agenti localmente: Ty_l=-2191.31 Mx_l=-43.83
Tensioni nella sezione: σ=531.23 τ=66.40
CC 99 SLU (Collegamento 0022_-379)
Azioni sul collegamento: N=-11812.60 Ty=11.49 Tz=20.16 Mx=0.04 Mz=16.15
Sollecitazioni agenti localmente: Ty_l=-2147.74 Mx_l=-42.95
Tensioni nella sezione: σ=520.66 τ=65.08
CC 100 SLU (Collegamento 0022_-379)
Azioni sul collegamento: N=-11812.60 Ty=11.25 Tz=20.16 Mx=0.04 Mz=15.68
Sollecitazioni agenti localmente: Ty_l=-2147.74 Mx_l=-42.95
Tensioni nella sezione: σ=520.66 τ=65.08
CC 101 SLU (Collegamento 0022_-379)
Azioni sul collegamento: N=-5887.16 Ty=-2.00 Tz=-1.73 Mx=-0.00 Mz=-2.22
Sollecitazioni agenti localmente: Ty_l=-1070.39 Mx_l=-21.41
Tensioni nella sezione: σ=259.49 τ=32.44
CC 102 SLU (Collegamento 0022_-379)
Azioni sul collegamento: N=-6366.46 Ty=-2.01 Tz=0.04 Mx=-0.00 Mz=-2.22
Sollecitazioni agenti localmente: Ty_l=-1157.54 Mx_l=-23.15
Tensioni nella sezione: σ=280.62 τ=35.08
CC 103 SLU (Collegamento 0022_-379)
Azioni sul collegamento: N=-6126.81 Ty=-1.89 Tz=-0.85 Mx=-0.01 Mz=-1.98
Sollecitazioni agenti localmente: Ty_l=-1113.96 Mx_l=-22.28
Tensioni nella sezione: σ=270.05 τ=33.76
CC 104 SLU (Collegamento 0022_-379)
Azioni sul collegamento: N=-6126.80 Ty=-2.12 Tz=-0.84 Mx=-0.00 Mz=-2.45
Sollecitazioni agenti localmente: Ty_l=-1113.96 Mx_l=-22.28
Tensioni nella sezione: σ=270.05 τ=33.76

Flessione attacco inferiore piastra

Bnetta=220.00 Hnetta=15.00
CC 1 SLV (Collegamento 0022_-379)
Azioni sul collegamento: N=-3330.52 Ty=1.59 Tz=5.89 Mx=0.02 Mz=3.75
Sollecitazioni agenti localmente: Ty_l=-605.55 Mx_l=-12.11
Tensioni nella sezione: σ=146.80 τ=18.35
CC 1 SLV (Collegamento 0022_-379)
Azioni sul collegamento: N=-3330.52 Ty=0.88 Tz=5.89 Mx=0.02 Mz=2.36
Sollecitazioni agenti localmente: Ty_l=-605.55 Mx_l=-12.11
Tensioni nella sezione: σ=146.80 τ=18.35
CC 1 SLV (Collegamento 0022_-379)
Azioni sul collegamento: N=-3330.52 Ty=1.59 Tz=-11.19 Mx=0.02 Mz=3.75
Sollecitazioni agenti localmente: Ty_l=-605.55 Mx_l=-12.11
Tensioni nella sezione: σ=146.80 τ=18.35
CC 1 SLV (Collegamento 0022_-379)
Azioni sul collegamento: N=-3330.52 Ty=0.88 Tz=-11.19 Mx=0.02 Mz=2.36
Sollecitazioni agenti localmente: Ty_l=-605.55 Mx_l=-12.11
Tensioni nella sezione: σ=146.80 τ=18.35
CC 1 SLV (Collegamento 0022_-379)
Azioni sul collegamento: N=-7936.99 Ty=1.59 Tz=5.89 Mx=0.02 Mz=3.75
Sollecitazioni agenti localmente: Ty_l=-1443.09 Mx_l=-28.86
Tensioni nella sezione: σ=349.84 τ=43.73
CC 1 SLV (Collegamento 0022_-379)
Azioni sul collegamento: N=-7936.99 Ty=0.88 Tz=5.89 Mx=0.02 Mz=2.36

Sollecitazioni agenti localmente: Ty_l=-1443.09 Mx_l=-28.86
Tensioni nella sezione: σ=349.84 τ=43.73
CC 1 SLV (Collegamento 0022_-379)
Azioni sul collegamento: N=-7936.99 Ty=1.59 Tz=-11.19 Mx=0.02 Mz=3.75
Sollecitazioni agenti localmente: Ty_l=-1443.09 Mx_l=-28.86
Tensioni nella sezione: σ=349.84 τ=43.73
CC 1 SLV (Collegamento 0022_-379)
Azioni sul collegamento: N=-7936.99 Ty=0.88 Tz=-11.19 Mx=0.02 Mz=2.36
Sollecitazioni agenti localmente: Ty_l=-1443.09 Mx_l=-28.86
Tensioni nella sezione: σ=349.84 τ=43.73
CC 2 SLD (Collegamento 0022_-379)
Azioni sul collegamento: N=-4931.25 Ty=0.54 Tz=-0.05 Mx=0.01 Mz=1.22
Sollecitazioni agenti localmente: Ty_l=-896.59 Mx_l=-17.93
Tensioni nella sezione: σ=217.35 τ=27.17
CC 2 SLD (Collegamento 0022_-379)
Azioni sul collegamento: N=-4931.25 Ty=0.32 Tz=-0.05 Mx=0.01 Mz=0.79
Sollecitazioni agenti localmente: Ty_l=-896.59 Mx_l=-17.93
Tensioni nella sezione: σ=217.35 τ=27.17
CC 2 SLD (Collegamento 0022_-379)
Azioni sul collegamento: N=-4931.25 Ty=0.54 Tz=-5.26 Mx=0.01 Mz=1.22
Sollecitazioni agenti localmente: Ty_l=-896.59 Mx_l=-17.93
Tensioni nella sezione: σ=217.35 τ=27.17
CC 2 SLD (Collegamento 0022_-379)
Azioni sul collegamento: N=-4931.25 Ty=0.32 Tz=-5.26 Mx=0.01 Mz=0.79
Sollecitazioni agenti localmente: Ty_l=-896.59 Mx_l=-17.93
Tensioni nella sezione: σ=217.35 τ=27.17
CC 2 SLD (Collegamento 0022_-379)
Azioni sul collegamento: N=-6335.90 Ty=0.54 Tz=-0.05 Mx=0.01 Mz=1.22
Sollecitazioni agenti localmente: Ty_l=-1151.98 Mx_l=-23.04
Tensioni nella sezione: σ=279.27 τ=34.91
CC 2 SLD (Collegamento 0022_-379)
Azioni sul collegamento: N=-6335.90 Ty=0.32 Tz=-0.05 Mx=0.01 Mz=0.79
Sollecitazioni agenti localmente: Ty_l=-1151.98 Mx_l=-23.04
Tensioni nella sezione: σ=279.27 τ=34.91
CC 2 SLD (Collegamento 0022_-379)
Azioni sul collegamento: N=-6335.90 Ty=0.54 Tz=-5.26 Mx=0.01 Mz=1.22
Sollecitazioni agenti localmente: Ty_l=-1151.98 Mx_l=-23.04
Tensioni nella sezione: σ=279.27 τ=34.91
CC 2 SLD (Collegamento 0022_-379)
Azioni sul collegamento: N=-6335.90 Ty=0.32 Tz=-5.26 Mx=0.01 Mz=0.79
Sollecitazioni agenti localmente: Ty_l=-1151.98 Mx_l=-23.04
Tensioni nella sezione: σ=279.27 τ=34.91
CC 3 SLV (Collegamento 0022_-379)
Azioni sul collegamento: N=-3330.55 Ty=0.90 Tz=5.89 Mx=0.01 Mz=2.40
Sollecitazioni agenti localmente: Ty_l=-605.55 Mx_l=-12.11
Tensioni nella sezione: σ=146.80 τ=18.35
CC 3 SLV (Collegamento 0022_-379)
Azioni sul collegamento: N=-3330.55 Ty=1.58 Tz=5.89 Mx=0.01 Mz=3.71
Sollecitazioni agenti localmente: Ty_l=-605.55 Mx_l=-12.11
Tensioni nella sezione: σ=146.80 τ=18.35
CC 3 SLV (Collegamento 0022_-379)
Azioni sul collegamento: N=-3330.55 Ty=0.90 Tz=-11.19 Mx=0.01 Mz=2.40
Sollecitazioni agenti localmente: Ty_l=-605.55 Mx_l=-12.11
Tensioni nella sezione: σ=146.80 τ=18.35
CC 3 SLV (Collegamento 0022_-379)
Azioni sul collegamento: N=-3330.55 Ty=1.58 Tz=-11.19 Mx=0.01 Mz=3.71
Sollecitazioni agenti localmente: Ty_l=-605.55 Mx_l=-12.11
Tensioni nella sezione: σ=146.80 τ=18.35
CC 3 SLV (Collegamento 0022_-379)
Azioni sul collegamento: N=-7936.97 Ty=0.90 Tz=5.89 Mx=0.01 Mz=2.40
Sollecitazioni agenti localmente: Ty_l=-1443.09 Mx_l=-28.86
Tensioni nella sezione: σ=349.84 τ=43.73
CC 3 SLV (Collegamento 0022_-379)
Azioni sul collegamento: N=-7936.97 Ty=1.58 Tz=5.89 Mx=0.01 Mz=3.71
Sollecitazioni agenti localmente: Ty_l=-1443.09 Mx_l=-28.86
Tensioni nella sezione: σ=349.84 τ=43.73
CC 3 SLV (Collegamento 0022_-379)
Azioni sul collegamento: N=-7936.97 Ty=0.90 Tz=-11.19 Mx=0.01 Mz=2.40
Sollecitazioni agenti localmente: Ty_l=-1443.09 Mx_l=-28.86
Tensioni nella sezione: σ=349.84 τ=43.73
CC 3 SLV (Collegamento 0022_-379)
Azioni sul collegamento: N=-7936.97 Ty=1.58 Tz=-11.19 Mx=0.01 Mz=3.71
Sollecitazioni agenti localmente: Ty_l=-1443.09 Mx_l=-28.86
Tensioni nella sezione: σ=349.84 τ=43.73
CC 4 SLD (Collegamento 0022_-379)
Azioni sul collegamento: N=-4931.25 Ty=0.33 Tz=-0.05 Mx=0.00 Mz=0.80
Sollecitazioni agenti localmente: Ty_l=-896.59 Mx_l=-17.93
Tensioni nella sezione: σ=217.35 τ=27.17
CC 4 SLD (Collegamento 0022_-379)

Azioni sul collegamento: N=-4931.25 Ty=0.53 Tz=-0.05 Mx=0.00 Mz=1.20
Sollecitazioni agenti localmente: Ty_l=-896.59 Mx_l=-17.93
Tensioni nella sezione: σ=217.35 τ=27.17
CC 4 SLD (Collegamento 0022_-379)
Azioni sul collegamento: N=-4931.25 Ty=0.33 Tz=-5.26 Mx=0.00 Mz=0.80
Sollecitazioni agenti localmente: Ty_l=-896.59 Mx_l=-17.93
Tensioni nella sezione: σ=217.35 τ=27.17
CC 4 SLD (Collegamento 0022_-379)
Azioni sul collegamento: N=-4931.25 Ty=0.53 Tz=-5.26 Mx=0.00 Mz=1.20
Sollecitazioni agenti localmente: Ty_l=-896.59 Mx_l=-17.93
Tensioni nella sezione: σ=217.35 τ=27.17
CC 4 SLD (Collegamento 0022_-379)
Azioni sul collegamento: N=-6335.90 Ty=0.33 Tz=-0.05 Mx=0.00 Mz=0.80
Sollecitazioni agenti localmente: Ty_l=-1151.98 Mx_l=-23.04
Tensioni nella sezione: σ=279.27 τ=34.91
CC 4 SLD (Collegamento 0022_-379)
Azioni sul collegamento: N=-6335.90 Ty=0.53 Tz=-0.05 Mx=0.00 Mz=1.20
Sollecitazioni agenti localmente: Ty_l=-1151.98 Mx_l=-23.04
Tensioni nella sezione: σ=279.27 τ=34.91
CC 4 SLD (Collegamento 0022_-379)
Azioni sul collegamento: N=-6335.90 Ty=0.33 Tz=-5.26 Mx=0.00 Mz=0.80
Sollecitazioni agenti localmente: Ty_l=-1151.98 Mx_l=-23.04
Tensioni nella sezione: σ=279.27 τ=34.91
CC 4 SLD (Collegamento 0022_-379)
Azioni sul collegamento: N=-6335.90 Ty=0.53 Tz=-5.26 Mx=0.00 Mz=1.20
Sollecitazioni agenti localmente: Ty_l=-1151.98 Mx_l=-23.04
Tensioni nella sezione: σ=279.27 τ=34.91
CC 5 SLV (Collegamento 0022_-379)
Azioni sul collegamento: N=-7936.97 Ty=1.58 Tz=-11.19 Mx=0.02 Mz=3.71
Sollecitazioni agenti localmente: Ty_l=-1443.09 Mx_l=-28.86
Tensioni nella sezione: σ=349.84 τ=43.73
CC 5 SLV (Collegamento 0022_-379)
Azioni sul collegamento: N=-7936.97 Ty=0.90 Tz=-11.19 Mx=0.02 Mz=2.40
Sollecitazioni agenti localmente: Ty_l=-1443.09 Mx_l=-28.86
Tensioni nella sezione: σ=349.84 τ=43.73
CC 5 SLV (Collegamento 0022_-379)
Azioni sul collegamento: N=-7936.97 Ty=1.58 Tz=5.89 Mx=0.02 Mz=3.71
Sollecitazioni agenti localmente: Ty_l=-1443.09 Mx_l=-28.86
Tensioni nella sezione: σ=349.84 τ=43.73
CC 5 SLV (Collegamento 0022_-379)
Azioni sul collegamento: N=-7936.97 Ty=0.90 Tz=5.89 Mx=0.02 Mz=2.40
Sollecitazioni agenti localmente: Ty_l=-1443.09 Mx_l=-28.86
Tensioni nella sezione: σ=349.84 τ=43.73
CC 5 SLV (Collegamento 0022_-379)
Azioni sul collegamento: N=-3330.55 Ty=1.58 Tz=-11.19 Mx=0.02 Mz=3.71
Sollecitazioni agenti localmente: Ty_l=-605.55 Mx_l=-12.11
Tensioni nella sezione: σ=146.80 τ=18.35
CC 5 SLV (Collegamento 0022_-379)
Azioni sul collegamento: N=-3330.55 Ty=0.90 Tz=-11.19 Mx=0.02 Mz=2.40
Sollecitazioni agenti localmente: Ty_l=-605.55 Mx_l=-12.11
Tensioni nella sezione: σ=146.80 τ=18.35
CC 5 SLV (Collegamento 0022_-379)
Azioni sul collegamento: N=-3330.55 Ty=1.58 Tz=5.89 Mx=0.02 Mz=3.71
Sollecitazioni agenti localmente: Ty_l=-605.55 Mx_l=-12.11
Tensioni nella sezione: σ=146.80 τ=18.35
CC 5 SLV (Collegamento 0022_-379)
Azioni sul collegamento: N=-3330.55 Ty=0.90 Tz=5.89 Mx=0.02 Mz=2.40
Sollecitazioni agenti localmente: Ty_l=-605.55 Mx_l=-12.11
Tensioni nella sezione: σ=146.80 τ=18.35
CC 6 SLD (Collegamento 0022_-379)
Azioni sul collegamento: N=-6335.90 Ty=0.53 Tz=-5.26 Mx=0.01 Mz=1.20
Sollecitazioni agenti localmente: Ty_l=-1151.98 Mx_l=-23.04
Tensioni nella sezione: σ=279.27 τ=34.91
CC 6 SLD (Collegamento 0022_-379)
Azioni sul collegamento: N=-6335.90 Ty=0.33 Tz=-5.26 Mx=0.01 Mz=0.80
Sollecitazioni agenti localmente: Ty_l=-1151.98 Mx_l=-23.04
Tensioni nella sezione: σ=279.27 τ=34.91
CC 6 SLD (Collegamento 0022_-379)
Azioni sul collegamento: N=-6335.90 Ty=0.53 Tz=-0.05 Mx=0.01 Mz=1.20
Sollecitazioni agenti localmente: Ty_l=-1151.98 Mx_l=-23.04
Tensioni nella sezione: σ=279.27 τ=34.91
CC 6 SLD (Collegamento 0022_-379)
Azioni sul collegamento: N=-6335.90 Ty=0.33 Tz=-0.05 Mx=0.01 Mz=0.80
Sollecitazioni agenti localmente: Ty_l=-1151.98 Mx_l=-23.04
Tensioni nella sezione: σ=279.27 τ=34.91
CC 6 SLD (Collegamento 0022_-379)
Azioni sul collegamento: N=-4931.25 Ty=0.53 Tz=-5.26 Mx=0.01 Mz=1.20
Sollecitazioni agenti localmente: Ty_l=-896.59 Mx_l=-17.93
Tensioni nella sezione: σ=217.35 τ=27.17

CC 6 SLD (Collegamento 0022_-379)
Azioni sul collegamento: N=-4931.25 Ty=0.33 Tz=-5.26 Mx=0.01 Mz=0.80
Sollecitazioni agenti localmente: Ty_l=-896.59 Mx_l=-17.93
Tensioni nella sezione: σ=217.35 τ=27.17
CC 6 SLD (Collegamento 0022_-379)
Azioni sul collegamento: N=-4931.25 Ty=0.53 Tz=-0.05 Mx=0.01 Mz=1.20
Sollecitazioni agenti localmente: Ty_l=-896.59 Mx_l=-17.93
Tensioni nella sezione: σ=217.35 τ=27.17
CC 6 SLD (Collegamento 0022_-379)
Azioni sul collegamento: N=-4931.25 Ty=0.33 Tz=-0.05 Mx=0.01 Mz=0.80
Sollecitazioni agenti localmente: Ty_l=-896.59 Mx_l=-17.93
Tensioni nella sezione: σ=217.35 τ=27.17
CC 7 SLV (Collegamento 0022_-379)
Azioni sul collegamento: N=-7936.99 Ty=0.88 Tz=-11.19 Mx=0.01 Mz=2.36
Sollecitazioni agenti localmente: Ty_l=-1443.09 Mx_l=-28.86
Tensioni nella sezione: σ=349.84 τ=43.73
CC 7 SLV (Collegamento 0022_-379)
Azioni sul collegamento: N=-7936.99 Ty=1.59 Tz=-11.19 Mx=0.01 Mz=3.75
Sollecitazioni agenti localmente: Ty_l=-1443.09 Mx_l=-28.86
Tensioni nella sezione: σ=349.84 τ=43.73
CC 7 SLV (Collegamento 0022_-379)
Azioni sul collegamento: N=-7936.99 Ty=0.88 Tz=5.89 Mx=0.01 Mz=2.36
Sollecitazioni agenti localmente: Ty_l=-1443.09 Mx_l=-28.86
Tensioni nella sezione: σ=349.84 τ=43.73
CC 7 SLV (Collegamento 0022_-379)
Azioni sul collegamento: N=-7936.99 Ty=1.59 Tz=5.89 Mx=0.01 Mz=3.75
Sollecitazioni agenti localmente: Ty_l=-1443.09 Mx_l=-28.86
Tensioni nella sezione: σ=349.84 τ=43.73
CC 7 SLV (Collegamento 0022_-379)
Azioni sul collegamento: N=-3330.52 Ty=0.88 Tz=-11.19 Mx=0.01 Mz=2.36
Sollecitazioni agenti localmente: Ty_l=-605.55 Mx_l=-12.11
Tensioni nella sezione: σ=146.80 τ=18.35
CC 7 SLV (Collegamento 0022_-379)
Azioni sul collegamento: N=-3330.52 Ty=1.59 Tz=-11.19 Mx=0.01 Mz=3.75
Sollecitazioni agenti localmente: Ty_l=-605.55 Mx_l=-12.11
Tensioni nella sezione: σ=146.80 τ=18.35
CC 7 SLV (Collegamento 0022_-379)
Azioni sul collegamento: N=-3330.52 Ty=0.88 Tz=5.89 Mx=0.01 Mz=2.36
Sollecitazioni agenti localmente: Ty_l=-605.55 Mx_l=-12.11
Tensioni nella sezione: σ=146.80 τ=18.35
CC 7 SLV (Collegamento 0022_-379)
Azioni sul collegamento: N=-3330.52 Ty=1.59 Tz=5.89 Mx=0.01 Mz=3.75
Sollecitazioni agenti localmente: Ty_l=-605.55 Mx_l=-12.11
Tensioni nella sezione: σ=146.80 τ=18.35
CC 8 SLD (Collegamento 0022_-379)
Azioni sul collegamento: N=-6335.90 Ty=0.32 Tz=-5.26 Mx=0.00 Mz=0.79
Sollecitazioni agenti localmente: Ty_l=-1151.98 Mx_l=-23.04
Tensioni nella sezione: σ=279.27 τ=34.91
CC 8 SLD (Collegamento 0022_-379)
Azioni sul collegamento: N=-6335.90 Ty=0.54 Tz=-5.26 Mx=0.00 Mz=1.22
Sollecitazioni agenti localmente: Ty_l=-1151.98 Mx_l=-23.04
Tensioni nella sezione: σ=279.27 τ=34.91
CC 8 SLD (Collegamento 0022_-379)
Azioni sul collegamento: N=-6335.90 Ty=0.32 Tz=-0.05 Mx=0.00 Mz=0.79
Sollecitazioni agenti localmente: Ty_l=-1151.98 Mx_l=-23.04
Tensioni nella sezione: σ=279.27 τ=34.91
CC 8 SLD (Collegamento 0022_-379)
Azioni sul collegamento: N=-6335.90 Ty=0.54 Tz=-0.05 Mx=0.00 Mz=1.22
Sollecitazioni agenti localmente: Ty_l=-1151.98 Mx_l=-23.04
Tensioni nella sezione: σ=279.27 τ=34.91
CC 8 SLD (Collegamento 0022_-379)
Azioni sul collegamento: N=-4931.25 Ty=0.32 Tz=-5.26 Mx=0.00 Mz=0.79
Sollecitazioni agenti localmente: Ty_l=-896.59 Mx_l=-17.93
Tensioni nella sezione: σ=217.35 τ=27.17
CC 8 SLD (Collegamento 0022_-379)
Azioni sul collegamento: N=-4931.25 Ty=0.54 Tz=-5.26 Mx=0.00 Mz=1.22
Sollecitazioni agenti localmente: Ty_l=-896.59 Mx_l=-17.93
Tensioni nella sezione: σ=217.35 τ=27.17
CC 8 SLD (Collegamento 0022_-379)
Azioni sul collegamento: N=-4931.25 Ty=0.32 Tz=-0.05 Mx=0.00 Mz=0.79
Sollecitazioni agenti localmente: Ty_l=-896.59 Mx_l=-17.93
Tensioni nella sezione: σ=217.35 τ=27.17
CC 8 SLD (Collegamento 0022_-379)
Azioni sul collegamento: N=-4931.25 Ty=0.54 Tz=-0.05 Mx=0.00 Mz=1.22
Sollecitazioni agenti localmente: Ty_l=-896.59 Mx_l=-17.93
Tensioni nella sezione: σ=217.35 τ=27.17
CC 9 SLV (Collegamento 0022_-379)
Azioni sul collegamento: N=-4942.75 Ty=2.39 Tz=-0.09 Mx=0.02 Mz=5.32
Sollecitazioni agenti localmente: Ty_l=-898.68 Mx_l=-17.97

Tensioni nella sezione: σ=217.86 τ=27.23
CC 9 SLV (Collegamento 0022_-379)
Azioni sul collegamento: N=-4942.75 Ty=0.08 Tz=-0.09 Mx=0.02 Mz=0.80
Sollecitazioni agenti localmente: Ty_l=-898.68 Mx_l=-17.97
Tensioni nella sezione: σ=217.86 τ=27.23
CC 9 SLV (Collegamento 0022_-379)
Azioni sul collegamento: N=-4942.75 Ty=2.39 Tz=-5.22 Mx=0.02 Mz=5.32
Sollecitazioni agenti localmente: Ty_l=-898.68 Mx_l=-17.97
Tensioni nella sezione: σ=217.86 τ=27.23
CC 9 SLV (Collegamento 0022_-379)
Azioni sul collegamento: N=-4942.75 Ty=0.08 Tz=-5.22 Mx=0.02 Mz=0.80
Sollecitazioni agenti localmente: Ty_l=-898.68 Mx_l=-17.97
Tensioni nella sezione: σ=217.86 τ=27.23
CC 9 SLV (Collegamento 0022_-379)
Azioni sul collegamento: N=-6324.76 Ty=2.39 Tz=-0.09 Mx=0.02 Mz=5.32
Sollecitazioni agenti localmente: Ty_l=-1149.96 Mx_l=-23.00
Tensioni nella sezione: σ=278.78 τ=34.85
CC 9 SLV (Collegamento 0022_-379)
Azioni sul collegamento: N=-6324.76 Ty=0.08 Tz=-0.09 Mx=0.02 Mz=0.80
Sollecitazioni agenti localmente: Ty_l=-1149.96 Mx_l=-23.00
Tensioni nella sezione: σ=278.78 τ=34.85
CC 9 SLV (Collegamento 0022_-379)
Azioni sul collegamento: N=-6324.76 Ty=2.39 Tz=-5.22 Mx=0.02 Mz=5.32
Sollecitazioni agenti localmente: Ty_l=-1149.96 Mx_l=-23.00
Tensioni nella sezione: σ=278.78 τ=34.85
CC 9 SLV (Collegamento 0022_-379)
Azioni sul collegamento: N=-6324.76 Ty=0.08 Tz=-5.22 Mx=0.02 Mz=0.80
Sollecitazioni agenti localmente: Ty_l=-1149.96 Mx_l=-23.00
Tensioni nella sezione: σ=278.78 τ=34.85
CC 10 SLD (Collegamento 0022_-379)
Azioni sul collegamento: N=-5422.87 Ty=0.78 Tz=-1.87 Mx=0.01 Mz=1.69
Sollecitazioni agenti localmente: Ty_l=-985.98 Mx_l=-19.72
Tensioni nella sezione: σ=239.02 τ=29.88
CC 10 SLD (Collegamento 0022_-379)
Azioni sul collegamento: N=-5422.87 Ty=0.08 Tz=-1.87 Mx=0.01 Mz=0.31
Sollecitazioni agenti localmente: Ty_l=-985.98 Mx_l=-19.72
Tensioni nella sezione: σ=239.02 τ=29.88
CC 10 SLD (Collegamento 0022_-379)
Azioni sul collegamento: N=-5422.87 Ty=0.78 Tz=-3.44 Mx=0.01 Mz=1.69
Sollecitazioni agenti localmente: Ty_l=-985.98 Mx_l=-19.72
Tensioni nella sezione: σ=239.02 τ=29.88
CC 10 SLD (Collegamento 0022_-379)
Azioni sul collegamento: N=-5422.87 Ty=0.08 Tz=-3.44 Mx=0.01 Mz=0.31
Sollecitazioni agenti localmente: Ty_l=-985.98 Mx_l=-19.72
Tensioni nella sezione: σ=239.02 τ=29.88
CC 10 SLD (Collegamento 0022_-379)
Azioni sul collegamento: N=-5844.28 Ty=0.78 Tz=-1.87 Mx=0.01 Mz=1.69
Sollecitazioni agenti localmente: Ty_l=-1062.60 Mx_l=-21.25
Tensioni nella sezione: σ=257.60 τ=32.20
CC 10 SLD (Collegamento 0022_-379)
Azioni sul collegamento: N=-5844.28 Ty=0.08 Tz=-1.87 Mx=0.01 Mz=0.31
Sollecitazioni agenti localmente: Ty_l=-1062.60 Mx_l=-21.25
Tensioni nella sezione: σ=257.60 τ=32.20
CC 10 SLD (Collegamento 0022_-379)
Azioni sul collegamento: N=-5844.28 Ty=0.78 Tz=-3.44 Mx=0.01 Mz=1.69
Sollecitazioni agenti localmente: Ty_l=-1062.60 Mx_l=-21.25
Tensioni nella sezione: σ=257.60 τ=32.20
CC 10 SLD (Collegamento 0022_-379)
Azioni sul collegamento: N=-5844.28 Ty=0.08 Tz=-3.44 Mx=0.01 Mz=0.31
Sollecitazioni agenti localmente: Ty_l=-1062.60 Mx_l=-21.25
Tensioni nella sezione: σ=257.60 τ=32.20
CC 11 SLV (Collegamento 0022_-379)
Azioni sul collegamento: N=-6324.69 Ty=2.39 Tz=-5.21 Mx=0.02 Mz=5.31
Sollecitazioni agenti localmente: Ty_l=-1149.94 Mx_l=-23.00
Tensioni nella sezione: σ=278.77 τ=34.85
CC 11 SLV (Collegamento 0022_-379)
Azioni sul collegamento: N=-6324.69 Ty=0.09 Tz=-5.21 Mx=0.02 Mz=0.81
Sollecitazioni agenti localmente: Ty_l=-1149.94 Mx_l=-23.00
Tensioni nella sezione: σ=278.77 τ=34.85
CC 11 SLV (Collegamento 0022_-379)
Azioni sul collegamento: N=-6324.69 Ty=2.39 Tz=-0.09 Mx=0.02 Mz=5.31
Sollecitazioni agenti localmente: Ty_l=-1149.94 Mx_l=-23.00
Tensioni nella sezione: σ=278.77 τ=34.85
CC 11 SLV (Collegamento 0022_-379)
Azioni sul collegamento: N=-6324.69 Ty=0.09 Tz=-0.09 Mx=0.02 Mz=0.81
Sollecitazioni agenti localmente: Ty_l=-1149.94 Mx_l=-23.00
Tensioni nella sezione: σ=278.77 τ=34.85
CC 11 SLV (Collegamento 0022_-379)
Azioni sul collegamento: N=-4942.83 Ty=2.39 Tz=-5.21 Mx=0.02 Mz=5.31

Sollecitazioni agenti localmente: Ty_l=-898.70 Mx_l=-17.97
Tensioni nella sezione: σ=217.87 τ=27.23
CC 11 SLV (Collegamento 0022_-379)
Azioni sul collegamento: N=-4942.83 Ty=0.09 Tz=-5.21 Mx=0.02 Mz=0.81
Sollecitazioni agenti localmente: Ty_l=-898.70 Mx_l=-17.97
Tensioni nella sezione: σ=217.87 τ=27.23
CC 11 SLV (Collegamento 0022_-379)
Azioni sul collegamento: N=-4942.83 Ty=2.39 Tz=-0.09 Mx=0.02 Mz=5.31
Sollecitazioni agenti localmente: Ty_l=-898.70 Mx_l=-17.97
Tensioni nella sezione: σ=217.87 τ=27.23
CC 11 SLV (Collegamento 0022_-379)
Azioni sul collegamento: N=-4942.83 Ty=0.09 Tz=-0.09 Mx=0.02 Mz=0.81
Sollecitazioni agenti localmente: Ty_l=-898.70 Mx_l=-17.97
Tensioni nella sezione: σ=217.87 τ=27.23
CC 12 SLD (Collegamento 0022_-379)
Azioni sul collegamento: N=-5844.26 Ty=0.78 Tz=-3.43 Mx=0.01 Mz=1.69
Sollecitazioni agenti localmente: Ty_l=-1062.59 Mx_l=-21.25
Tensioni nella sezione: σ=257.60 τ=32.20
CC 12 SLD (Collegamento 0022_-379)
Azioni sul collegamento: N=-5844.26 Ty=0.08 Tz=-3.43 Mx=0.01 Mz=0.32
Sollecitazioni agenti localmente: Ty_l=-1062.59 Mx_l=-21.25
Tensioni nella sezione: σ=257.60 τ=32.20
CC 12 SLD (Collegamento 0022_-379)
Azioni sul collegamento: N=-5844.26 Ty=0.78 Tz=-1.87 Mx=0.01 Mz=1.69
Sollecitazioni agenti localmente: Ty_l=-1062.59 Mx_l=-21.25
Tensioni nella sezione: σ=257.60 τ=32.20
CC 12 SLD (Collegamento 0022_-379)
Azioni sul collegamento: N=-5844.26 Ty=0.08 Tz=-1.87 Mx=0.01 Mz=0.32
Sollecitazioni agenti localmente: Ty_l=-1062.59 Mx_l=-21.25
Tensioni nella sezione: σ=257.60 τ=32.20
CC 12 SLD (Collegamento 0022_-379)
Azioni sul collegamento: N=-5422.89 Ty=0.78 Tz=-3.43 Mx=0.01 Mz=1.69
Sollecitazioni agenti localmente: Ty_l=-985.98 Mx_l=-19.72
Tensioni nella sezione: σ=239.03 τ=29.88
CC 12 SLD (Collegamento 0022_-379)
Azioni sul collegamento: N=-5422.89 Ty=0.08 Tz=-3.43 Mx=0.01 Mz=0.32
Sollecitazioni agenti localmente: Ty_l=-985.98 Mx_l=-19.72
Tensioni nella sezione: σ=239.03 τ=29.88
CC 12 SLD (Collegamento 0022_-379)
Azioni sul collegamento: N=-5422.89 Ty=0.78 Tz=-1.87 Mx=0.01 Mz=1.69
Sollecitazioni agenti localmente: Ty_l=-985.98 Mx_l=-19.72
Tensioni nella sezione: σ=239.03 τ=29.88
CC 12 SLD (Collegamento 0022_-379)
Azioni sul collegamento: N=-5422.89 Ty=0.08 Tz=-1.87 Mx=0.01 Mz=0.32
Sollecitazioni agenti localmente: Ty_l=-985.98 Mx_l=-19.72
Tensioni nella sezione: σ=239.03 τ=29.88
CC 13 SLV (Collegamento 0022_-379)
Azioni sul collegamento: N=-4942.83 Ty=0.09 Tz=-0.09 Mx=0.00 Mz=0.81
Sollecitazioni agenti localmente: Ty_l=-898.70 Mx_l=-17.97
Tensioni nella sezione: σ=217.87 τ=27.23
CC 13 SLV (Collegamento 0022_-379)
Azioni sul collegamento: N=-4942.83 Ty=2.39 Tz=-0.09 Mx=0.00 Mz=5.31
Sollecitazioni agenti localmente: Ty_l=-898.70 Mx_l=-17.97
Tensioni nella sezione: σ=217.87 τ=27.23
CC 13 SLV (Collegamento 0022_-379)
Azioni sul collegamento: N=-4942.83 Ty=0.09 Tz=-5.21 Mx=0.00 Mz=0.81
Sollecitazioni agenti localmente: Ty_l=-898.70 Mx_l=-17.97
Tensioni nella sezione: σ=217.87 τ=27.23
CC 13 SLV (Collegamento 0022_-379)
Azioni sul collegamento: N=-4942.83 Ty=2.39 Tz=-5.21 Mx=0.00 Mz=5.31
Sollecitazioni agenti localmente: Ty_l=-898.70 Mx_l=-17.97
Tensioni nella sezione: σ=217.87 τ=27.23
CC 13 SLV (Collegamento 0022_-379)
Azioni sul collegamento: N=-6324.69 Ty=0.09 Tz=-0.09 Mx=0.00 Mz=0.81
Sollecitazioni agenti localmente: Ty_l=-1149.94 Mx_l=-23.00
Tensioni nella sezione: σ=278.77 τ=34.85
CC 13 SLV (Collegamento 0022_-379)
Azioni sul collegamento: N=-6324.69 Ty=2.39 Tz=-0.09 Mx=0.00 Mz=5.31
Sollecitazioni agenti localmente: Ty_l=-1149.94 Mx_l=-23.00
Tensioni nella sezione: σ=278.77 τ=34.85
CC 13 SLV (Collegamento 0022_-379)
Azioni sul collegamento: N=-6324.69 Ty=0.09 Tz=-5.21 Mx=0.00 Mz=0.81
Sollecitazioni agenti localmente: Ty_l=-1149.94 Mx_l=-23.00
Tensioni nella sezione: σ=278.77 τ=34.85
CC 13 SLV (Collegamento 0022_-379)
Azioni sul collegamento: N=-6324.69 Ty=2.39 Tz=-5.21 Mx=0.00 Mz=5.31
Sollecitazioni agenti localmente: Ty_l=-1149.94 Mx_l=-23.00
Tensioni nella sezione: σ=278.77 τ=34.85
CC 14 SLD (Collegamento 0022_-379)

Azioni sul collegamento: N=-5422.89 Ty=0.08 Tz=-1.87 Mx=0.00 Mz=0.32
Sollecitazioni agenti localmente: Ty_l=-985.98 Mx_l=-19.72
Tensioni nella sezione: σ=239.03 τ=29.88
CC 14 SLD (Collegamento 0022_-379)
Azioni sul collegamento: N=-5422.89 Ty=0.78 Tz=-1.87 Mx=0.00 Mz=1.69
Sollecitazioni agenti localmente: Ty_l=-985.98 Mx_l=-19.72
Tensioni nella sezione: σ=239.03 τ=29.88
CC 14 SLD (Collegamento 0022_-379)
Azioni sul collegamento: N=-5422.89 Ty=0.08 Tz=-3.43 Mx=0.00 Mz=0.32
Sollecitazioni agenti localmente: Ty_l=-985.98 Mx_l=-19.72
Tensioni nella sezione: σ=239.03 τ=29.88
CC 14 SLD (Collegamento 0022_-379)
Azioni sul collegamento: N=-5422.89 Ty=0.78 Tz=-3.43 Mx=0.00 Mz=1.69
Sollecitazioni agenti localmente: Ty_l=-985.98 Mx_l=-19.72
Tensioni nella sezione: σ=239.03 τ=29.88
CC 14 SLD (Collegamento 0022_-379)
Azioni sul collegamento: N=-5844.26 Ty=0.08 Tz=-1.87 Mx=0.00 Mz=0.32
Sollecitazioni agenti localmente: Ty_l=-1062.59 Mx_l=-21.25
Tensioni nella sezione: σ=257.60 τ=32.20
CC 14 SLD (Collegamento 0022_-379)
Azioni sul collegamento: N=-5844.26 Ty=0.78 Tz=-1.87 Mx=0.00 Mz=1.69
Sollecitazioni agenti localmente: Ty_l=-1062.59 Mx_l=-21.25
Tensioni nella sezione: σ=257.60 τ=32.20
CC 14 SLD (Collegamento 0022_-379)
Azioni sul collegamento: N=-5844.26 Ty=0.08 Tz=-3.43 Mx=0.00 Mz=0.32
Sollecitazioni agenti localmente: Ty_l=-1062.59 Mx_l=-21.25
Tensioni nella sezione: σ=257.60 τ=32.20
CC 14 SLD (Collegamento 0022_-379)
Azioni sul collegamento: N=-5844.26 Ty=0.78 Tz=-3.43 Mx=0.00 Mz=1.69
Sollecitazioni agenti localmente: Ty_l=-1062.59 Mx_l=-21.25
Tensioni nella sezione: σ=257.60 τ=32.20
CC 15 SLV (Collegamento 0022_-379)
Azioni sul collegamento: N=-6324.76 Ty=0.08 Tz=-5.22 Mx=0.00 Mz=0.80
Sollecitazioni agenti localmente: Ty_l=-1149.96 Mx_l=-23.00
Tensioni nella sezione: σ=278.78 τ=34.85
CC 15 SLV (Collegamento 0022_-379)
Azioni sul collegamento: N=-6324.76 Ty=2.39 Tz=-5.22 Mx=0.00 Mz=5.32
Sollecitazioni agenti localmente: Ty_l=-1149.96 Mx_l=-23.00
Tensioni nella sezione: σ=278.78 τ=34.85
CC 15 SLV (Collegamento 0022_-379)
Azioni sul collegamento: N=-6324.76 Ty=0.08 Tz=-0.09 Mx=0.00 Mz=0.80
Sollecitazioni agenti localmente: Ty_l=-1149.96 Mx_l=-23.00
Tensioni nella sezione: σ=278.78 τ=34.85
CC 15 SLV (Collegamento 0022_-379)
Azioni sul collegamento: N=-6324.76 Ty=2.39 Tz=-0.09 Mx=0.00 Mz=5.32
Sollecitazioni agenti localmente: Ty_l=-1149.96 Mx_l=-23.00
Tensioni nella sezione: σ=278.78 τ=34.85
CC 15 SLV (Collegamento 0022_-379)
Azioni sul collegamento: N=-4942.75 Ty=0.08 Tz=-5.22 Mx=0.00 Mz=0.80
Sollecitazioni agenti localmente: Ty_l=-898.68 Mx_l=-17.97
Tensioni nella sezione: σ=217.86 τ=27.23
CC 15 SLV (Collegamento 0022_-379)
Azioni sul collegamento: N=-4942.75 Ty=2.39 Tz=-5.22 Mx=0.00 Mz=5.32
Sollecitazioni agenti localmente: Ty_l=-898.68 Mx_l=-17.97
Tensioni nella sezione: σ=217.86 τ=27.23
CC 15 SLV (Collegamento 0022_-379)
Azioni sul collegamento: N=-4942.75 Ty=0.08 Tz=-0.09 Mx=0.00 Mz=0.80
Sollecitazioni agenti localmente: Ty_l=-898.68 Mx_l=-17.97
Tensioni nella sezione: σ=217.86 τ=27.23
CC 15 SLV (Collegamento 0022_-379)
Azioni sul collegamento: N=-4942.75 Ty=2.39 Tz=-0.09 Mx=0.00 Mz=5.32
Sollecitazioni agenti localmente: Ty_l=-898.68 Mx_l=-17.97
Tensioni nella sezione: σ=217.86 τ=27.23
CC 16 SLD (Collegamento 0022_-379)
Azioni sul collegamento: N=-5844.28 Ty=0.08 Tz=-3.44 Mx=0.00 Mz=0.31
Sollecitazioni agenti localmente: Ty_l=-1062.60 Mx_l=-21.25
Tensioni nella sezione: σ=257.60 τ=32.20
CC 16 SLD (Collegamento 0022_-379)
Azioni sul collegamento: N=-5844.28 Ty=0.78 Tz=-3.44 Mx=0.00 Mz=1.69
Sollecitazioni agenti localmente: Ty_l=-1062.60 Mx_l=-21.25
Tensioni nella sezione: σ=257.60 τ=32.20
CC 16 SLD (Collegamento 0022_-379)
Azioni sul collegamento: N=-5844.28 Ty=0.08 Tz=-1.87 Mx=0.00 Mz=0.31
Sollecitazioni agenti localmente: Ty_l=-1062.60 Mx_l=-21.25
Tensioni nella sezione: σ=257.60 τ=32.20
CC 16 SLD (Collegamento 0022_-379)
Azioni sul collegamento: N=-5844.28 Ty=0.78 Tz=-1.87 Mx=0.00 Mz=1.69
Sollecitazioni agenti localmente: Ty_l=-1062.60 Mx_l=-21.25
Tensioni nella sezione: σ=257.60 τ=32.20

CC 16 SLD (Collegamento 0022_-379)
Azioni sul collegamento: N=-5422.87 Ty=0.08 Tz=-3.44 Mx=0.00 Mz=0.31
Sollecitazioni agenti localmente: Ty_l=-985.98 Mx_l=-19.72
Tensioni nella sezione: σ=239.02 τ=29.88
CC 16 SLD (Collegamento 0022_-379)
Azioni sul collegamento: N=-5422.87 Ty=0.78 Tz=-3.44 Mx=0.00 Mz=1.69
Sollecitazioni agenti localmente: Ty_l=-985.98 Mx_l=-19.72
Tensioni nella sezione: σ=239.02 τ=29.88
CC 16 SLD (Collegamento 0022_-379)
Azioni sul collegamento: N=-5422.87 Ty=0.08 Tz=-1.87 Mx=0.00 Mz=0.31
Sollecitazioni agenti localmente: Ty_l=-985.98 Mx_l=-19.72
Tensioni nella sezione: σ=239.02 τ=29.88
CC 16 SLD (Collegamento 0022_-379)
Azioni sul collegamento: N=-5422.87 Ty=0.78 Tz=-1.87 Mx=0.00 Mz=1.69
Sollecitazioni agenti localmente: Ty_l=-985.98 Mx_l=-19.72
Tensioni nella sezione: σ=239.02 τ=29.88
CC 17 SLV (Collegamento 0022_-379)
Azioni sul collegamento: N=-3330.00 Ty=-0.74 Tz=5.89 Mx=-0.02 Mz=-2.16
Sollecitazioni agenti localmente: Ty_l=-605.45 Mx_l=-12.11
Tensioni nella sezione: σ=146.78 τ=18.35
CC 17 SLV (Collegamento 0022_-379)
Azioni sul collegamento: N=-3330.00 Ty=-1.44 Tz=5.89 Mx=-0.02 Mz=-3.55
Sollecitazioni agenti localmente: Ty_l=-605.45 Mx_l=-12.11
Tensioni nella sezione: σ=146.78 τ=18.35
CC 17 SLV (Collegamento 0022_-379)
Azioni sul collegamento: N=-3330.00 Ty=-0.74 Tz=-11.20 Mx=-0.02 Mz=-2.16
Sollecitazioni agenti localmente: Ty_l=-605.45 Mx_l=-12.11
Tensioni nella sezione: σ=146.78 τ=18.35
CC 17 SLV (Collegamento 0022_-379)
Azioni sul collegamento: N=-3330.00 Ty=-1.44 Tz=-11.20 Mx=-0.02 Mz=-3.55
Sollecitazioni agenti localmente: Ty_l=-605.45 Mx_l=-12.11
Tensioni nella sezione: σ=146.78 τ=18.35
CC 17 SLV (Collegamento 0022_-379)
Azioni sul collegamento: N=-7936.47 Ty=-0.74 Tz=5.89 Mx=-0.02 Mz=-2.16
Sollecitazioni agenti localmente: Ty_l=-1442.99 Mx_l=-28.86
Tensioni nella sezione: σ=349.82 τ=43.73
CC 17 SLV (Collegamento 0022_-379)
Azioni sul collegamento: N=-7936.47 Ty=-1.44 Tz=5.89 Mx=-0.02 Mz=-3.55
Sollecitazioni agenti localmente: Ty_l=-1442.99 Mx_l=-28.86
Tensioni nella sezione: σ=349.82 τ=43.73
CC 17 SLV (Collegamento 0022_-379)
Azioni sul collegamento: N=-7936.47 Ty=-0.74 Tz=-11.20 Mx=-0.02 Mz=-2.16
Sollecitazioni agenti localmente: Ty_l=-1442.99 Mx_l=-28.86
Tensioni nella sezione: σ=349.82 τ=43.73
CC 17 SLV (Collegamento 0022_-379)
Azioni sul collegamento: N=-7936.47 Ty=-1.44 Tz=-11.20 Mx=-0.02 Mz=-3.55
Sollecitazioni agenti localmente: Ty_l=-1442.99 Mx_l=-28.86
Tensioni nella sezione: σ=349.82 τ=43.73
CC 18 SLD (Collegamento 0022_-379)
Azioni sul collegamento: N=-4931.08 Ty=-0.17 Tz=-0.05 Mx=-0.00 Mz=-0.59
Sollecitazioni agenti localmente: Ty_l=-896.56 Mx_l=-17.93
Tensioni nella sezione: σ=217.35 τ=27.17
CC 18 SLD (Collegamento 0022_-379)
Azioni sul collegamento: N=-4931.08 Ty=-0.39 Tz=-0.05 Mx=-0.00 Mz=-1.01
Sollecitazioni agenti localmente: Ty_l=-896.56 Mx_l=-17.93
Tensioni nella sezione: σ=217.35 τ=27.17
CC 18 SLD (Collegamento 0022_-379)
Azioni sul collegamento: N=-4931.09 Ty=-0.17 Tz=-5.26 Mx=-0.00 Mz=-0.59
Sollecitazioni agenti localmente: Ty_l=-896.56 Mx_l=-17.93
Tensioni nella sezione: σ=217.35 τ=27.17
CC 18 SLD (Collegamento 0022_-379)
Azioni sul collegamento: N=-4931.09 Ty=-0.39 Tz=-5.26 Mx=-0.00 Mz=-1.01
Sollecitazioni agenti localmente: Ty_l=-896.56 Mx_l=-17.93
Tensioni nella sezione: σ=217.35 τ=27.17
CC 18 SLD (Collegamento 0022_-379)
Azioni sul collegamento: N=-6335.74 Ty=-0.17 Tz=-0.05 Mx=-0.00 Mz=-0.59
Sollecitazioni agenti localmente: Ty_l=-1151.95 Mx_l=-23.04
Tensioni nella sezione: σ=279.26 τ=34.91
CC 18 SLD (Collegamento 0022_-379)
Azioni sul collegamento: N=-6335.74 Ty=-0.39 Tz=-0.05 Mx=-0.00 Mz=-1.01
Sollecitazioni agenti localmente: Ty_l=-1151.95 Mx_l=-23.04
Tensioni nella sezione: σ=279.26 τ=34.91
CC 18 SLD (Collegamento 0022_-379)
Azioni sul collegamento: N=-6335.74 Ty=-0.17 Tz=-5.26 Mx=-0.00 Mz=-0.59
Sollecitazioni agenti localmente: Ty_l=-1151.95 Mx_l=-23.04
Tensioni nella sezione: σ=279.26 τ=34.91
CC 18 SLD (Collegamento 0022_-379)
Azioni sul collegamento: N=-6335.74 Ty=-0.39 Tz=-5.26 Mx=-0.00 Mz=-1.01
Sollecitazioni agenti localmente: Ty_l=-1151.95 Mx_l=-23.04

Tensioni nella sezione: σ=279.26 τ=34.91
CC 19 SLV (Collegamento 0022_-379)
Azioni sul collegamento: N=-3330.02 Ty=-1.43 Tz=5.88 Mx=-0.01 Mz=-3.51
Sollecitazioni agenti localmente: Ty_l=-605.46 Mx_l=-12.11
Tensioni nella sezione: σ=146.78 τ=18.35
CC 19 SLV (Collegamento 0022_-379)
Azioni sul collegamento: N=-3330.02 Ty=-0.75 Tz=5.88 Mx=-0.01 Mz=-2.19
Sollecitazioni agenti localmente: Ty_l=-605.46 Mx_l=-12.11
Tensioni nella sezione: σ=146.78 τ=18.35
CC 19 SLV (Collegamento 0022_-379)
Azioni sul collegamento: N=-3330.02 Ty=-1.43 Tz=-11.19 Mx=-0.01 Mz=-3.51
Sollecitazioni agenti localmente: Ty_l=-605.46 Mx_l=-12.11
Tensioni nella sezione: σ=146.78 τ=18.35
CC 19 SLV (Collegamento 0022_-379)
Azioni sul collegamento: N=-3330.02 Ty=-0.75 Tz=-11.19 Mx=-0.01 Mz=-2.19
Sollecitazioni agenti localmente: Ty_l=-605.46 Mx_l=-12.11
Tensioni nella sezione: σ=146.78 τ=18.35
CC 19 SLV (Collegamento 0022_-379)
Azioni sul collegamento: N=-7936.44 Ty=-1.43 Tz=5.88 Mx=-0.01 Mz=-3.51
Sollecitazioni agenti localmente: Ty_l=-1442.99 Mx_l=-28.86
Tensioni nella sezione: σ=349.81 τ=43.73
CC 19 SLV (Collegamento 0022_-379)
Azioni sul collegamento: N=-7936.44 Ty=-0.75 Tz=5.88 Mx=-0.01 Mz=-2.19
Sollecitazioni agenti localmente: Ty_l=-1442.99 Mx_l=-28.86
Tensioni nella sezione: σ=349.81 τ=43.73
CC 19 SLV (Collegamento 0022_-379)
Azioni sul collegamento: N=-7936.44 Ty=-1.43 Tz=-11.19 Mx=-0.01 Mz=-3.51
Sollecitazioni agenti localmente: Ty_l=-1442.99 Mx_l=-28.86
Tensioni nella sezione: σ=349.81 τ=43.73
CC 19 SLV (Collegamento 0022_-379)
Azioni sul collegamento: N=-7936.44 Ty=-0.75 Tz=-11.19 Mx=-0.01 Mz=-2.19
Sollecitazioni agenti localmente: Ty_l=-1442.99 Mx_l=-28.86
Tensioni nella sezione: σ=349.81 τ=43.73
CC 20 SLD (Collegamento 0022_-379)
Azioni sul collegamento: N=-4931.09 Ty=-0.38 Tz=-0.05 Mx=-0.00 Mz=-1.00
Sollecitazioni agenti localmente: Ty_l=-896.56 Mx_l=-17.93
Tensioni nella sezione: σ=217.35 τ=27.17
CC 20 SLD (Collegamento 0022_-379)
Azioni sul collegamento: N=-4931.09 Ty=-0.18 Tz=-0.05 Mx=-0.00 Mz=-0.60
Sollecitazioni agenti localmente: Ty_l=-896.56 Mx_l=-17.93
Tensioni nella sezione: σ=217.35 τ=27.17
CC 20 SLD (Collegamento 0022_-379)
Azioni sul collegamento: N=-4931.09 Ty=-0.38 Tz=-5.26 Mx=-0.00 Mz=-1.00
Sollecitazioni agenti localmente: Ty_l=-896.56 Mx_l=-17.93
Tensioni nella sezione: σ=217.35 τ=27.17
CC 20 SLD (Collegamento 0022_-379)
Azioni sul collegamento: N=-4931.09 Ty=-0.18 Tz=-5.26 Mx=-0.00 Mz=-0.60
Sollecitazioni agenti localmente: Ty_l=-896.56 Mx_l=-17.93
Tensioni nella sezione: σ=217.35 τ=27.17
CC 20 SLD (Collegamento 0022_-379)
Azioni sul collegamento: N=-6335.74 Ty=-0.38 Tz=-0.05 Mx=-0.00 Mz=-1.00
Sollecitazioni agenti localmente: Ty_l=-1151.95 Mx_l=-23.04
Tensioni nella sezione: σ=279.26 τ=34.91
CC 20 SLD (Collegamento 0022_-379)
Azioni sul collegamento: N=-6335.74 Ty=-0.18 Tz=-0.05 Mx=-0.00 Mz=-0.60
Sollecitazioni agenti localmente: Ty_l=-1151.95 Mx_l=-23.04
Tensioni nella sezione: σ=279.26 τ=34.91
CC 20 SLD (Collegamento 0022_-379)
Azioni sul collegamento: N=-6335.74 Ty=-0.38 Tz=-5.26 Mx=-0.00 Mz=-1.00
Sollecitazioni agenti localmente: Ty_l=-1151.95 Mx_l=-23.04
Tensioni nella sezione: σ=279.26 τ=34.91
CC 20 SLD (Collegamento 0022_-379)
Azioni sul collegamento: N=-6335.74 Ty=-0.18 Tz=-5.26 Mx=-0.00 Mz=-0.60
Sollecitazioni agenti localmente: Ty_l=-1151.95 Mx_l=-23.04
Tensioni nella sezione: σ=279.26 τ=34.91
CC 21 SLV (Collegamento 0022_-379)
Azioni sul collegamento: N=-7936.44 Ty=-0.75 Tz=-11.19 Mx=-0.02 Mz=-2.19
Sollecitazioni agenti localmente: Ty_l=-1442.99 Mx_l=-28.86
Tensioni nella sezione: σ=349.81 τ=43.73
CC 21 SLV (Collegamento 0022_-379)
Azioni sul collegamento: N=-7936.44 Ty=-1.43 Tz=-11.19 Mx=-0.02 Mz=-3.51
Sollecitazioni agenti localmente: Ty_l=-1442.99 Mx_l=-28.86
Tensioni nella sezione: σ=349.81 τ=43.73
CC 21 SLV (Collegamento 0022_-379)
Azioni sul collegamento: N=-7936.44 Ty=-0.75 Tz=5.88 Mx=-0.02 Mz=-2.19
Sollecitazioni agenti localmente: Ty_l=-1442.99 Mx_l=-28.86
Tensioni nella sezione: σ=349.81 τ=43.73
CC 21 SLV (Collegamento 0022_-379)
Azioni sul collegamento: N=-7936.44 Ty=-1.43 Tz=5.88 Mx=-0.02 Mz=-3.51

Sollecitazioni agenti localmente: Ty_l=-1442.99 Mx_l=-28.86
Tensioni nella sezione: σ=349.81 τ=43.73
CC 21 SLV (Collegamento 0022_-379)
Azioni sul collegamento: N=-3330.02 Ty=-0.75 Tz=-11.19 Mx=-0.02 Mz=-2.19
Sollecitazioni agenti localmente: Ty_l=-605.46 Mx_l=-12.11
Tensioni nella sezione: σ=146.78 τ=18.35
CC 21 SLV (Collegamento 0022_-379)
Azioni sul collegamento: N=-3330.02 Ty=-1.43 Tz=-11.19 Mx=-0.02 Mz=-3.51
Sollecitazioni agenti localmente: Ty_l=-605.46 Mx_l=-12.11
Tensioni nella sezione: σ=146.78 τ=18.35
CC 21 SLV (Collegamento 0022_-379)
Azioni sul collegamento: N=-3330.02 Ty=-0.75 Tz=5.88 Mx=-0.02 Mz=-2.19
Sollecitazioni agenti localmente: Ty_l=-605.46 Mx_l=-12.11
Tensioni nella sezione: σ=146.78 τ=18.35
CC 21 SLV (Collegamento 0022_-379)
Azioni sul collegamento: N=-3330.02 Ty=-1.43 Tz=5.88 Mx=-0.02 Mz=-3.51
Sollecitazioni agenti localmente: Ty_l=-605.46 Mx_l=-12.11
Tensioni nella sezione: σ=146.78 τ=18.35
CC 22 SLD (Collegamento 0022_-379)
Azioni sul collegamento: N=-6335.74 Ty=-0.18 Tz=-5.26 Mx=-0.00 Mz=-0.60
Sollecitazioni agenti localmente: Ty_l=-1151.95 Mx_l=-23.04
Tensioni nella sezione: σ=279.26 τ=34.91
CC 22 SLD (Collegamento 0022_-379)
Azioni sul collegamento: N=-6335.74 Ty=-0.38 Tz=-5.26 Mx=-0.00 Mz=-1.00
Sollecitazioni agenti localmente: Ty_l=-1151.95 Mx_l=-23.04
Tensioni nella sezione: σ=279.26 τ=34.91
CC 22 SLD (Collegamento 0022_-379)
Azioni sul collegamento: N=-6335.74 Ty=-0.18 Tz=-0.05 Mx=-0.00 Mz=-0.60
Sollecitazioni agenti localmente: Ty_l=-1151.95 Mx_l=-23.04
Tensioni nella sezione: σ=279.26 τ=34.91
CC 22 SLD (Collegamento 0022_-379)
Azioni sul collegamento: N=-6335.74 Ty=-0.38 Tz=-0.05 Mx=-0.00 Mz=-1.00
Sollecitazioni agenti localmente: Ty_l=-1151.95 Mx_l=-23.04
Tensioni nella sezione: σ=279.26 τ=34.91
CC 22 SLD (Collegamento 0022_-379)
Azioni sul collegamento: N=-4931.09 Ty=-0.18 Tz=-5.26 Mx=-0.00 Mz=-0.60
Sollecitazioni agenti localmente: Ty_l=-896.56 Mx_l=-17.93
Tensioni nella sezione: σ=217.35 τ=27.17
CC 22 SLD (Collegamento 0022_-379)
Azioni sul collegamento: N=-4931.09 Ty=-0.38 Tz=-5.26 Mx=-0.00 Mz=-1.00
Sollecitazioni agenti localmente: Ty_l=-896.56 Mx_l=-17.93
Tensioni nella sezione: σ=217.35 τ=27.17
CC 22 SLD (Collegamento 0022_-379)
Azioni sul collegamento: N=-4931.09 Ty=-0.18 Tz=-0.05 Mx=-0.00 Mz=-0.60
Sollecitazioni agenti localmente: Ty_l=-896.56 Mx_l=-17.93
Tensioni nella sezione: σ=217.35 τ=27.17
CC 22 SLD (Collegamento 0022_-379)
Azioni sul collegamento: N=-4931.09 Ty=-0.38 Tz=-0.05 Mx=-0.00 Mz=-1.00
Sollecitazioni agenti localmente: Ty_l=-896.56 Mx_l=-17.93
Tensioni nella sezione: σ=217.35 τ=27.17
CC 23 SLV (Collegamento 0022_-379)
Azioni sul collegamento: N=-7936.47 Ty=-1.44 Tz=-11.20 Mx=-0.01 Mz=-3.55
Sollecitazioni agenti localmente: Ty_l=-1442.99 Mx_l=-28.86
Tensioni nella sezione: σ=349.82 τ=43.73
CC 23 SLV (Collegamento 0022_-379)
Azioni sul collegamento: N=-7936.47 Ty=-0.74 Tz=-11.20 Mx=-0.01 Mz=-2.16
Sollecitazioni agenti localmente: Ty_l=-1442.99 Mx_l=-28.86
Tensioni nella sezione: σ=349.82 τ=43.73
CC 23 SLV (Collegamento 0022_-379)
Azioni sul collegamento: N=-7936.47 Ty=-1.44 Tz=5.89 Mx=-0.01 Mz=-3.55
Sollecitazioni agenti localmente: Ty_l=-1442.99 Mx_l=-28.86
Tensioni nella sezione: σ=349.82 τ=43.73
CC 23 SLV (Collegamento 0022_-379)
Azioni sul collegamento: N=-7936.47 Ty=-0.74 Tz=5.89 Mx=-0.01 Mz=-2.16
Sollecitazioni agenti localmente: Ty_l=-1442.99 Mx_l=-28.86
Tensioni nella sezione: σ=349.82 τ=43.73
CC 23 SLV (Collegamento 0022_-379)
Azioni sul collegamento: N=-3330.00 Ty=-1.44 Tz=-11.20 Mx=-0.01 Mz=-3.55
Sollecitazioni agenti localmente: Ty_l=-605.45 Mx_l=-12.11
Tensioni nella sezione: σ=146.78 τ=18.35
CC 23 SLV (Collegamento 0022_-379)
Azioni sul collegamento: N=-3330.00 Ty=-0.74 Tz=-11.20 Mx=-0.01 Mz=-2.16
Sollecitazioni agenti localmente: Ty_l=-605.45 Mx_l=-12.11
Tensioni nella sezione: σ=146.78 τ=18.35
CC 23 SLV (Collegamento 0022_-379)
Azioni sul collegamento: N=-3330.00 Ty=-1.44 Tz=5.89 Mx=-0.01 Mz=-3.55
Sollecitazioni agenti localmente: Ty_l=-605.45 Mx_l=-12.11
Tensioni nella sezione: σ=146.78 τ=18.35
CC 23 SLV (Collegamento 0022_-379)

Azioni sul collegamento: N=-3330.00 Ty=-0.74 Tz=5.89 Mx=-0.01 Mz=-2.16
Sollecitazioni agenti localmente: Ty_l=-605.45 Mx_l=-12.11
Tensioni nella sezione: σ=146.78 τ=18.35
CC 24 SLD (Collegamento 0022_-379)
Azioni sul collegamento: N=-6335.74 Ty=-0.39 Tz=-5.26 Mx=-0.00 Mz=-1.01
Sollecitazioni agenti localmente: Ty_l=-1151.95 Mx_l=-23.04
Tensioni nella sezione: σ=279.26 τ=34.91
CC 24 SLD (Collegamento 0022_-379)
Azioni sul collegamento: N=-6335.74 Ty=-0.17 Tz=-5.26 Mx=-0.00 Mz=-0.59
Sollecitazioni agenti localmente: Ty_l=-1151.95 Mx_l=-23.04
Tensioni nella sezione: σ=279.26 τ=34.91
CC 24 SLD (Collegamento 0022_-379)
Azioni sul collegamento: N=-6335.74 Ty=-0.39 Tz=-0.05 Mx=-0.00 Mz=-1.01
Sollecitazioni agenti localmente: Ty_l=-1151.95 Mx_l=-23.04
Tensioni nella sezione: σ=279.26 τ=34.91
CC 24 SLD (Collegamento 0022_-379)
Azioni sul collegamento: N=-6335.74 Ty=-0.17 Tz=-0.05 Mx=-0.00 Mz=-0.59
Sollecitazioni agenti localmente: Ty_l=-1151.95 Mx_l=-23.04
Tensioni nella sezione: σ=279.26 τ=34.91
CC 24 SLD (Collegamento 0022_-379)
Azioni sul collegamento: N=-4931.09 Ty=-0.39 Tz=-5.26 Mx=-0.00 Mz=-1.01
Sollecitazioni agenti localmente: Ty_l=-896.56 Mx_l=-17.93
Tensioni nella sezione: σ=217.35 τ=27.17
CC 24 SLD (Collegamento 0022_-379)
Azioni sul collegamento: N=-4931.09 Ty=-0.17 Tz=-5.26 Mx=-0.00 Mz=-0.59
Sollecitazioni agenti localmente: Ty_l=-896.56 Mx_l=-17.93
Tensioni nella sezione: σ=217.35 τ=27.17
CC 24 SLD (Collegamento 0022_-379)
Azioni sul collegamento: N=-4931.08 Ty=-0.39 Tz=-0.05 Mx=-0.00 Mz=-1.01
Sollecitazioni agenti localmente: Ty_l=-896.56 Mx_l=-17.93
Tensioni nella sezione: σ=217.35 τ=27.17
CC 24 SLD (Collegamento 0022_-379)
Azioni sul collegamento: N=-4931.08 Ty=-0.17 Tz=-0.05 Mx=-0.00 Mz=-0.59
Sollecitazioni agenti localmente: Ty_l=-896.56 Mx_l=-17.93
Tensioni nella sezione: σ=217.35 τ=27.17
CC 25 SLV (Collegamento 0022_-379)
Azioni sul collegamento: N=-4942.23 Ty=0.07 Tz=-0.09 Mx=-0.02 Mz=-0.59
Sollecitazioni agenti localmente: Ty_l=-898.59 Mx_l=-17.97
Tensioni nella sezione: σ=217.84 τ=27.23
CC 25 SLV (Collegamento 0022_-379)
Azioni sul collegamento: N=-4942.23 Ty=-2.24 Tz=-0.09 Mx=-0.02 Mz=-5.11
Sollecitazioni agenti localmente: Ty_l=-898.59 Mx_l=-17.97
Tensioni nella sezione: σ=217.84 τ=27.23
CC 25 SLV (Collegamento 0022_-379)
Azioni sul collegamento: N=-4942.23 Ty=0.07 Tz=-5.22 Mx=-0.02 Mz=-0.59
Sollecitazioni agenti localmente: Ty_l=-898.59 Mx_l=-17.97
Tensioni nella sezione: σ=217.84 τ=27.23
CC 25 SLV (Collegamento 0022_-379)
Azioni sul collegamento: N=-4942.23 Ty=-2.24 Tz=-5.22 Mx=-0.02 Mz=-5.11
Sollecitazioni agenti localmente: Ty_l=-898.59 Mx_l=-17.97
Tensioni nella sezione: σ=217.84 τ=27.23
CC 25 SLV (Collegamento 0022_-379)
Azioni sul collegamento: N=-6324.24 Ty=0.07 Tz=-0.09 Mx=-0.02 Mz=-0.59
Sollecitazioni agenti localmente: Ty_l=-1149.86 Mx_l=-23.00
Tensioni nella sezione: σ=278.75 τ=34.84
CC 25 SLV (Collegamento 0022_-379)
Azioni sul collegamento: N=-6324.24 Ty=-2.24 Tz=-0.09 Mx=-0.02 Mz=-5.11
Sollecitazioni agenti localmente: Ty_l=-1149.86 Mx_l=-23.00
Tensioni nella sezione: σ=278.75 τ=34.84
CC 25 SLV (Collegamento 0022_-379)
Azioni sul collegamento: N=-6324.24 Ty=0.07 Tz=-5.22 Mx=-0.02 Mz=-0.59
Sollecitazioni agenti localmente: Ty_l=-1149.86 Mx_l=-23.00
Tensioni nella sezione: σ=278.75 τ=34.84
CC 25 SLV (Collegamento 0022_-379)
Azioni sul collegamento: N=-6324.24 Ty=-2.24 Tz=-5.22 Mx=-0.02 Mz=-5.11
Sollecitazioni agenti localmente: Ty_l=-1149.86 Mx_l=-23.00
Tensioni nella sezione: σ=278.75 τ=34.84
CC 26 SLD (Collegamento 0022_-379)
Azioni sul collegamento: N=-5422.71 Ty=0.07 Tz=-1.87 Mx=-0.01 Mz=-0.11
Sollecitazioni agenti localmente: Ty_l=-985.95 Mx_l=-19.72
Tensioni nella sezione: σ=239.02 τ=29.88
CC 26 SLD (Collegamento 0022_-379)
Azioni sul collegamento: N=-5422.71 Ty=-0.63 Tz=-1.87 Mx=-0.01 Mz=-1.49
Sollecitazioni agenti localmente: Ty_l=-985.95 Mx_l=-19.72
Tensioni nella sezione: σ=239.02 τ=29.88
CC 26 SLD (Collegamento 0022_-379)
Azioni sul collegamento: N=-5422.71 Ty=0.07 Tz=-3.44 Mx=-0.01 Mz=-0.11
Sollecitazioni agenti localmente: Ty_l=-985.95 Mx_l=-19.72
Tensioni nella sezione: σ=239.02 τ=29.88

CC 26 SLD (Collegamento 0022_-379)
Azioni sul collegamento: N=-5422.71 Ty=-0.63 Tz=-3.44 Mx=-0.01 Mz=-1.49
Sollecitazioni agenti localmente: Ty_l=-985.95 Mx_l=-19.72
Tensioni nella sezione: σ=239.02 τ=29.88
CC 26 SLD (Collegamento 0022_-379)
Azioni sul collegamento: N=-5844.12 Ty=0.07 Tz=-1.87 Mx=-0.01 Mz=-0.11
Sollecitazioni agenti localmente: Ty_l=-1062.57 Mx_l=-21.25
Tensioni nella sezione: σ=257.59 τ=32.20
CC 26 SLD (Collegamento 0022_-379)
Azioni sul collegamento: N=-5844.12 Ty=-0.63 Tz=-1.87 Mx=-0.01 Mz=-1.49
Sollecitazioni agenti localmente: Ty_l=-1062.57 Mx_l=-21.25
Tensioni nella sezione: σ=257.59 τ=32.20
CC 26 SLD (Collegamento 0022_-379)
Azioni sul collegamento: N=-5844.12 Ty=0.07 Tz=-3.44 Mx=-0.01 Mz=-0.11
Sollecitazioni agenti localmente: Ty_l=-1062.57 Mx_l=-21.25
Tensioni nella sezione: σ=257.59 τ=32.20
CC 26 SLD (Collegamento 0022_-379)
Azioni sul collegamento: N=-5844.12 Ty=-0.63 Tz=-3.44 Mx=-0.01 Mz=-1.49
Sollecitazioni agenti localmente: Ty_l=-1062.57 Mx_l=-21.25
Tensioni nella sezione: σ=257.59 τ=32.20
CC 27 SLV (Collegamento 0022_-379)
Azioni sul collegamento: N=-6324.16 Ty=0.06 Tz=-5.22 Mx=-0.02 Mz=-0.60
Sollecitazioni agenti localmente: Ty_l=-1149.85 Mx_l=-23.00
Tensioni nella sezione: σ=278.75 τ=34.84
CC 27 SLV (Collegamento 0022_-379)
Azioni sul collegamento: N=-6324.16 Ty=-2.24 Tz=-5.22 Mx=-0.02 Mz=-5.10
Sollecitazioni agenti localmente: Ty_l=-1149.85 Mx_l=-23.00
Tensioni nella sezione: σ=278.75 τ=34.84
CC 27 SLV (Collegamento 0022_-379)
Azioni sul collegamento: N=-6324.16 Ty=0.06 Tz=-0.09 Mx=-0.02 Mz=-0.60
Sollecitazioni agenti localmente: Ty_l=-1149.85 Mx_l=-23.00
Tensioni nella sezione: σ=278.75 τ=34.84
CC 27 SLV (Collegamento 0022_-379)
Azioni sul collegamento: N=-6324.16 Ty=-2.24 Tz=-0.09 Mx=-0.02 Mz=-5.10
Sollecitazioni agenti localmente: Ty_l=-1149.85 Mx_l=-23.00
Tensioni nella sezione: σ=278.75 τ=34.84
CC 27 SLV (Collegamento 0022_-379)
Azioni sul collegamento: N=-4942.30 Ty=0.06 Tz=-5.22 Mx=-0.02 Mz=-0.60
Sollecitazioni agenti localmente: Ty_l=-898.60 Mx_l=-17.97
Tensioni nella sezione: σ=217.84 τ=27.23
CC 27 SLV (Collegamento 0022_-379)
Azioni sul collegamento: N=-4942.30 Ty=-2.24 Tz=-5.22 Mx=-0.02 Mz=-5.10
Sollecitazioni agenti localmente: Ty_l=-898.60 Mx_l=-17.97
Tensioni nella sezione: σ=217.84 τ=27.23
CC 27 SLV (Collegamento 0022_-379)
Azioni sul collegamento: N=-4942.30 Ty=0.06 Tz=-0.09 Mx=-0.02 Mz=-0.60
Sollecitazioni agenti localmente: Ty_l=-898.60 Mx_l=-17.97
Tensioni nella sezione: σ=217.84 τ=27.23
CC 27 SLV (Collegamento 0022_-379)
Azioni sul collegamento: N=-4942.30 Ty=-2.24 Tz=-0.09 Mx=-0.02 Mz=-5.10
Sollecitazioni agenti localmente: Ty_l=-898.60 Mx_l=-17.97
Tensioni nella sezione: σ=217.84 τ=27.23
CC 28 SLD (Collegamento 0022_-379)
Azioni sul collegamento: N=-5844.10 Ty=0.07 Tz=-3.44 Mx=-0.01 Mz=-0.11
Sollecitazioni agenti localmente: Ty_l=-1062.56 Mx_l=-21.25
Tensioni nella sezione: σ=257.59 τ=32.20
CC 28 SLD (Collegamento 0022_-379)
Azioni sul collegamento: N=-5844.10 Ty=-0.63 Tz=-3.44 Mx=-0.01 Mz=-1.48
Sollecitazioni agenti localmente: Ty_l=-1062.56 Mx_l=-21.25
Tensioni nella sezione: σ=257.59 τ=32.20
CC 28 SLD (Collegamento 0022_-379)
Azioni sul collegamento: N=-5844.10 Ty=0.07 Tz=-1.87 Mx=-0.01 Mz=-0.11
Sollecitazioni agenti localmente: Ty_l=-1062.56 Mx_l=-21.25
Tensioni nella sezione: σ=257.59 τ=32.20
CC 28 SLD (Collegamento 0022_-379)
Azioni sul collegamento: N=-5844.10 Ty=-0.63 Tz=-1.87 Mx=-0.01 Mz=-1.48
Sollecitazioni agenti localmente: Ty_l=-1062.56 Mx_l=-21.25
Tensioni nella sezione: σ=257.59 τ=32.20
CC 28 SLD (Collegamento 0022_-379)
Azioni sul collegamento: N=-5422.73 Ty=0.07 Tz=-3.44 Mx=-0.01 Mz=-0.11
Sollecitazioni agenti localmente: Ty_l=-985.95 Mx_l=-19.72
Tensioni nella sezione: σ=239.02 τ=29.88
CC 28 SLD (Collegamento 0022_-379)
Azioni sul collegamento: N=-5422.73 Ty=-0.63 Tz=-3.44 Mx=-0.01 Mz=-1.48
Sollecitazioni agenti localmente: Ty_l=-985.95 Mx_l=-19.72
Tensioni nella sezione: σ=239.02 τ=29.88
CC 28 SLD (Collegamento 0022_-379)
Azioni sul collegamento: N=-5422.73 Ty=0.07 Tz=-1.87 Mx=-0.01 Mz=-0.11
Sollecitazioni agenti localmente: Ty_l=-985.95 Mx_l=-19.72

Tensioni nella sezione: σ=239.02 τ=29.88
CC 28 SLD (Collegamento 0022_-379)
Azioni sul collegamento: N=-5422.73 Ty=-0.63 Tz=-1.87 Mx=-0.01 Mz=-1.48
Sollecitazioni agenti localmente: Ty_l=-985.95 Mx_l=-19.72
Tensioni nella sezione: σ=239.02 τ=29.88
CC 29 SLV (Collegamento 0022_-379)
Azioni sul collegamento: N=-4942.30 Ty=-2.24 Tz=-0.09 Mx=-0.00 Mz=-5.10
Sollecitazioni agenti localmente: Ty_l=-898.60 Mx_l=-17.97
Tensioni nella sezione: σ=217.84 τ=27.23
CC 29 SLV (Collegamento 0022_-379)
Azioni sul collegamento: N=-4942.30 Ty=0.06 Tz=-0.09 Mx=-0.00 Mz=-0.60
Sollecitazioni agenti localmente: Ty_l=-898.60 Mx_l=-17.97
Tensioni nella sezione: σ=217.84 τ=27.23
CC 29 SLV (Collegamento 0022_-379)
Azioni sul collegamento: N=-4942.30 Ty=-2.24 Tz=-5.22 Mx=-0.00 Mz=-5.10
Sollecitazioni agenti localmente: Ty_l=-898.60 Mx_l=-17.97
Tensioni nella sezione: σ=217.84 τ=27.23
CC 29 SLV (Collegamento 0022_-379)
Azioni sul collegamento: N=-4942.30 Ty=0.06 Tz=-5.22 Mx=-0.00 Mz=-0.60
Sollecitazioni agenti localmente: Ty_l=-898.60 Mx_l=-17.97
Tensioni nella sezione: σ=217.84 τ=27.23
CC 29 SLV (Collegamento 0022_-379)
Azioni sul collegamento: N=-6324.16 Ty=-2.24 Tz=-0.09 Mx=-0.00 Mz=-5.10
Sollecitazioni agenti localmente: Ty_l=-1149.85 Mx_l=-23.00
Tensioni nella sezione: σ=278.75 τ=34.84
CC 29 SLV (Collegamento 0022_-379)
Azioni sul collegamento: N=-6324.16 Ty=0.06 Tz=-0.09 Mx=-0.00 Mz=-0.60
Sollecitazioni agenti localmente: Ty_l=-1149.85 Mx_l=-23.00
Tensioni nella sezione: σ=278.75 τ=34.84
CC 29 SLV (Collegamento 0022_-379)
Azioni sul collegamento: N=-6324.16 Ty=-2.24 Tz=-5.22 Mx=-0.00 Mz=-5.10
Sollecitazioni agenti localmente: Ty_l=-1149.85 Mx_l=-23.00
Tensioni nella sezione: σ=278.75 τ=34.84
CC 29 SLV (Collegamento 0022_-379)
Azioni sul collegamento: N=-6324.16 Ty=0.06 Tz=-5.22 Mx=-0.00 Mz=-0.60
Sollecitazioni agenti localmente: Ty_l=-1149.85 Mx_l=-23.00
Tensioni nella sezione: σ=278.75 τ=34.84
CC 30 SLD (Collegamento 0022_-379)
Azioni sul collegamento: N=-5422.73 Ty=-0.63 Tz=-1.87 Mx=-0.00 Mz=-1.48
Sollecitazioni agenti localmente: Ty_l=-985.95 Mx_l=-19.72
Tensioni nella sezione: σ=239.02 τ=29.88
CC 30 SLD (Collegamento 0022_-379)
Azioni sul collegamento: N=-5422.73 Ty=0.07 Tz=-1.87 Mx=-0.00 Mz=-0.11
Sollecitazioni agenti localmente: Ty_l=-985.95 Mx_l=-19.72
Tensioni nella sezione: σ=239.02 τ=29.88
CC 30 SLD (Collegamento 0022_-379)
Azioni sul collegamento: N=-5422.73 Ty=-0.63 Tz=-3.44 Mx=-0.00 Mz=-1.48
Sollecitazioni agenti localmente: Ty_l=-985.95 Mx_l=-19.72
Tensioni nella sezione: σ=239.02 τ=29.88
CC 30 SLD (Collegamento 0022_-379)
Azioni sul collegamento: N=-5422.73 Ty=0.07 Tz=-3.44 Mx=-0.00 Mz=-0.11
Sollecitazioni agenti localmente: Ty_l=-985.95 Mx_l=-19.72
Tensioni nella sezione: σ=239.02 τ=29.88
CC 30 SLD (Collegamento 0022_-379)
Azioni sul collegamento: N=-5844.10 Ty=-0.63 Tz=-1.87 Mx=-0.00 Mz=-1.48
Sollecitazioni agenti localmente: Ty_l=-1062.56 Mx_l=-21.25
Tensioni nella sezione: σ=257.59 τ=32.20
CC 30 SLD (Collegamento 0022_-379)
Azioni sul collegamento: N=-5844.10 Ty=0.07 Tz=-1.87 Mx=-0.00 Mz=-0.11
Sollecitazioni agenti localmente: Ty_l=-1062.56 Mx_l=-21.25
Tensioni nella sezione: σ=257.59 τ=32.20
CC 30 SLD (Collegamento 0022_-379)
Azioni sul collegamento: N=-5844.10 Ty=-0.63 Tz=-3.44 Mx=-0.00 Mz=-1.48
Sollecitazioni agenti localmente: Ty_l=-1062.56 Mx_l=-21.25
Tensioni nella sezione: σ=257.59 τ=32.20
CC 30 SLD (Collegamento 0022_-379)
Azioni sul collegamento: N=-5844.10 Ty=0.07 Tz=-3.44 Mx=-0.00 Mz=-0.11
Sollecitazioni agenti localmente: Ty_l=-1062.56 Mx_l=-21.25
Tensioni nella sezione: σ=257.59 τ=32.20
CC 31 SLV (Collegamento 0022_-379)
Azioni sul collegamento: N=-6324.24 Ty=-2.24 Tz=-5.22 Mx=-0.00 Mz=-5.11
Sollecitazioni agenti localmente: Ty_l=-1149.86 Mx_l=-23.00
Tensioni nella sezione: σ=278.75 τ=34.84
CC 31 SLV (Collegamento 0022_-379)
Azioni sul collegamento: N=-6324.24 Ty=0.07 Tz=-5.22 Mx=-0.00 Mz=-0.59
Sollecitazioni agenti localmente: Ty_l=-1149.86 Mx_l=-23.00
Tensioni nella sezione: σ=278.75 τ=34.84
CC 31 SLV (Collegamento 0022_-379)
Azioni sul collegamento: N=-6324.24 Ty=-2.24 Tz=-0.09 Mx=-0.00 Mz=-5.11

Sollecitazioni agenti localmente: Ty_l=-1149.86 Mx_l=-23.00
Tensioni nella sezione: σ=278.75 τ=34.84
CC 31 SLV (Collegamento 0022_-379)
Azioni sul collegamento: N=-6324.24 Ty=0.07 Tz=-0.09 Mx=-0.00 Mz=-0.59
Sollecitazioni agenti localmente: Ty_l=-1149.86 Mx_l=-23.00
Tensioni nella sezione: σ=278.75 τ=34.84
CC 31 SLV (Collegamento 0022_-379)
Azioni sul collegamento: N=-4942.23 Ty=-2.24 Tz=-5.22 Mx=-0.00 Mz=-5.11
Sollecitazioni agenti localmente: Ty_l=-898.59 Mx_l=-17.97
Tensioni nella sezione: σ=217.84 τ=27.23
CC 31 SLV (Collegamento 0022_-379)
Azioni sul collegamento: N=-4942.23 Ty=0.07 Tz=-5.22 Mx=-0.00 Mz=-0.59
Sollecitazioni agenti localmente: Ty_l=-898.59 Mx_l=-17.97
Tensioni nella sezione: σ=217.84 τ=27.23
CC 31 SLV (Collegamento 0022_-379)
Azioni sul collegamento: N=-4942.23 Ty=-2.24 Tz=-0.09 Mx=-0.00 Mz=-5.11
Sollecitazioni agenti localmente: Ty_l=-898.59 Mx_l=-17.97
Tensioni nella sezione: σ=217.84 τ=27.23
CC 31 SLV (Collegamento 0022_-379)
Azioni sul collegamento: N=-4942.23 Ty=0.07 Tz=-0.09 Mx=-0.00 Mz=-0.59
Sollecitazioni agenti localmente: Ty_l=-898.59 Mx_l=-17.97
Tensioni nella sezione: σ=217.84 τ=27.23
CC 32 SLD (Collegamento 0022_-379)
Azioni sul collegamento: N=-5844.12 Ty=-0.63 Tz=-3.44 Mx=-0.00 Mz=-1.49
Sollecitazioni agenti localmente: Ty_l=-1062.57 Mx_l=-21.25
Tensioni nella sezione: σ=257.59 τ=32.20
CC 32 SLD (Collegamento 0022_-379)
Azioni sul collegamento: N=-5844.12 Ty=0.07 Tz=-3.44 Mx=-0.00 Mz=-0.11
Sollecitazioni agenti localmente: Ty_l=-1062.57 Mx_l=-21.25
Tensioni nella sezione: σ=257.59 τ=32.20
CC 32 SLD (Collegamento 0022_-379)
Azioni sul collegamento: N=-5844.12 Ty=-0.63 Tz=-1.87 Mx=-0.00 Mz=-1.49
Sollecitazioni agenti localmente: Ty_l=-1062.57 Mx_l=-21.25
Tensioni nella sezione: σ=257.59 τ=32.20
CC 32 SLD (Collegamento 0022_-379)
Azioni sul collegamento: N=-5844.12 Ty=0.07 Tz=-1.87 Mx=-0.00 Mz=-0.11
Sollecitazioni agenti localmente: Ty_l=-1062.57 Mx_l=-21.25
Tensioni nella sezione: σ=257.59 τ=32.20
CC 32 SLD (Collegamento 0022_-379)
Azioni sul collegamento: N=-5422.71 Ty=-0.63 Tz=-3.44 Mx=-0.00 Mz=-1.49
Sollecitazioni agenti localmente: Ty_l=-985.95 Mx_l=-19.72
Tensioni nella sezione: σ=239.02 τ=29.88
CC 32 SLD (Collegamento 0022_-379)
Azioni sul collegamento: N=-5422.71 Ty=0.07 Tz=-3.44 Mx=-0.00 Mz=-0.11
Sollecitazioni agenti localmente: Ty_l=-985.95 Mx_l=-19.72
Tensioni nella sezione: σ=239.02 τ=29.88
CC 32 SLD (Collegamento 0022_-379)
Azioni sul collegamento: N=-5422.71 Ty=-0.63 Tz=-1.87 Mx=-0.00 Mz=-1.49
Sollecitazioni agenti localmente: Ty_l=-985.95 Mx_l=-19.72
Tensioni nella sezione: σ=239.02 τ=29.88
CC 32 SLD (Collegamento 0022_-379)
Azioni sul collegamento: N=-5422.71 Ty=0.07 Tz=-1.87 Mx=-0.00 Mz=-0.11
Sollecitazioni agenti localmente: Ty_l=-985.95 Mx_l=-19.72
Tensioni nella sezione: σ=239.02 τ=29.88
CC 33 SLU (Collegamento 0022_-379)
Azioni sul collegamento: N=-28967.90 Ty=0.05 Tz=74.90 Mx=0.00 Mz=0.12
Sollecitazioni agenti localmente: Ty_l=-5266.89 Mx_l=-105.34
Tensioni nella sezione: σ=1276.82 τ=159.60
CC 34 SLU (Collegamento 0022_-379)
Azioni sul collegamento: N=-29447.20 Ty=0.05 Tz=76.67 Mx=0.00 Mz=0.12
Sollecitazioni agenti localmente: Ty_l=-5354.03 Mx_l=-107.08
Tensioni nella sezione: σ=1297.94 τ=162.24
CC 35 SLU (Collegamento 0022_-379)
Azioni sul collegamento: N=-29207.50 Ty=0.17 Tz=75.78 Mx=-0.00 Mz=0.35
Sollecitazioni agenti localmente: Ty_l=-5310.46 Mx_l=-106.21
Tensioni nella sezione: σ=1287.38 τ=160.92
CC 36 SLU (Collegamento 0022_-379)
Azioni sul collegamento: N=-29207.50 Ty=-0.07 Tz=75.79 Mx=0.00 Mz=-0.12
Sollecitazioni agenti localmente: Ty_l=-5310.46 Mx_l=-106.21
Tensioni nella sezione: σ=1287.38 τ=160.92
CC 37 SLU (Collegamento 0022_-379)
Azioni sul collegamento: N=-29152.80 Ty=0.07 Tz=74.88 Mx=0.00 Mz=0.13
Sollecitazioni agenti localmente: Ty_l=-5300.51 Mx_l=-106.01
Tensioni nella sezione: σ=1284.97 τ=160.62
CC 38 SLU (Collegamento 0022_-379)
Azioni sul collegamento: N=-29632.10 Ty=0.07 Tz=76.66 Mx=0.00 Mz=0.13
Sollecitazioni agenti localmente: Ty_l=-5387.65 Mx_l=-107.75
Tensioni nella sezione: σ=1306.09 τ=163.26
CC 39 SLU (Collegamento 0022_-379)

Azioni sul collegamento: N=-29392.40 Ty=0.19 Tz=75.77 Mx=-0.00 Mz=0.36
Sollecitazioni agenti localmente: Ty_l=-5344.08 Mx_l=-106.88
Tensioni nella sezione: σ=1295.53 τ=161.94
CC 40 SLU (Collegamento 0022_-379)
Azioni sul collegamento: N=-29392.40 Ty=-0.05 Tz=75.77 Mx=0.00 Mz=-0.10
Sollecitazioni agenti localmente: Ty_l=-5344.08 Mx_l=-106.88
Tensioni nella sezione: σ=1295.53 τ=161.94
CC 41 SLU (Collegamento 0022_-379)
Azioni sul collegamento: N=-19454.60 Ty=0.08 Tz=39.91 Mx=0.00 Mz=0.13
Sollecitazioni agenti localmente: Ty_l=-3537.20 Mx_l=-70.74
Tensioni nella sezione: σ=857.50 τ=107.19
CC 42 SLU (Collegamento 0022_-379)
Azioni sul collegamento: N=-19933.90 Ty=0.08 Tz=41.69 Mx=0.00 Mz=0.13
Sollecitazioni agenti localmente: Ty_l=-3624.34 Mx_l=-72.49
Tensioni nella sezione: σ=878.63 τ=109.83
CC 43 SLU (Collegamento 0022_-379)
Azioni sul collegamento: N=-19694.20 Ty=0.20 Tz=40.80 Mx=-0.00 Mz=0.36
Sollecitazioni agenti localmente: Ty_l=-3580.77 Mx_l=-71.62
Tensioni nella sezione: σ=868.06 τ=108.51
CC 44 SLU (Collegamento 0022_-379)
Azioni sul collegamento: N=-19694.20 Ty=-0.04 Tz=40.80 Mx=0.00 Mz=-0.10
Sollecitazioni agenti localmente: Ty_l=-3580.77 Mx_l=-71.62
Tensioni nella sezione: σ=868.06 τ=108.51
CC 45 SLU (Collegamento 0022_-379)
Azioni sul collegamento: N=-21628.70 Ty=0.08 Tz=47.97 Mx=0.00 Mz=0.14
Sollecitazioni agenti localmente: Ty_l=-3932.50 Mx_l=-78.65
Tensioni nella sezione: σ=953.33 τ=119.17
CC 46 SLU (Collegamento 0022_-379)
Azioni sul collegamento: N=-22108.00 Ty=0.08 Tz=49.75 Mx=0.00 Mz=0.14
Sollecitazioni agenti localmente: Ty_l=-4019.65 Mx_l=-80.39
Tensioni nella sezione: σ=974.46 τ=121.81
CC 47 SLU (Collegamento 0022_-379)
Azioni sul collegamento: N=-21868.40 Ty=0.20 Tz=48.86 Mx=-0.00 Mz=0.37
Sollecitazioni agenti localmente: Ty_l=-3976.07 Mx_l=-79.52
Tensioni nella sezione: σ=963.89 τ=120.49
CC 48 SLU (Collegamento 0022_-379)
Azioni sul collegamento: N=-21868.40 Ty=-0.04 Tz=48.86 Mx=0.00 Mz=-0.10
Sollecitazioni agenti localmente: Ty_l=-3976.07 Mx_l=-79.52
Tensioni nella sezione: σ=963.89 τ=120.49
CC 49 SLU (Collegamento 0022_-379)
Azioni sul collegamento: N=-21767.10 Ty=0.10 Tz=47.96 Mx=0.00 Mz=0.15
Sollecitazioni agenti localmente: Ty_l=-3957.65 Mx_l=-79.15
Tensioni nella sezione: σ=959.43 τ=119.93
CC 50 SLU (Collegamento 0022_-379)
Azioni sul collegamento: N=-22246.40 Ty=0.10 Tz=49.73 Mx=0.00 Mz=0.15
Sollecitazioni agenti localmente: Ty_l=-4044.79 Mx_l=-80.90
Tensioni nella sezione: σ=980.55 τ=122.57
CC 51 SLU (Collegamento 0022_-379)
Azioni sul collegamento: N=-22006.70 Ty=0.22 Tz=48.85 Mx=-0.00 Mz=0.38
Sollecitazioni agenti localmente: Ty_l=-4001.22 Mx_l=-80.02
Tensioni nella sezione: σ=969.99 τ=121.25
CC 52 SLU (Collegamento 0022_-379)
Azioni sul collegamento: N=-22006.70 Ty=-0.02 Tz=48.85 Mx=0.00 Mz=-0.09
Sollecitazioni agenti localmente: Ty_l=-4001.22 Mx_l=-80.02
Tensioni nella sezione: σ=969.99 τ=121.25
CC 53 SLU (Collegamento 0022_-379)
Azioni sul collegamento: N=-14511.40 Ty=0.10 Tz=21.80 Mx=0.00 Mz=0.15
Sollecitazioni agenti localmente: Ty_l=-2638.43 Mx_l=-52.77
Tensioni nella sezione: σ=639.62 τ=79.95
CC 54 SLU (Collegamento 0022_-379)
Azioni sul collegamento: N=-14990.70 Ty=0.10 Tz=23.57 Mx=0.00 Mz=0.15
Sollecitazioni agenti localmente: Ty_l=-2725.58 Mx_l=-54.51
Tensioni nella sezione: σ=660.75 τ=82.59
CC 55 SLU (Collegamento 0022_-379)
Azioni sul collegamento: N=-14751.00 Ty=0.22 Tz=22.69 Mx=-0.00 Mz=0.38
Sollecitazioni agenti localmente: Ty_l=-2682.01 Mx_l=-53.64
Tensioni nella sezione: σ=650.18 τ=81.27
CC 56 SLU (Collegamento 0022_-379)
Azioni sul collegamento: N=-14751.00 Ty=-0.02 Tz=22.68 Mx=0.00 Mz=-0.09
Sollecitazioni agenti localmente: Ty_l=-2682.01 Mx_l=-53.64
Tensioni nella sezione: σ=650.18 τ=81.27
CC 57 SLU (Collegamento 0022_-379)
Azioni sul collegamento: N=-21907.00 Ty=0.07 Tz=49.04 Mx=0.00 Mz=0.14
Sollecitazioni agenti localmente: Ty_l=-3983.10 Mx_l=-79.66
Tensioni nella sezione: σ=965.60 τ=120.70
CC 58 SLU (Collegamento 0022_-379)
Azioni sul collegamento: N=-22386.30 Ty=0.07 Tz=50.82 Mx=0.00 Mz=0.13
Sollecitazioni agenti localmente: Ty_l=-4070.24 Mx_l=-81.40
Tensioni nella sezione: σ=986.72 τ=123.34

CC 59 SLU (Collegamento 0022_-379)
Azioni sul collegamento: N=-22146.70 Ty=0.19 Tz=49.93 Mx=-0.00 Mz=0.37
Sollecitazioni agenti localmente: Ty_l=-4026.67 Mx_l=-80.53
Tensioni nella sezione: σ=976.16 τ=122.02
CC 60 SLU (Collegamento 0022_-379)
Azioni sul collegamento: N=-22146.70 Ty=-0.04 Tz=49.93 Mx=0.00 Mz=-0.10
Sollecitazioni agenti localmente: Ty_l=-4026.67 Mx_l=-80.53
Tensioni nella sezione: σ=976.16 τ=122.02
CC 61 SLU (Collegamento 0022_-379)
Azioni sul collegamento: N=-22045.30 Ty=0.09 Tz=49.02 Mx=0.00 Mz=0.14
Sollecitazioni agenti localmente: Ty_l=-4008.24 Mx_l=-80.16
Tensioni nella sezione: σ=971.69 τ=121.46
CC 62 SLU (Collegamento 0022_-379)
Azioni sul collegamento: N=-22524.60 Ty=0.09 Tz=50.80 Mx=0.00 Mz=0.14
Sollecitazioni agenti localmente: Ty_l=-4095.39 Mx_l=-81.91
Tensioni nella sezione: σ=992.82 τ=124.10
CC 63 SLU (Collegamento 0022_-379)
Azioni sul collegamento: N=-22285.00 Ty=0.21 Tz=49.91 Mx=-0.00 Mz=0.38
Sollecitazioni agenti localmente: Ty_l=-4051.82 Mx_l=-81.04
Tensioni nella sezione: σ=982.26 τ=122.78
CC 64 SLU (Collegamento 0022_-379)
Azioni sul collegamento: N=-22285.00 Ty=-0.03 Tz=49.91 Mx=0.00 Mz=-0.09
Sollecitazioni agenti localmente: Ty_l=-4051.82 Mx_l=-81.04
Tensioni nella sezione: σ=982.26 τ=122.78
CC 65 SLU (Collegamento 0022_-379)
Azioni sul collegamento: N=-14789.70 Ty=0.10 Tz=22.86 Mx=0.00 Mz=0.14
Sollecitazioni agenti localmente: Ty_l=-2689.03 Mx_l=-53.78
Tensioni nella sezione: σ=651.88 τ=81.49
CC 66 SLU (Collegamento 0022_-379)
Azioni sul collegamento: N=-15269.00 Ty=0.10 Tz=24.64 Mx=0.00 Mz=0.14
Sollecitazioni agenti localmente: Ty_l=-2776.17 Mx_l=-55.52
Tensioni nella sezione: σ=673.01 τ=84.13
CC 67 SLU (Collegamento 0022_-379)
Azioni sul collegamento: N=-15029.30 Ty=0.22 Tz=23.75 Mx=-0.00 Mz=0.38
Sollecitazioni agenti localmente: Ty_l=-2732.60 Mx_l=-54.65
Tensioni nella sezione: σ=662.45 τ=82.81
CC 68 SLU (Collegamento 0022_-379)
Azioni sul collegamento: N=-15029.30 Ty=-0.02 Tz=23.75 Mx=0.00 Mz=-0.09
Sollecitazioni agenti localmente: Ty_l=-2732.60 Mx_l=-54.65
Tensioni nella sezione: σ=662.45 τ=82.81
CC 97 SLU (Collegamento 0022_-379)
Azioni sul collegamento: N=-11572.90 Ty=11.37 Tz=19.27 Mx=0.04 Mz=15.92
Sollecitazioni agenti localmente: Ty_l=-2104.17 Mx_l=-42.08
Tensioni nella sezione: σ=510.10 τ=63.76
CC 98 SLU (Collegamento 0022_-379)
Azioni sul collegamento: N=-12052.20 Ty=11.37 Tz=21.05 Mx=0.04 Mz=15.92
Sollecitazioni agenti localmente: Ty_l=-2191.31 Mx_l=-43.83
Tensioni nella sezione: σ=531.23 τ=66.40
CC 99 SLU (Collegamento 0022_-379)
Azioni sul collegamento: N=-11812.60 Ty=11.49 Tz=20.16 Mx=0.04 Mz=16.15
Sollecitazioni agenti localmente: Ty_l=-2147.74 Mx_l=-42.95
Tensioni nella sezione: σ=520.66 τ=65.08
CC 100 SLU (Collegamento 0022_-379)
Azioni sul collegamento: N=-11812.60 Ty=11.25 Tz=20.16 Mx=0.04 Mz=15.68
Sollecitazioni agenti localmente: Ty_l=-2147.74 Mx_l=-42.95
Tensioni nella sezione: σ=520.66 τ=65.08
CC 101 SLU (Collegamento 0022_-379)
Azioni sul collegamento: N=-5887.16 Ty=-2.00 Tz=-1.73 Mx=-0.00 Mz=-2.22
Sollecitazioni agenti localmente: Ty_l=-1070.39 Mx_l=-21.41
Tensioni nella sezione: σ=259.49 τ=32.44
CC 102 SLU (Collegamento 0022_-379)
Azioni sul collegamento: N=-6366.46 Ty=-2.01 Tz=0.04 Mx=-0.00 Mz=-2.22
Sollecitazioni agenti localmente: Ty_l=-1157.54 Mx_l=-23.15
Tensioni nella sezione: σ=280.62 τ=35.08
CC 103 SLU (Collegamento 0022_-379)
Azioni sul collegamento: N=-6126.81 Ty=-1.89 Tz=-0.85 Mx=-0.01 Mz=-1.98
Sollecitazioni agenti localmente: Ty_l=-1113.97 Mx_l=-22.28
Tensioni nella sezione: σ=270.05 τ=33.76
CC 104 SLU (Collegamento 0022_-379)
Azioni sul collegamento: N=-6126.80 Ty=-2.12 Tz=-0.84 Mx=-0.00 Mz=-2.45
Sollecitazioni agenti localmente: Ty_l=-1113.96 Mx_l=-22.28
Tensioni nella sezione: σ=270.05 τ=33.76

Flessione attacco destro piastra

Bnetta=220.00 Hnetta=15.00
CC 1 SLV (Collegamento 0022_-379)
Azioni sul collegamento: N=-3330.52 Ty=1.59 Tz=5.89 Mx=0.02 Mz=3.75
Sollecitazioni agenti localmente: Ty_l=-605.34 My_l=-12.43

Tensioni nella sezione: σ=150.67 τ=18.34
CC 1 SLV (Collegamento 0022_-379)
Azioni sul collegamento: N=-3330.52 Ty=0.88 Tz=5.89 Mx=0.02 Mz=2.36
Sollecitazioni agenti localmente: Ty_l=-599.80 My_l=-12.31
Tensioni nella sezione: σ=149.20 τ=18.18
CC 1 SLV (Collegamento 0022_-379)
Azioni sul collegamento: N=-3330.52 Ty=1.59 Tz=-11.19 Mx=0.02 Mz=3.75
Sollecitazioni agenti localmente: Ty_l=-605.34 My_l=-12.43
Tensioni nella sezione: σ=150.67 τ=18.34
CC 1 SLV (Collegamento 0022_-379)
Azioni sul collegamento: N=-3330.52 Ty=0.88 Tz=-11.19 Mx=0.02 Mz=2.36
Sollecitazioni agenti localmente: Ty_l=-599.80 My_l=-12.31
Tensioni nella sezione: σ=149.20 τ=18.18
CC 1 SLV (Collegamento 0022_-379)
Azioni sul collegamento: N=-7936.99 Ty=1.59 Tz=5.89 Mx=0.02 Mz=3.75
Sollecitazioni agenti localmente: Ty_l=-1421.94 My_l=-29.17
Tensioni nella sezione: σ=353.58 τ=43.09
CC 1 SLV (Collegamento 0022_-379)
Azioni sul collegamento: N=-7936.99 Ty=0.88 Tz=5.89 Mx=0.02 Mz=2.36
Sollecitazioni agenti localmente: Ty_l=-1416.41 My_l=-29.05
Tensioni nella sezione: σ=352.12 τ=42.92
CC 1 SLV (Collegamento 0022_-379)
Azioni sul collegamento: N=-7936.99 Ty=1.59 Tz=-11.19 Mx=0.02 Mz=3.75
Sollecitazioni agenti localmente: Ty_l=-1421.94 My_l=-29.17
Tensioni nella sezione: σ=353.58 τ=43.09
CC 1 SLV (Collegamento 0022_-379)
Azioni sul collegamento: N=-7936.99 Ty=0.88 Tz=-11.19 Mx=0.02 Mz=2.36
Sollecitazioni agenti localmente: Ty_l=-1416.41 My_l=-29.05
Tensioni nella sezione: σ=352.12 τ=42.92
CC 2 SLD (Collegamento 0022_-379)
Azioni sul collegamento: N=-4931.25 Ty=0.54 Tz=-0.05 Mx=0.01 Mz=1.22
Sollecitazioni agenti localmente: Ty_l=-879.01 My_l=-18.03
Tensioni nella sezione: σ=218.50 τ=26.64
CC 2 SLD (Collegamento 0022_-379)
Azioni sul collegamento: N=-4931.25 Ty=0.32 Tz=-0.05 Mx=0.01 Mz=0.79
Sollecitazioni agenti localmente: Ty_l=-877.32 My_l=-17.99
Tensioni nella sezione: σ=218.06 τ=26.59
CC 2 SLD (Collegamento 0022_-379)
Azioni sul collegamento: N=-4931.25 Ty=0.54 Tz=-5.26 Mx=0.01 Mz=1.22
Sollecitazioni agenti localmente: Ty_l=-879.01 My_l=-18.03
Tensioni nella sezione: σ=218.50 τ=26.64
CC 2 SLD (Collegamento 0022_-379)
Azioni sul collegamento: N=-4931.25 Ty=0.32 Tz=-5.26 Mx=0.01 Mz=0.79
Sollecitazioni agenti localmente: Ty_l=-877.32 My_l=-17.99
Tensioni nella sezione: σ=218.06 τ=26.59
CC 2 SLD (Collegamento 0022_-379)
Azioni sul collegamento: N=-6335.90 Ty=0.54 Tz=-0.05 Mx=0.01 Mz=1.22
Sollecitazioni agenti localmente: Ty_l=-1128.02 My_l=-23.13
Tensioni nella sezione: σ=280.38 τ=34.18
CC 2 SLD (Collegamento 0022_-379)
Azioni sul collegamento: N=-6335.90 Ty=0.32 Tz=-0.05 Mx=0.01 Mz=0.79
Sollecitazioni agenti localmente: Ty_l=-1126.33 My_l=-23.09
Tensioni nella sezione: σ=279.93 τ=34.13
CC 2 SLD (Collegamento 0022_-379)
Azioni sul collegamento: N=-6335.90 Ty=0.54 Tz=-5.26 Mx=0.01 Mz=1.22
Sollecitazioni agenti localmente: Ty_l=-1128.02 My_l=-23.13
Tensioni nella sezione: σ=280.38 τ=34.18
CC 2 SLD (Collegamento 0022_-379)
Azioni sul collegamento: N=-6335.90 Ty=0.32 Tz=-5.26 Mx=0.01 Mz=0.79
Sollecitazioni agenti localmente: Ty_l=-1126.33 My_l=-23.09
Tensioni nella sezione: σ=279.93 τ=34.13
CC 3 SLV (Collegamento 0022_-379)
Azioni sul collegamento: N=-3330.55 Ty=0.90 Tz=5.89 Mx=0.01 Mz=2.40
Sollecitazioni agenti localmente: Ty_l=-599.96 My_l=-12.31
Tensioni nella sezione: σ=149.24 τ=18.18
CC 3 SLV (Collegamento 0022_-379)
Azioni sul collegamento: N=-3330.55 Ty=1.58 Tz=5.89 Mx=0.01 Mz=3.71
Sollecitazioni agenti localmente: Ty_l=-605.19 My_l=-12.43
Tensioni nella sezione: σ=150.63 τ=18.34
CC 3 SLV (Collegamento 0022_-379)
Azioni sul collegamento: N=-3330.55 Ty=0.90 Tz=-11.19 Mx=0.01 Mz=2.40
Sollecitazioni agenti localmente: Ty_l=-599.96 My_l=-12.31
Tensioni nella sezione: σ=149.24 τ=18.18
CC 3 SLV (Collegamento 0022_-379)
Azioni sul collegamento: N=-3330.55 Ty=1.58 Tz=-11.19 Mx=0.01 Mz=3.71
Sollecitazioni agenti localmente: Ty_l=-605.19 My_l=-12.43
Tensioni nella sezione: σ=150.63 τ=18.34
CC 3 SLV (Collegamento 0022_-379)
Azioni sul collegamento: N=-7936.97 Ty=0.90 Tz=5.89 Mx=0.01 Mz=2.40

Sollecitazioni agenti localmente: Ty_l=-1416.56 My_l=-29.05
Tensioni nella sezione: σ=352.15 τ=42.93
CC 3 SLV (Collegamento 0022_-379)
Azioni sul collegamento: N=-7936.97 Ty=1.58 Tz=5.89 Mx=0.01 Mz=3.71
Sollecitazioni agenti localmente: Ty_l=-1421.78 My_l=-29.17
Tensioni nella sezione: σ=353.54 τ=43.08
CC 3 SLV (Collegamento 0022_-379)
Azioni sul collegamento: N=-7936.97 Ty=0.90 Tz=-11.19 Mx=0.01 Mz=2.40
Sollecitazioni agenti localmente: Ty_l=-1416.56 My_l=-29.05
Tensioni nella sezione: σ=352.15 τ=42.93
CC 3 SLV (Collegamento 0022_-379)
Azioni sul collegamento: N=-7936.97 Ty=1.58 Tz=-11.19 Mx=0.01 Mz=3.71
Sollecitazioni agenti localmente: Ty_l=-1421.78 My_l=-29.17
Tensioni nella sezione: σ=353.54 τ=43.08
CC 4 SLD (Collegamento 0022_-379)
Azioni sul collegamento: N=-4931.25 Ty=0.33 Tz=-0.05 Mx=0.00 Mz=0.80
Sollecitazioni agenti localmente: Ty_l=-877.37 My_l=-17.99
Tensioni nella sezione: σ=218.07 τ=26.59
CC 4 SLD (Collegamento 0022_-379)
Azioni sul collegamento: N=-4931.25 Ty=0.53 Tz=-0.05 Mx=0.00 Mz=1.20
Sollecitazioni agenti localmente: Ty_l=-878.97 My_l=-18.03
Tensioni nella sezione: σ=218.49 τ=26.64
CC 4 SLD (Collegamento 0022_-379)
Azioni sul collegamento: N=-4931.25 Ty=0.33 Tz=-5.26 Mx=0.00 Mz=0.80
Sollecitazioni agenti localmente: Ty_l=-877.37 My_l=-17.99
Tensioni nella sezione: σ=218.07 τ=26.59
CC 4 SLD (Collegamento 0022_-379)
Azioni sul collegamento: N=-4931.25 Ty=0.53 Tz=-5.26 Mx=0.00 Mz=1.20
Sollecitazioni agenti localmente: Ty_l=-878.97 My_l=-18.03
Tensioni nella sezione: σ=218.49 τ=26.64
CC 4 SLD (Collegamento 0022_-379)
Azioni sul collegamento: N=-6335.90 Ty=0.33 Tz=-0.05 Mx=0.00 Mz=0.80
Sollecitazioni agenti localmente: Ty_l=-1126.38 My_l=-23.10
Tensioni nella sezione: σ=279.94 τ=34.13
CC 4 SLD (Collegamento 0022_-379)
Azioni sul collegamento: N=-6335.90 Ty=0.53 Tz=-0.05 Mx=0.00 Mz=1.20
Sollecitazioni agenti localmente: Ty_l=-1127.97 My_l=-23.13
Tensioni nella sezione: σ=280.37 τ=34.18
CC 4 SLD (Collegamento 0022_-379)
Azioni sul collegamento: N=-6335.90 Ty=0.33 Tz=-5.26 Mx=0.00 Mz=0.80
Sollecitazioni agenti localmente: Ty_l=-1126.38 My_l=-23.10
Tensioni nella sezione: σ=279.94 τ=34.13
CC 4 SLD (Collegamento 0022_-379)
Azioni sul collegamento: N=-6335.90 Ty=0.53 Tz=-5.26 Mx=0.00 Mz=1.20
Sollecitazioni agenti localmente: Ty_l=-1127.97 My_l=-23.13
Tensioni nella sezione: σ=280.37 τ=34.18
CC 5 SLV (Collegamento 0022_-379)
Azioni sul collegamento: N=-7936.97 Ty=1.58 Tz=-11.19 Mx=0.02 Mz=3.71
Sollecitazioni agenti localmente: Ty_l=-1421.78 My_l=-29.17
Tensioni nella sezione: σ=353.54 τ=43.08
CC 5 SLV (Collegamento 0022_-379)
Azioni sul collegamento: N=-7936.97 Ty=0.90 Tz=-11.19 Mx=0.02 Mz=2.40
Sollecitazioni agenti localmente: Ty_l=-1416.56 My_l=-29.05
Tensioni nella sezione: σ=352.15 τ=42.93
CC 5 SLV (Collegamento 0022_-379)
Azioni sul collegamento: N=-7936.97 Ty=1.58 Tz=5.89 Mx=0.02 Mz=3.71
Sollecitazioni agenti localmente: Ty_l=-1421.78 My_l=-29.17
Tensioni nella sezione: σ=353.54 τ=43.08
CC 5 SLV (Collegamento 0022_-379)
Azioni sul collegamento: N=-7936.97 Ty=0.90 Tz=5.89 Mx=0.02 Mz=2.40
Sollecitazioni agenti localmente: Ty_l=-1416.56 My_l=-29.05
Tensioni nella sezione: σ=352.15 τ=42.93
CC 5 SLV (Collegamento 0022_-379)
Azioni sul collegamento: N=-3330.55 Ty=1.58 Tz=-11.19 Mx=0.02 Mz=3.71
Sollecitazioni agenti localmente: Ty_l=-605.19 My_l=-12.43
Tensioni nella sezione: σ=150.63 τ=18.34
CC 5 SLV (Collegamento 0022_-379)
Azioni sul collegamento: N=-3330.55 Ty=0.90 Tz=-11.19 Mx=0.02 Mz=2.40
Sollecitazioni agenti localmente: Ty_l=-599.96 My_l=-12.31
Tensioni nella sezione: σ=149.24 τ=18.18
CC 5 SLV (Collegamento 0022_-379)
Azioni sul collegamento: N=-3330.55 Ty=1.58 Tz=5.89 Mx=0.02 Mz=3.71
Sollecitazioni agenti localmente: Ty_l=-605.19 My_l=-12.43
Tensioni nella sezione: σ=150.63 τ=18.34
CC 5 SLV (Collegamento 0022_-379)
Azioni sul collegamento: N=-3330.55 Ty=0.90 Tz=5.89 Mx=0.02 Mz=2.40
Sollecitazioni agenti localmente: Ty_l=-599.96 My_l=-12.31
Tensioni nella sezione: σ=149.24 τ=18.18
CC 6 SLD (Collegamento 0022_-379)

Azioni sul collegamento: N=-6335.90 Ty=0.53 Tz=-5.26 Mx=0.01 Mz=1.20
Sollecitazioni agenti localmente: Ty_l=-1127.97 My_l=-23.13
Tensioni nella sezione: σ=280.37 τ=34.18
CC 6 SLD (Collegamento 0022_-379)
Azioni sul collegamento: N=-6335.90 Ty=0.33 Tz=-5.26 Mx=0.01 Mz=0.80
Sollecitazioni agenti localmente: Ty_l=-1126.38 My_l=-23.10
Tensioni nella sezione: σ=279.94 τ=34.13
CC 6 SLD (Collegamento 0022_-379)
Azioni sul collegamento: N=-6335.90 Ty=0.53 Tz=-0.05 Mx=0.01 Mz=1.20
Sollecitazioni agenti localmente: Ty_l=-1127.97 My_l=-23.13
Tensioni nella sezione: σ=280.37 τ=34.18
CC 6 SLD (Collegamento 0022_-379)
Azioni sul collegamento: N=-6335.90 Ty=0.33 Tz=-0.05 Mx=0.01 Mz=0.80
Sollecitazioni agenti localmente: Ty_l=-1126.38 My_l=-23.10
Tensioni nella sezione: σ=279.94 τ=34.13
CC 6 SLD (Collegamento 0022_-379)
Azioni sul collegamento: N=-4931.25 Ty=0.53 Tz=-5.26 Mx=0.01 Mz=1.20
Sollecitazioni agenti localmente: Ty_l=-878.97 My_l=-18.03
Tensioni nella sezione: σ=218.49 τ=26.64
CC 6 SLD (Collegamento 0022_-379)
Azioni sul collegamento: N=-4931.25 Ty=0.33 Tz=-5.26 Mx=0.01 Mz=0.80
Sollecitazioni agenti localmente: Ty_l=-877.37 My_l=-17.99
Tensioni nella sezione: σ=218.07 τ=26.59
CC 6 SLD (Collegamento 0022_-379)
Azioni sul collegamento: N=-4931.25 Ty=0.53 Tz=-0.05 Mx=0.01 Mz=1.20
Sollecitazioni agenti localmente: Ty_l=-878.97 My_l=-18.03
Tensioni nella sezione: σ=218.49 τ=26.64
CC 6 SLD (Collegamento 0022_-379)
Azioni sul collegamento: N=-4931.25 Ty=0.33 Tz=-0.05 Mx=0.01 Mz=0.80
Sollecitazioni agenti localmente: Ty_l=-877.37 My_l=-17.99
Tensioni nella sezione: σ=218.07 τ=26.59
CC 7 SLV (Collegamento 0022_-379)
Azioni sul collegamento: N=-7936.99 Ty=0.88 Tz=-11.19 Mx=0.01 Mz=2.36
Sollecitazioni agenti localmente: Ty_l=-1416.41 My_l=-29.05
Tensioni nella sezione: σ=352.12 τ=42.92
CC 7 SLV (Collegamento 0022_-379)
Azioni sul collegamento: N=-7936.99 Ty=1.59 Tz=-11.19 Mx=0.01 Mz=3.75
Sollecitazioni agenti localmente: Ty_l=-1421.94 My_l=-29.17
Tensioni nella sezione: σ=353.58 τ=43.09
CC 7 SLV (Collegamento 0022_-379)
Azioni sul collegamento: N=-7936.99 Ty=0.88 Tz=5.89 Mx=0.01 Mz=2.36
Sollecitazioni agenti localmente: Ty_l=-1416.41 My_l=-29.05
Tensioni nella sezione: σ=352.12 τ=42.92
CC 7 SLV (Collegamento 0022_-379)
Azioni sul collegamento: N=-7936.99 Ty=1.59 Tz=5.89 Mx=0.01 Mz=3.75
Sollecitazioni agenti localmente: Ty_l=-1421.94 My_l=-29.17
Tensioni nella sezione: σ=353.58 τ=43.09
CC 7 SLV (Collegamento 0022_-379)
Azioni sul collegamento: N=-3330.52 Ty=0.88 Tz=-11.19 Mx=0.01 Mz=2.36
Sollecitazioni agenti localmente: Ty_l=-599.80 My_l=-12.31
Tensioni nella sezione: σ=149.20 τ=18.18
CC 7 SLV (Collegamento 0022_-379)
Azioni sul collegamento: N=-3330.52 Ty=1.59 Tz=-11.19 Mx=0.01 Mz=3.75
Sollecitazioni agenti localmente: Ty_l=-605.34 My_l=-12.43
Tensioni nella sezione: σ=150.67 τ=18.34
CC 7 SLV (Collegamento 0022_-379)
Azioni sul collegamento: N=-3330.52 Ty=0.88 Tz=5.89 Mx=0.01 Mz=2.36
Sollecitazioni agenti localmente: Ty_l=-599.80 My_l=-12.31
Tensioni nella sezione: σ=149.20 τ=18.18
CC 7 SLV (Collegamento 0022_-379)
Azioni sul collegamento: N=-3330.52 Ty=1.59 Tz=5.89 Mx=0.01 Mz=3.75
Sollecitazioni agenti localmente: Ty_l=-605.34 My_l=-12.43
Tensioni nella sezione: σ=150.67 τ=18.34
CC 8 SLD (Collegamento 0022_-379)
Azioni sul collegamento: N=-6335.90 Ty=0.32 Tz=-5.26 Mx=0.00 Mz=0.79
Sollecitazioni agenti localmente: Ty_l=-1126.33 My_l=-23.09
Tensioni nella sezione: σ=279.93 τ=34.13
CC 8 SLD (Collegamento 0022_-379)
Azioni sul collegamento: N=-6335.90 Ty=0.54 Tz=-5.26 Mx=0.00 Mz=1.22
Sollecitazioni agenti localmente: Ty_l=-1128.02 My_l=-23.13
Tensioni nella sezione: σ=280.38 τ=34.18
CC 8 SLD (Collegamento 0022_-379)
Azioni sul collegamento: N=-6335.90 Ty=0.32 Tz=-0.05 Mx=0.00 Mz=0.79
Sollecitazioni agenti localmente: Ty_l=-1126.33 My_l=-23.09
Tensioni nella sezione: σ=279.93 τ=34.13
CC 8 SLD (Collegamento 0022_-379)
Azioni sul collegamento: N=-6335.90 Ty=0.54 Tz=-0.05 Mx=0.00 Mz=1.22
Sollecitazioni agenti localmente: Ty_l=-1128.02 My_l=-23.13
Tensioni nella sezione: σ=280.38 τ=34.18

CC 8 SLD (Collegamento 0022_-379)
Azioni sul collegamento: N=-4931.25 Ty=0.32 Tz=-5.26 Mx=0.00 Mz=0.79
Sollecitazioni agenti localmente: Ty_l=-877.32 My_l=-17.99
Tensioni nella sezione: σ=218.06 τ=26.59
CC 8 SLD (Collegamento 0022_-379)
Azioni sul collegamento: N=-4931.25 Ty=0.54 Tz=-5.26 Mx=0.00 Mz=1.22
Sollecitazioni agenti localmente: Ty_l=-879.01 My_l=-18.03
Tensioni nella sezione: σ=218.50 τ=26.64
CC 8 SLD (Collegamento 0022_-379)
Azioni sul collegamento: N=-4931.25 Ty=0.32 Tz=-0.05 Mx=0.00 Mz=0.79
Sollecitazioni agenti localmente: Ty_l=-877.32 My_l=-17.99
Tensioni nella sezione: σ=218.06 τ=26.59
CC 8 SLD (Collegamento 0022_-379)
Azioni sul collegamento: N=-4931.25 Ty=0.54 Tz=-0.05 Mx=0.00 Mz=1.22
Sollecitazioni agenti localmente: Ty_l=-879.01 My_l=-18.03
Tensioni nella sezione: σ=218.50 τ=26.64
CC 9 SLV (Collegamento 0022_-379)
Azioni sul collegamento: N=-4942.75 Ty=2.39 Tz=-0.09 Mx=0.02 Mz=5.32
Sollecitazioni agenti localmente: Ty_l=-897.37 My_l=-18.43
Tensioni nella sezione: σ=223.34 τ=27.19
CC 9 SLV (Collegamento 0022_-379)
Azioni sul collegamento: N=-4942.75 Ty=0.08 Tz=-0.09 Mx=0.02 Mz=0.80
Sollecitazioni agenti localmente: Ty_l=-879.38 My_l=-18.03
Tensioni nella sezione: σ=218.57 τ=26.65
CC 9 SLV (Collegamento 0022_-379)
Azioni sul collegamento: N=-4942.75 Ty=2.39 Tz=-5.22 Mx=0.02 Mz=5.32
Sollecitazioni agenti localmente: Ty_l=-897.37 My_l=-18.43
Tensioni nella sezione: σ=223.34 τ=27.19
CC 9 SLV (Collegamento 0022_-379)
Azioni sul collegamento: N=-4942.75 Ty=0.08 Tz=-5.22 Mx=0.02 Mz=0.80
Sollecitazioni agenti localmente: Ty_l=-879.38 My_l=-18.03
Tensioni nella sezione: σ=218.57 τ=26.65
CC 9 SLV (Collegamento 0022_-379)
Azioni sul collegamento: N=-6324.76 Ty=2.39 Tz=-0.09 Mx=0.02 Mz=5.32
Sollecitazioni agenti localmente: Ty_l=-1142.36 My_l=-23.45
Tensioni nella sezione: σ=284.22 τ=34.62
CC 9 SLV (Collegamento 0022_-379)
Azioni sul collegamento: N=-6324.76 Ty=0.08 Tz=-0.09 Mx=0.02 Mz=0.80
Sollecitazioni agenti localmente: Ty_l=-1124.38 My_l=-23.05
Tensioni nella sezione: σ=279.44 τ=34.07
CC 9 SLV (Collegamento 0022_-379)
Azioni sul collegamento: N=-6324.76 Ty=2.39 Tz=-5.22 Mx=0.02 Mz=5.32
Sollecitazioni agenti localmente: Ty_l=-1142.36 My_l=-23.45
Tensioni nella sezione: σ=284.22 τ=34.62
CC 9 SLV (Collegamento 0022_-379)
Azioni sul collegamento: N=-6324.76 Ty=0.08 Tz=-5.22 Mx=0.02 Mz=0.80
Sollecitazioni agenti localmente: Ty_l=-1124.38 My_l=-23.05
Tensioni nella sezione: σ=279.44 τ=34.07
CC 10 SLD (Collegamento 0022_-379)
Azioni sul collegamento: N=-5422.87 Ty=0.78 Tz=-1.87 Mx=0.01 Mz=1.69
Sollecitazioni agenti localmente: Ty_l=-968.06 My_l=-19.85
Tensioni nella sezione: σ=240.66 τ=29.34
CC 10 SLD (Collegamento 0022_-379)
Azioni sul collegamento: N=-5422.87 Ty=0.08 Tz=-1.87 Mx=0.01 Mz=0.31
Sollecitazioni agenti localmente: Ty_l=-962.58 My_l=-19.73
Tensioni nella sezione: σ=239.21 τ=29.17
CC 10 SLD (Collegamento 0022_-379)
Azioni sul collegamento: N=-5422.87 Ty=0.78 Tz=-3.44 Mx=0.01 Mz=1.69
Sollecitazioni agenti localmente: Ty_l=-968.06 My_l=-19.85
Tensioni nella sezione: σ=240.66 τ=29.34
CC 10 SLD (Collegamento 0022_-379)
Azioni sul collegamento: N=-5422.87 Ty=0.08 Tz=-3.44 Mx=0.01 Mz=0.31
Sollecitazioni agenti localmente: Ty_l=-962.58 My_l=-19.73
Tensioni nella sezione: σ=239.21 τ=29.17
CC 10 SLD (Collegamento 0022_-379)
Azioni sul collegamento: N=-5844.28 Ty=0.78 Tz=-1.87 Mx=0.01 Mz=1.69
Sollecitazioni agenti localmente: Ty_l=-1042.77 My_l=-21.39
Tensioni nella sezione: σ=259.23 τ=31.60
CC 10 SLD (Collegamento 0022_-379)
Azioni sul collegamento: N=-5844.28 Ty=0.08 Tz=-1.87 Mx=0.01 Mz=0.31
Sollecitazioni agenti localmente: Ty_l=-1037.28 My_l=-21.27
Tensioni nella sezione: σ=257.77 τ=31.43
CC 10 SLD (Collegamento 0022_-379)
Azioni sul collegamento: N=-5844.28 Ty=0.78 Tz=-3.44 Mx=0.01 Mz=1.69
Sollecitazioni agenti localmente: Ty_l=-1042.77 My_l=-21.39
Tensioni nella sezione: σ=259.23 τ=31.60
CC 10 SLD (Collegamento 0022_-379)
Azioni sul collegamento: N=-5844.28 Ty=0.08 Tz=-3.44 Mx=0.01 Mz=0.31
Sollecitazioni agenti localmente: Ty_l=-1037.28 My_l=-21.27

Tensioni nella sezione: σ=257.77 τ=31.43
CC 11 SLV (Collegamento 0022_-379)
Azioni sul collegamento: N=-6324.69 Ty=2.39 Tz=-5.21 Mx=0.02 Mz=5.31
Sollecitazioni agenti localmente: Ty_l=-1142.30 My_l=-23.45
Tensioni nella sezione: σ=284.20 τ=34.62
CC 11 SLV (Collegamento 0022_-379)
Azioni sul collegamento: N=-6324.69 Ty=0.09 Tz=-5.21 Mx=0.02 Mz=0.81
Sollecitazioni agenti localmente: Ty_l=-1124.41 My_l=-23.05
Tensioni nella sezione: σ=279.45 τ=34.07
CC 11 SLV (Collegamento 0022_-379)
Azioni sul collegamento: N=-6324.69 Ty=2.39 Tz=-0.09 Mx=0.02 Mz=5.31
Sollecitazioni agenti localmente: Ty_l=-1142.30 My_l=-23.45
Tensioni nella sezione: σ=284.20 τ=34.62
CC 11 SLV (Collegamento 0022_-379)
Azioni sul collegamento: N=-6324.69 Ty=0.09 Tz=-0.09 Mx=0.02 Mz=0.81
Sollecitazioni agenti localmente: Ty_l=-1124.41 My_l=-23.05
Tensioni nella sezione: σ=279.45 τ=34.07
CC 11 SLV (Collegamento 0022_-379)
Azioni sul collegamento: N=-4942.83 Ty=2.39 Tz=-5.21 Mx=0.02 Mz=5.31
Sollecitazioni agenti localmente: Ty_l=-897.34 My_l=-18.43
Tensioni nella sezione: σ=223.33 τ=27.19
CC 11 SLV (Collegamento 0022_-379)
Azioni sul collegamento: N=-4942.83 Ty=0.09 Tz=-5.21 Mx=0.02 Mz=0.81
Sollecitazioni agenti localmente: Ty_l=-879.44 My_l=-18.03
Tensioni nella sezione: σ=218.58 τ=26.65
CC 11 SLV (Collegamento 0022_-379)
Azioni sul collegamento: N=-4942.83 Ty=2.39 Tz=-0.09 Mx=0.02 Mz=5.31
Sollecitazioni agenti localmente: Ty_l=-897.34 My_l=-18.43
Tensioni nella sezione: σ=223.33 τ=27.19
CC 11 SLV (Collegamento 0022_-379)
Azioni sul collegamento: N=-4942.83 Ty=0.09 Tz=-0.09 Mx=0.02 Mz=0.81
Sollecitazioni agenti localmente: Ty_l=-879.44 My_l=-18.03
Tensioni nella sezione: σ=218.58 τ=26.65
CC 12 SLD (Collegamento 0022_-379)
Azioni sul collegamento: N=-5844.26 Ty=0.78 Tz=-3.43 Mx=0.01 Mz=1.69
Sollecitazioni agenti localmente: Ty_l=-1042.75 My_l=-21.39
Tensioni nella sezione: σ=259.22 τ=31.60
CC 12 SLD (Collegamento 0022_-379)
Azioni sul collegamento: N=-5844.26 Ty=0.08 Tz=-3.43 Mx=0.01 Mz=0.32
Sollecitazioni agenti localmente: Ty_l=-1037.29 My_l=-21.27
Tensioni nella sezione: σ=257.77 τ=31.43
CC 12 SLD (Collegamento 0022_-379)
Azioni sul collegamento: N=-5844.26 Ty=0.78 Tz=-1.87 Mx=0.01 Mz=1.69
Sollecitazioni agenti localmente: Ty_l=-1042.75 My_l=-21.39
Tensioni nella sezione: σ=259.22 τ=31.60
CC 12 SLD (Collegamento 0022_-379)
Azioni sul collegamento: N=-5844.26 Ty=0.08 Tz=-1.87 Mx=0.01 Mz=0.32
Sollecitazioni agenti localmente: Ty_l=-1037.29 My_l=-21.27
Tensioni nella sezione: σ=257.77 τ=31.43
CC 12 SLD (Collegamento 0022_-379)
Azioni sul collegamento: N=-5422.89 Ty=0.78 Tz=-3.43 Mx=0.01 Mz=1.69
Sollecitazioni agenti localmente: Ty_l=-968.05 My_l=-19.85
Tensioni nella sezione: σ=240.66 τ=29.33
CC 12 SLD (Collegamento 0022_-379)
Azioni sul collegamento: N=-5422.89 Ty=0.08 Tz=-3.43 Mx=0.01 Mz=0.32
Sollecitazioni agenti localmente: Ty_l=-962.60 My_l=-19.73
Tensioni nella sezione: σ=239.21 τ=29.17
CC 12 SLD (Collegamento 0022_-379)
Azioni sul collegamento: N=-5422.89 Ty=0.78 Tz=-1.87 Mx=0.01 Mz=1.69
Sollecitazioni agenti localmente: Ty_l=-968.05 My_l=-19.85
Tensioni nella sezione: σ=240.66 τ=29.33
CC 12 SLD (Collegamento 0022_-379)
Azioni sul collegamento: N=-5422.89 Ty=0.08 Tz=-1.87 Mx=0.01 Mz=0.32
Sollecitazioni agenti localmente: Ty_l=-962.60 My_l=-19.73
Tensioni nella sezione: σ=239.21 τ=29.17
CC 13 SLV (Collegamento 0022_-379)
Azioni sul collegamento: N=-4942.83 Ty=0.09 Tz=-0.09 Mx=0.00 Mz=0.81
Sollecitazioni agenti localmente: Ty_l=-879.44 My_l=-18.03
Tensioni nella sezione: σ=218.58 τ=26.65
CC 13 SLV (Collegamento 0022_-379)
Azioni sul collegamento: N=-4942.83 Ty=2.39 Tz=-0.09 Mx=0.00 Mz=5.31
Sollecitazioni agenti localmente: Ty_l=-897.34 My_l=-18.43
Tensioni nella sezione: σ=223.33 τ=27.19
CC 13 SLV (Collegamento 0022_-379)
Azioni sul collegamento: N=-4942.83 Ty=0.09 Tz=-5.21 Mx=0.00 Mz=0.81
Sollecitazioni agenti localmente: Ty_l=-879.44 My_l=-18.03
Tensioni nella sezione: σ=218.58 τ=26.65
CC 13 SLV (Collegamento 0022_-379)
Azioni sul collegamento: N=-4942.83 Ty=2.39 Tz=-5.21 Mx=0.00 Mz=5.31

Sollecitazioni agenti localmente: Ty_l=-897.34 My_l=-18.43
Tensioni nella sezione: σ=223.33 τ=27.19
CC 13 SLV (Collegamento 0022_-379)
Azioni sul collegamento: N=-6324.69 Ty=0.09 Tz=-0.09 Mx=0.00 Mz=0.81
Sollecitazioni agenti localmente: Ty_l=-1124.41 My_l=-23.05
Tensioni nella sezione: σ=279.45 τ=34.07
CC 13 SLV (Collegamento 0022_-379)
Azioni sul collegamento: N=-6324.69 Ty=2.39 Tz=-0.09 Mx=0.00 Mz=5.31
Sollecitazioni agenti localmente: Ty_l=-1142.30 My_l=-23.45
Tensioni nella sezione: σ=284.20 τ=34.62
CC 13 SLV (Collegamento 0022_-379)
Azioni sul collegamento: N=-6324.69 Ty=0.09 Tz=-5.21 Mx=0.00 Mz=0.81
Sollecitazioni agenti localmente: Ty_l=-1124.41 My_l=-23.05
Tensioni nella sezione: σ=279.45 τ=34.07
CC 13 SLV (Collegamento 0022_-379)
Azioni sul collegamento: N=-6324.69 Ty=2.39 Tz=-5.21 Mx=0.00 Mz=5.31
Sollecitazioni agenti localmente: Ty_l=-1142.30 My_l=-23.45
Tensioni nella sezione: σ=284.20 τ=34.62
CC 14 SLD (Collegamento 0022_-379)
Azioni sul collegamento: N=-5422.89 Ty=0.08 Tz=-1.87 Mx=0.00 Mz=0.32
Sollecitazioni agenti localmente: Ty_l=-962.60 My_l=-19.73
Tensioni nella sezione: σ=239.21 τ=29.17
CC 14 SLD (Collegamento 0022_-379)
Azioni sul collegamento: N=-5422.89 Ty=0.78 Tz=-1.87 Mx=0.00 Mz=1.69
Sollecitazioni agenti localmente: Ty_l=-968.05 My_l=-19.85
Tensioni nella sezione: σ=240.66 τ=29.33
CC 14 SLD (Collegamento 0022_-379)
Azioni sul collegamento: N=-5422.89 Ty=0.08 Tz=-3.43 Mx=0.00 Mz=0.32
Sollecitazioni agenti localmente: Ty_l=-962.60 My_l=-19.73
Tensioni nella sezione: σ=239.21 τ=29.17
CC 14 SLD (Collegamento 0022_-379)
Azioni sul collegamento: N=-5422.89 Ty=0.78 Tz=-3.43 Mx=0.00 Mz=1.69
Sollecitazioni agenti localmente: Ty_l=-968.05 My_l=-19.85
Tensioni nella sezione: σ=240.66 τ=29.33
CC 14 SLD (Collegamento 0022_-379)
Azioni sul collegamento: N=-5844.26 Ty=0.08 Tz=-1.87 Mx=0.00 Mz=0.32
Sollecitazioni agenti localmente: Ty_l=-1037.29 My_l=-21.27
Tensioni nella sezione: σ=257.77 τ=31.43
CC 14 SLD (Collegamento 0022_-379)
Azioni sul collegamento: N=-5844.26 Ty=0.78 Tz=-1.87 Mx=0.00 Mz=1.69
Sollecitazioni agenti localmente: Ty_l=-1042.75 My_l=-21.39
Tensioni nella sezione: σ=259.22 τ=31.60
CC 14 SLD (Collegamento 0022_-379)
Azioni sul collegamento: N=-5844.26 Ty=0.08 Tz=-3.43 Mx=0.00 Mz=0.32
Sollecitazioni agenti localmente: Ty_l=-1037.29 My_l=-21.27
Tensioni nella sezione: σ=257.77 τ=31.43
CC 14 SLD (Collegamento 0022_-379)
Azioni sul collegamento: N=-5844.26 Ty=0.78 Tz=-3.43 Mx=0.00 Mz=1.69
Sollecitazioni agenti localmente: Ty_l=-1042.75 My_l=-21.39
Tensioni nella sezione: σ=259.22 τ=31.60
CC 15 SLV (Collegamento 0022_-379)
Azioni sul collegamento: N=-6324.76 Ty=0.08 Tz=-5.22 Mx=0.00 Mz=0.80
Sollecitazioni agenti localmente: Ty_l=-1124.38 My_l=-23.05
Tensioni nella sezione: σ=279.44 τ=34.07
CC 15 SLV (Collegamento 0022_-379)
Azioni sul collegamento: N=-6324.76 Ty=2.39 Tz=-5.22 Mx=0.00 Mz=5.32
Sollecitazioni agenti localmente: Ty_l=-1142.36 My_l=-23.45
Tensioni nella sezione: σ=284.22 τ=34.62
CC 15 SLV (Collegamento 0022_-379)
Azioni sul collegamento: N=-6324.76 Ty=0.08 Tz=-0.09 Mx=0.00 Mz=0.80
Sollecitazioni agenti localmente: Ty_l=-1124.38 My_l=-23.05
Tensioni nella sezione: σ=279.44 τ=34.07
CC 15 SLV (Collegamento 0022_-379)
Azioni sul collegamento: N=-6324.76 Ty=2.39 Tz=-0.09 Mx=0.00 Mz=5.32
Sollecitazioni agenti localmente: Ty_l=-1142.36 My_l=-23.45
Tensioni nella sezione: σ=284.22 τ=34.62
CC 15 SLV (Collegamento 0022_-379)
Azioni sul collegamento: N=-4942.75 Ty=0.08 Tz=-5.22 Mx=0.00 Mz=0.80
Sollecitazioni agenti localmente: Ty_l=-879.38 My_l=-18.03
Tensioni nella sezione: σ=218.57 τ=26.65
CC 15 SLV (Collegamento 0022_-379)
Azioni sul collegamento: N=-4942.75 Ty=2.39 Tz=-5.22 Mx=0.00 Mz=5.32
Sollecitazioni agenti localmente: Ty_l=-897.37 My_l=-18.43
Tensioni nella sezione: σ=223.34 τ=27.19
CC 15 SLV (Collegamento 0022_-379)
Azioni sul collegamento: N=-4942.75 Ty=0.08 Tz=-0.09 Mx=0.00 Mz=0.80
Sollecitazioni agenti localmente: Ty_l=-879.38 My_l=-18.03
Tensioni nella sezione: σ=218.57 τ=26.65
CC 15 SLV (Collegamento 0022_-379)

Azioni sul collegamento: N=-4942.75 Ty=2.39 Tz=-0.09 Mx=0.00 Mz=5.32
Sollecitazioni agenti localmente: Ty_l=-897.37 My_l=-18.43
Tensioni nella sezione: σ=223.34 τ=27.19
CC 16 SLD (Collegamento 0022_-379)
Azioni sul collegamento: N=-5844.28 Ty=0.08 Tz=-3.44 Mx=0.00 Mz=0.31
Sollecitazioni agenti localmente: Ty_l=-1037.28 My_l=-21.27
Tensioni nella sezione: σ=257.77 τ=31.43
CC 16 SLD (Collegamento 0022_-379)
Azioni sul collegamento: N=-5844.28 Ty=0.78 Tz=-3.44 Mx=0.00 Mz=1.69
Sollecitazioni agenti localmente: Ty_l=-1042.77 My_l=-21.39
Tensioni nella sezione: σ=259.23 τ=31.60
CC 16 SLD (Collegamento 0022_-379)
Azioni sul collegamento: N=-5844.28 Ty=0.08 Tz=-1.87 Mx=0.00 Mz=0.31
Sollecitazioni agenti localmente: Ty_l=-1037.28 My_l=-21.27
Tensioni nella sezione: σ=257.77 τ=31.43
CC 16 SLD (Collegamento 0022_-379)
Azioni sul collegamento: N=-5844.28 Ty=0.78 Tz=-1.87 Mx=0.00 Mz=1.69
Sollecitazioni agenti localmente: Ty_l=-1042.77 My_l=-21.39
Tensioni nella sezione: σ=259.23 τ=31.60
CC 16 SLD (Collegamento 0022_-379)
Azioni sul collegamento: N=-5422.87 Ty=0.08 Tz=-3.44 Mx=0.00 Mz=0.31
Sollecitazioni agenti localmente: Ty_l=-962.58 My_l=-19.73
Tensioni nella sezione: σ=239.21 τ=29.17
CC 16 SLD (Collegamento 0022_-379)
Azioni sul collegamento: N=-5422.87 Ty=0.78 Tz=-3.44 Mx=0.00 Mz=1.69
Sollecitazioni agenti localmente: Ty_l=-968.06 My_l=-19.85
Tensioni nella sezione: σ=240.66 τ=29.34
CC 16 SLD (Collegamento 0022_-379)
Azioni sul collegamento: N=-5422.87 Ty=0.08 Tz=-1.87 Mx=0.00 Mz=0.31
Sollecitazioni agenti localmente: Ty_l=-962.58 My_l=-19.73
Tensioni nella sezione: σ=239.21 τ=29.17
CC 16 SLD (Collegamento 0022_-379)
Azioni sul collegamento: N=-5422.87 Ty=0.78 Tz=-1.87 Mx=0.00 Mz=1.69
Sollecitazioni agenti localmente: Ty_l=-968.06 My_l=-19.85
Tensioni nella sezione: σ=240.66 τ=29.34
CC 17 SLV (Collegamento 0022_-379)
Azioni sul collegamento: N=-3330.00 Ty=-0.74 Tz=5.89 Mx=-0.02 Mz=-2.16
Sollecitazioni agenti localmente: Ty_l=-581.74 My_l=-11.91
Tensioni nella sezione: σ=144.41 τ=17.63
CC 17 SLV (Collegamento 0022_-379)
Azioni sul collegamento: N=-3330.00 Ty=-1.44 Tz=5.89 Mx=-0.02 Mz=-3.55
Sollecitazioni agenti localmente: Ty_l=-576.21 My_l=-11.79
Tensioni nella sezione: σ=142.94 τ=17.46
CC 17 SLV (Collegamento 0022_-379)
Azioni sul collegamento: N=-3330.00 Ty=-0.74 Tz=-11.20 Mx=-0.02 Mz=-2.16
Sollecitazioni agenti localmente: Ty_l=-581.74 My_l=-11.91
Tensioni nella sezione: σ=144.41 τ=17.63
CC 17 SLV (Collegamento 0022_-379)
Azioni sul collegamento: N=-3330.00 Ty=-1.44 Tz=-11.20 Mx=-0.02 Mz=-3.55
Sollecitazioni agenti localmente: Ty_l=-576.21 My_l=-11.79
Tensioni nella sezione: σ=142.94 τ=17.46
CC 17 SLV (Collegamento 0022_-379)
Azioni sul collegamento: N=-7936.47 Ty=-0.74 Tz=5.89 Mx=-0.02 Mz=-2.16
Sollecitazioni agenti localmente: Ty_l=-1398.34 My_l=-28.65
Tensioni nella sezione: σ=347.32 τ=42.37
CC 17 SLV (Collegamento 0022_-379)
Azioni sul collegamento: N=-7936.47 Ty=-1.44 Tz=5.89 Mx=-0.02 Mz=-3.55
Sollecitazioni agenti localmente: Ty_l=-1392.81 My_l=-28.53
Tensioni nella sezione: σ=345.85 τ=42.21
CC 17 SLV (Collegamento 0022_-379)
Azioni sul collegamento: N=-7936.47 Ty=-0.74 Tz=-11.20 Mx=-0.02 Mz=-2.16
Sollecitazioni agenti localmente: Ty_l=-1398.34 My_l=-28.65
Tensioni nella sezione: σ=347.32 τ=42.37
CC 17 SLV (Collegamento 0022_-379)
Azioni sul collegamento: N=-7936.47 Ty=-1.44 Tz=-11.20 Mx=-0.02 Mz=-3.55
Sollecitazioni agenti localmente: Ty_l=-1392.81 My_l=-28.53
Tensioni nella sezione: σ=345.85 τ=42.21
CC 18 SLD (Collegamento 0022_-379)
Azioni sul collegamento: N=-4931.08 Ty=-0.17 Tz=-0.05 Mx=-0.00 Mz=-0.59
Sollecitazioni agenti localmente: Ty_l=-871.82 My_l=-17.87
Tensioni nella sezione: σ=216.59 τ=26.42
CC 18 SLD (Collegamento 0022_-379)
Azioni sul collegamento: N=-4931.08 Ty=-0.39 Tz=-0.05 Mx=-0.00 Mz=-1.01
Sollecitazioni agenti localmente: Ty_l=-870.13 My_l=-17.83
Tensioni nella sezione: σ=216.15 τ=26.37
CC 18 SLD (Collegamento 0022_-379)
Azioni sul collegamento: N=-4931.09 Ty=-0.17 Tz=-5.26 Mx=-0.00 Mz=-0.59
Sollecitazioni agenti localmente: Ty_l=-871.82 My_l=-17.87
Tensioni nella sezione: σ=216.59 τ=26.42

CC 18 SLD (Collegamento 0022_-379)
Azioni sul collegamento: N=-4931.09 Ty=-0.39 Tz=-5.26 Mx=-0.00 Mz=-1.01
Sollecitazioni agenti localmente: Ty_l=-870.13 My_l=-17.83
Tensioni nella sezione: σ=216.15 τ=26.37
CC 18 SLD (Collegamento 0022_-379)
Azioni sul collegamento: N=-6335.74 Ty=-0.17 Tz=-0.05 Mx=-0.00 Mz=-0.59
Sollecitazioni agenti localmente: Ty_l=-1120.82 My_l=-22.97
Tensioni nella sezione: σ=278.47 τ=33.96
CC 18 SLD (Collegamento 0022_-379)
Azioni sul collegamento: N=-6335.74 Ty=-0.39 Tz=-0.05 Mx=-0.00 Mz=-1.01
Sollecitazioni agenti localmente: Ty_l=-1119.14 My_l=-22.94
Tensioni nella sezione: σ=278.02 τ=33.91
CC 18 SLD (Collegamento 0022_-379)
Azioni sul collegamento: N=-6335.74 Ty=-0.17 Tz=-5.26 Mx=-0.00 Mz=-0.59
Sollecitazioni agenti localmente: Ty_l=-1120.82 My_l=-22.97
Tensioni nella sezione: σ=278.47 τ=33.96
CC 18 SLD (Collegamento 0022_-379)
Azioni sul collegamento: N=-6335.74 Ty=-0.39 Tz=-5.26 Mx=-0.00 Mz=-1.01
Sollecitazioni agenti localmente: Ty_l=-1119.14 My_l=-22.94
Tensioni nella sezione: σ=278.02 τ=33.91
CC 19 SLV (Collegamento 0022_-379)
Azioni sul collegamento: N=-3330.02 Ty=-1.43 Tz=5.88 Mx=-0.01 Mz=-3.51
Sollecitazioni agenti localmente: Ty_l=-576.36 My_l=-11.80
Tensioni nella sezione: σ=142.98 τ=17.47
CC 19 SLV (Collegamento 0022_-379)
Azioni sul collegamento: N=-3330.02 Ty=-0.75 Tz=5.88 Mx=-0.01 Mz=-2.19
Sollecitazioni agenti localmente: Ty_l=-581.59 My_l=-11.91
Tensioni nella sezione: σ=144.37 τ=17.62
CC 19 SLV (Collegamento 0022_-379)
Azioni sul collegamento: N=-3330.02 Ty=-1.43 Tz=-11.19 Mx=-0.01 Mz=-3.51
Sollecitazioni agenti localmente: Ty_l=-576.36 My_l=-11.80
Tensioni nella sezione: σ=142.98 τ=17.47
CC 19 SLV (Collegamento 0022_-379)
Azioni sul collegamento: N=-3330.02 Ty=-0.75 Tz=-11.19 Mx=-0.01 Mz=-2.19
Sollecitazioni agenti localmente: Ty_l=-581.59 My_l=-11.91
Tensioni nella sezione: σ=144.37 τ=17.62
CC 19 SLV (Collegamento 0022_-379)
Azioni sul collegamento: N=-7936.44 Ty=-1.43 Tz=5.88 Mx=-0.01 Mz=-3.51
Sollecitazioni agenti localmente: Ty_l=-1392.96 My_l=-28.54
Tensioni nella sezione: σ=345.89 τ=42.21
CC 19 SLV (Collegamento 0022_-379)
Azioni sul collegamento: N=-7936.44 Ty=-0.75 Tz=5.88 Mx=-0.01 Mz=-2.19
Sollecitazioni agenti localmente: Ty_l=-1398.19 My_l=-28.65
Tensioni nella sezione: σ=347.28 τ=42.37
CC 19 SLV (Collegamento 0022_-379)
Azioni sul collegamento: N=-7936.44 Ty=-1.43 Tz=-11.19 Mx=-0.01 Mz=-3.51
Sollecitazioni agenti localmente: Ty_l=-1392.96 My_l=-28.54
Tensioni nella sezione: σ=345.89 τ=42.21
CC 19 SLV (Collegamento 0022_-379)
Azioni sul collegamento: N=-7936.44 Ty=-0.75 Tz=-11.19 Mx=-0.01 Mz=-2.19
Sollecitazioni agenti localmente: Ty_l=-1398.19 My_l=-28.65
Tensioni nella sezione: σ=347.28 τ=42.37
CC 20 SLD (Collegamento 0022_-379)
Azioni sul collegamento: N=-4931.09 Ty=-0.38 Tz=-0.05 Mx=-0.00 Mz=-1.00
Sollecitazioni agenti localmente: Ty_l=-870.18 My_l=-17.83
Tensioni nella sezione: σ=216.16 τ=26.37
CC 20 SLD (Collegamento 0022_-379)
Azioni sul collegamento: N=-4931.09 Ty=-0.18 Tz=-0.05 Mx=-0.00 Mz=-0.60
Sollecitazioni agenti localmente: Ty_l=-871.77 My_l=-17.87
Tensioni nella sezione: σ=216.58 τ=26.42
CC 20 SLD (Collegamento 0022_-379)
Azioni sul collegamento: N=-4931.09 Ty=-0.38 Tz=-5.26 Mx=-0.00 Mz=-1.00
Sollecitazioni agenti localmente: Ty_l=-870.18 My_l=-17.83
Tensioni nella sezione: σ=216.16 τ=26.37
CC 20 SLD (Collegamento 0022_-379)
Azioni sul collegamento: N=-4931.09 Ty=-0.18 Tz=-5.26 Mx=-0.00 Mz=-0.60
Sollecitazioni agenti localmente: Ty_l=-871.77 My_l=-17.87
Tensioni nella sezione: σ=216.58 τ=26.42
CC 20 SLD (Collegamento 0022_-379)
Azioni sul collegamento: N=-6335.74 Ty=-0.38 Tz=-0.05 Mx=-0.00 Mz=-1.00
Sollecitazioni agenti localmente: Ty_l=-1119.18 My_l=-22.94
Tensioni nella sezione: σ=278.03 τ=33.91
CC 20 SLD (Collegamento 0022_-379)
Azioni sul collegamento: N=-6335.74 Ty=-0.18 Tz=-0.05 Mx=-0.00 Mz=-0.60
Sollecitazioni agenti localmente: Ty_l=-1120.78 My_l=-22.97
Tensioni nella sezione: σ=278.46 τ=33.96
CC 20 SLD (Collegamento 0022_-379)
Azioni sul collegamento: N=-6335.74 Ty=-0.38 Tz=-5.26 Mx=-0.00 Mz=-1.00
Sollecitazioni agenti localmente: Ty_l=-1119.18 My_l=-22.94

Tensioni nella sezione: σ=278.03 τ=33.91
CC 20 SLD (Collegamento 0022_-379)
Azioni sul collegamento: N=-6335.74 Ty=-0.18 Tz=-5.26 Mx=-0.00 Mz=-0.60
Sollecitazioni agenti localmente: Ty_l=-1120.78 My_l=-22.97
Tensioni nella sezione: σ=278.46 τ=33.96
CC 21 SLV (Collegamento 0022_-379)
Azioni sul collegamento: N=-7936.44 Ty=-0.75 Tz=-11.19 Mx=-0.02 Mz=-2.19
Sollecitazioni agenti localmente: Ty_l=-1398.19 My_l=-28.65
Tensioni nella sezione: σ=347.28 τ=42.37
CC 21 SLV (Collegamento 0022_-379)
Azioni sul collegamento: N=-7936.44 Ty=-1.43 Tz=-11.19 Mx=-0.02 Mz=-3.51
Sollecitazioni agenti localmente: Ty_l=-1392.96 My_l=-28.54
Tensioni nella sezione: σ=345.89 τ=42.21
CC 21 SLV (Collegamento 0022_-379)
Azioni sul collegamento: N=-7936.44 Ty=-0.75 Tz=5.88 Mx=-0.02 Mz=-2.19
Sollecitazioni agenti localmente: Ty_l=-1398.19 My_l=-28.65
Tensioni nella sezione: σ=347.28 τ=42.37
CC 21 SLV (Collegamento 0022_-379)
Azioni sul collegamento: N=-7936.44 Ty=-1.43 Tz=5.88 Mx=-0.02 Mz=-3.51
Sollecitazioni agenti localmente: Ty_l=-1392.96 My_l=-28.54
Tensioni nella sezione: σ=345.89 τ=42.21
CC 21 SLV (Collegamento 0022_-379)
Azioni sul collegamento: N=-3330.02 Ty=-0.75 Tz=-11.19 Mx=-0.02 Mz=-2.19
Sollecitazioni agenti localmente: Ty_l=-581.59 My_l=-11.91
Tensioni nella sezione: σ=144.37 τ=17.62
CC 21 SLV (Collegamento 0022_-379)
Azioni sul collegamento: N=-3330.02 Ty=-1.43 Tz=-11.19 Mx=-0.02 Mz=-3.51
Sollecitazioni agenti localmente: Ty_l=-576.36 My_l=-11.80
Tensioni nella sezione: σ=142.98 τ=17.47
CC 21 SLV (Collegamento 0022_-379)
Azioni sul collegamento: N=-3330.02 Ty=-0.75 Tz=5.88 Mx=-0.02 Mz=-2.19
Sollecitazioni agenti localmente: Ty_l=-581.59 My_l=-11.91
Tensioni nella sezione: σ=144.37 τ=17.62
CC 21 SLV (Collegamento 0022_-379)
Azioni sul collegamento: N=-3330.02 Ty=-1.43 Tz=5.88 Mx=-0.02 Mz=-3.51
Sollecitazioni agenti localmente: Ty_l=-576.36 My_l=-11.80
Tensioni nella sezione: σ=142.98 τ=17.47
CC 22 SLD (Collegamento 0022_-379)
Azioni sul collegamento: N=-6335.74 Ty=-0.18 Tz=-5.26 Mx=-0.00 Mz=-0.60
Sollecitazioni agenti localmente: Ty_l=-1120.78 My_l=-22.97
Tensioni nella sezione: σ=278.46 τ=33.96
CC 22 SLD (Collegamento 0022_-379)
Azioni sul collegamento: N=-6335.74 Ty=-0.38 Tz=-5.26 Mx=-0.00 Mz=-1.00
Sollecitazioni agenti localmente: Ty_l=-1119.18 My_l=-22.94
Tensioni nella sezione: σ=278.03 τ=33.91
CC 22 SLD (Collegamento 0022_-379)
Azioni sul collegamento: N=-6335.74 Ty=-0.18 Tz=-0.05 Mx=-0.00 Mz=-0.60
Sollecitazioni agenti localmente: Ty_l=-1120.78 My_l=-22.97
Tensioni nella sezione: σ=278.46 τ=33.96
CC 22 SLD (Collegamento 0022_-379)
Azioni sul collegamento: N=-6335.74 Ty=-0.38 Tz=-0.05 Mx=-0.00 Mz=-1.00
Sollecitazioni agenti localmente: Ty_l=-1119.18 My_l=-22.94
Tensioni nella sezione: σ=278.03 τ=33.91
CC 22 SLD (Collegamento 0022_-379)
Azioni sul collegamento: N=-4931.09 Ty=-0.18 Tz=-5.26 Mx=-0.00 Mz=-0.60
Sollecitazioni agenti localmente: Ty_l=-871.77 My_l=-17.87
Tensioni nella sezione: σ=216.58 τ=26.42
CC 22 SLD (Collegamento 0022_-379)
Azioni sul collegamento: N=-4931.09 Ty=-0.38 Tz=-5.26 Mx=-0.00 Mz=-1.00
Sollecitazioni agenti localmente: Ty_l=-870.18 My_l=-17.83
Tensioni nella sezione: σ=216.16 τ=26.37
CC 22 SLD (Collegamento 0022_-379)
Azioni sul collegamento: N=-4931.09 Ty=-0.18 Tz=-0.05 Mx=-0.00 Mz=-0.60
Sollecitazioni agenti localmente: Ty_l=-871.77 My_l=-17.87
Tensioni nella sezione: σ=216.58 τ=26.42
CC 22 SLD (Collegamento 0022_-379)
Azioni sul collegamento: N=-4931.09 Ty=-0.38 Tz=-0.05 Mx=-0.00 Mz=-1.00
Sollecitazioni agenti localmente: Ty_l=-870.18 My_l=-17.83
Tensioni nella sezione: σ=216.16 τ=26.37
CC 23 SLV (Collegamento 0022_-379)
Azioni sul collegamento: N=-7936.47 Ty=-1.44 Tz=-11.20 Mx=-0.01 Mz=-3.55
Sollecitazioni agenti localmente: Ty_l=-1392.81 My_l=-28.53
Tensioni nella sezione: σ=345.85 τ=42.21
CC 23 SLV (Collegamento 0022_-379)
Azioni sul collegamento: N=-7936.47 Ty=-0.74 Tz=-11.20 Mx=-0.01 Mz=-2.16
Sollecitazioni agenti localmente: Ty_l=-1398.34 My_l=-28.65
Tensioni nella sezione: σ=347.32 τ=42.37
CC 23 SLV (Collegamento 0022_-379)
Azioni sul collegamento: N=-7936.47 Ty=-1.44 Tz=5.89 Mx=-0.01 Mz=-3.55

Sollecitazioni agenti localmente: Ty_l=-1392.81 My_l=-28.53
Tensioni nella sezione: σ=345.85 τ=42.21
CC 23 SLV (Collegamento 0022_-379)
Azioni sul collegamento: N=-7936.47 Ty=-0.74 Tz=5.89 Mx=-0.01 Mz=-2.16
Sollecitazioni agenti localmente: Ty_l=-1398.34 My_l=-28.65
Tensioni nella sezione: σ=347.32 τ=42.37
CC 23 SLV (Collegamento 0022_-379)
Azioni sul collegamento: N=-3330.00 Ty=-1.44 Tz=-11.20 Mx=-0.01 Mz=-3.55
Sollecitazioni agenti localmente: Ty_l=-576.21 My_l=-11.79
Tensioni nella sezione: σ=142.94 τ=17.46
CC 23 SLV (Collegamento 0022_-379)
Azioni sul collegamento: N=-3330.00 Ty=-0.74 Tz=-11.20 Mx=-0.01 Mz=-2.16
Sollecitazioni agenti localmente: Ty_l=-581.74 My_l=-11.91
Tensioni nella sezione: σ=144.41 τ=17.63
CC 23 SLV (Collegamento 0022_-379)
Azioni sul collegamento: N=-3330.00 Ty=-1.44 Tz=5.89 Mx=-0.01 Mz=-3.55
Sollecitazioni agenti localmente: Ty_l=-576.21 My_l=-11.79
Tensioni nella sezione: σ=142.94 τ=17.46
CC 23 SLV (Collegamento 0022_-379)
Azioni sul collegamento: N=-3330.00 Ty=-0.74 Tz=5.89 Mx=-0.01 Mz=-2.16
Sollecitazioni agenti localmente: Ty_l=-581.74 My_l=-11.91
Tensioni nella sezione: σ=144.41 τ=17.63
CC 24 SLD (Collegamento 0022_-379)
Azioni sul collegamento: N=-6335.74 Ty=-0.39 Tz=-5.26 Mx=-0.00 Mz=-1.01
Sollecitazioni agenti localmente: Ty_l=-1119.14 My_l=-22.94
Tensioni nella sezione: σ=278.02 τ=33.91
CC 24 SLD (Collegamento 0022_-379)
Azioni sul collegamento: N=-6335.74 Ty=-0.17 Tz=-5.26 Mx=-0.00 Mz=-0.59
Sollecitazioni agenti localmente: Ty_l=-1120.82 My_l=-22.97
Tensioni nella sezione: σ=278.47 τ=33.96
CC 24 SLD (Collegamento 0022_-379)
Azioni sul collegamento: N=-6335.74 Ty=-0.39 Tz=-0.05 Mx=-0.00 Mz=-1.01
Sollecitazioni agenti localmente: Ty_l=-1119.14 My_l=-22.94
Tensioni nella sezione: σ=278.02 τ=33.91
CC 24 SLD (Collegamento 0022_-379)
Azioni sul collegamento: N=-6335.74 Ty=-0.17 Tz=-0.05 Mx=-0.00 Mz=-0.59
Sollecitazioni agenti localmente: Ty_l=-1120.82 My_l=-22.97
Tensioni nella sezione: σ=278.47 τ=33.96
CC 24 SLD (Collegamento 0022_-379)
Azioni sul collegamento: N=-4931.09 Ty=-0.39 Tz=-5.26 Mx=-0.00 Mz=-1.01
Sollecitazioni agenti localmente: Ty_l=-870.13 My_l=-17.83
Tensioni nella sezione: σ=216.15 τ=26.37
CC 24 SLD (Collegamento 0022_-379)
Azioni sul collegamento: N=-4931.09 Ty=-0.17 Tz=-5.26 Mx=-0.00 Mz=-0.59
Sollecitazioni agenti localmente: Ty_l=-871.82 My_l=-17.87
Tensioni nella sezione: σ=216.59 τ=26.42
CC 24 SLD (Collegamento 0022_-379)
Azioni sul collegamento: N=-4931.08 Ty=-0.39 Tz=-0.05 Mx=-0.00 Mz=-1.01
Sollecitazioni agenti localmente: Ty_l=-870.13 My_l=-17.83
Tensioni nella sezione: σ=216.15 τ=26.37
CC 24 SLD (Collegamento 0022_-379)
Azioni sul collegamento: N=-4931.08 Ty=-0.17 Tz=-0.05 Mx=-0.00 Mz=-0.59
Sollecitazioni agenti localmente: Ty_l=-871.82 My_l=-17.87
Tensioni nella sezione: σ=216.59 τ=26.42
CC 25 SLV (Collegamento 0022_-379)
Azioni sul collegamento: N=-4942.23 Ty=0.07 Tz=-0.09 Mx=-0.02 Mz=-0.59
Sollecitazioni agenti localmente: Ty_l=-873.77 My_l=-17.91
Tensioni nella sezione: σ=217.08 τ=26.48
CC 25 SLV (Collegamento 0022_-379)
Azioni sul collegamento: N=-4942.23 Ty=-2.24 Tz=-0.09 Mx=-0.02 Mz=-5.11
Sollecitazioni agenti localmente: Ty_l=-855.78 My_l=-17.52
Tensioni nella sezione: σ=212.31 τ=25.93
CC 25 SLV (Collegamento 0022_-379)
Azioni sul collegamento: N=-4942.23 Ty=0.07 Tz=-5.22 Mx=-0.02 Mz=-0.59
Sollecitazioni agenti localmente: Ty_l=-873.77 My_l=-17.91
Tensioni nella sezione: σ=217.08 τ=26.48
CC 25 SLV (Collegamento 0022_-379)
Azioni sul collegamento: N=-4942.23 Ty=-2.24 Tz=-5.22 Mx=-0.02 Mz=-5.11
Sollecitazioni agenti localmente: Ty_l=-855.78 My_l=-17.52
Tensioni nella sezione: σ=212.31 τ=25.93
CC 25 SLV (Collegamento 0022_-379)
Azioni sul collegamento: N=-6324.24 Ty=0.07 Tz=-0.09 Mx=-0.02 Mz=-0.59
Sollecitazioni agenti localmente: Ty_l=-1118.77 My_l=-22.93
Tensioni nella sezione: σ=277.96 τ=33.90
CC 25 SLV (Collegamento 0022_-379)
Azioni sul collegamento: N=-6324.24 Ty=-2.24 Tz=-0.09 Mx=-0.02 Mz=-5.11
Sollecitazioni agenti localmente: Ty_l=-1100.78 My_l=-22.54
Tensioni nella sezione: σ=273.18 τ=33.36
CC 25 SLV (Collegamento 0022_-379)

Azioni sul collegamento: N=-6324.24 Ty=0.07 Tz=-5.22 Mx=-0.02 Mz=-0.59
Sollecitazioni agenti localmente: Ty_l=-1118.77 My_l=-22.93
Tensioni nella sezione: σ=277.96 τ=33.90
CC 25 SLV (Collegamento 0022_-379)
Azioni sul collegamento: N=-6324.24 Ty=-2.24 Tz=-5.22 Mx=-0.02 Mz=-5.11
Sollecitazioni agenti localmente: Ty_l=-1100.78 My_l=-22.54
Tensioni nella sezione: σ=273.18 τ=33.36
CC 26 SLD (Collegamento 0022_-379)
Azioni sul collegamento: N=-5422.71 Ty=0.07 Tz=-1.87 Mx=-0.01 Mz=-0.11
Sollecitazioni agenti localmente: Ty_l=-960.87 My_l=-19.70
Tensioni nella sezione: σ=238.75 τ=29.12
CC 26 SLD (Collegamento 0022_-379)
Azioni sul collegamento: N=-5422.71 Ty=-0.63 Tz=-1.87 Mx=-0.01 Mz=-1.49
Sollecitazioni agenti localmente: Ty_l=-955.38 My_l=-19.58
Tensioni nella sezione: σ=237.30 τ=28.95
CC 26 SLD (Collegamento 0022_-379)
Azioni sul collegamento: N=-5422.71 Ty=0.07 Tz=-3.44 Mx=-0.01 Mz=-0.11
Sollecitazioni agenti localmente: Ty_l=-960.87 My_l=-19.70
Tensioni nella sezione: σ=238.75 τ=29.12
CC 26 SLD (Collegamento 0022_-379)
Azioni sul collegamento: N=-5422.71 Ty=-0.63 Tz=-3.44 Mx=-0.01 Mz=-1.49
Sollecitazioni agenti localmente: Ty_l=-955.38 My_l=-19.58
Tensioni nella sezione: σ=237.30 τ=28.95
CC 26 SLD (Collegamento 0022_-379)
Azioni sul collegamento: N=-5844.12 Ty=0.07 Tz=-1.87 Mx=-0.01 Mz=-0.11
Sollecitazioni agenti localmente: Ty_l=-1035.57 My_l=-21.23
Tensioni nella sezione: σ=257.32 τ=31.38
CC 26 SLD (Collegamento 0022_-379)
Azioni sul collegamento: N=-5844.12 Ty=-0.63 Tz=-1.87 Mx=-0.01 Mz=-1.49
Sollecitazioni agenti localmente: Ty_l=-1030.09 My_l=-21.11
Tensioni nella sezione: σ=255.86 τ=31.21
CC 26 SLD (Collegamento 0022_-379)
Azioni sul collegamento: N=-5844.12 Ty=0.07 Tz=-3.44 Mx=-0.01 Mz=-0.11
Sollecitazioni agenti localmente: Ty_l=-1035.57 My_l=-21.23
Tensioni nella sezione: σ=257.32 τ=31.38
CC 26 SLD (Collegamento 0022_-379)
Azioni sul collegamento: N=-5844.12 Ty=-0.63 Tz=-3.44 Mx=-0.01 Mz=-1.49
Sollecitazioni agenti localmente: Ty_l=-1030.09 My_l=-21.11
Tensioni nella sezione: σ=255.86 τ=31.21
CC 27 SLV (Collegamento 0022_-379)
Azioni sul collegamento: N=-6324.16 Ty=0.06 Tz=-5.22 Mx=-0.02 Mz=-0.60
Sollecitazioni agenti localmente: Ty_l=-1118.71 My_l=-22.93
Tensioni nella sezione: σ=277.94 τ=33.90
CC 27 SLV (Collegamento 0022_-379)
Azioni sul collegamento: N=-6324.16 Ty=-2.24 Tz=-5.22 Mx=-0.02 Mz=-5.10
Sollecitazioni agenti localmente: Ty_l=-1100.81 My_l=-22.54
Tensioni nella sezione: σ=273.19 τ=33.36
CC 27 SLV (Collegamento 0022_-379)
Azioni sul collegamento: N=-6324.16 Ty=0.06 Tz=-0.09 Mx=-0.02 Mz=-0.60
Sollecitazioni agenti localmente: Ty_l=-1118.71 My_l=-22.93
Tensioni nella sezione: σ=277.94 τ=33.90
CC 27 SLV (Collegamento 0022_-379)
Azioni sul collegamento: N=-6324.16 Ty=-2.24 Tz=-0.09 Mx=-0.02 Mz=-5.10
Sollecitazioni agenti localmente: Ty_l=-1100.81 My_l=-22.54
Tensioni nella sezione: σ=273.19 τ=33.36
CC 27 SLV (Collegamento 0022_-379)
Azioni sul collegamento: N=-4942.30 Ty=0.06 Tz=-5.22 Mx=-0.02 Mz=-0.60
Sollecitazioni agenti localmente: Ty_l=-873.74 My_l=-17.91
Tensioni nella sezione: σ=217.07 τ=26.48
CC 27 SLV (Collegamento 0022_-379)
Azioni sul collegamento: N=-4942.30 Ty=-2.24 Tz=-5.22 Mx=-0.02 Mz=-5.10
Sollecitazioni agenti localmente: Ty_l=-855.85 My_l=-17.52
Tensioni nella sezione: σ=212.32 τ=25.93
CC 27 SLV (Collegamento 0022_-379)
Azioni sul collegamento: N=-4942.30 Ty=0.06 Tz=-0.09 Mx=-0.02 Mz=-0.60
Sollecitazioni agenti localmente: Ty_l=-873.74 My_l=-17.91
Tensioni nella sezione: σ=217.07 τ=26.48
CC 27 SLV (Collegamento 0022_-379)
Azioni sul collegamento: N=-4942.30 Ty=-2.24 Tz=-0.09 Mx=-0.02 Mz=-5.10
Sollecitazioni agenti localmente: Ty_l=-855.85 My_l=-17.52
Tensioni nella sezione: σ=212.32 τ=25.93
CC 28 SLD (Collegamento 0022_-379)
Azioni sul collegamento: N=-5844.10 Ty=0.07 Tz=-3.44 Mx=-0.01 Mz=-0.11
Sollecitazioni agenti localmente: Ty_l=-1035.55 My_l=-21.23
Tensioni nella sezione: σ=257.31 τ=31.38
CC 28 SLD (Collegamento 0022_-379)
Azioni sul collegamento: N=-5844.10 Ty=-0.63 Tz=-3.44 Mx=-0.01 Mz=-1.48
Sollecitazioni agenti localmente: Ty_l=-1030.10 My_l=-21.11
Tensioni nella sezione: σ=255.86 τ=31.22

CC 28 SLD (Collegamento 0022_-379)
Azioni sul collegamento: N=-5844.10 Ty=0.07 Tz=-1.87 Mx=-0.01 Mz=-0.11
Sollecitazioni agenti localmente: Ty_l=-1035.55 My_l=-21.23
Tensioni nella sezione: σ=257.31 τ=31.38
CC 28 SLD (Collegamento 0022_-379)
Azioni sul collegamento: N=-5844.10 Ty=-0.63 Tz=-1.87 Mx=-0.01 Mz=-1.48
Sollecitazioni agenti localmente: Ty_l=-1030.10 My_l=-21.11
Tensioni nella sezione: σ=255.86 τ=31.22
CC 28 SLD (Collegamento 0022_-379)
Azioni sul collegamento: N=-5422.73 Ty=0.07 Tz=-3.44 Mx=-0.01 Mz=-0.11
Sollecitazioni agenti localmente: Ty_l=-960.86 My_l=-19.70
Tensioni nella sezione: σ=238.75 τ=29.12
CC 28 SLD (Collegamento 0022_-379)
Azioni sul collegamento: N=-5422.73 Ty=-0.63 Tz=-3.44 Mx=-0.01 Mz=-1.48
Sollecitazioni agenti localmente: Ty_l=-955.40 My_l=-19.58
Tensioni nella sezione: σ=237.30 τ=28.95
CC 28 SLD (Collegamento 0022_-379)
Azioni sul collegamento: N=-5422.73 Ty=0.07 Tz=-1.87 Mx=-0.01 Mz=-0.11
Sollecitazioni agenti localmente: Ty_l=-960.86 My_l=-19.70
Tensioni nella sezione: σ=238.75 τ=29.12
CC 28 SLD (Collegamento 0022_-379)
Azioni sul collegamento: N=-5422.73 Ty=-0.63 Tz=-1.87 Mx=-0.01 Mz=-1.48
Sollecitazioni agenti localmente: Ty_l=-955.40 My_l=-19.58
Tensioni nella sezione: σ=237.30 τ=28.95
CC 29 SLV (Collegamento 0022_-379)
Azioni sul collegamento: N=-4942.30 Ty=-2.24 Tz=-0.09 Mx=-0.00 Mz=-5.10
Sollecitazioni agenti localmente: Ty_l=-855.85 My_l=-17.52
Tensioni nella sezione: σ=212.32 τ=25.93
CC 29 SLV (Collegamento 0022_-379)
Azioni sul collegamento: N=-4942.30 Ty=0.06 Tz=-0.09 Mx=-0.00 Mz=-0.60
Sollecitazioni agenti localmente: Ty_l=-873.74 My_l=-17.91
Tensioni nella sezione: σ=217.07 τ=26.48
CC 29 SLV (Collegamento 0022_-379)
Azioni sul collegamento: N=-4942.30 Ty=-2.24 Tz=-5.22 Mx=-0.00 Mz=-5.10
Sollecitazioni agenti localmente: Ty_l=-855.85 My_l=-17.52
Tensioni nella sezione: σ=212.32 τ=25.93
CC 29 SLV (Collegamento 0022_-379)
Azioni sul collegamento: N=-4942.30 Ty=0.06 Tz=-5.22 Mx=-0.00 Mz=-0.60
Sollecitazioni agenti localmente: Ty_l=-873.74 My_l=-17.91
Tensioni nella sezione: σ=217.07 τ=26.48
CC 29 SLV (Collegamento 0022_-379)
Azioni sul collegamento: N=-6324.16 Ty=-2.24 Tz=-0.09 Mx=-0.00 Mz=-5.10
Sollecitazioni agenti localmente: Ty_l=-1100.81 My_l=-22.54
Tensioni nella sezione: σ=273.19 τ=33.36
CC 29 SLV (Collegamento 0022_-379)
Azioni sul collegamento: N=-6324.16 Ty=0.06 Tz=-0.09 Mx=-0.00 Mz=-0.60
Sollecitazioni agenti localmente: Ty_l=-1118.71 My_l=-22.93
Tensioni nella sezione: σ=277.94 τ=33.90
CC 29 SLV (Collegamento 0022_-379)
Azioni sul collegamento: N=-6324.16 Ty=-2.24 Tz=-5.22 Mx=-0.00 Mz=-5.10
Sollecitazioni agenti localmente: Ty_l=-1100.81 My_l=-22.54
Tensioni nella sezione: σ=273.19 τ=33.36
CC 29 SLV (Collegamento 0022_-379)
Azioni sul collegamento: N=-6324.16 Ty=0.06 Tz=-5.22 Mx=-0.00 Mz=-0.60
Sollecitazioni agenti localmente: Ty_l=-1118.71 My_l=-22.93
Tensioni nella sezione: σ=277.94 τ=33.90
CC 30 SLD (Collegamento 0022_-379)
Azioni sul collegamento: N=-5422.73 Ty=-0.63 Tz=-1.87 Mx=-0.00 Mz=-1.48
Sollecitazioni agenti localmente: Ty_l=-955.40 My_l=-19.58
Tensioni nella sezione: σ=237.30 τ=28.95
CC 30 SLD (Collegamento 0022_-379)
Azioni sul collegamento: N=-5422.73 Ty=0.07 Tz=-1.87 Mx=-0.00 Mz=-0.11
Sollecitazioni agenti localmente: Ty_l=-960.86 My_l=-19.70
Tensioni nella sezione: σ=238.75 τ=29.12
CC 30 SLD (Collegamento 0022_-379)
Azioni sul collegamento: N=-5422.73 Ty=-0.63 Tz=-3.44 Mx=-0.00 Mz=-1.48
Sollecitazioni agenti localmente: Ty_l=-955.40 My_l=-19.58
Tensioni nella sezione: σ=237.30 τ=28.95
CC 30 SLD (Collegamento 0022_-379)
Azioni sul collegamento: N=-5422.73 Ty=0.07 Tz=-3.44 Mx=-0.00 Mz=-0.11
Sollecitazioni agenti localmente: Ty_l=-960.86 My_l=-19.70
Tensioni nella sezione: σ=238.75 τ=29.12
CC 30 SLD (Collegamento 0022_-379)
Azioni sul collegamento: N=-5844.10 Ty=-0.63 Tz=-1.87 Mx=-0.00 Mz=-1.48
Sollecitazioni agenti localmente: Ty_l=-1030.10 My_l=-21.11
Tensioni nella sezione: σ=255.86 τ=31.22
CC 30 SLD (Collegamento 0022_-379)
Azioni sul collegamento: N=-5844.10 Ty=0.07 Tz=-1.87 Mx=-0.00 Mz=-0.11
Sollecitazioni agenti localmente: Ty_l=-1035.55 My_l=-21.23

Tensioni nella sezione: σ=257.31 τ=31.38
CC 30 SLD (Collegamento 0022_-379)
Azioni sul collegamento: N=-5844.10 Ty=-0.63 Tz=-3.44 Mx=-0.00 Mz=-1.48
Sollecitazioni agenti localmente: Ty_l=-1030.10 My_l=-21.11
Tensioni nella sezione: σ=255.86 τ=31.22
CC 30 SLD (Collegamento 0022_-379)
Azioni sul collegamento: N=-5844.10 Ty=0.07 Tz=-3.44 Mx=-0.00 Mz=-0.11
Sollecitazioni agenti localmente: Ty_l=-1035.55 My_l=-21.23
Tensioni nella sezione: σ=257.31 τ=31.38
CC 31 SLV (Collegamento 0022_-379)
Azioni sul collegamento: N=-6324.24 Ty=-2.24 Tz=-5.22 Mx=-0.00 Mz=-5.11
Sollecitazioni agenti localmente: Ty_l=-1100.78 My_l=-22.54
Tensioni nella sezione: σ=273.18 τ=33.36
CC 31 SLV (Collegamento 0022_-379)
Azioni sul collegamento: N=-6324.24 Ty=0.07 Tz=-5.22 Mx=-0.00 Mz=-0.59
Sollecitazioni agenti localmente: Ty_l=-1118.77 My_l=-22.93
Tensioni nella sezione: σ=277.96 τ=33.90
CC 31 SLV (Collegamento 0022_-379)
Azioni sul collegamento: N=-6324.24 Ty=-2.24 Tz=-0.09 Mx=-0.00 Mz=-5.11
Sollecitazioni agenti localmente: Ty_l=-1100.78 My_l=-22.54
Tensioni nella sezione: σ=273.18 τ=33.36
CC 31 SLV (Collegamento 0022_-379)
Azioni sul collegamento: N=-6324.24 Ty=0.07 Tz=-0.09 Mx=-0.00 Mz=-0.59
Sollecitazioni agenti localmente: Ty_l=-1118.77 My_l=-22.93
Tensioni nella sezione: σ=277.96 τ=33.90
CC 31 SLV (Collegamento 0022_-379)
Azioni sul collegamento: N=-4942.23 Ty=-2.24 Tz=-5.22 Mx=-0.00 Mz=-5.11
Sollecitazioni agenti localmente: Ty_l=-855.78 My_l=-17.52
Tensioni nella sezione: σ=212.31 τ=25.93
CC 31 SLV (Collegamento 0022_-379)
Azioni sul collegamento: N=-4942.23 Ty=0.07 Tz=-5.22 Mx=-0.00 Mz=-0.59
Sollecitazioni agenti localmente: Ty_l=-873.77 My_l=-17.91
Tensioni nella sezione: σ=217.08 τ=26.48
CC 31 SLV (Collegamento 0022_-379)
Azioni sul collegamento: N=-4942.23 Ty=-2.24 Tz=-0.09 Mx=-0.00 Mz=-5.11
Sollecitazioni agenti localmente: Ty_l=-855.78 My_l=-17.52
Tensioni nella sezione: σ=212.31 τ=25.93
CC 31 SLV (Collegamento 0022_-379)
Azioni sul collegamento: N=-4942.23 Ty=0.07 Tz=-0.09 Mx=-0.00 Mz=-0.59
Sollecitazioni agenti localmente: Ty_l=-873.77 My_l=-17.91
Tensioni nella sezione: σ=217.08 τ=26.48
CC 32 SLD (Collegamento 0022_-379)
Azioni sul collegamento: N=-5844.12 Ty=-0.63 Tz=-3.44 Mx=-0.00 Mz=-1.49
Sollecitazioni agenti localmente: Ty_l=-1030.09 My_l=-21.11
Tensioni nella sezione: σ=255.86 τ=31.21
CC 32 SLD (Collegamento 0022_-379)
Azioni sul collegamento: N=-5844.12 Ty=0.07 Tz=-3.44 Mx=-0.00 Mz=-0.11
Sollecitazioni agenti localmente: Ty_l=-1035.57 My_l=-21.23
Tensioni nella sezione: σ=257.32 τ=31.38
CC 32 SLD (Collegamento 0022_-379)
Azioni sul collegamento: N=-5844.12 Ty=-0.63 Tz=-1.87 Mx=-0.00 Mz=-1.49
Sollecitazioni agenti localmente: Ty_l=-1030.09 My_l=-21.11
Tensioni nella sezione: σ=255.86 τ=31.21
CC 32 SLD (Collegamento 0022_-379)
Azioni sul collegamento: N=-5844.12 Ty=0.07 Tz=-1.87 Mx=-0.00 Mz=-0.11
Sollecitazioni agenti localmente: Ty_l=-1035.57 My_l=-21.23
Tensioni nella sezione: σ=257.32 τ=31.38
CC 32 SLD (Collegamento 0022_-379)
Azioni sul collegamento: N=-5422.71 Ty=-0.63 Tz=-3.44 Mx=-0.00 Mz=-1.49
Sollecitazioni agenti localmente: Ty_l=-955.38 My_l=-19.58
Tensioni nella sezione: σ=237.30 τ=28.95
CC 32 SLD (Collegamento 0022_-379)
Azioni sul collegamento: N=-5422.71 Ty=0.07 Tz=-3.44 Mx=-0.00 Mz=-0.11
Sollecitazioni agenti localmente: Ty_l=-960.87 My_l=-19.70
Tensioni nella sezione: σ=238.75 τ=29.12
CC 32 SLD (Collegamento 0022_-379)
Azioni sul collegamento: N=-5422.71 Ty=-0.63 Tz=-1.87 Mx=-0.00 Mz=-1.49
Sollecitazioni agenti localmente: Ty_l=-955.38 My_l=-19.58
Tensioni nella sezione: σ=237.30 τ=28.95
CC 32 SLD (Collegamento 0022_-379)
Azioni sul collegamento: N=-5422.71 Ty=0.07 Tz=-1.87 Mx=-0.00 Mz=-0.11
Sollecitazioni agenti localmente: Ty_l=-960.87 My_l=-19.70
Tensioni nella sezione: σ=238.75 τ=29.12
CC 33 SLU (Collegamento 0022_-379)
Azioni sul collegamento: N=-28967.90 Ty=0.05 Tz=74.90 Mx=0.00 Mz=0.12
Sollecitazioni agenti localmente: Ty_l=-5135.69 My_l=-105.28
Tensioni nella sezione: σ=1276.15 τ=155.63
CC 34 SLU (Collegamento 0022_-379)
Azioni sul collegamento: N=-29447.20 Ty=0.05 Tz=76.67 Mx=0.00 Mz=0.12

Sollecitazioni agenti localmente: Ty_l=-5220.64 My_l=-107.02
Tensioni nella sezione: σ=1297.26 τ=158.20
CC 35 SLU (Collegamento 0022_-379)
Azioni sul collegamento: N=-29207.50 Ty=0.17 Tz=75.78 Mx=-0.00 Mz=0.35
Sollecitazioni agenti localmente: Ty_l=-5179.10 My_l=-106.17
Tensioni nella sezione: σ=1286.95 τ=156.94
CC 36 SLU (Collegamento 0022_-379)
Azioni sul collegamento: N=-29207.50 Ty=-0.07 Tz=75.79 Mx=0.00 Mz=-0.12
Sollecitazioni agenti localmente: Ty_l=-5177.23 My_l=-106.13
Tensioni nella sezione: σ=1286.46 τ=156.89
CC 37 SLU (Collegamento 0022_-379)
Azioni sul collegamento: N=-29152.80 Ty=0.07 Tz=74.88 Mx=0.00 Mz=0.13
Sollecitazioni agenti localmente: Ty_l=-5168.51 My_l=-105.95
Tensioni nella sezione: σ=1284.31 τ=156.62
CC 38 SLU (Collegamento 0022_-379)
Azioni sul collegamento: N=-29632.10 Ty=0.07 Tz=76.66 Mx=0.00 Mz=0.13
Sollecitazioni agenti localmente: Ty_l=-5253.47 My_l=-107.70
Tensioni nella sezione: σ=1305.42 τ=159.20
CC 39 SLU (Collegamento 0022_-379)
Azioni sul collegamento: N=-29392.40 Ty=0.19 Tz=75.77 Mx=-0.00 Mz=0.36
Sollecitazioni agenti localmente: Ty_l=-5211.92 My_l=-106.85
Tensioni nella sezione: σ=1295.11 τ=157.94
CC 40 SLU (Collegamento 0022_-379)
Azioni sul collegamento: N=-29392.40 Ty=-0.05 Tz=75.77 Mx=0.00 Mz=-0.10
Sollecitazioni agenti localmente: Ty_l=-5210.06 My_l=-106.81
Tensioni nella sezione: σ=1294.61 τ=157.88
CC 41 SLU (Collegamento 0022_-379)
Azioni sul collegamento: N=-19454.60 Ty=0.08 Tz=39.91 Mx=0.00 Mz=0.13
Sollecitazioni agenti localmente: Ty_l=-3449.29 My_l=-70.71
Tensioni nella sezione: σ=857.10 τ=104.52
CC 42 SLU (Collegamento 0022_-379)
Azioni sul collegamento: N=-19933.90 Ty=0.08 Tz=41.69 Mx=0.00 Mz=0.13
Sollecitazioni agenti localmente: Ty_l=-3534.24 My_l=-72.45
Tensioni nella sezione: σ=878.21 τ=107.10
CC 43 SLU (Collegamento 0022_-379)
Azioni sul collegamento: N=-19694.20 Ty=0.20 Tz=40.80 Mx=-0.00 Mz=0.36
Sollecitazioni agenti localmente: Ty_l=-3492.70 My_l=-71.60
Tensioni nella sezione: σ=867.91 τ=105.84
CC 44 SLU (Collegamento 0022_-379)
Azioni sul collegamento: N=-19694.20 Ty=-0.04 Tz=40.80 Mx=0.00 Mz=-0.10
Sollecitazioni agenti localmente: Ty_l=-3490.83 My_l=-71.56
Tensioni nella sezione: σ=867.41 τ=105.78
CC 45 SLU (Collegamento 0022_-379)
Azioni sul collegamento: N=-21628.70 Ty=0.08 Tz=47.97 Mx=0.00 Mz=0.14
Sollecitazioni agenti localmente: Ty_l=-3834.74 My_l=-78.61
Tensioni nella sezione: σ=952.88 τ=116.20
CC 46 SLU (Collegamento 0022_-379)
Azioni sul collegamento: N=-22108.00 Ty=0.08 Tz=49.75 Mx=0.00 Mz=0.14
Sollecitazioni agenti localmente: Ty_l=-3919.70 My_l=-80.35
Tensioni nella sezione: σ=974.00 τ=118.78
CC 47 SLU (Collegamento 0022_-379)
Azioni sul collegamento: N=-21868.40 Ty=0.20 Tz=48.86 Mx=-0.00 Mz=0.37
Sollecitazioni agenti localmente: Ty_l=-3878.15 My_l=-79.50
Tensioni nella sezione: σ=963.69 τ=117.52
CC 48 SLU (Collegamento 0022_-379)
Azioni sul collegamento: N=-21868.40 Ty=-0.04 Tz=48.86 Mx=0.00 Mz=-0.10
Sollecitazioni agenti localmente: Ty_l=-3876.29 My_l=-79.46
Tensioni nella sezione: σ=963.19 τ=117.46
CC 49 SLU (Collegamento 0022_-379)
Azioni sul collegamento: N=-21767.10 Ty=0.10 Tz=47.96 Mx=0.00 Mz=0.15
Sollecitazioni agenti localmente: Ty_l=-3859.30 My_l=-79.12
Tensioni nella sezione: σ=958.99 τ=116.95
CC 50 SLU (Collegamento 0022_-379)
Azioni sul collegamento: N=-22246.40 Ty=0.10 Tz=49.73 Mx=0.00 Mz=0.15
Sollecitazioni agenti localmente: Ty_l=-3944.26 My_l=-80.86
Tensioni nella sezione: σ=980.10 τ=119.52
CC 51 SLU (Collegamento 0022_-379)
Azioni sul collegamento: N=-22006.70 Ty=0.22 Tz=48.85 Mx=-0.00 Mz=0.38
Sollecitazioni agenti localmente: Ty_l=-3902.71 My_l=-80.01
Tensioni nella sezione: σ=969.79 τ=118.26
CC 52 SLU (Collegamento 0022_-379)
Azioni sul collegamento: N=-22006.70 Ty=-0.02 Tz=48.85 Mx=0.00 Mz=-0.09
Sollecitazioni agenti localmente: Ty_l=-3900.85 My_l=-79.97
Tensioni nella sezione: σ=969.29 τ=118.21
CC 53 SLU (Collegamento 0022_-379)
Azioni sul collegamento: N=-14511.40 Ty=0.10 Tz=21.80 Mx=0.00 Mz=0.15
Sollecitazioni agenti localmente: Ty_l=-2573.06 My_l=-52.75
Tensioni nella sezione: σ=639.38 τ=77.97
CC 54 SLU (Collegamento 0022_-379)

Azioni sul collegamento: N=-14990.70 Ty=0.10 Tz=23.57 Mx=0.00 Mz=0.15
Sollecitazioni agenti localmente: Ty_l=-2658.02 My_l=-54.49
Tensioni nella sezione: σ=660.49 τ=80.55
CC 55 SLU (Collegamento 0022_-379)
Azioni sul collegamento: N=-14751.00 Ty=0.22 Tz=22.69 Mx=-0.00 Mz=0.38
Sollecitazioni agenti localmente: Ty_l=-2616.48 My_l=-53.64
Tensioni nella sezione: σ=650.18 τ=79.29
CC 56 SLU (Collegamento 0022_-379)
Azioni sul collegamento: N=-14751.00 Ty=-0.02 Tz=22.68 Mx=0.00 Mz=-0.09
Sollecitazioni agenti localmente: Ty_l=-2614.61 My_l=-53.60
Tensioni nella sezione: σ=649.68 τ=79.23
CC 57 SLU (Collegamento 0022_-379)
Azioni sul collegamento: N=-21907.00 Ty=0.07 Tz=49.04 Mx=0.00 Mz=0.14
Sollecitazioni agenti localmente: Ty_l=-3884.06 My_l=-79.62
Tensioni nella sezione: σ=965.14 τ=117.70
CC 58 SLU (Collegamento 0022_-379)
Azioni sul collegamento: N=-22386.30 Ty=0.07 Tz=50.82 Mx=0.00 Mz=0.13
Sollecitazioni agenti localmente: Ty_l=-3969.01 My_l=-81.37
Tensioni nella sezione: σ=986.25 τ=120.27
CC 59 SLU (Collegamento 0022_-379)
Azioni sul collegamento: N=-22146.70 Ty=0.19 Tz=49.93 Mx=-0.00 Mz=0.37
Sollecitazioni agenti localmente: Ty_l=-3927.47 My_l=-80.52
Tensioni nella sezione: σ=975.94 τ=119.01
CC 60 SLU (Collegamento 0022_-379)
Azioni sul collegamento: N=-22146.70 Ty=-0.04 Tz=49.93 Mx=0.00 Mz=-0.10
Sollecitazioni agenti localmente: Ty_l=-3925.60 My_l=-80.47
Tensioni nella sezione: σ=975.45 τ=118.96
CC 61 SLU (Collegamento 0022_-379)
Azioni sul collegamento: N=-22045.30 Ty=0.09 Tz=49.02 Mx=0.00 Mz=0.14
Sollecitazioni agenti localmente: Ty_l=-3908.61 My_l=-80.13
Tensioni nella sezione: σ=971.24 τ=118.44
CC 62 SLU (Collegamento 0022_-379)
Azioni sul collegamento: N=-22524.60 Ty=0.09 Tz=50.80 Mx=0.00 Mz=0.14
Sollecitazioni agenti localmente: Ty_l=-3993.57 My_l=-81.87
Tensioni nella sezione: σ=992.35 τ=121.02
CC 63 SLU (Collegamento 0022_-379)
Azioni sul collegamento: N=-22285.00 Ty=0.21 Tz=49.91 Mx=-0.00 Mz=0.38
Sollecitazioni agenti localmente: Ty_l=-3952.02 My_l=-81.02
Tensioni nella sezione: σ=982.04 τ=119.76
CC 64 SLU (Collegamento 0022_-379)
Azioni sul collegamento: N=-22285.00 Ty=-0.03 Tz=49.91 Mx=0.00 Mz=-0.09
Sollecitazioni agenti localmente: Ty_l=-3950.16 My_l=-80.98
Tensioni nella sezione: σ=981.55 τ=119.70
CC 65 SLU (Collegamento 0022_-379)
Azioni sul collegamento: N=-14789.70 Ty=0.10 Tz=22.86 Mx=0.00 Mz=0.14
Sollecitazioni agenti localmente: Ty_l=-2622.38 My_l=-53.76
Tensioni nella sezione: σ=651.63 τ=79.47
CC 66 SLU (Collegamento 0022_-379)
Azioni sul collegamento: N=-15269.00 Ty=0.10 Tz=24.64 Mx=0.00 Mz=0.14
Sollecitazioni agenti localmente: Ty_l=-2707.33 My_l=-55.50
Tensioni nella sezione: σ=672.74 τ=82.04
CC 67 SLU (Collegamento 0022_-379)
Azioni sul collegamento: N=-15029.30 Ty=0.22 Tz=23.75 Mx=-0.00 Mz=0.38
Sollecitazioni agenti localmente: Ty_l=-2665.79 My_l=-54.65
Tensioni nella sezione: σ=662.43 τ=80.78
CC 68 SLU (Collegamento 0022_-379)
Azioni sul collegamento: N=-15029.30 Ty=-0.02 Tz=23.75 Mx=0.00 Mz=-0.09
Sollecitazioni agenti localmente: Ty_l=-2663.92 My_l=-54.61
Tensioni nella sezione: σ=661.94 τ=80.72
CC 97 SLU (Collegamento 0022_-379)
Azioni sul collegamento: N=-11572.90 Ty=11.37 Tz=19.27 Mx=0.04 Mz=15.92
Sollecitazioni agenti localmente: Ty_l=-2114.88 My_l=-43.44
Tensioni nella sezione: σ=526.59 τ=64.09
CC 98 SLU (Collegamento 0022_-379)
Azioni sul collegamento: N=-12052.20 Ty=11.37 Tz=21.05 Mx=0.04 Mz=15.92
Sollecitazioni agenti localmente: Ty_l=-2199.84 My_l=-45.19
Tensioni nella sezione: σ=547.70 τ=66.66
CC 99 SLU (Collegamento 0022_-379)
Azioni sul collegamento: N=-11812.60 Ty=11.49 Tz=20.16 Mx=0.04 Mz=16.15
Sollecitazioni agenti localmente: Ty_l=-2158.29 My_l=-44.33
Tensioni nella sezione: σ=537.39 τ=65.40
CC 100 SLU (Collegamento 0022_-379)
Azioni sul collegamento: N=-11812.60 Ty=11.25 Tz=20.16 Mx=0.04 Mz=15.68
Sollecitazioni agenti localmente: Ty_l=-2156.43 My_l=-44.29
Tensioni nella sezione: σ=536.90 τ=65.35
CC 101 SLU (Collegamento 0022_-379)
Azioni sul collegamento: N=-5887.16 Ty=-2.00 Tz=-1.73 Mx=-0.00 Mz=-2.22
Sollecitazioni agenti localmente: Ty_l=-1034.82 My_l=-21.20
Tensioni nella sezione: σ=256.99 τ=31.36

CC 102 SLU (Collegamento 0022_-379)
Azioni sul collegamento: N=-6366.46 Ty=-2.01 Tz=0.04 Mx=-0.00 Mz=-2.22
Sollecitazioni agenti localmente: Ty_l=-1119.77 My_l=-22.94
Tensioni nella sezione: σ=278.10 τ=33.93
CC 103 SLU (Collegamento 0022_-379)
Azioni sul collegamento: N=-6126.81 Ty=-1.89 Tz=-0.85 Mx=-0.01 Mz=-1.98
Sollecitazioni agenti localmente: Ty_l=-1078.23 My_l=-22.09
Tensioni nella sezione: σ=267.79 τ=32.67
CC 104 SLU (Collegamento 0022_-379)
Azioni sul collegamento: N=-6126.80 Ty=-2.12 Tz=-0.84 Mx=-0.00 Mz=-2.45
Sollecitazioni agenti localmente: Ty_l=-1076.36 My_l=-22.05
Tensioni nella sezione: σ=267.29 τ=32.62

Flessione attacco sinistro piastra

Bnetta=220.00 Hnetta=15.00
CC 1 SLV (Collegamento 0022_-379)
Azioni sul collegamento: N=-3330.52 Ty=1.59 Tz=5.89 Mx=0.02 Mz=3.75
Sollecitazioni agenti localmente: Ty_l=-575.48 My_l=-11.78
Tensioni nella sezione: σ=142.75 τ=17.44
CC 1 SLV (Collegamento 0022_-379)
Azioni sul collegamento: N=-3330.52 Ty=0.88 Tz=5.89 Mx=0.02 Mz=2.36
Sollecitazioni agenti localmente: Ty_l=-581.02 My_l=-11.90
Tensioni nella sezione: σ=144.21 τ=17.61
CC 1 SLV (Collegamento 0022_-379)
Azioni sul collegamento: N=-3330.52 Ty=1.59 Tz=-11.19 Mx=0.02 Mz=3.75
Sollecitazioni agenti localmente: Ty_l=-575.48 My_l=-11.78
Tensioni nella sezione: σ=142.75 τ=17.44
CC 1 SLV (Collegamento 0022_-379)
Azioni sul collegamento: N=-3330.52 Ty=0.88 Tz=-11.19 Mx=0.02 Mz=2.36
Sollecitazioni agenti localmente: Ty_l=-581.02 My_l=-11.90
Tensioni nella sezione: σ=144.21 τ=17.61
CC 1 SLV (Collegamento 0022_-379)
Azioni sul collegamento: N=-7936.99 Ty=1.59 Tz=5.89 Mx=0.02 Mz=3.75
Sollecitazioni agenti localmente: Ty_l=-1392.08 My_l=-28.52
Tensioni nella sezione: σ=345.66 τ=42.18
CC 1 SLV (Collegamento 0022_-379)
Azioni sul collegamento: N=-7936.99 Ty=0.88 Tz=5.89 Mx=0.02 Mz=2.36
Sollecitazioni agenti localmente: Ty_l=-1397.62 My_l=-28.64
Tensioni nella sezione: σ=347.13 τ=42.35
CC 1 SLV (Collegamento 0022_-379)
Azioni sul collegamento: N=-7936.99 Ty=1.59 Tz=-11.19 Mx=0.02 Mz=3.75
Sollecitazioni agenti localmente: Ty_l=-1392.08 My_l=-28.52
Tensioni nella sezione: σ=345.66 τ=42.18
CC 1 SLV (Collegamento 0022_-379)
Azioni sul collegamento: N=-7936.99 Ty=0.88 Tz=-11.19 Mx=0.02 Mz=2.36
Sollecitazioni agenti localmente: Ty_l=-1397.62 My_l=-28.64
Tensioni nella sezione: σ=347.13 τ=42.35
CC 2 SLD (Collegamento 0022_-379)
Azioni sul collegamento: N=-4931.25 Ty=0.54 Tz=-0.05 Mx=0.01 Mz=1.22
Sollecitazioni agenti localmente: Ty_l=-869.34 My_l=-17.81
Tensioni nella sezione: σ=215.94 τ=26.34
CC 2 SLD (Collegamento 0022_-379)
Azioni sul collegamento: N=-4931.25 Ty=0.32 Tz=-0.05 Mx=0.01 Mz=0.79
Sollecitazioni agenti localmente: Ty_l=-871.03 My_l=-17.85
Tensioni nella sezione: σ=216.38 τ=26.39
CC 2 SLD (Collegamento 0022_-379)
Azioni sul collegamento: N=-4931.25 Ty=0.54 Tz=-5.26 Mx=0.01 Mz=1.22
Sollecitazioni agenti localmente: Ty_l=-869.34 My_l=-17.81
Tensioni nella sezione: σ=215.94 τ=26.34
CC 2 SLD (Collegamento 0022_-379)
Azioni sul collegamento: N=-4931.25 Ty=0.32 Tz=-5.26 Mx=0.01 Mz=0.79
Sollecitazioni agenti localmente: Ty_l=-871.03 My_l=-17.85
Tensioni nella sezione: σ=216.38 τ=26.39
CC 2 SLD (Collegamento 0022_-379)
Azioni sul collegamento: N=-6335.90 Ty=0.54 Tz=-0.05 Mx=0.01 Mz=1.22
Sollecitazioni agenti localmente: Ty_l=-1118.35 My_l=-22.92
Tensioni nella sezione: σ=277.81 τ=33.89
CC 2 SLD (Collegamento 0022_-379)
Azioni sul collegamento: N=-6335.90 Ty=0.32 Tz=-0.05 Mx=0.01 Mz=0.79
Sollecitazioni agenti localmente: Ty_l=-1120.03 My_l=-22.96
Tensioni nella sezione: σ=278.26 τ=33.94
CC 2 SLD (Collegamento 0022_-379)
Azioni sul collegamento: N=-6335.90 Ty=0.54 Tz=-5.26 Mx=0.01 Mz=1.22
Sollecitazioni agenti localmente: Ty_l=-1118.35 My_l=-22.92
Tensioni nella sezione: σ=277.81 τ=33.89
CC 2 SLD (Collegamento 0022_-379)
Azioni sul collegamento: N=-6335.90 Ty=0.32 Tz=-5.26 Mx=0.01 Mz=0.79
Sollecitazioni agenti localmente: Ty_l=-1120.03 My_l=-22.96

Tensioni nella sezione: σ=278.26 τ=33.94
CC 3 SLV (Collegamento 0022_-379)
Azioni sul collegamento: N=-3330.55 Ty=0.90 Tz=5.89 Mx=0.01 Mz=2.40
Sollecitazioni agenti localmente: Ty_l=-580.87 My_l=-11.89
Tensioni nella sezione: σ=144.18 τ=17.60
CC 3 SLV (Collegamento 0022_-379)
Azioni sul collegamento: N=-3330.55 Ty=1.58 Tz=5.89 Mx=0.01 Mz=3.71
Sollecitazioni agenti localmente: Ty_l=-575.64 My_l=-11.78
Tensioni nella sezione: σ=142.79 τ=17.44
CC 3 SLV (Collegamento 0022_-379)
Azioni sul collegamento: N=-3330.55 Ty=0.90 Tz=-11.19 Mx=0.01 Mz=2.40
Sollecitazioni agenti localmente: Ty_l=-580.87 My_l=-11.89
Tensioni nella sezione: σ=144.18 τ=17.60
CC 3 SLV (Collegamento 0022_-379)
Azioni sul collegamento: N=-3330.55 Ty=1.58 Tz=-11.19 Mx=0.01 Mz=3.71
Sollecitazioni agenti localmente: Ty_l=-575.64 My_l=-11.78
Tensioni nella sezione: σ=142.79 τ=17.44
CC 3 SLV (Collegamento 0022_-379)
Azioni sul collegamento: N=-7936.97 Ty=0.90 Tz=5.89 Mx=0.01 Mz=2.40
Sollecitazioni agenti localmente: Ty_l=-1397.46 My_l=-28.63
Tensioni nella sezione: σ=347.09 τ=42.35
CC 3 SLV (Collegamento 0022_-379)
Azioni sul collegamento: N=-7936.97 Ty=1.58 Tz=5.89 Mx=0.01 Mz=3.71
Sollecitazioni agenti localmente: Ty_l=-1392.23 My_l=-28.52
Tensioni nella sezione: σ=345.70 τ=42.19
CC 3 SLV (Collegamento 0022_-379)
Azioni sul collegamento: N=-7936.97 Ty=0.90 Tz=-11.19 Mx=0.01 Mz=2.40
Sollecitazioni agenti localmente: Ty_l=-1397.46 My_l=-28.63
Tensioni nella sezione: σ=347.09 τ=42.35
CC 3 SLV (Collegamento 0022_-379)
Azioni sul collegamento: N=-7936.97 Ty=1.58 Tz=-11.19 Mx=0.01 Mz=3.71
Sollecitazioni agenti localmente: Ty_l=-1392.23 My_l=-28.52
Tensioni nella sezione: σ=345.70 τ=42.19
CC 4 SLD (Collegamento 0022_-379)
Azioni sul collegamento: N=-4931.25 Ty=0.33 Tz=-0.05 Mx=0.00 Mz=0.80
Sollecitazioni agenti localmente: Ty_l=-870.98 My_l=-17.85
Tensioni nella sezione: σ=216.37 τ=26.39
CC 4 SLD (Collegamento 0022_-379)
Azioni sul collegamento: N=-4931.25 Ty=0.53 Tz=-0.05 Mx=0.00 Mz=1.20
Sollecitazioni agenti localmente: Ty_l=-869.39 My_l=-17.82
Tensioni nella sezione: σ=215.95 τ=26.34
CC 4 SLD (Collegamento 0022_-379)
Azioni sul collegamento: N=-4931.25 Ty=0.33 Tz=-5.26 Mx=0.00 Mz=0.80
Sollecitazioni agenti localmente: Ty_l=-870.98 My_l=-17.85
Tensioni nella sezione: σ=216.37 τ=26.39
CC 4 SLD (Collegamento 0022_-379)
Azioni sul collegamento: N=-4931.25 Ty=0.53 Tz=-5.26 Mx=0.00 Mz=1.20
Sollecitazioni agenti localmente: Ty_l=-869.39 My_l=-17.82
Tensioni nella sezione: σ=215.95 τ=26.34
CC 4 SLD (Collegamento 0022_-379)
Azioni sul collegamento: N=-6335.90 Ty=0.33 Tz=-0.05 Mx=0.00 Mz=0.80
Sollecitazioni agenti localmente: Ty_l=-1119.99 My_l=-22.96
Tensioni nella sezione: σ=278.25 τ=33.94
CC 4 SLD (Collegamento 0022_-379)
Azioni sul collegamento: N=-6335.90 Ty=0.53 Tz=-0.05 Mx=0.00 Mz=1.20
Sollecitazioni agenti localmente: Ty_l=-1118.39 My_l=-22.92
Tensioni nella sezione: σ=277.82 τ=33.89
CC 4 SLD (Collegamento 0022_-379)
Azioni sul collegamento: N=-6335.90 Ty=0.33 Tz=-5.26 Mx=0.00 Mz=0.80
Sollecitazioni agenti localmente: Ty_l=-1119.99 My_l=-22.96
Tensioni nella sezione: σ=278.25 τ=33.94
CC 4 SLD (Collegamento 0022_-379)
Azioni sul collegamento: N=-6335.90 Ty=0.53 Tz=-5.26 Mx=0.00 Mz=1.20
Sollecitazioni agenti localmente: Ty_l=-1118.39 My_l=-22.92
Tensioni nella sezione: σ=277.82 τ=33.89
CC 5 SLV (Collegamento 0022_-379)
Azioni sul collegamento: N=-7936.97 Ty=1.58 Tz=-11.19 Mx=0.02 Mz=3.71
Sollecitazioni agenti localmente: Ty_l=-1392.23 My_l=-28.52
Tensioni nella sezione: σ=345.70 τ=42.19
CC 5 SLV (Collegamento 0022_-379)
Azioni sul collegamento: N=-7936.97 Ty=0.90 Tz=-11.19 Mx=0.02 Mz=2.40
Sollecitazioni agenti localmente: Ty_l=-1397.46 My_l=-28.63
Tensioni nella sezione: σ=347.09 τ=42.35
CC 5 SLV (Collegamento 0022_-379)
Azioni sul collegamento: N=-7936.97 Ty=1.58 Tz=5.89 Mx=0.02 Mz=3.71
Sollecitazioni agenti localmente: Ty_l=-1392.23 My_l=-28.52
Tensioni nella sezione: σ=345.70 τ=42.19
CC 5 SLV (Collegamento 0022_-379)
Azioni sul collegamento: N=-7936.97 Ty=0.90 Tz=5.89 Mx=0.02 Mz=2.40

Sollecitazioni agenti localmente: Ty_l=-1397.46 My_l=-28.63
Tensioni nella sezione: σ=347.09 τ=42.35
CC 5 SLV (Collegamento 0022_-379)
Azioni sul collegamento: N=-3330.55 Ty=1.58 Tz=-11.19 Mx=0.02 Mz=3.71
Sollecitazioni agenti localmente: Ty_l=-575.64 My_l=-11.78
Tensioni nella sezione: σ=142.79 τ=17.44
CC 5 SLV (Collegamento 0022_-379)
Azioni sul collegamento: N=-3330.55 Ty=0.90 Tz=-11.19 Mx=0.02 Mz=2.40
Sollecitazioni agenti localmente: Ty_l=-580.87 My_l=-11.89
Tensioni nella sezione: σ=144.18 τ=17.60
CC 5 SLV (Collegamento 0022_-379)
Azioni sul collegamento: N=-3330.55 Ty=1.58 Tz=5.89 Mx=0.02 Mz=3.71
Sollecitazioni agenti localmente: Ty_l=-575.64 My_l=-11.78
Tensioni nella sezione: σ=142.79 τ=17.44
CC 5 SLV (Collegamento 0022_-379)
Azioni sul collegamento: N=-3330.55 Ty=0.90 Tz=5.89 Mx=0.02 Mz=2.40
Sollecitazioni agenti localmente: Ty_l=-580.87 My_l=-11.89
Tensioni nella sezione: σ=144.18 τ=17.60
CC 6 SLD (Collegamento 0022_-379)
Azioni sul collegamento: N=-6335.90 Ty=0.53 Tz=-5.26 Mx=0.01 Mz=1.20
Sollecitazioni agenti localmente: Ty_l=-1118.39 My_l=-22.92
Tensioni nella sezione: σ=277.82 τ=33.89
CC 6 SLD (Collegamento 0022_-379)
Azioni sul collegamento: N=-6335.90 Ty=0.33 Tz=-5.26 Mx=0.01 Mz=0.80
Sollecitazioni agenti localmente: Ty_l=-1119.99 My_l=-22.96
Tensioni nella sezione: σ=278.25 τ=33.94
CC 6 SLD (Collegamento 0022_-379)
Azioni sul collegamento: N=-6335.90 Ty=0.53 Tz=-0.05 Mx=0.01 Mz=1.20
Sollecitazioni agenti localmente: Ty_l=-1118.39 My_l=-22.92
Tensioni nella sezione: σ=277.82 τ=33.89
CC 6 SLD (Collegamento 0022_-379)
Azioni sul collegamento: N=-6335.90 Ty=0.33 Tz=-0.05 Mx=0.01 Mz=0.80
Sollecitazioni agenti localmente: Ty_l=-1119.99 My_l=-22.96
Tensioni nella sezione: σ=278.25 τ=33.94
CC 6 SLD (Collegamento 0022_-379)
Azioni sul collegamento: N=-4931.25 Ty=0.53 Tz=-5.26 Mx=0.01 Mz=1.20
Sollecitazioni agenti localmente: Ty_l=-869.39 My_l=-17.82
Tensioni nella sezione: σ=215.95 τ=26.34
CC 6 SLD (Collegamento 0022_-379)
Azioni sul collegamento: N=-4931.25 Ty=0.33 Tz=-5.26 Mx=0.01 Mz=0.80
Sollecitazioni agenti localmente: Ty_l=-870.98 My_l=-17.85
Tensioni nella sezione: σ=216.37 τ=26.39
CC 6 SLD (Collegamento 0022_-379)
Azioni sul collegamento: N=-4931.25 Ty=0.53 Tz=-0.05 Mx=0.01 Mz=1.20
Sollecitazioni agenti localmente: Ty_l=-869.39 My_l=-17.82
Tensioni nella sezione: σ=215.95 τ=26.34
CC 6 SLD (Collegamento 0022_-379)
Azioni sul collegamento: N=-4931.25 Ty=0.33 Tz=-0.05 Mx=0.01 Mz=0.80
Sollecitazioni agenti localmente: Ty_l=-870.98 My_l=-17.85
Tensioni nella sezione: σ=216.37 τ=26.39
CC 7 SLV (Collegamento 0022_-379)
Azioni sul collegamento: N=-7936.99 Ty=0.88 Tz=-11.19 Mx=0.01 Mz=2.36
Sollecitazioni agenti localmente: Ty_l=-1397.62 My_l=-28.64
Tensioni nella sezione: σ=347.13 τ=42.35
CC 7 SLV (Collegamento 0022_-379)
Azioni sul collegamento: N=-7936.99 Ty=1.59 Tz=-11.19 Mx=0.01 Mz=3.75
Sollecitazioni agenti localmente: Ty_l=-1392.08 My_l=-28.52
Tensioni nella sezione: σ=345.66 τ=42.18
CC 7 SLV (Collegamento 0022_-379)
Azioni sul collegamento: N=-7936.99 Ty=0.88 Tz=5.89 Mx=0.01 Mz=2.36
Sollecitazioni agenti localmente: Ty_l=-1397.62 My_l=-28.64
Tensioni nella sezione: σ=347.13 τ=42.35
CC 7 SLV (Collegamento 0022_-379)
Azioni sul collegamento: N=-7936.99 Ty=1.59 Tz=5.89 Mx=0.01 Mz=3.75
Sollecitazioni agenti localmente: Ty_l=-1392.08 My_l=-28.52
Tensioni nella sezione: σ=345.66 τ=42.18
CC 7 SLV (Collegamento 0022_-379)
Azioni sul collegamento: N=-3330.52 Ty=0.88 Tz=-11.19 Mx=0.01 Mz=2.36
Sollecitazioni agenti localmente: Ty_l=-581.02 My_l=-11.90
Tensioni nella sezione: σ=144.21 τ=17.61
CC 7 SLV (Collegamento 0022_-379)
Azioni sul collegamento: N=-3330.52 Ty=1.59 Tz=-11.19 Mx=0.01 Mz=3.75
Sollecitazioni agenti localmente: Ty_l=-575.48 My_l=-11.78
Tensioni nella sezione: σ=142.75 τ=17.44
CC 7 SLV (Collegamento 0022_-379)
Azioni sul collegamento: N=-3330.52 Ty=0.88 Tz=5.89 Mx=0.01 Mz=2.36
Sollecitazioni agenti localmente: Ty_l=-581.02 My_l=-11.90
Tensioni nella sezione: σ=144.21 τ=17.61
CC 7 SLV (Collegamento 0022_-379)

Azioni sul collegamento: N=-3330.52 Ty=1.59 Tz=5.89 Mx=0.01 Mz=3.75
Sollecitazioni agenti localmente: Ty_l=-575.48 My_l=-11.78
Tensioni nella sezione: σ=142.75 τ=17.44
CC 8 SLD (Collegamento 0022_-379)
Azioni sul collegamento: N=-6335.90 Ty=0.32 Tz=-5.26 Mx=0.00 Mz=0.79
Sollecitazioni agenti localmente: Ty_l=-1120.03 My_l=-22.96
Tensioni nella sezione: σ=278.26 τ=33.94
CC 8 SLD (Collegamento 0022_-379)
Azioni sul collegamento: N=-6335.90 Ty=0.54 Tz=-5.26 Mx=0.00 Mz=1.22
Sollecitazioni agenti localmente: Ty_l=-1118.35 My_l=-22.92
Tensioni nella sezione: σ=277.81 τ=33.89
CC 8 SLD (Collegamento 0022_-379)
Azioni sul collegamento: N=-6335.90 Ty=0.32 Tz=-0.05 Mx=0.00 Mz=0.79
Sollecitazioni agenti localmente: Ty_l=-1120.03 My_l=-22.96
Tensioni nella sezione: σ=278.26 τ=33.94
CC 8 SLD (Collegamento 0022_-379)
Azioni sul collegamento: N=-6335.90 Ty=0.54 Tz=-0.05 Mx=0.00 Mz=1.22
Sollecitazioni agenti localmente: Ty_l=-1118.35 My_l=-22.92
Tensioni nella sezione: σ=277.81 τ=33.89
CC 8 SLD (Collegamento 0022_-379)
Azioni sul collegamento: N=-4931.25 Ty=0.32 Tz=-5.26 Mx=0.00 Mz=0.79
Sollecitazioni agenti localmente: Ty_l=-871.03 My_l=-17.85
Tensioni nella sezione: σ=216.38 τ=26.39
CC 8 SLD (Collegamento 0022_-379)
Azioni sul collegamento: N=-4931.25 Ty=0.54 Tz=-5.26 Mx=0.00 Mz=1.22
Sollecitazioni agenti localmente: Ty_l=-869.34 My_l=-17.81
Tensioni nella sezione: σ=215.94 τ=26.34
CC 8 SLD (Collegamento 0022_-379)
Azioni sul collegamento: N=-4931.25 Ty=0.32 Tz=-0.05 Mx=0.00 Mz=0.79
Sollecitazioni agenti localmente: Ty_l=-871.03 My_l=-17.85
Tensioni nella sezione: σ=216.38 τ=26.39
CC 8 SLD (Collegamento 0022_-379)
Azioni sul collegamento: N=-4931.25 Ty=0.54 Tz=-0.05 Mx=0.00 Mz=1.22
Sollecitazioni agenti localmente: Ty_l=-869.34 My_l=-17.81
Tensioni nella sezione: σ=215.94 τ=26.34
CC 9 SLV (Collegamento 0022_-379)
Azioni sul collegamento: N=-4942.75 Ty=2.39 Tz=-0.09 Mx=0.02 Mz=5.32
Sollecitazioni agenti localmente: Ty_l=-855.06 My_l=-17.50
Tensioni nella sezione: σ=212.11 τ=25.91
CC 9 SLV (Collegamento 0022_-379)
Azioni sul collegamento: N=-4942.75 Ty=0.08 Tz=-0.09 Mx=0.02 Mz=0.80
Sollecitazioni agenti localmente: Ty_l=-873.05 My_l=-17.89
Tensioni nella sezione: σ=216.88 τ=26.46
CC 9 SLV (Collegamento 0022_-379)
Azioni sul collegamento: N=-4942.75 Ty=2.39 Tz=-5.22 Mx=0.02 Mz=5.32
Sollecitazioni agenti localmente: Ty_l=-855.06 My_l=-17.50
Tensioni nella sezione: σ=212.11 τ=25.91
CC 9 SLV (Collegamento 0022_-379)
Azioni sul collegamento: N=-4942.75 Ty=0.08 Tz=-5.22 Mx=0.02 Mz=0.80
Sollecitazioni agenti localmente: Ty_l=-873.05 My_l=-17.89
Tensioni nella sezione: σ=216.88 τ=26.46
CC 9 SLV (Collegamento 0022_-379)
Azioni sul collegamento: N=-6324.76 Ty=2.39 Tz=-0.09 Mx=0.02 Mz=5.32
Sollecitazioni agenti localmente: Ty_l=-1100.05 My_l=-22.52
Tensioni nella sezione: σ=272.99 τ=33.33
CC 9 SLV (Collegamento 0022_-379)
Azioni sul collegamento: N=-6324.76 Ty=0.08 Tz=-0.09 Mx=0.02 Mz=0.80
Sollecitazioni agenti localmente: Ty_l=-1118.04 My_l=-22.92
Tensioni nella sezione: σ=277.76 τ=33.88
CC 9 SLV (Collegamento 0022_-379)
Azioni sul collegamento: N=-6324.76 Ty=2.39 Tz=-5.22 Mx=0.02 Mz=5.32
Sollecitazioni agenti localmente: Ty_l=-1100.05 My_l=-22.52
Tensioni nella sezione: σ=272.99 τ=33.33
CC 9 SLV (Collegamento 0022_-379)
Azioni sul collegamento: N=-6324.76 Ty=0.08 Tz=-5.22 Mx=0.02 Mz=0.80
Sollecitazioni agenti localmente: Ty_l=-1118.04 My_l=-22.92
Tensioni nella sezione: σ=277.76 τ=33.88
CC 10 SLD (Collegamento 0022_-379)
Azioni sul collegamento: N=-5422.87 Ty=0.78 Tz=-1.87 Mx=0.01 Mz=1.69
Sollecitazioni agenti localmente: Ty_l=-954.59 My_l=-19.56
Tensioni nella sezione: σ=237.09 τ=28.93
CC 10 SLD (Collegamento 0022_-379)
Azioni sul collegamento: N=-5422.87 Ty=0.08 Tz=-1.87 Mx=0.01 Mz=0.31
Sollecitazioni agenti localmente: Ty_l=-960.08 My_l=-19.68
Tensioni nella sezione: σ=238.54 τ=29.09
CC 10 SLD (Collegamento 0022_-379)
Azioni sul collegamento: N=-5422.87 Ty=0.78 Tz=-3.44 Mx=0.01 Mz=1.69
Sollecitazioni agenti localmente: Ty_l=-954.59 My_l=-19.56
Tensioni nella sezione: σ=237.09 τ=28.93

CC 10 SLD (Collegamento 0022_-379)
Azioni sul collegamento: N=-5422.87 Ty=0.08 Tz=-3.44 Mx=0.01 Mz=0.31
Sollecitazioni agenti localmente: Ty_l=-960.08 My_l=-19.68
Tensioni nella sezione: σ=238.54 τ=29.09
CC 10 SLD (Collegamento 0022_-379)
Azioni sul collegamento: N=-5844.28 Ty=0.78 Tz=-1.87 Mx=0.01 Mz=1.69
Sollecitazioni agenti localmente: Ty_l=-1029.30 My_l=-21.09
Tensioni nella sezione: σ=255.65 τ=31.19
CC 10 SLD (Collegamento 0022_-379)
Azioni sul collegamento: N=-5844.28 Ty=0.08 Tz=-1.87 Mx=0.01 Mz=0.31
Sollecitazioni agenti localmente: Ty_l=-1034.78 My_l=-21.21
Tensioni nella sezione: σ=257.11 τ=31.36
CC 10 SLD (Collegamento 0022_-379)
Azioni sul collegamento: N=-5844.28 Ty=0.78 Tz=-3.44 Mx=0.01 Mz=1.69
Sollecitazioni agenti localmente: Ty_l=-1029.30 My_l=-21.09
Tensioni nella sezione: σ=255.65 τ=31.19
CC 10 SLD (Collegamento 0022_-379)
Azioni sul collegamento: N=-5844.28 Ty=0.08 Tz=-3.44 Mx=0.01 Mz=0.31
Sollecitazioni agenti localmente: Ty_l=-1034.78 My_l=-21.21
Tensioni nella sezione: σ=257.11 τ=31.36
CC 11 SLV (Collegamento 0022_-379)
Azioni sul collegamento: N=-6324.69 Ty=2.39 Tz=-5.21 Mx=0.02 Mz=5.31
Sollecitazioni agenti localmente: Ty_l=-1100.08 My_l=-22.52
Tensioni nella sezione: σ=273.00 τ=33.34
CC 11 SLV (Collegamento 0022_-379)
Azioni sul collegamento: N=-6324.69 Ty=0.09 Tz=-5.21 Mx=0.02 Mz=0.81
Sollecitazioni agenti localmente: Ty_l=-1117.98 My_l=-22.91
Tensioni nella sezione: σ=277.75 τ=33.88
CC 11 SLV (Collegamento 0022_-379)
Azioni sul collegamento: N=-6324.69 Ty=2.39 Tz=-0.09 Mx=0.02 Mz=5.31
Sollecitazioni agenti localmente: Ty_l=-1100.08 My_l=-22.52
Tensioni nella sezione: σ=273.00 τ=33.34
CC 11 SLV (Collegamento 0022_-379)
Azioni sul collegamento: N=-6324.69 Ty=0.09 Tz=-0.09 Mx=0.02 Mz=0.81
Sollecitazioni agenti localmente: Ty_l=-1117.98 My_l=-22.91
Tensioni nella sezione: σ=277.75 τ=33.88
CC 11 SLV (Collegamento 0022_-379)
Azioni sul collegamento: N=-4942.83 Ty=2.39 Tz=-5.21 Mx=0.02 Mz=5.31
Sollecitazioni agenti localmente: Ty_l=-855.12 My_l=-17.50
Tensioni nella sezione: σ=212.13 τ=25.91
CC 11 SLV (Collegamento 0022_-379)
Azioni sul collegamento: N=-4942.83 Ty=0.09 Tz=-5.21 Mx=0.02 Mz=0.81
Sollecitazioni agenti localmente: Ty_l=-873.01 My_l=-17.89
Tensioni nella sezione: σ=216.88 τ=26.45
CC 11 SLV (Collegamento 0022_-379)
Azioni sul collegamento: N=-4942.83 Ty=2.39 Tz=-0.09 Mx=0.02 Mz=5.31
Sollecitazioni agenti localmente: Ty_l=-855.12 My_l=-17.50
Tensioni nella sezione: σ=212.13 τ=25.91
CC 11 SLV (Collegamento 0022_-379)
Azioni sul collegamento: N=-4942.83 Ty=0.09 Tz=-0.09 Mx=0.02 Mz=0.81
Sollecitazioni agenti localmente: Ty_l=-873.01 My_l=-17.89
Tensioni nella sezione: σ=216.88 τ=26.45
CC 12 SLD (Collegamento 0022_-379)
Azioni sul collegamento: N=-5844.26 Ty=0.78 Tz=-3.43 Mx=0.01 Mz=1.69
Sollecitazioni agenti localmente: Ty_l=-1029.31 My_l=-21.09
Tensioni nella sezione: σ=255.65 τ=31.19
CC 12 SLD (Collegamento 0022_-379)
Azioni sul collegamento: N=-5844.26 Ty=0.08 Tz=-3.43 Mx=0.01 Mz=0.32
Sollecitazioni agenti localmente: Ty_l=-1034.76 My_l=-21.21
Tensioni nella sezione: σ=257.10 τ=31.36
CC 12 SLD (Collegamento 0022_-379)
Azioni sul collegamento: N=-5844.26 Ty=0.78 Tz=-1.87 Mx=0.01 Mz=1.69
Sollecitazioni agenti localmente: Ty_l=-1029.31 My_l=-21.09
Tensioni nella sezione: σ=255.65 τ=31.19
CC 12 SLD (Collegamento 0022_-379)
Azioni sul collegamento: N=-5844.26 Ty=0.08 Tz=-1.87 Mx=0.01 Mz=0.32
Sollecitazioni agenti localmente: Ty_l=-1034.76 My_l=-21.21
Tensioni nella sezione: σ=257.10 τ=31.36
CC 12 SLD (Collegamento 0022_-379)
Azioni sul collegamento: N=-5422.89 Ty=0.78 Tz=-3.43 Mx=0.01 Mz=1.69
Sollecitazioni agenti localmente: Ty_l=-954.61 My_l=-19.56
Tensioni nella sezione: σ=237.09 τ=28.93
CC 12 SLD (Collegamento 0022_-379)
Azioni sul collegamento: N=-5422.89 Ty=0.08 Tz=-3.43 Mx=0.01 Mz=0.32
Sollecitazioni agenti localmente: Ty_l=-960.07 My_l=-19.68
Tensioni nella sezione: σ=238.54 τ=29.09
CC 12 SLD (Collegamento 0022_-379)
Azioni sul collegamento: N=-5422.89 Ty=0.78 Tz=-1.87 Mx=0.01 Mz=1.69
Sollecitazioni agenti localmente: Ty_l=-954.61 My_l=-19.56

Tensioni nella sezione: σ=237.09 τ=28.93
CC 12 SLD (Collegamento 0022_-379)
Azioni sul collegamento: N=-5422.89 Ty=0.08 Tz=-1.87 Mx=0.01 Mz=0.32
Sollecitazioni agenti localmente: Ty_l=-960.07 My_l=-19.68
Tensioni nella sezione: σ=238.54 τ=29.09
CC 13 SLV (Collegamento 0022_-379)
Azioni sul collegamento: N=-4942.83 Ty=0.09 Tz=-0.09 Mx=0.00 Mz=0.81
Sollecitazioni agenti localmente: Ty_l=-873.01 My_l=-17.89
Tensioni nella sezione: σ=216.88 τ=26.45
CC 13 SLV (Collegamento 0022_-379)
Azioni sul collegamento: N=-4942.83 Ty=2.39 Tz=-0.09 Mx=0.00 Mz=5.31
Sollecitazioni agenti localmente: Ty_l=-855.12 My_l=-17.50
Tensioni nella sezione: σ=212.13 τ=25.91
CC 13 SLV (Collegamento 0022_-379)
Azioni sul collegamento: N=-4942.83 Ty=0.09 Tz=-5.21 Mx=0.00 Mz=0.81
Sollecitazioni agenti localmente: Ty_l=-873.01 My_l=-17.89
Tensioni nella sezione: σ=216.88 τ=26.45
CC 13 SLV (Collegamento 0022_-379)
Azioni sul collegamento: N=-4942.83 Ty=2.39 Tz=-5.21 Mx=0.00 Mz=5.31
Sollecitazioni agenti localmente: Ty_l=-855.12 My_l=-17.50
Tensioni nella sezione: σ=212.13 τ=25.91
CC 13 SLV (Collegamento 0022_-379)
Azioni sul collegamento: N=-6324.69 Ty=0.09 Tz=-0.09 Mx=0.00 Mz=0.81
Sollecitazioni agenti localmente: Ty_l=-1117.98 My_l=-22.91
Tensioni nella sezione: σ=277.75 τ=33.88
CC 13 SLV (Collegamento 0022_-379)
Azioni sul collegamento: N=-6324.69 Ty=2.39 Tz=-0.09 Mx=0.00 Mz=5.31
Sollecitazioni agenti localmente: Ty_l=-1100.08 My_l=-22.52
Tensioni nella sezione: σ=273.00 τ=33.34
CC 13 SLV (Collegamento 0022_-379)
Azioni sul collegamento: N=-6324.69 Ty=0.09 Tz=-5.21 Mx=0.00 Mz=0.81
Sollecitazioni agenti localmente: Ty_l=-1117.98 My_l=-22.91
Tensioni nella sezione: σ=277.75 τ=33.88
CC 13 SLV (Collegamento 0022_-379)
Azioni sul collegamento: N=-6324.69 Ty=2.39 Tz=-5.21 Mx=0.00 Mz=5.31
Sollecitazioni agenti localmente: Ty_l=-1100.08 My_l=-22.52
Tensioni nella sezione: σ=273.00 τ=33.34
CC 14 SLD (Collegamento 0022_-379)
Azioni sul collegamento: N=-5422.89 Ty=0.08 Tz=-1.87 Mx=0.00 Mz=0.32
Sollecitazioni agenti localmente: Ty_l=-960.07 My_l=-19.68
Tensioni nella sezione: σ=238.54 τ=29.09
CC 14 SLD (Collegamento 0022_-379)
Azioni sul collegamento: N=-5422.89 Ty=0.78 Tz=-1.87 Mx=0.00 Mz=1.69
Sollecitazioni agenti localmente: Ty_l=-954.61 My_l=-19.56
Tensioni nella sezione: σ=237.09 τ=28.93
CC 14 SLD (Collegamento 0022_-379)
Azioni sul collegamento: N=-5422.89 Ty=0.08 Tz=-3.43 Mx=0.00 Mz=0.32
Sollecitazioni agenti localmente: Ty_l=-960.07 My_l=-19.68
Tensioni nella sezione: σ=238.54 τ=29.09
CC 14 SLD (Collegamento 0022_-379)
Azioni sul collegamento: N=-5422.89 Ty=0.78 Tz=-3.43 Mx=0.00 Mz=1.69
Sollecitazioni agenti localmente: Ty_l=-954.61 My_l=-19.56
Tensioni nella sezione: σ=237.09 τ=28.93
CC 14 SLD (Collegamento 0022_-379)
Azioni sul collegamento: N=-5844.26 Ty=0.08 Tz=-1.87 Mx=0.00 Mz=0.32
Sollecitazioni agenti localmente: Ty_l=-1034.76 My_l=-21.21
Tensioni nella sezione: σ=257.10 τ=31.36
CC 14 SLD (Collegamento 0022_-379)
Azioni sul collegamento: N=-5844.26 Ty=0.78 Tz=-1.87 Mx=0.00 Mz=1.69
Sollecitazioni agenti localmente: Ty_l=-1029.31 My_l=-21.09
Tensioni nella sezione: σ=255.65 τ=31.19
CC 14 SLD (Collegamento 0022_-379)
Azioni sul collegamento: N=-5844.26 Ty=0.08 Tz=-3.43 Mx=0.00 Mz=0.32
Sollecitazioni agenti localmente: Ty_l=-1034.76 My_l=-21.21
Tensioni nella sezione: σ=257.10 τ=31.36
CC 14 SLD (Collegamento 0022_-379)
Azioni sul collegamento: N=-5844.26 Ty=0.78 Tz=-3.43 Mx=0.00 Mz=1.69
Sollecitazioni agenti localmente: Ty_l=-1029.31 My_l=-21.09
Tensioni nella sezione: σ=255.65 τ=31.19
CC 15 SLV (Collegamento 0022_-379)
Azioni sul collegamento: N=-6324.76 Ty=0.08 Tz=-5.22 Mx=0.00 Mz=0.80
Sollecitazioni agenti localmente: Ty_l=-1118.04 My_l=-22.92
Tensioni nella sezione: σ=277.76 τ=33.88
CC 15 SLV (Collegamento 0022_-379)
Azioni sul collegamento: N=-6324.76 Ty=2.39 Tz=-5.22 Mx=0.00 Mz=5.32
Sollecitazioni agenti localmente: Ty_l=-1100.05 My_l=-22.52
Tensioni nella sezione: σ=272.99 τ=33.33
CC 15 SLV (Collegamento 0022_-379)
Azioni sul collegamento: N=-6324.76 Ty=0.08 Tz=-0.09 Mx=0.00 Mz=0.80

Sollecitazioni agenti localmente: Ty_l=-1118.04 My_l=-22.92
Tensioni nella sezione: σ=277.76 τ=33.88
CC 15 SLV (Collegamento 0022_-379)
Azioni sul collegamento: N=-6324.76 Ty=2.39 Tz=-0.09 Mx=0.00 Mz=5.32
Sollecitazioni agenti localmente: Ty_l=-1100.05 My_l=-22.52
Tensioni nella sezione: σ=272.99 τ=33.33
CC 15 SLV (Collegamento 0022_-379)
Azioni sul collegamento: N=-4942.75 Ty=0.08 Tz=-5.22 Mx=0.00 Mz=0.80
Sollecitazioni agenti localmente: Ty_l=-873.05 My_l=-17.89
Tensioni nella sezione: σ=216.88 τ=26.46
CC 15 SLV (Collegamento 0022_-379)
Azioni sul collegamento: N=-4942.75 Ty=2.39 Tz=-5.22 Mx=0.00 Mz=5.32
Sollecitazioni agenti localmente: Ty_l=-855.06 My_l=-17.50
Tensioni nella sezione: σ=212.11 τ=25.91
CC 15 SLV (Collegamento 0022_-379)
Azioni sul collegamento: N=-4942.75 Ty=0.08 Tz=-0.09 Mx=0.00 Mz=0.80
Sollecitazioni agenti localmente: Ty_l=-873.05 My_l=-17.89
Tensioni nella sezione: σ=216.88 τ=26.46
CC 15 SLV (Collegamento 0022_-379)
Azioni sul collegamento: N=-4942.75 Ty=2.39 Tz=-0.09 Mx=0.00 Mz=5.32
Sollecitazioni agenti localmente: Ty_l=-855.06 My_l=-17.50
Tensioni nella sezione: σ=212.11 τ=25.91
CC 16 SLD (Collegamento 0022_-379)
Azioni sul collegamento: N=-5844.28 Ty=0.08 Tz=-3.44 Mx=0.00 Mz=0.31
Sollecitazioni agenti localmente: Ty_l=-1034.78 My_l=-21.21
Tensioni nella sezione: σ=257.11 τ=31.36
CC 16 SLD (Collegamento 0022_-379)
Azioni sul collegamento: N=-5844.28 Ty=0.78 Tz=-3.44 Mx=0.00 Mz=1.69
Sollecitazioni agenti localmente: Ty_l=-1029.30 My_l=-21.09
Tensioni nella sezione: σ=255.65 τ=31.19
CC 16 SLD (Collegamento 0022_-379)
Azioni sul collegamento: N=-5844.28 Ty=0.08 Tz=-1.87 Mx=0.00 Mz=0.31
Sollecitazioni agenti localmente: Ty_l=-1034.78 My_l=-21.21
Tensioni nella sezione: σ=257.11 τ=31.36
CC 16 SLD (Collegamento 0022_-379)
Azioni sul collegamento: N=-5844.28 Ty=0.78 Tz=-1.87 Mx=0.00 Mz=1.69
Sollecitazioni agenti localmente: Ty_l=-1029.30 My_l=-21.09
Tensioni nella sezione: σ=255.65 τ=31.19
CC 16 SLD (Collegamento 0022_-379)
Azioni sul collegamento: N=-5422.87 Ty=0.08 Tz=-3.44 Mx=0.00 Mz=0.31
Sollecitazioni agenti localmente: Ty_l=-960.08 My_l=-19.68
Tensioni nella sezione: σ=238.54 τ=29.09
CC 16 SLD (Collegamento 0022_-379)
Azioni sul collegamento: N=-5422.87 Ty=0.78 Tz=-3.44 Mx=0.00 Mz=1.69
Sollecitazioni agenti localmente: Ty_l=-954.59 My_l=-19.56
Tensioni nella sezione: σ=237.09 τ=28.93
CC 16 SLD (Collegamento 0022_-379)
Azioni sul collegamento: N=-5422.87 Ty=0.08 Tz=-1.87 Mx=0.00 Mz=0.31
Sollecitazioni agenti localmente: Ty_l=-960.08 My_l=-19.68
Tensioni nella sezione: σ=238.54 τ=29.09
CC 16 SLD (Collegamento 0022_-379)
Azioni sul collegamento: N=-5422.87 Ty=0.78 Tz=-1.87 Mx=0.00 Mz=1.69
Sollecitazioni agenti localmente: Ty_l=-954.59 My_l=-19.56
Tensioni nella sezione: σ=237.09 τ=28.93
CC 17 SLV (Collegamento 0022_-379)
Azioni sul collegamento: N=-3330.00 Ty=-0.74 Tz=5.89 Mx=-0.02 Mz=-2.16
Sollecitazioni agenti localmente: Ty_l=-598.89 My_l=-12.29
Tensioni nella sezione: σ=148.96 τ=18.15
CC 17 SLV (Collegamento 0022_-379)
Azioni sul collegamento: N=-3330.00 Ty=-1.44 Tz=5.89 Mx=-0.02 Mz=-3.55
Sollecitazioni agenti localmente: Ty_l=-604.43 My_l=-12.41
Tensioni nella sezione: σ=150.43 τ=18.32
CC 17 SLV (Collegamento 0022_-379)
Azioni sul collegamento: N=-3330.00 Ty=-0.74 Tz=-11.20 Mx=-0.02 Mz=-2.16
Sollecitazioni agenti localmente: Ty_l=-598.89 My_l=-12.29
Tensioni nella sezione: σ=148.96 τ=18.15
CC 17 SLV (Collegamento 0022_-379)
Azioni sul collegamento: N=-3330.00 Ty=-1.44 Tz=-11.20 Mx=-0.02 Mz=-3.55
Sollecitazioni agenti localmente: Ty_l=-604.43 My_l=-12.41
Tensioni nella sezione: σ=150.43 τ=18.32
CC 17 SLV (Collegamento 0022_-379)
Azioni sul collegamento: N=-7936.47 Ty=-0.74 Tz=5.89 Mx=-0.02 Mz=-2.16
Sollecitazioni agenti localmente: Ty_l=-1415.49 My_l=-29.03
Tensioni nella sezione: σ=351.87 τ=42.89
CC 17 SLV (Collegamento 0022_-379)
Azioni sul collegamento: N=-7936.47 Ty=-1.44 Tz=5.89 Mx=-0.02 Mz=-3.55
Sollecitazioni agenti localmente: Ty_l=-1421.03 My_l=-29.15
Tensioni nella sezione: σ=353.34 τ=43.06
CC 17 SLV (Collegamento 0022_-379)

Azioni sul collegamento: N=-7936.47 Ty=-0.74 Tz=-11.20 Mx=-0.02 Mz=-2.16
Sollecitazioni agenti localmente: Ty_l=-1415.49 My_l=-29.03
Tensioni nella sezione: σ=351.87 τ=42.89
CC 17 SLV (Collegamento 0022_-379)
Azioni sul collegamento: N=-7936.47 Ty=-1.44 Tz=-11.20 Mx=-0.02 Mz=-3.55
Sollecitazioni agenti localmente: Ty_l=-1421.03 My_l=-29.15
Tensioni nella sezione: σ=353.34 τ=43.06
CC 18 SLD (Collegamento 0022_-379)
Azioni sul collegamento: N=-4931.08 Ty=-0.17 Tz=-0.05 Mx=-0.00 Mz=-0.59
Sollecitazioni agenti localmente: Ty_l=-876.48 My_l=-17.97
Tensioni nella sezione: σ=217.83 τ=26.56
CC 18 SLD (Collegamento 0022_-379)
Azioni sul collegamento: N=-4931.08 Ty=-0.39 Tz=-0.05 Mx=-0.00 Mz=-1.01
Sollecitazioni agenti localmente: Ty_l=-878.16 My_l=-18.01
Tensioni nella sezione: σ=218.28 τ=26.61
CC 18 SLD (Collegamento 0022_-379)
Azioni sul collegamento: N=-4931.09 Ty=-0.17 Tz=-5.26 Mx=-0.00 Mz=-0.59
Sollecitazioni agenti localmente: Ty_l=-876.48 My_l=-17.97
Tensioni nella sezione: σ=217.83 τ=26.56
CC 18 SLD (Collegamento 0022_-379)
Azioni sul collegamento: N=-4931.09 Ty=-0.39 Tz=-5.26 Mx=-0.00 Mz=-1.01
Sollecitazioni agenti localmente: Ty_l=-878.16 My_l=-18.01
Tensioni nella sezione: σ=218.28 τ=26.61
CC 18 SLD (Collegamento 0022_-379)
Azioni sul collegamento: N=-6335.74 Ty=-0.17 Tz=-0.05 Mx=-0.00 Mz=-0.59
Sollecitazioni agenti localmente: Ty_l=-1125.48 My_l=-23.08
Tensioni nella sezione: σ=279.70 τ=34.11
CC 18 SLD (Collegamento 0022_-379)
Azioni sul collegamento: N=-6335.74 Ty=-0.39 Tz=-0.05 Mx=-0.00 Mz=-1.01
Sollecitazioni agenti localmente: Ty_l=-1127.17 My_l=-23.11
Tensioni nella sezione: σ=280.15 τ=34.16
CC 18 SLD (Collegamento 0022_-379)
Azioni sul collegamento: N=-6335.74 Ty=-0.17 Tz=-5.26 Mx=-0.00 Mz=-0.59
Sollecitazioni agenti localmente: Ty_l=-1125.48 My_l=-23.08
Tensioni nella sezione: σ=279.70 τ=34.11
CC 18 SLD (Collegamento 0022_-379)
Azioni sul collegamento: N=-6335.74 Ty=-0.39 Tz=-5.26 Mx=-0.00 Mz=-1.01
Sollecitazioni agenti localmente: Ty_l=-1127.17 My_l=-23.11
Tensioni nella sezione: σ=280.15 τ=34.16
CC 19 SLV (Collegamento 0022_-379)
Azioni sul collegamento: N=-3330.02 Ty=-1.43 Tz=5.88 Mx=-0.01 Mz=-3.51
Sollecitazioni agenti localmente: Ty_l=-604.28 My_l=-12.41
Tensioni nella sezione: σ=150.39 τ=18.31
CC 19 SLV (Collegamento 0022_-379)
Azioni sul collegamento: N=-3330.02 Ty=-0.75 Tz=5.88 Mx=-0.01 Mz=-2.19
Sollecitazioni agenti localmente: Ty_l=-599.05 My_l=-12.29
Tensioni nella sezione: σ=149.00 τ=18.15
CC 19 SLV (Collegamento 0022_-379)
Azioni sul collegamento: N=-3330.02 Ty=-1.43 Tz=-11.19 Mx=-0.01 Mz=-3.51
Sollecitazioni agenti localmente: Ty_l=-604.28 My_l=-12.41
Tensioni nella sezione: σ=150.39 τ=18.31
CC 19 SLV (Collegamento 0022_-379)
Azioni sul collegamento: N=-3330.02 Ty=-0.75 Tz=-11.19 Mx=-0.01 Mz=-2.19
Sollecitazioni agenti localmente: Ty_l=-599.05 My_l=-12.29
Tensioni nella sezione: σ=149.00 τ=18.15
CC 19 SLV (Collegamento 0022_-379)
Azioni sul collegamento: N=-7936.44 Ty=-1.43 Tz=5.88 Mx=-0.01 Mz=-3.51
Sollecitazioni agenti localmente: Ty_l=-1420.87 My_l=-29.15
Tensioni nella sezione: σ=353.30 τ=43.06
CC 19 SLV (Collegamento 0022_-379)
Azioni sul collegamento: N=-7936.44 Ty=-0.75 Tz=5.88 Mx=-0.01 Mz=-2.19
Sollecitazioni agenti localmente: Ty_l=-1415.64 My_l=-29.03
Tensioni nella sezione: σ=351.91 τ=42.90
CC 19 SLV (Collegamento 0022_-379)
Azioni sul collegamento: N=-7936.44 Ty=-1.43 Tz=-11.19 Mx=-0.01 Mz=-3.51
Sollecitazioni agenti localmente: Ty_l=-1420.87 My_l=-29.15
Tensioni nella sezione: σ=353.30 τ=43.06
CC 19 SLV (Collegamento 0022_-379)
Azioni sul collegamento: N=-7936.44 Ty=-0.75 Tz=-11.19 Mx=-0.01 Mz=-2.19
Sollecitazioni agenti localmente: Ty_l=-1415.64 My_l=-29.03
Tensioni nella sezione: σ=351.91 τ=42.90
CC 20 SLD (Collegamento 0022_-379)
Azioni sul collegamento: N=-4931.09 Ty=-0.38 Tz=-0.05 Mx=-0.00 Mz=-1.00
Sollecitazioni agenti localmente: Ty_l=-878.12 My_l=-18.01
Tensioni nella sezione: σ=218.27 τ=26.61
CC 20 SLD (Collegamento 0022_-379)
Azioni sul collegamento: N=-4931.09 Ty=-0.18 Tz=-0.05 Mx=-0.00 Mz=-0.60
Sollecitazioni agenti localmente: Ty_l=-876.52 My_l=-17.97
Tensioni nella sezione: σ=217.84 τ=26.56

CC 20 SLD (Collegamento 0022_-379)
Azioni sul collegamento: N=-4931.09 Ty=-0.38 Tz=-5.26 Mx=-0.00 Mz=-1.00
Sollecitazioni agenti localmente: Ty_l=-878.12 My_l=-18.01
Tensioni nella sezione: σ=218.27 τ=26.61
CC 20 SLD (Collegamento 0022_-379)
Azioni sul collegamento: N=-4931.09 Ty=-0.18 Tz=-5.26 Mx=-0.00 Mz=-0.60
Sollecitazioni agenti localmente: Ty_l=-876.52 My_l=-17.97
Tensioni nella sezione: σ=217.84 τ=26.56
CC 20 SLD (Collegamento 0022_-379)
Azioni sul collegamento: N=-6335.74 Ty=-0.38 Tz=-0.05 Mx=-0.00 Mz=-1.00
Sollecitazioni agenti localmente: Ty_l=-1127.12 My_l=-23.11
Tensioni nella sezione: σ=280.14 τ=34.16
CC 20 SLD (Collegamento 0022_-379)
Azioni sul collegamento: N=-6335.74 Ty=-0.18 Tz=-0.05 Mx=-0.00 Mz=-0.60
Sollecitazioni agenti localmente: Ty_l=-1125.53 My_l=-23.08
Tensioni nella sezione: σ=279.72 τ=34.11
CC 20 SLD (Collegamento 0022_-379)
Azioni sul collegamento: N=-6335.74 Ty=-0.38 Tz=-5.26 Mx=-0.00 Mz=-1.00
Sollecitazioni agenti localmente: Ty_l=-1127.12 My_l=-23.11
Tensioni nella sezione: σ=280.14 τ=34.16
CC 20 SLD (Collegamento 0022_-379)
Azioni sul collegamento: N=-6335.74 Ty=-0.18 Tz=-5.26 Mx=-0.00 Mz=-0.60
Sollecitazioni agenti localmente: Ty_l=-1125.53 My_l=-23.08
Tensioni nella sezione: σ=279.72 τ=34.11
CC 21 SLV (Collegamento 0022_-379)
Azioni sul collegamento: N=-7936.44 Ty=-0.75 Tz=-11.19 Mx=-0.02 Mz=-2.19
Sollecitazioni agenti localmente: Ty_l=-1415.64 My_l=-29.03
Tensioni nella sezione: σ=351.91 τ=42.90
CC 21 SLV (Collegamento 0022_-379)
Azioni sul collegamento: N=-7936.44 Ty=-1.43 Tz=-11.19 Mx=-0.02 Mz=-3.51
Sollecitazioni agenti localmente: Ty_l=-1420.87 My_l=-29.15
Tensioni nella sezione: σ=353.30 τ=43.06
CC 21 SLV (Collegamento 0022_-379)
Azioni sul collegamento: N=-7936.44 Ty=-0.75 Tz=5.88 Mx=-0.02 Mz=-2.19
Sollecitazioni agenti localmente: Ty_l=-1415.64 My_l=-29.03
Tensioni nella sezione: σ=351.91 τ=42.90
CC 21 SLV (Collegamento 0022_-379)
Azioni sul collegamento: N=-7936.44 Ty=-1.43 Tz=5.88 Mx=-0.02 Mz=-3.51
Sollecitazioni agenti localmente: Ty_l=-1420.87 My_l=-29.15
Tensioni nella sezione: σ=353.30 τ=43.06
CC 21 SLV (Collegamento 0022_-379)
Azioni sul collegamento: N=-3330.02 Ty=-0.75 Tz=-11.19 Mx=-0.02 Mz=-2.19
Sollecitazioni agenti localmente: Ty_l=-599.05 My_l=-12.29
Tensioni nella sezione: σ=149.00 τ=18.15
CC 21 SLV (Collegamento 0022_-379)
Azioni sul collegamento: N=-3330.02 Ty=-1.43 Tz=-11.19 Mx=-0.02 Mz=-3.51
Sollecitazioni agenti localmente: Ty_l=-604.28 My_l=-12.41
Tensioni nella sezione: σ=150.39 τ=18.31
CC 21 SLV (Collegamento 0022_-379)
Azioni sul collegamento: N=-3330.02 Ty=-0.75 Tz=5.88 Mx=-0.02 Mz=-2.19
Sollecitazioni agenti localmente: Ty_l=-599.05 My_l=-12.29
Tensioni nella sezione: σ=149.00 τ=18.15
CC 21 SLV (Collegamento 0022_-379)
Azioni sul collegamento: N=-3330.02 Ty=-1.43 Tz=5.88 Mx=-0.02 Mz=-3.51
Sollecitazioni agenti localmente: Ty_l=-604.28 My_l=-12.41
Tensioni nella sezione: σ=150.39 τ=18.31
CC 22 SLD (Collegamento 0022_-379)
Azioni sul collegamento: N=-6335.74 Ty=-0.18 Tz=-5.26 Mx=-0.00 Mz=-0.60
Sollecitazioni agenti localmente: Ty_l=-1125.53 My_l=-23.08
Tensioni nella sezione: σ=279.72 τ=34.11
CC 22 SLD (Collegamento 0022_-379)
Azioni sul collegamento: N=-6335.74 Ty=-0.38 Tz=-5.26 Mx=-0.00 Mz=-1.00
Sollecitazioni agenti localmente: Ty_l=-1127.12 My_l=-23.11
Tensioni nella sezione: σ=280.14 τ=34.16
CC 22 SLD (Collegamento 0022_-379)
Azioni sul collegamento: N=-6335.74 Ty=-0.18 Tz=-0.05 Mx=-0.00 Mz=-0.60
Sollecitazioni agenti localmente: Ty_l=-1125.53 My_l=-23.08
Tensioni nella sezione: σ=279.72 τ=34.11
CC 22 SLD (Collegamento 0022_-379)
Azioni sul collegamento: N=-6335.74 Ty=-0.38 Tz=-0.05 Mx=-0.00 Mz=-1.00
Sollecitazioni agenti localmente: Ty_l=-1127.12 My_l=-23.11
Tensioni nella sezione: σ=280.14 τ=34.16
CC 22 SLD (Collegamento 0022_-379)
Azioni sul collegamento: N=-4931.09 Ty=-0.18 Tz=-5.26 Mx=-0.00 Mz=-0.60
Sollecitazioni agenti localmente: Ty_l=-876.52 My_l=-17.97
Tensioni nella sezione: σ=217.84 τ=26.56
CC 22 SLD (Collegamento 0022_-379)
Azioni sul collegamento: N=-4931.09 Ty=-0.38 Tz=-5.26 Mx=-0.00 Mz=-1.00
Sollecitazioni agenti localmente: Ty_l=-878.12 My_l=-18.01

Tensioni nella sezione: σ=218.27 τ=26.61
CC 22 SLD (Collegamento 0022_-379)
Azioni sul collegamento: N=-4931.09 Ty=-0.18 Tz=-0.05 Mx=-0.00 Mz=-0.60
Sollecitazioni agenti localmente: Ty_l=-876.52 My_l=-17.97
Tensioni nella sezione: σ=217.84 τ=26.56
CC 22 SLD (Collegamento 0022_-379)
Azioni sul collegamento: N=-4931.09 Ty=-0.38 Tz=-0.05 Mx=-0.00 Mz=-1.00
Sollecitazioni agenti localmente: Ty_l=-878.12 My_l=-18.01
Tensioni nella sezione: σ=218.27 τ=26.61
CC 23 SLV (Collegamento 0022_-379)
Azioni sul collegamento: N=-7936.47 Ty=-1.44 Tz=-11.20 Mx=-0.01 Mz=-3.55
Sollecitazioni agenti localmente: Ty_l=-1421.03 My_l=-29.15
Tensioni nella sezione: σ=353.34 τ=43.06
CC 23 SLV (Collegamento 0022_-379)
Azioni sul collegamento: N=-7936.47 Ty=-0.74 Tz=-11.20 Mx=-0.01 Mz=-2.16
Sollecitazioni agenti localmente: Ty_l=-1415.49 My_l=-29.03
Tensioni nella sezione: σ=351.87 τ=42.89
CC 23 SLV (Collegamento 0022_-379)
Azioni sul collegamento: N=-7936.47 Ty=-1.44 Tz=5.89 Mx=-0.01 Mz=-3.55
Sollecitazioni agenti localmente: Ty_l=-1421.03 My_l=-29.15
Tensioni nella sezione: σ=353.34 τ=43.06
CC 23 SLV (Collegamento 0022_-379)
Azioni sul collegamento: N=-7936.47 Ty=-0.74 Tz=5.89 Mx=-0.01 Mz=-2.16
Sollecitazioni agenti localmente: Ty_l=-1415.49 My_l=-29.03
Tensioni nella sezione: σ=351.87 τ=42.89
CC 23 SLV (Collegamento 0022_-379)
Azioni sul collegamento: N=-3330.00 Ty=-1.44 Tz=-11.20 Mx=-0.01 Mz=-3.55
Sollecitazioni agenti localmente: Ty_l=-604.43 My_l=-12.41
Tensioni nella sezione: σ=150.43 τ=18.32
CC 23 SLV (Collegamento 0022_-379)
Azioni sul collegamento: N=-3330.00 Ty=-0.74 Tz=-11.20 Mx=-0.01 Mz=-2.16
Sollecitazioni agenti localmente: Ty_l=-598.89 My_l=-12.29
Tensioni nella sezione: σ=148.96 τ=18.15
CC 23 SLV (Collegamento 0022_-379)
Azioni sul collegamento: N=-3330.00 Ty=-1.44 Tz=5.89 Mx=-0.01 Mz=-3.55
Sollecitazioni agenti localmente: Ty_l=-604.43 My_l=-12.41
Tensioni nella sezione: σ=150.43 τ=18.32
CC 23 SLV (Collegamento 0022_-379)
Azioni sul collegamento: N=-3330.00 Ty=-0.74 Tz=5.89 Mx=-0.01 Mz=-2.16
Sollecitazioni agenti localmente: Ty_l=-598.89 My_l=-12.29
Tensioni nella sezione: σ=148.96 τ=18.15
CC 24 SLD (Collegamento 0022_-379)
Azioni sul collegamento: N=-6335.74 Ty=-0.39 Tz=-5.26 Mx=-0.00 Mz=-1.01
Sollecitazioni agenti localmente: Ty_l=-1127.17 My_l=-23.11
Tensioni nella sezione: σ=280.15 τ=34.16
CC 24 SLD (Collegamento 0022_-379)
Azioni sul collegamento: N=-6335.74 Ty=-0.17 Tz=-5.26 Mx=-0.00 Mz=-0.59
Sollecitazioni agenti localmente: Ty_l=-1125.48 My_l=-23.08
Tensioni nella sezione: σ=279.70 τ=34.11
CC 24 SLD (Collegamento 0022_-379)
Azioni sul collegamento: N=-6335.74 Ty=-0.39 Tz=-0.05 Mx=-0.00 Mz=-1.01
Sollecitazioni agenti localmente: Ty_l=-1127.17 My_l=-23.11
Tensioni nella sezione: σ=280.15 τ=34.16
CC 24 SLD (Collegamento 0022_-379)
Azioni sul collegamento: N=-6335.74 Ty=-0.17 Tz=-0.05 Mx=-0.00 Mz=-0.59
Sollecitazioni agenti localmente: Ty_l=-1125.48 My_l=-23.08
Tensioni nella sezione: σ=279.70 τ=34.11
CC 24 SLD (Collegamento 0022_-379)
Azioni sul collegamento: N=-4931.09 Ty=-0.39 Tz=-5.26 Mx=-0.00 Mz=-1.01
Sollecitazioni agenti localmente: Ty_l=-878.16 My_l=-18.01
Tensioni nella sezione: σ=218.28 τ=26.61
CC 24 SLD (Collegamento 0022_-379)
Azioni sul collegamento: N=-4931.09 Ty=-0.17 Tz=-5.26 Mx=-0.00 Mz=-0.59
Sollecitazioni agenti localmente: Ty_l=-876.48 My_l=-17.97
Tensioni nella sezione: σ=217.83 τ=26.56
CC 24 SLD (Collegamento 0022_-379)
Azioni sul collegamento: N=-4931.08 Ty=-0.39 Tz=-0.05 Mx=-0.00 Mz=-1.01
Sollecitazioni agenti localmente: Ty_l=-878.16 My_l=-18.01
Tensioni nella sezione: σ=218.28 τ=26.61
CC 24 SLD (Collegamento 0022_-379)
Azioni sul collegamento: N=-4931.08 Ty=-0.17 Tz=-0.05 Mx=-0.00 Mz=-0.59
Sollecitazioni agenti localmente: Ty_l=-876.48 My_l=-17.97
Tensioni nella sezione: σ=217.83 τ=26.56
CC 25 SLV (Collegamento 0022_-379)
Azioni sul collegamento: N=-4942.23 Ty=0.07 Tz=-0.09 Mx=-0.02 Mz=-0.59
Sollecitazioni agenti localmente: Ty_l=-878.47 My_l=-18.01
Tensioni nella sezione: σ=218.33 τ=26.62
CC 25 SLV (Collegamento 0022_-379)
Azioni sul collegamento: N=-4942.23 Ty=-2.24 Tz=-0.09 Mx=-0.02 Mz=-5.11

Sollecitazioni agenti localmente: Ty_l=-896.46 My_l=-18.41
Tensioni nella sezione: σ=223.10 τ=27.17
CC 25 SLV (Collegamento 0022_-379)
Azioni sul collegamento: N=-4942.23 Ty=0.07 Tz=-5.22 Mx=-0.02 Mz=-0.59
Sollecitazioni agenti localmente: Ty_l=-878.47 My_l=-18.01
Tensioni nella sezione: σ=218.33 τ=26.62
CC 25 SLV (Collegamento 0022_-379)
Azioni sul collegamento: N=-4942.23 Ty=-2.24 Tz=-5.22 Mx=-0.02 Mz=-5.11
Sollecitazioni agenti localmente: Ty_l=-896.46 My_l=-18.41
Tensioni nella sezione: σ=223.10 τ=27.17
CC 25 SLV (Collegamento 0022_-379)
Azioni sul collegamento: N=-6324.24 Ty=0.07 Tz=-0.09 Mx=-0.02 Mz=-0.59
Sollecitazioni agenti localmente: Ty_l=-1123.46 My_l=-23.03
Tensioni nella sezione: σ=279.20 τ=34.04
CC 25 SLV (Collegamento 0022_-379)
Azioni sul collegamento: N=-6324.24 Ty=-2.24 Tz=-0.09 Mx=-0.02 Mz=-5.11
Sollecitazioni agenti localmente: Ty_l=-1141.45 My_l=-23.43
Tensioni nella sezione: σ=283.98 τ=34.59
CC 25 SLV (Collegamento 0022_-379)
Azioni sul collegamento: N=-6324.24 Ty=0.07 Tz=-5.22 Mx=-0.02 Mz=-0.59
Sollecitazioni agenti localmente: Ty_l=-1123.46 My_l=-23.03
Tensioni nella sezione: σ=279.20 τ=34.04
CC 25 SLV (Collegamento 0022_-379)
Azioni sul collegamento: N=-6324.24 Ty=-2.24 Tz=-5.22 Mx=-0.02 Mz=-5.11
Sollecitazioni agenti localmente: Ty_l=-1141.45 My_l=-23.43
Tensioni nella sezione: σ=283.98 τ=34.59
CC 26 SLD (Collegamento 0022_-379)
Azioni sul collegamento: N=-5422.71 Ty=0.07 Tz=-1.87 Mx=-0.01 Mz=-0.11
Sollecitazioni agenti localmente: Ty_l=-961.73 My_l=-19.72
Tensioni nella sezione: σ=238.98 τ=29.14
CC 26 SLD (Collegamento 0022_-379)
Azioni sul collegamento: N=-5422.71 Ty=-0.63 Tz=-1.87 Mx=-0.01 Mz=-1.49
Sollecitazioni agenti localmente: Ty_l=-967.21 My_l=-19.84
Tensioni nella sezione: σ=240.44 τ=29.31
CC 26 SLD (Collegamento 0022_-379)
Azioni sul collegamento: N=-5422.71 Ty=0.07 Tz=-3.44 Mx=-0.01 Mz=-0.11
Sollecitazioni agenti localmente: Ty_l=-961.73 My_l=-19.72
Tensioni nella sezione: σ=238.98 τ=29.14
CC 26 SLD (Collegamento 0022_-379)
Azioni sul collegamento: N=-5422.71 Ty=-0.63 Tz=-3.44 Mx=-0.01 Mz=-1.49
Sollecitazioni agenti localmente: Ty_l=-967.21 My_l=-19.84
Tensioni nella sezione: σ=240.44 τ=29.31
CC 26 SLD (Collegamento 0022_-379)
Azioni sul collegamento: N=-5844.12 Ty=0.07 Tz=-1.87 Mx=-0.01 Mz=-0.11
Sollecitazioni agenti localmente: Ty_l=-1036.44 My_l=-21.25
Tensioni nella sezione: σ=257.55 τ=31.41
CC 26 SLD (Collegamento 0022_-379)
Azioni sul collegamento: N=-5844.12 Ty=-0.63 Tz=-1.87 Mx=-0.01 Mz=-1.49
Sollecitazioni agenti localmente: Ty_l=-1041.92 My_l=-21.37
Tensioni nella sezione: σ=259.00 τ=31.57
CC 26 SLD (Collegamento 0022_-379)
Azioni sul collegamento: N=-5844.12 Ty=0.07 Tz=-3.44 Mx=-0.01 Mz=-0.11
Sollecitazioni agenti localmente: Ty_l=-1036.44 My_l=-21.25
Tensioni nella sezione: σ=257.55 τ=31.41
CC 26 SLD (Collegamento 0022_-379)
Azioni sul collegamento: N=-5844.12 Ty=-0.63 Tz=-3.44 Mx=-0.01 Mz=-1.49
Sollecitazioni agenti localmente: Ty_l=-1041.92 My_l=-21.37
Tensioni nella sezione: σ=259.00 τ=31.57
CC 27 SLV (Collegamento 0022_-379)
Azioni sul collegamento: N=-6324.16 Ty=0.06 Tz=-5.22 Mx=-0.02 Mz=-0.60
Sollecitazioni agenti localmente: Ty_l=-1123.50 My_l=-23.04
Tensioni nella sezione: σ=279.21 τ=34.05
CC 27 SLV (Collegamento 0022_-379)
Azioni sul collegamento: N=-6324.16 Ty=-2.24 Tz=-5.22 Mx=-0.02 Mz=-5.10
Sollecitazioni agenti localmente: Ty_l=-1141.39 My_l=-23.43
Tensioni nella sezione: σ=283.96 τ=34.59
CC 27 SLV (Collegamento 0022_-379)
Azioni sul collegamento: N=-6324.16 Ty=0.06 Tz=-0.09 Mx=-0.02 Mz=-0.60
Sollecitazioni agenti localmente: Ty_l=-1123.50 My_l=-23.04
Tensioni nella sezione: σ=279.21 τ=34.05
CC 27 SLV (Collegamento 0022_-379)
Azioni sul collegamento: N=-6324.16 Ty=-2.24 Tz=-0.09 Mx=-0.02 Mz=-5.10
Sollecitazioni agenti localmente: Ty_l=-1141.39 My_l=-23.43
Tensioni nella sezione: σ=283.96 τ=34.59
CC 27 SLV (Collegamento 0022_-379)
Azioni sul collegamento: N=-4942.30 Ty=0.06 Tz=-5.22 Mx=-0.02 Mz=-0.60
Sollecitazioni agenti localmente: Ty_l=-878.53 My_l=-18.01
Tensioni nella sezione: σ=218.34 τ=26.62
CC 27 SLV (Collegamento 0022_-379)

Azioni sul collegamento: N=-4942.30 Ty=-2.24 Tz=-5.22 Mx=-0.02 Mz=-5.10
Sollecitazioni agenti localmente: Ty_l=-896.43 My_l=-18.41
Tensioni nella sezione: σ=223.09 τ=27.16
CC 27 SLV (Collegamento 0022_-379)
Azioni sul collegamento: N=-4942.30 Ty=0.06 Tz=-0.09 Mx=-0.02 Mz=-0.60
Sollecitazioni agenti localmente: Ty_l=-878.53 My_l=-18.01
Tensioni nella sezione: σ=218.34 τ=26.62
CC 27 SLV (Collegamento 0022_-379)
Azioni sul collegamento: N=-4942.30 Ty=-2.24 Tz=-0.09 Mx=-0.02 Mz=-5.10
Sollecitazioni agenti localmente: Ty_l=-896.43 My_l=-18.41
Tensioni nella sezione: σ=223.09 τ=27.16
CC 28 SLD (Collegamento 0022_-379)
Azioni sul collegamento: N=-5844.10 Ty=0.07 Tz=-3.44 Mx=-0.01 Mz=-0.11
Sollecitazioni agenti localmente: Ty_l=-1036.45 My_l=-21.25
Tensioni nella sezione: σ=257.55 τ=31.41
CC 28 SLD (Collegamento 0022_-379)
Azioni sul collegamento: N=-5844.10 Ty=-0.63 Tz=-3.44 Mx=-0.01 Mz=-1.48
Sollecitazioni agenti localmente: Ty_l=-1041.90 My_l=-21.37
Tensioni nella sezione: σ=259.00 τ=31.57
CC 28 SLD (Collegamento 0022_-379)
Azioni sul collegamento: N=-5844.10 Ty=0.07 Tz=-1.87 Mx=-0.01 Mz=-0.11
Sollecitazioni agenti localmente: Ty_l=-1036.45 My_l=-21.25
Tensioni nella sezione: σ=257.55 τ=31.41
CC 28 SLD (Collegamento 0022_-379)
Azioni sul collegamento: N=-5844.10 Ty=-0.63 Tz=-1.87 Mx=-0.01 Mz=-1.48
Sollecitazioni agenti localmente: Ty_l=-1041.90 My_l=-21.37
Tensioni nella sezione: σ=259.00 τ=31.57
CC 28 SLD (Collegamento 0022_-379)
Azioni sul collegamento: N=-5422.73 Ty=0.07 Tz=-3.44 Mx=-0.01 Mz=-0.11
Sollecitazioni agenti localmente: Ty_l=-961.75 My_l=-19.72
Tensioni nella sezione: σ=238.99 τ=29.14
CC 28 SLD (Collegamento 0022_-379)
Azioni sul collegamento: N=-5422.73 Ty=-0.63 Tz=-3.44 Mx=-0.01 Mz=-1.48
Sollecitazioni agenti localmente: Ty_l=-967.20 My_l=-19.84
Tensioni nella sezione: σ=240.44 τ=29.31
CC 28 SLD (Collegamento 0022_-379)
Azioni sul collegamento: N=-5422.73 Ty=0.07 Tz=-1.87 Mx=-0.01 Mz=-0.11
Sollecitazioni agenti localmente: Ty_l=-961.75 My_l=-19.72
Tensioni nella sezione: σ=238.99 τ=29.14
CC 28 SLD (Collegamento 0022_-379)
Azioni sul collegamento: N=-5422.73 Ty=-0.63 Tz=-1.87 Mx=-0.01 Mz=-1.48
Sollecitazioni agenti localmente: Ty_l=-967.20 My_l=-19.84
Tensioni nella sezione: σ=240.44 τ=29.31
CC 29 SLV (Collegamento 0022_-379)
Azioni sul collegamento: N=-4942.30 Ty=-2.24 Tz=-0.09 Mx=-0.00 Mz=-5.10
Sollecitazioni agenti localmente: Ty_l=-896.43 My_l=-18.41
Tensioni nella sezione: σ=223.09 τ=27.16
CC 29 SLV (Collegamento 0022_-379)
Azioni sul collegamento: N=-4942.30 Ty=0.06 Tz=-0.09 Mx=-0.00 Mz=-0.60
Sollecitazioni agenti localmente: Ty_l=-878.53 My_l=-18.01
Tensioni nella sezione: σ=218.34 τ=26.62
CC 29 SLV (Collegamento 0022_-379)
Azioni sul collegamento: N=-4942.30 Ty=-2.24 Tz=-5.22 Mx=-0.00 Mz=-5.10
Sollecitazioni agenti localmente: Ty_l=-896.43 My_l=-18.41
Tensioni nella sezione: σ=223.09 τ=27.16
CC 29 SLV (Collegamento 0022_-379)
Azioni sul collegamento: N=-4942.30 Ty=0.06 Tz=-5.22 Mx=-0.00 Mz=-0.60
Sollecitazioni agenti localmente: Ty_l=-878.53 My_l=-18.01
Tensioni nella sezione: σ=218.34 τ=26.62
CC 29 SLV (Collegamento 0022_-379)
Azioni sul collegamento: N=-6324.16 Ty=-2.24 Tz=-0.09 Mx=-0.00 Mz=-5.10
Sollecitazioni agenti localmente: Ty_l=-1141.39 My_l=-23.43
Tensioni nella sezione: σ=283.96 τ=34.59
CC 29 SLV (Collegamento 0022_-379)
Azioni sul collegamento: N=-6324.16 Ty=0.06 Tz=-0.09 Mx=-0.00 Mz=-0.60
Sollecitazioni agenti localmente: Ty_l=-1123.50 My_l=-23.04
Tensioni nella sezione: σ=279.21 τ=34.05
CC 29 SLV (Collegamento 0022_-379)
Azioni sul collegamento: N=-6324.16 Ty=-2.24 Tz=-5.22 Mx=-0.00 Mz=-5.10
Sollecitazioni agenti localmente: Ty_l=-1141.39 My_l=-23.43
Tensioni nella sezione: σ=283.96 τ=34.59
CC 29 SLV (Collegamento 0022_-379)
Azioni sul collegamento: N=-6324.16 Ty=0.06 Tz=-5.22 Mx=-0.00 Mz=-0.60
Sollecitazioni agenti localmente: Ty_l=-1123.50 My_l=-23.04
Tensioni nella sezione: σ=279.21 τ=34.05
CC 30 SLD (Collegamento 0022_-379)
Azioni sul collegamento: N=-5422.73 Ty=-0.63 Tz=-1.87 Mx=-0.00 Mz=-1.48
Sollecitazioni agenti localmente: Ty_l=-967.20 My_l=-19.84
Tensioni nella sezione: σ=240.44 τ=29.31

CC 30 SLD (Collegamento 0022_-379)
Azioni sul collegamento: N=-5422.73 Ty=0.07 Tz=-1.87 Mx=-0.00 Mz=-0.11
Sollecitazioni agenti localmente: Ty_l=-961.75 My_l=-19.72
Tensioni nella sezione: σ=238.99 τ=29.14
CC 30 SLD (Collegamento 0022_-379)
Azioni sul collegamento: N=-5422.73 Ty=-0.63 Tz=-3.44 Mx=-0.00 Mz=-1.48
Sollecitazioni agenti localmente: Ty_l=-967.20 My_l=-19.84
Tensioni nella sezione: σ=240.44 τ=29.31
CC 30 SLD (Collegamento 0022_-379)
Azioni sul collegamento: N=-5422.73 Ty=0.07 Tz=-3.44 Mx=-0.00 Mz=-0.11
Sollecitazioni agenti localmente: Ty_l=-961.75 My_l=-19.72
Tensioni nella sezione: σ=238.99 τ=29.14
CC 30 SLD (Collegamento 0022_-379)
Azioni sul collegamento: N=-5844.10 Ty=-0.63 Tz=-1.87 Mx=-0.00 Mz=-1.48
Sollecitazioni agenti localmente: Ty_l=-1041.90 My_l=-21.37
Tensioni nella sezione: σ=259.00 τ=31.57
CC 30 SLD (Collegamento 0022_-379)
Azioni sul collegamento: N=-5844.10 Ty=0.07 Tz=-1.87 Mx=-0.00 Mz=-0.11
Sollecitazioni agenti localmente: Ty_l=-1036.45 My_l=-21.25
Tensioni nella sezione: σ=257.55 τ=31.41
CC 30 SLD (Collegamento 0022_-379)
Azioni sul collegamento: N=-5844.10 Ty=-0.63 Tz=-3.44 Mx=-0.00 Mz=-1.48
Sollecitazioni agenti localmente: Ty_l=-1041.90 My_l=-21.37
Tensioni nella sezione: σ=259.00 τ=31.57
CC 30 SLD (Collegamento 0022_-379)
Azioni sul collegamento: N=-5844.10 Ty=0.07 Tz=-3.44 Mx=-0.00 Mz=-0.11
Sollecitazioni agenti localmente: Ty_l=-1036.45 My_l=-21.25
Tensioni nella sezione: σ=257.55 τ=31.41
CC 31 SLV (Collegamento 0022_-379)
Azioni sul collegamento: N=-6324.24 Ty=-2.24 Tz=-5.22 Mx=-0.00 Mz=-5.11
Sollecitazioni agenti localmente: Ty_l=-1141.45 My_l=-23.43
Tensioni nella sezione: σ=283.98 τ=34.59
CC 31 SLV (Collegamento 0022_-379)
Azioni sul collegamento: N=-6324.24 Ty=0.07 Tz=-5.22 Mx=-0.00 Mz=-0.59
Sollecitazioni agenti localmente: Ty_l=-1123.46 My_l=-23.03
Tensioni nella sezione: σ=279.20 τ=34.04
CC 31 SLV (Collegamento 0022_-379)
Azioni sul collegamento: N=-6324.24 Ty=-2.24 Tz=-0.09 Mx=-0.00 Mz=-5.11
Sollecitazioni agenti localmente: Ty_l=-1141.45 My_l=-23.43
Tensioni nella sezione: σ=283.98 τ=34.59
CC 31 SLV (Collegamento 0022_-379)
Azioni sul collegamento: N=-6324.24 Ty=0.07 Tz=-0.09 Mx=-0.00 Mz=-0.59
Sollecitazioni agenti localmente: Ty_l=-1123.46 My_l=-23.03
Tensioni nella sezione: σ=279.20 τ=34.04
CC 31 SLV (Collegamento 0022_-379)
Azioni sul collegamento: N=-4942.23 Ty=-2.24 Tz=-5.22 Mx=-0.00 Mz=-5.11
Sollecitazioni agenti localmente: Ty_l=-896.46 My_l=-18.41
Tensioni nella sezione: σ=223.10 τ=27.17
CC 31 SLV (Collegamento 0022_-379)
Azioni sul collegamento: N=-4942.23 Ty=0.07 Tz=-5.22 Mx=-0.00 Mz=-0.59
Sollecitazioni agenti localmente: Ty_l=-878.47 My_l=-18.01
Tensioni nella sezione: σ=218.33 τ=26.62
CC 31 SLV (Collegamento 0022_-379)
Azioni sul collegamento: N=-4942.23 Ty=-2.24 Tz=-0.09 Mx=-0.00 Mz=-5.11
Sollecitazioni agenti localmente: Ty_l=-896.46 My_l=-18.41
Tensioni nella sezione: σ=223.10 τ=27.17
CC 31 SLV (Collegamento 0022_-379)
Azioni sul collegamento: N=-4942.23 Ty=0.07 Tz=-0.09 Mx=-0.00 Mz=-0.59
Sollecitazioni agenti localmente: Ty_l=-878.47 My_l=-18.01
Tensioni nella sezione: σ=218.33 τ=26.62
CC 32 SLD (Collegamento 0022_-379)
Azioni sul collegamento: N=-5844.12 Ty=-0.63 Tz=-3.44 Mx=-0.00 Mz=-1.49
Sollecitazioni agenti localmente: Ty_l=-1041.92 My_l=-21.37
Tensioni nella sezione: σ=259.00 τ=31.57
CC 32 SLD (Collegamento 0022_-379)
Azioni sul collegamento: N=-5844.12 Ty=0.07 Tz=-3.44 Mx=-0.00 Mz=-0.11
Sollecitazioni agenti localmente: Ty_l=-1036.44 My_l=-21.25
Tensioni nella sezione: σ=257.55 τ=31.41
CC 32 SLD (Collegamento 0022_-379)
Azioni sul collegamento: N=-5844.12 Ty=-0.63 Tz=-1.87 Mx=-0.00 Mz=-1.49
Sollecitazioni agenti localmente: Ty_l=-1041.92 My_l=-21.37
Tensioni nella sezione: σ=259.00 τ=31.57
CC 32 SLD (Collegamento 0022_-379)
Azioni sul collegamento: N=-5844.12 Ty=0.07 Tz=-1.87 Mx=-0.00 Mz=-0.11
Sollecitazioni agenti localmente: Ty_l=-1036.44 My_l=-21.25
Tensioni nella sezione: σ=257.55 τ=31.41
CC 32 SLD (Collegamento 0022_-379)
Azioni sul collegamento: N=-5422.71 Ty=-0.63 Tz=-3.44 Mx=-0.00 Mz=-1.49
Sollecitazioni agenti localmente: Ty_l=-967.21 My_l=-19.84

Tensioni nella sezione: σ=240.44 τ=29.31
CC 32 SLD (Collegamento 0022_-379)
Azioni sul collegamento: N=-5422.71 Ty=0.07 Tz=-3.44 Mx=-0.00 Mz=-0.11
Sollecitazioni agenti localmente: Ty_l=-961.73 My_l=-19.72
Tensioni nella sezione: σ=238.98 τ=29.14
CC 32 SLD (Collegamento 0022_-379)
Azioni sul collegamento: N=-5422.71 Ty=-0.63 Tz=-1.87 Mx=-0.00 Mz=-1.49
Sollecitazioni agenti localmente: Ty_l=-967.21 My_l=-19.84
Tensioni nella sezione: σ=240.44 τ=29.31
CC 32 SLD (Collegamento 0022_-379)
Azioni sul collegamento: N=-5422.71 Ty=0.07 Tz=-1.87 Mx=-0.00 Mz=-0.11
Sollecitazioni agenti localmente: Ty_l=-961.73 My_l=-19.72
Tensioni nella sezione: σ=238.98 τ=29.14
CC 33 SLU (Collegamento 0022_-379)
Azioni sul collegamento: N=-28967.90 Ty=0.05 Tz=74.90 Mx=0.00 Mz=0.12
Sollecitazioni agenti localmente: Ty_l=-5134.74 My_l=-105.26
Tensioni nella sezione: σ=1275.90 τ=155.60
CC 34 SLU (Collegamento 0022_-379)
Azioni sul collegamento: N=-29447.20 Ty=0.05 Tz=76.67 Mx=0.00 Mz=0.12
Sollecitazioni agenti localmente: Ty_l=-5219.72 My_l=-107.00
Tensioni nella sezione: σ=1297.01 τ=158.17
CC 35 SLU (Collegamento 0022_-379)
Azioni sul collegamento: N=-29207.50 Ty=0.17 Tz=75.78 Mx=-0.00 Mz=0.35
Sollecitazioni agenti localmente: Ty_l=-5176.30 My_l=-106.11
Tensioni nella sezione: σ=1286.21 τ=156.86
CC 36 SLU (Collegamento 0022_-379)
Azioni sul collegamento: N=-29207.50 Ty=-0.07 Tz=75.79 Mx=0.00 Mz=-0.12
Sollecitazioni agenti localmente: Ty_l=-5178.16 My_l=-106.15
Tensioni nella sezione: σ=1286.70 τ=156.91
CC 37 SLU (Collegamento 0022_-379)
Azioni sul collegamento: N=-29152.80 Ty=0.07 Tz=74.88 Mx=0.00 Mz=0.13
Sollecitazioni agenti localmente: Ty_l=-5167.47 My_l=-105.93
Tensioni nella sezione: σ=1284.03 τ=156.59
CC 38 SLU (Collegamento 0022_-379)
Azioni sul collegamento: N=-29632.10 Ty=0.07 Tz=76.66 Mx=0.00 Mz=0.13
Sollecitazioni agenti localmente: Ty_l=-5252.45 My_l=-107.67
Tensioni nella sezione: σ=1305.15 τ=159.16
CC 39 SLU (Collegamento 0022_-379)
Azioni sul collegamento: N=-29392.40 Ty=0.19 Tz=75.77 Mx=-0.00 Mz=0.36
Sollecitazioni agenti localmente: Ty_l=-5209.03 My_l=-106.78
Tensioni nella sezione: σ=1294.34 τ=157.85
CC 40 SLU (Collegamento 0022_-379)
Azioni sul collegamento: N=-29392.40 Ty=-0.05 Tz=75.77 Mx=0.00 Mz=-0.10
Sollecitazioni agenti localmente: Ty_l=-5210.89 My_l=-106.82
Tensioni nella sezione: σ=1294.83 τ=157.91
CC 41 SLU (Collegamento 0022_-379)
Azioni sul collegamento: N=-19454.60 Ty=0.08 Tz=39.91 Mx=0.00 Mz=0.13
Sollecitazioni agenti localmente: Ty_l=-3448.24 My_l=-70.69
Tensioni nella sezione: σ=856.83 τ=104.49
CC 42 SLU (Collegamento 0022_-379)
Azioni sul collegamento: N=-19933.90 Ty=0.08 Tz=41.69 Mx=0.00 Mz=0.13
Sollecitazioni agenti localmente: Ty_l=-3533.22 My_l=-72.43
Tensioni nella sezione: σ=877.94 τ=107.07
CC 43 SLU (Collegamento 0022_-379)
Azioni sul collegamento: N=-19694.20 Ty=0.20 Tz=40.80 Mx=-0.00 Mz=0.36
Sollecitazioni agenti localmente: Ty_l=-3489.80 My_l=-71.54
Tensioni nella sezione: σ=867.14 τ=105.75
CC 44 SLU (Collegamento 0022_-379)
Azioni sul collegamento: N=-19694.20 Ty=-0.04 Tz=40.80 Mx=0.00 Mz=-0.10
Sollecitazioni agenti localmente: Ty_l=-3491.67 My_l=-71.58
Tensioni nella sezione: σ=867.63 τ=105.81
CC 45 SLU (Collegamento 0022_-379)
Azioni sul collegamento: N=-21628.70 Ty=0.08 Tz=47.97 Mx=0.00 Mz=0.14
Sollecitazioni agenti localmente: Ty_l=-3833.63 My_l=-78.59
Tensioni nella sezione: σ=952.59 τ=116.17
CC 46 SLU (Collegamento 0022_-379)
Azioni sul collegamento: N=-22108.00 Ty=0.08 Tz=49.75 Mx=0.00 Mz=0.14
Sollecitazioni agenti localmente: Ty_l=-3918.61 My_l=-80.33
Tensioni nella sezione: σ=973.71 τ=118.75
CC 47 SLU (Collegamento 0022_-379)
Azioni sul collegamento: N=-21868.40 Ty=0.20 Tz=48.86 Mx=-0.00 Mz=0.37
Sollecitazioni agenti localmente: Ty_l=-3875.19 My_l=-79.44
Tensioni nella sezione: σ=962.90 τ=117.43
CC 48 SLU (Collegamento 0022_-379)
Azioni sul collegamento: N=-21868.40 Ty=-0.04 Tz=48.86 Mx=0.00 Mz=-0.10
Sollecitazioni agenti localmente: Ty_l=-3877.05 My_l=-79.48
Tensioni nella sezione: σ=963.39 τ=117.49
CC 49 SLU (Collegamento 0022_-379)
Azioni sul collegamento: N=-21767.10 Ty=0.10 Tz=47.96 Mx=0.00 Mz=0.15

Sollecitazioni agenti localmente: Ty_l=-3858.11 My_l=-79.09
Tensioni nella sezione: σ=958.67 τ=116.91
CC 50 SLU (Collegamento 0022_-379)
Azioni sul collegamento: N=-22246.40 Ty=0.10 Tz=49.73 Mx=0.00 Mz=0.15
Sollecitazioni agenti localmente: Ty_l=-3943.09 My_l=-80.83
Tensioni nella sezione: σ=979.79 τ=119.49
CC 51 SLU (Collegamento 0022_-379)
Azioni sul collegamento: N=-22006.70 Ty=0.22 Tz=48.85 Mx=-0.00 Mz=0.38
Sollecitazioni agenti localmente: Ty_l=-3899.67 My_l=-79.94
Tensioni nella sezione: σ=968.98 τ=118.17
CC 52 SLU (Collegamento 0022_-379)
Azioni sul collegamento: N=-22006.70 Ty=-0.02 Tz=48.85 Mx=0.00 Mz=-0.09
Sollecitazioni agenti localmente: Ty_l=-3901.54 My_l=-79.98
Tensioni nella sezione: σ=969.48 τ=118.23
CC 53 SLU (Collegamento 0022_-379)
Azioni sul collegamento: N=-14511.40 Ty=0.10 Tz=21.80 Mx=0.00 Mz=0.15
Sollecitazioni agenti localmente: Ty_l=-2571.88 My_l=-52.72
Tensioni nella sezione: σ=639.06 τ=77.94
CC 54 SLU (Collegamento 0022_-379)
Azioni sul collegamento: N=-14990.70 Ty=0.10 Tz=23.57 Mx=0.00 Mz=0.15
Sollecitazioni agenti localmente: Ty_l=-2656.86 My_l=-54.46
Tensioni nella sezione: σ=660.18 τ=80.51
CC 55 SLU (Collegamento 0022_-379)
Azioni sul collegamento: N=-14751.00 Ty=0.22 Tz=22.69 Mx=-0.00 Mz=0.38
Sollecitazioni agenti localmente: Ty_l=-2613.44 My_l=-53.57
Tensioni nella sezione: σ=649.37 τ=79.20
CC 56 SLU (Collegamento 0022_-379)
Azioni sul collegamento: N=-14751.00 Ty=-0.02 Tz=22.68 Mx=0.00 Mz=-0.09
Sollecitazioni agenti localmente: Ty_l=-2615.30 My_l=-53.61
Tensioni nella sezione: σ=649.87 τ=79.25
CC 57 SLU (Collegamento 0022_-379)
Azioni sul collegamento: N=-21907.00 Ty=0.07 Tz=49.04 Mx=0.00 Mz=0.14
Sollecitazioni agenti localmente: Ty_l=-3882.98 My_l=-79.60
Tensioni nella sezione: σ=964.85 τ=117.67
CC 58 SLU (Collegamento 0022_-379)
Azioni sul collegamento: N=-22386.30 Ty=0.07 Tz=50.82 Mx=0.00 Mz=0.13
Sollecitazioni agenti localmente: Ty_l=-3967.95 My_l=-81.34
Tensioni nella sezione: σ=985.97 τ=120.24
CC 59 SLU (Collegamento 0022_-379)
Azioni sul collegamento: N=-22146.70 Ty=0.19 Tz=49.93 Mx=-0.00 Mz=0.37
Sollecitazioni agenti localmente: Ty_l=-3924.53 My_l=-80.45
Tensioni nella sezione: σ=975.16 τ=118.92
CC 60 SLU (Collegamento 0022_-379)
Azioni sul collegamento: N=-22146.70 Ty=-0.04 Tz=49.93 Mx=0.00 Mz=-0.10
Sollecitazioni agenti localmente: Ty_l=-3926.40 My_l=-80.49
Tensioni nella sezione: σ=975.66 τ=118.98
CC 61 SLU (Collegamento 0022_-379)
Azioni sul collegamento: N=-22045.30 Ty=0.09 Tz=49.02 Mx=0.00 Mz=0.14
Sollecitazioni agenti localmente: Ty_l=-3907.46 My_l=-80.10
Tensioni nella sezione: σ=970.93 τ=118.41
CC 62 SLU (Collegamento 0022_-379)
Azioni sul collegamento: N=-22524.60 Ty=0.09 Tz=50.80 Mx=0.00 Mz=0.14
Sollecitazioni agenti localmente: Ty_l=-3992.44 My_l=-81.84
Tensioni nella sezione: σ=992.05 τ=120.98
CC 63 SLU (Collegamento 0022_-379)
Azioni sul collegamento: N=-22285.00 Ty=0.21 Tz=49.91 Mx=-0.00 Mz=0.38
Sollecitazioni agenti localmente: Ty_l=-3949.02 My_l=-80.95
Tensioni nella sezione: σ=981.25 τ=119.67
CC 64 SLU (Collegamento 0022_-379)
Azioni sul collegamento: N=-22285.00 Ty=-0.03 Tz=49.91 Mx=0.00 Mz=-0.09
Sollecitazioni agenti localmente: Ty_l=-3950.88 My_l=-80.99
Tensioni nella sezione: σ=981.74 τ=119.72
CC 65 SLU (Collegamento 0022_-379)
Azioni sul collegamento: N=-14789.70 Ty=0.10 Tz=22.86 Mx=0.00 Mz=0.14
Sollecitazioni agenti localmente: Ty_l=-2621.23 My_l=-53.73
Tensioni nella sezione: σ=651.33 τ=79.43
CC 66 SLU (Collegamento 0022_-379)
Azioni sul collegamento: N=-15269.00 Ty=0.10 Tz=24.64 Mx=0.00 Mz=0.14
Sollecitazioni agenti localmente: Ty_l=-2706.21 My_l=-55.48
Tensioni nella sezione: σ=672.44 τ=82.01
CC 67 SLU (Collegamento 0022_-379)
Azioni sul collegamento: N=-15029.30 Ty=0.22 Tz=23.75 Mx=-0.00 Mz=0.38
Sollecitazioni agenti localmente: Ty_l=-2662.79 My_l=-54.59
Tensioni nella sezione: σ=661.64 τ=80.69
CC 68 SLU (Collegamento 0022_-379)
Azioni sul collegamento: N=-15029.30 Ty=-0.02 Tz=23.75 Mx=0.00 Mz=-0.09
Sollecitazioni agenti localmente: Ty_l=-2664.65 My_l=-54.63
Tensioni nella sezione: σ=662.13 τ=80.75
CC 97 SLU (Collegamento 0022_-379)

Azioni sul collegamento: N=-11572.90 Ty=11.37 Tz=19.27 Mx=0.04 Mz=15.92
Sollecitazioni agenti localmente: Ty_l=-1988.24 My_l=-40.67
Tensioni nella sezione: σ=492.98 τ=60.25
CC 98 SLU (Collegamento 0022_-379)
Azioni sul collegamento: N=-12052.20 Ty=11.37 Tz=21.05 Mx=0.04 Mz=15.92
Sollecitazioni agenti localmente: Ty_l=-2073.22 My_l=-42.41
Tensioni nella sezione: σ=514.09 τ=62.83
CC 99 SLU (Collegamento 0022_-379)
Azioni sul collegamento: N=-11812.60 Ty=11.49 Tz=20.16 Mx=0.04 Mz=16.15
Sollecitazioni agenti localmente: Ty_l=-2029.80 My_l=-41.52
Tensioni nella sezione: σ=503.29 τ=61.51
CC 100 SLU (Collegamento 0022_-379)
Azioni sul collegamento: N=-11812.60 Ty=11.25 Tz=20.16 Mx=0.04 Mz=15.68
Sollecitazioni agenti localmente: Ty_l=-2031.67 My_l=-41.56
Tensioni nella sezione: σ=503.78 τ=61.57
CC 101 SLU (Collegamento 0022_-379)
Azioni sul collegamento: N=-5887.16 Ty=-2.00 Tz=-1.73 Mx=-0.00 Mz=-2.22
Sollecitazioni agenti localmente: Ty_l=-1052.45 My_l=-21.59
Tensioni nella sezione: σ=261.67 τ=31.89
CC 102 SLU (Collegamento 0022_-379)
Azioni sul collegamento: N=-6366.46 Ty=-2.01 Tz=0.04 Mx=-0.00 Mz=-2.22
Sollecitazioni agenti localmente: Ty_l=-1137.43 My_l=-23.33
Tensioni nella sezione: σ=282.78 τ=34.47
CC 103 SLU (Collegamento 0022_-379)
Azioni sul collegamento: N=-6126.81 Ty=-1.89 Tz=-0.85 Mx=-0.01 Mz=-1.98
Sollecitazioni agenti localmente: Ty_l=-1094.01 My_l=-22.44
Tensioni nella sezione: σ=271.98 τ=33.15
CC 104 SLU (Collegamento 0022_-379)
Azioni sul collegamento: N=-6126.80 Ty=-2.12 Tz=-0.84 Mx=-0.00 Mz=-2.45
Sollecitazioni agenti localmente: Ty_l=-1095.87 My_l=-22.48
Tensioni nella sezione: σ=272.47 τ=33.21

Collegamento 0023_-380

Piastra 220.00 x 220.00 s=15.00 - 6 Tirafondi ϕ 16 - Profondità di infissione: 350.00
3 righe ad interasse 89.00
2 colonne ad interasse 178.00
Altezza di gola saldature: anima 7.07 - ala 7.07

Tirafondi e calcestruzzo

CC 1 SLV (Collegamento 0023_-380)
Azioni sul collegamento: N=-3330.00 Ty=1.44 Tz=5.89 Mx=0.02 Mz=3.55
Sollecitazioni agenti localmente: Tx_l=1.44 Ty_l=5.89 N_l=-3330.00 Mx_l=-0.00 My_l=3.55 Mz_l=0.02
Taglio nei bulloni: Fv,Ed=1.03 Fv,Rd=7720.78
Rifollamento lato piastra: Fb,Ed,p=1.03 Fb,Rd,p=6573.68
Tirafondi:LT=0.45 (0.31) σ_{cR}=0.00 σ_{fR}=0.00
Compressione nel calcestruzzo: σ_c=7.08
CC 1 SLV (Collegamento 0023_-380)
Azioni sul collegamento: N=-3330.00 Ty=0.74 Tz=5.89 Mx=0.02 Mz=2.16
Sollecitazioni agenti localmente: Tx_l=0.74 Ty_l=5.89 N_l=-3330.00 Mx_l=-0.00 My_l=2.16 Mz_l=0.02
Taglio nei bulloni: Fv,Ed=1.01 Fv,Rd=7720.78
Rifollamento lato piastra: Fb,Ed,p=1.01 Fb,Rd,p=6154.65
Tirafondi:LT=0.45 (0.31) σ_{cR}=0.00 σ_{fR}=0.00
Compressione nel calcestruzzo: σ_c=7.00
CC 1 SLV (Collegamento 0023_-380)
Azioni sul collegamento: N=-3330.00 Ty=1.44 Tz=-11.20 Mx=0.02 Mz=3.55
Sollecitazioni agenti localmente: Tx_l=1.44 Ty_l=-11.20 N_l=-3330.00 Mx_l=-0.00 My_l=3.55 Mz_l=0.02
Taglio nei bulloni: Fv,Ed=1.90 Fv,Rd=7720.78
Rifollamento lato piastra: Fb,Ed,p=1.90 Fb,Rd,p=6103.10
Tirafondi:LT=0.45 (0.31) σ_{cR}=0.00 σ_{fR}=0.00
Compressione nel calcestruzzo: σ_c=7.08
CC 1 SLV (Collegamento 0023_-380)
Azioni sul collegamento: N=-3330.00 Ty=0.74 Tz=-11.20 Mx=0.02 Mz=2.16
Sollecitazioni agenti localmente: Tx_l=0.74 Ty_l=-11.20 N_l=-3330.00 Mx_l=-0.00 My_l=2.16 Mz_l=0.02
Taglio nei bulloni: Fv,Ed=1.89 Fv,Rd=7720.78
Rifollamento lato piastra: Fb,Ed,p=1.89 Fb,Rd,p=6006.75
Tirafondi:LT=0.45 (0.31) σ_{cR}=0.00 σ_{fR}=0.00
Compressione nel calcestruzzo: σ_c=7.00
CC 1 SLV (Collegamento 0023_-380)
Azioni sul collegamento: N=-7936.47 Ty=1.44 Tz=5.89 Mx=0.02 Mz=3.55
Sollecitazioni agenti localmente: Tx_l=1.44 Ty_l=5.89 N_l=-7936.47 Mx_l=-0.00 My_l=3.55 Mz_l=0.02
Taglio nei bulloni: Fv,Ed=1.03 Fv,Rd=7720.78
Rifollamento lato piastra: Fb,Ed,p=1.03 Fb,Rd,p=6573.70
Tirafondi:LT=0.45 (0.31) σ_{cR}=0.00 σ_{fR}=0.00
Compressione nel calcestruzzo: σ_c=16.60
CC 1 SLV (Collegamento 0023_-380)
Azioni sul collegamento: N=-7936.47 Ty=0.74 Tz=5.89 Mx=0.02 Mz=2.16

Sollecitazioni agenti localmente: Tx_l=0.74 Ty_l=5.89 N_l=-7936.47 Mx_l=-0.00 My_l=2.16 Mz_l=0.02
Taglio nei bulloni: Fv,Ed=1.01 Fv,Rd=7720.78
Rifollamento lato piastra: Fb,Ed,p=1.01 Fb,Rd,p=6154.65
Tirafondi:LT=0.45 (0.31) σ_{cR}=0.00 σ_{fR}=0.00
Compressione nel calcestruzzo: σ_c=16.52
CC 1 SLV (Collegamento 0023_-380)
Azioni sul collegamento: N=-7936.47 Ty=1.44 Tz=-11.20 Mx=0.02 Mz=3.55
Sollecitazioni agenti localmente: Tx_l=1.44 Ty_l=-11.20 N_l=-7936.47 Mx_l=-0.00 My_l=3.55 Mz_l=0.02
Taglio nei bulloni: Fv,Ed=1.90 Fv,Rd=7720.78
Rifollamento lato piastra: Fb,Ed,p=1.90 Fb,Rd,p=6103.10
Tirafondi:LT=0.45 (0.31) σ_{cR}=0.00 σ_{fR}=0.00
Compressione nel calcestruzzo: σ_c=16.60
CC 1 SLV (Collegamento 0023_-380)
Azioni sul collegamento: N=-7936.47 Ty=0.74 Tz=-11.20 Mx=0.02 Mz=2.16
Sollecitazioni agenti localmente: Tx_l=0.74 Ty_l=-11.20 N_l=-7936.47 Mx_l=-0.00 My_l=2.16 Mz_l=0.02
Taglio nei bulloni: Fv,Ed=1.89 Fv,Rd=7720.78
Rifollamento lato piastra: Fb,Ed,p=1.89 Fb,Rd,p=6006.75
Tirafondi:LT=0.45 (0.31) σ_{cR}=0.00 σ_{fR}=0.00
Compressione nel calcestruzzo: σ_c=16.52
CC 2 SLD (Collegamento 0023_-380)
Azioni sul collegamento: N=-4931.09 Ty=0.39 Tz=-0.05 Mx=0.00 Mz=1.01
Sollecitazioni agenti localmente: Tx_l=0.39 Ty_l=-0.05 N_l=-4931.09 Mx_l=-0.00 My_l=1.01 Mz_l=0.00
Tirafondi:LT=0.45 (0.31) σ_{cR}=0.00 σ_{fR}=0.00
Compressione nel calcestruzzo: σ_c=10.25
CC 2 SLD (Collegamento 0023_-380)
Azioni sul collegamento: N=-4931.09 Ty=0.17 Tz=-0.05 Mx=0.00 Mz=0.59
Sollecitazioni agenti localmente: Tx_l=0.17 Ty_l=-0.05 N_l=-4931.09 Mx_l=-0.00 My_l=0.59 Mz_l=0.00
Tirafondi:LT=0.45 (0.31) σ_{cR}=0.00 σ_{fR}=0.00
Compressione nel calcestruzzo: σ_c=10.22
CC 2 SLD (Collegamento 0023_-380)
Azioni sul collegamento: N=-4931.09 Ty=0.39 Tz=-5.26 Mx=0.00 Mz=1.01
Sollecitazioni agenti localmente: Tx_l=0.39 Ty_l=-5.26 N_l=-4931.09 Mx_l=-0.00 My_l=1.01 Mz_l=0.00
Taglio nei bulloni: Fv,Ed=0.88 Fv,Rd=9650.97
Rifollamento lato piastra: Fb,Ed,p=0.88 Fb,Rd,p=7524.40
Tirafondi:LT=0.45 (0.31) σ_{cR}=0.00 σ_{fR}=0.00
Compressione nel calcestruzzo: σ_c=10.25
CC 2 SLD (Collegamento 0023_-380)
Azioni sul collegamento: N=-4931.09 Ty=0.17 Tz=-5.26 Mx=0.00 Mz=0.59
Sollecitazioni agenti localmente: Tx_l=0.17 Ty_l=-5.26 N_l=-4931.09 Mx_l=-0.00 My_l=0.59 Mz_l=0.00
Taglio nei bulloni: Fv,Ed=0.88 Fv,Rd=9650.97
Rifollamento lato piastra: Fb,Ed,p=0.88 Fb,Rd,p=7481.91
Tirafondi:LT=0.45 (0.31) σ_{cR}=0.00 σ_{fR}=0.00
Compressione nel calcestruzzo: σ_c=10.22
CC 2 SLD (Collegamento 0023_-380)
Azioni sul collegamento: N=-6335.74 Ty=0.39 Tz=-0.05 Mx=0.00 Mz=1.01
Sollecitazioni agenti localmente: Tx_l=0.39 Ty_l=-0.05 N_l=-6335.74 Mx_l=-0.00 My_l=1.01 Mz_l=0.00
Tirafondi:LT=0.45 (0.31) σ_{cR}=0.00 σ_{fR}=0.00
Compressione nel calcestruzzo: σ_c=13.15
CC 2 SLD (Collegamento 0023_-380)
Azioni sul collegamento: N=-6335.74 Ty=0.17 Tz=-0.05 Mx=0.00 Mz=0.59
Sollecitazioni agenti localmente: Tx_l=0.17 Ty_l=-0.05 N_l=-6335.74 Mx_l=-0.00 My_l=0.59 Mz_l=0.00
Tirafondi:LT=0.45 (0.31) σ_{cR}=0.00 σ_{fR}=0.00
Compressione nel calcestruzzo: σ_c=13.12
CC 2 SLD (Collegamento 0023_-380)
Azioni sul collegamento: N=-6335.74 Ty=0.39 Tz=-5.26 Mx=0.00 Mz=1.01
Sollecitazioni agenti localmente: Tx_l=0.39 Ty_l=-5.26 N_l=-6335.74 Mx_l=-0.00 My_l=1.01 Mz_l=0.00
Taglio nei bulloni: Fv,Ed=0.88 Fv,Rd=9650.97
Rifollamento lato piastra: Fb,Ed,p=0.88 Fb,Rd,p=7524.41
Tirafondi:LT=0.45 (0.31) σ_{cR}=0.00 σ_{fR}=0.00
Compressione nel calcestruzzo: σ_c=13.15
CC 2 SLD (Collegamento 0023_-380)
Azioni sul collegamento: N=-6335.74 Ty=0.17 Tz=-5.26 Mx=0.00 Mz=0.59
Sollecitazioni agenti localmente: Tx_l=0.17 Ty_l=-5.26 N_l=-6335.74 Mx_l=-0.00 My_l=0.59 Mz_l=0.00
Taglio nei bulloni: Fv,Ed=0.88 Fv,Rd=9650.97
Rifollamento lato piastra: Fb,Ed,p=0.88 Fb,Rd,p=7481.92
Tirafondi:LT=0.45 (0.31) σ_{cR}=0.00 σ_{fR}=0.00
Compressione nel calcestruzzo: σ_c=13.12
CC 3 SLV (Collegamento 0023_-380)
Azioni sul collegamento: N=-3330.02 Ty=0.75 Tz=5.88 Mx=0.01 Mz=2.19
Sollecitazioni agenti localmente: Tx_l=0.75 Ty_l=5.88 N_l=-3330.02 Mx_l=-0.00 My_l=2.19 Mz_l=0.01
Taglio nei bulloni: Fv,Ed=1.00 Fv,Rd=7720.78
Rifollamento lato piastra: Fb,Ed,p=1.00 Fb,Rd,p=6147.85
Tirafondi:LT=0.45 (0.31) σ_{cR}=0.00 σ_{fR}=0.00
Compressione nel calcestruzzo: σ_c=7.00
CC 3 SLV (Collegamento 0023_-380)
Azioni sul collegamento: N=-3330.02 Ty=1.43 Tz=5.88 Mx=0.01 Mz=3.51
Sollecitazioni agenti localmente: Tx_l=1.43 Ty_l=5.88 N_l=-3330.02 Mx_l=-0.00 My_l=3.51 Mz_l=0.01
Taglio nei bulloni: Fv,Ed=1.02 Fv,Rd=7720.78

Rifollamento lato piastra: Fb,Ed,p=1.02 Fb,Rd,p=6543.57
Tirafondi:LT=0.45 (0.31) σ_{cR}=0.00 σ_{fR}=0.00
Compressione nel calcestruzzo: σ_c=7.08
CC 3 SLV (Collegamento 0023_-380)
Azioni sul collegamento: N=-3330.02 Ty=0.75 Tz=-11.19 Mx=0.01 Mz=2.19
Sollecitazioni agenti localmente: Tx_l=0.75 Ty_l=-11.19 N_l=-3330.02 Mx_l=-0.00 My_l=2.19 Mz_l=0.01
Taglio nei bulloni: Fv,Ed=1.88 Fv,Rd=7720.78
Rifollamento lato piastra: Fb,Ed,p=1.88 Fb,Rd,p=6011.35
Tirafondi:LT=0.45 (0.31) σ_{cR}=0.00 σ_{fR}=0.00
Compressione nel calcestruzzo: σ_c=7.00
CC 3 SLV (Collegamento 0023_-380)
Azioni sul collegamento: N=-3330.02 Ty=1.43 Tz=-11.19 Mx=0.01 Mz=3.51
Sollecitazioni agenti localmente: Tx_l=1.43 Ty_l=-11.19 N_l=-3330.02 Mx_l=-0.00 My_l=3.51 Mz_l=0.01
Taglio nei bulloni: Fv,Ed=1.89 Fv,Rd=7720.78
Rifollamento lato piastra: Fb,Ed,p=1.89 Fb,Rd,p=6107.90
Tirafondi:LT=0.45 (0.31) σ_{cR}=0.00 σ_{fR}=0.00
Compressione nel calcestruzzo: σ_c=7.08
CC 3 SLV (Collegamento 0023_-380)
Azioni sul collegamento: N=-7936.44 Ty=0.75 Tz=5.88 Mx=0.01 Mz=2.19
Sollecitazioni agenti localmente: Tx_l=0.75 Ty_l=5.88 N_l=-7936.44 Mx_l=-0.00 My_l=2.19 Mz_l=0.01
Taglio nei bulloni: Fv,Ed=1.00 Fv,Rd=7720.78
Rifollamento lato piastra: Fb,Ed,p=1.00 Fb,Rd,p=6147.83
Tirafondi:LT=0.45 (0.31) σ_{cR}=0.00 σ_{fR}=0.00
Compressione nel calcestruzzo: σ_c=16.52
CC 3 SLV (Collegamento 0023_-380)
Azioni sul collegamento: N=-7936.44 Ty=1.43 Tz=5.88 Mx=0.01 Mz=3.51
Sollecitazioni agenti localmente: Tx_l=1.43 Ty_l=5.88 N_l=-7936.44 Mx_l=-0.00 My_l=3.51 Mz_l=0.01
Taglio nei bulloni: Fv,Ed=1.02 Fv,Rd=7720.78
Rifollamento lato piastra: Fb,Ed,p=1.02 Fb,Rd,p=6543.53
Tirafondi:LT=0.45 (0.31) σ_{cR}=0.00 σ_{fR}=0.00
Compressione nel calcestruzzo: σ_c=16.60
CC 3 SLV (Collegamento 0023_-380)
Azioni sul collegamento: N=-7936.44 Ty=0.75 Tz=-11.19 Mx=0.01 Mz=2.19
Sollecitazioni agenti localmente: Tx_l=0.75 Ty_l=-11.19 N_l=-7936.44 Mx_l=-0.00 My_l=2.19 Mz_l=0.01
Taglio nei bulloni: Fv,Ed=1.88 Fv,Rd=7720.78
Rifollamento lato piastra: Fb,Ed,p=1.88 Fb,Rd,p=6011.35
Tirafondi:LT=0.45 (0.31) σ_{cR}=0.00 σ_{fR}=0.00
Compressione nel calcestruzzo: σ_c=16.52
CC 3 SLV (Collegamento 0023_-380)
Azioni sul collegamento: N=-7936.44 Ty=1.43 Tz=-11.19 Mx=0.01 Mz=3.51
Sollecitazioni agenti localmente: Tx_l=1.43 Ty_l=-11.19 N_l=-7936.44 Mx_l=-0.00 My_l=3.51 Mz_l=0.01
Taglio nei bulloni: Fv,Ed=1.89 Fv,Rd=7720.78
Rifollamento lato piastra: Fb,Ed,p=1.89 Fb,Rd,p=6107.91
Tirafondi:LT=0.45 (0.31) σ_{cR}=0.00 σ_{fR}=0.00
Compressione nel calcestruzzo: σ_c=16.60
CC 4 SLD (Collegamento 0023_-380)
Azioni sul collegamento: N=-4931.09 Ty=0.18 Tz=-0.05 Mx=0.00 Mz=0.60
Sollecitazioni agenti localmente: Tx_l=0.18 Ty_l=-0.05 N_l=-4931.09 Mx_l=-0.00 My_l=0.60 Mz_l=0.00
Tirafondi:LT=0.45 (0.31) σ_{cR}=0.00 σ_{fR}=0.00
Compressione nel calcestruzzo: σ_c=10.22
CC 4 SLD (Collegamento 0023_-380)
Azioni sul collegamento: N=-4931.09 Ty=0.38 Tz=-0.05 Mx=0.00 Mz=1.00
Sollecitazioni agenti localmente: Tx_l=0.38 Ty_l=-0.05 N_l=-4931.09 Mx_l=-0.00 My_l=1.00 Mz_l=0.00
Tirafondi:LT=0.45 (0.31) σ_{cR}=0.00 σ_{fR}=0.00
Compressione nel calcestruzzo: σ_c=10.24
CC 4 SLD (Collegamento 0023_-380)
Azioni sul collegamento: N=-4931.09 Ty=0.18 Tz=-5.26 Mx=0.00 Mz=0.60
Sollecitazioni agenti localmente: Tx_l=0.18 Ty_l=-5.26 N_l=-4931.09 Mx_l=-0.00 My_l=0.60 Mz_l=0.00
Taglio nei bulloni: Fv,Ed=0.88 Fv,Rd=9650.97
Rifollamento lato piastra: Fb,Ed,p=0.88 Fb,Rd,p=7483.71
Tirafondi:LT=0.45 (0.31) σ_{cR}=0.00 σ_{fR}=0.00
Compressione nel calcestruzzo: σ_c=10.22
CC 4 SLD (Collegamento 0023_-380)
Azioni sul collegamento: N=-4931.09 Ty=0.38 Tz=-5.26 Mx=0.00 Mz=1.00
Sollecitazioni agenti localmente: Tx_l=0.38 Ty_l=-5.26 N_l=-4931.09 Mx_l=-0.00 My_l=1.00 Mz_l=0.00
Taglio nei bulloni: Fv,Ed=0.88 Fv,Rd=9650.97
Rifollamento lato piastra: Fb,Ed,p=0.88 Fb,Rd,p=7526.46
Tirafondi:LT=0.45 (0.31) σ_{cR}=0.00 σ_{fR}=0.00
Compressione nel calcestruzzo: σ_c=10.24
CC 4 SLD (Collegamento 0023_-380)
Azioni sul collegamento: N=-6335.74 Ty=0.18 Tz=-0.05 Mx=0.00 Mz=0.60
Sollecitazioni agenti localmente: Tx_l=0.18 Ty_l=-0.05 N_l=-6335.74 Mx_l=-0.00 My_l=0.60 Mz_l=0.00
Tirafondi:LT=0.45 (0.31) σ_{cR}=0.00 σ_{fR}=0.00
Compressione nel calcestruzzo: σ_c=13.12
CC 4 SLD (Collegamento 0023_-380)
Azioni sul collegamento: N=-6335.74 Ty=0.38 Tz=-0.05 Mx=0.00 Mz=1.00
Sollecitazioni agenti localmente: Tx_l=0.38 Ty_l=-0.05 N_l=-6335.74 Mx_l=-0.00 My_l=1.00 Mz_l=0.00
Tirafondi:LT=0.45 (0.31) σ_{cR}=0.00 σ_{fR}=0.00

Compressione nel calcestruzzo: σ_c=13.15
CC 4 SLD (Collegamento 0023_-380)
Azioni sul collegamento: N=-6335.74 Ty=0.18 Tz=-5.26 Mx=0.00 Mz=0.60
Sollecitazioni agenti localmente: Tx_l=0.18 Ty_l=-5.26 N_l=-6335.74 Mx_l=-0.00 My_l=0.60 Mz_l=0.00
Taglio nei bulloni: Fv,Ed=0.88 Fv,Rd=9650.97
Rifollamento lato piastra: Fb,Ed,p=0.88 Fb,Rd,p=7483.71
Tirafondi:LT=0.45 (0.31) σ_{cR}=0.00 σ_{fR}=0.00
Compressione nel calcestruzzo: σ_c=13.12
CC 4 SLD (Collegamento 0023_-380)
Azioni sul collegamento: N=-6335.74 Ty=0.38 Tz=-5.26 Mx=0.00 Mz=1.00
Sollecitazioni agenti localmente: Tx_l=0.38 Ty_l=-5.26 N_l=-6335.74 Mx_l=-0.00 My_l=1.00 Mz_l=0.00
Taglio nei bulloni: Fv,Ed=0.88 Fv,Rd=9650.97
Rifollamento lato piastra: Fb,Ed,p=0.88 Fb,Rd,p=7526.46
Tirafondi:LT=0.45 (0.31) σ_{cR}=0.00 σ_{fR}=0.00
Compressione nel calcestruzzo: σ_c=13.15
CC 5 SLV (Collegamento 0023_-380)
Azioni sul collegamento: N=-7936.44 Ty=1.43 Tz=-11.19 Mx=0.02 Mz=3.51
Sollecitazioni agenti localmente: Tx_l=1.43 Ty_l=-11.19 N_l=-7936.44 Mx_l=-0.00 My_l=3.51 Mz_l=0.02
Taglio nei bulloni: Fv,Ed=1.90 Fv,Rd=7720.78
Rifollamento lato piastra: Fb,Ed,p=1.90 Fb,Rd,p=6100.88
Tirafondi:LT=0.45 (0.31) σ_{cR}=0.00 σ_{fR}=0.00
Compressione nel calcestruzzo: σ_c=16.60
CC 5 SLV (Collegamento 0023_-380)
Azioni sul collegamento: N=-7936.44 Ty=0.75 Tz=-11.19 Mx=0.02 Mz=2.19
Sollecitazioni agenti localmente: Tx_l=0.75 Ty_l=-11.19 N_l=-7936.44 Mx_l=-0.00 My_l=2.19 Mz_l=0.02
Taglio nei bulloni: Fv,Ed=1.89 Fv,Rd=7720.78
Rifollamento lato piastra: Fb,Ed,p=1.89 Fb,Rd,p=6008.07
Tirafondi:LT=0.45 (0.31) σ_{cR}=0.00 σ_{fR}=0.00
Compressione nel calcestruzzo: σ_c=16.52
CC 5 SLV (Collegamento 0023_-380)
Azioni sul collegamento: N=-7936.44 Ty=1.43 Tz=5.88 Mx=0.02 Mz=3.51
Sollecitazioni agenti localmente: Tx_l=1.43 Ty_l=5.88 N_l=-7936.44 Mx_l=-0.00 My_l=3.51 Mz_l=0.02
Taglio nei bulloni: Fv,Ed=1.03 Fv,Rd=7720.78
Rifollamento lato piastra: Fb,Ed,p=1.03 Fb,Rd,p=6562.59
Tirafondi:LT=0.45 (0.31) σ_{cR}=0.00 σ_{fR}=0.00
Compressione nel calcestruzzo: σ_c=16.60
CC 5 SLV (Collegamento 0023_-380)
Azioni sul collegamento: N=-7936.44 Ty=0.75 Tz=5.88 Mx=0.02 Mz=2.19
Sollecitazioni agenti localmente: Tx_l=0.75 Ty_l=5.88 N_l=-7936.44 Mx_l=-0.00 My_l=2.19 Mz_l=0.02
Taglio nei bulloni: Fv,Ed=1.01 Fv,Rd=7720.78
Rifollamento lato piastra: Fb,Ed,p=1.01 Fb,Rd,p=6159.88
Tirafondi:LT=0.45 (0.31) σ_{cR}=0.00 σ_{fR}=0.00
Compressione nel calcestruzzo: σ_c=16.52
CC 5 SLV (Collegamento 0023_-380)
Azioni sul collegamento: N=-3330.02 Ty=1.43 Tz=-11.19 Mx=0.02 Mz=3.51
Sollecitazioni agenti localmente: Tx_l=1.43 Ty_l=-11.19 N_l=-3330.02 Mx_l=-0.00 My_l=3.51 Mz_l=0.02
Taglio nei bulloni: Fv,Ed=1.90 Fv,Rd=7720.78
Rifollamento lato piastra: Fb,Ed,p=1.90 Fb,Rd,p=6100.88
Tirafondi:LT=0.45 (0.31) σ_{cR}=0.00 σ_{fR}=0.00
Compressione nel calcestruzzo: σ_c=7.08
CC 5 SLV (Collegamento 0023_-380)
Azioni sul collegamento: N=-3330.02 Ty=0.75 Tz=-11.19 Mx=0.02 Mz=2.19
Sollecitazioni agenti localmente: Tx_l=0.75 Ty_l=-11.19 N_l=-3330.02 Mx_l=-0.00 My_l=2.19 Mz_l=0.02
Taglio nei bulloni: Fv,Ed=1.89 Fv,Rd=7720.78
Rifollamento lato piastra: Fb,Ed,p=1.89 Fb,Rd,p=6008.07
Tirafondi:LT=0.45 (0.31) σ_{cR}=0.00 σ_{fR}=0.00
Compressione nel calcestruzzo: σ_c=7.00
CC 5 SLV (Collegamento 0023_-380)
Azioni sul collegamento: N=-3330.02 Ty=1.43 Tz=5.88 Mx=0.02 Mz=3.51
Sollecitazioni agenti localmente: Tx_l=1.43 Ty_l=5.88 N_l=-3330.02 Mx_l=-0.00 My_l=3.51 Mz_l=0.02
Taglio nei bulloni: Fv,Ed=1.03 Fv,Rd=7720.78
Rifollamento lato piastra: Fb,Ed,p=1.03 Fb,Rd,p=6562.64
Tirafondi:LT=0.45 (0.31) σ_{cR}=0.00 σ_{fR}=0.00
Compressione nel calcestruzzo: σ_c=7.08
CC 5 SLV (Collegamento 0023_-380)
Azioni sul collegamento: N=-3330.02 Ty=0.75 Tz=5.88 Mx=0.02 Mz=2.19
Sollecitazioni agenti localmente: Tx_l=0.75 Ty_l=5.88 N_l=-3330.02 Mx_l=-0.00 My_l=2.19 Mz_l=0.02
Taglio nei bulloni: Fv,Ed=1.01 Fv,Rd=7720.78
Rifollamento lato piastra: Fb,Ed,p=1.01 Fb,Rd,p=6159.90
Tirafondi:LT=0.45 (0.31) σ_{cR}=0.00 σ_{fR}=0.00
Compressione nel calcestruzzo: σ_c=7.00
CC 6 SLD (Collegamento 0023_-380)
Azioni sul collegamento: N=-6335.74 Ty=0.38 Tz=-5.26 Mx=0.00 Mz=1.00
Sollecitazioni agenti localmente: Tx_l=0.38 Ty_l=-5.26 N_l=-6335.74 Mx_l=-0.00 My_l=1.00 Mz_l=0.00
Taglio nei bulloni: Fv,Ed=0.88 Fv,Rd=9650.97
Rifollamento lato piastra: Fb,Ed,p=0.88 Fb,Rd,p=7523.36
Tirafondi:LT=0.45 (0.31) σ_{cR}=0.00 σ_{fR}=0.00
Compressione nel calcestruzzo: σ_c=13.15

CC 6 SLD (Collegamento 0023_-380)
Azioni sul collegamento: N=-6335.74 Ty=0.18 Tz=-5.26 Mx=0.00 Mz=0.60
Sollecitazioni agenti localmente: Tx_l=0.18 Ty_l=-5.26 N_l=-6335.74 Mx_l=-0.00 My_l=0.60 Mz_l=0.00
Taglio nei bulloni: Fv,Ed=0.88 Fv,Rd=9650.97
Rifollamento lato piastra: Fb,Ed,p=0.88 Fb,Rd,p=7482.44
Tirafondi:LT=0.45 (0.31) σ_{cR}=0.00 σ_{fR}=0.00
Compressione nel calcestruzzo: σ_c=13.12
CC 6 SLD (Collegamento 0023_-380)
Azioni sul collegamento: N=-6335.74 Ty=0.38 Tz=-0.05 Mx=0.00 Mz=1.00
Sollecitazioni agenti localmente: Tx_l=0.38 Ty_l=-0.05 N_l=-6335.74 Mx_l=-0.00 My_l=1.00 Mz_l=0.00
Tirafondi:LT=0.45 (0.31) σ_{cR}=0.00 σ_{fR}=0.00
Compressione nel calcestruzzo: σ_c=13.15
CC 6 SLD (Collegamento 0023_-380)
Azioni sul collegamento: N=-6335.74 Ty=0.18 Tz=-0.05 Mx=0.00 Mz=0.60
Sollecitazioni agenti localmente: Tx_l=0.18 Ty_l=-0.05 N_l=-6335.74 Mx_l=-0.00 My_l=0.60 Mz_l=0.00
Tirafondi:LT=0.45 (0.31) σ_{cR}=0.00 σ_{fR}=0.00
Compressione nel calcestruzzo: σ_c=13.12
CC 6 SLD (Collegamento 0023_-380)
Azioni sul collegamento: N=-4931.09 Ty=0.38 Tz=-5.26 Mx=0.00 Mz=1.00
Sollecitazioni agenti localmente: Tx_l=0.38 Ty_l=-5.26 N_l=-4931.09 Mx_l=-0.00 My_l=1.00 Mz_l=0.00
Taglio nei bulloni: Fv,Ed=0.88 Fv,Rd=9650.97
Rifollamento lato piastra: Fb,Ed,p=0.88 Fb,Rd,p=7523.35
Tirafondi:LT=0.45 (0.31) σ_{cR}=0.00 σ_{fR}=0.00
Compressione nel calcestruzzo: σ_c=10.24
CC 6 SLD (Collegamento 0023_-380)
Azioni sul collegamento: N=-4931.09 Ty=0.18 Tz=-5.26 Mx=0.00 Mz=0.60
Sollecitazioni agenti localmente: Tx_l=0.18 Ty_l=-5.26 N_l=-4931.09 Mx_l=-0.00 My_l=0.60 Mz_l=0.00
Taglio nei bulloni: Fv,Ed=0.88 Fv,Rd=9650.97
Rifollamento lato piastra: Fb,Ed,p=0.88 Fb,Rd,p=7482.44
Tirafondi:LT=0.45 (0.31) σ_{cR}=0.00 σ_{fR}=0.00
Compressione nel calcestruzzo: σ_c=10.22
CC 6 SLD (Collegamento 0023_-380)
Azioni sul collegamento: N=-4931.09 Ty=0.38 Tz=-0.05 Mx=0.00 Mz=1.00
Sollecitazioni agenti localmente: Tx_l=0.38 Ty_l=-0.05 N_l=-4931.09 Mx_l=-0.00 My_l=1.00 Mz_l=0.00
Tirafondi:LT=0.45 (0.31) σ_{cR}=0.00 σ_{fR}=0.00
Compressione nel calcestruzzo: σ_c=10.24
CC 6 SLD (Collegamento 0023_-380)
Azioni sul collegamento: N=-4931.09 Ty=0.18 Tz=-0.05 Mx=0.00 Mz=0.60
Sollecitazioni agenti localmente: Tx_l=0.18 Ty_l=-0.05 N_l=-4931.09 Mx_l=-0.00 My_l=0.60 Mz_l=0.00
Tirafondi:LT=0.45 (0.31) σ_{cR}=0.00 σ_{fR}=0.00
Compressione nel calcestruzzo: σ_c=10.22
CC 7 SLV (Collegamento 0023_-380)
Azioni sul collegamento: N=-7936.47 Ty=0.74 Tz=-11.20 Mx=0.01 Mz=2.16
Sollecitazioni agenti localmente: Tx_l=0.74 Ty_l=-11.20 N_l=-7936.47 Mx_l=-0.00 My_l=2.16 Mz_l=0.01
Taglio nei bulloni: Fv,Ed=1.88 Fv,Rd=7720.78
Rifollamento lato piastra: Fb,Ed,p=1.88 Fb,Rd,p=6010.20
Tirafondi:LT=0.45 (0.31) σ_{cR}=0.00 σ_{fR}=0.00
Compressione nel calcestruzzo: σ_c=16.52
CC 7 SLV (Collegamento 0023_-380)
Azioni sul collegamento: N=-7936.47 Ty=1.44 Tz=-11.20 Mx=0.01 Mz=3.55
Sollecitazioni agenti localmente: Tx_l=1.44 Ty_l=-11.20 N_l=-7936.47 Mx_l=-0.00 My_l=3.55 Mz_l=0.01
Taglio nei bulloni: Fv,Ed=1.89 Fv,Rd=7720.78
Rifollamento lato piastra: Fb,Ed,p=1.89 Fb,Rd,p=6110.76
Tirafondi:LT=0.45 (0.31) σ_{cR}=0.00 σ_{fR}=0.00
Compressione nel calcestruzzo: σ_c=16.60
CC 7 SLV (Collegamento 0023_-380)
Azioni sul collegamento: N=-7936.47 Ty=0.74 Tz=5.89 Mx=0.01 Mz=2.16
Sollecitazioni agenti localmente: Tx_l=0.74 Ty_l=5.89 N_l=-7936.47 Mx_l=-0.00 My_l=2.16 Mz_l=0.01
Taglio nei bulloni: Fv,Ed=1.00 Fv,Rd=7720.78
Rifollamento lato piastra: Fb,Ed,p=1.00 Fb,Rd,p=6141.83
Tirafondi:LT=0.45 (0.31) σ_{cR}=0.00 σ_{fR}=0.00
Compressione nel calcestruzzo: σ_c=16.52
CC 7 SLV (Collegamento 0023_-380)
Azioni sul collegamento: N=-7936.47 Ty=1.44 Tz=5.89 Mx=0.01 Mz=3.55
Sollecitazioni agenti localmente: Tx_l=1.44 Ty_l=5.89 N_l=-7936.47 Mx_l=-0.00 My_l=3.55 Mz_l=0.01
Taglio nei bulloni: Fv,Ed=1.02 Fv,Rd=7720.78
Rifollamento lato piastra: Fb,Ed,p=1.02 Fb,Rd,p=6553.02
Tirafondi:LT=0.45 (0.31) σ_{cR}=0.00 σ_{fR}=0.00
Compressione nel calcestruzzo: σ_c=16.60
CC 7 SLV (Collegamento 0023_-380)
Azioni sul collegamento: N=-3330.00 Ty=0.74 Tz=-11.20 Mx=0.01 Mz=2.16
Sollecitazioni agenti localmente: Tx_l=0.74 Ty_l=-11.20 N_l=-3330.00 Mx_l=-0.00 My_l=2.16 Mz_l=0.01
Taglio nei bulloni: Fv,Ed=1.88 Fv,Rd=7720.78
Rifollamento lato piastra: Fb,Ed,p=1.88 Fb,Rd,p=6010.20
Tirafondi:LT=0.45 (0.31) σ_{cR}=0.00 σ_{fR}=0.00
Compressione nel calcestruzzo: σ_c=7.00
CC 7 SLV (Collegamento 0023_-380)
Azioni sul collegamento: N=-3330.00 Ty=1.44 Tz=-11.20 Mx=0.01 Mz=3.55

Sollecitazioni agenti localmente: Tx_l=1.44 Ty_l=-11.20 N_l=-3330.00 Mx_l=-0.00 My_l=3.55 Mz_l=0.01
Taglio nei bulloni: Fv,Ed=1.89 Fv,Rd=7720.78
Rifollamento lato piastra: Fb,Ed,p=1.89 Fb,Rd,p=6110.76
Tirafondi:LT=0.45 (0.31) σ_{cR}=0.00 σ_{fR}=0.00
Compressione nel calcestruzzo: σ_c=7.08
CC 7 SLV (Collegamento 0023_-380)
Azioni sul collegamento: N=-3330.00 Ty=0.74 Tz=5.89 Mx=0.01 Mz=2.16
Sollecitazioni agenti localmente: Tx_l=0.74 Ty_l=5.89 N_l=-3330.00 Mx_l=-0.00 My_l=2.16 Mz_l=0.01
Taglio nei bulloni: Fv,Ed=1.00 Fv,Rd=7720.78
Rifollamento lato piastra: Fb,Ed,p=1.00 Fb,Rd,p=6141.83
Tirafondi:LT=0.45 (0.31) σ_{cR}=0.00 σ_{fR}=0.00
Compressione nel calcestruzzo: σ_c=7.00
CC 7 SLV (Collegamento 0023_-380)
Azioni sul collegamento: N=-3330.00 Ty=1.44 Tz=5.89 Mx=0.01 Mz=3.55
Sollecitazioni agenti localmente: Tx_l=1.44 Ty_l=5.89 N_l=-3330.00 Mx_l=-0.00 My_l=3.55 Mz_l=0.01
Taglio nei bulloni: Fv,Ed=1.02 Fv,Rd=7720.78
Rifollamento lato piastra: Fb,Ed,p=1.02 Fb,Rd,p=6553.01
Tirafondi:LT=0.45 (0.31) σ_{cR}=0.00 σ_{fR}=0.00
Compressione nel calcestruzzo: σ_c=7.08
CC 8 SLD (Collegamento 0023_-380)
Azioni sul collegamento: N=-6335.74 Ty=0.17 Tz=-5.26 Mx=0.00 Mz=0.59
Sollecitazioni agenti localmente: Tx_l=0.17 Ty_l=-5.26 N_l=-6335.74 Mx_l=-0.00 My_l=0.59 Mz_l=0.00
Taglio nei bulloni: Fv,Ed=0.88 Fv,Rd=9650.97
Rifollamento lato piastra: Fb,Ed,p=0.88 Fb,Rd,p=7483.24
Tirafondi:LT=0.45 (0.31) σ_{cR}=0.00 σ_{fR}=0.00
Compressione nel calcestruzzo: σ_c=13.12
CC 8 SLD (Collegamento 0023_-380)
Azioni sul collegamento: N=-6335.74 Ty=0.39 Tz=-5.26 Mx=0.00 Mz=1.01
Sollecitazioni agenti localmente: Tx_l=0.39 Ty_l=-5.26 N_l=-6335.74 Mx_l=-0.00 My_l=1.01 Mz_l=0.00
Taglio nei bulloni: Fv,Ed=0.88 Fv,Rd=9650.97
Rifollamento lato piastra: Fb,Ed,p=0.88 Fb,Rd,p=7527.80
Tirafondi:LT=0.45 (0.31) σ_{cR}=0.00 σ_{fR}=0.00
Compressione nel calcestruzzo: σ_c=13.15
CC 8 SLD (Collegamento 0023_-380)
Azioni sul collegamento: N=-6335.74 Ty=0.17 Tz=-0.05 Mx=0.00 Mz=0.59
Sollecitazioni agenti localmente: Tx_l=0.17 Ty_l=-0.05 N_l=-6335.74 Mx_l=-0.00 My_l=0.59 Mz_l=0.00
Tirafondi:LT=0.45 (0.31) σ_{cR}=0.00 σ_{fR}=0.00
Compressione nel calcestruzzo: σ_c=13.12
CC 8 SLD (Collegamento 0023_-380)
Azioni sul collegamento: N=-6335.74 Ty=0.39 Tz=-0.05 Mx=0.00 Mz=1.01
Sollecitazioni agenti localmente: Tx_l=0.39 Ty_l=-0.05 N_l=-6335.74 Mx_l=-0.00 My_l=1.01 Mz_l=0.00
Tirafondi:LT=0.45 (0.31) σ_{cR}=0.00 σ_{fR}=0.00
Compressione nel calcestruzzo: σ_c=13.15
CC 8 SLD (Collegamento 0023_-380)
Azioni sul collegamento: N=-4931.09 Ty=0.17 Tz=-5.26 Mx=0.00 Mz=0.59
Sollecitazioni agenti localmente: Tx_l=0.17 Ty_l=-5.26 N_l=-4931.09 Mx_l=-0.00 My_l=0.59 Mz_l=0.00
Taglio nei bulloni: Fv,Ed=0.88 Fv,Rd=9650.97
Rifollamento lato piastra: Fb,Ed,p=0.88 Fb,Rd,p=7483.24
Tirafondi:LT=0.45 (0.31) σ_{cR}=0.00 σ_{fR}=0.00
Compressione nel calcestruzzo: σ_c=10.22
CC 8 SLD (Collegamento 0023_-380)
Azioni sul collegamento: N=-4931.09 Ty=0.39 Tz=-5.26 Mx=0.00 Mz=1.01
Sollecitazioni agenti localmente: Tx_l=0.39 Ty_l=-5.26 N_l=-4931.09 Mx_l=-0.00 My_l=1.01 Mz_l=0.00
Taglio nei bulloni: Fv,Ed=0.88 Fv,Rd=9650.97
Rifollamento lato piastra: Fb,Ed,p=0.88 Fb,Rd,p=7527.80
Tirafondi:LT=0.45 (0.31) σ_{cR}=0.00 σ_{fR}=0.00
Compressione nel calcestruzzo: σ_c=10.25
CC 8 SLD (Collegamento 0023_-380)
Azioni sul collegamento: N=-4931.09 Ty=0.17 Tz=-0.05 Mx=0.00 Mz=0.59
Sollecitazioni agenti localmente: Tx_l=0.17 Ty_l=-0.05 N_l=-4931.09 Mx_l=-0.00 My_l=0.59 Mz_l=0.00
Tirafondi:LT=0.45 (0.31) σ_{cR}=0.00 σ_{fR}=0.00
Compressione nel calcestruzzo: σ_c=10.22
CC 8 SLD (Collegamento 0023_-380)
Azioni sul collegamento: N=-4931.09 Ty=0.39 Tz=-0.05 Mx=0.00 Mz=1.01
Sollecitazioni agenti localmente: Tx_l=0.39 Ty_l=-0.05 N_l=-4931.09 Mx_l=-0.00 My_l=1.01 Mz_l=0.00
Tirafondi:LT=0.45 (0.31) σ_{cR}=0.00 σ_{fR}=0.00
Compressione nel calcestruzzo: σ_c=10.25
CC 9 SLV (Collegamento 0023_-380)
Azioni sul collegamento: N=-4942.23 Ty=2.24 Tz=-0.09 Mx=0.02 Mz=5.11
Sollecitazioni agenti localmente: Tx_l=2.24 Ty_l=-0.09 N_l=-4942.23 Mx_l=-0.00 My_l=5.11 Mz_l=0.02
Taglio nei bulloni: Fv,Ed=0.40 Fv,Rd=7720.78
Rifollamento lato piastra: Fb,Ed,p=0.40 Fb,Rd,p=6067.50
Tirafondi:LT=0.45 (0.31) σ_{cR}=0.00 σ_{fR}=0.00
Compressione nel calcestruzzo: σ_c=10.50
CC 9 SLV (Collegamento 0023_-380)
Azioni sul collegamento: N=-4942.23 Ty=-0.07 Tz=-0.09 Mx=0.02 Mz=0.59
Sollecitazioni agenti localmente: Tx_l=-0.07 Ty_l=-0.09 N_l=-4942.23 Mx_l=-0.00 My_l=0.59 Mz_l=0.02
Tirafondi:LT=0.45 (0.31) σ_{cR}=0.00 σ_{fR}=0.00

Compressione nel calcestruzzo: σ_c=10.24
CC 9 SLV (Collegamento 0023_-380)
Azioni sul collegamento: N=-4942.23 Ty=2.24 Tz=-5.22 Mx=0.02 Mz=5.11
Sollecitazioni agenti localmente: Tx_l=2.24 Ty_l=-5.22 N_l=-4942.23 Mx_l=-0.00 My_l=5.11 Mz_l=0.02
Taglio nei bulloni: Fv,Ed=0.98 Fv,Rd=7720.78
Rifollamento lato piastra: Fb,Ed,p=0.96 Fb,Rd,p=7350.20
Tirafondi:LT=0.45 (0.31) σ_{cR}=0.00 σ_{fR}=0.00
Compressione nel calcestruzzo: σ_c=10.50
CC 9 SLV (Collegamento 0023_-380)
Azioni sul collegamento: N=-4942.23 Ty=-0.07 Tz=-5.22 Mx=0.02 Mz=0.59
Sollecitazioni agenti localmente: Tx_l=-0.07 Ty_l=-5.22 N_l=-4942.23 Mx_l=-0.00 My_l=0.59 Mz_l=0.02
Taglio nei bulloni: Fv,Ed=0.89 Fv,Rd=7720.78
Rifollamento lato piastra: Fb,Ed,p=0.89 Fb,Rd,p=5993.04
Tirafondi:LT=0.45 (0.31) σ_{cR}=0.00 σ_{fR}=0.00
Compressione nel calcestruzzo: σ_c=10.24
CC 9 SLV (Collegamento 0023_-380)
Azioni sul collegamento: N=-6324.24 Ty=2.24 Tz=-0.09 Mx=0.02 Mz=5.11
Sollecitazioni agenti localmente: Tx_l=2.24 Ty_l=-0.09 N_l=-6324.24 Mx_l=-0.00 My_l=5.11 Mz_l=0.02
Taglio nei bulloni: Fv,Ed=0.40 Fv,Rd=7720.78
Rifollamento lato piastra: Fb,Ed,p=0.40 Fb,Rd,p=6067.45
Tirafondi:LT=0.45 (0.31) σ_{cR}=0.00 σ_{fR}=0.00
Compressione nel calcestruzzo: σ_c=13.35
CC 9 SLV (Collegamento 0023_-380)
Azioni sul collegamento: N=-6324.24 Ty=-0.07 Tz=-0.09 Mx=0.02 Mz=0.59
Sollecitazioni agenti localmente: Tx_l=-0.07 Ty_l=-0.09 N_l=-6324.24 Mx_l=-0.00 My_l=0.59 Mz_l=0.02
Tirafondi:LT=0.45 (0.31) σ_{cR}=0.00 σ_{fR}=0.00
Compressione nel calcestruzzo: σ_c=13.10
CC 9 SLV (Collegamento 0023_-380)
Azioni sul collegamento: N=-6324.24 Ty=2.24 Tz=-5.22 Mx=0.02 Mz=5.11
Sollecitazioni agenti localmente: Tx_l=2.24 Ty_l=-5.22 N_l=-6324.24 Mx_l=-0.00 My_l=5.11 Mz_l=0.02
Taglio nei bulloni: Fv,Ed=0.98 Fv,Rd=7720.78
Rifollamento lato piastra: Fb,Ed,p=0.96 Fb,Rd,p=7350.26
Tirafondi:LT=0.45 (0.31) σ_{cR}=0.00 σ_{fR}=0.00
Compressione nel calcestruzzo: σ_c=13.35
CC 9 SLV (Collegamento 0023_-380)
Azioni sul collegamento: N=-6324.24 Ty=-0.07 Tz=-5.22 Mx=0.02 Mz=0.59
Sollecitazioni agenti localmente: Tx_l=-0.07 Ty_l=-5.22 N_l=-6324.24 Mx_l=-0.00 My_l=0.59 Mz_l=0.02
Taglio nei bulloni: Fv,Ed=0.89 Fv,Rd=7720.78
Rifollamento lato piastra: Fb,Ed,p=0.89 Fb,Rd,p=5993.04
Tirafondi:LT=0.45 (0.31) σ_{cR}=0.00 σ_{fR}=0.00
Compressione nel calcestruzzo: σ_c=13.10
CC 10 SLD (Collegamento 0023_-380)
Azioni sul collegamento: N=-5422.71 Ty=0.63 Tz=-1.87 Mx=0.01 Mz=1.49
Sollecitazioni agenti localmente: Tx_l=0.63 Ty_l=-1.87 N_l=-5422.71 Mx_l=-0.00 My_l=1.49 Mz_l=0.01
Taglio nei bulloni: Fv,Ed=0.34 Fv,Rd=9650.97
Rifollamento lato piastra: Fb,Ed,p=0.33 Fb,Rd,p=8529.30
Tirafondi:LT=0.45 (0.31) σ_{cR}=0.00 σ_{fR}=0.00
Compressione nel calcestruzzo: σ_c=11.29
CC 10 SLD (Collegamento 0023_-380)
Azioni sul collegamento: N=-5422.71 Ty=-0.07 Tz=-1.87 Mx=0.01 Mz=0.11
Sollecitazioni agenti localmente: Tx_l=-0.07 Ty_l=-1.87 N_l=-5422.71 Mx_l=-0.00 My_l=0.11 Mz_l=0.01
Taglio nei bulloni: Fv,Ed=0.32 Fv,Rd=9650.97
Rifollamento lato piastra: Fb,Ed,p=0.32 Fb,Rd,p=7513.97
Tirafondi:LT=0.45 (0.31) σ_{cR}=0.00 σ_{fR}=0.00
Compressione nel calcestruzzo: σ_c=11.21
CC 10 SLD (Collegamento 0023_-380)
Azioni sul collegamento: N=-5422.71 Ty=0.63 Tz=-3.44 Mx=0.01 Mz=1.49
Sollecitazioni agenti localmente: Tx_l=0.63 Ty_l=-3.44 N_l=-5422.71 Mx_l=-0.00 My_l=1.49 Mz_l=0.01
Taglio nei bulloni: Fv,Ed=0.59 Fv,Rd=9650.97
Rifollamento lato piastra: Fb,Ed,p=0.59 Fb,Rd,p=7792.44
Tirafondi:LT=0.45 (0.31) σ_{cR}=0.00 σ_{fR}=0.00
Compressione nel calcestruzzo: σ_c=11.29
CC 10 SLD (Collegamento 0023_-380)
Azioni sul collegamento: N=-5422.71 Ty=-0.07 Tz=-3.44 Mx=0.01 Mz=0.11
Sollecitazioni agenti localmente: Tx_l=-0.07 Ty_l=-3.44 N_l=-5422.71 Mx_l=-0.00 My_l=0.11 Mz_l=0.01
Taglio nei bulloni: Fv,Ed=0.58 Fv,Rd=9650.97
Rifollamento lato piastra: Fb,Ed,p=0.58 Fb,Rd,p=7486.09
Tirafondi:LT=0.45 (0.31) σ_{cR}=0.00 σ_{fR}=0.00
Compressione nel calcestruzzo: σ_c=11.21
CC 10 SLD (Collegamento 0023_-380)
Azioni sul collegamento: N=-5844.12 Ty=0.63 Tz=-1.87 Mx=0.01 Mz=1.49
Sollecitazioni agenti localmente: Tx_l=0.63 Ty_l=-1.87 N_l=-5844.12 Mx_l=-0.00 My_l=1.49 Mz_l=0.01
Taglio nei bulloni: Fv,Ed=0.34 Fv,Rd=9650.97
Rifollamento lato piastra: Fb,Ed,p=0.33 Fb,Rd,p=8529.26
Tirafondi:LT=0.45 (0.31) σ_{cR}=0.00 σ_{fR}=0.00
Compressione nel calcestruzzo: σ_c=12.16
CC 10 SLD (Collegamento 0023_-380)
Azioni sul collegamento: N=-5844.12 Ty=-0.07 Tz=-1.87 Mx=0.01 Mz=0.11

Sollecitazioni agenti localmente: Tx_l=-0.07 Ty_l=-1.87 N_l=-5844.12 Mx_l=-0.00 My_l=0.11 Mz_l=0.01
Taglio nei bulloni: Fv,Ed=0.32 Fv,Rd=9650.97
Rifollamento lato piastra: Fb,Ed,p=0.32 Fb,Rd,p=7513.97
Tirafondi:LT=0.45 (0.31) σ_{cR}=0.00 σ_{fR}=0.00
Compressione nel calcestruzzo: σ_c=12.08
CC 10 SLD (Collegamento 0023_-380)
Azioni sul collegamento: N=-5844.12 Ty=0.63 Tz=-3.44 Mx=0.01 Mz=1.49
Sollecitazioni agenti localmente: Tx_l=0.63 Ty_l=-3.44 N_l=-5844.12 Mx_l=-0.00 My_l=1.49 Mz_l=0.01
Taglio nei bulloni: Fv,Ed=0.59 Fv,Rd=9650.97
Rifollamento lato piastra: Fb,Ed,p=0.59 Fb,Rd,p=7792.46
Tirafondi:LT=0.45 (0.31) σ_{cR}=0.00 σ_{fR}=0.00
Compressione nel calcestruzzo: σ_c=12.16
CC 10 SLD (Collegamento 0023_-380)
Azioni sul collegamento: N=-5844.12 Ty=-0.07 Tz=-3.44 Mx=0.01 Mz=0.11
Sollecitazioni agenti localmente: Tx_l=-0.07 Ty_l=-3.44 N_l=-5844.12 Mx_l=-0.00 My_l=0.11 Mz_l=0.01
Taglio nei bulloni: Fv,Ed=0.58 Fv,Rd=9650.97
Rifollamento lato piastra: Fb,Ed,p=0.58 Fb,Rd,p=7486.09
Tirafondi:LT=0.45 (0.31) σ_{cR}=0.00 σ_{fR}=0.00
Compressione nel calcestruzzo: σ_c=12.08
CC 11 SLV (Collegamento 0023_-380)
Azioni sul collegamento: N=-6324.16 Ty=2.24 Tz=-5.22 Mx=0.02 Mz=5.10
Sollecitazioni agenti localmente: Tx_l=2.24 Ty_l=-5.22 N_l=-6324.16 Mx_l=-0.00 My_l=5.10 Mz_l=0.02
Taglio nei bulloni: Fv,Ed=0.98 Fv,Rd=7720.78
Rifollamento lato piastra: Fb,Ed,p=0.96 Fb,Rd,p=7346.53
Tirafondi:LT=0.45 (0.31) σ_{cR}=0.00 σ_{fR}=0.00
Compressione nel calcestruzzo: σ_c=13.35
CC 11 SLV (Collegamento 0023_-380)
Azioni sul collegamento: N=-6324.16 Ty=-0.06 Tz=-5.22 Mx=0.02 Mz=0.60
Sollecitazioni agenti localmente: Tx_l=-0.06 Ty_l=-5.22 N_l=-6324.16 Mx_l=-0.00 My_l=0.60 Mz_l=0.02
Taglio nei bulloni: Fv,Ed=0.89 Fv,Rd=7720.78
Rifollamento lato piastra: Fb,Ed,p=0.89 Fb,Rd,p=5992.47
Tirafondi:LT=0.45 (0.31) σ_{cR}=0.00 σ_{fR}=0.00
Compressione nel calcestruzzo: σ_c=13.10
CC 11 SLV (Collegamento 0023_-380)
Azioni sul collegamento: N=-6324.16 Ty=2.24 Tz=-0.09 Mx=0.02 Mz=5.10
Sollecitazioni agenti localmente: Tx_l=2.24 Ty_l=-0.09 N_l=-6324.16 Mx_l=-0.00 My_l=5.10 Mz_l=0.02
Taglio nei bulloni: Fv,Ed=0.40 Fv,Rd=7720.78
Rifollamento lato piastra: Fb,Ed,p=0.40 Fb,Rd,p=6068.71
Tirafondi:LT=0.45 (0.31) σ_{cR}=0.00 σ_{fR}=0.00
Compressione nel calcestruzzo: σ_c=13.35
CC 11 SLV (Collegamento 0023_-380)
Azioni sul collegamento: N=-6324.16 Ty=-0.06 Tz=-0.09 Mx=0.02 Mz=0.60
Sollecitazioni agenti localmente: Tx_l=-0.06 Ty_l=-0.09 N_l=-6324.16 Mx_l=-0.00 My_l=0.60 Mz_l=0.02
Tirafondi:LT=0.45 (0.31) σ_{cR}=0.00 σ_{fR}=0.00
Compressione nel calcestruzzo: σ_c=13.10
CC 11 SLV (Collegamento 0023_-380)
Azioni sul collegamento: N=-4942.30 Ty=2.24 Tz=-5.22 Mx=0.02 Mz=5.10
Sollecitazioni agenti localmente: Tx_l=2.24 Ty_l=-5.22 N_l=-4942.30 Mx_l=-0.00 My_l=5.10 Mz_l=0.02
Taglio nei bulloni: Fv,Ed=0.98 Fv,Rd=7720.78
Rifollamento lato piastra: Fb,Ed,p=0.96 Fb,Rd,p=7346.49
Tirafondi:LT=0.45 (0.31) σ_{cR}=0.00 σ_{fR}=0.00
Compressione nel calcestruzzo: σ_c=10.50
CC 11 SLV (Collegamento 0023_-380)
Azioni sul collegamento: N=-4942.30 Ty=-0.06 Tz=-5.22 Mx=0.02 Mz=0.60
Sollecitazioni agenti localmente: Tx_l=-0.06 Ty_l=-5.22 N_l=-4942.30 Mx_l=-0.00 My_l=0.60 Mz_l=0.02
Taglio nei bulloni: Fv,Ed=0.89 Fv,Rd=7720.78
Rifollamento lato piastra: Fb,Ed,p=0.89 Fb,Rd,p=5992.47
Tirafondi:LT=0.45 (0.31) σ_{cR}=0.00 σ_{fR}=0.00
Compressione nel calcestruzzo: σ_c=10.25
CC 11 SLV (Collegamento 0023_-380)
Azioni sul collegamento: N=-4942.30 Ty=2.24 Tz=-0.09 Mx=0.02 Mz=5.10
Sollecitazioni agenti localmente: Tx_l=2.24 Ty_l=-0.09 N_l=-4942.30 Mx_l=-0.00 My_l=5.10 Mz_l=0.02
Taglio nei bulloni: Fv,Ed=0.40 Fv,Rd=7720.78
Rifollamento lato piastra: Fb,Ed,p=0.40 Fb,Rd,p=6068.91
Tirafondi:LT=0.45 (0.31) σ_{cR}=0.00 σ_{fR}=0.00
Compressione nel calcestruzzo: σ_c=10.50
CC 11 SLV (Collegamento 0023_-380)
Azioni sul collegamento: N=-4942.30 Ty=-0.06 Tz=-0.09 Mx=0.02 Mz=0.60
Sollecitazioni agenti localmente: Tx_l=-0.06 Ty_l=-0.09 N_l=-4942.30 Mx_l=-0.00 My_l=0.60 Mz_l=0.02
Tirafondi:LT=0.45 (0.31) σ_{cR}=0.00 σ_{fR}=0.00
Compressione nel calcestruzzo: σ_c=10.25
CC 12 SLD (Collegamento 0023_-380)
Azioni sul collegamento: N=-5844.10 Ty=0.63 Tz=-3.44 Mx=0.01 Mz=1.48
Sollecitazioni agenti localmente: Tx_l=0.63 Ty_l=-3.44 N_l=-5844.10 Mx_l=-0.00 My_l=1.48 Mz_l=0.01
Taglio nei bulloni: Fv,Ed=0.59 Fv,Rd=9650.97
Rifollamento lato piastra: Fb,Ed,p=0.59 Fb,Rd,p=7791.34
Tirafondi:LT=0.45 (0.31) σ_{cR}=0.00 σ_{fR}=0.00
Compressione nel calcestruzzo: σ_c=12.16

CC 12 SLD (Collegamento 0023_-380)
Azioni sul collegamento: N=-5844.10 Ty=-0.07 Tz=-3.44 Mx=0.01 Mz=0.11
Sollecitazioni agenti localmente: Tx_l=-0.07 Ty_l=-3.44 N_l=-5844.10 Mx_l=-0.00 My_l=0.11 Mz_l=0.01
Taglio nei bulloni: Fv,Ed=0.58 Fv,Rd=9650.97
Rifollamento lato piastra: Fb,Ed,p=0.58 Fb,Rd,p=7485.81
Tirafondi:LT=0.45 (0.31) σ_{cR}=0.00 σ_{fR}=0.00
Compressione nel calcestruzzo: σ_c=12.08
CC 12 SLD (Collegamento 0023_-380)
Azioni sul collegamento: N=-5844.10 Ty=0.63 Tz=-1.87 Mx=0.01 Mz=1.48
Sollecitazioni agenti localmente: Tx_l=0.63 Ty_l=-1.87 N_l=-5844.10 Mx_l=-0.00 My_l=1.48 Mz_l=0.01
Taglio nei bulloni: Fv,Ed=0.34 Fv,Rd=9650.97
Rifollamento lato piastra: Fb,Ed,p=0.33 Fb,Rd,p=8524.64
Tirafondi:LT=0.45 (0.31) σ_{cR}=0.00 σ_{fR}=0.00
Compressione nel calcestruzzo: σ_c=12.16
CC 12 SLD (Collegamento 0023_-380)
Azioni sul collegamento: N=-5844.10 Ty=-0.07 Tz=-1.87 Mx=0.01 Mz=0.11
Sollecitazioni agenti localmente: Tx_l=-0.07 Ty_l=-1.87 N_l=-5844.10 Mx_l=-0.00 My_l=0.11 Mz_l=0.01
Taglio nei bulloni: Fv,Ed=0.32 Fv,Rd=9650.97
Rifollamento lato piastra: Fb,Ed,p=0.32 Fb,Rd,p=7513.00
Tirafondi:LT=0.45 (0.31) σ_{cR}=0.00 σ_{fR}=0.00
Compressione nel calcestruzzo: σ_c=12.08
CC 12 SLD (Collegamento 0023_-380)
Azioni sul collegamento: N=-5422.73 Ty=0.63 Tz=-3.44 Mx=0.01 Mz=1.48
Sollecitazioni agenti localmente: Tx_l=0.63 Ty_l=-3.44 N_l=-5422.73 Mx_l=-0.00 My_l=1.48 Mz_l=0.01
Taglio nei bulloni: Fv,Ed=0.59 Fv,Rd=9650.97
Rifollamento lato piastra: Fb,Ed,p=0.59 Fb,Rd,p=7791.38
Tirafondi:LT=0.45 (0.31) σ_{cR}=0.00 σ_{fR}=0.00
Compressione nel calcestruzzo: σ_c=11.29
CC 12 SLD (Collegamento 0023_-380)
Azioni sul collegamento: N=-5422.73 Ty=-0.07 Tz=-3.44 Mx=0.01 Mz=0.11
Sollecitazioni agenti localmente: Tx_l=-0.07 Ty_l=-3.44 N_l=-5422.73 Mx_l=-0.00 My_l=0.11 Mz_l=0.01
Taglio nei bulloni: Fv,Ed=0.58 Fv,Rd=9650.97
Rifollamento lato piastra: Fb,Ed,p=0.58 Fb,Rd,p=7485.81
Tirafondi:LT=0.45 (0.31) σ_{cR}=0.00 σ_{fR}=0.00
Compressione nel calcestruzzo: σ_c=11.21
CC 12 SLD (Collegamento 0023_-380)
Azioni sul collegamento: N=-5422.73 Ty=0.63 Tz=-1.87 Mx=0.01 Mz=1.48
Sollecitazioni agenti localmente: Tx_l=0.63 Ty_l=-1.87 N_l=-5422.73 Mx_l=-0.00 My_l=1.48 Mz_l=0.01
Taglio nei bulloni: Fv,Ed=0.34 Fv,Rd=9650.97
Rifollamento lato piastra: Fb,Ed,p=0.33 Fb,Rd,p=8524.57
Tirafondi:LT=0.45 (0.31) σ_{cR}=0.00 σ_{fR}=0.00
Compressione nel calcestruzzo: σ_c=11.29
CC 12 SLD (Collegamento 0023_-380)
Azioni sul collegamento: N=-5422.73 Ty=-0.07 Tz=-1.87 Mx=0.01 Mz=0.11
Sollecitazioni agenti localmente: Tx_l=-0.07 Ty_l=-1.87 N_l=-5422.73 Mx_l=-0.00 My_l=0.11 Mz_l=0.01
Taglio nei bulloni: Fv,Ed=0.32 Fv,Rd=9650.97
Rifollamento lato piastra: Fb,Ed,p=0.32 Fb,Rd,p=7513.00
Tirafondi:LT=0.45 (0.31) σ_{cR}=0.00 σ_{fR}=0.00
Compressione nel calcestruzzo: σ_c=11.21
CC 13 SLV (Collegamento 0023_-380)
Azioni sul collegamento: N=-4942.30 Ty=-0.06 Tz=-0.09 Mx=0.00 Mz=0.60
Sollecitazioni agenti localmente: Tx_l=-0.06 Ty_l=-0.09 N_l=-4942.30 Mx_l=-0.00 My_l=0.60 Mz_l=0.00
Tirafondi:LT=0.45 (0.31) σ_{cR}=0.00 σ_{fR}=0.00
Compressione nel calcestruzzo: σ_c=10.25
CC 13 SLV (Collegamento 0023_-380)
Azioni sul collegamento: N=-4942.30 Ty=2.24 Tz=-0.09 Mx=0.00 Mz=5.10
Sollecitazioni agenti localmente: Tx_l=2.24 Ty_l=-0.09 N_l=-4942.30 Mx_l=-0.00 My_l=5.10 Mz_l=0.00
Taglio nei bulloni: Fv,Ed=0.38 Fv,Rd=7720.78
Rifollamento lato piastra: Fb,Ed,p=0.38 Fb,Rd,p=6005.64
Tirafondi:LT=0.45 (0.31) σ_{cR}=0.00 σ_{fR}=0.00
Compressione nel calcestruzzo: σ_c=10.50
CC 13 SLV (Collegamento 0023_-380)
Azioni sul collegamento: N=-4942.30 Ty=-0.06 Tz=-5.22 Mx=0.00 Mz=0.60
Sollecitazioni agenti localmente: Tx_l=-0.06 Ty_l=-5.22 N_l=-4942.30 Mx_l=-0.00 My_l=0.60 Mz_l=0.00
Taglio nei bulloni: Fv,Ed=0.87 Fv,Rd=7720.78
Rifollamento lato piastra: Fb,Ed,p=0.87 Fb,Rd,p=5981.88
Tirafondi:LT=0.45 (0.31) σ_{cR}=0.00 σ_{fR}=0.00
Compressione nel calcestruzzo: σ_c=10.25
CC 13 SLV (Collegamento 0023_-380)
Azioni sul collegamento: N=-4942.30 Ty=2.24 Tz=-5.22 Mx=0.00 Mz=5.10
Sollecitazioni agenti localmente: Tx_l=2.24 Ty_l=-5.22 N_l=-4942.30 Mx_l=-0.00 My_l=5.10 Mz_l=0.00
Taglio nei bulloni: Fv,Ed=0.95 Fv,Rd=7720.78
Rifollamento lato piastra: Fb,Ed,p=0.95 Fb,Rd,p=7572.77
Tirafondi:LT=0.45 (0.31) σ_{cR}=0.00 σ_{fR}=0.00
Compressione nel calcestruzzo: σ_c=10.50
CC 13 SLV (Collegamento 0023_-380)
Azioni sul collegamento: N=-6324.16 Ty=-0.06 Tz=-0.09 Mx=0.00 Mz=0.60
Sollecitazioni agenti localmente: Tx_l=-0.06 Ty_l=-0.09 N_l=-6324.16 Mx_l=-0.00 My_l=0.60 Mz_l=0.00

Tirafondi:LT=0.45 (0.31) σ_{cR}=0.00 σ_{fR}=0.00
Compressione nel calcestruzzo: σ_c=13.10
CC 13 SLV (Collegamento 0023_-380)
Azioni sul collegamento: N=-6324.16 Ty=2.24 Tz=-0.09 Mx=0.00 Mz=5.10
Sollecitazioni agenti localmente: Tx_l=2.24 Ty_l=-0.09 N_l=-6324.16 Mx_l=-0.00 My_l=5.10 Mz_l=0.00
Taglio nei bulloni: Fv,Ed=0.38 Fv,Rd=7720.78
Rifollamento lato piastra: Fb,Ed,p=0.38 Fb,Rd,p=6005.53
Tirafondi:LT=0.45 (0.31) σ_{cR}=0.00 σ_{fR}=0.00
Compressione nel calcestruzzo: σ_c=13.35
CC 13 SLV (Collegamento 0023_-380)
Azioni sul collegamento: N=-6324.16 Ty=-0.06 Tz=-5.22 Mx=0.00 Mz=0.60
Sollecitazioni agenti localmente: Tx_l=-0.06 Ty_l=-5.22 N_l=-6324.16 Mx_l=-0.00 My_l=0.60 Mz_l=0.00
Taglio nei bulloni: Fv,Ed=0.87 Fv,Rd=7720.78
Rifollamento lato piastra: Fb,Ed,p=0.87 Fb,Rd,p=5981.88
Tirafondi:LT=0.45 (0.31) σ_{cR}=0.00 σ_{fR}=0.00
Compressione nel calcestruzzo: σ_c=13.10
CC 13 SLV (Collegamento 0023_-380)
Azioni sul collegamento: N=-6324.16 Ty=2.24 Tz=-5.22 Mx=0.00 Mz=5.10
Sollecitazioni agenti localmente: Tx_l=2.24 Ty_l=-5.22 N_l=-6324.16 Mx_l=-0.00 My_l=5.10 Mz_l=0.00
Taglio nei bulloni: Fv,Ed=0.95 Fv,Rd=7720.78
Rifollamento lato piastra: Fb,Ed,p=0.95 Fb,Rd,p=7572.82
Tirafondi:LT=0.45 (0.31) σ_{cR}=0.00 σ_{fR}=0.00
Compressione nel calcestruzzo: σ_c=13.35
CC 14 SLD (Collegamento 0023_-380)
Azioni sul collegamento: N=-5422.73 Ty=-0.07 Tz=-1.87 Mx=0.00 Mz=0.11
Sollecitazioni agenti localmente: Tx_l=-0.07 Ty_l=-1.87 N_l=-5422.73 Mx_l=-0.00 My_l=0.11 Mz_l=0.00
Taglio nei bulloni: Fv,Ed=0.31 Fv,Rd=9650.97
Rifollamento lato piastra: Fb,Ed,p=0.31 Fb,Rd,p=7493.21
Tirafondi:LT=0.45 (0.31) σ_{cR}=0.00 σ_{fR}=0.00
Compressione nel calcestruzzo: σ_c=11.21
CC 14 SLD (Collegamento 0023_-380)
Azioni sul collegamento: N=-5422.73 Ty=0.63 Tz=-1.87 Mx=0.00 Mz=1.48
Sollecitazioni agenti localmente: Tx_l=0.63 Ty_l=-1.87 N_l=-5422.73 Mx_l=-0.00 My_l=1.48 Mz_l=0.00
Taglio nei bulloni: Fv,Ed=0.33 Fv,Rd=9650.97
Rifollamento lato piastra: Fb,Ed,p=0.33 Fb,Rd,p=8700.72
Tirafondi:LT=0.45 (0.31) σ_{cR}=0.00 σ_{fR}=0.00
Compressione nel calcestruzzo: σ_c=11.29
CC 14 SLD (Collegamento 0023_-380)
Azioni sul collegamento: N=-5422.73 Ty=-0.07 Tz=-3.44 Mx=0.00 Mz=0.11
Sollecitazioni agenti localmente: Tx_l=-0.07 Ty_l=-3.44 N_l=-5422.73 Mx_l=-0.00 My_l=0.11 Mz_l=0.00
Taglio nei bulloni: Fv,Ed=0.57 Fv,Rd=9650.97
Rifollamento lato piastra: Fb,Ed,p=0.57 Fb,Rd,p=7479.71
Tirafondi:LT=0.45 (0.31) σ_{cR}=0.00 σ_{fR}=0.00
Compressione nel calcestruzzo: σ_c=11.21
CC 14 SLD (Collegamento 0023_-380)
Azioni sul collegamento: N=-5422.73 Ty=0.63 Tz=-3.44 Mx=0.00 Mz=1.48
Sollecitazioni agenti localmente: Tx_l=0.63 Ty_l=-3.44 N_l=-5422.73 Mx_l=-0.00 My_l=1.48 Mz_l=0.00
Taglio nei bulloni: Fv,Ed=0.58 Fv,Rd=9650.97
Rifollamento lato piastra: Fb,Ed,p=0.58 Fb,Rd,p=7838.14
Tirafondi:LT=0.45 (0.31) σ_{cR}=0.00 σ_{fR}=0.00
Compressione nel calcestruzzo: σ_c=11.29
CC 14 SLD (Collegamento 0023_-380)
Azioni sul collegamento: N=-5844.10 Ty=-0.07 Tz=-1.87 Mx=0.00 Mz=0.11
Sollecitazioni agenti localmente: Tx_l=-0.07 Ty_l=-1.87 N_l=-5844.10 Mx_l=-0.00 My_l=0.11 Mz_l=0.00
Taglio nei bulloni: Fv,Ed=0.31 Fv,Rd=9650.97
Rifollamento lato piastra: Fb,Ed,p=0.31 Fb,Rd,p=7493.21
Tirafondi:LT=0.45 (0.31) σ_{cR}=0.00 σ_{fR}=0.00
Compressione nel calcestruzzo: σ_c=12.08
CC 14 SLD (Collegamento 0023_-380)
Azioni sul collegamento: N=-5844.10 Ty=0.63 Tz=-1.87 Mx=0.00 Mz=1.48
Sollecitazioni agenti localmente: Tx_l=0.63 Ty_l=-1.87 N_l=-5844.10 Mx_l=-0.00 My_l=1.48 Mz_l=0.00
Taglio nei bulloni: Fv,Ed=0.33 Fv,Rd=9650.97
Rifollamento lato piastra: Fb,Ed,p=0.33 Fb,Rd,p=8700.82
Tirafondi:LT=0.45 (0.31) σ_{cR}=0.00 σ_{fR}=0.00
Compressione nel calcestruzzo: σ_c=12.16
CC 14 SLD (Collegamento 0023_-380)
Azioni sul collegamento: N=-5844.10 Ty=-0.07 Tz=-3.44 Mx=0.00 Mz=0.11
Sollecitazioni agenti localmente: Tx_l=-0.07 Ty_l=-3.44 N_l=-5844.10 Mx_l=-0.00 My_l=0.11 Mz_l=0.00
Taglio nei bulloni: Fv,Ed=0.57 Fv,Rd=9650.97
Rifollamento lato piastra: Fb,Ed,p=0.57 Fb,Rd,p=7479.71
Tirafondi:LT=0.45 (0.31) σ_{cR}=0.00 σ_{fR}=0.00
Compressione nel calcestruzzo: σ_c=12.08
CC 14 SLD (Collegamento 0023_-380)
Azioni sul collegamento: N=-5844.10 Ty=0.63 Tz=-3.44 Mx=0.00 Mz=1.48
Sollecitazioni agenti localmente: Tx_l=0.63 Ty_l=-3.44 N_l=-5844.10 Mx_l=-0.00 My_l=1.48 Mz_l=0.00
Taglio nei bulloni: Fv,Ed=0.58 Fv,Rd=9650.97
Rifollamento lato piastra: Fb,Ed,p=0.58 Fb,Rd,p=7838.09
Tirafondi:LT=0.45 (0.31) σ_{cR}=0.00 σ_{fR}=0.00

Compressione nel calcestruzzo: σ_c=12.16
CC 15 SLV (Collegamento 0023_-380)
Azioni sul collegamento: N=-6324.24 Ty=-0.07 Tz=-5.22 Mx=0.00 Mz=0.59
Sollecitazioni agenti localmente: Tx_l=-0.07 Ty_l=-5.22 N_l=-6324.24 Mx_l=-0.00 My_l=0.59 Mz_l=0.00
Taglio nei bulloni: Fv,Ed=0.87 Fv,Rd=7720.78
Rifollamento lato piastra: Fb,Ed,p=0.87 Fb,Rd,p=5982.10
Tirafondi:LT=0.45 (0.31) σ_{cR}=0.00 σ_{fR}=0.00
Compressione nel calcestruzzo: σ_c=13.10
CC 15 SLV (Collegamento 0023_-380)
Azioni sul collegamento: N=-6324.24 Ty=2.24 Tz=-5.22 Mx=0.00 Mz=5.11
Sollecitazioni agenti localmente: Tx_l=2.24 Ty_l=-5.22 N_l=-6324.24 Mx_l=-0.00 My_l=5.11 Mz_l=0.00
Taglio nei bulloni: Fv,Ed=0.95 Fv,Rd=7720.78
Rifollamento lato piastra: Fb,Ed,p=0.95 Fb,Rd,p=7578.46
Tirafondi:LT=0.45 (0.31) σ_{cR}=0.00 σ_{fR}=0.00
Compressione nel calcestruzzo: σ_c=13.35
CC 15 SLV (Collegamento 0023_-380)
Azioni sul collegamento: N=-6324.24 Ty=-0.07 Tz=-0.09 Mx=0.00 Mz=0.59
Sollecitazioni agenti localmente: Tx_l=-0.07 Ty_l=-0.09 N_l=-6324.24 Mx_l=-0.00 My_l=0.59 Mz_l=0.00
Tirafondi:LT=0.45 (0.31) σ_{cR}=0.00 σ_{fR}=0.00
Compressione nel calcestruzzo: σ_c=13.10
CC 15 SLV (Collegamento 0023_-380)
Azioni sul collegamento: N=-6324.24 Ty=2.24 Tz=-0.09 Mx=0.00 Mz=5.11
Sollecitazioni agenti localmente: Tx_l=2.24 Ty_l=-0.09 N_l=-6324.24 Mx_l=-0.00 My_l=5.11 Mz_l=0.00
Taglio nei bulloni: Fv,Ed=0.38 Fv,Rd=7720.78
Rifollamento lato piastra: Fb,Ed,p=0.38 Fb,Rd,p=6004.58
Tirafondi:LT=0.45 (0.31) σ_{cR}=0.00 σ_{fR}=0.00
Compressione nel calcestruzzo: σ_c=13.35
CC 15 SLV (Collegamento 0023_-380)
Azioni sul collegamento: N=-4942.23 Ty=-0.07 Tz=-5.22 Mx=0.00 Mz=0.59
Sollecitazioni agenti localmente: Tx_l=-0.07 Ty_l=-5.22 N_l=-4942.23 Mx_l=-0.00 My_l=0.59 Mz_l=0.00
Taglio nei bulloni: Fv,Ed=0.87 Fv,Rd=7720.78
Rifollamento lato piastra: Fb,Ed,p=0.87 Fb,Rd,p=5982.10
Tirafondi:LT=0.45 (0.31) σ_{cR}=0.00 σ_{fR}=0.00
Compressione nel calcestruzzo: σ_c=10.24
CC 15 SLV (Collegamento 0023_-380)
Azioni sul collegamento: N=-4942.23 Ty=2.24 Tz=-5.22 Mx=0.00 Mz=5.11
Sollecitazioni agenti localmente: Tx_l=2.24 Ty_l=-5.22 N_l=-4942.23 Mx_l=-0.00 My_l=5.11 Mz_l=0.00
Taglio nei bulloni: Fv,Ed=0.95 Fv,Rd=7720.78
Rifollamento lato piastra: Fb,Ed,p=0.95 Fb,Rd,p=7578.39
Tirafondi:LT=0.45 (0.31) σ_{cR}=0.00 σ_{fR}=0.00
Compressione nel calcestruzzo: σ_c=10.50
CC 15 SLV (Collegamento 0023_-380)
Azioni sul collegamento: N=-4942.23 Ty=-0.07 Tz=-0.09 Mx=0.00 Mz=0.59
Sollecitazioni agenti localmente: Tx_l=-0.07 Ty_l=-0.09 N_l=-4942.23 Mx_l=-0.00 My_l=0.59 Mz_l=0.00
Tirafondi:LT=0.45 (0.31) σ_{cR}=0.00 σ_{fR}=0.00
Compressione nel calcestruzzo: σ_c=10.24
CC 15 SLV (Collegamento 0023_-380)
Azioni sul collegamento: N=-4942.23 Ty=2.24 Tz=-0.09 Mx=0.00 Mz=5.11
Sollecitazioni agenti localmente: Tx_l=2.24 Ty_l=-0.09 N_l=-4942.23 Mx_l=-0.00 My_l=5.11 Mz_l=0.00
Taglio nei bulloni: Fv,Ed=0.38 Fv,Rd=7720.78
Rifollamento lato piastra: Fb,Ed,p=0.38 Fb,Rd,p=6004.62
Tirafondi:LT=0.45 (0.31) σ_{cR}=0.00 σ_{fR}=0.00
Compressione nel calcestruzzo: σ_c=10.50
CC 16 SLD (Collegamento 0023_-380)
Azioni sul collegamento: N=-5844.12 Ty=-0.07 Tz=-3.44 Mx=0.00 Mz=0.11
Sollecitazioni agenti localmente: Tx_l=-0.07 Ty_l=-3.44 N_l=-5844.12 Mx_l=-0.00 My_l=0.11 Mz_l=0.00
Taglio nei bulloni: Fv,Ed=0.57 Fv,Rd=9650.97
Rifollamento lato piastra: Fb,Ed,p=0.57 Fb,Rd,p=7479.87
Tirafondi:LT=0.45 (0.31) σ_{cR}=0.00 σ_{fR}=0.00
Compressione nel calcestruzzo: σ_c=12.08
CC 16 SLD (Collegamento 0023_-380)
Azioni sul collegamento: N=-5844.12 Ty=0.63 Tz=-3.44 Mx=0.00 Mz=1.49
Sollecitazioni agenti localmente: Tx_l=0.63 Ty_l=-3.44 N_l=-5844.12 Mx_l=-0.00 My_l=1.49 Mz_l=0.00
Taglio nei bulloni: Fv,Ed=0.58 Fv,Rd=9650.97
Rifollamento lato piastra: Fb,Ed,p=0.58 Fb,Rd,p=7839.64
Tirafondi:LT=0.45 (0.31) σ_{cR}=0.00 σ_{fR}=0.00
Compressione nel calcestruzzo: σ_c=12.16
CC 16 SLD (Collegamento 0023_-380)
Azioni sul collegamento: N=-5844.12 Ty=-0.07 Tz=-1.87 Mx=0.00 Mz=0.11
Sollecitazioni agenti localmente: Tx_l=-0.07 Ty_l=-1.87 N_l=-5844.12 Mx_l=-0.00 My_l=0.11 Mz_l=0.00
Taglio nei bulloni: Fv,Ed=0.31 Fv,Rd=9650.97
Rifollamento lato piastra: Fb,Ed,p=0.31 Fb,Rd,p=7493.79
Tirafondi:LT=0.45 (0.31) σ_{cR}=0.00 σ_{fR}=0.00
Compressione nel calcestruzzo: σ_c=12.08
CC 16 SLD (Collegamento 0023_-380)
Azioni sul collegamento: N=-5844.12 Ty=0.63 Tz=-1.87 Mx=0.00 Mz=1.49
Sollecitazioni agenti localmente: Tx_l=0.63 Ty_l=-1.87 N_l=-5844.12 Mx_l=-0.00 My_l=1.49 Mz_l=0.00
Taglio nei bulloni: Fv,Ed=0.33 Fv,Rd=9650.97

Rifollamento lato piastra: Fb,Ed,p=0.33 Fb,Rd,p=8707.29
Tirafondi:LT=0.45 (0.31) σ_{cR}=0.00 σ_{fR}=0.00
Compressione nel calcestruzzo: σ_c=12.16
CC 16 SLD (Collegamento 0023_-380)
Azioni sul collegamento: N=-5422.71 Ty=-0.07 Tz=-3.44 Mx=0.00 Mz=0.11
Sollecitazioni agenti localmente: Tx_l=-0.07 Ty_l=-3.44 N_l=-5422.71 Mx_l=-0.00 My_l=0.11 Mz_l=0.00
Taglio nei bulloni: Fv,Ed=0.57 Fv,Rd=9650.97
Rifollamento lato piastra: Fb,Ed,p=0.57 Fb,Rd,p=7479.87
Tirafondi:LT=0.45 (0.31) σ_{cR}=0.00 σ_{fR}=0.00
Compressione nel calcestruzzo: σ_c=11.21
CC 16 SLD (Collegamento 0023_-380)
Azioni sul collegamento: N=-5422.71 Ty=0.63 Tz=-3.44 Mx=0.00 Mz=1.49
Sollecitazioni agenti localmente: Tx_l=0.63 Ty_l=-3.44 N_l=-5422.71 Mx_l=-0.00 My_l=1.49 Mz_l=0.00
Taglio nei bulloni: Fv,Ed=0.58 Fv,Rd=9650.97
Rifollamento lato piastra: Fb,Ed,p=0.58 Fb,Rd,p=7839.62
Tirafondi:LT=0.45 (0.31) σ_{cR}=0.00 σ_{fR}=0.00
Compressione nel calcestruzzo: σ_c=11.29
CC 16 SLD (Collegamento 0023_-380)
Azioni sul collegamento: N=-5422.71 Ty=-0.07 Tz=-1.87 Mx=0.00 Mz=0.11
Sollecitazioni agenti localmente: Tx_l=-0.07 Ty_l=-1.87 N_l=-5422.71 Mx_l=-0.00 My_l=0.11 Mz_l=0.00
Taglio nei bulloni: Fv,Ed=0.31 Fv,Rd=9650.97
Rifollamento lato piastra: Fb,Ed,p=0.31 Fb,Rd,p=7493.80
Tirafondi:LT=0.45 (0.31) σ_{cR}=0.00 σ_{fR}=0.00
Compressione nel calcestruzzo: σ_c=11.21
CC 16 SLD (Collegamento 0023_-380)
Azioni sul collegamento: N=-5422.71 Ty=0.63 Tz=-1.87 Mx=0.00 Mz=1.49
Sollecitazioni agenti localmente: Tx_l=0.63 Ty_l=-1.87 N_l=-5422.71 Mx_l=-0.00 My_l=1.49 Mz_l=0.00
Taglio nei bulloni: Fv,Ed=0.33 Fv,Rd=9650.97
Rifollamento lato piastra: Fb,Ed,p=0.33 Fb,Rd,p=8707.33
Tirafondi:LT=0.45 (0.31) σ_{cR}=0.00 σ_{fR}=0.00
Compressione nel calcestruzzo: σ_c=11.29
CC 17 SLV (Collegamento 0023_-380)
Azioni sul collegamento: N=-3330.52 Ty=-0.88 Tz=5.89 Mx=-0.02 Mz=-2.36
Sollecitazioni agenti localmente: Tx_l=-0.88 Ty_l=5.89 N_l=-3330.52 Mx_l=-0.00 My_l=-2.36 Mz_l=-0.02
Taglio nei bulloni: Fv,Ed=1.01 Fv,Rd=7720.78
Rifollamento lato piastra: Fb,Ed,p=1.01 Fb,Rd,p=6223.33
Tirafondi:LT=0.45 (0.31) σ_{cR}=0.00 σ_{fR}=0.00
Compressione nel calcestruzzo: σ_c=7.01
CC 17 SLV (Collegamento 0023_-380)
Azioni sul collegamento: N=-3330.52 Ty=-1.59 Tz=5.89 Mx=-0.02 Mz=-3.75
Sollecitazioni agenti localmente: Tx_l=-1.59 Ty_l=5.89 N_l=-3330.52 Mx_l=-0.00 My_l=-3.75 Mz_l=-0.02
Taglio nei bulloni: Fv,Ed=1.04 Fv,Rd=7720.78
Rifollamento lato piastra: Fb,Ed,p=1.04 Fb,Rd,p=6695.52
Tirafondi:LT=0.45 (0.31) σ_{cR}=0.00 σ_{fR}=0.00
Compressione nel calcestruzzo: σ_c=7.09
CC 17 SLV (Collegamento 0023_-380)
Azioni sul collegamento: N=-3330.52 Ty=-0.88 Tz=-11.19 Mx=-0.02 Mz=-2.36
Sollecitazioni agenti localmente: Tx_l=-0.88 Ty_l=-11.19 N_l=-3330.52 Mx_l=-0.00 My_l=-2.36 Mz_l=-0.02
Taglio nei bulloni: Fv,Ed=1.89 Fv,Rd=7720.78
Rifollamento lato piastra: Fb,Ed,p=1.89 Fb,Rd,p=6020.90
Tirafondi:LT=0.45 (0.31) σ_{cR}=0.00 σ_{fR}=0.00
Compressione nel calcestruzzo: σ_c=7.01
CC 17 SLV (Collegamento 0023_-380)
Azioni sul collegamento: N=-3330.52 Ty=-1.59 Tz=-11.19 Mx=-0.02 Mz=-3.75
Sollecitazioni agenti localmente: Tx_l=-1.59 Ty_l=-11.19 N_l=-3330.52 Mx_l=-0.00 My_l=-3.75 Mz_l=-0.02
Taglio nei bulloni: Fv,Ed=1.90 Fv,Rd=7720.78
Rifollamento lato piastra: Fb,Ed,p=1.90 Fb,Rd,p=6131.50
Tirafondi:LT=0.45 (0.31) σ_{cR}=0.00 σ_{fR}=0.00
Compressione nel calcestruzzo: σ_c=7.09
CC 17 SLV (Collegamento 0023_-380)
Azioni sul collegamento: N=-7936.99 Ty=-0.88 Tz=5.89 Mx=-0.02 Mz=-2.36
Sollecitazioni agenti localmente: Tx_l=-0.88 Ty_l=5.89 N_l=-7936.99 Mx_l=-0.00 My_l=-2.36 Mz_l=-0.02
Taglio nei bulloni: Fv,Ed=1.01 Fv,Rd=7720.78
Rifollamento lato piastra: Fb,Ed,p=1.01 Fb,Rd,p=6223.32
Tirafondi:LT=0.45 (0.31) σ_{cR}=0.00 σ_{fR}=0.00
Compressione nel calcestruzzo: σ_c=16.53
CC 17 SLV (Collegamento 0023_-380)
Azioni sul collegamento: N=-7936.99 Ty=-1.59 Tz=5.89 Mx=-0.02 Mz=-3.75
Sollecitazioni agenti localmente: Tx_l=-1.59 Ty_l=5.89 N_l=-7936.99 Mx_l=-0.00 My_l=-3.75 Mz_l=-0.02
Taglio nei bulloni: Fv,Ed=1.04 Fv,Rd=7720.78
Rifollamento lato piastra: Fb,Ed,p=1.04 Fb,Rd,p=6695.50
Tirafondi:LT=0.45 (0.31) σ_{cR}=0.00 σ_{fR}=0.00
Compressione nel calcestruzzo: σ_c=16.61
CC 17 SLV (Collegamento 0023_-380)
Azioni sul collegamento: N=-7936.99 Ty=-0.88 Tz=-11.19 Mx=-0.02 Mz=-2.36
Sollecitazioni agenti localmente: Tx_l=-0.88 Ty_l=-11.19 N_l=-7936.99 Mx_l=-0.00 My_l=-2.36 Mz_l=-0.02
Taglio nei bulloni: Fv,Ed=1.89 Fv,Rd=7720.78
Rifollamento lato piastra: Fb,Ed,p=1.89 Fb,Rd,p=6020.90

Tirafondi:LT=0.45 (0.31) σ_{cR}=0.00 σ_{fR}=0.00
Compressione nel calcestruzzo: σ_c=16.53
CC 17 SLV (Collegamento 0023_-380)
Azioni sul collegamento: N=-7936.99 Ty=-1.59 Tz=-11.19 Mx=-0.02 Mz=-3.75
Sollecitazioni agenti localmente: Tx_l=-1.59 Ty_l=-11.19 N_l=-7936.99 Mx_l=-0.00 My_l=-3.75 Mz_l=-0.02
Taglio nei bulloni: Fv,Ed=1.90 Fv,Rd=7720.78
Rifollamento lato piastra: Fb,Ed,p=1.90 Fb,Rd,p=6131.50
Tirafondi:LT=0.45 (0.31) σ_{cR}=0.00 σ_{fR}=0.00
Compressione nel calcestruzzo: σ_c=16.61
CC 18 SLD (Collegamento 0023_-380)
Azioni sul collegamento: N=-4931.25 Ty=-0.32 Tz=-0.05 Mx=-0.01 Mz=-0.79
Sollecitazioni agenti localmente: Tx_l=-0.32 Ty_l=-0.05 N_l=-4931.25 Mx_l=-0.00 My_l=-0.79 Mz_l=-0.01
Tirafondi:LT=0.45 (0.31) σ_{cR}=0.00 σ_{fR}=0.00
Compressione nel calcestruzzo: σ_c=10.23
CC 18 SLD (Collegamento 0023_-380)
Azioni sul collegamento: N=-4931.25 Ty=-0.54 Tz=-0.05 Mx=-0.01 Mz=-1.22
Sollecitazioni agenti localmente: Tx_l=-0.54 Ty_l=-0.05 N_l=-4931.25 Mx_l=-0.00 My_l=-1.22 Mz_l=-0.01
Rifollamento lato piastra: Fb,Ed,p=0.10 Fb,Rd,p=7714.45
Tirafondi:LT=0.45 (0.31) σ_{cR}=0.00 σ_{fR}=0.00
Compressione nel calcestruzzo: σ_c=10.26
CC 18 SLD (Collegamento 0023_-380)
Azioni sul collegamento: N=-4931.25 Ty=-0.32 Tz=-5.26 Mx=-0.01 Mz=-0.79
Sollecitazioni agenti localmente: Tx_l=-0.32 Ty_l=-5.26 N_l=-4931.25 Mx_l=-0.00 My_l=-0.79 Mz_l=-0.01
Taglio nei bulloni: Fv,Ed=0.88 Fv,Rd=9650.97
Rifollamento lato piastra: Fb,Ed,p=0.88 Fb,Rd,p=7506.52
Tirafondi:LT=0.45 (0.31) σ_{cR}=0.00 σ_{fR}=0.00
Compressione nel calcestruzzo: σ_c=10.23
CC 18 SLD (Collegamento 0023_-380)
Azioni sul collegamento: N=-4931.25 Ty=-0.54 Tz=-5.26 Mx=-0.01 Mz=-1.22
Sollecitazioni agenti localmente: Tx_l=-0.54 Ty_l=-5.26 N_l=-4931.25 Mx_l=-0.00 My_l=-1.22 Mz_l=-0.01
Taglio nei bulloni: Fv,Ed=0.89 Fv,Rd=9650.97
Rifollamento lato piastra: Fb,Ed,p=0.89 Fb,Rd,p=7573.69
Tirafondi:LT=0.45 (0.31) σ_{cR}=0.00 σ_{fR}=0.00
Compressione nel calcestruzzo: σ_c=10.26
CC 18 SLD (Collegamento 0023_-380)
Azioni sul collegamento: N=-6335.90 Ty=-0.32 Tz=-0.05 Mx=-0.01 Mz=-0.79
Sollecitazioni agenti localmente: Tx_l=-0.32 Ty_l=-0.05 N_l=-6335.90 Mx_l=-0.00 My_l=-0.79 Mz_l=-0.01
Tirafondi:LT=0.45 (0.31) σ_{cR}=0.00 σ_{fR}=0.00
Compressione nel calcestruzzo: σ_c=13.14
CC 18 SLD (Collegamento 0023_-380)
Azioni sul collegamento: N=-6335.90 Ty=-0.54 Tz=-0.05 Mx=-0.01 Mz=-1.22
Sollecitazioni agenti localmente: Tx_l=-0.54 Ty_l=-0.05 N_l=-6335.90 Mx_l=-0.00 My_l=-1.22 Mz_l=-0.01
Rifollamento lato piastra: Fb,Ed,p=0.10 Fb,Rd,p=7713.70
Tirafondi:LT=0.45 (0.31) σ_{cR}=0.00 σ_{fR}=0.00
Compressione nel calcestruzzo: σ_c=13.16
CC 18 SLD (Collegamento 0023_-380)
Azioni sul collegamento: N=-6335.90 Ty=-0.32 Tz=-5.26 Mx=-0.01 Mz=-0.79
Sollecitazioni agenti localmente: Tx_l=-0.32 Ty_l=-5.26 N_l=-6335.90 Mx_l=-0.00 My_l=-0.79 Mz_l=-0.01
Taglio nei bulloni: Fv,Ed=0.88 Fv,Rd=9650.97
Rifollamento lato piastra: Fb,Ed,p=0.88 Fb,Rd,p=7506.52
Tirafondi:LT=0.45 (0.31) σ_{cR}=0.00 σ_{fR}=0.00
Compressione nel calcestruzzo: σ_c=13.14
CC 18 SLD (Collegamento 0023_-380)
Azioni sul collegamento: N=-6335.90 Ty=-0.54 Tz=-5.26 Mx=-0.01 Mz=-1.22
Sollecitazioni agenti localmente: Tx_l=-0.54 Ty_l=-5.26 N_l=-6335.90 Mx_l=-0.00 My_l=-1.22 Mz_l=-0.01
Taglio nei bulloni: Fv,Ed=0.89 Fv,Rd=9650.97
Rifollamento lato piastra: Fb,Ed,p=0.89 Fb,Rd,p=7573.70
Tirafondi:LT=0.45 (0.31) σ_{cR}=0.00 σ_{fR}=0.00
Compressione nel calcestruzzo: σ_c=13.16
CC 19 SLV (Collegamento 0023_-380)
Azioni sul collegamento: N=-3330.55 Ty=-1.58 Tz=5.89 Mx=-0.01 Mz=-3.71
Sollecitazioni agenti localmente: Tx_l=-1.58 Ty_l=5.89 N_l=-3330.55 Mx_l=-0.00 My_l=-3.71 Mz_l=-0.01
Taglio nei bulloni: Fv,Ed=1.03 Fv,Rd=7720.78
Rifollamento lato piastra: Fb,Ed,p=1.03 Fb,Rd,p=6663.13
Tirafondi:LT=0.45 (0.31) σ_{cR}=0.00 σ_{fR}=0.00
Compressione nel calcestruzzo: σ_c=7.09
CC 19 SLV (Collegamento 0023_-380)
Azioni sul collegamento: N=-3330.55 Ty=-0.90 Tz=5.89 Mx=-0.01 Mz=-2.40
Sollecitazioni agenti localmente: Tx_l=-0.90 Ty_l=5.89 N_l=-3330.55 Mx_l=-0.00 My_l=-2.40 Mz_l=-0.01
Taglio nei bulloni: Fv,Ed=1.01 Fv,Rd=7720.78
Rifollamento lato piastra: Fb,Ed,p=1.01 Fb,Rd,p=6215.72
Tirafondi:LT=0.45 (0.31) σ_{cR}=0.00 σ_{fR}=0.00
Compressione nel calcestruzzo: σ_c=7.02
CC 19 SLV (Collegamento 0023_-380)
Azioni sul collegamento: N=-3330.55 Ty=-1.58 Tz=-11.19 Mx=-0.01 Mz=-3.71
Sollecitazioni agenti localmente: Tx_l=-1.58 Ty_l=-11.19 N_l=-3330.55 Mx_l=-0.00 My_l=-3.71 Mz_l=-0.01
Taglio nei bulloni: Fv,Ed=1.90 Fv,Rd=7720.78
Rifollamento lato piastra: Fb,Ed,p=1.89 Fb,Rd,p=6136.91

Tirafondi:LT=0.45 (0.31) σ_{cR}=0.00 σ_{fR}=0.00
Compressione nel calcestruzzo: σ_c=7.09
CC 19 SLV (Collegamento 0023_-380)
Azioni sul collegamento: N=-3330.55 Ty=-0.90 Tz=-11.19 Mx=-0.01 Mz=-2.40
Sollecitazioni agenti localmente: Tx_l=-0.90 Ty_l=-11.19 N_l=-3330.55 Mx_l=-0.00 My_l=-2.40 Mz_l=-0.01
Taglio nei bulloni: Fv,Ed=1.88 Fv,Rd=7720.78
Rifollamento lato piastra: Fb,Ed,p=1.88 Fb,Rd,p=6026.58
Tirafondi:LT=0.45 (0.31) σ_{cR}=0.00 σ_{fR}=0.00
Compressione nel calcestruzzo: σ_c=7.02
CC 19 SLV (Collegamento 0023_-380)
Azioni sul collegamento: N=-7936.97 Ty=-1.58 Tz=5.89 Mx=-0.01 Mz=-3.71
Sollecitazioni agenti localmente: Tx_l=-1.58 Ty_l=5.89 N_l=-7936.97 Mx_l=-0.00 My_l=-3.71 Mz_l=-0.01
Taglio nei bulloni: Fv,Ed=1.03 Fv,Rd=7720.78
Rifollamento lato piastra: Fb,Ed,p=1.03 Fb,Rd,p=6663.07
Tirafondi:LT=0.45 (0.31) σ_{cR}=0.00 σ_{fR}=0.00
Compressione nel calcestruzzo: σ_c=16.61
CC 19 SLV (Collegamento 0023_-380)
Azioni sul collegamento: N=-7936.97 Ty=-0.90 Tz=5.89 Mx=-0.01 Mz=-2.40
Sollecitazioni agenti localmente: Tx_l=-0.90 Ty_l=5.89 N_l=-7936.97 Mx_l=-0.00 My_l=-2.40 Mz_l=-0.01
Taglio nei bulloni: Fv,Ed=1.01 Fv,Rd=7720.78
Rifollamento lato piastra: Fb,Ed,p=1.01 Fb,Rd,p=6215.70
Tirafondi:LT=0.45 (0.31) σ_{cR}=0.00 σ_{fR}=0.00
Compressione nel calcestruzzo: σ_c=16.53
CC 19 SLV (Collegamento 0023_-380)
Azioni sul collegamento: N=-7936.97 Ty=-1.58 Tz=-11.19 Mx=-0.01 Mz=-3.71
Sollecitazioni agenti localmente: Tx_l=-1.58 Ty_l=-11.19 N_l=-7936.97 Mx_l=-0.00 My_l=-3.71 Mz_l=-0.01
Taglio nei bulloni: Fv,Ed=1.90 Fv,Rd=7720.78
Rifollamento lato piastra: Fb,Ed,p=1.89 Fb,Rd,p=6136.91
Tirafondi:LT=0.45 (0.31) σ_{cR}=0.00 σ_{fR}=0.00
Compressione nel calcestruzzo: σ_c=16.61
CC 19 SLV (Collegamento 0023_-380)
Azioni sul collegamento: N=-7936.97 Ty=-0.90 Tz=-11.19 Mx=-0.01 Mz=-2.40
Sollecitazioni agenti localmente: Tx_l=-0.90 Ty_l=-11.19 N_l=-7936.97 Mx_l=-0.00 My_l=-2.40 Mz_l=-0.01
Taglio nei bulloni: Fv,Ed=1.88 Fv,Rd=7720.78
Rifollamento lato piastra: Fb,Ed,p=1.88 Fb,Rd,p=6026.58
Tirafondi:LT=0.45 (0.31) σ_{cR}=0.00 σ_{fR}=0.00
Compressione nel calcestruzzo: σ_c=16.53
CC 20 SLD (Collegamento 0023_-380)
Azioni sul collegamento: N=-4931.25 Ty=-0.53 Tz=-0.05 Mx=-0.00 Mz=-1.20
Sollecitazioni agenti localmente: Tx_l=-0.53 Ty_l=-0.05 N_l=-4931.25 Mx_l=-0.00 My_l=-1.20 Mz_l=-0.00
Rifollamento lato piastra: Fb,Ed,p=0.09 Fb,Rd,p=7668.37
Tirafondi:LT=0.45 (0.31) σ_{cR}=0.00 σ_{fR}=0.00
Compressione nel calcestruzzo: σ_c=10.26
CC 20 SLD (Collegamento 0023_-380)
Azioni sul collegamento: N=-4931.25 Ty=-0.33 Tz=-0.05 Mx=-0.00 Mz=-0.80
Sollecitazioni agenti localmente: Tx_l=-0.33 Ty_l=-0.05 N_l=-4931.25 Mx_l=-0.00 My_l=-0.80 Mz_l=-0.00
Tirafondi:LT=0.45 (0.31) σ_{cR}=0.00 σ_{fR}=0.00
Compressione nel calcestruzzo: σ_c=10.23
CC 20 SLD (Collegamento 0023_-380)
Azioni sul collegamento: N=-4931.25 Ty=-0.53 Tz=-5.26 Mx=-0.00 Mz=-1.20
Sollecitazioni agenti localmente: Tx_l=-0.53 Ty_l=-5.26 N_l=-4931.25 Mx_l=-0.00 My_l=-1.20 Mz_l=-0.00
Taglio nei bulloni: Fv,Ed=0.89 Fv,Rd=9650.97
Rifollamento lato piastra: Fb,Ed,p=0.88 Fb,Rd,p=7576.70
Tirafondi:LT=0.45 (0.31) σ_{cR}=0.00 σ_{fR}=0.00
Compressione nel calcestruzzo: σ_c=10.26
CC 20 SLD (Collegamento 0023_-380)
Azioni sul collegamento: N=-4931.25 Ty=-0.33 Tz=-5.26 Mx=-0.00 Mz=-0.80
Sollecitazioni agenti localmente: Tx_l=-0.33 Ty_l=-5.26 N_l=-4931.25 Mx_l=-0.00 My_l=-0.80 Mz_l=-0.00
Taglio nei bulloni: Fv,Ed=0.88 Fv,Rd=9650.97
Rifollamento lato piastra: Fb,Ed,p=0.88 Fb,Rd,p=7510.11
Tirafondi:LT=0.45 (0.31) σ_{cR}=0.00 σ_{fR}=0.00
Compressione nel calcestruzzo: σ_c=10.23
CC 20 SLD (Collegamento 0023_-380)
Azioni sul collegamento: N=-6335.90 Ty=-0.53 Tz=-0.05 Mx=-0.00 Mz=-1.20
Sollecitazioni agenti localmente: Tx_l=-0.53 Ty_l=-0.05 N_l=-6335.90 Mx_l=-0.00 My_l=-1.20 Mz_l=-0.00
Rifollamento lato piastra: Fb,Ed,p=0.09 Fb,Rd,p=7667.12
Tirafondi:LT=0.45 (0.31) σ_{cR}=0.00 σ_{fR}=0.00
Compressione nel calcestruzzo: σ_c=13.16
CC 20 SLD (Collegamento 0023_-380)
Azioni sul collegamento: N=-6335.90 Ty=-0.33 Tz=-0.05 Mx=-0.00 Mz=-0.80
Sollecitazioni agenti localmente: Tx_l=-0.33 Ty_l=-0.05 N_l=-6335.90 Mx_l=-0.00 My_l=-0.80 Mz_l=-0.00
Tirafondi:LT=0.45 (0.31) σ_{cR}=0.00 σ_{fR}=0.00
Compressione nel calcestruzzo: σ_c=13.14
CC 20 SLD (Collegamento 0023_-380)
Azioni sul collegamento: N=-6335.90 Ty=-0.53 Tz=-5.26 Mx=-0.00 Mz=-1.20
Sollecitazioni agenti localmente: Tx_l=-0.53 Ty_l=-5.26 N_l=-6335.90 Mx_l=-0.00 My_l=-1.20 Mz_l=-0.00
Taglio nei bulloni: Fv,Ed=0.89 Fv,Rd=9650.97
Rifollamento lato piastra: Fb,Ed,p=0.88 Fb,Rd,p=7576.70

Tirafondi:LT=0.45 (0.31) σ_{cR}=0.00 σ_{fR}=0.00
Compressione nel calcestruzzo: σ_c=13.16
CC 20 SLD (Collegamento 0023_-380)
Azioni sul collegamento: N=-6335.90 Ty=-0.33 Tz=-5.26 Mx=-0.00 Mz=-0.80
Sollecitazioni agenti localmente: Tx_l=-0.33 Ty_l=-5.26 N_l=-6335.90 Mx_l=-0.00 My_l=-0.80 Mz_l=-0.00
Taglio nei bulloni: Fv,Ed=0.88 Fv,Rd=9650.97
Rifollamento lato piastra: Fb,Ed,p=0.88 Fb,Rd,p=7510.11
Tirafondi:LT=0.45 (0.31) σ_{cR}=0.00 σ_{fR}=0.00
Compressione nel calcestruzzo: σ_c=13.14
CC 21 SLV (Collegamento 0023_-380)
Azioni sul collegamento: N=-7936.97 Ty=-0.90 Tz=-11.19 Mx=-0.02 Mz=-2.40
Sollecitazioni agenti localmente: Tx_l=-0.90 Ty_l=-11.19 N_l=-7936.97 Mx_l=-0.00 My_l=-2.40 Mz_l=-0.02
Taglio nei bulloni: Fv,Ed=1.89 Fv,Rd=7720.78
Rifollamento lato piastra: Fb,Ed,p=1.89 Fb,Rd,p=6022.53
Tirafondi:LT=0.45 (0.31) σ_{cR}=0.00 σ_{fR}=0.00
Compressione nel calcestruzzo: σ_c=16.53
CC 21 SLV (Collegamento 0023_-380)
Azioni sul collegamento: N=-7936.97 Ty=-1.58 Tz=-11.19 Mx=-0.02 Mz=-3.71
Sollecitazioni agenti localmente: Tx_l=-1.58 Ty_l=-11.19 N_l=-7936.97 Mx_l=-0.00 My_l=-3.71 Mz_l=-0.02
Taglio nei bulloni: Fv,Ed=1.90 Fv,Rd=7720.78
Rifollamento lato piastra: Fb,Ed,p=1.90 Fb,Rd,p=6129.03
Tirafondi:LT=0.45 (0.31) σ_{cR}=0.00 σ_{fR}=0.00
Compressione nel calcestruzzo: σ_c=16.61
CC 21 SLV (Collegamento 0023_-380)
Azioni sul collegamento: N=-7936.97 Ty=-0.90 Tz=5.89 Mx=-0.02 Mz=-2.40
Sollecitazioni agenti localmente: Tx_l=-0.90 Ty_l=5.89 N_l=-7936.97 Mx_l=-0.00 My_l=-2.40 Mz_l=-0.02
Taglio nei bulloni: Fv,Ed=1.01 Fv,Rd=7720.78
Rifollamento lato piastra: Fb,Ed,p=1.01 Fb,Rd,p=6229.51
Tirafondi:LT=0.45 (0.31) σ_{cR}=0.00 σ_{fR}=0.00
Compressione nel calcestruzzo: σ_c=16.53
CC 21 SLV (Collegamento 0023_-380)
Azioni sul collegamento: N=-7936.97 Ty=-1.58 Tz=5.89 Mx=-0.02 Mz=-3.71
Sollecitazioni agenti localmente: Tx_l=-1.58 Ty_l=5.89 N_l=-7936.97 Mx_l=-0.00 My_l=-3.71 Mz_l=-0.02
Taglio nei bulloni: Fv,Ed=1.04 Fv,Rd=7720.78
Rifollamento lato piastra: Fb,Ed,p=1.04 Fb,Rd,p=6683.33
Tirafondi:LT=0.45 (0.31) σ_{cR}=0.00 σ_{fR}=0.00
Compressione nel calcestruzzo: σ_c=16.61
CC 21 SLV (Collegamento 0023_-380)
Azioni sul collegamento: N=-3330.55 Ty=-0.90 Tz=-11.19 Mx=-0.02 Mz=-2.40
Sollecitazioni agenti localmente: Tx_l=-0.90 Ty_l=-11.19 N_l=-3330.55 Mx_l=-0.00 My_l=-2.40 Mz_l=-0.02
Taglio nei bulloni: Fv,Ed=1.89 Fv,Rd=7720.78
Rifollamento lato piastra: Fb,Ed,p=1.89 Fb,Rd,p=6022.53
Tirafondi:LT=0.45 (0.31) σ_{cR}=0.00 σ_{fR}=0.00
Compressione nel calcestruzzo: σ_c=7.02
CC 21 SLV (Collegamento 0023_-380)
Azioni sul collegamento: N=-3330.55 Ty=-1.58 Tz=-11.19 Mx=-0.02 Mz=-3.71
Sollecitazioni agenti localmente: Tx_l=-1.58 Ty_l=-11.19 N_l=-3330.55 Mx_l=-0.00 My_l=-3.71 Mz_l=-0.02
Taglio nei bulloni: Fv,Ed=1.90 Fv,Rd=7720.78
Rifollamento lato piastra: Fb,Ed,p=1.90 Fb,Rd,p=6129.03
Tirafondi:LT=0.45 (0.31) σ_{cR}=0.00 σ_{fR}=0.00
Compressione nel calcestruzzo: σ_c=7.09
CC 21 SLV (Collegamento 0023_-380)
Azioni sul collegamento: N=-3330.55 Ty=-0.90 Tz=5.89 Mx=-0.02 Mz=-2.40
Sollecitazioni agenti localmente: Tx_l=-0.90 Ty_l=5.89 N_l=-3330.55 Mx_l=-0.00 My_l=-2.40 Mz_l=-0.02
Taglio nei bulloni: Fv,Ed=1.01 Fv,Rd=7720.78
Rifollamento lato piastra: Fb,Ed,p=1.01 Fb,Rd,p=6229.53
Tirafondi:LT=0.45 (0.31) σ_{cR}=0.00 σ_{fR}=0.00
Compressione nel calcestruzzo: σ_c=7.02
CC 21 SLV (Collegamento 0023_-380)
Azioni sul collegamento: N=-3330.55 Ty=-1.58 Tz=5.89 Mx=-0.02 Mz=-3.71
Sollecitazioni agenti localmente: Tx_l=-1.58 Ty_l=5.89 N_l=-3330.55 Mx_l=-0.00 My_l=-3.71 Mz_l=-0.02
Taglio nei bulloni: Fv,Ed=1.04 Fv,Rd=7720.78
Rifollamento lato piastra: Fb,Ed,p=1.04 Fb,Rd,p=6683.39
Tirafondi:LT=0.45 (0.31) σ_{cR}=0.00 σ_{fR}=0.00
Compressione nel calcestruzzo: σ_c=7.09
CC 22 SLD (Collegamento 0023_-380)
Azioni sul collegamento: N=-6335.90 Ty=-0.33 Tz=-5.26 Mx=-0.01 Mz=-0.80
Sollecitazioni agenti localmente: Tx_l=-0.33 Ty_l=-5.26 N_l=-6335.90 Mx_l=-0.00 My_l=-0.80 Mz_l=-0.01
Taglio nei bulloni: Fv,Ed=0.88 Fv,Rd=9650.97
Rifollamento lato piastra: Fb,Ed,p=0.88 Fb,Rd,p=7507.57
Tirafondi:LT=0.45 (0.31) σ_{cR}=0.00 σ_{fR}=0.00
Compressione nel calcestruzzo: σ_c=13.14
CC 22 SLD (Collegamento 0023_-380)
Azioni sul collegamento: N=-6335.90 Ty=-0.53 Tz=-5.26 Mx=-0.01 Mz=-1.20
Sollecitazioni agenti localmente: Tx_l=-0.53 Ty_l=-5.26 N_l=-6335.90 Mx_l=-0.00 My_l=-1.20 Mz_l=-0.01
Taglio nei bulloni: Fv,Ed=0.89 Fv,Rd=9650.97
Rifollamento lato piastra: Fb,Ed,p=0.89 Fb,Rd,p=7572.22
Tirafondi:LT=0.45 (0.31) σ_{cR}=0.00 σ_{fR}=0.00

Compressione nel calcestruzzo: σ_c=13.16
CC 22 SLD (Collegamento 0023_-380)
Azioni sul collegamento: N=-6335.90 Ty=-0.33 Tz=-0.05 Mx=-0.01 Mz=-0.80
Sollecitazioni agenti localmente: Tx_l=-0.33 Ty_l=-0.05 N_l=-6335.90 Mx_l=-0.00 My_l=-0.80 Mz_l=-0.01
Tirafondi:LT=0.45 (0.31) σ_{cR}=0.00 σ_{fR}=0.00
Compressione nel calcestruzzo: σ_c=13.14
CC 22 SLD (Collegamento 0023_-380)
Azioni sul collegamento: N=-6335.90 Ty=-0.53 Tz=-0.05 Mx=-0.01 Mz=-1.20
Sollecitazioni agenti localmente: Tx_l=-0.53 Ty_l=-0.05 N_l=-6335.90 Mx_l=-0.00 My_l=-1.20 Mz_l=-0.01
Rifollamento lato piastra: Fb,Ed,p=0.10 Fb,Rd,p=7715.86
Tirafondi:LT=0.45 (0.31) σ_{cR}=0.00 σ_{fR}=0.00
Compressione nel calcestruzzo: σ_c=13.16
CC 22 SLD (Collegamento 0023_-380)
Azioni sul collegamento: N=-4931.25 Ty=-0.33 Tz=-5.26 Mx=-0.01 Mz=-0.80
Sollecitazioni agenti localmente: Tx_l=-0.33 Ty_l=-5.26 N_l=-4931.25 Mx_l=-0.00 My_l=-0.80 Mz_l=-0.01
Taglio nei bulloni: Fv,Ed=0.88 Fv,Rd=9650.97
Rifollamento lato piastra: Fb,Ed,p=0.88 Fb,Rd,p=7507.57
Tirafondi:LT=0.45 (0.31) σ_{cR}=0.00 σ_{fR}=0.00
Compressione nel calcestruzzo: σ_c=10.23
CC 22 SLD (Collegamento 0023_-380)
Azioni sul collegamento: N=-4931.25 Ty=-0.53 Tz=-5.26 Mx=-0.01 Mz=-1.20
Sollecitazioni agenti localmente: Tx_l=-0.53 Ty_l=-5.26 N_l=-4931.25 Mx_l=-0.00 My_l=-1.20 Mz_l=-0.01
Taglio nei bulloni: Fv,Ed=0.89 Fv,Rd=9650.97
Rifollamento lato piastra: Fb,Ed,p=0.89 Fb,Rd,p=7572.22
Tirafondi:LT=0.45 (0.31) σ_{cR}=0.00 σ_{fR}=0.00
Compressione nel calcestruzzo: σ_c=10.26
CC 22 SLD (Collegamento 0023_-380)
Azioni sul collegamento: N=-4931.25 Ty=-0.33 Tz=-0.05 Mx=-0.01 Mz=-0.80
Sollecitazioni agenti localmente: Tx_l=-0.33 Ty_l=-0.05 N_l=-4931.25 Mx_l=-0.00 My_l=-0.80 Mz_l=-0.01
Tirafondi:LT=0.45 (0.31) σ_{cR}=0.00 σ_{fR}=0.00
Compressione nel calcestruzzo: σ_c=10.23
CC 22 SLD (Collegamento 0023_-380)
Azioni sul collegamento: N=-4931.25 Ty=-0.53 Tz=-0.05 Mx=-0.01 Mz=-1.20
Sollecitazioni agenti localmente: Tx_l=-0.53 Ty_l=-0.05 N_l=-4931.25 Mx_l=-0.00 My_l=-1.20 Mz_l=-0.01
Rifollamento lato piastra: Fb,Ed,p=0.10 Fb,Rd,p=7717.25
Tirafondi:LT=0.45 (0.31) σ_{cR}=0.00 σ_{fR}=0.00
Compressione nel calcestruzzo: σ_c=10.26
CC 23 SLV (Collegamento 0023_-380)
Azioni sul collegamento: N=-7936.99 Ty=-1.59 Tz=-11.19 Mx=-0.01 Mz=-3.75
Sollecitazioni agenti localmente: Tx_l=-1.59 Ty_l=-11.19 N_l=-7936.99 Mx_l=-0.00 My_l=-3.75 Mz_l=-0.01
Taglio nei bulloni: Fv,Ed=1.90 Fv,Rd=7720.78
Rifollamento lato piastra: Fb,Ed,p=1.89 Fb,Rd,p=6140.07
Tirafondi:LT=0.45 (0.31) σ_{cR}=0.00 σ_{fR}=0.00
Compressione nel calcestruzzo: σ_c=16.61
CC 23 SLV (Collegamento 0023_-380)
Azioni sul collegamento: N=-7936.99 Ty=-0.88 Tz=-11.19 Mx=-0.01 Mz=-2.36
Sollecitazioni agenti localmente: Tx_l=-0.88 Ty_l=-11.19 N_l=-7936.99 Mx_l=-0.00 My_l=-2.36 Mz_l=-0.01
Taglio nei bulloni: Fv,Ed=1.88 Fv,Rd=7720.78
Rifollamento lato piastra: Fb,Ed,p=1.88 Fb,Rd,p=6025.19
Tirafondi:LT=0.45 (0.31) σ_{cR}=0.00 σ_{fR}=0.00
Compressione nel calcestruzzo: σ_c=16.53
CC 23 SLV (Collegamento 0023_-380)
Azioni sul collegamento: N=-7936.99 Ty=-1.59 Tz=5.89 Mx=-0.01 Mz=-3.75
Sollecitazioni agenti localmente: Tx_l=-1.59 Ty_l=5.89 N_l=-7936.99 Mx_l=-0.00 My_l=-3.75 Mz_l=-0.01
Taglio nei bulloni: Fv,Ed=1.03 Fv,Rd=7720.78
Rifollamento lato piastra: Fb,Ed,p=1.03 Fb,Rd,p=6673.54
Tirafondi:LT=0.45 (0.31) σ_{cR}=0.00 σ_{fR}=0.00
Compressione nel calcestruzzo: σ_c=16.61
CC 23 SLV (Collegamento 0023_-380)
Azioni sul collegamento: N=-7936.99 Ty=-0.88 Tz=5.89 Mx=-0.01 Mz=-2.36
Sollecitazioni agenti localmente: Tx_l=-0.88 Ty_l=5.89 N_l=-7936.99 Mx_l=-0.00 My_l=-2.36 Mz_l=-0.01
Taglio nei bulloni: Fv,Ed=1.01 Fv,Rd=7720.78
Rifollamento lato piastra: Fb,Ed,p=1.01 Fb,Rd,p=6208.60
Tirafondi:LT=0.45 (0.31) σ_{cR}=0.00 σ_{fR}=0.00
Compressione nel calcestruzzo: σ_c=16.53
CC 23 SLV (Collegamento 0023_-380)
Azioni sul collegamento: N=-3330.52 Ty=-1.59 Tz=-11.19 Mx=-0.01 Mz=-3.75
Sollecitazioni agenti localmente: Tx_l=-1.59 Ty_l=-11.19 N_l=-3330.52 Mx_l=-0.00 My_l=-3.75 Mz_l=-0.01
Taglio nei bulloni: Fv,Ed=1.90 Fv,Rd=7720.78
Rifollamento lato piastra: Fb,Ed,p=1.89 Fb,Rd,p=6140.08
Tirafondi:LT=0.45 (0.31) σ_{cR}=0.00 σ_{fR}=0.00
Compressione nel calcestruzzo: σ_c=7.09
CC 23 SLV (Collegamento 0023_-380)
Azioni sul collegamento: N=-3330.52 Ty=-0.88 Tz=-11.19 Mx=-0.01 Mz=-2.36
Sollecitazioni agenti localmente: Tx_l=-0.88 Ty_l=-11.19 N_l=-3330.52 Mx_l=-0.00 My_l=-2.36 Mz_l=-0.01
Taglio nei bulloni: Fv,Ed=1.88 Fv,Rd=7720.78
Rifollamento lato piastra: Fb,Ed,p=1.88 Fb,Rd,p=6025.19
Tirafondi:LT=0.45 (0.31) σ_{cR}=0.00 σ_{fR}=0.00

Compressione nel calcestruzzo: σ_c=7.01
CC 23 SLV (Collegamento 0023_-380)
Azioni sul collegamento: N=-3330.52 Ty=-1.59 Tz=5.89 Mx=-0.01 Mz=-3.75
Sollecitazioni agenti localmente: Tx_l=-1.59 Ty_l=5.89 N_l=-3330.52 Mx_l=-0.00 My_l=-3.75 Mz_l=-0.01
Taglio nei bulloni: Fv,Ed=1.03 Fv,Rd=7720.78
Rifollamento lato piastra: Fb,Ed,p=1.03 Fb,Rd,p=6673.56
Tirafondi:LT=0.45 (0.31) σ_{cR}=0.00 σ_{fR}=0.00
Compressione nel calcestruzzo: σ_c=7.09
CC 23 SLV (Collegamento 0023_-380)
Azioni sul collegamento: N=-3330.52 Ty=-0.88 Tz=5.89 Mx=-0.01 Mz=-2.36
Sollecitazioni agenti localmente: Tx_l=-0.88 Ty_l=5.89 N_l=-3330.52 Mx_l=-0.00 My_l=-2.36 Mz_l=-0.01
Taglio nei bulloni: Fv,Ed=1.01 Fv,Rd=7720.78
Rifollamento lato piastra: Fb,Ed,p=1.01 Fb,Rd,p=6208.60
Tirafondi:LT=0.45 (0.31) σ_{cR}=0.00 σ_{fR}=0.00
Compressione nel calcestruzzo: σ_c=7.01
CC 24 SLD (Collegamento 0023_-380)
Azioni sul collegamento: N=-6335.90 Ty=-0.54 Tz=-5.26 Mx=-0.00 Mz=-1.22
Sollecitazioni agenti localmente: Tx_l=-0.54 Ty_l=-5.26 N_l=-6335.90 Mx_l=-0.00 My_l=-1.22 Mz_l=-0.00
Taglio nei bulloni: Fv,Ed=0.89 Fv,Rd=9650.97
Rifollamento lato piastra: Fb,Ed,p=0.88 Fb,Rd,p=7578.57
Tirafondi:LT=0.45 (0.31) σ_{cR}=0.00 σ_{fR}=0.00
Compressione nel calcestruzzo: σ_c=13.16
CC 24 SLD (Collegamento 0023_-380)
Azioni sul collegamento: N=-6335.90 Ty=-0.32 Tz=-5.26 Mx=-0.00 Mz=-0.79
Sollecitazioni agenti localmente: Tx_l=-0.32 Ty_l=-5.26 N_l=-6335.90 Mx_l=-0.00 My_l=-0.79 Mz_l=-0.00
Taglio nei bulloni: Fv,Ed=0.88 Fv,Rd=9650.97
Rifollamento lato piastra: Fb,Ed,p=0.88 Fb,Rd,p=7509.22
Tirafondi:LT=0.45 (0.31) σ_{cR}=0.00 σ_{fR}=0.00
Compressione nel calcestruzzo: σ_c=13.14
CC 24 SLD (Collegamento 0023_-380)
Azioni sul collegamento: N=-6335.90 Ty=-0.54 Tz=-0.05 Mx=-0.00 Mz=-1.22
Sollecitazioni agenti localmente: Tx_l=-0.54 Ty_l=-0.05 N_l=-6335.90 Mx_l=-0.00 My_l=-1.22 Mz_l=-0.00
Rifollamento lato piastra: Fb,Ed,p=0.09 Fb,Rd,p=7661.87
Tirafondi:LT=0.45 (0.31) σ_{cR}=0.00 σ_{fR}=0.00
Compressione nel calcestruzzo: σ_c=13.16
CC 24 SLD (Collegamento 0023_-380)
Azioni sul collegamento: N=-6335.90 Ty=-0.32 Tz=-0.05 Mx=-0.00 Mz=-0.79
Sollecitazioni agenti localmente: Tx_l=-0.32 Ty_l=-0.05 N_l=-6335.90 Mx_l=-0.00 My_l=-0.79 Mz_l=-0.00
Tirafondi:LT=0.45 (0.31) σ_{cR}=0.00 σ_{fR}=0.00
Compressione nel calcestruzzo: σ_c=13.14
CC 24 SLD (Collegamento 0023_-380)
Azioni sul collegamento: N=-4931.25 Ty=-0.54 Tz=-5.26 Mx=-0.00 Mz=-1.22
Sollecitazioni agenti localmente: Tx_l=-0.54 Ty_l=-5.26 N_l=-4931.25 Mx_l=-0.00 My_l=-1.22 Mz_l=-0.00
Taglio nei bulloni: Fv,Ed=0.89 Fv,Rd=9650.97
Rifollamento lato piastra: Fb,Ed,p=0.88 Fb,Rd,p=7578.57
Tirafondi:LT=0.45 (0.31) σ_{cR}=0.00 σ_{fR}=0.00
Compressione nel calcestruzzo: σ_c=10.26
CC 24 SLD (Collegamento 0023_-380)
Azioni sul collegamento: N=-4931.25 Ty=-0.32 Tz=-5.26 Mx=-0.00 Mz=-0.79
Sollecitazioni agenti localmente: Tx_l=-0.32 Ty_l=-5.26 N_l=-4931.25 Mx_l=-0.00 My_l=-0.79 Mz_l=-0.00
Taglio nei bulloni: Fv,Ed=0.88 Fv,Rd=9650.97
Rifollamento lato piastra: Fb,Ed,p=0.88 Fb,Rd,p=7509.22
Tirafondi:LT=0.45 (0.31) σ_{cR}=0.00 σ_{fR}=0.00
Compressione nel calcestruzzo: σ_c=10.23
CC 24 SLD (Collegamento 0023_-380)
Azioni sul collegamento: N=-4931.25 Ty=-0.54 Tz=-0.05 Mx=-0.00 Mz=-1.22
Sollecitazioni agenti localmente: Tx_l=-0.54 Ty_l=-0.05 N_l=-4931.25 Mx_l=-0.00 My_l=-1.22 Mz_l=-0.00
Rifollamento lato piastra: Fb,Ed,p=0.09 Fb,Rd,p=7662.55
Tirafondi:LT=0.45 (0.31) σ_{cR}=0.00 σ_{fR}=0.00
Compressione nel calcestruzzo: σ_c=10.26
CC 24 SLD (Collegamento 0023_-380)
Azioni sul collegamento: N=-4931.25 Ty=-0.32 Tz=-0.05 Mx=-0.00 Mz=-0.79
Sollecitazioni agenti localmente: Tx_l=-0.32 Ty_l=-0.05 N_l=-4931.25 Mx_l=-0.00 My_l=-0.79 Mz_l=-0.00
Tirafondi:LT=0.45 (0.31) σ_{cR}=0.00 σ_{fR}=0.00
Compressione nel calcestruzzo: σ_c=10.23
CC 25 SLV (Collegamento 0023_-380)
Azioni sul collegamento: N=-4942.75 Ty=-0.08 Tz=-0.09 Mx=-0.02 Mz=-0.80
Sollecitazioni agenti localmente: Tx_l=-0.08 Ty_l=-0.09 N_l=-4942.75 Mx_l=-0.00 My_l=-0.80 Mz_l=-0.02
Tirafondi:LT=0.45 (0.31) σ_{cR}=0.00 σ_{fR}=0.00
Compressione nel calcestruzzo: σ_c=10.26
CC 25 SLV (Collegamento 0023_-380)
Azioni sul collegamento: N=-4942.75 Ty=-2.39 Tz=-0.09 Mx=-0.02 Mz=-5.32
Sollecitazioni agenti localmente: Tx_l=-2.39 Ty_l=-0.09 N_l=-4942.75 Mx_l=-0.00 My_l=-5.32 Mz_l=-0.02
Taglio nei bulloni: Fv,Ed=0.43 Fv,Rd=7720.78
Rifollamento lato piastra: Fb,Ed,p=0.43 Fb,Rd,p=6058.15
Tirafondi:LT=0.45 (0.31) σ_{cR}=0.00 σ_{fR}=0.00
Compressione nel calcestruzzo: σ_c=10.51
CC 25 SLV (Collegamento 0023_-380)

Azioni sul collegamento: N=-4942.75 Ty=-0.08 Tz=-5.22 Mx=-0.02 Mz=-0.80
Sollecitazioni agenti localmente: Tx_l=-0.08 Ty_l=-5.22 N_l=-4942.75 Mx_l=-0.00 My_l=-0.80 Mz_l=-0.02
Taglio nei bulloni: Fv,Ed=0.90 Fv,Rd=7720.78
Rifollamento lato piastra: Fb,Ed,p=0.89 Fb,Rd,p=5980.55
Tirafondi:LT=0.45 (0.31) σ_{cR}=0.00 σ_{fR}=0.00
Compressione nel calcestruzzo: σ_c=10.26
CC 25 SLV (Collegamento 0023_-380)
Azioni sul collegamento: N=-4942.75 Ty=-2.39 Tz=-5.22 Mx=-0.02 Mz=-5.32
Sollecitazioni agenti localmente: Tx_l=-2.39 Ty_l=-5.22 N_l=-4942.75 Mx_l=-0.00 My_l=-5.32 Mz_l=-0.02
Taglio nei bulloni: Fv,Ed=0.99 Fv,Rd=7720.78
Rifollamento lato piastra: Fb,Ed,p=0.97 Fb,Rd,p=7548.00
Tirafondi:LT=0.45 (0.31) σ_{cR}=0.00 σ_{fR}=0.00
Compressione nel calcestruzzo: σ_c=10.51
CC 25 SLV (Collegamento 0023_-380)
Azioni sul collegamento: N=-6324.76 Ty=-0.08 Tz=-0.09 Mx=-0.02 Mz=-0.80
Sollecitazioni agenti localmente: Tx_l=-0.08 Ty_l=-0.09 N_l=-6324.76 Mx_l=-0.00 My_l=-0.80 Mz_l=-0.02
Tirafondi:LT=0.45 (0.31) σ_{cR}=0.00 σ_{fR}=0.00
Compressione nel calcestruzzo: σ_c=13.11
CC 25 SLV (Collegamento 0023_-380)
Azioni sul collegamento: N=-6324.76 Ty=-2.39 Tz=-0.09 Mx=-0.02 Mz=-5.32
Sollecitazioni agenti localmente: Tx_l=-2.39 Ty_l=-0.09 N_l=-6324.76 Mx_l=-0.00 My_l=-5.32 Mz_l=-0.02
Taglio nei bulloni: Fv,Ed=0.43 Fv,Rd=7720.78
Rifollamento lato piastra: Fb,Ed,p=0.43 Fb,Rd,p=6058.00
Tirafondi:LT=0.45 (0.31) σ_{cR}=0.00 σ_{fR}=0.00
Compressione nel calcestruzzo: σ_c=13.37
CC 25 SLV (Collegamento 0023_-380)
Azioni sul collegamento: N=-6324.76 Ty=-0.08 Tz=-5.22 Mx=-0.02 Mz=-0.80
Sollecitazioni agenti localmente: Tx_l=-0.08 Ty_l=-5.22 N_l=-6324.76 Mx_l=-0.00 My_l=-0.80 Mz_l=-0.02
Taglio nei bulloni: Fv,Ed=0.90 Fv,Rd=7720.78
Rifollamento lato piastra: Fb,Ed,p=0.89 Fb,Rd,p=5980.55
Tirafondi:LT=0.45 (0.31) σ_{cR}=0.00 σ_{fR}=0.00
Compressione nel calcestruzzo: σ_c=13.11
CC 25 SLV (Collegamento 0023_-380)
Azioni sul collegamento: N=-6324.76 Ty=-2.39 Tz=-5.22 Mx=-0.02 Mz=-5.32
Sollecitazioni agenti localmente: Tx_l=-2.39 Ty_l=-5.22 N_l=-6324.76 Mx_l=-0.00 My_l=-5.32 Mz_l=-0.02
Taglio nei bulloni: Fv,Ed=0.99 Fv,Rd=7720.78
Rifollamento lato piastra: Fb,Ed,p=0.97 Fb,Rd,p=7548.16
Tirafondi:LT=0.45 (0.31) σ_{cR}=0.00 σ_{fR}=0.00
Compressione nel calcestruzzo: σ_c=13.37
CC 26 SLD (Collegamento 0023_-380)
Azioni sul collegamento: N=-5422.87 Ty=-0.08 Tz=-1.87 Mx=-0.01 Mz=-0.31
Sollecitazioni agenti localmente: Tx_l=-0.08 Ty_l=-1.87 N_l=-5422.87 Mx_l=-0.00 My_l=-0.31 Mz_l=-0.01
Taglio nei bulloni: Fv,Ed=0.32 Fv,Rd=9650.97
Rifollamento lato piastra: Fb,Ed,p=0.32 Fb,Rd,p=7476.66
Tirafondi:LT=0.45 (0.31) σ_{cR}=0.00 σ_{fR}=0.00
Compressione nel calcestruzzo: σ_c=11.22
CC 26 SLD (Collegamento 0023_-380)
Azioni sul collegamento: N=-5422.87 Ty=-0.78 Tz=-1.87 Mx=-0.01 Mz=-1.69
Sollecitazioni agenti localmente: Tx_l=-0.78 Ty_l=-1.87 N_l=-5422.87 Mx_l=-0.00 My_l=-1.69 Mz_l=-0.01
Taglio nei bulloni: Fv,Ed=0.35 Fv,Rd=9650.97
Rifollamento lato piastra: Fb,Ed,p=0.34 Fb,Rd,p=9114.93
Tirafondi:LT=0.45 (0.31) σ_{cR}=0.00 σ_{fR}=0.00
Compressione nel calcestruzzo: σ_c=11.30
CC 26 SLD (Collegamento 0023_-380)
Azioni sul collegamento: N=-5422.87 Ty=-0.08 Tz=-3.44 Mx=-0.01 Mz=-0.31
Sollecitazioni agenti localmente: Tx_l=-0.08 Ty_l=-3.44 N_l=-5422.87 Mx_l=-0.00 My_l=-0.31 Mz_l=-0.01
Taglio nei bulloni: Fv,Ed=0.58 Fv,Rd=9650.97
Rifollamento lato piastra: Fb,Ed,p=0.58 Fb,Rd,p=7474.78
Tirafondi:LT=0.45 (0.31) σ_{cR}=0.00 σ_{fR}=0.00
Compressione nel calcestruzzo: σ_c=11.22
CC 26 SLD (Collegamento 0023_-380)
Azioni sul collegamento: N=-5422.87 Ty=-0.78 Tz=-3.44 Mx=-0.01 Mz=-1.69
Sollecitazioni agenti localmente: Tx_l=-0.78 Ty_l=-3.44 N_l=-5422.87 Mx_l=-0.00 My_l=-1.69 Mz_l=-0.01
Taglio nei bulloni: Fv,Ed=0.60 Fv,Rd=9650.97
Rifollamento lato piastra: Fb,Ed,p=0.59 Fb,Rd,p=7968.46
Tirafondi:LT=0.45 (0.31) σ_{cR}=0.00 σ_{fR}=0.00
Compressione nel calcestruzzo: σ_c=11.30
CC 26 SLD (Collegamento 0023_-380)
Azioni sul collegamento: N=-5844.28 Ty=-0.08 Tz=-1.87 Mx=-0.01 Mz=-0.31
Sollecitazioni agenti localmente: Tx_l=-0.08 Ty_l=-1.87 N_l=-5844.28 Mx_l=-0.00 My_l=-0.31 Mz_l=-0.01
Taglio nei bulloni: Fv,Ed=0.32 Fv,Rd=9650.97
Rifollamento lato piastra: Fb,Ed,p=0.32 Fb,Rd,p=7476.66
Tirafondi:LT=0.45 (0.31) σ_{cR}=0.00 σ_{fR}=0.00
Compressione nel calcestruzzo: σ_c=12.09
CC 26 SLD (Collegamento 0023_-380)
Azioni sul collegamento: N=-5844.28 Ty=-0.78 Tz=-1.87 Mx=-0.01 Mz=-1.69
Sollecitazioni agenti localmente: Tx_l=-0.78 Ty_l=-1.87 N_l=-5844.28 Mx_l=-0.00 My_l=-1.69 Mz_l=-0.01
Taglio nei bulloni: Fv,Ed=0.35 Fv,Rd=9650.97

Rifollamento lato piastra: Fb,Ed,p=0.34 Fb,Rd,p=9114.55
Tirafondi:LT=0.45 (0.31) σ_{cR}=0.00 σ_{fR}=0.00
Compressione nel calcestruzzo: σ_c=12.17
CC 26 SLD (Collegamento 0023_-380)
Azioni sul collegamento: N=-5844.28 Ty=-0.08 Tz=-3.44 Mx=-0.01 Mz=-0.31
Sollecitazioni agenti localmente: Tx_l=-0.08 Ty_l=-3.44 N_l=-5844.28 Mx_l=-0.00 My_l=-0.31 Mz_l=-0.01
Taglio nei bulloni: Fv,Ed=0.58 Fv,Rd=9650.97
Rifollamento lato piastra: Fb,Ed,p=0.58 Fb,Rd,p=7474.78
Tirafondi:LT=0.45 (0.31) σ_{cR}=0.00 σ_{fR}=0.00
Compressione nel calcestruzzo: σ_c=12.09
CC 26 SLD (Collegamento 0023_-380)
Azioni sul collegamento: N=-5844.28 Ty=-0.78 Tz=-3.44 Mx=-0.01 Mz=-1.69
Sollecitazioni agenti localmente: Tx_l=-0.78 Ty_l=-3.44 N_l=-5844.28 Mx_l=-0.00 My_l=-1.69 Mz_l=-0.01
Taglio nei bulloni: Fv,Ed=0.60 Fv,Rd=9650.97
Rifollamento lato piastra: Fb,Ed,p=0.59 Fb,Rd,p=7968.49
Tirafondi:LT=0.45 (0.31) σ_{cR}=0.00 σ_{fR}=0.00
Compressione nel calcestruzzo: σ_c=12.17
CC 27 SLV (Collegamento 0023_-380)
Azioni sul collegamento: N=-6324.69 Ty=-0.09 Tz=-5.21 Mx=-0.02 Mz=-0.81
Sollecitazioni agenti localmente: Tx_l=-0.09 Ty_l=-5.21 N_l=-6324.69 Mx_l=-0.00 My_l=-0.81 Mz_l=-0.02
Taglio nei bulloni: Fv,Ed=0.89 Fv,Rd=7720.78
Rifollamento lato piastra: Fb,Ed,p=0.89 Fb,Rd,p=5980.38
Tirafondi:LT=0.45 (0.31) σ_{cR}=0.00 σ_{fR}=0.00
Compressione nel calcestruzzo: σ_c=13.11
CC 27 SLV (Collegamento 0023_-380)
Azioni sul collegamento: N=-6324.69 Ty=-2.39 Tz=-5.21 Mx=-0.02 Mz=-5.31
Sollecitazioni agenti localmente: Tx_l=-2.39 Ty_l=-5.21 N_l=-6324.69 Mx_l=-0.00 My_l=-5.31 Mz_l=-0.02
Taglio nei bulloni: Fv,Ed=0.99 Fv,Rd=7720.78
Rifollamento lato piastra: Fb,Ed,p=0.97 Fb,Rd,p=7544.26
Tirafondi:LT=0.45 (0.31) σ_{cR}=0.00 σ_{fR}=0.00
Compressione nel calcestruzzo: σ_c=13.37
CC 27 SLV (Collegamento 0023_-380)
Azioni sul collegamento: N=-6324.69 Ty=-0.09 Tz=-0.09 Mx=-0.02 Mz=-0.81
Sollecitazioni agenti localmente: Tx_l=-0.09 Ty_l=-0.09 N_l=-6324.69 Mx_l=-0.00 My_l=-0.81 Mz_l=-0.02
Tirafondi:LT=0.45 (0.31) σ_{cR}=0.00 σ_{fR}=0.00
Compressione nel calcestruzzo: σ_c=13.11
CC 27 SLV (Collegamento 0023_-380)
Azioni sul collegamento: N=-6324.69 Ty=-2.39 Tz=-0.09 Mx=-0.02 Mz=-5.31
Sollecitazioni agenti localmente: Tx_l=-2.39 Ty_l=-0.09 N_l=-6324.69 Mx_l=-0.00 My_l=-5.31 Mz_l=-0.02
Taglio nei bulloni: Fv,Ed=0.42 Fv,Rd=7720.78
Rifollamento lato piastra: Fb,Ed,p=0.42 Fb,Rd,p=6059.10
Tirafondi:LT=0.45 (0.31) σ_{cR}=0.00 σ_{fR}=0.00
Compressione nel calcestruzzo: σ_c=13.37
CC 27 SLV (Collegamento 0023_-380)
Azioni sul collegamento: N=-4942.83 Ty=-0.09 Tz=-5.21 Mx=-0.02 Mz=-0.81
Sollecitazioni agenti localmente: Tx_l=-0.09 Ty_l=-5.21 N_l=-4942.83 Mx_l=-0.00 My_l=-0.81 Mz_l=-0.02
Taglio nei bulloni: Fv,Ed=0.89 Fv,Rd=7720.78
Rifollamento lato piastra: Fb,Ed,p=0.89 Fb,Rd,p=5980.38
Tirafondi:LT=0.45 (0.31) σ_{cR}=0.00 σ_{fR}=0.00
Compressione nel calcestruzzo: σ_c=10.26
CC 27 SLV (Collegamento 0023_-380)
Azioni sul collegamento: N=-4942.83 Ty=-2.39 Tz=-5.21 Mx=-0.02 Mz=-5.31
Sollecitazioni agenti localmente: Tx_l=-2.39 Ty_l=-5.21 N_l=-4942.83 Mx_l=-0.00 My_l=-5.31 Mz_l=-0.02
Taglio nei bulloni: Fv,Ed=0.99 Fv,Rd=7720.78
Rifollamento lato piastra: Fb,Ed,p=0.97 Fb,Rd,p=7544.12
Tirafondi:LT=0.45 (0.31) σ_{cR}=0.00 σ_{fR}=0.00
Compressione nel calcestruzzo: σ_c=10.51
CC 27 SLV (Collegamento 0023_-380)
Azioni sul collegamento: N=-4942.83 Ty=-0.09 Tz=-0.09 Mx=-0.02 Mz=-0.81
Sollecitazioni agenti localmente: Tx_l=-0.09 Ty_l=-0.09 N_l=-4942.83 Mx_l=-0.00 My_l=-0.81 Mz_l=-0.02
Tirafondi:LT=0.45 (0.31) σ_{cR}=0.00 σ_{fR}=0.00
Compressione nel calcestruzzo: σ_c=10.26
CC 27 SLV (Collegamento 0023_-380)
Azioni sul collegamento: N=-4942.83 Ty=-2.39 Tz=-0.09 Mx=-0.02 Mz=-5.31
Sollecitazioni agenti localmente: Tx_l=-2.39 Ty_l=-0.09 N_l=-4942.83 Mx_l=-0.00 My_l=-5.31 Mz_l=-0.02
Taglio nei bulloni: Fv,Ed=0.42 Fv,Rd=7720.78
Rifollamento lato piastra: Fb,Ed,p=0.42 Fb,Rd,p=6059.39
Tirafondi:LT=0.45 (0.31) σ_{cR}=0.00 σ_{fR}=0.00
Compressione nel calcestruzzo: σ_c=10.51
CC 28 SLD (Collegamento 0023_-380)
Azioni sul collegamento: N=-5844.26 Ty=-0.08 Tz=-3.43 Mx=-0.01 Mz=-0.32
Sollecitazioni agenti localmente: Tx_l=-0.08 Ty_l=-3.43 N_l=-5844.26 Mx_l=-0.00 My_l=-0.32 Mz_l=-0.01
Taglio nei bulloni: Fv,Ed=0.58 Fv,Rd=9650.97
Rifollamento lato piastra: Fb,Ed,p=0.58 Fb,Rd,p=7474.86
Tirafondi:LT=0.45 (0.31) σ_{cR}=0.00 σ_{fR}=0.00
Compressione nel calcestruzzo: σ_c=12.09
CC 28 SLD (Collegamento 0023_-380)
Azioni sul collegamento: N=-5844.26 Ty=-0.78 Tz=-3.43 Mx=-0.01 Mz=-1.69

Sollecitazioni agenti localmente: Tx_l=-0.78 Ty_l=-3.43 N_l=-5844.26 Mx_l=-0.00 My_l=-1.69 Mz_l=-0.01
Taglio nei bulloni: Fv,Ed=0.60 Fv,Rd=9650.97
Rifollamento lato piastra: Fb,Ed,p=0.59 Fb,Rd,p=7967.11
Tirafondi:LT=0.45 (0.31) σ_{cR}=0.00 σ_{fR}=0.00
Compressione nel calcestruzzo: σ_c=12.17
CC 28 SLD (Collegamento 0023_-380)
Azioni sul collegamento: N=-5844.26 Ty=-0.08 Tz=-1.87 Mx=-0.01 Mz=-0.32
Sollecitazioni agenti localmente: Tx_l=-0.08 Ty_l=-1.87 N_l=-5844.26 Mx_l=-0.00 My_l=-0.32 Mz_l=-0.01
Taglio nei bulloni: Fv,Ed=0.32 Fv,Rd=9650.97
Rifollamento lato piastra: Fb,Ed,p=0.32 Fb,Rd,p=7476.91
Tirafondi:LT=0.45 (0.31) σ_{cR}=0.00 σ_{fR}=0.00
Compressione nel calcestruzzo: σ_c=12.09
CC 28 SLD (Collegamento 0023_-380)
Azioni sul collegamento: N=-5844.26 Ty=-0.78 Tz=-1.87 Mx=-0.01 Mz=-1.69
Sollecitazioni agenti localmente: Tx_l=-0.78 Ty_l=-1.87 N_l=-5844.26 Mx_l=-0.00 My_l=-1.69 Mz_l=-0.01
Taglio nei bulloni: Fv,Ed=0.35 Fv,Rd=9650.97
Rifollamento lato piastra: Fb,Ed,p=0.34 Fb,Rd,p=9108.84
Tirafondi:LT=0.45 (0.31) σ_{cR}=0.00 σ_{fR}=0.00
Compressione nel calcestruzzo: σ_c=12.17
CC 28 SLD (Collegamento 0023_-380)
Azioni sul collegamento: N=-5422.89 Ty=-0.08 Tz=-3.43 Mx=-0.01 Mz=-0.32
Sollecitazioni agenti localmente: Tx_l=-0.08 Ty_l=-3.43 N_l=-5422.89 Mx_l=-0.00 My_l=-0.32 Mz_l=-0.01
Taglio nei bulloni: Fv,Ed=0.58 Fv,Rd=9650.97
Rifollamento lato piastra: Fb,Ed,p=0.58 Fb,Rd,p=7474.86
Tirafondi:LT=0.45 (0.31) σ_{cR}=0.00 σ_{fR}=0.00
Compressione nel calcestruzzo: σ_c=11.22
CC 28 SLD (Collegamento 0023_-380)
Azioni sul collegamento: N=-5422.89 Ty=-0.78 Tz=-3.43 Mx=-0.01 Mz=-1.69
Sollecitazioni agenti localmente: Tx_l=-0.78 Ty_l=-3.43 N_l=-5422.89 Mx_l=-0.00 My_l=-1.69 Mz_l=-0.01
Taglio nei bulloni: Fv,Ed=0.60 Fv,Rd=9650.97
Rifollamento lato piastra: Fb,Ed,p=0.59 Fb,Rd,p=7967.17
Tirafondi:LT=0.45 (0.31) σ_{cR}=0.00 σ_{fR}=0.00
Compressione nel calcestruzzo: σ_c=11.30
CC 28 SLD (Collegamento 0023_-380)
Azioni sul collegamento: N=-5422.89 Ty=-0.08 Tz=-1.87 Mx=-0.01 Mz=-0.32
Sollecitazioni agenti localmente: Tx_l=-0.08 Ty_l=-1.87 N_l=-5422.89 Mx_l=-0.00 My_l=-0.32 Mz_l=-0.01
Taglio nei bulloni: Fv,Ed=0.32 Fv,Rd=9650.97
Rifollamento lato piastra: Fb,Ed,p=0.32 Fb,Rd,p=7476.91
Tirafondi:LT=0.45 (0.31) σ_{cR}=0.00 σ_{fR}=0.00
Compressione nel calcestruzzo: σ_c=11.22
CC 28 SLD (Collegamento 0023_-380)
Azioni sul collegamento: N=-5422.89 Ty=-0.78 Tz=-1.87 Mx=-0.01 Mz=-1.69
Sollecitazioni agenti localmente: Tx_l=-0.78 Ty_l=-1.87 N_l=-5422.89 Mx_l=-0.00 My_l=-1.69 Mz_l=-0.01
Taglio nei bulloni: Fv,Ed=0.35 Fv,Rd=9650.97
Rifollamento lato piastra: Fb,Ed,p=0.34 Fb,Rd,p=9108.39
Tirafondi:LT=0.45 (0.31) σ_{cR}=0.00 σ_{fR}=0.00
Compressione nel calcestruzzo: σ_c=11.30
CC 29 SLV (Collegamento 0023_-380)
Azioni sul collegamento: N=-4942.83 Ty=-2.39 Tz=-0.09 Mx=-0.00 Mz=-5.31
Sollecitazioni agenti localmente: Tx_l=-2.39 Ty_l=-0.09 N_l=-4942.83 Mx_l=-0.00 My_l=-5.31 Mz_l=-0.00
Taglio nei bulloni: Fv,Ed=0.40 Fv,Rd=7720.78
Rifollamento lato piastra: Fb,Ed,p=0.40 Fb,Rd,p=6002.94
Tirafondi:LT=0.45 (0.31) σ_{cR}=0.00 σ_{fR}=0.00
Compressione nel calcestruzzo: σ_c=10.51
CC 29 SLV (Collegamento 0023_-380)
Azioni sul collegamento: N=-4942.83 Ty=-0.09 Tz=-0.09 Mx=-0.00 Mz=-0.81
Sollecitazioni agenti localmente: Tx_l=-0.09 Ty_l=-0.09 N_l=-4942.83 Mx_l=-0.00 My_l=-0.81 Mz_l=-0.00
Tirafondi:LT=0.45 (0.31) σ_{cR}=0.00 σ_{fR}=0.00
Compressione nel calcestruzzo: σ_c=10.26
CC 29 SLV (Collegamento 0023_-380)
Azioni sul collegamento: N=-4942.83 Ty=-2.39 Tz=-5.21 Mx=-0.00 Mz=-5.31
Sollecitazioni agenti localmente: Tx_l=-2.39 Ty_l=-5.21 N_l=-4942.83 Mx_l=-0.00 My_l=-5.31 Mz_l=-0.00
Taglio nei bulloni: Fv,Ed=0.96 Fv,Rd=7720.78
Rifollamento lato piastra: Fb,Ed,p=0.96 Fb,Rd,p=7790.90
Tirafondi:LT=0.45 (0.31) σ_{cR}=0.00 σ_{fR}=0.00
Compressione nel calcestruzzo: σ_c=10.51
CC 29 SLV (Collegamento 0023_-380)
Azioni sul collegamento: N=-4942.83 Ty=-0.09 Tz=-5.21 Mx=-0.00 Mz=-0.81
Sollecitazioni agenti localmente: Tx_l=-0.09 Ty_l=-5.21 N_l=-4942.83 Mx_l=-0.00 My_l=-0.81 Mz_l=-0.00
Taglio nei bulloni: Fv,Ed=0.87 Fv,Rd=7720.78
Rifollamento lato piastra: Fb,Ed,p=0.87 Fb,Rd,p=5980.08
Tirafondi:LT=0.45 (0.31) σ_{cR}=0.00 σ_{fR}=0.00
Compressione nel calcestruzzo: σ_c=10.26
CC 29 SLV (Collegamento 0023_-380)
Azioni sul collegamento: N=-6324.69 Ty=-2.39 Tz=-0.09 Mx=-0.00 Mz=-5.31
Sollecitazioni agenti localmente: Tx_l=-2.39 Ty_l=-0.09 N_l=-6324.69 Mx_l=-0.00 My_l=-5.31 Mz_l=-0.00
Taglio nei bulloni: Fv,Ed=0.40 Fv,Rd=7720.78
Rifollamento lato piastra: Fb,Ed,p=0.40 Fb,Rd,p=6002.78

Tirafondi:LT=0.45 (0.31) σ_{cR}=0.00 σ_{fR}=0.00
Compressione nel calcestruzzo: σ_c=13.37
CC 29 SLV (Collegamento 0023_-380)
Azioni sul collegamento: N=-6324.69 Ty=-0.09 Tz=-0.09 Mx=-0.00 Mz=-0.81
Sollecitazioni agenti localmente: Tx_l=-0.09 Ty_l=-0.09 N_l=-6324.69 Mx_l=-0.00 My_l=-0.81 Mz_l=-0.00
Tirafondi:LT=0.45 (0.31) σ_{cR}=0.00 σ_{fR}=0.00
Compressione nel calcestruzzo: σ_c=13.11
CC 29 SLV (Collegamento 0023_-380)
Azioni sul collegamento: N=-6324.69 Ty=-2.39 Tz=-5.21 Mx=-0.00 Mz=-5.31
Sollecitazioni agenti localmente: Tx_l=-2.39 Ty_l=-5.21 N_l=-6324.69 Mx_l=-0.00 My_l=-5.31 Mz_l=-0.00
Taglio nei bulloni: Fv,Ed=0.96 Fv,Rd=7720.78
Rifollamento lato piastra: Fb,Ed,p=0.96 Fb,Rd,p=7791.07
Tirafondi:LT=0.45 (0.31) σ_{cR}=0.00 σ_{fR}=0.00
Compressione nel calcestruzzo: σ_c=13.37
CC 29 SLV (Collegamento 0023_-380)
Azioni sul collegamento: N=-6324.69 Ty=-0.09 Tz=-5.21 Mx=-0.00 Mz=-0.81
Sollecitazioni agenti localmente: Tx_l=-0.09 Ty_l=-5.21 N_l=-6324.69 Mx_l=-0.00 My_l=-0.81 Mz_l=-0.00
Taglio nei bulloni: Fv,Ed=0.87 Fv,Rd=7720.78
Rifollamento lato piastra: Fb,Ed,p=0.87 Fb,Rd,p=5980.08
Tirafondi:LT=0.45 (0.31) σ_{cR}=0.00 σ_{fR}=0.00
Compressione nel calcestruzzo: σ_c=13.11
CC 30 SLD (Collegamento 0023_-380)
Azioni sul collegamento: N=-5422.89 Ty=-0.78 Tz=-1.87 Mx=-0.00 Mz=-1.69
Sollecitazioni agenti localmente: Tx_l=-0.78 Ty_l=-1.87 N_l=-5422.89 Mx_l=-0.00 My_l=-1.69 Mz_l=-0.00
Taglio nei bulloni: Fv,Ed=0.34 Fv,Rd=9650.97
Rifollamento lato piastra: Fb,Ed,p=0.34 Fb,Rd,p=9340.39
Tirafondi:LT=0.45 (0.31) σ_{cR}=0.00 σ_{fR}=0.00
Compressione nel calcestruzzo: σ_c=11.30
CC 30 SLD (Collegamento 0023_-380)
Azioni sul collegamento: N=-5422.89 Ty=-0.08 Tz=-1.87 Mx=-0.00 Mz=-0.32
Sollecitazioni agenti localmente: Tx_l=-0.08 Ty_l=-1.87 N_l=-5422.89 Mx_l=-0.00 My_l=-0.32 Mz_l=-0.00
Taglio nei bulloni: Fv,Ed=0.31 Fv,Rd=9650.97
Rifollamento lato piastra: Fb,Ed,p=0.31 Fb,Rd,p=7487.84
Tirafondi:LT=0.45 (0.31) σ_{cR}=0.00 σ_{fR}=0.00
Compressione nel calcestruzzo: σ_c=11.22
CC 30 SLD (Collegamento 0023_-380)
Azioni sul collegamento: N=-5422.89 Ty=-0.78 Tz=-3.43 Mx=-0.00 Mz=-1.69
Sollecitazioni agenti localmente: Tx_l=-0.78 Ty_l=-3.43 N_l=-5422.89 Mx_l=-0.00 My_l=-1.69 Mz_l=-0.00
Taglio nei bulloni: Fv,Ed=0.59 Fv,Rd=9650.97
Rifollamento lato piastra: Fb,Ed,p=0.59 Fb,Rd,p=8027.27
Tirafondi:LT=0.45 (0.31) σ_{cR}=0.00 σ_{fR}=0.00
Compressione nel calcestruzzo: σ_c=11.30
CC 30 SLD (Collegamento 0023_-380)
Azioni sul collegamento: N=-5422.89 Ty=-0.08 Tz=-3.43 Mx=-0.00 Mz=-0.32
Sollecitazioni agenti localmente: Tx_l=-0.08 Ty_l=-3.43 N_l=-5422.89 Mx_l=-0.00 My_l=-0.32 Mz_l=-0.00
Taglio nei bulloni: Fv,Ed=0.57 Fv,Rd=9650.97
Rifollamento lato piastra: Fb,Ed,p=0.57 Fb,Rd,p=7478.11
Tirafondi:LT=0.45 (0.31) σ_{cR}=0.00 σ_{fR}=0.00
Compressione nel calcestruzzo: σ_c=11.22
CC 30 SLD (Collegamento 0023_-380)
Azioni sul collegamento: N=-5844.26 Ty=-0.78 Tz=-1.87 Mx=-0.00 Mz=-1.69
Sollecitazioni agenti localmente: Tx_l=-0.78 Ty_l=-1.87 N_l=-5844.26 Mx_l=-0.00 My_l=-1.69 Mz_l=-0.00
Taglio nei bulloni: Fv,Ed=0.34 Fv,Rd=9650.97
Rifollamento lato piastra: Fb,Ed,p=0.34 Fb,Rd,p=9340.90
Tirafondi:LT=0.45 (0.31) σ_{cR}=0.00 σ_{fR}=0.00
Compressione nel calcestruzzo: σ_c=12.17
CC 30 SLD (Collegamento 0023_-380)
Azioni sul collegamento: N=-5844.26 Ty=-0.08 Tz=-1.87 Mx=-0.00 Mz=-0.32
Sollecitazioni agenti localmente: Tx_l=-0.08 Ty_l=-1.87 N_l=-5844.26 Mx_l=-0.00 My_l=-0.32 Mz_l=-0.00
Taglio nei bulloni: Fv,Ed=0.31 Fv,Rd=9650.97
Rifollamento lato piastra: Fb,Ed,p=0.31 Fb,Rd,p=7487.84
Tirafondi:LT=0.45 (0.31) σ_{cR}=0.00 σ_{fR}=0.00
Compressione nel calcestruzzo: σ_c=12.09
CC 30 SLD (Collegamento 0023_-380)
Azioni sul collegamento: N=-5844.26 Ty=-0.78 Tz=-3.43 Mx=-0.00 Mz=-1.69
Sollecitazioni agenti localmente: Tx_l=-0.78 Ty_l=-3.43 N_l=-5844.26 Mx_l=-0.00 My_l=-1.69 Mz_l=-0.00
Taglio nei bulloni: Fv,Ed=0.59 Fv,Rd=9650.97
Rifollamento lato piastra: Fb,Ed,p=0.59 Fb,Rd,p=8027.19
Tirafondi:LT=0.45 (0.31) σ_{cR}=0.00 σ_{fR}=0.00
Compressione nel calcestruzzo: σ_c=12.17
CC 30 SLD (Collegamento 0023_-380)
Azioni sul collegamento: N=-5844.26 Ty=-0.08 Tz=-3.43 Mx=-0.00 Mz=-0.32
Sollecitazioni agenti localmente: Tx_l=-0.08 Ty_l=-3.43 N_l=-5844.26 Mx_l=-0.00 My_l=-0.32 Mz_l=-0.00
Taglio nei bulloni: Fv,Ed=0.57 Fv,Rd=9650.97
Rifollamento lato piastra: Fb,Ed,p=0.57 Fb,Rd,p=7478.11
Tirafondi:LT=0.45 (0.31) σ_{cR}=0.00 σ_{fR}=0.00
Compressione nel calcestruzzo: σ_c=12.09
CC 31 SLV (Collegamento 0023_-380)

Azioni sul collegamento: N=-6324.76 Ty=-2.39 Tz=-5.22 Mx=-0.00 Mz=-5.32
Sollecitazioni agenti localmente: Tx_l=-2.39 Ty_l=-5.22 N_l=-6324.76 Mx_l=-0.00 My_l=-5.32 Mz_l=-0.00
Taglio nei bulloni: Fv,Ed=0.96 Fv,Rd=7720.78
Rifollamento lato piastra: Fb,Ed,p=0.96 Fb,Rd,p=7797.05
Tirafondi:LT=0.45 (0.31) σ_{cR}=0.00 σ_{fR}=0.00
Compressione nel calcestruzzo: σ_c=13.37
CC 31 SLV (Collegamento 0023_-380)
Azioni sul collegamento: N=-6324.76 Ty=-0.08 Tz=-5.22 Mx=-0.00 Mz=-0.80
Sollecitazioni agenti localmente: Tx_l=-0.08 Ty_l=-5.22 N_l=-6324.76 Mx_l=-0.00 My_l=-0.80 Mz_l=-0.00
Taglio nei bulloni: Fv,Ed=0.87 Fv,Rd=7720.78
Rifollamento lato piastra: Fb,Ed,p=0.87 Fb,Rd,p=5979.96
Tirafondi:LT=0.45 (0.31) σ_{cR}=0.00 σ_{fR}=0.00
Compressione nel calcestruzzo: σ_c=13.11
CC 31 SLV (Collegamento 0023_-380)
Azioni sul collegamento: N=-6324.76 Ty=-2.39 Tz=-0.09 Mx=-0.00 Mz=-5.32
Sollecitazioni agenti localmente: Tx_l=-2.39 Ty_l=-0.09 N_l=-6324.76 Mx_l=-0.00 My_l=-5.32 Mz_l=-0.00
Taglio nei bulloni: Fv,Ed=0.40 Fv,Rd=7720.78
Rifollamento lato piastra: Fb,Ed,p=0.40 Fb,Rd,p=6001.94
Tirafondi:LT=0.45 (0.31) σ_{cR}=0.00 σ_{fR}=0.00
Compressione nel calcestruzzo: σ_c=13.37
CC 31 SLV (Collegamento 0023_-380)
Azioni sul collegamento: N=-6324.76 Ty=-0.08 Tz=-0.09 Mx=-0.00 Mz=-0.80
Sollecitazioni agenti localmente: Tx_l=-0.08 Ty_l=-0.09 N_l=-6324.76 Mx_l=-0.00 My_l=-0.80 Mz_l=-0.00
Tirafondi:LT=0.45 (0.31) σ_{cR}=0.00 σ_{fR}=0.00
Compressione nel calcestruzzo: σ_c=13.11
CC 31 SLV (Collegamento 0023_-380)
Azioni sul collegamento: N=-4942.75 Ty=-2.39 Tz=-5.22 Mx=-0.00 Mz=-5.32
Sollecitazioni agenti localmente: Tx_l=-2.39 Ty_l=-5.22 N_l=-4942.75 Mx_l=-0.00 My_l=-5.32 Mz_l=-0.00
Taglio nei bulloni: Fv,Ed=0.96 Fv,Rd=7720.78
Rifollamento lato piastra: Fb,Ed,p=0.96 Fb,Rd,p=7796.86
Tirafondi:LT=0.45 (0.31) σ_{cR}=0.00 σ_{fR}=0.00
Compressione nel calcestruzzo: σ_c=10.51
CC 31 SLV (Collegamento 0023_-380)
Azioni sul collegamento: N=-4942.75 Ty=-0.08 Tz=-5.22 Mx=-0.00 Mz=-0.80
Sollecitazioni agenti localmente: Tx_l=-0.08 Ty_l=-5.22 N_l=-4942.75 Mx_l=-0.00 My_l=-0.80 Mz_l=-0.00
Taglio nei bulloni: Fv,Ed=0.88 Fv,Rd=7720.78
Rifollamento lato piastra: Fb,Ed,p=0.87 Fb,Rd,p=5979.96
Tirafondi:LT=0.45 (0.31) σ_{cR}=0.00 σ_{fR}=0.00
Compressione nel calcestruzzo: σ_c=10.26
CC 31 SLV (Collegamento 0023_-380)
Azioni sul collegamento: N=-4942.75 Ty=-2.39 Tz=-0.09 Mx=-0.00 Mz=-5.32
Sollecitazioni agenti localmente: Tx_l=-2.39 Ty_l=-0.09 N_l=-4942.75 Mx_l=-0.00 My_l=-5.32 Mz_l=-0.00
Taglio nei bulloni: Fv,Ed=0.40 Fv,Rd=7720.78
Rifollamento lato piastra: Fb,Ed,p=0.40 Fb,Rd,p=6002.03
Tirafondi:LT=0.45 (0.31) σ_{cR}=0.00 σ_{fR}=0.00
Compressione nel calcestruzzo: σ_c=10.51
CC 31 SLV (Collegamento 0023_-380)
Azioni sul collegamento: N=-4942.75 Ty=-0.08 Tz=-0.09 Mx=-0.00 Mz=-0.80
Sollecitazioni agenti localmente: Tx_l=-0.08 Ty_l=-0.09 N_l=-4942.75 Mx_l=-0.00 My_l=-0.80 Mz_l=-0.00
Tirafondi:LT=0.45 (0.31) σ_{cR}=0.00 σ_{fR}=0.00
Compressione nel calcestruzzo: σ_c=10.26
CC 32 SLD (Collegamento 0023_-380)
Azioni sul collegamento: N=-5844.28 Ty=-0.78 Tz=-3.44 Mx=-0.00 Mz=-1.69
Sollecitazioni agenti localmente: Tx_l=-0.78 Ty_l=-3.44 N_l=-5844.28 Mx_l=-0.00 My_l=-1.69 Mz_l=-0.00
Taglio nei bulloni: Fv,Ed=0.59 Fv,Rd=9650.97
Rifollamento lato piastra: Fb,Ed,p=0.59 Fb,Rd,p=8029.08
Tirafondi:LT=0.45 (0.31) σ_{cR}=0.00 σ_{fR}=0.00
Compressione nel calcestruzzo: σ_c=12.17
CC 32 SLD (Collegamento 0023_-380)
Azioni sul collegamento: N=-5844.28 Ty=-0.08 Tz=-3.44 Mx=-0.00 Mz=-0.31
Sollecitazioni agenti localmente: Tx_l=-0.08 Ty_l=-3.44 N_l=-5844.28 Mx_l=-0.00 My_l=-0.31 Mz_l=-0.00
Taglio nei bulloni: Fv,Ed=0.57 Fv,Rd=9650.97
Rifollamento lato piastra: Fb,Ed,p=0.57 Fb,Rd,p=7477.97
Tirafondi:LT=0.45 (0.31) σ_{cR}=0.00 σ_{fR}=0.00
Compressione nel calcestruzzo: σ_c=12.09
CC 32 SLD (Collegamento 0023_-380)
Azioni sul collegamento: N=-5844.28 Ty=-0.78 Tz=-1.87 Mx=-0.00 Mz=-1.69
Sollecitazioni agenti localmente: Tx_l=-0.78 Ty_l=-1.87 N_l=-5844.28 Mx_l=-0.00 My_l=-1.69 Mz_l=-0.00
Taglio nei bulloni: Fv,Ed=0.34 Fv,Rd=9650.97
Rifollamento lato piastra: Fb,Ed,p=0.34 Fb,Rd,p=9348.82
Tirafondi:LT=0.45 (0.31) σ_{cR}=0.00 σ_{fR}=0.00
Compressione nel calcestruzzo: σ_c=12.17
CC 32 SLD (Collegamento 0023_-380)
Azioni sul collegamento: N=-5844.28 Ty=-0.08 Tz=-1.87 Mx=-0.00 Mz=-0.31
Sollecitazioni agenti localmente: Tx_l=-0.08 Ty_l=-1.87 N_l=-5844.28 Mx_l=-0.00 My_l=-0.31 Mz_l=-0.00
Taglio nei bulloni: Fv,Ed=0.31 Fv,Rd=9650.97
Rifollamento lato piastra: Fb,Ed,p=0.31 Fb,Rd,p=7487.38
Tirafondi:LT=0.45 (0.31) σ_{cR}=0.00 σ_{fR}=0.00

Compressione nel calcestruzzo: σ_c=12.09
CC 32 SLD (Collegamento 0023_-380)
Azioni sul collegamento: N=-5422.87 Ty=-0.78 Tz=-3.44 Mx=-0.00 Mz=-1.69
Sollecitazioni agenti localmente: Tx_l=-0.78 Ty_l=-3.44 N_l=-5422.87 Mx_l=-0.00 My_l=-1.69 Mz_l=-0.00
Taglio nei bulloni: Fv,Ed=0.59 Fv,Rd=9650.97
Rifollamento lato piastra: Fb,Ed,p=0.59 Fb,Rd,p=8029.05
Tirafondi:LT=0.45 (0.31) σ_{cR}=0.00 σ_{fR}=0.00
Compressione nel calcestruzzo: σ_c=11.30
CC 32 SLD (Collegamento 0023_-380)
Azioni sul collegamento: N=-5422.87 Ty=-0.08 Tz=-3.44 Mx=-0.00 Mz=-0.31
Sollecitazioni agenti localmente: Tx_l=-0.08 Ty_l=-3.44 N_l=-5422.87 Mx_l=-0.00 My_l=-0.31 Mz_l=-0.00
Taglio nei bulloni: Fv,Ed=0.57 Fv,Rd=9650.97
Rifollamento lato piastra: Fb,Ed,p=0.57 Fb,Rd,p=7477.96
Tirafondi:LT=0.45 (0.31) σ_{cR}=0.00 σ_{fR}=0.00
Compressione nel calcestruzzo: σ_c=11.22
CC 32 SLD (Collegamento 0023_-380)
Azioni sul collegamento: N=-5422.87 Ty=-0.78 Tz=-1.87 Mx=-0.00 Mz=-1.69
Sollecitazioni agenti localmente: Tx_l=-0.78 Ty_l=-1.87 N_l=-5422.87 Mx_l=-0.00 My_l=-1.69 Mz_l=-0.00
Taglio nei bulloni: Fv,Ed=0.34 Fv,Rd=9650.97
Rifollamento lato piastra: Fb,Ed,p=0.34 Fb,Rd,p=9349.27
Tirafondi:LT=0.45 (0.31) σ_{cR}=0.00 σ_{fR}=0.00
Compressione nel calcestruzzo: σ_c=11.30
CC 32 SLD (Collegamento 0023_-380)
Azioni sul collegamento: N=-5422.87 Ty=-0.08 Tz=-1.87 Mx=-0.00 Mz=-0.31
Sollecitazioni agenti localmente: Tx_l=-0.08 Ty_l=-1.87 N_l=-5422.87 Mx_l=-0.00 My_l=-0.31 Mz_l=-0.00
Taglio nei bulloni: Fv,Ed=0.31 Fv,Rd=9650.97
Rifollamento lato piastra: Fb,Ed,p=0.31 Fb,Rd,p=7487.39
Tirafondi:LT=0.45 (0.31) σ_{cR}=0.00 σ_{fR}=0.00
Compressione nel calcestruzzo: σ_c=11.22
CC 33 SLU (Collegamento 0023_-380)
Azioni sul collegamento: N=-29447.20 Ty=-0.05 Tz=76.67 Mx=-0.00 Mz=-0.12
Sollecitazioni agenti localmente: Tx_l=-0.05 Ty_l=76.67 N_l=-29447.20 Mx_l=-0.00 My_l=-0.12 Mz_l=-0.00
Taglio nei bulloni: Fv,Ed=12.78 Fv,Rd=7720.78
Rifollamento lato piastra: Fb,Ed,p=12.78 Fb,Rd,p=5979.17
Tirafondi:LT=0.45 (0.31) σ_{cR}=0.00 σ_{fR}=0.00
Compressione nel calcestruzzo: σ_c=60.85
CC 34 SLU (Collegamento 0023_-380)
Azioni sul collegamento: N=-28967.90 Ty=-0.05 Tz=74.90 Mx=-0.00 Mz=-0.12
Sollecitazioni agenti localmente: Tx_l=-0.05 Ty_l=74.90 N_l=-28967.90 Mx_l=-0.00 My_l=-0.12 Mz_l=-0.00
Taglio nei bulloni: Fv,Ed=12.48 Fv,Rd=7720.78
Rifollamento lato piastra: Fb,Ed,p=12.48 Fb,Rd,p=5979.18
Tirafondi:LT=0.45 (0.31) σ_{cR}=0.00 σ_{fR}=0.00
Compressione nel calcestruzzo: σ_c=59.86
CC 35 SLU (Collegamento 0023_-380)
Azioni sul collegamento: N=-29207.50 Ty=-0.17 Tz=75.78 Mx=0.00 Mz=-0.35
Sollecitazioni agenti localmente: Tx_l=-0.17 Ty_l=75.78 N_l=-29207.50 Mx_l=-0.00 My_l=-0.35 Mz_l=0.00
Taglio nei bulloni: Fv,Ed=12.63 Fv,Rd=7720.78
Rifollamento lato piastra: Fb,Ed,p=12.63 Fb,Rd,p=5979.21
Tirafondi:LT=0.45 (0.31) σ_{cR}=0.00 σ_{fR}=0.00
Compressione nel calcestruzzo: σ_c=60.37
CC 36 SLU (Collegamento 0023_-380)
Azioni sul collegamento: N=-29207.50 Ty=0.07 Tz=75.79 Mx=-0.00 Mz=0.12
Sollecitazioni agenti localmente: Tx_l=0.07 Ty_l=75.79 N_l=-29207.50 Mx_l=-0.00 My_l=0.12 Mz_l=-0.00
Taglio nei bulloni: Fv,Ed=12.63 Fv,Rd=7720.78
Rifollamento lato piastra: Fb,Ed,p=12.63 Fb,Rd,p=5979.18
Tirafondi:LT=0.45 (0.31) σ_{cR}=0.00 σ_{fR}=0.00
Compressione nel calcestruzzo: σ_c=60.35
CC 37 SLU (Collegamento 0023_-380)
Azioni sul collegamento: N=-19933.90 Ty=-0.08 Tz=41.69 Mx=-0.00 Mz=-0.13
Sollecitazioni agenti localmente: Tx_l=-0.08 Ty_l=41.69 N_l=-19933.90 Mx_l=-0.00 My_l=-0.13 Mz_l=-0.00
Taglio nei bulloni: Fv,Ed=6.95 Fv,Rd=7720.78
Rifollamento lato piastra: Fb,Ed,p=6.95 Fb,Rd,p=5979.20
Tirafondi:LT=0.45 (0.31) σ_{cR}=0.00 σ_{fR}=0.00
Compressione nel calcestruzzo: σ_c=41.19
CC 38 SLU (Collegamento 0023_-380)
Azioni sul collegamento: N=-19454.60 Ty=-0.08 Tz=39.91 Mx=-0.00 Mz=-0.13
Sollecitazioni agenti localmente: Tx_l=-0.08 Ty_l=39.91 N_l=-19454.60 Mx_l=-0.00 My_l=-0.13 Mz_l=-0.00
Taglio nei bulloni: Fv,Ed=6.65 Fv,Rd=7720.78
Rifollamento lato piastra: Fb,Ed,p=6.65 Fb,Rd,p=5979.21
Tirafondi:LT=0.45 (0.31) σ_{cR}=0.00 σ_{fR}=0.00
Compressione nel calcestruzzo: σ_c=40.20
CC 39 SLU (Collegamento 0023_-380)
Azioni sul collegamento: N=-19694.20 Ty=-0.20 Tz=40.80 Mx=0.00 Mz=-0.36
Sollecitazioni agenti localmente: Tx_l=-0.20 Ty_l=40.80 N_l=-19694.20 Mx_l=-0.00 My_l=-0.36 Mz_l=0.00
Taglio nei bulloni: Fv,Ed=6.80 Fv,Rd=7720.78
Rifollamento lato piastra: Fb,Ed,p=6.80 Fb,Rd,p=5979.37
Tirafondi:LT=0.45 (0.31) σ_{cR}=0.00 σ_{fR}=0.00
Compressione nel calcestruzzo: σ_c=40.71

CC 40 SLU (Collegamento 0023_-380)
Azioni sul collegamento: N=-19694.20 Ty=0.04 Tz=40.80 Mx=-0.00 Mz=0.10
Sollecitazioni agenti localmente: Tx_l=0.04 Ty_l=40.80 N_l=-19694.20 Mx_l=-0.00 My_l=0.10 Mz_l=-0.00
Taglio nei bulloni: Fv,Ed=6.80 Fv,Rd=7720.78
Rifollamento lato piastra: Fb,Ed,p=6.80 Fb,Rd,p=5979.18
Tirafondi:LT=0.45 (0.31) σ_{cR}=0.00 σ_{fR}=0.00
Compressione nel calcestruzzo: σ_c=40.70
CC 41 SLU (Collegamento 0023_-380)
Azioni sul collegamento: N=-29632.10 Ty=-0.07 Tz=76.65 Mx=-0.00 Mz=-0.13
Sollecitazioni agenti localmente: Tx_l=-0.07 Ty_l=76.65 N_l=-29632.10 Mx_l=-0.00 My_l=-0.13 Mz_l=-0.00
Taglio nei bulloni: Fv,Ed=12.78 Fv,Rd=7720.78
Rifollamento lato piastra: Fb,Ed,p=12.78 Fb,Rd,p=5979.18
Tirafondi:LT=0.45 (0.31) σ_{cR}=0.00 σ_{fR}=0.00
Compressione nel calcestruzzo: σ_c=61.23
CC 42 SLU (Collegamento 0023_-380)
Azioni sul collegamento: N=-29152.80 Ty=-0.07 Tz=74.88 Mx=-0.00 Mz=-0.13
Sollecitazioni agenti localmente: Tx_l=-0.07 Ty_l=74.88 N_l=-29152.80 Mx_l=-0.00 My_l=-0.13 Mz_l=-0.00
Taglio nei bulloni: Fv,Ed=12.48 Fv,Rd=7720.78
Rifollamento lato piastra: Fb,Ed,p=12.48 Fb,Rd,p=5979.18
Tirafondi:LT=0.45 (0.31) σ_{cR}=0.00 σ_{fR}=0.00
Compressione nel calcestruzzo: σ_c=60.24
CC 43 SLU (Collegamento 0023_-380)
Azioni sul collegamento: N=-29392.40 Ty=-0.19 Tz=75.77 Mx=0.00 Mz=-0.36
Sollecitazioni agenti localmente: Tx_l=-0.19 Ty_l=75.77 N_l=-29392.40 Mx_l=-0.00 My_l=-0.36 Mz_l=0.00
Taglio nei bulloni: Fv,Ed=12.63 Fv,Rd=7720.78
Rifollamento lato piastra: Fb,Ed,p=12.63 Fb,Rd,p=5979.23
Tirafondi:LT=0.45 (0.31) σ_{cR}=0.00 σ_{fR}=0.00
Compressione nel calcestruzzo: σ_c=60.75
CC 44 SLU (Collegamento 0023_-380)
Azioni sul collegamento: N=-29392.40 Ty=0.05 Tz=75.77 Mx=-0.00 Mz=0.10
Sollecitazioni agenti localmente: Tx_l=0.05 Ty_l=75.77 N_l=-29392.40 Mx_l=-0.00 My_l=0.10 Mz_l=-0.00
Taglio nei bulloni: Fv,Ed=12.63 Fv,Rd=7720.78
Rifollamento lato piastra: Fb,Ed,p=12.63 Fb,Rd,p=5979.17
Tirafondi:LT=0.45 (0.31) σ_{cR}=0.00 σ_{fR}=0.00
Compressione nel calcestruzzo: σ_c=60.73
CC 45 SLU (Collegamento 0023_-380)
Azioni sul collegamento: N=-22108.00 Ty=-0.08 Tz=49.75 Mx=-0.00 Mz=-0.14
Sollecitazioni agenti localmente: Tx_l=-0.08 Ty_l=49.75 N_l=-22108.00 Mx_l=-0.00 My_l=-0.14 Mz_l=-0.00
Taglio nei bulloni: Fv,Ed=8.29 Fv,Rd=7720.78
Rifollamento lato piastra: Fb,Ed,p=8.29 Fb,Rd,p=5979.19
Tirafondi:LT=0.45 (0.31) σ_{cR}=0.00 σ_{fR}=0.00
Compressione nel calcestruzzo: σ_c=45.69
CC 46 SLU (Collegamento 0023_-380)
Azioni sul collegamento: N=-21628.70 Ty=-0.08 Tz=47.97 Mx=-0.00 Mz=-0.14
Sollecitazioni agenti localmente: Tx_l=-0.08 Ty_l=47.97 N_l=-21628.70 Mx_l=-0.00 My_l=-0.14 Mz_l=-0.00
Taglio nei bulloni: Fv,Ed=8.00 Fv,Rd=7720.78
Rifollamento lato piastra: Fb,Ed,p=8.00 Fb,Rd,p=5979.19
Tirafondi:LT=0.45 (0.31) σ_{cR}=0.00 σ_{fR}=0.00
Compressione nel calcestruzzo: σ_c=44.70
CC 47 SLU (Collegamento 0023_-380)
Azioni sul collegamento: N=-21868.40 Ty=-0.20 Tz=48.86 Mx=0.00 Mz=-0.37
Sollecitazioni agenti localmente: Tx_l=-0.20 Ty_l=48.86 N_l=-21868.40 Mx_l=-0.00 My_l=-0.37 Mz_l=0.00
Taglio nei bulloni: Fv,Ed=8.14 Fv,Rd=7720.78
Rifollamento lato piastra: Fb,Ed,p=8.14 Fb,Rd,p=5979.31
Tirafondi:LT=0.45 (0.31) σ_{cR}=0.00 σ_{fR}=0.00
Compressione nel calcestruzzo: σ_c=45.20
CC 48 SLU (Collegamento 0023_-380)
Azioni sul collegamento: N=-21868.40 Ty=0.04 Tz=48.86 Mx=-0.00 Mz=0.10
Sollecitazioni agenti localmente: Tx_l=0.04 Ty_l=48.86 N_l=-21868.40 Mx_l=-0.00 My_l=0.10 Mz_l=-0.00
Taglio nei bulloni: Fv,Ed=8.14 Fv,Rd=7720.78
Rifollamento lato piastra: Fb,Ed,p=8.14 Fb,Rd,p=5979.18
Tirafondi:LT=0.45 (0.31) σ_{cR}=0.00 σ_{fR}=0.00
Compressione nel calcestruzzo: σ_c=45.19
CC 49 SLU (Collegamento 0023_-380)
Azioni sul collegamento: N=-14990.70 Ty=-0.10 Tz=23.57 Mx=-0.00 Mz=-0.15
Sollecitazioni agenti localmente: Tx_l=-0.10 Ty_l=23.57 N_l=-14990.70 Mx_l=-0.00 My_l=-0.15 Mz_l=-0.00
Taglio nei bulloni: Fv,Ed=3.93 Fv,Rd=7720.78
Rifollamento lato piastra: Fb,Ed,p=3.93 Fb,Rd,p=5979.34
Tirafondi:LT=0.45 (0.31) σ_{cR}=0.00 σ_{fR}=0.00
Compressione nel calcestruzzo: σ_c=30.98
CC 50 SLU (Collegamento 0023_-380)
Azioni sul collegamento: N=-14511.40 Ty=-0.10 Tz=21.80 Mx=-0.00 Mz=-0.15
Sollecitazioni agenti localmente: Tx_l=-0.10 Ty_l=21.80 N_l=-14511.40 Mx_l=-0.00 My_l=-0.15 Mz_l=-0.00
Taglio nei bulloni: Fv,Ed=3.63 Fv,Rd=7720.78
Rifollamento lato piastra: Fb,Ed,p=3.63 Fb,Rd,p=5979.37
Tirafondi:LT=0.45 (0.31) σ_{cR}=0.00 σ_{fR}=0.00
Compressione nel calcestruzzo: σ_c=29.99
CC 51 SLU (Collegamento 0023_-380)

Azioni sul collegamento: N=-14751.00 Ty=-0.22 Tz=22.68 Mx=0.00 Mz=-0.38
Sollecitazioni agenti localmente: Tx_l=-0.22 Ty_l=22.68 N_l=-14751.00 Mx_l=-0.00 My_l=-0.38 Mz_l=0.00
Taglio nei bulloni: Fv,Ed=3.78 Fv,Rd=7720.78
Rifollamento lato piastra: Fb,Ed,p=3.78 Fb,Rd,p=5979.97
Tirafondi:LT=0.45 (0.31) σ_{cR}=0.00 σ_{fR}=0.00
Compressione nel calcestruzzo: σ_c=30.50
CC 52 SLU (Collegamento 0023_-380)
Azioni sul collegamento: N=-14751.00 Ty=0.02 Tz=22.69 Mx=-0.00 Mz=0.09
Sollecitazioni agenti localmente: Tx_l=0.02 Ty_l=22.69 N_l=-14751.00 Mx_l=-0.00 My_l=0.09 Mz_l=-0.00
Taglio nei bulloni: Fv,Ed=3.78 Fv,Rd=7720.78
Rifollamento lato piastra: Fb,Ed,p=3.78 Fb,Rd,p=5979.17
Tirafondi:LT=0.45 (0.31) σ_{cR}=0.00 σ_{fR}=0.00
Compressione nel calcestruzzo: σ_c=30.48
CC 53 SLU (Collegamento 0023_-380)
Azioni sul collegamento: N=-22246.40 Ty=-0.10 Tz=49.73 Mx=-0.00 Mz=-0.15
Sollecitazioni agenti localmente: Tx_l=-0.10 Ty_l=49.73 N_l=-22246.40 Mx_l=-0.00 My_l=-0.15 Mz_l=-0.00
Taglio nei bulloni: Fv,Ed=8.29 Fv,Rd=7720.78
Rifollamento lato piastra: Fb,Ed,p=8.29 Fb,Rd,p=5979.21
Tirafondi:LT=0.45 (0.31) σ_{cR}=0.00 σ_{fR}=0.00
Compressione nel calcestruzzo: σ_c=45.97
CC 54 SLU (Collegamento 0023_-380)
Azioni sul collegamento: N=-21767.10 Ty=-0.10 Tz=47.96 Mx=-0.00 Mz=-0.15
Sollecitazioni agenti localmente: Tx_l=-0.10 Ty_l=47.96 N_l=-21767.10 Mx_l=-0.00 My_l=-0.15 Mz_l=-0.00
Taglio nei bulloni: Fv,Ed=7.99 Fv,Rd=7720.78
Rifollamento lato piastra: Fb,Ed,p=7.99 Fb,Rd,p=5979.21
Tirafondi:LT=0.45 (0.31) σ_{cR}=0.00 σ_{fR}=0.00
Compressione nel calcestruzzo: σ_c=44.98
CC 55 SLU (Collegamento 0023_-380)
Azioni sul collegamento: N=-22006.70 Ty=-0.22 Tz=48.85 Mx=0.00 Mz=-0.38
Sollecitazioni agenti localmente: Tx_l=-0.22 Ty_l=48.85 N_l=-22006.70 Mx_l=-0.00 My_l=-0.38 Mz_l=0.00
Taglio nei bulloni: Fv,Ed=8.14 Fv,Rd=7720.78
Rifollamento lato piastra: Fb,Ed,p=8.14 Fb,Rd,p=5979.34
Tirafondi:LT=0.45 (0.31) σ_{cR}=0.00 σ_{fR}=0.00
Compressione nel calcestruzzo: σ_c=45.49
CC 56 SLU (Collegamento 0023_-380)
Azioni sul collegamento: N=-22006.70 Ty=0.02 Tz=48.85 Mx=-0.00 Mz=0.09
Sollecitazioni agenti localmente: Tx_l=0.02 Ty_l=48.85 N_l=-22006.70 Mx_l=-0.00 My_l=0.09 Mz_l=-0.00
Taglio nei bulloni: Fv,Ed=8.14 Fv,Rd=7720.78
Rifollamento lato piastra: Fb,Ed,p=8.14 Fb,Rd,p=5979.17
Tirafondi:LT=0.45 (0.31) σ_{cR}=0.00 σ_{fR}=0.00
Compressione nel calcestruzzo: σ_c=45.47
CC 57 SLU (Collegamento 0023_-380)
Azioni sul collegamento: N=-20646.20 Ty=-0.07 Tz=44.37 Mx=-0.00 Mz=-0.13
Sollecitazioni agenti localmente: Tx_l=-0.07 Ty_l=44.37 N_l=-20646.20 Mx_l=-0.00 My_l=-0.13 Mz_l=-0.00
Taglio nei bulloni: Fv,Ed=7.39 Fv,Rd=7720.78
Rifollamento lato piastra: Fb,Ed,p=7.39 Fb,Rd,p=5979.20
Tirafondi:LT=0.45 (0.31) σ_{cR}=0.00 σ_{fR}=0.00
Compressione nel calcestruzzo: σ_c=42.66
CC 58 SLU (Collegamento 0023_-380)
Azioni sul collegamento: N=-20166.90 Ty=-0.07 Tz=42.59 Mx=-0.00 Mz=-0.13
Sollecitazioni agenti localmente: Tx_l=-0.07 Ty_l=42.59 N_l=-20166.90 Mx_l=-0.00 My_l=-0.13 Mz_l=-0.00
Taglio nei bulloni: Fv,Ed=7.10 Fv,Rd=7720.78
Rifollamento lato piastra: Fb,Ed,p=7.10 Fb,Rd,p=5979.20
Tirafondi:LT=0.45 (0.31) σ_{cR}=0.00 σ_{fR}=0.00
Compressione nel calcestruzzo: σ_c=41.67
CC 59 SLU (Collegamento 0023_-380)
Azioni sul collegamento: N=-20406.60 Ty=-0.19 Tz=43.48 Mx=0.00 Mz=-0.36
Sollecitazioni agenti localmente: Tx_l=-0.19 Ty_l=43.48 N_l=-20406.60 Mx_l=-0.00 My_l=-0.36 Mz_l=0.00
Taglio nei bulloni: Fv,Ed=7.25 Fv,Rd=7720.78
Rifollamento lato piastra: Fb,Ed,p=7.25 Fb,Rd,p=5979.34
Tirafondi:LT=0.45 (0.31) σ_{cR}=0.00 σ_{fR}=0.00
Compressione nel calcestruzzo: σ_c=42.18
CC 60 SLU (Collegamento 0023_-380)
Azioni sul collegamento: N=-20406.60 Ty=0.05 Tz=43.48 Mx=-0.00 Mz=0.10
Sollecitazioni agenti localmente: Tx_l=0.05 Ty_l=43.48 N_l=-20406.60 Mx_l=-0.00 My_l=0.10 Mz_l=-0.00
Taglio nei bulloni: Fv,Ed=7.25 Fv,Rd=7720.78
Rifollamento lato piastra: Fb,Ed,p=7.25 Fb,Rd,p=5979.18
Tirafondi:LT=0.45 (0.31) σ_{cR}=0.00 σ_{fR}=0.00
Compressione nel calcestruzzo: σ_c=42.17
CC 61 SLU (Collegamento 0023_-380)
Azioni sul collegamento: N=-13528.90 Ty=-0.09 Tz=18.19 Mx=-0.00 Mz=-0.14
Sollecitazioni agenti localmente: Tx_l=-0.09 Ty_l=18.19 N_l=-13528.90 Mx_l=-0.00 My_l=-0.14 Mz_l=-0.00
Taglio nei bulloni: Fv,Ed=3.03 Fv,Rd=7720.78
Rifollamento lato piastra: Fb,Ed,p=3.03 Fb,Rd,p=5979.42
Tirafondi:LT=0.45 (0.31) σ_{cR}=0.00 σ_{fR}=0.00
Compressione nel calcestruzzo: σ_c=27.96
CC 62 SLU (Collegamento 0023_-380)
Azioni sul collegamento: N=-13049.60 Ty=-0.10 Tz=16.41 Mx=-0.00 Mz=-0.14

Sollecitazioni agenti localmente: Tx_l=-0.10 Ty_l=16.41 N_l=-13049.60 Mx_l=-0.00 My_l=-0.14 Mz_l=-0.00
Taglio nei bulloni: Fv,Ed=2.74 Fv,Rd=7720.78
Rifollamento lato piastra: Fb,Ed,p=2.74 Fb,Rd,p=5979.49
Tirafondi:LT=0.45 (0.31) σ_{cR}=0.00 σ_{fR}=0.00
Compressione nel calcestruzzo: σ_c=26.97
CC 63 SLU (Collegamento 0023_-380)
Azioni sul collegamento: N=-13289.20 Ty=-0.21 Tz=17.30 Mx=0.00 Mz=-0.37
Sollecitazioni agenti localmente: Tx_l=-0.21 Ty_l=17.30 N_l=-13289.20 Mx_l=-0.00 My_l=-0.37 Mz_l=0.00
Taglio nei bulloni: Fv,Ed=2.88 Fv,Rd=7720.78
Rifollamento lato piastra: Fb,Ed,p=2.88 Fb,Rd,p=5980.49
Tirafondi:LT=0.45 (0.31) σ_{cR}=0.00 σ_{fR}=0.00
Compressione nel calcestruzzo: σ_c=27.48
CC 64 SLU (Collegamento 0023_-380)
Azioni sul collegamento: N=-13289.20 Ty=0.02 Tz=17.30 Mx=-0.00 Mz=0.10
Sollecitazioni agenti localmente: Tx_l=0.02 Ty_l=17.30 N_l=-13289.20 Mx_l=-0.00 My_l=0.10 Mz_l=-0.00
Taglio nei bulloni: Fv,Ed=2.88 Fv,Rd=7720.78
Rifollamento lato piastra: Fb,Ed,p=2.88 Fb,Rd,p=5979.18
Tirafondi:LT=0.45 (0.31) σ_{cR}=0.00 σ_{fR}=0.00
Compressione nel calcestruzzo: σ_c=27.46
CC 65 SLU (Collegamento 0023_-380)
Azioni sul collegamento: N=-20784.60 Ty=-0.09 Tz=44.35 Mx=-0.00 Mz=-0.14
Sollecitazioni agenti localmente: Tx_l=-0.09 Ty_l=44.35 N_l=-20784.60 Mx_l=-0.00 My_l=-0.14 Mz_l=-0.00
Taglio nei bulloni: Fv,Ed=7.39 Fv,Rd=7720.78
Rifollamento lato piastra: Fb,Ed,p=7.39 Fb,Rd,p=5979.21
Tirafondi:LT=0.45 (0.31) σ_{cR}=0.00 σ_{fR}=0.00
Compressione nel calcestruzzo: σ_c=42.95
CC 66 SLU (Collegamento 0023_-380)
Azioni sul collegamento: N=-20305.30 Ty=-0.09 Tz=42.57 Mx=-0.00 Mz=-0.14
Sollecitazioni agenti localmente: Tx_l=-0.09 Ty_l=42.57 N_l=-20305.30 Mx_l=-0.00 My_l=-0.14 Mz_l=-0.00
Taglio nei bulloni: Fv,Ed=7.10 Fv,Rd=7720.78
Rifollamento lato piastra: Fb,Ed,p=7.10 Fb,Rd,p=5979.22
Tirafondi:LT=0.45 (0.31) σ_{cR}=0.00 σ_{fR}=0.00
Compressione nel calcestruzzo: σ_c=41.96
CC 67 SLU (Collegamento 0023_-380)
Azioni sul collegamento: N=-20544.90 Ty=-0.21 Tz=43.46 Mx=0.00 Mz=-0.37
Sollecitazioni agenti localmente: Tx_l=-0.21 Ty_l=43.46 N_l=-20544.90 Mx_l=-0.00 My_l=-0.37 Mz_l=0.00
Taglio nei bulloni: Fv,Ed=7.24 Fv,Rd=7720.78
Rifollamento lato piastra: Fb,Ed,p=7.24 Fb,Rd,p=5979.37
Tirafondi:LT=0.45 (0.31) σ_{cR}=0.00 σ_{fR}=0.00
Compressione nel calcestruzzo: σ_c=42.47
CC 68 SLU (Collegamento 0023_-380)
Azioni sul collegamento: N=-20544.90 Ty=0.03 Tz=43.46 Mx=-0.00 Mz=0.10
Sollecitazioni agenti localmente: Tx_l=0.03 Ty_l=43.46 N_l=-20544.90 Mx_l=-0.00 My_l=0.10 Mz_l=-0.00
Taglio nei bulloni: Fv,Ed=7.25 Fv,Rd=7720.78
Rifollamento lato piastra: Fb,Ed,p=7.25 Fb,Rd,p=5979.17
Tirafondi:LT=0.45 (0.31) σ_{cR}=0.00 σ_{fR}=0.00
Compressione nel calcestruzzo: σ_c=42.45
CC 97 SLU (Collegamento 0023_-380)
Azioni sul collegamento: N=-12582.10 Ty=-12.27 Tz=22.98 Mx=-0.04 Mz=-17.61
Sollecitazioni agenti localmente: Tx_l=-12.27 Ty_l=22.98 N_l=-12582.10 Mx_l=-0.00 My_l=-17.61 Mz_l=-0.04
Taglio nei bulloni: Fv,Ed=4.41 Fv,Rd=7720.78
Rifollamento lato piastra: Fb,Ed,p=4.41 Fb,Rd,p=8614.24
Tirafondi:LT=0.45 (0.31) σ_{cR}=0.00 σ_{fR}=0.00
Compressione nel calcestruzzo: σ_c=26.99
CC 98 SLU (Collegamento 0023_-380)
Azioni sul collegamento: N=-12102.80 Ty=-12.27 Tz=21.21 Mx=-0.04 Mz=-17.61
Sollecitazioni agenti localmente: Tx_l=-12.27 Ty_l=21.21 N_l=-12102.80 Mx_l=-0.00 My_l=-17.61 Mz_l=-0.04
Taglio nei bulloni: Fv,Ed=4.15 Fv,Rd=7720.78
Rifollamento lato piastra: Fb,Ed,p=4.15 Fb,Rd,p=9078.24
Tirafondi:LT=0.45 (0.31) σ_{cR}=0.00 σ_{fR}=0.00
Compressione nel calcestruzzo: σ_c=26.00
CC 99 SLU (Collegamento 0023_-380)
Azioni sul collegamento: N=-12342.50 Ty=-12.39 Tz=22.09 Mx=-0.04 Mz=-17.84
Sollecitazioni agenti localmente: Tx_l=-12.39 Ty_l=22.09 N_l=-12342.50 Mx_l=-0.00 My_l=-17.84 Mz_l=-0.04
Taglio nei bulloni: Fv,Ed=4.28 Fv,Rd=7720.78
Rifollamento lato piastra: Fb,Ed,p=4.28 Fb,Rd,p=8886.50
Tirafondi:LT=0.45 (0.31) σ_{cR}=0.00 σ_{fR}=0.00
Compressione nel calcestruzzo: σ_c=26.51
CC 100 SLU (Collegamento 0023_-380)
Azioni sul collegamento: N=-12342.50 Ty=-12.15 Tz=22.09 Mx=-0.04 Mz=-17.38
Sollecitazioni agenti localmente: Tx_l=-12.15 Ty_l=22.09 N_l=-12342.50 Mx_l=-0.00 My_l=-17.38 Mz_l=-0.04
Taglio nei bulloni: Fv,Ed=4.27 Fv,Rd=7720.78
Rifollamento lato piastra: Fb,Ed,p=4.27 Fb,Rd,p=8778.47
Tirafondi:LT=0.45 (0.31) σ_{cR}=0.00 σ_{fR}=0.00
Compressione nel calcestruzzo: σ_c=26.48
CC 101 SLU (Collegamento 0023_-380)
Azioni sul collegamento: N=-6366.46 Ty=2.01 Tz=0.04 Mx=0.00 Mz=2.22
Sollecitazioni agenti localmente: Tx_l=2.01 Ty_l=0.04 N_l=-6366.46 Mx_l=-0.00 My_l=2.22 Mz_l=0.00

Taglio nei bulloni: Fv,Ed=0.34 Fv,Rd=7720.78
Rifollamento lato piastra: Fb,Ed,p=0.34 Fb,Rd,p=5979.37
Tirafondi:LT=0.45 (0.31) σ_{cR}=0.00 σ_{fR}=0.00
Compressione nel calcestruzzo: σ_c=13.28
CC 102 SLU (Collegamento 0023_-380)
Azioni sul collegamento: N=-5887.16 Ty=2.00 Tz=-1.73 Mx=0.00 Mz=2.22
Sollecitazioni agenti localmente: Tx_l=2.00 Ty_l=-1.73 N_l=-5887.16 Mx_l=-0.00 My_l=2.22 Mz_l=0.00
Taglio nei bulloni: Fv,Ed=0.45 Fv,Rd=7720.78
Rifollamento lato piastra: Fb,Ed,p=0.45 Fb,Rd,p=11248.30
Tirafondi:LT=0.45 (0.31) σ_{cR}=0.00 σ_{fR}=0.00
Compressione nel calcestruzzo: σ_c=12.29
CC 103 SLU (Collegamento 0023_-380)
Azioni sul collegamento: N=-6126.81 Ty=1.89 Tz=-0.85 Mx=0.01 Mz=1.98
Sollecitazioni agenti localmente: Tx_l=1.89 Ty_l=-0.85 N_l=-6126.81 Mx_l=-0.00 My_l=1.98 Mz_l=0.01
Taglio nei bulloni: Fv,Ed=0.35 Fv,Rd=7720.78
Rifollamento lato piastra: Fb,Ed,p=0.35 Fb,Rd,p=7880.22
Tirafondi:LT=0.45 (0.31) σ_{cR}=0.00 σ_{fR}=0.00
Compressione nel calcestruzzo: σ_c=12.77
CC 104 SLU (Collegamento 0023_-380)
Azioni sul collegamento: N=-6126.80 Ty=2.12 Tz=-0.84 Mx=0.00 Mz=2.45
Sollecitazioni agenti localmente: Tx_l=2.12 Ty_l=-0.84 N_l=-6126.80 Mx_l=-0.00 My_l=2.45 Mz_l=0.00
Taglio nei bulloni: Fv,Ed=0.39 Fv,Rd=7720.78
Rifollamento lato piastra: Fb,Ed,p=0.39 Fb,Rd,p=7454.80
Tirafondi:LT=0.45 (0.31) σ_{cR}=0.00 σ_{fR}=0.00
Compressione nel calcestruzzo: σ_c=12.80

Saldatura profilo-piastra

CC 1 SLV (Collegamento 0023_-380)
Azioni sul collegamento: N=-3330.00 Ty=1.44 Tz=5.89 Mx=0.02 Mz=3.55
Sollecitazioni agenti localmente: Tx_l=1.44 Ty_l=5.89 N_l=-3330.00 My_l=-3.55 Mz_l=0.02
Azioni sul cordone: TP=0.09 TO=0.45 NO=-246.15
Tensioni nel cordone: τ_P= 0.03 τ_O=0.14 σ_O=83.42 σ_{ID}=83.42 Σ_T=83.56
CC 1 SLV (Collegamento 0023_-380)
Azioni sul collegamento: N=-3330.00 Ty=0.74 Tz=5.89 Mx=0.02 Mz=2.16
Sollecitazioni agenti localmente: Tx_l=0.74 Ty_l=5.89 N_l=-3330.00 My_l=-2.16 Mz_l=0.02
Azioni sul cordone: TP=0.04 TO=0.45 NO=-246.15
Tensioni nel cordone: τ_P= 0.01 τ_O=0.14 σ_O=81.39 σ_{ID}=81.39 Σ_T=81.53
CC 1 SLV (Collegamento 0023_-380)
Azioni sul collegamento: N=-3330.00 Ty=1.44 Tz=-11.20 Mx=0.02 Mz=3.55
Sollecitazioni agenti localmente: Tx_l=1.44 Ty_l=-11.20 N_l=-3330.00 My_l=-3.55 Mz_l=0.02
Azioni sul cordone: TP=0.09 TO=-0.81 NO=-246.15
Tensioni nel cordone: τ_P= 0.03 τ_O=0.26 σ_O=83.42 σ_{ID}=83.42 Σ_T=83.68
CC 1 SLV (Collegamento 0023_-380)
Azioni sul collegamento: N=-3330.00 Ty=0.74 Tz=-11.20 Mx=0.02 Mz=2.16
Sollecitazioni agenti localmente: Tx_l=0.74 Ty_l=-11.20 N_l=-3330.00 My_l=-2.16 Mz_l=0.02
Azioni sul cordone: TP=0.04 TO=-0.81 NO=-246.15
Tensioni nel cordone: τ_P= 0.01 τ_O=0.26 σ_O=81.39 σ_{ID}=81.39 Σ_T=81.65
CC 1 SLV (Collegamento 0023_-380)
Azioni sul collegamento: N=-7936.47 Ty=1.44 Tz=5.89 Mx=0.02 Mz=3.55
Sollecitazioni agenti localmente: Tx_l=1.44 Ty_l=5.89 N_l=-7936.47 My_l=-3.55 Mz_l=0.02
Azioni sul cordone: TP=0.09 TO=0.45 NO=-586.67
Tensioni nel cordone: τ_P= 0.03 τ_O=0.14 σ_O=191.65 σ_{ID}=191.65 Σ_T=191.80
CC 1 SLV (Collegamento 0023_-380)
Azioni sul collegamento: N=-7936.47 Ty=0.74 Tz=5.89 Mx=0.02 Mz=2.16
Sollecitazioni agenti localmente: Tx_l=0.74 Ty_l=5.89 N_l=-7936.47 My_l=-2.16 Mz_l=0.02
Azioni sul cordone: TP=0.04 TO=0.45 NO=-586.67
Tensioni nel cordone: τ_P= 0.01 τ_O=0.14 σ_O=189.62 σ_{ID}=189.62 Σ_T=189.76
CC 1 SLV (Collegamento 0023_-380)
Azioni sul collegamento: N=-7936.47 Ty=1.44 Tz=-11.20 Mx=0.02 Mz=3.55
Sollecitazioni agenti localmente: Tx_l=1.44 Ty_l=-11.20 N_l=-7936.47 My_l=-3.55 Mz_l=0.02
Azioni sul cordone: TP=0.09 TO=-0.81 NO=-586.67
Tensioni nel cordone: τ_P= 0.03 τ_O=0.26 σ_O=191.65 σ_{ID}=191.65 Σ_T=191.91
CC 1 SLV (Collegamento 0023_-380)
Azioni sul collegamento: N=-7936.47 Ty=0.74 Tz=-11.20 Mx=0.02 Mz=2.16
Sollecitazioni agenti localmente: Tx_l=0.74 Ty_l=-11.20 N_l=-7936.47 My_l=-2.16 Mz_l=0.02
Azioni sul cordone: TP=0.04 TO=-0.81 NO=-586.67
Tensioni nel cordone: τ_P= 0.01 τ_O=0.26 σ_O=189.62 σ_{ID}=189.62 Σ_T=189.88
CC 2 SLD (Collegamento 0023_-380)
Azioni sul collegamento: N=-4931.09 Ty=0.39 Tz=-0.05 Mx=0.00 Mz=1.01
Sollecitazioni agenti localmente: Tx_l=0.39 Ty_l=-0.05 N_l=-4931.09 My_l=-1.01 Mz_l=0.00
Azioni sul cordone: TP=0.02 TO=0.00 NO=-364.51
Tensioni nel cordone: τ_P=7.41E-03 τ_O=2.47E-06 σ_O=117.33 σ_{ID}=117.33 Σ_T=117.33
CC 2 SLD (Collegamento 0023_-380)
Azioni sul collegamento: N=-4931.09 Ty=0.17 Tz=-0.05 Mx=0.00 Mz=0.59
Sollecitazioni agenti localmente: Tx_l=0.17 Ty_l=-0.05 N_l=-4931.09 My_l=-0.59 Mz_l=0.00
Azioni sul cordone: TP=0.01 TO=0.00 NO=-364.51
Tensioni nel cordone: τ_P=2.36E-03 τ_O=2.47E-06 σ_O=116.71 σ_{ID}=116.71 Σ_T=116.71
CC 2 SLD (Collegamento 0023_-380)

Azioni sul collegamento: N=-4931.09 Ty=0.39 Tz=-5.26 Mx=0.00 Mz=1.01
Sollecitazioni agenti localmente: Tx_l=0.39 Ty_l=-5.26 N_l=-4931.09 My_l=-1.01 Mz_l=0.00
Azioni sul cordone: TP=0.02 TO=-0.38 NO=-364.51
Tensioni nel cordone: τ_P=7.41E-03 τ_O=0.12 σ_O=117.33 σ_{ID}=117.33 Σ_T=117.46
CC 2 SLD (Collegamento 0023_-380)
Azioni sul collegamento: N=-4931.09 Ty=0.17 Tz=-5.26 Mx=0.00 Mz=0.59
Sollecitazioni agenti localmente: Tx_l=0.17 Ty_l=-5.26 N_l=-4931.09 My_l=-0.59 Mz_l=0.00
Azioni sul cordone: TP=0.01 TO=-0.38 NO=-364.51
Tensioni nel cordone: τ_P=2.36E-03 τ_O=0.12 σ_O=116.71 σ_{ID}=116.71 Σ_T=116.84
CC 2 SLD (Collegamento 0023_-380)
Azioni sul collegamento: N=-6335.74 Ty=0.39 Tz=-0.05 Mx=0.00 Mz=1.01
Sollecitazioni agenti localmente: Tx_l=0.39 Ty_l=-0.05 N_l=-6335.74 My_l=-1.01 Mz_l=0.00
Azioni sul cordone: TP=0.02 TO=0.00 NO=-468.34
Tensioni nel cordone: τ_P=7.41E-03 τ_O=9.91E-06 σ_O=150.34 σ_{ID}=150.34 Σ_T=150.34
CC 2 SLD (Collegamento 0023_-380)
Azioni sul collegamento: N=-6335.74 Ty=0.17 Tz=-0.05 Mx=0.00 Mz=0.59
Sollecitazioni agenti localmente: Tx_l=0.17 Ty_l=-0.05 N_l=-6335.74 My_l=-0.59 Mz_l=0.00
Azioni sul cordone: TP=0.01 TO=0.00 NO=-468.34
Tensioni nel cordone: τ_P=2.36E-03 τ_O=9.91E-06 σ_O=149.72 σ_{ID}=149.72 Σ_T=149.72
CC 2 SLD (Collegamento 0023_-380)
Azioni sul collegamento: N=-6335.74 Ty=0.39 Tz=-5.26 Mx=0.00 Mz=1.01
Sollecitazioni agenti localmente: Tx_l=0.39 Ty_l=-5.26 N_l=-6335.74 My_l=-1.01 Mz_l=0.00
Azioni sul cordone: TP=0.02 TO=-0.38 NO=-468.34
Tensioni nel cordone: τ_P=7.41E-03 τ_O=0.12 σ_O=150.34 σ_{ID}=150.34 Σ_T=150.46
CC 2 SLD (Collegamento 0023_-380)
Azioni sul collegamento: N=-6335.74 Ty=0.17 Tz=-5.26 Mx=0.00 Mz=0.59
Sollecitazioni agenti localmente: Tx_l=0.17 Ty_l=-5.26 N_l=-6335.74 My_l=-0.59 Mz_l=0.00
Azioni sul cordone: TP=0.01 TO=-0.38 NO=-468.34
Tensioni nel cordone: τ_P=2.36E-03 τ_O=0.12 σ_O=149.72 σ_{ID}=149.72 Σ_T=149.84
CC 3 SLV (Collegamento 0023_-380)
Azioni sul collegamento: N=-3330.02 Ty=0.75 Tz=5.88 Mx=0.01 Mz=2.19
Sollecitazioni agenti localmente: Tx_l=0.75 Ty_l=5.88 N_l=-3330.02 My_l=-2.19 Mz_l=0.01
Azioni sul cordone: TP=0.04 TO=0.44 NO=-246.16
Tensioni nel cordone: τ_P= 0.01 τ_O=0.14 σ_O=81.45 σ_{ID}=81.45 Σ_T=81.59
CC 3 SLV (Collegamento 0023_-380)
Azioni sul collegamento: N=-3330.02 Ty=1.43 Tz=5.88 Mx=0.01 Mz=3.51
Sollecitazioni agenti localmente: Tx_l=1.43 Ty_l=5.88 N_l=-3330.02 My_l=-3.51 Mz_l=0.01
Azioni sul cordone: TP=0.09 TO=0.44 NO=-246.16
Tensioni nel cordone: τ_P= 0.03 τ_O=0.14 σ_O=83.37 σ_{ID}=83.37 Σ_T=83.51
CC 3 SLV (Collegamento 0023_-380)
Azioni sul collegamento: N=-3330.02 Ty=0.75 Tz=-11.19 Mx=0.01 Mz=2.19
Sollecitazioni agenti localmente: Tx_l=0.75 Ty_l=-11.19 N_l=-3330.02 My_l=-2.19 Mz_l=0.01
Azioni sul cordone: TP=0.04 TO=-0.82 NO=-246.16
Tensioni nel cordone: τ_P= 0.01 τ_O=0.26 σ_O=81.45 σ_{ID}=81.45 Σ_T=81.71
CC 3 SLV (Collegamento 0023_-380)
Azioni sul collegamento: N=-3330.02 Ty=1.43 Tz=-11.19 Mx=0.01 Mz=3.51
Sollecitazioni agenti localmente: Tx_l=1.43 Ty_l=-11.19 N_l=-3330.02 My_l=-3.51 Mz_l=0.01
Azioni sul cordone: TP=0.09 TO=-0.82 NO=-246.16
Tensioni nel cordone: τ_P= 0.03 τ_O=0.26 σ_O=83.37 σ_{ID}=83.37 Σ_T=83.63
CC 3 SLV (Collegamento 0023_-380)
Azioni sul collegamento: N=-7936.44 Ty=0.75 Tz=5.88 Mx=0.01 Mz=2.19
Sollecitazioni agenti localmente: Tx_l=0.75 Ty_l=5.88 N_l=-7936.44 My_l=-2.19 Mz_l=0.01
Azioni sul cordone: TP=0.04 TO=0.44 NO=-586.66
Tensioni nel cordone: τ_P= 0.01 τ_O=0.14 σ_O=189.68 σ_{ID}=189.68 Σ_T=189.82
CC 3 SLV (Collegamento 0023_-380)
Azioni sul collegamento: N=-7936.44 Ty=1.43 Tz=5.88 Mx=0.01 Mz=3.51
Sollecitazioni agenti localmente: Tx_l=1.43 Ty_l=5.88 N_l=-7936.44 My_l=-3.51 Mz_l=0.01
Azioni sul cordone: TP=0.09 TO=0.44 NO=-586.66
Tensioni nel cordone: τ_P= 0.03 τ_O=0.14 σ_O=191.60 σ_{ID}=191.60 Σ_T=191.74
CC 3 SLV (Collegamento 0023_-380)
Azioni sul collegamento: N=-7936.44 Ty=0.75 Tz=-11.19 Mx=0.01 Mz=2.19
Sollecitazioni agenti localmente: Tx_l=0.75 Ty_l=-11.19 N_l=-7936.44 My_l=-2.19 Mz_l=0.01
Azioni sul cordone: TP=0.04 TO=-0.82 NO=-586.66
Tensioni nel cordone: τ_P= 0.01 τ_O=0.26 σ_O=189.68 σ_{ID}=189.68 Σ_T=189.94
CC 3 SLV (Collegamento 0023_-380)
Azioni sul collegamento: N=-7936.44 Ty=1.43 Tz=-11.19 Mx=0.01 Mz=3.51
Sollecitazioni agenti localmente: Tx_l=1.43 Ty_l=-11.19 N_l=-7936.44 My_l=-3.51 Mz_l=0.01
Azioni sul cordone: TP=0.09 TO=-0.82 NO=-586.66
Tensioni nel cordone: τ_P= 0.03 τ_O=0.26 σ_O=191.60 σ_{ID}=191.60 Σ_T=191.86
CC 4 SLD (Collegamento 0023_-380)
Azioni sul collegamento: N=-4931.09 Ty=0.18 Tz=-0.05 Mx=0.00 Mz=0.60
Sollecitazioni agenti localmente: Tx_l=0.18 Ty_l=-0.05 N_l=-4931.09 My_l=-0.60 Mz_l=0.00
Azioni sul cordone: TP=0.01 TO=-0.00 NO=-364.51
Tensioni nel cordone: τ_P=3.04E-03 τ_O=4.06E-04 σ_O=116.73 σ_{ID}=116.73 Σ_T=116.73
CC 4 SLD (Collegamento 0023_-380)
Azioni sul collegamento: N=-4931.09 Ty=0.38 Tz=-0.05 Mx=0.00 Mz=1.00
Sollecitazioni agenti localmente: Tx_l=0.38 Ty_l=-0.05 N_l=-4931.09 My_l=-1.00 Mz_l=0.00
Azioni sul cordone: TP=0.02 TO=-0.00 NO=-364.51
Tensioni nel cordone: τ_P=7.89E-03 τ_O=4.06E-04 σ_O=117.32 σ_{ID}=117.32 Σ_T=117.32

CC 4 SLD (Collegamento 0023_-380)
Azioni sul collegamento: N=-4931.09 Ty=0.18 Tz=-5.26 Mx=0.00 Mz=0.60
Sollecitazioni agenti localmente: Tx_l=0.18 Ty_l=-5.26 N_l=-4931.09 My_l=-0.60 Mz_l=0.00
Azioni sul cordone: TP=0.01 TO=-0.39 NO=-364.51
Tensioni nel cordone: τ_P=3.04E-03 τ_0=0.12 σ_0=116.73 σ_{ID}=116.73 Σ_T=116.85
CC 4 SLD (Collegamento 0023_-380)
Azioni sul collegamento: N=-4931.09 Ty=0.38 Tz=-5.26 Mx=0.00 Mz=1.00
Sollecitazioni agenti localmente: Tx_l=0.38 Ty_l=-5.26 N_l=-4931.09 My_l=-1.00 Mz_l=0.00
Azioni sul cordone: TP=0.02 TO=-0.39 NO=-364.51
Tensioni nel cordone: τ_P=7.89E-03 τ_0=0.12 σ_0=117.32 σ_{ID}=117.32 Σ_T=117.44
CC 4 SLD (Collegamento 0023_-380)
Azioni sul collegamento: N=-6335.74 Ty=0.18 Tz=-0.05 Mx=0.00 Mz=0.60
Sollecitazioni agenti localmente: Tx_l=0.18 Ty_l=-0.05 N_l=-6335.74 My_l=-0.60 Mz_l=0.00
Azioni sul cordone: TP=0.01 TO=-0.00 NO=-468.34
Tensioni nel cordone: τ_P=3.04E-03 τ_0=4.05E-04 σ_0=149.73 σ_{ID}=149.73 Σ_T=149.74
CC 4 SLD (Collegamento 0023_-380)
Azioni sul collegamento: N=-6335.74 Ty=0.38 Tz=-0.05 Mx=0.00 Mz=1.00
Sollecitazioni agenti localmente: Tx_l=0.38 Ty_l=-0.05 N_l=-6335.74 My_l=-1.00 Mz_l=0.00
Azioni sul cordone: TP=0.02 TO=-0.00 NO=-468.34
Tensioni nel cordone: τ_P=7.89E-03 τ_0=4.05E-04 σ_0=150.32 σ_{ID}=150.32 Σ_T=150.32
CC 4 SLD (Collegamento 0023_-380)
Azioni sul collegamento: N=-6335.74 Ty=0.18 Tz=-5.26 Mx=0.00 Mz=0.60
Sollecitazioni agenti localmente: Tx_l=0.18 Ty_l=-5.26 N_l=-6335.74 My_l=-0.60 Mz_l=0.00
Azioni sul cordone: TP=0.01 TO=-0.39 NO=-468.34
Tensioni nel cordone: τ_P=3.04E-03 τ_0=0.12 σ_0=149.73 σ_{ID}=149.73 Σ_T=149.86
CC 4 SLD (Collegamento 0023_-380)
Azioni sul collegamento: N=-6335.74 Ty=0.38 Tz=-5.26 Mx=0.00 Mz=1.00
Sollecitazioni agenti localmente: Tx_l=0.38 Ty_l=-5.26 N_l=-6335.74 My_l=-1.00 Mz_l=0.00
Azioni sul cordone: TP=0.02 TO=-0.39 NO=-468.34
Tensioni nel cordone: τ_P=7.89E-03 τ_0=0.12 σ_0=150.32 σ_{ID}=150.32 Σ_T=150.44
CC 5 SLV (Collegamento 0023_-380)
Azioni sul collegamento: N=-7936.44 Ty=1.43 Tz=-11.19 Mx=0.02 Mz=3.51
Sollecitazioni agenti localmente: Tx_l=1.43 Ty_l=-11.19 N_l=-7936.44 My_l=-3.51 Mz_l=0.02
Azioni sul cordone: TP=0.09 TO=-0.82 NO=-586.66
Tensioni nel cordone: τ_P= 0.03 τ_0=0.26 σ_0=191.60 σ_{ID}=191.60 Σ_T=191.86
CC 5 SLV (Collegamento 0023_-380)
Azioni sul collegamento: N=-7936.44 Ty=0.75 Tz=-11.19 Mx=0.02 Mz=2.19
Sollecitazioni agenti localmente: Tx_l=0.75 Ty_l=-11.19 N_l=-7936.44 My_l=-2.19 Mz_l=0.02
Azioni sul cordone: TP=0.04 TO=-0.82 NO=-586.66
Tensioni nel cordone: τ_P= 0.01 τ_0=0.26 σ_0=189.68 σ_{ID}=189.68 Σ_T=189.94
CC 5 SLV (Collegamento 0023_-380)
Azioni sul collegamento: N=-7936.44 Ty=1.43 Tz=5.88 Mx=0.02 Mz=3.51
Sollecitazioni agenti localmente: Tx_l=1.43 Ty_l=5.88 N_l=-7936.44 My_l=-3.51 Mz_l=0.02
Azioni sul cordone: TP=0.09 TO=0.45 NO=-586.66
Tensioni nel cordone: τ_P= 0.03 τ_0=0.14 σ_0=191.60 σ_{ID}=191.60 Σ_T=191.74
CC 5 SLV (Collegamento 0023_-380)
Azioni sul collegamento: N=-7936.44 Ty=0.75 Tz=5.88 Mx=0.02 Mz=2.19
Sollecitazioni agenti localmente: Tx_l=0.75 Ty_l=5.88 N_l=-7936.44 My_l=-2.19 Mz_l=0.02
Azioni sul cordone: TP=0.04 TO=0.45 NO=-586.66
Tensioni nel cordone: τ_P= 0.01 τ_0=0.14 σ_0=189.68 σ_{ID}=189.68 Σ_T=189.82
CC 5 SLV (Collegamento 0023_-380)
Azioni sul collegamento: N=-3330.02 Ty=1.43 Tz=-11.19 Mx=0.02 Mz=3.51
Sollecitazioni agenti localmente: Tx_l=1.43 Ty_l=-11.19 N_l=-3330.02 My_l=-3.51 Mz_l=0.02
Azioni sul cordone: TP=0.09 TO=-0.82 NO=-246.16
Tensioni nel cordone: τ_P= 0.03 τ_0=0.26 σ_0=83.37 σ_{ID}=83.37 Σ_T=83.63
CC 5 SLV (Collegamento 0023_-380)
Azioni sul collegamento: N=-3330.02 Ty=0.75 Tz=-11.19 Mx=0.02 Mz=2.19
Sollecitazioni agenti localmente: Tx_l=0.75 Ty_l=-11.19 N_l=-3330.02 My_l=-2.19 Mz_l=0.02
Azioni sul cordone: TP=0.04 TO=-0.82 NO=-246.16
Tensioni nel cordone: τ_P= 0.01 τ_0=0.26 σ_0=81.45 σ_{ID}=81.45 Σ_T=81.71
CC 5 SLV (Collegamento 0023_-380)
Azioni sul collegamento: N=-3330.02 Ty=1.43 Tz=5.88 Mx=0.02 Mz=3.51
Sollecitazioni agenti localmente: Tx_l=1.43 Ty_l=5.88 N_l=-3330.02 My_l=-3.51 Mz_l=0.02
Azioni sul cordone: TP=0.09 TO=0.45 NO=-246.16
Tensioni nel cordone: τ_P= 0.03 τ_0=0.14 σ_0=83.37 σ_{ID}=83.37 Σ_T=83.51
CC 5 SLV (Collegamento 0023_-380)
Azioni sul collegamento: N=-3330.02 Ty=0.75 Tz=5.88 Mx=0.02 Mz=2.19
Sollecitazioni agenti localmente: Tx_l=0.75 Ty_l=5.88 N_l=-3330.02 My_l=-2.19 Mz_l=0.02
Azioni sul cordone: TP=0.04 TO=0.45 NO=-246.16
Tensioni nel cordone: τ_P= 0.01 τ_0=0.14 σ_0=81.45 σ_{ID}=81.45 Σ_T=81.59
CC 6 SLD (Collegamento 0023_-380)
Azioni sul collegamento: N=-6335.74 Ty=0.38 Tz=-5.26 Mx=0.00 Mz=1.00
Sollecitazioni agenti localmente: Tx_l=0.38 Ty_l=-5.26 N_l=-6335.74 My_l=-1.00 Mz_l=0.00
Azioni sul cordone: TP=0.02 TO=-0.39 NO=-468.34
Tensioni nel cordone: τ_P=7.33E-03 τ_0=0.12 σ_0=150.32 σ_{ID}=150.32 Σ_T=150.44
CC 6 SLD (Collegamento 0023_-380)
Azioni sul collegamento: N=-6335.74 Ty=0.18 Tz=-5.26 Mx=0.00 Mz=0.60
Sollecitazioni agenti localmente: Tx_l=0.18 Ty_l=-5.26 N_l=-6335.74 My_l=-0.60 Mz_l=0.00
Azioni sul cordone: TP=0.01 TO=-0.39 NO=-468.34

Tensioni nel cordone: τ_P=2.48E-03 τ_0=0.12 σ_0=149.73 σ_{ID}=149.73 Σ_T=149.86
CC 6 SLD (Collegamento 0023_-380)
Azioni sul collegamento: N=-6335.74 Ty=0.38 Tz=-0.05 Mx=0.00 Mz=1.00
Sollecitazioni agenti localmente: Tx_l=0.38 Ty_l=-0.05 N_l=-6335.74 My_l=-1.00 Mz_l=0.00
Azioni sul cordone: TP=0.02 TO=-0.00 NO=-468.34
Tensioni nel cordone: τ_P=7.33E-03 τ_0=1.66E-05 σ_0=150.32 σ_{ID}=150.32 Σ_T=150.32
CC 6 SLD (Collegamento 0023_-380)
Azioni sul collegamento: N=-6335.74 Ty=0.18 Tz=-0.05 Mx=0.00 Mz=0.60
Sollecitazioni agenti localmente: Tx_l=0.18 Ty_l=-0.05 N_l=-6335.74 My_l=-0.60 Mz_l=0.00
Azioni sul cordone: TP=0.01 TO=-0.00 NO=-468.34
Tensioni nel cordone: τ_P=2.48E-03 τ_0=1.64E-05 σ_0=149.73 σ_{ID}=149.73 Σ_T=149.73
CC 6 SLD (Collegamento 0023_-380)
Azioni sul collegamento: N=-4931.09 Ty=0.38 Tz=-5.26 Mx=0.00 Mz=1.00
Sollecitazioni agenti localmente: Tx_l=0.38 Ty_l=-5.26 N_l=-4931.09 My_l=-1.00 Mz_l=0.00
Azioni sul cordone: TP=0.02 TO=-0.39 NO=-364.51
Tensioni nel cordone: τ_P=7.33E-03 τ_0=0.12 σ_0=117.32 σ_{ID}=117.32 Σ_T=117.44
CC 6 SLD (Collegamento 0023_-380)
Azioni sul collegamento: N=-4931.09 Ty=0.18 Tz=-5.26 Mx=0.00 Mz=0.60
Sollecitazioni agenti localmente: Tx_l=0.18 Ty_l=-5.26 N_l=-4931.09 My_l=-0.60 Mz_l=0.00
Azioni sul cordone: TP=0.01 TO=-0.39 NO=-364.51
Tensioni nel cordone: τ_P=2.48E-03 τ_0=0.12 σ_0=116.73 σ_{ID}=116.73 Σ_T=116.85
CC 6 SLD (Collegamento 0023_-380)
Azioni sul collegamento: N=-4931.09 Ty=0.38 Tz=-0.05 Mx=0.00 Mz=1.00
Sollecitazioni agenti localmente: Tx_l=0.38 Ty_l=-0.05 N_l=-4931.09 My_l=-1.00 Mz_l=0.00
Azioni sul cordone: TP=0.02 TO=-0.00 NO=-364.51
Tensioni nel cordone: τ_P=7.33E-03 τ_0=1.79E-05 σ_0=117.32 σ_{ID}=117.32 Σ_T=117.32
CC 6 SLD (Collegamento 0023_-380)
Azioni sul collegamento: N=-4931.09 Ty=0.18 Tz=-0.05 Mx=0.00 Mz=0.60
Sollecitazioni agenti localmente: Tx_l=0.18 Ty_l=-0.05 N_l=-4931.09 My_l=-0.60 Mz_l=0.00
Azioni sul cordone: TP=0.01 TO=-0.00 NO=-364.51
Tensioni nel cordone: τ_P=2.48E-03 τ_0=1.76E-05 σ_0=116.73 σ_{ID}=116.73 Σ_T=116.73
CC 7 SLV (Collegamento 0023_-380)
Azioni sul collegamento: N=-7936.47 Ty=0.74 Tz=-11.20 Mx=0.01 Mz=2.16
Sollecitazioni agenti localmente: Tx_l=0.74 Ty_l=-11.20 N_l=-7936.47 My_l=-2.16 Mz_l=0.01
Azioni sul cordone: TP=0.04 TO=-0.82 NO=-586.67
Tensioni nel cordone: τ_P= 0.01 τ_0=0.26 σ_0=189.62 σ_{ID}=189.62 Σ_T=189.88
CC 7 SLV (Collegamento 0023_-380)
Azioni sul collegamento: N=-7936.47 Ty=1.44 Tz=-11.20 Mx=0.01 Mz=3.55
Sollecitazioni agenti localmente: Tx_l=1.44 Ty_l=-11.20 N_l=-7936.47 My_l=-3.55 Mz_l=0.01
Azioni sul cordone: TP=0.09 TO=-0.82 NO=-586.67
Tensioni nel cordone: τ_P= 0.03 τ_0=0.26 σ_0=191.65 σ_{ID}=191.65 Σ_T=191.91
CC 7 SLV (Collegamento 0023_-380)
Azioni sul collegamento: N=-7936.47 Ty=0.74 Tz=5.89 Mx=0.01 Mz=2.16
Sollecitazioni agenti localmente: Tx_l=0.74 Ty_l=5.89 N_l=-7936.47 My_l=-2.16 Mz_l=0.01
Azioni sul cordone: TP=0.04 TO=0.44 NO=-586.67
Tensioni nel cordone: τ_P= 0.01 τ_0=0.14 σ_0=189.62 σ_{ID}=189.62 Σ_T=189.76
CC 7 SLV (Collegamento 0023_-380)
Azioni sul collegamento: N=-7936.47 Ty=1.44 Tz=5.89 Mx=0.01 Mz=3.55
Sollecitazioni agenti localmente: Tx_l=1.44 Ty_l=5.89 N_l=-7936.47 My_l=-3.55 Mz_l=0.01
Azioni sul cordone: TP=0.09 TO=0.44 NO=-586.67
Tensioni nel cordone: τ_P= 0.03 τ_0=0.14 σ_0=191.65 σ_{ID}=191.65 Σ_T=191.79
CC 7 SLV (Collegamento 0023_-380)
Azioni sul collegamento: N=-3330.00 Ty=0.74 Tz=-11.20 Mx=0.01 Mz=2.16
Sollecitazioni agenti localmente: Tx_l=0.74 Ty_l=-11.20 N_l=-3330.00 My_l=-2.16 Mz_l=0.01
Azioni sul cordone: TP=0.04 TO=-0.82 NO=-246.15
Tensioni nel cordone: τ_P= 0.01 τ_0=0.26 σ_0=81.39 σ_{ID}=81.39 Σ_T=81.65
CC 7 SLV (Collegamento 0023_-380)
Azioni sul collegamento: N=-3330.00 Ty=1.44 Tz=-11.20 Mx=0.01 Mz=3.55
Sollecitazioni agenti localmente: Tx_l=1.44 Ty_l=-11.20 N_l=-3330.00 My_l=-3.55 Mz_l=0.01
Azioni sul cordone: TP=0.09 TO=-0.82 NO=-246.15
Tensioni nel cordone: τ_P= 0.03 τ_0=0.26 σ_0=83.42 σ_{ID}=83.42 Σ_T=83.68
CC 7 SLV (Collegamento 0023_-380)
Azioni sul collegamento: N=-3330.00 Ty=0.74 Tz=5.89 Mx=0.01 Mz=2.16
Sollecitazioni agenti localmente: Tx_l=0.74 Ty_l=5.89 N_l=-3330.00 My_l=-2.16 Mz_l=0.01
Azioni sul cordone: TP=0.04 TO=0.44 NO=-246.15
Tensioni nel cordone: τ_P= 0.01 τ_0=0.14 σ_0=81.39 σ_{ID}=81.39 Σ_T=81.53
CC 7 SLV (Collegamento 0023_-380)
Azioni sul collegamento: N=-3330.00 Ty=1.44 Tz=5.89 Mx=0.01 Mz=3.55
Sollecitazioni agenti localmente: Tx_l=1.44 Ty_l=5.89 N_l=-3330.00 My_l=-3.55 Mz_l=0.01
Azioni sul cordone: TP=0.09 TO=0.44 NO=-246.15
Tensioni nel cordone: τ_P= 0.03 τ_0=0.14 σ_0=83.42 σ_{ID}=83.42 Σ_T=83.56
CC 8 SLD (Collegamento 0023_-380)
Azioni sul collegamento: N=-6335.74 Ty=0.17 Tz=-5.26 Mx=0.00 Mz=0.59
Sollecitazioni agenti localmente: Tx_l=0.17 Ty_l=-5.26 N_l=-6335.74 My_l=-0.59 Mz_l=0.00
Azioni sul cordone: TP=0.01 TO=-0.39 NO=-468.34
Tensioni nel cordone: τ_P=2.96E-03 τ_0=0.12 σ_0=149.72 σ_{ID}=149.72 Σ_T=149.84
CC 8 SLD (Collegamento 0023_-380)
Azioni sul collegamento: N=-6335.74 Ty=0.39 Tz=-5.26 Mx=0.00 Mz=1.01
Sollecitazioni agenti localmente: Tx_l=0.39 Ty_l=-5.26 N_l=-6335.74 My_l=-1.01 Mz_l=0.00

Azioni sul cordone: TP=0.03 TO=-0.39 NO=-468.34
Tensioni nel cordone: τ_P=8.01E-03 τ_O=0.12 σ_O=150.34 σ_{ID}=150.34 Σ_T=150.46
CC 8 SLD (Collegamento 0023_-380)
Azioni sul collegamento: N=-6335.74 Ty=0.17 Tz=-0.05 Mx=0.00 Mz=0.59
Sollecitazioni agenti localmente: Tx_l=0.17 Ty_l=-0.05 N_l=-6335.74 My_l=-0.59 Mz_l=0.00
Azioni sul cordone: TP=0.01 TO=-0.00 NO=-468.34
Tensioni nel cordone: τ_P=2.96E-03 τ_O=4.08E-04 σ_O=149.72 σ_{ID}=149.72 Σ_T=149.72
CC 8 SLD (Collegamento 0023_-380)
Azioni sul collegamento: N=-6335.74 Ty=0.39 Tz=-0.05 Mx=0.00 Mz=1.01
Sollecitazioni agenti localmente: Tx_l=0.39 Ty_l=-0.05 N_l=-6335.74 My_l=-1.01 Mz_l=0.00
Azioni sul cordone: TP=0.03 TO=-0.00 NO=-468.34
Tensioni nel cordone: τ_P=8.01E-03 τ_O=4.09E-04 σ_O=150.34 σ_{ID}=150.34 Σ_T=150.34
CC 8 SLD (Collegamento 0023_-380)
Azioni sul collegamento: N=-4931.09 Ty=0.17 Tz=-5.26 Mx=0.00 Mz=0.59
Sollecitazioni agenti localmente: Tx_l=0.17 Ty_l=-5.26 N_l=-4931.09 My_l=-0.59 Mz_l=0.00
Azioni sul cordone: TP=0.01 TO=-0.39 NO=-364.51
Tensioni nel cordone: τ_P=2.96E-03 τ_O=0.12 σ_O=116.71 σ_{ID}=116.71 Σ_T=116.84
CC 8 SLD (Collegamento 0023_-380)
Azioni sul collegamento: N=-4931.09 Ty=0.39 Tz=-5.26 Mx=0.00 Mz=1.01
Sollecitazioni agenti localmente: Tx_l=0.39 Ty_l=-5.26 N_l=-4931.09 My_l=-1.01 Mz_l=0.00
Azioni sul cordone: TP=0.03 TO=-0.39 NO=-364.51
Tensioni nel cordone: τ_P=8.01E-03 τ_O=0.12 σ_O=117.33 σ_{ID}=117.33 Σ_T=117.46
CC 8 SLD (Collegamento 0023_-380)
Azioni sul collegamento: N=-4931.09 Ty=0.17 Tz=-0.05 Mx=0.00 Mz=0.59
Sollecitazioni agenti localmente: Tx_l=0.17 Ty_l=-0.05 N_l=-4931.09 My_l=-0.59 Mz_l=0.00
Azioni sul cordone: TP=0.01 TO=-0.00 NO=-364.51
Tensioni nel cordone: τ_P=2.96E-03 τ_O=4.16E-04 σ_O=116.71 σ_{ID}=116.71 Σ_T=116.71
CC 8 SLD (Collegamento 0023_-380)
Azioni sul collegamento: N=-4931.09 Ty=0.39 Tz=-0.05 Mx=0.00 Mz=1.01
Sollecitazioni agenti localmente: Tx_l=0.39 Ty_l=-0.05 N_l=-4931.09 My_l=-1.01 Mz_l=0.00
Azioni sul cordone: TP=0.03 TO=-0.00 NO=-364.51
Tensioni nel cordone: τ_P=8.01E-03 τ_O=4.16E-04 σ_O=117.33 σ_{ID}=117.33 Σ_T=117.33
CC 9 SLV (Collegamento 0023_-380)
Azioni sul collegamento: N=-4942.23 Ty=2.24 Tz=-0.09 Mx=0.02 Mz=5.11
Sollecitazioni agenti localmente: Tx_l=2.24 Ty_l=-0.09 N_l=-4942.23 My_l=-5.11 Mz_l=0.02
Azioni sul cordone: TP=0.14 TO=0.01 NO=-365.33
Tensioni nel cordone: τ_P= 0.04 τ_O=3.38E-03 σ_O=123.59 σ_{ID}=123.59 Σ_T=123.59
CC 9 SLV (Collegamento 0023_-380)
Azioni sul collegamento: N=-4942.23 Ty=-0.07 Tz=-0.09 Mx=0.02 Mz=0.59
Sollecitazioni agenti localmente: Tx_l=-0.07 Ty_l=-0.09 N_l=-4942.23 My_l=-0.59 Mz_l=0.02
Azioni sul cordone: TP=-0.03 TO=0.01 NO=-365.33
Tensioni nel cordone: τ_P=9.55E-03 τ_O=3.38E-03 σ_O=116.98 σ_{ID}=116.98 Σ_T=116.99
CC 9 SLV (Collegamento 0023_-380)
Azioni sul collegamento: N=-4942.23 Ty=2.24 Tz=-5.22 Mx=0.02 Mz=5.11
Sollecitazioni agenti localmente: Tx_l=2.24 Ty_l=-5.22 N_l=-4942.23 My_l=-5.11 Mz_l=0.02
Azioni sul cordone: TP=0.14 TO=-0.37 NO=-365.33
Tensioni nel cordone: τ_P= 0.04 τ_O=0.12 σ_O=123.59 σ_{ID}=123.59 Σ_T=123.71
CC 9 SLV (Collegamento 0023_-380)
Azioni sul collegamento: N=-4942.23 Ty=-0.07 Tz=-5.22 Mx=0.02 Mz=0.59
Sollecitazioni agenti localmente: Tx_l=-0.07 Ty_l=-5.22 N_l=-4942.23 My_l=-0.59 Mz_l=0.02
Azioni sul cordone: TP=-0.03 TO=-0.37 NO=-365.33
Tensioni nel cordone: τ_P=9.55E-03 τ_O=0.12 σ_O=116.98 σ_{ID}=116.98 Σ_T=117.10
CC 9 SLV (Collegamento 0023_-380)
Azioni sul collegamento: N=-6324.24 Ty=2.24 Tz=-0.09 Mx=0.02 Mz=5.11
Sollecitazioni agenti localmente: Tx_l=2.24 Ty_l=-0.09 N_l=-6324.24 My_l=-5.11 Mz_l=0.02
Azioni sul cordone: TP=0.14 TO=0.01 NO=-467.49
Tensioni nel cordone: τ_P= 0.04 τ_O=3.38E-03 σ_O=156.06 σ_{ID}=156.06 Σ_T=156.06
CC 9 SLV (Collegamento 0023_-380)
Azioni sul collegamento: N=-6324.24 Ty=-0.07 Tz=-0.09 Mx=0.02 Mz=0.59
Sollecitazioni agenti localmente: Tx_l=-0.07 Ty_l=-0.09 N_l=-6324.24 My_l=-0.59 Mz_l=0.02
Azioni sul cordone: TP=-0.03 TO=0.01 NO=-467.49
Tensioni nel cordone: τ_P=9.55E-03 τ_O=3.38E-03 σ_O=149.45 σ_{ID}=149.45 Σ_T=149.46
CC 9 SLV (Collegamento 0023_-380)
Azioni sul collegamento: N=-6324.24 Ty=2.24 Tz=-5.22 Mx=0.02 Mz=5.11
Sollecitazioni agenti localmente: Tx_l=2.24 Ty_l=-5.22 N_l=-6324.24 My_l=-5.11 Mz_l=0.02
Azioni sul cordone: TP=0.14 TO=-0.37 NO=-467.49
Tensioni nel cordone: τ_P= 0.04 τ_O=0.12 σ_O=156.06 σ_{ID}=156.06 Σ_T=156.18
CC 9 SLV (Collegamento 0023_-380)
Azioni sul collegamento: N=-6324.24 Ty=-0.07 Tz=-5.22 Mx=0.02 Mz=0.59
Sollecitazioni agenti localmente: Tx_l=-0.07 Ty_l=-5.22 N_l=-6324.24 My_l=-0.59 Mz_l=0.02
Azioni sul cordone: TP=-0.03 TO=-0.37 NO=-467.49
Tensioni nel cordone: τ_P=9.55E-03 τ_O=0.12 σ_O=149.45 σ_{ID}=149.45 Σ_T=149.57
CC 10 SLD (Collegamento 0023_-380)
Azioni sul collegamento: N=-5422.71 Ty=0.63 Tz=-1.87 Mx=0.01 Mz=1.49
Sollecitazioni agenti localmente: Tx_l=0.63 Ty_l=-1.87 N_l=-5422.71 My_l=-1.49 Mz_l=0.01
Azioni sul cordone: TP=0.04 TO=-0.13 NO=-400.85
Tensioni nel cordone: τ_P= 0.01 τ_O= 0.04 σ_O=129.58 σ_{ID}=129.58 Σ_T=129.62
CC 10 SLD (Collegamento 0023_-380)
Azioni sul collegamento: N=-5422.71 Ty=-0.07 Tz=-1.87 Mx=0.01 Mz=0.11

Sollecitazioni agenti localmente: Tx_l=-0.07 Ty_l=-1.87 N_l=-5422.71 My_l=-0.11 Mz_l=0.01
Azioni sul cordone: TP=-0.01 TO=-0.13 NO=-400.85
Tensioni nel cordone: τ_P=4.06E-03 τ_O= 0.04 σ_O=127.57 σ_{ID}=127.57 Σ_T=127.61
CC 10 SLD (Collegamento 0023_-380)
Azioni sul collegamento: N=-5422.71 Ty=0.63 Tz=-3.44 Mx=0.01 Mz=1.49
Sollecitazioni agenti localmente: Tx_l=0.63 Ty_l=-3.44 N_l=-5422.71 My_l=-1.49 Mz_l=0.01
Azioni sul cordone: TP=0.04 TO=-0.25 NO=-400.85
Tensioni nel cordone: τ_P= 0.01 τ_O= 0.08 σ_O=129.58 σ_{ID}=129.58 Σ_T=129.66
CC 10 SLD (Collegamento 0023_-380)
Azioni sul collegamento: N=-5422.71 Ty=-0.07 Tz=-3.44 Mx=0.01 Mz=0.11
Sollecitazioni agenti localmente: Tx_l=-0.07 Ty_l=-3.44 N_l=-5422.71 My_l=-0.11 Mz_l=0.01
Azioni sul cordone: TP=-0.01 TO=-0.25 NO=-400.85
Tensioni nel cordone: τ_P=4.06E-03 τ_O= 0.08 σ_O=127.57 σ_{ID}=127.57 Σ_T=127.65
CC 10 SLD (Collegamento 0023_-380)
Azioni sul collegamento: N=-5844.12 Ty=0.63 Tz=-1.87 Mx=0.01 Mz=1.49
Sollecitazioni agenti localmente: Tx_l=0.63 Ty_l=-1.87 N_l=-5844.12 My_l=-1.49 Mz_l=0.01
Azioni sul cordone: TP=0.04 TO=-0.13 NO=-432.00
Tensioni nel cordone: τ_P= 0.01 τ_O= 0.04 σ_O=139.48 σ_{ID}=139.48 Σ_T=139.53
CC 10 SLD (Collegamento 0023_-380)
Azioni sul collegamento: N=-5844.12 Ty=-0.07 Tz=-1.87 Mx=0.01 Mz=0.11
Sollecitazioni agenti localmente: Tx_l=-0.07 Ty_l=-1.87 N_l=-5844.12 My_l=-0.11 Mz_l=0.01
Azioni sul cordone: TP=-0.01 TO=-0.13 NO=-432.00
Tensioni nel cordone: τ_P=4.06E-03 τ_O= 0.04 σ_O=137.47 σ_{ID}=137.47 Σ_T=137.51
CC 10 SLD (Collegamento 0023_-380)
Azioni sul collegamento: N=-5844.12 Ty=0.63 Tz=-3.44 Mx=0.01 Mz=1.49
Sollecitazioni agenti localmente: Tx_l=0.63 Ty_l=-3.44 N_l=-5844.12 My_l=-1.49 Mz_l=0.01
Azioni sul cordone: TP=0.04 TO=-0.25 NO=-432.00
Tensioni nel cordone: τ_P= 0.01 τ_O= 0.08 σ_O=139.48 σ_{ID}=139.48 Σ_T=139.56
CC 10 SLD (Collegamento 0023_-380)
Azioni sul collegamento: N=-5844.12 Ty=-0.07 Tz=-3.44 Mx=0.01 Mz=0.11
Sollecitazioni agenti localmente: Tx_l=-0.07 Ty_l=-3.44 N_l=-5844.12 My_l=-0.11 Mz_l=0.01
Azioni sul cordone: TP=-0.01 TO=-0.25 NO=-432.00
Tensioni nel cordone: τ_P=4.06E-03 τ_O= 0.08 σ_O=137.47 σ_{ID}=137.47 Σ_T=137.55
CC 11 SLV (Collegamento 0023_-380)
Azioni sul collegamento: N=-6324.16 Ty=2.24 Tz=-5.22 Mx=0.02 Mz=5.10
Sollecitazioni agenti localmente: Tx_l=2.24 Ty_l=-5.22 N_l=-6324.16 My_l=-5.10 Mz_l=0.02
Azioni sul cordone: TP=0.14 TO=-0.37 NO=-467.48
Tensioni nel cordone: τ_P= 0.04 τ_O=0.12 σ_O=156.04 σ_{ID}=156.04 Σ_T=156.16
CC 11 SLV (Collegamento 0023_-380)
Azioni sul collegamento: N=-6324.16 Ty=-0.06 Tz=-5.22 Mx=0.02 Mz=0.60
Sollecitazioni agenti localmente: Tx_l=-0.06 Ty_l=-5.22 N_l=-6324.16 My_l=-0.60 Mz_l=0.02
Azioni sul cordone: TP=-0.03 TO=-0.37 NO=-467.48
Tensioni nel cordone: τ_P=9.43E-03 τ_O=0.12 σ_O=149.47 σ_{ID}=149.47 Σ_T=149.59
CC 11 SLV (Collegamento 0023_-380)
Azioni sul collegamento: N=-6324.16 Ty=2.24 Tz=-0.09 Mx=0.02 Mz=5.10
Sollecitazioni agenti localmente: Tx_l=2.24 Ty_l=-0.09 N_l=-6324.16 My_l=-5.10 Mz_l=0.02
Azioni sul cordone: TP=0.14 TO=0.01 NO=-467.48
Tensioni nel cordone: τ_P= 0.04 τ_O=3.33E-03 σ_O=156.04 σ_{ID}=156.04 Σ_T=156.04
CC 11 SLV (Collegamento 0023_-380)
Azioni sul collegamento: N=-6324.16 Ty=-0.06 Tz=-0.09 Mx=0.02 Mz=0.60
Sollecitazioni agenti localmente: Tx_l=-0.06 Ty_l=-0.09 N_l=-6324.16 My_l=-0.60 Mz_l=0.02
Azioni sul cordone: TP=-0.03 TO=0.01 NO=-467.48
Tensioni nel cordone: τ_P=9.43E-03 τ_O=3.33E-03 σ_O=149.47 σ_{ID}=149.47 Σ_T=149.47
CC 11 SLV (Collegamento 0023_-380)
Azioni sul collegamento: N=-4942.30 Ty=2.24 Tz=-5.22 Mx=0.02 Mz=5.10
Sollecitazioni agenti localmente: Tx_l=2.24 Ty_l=-5.22 N_l=-4942.30 My_l=-5.10 Mz_l=0.02
Azioni sul cordone: TP=0.14 TO=-0.37 NO=-365.34
Tensioni nel cordone: τ_P= 0.04 τ_O=0.12 σ_O=123.57 σ_{ID}=123.57 Σ_T=123.69
CC 11 SLV (Collegamento 0023_-380)
Azioni sul collegamento: N=-4942.30 Ty=-0.06 Tz=-5.22 Mx=0.02 Mz=0.60
Sollecitazioni agenti localmente: Tx_l=-0.06 Ty_l=-5.22 N_l=-4942.30 My_l=-0.60 Mz_l=0.02
Azioni sul cordone: TP=-0.03 TO=-0.37 NO=-365.34
Tensioni nel cordone: τ_P=9.43E-03 τ_O=0.12 σ_O=117.00 σ_{ID}=117.00 Σ_T=117.12
CC 11 SLV (Collegamento 0023_-380)
Azioni sul collegamento: N=-4942.30 Ty=2.24 Tz=-0.09 Mx=0.02 Mz=5.10
Sollecitazioni agenti localmente: Tx_l=2.24 Ty_l=-0.09 N_l=-4942.30 My_l=-5.10 Mz_l=0.02
Azioni sul cordone: TP=0.14 TO=0.01 NO=-365.34
Tensioni nel cordone: τ_P= 0.04 τ_O=3.32E-03 σ_O=123.57 σ_{ID}=123.57 Σ_T=123.58
CC 11 SLV (Collegamento 0023_-380)
Azioni sul collegamento: N=-4942.30 Ty=-0.06 Tz=-0.09 Mx=0.02 Mz=0.60
Sollecitazioni agenti localmente: Tx_l=-0.06 Ty_l=-0.09 N_l=-4942.30 My_l=-0.60 Mz_l=0.02
Azioni sul cordone: TP=-0.03 TO=0.01 NO=-365.34
Tensioni nel cordone: τ_P=9.43E-03 τ_O=3.32E-03 σ_O=117.00 σ_{ID}=117.00 Σ_T=117.00
CC 12 SLD (Collegamento 0023_-380)
Azioni sul collegamento: N=-5844.10 Ty=0.63 Tz=-3.44 Mx=0.01 Mz=1.48
Sollecitazioni agenti localmente: Tx_l=0.63 Ty_l=-3.44 N_l=-5844.10 My_l=-1.48 Mz_l=0.01
Azioni sul cordone: TP=0.04 TO=-0.25 NO=-432.00
Tensioni nel cordone: τ_P= 0.01 τ_O= 0.08 σ_O=139.48 σ_{ID}=139.48 Σ_T=139.56
CC 12 SLD (Collegamento 0023_-380)

Azioni sul collegamento: N=-5844.10 Ty=-0.07 Tz=-3.44 Mx=0.01 Mz=0.11
Sollecitazioni agenti localmente: Tx_l=-0.07 Ty_l=-3.44 N_l=-5844.10 My_l=-0.11 Mz_l=0.01
Azioni sul cordone: TP=-0.01 TO=-0.25 NO=-432.00
Tensioni nel cordone: τ_P=4.02E-03 τ_O= 0.08 σ_O=137.47 σ_{ID}=137.47 Σ_T=137.55
CC 12 SLD (Collegamento 0023_-380)
Azioni sul collegamento: N=-5844.10 Ty=0.63 Tz=-1.87 Mx=0.01 Mz=1.48
Sollecitazioni agenti localmente: Tx_l=0.63 Ty_l=-1.87 N_l=-5844.10 My_l=-1.48 Mz_l=0.01
Azioni sul cordone: TP=0.04 TO=-0.13 NO=-432.00
Tensioni nel cordone: τ_P= 0.01 τ_O= 0.04 σ_O=139.48 σ_{ID}=139.48 Σ_T=139.52
CC 12 SLD (Collegamento 0023_-380)
Azioni sul collegamento: N=-5844.10 Ty=-0.07 Tz=-1.87 Mx=0.01 Mz=0.11
Sollecitazioni agenti localmente: Tx_l=-0.07 Ty_l=-1.87 N_l=-5844.10 My_l=-0.11 Mz_l=0.01
Azioni sul cordone: TP=-0.01 TO=-0.13 NO=-432.00
Tensioni nel cordone: τ_P=4.02E-03 τ_O= 0.04 σ_O=137.47 σ_{ID}=137.47 Σ_T=137.52
CC 12 SLD (Collegamento 0023_-380)
Azioni sul collegamento: N=-5422.73 Ty=0.63 Tz=-3.44 Mx=0.01 Mz=1.48
Sollecitazioni agenti localmente: Tx_l=0.63 Ty_l=-3.44 N_l=-5422.73 My_l=-1.48 Mz_l=0.01
Azioni sul cordone: TP=0.04 TO=-0.25 NO=-400.85
Tensioni nel cordone: τ_P= 0.01 τ_O= 0.08 σ_O=129.58 σ_{ID}=129.58 Σ_T=129.66
CC 12 SLD (Collegamento 0023_-380)
Azioni sul collegamento: N=-5422.73 Ty=-0.07 Tz=-3.44 Mx=0.01 Mz=0.11
Sollecitazioni agenti localmente: Tx_l=-0.07 Ty_l=-3.44 N_l=-5422.73 My_l=-0.11 Mz_l=0.01
Azioni sul cordone: TP=-0.01 TO=-0.25 NO=-400.85
Tensioni nel cordone: τ_P=4.02E-03 τ_O= 0.08 σ_O=127.57 σ_{ID}=127.57 Σ_T=127.65
CC 12 SLD (Collegamento 0023_-380)
Azioni sul collegamento: N=-5422.73 Ty=0.63 Tz=-1.87 Mx=0.01 Mz=1.48
Sollecitazioni agenti localmente: Tx_l=0.63 Ty_l=-1.87 N_l=-5422.73 My_l=-1.48 Mz_l=0.01
Azioni sul cordone: TP=0.04 TO=-0.13 NO=-400.85
Tensioni nel cordone: τ_P= 0.01 τ_O= 0.04 σ_O=129.58 σ_{ID}=129.58 Σ_T=129.62
CC 12 SLD (Collegamento 0023_-380)
Azioni sul collegamento: N=-5422.73 Ty=-0.07 Tz=-1.87 Mx=0.01 Mz=0.11
Sollecitazioni agenti localmente: Tx_l=-0.07 Ty_l=-1.87 N_l=-5422.73 My_l=-0.11 Mz_l=0.01
Azioni sul cordone: TP=-0.01 TO=-0.13 NO=-400.85
Tensioni nel cordone: τ_P=4.02E-03 τ_O= 0.04 σ_O=127.57 σ_{ID}=127.57 Σ_T=127.62
CC 13 SLV (Collegamento 0023_-380)
Azioni sul collegamento: N=-4942.30 Ty=-0.06 Tz=-0.09 Mx=0.00 Mz=0.60
Sollecitazioni agenti localmente: Tx_l=-0.06 Ty_l=-0.09 N_l=-4942.30 My_l=-0.60 Mz_l=0.00
Azioni sul cordone: TP=-0.01 TO=-0.00 NO=-365.34
Tensioni nel cordone: τ_P=3.09E-03 τ_O=1.07E-03 σ_O=117.00 σ_{ID}=117.00 Σ_T=117.00
CC 13 SLV (Collegamento 0023_-380)
Azioni sul collegamento: N=-4942.30 Ty=2.24 Tz=-0.09 Mx=0.00 Mz=5.10
Sollecitazioni agenti localmente: Tx_l=2.24 Ty_l=-0.09 N_l=-4942.30 My_l=-5.10 Mz_l=0.00
Azioni sul cordone: TP=0.16 TO=-0.00 NO=-365.34
Tensioni nel cordone: τ_P= 0.05 τ_O=1.07E-03 σ_O=123.57 σ_{ID}=123.57 Σ_T=123.58
CC 13 SLV (Collegamento 0023_-380)
Azioni sul collegamento: N=-4942.30 Ty=-0.06 Tz=-5.22 Mx=0.00 Mz=0.60
Sollecitazioni agenti localmente: Tx_l=-0.06 Ty_l=-5.22 N_l=-4942.30 My_l=-0.60 Mz_l=0.00
Azioni sul cordone: TP=-0.01 TO=-0.38 NO=-365.34
Tensioni nel cordone: τ_P=3.09E-03 τ_O=0.12 σ_O=117.00 σ_{ID}=117.00 Σ_T=117.12
CC 13 SLV (Collegamento 0023_-380)
Azioni sul collegamento: N=-4942.30 Ty=2.24 Tz=-5.22 Mx=0.00 Mz=5.10
Sollecitazioni agenti localmente: Tx_l=2.24 Ty_l=-5.22 N_l=-4942.30 My_l=-5.10 Mz_l=0.00
Azioni sul cordone: TP=0.16 TO=-0.38 NO=-365.34
Tensioni nel cordone: τ_P= 0.05 τ_O=0.12 σ_O=123.57 σ_{ID}=123.57 Σ_T=123.69
CC 13 SLV (Collegamento 0023_-380)
Azioni sul collegamento: N=-6324.16 Ty=-0.06 Tz=-0.09 Mx=0.00 Mz=0.60
Sollecitazioni agenti localmente: Tx_l=-0.06 Ty_l=-0.09 N_l=-6324.16 My_l=-0.60 Mz_l=0.00
Azioni sul cordone: TP=-0.01 TO=-0.00 NO=-467.48
Tensioni nel cordone: τ_P=3.09E-03 τ_O=1.07E-03 σ_O=149.47 σ_{ID}=149.47 Σ_T=149.47
CC 13 SLV (Collegamento 0023_-380)
Azioni sul collegamento: N=-6324.16 Ty=2.24 Tz=-0.09 Mx=0.00 Mz=5.10
Sollecitazioni agenti localmente: Tx_l=2.24 Ty_l=-0.09 N_l=-6324.16 My_l=-5.10 Mz_l=0.00
Azioni sul cordone: TP=0.16 TO=-0.00 NO=-467.48
Tensioni nel cordone: τ_P= 0.05 τ_O=1.07E-03 σ_O=156.04 σ_{ID}=156.04 Σ_T=156.04
CC 13 SLV (Collegamento 0023_-380)
Azioni sul collegamento: N=-6324.16 Ty=-0.06 Tz=-5.22 Mx=0.00 Mz=0.60
Sollecitazioni agenti localmente: Tx_l=-0.06 Ty_l=-5.22 N_l=-6324.16 My_l=-0.60 Mz_l=0.00
Azioni sul cordone: TP=-0.01 TO=-0.38 NO=-467.48
Tensioni nel cordone: τ_P=3.09E-03 τ_O=0.12 σ_O=149.47 σ_{ID}=149.47 Σ_T=149.59
CC 13 SLV (Collegamento 0023_-380)
Azioni sul collegamento: N=-6324.16 Ty=2.24 Tz=-5.22 Mx=0.00 Mz=5.10
Sollecitazioni agenti localmente: Tx_l=2.24 Ty_l=-5.22 N_l=-6324.16 My_l=-5.10 Mz_l=0.00
Azioni sul cordone: TP=0.16 TO=-0.38 NO=-467.48
Tensioni nel cordone: τ_P= 0.05 τ_O=0.12 σ_O=156.04 σ_{ID}=156.04 Σ_T=156.16
CC 14 SLD (Collegamento 0023_-380)
Azioni sul collegamento: N=-5422.73 Ty=-0.07 Tz=-1.87 Mx=0.00 Mz=0.11
Sollecitazioni agenti localmente: Tx_l=-0.07 Ty_l=-1.87 N_l=-5422.73 My_l=-0.11 Mz_l=0.00
Azioni sul cordone: TP=-0.01 TO=-0.14 NO=-400.85
Tensioni nel cordone: τ_P=2.09E-03 τ_O= 0.04 σ_O=127.57 σ_{ID}=127.57 Σ_T=127.62

CC 14 SLD (Collegamento 0023_-380)
Azioni sul collegamento: N=-5422.73 Ty=0.63 Tz=-1.87 Mx=0.00 Mz=1.48
Sollecitazioni agenti localmente: Tx_l=0.63 Ty_l=-1.87 N_l=-5422.73 My_l=-1.48 Mz_l=0.00
Azioni sul cordone: TP=0.05 TO=-0.14 NO=-400.85
Tensioni nel cordone: τ_P= 0.01 τ_O= 0.04 σ_O=129.58 σ_{ID}=129.58 Σ_T=129.62
CC 14 SLD (Collegamento 0023_-380)
Azioni sul collegamento: N=-5422.73 Ty=-0.07 Tz=-3.44 Mx=0.00 Mz=0.11
Sollecitazioni agenti localmente: Tx_l=-0.07 Ty_l=-3.44 N_l=-5422.73 My_l=-0.11 Mz_l=0.00
Azioni sul cordone: TP=-0.01 TO=-0.25 NO=-400.85
Tensioni nel cordone: τ_P=2.09E-03 τ_O= 0.08 σ_O=127.57 σ_{ID}=127.57 Σ_T=127.65
CC 14 SLD (Collegamento 0023_-380)
Azioni sul collegamento: N=-5422.73 Ty=0.63 Tz=-3.44 Mx=0.00 Mz=1.48
Sollecitazioni agenti localmente: Tx_l=0.63 Ty_l=-3.44 N_l=-5422.73 My_l=-1.48 Mz_l=0.00
Azioni sul cordone: TP=0.05 TO=-0.25 NO=-400.85
Tensioni nel cordone: τ_P= 0.01 τ_O= 0.08 σ_O=129.58 σ_{ID}=129.58 Σ_T=129.66
CC 14 SLD (Collegamento 0023_-380)
Azioni sul collegamento: N=-5844.10 Ty=-0.07 Tz=-1.87 Mx=0.00 Mz=0.11
Sollecitazioni agenti localmente: Tx_l=-0.07 Ty_l=-1.87 N_l=-5844.10 My_l=-0.11 Mz_l=0.00
Azioni sul cordone: TP=-0.01 TO=-0.14 NO=-432.00
Tensioni nel cordone: τ_P=2.09E-03 τ_O= 0.04 σ_O=137.47 σ_{ID}=137.47 Σ_T=137.52
CC 14 SLD (Collegamento 0023_-380)
Azioni sul collegamento: N=-5844.10 Ty=0.63 Tz=-1.87 Mx=0.00 Mz=1.48
Sollecitazioni agenti localmente: Tx_l=0.63 Ty_l=-1.87 N_l=-5844.10 My_l=-1.48 Mz_l=0.00
Azioni sul cordone: TP=0.05 TO=-0.14 NO=-432.00
Tensioni nel cordone: τ_P= 0.01 τ_O= 0.04 σ_O=139.48 σ_{ID}=139.48 Σ_T=139.52
CC 14 SLD (Collegamento 0023_-380)
Azioni sul collegamento: N=-5844.10 Ty=-0.07 Tz=-3.44 Mx=0.00 Mz=0.11
Sollecitazioni agenti localmente: Tx_l=-0.07 Ty_l=-3.44 N_l=-5844.10 My_l=-0.11 Mz_l=0.00
Azioni sul cordone: TP=-0.01 TO=-0.25 NO=-432.00
Tensioni nel cordone: τ_P=2.09E-03 τ_O= 0.08 σ_O=137.47 σ_{ID}=137.47 Σ_T=137.55
CC 14 SLD (Collegamento 0023_-380)
Azioni sul collegamento: N=-5844.10 Ty=0.63 Tz=-3.44 Mx=0.00 Mz=1.48
Sollecitazioni agenti localmente: Tx_l=0.63 Ty_l=-3.44 N_l=-5844.10 My_l=-1.48 Mz_l=0.00
Azioni sul cordone: TP=0.05 TO=-0.25 NO=-432.00
Tensioni nel cordone: τ_P= 0.01 τ_O= 0.08 σ_O=139.48 σ_{ID}=139.48 Σ_T=139.56
CC 15 SLV (Collegamento 0023_-380)
Azioni sul collegamento: N=-6324.24 Ty=-0.07 Tz=-5.22 Mx=0.00 Mz=0.59
Sollecitazioni agenti localmente: Tx_l=-0.07 Ty_l=-5.22 N_l=-6324.24 My_l=-0.59 Mz_l=0.00
Azioni sul cordone: TP=-0.01 TO=-0.38 NO=-467.49
Tensioni nel cordone: τ_P=3.17E-03 τ_O=0.12 σ_O=149.45 σ_{ID}=149.45 Σ_T=149.58
CC 15 SLV (Collegamento 0023_-380)
Azioni sul collegamento: N=-6324.24 Ty=2.24 Tz=-5.22 Mx=0.00 Mz=5.11
Sollecitazioni agenti localmente: Tx_l=2.24 Ty_l=-5.22 N_l=-6324.24 My_l=-5.11 Mz_l=0.00
Azioni sul cordone: TP=0.16 TO=-0.38 NO=-467.49
Tensioni nel cordone: τ_P= 0.05 τ_O=0.12 σ_O=156.06 σ_{ID}=156.06 Σ_T=156.18
CC 15 SLV (Collegamento 0023_-380)
Azioni sul collegamento: N=-6324.24 Ty=-0.07 Tz=-0.09 Mx=0.00 Mz=0.59
Sollecitazioni agenti localmente: Tx_l=-0.07 Ty_l=-0.09 N_l=-6324.24 My_l=-0.59 Mz_l=0.00
Azioni sul cordone: TP=-0.01 TO=-0.00 NO=-467.49
Tensioni nel cordone: τ_P=3.17E-03 τ_O=1.04E-03 σ_O=149.45 σ_{ID}=149.45 Σ_T=149.46
CC 15 SLV (Collegamento 0023_-380)
Azioni sul collegamento: N=-6324.24 Ty=2.24 Tz=-0.09 Mx=0.00 Mz=5.11
Sollecitazioni agenti localmente: Tx_l=2.24 Ty_l=-0.09 N_l=-6324.24 My_l=-5.11 Mz_l=0.00
Azioni sul cordone: TP=0.16 TO=-0.00 NO=-467.49
Tensioni nel cordone: τ_P= 0.05 τ_O=1.04E-03 σ_O=156.06 σ_{ID}=156.06 Σ_T=156.06
CC 15 SLV (Collegamento 0023_-380)
Azioni sul collegamento: N=-4942.23 Ty=-0.07 Tz=-5.22 Mx=0.00 Mz=0.59
Sollecitazioni agenti localmente: Tx_l=-0.07 Ty_l=-5.22 N_l=-4942.23 My_l=-0.59 Mz_l=0.00
Azioni sul cordone: TP=-0.01 TO=-0.38 NO=-365.33
Tensioni nel cordone: τ_P=3.17E-03 τ_O=0.12 σ_O=116.98 σ_{ID}=116.98 Σ_T=117.11
CC 15 SLV (Collegamento 0023_-380)
Azioni sul collegamento: N=-4942.23 Ty=2.24 Tz=-5.22 Mx=0.00 Mz=5.11
Sollecitazioni agenti localmente: Tx_l=2.24 Ty_l=-5.22 N_l=-4942.23 My_l=-5.11 Mz_l=0.00
Azioni sul cordone: TP=0.16 TO=-0.38 NO=-365.33
Tensioni nel cordone: τ_P= 0.05 τ_O=0.12 σ_O=123.59 σ_{ID}=123.59 Σ_T=123.71
CC 15 SLV (Collegamento 0023_-380)
Azioni sul collegamento: N=-4942.23 Ty=-0.07 Tz=-0.09 Mx=0.00 Mz=0.59
Sollecitazioni agenti localmente: Tx_l=-0.07 Ty_l=-0.09 N_l=-4942.23 My_l=-0.59 Mz_l=0.00
Azioni sul cordone: TP=-0.01 TO=-0.00 NO=-365.33
Tensioni nel cordone: τ_P=3.17E-03 τ_O=1.05E-03 σ_O=116.98 σ_{ID}=116.98 Σ_T=116.98
CC 15 SLV (Collegamento 0023_-380)
Azioni sul collegamento: N=-4942.23 Ty=2.24 Tz=-0.09 Mx=0.00 Mz=5.11
Sollecitazioni agenti localmente: Tx_l=2.24 Ty_l=-0.09 N_l=-4942.23 My_l=-5.11 Mz_l=0.00
Azioni sul cordone: TP=0.16 TO=-0.00 NO=-365.33
Tensioni nel cordone: τ_P= 0.05 τ_O=1.05E-03 σ_O=123.59 σ_{ID}=123.59 Σ_T=123.59
CC 16 SLD (Collegamento 0023_-380)
Azioni sul collegamento: N=-5844.12 Ty=-0.07 Tz=-3.44 Mx=0.00 Mz=0.11
Sollecitazioni agenti localmente: Tx_l=-0.07 Ty_l=-3.44 N_l=-5844.12 My_l=-0.11 Mz_l=0.00
Azioni sul cordone: TP=-0.01 TO=-0.25 NO=-432.00

Tensioni nel cordone: τ_P=2.11E-03 τ_O= 0.08 σ_O=137.47 σ_{ID}=137.47 Σ_T=137.55
CC 16 SLD (Collegamento 0023_-380)
Azioni sul collegamento: N=-5844.12 Ty=0.63 Tz=-3.44 Mx=0.00 Mz=1.49
Sollecitazioni agenti localmente: Tx_l=0.63 Ty_l=-3.44 N_l=-5844.12 My_l=-1.49 Mz_l=0.00
Azioni sul cordone: TP=0.05 TO=-0.25 NO=-432.00
Tensioni nel cordone: τ_P= 0.01 τ_O= 0.08 σ_O=139.48 σ_{ID}=139.48 Σ_T=139.56
CC 16 SLD (Collegamento 0023_-380)
Azioni sul collegamento: N=-5844.12 Ty=-0.07 Tz=-1.87 Mx=0.00 Mz=0.11
Sollecitazioni agenti localmente: Tx_l=-0.07 Ty_l=-1.87 N_l=-5844.12 My_l=-0.11 Mz_l=0.00
Azioni sul cordone: TP=-0.01 TO=-0.14 NO=-432.00
Tensioni nel cordone: τ_P=2.11E-03 τ_O= 0.04 σ_O=137.47 σ_{ID}=137.47 Σ_T=137.51
CC 16 SLD (Collegamento 0023_-380)
Azioni sul collegamento: N=-5844.12 Ty=0.63 Tz=-1.87 Mx=0.00 Mz=1.49
Sollecitazioni agenti localmente: Tx_l=0.63 Ty_l=-1.87 N_l=-5844.12 My_l=-1.49 Mz_l=0.00
Azioni sul cordone: TP=0.05 TO=-0.14 NO=-432.00
Tensioni nel cordone: τ_P= 0.01 τ_O= 0.04 σ_O=139.48 σ_{ID}=139.48 Σ_T=139.53
CC 16 SLD (Collegamento 0023_-380)
Azioni sul collegamento: N=-5422.71 Ty=-0.07 Tz=-3.44 Mx=0.00 Mz=0.11
Sollecitazioni agenti localmente: Tx_l=-0.07 Ty_l=-3.44 N_l=-5422.71 My_l=-0.11 Mz_l=0.00
Azioni sul cordone: TP=-0.01 TO=-0.25 NO=-400.85
Tensioni nel cordone: τ_P=2.11E-03 τ_O= 0.08 σ_O=127.57 σ_{ID}=127.57 Σ_T=127.65
CC 16 SLD (Collegamento 0023_-380)
Azioni sul collegamento: N=-5422.71 Ty=0.63 Tz=-3.44 Mx=0.00 Mz=1.49
Sollecitazioni agenti localmente: Tx_l=0.63 Ty_l=-3.44 N_l=-5422.71 My_l=-1.49 Mz_l=0.00
Azioni sul cordone: TP=0.05 TO=-0.25 NO=-400.85
Tensioni nel cordone: τ_P= 0.01 τ_O= 0.08 σ_O=129.58 σ_{ID}=129.58 Σ_T=129.66
CC 16 SLD (Collegamento 0023_-380)
Azioni sul collegamento: N=-5422.71 Ty=-0.07 Tz=-1.87 Mx=0.00 Mz=0.11
Sollecitazioni agenti localmente: Tx_l=-0.07 Ty_l=-1.87 N_l=-5422.71 My_l=-0.11 Mz_l=0.00
Azioni sul cordone: TP=-0.01 TO=-0.14 NO=-400.85
Tensioni nel cordone: τ_P=2.11E-03 τ_O= 0.04 σ_O=127.57 σ_{ID}=127.57 Σ_T=127.61
CC 16 SLD (Collegamento 0023_-380)
Azioni sul collegamento: N=-5422.71 Ty=0.63 Tz=-1.87 Mx=0.00 Mz=1.49
Sollecitazioni agenti localmente: Tx_l=0.63 Ty_l=-1.87 N_l=-5422.71 My_l=-1.49 Mz_l=0.00
Azioni sul cordone: TP=0.05 TO=-0.14 NO=-400.85
Tensioni nel cordone: τ_P= 0.01 τ_O= 0.04 σ_O=129.58 σ_{ID}=129.58 Σ_T=129.63
CC 17 SLV (Collegamento 0023_-380)
Azioni sul collegamento: N=-3330.52 Ty=-0.88 Tz=5.89 Mx=-0.02 Mz=-2.36
Sollecitazioni agenti localmente: Tx_l=-0.88 Ty_l=5.89 N_l=-3330.52 My_l=2.36 Mz_l=-0.02
Azioni sul cordone: TP=-0.05 TO=0.45 NO=-246.19
Tensioni nel cordone: τ_P= 0.01 τ_O=0.14 σ_O=81.70 σ_{ID}=81.70 Σ_T=81.85
CC 17 SLV (Collegamento 0023_-380)
Azioni sul collegamento: N=-3330.52 Ty=-1.59 Tz=5.89 Mx=-0.02 Mz=-3.75
Sollecitazioni agenti localmente: Tx_l=-1.59 Ty_l=5.89 N_l=-3330.52 My_l=3.75 Mz_l=-0.02
Azioni sul cordone: TP=-0.10 TO=0.45 NO=-246.19
Tensioni nel cordone: τ_P= 0.03 τ_O=0.14 σ_O=83.74 σ_{ID}=83.74 Σ_T=83.88
CC 17 SLV (Collegamento 0023_-380)
Azioni sul collegamento: N=-3330.52 Ty=-0.88 Tz=-11.19 Mx=-0.02 Mz=-2.36
Sollecitazioni agenti localmente: Tx_l=-0.88 Ty_l=-11.19 N_l=-3330.52 My_l=2.36 Mz_l=-0.02
Azioni sul cordone: TP=-0.05 TO=-0.81 NO=-246.19
Tensioni nel cordone: τ_P= 0.01 τ_O=0.26 σ_O=81.70 σ_{ID}=81.70 Σ_T=81.96
CC 17 SLV (Collegamento 0023_-380)
Azioni sul collegamento: N=-3330.52 Ty=-1.59 Tz=-11.19 Mx=-0.02 Mz=-3.75
Sollecitazioni agenti localmente: Tx_l=-1.59 Ty_l=-11.19 N_l=-3330.52 My_l=3.75 Mz_l=-0.02
Azioni sul cordone: TP=-0.10 TO=-0.81 NO=-246.19
Tensioni nel cordone: τ_P= 0.03 τ_O=0.26 σ_O=83.74 σ_{ID}=83.74 Σ_T=83.99
CC 17 SLV (Collegamento 0023_-380)
Azioni sul collegamento: N=-7936.99 Ty=-0.88 Tz=5.89 Mx=-0.02 Mz=-2.36
Sollecitazioni agenti localmente: Tx_l=-0.88 Ty_l=5.89 N_l=-7936.99 My_l=2.36 Mz_l=-0.02
Azioni sul cordone: TP=-0.05 TO=0.45 NO=-586.71
Tensioni nel cordone: τ_P= 0.01 τ_O=0.14 σ_O=189.93 σ_{ID}=189.93 Σ_T=190.08
CC 17 SLV (Collegamento 0023_-380)
Azioni sul collegamento: N=-7936.99 Ty=-1.59 Tz=5.89 Mx=-0.02 Mz=-3.75
Sollecitazioni agenti localmente: Tx_l=-1.59 Ty_l=5.89 N_l=-7936.99 My_l=3.75 Mz_l=-0.02
Azioni sul cordone: TP=-0.10 TO=0.45 NO=-586.71
Tensioni nel cordone: τ_P= 0.03 τ_O=0.14 σ_O=191.97 σ_{ID}=191.97 Σ_T=192.11
CC 17 SLV (Collegamento 0023_-380)
Azioni sul collegamento: N=-7936.99 Ty=-0.88 Tz=-11.19 Mx=-0.02 Mz=-2.36
Sollecitazioni agenti localmente: Tx_l=-0.88 Ty_l=-11.19 N_l=-7936.99 My_l=2.36 Mz_l=-0.02
Azioni sul cordone: TP=-0.05 TO=-0.81 NO=-586.71
Tensioni nel cordone: τ_P= 0.01 τ_O=0.26 σ_O=189.93 σ_{ID}=189.93 Σ_T=190.19
CC 17 SLV (Collegamento 0023_-380)
Azioni sul collegamento: N=-7936.99 Ty=-1.59 Tz=-11.19 Mx=-0.02 Mz=-3.75
Sollecitazioni agenti localmente: Tx_l=-1.59 Ty_l=-11.19 N_l=-7936.99 My_l=3.75 Mz_l=-0.02
Azioni sul cordone: TP=-0.10 TO=-0.81 NO=-586.71
Tensioni nel cordone: τ_P= 0.03 τ_O=0.26 σ_O=191.97 σ_{ID}=191.97 Σ_T=192.22
CC 18 SLD (Collegamento 0023_-380)
Azioni sul collegamento: N=-4931.25 Ty=-0.32 Tz=-0.05 Mx=-0.01 Mz=-0.79
Sollecitazioni agenti localmente: Tx_l=-0.32 Ty_l=-0.05 N_l=-4931.25 My_l=0.79 Mz_l=-0.01

Azioni sul cordone: TP=-0.02 TO=0.00 NO=-364.52
Tensioni nel cordone: τ_P=5.66E-03 τ_O=1.46E-04 σ_O=117.02 σ_{ID}=117.02 Σ_T=117.02
CC 18 SLD (Collegamento 0023_-380)
Azioni sul collegamento: N=-4931.25 Ty=-0.54 Tz=-0.05 Mx=-0.01 Mz=-1.22
Sollecitazioni agenti localmente: Tx_l=-0.54 Ty_l=-0.05 N_l=-4931.25 My_l=1.22 Mz_l=-0.01
Azioni sul cordone: TP=-0.03 TO=0.00 NO=-364.52
Tensioni nel cordone: τ_P= 0.01 τ_O=1.46E-04 σ_O=117.64 σ_{ID}=117.64 Σ_T=117.64
CC 18 SLD (Collegamento 0023_-380)
Azioni sul collegamento: N=-4931.25 Ty=-0.32 Tz=-5.26 Mx=-0.01 Mz=-0.79
Sollecitazioni agenti localmente: Tx_l=-0.32 Ty_l=-5.26 N_l=-4931.25 My_l=0.79 Mz_l=-0.01
Azioni sul cordone: TP=-0.02 TO=-0.38 NO=-364.52
Tensioni nel cordone: τ_P=5.66E-03 τ_O=0.12 σ_O=117.02 σ_{ID}=117.02 Σ_T=117.14
CC 18 SLD (Collegamento 0023_-380)
Azioni sul collegamento: N=-4931.25 Ty=-0.54 Tz=-5.26 Mx=-0.01 Mz=-1.22
Sollecitazioni agenti localmente: Tx_l=-0.54 Ty_l=-5.26 N_l=-4931.25 My_l=1.22 Mz_l=-0.01
Azioni sul cordone: TP=-0.03 TO=-0.38 NO=-364.52
Tensioni nel cordone: τ_P= 0.01 τ_O=0.12 σ_O=117.64 σ_{ID}=117.64 Σ_T=117.76
CC 18 SLD (Collegamento 0023_-380)
Azioni sul collegamento: N=-6335.90 Ty=-0.32 Tz=-0.05 Mx=-0.01 Mz=-0.79
Sollecitazioni agenti localmente: Tx_l=-0.32 Ty_l=-0.05 N_l=-6335.90 My_l=0.79 Mz_l=-0.01
Azioni sul cordone: TP=-0.02 TO=0.00 NO=-468.35
Tensioni nel cordone: τ_P=5.66E-03 τ_O=1.49E-04 σ_O=150.02 σ_{ID}=150.02 Σ_T=150.02
CC 18 SLD (Collegamento 0023_-380)
Azioni sul collegamento: N=-6335.90 Ty=-0.54 Tz=-0.05 Mx=-0.01 Mz=-1.22
Sollecitazioni agenti localmente: Tx_l=-0.54 Ty_l=-0.05 N_l=-6335.90 My_l=1.22 Mz_l=-0.01
Azioni sul cordone: TP=-0.03 TO=0.00 NO=-468.35
Tensioni nel cordone: τ_P= 0.01 τ_O=1.49E-04 σ_O=150.64 σ_{ID}=150.64 Σ_T=150.64
CC 18 SLD (Collegamento 0023_-380)
Azioni sul collegamento: N=-6335.90 Ty=-0.32 Tz=-5.26 Mx=-0.01 Mz=-0.79
Sollecitazioni agenti localmente: Tx_l=-0.32 Ty_l=-5.26 N_l=-6335.90 My_l=0.79 Mz_l=-0.01
Azioni sul cordone: TP=-0.02 TO=-0.38 NO=-468.35
Tensioni nel cordone: τ_P=5.66E-03 τ_O=0.12 σ_O=150.02 σ_{ID}=150.02 Σ_T=150.14
CC 18 SLD (Collegamento 0023_-380)
Azioni sul collegamento: N=-6335.90 Ty=-0.54 Tz=-5.26 Mx=-0.01 Mz=-1.22
Sollecitazioni agenti localmente: Tx_l=-0.54 Ty_l=-5.26 N_l=-6335.90 My_l=1.22 Mz_l=-0.01
Azioni sul cordone: TP=-0.03 TO=-0.38 NO=-468.35
Tensioni nel cordone: τ_P= 0.01 τ_O=0.12 σ_O=150.64 σ_{ID}=150.64 Σ_T=150.76
CC 19 SLV (Collegamento 0023_-380)
Azioni sul collegamento: N=-3330.55 Ty=-1.58 Tz=5.89 Mx=-0.01 Mz=-3.71
Sollecitazioni agenti localmente: Tx_l=-1.58 Ty_l=5.89 N_l=-3330.55 My_l=3.71 Mz_l=-0.01
Azioni sul cordone: TP=-0.10 TO=0.44 NO=-246.19
Tensioni nel cordone: τ_P= 0.03 τ_O=0.14 σ_O=83.68 σ_{ID}=83.68 Σ_T=83.82
CC 19 SLV (Collegamento 0023_-380)
Azioni sul collegamento: N=-3330.55 Ty=-0.90 Tz=5.89 Mx=-0.01 Mz=-2.40
Sollecitazioni agenti localmente: Tx_l=-0.90 Ty_l=5.89 N_l=-3330.55 My_l=2.40 Mz_l=-0.01
Azioni sul cordone: TP=-0.05 TO=0.44 NO=-246.19
Tensioni nel cordone: τ_P= 0.02 τ_O=0.14 σ_O=81.76 σ_{ID}=81.76 Σ_T=81.90
CC 19 SLV (Collegamento 0023_-380)
Azioni sul collegamento: N=-3330.55 Ty=-1.58 Tz=-11.19 Mx=-0.01 Mz=-3.71
Sollecitazioni agenti localmente: Tx_l=-1.58 Ty_l=-11.19 N_l=-3330.55 My_l=3.71 Mz_l=-0.01
Azioni sul cordone: TP=-0.10 TO=-0.82 NO=-246.19
Tensioni nel cordone: τ_P= 0.03 τ_O=0.26 σ_O=83.68 σ_{ID}=83.68 Σ_T=83.94
CC 19 SLV (Collegamento 0023_-380)
Azioni sul collegamento: N=-3330.55 Ty=-0.90 Tz=-11.19 Mx=-0.01 Mz=-2.40
Sollecitazioni agenti localmente: Tx_l=-0.90 Ty_l=-11.19 N_l=-3330.55 My_l=2.40 Mz_l=-0.01
Azioni sul cordone: TP=-0.05 TO=-0.82 NO=-246.19
Tensioni nel cordone: τ_P= 0.02 τ_O=0.26 σ_O=81.76 σ_{ID}=81.76 Σ_T=82.02
CC 19 SLV (Collegamento 0023_-380)
Azioni sul collegamento: N=-7936.97 Ty=-1.58 Tz=5.89 Mx=-0.01 Mz=-3.71
Sollecitazioni agenti localmente: Tx_l=-1.58 Ty_l=5.89 N_l=-7936.97 My_l=3.71 Mz_l=-0.01
Azioni sul cordone: TP=-0.10 TO=0.44 NO=-586.70
Tensioni nel cordone: τ_P= 0.03 τ_O=0.14 σ_O=191.91 σ_{ID}=191.91 Σ_T=192.05
CC 19 SLV (Collegamento 0023_-380)
Azioni sul collegamento: N=-7936.97 Ty=-0.90 Tz=5.89 Mx=-0.01 Mz=-2.40
Sollecitazioni agenti localmente: Tx_l=-0.90 Ty_l=5.89 N_l=-7936.97 My_l=2.40 Mz_l=-0.01
Azioni sul cordone: TP=-0.05 TO=0.44 NO=-586.70
Tensioni nel cordone: τ_P= 0.02 τ_O=0.14 σ_O=189.99 σ_{ID}=189.99 Σ_T=190.13
CC 19 SLV (Collegamento 0023_-380)
Azioni sul collegamento: N=-7936.97 Ty=-1.58 Tz=-11.19 Mx=-0.01 Mz=-3.71
Sollecitazioni agenti localmente: Tx_l=-1.58 Ty_l=-11.19 N_l=-7936.97 My_l=3.71 Mz_l=-0.01
Azioni sul cordone: TP=-0.10 TO=-0.82 NO=-586.70
Tensioni nel cordone: τ_P= 0.03 τ_O=0.26 σ_O=191.91 σ_{ID}=191.91 Σ_T=192.17
CC 19 SLV (Collegamento 0023_-380)
Azioni sul collegamento: N=-7936.97 Ty=-0.90 Tz=-11.19 Mx=-0.01 Mz=-2.40
Sollecitazioni agenti localmente: Tx_l=-0.90 Ty_l=-11.19 N_l=-7936.97 My_l=2.40 Mz_l=-0.01
Azioni sul cordone: TP=-0.05 TO=-0.82 NO=-586.70
Tensioni nel cordone: τ_P= 0.02 τ_O=0.26 σ_O=189.99 σ_{ID}=189.99 Σ_T=190.25
CC 20 SLD (Collegamento 0023_-380)
Azioni sul collegamento: N=-4931.25 Ty=-0.53 Tz=-0.05 Mx=-0.00 Mz=-1.20

Sollecitazioni agenti localmente: Tx_l=-0.53 Ty_l=-0.05 N_l=-4931.25 My_l=1.20 Mz_l=-0.00
Azioni sul cordone: TP=-0.04 TO=-0.00 NO=-364.52
Tensioni nel cordone: τ_P= 0.01 τ_0=2.62E-04 σ_0=117.62 σ_{ID}=117.62 Σ_T=117.62
CC 20 SLD (Collegamento 0023_-380)
Azioni sul collegamento: N=-4931.25 Ty=-0.33 Tz=-0.05 Mx=-0.00 Mz=-0.80
Sollecitazioni agenti localmente: Tx_l=-0.33 Ty_l=-0.05 N_l=-4931.25 My_l=0.80 Mz_l=-0.00
Azioni sul cordone: TP=-0.02 TO=-0.00 NO=-364.52
Tensioni nel cordone: τ_P=6.34E-03 τ_0=2.62E-04 σ_0=117.04 σ_{ID}=117.04 Σ_T=117.04
CC 20 SLD (Collegamento 0023_-380)
Azioni sul collegamento: N=-4931.25 Ty=-0.53 Tz=-5.26 Mx=-0.00 Mz=-1.20
Sollecitazioni agenti localmente: Tx_l=-0.53 Ty_l=-5.26 N_l=-4931.25 My_l=1.20 Mz_l=-0.00
Azioni sul cordone: TP=-0.04 TO=-0.39 NO=-364.52
Tensioni nel cordone: τ_P= 0.01 τ_0=0.12 σ_0=117.62 σ_{ID}=117.62 Σ_T=117.74
CC 20 SLD (Collegamento 0023_-380)
Azioni sul collegamento: N=-4931.25 Ty=-0.33 Tz=-5.26 Mx=-0.00 Mz=-0.80
Sollecitazioni agenti localmente: Tx_l=-0.33 Ty_l=-5.26 N_l=-4931.25 My_l=0.80 Mz_l=-0.00
Azioni sul cordone: TP=-0.02 TO=-0.39 NO=-364.52
Tensioni nel cordone: τ_P=6.34E-03 τ_0=0.12 σ_0=117.04 σ_{ID}=117.04 Σ_T=117.16
CC 20 SLD (Collegamento 0023_-380)
Azioni sul collegamento: N=-6335.90 Ty=-0.53 Tz=-0.05 Mx=-0.00 Mz=-1.20
Sollecitazioni agenti localmente: Tx_l=-0.53 Ty_l=-0.05 N_l=-6335.90 My_l=1.20 Mz_l=-0.00
Azioni sul cordone: TP=-0.04 TO=-0.00 NO=-468.35
Tensioni nel cordone: τ_P= 0.01 τ_0=2.57E-04 σ_0=150.62 σ_{ID}=150.62 Σ_T=150.63
CC 20 SLD (Collegamento 0023_-380)
Azioni sul collegamento: N=-6335.90 Ty=-0.33 Tz=-0.05 Mx=-0.00 Mz=-0.80
Sollecitazioni agenti localmente: Tx_l=-0.33 Ty_l=-0.05 N_l=-6335.90 My_l=0.80 Mz_l=-0.00
Azioni sul cordone: TP=-0.02 TO=-0.00 NO=-468.35
Tensioni nel cordone: τ_P=6.34E-03 τ_0=2.57E-04 σ_0=150.04 σ_{ID}=150.04 Σ_T=150.04
CC 20 SLD (Collegamento 0023_-380)
Azioni sul collegamento: N=-6335.90 Ty=-0.53 Tz=-5.26 Mx=-0.00 Mz=-1.20
Sollecitazioni agenti localmente: Tx_l=-0.53 Ty_l=-5.26 N_l=-6335.90 My_l=1.20 Mz_l=-0.00
Azioni sul cordone: TP=-0.04 TO=-0.39 NO=-468.35
Tensioni nel cordone: τ_P= 0.01 τ_0=0.12 σ_0=150.62 σ_{ID}=150.62 Σ_T=150.75
CC 20 SLD (Collegamento 0023_-380)
Azioni sul collegamento: N=-6335.90 Ty=-0.33 Tz=-5.26 Mx=-0.00 Mz=-0.80
Sollecitazioni agenti localmente: Tx_l=-0.33 Ty_l=-5.26 N_l=-6335.90 My_l=0.80 Mz_l=-0.00
Azioni sul cordone: TP=-0.02 TO=-0.39 NO=-468.35
Tensioni nel cordone: τ_P=6.34E-03 τ_0=0.12 σ_0=150.04 σ_{ID}=150.04 Σ_T=150.16
CC 21 SLV (Collegamento 0023_-380)
Azioni sul collegamento: N=-7936.97 Ty=-0.90 Tz=-11.19 Mx=-0.02 Mz=-2.40
Sollecitazioni agenti localmente: Tx_l=-0.90 Ty_l=-11.19 N_l=-7936.97 My_l=2.40 Mz_l=-0.02
Azioni sul cordone: TP=-0.05 TO=-0.81 NO=-586.70
Tensioni nel cordone: τ_P= 0.02 τ_0=0.26 σ_0=189.99 σ_{ID}=189.99 Σ_T=190.25
CC 21 SLV (Collegamento 0023_-380)
Azioni sul collegamento: N=-7936.97 Ty=-1.58 Tz=-11.19 Mx=-0.02 Mz=-3.71
Sollecitazioni agenti localmente: Tx_l=-1.58 Ty_l=-11.19 N_l=-7936.97 My_l=3.71 Mz_l=-0.02
Azioni sul cordone: TP=-0.10 TO=-0.81 NO=-586.70
Tensioni nel cordone: τ_P= 0.03 τ_0=0.26 σ_0=191.91 σ_{ID}=191.91 Σ_T=192.17
CC 21 SLV (Collegamento 0023_-380)
Azioni sul collegamento: N=-7936.97 Ty=-0.90 Tz=5.89 Mx=-0.02 Mz=-2.40
Sollecitazioni agenti localmente: Tx_l=-0.90 Ty_l=5.89 N_l=-7936.97 My_l=2.40 Mz_l=-0.02
Azioni sul cordone: TP=-0.05 TO=0.45 NO=-586.70
Tensioni nel cordone: τ_P= 0.02 τ_0=0.14 σ_0=189.99 σ_{ID}=189.99 Σ_T=190.13
CC 21 SLV (Collegamento 0023_-380)
Azioni sul collegamento: N=-7936.97 Ty=-1.58 Tz=5.89 Mx=-0.02 Mz=-3.71
Sollecitazioni agenti localmente: Tx_l=-1.58 Ty_l=5.89 N_l=-7936.97 My_l=3.71 Mz_l=-0.02
Azioni sul cordone: TP=-0.10 TO=0.45 NO=-586.70
Tensioni nel cordone: τ_P= 0.03 τ_0=0.14 σ_0=191.91 σ_{ID}=191.91 Σ_T=192.05
CC 21 SLV (Collegamento 0023_-380)
Azioni sul collegamento: N=-3330.55 Ty=-0.90 Tz=-11.19 Mx=-0.02 Mz=-2.40
Sollecitazioni agenti localmente: Tx_l=-0.90 Ty_l=-11.19 N_l=-3330.55 My_l=2.40 Mz_l=-0.02
Azioni sul cordone: TP=-0.05 TO=-0.81 NO=-246.19
Tensioni nel cordone: τ_P= 0.02 τ_0=0.26 σ_0=81.76 σ_{ID}=81.76 Σ_T=82.02
CC 21 SLV (Collegamento 0023_-380)
Azioni sul collegamento: N=-3330.55 Ty=-1.58 Tz=-11.19 Mx=-0.02 Mz=-3.71
Sollecitazioni agenti localmente: Tx_l=-1.58 Ty_l=-11.19 N_l=-3330.55 My_l=3.71 Mz_l=-0.02
Azioni sul cordone: TP=-0.10 TO=-0.81 NO=-246.19
Tensioni nel cordone: τ_P= 0.03 τ_0=0.26 σ_0=83.68 σ_{ID}=83.68 Σ_T=83.94
CC 21 SLV (Collegamento 0023_-380)
Azioni sul collegamento: N=-3330.55 Ty=-0.90 Tz=5.89 Mx=-0.02 Mz=-2.40
Sollecitazioni agenti localmente: Tx_l=-0.90 Ty_l=5.89 N_l=-3330.55 My_l=2.40 Mz_l=-0.02
Azioni sul cordone: TP=-0.05 TO=0.45 NO=-246.19
Tensioni nel cordone: τ_P= 0.02 τ_0=0.14 σ_0=81.76 σ_{ID}=81.76 Σ_T=81.90
CC 21 SLV (Collegamento 0023_-380)
Azioni sul collegamento: N=-3330.55 Ty=-1.58 Tz=5.89 Mx=-0.02 Mz=-3.71
Sollecitazioni agenti localmente: Tx_l=-1.58 Ty_l=5.89 N_l=-3330.55 My_l=3.71 Mz_l=-0.02
Azioni sul cordone: TP=-0.10 TO=0.45 NO=-246.19
Tensioni nel cordone: τ_P= 0.03 τ_0=0.14 σ_0=83.68 σ_{ID}=83.68 Σ_T=83.82
CC 22 SLD (Collegamento 0023_-380)

Azioni sul collegamento: N=-6335.90 Ty=-0.33 Tz=-5.26 Mx=-0.01 Mz=-0.80
Sollecitazioni agenti localmente: Tx_l=-0.33 Ty_l=-5.26 N_l=-6335.90 My_l=0.80 Mz_l=-0.01
Azioni sul cordone: TP=-0.02 TO=-0.38 NO=-468.35
Tensioni nel cordone: τ_P=5.78E-03 τ_O=0.12 σ_O=150.04 σ_{ID}=150.04 Σ_T=150.16
CC 22 SLD (Collegamento 0023_-380)
Azioni sul collegamento: N=-6335.90 Ty=-0.53 Tz=-5.26 Mx=-0.01 Mz=-1.20
Sollecitazioni agenti localmente: Tx_l=-0.53 Ty_l=-5.26 N_l=-6335.90 My_l=1.20 Mz_l=-0.01
Azioni sul cordone: TP=-0.03 TO=-0.38 NO=-468.35
Tensioni nel cordone: τ_P= 0.01 τ_O=0.12 σ_O=150.62 σ_{ID}=150.62 Σ_T=150.75
CC 22 SLD (Collegamento 0023_-380)
Azioni sul collegamento: N=-6335.90 Ty=-0.33 Tz=-0.05 Mx=-0.01 Mz=-0.80
Sollecitazioni agenti localmente: Tx_l=-0.33 Ty_l=-0.05 N_l=-6335.90 My_l=0.80 Mz_l=-0.01
Azioni sul cordone: TP=-0.02 TO=0.00 NO=-468.35
Tensioni nel cordone: τ_P=5.78E-03 τ_O=1.31E-04 σ_O=150.04 σ_{ID}=150.04 Σ_T=150.04
CC 22 SLD (Collegamento 0023_-380)
Azioni sul collegamento: N=-6335.90 Ty=-0.53 Tz=-0.05 Mx=-0.01 Mz=-1.20
Sollecitazioni agenti localmente: Tx_l=-0.53 Ty_l=-0.05 N_l=-6335.90 My_l=1.20 Mz_l=-0.01
Azioni sul cordone: TP=-0.03 TO=0.00 NO=-468.35
Tensioni nel cordone: τ_P= 0.01 τ_O=1.31E-04 σ_O=150.62 σ_{ID}=150.62 Σ_T=150.62
CC 22 SLD (Collegamento 0023_-380)
Azioni sul collegamento: N=-4931.25 Ty=-0.33 Tz=-5.26 Mx=-0.01 Mz=-0.80
Sollecitazioni agenti localmente: Tx_l=-0.33 Ty_l=-5.26 N_l=-4931.25 My_l=0.80 Mz_l=-0.01
Azioni sul cordone: TP=-0.02 TO=-0.38 NO=-364.52
Tensioni nel cordone: τ_P=5.78E-03 τ_O=0.12 σ_O=117.04 σ_{ID}=117.04 Σ_T=117.16
CC 22 SLD (Collegamento 0023_-380)
Azioni sul collegamento: N=-4931.25 Ty=-0.53 Tz=-5.26 Mx=-0.01 Mz=-1.20
Sollecitazioni agenti localmente: Tx_l=-0.53 Ty_l=-5.26 N_l=-4931.25 My_l=1.20 Mz_l=-0.01
Azioni sul cordone: TP=-0.03 TO=-0.38 NO=-364.52
Tensioni nel cordone: τ_P= 0.01 τ_O=0.12 σ_O=117.62 σ_{ID}=117.62 Σ_T=117.74
CC 22 SLD (Collegamento 0023_-380)
Azioni sul collegamento: N=-4931.25 Ty=-0.33 Tz=-0.05 Mx=-0.01 Mz=-0.80
Sollecitazioni agenti localmente: Tx_l=-0.33 Ty_l=-0.05 N_l=-4931.25 My_l=0.80 Mz_l=-0.01
Azioni sul cordone: TP=-0.02 TO=0.00 NO=-364.52
Tensioni nel cordone: τ_P=5.78E-03 τ_O=1.26E-04 σ_O=117.04 σ_{ID}=117.04 Σ_T=117.04
CC 22 SLD (Collegamento 0023_-380)
Azioni sul collegamento: N=-4931.25 Ty=-0.53 Tz=-0.05 Mx=-0.01 Mz=-1.20
Sollecitazioni agenti localmente: Tx_l=-0.53 Ty_l=-0.05 N_l=-4931.25 My_l=1.20 Mz_l=-0.01
Azioni sul cordone: TP=-0.03 TO=0.00 NO=-364.52
Tensioni nel cordone: τ_P= 0.01 τ_O=1.26E-04 σ_O=117.62 σ_{ID}=117.62 Σ_T=117.62
CC 23 SLV (Collegamento 0023_-380)
Azioni sul collegamento: N=-7936.99 Ty=-1.59 Tz=-11.19 Mx=-0.01 Mz=-3.75
Sollecitazioni agenti localmente: Tx_l=-1.59 Ty_l=-11.19 N_l=-7936.99 My_l=3.75 Mz_l=-0.01
Azioni sul cordone: TP=-0.10 TO=-0.82 NO=-586.71
Tensioni nel cordone: τ_P= 0.03 τ_O=0.26 σ_O=191.97 σ_{ID}=191.97 Σ_T=192.23
CC 23 SLV (Collegamento 0023_-380)
Azioni sul collegamento: N=-7936.99 Ty=-0.88 Tz=-11.19 Mx=-0.01 Mz=-2.36
Sollecitazioni agenti localmente: Tx_l=-0.88 Ty_l=-11.19 N_l=-7936.99 My_l=2.36 Mz_l=-0.01
Azioni sul cordone: TP=-0.05 TO=-0.82 NO=-586.71
Tensioni nel cordone: τ_P= 0.02 τ_O=0.26 σ_O=189.93 σ_{ID}=189.93 Σ_T=190.19
CC 23 SLV (Collegamento 0023_-380)
Azioni sul collegamento: N=-7936.99 Ty=-1.59 Tz=5.89 Mx=-0.01 Mz=-3.75
Sollecitazioni agenti localmente: Tx_l=-1.59 Ty_l=5.89 N_l=-7936.99 My_l=3.75 Mz_l=-0.01
Azioni sul cordone: TP=-0.10 TO=0.44 NO=-586.71
Tensioni nel cordone: τ_P= 0.03 τ_O=0.14 σ_O=191.97 σ_{ID}=191.97 Σ_T=192.11
CC 23 SLV (Collegamento 0023_-380)
Azioni sul collegamento: N=-7936.99 Ty=-0.88 Tz=5.89 Mx=-0.01 Mz=-2.36
Sollecitazioni agenti localmente: Tx_l=-0.88 Ty_l=5.89 N_l=-7936.99 My_l=2.36 Mz_l=-0.01
Azioni sul cordone: TP=-0.05 TO=0.44 NO=-586.71
Tensioni nel cordone: τ_P= 0.02 τ_O=0.14 σ_O=189.93 σ_{ID}=189.93 Σ_T=190.07
CC 23 SLV (Collegamento 0023_-380)
Azioni sul collegamento: N=-3330.52 Ty=-1.59 Tz=-11.19 Mx=-0.01 Mz=-3.75
Sollecitazioni agenti localmente: Tx_l=-1.59 Ty_l=-11.19 N_l=-3330.52 My_l=3.75 Mz_l=-0.01
Azioni sul cordone: TP=-0.10 TO=-0.82 NO=-246.19
Tensioni nel cordone: τ_P= 0.03 τ_O=0.26 σ_O=83.74 σ_{ID}=83.74 Σ_T=84.00
CC 23 SLV (Collegamento 0023_-380)
Azioni sul collegamento: N=-3330.52 Ty=-0.88 Tz=-11.19 Mx=-0.01 Mz=-2.36
Sollecitazioni agenti localmente: Tx_l=-0.88 Ty_l=-11.19 N_l=-3330.52 My_l=2.36 Mz_l=-0.01
Azioni sul cordone: TP=-0.05 TO=-0.82 NO=-246.19
Tensioni nel cordone: τ_P= 0.02 τ_O=0.26 σ_O=81.70 σ_{ID}=81.70 Σ_T=81.96
CC 23 SLV (Collegamento 0023_-380)
Azioni sul collegamento: N=-3330.52 Ty=-1.59 Tz=5.89 Mx=-0.01 Mz=-3.75
Sollecitazioni agenti localmente: Tx_l=-1.59 Ty_l=5.89 N_l=-3330.52 My_l=3.75 Mz_l=-0.01
Azioni sul cordone: TP=-0.10 TO=0.44 NO=-246.19
Tensioni nel cordone: τ_P= 0.03 τ_O=0.14 σ_O=83.74 σ_{ID}=83.74 Σ_T=83.88
CC 23 SLV (Collegamento 0023_-380)
Azioni sul collegamento: N=-3330.52 Ty=-0.88 Tz=5.89 Mx=-0.01 Mz=-2.36
Sollecitazioni agenti localmente: Tx_l=-0.88 Ty_l=5.89 N_l=-3330.52 My_l=2.36 Mz_l=-0.01
Azioni sul cordone: TP=-0.05 TO=0.44 NO=-246.19
Tensioni nel cordone: τ_P= 0.02 τ_O=0.14 σ_O=81.70 σ_{ID}=81.70 Σ_T=81.84

CC 24 SLD (Collegamento 0023_-380)
Azioni sul collegamento: N=-6335.90 Ty=-0.54 Tz=-5.26 Mx=-0.00 Mz=-1.22
Sollecitazioni agenti localmente: Tx_l=-0.54 Ty_l=-5.26 N_l=-6335.90 My_l=1.22 Mz_l=-0.00
Azioni sul cordone: TP=-0.04 TO=-0.39 NO=-468.35
Tensioni nel cordone: τ_P= 0.01 τ_O=0.12 σ_O=150.64 σ_{ID}=150.64 Σ_T=150.76
CC 24 SLD (Collegamento 0023_-380)
Azioni sul collegamento: N=-6335.90 Ty=-0.32 Tz=-5.26 Mx=-0.00 Mz=-0.79
Sollecitazioni agenti localmente: Tx_l=-0.32 Ty_l=-5.26 N_l=-6335.90 My_l=0.79 Mz_l=-0.00
Azioni sul cordone: TP=-0.02 TO=-0.39 NO=-468.35
Tensioni nel cordone: τ_P=6.26E-03 τ_O=0.12 σ_O=150.02 σ_{ID}=150.02 Σ_T=150.14
CC 24 SLD (Collegamento 0023_-380)
Azioni sul collegamento: N=-6335.90 Ty=-0.54 Tz=-0.05 Mx=-0.00 Mz=-1.22
Sollecitazioni agenti localmente: Tx_l=-0.54 Ty_l=-0.05 N_l=-6335.90 My_l=1.22 Mz_l=-0.00
Azioni sul cordone: TP=-0.04 TO=-0.00 NO=-468.35
Tensioni nel cordone: τ_P= 0.01 τ_O=2.70E-04 σ_O=150.64 σ_{ID}=150.64 Σ_T=150.64
CC 24 SLD (Collegamento 0023_-380)
Azioni sul collegamento: N=-6335.90 Ty=-0.32 Tz=-0.05 Mx=-0.00 Mz=-0.79
Sollecitazioni agenti localmente: Tx_l=-0.32 Ty_l=-0.05 N_l=-6335.90 My_l=0.79 Mz_l=-0.00
Azioni sul cordone: TP=-0.02 TO=-0.00 NO=-468.35
Tensioni nel cordone: τ_P=6.26E-03 τ_O=2.70E-04 σ_O=150.02 σ_{ID}=150.02 Σ_T=150.02
CC 24 SLD (Collegamento 0023_-380)
Azioni sul collegamento: N=-4931.25 Ty=-0.54 Tz=-5.26 Mx=-0.00 Mz=-1.22
Sollecitazioni agenti localmente: Tx_l=-0.54 Ty_l=-5.26 N_l=-4931.25 My_l=1.22 Mz_l=-0.00
Azioni sul cordone: TP=-0.04 TO=-0.39 NO=-364.52
Tensioni nel cordone: τ_P= 0.01 τ_O=0.12 σ_O=117.64 σ_{ID}=117.64 Σ_T=117.76
CC 24 SLD (Collegamento 0023_-380)
Azioni sul collegamento: N=-4931.25 Ty=-0.32 Tz=-5.26 Mx=-0.00 Mz=-0.79
Sollecitazioni agenti localmente: Tx_l=-0.32 Ty_l=-5.26 N_l=-4931.25 My_l=0.79 Mz_l=-0.00
Azioni sul cordone: TP=-0.02 TO=-0.39 NO=-364.52
Tensioni nel cordone: τ_P=6.26E-03 τ_O=0.12 σ_O=117.02 σ_{ID}=117.02 Σ_T=117.14
CC 24 SLD (Collegamento 0023_-380)
Azioni sul collegamento: N=-4931.25 Ty=-0.54 Tz=-0.05 Mx=-0.00 Mz=-1.22
Sollecitazioni agenti localmente: Tx_l=-0.54 Ty_l=-0.05 N_l=-4931.25 My_l=1.22 Mz_l=-0.00
Azioni sul cordone: TP=-0.04 TO=-0.00 NO=-364.52
Tensioni nel cordone: τ_P= 0.01 τ_O=2.73E-04 σ_O=117.64 σ_{ID}=117.64 Σ_T=117.64
CC 24 SLD (Collegamento 0023_-380)
Azioni sul collegamento: N=-4931.25 Ty=-0.32 Tz=-0.05 Mx=-0.00 Mz=-0.79
Sollecitazioni agenti localmente: Tx_l=-0.32 Ty_l=-0.05 N_l=-4931.25 My_l=0.79 Mz_l=-0.00
Azioni sul cordone: TP=-0.02 TO=-0.00 NO=-364.52
Tensioni nel cordone: τ_P=6.26E-03 τ_O=2.73E-04 σ_O=117.02 σ_{ID}=117.02 Σ_T=117.02
CC 25 SLV (Collegamento 0023_-380)
Azioni sul collegamento: N=-4942.75 Ty=-0.08 Tz=-0.09 Mx=-0.02 Mz=-0.80
Sollecitazioni agenti localmente: Tx_l=-0.08 Ty_l=-0.09 N_l=-4942.75 My_l=0.80 Mz_l=-0.02
Azioni sul cordone: TP=0.02 TO=0.01 NO=-365.37
Tensioni nel cordone: τ_P=6.24E-03 τ_O=3.55E-03 σ_O=117.30 σ_{ID}=117.30 Σ_T=117.30
CC 25 SLV (Collegamento 0023_-380)
Azioni sul collegamento: N=-4942.75 Ty=-2.39 Tz=-0.09 Mx=-0.02 Mz=-5.32
Sollecitazioni agenti localmente: Tx_l=-2.39 Ty_l=-0.09 N_l=-4942.75 My_l=5.32 Mz_l=-0.02
Azioni sul cordone: TP=-0.15 TO=0.01 NO=-365.37
Tensioni nel cordone: τ_P= 0.05 τ_O=3.55E-03 σ_O=123.90 σ_{ID}=123.90 Σ_T=123.91
CC 25 SLV (Collegamento 0023_-380)
Azioni sul collegamento: N=-4942.75 Ty=-0.08 Tz=-5.22 Mx=-0.02 Mz=-0.80
Sollecitazioni agenti localmente: Tx_l=-0.08 Ty_l=-5.22 N_l=-4942.75 My_l=0.80 Mz_l=-0.02
Azioni sul cordone: TP=0.02 TO=-0.37 NO=-365.37
Tensioni nel cordone: τ_P=6.24E-03 τ_O=0.12 σ_O=117.30 σ_{ID}=117.30 Σ_T=117.41
CC 25 SLV (Collegamento 0023_-380)
Azioni sul collegamento: N=-4942.75 Ty=-2.39 Tz=-5.22 Mx=-0.02 Mz=-5.32
Sollecitazioni agenti localmente: Tx_l=-2.39 Ty_l=-5.22 N_l=-4942.75 My_l=5.32 Mz_l=-0.02
Azioni sul cordone: TP=-0.15 TO=-0.37 NO=-365.37
Tensioni nel cordone: τ_P= 0.05 τ_O=0.12 σ_O=123.90 σ_{ID}=123.90 Σ_T=124.02
CC 25 SLV (Collegamento 0023_-380)
Azioni sul collegamento: N=-6324.76 Ty=-0.08 Tz=-0.09 Mx=-0.02 Mz=-0.80
Sollecitazioni agenti localmente: Tx_l=-0.08 Ty_l=-0.09 N_l=-6324.76 My_l=0.80 Mz_l=-0.02
Azioni sul cordone: TP=0.02 TO=0.01 NO=-467.53
Tensioni nel cordone: τ_P=6.24E-03 τ_O=3.56E-03 σ_O=149.77 σ_{ID}=149.77 Σ_T=149.77
CC 25 SLV (Collegamento 0023_-380)
Azioni sul collegamento: N=-6324.76 Ty=-2.39 Tz=-0.09 Mx=-0.02 Mz=-5.32
Sollecitazioni agenti localmente: Tx_l=-2.39 Ty_l=-0.09 N_l=-6324.76 My_l=5.32 Mz_l=-0.02
Azioni sul cordone: TP=-0.15 TO=0.01 NO=-467.53
Tensioni nel cordone: τ_P= 0.05 τ_O=3.56E-03 σ_O=156.37 σ_{ID}=156.37 Σ_T=156.38
CC 25 SLV (Collegamento 0023_-380)
Azioni sul collegamento: N=-6324.76 Ty=-0.08 Tz=-5.22 Mx=-0.02 Mz=-0.80
Sollecitazioni agenti localmente: Tx_l=-0.08 Ty_l=-5.22 N_l=-6324.76 My_l=0.80 Mz_l=-0.02
Azioni sul cordone: TP=0.02 TO=-0.37 NO=-467.53
Tensioni nel cordone: τ_P=6.24E-03 τ_O=0.12 σ_O=149.77 σ_{ID}=149.77 Σ_T=149.88
CC 25 SLV (Collegamento 0023_-380)
Azioni sul collegamento: N=-6324.76 Ty=-2.39 Tz=-5.22 Mx=-0.02 Mz=-5.32
Sollecitazioni agenti localmente: Tx_l=-2.39 Ty_l=-5.22 N_l=-6324.76 My_l=5.32 Mz_l=-0.02
Azioni sul cordone: TP=-0.15 TO=-0.37 NO=-467.53

Tensioni nel cordone: τ_P= 0.05 τ_0=0.12 σ_0=156.37 σ_{ID}=156.37 Σ_T=156.49
CC 26 SLD (Collegamento 0023_-380)
Azioni sul collegamento: N=-5422.87 Ty=-0.08 Tz=-1.87 Mx=-0.01 Mz=-0.31
Sollecitazioni agenti localmente: Tx_l=-0.08 Ty_l=-1.87 N_l=-5422.87 My_l=0.31 Mz_l=-0.01
Azioni sul cordone: TP=0.00 TO=-0.13 NO=-400.86
Tensioni nel cordone: τ_P=7.56E-04 τ_0= 0.04 σ_0=127.87 σ_{ID}=127.87 Σ_T=127.92
CC 26 SLD (Collegamento 0023_-380)
Azioni sul collegamento: N=-5422.87 Ty=-0.78 Tz=-1.87 Mx=-0.01 Mz=-1.69
Sollecitazioni agenti localmente: Tx_l=-0.78 Ty_l=-1.87 N_l=-5422.87 My_l=1.69 Mz_l=-0.01
Azioni sul cordone: TP=-0.05 TO=-0.13 NO=-400.86
Tensioni nel cordone: τ_P= 0.02 τ_0= 0.04 σ_0=129.89 σ_{ID}=129.89 Σ_T=129.93
CC 26 SLD (Collegamento 0023_-380)
Azioni sul collegamento: N=-5422.87 Ty=-0.08 Tz=-3.44 Mx=-0.01 Mz=-0.31
Sollecitazioni agenti localmente: Tx_l=-0.08 Ty_l=-3.44 N_l=-5422.87 My_l=0.31 Mz_l=-0.01
Azioni sul cordone: TP=0.00 TO=-0.25 NO=-400.86
Tensioni nel cordone: τ_P=7.56E-04 τ_0= 0.08 σ_0=127.87 σ_{ID}=127.87 Σ_T=127.95
CC 26 SLD (Collegamento 0023_-380)
Azioni sul collegamento: N=-5422.87 Ty=-0.78 Tz=-3.44 Mx=-0.01 Mz=-1.69
Sollecitazioni agenti localmente: Tx_l=-0.78 Ty_l=-3.44 N_l=-5422.87 My_l=1.69 Mz_l=-0.01
Azioni sul cordone: TP=-0.05 TO=-0.25 NO=-400.86
Tensioni nel cordone: τ_P= 0.02 τ_0= 0.08 σ_0=129.89 σ_{ID}=129.89 Σ_T=129.97
CC 26 SLD (Collegamento 0023_-380)
Azioni sul collegamento: N=-5844.28 Ty=-0.08 Tz=-1.87 Mx=-0.01 Mz=-0.31
Sollecitazioni agenti localmente: Tx_l=-0.08 Ty_l=-1.87 N_l=-5844.28 My_l=0.31 Mz_l=-0.01
Azioni sul cordone: TP=0.00 TO=-0.13 NO=-432.01
Tensioni nel cordone: τ_P=7.56E-04 τ_0= 0.04 σ_0=137.77 σ_{ID}=137.77 Σ_T=137.82
CC 26 SLD (Collegamento 0023_-380)
Azioni sul collegamento: N=-5844.28 Ty=-0.78 Tz=-1.87 Mx=-0.01 Mz=-1.69
Sollecitazioni agenti localmente: Tx_l=-0.78 Ty_l=-1.87 N_l=-5844.28 My_l=1.69 Mz_l=-0.01
Azioni sul cordone: TP=-0.05 TO=-0.13 NO=-432.01
Tensioni nel cordone: τ_P= 0.02 τ_0= 0.04 σ_0=139.79 σ_{ID}=139.79 Σ_T=139.83
CC 26 SLD (Collegamento 0023_-380)
Azioni sul collegamento: N=-5844.28 Ty=-0.08 Tz=-3.44 Mx=-0.01 Mz=-0.31
Sollecitazioni agenti localmente: Tx_l=-0.08 Ty_l=-3.44 N_l=-5844.28 My_l=0.31 Mz_l=-0.01
Azioni sul cordone: TP=0.00 TO=-0.25 NO=-432.01
Tensioni nel cordone: τ_P=7.56E-04 τ_0= 0.08 σ_0=137.77 σ_{ID}=137.77 Σ_T=137.85
CC 26 SLD (Collegamento 0023_-380)
Azioni sul collegamento: N=-5844.28 Ty=-0.78 Tz=-3.44 Mx=-0.01 Mz=-1.69
Sollecitazioni agenti localmente: Tx_l=-0.78 Ty_l=-3.44 N_l=-5844.28 My_l=1.69 Mz_l=-0.01
Azioni sul cordone: TP=-0.05 TO=-0.25 NO=-432.01
Tensioni nel cordone: τ_P= 0.02 τ_0= 0.08 σ_0=139.79 σ_{ID}=139.79 Σ_T=139.87
CC 27 SLV (Collegamento 0023_-380)
Azioni sul collegamento: N=-6324.69 Ty=-0.09 Tz=-5.21 Mx=-0.02 Mz=-0.81
Sollecitazioni agenti localmente: Tx_l=-0.09 Ty_l=-5.21 N_l=-6324.69 My_l=0.81 Mz_l=-0.02
Azioni sul cordone: TP=0.02 TO=-0.37 NO=-467.52
Tensioni nel cordone: τ_P=6.13E-03 τ_0=0.12 σ_0=149.78 σ_{ID}=149.78 Σ_T=149.90
CC 27 SLV (Collegamento 0023_-380)
Azioni sul collegamento: N=-6324.69 Ty=-2.39 Tz=-5.21 Mx=-0.02 Mz=-5.31
Sollecitazioni agenti localmente: Tx_l=-2.39 Ty_l=-5.21 N_l=-6324.69 My_l=5.31 Mz_l=-0.02
Azioni sul cordone: TP=-0.15 TO=-0.37 NO=-467.52
Tensioni nel cordone: τ_P= 0.05 τ_0=0.12 σ_0=156.35 σ_{ID}=156.35 Σ_T=156.47
CC 27 SLV (Collegamento 0023_-380)
Azioni sul collegamento: N=-6324.69 Ty=-0.09 Tz=-0.09 Mx=-0.02 Mz=-0.81
Sollecitazioni agenti localmente: Tx_l=-0.09 Ty_l=-0.09 N_l=-6324.69 My_l=0.81 Mz_l=-0.02
Azioni sul cordone: TP=0.02 TO=0.01 NO=-467.52
Tensioni nel cordone: τ_P=6.13E-03 τ_0=3.50E-03 σ_0=149.78 σ_{ID}=149.78 Σ_T=149.79
CC 27 SLV (Collegamento 0023_-380)
Azioni sul collegamento: N=-6324.69 Ty=-2.39 Tz=-0.09 Mx=-0.02 Mz=-5.31
Sollecitazioni agenti localmente: Tx_l=-2.39 Ty_l=-0.09 N_l=-6324.69 My_l=5.31 Mz_l=-0.02
Azioni sul cordone: TP=-0.15 TO=0.01 NO=-467.52
Tensioni nel cordone: τ_P= 0.05 τ_0=3.50E-03 σ_0=156.35 σ_{ID}=156.35 Σ_T=156.36
CC 27 SLV (Collegamento 0023_-380)
Azioni sul collegamento: N=-4942.83 Ty=-0.09 Tz=-5.21 Mx=-0.02 Mz=-0.81
Sollecitazioni agenti localmente: Tx_l=-0.09 Ty_l=-5.21 N_l=-4942.83 My_l=0.81 Mz_l=-0.02
Azioni sul cordone: TP=0.02 TO=-0.37 NO=-365.38
Tensioni nel cordone: τ_P=6.13E-03 τ_0=0.12 σ_0=117.31 σ_{ID}=117.31 Σ_T=117.43
CC 27 SLV (Collegamento 0023_-380)
Azioni sul collegamento: N=-4942.83 Ty=-2.39 Tz=-5.21 Mx=-0.02 Mz=-5.31
Sollecitazioni agenti localmente: Tx_l=-2.39 Ty_l=-5.21 N_l=-4942.83 My_l=5.31 Mz_l=-0.02
Azioni sul cordone: TP=-0.15 TO=-0.37 NO=-365.38
Tensioni nel cordone: τ_P= 0.05 τ_0=0.12 σ_0=123.89 σ_{ID}=123.89 Σ_T=124.00
CC 27 SLV (Collegamento 0023_-380)
Azioni sul collegamento: N=-4942.83 Ty=-0.09 Tz=-0.09 Mx=-0.02 Mz=-0.81
Sollecitazioni agenti localmente: Tx_l=-0.09 Ty_l=-0.09 N_l=-4942.83 My_l=0.81 Mz_l=-0.02
Azioni sul cordone: TP=0.02 TO=0.01 NO=-365.38
Tensioni nel cordone: τ_P=6.13E-03 τ_0=3.49E-03 σ_0=117.31 σ_{ID}=117.31 Σ_T=117.32
CC 27 SLV (Collegamento 0023_-380)
Azioni sul collegamento: N=-4942.83 Ty=-2.39 Tz=-0.09 Mx=-0.02 Mz=-5.31
Sollecitazioni agenti localmente: Tx_l=-2.39 Ty_l=-0.09 N_l=-4942.83 My_l=5.31 Mz_l=-0.02

Azioni sul cordone: TP=-0.15 TO=0.01 NO=-365.38
Tensioni nel cordone: τ_P= 0.05 τ_O=3.49E-03 σ_O=123.89 σ_{ID}=123.89 Σ_T=123.89
CC 28 SLD (Collegamento 0023_-380)
Azioni sul collegamento: N=-5844.26 Ty=-0.08 Tz=-3.43 Mx=-0.01 Mz=-0.32
Sollecitazioni agenti localmente: Tx_l=-0.08 Ty_l=-3.43 N_l=-5844.26 My_l=0.32 Mz_l=-0.01
Azioni sul cordone: TP=0.00 TO=-0.25 NO=-432.01
Tensioni nel cordone: τ_P=7.20E-04 τ_O= 0.08 σ_O=137.78 σ_{ID}=137.78 Σ_T=137.86
CC 28 SLD (Collegamento 0023_-380)
Azioni sul collegamento: N=-5844.26 Ty=-0.78 Tz=-3.43 Mx=-0.01 Mz=-1.69
Sollecitazioni agenti localmente: Tx_l=-0.78 Ty_l=-3.43 N_l=-5844.26 My_l=1.69 Mz_l=-0.01
Azioni sul cordone: TP=-0.05 TO=-0.25 NO=-432.01
Tensioni nel cordone: τ_P= 0.02 τ_O= 0.08 σ_O=139.78 σ_{ID}=139.78 Σ_T=139.86
CC 28 SLD (Collegamento 0023_-380)
Azioni sul collegamento: N=-5844.26 Ty=-0.08 Tz=-1.87 Mx=-0.01 Mz=-0.32
Sollecitazioni agenti localmente: Tx_l=-0.08 Ty_l=-1.87 N_l=-5844.26 My_l=0.32 Mz_l=-0.01
Azioni sul cordone: TP=0.00 TO=-0.13 NO=-432.01
Tensioni nel cordone: τ_P=7.20E-04 τ_O= 0.04 σ_O=137.78 σ_{ID}=137.78 Σ_T=137.82
CC 28 SLD (Collegamento 0023_-380)
Azioni sul collegamento: N=-5844.26 Ty=-0.78 Tz=-1.87 Mx=-0.01 Mz=-1.69
Sollecitazioni agenti localmente: Tx_l=-0.78 Ty_l=-1.87 N_l=-5844.26 My_l=1.69 Mz_l=-0.01
Azioni sul cordone: TP=-0.05 TO=-0.13 NO=-432.01
Tensioni nel cordone: τ_P= 0.02 τ_O= 0.04 σ_O=139.78 σ_{ID}=139.78 Σ_T=139.82
CC 28 SLD (Collegamento 0023_-380)
Azioni sul collegamento: N=-5422.89 Ty=-0.08 Tz=-3.43 Mx=-0.01 Mz=-0.32
Sollecitazioni agenti localmente: Tx_l=-0.08 Ty_l=-3.43 N_l=-5422.89 My_l=0.32 Mz_l=-0.01
Azioni sul cordone: TP=0.00 TO=-0.25 NO=-400.86
Tensioni nel cordone: τ_P=7.20E-04 τ_O= 0.08 σ_O=127.88 σ_{ID}=127.88 Σ_T=127.96
CC 28 SLD (Collegamento 0023_-380)
Azioni sul collegamento: N=-5422.89 Ty=-0.78 Tz=-3.43 Mx=-0.01 Mz=-1.69
Sollecitazioni agenti localmente: Tx_l=-0.78 Ty_l=-3.43 N_l=-5422.89 My_l=1.69 Mz_l=-0.01
Azioni sul cordone: TP=-0.05 TO=-0.25 NO=-400.86
Tensioni nel cordone: τ_P= 0.02 τ_O= 0.08 σ_O=129.88 σ_{ID}=129.88 Σ_T=129.96
CC 28 SLD (Collegamento 0023_-380)
Azioni sul collegamento: N=-5422.89 Ty=-0.08 Tz=-1.87 Mx=-0.01 Mz=-0.32
Sollecitazioni agenti localmente: Tx_l=-0.08 Ty_l=-1.87 N_l=-5422.89 My_l=0.32 Mz_l=-0.01
Azioni sul cordone: TP=0.00 TO=-0.13 NO=-400.86
Tensioni nel cordone: τ_P=7.20E-04 τ_O= 0.04 σ_O=127.88 σ_{ID}=127.88 Σ_T=127.92
CC 28 SLD (Collegamento 0023_-380)
Azioni sul collegamento: N=-5422.89 Ty=-0.78 Tz=-1.87 Mx=-0.01 Mz=-1.69
Sollecitazioni agenti localmente: Tx_l=-0.78 Ty_l=-1.87 N_l=-5422.89 My_l=1.69 Mz_l=-0.01
Azioni sul cordone: TP=-0.05 TO=-0.13 NO=-400.86
Tensioni nel cordone: τ_P= 0.02 τ_O= 0.04 σ_O=129.88 σ_{ID}=129.88 Σ_T=129.92
CC 29 SLV (Collegamento 0023_-380)
Azioni sul collegamento: N=-4942.83 Ty=-2.39 Tz=-0.09 Mx=-0.00 Mz=-5.31
Sollecitazioni agenti localmente: Tx_l=-2.39 Ty_l=-0.09 N_l=-4942.83 My_l=5.31 Mz_l=-0.00
Azioni sul cordone: TP=-0.17 TO=-0.00 NO=-365.38
Tensioni nel cordone: τ_P= 0.05 τ_O=8.98E-04 σ_O=123.89 σ_{ID}=123.89 Σ_T=123.89
CC 29 SLV (Collegamento 0023_-380)
Azioni sul collegamento: N=-4942.83 Ty=-0.09 Tz=-0.09 Mx=-0.00 Mz=-0.81
Sollecitazioni agenti localmente: Tx_l=-0.09 Ty_l=-0.09 N_l=-4942.83 My_l=0.81 Mz_l=-0.00
Azioni sul cordone: TP=-0.00 TO=-0.00 NO=-365.38
Tensioni nel cordone: τ_P=2.12E-04 τ_O=8.98E-04 σ_O=117.31 σ_{ID}=117.31 Σ_T=117.32
CC 29 SLV (Collegamento 0023_-380)
Azioni sul collegamento: N=-4942.83 Ty=-2.39 Tz=-5.21 Mx=-0.00 Mz=-5.31
Sollecitazioni agenti localmente: Tx_l=-2.39 Ty_l=-5.21 N_l=-4942.83 My_l=5.31 Mz_l=-0.00
Azioni sul cordone: TP=-0.17 TO=-0.38 NO=-365.38
Tensioni nel cordone: τ_P= 0.05 τ_O=0.12 σ_O=123.89 σ_{ID}=123.89 Σ_T=124.01
CC 29 SLV (Collegamento 0023_-380)
Azioni sul collegamento: N=-4942.83 Ty=-0.09 Tz=-5.21 Mx=-0.00 Mz=-0.81
Sollecitazioni agenti localmente: Tx_l=-0.09 Ty_l=-5.21 N_l=-4942.83 My_l=0.81 Mz_l=-0.00
Azioni sul cordone: TP=-0.00 TO=-0.38 NO=-365.38
Tensioni nel cordone: τ_P=2.12E-04 τ_O=0.12 σ_O=117.31 σ_{ID}=117.31 Σ_T=117.44
CC 29 SLV (Collegamento 0023_-380)
Azioni sul collegamento: N=-6324.69 Ty=-2.39 Tz=-0.09 Mx=-0.00 Mz=-5.31
Sollecitazioni agenti localmente: Tx_l=-2.39 Ty_l=-0.09 N_l=-6324.69 My_l=5.31 Mz_l=-0.00
Azioni sul cordone: TP=-0.17 TO=-0.00 NO=-467.52
Tensioni nel cordone: τ_P= 0.05 τ_O=8.88E-04 σ_O=156.35 σ_{ID}=156.35 Σ_T=156.35
CC 29 SLV (Collegamento 0023_-380)
Azioni sul collegamento: N=-6324.69 Ty=-0.09 Tz=-0.09 Mx=-0.00 Mz=-0.81
Sollecitazioni agenti localmente: Tx_l=-0.09 Ty_l=-0.09 N_l=-6324.69 My_l=0.81 Mz_l=-0.00
Azioni sul cordone: TP=-0.00 TO=-0.00 NO=-467.52
Tensioni nel cordone: τ_P=2.12E-04 τ_O=8.88E-04 σ_O=149.78 σ_{ID}=149.78 Σ_T=149.78
CC 29 SLV (Collegamento 0023_-380)
Azioni sul collegamento: N=-6324.69 Ty=-2.39 Tz=-5.21 Mx=-0.00 Mz=-5.31
Sollecitazioni agenti localmente: Tx_l=-2.39 Ty_l=-5.21 N_l=-6324.69 My_l=5.31 Mz_l=-0.00
Azioni sul cordone: TP=-0.17 TO=-0.38 NO=-467.52
Tensioni nel cordone: τ_P= 0.05 τ_O=0.12 σ_O=156.35 σ_{ID}=156.35 Σ_T=156.47
CC 29 SLV (Collegamento 0023_-380)
Azioni sul collegamento: N=-6324.69 Ty=-0.09 Tz=-5.21 Mx=-0.00 Mz=-0.81

Sollecitazioni agenti localmente: Tx_l=-0.09 Ty_l=-5.21 N_l=-6324.69 My_l=0.81 Mz_l=-0.00
Azioni sul cordone: TP=-0.00 TO=-0.38 NO=-467.52
Tensioni nel cordone: τ_P=2.12E-04 τ_O=0.12 σ_O=149.78 σ_{ID}=149.78 Σ_T=149.90
CC 30 SLD (Collegamento 0023_-380)
Azioni sul collegamento: N=-5422.89 Ty=-0.78 Tz=-1.87 Mx=-0.00 Mz=-1.69
Sollecitazioni agenti localmente: Tx_l=-0.78 Ty_l=-1.87 N_l=-5422.89 My_l=1.69 Mz_l=-0.00
Azioni sul cordone: TP=-0.06 TO=-0.14 NO=-400.86
Tensioni nel cordone: τ_P= 0.02 τ_O= 0.04 σ_O=129.88 σ_{ID}=129.88 Σ_T=129.93
CC 30 SLD (Collegamento 0023_-380)
Azioni sul collegamento: N=-5422.89 Ty=-0.08 Tz=-1.87 Mx=-0.00 Mz=-0.32
Sollecitazioni agenti localmente: Tx_l=-0.08 Ty_l=-1.87 N_l=-5422.89 My_l=0.32 Mz_l=-0.00
Azioni sul cordone: TP=-0.00 TO=-0.14 NO=-400.86
Tensioni nel cordone: τ_P=1.21E-03 τ_O= 0.04 σ_O=127.88 σ_{ID}=127.88 Σ_T=127.92
CC 30 SLD (Collegamento 0023_-380)
Azioni sul collegamento: N=-5422.89 Ty=-0.78 Tz=-3.43 Mx=-0.00 Mz=-1.69
Sollecitazioni agenti localmente: Tx_l=-0.78 Ty_l=-3.43 N_l=-5422.89 My_l=1.69 Mz_l=-0.00
Azioni sul cordone: TP=-0.06 TO=-0.25 NO=-400.86
Tensioni nel cordone: τ_P= 0.02 τ_O= 0.08 σ_O=129.88 σ_{ID}=129.88 Σ_T=129.96
CC 30 SLD (Collegamento 0023_-380)
Azioni sul collegamento: N=-5422.89 Ty=-0.08 Tz=-3.43 Mx=-0.00 Mz=-0.32
Sollecitazioni agenti localmente: Tx_l=-0.08 Ty_l=-3.43 N_l=-5422.89 My_l=0.32 Mz_l=-0.00
Azioni sul cordone: TP=-0.00 TO=-0.25 NO=-400.86
Tensioni nel cordone: τ_P=1.21E-03 τ_O= 0.08 σ_O=127.88 σ_{ID}=127.88 Σ_T=127.96
CC 30 SLD (Collegamento 0023_-380)
Azioni sul collegamento: N=-5844.26 Ty=-0.78 Tz=-1.87 Mx=-0.00 Mz=-1.69
Sollecitazioni agenti localmente: Tx_l=-0.78 Ty_l=-1.87 N_l=-5844.26 My_l=1.69 Mz_l=-0.00
Azioni sul cordone: TP=-0.06 TO=-0.14 NO=-432.01
Tensioni nel cordone: τ_P= 0.02 τ_O= 0.04 σ_O=139.78 σ_{ID}=139.78 Σ_T=139.83
CC 30 SLD (Collegamento 0023_-380)
Azioni sul collegamento: N=-5844.26 Ty=-0.08 Tz=-1.87 Mx=-0.00 Mz=-0.32
Sollecitazioni agenti localmente: Tx_l=-0.08 Ty_l=-1.87 N_l=-5844.26 My_l=0.32 Mz_l=-0.00
Azioni sul cordone: TP=-0.00 TO=-0.14 NO=-432.01
Tensioni nel cordone: τ_P=1.21E-03 τ_O= 0.04 σ_O=137.78 σ_{ID}=137.78 Σ_T=137.82
CC 30 SLD (Collegamento 0023_-380)
Azioni sul collegamento: N=-5844.26 Ty=-0.78 Tz=-3.43 Mx=-0.00 Mz=-1.69
Sollecitazioni agenti localmente: Tx_l=-0.78 Ty_l=-3.43 N_l=-5844.26 My_l=1.69 Mz_l=-0.00
Azioni sul cordone: TP=-0.06 TO=-0.25 NO=-432.01
Tensioni nel cordone: τ_P= 0.02 τ_O= 0.08 σ_O=139.78 σ_{ID}=139.78 Σ_T=139.86
CC 30 SLD (Collegamento 0023_-380)
Azioni sul collegamento: N=-5844.26 Ty=-0.08 Tz=-3.43 Mx=-0.00 Mz=-0.32
Sollecitazioni agenti localmente: Tx_l=-0.08 Ty_l=-3.43 N_l=-5844.26 My_l=0.32 Mz_l=-0.00
Azioni sul cordone: TP=-0.00 TO=-0.25 NO=-432.01
Tensioni nel cordone: τ_P=1.21E-03 τ_O= 0.08 σ_O=137.78 σ_{ID}=137.78 Σ_T=137.86
CC 31 SLV (Collegamento 0023_-380)
Azioni sul collegamento: N=-6324.76 Ty=-2.39 Tz=-5.22 Mx=-0.00 Mz=-5.32
Sollecitazioni agenti localmente: Tx_l=-2.39 Ty_l=-5.22 N_l=-6324.76 My_l=5.32 Mz_l=-0.00
Azioni sul cordone: TP=-0.17 TO=-0.38 NO=-467.53
Tensioni nel cordone: τ_P= 0.05 τ_O=0.12 σ_O=156.37 σ_{ID}=156.37 Σ_T=156.49
CC 31 SLV (Collegamento 0023_-380)
Azioni sul collegamento: N=-6324.76 Ty=-0.08 Tz=-5.22 Mx=-0.00 Mz=-0.80
Sollecitazioni agenti localmente: Tx_l=-0.08 Ty_l=-5.22 N_l=-6324.76 My_l=0.80 Mz_l=-0.00
Azioni sul cordone: TP=-0.00 TO=-0.38 NO=-467.53
Tensioni nel cordone: τ_P=1.37E-04 τ_O=0.12 σ_O=149.77 σ_{ID}=149.77 Σ_T=149.89
CC 31 SLV (Collegamento 0023_-380)
Azioni sul collegamento: N=-6324.76 Ty=-2.39 Tz=-0.09 Mx=-0.00 Mz=-5.32
Sollecitazioni agenti localmente: Tx_l=-2.39 Ty_l=-0.09 N_l=-6324.76 My_l=5.32 Mz_l=-0.00
Azioni sul cordone: TP=-0.17 TO=-0.00 NO=-467.53
Tensioni nel cordone: τ_P= 0.05 τ_O=8.65E-04 σ_O=156.37 σ_{ID}=156.37 Σ_T=156.37
CC 31 SLV (Collegamento 0023_-380)
Azioni sul collegamento: N=-6324.76 Ty=-0.08 Tz=-0.09 Mx=-0.00 Mz=-0.80
Sollecitazioni agenti localmente: Tx_l=-0.08 Ty_l=-0.09 N_l=-6324.76 My_l=0.80 Mz_l=-0.00
Azioni sul cordone: TP=-0.00 TO=-0.00 NO=-467.53
Tensioni nel cordone: τ_P=1.37E-04 τ_O=8.65E-04 σ_O=149.77 σ_{ID}=149.77 Σ_T=149.77
CC 31 SLV (Collegamento 0023_-380)
Azioni sul collegamento: N=-4942.75 Ty=-2.39 Tz=-5.22 Mx=-0.00 Mz=-5.32
Sollecitazioni agenti localmente: Tx_l=-2.39 Ty_l=-5.22 N_l=-4942.75 My_l=5.32 Mz_l=-0.00
Azioni sul cordone: TP=-0.17 TO=-0.38 NO=-365.37
Tensioni nel cordone: τ_P= 0.05 τ_O=0.12 σ_O=123.90 σ_{ID}=123.90 Σ_T=124.02
CC 31 SLV (Collegamento 0023_-380)
Azioni sul collegamento: N=-4942.75 Ty=-0.08 Tz=-5.22 Mx=-0.00 Mz=-0.80
Sollecitazioni agenti localmente: Tx_l=-0.08 Ty_l=-5.22 N_l=-4942.75 My_l=0.80 Mz_l=-0.00
Azioni sul cordone: TP=-0.00 TO=-0.38 NO=-365.37
Tensioni nel cordone: τ_P=1.37E-04 τ_O=0.12 σ_O=117.30 σ_{ID}=117.30 Σ_T=117.42
CC 31 SLV (Collegamento 0023_-380)
Azioni sul collegamento: N=-4942.75 Ty=-2.39 Tz=-0.09 Mx=-0.00 Mz=-5.32
Sollecitazioni agenti localmente: Tx_l=-2.39 Ty_l=-0.09 N_l=-4942.75 My_l=5.32 Mz_l=-0.00
Azioni sul cordone: TP=-0.17 TO=-0.00 NO=-365.37
Tensioni nel cordone: τ_P= 0.05 τ_O=8.70E-04 σ_O=123.90 σ_{ID}=123.90 Σ_T=123.90
CC 31 SLV (Collegamento 0023_-380)

Azioni sul collegamento: N=-4942.75 Ty=-0.08 Tz=-0.09 Mx=-0.00 Mz=-0.80
Sollecitazioni agenti localmente: Tx_l=-0.08 Ty_l=-0.09 N_l=-4942.75 My_l=0.80 Mz_l=-0.00
Azioni sul cordone: TP=-0.00 TO=-0.00 NO=-365.37
Tensioni nel cordone: τ_P=1.37E-04 τ_0=8.70E-04 σ_0=117.30 σ_{ID}=117.30 Σ_T=117.30
CC 32 SLD (Collegamento 0023_-380)
Azioni sul collegamento: N=-5844.28 Ty=-0.78 Tz=-3.44 Mx=-0.00 Mz=-1.69
Sollecitazioni agenti localmente: Tx_l=-0.78 Ty_l=-3.44 N_l=-5844.28 My_l=1.69 Mz_l=-0.00
Azioni sul cordone: TP=-0.06 TO=-0.25 NO=-432.01
Tensioni nel cordone: τ_P= 0.02 τ_0= 0.08 σ_0=139.79 σ_{ID}=139.79 Σ_T=139.87
CC 32 SLD (Collegamento 0023_-380)
Azioni sul collegamento: N=-5844.28 Ty=-0.08 Tz=-3.44 Mx=-0.00 Mz=-0.31
Sollecitazioni agenti localmente: Tx_l=-0.08 Ty_l=-3.44 N_l=-5844.28 My_l=0.31 Mz_l=-0.00
Azioni sul cordone: TP=-0.00 TO=-0.25 NO=-432.01
Tensioni nel cordone: τ_P=1.19E-03 τ_0= 0.08 σ_0=137.77 σ_{ID}=137.77 Σ_T=137.85
CC 32 SLD (Collegamento 0023_-380)
Azioni sul collegamento: N=-5844.28 Ty=-0.78 Tz=-1.87 Mx=-0.00 Mz=-1.69
Sollecitazioni agenti localmente: Tx_l=-0.78 Ty_l=-1.87 N_l=-5844.28 My_l=1.69 Mz_l=-0.00
Azioni sul cordone: TP=-0.06 TO=-0.14 NO=-432.01
Tensioni nel cordone: τ_P= 0.02 τ_0= 0.04 σ_0=139.79 σ_{ID}=139.79 Σ_T=139.83
CC 32 SLD (Collegamento 0023_-380)
Azioni sul collegamento: N=-5844.28 Ty=-0.08 Tz=-1.87 Mx=-0.00 Mz=-0.31
Sollecitazioni agenti localmente: Tx_l=-0.08 Ty_l=-1.87 N_l=-5844.28 My_l=0.31 Mz_l=-0.00
Azioni sul cordone: TP=-0.00 TO=-0.14 NO=-432.01
Tensioni nel cordone: τ_P=1.19E-03 τ_0= 0.04 σ_0=137.77 σ_{ID}=137.77 Σ_T=137.82
CC 32 SLD (Collegamento 0023_-380)
Azioni sul collegamento: N=-5422.87 Ty=-0.78 Tz=-3.44 Mx=-0.00 Mz=-1.69
Sollecitazioni agenti localmente: Tx_l=-0.78 Ty_l=-3.44 N_l=-5422.87 My_l=1.69 Mz_l=-0.00
Azioni sul cordone: TP=-0.06 TO=-0.25 NO=-400.86
Tensioni nel cordone: τ_P= 0.02 τ_0= 0.08 σ_0=129.89 σ_{ID}=129.89 Σ_T=129.97
CC 32 SLD (Collegamento 0023_-380)
Azioni sul collegamento: N=-5422.87 Ty=-0.08 Tz=-3.44 Mx=-0.00 Mz=-0.31
Sollecitazioni agenti localmente: Tx_l=-0.08 Ty_l=-3.44 N_l=-5422.87 My_l=0.31 Mz_l=-0.00
Azioni sul cordone: TP=-0.00 TO=-0.25 NO=-400.86
Tensioni nel cordone: τ_P=1.19E-03 τ_0= 0.08 σ_0=127.87 σ_{ID}=127.87 Σ_T=127.95
CC 32 SLD (Collegamento 0023_-380)
Azioni sul collegamento: N=-5422.87 Ty=-0.78 Tz=-1.87 Mx=-0.00 Mz=-1.69
Sollecitazioni agenti localmente: Tx_l=-0.78 Ty_l=-1.87 N_l=-5422.87 My_l=1.69 Mz_l=-0.00
Azioni sul cordone: TP=-0.06 TO=-0.14 NO=-400.86
Tensioni nel cordone: τ_P= 0.02 τ_0= 0.04 σ_0=129.89 σ_{ID}=129.89 Σ_T=129.93
CC 32 SLD (Collegamento 0023_-380)
Azioni sul collegamento: N=-5422.87 Ty=-0.08 Tz=-1.87 Mx=-0.00 Mz=-0.31
Sollecitazioni agenti localmente: Tx_l=-0.08 Ty_l=-1.87 N_l=-5422.87 My_l=0.31 Mz_l=-0.00
Azioni sul cordone: TP=-0.00 TO=-0.14 NO=-400.86
Tensioni nel cordone: τ_P=1.19E-03 τ_0= 0.04 σ_0=127.87 σ_{ID}=127.87 Σ_T=127.92
CC 33 SLU (Collegamento 0023_-380)
Azioni sul collegamento: N=-29447.20 Ty=-0.05 Tz=76.67 Mx=-0.00 Mz=-0.12
Sollecitazioni agenti localmente: Tx_l=-0.05 Ty_l=76.67 N_l=-29447.20 My_l=0.12 Mz_l=-0.00
Azioni sul cordone: TP=-0.00 TO=5.67 NO=-2176.74
Tensioni nel cordone: τ_P=9.22E-04 τ_0=1.80 σ_0=692.04 σ_{ID}=692.05 Σ_T=693.85
CC 34 SLU (Collegamento 0023_-380)
Azioni sul collegamento: N=-28967.90 Ty=-0.05 Tz=74.90 Mx=-0.00 Mz=-0.12
Sollecitazioni agenti localmente: Tx_l=-0.05 Ty_l=74.90 N_l=-28967.90 My_l=0.12 Mz_l=-0.00
Azioni sul cordone: TP=-0.00 TO=5.54 NO=-2141.31
Tensioni nel cordone: τ_P=9.40E-04 τ_0=1.76 σ_0=680.79 σ_{ID}=680.79 Σ_T=682.55
CC 35 SLU (Collegamento 0023_-380)
Azioni sul collegamento: N=-29207.50 Ty=-0.17 Tz=75.78 Mx=0.00 Mz=-0.35
Sollecitazioni agenti localmente: Tx_l=-0.17 Ty_l=75.78 N_l=-29207.50 My_l=0.35 Mz_l=0.00
Azioni sul cordone: TP=-0.01 TO=5.60 NO=-2159.03
Tensioni nel cordone: τ_P=4.07E-03 τ_0=1.78 σ_0=686.76 σ_{ID}=686.76 Σ_T=688.54
CC 36 SLU (Collegamento 0023_-380)
Azioni sul collegamento: N=-29207.50 Ty=0.07 Tz=75.79 Mx=-0.00 Mz=0.12
Sollecitazioni agenti localmente: Tx_l=0.07 Ty_l=75.79 N_l=-29207.50 My_l=-0.12 Mz_l=-0.00
Azioni sul cordone: TP=0.01 TO=5.60 NO=-2159.03
Tensioni nel cordone: τ_P=2.20E-03 τ_0=1.78 σ_0=686.41 σ_{ID}=686.42 Σ_T=688.20
CC 37 SLU (Collegamento 0023_-380)
Azioni sul collegamento: N=-19933.90 Ty=-0.08 Tz=41.69 Mx=-0.00 Mz=-0.13
Sollecitazioni agenti localmente: Tx_l=-0.08 Ty_l=41.69 N_l=-19933.90 My_l=0.13 Mz_l=-0.00
Azioni sul cordone: TP=-0.01 TO=3.08 NO=-1473.52
Tensioni nel cordone: τ_P=1.67E-03 τ_0=0.98 σ_0=468.54 σ_{ID}=468.54 Σ_T=469.52
CC 38 SLU (Collegamento 0023_-380)
Azioni sul collegamento: N=-19454.60 Ty=-0.08 Tz=39.91 Mx=-0.00 Mz=-0.13
Sollecitazioni agenti localmente: Tx_l=-0.08 Ty_l=39.91 N_l=-19454.60 My_l=0.13 Mz_l=-0.00
Azioni sul cordone: TP=-0.01 TO=2.95 NO=-1438.09
Tensioni nel cordone: τ_P=1.68E-03 τ_0=0.94 σ_0=457.29 σ_{ID}=457.29 Σ_T=458.22
CC 39 SLU (Collegamento 0023_-380)
Azioni sul collegamento: N=-19694.20 Ty=-0.20 Tz=40.80 Mx=0.00 Mz=-0.36
Sollecitazioni agenti localmente: Tx_l=-0.20 Ty_l=40.80 N_l=-19694.20 My_l=0.36 Mz_l=0.00
Azioni sul cordone: TP=-0.02 TO=3.02 NO=-1455.80
Tensioni nel cordone: τ_P=4.81E-03 τ_0=0.96 σ_0=463.26 σ_{ID}=463.26 Σ_T=464.21

CC 40 SLU (Collegamento 0023_-380)
Azioni sul collegamento: N=-19694.20 Ty=0.04 Tz=40.80 Mx=-0.00 Mz=0.10
Sollecitazioni agenti localmente: Tx_l=0.04 Ty_l=40.80 N_l=-19694.20 My_l=-0.10 Mz_l=-0.00
Azioni sul cordone: TP=0.00 TO=3.01 NO=-1455.80
Tensioni nel cordone: τ_P=1.46E-03 τ_O=0.96 σ_O=462.88 σ_{ID}=462.88 Σ_T=463.84
CC 41 SLU (Collegamento 0023_-380)
Azioni sul collegamento: N=-29632.10 Ty=-0.07 Tz=76.65 Mx=-0.00 Mz=-0.13
Sollecitazioni agenti localmente: Tx_l=-0.07 Ty_l=76.65 N_l=-29632.10 My_l=0.13 Mz_l=-0.00
Azioni sul cordone: TP=-0.00 TO=5.67 NO=-2190.41
Tensioni nel cordone: τ_P=1.55E-03 τ_O=1.80 σ_O=696.41 σ_{ID}=696.41 Σ_T=698.21
CC 42 SLU (Collegamento 0023_-380)
Azioni sul collegamento: N=-29152.80 Ty=-0.07 Tz=74.88 Mx=-0.00 Mz=-0.13
Sollecitazioni agenti localmente: Tx_l=-0.07 Ty_l=74.88 N_l=-29152.80 My_l=0.13 Mz_l=-0.00
Azioni sul cordone: TP=-0.00 TO=5.54 NO=-2154.98
Tensioni nel cordone: τ_P=1.57E-03 τ_O=1.76 σ_O=685.15 σ_{ID}=685.15 Σ_T=686.91
CC 43 SLU (Collegamento 0023_-380)
Azioni sul collegamento: N=-29392.40 Ty=-0.19 Tz=75.77 Mx=0.00 Mz=-0.36
Sollecitazioni agenti localmente: Tx_l=-0.19 Ty_l=75.77 N_l=-29392.40 My_l=0.36 Mz_l=0.00
Azioni sul cordone: TP=-0.01 TO=5.60 NO=-2172.70
Tensioni nel cordone: τ_P=4.69E-03 τ_O=1.78 σ_O=691.12 σ_{ID}=691.12 Σ_T=692.90
CC 44 SLU (Collegamento 0023_-380)
Azioni sul collegamento: N=-29392.40 Ty=0.05 Tz=75.77 Mx=-0.00 Mz=0.10
Sollecitazioni agenti localmente: Tx_l=0.05 Ty_l=75.77 N_l=-29392.40 My_l=-0.10 Mz_l=-0.00
Azioni sul cordone: TP=0.00 TO=5.60 NO=-2172.70
Tensioni nel cordone: τ_P=1.58E-03 τ_O=1.78 σ_O=690.74 σ_{ID}=690.75 Σ_T=692.52
CC 45 SLU (Collegamento 0023_-380)
Azioni sul collegamento: N=-22108.00 Ty=-0.08 Tz=49.75 Mx=-0.00 Mz=-0.14
Sollecitazioni agenti localmente: Tx_l=-0.08 Ty_l=49.75 N_l=-22108.00 My_l=0.14 Mz_l=-0.00
Azioni sul cordone: TP=-0.01 TO=3.68 NO=-1634.23
Tensioni nel cordone: τ_P=1.64E-03 τ_O=1.17 σ_O=519.64 σ_{ID}=519.64 Σ_T=520.81
CC 46 SLU (Collegamento 0023_-380)
Azioni sul collegamento: N=-21628.70 Ty=-0.08 Tz=47.97 Mx=-0.00 Mz=-0.14
Sollecitazioni agenti localmente: Tx_l=-0.08 Ty_l=47.97 N_l=-21628.70 My_l=0.14 Mz_l=-0.00
Azioni sul cordone: TP=-0.01 TO=3.55 NO=-1598.80
Tensioni nel cordone: τ_P=1.66E-03 τ_O=1.13 σ_O=508.38 σ_{ID}=508.38 Σ_T=509.51
CC 47 SLU (Collegamento 0023_-380)
Azioni sul collegamento: N=-21868.40 Ty=-0.20 Tz=48.86 Mx=0.00 Mz=-0.37
Sollecitazioni agenti localmente: Tx_l=-0.20 Ty_l=48.86 N_l=-21868.40 My_l=0.37 Mz_l=0.00
Azioni sul cordone: TP=-0.02 TO=3.61 NO=-1616.52
Tensioni nel cordone: τ_P=4.78E-03 τ_O=1.15 σ_O=514.35 σ_{ID}=514.35 Σ_T=515.50
CC 48 SLU (Collegamento 0023_-380)
Azioni sul collegamento: N=-21868.40 Ty=0.04 Tz=48.86 Mx=-0.00 Mz=0.10
Sollecitazioni agenti localmente: Tx_l=0.04 Ty_l=48.86 N_l=-21868.40 My_l=-0.10 Mz_l=-0.00
Azioni sul cordone: TP=0.00 TO=3.61 NO=-1616.52
Tensioni nel cordone: τ_P=1.49E-03 τ_O=1.15 σ_O=513.95 σ_{ID}=513.95 Σ_T=515.10
CC 49 SLU (Collegamento 0023_-380)
Azioni sul collegamento: N=-14990.70 Ty=-0.10 Tz=23.57 Mx=-0.00 Mz=-0.15
Sollecitazioni agenti localmente: Tx_l=-0.10 Ty_l=23.57 N_l=-14990.70 My_l=0.15 Mz_l=-0.00
Azioni sul cordone: TP=-0.01 TO=1.74 NO=-1108.11
Tensioni nel cordone: τ_P=2.20E-03 τ_O=0.55 σ_O=352.43 σ_{ID}=352.43 Σ_T=352.98
CC 50 SLU (Collegamento 0023_-380)
Azioni sul collegamento: N=-14511.40 Ty=-0.10 Tz=21.80 Mx=-0.00 Mz=-0.15
Sollecitazioni agenti localmente: Tx_l=-0.10 Ty_l=21.80 N_l=-14511.40 My_l=0.15 Mz_l=-0.00
Azioni sul cordone: TP=-0.01 TO=1.61 NO=-1072.68
Tensioni nel cordone: τ_P=2.21E-03 τ_O=0.51 σ_O=341.17 σ_{ID}=341.17 Σ_T=341.68
CC 51 SLU (Collegamento 0023_-380)
Azioni sul collegamento: N=-14751.00 Ty=-0.22 Tz=22.68 Mx=0.00 Mz=-0.38
Sollecitazioni agenti localmente: Tx_l=-0.22 Ty_l=22.68 N_l=-14751.00 My_l=0.38 Mz_l=0.00
Azioni sul cordone: TP=-0.02 TO=1.68 NO=-1090.40
Tensioni nel cordone: τ_P=5.34E-03 τ_O=0.53 σ_O=347.14 σ_{ID}=347.14 Σ_T=347.67
CC 52 SLU (Collegamento 0023_-380)
Azioni sul collegamento: N=-14751.00 Ty=0.02 Tz=22.69 Mx=-0.00 Mz=0.09
Sollecitazioni agenti localmente: Tx_l=0.02 Ty_l=22.69 N_l=-14751.00 My_l=-0.09 Mz_l=-0.00
Azioni sul cordone: TP=0.00 TO=1.68 NO=-1090.40
Tensioni nel cordone: τ_P=9.29E-04 τ_O=0.53 σ_O=346.71 σ_{ID}=346.71 Σ_T=347.24
CC 53 SLU (Collegamento 0023_-380)
Azioni sul collegamento: N=-22246.40 Ty=-0.10 Tz=49.73 Mx=-0.00 Mz=-0.15
Sollecitazioni agenti localmente: Tx_l=-0.10 Ty_l=49.73 N_l=-22246.40 My_l=0.15 Mz_l=-0.00
Azioni sul cordone: TP=-0.01 TO=3.68 NO=-1644.46
Tensioni nel cordone: τ_P=2.11E-03 τ_O=1.17 σ_O=522.90 σ_{ID}=522.90 Σ_T=524.07
CC 54 SLU (Collegamento 0023_-380)
Azioni sul collegamento: N=-21767.10 Ty=-0.10 Tz=47.96 Mx=-0.00 Mz=-0.15
Sollecitazioni agenti localmente: Tx_l=-0.10 Ty_l=47.96 N_l=-21767.10 My_l=0.15 Mz_l=-0.00
Azioni sul cordone: TP=-0.01 TO=3.55 NO=-1609.03
Tensioni nel cordone: τ_P=2.13E-03 τ_O=1.13 σ_O=511.65 σ_{ID}=511.65 Σ_T=512.77
CC 55 SLU (Collegamento 0023_-380)
Azioni sul collegamento: N=-22006.70 Ty=-0.22 Tz=48.85 Mx=0.00 Mz=-0.38
Sollecitazioni agenti localmente: Tx_l=-0.22 Ty_l=48.85 N_l=-22006.70 My_l=0.38 Mz_l=0.00
Azioni sul cordone: TP=-0.02 TO=3.61 NO=-1626.74

Tensioni nel cordone: τ_P=5.25E-03 τ_0=1.15 σ_0=517.62 σ_{ID}=517.62 Σ_T=518.76
CC 56 SLU (Collegamento 0023_-380)
Azioni sul collegamento: N=-22006.70 Ty=0.02 Tz=48.85 Mx=-0.00 Mz=0.09
Sollecitazioni agenti localmente: Tx_l=0.02 Ty_l=48.85 N_l=-22006.70 My_l=-0.09 Mz_l=-0.00
Azioni sul cordone: TP=0.00 TO=3.61 NO=-1626.74
Tensioni nel cordone: τ_P=1.02E-03 τ_0=1.15 σ_0=517.19 σ_{ID}=517.19 Σ_T=518.33
CC 57 SLU (Collegamento 0023_-380)
Azioni sul collegamento: N=-20646.20 Ty=-0.07 Tz=44.37 Mx=-0.00 Mz=-0.13
Sollecitazioni agenti localmente: Tx_l=-0.07 Ty_l=44.37 N_l=-20646.20 My_l=0.13 Mz_l=-0.00
Azioni sul cordone: TP=-0.00 TO=3.28 NO=-1526.18
Tensioni nel cordone: τ_P=1.54E-03 τ_0=1.04 σ_0=485.28 σ_{ID}=485.28 Σ_T=486.32
CC 58 SLU (Collegamento 0023_-380)
Azioni sul collegamento: N=-20166.90 Ty=-0.07 Tz=42.59 Mx=-0.00 Mz=-0.13
Sollecitazioni agenti localmente: Tx_l=-0.07 Ty_l=42.59 N_l=-20166.90 My_l=0.13 Mz_l=-0.00
Azioni sul cordone: TP=-0.00 TO=3.15 NO=-1490.75
Tensioni nel cordone: τ_P=1.55E-03 τ_0=1.00 σ_0=474.02 σ_{ID}=474.02 Σ_T=475.02
CC 59 SLU (Collegamento 0023_-380)
Azioni sul collegamento: N=-20406.60 Ty=-0.19 Tz=43.48 Mx=0.00 Mz=-0.36
Sollecitazioni agenti localmente: Tx_l=-0.19 Ty_l=43.48 N_l=-20406.60 My_l=0.36 Mz_l=0.00
Azioni sul cordone: TP=-0.01 TO=3.21 NO=-1508.46
Tensioni nel cordone: τ_P=4.68E-03 τ_0=1.02 σ_0=480.00 σ_{ID}=480.00 Σ_T=481.02
CC 60 SLU (Collegamento 0023_-380)
Azioni sul collegamento: N=-20406.60 Ty=0.05 Tz=43.48 Mx=-0.00 Mz=0.10
Sollecitazioni agenti localmente: Tx_l=0.05 Ty_l=43.48 N_l=-20406.60 My_l=-0.10 Mz_l=-0.00
Azioni sul cordone: TP=0.01 TO=3.21 NO=-1508.46
Tensioni nel cordone: τ_P=1.59E-03 τ_0=1.02 σ_0=479.62 σ_{ID}=479.62 Σ_T=480.64
CC 61 SLU (Collegamento 0023_-380)
Azioni sul collegamento: N=-13528.90 Ty=-0.09 Tz=18.19 Mx=-0.00 Mz=-0.14
Sollecitazioni agenti localmente: Tx_l=-0.09 Ty_l=18.19 N_l=-13528.90 My_l=0.14 Mz_l=-0.00
Azioni sul cordone: TP=-0.01 TO=1.34 NO=-1000.06
Tensioni nel cordone: τ_P=2.09E-03 τ_0=0.43 σ_0=318.07 σ_{ID}=318.07 Σ_T=318.50
CC 62 SLU (Collegamento 0023_-380)
Azioni sul collegamento: N=-13049.60 Ty=-0.10 Tz=16.41 Mx=-0.00 Mz=-0.14
Sollecitazioni agenti localmente: Tx_l=-0.10 Ty_l=16.41 N_l=-13049.60 My_l=0.14 Mz_l=-0.00
Azioni sul cordone: TP=-0.01 TO=1.21 NO=-964.63
Tensioni nel cordone: τ_P=2.11E-03 τ_0=0.39 σ_0=306.81 σ_{ID}=306.81 Σ_T=307.20
CC 63 SLU (Collegamento 0023_-380)
Azioni sul collegamento: N=-13289.20 Ty=-0.21 Tz=17.30 Mx=0.00 Mz=-0.37
Sollecitazioni agenti localmente: Tx_l=-0.21 Ty_l=17.30 N_l=-13289.20 My_l=0.37 Mz_l=0.00
Azioni sul cordone: TP=-0.02 TO=1.28 NO=-982.34
Tensioni nel cordone: τ_P=5.24E-03 τ_0=0.41 σ_0=312.78 σ_{ID}=312.78 Σ_T=313.19
CC 64 SLU (Collegamento 0023_-380)
Azioni sul collegamento: N=-13289.20 Ty=0.02 Tz=17.30 Mx=-0.00 Mz=0.10
Sollecitazioni agenti localmente: Tx_l=0.02 Ty_l=17.30 N_l=-13289.20 My_l=-0.10 Mz_l=-0.00
Azioni sul cordone: TP=0.00 TO=1.28 NO=-982.34
Tensioni nel cordone: τ_P=1.03E-03 τ_0=0.41 σ_0=312.38 σ_{ID}=312.38 Σ_T=312.78
CC 65 SLU (Collegamento 0023_-380)
Azioni sul collegamento: N=-20784.60 Ty=-0.09 Tz=44.35 Mx=-0.00 Mz=-0.14
Sollecitazioni agenti localmente: Tx_l=-0.09 Ty_l=44.35 N_l=-20784.60 My_l=0.14 Mz_l=-0.00
Azioni sul cordone: TP=-0.01 TO=3.28 NO=-1536.40
Tensioni nel cordone: τ_P=2.00E-03 τ_0=1.04 σ_0=488.55 σ_{ID}=488.55 Σ_T=489.59
CC 66 SLU (Collegamento 0023_-380)
Azioni sul collegamento: N=-20305.30 Ty=-0.09 Tz=42.57 Mx=-0.00 Mz=-0.14
Sollecitazioni agenti localmente: Tx_l=-0.09 Ty_l=42.57 N_l=-20305.30 My_l=0.14 Mz_l=-0.00
Azioni sul cordone: TP=-0.01 TO=3.15 NO=-1500.97
Tensioni nel cordone: τ_P=2.02E-03 τ_0=1.00 σ_0=477.29 σ_{ID}=477.29 Σ_T=478.29
CC 67 SLU (Collegamento 0023_-380)
Azioni sul collegamento: N=-20544.90 Ty=-0.21 Tz=43.46 Mx=0.00 Mz=-0.37
Sollecitazioni agenti localmente: Tx_l=-0.21 Ty_l=43.46 N_l=-20544.90 My_l=0.37 Mz_l=0.00
Azioni sul cordone: TP=-0.02 TO=3.21 NO=-1518.69
Tensioni nel cordone: τ_P=5.15E-03 τ_0=1.02 σ_0=483.26 σ_{ID}=483.26 Σ_T=484.28
CC 68 SLU (Collegamento 0023_-380)
Azioni sul collegamento: N=-20544.90 Ty=0.03 Tz=43.46 Mx=-0.00 Mz=0.10
Sollecitazioni agenti localmente: Tx_l=0.03 Ty_l=43.46 N_l=-20544.90 My_l=-0.10 Mz_l=-0.00
Azioni sul cordone: TP=0.00 TO=3.21 NO=-1518.69
Tensioni nel cordone: τ_P=1.12E-03 τ_0=1.02 σ_0=482.85 σ_{ID}=482.85 Σ_T=483.87
CC 97 SLU (Collegamento 0023_-380)
Azioni sul collegamento: N=-12582.10 Ty=-12.27 Tz=22.98 Mx=-0.04 Mz=-17.61
Sollecitazioni agenti localmente: Tx_l=-12.27 Ty_l=22.98 N_l=-12582.10 My_l=17.61 Mz_l=-0.04
Azioni sul cordone: TP=-0.86 TO=1.73 NO=-930.08
Tensioni nel cordone: τ_P=0.27 τ_0=0.55 σ_0=321.35 σ_{ID}=321.35 Σ_T=321.90
CC 98 SLU (Collegamento 0023_-380)
Azioni sul collegamento: N=-12102.80 Ty=-12.27 Tz=21.21 Mx=-0.04 Mz=-17.61
Sollecitazioni agenti localmente: Tx_l=-12.27 Ty_l=21.21 N_l=-12102.80 My_l=17.61 Mz_l=-0.04
Azioni sul cordone: TP=-0.86 TO=1.60 NO=-894.64
Tensioni nel cordone: τ_P=0.27 τ_0=0.51 σ_0=310.09 σ_{ID}=310.09 Σ_T=310.60
CC 99 SLU (Collegamento 0023_-380)
Azioni sul collegamento: N=-12342.50 Ty=-12.39 Tz=22.09 Mx=-0.04 Mz=-17.84
Sollecitazioni agenti localmente: Tx_l=-12.39 Ty_l=22.09 N_l=-12342.50 My_l=17.84 Mz_l=-0.04

Azioni sul cordone: TP=-0.87 TO=1.67 NO=-912.36
Tensioni nel cordone: τ_P=0.28 τ_O=0.53 σ_O=316.06 σ_{ID}=316.06 Σ_T=316.59
CC 100 SLU (Collegamento 0023_-380)
Azioni sul collegamento: N=-12342.50 Ty=-12.15 Tz=22.09 Mx=-0.04 Mz=-17.38
Sollecitazioni agenti localmente: Tx_l=-12.15 Ty_l=22.09 N_l=-12342.50 My_l=17.38 Mz_l=-0.04
Azioni sul cordone: TP=-0.85 TO=1.67 NO=-912.36
Tensioni nel cordone: τ_P=0.27 τ_O=0.53 σ_O=315.38 σ_{ID}=315.38 Σ_T=315.91
CC 101 SLU (Collegamento 0023_-380)
Azioni sul collegamento: N=-6366.46 Ty=2.01 Tz=0.04 Mx=0.00 Mz=2.22
Sollecitazioni agenti localmente: Tx_l=2.01 Ty_l=0.04 N_l=-6366.46 My_l=-2.22 Mz_l=0.00
Azioni sul cordone: TP=0.14 TO=0.01 NO=-470.61
Tensioni nel cordone: τ_P= 0.05 τ_O=2.29E-03 σ_O=152.83 σ_{ID}=152.83 Σ_T=152.83
CC 102 SLU (Collegamento 0023_-380)
Azioni sul collegamento: N=-5887.16 Ty=2.00 Tz=-1.73 Mx=0.00 Mz=2.22
Sollecitazioni agenti localmente: Tx_l=2.00 Ty_l=-1.73 N_l=-5887.16 My_l=-2.22 Mz_l=0.00
Azioni sul cordone: TP=0.14 TO=-0.12 NO=-435.18
Tensioni nel cordone: τ_P= 0.05 τ_O= 0.04 σ_O=141.56 σ_{ID}=141.56 Σ_T=141.60
CC 103 SLU (Collegamento 0023_-380)
Azioni sul collegamento: N=-6126.81 Ty=1.89 Tz=-0.85 Mx=0.01 Mz=1.98
Sollecitazioni agenti localmente: Tx_l=1.89 Ty_l=-0.85 N_l=-6126.81 My_l=-1.98 Mz_l=0.01
Azioni sul cordone: TP=0.13 TO=-0.06 NO=-452.90
Tensioni nel cordone: τ_P= 0.04 τ_O= 0.02 σ_O=146.85 σ_{ID}=146.85 Σ_T=146.87
CC 104 SLU (Collegamento 0023_-380)
Azioni sul collegamento: N=-6126.80 Ty=2.12 Tz=-0.84 Mx=0.00 Mz=2.45
Sollecitazioni agenti localmente: Tx_l=2.12 Ty_l=-0.84 N_l=-6126.80 My_l=-2.45 Mz_l=0.00
Azioni sul cordone: TP=0.15 TO=-0.06 NO=-452.89
Tensioni nel cordone: τ_P= 0.05 τ_O= 0.02 σ_O=147.53 σ_{ID}=147.53 Σ_T=147.55

Flessione attacco superiore piastra

Bnetta=220.00 Hnetta=15.00
CC 1 SLV (Collegamento 0023_-380)
Azioni sul collegamento: N=-3330.00 Ty=1.44 Tz=5.89 Mx=0.02 Mz=3.55
Sollecitazioni agenti localmente: Ty_l=-605.45 Mx_l=-12.11
Tensioni nella sezione: σ=146.78 τ=18.35
CC 1 SLV (Collegamento 0023_-380)
Azioni sul collegamento: N=-3330.00 Ty=0.74 Tz=5.89 Mx=0.02 Mz=2.16
Sollecitazioni agenti localmente: Ty_l=-605.45 Mx_l=-12.11
Tensioni nella sezione: σ=146.78 τ=18.35
CC 1 SLV (Collegamento 0023_-380)
Azioni sul collegamento: N=-3330.00 Ty=1.44 Tz=-11.20 Mx=0.02 Mz=3.55
Sollecitazioni agenti localmente: Ty_l=-605.45 Mx_l=-12.11
Tensioni nella sezione: σ=146.78 τ=18.35
CC 1 SLV (Collegamento 0023_-380)
Azioni sul collegamento: N=-3330.00 Ty=0.74 Tz=-11.20 Mx=0.02 Mz=2.16
Sollecitazioni agenti localmente: Ty_l=-605.45 Mx_l=-12.11
Tensioni nella sezione: σ=146.78 τ=18.35
CC 1 SLV (Collegamento 0023_-380)
Azioni sul collegamento: N=-7936.47 Ty=1.44 Tz=5.89 Mx=0.02 Mz=3.55
Sollecitazioni agenti localmente: Ty_l=-1442.99 Mx_l=-28.86
Tensioni nella sezione: σ=349.82 τ=43.73
CC 1 SLV (Collegamento 0023_-380)
Azioni sul collegamento: N=-7936.47 Ty=0.74 Tz=5.89 Mx=0.02 Mz=2.16
Sollecitazioni agenti localmente: Ty_l=-1442.99 Mx_l=-28.86
Tensioni nella sezione: σ=349.82 τ=43.73
CC 1 SLV (Collegamento 0023_-380)
Azioni sul collegamento: N=-7936.47 Ty=1.44 Tz=-11.20 Mx=0.02 Mz=3.55
Sollecitazioni agenti localmente: Ty_l=-1442.99 Mx_l=-28.86
Tensioni nella sezione: σ=349.82 τ=43.73
CC 1 SLV (Collegamento 0023_-380)
Azioni sul collegamento: N=-7936.47 Ty=0.74 Tz=-11.20 Mx=0.02 Mz=2.16
Sollecitazioni agenti localmente: Ty_l=-1442.99 Mx_l=-28.86
Tensioni nella sezione: σ=349.82 τ=43.73
CC 2 SLD (Collegamento 0023_-380)
Azioni sul collegamento: N=-4931.09 Ty=0.39 Tz=-0.05 Mx=0.00 Mz=1.01
Sollecitazioni agenti localmente: Ty_l=-896.56 Mx_l=-17.93
Tensioni nella sezione: σ=217.35 τ=27.17
CC 2 SLD (Collegamento 0023_-380)
Azioni sul collegamento: N=-4931.09 Ty=0.17 Tz=-0.05 Mx=0.00 Mz=0.59
Sollecitazioni agenti localmente: Ty_l=-896.56 Mx_l=-17.93
Tensioni nella sezione: σ=217.35 τ=27.17
CC 2 SLD (Collegamento 0023_-380)
Azioni sul collegamento: N=-4931.09 Ty=0.39 Tz=-5.26 Mx=0.00 Mz=1.01
Sollecitazioni agenti localmente: Ty_l=-896.56 Mx_l=-17.93
Tensioni nella sezione: σ=217.35 τ=27.17
CC 2 SLD (Collegamento 0023_-380)
Azioni sul collegamento: N=-4931.09 Ty=0.17 Tz=-5.26 Mx=0.00 Mz=0.59
Sollecitazioni agenti localmente: Ty_l=-896.56 Mx_l=-17.93
Tensioni nella sezione: σ=217.35 τ=27.17

CC 2 SLD (Collegamento 0023_-380)
Azioni sul collegamento: N=-6335.74 Ty=0.39 Tz=-0.05 Mx=0.00 Mz=1.01
Sollecitazioni agenti localmente: Ty_l=-1151.95 Mx_l=-23.04
Tensioni nella sezione: σ=279.26 τ=34.91
CC 2 SLD (Collegamento 0023_-380)
Azioni sul collegamento: N=-6335.74 Ty=0.17 Tz=-0.05 Mx=0.00 Mz=0.59
Sollecitazioni agenti localmente: Ty_l=-1151.95 Mx_l=-23.04
Tensioni nella sezione: σ=279.26 τ=34.91
CC 2 SLD (Collegamento 0023_-380)
Azioni sul collegamento: N=-6335.74 Ty=0.39 Tz=-5.26 Mx=0.00 Mz=1.01
Sollecitazioni agenti localmente: Ty_l=-1151.95 Mx_l=-23.04
Tensioni nella sezione: σ=279.26 τ=34.91
CC 2 SLD (Collegamento 0023_-380)
Azioni sul collegamento: N=-6335.74 Ty=0.17 Tz=-5.26 Mx=0.00 Mz=0.59
Sollecitazioni agenti localmente: Ty_l=-1151.95 Mx_l=-23.04
Tensioni nella sezione: σ=279.26 τ=34.91
CC 3 SLV (Collegamento 0023_-380)
Azioni sul collegamento: N=-3330.02 Ty=0.75 Tz=5.88 Mx=0.01 Mz=2.19
Sollecitazioni agenti localmente: Ty_l=-605.46 Mx_l=-12.11
Tensioni nella sezione: σ=146.78 τ=18.35
CC 3 SLV (Collegamento 0023_-380)
Azioni sul collegamento: N=-3330.02 Ty=1.43 Tz=5.88 Mx=0.01 Mz=3.51
Sollecitazioni agenti localmente: Ty_l=-605.46 Mx_l=-12.11
Tensioni nella sezione: σ=146.78 τ=18.35
CC 3 SLV (Collegamento 0023_-380)
Azioni sul collegamento: N=-3330.02 Ty=0.75 Tz=-11.19 Mx=0.01 Mz=2.19
Sollecitazioni agenti localmente: Ty_l=-605.46 Mx_l=-12.11
Tensioni nella sezione: σ=146.78 τ=18.35
CC 3 SLV (Collegamento 0023_-380)
Azioni sul collegamento: N=-3330.02 Ty=1.43 Tz=-11.19 Mx=0.01 Mz=3.51
Sollecitazioni agenti localmente: Ty_l=-605.46 Mx_l=-12.11
Tensioni nella sezione: σ=146.78 τ=18.35
CC 3 SLV (Collegamento 0023_-380)
Azioni sul collegamento: N=-7936.44 Ty=0.75 Tz=5.88 Mx=0.01 Mz=2.19
Sollecitazioni agenti localmente: Ty_l=-1442.99 Mx_l=-28.86
Tensioni nella sezione: σ=349.81 τ=43.73
CC 3 SLV (Collegamento 0023_-380)
Azioni sul collegamento: N=-7936.44 Ty=1.43 Tz=5.88 Mx=0.01 Mz=3.51
Sollecitazioni agenti localmente: Ty_l=-1442.99 Mx_l=-28.86
Tensioni nella sezione: σ=349.81 τ=43.73
CC 3 SLV (Collegamento 0023_-380)
Azioni sul collegamento: N=-7936.44 Ty=0.75 Tz=-11.19 Mx=0.01 Mz=2.19
Sollecitazioni agenti localmente: Ty_l=-1442.99 Mx_l=-28.86
Tensioni nella sezione: σ=349.81 τ=43.73
CC 3 SLV (Collegamento 0023_-380)
Azioni sul collegamento: N=-7936.44 Ty=1.43 Tz=-11.19 Mx=0.01 Mz=3.51
Sollecitazioni agenti localmente: Ty_l=-1442.99 Mx_l=-28.86
Tensioni nella sezione: σ=349.81 τ=43.73
CC 4 SLD (Collegamento 0023_-380)
Azioni sul collegamento: N=-4931.09 Ty=0.18 Tz=-0.05 Mx=0.00 Mz=0.60
Sollecitazioni agenti localmente: Ty_l=-896.56 Mx_l=-17.93
Tensioni nella sezione: σ=217.35 τ=27.17
CC 4 SLD (Collegamento 0023_-380)
Azioni sul collegamento: N=-4931.09 Ty=0.38 Tz=-0.05 Mx=0.00 Mz=1.00
Sollecitazioni agenti localmente: Ty_l=-896.56 Mx_l=-17.93
Tensioni nella sezione: σ=217.35 τ=27.17
CC 4 SLD (Collegamento 0023_-380)
Azioni sul collegamento: N=-4931.09 Ty=0.18 Tz=-5.26 Mx=0.00 Mz=0.60
Sollecitazioni agenti localmente: Ty_l=-896.56 Mx_l=-17.93
Tensioni nella sezione: σ=217.35 τ=27.17
CC 4 SLD (Collegamento 0023_-380)
Azioni sul collegamento: N=-4931.09 Ty=0.38 Tz=-5.26 Mx=0.00 Mz=1.00
Sollecitazioni agenti localmente: Ty_l=-896.56 Mx_l=-17.93
Tensioni nella sezione: σ=217.35 τ=27.17
CC 4 SLD (Collegamento 0023_-380)
Azioni sul collegamento: N=-6335.74 Ty=0.18 Tz=-0.05 Mx=0.00 Mz=0.60
Sollecitazioni agenti localmente: Ty_l=-1151.95 Mx_l=-23.04
Tensioni nella sezione: σ=279.26 τ=34.91
CC 4 SLD (Collegamento 0023_-380)
Azioni sul collegamento: N=-6335.74 Ty=0.38 Tz=-0.05 Mx=0.00 Mz=1.00
Sollecitazioni agenti localmente: Ty_l=-1151.95 Mx_l=-23.04
Tensioni nella sezione: σ=279.26 τ=34.91
CC 4 SLD (Collegamento 0023_-380)
Azioni sul collegamento: N=-6335.74 Ty=0.18 Tz=-5.26 Mx=0.00 Mz=0.60
Sollecitazioni agenti localmente: Ty_l=-1151.95 Mx_l=-23.04
Tensioni nella sezione: σ=279.26 τ=34.91
CC 4 SLD (Collegamento 0023_-380)
Azioni sul collegamento: N=-6335.74 Ty=0.38 Tz=-5.26 Mx=0.00 Mz=1.00
Sollecitazioni agenti localmente: Ty_l=-1151.95 Mx_l=-23.04

Tensioni nella sezione: σ=279.26 τ=34.91
CC 5 SLV (Collegamento 0023_-380)
Azioni sul collegamento: N=-7936.44 Ty=1.43 Tz=-11.19 Mx=0.02 Mz=3.51
Sollecitazioni agenti localmente: Ty_l=-1442.99 Mx_l=-28.86
Tensioni nella sezione: σ=349.81 τ=43.73
CC 5 SLV (Collegamento 0023_-380)
Azioni sul collegamento: N=-7936.44 Ty=0.75 Tz=-11.19 Mx=0.02 Mz=2.19
Sollecitazioni agenti localmente: Ty_l=-1442.99 Mx_l=-28.86
Tensioni nella sezione: σ=349.81 τ=43.73
CC 5 SLV (Collegamento 0023_-380)
Azioni sul collegamento: N=-7936.44 Ty=1.43 Tz=5.88 Mx=0.02 Mz=3.51
Sollecitazioni agenti localmente: Ty_l=-1442.99 Mx_l=-28.86
Tensioni nella sezione: σ=349.81 τ=43.73
CC 5 SLV (Collegamento 0023_-380)
Azioni sul collegamento: N=-7936.44 Ty=0.75 Tz=5.88 Mx=0.02 Mz=2.19
Sollecitazioni agenti localmente: Ty_l=-1442.99 Mx_l=-28.86
Tensioni nella sezione: σ=349.81 τ=43.73
CC 5 SLV (Collegamento 0023_-380)
Azioni sul collegamento: N=-3330.02 Ty=1.43 Tz=-11.19 Mx=0.02 Mz=3.51
Sollecitazioni agenti localmente: Ty_l=-605.46 Mx_l=-12.11
Tensioni nella sezione: σ=146.78 τ=18.35
CC 5 SLV (Collegamento 0023_-380)
Azioni sul collegamento: N=-3330.02 Ty=0.75 Tz=-11.19 Mx=0.02 Mz=2.19
Sollecitazioni agenti localmente: Ty_l=-605.46 Mx_l=-12.11
Tensioni nella sezione: σ=146.78 τ=18.35
CC 5 SLV (Collegamento 0023_-380)
Azioni sul collegamento: N=-3330.02 Ty=1.43 Tz=5.88 Mx=0.02 Mz=3.51
Sollecitazioni agenti localmente: Ty_l=-605.46 Mx_l=-12.11
Tensioni nella sezione: σ=146.78 τ=18.35
CC 5 SLV (Collegamento 0023_-380)
Azioni sul collegamento: N=-3330.02 Ty=0.75 Tz=5.88 Mx=0.02 Mz=2.19
Sollecitazioni agenti localmente: Ty_l=-605.46 Mx_l=-12.11
Tensioni nella sezione: σ=146.78 τ=18.35
CC 6 SLD (Collegamento 0023_-380)
Azioni sul collegamento: N=-6335.74 Ty=0.38 Tz=-5.26 Mx=0.00 Mz=1.00
Sollecitazioni agenti localmente: Ty_l=-1151.95 Mx_l=-23.04
Tensioni nella sezione: σ=279.26 τ=34.91
CC 6 SLD (Collegamento 0023_-380)
Azioni sul collegamento: N=-6335.74 Ty=0.18 Tz=-5.26 Mx=0.00 Mz=0.60
Sollecitazioni agenti localmente: Ty_l=-1151.95 Mx_l=-23.04
Tensioni nella sezione: σ=279.26 τ=34.91
CC 6 SLD (Collegamento 0023_-380)
Azioni sul collegamento: N=-6335.74 Ty=0.38 Tz=-0.05 Mx=0.00 Mz=1.00
Sollecitazioni agenti localmente: Ty_l=-1151.95 Mx_l=-23.04
Tensioni nella sezione: σ=279.26 τ=34.91
CC 6 SLD (Collegamento 0023_-380)
Azioni sul collegamento: N=-6335.74 Ty=0.18 Tz=-0.05 Mx=0.00 Mz=0.60
Sollecitazioni agenti localmente: Ty_l=-1151.95 Mx_l=-23.04
Tensioni nella sezione: σ=279.26 τ=34.91
CC 6 SLD (Collegamento 0023_-380)
Azioni sul collegamento: N=-4931.09 Ty=0.38 Tz=-5.26 Mx=0.00 Mz=1.00
Sollecitazioni agenti localmente: Ty_l=-896.56 Mx_l=-17.93
Tensioni nella sezione: σ=217.35 τ=27.17
CC 6 SLD (Collegamento 0023_-380)
Azioni sul collegamento: N=-4931.09 Ty=0.18 Tz=-5.26 Mx=0.00 Mz=0.60
Sollecitazioni agenti localmente: Ty_l=-896.56 Mx_l=-17.93
Tensioni nella sezione: σ=217.35 τ=27.17
CC 6 SLD (Collegamento 0023_-380)
Azioni sul collegamento: N=-4931.09 Ty=0.38 Tz=-0.05 Mx=0.00 Mz=1.00
Sollecitazioni agenti localmente: Ty_l=-896.56 Mx_l=-17.93
Tensioni nella sezione: σ=217.35 τ=27.17
CC 6 SLD (Collegamento 0023_-380)
Azioni sul collegamento: N=-4931.09 Ty=0.18 Tz=-0.05 Mx=0.00 Mz=0.60
Sollecitazioni agenti localmente: Ty_l=-896.56 Mx_l=-17.93
Tensioni nella sezione: σ=217.35 τ=27.17
CC 7 SLV (Collegamento 0023_-380)
Azioni sul collegamento: N=-7936.47 Ty=0.74 Tz=-11.20 Mx=0.01 Mz=2.16
Sollecitazioni agenti localmente: Ty_l=-1442.99 Mx_l=-28.86
Tensioni nella sezione: σ=349.82 τ=43.73
CC 7 SLV (Collegamento 0023_-380)
Azioni sul collegamento: N=-7936.47 Ty=1.44 Tz=-11.20 Mx=0.01 Mz=3.55
Sollecitazioni agenti localmente: Ty_l=-1442.99 Mx_l=-28.86
Tensioni nella sezione: σ=349.82 τ=43.73
CC 7 SLV (Collegamento 0023_-380)
Azioni sul collegamento: N=-7936.47 Ty=0.74 Tz=5.89 Mx=0.01 Mz=2.16
Sollecitazioni agenti localmente: Ty_l=-1442.99 Mx_l=-28.86
Tensioni nella sezione: σ=349.82 τ=43.73
CC 7 SLV (Collegamento 0023_-380)
Azioni sul collegamento: N=-7936.47 Ty=1.44 Tz=5.89 Mx=0.01 Mz=3.55

Sollecitazioni agenti localmente: Ty_l=-1442.99 Mx_l=-28.86
Tensioni nella sezione: σ=349.82 τ=43.73
CC 7 SLV (Collegamento 0023_-380)
Azioni sul collegamento: N=-3330.00 Ty=0.74 Tz=-11.20 Mx=0.01 Mz=2.16
Sollecitazioni agenti localmente: Ty_l=-605.45 Mx_l=-12.11
Tensioni nella sezione: σ=146.78 τ=18.35
CC 7 SLV (Collegamento 0023_-380)
Azioni sul collegamento: N=-3330.00 Ty=1.44 Tz=-11.20 Mx=0.01 Mz=3.55
Sollecitazioni agenti localmente: Ty_l=-605.45 Mx_l=-12.11
Tensioni nella sezione: σ=146.78 τ=18.35
CC 7 SLV (Collegamento 0023_-380)
Azioni sul collegamento: N=-3330.00 Ty=0.74 Tz=5.89 Mx=0.01 Mz=2.16
Sollecitazioni agenti localmente: Ty_l=-605.45 Mx_l=-12.11
Tensioni nella sezione: σ=146.78 τ=18.35
CC 7 SLV (Collegamento 0023_-380)
Azioni sul collegamento: N=-3330.00 Ty=1.44 Tz=5.89 Mx=0.01 Mz=3.55
Sollecitazioni agenti localmente: Ty_l=-605.45 Mx_l=-12.11
Tensioni nella sezione: σ=146.78 τ=18.35
CC 8 SLD (Collegamento 0023_-380)
Azioni sul collegamento: N=-6335.74 Ty=0.17 Tz=-5.26 Mx=0.00 Mz=0.59
Sollecitazioni agenti localmente: Ty_l=-1151.95 Mx_l=-23.04
Tensioni nella sezione: σ=279.26 τ=34.91
CC 8 SLD (Collegamento 0023_-380)
Azioni sul collegamento: N=-6335.74 Ty=0.39 Tz=-5.26 Mx=0.00 Mz=1.01
Sollecitazioni agenti localmente: Ty_l=-1151.95 Mx_l=-23.04
Tensioni nella sezione: σ=279.26 τ=34.91
CC 8 SLD (Collegamento 0023_-380)
Azioni sul collegamento: N=-6335.74 Ty=0.17 Tz=-0.05 Mx=0.00 Mz=0.59
Sollecitazioni agenti localmente: Ty_l=-1151.95 Mx_l=-23.04
Tensioni nella sezione: σ=279.26 τ=34.91
CC 8 SLD (Collegamento 0023_-380)
Azioni sul collegamento: N=-6335.74 Ty=0.39 Tz=-0.05 Mx=0.00 Mz=1.01
Sollecitazioni agenti localmente: Ty_l=-1151.95 Mx_l=-23.04
Tensioni nella sezione: σ=279.26 τ=34.91
CC 8 SLD (Collegamento 0023_-380)
Azioni sul collegamento: N=-4931.09 Ty=0.17 Tz=-5.26 Mx=0.00 Mz=0.59
Sollecitazioni agenti localmente: Ty_l=-896.56 Mx_l=-17.93
Tensioni nella sezione: σ=217.35 τ=27.17
CC 8 SLD (Collegamento 0023_-380)
Azioni sul collegamento: N=-4931.09 Ty=0.39 Tz=-5.26 Mx=0.00 Mz=1.01
Sollecitazioni agenti localmente: Ty_l=-896.56 Mx_l=-17.93
Tensioni nella sezione: σ=217.35 τ=27.17
CC 8 SLD (Collegamento 0023_-380)
Azioni sul collegamento: N=-4931.09 Ty=0.17 Tz=-0.05 Mx=0.00 Mz=0.59
Sollecitazioni agenti localmente: Ty_l=-896.56 Mx_l=-17.93
Tensioni nella sezione: σ=217.35 τ=27.17
CC 8 SLD (Collegamento 0023_-380)
Azioni sul collegamento: N=-4931.09 Ty=0.39 Tz=-0.05 Mx=0.00 Mz=1.01
Sollecitazioni agenti localmente: Ty_l=-896.56 Mx_l=-17.93
Tensioni nella sezione: σ=217.35 τ=27.17
CC 9 SLV (Collegamento 0023_-380)
Azioni sul collegamento: N=-4942.23 Ty=2.24 Tz=-0.09 Mx=0.02 Mz=5.11
Sollecitazioni agenti localmente: Ty_l=-898.59 Mx_l=-17.97
Tensioni nella sezione: σ=217.84 τ=27.23
CC 9 SLV (Collegamento 0023_-380)
Azioni sul collegamento: N=-4942.23 Ty=-0.07 Tz=-0.09 Mx=0.02 Mz=0.59
Sollecitazioni agenti localmente: Ty_l=-898.59 Mx_l=-17.97
Tensioni nella sezione: σ=217.84 τ=27.23
CC 9 SLV (Collegamento 0023_-380)
Azioni sul collegamento: N=-4942.23 Ty=2.24 Tz=-5.22 Mx=0.02 Mz=5.11
Sollecitazioni agenti localmente: Ty_l=-898.59 Mx_l=-17.97
Tensioni nella sezione: σ=217.84 τ=27.23
CC 9 SLV (Collegamento 0023_-380)
Azioni sul collegamento: N=-4942.23 Ty=-0.07 Tz=-5.22 Mx=0.02 Mz=0.59
Sollecitazioni agenti localmente: Ty_l=-898.59 Mx_l=-17.97
Tensioni nella sezione: σ=217.84 τ=27.23
CC 9 SLV (Collegamento 0023_-380)
Azioni sul collegamento: N=-6324.24 Ty=2.24 Tz=-0.09 Mx=0.02 Mz=5.11
Sollecitazioni agenti localmente: Ty_l=-1149.86 Mx_l=-23.00
Tensioni nella sezione: σ=278.75 τ=34.84
CC 9 SLV (Collegamento 0023_-380)
Azioni sul collegamento: N=-6324.24 Ty=-0.07 Tz=-0.09 Mx=0.02 Mz=0.59
Sollecitazioni agenti localmente: Ty_l=-1149.86 Mx_l=-23.00
Tensioni nella sezione: σ=278.75 τ=34.84
CC 9 SLV (Collegamento 0023_-380)
Azioni sul collegamento: N=-6324.24 Ty=2.24 Tz=-5.22 Mx=0.02 Mz=5.11
Sollecitazioni agenti localmente: Ty_l=-1149.86 Mx_l=-23.00
Tensioni nella sezione: σ=278.75 τ=34.84
CC 9 SLV (Collegamento 0023_-380)

Azioni sul collegamento: N=-6324.24 Ty=-0.07 Tz=-5.22 Mx=0.02 Mz=0.59
Sollecitazioni agenti localmente: Ty_l=-1149.86 Mx_l=-23.00
Tensioni nella sezione: σ=278.75 τ=34.84
CC 10 SLD (Collegamento 0023_-380)
Azioni sul collegamento: N=-5422.71 Ty=0.63 Tz=-1.87 Mx=0.01 Mz=1.49
Sollecitazioni agenti localmente: Ty_l=-985.95 Mx_l=-19.72
Tensioni nella sezione: σ=239.02 τ=29.88
CC 10 SLD (Collegamento 0023_-380)
Azioni sul collegamento: N=-5422.71 Ty=-0.07 Tz=-1.87 Mx=0.01 Mz=0.11
Sollecitazioni agenti localmente: Ty_l=-985.95 Mx_l=-19.72
Tensioni nella sezione: σ=239.02 τ=29.88
CC 10 SLD (Collegamento 0023_-380)
Azioni sul collegamento: N=-5422.71 Ty=0.63 Tz=-3.44 Mx=0.01 Mz=1.49
Sollecitazioni agenti localmente: Ty_l=-985.95 Mx_l=-19.72
Tensioni nella sezione: σ=239.02 τ=29.88
CC 10 SLD (Collegamento 0023_-380)
Azioni sul collegamento: N=-5422.71 Ty=-0.07 Tz=-3.44 Mx=0.01 Mz=0.11
Sollecitazioni agenti localmente: Ty_l=-985.95 Mx_l=-19.72
Tensioni nella sezione: σ=239.02 τ=29.88
CC 10 SLD (Collegamento 0023_-380)
Azioni sul collegamento: N=-5844.12 Ty=0.63 Tz=-1.87 Mx=0.01 Mz=1.49
Sollecitazioni agenti localmente: Ty_l=-1062.57 Mx_l=-21.25
Tensioni nella sezione: σ=257.59 τ=32.20
CC 10 SLD (Collegamento 0023_-380)
Azioni sul collegamento: N=-5844.12 Ty=-0.07 Tz=-1.87 Mx=0.01 Mz=0.11
Sollecitazioni agenti localmente: Ty_l=-1062.57 Mx_l=-21.25
Tensioni nella sezione: σ=257.59 τ=32.20
CC 10 SLD (Collegamento 0023_-380)
Azioni sul collegamento: N=-5844.12 Ty=0.63 Tz=-3.44 Mx=0.01 Mz=1.49
Sollecitazioni agenti localmente: Ty_l=-1062.57 Mx_l=-21.25
Tensioni nella sezione: σ=257.59 τ=32.20
CC 10 SLD (Collegamento 0023_-380)
Azioni sul collegamento: N=-5844.12 Ty=-0.07 Tz=-3.44 Mx=0.01 Mz=0.11
Sollecitazioni agenti localmente: Ty_l=-1062.57 Mx_l=-21.25
Tensioni nella sezione: σ=257.59 τ=32.20
CC 11 SLV (Collegamento 0023_-380)
Azioni sul collegamento: N=-6324.16 Ty=2.24 Tz=-5.22 Mx=0.02 Mz=5.10
Sollecitazioni agenti localmente: Ty_l=-1149.85 Mx_l=-23.00
Tensioni nella sezione: σ=278.75 τ=34.84
CC 11 SLV (Collegamento 0023_-380)
Azioni sul collegamento: N=-6324.16 Ty=-0.06 Tz=-5.22 Mx=0.02 Mz=0.60
Sollecitazioni agenti localmente: Ty_l=-1149.85 Mx_l=-23.00
Tensioni nella sezione: σ=278.75 τ=34.84
CC 11 SLV (Collegamento 0023_-380)
Azioni sul collegamento: N=-6324.16 Ty=2.24 Tz=-0.09 Mx=0.02 Mz=5.10
Sollecitazioni agenti localmente: Ty_l=-1149.85 Mx_l=-23.00
Tensioni nella sezione: σ=278.75 τ=34.84
CC 11 SLV (Collegamento 0023_-380)
Azioni sul collegamento: N=-6324.16 Ty=-0.06 Tz=-0.09 Mx=0.02 Mz=0.60
Sollecitazioni agenti localmente: Ty_l=-1149.85 Mx_l=-23.00
Tensioni nella sezione: σ=278.75 τ=34.84
CC 11 SLV (Collegamento 0023_-380)
Azioni sul collegamento: N=-4942.30 Ty=2.24 Tz=-5.22 Mx=0.02 Mz=5.10
Sollecitazioni agenti localmente: Ty_l=-898.60 Mx_l=-17.97
Tensioni nella sezione: σ=217.84 τ=27.23
CC 11 SLV (Collegamento 0023_-380)
Azioni sul collegamento: N=-4942.30 Ty=-0.06 Tz=-5.22 Mx=0.02 Mz=0.60
Sollecitazioni agenti localmente: Ty_l=-898.60 Mx_l=-17.97
Tensioni nella sezione: σ=217.84 τ=27.23
CC 11 SLV (Collegamento 0023_-380)
Azioni sul collegamento: N=-4942.30 Ty=2.24 Tz=-0.09 Mx=0.02 Mz=5.10
Sollecitazioni agenti localmente: Ty_l=-898.60 Mx_l=-17.97
Tensioni nella sezione: σ=217.84 τ=27.23
CC 11 SLV (Collegamento 0023_-380)
Azioni sul collegamento: N=-4942.30 Ty=-0.06 Tz=-0.09 Mx=0.02 Mz=0.60
Sollecitazioni agenti localmente: Ty_l=-898.60 Mx_l=-17.97
Tensioni nella sezione: σ=217.84 τ=27.23
CC 12 SLD (Collegamento 0023_-380)
Azioni sul collegamento: N=-5844.10 Ty=0.63 Tz=-3.44 Mx=0.01 Mz=1.48
Sollecitazioni agenti localmente: Ty_l=-1062.56 Mx_l=-21.25
Tensioni nella sezione: σ=257.59 τ=32.20
CC 12 SLD (Collegamento 0023_-380)
Azioni sul collegamento: N=-5844.10 Ty=-0.07 Tz=-3.44 Mx=0.01 Mz=0.11
Sollecitazioni agenti localmente: Ty_l=-1062.56 Mx_l=-21.25
Tensioni nella sezione: σ=257.59 τ=32.20
CC 12 SLD (Collegamento 0023_-380)
Azioni sul collegamento: N=-5844.10 Ty=0.63 Tz=-1.87 Mx=0.01 Mz=1.48
Sollecitazioni agenti localmente: Ty_l=-1062.56 Mx_l=-21.25
Tensioni nella sezione: σ=257.59 τ=32.20

CC 12 SLD (Collegamento 0023_-380)
Azioni sul collegamento: N=-5844.10 Ty=-0.07 Tz=-1.87 Mx=0.01 Mz=0.11
Sollecitazioni agenti localmente: Ty_l=-1062.56 Mx_l=-21.25
Tensioni nella sezione: σ=257.59 τ=32.20
CC 12 SLD (Collegamento 0023_-380)
Azioni sul collegamento: N=-5422.73 Ty=0.63 Tz=-3.44 Mx=0.01 Mz=1.48
Sollecitazioni agenti localmente: Ty_l=-985.95 Mx_l=-19.72
Tensioni nella sezione: σ=239.02 τ=29.88
CC 12 SLD (Collegamento 0023_-380)
Azioni sul collegamento: N=-5422.73 Ty=-0.07 Tz=-3.44 Mx=0.01 Mz=0.11
Sollecitazioni agenti localmente: Ty_l=-985.95 Mx_l=-19.72
Tensioni nella sezione: σ=239.02 τ=29.88
CC 12 SLD (Collegamento 0023_-380)
Azioni sul collegamento: N=-5422.73 Ty=0.63 Tz=-1.87 Mx=0.01 Mz=1.48
Sollecitazioni agenti localmente: Ty_l=-985.95 Mx_l=-19.72
Tensioni nella sezione: σ=239.02 τ=29.88
CC 12 SLD (Collegamento 0023_-380)
Azioni sul collegamento: N=-5422.73 Ty=-0.07 Tz=-1.87 Mx=0.01 Mz=0.11
Sollecitazioni agenti localmente: Ty_l=-985.95 Mx_l=-19.72
Tensioni nella sezione: σ=239.02 τ=29.88
CC 13 SLV (Collegamento 0023_-380)
Azioni sul collegamento: N=-4942.30 Ty=-0.06 Tz=-0.09 Mx=0.00 Mz=0.60
Sollecitazioni agenti localmente: Ty_l=-898.60 Mx_l=-17.97
Tensioni nella sezione: σ=217.84 τ=27.23
CC 13 SLV (Collegamento 0023_-380)
Azioni sul collegamento: N=-4942.30 Ty=2.24 Tz=-0.09 Mx=0.00 Mz=5.10
Sollecitazioni agenti localmente: Ty_l=-898.60 Mx_l=-17.97
Tensioni nella sezione: σ=217.84 τ=27.23
CC 13 SLV (Collegamento 0023_-380)
Azioni sul collegamento: N=-4942.30 Ty=-0.06 Tz=-5.22 Mx=0.00 Mz=0.60
Sollecitazioni agenti localmente: Ty_l=-898.60 Mx_l=-17.97
Tensioni nella sezione: σ=217.84 τ=27.23
CC 13 SLV (Collegamento 0023_-380)
Azioni sul collegamento: N=-4942.30 Ty=2.24 Tz=-5.22 Mx=0.00 Mz=5.10
Sollecitazioni agenti localmente: Ty_l=-898.60 Mx_l=-17.97
Tensioni nella sezione: σ=217.84 τ=27.23
CC 13 SLV (Collegamento 0023_-380)
Azioni sul collegamento: N=-6324.16 Ty=-0.06 Tz=-0.09 Mx=0.00 Mz=0.60
Sollecitazioni agenti localmente: Ty_l=-1149.85 Mx_l=-23.00
Tensioni nella sezione: σ=278.75 τ=34.84
CC 13 SLV (Collegamento 0023_-380)
Azioni sul collegamento: N=-6324.16 Ty=2.24 Tz=-0.09 Mx=0.00 Mz=5.10
Sollecitazioni agenti localmente: Ty_l=-1149.85 Mx_l=-23.00
Tensioni nella sezione: σ=278.75 τ=34.84
CC 13 SLV (Collegamento 0023_-380)
Azioni sul collegamento: N=-6324.16 Ty=-0.06 Tz=-5.22 Mx=0.00 Mz=0.60
Sollecitazioni agenti localmente: Ty_l=-1149.85 Mx_l=-23.00
Tensioni nella sezione: σ=278.75 τ=34.84
CC 13 SLV (Collegamento 0023_-380)
Azioni sul collegamento: N=-6324.16 Ty=2.24 Tz=-5.22 Mx=0.00 Mz=5.10
Sollecitazioni agenti localmente: Ty_l=-1149.85 Mx_l=-23.00
Tensioni nella sezione: σ=278.75 τ=34.84
CC 14 SLD (Collegamento 0023_-380)
Azioni sul collegamento: N=-5422.73 Ty=-0.07 Tz=-1.87 Mx=0.00 Mz=0.11
Sollecitazioni agenti localmente: Ty_l=-985.95 Mx_l=-19.72
Tensioni nella sezione: σ=239.02 τ=29.88
CC 14 SLD (Collegamento 0023_-380)
Azioni sul collegamento: N=-5422.73 Ty=0.63 Tz=-1.87 Mx=0.00 Mz=1.48
Sollecitazioni agenti localmente: Ty_l=-985.95 Mx_l=-19.72
Tensioni nella sezione: σ=239.02 τ=29.88
CC 14 SLD (Collegamento 0023_-380)
Azioni sul collegamento: N=-5422.73 Ty=-0.07 Tz=-3.44 Mx=0.00 Mz=0.11
Sollecitazioni agenti localmente: Ty_l=-985.95 Mx_l=-19.72
Tensioni nella sezione: σ=239.02 τ=29.88
CC 14 SLD (Collegamento 0023_-380)
Azioni sul collegamento: N=-5422.73 Ty=0.63 Tz=-3.44 Mx=0.00 Mz=1.48
Sollecitazioni agenti localmente: Ty_l=-985.95 Mx_l=-19.72
Tensioni nella sezione: σ=239.02 τ=29.88
CC 14 SLD (Collegamento 0023_-380)
Azioni sul collegamento: N=-5844.10 Ty=-0.07 Tz=-1.87 Mx=0.00 Mz=0.11
Sollecitazioni agenti localmente: Ty_l=-1062.56 Mx_l=-21.25
Tensioni nella sezione: σ=257.59 τ=32.20
CC 14 SLD (Collegamento 0023_-380)
Azioni sul collegamento: N=-5844.10 Ty=0.63 Tz=-1.87 Mx=0.00 Mz=1.48
Sollecitazioni agenti localmente: Ty_l=-1062.56 Mx_l=-21.25
Tensioni nella sezione: σ=257.59 τ=32.20
CC 14 SLD (Collegamento 0023_-380)
Azioni sul collegamento: N=-5844.10 Ty=-0.07 Tz=-3.44 Mx=0.00 Mz=0.11
Sollecitazioni agenti localmente: Ty_l=-1062.56 Mx_l=-21.25

Tensioni nella sezione: σ=257.59 τ=32.20
CC 14 SLD (Collegamento 0023_-380)
Azioni sul collegamento: N=-5844.10 Ty=0.63 Tz=-3.44 Mx=0.00 Mz=1.48
Sollecitazioni agenti localmente: Ty_l=-1062.56 Mx_l=-21.25
Tensioni nella sezione: σ=257.59 τ=32.20
CC 15 SLV (Collegamento 0023_-380)
Azioni sul collegamento: N=-6324.24 Ty=-0.07 Tz=-5.22 Mx=0.00 Mz=0.59
Sollecitazioni agenti localmente: Ty_l=-1149.86 Mx_l=-23.00
Tensioni nella sezione: σ=278.75 τ=34.84
CC 15 SLV (Collegamento 0023_-380)
Azioni sul collegamento: N=-6324.24 Ty=2.24 Tz=-5.22 Mx=0.00 Mz=5.11
Sollecitazioni agenti localmente: Ty_l=-1149.86 Mx_l=-23.00
Tensioni nella sezione: σ=278.75 τ=34.84
CC 15 SLV (Collegamento 0023_-380)
Azioni sul collegamento: N=-6324.24 Ty=-0.07 Tz=-0.09 Mx=0.00 Mz=0.59
Sollecitazioni agenti localmente: Ty_l=-1149.86 Mx_l=-23.00
Tensioni nella sezione: σ=278.75 τ=34.84
CC 15 SLV (Collegamento 0023_-380)
Azioni sul collegamento: N=-6324.24 Ty=2.24 Tz=-0.09 Mx=0.00 Mz=5.11
Sollecitazioni agenti localmente: Ty_l=-1149.86 Mx_l=-23.00
Tensioni nella sezione: σ=278.75 τ=34.84
CC 15 SLV (Collegamento 0023_-380)
Azioni sul collegamento: N=-4942.23 Ty=-0.07 Tz=-5.22 Mx=0.00 Mz=0.59
Sollecitazioni agenti localmente: Ty_l=-898.59 Mx_l=-17.97
Tensioni nella sezione: σ=217.84 τ=27.23
CC 15 SLV (Collegamento 0023_-380)
Azioni sul collegamento: N=-4942.23 Ty=2.24 Tz=-5.22 Mx=0.00 Mz=5.11
Sollecitazioni agenti localmente: Ty_l=-898.59 Mx_l=-17.97
Tensioni nella sezione: σ=217.84 τ=27.23
CC 15 SLV (Collegamento 0023_-380)
Azioni sul collegamento: N=-4942.23 Ty=-0.07 Tz=-0.09 Mx=0.00 Mz=0.59
Sollecitazioni agenti localmente: Ty_l=-898.59 Mx_l=-17.97
Tensioni nella sezione: σ=217.84 τ=27.23
CC 15 SLV (Collegamento 0023_-380)
Azioni sul collegamento: N=-4942.23 Ty=2.24 Tz=-0.09 Mx=0.00 Mz=5.11
Sollecitazioni agenti localmente: Ty_l=-898.59 Mx_l=-17.97
Tensioni nella sezione: σ=217.84 τ=27.23
CC 16 SLD (Collegamento 0023_-380)
Azioni sul collegamento: N=-5844.12 Ty=-0.07 Tz=-3.44 Mx=0.00 Mz=0.11
Sollecitazioni agenti localmente: Ty_l=-1062.57 Mx_l=-21.25
Tensioni nella sezione: σ=257.59 τ=32.20
CC 16 SLD (Collegamento 0023_-380)
Azioni sul collegamento: N=-5844.12 Ty=0.63 Tz=-3.44 Mx=0.00 Mz=1.49
Sollecitazioni agenti localmente: Ty_l=-1062.57 Mx_l=-21.25
Tensioni nella sezione: σ=257.59 τ=32.20
CC 16 SLD (Collegamento 0023_-380)
Azioni sul collegamento: N=-5844.12 Ty=-0.07 Tz=-1.87 Mx=0.00 Mz=0.11
Sollecitazioni agenti localmente: Ty_l=-1062.57 Mx_l=-21.25
Tensioni nella sezione: σ=257.59 τ=32.20
CC 16 SLD (Collegamento 0023_-380)
Azioni sul collegamento: N=-5844.12 Ty=0.63 Tz=-1.87 Mx=0.00 Mz=1.49
Sollecitazioni agenti localmente: Ty_l=-1062.57 Mx_l=-21.25
Tensioni nella sezione: σ=257.59 τ=32.20
CC 16 SLD (Collegamento 0023_-380)
Azioni sul collegamento: N=-5422.71 Ty=-0.07 Tz=-3.44 Mx=0.00 Mz=0.11
Sollecitazioni agenti localmente: Ty_l=-985.95 Mx_l=-19.72
Tensioni nella sezione: σ=239.02 τ=29.88
CC 16 SLD (Collegamento 0023_-380)
Azioni sul collegamento: N=-5422.71 Ty=0.63 Tz=-3.44 Mx=0.00 Mz=1.49
Sollecitazioni agenti localmente: Ty_l=-985.95 Mx_l=-19.72
Tensioni nella sezione: σ=239.02 τ=29.88
CC 16 SLD (Collegamento 0023_-380)
Azioni sul collegamento: N=-5422.71 Ty=-0.07 Tz=-1.87 Mx=0.00 Mz=0.11
Sollecitazioni agenti localmente: Ty_l=-985.95 Mx_l=-19.72
Tensioni nella sezione: σ=239.02 τ=29.88
CC 16 SLD (Collegamento 0023_-380)
Azioni sul collegamento: N=-5422.71 Ty=0.63 Tz=-1.87 Mx=0.00 Mz=1.49
Sollecitazioni agenti localmente: Ty_l=-985.95 Mx_l=-19.72
Tensioni nella sezione: σ=239.02 τ=29.88
CC 17 SLV (Collegamento 0023_-380)
Azioni sul collegamento: N=-3330.52 Ty=-0.88 Tz=5.89 Mx=-0.02 Mz=-2.36
Sollecitazioni agenti localmente: Ty_l=-605.55 Mx_l=-12.11
Tensioni nella sezione: σ=146.80 τ=18.35
CC 17 SLV (Collegamento 0023_-380)
Azioni sul collegamento: N=-3330.52 Ty=-1.59 Tz=5.89 Mx=-0.02 Mz=-3.75
Sollecitazioni agenti localmente: Ty_l=-605.55 Mx_l=-12.11
Tensioni nella sezione: σ=146.80 τ=18.35
CC 17 SLV (Collegamento 0023_-380)
Azioni sul collegamento: N=-3330.52 Ty=-0.88 Tz=-11.19 Mx=-0.02 Mz=-2.36

Sollecitazioni agenti localmente: Ty_l=-605.55 Mx_l=-12.11
Tensioni nella sezione: σ=146.80 τ=18.35
CC 17 SLV (Collegamento 0023_-380)
Azioni sul collegamento: N=-3330.52 Ty=-1.59 Tz=-11.19 Mx=-0.02 Mz=-3.75
Sollecitazioni agenti localmente: Ty_l=-605.55 Mx_l=-12.11
Tensioni nella sezione: σ=146.80 τ=18.35
CC 17 SLV (Collegamento 0023_-380)
Azioni sul collegamento: N=-7936.99 Ty=-0.88 Tz=5.89 Mx=-0.02 Mz=-2.36
Sollecitazioni agenti localmente: Ty_l=-1443.09 Mx_l=-28.86
Tensioni nella sezione: σ=349.84 τ=43.73
CC 17 SLV (Collegamento 0023_-380)
Azioni sul collegamento: N=-7936.99 Ty=-1.59 Tz=5.89 Mx=-0.02 Mz=-3.75
Sollecitazioni agenti localmente: Ty_l=-1443.09 Mx_l=-28.86
Tensioni nella sezione: σ=349.84 τ=43.73
CC 17 SLV (Collegamento 0023_-380)
Azioni sul collegamento: N=-7936.99 Ty=-0.88 Tz=-11.19 Mx=-0.02 Mz=-2.36
Sollecitazioni agenti localmente: Ty_l=-1443.09 Mx_l=-28.86
Tensioni nella sezione: σ=349.84 τ=43.73
CC 17 SLV (Collegamento 0023_-380)
Azioni sul collegamento: N=-7936.99 Ty=-1.59 Tz=-11.19 Mx=-0.02 Mz=-3.75
Sollecitazioni agenti localmente: Ty_l=-1443.09 Mx_l=-28.86
Tensioni nella sezione: σ=349.84 τ=43.73
CC 18 SLD (Collegamento 0023_-380)
Azioni sul collegamento: N=-4931.25 Ty=-0.32 Tz=-0.05 Mx=-0.01 Mz=-0.79
Sollecitazioni agenti localmente: Ty_l=-896.59 Mx_l=-17.93
Tensioni nella sezione: σ=217.35 τ=27.17
CC 18 SLD (Collegamento 0023_-380)
Azioni sul collegamento: N=-4931.25 Ty=-0.54 Tz=-0.05 Mx=-0.01 Mz=-1.22
Sollecitazioni agenti localmente: Ty_l=-896.59 Mx_l=-17.93
Tensioni nella sezione: σ=217.35 τ=27.17
CC 18 SLD (Collegamento 0023_-380)
Azioni sul collegamento: N=-4931.25 Ty=-0.32 Tz=-5.26 Mx=-0.01 Mz=-0.79
Sollecitazioni agenti localmente: Ty_l=-896.59 Mx_l=-17.93
Tensioni nella sezione: σ=217.35 τ=27.17
CC 18 SLD (Collegamento 0023_-380)
Azioni sul collegamento: N=-4931.25 Ty=-0.54 Tz=-5.26 Mx=-0.01 Mz=-1.22
Sollecitazioni agenti localmente: Ty_l=-896.59 Mx_l=-17.93
Tensioni nella sezione: σ=217.35 τ=27.17
CC 18 SLD (Collegamento 0023_-380)
Azioni sul collegamento: N=-6335.90 Ty=-0.32 Tz=-0.05 Mx=-0.01 Mz=-0.79
Sollecitazioni agenti localmente: Ty_l=-1151.98 Mx_l=-23.04
Tensioni nella sezione: σ=279.27 τ=34.91
CC 18 SLD (Collegamento 0023_-380)
Azioni sul collegamento: N=-6335.90 Ty=-0.54 Tz=-0.05 Mx=-0.01 Mz=-1.22
Sollecitazioni agenti localmente: Ty_l=-1151.98 Mx_l=-23.04
Tensioni nella sezione: σ=279.27 τ=34.91
CC 18 SLD (Collegamento 0023_-380)
Azioni sul collegamento: N=-6335.90 Ty=-0.32 Tz=-5.26 Mx=-0.01 Mz=-0.79
Sollecitazioni agenti localmente: Ty_l=-1151.98 Mx_l=-23.04
Tensioni nella sezione: σ=279.27 τ=34.91
CC 18 SLD (Collegamento 0023_-380)
Azioni sul collegamento: N=-6335.90 Ty=-0.54 Tz=-5.26 Mx=-0.01 Mz=-1.22
Sollecitazioni agenti localmente: Ty_l=-1151.98 Mx_l=-23.04
Tensioni nella sezione: σ=279.27 τ=34.91
CC 19 SLV (Collegamento 0023_-380)
Azioni sul collegamento: N=-3330.55 Ty=-1.58 Tz=5.89 Mx=-0.01 Mz=-3.71
Sollecitazioni agenti localmente: Ty_l=-605.55 Mx_l=-12.11
Tensioni nella sezione: σ=146.80 τ=18.35
CC 19 SLV (Collegamento 0023_-380)
Azioni sul collegamento: N=-3330.55 Ty=-0.90 Tz=5.89 Mx=-0.01 Mz=-2.40
Sollecitazioni agenti localmente: Ty_l=-605.55 Mx_l=-12.11
Tensioni nella sezione: σ=146.80 τ=18.35
CC 19 SLV (Collegamento 0023_-380)
Azioni sul collegamento: N=-3330.55 Ty=-1.58 Tz=-11.19 Mx=-0.01 Mz=-3.71
Sollecitazioni agenti localmente: Ty_l=-605.55 Mx_l=-12.11
Tensioni nella sezione: σ=146.80 τ=18.35
CC 19 SLV (Collegamento 0023_-380)
Azioni sul collegamento: N=-3330.55 Ty=-0.90 Tz=-11.19 Mx=-0.01 Mz=-2.40
Sollecitazioni agenti localmente: Ty_l=-605.55 Mx_l=-12.11
Tensioni nella sezione: σ=146.80 τ=18.35
CC 19 SLV (Collegamento 0023_-380)
Azioni sul collegamento: N=-7936.97 Ty=-1.58 Tz=5.89 Mx=-0.01 Mz=-3.71
Sollecitazioni agenti localmente: Ty_l=-1443.09 Mx_l=-28.86
Tensioni nella sezione: σ=349.84 τ=43.73
CC 19 SLV (Collegamento 0023_-380)
Azioni sul collegamento: N=-7936.97 Ty=-0.90 Tz=5.89 Mx=-0.01 Mz=-2.40
Sollecitazioni agenti localmente: Ty_l=-1443.09 Mx_l=-28.86
Tensioni nella sezione: σ=349.84 τ=43.73
CC 19 SLV (Collegamento 0023_-380)

Azioni sul collegamento: N=-7936.97 Ty=-1.58 Tz=-11.19 Mx=-0.01 Mz=-3.71
Sollecitazioni agenti localmente: Ty_l=-1443.09 Mx_l=-28.86
Tensioni nella sezione: σ=349.84 τ=43.73
CC 19 SLV (Collegamento 0023_-380)
Azioni sul collegamento: N=-7936.97 Ty=-0.90 Tz=-11.19 Mx=-0.01 Mz=-2.40
Sollecitazioni agenti localmente: Ty_l=-1443.09 Mx_l=-28.86
Tensioni nella sezione: σ=349.84 τ=43.73
CC 20 SLD (Collegamento 0023_-380)
Azioni sul collegamento: N=-4931.25 Ty=-0.53 Tz=-0.05 Mx=-0.00 Mz=-1.20
Sollecitazioni agenti localmente: Ty_l=-896.59 Mx_l=-17.93
Tensioni nella sezione: σ=217.35 τ=27.17
CC 20 SLD (Collegamento 0023_-380)
Azioni sul collegamento: N=-4931.25 Ty=-0.33 Tz=-0.05 Mx=-0.00 Mz=-0.80
Sollecitazioni agenti localmente: Ty_l=-896.59 Mx_l=-17.93
Tensioni nella sezione: σ=217.35 τ=27.17
CC 20 SLD (Collegamento 0023_-380)
Azioni sul collegamento: N=-4931.25 Ty=-0.53 Tz=-5.26 Mx=-0.00 Mz=-1.20
Sollecitazioni agenti localmente: Ty_l=-896.59 Mx_l=-17.93
Tensioni nella sezione: σ=217.35 τ=27.17
CC 20 SLD (Collegamento 0023_-380)
Azioni sul collegamento: N=-4931.25 Ty=-0.33 Tz=-5.26 Mx=-0.00 Mz=-0.80
Sollecitazioni agenti localmente: Ty_l=-896.59 Mx_l=-17.93
Tensioni nella sezione: σ=217.35 τ=27.17
CC 20 SLD (Collegamento 0023_-380)
Azioni sul collegamento: N=-6335.90 Ty=-0.53 Tz=-0.05 Mx=-0.00 Mz=-1.20
Sollecitazioni agenti localmente: Ty_l=-1151.98 Mx_l=-23.04
Tensioni nella sezione: σ=279.27 τ=34.91
CC 20 SLD (Collegamento 0023_-380)
Azioni sul collegamento: N=-6335.90 Ty=-0.33 Tz=-0.05 Mx=-0.00 Mz=-0.80
Sollecitazioni agenti localmente: Ty_l=-1151.98 Mx_l=-23.04
Tensioni nella sezione: σ=279.27 τ=34.91
CC 20 SLD (Collegamento 0023_-380)
Azioni sul collegamento: N=-6335.90 Ty=-0.53 Tz=-5.26 Mx=-0.00 Mz=-1.20
Sollecitazioni agenti localmente: Ty_l=-1151.98 Mx_l=-23.04
Tensioni nella sezione: σ=279.27 τ=34.91
CC 20 SLD (Collegamento 0023_-380)
Azioni sul collegamento: N=-6335.90 Ty=-0.33 Tz=-5.26 Mx=-0.00 Mz=-0.80
Sollecitazioni agenti localmente: Ty_l=-1151.98 Mx_l=-23.04
Tensioni nella sezione: σ=279.27 τ=34.91
CC 21 SLV (Collegamento 0023_-380)
Azioni sul collegamento: N=-7936.97 Ty=-0.90 Tz=-11.19 Mx=-0.02 Mz=-2.40
Sollecitazioni agenti localmente: Ty_l=-1443.09 Mx_l=-28.86
Tensioni nella sezione: σ=349.84 τ=43.73
CC 21 SLV (Collegamento 0023_-380)
Azioni sul collegamento: N=-7936.97 Ty=-1.58 Tz=-11.19 Mx=-0.02 Mz=-3.71
Sollecitazioni agenti localmente: Ty_l=-1443.09 Mx_l=-28.86
Tensioni nella sezione: σ=349.84 τ=43.73
CC 21 SLV (Collegamento 0023_-380)
Azioni sul collegamento: N=-7936.97 Ty=-0.90 Tz=5.89 Mx=-0.02 Mz=-2.40
Sollecitazioni agenti localmente: Ty_l=-1443.09 Mx_l=-28.86
Tensioni nella sezione: σ=349.84 τ=43.73
CC 21 SLV (Collegamento 0023_-380)
Azioni sul collegamento: N=-7936.97 Ty=-1.58 Tz=5.89 Mx=-0.02 Mz=-3.71
Sollecitazioni agenti localmente: Ty_l=-1443.09 Mx_l=-28.86
Tensioni nella sezione: σ=349.84 τ=43.73
CC 21 SLV (Collegamento 0023_-380)
Azioni sul collegamento: N=-3330.55 Ty=-0.90 Tz=-11.19 Mx=-0.02 Mz=-2.40
Sollecitazioni agenti localmente: Ty_l=-605.55 Mx_l=-12.11
Tensioni nella sezione: σ=146.80 τ=18.35
CC 21 SLV (Collegamento 0023_-380)
Azioni sul collegamento: N=-3330.55 Ty=-1.58 Tz=-11.19 Mx=-0.02 Mz=-3.71
Sollecitazioni agenti localmente: Ty_l=-605.55 Mx_l=-12.11
Tensioni nella sezione: σ=146.80 τ=18.35
CC 21 SLV (Collegamento 0023_-380)
Azioni sul collegamento: N=-3330.55 Ty=-0.90 Tz=5.89 Mx=-0.02 Mz=-2.40
Sollecitazioni agenti localmente: Ty_l=-605.55 Mx_l=-12.11
Tensioni nella sezione: σ=146.80 τ=18.35
CC 21 SLV (Collegamento 0023_-380)
Azioni sul collegamento: N=-3330.55 Ty=-1.58 Tz=5.89 Mx=-0.02 Mz=-3.71
Sollecitazioni agenti localmente: Ty_l=-605.55 Mx_l=-12.11
Tensioni nella sezione: σ=146.80 τ=18.35
CC 22 SLD (Collegamento 0023_-380)
Azioni sul collegamento: N=-6335.90 Ty=-0.33 Tz=-5.26 Mx=-0.01 Mz=-0.80
Sollecitazioni agenti localmente: Ty_l=-1151.98 Mx_l=-23.04
Tensioni nella sezione: σ=279.27 τ=34.91
CC 22 SLD (Collegamento 0023_-380)
Azioni sul collegamento: N=-6335.90 Ty=-0.53 Tz=-5.26 Mx=-0.01 Mz=-1.20
Sollecitazioni agenti localmente: Ty_l=-1151.98 Mx_l=-23.04
Tensioni nella sezione: σ=279.27 τ=34.91

CC 22 SLD (Collegamento 0023_-380)
Azioni sul collegamento: N=-6335.90 Ty=-0.33 Tz=-0.05 Mx=-0.01 Mz=-0.80
Sollecitazioni agenti localmente: Ty_l=-1151.98 Mx_l=-23.04
Tensioni nella sezione: σ=279.27 τ=34.91
CC 22 SLD (Collegamento 0023_-380)
Azioni sul collegamento: N=-6335.90 Ty=-0.53 Tz=-0.05 Mx=-0.01 Mz=-1.20
Sollecitazioni agenti localmente: Ty_l=-1151.98 Mx_l=-23.04
Tensioni nella sezione: σ=279.27 τ=34.91
CC 22 SLD (Collegamento 0023_-380)
Azioni sul collegamento: N=-4931.25 Ty=-0.33 Tz=-5.26 Mx=-0.01 Mz=-0.80
Sollecitazioni agenti localmente: Ty_l=-896.59 Mx_l=-17.93
Tensioni nella sezione: σ=217.35 τ=27.17
CC 22 SLD (Collegamento 0023_-380)
Azioni sul collegamento: N=-4931.25 Ty=-0.53 Tz=-5.26 Mx=-0.01 Mz=-1.20
Sollecitazioni agenti localmente: Ty_l=-896.59 Mx_l=-17.93
Tensioni nella sezione: σ=217.35 τ=27.17
CC 22 SLD (Collegamento 0023_-380)
Azioni sul collegamento: N=-4931.25 Ty=-0.33 Tz=-0.05 Mx=-0.01 Mz=-0.80
Sollecitazioni agenti localmente: Ty_l=-896.59 Mx_l=-17.93
Tensioni nella sezione: σ=217.35 τ=27.17
CC 22 SLD (Collegamento 0023_-380)
Azioni sul collegamento: N=-4931.25 Ty=-0.53 Tz=-0.05 Mx=-0.01 Mz=-1.20
Sollecitazioni agenti localmente: Ty_l=-896.59 Mx_l=-17.93
Tensioni nella sezione: σ=217.35 τ=27.17
CC 23 SLV (Collegamento 0023_-380)
Azioni sul collegamento: N=-7936.99 Ty=-1.59 Tz=-11.19 Mx=-0.01 Mz=-3.75
Sollecitazioni agenti localmente: Ty_l=-1443.09 Mx_l=-28.86
Tensioni nella sezione: σ=349.84 τ=43.73
CC 23 SLV (Collegamento 0023_-380)
Azioni sul collegamento: N=-7936.99 Ty=-0.88 Tz=-11.19 Mx=-0.01 Mz=-2.36
Sollecitazioni agenti localmente: Ty_l=-1443.09 Mx_l=-28.86
Tensioni nella sezione: σ=349.84 τ=43.73
CC 23 SLV (Collegamento 0023_-380)
Azioni sul collegamento: N=-7936.99 Ty=-1.59 Tz=5.89 Mx=-0.01 Mz=-3.75
Sollecitazioni agenti localmente: Ty_l=-1443.09 Mx_l=-28.86
Tensioni nella sezione: σ=349.84 τ=43.73
CC 23 SLV (Collegamento 0023_-380)
Azioni sul collegamento: N=-7936.99 Ty=-0.88 Tz=5.89 Mx=-0.01 Mz=-2.36
Sollecitazioni agenti localmente: Ty_l=-1443.09 Mx_l=-28.86
Tensioni nella sezione: σ=349.84 τ=43.73
CC 23 SLV (Collegamento 0023_-380)
Azioni sul collegamento: N=-3330.52 Ty=-1.59 Tz=-11.19 Mx=-0.01 Mz=-3.75
Sollecitazioni agenti localmente: Ty_l=-605.55 Mx_l=-12.11
Tensioni nella sezione: σ=146.80 τ=18.35
CC 23 SLV (Collegamento 0023_-380)
Azioni sul collegamento: N=-3330.52 Ty=-0.88 Tz=-11.19 Mx=-0.01 Mz=-2.36
Sollecitazioni agenti localmente: Ty_l=-605.55 Mx_l=-12.11
Tensioni nella sezione: σ=146.80 τ=18.35
CC 23 SLV (Collegamento 0023_-380)
Azioni sul collegamento: N=-3330.52 Ty=-1.59 Tz=5.89 Mx=-0.01 Mz=-3.75
Sollecitazioni agenti localmente: Ty_l=-605.55 Mx_l=-12.11
Tensioni nella sezione: σ=146.80 τ=18.35
CC 23 SLV (Collegamento 0023_-380)
Azioni sul collegamento: N=-3330.52 Ty=-0.88 Tz=5.89 Mx=-0.01 Mz=-2.36
Sollecitazioni agenti localmente: Ty_l=-605.55 Mx_l=-12.11
Tensioni nella sezione: σ=146.80 τ=18.35
CC 24 SLD (Collegamento 0023_-380)
Azioni sul collegamento: N=-6335.90 Ty=-0.54 Tz=-5.26 Mx=-0.00 Mz=-1.22
Sollecitazioni agenti localmente: Ty_l=-1151.98 Mx_l=-23.04
Tensioni nella sezione: σ=279.27 τ=34.91
CC 24 SLD (Collegamento 0023_-380)
Azioni sul collegamento: N=-6335.90 Ty=-0.32 Tz=-5.26 Mx=-0.00 Mz=-0.79
Sollecitazioni agenti localmente: Ty_l=-1151.98 Mx_l=-23.04
Tensioni nella sezione: σ=279.27 τ=34.91
CC 24 SLD (Collegamento 0023_-380)
Azioni sul collegamento: N=-6335.90 Ty=-0.54 Tz=-0.05 Mx=-0.00 Mz=-1.22
Sollecitazioni agenti localmente: Ty_l=-1151.98 Mx_l=-23.04
Tensioni nella sezione: σ=279.27 τ=34.91
CC 24 SLD (Collegamento 0023_-380)
Azioni sul collegamento: N=-6335.90 Ty=-0.32 Tz=-0.05 Mx=-0.00 Mz=-0.79
Sollecitazioni agenti localmente: Ty_l=-1151.98 Mx_l=-23.04
Tensioni nella sezione: σ=279.27 τ=34.91
CC 24 SLD (Collegamento 0023_-380)
Azioni sul collegamento: N=-4931.25 Ty=-0.54 Tz=-5.26 Mx=-0.00 Mz=-1.22
Sollecitazioni agenti localmente: Ty_l=-896.59 Mx_l=-17.93
Tensioni nella sezione: σ=217.35 τ=27.17
CC 24 SLD (Collegamento 0023_-380)
Azioni sul collegamento: N=-4931.25 Ty=-0.32 Tz=-5.26 Mx=-0.00 Mz=-0.79
Sollecitazioni agenti localmente: Ty_l=-896.59 Mx_l=-17.93

Tensioni nella sezione: σ=217.35 τ=27.17
CC 24 SLD (Collegamento 0023_-380)
Azioni sul collegamento: N=-4931.25 Ty=-0.54 Tz=-0.05 Mx=-0.00 Mz=-1.22
Sollecitazioni agenti localmente: Ty_l=-896.59 Mx_l=-17.93
Tensioni nella sezione: σ=217.35 τ=27.17
CC 24 SLD (Collegamento 0023_-380)
Azioni sul collegamento: N=-4931.25 Ty=-0.32 Tz=-0.05 Mx=-0.00 Mz=-0.79
Sollecitazioni agenti localmente: Ty_l=-896.59 Mx_l=-17.93
Tensioni nella sezione: σ=217.35 τ=27.17
CC 25 SLV (Collegamento 0023_-380)
Azioni sul collegamento: N=-4942.75 Ty=-0.08 Tz=-0.09 Mx=-0.02 Mz=-0.80
Sollecitazioni agenti localmente: Ty_l=-898.68 Mx_l=-17.97
Tensioni nella sezione: σ=217.86 τ=27.23
CC 25 SLV (Collegamento 0023_-380)
Azioni sul collegamento: N=-4942.75 Ty=-2.39 Tz=-0.09 Mx=-0.02 Mz=-5.32
Sollecitazioni agenti localmente: Ty_l=-898.68 Mx_l=-17.97
Tensioni nella sezione: σ=217.86 τ=27.23
CC 25 SLV (Collegamento 0023_-380)
Azioni sul collegamento: N=-4942.75 Ty=-0.08 Tz=-5.22 Mx=-0.02 Mz=-0.80
Sollecitazioni agenti localmente: Ty_l=-898.68 Mx_l=-17.97
Tensioni nella sezione: σ=217.86 τ=27.23
CC 25 SLV (Collegamento 0023_-380)
Azioni sul collegamento: N=-4942.75 Ty=-2.39 Tz=-5.22 Mx=-0.02 Mz=-5.32
Sollecitazioni agenti localmente: Ty_l=-898.68 Mx_l=-17.97
Tensioni nella sezione: σ=217.86 τ=27.23
CC 25 SLV (Collegamento 0023_-380)
Azioni sul collegamento: N=-6324.76 Ty=-0.08 Tz=-0.09 Mx=-0.02 Mz=-0.80
Sollecitazioni agenti localmente: Ty_l=-1149.96 Mx_l=-23.00
Tensioni nella sezione: σ=278.78 τ=34.85
CC 25 SLV (Collegamento 0023_-380)
Azioni sul collegamento: N=-6324.76 Ty=-2.39 Tz=-0.09 Mx=-0.02 Mz=-5.32
Sollecitazioni agenti localmente: Ty_l=-1149.96 Mx_l=-23.00
Tensioni nella sezione: σ=278.78 τ=34.85
CC 25 SLV (Collegamento 0023_-380)
Azioni sul collegamento: N=-6324.76 Ty=-0.08 Tz=-5.22 Mx=-0.02 Mz=-0.80
Sollecitazioni agenti localmente: Ty_l=-1149.96 Mx_l=-23.00
Tensioni nella sezione: σ=278.78 τ=34.85
CC 25 SLV (Collegamento 0023_-380)
Azioni sul collegamento: N=-6324.76 Ty=-2.39 Tz=-5.22 Mx=-0.02 Mz=-5.32
Sollecitazioni agenti localmente: Ty_l=-1149.96 Mx_l=-23.00
Tensioni nella sezione: σ=278.78 τ=34.85
CC 26 SLD (Collegamento 0023_-380)
Azioni sul collegamento: N=-5422.87 Ty=-0.08 Tz=-1.87 Mx=-0.01 Mz=-0.31
Sollecitazioni agenti localmente: Ty_l=-985.98 Mx_l=-19.72
Tensioni nella sezione: σ=239.02 τ=29.88
CC 26 SLD (Collegamento 0023_-380)
Azioni sul collegamento: N=-5422.87 Ty=-0.78 Tz=-1.87 Mx=-0.01 Mz=-1.69
Sollecitazioni agenti localmente: Ty_l=-985.98 Mx_l=-19.72
Tensioni nella sezione: σ=239.02 τ=29.88
CC 26 SLD (Collegamento 0023_-380)
Azioni sul collegamento: N=-5422.87 Ty=-0.08 Tz=-3.44 Mx=-0.01 Mz=-0.31
Sollecitazioni agenti localmente: Ty_l=-985.98 Mx_l=-19.72
Tensioni nella sezione: σ=239.02 τ=29.88
CC 26 SLD (Collegamento 0023_-380)
Azioni sul collegamento: N=-5422.87 Ty=-0.78 Tz=-3.44 Mx=-0.01 Mz=-1.69
Sollecitazioni agenti localmente: Ty_l=-985.98 Mx_l=-19.72
Tensioni nella sezione: σ=239.02 τ=29.88
CC 26 SLD (Collegamento 0023_-380)
Azioni sul collegamento: N=-5844.28 Ty=-0.08 Tz=-1.87 Mx=-0.01 Mz=-0.31
Sollecitazioni agenti localmente: Ty_l=-1062.60 Mx_l=-21.25
Tensioni nella sezione: σ=257.60 τ=32.20
CC 26 SLD (Collegamento 0023_-380)
Azioni sul collegamento: N=-5844.28 Ty=-0.78 Tz=-1.87 Mx=-0.01 Mz=-1.69
Sollecitazioni agenti localmente: Ty_l=-1062.60 Mx_l=-21.25
Tensioni nella sezione: σ=257.60 τ=32.20
CC 26 SLD (Collegamento 0023_-380)
Azioni sul collegamento: N=-5844.28 Ty=-0.08 Tz=-3.44 Mx=-0.01 Mz=-0.31
Sollecitazioni agenti localmente: Ty_l=-1062.60 Mx_l=-21.25
Tensioni nella sezione: σ=257.60 τ=32.20
CC 26 SLD (Collegamento 0023_-380)
Azioni sul collegamento: N=-5844.28 Ty=-0.78 Tz=-3.44 Mx=-0.01 Mz=-1.69
Sollecitazioni agenti localmente: Ty_l=-1062.60 Mx_l=-21.25
Tensioni nella sezione: σ=257.60 τ=32.20
CC 27 SLV (Collegamento 0023_-380)
Azioni sul collegamento: N=-6324.69 Ty=-0.09 Tz=-5.21 Mx=-0.02 Mz=-0.81
Sollecitazioni agenti localmente: Ty_l=-1149.94 Mx_l=-23.00
Tensioni nella sezione: σ=278.77 τ=34.85
CC 27 SLV (Collegamento 0023_-380)
Azioni sul collegamento: N=-6324.69 Ty=-2.39 Tz=-5.21 Mx=-0.02 Mz=-5.31

Sollecitazioni agenti localmente: Ty_l=-1149.94 Mx_l=-23.00
Tensioni nella sezione: σ=278.77 τ=34.85
CC 27 SLV (Collegamento 0023_-380)
Azioni sul collegamento: N=-6324.69 Ty=-0.09 Tz=-0.09 Mx=-0.02 Mz=-0.81
Sollecitazioni agenti localmente: Ty_l=-1149.94 Mx_l=-23.00
Tensioni nella sezione: σ=278.77 τ=34.85
CC 27 SLV (Collegamento 0023_-380)
Azioni sul collegamento: N=-6324.69 Ty=-2.39 Tz=-0.09 Mx=-0.02 Mz=-5.31
Sollecitazioni agenti localmente: Ty_l=-1149.94 Mx_l=-23.00
Tensioni nella sezione: σ=278.77 τ=34.85
CC 27 SLV (Collegamento 0023_-380)
Azioni sul collegamento: N=-4942.83 Ty=-0.09 Tz=-5.21 Mx=-0.02 Mz=-0.81
Sollecitazioni agenti localmente: Ty_l=-898.70 Mx_l=-17.97
Tensioni nella sezione: σ=217.87 τ=27.23
CC 27 SLV (Collegamento 0023_-380)
Azioni sul collegamento: N=-4942.83 Ty=-2.39 Tz=-5.21 Mx=-0.02 Mz=-5.31
Sollecitazioni agenti localmente: Ty_l=-898.70 Mx_l=-17.97
Tensioni nella sezione: σ=217.87 τ=27.23
CC 27 SLV (Collegamento 0023_-380)
Azioni sul collegamento: N=-4942.83 Ty=-0.09 Tz=-0.09 Mx=-0.02 Mz=-0.81
Sollecitazioni agenti localmente: Ty_l=-898.70 Mx_l=-17.97
Tensioni nella sezione: σ=217.87 τ=27.23
CC 27 SLV (Collegamento 0023_-380)
Azioni sul collegamento: N=-4942.83 Ty=-2.39 Tz=-0.09 Mx=-0.02 Mz=-5.31
Sollecitazioni agenti localmente: Ty_l=-898.70 Mx_l=-17.97
Tensioni nella sezione: σ=217.87 τ=27.23
CC 28 SLD (Collegamento 0023_-380)
Azioni sul collegamento: N=-5844.26 Ty=-0.08 Tz=-3.43 Mx=-0.01 Mz=-0.32
Sollecitazioni agenti localmente: Ty_l=-1062.59 Mx_l=-21.25
Tensioni nella sezione: σ=257.60 τ=32.20
CC 28 SLD (Collegamento 0023_-380)
Azioni sul collegamento: N=-5844.26 Ty=-0.78 Tz=-3.43 Mx=-0.01 Mz=-1.69
Sollecitazioni agenti localmente: Ty_l=-1062.59 Mx_l=-21.25
Tensioni nella sezione: σ=257.60 τ=32.20
CC 28 SLD (Collegamento 0023_-380)
Azioni sul collegamento: N=-5844.26 Ty=-0.08 Tz=-1.87 Mx=-0.01 Mz=-0.32
Sollecitazioni agenti localmente: Ty_l=-1062.59 Mx_l=-21.25
Tensioni nella sezione: σ=257.60 τ=32.20
CC 28 SLD (Collegamento 0023_-380)
Azioni sul collegamento: N=-5844.26 Ty=-0.78 Tz=-1.87 Mx=-0.01 Mz=-1.69
Sollecitazioni agenti localmente: Ty_l=-1062.59 Mx_l=-21.25
Tensioni nella sezione: σ=257.60 τ=32.20
CC 28 SLD (Collegamento 0023_-380)
Azioni sul collegamento: N=-5422.89 Ty=-0.08 Tz=-3.43 Mx=-0.01 Mz=-0.32
Sollecitazioni agenti localmente: Ty_l=-985.98 Mx_l=-19.72
Tensioni nella sezione: σ=239.03 τ=29.88
CC 28 SLD (Collegamento 0023_-380)
Azioni sul collegamento: N=-5422.89 Ty=-0.78 Tz=-3.43 Mx=-0.01 Mz=-1.69
Sollecitazioni agenti localmente: Ty_l=-985.98 Mx_l=-19.72
Tensioni nella sezione: σ=239.03 τ=29.88
CC 28 SLD (Collegamento 0023_-380)
Azioni sul collegamento: N=-5422.89 Ty=-0.08 Tz=-1.87 Mx=-0.01 Mz=-0.32
Sollecitazioni agenti localmente: Ty_l=-985.98 Mx_l=-19.72
Tensioni nella sezione: σ=239.03 τ=29.88
CC 28 SLD (Collegamento 0023_-380)
Azioni sul collegamento: N=-5422.89 Ty=-0.78 Tz=-1.87 Mx=-0.01 Mz=-1.69
Sollecitazioni agenti localmente: Ty_l=-985.98 Mx_l=-19.72
Tensioni nella sezione: σ=239.03 τ=29.88
CC 29 SLV (Collegamento 0023_-380)
Azioni sul collegamento: N=-4942.83 Ty=-2.39 Tz=-0.09 Mx=-0.00 Mz=-5.31
Sollecitazioni agenti localmente: Ty_l=-898.70 Mx_l=-17.97
Tensioni nella sezione: σ=217.87 τ=27.23
CC 29 SLV (Collegamento 0023_-380)
Azioni sul collegamento: N=-4942.83 Ty=-0.09 Tz=-0.09 Mx=-0.00 Mz=-0.81
Sollecitazioni agenti localmente: Ty_l=-898.70 Mx_l=-17.97
Tensioni nella sezione: σ=217.87 τ=27.23
CC 29 SLV (Collegamento 0023_-380)
Azioni sul collegamento: N=-4942.83 Ty=-2.39 Tz=-5.21 Mx=-0.00 Mz=-5.31
Sollecitazioni agenti localmente: Ty_l=-898.70 Mx_l=-17.97
Tensioni nella sezione: σ=217.87 τ=27.23
CC 29 SLV (Collegamento 0023_-380)
Azioni sul collegamento: N=-4942.83 Ty=-0.09 Tz=-5.21 Mx=-0.00 Mz=-0.81
Sollecitazioni agenti localmente: Ty_l=-898.70 Mx_l=-17.97
Tensioni nella sezione: σ=217.87 τ=27.23
CC 29 SLV (Collegamento 0023_-380)
Azioni sul collegamento: N=-6324.69 Ty=-2.39 Tz=-0.09 Mx=-0.00 Mz=-5.31
Sollecitazioni agenti localmente: Ty_l=-1149.94 Mx_l=-23.00
Tensioni nella sezione: σ=278.77 τ=34.85
CC 29 SLV (Collegamento 0023_-380)

Azioni sul collegamento: N=-6324.69 Ty=-0.09 Tz=-0.09 Mx=-0.00 Mz=-0.81
Sollecitazioni agenti localmente: Ty_l=-1149.94 Mx_l=-23.00
Tensioni nella sezione: σ=278.77 τ=34.85
CC 29 SLV (Collegamento 0023_-380)
Azioni sul collegamento: N=-6324.69 Ty=-2.39 Tz=-5.21 Mx=-0.00 Mz=-5.31
Sollecitazioni agenti localmente: Ty_l=-1149.94 Mx_l=-23.00
Tensioni nella sezione: σ=278.77 τ=34.85
CC 29 SLV (Collegamento 0023_-380)
Azioni sul collegamento: N=-6324.69 Ty=-0.09 Tz=-5.21 Mx=-0.00 Mz=-0.81
Sollecitazioni agenti localmente: Ty_l=-1149.94 Mx_l=-23.00
Tensioni nella sezione: σ=278.77 τ=34.85
CC 30 SLD (Collegamento 0023_-380)
Azioni sul collegamento: N=-5422.89 Ty=-0.78 Tz=-1.87 Mx=-0.00 Mz=-1.69
Sollecitazioni agenti localmente: Ty_l=-985.98 Mx_l=-19.72
Tensioni nella sezione: σ=239.03 τ=29.88
CC 30 SLD (Collegamento 0023_-380)
Azioni sul collegamento: N=-5422.89 Ty=-0.08 Tz=-1.87 Mx=-0.00 Mz=-0.32
Sollecitazioni agenti localmente: Ty_l=-985.98 Mx_l=-19.72
Tensioni nella sezione: σ=239.03 τ=29.88
CC 30 SLD (Collegamento 0023_-380)
Azioni sul collegamento: N=-5422.89 Ty=-0.78 Tz=-3.43 Mx=-0.00 Mz=-1.69
Sollecitazioni agenti localmente: Ty_l=-985.98 Mx_l=-19.72
Tensioni nella sezione: σ=239.03 τ=29.88
CC 30 SLD (Collegamento 0023_-380)
Azioni sul collegamento: N=-5422.89 Ty=-0.08 Tz=-3.43 Mx=-0.00 Mz=-0.32
Sollecitazioni agenti localmente: Ty_l=-985.98 Mx_l=-19.72
Tensioni nella sezione: σ=239.03 τ=29.88
CC 30 SLD (Collegamento 0023_-380)
Azioni sul collegamento: N=-5844.26 Ty=-0.78 Tz=-1.87 Mx=-0.00 Mz=-1.69
Sollecitazioni agenti localmente: Ty_l=-1062.59 Mx_l=-21.25
Tensioni nella sezione: σ=257.60 τ=32.20
CC 30 SLD (Collegamento 0023_-380)
Azioni sul collegamento: N=-5844.26 Ty=-0.08 Tz=-1.87 Mx=-0.00 Mz=-0.32
Sollecitazioni agenti localmente: Ty_l=-1062.59 Mx_l=-21.25
Tensioni nella sezione: σ=257.60 τ=32.20
CC 30 SLD (Collegamento 0023_-380)
Azioni sul collegamento: N=-5844.26 Ty=-0.78 Tz=-3.43 Mx=-0.00 Mz=-1.69
Sollecitazioni agenti localmente: Ty_l=-1062.59 Mx_l=-21.25
Tensioni nella sezione: σ=257.60 τ=32.20
CC 30 SLD (Collegamento 0023_-380)
Azioni sul collegamento: N=-5844.26 Ty=-0.08 Tz=-3.43 Mx=-0.00 Mz=-0.32
Sollecitazioni agenti localmente: Ty_l=-1062.59 Mx_l=-21.25
Tensioni nella sezione: σ=257.60 τ=32.20
CC 31 SLV (Collegamento 0023_-380)
Azioni sul collegamento: N=-6324.76 Ty=-2.39 Tz=-5.22 Mx=-0.00 Mz=-5.32
Sollecitazioni agenti localmente: Ty_l=-1149.96 Mx_l=-23.00
Tensioni nella sezione: σ=278.78 τ=34.85
CC 31 SLV (Collegamento 0023_-380)
Azioni sul collegamento: N=-6324.76 Ty=-0.08 Tz=-5.22 Mx=-0.00 Mz=-0.80
Sollecitazioni agenti localmente: Ty_l=-1149.96 Mx_l=-23.00
Tensioni nella sezione: σ=278.78 τ=34.85
CC 31 SLV (Collegamento 0023_-380)
Azioni sul collegamento: N=-6324.76 Ty=-2.39 Tz=-0.09 Mx=-0.00 Mz=-5.32
Sollecitazioni agenti localmente: Ty_l=-1149.96 Mx_l=-23.00
Tensioni nella sezione: σ=278.78 τ=34.85
CC 31 SLV (Collegamento 0023_-380)
Azioni sul collegamento: N=-6324.76 Ty=-0.08 Tz=-0.09 Mx=-0.00 Mz=-0.80
Sollecitazioni agenti localmente: Ty_l=-1149.96 Mx_l=-23.00
Tensioni nella sezione: σ=278.78 τ=34.85
CC 31 SLV (Collegamento 0023_-380)
Azioni sul collegamento: N=-4942.75 Ty=-2.39 Tz=-5.22 Mx=-0.00 Mz=-5.32
Sollecitazioni agenti localmente: Ty_l=-898.68 Mx_l=-17.97
Tensioni nella sezione: σ=217.86 τ=27.23
CC 31 SLV (Collegamento 0023_-380)
Azioni sul collegamento: N=-4942.75 Ty=-0.08 Tz=-5.22 Mx=-0.00 Mz=-0.80
Sollecitazioni agenti localmente: Ty_l=-898.68 Mx_l=-17.97
Tensioni nella sezione: σ=217.86 τ=27.23
CC 31 SLV (Collegamento 0023_-380)
Azioni sul collegamento: N=-4942.75 Ty=-2.39 Tz=-0.09 Mx=-0.00 Mz=-5.32
Sollecitazioni agenti localmente: Ty_l=-898.68 Mx_l=-17.97
Tensioni nella sezione: σ=217.86 τ=27.23
CC 31 SLV (Collegamento 0023_-380)
Azioni sul collegamento: N=-4942.75 Ty=-0.08 Tz=-0.09 Mx=-0.00 Mz=-0.80
Sollecitazioni agenti localmente: Ty_l=-898.68 Mx_l=-17.97
Tensioni nella sezione: σ=217.86 τ=27.23
CC 32 SLD (Collegamento 0023_-380)
Azioni sul collegamento: N=-5844.28 Ty=-0.78 Tz=-3.44 Mx=-0.00 Mz=-1.69
Sollecitazioni agenti localmente: Ty_l=-1062.60 Mx_l=-21.25
Tensioni nella sezione: σ=257.60 τ=32.20

CC 32 SLD (Collegamento 0023_-380)
Azioni sul collegamento: N=-5844.28 Ty=-0.08 Tz=-3.44 Mx=-0.00 Mz=-0.31
Sollecitazioni agenti localmente: Ty_l=-1062.60 Mx_l=-21.25
Tensioni nella sezione: σ=257.60 τ=32.20
CC 32 SLD (Collegamento 0023_-380)
Azioni sul collegamento: N=-5844.28 Ty=-0.78 Tz=-1.87 Mx=-0.00 Mz=-1.69
Sollecitazioni agenti localmente: Ty_l=-1062.60 Mx_l=-21.25
Tensioni nella sezione: σ=257.60 τ=32.20
CC 32 SLD (Collegamento 0023_-380)
Azioni sul collegamento: N=-5844.28 Ty=-0.08 Tz=-1.87 Mx=-0.00 Mz=-0.31
Sollecitazioni agenti localmente: Ty_l=-1062.60 Mx_l=-21.25
Tensioni nella sezione: σ=257.60 τ=32.20
CC 32 SLD (Collegamento 0023_-380)
Azioni sul collegamento: N=-5422.87 Ty=-0.78 Tz=-3.44 Mx=-0.00 Mz=-1.69
Sollecitazioni agenti localmente: Ty_l=-985.98 Mx_l=-19.72
Tensioni nella sezione: σ=239.02 τ=29.88
CC 32 SLD (Collegamento 0023_-380)
Azioni sul collegamento: N=-5422.87 Ty=-0.08 Tz=-3.44 Mx=-0.00 Mz=-0.31
Sollecitazioni agenti localmente: Ty_l=-985.98 Mx_l=-19.72
Tensioni nella sezione: σ=239.02 τ=29.88
CC 32 SLD (Collegamento 0023_-380)
Azioni sul collegamento: N=-5422.87 Ty=-0.78 Tz=-1.87 Mx=-0.00 Mz=-1.69
Sollecitazioni agenti localmente: Ty_l=-985.98 Mx_l=-19.72
Tensioni nella sezione: σ=239.02 τ=29.88
CC 32 SLD (Collegamento 0023_-380)
Azioni sul collegamento: N=-5422.87 Ty=-0.08 Tz=-1.87 Mx=-0.00 Mz=-0.31
Sollecitazioni agenti localmente: Ty_l=-985.98 Mx_l=-19.72
Tensioni nella sezione: σ=239.02 τ=29.88
CC 33 SLU (Collegamento 0023_-380)
Azioni sul collegamento: N=-29447.20 Ty=-0.05 Tz=76.67 Mx=-0.00 Mz=-0.12
Sollecitazioni agenti localmente: Ty_l=-5354.03 Mx_l=-107.08
Tensioni nella sezione: σ=1297.94 τ=162.24
CC 34 SLU (Collegamento 0023_-380)
Azioni sul collegamento: N=-28967.90 Ty=-0.05 Tz=74.90 Mx=-0.00 Mz=-0.12
Sollecitazioni agenti localmente: Ty_l=-5266.89 Mx_l=-105.34
Tensioni nella sezione: σ=1276.82 τ=159.60
CC 35 SLU (Collegamento 0023_-380)
Azioni sul collegamento: N=-29207.50 Ty=-0.17 Tz=75.78 Mx=0.00 Mz=-0.35
Sollecitazioni agenti localmente: Ty_l=-5310.46 Mx_l=-106.21
Tensioni nella sezione: σ=1287.38 τ=160.92
CC 36 SLU (Collegamento 0023_-380)
Azioni sul collegamento: N=-29207.50 Ty=0.07 Tz=75.79 Mx=-0.00 Mz=0.12
Sollecitazioni agenti localmente: Ty_l=-5310.46 Mx_l=-106.21
Tensioni nella sezione: σ=1287.38 τ=160.92
CC 37 SLU (Collegamento 0023_-380)
Azioni sul collegamento: N=-19933.90 Ty=-0.08 Tz=41.69 Mx=-0.00 Mz=-0.13
Sollecitazioni agenti localmente: Ty_l=-3624.34 Mx_l=-72.49
Tensioni nella sezione: σ=878.63 τ=109.83
CC 38 SLU (Collegamento 0023_-380)
Azioni sul collegamento: N=-19454.60 Ty=-0.08 Tz=39.91 Mx=-0.00 Mz=-0.13
Sollecitazioni agenti localmente: Ty_l=-3537.19 Mx_l=-70.74
Tensioni nella sezione: σ=857.50 τ=107.19
CC 39 SLU (Collegamento 0023_-380)
Azioni sul collegamento: N=-19694.20 Ty=-0.20 Tz=40.80 Mx=0.00 Mz=-0.36
Sollecitazioni agenti localmente: Ty_l=-3580.76 Mx_l=-71.62
Tensioni nella sezione: σ=868.06 τ=108.51
CC 40 SLU (Collegamento 0023_-380)
Azioni sul collegamento: N=-19694.20 Ty=0.04 Tz=40.80 Mx=-0.00 Mz=0.10
Sollecitazioni agenti localmente: Ty_l=-3580.76 Mx_l=-71.62
Tensioni nella sezione: σ=868.06 τ=108.51
CC 41 SLU (Collegamento 0023_-380)
Azioni sul collegamento: N=-29632.10 Ty=-0.07 Tz=76.65 Mx=-0.00 Mz=-0.13
Sollecitazioni agenti localmente: Ty_l=-5387.65 Mx_l=-107.75
Tensioni nella sezione: σ=1306.09 τ=163.26
CC 42 SLU (Collegamento 0023_-380)
Azioni sul collegamento: N=-29152.80 Ty=-0.07 Tz=74.88 Mx=-0.00 Mz=-0.13
Sollecitazioni agenti localmente: Ty_l=-5300.51 Mx_l=-106.01
Tensioni nella sezione: σ=1284.97 τ=160.62
CC 43 SLU (Collegamento 0023_-380)
Azioni sul collegamento: N=-29392.40 Ty=-0.19 Tz=75.77 Mx=0.00 Mz=-0.36
Sollecitazioni agenti localmente: Ty_l=-5344.08 Mx_l=-106.88
Tensioni nella sezione: σ=1295.53 τ=161.94
CC 44 SLU (Collegamento 0023_-380)
Azioni sul collegamento: N=-29392.40 Ty=0.05 Tz=75.77 Mx=-0.00 Mz=0.10
Sollecitazioni agenti localmente: Ty_l=-5344.08 Mx_l=-106.88
Tensioni nella sezione: σ=1295.53 τ=161.94
CC 45 SLU (Collegamento 0023_-380)
Azioni sul collegamento: N=-22108.00 Ty=-0.08 Tz=49.75 Mx=-0.00 Mz=-0.14
Sollecitazioni agenti localmente: Ty_l=-4019.65 Mx_l=-80.39

Tensioni nella sezione: σ=974.46 τ=121.81
CC 46 SLU (Collegamento 0023_-380)
Azioni sul collegamento: N=-21628.70 Ty=-0.08 Tz=47.97 Mx=-0.00 Mz=-0.14
Sollecitazioni agenti localmente: Ty_l=-3932.50 Mx_l=-78.65
Tensioni nella sezione: σ=953.33 τ=119.17
CC 47 SLU (Collegamento 0023_-380)
Azioni sul collegamento: N=-21868.40 Ty=-0.20 Tz=48.86 Mx=0.00 Mz=-0.37
Sollecitazioni agenti localmente: Ty_l=-3976.07 Mx_l=-79.52
Tensioni nella sezione: σ=963.89 τ=120.49
CC 48 SLU (Collegamento 0023_-380)
Azioni sul collegamento: N=-21868.40 Ty=0.04 Tz=48.86 Mx=-0.00 Mz=0.10
Sollecitazioni agenti localmente: Ty_l=-3976.07 Mx_l=-79.52
Tensioni nella sezione: σ=963.89 τ=120.49
CC 49 SLU (Collegamento 0023_-380)
Azioni sul collegamento: N=-14990.70 Ty=-0.10 Tz=23.57 Mx=-0.00 Mz=-0.15
Sollecitazioni agenti localmente: Ty_l=-2725.58 Mx_l=-54.51
Tensioni nella sezione: σ=660.74 τ=82.59
CC 50 SLU (Collegamento 0023_-380)
Azioni sul collegamento: N=-14511.40 Ty=-0.10 Tz=21.80 Mx=-0.00 Mz=-0.15
Sollecitazioni agenti localmente: Ty_l=-2638.43 Mx_l=-52.77
Tensioni nella sezione: σ=639.62 τ=79.95
CC 51 SLU (Collegamento 0023_-380)
Azioni sul collegamento: N=-14751.00 Ty=-0.22 Tz=22.68 Mx=0.00 Mz=-0.38
Sollecitazioni agenti localmente: Ty_l=-2682.00 Mx_l=-53.64
Tensioni nella sezione: σ=650.18 τ=81.27
CC 52 SLU (Collegamento 0023_-380)
Azioni sul collegamento: N=-14751.00 Ty=0.02 Tz=22.69 Mx=-0.00 Mz=0.09
Sollecitazioni agenti localmente: Ty_l=-2682.00 Mx_l=-53.64
Tensioni nella sezione: σ=650.18 τ=81.27
CC 53 SLU (Collegamento 0023_-380)
Azioni sul collegamento: N=-22246.40 Ty=-0.10 Tz=49.73 Mx=-0.00 Mz=-0.15
Sollecitazioni agenti localmente: Ty_l=-4044.80 Mx_l=-80.90
Tensioni nella sezione: σ=980.55 τ=122.57
CC 54 SLU (Collegamento 0023_-380)
Azioni sul collegamento: N=-21767.10 Ty=-0.10 Tz=47.96 Mx=-0.00 Mz=-0.15
Sollecitazioni agenti localmente: Ty_l=-3957.65 Mx_l=-79.15
Tensioni nella sezione: σ=959.43 τ=119.93
CC 55 SLU (Collegamento 0023_-380)
Azioni sul collegamento: N=-22006.70 Ty=-0.22 Tz=48.85 Mx=0.00 Mz=-0.38
Sollecitazioni agenti localmente: Ty_l=-4001.22 Mx_l=-80.02
Tensioni nella sezione: σ=969.99 τ=121.25
CC 56 SLU (Collegamento 0023_-380)
Azioni sul collegamento: N=-22006.70 Ty=0.02 Tz=48.85 Mx=-0.00 Mz=0.09
Sollecitazioni agenti localmente: Ty_l=-4001.22 Mx_l=-80.02
Tensioni nella sezione: σ=969.99 τ=121.25
CC 57 SLU (Collegamento 0023_-380)
Azioni sul collegamento: N=-20646.20 Ty=-0.07 Tz=44.37 Mx=-0.00 Mz=-0.13
Sollecitazioni agenti localmente: Ty_l=-3753.86 Mx_l=-75.08
Tensioni nella sezione: σ=910.02 τ=113.75
CC 58 SLU (Collegamento 0023_-380)
Azioni sul collegamento: N=-20166.90 Ty=-0.07 Tz=42.59 Mx=-0.00 Mz=-0.13
Sollecitazioni agenti localmente: Ty_l=-3666.72 Mx_l=-73.33
Tensioni nella sezione: σ=888.90 τ=111.11
CC 59 SLU (Collegamento 0023_-380)
Azioni sul collegamento: N=-20406.60 Ty=-0.19 Tz=43.48 Mx=0.00 Mz=-0.36
Sollecitazioni agenti localmente: Ty_l=-3710.29 Mx_l=-74.21
Tensioni nella sezione: σ=899.46 τ=112.43
CC 60 SLU (Collegamento 0023_-380)
Azioni sul collegamento: N=-20406.60 Ty=0.05 Tz=43.48 Mx=-0.00 Mz=0.10
Sollecitazioni agenti localmente: Ty_l=-3710.29 Mx_l=-74.21
Tensioni nella sezione: σ=899.46 τ=112.43
CC 61 SLU (Collegamento 0023_-380)
Azioni sul collegamento: N=-13528.90 Ty=-0.09 Tz=18.19 Mx=-0.00 Mz=-0.14
Sollecitazioni agenti localmente: Ty_l=-2459.79 Mx_l=-49.20
Tensioni nella sezione: σ=596.31 τ=74.54
CC 62 SLU (Collegamento 0023_-380)
Azioni sul collegamento: N=-13049.60 Ty=-0.10 Tz=16.41 Mx=-0.00 Mz=-0.14
Sollecitazioni agenti localmente: Ty_l=-2372.65 Mx_l=-47.45
Tensioni nella sezione: σ=575.19 τ=71.90
CC 63 SLU (Collegamento 0023_-380)
Azioni sul collegamento: N=-13289.20 Ty=-0.21 Tz=17.30 Mx=0.00 Mz=-0.37
Sollecitazioni agenti localmente: Ty_l=-2416.22 Mx_l=-48.32
Tensioni nella sezione: σ=585.75 τ=73.22
CC 64 SLU (Collegamento 0023_-380)
Azioni sul collegamento: N=-13289.20 Ty=0.02 Tz=17.30 Mx=-0.00 Mz=0.10
Sollecitazioni agenti localmente: Ty_l=-2416.22 Mx_l=-48.32
Tensioni nella sezione: σ=585.75 τ=73.22
CC 65 SLU (Collegamento 0023_-380)
Azioni sul collegamento: N=-20784.60 Ty=-0.09 Tz=44.35 Mx=-0.00 Mz=-0.14

Sollecitazioni agenti localmente: Ty_l=-3779.02 Mx_l=-75.58
Tensioni nella sezione: σ=916.12 τ=114.52
CC 66 SLU (Collegamento 0023_-380)
Azioni sul collegamento: N=-20305.30 Ty=-0.09 Tz=42.57 Mx=-0.00 Mz=-0.14
Sollecitazioni agenti localmente: Ty_l=-3691.87 Mx_l=-73.84
Tensioni nella sezione: σ=895.00 τ=111.88
CC 67 SLU (Collegamento 0023_-380)
Azioni sul collegamento: N=-20544.90 Ty=-0.21 Tz=43.46 Mx=0.00 Mz=-0.37
Sollecitazioni agenti localmente: Ty_l=-3735.44 Mx_l=-74.71
Tensioni nella sezione: σ=905.56 τ=113.19
CC 68 SLU (Collegamento 0023_-380)
Azioni sul collegamento: N=-20544.90 Ty=0.03 Tz=43.46 Mx=-0.00 Mz=0.10
Sollecitazioni agenti localmente: Ty_l=-3735.44 Mx_l=-74.71
Tensioni nella sezione: σ=905.56 τ=113.19
CC 97 SLU (Collegamento 0023_-380)
Azioni sul collegamento: N=-12582.10 Ty=-12.27 Tz=22.98 Mx=-0.04 Mz=-17.61
Sollecitazioni agenti localmente: Ty_l=-2287.66 Mx_l=-45.75
Tensioni nella sezione: σ=554.58 τ=69.32
CC 98 SLU (Collegamento 0023_-380)
Azioni sul collegamento: N=-12102.80 Ty=-12.27 Tz=21.21 Mx=-0.04 Mz=-17.61
Sollecitazioni agenti localmente: Ty_l=-2200.51 Mx_l=-44.01
Tensioni nella sezione: σ=533.46 τ=66.68
CC 99 SLU (Collegamento 0023_-380)
Azioni sul collegamento: N=-12342.50 Ty=-12.39 Tz=22.09 Mx=-0.04 Mz=-17.84
Sollecitazioni agenti localmente: Ty_l=-2244.09 Mx_l=-44.88
Tensioni nella sezione: σ=544.02 τ=68.00
CC 100 SLU (Collegamento 0023_-380)
Azioni sul collegamento: N=-12342.50 Ty=-12.15 Tz=22.09 Mx=-0.04 Mz=-17.38
Sollecitazioni agenti localmente: Ty_l=-2244.09 Mx_l=-44.88
Tensioni nella sezione: σ=544.02 τ=68.00
CC 101 SLU (Collegamento 0023_-380)
Azioni sul collegamento: N=-6366.46 Ty=2.01 Tz=0.04 Mx=0.00 Mz=2.22
Sollecitazioni agenti localmente: Ty_l=-1157.54 Mx_l=-23.15
Tensioni nella sezione: σ=280.62 τ=35.08
CC 102 SLU (Collegamento 0023_-380)
Azioni sul collegamento: N=-5887.16 Ty=2.00 Tz=-1.73 Mx=0.00 Mz=2.22
Sollecitazioni agenti localmente: Ty_l=-1070.39 Mx_l=-21.41
Tensioni nella sezione: σ=259.49 τ=32.44
CC 103 SLU (Collegamento 0023_-380)
Azioni sul collegamento: N=-6126.81 Ty=1.89 Tz=-0.85 Mx=0.01 Mz=1.98
Sollecitazioni agenti localmente: Ty_l=-1113.96 Mx_l=-22.28
Tensioni nella sezione: σ=270.05 τ=33.76
CC 104 SLU (Collegamento 0023_-380)
Azioni sul collegamento: N=-6126.80 Ty=2.12 Tz=-0.84 Mx=0.00 Mz=2.45
Sollecitazioni agenti localmente: Ty_l=-1113.96 Mx_l=-22.28
Tensioni nella sezione: σ=270.05 τ=33.76

Flessione attacco inferiore piastra

Bnetta=220.00 Hnetta=15.00
CC 1 SLV (Collegamento 0023_-380)
Azioni sul collegamento: N=-3330.00 Ty=1.44 Tz=5.89 Mx=0.02 Mz=3.55
Sollecitazioni agenti localmente: Ty_l=-605.45 Mx_l=-12.11
Tensioni nella sezione: σ=146.78 τ=18.35
CC 1 SLV (Collegamento 0023_-380)
Azioni sul collegamento: N=-3330.00 Ty=0.74 Tz=5.89 Mx=0.02 Mz=2.16
Sollecitazioni agenti localmente: Ty_l=-605.45 Mx_l=-12.11
Tensioni nella sezione: σ=146.78 τ=18.35
CC 1 SLV (Collegamento 0023_-380)
Azioni sul collegamento: N=-3330.00 Ty=1.44 Tz=-11.20 Mx=0.02 Mz=3.55
Sollecitazioni agenti localmente: Ty_l=-605.45 Mx_l=-12.11
Tensioni nella sezione: σ=146.78 τ=18.35
CC 1 SLV (Collegamento 0023_-380)
Azioni sul collegamento: N=-3330.00 Ty=0.74 Tz=-11.20 Mx=0.02 Mz=2.16
Sollecitazioni agenti localmente: Ty_l=-605.45 Mx_l=-12.11
Tensioni nella sezione: σ=146.78 τ=18.35
CC 1 SLV (Collegamento 0023_-380)
Azioni sul collegamento: N=-7936.47 Ty=1.44 Tz=5.89 Mx=0.02 Mz=3.55
Sollecitazioni agenti localmente: Ty_l=-1442.99 Mx_l=-28.86
Tensioni nella sezione: σ=349.82 τ=43.73
CC 1 SLV (Collegamento 0023_-380)
Azioni sul collegamento: N=-7936.47 Ty=0.74 Tz=5.89 Mx=0.02 Mz=2.16
Sollecitazioni agenti localmente: Ty_l=-1442.99 Mx_l=-28.86
Tensioni nella sezione: σ=349.82 τ=43.73
CC 1 SLV (Collegamento 0023_-380)
Azioni sul collegamento: N=-7936.47 Ty=1.44 Tz=-11.20 Mx=0.02 Mz=3.55
Sollecitazioni agenti localmente: Ty_l=-1442.99 Mx_l=-28.86
Tensioni nella sezione: σ=349.82 τ=43.73
CC 1 SLV (Collegamento 0023_-380)

Azioni sul collegamento: N=-7936.47 Ty=0.74 Tz=-11.20 Mx=0.02 Mz=2.16
Sollecitazioni agenti localmente: Ty_l=-1442.99 Mx_l=-28.86
Tensioni nella sezione: σ=349.82 τ=43.73
CC 2 SLD (Collegamento 0023_-380)
Azioni sul collegamento: N=-4931.09 Ty=0.39 Tz=-0.05 Mx=0.00 Mz=1.01
Sollecitazioni agenti localmente: Ty_l=-896.56 Mx_l=-17.93
Tensioni nella sezione: σ=217.35 τ=27.17
CC 2 SLD (Collegamento 0023_-380)
Azioni sul collegamento: N=-4931.09 Ty=0.17 Tz=-0.05 Mx=0.00 Mz=0.59
Sollecitazioni agenti localmente: Ty_l=-896.56 Mx_l=-17.93
Tensioni nella sezione: σ=217.35 τ=27.17
CC 2 SLD (Collegamento 0023_-380)
Azioni sul collegamento: N=-4931.09 Ty=0.39 Tz=-5.26 Mx=0.00 Mz=1.01
Sollecitazioni agenti localmente: Ty_l=-896.56 Mx_l=-17.93
Tensioni nella sezione: σ=217.35 τ=27.17
CC 2 SLD (Collegamento 0023_-380)
Azioni sul collegamento: N=-4931.09 Ty=0.17 Tz=-5.26 Mx=0.00 Mz=0.59
Sollecitazioni agenti localmente: Ty_l=-896.56 Mx_l=-17.93
Tensioni nella sezione: σ=217.35 τ=27.17
CC 2 SLD (Collegamento 0023_-380)
Azioni sul collegamento: N=-6335.74 Ty=0.39 Tz=-0.05 Mx=0.00 Mz=1.01
Sollecitazioni agenti localmente: Ty_l=-1151.95 Mx_l=-23.04
Tensioni nella sezione: σ=279.26 τ=34.91
CC 2 SLD (Collegamento 0023_-380)
Azioni sul collegamento: N=-6335.74 Ty=0.17 Tz=-0.05 Mx=0.00 Mz=0.59
Sollecitazioni agenti localmente: Ty_l=-1151.95 Mx_l=-23.04
Tensioni nella sezione: σ=279.26 τ=34.91
CC 2 SLD (Collegamento 0023_-380)
Azioni sul collegamento: N=-6335.74 Ty=0.39 Tz=-5.26 Mx=0.00 Mz=1.01
Sollecitazioni agenti localmente: Ty_l=-1151.95 Mx_l=-23.04
Tensioni nella sezione: σ=279.26 τ=34.91
CC 2 SLD (Collegamento 0023_-380)
Azioni sul collegamento: N=-6335.74 Ty=0.17 Tz=-5.26 Mx=0.00 Mz=0.59
Sollecitazioni agenti localmente: Ty_l=-1151.95 Mx_l=-23.04
Tensioni nella sezione: σ=279.26 τ=34.91
CC 3 SLV (Collegamento 0023_-380)
Azioni sul collegamento: N=-3330.02 Ty=0.75 Tz=5.88 Mx=0.01 Mz=2.19
Sollecitazioni agenti localmente: Ty_l=-605.46 Mx_l=-12.11
Tensioni nella sezione: σ=146.78 τ=18.35
CC 3 SLV (Collegamento 0023_-380)
Azioni sul collegamento: N=-3330.02 Ty=1.43 Tz=5.88 Mx=0.01 Mz=3.51
Sollecitazioni agenti localmente: Ty_l=-605.46 Mx_l=-12.11
Tensioni nella sezione: σ=146.78 τ=18.35
CC 3 SLV (Collegamento 0023_-380)
Azioni sul collegamento: N=-3330.02 Ty=0.75 Tz=-11.19 Mx=0.01 Mz=2.19
Sollecitazioni agenti localmente: Ty_l=-605.46 Mx_l=-12.11
Tensioni nella sezione: σ=146.78 τ=18.35
CC 3 SLV (Collegamento 0023_-380)
Azioni sul collegamento: N=-3330.02 Ty=1.43 Tz=-11.19 Mx=0.01 Mz=3.51
Sollecitazioni agenti localmente: Ty_l=-605.46 Mx_l=-12.11
Tensioni nella sezione: σ=146.78 τ=18.35
CC 3 SLV (Collegamento 0023_-380)
Azioni sul collegamento: N=-7936.44 Ty=0.75 Tz=5.88 Mx=0.01 Mz=2.19
Sollecitazioni agenti localmente: Ty_l=-1442.99 Mx_l=-28.86
Tensioni nella sezione: σ=349.81 τ=43.73
CC 3 SLV (Collegamento 0023_-380)
Azioni sul collegamento: N=-7936.44 Ty=1.43 Tz=5.88 Mx=0.01 Mz=3.51
Sollecitazioni agenti localmente: Ty_l=-1442.99 Mx_l=-28.86
Tensioni nella sezione: σ=349.81 τ=43.73
CC 3 SLV (Collegamento 0023_-380)
Azioni sul collegamento: N=-7936.44 Ty=0.75 Tz=-11.19 Mx=0.01 Mz=2.19
Sollecitazioni agenti localmente: Ty_l=-1442.99 Mx_l=-28.86
Tensioni nella sezione: σ=349.81 τ=43.73
CC 3 SLV (Collegamento 0023_-380)
Azioni sul collegamento: N=-7936.44 Ty=1.43 Tz=-11.19 Mx=0.01 Mz=3.51
Sollecitazioni agenti localmente: Ty_l=-1442.99 Mx_l=-28.86
Tensioni nella sezione: σ=349.81 τ=43.73
CC 4 SLD (Collegamento 0023_-380)
Azioni sul collegamento: N=-4931.09 Ty=0.18 Tz=-0.05 Mx=0.00 Mz=0.60
Sollecitazioni agenti localmente: Ty_l=-896.56 Mx_l=-17.93
Tensioni nella sezione: σ=217.35 τ=27.17
CC 4 SLD (Collegamento 0023_-380)
Azioni sul collegamento: N=-4931.09 Ty=0.38 Tz=-0.05 Mx=0.00 Mz=1.00
Sollecitazioni agenti localmente: Ty_l=-896.56 Mx_l=-17.93
Tensioni nella sezione: σ=217.35 τ=27.17
CC 4 SLD (Collegamento 0023_-380)
Azioni sul collegamento: N=-4931.09 Ty=0.18 Tz=-5.26 Mx=0.00 Mz=0.60
Sollecitazioni agenti localmente: Ty_l=-896.56 Mx_l=-17.93
Tensioni nella sezione: σ=217.35 τ=27.17

CC 4 SLD (Collegamento 0023_-380)
Azioni sul collegamento: N=-4931.09 Ty=0.38 Tz=-5.26 Mx=0.00 Mz=1.00
Sollecitazioni agenti localmente: Ty_l=-896.56 Mx_l=-17.93
Tensioni nella sezione: σ=217.35 τ=27.17
CC 4 SLD (Collegamento 0023_-380)
Azioni sul collegamento: N=-6335.74 Ty=0.18 Tz=-0.05 Mx=0.00 Mz=0.60
Sollecitazioni agenti localmente: Ty_l=-1151.95 Mx_l=-23.04
Tensioni nella sezione: σ=279.26 τ=34.91
CC 4 SLD (Collegamento 0023_-380)
Azioni sul collegamento: N=-6335.74 Ty=0.38 Tz=-0.05 Mx=0.00 Mz=1.00
Sollecitazioni agenti localmente: Ty_l=-1151.95 Mx_l=-23.04
Tensioni nella sezione: σ=279.26 τ=34.91
CC 4 SLD (Collegamento 0023_-380)
Azioni sul collegamento: N=-6335.74 Ty=0.18 Tz=-5.26 Mx=0.00 Mz=0.60
Sollecitazioni agenti localmente: Ty_l=-1151.95 Mx_l=-23.04
Tensioni nella sezione: σ=279.26 τ=34.91
CC 4 SLD (Collegamento 0023_-380)
Azioni sul collegamento: N=-6335.74 Ty=0.38 Tz=-5.26 Mx=0.00 Mz=1.00
Sollecitazioni agenti localmente: Ty_l=-1151.95 Mx_l=-23.04
Tensioni nella sezione: σ=279.26 τ=34.91
CC 5 SLV (Collegamento 0023_-380)
Azioni sul collegamento: N=-7936.44 Ty=1.43 Tz=-11.19 Mx=0.02 Mz=3.51
Sollecitazioni agenti localmente: Ty_l=-1442.99 Mx_l=-28.86
Tensioni nella sezione: σ=349.81 τ=43.73
CC 5 SLV (Collegamento 0023_-380)
Azioni sul collegamento: N=-7936.44 Ty=0.75 Tz=-11.19 Mx=0.02 Mz=2.19
Sollecitazioni agenti localmente: Ty_l=-1442.99 Mx_l=-28.86
Tensioni nella sezione: σ=349.81 τ=43.73
CC 5 SLV (Collegamento 0023_-380)
Azioni sul collegamento: N=-7936.44 Ty=1.43 Tz=5.88 Mx=0.02 Mz=3.51
Sollecitazioni agenti localmente: Ty_l=-1442.99 Mx_l=-28.86
Tensioni nella sezione: σ=349.81 τ=43.73
CC 5 SLV (Collegamento 0023_-380)
Azioni sul collegamento: N=-7936.44 Ty=0.75 Tz=5.88 Mx=0.02 Mz=2.19
Sollecitazioni agenti localmente: Ty_l=-1442.99 Mx_l=-28.86
Tensioni nella sezione: σ=349.81 τ=43.73
CC 5 SLV (Collegamento 0023_-380)
Azioni sul collegamento: N=-3330.02 Ty=1.43 Tz=-11.19 Mx=0.02 Mz=3.51
Sollecitazioni agenti localmente: Ty_l=-605.46 Mx_l=-12.11
Tensioni nella sezione: σ=146.78 τ=18.35
CC 5 SLV (Collegamento 0023_-380)
Azioni sul collegamento: N=-3330.02 Ty=0.75 Tz=-11.19 Mx=0.02 Mz=2.19
Sollecitazioni agenti localmente: Ty_l=-605.46 Mx_l=-12.11
Tensioni nella sezione: σ=146.78 τ=18.35
CC 5 SLV (Collegamento 0023_-380)
Azioni sul collegamento: N=-3330.02 Ty=1.43 Tz=5.88 Mx=0.02 Mz=3.51
Sollecitazioni agenti localmente: Ty_l=-605.46 Mx_l=-12.11
Tensioni nella sezione: σ=146.78 τ=18.35
CC 5 SLV (Collegamento 0023_-380)
Azioni sul collegamento: N=-3330.02 Ty=0.75 Tz=5.88 Mx=0.02 Mz=2.19
Sollecitazioni agenti localmente: Ty_l=-605.46 Mx_l=-12.11
Tensioni nella sezione: σ=146.78 τ=18.35
CC 6 SLD (Collegamento 0023_-380)
Azioni sul collegamento: N=-6335.74 Ty=0.38 Tz=-5.26 Mx=0.00 Mz=1.00
Sollecitazioni agenti localmente: Ty_l=-1151.95 Mx_l=-23.04
Tensioni nella sezione: σ=279.26 τ=34.91
CC 6 SLD (Collegamento 0023_-380)
Azioni sul collegamento: N=-6335.74 Ty=0.18 Tz=-5.26 Mx=0.00 Mz=0.60
Sollecitazioni agenti localmente: Ty_l=-1151.95 Mx_l=-23.04
Tensioni nella sezione: σ=279.26 τ=34.91
CC 6 SLD (Collegamento 0023_-380)
Azioni sul collegamento: N=-6335.74 Ty=0.38 Tz=-0.05 Mx=0.00 Mz=1.00
Sollecitazioni agenti localmente: Ty_l=-1151.95 Mx_l=-23.04
Tensioni nella sezione: σ=279.26 τ=34.91
CC 6 SLD (Collegamento 0023_-380)
Azioni sul collegamento: N=-6335.74 Ty=0.18 Tz=-0.05 Mx=0.00 Mz=0.60
Sollecitazioni agenti localmente: Ty_l=-1151.95 Mx_l=-23.04
Tensioni nella sezione: σ=279.26 τ=34.91
CC 6 SLD (Collegamento 0023_-380)
Azioni sul collegamento: N=-4931.09 Ty=0.38 Tz=-5.26 Mx=0.00 Mz=1.00
Sollecitazioni agenti localmente: Ty_l=-896.56 Mx_l=-17.93
Tensioni nella sezione: σ=217.35 τ=27.17
CC 6 SLD (Collegamento 0023_-380)
Azioni sul collegamento: N=-4931.09 Ty=0.18 Tz=-5.26 Mx=0.00 Mz=0.60
Sollecitazioni agenti localmente: Ty_l=-896.56 Mx_l=-17.93
Tensioni nella sezione: σ=217.35 τ=27.17
CC 6 SLD (Collegamento 0023_-380)
Azioni sul collegamento: N=-4931.09 Ty=0.38 Tz=-0.05 Mx=0.00 Mz=1.00
Sollecitazioni agenti localmente: Ty_l=-896.56 Mx_l=-17.93

Tensioni nella sezione: σ=217.35 τ=27.17
CC 6 SLD (Collegamento 0023_-380)
Azioni sul collegamento: N=-4931.09 Ty=0.18 Tz=-0.05 Mx=0.00 Mz=0.60
Sollecitazioni agenti localmente: Ty_l=-896.56 Mx_l=-17.93
Tensioni nella sezione: σ=217.35 τ=27.17
CC 7 SLV (Collegamento 0023_-380)
Azioni sul collegamento: N=-7936.47 Ty=0.74 Tz=-11.20 Mx=0.01 Mz=2.16
Sollecitazioni agenti localmente: Ty_l=-1442.99 Mx_l=-28.86
Tensioni nella sezione: σ=349.82 τ=43.73
CC 7 SLV (Collegamento 0023_-380)
Azioni sul collegamento: N=-7936.47 Ty=1.44 Tz=-11.20 Mx=0.01 Mz=3.55
Sollecitazioni agenti localmente: Ty_l=-1442.99 Mx_l=-28.86
Tensioni nella sezione: σ=349.82 τ=43.73
CC 7 SLV (Collegamento 0023_-380)
Azioni sul collegamento: N=-7936.47 Ty=0.74 Tz=5.89 Mx=0.01 Mz=2.16
Sollecitazioni agenti localmente: Ty_l=-1442.99 Mx_l=-28.86
Tensioni nella sezione: σ=349.82 τ=43.73
CC 7 SLV (Collegamento 0023_-380)
Azioni sul collegamento: N=-7936.47 Ty=1.44 Tz=5.89 Mx=0.01 Mz=3.55
Sollecitazioni agenti localmente: Ty_l=-1442.99 Mx_l=-28.86
Tensioni nella sezione: σ=349.82 τ=43.73
CC 7 SLV (Collegamento 0023_-380)
Azioni sul collegamento: N=-3330.00 Ty=0.74 Tz=-11.20 Mx=0.01 Mz=2.16
Sollecitazioni agenti localmente: Ty_l=-605.45 Mx_l=-12.11
Tensioni nella sezione: σ=146.78 τ=18.35
CC 7 SLV (Collegamento 0023_-380)
Azioni sul collegamento: N=-3330.00 Ty=1.44 Tz=-11.20 Mx=0.01 Mz=3.55
Sollecitazioni agenti localmente: Ty_l=-605.45 Mx_l=-12.11
Tensioni nella sezione: σ=146.78 τ=18.35
CC 7 SLV (Collegamento 0023_-380)
Azioni sul collegamento: N=-3330.00 Ty=0.74 Tz=5.89 Mx=0.01 Mz=2.16
Sollecitazioni agenti localmente: Ty_l=-605.45 Mx_l=-12.11
Tensioni nella sezione: σ=146.78 τ=18.35
CC 7 SLV (Collegamento 0023_-380)
Azioni sul collegamento: N=-3330.00 Ty=1.44 Tz=5.89 Mx=0.01 Mz=3.55
Sollecitazioni agenti localmente: Ty_l=-605.45 Mx_l=-12.11
Tensioni nella sezione: σ=146.78 τ=18.35
CC 8 SLD (Collegamento 0023_-380)
Azioni sul collegamento: N=-6335.74 Ty=0.17 Tz=-5.26 Mx=0.00 Mz=0.59
Sollecitazioni agenti localmente: Ty_l=-1151.95 Mx_l=-23.04
Tensioni nella sezione: σ=279.26 τ=34.91
CC 8 SLD (Collegamento 0023_-380)
Azioni sul collegamento: N=-6335.74 Ty=0.39 Tz=-5.26 Mx=0.00 Mz=1.01
Sollecitazioni agenti localmente: Ty_l=-1151.95 Mx_l=-23.04
Tensioni nella sezione: σ=279.26 τ=34.91
CC 8 SLD (Collegamento 0023_-380)
Azioni sul collegamento: N=-6335.74 Ty=0.17 Tz=-0.05 Mx=0.00 Mz=0.59
Sollecitazioni agenti localmente: Ty_l=-1151.95 Mx_l=-23.04
Tensioni nella sezione: σ=279.26 τ=34.91
CC 8 SLD (Collegamento 0023_-380)
Azioni sul collegamento: N=-6335.74 Ty=0.39 Tz=-0.05 Mx=0.00 Mz=1.01
Sollecitazioni agenti localmente: Ty_l=-1151.95 Mx_l=-23.04
Tensioni nella sezione: σ=279.26 τ=34.91
CC 8 SLD (Collegamento 0023_-380)
Azioni sul collegamento: N=-4931.09 Ty=0.17 Tz=-5.26 Mx=0.00 Mz=0.59
Sollecitazioni agenti localmente: Ty_l=-896.56 Mx_l=-17.93
Tensioni nella sezione: σ=217.35 τ=27.17
CC 8 SLD (Collegamento 0023_-380)
Azioni sul collegamento: N=-4931.09 Ty=0.39 Tz=-5.26 Mx=0.00 Mz=1.01
Sollecitazioni agenti localmente: Ty_l=-896.56 Mx_l=-17.93
Tensioni nella sezione: σ=217.35 τ=27.17
CC 8 SLD (Collegamento 0023_-380)
Azioni sul collegamento: N=-4931.09 Ty=0.17 Tz=-0.05 Mx=0.00 Mz=0.59
Sollecitazioni agenti localmente: Ty_l=-896.56 Mx_l=-17.93
Tensioni nella sezione: σ=217.35 τ=27.17
CC 8 SLD (Collegamento 0023_-380)
Azioni sul collegamento: N=-4931.09 Ty=0.39 Tz=-0.05 Mx=0.00 Mz=1.01
Sollecitazioni agenti localmente: Ty_l=-896.56 Mx_l=-17.93
Tensioni nella sezione: σ=217.35 τ=27.17
CC 9 SLV (Collegamento 0023_-380)
Azioni sul collegamento: N=-4942.23 Ty=2.24 Tz=-0.09 Mx=0.02 Mz=5.11
Sollecitazioni agenti localmente: Ty_l=-898.59 Mx_l=-17.97
Tensioni nella sezione: σ=217.84 τ=27.23
CC 9 SLV (Collegamento 0023_-380)
Azioni sul collegamento: N=-4942.23 Ty=-0.07 Tz=-0.09 Mx=0.02 Mz=0.59
Sollecitazioni agenti localmente: Ty_l=-898.59 Mx_l=-17.97
Tensioni nella sezione: σ=217.84 τ=27.23
CC 9 SLV (Collegamento 0023_-380)
Azioni sul collegamento: N=-4942.23 Ty=2.24 Tz=-5.22 Mx=0.02 Mz=5.11

Sollecitazioni agenti localmente: Ty_l=-898.59 Mx_l=-17.97
Tensioni nella sezione: σ=217.84 τ=27.23
CC 9 SLV (Collegamento 0023_-380)
Azioni sul collegamento: N=-4942.23 Ty=-0.07 Tz=-5.22 Mx=0.02 Mz=0.59
Sollecitazioni agenti localmente: Ty_l=-898.59 Mx_l=-17.97
Tensioni nella sezione: σ=217.84 τ=27.23
CC 9 SLV (Collegamento 0023_-380)
Azioni sul collegamento: N=-6324.24 Ty=2.24 Tz=-0.09 Mx=0.02 Mz=5.11
Sollecitazioni agenti localmente: Ty_l=-1149.86 Mx_l=-23.00
Tensioni nella sezione: σ=278.75 τ=34.84
CC 9 SLV (Collegamento 0023_-380)
Azioni sul collegamento: N=-6324.24 Ty=-0.07 Tz=-0.09 Mx=0.02 Mz=0.59
Sollecitazioni agenti localmente: Ty_l=-1149.86 Mx_l=-23.00
Tensioni nella sezione: σ=278.75 τ=34.84
CC 9 SLV (Collegamento 0023_-380)
Azioni sul collegamento: N=-6324.24 Ty=2.24 Tz=-5.22 Mx=0.02 Mz=5.11
Sollecitazioni agenti localmente: Ty_l=-1149.86 Mx_l=-23.00
Tensioni nella sezione: σ=278.75 τ=34.84
CC 9 SLV (Collegamento 0023_-380)
Azioni sul collegamento: N=-6324.24 Ty=-0.07 Tz=-5.22 Mx=0.02 Mz=0.59
Sollecitazioni agenti localmente: Ty_l=-1149.86 Mx_l=-23.00
Tensioni nella sezione: σ=278.75 τ=34.84
CC 10 SLD (Collegamento 0023_-380)
Azioni sul collegamento: N=-5422.71 Ty=0.63 Tz=-1.87 Mx=0.01 Mz=1.49
Sollecitazioni agenti localmente: Ty_l=-985.95 Mx_l=-19.72
Tensioni nella sezione: σ=239.02 τ=29.88
CC 10 SLD (Collegamento 0023_-380)
Azioni sul collegamento: N=-5422.71 Ty=-0.07 Tz=-1.87 Mx=0.01 Mz=0.11
Sollecitazioni agenti localmente: Ty_l=-985.95 Mx_l=-19.72
Tensioni nella sezione: σ=239.02 τ=29.88
CC 10 SLD (Collegamento 0023_-380)
Azioni sul collegamento: N=-5422.71 Ty=0.63 Tz=-3.44 Mx=0.01 Mz=1.49
Sollecitazioni agenti localmente: Ty_l=-985.95 Mx_l=-19.72
Tensioni nella sezione: σ=239.02 τ=29.88
CC 10 SLD (Collegamento 0023_-380)
Azioni sul collegamento: N=-5422.71 Ty=-0.07 Tz=-3.44 Mx=0.01 Mz=0.11
Sollecitazioni agenti localmente: Ty_l=-985.95 Mx_l=-19.72
Tensioni nella sezione: σ=239.02 τ=29.88
CC 10 SLD (Collegamento 0023_-380)
Azioni sul collegamento: N=-5844.12 Ty=0.63 Tz=-1.87 Mx=0.01 Mz=1.49
Sollecitazioni agenti localmente: Ty_l=-1062.57 Mx_l=-21.25
Tensioni nella sezione: σ=257.59 τ=32.20
CC 10 SLD (Collegamento 0023_-380)
Azioni sul collegamento: N=-5844.12 Ty=-0.07 Tz=-1.87 Mx=0.01 Mz=0.11
Sollecitazioni agenti localmente: Ty_l=-1062.57 Mx_l=-21.25
Tensioni nella sezione: σ=257.59 τ=32.20
CC 10 SLD (Collegamento 0023_-380)
Azioni sul collegamento: N=-5844.12 Ty=0.63 Tz=-3.44 Mx=0.01 Mz=1.49
Sollecitazioni agenti localmente: Ty_l=-1062.57 Mx_l=-21.25
Tensioni nella sezione: σ=257.59 τ=32.20
CC 10 SLD (Collegamento 0023_-380)
Azioni sul collegamento: N=-5844.12 Ty=-0.07 Tz=-3.44 Mx=0.01 Mz=0.11
Sollecitazioni agenti localmente: Ty_l=-1062.57 Mx_l=-21.25
Tensioni nella sezione: σ=257.59 τ=32.20
CC 11 SLV (Collegamento 0023_-380)
Azioni sul collegamento: N=-6324.16 Ty=2.24 Tz=-5.22 Mx=0.02 Mz=5.10
Sollecitazioni agenti localmente: Ty_l=-1149.85 Mx_l=-23.00
Tensioni nella sezione: σ=278.75 τ=34.84
CC 11 SLV (Collegamento 0023_-380)
Azioni sul collegamento: N=-6324.16 Ty=-0.06 Tz=-5.22 Mx=0.02 Mz=0.60
Sollecitazioni agenti localmente: Ty_l=-1149.85 Mx_l=-23.00
Tensioni nella sezione: σ=278.75 τ=34.84
CC 11 SLV (Collegamento 0023_-380)
Azioni sul collegamento: N=-6324.16 Ty=2.24 Tz=-0.09 Mx=0.02 Mz=5.10
Sollecitazioni agenti localmente: Ty_l=-1149.85 Mx_l=-23.00
Tensioni nella sezione: σ=278.75 τ=34.84
CC 11 SLV (Collegamento 0023_-380)
Azioni sul collegamento: N=-6324.16 Ty=-0.06 Tz=-0.09 Mx=0.02 Mz=0.60
Sollecitazioni agenti localmente: Ty_l=-1149.85 Mx_l=-23.00
Tensioni nella sezione: σ=278.75 τ=34.84
CC 11 SLV (Collegamento 0023_-380)
Azioni sul collegamento: N=-4942.30 Ty=2.24 Tz=-5.22 Mx=0.02 Mz=5.10
Sollecitazioni agenti localmente: Ty_l=-898.60 Mx_l=-17.97
Tensioni nella sezione: σ=217.84 τ=27.23
CC 11 SLV (Collegamento 0023_-380)
Azioni sul collegamento: N=-4942.30 Ty=-0.06 Tz=-5.22 Mx=0.02 Mz=0.60
Sollecitazioni agenti localmente: Ty_l=-898.60 Mx_l=-17.97
Tensioni nella sezione: σ=217.84 τ=27.23
CC 11 SLV (Collegamento 0023_-380)

Azioni sul collegamento: N=-4942.30 Ty=2.24 Tz=-0.09 Mx=0.02 Mz=5.10
Sollecitazioni agenti localmente: Ty_l=-898.60 Mx_l=-17.97
Tensioni nella sezione: σ=217.84 τ=27.23
CC 11 SLV (Collegamento 0023_-380)
Azioni sul collegamento: N=-4942.30 Ty=-0.06 Tz=-0.09 Mx=0.02 Mz=0.60
Sollecitazioni agenti localmente: Ty_l=-898.60 Mx_l=-17.97
Tensioni nella sezione: σ=217.84 τ=27.23
CC 12 SLD (Collegamento 0023_-380)
Azioni sul collegamento: N=-5844.10 Ty=0.63 Tz=-3.44 Mx=0.01 Mz=1.48
Sollecitazioni agenti localmente: Ty_l=-1062.56 Mx_l=-21.25
Tensioni nella sezione: σ=257.59 τ=32.20
CC 12 SLD (Collegamento 0023_-380)
Azioni sul collegamento: N=-5844.10 Ty=-0.07 Tz=-3.44 Mx=0.01 Mz=0.11
Sollecitazioni agenti localmente: Ty_l=-1062.56 Mx_l=-21.25
Tensioni nella sezione: σ=257.59 τ=32.20
CC 12 SLD (Collegamento 0023_-380)
Azioni sul collegamento: N=-5844.10 Ty=0.63 Tz=-1.87 Mx=0.01 Mz=1.48
Sollecitazioni agenti localmente: Ty_l=-1062.56 Mx_l=-21.25
Tensioni nella sezione: σ=257.59 τ=32.20
CC 12 SLD (Collegamento 0023_-380)
Azioni sul collegamento: N=-5844.10 Ty=-0.07 Tz=-1.87 Mx=0.01 Mz=0.11
Sollecitazioni agenti localmente: Ty_l=-1062.56 Mx_l=-21.25
Tensioni nella sezione: σ=257.59 τ=32.20
CC 12 SLD (Collegamento 0023_-380)
Azioni sul collegamento: N=-5422.73 Ty=0.63 Tz=-3.44 Mx=0.01 Mz=1.48
Sollecitazioni agenti localmente: Ty_l=-985.95 Mx_l=-19.72
Tensioni nella sezione: σ=239.02 τ=29.88
CC 12 SLD (Collegamento 0023_-380)
Azioni sul collegamento: N=-5422.73 Ty=-0.07 Tz=-3.44 Mx=0.01 Mz=0.11
Sollecitazioni agenti localmente: Ty_l=-985.95 Mx_l=-19.72
Tensioni nella sezione: σ=239.02 τ=29.88
CC 12 SLD (Collegamento 0023_-380)
Azioni sul collegamento: N=-5422.73 Ty=0.63 Tz=-1.87 Mx=0.01 Mz=1.48
Sollecitazioni agenti localmente: Ty_l=-985.95 Mx_l=-19.72
Tensioni nella sezione: σ=239.02 τ=29.88
CC 12 SLD (Collegamento 0023_-380)
Azioni sul collegamento: N=-5422.73 Ty=-0.07 Tz=-1.87 Mx=0.01 Mz=0.11
Sollecitazioni agenti localmente: Ty_l=-985.95 Mx_l=-19.72
Tensioni nella sezione: σ=239.02 τ=29.88
CC 13 SLV (Collegamento 0023_-380)
Azioni sul collegamento: N=-4942.30 Ty=-0.06 Tz=-0.09 Mx=0.00 Mz=0.60
Sollecitazioni agenti localmente: Ty_l=-898.60 Mx_l=-17.97
Tensioni nella sezione: σ=217.84 τ=27.23
CC 13 SLV (Collegamento 0023_-380)
Azioni sul collegamento: N=-4942.30 Ty=2.24 Tz=-0.09 Mx=0.00 Mz=5.10
Sollecitazioni agenti localmente: Ty_l=-898.60 Mx_l=-17.97
Tensioni nella sezione: σ=217.84 τ=27.23
CC 13 SLV (Collegamento 0023_-380)
Azioni sul collegamento: N=-4942.30 Ty=-0.06 Tz=-5.22 Mx=0.00 Mz=0.60
Sollecitazioni agenti localmente: Ty_l=-898.60 Mx_l=-17.97
Tensioni nella sezione: σ=217.84 τ=27.23
CC 13 SLV (Collegamento 0023_-380)
Azioni sul collegamento: N=-4942.30 Ty=2.24 Tz=-5.22 Mx=0.00 Mz=5.10
Sollecitazioni agenti localmente: Ty_l=-898.60 Mx_l=-17.97
Tensioni nella sezione: σ=217.84 τ=27.23
CC 13 SLV (Collegamento 0023_-380)
Azioni sul collegamento: N=-6324.16 Ty=-0.06 Tz=-0.09 Mx=0.00 Mz=0.60
Sollecitazioni agenti localmente: Ty_l=-1149.85 Mx_l=-23.00
Tensioni nella sezione: σ=278.75 τ=34.84
CC 13 SLV (Collegamento 0023_-380)
Azioni sul collegamento: N=-6324.16 Ty=2.24 Tz=-0.09 Mx=0.00 Mz=5.10
Sollecitazioni agenti localmente: Ty_l=-1149.85 Mx_l=-23.00
Tensioni nella sezione: σ=278.75 τ=34.84
CC 13 SLV (Collegamento 0023_-380)
Azioni sul collegamento: N=-6324.16 Ty=-0.06 Tz=-5.22 Mx=0.00 Mz=0.60
Sollecitazioni agenti localmente: Ty_l=-1149.85 Mx_l=-23.00
Tensioni nella sezione: σ=278.75 τ=34.84
CC 13 SLV (Collegamento 0023_-380)
Azioni sul collegamento: N=-6324.16 Ty=2.24 Tz=-5.22 Mx=0.00 Mz=5.10
Sollecitazioni agenti localmente: Ty_l=-1149.85 Mx_l=-23.00
Tensioni nella sezione: σ=278.75 τ=34.84
CC 14 SLD (Collegamento 0023_-380)
Azioni sul collegamento: N=-5422.73 Ty=-0.07 Tz=-1.87 Mx=0.00 Mz=0.11
Sollecitazioni agenti localmente: Ty_l=-985.95 Mx_l=-19.72
Tensioni nella sezione: σ=239.02 τ=29.88
CC 14 SLD (Collegamento 0023_-380)
Azioni sul collegamento: N=-5422.73 Ty=0.63 Tz=-1.87 Mx=0.00 Mz=1.48
Sollecitazioni agenti localmente: Ty_l=-985.95 Mx_l=-19.72
Tensioni nella sezione: σ=239.02 τ=29.88

CC 14 SLD (Collegamento 0023_-380)
Azioni sul collegamento: N=-5422.73 Ty=-0.07 Tz=-3.44 Mx=0.00 Mz=0.11
Sollecitazioni agenti localmente: Ty_l=-985.95 Mx_l=-19.72
Tensioni nella sezione: σ=239.02 τ=29.88
CC 14 SLD (Collegamento 0023_-380)
Azioni sul collegamento: N=-5422.73 Ty=0.63 Tz=-3.44 Mx=0.00 Mz=1.48
Sollecitazioni agenti localmente: Ty_l=-985.95 Mx_l=-19.72
Tensioni nella sezione: σ=239.02 τ=29.88
CC 14 SLD (Collegamento 0023_-380)
Azioni sul collegamento: N=-5844.10 Ty=-0.07 Tz=-1.87 Mx=0.00 Mz=0.11
Sollecitazioni agenti localmente: Ty_l=-1062.56 Mx_l=-21.25
Tensioni nella sezione: σ=257.59 τ=32.20
CC 14 SLD (Collegamento 0023_-380)
Azioni sul collegamento: N=-5844.10 Ty=0.63 Tz=-1.87 Mx=0.00 Mz=1.48
Sollecitazioni agenti localmente: Ty_l=-1062.56 Mx_l=-21.25
Tensioni nella sezione: σ=257.59 τ=32.20
CC 14 SLD (Collegamento 0023_-380)
Azioni sul collegamento: N=-5844.10 Ty=-0.07 Tz=-3.44 Mx=0.00 Mz=0.11
Sollecitazioni agenti localmente: Ty_l=-1062.56 Mx_l=-21.25
Tensioni nella sezione: σ=257.59 τ=32.20
CC 14 SLD (Collegamento 0023_-380)
Azioni sul collegamento: N=-5844.10 Ty=0.63 Tz=-3.44 Mx=0.00 Mz=1.48
Sollecitazioni agenti localmente: Ty_l=-1062.56 Mx_l=-21.25
Tensioni nella sezione: σ=257.59 τ=32.20
CC 15 SLV (Collegamento 0023_-380)
Azioni sul collegamento: N=-6324.24 Ty=-0.07 Tz=-5.22 Mx=0.00 Mz=0.59
Sollecitazioni agenti localmente: Ty_l=-1149.86 Mx_l=-23.00
Tensioni nella sezione: σ=278.75 τ=34.84
CC 15 SLV (Collegamento 0023_-380)
Azioni sul collegamento: N=-6324.24 Ty=2.24 Tz=-5.22 Mx=0.00 Mz=5.11
Sollecitazioni agenti localmente: Ty_l=-1149.86 Mx_l=-23.00
Tensioni nella sezione: σ=278.75 τ=34.84
CC 15 SLV (Collegamento 0023_-380)
Azioni sul collegamento: N=-6324.24 Ty=-0.07 Tz=-0.09 Mx=0.00 Mz=0.59
Sollecitazioni agenti localmente: Ty_l=-1149.86 Mx_l=-23.00
Tensioni nella sezione: σ=278.75 τ=34.84
CC 15 SLV (Collegamento 0023_-380)
Azioni sul collegamento: N=-6324.24 Ty=2.24 Tz=-0.09 Mx=0.00 Mz=5.11
Sollecitazioni agenti localmente: Ty_l=-1149.86 Mx_l=-23.00
Tensioni nella sezione: σ=278.75 τ=34.84
CC 15 SLV (Collegamento 0023_-380)
Azioni sul collegamento: N=-4942.23 Ty=-0.07 Tz=-5.22 Mx=0.00 Mz=0.59
Sollecitazioni agenti localmente: Ty_l=-898.59 Mx_l=-17.97
Tensioni nella sezione: σ=217.84 τ=27.23
CC 15 SLV (Collegamento 0023_-380)
Azioni sul collegamento: N=-4942.23 Ty=2.24 Tz=-5.22 Mx=0.00 Mz=5.11
Sollecitazioni agenti localmente: Ty_l=-898.59 Mx_l=-17.97
Tensioni nella sezione: σ=217.84 τ=27.23
CC 15 SLV (Collegamento 0023_-380)
Azioni sul collegamento: N=-4942.23 Ty=-0.07 Tz=-0.09 Mx=0.00 Mz=0.59
Sollecitazioni agenti localmente: Ty_l=-898.59 Mx_l=-17.97
Tensioni nella sezione: σ=217.84 τ=27.23
CC 15 SLV (Collegamento 0023_-380)
Azioni sul collegamento: N=-4942.23 Ty=2.24 Tz=-0.09 Mx=0.00 Mz=5.11
Sollecitazioni agenti localmente: Ty_l=-898.59 Mx_l=-17.97
Tensioni nella sezione: σ=217.84 τ=27.23
CC 16 SLD (Collegamento 0023_-380)
Azioni sul collegamento: N=-5844.12 Ty=-0.07 Tz=-3.44 Mx=0.00 Mz=0.11
Sollecitazioni agenti localmente: Ty_l=-1062.57 Mx_l=-21.25
Tensioni nella sezione: σ=257.59 τ=32.20
CC 16 SLD (Collegamento 0023_-380)
Azioni sul collegamento: N=-5844.12 Ty=0.63 Tz=-3.44 Mx=0.00 Mz=1.49
Sollecitazioni agenti localmente: Ty_l=-1062.57 Mx_l=-21.25
Tensioni nella sezione: σ=257.59 τ=32.20
CC 16 SLD (Collegamento 0023_-380)
Azioni sul collegamento: N=-5844.12 Ty=-0.07 Tz=-1.87 Mx=0.00 Mz=0.11
Sollecitazioni agenti localmente: Ty_l=-1062.57 Mx_l=-21.25
Tensioni nella sezione: σ=257.59 τ=32.20
CC 16 SLD (Collegamento 0023_-380)
Azioni sul collegamento: N=-5844.12 Ty=0.63 Tz=-1.87 Mx=0.00 Mz=1.49
Sollecitazioni agenti localmente: Ty_l=-1062.57 Mx_l=-21.25
Tensioni nella sezione: σ=257.59 τ=32.20
CC 16 SLD (Collegamento 0023_-380)
Azioni sul collegamento: N=-5422.71 Ty=-0.07 Tz=-3.44 Mx=0.00 Mz=0.11
Sollecitazioni agenti localmente: Ty_l=-985.95 Mx_l=-19.72
Tensioni nella sezione: σ=239.02 τ=29.88
CC 16 SLD (Collegamento 0023_-380)
Azioni sul collegamento: N=-5422.71 Ty=0.63 Tz=-3.44 Mx=0.00 Mz=1.49
Sollecitazioni agenti localmente: Ty_l=-985.95 Mx_l=-19.72

Tensioni nella sezione: σ=239.02 τ=29.88
CC 16 SLD (Collegamento 0023_-380)
Azioni sul collegamento: N=-5422.71 Ty=-0.07 Tz=-1.87 Mx=0.00 Mz=0.11
Sollecitazioni agenti localmente: Ty_l=-985.95 Mx_l=-19.72
Tensioni nella sezione: σ=239.02 τ=29.88
CC 16 SLD (Collegamento 0023_-380)
Azioni sul collegamento: N=-5422.71 Ty=0.63 Tz=-1.87 Mx=0.00 Mz=1.49
Sollecitazioni agenti localmente: Ty_l=-985.95 Mx_l=-19.72
Tensioni nella sezione: σ=239.02 τ=29.88
CC 17 SLV (Collegamento 0023_-380)
Azioni sul collegamento: N=-3330.52 Ty=-0.88 Tz=5.89 Mx=-0.02 Mz=-2.36
Sollecitazioni agenti localmente: Ty_l=-605.55 Mx_l=-12.11
Tensioni nella sezione: σ=146.80 τ=18.35
CC 17 SLV (Collegamento 0023_-380)
Azioni sul collegamento: N=-3330.52 Ty=-1.59 Tz=5.89 Mx=-0.02 Mz=-3.75
Sollecitazioni agenti localmente: Ty_l=-605.55 Mx_l=-12.11
Tensioni nella sezione: σ=146.80 τ=18.35
CC 17 SLV (Collegamento 0023_-380)
Azioni sul collegamento: N=-3330.52 Ty=-0.88 Tz=-11.19 Mx=-0.02 Mz=-2.36
Sollecitazioni agenti localmente: Ty_l=-605.55 Mx_l=-12.11
Tensioni nella sezione: σ=146.80 τ=18.35
CC 17 SLV (Collegamento 0023_-380)
Azioni sul collegamento: N=-3330.52 Ty=-1.59 Tz=-11.19 Mx=-0.02 Mz=-3.75
Sollecitazioni agenti localmente: Ty_l=-605.55 Mx_l=-12.11
Tensioni nella sezione: σ=146.80 τ=18.35
CC 17 SLV (Collegamento 0023_-380)
Azioni sul collegamento: N=-7936.99 Ty=-0.88 Tz=5.89 Mx=-0.02 Mz=-2.36
Sollecitazioni agenti localmente: Ty_l=-1443.09 Mx_l=-28.86
Tensioni nella sezione: σ=349.84 τ=43.73
CC 17 SLV (Collegamento 0023_-380)
Azioni sul collegamento: N=-7936.99 Ty=-1.59 Tz=5.89 Mx=-0.02 Mz=-3.75
Sollecitazioni agenti localmente: Ty_l=-1443.09 Mx_l=-28.86
Tensioni nella sezione: σ=349.84 τ=43.73
CC 17 SLV (Collegamento 0023_-380)
Azioni sul collegamento: N=-7936.99 Ty=-0.88 Tz=-11.19 Mx=-0.02 Mz=-2.36
Sollecitazioni agenti localmente: Ty_l=-1443.09 Mx_l=-28.86
Tensioni nella sezione: σ=349.84 τ=43.73
CC 17 SLV (Collegamento 0023_-380)
Azioni sul collegamento: N=-7936.99 Ty=-1.59 Tz=-11.19 Mx=-0.02 Mz=-3.75
Sollecitazioni agenti localmente: Ty_l=-1443.09 Mx_l=-28.86
Tensioni nella sezione: σ=349.84 τ=43.73
CC 18 SLD (Collegamento 0023_-380)
Azioni sul collegamento: N=-4931.25 Ty=-0.32 Tz=-0.05 Mx=-0.01 Mz=-0.79
Sollecitazioni agenti localmente: Ty_l=-896.59 Mx_l=-17.93
Tensioni nella sezione: σ=217.35 τ=27.17
CC 18 SLD (Collegamento 0023_-380)
Azioni sul collegamento: N=-4931.25 Ty=-0.54 Tz=-0.05 Mx=-0.01 Mz=-1.22
Sollecitazioni agenti localmente: Ty_l=-896.59 Mx_l=-17.93
Tensioni nella sezione: σ=217.35 τ=27.17
CC 18 SLD (Collegamento 0023_-380)
Azioni sul collegamento: N=-4931.25 Ty=-0.32 Tz=-5.26 Mx=-0.01 Mz=-0.79
Sollecitazioni agenti localmente: Ty_l=-896.59 Mx_l=-17.93
Tensioni nella sezione: σ=217.35 τ=27.17
CC 18 SLD (Collegamento 0023_-380)
Azioni sul collegamento: N=-4931.25 Ty=-0.54 Tz=-5.26 Mx=-0.01 Mz=-1.22
Sollecitazioni agenti localmente: Ty_l=-896.59 Mx_l=-17.93
Tensioni nella sezione: σ=217.35 τ=27.17
CC 18 SLD (Collegamento 0023_-380)
Azioni sul collegamento: N=-6335.90 Ty=-0.32 Tz=-0.05 Mx=-0.01 Mz=-0.79
Sollecitazioni agenti localmente: Ty_l=-1151.98 Mx_l=-23.04
Tensioni nella sezione: σ=279.27 τ=34.91
CC 18 SLD (Collegamento 0023_-380)
Azioni sul collegamento: N=-6335.90 Ty=-0.54 Tz=-0.05 Mx=-0.01 Mz=-1.22
Sollecitazioni agenti localmente: Ty_l=-1151.98 Mx_l=-23.04
Tensioni nella sezione: σ=279.27 τ=34.91
CC 18 SLD (Collegamento 0023_-380)
Azioni sul collegamento: N=-6335.90 Ty=-0.32 Tz=-5.26 Mx=-0.01 Mz=-0.79
Sollecitazioni agenti localmente: Ty_l=-1151.98 Mx_l=-23.04
Tensioni nella sezione: σ=279.27 τ=34.91
CC 18 SLD (Collegamento 0023_-380)
Azioni sul collegamento: N=-6335.90 Ty=-0.54 Tz=-5.26 Mx=-0.01 Mz=-1.22
Sollecitazioni agenti localmente: Ty_l=-1151.98 Mx_l=-23.04
Tensioni nella sezione: σ=279.27 τ=34.91
CC 19 SLV (Collegamento 0023_-380)
Azioni sul collegamento: N=-3330.55 Ty=-1.58 Tz=5.89 Mx=-0.01 Mz=-3.71
Sollecitazioni agenti localmente: Ty_l=-605.55 Mx_l=-12.11
Tensioni nella sezione: σ=146.80 τ=18.35
CC 19 SLV (Collegamento 0023_-380)
Azioni sul collegamento: N=-3330.55 Ty=-0.90 Tz=5.89 Mx=-0.01 Mz=-2.40

Sollecitazioni agenti localmente: Ty_l=-605.55 Mx_l=-12.11
Tensioni nella sezione: σ=146.80 τ=18.35
CC 19 SLV (Collegamento 0023_-380)
Azioni sul collegamento: N=-3330.55 Ty=-1.58 Tz=-11.19 Mx=-0.01 Mz=-3.71
Sollecitazioni agenti localmente: Ty_l=-605.55 Mx_l=-12.11
Tensioni nella sezione: σ=146.80 τ=18.35
CC 19 SLV (Collegamento 0023_-380)
Azioni sul collegamento: N=-3330.55 Ty=-0.90 Tz=-11.19 Mx=-0.01 Mz=-2.40
Sollecitazioni agenti localmente: Ty_l=-605.55 Mx_l=-12.11
Tensioni nella sezione: σ=146.80 τ=18.35
CC 19 SLV (Collegamento 0023_-380)
Azioni sul collegamento: N=-7936.97 Ty=-1.58 Tz=5.89 Mx=-0.01 Mz=-3.71
Sollecitazioni agenti localmente: Ty_l=-1443.09 Mx_l=-28.86
Tensioni nella sezione: σ=349.84 τ=43.73
CC 19 SLV (Collegamento 0023_-380)
Azioni sul collegamento: N=-7936.97 Ty=-0.90 Tz=5.89 Mx=-0.01 Mz=-2.40
Sollecitazioni agenti localmente: Ty_l=-1443.09 Mx_l=-28.86
Tensioni nella sezione: σ=349.84 τ=43.73
CC 19 SLV (Collegamento 0023_-380)
Azioni sul collegamento: N=-7936.97 Ty=-1.58 Tz=-11.19 Mx=-0.01 Mz=-3.71
Sollecitazioni agenti localmente: Ty_l=-1443.09 Mx_l=-28.86
Tensioni nella sezione: σ=349.84 τ=43.73
CC 19 SLV (Collegamento 0023_-380)
Azioni sul collegamento: N=-7936.97 Ty=-0.90 Tz=-11.19 Mx=-0.01 Mz=-2.40
Sollecitazioni agenti localmente: Ty_l=-1443.09 Mx_l=-28.86
Tensioni nella sezione: σ=349.84 τ=43.73
CC 20 SLD (Collegamento 0023_-380)
Azioni sul collegamento: N=-4931.25 Ty=-0.53 Tz=-0.05 Mx=-0.00 Mz=-1.20
Sollecitazioni agenti localmente: Ty_l=-896.59 Mx_l=-17.93
Tensioni nella sezione: σ=217.35 τ=27.17
CC 20 SLD (Collegamento 0023_-380)
Azioni sul collegamento: N=-4931.25 Ty=-0.33 Tz=-0.05 Mx=-0.00 Mz=-0.80
Sollecitazioni agenti localmente: Ty_l=-896.59 Mx_l=-17.93
Tensioni nella sezione: σ=217.35 τ=27.17
CC 20 SLD (Collegamento 0023_-380)
Azioni sul collegamento: N=-4931.25 Ty=-0.53 Tz=-5.26 Mx=-0.00 Mz=-1.20
Sollecitazioni agenti localmente: Ty_l=-896.59 Mx_l=-17.93
Tensioni nella sezione: σ=217.35 τ=27.17
CC 20 SLD (Collegamento 0023_-380)
Azioni sul collegamento: N=-4931.25 Ty=-0.33 Tz=-5.26 Mx=-0.00 Mz=-0.80
Sollecitazioni agenti localmente: Ty_l=-896.59 Mx_l=-17.93
Tensioni nella sezione: σ=217.35 τ=27.17
CC 20 SLD (Collegamento 0023_-380)
Azioni sul collegamento: N=-6335.90 Ty=-0.53 Tz=-0.05 Mx=-0.00 Mz=-1.20
Sollecitazioni agenti localmente: Ty_l=-1151.98 Mx_l=-23.04
Tensioni nella sezione: σ=279.27 τ=34.91
CC 20 SLD (Collegamento 0023_-380)
Azioni sul collegamento: N=-6335.90 Ty=-0.33 Tz=-0.05 Mx=-0.00 Mz=-0.80
Sollecitazioni agenti localmente: Ty_l=-1151.98 Mx_l=-23.04
Tensioni nella sezione: σ=279.27 τ=34.91
CC 20 SLD (Collegamento 0023_-380)
Azioni sul collegamento: N=-6335.90 Ty=-0.53 Tz=-5.26 Mx=-0.00 Mz=-1.20
Sollecitazioni agenti localmente: Ty_l=-1151.98 Mx_l=-23.04
Tensioni nella sezione: σ=279.27 τ=34.91
CC 20 SLD (Collegamento 0023_-380)
Azioni sul collegamento: N=-6335.90 Ty=-0.33 Tz=-5.26 Mx=-0.00 Mz=-0.80
Sollecitazioni agenti localmente: Ty_l=-1151.98 Mx_l=-23.04
Tensioni nella sezione: σ=279.27 τ=34.91
CC 21 SLV (Collegamento 0023_-380)
Azioni sul collegamento: N=-7936.97 Ty=-0.90 Tz=-11.19 Mx=-0.02 Mz=-2.40
Sollecitazioni agenti localmente: Ty_l=-1443.09 Mx_l=-28.86
Tensioni nella sezione: σ=349.84 τ=43.73
CC 21 SLV (Collegamento 0023_-380)
Azioni sul collegamento: N=-7936.97 Ty=-1.58 Tz=-11.19 Mx=-0.02 Mz=-3.71
Sollecitazioni agenti localmente: Ty_l=-1443.09 Mx_l=-28.86
Tensioni nella sezione: σ=349.84 τ=43.73
CC 21 SLV (Collegamento 0023_-380)
Azioni sul collegamento: N=-7936.97 Ty=-0.90 Tz=5.89 Mx=-0.02 Mz=-2.40
Sollecitazioni agenti localmente: Ty_l=-1443.09 Mx_l=-28.86
Tensioni nella sezione: σ=349.84 τ=43.73
CC 21 SLV (Collegamento 0023_-380)
Azioni sul collegamento: N=-7936.97 Ty=-1.58 Tz=5.89 Mx=-0.02 Mz=-3.71
Sollecitazioni agenti localmente: Ty_l=-1443.09 Mx_l=-28.86
Tensioni nella sezione: σ=349.84 τ=43.73
CC 21 SLV (Collegamento 0023_-380)
Azioni sul collegamento: N=-3330.55 Ty=-0.90 Tz=-11.19 Mx=-0.02 Mz=-2.40
Sollecitazioni agenti localmente: Ty_l=-605.55 Mx_l=-12.11
Tensioni nella sezione: σ=146.80 τ=18.35
CC 21 SLV (Collegamento 0023_-380)

Azioni sul collegamento: N=-3330.55 Ty=-1.58 Tz=-11.19 Mx=-0.02 Mz=-3.71
Sollecitazioni agenti localmente: Ty_l=-605.55 Mx_l=-12.11
Tensioni nella sezione: σ=146.80 τ=18.35
CC 21 SLV (Collegamento 0023_-380)
Azioni sul collegamento: N=-3330.55 Ty=-0.90 Tz=5.89 Mx=-0.02 Mz=-2.40
Sollecitazioni agenti localmente: Ty_l=-605.55 Mx_l=-12.11
Tensioni nella sezione: σ=146.80 τ=18.35
CC 21 SLV (Collegamento 0023_-380)
Azioni sul collegamento: N=-3330.55 Ty=-1.58 Tz=5.89 Mx=-0.02 Mz=-3.71
Sollecitazioni agenti localmente: Ty_l=-605.55 Mx_l=-12.11
Tensioni nella sezione: σ=146.80 τ=18.35
CC 22 SLD (Collegamento 0023_-380)
Azioni sul collegamento: N=-6335.90 Ty=-0.33 Tz=-5.26 Mx=-0.01 Mz=-0.80
Sollecitazioni agenti localmente: Ty_l=-1151.98 Mx_l=-23.04
Tensioni nella sezione: σ=279.27 τ=34.91
CC 22 SLD (Collegamento 0023_-380)
Azioni sul collegamento: N=-6335.90 Ty=-0.53 Tz=-5.26 Mx=-0.01 Mz=-1.20
Sollecitazioni agenti localmente: Ty_l=-1151.98 Mx_l=-23.04
Tensioni nella sezione: σ=279.27 τ=34.91
CC 22 SLD (Collegamento 0023_-380)
Azioni sul collegamento: N=-6335.90 Ty=-0.33 Tz=-0.05 Mx=-0.01 Mz=-0.80
Sollecitazioni agenti localmente: Ty_l=-1151.98 Mx_l=-23.04
Tensioni nella sezione: σ=279.27 τ=34.91
CC 22 SLD (Collegamento 0023_-380)
Azioni sul collegamento: N=-6335.90 Ty=-0.53 Tz=-0.05 Mx=-0.01 Mz=-1.20
Sollecitazioni agenti localmente: Ty_l=-1151.98 Mx_l=-23.04
Tensioni nella sezione: σ=279.27 τ=34.91
CC 22 SLD (Collegamento 0023_-380)
Azioni sul collegamento: N=-4931.25 Ty=-0.33 Tz=-5.26 Mx=-0.01 Mz=-0.80
Sollecitazioni agenti localmente: Ty_l=-896.59 Mx_l=-17.93
Tensioni nella sezione: σ=217.35 τ=27.17
CC 22 SLD (Collegamento 0023_-380)
Azioni sul collegamento: N=-4931.25 Ty=-0.53 Tz=-5.26 Mx=-0.01 Mz=-1.20
Sollecitazioni agenti localmente: Ty_l=-896.59 Mx_l=-17.93
Tensioni nella sezione: σ=217.35 τ=27.17
CC 22 SLD (Collegamento 0023_-380)
Azioni sul collegamento: N=-4931.25 Ty=-0.33 Tz=-0.05 Mx=-0.01 Mz=-0.80
Sollecitazioni agenti localmente: Ty_l=-896.59 Mx_l=-17.93
Tensioni nella sezione: σ=217.35 τ=27.17
CC 22 SLD (Collegamento 0023_-380)
Azioni sul collegamento: N=-4931.25 Ty=-0.53 Tz=-0.05 Mx=-0.01 Mz=-1.20
Sollecitazioni agenti localmente: Ty_l=-896.59 Mx_l=-17.93
Tensioni nella sezione: σ=217.35 τ=27.17
CC 23 SLV (Collegamento 0023_-380)
Azioni sul collegamento: N=-7936.99 Ty=-1.59 Tz=-11.19 Mx=-0.01 Mz=-3.75
Sollecitazioni agenti localmente: Ty_l=-1443.09 Mx_l=-28.86
Tensioni nella sezione: σ=349.84 τ=43.73
CC 23 SLV (Collegamento 0023_-380)
Azioni sul collegamento: N=-7936.99 Ty=-0.88 Tz=-11.19 Mx=-0.01 Mz=-2.36
Sollecitazioni agenti localmente: Ty_l=-1443.09 Mx_l=-28.86
Tensioni nella sezione: σ=349.84 τ=43.73
CC 23 SLV (Collegamento 0023_-380)
Azioni sul collegamento: N=-7936.99 Ty=-1.59 Tz=5.89 Mx=-0.01 Mz=-3.75
Sollecitazioni agenti localmente: Ty_l=-1443.09 Mx_l=-28.86
Tensioni nella sezione: σ=349.84 τ=43.73
CC 23 SLV (Collegamento 0023_-380)
Azioni sul collegamento: N=-7936.99 Ty=-0.88 Tz=5.89 Mx=-0.01 Mz=-2.36
Sollecitazioni agenti localmente: Ty_l=-1443.09 Mx_l=-28.86
Tensioni nella sezione: σ=349.84 τ=43.73
CC 23 SLV (Collegamento 0023_-380)
Azioni sul collegamento: N=-3330.52 Ty=-1.59 Tz=-11.19 Mx=-0.01 Mz=-3.75
Sollecitazioni agenti localmente: Ty_l=-605.55 Mx_l=-12.11
Tensioni nella sezione: σ=146.80 τ=18.35
CC 23 SLV (Collegamento 0023_-380)
Azioni sul collegamento: N=-3330.52 Ty=-0.88 Tz=-11.19 Mx=-0.01 Mz=-2.36
Sollecitazioni agenti localmente: Ty_l=-605.55 Mx_l=-12.11
Tensioni nella sezione: σ=146.80 τ=18.35
CC 23 SLV (Collegamento 0023_-380)
Azioni sul collegamento: N=-3330.52 Ty=-1.59 Tz=5.89 Mx=-0.01 Mz=-3.75
Sollecitazioni agenti localmente: Ty_l=-605.55 Mx_l=-12.11
Tensioni nella sezione: σ=146.80 τ=18.35
CC 23 SLV (Collegamento 0023_-380)
Azioni sul collegamento: N=-3330.52 Ty=-0.88 Tz=5.89 Mx=-0.01 Mz=-2.36
Sollecitazioni agenti localmente: Ty_l=-605.55 Mx_l=-12.11
Tensioni nella sezione: σ=146.80 τ=18.35
CC 24 SLD (Collegamento 0023_-380)
Azioni sul collegamento: N=-6335.90 Ty=-0.54 Tz=-5.26 Mx=-0.00 Mz=-1.22
Sollecitazioni agenti localmente: Ty_l=-1151.98 Mx_l=-23.04
Tensioni nella sezione: σ=279.27 τ=34.91

CC 24 SLD (Collegamento 0023_-380)
Azioni sul collegamento: N=-6335.90 Ty=-0.32 Tz=-5.26 Mx=-0.00 Mz=-0.79
Sollecitazioni agenti localmente: Ty_l=-1151.98 Mx_l=-23.04
Tensioni nella sezione: σ=279.27 τ=34.91
CC 24 SLD (Collegamento 0023_-380)
Azioni sul collegamento: N=-6335.90 Ty=-0.54 Tz=-0.05 Mx=-0.00 Mz=-1.22
Sollecitazioni agenti localmente: Ty_l=-1151.98 Mx_l=-23.04
Tensioni nella sezione: σ=279.27 τ=34.91
CC 24 SLD (Collegamento 0023_-380)
Azioni sul collegamento: N=-6335.90 Ty=-0.32 Tz=-0.05 Mx=-0.00 Mz=-0.79
Sollecitazioni agenti localmente: Ty_l=-1151.98 Mx_l=-23.04
Tensioni nella sezione: σ=279.27 τ=34.91
CC 24 SLD (Collegamento 0023_-380)
Azioni sul collegamento: N=-4931.25 Ty=-0.54 Tz=-5.26 Mx=-0.00 Mz=-1.22
Sollecitazioni agenti localmente: Ty_l=-896.59 Mx_l=-17.93
Tensioni nella sezione: σ=217.35 τ=27.17
CC 24 SLD (Collegamento 0023_-380)
Azioni sul collegamento: N=-4931.25 Ty=-0.32 Tz=-5.26 Mx=-0.00 Mz=-0.79
Sollecitazioni agenti localmente: Ty_l=-896.59 Mx_l=-17.93
Tensioni nella sezione: σ=217.35 τ=27.17
CC 24 SLD (Collegamento 0023_-380)
Azioni sul collegamento: N=-4931.25 Ty=-0.54 Tz=-0.05 Mx=-0.00 Mz=-1.22
Sollecitazioni agenti localmente: Ty_l=-896.59 Mx_l=-17.93
Tensioni nella sezione: σ=217.35 τ=27.17
CC 24 SLD (Collegamento 0023_-380)
Azioni sul collegamento: N=-4931.25 Ty=-0.32 Tz=-0.05 Mx=-0.00 Mz=-0.79
Sollecitazioni agenti localmente: Ty_l=-896.59 Mx_l=-17.93
Tensioni nella sezione: σ=217.35 τ=27.17
CC 25 SLV (Collegamento 0023_-380)
Azioni sul collegamento: N=-4942.75 Ty=-0.08 Tz=-0.09 Mx=-0.02 Mz=-0.80
Sollecitazioni agenti localmente: Ty_l=-898.68 Mx_l=-17.97
Tensioni nella sezione: σ=217.86 τ=27.23
CC 25 SLV (Collegamento 0023_-380)
Azioni sul collegamento: N=-4942.75 Ty=-2.39 Tz=-0.09 Mx=-0.02 Mz=-5.32
Sollecitazioni agenti localmente: Ty_l=-898.68 Mx_l=-17.97
Tensioni nella sezione: σ=217.86 τ=27.23
CC 25 SLV (Collegamento 0023_-380)
Azioni sul collegamento: N=-4942.75 Ty=-0.08 Tz=-5.22 Mx=-0.02 Mz=-0.80
Sollecitazioni agenti localmente: Ty_l=-898.68 Mx_l=-17.97
Tensioni nella sezione: σ=217.86 τ=27.23
CC 25 SLV (Collegamento 0023_-380)
Azioni sul collegamento: N=-4942.75 Ty=-2.39 Tz=-5.22 Mx=-0.02 Mz=-5.32
Sollecitazioni agenti localmente: Ty_l=-898.68 Mx_l=-17.97
Tensioni nella sezione: σ=217.86 τ=27.23
CC 25 SLV (Collegamento 0023_-380)
Azioni sul collegamento: N=-6324.76 Ty=-0.08 Tz=-0.09 Mx=-0.02 Mz=-0.80
Sollecitazioni agenti localmente: Ty_l=-1149.96 Mx_l=-23.00
Tensioni nella sezione: σ=278.78 τ=34.85
CC 25 SLV (Collegamento 0023_-380)
Azioni sul collegamento: N=-6324.76 Ty=-2.39 Tz=-0.09 Mx=-0.02 Mz=-5.32
Sollecitazioni agenti localmente: Ty_l=-1149.96 Mx_l=-23.00
Tensioni nella sezione: σ=278.78 τ=34.85
CC 25 SLV (Collegamento 0023_-380)
Azioni sul collegamento: N=-6324.76 Ty=-0.08 Tz=-5.22 Mx=-0.02 Mz=-0.80
Sollecitazioni agenti localmente: Ty_l=-1149.96 Mx_l=-23.00
Tensioni nella sezione: σ=278.78 τ=34.85
CC 25 SLV (Collegamento 0023_-380)
Azioni sul collegamento: N=-6324.76 Ty=-2.39 Tz=-5.22 Mx=-0.02 Mz=-5.32
Sollecitazioni agenti localmente: Ty_l=-1149.96 Mx_l=-23.00
Tensioni nella sezione: σ=278.78 τ=34.85
CC 26 SLD (Collegamento 0023_-380)
Azioni sul collegamento: N=-5422.87 Ty=-0.08 Tz=-1.87 Mx=-0.01 Mz=-0.31
Sollecitazioni agenti localmente: Ty_l=-985.98 Mx_l=-19.72
Tensioni nella sezione: σ=239.02 τ=29.88
CC 26 SLD (Collegamento 0023_-380)
Azioni sul collegamento: N=-5422.87 Ty=-0.78 Tz=-1.87 Mx=-0.01 Mz=-1.69
Sollecitazioni agenti localmente: Ty_l=-985.98 Mx_l=-19.72
Tensioni nella sezione: σ=239.02 τ=29.88
CC 26 SLD (Collegamento 0023_-380)
Azioni sul collegamento: N=-5422.87 Ty=-0.08 Tz=-3.44 Mx=-0.01 Mz=-0.31
Sollecitazioni agenti localmente: Ty_l=-985.98 Mx_l=-19.72
Tensioni nella sezione: σ=239.02 τ=29.88
CC 26 SLD (Collegamento 0023_-380)
Azioni sul collegamento: N=-5422.87 Ty=-0.78 Tz=-3.44 Mx=-0.01 Mz=-1.69
Sollecitazioni agenti localmente: Ty_l=-985.98 Mx_l=-19.72
Tensioni nella sezione: σ=239.02 τ=29.88
CC 26 SLD (Collegamento 0023_-380)
Azioni sul collegamento: N=-5844.28 Ty=-0.08 Tz=-1.87 Mx=-0.01 Mz=-0.31
Sollecitazioni agenti localmente: Ty_l=-1062.60 Mx_l=-21.25

Tensioni nella sezione: σ=257.60 τ=32.20
CC 26 SLD (Collegamento 0023_-380)
Azioni sul collegamento: N=-5844.28 Ty=-0.78 Tz=-1.87 Mx=-0.01 Mz=-1.69
Sollecitazioni agenti localmente: Ty_l=-1062.60 Mx_l=-21.25
Tensioni nella sezione: σ=257.60 τ=32.20
CC 26 SLD (Collegamento 0023_-380)
Azioni sul collegamento: N=-5844.28 Ty=-0.08 Tz=-3.44 Mx=-0.01 Mz=-0.31
Sollecitazioni agenti localmente: Ty_l=-1062.60 Mx_l=-21.25
Tensioni nella sezione: σ=257.60 τ=32.20
CC 26 SLD (Collegamento 0023_-380)
Azioni sul collegamento: N=-5844.28 Ty=-0.78 Tz=-3.44 Mx=-0.01 Mz=-1.69
Sollecitazioni agenti localmente: Ty_l=-1062.60 Mx_l=-21.25
Tensioni nella sezione: σ=257.60 τ=32.20
CC 27 SLV (Collegamento 0023_-380)
Azioni sul collegamento: N=-6324.69 Ty=-0.09 Tz=-5.21 Mx=-0.02 Mz=-0.81
Sollecitazioni agenti localmente: Ty_l=-1149.94 Mx_l=-23.00
Tensioni nella sezione: σ=278.77 τ=34.85
CC 27 SLV (Collegamento 0023_-380)
Azioni sul collegamento: N=-6324.69 Ty=-2.39 Tz=-5.21 Mx=-0.02 Mz=-5.31
Sollecitazioni agenti localmente: Ty_l=-1149.94 Mx_l=-23.00
Tensioni nella sezione: σ=278.77 τ=34.85
CC 27 SLV (Collegamento 0023_-380)
Azioni sul collegamento: N=-6324.69 Ty=-0.09 Tz=-0.09 Mx=-0.02 Mz=-0.81
Sollecitazioni agenti localmente: Ty_l=-1149.94 Mx_l=-23.00
Tensioni nella sezione: σ=278.77 τ=34.85
CC 27 SLV (Collegamento 0023_-380)
Azioni sul collegamento: N=-6324.69 Ty=-2.39 Tz=-0.09 Mx=-0.02 Mz=-5.31
Sollecitazioni agenti localmente: Ty_l=-1149.94 Mx_l=-23.00
Tensioni nella sezione: σ=278.77 τ=34.85
CC 27 SLV (Collegamento 0023_-380)
Azioni sul collegamento: N=-4942.83 Ty=-0.09 Tz=-5.21 Mx=-0.02 Mz=-0.81
Sollecitazioni agenti localmente: Ty_l=-898.70 Mx_l=-17.97
Tensioni nella sezione: σ=217.87 τ=27.23
CC 27 SLV (Collegamento 0023_-380)
Azioni sul collegamento: N=-4942.83 Ty=-2.39 Tz=-5.21 Mx=-0.02 Mz=-5.31
Sollecitazioni agenti localmente: Ty_l=-898.70 Mx_l=-17.97
Tensioni nella sezione: σ=217.87 τ=27.23
CC 27 SLV (Collegamento 0023_-380)
Azioni sul collegamento: N=-4942.83 Ty=-0.09 Tz=-0.09 Mx=-0.02 Mz=-0.81
Sollecitazioni agenti localmente: Ty_l=-898.70 Mx_l=-17.97
Tensioni nella sezione: σ=217.87 τ=27.23
CC 27 SLV (Collegamento 0023_-380)
Azioni sul collegamento: N=-4942.83 Ty=-2.39 Tz=-0.09 Mx=-0.02 Mz=-5.31
Sollecitazioni agenti localmente: Ty_l=-898.70 Mx_l=-17.97
Tensioni nella sezione: σ=217.87 τ=27.23
CC 28 SLD (Collegamento 0023_-380)
Azioni sul collegamento: N=-5844.26 Ty=-0.08 Tz=-3.43 Mx=-0.01 Mz=-0.32
Sollecitazioni agenti localmente: Ty_l=-1062.59 Mx_l=-21.25
Tensioni nella sezione: σ=257.60 τ=32.20
CC 28 SLD (Collegamento 0023_-380)
Azioni sul collegamento: N=-5844.26 Ty=-0.78 Tz=-3.43 Mx=-0.01 Mz=-1.69
Sollecitazioni agenti localmente: Ty_l=-1062.59 Mx_l=-21.25
Tensioni nella sezione: σ=257.60 τ=32.20
CC 28 SLD (Collegamento 0023_-380)
Azioni sul collegamento: N=-5844.26 Ty=-0.08 Tz=-1.87 Mx=-0.01 Mz=-0.32
Sollecitazioni agenti localmente: Ty_l=-1062.59 Mx_l=-21.25
Tensioni nella sezione: σ=257.60 τ=32.20
CC 28 SLD (Collegamento 0023_-380)
Azioni sul collegamento: N=-5844.26 Ty=-0.78 Tz=-1.87 Mx=-0.01 Mz=-1.69
Sollecitazioni agenti localmente: Ty_l=-1062.59 Mx_l=-21.25
Tensioni nella sezione: σ=257.60 τ=32.20
CC 28 SLD (Collegamento 0023_-380)
Azioni sul collegamento: N=-5422.89 Ty=-0.08 Tz=-3.43 Mx=-0.01 Mz=-0.32
Sollecitazioni agenti localmente: Ty_l=-985.98 Mx_l=-19.72
Tensioni nella sezione: σ=239.03 τ=29.88
CC 28 SLD (Collegamento 0023_-380)
Azioni sul collegamento: N=-5422.89 Ty=-0.78 Tz=-3.43 Mx=-0.01 Mz=-1.69
Sollecitazioni agenti localmente: Ty_l=-985.98 Mx_l=-19.72
Tensioni nella sezione: σ=239.03 τ=29.88
CC 28 SLD (Collegamento 0023_-380)
Azioni sul collegamento: N=-5422.89 Ty=-0.08 Tz=-1.87 Mx=-0.01 Mz=-0.32
Sollecitazioni agenti localmente: Ty_l=-985.98 Mx_l=-19.72
Tensioni nella sezione: σ=239.03 τ=29.88
CC 28 SLD (Collegamento 0023_-380)
Azioni sul collegamento: N=-5422.89 Ty=-0.78 Tz=-1.87 Mx=-0.01 Mz=-1.69
Sollecitazioni agenti localmente: Ty_l=-985.98 Mx_l=-19.72
Tensioni nella sezione: σ=239.03 τ=29.88
CC 29 SLV (Collegamento 0023_-380)
Azioni sul collegamento: N=-4942.83 Ty=-2.39 Tz=-0.09 Mx=-0.00 Mz=-5.31

Sollecitazioni agenti localmente: Ty_l=-898.70 Mx_l=-17.97
Tensioni nella sezione: σ=217.87 τ=27.23
CC 29 SLV (Collegamento 0023_-380)
Azioni sul collegamento: N=-4942.83 Ty=-0.09 Tz=-0.09 Mx=-0.00 Mz=-0.81
Sollecitazioni agenti localmente: Ty_l=-898.70 Mx_l=-17.97
Tensioni nella sezione: σ=217.87 τ=27.23
CC 29 SLV (Collegamento 0023_-380)
Azioni sul collegamento: N=-4942.83 Ty=-2.39 Tz=-5.21 Mx=-0.00 Mz=-5.31
Sollecitazioni agenti localmente: Ty_l=-898.70 Mx_l=-17.97
Tensioni nella sezione: σ=217.87 τ=27.23
CC 29 SLV (Collegamento 0023_-380)
Azioni sul collegamento: N=-4942.83 Ty=-0.09 Tz=-5.21 Mx=-0.00 Mz=-0.81
Sollecitazioni agenti localmente: Ty_l=-898.70 Mx_l=-17.97
Tensioni nella sezione: σ=217.87 τ=27.23
CC 29 SLV (Collegamento 0023_-380)
Azioni sul collegamento: N=-6324.69 Ty=-2.39 Tz=-0.09 Mx=-0.00 Mz=-5.31
Sollecitazioni agenti localmente: Ty_l=-1149.94 Mx_l=-23.00
Tensioni nella sezione: σ=278.77 τ=34.85
CC 29 SLV (Collegamento 0023_-380)
Azioni sul collegamento: N=-6324.69 Ty=-0.09 Tz=-0.09 Mx=-0.00 Mz=-0.81
Sollecitazioni agenti localmente: Ty_l=-1149.94 Mx_l=-23.00
Tensioni nella sezione: σ=278.77 τ=34.85
CC 29 SLV (Collegamento 0023_-380)
Azioni sul collegamento: N=-6324.69 Ty=-2.39 Tz=-5.21 Mx=-0.00 Mz=-5.31
Sollecitazioni agenti localmente: Ty_l=-1149.94 Mx_l=-23.00
Tensioni nella sezione: σ=278.77 τ=34.85
CC 29 SLV (Collegamento 0023_-380)
Azioni sul collegamento: N=-6324.69 Ty=-0.09 Tz=-5.21 Mx=-0.00 Mz=-0.81
Sollecitazioni agenti localmente: Ty_l=-1149.94 Mx_l=-23.00
Tensioni nella sezione: σ=278.77 τ=34.85
CC 30 SLD (Collegamento 0023_-380)
Azioni sul collegamento: N=-5422.89 Ty=-0.78 Tz=-1.87 Mx=-0.00 Mz=-1.69
Sollecitazioni agenti localmente: Ty_l=-985.98 Mx_l=-19.72
Tensioni nella sezione: σ=239.03 τ=29.88
CC 30 SLD (Collegamento 0023_-380)
Azioni sul collegamento: N=-5422.89 Ty=-0.08 Tz=-1.87 Mx=-0.00 Mz=-0.32
Sollecitazioni agenti localmente: Ty_l=-985.98 Mx_l=-19.72
Tensioni nella sezione: σ=239.03 τ=29.88
CC 30 SLD (Collegamento 0023_-380)
Azioni sul collegamento: N=-5422.89 Ty=-0.78 Tz=-3.43 Mx=-0.00 Mz=-1.69
Sollecitazioni agenti localmente: Ty_l=-985.98 Mx_l=-19.72
Tensioni nella sezione: σ=239.03 τ=29.88
CC 30 SLD (Collegamento 0023_-380)
Azioni sul collegamento: N=-5422.89 Ty=-0.08 Tz=-3.43 Mx=-0.00 Mz=-0.32
Sollecitazioni agenti localmente: Ty_l=-985.98 Mx_l=-19.72
Tensioni nella sezione: σ=239.03 τ=29.88
CC 30 SLD (Collegamento 0023_-380)
Azioni sul collegamento: N=-5844.26 Ty=-0.78 Tz=-1.87 Mx=-0.00 Mz=-1.69
Sollecitazioni agenti localmente: Ty_l=-1062.59 Mx_l=-21.25
Tensioni nella sezione: σ=257.60 τ=32.20
CC 30 SLD (Collegamento 0023_-380)
Azioni sul collegamento: N=-5844.26 Ty=-0.08 Tz=-1.87 Mx=-0.00 Mz=-0.32
Sollecitazioni agenti localmente: Ty_l=-1062.59 Mx_l=-21.25
Tensioni nella sezione: σ=257.60 τ=32.20
CC 30 SLD (Collegamento 0023_-380)
Azioni sul collegamento: N=-5844.26 Ty=-0.78 Tz=-3.43 Mx=-0.00 Mz=-1.69
Sollecitazioni agenti localmente: Ty_l=-1062.59 Mx_l=-21.25
Tensioni nella sezione: σ=257.60 τ=32.20
CC 30 SLD (Collegamento 0023_-380)
Azioni sul collegamento: N=-5844.26 Ty=-0.08 Tz=-3.43 Mx=-0.00 Mz=-0.32
Sollecitazioni agenti localmente: Ty_l=-1062.59 Mx_l=-21.25
Tensioni nella sezione: σ=257.60 τ=32.20
CC 31 SLV (Collegamento 0023_-380)
Azioni sul collegamento: N=-6324.76 Ty=-2.39 Tz=-5.22 Mx=-0.00 Mz=-5.32
Sollecitazioni agenti localmente: Ty_l=-1149.96 Mx_l=-23.00
Tensioni nella sezione: σ=278.78 τ=34.85
CC 31 SLV (Collegamento 0023_-380)
Azioni sul collegamento: N=-6324.76 Ty=-0.08 Tz=-5.22 Mx=-0.00 Mz=-0.80
Sollecitazioni agenti localmente: Ty_l=-1149.96 Mx_l=-23.00
Tensioni nella sezione: σ=278.78 τ=34.85
CC 31 SLV (Collegamento 0023_-380)
Azioni sul collegamento: N=-6324.76 Ty=-2.39 Tz=-0.09 Mx=-0.00 Mz=-5.32
Sollecitazioni agenti localmente: Ty_l=-1149.96 Mx_l=-23.00
Tensioni nella sezione: σ=278.78 τ=34.85
CC 31 SLV (Collegamento 0023_-380)
Azioni sul collegamento: N=-6324.76 Ty=-0.08 Tz=-0.09 Mx=-0.00 Mz=-0.80
Sollecitazioni agenti localmente: Ty_l=-1149.96 Mx_l=-23.00
Tensioni nella sezione: σ=278.78 τ=34.85
CC 31 SLV (Collegamento 0023_-380)

Azioni sul collegamento: N=-4942.75 Ty=-2.39 Tz=-5.22 Mx=-0.00 Mz=-5.32
Sollecitazioni agenti localmente: Ty_l=-898.68 Mx_l=-17.97
Tensioni nella sezione: σ=217.86 τ=27.23
CC 31 SLV (Collegamento 0023_-380)
Azioni sul collegamento: N=-4942.75 Ty=-0.08 Tz=-5.22 Mx=-0.00 Mz=-0.80
Sollecitazioni agenti localmente: Ty_l=-898.68 Mx_l=-17.97
Tensioni nella sezione: σ=217.86 τ=27.23
CC 31 SLV (Collegamento 0023_-380)
Azioni sul collegamento: N=-4942.75 Ty=-2.39 Tz=-0.09 Mx=-0.00 Mz=-5.32
Sollecitazioni agenti localmente: Ty_l=-898.68 Mx_l=-17.97
Tensioni nella sezione: σ=217.86 τ=27.23
CC 31 SLV (Collegamento 0023_-380)
Azioni sul collegamento: N=-4942.75 Ty=-0.08 Tz=-0.09 Mx=-0.00 Mz=-0.80
Sollecitazioni agenti localmente: Ty_l=-898.68 Mx_l=-17.97
Tensioni nella sezione: σ=217.86 τ=27.23
CC 32 SLD (Collegamento 0023_-380)
Azioni sul collegamento: N=-5844.28 Ty=-0.78 Tz=-3.44 Mx=-0.00 Mz=-1.69
Sollecitazioni agenti localmente: Ty_l=-1062.60 Mx_l=-21.25
Tensioni nella sezione: σ=257.60 τ=32.20
CC 32 SLD (Collegamento 0023_-380)
Azioni sul collegamento: N=-5844.28 Ty=-0.08 Tz=-3.44 Mx=-0.00 Mz=-0.31
Sollecitazioni agenti localmente: Ty_l=-1062.60 Mx_l=-21.25
Tensioni nella sezione: σ=257.60 τ=32.20
CC 32 SLD (Collegamento 0023_-380)
Azioni sul collegamento: N=-5844.28 Ty=-0.78 Tz=-1.87 Mx=-0.00 Mz=-1.69
Sollecitazioni agenti localmente: Ty_l=-1062.60 Mx_l=-21.25
Tensioni nella sezione: σ=257.60 τ=32.20
CC 32 SLD (Collegamento 0023_-380)
Azioni sul collegamento: N=-5844.28 Ty=-0.08 Tz=-1.87 Mx=-0.00 Mz=-0.31
Sollecitazioni agenti localmente: Ty_l=-1062.60 Mx_l=-21.25
Tensioni nella sezione: σ=257.60 τ=32.20
CC 32 SLD (Collegamento 0023_-380)
Azioni sul collegamento: N=-5422.87 Ty=-0.78 Tz=-3.44 Mx=-0.00 Mz=-1.69
Sollecitazioni agenti localmente: Ty_l=-985.98 Mx_l=-19.72
Tensioni nella sezione: σ=239.02 τ=29.88
CC 32 SLD (Collegamento 0023_-380)
Azioni sul collegamento: N=-5422.87 Ty=-0.08 Tz=-3.44 Mx=-0.00 Mz=-0.31
Sollecitazioni agenti localmente: Ty_l=-985.98 Mx_l=-19.72
Tensioni nella sezione: σ=239.02 τ=29.88
CC 32 SLD (Collegamento 0023_-380)
Azioni sul collegamento: N=-5422.87 Ty=-0.78 Tz=-1.87 Mx=-0.00 Mz=-1.69
Sollecitazioni agenti localmente: Ty_l=-985.98 Mx_l=-19.72
Tensioni nella sezione: σ=239.02 τ=29.88
CC 32 SLD (Collegamento 0023_-380)
Azioni sul collegamento: N=-5422.87 Ty=-0.08 Tz=-1.87 Mx=-0.00 Mz=-0.31
Sollecitazioni agenti localmente: Ty_l=-985.98 Mx_l=-19.72
Tensioni nella sezione: σ=239.02 τ=29.88
CC 33 SLU (Collegamento 0023_-380)
Azioni sul collegamento: N=-29447.20 Ty=-0.05 Tz=76.67 Mx=-0.00 Mz=-0.12
Sollecitazioni agenti localmente: Ty_l=-5354.03 Mx_l=-107.08
Tensioni nella sezione: σ=1297.94 τ=162.24
CC 34 SLU (Collegamento 0023_-380)
Azioni sul collegamento: N=-28967.90 Ty=-0.05 Tz=74.90 Mx=-0.00 Mz=-0.12
Sollecitazioni agenti localmente: Ty_l=-5266.89 Mx_l=-105.34
Tensioni nella sezione: σ=1276.82 τ=159.60
CC 35 SLU (Collegamento 0023_-380)
Azioni sul collegamento: N=-29207.50 Ty=-0.17 Tz=75.78 Mx=0.00 Mz=-0.35
Sollecitazioni agenti localmente: Ty_l=-5310.46 Mx_l=-106.21
Tensioni nella sezione: σ=1287.38 τ=160.92
CC 36 SLU (Collegamento 0023_-380)
Azioni sul collegamento: N=-29207.50 Ty=0.07 Tz=75.79 Mx=-0.00 Mz=0.12
Sollecitazioni agenti localmente: Ty_l=-5310.46 Mx_l=-106.21
Tensioni nella sezione: σ=1287.38 τ=160.92
CC 37 SLU (Collegamento 0023_-380)
Azioni sul collegamento: N=-19933.90 Ty=-0.08 Tz=41.69 Mx=-0.00 Mz=-0.13
Sollecitazioni agenti localmente: Ty_l=-3624.34 Mx_l=-72.49
Tensioni nella sezione: σ=878.63 τ=109.83
CC 38 SLU (Collegamento 0023_-380)
Azioni sul collegamento: N=-19454.60 Ty=-0.08 Tz=39.91 Mx=-0.00 Mz=-0.13
Sollecitazioni agenti localmente: Ty_l=-3537.19 Mx_l=-70.74
Tensioni nella sezione: σ=857.50 τ=107.19
CC 39 SLU (Collegamento 0023_-380)
Azioni sul collegamento: N=-19694.20 Ty=-0.20 Tz=40.80 Mx=0.00 Mz=-0.36
Sollecitazioni agenti localmente: Ty_l=-3580.76 Mx_l=-71.62
Tensioni nella sezione: σ=868.06 τ=108.51
CC 40 SLU (Collegamento 0023_-380)
Azioni sul collegamento: N=-19694.20 Ty=0.04 Tz=40.80 Mx=-0.00 Mz=0.10
Sollecitazioni agenti localmente: Ty_l=-3580.76 Mx_l=-71.62
Tensioni nella sezione: σ=868.06 τ=108.51

CC 41 SLU (Collegamento 0023_-380)
Azioni sul collegamento: N=-29632.10 Ty=-0.07 Tz=76.65 Mx=-0.00 Mz=-0.13
Sollecitazioni agenti localmente: Ty_l=-5387.66 Mx_l=-107.75
Tensioni nella sezione: σ=1306.10 τ=163.26
CC 42 SLU (Collegamento 0023_-380)
Azioni sul collegamento: N=-29152.80 Ty=-0.07 Tz=74.88 Mx=-0.00 Mz=-0.13
Sollecitazioni agenti localmente: Ty_l=-5300.51 Mx_l=-106.01
Tensioni nella sezione: σ=1284.97 τ=160.62
CC 43 SLU (Collegamento 0023_-380)
Azioni sul collegamento: N=-29392.40 Ty=-0.19 Tz=75.77 Mx=0.00 Mz=-0.36
Sollecitazioni agenti localmente: Ty_l=-5344.08 Mx_l=-106.88
Tensioni nella sezione: σ=1295.53 τ=161.94
CC 44 SLU (Collegamento 0023_-380)
Azioni sul collegamento: N=-29392.40 Ty=0.05 Tz=75.77 Mx=-0.00 Mz=0.10
Sollecitazioni agenti localmente: Ty_l=-5344.08 Mx_l=-106.88
Tensioni nella sezione: σ=1295.53 τ=161.94
CC 45 SLU (Collegamento 0023_-380)
Azioni sul collegamento: N=-22108.00 Ty=-0.08 Tz=49.75 Mx=-0.00 Mz=-0.14
Sollecitazioni agenti localmente: Ty_l=-4019.65 Mx_l=-80.39
Tensioni nella sezione: σ=974.46 τ=121.81
CC 46 SLU (Collegamento 0023_-380)
Azioni sul collegamento: N=-21628.70 Ty=-0.08 Tz=47.97 Mx=-0.00 Mz=-0.14
Sollecitazioni agenti localmente: Ty_l=-3932.50 Mx_l=-78.65
Tensioni nella sezione: σ=953.33 τ=119.17
CC 47 SLU (Collegamento 0023_-380)
Azioni sul collegamento: N=-21868.40 Ty=-0.20 Tz=48.86 Mx=0.00 Mz=-0.37
Sollecitazioni agenti localmente: Ty_l=-3976.07 Mx_l=-79.52
Tensioni nella sezione: σ=963.89 τ=120.49
CC 48 SLU (Collegamento 0023_-380)
Azioni sul collegamento: N=-21868.40 Ty=0.04 Tz=48.86 Mx=-0.00 Mz=0.10
Sollecitazioni agenti localmente: Ty_l=-3976.07 Mx_l=-79.52
Tensioni nella sezione: σ=963.89 τ=120.49
CC 49 SLU (Collegamento 0023_-380)
Azioni sul collegamento: N=-14990.70 Ty=-0.10 Tz=23.57 Mx=-0.00 Mz=-0.15
Sollecitazioni agenti localmente: Ty_l=-2725.58 Mx_l=-54.51
Tensioni nella sezione: σ=660.74 τ=82.59
CC 50 SLU (Collegamento 0023_-380)
Azioni sul collegamento: N=-14511.40 Ty=-0.10 Tz=21.80 Mx=-0.00 Mz=-0.15
Sollecitazioni agenti localmente: Ty_l=-2638.43 Mx_l=-52.77
Tensioni nella sezione: σ=639.62 τ=79.95
CC 51 SLU (Collegamento 0023_-380)
Azioni sul collegamento: N=-14751.00 Ty=-0.22 Tz=22.68 Mx=0.00 Mz=-0.38
Sollecitazioni agenti localmente: Ty_l=-2682.00 Mx_l=-53.64
Tensioni nella sezione: σ=650.18 τ=81.27
CC 52 SLU (Collegamento 0023_-380)
Azioni sul collegamento: N=-14751.00 Ty=0.02 Tz=22.69 Mx=-0.00 Mz=0.09
Sollecitazioni agenti localmente: Ty_l=-2682.00 Mx_l=-53.64
Tensioni nella sezione: σ=650.18 τ=81.27
CC 53 SLU (Collegamento 0023_-380)
Azioni sul collegamento: N=-22246.40 Ty=-0.10 Tz=49.73 Mx=-0.00 Mz=-0.15
Sollecitazioni agenti localmente: Ty_l=-4044.80 Mx_l=-80.90
Tensioni nella sezione: σ=980.55 τ=122.57
CC 54 SLU (Collegamento 0023_-380)
Azioni sul collegamento: N=-21767.10 Ty=-0.10 Tz=47.96 Mx=-0.00 Mz=-0.15
Sollecitazioni agenti localmente: Ty_l=-3957.65 Mx_l=-79.15
Tensioni nella sezione: σ=959.43 τ=119.93
CC 55 SLU (Collegamento 0023_-380)
Azioni sul collegamento: N=-22006.70 Ty=-0.22 Tz=48.85 Mx=0.00 Mz=-0.38
Sollecitazioni agenti localmente: Ty_l=-4001.23 Mx_l=-80.02
Tensioni nella sezione: σ=969.99 τ=121.25
CC 56 SLU (Collegamento 0023_-380)
Azioni sul collegamento: N=-22006.70 Ty=0.02 Tz=48.85 Mx=-0.00 Mz=0.09
Sollecitazioni agenti localmente: Ty_l=-4001.22 Mx_l=-80.02
Tensioni nella sezione: σ=969.99 τ=121.25
CC 57 SLU (Collegamento 0023_-380)
Azioni sul collegamento: N=-20646.20 Ty=-0.07 Tz=44.37 Mx=-0.00 Mz=-0.13
Sollecitazioni agenti localmente: Ty_l=-3753.86 Mx_l=-75.08
Tensioni nella sezione: σ=910.03 τ=113.75
CC 58 SLU (Collegamento 0023_-380)
Azioni sul collegamento: N=-20166.90 Ty=-0.07 Tz=42.59 Mx=-0.00 Mz=-0.13
Sollecitazioni agenti localmente: Ty_l=-3666.72 Mx_l=-73.33
Tensioni nella sezione: σ=888.90 τ=111.11
CC 59 SLU (Collegamento 0023_-380)
Azioni sul collegamento: N=-20406.60 Ty=-0.19 Tz=43.48 Mx=0.00 Mz=-0.36
Sollecitazioni agenti localmente: Ty_l=-3710.29 Mx_l=-74.21
Tensioni nella sezione: σ=899.46 τ=112.43
CC 60 SLU (Collegamento 0023_-380)
Azioni sul collegamento: N=-20406.60 Ty=0.05 Tz=43.48 Mx=-0.00 Mz=0.10
Sollecitazioni agenti localmente: Ty_l=-3710.29 Mx_l=-74.21

Tensioni nella sezione: σ=899.46 τ=112.43
CC 61 SLU (Collegamento 0023_-380)
Azioni sul collegamento: N=-13528.90 Ty=-0.09 Tz=18.19 Mx=-0.00 Mz=-0.14
Sollecitazioni agenti localmente: Ty_l=-2459.80 Mx_l=-49.20
Tensioni nella sezione: σ=596.31 τ=74.54
CC 62 SLU (Collegamento 0023_-380)
Azioni sul collegamento: N=-13049.60 Ty=-0.10 Tz=16.41 Mx=-0.00 Mz=-0.14
Sollecitazioni agenti localmente: Ty_l=-2372.65 Mx_l=-47.45
Tensioni nella sezione: σ=575.19 τ=71.90
CC 63 SLU (Collegamento 0023_-380)
Azioni sul collegamento: N=-13289.20 Ty=-0.21 Tz=17.30 Mx=0.00 Mz=-0.37
Sollecitazioni agenti localmente: Ty_l=-2416.22 Mx_l=-48.32
Tensioni nella sezione: σ=585.75 τ=73.22
CC 64 SLU (Collegamento 0023_-380)
Azioni sul collegamento: N=-13289.20 Ty=0.02 Tz=17.30 Mx=-0.00 Mz=0.10
Sollecitazioni agenti localmente: Ty_l=-2416.22 Mx_l=-48.32
Tensioni nella sezione: σ=585.75 τ=73.22
CC 65 SLU (Collegamento 0023_-380)
Azioni sul collegamento: N=-20784.60 Ty=-0.09 Tz=44.35 Mx=-0.00 Mz=-0.14
Sollecitazioni agenti localmente: Ty_l=-3779.02 Mx_l=-75.58
Tensioni nella sezione: σ=916.12 τ=114.52
CC 66 SLU (Collegamento 0023_-380)
Azioni sul collegamento: N=-20305.30 Ty=-0.09 Tz=42.57 Mx=-0.00 Mz=-0.14
Sollecitazioni agenti localmente: Ty_l=-3691.87 Mx_l=-73.84
Tensioni nella sezione: σ=895.00 τ=111.88
CC 67 SLU (Collegamento 0023_-380)
Azioni sul collegamento: N=-20544.90 Ty=-0.21 Tz=43.46 Mx=0.00 Mz=-0.37
Sollecitazioni agenti localmente: Ty_l=-3735.45 Mx_l=-74.71
Tensioni nella sezione: σ=905.56 τ=113.19
CC 68 SLU (Collegamento 0023_-380)
Azioni sul collegamento: N=-20544.90 Ty=0.03 Tz=43.46 Mx=-0.00 Mz=0.10
Sollecitazioni agenti localmente: Ty_l=-3735.44 Mx_l=-74.71
Tensioni nella sezione: σ=905.56 τ=113.19
CC 97 SLU (Collegamento 0023_-380)
Azioni sul collegamento: N=-12582.10 Ty=-12.27 Tz=22.98 Mx=-0.04 Mz=-17.61
Sollecitazioni agenti localmente: Ty_l=-2287.66 Mx_l=-45.75
Tensioni nella sezione: σ=554.58 τ=69.32
CC 98 SLU (Collegamento 0023_-380)
Azioni sul collegamento: N=-12102.80 Ty=-12.27 Tz=21.21 Mx=-0.04 Mz=-17.61
Sollecitazioni agenti localmente: Ty_l=-2200.51 Mx_l=-44.01
Tensioni nella sezione: σ=533.46 τ=66.68
CC 99 SLU (Collegamento 0023_-380)
Azioni sul collegamento: N=-12342.50 Ty=-12.39 Tz=22.09 Mx=-0.04 Mz=-17.84
Sollecitazioni agenti localmente: Ty_l=-2244.09 Mx_l=-44.88
Tensioni nella sezione: σ=544.02 τ=68.00
CC 100 SLU (Collegamento 0023_-380)
Azioni sul collegamento: N=-12342.50 Ty=-12.15 Tz=22.09 Mx=-0.04 Mz=-17.38
Sollecitazioni agenti localmente: Ty_l=-2244.09 Mx_l=-44.88
Tensioni nella sezione: σ=544.02 τ=68.00
CC 101 SLU (Collegamento 0023_-380)
Azioni sul collegamento: N=-6366.46 Ty=2.01 Tz=0.04 Mx=0.00 Mz=2.22
Sollecitazioni agenti localmente: Ty_l=-1157.54 Mx_l=-23.15
Tensioni nella sezione: σ=280.62 τ=35.08
CC 102 SLU (Collegamento 0023_-380)
Azioni sul collegamento: N=-5887.16 Ty=2.00 Tz=-1.73 Mx=0.00 Mz=2.22
Sollecitazioni agenti localmente: Ty_l=-1070.39 Mx_l=-21.41
Tensioni nella sezione: σ=259.49 τ=32.44
CC 103 SLU (Collegamento 0023_-380)
Azioni sul collegamento: N=-6126.81 Ty=1.89 Tz=-0.85 Mx=0.01 Mz=1.98
Sollecitazioni agenti localmente: Ty_l=-1113.97 Mx_l=-22.28
Tensioni nella sezione: σ=270.05 τ=33.76
CC 104 SLU (Collegamento 0023_-380)
Azioni sul collegamento: N=-6126.80 Ty=2.12 Tz=-0.84 Mx=0.00 Mz=2.45
Sollecitazioni agenti localmente: Ty_l=-1113.96 Mx_l=-22.28
Tensioni nella sezione: σ=270.05 τ=33.76

Flessione attacco destro piastra

Bnetta=220.00 Hnetta=15.00
CC 1 SLV (Collegamento 0023_-380)
Azioni sul collegamento: N=-3330.00 Ty=1.44 Tz=5.89 Mx=0.02 Mz=3.55
Sollecitazioni agenti localmente: Ty_l=-604.43 My_l=-12.41
Tensioni nella sezione: σ=150.43 τ=18.32
CC 1 SLV (Collegamento 0023_-380)
Azioni sul collegamento: N=-3330.00 Ty=0.74 Tz=5.89 Mx=0.02 Mz=2.16
Sollecitazioni agenti localmente: Ty_l=-598.89 My_l=-12.29
Tensioni nella sezione: σ=148.96 τ=18.15
CC 1 SLV (Collegamento 0023_-380)
Azioni sul collegamento: N=-3330.00 Ty=1.44 Tz=-11.20 Mx=0.02 Mz=3.55

Sollecitazioni agenti localmente: Ty_l=-604.43 My_l=-12.41
Tensioni nella sezione: σ=150.43 τ=18.32
CC 1 SLV (Collegamento 0023_-380)
Azioni sul collegamento: N=-3330.00 Ty=0.74 Tz=-11.20 Mx=0.02 Mz=2.16
Sollecitazioni agenti localmente: Ty_l=-598.89 My_l=-12.29
Tensioni nella sezione: σ=148.96 τ=18.15
CC 1 SLV (Collegamento 0023_-380)
Azioni sul collegamento: N=-7936.47 Ty=1.44 Tz=5.89 Mx=0.02 Mz=3.55
Sollecitazioni agenti localmente: Ty_l=-1421.03 My_l=-29.15
Tensioni nella sezione: σ=353.34 τ=43.06
CC 1 SLV (Collegamento 0023_-380)
Azioni sul collegamento: N=-7936.47 Ty=0.74 Tz=5.89 Mx=0.02 Mz=2.16
Sollecitazioni agenti localmente: Ty_l=-1415.49 My_l=-29.03
Tensioni nella sezione: σ=351.87 τ=42.89
CC 1 SLV (Collegamento 0023_-380)
Azioni sul collegamento: N=-7936.47 Ty=1.44 Tz=-11.20 Mx=0.02 Mz=3.55
Sollecitazioni agenti localmente: Ty_l=-1421.03 My_l=-29.15
Tensioni nella sezione: σ=353.34 τ=43.06
CC 1 SLV (Collegamento 0023_-380)
Azioni sul collegamento: N=-7936.47 Ty=0.74 Tz=-11.20 Mx=0.02 Mz=2.16
Sollecitazioni agenti localmente: Ty_l=-1415.49 My_l=-29.03
Tensioni nella sezione: σ=351.87 τ=42.89
CC 2 SLD (Collegamento 0023_-380)
Azioni sul collegamento: N=-4931.09 Ty=0.39 Tz=-0.05 Mx=0.00 Mz=1.01
Sollecitazioni agenti localmente: Ty_l=-878.16 My_l=-18.01
Tensioni nella sezione: σ=218.28 τ=26.61
CC 2 SLD (Collegamento 0023_-380)
Azioni sul collegamento: N=-4931.09 Ty=0.17 Tz=-0.05 Mx=0.00 Mz=0.59
Sollecitazioni agenti localmente: Ty_l=-876.48 My_l=-17.97
Tensioni nella sezione: σ=217.83 τ=26.56
CC 2 SLD (Collegamento 0023_-380)
Azioni sul collegamento: N=-4931.09 Ty=0.39 Tz=-5.26 Mx=0.00 Mz=1.01
Sollecitazioni agenti localmente: Ty_l=-878.16 My_l=-18.01
Tensioni nella sezione: σ=218.28 τ=26.61
CC 2 SLD (Collegamento 0023_-380)
Azioni sul collegamento: N=-4931.09 Ty=0.17 Tz=-5.26 Mx=0.00 Mz=0.59
Sollecitazioni agenti localmente: Ty_l=-876.48 My_l=-17.97
Tensioni nella sezione: σ=217.83 τ=26.56
CC 2 SLD (Collegamento 0023_-380)
Azioni sul collegamento: N=-6335.74 Ty=0.39 Tz=-0.05 Mx=0.00 Mz=1.01
Sollecitazioni agenti localmente: Ty_l=-1127.17 My_l=-23.11
Tensioni nella sezione: σ=280.15 τ=34.16
CC 2 SLD (Collegamento 0023_-380)
Azioni sul collegamento: N=-6335.74 Ty=0.17 Tz=-0.05 Mx=0.00 Mz=0.59
Sollecitazioni agenti localmente: Ty_l=-1125.48 My_l=-23.08
Tensioni nella sezione: σ=279.70 τ=34.11
CC 2 SLD (Collegamento 0023_-380)
Azioni sul collegamento: N=-6335.74 Ty=0.39 Tz=-5.26 Mx=0.00 Mz=1.01
Sollecitazioni agenti localmente: Ty_l=-1127.17 My_l=-23.11
Tensioni nella sezione: σ=280.15 τ=34.16
CC 2 SLD (Collegamento 0023_-380)
Azioni sul collegamento: N=-6335.74 Ty=0.17 Tz=-5.26 Mx=0.00 Mz=0.59
Sollecitazioni agenti localmente: Ty_l=-1125.48 My_l=-23.08
Tensioni nella sezione: σ=279.70 τ=34.11
CC 3 SLV (Collegamento 0023_-380)
Azioni sul collegamento: N=-3330.02 Ty=0.75 Tz=5.88 Mx=0.01 Mz=2.19
Sollecitazioni agenti localmente: Ty_l=-599.05 My_l=-12.29
Tensioni nella sezione: σ=149.00 τ=18.15
CC 3 SLV (Collegamento 0023_-380)
Azioni sul collegamento: N=-3330.02 Ty=1.43 Tz=5.88 Mx=0.01 Mz=3.51
Sollecitazioni agenti localmente: Ty_l=-604.28 My_l=-12.41
Tensioni nella sezione: σ=150.39 τ=18.31
CC 3 SLV (Collegamento 0023_-380)
Azioni sul collegamento: N=-3330.02 Ty=0.75 Tz=-11.19 Mx=0.01 Mz=2.19
Sollecitazioni agenti localmente: Ty_l=-599.05 My_l=-12.29
Tensioni nella sezione: σ=149.00 τ=18.15
CC 3 SLV (Collegamento 0023_-380)
Azioni sul collegamento: N=-3330.02 Ty=1.43 Tz=-11.19 Mx=0.01 Mz=3.51
Sollecitazioni agenti localmente: Ty_l=-604.28 My_l=-12.41
Tensioni nella sezione: σ=150.39 τ=18.31
CC 3 SLV (Collegamento 0023_-380)
Azioni sul collegamento: N=-7936.44 Ty=0.75 Tz=5.88 Mx=0.01 Mz=2.19
Sollecitazioni agenti localmente: Ty_l=-1415.64 My_l=-29.03
Tensioni nella sezione: σ=351.91 τ=42.90
CC 3 SLV (Collegamento 0023_-380)
Azioni sul collegamento: N=-7936.44 Ty=1.43 Tz=5.88 Mx=0.01 Mz=3.51
Sollecitazioni agenti localmente: Ty_l=-1420.87 My_l=-29.15
Tensioni nella sezione: σ=353.30 τ=43.06
CC 3 SLV (Collegamento 0023_-380)

Azioni sul collegamento: N=-7936.44 Ty=0.75 Tz=-11.19 Mx=0.01 Mz=2.19
Sollecitazioni agenti localmente: Ty_l=-1415.64 My_l=-29.03
Tensioni nella sezione: σ=351.91 τ=42.90
CC 3 SLV (Collegamento 0023_-380)
Azioni sul collegamento: N=-7936.44 Ty=1.43 Tz=-11.19 Mx=0.01 Mz=3.51
Sollecitazioni agenti localmente: Ty_l=-1420.87 My_l=-29.15
Tensioni nella sezione: σ=353.30 τ=43.06
CC 4 SLD (Collegamento 0023_-380)
Azioni sul collegamento: N=-4931.09 Ty=0.18 Tz=-0.05 Mx=0.00 Mz=0.60
Sollecitazioni agenti localmente: Ty_l=-876.52 My_l=-17.97
Tensioni nella sezione: σ=217.84 τ=26.56
CC 4 SLD (Collegamento 0023_-380)
Azioni sul collegamento: N=-4931.09 Ty=0.38 Tz=-0.05 Mx=0.00 Mz=1.00
Sollecitazioni agenti localmente: Ty_l=-878.12 My_l=-18.01
Tensioni nella sezione: σ=218.27 τ=26.61
CC 4 SLD (Collegamento 0023_-380)
Azioni sul collegamento: N=-4931.09 Ty=0.18 Tz=-5.26 Mx=0.00 Mz=0.60
Sollecitazioni agenti localmente: Ty_l=-876.52 My_l=-17.97
Tensioni nella sezione: σ=217.84 τ=26.56
CC 4 SLD (Collegamento 0023_-380)
Azioni sul collegamento: N=-4931.09 Ty=0.38 Tz=-5.26 Mx=0.00 Mz=1.00
Sollecitazioni agenti localmente: Ty_l=-878.12 My_l=-18.01
Tensioni nella sezione: σ=218.27 τ=26.61
CC 4 SLD (Collegamento 0023_-380)
Azioni sul collegamento: N=-6335.74 Ty=0.18 Tz=-0.05 Mx=0.00 Mz=0.60
Sollecitazioni agenti localmente: Ty_l=-1125.53 My_l=-23.08
Tensioni nella sezione: σ=279.72 τ=34.11
CC 4 SLD (Collegamento 0023_-380)
Azioni sul collegamento: N=-6335.74 Ty=0.38 Tz=-0.05 Mx=0.00 Mz=1.00
Sollecitazioni agenti localmente: Ty_l=-1127.12 My_l=-23.11
Tensioni nella sezione: σ=280.14 τ=34.16
CC 4 SLD (Collegamento 0023_-380)
Azioni sul collegamento: N=-6335.74 Ty=0.18 Tz=-5.26 Mx=0.00 Mz=0.60
Sollecitazioni agenti localmente: Ty_l=-1125.53 My_l=-23.08
Tensioni nella sezione: σ=279.72 τ=34.11
CC 4 SLD (Collegamento 0023_-380)
Azioni sul collegamento: N=-6335.74 Ty=0.38 Tz=-5.26 Mx=0.00 Mz=1.00
Sollecitazioni agenti localmente: Ty_l=-1127.12 My_l=-23.11
Tensioni nella sezione: σ=280.14 τ=34.16
CC 5 SLV (Collegamento 0023_-380)
Azioni sul collegamento: N=-7936.44 Ty=1.43 Tz=-11.19 Mx=0.02 Mz=3.51
Sollecitazioni agenti localmente: Ty_l=-1420.87 My_l=-29.15
Tensioni nella sezione: σ=353.30 τ=43.06
CC 5 SLV (Collegamento 0023_-380)
Azioni sul collegamento: N=-7936.44 Ty=0.75 Tz=-11.19 Mx=0.02 Mz=2.19
Sollecitazioni agenti localmente: Ty_l=-1415.64 My_l=-29.03
Tensioni nella sezione: σ=351.91 τ=42.90
CC 5 SLV (Collegamento 0023_-380)
Azioni sul collegamento: N=-7936.44 Ty=1.43 Tz=5.88 Mx=0.02 Mz=3.51
Sollecitazioni agenti localmente: Ty_l=-1420.87 My_l=-29.15
Tensioni nella sezione: σ=353.30 τ=43.06
CC 5 SLV (Collegamento 0023_-380)
Azioni sul collegamento: N=-7936.44 Ty=0.75 Tz=5.88 Mx=0.02 Mz=2.19
Sollecitazioni agenti localmente: Ty_l=-1415.64 My_l=-29.03
Tensioni nella sezione: σ=351.91 τ=42.90
CC 5 SLV (Collegamento 0023_-380)
Azioni sul collegamento: N=-3330.02 Ty=1.43 Tz=-11.19 Mx=0.02 Mz=3.51
Sollecitazioni agenti localmente: Ty_l=-604.28 My_l=-12.41
Tensioni nella sezione: σ=150.39 τ=18.31
CC 5 SLV (Collegamento 0023_-380)
Azioni sul collegamento: N=-3330.02 Ty=0.75 Tz=-11.19 Mx=0.02 Mz=2.19
Sollecitazioni agenti localmente: Ty_l=-599.05 My_l=-12.29
Tensioni nella sezione: σ=149.00 τ=18.15
CC 5 SLV (Collegamento 0023_-380)
Azioni sul collegamento: N=-3330.02 Ty=1.43 Tz=5.88 Mx=0.02 Mz=3.51
Sollecitazioni agenti localmente: Ty_l=-604.28 My_l=-12.41
Tensioni nella sezione: σ=150.39 τ=18.31
CC 5 SLV (Collegamento 0023_-380)
Azioni sul collegamento: N=-3330.02 Ty=0.75 Tz=5.88 Mx=0.02 Mz=2.19
Sollecitazioni agenti localmente: Ty_l=-599.05 My_l=-12.29
Tensioni nella sezione: σ=149.00 τ=18.15
CC 6 SLD (Collegamento 0023_-380)
Azioni sul collegamento: N=-6335.74 Ty=0.38 Tz=-5.26 Mx=0.00 Mz=1.00
Sollecitazioni agenti localmente: Ty_l=-1127.12 My_l=-23.11
Tensioni nella sezione: σ=280.14 τ=34.16
CC 6 SLD (Collegamento 0023_-380)
Azioni sul collegamento: N=-6335.74 Ty=0.18 Tz=-5.26 Mx=0.00 Mz=0.60
Sollecitazioni agenti localmente: Ty_l=-1125.53 My_l=-23.08
Tensioni nella sezione: σ=279.72 τ=34.11

CC 6 SLD (Collegamento 0023_-380)
Azioni sul collegamento: N=-6335.74 Ty=0.38 Tz=-0.05 Mx=0.00 Mz=1.00
Sollecitazioni agenti localmente: Ty_l=-1127.12 My_l=-23.11
Tensioni nella sezione: σ=280.14 τ=34.16
CC 6 SLD (Collegamento 0023_-380)
Azioni sul collegamento: N=-6335.74 Ty=0.18 Tz=-0.05 Mx=0.00 Mz=0.60
Sollecitazioni agenti localmente: Ty_l=-1125.53 My_l=-23.08
Tensioni nella sezione: σ=279.72 τ=34.11
CC 6 SLD (Collegamento 0023_-380)
Azioni sul collegamento: N=-4931.09 Ty=0.38 Tz=-5.26 Mx=0.00 Mz=1.00
Sollecitazioni agenti localmente: Ty_l=-878.12 My_l=-18.01
Tensioni nella sezione: σ=218.27 τ=26.61
CC 6 SLD (Collegamento 0023_-380)
Azioni sul collegamento: N=-4931.09 Ty=0.18 Tz=-5.26 Mx=0.00 Mz=0.60
Sollecitazioni agenti localmente: Ty_l=-876.52 My_l=-17.97
Tensioni nella sezione: σ=217.84 τ=26.56
CC 6 SLD (Collegamento 0023_-380)
Azioni sul collegamento: N=-4931.09 Ty=0.38 Tz=-0.05 Mx=0.00 Mz=1.00
Sollecitazioni agenti localmente: Ty_l=-878.12 My_l=-18.01
Tensioni nella sezione: σ=218.27 τ=26.61
CC 6 SLD (Collegamento 0023_-380)
Azioni sul collegamento: N=-4931.09 Ty=0.18 Tz=-0.05 Mx=0.00 Mz=0.60
Sollecitazioni agenti localmente: Ty_l=-876.52 My_l=-17.97
Tensioni nella sezione: σ=217.84 τ=26.56
CC 7 SLV (Collegamento 0023_-380)
Azioni sul collegamento: N=-7936.47 Ty=0.74 Tz=-11.20 Mx=0.01 Mz=2.16
Sollecitazioni agenti localmente: Ty_l=-1415.49 My_l=-29.03
Tensioni nella sezione: σ=351.87 τ=42.89
CC 7 SLV (Collegamento 0023_-380)
Azioni sul collegamento: N=-7936.47 Ty=1.44 Tz=-11.20 Mx=0.01 Mz=3.55
Sollecitazioni agenti localmente: Ty_l=-1421.03 My_l=-29.15
Tensioni nella sezione: σ=353.34 τ=43.06
CC 7 SLV (Collegamento 0023_-380)
Azioni sul collegamento: N=-7936.47 Ty=0.74 Tz=5.89 Mx=0.01 Mz=2.16
Sollecitazioni agenti localmente: Ty_l=-1415.49 My_l=-29.03
Tensioni nella sezione: σ=351.87 τ=42.89
CC 7 SLV (Collegamento 0023_-380)
Azioni sul collegamento: N=-7936.47 Ty=1.44 Tz=5.89 Mx=0.01 Mz=3.55
Sollecitazioni agenti localmente: Ty_l=-1421.03 My_l=-29.15
Tensioni nella sezione: σ=353.34 τ=43.06
CC 7 SLV (Collegamento 0023_-380)
Azioni sul collegamento: N=-3330.00 Ty=0.74 Tz=-11.20 Mx=0.01 Mz=2.16
Sollecitazioni agenti localmente: Ty_l=-598.89 My_l=-12.29
Tensioni nella sezione: σ=148.96 τ=18.15
CC 7 SLV (Collegamento 0023_-380)
Azioni sul collegamento: N=-3330.00 Ty=1.44 Tz=-11.20 Mx=0.01 Mz=3.55
Sollecitazioni agenti localmente: Ty_l=-604.43 My_l=-12.41
Tensioni nella sezione: σ=150.43 τ=18.32
CC 7 SLV (Collegamento 0023_-380)
Azioni sul collegamento: N=-3330.00 Ty=0.74 Tz=5.89 Mx=0.01 Mz=2.16
Sollecitazioni agenti localmente: Ty_l=-598.89 My_l=-12.29
Tensioni nella sezione: σ=148.96 τ=18.15
CC 7 SLV (Collegamento 0023_-380)
Azioni sul collegamento: N=-3330.00 Ty=1.44 Tz=5.89 Mx=0.01 Mz=3.55
Sollecitazioni agenti localmente: Ty_l=-604.43 My_l=-12.41
Tensioni nella sezione: σ=150.43 τ=18.32
CC 8 SLD (Collegamento 0023_-380)
Azioni sul collegamento: N=-6335.74 Ty=0.17 Tz=-5.26 Mx=0.00 Mz=0.59
Sollecitazioni agenti localmente: Ty_l=-1125.48 My_l=-23.08
Tensioni nella sezione: σ=279.70 τ=34.11
CC 8 SLD (Collegamento 0023_-380)
Azioni sul collegamento: N=-6335.74 Ty=0.39 Tz=-5.26 Mx=0.00 Mz=1.01
Sollecitazioni agenti localmente: Ty_l=-1127.17 My_l=-23.11
Tensioni nella sezione: σ=280.15 τ=34.16
CC 8 SLD (Collegamento 0023_-380)
Azioni sul collegamento: N=-6335.74 Ty=0.17 Tz=-0.05 Mx=0.00 Mz=0.59
Sollecitazioni agenti localmente: Ty_l=-1125.48 My_l=-23.08
Tensioni nella sezione: σ=279.70 τ=34.11
CC 8 SLD (Collegamento 0023_-380)
Azioni sul collegamento: N=-6335.74 Ty=0.39 Tz=-0.05 Mx=0.00 Mz=1.01
Sollecitazioni agenti localmente: Ty_l=-1127.17 My_l=-23.11
Tensioni nella sezione: σ=280.15 τ=34.16
CC 8 SLD (Collegamento 0023_-380)
Azioni sul collegamento: N=-4931.09 Ty=0.17 Tz=-5.26 Mx=0.00 Mz=0.59
Sollecitazioni agenti localmente: Ty_l=-876.48 My_l=-17.97
Tensioni nella sezione: σ=217.83 τ=26.56
CC 8 SLD (Collegamento 0023_-380)
Azioni sul collegamento: N=-4931.09 Ty=0.39 Tz=-5.26 Mx=0.00 Mz=1.01
Sollecitazioni agenti localmente: Ty_l=-878.16 My_l=-18.01

Tensioni nella sezione: σ=218.28 τ=26.61
CC 8 SLD (Collegamento 0023_-380)
Azioni sul collegamento: N=-4931.09 Ty=0.17 Tz=-0.05 Mx=0.00 Mz=0.59
Sollecitazioni agenti localmente: Ty_l=-876.48 My_l=-17.97
Tensioni nella sezione: σ=217.83 τ=26.56
CC 8 SLD (Collegamento 0023_-380)
Azioni sul collegamento: N=-4931.09 Ty=0.39 Tz=-0.05 Mx=0.00 Mz=1.01
Sollecitazioni agenti localmente: Ty_l=-878.16 My_l=-18.01
Tensioni nella sezione: σ=218.28 τ=26.61
CC 9 SLV (Collegamento 0023_-380)
Azioni sul collegamento: N=-4942.23 Ty=2.24 Tz=-0.09 Mx=0.02 Mz=5.11
Sollecitazioni agenti localmente: Ty_l=-896.46 My_l=-18.41
Tensioni nella sezione: σ=223.10 τ=27.17
CC 9 SLV (Collegamento 0023_-380)
Azioni sul collegamento: N=-4942.23 Ty=-0.07 Tz=-0.09 Mx=0.02 Mz=0.59
Sollecitazioni agenti localmente: Ty_l=-878.47 My_l=-18.01
Tensioni nella sezione: σ=218.33 τ=26.62
CC 9 SLV (Collegamento 0023_-380)
Azioni sul collegamento: N=-4942.23 Ty=2.24 Tz=-5.22 Mx=0.02 Mz=5.11
Sollecitazioni agenti localmente: Ty_l=-896.46 My_l=-18.41
Tensioni nella sezione: σ=223.10 τ=27.17
CC 9 SLV (Collegamento 0023_-380)
Azioni sul collegamento: N=-4942.23 Ty=-0.07 Tz=-5.22 Mx=0.02 Mz=0.59
Sollecitazioni agenti localmente: Ty_l=-878.47 My_l=-18.01
Tensioni nella sezione: σ=218.33 τ=26.62
CC 9 SLV (Collegamento 0023_-380)
Azioni sul collegamento: N=-6324.24 Ty=2.24 Tz=-0.09 Mx=0.02 Mz=5.11
Sollecitazioni agenti localmente: Ty_l=-1141.45 My_l=-23.43
Tensioni nella sezione: σ=283.98 τ=34.59
CC 9 SLV (Collegamento 0023_-380)
Azioni sul collegamento: N=-6324.24 Ty=-0.07 Tz=-0.09 Mx=0.02 Mz=0.59
Sollecitazioni agenti localmente: Ty_l=-1123.47 My_l=-23.03
Tensioni nella sezione: σ=279.20 τ=34.04
CC 9 SLV (Collegamento 0023_-380)
Azioni sul collegamento: N=-6324.24 Ty=2.24 Tz=-5.22 Mx=0.02 Mz=5.11
Sollecitazioni agenti localmente: Ty_l=-1141.45 My_l=-23.43
Tensioni nella sezione: σ=283.98 τ=34.59
CC 9 SLV (Collegamento 0023_-380)
Azioni sul collegamento: N=-6324.24 Ty=-0.07 Tz=-5.22 Mx=0.02 Mz=0.59
Sollecitazioni agenti localmente: Ty_l=-1123.47 My_l=-23.03
Tensioni nella sezione: σ=279.20 τ=34.04
CC 10 SLD (Collegamento 0023_-380)
Azioni sul collegamento: N=-5422.71 Ty=0.63 Tz=-1.87 Mx=0.01 Mz=1.49
Sollecitazioni agenti localmente: Ty_l=-967.21 My_l=-19.84
Tensioni nella sezione: σ=240.44 τ=29.31
CC 10 SLD (Collegamento 0023_-380)
Azioni sul collegamento: N=-5422.71 Ty=-0.07 Tz=-1.87 Mx=0.01 Mz=0.11
Sollecitazioni agenti localmente: Ty_l=-961.73 My_l=-19.72
Tensioni nella sezione: σ=238.98 τ=29.14
CC 10 SLD (Collegamento 0023_-380)
Azioni sul collegamento: N=-5422.71 Ty=0.63 Tz=-3.44 Mx=0.01 Mz=1.49
Sollecitazioni agenti localmente: Ty_l=-967.21 My_l=-19.84
Tensioni nella sezione: σ=240.44 τ=29.31
CC 10 SLD (Collegamento 0023_-380)
Azioni sul collegamento: N=-5422.71 Ty=-0.07 Tz=-3.44 Mx=0.01 Mz=0.11
Sollecitazioni agenti localmente: Ty_l=-961.73 My_l=-19.72
Tensioni nella sezione: σ=238.98 τ=29.14
CC 10 SLD (Collegamento 0023_-380)
Azioni sul collegamento: N=-5844.12 Ty=0.63 Tz=-1.87 Mx=0.01 Mz=1.49
Sollecitazioni agenti localmente: Ty_l=-1041.92 My_l=-21.37
Tensioni nella sezione: σ=259.00 τ=31.57
CC 10 SLD (Collegamento 0023_-380)
Azioni sul collegamento: N=-5844.12 Ty=-0.07 Tz=-1.87 Mx=0.01 Mz=0.11
Sollecitazioni agenti localmente: Ty_l=-1036.44 My_l=-21.25
Tensioni nella sezione: σ=257.55 τ=31.41
CC 10 SLD (Collegamento 0023_-380)
Azioni sul collegamento: N=-5844.12 Ty=0.63 Tz=-3.44 Mx=0.01 Mz=1.49
Sollecitazioni agenti localmente: Ty_l=-1041.92 My_l=-21.37
Tensioni nella sezione: σ=259.00 τ=31.57
CC 10 SLD (Collegamento 0023_-380)
Azioni sul collegamento: N=-5844.12 Ty=-0.07 Tz=-3.44 Mx=0.01 Mz=0.11
Sollecitazioni agenti localmente: Ty_l=-1036.44 My_l=-21.25
Tensioni nella sezione: σ=257.55 τ=31.41
CC 11 SLV (Collegamento 0023_-380)
Azioni sul collegamento: N=-6324.16 Ty=2.24 Tz=-5.22 Mx=0.02 Mz=5.10
Sollecitazioni agenti localmente: Ty_l=-1141.39 My_l=-23.43
Tensioni nella sezione: σ=283.96 τ=34.59
CC 11 SLV (Collegamento 0023_-380)
Azioni sul collegamento: N=-6324.16 Ty=-0.06 Tz=-5.22 Mx=0.02 Mz=0.60

Sollecitazioni agenti localmente: Ty_l=-1123.50 My_l=-23.04
Tensioni nella sezione: σ=279.21 τ=34.05
CC 11 SLV (Collegamento 0023_-380)
Azioni sul collegamento: N=-6324.16 Ty=2.24 Tz=-0.09 Mx=0.02 Mz=5.10
Sollecitazioni agenti localmente: Ty_l=-1141.39 My_l=-23.43
Tensioni nella sezione: σ=283.96 τ=34.59
CC 11 SLV (Collegamento 0023_-380)
Azioni sul collegamento: N=-6324.16 Ty=-0.06 Tz=-0.09 Mx=0.02 Mz=0.60
Sollecitazioni agenti localmente: Ty_l=-1123.50 My_l=-23.04
Tensioni nella sezione: σ=279.21 τ=34.05
CC 11 SLV (Collegamento 0023_-380)
Azioni sul collegamento: N=-4942.30 Ty=2.24 Tz=-5.22 Mx=0.02 Mz=5.10
Sollecitazioni agenti localmente: Ty_l=-896.42 My_l=-18.41
Tensioni nella sezione: σ=223.09 τ=27.16
CC 11 SLV (Collegamento 0023_-380)
Azioni sul collegamento: N=-4942.30 Ty=-0.06 Tz=-5.22 Mx=0.02 Mz=0.60
Sollecitazioni agenti localmente: Ty_l=-878.53 My_l=-18.01
Tensioni nella sezione: σ=218.34 τ=26.62
CC 11 SLV (Collegamento 0023_-380)
Azioni sul collegamento: N=-4942.30 Ty=2.24 Tz=-0.09 Mx=0.02 Mz=5.10
Sollecitazioni agenti localmente: Ty_l=-896.42 My_l=-18.41
Tensioni nella sezione: σ=223.09 τ=27.16
CC 11 SLV (Collegamento 0023_-380)
Azioni sul collegamento: N=-4942.30 Ty=-0.06 Tz=-0.09 Mx=0.02 Mz=0.60
Sollecitazioni agenti localmente: Ty_l=-878.53 My_l=-18.01
Tensioni nella sezione: σ=218.34 τ=26.62
CC 12 SLD (Collegamento 0023_-380)
Azioni sul collegamento: N=-5844.10 Ty=0.63 Tz=-3.44 Mx=0.01 Mz=1.48
Sollecitazioni agenti localmente: Ty_l=-1041.90 My_l=-21.37
Tensioni nella sezione: σ=259.00 τ=31.57
CC 12 SLD (Collegamento 0023_-380)
Azioni sul collegamento: N=-5844.10 Ty=-0.07 Tz=-3.44 Mx=0.01 Mz=0.11
Sollecitazioni agenti localmente: Ty_l=-1036.45 My_l=-21.25
Tensioni nella sezione: σ=257.55 τ=31.41
CC 12 SLD (Collegamento 0023_-380)
Azioni sul collegamento: N=-5844.10 Ty=0.63 Tz=-1.87 Mx=0.01 Mz=1.48
Sollecitazioni agenti localmente: Ty_l=-1041.90 My_l=-21.37
Tensioni nella sezione: σ=259.00 τ=31.57
CC 12 SLD (Collegamento 0023_-380)
Azioni sul collegamento: N=-5844.10 Ty=-0.07 Tz=-1.87 Mx=0.01 Mz=0.11
Sollecitazioni agenti localmente: Ty_l=-1036.45 My_l=-21.25
Tensioni nella sezione: σ=257.55 τ=31.41
CC 12 SLD (Collegamento 0023_-380)
Azioni sul collegamento: N=-5422.73 Ty=0.63 Tz=-3.44 Mx=0.01 Mz=1.48
Sollecitazioni agenti localmente: Ty_l=-967.20 My_l=-19.84
Tensioni nella sezione: σ=240.44 τ=29.31
CC 12 SLD (Collegamento 0023_-380)
Azioni sul collegamento: N=-5422.73 Ty=-0.07 Tz=-3.44 Mx=0.01 Mz=0.11
Sollecitazioni agenti localmente: Ty_l=-961.75 My_l=-19.72
Tensioni nella sezione: σ=238.99 τ=29.14
CC 12 SLD (Collegamento 0023_-380)
Azioni sul collegamento: N=-5422.73 Ty=0.63 Tz=-1.87 Mx=0.01 Mz=1.48
Sollecitazioni agenti localmente: Ty_l=-967.20 My_l=-19.84
Tensioni nella sezione: σ=240.44 τ=29.31
CC 12 SLD (Collegamento 0023_-380)
Azioni sul collegamento: N=-5422.73 Ty=-0.07 Tz=-1.87 Mx=0.01 Mz=0.11
Sollecitazioni agenti localmente: Ty_l=-961.75 My_l=-19.72
Tensioni nella sezione: σ=238.99 τ=29.14
CC 13 SLV (Collegamento 0023_-380)
Azioni sul collegamento: N=-4942.30 Ty=-0.06 Tz=-0.09 Mx=0.00 Mz=0.60
Sollecitazioni agenti localmente: Ty_l=-878.53 My_l=-18.01
Tensioni nella sezione: σ=218.34 τ=26.62
CC 13 SLV (Collegamento 0023_-380)
Azioni sul collegamento: N=-4942.30 Ty=2.24 Tz=-0.09 Mx=0.00 Mz=5.10
Sollecitazioni agenti localmente: Ty_l=-896.42 My_l=-18.41
Tensioni nella sezione: σ=223.09 τ=27.16
CC 13 SLV (Collegamento 0023_-380)
Azioni sul collegamento: N=-4942.30 Ty=-0.06 Tz=-5.22 Mx=0.00 Mz=0.60
Sollecitazioni agenti localmente: Ty_l=-878.53 My_l=-18.01
Tensioni nella sezione: σ=218.34 τ=26.62
CC 13 SLV (Collegamento 0023_-380)
Azioni sul collegamento: N=-4942.30 Ty=2.24 Tz=-5.22 Mx=0.00 Mz=5.10
Sollecitazioni agenti localmente: Ty_l=-896.42 My_l=-18.41
Tensioni nella sezione: σ=223.09 τ=27.16
CC 13 SLV (Collegamento 0023_-380)
Azioni sul collegamento: N=-6324.16 Ty=-0.06 Tz=-0.09 Mx=0.00 Mz=0.60
Sollecitazioni agenti localmente: Ty_l=-1123.50 My_l=-23.04
Tensioni nella sezione: σ=279.21 τ=34.05
CC 13 SLV (Collegamento 0023_-380)

Azioni sul collegamento: N=-6324.16 Ty=2.24 Tz=-0.09 Mx=0.00 Mz=5.10
Sollecitazioni agenti localmente: Ty_l=-1141.39 My_l=-23.43
Tensioni nella sezione: σ=283.96 τ=34.59
CC 13 SLV (Collegamento 0023_-380)
Azioni sul collegamento: N=-6324.16 Ty=-0.06 Tz=-5.22 Mx=0.00 Mz=0.60
Sollecitazioni agenti localmente: Ty_l=-1123.50 My_l=-23.04
Tensioni nella sezione: σ=279.21 τ=34.05
CC 13 SLV (Collegamento 0023_-380)
Azioni sul collegamento: N=-6324.16 Ty=2.24 Tz=-5.22 Mx=0.00 Mz=5.10
Sollecitazioni agenti localmente: Ty_l=-1141.39 My_l=-23.43
Tensioni nella sezione: σ=283.96 τ=34.59
CC 14 SLD (Collegamento 0023_-380)
Azioni sul collegamento: N=-5422.73 Ty=-0.07 Tz=-1.87 Mx=0.00 Mz=0.11
Sollecitazioni agenti localmente: Ty_l=-961.75 My_l=-19.72
Tensioni nella sezione: σ=238.99 τ=29.14
CC 14 SLD (Collegamento 0023_-380)
Azioni sul collegamento: N=-5422.73 Ty=0.63 Tz=-1.87 Mx=0.00 Mz=1.48
Sollecitazioni agenti localmente: Ty_l=-967.20 My_l=-19.84
Tensioni nella sezione: σ=240.44 τ=29.31
CC 14 SLD (Collegamento 0023_-380)
Azioni sul collegamento: N=-5422.73 Ty=-0.07 Tz=-3.44 Mx=0.00 Mz=0.11
Sollecitazioni agenti localmente: Ty_l=-961.75 My_l=-19.72
Tensioni nella sezione: σ=238.99 τ=29.14
CC 14 SLD (Collegamento 0023_-380)
Azioni sul collegamento: N=-5422.73 Ty=0.63 Tz=-3.44 Mx=0.00 Mz=1.48
Sollecitazioni agenti localmente: Ty_l=-967.20 My_l=-19.84
Tensioni nella sezione: σ=240.44 τ=29.31
CC 14 SLD (Collegamento 0023_-380)
Azioni sul collegamento: N=-5844.10 Ty=-0.07 Tz=-1.87 Mx=0.00 Mz=0.11
Sollecitazioni agenti localmente: Ty_l=-1036.45 My_l=-21.25
Tensioni nella sezione: σ=257.55 τ=31.41
CC 14 SLD (Collegamento 0023_-380)
Azioni sul collegamento: N=-5844.10 Ty=0.63 Tz=-1.87 Mx=0.00 Mz=1.48
Sollecitazioni agenti localmente: Ty_l=-1041.90 My_l=-21.37
Tensioni nella sezione: σ=259.00 τ=31.57
CC 14 SLD (Collegamento 0023_-380)
Azioni sul collegamento: N=-5844.10 Ty=-0.07 Tz=-3.44 Mx=0.00 Mz=0.11
Sollecitazioni agenti localmente: Ty_l=-1036.45 My_l=-21.25
Tensioni nella sezione: σ=257.55 τ=31.41
CC 14 SLD (Collegamento 0023_-380)
Azioni sul collegamento: N=-5844.10 Ty=0.63 Tz=-3.44 Mx=0.00 Mz=1.48
Sollecitazioni agenti localmente: Ty_l=-1041.90 My_l=-21.37
Tensioni nella sezione: σ=259.00 τ=31.57
CC 15 SLV (Collegamento 0023_-380)
Azioni sul collegamento: N=-6324.24 Ty=-0.07 Tz=-5.22 Mx=0.00 Mz=0.59
Sollecitazioni agenti localmente: Ty_l=-1123.47 My_l=-23.03
Tensioni nella sezione: σ=279.20 τ=34.04
CC 15 SLV (Collegamento 0023_-380)
Azioni sul collegamento: N=-6324.24 Ty=2.24 Tz=-5.22 Mx=0.00 Mz=5.11
Sollecitazioni agenti localmente: Ty_l=-1141.45 My_l=-23.43
Tensioni nella sezione: σ=283.98 τ=34.59
CC 15 SLV (Collegamento 0023_-380)
Azioni sul collegamento: N=-6324.24 Ty=-0.07 Tz=-0.09 Mx=0.00 Mz=0.59
Sollecitazioni agenti localmente: Ty_l=-1123.47 My_l=-23.03
Tensioni nella sezione: σ=279.20 τ=34.04
CC 15 SLV (Collegamento 0023_-380)
Azioni sul collegamento: N=-6324.24 Ty=2.24 Tz=-0.09 Mx=0.00 Mz=5.11
Sollecitazioni agenti localmente: Ty_l=-1141.45 My_l=-23.43
Tensioni nella sezione: σ=283.98 τ=34.59
CC 15 SLV (Collegamento 0023_-380)
Azioni sul collegamento: N=-4942.23 Ty=-0.07 Tz=-5.22 Mx=0.00 Mz=0.59
Sollecitazioni agenti localmente: Ty_l=-878.47 My_l=-18.01
Tensioni nella sezione: σ=218.33 τ=26.62
CC 15 SLV (Collegamento 0023_-380)
Azioni sul collegamento: N=-4942.23 Ty=2.24 Tz=-5.22 Mx=0.00 Mz=5.11
Sollecitazioni agenti localmente: Ty_l=-896.46 My_l=-18.41
Tensioni nella sezione: σ=223.10 τ=27.17
CC 15 SLV (Collegamento 0023_-380)
Azioni sul collegamento: N=-4942.23 Ty=-0.07 Tz=-0.09 Mx=0.00 Mz=0.59
Sollecitazioni agenti localmente: Ty_l=-878.47 My_l=-18.01
Tensioni nella sezione: σ=218.33 τ=26.62
CC 15 SLV (Collegamento 0023_-380)
Azioni sul collegamento: N=-4942.23 Ty=2.24 Tz=-0.09 Mx=0.00 Mz=5.11
Sollecitazioni agenti localmente: Ty_l=-896.46 My_l=-18.41
Tensioni nella sezione: σ=223.10 τ=27.17
CC 16 SLD (Collegamento 0023_-380)
Azioni sul collegamento: N=-5844.12 Ty=-0.07 Tz=-3.44 Mx=0.00 Mz=0.11
Sollecitazioni agenti localmente: Ty_l=-1036.44 My_l=-21.25
Tensioni nella sezione: σ=257.55 τ=31.41

CC 16 SLD (Collegamento 0023_-380)
Azioni sul collegamento: N=-5844.12 Ty=0.63 Tz=-3.44 Mx=0.00 Mz=1.49
Sollecitazioni agenti localmente: Ty_l=-1041.92 My_l=-21.37
Tensioni nella sezione: σ=259.00 τ=31.57
CC 16 SLD (Collegamento 0023_-380)
Azioni sul collegamento: N=-5844.12 Ty=-0.07 Tz=-1.87 Mx=0.00 Mz=0.11
Sollecitazioni agenti localmente: Ty_l=-1036.44 My_l=-21.25
Tensioni nella sezione: σ=257.55 τ=31.41
CC 16 SLD (Collegamento 0023_-380)
Azioni sul collegamento: N=-5844.12 Ty=0.63 Tz=-1.87 Mx=0.00 Mz=1.49
Sollecitazioni agenti localmente: Ty_l=-1041.92 My_l=-21.37
Tensioni nella sezione: σ=259.00 τ=31.57
CC 16 SLD (Collegamento 0023_-380)
Azioni sul collegamento: N=-5422.71 Ty=-0.07 Tz=-3.44 Mx=0.00 Mz=0.11
Sollecitazioni agenti localmente: Ty_l=-961.73 My_l=-19.72
Tensioni nella sezione: σ=238.98 τ=29.14
CC 16 SLD (Collegamento 0023_-380)
Azioni sul collegamento: N=-5422.71 Ty=0.63 Tz=-3.44 Mx=0.00 Mz=1.49
Sollecitazioni agenti localmente: Ty_l=-967.21 My_l=-19.84
Tensioni nella sezione: σ=240.44 τ=29.31
CC 16 SLD (Collegamento 0023_-380)
Azioni sul collegamento: N=-5422.71 Ty=-0.07 Tz=-1.87 Mx=0.00 Mz=0.11
Sollecitazioni agenti localmente: Ty_l=-961.73 My_l=-19.72
Tensioni nella sezione: σ=238.98 τ=29.14
CC 16 SLD (Collegamento 0023_-380)
Azioni sul collegamento: N=-5422.71 Ty=0.63 Tz=-1.87 Mx=0.00 Mz=1.49
Sollecitazioni agenti localmente: Ty_l=-967.21 My_l=-19.84
Tensioni nella sezione: σ=240.44 τ=29.31
CC 17 SLV (Collegamento 0023_-380)
Azioni sul collegamento: N=-3330.52 Ty=-0.88 Tz=5.89 Mx=-0.02 Mz=-2.36
Sollecitazioni agenti localmente: Ty_l=-581.02 My_l=-11.90
Tensioni nella sezione: σ=144.21 τ=17.61
CC 17 SLV (Collegamento 0023_-380)
Azioni sul collegamento: N=-3330.52 Ty=-1.59 Tz=5.89 Mx=-0.02 Mz=-3.75
Sollecitazioni agenti localmente: Ty_l=-575.48 My_l=-11.78
Tensioni nella sezione: σ=142.75 τ=17.44
CC 17 SLV (Collegamento 0023_-380)
Azioni sul collegamento: N=-3330.52 Ty=-0.88 Tz=-11.19 Mx=-0.02 Mz=-2.36
Sollecitazioni agenti localmente: Ty_l=-581.02 My_l=-11.90
Tensioni nella sezione: σ=144.21 τ=17.61
CC 17 SLV (Collegamento 0023_-380)
Azioni sul collegamento: N=-3330.52 Ty=-1.59 Tz=-11.19 Mx=-0.02 Mz=-3.75
Sollecitazioni agenti localmente: Ty_l=-575.48 My_l=-11.78
Tensioni nella sezione: σ=142.75 τ=17.44
CC 17 SLV (Collegamento 0023_-380)
Azioni sul collegamento: N=-7936.99 Ty=-0.88 Tz=5.89 Mx=-0.02 Mz=-2.36
Sollecitazioni agenti localmente: Ty_l=-1397.62 My_l=-28.64
Tensioni nella sezione: σ=347.13 τ=42.35
CC 17 SLV (Collegamento 0023_-380)
Azioni sul collegamento: N=-7936.99 Ty=-1.59 Tz=5.89 Mx=-0.02 Mz=-3.75
Sollecitazioni agenti localmente: Ty_l=-1392.08 My_l=-28.52
Tensioni nella sezione: σ=345.66 τ=42.18
CC 17 SLV (Collegamento 0023_-380)
Azioni sul collegamento: N=-7936.99 Ty=-0.88 Tz=-11.19 Mx=-0.02 Mz=-2.36
Sollecitazioni agenti localmente: Ty_l=-1397.62 My_l=-28.64
Tensioni nella sezione: σ=347.13 τ=42.35
CC 17 SLV (Collegamento 0023_-380)
Azioni sul collegamento: N=-7936.99 Ty=-1.59 Tz=-11.19 Mx=-0.02 Mz=-3.75
Sollecitazioni agenti localmente: Ty_l=-1392.08 My_l=-28.52
Tensioni nella sezione: σ=345.66 τ=42.18
CC 18 SLD (Collegamento 0023_-380)
Azioni sul collegamento: N=-4931.25 Ty=-0.32 Tz=-0.05 Mx=-0.01 Mz=-0.79
Sollecitazioni agenti localmente: Ty_l=-871.03 My_l=-17.85
Tensioni nella sezione: σ=216.38 τ=26.39
CC 18 SLD (Collegamento 0023_-380)
Azioni sul collegamento: N=-4931.25 Ty=-0.54 Tz=-0.05 Mx=-0.01 Mz=-1.22
Sollecitazioni agenti localmente: Ty_l=-869.34 My_l=-17.81
Tensioni nella sezione: σ=215.94 τ=26.34
CC 18 SLD (Collegamento 0023_-380)
Azioni sul collegamento: N=-4931.25 Ty=-0.32 Tz=-5.26 Mx=-0.01 Mz=-0.79
Sollecitazioni agenti localmente: Ty_l=-871.03 My_l=-17.85
Tensioni nella sezione: σ=216.38 τ=26.39
CC 18 SLD (Collegamento 0023_-380)
Azioni sul collegamento: N=-4931.25 Ty=-0.54 Tz=-5.26 Mx=-0.01 Mz=-1.22
Sollecitazioni agenti localmente: Ty_l=-869.34 My_l=-17.81
Tensioni nella sezione: σ=215.94 τ=26.34
CC 18 SLD (Collegamento 0023_-380)
Azioni sul collegamento: N=-6335.90 Ty=-0.32 Tz=-0.05 Mx=-0.01 Mz=-0.79
Sollecitazioni agenti localmente: Ty_l=-1120.03 My_l=-22.96

Tensioni nella sezione: σ=278.26 τ=33.94
CC 18 SLD (Collegamento 0023_-380)
Azioni sul collegamento: N=-6335.90 Ty=-0.54 Tz=-0.05 Mx=-0.01 Mz=-1.22
Sollecitazioni agenti localmente: Ty_l=-1118.35 My_l=-22.92
Tensioni nella sezione: σ=277.81 τ=33.89
CC 18 SLD (Collegamento 0023_-380)
Azioni sul collegamento: N=-6335.90 Ty=-0.32 Tz=-5.26 Mx=-0.01 Mz=-0.79
Sollecitazioni agenti localmente: Ty_l=-1120.03 My_l=-22.96
Tensioni nella sezione: σ=278.26 τ=33.94
CC 18 SLD (Collegamento 0023_-380)
Azioni sul collegamento: N=-6335.90 Ty=-0.54 Tz=-5.26 Mx=-0.01 Mz=-1.22
Sollecitazioni agenti localmente: Ty_l=-1118.35 My_l=-22.92
Tensioni nella sezione: σ=277.81 τ=33.89
CC 19 SLV (Collegamento 0023_-380)
Azioni sul collegamento: N=-3330.55 Ty=-1.58 Tz=5.89 Mx=-0.01 Mz=-3.71
Sollecitazioni agenti localmente: Ty_l=-575.64 My_l=-11.78
Tensioni nella sezione: σ=142.79 τ=17.44
CC 19 SLV (Collegamento 0023_-380)
Azioni sul collegamento: N=-3330.55 Ty=-0.90 Tz=5.89 Mx=-0.01 Mz=-2.40
Sollecitazioni agenti localmente: Ty_l=-580.87 My_l=-11.89
Tensioni nella sezione: σ=144.18 τ=17.60
CC 19 SLV (Collegamento 0023_-380)
Azioni sul collegamento: N=-3330.55 Ty=-1.58 Tz=-11.19 Mx=-0.01 Mz=-3.71
Sollecitazioni agenti localmente: Ty_l=-575.64 My_l=-11.78
Tensioni nella sezione: σ=142.79 τ=17.44
CC 19 SLV (Collegamento 0023_-380)
Azioni sul collegamento: N=-3330.55 Ty=-0.90 Tz=-11.19 Mx=-0.01 Mz=-2.40
Sollecitazioni agenti localmente: Ty_l=-580.87 My_l=-11.89
Tensioni nella sezione: σ=144.18 τ=17.60
CC 19 SLV (Collegamento 0023_-380)
Azioni sul collegamento: N=-7936.97 Ty=-1.58 Tz=5.89 Mx=-0.01 Mz=-3.71
Sollecitazioni agenti localmente: Ty_l=-1392.23 My_l=-28.52
Tensioni nella sezione: σ=345.70 τ=42.19
CC 19 SLV (Collegamento 0023_-380)
Azioni sul collegamento: N=-7936.97 Ty=-0.90 Tz=5.89 Mx=-0.01 Mz=-2.40
Sollecitazioni agenti localmente: Ty_l=-1397.46 My_l=-28.63
Tensioni nella sezione: σ=347.09 τ=42.35
CC 19 SLV (Collegamento 0023_-380)
Azioni sul collegamento: N=-7936.97 Ty=-1.58 Tz=-11.19 Mx=-0.01 Mz=-3.71
Sollecitazioni agenti localmente: Ty_l=-1392.23 My_l=-28.52
Tensioni nella sezione: σ=345.70 τ=42.19
CC 19 SLV (Collegamento 0023_-380)
Azioni sul collegamento: N=-7936.97 Ty=-0.90 Tz=-11.19 Mx=-0.01 Mz=-2.40
Sollecitazioni agenti localmente: Ty_l=-1397.46 My_l=-28.63
Tensioni nella sezione: σ=347.09 τ=42.35
CC 20 SLD (Collegamento 0023_-380)
Azioni sul collegamento: N=-4931.25 Ty=-0.53 Tz=-0.05 Mx=-0.00 Mz=-1.20
Sollecitazioni agenti localmente: Ty_l=-869.39 My_l=-17.82
Tensioni nella sezione: σ=215.95 τ=26.34
CC 20 SLD (Collegamento 0023_-380)
Azioni sul collegamento: N=-4931.25 Ty=-0.33 Tz=-0.05 Mx=-0.00 Mz=-0.80
Sollecitazioni agenti localmente: Ty_l=-870.98 My_l=-17.85
Tensioni nella sezione: σ=216.37 τ=26.39
CC 20 SLD (Collegamento 0023_-380)
Azioni sul collegamento: N=-4931.25 Ty=-0.53 Tz=-5.26 Mx=-0.00 Mz=-1.20
Sollecitazioni agenti localmente: Ty_l=-869.39 My_l=-17.82
Tensioni nella sezione: σ=215.95 τ=26.34
CC 20 SLD (Collegamento 0023_-380)
Azioni sul collegamento: N=-4931.25 Ty=-0.33 Tz=-5.26 Mx=-0.00 Mz=-0.80
Sollecitazioni agenti localmente: Ty_l=-870.98 My_l=-17.85
Tensioni nella sezione: σ=216.37 τ=26.39
CC 20 SLD (Collegamento 0023_-380)
Azioni sul collegamento: N=-6335.90 Ty=-0.53 Tz=-0.05 Mx=-0.00 Mz=-1.20
Sollecitazioni agenti localmente: Ty_l=-1118.39 My_l=-22.92
Tensioni nella sezione: σ=277.82 τ=33.89
CC 20 SLD (Collegamento 0023_-380)
Azioni sul collegamento: N=-6335.90 Ty=-0.33 Tz=-0.05 Mx=-0.00 Mz=-0.80
Sollecitazioni agenti localmente: Ty_l=-1119.99 My_l=-22.96
Tensioni nella sezione: σ=278.25 τ=33.94
CC 20 SLD (Collegamento 0023_-380)
Azioni sul collegamento: N=-6335.90 Ty=-0.53 Tz=-5.26 Mx=-0.00 Mz=-1.20
Sollecitazioni agenti localmente: Ty_l=-1118.39 My_l=-22.92
Tensioni nella sezione: σ=277.82 τ=33.89
CC 20 SLD (Collegamento 0023_-380)
Azioni sul collegamento: N=-6335.90 Ty=-0.33 Tz=-5.26 Mx=-0.00 Mz=-0.80
Sollecitazioni agenti localmente: Ty_l=-1119.99 My_l=-22.96
Tensioni nella sezione: σ=278.25 τ=33.94
CC 21 SLV (Collegamento 0023_-380)
Azioni sul collegamento: N=-7936.97 Ty=-0.90 Tz=-11.19 Mx=-0.02 Mz=-2.40

Sollecitazioni agenti localmente: Ty_l=-1397.46 My_l=-28.63
Tensioni nella sezione: σ=347.09 τ=42.35
CC 21 SLV (Collegamento 0023_-380)
Azioni sul collegamento: N=-7936.97 Ty=-1.58 Tz=-11.19 Mx=-0.02 Mz=-3.71
Sollecitazioni agenti localmente: Ty_l=-1392.23 My_l=-28.52
Tensioni nella sezione: σ=345.70 τ=42.19
CC 21 SLV (Collegamento 0023_-380)
Azioni sul collegamento: N=-7936.97 Ty=-0.90 Tz=5.89 Mx=-0.02 Mz=-2.40
Sollecitazioni agenti localmente: Ty_l=-1397.46 My_l=-28.63
Tensioni nella sezione: σ=347.09 τ=42.35
CC 21 SLV (Collegamento 0023_-380)
Azioni sul collegamento: N=-7936.97 Ty=-1.58 Tz=5.89 Mx=-0.02 Mz=-3.71
Sollecitazioni agenti localmente: Ty_l=-1392.23 My_l=-28.52
Tensioni nella sezione: σ=345.70 τ=42.19
CC 21 SLV (Collegamento 0023_-380)
Azioni sul collegamento: N=-3330.55 Ty=-0.90 Tz=-11.19 Mx=-0.02 Mz=-2.40
Sollecitazioni agenti localmente: Ty_l=-580.87 My_l=-11.89
Tensioni nella sezione: σ=144.18 τ=17.60
CC 21 SLV (Collegamento 0023_-380)
Azioni sul collegamento: N=-3330.55 Ty=-1.58 Tz=-11.19 Mx=-0.02 Mz=-3.71
Sollecitazioni agenti localmente: Ty_l=-575.64 My_l=-11.78
Tensioni nella sezione: σ=142.79 τ=17.44
CC 21 SLV (Collegamento 0023_-380)
Azioni sul collegamento: N=-3330.55 Ty=-0.90 Tz=5.89 Mx=-0.02 Mz=-2.40
Sollecitazioni agenti localmente: Ty_l=-580.87 My_l=-11.89
Tensioni nella sezione: σ=144.18 τ=17.60
CC 21 SLV (Collegamento 0023_-380)
Azioni sul collegamento: N=-3330.55 Ty=-1.58 Tz=5.89 Mx=-0.02 Mz=-3.71
Sollecitazioni agenti localmente: Ty_l=-575.64 My_l=-11.78
Tensioni nella sezione: σ=142.79 τ=17.44
CC 22 SLD (Collegamento 0023_-380)
Azioni sul collegamento: N=-6335.90 Ty=-0.33 Tz=-5.26 Mx=-0.01 Mz=-0.80
Sollecitazioni agenti localmente: Ty_l=-1119.99 My_l=-22.96
Tensioni nella sezione: σ=278.25 τ=33.94
CC 22 SLD (Collegamento 0023_-380)
Azioni sul collegamento: N=-6335.90 Ty=-0.53 Tz=-5.26 Mx=-0.01 Mz=-1.20
Sollecitazioni agenti localmente: Ty_l=-1118.39 My_l=-22.92
Tensioni nella sezione: σ=277.82 τ=33.89
CC 22 SLD (Collegamento 0023_-380)
Azioni sul collegamento: N=-6335.90 Ty=-0.33 Tz=-0.05 Mx=-0.01 Mz=-0.80
Sollecitazioni agenti localmente: Ty_l=-1119.99 My_l=-22.96
Tensioni nella sezione: σ=278.25 τ=33.94
CC 22 SLD (Collegamento 0023_-380)
Azioni sul collegamento: N=-6335.90 Ty=-0.53 Tz=-0.05 Mx=-0.01 Mz=-1.20
Sollecitazioni agenti localmente: Ty_l=-1118.39 My_l=-22.92
Tensioni nella sezione: σ=277.82 τ=33.89
CC 22 SLD (Collegamento 0023_-380)
Azioni sul collegamento: N=-4931.25 Ty=-0.33 Tz=-5.26 Mx=-0.01 Mz=-0.80
Sollecitazioni agenti localmente: Ty_l=-870.98 My_l=-17.85
Tensioni nella sezione: σ=216.37 τ=26.39
CC 22 SLD (Collegamento 0023_-380)
Azioni sul collegamento: N=-4931.25 Ty=-0.53 Tz=-5.26 Mx=-0.01 Mz=-1.20
Sollecitazioni agenti localmente: Ty_l=-869.39 My_l=-17.82
Tensioni nella sezione: σ=215.95 τ=26.34
CC 22 SLD (Collegamento 0023_-380)
Azioni sul collegamento: N=-4931.25 Ty=-0.33 Tz=-0.05 Mx=-0.01 Mz=-0.80
Sollecitazioni agenti localmente: Ty_l=-870.98 My_l=-17.85
Tensioni nella sezione: σ=216.37 τ=26.39
CC 22 SLD (Collegamento 0023_-380)
Azioni sul collegamento: N=-4931.25 Ty=-0.53 Tz=-0.05 Mx=-0.01 Mz=-1.20
Sollecitazioni agenti localmente: Ty_l=-869.39 My_l=-17.82
Tensioni nella sezione: σ=215.95 τ=26.34
CC 23 SLV (Collegamento 0023_-380)
Azioni sul collegamento: N=-7936.99 Ty=-1.59 Tz=-11.19 Mx=-0.01 Mz=-3.75
Sollecitazioni agenti localmente: Ty_l=-1392.08 My_l=-28.52
Tensioni nella sezione: σ=345.66 τ=42.18
CC 23 SLV (Collegamento 0023_-380)
Azioni sul collegamento: N=-7936.99 Ty=-0.88 Tz=-11.19 Mx=-0.01 Mz=-2.36
Sollecitazioni agenti localmente: Ty_l=-1397.62 My_l=-28.64
Tensioni nella sezione: σ=347.13 τ=42.35
CC 23 SLV (Collegamento 0023_-380)
Azioni sul collegamento: N=-7936.99 Ty=-1.59 Tz=5.89 Mx=-0.01 Mz=-3.75
Sollecitazioni agenti localmente: Ty_l=-1392.08 My_l=-28.52
Tensioni nella sezione: σ=345.66 τ=42.18
CC 23 SLV (Collegamento 0023_-380)
Azioni sul collegamento: N=-7936.99 Ty=-0.88 Tz=5.89 Mx=-0.01 Mz=-2.36
Sollecitazioni agenti localmente: Ty_l=-1397.62 My_l=-28.64
Tensioni nella sezione: σ=347.13 τ=42.35
CC 23 SLV (Collegamento 0023_-380)

Azioni sul collegamento: N=-3330.52 Ty=-1.59 Tz=-11.19 Mx=-0.01 Mz=-3.75
Sollecitazioni agenti localmente: Ty_l=-575.48 My_l=-11.78
Tensioni nella sezione: σ=142.75 τ=17.44
CC 23 SLV (Collegamento 0023_-380)
Azioni sul collegamento: N=-3330.52 Ty=-0.88 Tz=-11.19 Mx=-0.01 Mz=-2.36
Sollecitazioni agenti localmente: Ty_l=-581.02 My_l=-11.90
Tensioni nella sezione: σ=144.21 τ=17.61
CC 23 SLV (Collegamento 0023_-380)
Azioni sul collegamento: N=-3330.52 Ty=-1.59 Tz=5.89 Mx=-0.01 Mz=-3.75
Sollecitazioni agenti localmente: Ty_l=-575.48 My_l=-11.78
Tensioni nella sezione: σ=142.75 τ=17.44
CC 23 SLV (Collegamento 0023_-380)
Azioni sul collegamento: N=-3330.52 Ty=-0.88 Tz=5.89 Mx=-0.01 Mz=-2.36
Sollecitazioni agenti localmente: Ty_l=-581.02 My_l=-11.90
Tensioni nella sezione: σ=144.21 τ=17.61
CC 24 SLD (Collegamento 0023_-380)
Azioni sul collegamento: N=-6335.90 Ty=-0.54 Tz=-5.26 Mx=-0.00 Mz=-1.22
Sollecitazioni agenti localmente: Ty_l=-1118.35 My_l=-22.92
Tensioni nella sezione: σ=277.81 τ=33.89
CC 24 SLD (Collegamento 0023_-380)
Azioni sul collegamento: N=-6335.90 Ty=-0.32 Tz=-5.26 Mx=-0.00 Mz=-0.79
Sollecitazioni agenti localmente: Ty_l=-1120.03 My_l=-22.96
Tensioni nella sezione: σ=278.26 τ=33.94
CC 24 SLD (Collegamento 0023_-380)
Azioni sul collegamento: N=-6335.90 Ty=-0.54 Tz=-0.05 Mx=-0.00 Mz=-1.22
Sollecitazioni agenti localmente: Ty_l=-1118.35 My_l=-22.92
Tensioni nella sezione: σ=277.81 τ=33.89
CC 24 SLD (Collegamento 0023_-380)
Azioni sul collegamento: N=-6335.90 Ty=-0.32 Tz=-0.05 Mx=-0.00 Mz=-0.79
Sollecitazioni agenti localmente: Ty_l=-1120.03 My_l=-22.96
Tensioni nella sezione: σ=278.26 τ=33.94
CC 24 SLD (Collegamento 0023_-380)
Azioni sul collegamento: N=-4931.25 Ty=-0.54 Tz=-5.26 Mx=-0.00 Mz=-1.22
Sollecitazioni agenti localmente: Ty_l=-869.34 My_l=-17.81
Tensioni nella sezione: σ=215.94 τ=26.34
CC 24 SLD (Collegamento 0023_-380)
Azioni sul collegamento: N=-4931.25 Ty=-0.32 Tz=-5.26 Mx=-0.00 Mz=-0.79
Sollecitazioni agenti localmente: Ty_l=-871.03 My_l=-17.85
Tensioni nella sezione: σ=216.38 τ=26.39
CC 24 SLD (Collegamento 0023_-380)
Azioni sul collegamento: N=-4931.25 Ty=-0.54 Tz=-0.05 Mx=-0.00 Mz=-1.22
Sollecitazioni agenti localmente: Ty_l=-869.34 My_l=-17.81
Tensioni nella sezione: σ=215.94 τ=26.34
CC 24 SLD (Collegamento 0023_-380)
Azioni sul collegamento: N=-4931.25 Ty=-0.32 Tz=-0.05 Mx=-0.00 Mz=-0.79
Sollecitazioni agenti localmente: Ty_l=-871.03 My_l=-17.85
Tensioni nella sezione: σ=216.38 τ=26.39
CC 25 SLV (Collegamento 0023_-380)
Azioni sul collegamento: N=-4942.75 Ty=-0.08 Tz=-0.09 Mx=-0.02 Mz=-0.80
Sollecitazioni agenti localmente: Ty_l=-873.05 My_l=-17.89
Tensioni nella sezione: σ=216.88 τ=26.46
CC 25 SLV (Collegamento 0023_-380)
Azioni sul collegamento: N=-4942.75 Ty=-2.39 Tz=-0.09 Mx=-0.02 Mz=-5.32
Sollecitazioni agenti localmente: Ty_l=-855.06 My_l=-17.50
Tensioni nella sezione: σ=212.11 τ=25.91
CC 25 SLV (Collegamento 0023_-380)
Azioni sul collegamento: N=-4942.75 Ty=-0.08 Tz=-5.22 Mx=-0.02 Mz=-0.80
Sollecitazioni agenti localmente: Ty_l=-873.05 My_l=-17.89
Tensioni nella sezione: σ=216.88 τ=26.46
CC 25 SLV (Collegamento 0023_-380)
Azioni sul collegamento: N=-4942.75 Ty=-2.39 Tz=-5.22 Mx=-0.02 Mz=-5.32
Sollecitazioni agenti localmente: Ty_l=-855.06 My_l=-17.50
Tensioni nella sezione: σ=212.11 τ=25.91
CC 25 SLV (Collegamento 0023_-380)
Azioni sul collegamento: N=-6324.76 Ty=-0.08 Tz=-0.09 Mx=-0.02 Mz=-0.80
Sollecitazioni agenti localmente: Ty_l=-1118.04 My_l=-22.92
Tensioni nella sezione: σ=277.76 τ=33.88
CC 25 SLV (Collegamento 0023_-380)
Azioni sul collegamento: N=-6324.76 Ty=-2.39 Tz=-0.09 Mx=-0.02 Mz=-5.32
Sollecitazioni agenti localmente: Ty_l=-1100.05 My_l=-22.52
Tensioni nella sezione: σ=272.99 τ=33.34
CC 25 SLV (Collegamento 0023_-380)
Azioni sul collegamento: N=-6324.76 Ty=-0.08 Tz=-5.22 Mx=-0.02 Mz=-0.80
Sollecitazioni agenti localmente: Ty_l=-1118.04 My_l=-22.92
Tensioni nella sezione: σ=277.76 τ=33.88
CC 25 SLV (Collegamento 0023_-380)
Azioni sul collegamento: N=-6324.76 Ty=-2.39 Tz=-5.22 Mx=-0.02 Mz=-5.32
Sollecitazioni agenti localmente: Ty_l=-1100.05 My_l=-22.52
Tensioni nella sezione: σ=272.99 τ=33.34

CC 26 SLD (Collegamento 0023_-380)
Azioni sul collegamento: N=-5422.87 Ty=-0.08 Tz=-1.87 Mx=-0.01 Mz=-0.31
Sollecitazioni agenti localmente: Ty_l=-960.08 My_l=-19.68
Tensioni nella sezione: σ=238.54 τ=29.09
CC 26 SLD (Collegamento 0023_-380)
Azioni sul collegamento: N=-5422.87 Ty=-0.78 Tz=-1.87 Mx=-0.01 Mz=-1.69
Sollecitazioni agenti localmente: Ty_l=-954.59 My_l=-19.56
Tensioni nella sezione: σ=237.09 τ=28.93
CC 26 SLD (Collegamento 0023_-380)
Azioni sul collegamento: N=-5422.87 Ty=-0.08 Tz=-3.44 Mx=-0.01 Mz=-0.31
Sollecitazioni agenti localmente: Ty_l=-960.08 My_l=-19.68
Tensioni nella sezione: σ=238.54 τ=29.09
CC 26 SLD (Collegamento 0023_-380)
Azioni sul collegamento: N=-5422.87 Ty=-0.78 Tz=-3.44 Mx=-0.01 Mz=-1.69
Sollecitazioni agenti localmente: Ty_l=-954.59 My_l=-19.56
Tensioni nella sezione: σ=237.09 τ=28.93
CC 26 SLD (Collegamento 0023_-380)
Azioni sul collegamento: N=-5844.28 Ty=-0.08 Tz=-1.87 Mx=-0.01 Mz=-0.31
Sollecitazioni agenti localmente: Ty_l=-1034.78 My_l=-21.21
Tensioni nella sezione: σ=257.11 τ=31.36
CC 26 SLD (Collegamento 0023_-380)
Azioni sul collegamento: N=-5844.28 Ty=-0.78 Tz=-1.87 Mx=-0.01 Mz=-1.69
Sollecitazioni agenti localmente: Ty_l=-1029.30 My_l=-21.09
Tensioni nella sezione: σ=255.65 τ=31.19
CC 26 SLD (Collegamento 0023_-380)
Azioni sul collegamento: N=-5844.28 Ty=-0.08 Tz=-3.44 Mx=-0.01 Mz=-0.31
Sollecitazioni agenti localmente: Ty_l=-1034.78 My_l=-21.21
Tensioni nella sezione: σ=257.11 τ=31.36
CC 26 SLD (Collegamento 0023_-380)
Azioni sul collegamento: N=-5844.28 Ty=-0.78 Tz=-3.44 Mx=-0.01 Mz=-1.69
Sollecitazioni agenti localmente: Ty_l=-1029.30 My_l=-21.09
Tensioni nella sezione: σ=255.65 τ=31.19
CC 27 SLV (Collegamento 0023_-380)
Azioni sul collegamento: N=-6324.69 Ty=-0.09 Tz=-5.21 Mx=-0.02 Mz=-0.81
Sollecitazioni agenti localmente: Ty_l=-1117.98 My_l=-22.91
Tensioni nella sezione: σ=277.75 τ=33.88
CC 27 SLV (Collegamento 0023_-380)
Azioni sul collegamento: N=-6324.69 Ty=-2.39 Tz=-5.21 Mx=-0.02 Mz=-5.31
Sollecitazioni agenti localmente: Ty_l=-1100.09 My_l=-22.52
Tensioni nella sezione: σ=273.00 τ=33.34
CC 27 SLV (Collegamento 0023_-380)
Azioni sul collegamento: N=-6324.69 Ty=-0.09 Tz=-0.09 Mx=-0.02 Mz=-0.81
Sollecitazioni agenti localmente: Ty_l=-1117.98 My_l=-22.91
Tensioni nella sezione: σ=277.75 τ=33.88
CC 27 SLV (Collegamento 0023_-380)
Azioni sul collegamento: N=-6324.69 Ty=-2.39 Tz=-0.09 Mx=-0.02 Mz=-5.31
Sollecitazioni agenti localmente: Ty_l=-1100.09 My_l=-22.52
Tensioni nella sezione: σ=273.00 τ=33.34
CC 27 SLV (Collegamento 0023_-380)
Azioni sul collegamento: N=-4942.83 Ty=-0.09 Tz=-5.21 Mx=-0.02 Mz=-0.81
Sollecitazioni agenti localmente: Ty_l=-873.01 My_l=-17.89
Tensioni nella sezione: σ=216.88 τ=26.45
CC 27 SLV (Collegamento 0023_-380)
Azioni sul collegamento: N=-4942.83 Ty=-2.39 Tz=-5.21 Mx=-0.02 Mz=-5.31
Sollecitazioni agenti localmente: Ty_l=-855.12 My_l=-17.50
Tensioni nella sezione: σ=212.13 τ=25.91
CC 27 SLV (Collegamento 0023_-380)
Azioni sul collegamento: N=-4942.83 Ty=-0.09 Tz=-0.09 Mx=-0.02 Mz=-0.81
Sollecitazioni agenti localmente: Ty_l=-873.01 My_l=-17.89
Tensioni nella sezione: σ=216.88 τ=26.45
CC 27 SLV (Collegamento 0023_-380)
Azioni sul collegamento: N=-4942.83 Ty=-2.39 Tz=-0.09 Mx=-0.02 Mz=-5.31
Sollecitazioni agenti localmente: Ty_l=-855.12 My_l=-17.50
Tensioni nella sezione: σ=212.13 τ=25.91
CC 28 SLD (Collegamento 0023_-380)
Azioni sul collegamento: N=-5844.26 Ty=-0.08 Tz=-3.43 Mx=-0.01 Mz=-0.32
Sollecitazioni agenti localmente: Ty_l=-1034.76 My_l=-21.21
Tensioni nella sezione: σ=257.10 τ=31.36
CC 28 SLD (Collegamento 0023_-380)
Azioni sul collegamento: N=-5844.26 Ty=-0.78 Tz=-3.43 Mx=-0.01 Mz=-1.69
Sollecitazioni agenti localmente: Ty_l=-1029.31 My_l=-21.09
Tensioni nella sezione: σ=255.65 τ=31.19
CC 28 SLD (Collegamento 0023_-380)
Azioni sul collegamento: N=-5844.26 Ty=-0.08 Tz=-1.87 Mx=-0.01 Mz=-0.32
Sollecitazioni agenti localmente: Ty_l=-1034.76 My_l=-21.21
Tensioni nella sezione: σ=257.10 τ=31.36
CC 28 SLD (Collegamento 0023_-380)
Azioni sul collegamento: N=-5844.26 Ty=-0.78 Tz=-1.87 Mx=-0.01 Mz=-1.69
Sollecitazioni agenti localmente: Ty_l=-1029.31 My_l=-21.09

Tensioni nella sezione: σ=255.65 τ=31.19
CC 28 SLD (Collegamento 0023_-380)
Azioni sul collegamento: N=-5422.89 Ty=-0.08 Tz=-3.43 Mx=-0.01 Mz=-0.32
Sollecitazioni agenti localmente: Ty_l=-960.07 My_l=-19.68
Tensioni nella sezione: σ=238.54 τ=29.09
CC 28 SLD (Collegamento 0023_-380)
Azioni sul collegamento: N=-5422.89 Ty=-0.78 Tz=-3.43 Mx=-0.01 Mz=-1.69
Sollecitazioni agenti localmente: Ty_l=-954.61 My_l=-19.56
Tensioni nella sezione: σ=237.09 τ=28.93
CC 28 SLD (Collegamento 0023_-380)
Azioni sul collegamento: N=-5422.89 Ty=-0.08 Tz=-1.87 Mx=-0.01 Mz=-0.32
Sollecitazioni agenti localmente: Ty_l=-960.07 My_l=-19.68
Tensioni nella sezione: σ=238.54 τ=29.09
CC 28 SLD (Collegamento 0023_-380)
Azioni sul collegamento: N=-5422.89 Ty=-0.78 Tz=-1.87 Mx=-0.01 Mz=-1.69
Sollecitazioni agenti localmente: Ty_l=-954.61 My_l=-19.56
Tensioni nella sezione: σ=237.09 τ=28.93
CC 29 SLV (Collegamento 0023_-380)
Azioni sul collegamento: N=-4942.83 Ty=-2.39 Tz=-0.09 Mx=-0.00 Mz=-5.31
Sollecitazioni agenti localmente: Ty_l=-855.12 My_l=-17.50
Tensioni nella sezione: σ=212.13 τ=25.91
CC 29 SLV (Collegamento 0023_-380)
Azioni sul collegamento: N=-4942.83 Ty=-0.09 Tz=-0.09 Mx=-0.00 Mz=-0.81
Sollecitazioni agenti localmente: Ty_l=-873.01 My_l=-17.89
Tensioni nella sezione: σ=216.88 τ=26.45
CC 29 SLV (Collegamento 0023_-380)
Azioni sul collegamento: N=-4942.83 Ty=-2.39 Tz=-5.21 Mx=-0.00 Mz=-5.31
Sollecitazioni agenti localmente: Ty_l=-855.12 My_l=-17.50
Tensioni nella sezione: σ=212.13 τ=25.91
CC 29 SLV (Collegamento 0023_-380)
Azioni sul collegamento: N=-4942.83 Ty=-0.09 Tz=-5.21 Mx=-0.00 Mz=-0.81
Sollecitazioni agenti localmente: Ty_l=-873.01 My_l=-17.89
Tensioni nella sezione: σ=216.88 τ=26.45
CC 29 SLV (Collegamento 0023_-380)
Azioni sul collegamento: N=-6324.69 Ty=-2.39 Tz=-0.09 Mx=-0.00 Mz=-5.31
Sollecitazioni agenti localmente: Ty_l=-1100.09 My_l=-22.52
Tensioni nella sezione: σ=273.00 τ=33.34
CC 29 SLV (Collegamento 0023_-380)
Azioni sul collegamento: N=-6324.69 Ty=-0.09 Tz=-0.09 Mx=-0.00 Mz=-0.81
Sollecitazioni agenti localmente: Ty_l=-1117.98 My_l=-22.91
Tensioni nella sezione: σ=277.75 τ=33.88
CC 29 SLV (Collegamento 0023_-380)
Azioni sul collegamento: N=-6324.69 Ty=-2.39 Tz=-5.21 Mx=-0.00 Mz=-5.31
Sollecitazioni agenti localmente: Ty_l=-1100.09 My_l=-22.52
Tensioni nella sezione: σ=273.00 τ=33.34
CC 29 SLV (Collegamento 0023_-380)
Azioni sul collegamento: N=-6324.69 Ty=-0.09 Tz=-5.21 Mx=-0.00 Mz=-0.81
Sollecitazioni agenti localmente: Ty_l=-1117.98 My_l=-22.91
Tensioni nella sezione: σ=277.75 τ=33.88
CC 30 SLD (Collegamento 0023_-380)
Azioni sul collegamento: N=-5422.89 Ty=-0.78 Tz=-1.87 Mx=-0.00 Mz=-1.69
Sollecitazioni agenti localmente: Ty_l=-954.61 My_l=-19.56
Tensioni nella sezione: σ=237.09 τ=28.93
CC 30 SLD (Collegamento 0023_-380)
Azioni sul collegamento: N=-5422.89 Ty=-0.08 Tz=-1.87 Mx=-0.00 Mz=-0.32
Sollecitazioni agenti localmente: Ty_l=-960.07 My_l=-19.68
Tensioni nella sezione: σ=238.54 τ=29.09
CC 30 SLD (Collegamento 0023_-380)
Azioni sul collegamento: N=-5422.89 Ty=-0.78 Tz=-3.43 Mx=-0.00 Mz=-1.69
Sollecitazioni agenti localmente: Ty_l=-954.61 My_l=-19.56
Tensioni nella sezione: σ=237.09 τ=28.93
CC 30 SLD (Collegamento 0023_-380)
Azioni sul collegamento: N=-5422.89 Ty=-0.08 Tz=-3.43 Mx=-0.00 Mz=-0.32
Sollecitazioni agenti localmente: Ty_l=-960.07 My_l=-19.68
Tensioni nella sezione: σ=238.54 τ=29.09
CC 30 SLD (Collegamento 0023_-380)
Azioni sul collegamento: N=-5844.26 Ty=-0.78 Tz=-1.87 Mx=-0.00 Mz=-1.69
Sollecitazioni agenti localmente: Ty_l=-1029.31 My_l=-21.09
Tensioni nella sezione: σ=255.65 τ=31.19
CC 30 SLD (Collegamento 0023_-380)
Azioni sul collegamento: N=-5844.26 Ty=-0.08 Tz=-1.87 Mx=-0.00 Mz=-0.32
Sollecitazioni agenti localmente: Ty_l=-1034.76 My_l=-21.21
Tensioni nella sezione: σ=257.10 τ=31.36
CC 30 SLD (Collegamento 0023_-380)
Azioni sul collegamento: N=-5844.26 Ty=-0.78 Tz=-3.43 Mx=-0.00 Mz=-1.69
Sollecitazioni agenti localmente: Ty_l=-1029.31 My_l=-21.09
Tensioni nella sezione: σ=255.65 τ=31.19
CC 30 SLD (Collegamento 0023_-380)
Azioni sul collegamento: N=-5844.26 Ty=-0.08 Tz=-3.43 Mx=-0.00 Mz=-0.32

Sollecitazioni agenti localmente: Ty_l=-1034.76 My_l=-21.21
Tensioni nella sezione: σ=257.10 τ=31.36
CC 31 SLV (Collegamento 0023_-380)
Azioni sul collegamento: N=-6324.76 Ty=-2.39 Tz=-5.22 Mx=-0.00 Mz=-5.32
Sollecitazioni agenti localmente: Ty_l=-1100.05 My_l=-22.52
Tensioni nella sezione: σ=272.99 τ=33.34
CC 31 SLV (Collegamento 0023_-380)
Azioni sul collegamento: N=-6324.76 Ty=-0.08 Tz=-5.22 Mx=-0.00 Mz=-0.80
Sollecitazioni agenti localmente: Ty_l=-1118.04 My_l=-22.92
Tensioni nella sezione: σ=277.76 τ=33.88
CC 31 SLV (Collegamento 0023_-380)
Azioni sul collegamento: N=-6324.76 Ty=-2.39 Tz=-0.09 Mx=-0.00 Mz=-5.32
Sollecitazioni agenti localmente: Ty_l=-1100.05 My_l=-22.52
Tensioni nella sezione: σ=272.99 τ=33.34
CC 31 SLV (Collegamento 0023_-380)
Azioni sul collegamento: N=-6324.76 Ty=-0.08 Tz=-0.09 Mx=-0.00 Mz=-0.80
Sollecitazioni agenti localmente: Ty_l=-1118.04 My_l=-22.92
Tensioni nella sezione: σ=277.76 τ=33.88
CC 31 SLV (Collegamento 0023_-380)
Azioni sul collegamento: N=-4942.75 Ty=-2.39 Tz=-5.22 Mx=-0.00 Mz=-5.32
Sollecitazioni agenti localmente: Ty_l=-855.06 My_l=-17.50
Tensioni nella sezione: σ=212.11 τ=25.91
CC 31 SLV (Collegamento 0023_-380)
Azioni sul collegamento: N=-4942.75 Ty=-0.08 Tz=-5.22 Mx=-0.00 Mz=-0.80
Sollecitazioni agenti localmente: Ty_l=-873.05 My_l=-17.89
Tensioni nella sezione: σ=216.88 τ=26.46
CC 31 SLV (Collegamento 0023_-380)
Azioni sul collegamento: N=-4942.75 Ty=-2.39 Tz=-0.09 Mx=-0.00 Mz=-5.32
Sollecitazioni agenti localmente: Ty_l=-855.06 My_l=-17.50
Tensioni nella sezione: σ=212.11 τ=25.91
CC 31 SLV (Collegamento 0023_-380)
Azioni sul collegamento: N=-4942.75 Ty=-0.08 Tz=-0.09 Mx=-0.00 Mz=-0.80
Sollecitazioni agenti localmente: Ty_l=-873.05 My_l=-17.89
Tensioni nella sezione: σ=216.88 τ=26.46
CC 32 SLD (Collegamento 0023_-380)
Azioni sul collegamento: N=-5844.28 Ty=-0.78 Tz=-3.44 Mx=-0.00 Mz=-1.69
Sollecitazioni agenti localmente: Ty_l=-1029.30 My_l=-21.09
Tensioni nella sezione: σ=255.65 τ=31.19
CC 32 SLD (Collegamento 0023_-380)
Azioni sul collegamento: N=-5844.28 Ty=-0.08 Tz=-3.44 Mx=-0.00 Mz=-0.31
Sollecitazioni agenti localmente: Ty_l=-1034.78 My_l=-21.21
Tensioni nella sezione: σ=257.11 τ=31.36
CC 32 SLD (Collegamento 0023_-380)
Azioni sul collegamento: N=-5844.28 Ty=-0.78 Tz=-1.87 Mx=-0.00 Mz=-1.69
Sollecitazioni agenti localmente: Ty_l=-1029.30 My_l=-21.09
Tensioni nella sezione: σ=255.65 τ=31.19
CC 32 SLD (Collegamento 0023_-380)
Azioni sul collegamento: N=-5844.28 Ty=-0.08 Tz=-1.87 Mx=-0.00 Mz=-0.31
Sollecitazioni agenti localmente: Ty_l=-1034.78 My_l=-21.21
Tensioni nella sezione: σ=257.11 τ=31.36
CC 32 SLD (Collegamento 0023_-380)
Azioni sul collegamento: N=-5422.87 Ty=-0.78 Tz=-3.44 Mx=-0.00 Mz=-1.69
Sollecitazioni agenti localmente: Ty_l=-954.59 My_l=-19.56
Tensioni nella sezione: σ=237.09 τ=28.93
CC 32 SLD (Collegamento 0023_-380)
Azioni sul collegamento: N=-5422.87 Ty=-0.08 Tz=-3.44 Mx=-0.00 Mz=-0.31
Sollecitazioni agenti localmente: Ty_l=-960.08 My_l=-19.68
Tensioni nella sezione: σ=238.54 τ=29.09
CC 32 SLD (Collegamento 0023_-380)
Azioni sul collegamento: N=-5422.87 Ty=-0.78 Tz=-1.87 Mx=-0.00 Mz=-1.69
Sollecitazioni agenti localmente: Ty_l=-954.59 My_l=-19.56
Tensioni nella sezione: σ=237.09 τ=28.93
CC 32 SLD (Collegamento 0023_-380)
Azioni sul collegamento: N=-5422.87 Ty=-0.08 Tz=-1.87 Mx=-0.00 Mz=-0.31
Sollecitazioni agenti localmente: Ty_l=-960.08 My_l=-19.68
Tensioni nella sezione: σ=238.54 τ=29.09
CC 33 SLU (Collegamento 0023_-380)
Azioni sul collegamento: N=-29447.20 Ty=-0.05 Tz=76.67 Mx=-0.00 Mz=-0.12
Sollecitazioni agenti localmente: Ty_l=-5219.72 My_l=-107.00
Tensioni nella sezione: σ=1297.01 τ=158.17
CC 34 SLU (Collegamento 0023_-380)
Azioni sul collegamento: N=-28967.90 Ty=-0.05 Tz=74.90 Mx=-0.00 Mz=-0.12
Sollecitazioni agenti localmente: Ty_l=-5134.74 My_l=-105.26
Tensioni nella sezione: σ=1275.90 τ=155.60
CC 35 SLU (Collegamento 0023_-380)
Azioni sul collegamento: N=-29207.50 Ty=-0.17 Tz=75.78 Mx=0.00 Mz=-0.35
Sollecitazioni agenti localmente: Ty_l=-5176.30 My_l=-106.11
Tensioni nella sezione: σ=1286.21 τ=156.86
CC 36 SLU (Collegamento 0023_-380)

Azioni sul collegamento: N=-29207.50 Ty=0.07 Tz=75.79 Mx=-0.00 Mz=0.12
Sollecitazioni agenti localmente: Ty_l=-5178.16 My_l=-106.15
Tensioni nella sezione: σ=1286.70 τ=156.91
CC 37 SLU (Collegamento 0023_-380)
Azioni sul collegamento: N=-19933.90 Ty=-0.08 Tz=41.69 Mx=-0.00 Mz=-0.13
Sollecitazioni agenti localmente: Ty_l=-3533.22 My_l=-72.43
Tensioni nella sezione: σ=877.94 τ=107.07
CC 38 SLU (Collegamento 0023_-380)
Azioni sul collegamento: N=-19454.60 Ty=-0.08 Tz=39.91 Mx=-0.00 Mz=-0.13
Sollecitazioni agenti localmente: Ty_l=-3448.24 My_l=-70.69
Tensioni nella sezione: σ=856.83 τ=104.49
CC 39 SLU (Collegamento 0023_-380)
Azioni sul collegamento: N=-19694.20 Ty=-0.20 Tz=40.80 Mx=0.00 Mz=-0.36
Sollecitazioni agenti localmente: Ty_l=-3489.80 My_l=-71.54
Tensioni nella sezione: σ=867.14 τ=105.75
CC 40 SLU (Collegamento 0023_-380)
Azioni sul collegamento: N=-19694.20 Ty=0.04 Tz=40.80 Mx=-0.00 Mz=0.10
Sollecitazioni agenti localmente: Ty_l=-3491.66 My_l=-71.58
Tensioni nella sezione: σ=867.63 τ=105.81
CC 41 SLU (Collegamento 0023_-380)
Azioni sul collegamento: N=-29632.10 Ty=-0.07 Tz=76.65 Mx=-0.00 Mz=-0.13
Sollecitazioni agenti localmente: Ty_l=-5252.45 My_l=-107.67
Tensioni nella sezione: σ=1305.15 τ=159.16
CC 42 SLU (Collegamento 0023_-380)
Azioni sul collegamento: N=-29152.80 Ty=-0.07 Tz=74.88 Mx=-0.00 Mz=-0.13
Sollecitazioni agenti localmente: Ty_l=-5167.47 My_l=-105.93
Tensioni nella sezione: σ=1284.03 τ=156.59
CC 43 SLU (Collegamento 0023_-380)
Azioni sul collegamento: N=-29392.40 Ty=-0.19 Tz=75.77 Mx=0.00 Mz=-0.36
Sollecitazioni agenti localmente: Ty_l=-5209.03 My_l=-106.78
Tensioni nella sezione: σ=1294.34 τ=157.85
CC 44 SLU (Collegamento 0023_-380)
Azioni sul collegamento: N=-29392.40 Ty=0.05 Tz=75.77 Mx=-0.00 Mz=0.10
Sollecitazioni agenti localmente: Ty_l=-5210.90 My_l=-106.82
Tensioni nella sezione: σ=1294.84 τ=157.91
CC 45 SLU (Collegamento 0023_-380)
Azioni sul collegamento: N=-22108.00 Ty=-0.08 Tz=49.75 Mx=-0.00 Mz=-0.14
Sollecitazioni agenti localmente: Ty_l=-3918.61 My_l=-80.33
Tensioni nella sezione: σ=973.71 τ=118.75
CC 46 SLU (Collegamento 0023_-380)
Azioni sul collegamento: N=-21628.70 Ty=-0.08 Tz=47.97 Mx=-0.00 Mz=-0.14
Sollecitazioni agenti localmente: Ty_l=-3833.63 My_l=-78.59
Tensioni nella sezione: σ=952.59 τ=116.17
CC 47 SLU (Collegamento 0023_-380)
Azioni sul collegamento: N=-21868.40 Ty=-0.20 Tz=48.86 Mx=0.00 Mz=-0.37
Sollecitazioni agenti localmente: Ty_l=-3875.19 My_l=-79.44
Tensioni nella sezione: σ=962.90 τ=117.43
CC 48 SLU (Collegamento 0023_-380)
Azioni sul collegamento: N=-21868.40 Ty=0.04 Tz=48.86 Mx=-0.00 Mz=0.10
Sollecitazioni agenti localmente: Ty_l=-3877.05 My_l=-79.48
Tensioni nella sezione: σ=963.39 τ=117.49
CC 49 SLU (Collegamento 0023_-380)
Azioni sul collegamento: N=-14990.70 Ty=-0.10 Tz=23.57 Mx=-0.00 Mz=-0.15
Sollecitazioni agenti localmente: Ty_l=-2656.86 My_l=-54.46
Tensioni nella sezione: σ=660.18 τ=80.51
CC 50 SLU (Collegamento 0023_-380)
Azioni sul collegamento: N=-14511.40 Ty=-0.10 Tz=21.80 Mx=-0.00 Mz=-0.15
Sollecitazioni agenti localmente: Ty_l=-2571.88 My_l=-52.72
Tensioni nella sezione: σ=639.06 τ=77.94
CC 51 SLU (Collegamento 0023_-380)
Azioni sul collegamento: N=-14751.00 Ty=-0.22 Tz=22.68 Mx=0.00 Mz=-0.38
Sollecitazioni agenti localmente: Ty_l=-2613.44 My_l=-53.57
Tensioni nella sezione: σ=649.37 τ=79.19
CC 52 SLU (Collegamento 0023_-380)
Azioni sul collegamento: N=-14751.00 Ty=0.02 Tz=22.69 Mx=-0.00 Mz=0.09
Sollecitazioni agenti localmente: Ty_l=-2615.30 My_l=-53.61
Tensioni nella sezione: σ=649.87 τ=79.25
CC 53 SLU (Collegamento 0023_-380)
Azioni sul collegamento: N=-22246.40 Ty=-0.10 Tz=49.73 Mx=-0.00 Mz=-0.15
Sollecitazioni agenti localmente: Ty_l=-3943.10 My_l=-80.83
Tensioni nella sezione: σ=979.79 τ=119.49
CC 54 SLU (Collegamento 0023_-380)
Azioni sul collegamento: N=-21767.10 Ty=-0.10 Tz=47.96 Mx=-0.00 Mz=-0.15
Sollecitazioni agenti localmente: Ty_l=-3858.12 My_l=-79.09
Tensioni nella sezione: σ=958.67 τ=116.91
CC 55 SLU (Collegamento 0023_-380)
Azioni sul collegamento: N=-22006.70 Ty=-0.22 Tz=48.85 Mx=0.00 Mz=-0.38
Sollecitazioni agenti localmente: Ty_l=-3899.68 My_l=-79.94
Tensioni nella sezione: σ=968.99 τ=118.17

CC 56 SLU (Collegamento 0023_-380)
Azioni sul collegamento: N=-22006.70 Ty=0.02 Tz=48.85 Mx=-0.00 Mz=0.09
Sollecitazioni agenti localmente: Ty_l=-3901.54 My_l=-79.98
Tensioni nella sezione: σ=969.48 τ=118.23
CC 57 SLU (Collegamento 0023_-380)
Azioni sul collegamento: N=-20646.20 Ty=-0.07 Tz=44.37 Mx=-0.00 Mz=-0.13
Sollecitazioni agenti localmente: Ty_l=-3659.50 My_l=-75.02
Tensioni nella sezione: σ=909.32 τ=110.89
CC 58 SLU (Collegamento 0023_-380)
Azioni sul collegamento: N=-20166.90 Ty=-0.07 Tz=42.59 Mx=-0.00 Mz=-0.13
Sollecitazioni agenti localmente: Ty_l=-3574.52 My_l=-73.28
Tensioni nella sezione: σ=888.21 τ=108.32
CC 59 SLU (Collegamento 0023_-380)
Azioni sul collegamento: N=-20406.60 Ty=-0.19 Tz=43.48 Mx=0.00 Mz=-0.36
Sollecitazioni agenti localmente: Ty_l=-3616.08 My_l=-74.13
Tensioni nella sezione: σ=898.52 τ=109.58
CC 60 SLU (Collegamento 0023_-380)
Azioni sul collegamento: N=-20406.60 Ty=0.05 Tz=43.48 Mx=-0.00 Mz=0.10
Sollecitazioni agenti localmente: Ty_l=-3617.95 My_l=-74.17
Tensioni nella sezione: σ=899.01 τ=109.64
CC 61 SLU (Collegamento 0023_-380)
Azioni sul collegamento: N=-13528.90 Ty=-0.09 Tz=18.19 Mx=-0.00 Mz=-0.14
Sollecitazioni agenti localmente: Ty_l=-2397.75 My_l=-49.15
Tensioni nella sezione: σ=595.80 τ=72.66
CC 62 SLU (Collegamento 0023_-380)
Azioni sul collegamento: N=-13049.60 Ty=-0.10 Tz=16.41 Mx=-0.00 Mz=-0.14
Sollecitazioni agenti localmente: Ty_l=-2312.77 My_l=-47.41
Tensioni nella sezione: σ=574.68 τ=70.08
CC 63 SLU (Collegamento 0023_-380)
Azioni sul collegamento: N=-13289.20 Ty=-0.21 Tz=17.30 Mx=0.00 Mz=-0.37
Sollecitazioni agenti localmente: Ty_l=-2354.33 My_l=-48.26
Tensioni nella sezione: σ=584.99 τ=71.34
CC 64 SLU (Collegamento 0023_-380)
Azioni sul collegamento: N=-13289.20 Ty=0.02 Tz=17.30 Mx=-0.00 Mz=0.10
Sollecitazioni agenti localmente: Ty_l=-2356.19 My_l=-48.30
Tensioni nella sezione: σ=585.49 τ=71.40
CC 65 SLU (Collegamento 0023_-380)
Azioni sul collegamento: N=-20784.60 Ty=-0.09 Tz=44.35 Mx=-0.00 Mz=-0.14
Sollecitazioni agenti localmente: Ty_l=-3683.99 My_l=-75.52
Tensioni nella sezione: σ=915.41 τ=111.64
CC 66 SLU (Collegamento 0023_-380)
Azioni sul collegamento: N=-20305.30 Ty=-0.09 Tz=42.57 Mx=-0.00 Mz=-0.14
Sollecitazioni agenti localmente: Ty_l=-3599.01 My_l=-73.78
Tensioni nella sezione: σ=894.29 τ=109.06
CC 67 SLU (Collegamento 0023_-380)
Azioni sul collegamento: N=-20544.90 Ty=-0.21 Tz=43.46 Mx=0.00 Mz=-0.37
Sollecitazioni agenti localmente: Ty_l=-3640.57 My_l=-74.63
Tensioni nella sezione: σ=904.60 τ=110.32
CC 68 SLU (Collegamento 0023_-380)
Azioni sul collegamento: N=-20544.90 Ty=0.03 Tz=43.46 Mx=-0.00 Mz=0.10
Sollecitazioni agenti localmente: Ty_l=-3642.44 My_l=-74.67
Tensioni nella sezione: σ=905.10 τ=110.38
CC 97 SLU (Collegamento 0023_-380)
Azioni sul collegamento: N=-12582.10 Ty=-12.27 Tz=22.98 Mx=-0.04 Mz=-17.61
Sollecitazioni agenti localmente: Ty_l=-2160.43 My_l=-44.19
Tensioni nella sezione: σ=535.65 τ=65.47
CC 98 SLU (Collegamento 0023_-380)
Azioni sul collegamento: N=-12102.80 Ty=-12.27 Tz=21.21 Mx=-0.04 Mz=-17.61
Sollecitazioni agenti localmente: Ty_l=-2075.45 My_l=-42.45
Tensioni nella sezione: σ=514.53 τ=62.89
CC 99 SLU (Collegamento 0023_-380)
Azioni sul collegamento: N=-12342.50 Ty=-12.39 Tz=22.09 Mx=-0.04 Mz=-17.84
Sollecitazioni agenti localmente: Ty_l=-2117.01 My_l=-43.30
Tensioni nella sezione: σ=524.84 τ=64.15
CC 100 SLU (Collegamento 0023_-380)
Azioni sul collegamento: N=-12342.50 Ty=-12.15 Tz=22.09 Mx=-0.04 Mz=-17.38
Sollecitazioni agenti localmente: Ty_l=-2118.87 My_l=-43.34
Tensioni nella sezione: σ=525.34 τ=64.21
CC 101 SLU (Collegamento 0023_-380)
Azioni sul collegamento: N=-6366.46 Ty=2.01 Tz=0.04 Mx=0.00 Mz=2.22
Sollecitazioni agenti localmente: Ty_l=-1137.43 My_l=-23.33
Tensioni nella sezione: σ=282.78 τ=34.47
CC 102 SLU (Collegamento 0023_-380)
Azioni sul collegamento: N=-5887.16 Ty=2.00 Tz=-1.73 Mx=0.00 Mz=2.22
Sollecitazioni agenti localmente: Ty_l=-1052.45 My_l=-21.59
Tensioni nella sezione: σ=261.67 τ=31.89
CC 103 SLU (Collegamento 0023_-380)
Azioni sul collegamento: N=-6126.81 Ty=1.89 Tz=-0.85 Mx=0.01 Mz=1.98
Sollecitazioni agenti localmente: Ty_l=-1094.01 My_l=-22.44

Tensioni nella sezione: σ=271.98 τ=33.15
CC 104 SLU (Collegamento 0023_-380)
Azioni sul collegamento: N=-6126.80 Ty=2.12 Tz=-0.84 Mx=0.00 Mz=2.45
Sollecitazioni agenti localmente: Ty_l=-1095.87 My_l=-22.48
Tensioni nella sezione: σ=272.47 τ=33.21

Flessione attacco sinistro piastra

Bnetta=220.00 Hnetta=15.00
CC 1 SLV (Collegamento 0023_-380)
Azioni sul collegamento: N=-3330.00 Ty=1.44 Tz=5.89 Mx=0.02 Mz=3.55
Sollecitazioni agenti localmente: Ty_l=-576.21 My_l=-11.79
Tensioni nella sezione: σ=142.94 τ=17.46
CC 1 SLV (Collegamento 0023_-380)
Azioni sul collegamento: N=-3330.00 Ty=0.74 Tz=5.89 Mx=0.02 Mz=2.16
Sollecitazioni agenti localmente: Ty_l=-581.74 My_l=-11.91
Tensioni nella sezione: σ=144.41 τ=17.63
CC 1 SLV (Collegamento 0023_-380)
Azioni sul collegamento: N=-3330.00 Ty=1.44 Tz=-11.20 Mx=0.02 Mz=3.55
Sollecitazioni agenti localmente: Ty_l=-576.21 My_l=-11.79
Tensioni nella sezione: σ=142.94 τ=17.46
CC 1 SLV (Collegamento 0023_-380)
Azioni sul collegamento: N=-3330.00 Ty=0.74 Tz=-11.20 Mx=0.02 Mz=2.16
Sollecitazioni agenti localmente: Ty_l=-581.74 My_l=-11.91
Tensioni nella sezione: σ=144.41 τ=17.63
CC 1 SLV (Collegamento 0023_-380)
Azioni sul collegamento: N=-7936.47 Ty=1.44 Tz=5.89 Mx=0.02 Mz=3.55
Sollecitazioni agenti localmente: Ty_l=-1392.81 My_l=-28.53
Tensioni nella sezione: σ=345.85 τ=42.21
CC 1 SLV (Collegamento 0023_-380)
Azioni sul collegamento: N=-7936.47 Ty=0.74 Tz=5.89 Mx=0.02 Mz=2.16
Sollecitazioni agenti localmente: Ty_l=-1398.34 My_l=-28.65
Tensioni nella sezione: σ=347.32 τ=42.37
CC 1 SLV (Collegamento 0023_-380)
Azioni sul collegamento: N=-7936.47 Ty=1.44 Tz=-11.20 Mx=0.02 Mz=3.55
Sollecitazioni agenti localmente: Ty_l=-1392.81 My_l=-28.53
Tensioni nella sezione: σ=345.85 τ=42.21
CC 1 SLV (Collegamento 0023_-380)
Azioni sul collegamento: N=-7936.47 Ty=0.74 Tz=-11.20 Mx=0.02 Mz=2.16
Sollecitazioni agenti localmente: Ty_l=-1398.34 My_l=-28.65
Tensioni nella sezione: σ=347.32 τ=42.37
CC 2 SLD (Collegamento 0023_-380)
Azioni sul collegamento: N=-4931.09 Ty=0.39 Tz=-0.05 Mx=0.00 Mz=1.01
Sollecitazioni agenti localmente: Ty_l=-870.13 My_l=-17.83
Tensioni nella sezione: σ=216.15 τ=26.37
CC 2 SLD (Collegamento 0023_-380)
Azioni sul collegamento: N=-4931.09 Ty=0.17 Tz=-0.05 Mx=0.00 Mz=0.59
Sollecitazioni agenti localmente: Ty_l=-871.82 My_l=-17.87
Tensioni nella sezione: σ=216.59 τ=26.42
CC 2 SLD (Collegamento 0023_-380)
Azioni sul collegamento: N=-4931.09 Ty=0.39 Tz=-5.26 Mx=0.00 Mz=1.01
Sollecitazioni agenti localmente: Ty_l=-870.13 My_l=-17.83
Tensioni nella sezione: σ=216.15 τ=26.37
CC 2 SLD (Collegamento 0023_-380)
Azioni sul collegamento: N=-4931.09 Ty=0.17 Tz=-5.26 Mx=0.00 Mz=0.59
Sollecitazioni agenti localmente: Ty_l=-871.82 My_l=-17.87
Tensioni nella sezione: σ=216.59 τ=26.42
CC 2 SLD (Collegamento 0023_-380)
Azioni sul collegamento: N=-6335.74 Ty=0.39 Tz=-0.05 Mx=0.00 Mz=1.01
Sollecitazioni agenti localmente: Ty_l=-1119.14 My_l=-22.94
Tensioni nella sezione: σ=278.02 τ=33.91
CC 2 SLD (Collegamento 0023_-380)
Azioni sul collegamento: N=-6335.74 Ty=0.17 Tz=-0.05 Mx=0.00 Mz=0.59
Sollecitazioni agenti localmente: Ty_l=-1120.82 My_l=-22.97
Tensioni nella sezione: σ=278.47 τ=33.96
CC 2 SLD (Collegamento 0023_-380)
Azioni sul collegamento: N=-6335.74 Ty=0.39 Tz=-5.26 Mx=0.00 Mz=1.01
Sollecitazioni agenti localmente: Ty_l=-1119.14 My_l=-22.94
Tensioni nella sezione: σ=278.02 τ=33.91
CC 2 SLD (Collegamento 0023_-380)
Azioni sul collegamento: N=-6335.74 Ty=0.17 Tz=-5.26 Mx=0.00 Mz=0.59
Sollecitazioni agenti localmente: Ty_l=-1120.82 My_l=-22.97
Tensioni nella sezione: σ=278.47 τ=33.96
CC 3 SLV (Collegamento 0023_-380)
Azioni sul collegamento: N=-3330.02 Ty=0.75 Tz=5.88 Mx=0.01 Mz=2.19
Sollecitazioni agenti localmente: Ty_l=-581.59 My_l=-11.91
Tensioni nella sezione: σ=144.37 τ=17.62
CC 3 SLV (Collegamento 0023_-380)
Azioni sul collegamento: N=-3330.02 Ty=1.43 Tz=5.88 Mx=0.01 Mz=3.51

Sollecitazioni agenti localmente: Ty_l=-576.37 My_l=-11.80
Tensioni nella sezione: σ=142.98 τ=17.47
CC 3 SLV (Collegamento 0023_-380)
Azioni sul collegamento: N=-3330.02 Ty=0.75 Tz=-11.19 Mx=0.01 Mz=2.19
Sollecitazioni agenti localmente: Ty_l=-581.59 My_l=-11.91
Tensioni nella sezione: σ=144.37 τ=17.62
CC 3 SLV (Collegamento 0023_-380)
Azioni sul collegamento: N=-3330.02 Ty=1.43 Tz=-11.19 Mx=0.01 Mz=3.51
Sollecitazioni agenti localmente: Ty_l=-576.37 My_l=-11.80
Tensioni nella sezione: σ=142.98 τ=17.47
CC 3 SLV (Collegamento 0023_-380)
Azioni sul collegamento: N=-7936.44 Ty=0.75 Tz=5.88 Mx=0.01 Mz=2.19
Sollecitazioni agenti localmente: Ty_l=-1398.19 My_l=-28.65
Tensioni nella sezione: σ=347.28 τ=42.37
CC 3 SLV (Collegamento 0023_-380)
Azioni sul collegamento: N=-7936.44 Ty=1.43 Tz=5.88 Mx=0.01 Mz=3.51
Sollecitazioni agenti localmente: Ty_l=-1392.96 My_l=-28.54
Tensioni nella sezione: σ=345.89 τ=42.21
CC 3 SLV (Collegamento 0023_-380)
Azioni sul collegamento: N=-7936.44 Ty=0.75 Tz=-11.19 Mx=0.01 Mz=2.19
Sollecitazioni agenti localmente: Ty_l=-1398.19 My_l=-28.65
Tensioni nella sezione: σ=347.28 τ=42.37
CC 3 SLV (Collegamento 0023_-380)
Azioni sul collegamento: N=-7936.44 Ty=1.43 Tz=-11.19 Mx=0.01 Mz=3.51
Sollecitazioni agenti localmente: Ty_l=-1392.96 My_l=-28.54
Tensioni nella sezione: σ=345.89 τ=42.21
CC 4 SLD (Collegamento 0023_-380)
Azioni sul collegamento: N=-4931.09 Ty=0.18 Tz=-0.05 Mx=0.00 Mz=0.60
Sollecitazioni agenti localmente: Ty_l=-871.77 My_l=-17.87
Tensioni nella sezione: σ=216.58 τ=26.42
CC 4 SLD (Collegamento 0023_-380)
Azioni sul collegamento: N=-4931.09 Ty=0.38 Tz=-0.05 Mx=0.00 Mz=1.00
Sollecitazioni agenti localmente: Ty_l=-870.18 My_l=-17.83
Tensioni nella sezione: σ=216.16 τ=26.37
CC 4 SLD (Collegamento 0023_-380)
Azioni sul collegamento: N=-4931.09 Ty=0.18 Tz=-5.26 Mx=0.00 Mz=0.60
Sollecitazioni agenti localmente: Ty_l=-871.77 My_l=-17.87
Tensioni nella sezione: σ=216.58 τ=26.42
CC 4 SLD (Collegamento 0023_-380)
Azioni sul collegamento: N=-4931.09 Ty=0.38 Tz=-5.26 Mx=0.00 Mz=1.00
Sollecitazioni agenti localmente: Ty_l=-870.18 My_l=-17.83
Tensioni nella sezione: σ=216.16 τ=26.37
CC 4 SLD (Collegamento 0023_-380)
Azioni sul collegamento: N=-6335.74 Ty=0.18 Tz=-0.05 Mx=0.00 Mz=0.60
Sollecitazioni agenti localmente: Ty_l=-1120.78 My_l=-22.97
Tensioni nella sezione: σ=278.46 τ=33.96
CC 4 SLD (Collegamento 0023_-380)
Azioni sul collegamento: N=-6335.74 Ty=0.38 Tz=-0.05 Mx=0.00 Mz=1.00
Sollecitazioni agenti localmente: Ty_l=-1119.18 My_l=-22.94
Tensioni nella sezione: σ=278.03 τ=33.91
CC 4 SLD (Collegamento 0023_-380)
Azioni sul collegamento: N=-6335.74 Ty=0.18 Tz=-5.26 Mx=0.00 Mz=0.60
Sollecitazioni agenti localmente: Ty_l=-1120.78 My_l=-22.97
Tensioni nella sezione: σ=278.46 τ=33.96
CC 4 SLD (Collegamento 0023_-380)
Azioni sul collegamento: N=-6335.74 Ty=0.38 Tz=-5.26 Mx=0.00 Mz=1.00
Sollecitazioni agenti localmente: Ty_l=-1119.18 My_l=-22.94
Tensioni nella sezione: σ=278.03 τ=33.91
CC 5 SLV (Collegamento 0023_-380)
Azioni sul collegamento: N=-7936.44 Ty=1.43 Tz=-11.19 Mx=0.02 Mz=3.51
Sollecitazioni agenti localmente: Ty_l=-1392.96 My_l=-28.54
Tensioni nella sezione: σ=345.89 τ=42.21
CC 5 SLV (Collegamento 0023_-380)
Azioni sul collegamento: N=-7936.44 Ty=0.75 Tz=-11.19 Mx=0.02 Mz=2.19
Sollecitazioni agenti localmente: Ty_l=-1398.19 My_l=-28.65
Tensioni nella sezione: σ=347.28 τ=42.37
CC 5 SLV (Collegamento 0023_-380)
Azioni sul collegamento: N=-7936.44 Ty=1.43 Tz=5.88 Mx=0.02 Mz=3.51
Sollecitazioni agenti localmente: Ty_l=-1392.96 My_l=-28.54
Tensioni nella sezione: σ=345.89 τ=42.21
CC 5 SLV (Collegamento 0023_-380)
Azioni sul collegamento: N=-7936.44 Ty=0.75 Tz=5.88 Mx=0.02 Mz=2.19
Sollecitazioni agenti localmente: Ty_l=-1398.19 My_l=-28.65
Tensioni nella sezione: σ=347.28 τ=42.37
CC 5 SLV (Collegamento 0023_-380)
Azioni sul collegamento: N=-3330.02 Ty=1.43 Tz=-11.19 Mx=0.02 Mz=3.51
Sollecitazioni agenti localmente: Ty_l=-576.37 My_l=-11.80
Tensioni nella sezione: σ=142.98 τ=17.47
CC 5 SLV (Collegamento 0023_-380)

Azioni sul collegamento: N=-3330.02 Ty=0.75 Tz=-11.19 Mx=0.02 Mz=2.19
Sollecitazioni agenti localmente: Ty_l=-581.59 My_l=-11.91
Tensioni nella sezione: σ=144.37 τ=17.62
CC 5 SLV (Collegamento 0023_-380)
Azioni sul collegamento: N=-3330.02 Ty=1.43 Tz=5.88 Mx=0.02 Mz=3.51
Sollecitazioni agenti localmente: Ty_l=-576.37 My_l=-11.80
Tensioni nella sezione: σ=142.98 τ=17.47
CC 5 SLV (Collegamento 0023_-380)
Azioni sul collegamento: N=-3330.02 Ty=0.75 Tz=5.88 Mx=0.02 Mz=2.19
Sollecitazioni agenti localmente: Ty_l=-581.59 My_l=-11.91
Tensioni nella sezione: σ=144.37 τ=17.62
CC 6 SLD (Collegamento 0023_-380)
Azioni sul collegamento: N=-6335.74 Ty=0.38 Tz=-5.26 Mx=0.00 Mz=1.00
Sollecitazioni agenti localmente: Ty_l=-1119.18 My_l=-22.94
Tensioni nella sezione: σ=278.03 τ=33.91
CC 6 SLD (Collegamento 0023_-380)
Azioni sul collegamento: N=-6335.74 Ty=0.18 Tz=-5.26 Mx=0.00 Mz=0.60
Sollecitazioni agenti localmente: Ty_l=-1120.78 My_l=-22.97
Tensioni nella sezione: σ=278.46 τ=33.96
CC 6 SLD (Collegamento 0023_-380)
Azioni sul collegamento: N=-6335.74 Ty=0.38 Tz=-0.05 Mx=0.00 Mz=1.00
Sollecitazioni agenti localmente: Ty_l=-1119.18 My_l=-22.94
Tensioni nella sezione: σ=278.03 τ=33.91
CC 6 SLD (Collegamento 0023_-380)
Azioni sul collegamento: N=-6335.74 Ty=0.18 Tz=-0.05 Mx=0.00 Mz=0.60
Sollecitazioni agenti localmente: Ty_l=-1120.78 My_l=-22.97
Tensioni nella sezione: σ=278.46 τ=33.96
CC 6 SLD (Collegamento 0023_-380)
Azioni sul collegamento: N=-4931.09 Ty=0.38 Tz=-5.26 Mx=0.00 Mz=1.00
Sollecitazioni agenti localmente: Ty_l=-870.18 My_l=-17.83
Tensioni nella sezione: σ=216.16 τ=26.37
CC 6 SLD (Collegamento 0023_-380)
Azioni sul collegamento: N=-4931.09 Ty=0.18 Tz=-5.26 Mx=0.00 Mz=0.60
Sollecitazioni agenti localmente: Ty_l=-871.77 My_l=-17.87
Tensioni nella sezione: σ=216.58 τ=26.42
CC 6 SLD (Collegamento 0023_-380)
Azioni sul collegamento: N=-4931.09 Ty=0.38 Tz=-0.05 Mx=0.00 Mz=1.00
Sollecitazioni agenti localmente: Ty_l=-870.18 My_l=-17.83
Tensioni nella sezione: σ=216.16 τ=26.37
CC 6 SLD (Collegamento 0023_-380)
Azioni sul collegamento: N=-4931.09 Ty=0.18 Tz=-0.05 Mx=0.00 Mz=0.60
Sollecitazioni agenti localmente: Ty_l=-871.77 My_l=-17.87
Tensioni nella sezione: σ=216.58 τ=26.42
CC 7 SLV (Collegamento 0023_-380)
Azioni sul collegamento: N=-7936.47 Ty=0.74 Tz=-11.20 Mx=0.01 Mz=2.16
Sollecitazioni agenti localmente: Ty_l=-1398.34 My_l=-28.65
Tensioni nella sezione: σ=347.32 τ=42.37
CC 7 SLV (Collegamento 0023_-380)
Azioni sul collegamento: N=-7936.47 Ty=1.44 Tz=-11.20 Mx=0.01 Mz=3.55
Sollecitazioni agenti localmente: Ty_l=-1392.81 My_l=-28.53
Tensioni nella sezione: σ=345.85 τ=42.21
CC 7 SLV (Collegamento 0023_-380)
Azioni sul collegamento: N=-7936.47 Ty=0.74 Tz=5.89 Mx=0.01 Mz=2.16
Sollecitazioni agenti localmente: Ty_l=-1398.34 My_l=-28.65
Tensioni nella sezione: σ=347.32 τ=42.37
CC 7 SLV (Collegamento 0023_-380)
Azioni sul collegamento: N=-7936.47 Ty=1.44 Tz=5.89 Mx=0.01 Mz=3.55
Sollecitazioni agenti localmente: Ty_l=-1392.81 My_l=-28.53
Tensioni nella sezione: σ=345.85 τ=42.21
CC 7 SLV (Collegamento 0023_-380)
Azioni sul collegamento: N=-3330.00 Ty=0.74 Tz=-11.20 Mx=0.01 Mz=2.16
Sollecitazioni agenti localmente: Ty_l=-581.74 My_l=-11.91
Tensioni nella sezione: σ=144.41 τ=17.63
CC 7 SLV (Collegamento 0023_-380)
Azioni sul collegamento: N=-3330.00 Ty=1.44 Tz=-11.20 Mx=0.01 Mz=3.55
Sollecitazioni agenti localmente: Ty_l=-576.21 My_l=-11.79
Tensioni nella sezione: σ=142.94 τ=17.46
CC 7 SLV (Collegamento 0023_-380)
Azioni sul collegamento: N=-3330.00 Ty=0.74 Tz=5.89 Mx=0.01 Mz=2.16
Sollecitazioni agenti localmente: Ty_l=-581.74 My_l=-11.91
Tensioni nella sezione: σ=144.41 τ=17.63
CC 7 SLV (Collegamento 0023_-380)
Azioni sul collegamento: N=-3330.00 Ty=1.44 Tz=5.89 Mx=0.01 Mz=3.55
Sollecitazioni agenti localmente: Ty_l=-576.21 My_l=-11.79
Tensioni nella sezione: σ=142.94 τ=17.46
CC 8 SLD (Collegamento 0023_-380)
Azioni sul collegamento: N=-6335.74 Ty=0.17 Tz=-5.26 Mx=0.00 Mz=0.59
Sollecitazioni agenti localmente: Ty_l=-1120.82 My_l=-22.97
Tensioni nella sezione: σ=278.47 τ=33.96

CC 8 SLD (Collegamento 0023_-380)
Azioni sul collegamento: N=-6335.74 Ty=0.39 Tz=-5.26 Mx=0.00 Mz=1.01
Sollecitazioni agenti localmente: Ty_l=-1119.14 My_l=-22.94
Tensioni nella sezione: σ=278.02 τ=33.91
CC 8 SLD (Collegamento 0023_-380)
Azioni sul collegamento: N=-6335.74 Ty=0.17 Tz=-0.05 Mx=0.00 Mz=0.59
Sollecitazioni agenti localmente: Ty_l=-1120.82 My_l=-22.97
Tensioni nella sezione: σ=278.47 τ=33.96
CC 8 SLD (Collegamento 0023_-380)
Azioni sul collegamento: N=-6335.74 Ty=0.39 Tz=-0.05 Mx=0.00 Mz=1.01
Sollecitazioni agenti localmente: Ty_l=-1119.14 My_l=-22.94
Tensioni nella sezione: σ=278.02 τ=33.91
CC 8 SLD (Collegamento 0023_-380)
Azioni sul collegamento: N=-4931.09 Ty=0.17 Tz=-5.26 Mx=0.00 Mz=0.59
Sollecitazioni agenti localmente: Ty_l=-871.82 My_l=-17.87
Tensioni nella sezione: σ=216.59 τ=26.42
CC 8 SLD (Collegamento 0023_-380)
Azioni sul collegamento: N=-4931.09 Ty=0.39 Tz=-5.26 Mx=0.00 Mz=1.01
Sollecitazioni agenti localmente: Ty_l=-870.13 My_l=-17.83
Tensioni nella sezione: σ=216.15 τ=26.37
CC 8 SLD (Collegamento 0023_-380)
Azioni sul collegamento: N=-4931.09 Ty=0.17 Tz=-0.05 Mx=0.00 Mz=0.59
Sollecitazioni agenti localmente: Ty_l=-871.82 My_l=-17.87
Tensioni nella sezione: σ=216.59 τ=26.42
CC 8 SLD (Collegamento 0023_-380)
Azioni sul collegamento: N=-4931.09 Ty=0.39 Tz=-0.05 Mx=0.00 Mz=1.01
Sollecitazioni agenti localmente: Ty_l=-870.13 My_l=-17.83
Tensioni nella sezione: σ=216.15 τ=26.37
CC 9 SLV (Collegamento 0023_-380)
Azioni sul collegamento: N=-4942.23 Ty=2.24 Tz=-0.09 Mx=0.02 Mz=5.11
Sollecitazioni agenti localmente: Ty_l=-855.79 My_l=-17.52
Tensioni nella sezione: σ=212.31 τ=25.93
CC 9 SLV (Collegamento 0023_-380)
Azioni sul collegamento: N=-4942.23 Ty=-0.07 Tz=-0.09 Mx=0.02 Mz=0.59
Sollecitazioni agenti localmente: Ty_l=-873.77 My_l=-17.91
Tensioni nella sezione: σ=217.08 τ=26.48
CC 9 SLV (Collegamento 0023_-380)
Azioni sul collegamento: N=-4942.23 Ty=2.24 Tz=-5.22 Mx=0.02 Mz=5.11
Sollecitazioni agenti localmente: Ty_l=-855.79 My_l=-17.52
Tensioni nella sezione: σ=212.31 τ=25.93
CC 9 SLV (Collegamento 0023_-380)
Azioni sul collegamento: N=-4942.23 Ty=-0.07 Tz=-5.22 Mx=0.02 Mz=0.59
Sollecitazioni agenti localmente: Ty_l=-873.77 My_l=-17.91
Tensioni nella sezione: σ=217.08 τ=26.48
CC 9 SLV (Collegamento 0023_-380)
Azioni sul collegamento: N=-6324.24 Ty=2.24 Tz=-0.09 Mx=0.02 Mz=5.11
Sollecitazioni agenti localmente: Ty_l=-1100.78 My_l=-22.54
Tensioni nella sezione: σ=273.18 τ=33.36
CC 9 SLV (Collegamento 0023_-380)
Azioni sul collegamento: N=-6324.24 Ty=-0.07 Tz=-0.09 Mx=0.02 Mz=0.59
Sollecitazioni agenti localmente: Ty_l=-1118.76 My_l=-22.93
Tensioni nella sezione: σ=277.96 τ=33.90
CC 9 SLV (Collegamento 0023_-380)
Azioni sul collegamento: N=-6324.24 Ty=2.24 Tz=-5.22 Mx=0.02 Mz=5.11
Sollecitazioni agenti localmente: Ty_l=-1100.78 My_l=-22.54
Tensioni nella sezione: σ=273.18 τ=33.36
CC 9 SLV (Collegamento 0023_-380)
Azioni sul collegamento: N=-6324.24 Ty=-0.07 Tz=-5.22 Mx=0.02 Mz=0.59
Sollecitazioni agenti localmente: Ty_l=-1118.76 My_l=-22.93
Tensioni nella sezione: σ=277.96 τ=33.90
CC 10 SLD (Collegamento 0023_-380)
Azioni sul collegamento: N=-5422.71 Ty=0.63 Tz=-1.87 Mx=0.01 Mz=1.49
Sollecitazioni agenti localmente: Ty_l=-955.38 My_l=-19.58
Tensioni nella sezione: σ=237.30 τ=28.95
CC 10 SLD (Collegamento 0023_-380)
Azioni sul collegamento: N=-5422.71 Ty=-0.07 Tz=-1.87 Mx=0.01 Mz=0.11
Sollecitazioni agenti localmente: Ty_l=-960.87 My_l=-19.70
Tensioni nella sezione: σ=238.75 τ=29.12
CC 10 SLD (Collegamento 0023_-380)
Azioni sul collegamento: N=-5422.71 Ty=0.63 Tz=-3.44 Mx=0.01 Mz=1.49
Sollecitazioni agenti localmente: Ty_l=-955.38 My_l=-19.58
Tensioni nella sezione: σ=237.30 τ=28.95
CC 10 SLD (Collegamento 0023_-380)
Azioni sul collegamento: N=-5422.71 Ty=-0.07 Tz=-3.44 Mx=0.01 Mz=0.11
Sollecitazioni agenti localmente: Ty_l=-960.87 My_l=-19.70
Tensioni nella sezione: σ=238.75 τ=29.12
CC 10 SLD (Collegamento 0023_-380)
Azioni sul collegamento: N=-5844.12 Ty=0.63 Tz=-1.87 Mx=0.01 Mz=1.49
Sollecitazioni agenti localmente: Ty_l=-1030.09 My_l=-21.11

Tensioni nella sezione: σ=255.86 τ=31.21
CC 10 SLD (Collegamento 0023_-380)
Azioni sul collegamento: N=-5844.12 Ty=-0.07 Tz=-1.87 Mx=0.01 Mz=0.11
Sollecitazioni agenti localmente: Ty_l=-1035.57 My_l=-21.23
Tensioni nella sezione: σ=257.32 τ=31.38
CC 10 SLD (Collegamento 0023_-380)
Azioni sul collegamento: N=-5844.12 Ty=0.63 Tz=-3.44 Mx=0.01 Mz=1.49
Sollecitazioni agenti localmente: Ty_l=-1030.09 My_l=-21.11
Tensioni nella sezione: σ=255.86 τ=31.21
CC 10 SLD (Collegamento 0023_-380)
Azioni sul collegamento: N=-5844.12 Ty=-0.07 Tz=-3.44 Mx=0.01 Mz=0.11
Sollecitazioni agenti localmente: Ty_l=-1035.57 My_l=-21.23
Tensioni nella sezione: σ=257.32 τ=31.38
CC 11 SLV (Collegamento 0023_-380)
Azioni sul collegamento: N=-6324.16 Ty=2.24 Tz=-5.22 Mx=0.02 Mz=5.10
Sollecitazioni agenti localmente: Ty_l=-1100.81 My_l=-22.54
Tensioni nella sezione: σ=273.19 τ=33.36
CC 11 SLV (Collegamento 0023_-380)
Azioni sul collegamento: N=-6324.16 Ty=-0.06 Tz=-5.22 Mx=0.02 Mz=0.60
Sollecitazioni agenti localmente: Ty_l=-1118.70 My_l=-22.93
Tensioni nella sezione: σ=277.94 τ=33.90
CC 11 SLV (Collegamento 0023_-380)
Azioni sul collegamento: N=-6324.16 Ty=2.24 Tz=-0.09 Mx=0.02 Mz=5.10
Sollecitazioni agenti localmente: Ty_l=-1100.81 My_l=-22.54
Tensioni nella sezione: σ=273.19 τ=33.36
CC 11 SLV (Collegamento 0023_-380)
Azioni sul collegamento: N=-6324.16 Ty=-0.06 Tz=-0.09 Mx=0.02 Mz=0.60
Sollecitazioni agenti localmente: Ty_l=-1118.70 My_l=-22.93
Tensioni nella sezione: σ=277.94 τ=33.90
CC 11 SLV (Collegamento 0023_-380)
Azioni sul collegamento: N=-4942.30 Ty=2.24 Tz=-5.22 Mx=0.02 Mz=5.10
Sollecitazioni agenti localmente: Ty_l=-855.85 My_l=-17.52
Tensioni nella sezione: σ=212.32 τ=25.93
CC 11 SLV (Collegamento 0023_-380)
Azioni sul collegamento: N=-4942.30 Ty=-0.06 Tz=-5.22 Mx=0.02 Mz=0.60
Sollecitazioni agenti localmente: Ty_l=-873.74 My_l=-17.91
Tensioni nella sezione: σ=217.07 τ=26.48
CC 11 SLV (Collegamento 0023_-380)
Azioni sul collegamento: N=-4942.30 Ty=2.24 Tz=-0.09 Mx=0.02 Mz=5.10
Sollecitazioni agenti localmente: Ty_l=-855.85 My_l=-17.52
Tensioni nella sezione: σ=212.32 τ=25.93
CC 11 SLV (Collegamento 0023_-380)
Azioni sul collegamento: N=-4942.30 Ty=-0.06 Tz=-0.09 Mx=0.02 Mz=0.60
Sollecitazioni agenti localmente: Ty_l=-873.74 My_l=-17.91
Tensioni nella sezione: σ=217.07 τ=26.48
CC 12 SLD (Collegamento 0023_-380)
Azioni sul collegamento: N=-5844.10 Ty=0.63 Tz=-3.44 Mx=0.01 Mz=1.48
Sollecitazioni agenti localmente: Ty_l=-1030.10 My_l=-21.11
Tensioni nella sezione: σ=255.86 τ=31.22
CC 12 SLD (Collegamento 0023_-380)
Azioni sul collegamento: N=-5844.10 Ty=-0.07 Tz=-3.44 Mx=0.01 Mz=0.11
Sollecitazioni agenti localmente: Ty_l=-1035.55 My_l=-21.23
Tensioni nella sezione: σ=257.31 τ=31.38
CC 12 SLD (Collegamento 0023_-380)
Azioni sul collegamento: N=-5844.10 Ty=0.63 Tz=-1.87 Mx=0.01 Mz=1.48
Sollecitazioni agenti localmente: Ty_l=-1030.10 My_l=-21.11
Tensioni nella sezione: σ=255.86 τ=31.22
CC 12 SLD (Collegamento 0023_-380)
Azioni sul collegamento: N=-5844.10 Ty=-0.07 Tz=-1.87 Mx=0.01 Mz=0.11
Sollecitazioni agenti localmente: Ty_l=-1035.55 My_l=-21.23
Tensioni nella sezione: σ=257.31 τ=31.38
CC 12 SLD (Collegamento 0023_-380)
Azioni sul collegamento: N=-5422.73 Ty=0.63 Tz=-3.44 Mx=0.01 Mz=1.48
Sollecitazioni agenti localmente: Ty_l=-955.40 My_l=-19.58
Tensioni nella sezione: σ=237.30 τ=28.95
CC 12 SLD (Collegamento 0023_-380)
Azioni sul collegamento: N=-5422.73 Ty=-0.07 Tz=-3.44 Mx=0.01 Mz=0.11
Sollecitazioni agenti localmente: Ty_l=-960.86 My_l=-19.70
Tensioni nella sezione: σ=238.75 τ=29.12
CC 12 SLD (Collegamento 0023_-380)
Azioni sul collegamento: N=-5422.73 Ty=0.63 Tz=-1.87 Mx=0.01 Mz=1.48
Sollecitazioni agenti localmente: Ty_l=-955.40 My_l=-19.58
Tensioni nella sezione: σ=237.30 τ=28.95
CC 12 SLD (Collegamento 0023_-380)
Azioni sul collegamento: N=-5422.73 Ty=-0.07 Tz=-1.87 Mx=0.01 Mz=0.11
Sollecitazioni agenti localmente: Ty_l=-960.86 My_l=-19.70
Tensioni nella sezione: σ=238.75 τ=29.12
CC 13 SLV (Collegamento 0023_-380)
Azioni sul collegamento: N=-4942.30 Ty=-0.06 Tz=-0.09 Mx=0.00 Mz=0.60

Sollecitazioni agenti localmente: Ty_l=-873.74 My_l=-17.91
Tensioni nella sezione: σ=217.07 τ=26.48
CC 13 SLV (Collegamento 0023_-380)
Azioni sul collegamento: N=-4942.30 Ty=2.24 Tz=-0.09 Mx=0.00 Mz=5.10
Sollecitazioni agenti localmente: Ty_l=-855.85 My_l=-17.52
Tensioni nella sezione: σ=212.32 τ=25.93
CC 13 SLV (Collegamento 0023_-380)
Azioni sul collegamento: N=-4942.30 Ty=-0.06 Tz=-5.22 Mx=0.00 Mz=0.60
Sollecitazioni agenti localmente: Ty_l=-873.74 My_l=-17.91
Tensioni nella sezione: σ=217.07 τ=26.48
CC 13 SLV (Collegamento 0023_-380)
Azioni sul collegamento: N=-4942.30 Ty=2.24 Tz=-5.22 Mx=0.00 Mz=5.10
Sollecitazioni agenti localmente: Ty_l=-855.85 My_l=-17.52
Tensioni nella sezione: σ=212.32 τ=25.93
CC 13 SLV (Collegamento 0023_-380)
Azioni sul collegamento: N=-6324.16 Ty=-0.06 Tz=-0.09 Mx=0.00 Mz=0.60
Sollecitazioni agenti localmente: Ty_l=-1118.70 My_l=-22.93
Tensioni nella sezione: σ=277.94 τ=33.90
CC 13 SLV (Collegamento 0023_-380)
Azioni sul collegamento: N=-6324.16 Ty=2.24 Tz=-0.09 Mx=0.00 Mz=5.10
Sollecitazioni agenti localmente: Ty_l=-1100.81 My_l=-22.54
Tensioni nella sezione: σ=273.19 τ=33.36
CC 13 SLV (Collegamento 0023_-380)
Azioni sul collegamento: N=-6324.16 Ty=-0.06 Tz=-5.22 Mx=0.00 Mz=0.60
Sollecitazioni agenti localmente: Ty_l=-1118.70 My_l=-22.93
Tensioni nella sezione: σ=277.94 τ=33.90
CC 13 SLV (Collegamento 0023_-380)
Azioni sul collegamento: N=-6324.16 Ty=2.24 Tz=-5.22 Mx=0.00 Mz=5.10
Sollecitazioni agenti localmente: Ty_l=-1100.81 My_l=-22.54
Tensioni nella sezione: σ=273.19 τ=33.36
CC 14 SLD (Collegamento 0023_-380)
Azioni sul collegamento: N=-5422.73 Ty=-0.07 Tz=-1.87 Mx=0.00 Mz=0.11
Sollecitazioni agenti localmente: Ty_l=-960.86 My_l=-19.70
Tensioni nella sezione: σ=238.75 τ=29.12
CC 14 SLD (Collegamento 0023_-380)
Azioni sul collegamento: N=-5422.73 Ty=0.63 Tz=-1.87 Mx=0.00 Mz=1.48
Sollecitazioni agenti localmente: Ty_l=-955.40 My_l=-19.58
Tensioni nella sezione: σ=237.30 τ=28.95
CC 14 SLD (Collegamento 0023_-380)
Azioni sul collegamento: N=-5422.73 Ty=-0.07 Tz=-3.44 Mx=0.00 Mz=0.11
Sollecitazioni agenti localmente: Ty_l=-960.86 My_l=-19.70
Tensioni nella sezione: σ=238.75 τ=29.12
CC 14 SLD (Collegamento 0023_-380)
Azioni sul collegamento: N=-5422.73 Ty=0.63 Tz=-3.44 Mx=0.00 Mz=1.48
Sollecitazioni agenti localmente: Ty_l=-955.40 My_l=-19.58
Tensioni nella sezione: σ=237.30 τ=28.95
CC 14 SLD (Collegamento 0023_-380)
Azioni sul collegamento: N=-5844.10 Ty=-0.07 Tz=-1.87 Mx=0.00 Mz=0.11
Sollecitazioni agenti localmente: Ty_l=-1035.55 My_l=-21.23
Tensioni nella sezione: σ=257.31 τ=31.38
CC 14 SLD (Collegamento 0023_-380)
Azioni sul collegamento: N=-5844.10 Ty=0.63 Tz=-1.87 Mx=0.00 Mz=1.48
Sollecitazioni agenti localmente: Ty_l=-1030.10 My_l=-21.11
Tensioni nella sezione: σ=255.86 τ=31.22
CC 14 SLD (Collegamento 0023_-380)
Azioni sul collegamento: N=-5844.10 Ty=-0.07 Tz=-3.44 Mx=0.00 Mz=0.11
Sollecitazioni agenti localmente: Ty_l=-1035.55 My_l=-21.23
Tensioni nella sezione: σ=257.31 τ=31.38
CC 14 SLD (Collegamento 0023_-380)
Azioni sul collegamento: N=-5844.10 Ty=0.63 Tz=-3.44 Mx=0.00 Mz=1.48
Sollecitazioni agenti localmente: Ty_l=-1030.10 My_l=-21.11
Tensioni nella sezione: σ=255.86 τ=31.22
CC 15 SLV (Collegamento 0023_-380)
Azioni sul collegamento: N=-6324.24 Ty=-0.07 Tz=-5.22 Mx=0.00 Mz=0.59
Sollecitazioni agenti localmente: Ty_l=-1118.76 My_l=-22.93
Tensioni nella sezione: σ=277.96 τ=33.90
CC 15 SLV (Collegamento 0023_-380)
Azioni sul collegamento: N=-6324.24 Ty=2.24 Tz=-5.22 Mx=0.00 Mz=5.11
Sollecitazioni agenti localmente: Ty_l=-1100.78 My_l=-22.54
Tensioni nella sezione: σ=273.18 τ=33.36
CC 15 SLV (Collegamento 0023_-380)
Azioni sul collegamento: N=-6324.24 Ty=-0.07 Tz=-0.09 Mx=0.00 Mz=0.59
Sollecitazioni agenti localmente: Ty_l=-1118.76 My_l=-22.93
Tensioni nella sezione: σ=277.96 τ=33.90
CC 15 SLV (Collegamento 0023_-380)
Azioni sul collegamento: N=-6324.24 Ty=2.24 Tz=-0.09 Mx=0.00 Mz=5.11
Sollecitazioni agenti localmente: Ty_l=-1100.78 My_l=-22.54
Tensioni nella sezione: σ=273.18 τ=33.36
CC 15 SLV (Collegamento 0023_-380)

Azioni sul collegamento: N=-4942.23 Ty=-0.07 Tz=-5.22 Mx=0.00 Mz=0.59
Sollecitazioni agenti localmente: Ty_l=-873.77 My_l=-17.91
Tensioni nella sezione: σ=217.08 τ=26.48
CC 15 SLV (Collegamento 0023_-380)
Azioni sul collegamento: N=-4942.23 Ty=2.24 Tz=-5.22 Mx=0.00 Mz=5.11
Sollecitazioni agenti localmente: Ty_l=-855.79 My_l=-17.52
Tensioni nella sezione: σ=212.31 τ=25.93
CC 15 SLV (Collegamento 0023_-380)
Azioni sul collegamento: N=-4942.23 Ty=-0.07 Tz=-0.09 Mx=0.00 Mz=0.59
Sollecitazioni agenti localmente: Ty_l=-873.77 My_l=-17.91
Tensioni nella sezione: σ=217.08 τ=26.48
CC 15 SLV (Collegamento 0023_-380)
Azioni sul collegamento: N=-4942.23 Ty=2.24 Tz=-0.09 Mx=0.00 Mz=5.11
Sollecitazioni agenti localmente: Ty_l=-855.79 My_l=-17.52
Tensioni nella sezione: σ=212.31 τ=25.93
CC 16 SLD (Collegamento 0023_-380)
Azioni sul collegamento: N=-5844.12 Ty=-0.07 Tz=-3.44 Mx=0.00 Mz=0.11
Sollecitazioni agenti localmente: Ty_l=-1035.57 My_l=-21.23
Tensioni nella sezione: σ=257.32 τ=31.38
CC 16 SLD (Collegamento 0023_-380)
Azioni sul collegamento: N=-5844.12 Ty=0.63 Tz=-3.44 Mx=0.00 Mz=1.49
Sollecitazioni agenti localmente: Ty_l=-1030.09 My_l=-21.11
Tensioni nella sezione: σ=255.86 τ=31.21
CC 16 SLD (Collegamento 0023_-380)
Azioni sul collegamento: N=-5844.12 Ty=-0.07 Tz=-1.87 Mx=0.00 Mz=0.11
Sollecitazioni agenti localmente: Ty_l=-1035.57 My_l=-21.23
Tensioni nella sezione: σ=257.32 τ=31.38
CC 16 SLD (Collegamento 0023_-380)
Azioni sul collegamento: N=-5844.12 Ty=0.63 Tz=-1.87 Mx=0.00 Mz=1.49
Sollecitazioni agenti localmente: Ty_l=-1030.09 My_l=-21.11
Tensioni nella sezione: σ=255.86 τ=31.21
CC 16 SLD (Collegamento 0023_-380)
Azioni sul collegamento: N=-5422.71 Ty=-0.07 Tz=-3.44 Mx=0.00 Mz=0.11
Sollecitazioni agenti localmente: Ty_l=-960.87 My_l=-19.70
Tensioni nella sezione: σ=238.75 τ=29.12
CC 16 SLD (Collegamento 0023_-380)
Azioni sul collegamento: N=-5422.71 Ty=0.63 Tz=-3.44 Mx=0.00 Mz=1.49
Sollecitazioni agenti localmente: Ty_l=-955.38 My_l=-19.58
Tensioni nella sezione: σ=237.30 τ=28.95
CC 16 SLD (Collegamento 0023_-380)
Azioni sul collegamento: N=-5422.71 Ty=-0.07 Tz=-1.87 Mx=0.00 Mz=0.11
Sollecitazioni agenti localmente: Ty_l=-960.87 My_l=-19.70
Tensioni nella sezione: σ=238.75 τ=29.12
CC 16 SLD (Collegamento 0023_-380)
Azioni sul collegamento: N=-5422.71 Ty=0.63 Tz=-1.87 Mx=0.00 Mz=1.49
Sollecitazioni agenti localmente: Ty_l=-955.38 My_l=-19.58
Tensioni nella sezione: σ=237.30 τ=28.95
CC 17 SLV (Collegamento 0023_-380)
Azioni sul collegamento: N=-3330.52 Ty=-0.88 Tz=5.89 Mx=-0.02 Mz=-2.36
Sollecitazioni agenti localmente: Ty_l=-599.80 My_l=-12.31
Tensioni nella sezione: σ=149.20 τ=18.18
CC 17 SLV (Collegamento 0023_-380)
Azioni sul collegamento: N=-3330.52 Ty=-1.59 Tz=5.89 Mx=-0.02 Mz=-3.75
Sollecitazioni agenti localmente: Ty_l=-605.34 My_l=-12.43
Tensioni nella sezione: σ=150.67 τ=18.34
CC 17 SLV (Collegamento 0023_-380)
Azioni sul collegamento: N=-3330.52 Ty=-0.88 Tz=-11.19 Mx=-0.02 Mz=-2.36
Sollecitazioni agenti localmente: Ty_l=-599.80 My_l=-12.31
Tensioni nella sezione: σ=149.20 τ=18.18
CC 17 SLV (Collegamento 0023_-380)
Azioni sul collegamento: N=-3330.52 Ty=-1.59 Tz=-11.19 Mx=-0.02 Mz=-3.75
Sollecitazioni agenti localmente: Ty_l=-605.34 My_l=-12.43
Tensioni nella sezione: σ=150.67 τ=18.34
CC 17 SLV (Collegamento 0023_-380)
Azioni sul collegamento: N=-7936.99 Ty=-0.88 Tz=5.89 Mx=-0.02 Mz=-2.36
Sollecitazioni agenti localmente: Ty_l=-1416.41 My_l=-29.05
Tensioni nella sezione: σ=352.12 τ=42.92
CC 17 SLV (Collegamento 0023_-380)
Azioni sul collegamento: N=-7936.99 Ty=-1.59 Tz=5.89 Mx=-0.02 Mz=-3.75
Sollecitazioni agenti localmente: Ty_l=-1421.94 My_l=-29.17
Tensioni nella sezione: σ=353.58 τ=43.09
CC 17 SLV (Collegamento 0023_-380)
Azioni sul collegamento: N=-7936.99 Ty=-0.88 Tz=-11.19 Mx=-0.02 Mz=-2.36
Sollecitazioni agenti localmente: Ty_l=-1416.41 My_l=-29.05
Tensioni nella sezione: σ=352.12 τ=42.92
CC 17 SLV (Collegamento 0023_-380)
Azioni sul collegamento: N=-7936.99 Ty=-1.59 Tz=-11.19 Mx=-0.02 Mz=-3.75
Sollecitazioni agenti localmente: Ty_l=-1421.94 My_l=-29.17
Tensioni nella sezione: σ=353.58 τ=43.09

CC 18 SLD (Collegamento 0023_-380)
Azioni sul collegamento: N=-4931.25 Ty=-0.32 Tz=-0.05 Mx=-0.01 Mz=-0.79
Sollecitazioni agenti localmente: Ty_l=-877.32 My_l=-17.99
Tensioni nella sezione: σ=218.06 τ=26.59
CC 18 SLD (Collegamento 0023_-380)
Azioni sul collegamento: N=-4931.25 Ty=-0.54 Tz=-0.05 Mx=-0.01 Mz=-1.22
Sollecitazioni agenti localmente: Ty_l=-879.01 My_l=-18.03
Tensioni nella sezione: σ=218.50 τ=26.64
CC 18 SLD (Collegamento 0023_-380)
Azioni sul collegamento: N=-4931.25 Ty=-0.32 Tz=-5.26 Mx=-0.01 Mz=-0.79
Sollecitazioni agenti localmente: Ty_l=-877.32 My_l=-17.99
Tensioni nella sezione: σ=218.06 τ=26.59
CC 18 SLD (Collegamento 0023_-380)
Azioni sul collegamento: N=-4931.25 Ty=-0.54 Tz=-5.26 Mx=-0.01 Mz=-1.22
Sollecitazioni agenti localmente: Ty_l=-879.01 My_l=-18.03
Tensioni nella sezione: σ=218.50 τ=26.64
CC 18 SLD (Collegamento 0023_-380)
Azioni sul collegamento: N=-6335.90 Ty=-0.32 Tz=-0.05 Mx=-0.01 Mz=-0.79
Sollecitazioni agenti localmente: Ty_l=-1126.33 My_l=-23.09
Tensioni nella sezione: σ=279.93 τ=34.13
CC 18 SLD (Collegamento 0023_-380)
Azioni sul collegamento: N=-6335.90 Ty=-0.54 Tz=-0.05 Mx=-0.01 Mz=-1.22
Sollecitazioni agenti localmente: Ty_l=-1128.02 My_l=-23.13
Tensioni nella sezione: σ=280.38 τ=34.18
CC 18 SLD (Collegamento 0023_-380)
Azioni sul collegamento: N=-6335.90 Ty=-0.32 Tz=-5.26 Mx=-0.01 Mz=-0.79
Sollecitazioni agenti localmente: Ty_l=-1126.33 My_l=-23.09
Tensioni nella sezione: σ=279.93 τ=34.13
CC 18 SLD (Collegamento 0023_-380)
Azioni sul collegamento: N=-6335.90 Ty=-0.54 Tz=-5.26 Mx=-0.01 Mz=-1.22
Sollecitazioni agenti localmente: Ty_l=-1128.02 My_l=-23.13
Tensioni nella sezione: σ=280.38 τ=34.18
CC 19 SLV (Collegamento 0023_-380)
Azioni sul collegamento: N=-3330.55 Ty=-1.58 Tz=5.89 Mx=-0.01 Mz=-3.71
Sollecitazioni agenti localmente: Ty_l=-605.19 My_l=-12.43
Tensioni nella sezione: σ=150.63 τ=18.34
CC 19 SLV (Collegamento 0023_-380)
Azioni sul collegamento: N=-3330.55 Ty=-0.90 Tz=5.89 Mx=-0.01 Mz=-2.40
Sollecitazioni agenti localmente: Ty_l=-599.96 My_l=-12.31
Tensioni nella sezione: σ=149.24 τ=18.18
CC 19 SLV (Collegamento 0023_-380)
Azioni sul collegamento: N=-3330.55 Ty=-1.58 Tz=-11.19 Mx=-0.01 Mz=-3.71
Sollecitazioni agenti localmente: Ty_l=-605.19 My_l=-12.43
Tensioni nella sezione: σ=150.63 τ=18.34
CC 19 SLV (Collegamento 0023_-380)
Azioni sul collegamento: N=-3330.55 Ty=-0.90 Tz=-11.19 Mx=-0.01 Mz=-2.40
Sollecitazioni agenti localmente: Ty_l=-599.96 My_l=-12.31
Tensioni nella sezione: σ=149.24 τ=18.18
CC 19 SLV (Collegamento 0023_-380)
Azioni sul collegamento: N=-7936.97 Ty=-1.58 Tz=5.89 Mx=-0.01 Mz=-3.71
Sollecitazioni agenti localmente: Ty_l=-1421.78 My_l=-29.17
Tensioni nella sezione: σ=353.54 τ=43.08
CC 19 SLV (Collegamento 0023_-380)
Azioni sul collegamento: N=-7936.97 Ty=-0.90 Tz=5.89 Mx=-0.01 Mz=-2.40
Sollecitazioni agenti localmente: Ty_l=-1416.56 My_l=-29.05
Tensioni nella sezione: σ=352.15 τ=42.93
CC 19 SLV (Collegamento 0023_-380)
Azioni sul collegamento: N=-7936.97 Ty=-1.58 Tz=-11.19 Mx=-0.01 Mz=-3.71
Sollecitazioni agenti localmente: Ty_l=-1421.78 My_l=-29.17
Tensioni nella sezione: σ=353.54 τ=43.08
CC 19 SLV (Collegamento 0023_-380)
Azioni sul collegamento: N=-7936.97 Ty=-0.90 Tz=-11.19 Mx=-0.01 Mz=-2.40
Sollecitazioni agenti localmente: Ty_l=-1416.56 My_l=-29.05
Tensioni nella sezione: σ=352.15 τ=42.93
CC 20 SLD (Collegamento 0023_-380)
Azioni sul collegamento: N=-4931.25 Ty=-0.53 Tz=-0.05 Mx=-0.00 Mz=-1.20
Sollecitazioni agenti localmente: Ty_l=-878.97 My_l=-18.03
Tensioni nella sezione: σ=218.49 τ=26.64
CC 20 SLD (Collegamento 0023_-380)
Azioni sul collegamento: N=-4931.25 Ty=-0.33 Tz=-0.05 Mx=-0.00 Mz=-0.80
Sollecitazioni agenti localmente: Ty_l=-877.37 My_l=-17.99
Tensioni nella sezione: σ=218.07 τ=26.59
CC 20 SLD (Collegamento 0023_-380)
Azioni sul collegamento: N=-4931.25 Ty=-0.53 Tz=-5.26 Mx=-0.00 Mz=-1.20
Sollecitazioni agenti localmente: Ty_l=-878.97 My_l=-18.03
Tensioni nella sezione: σ=218.49 τ=26.64
CC 20 SLD (Collegamento 0023_-380)
Azioni sul collegamento: N=-4931.25 Ty=-0.33 Tz=-5.26 Mx=-0.00 Mz=-0.80
Sollecitazioni agenti localmente: Ty_l=-877.37 My_l=-17.99

Tensioni nella sezione: σ=218.07 τ=26.59
CC 20 SLD (Collegamento 0023_-380)
Azioni sul collegamento: N=-6335.90 Ty=-0.53 Tz=-0.05 Mx=-0.00 Mz=-1.20
Sollecitazioni agenti localmente: Ty_l=-1127.97 My_l=-23.13
Tensioni nella sezione: σ=280.37 τ=34.18
CC 20 SLD (Collegamento 0023_-380)
Azioni sul collegamento: N=-6335.90 Ty=-0.33 Tz=-0.05 Mx=-0.00 Mz=-0.80
Sollecitazioni agenti localmente: Ty_l=-1126.38 My_l=-23.10
Tensioni nella sezione: σ=279.94 τ=34.13
CC 20 SLD (Collegamento 0023_-380)
Azioni sul collegamento: N=-6335.90 Ty=-0.53 Tz=-5.26 Mx=-0.00 Mz=-1.20
Sollecitazioni agenti localmente: Ty_l=-1127.97 My_l=-23.13
Tensioni nella sezione: σ=280.37 τ=34.18
CC 20 SLD (Collegamento 0023_-380)
Azioni sul collegamento: N=-6335.90 Ty=-0.33 Tz=-5.26 Mx=-0.00 Mz=-0.80
Sollecitazioni agenti localmente: Ty_l=-1126.38 My_l=-23.10
Tensioni nella sezione: σ=279.94 τ=34.13
CC 21 SLV (Collegamento 0023_-380)
Azioni sul collegamento: N=-7936.97 Ty=-0.90 Tz=-11.19 Mx=-0.02 Mz=-2.40
Sollecitazioni agenti localmente: Ty_l=-1416.56 My_l=-29.05
Tensioni nella sezione: σ=352.15 τ=42.93
CC 21 SLV (Collegamento 0023_-380)
Azioni sul collegamento: N=-7936.97 Ty=-1.58 Tz=-11.19 Mx=-0.02 Mz=-3.71
Sollecitazioni agenti localmente: Ty_l=-1421.78 My_l=-29.17
Tensioni nella sezione: σ=353.54 τ=43.08
CC 21 SLV (Collegamento 0023_-380)
Azioni sul collegamento: N=-7936.97 Ty=-0.90 Tz=5.89 Mx=-0.02 Mz=-2.40
Sollecitazioni agenti localmente: Ty_l=-1416.56 My_l=-29.05
Tensioni nella sezione: σ=352.15 τ=42.93
CC 21 SLV (Collegamento 0023_-380)
Azioni sul collegamento: N=-7936.97 Ty=-1.58 Tz=5.89 Mx=-0.02 Mz=-3.71
Sollecitazioni agenti localmente: Ty_l=-1421.78 My_l=-29.17
Tensioni nella sezione: σ=353.54 τ=43.08
CC 21 SLV (Collegamento 0023_-380)
Azioni sul collegamento: N=-3330.55 Ty=-0.90 Tz=-11.19 Mx=-0.02 Mz=-2.40
Sollecitazioni agenti localmente: Ty_l=-599.96 My_l=-12.31
Tensioni nella sezione: σ=149.24 τ=18.18
CC 21 SLV (Collegamento 0023_-380)
Azioni sul collegamento: N=-3330.55 Ty=-1.58 Tz=-11.19 Mx=-0.02 Mz=-3.71
Sollecitazioni agenti localmente: Ty_l=-605.19 My_l=-12.43
Tensioni nella sezione: σ=150.63 τ=18.34
CC 21 SLV (Collegamento 0023_-380)
Azioni sul collegamento: N=-3330.55 Ty=-0.90 Tz=5.89 Mx=-0.02 Mz=-2.40
Sollecitazioni agenti localmente: Ty_l=-599.96 My_l=-12.31
Tensioni nella sezione: σ=149.24 τ=18.18
CC 21 SLV (Collegamento 0023_-380)
Azioni sul collegamento: N=-3330.55 Ty=-1.58 Tz=5.89 Mx=-0.02 Mz=-3.71
Sollecitazioni agenti localmente: Ty_l=-605.19 My_l=-12.43
Tensioni nella sezione: σ=150.63 τ=18.34
CC 22 SLD (Collegamento 0023_-380)
Azioni sul collegamento: N=-6335.90 Ty=-0.33 Tz=-5.26 Mx=-0.01 Mz=-0.80
Sollecitazioni agenti localmente: Ty_l=-1126.38 My_l=-23.10
Tensioni nella sezione: σ=279.94 τ=34.13
CC 22 SLD (Collegamento 0023_-380)
Azioni sul collegamento: N=-6335.90 Ty=-0.53 Tz=-5.26 Mx=-0.01 Mz=-1.20
Sollecitazioni agenti localmente: Ty_l=-1127.97 My_l=-23.13
Tensioni nella sezione: σ=280.37 τ=34.18
CC 22 SLD (Collegamento 0023_-380)
Azioni sul collegamento: N=-6335.90 Ty=-0.33 Tz=-0.05 Mx=-0.01 Mz=-0.80
Sollecitazioni agenti localmente: Ty_l=-1126.38 My_l=-23.10
Tensioni nella sezione: σ=279.94 τ=34.13
CC 22 SLD (Collegamento 0023_-380)
Azioni sul collegamento: N=-6335.90 Ty=-0.53 Tz=-0.05 Mx=-0.01 Mz=-1.20
Sollecitazioni agenti localmente: Ty_l=-1127.97 My_l=-23.13
Tensioni nella sezione: σ=280.37 τ=34.18
CC 22 SLD (Collegamento 0023_-380)
Azioni sul collegamento: N=-4931.25 Ty=-0.33 Tz=-5.26 Mx=-0.01 Mz=-0.80
Sollecitazioni agenti localmente: Ty_l=-877.37 My_l=-17.99
Tensioni nella sezione: σ=218.07 τ=26.59
CC 22 SLD (Collegamento 0023_-380)
Azioni sul collegamento: N=-4931.25 Ty=-0.53 Tz=-5.26 Mx=-0.01 Mz=-1.20
Sollecitazioni agenti localmente: Ty_l=-878.97 My_l=-18.03
Tensioni nella sezione: σ=218.49 τ=26.64
CC 22 SLD (Collegamento 0023_-380)
Azioni sul collegamento: N=-4931.25 Ty=-0.33 Tz=-0.05 Mx=-0.01 Mz=-0.80
Sollecitazioni agenti localmente: Ty_l=-877.37 My_l=-17.99
Tensioni nella sezione: σ=218.07 τ=26.59
CC 22 SLD (Collegamento 0023_-380)
Azioni sul collegamento: N=-4931.25 Ty=-0.53 Tz=-0.05 Mx=-0.01 Mz=-1.20

Sollecitazioni agenti localmente: Ty_l=-878.97 My_l=-18.03
Tensioni nella sezione: σ=218.49 τ=26.64
CC 23 SLV (Collegamento 0023_-380)
Azioni sul collegamento: N=-7936.99 Ty=-1.59 Tz=-11.19 Mx=-0.01 Mz=-3.75
Sollecitazioni agenti localmente: Ty_l=-1421.94 My_l=-29.17
Tensioni nella sezione: σ=353.58 τ=43.09
CC 23 SLV (Collegamento 0023_-380)
Azioni sul collegamento: N=-7936.99 Ty=-0.88 Tz=-11.19 Mx=-0.01 Mz=-2.36
Sollecitazioni agenti localmente: Ty_l=-1416.41 My_l=-29.05
Tensioni nella sezione: σ=352.12 τ=42.92
CC 23 SLV (Collegamento 0023_-380)
Azioni sul collegamento: N=-7936.99 Ty=-1.59 Tz=5.89 Mx=-0.01 Mz=-3.75
Sollecitazioni agenti localmente: Ty_l=-1421.94 My_l=-29.17
Tensioni nella sezione: σ=353.58 τ=43.09
CC 23 SLV (Collegamento 0023_-380)
Azioni sul collegamento: N=-7936.99 Ty=-0.88 Tz=5.89 Mx=-0.01 Mz=-2.36
Sollecitazioni agenti localmente: Ty_l=-1416.41 My_l=-29.05
Tensioni nella sezione: σ=352.12 τ=42.92
CC 23 SLV (Collegamento 0023_-380)
Azioni sul collegamento: N=-3330.52 Ty=-1.59 Tz=-11.19 Mx=-0.01 Mz=-3.75
Sollecitazioni agenti localmente: Ty_l=-605.34 My_l=-12.43
Tensioni nella sezione: σ=150.67 τ=18.34
CC 23 SLV (Collegamento 0023_-380)
Azioni sul collegamento: N=-3330.52 Ty=-0.88 Tz=-11.19 Mx=-0.01 Mz=-2.36
Sollecitazioni agenti localmente: Ty_l=-599.80 My_l=-12.31
Tensioni nella sezione: σ=149.20 τ=18.18
CC 23 SLV (Collegamento 0023_-380)
Azioni sul collegamento: N=-3330.52 Ty=-1.59 Tz=5.89 Mx=-0.01 Mz=-3.75
Sollecitazioni agenti localmente: Ty_l=-605.34 My_l=-12.43
Tensioni nella sezione: σ=150.67 τ=18.34
CC 23 SLV (Collegamento 0023_-380)
Azioni sul collegamento: N=-3330.52 Ty=-0.88 Tz=5.89 Mx=-0.01 Mz=-2.36
Sollecitazioni agenti localmente: Ty_l=-599.80 My_l=-12.31
Tensioni nella sezione: σ=149.20 τ=18.18
CC 24 SLD (Collegamento 0023_-380)
Azioni sul collegamento: N=-6335.90 Ty=-0.54 Tz=-5.26 Mx=-0.00 Mz=-1.22
Sollecitazioni agenti localmente: Ty_l=-1128.02 My_l=-23.13
Tensioni nella sezione: σ=280.38 τ=34.18
CC 24 SLD (Collegamento 0023_-380)
Azioni sul collegamento: N=-6335.90 Ty=-0.32 Tz=-5.26 Mx=-0.00 Mz=-0.79
Sollecitazioni agenti localmente: Ty_l=-1126.33 My_l=-23.09
Tensioni nella sezione: σ=279.93 τ=34.13
CC 24 SLD (Collegamento 0023_-380)
Azioni sul collegamento: N=-6335.90 Ty=-0.54 Tz=-0.05 Mx=-0.00 Mz=-1.22
Sollecitazioni agenti localmente: Ty_l=-1128.02 My_l=-23.13
Tensioni nella sezione: σ=280.38 τ=34.18
CC 24 SLD (Collegamento 0023_-380)
Azioni sul collegamento: N=-6335.90 Ty=-0.32 Tz=-0.05 Mx=-0.00 Mz=-0.79
Sollecitazioni agenti localmente: Ty_l=-1126.33 My_l=-23.09
Tensioni nella sezione: σ=279.93 τ=34.13
CC 24 SLD (Collegamento 0023_-380)
Azioni sul collegamento: N=-4931.25 Ty=-0.54 Tz=-5.26 Mx=-0.00 Mz=-1.22
Sollecitazioni agenti localmente: Ty_l=-879.01 My_l=-18.03
Tensioni nella sezione: σ=218.50 τ=26.64
CC 24 SLD (Collegamento 0023_-380)
Azioni sul collegamento: N=-4931.25 Ty=-0.32 Tz=-5.26 Mx=-0.00 Mz=-0.79
Sollecitazioni agenti localmente: Ty_l=-877.32 My_l=-17.99
Tensioni nella sezione: σ=218.06 τ=26.59
CC 24 SLD (Collegamento 0023_-380)
Azioni sul collegamento: N=-4931.25 Ty=-0.54 Tz=-0.05 Mx=-0.00 Mz=-1.22
Sollecitazioni agenti localmente: Ty_l=-879.01 My_l=-18.03
Tensioni nella sezione: σ=218.50 τ=26.64
CC 24 SLD (Collegamento 0023_-380)
Azioni sul collegamento: N=-4931.25 Ty=-0.32 Tz=-0.05 Mx=-0.00 Mz=-0.79
Sollecitazioni agenti localmente: Ty_l=-877.32 My_l=-17.99
Tensioni nella sezione: σ=218.06 τ=26.59
CC 25 SLV (Collegamento 0023_-380)
Azioni sul collegamento: N=-4942.75 Ty=-0.08 Tz=-0.09 Mx=-0.02 Mz=-0.80
Sollecitazioni agenti localmente: Ty_l=-879.38 My_l=-18.03
Tensioni nella sezione: σ=218.57 τ=26.65
CC 25 SLV (Collegamento 0023_-380)
Azioni sul collegamento: N=-4942.75 Ty=-2.39 Tz=-0.09 Mx=-0.02 Mz=-5.32
Sollecitazioni agenti localmente: Ty_l=-897.37 My_l=-18.43
Tensioni nella sezione: σ=223.34 τ=27.19
CC 25 SLV (Collegamento 0023_-380)
Azioni sul collegamento: N=-4942.75 Ty=-0.08 Tz=-5.22 Mx=-0.02 Mz=-0.80
Sollecitazioni agenti localmente: Ty_l=-879.38 My_l=-18.03
Tensioni nella sezione: σ=218.57 τ=26.65
CC 25 SLV (Collegamento 0023_-380)

Azioni sul collegamento: N=-4942.75 Ty=-2.39 Tz=-5.22 Mx=-0.02 Mz=-5.32
Sollecitazioni agenti localmente: Ty_l=-897.37 My_l=-18.43
Tensioni nella sezione: σ=223.34 τ=27.19
CC 25 SLV (Collegamento 0023_-380)
Azioni sul collegamento: N=-6324.76 Ty=-0.08 Tz=-0.09 Mx=-0.02 Mz=-0.80
Sollecitazioni agenti localmente: Ty_l=-1124.38 My_l=-23.05
Tensioni nella sezione: σ=279.44 τ=34.07
CC 25 SLV (Collegamento 0023_-380)
Azioni sul collegamento: N=-6324.76 Ty=-2.39 Tz=-0.09 Mx=-0.02 Mz=-5.32
Sollecitazioni agenti localmente: Ty_l=-1142.36 My_l=-23.45
Tensioni nella sezione: σ=284.22 τ=34.62
CC 25 SLV (Collegamento 0023_-380)
Azioni sul collegamento: N=-6324.76 Ty=-0.08 Tz=-5.22 Mx=-0.02 Mz=-0.80
Sollecitazioni agenti localmente: Ty_l=-1124.38 My_l=-23.05
Tensioni nella sezione: σ=279.44 τ=34.07
CC 25 SLV (Collegamento 0023_-380)
Azioni sul collegamento: N=-6324.76 Ty=-2.39 Tz=-5.22 Mx=-0.02 Mz=-5.32
Sollecitazioni agenti localmente: Ty_l=-1142.36 My_l=-23.45
Tensioni nella sezione: σ=284.22 τ=34.62
CC 26 SLD (Collegamento 0023_-380)
Azioni sul collegamento: N=-5422.87 Ty=-0.08 Tz=-1.87 Mx=-0.01 Mz=-0.31
Sollecitazioni agenti localmente: Ty_l=-962.58 My_l=-19.73
Tensioni nella sezione: σ=239.21 τ=29.17
CC 26 SLD (Collegamento 0023_-380)
Azioni sul collegamento: N=-5422.87 Ty=-0.78 Tz=-1.87 Mx=-0.01 Mz=-1.69
Sollecitazioni agenti localmente: Ty_l=-968.06 My_l=-19.85
Tensioni nella sezione: σ=240.66 τ=29.34
CC 26 SLD (Collegamento 0023_-380)
Azioni sul collegamento: N=-5422.87 Ty=-0.08 Tz=-3.44 Mx=-0.01 Mz=-0.31
Sollecitazioni agenti localmente: Ty_l=-962.58 My_l=-19.73
Tensioni nella sezione: σ=239.21 τ=29.17
CC 26 SLD (Collegamento 0023_-380)
Azioni sul collegamento: N=-5422.87 Ty=-0.78 Tz=-3.44 Mx=-0.01 Mz=-1.69
Sollecitazioni agenti localmente: Ty_l=-968.06 My_l=-19.85
Tensioni nella sezione: σ=240.66 τ=29.34
CC 26 SLD (Collegamento 0023_-380)
Azioni sul collegamento: N=-5844.28 Ty=-0.08 Tz=-1.87 Mx=-0.01 Mz=-0.31
Sollecitazioni agenti localmente: Ty_l=-1037.28 My_l=-21.27
Tensioni nella sezione: σ=257.77 τ=31.43
CC 26 SLD (Collegamento 0023_-380)
Azioni sul collegamento: N=-5844.28 Ty=-0.78 Tz=-1.87 Mx=-0.01 Mz=-1.69
Sollecitazioni agenti localmente: Ty_l=-1042.77 My_l=-21.39
Tensioni nella sezione: σ=259.23 τ=31.60
CC 26 SLD (Collegamento 0023_-380)
Azioni sul collegamento: N=-5844.28 Ty=-0.08 Tz=-3.44 Mx=-0.01 Mz=-0.31
Sollecitazioni agenti localmente: Ty_l=-1037.28 My_l=-21.27
Tensioni nella sezione: σ=257.77 τ=31.43
CC 26 SLD (Collegamento 0023_-380)
Azioni sul collegamento: N=-5844.28 Ty=-0.78 Tz=-3.44 Mx=-0.01 Mz=-1.69
Sollecitazioni agenti localmente: Ty_l=-1042.77 My_l=-21.39
Tensioni nella sezione: σ=259.23 τ=31.60
CC 27 SLV (Collegamento 0023_-380)
Azioni sul collegamento: N=-6324.69 Ty=-0.09 Tz=-5.21 Mx=-0.02 Mz=-0.81
Sollecitazioni agenti localmente: Ty_l=-1124.41 My_l=-23.05
Tensioni nella sezione: σ=279.45 τ=34.07
CC 27 SLV (Collegamento 0023_-380)
Azioni sul collegamento: N=-6324.69 Ty=-2.39 Tz=-5.21 Mx=-0.02 Mz=-5.31
Sollecitazioni agenti localmente: Ty_l=-1142.30 My_l=-23.45
Tensioni nella sezione: σ=284.20 τ=34.62
CC 27 SLV (Collegamento 0023_-380)
Azioni sul collegamento: N=-6324.69 Ty=-0.09 Tz=-0.09 Mx=-0.02 Mz=-0.81
Sollecitazioni agenti localmente: Ty_l=-1124.41 My_l=-23.05
Tensioni nella sezione: σ=279.45 τ=34.07
CC 27 SLV (Collegamento 0023_-380)
Azioni sul collegamento: N=-6324.69 Ty=-2.39 Tz=-0.09 Mx=-0.02 Mz=-5.31
Sollecitazioni agenti localmente: Ty_l=-1142.30 My_l=-23.45
Tensioni nella sezione: σ=284.20 τ=34.62
CC 27 SLV (Collegamento 0023_-380)
Azioni sul collegamento: N=-4942.83 Ty=-0.09 Tz=-5.21 Mx=-0.02 Mz=-0.81
Sollecitazioni agenti localmente: Ty_l=-879.44 My_l=-18.03
Tensioni nella sezione: σ=218.58 τ=26.65
CC 27 SLV (Collegamento 0023_-380)
Azioni sul collegamento: N=-4942.83 Ty=-2.39 Tz=-5.21 Mx=-0.02 Mz=-5.31
Sollecitazioni agenti localmente: Ty_l=-897.34 My_l=-18.43
Tensioni nella sezione: σ=223.33 τ=27.19
CC 27 SLV (Collegamento 0023_-380)
Azioni sul collegamento: N=-4942.83 Ty=-0.09 Tz=-0.09 Mx=-0.02 Mz=-0.81
Sollecitazioni agenti localmente: Ty_l=-879.44 My_l=-18.03
Tensioni nella sezione: σ=218.58 τ=26.65

CC 27 SLV (Collegamento 0023_-380)
Azioni sul collegamento: N=-4942.83 Ty=-2.39 Tz=-0.09 Mx=-0.02 Mz=-5.31
Sollecitazioni agenti localmente: Ty_l=-897.34 My_l=-18.43
Tensioni nella sezione: σ=223.33 τ=27.19
CC 28 SLD (Collegamento 0023_-380)
Azioni sul collegamento: N=-5844.26 Ty=-0.08 Tz=-3.43 Mx=-0.01 Mz=-0.32
Sollecitazioni agenti localmente: Ty_l=-1037.29 My_l=-21.27
Tensioni nella sezione: σ=257.77 τ=31.43
CC 28 SLD (Collegamento 0023_-380)
Azioni sul collegamento: N=-5844.26 Ty=-0.78 Tz=-3.43 Mx=-0.01 Mz=-1.69
Sollecitazioni agenti localmente: Ty_l=-1042.75 My_l=-21.39
Tensioni nella sezione: σ=259.22 τ=31.60
CC 28 SLD (Collegamento 0023_-380)
Azioni sul collegamento: N=-5844.26 Ty=-0.08 Tz=-1.87 Mx=-0.01 Mz=-0.32
Sollecitazioni agenti localmente: Ty_l=-1037.29 My_l=-21.27
Tensioni nella sezione: σ=257.77 τ=31.43
CC 28 SLD (Collegamento 0023_-380)
Azioni sul collegamento: N=-5844.26 Ty=-0.78 Tz=-1.87 Mx=-0.01 Mz=-1.69
Sollecitazioni agenti localmente: Ty_l=-1042.75 My_l=-21.39
Tensioni nella sezione: σ=259.22 τ=31.60
CC 28 SLD (Collegamento 0023_-380)
Azioni sul collegamento: N=-5422.89 Ty=-0.08 Tz=-3.43 Mx=-0.01 Mz=-0.32
Sollecitazioni agenti localmente: Ty_l=-962.60 My_l=-19.73
Tensioni nella sezione: σ=239.21 τ=29.17
CC 28 SLD (Collegamento 0023_-380)
Azioni sul collegamento: N=-5422.89 Ty=-0.78 Tz=-3.43 Mx=-0.01 Mz=-1.69
Sollecitazioni agenti localmente: Ty_l=-968.05 My_l=-19.85
Tensioni nella sezione: σ=240.66 τ=29.33
CC 28 SLD (Collegamento 0023_-380)
Azioni sul collegamento: N=-5422.89 Ty=-0.08 Tz=-1.87 Mx=-0.01 Mz=-0.32
Sollecitazioni agenti localmente: Ty_l=-962.60 My_l=-19.73
Tensioni nella sezione: σ=239.21 τ=29.17
CC 28 SLD (Collegamento 0023_-380)
Azioni sul collegamento: N=-5422.89 Ty=-0.78 Tz=-1.87 Mx=-0.01 Mz=-1.69
Sollecitazioni agenti localmente: Ty_l=-968.05 My_l=-19.85
Tensioni nella sezione: σ=240.66 τ=29.33
CC 29 SLV (Collegamento 0023_-380)
Azioni sul collegamento: N=-4942.83 Ty=-2.39 Tz=-0.09 Mx=-0.00 Mz=-5.31
Sollecitazioni agenti localmente: Ty_l=-897.34 My_l=-18.43
Tensioni nella sezione: σ=223.33 τ=27.19
CC 29 SLV (Collegamento 0023_-380)
Azioni sul collegamento: N=-4942.83 Ty=-0.09 Tz=-0.09 Mx=-0.00 Mz=-0.81
Sollecitazioni agenti localmente: Ty_l=-879.44 My_l=-18.03
Tensioni nella sezione: σ=218.58 τ=26.65
CC 29 SLV (Collegamento 0023_-380)
Azioni sul collegamento: N=-4942.83 Ty=-2.39 Tz=-5.21 Mx=-0.00 Mz=-5.31
Sollecitazioni agenti localmente: Ty_l=-897.34 My_l=-18.43
Tensioni nella sezione: σ=223.33 τ=27.19
CC 29 SLV (Collegamento 0023_-380)
Azioni sul collegamento: N=-4942.83 Ty=-0.09 Tz=-5.21 Mx=-0.00 Mz=-0.81
Sollecitazioni agenti localmente: Ty_l=-879.44 My_l=-18.03
Tensioni nella sezione: σ=218.58 τ=26.65
CC 29 SLV (Collegamento 0023_-380)
Azioni sul collegamento: N=-6324.69 Ty=-2.39 Tz=-0.09 Mx=-0.00 Mz=-5.31
Sollecitazioni agenti localmente: Ty_l=-1142.30 My_l=-23.45
Tensioni nella sezione: σ=284.20 τ=34.62
CC 29 SLV (Collegamento 0023_-380)
Azioni sul collegamento: N=-6324.69 Ty=-0.09 Tz=-0.09 Mx=-0.00 Mz=-0.81
Sollecitazioni agenti localmente: Ty_l=-1124.41 My_l=-23.05
Tensioni nella sezione: σ=279.45 τ=34.07
CC 29 SLV (Collegamento 0023_-380)
Azioni sul collegamento: N=-6324.69 Ty=-2.39 Tz=-5.21 Mx=-0.00 Mz=-5.31
Sollecitazioni agenti localmente: Ty_l=-1142.30 My_l=-23.45
Tensioni nella sezione: σ=284.20 τ=34.62
CC 29 SLV (Collegamento 0023_-380)
Azioni sul collegamento: N=-6324.69 Ty=-0.09 Tz=-5.21 Mx=-0.00 Mz=-0.81
Sollecitazioni agenti localmente: Ty_l=-1124.41 My_l=-23.05
Tensioni nella sezione: σ=279.45 τ=34.07
CC 30 SLD (Collegamento 0023_-380)
Azioni sul collegamento: N=-5422.89 Ty=-0.78 Tz=-1.87 Mx=-0.00 Mz=-1.69
Sollecitazioni agenti localmente: Ty_l=-968.05 My_l=-19.85
Tensioni nella sezione: σ=240.66 τ=29.33
CC 30 SLD (Collegamento 0023_-380)
Azioni sul collegamento: N=-5422.89 Ty=-0.08 Tz=-1.87 Mx=-0.00 Mz=-0.32
Sollecitazioni agenti localmente: Ty_l=-962.60 My_l=-19.73
Tensioni nella sezione: σ=239.21 τ=29.17
CC 30 SLD (Collegamento 0023_-380)
Azioni sul collegamento: N=-5422.89 Ty=-0.78 Tz=-3.43 Mx=-0.00 Mz=-1.69
Sollecitazioni agenti localmente: Ty_l=-968.05 My_l=-19.85

Tensioni nella sezione: σ=240.66 τ=29.33
CC 30 SLD (Collegamento 0023_-380)
Azioni sul collegamento: N=-5422.89 Ty=-0.08 Tz=-3.43 Mx=-0.00 Mz=-0.32
Sollecitazioni agenti localmente: Ty_l=-962.60 My_l=-19.73
Tensioni nella sezione: σ=239.21 τ=29.17
CC 30 SLD (Collegamento 0023_-380)
Azioni sul collegamento: N=-5844.26 Ty=-0.78 Tz=-1.87 Mx=-0.00 Mz=-1.69
Sollecitazioni agenti localmente: Ty_l=-1042.75 My_l=-21.39
Tensioni nella sezione: σ=259.22 τ=31.60
CC 30 SLD (Collegamento 0023_-380)
Azioni sul collegamento: N=-5844.26 Ty=-0.08 Tz=-1.87 Mx=-0.00 Mz=-0.32
Sollecitazioni agenti localmente: Ty_l=-1037.29 My_l=-21.27
Tensioni nella sezione: σ=257.77 τ=31.43
CC 30 SLD (Collegamento 0023_-380)
Azioni sul collegamento: N=-5844.26 Ty=-0.78 Tz=-3.43 Mx=-0.00 Mz=-1.69
Sollecitazioni agenti localmente: Ty_l=-1042.75 My_l=-21.39
Tensioni nella sezione: σ=259.22 τ=31.60
CC 30 SLD (Collegamento 0023_-380)
Azioni sul collegamento: N=-5844.26 Ty=-0.08 Tz=-3.43 Mx=-0.00 Mz=-0.32
Sollecitazioni agenti localmente: Ty_l=-1037.29 My_l=-21.27
Tensioni nella sezione: σ=257.77 τ=31.43
CC 31 SLV (Collegamento 0023_-380)
Azioni sul collegamento: N=-6324.76 Ty=-2.39 Tz=-5.22 Mx=-0.00 Mz=-5.32
Sollecitazioni agenti localmente: Ty_l=-1142.36 My_l=-23.45
Tensioni nella sezione: σ=284.22 τ=34.62
CC 31 SLV (Collegamento 0023_-380)
Azioni sul collegamento: N=-6324.76 Ty=-0.08 Tz=-5.22 Mx=-0.00 Mz=-0.80
Sollecitazioni agenti localmente: Ty_l=-1124.38 My_l=-23.05
Tensioni nella sezione: σ=279.44 τ=34.07
CC 31 SLV (Collegamento 0023_-380)
Azioni sul collegamento: N=-6324.76 Ty=-2.39 Tz=-0.09 Mx=-0.00 Mz=-5.32
Sollecitazioni agenti localmente: Ty_l=-1142.36 My_l=-23.45
Tensioni nella sezione: σ=284.22 τ=34.62
CC 31 SLV (Collegamento 0023_-380)
Azioni sul collegamento: N=-6324.76 Ty=-0.08 Tz=-0.09 Mx=-0.00 Mz=-0.80
Sollecitazioni agenti localmente: Ty_l=-1124.38 My_l=-23.05
Tensioni nella sezione: σ=279.44 τ=34.07
CC 31 SLV (Collegamento 0023_-380)
Azioni sul collegamento: N=-4942.75 Ty=-2.39 Tz=-5.22 Mx=-0.00 Mz=-5.32
Sollecitazioni agenti localmente: Ty_l=-897.37 My_l=-18.43
Tensioni nella sezione: σ=223.34 τ=27.19
CC 31 SLV (Collegamento 0023_-380)
Azioni sul collegamento: N=-4942.75 Ty=-0.08 Tz=-5.22 Mx=-0.00 Mz=-0.80
Sollecitazioni agenti localmente: Ty_l=-879.38 My_l=-18.03
Tensioni nella sezione: σ=218.57 τ=26.65
CC 31 SLV (Collegamento 0023_-380)
Azioni sul collegamento: N=-4942.75 Ty=-2.39 Tz=-0.09 Mx=-0.00 Mz=-5.32
Sollecitazioni agenti localmente: Ty_l=-897.37 My_l=-18.43
Tensioni nella sezione: σ=223.34 τ=27.19
CC 31 SLV (Collegamento 0023_-380)
Azioni sul collegamento: N=-4942.75 Ty=-0.08 Tz=-0.09 Mx=-0.00 Mz=-0.80
Sollecitazioni agenti localmente: Ty_l=-879.38 My_l=-18.03
Tensioni nella sezione: σ=218.57 τ=26.65
CC 32 SLD (Collegamento 0023_-380)
Azioni sul collegamento: N=-5844.28 Ty=-0.78 Tz=-3.44 Mx=-0.00 Mz=-1.69
Sollecitazioni agenti localmente: Ty_l=-1042.77 My_l=-21.39
Tensioni nella sezione: σ=259.23 τ=31.60
CC 32 SLD (Collegamento 0023_-380)
Azioni sul collegamento: N=-5844.28 Ty=-0.08 Tz=-3.44 Mx=-0.00 Mz=-0.31
Sollecitazioni agenti localmente: Ty_l=-1037.28 My_l=-21.27
Tensioni nella sezione: σ=257.77 τ=31.43
CC 32 SLD (Collegamento 0023_-380)
Azioni sul collegamento: N=-5844.28 Ty=-0.78 Tz=-1.87 Mx=-0.00 Mz=-1.69
Sollecitazioni agenti localmente: Ty_l=-1042.77 My_l=-21.39
Tensioni nella sezione: σ=259.23 τ=31.60
CC 32 SLD (Collegamento 0023_-380)
Azioni sul collegamento: N=-5844.28 Ty=-0.08 Tz=-1.87 Mx=-0.00 Mz=-0.31
Sollecitazioni agenti localmente: Ty_l=-1037.28 My_l=-21.27
Tensioni nella sezione: σ=257.77 τ=31.43
CC 32 SLD (Collegamento 0023_-380)
Azioni sul collegamento: N=-5422.87 Ty=-0.78 Tz=-3.44 Mx=-0.00 Mz=-1.69
Sollecitazioni agenti localmente: Ty_l=-968.06 My_l=-19.85
Tensioni nella sezione: σ=240.66 τ=29.34
CC 32 SLD (Collegamento 0023_-380)
Azioni sul collegamento: N=-5422.87 Ty=-0.08 Tz=-3.44 Mx=-0.00 Mz=-0.31
Sollecitazioni agenti localmente: Ty_l=-962.58 My_l=-19.73
Tensioni nella sezione: σ=239.21 τ=29.17
CC 32 SLD (Collegamento 0023_-380)
Azioni sul collegamento: N=-5422.87 Ty=-0.78 Tz=-1.87 Mx=-0.00 Mz=-1.69

Sollecitazioni agenti localmente: Ty_l=-968.06 My_l=-19.85
Tensioni nella sezione: σ=240.66 τ=29.34
CC 32 SLD (Collegamento 0023_-380)
Azioni sul collegamento: N=-5422.87 Ty=-0.08 Tz=-1.87 Mx=-0.00 Mz=-0.31
Sollecitazioni agenti localmente: Ty_l=-962.58 My_l=-19.73
Tensioni nella sezione: σ=239.21 τ=29.17
CC 33 SLU (Collegamento 0023_-380)
Azioni sul collegamento: N=-29447.20 Ty=-0.05 Tz=76.67 Mx=-0.00 Mz=-0.12
Sollecitazioni agenti localmente: Ty_l=-5220.64 My_l=-107.02
Tensioni nella sezione: σ=1297.26 τ=158.20
CC 34 SLU (Collegamento 0023_-380)
Azioni sul collegamento: N=-28967.90 Ty=-0.05 Tz=74.90 Mx=-0.00 Mz=-0.12
Sollecitazioni agenti localmente: Ty_l=-5135.69 My_l=-105.28
Tensioni nella sezione: σ=1276.15 τ=155.63
CC 35 SLU (Collegamento 0023_-380)
Azioni sul collegamento: N=-29207.50 Ty=-0.17 Tz=75.78 Mx=0.00 Mz=-0.35
Sollecitazioni agenti localmente: Ty_l=-5179.10 My_l=-106.17
Tensioni nella sezione: σ=1286.95 τ=156.94
CC 36 SLU (Collegamento 0023_-380)
Azioni sul collegamento: N=-29207.50 Ty=0.07 Tz=75.79 Mx=-0.00 Mz=0.12
Sollecitazioni agenti localmente: Ty_l=-5177.23 My_l=-106.13
Tensioni nella sezione: σ=1286.46 τ=156.89
CC 37 SLU (Collegamento 0023_-380)
Azioni sul collegamento: N=-19933.90 Ty=-0.08 Tz=41.69 Mx=-0.00 Mz=-0.13
Sollecitazioni agenti localmente: Ty_l=-3534.24 My_l=-72.45
Tensioni nella sezione: σ=878.21 τ=107.10
CC 38 SLU (Collegamento 0023_-380)
Azioni sul collegamento: N=-19454.60 Ty=-0.08 Tz=39.91 Mx=-0.00 Mz=-0.13
Sollecitazioni agenti localmente: Ty_l=-3449.28 My_l=-70.71
Tensioni nella sezione: σ=857.10 τ=104.52
CC 39 SLU (Collegamento 0023_-380)
Azioni sul collegamento: N=-19694.20 Ty=-0.20 Tz=40.80 Mx=0.00 Mz=-0.36
Sollecitazioni agenti localmente: Ty_l=-3492.69 My_l=-71.60
Tensioni nella sezione: σ=867.91 τ=105.84
CC 40 SLU (Collegamento 0023_-380)
Azioni sul collegamento: N=-19694.20 Ty=0.04 Tz=40.80 Mx=-0.00 Mz=0.10
Sollecitazioni agenti localmente: Ty_l=-3490.83 My_l=-71.56
Tensioni nella sezione: σ=867.41 τ=105.78
CC 41 SLU (Collegamento 0023_-380)
Azioni sul collegamento: N=-29632.10 Ty=-0.07 Tz=76.65 Mx=-0.00 Mz=-0.13
Sollecitazioni agenti localmente: Ty_l=-5253.47 My_l=-107.70
Tensioni nella sezione: σ=1305.42 τ=159.20
CC 42 SLU (Collegamento 0023_-380)
Azioni sul collegamento: N=-29152.80 Ty=-0.07 Tz=74.88 Mx=-0.00 Mz=-0.13
Sollecitazioni agenti localmente: Ty_l=-5168.52 My_l=-105.95
Tensioni nella sezione: σ=1284.31 τ=156.62
CC 43 SLU (Collegamento 0023_-380)
Azioni sul collegamento: N=-29392.40 Ty=-0.19 Tz=75.77 Mx=0.00 Mz=-0.36
Sollecitazioni agenti localmente: Ty_l=-5211.93 My_l=-106.85
Tensioni nella sezione: σ=1295.11 τ=157.94
CC 44 SLU (Collegamento 0023_-380)
Azioni sul collegamento: N=-29392.40 Ty=0.05 Tz=75.77 Mx=-0.00 Mz=0.10
Sollecitazioni agenti localmente: Ty_l=-5210.06 My_l=-106.81
Tensioni nella sezione: σ=1294.61 τ=157.88
CC 45 SLU (Collegamento 0023_-380)
Azioni sul collegamento: N=-22108.00 Ty=-0.08 Tz=49.75 Mx=-0.00 Mz=-0.14
Sollecitazioni agenti localmente: Ty_l=-3919.70 My_l=-80.35
Tensioni nella sezione: σ=974.00 τ=118.78
CC 46 SLU (Collegamento 0023_-380)
Azioni sul collegamento: N=-21628.70 Ty=-0.08 Tz=47.97 Mx=-0.00 Mz=-0.14
Sollecitazioni agenti localmente: Ty_l=-3834.74 My_l=-78.61
Tensioni nella sezione: σ=952.88 τ=116.20
CC 47 SLU (Collegamento 0023_-380)
Azioni sul collegamento: N=-21868.40 Ty=-0.20 Tz=48.86 Mx=0.00 Mz=-0.37
Sollecitazioni agenti localmente: Ty_l=-3878.15 My_l=-79.50
Tensioni nella sezione: σ=963.69 τ=117.52
CC 48 SLU (Collegamento 0023_-380)
Azioni sul collegamento: N=-21868.40 Ty=0.04 Tz=48.86 Mx=-0.00 Mz=0.10
Sollecitazioni agenti localmente: Ty_l=-3876.29 My_l=-79.46
Tensioni nella sezione: σ=963.19 τ=117.46
CC 49 SLU (Collegamento 0023_-380)
Azioni sul collegamento: N=-14990.70 Ty=-0.10 Tz=23.57 Mx=-0.00 Mz=-0.15
Sollecitazioni agenti localmente: Ty_l=-2658.02 My_l=-54.49
Tensioni nella sezione: σ=660.49 τ=80.55
CC 50 SLU (Collegamento 0023_-380)
Azioni sul collegamento: N=-14511.40 Ty=-0.10 Tz=21.80 Mx=-0.00 Mz=-0.15
Sollecitazioni agenti localmente: Ty_l=-2573.06 My_l=-52.75
Tensioni nella sezione: σ=639.38 τ=77.97
CC 51 SLU (Collegamento 0023_-380)

Azioni sul collegamento: N=-14751.00 Ty=-0.22 Tz=22.68 Mx=0.00 Mz=-0.38
Sollecitazioni agenti localmente: Ty_l=-2616.47 My_l=-53.64
Tensioni nella sezione: σ=650.18 τ=79.29
CC 52 SLU (Collegamento 0023_-380)
Azioni sul collegamento: N=-14751.00 Ty=0.02 Tz=22.69 Mx=-0.00 Mz=0.09
Sollecitazioni agenti localmente: Ty_l=-2614.61 My_l=-53.60
Tensioni nella sezione: σ=649.68 τ=79.23
CC 53 SLU (Collegamento 0023_-380)
Azioni sul collegamento: N=-22246.40 Ty=-0.10 Tz=49.73 Mx=-0.00 Mz=-0.15
Sollecitazioni agenti localmente: Ty_l=-3944.26 My_l=-80.86
Tensioni nella sezione: σ=980.10 τ=119.52
CC 54 SLU (Collegamento 0023_-380)
Azioni sul collegamento: N=-21767.10 Ty=-0.10 Tz=47.96 Mx=-0.00 Mz=-0.15
Sollecitazioni agenti localmente: Ty_l=-3859.30 My_l=-79.12
Tensioni nella sezione: σ=958.99 τ=116.95
CC 55 SLU (Collegamento 0023_-380)
Azioni sul collegamento: N=-22006.70 Ty=-0.22 Tz=48.85 Mx=0.00 Mz=-0.38
Sollecitazioni agenti localmente: Ty_l=-3902.71 My_l=-80.01
Tensioni nella sezione: σ=969.79 τ=118.26
CC 56 SLU (Collegamento 0023_-380)
Azioni sul collegamento: N=-22006.70 Ty=0.02 Tz=48.85 Mx=-0.00 Mz=0.09
Sollecitazioni agenti localmente: Ty_l=-3900.85 My_l=-79.97
Tensioni nella sezione: σ=969.30 τ=118.21
CC 57 SLU (Collegamento 0023_-380)
Azioni sul collegamento: N=-20646.20 Ty=-0.07 Tz=44.37 Mx=-0.00 Mz=-0.13
Sollecitazioni agenti localmente: Ty_l=-3660.53 My_l=-75.04
Tensioni nella sezione: σ=909.59 τ=110.92
CC 58 SLU (Collegamento 0023_-380)
Azioni sul collegamento: N=-20166.90 Ty=-0.07 Tz=42.59 Mx=-0.00 Mz=-0.13
Sollecitazioni agenti localmente: Ty_l=-3575.57 My_l=-73.30
Tensioni nella sezione: σ=888.49 τ=108.35
CC 59 SLU (Collegamento 0023_-380)
Azioni sul collegamento: N=-20406.60 Ty=-0.19 Tz=43.48 Mx=0.00 Mz=-0.36
Sollecitazioni agenti localmente: Ty_l=-3618.98 My_l=-74.19
Tensioni nella sezione: σ=899.29 τ=109.67
CC 60 SLU (Collegamento 0023_-380)
Azioni sul collegamento: N=-20406.60 Ty=0.05 Tz=43.48 Mx=-0.00 Mz=0.10
Sollecitazioni agenti localmente: Ty_l=-3617.12 My_l=-74.15
Tensioni nella sezione: σ=898.79 τ=109.61
CC 61 SLU (Collegamento 0023_-380)
Azioni sul collegamento: N=-13528.90 Ty=-0.09 Tz=18.19 Mx=-0.00 Mz=-0.14
Sollecitazioni agenti localmente: Ty_l=-2398.85 My_l=-49.18
Tensioni nella sezione: σ=596.09 τ=72.69
CC 62 SLU (Collegamento 0023_-380)
Azioni sul collegamento: N=-13049.60 Ty=-0.10 Tz=16.41 Mx=-0.00 Mz=-0.14
Sollecitazioni agenti localmente: Ty_l=-2313.89 My_l=-47.44
Tensioni nella sezione: σ=574.98 τ=70.12
CC 63 SLU (Collegamento 0023_-380)
Azioni sul collegamento: N=-13289.20 Ty=-0.21 Tz=17.30 Mx=0.00 Mz=-0.37
Sollecitazioni agenti localmente: Ty_l=-2357.30 My_l=-48.33
Tensioni nella sezione: σ=585.78 τ=71.43
CC 64 SLU (Collegamento 0023_-380)
Azioni sul collegamento: N=-13289.20 Ty=0.02 Tz=17.30 Mx=-0.00 Mz=0.10
Sollecitazioni agenti localmente: Ty_l=-2355.44 My_l=-48.29
Tensioni nella sezione: σ=585.28 τ=71.38
CC 65 SLU (Collegamento 0023_-380)
Azioni sul collegamento: N=-20784.60 Ty=-0.09 Tz=44.35 Mx=-0.00 Mz=-0.14
Sollecitazioni agenti localmente: Ty_l=-3685.09 My_l=-75.55
Tensioni nella sezione: σ=915.70 τ=111.67
CC 66 SLU (Collegamento 0023_-380)
Azioni sul collegamento: N=-20305.30 Ty=-0.09 Tz=42.57 Mx=-0.00 Mz=-0.14
Sollecitazioni agenti localmente: Ty_l=-3600.13 My_l=-73.80
Tensioni nella sezione: σ=894.59 τ=109.09
CC 67 SLU (Collegamento 0023_-380)
Azioni sul collegamento: N=-20544.90 Ty=-0.21 Tz=43.46 Mx=0.00 Mz=-0.37
Sollecitazioni agenti localmente: Ty_l=-3643.54 My_l=-74.69
Tensioni nella sezione: σ=905.39 τ=110.41
CC 68 SLU (Collegamento 0023_-380)
Azioni sul collegamento: N=-20544.90 Ty=0.03 Tz=43.46 Mx=-0.00 Mz=0.10
Sollecitazioni agenti localmente: Ty_l=-3641.68 My_l=-74.65
Tensioni nella sezione: σ=904.89 τ=110.35
CC 97 SLU (Collegamento 0023_-380)
Azioni sul collegamento: N=-12582.10 Ty=-12.27 Tz=22.98 Mx=-0.04 Mz=-17.61
Sollecitazioni agenti localmente: Ty_l=-2300.51 My_l=-47.26
Tensioni nella sezione: σ=572.83 τ=69.71
CC 98 SLU (Collegamento 0023_-380)
Azioni sul collegamento: N=-12102.80 Ty=-12.27 Tz=21.21 Mx=-0.04 Mz=-17.61
Sollecitazioni agenti localmente: Ty_l=-2215.55 My_l=-45.52
Tensioni nella sezione: σ=551.72 τ=67.14

CC 99 SLU (Collegamento 0023_-380)
Azioni sul collegamento: N=-12342.50 Ty=-12.39 Tz=22.09 Mx=-0.04 Mz=-17.84
Sollecitazioni agenti localmente: Ty_l=-2258.96 My_l=-46.41
Tensioni nella sezione: σ=562.52 τ=68.45
CC 100 SLU (Collegamento 0023_-380)
Azioni sul collegamento: N=-12342.50 Ty=-12.15 Tz=22.09 Mx=-0.04 Mz=-17.38
Sollecitazioni agenti localmente: Ty_l=-2257.10 My_l=-46.37
Tensioni nella sezione: σ=562.03 τ=68.40
CC 101 SLU (Collegamento 0023_-380)
Azioni sul collegamento: N=-6366.46 Ty=2.01 Tz=0.04 Mx=0.00 Mz=2.22
Sollecitazioni agenti localmente: Ty_l=-1119.77 My_l=-22.94
Tensioni nella sezione: σ=278.10 τ=33.93
CC 102 SLU (Collegamento 0023_-380)
Azioni sul collegamento: N=-5887.16 Ty=2.00 Tz=-1.73 Mx=0.00 Mz=2.22
Sollecitazioni agenti localmente: Ty_l=-1034.82 My_l=-21.20
Tensioni nella sezione: σ=256.99 τ=31.36
CC 103 SLU (Collegamento 0023_-380)
Azioni sul collegamento: N=-6126.81 Ty=1.89 Tz=-0.85 Mx=0.01 Mz=1.98
Sollecitazioni agenti localmente: Ty_l=-1078.23 My_l=-22.09
Tensioni nella sezione: σ=267.79 τ=32.67
CC 104 SLU (Collegamento 0023_-380)
Azioni sul collegamento: N=-6126.80 Ty=2.12 Tz=-0.84 Mx=0.00 Mz=2.45
Sollecitazioni agenti localmente: Ty_l=-1076.36 My_l=-22.05
Tensioni nella sezione: σ=267.29 τ=32.62

Collegamento 0024_-381

Piastra 220.00 x 220.00 s=15.00 - 6 Tirafondi ϕ 16 - Profondità di infissione: 350.00
3 righe ad interasse 89.00
2 colonne ad interasse 178.00
Altezza di gola saldature: anima 7.07 - ala 7.07

Tirafondi e calcestruzzo

CC 1 SLV (Collegamento 0024_-381)
Azioni sul collegamento: N=-3931.62 Ty=6.55 Tz=-8.98 Mx=0.01 Mz=7.22
Sollecitazioni agenti localmente: Tx_l=6.55 Ty_l=-8.98 N_l=-3931.62 Mx_l=-0.00 My_l=7.22 Mz_l=0.01
Taglio nei bulloni: Fv,Ed=1.87 Fv,Rd=7720.78
Rifollamento lato piastra: Fb,Ed,p=1.86 Fb,Rd,p=10428.60
Tirafondi:LT=0.45 (0.31) σ_{cR}=0.00 σ_{fR}=0.00
Compressione nel calcestruzzo: σ_c=8.53
CC 1 SLV (Collegamento 0024_-381)
Azioni sul collegamento: N=-3931.62 Ty=3.19 Tz=-8.98 Mx=0.01 Mz=4.04
Sollecitazioni agenti localmente: Tx_l=3.19 Ty_l=-8.98 N_l=-3931.62 Mx_l=-0.00 My_l=4.04 Mz_l=0.01
Taglio nei bulloni: Fv,Ed=1.61 Fv,Rd=7720.78
Rifollamento lato piastra: Fb,Ed,p=1.60 Fb,Rd,p=7019.31
Tirafondi:LT=0.45 (0.31) σ_{cR}=0.00 σ_{fR}=0.00
Compressione nel calcestruzzo: σ_c=8.35
CC 1 SLV (Collegamento 0024_-381)
Azioni sul collegamento: N=-3931.62 Ty=6.55 Tz=10.69 Mx=0.01 Mz=7.22
Sollecitazioni agenti localmente: Tx_l=6.55 Ty_l=10.69 N_l=-3931.62 Mx_l=-0.00 My_l=7.22 Mz_l=0.01
Taglio nei bulloni: Fv,Ed=2.11 Fv,Rd=7720.78
Rifollamento lato piastra: Fb,Ed,p=2.11 Fb,Rd,p=9431.52
Tirafondi:LT=0.45 (0.31) σ_{cR}=0.00 σ_{fR}=0.00
Compressione nel calcestruzzo: σ_c=8.53
CC 1 SLV (Collegamento 0024_-381)
Azioni sul collegamento: N=-3931.62 Ty=3.19 Tz=10.69 Mx=0.01 Mz=4.04
Sollecitazioni agenti localmente: Tx_l=3.19 Ty_l=10.69 N_l=-3931.62 Mx_l=-0.00 My_l=4.04 Mz_l=0.01
Taglio nei bulloni: Fv,Ed=1.88 Fv,Rd=7720.78
Rifollamento lato piastra: Fb,Ed,p=1.88 Fb,Rd,p=6806.97
Tirafondi:LT=0.45 (0.31) σ_{cR}=0.00 σ_{fR}=0.00
Compressione nel calcestruzzo: σ_c=8.35
CC 1 SLV (Collegamento 0024_-381)
Azioni sul collegamento: N=-9217.12 Ty=6.55 Tz=-8.98 Mx=0.01 Mz=7.22
Sollecitazioni agenti localmente: Tx_l=6.55 Ty_l=-8.98 N_l=-9217.12 Mx_l=-0.00 My_l=7.22 Mz_l=0.01
Taglio nei bulloni: Fv,Ed=1.87 Fv,Rd=7720.78
Rifollamento lato piastra: Fb,Ed,p=1.86 Fb,Rd,p=10428.70
Tirafondi:LT=0.45 (0.31) σ_{cR}=0.00 σ_{fR}=0.00
Compressione nel calcestruzzo: σ_c=19.45
CC 1 SLV (Collegamento 0024_-381)
Azioni sul collegamento: N=-9217.12 Ty=3.19 Tz=-8.98 Mx=0.01 Mz=4.04
Sollecitazioni agenti localmente: Tx_l=3.19 Ty_l=-8.98 N_l=-9217.12 Mx_l=-0.00 My_l=4.04 Mz_l=0.01
Taglio nei bulloni: Fv,Ed=1.61 Fv,Rd=7720.78
Rifollamento lato piastra: Fb,Ed,p=1.60 Fb,Rd,p=7019.36
Tirafondi:LT=0.45 (0.31) σ_{cR}=0.00 σ_{fR}=0.00
Compressione nel calcestruzzo: σ_c=19.27
CC 1 SLV (Collegamento 0024_-381)
Azioni sul collegamento: N=-9217.12 Ty=6.55 Tz=10.69 Mx=0.01 Mz=7.22

Sollecitazioni agenti localmente: Tx_l=6.55 Ty_l=10.69 N_l=-9217.12 Mx_l=-0.00 My_l=7.22 Mz_l=0.01
Taglio nei bulloni: Fv,Ed=2.11 Fv,Rd=7720.78
Rifollamento lato piastra: Fb,Ed,p=2.11 Fb,Rd,p=9431.26
Tirafondi:LT=0.45 (0.31) σ_{cR}=0.00 σ_{fR}=0.00
Compressione nel calcestruzzo: σ_c=19.45
CC 1 SLV (Collegamento 0024_-381)
Azioni sul collegamento: N=-9217.12 Ty=3.19 Tz=10.69 Mx=0.01 Mz=4.04
Sollecitazioni agenti localmente: Tx_l=3.19 Ty_l=10.69 N_l=-9217.12 Mx_l=-0.00 My_l=4.04 Mz_l=0.01
Taglio nei bulloni: Fv,Ed=1.88 Fv,Rd=7720.78
Rifollamento lato piastra: Fb,Ed,p=1.88 Fb,Rd,p=6806.91
Tirafondi:LT=0.45 (0.31) σ_{cR}=0.00 σ_{fR}=0.00
Compressione nel calcestruzzo: σ_c=19.27
CC 2 SLD (Collegamento 0024_-381)
Azioni sul collegamento: N=-5736.03 Ty=4.54 Tz=-2.27 Mx=0.00 Mz=4.03
Sollecitazioni agenti localmente: Tx_l=4.54 Ty_l=-2.27 N_l=-5736.03 Mx_l=-0.00 My_l=4.03 Mz_l=0.00
Taglio nei bulloni: Fv,Ed=0.85 Fv,Rd=9650.97
Rifollamento lato piastra: Fb,Ed,p=0.85 Fb,Rd,p=10321.90
Tirafondi:LT=0.45 (0.31) σ_{cR}=0.00 σ_{fR}=0.00
Compressione nel calcestruzzo: σ_c=12.08
CC 2 SLD (Collegamento 0024_-381)
Azioni sul collegamento: N=-5736.03 Ty=3.51 Tz=-2.27 Mx=0.00 Mz=3.06
Sollecitazioni agenti localmente: Tx_l=3.51 Ty_l=-2.27 N_l=-5736.03 Mx_l=-0.00 My_l=3.06 Mz_l=0.00
Taglio nei bulloni: Fv,Ed=0.70 Fv,Rd=9650.97
Rifollamento lato piastra: Fb,Ed,p=0.70 Fb,Rd,p=12265.00
Tirafondi:LT=0.45 (0.31) σ_{cR}=0.00 σ_{fR}=0.00
Compressione nel calcestruzzo: σ_c=12.02
CC 2 SLD (Collegamento 0024_-381)
Azioni sul collegamento: N=-5736.03 Ty=4.54 Tz=3.73 Mx=0.00 Mz=4.03
Sollecitazioni agenti localmente: Tx_l=4.54 Ty_l=3.73 N_l=-5736.03 Mx_l=-0.00 My_l=4.03 Mz_l=0.00
Taglio nei bulloni: Fv,Ed=0.98 Fv,Rd=9650.97
Rifollamento lato piastra: Fb,Ed,p=0.98 Fb,Rd,p=13712.20
Tirafondi:LT=0.45 (0.31) σ_{cR}=0.00 σ_{fR}=0.00
Compressione nel calcestruzzo: σ_c=12.08
CC 2 SLD (Collegamento 0024_-381)
Azioni sul collegamento: N=-5736.03 Ty=3.51 Tz=3.73 Mx=0.00 Mz=3.06
Sollecitazioni agenti localmente: Tx_l=3.51 Ty_l=3.73 N_l=-5736.03 Mx_l=-0.00 My_l=3.06 Mz_l=0.00
Taglio nei bulloni: Fv,Ed=0.86 Fv,Rd=9650.97
Rifollamento lato piastra: Fb,Ed,p=0.86 Fb,Rd,p=14599.70
Tirafondi:LT=0.45 (0.31) σ_{cR}=0.00 σ_{fR}=0.00
Compressione nel calcestruzzo: σ_c=12.02
CC 2 SLD (Collegamento 0024_-381)
Azioni sul collegamento: N=-7347.75 Ty=4.54 Tz=-2.27 Mx=0.00 Mz=4.03
Sollecitazioni agenti localmente: Tx_l=4.54 Ty_l=-2.27 N_l=-7347.75 Mx_l=-0.00 My_l=4.03 Mz_l=0.00
Taglio nei bulloni: Fv,Ed=0.85 Fv,Rd=9650.97
Rifollamento lato piastra: Fb,Ed,p=0.85 Fb,Rd,p=10322.10
Tirafondi:LT=0.45 (0.31) σ_{cR}=0.00 σ_{fR}=0.00
Compressione nel calcestruzzo: σ_c=15.41
CC 2 SLD (Collegamento 0024_-381)
Azioni sul collegamento: N=-7347.75 Ty=3.51 Tz=-2.27 Mx=0.00 Mz=3.06
Sollecitazioni agenti localmente: Tx_l=3.51 Ty_l=-2.27 N_l=-7347.75 Mx_l=-0.00 My_l=3.06 Mz_l=0.00
Taglio nei bulloni: Fv,Ed=0.70 Fv,Rd=9650.97
Rifollamento lato piastra: Fb,Ed,p=0.70 Fb,Rd,p=12265.30
Tirafondi:LT=0.45 (0.31) σ_{cR}=0.00 σ_{fR}=0.00
Compressione nel calcestruzzo: σ_c=15.35
CC 2 SLD (Collegamento 0024_-381)
Azioni sul collegamento: N=-7347.75 Ty=4.54 Tz=3.73 Mx=0.00 Mz=4.03
Sollecitazioni agenti localmente: Tx_l=4.54 Ty_l=3.73 N_l=-7347.75 Mx_l=-0.00 My_l=4.03 Mz_l=0.00
Taglio nei bulloni: Fv,Ed=0.98 Fv,Rd=9650.97
Rifollamento lato piastra: Fb,Ed,p=0.98 Fb,Rd,p=13712.40
Tirafondi:LT=0.45 (0.31) σ_{cR}=0.00 σ_{fR}=0.00
Compressione nel calcestruzzo: σ_c=15.41
CC 2 SLD (Collegamento 0024_-381)
Azioni sul collegamento: N=-7347.75 Ty=3.51 Tz=3.73 Mx=0.00 Mz=3.06
Sollecitazioni agenti localmente: Tx_l=3.51 Ty_l=3.73 N_l=-7347.75 Mx_l=-0.00 My_l=3.06 Mz_l=0.00
Taglio nei bulloni: Fv,Ed=0.86 Fv,Rd=9650.97
Rifollamento lato piastra: Fb,Ed,p=0.86 Fb,Rd,p=14599.50
Tirafondi:LT=0.45 (0.31) σ_{cR}=0.00 σ_{fR}=0.00
Compressione nel calcestruzzo: σ_c=15.35
CC 3 SLV (Collegamento 0024_-381)
Azioni sul collegamento: N=-3937.31 Ty=5.92 Tz=-8.85 Mx=0.01 Mz=5.96
Sollecitazioni agenti localmente: Tx_l=5.92 Ty_l=-8.85 N_l=-3937.31 Mx_l=-0.00 My_l=5.96 Mz_l=0.01
Taglio nei bulloni: Fv,Ed=1.79 Fv,Rd=7720.78
Rifollamento lato piastra: Fb,Ed,p=1.78 Fb,Rd,p=9910.88
Tirafondi:LT=0.45 (0.31) σ_{cR}=0.00 σ_{fR}=0.00
Compressione nel calcestruzzo: σ_c=8.47
CC 3 SLV (Collegamento 0024_-381)
Azioni sul collegamento: N=-3937.31 Ty=3.82 Tz=-8.85 Mx=0.01 Mz=5.30
Sollecitazioni agenti localmente: Tx_l=3.82 Ty_l=-8.85 N_l=-3937.31 Mx_l=-0.00 My_l=5.30 Mz_l=0.01

Taglio nei bulloni: Fv,Ed=1.62 Fv,Rd=7720.78
Rifollamento lato piastra: Fb,Ed,p=1.61 Fb,Rd,p=7578.35
Tirafondi:LT=0.45 (0.31) σ_{cR}=0.00 σ_{fR}=0.00
Compressione nel calcestruzzo: σ_c=8.43
CC 3 SLV (Collegamento 0024_-381)
Azioni sul collegamento: N=-3937.31 Ty=5.92 Tz=10.56 Mx=0.01 Mz=5.96
Sollecitazioni agenti localmente: Tx_l=5.92 Ty_l=10.56 N_l=-3937.31 Mx_l=-0.00 My_l=5.96 Mz_l=0.01
Taglio nei bulloni: Fv,Ed=2.03 Fv,Rd=7720.78
Rifollamento lato piastra: Fb,Ed,p=2.03 Fb,Rd,p=8847.90
Tirafondi:LT=0.45 (0.31) σ_{cR}=0.00 σ_{fR}=0.00
Compressione nel calcestruzzo: σ_c=8.47
CC 3 SLV (Collegamento 0024_-381)
Azioni sul collegamento: N=-3937.31 Ty=3.82 Tz=10.56 Mx=0.01 Mz=5.30
Sollecitazioni agenti localmente: Tx_l=3.82 Ty_l=10.56 N_l=-3937.31 Mx_l=-0.00 My_l=5.30 Mz_l=0.01
Taglio nei bulloni: Fv,Ed=1.89 Fv,Rd=7720.78
Rifollamento lato piastra: Fb,Ed,p=1.89 Fb,Rd,p=7177.46
Tirafondi:LT=0.45 (0.31) σ_{cR}=0.00 σ_{fR}=0.00
Compressione nel calcestruzzo: σ_c=8.43
CC 3 SLV (Collegamento 0024_-381)
Azioni sul collegamento: N=-9211.43 Ty=5.92 Tz=-8.85 Mx=0.01 Mz=5.96
Sollecitazioni agenti localmente: Tx_l=5.92 Ty_l=-8.85 N_l=-9211.43 Mx_l=-0.00 My_l=5.96 Mz_l=0.01
Taglio nei bulloni: Fv,Ed=1.79 Fv,Rd=7720.78
Rifollamento lato piastra: Fb,Ed,p=1.78 Fb,Rd,p=9910.90
Tirafondi:LT=0.45 (0.31) σ_{cR}=0.00 σ_{fR}=0.00
Compressione nel calcestruzzo: σ_c=19.37
CC 3 SLV (Collegamento 0024_-381)
Azioni sul collegamento: N=-9211.43 Ty=3.82 Tz=-8.85 Mx=0.01 Mz=5.30
Sollecitazioni agenti localmente: Tx_l=3.82 Ty_l=-8.85 N_l=-9211.43 Mx_l=-0.00 My_l=5.30 Mz_l=0.01
Taglio nei bulloni: Fv,Ed=1.62 Fv,Rd=7720.78
Rifollamento lato piastra: Fb,Ed,p=1.61 Fb,Rd,p=7578.35
Tirafondi:LT=0.45 (0.31) σ_{cR}=0.00 σ_{fR}=0.00
Compressione nel calcestruzzo: σ_c=19.33
CC 3 SLV (Collegamento 0024_-381)
Azioni sul collegamento: N=-9211.43 Ty=5.92 Tz=10.56 Mx=0.01 Mz=5.96
Sollecitazioni agenti localmente: Tx_l=5.92 Ty_l=10.56 N_l=-9211.43 Mx_l=-0.00 My_l=5.96 Mz_l=0.01
Taglio nei bulloni: Fv,Ed=2.03 Fv,Rd=7720.78
Rifollamento lato piastra: Fb,Ed,p=2.03 Fb,Rd,p=8847.87
Tirafondi:LT=0.45 (0.31) σ_{cR}=0.00 σ_{fR}=0.00
Compressione nel calcestruzzo: σ_c=19.37
CC 3 SLV (Collegamento 0024_-381)
Azioni sul collegamento: N=-9211.43 Ty=3.82 Tz=10.56 Mx=0.01 Mz=5.30
Sollecitazioni agenti localmente: Tx_l=3.82 Ty_l=10.56 N_l=-9211.43 Mx_l=-0.00 My_l=5.30 Mz_l=0.01
Taglio nei bulloni: Fv,Ed=1.89 Fv,Rd=7720.78
Rifollamento lato piastra: Fb,Ed,p=1.89 Fb,Rd,p=7177.45
Tirafondi:LT=0.45 (0.31) σ_{cR}=0.00 σ_{fR}=0.00
Compressione nel calcestruzzo: σ_c=19.33
CC 4 SLD (Collegamento 0024_-381)
Azioni sul collegamento: N=-5737.77 Ty=4.34 Tz=-2.23 Mx=0.00 Mz=3.65
Sollecitazioni agenti localmente: Tx_l=4.34 Ty_l=-2.23 N_l=-5737.77 Mx_l=-0.00 My_l=3.65 Mz_l=0.00
Taglio nei bulloni: Fv,Ed=0.81 Fv,Rd=9650.97
Rifollamento lato piastra: Fb,Ed,p=0.81 Fb,Rd,p=10464.90
Tirafondi:LT=0.45 (0.31) σ_{cR}=0.00 σ_{fR}=0.00
Compressione nel calcestruzzo: σ_c=12.06
CC 4 SLD (Collegamento 0024_-381)
Azioni sul collegamento: N=-5737.77 Ty=3.71 Tz=-2.23 Mx=0.00 Mz=3.45
Sollecitazioni agenti localmente: Tx_l=3.71 Ty_l=-2.23 N_l=-5737.77 Mx_l=-0.00 My_l=3.45 Mz_l=0.00
Taglio nei bulloni: Fv,Ed=0.72 Fv,Rd=9650.97
Rifollamento lato piastra: Fb,Ed,p=0.72 Fb,Rd,p=11605.90
Tirafondi:LT=0.45 (0.31) σ_{cR}=0.00 σ_{fR}=0.00
Compressione nel calcestruzzo: σ_c=12.05
CC 4 SLD (Collegamento 0024_-381)
Azioni sul collegamento: N=-5737.77 Ty=4.34 Tz=3.69 Mx=0.00 Mz=3.65
Sollecitazioni agenti localmente: Tx_l=4.34 Ty_l=3.69 N_l=-5737.77 Mx_l=-0.00 My_l=3.65 Mz_l=0.00
Taglio nei bulloni: Fv,Ed=0.95 Fv,Rd=9650.97
Rifollamento lato piastra: Fb,Ed,p=0.95 Fb,Rd,p=13925.50
Tirafondi:LT=0.45 (0.31) σ_{cR}=0.00 σ_{fR}=0.00
Compressione nel calcestruzzo: σ_c=12.06
CC 4 SLD (Collegamento 0024_-381)
Azioni sul collegamento: N=-5737.77 Ty=3.71 Tz=3.69 Mx=0.00 Mz=3.45
Sollecitazioni agenti localmente: Tx_l=3.71 Ty_l=3.69 N_l=-5737.77 Mx_l=-0.00 My_l=3.45 Mz_l=0.00
Taglio nei bulloni: Fv,Ed=0.87 Fv,Rd=9650.97
Rifollamento lato piastra: Fb,Ed,p=0.87 Fb,Rd,p=14972.50
Tirafondi:LT=0.45 (0.31) σ_{cR}=0.00 σ_{fR}=0.00
Compressione nel calcestruzzo: σ_c=12.05
CC 4 SLD (Collegamento 0024_-381)
Azioni sul collegamento: N=-7346.01 Ty=4.34 Tz=-2.23 Mx=0.00 Mz=3.65
Sollecitazioni agenti localmente: Tx_l=4.34 Ty_l=-2.23 N_l=-7346.01 Mx_l=-0.00 My_l=3.65 Mz_l=0.00
Taglio nei bulloni: Fv,Ed=0.81 Fv,Rd=9650.97

Rifollamento lato piastra: Fb,Ed,p=0.81 Fb,Rd,p=10464.80
Tirafondi:LT=0.45 (0.31) σ_{cR}=0.00 σ_{fR}=0.00
Compressione nel calcestruzzo: σ_c=15.38
CC 4 SLD (Collegamento 0024_-381)
Azioni sul collegamento: N=-7346.01 Ty=3.71 Tz=-2.23 Mx=0.00 Mz=3.45
Sollecitazioni agenti localmente: Tx_l=3.71 Ty_l=-2.23 N_l=-7346.01 Mx_l=-0.00 My_l=3.45 Mz_l=0.00
Taglio nei bulloni: Fv,Ed=0.72 Fv,Rd=9650.97
Rifollamento lato piastra: Fb,Ed,p=0.72 Fb,Rd,p=11605.80
Tirafondi:LT=0.45 (0.31) σ_{cR}=0.00 σ_{fR}=0.00
Compressione nel calcestruzzo: σ_c=15.37
CC 4 SLD (Collegamento 0024_-381)
Azioni sul collegamento: N=-7346.01 Ty=4.34 Tz=3.69 Mx=0.00 Mz=3.65
Sollecitazioni agenti localmente: Tx_l=4.34 Ty_l=3.69 N_l=-7346.01 Mx_l=-0.00 My_l=3.65 Mz_l=0.00
Taglio nei bulloni: Fv,Ed=0.95 Fv,Rd=9650.97
Rifollamento lato piastra: Fb,Ed,p=0.95 Fb,Rd,p=13925.30
Tirafondi:LT=0.45 (0.31) σ_{cR}=0.00 σ_{fR}=0.00
Compressione nel calcestruzzo: σ_c=15.38
CC 4 SLD (Collegamento 0024_-381)
Azioni sul collegamento: N=-7346.01 Ty=3.71 Tz=3.69 Mx=0.00 Mz=3.45
Sollecitazioni agenti localmente: Tx_l=3.71 Ty_l=3.69 N_l=-7346.01 Mx_l=-0.00 My_l=3.45 Mz_l=0.00
Taglio nei bulloni: Fv,Ed=0.87 Fv,Rd=9650.97
Rifollamento lato piastra: Fb,Ed,p=0.87 Fb,Rd,p=14972.30
Tirafondi:LT=0.45 (0.31) σ_{cR}=0.00 σ_{fR}=0.00
Compressione nel calcestruzzo: σ_c=15.37
CC 5 SLV (Collegamento 0024_-381)
Azioni sul collegamento: N=-9211.43 Ty=3.82 Tz=10.56 Mx=0.01 Mz=5.30
Sollecitazioni agenti localmente: Tx_l=3.82 Ty_l=10.56 N_l=-9211.43 Mx_l=-0.00 My_l=5.30 Mz_l=0.01
Taglio nei bulloni: Fv,Ed=1.89 Fv,Rd=7720.78
Rifollamento lato piastra: Fb,Ed,p=1.89 Fb,Rd,p=7181.59
Tirafondi:LT=0.45 (0.31) σ_{cR}=0.00 σ_{fR}=0.00
Compressione nel calcestruzzo: σ_c=19.33
CC 5 SLV (Collegamento 0024_-381)
Azioni sul collegamento: N=-9211.43 Ty=5.92 Tz=10.56 Mx=0.01 Mz=5.96
Sollecitazioni agenti localmente: Tx_l=5.92 Ty_l=10.56 N_l=-9211.43 Mx_l=-0.00 My_l=5.96 Mz_l=0.01
Taglio nei bulloni: Fv,Ed=2.03 Fv,Rd=7720.78
Rifollamento lato piastra: Fb,Ed,p=2.03 Fb,Rd,p=8852.36
Tirafondi:LT=0.45 (0.31) σ_{cR}=0.00 σ_{fR}=0.00
Compressione nel calcestruzzo: σ_c=19.37
CC 5 SLV (Collegamento 0024_-381)
Azioni sul collegamento: N=-9211.43 Ty=3.82 Tz=-8.85 Mx=0.01 Mz=5.30
Sollecitazioni agenti localmente: Tx_l=3.82 Ty_l=-8.85 N_l=-9211.43 Mx_l=-0.00 My_l=5.30 Mz_l=0.01
Taglio nei bulloni: Fv,Ed=1.62 Fv,Rd=7720.78
Rifollamento lato piastra: Fb,Ed,p=1.61 Fb,Rd,p=7565.54
Tirafondi:LT=0.45 (0.31) σ_{cR}=0.00 σ_{fR}=0.00
Compressione nel calcestruzzo: σ_c=19.33
CC 5 SLV (Collegamento 0024_-381)
Azioni sul collegamento: N=-9211.43 Ty=5.92 Tz=-8.85 Mx=0.01 Mz=5.96
Sollecitazioni agenti localmente: Tx_l=5.92 Ty_l=-8.85 N_l=-9211.43 Mx_l=-0.00 My_l=5.96 Mz_l=0.01
Taglio nei bulloni: Fv,Ed=1.79 Fv,Rd=7720.78
Rifollamento lato piastra: Fb,Ed,p=1.78 Fb,Rd,p=9887.04
Tirafondi:LT=0.45 (0.31) σ_{cR}=0.00 σ_{fR}=0.00
Compressione nel calcestruzzo: σ_c=19.37
CC 5 SLV (Collegamento 0024_-381)
Azioni sul collegamento: N=-3937.31 Ty=3.82 Tz=10.56 Mx=0.01 Mz=5.30
Sollecitazioni agenti localmente: Tx_l=3.82 Ty_l=10.56 N_l=-3937.31 Mx_l=-0.00 My_l=5.30 Mz_l=0.01
Taglio nei bulloni: Fv,Ed=1.89 Fv,Rd=7720.78
Rifollamento lato piastra: Fb,Ed,p=1.89 Fb,Rd,p=7181.61
Tirafondi:LT=0.45 (0.31) σ_{cR}=0.00 σ_{fR}=0.00
Compressione nel calcestruzzo: σ_c=8.43
CC 5 SLV (Collegamento 0024_-381)
Azioni sul collegamento: N=-3937.31 Ty=5.92 Tz=10.56 Mx=0.01 Mz=5.96
Sollecitazioni agenti localmente: Tx_l=5.92 Ty_l=10.56 N_l=-3937.31 Mx_l=-0.00 My_l=5.96 Mz_l=0.01
Taglio nei bulloni: Fv,Ed=2.03 Fv,Rd=7720.78
Rifollamento lato piastra: Fb,Ed,p=2.03 Fb,Rd,p=8852.39
Tirafondi:LT=0.45 (0.31) σ_{cR}=0.00 σ_{fR}=0.00
Compressione nel calcestruzzo: σ_c=8.47
CC 5 SLV (Collegamento 0024_-381)
Azioni sul collegamento: N=-3937.31 Ty=3.82 Tz=-8.85 Mx=0.01 Mz=5.30
Sollecitazioni agenti localmente: Tx_l=3.82 Ty_l=-8.85 N_l=-3937.31 Mx_l=-0.00 My_l=5.30 Mz_l=0.01
Taglio nei bulloni: Fv,Ed=1.62 Fv,Rd=7720.78
Rifollamento lato piastra: Fb,Ed,p=1.61 Fb,Rd,p=7565.53
Tirafondi:LT=0.45 (0.31) σ_{cR}=0.00 σ_{fR}=0.00
Compressione nel calcestruzzo: σ_c=8.43
CC 5 SLV (Collegamento 0024_-381)
Azioni sul collegamento: N=-3937.31 Ty=5.92 Tz=-8.85 Mx=0.01 Mz=5.96
Sollecitazioni agenti localmente: Tx_l=5.92 Ty_l=-8.85 N_l=-3937.31 Mx_l=-0.00 My_l=5.96 Mz_l=0.01
Taglio nei bulloni: Fv,Ed=1.79 Fv,Rd=7720.78
Rifollamento lato piastra: Fb,Ed,p=1.78 Fb,Rd,p=9887.02

Tirafondi:LT=0.45 (0.31) σ_{cR}=0.00 σ_{fR}=0.00
Compressione nel calcestruzzo: σ_c=8.47
CC 6 SLD (Collegamento 0024_-381)
Azioni sul collegamento: N=-7346.01 Ty=3.71 Tz=3.69 Mx=0.00 Mz=3.45
Sollecitazioni agenti localmente: Tx_l=3.71 Ty_l=3.69 N_l=-7346.01 Mx_l=-0.00 My_l=3.45 Mz_l=0.00
Taglio nei bulloni: Fv,Ed=0.87 Fv,Rd=9650.97
Rifollamento lato piastra: Fb,Ed,p=0.87 Fb,Rd,p=14959.40
Tirafondi:LT=0.45 (0.31) σ_{cR}=0.00 σ_{fR}=0.00
Compressione nel calcestruzzo: σ_c=15.37
CC 6 SLD (Collegamento 0024_-381)
Azioni sul collegamento: N=-7346.01 Ty=4.34 Tz=3.69 Mx=0.00 Mz=3.65
Sollecitazioni agenti localmente: Tx_l=4.34 Ty_l=3.69 N_l=-7346.01 Mx_l=-0.00 My_l=3.65 Mz_l=0.00
Taglio nei bulloni: Fv,Ed=0.95 Fv,Rd=9650.97
Rifollamento lato piastra: Fb,Ed,p=0.95 Fb,Rd,p=13916.00
Tirafondi:LT=0.45 (0.31) σ_{cR}=0.00 σ_{fR}=0.00
Compressione nel calcestruzzo: σ_c=15.38
CC 6 SLD (Collegamento 0024_-381)
Azioni sul collegamento: N=-7346.01 Ty=3.71 Tz=-2.23 Mx=0.00 Mz=3.45
Sollecitazioni agenti localmente: Tx_l=3.71 Ty_l=-2.23 N_l=-7346.01 Mx_l=-0.00 My_l=3.45 Mz_l=0.00
Taglio nei bulloni: Fv,Ed=0.72 Fv,Rd=9650.97
Rifollamento lato piastra: Fb,Ed,p=0.72 Fb,Rd,p=11610.60
Tirafondi:LT=0.45 (0.31) σ_{cR}=0.00 σ_{fR}=0.00
Compressione nel calcestruzzo: σ_c=15.37
CC 6 SLD (Collegamento 0024_-381)
Azioni sul collegamento: N=-7346.01 Ty=4.34 Tz=-2.23 Mx=0.00 Mz=3.65
Sollecitazioni agenti localmente: Tx_l=4.34 Ty_l=-2.23 N_l=-7346.01 Mx_l=-0.00 My_l=3.65 Mz_l=0.00
Taglio nei bulloni: Fv,Ed=0.82 Fv,Rd=9650.97
Rifollamento lato piastra: Fb,Ed,p=0.82 Fb,Rd,p=10469.00
Tirafondi:LT=0.45 (0.31) σ_{cR}=0.00 σ_{fR}=0.00
Compressione nel calcestruzzo: σ_c=15.38
CC 6 SLD (Collegamento 0024_-381)
Azioni sul collegamento: N=-5737.77 Ty=3.71 Tz=3.69 Mx=0.00 Mz=3.45
Sollecitazioni agenti localmente: Tx_l=3.71 Ty_l=3.69 N_l=-5737.77 Mx_l=-0.00 My_l=3.45 Mz_l=0.00
Taglio nei bulloni: Fv,Ed=0.87 Fv,Rd=9650.97
Rifollamento lato piastra: Fb,Ed,p=0.87 Fb,Rd,p=14959.70
Tirafondi:LT=0.45 (0.31) σ_{cR}=0.00 σ_{fR}=0.00
Compressione nel calcestruzzo: σ_c=12.05
CC 6 SLD (Collegamento 0024_-381)
Azioni sul collegamento: N=-5737.77 Ty=4.34 Tz=3.69 Mx=0.00 Mz=3.65
Sollecitazioni agenti localmente: Tx_l=4.34 Ty_l=3.69 N_l=-5737.77 Mx_l=-0.00 My_l=3.65 Mz_l=0.00
Taglio nei bulloni: Fv,Ed=0.95 Fv,Rd=9650.97
Rifollamento lato piastra: Fb,Ed,p=0.95 Fb,Rd,p=13916.10
Tirafondi:LT=0.45 (0.31) σ_{cR}=0.00 σ_{fR}=0.00
Compressione nel calcestruzzo: σ_c=12.06
CC 6 SLD (Collegamento 0024_-381)
Azioni sul collegamento: N=-5737.77 Ty=3.71 Tz=-2.23 Mx=0.00 Mz=3.45
Sollecitazioni agenti localmente: Tx_l=3.71 Ty_l=-2.23 N_l=-5737.77 Mx_l=-0.00 My_l=3.45 Mz_l=0.00
Taglio nei bulloni: Fv,Ed=0.72 Fv,Rd=9650.97
Rifollamento lato piastra: Fb,Ed,p=0.72 Fb,Rd,p=11610.70
Tirafondi:LT=0.45 (0.31) σ_{cR}=0.00 σ_{fR}=0.00
Compressione nel calcestruzzo: σ_c=12.05
CC 6 SLD (Collegamento 0024_-381)
Azioni sul collegamento: N=-5737.77 Ty=4.34 Tz=-2.23 Mx=0.00 Mz=3.65
Sollecitazioni agenti localmente: Tx_l=4.34 Ty_l=-2.23 N_l=-5737.77 Mx_l=-0.00 My_l=3.65 Mz_l=0.00
Taglio nei bulloni: Fv,Ed=0.82 Fv,Rd=9650.97
Rifollamento lato piastra: Fb,Ed,p=0.82 Fb,Rd,p=10469.10
Tirafondi:LT=0.45 (0.31) σ_{cR}=0.00 σ_{fR}=0.00
Compressione nel calcestruzzo: σ_c=12.06
CC 7 SLV (Collegamento 0024_-381)
Azioni sul collegamento: N=-9217.12 Ty=3.19 Tz=10.69 Mx=0.01 Mz=4.04
Sollecitazioni agenti localmente: Tx_l=3.19 Ty_l=10.69 N_l=-9217.12 Mx_l=-0.00 My_l=4.04 Mz_l=0.01
Taglio nei bulloni: Fv,Ed=1.87 Fv,Rd=7720.78
Rifollamento lato piastra: Fb,Ed,p=1.87 Fb,Rd,p=6788.01
Tirafondi:LT=0.45 (0.31) σ_{cR}=0.00 σ_{fR}=0.00
Compressione nel calcestruzzo: σ_c=19.27
CC 7 SLV (Collegamento 0024_-381)
Azioni sul collegamento: N=-9217.12 Ty=6.55 Tz=10.69 Mx=0.01 Mz=7.22
Sollecitazioni agenti localmente: Tx_l=6.55 Ty_l=10.69 N_l=-9217.12 Mx_l=-0.00 My_l=7.22 Mz_l=0.01
Taglio nei bulloni: Fv,Ed=2.10 Fv,Rd=7720.78
Rifollamento lato piastra: Fb,Ed,p=2.10 Fb,Rd,p=9409.35
Tirafondi:LT=0.45 (0.31) σ_{cR}=0.00 σ_{fR}=0.00
Compressione nel calcestruzzo: σ_c=19.45
CC 7 SLV (Collegamento 0024_-381)
Azioni sul collegamento: N=-9217.12 Ty=3.19 Tz=-8.98 Mx=0.01 Mz=4.04
Sollecitazioni agenti localmente: Tx_l=3.19 Ty_l=-8.98 N_l=-9217.12 Mx_l=-0.00 My_l=4.04 Mz_l=0.01
Taglio nei bulloni: Fv,Ed=1.60 Fv,Rd=7720.78
Rifollamento lato piastra: Fb,Ed,p=1.59 Fb,Rd,p=7068.93
Tirafondi:LT=0.45 (0.31) σ_{cR}=0.00 σ_{fR}=0.00

Compressione nel calcestruzzo: σ_c=19.27
CC 7 SLV (Collegamento 0024_-381)
Azioni sul collegamento: N=-9217.12 Ty=6.55 Tz=-8.98 Mx=0.01 Mz=7.22
Sollecitazioni agenti localmente: Tx_l=6.55 Ty_l=-8.98 N_l=-9217.12 Mx_l=-0.00 My_l=7.22 Mz_l=0.01
Taglio nei bulloni: Fv,Ed=1.86 Fv,Rd=7720.78
Rifollamento lato piastra: Fb,Ed,p=1.85 Fb,Rd,p=10479.00
Tirafondi:LT=0.45 (0.31) σ_{cR}=0.00 σ_{fR}=0.00
Compressione nel calcestruzzo: σ_c=19.45
CC 7 SLV (Collegamento 0024_-381)
Azioni sul collegamento: N=-3931.62 Ty=3.19 Tz=10.69 Mx=0.01 Mz=4.04
Sollecitazioni agenti localmente: Tx_l=3.19 Ty_l=10.69 N_l=-3931.62 Mx_l=-0.00 My_l=4.04 Mz_l=0.01
Taglio nei bulloni: Fv,Ed=1.87 Fv,Rd=7720.78
Rifollamento lato piastra: Fb,Ed,p=1.87 Fb,Rd,p=6788.07
Tirafondi:LT=0.45 (0.31) σ_{cR}=0.00 σ_{fR}=0.00
Compressione nel calcestruzzo: σ_c=8.35
CC 7 SLV (Collegamento 0024_-381)
Azioni sul collegamento: N=-3931.62 Ty=6.55 Tz=10.69 Mx=0.01 Mz=7.22
Sollecitazioni agenti localmente: Tx_l=6.55 Ty_l=10.69 N_l=-3931.62 Mx_l=-0.00 My_l=7.22 Mz_l=0.01
Taglio nei bulloni: Fv,Ed=2.10 Fv,Rd=7720.78
Rifollamento lato piastra: Fb,Ed,p=2.10 Fb,Rd,p=9409.61
Tirafondi:LT=0.45 (0.31) σ_{cR}=0.00 σ_{fR}=0.00
Compressione nel calcestruzzo: σ_c=8.53
CC 7 SLV (Collegamento 0024_-381)
Azioni sul collegamento: N=-3931.62 Ty=3.19 Tz=-8.98 Mx=0.01 Mz=4.04
Sollecitazioni agenti localmente: Tx_l=3.19 Ty_l=-8.98 N_l=-3931.62 Mx_l=-0.00 My_l=4.04 Mz_l=0.01
Taglio nei bulloni: Fv,Ed=1.60 Fv,Rd=7720.78
Rifollamento lato piastra: Fb,Ed,p=1.59 Fb,Rd,p=7068.87
Tirafondi:LT=0.45 (0.31) σ_{cR}=0.00 σ_{fR}=0.00
Compressione nel calcestruzzo: σ_c=8.35
CC 7 SLV (Collegamento 0024_-381)
Azioni sul collegamento: N=-3931.62 Ty=6.55 Tz=-8.98 Mx=0.01 Mz=7.22
Sollecitazioni agenti localmente: Tx_l=6.55 Ty_l=-8.98 N_l=-3931.62 Mx_l=-0.00 My_l=7.22 Mz_l=0.01
Taglio nei bulloni: Fv,Ed=1.86 Fv,Rd=7720.78
Rifollamento lato piastra: Fb,Ed,p=1.85 Fb,Rd,p=10478.90
Tirafondi:LT=0.45 (0.31) σ_{cR}=0.00 σ_{fR}=0.00
Compressione nel calcestruzzo: σ_c=8.53
CC 8 SLD (Collegamento 0024_-381)
Azioni sul collegamento: N=-7347.75 Ty=3.51 Tz=3.73 Mx=-0.00 Mz=3.06
Sollecitazioni agenti localmente: Tx_l=3.51 Ty_l=3.73 N_l=-7347.75 Mx_l=-0.00 My_l=3.06 Mz_l=-0.00
Taglio nei bulloni: Fv,Ed=0.85 Fv,Rd=9650.97
Rifollamento lato piastra: Fb,Ed,p=0.85 Fb,Rd,p=14586.70
Tirafondi:LT=0.45 (0.31) σ_{cR}=0.00 σ_{fR}=0.00
Compressione nel calcestruzzo: σ_c=15.35
CC 8 SLD (Collegamento 0024_-381)
Azioni sul collegamento: N=-7347.75 Ty=4.54 Tz=3.73 Mx=-0.00 Mz=4.03
Sollecitazioni agenti localmente: Tx_l=4.54 Ty_l=3.73 N_l=-7347.75 Mx_l=-0.00 My_l=4.03 Mz_l=-0.00
Taglio nei bulloni: Fv,Ed=0.98 Fv,Rd=9650.97
Rifollamento lato piastra: Fb,Ed,p=0.98 Fb,Rd,p=13749.10
Tirafondi:LT=0.45 (0.31) σ_{cR}=0.00 σ_{fR}=0.00
Compressione nel calcestruzzo: σ_c=15.41
CC 8 SLD (Collegamento 0024_-381)
Azioni sul collegamento: N=-7347.75 Ty=3.51 Tz=-2.27 Mx=-0.00 Mz=3.06
Sollecitazioni agenti localmente: Tx_l=3.51 Ty_l=-2.27 N_l=-7347.75 Mx_l=-0.00 My_l=3.06 Mz_l=-0.00
Taglio nei bulloni: Fv,Ed=0.70 Fv,Rd=9650.97
Rifollamento lato piastra: Fb,Ed,p=0.70 Fb,Rd,p=12224.10
Tirafondi:LT=0.45 (0.31) σ_{cR}=0.00 σ_{fR}=0.00
Compressione nel calcestruzzo: σ_c=15.35
CC 8 SLD (Collegamento 0024_-381)
Azioni sul collegamento: N=-7347.75 Ty=4.54 Tz=-2.27 Mx=-0.00 Mz=4.03
Sollecitazioni agenti localmente: Tx_l=4.54 Ty_l=-2.27 N_l=-7347.75 Mx_l=-0.00 My_l=4.03 Mz_l=-0.00
Taglio nei bulloni: Fv,Ed=0.85 Fv,Rd=9650.97
Rifollamento lato piastra: Fb,Ed,p=0.85 Fb,Rd,p=10294.00
Tirafondi:LT=0.45 (0.31) σ_{cR}=0.00 σ_{fR}=0.00
Compressione nel calcestruzzo: σ_c=15.41
CC 8 SLD (Collegamento 0024_-381)
Azioni sul collegamento: N=-5736.03 Ty=3.51 Tz=3.73 Mx=-0.00 Mz=3.06
Sollecitazioni agenti localmente: Tx_l=3.51 Ty_l=3.73 N_l=-5736.03 Mx_l=-0.00 My_l=3.06 Mz_l=-0.00
Taglio nei bulloni: Fv,Ed=0.85 Fv,Rd=9650.97
Rifollamento lato piastra: Fb,Ed,p=0.85 Fb,Rd,p=14586.90
Tirafondi:LT=0.45 (0.31) σ_{cR}=0.00 σ_{fR}=0.00
Compressione nel calcestruzzo: σ_c=12.02
CC 8 SLD (Collegamento 0024_-381)
Azioni sul collegamento: N=-5736.03 Ty=4.54 Tz=3.73 Mx=-0.00 Mz=4.03
Sollecitazioni agenti localmente: Tx_l=4.54 Ty_l=3.73 N_l=-5736.03 Mx_l=-0.00 My_l=4.03 Mz_l=-0.00
Taglio nei bulloni: Fv,Ed=0.98 Fv,Rd=9650.97
Rifollamento lato piastra: Fb,Ed,p=0.98 Fb,Rd,p=13749.00
Tirafondi:LT=0.45 (0.31) σ_{cR}=0.00 σ_{fR}=0.00
Compressione nel calcestruzzo: σ_c=12.08

CC 8 SLD (Collegamento 0024_-381)
Azioni sul collegamento: N=-5736.03 Ty=3.51 Tz=-2.27 Mx=-0.00 Mz=3.06
Sollecitazioni agenti localmente: Tx_l=3.51 Ty_l=-2.27 N_l=-5736.03 Mx_l=-0.00 My_l=3.06 Mz_l=-0.00
Taglio nei bulloni: Fv,Ed=0.70 Fv,Rd=9650.97
Rifollamento lato piastra: Fb,Ed,p=0.70 Fb,Rd,p=12223.70
Tirafondi:LT=0.45 (0.31) σ_{cR}=0.00 σ_{fR}=0.00
Compressione nel calcestruzzo: σ_c=12.02
CC 8 SLD (Collegamento 0024_-381)
Azioni sul collegamento: N=-5736.03 Ty=4.54 Tz=-2.27 Mx=-0.00 Mz=4.03
Sollecitazioni agenti localmente: Tx_l=4.54 Ty_l=-2.27 N_l=-5736.03 Mx_l=-0.00 My_l=4.03 Mz_l=-0.00
Taglio nei bulloni: Fv,Ed=0.85 Fv,Rd=9650.97
Rifollamento lato piastra: Fb,Ed,p=0.85 Fb,Rd,p=10293.80
Tirafondi:LT=0.45 (0.31) σ_{cR}=0.00 σ_{fR}=0.00
Compressione nel calcestruzzo: σ_c=12.08
CC 9 SLV (Collegamento 0024_-381)
Azioni sul collegamento: N=-5772.92 Ty=6.34 Tz=-2.29 Mx=0.02 Mz=8.01
Sollecitazioni agenti localmente: Tx_l=6.34 Ty_l=-2.29 N_l=-5772.92 Mx_l=-0.00 My_l=8.01 Mz_l=0.02
Taglio nei bulloni: Fv,Ed=1.15 Fv,Rd=7720.78
Rifollamento lato piastra: Fb,Ed,p=1.15 Fb,Rd,p=7231.86
Tirafondi:LT=0.45 (0.31) σ_{cR}=0.00 σ_{fR}=0.00
Compressione nel calcestruzzo: σ_c=12.38
CC 9 SLV (Collegamento 0024_-381)
Azioni sul collegamento: N=-5772.92 Ty=3.40 Tz=-2.29 Mx=0.02 Mz=3.25
Sollecitazioni agenti localmente: Tx_l=3.40 Ty_l=-2.29 N_l=-5772.92 Mx_l=-0.00 My_l=3.25 Mz_l=0.02
Taglio nei bulloni: Fv,Ed=0.71 Fv,Rd=7720.78
Rifollamento lato piastra: Fb,Ed,p=0.71 Fb,Rd,p=10266.70
Tirafondi:LT=0.45 (0.31) σ_{cR}=0.00 σ_{fR}=0.00
Compressione nel calcestruzzo: σ_c=12.11
CC 9 SLV (Collegamento 0024_-381)
Azioni sul collegamento: N=-5772.92 Ty=6.34 Tz=4.00 Mx=0.02 Mz=8.01
Sollecitazioni agenti localmente: Tx_l=6.34 Ty_l=4.00 N_l=-5772.92 Mx_l=-0.00 My_l=8.01 Mz_l=0.02
Taglio nei bulloni: Fv,Ed=1.28 Fv,Rd=7720.78
Rifollamento lato piastra: Fb,Ed,p=1.26 Fb,Rd,p=9252.84
Tirafondi:LT=0.45 (0.31) σ_{cR}=0.00 σ_{fR}=0.00
Compressione nel calcestruzzo: σ_c=12.38
CC 9 SLV (Collegamento 0024_-381)
Azioni sul collegamento: N=-5772.92 Ty=3.40 Tz=4.00 Mx=0.02 Mz=3.25
Sollecitazioni agenti localmente: Tx_l=3.40 Ty_l=4.00 N_l=-5772.92 Mx_l=-0.00 My_l=3.25 Mz_l=0.02
Taglio nei bulloni: Fv,Ed=0.90 Fv,Rd=7720.78
Rifollamento lato piastra: Fb,Ed,p=0.90 Fb,Rd,p=11181.70
Tirafondi:LT=0.45 (0.31) σ_{cR}=0.00 σ_{fR}=0.00
Compressione nel calcestruzzo: σ_c=12.11
CC 9 SLV (Collegamento 0024_-381)
Azioni sul collegamento: N=-7375.82 Ty=6.34 Tz=-2.29 Mx=0.02 Mz=8.01
Sollecitazioni agenti localmente: Tx_l=6.34 Ty_l=-2.29 N_l=-7375.82 Mx_l=-0.00 My_l=8.01 Mz_l=0.02
Taglio nei bulloni: Fv,Ed=1.15 Fv,Rd=7720.78
Rifollamento lato piastra: Fb,Ed,p=1.15 Fb,Rd,p=7232.03
Tirafondi:LT=0.45 (0.31) σ_{cR}=0.00 σ_{fR}=0.00
Compressione nel calcestruzzo: σ_c=15.69
CC 9 SLV (Collegamento 0024_-381)
Azioni sul collegamento: N=-7375.82 Ty=3.40 Tz=-2.29 Mx=0.02 Mz=3.25
Sollecitazioni agenti localmente: Tx_l=3.40 Ty_l=-2.29 N_l=-7375.82 Mx_l=-0.00 My_l=3.25 Mz_l=0.02
Taglio nei bulloni: Fv,Ed=0.71 Fv,Rd=7720.78
Rifollamento lato piastra: Fb,Ed,p=0.71 Fb,Rd,p=10267.30
Tirafondi:LT=0.45 (0.31) σ_{cR}=0.00 σ_{fR}=0.00
Compressione nel calcestruzzo: σ_c=15.42
CC 9 SLV (Collegamento 0024_-381)
Azioni sul collegamento: N=-7375.82 Ty=6.34 Tz=4.00 Mx=0.02 Mz=8.01
Sollecitazioni agenti localmente: Tx_l=6.34 Ty_l=4.00 N_l=-7375.82 Mx_l=-0.00 My_l=8.01 Mz_l=0.02
Taglio nei bulloni: Fv,Ed=1.28 Fv,Rd=7720.78
Rifollamento lato piastra: Fb,Ed,p=1.26 Fb,Rd,p=9253.11
Tirafondi:LT=0.45 (0.31) σ_{cR}=0.00 σ_{fR}=0.00
Compressione nel calcestruzzo: σ_c=15.69
CC 9 SLV (Collegamento 0024_-381)
Azioni sul collegamento: N=-7375.82 Ty=3.40 Tz=4.00 Mx=0.02 Mz=3.25
Sollecitazioni agenti localmente: Tx_l=3.40 Ty_l=4.00 N_l=-7375.82 Mx_l=-0.00 My_l=3.25 Mz_l=0.02
Taglio nei bulloni: Fv,Ed=0.90 Fv,Rd=7720.78
Rifollamento lato piastra: Fb,Ed,p=0.90 Fb,Rd,p=11181.60
Tirafondi:LT=0.45 (0.31) σ_{cR}=0.00 σ_{fR}=0.00
Compressione nel calcestruzzo: σ_c=15.42
CC 10 SLD (Collegamento 0024_-381)
Azioni sul collegamento: N=-6297.50 Ty=4.47 Tz=-0.23 Mx=0.00 Mz=4.27
Sollecitazioni agenti localmente: Tx_l=4.47 Ty_l=-0.23 N_l=-6297.50 Mx_l=-0.00 My_l=4.27 Mz_l=0.00
Taglio nei bulloni: Fv,Ed=0.75 Fv,Rd=9650.97
Rifollamento lato piastra: Fb,Ed,p=0.75 Fb,Rd,p=7509.46
Tirafondi:LT=0.45 (0.31) σ_{cR}=0.00 σ_{fR}=0.00
Compressione nel calcestruzzo: σ_c=13.25
CC 10 SLD (Collegamento 0024_-381)

Azioni sul collegamento: N=-6297.50 Ty=3.58 Tz=-0.23 Mx=0.00 Mz=2.82
Sollecitazioni agenti localmente: Tx_l=3.58 Ty_l=-0.23 N_l=-6297.50 Mx_l=-0.00 My_l=2.82 Mz_l=0.00
Taglio nei bulloni: Fv,Ed=0.60 Fv,Rd=9650.97
Rifollamento lato piastra: Fb,Ed,p=0.60 Fb,Rd,p=7529.29
Tirafondi:LT=0.45 (0.31) σ_{cR}=0.00 σ_{fR}=0.00
Compressione nel calcestruzzo: σ_c=13.17
CC 10 SLD (Collegamento 0024_-381)
Azioni sul collegamento: N=-6297.50 Ty=4.47 Tz=1.69 Mx=0.00 Mz=4.27
Sollecitazioni agenti localmente: Tx_l=4.47 Ty_l=1.69 N_l=-6297.50 Mx_l=-0.00 My_l=4.27 Mz_l=0.00
Taglio nei bulloni: Fv,Ed=0.80 Fv,Rd=9650.97
Rifollamento lato piastra: Fb,Ed,p=0.80 Fb,Rd,p=9009.90
Tirafondi:LT=0.45 (0.31) σ_{cR}=0.00 σ_{fR}=0.00
Compressione nel calcestruzzo: σ_c=13.25
CC 10 SLD (Collegamento 0024_-381)
Azioni sul collegamento: N=-6297.50 Ty=3.58 Tz=1.69 Mx=0.00 Mz=2.82
Sollecitazioni agenti localmente: Tx_l=3.58 Ty_l=1.69 N_l=-6297.50 Mx_l=-0.00 My_l=2.82 Mz_l=0.00
Taglio nei bulloni: Fv,Ed=0.66 Fv,Rd=9650.97
Rifollamento lato piastra: Fb,Ed,p=0.66 Fb,Rd,p=9880.27
Tirafondi:LT=0.45 (0.31) σ_{cR}=0.00 σ_{fR}=0.00
Compressione nel calcestruzzo: σ_c=13.17
CC 10 SLD (Collegamento 0024_-381)
Azioni sul collegamento: N=-6786.28 Ty=4.47 Tz=-0.23 Mx=0.00 Mz=4.27
Sollecitazioni agenti localmente: Tx_l=4.47 Ty_l=-0.23 N_l=-6786.28 Mx_l=-0.00 My_l=4.27 Mz_l=0.00
Taglio nei bulloni: Fv,Ed=0.75 Fv,Rd=9650.97
Rifollamento lato piastra: Fb,Ed,p=0.75 Fb,Rd,p=7509.46
Tirafondi:LT=0.45 (0.31) σ_{cR}=0.00 σ_{fR}=0.00
Compressione nel calcestruzzo: σ_c=14.26
CC 10 SLD (Collegamento 0024_-381)
Azioni sul collegamento: N=-6786.28 Ty=3.58 Tz=-0.23 Mx=0.00 Mz=2.82
Sollecitazioni agenti localmente: Tx_l=3.58 Ty_l=-0.23 N_l=-6786.28 Mx_l=-0.00 My_l=2.82 Mz_l=0.00
Taglio nei bulloni: Fv,Ed=0.60 Fv,Rd=9650.97
Rifollamento lato piastra: Fb,Ed,p=0.60 Fb,Rd,p=7529.30
Tirafondi:LT=0.45 (0.31) σ_{cR}=0.00 σ_{fR}=0.00
Compressione nel calcestruzzo: σ_c=14.18
CC 10 SLD (Collegamento 0024_-381)
Azioni sul collegamento: N=-6786.28 Ty=4.47 Tz=1.69 Mx=0.00 Mz=4.27
Sollecitazioni agenti localmente: Tx_l=4.47 Ty_l=1.69 N_l=-6786.28 Mx_l=-0.00 My_l=4.27 Mz_l=0.00
Taglio nei bulloni: Fv,Ed=0.80 Fv,Rd=9650.97
Rifollamento lato piastra: Fb,Ed,p=0.80 Fb,Rd,p=9009.29
Tirafondi:LT=0.45 (0.31) σ_{cR}=0.00 σ_{fR}=0.00
Compressione nel calcestruzzo: σ_c=14.26
CC 10 SLD (Collegamento 0024_-381)
Azioni sul collegamento: N=-6786.28 Ty=3.58 Tz=1.69 Mx=0.00 Mz=2.82
Sollecitazioni agenti localmente: Tx_l=3.58 Ty_l=1.69 N_l=-6786.28 Mx_l=-0.00 My_l=2.82 Mz_l=0.00
Taglio nei bulloni: Fv,Ed=0.66 Fv,Rd=9650.97
Rifollamento lato piastra: Fb,Ed,p=0.66 Fb,Rd,p=9879.31
Tirafondi:LT=0.45 (0.31) σ_{cR}=0.00 σ_{fR}=0.00
Compressione nel calcestruzzo: σ_c=14.18
CC 11 SLV (Collegamento 0024_-381)
Azioni sul collegamento: N=-7356.86 Ty=5.52 Tz=3.57 Mx=0.02 Mz=7.44
Sollecitazioni agenti localmente: Tx_l=5.52 Ty_l=3.57 N_l=-7356.86 Mx_l=-0.00 My_l=7.44 Mz_l=0.02
Taglio nei bulloni: Fv,Ed=1.12 Fv,Rd=7720.78
Rifollamento lato piastra: Fb,Ed,p=1.10 Fb,Rd,p=9399.22
Tirafondi:LT=0.45 (0.31) σ_{cR}=0.00 σ_{fR}=0.00
Compressione nel calcestruzzo: σ_c=15.62
CC 11 SLV (Collegamento 0024_-381)
Azioni sul collegamento: N=-7356.86 Ty=4.22 Tz=3.57 Mx=0.02 Mz=3.82
Sollecitazioni agenti localmente: Tx_l=4.22 Ty_l=3.57 N_l=-7356.86 Mx_l=-0.00 My_l=3.82 Mz_l=0.02
Taglio nei bulloni: Fv,Ed=0.95 Fv,Rd=7720.78
Rifollamento lato piastra: Fb,Ed,p=0.92 Fb,Rd,p=10865.00
Tirafondi:LT=0.45 (0.31) σ_{cR}=0.00 σ_{fR}=0.00
Compressione nel calcestruzzo: σ_c=15.42
CC 11 SLV (Collegamento 0024_-381)
Azioni sul collegamento: N=-7356.86 Ty=5.52 Tz=-1.86 Mx=0.02 Mz=7.44
Sollecitazioni agenti localmente: Tx_l=5.52 Ty_l=-1.86 N_l=-7356.86 Mx_l=-0.00 My_l=7.44 Mz_l=0.02
Taglio nei bulloni: Fv,Ed=1.00 Fv,Rd=7720.78
Rifollamento lato piastra: Fb,Ed,p=1.00 Fb,Rd,p=7084.99
Tirafondi:LT=0.45 (0.31) σ_{cR}=0.00 σ_{fR}=0.00
Compressione nel calcestruzzo: σ_c=15.62
CC 11 SLV (Collegamento 0024_-381)
Azioni sul collegamento: N=-7356.86 Ty=4.22 Tz=-1.86 Mx=0.02 Mz=3.82
Sollecitazioni agenti localmente: Tx_l=4.22 Ty_l=-1.86 N_l=-7356.86 Mx_l=-0.00 My_l=3.82 Mz_l=0.02
Taglio nei bulloni: Fv,Ed=0.79 Fv,Rd=7720.78
Rifollamento lato piastra: Fb,Ed,p=0.79 Fb,Rd,p=7856.32
Tirafondi:LT=0.45 (0.31) σ_{cR}=0.00 σ_{fR}=0.00
Compressione nel calcestruzzo: σ_c=15.42
CC 11 SLV (Collegamento 0024_-381)
Azioni sul collegamento: N=-5791.88 Ty=5.52 Tz=3.57 Mx=0.02 Mz=7.44

Sollecitazioni agenti localmente: Tx_l=5.52 Ty_l=3.57 N_l=-5791.88 Mx_l=-0.00 My_l=7.44 Mz_l=0.02
Taglio nei bulloni: Fv,Ed=1.12 Fv,Rd=7720.78
Rifollamento lato piastra: Fb,Ed,p=1.10 Fb,Rd,p=9399.18
Tirafondi:LT=0.45 (0.31) σ_{cR}=0.00 σ_{fR}=0.00
Compressione nel calcestruzzo: σ_c=12.39
CC 11 SLV (Collegamento 0024_-381)
Azioni sul collegamento: N=-5791.88 Ty=4.22 Tz=3.57 Mx=0.02 Mz=3.82
Sollecitazioni agenti localmente: Tx_l=4.22 Ty_l=3.57 N_l=-5791.88 Mx_l=-0.00 My_l=3.82 Mz_l=0.02
Taglio nei bulloni: Fv,Ed=0.95 Fv,Rd=7720.78
Rifollamento lato piastra: Fb,Ed,p=0.92 Fb,Rd,p=10865.00
Tirafondi:LT=0.45 (0.31) σ_{cR}=0.00 σ_{fR}=0.00
Compressione nel calcestruzzo: σ_c=12.18
CC 11 SLV (Collegamento 0024_-381)
Azioni sul collegamento: N=-5791.88 Ty=5.52 Tz=-1.86 Mx=0.02 Mz=7.44
Sollecitazioni agenti localmente: Tx_l=5.52 Ty_l=-1.86 N_l=-5791.88 Mx_l=-0.00 My_l=7.44 Mz_l=0.02
Taglio nei bulloni: Fv,Ed=1.00 Fv,Rd=7720.78
Rifollamento lato piastra: Fb,Ed,p=1.00 Fb,Rd,p=7084.86
Tirafondi:LT=0.45 (0.31) σ_{cR}=0.00 σ_{fR}=0.00
Compressione nel calcestruzzo: σ_c=12.39
CC 11 SLV (Collegamento 0024_-381)
Azioni sul collegamento: N=-5791.88 Ty=4.22 Tz=-1.86 Mx=0.02 Mz=3.82
Sollecitazioni agenti localmente: Tx_l=4.22 Ty_l=-1.86 N_l=-5791.88 Mx_l=-0.00 My_l=3.82 Mz_l=0.02
Taglio nei bulloni: Fv,Ed=0.79 Fv,Rd=7720.78
Rifollamento lato piastra: Fb,Ed,p=0.79 Fb,Rd,p=7856.11
Tirafondi:LT=0.45 (0.31) σ_{cR}=0.00 σ_{fR}=0.00
Compressione nel calcestruzzo: σ_c=12.18
CC 12 SLD (Collegamento 0024_-381)
Azioni sul collegamento: N=-6780.50 Ty=4.22 Tz=1.56 Mx=0.00 Mz=4.10
Sollecitazioni agenti localmente: Tx_l=4.22 Ty_l=1.56 N_l=-6780.50 Mx_l=-0.00 My_l=4.10 Mz_l=0.00
Taglio nei bulloni: Fv,Ed=0.75 Fv,Rd=9650.97
Rifollamento lato piastra: Fb,Ed,p=0.75 Fb,Rd,p=8940.69
Tirafondi:LT=0.45 (0.31) σ_{cR}=0.00 σ_{fR}=0.00
Compressione nel calcestruzzo: σ_c=14.24
CC 12 SLD (Collegamento 0024_-381)
Azioni sul collegamento: N=-6780.50 Ty=3.83 Tz=1.56 Mx=0.00 Mz=3.00
Sollecitazioni agenti localmente: Tx_l=3.83 Ty_l=1.56 N_l=-6780.50 Mx_l=-0.00 My_l=3.00 Mz_l=0.00
Taglio nei bulloni: Fv,Ed=0.69 Fv,Rd=9650.97
Rifollamento lato piastra: Fb,Ed,p=0.69 Fb,Rd,p=9261.40
Tirafondi:LT=0.45 (0.31) σ_{cR}=0.00 σ_{fR}=0.00
Compressione nel calcestruzzo: σ_c=14.18
CC 12 SLD (Collegamento 0024_-381)
Azioni sul collegamento: N=-6780.50 Ty=4.22 Tz=-0.10 Mx=0.00 Mz=4.10
Sollecitazioni agenti localmente: Tx_l=4.22 Ty_l=-0.10 N_l=-6780.50 Mx_l=-0.00 My_l=4.10 Mz_l=0.00
Taglio nei bulloni: Fv,Ed=0.71 Fv,Rd=9650.97
Rifollamento lato piastra: Fb,Ed,p=0.71 Fb,Rd,p=7483.15
Tirafondi:LT=0.45 (0.31) σ_{cR}=0.00 σ_{fR}=0.00
Compressione nel calcestruzzo: σ_c=14.24
CC 12 SLD (Collegamento 0024_-381)
Azioni sul collegamento: N=-6780.50 Ty=3.83 Tz=-0.10 Mx=0.00 Mz=3.00
Sollecitazioni agenti localmente: Tx_l=3.83 Ty_l=-0.10 N_l=-6780.50 Mx_l=-0.00 My_l=3.00 Mz_l=0.00
Taglio nei bulloni: Fv,Ed=0.64 Fv,Rd=9650.97
Rifollamento lato piastra: Fb,Ed,p=0.64 Fb,Rd,p=7485.13
Tirafondi:LT=0.45 (0.31) σ_{cR}=0.00 σ_{fR}=0.00
Compressione nel calcestruzzo: σ_c=14.18
CC 12 SLD (Collegamento 0024_-381)
Azioni sul collegamento: N=-6303.28 Ty=4.22 Tz=1.56 Mx=0.00 Mz=4.10
Sollecitazioni agenti localmente: Tx_l=4.22 Ty_l=1.56 N_l=-6303.28 Mx_l=-0.00 My_l=4.10 Mz_l=0.00
Taglio nei bulloni: Fv,Ed=0.75 Fv,Rd=9650.97
Rifollamento lato piastra: Fb,Ed,p=0.75 Fb,Rd,p=8940.61
Tirafondi:LT=0.45 (0.31) σ_{cR}=0.00 σ_{fR}=0.00
Compressione nel calcestruzzo: σ_c=13.25
CC 12 SLD (Collegamento 0024_-381)
Azioni sul collegamento: N=-6303.28 Ty=3.83 Tz=1.56 Mx=0.00 Mz=3.00
Sollecitazioni agenti localmente: Tx_l=3.83 Ty_l=1.56 N_l=-6303.28 Mx_l=-0.00 My_l=3.00 Mz_l=0.00
Taglio nei bulloni: Fv,Ed=0.69 Fv,Rd=9650.97
Rifollamento lato piastra: Fb,Ed,p=0.69 Fb,Rd,p=9261.29
Tirafondi:LT=0.45 (0.31) σ_{cR}=0.00 σ_{fR}=0.00
Compressione nel calcestruzzo: σ_c=13.19
CC 12 SLD (Collegamento 0024_-381)
Azioni sul collegamento: N=-6303.28 Ty=4.22 Tz=-0.10 Mx=0.00 Mz=4.10
Sollecitazioni agenti localmente: Tx_l=4.22 Ty_l=-0.10 N_l=-6303.28 Mx_l=-0.00 My_l=4.10 Mz_l=0.00
Taglio nei bulloni: Fv,Ed=0.71 Fv,Rd=9650.97
Rifollamento lato piastra: Fb,Ed,p=0.71 Fb,Rd,p=7483.11
Tirafondi:LT=0.45 (0.31) σ_{cR}=0.00 σ_{fR}=0.00
Compressione nel calcestruzzo: σ_c=13.25
CC 12 SLD (Collegamento 0024_-381)
Azioni sul collegamento: N=-6303.28 Ty=3.83 Tz=-0.10 Mx=0.00 Mz=3.00
Sollecitazioni agenti localmente: Tx_l=3.83 Ty_l=-0.10 N_l=-6303.28 Mx_l=-0.00 My_l=3.00 Mz_l=0.00

Taglio nei bulloni: Fv,Ed=0.64 Fv,Rd=9650.97
Rifollamento lato piastra: Fb,Ed,p=0.64 Fb,Rd,p=7485.08
Tirafondi:LT=0.45 (0.31) σ_{cR}=0.00 σ_{fR}=0.00
Compressione nel calcestruzzo: σ_c=13.19
CC 13 SLV (Collegamento 0024_-381)
Azioni sul collegamento: N=-5791.88 Ty=4.22 Tz=-1.86 Mx=0.00 Mz=3.82
Sollecitazioni agenti localmente: Tx_l=4.22 Ty_l=-1.86 N_l=-5791.88 Mx_l=-0.00 My_l=3.82 Mz_l=0.00
Taglio nei bulloni: Fv,Ed=0.77 Fv,Rd=7720.78
Rifollamento lato piastra: Fb,Ed,p=0.77 Fb,Rd,p=7750.47
Tirafondi:LT=0.45 (0.31) σ_{cR}=0.00 σ_{fR}=0.00
Compressione nel calcestruzzo: σ_c=12.18
CC 13 SLV (Collegamento 0024_-381)
Azioni sul collegamento: N=-5791.88 Ty=5.52 Tz=-1.86 Mx=0.00 Mz=7.44
Sollecitazioni agenti localmente: Tx_l=5.52 Ty_l=-1.86 N_l=-5791.88 Mx_l=-0.00 My_l=7.44 Mz_l=0.00
Taglio nei bulloni: Fv,Ed=0.97 Fv,Rd=7720.78
Rifollamento lato piastra: Fb,Ed,p=0.97 Fb,Rd,p=7011.54
Tirafondi:LT=0.45 (0.31) σ_{cR}=0.00 σ_{fR}=0.00
Compressione nel calcestruzzo: σ_c=12.39
CC 13 SLV (Collegamento 0024_-381)
Azioni sul collegamento: N=-5791.88 Ty=4.22 Tz=3.57 Mx=0.00 Mz=3.82
Sollecitazioni agenti localmente: Tx_l=4.22 Ty_l=3.57 N_l=-5791.88 Mx_l=-0.00 My_l=3.82 Mz_l=0.00
Taglio nei bulloni: Fv,Ed=0.93 Fv,Rd=7720.78
Rifollamento lato piastra: Fb,Ed,p=0.92 Fb,Rd,p=11093.70
Tirafondi:LT=0.45 (0.31) σ_{cR}=0.00 σ_{fR}=0.00
Compressione nel calcestruzzo: σ_c=12.18
CC 13 SLV (Collegamento 0024_-381)
Azioni sul collegamento: N=-5791.88 Ty=5.52 Tz=3.57 Mx=0.00 Mz=7.44
Sollecitazioni agenti localmente: Tx_l=5.52 Ty_l=3.57 N_l=-5791.88 Mx_l=-0.00 My_l=7.44 Mz_l=0.00
Taglio nei bulloni: Fv,Ed=1.10 Fv,Rd=7720.78
Rifollamento lato piastra: Fb,Ed,p=1.10 Fb,Rd,p=9740.87
Tirafondi:LT=0.45 (0.31) σ_{cR}=0.00 σ_{fR}=0.00
Compressione nel calcestruzzo: σ_c=12.39
CC 13 SLV (Collegamento 0024_-381)
Azioni sul collegamento: N=-7356.86 Ty=4.22 Tz=-1.86 Mx=0.00 Mz=3.82
Sollecitazioni agenti localmente: Tx_l=4.22 Ty_l=-1.86 N_l=-7356.86 Mx_l=-0.00 My_l=3.82 Mz_l=0.00
Taglio nei bulloni: Fv,Ed=0.77 Fv,Rd=7720.78
Rifollamento lato piastra: Fb,Ed,p=0.77 Fb,Rd,p=7750.68
Tirafondi:LT=0.45 (0.31) σ_{cR}=0.00 σ_{fR}=0.00
Compressione nel calcestruzzo: σ_c=15.42
CC 13 SLV (Collegamento 0024_-381)
Azioni sul collegamento: N=-7356.86 Ty=5.52 Tz=-1.86 Mx=0.00 Mz=7.44
Sollecitazioni agenti localmente: Tx_l=5.52 Ty_l=-1.86 N_l=-7356.86 Mx_l=-0.00 My_l=7.44 Mz_l=0.00
Taglio nei bulloni: Fv,Ed=0.97 Fv,Rd=7720.78
Rifollamento lato piastra: Fb,Ed,p=0.97 Fb,Rd,p=7011.66
Tirafondi:LT=0.45 (0.31) σ_{cR}=0.00 σ_{fR}=0.00
Compressione nel calcestruzzo: σ_c=15.62
CC 13 SLV (Collegamento 0024_-381)
Azioni sul collegamento: N=-7356.86 Ty=4.22 Tz=3.57 Mx=0.00 Mz=3.82
Sollecitazioni agenti localmente: Tx_l=4.22 Ty_l=3.57 N_l=-7356.86 Mx_l=-0.00 My_l=3.82 Mz_l=0.00
Taglio nei bulloni: Fv,Ed=0.93 Fv,Rd=7720.78
Rifollamento lato piastra: Fb,Ed,p=0.92 Fb,Rd,p=11093.80
Tirafondi:LT=0.45 (0.31) σ_{cR}=0.00 σ_{fR}=0.00
Compressione nel calcestruzzo: σ_c=15.42
CC 13 SLV (Collegamento 0024_-381)
Azioni sul collegamento: N=-7356.86 Ty=5.52 Tz=3.57 Mx=0.00 Mz=7.44
Sollecitazioni agenti localmente: Tx_l=5.52 Ty_l=3.57 N_l=-7356.86 Mx_l=-0.00 My_l=7.44 Mz_l=0.00
Taglio nei bulloni: Fv,Ed=1.10 Fv,Rd=7720.78
Rifollamento lato piastra: Fb,Ed,p=1.10 Fb,Rd,p=9740.91
Tirafondi:LT=0.45 (0.31) σ_{cR}=0.00 σ_{fR}=0.00
Compressione nel calcestruzzo: σ_c=15.62
CC 14 SLD (Collegamento 0024_-381)
Azioni sul collegamento: N=-6303.28 Ty=3.83 Tz=-0.10 Mx=-0.00 Mz=3.00
Sollecitazioni agenti localmente: Tx_l=3.83 Ty_l=-0.10 N_l=-6303.28 Mx_l=-0.00 My_l=3.00 Mz_l=-0.00
Taglio nei bulloni: Fv,Ed=0.64 Fv,Rd=9650.97
Rifollamento lato piastra: Fb,Ed,p=0.64 Fb,Rd,p=7480.22
Tirafondi:LT=0.45 (0.31) σ_{cR}=0.00 σ_{fR}=0.00
Compressione nel calcestruzzo: σ_c=13.19
CC 14 SLD (Collegamento 0024_-381)
Azioni sul collegamento: N=-6303.28 Ty=4.22 Tz=-0.10 Mx=-0.00 Mz=4.10
Sollecitazioni agenti localmente: Tx_l=4.22 Ty_l=-0.10 N_l=-6303.28 Mx_l=-0.00 My_l=4.10 Mz_l=-0.00
Taglio nei bulloni: Fv,Ed=0.71 Fv,Rd=9650.97
Rifollamento lato piastra: Fb,Ed,p=0.71 Fb,Rd,p=7479.11
Tirafondi:LT=0.45 (0.31) σ_{cR}=0.00 σ_{fR}=0.00
Compressione nel calcestruzzo: σ_c=13.25
CC 14 SLD (Collegamento 0024_-381)
Azioni sul collegamento: N=-6303.28 Ty=3.83 Tz=1.56 Mx=-0.00 Mz=3.00
Sollecitazioni agenti localmente: Tx_l=3.83 Ty_l=1.56 N_l=-6303.28 Mx_l=-0.00 My_l=3.00 Mz_l=-0.00
Taglio nei bulloni: Fv,Ed=0.69 Fv,Rd=9650.97

Rifollamento lato piastra: Fb,Ed,p=0.69 Fb,Rd,p=9344.20
Tirafondi:LT=0.45 (0.31) σ_{cR}=0.00 σ_{fR}=0.00
Compressione nel calcestruzzo: σ_c=13.19
CC 14 SLD (Collegamento 0024_-381)
Azioni sul collegamento: N=-6303.28 Ty=4.22 Tz=1.56 Mx=-0.00 Mz=4.10
Sollecitazioni agenti localmente: Tx_l=4.22 Ty_l=1.56 N_l=-6303.28 Mx_l=-0.00 My_l=4.10 Mz_l=-0.00
Taglio nei bulloni: Fv,Ed=0.75 Fv,Rd=9650.97
Rifollamento lato piastra: Fb,Ed,p=0.75 Fb,Rd,p=9007.73
Tirafondi:LT=0.45 (0.31) σ_{cR}=0.00 σ_{fR}=0.00
Compressione nel calcestruzzo: σ_c=13.25
CC 14 SLD (Collegamento 0024_-381)
Azioni sul collegamento: N=-6780.50 Ty=3.83 Tz=-0.10 Mx=-0.00 Mz=3.00
Sollecitazioni agenti localmente: Tx_l=3.83 Ty_l=-0.10 N_l=-6780.50 Mx_l=-0.00 My_l=3.00 Mz_l=-0.00
Taglio nei bulloni: Fv,Ed=0.64 Fv,Rd=9650.97
Rifollamento lato piastra: Fb,Ed,p=0.64 Fb,Rd,p=7480.27
Tirafondi:LT=0.45 (0.31) σ_{cR}=0.00 σ_{fR}=0.00
Compressione nel calcestruzzo: σ_c=14.18
CC 14 SLD (Collegamento 0024_-381)
Azioni sul collegamento: N=-6780.50 Ty=4.22 Tz=-0.10 Mx=-0.00 Mz=4.10
Sollecitazioni agenti localmente: Tx_l=4.22 Ty_l=-0.10 N_l=-6780.50 Mx_l=-0.00 My_l=4.10 Mz_l=-0.00
Taglio nei bulloni: Fv,Ed=0.71 Fv,Rd=9650.97
Rifollamento lato piastra: Fb,Ed,p=0.71 Fb,Rd,p=7479.14
Tirafondi:LT=0.45 (0.31) σ_{cR}=0.00 σ_{fR}=0.00
Compressione nel calcestruzzo: σ_c=14.24
CC 14 SLD (Collegamento 0024_-381)
Azioni sul collegamento: N=-6780.50 Ty=3.83 Tz=1.56 Mx=-0.00 Mz=3.00
Sollecitazioni agenti localmente: Tx_l=3.83 Ty_l=1.56 N_l=-6780.50 Mx_l=-0.00 My_l=3.00 Mz_l=-0.00
Taglio nei bulloni: Fv,Ed=0.69 Fv,Rd=9650.97
Rifollamento lato piastra: Fb,Ed,p=0.69 Fb,Rd,p=9344.30
Tirafondi:LT=0.45 (0.31) σ_{cR}=0.00 σ_{fR}=0.00
Compressione nel calcestruzzo: σ_c=14.18
CC 14 SLD (Collegamento 0024_-381)
Azioni sul collegamento: N=-6780.50 Ty=4.22 Tz=1.56 Mx=-0.00 Mz=4.10
Sollecitazioni agenti localmente: Tx_l=4.22 Ty_l=1.56 N_l=-6780.50 Mx_l=-0.00 My_l=4.10 Mz_l=-0.00
Taglio nei bulloni: Fv,Ed=0.75 Fv,Rd=9650.97
Rifollamento lato piastra: Fb,Ed,p=0.75 Fb,Rd,p=9007.82
Tirafondi:LT=0.45 (0.31) σ_{cR}=0.00 σ_{fR}=0.00
Compressione nel calcestruzzo: σ_c=14.24
CC 15 SLV (Collegamento 0024_-381)
Azioni sul collegamento: N=-7375.82 Ty=3.40 Tz=4.00 Mx=0.00 Mz=3.25
Sollecitazioni agenti localmente: Tx_l=3.40 Ty_l=4.00 N_l=-7375.82 Mx_l=-0.00 My_l=3.25 Mz_l=0.00
Taglio nei bulloni: Fv,Ed=0.88 Fv,Rd=7720.78
Rifollamento lato piastra: Fb,Ed,p=0.88 Fb,Rd,p=11159.00
Tirafondi:LT=0.45 (0.31) σ_{cR}=0.00 σ_{fR}=0.00
Compressione nel calcestruzzo: σ_c=15.42
CC 15 SLV (Collegamento 0024_-381)
Azioni sul collegamento: N=-7375.82 Ty=6.34 Tz=4.00 Mx=0.00 Mz=8.01
Sollecitazioni agenti localmente: Tx_l=6.34 Ty_l=4.00 N_l=-7375.82 Mx_l=-0.00 My_l=8.01 Mz_l=0.00
Taglio nei bulloni: Fv,Ed=1.25 Fv,Rd=7720.78
Rifollamento lato piastra: Fb,Ed,p=1.25 Fb,Rd,p=9579.22
Tirafondi:LT=0.45 (0.31) σ_{cR}=0.00 σ_{fR}=0.00
Compressione nel calcestruzzo: σ_c=15.69
CC 15 SLV (Collegamento 0024_-381)
Azioni sul collegamento: N=-7375.82 Ty=3.40 Tz=-2.29 Mx=0.00 Mz=3.25
Sollecitazioni agenti localmente: Tx_l=3.40 Ty_l=-2.29 N_l=-7375.82 Mx_l=-0.00 My_l=3.25 Mz_l=0.00
Taglio nei bulloni: Fv,Ed=0.69 Fv,Rd=7720.78
Rifollamento lato piastra: Fb,Ed,p=0.69 Fb,Rd,p=10134.20
Tirafondi:LT=0.45 (0.31) σ_{cR}=0.00 σ_{fR}=0.00
Compressione nel calcestruzzo: σ_c=15.42
CC 15 SLV (Collegamento 0024_-381)
Azioni sul collegamento: N=-7375.82 Ty=6.34 Tz=-2.29 Mx=0.00 Mz=8.01
Sollecitazioni agenti localmente: Tx_l=6.34 Ty_l=-2.29 N_l=-7375.82 Mx_l=-0.00 My_l=8.01 Mz_l=0.00
Taglio nei bulloni: Fv,Ed=1.13 Fv,Rd=7720.78
Rifollamento lato piastra: Fb,Ed,p=1.13 Fb,Rd,p=7157.59
Tirafondi:LT=0.45 (0.31) σ_{cR}=0.00 σ_{fR}=0.00
Compressione nel calcestruzzo: σ_c=15.69
CC 15 SLV (Collegamento 0024_-381)
Azioni sul collegamento: N=-5772.92 Ty=3.40 Tz=4.00 Mx=0.00 Mz=3.25
Sollecitazioni agenti localmente: Tx_l=3.40 Ty_l=4.00 N_l=-5772.92 Mx_l=-0.00 My_l=3.25 Mz_l=0.00
Taglio nei bulloni: Fv,Ed=0.88 Fv,Rd=7720.78
Rifollamento lato piastra: Fb,Ed,p=0.88 Fb,Rd,p=11159.20
Tirafondi:LT=0.45 (0.31) σ_{cR}=0.00 σ_{fR}=0.00
Compressione nel calcestruzzo: σ_c=12.11
CC 15 SLV (Collegamento 0024_-381)
Azioni sul collegamento: N=-5772.92 Ty=6.34 Tz=4.00 Mx=0.00 Mz=8.01
Sollecitazioni agenti localmente: Tx_l=6.34 Ty_l=4.00 N_l=-5772.92 Mx_l=-0.00 My_l=8.01 Mz_l=0.00
Taglio nei bulloni: Fv,Ed=1.25 Fv,Rd=7720.78
Rifollamento lato piastra: Fb,Ed,p=1.25 Fb,Rd,p=9578.94

Tirafondi:LT=0.45 (0.31) σ_{cR}=0.00 σ_{fR}=0.00
Compressione nel calcestruzzo: σ_c=12.38
CC 15 SLV (Collegamento 0024_-381)
Azioni sul collegamento: N=-5772.92 Ty=3.40 Tz=-2.29 Mx=0.00 Mz=3.25
Sollecitazioni agenti localmente: Tx_l=3.40 Ty_l=-2.29 N_l=-5772.92 Mx_l=-0.00 My_l=3.25 Mz_l=0.00
Taglio nei bulloni: Fv,Ed=0.69 Fv,Rd=7720.78
Rifollamento lato piastra: Fb,Ed,p=0.69 Fb,Rd,p=10133.60
Tirafondi:LT=0.45 (0.31) σ_{cR}=0.00 σ_{fR}=0.00
Compressione nel calcestruzzo: σ_c=12.11
CC 15 SLV (Collegamento 0024_-381)
Azioni sul collegamento: N=-5772.92 Ty=6.34 Tz=-2.29 Mx=0.00 Mz=8.01
Sollecitazioni agenti localmente: Tx_l=6.34 Ty_l=-2.29 N_l=-5772.92 Mx_l=-0.00 My_l=8.01 Mz_l=0.00
Taglio nei bulloni: Fv,Ed=1.13 Fv,Rd=7720.78
Rifollamento lato piastra: Fb,Ed,p=1.13 Fb,Rd,p=7157.42
Tirafondi:LT=0.45 (0.31) σ_{cR}=0.00 σ_{fR}=0.00
Compressione nel calcestruzzo: σ_c=12.38
CC 16 SLD (Collegamento 0024_-381)
Azioni sul collegamento: N=-6786.28 Ty=3.58 Tz=1.69 Mx=-0.00 Mz=2.82
Sollecitazioni agenti localmente: Tx_l=3.58 Ty_l=1.69 N_l=-6786.28 Mx_l=-0.00 My_l=2.82 Mz_l=-0.00
Taglio nei bulloni: Fv,Ed=0.66 Fv,Rd=9650.97
Rifollamento lato piastra: Fb,Ed,p=0.66 Fb,Rd,p=9996.35
Tirafondi:LT=0.45 (0.31) σ_{cR}=0.00 σ_{fR}=0.00
Compressione nel calcestruzzo: σ_c=14.18
CC 16 SLD (Collegamento 0024_-381)
Azioni sul collegamento: N=-6786.28 Ty=4.47 Tz=1.69 Mx=-0.00 Mz=4.27
Sollecitazioni agenti localmente: Tx_l=4.47 Ty_l=1.69 N_l=-6786.28 Mx_l=-0.00 My_l=4.27 Mz_l=-0.00
Taglio nei bulloni: Fv,Ed=0.80 Fv,Rd=9650.97
Rifollamento lato piastra: Fb,Ed,p=0.80 Fb,Rd,p=9081.79
Tirafondi:LT=0.45 (0.31) σ_{cR}=0.00 σ_{fR}=0.00
Compressione nel calcestruzzo: σ_c=14.26
CC 16 SLD (Collegamento 0024_-381)
Azioni sul collegamento: N=-6786.28 Ty=3.58 Tz=-0.23 Mx=-0.00 Mz=2.82
Sollecitazioni agenti localmente: Tx_l=3.58 Ty_l=-0.23 N_l=-6786.28 Mx_l=-0.00 My_l=2.82 Mz_l=-0.00
Taglio nei bulloni: Fv,Ed=0.60 Fv,Rd=9650.97
Rifollamento lato piastra: Fb,Ed,p=0.60 Fb,Rd,p=7515.52
Tirafondi:LT=0.45 (0.31) σ_{cR}=0.00 σ_{fR}=0.00
Compressione nel calcestruzzo: σ_c=14.18
CC 16 SLD (Collegamento 0024_-381)
Azioni sul collegamento: N=-6786.28 Ty=4.47 Tz=-0.23 Mx=-0.00 Mz=4.27
Sollecitazioni agenti localmente: Tx_l=4.47 Ty_l=-0.23 N_l=-6786.28 Mx_l=-0.00 My_l=4.27 Mz_l=-0.00
Taglio nei bulloni: Fv,Ed=0.75 Fv,Rd=9650.97
Rifollamento lato piastra: Fb,Ed,p=0.75 Fb,Rd,p=7500.59
Tirafondi:LT=0.45 (0.31) σ_{cR}=0.00 σ_{fR}=0.00
Compressione nel calcestruzzo: σ_c=14.26
CC 16 SLD (Collegamento 0024_-381)
Azioni sul collegamento: N=-6297.50 Ty=3.58 Tz=1.69 Mx=-0.00 Mz=2.82
Sollecitazioni agenti localmente: Tx_l=3.58 Ty_l=1.69 N_l=-6297.50 Mx_l=-0.00 My_l=2.82 Mz_l=-0.00
Taglio nei bulloni: Fv,Ed=0.66 Fv,Rd=9650.97
Rifollamento lato piastra: Fb,Ed,p=0.66 Fb,Rd,p=9997.33
Tirafondi:LT=0.45 (0.31) σ_{cR}=0.00 σ_{fR}=0.00
Compressione nel calcestruzzo: σ_c=13.17
CC 16 SLD (Collegamento 0024_-381)
Azioni sul collegamento: N=-6297.50 Ty=4.47 Tz=1.69 Mx=-0.00 Mz=4.27
Sollecitazioni agenti localmente: Tx_l=4.47 Ty_l=1.69 N_l=-6297.50 Mx_l=-0.00 My_l=4.27 Mz_l=-0.00
Taglio nei bulloni: Fv,Ed=0.80 Fv,Rd=9650.97
Rifollamento lato piastra: Fb,Ed,p=0.80 Fb,Rd,p=9082.42
Tirafondi:LT=0.45 (0.31) σ_{cR}=0.00 σ_{fR}=0.00
Compressione nel calcestruzzo: σ_c=13.25
CC 16 SLD (Collegamento 0024_-381)
Azioni sul collegamento: N=-6297.50 Ty=3.58 Tz=-0.23 Mx=-0.00 Mz=2.82
Sollecitazioni agenti localmente: Tx_l=3.58 Ty_l=-0.23 N_l=-6297.50 Mx_l=-0.00 My_l=2.82 Mz_l=-0.00
Taglio nei bulloni: Fv,Ed=0.60 Fv,Rd=9650.97
Rifollamento lato piastra: Fb,Ed,p=0.60 Fb,Rd,p=7515.51
Tirafondi:LT=0.45 (0.31) σ_{cR}=0.00 σ_{fR}=0.00
Compressione nel calcestruzzo: σ_c=13.17
CC 16 SLD (Collegamento 0024_-381)
Azioni sul collegamento: N=-6297.50 Ty=4.47 Tz=-0.23 Mx=-0.00 Mz=4.27
Sollecitazioni agenti localmente: Tx_l=4.47 Ty_l=-0.23 N_l=-6297.50 Mx_l=-0.00 My_l=4.27 Mz_l=-0.00
Taglio nei bulloni: Fv,Ed=0.75 Fv,Rd=9650.97
Rifollamento lato piastra: Fb,Ed,p=0.75 Fb,Rd,p=7500.59
Tirafondi:LT=0.45 (0.31) σ_{cR}=0.00 σ_{fR}=0.00
Compressione nel calcestruzzo: σ_c=13.25
CC 17 SLV (Collegamento 0024_-381)
Azioni sul collegamento: N=-3838.16 Ty=0.76 Tz=-9.35 Mx=-0.02 Mz=1.23
Sollecitazioni agenti localmente: Tx_l=0.76 Ty_l=-9.35 N_l=-3838.16 Mx_l=-0.00 My_l=1.23 Mz_l=-0.02
Taglio nei bulloni: Fv,Ed=1.59 Fv,Rd=7720.78
Rifollamento lato piastra: Fb,Ed,p=1.59 Fb,Rd,p=6058.88
Tirafondi:LT=0.45 (0.31) σ_{cR}=0.00 σ_{fR}=0.00

Compressione nel calcestruzzo: σ_c=8.00
CC 17 SLV (Collegamento 0024_-381)
Azioni sul collegamento: N=-3838.16 Ty=4.12 Tz=-9.35 Mx=-0.02 Mz=-1.95
Sollecitazioni agenti localmente: Tx_l=4.12 Ty_l=-9.35 N_l=-3838.16 Mx_l=-0.00 My_l=-1.95 Mz_l=-0.02
Taglio nei bulloni: Fv,Ed=1.73 Fv,Rd=7720.78
Rifollamento lato piastra: Fb,Ed,p=1.73 Fb,Rd,p=7792.84
Tirafondi:LT=0.45 (0.31) σ_{cR}=0.00 σ_{fR}=0.00
Compressione nel calcestruzzo: σ_c=8.04
CC 17 SLV (Collegamento 0024_-381)
Azioni sul collegamento: N=-3838.16 Ty=0.76 Tz=10.33 Mx=-0.02 Mz=1.23
Sollecitazioni agenti localmente: Tx_l=0.76 Ty_l=10.33 N_l=-3838.16 Mx_l=-0.00 My_l=1.23 Mz_l=-0.02
Taglio nei bulloni: Fv,Ed=1.75 Fv,Rd=7720.78
Rifollamento lato piastra: Fb,Ed,p=1.75 Fb,Rd,p=6010.44
Tirafondi:LT=0.45 (0.31) σ_{cR}=0.00 σ_{fR}=0.00
Compressione nel calcestruzzo: σ_c=8.00
CC 17 SLV (Collegamento 0024_-381)
Azioni sul collegamento: N=-3838.16 Ty=4.12 Tz=10.33 Mx=-0.02 Mz=-1.95
Sollecitazioni agenti localmente: Tx_l=4.12 Ty_l=10.33 N_l=-3838.16 Mx_l=-0.00 My_l=-1.95 Mz_l=-0.02
Taglio nei bulloni: Fv,Ed=1.88 Fv,Rd=7720.78
Rifollamento lato piastra: Fb,Ed,p=1.87 Fb,Rd,p=7277.26
Tirafondi:LT=0.45 (0.31) σ_{cR}=0.00 σ_{fR}=0.00
Compressione nel calcestruzzo: σ_c=8.04
CC 17 SLV (Collegamento 0024_-381)
Azioni sul collegamento: N=-9123.66 Ty=0.76 Tz=-9.35 Mx=-0.02 Mz=1.23
Sollecitazioni agenti localmente: Tx_l=0.76 Ty_l=-9.35 N_l=-9123.66 Mx_l=-0.00 My_l=1.23 Mz_l=-0.02
Taglio nei bulloni: Fv,Ed=1.59 Fv,Rd=7720.78
Rifollamento lato piastra: Fb,Ed,p=1.59 Fb,Rd,p=6058.88
Tirafondi:LT=0.45 (0.31) σ_{cR}=0.00 σ_{fR}=0.00
Compressione nel calcestruzzo: σ_c=18.92
CC 17 SLV (Collegamento 0024_-381)
Azioni sul collegamento: N=-9123.66 Ty=4.12 Tz=-9.35 Mx=-0.02 Mz=-1.95
Sollecitazioni agenti localmente: Tx_l=4.12 Ty_l=-9.35 N_l=-9123.66 Mx_l=-0.00 My_l=-1.95 Mz_l=-0.02
Taglio nei bulloni: Fv,Ed=1.73 Fv,Rd=7720.78
Rifollamento lato piastra: Fb,Ed,p=1.73 Fb,Rd,p=7792.88
Tirafondi:LT=0.45 (0.31) σ_{cR}=0.00 σ_{fR}=0.00
Compressione nel calcestruzzo: σ_c=18.96
CC 17 SLV (Collegamento 0024_-381)
Azioni sul collegamento: N=-9123.66 Ty=0.76 Tz=10.33 Mx=-0.02 Mz=1.23
Sollecitazioni agenti localmente: Tx_l=0.76 Ty_l=10.33 N_l=-9123.66 Mx_l=-0.00 My_l=1.23 Mz_l=-0.02
Taglio nei bulloni: Fv,Ed=1.75 Fv,Rd=7720.78
Rifollamento lato piastra: Fb,Ed,p=1.75 Fb,Rd,p=6010.44
Tirafondi:LT=0.45 (0.31) σ_{cR}=0.00 σ_{fR}=0.00
Compressione nel calcestruzzo: σ_c=18.92
CC 17 SLV (Collegamento 0024_-381)
Azioni sul collegamento: N=-9123.66 Ty=4.12 Tz=10.33 Mx=-0.02 Mz=-1.95
Sollecitazioni agenti localmente: Tx_l=4.12 Ty_l=10.33 N_l=-9123.66 Mx_l=-0.00 My_l=-1.95 Mz_l=-0.02
Taglio nei bulloni: Fv,Ed=1.88 Fv,Rd=7720.78
Rifollamento lato piastra: Fb,Ed,p=1.87 Fb,Rd,p=7277.16
Tirafondi:LT=0.45 (0.31) σ_{cR}=0.00 σ_{fR}=0.00
Compressione nel calcestruzzo: σ_c=18.96
CC 18 SLD (Collegamento 0024_-381)
Azioni sul collegamento: N=-5707.53 Ty=3.80 Tz=-2.38 Mx=-0.01 Mz=2.21
Sollecitazioni agenti localmente: Tx_l=3.80 Ty_l=-2.38 N_l=-5707.53 Mx_l=-0.00 My_l=2.21 Mz_l=-0.01
Taglio nei bulloni: Fv,Ed=0.76 Fv,Rd=9650.97
Rifollamento lato piastra: Fb,Ed,p=0.75 Fb,Rd,p=11614.40
Tirafondi:LT=0.45 (0.31) σ_{cR}=0.00 σ_{fR}=0.00
Compressione nel calcestruzzo: σ_c=11.92
CC 18 SLD (Collegamento 0024_-381)
Azioni sul collegamento: N=-5707.53 Ty=2.77 Tz=-2.38 Mx=-0.01 Mz=1.24
Sollecitazioni agenti localmente: Tx_l=2.77 Ty_l=-2.38 N_l=-5707.53 Mx_l=-0.00 My_l=1.24 Mz_l=-0.01
Taglio nei bulloni: Fv,Ed=0.62 Fv,Rd=9650.97
Rifollamento lato piastra: Fb,Ed,p=0.61 Fb,Rd,p=13752.50
Tirafondi:LT=0.45 (0.31) σ_{cR}=0.00 σ_{fR}=0.00
Compressione nel calcestruzzo: σ_c=11.86
CC 18 SLD (Collegamento 0024_-381)
Azioni sul collegamento: N=-5707.53 Ty=3.80 Tz=3.62 Mx=-0.01 Mz=2.21
Sollecitazioni agenti localmente: Tx_l=3.80 Ty_l=3.62 N_l=-5707.53 Mx_l=-0.00 My_l=2.21 Mz_l=-0.01
Taglio nei bulloni: Fv,Ed=0.89 Fv,Rd=9650.97
Rifollamento lato piastra: Fb,Ed,p=0.89 Fb,Rd,p=14673.90
Tirafondi:LT=0.45 (0.31) σ_{cR}=0.00 σ_{fR}=0.00
Compressione nel calcestruzzo: σ_c=11.92
CC 18 SLD (Collegamento 0024_-381)
Azioni sul collegamento: N=-5707.53 Ty=2.77 Tz=3.62 Mx=-0.01 Mz=1.24
Sollecitazioni agenti localmente: Tx_l=2.77 Ty_l=3.62 N_l=-5707.53 Mx_l=-0.00 My_l=1.24 Mz_l=-0.01
Taglio nei bulloni: Fv,Ed=0.77 Fv,Rd=9650.97
Rifollamento lato piastra: Fb,Ed,p=0.76 Fb,Rd,p=13209.80
Tirafondi:LT=0.45 (0.31) σ_{cR}=0.00 σ_{fR}=0.00
Compressione nel calcestruzzo: σ_c=11.86

CC 18 SLD (Collegamento 0024_-381)
Azioni sul collegamento: N=-7319.25 Ty=3.80 Tz=-2.38 Mx=-0.01 Mz=2.21
Sollecitazioni agenti localmente: Tx_l=3.80 Ty_l=-2.38 N_l=-7319.25 Mx_l=-0.00 My_l=2.21 Mz_l=-0.01
Taglio nei bulloni: Fv,Ed=0.76 Fv,Rd=9650.97
Rifollamento lato piastra: Fb,Ed,p=0.75 Fb,Rd,p=11614.70
Tirafondi:LT=0.45 (0.31) σ_{cR}=0.00 σ_{fR}=0.00
Compressione nel calcestruzzo: σ_c=15.25
CC 18 SLD (Collegamento 0024_-381)
Azioni sul collegamento: N=-7319.25 Ty=2.77 Tz=-2.38 Mx=-0.01 Mz=1.24
Sollecitazioni agenti localmente: Tx_l=2.77 Ty_l=-2.38 N_l=-7319.25 Mx_l=-0.00 My_l=1.24 Mz_l=-0.01
Taglio nei bulloni: Fv,Ed=0.62 Fv,Rd=9650.97
Rifollamento lato piastra: Fb,Ed,p=0.61 Fb,Rd,p=13752.70
Tirafondi:LT=0.45 (0.31) σ_{cR}=0.00 σ_{fR}=0.00
Compressione nel calcestruzzo: σ_c=15.19
CC 18 SLD (Collegamento 0024_-381)
Azioni sul collegamento: N=-7319.25 Ty=3.80 Tz=3.62 Mx=-0.01 Mz=2.21
Sollecitazioni agenti localmente: Tx_l=3.80 Ty_l=3.62 N_l=-7319.25 Mx_l=-0.00 My_l=2.21 Mz_l=-0.01
Taglio nei bulloni: Fv,Ed=0.89 Fv,Rd=9650.97
Rifollamento lato piastra: Fb,Ed,p=0.89 Fb,Rd,p=14674.00
Tirafondi:LT=0.45 (0.31) σ_{cR}=0.00 σ_{fR}=0.00
Compressione nel calcestruzzo: σ_c=15.25
CC 18 SLD (Collegamento 0024_-381)
Azioni sul collegamento: N=-7319.25 Ty=2.77 Tz=3.62 Mx=-0.01 Mz=1.24
Sollecitazioni agenti localmente: Tx_l=2.77 Ty_l=3.62 N_l=-7319.25 Mx_l=-0.00 My_l=1.24 Mz_l=-0.01
Taglio nei bulloni: Fv,Ed=0.77 Fv,Rd=9650.97
Rifollamento lato piastra: Fb,Ed,p=0.76 Fb,Rd,p=13209.70
Tirafondi:LT=0.45 (0.31) σ_{cR}=0.00 σ_{fR}=0.00
Compressione nel calcestruzzo: σ_c=15.19
CC 19 SLV (Collegamento 0024_-381)
Azioni sul collegamento: N=-3843.85 Ty=1.39 Tz=-9.22 Mx=-0.02 Mz=-0.03
Sollecitazioni agenti localmente: Tx_l=1.39 Ty_l=-9.22 N_l=-3843.85 Mx_l=-0.00 My_l=-0.03 Mz_l=-0.02
Taglio nei bulloni: Fv,Ed=1.57 Fv,Rd=7720.78
Rifollamento lato piastra: Fb,Ed,p=1.57 Fb,Rd,p=6209.50
Tirafondi:LT=0.45 (0.31) σ_{cR}=0.00 σ_{fR}=0.00
Compressione nel calcestruzzo: σ_c=7.94
CC 19 SLV (Collegamento 0024_-381)
Azioni sul collegamento: N=-3843.85 Ty=3.49 Tz=-9.22 Mx=-0.02 Mz=-0.69
Sollecitazioni agenti localmente: Tx_l=3.49 Ty_l=-9.22 N_l=-3843.85 Mx_l=-0.00 My_l=-0.69 Mz_l=-0.02
Taglio nei bulloni: Fv,Ed=1.67 Fv,Rd=7720.78
Rifollamento lato piastra: Fb,Ed,p=1.67 Fb,Rd,p=7309.50
Tirafondi:LT=0.45 (0.31) σ_{cR}=0.00 σ_{fR}=0.00
Compressione nel calcestruzzo: σ_c=7.98
CC 19 SLV (Collegamento 0024_-381)
Azioni sul collegamento: N=-3843.85 Ty=1.39 Tz=10.20 Mx=-0.02 Mz=-0.03
Sollecitazioni agenti localmente: Tx_l=1.39 Ty_l=10.20 N_l=-3843.85 Mx_l=-0.00 My_l=-0.03 Mz_l=-0.02
Taglio nei bulloni: Fv,Ed=1.74 Fv,Rd=7720.78
Rifollamento lato piastra: Fb,Ed,p=1.73 Fb,Rd,p=6117.90
Tirafondi:LT=0.45 (0.31) σ_{cR}=0.00 σ_{fR}=0.00
Compressione nel calcestruzzo: σ_c=7.94
CC 19 SLV (Collegamento 0024_-381)
Azioni sul collegamento: N=-3843.85 Ty=3.49 Tz=10.20 Mx=-0.02 Mz=-0.69
Sollecitazioni agenti localmente: Tx_l=3.49 Ty_l=10.20 N_l=-3843.85 Mx_l=-0.00 My_l=-0.69 Mz_l=-0.02
Taglio nei bulloni: Fv,Ed=1.82 Fv,Rd=7720.78
Rifollamento lato piastra: Fb,Ed,p=1.81 Fb,Rd,p=6940.86
Tirafondi:LT=0.45 (0.31) σ_{cR}=0.00 σ_{fR}=0.00
Compressione nel calcestruzzo: σ_c=7.98
CC 19 SLV (Collegamento 0024_-381)
Azioni sul collegamento: N=-9117.97 Ty=1.39 Tz=-9.22 Mx=-0.02 Mz=-0.03
Sollecitazioni agenti localmente: Tx_l=1.39 Ty_l=-9.22 N_l=-9117.97 Mx_l=-0.00 My_l=-0.03 Mz_l=-0.02
Taglio nei bulloni: Fv,Ed=1.57 Fv,Rd=7720.78
Rifollamento lato piastra: Fb,Ed,p=1.57 Fb,Rd,p=6209.51
Tirafondi:LT=0.45 (0.31) σ_{cR}=0.00 σ_{fR}=0.00
Compressione nel calcestruzzo: σ_c=18.84
CC 19 SLV (Collegamento 0024_-381)
Azioni sul collegamento: N=-9117.97 Ty=3.49 Tz=-9.22 Mx=-0.02 Mz=-0.69
Sollecitazioni agenti localmente: Tx_l=3.49 Ty_l=-9.22 N_l=-9117.97 Mx_l=-0.00 My_l=-0.69 Mz_l=-0.02
Taglio nei bulloni: Fv,Ed=1.67 Fv,Rd=7720.78
Rifollamento lato piastra: Fb,Ed,p=1.67 Fb,Rd,p=7309.57
Tirafondi:LT=0.45 (0.31) σ_{cR}=0.00 σ_{fR}=0.00
Compressione nel calcestruzzo: σ_c=18.88
CC 19 SLV (Collegamento 0024_-381)
Azioni sul collegamento: N=-9117.97 Ty=1.39 Tz=10.20 Mx=-0.02 Mz=-0.03
Sollecitazioni agenti localmente: Tx_l=1.39 Ty_l=10.20 N_l=-9117.97 Mx_l=-0.00 My_l=-0.03 Mz_l=-0.02
Taglio nei bulloni: Fv,Ed=1.74 Fv,Rd=7720.78
Rifollamento lato piastra: Fb,Ed,p=1.73 Fb,Rd,p=6117.90
Tirafondi:LT=0.45 (0.31) σ_{cR}=0.00 σ_{fR}=0.00
Compressione nel calcestruzzo: σ_c=18.84
CC 19 SLV (Collegamento 0024_-381)

Azioni sul collegamento: N=-9117.97 Ty=3.49 Tz=10.20 Mx=-0.02 Mz=-0.69
Sollecitazioni agenti localmente: Tx_l=3.49 Ty_l=10.20 N_l=-9117.97 Mx_l=-0.00 My_l=-0.69 Mz_l=-0.02
Taglio nei bulloni: Fv,Ed=1.82 Fv,Rd=7720.78
Rifollamento lato piastra: Fb,Ed,p=1.81 Fb,Rd,p=6940.85
Tirafondi:LT=0.45 (0.31) σ_{cR}=0.00 σ_{fR}=0.00
Compressione nel calcestruzzo: σ_c=18.88
CC 20 SLD (Collegamento 0024_-381)
Azioni sul collegamento: N=-5709.27 Ty=3.60 Tz=-2.35 Mx=-0.01 Mz=1.82
Sollecitazioni agenti localmente: Tx_l=3.60 Ty_l=-2.35 N_l=-5709.27 Mx_l=-0.00 My_l=1.82 Mz_l=-0.01
Taglio nei bulloni: Fv,Ed=0.73 Fv,Rd=9650.97
Rifollamento lato piastra: Fb,Ed,p=0.72 Fb,Rd,p=11980.70
Tirafondi:LT=0.45 (0.31) σ_{cR}=0.00 σ_{fR}=0.00
Compressione nel calcestruzzo: σ_c=11.90
CC 20 SLD (Collegamento 0024_-381)
Azioni sul collegamento: N=-5709.27 Ty=2.97 Tz=-2.35 Mx=-0.01 Mz=1.62
Sollecitazioni agenti localmente: Tx_l=2.97 Ty_l=-2.35 N_l=-5709.27 Mx_l=-0.00 My_l=1.62 Mz_l=-0.01
Taglio nei bulloni: Fv,Ed=0.64 Fv,Rd=9650.97
Rifollamento lato piastra: Fb,Ed,p=0.63 Fb,Rd,p=13357.80
Tirafondi:LT=0.45 (0.31) σ_{cR}=0.00 σ_{fR}=0.00
Compressione nel calcestruzzo: σ_c=11.89
CC 20 SLD (Collegamento 0024_-381)
Azioni sul collegamento: N=-5709.27 Ty=3.60 Tz=3.58 Mx=-0.01 Mz=1.82
Sollecitazioni agenti localmente: Tx_l=3.60 Ty_l=3.58 N_l=-5709.27 Mx_l=-0.00 My_l=1.82 Mz_l=-0.01
Taglio nei bulloni: Fv,Ed=0.86 Fv,Rd=9650.97
Rifollamento lato piastra: Fb,Ed,p=0.86 Fb,Rd,p=14967.50
Tirafondi:LT=0.45 (0.31) σ_{cR}=0.00 σ_{fR}=0.00
Compressione nel calcestruzzo: σ_c=11.90
CC 20 SLD (Collegamento 0024_-381)
Azioni sul collegamento: N=-5709.27 Ty=2.97 Tz=3.58 Mx=-0.01 Mz=1.62
Sollecitazioni agenti localmente: Tx_l=2.97 Ty_l=3.58 N_l=-5709.27 Mx_l=-0.00 My_l=1.62 Mz_l=-0.01
Taglio nei bulloni: Fv,Ed=0.79 Fv,Rd=9650.97
Rifollamento lato piastra: Fb,Ed,p=0.78 Fb,Rd,p=13638.60
Tirafondi:LT=0.45 (0.31) σ_{cR}=0.00 σ_{fR}=0.00
Compressione nel calcestruzzo: σ_c=11.89
CC 20 SLD (Collegamento 0024_-381)
Azioni sul collegamento: N=-7317.51 Ty=3.60 Tz=-2.35 Mx=-0.01 Mz=1.82
Sollecitazioni agenti localmente: Tx_l=3.60 Ty_l=-2.35 N_l=-7317.51 Mx_l=-0.00 My_l=1.82 Mz_l=-0.01
Taglio nei bulloni: Fv,Ed=0.73 Fv,Rd=9650.97
Rifollamento lato piastra: Fb,Ed,p=0.72 Fb,Rd,p=11980.60
Tirafondi:LT=0.45 (0.31) σ_{cR}=0.00 σ_{fR}=0.00
Compressione nel calcestruzzo: σ_c=15.22
CC 20 SLD (Collegamento 0024_-381)
Azioni sul collegamento: N=-7317.51 Ty=2.97 Tz=-2.35 Mx=-0.01 Mz=1.62
Sollecitazioni agenti localmente: Tx_l=2.97 Ty_l=-2.35 N_l=-7317.51 Mx_l=-0.00 My_l=1.62 Mz_l=-0.01
Taglio nei bulloni: Fv,Ed=0.64 Fv,Rd=9650.97
Rifollamento lato piastra: Fb,Ed,p=0.63 Fb,Rd,p=13357.80
Tirafondi:LT=0.45 (0.31) σ_{cR}=0.00 σ_{fR}=0.00
Compressione nel calcestruzzo: σ_c=15.21
CC 20 SLD (Collegamento 0024_-381)
Azioni sul collegamento: N=-7317.51 Ty=3.60 Tz=3.58 Mx=-0.01 Mz=1.82
Sollecitazioni agenti localmente: Tx_l=3.60 Ty_l=3.58 N_l=-7317.51 Mx_l=-0.00 My_l=1.82 Mz_l=-0.01
Taglio nei bulloni: Fv,Ed=0.86 Fv,Rd=9650.97
Rifollamento lato piastra: Fb,Ed,p=0.86 Fb,Rd,p=14967.90
Tirafondi:LT=0.45 (0.31) σ_{cR}=0.00 σ_{fR}=0.00
Compressione nel calcestruzzo: σ_c=15.22
CC 20 SLD (Collegamento 0024_-381)
Azioni sul collegamento: N=-7317.51 Ty=2.97 Tz=3.58 Mx=-0.01 Mz=1.62
Sollecitazioni agenti localmente: Tx_l=2.97 Ty_l=3.58 N_l=-7317.51 Mx_l=-0.00 My_l=1.62 Mz_l=-0.01
Taglio nei bulloni: Fv,Ed=0.79 Fv,Rd=9650.97
Rifollamento lato piastra: Fb,Ed,p=0.78 Fb,Rd,p=13638.30
Tirafondi:LT=0.45 (0.31) σ_{cR}=0.00 σ_{fR}=0.00
Compressione nel calcestruzzo: σ_c=15.21
CC 21 SLV (Collegamento 0024_-381)
Azioni sul collegamento: N=-9117.97 Ty=3.49 Tz=10.20 Mx=-0.02 Mz=-0.69
Sollecitazioni agenti localmente: Tx_l=3.49 Ty_l=10.20 N_l=-9117.97 Mx_l=-0.00 My_l=-0.69 Mz_l=-0.02
Taglio nei bulloni: Fv,Ed=1.82 Fv,Rd=7720.78
Rifollamento lato piastra: Fb,Ed,p=1.81 Fb,Rd,p=6932.88
Tirafondi:LT=0.45 (0.31) σ_{cR}=0.00 σ_{fR}=0.00
Compressione nel calcestruzzo: σ_c=18.88
CC 21 SLV (Collegamento 0024_-381)
Azioni sul collegamento: N=-9117.97 Ty=1.39 Tz=10.20 Mx=-0.02 Mz=-0.03
Sollecitazioni agenti localmente: Tx_l=1.39 Ty_l=10.20 N_l=-9117.97 Mx_l=-0.00 My_l=-0.03 Mz_l=-0.02
Taglio nei bulloni: Fv,Ed=1.74 Fv,Rd=7720.78
Rifollamento lato piastra: Fb,Ed,p=1.73 Fb,Rd,p=6115.36
Tirafondi:LT=0.45 (0.31) σ_{cR}=0.00 σ_{fR}=0.00
Compressione nel calcestruzzo: σ_c=18.84
CC 21 SLV (Collegamento 0024_-381)
Azioni sul collegamento: N=-9117.97 Ty=3.49 Tz=-9.22 Mx=-0.02 Mz=-0.69

Sollecitazioni agenti localmente: Tx_l=3.49 Ty_l=-9.22 N_l=-9117.97 Mx_l=-0.00 My_l=-0.69 Mz_l=-0.02
Taglio nei bulloni: Fv,Ed=1.67 Fv,Rd=7720.78
Rifollamento lato piastra: Fb,Ed,p=1.67 Fb,Rd,p=7314.40
Tirafondi:LT=0.45 (0.31) σ_{cR}=0.00 σ_{fR}=0.00
Compressione nel calcestruzzo: σ_c=18.88
CC 21 SLV (Collegamento 0024_-381)
Azioni sul collegamento: N=-9117.97 Ty=1.39 Tz=-9.22 Mx=-0.02 Mz=-0.03
Sollecitazioni agenti localmente: Tx_l=1.39 Ty_l=-9.22 N_l=-9117.97 Mx_l=-0.00 My_l=-0.03 Mz_l=-0.02
Taglio nei bulloni: Fv,Ed=1.58 Fv,Rd=7720.78
Rifollamento lato piastra: Fb,Ed,p=1.58 Fb,Rd,p=6212.22
Tirafondi:LT=0.45 (0.31) σ_{cR}=0.00 σ_{fR}=0.00
Compressione nel calcestruzzo: σ_c=18.84
CC 21 SLV (Collegamento 0024_-381)
Azioni sul collegamento: N=-3843.85 Ty=3.49 Tz=10.20 Mx=-0.02 Mz=-0.69
Sollecitazioni agenti localmente: Tx_l=3.49 Ty_l=10.20 N_l=-3843.85 Mx_l=-0.00 My_l=-0.69 Mz_l=-0.02
Taglio nei bulloni: Fv,Ed=1.82 Fv,Rd=7720.78
Rifollamento lato piastra: Fb,Ed,p=1.81 Fb,Rd,p=6932.89
Tirafondi:LT=0.45 (0.31) σ_{cR}=0.00 σ_{fR}=0.00
Compressione nel calcestruzzo: σ_c=7.98
CC 21 SLV (Collegamento 0024_-381)
Azioni sul collegamento: N=-3843.85 Ty=1.39 Tz=10.20 Mx=-0.02 Mz=-0.03
Sollecitazioni agenti localmente: Tx_l=1.39 Ty_l=10.20 N_l=-3843.85 Mx_l=-0.00 My_l=-0.03 Mz_l=-0.02
Taglio nei bulloni: Fv,Ed=1.74 Fv,Rd=7720.78
Rifollamento lato piastra: Fb,Ed,p=1.73 Fb,Rd,p=6115.36
Tirafondi:LT=0.45 (0.31) σ_{cR}=0.00 σ_{fR}=0.00
Compressione nel calcestruzzo: σ_c=7.94
CC 21 SLV (Collegamento 0024_-381)
Azioni sul collegamento: N=-3843.85 Ty=3.49 Tz=-9.22 Mx=-0.02 Mz=-0.69
Sollecitazioni agenti localmente: Tx_l=3.49 Ty_l=-9.22 N_l=-3843.85 Mx_l=-0.00 My_l=-0.69 Mz_l=-0.02
Taglio nei bulloni: Fv,Ed=1.67 Fv,Rd=7720.78
Rifollamento lato piastra: Fb,Ed,p=1.67 Fb,Rd,p=7314.33
Tirafondi:LT=0.45 (0.31) σ_{cR}=0.00 σ_{fR}=0.00
Compressione nel calcestruzzo: σ_c=7.98
CC 21 SLV (Collegamento 0024_-381)
Azioni sul collegamento: N=-3843.85 Ty=1.39 Tz=-9.22 Mx=-0.02 Mz=-0.03
Sollecitazioni agenti localmente: Tx_l=1.39 Ty_l=-9.22 N_l=-3843.85 Mx_l=-0.00 My_l=-0.03 Mz_l=-0.02
Taglio nei bulloni: Fv,Ed=1.58 Fv,Rd=7720.78
Rifollamento lato piastra: Fb,Ed,p=1.58 Fb,Rd,p=6212.21
Tirafondi:LT=0.45 (0.31) σ_{cR}=0.00 σ_{fR}=0.00
Compressione nel calcestruzzo: σ_c=7.94
CC 22 SLD (Collegamento 0024_-381)
Azioni sul collegamento: N=-7317.51 Ty=2.97 Tz=3.58 Mx=-0.01 Mz=1.62
Sollecitazioni agenti localmente: Tx_l=2.97 Ty_l=3.58 N_l=-7317.51 Mx_l=-0.00 My_l=1.62 Mz_l=-0.01
Taglio nei bulloni: Fv,Ed=0.79 Fv,Rd=9650.97
Rifollamento lato piastra: Fb,Ed,p=0.78 Fb,Rd,p=13627.70
Tirafondi:LT=0.45 (0.31) σ_{cR}=0.00 σ_{fR}=0.00
Compressione nel calcestruzzo: σ_c=15.21
CC 22 SLD (Collegamento 0024_-381)
Azioni sul collegamento: N=-7317.51 Ty=3.60 Tz=3.58 Mx=-0.01 Mz=1.82
Sollecitazioni agenti localmente: Tx_l=3.60 Ty_l=3.58 N_l=-7317.51 Mx_l=-0.00 My_l=1.82 Mz_l=-0.01
Taglio nei bulloni: Fv,Ed=0.86 Fv,Rd=9650.97
Rifollamento lato piastra: Fb,Ed,p=0.86 Fb,Rd,p=14968.00
Tirafondi:LT=0.45 (0.31) σ_{cR}=0.00 σ_{fR}=0.00
Compressione nel calcestruzzo: σ_c=15.22
CC 22 SLD (Collegamento 0024_-381)
Azioni sul collegamento: N=-7317.51 Ty=2.97 Tz=-2.35 Mx=-0.01 Mz=1.62
Sollecitazioni agenti localmente: Tx_l=2.97 Ty_l=-2.35 N_l=-7317.51 Mx_l=-0.00 My_l=1.62 Mz_l=-0.01
Taglio nei bulloni: Fv,Ed=0.64 Fv,Rd=9650.97
Rifollamento lato piastra: Fb,Ed,p=0.63 Fb,Rd,p=13345.70
Tirafondi:LT=0.45 (0.31) σ_{cR}=0.00 σ_{fR}=0.00
Compressione nel calcestruzzo: σ_c=15.21
CC 22 SLD (Collegamento 0024_-381)
Azioni sul collegamento: N=-7317.51 Ty=3.60 Tz=-2.35 Mx=-0.01 Mz=1.82
Sollecitazioni agenti localmente: Tx_l=3.60 Ty_l=-2.35 N_l=-7317.51 Mx_l=-0.00 My_l=1.82 Mz_l=-0.01
Taglio nei bulloni: Fv,Ed=0.73 Fv,Rd=9650.97
Rifollamento lato piastra: Fb,Ed,p=0.72 Fb,Rd,p=11959.80
Tirafondi:LT=0.45 (0.31) σ_{cR}=0.00 σ_{fR}=0.00
Compressione nel calcestruzzo: σ_c=15.22
CC 22 SLD (Collegamento 0024_-381)
Azioni sul collegamento: N=-5709.27 Ty=2.97 Tz=3.58 Mx=-0.01 Mz=1.62
Sollecitazioni agenti localmente: Tx_l=2.97 Ty_l=3.58 N_l=-5709.27 Mx_l=-0.00 My_l=1.62 Mz_l=-0.01
Taglio nei bulloni: Fv,Ed=0.79 Fv,Rd=9650.97
Rifollamento lato piastra: Fb,Ed,p=0.78 Fb,Rd,p=13628.00
Tirafondi:LT=0.45 (0.31) σ_{cR}=0.00 σ_{fR}=0.00
Compressione nel calcestruzzo: σ_c=11.89
CC 22 SLD (Collegamento 0024_-381)
Azioni sul collegamento: N=-5709.27 Ty=3.60 Tz=3.58 Mx=-0.01 Mz=1.82
Sollecitazioni agenti localmente: Tx_l=3.60 Ty_l=3.58 N_l=-5709.27 Mx_l=-0.00 My_l=1.82 Mz_l=-0.01

Taglio nei bulloni: Fv,Ed=0.86 Fv,Rd=9650.97
Rifollamento lato piastra: Fb,Ed,p=0.86 Fb,Rd,p=14967.50
Tirafondi:LT=0.45 (0.31) σ_{cR}=0.00 σ_{fR}=0.00
Compressione nel calcestruzzo: σ_c=11.90
CC 22 SLD (Collegamento 0024_-381)
Azioni sul collegamento: N=-5709.27 Ty=2.97 Tz=-2.35 Mx=-0.01 Mz=1.62
Sollecitazioni agenti localmente: Tx_l=2.97 Ty_l=-2.35 N_l=-5709.27 Mx_l=-0.00 My_l=1.62 Mz_l=-0.01
Taglio nei bulloni: Fv,Ed=0.64 Fv,Rd=9650.97
Rifollamento lato piastra: Fb,Ed,p=0.63 Fb,Rd,p=13345.80
Tirafondi:LT=0.45 (0.31) σ_{cR}=0.00 σ_{fR}=0.00
Compressione nel calcestruzzo: σ_c=11.89
CC 22 SLD (Collegamento 0024_-381)
Azioni sul collegamento: N=-5709.27 Ty=3.60 Tz=-2.35 Mx=-0.01 Mz=1.82
Sollecitazioni agenti localmente: Tx_l=3.60 Ty_l=-2.35 N_l=-5709.27 Mx_l=-0.00 My_l=1.82 Mz_l=-0.01
Taglio nei bulloni: Fv,Ed=0.73 Fv,Rd=9650.97
Rifollamento lato piastra: Fb,Ed,p=0.72 Fb,Rd,p=11959.90
Tirafondi:LT=0.45 (0.31) σ_{cR}=0.00 σ_{fR}=0.00
Compressione nel calcestruzzo: σ_c=11.90
CC 23 SLV (Collegamento 0024_-381)
Azioni sul collegamento: N=-9123.66 Ty=4.12 Tz=10.33 Mx=-0.01 Mz=-1.95
Sollecitazioni agenti localmente: Tx_l=4.12 Ty_l=10.33 N_l=-9123.66 Mx_l=-0.00 My_l=-1.95 Mz_l=-0.01
Taglio nei bulloni: Fv,Ed=1.87 Fv,Rd=7720.78
Rifollamento lato piastra: Fb,Ed,p=1.86 Fb,Rd,p=7326.59
Tirafondi:LT=0.45 (0.31) σ_{cR}=0.00 σ_{fR}=0.00
Compressione nel calcestruzzo: σ_c=18.96
CC 23 SLV (Collegamento 0024_-381)
Azioni sul collegamento: N=-9123.66 Ty=0.76 Tz=10.33 Mx=-0.01 Mz=1.23
Sollecitazioni agenti localmente: Tx_l=0.76 Ty_l=10.33 N_l=-9123.66 Mx_l=-0.00 My_l=1.23 Mz_l=-0.01
Taglio nei bulloni: Fv,Ed=1.74 Fv,Rd=7720.78
Rifollamento lato piastra: Fb,Ed,p=1.74 Fb,Rd,p=6016.44
Tirafondi:LT=0.45 (0.31) σ_{cR}=0.00 σ_{fR}=0.00
Compressione nel calcestruzzo: σ_c=18.92
CC 23 SLV (Collegamento 0024_-381)
Azioni sul collegamento: N=-9123.66 Ty=4.12 Tz=-9.35 Mx=-0.01 Mz=-1.95
Sollecitazioni agenti localmente: Tx_l=4.12 Ty_l=-9.35 N_l=-9123.66 Mx_l=-0.00 My_l=-1.95 Mz_l=-0.01
Taglio nei bulloni: Fv,Ed=1.72 Fv,Rd=7720.78
Rifollamento lato piastra: Fb,Ed,p=1.72 Fb,Rd,p=7767.35
Tirafondi:LT=0.45 (0.31) σ_{cR}=0.00 σ_{fR}=0.00
Compressione nel calcestruzzo: σ_c=18.96
CC 23 SLV (Collegamento 0024_-381)
Azioni sul collegamento: N=-9123.66 Ty=0.76 Tz=-9.35 Mx=-0.01 Mz=1.23
Sollecitazioni agenti localmente: Tx_l=0.76 Ty_l=-9.35 N_l=-9123.66 Mx_l=-0.00 My_l=1.23 Mz_l=-0.01
Taglio nei bulloni: Fv,Ed=1.58 Fv,Rd=7720.78
Rifollamento lato piastra: Fb,Ed,p=1.58 Fb,Rd,p=6050.46
Tirafondi:LT=0.45 (0.31) σ_{cR}=0.00 σ_{fR}=0.00
Compressione nel calcestruzzo: σ_c=18.92
CC 23 SLV (Collegamento 0024_-381)
Azioni sul collegamento: N=-3838.16 Ty=4.12 Tz=10.33 Mx=-0.01 Mz=-1.95
Sollecitazioni agenti localmente: Tx_l=4.12 Ty_l=10.33 N_l=-3838.16 Mx_l=-0.00 My_l=-1.95 Mz_l=-0.01
Taglio nei bulloni: Fv,Ed=1.87 Fv,Rd=7720.78
Rifollamento lato piastra: Fb,Ed,p=1.86 Fb,Rd,p=7326.69
Tirafondi:LT=0.45 (0.31) σ_{cR}=0.00 σ_{fR}=0.00
Compressione nel calcestruzzo: σ_c=8.04
CC 23 SLV (Collegamento 0024_-381)
Azioni sul collegamento: N=-3838.16 Ty=0.76 Tz=10.33 Mx=-0.01 Mz=1.23
Sollecitazioni agenti localmente: Tx_l=0.76 Ty_l=10.33 N_l=-3838.16 Mx_l=-0.00 My_l=1.23 Mz_l=-0.01
Taglio nei bulloni: Fv,Ed=1.74 Fv,Rd=7720.78
Rifollamento lato piastra: Fb,Ed,p=1.74 Fb,Rd,p=6016.45
Tirafondi:LT=0.45 (0.31) σ_{cR}=0.00 σ_{fR}=0.00
Compressione nel calcestruzzo: σ_c=8.00
CC 23 SLV (Collegamento 0024_-381)
Azioni sul collegamento: N=-3838.16 Ty=4.12 Tz=-9.35 Mx=-0.01 Mz=-1.95
Sollecitazioni agenti localmente: Tx_l=4.12 Ty_l=-9.35 N_l=-3838.16 Mx_l=-0.00 My_l=-1.95 Mz_l=-0.01
Taglio nei bulloni: Fv,Ed=1.72 Fv,Rd=7720.78
Rifollamento lato piastra: Fb,Ed,p=1.72 Fb,Rd,p=7767.31
Tirafondi:LT=0.45 (0.31) σ_{cR}=0.00 σ_{fR}=0.00
Compressione nel calcestruzzo: σ_c=8.04
CC 23 SLV (Collegamento 0024_-381)
Azioni sul collegamento: N=-3838.16 Ty=0.76 Tz=-9.35 Mx=-0.01 Mz=1.23
Sollecitazioni agenti localmente: Tx_l=0.76 Ty_l=-9.35 N_l=-3838.16 Mx_l=-0.00 My_l=1.23 Mz_l=-0.01
Taglio nei bulloni: Fv,Ed=1.58 Fv,Rd=7720.78
Rifollamento lato piastra: Fb,Ed,p=1.58 Fb,Rd,p=6050.46
Tirafondi:LT=0.45 (0.31) σ_{cR}=0.00 σ_{fR}=0.00
Compressione nel calcestruzzo: σ_c=8.00
CC 24 SLD (Collegamento 0024_-381)
Azioni sul collegamento: N=-7319.25 Ty=2.77 Tz=3.62 Mx=-0.01 Mz=1.24
Sollecitazioni agenti localmente: Tx_l=2.77 Ty_l=3.62 N_l=-7319.25 Mx_l=-0.00 My_l=1.24 Mz_l=-0.01
Taglio nei bulloni: Fv,Ed=0.77 Fv,Rd=9650.97

Rifollamento lato piastra: Fb,Ed,p=0.76 Fb,Rd,p=13258.90
Tirafondi:LT=0.45 (0.31) σ_{cR}=0.00 σ_{fR}=0.00
Compressione nel calcestruzzo: σ_c=15.19
CC 24 SLD (Collegamento 0024_-381)
Azioni sul collegamento: N=-7319.25 Ty=3.80 Tz=3.62 Mx=-0.01 Mz=2.21
Sollecitazioni agenti localmente: Tx_l=3.80 Ty_l=3.62 N_l=-7319.25 Mx_l=-0.00 My_l=2.21 Mz_l=-0.01
Taglio nei bulloni: Fv,Ed=0.88 Fv,Rd=9650.97
Rifollamento lato piastra: Fb,Ed,p=0.88 Fb,Rd,p=14672.50
Tirafondi:LT=0.45 (0.31) σ_{cR}=0.00 σ_{fR}=0.00
Compressione nel calcestruzzo: σ_c=15.25
CC 24 SLD (Collegamento 0024_-381)
Azioni sul collegamento: N=-7319.25 Ty=2.77 Tz=-2.38 Mx=-0.01 Mz=1.24
Sollecitazioni agenti localmente: Tx_l=2.77 Ty_l=-2.38 N_l=-7319.25 Mx_l=-0.00 My_l=1.24 Mz_l=-0.01
Taglio nei bulloni: Fv,Ed=0.62 Fv,Rd=9650.97
Rifollamento lato piastra: Fb,Ed,p=0.61 Fb,Rd,p=13824.30
Tirafondi:LT=0.45 (0.31) σ_{cR}=0.00 σ_{fR}=0.00
Compressione nel calcestruzzo: σ_c=15.19
CC 24 SLD (Collegamento 0024_-381)
Azioni sul collegamento: N=-7319.25 Ty=3.80 Tz=-2.38 Mx=-0.01 Mz=2.21
Sollecitazioni agenti localmente: Tx_l=3.80 Ty_l=-2.38 N_l=-7319.25 Mx_l=-0.00 My_l=2.21 Mz_l=-0.01
Taglio nei bulloni: Fv,Ed=0.76 Fv,Rd=9650.97
Rifollamento lato piastra: Fb,Ed,p=0.75 Fb,Rd,p=11710.80
Tirafondi:LT=0.45 (0.31) σ_{cR}=0.00 σ_{fR}=0.00
Compressione nel calcestruzzo: σ_c=15.25
CC 24 SLD (Collegamento 0024_-381)
Azioni sul collegamento: N=-5707.53 Ty=2.77 Tz=3.62 Mx=-0.01 Mz=1.24
Sollecitazioni agenti localmente: Tx_l=2.77 Ty_l=3.62 N_l=-5707.53 Mx_l=-0.00 My_l=1.24 Mz_l=-0.01
Taglio nei bulloni: Fv,Ed=0.77 Fv,Rd=9650.97
Rifollamento lato piastra: Fb,Ed,p=0.76 Fb,Rd,p=13259.00
Tirafondi:LT=0.45 (0.31) σ_{cR}=0.00 σ_{fR}=0.00
Compressione nel calcestruzzo: σ_c=11.86
CC 24 SLD (Collegamento 0024_-381)
Azioni sul collegamento: N=-5707.53 Ty=3.80 Tz=3.62 Mx=-0.01 Mz=2.21
Sollecitazioni agenti localmente: Tx_l=3.80 Ty_l=3.62 N_l=-5707.53 Mx_l=-0.00 My_l=2.21 Mz_l=-0.01
Taglio nei bulloni: Fv,Ed=0.88 Fv,Rd=9650.97
Rifollamento lato piastra: Fb,Ed,p=0.88 Fb,Rd,p=14672.50
Tirafondi:LT=0.45 (0.31) σ_{cR}=0.00 σ_{fR}=0.00
Compressione nel calcestruzzo: σ_c=11.92
CC 24 SLD (Collegamento 0024_-381)
Azioni sul collegamento: N=-5707.53 Ty=2.77 Tz=-2.38 Mx=-0.01 Mz=1.24
Sollecitazioni agenti localmente: Tx_l=2.77 Ty_l=-2.38 N_l=-5707.53 Mx_l=-0.00 My_l=1.24 Mz_l=-0.01
Taglio nei bulloni: Fv,Ed=0.62 Fv,Rd=9650.97
Rifollamento lato piastra: Fb,Ed,p=0.61 Fb,Rd,p=13824.10
Tirafondi:LT=0.45 (0.31) σ_{cR}=0.00 σ_{fR}=0.00
Compressione nel calcestruzzo: σ_c=11.86
CC 24 SLD (Collegamento 0024_-381)
Azioni sul collegamento: N=-5707.53 Ty=3.80 Tz=-2.38 Mx=-0.01 Mz=2.21
Sollecitazioni agenti localmente: Tx_l=3.80 Ty_l=-2.38 N_l=-5707.53 Mx_l=-0.00 My_l=2.21 Mz_l=-0.01
Taglio nei bulloni: Fv,Ed=0.76 Fv,Rd=9650.97
Rifollamento lato piastra: Fb,Ed,p=0.75 Fb,Rd,p=11710.50
Tirafondi:LT=0.45 (0.31) σ_{cR}=0.00 σ_{fR}=0.00
Compressione nel calcestruzzo: σ_c=11.92
CC 25 SLV (Collegamento 0024_-381)
Azioni sul collegamento: N=-5679.46 Ty=0.97 Tz=-2.66 Mx=-0.03 Mz=2.02
Sollecitazioni agenti localmente: Tx_l=0.97 Ty_l=-2.66 N_l=-5679.46 Mx_l=-0.00 My_l=2.02 Mz_l=-0.03
Taglio nei bulloni: Fv,Ed=0.51 Fv,Rd=7720.78
Rifollamento lato piastra: Fb,Ed,p=0.51 Fb,Rd,p=7445.83
Tirafondi:LT=0.45 (0.31) σ_{cR}=0.00 σ_{fR}=0.00
Compressione nel calcestruzzo: σ_c=11.85
CC 25 SLV (Collegamento 0024_-381)
Azioni sul collegamento: N=-5679.46 Ty=3.91 Tz=-2.66 Mx=-0.03 Mz=-2.74
Sollecitazioni agenti localmente: Tx_l=3.91 Ty_l=-2.66 N_l=-5679.46 Mx_l=-0.00 My_l=-2.74 Mz_l=-0.03
Taglio nei bulloni: Fv,Ed=0.83 Fv,Rd=7720.78
Rifollamento lato piastra: Fb,Ed,p=0.80 Fb,Rd,p=9373.59
Tirafondi:LT=0.45 (0.31) σ_{cR}=0.00 σ_{fR}=0.00
Compressione nel calcestruzzo: σ_c=11.89
CC 25 SLV (Collegamento 0024_-381)
Azioni sul collegamento: N=-5679.46 Ty=0.97 Tz=3.63 Mx=-0.03 Mz=2.02
Sollecitazioni agenti localmente: Tx_l=0.97 Ty_l=3.63 N_l=-5679.46 Mx_l=-0.00 My_l=2.02 Mz_l=-0.03
Taglio nei bulloni: Fv,Ed=0.66 Fv,Rd=7720.78
Rifollamento lato piastra: Fb,Ed,p=0.65 Fb,Rd,p=6378.14
Tirafondi:LT=0.45 (0.31) σ_{cR}=0.00 σ_{fR}=0.00
Compressione nel calcestruzzo: σ_c=11.85
CC 25 SLV (Collegamento 0024_-381)
Azioni sul collegamento: N=-5679.46 Ty=3.91 Tz=3.63 Mx=-0.03 Mz=-2.74
Sollecitazioni agenti localmente: Tx_l=3.91 Ty_l=3.63 N_l=-5679.46 Mx_l=-0.00 My_l=-2.74 Mz_l=-0.03
Taglio nei bulloni: Fv,Ed=0.93 Fv,Rd=7720.78
Rifollamento lato piastra: Fb,Ed,p=0.93 Fb,Rd,p=11623.00

Tirafondi:LT=0.45 (0.31) σ_{cR}=0.00 σ_{fR}=0.00
Compressione nel calcestruzzo: σ_c=11.89
CC 25 SLV (Collegamento 0024_-381)
Azioni sul collegamento: N=-7282.36 Ty=0.97 Tz=-2.66 Mx=-0.03 Mz=2.02
Sollecitazioni agenti localmente: Tx_l=0.97 Ty_l=-2.66 N_l=-7282.36 Mx_l=-0.00 My_l=2.02 Mz_l=-0.03
Taglio nei bulloni: Fv,Ed=0.51 Fv,Rd=7720.78
Rifollamento lato piastra: Fb,Ed,p=0.51 Fb,Rd,p=7445.66
Tirafondi:LT=0.45 (0.31) σ_{cR}=0.00 σ_{fR}=0.00
Compressione nel calcestruzzo: σ_c=15.16
CC 25 SLV (Collegamento 0024_-381)
Azioni sul collegamento: N=-7282.36 Ty=3.91 Tz=-2.66 Mx=-0.03 Mz=-2.74
Sollecitazioni agenti localmente: Tx_l=3.91 Ty_l=-2.66 N_l=-7282.36 Mx_l=-0.00 My_l=-2.74 Mz_l=-0.03
Taglio nei bulloni: Fv,Ed=0.83 Fv,Rd=7720.78
Rifollamento lato piastra: Fb,Ed,p=0.80 Fb,Rd,p=9374.04
Tirafondi:LT=0.45 (0.31) σ_{cR}=0.00 σ_{fR}=0.00
Compressione nel calcestruzzo: σ_c=15.20
CC 25 SLV (Collegamento 0024_-381)
Azioni sul collegamento: N=-7282.36 Ty=0.97 Tz=3.63 Mx=-0.03 Mz=2.02
Sollecitazioni agenti localmente: Tx_l=0.97 Ty_l=3.63 N_l=-7282.36 Mx_l=-0.00 My_l=2.02 Mz_l=-0.03
Taglio nei bulloni: Fv,Ed=0.66 Fv,Rd=7720.78
Rifollamento lato piastra: Fb,Ed,p=0.65 Fb,Rd,p=6378.11
Tirafondi:LT=0.45 (0.31) σ_{cR}=0.00 σ_{fR}=0.00
Compressione nel calcestruzzo: σ_c=15.16
CC 25 SLV (Collegamento 0024_-381)
Azioni sul collegamento: N=-7282.36 Ty=3.91 Tz=3.63 Mx=-0.03 Mz=-2.74
Sollecitazioni agenti localmente: Tx_l=3.91 Ty_l=3.63 N_l=-7282.36 Mx_l=-0.00 My_l=-2.74 Mz_l=-0.03
Taglio nei bulloni: Fv,Ed=0.93 Fv,Rd=7720.78
Rifollamento lato piastra: Fb,Ed,p=0.93 Fb,Rd,p=11623.20
Tirafondi:LT=0.45 (0.31) σ_{cR}=0.00 σ_{fR}=0.00
Compressione nel calcestruzzo: σ_c=15.20
CC 26 SLD (Collegamento 0024_-381)
Azioni sul collegamento: N=-6269.00 Ty=3.73 Tz=-0.34 Mx=-0.01 Mz=2.45
Sollecitazioni agenti localmente: Tx_l=3.73 Ty_l=-0.34 N_l=-6269.00 Mx_l=-0.00 My_l=2.45 Mz_l=-0.01
Taglio nei bulloni: Fv,Ed=0.64 Fv,Rd=9650.97
Rifollamento lato piastra: Fb,Ed,p=0.63 Fb,Rd,p=7532.95
Tirafondi:LT=0.45 (0.31) σ_{cR}=0.00 σ_{fR}=0.00
Compressione nel calcestruzzo: σ_c=13.09
CC 26 SLD (Collegamento 0024_-381)
Azioni sul collegamento: N=-6269.00 Ty=2.84 Tz=-0.34 Mx=-0.01 Mz=0.99
Sollecitazioni agenti localmente: Tx_l=2.84 Ty_l=-0.34 N_l=-6269.00 Mx_l=-0.00 My_l=0.99 Mz_l=-0.01
Taglio nei bulloni: Fv,Ed=0.49 Fv,Rd=9650.97
Rifollamento lato piastra: Fb,Ed,p=0.49 Fb,Rd,p=7574.90
Tirafondi:LT=0.45 (0.31) σ_{cR}=0.00 σ_{fR}=0.00
Compressione nel calcestruzzo: σ_c=13.01
CC 26 SLD (Collegamento 0024_-381)
Azioni sul collegamento: N=-6269.00 Ty=3.73 Tz=1.57 Mx=-0.01 Mz=2.45
Sollecitazioni agenti localmente: Tx_l=3.73 Ty_l=1.57 N_l=-6269.00 Mx_l=-0.00 My_l=2.45 Mz_l=-0.01
Taglio nei bulloni: Fv,Ed=0.69 Fv,Rd=9650.97
Rifollamento lato piastra: Fb,Ed,p=0.69 Fb,Rd,p=9572.98
Tirafondi:LT=0.45 (0.31) σ_{cR}=0.00 σ_{fR}=0.00
Compressione nel calcestruzzo: σ_c=13.09
CC 26 SLD (Collegamento 0024_-381)
Azioni sul collegamento: N=-6269.00 Ty=2.84 Tz=1.57 Mx=-0.01 Mz=0.99
Sollecitazioni agenti localmente: Tx_l=2.84 Ty_l=1.57 N_l=-6269.00 Mx_l=-0.00 My_l=0.99 Mz_l=-0.01
Taglio nei bulloni: Fv,Ed=0.56 Fv,Rd=9650.97
Rifollamento lato piastra: Fb,Ed,p=0.56 Fb,Rd,p=11095.20
Tirafondi:LT=0.45 (0.31) σ_{cR}=0.00 σ_{fR}=0.00
Compressione nel calcestruzzo: σ_c=13.01
CC 26 SLD (Collegamento 0024_-381)
Azioni sul collegamento: N=-6757.78 Ty=3.73 Tz=-0.34 Mx=-0.01 Mz=2.45
Sollecitazioni agenti localmente: Tx_l=3.73 Ty_l=-0.34 N_l=-6757.78 Mx_l=-0.00 My_l=2.45 Mz_l=-0.01
Taglio nei bulloni: Fv,Ed=0.64 Fv,Rd=9650.97
Rifollamento lato piastra: Fb,Ed,p=0.63 Fb,Rd,p=7532.87
Tirafondi:LT=0.45 (0.31) σ_{cR}=0.00 σ_{fR}=0.00
Compressione nel calcestruzzo: σ_c=14.10
CC 26 SLD (Collegamento 0024_-381)
Azioni sul collegamento: N=-6757.78 Ty=2.84 Tz=-0.34 Mx=-0.01 Mz=0.99
Sollecitazioni agenti localmente: Tx_l=2.84 Ty_l=-0.34 N_l=-6757.78 Mx_l=-0.00 My_l=0.99 Mz_l=-0.01
Taglio nei bulloni: Fv,Ed=0.49 Fv,Rd=9650.97
Rifollamento lato piastra: Fb,Ed,p=0.49 Fb,Rd,p=7574.77
Tirafondi:LT=0.45 (0.31) σ_{cR}=0.00 σ_{fR}=0.00
Compressione nel calcestruzzo: σ_c=14.02
CC 26 SLD (Collegamento 0024_-381)
Azioni sul collegamento: N=-6757.78 Ty=3.73 Tz=1.57 Mx=-0.01 Mz=2.45
Sollecitazioni agenti localmente: Tx_l=3.73 Ty_l=1.57 N_l=-6757.78 Mx_l=-0.00 My_l=2.45 Mz_l=-0.01
Taglio nei bulloni: Fv,Ed=0.69 Fv,Rd=9650.97
Rifollamento lato piastra: Fb,Ed,p=0.69 Fb,Rd,p=9572.94
Tirafondi:LT=0.45 (0.31) σ_{cR}=0.00 σ_{fR}=0.00

Compressione nel calcestruzzo: σ_c=14.10
CC 26 SLD (Collegamento 0024_-381)
Azioni sul collegamento: N=-6757.78 Ty=2.84 Tz=1.57 Mx=-0.01 Mz=0.99
Sollecitazioni agenti localmente: Tx_l=2.84 Ty_l=1.57 N_l=-6757.78 Mx_l=-0.00 My_l=0.99 Mz_l=-0.01
Taglio nei bulloni: Fv,Ed=0.56 Fv,Rd=9650.97
Rifollamento lato piastra: Fb,Ed,p=0.56 Fb,Rd,p=11095.20
Tirafondi:LT=0.45 (0.31) σ_{cR}=0.00 σ_{fR}=0.00
Compressione nel calcestruzzo: σ_c=14.02
CC 27 SLV (Collegamento 0024_-381)
Azioni sul collegamento: N=-7263.40 Ty=1.79 Tz=3.21 Mx=-0.02 Mz=1.45
Sollecitazioni agenti localmente: Tx_l=1.79 Ty_l=3.21 N_l=-7263.40 Mx_l=-0.00 My_l=1.45 Mz_l=-0.02
Taglio nei bulloni: Fv,Ed=0.65 Fv,Rd=7720.78
Rifollamento lato piastra: Fb,Ed,p=0.62 Fb,Rd,p=8089.83
Tirafondi:LT=0.45 (0.31) σ_{cR}=0.00 σ_{fR}=0.00
Compressione nel calcestruzzo: σ_c=15.09
CC 27 SLV (Collegamento 0024_-381)
Azioni sul collegamento: N=-7263.40 Ty=3.09 Tz=3.21 Mx=-0.02 Mz=-2.17
Sollecitazioni agenti localmente: Tx_l=3.09 Ty_l=3.21 N_l=-7263.40 Mx_l=-0.00 My_l=-2.17 Mz_l=-0.02
Taglio nei bulloni: Fv,Ed=0.78 Fv,Rd=7720.78
Rifollamento lato piastra: Fb,Ed,p=0.74 Fb,Rd,p=11259.40
Tirafondi:LT=0.45 (0.31) σ_{cR}=0.00 σ_{fR}=0.00
Compressione nel calcestruzzo: σ_c=15.13
CC 27 SLV (Collegamento 0024_-381)
Azioni sul collegamento: N=-7263.40 Ty=1.79 Tz=-2.23 Mx=-0.02 Mz=1.45
Sollecitazioni agenti localmente: Tx_l=1.79 Ty_l=-2.23 N_l=-7263.40 Mx_l=-0.00 My_l=1.45 Mz_l=-0.02
Taglio nei bulloni: Fv,Ed=0.51 Fv,Rd=7720.78
Rifollamento lato piastra: Fb,Ed,p=0.51 Fb,Rd,p=10972.80
Tirafondi:LT=0.45 (0.31) σ_{cR}=0.00 σ_{fR}=0.00
Compressione nel calcestruzzo: σ_c=15.09
CC 27 SLV (Collegamento 0024_-381)
Azioni sul collegamento: N=-7263.40 Ty=3.09 Tz=-2.23 Mx=-0.02 Mz=-2.17
Sollecitazioni agenti localmente: Tx_l=3.09 Ty_l=-2.23 N_l=-7263.40 Mx_l=-0.00 My_l=-2.17 Mz_l=-0.02
Taglio nei bulloni: Fv,Ed=0.67 Fv,Rd=7720.78
Rifollamento lato piastra: Fb,Ed,p=0.64 Fb,Rd,p=9665.15
Tirafondi:LT=0.45 (0.31) σ_{cR}=0.00 σ_{fR}=0.00
Compressione nel calcestruzzo: σ_c=15.13
CC 27 SLV (Collegamento 0024_-381)
Azioni sul collegamento: N=-5698.42 Ty=1.79 Tz=3.21 Mx=-0.02 Mz=1.45
Sollecitazioni agenti localmente: Tx_l=1.79 Ty_l=3.21 N_l=-5698.42 Mx_l=-0.00 My_l=1.45 Mz_l=-0.02
Taglio nei bulloni: Fv,Ed=0.65 Fv,Rd=7720.78
Rifollamento lato piastra: Fb,Ed,p=0.62 Fb,Rd,p=8089.87
Tirafondi:LT=0.45 (0.31) σ_{cR}=0.00 σ_{fR}=0.00
Compressione nel calcestruzzo: σ_c=11.86
CC 27 SLV (Collegamento 0024_-381)
Azioni sul collegamento: N=-5698.42 Ty=3.09 Tz=3.21 Mx=-0.02 Mz=-2.17
Sollecitazioni agenti localmente: Tx_l=3.09 Ty_l=3.21 N_l=-5698.42 Mx_l=-0.00 My_l=-2.17 Mz_l=-0.02
Taglio nei bulloni: Fv,Ed=0.78 Fv,Rd=7720.78
Rifollamento lato piastra: Fb,Ed,p=0.74 Fb,Rd,p=11259.40
Tirafondi:LT=0.45 (0.31) σ_{cR}=0.00 σ_{fR}=0.00
Compressione nel calcestruzzo: σ_c=11.90
CC 27 SLV (Collegamento 0024_-381)
Azioni sul collegamento: N=-5698.42 Ty=1.79 Tz=-2.23 Mx=-0.02 Mz=1.45
Sollecitazioni agenti localmente: Tx_l=1.79 Ty_l=-2.23 N_l=-5698.42 Mx_l=-0.00 My_l=1.45 Mz_l=-0.02
Taglio nei bulloni: Fv,Ed=0.51 Fv,Rd=7720.78
Rifollamento lato piastra: Fb,Ed,p=0.51 Fb,Rd,p=10972.40
Tirafondi:LT=0.45 (0.31) σ_{cR}=0.00 σ_{fR}=0.00
Compressione nel calcestruzzo: σ_c=11.86
CC 27 SLV (Collegamento 0024_-381)
Azioni sul collegamento: N=-5698.42 Ty=3.09 Tz=-2.23 Mx=-0.02 Mz=-2.17
Sollecitazioni agenti localmente: Tx_l=3.09 Ty_l=-2.23 N_l=-5698.42 Mx_l=-0.00 My_l=-2.17 Mz_l=-0.02
Taglio nei bulloni: Fv,Ed=0.67 Fv,Rd=7720.78
Rifollamento lato piastra: Fb,Ed,p=0.64 Fb,Rd,p=9665.91
Tirafondi:LT=0.45 (0.31) σ_{cR}=0.00 σ_{fR}=0.00
Compressione nel calcestruzzo: σ_c=11.90
CC 28 SLD (Collegamento 0024_-381)
Azioni sul collegamento: N=-6752.00 Ty=3.48 Tz=1.44 Mx=-0.01 Mz=2.27
Sollecitazioni agenti localmente: Tx_l=3.48 Ty_l=1.44 N_l=-6752.00 Mx_l=-0.00 My_l=2.27 Mz_l=-0.01
Taglio nei bulloni: Fv,Ed=0.64 Fv,Rd=9650.97
Rifollamento lato piastra: Fb,Ed,p=0.64 Fb,Rd,p=9508.17
Tirafondi:LT=0.45 (0.31) σ_{cR}=0.00 σ_{fR}=0.00
Compressione nel calcestruzzo: σ_c=14.08
CC 28 SLD (Collegamento 0024_-381)
Azioni sul collegamento: N=-6752.00 Ty=3.09 Tz=1.44 Mx=-0.01 Mz=1.17
Sollecitazioni agenti localmente: Tx_l=3.09 Ty_l=1.44 N_l=-6752.00 Mx_l=-0.00 My_l=1.17 Mz_l=-0.01
Taglio nei bulloni: Fv,Ed=0.58 Fv,Rd=9650.97
Rifollamento lato piastra: Fb,Ed,p=0.58 Fb,Rd,p=10059.30
Tirafondi:LT=0.45 (0.31) σ_{cR}=0.00 σ_{fR}=0.00
Compressione nel calcestruzzo: σ_c=14.02

CC 28 SLD (Collegamento 0024_-381)
Azioni sul collegamento: N=-6752.00 Ty=3.48 Tz=-0.21 Mx=-0.01 Mz=2.27
Sollecitazioni agenti localmente: Tx_l=3.48 Ty_l=-0.21 N_l=-6752.00 Mx_l=-0.00 My_l=2.27 Mz_l=-0.01
Taglio nei bulloni: Fv,Ed=0.59 Fv,Rd=9650.97
Rifollamento lato piastra: Fb,Ed,p=0.59 Fb,Rd,p=7493.41
Tirafondi:LT=0.45 (0.31) σ_{cR}=0.00 σ_{fR}=0.00
Compressione nel calcestruzzo: σ_c=14.08
CC 28 SLD (Collegamento 0024_-381)
Azioni sul collegamento: N=-6752.00 Ty=3.09 Tz=-0.21 Mx=-0.01 Mz=1.17
Sollecitazioni agenti localmente: Tx_l=3.09 Ty_l=-0.21 N_l=-6752.00 Mx_l=-0.00 My_l=1.17 Mz_l=-0.01
Taglio nei bulloni: Fv,Ed=0.53 Fv,Rd=9650.97
Rifollamento lato piastra: Fb,Ed,p=0.53 Fb,Rd,p=7498.61
Tirafondi:LT=0.45 (0.31) σ_{cR}=0.00 σ_{fR}=0.00
Compressione nel calcestruzzo: σ_c=14.02
CC 28 SLD (Collegamento 0024_-381)
Azioni sul collegamento: N=-6274.78 Ty=3.48 Tz=1.44 Mx=-0.01 Mz=2.27
Sollecitazioni agenti localmente: Tx_l=3.48 Ty_l=1.44 N_l=-6274.78 Mx_l=-0.00 My_l=2.27 Mz_l=-0.01
Taglio nei bulloni: Fv,Ed=0.64 Fv,Rd=9650.97
Rifollamento lato piastra: Fb,Ed,p=0.64 Fb,Rd,p=9507.54
Tirafondi:LT=0.45 (0.31) σ_{cR}=0.00 σ_{fR}=0.00
Compressione nel calcestruzzo: σ_c=13.09
CC 28 SLD (Collegamento 0024_-381)
Azioni sul collegamento: N=-6274.78 Ty=3.09 Tz=1.44 Mx=-0.01 Mz=1.17
Sollecitazioni agenti localmente: Tx_l=3.09 Ty_l=1.44 N_l=-6274.78 Mx_l=-0.00 My_l=1.17 Mz_l=-0.01
Taglio nei bulloni: Fv,Ed=0.58 Fv,Rd=9650.97
Rifollamento lato piastra: Fb,Ed,p=0.58 Fb,Rd,p=10058.50
Tirafondi:LT=0.45 (0.31) σ_{cR}=0.00 σ_{fR}=0.00
Compressione nel calcestruzzo: σ_c=13.03
CC 28 SLD (Collegamento 0024_-381)
Azioni sul collegamento: N=-6274.78 Ty=3.48 Tz=-0.21 Mx=-0.01 Mz=2.27
Sollecitazioni agenti localmente: Tx_l=3.48 Ty_l=-0.21 N_l=-6274.78 Mx_l=-0.00 My_l=2.27 Mz_l=-0.01
Taglio nei bulloni: Fv,Ed=0.59 Fv,Rd=9650.97
Rifollamento lato piastra: Fb,Ed,p=0.59 Fb,Rd,p=7493.39
Tirafondi:LT=0.45 (0.31) σ_{cR}=0.00 σ_{fR}=0.00
Compressione nel calcestruzzo: σ_c=13.09
CC 28 SLD (Collegamento 0024_-381)
Azioni sul collegamento: N=-6274.78 Ty=3.09 Tz=-0.21 Mx=-0.01 Mz=1.17
Sollecitazioni agenti localmente: Tx_l=3.09 Ty_l=-0.21 N_l=-6274.78 Mx_l=-0.00 My_l=1.17 Mz_l=-0.01
Taglio nei bulloni: Fv,Ed=0.53 Fv,Rd=9650.97
Rifollamento lato piastra: Fb,Ed,p=0.53 Fb,Rd,p=7498.58
Tirafondi:LT=0.45 (0.31) σ_{cR}=0.00 σ_{fR}=0.00
Compressione nel calcestruzzo: σ_c=13.03
CC 29 SLV (Collegamento 0024_-381)
Azioni sul collegamento: N=-5698.42 Ty=3.09 Tz=-2.23 Mx=-0.01 Mz=-2.17
Sollecitazioni agenti localmente: Tx_l=3.09 Ty_l=-2.23 N_l=-5698.42 Mx_l=-0.00 My_l=-2.17 Mz_l=-0.01
Taglio nei bulloni: Fv,Ed=0.65 Fv,Rd=7720.78
Rifollamento lato piastra: Fb,Ed,p=0.64 Fb,Rd,p=10310.70
Tirafondi:LT=0.45 (0.31) σ_{cR}=0.00 σ_{fR}=0.00
Compressione nel calcestruzzo: σ_c=11.90
CC 29 SLV (Collegamento 0024_-381)
Azioni sul collegamento: N=-5698.42 Ty=1.79 Tz=-2.23 Mx=-0.01 Mz=1.45
Sollecitazioni agenti localmente: Tx_l=1.79 Ty_l=-2.23 N_l=-5698.42 Mx_l=-0.00 My_l=1.45 Mz_l=-0.01
Taglio nei bulloni: Fv,Ed=0.49 Fv,Rd=7720.78
Rifollamento lato piastra: Fb,Ed,p=0.49 Fb,Rd,p=10929.40
Tirafondi:LT=0.45 (0.31) σ_{cR}=0.00 σ_{fR}=0.00
Compressione nel calcestruzzo: σ_c=11.86
CC 29 SLV (Collegamento 0024_-381)
Azioni sul collegamento: N=-5698.42 Ty=3.09 Tz=3.21 Mx=-0.01 Mz=-2.17
Sollecitazioni agenti localmente: Tx_l=3.09 Ty_l=3.21 N_l=-5698.42 Mx_l=-0.00 My_l=-2.17 Mz_l=-0.01
Taglio nei bulloni: Fv,Ed=0.76 Fv,Rd=7720.78
Rifollamento lato piastra: Fb,Ed,p=0.74 Fb,Rd,p=11585.10
Tirafondi:LT=0.45 (0.31) σ_{cR}=0.00 σ_{fR}=0.00
Compressione nel calcestruzzo: σ_c=11.90
CC 29 SLV (Collegamento 0024_-381)
Azioni sul collegamento: N=-5698.42 Ty=1.79 Tz=3.21 Mx=-0.01 Mz=1.45
Sollecitazioni agenti localmente: Tx_l=1.79 Ty_l=3.21 N_l=-5698.42 Mx_l=-0.00 My_l=1.45 Mz_l=-0.01
Taglio nei bulloni: Fv,Ed=0.63 Fv,Rd=7720.78
Rifollamento lato piastra: Fb,Ed,p=0.62 Fb,Rd,p=8513.49
Tirafondi:LT=0.45 (0.31) σ_{cR}=0.00 σ_{fR}=0.00
Compressione nel calcestruzzo: σ_c=11.86
CC 29 SLV (Collegamento 0024_-381)
Azioni sul collegamento: N=-7263.40 Ty=3.09 Tz=-2.23 Mx=-0.01 Mz=-2.17
Sollecitazioni agenti localmente: Tx_l=3.09 Ty_l=-2.23 N_l=-7263.40 Mx_l=-0.00 My_l=-2.17 Mz_l=-0.01
Taglio nei bulloni: Fv,Ed=0.65 Fv,Rd=7720.78
Rifollamento lato piastra: Fb,Ed,p=0.64 Fb,Rd,p=10309.80
Tirafondi:LT=0.45 (0.31) σ_{cR}=0.00 σ_{fR}=0.00
Compressione nel calcestruzzo: σ_c=15.13
CC 29 SLV (Collegamento 0024_-381)

Azioni sul collegamento: N=-7263.40 Ty=1.79 Tz=-2.23 Mx=-0.01 Mz=1.45
Sollecitazioni agenti localmente: Tx_l=1.79 Ty_l=-2.23 N_l=-7263.40 Mx_l=-0.00 My_l=1.45 Mz_l=-0.01
Taglio nei bulloni: Fv,Ed=0.49 Fv,Rd=7720.78
Rifollamento lato piastra: Fb,Ed,p=0.49 Fb,Rd,p=10929.70
Tirafondi:LT=0.45 (0.31) σ_{cR}=0.00 σ_{fR}=0.00
Compressione nel calcestruzzo: σ_c=15.09
CC 29 SLV (Collegamento 0024_-381)
Azioni sul collegamento: N=-7263.40 Ty=3.09 Tz=3.21 Mx=-0.01 Mz=-2.17
Sollecitazioni agenti localmente: Tx_l=3.09 Ty_l=3.21 N_l=-7263.40 Mx_l=-0.00 My_l=-2.17 Mz_l=-0.01
Taglio nei bulloni: Fv,Ed=0.76 Fv,Rd=7720.78
Rifollamento lato piastra: Fb,Ed,p=0.74 Fb,Rd,p=11585.10
Tirafondi:LT=0.45 (0.31) σ_{cR}=0.00 σ_{fR}=0.00
Compressione nel calcestruzzo: σ_c=15.13
CC 29 SLV (Collegamento 0024_-381)
Azioni sul collegamento: N=-7263.40 Ty=1.79 Tz=3.21 Mx=-0.01 Mz=1.45
Sollecitazioni agenti localmente: Tx_l=1.79 Ty_l=3.21 N_l=-7263.40 Mx_l=-0.00 My_l=1.45 Mz_l=-0.01
Taglio nei bulloni: Fv,Ed=0.63 Fv,Rd=7720.78
Rifollamento lato piastra: Fb,Ed,p=0.62 Fb,Rd,p=8513.45
Tirafondi:LT=0.45 (0.31) σ_{cR}=0.00 σ_{fR}=0.00
Compressione nel calcestruzzo: σ_c=15.09
CC 30 SLD (Collegamento 0024_-381)
Azioni sul collegamento: N=-6274.78 Ty=3.09 Tz=-0.21 Mx=-0.01 Mz=1.17
Sollecitazioni agenti localmente: Tx_l=3.09 Ty_l=-0.21 N_l=-6274.78 Mx_l=-0.00 My_l=1.17 Mz_l=-0.01
Taglio nei bulloni: Fv,Ed=0.52 Fv,Rd=9650.97
Rifollamento lato piastra: Fb,Ed,p=0.52 Fb,Rd,p=7510.47
Tirafondi:LT=0.45 (0.31) σ_{cR}=0.00 σ_{fR}=0.00
Compressione nel calcestruzzo: σ_c=13.03
CC 30 SLD (Collegamento 0024_-381)
Azioni sul collegamento: N=-6274.78 Ty=3.48 Tz=-0.21 Mx=-0.01 Mz=2.27
Sollecitazioni agenti localmente: Tx_l=3.48 Ty_l=-0.21 N_l=-6274.78 Mx_l=-0.00 My_l=2.27 Mz_l=-0.01
Taglio nei bulloni: Fv,Ed=0.59 Fv,Rd=9650.97
Rifollamento lato piastra: Fb,Ed,p=0.59 Fb,Rd,p=7502.72
Tirafondi:LT=0.45 (0.31) σ_{cR}=0.00 σ_{fR}=0.00
Compressione nel calcestruzzo: σ_c=13.09
CC 30 SLD (Collegamento 0024_-381)
Azioni sul collegamento: N=-6274.78 Ty=3.09 Tz=1.44 Mx=-0.01 Mz=1.17
Sollecitazioni agenti localmente: Tx_l=3.09 Ty_l=1.44 N_l=-6274.78 Mx_l=-0.00 My_l=1.17 Mz_l=-0.01
Taglio nei bulloni: Fv,Ed=0.58 Fv,Rd=9650.97
Rifollamento lato piastra: Fb,Ed,p=0.58 Fb,Rd,p=10002.80
Tirafondi:LT=0.45 (0.31) σ_{cR}=0.00 σ_{fR}=0.00
Compressione nel calcestruzzo: σ_c=13.03
CC 30 SLD (Collegamento 0024_-381)
Azioni sul collegamento: N=-6274.78 Ty=3.48 Tz=1.44 Mx=-0.01 Mz=2.27
Sollecitazioni agenti localmente: Tx_l=3.48 Ty_l=1.44 N_l=-6274.78 Mx_l=-0.00 My_l=2.27 Mz_l=-0.01
Taglio nei bulloni: Fv,Ed=0.64 Fv,Rd=9650.97
Rifollamento lato piastra: Fb,Ed,p=0.64 Fb,Rd,p=9459.47
Tirafondi:LT=0.45 (0.31) σ_{cR}=0.00 σ_{fR}=0.00
Compressione nel calcestruzzo: σ_c=13.09
CC 30 SLD (Collegamento 0024_-381)
Azioni sul collegamento: N=-6752.00 Ty=3.09 Tz=-0.21 Mx=-0.01 Mz=1.17
Sollecitazioni agenti localmente: Tx_l=3.09 Ty_l=-0.21 N_l=-6752.00 Mx_l=-0.00 My_l=1.17 Mz_l=-0.01
Taglio nei bulloni: Fv,Ed=0.52 Fv,Rd=9650.97
Rifollamento lato piastra: Fb,Ed,p=0.52 Fb,Rd,p=7510.51
Tirafondi:LT=0.45 (0.31) σ_{cR}=0.00 σ_{fR}=0.00
Compressione nel calcestruzzo: σ_c=14.02
CC 30 SLD (Collegamento 0024_-381)
Azioni sul collegamento: N=-6752.00 Ty=3.48 Tz=-0.21 Mx=-0.01 Mz=2.27
Sollecitazioni agenti localmente: Tx_l=3.48 Ty_l=-0.21 N_l=-6752.00 Mx_l=-0.00 My_l=2.27 Mz_l=-0.01
Taglio nei bulloni: Fv,Ed=0.59 Fv,Rd=9650.97
Rifollamento lato piastra: Fb,Ed,p=0.59 Fb,Rd,p=7502.74
Tirafondi:LT=0.45 (0.31) σ_{cR}=0.00 σ_{fR}=0.00
Compressione nel calcestruzzo: σ_c=14.08
CC 30 SLD (Collegamento 0024_-381)
Azioni sul collegamento: N=-6752.00 Ty=3.09 Tz=1.44 Mx=-0.01 Mz=1.17
Sollecitazioni agenti localmente: Tx_l=3.09 Ty_l=1.44 N_l=-6752.00 Mx_l=-0.00 My_l=1.17 Mz_l=-0.01
Taglio nei bulloni: Fv,Ed=0.58 Fv,Rd=9650.97
Rifollamento lato piastra: Fb,Ed,p=0.58 Fb,Rd,p=10003.60
Tirafondi:LT=0.45 (0.31) σ_{cR}=0.00 σ_{fR}=0.00
Compressione nel calcestruzzo: σ_c=14.02
CC 30 SLD (Collegamento 0024_-381)
Azioni sul collegamento: N=-6752.00 Ty=3.48 Tz=1.44 Mx=-0.01 Mz=2.27
Sollecitazioni agenti localmente: Tx_l=3.48 Ty_l=1.44 N_l=-6752.00 Mx_l=-0.00 My_l=2.27 Mz_l=-0.01
Taglio nei bulloni: Fv,Ed=0.64 Fv,Rd=9650.97
Rifollamento lato piastra: Fb,Ed,p=0.64 Fb,Rd,p=9460.09
Tirafondi:LT=0.45 (0.31) σ_{cR}=0.00 σ_{fR}=0.00
Compressione nel calcestruzzo: σ_c=14.08
CC 31 SLV (Collegamento 0024_-381)
Azioni sul collegamento: N=-7282.36 Ty=3.91 Tz=3.63 Mx=-0.01 Mz=-2.74

Sollecitazioni agenti localmente: Tx_l=3.91 Ty_l=3.63 N_l=-7282.36 Mx_l=-0.00 My_l=-2.74 Mz_l=-0.01
Taglio nei bulloni: Fv,Ed=0.90 Fv,Rd=7720.78
Rifollamento lato piastra: Fb,Ed,p=0.90 Fb,Rd,p=11612.10
Tirafondi:LT=0.45 (0.31) σ_{cR}=0.00 σ_{fR}=0.00
Compressione nel calcestruzzo: σ_c=15.20
CC 31 SLV (Collegamento 0024_-381)
Azioni sul collegamento: N=-7282.36 Ty=0.97 Tz=3.63 Mx=-0.01 Mz=2.02
Sollecitazioni agenti localmente: Tx_l=0.97 Ty_l=3.63 N_l=-7282.36 Mx_l=-0.00 My_l=2.02 Mz_l=-0.01
Taglio nei bulloni: Fv,Ed=0.64 Fv,Rd=7720.78
Rifollamento lato piastra: Fb,Ed,p=0.63 Fb,Rd,p=6531.31
Tirafondi:LT=0.45 (0.31) σ_{cR}=0.00 σ_{fR}=0.00
Compressione nel calcestruzzo: σ_c=15.16
CC 31 SLV (Collegamento 0024_-381)
Azioni sul collegamento: N=-7282.36 Ty=3.91 Tz=-2.66 Mx=-0.01 Mz=-2.74
Sollecitazioni agenti localmente: Tx_l=3.91 Ty_l=-2.66 N_l=-7282.36 Mx_l=-0.00 My_l=-2.74 Mz_l=-0.01
Taglio nei bulloni: Fv,Ed=0.80 Fv,Rd=7720.78
Rifollamento lato piastra: Fb,Ed,p=0.79 Fb,Rd,p=9917.86
Tirafondi:LT=0.45 (0.31) σ_{cR}=0.00 σ_{fR}=0.00
Compressione nel calcestruzzo: σ_c=15.20
CC 31 SLV (Collegamento 0024_-381)
Azioni sul collegamento: N=-7282.36 Ty=0.97 Tz=-2.66 Mx=-0.01 Mz=2.02
Sollecitazioni agenti localmente: Tx_l=0.97 Ty_l=-2.66 N_l=-7282.36 Mx_l=-0.00 My_l=2.02 Mz_l=-0.01
Taglio nei bulloni: Fv,Ed=0.48 Fv,Rd=7720.78
Rifollamento lato piastra: Fb,Ed,p=0.48 Fb,Rd,p=7269.06
Tirafondi:LT=0.45 (0.31) σ_{cR}=0.00 σ_{fR}=0.00
Compressione nel calcestruzzo: σ_c=15.16
CC 31 SLV (Collegamento 0024_-381)
Azioni sul collegamento: N=-5679.46 Ty=3.91 Tz=3.63 Mx=-0.01 Mz=-2.74
Sollecitazioni agenti localmente: Tx_l=3.91 Ty_l=3.63 N_l=-5679.46 Mx_l=-0.00 My_l=-2.74 Mz_l=-0.01
Taglio nei bulloni: Fv,Ed=0.90 Fv,Rd=7720.78
Rifollamento lato piastra: Fb,Ed,p=0.90 Fb,Rd,p=11611.90
Tirafondi:LT=0.45 (0.31) σ_{cR}=0.00 σ_{fR}=0.00
Compressione nel calcestruzzo: σ_c=11.89
CC 31 SLV (Collegamento 0024_-381)
Azioni sul collegamento: N=-5679.46 Ty=0.97 Tz=3.63 Mx=-0.01 Mz=2.02
Sollecitazioni agenti localmente: Tx_l=0.97 Ty_l=3.63 N_l=-5679.46 Mx_l=-0.00 My_l=2.02 Mz_l=-0.01
Taglio nei bulloni: Fv,Ed=0.64 Fv,Rd=7720.78
Rifollamento lato piastra: Fb,Ed,p=0.63 Fb,Rd,p=6531.36
Tirafondi:LT=0.45 (0.31) σ_{cR}=0.00 σ_{fR}=0.00
Compressione nel calcestruzzo: σ_c=11.85
CC 31 SLV (Collegamento 0024_-381)
Azioni sul collegamento: N=-5679.46 Ty=3.91 Tz=-2.66 Mx=-0.01 Mz=-2.74
Sollecitazioni agenti localmente: Tx_l=3.91 Ty_l=-2.66 N_l=-5679.46 Mx_l=-0.00 My_l=-2.74 Mz_l=-0.01
Taglio nei bulloni: Fv,Ed=0.80 Fv,Rd=7720.78
Rifollamento lato piastra: Fb,Ed,p=0.79 Fb,Rd,p=9917.35
Tirafondi:LT=0.45 (0.31) σ_{cR}=0.00 σ_{fR}=0.00
Compressione nel calcestruzzo: σ_c=11.89
CC 31 SLV (Collegamento 0024_-381)
Azioni sul collegamento: N=-5679.46 Ty=0.97 Tz=-2.66 Mx=-0.01 Mz=2.02
Sollecitazioni agenti localmente: Tx_l=0.97 Ty_l=-2.66 N_l=-5679.46 Mx_l=-0.00 My_l=2.02 Mz_l=-0.01
Taglio nei bulloni: Fv,Ed=0.48 Fv,Rd=7720.78
Rifollamento lato piastra: Fb,Ed,p=0.48 Fb,Rd,p=7269.21
Tirafondi:LT=0.45 (0.31) σ_{cR}=0.00 σ_{fR}=0.00
Compressione nel calcestruzzo: σ_c=11.85
CC 32 SLD (Collegamento 0024_-381)
Azioni sul collegamento: N=-6757.78 Ty=2.84 Tz=1.57 Mx=-0.00 Mz=0.99
Sollecitazioni agenti localmente: Tx_l=2.84 Ty_l=1.57 N_l=-6757.78 Mx_l=-0.00 My_l=0.99 Mz_l=-0.00
Taglio nei bulloni: Fv,Ed=0.55 Fv,Rd=9650.97
Rifollamento lato piastra: Fb,Ed,p=0.55 Fb,Rd,p=11027.20
Tirafondi:LT=0.45 (0.31) σ_{cR}=0.00 σ_{fR}=0.00
Compressione nel calcestruzzo: σ_c=14.02
CC 32 SLD (Collegamento 0024_-381)
Azioni sul collegamento: N=-6757.78 Ty=3.73 Tz=1.57 Mx=-0.00 Mz=2.45
Sollecitazioni agenti localmente: Tx_l=3.73 Ty_l=1.57 N_l=-6757.78 Mx_l=-0.00 My_l=2.45 Mz_l=-0.00
Taglio nei bulloni: Fv,Ed=0.68 Fv,Rd=9650.97
Rifollamento lato piastra: Fb,Ed,p=0.68 Fb,Rd,p=9522.02
Tirafondi:LT=0.45 (0.31) σ_{cR}=0.00 σ_{fR}=0.00
Compressione nel calcestruzzo: σ_c=14.10
CC 32 SLD (Collegamento 0024_-381)
Azioni sul collegamento: N=-6757.78 Ty=2.84 Tz=-0.34 Mx=-0.00 Mz=0.99
Sollecitazioni agenti localmente: Tx_l=2.84 Ty_l=-0.34 N_l=-6757.78 Mx_l=-0.00 My_l=0.99 Mz_l=-0.00
Taglio nei bulloni: Fv,Ed=0.48 Fv,Rd=9650.97
Rifollamento lato piastra: Fb,Ed,p=0.48 Fb,Rd,p=7604.60
Tirafondi:LT=0.45 (0.31) σ_{cR}=0.00 σ_{fR}=0.00
Compressione nel calcestruzzo: σ_c=14.02
CC 32 SLD (Collegamento 0024_-381)
Azioni sul collegamento: N=-6757.78 Ty=3.73 Tz=-0.34 Mx=-0.00 Mz=2.45
Sollecitazioni agenti localmente: Tx_l=3.73 Ty_l=-0.34 N_l=-6757.78 Mx_l=-0.00 My_l=2.45 Mz_l=-0.00

Taglio nei bulloni: Fv,Ed=0.63 Fv,Rd=9650.97
Rifollamento lato piastra: Fb,Ed,p=0.63 Fb,Rd,p=7549.86
Tirafondi:LT=0.45 (0.31) σ_{cR}=0.00 σ_{fR}=0.00
Compressione nel calcestruzzo: σ_c=14.10
CC 32 SLD (Collegamento 0024_-381)
Azioni sul collegamento: N=-6269.00 Ty=2.84 Tz=1.57 Mx=-0.00 Mz=0.99
Sollecitazioni agenti localmente: Tx_l=2.84 Ty_l=1.57 N_l=-6269.00 Mx_l=-0.00 My_l=0.99 Mz_l=-0.00
Taglio nei bulloni: Fv,Ed=0.55 Fv,Rd=9650.97
Rifollamento lato piastra: Fb,Ed,p=0.55 Fb,Rd,p=11027.20
Tirafondi:LT=0.45 (0.31) σ_{cR}=0.00 σ_{fR}=0.00
Compressione nel calcestruzzo: σ_c=13.01
CC 32 SLD (Collegamento 0024_-381)
Azioni sul collegamento: N=-6269.00 Ty=3.73 Tz=1.57 Mx=-0.00 Mz=2.45
Sollecitazioni agenti localmente: Tx_l=3.73 Ty_l=1.57 N_l=-6269.00 Mx_l=-0.00 My_l=2.45 Mz_l=-0.00
Taglio nei bulloni: Fv,Ed=0.68 Fv,Rd=9650.97
Rifollamento lato piastra: Fb,Ed,p=0.68 Fb,Rd,p=9522.05
Tirafondi:LT=0.45 (0.31) σ_{cR}=0.00 σ_{fR}=0.00
Compressione nel calcestruzzo: σ_c=13.09
CC 32 SLD (Collegamento 0024_-381)
Azioni sul collegamento: N=-6269.00 Ty=2.84 Tz=-0.34 Mx=-0.00 Mz=0.99
Sollecitazioni agenti localmente: Tx_l=2.84 Ty_l=-0.34 N_l=-6269.00 Mx_l=-0.00 My_l=0.99 Mz_l=-0.00
Taglio nei bulloni: Fv,Ed=0.48 Fv,Rd=9650.97
Rifollamento lato piastra: Fb,Ed,p=0.48 Fb,Rd,p=7604.76
Tirafondi:LT=0.45 (0.31) σ_{cR}=0.00 σ_{fR}=0.00
Compressione nel calcestruzzo: σ_c=13.01
CC 32 SLD (Collegamento 0024_-381)
Azioni sul collegamento: N=-6269.00 Ty=3.73 Tz=-0.34 Mx=-0.00 Mz=2.45
Sollecitazioni agenti localmente: Tx_l=3.73 Ty_l=-0.34 N_l=-6269.00 Mx_l=-0.00 My_l=2.45 Mz_l=-0.00
Taglio nei bulloni: Fv,Ed=0.63 Fv,Rd=9650.97
Rifollamento lato piastra: Fb,Ed,p=0.63 Fb,Rd,p=7549.95
Tirafondi:LT=0.45 (0.31) σ_{cR}=0.00 σ_{fR}=0.00
Compressione nel calcestruzzo: σ_c=13.09
CC 33 SLU (Collegamento 0024_-381)
Azioni sul collegamento: N=-30229.20 Ty=5.39 Tz=79.58 Mx=-0.01 Mz=3.85
Sollecitazioni agenti localmente: Tx_l=5.39 Ty_l=79.58 N_l=-30229.20 Mx_l=-0.00 My_l=3.85 Mz_l=-0.01
Taglio nei bulloni: Fv,Ed=13.30 Fv,Rd=7720.78
Rifollamento lato piastra: Fb,Ed,p=13.30 Fb,Rd,p=6019.16
Tirafondi:LT=0.45 (0.31) σ_{cR}=0.00 σ_{fR}=0.00
Compressione nel calcestruzzo: σ_c=62.67
CC 34 SLU (Collegamento 0024_-381)
Azioni sul collegamento: N=-30778.60 Ty=5.67 Tz=81.62 Mx=-0.01 Mz=4.05
Sollecitazioni agenti localmente: Tx_l=5.67 Ty_l=81.62 N_l=-30778.60 Mx_l=-0.00 My_l=4.05 Mz_l=-0.01
Taglio nei bulloni: Fv,Ed=13.64 Fv,Rd=7720.78
Rifollamento lato piastra: Fb,Ed,p=13.64 Fb,Rd,p=6021.31
Tirafondi:LT=0.45 (0.31) σ_{cR}=0.00 σ_{fR}=0.00
Compressione nel calcestruzzo: σ_c=63.82
CC 35 SLU (Collegamento 0024_-381)
Azioni sul collegamento: N=-30504.90 Ty=5.64 Tz=80.58 Mx=-0.01 Mz=4.16
Sollecitazioni agenti localmente: Tx_l=5.64 Ty_l=80.58 N_l=-30504.90 Mx_l=-0.00 My_l=4.16 Mz_l=-0.01
Taglio nei bulloni: Fv,Ed=13.47 Fv,Rd=7720.78
Rifollamento lato piastra: Fb,Ed,p=13.47 Fb,Rd,p=6021.83
Tirafondi:LT=0.45 (0.31) σ_{cR}=0.00 σ_{fR}=0.00
Compressione nel calcestruzzo: σ_c=63.26
CC 36 SLU (Collegamento 0024_-381)
Azioni sul collegamento: N=-30502.90 Ty=5.42 Tz=80.62 Mx=-0.01 Mz=3.73
Sollecitazioni agenti localmente: Tx_l=5.42 Ty_l=80.62 N_l=-30502.90 Mx_l=-0.00 My_l=3.73 Mz_l=-0.01
Taglio nei bulloni: Fv,Ed=13.47 Fv,Rd=7720.78
Rifollamento lato piastra: Fb,Ed,p=13.47 Fb,Rd,p=6018.68
Tirafondi:LT=0.45 (0.31) σ_{cR}=0.00 σ_{fR}=0.00
Compressione nel calcestruzzo: σ_c=63.23
CC 37 SLU (Collegamento 0024_-381)
Azioni sul collegamento: N=-32152.70 Ty=5.24 Tz=86.01 Mx=0.00 Mz=3.86
Sollecitazioni agenti localmente: Tx_l=5.24 Ty_l=86.01 N_l=-32152.70 Mx_l=-0.00 My_l=3.86 Mz_l=0.00
Taglio nei bulloni: Fv,Ed=14.36 Fv,Rd=7720.78
Rifollamento lato piastra: Fb,Ed,p=14.36 Fb,Rd,p=6012.39
Tirafondi:LT=0.45 (0.31) σ_{cR}=0.00 σ_{fR}=0.00
Compressione nel calcestruzzo: σ_c=66.65
CC 38 SLU (Collegamento 0024_-381)
Azioni sul collegamento: N=-32702.10 Ty=5.53 Tz=88.04 Mx=0.00 Mz=4.06
Sollecitazioni agenti localmente: Tx_l=5.53 Ty_l=88.04 N_l=-32702.10 Mx_l=-0.00 My_l=4.06 Mz_l=0.00
Taglio nei bulloni: Fv,Ed=14.71 Fv,Rd=7720.78
Rifollamento lato piastra: Fb,Ed,p=14.71 Fb,Rd,p=6014.37
Tirafondi:LT=0.45 (0.31) σ_{cR}=0.00 σ_{fR}=0.00
Compressione nel calcestruzzo: σ_c=67.80
CC 39 SLU (Collegamento 0024_-381)
Azioni sul collegamento: N=-32428.40 Ty=5.50 Tz=87.00 Mx=0.00 Mz=4.18
Sollecitazioni agenti localmente: Tx_l=5.50 Ty_l=87.00 N_l=-32428.40 Mx_l=-0.00 My_l=4.18 Mz_l=0.00
Taglio nei bulloni: Fv,Ed=14.53 Fv,Rd=7720.78

Rifollamento lato piastra: Fb,Ed,p=14.53 Fb,Rd,p=6014.74
Tirafondi:LT=0.45 (0.31) σ_{cR}=0.00 σ_{fR}=0.00
Compressione nel calcestruzzo: σ_c=67.24
CC 40 SLU (Collegamento 0024_-381)
Azioni sul collegamento: N=-32426.40 Ty=5.28 Tz=87.05 Mx=0.00 Mz=3.74
Sollecitazioni agenti localmente: Tx_l=5.28 Ty_l=87.05 N_l=-32426.40 Mx_l=-0.00 My_l=3.74 Mz_l=0.00
Taglio nei bulloni: Fv,Ed=14.54 Fv,Rd=7720.78
Rifollamento lato piastra: Fb,Ed,p=14.54 Fb,Rd,p=6012.06
Tirafondi:LT=0.45 (0.31) σ_{cR}=0.00 σ_{fR}=0.00
Compressione nel calcestruzzo: σ_c=67.21
CC 41 SLU (Collegamento 0024_-381)
Azioni sul collegamento: N=-20958.20 Ty=6.23 Tz=45.50 Mx=-0.01 Mz=4.43
Sollecitazioni agenti localmente: Tx_l=6.23 Ty_l=45.50 N_l=-20958.20 Mx_l=-0.00 My_l=4.43 Mz_l=-0.01
Taglio nei bulloni: Fv,Ed=7.66 Fv,Rd=7720.78
Rifollamento lato piastra: Fb,Ed,p=7.66 Fb,Rd,p=6143.22
Tirafondi:LT=0.45 (0.31) σ_{cR}=0.00 σ_{fR}=0.00
Compressione nel calcestruzzo: σ_c=43.55
CC 42 SLU (Collegamento 0024_-381)
Azioni sul collegamento: N=-21507.60 Ty=6.52 Tz=47.54 Mx=-0.01 Mz=4.63
Sollecitazioni agenti localmente: Tx_l=6.52 Ty_l=47.54 N_l=-21507.60 Mx_l=-0.00 My_l=4.63 Mz_l=-0.01
Taglio nei bulloni: Fv,Ed=8.01 Fv,Rd=7720.78
Rifollamento lato piastra: Fb,Ed,p=8.00 Fb,Rd,p=6143.51
Tirafondi:LT=0.45 (0.31) σ_{cR}=0.00 σ_{fR}=0.00
Compressione nel calcestruzzo: σ_c=44.70
CC 43 SLU (Collegamento 0024_-381)
Azioni sul collegamento: N=-21233.90 Ty=6.48 Tz=46.50 Mx=-0.01 Mz=4.75
Sollecitazioni agenti localmente: Tx_l=6.48 Ty_l=46.50 N_l=-21233.90 Mx_l=-0.00 My_l=4.75 Mz_l=-0.01
Taglio nei bulloni: Fv,Ed=7.83 Fv,Rd=7720.78
Rifollamento lato piastra: Fb,Ed,p=7.83 Fb,Rd,p=6148.94
Tirafondi:LT=0.45 (0.31) σ_{cR}=0.00 σ_{fR}=0.00
Compressione nel calcestruzzo: σ_c=44.14
CC 44 SLU (Collegamento 0024_-381)
Azioni sul collegamento: N=-21231.90 Ty=6.26 Tz=46.54 Mx=-0.01 Mz=4.31
Sollecitazioni agenti localmente: Tx_l=6.26 Ty_l=46.54 N_l=-21231.90 Mx_l=-0.00 My_l=4.31 Mz_l=-0.01
Taglio nei bulloni: Fv,Ed=7.83 Fv,Rd=7720.78
Rifollamento lato piastra: Fb,Ed,p=7.83 Fb,Rd,p=6137.89
Tirafondi:LT=0.45 (0.31) σ_{cR}=0.00 σ_{fR}=0.00
Compressione nel calcestruzzo: σ_c=44.11
CC 45 SLU (Collegamento 0024_-381)
Azioni sul collegamento: N=-23044.60 Ty=5.94 Tz=53.22 Mx=-0.01 Mz=4.28
Sollecitazioni agenti localmente: Tx_l=5.94 Ty_l=53.22 N_l=-23044.60 Mx_l=-0.00 My_l=4.28 Mz_l=-0.01
Taglio nei bulloni: Fv,Ed=8.93 Fv,Rd=7720.78
Rifollamento lato piastra: Fb,Ed,p=8.93 Fb,Rd,p=6088.00
Tirafondi:LT=0.45 (0.31) σ_{cR}=0.00 σ_{fR}=0.00
Compressione nel calcestruzzo: σ_c=47.85
CC 46 SLU (Collegamento 0024_-381)
Azioni sul collegamento: N=-23594.00 Ty=6.22 Tz=55.25 Mx=-0.01 Mz=4.49
Sollecitazioni agenti localmente: Tx_l=6.22 Ty_l=55.25 N_l=-23594.00 Mx_l=-0.00 My_l=4.49 Mz_l=-0.01
Taglio nei bulloni: Fv,Ed=9.28 Fv,Rd=7720.78
Rifollamento lato piastra: Fb,Ed,p=9.27 Fb,Rd,p=6090.04
Tirafondi:LT=0.45 (0.31) σ_{cR}=0.00 σ_{fR}=0.00
Compressione nel calcestruzzo: σ_c=49.00
CC 47 SLU (Collegamento 0024_-381)
Azioni sul collegamento: N=-23320.30 Ty=6.19 Tz=54.21 Mx=-0.01 Mz=4.60
Sollecitazioni agenti localmente: Tx_l=6.19 Ty_l=54.21 N_l=-23320.30 Mx_l=-0.00 My_l=4.60 Mz_l=-0.01
Taglio nei bulloni: Fv,Ed=9.10 Fv,Rd=7720.78
Rifollamento lato piastra: Fb,Ed,p=9.10 Fb,Rd,p=6092.93
Tirafondi:LT=0.45 (0.31) σ_{cR}=0.00 σ_{fR}=0.00
Compressione nel calcestruzzo: σ_c=48.44
CC 48 SLU (Collegamento 0024_-381)
Azioni sul collegamento: N=-23318.30 Ty=5.97 Tz=54.26 Mx=-0.01 Mz=4.17
Sollecitazioni agenti localmente: Tx_l=5.97 Ty_l=54.26 N_l=-23318.30 Mx_l=-0.00 My_l=4.17 Mz_l=-0.01
Taglio nei bulloni: Fv,Ed=9.10 Fv,Rd=7720.78
Rifollamento lato piastra: Fb,Ed,p=9.10 Fb,Rd,p=6085.22
Tirafondi:LT=0.45 (0.31) σ_{cR}=0.00 σ_{fR}=0.00
Compressione nel calcestruzzo: σ_c=48.41
CC 49 SLU (Collegamento 0024_-381)
Azioni sul collegamento: N=-24483.70 Ty=5.83 Tz=58.03 Mx=0.00 Mz=4.29
Sollecitazioni agenti localmente: Tx_l=5.83 Ty_l=58.03 N_l=-24483.70 Mx_l=-0.00 My_l=4.29 Mz_l=0.00
Taglio nei bulloni: Fv,Ed=9.72 Fv,Rd=7720.78
Rifollamento lato piastra: Fb,Ed,p=9.72 Fb,Rd,p=6068.96
Tirafondi:LT=0.45 (0.31) σ_{cR}=0.00 σ_{fR}=0.00
Compressione nel calcestruzzo: σ_c=50.83
CC 50 SLU (Collegamento 0024_-381)
Azioni sul collegamento: N=-25033.00 Ty=6.12 Tz=60.06 Mx=0.00 Mz=4.50
Sollecitazioni agenti localmente: Tx_l=6.12 Ty_l=60.06 N_l=-25033.00 Mx_l=-0.00 My_l=4.50 Mz_l=0.00
Taglio nei bulloni: Fv,Ed=10.06 Fv,Rd=7720.78
Rifollamento lato piastra: Fb,Ed,p=10.06 Fb,Rd,p=6071.30

Tirafondi:LT=0.45 (0.31) σ_{cR}=0.00 σ_{fR}=0.00
Compressione nel calcestruzzo: σ_c=51.97
CC 51 SLU (Collegamento 0024_-381)
Azioni sul collegamento: N=-24759.30 Ty=6.08 Tz=59.02 Mx=-0.00 Mz=4.61
Sollecitazioni agenti localmente: Tx_l=6.08 Ty_l=59.02 N_l=-24759.30 Mx_l=-0.00 My_l=4.61 Mz_l=-0.00
Taglio nei bulloni: Fv,Ed=9.89 Fv,Rd=7720.78
Rifollamento lato piastra: Fb,Ed,p=9.89 Fb,Rd,p=6073.41
Tirafondi:LT=0.45 (0.31) σ_{cR}=0.00 σ_{fR}=0.00
Compressione nel calcestruzzo: σ_c=51.42
CC 52 SLU (Collegamento 0024_-381)
Azioni sul collegamento: N=-24757.40 Ty=5.87 Tz=59.07 Mx=0.00 Mz=4.18
Sollecitazioni agenti localmente: Tx_l=5.87 Ty_l=59.07 N_l=-24757.40 Mx_l=-0.00 My_l=4.18 Mz_l=0.00
Taglio nei bulloni: Fv,Ed=9.89 Fv,Rd=7720.78
Rifollamento lato piastra: Fb,Ed,p=9.89 Fb,Rd,p=6066.92
Tirafondi:LT=0.45 (0.31) σ_{cR}=0.00 σ_{fR}=0.00
Compressione nel calcestruzzo: σ_c=51.39
CC 53 SLU (Collegamento 0024_-381)
Azioni sul collegamento: N=-16108.60 Ty=6.57 Tz=27.72 Mx=-0.01 Mz=4.72
Sollecitazioni agenti localmente: Tx_l=6.57 Ty_l=27.72 N_l=-16108.60 Mx_l=-0.00 My_l=4.72 Mz_l=-0.01
Taglio nei bulloni: Fv,Ed=4.76 Fv,Rd=7720.78
Rifollamento lato piastra: Fb,Ed,p=4.75 Fb,Rd,p=6471.62
Tirafondi:LT=0.45 (0.31) σ_{cR}=0.00 σ_{fR}=0.00
Compressione nel calcestruzzo: σ_c=33.55
CC 54 SLU (Collegamento 0024_-381)
Azioni sul collegamento: N=-16657.90 Ty=6.86 Tz=29.76 Mx=-0.01 Mz=4.92
Sollecitazioni agenti localmente: Tx_l=6.86 Ty_l=29.76 N_l=-16657.90 Mx_l=-0.00 My_l=4.92 Mz_l=-0.01
Taglio nei bulloni: Fv,Ed=5.10 Fv,Rd=7720.78
Rifollamento lato piastra: Fb,Ed,p=5.10 Fb,Rd,p=6444.30
Tirafondi:LT=0.45 (0.31) σ_{cR}=0.00 σ_{fR}=0.00
Compressione nel calcestruzzo: σ_c=34.69
CC 55 SLU (Collegamento 0024_-381)
Azioni sul collegamento: N=-16384.20 Ty=6.82 Tz=28.72 Mx=-0.01 Mz=5.04
Sollecitazioni agenti localmente: Tx_l=6.82 Ty_l=28.72 N_l=-16384.20 Mx_l=-0.00 My_l=5.04 Mz_l=-0.01
Taglio nei bulloni: Fv,Ed=4.93 Fv,Rd=7720.78
Rifollamento lato piastra: Fb,Ed,p=4.93 Fb,Rd,p=6473.06
Tirafondi:LT=0.45 (0.31) σ_{cR}=0.00 σ_{fR}=0.00
Compressione nel calcestruzzo: σ_c=34.14
CC 56 SLU (Collegamento 0024_-381)
Azioni sul collegamento: N=-16382.30 Ty=6.60 Tz=28.76 Mx=-0.01 Mz=4.60
Sollecitazioni agenti localmente: Tx_l=6.60 Ty_l=28.76 N_l=-16382.30 Mx_l=-0.00 My_l=4.60 Mz_l=-0.01
Taglio nei bulloni: Fv,Ed=4.93 Fv,Rd=7720.78
Rifollamento lato piastra: Fb,Ed,p=4.92 Fb,Rd,p=6441.97
Tirafondi:LT=0.45 (0.31) σ_{cR}=0.00 σ_{fR}=0.00
Compressione nel calcestruzzo: σ_c=34.11
CC 57 SLU (Collegamento 0024_-381)
Azioni sul collegamento: N=-23426.90 Ty=6.35 Tz=54.67 Mx=-0.01 Mz=4.58
Sollecitazioni agenti localmente: Tx_l=6.35 Ty_l=54.67 N_l=-23426.90 Mx_l=-0.00 My_l=4.58 Mz_l=-0.01
Taglio nei bulloni: Fv,Ed=9.18 Fv,Rd=7720.78
Rifollamento lato piastra: Fb,Ed,p=9.18 Fb,Rd,p=6097.21
Tirafondi:LT=0.45 (0.31) σ_{cR}=0.00 σ_{fR}=0.00
Compressione nel calcestruzzo: σ_c=48.66
CC 58 SLU (Collegamento 0024_-381)
Azioni sul collegamento: N=-23976.20 Ty=6.64 Tz=56.70 Mx=-0.01 Mz=4.78
Sollecitazioni agenti localmente: Tx_l=6.64 Ty_l=56.70 N_l=-23976.20 Mx_l=-0.00 My_l=4.78 Mz_l=-0.01
Taglio nei bulloni: Fv,Ed=9.52 Fv,Rd=7720.78
Rifollamento lato piastra: Fb,Ed,p=9.52 Fb,Rd,p=6098.94
Tirafondi:LT=0.45 (0.31) σ_{cR}=0.00 σ_{fR}=0.00
Compressione nel calcestruzzo: σ_c=49.81
CC 59 SLU (Collegamento 0024_-381)
Azioni sul collegamento: N=-23702.50 Ty=6.61 Tz=55.66 Mx=-0.01 Mz=4.90
Sollecitazioni agenti localmente: Tx_l=6.61 Ty_l=55.66 N_l=-23702.50 Mx_l=-0.00 My_l=4.90 Mz_l=-0.01
Taglio nei bulloni: Fv,Ed=9.35 Fv,Rd=7720.78
Rifollamento lato piastra: Fb,Ed,p=9.35 Fb,Rd,p=6102.04
Tirafondi:LT=0.45 (0.31) σ_{cR}=0.00 σ_{fR}=0.00
Compressione nel calcestruzzo: σ_c=49.25
CC 60 SLU (Collegamento 0024_-381)
Azioni sul collegamento: N=-23700.60 Ty=6.39 Tz=55.71 Mx=-0.01 Mz=4.46
Sollecitazioni agenti localmente: Tx_l=6.39 Ty_l=55.71 N_l=-23700.60 Mx_l=-0.00 My_l=4.46 Mz_l=-0.01
Taglio nei bulloni: Fv,Ed=9.35 Fv,Rd=7720.78
Rifollamento lato piastra: Fb,Ed,p=9.35 Fb,Rd,p=6094.22
Tirafondi:LT=0.45 (0.31) σ_{cR}=0.00 σ_{fR}=0.00
Compressione nel calcestruzzo: σ_c=49.22
CC 61 SLU (Collegamento 0024_-381)
Azioni sul collegamento: N=-24865.90 Ty=6.25 Tz=59.47 Mx=0.00 Mz=4.59
Sollecitazioni agenti localmente: Tx_l=6.25 Ty_l=59.47 N_l=-24865.90 Mx_l=-0.00 My_l=4.59 Mz_l=0.00
Taglio nei bulloni: Fv,Ed=9.97 Fv,Rd=7720.78
Rifollamento lato piastra: Fb,Ed,p=9.97 Fb,Rd,p=6077.14
Tirafondi:LT=0.45 (0.31) σ_{cR}=0.00 σ_{fR}=0.00

Compressione nel calcestruzzo: σ_c=51.63
CC 62 SLU (Collegamento 0024_-381)
Azioni sul collegamento: N=-25415.30 Ty=6.53 Tz=61.51 Mx=-0.00 Mz=4.79
Sollecitazioni agenti localmente: Tx_l=6.53 Ty_l=61.51 N_l=-25415.30 Mx_l=-0.00 My_l=4.79 Mz_l=-0.00
Taglio nei bulloni: Fv,Ed=10.31 Fv,Rd=7720.78
Rifollamento lato piastra: Fb,Ed,p=10.31 Fb,Rd,p=6079.24
Tirafondi:LT=0.45 (0.31) σ_{cR}=0.00 σ_{fR}=0.00
Compressione nel calcestruzzo: σ_c=52.78
CC 63 SLU (Collegamento 0024_-381)
Azioni sul collegamento: N=-25141.60 Ty=6.50 Tz=60.47 Mx=-0.00 Mz=4.91
Sollecitazioni agenti localmente: Tx_l=6.50 Ty_l=60.47 N_l=-25141.60 Mx_l=-0.00 My_l=4.91 Mz_l=-0.00
Taglio nei bulloni: Fv,Ed=10.14 Fv,Rd=7720.78
Rifollamento lato piastra: Fb,Ed,p=10.14 Fb,Rd,p=6081.52
Tirafondi:LT=0.45 (0.31) σ_{cR}=0.00 σ_{fR}=0.00
Compressione nel calcestruzzo: σ_c=52.22
CC 64 SLU (Collegamento 0024_-381)
Azioni sul collegamento: N=-25139.60 Ty=6.28 Tz=60.51 Mx=0.00 Mz=4.47
Sollecitazioni agenti localmente: Tx_l=6.28 Ty_l=60.51 N_l=-25139.60 Mx_l=-0.00 My_l=4.47 Mz_l=0.00
Taglio nei bulloni: Fv,Ed=10.14 Fv,Rd=7720.78
Rifollamento lato piastra: Fb,Ed,p=10.14 Fb,Rd,p=6074.92
Tirafondi:LT=0.45 (0.31) σ_{cR}=0.00 σ_{fR}=0.00
Compressione nel calcestruzzo: σ_c=52.19
CC 65 SLU (Collegamento 0024_-381)
Azioni sul collegamento: N=-16490.80 Ty=6.99 Tz=29.17 Mx=-0.01 Mz=5.02
Sollecitazioni agenti localmente: Tx_l=6.99 Ty_l=29.17 N_l=-16490.80 Mx_l=-0.00 My_l=5.02 Mz_l=-0.01
Taglio nei bulloni: Fv,Ed=5.01 Fv,Rd=7720.78
Rifollamento lato piastra: Fb,Ed,p=5.00 Fb,Rd,p=6481.85
Tirafondi:LT=0.45 (0.31) σ_{cR}=0.00 σ_{fR}=0.00
Compressione nel calcestruzzo: σ_c=34.35
CC 66 SLU (Collegamento 0024_-381)
Azioni sul collegamento: N=-17040.20 Ty=7.27 Tz=31.20 Mx=-0.01 Mz=5.22
Sollecitazioni agenti localmente: Tx_l=7.27 Ty_l=31.20 N_l=-17040.20 Mx_l=-0.00 My_l=5.22 Mz_l=-0.01
Taglio nei bulloni: Fv,Ed=5.35 Fv,Rd=7720.78
Rifollamento lato piastra: Fb,Ed,p=5.35 Fb,Rd,p=6454.85
Tirafondi:LT=0.45 (0.31) σ_{cR}=0.00 σ_{fR}=0.00
Compressione nel calcestruzzo: σ_c=35.50
CC 67 SLU (Collegamento 0024_-381)
Azioni sul collegamento: N=-16766.50 Ty=7.24 Tz=30.16 Mx=-0.01 Mz=5.34
Sollecitazioni agenti localmente: Tx_l=7.24 Ty_l=30.16 N_l=-16766.50 Mx_l=-0.00 My_l=5.34 Mz_l=-0.01
Taglio nei bulloni: Fv,Ed=5.18 Fv,Rd=7720.78
Rifollamento lato piastra: Fb,Ed,p=5.18 Fb,Rd,p=6482.90
Tirafondi:LT=0.45 (0.31) σ_{cR}=0.00 σ_{fR}=0.00
Compressione nel calcestruzzo: σ_c=34.94
CC 68 SLU (Collegamento 0024_-381)
Azioni sul collegamento: N=-16764.50 Ty=7.02 Tz=30.21 Mx=-0.01 Mz=4.90
Sollecitazioni agenti localmente: Tx_l=7.02 Ty_l=30.21 N_l=-16764.50 Mx_l=-0.00 My_l=4.90 Mz_l=-0.01
Taglio nei bulloni: Fv,Ed=5.18 Fv,Rd=7720.78
Rifollamento lato piastra: Fb,Ed,p=5.17 Fb,Rd,p=6452.96
Tirafondi:LT=0.45 (0.31) σ_{cR}=0.00 σ_{fR}=0.00
Compressione nel calcestruzzo: σ_c=34.91
CC 97 SLU (Collegamento 0024_-381)
Azioni sul collegamento: N=-10609.80 Ty=16.63 Tz=15.80 Mx=0.03 Mz=19.66
Sollecitazioni agenti localmente: Tx_l=16.63 Ty_l=15.80 N_l=-10609.80 Mx_l=-0.00 My_l=19.66 Mz_l=0.03
Taglio nei bulloni: Fv,Ed=3.87 Fv,Rd=7720.78
Rifollamento lato piastra: Fb,Ed,p=3.83 Fb,Rd,p=11592.50
Tirafondi:LT=0.45 (0.31) σ_{cR}=0.00 σ_{fR}=0.00
Compressione nel calcestruzzo: σ_c=23.03
CC 98 SLU (Collegamento 0024_-381)
Azioni sul collegamento: N=-11159.10 Ty=16.91 Tz=17.84 Mx=0.03 Mz=19.86
Sollecitazioni agenti localmente: Tx_l=16.91 Ty_l=17.84 N_l=-11159.10 Mx_l=-0.00 My_l=19.86 Mz_l=0.03
Taglio nei bulloni: Fv,Ed=4.14 Fv,Rd=7720.78
Rifollamento lato piastra: Fb,Ed,p=4.14 Fb,Rd,p=11715.30
Tirafondi:LT=0.45 (0.31) σ_{cR}=0.00 σ_{fR}=0.00
Compressione nel calcestruzzo: σ_c=24.18
CC 99 SLU (Collegamento 0024_-381)
Azioni sul collegamento: N=-10885.40 Ty=16.88 Tz=16.80 Mx=0.03 Mz=19.98
Sollecitazioni agenti localmente: Tx_l=16.88 Ty_l=16.80 N_l=-10885.40 Mx_l=-0.00 My_l=19.98 Mz_l=0.03
Taglio nei bulloni: Fv,Ed=4.01 Fv,Rd=7720.78
Rifollamento lato piastra: Fb,Ed,p=3.97 Fb,Rd,p=11857.70
Tirafondi:LT=0.45 (0.31) σ_{cR}=0.00 σ_{fR}=0.00
Compressione nel calcestruzzo: σ_c=23.62
CC 100 SLU (Collegamento 0024_-381)
Azioni sul collegamento: N=-10883.50 Ty=16.66 Tz=16.84 Mx=0.03 Mz=19.55
Sollecitazioni agenti localmente: Tx_l=16.66 Ty_l=16.84 N_l=-10883.50 Mx_l=-0.00 My_l=19.55 Mz_l=0.03
Taglio nei bulloni: Fv,Ed=4.00 Fv,Rd=7720.78
Rifollamento lato piastra: Fb,Ed,p=4.00 Fb,Rd,p=11955.10
Tirafondi:LT=0.45 (0.31) σ_{cR}=0.00 σ_{fR}=0.00
Compressione nel calcestruzzo: σ_c=23.59

CC 101 SLU (Collegamento 0024_-381)
Azioni sul collegamento: N=-6606.14 Ty=1.32 Tz=0.91 Mx=-0.01 Mz=0.13
Sollecitazioni agenti localmente: Tx_l=1.32 Ty_l=0.91 N_l=-6606.14 Mx_l=-0.00 My_l=0.13 Mz_l=-0.01
Taglio nei bulloni: Fv,Ed=0.28 Fv,Rd=7720.78
Rifollamento lato piastra: Fb,Ed,p=0.28 Fb,Rd,p=10354.90
Tirafondi:LT=0.45 (0.31) σ_{cR}=0.00 σ_{fR}=0.00
Compressione nel calcestruzzo: σ_c=13.66
CC 102 SLU (Collegamento 0024_-381)
Azioni sul collegamento: N=-7155.53 Ty=1.61 Tz=2.94 Mx=-0.01 Mz=0.33
Sollecitazioni agenti localmente: Tx_l=1.61 Ty_l=2.94 N_l=-7155.53 Mx_l=-0.00 My_l=0.33 Mz_l=-0.01
Taglio nei bulloni: Fv,Ed=0.57 Fv,Rd=7720.78
Rifollamento lato piastra: Fb,Ed,p=0.56 Fb,Rd,p=8413.08
Tirafondi:LT=0.45 (0.31) σ_{cR}=0.00 σ_{fR}=0.00
Compressione nel calcestruzzo: σ_c=14.80
CC 103 SLU (Collegamento 0024_-381)
Azioni sul collegamento: N=-6881.82 Ty=1.58 Tz=1.90 Mx=-0.01 Mz=0.45
Sollecitazioni agenti localmente: Tx_l=1.58 Ty_l=1.90 N_l=-6881.82 Mx_l=-0.00 My_l=0.45 Mz_l=-0.01
Taglio nei bulloni: Fv,Ed=0.43 Fv,Rd=7720.78
Rifollamento lato piastra: Fb,Ed,p=0.41 Fb,Rd,p=10746.50
Tirafondi:LT=0.45 (0.31) σ_{cR}=0.00 σ_{fR}=0.00
Compressione nel calcestruzzo: σ_c=14.24
CC 104 SLU (Collegamento 0024_-381)
Azioni sul collegamento: N=-6879.85 Ty=1.36 Tz=1.95 Mx=-0.01 Mz=0.01
Sollecitazioni agenti localmente: Tx_l=1.36 Ty_l=1.95 N_l=-6879.85 Mx_l=-0.00 My_l=0.01 Mz_l=-0.01
Taglio nei bulloni: Fv,Ed=0.41 Fv,Rd=7720.78
Rifollamento lato piastra: Fb,Ed,p=0.40 Fb,Rd,p=9910.27
Tirafondi:LT=0.45 (0.31) σ_{cR}=0.00 σ_{fR}=0.00
Compressione nel calcestruzzo: σ_c=14.22

Saldatura profilo-piastra

CC 1 SLV (Collegamento 0024_-381)
Azioni sul collegamento: N=-3931.62 Ty=6.55 Tz=-8.98 Mx=0.01 Mz=7.22
Sollecitazioni agenti localmente: Tx_l=6.55 Ty_l=-8.98 N_l=-3931.62 My_l=-7.22 Mz_l=0.01
Azioni sul cordone: TP=0.47 TO=-0.65 NO=-290.63
Tensioni nel cordone: τ_P=0.15 τ_0=0.21 σ_0=102.92 σ_{ID}=102.92 Σ_T=103.13
CC 1 SLV (Collegamento 0024_-381)
Azioni sul collegamento: N=-3931.62 Ty=3.19 Tz=-8.98 Mx=0.01 Mz=4.04
Sollecitazioni agenti localmente: Tx_l=3.19 Ty_l=-8.98 N_l=-3931.62 My_l=-4.04 Mz_l=0.01
Azioni sul cordone: TP=0.22 TO=-0.65 NO=-290.63
Tensioni nel cordone: τ_P= 0.07 τ_0=0.21 σ_0=98.27 σ_{ID}=98.28 Σ_T=98.48
CC 1 SLV (Collegamento 0024_-381)
Azioni sul collegamento: N=-3931.62 Ty=6.55 Tz=10.69 Mx=0.01 Mz=7.22
Sollecitazioni agenti localmente: Tx_l=6.55 Ty_l=10.69 N_l=-3931.62 My_l=-7.22 Mz_l=0.01
Azioni sul cordone: TP=0.47 TO=0.80 NO=-290.63
Tensioni nel cordone: τ_P=0.15 τ_0=0.25 σ_0=102.92 σ_{ID}=102.92 Σ_T=103.18
CC 1 SLV (Collegamento 0024_-381)
Azioni sul collegamento: N=-3931.62 Ty=3.19 Tz=10.69 Mx=0.01 Mz=4.04
Sollecitazioni agenti localmente: Tx_l=3.19 Ty_l=10.69 N_l=-3931.62 My_l=-4.04 Mz_l=0.01
Azioni sul cordone: TP=0.22 TO=0.80 NO=-290.63
Tensioni nel cordone: τ_P= 0.07 τ_0=0.25 σ_0=98.27 σ_{ID}=98.28 Σ_T=98.53
CC 1 SLV (Collegamento 0024_-381)
Azioni sul collegamento: N=-9217.12 Ty=6.55 Tz=-8.98 Mx=0.01 Mz=7.22
Sollecitazioni agenti localmente: Tx_l=6.55 Ty_l=-8.98 N_l=-9217.12 My_l=-7.22 Mz_l=0.01
Azioni sul cordone: TP=0.47 TO=-0.65 NO=-681.33
Tensioni nel cordone: τ_P=0.15 τ_0=0.21 σ_0=227.11 σ_{ID}=227.11 Σ_T=227.32
CC 1 SLV (Collegamento 0024_-381)
Azioni sul collegamento: N=-9217.12 Ty=3.19 Tz=-8.98 Mx=0.01 Mz=4.04
Sollecitazioni agenti localmente: Tx_l=3.19 Ty_l=-8.98 N_l=-9217.12 My_l=-4.04 Mz_l=0.01
Azioni sul cordone: TP=0.22 TO=-0.65 NO=-681.33
Tensioni nel cordone: τ_P= 0.07 τ_0=0.21 σ_0=222.46 σ_{ID}=222.46 Σ_T=222.67
CC 1 SLV (Collegamento 0024_-381)
Azioni sul collegamento: N=-9217.12 Ty=6.55 Tz=10.69 Mx=0.01 Mz=7.22
Sollecitazioni agenti localmente: Tx_l=6.55 Ty_l=10.69 N_l=-9217.12 My_l=-7.22 Mz_l=0.01
Azioni sul cordone: TP=0.47 TO=0.80 NO=-681.33
Tensioni nel cordone: τ_P=0.15 τ_0=0.25 σ_0=227.11 σ_{ID}=227.11 Σ_T=227.36
CC 1 SLV (Collegamento 0024_-381)
Azioni sul collegamento: N=-9217.12 Ty=3.19 Tz=10.69 Mx=0.01 Mz=4.04
Sollecitazioni agenti localmente: Tx_l=3.19 Ty_l=10.69 N_l=-9217.12 My_l=-4.04 Mz_l=0.01
Azioni sul cordone: TP=0.22 TO=0.80 NO=-681.33
Tensioni nel cordone: τ_P= 0.07 τ_0=0.25 σ_0=222.46 σ_{ID}=222.46 Σ_T=222.72
CC 2 SLD (Collegamento 0024_-381)
Azioni sul collegamento: N=-5736.03 Ty=4.54 Tz=-2.27 Mx=0.00 Mz=4.03
Sollecitazioni agenti localmente: Tx_l=4.54 Ty_l=-2.27 N_l=-5736.03 My_l=-4.03 Mz_l=0.00
Azioni sul cordone: TP=0.33 TO=-0.17 NO=-424.01
Tensioni nel cordone: τ_P=0.11 τ_0= 0.05 σ_0=140.66 σ_{ID}=140.66 Σ_T=140.72
CC 2 SLD (Collegamento 0024_-381)
Azioni sul collegamento: N=-5736.03 Ty=3.51 Tz=-2.27 Mx=0.00 Mz=3.06
Sollecitazioni agenti localmente: Tx_l=3.51 Ty_l=-2.27 N_l=-5736.03 My_l=-3.06 Mz_l=0.00

Azioni sul cordone: TP=0.26 TO=-0.17 NO=-424.01
Tensioni nel cordone: τ_P= 0.08 τ_O= 0.05 σ_O=139.25 σ_{ID}=139.25 Σ_T=139.30
CC 2 SLD (Collegamento 0024_-381)
Azioni sul collegamento: N=-5736.03 Ty=4.54 Tz=3.73 Mx=0.00 Mz=4.03
Sollecitazioni agenti localmente: Tx_l=4.54 Ty_l=3.73 N_l=-5736.03 My_l=-4.03 Mz_l=0.00
Azioni sul cordone: TP=0.33 TO=0.28 NO=-424.01
Tensioni nel cordone: τ_P=0.11 τ_O= 0.09 σ_O=140.66 σ_{ID}=140.66 Σ_T=140.75
CC 2 SLD (Collegamento 0024_-381)
Azioni sul collegamento: N=-5736.03 Ty=3.51 Tz=3.73 Mx=0.00 Mz=3.06
Sollecitazioni agenti localmente: Tx_l=3.51 Ty_l=3.73 N_l=-5736.03 My_l=-3.06 Mz_l=0.00
Azioni sul cordone: TP=0.26 TO=0.28 NO=-424.01
Tensioni nel cordone: τ_P= 0.08 τ_O= 0.09 σ_O=139.25 σ_{ID}=139.25 Σ_T=139.33
CC 2 SLD (Collegamento 0024_-381)
Azioni sul collegamento: N=-7347.75 Ty=4.54 Tz=-2.27 Mx=0.00 Mz=4.03
Sollecitazioni agenti localmente: Tx_l=4.54 Ty_l=-2.27 N_l=-7347.75 My_l=-4.03 Mz_l=0.00
Azioni sul cordone: TP=0.33 TO=-0.17 NO=-543.15
Tensioni nel cordone: τ_P=0.11 τ_O= 0.05 σ_O=178.53 σ_{ID}=178.53 Σ_T=178.58
CC 2 SLD (Collegamento 0024_-381)
Azioni sul collegamento: N=-7347.75 Ty=3.51 Tz=-2.27 Mx=0.00 Mz=3.06
Sollecitazioni agenti localmente: Tx_l=3.51 Ty_l=-2.27 N_l=-7347.75 My_l=-3.06 Mz_l=0.00
Azioni sul cordone: TP=0.26 TO=-0.17 NO=-543.15
Tensioni nel cordone: τ_P= 0.08 τ_O= 0.05 σ_O=177.11 σ_{ID}=177.11 Σ_T=177.17
CC 2 SLD (Collegamento 0024_-381)
Azioni sul collegamento: N=-7347.75 Ty=4.54 Tz=3.73 Mx=0.00 Mz=4.03
Sollecitazioni agenti localmente: Tx_l=4.54 Ty_l=3.73 N_l=-7347.75 My_l=-4.03 Mz_l=0.00
Azioni sul cordone: TP=0.33 TO=0.28 NO=-543.15
Tensioni nel cordone: τ_P=0.11 τ_O= 0.09 σ_O=178.53 σ_{ID}=178.53 Σ_T=178.62
CC 2 SLD (Collegamento 0024_-381)
Azioni sul collegamento: N=-7347.75 Ty=3.51 Tz=3.73 Mx=0.00 Mz=3.06
Sollecitazioni agenti localmente: Tx_l=3.51 Ty_l=3.73 N_l=-7347.75 My_l=-3.06 Mz_l=0.00
Azioni sul cordone: TP=0.26 TO=0.28 NO=-543.15
Tensioni nel cordone: τ_P= 0.08 τ_O= 0.09 σ_O=177.11 σ_{ID}=177.11 Σ_T=177.20
CC 3 SLV (Collegamento 0024_-381)
Azioni sul collegamento: N=-3937.31 Ty=5.92 Tz=-8.85 Mx=0.01 Mz=5.96
Sollecitazioni agenti localmente: Tx_l=5.92 Ty_l=-8.85 N_l=-3937.31 My_l=-5.96 Mz_l=0.01
Azioni sul cordone: TP=0.43 TO=-0.65 NO=-291.05
Tensioni nel cordone: τ_P=0.14 τ_O=0.21 σ_O=101.22 σ_{ID}=101.22 Σ_T=101.43
CC 3 SLV (Collegamento 0024_-381)
Azioni sul collegamento: N=-3937.31 Ty=3.82 Tz=-8.85 Mx=0.01 Mz=5.30
Sollecitazioni agenti localmente: Tx_l=3.82 Ty_l=-8.85 N_l=-3937.31 My_l=-5.30 Mz_l=0.01
Azioni sul cordone: TP=0.27 TO=-0.65 NO=-291.05
Tensioni nel cordone: τ_P= 0.09 τ_O=0.21 σ_O=100.25 σ_{ID}=100.25 Σ_T=100.45
CC 3 SLV (Collegamento 0024_-381)
Azioni sul collegamento: N=-3937.31 Ty=5.92 Tz=10.56 Mx=0.01 Mz=5.96
Sollecitazioni agenti localmente: Tx_l=5.92 Ty_l=10.56 N_l=-3937.31 My_l=-5.96 Mz_l=0.01
Azioni sul cordone: TP=0.43 TO=0.79 NO=-291.05
Tensioni nel cordone: τ_P=0.14 τ_O=0.25 σ_O=101.22 σ_{ID}=101.22 Σ_T=101.47
CC 3 SLV (Collegamento 0024_-381)
Azioni sul collegamento: N=-3937.31 Ty=3.82 Tz=10.56 Mx=0.01 Mz=5.30
Sollecitazioni agenti localmente: Tx_l=3.82 Ty_l=10.56 N_l=-3937.31 My_l=-5.30 Mz_l=0.01
Azioni sul cordone: TP=0.27 TO=0.79 NO=-291.05
Tensioni nel cordone: τ_P= 0.09 τ_O=0.25 σ_O=100.25 σ_{ID}=100.25 Σ_T=100.50
CC 3 SLV (Collegamento 0024_-381)
Azioni sul collegamento: N=-9211.43 Ty=5.92 Tz=-8.85 Mx=0.01 Mz=5.96
Sollecitazioni agenti localmente: Tx_l=5.92 Ty_l=-8.85 N_l=-9211.43 My_l=-5.96 Mz_l=0.01
Azioni sul cordone: TP=0.43 TO=-0.65 NO=-680.91
Tensioni nel cordone: τ_P=0.14 τ_O=0.21 σ_O=225.14 σ_{ID}=225.14 Σ_T=225.34
CC 3 SLV (Collegamento 0024_-381)
Azioni sul collegamento: N=-9211.43 Ty=3.82 Tz=-8.85 Mx=0.01 Mz=5.30
Sollecitazioni agenti localmente: Tx_l=3.82 Ty_l=-8.85 N_l=-9211.43 My_l=-5.30 Mz_l=0.01
Azioni sul cordone: TP=0.27 TO=-0.65 NO=-680.91
Tensioni nel cordone: τ_P= 0.09 τ_O=0.21 σ_O=224.16 σ_{ID}=224.16 Σ_T=224.37
CC 3 SLV (Collegamento 0024_-381)
Azioni sul collegamento: N=-9211.43 Ty=5.92 Tz=10.56 Mx=0.01 Mz=5.96
Sollecitazioni agenti localmente: Tx_l=5.92 Ty_l=10.56 N_l=-9211.43 My_l=-5.96 Mz_l=0.01
Azioni sul cordone: TP=0.43 TO=0.79 NO=-680.91
Tensioni nel cordone: τ_P=0.14 τ_O=0.25 σ_O=225.14 σ_{ID}=225.14 Σ_T=225.39
CC 3 SLV (Collegamento 0024_-381)
Azioni sul collegamento: N=-9211.43 Ty=3.82 Tz=10.56 Mx=0.01 Mz=5.30
Sollecitazioni agenti localmente: Tx_l=3.82 Ty_l=10.56 N_l=-9211.43 My_l=-5.30 Mz_l=0.01
Azioni sul cordone: TP=0.27 TO=0.79 NO=-680.91
Tensioni nel cordone: τ_P= 0.09 τ_O=0.25 σ_O=224.16 σ_{ID}=224.16 Σ_T=224.41
CC 4 SLD (Collegamento 0024_-381)
Azioni sul collegamento: N=-5737.77 Ty=4.34 Tz=-2.23 Mx=0.00 Mz=3.65
Sollecitazioni agenti localmente: Tx_l=4.34 Ty_l=-2.23 N_l=-5737.77 My_l=-3.65 Mz_l=0.00
Azioni sul cordone: TP=0.32 TO=-0.16 NO=-424.14
Tensioni nel cordone: τ_P=0.10 τ_O= 0.05 σ_O=140.14 σ_{ID}=140.14 Σ_T=140.19
CC 4 SLD (Collegamento 0024_-381)
Azioni sul collegamento: N=-5737.77 Ty=3.71 Tz=-2.23 Mx=0.00 Mz=3.45

Sollecitazioni agenti localmente: Tx_l=3.71 Ty_l=-2.23 N_l=-5737.77 My_l=-3.45 Mz_l=0.00
Azioni sul cordone: TP=0.27 TO=-0.16 NO=-424.14
Tensioni nel cordone: τ_P= 0.09 τ_O= 0.05 σ_O=139.84 σ_{ID}=139.84 Σ_T=139.90
CC 4 SLD (Collegamento 0024_-381)
Azioni sul collegamento: N=-5737.77 Ty=4.34 Tz=3.69 Mx=0.00 Mz=3.65
Sollecitazioni agenti localmente: Tx_l=4.34 Ty_l=3.69 N_l=-5737.77 My_l=-3.65 Mz_l=0.00
Azioni sul cordone: TP=0.32 TO=0.27 NO=-424.14
Tensioni nel cordone: τ_P=0.10 τ_O= 0.09 σ_O=140.14 σ_{ID}=140.14 Σ_T=140.23
CC 4 SLD (Collegamento 0024_-381)
Azioni sul collegamento: N=-5737.77 Ty=3.71 Tz=3.69 Mx=0.00 Mz=3.45
Sollecitazioni agenti localmente: Tx_l=3.71 Ty_l=3.69 N_l=-5737.77 My_l=-3.45 Mz_l=0.00
Azioni sul cordone: TP=0.27 TO=0.27 NO=-424.14
Tensioni nel cordone: τ_P= 0.09 τ_O= 0.09 σ_O=139.84 σ_{ID}=139.84 Σ_T=139.93
CC 4 SLD (Collegamento 0024_-381)
Azioni sul collegamento: N=-7346.01 Ty=4.34 Tz=-2.23 Mx=0.00 Mz=3.65
Sollecitazioni agenti localmente: Tx_l=4.34 Ty_l=-2.23 N_l=-7346.01 My_l=-3.65 Mz_l=0.00
Azioni sul cordone: TP=0.32 TO=-0.16 NO=-543.02
Tensioni nel cordone: τ_P=0.10 τ_O= 0.05 σ_O=177.93 σ_{ID}=177.93 Σ_T=177.98
CC 4 SLD (Collegamento 0024_-381)
Azioni sul collegamento: N=-7346.01 Ty=3.71 Tz=-2.23 Mx=0.00 Mz=3.45
Sollecitazioni agenti localmente: Tx_l=3.71 Ty_l=-2.23 N_l=-7346.01 My_l=-3.45 Mz_l=0.00
Azioni sul cordone: TP=0.27 TO=-0.16 NO=-543.02
Tensioni nel cordone: τ_P= 0.09 τ_O= 0.05 σ_O=177.63 σ_{ID}=177.63 Σ_T=177.68
CC 4 SLD (Collegamento 0024_-381)
Azioni sul collegamento: N=-7346.01 Ty=4.34 Tz=3.69 Mx=0.00 Mz=3.65
Sollecitazioni agenti localmente: Tx_l=4.34 Ty_l=3.69 N_l=-7346.01 My_l=-3.65 Mz_l=0.00
Azioni sul cordone: TP=0.32 TO=0.27 NO=-543.02
Tensioni nel cordone: τ_P=0.10 τ_O= 0.09 σ_O=177.93 σ_{ID}=177.93 Σ_T=178.02
CC 4 SLD (Collegamento 0024_-381)
Azioni sul collegamento: N=-7346.01 Ty=3.71 Tz=3.69 Mx=0.00 Mz=3.45
Sollecitazioni agenti localmente: Tx_l=3.71 Ty_l=3.69 N_l=-7346.01 My_l=-3.45 Mz_l=0.00
Azioni sul cordone: TP=0.27 TO=0.27 NO=-543.02
Tensioni nel cordone: τ_P= 0.09 τ_O= 0.09 σ_O=177.63 σ_{ID}=177.63 Σ_T=177.72
CC 5 SLV (Collegamento 0024_-381)
Azioni sul collegamento: N=-9211.43 Ty=3.82 Tz=10.56 Mx=0.01 Mz=5.30
Sollecitazioni agenti localmente: Tx_l=3.82 Ty_l=10.56 N_l=-9211.43 My_l=-5.30 Mz_l=0.01
Azioni sul cordone: TP=0.27 TO=0.79 NO=-680.91
Tensioni nel cordone: τ_P= 0.09 τ_O=0.25 σ_O=224.16 σ_{ID}=224.16 Σ_T=224.41
CC 5 SLV (Collegamento 0024_-381)
Azioni sul collegamento: N=-9211.43 Ty=5.92 Tz=10.56 Mx=0.01 Mz=5.96
Sollecitazioni agenti localmente: Tx_l=5.92 Ty_l=10.56 N_l=-9211.43 My_l=-5.96 Mz_l=0.01
Azioni sul cordone: TP=0.42 TO=0.79 NO=-680.91
Tensioni nel cordone: τ_P=0.13 τ_O=0.25 σ_O=225.14 σ_{ID}=225.14 Σ_T=225.39
CC 5 SLV (Collegamento 0024_-381)
Azioni sul collegamento: N=-9211.43 Ty=3.82 Tz=-8.85 Mx=0.01 Mz=5.30
Sollecitazioni agenti localmente: Tx_l=3.82 Ty_l=-8.85 N_l=-9211.43 My_l=-5.30 Mz_l=0.01
Azioni sul cordone: TP=0.27 TO=-0.65 NO=-680.91
Tensioni nel cordone: τ_P= 0.09 τ_O=0.21 σ_O=224.16 σ_{ID}=224.16 Σ_T=224.37
CC 5 SLV (Collegamento 0024_-381)
Azioni sul collegamento: N=-9211.43 Ty=5.92 Tz=-8.85 Mx=0.01 Mz=5.96
Sollecitazioni agenti localmente: Tx_l=5.92 Ty_l=-8.85 N_l=-9211.43 My_l=-5.96 Mz_l=0.01
Azioni sul cordone: TP=0.42 TO=-0.65 NO=-680.91
Tensioni nel cordone: τ_P=0.13 τ_O=0.21 σ_O=225.14 σ_{ID}=225.14 Σ_T=225.34
CC 5 SLV (Collegamento 0024_-381)
Azioni sul collegamento: N=-3937.31 Ty=3.82 Tz=10.56 Mx=0.01 Mz=5.30
Sollecitazioni agenti localmente: Tx_l=3.82 Ty_l=10.56 N_l=-3937.31 My_l=-5.30 Mz_l=0.01
Azioni sul cordone: TP=0.27 TO=0.79 NO=-291.05
Tensioni nel cordone: τ_P= 0.09 τ_O=0.25 σ_O=100.25 σ_{ID}=100.25 Σ_T=100.50
CC 5 SLV (Collegamento 0024_-381)
Azioni sul collegamento: N=-3937.31 Ty=5.92 Tz=10.56 Mx=0.01 Mz=5.96
Sollecitazioni agenti localmente: Tx_l=5.92 Ty_l=10.56 N_l=-3937.31 My_l=-5.96 Mz_l=0.01
Azioni sul cordone: TP=0.42 TO=0.79 NO=-291.05
Tensioni nel cordone: τ_P=0.13 τ_O=0.25 σ_O=101.22 σ_{ID}=101.22 Σ_T=101.47
CC 5 SLV (Collegamento 0024_-381)
Azioni sul collegamento: N=-3937.31 Ty=3.82 Tz=-8.85 Mx=0.01 Mz=5.30
Sollecitazioni agenti localmente: Tx_l=3.82 Ty_l=-8.85 N_l=-3937.31 My_l=-5.30 Mz_l=0.01
Azioni sul cordone: TP=0.27 TO=-0.65 NO=-291.05
Tensioni nel cordone: τ_P= 0.09 τ_O=0.21 σ_O=100.25 σ_{ID}=100.25 Σ_T=100.45
CC 5 SLV (Collegamento 0024_-381)
Azioni sul collegamento: N=-3937.31 Ty=5.92 Tz=-8.85 Mx=0.01 Mz=5.96
Sollecitazioni agenti localmente: Tx_l=5.92 Ty_l=-8.85 N_l=-3937.31 My_l=-5.96 Mz_l=0.01
Azioni sul cordone: TP=0.42 TO=-0.65 NO=-291.05
Tensioni nel cordone: τ_P=0.13 τ_O=0.21 σ_O=101.22 σ_{ID}=101.22 Σ_T=101.43
CC 6 SLD (Collegamento 0024_-381)
Azioni sul collegamento: N=-7346.01 Ty=3.71 Tz=3.69 Mx=0.00 Mz=3.45
Sollecitazioni agenti localmente: Tx_l=3.71 Ty_l=3.69 N_l=-7346.01 My_l=-3.45 Mz_l=0.00
Azioni sul cordone: TP=0.27 TO=0.27 NO=-543.02
Tensioni nel cordone: τ_P= 0.09 τ_O= 0.09 σ_O=177.63 σ_{ID}=177.63 Σ_T=177.72
CC 6 SLD (Collegamento 0024_-381)

Azioni sul collegamento: N=-7346.01 Ty=4.34 Tz=3.69 Mx=0.00 Mz=3.65
Sollecitazioni agenti localmente: Tx_l=4.34 Ty_l=3.69 N_l=-7346.01 My_l=-3.65 Mz_l=0.00
Azioni sul cordone: TP=0.32 TO=0.27 NO=-543.02
Tensioni nel cordone: τ_P=0.10 τ_0= 0.09 σ_0=177.93 σ_{ID}=177.93 Σ_T=178.02
CC 6 SLD (Collegamento 0024_-381)
Azioni sul collegamento: N=-7346.01 Ty=3.71 Tz=-2.23 Mx=0.00 Mz=3.45
Sollecitazioni agenti localmente: Tx_l=3.71 Ty_l=-2.23 N_l=-7346.01 My_l=-3.45 Mz_l=0.00
Azioni sul cordone: TP=0.27 TO=-0.16 NO=-543.02
Tensioni nel cordone: τ_P= 0.09 τ_0= 0.05 σ_0=177.63 σ_{ID}=177.63 Σ_T=177.68
CC 6 SLD (Collegamento 0024_-381)
Azioni sul collegamento: N=-7346.01 Ty=4.34 Tz=-2.23 Mx=0.00 Mz=3.65
Sollecitazioni agenti localmente: Tx_l=4.34 Ty_l=-2.23 N_l=-7346.01 My_l=-3.65 Mz_l=0.00
Azioni sul cordone: TP=0.32 TO=-0.16 NO=-543.02
Tensioni nel cordone: τ_P=0.10 τ_0= 0.05 σ_0=177.93 σ_{ID}=177.93 Σ_T=177.98
CC 6 SLD (Collegamento 0024_-381)
Azioni sul collegamento: N=-5737.77 Ty=3.71 Tz=3.69 Mx=0.00 Mz=3.45
Sollecitazioni agenti localmente: Tx_l=3.71 Ty_l=3.69 N_l=-5737.77 My_l=-3.45 Mz_l=0.00
Azioni sul cordone: TP=0.27 TO=0.27 NO=-424.14
Tensioni nel cordone: τ_P= 0.09 τ_0= 0.09 σ_0=139.84 σ_{ID}=139.84 Σ_T=139.93
CC 6 SLD (Collegamento 0024_-381)
Azioni sul collegamento: N=-5737.77 Ty=4.34 Tz=3.69 Mx=0.00 Mz=3.65
Sollecitazioni agenti localmente: Tx_l=4.34 Ty_l=3.69 N_l=-5737.77 My_l=-3.65 Mz_l=0.00
Azioni sul cordone: TP=0.32 TO=0.27 NO=-424.14
Tensioni nel cordone: τ_P=0.10 τ_0= 0.09 σ_0=140.14 σ_{ID}=140.14 Σ_T=140.23
CC 6 SLD (Collegamento 0024_-381)
Azioni sul collegamento: N=-5737.77 Ty=3.71 Tz=-2.23 Mx=0.00 Mz=3.45
Sollecitazioni agenti localmente: Tx_l=3.71 Ty_l=-2.23 N_l=-5737.77 My_l=-3.45 Mz_l=0.00
Azioni sul cordone: TP=0.27 TO=-0.16 NO=-424.14
Tensioni nel cordone: τ_P= 0.09 τ_0= 0.05 σ_0=139.84 σ_{ID}=139.84 Σ_T=139.90
CC 6 SLD (Collegamento 0024_-381)
Azioni sul collegamento: N=-5737.77 Ty=4.34 Tz=-2.23 Mx=0.00 Mz=3.65
Sollecitazioni agenti localmente: Tx_l=4.34 Ty_l=-2.23 N_l=-5737.77 My_l=-3.65 Mz_l=0.00
Azioni sul cordone: TP=0.32 TO=-0.16 NO=-424.14
Tensioni nel cordone: τ_P=0.10 τ_0= 0.05 σ_0=140.14 σ_{ID}=140.14 Σ_T=140.19
CC 7 SLV (Collegamento 0024_-381)
Azioni sul collegamento: N=-9217.12 Ty=3.19 Tz=10.69 Mx=0.01 Mz=4.04
Sollecitazioni agenti localmente: Tx_l=3.19 Ty_l=10.69 N_l=-9217.12 My_l=-4.04 Mz_l=0.01
Azioni sul cordone: TP=0.23 TO=0.80 NO=-681.33
Tensioni nel cordone: τ_P= 0.07 τ_0=0.25 σ_0=222.46 σ_{ID}=222.46 Σ_T=222.71
CC 7 SLV (Collegamento 0024_-381)
Azioni sul collegamento: N=-9217.12 Ty=6.55 Tz=10.69 Mx=0.01 Mz=7.22
Sollecitazioni agenti localmente: Tx_l=6.55 Ty_l=10.69 N_l=-9217.12 My_l=-7.22 Mz_l=0.01
Azioni sul cordone: TP=0.48 TO=0.80 NO=-681.33
Tensioni nel cordone: τ_P=0.15 τ_0=0.25 σ_0=227.11 σ_{ID}=227.11 Σ_T=227.36
CC 7 SLV (Collegamento 0024_-381)
Azioni sul collegamento: N=-9217.12 Ty=3.19 Tz=-8.98 Mx=0.01 Mz=4.04
Sollecitazioni agenti localmente: Tx_l=3.19 Ty_l=-8.98 N_l=-9217.12 My_l=-4.04 Mz_l=0.01
Azioni sul cordone: TP=0.23 TO=-0.66 NO=-681.33
Tensioni nel cordone: τ_P= 0.07 τ_0=0.21 σ_0=222.46 σ_{ID}=222.46 Σ_T=222.67
CC 7 SLV (Collegamento 0024_-381)
Azioni sul collegamento: N=-9217.12 Ty=6.55 Tz=-8.98 Mx=0.01 Mz=7.22
Sollecitazioni agenti localmente: Tx_l=6.55 Ty_l=-8.98 N_l=-9217.12 My_l=-7.22 Mz_l=0.01
Azioni sul cordone: TP=0.48 TO=-0.66 NO=-681.33
Tensioni nel cordone: τ_P=0.15 τ_0=0.21 σ_0=227.11 σ_{ID}=227.11 Σ_T=227.32
CC 7 SLV (Collegamento 0024_-381)
Azioni sul collegamento: N=-3931.62 Ty=3.19 Tz=10.69 Mx=0.01 Mz=4.04
Sollecitazioni agenti localmente: Tx_l=3.19 Ty_l=10.69 N_l=-3931.62 My_l=-4.04 Mz_l=0.01
Azioni sul cordone: TP=0.23 TO=0.80 NO=-290.63
Tensioni nel cordone: τ_P= 0.07 τ_0=0.25 σ_0=98.27 σ_{ID}=98.28 Σ_T=98.53
CC 7 SLV (Collegamento 0024_-381)
Azioni sul collegamento: N=-3931.62 Ty=6.55 Tz=10.69 Mx=0.01 Mz=7.22
Sollecitazioni agenti localmente: Tx_l=6.55 Ty_l=10.69 N_l=-3931.62 My_l=-7.22 Mz_l=0.01
Azioni sul cordone: TP=0.48 TO=0.80 NO=-290.63
Tensioni nel cordone: τ_P=0.15 τ_0=0.25 σ_0=102.92 σ_{ID}=102.92 Σ_T=103.18
CC 7 SLV (Collegamento 0024_-381)
Azioni sul collegamento: N=-3931.62 Ty=3.19 Tz=-8.98 Mx=0.01 Mz=4.04
Sollecitazioni agenti localmente: Tx_l=3.19 Ty_l=-8.98 N_l=-3931.62 My_l=-4.04 Mz_l=0.01
Azioni sul cordone: TP=0.23 TO=-0.66 NO=-290.63
Tensioni nel cordone: τ_P= 0.07 τ_0=0.21 σ_0=98.27 σ_{ID}=98.28 Σ_T=98.48
CC 7 SLV (Collegamento 0024_-381)
Azioni sul collegamento: N=-3931.62 Ty=6.55 Tz=-8.98 Mx=0.01 Mz=7.22
Sollecitazioni agenti localmente: Tx_l=6.55 Ty_l=-8.98 N_l=-3931.62 My_l=-7.22 Mz_l=0.01
Azioni sul cordone: TP=0.48 TO=-0.66 NO=-290.63
Tensioni nel cordone: τ_P=0.15 τ_0=0.21 σ_0=102.92 σ_{ID}=102.92 Σ_T=103.13
CC 8 SLD (Collegamento 0024_-381)
Azioni sul collegamento: N=-7347.75 Ty=3.51 Tz=3.73 Mx=-0.00 Mz=3.06
Sollecitazioni agenti localmente: Tx_l=3.51 Ty_l=3.73 N_l=-7347.75 My_l=-3.06 Mz_l=-0.00
Azioni sul cordone: TP=0.26 TO=0.28 NO=-543.15
Tensioni nel cordone: τ_P= 0.08 τ_0= 0.09 σ_0=177.11 σ_{ID}=177.11 Σ_T=177.20

CC 8 SLD (Collegamento 0024_-381)
Azioni sul collegamento: N=-7347.75 Ty=4.54 Tz=3.73 Mx=-0.00 Mz=4.03
Sollecitazioni agenti localmente: Tx_l=4.54 Ty_l=3.73 N_l=-7347.75 My_l=-4.03 Mz_l=-0.00
Azioni sul cordone: TP=0.34 TO=0.28 NO=-543.15
Tensioni nel cordone: τ_P=0.11 τ_0= 0.09 σ_0=178.53 σ_{ID}=178.53 Σ_T=178.62
CC 8 SLD (Collegamento 0024_-381)
Azioni sul collegamento: N=-7347.75 Ty=3.51 Tz=-2.27 Mx=-0.00 Mz=3.06
Sollecitazioni agenti localmente: Tx_l=3.51 Ty_l=-2.27 N_l=-7347.75 My_l=-3.06 Mz_l=-0.00
Azioni sul cordone: TP=0.26 TO=-0.17 NO=-543.15
Tensioni nel cordone: τ_P= 0.08 τ_0= 0.05 σ_0=177.11 σ_{ID}=177.11 Σ_T=177.17
CC 8 SLD (Collegamento 0024_-381)
Azioni sul collegamento: N=-7347.75 Ty=4.54 Tz=-2.27 Mx=-0.00 Mz=4.03
Sollecitazioni agenti localmente: Tx_l=4.54 Ty_l=-2.27 N_l=-7347.75 My_l=-4.03 Mz_l=-0.00
Azioni sul cordone: TP=0.34 TO=-0.17 NO=-543.15
Tensioni nel cordone: τ_P=0.11 τ_0= 0.05 σ_0=178.53 σ_{ID}=178.53 Σ_T=178.58
CC 8 SLD (Collegamento 0024_-381)
Azioni sul collegamento: N=-5736.03 Ty=3.51 Tz=3.73 Mx=-0.00 Mz=3.06
Sollecitazioni agenti localmente: Tx_l=3.51 Ty_l=3.73 N_l=-5736.03 My_l=-3.06 Mz_l=-0.00
Azioni sul cordone: TP=0.26 TO=0.28 NO=-424.01
Tensioni nel cordone: τ_P= 0.08 τ_0= 0.09 σ_0=139.25 σ_{ID}=139.25 Σ_T=139.33
CC 8 SLD (Collegamento 0024_-381)
Azioni sul collegamento: N=-5736.03 Ty=4.54 Tz=3.73 Mx=-0.00 Mz=4.03
Sollecitazioni agenti localmente: Tx_l=4.54 Ty_l=3.73 N_l=-5736.03 My_l=-4.03 Mz_l=-0.00
Azioni sul cordone: TP=0.34 TO=0.28 NO=-424.01
Tensioni nel cordone: τ_P=0.11 τ_0= 0.09 σ_0=140.66 σ_{ID}=140.66 Σ_T=140.75
CC 8 SLD (Collegamento 0024_-381)
Azioni sul collegamento: N=-5736.03 Ty=3.51 Tz=-2.27 Mx=-0.00 Mz=3.06
Sollecitazioni agenti localmente: Tx_l=3.51 Ty_l=-2.27 N_l=-5736.03 My_l=-3.06 Mz_l=-0.00
Azioni sul cordone: TP=0.26 TO=-0.17 NO=-424.01
Tensioni nel cordone: τ_P= 0.08 τ_0= 0.05 σ_0=139.25 σ_{ID}=139.25 Σ_T=139.30
CC 8 SLD (Collegamento 0024_-381)
Azioni sul collegamento: N=-5736.03 Ty=4.54 Tz=-2.27 Mx=-0.00 Mz=4.03
Sollecitazioni agenti localmente: Tx_l=4.54 Ty_l=-2.27 N_l=-5736.03 My_l=-4.03 Mz_l=-0.00
Azioni sul cordone: TP=0.34 TO=-0.17 NO=-424.01
Tensioni nel cordone: τ_P=0.11 τ_0= 0.05 σ_0=140.66 σ_{ID}=140.66 Σ_T=140.72
CC 9 SLV (Collegamento 0024_-381)
Azioni sul collegamento: N=-5772.92 Ty=6.34 Tz=-2.29 Mx=0.02 Mz=8.01
Sollecitazioni agenti localmente: Tx_l=6.34 Ty_l=-2.29 N_l=-5772.92 My_l=-8.01 Mz_l=0.02
Azioni sul cordone: TP=0.45 TO=-0.15 NO=-426.74
Tensioni nel cordone: τ_P=0.14 τ_0= 0.05 σ_0=147.34 σ_{ID}=147.34 Σ_T=147.39
CC 9 SLV (Collegamento 0024_-381)
Azioni sul collegamento: N=-5772.92 Ty=3.40 Tz=-2.29 Mx=0.02 Mz=3.25
Sollecitazioni agenti localmente: Tx_l=3.40 Ty_l=-2.29 N_l=-5772.92 My_l=-3.25 Mz_l=0.02
Azioni sul cordone: TP=0.23 TO=-0.15 NO=-426.74
Tensioni nel cordone: τ_P= 0.07 τ_0= 0.05 σ_0=140.38 σ_{ID}=140.38 Σ_T=140.43
CC 9 SLV (Collegamento 0024_-381)
Azioni sul collegamento: N=-5772.92 Ty=6.34 Tz=4.00 Mx=0.02 Mz=8.01
Sollecitazioni agenti localmente: Tx_l=6.34 Ty_l=4.00 N_l=-5772.92 My_l=-8.01 Mz_l=0.02
Azioni sul cordone: TP=0.45 TO=0.31 NO=-426.74
Tensioni nel cordone: τ_P=0.14 τ_0= 0.10 σ_0=147.34 σ_{ID}=147.34 Σ_T=147.44
CC 9 SLV (Collegamento 0024_-381)
Azioni sul collegamento: N=-5772.92 Ty=3.40 Tz=4.00 Mx=0.02 Mz=3.25
Sollecitazioni agenti localmente: Tx_l=3.40 Ty_l=4.00 N_l=-5772.92 My_l=-3.25 Mz_l=0.02
Azioni sul cordone: TP=0.23 TO=0.31 NO=-426.74
Tensioni nel cordone: τ_P= 0.07 τ_0= 0.10 σ_0=140.38 σ_{ID}=140.38 Σ_T=140.48
CC 9 SLV (Collegamento 0024_-381)
Azioni sul collegamento: N=-7375.82 Ty=6.34 Tz=-2.29 Mx=0.02 Mz=8.01
Sollecitazioni agenti localmente: Tx_l=6.34 Ty_l=-2.29 N_l=-7375.82 My_l=-8.01 Mz_l=0.02
Azioni sul cordone: TP=0.45 TO=-0.15 NO=-545.22
Tensioni nel cordone: τ_P=0.14 τ_0= 0.05 σ_0=185.00 σ_{ID}=185.00 Σ_T=185.05
CC 9 SLV (Collegamento 0024_-381)
Azioni sul collegamento: N=-7375.82 Ty=3.40 Tz=-2.29 Mx=0.02 Mz=3.25
Sollecitazioni agenti localmente: Tx_l=3.40 Ty_l=-2.29 N_l=-7375.82 My_l=-3.25 Mz_l=0.02
Azioni sul cordone: TP=0.23 TO=-0.15 NO=-545.22
Tensioni nel cordone: τ_P= 0.07 τ_0= 0.05 σ_0=178.04 σ_{ID}=178.04 Σ_T=178.09
CC 9 SLV (Collegamento 0024_-381)
Azioni sul collegamento: N=-7375.82 Ty=6.34 Tz=4.00 Mx=0.02 Mz=8.01
Sollecitazioni agenti localmente: Tx_l=6.34 Ty_l=4.00 N_l=-7375.82 My_l=-8.01 Mz_l=0.02
Azioni sul cordone: TP=0.45 TO=0.31 NO=-545.22
Tensioni nel cordone: τ_P=0.14 τ_0= 0.10 σ_0=185.00 σ_{ID}=185.00 Σ_T=185.10
CC 9 SLV (Collegamento 0024_-381)
Azioni sul collegamento: N=-7375.82 Ty=3.40 Tz=4.00 Mx=0.02 Mz=3.25
Sollecitazioni agenti localmente: Tx_l=3.40 Ty_l=4.00 N_l=-7375.82 My_l=-3.25 Mz_l=0.02
Azioni sul cordone: TP=0.23 TO=0.31 NO=-545.22
Tensioni nel cordone: τ_P= 0.07 τ_0= 0.10 σ_0=178.04 σ_{ID}=178.04 Σ_T=178.14
CC 10 SLD (Collegamento 0024_-381)
Azioni sul collegamento: N=-6297.50 Ty=4.47 Tz=-0.23 Mx=0.00 Mz=4.27
Sollecitazioni agenti localmente: Tx_l=4.47 Ty_l=-0.23 N_l=-6297.50 My_l=-4.27 Mz_l=0.00
Azioni sul cordone: TP=0.33 TO=-0.01 NO=-465.51

Tensioni nel cordone: τ_P=0.10 τ_0=4.60E-03 σ_0=154.21 σ_{ID}=154.21 Σ_T=154.21
CC 10 SLD (Collegamento 0024_-381)
Azioni sul collegamento: N=-6297.50 Ty=3.58 Tz=-0.23 Mx=0.00 Mz=2.82
Sollecitazioni agenti localmente: Tx_l=3.58 Ty_l=-0.23 N_l=-6297.50 My_l=-2.82 Mz_l=0.00
Azioni sul cordone: TP=0.26 TO=-0.01 NO=-465.51
Tensioni nel cordone: τ_P= 0.08 τ_0=4.60E-03 σ_0=152.08 σ_{ID}=152.08 Σ_T=152.09
CC 10 SLD (Collegamento 0024_-381)
Azioni sul collegamento: N=-6297.50 Ty=4.47 Tz=1.69 Mx=0.00 Mz=4.27
Sollecitazioni agenti localmente: Tx_l=4.47 Ty_l=1.69 N_l=-6297.50 My_l=-4.27 Mz_l=0.00
Azioni sul cordone: TP=0.33 TO=0.13 NO=-465.51
Tensioni nel cordone: τ_P=0.10 τ_0= 0.04 σ_0=154.21 σ_{ID}=154.21 Σ_T=154.25
CC 10 SLD (Collegamento 0024_-381)
Azioni sul collegamento: N=-6297.50 Ty=3.58 Tz=1.69 Mx=0.00 Mz=2.82
Sollecitazioni agenti localmente: Tx_l=3.58 Ty_l=1.69 N_l=-6297.50 My_l=-2.82 Mz_l=0.00
Azioni sul cordone: TP=0.26 TO=0.13 NO=-465.51
Tensioni nel cordone: τ_P= 0.08 τ_0= 0.04 σ_0=152.08 σ_{ID}=152.08 Σ_T=152.12
CC 10 SLD (Collegamento 0024_-381)
Azioni sul collegamento: N=-6786.28 Ty=4.47 Tz=-0.23 Mx=0.00 Mz=4.27
Sollecitazioni agenti localmente: Tx_l=4.47 Ty_l=-0.23 N_l=-6786.28 My_l=-4.27 Mz_l=0.00
Azioni sul cordone: TP=0.33 TO=-0.01 NO=-501.64
Tensioni nel cordone: τ_P=0.10 τ_0=4.60E-03 σ_0=165.69 σ_{ID}=165.69 Σ_T=165.70
CC 10 SLD (Collegamento 0024_-381)
Azioni sul collegamento: N=-6786.28 Ty=3.58 Tz=-0.23 Mx=0.00 Mz=2.82
Sollecitazioni agenti localmente: Tx_l=3.58 Ty_l=-0.23 N_l=-6786.28 My_l=-2.82 Mz_l=0.00
Azioni sul cordone: TP=0.26 TO=-0.01 NO=-501.64
Tensioni nel cordone: τ_P= 0.08 τ_0=4.60E-03 σ_0=163.57 σ_{ID}=163.57 Σ_T=163.57
CC 10 SLD (Collegamento 0024_-381)
Azioni sul collegamento: N=-6786.28 Ty=4.47 Tz=1.69 Mx=0.00 Mz=4.27
Sollecitazioni agenti localmente: Tx_l=4.47 Ty_l=1.69 N_l=-6786.28 My_l=-4.27 Mz_l=0.00
Azioni sul cordone: TP=0.33 TO=0.13 NO=-501.64
Tensioni nel cordone: τ_P=0.10 τ_0= 0.04 σ_0=165.69 σ_{ID}=165.69 Σ_T=165.73
CC 10 SLD (Collegamento 0024_-381)
Azioni sul collegamento: N=-6786.28 Ty=3.58 Tz=1.69 Mx=0.00 Mz=2.82
Sollecitazioni agenti localmente: Tx_l=3.58 Ty_l=1.69 N_l=-6786.28 My_l=-2.82 Mz_l=0.00
Azioni sul cordone: TP=0.26 TO=0.13 NO=-501.64
Tensioni nel cordone: τ_P= 0.08 τ_0= 0.04 σ_0=163.57 σ_{ID}=163.57 Σ_T=163.61
CC 11 SLV (Collegamento 0024_-381)
Azioni sul collegamento: N=-7356.86 Ty=5.52 Tz=3.57 Mx=0.02 Mz=7.44
Sollecitazioni agenti localmente: Tx_l=5.52 Ty_l=3.57 N_l=-7356.86 My_l=-7.44 Mz_l=0.02
Azioni sul cordone: TP=0.39 TO=0.28 NO=-543.82
Tensioni nel cordone: τ_P=0.12 τ_0= 0.09 σ_0=183.72 σ_{ID}=183.72 Σ_T=183.81
CC 11 SLV (Collegamento 0024_-381)
Azioni sul collegamento: N=-7356.86 Ty=4.22 Tz=3.57 Mx=0.02 Mz=3.82
Sollecitazioni agenti localmente: Tx_l=4.22 Ty_l=3.57 N_l=-7356.86 My_l=-3.82 Mz_l=0.02
Azioni sul cordone: TP=0.29 TO=0.28 NO=-543.82
Tensioni nel cordone: τ_P= 0.09 τ_0= 0.09 σ_0=178.44 σ_{ID}=178.44 Σ_T=178.53
CC 11 SLV (Collegamento 0024_-381)
Azioni sul collegamento: N=-7356.86 Ty=5.52 Tz=-1.86 Mx=0.02 Mz=7.44
Sollecitazioni agenti localmente: Tx_l=5.52 Ty_l=-1.86 N_l=-7356.86 My_l=-7.44 Mz_l=0.02
Azioni sul cordone: TP=0.39 TO=-0.12 NO=-543.82
Tensioni nel cordone: τ_P=0.12 τ_0= 0.04 σ_0=183.72 σ_{ID}=183.72 Σ_T=183.76
CC 11 SLV (Collegamento 0024_-381)
Azioni sul collegamento: N=-7356.86 Ty=4.22 Tz=-1.86 Mx=0.02 Mz=3.82
Sollecitazioni agenti localmente: Tx_l=4.22 Ty_l=-1.86 N_l=-7356.86 My_l=-3.82 Mz_l=0.02
Azioni sul cordone: TP=0.29 TO=-0.12 NO=-543.82
Tensioni nel cordone: τ_P= 0.09 τ_0= 0.04 σ_0=178.44 σ_{ID}=178.44 Σ_T=178.48
CC 11 SLV (Collegamento 0024_-381)
Azioni sul collegamento: N=-5791.88 Ty=5.52 Tz=3.57 Mx=0.02 Mz=7.44
Sollecitazioni agenti localmente: Tx_l=5.52 Ty_l=3.57 N_l=-5791.88 My_l=-7.44 Mz_l=0.02
Azioni sul cordone: TP=0.39 TO=0.28 NO=-428.14
Tensioni nel cordone: τ_P=0.12 τ_0= 0.09 σ_0=146.95 σ_{ID}=146.95 Σ_T=147.03
CC 11 SLV (Collegamento 0024_-381)
Azioni sul collegamento: N=-5791.88 Ty=4.22 Tz=3.57 Mx=0.02 Mz=3.82
Sollecitazioni agenti localmente: Tx_l=4.22 Ty_l=3.57 N_l=-5791.88 My_l=-3.82 Mz_l=0.02
Azioni sul cordone: TP=0.29 TO=0.28 NO=-428.14
Tensioni nel cordone: τ_P= 0.09 τ_0= 0.09 σ_0=141.67 σ_{ID}=141.67 Σ_T=141.76
CC 11 SLV (Collegamento 0024_-381)
Azioni sul collegamento: N=-5791.88 Ty=5.52 Tz=-1.86 Mx=0.02 Mz=7.44
Sollecitazioni agenti localmente: Tx_l=5.52 Ty_l=-1.86 N_l=-5791.88 My_l=-7.44 Mz_l=0.02
Azioni sul cordone: TP=0.39 TO=-0.12 NO=-428.14
Tensioni nel cordone: τ_P=0.12 τ_0= 0.04 σ_0=146.95 σ_{ID}=146.95 Σ_T=146.99
CC 11 SLV (Collegamento 0024_-381)
Azioni sul collegamento: N=-5791.88 Ty=4.22 Tz=-1.86 Mx=0.02 Mz=3.82
Sollecitazioni agenti localmente: Tx_l=4.22 Ty_l=-1.86 N_l=-5791.88 My_l=-3.82 Mz_l=0.02
Azioni sul cordone: TP=0.29 TO=-0.12 NO=-428.14
Tensioni nel cordone: τ_P= 0.09 τ_0= 0.04 σ_0=141.67 σ_{ID}=141.67 Σ_T=141.71
CC 12 SLD (Collegamento 0024_-381)
Azioni sul collegamento: N=-6780.50 Ty=4.22 Tz=1.56 Mx=0.00 Mz=4.10
Sollecitazioni agenti localmente: Tx_l=4.22 Ty_l=1.56 N_l=-6780.50 My_l=-4.10 Mz_l=0.00

Azioni sul cordone: TP=0.31 TO=0.12 NO=-501.22
Tensioni nel cordone: τ_P= 0.10 τ_0= 0.04 σ_0=165.30 σ_{ID}=165.30 Σ_T=165.34
CC 12 SLD (Collegamento 0024_-381)
Azioni sul collegamento: N=-6780.50 Ty=3.83 Tz=1.56 Mx=0.00 Mz=3.00
Sollecitazioni agenti localmente: Tx_l=3.83 Ty_l=1.56 N_l=-6780.50 My_l=-3.00 Mz_l=0.00
Azioni sul cordone: TP=0.28 TO=0.12 NO=-501.22
Tensioni nel cordone: τ_P= 0.09 τ_0= 0.04 σ_0=163.69 σ_{ID}=163.69 Σ_T=163.73
CC 12 SLD (Collegamento 0024_-381)
Azioni sul collegamento: N=-6780.50 Ty=4.22 Tz=-0.10 Mx=0.00 Mz=4.10
Sollecitazioni agenti localmente: Tx_l=4.22 Ty_l=-0.10 N_l=-6780.50 My_l=-4.10 Mz_l=0.00
Azioni sul cordone: TP=0.31 TO=-0.01 NO=-501.22
Tensioni nel cordone: τ_P= 0.10 τ_0=1.61E-03 σ_0=165.30 σ_{ID}=165.30 Σ_T=165.30
CC 12 SLD (Collegamento 0024_-381)
Azioni sul collegamento: N=-6780.50 Ty=3.83 Tz=-0.10 Mx=0.00 Mz=3.00
Sollecitazioni agenti localmente: Tx_l=3.83 Ty_l=-0.10 N_l=-6780.50 My_l=-3.00 Mz_l=0.00
Azioni sul cordone: TP=0.28 TO=-0.01 NO=-501.22
Tensioni nel cordone: τ_P= 0.09 τ_0=1.61E-03 σ_0=163.69 σ_{ID}=163.69 Σ_T=163.69
CC 12 SLD (Collegamento 0024_-381)
Azioni sul collegamento: N=-6303.28 Ty=4.22 Tz=1.56 Mx=0.00 Mz=4.10
Sollecitazioni agenti localmente: Tx_l=4.22 Ty_l=1.56 N_l=-6303.28 My_l=-4.10 Mz_l=0.00
Azioni sul cordone: TP=0.31 TO=0.12 NO=-465.94
Tensioni nel cordone: τ_P= 0.10 τ_0= 0.04 σ_0=154.09 σ_{ID}=154.09 Σ_T=154.12
CC 12 SLD (Collegamento 0024_-381)
Azioni sul collegamento: N=-6303.28 Ty=3.83 Tz=1.56 Mx=0.00 Mz=3.00
Sollecitazioni agenti localmente: Tx_l=3.83 Ty_l=1.56 N_l=-6303.28 My_l=-3.00 Mz_l=0.00
Azioni sul cordone: TP=0.28 TO=0.12 NO=-465.94
Tensioni nel cordone: τ_P= 0.09 τ_0= 0.04 σ_0=152.48 σ_{ID}=152.48 Σ_T=152.51
CC 12 SLD (Collegamento 0024_-381)
Azioni sul collegamento: N=-6303.28 Ty=4.22 Tz=-0.10 Mx=0.00 Mz=4.10
Sollecitazioni agenti localmente: Tx_l=4.22 Ty_l=-0.10 N_l=-6303.28 My_l=-4.10 Mz_l=0.00
Azioni sul cordone: TP=0.31 TO=-0.01 NO=-465.94
Tensioni nel cordone: τ_P= 0.10 τ_0=1.60E-03 σ_0=154.09 σ_{ID}=154.09 Σ_T=154.09
CC 12 SLD (Collegamento 0024_-381)
Azioni sul collegamento: N=-6303.28 Ty=3.83 Tz=-0.10 Mx=0.00 Mz=3.00
Sollecitazioni agenti localmente: Tx_l=3.83 Ty_l=-0.10 N_l=-6303.28 My_l=-3.00 Mz_l=0.00
Azioni sul cordone: TP=0.28 TO=-0.01 NO=-465.94
Tensioni nel cordone: τ_P= 0.09 τ_0=1.60E-03 σ_0=152.48 σ_{ID}=152.48 Σ_T=152.48
CC 13 SLV (Collegamento 0024_-381)
Azioni sul collegamento: N=-5791.88 Ty=4.22 Tz=-1.86 Mx=0.00 Mz=3.82
Sollecitazioni agenti localmente: Tx_l=4.22 Ty_l=-1.86 N_l=-5791.88 My_l=-3.82 Mz_l=0.00
Azioni sul cordone: TP=0.31 TO=-0.14 NO=-428.14
Tensioni nel cordone: τ_P= 0.10 τ_0= 0.04 σ_0=141.67 σ_{ID}=141.67 Σ_T=141.71
CC 13 SLV (Collegamento 0024_-381)
Azioni sul collegamento: N=-5791.88 Ty=5.52 Tz=-1.86 Mx=0.00 Mz=7.44
Sollecitazioni agenti localmente: Tx_l=5.52 Ty_l=-1.86 N_l=-5791.88 My_l=-7.44 Mz_l=0.00
Azioni sul cordone: TP=0.40 TO=-0.14 NO=-428.14
Tensioni nel cordone: τ_P=0.13 τ_0= 0.04 σ_0=146.95 σ_{ID}=146.95 Σ_T=146.99
CC 13 SLV (Collegamento 0024_-381)
Azioni sul collegamento: N=-5791.88 Ty=4.22 Tz=3.57 Mx=0.00 Mz=3.82
Sollecitazioni agenti localmente: Tx_l=4.22 Ty_l=3.57 N_l=-5791.88 My_l=-3.82 Mz_l=0.00
Azioni sul cordone: TP=0.31 TO=0.27 NO=-428.14
Tensioni nel cordone: τ_P= 0.10 τ_0= 0.08 σ_0=141.67 σ_{ID}=141.67 Σ_T=141.75
CC 13 SLV (Collegamento 0024_-381)
Azioni sul collegamento: N=-5791.88 Ty=5.52 Tz=3.57 Mx=0.00 Mz=7.44
Sollecitazioni agenti localmente: Tx_l=5.52 Ty_l=3.57 N_l=-5791.88 My_l=-7.44 Mz_l=0.00
Azioni sul cordone: TP=0.40 TO=0.27 NO=-428.14
Tensioni nel cordone: τ_P=0.13 τ_0= 0.08 σ_0=146.95 σ_{ID}=146.95 Σ_T=147.03
CC 13 SLV (Collegamento 0024_-381)
Azioni sul collegamento: N=-7356.86 Ty=4.22 Tz=-1.86 Mx=0.00 Mz=3.82
Sollecitazioni agenti localmente: Tx_l=4.22 Ty_l=-1.86 N_l=-7356.86 My_l=-3.82 Mz_l=0.00
Azioni sul cordone: TP=0.31 TO=-0.14 NO=-543.82
Tensioni nel cordone: τ_P= 0.10 τ_0= 0.04 σ_0=178.44 σ_{ID}=178.44 Σ_T=178.48
CC 13 SLV (Collegamento 0024_-381)
Azioni sul collegamento: N=-7356.86 Ty=5.52 Tz=-1.86 Mx=0.00 Mz=7.44
Sollecitazioni agenti localmente: Tx_l=5.52 Ty_l=-1.86 N_l=-7356.86 My_l=-7.44 Mz_l=0.00
Azioni sul cordone: TP=0.40 TO=-0.14 NO=-543.82
Tensioni nel cordone: τ_P=0.13 τ_0= 0.04 σ_0=183.72 σ_{ID}=183.72 Σ_T=183.76
CC 13 SLV (Collegamento 0024_-381)
Azioni sul collegamento: N=-7356.86 Ty=4.22 Tz=3.57 Mx=0.00 Mz=3.82
Sollecitazioni agenti localmente: Tx_l=4.22 Ty_l=3.57 N_l=-7356.86 My_l=-3.82 Mz_l=0.00
Azioni sul cordone: TP=0.31 TO=0.27 NO=-543.82
Tensioni nel cordone: τ_P= 0.10 τ_0= 0.08 σ_0=178.44 σ_{ID}=178.44 Σ_T=178.52
CC 13 SLV (Collegamento 0024_-381)
Azioni sul collegamento: N=-7356.86 Ty=5.52 Tz=3.57 Mx=0.00 Mz=7.44
Sollecitazioni agenti localmente: Tx_l=5.52 Ty_l=3.57 N_l=-7356.86 My_l=-7.44 Mz_l=0.00
Azioni sul cordone: TP=0.40 TO=0.27 NO=-543.82
Tensioni nel cordone: τ_P=0.13 τ_0= 0.08 σ_0=183.72 σ_{ID}=183.72 Σ_T=183.80
CC 14 SLD (Collegamento 0024_-381)
Azioni sul collegamento: N=-6303.28 Ty=3.83 Tz=-0.10 Mx=-0.00 Mz=3.00

Sollecitazioni agenti localmente: Tx_l=3.83 Ty_l=-0.10 N_l=-6303.28 My_l=-3.00 Mz_l=-0.00
Azioni sul cordone: TP=0.28 TO=-0.01 NO=-465.94
Tensioni nel cordone: τ_P= 0.09 τ_0=2.76E-03 σ_0=152.48 σ_{ID}=152.48 Σ_T=152.48
CC 14 SLD (Collegamento 0024_-381)
Azioni sul collegamento: N=-6303.28 Ty=4.22 Tz=-0.10 Mx=-0.00 Mz=4.10
Sollecitazioni agenti localmente: Tx_l=4.22 Ty_l=-0.10 N_l=-6303.28 My_l=-4.10 Mz_l=-0.00
Azioni sul cordone: TP=0.31 TO=-0.01 NO=-465.94
Tensioni nel cordone: τ_P= 0.10 τ_0=2.76E-03 σ_0=154.09 σ_{ID}=154.09 Σ_T=154.09
CC 14 SLD (Collegamento 0024_-381)
Azioni sul collegamento: N=-6303.28 Ty=3.83 Tz=1.56 Mx=-0.00 Mz=3.00
Sollecitazioni agenti localmente: Tx_l=3.83 Ty_l=1.56 N_l=-6303.28 My_l=-3.00 Mz_l=-0.00
Azioni sul cordone: TP=0.28 TO=0.11 NO=-465.94
Tensioni nel cordone: τ_P= 0.09 τ_0= 0.04 σ_0=152.48 σ_{ID}=152.48 Σ_T=152.51
CC 14 SLD (Collegamento 0024_-381)
Azioni sul collegamento: N=-6303.28 Ty=4.22 Tz=1.56 Mx=-0.00 Mz=4.10
Sollecitazioni agenti localmente: Tx_l=4.22 Ty_l=1.56 N_l=-6303.28 My_l=-4.10 Mz_l=-0.00
Azioni sul cordone: TP=0.31 TO=0.11 NO=-465.94
Tensioni nel cordone: τ_P= 0.10 τ_0= 0.04 σ_0=154.09 σ_{ID}=154.09 Σ_T=154.12
CC 14 SLD (Collegamento 0024_-381)
Azioni sul collegamento: N=-6780.50 Ty=3.83 Tz=-0.10 Mx=-0.00 Mz=3.00
Sollecitazioni agenti localmente: Tx_l=3.83 Ty_l=-0.10 N_l=-6780.50 My_l=-3.00 Mz_l=-0.00
Azioni sul cordone: TP=0.28 TO=-0.01 NO=-501.22
Tensioni nel cordone: τ_P= 0.09 τ_0=2.77E-03 σ_0=163.69 σ_{ID}=163.69 Σ_T=163.69
CC 14 SLD (Collegamento 0024_-381)
Azioni sul collegamento: N=-6780.50 Ty=4.22 Tz=-0.10 Mx=-0.00 Mz=4.10
Sollecitazioni agenti localmente: Tx_l=4.22 Ty_l=-0.10 N_l=-6780.50 My_l=-4.10 Mz_l=-0.00
Azioni sul cordone: TP=0.31 TO=-0.01 NO=-501.22
Tensioni nel cordone: τ_P= 0.10 τ_0=2.77E-03 σ_0=165.30 σ_{ID}=165.30 Σ_T=165.30
CC 14 SLD (Collegamento 0024_-381)
Azioni sul collegamento: N=-6780.50 Ty=3.83 Tz=1.56 Mx=-0.00 Mz=3.00
Sollecitazioni agenti localmente: Tx_l=3.83 Ty_l=1.56 N_l=-6780.50 My_l=-3.00 Mz_l=-0.00
Azioni sul cordone: TP=0.28 TO=0.11 NO=-501.22
Tensioni nel cordone: τ_P= 0.09 τ_0= 0.04 σ_0=163.69 σ_{ID}=163.69 Σ_T=163.72
CC 14 SLD (Collegamento 0024_-381)
Azioni sul collegamento: N=-6780.50 Ty=4.22 Tz=1.56 Mx=-0.00 Mz=4.10
Sollecitazioni agenti localmente: Tx_l=4.22 Ty_l=1.56 N_l=-6780.50 My_l=-4.10 Mz_l=-0.00
Azioni sul cordone: TP=0.31 TO=0.11 NO=-501.22
Tensioni nel cordone: τ_P= 0.10 τ_0= 0.04 σ_0=165.30 σ_{ID}=165.30 Σ_T=165.34
CC 15 SLV (Collegamento 0024_-381)
Azioni sul collegamento: N=-7375.82 Ty=3.40 Tz=4.00 Mx=0.00 Mz=3.25
Sollecitazioni agenti localmente: Tx_l=3.40 Ty_l=4.00 N_l=-7375.82 My_l=-3.25 Mz_l=0.00
Azioni sul cordone: TP=0.25 TO=0.30 NO=-545.22
Tensioni nel cordone: τ_P= 0.08 τ_0= 0.09 σ_0=178.04 σ_{ID}=178.04 Σ_T=178.13
CC 15 SLV (Collegamento 0024_-381)
Azioni sul collegamento: N=-7375.82 Ty=6.34 Tz=4.00 Mx=0.00 Mz=8.01
Sollecitazioni agenti localmente: Tx_l=6.34 Ty_l=4.00 N_l=-7375.82 My_l=-8.01 Mz_l=0.00
Azioni sul cordone: TP=0.47 TO=0.30 NO=-545.22
Tensioni nel cordone: τ_P=0.15 τ_0= 0.09 σ_0=185.00 σ_{ID}=185.00 Σ_T=185.10
CC 15 SLV (Collegamento 0024_-381)
Azioni sul collegamento: N=-7375.82 Ty=3.40 Tz=-2.29 Mx=0.00 Mz=3.25
Sollecitazioni agenti localmente: Tx_l=3.40 Ty_l=-2.29 N_l=-7375.82 My_l=-3.25 Mz_l=0.00
Azioni sul cordone: TP=0.25 TO=-0.17 NO=-545.22
Tensioni nel cordone: τ_P= 0.08 τ_0= 0.05 σ_0=178.04 σ_{ID}=178.04 Σ_T=178.09
CC 15 SLV (Collegamento 0024_-381)
Azioni sul collegamento: N=-7375.82 Ty=6.34 Tz=-2.29 Mx=0.00 Mz=8.01
Sollecitazioni agenti localmente: Tx_l=6.34 Ty_l=-2.29 N_l=-7375.82 My_l=-8.01 Mz_l=0.00
Azioni sul cordone: TP=0.47 TO=-0.17 NO=-545.22
Tensioni nel cordone: τ_P=0.15 τ_0= 0.05 σ_0=185.00 σ_{ID}=185.00 Σ_T=185.06
CC 15 SLV (Collegamento 0024_-381)
Azioni sul collegamento: N=-5772.92 Ty=3.40 Tz=4.00 Mx=0.00 Mz=3.25
Sollecitazioni agenti localmente: Tx_l=3.40 Ty_l=4.00 N_l=-5772.92 My_l=-3.25 Mz_l=0.00
Azioni sul cordone: TP=0.25 TO=0.30 NO=-426.74
Tensioni nel cordone: τ_P= 0.08 τ_0= 0.09 σ_0=140.38 σ_{ID}=140.38 Σ_T=140.47
CC 15 SLV (Collegamento 0024_-381)
Azioni sul collegamento: N=-5772.92 Ty=6.34 Tz=4.00 Mx=0.00 Mz=8.01
Sollecitazioni agenti localmente: Tx_l=6.34 Ty_l=4.00 N_l=-5772.92 My_l=-8.01 Mz_l=0.00
Azioni sul cordone: TP=0.47 TO=0.30 NO=-426.74
Tensioni nel cordone: τ_P=0.15 τ_0= 0.09 σ_0=147.34 σ_{ID}=147.34 Σ_T=147.44
CC 15 SLV (Collegamento 0024_-381)
Azioni sul collegamento: N=-5772.92 Ty=3.40 Tz=-2.29 Mx=0.00 Mz=3.25
Sollecitazioni agenti localmente: Tx_l=3.40 Ty_l=-2.29 N_l=-5772.92 My_l=-3.25 Mz_l=0.00
Azioni sul cordone: TP=0.25 TO=-0.17 NO=-426.74
Tensioni nel cordone: τ_P= 0.08 τ_0= 0.05 σ_0=140.38 σ_{ID}=140.38 Σ_T=140.43
CC 15 SLV (Collegamento 0024_-381)
Azioni sul collegamento: N=-5772.92 Ty=6.34 Tz=-2.29 Mx=0.00 Mz=8.01
Sollecitazioni agenti localmente: Tx_l=6.34 Ty_l=-2.29 N_l=-5772.92 My_l=-8.01 Mz_l=0.00
Azioni sul cordone: TP=0.47 TO=-0.17 NO=-426.74
Tensioni nel cordone: τ_P=0.15 τ_0= 0.05 σ_0=147.34 σ_{ID}=147.34 Σ_T=147.40
CC 16 SLD (Collegamento 0024_-381)

Azioni sul collegamento: N=-6786.28 Ty=3.58 Tz=1.69 Mx=-0.00 Mz=2.82
Sollecitazioni agenti localmente: Tx_l=3.58 Ty_l=1.69 N_l=-6786.28 My_l=-2.82 Mz_l=-0.00
Azioni sul cordone: TP=0.27 TO=0.12 NO=-501.64
Tensioni nel cordone: τ_P= 0.08 τ_O= 0.04 σ_O=163.57 σ_{ID}=163.57 Σ_T=163.61
CC 16 SLD (Collegamento 0024_-381)
Azioni sul collegamento: N=-6786.28 Ty=4.47 Tz=1.69 Mx=-0.00 Mz=4.27
Sollecitazioni agenti localmente: Tx_l=4.47 Ty_l=1.69 N_l=-6786.28 My_l=-4.27 Mz_l=-0.00
Azioni sul cordone: TP=0.33 TO=0.12 NO=-501.64
Tensioni nel cordone: τ_P=0.11 τ_O= 0.04 σ_O=165.69 σ_{ID}=165.69 Σ_T=165.73
CC 16 SLD (Collegamento 0024_-381)
Azioni sul collegamento: N=-6786.28 Ty=3.58 Tz=-0.23 Mx=-0.00 Mz=2.82
Sollecitazioni agenti localmente: Tx_l=3.58 Ty_l=-0.23 N_l=-6786.28 My_l=-2.82 Mz_l=-0.00
Azioni sul cordone: TP=0.27 TO=-0.02 NO=-501.64
Tensioni nel cordone: τ_P= 0.08 τ_O=5.91E-03 σ_O=163.57 σ_{ID}=163.57 Σ_T=163.57
CC 16 SLD (Collegamento 0024_-381)
Azioni sul collegamento: N=-6786.28 Ty=4.47 Tz=-0.23 Mx=-0.00 Mz=4.27
Sollecitazioni agenti localmente: Tx_l=4.47 Ty_l=-0.23 N_l=-6786.28 My_l=-4.27 Mz_l=-0.00
Azioni sul cordone: TP=0.33 TO=-0.02 NO=-501.64
Tensioni nel cordone: τ_P=0.11 τ_O=5.91E-03 σ_O=165.69 σ_{ID}=165.69 Σ_T=165.70
CC 16 SLD (Collegamento 0024_-381)
Azioni sul collegamento: N=-6297.50 Ty=3.58 Tz=1.69 Mx=-0.00 Mz=2.82
Sollecitazioni agenti localmente: Tx_l=3.58 Ty_l=1.69 N_l=-6297.50 My_l=-2.82 Mz_l=-0.00
Azioni sul cordone: TP=0.27 TO=0.12 NO=-465.51
Tensioni nel cordone: τ_P= 0.08 τ_O= 0.04 σ_O=152.08 σ_{ID}=152.08 Σ_T=152.12
CC 16 SLD (Collegamento 0024_-381)
Azioni sul collegamento: N=-6297.50 Ty=4.47 Tz=1.69 Mx=-0.00 Mz=4.27
Sollecitazioni agenti localmente: Tx_l=4.47 Ty_l=1.69 N_l=-6297.50 My_l=-4.27 Mz_l=-0.00
Azioni sul cordone: TP=0.33 TO=0.12 NO=-465.51
Tensioni nel cordone: τ_P=0.11 τ_O= 0.04 σ_O=154.21 σ_{ID}=154.21 Σ_T=154.25
CC 16 SLD (Collegamento 0024_-381)
Azioni sul collegamento: N=-6297.50 Ty=3.58 Tz=-0.23 Mx=-0.00 Mz=2.82
Sollecitazioni agenti localmente: Tx_l=3.58 Ty_l=-0.23 N_l=-6297.50 My_l=-2.82 Mz_l=-0.00
Azioni sul cordone: TP=0.27 TO=-0.02 NO=-465.51
Tensioni nel cordone: τ_P= 0.08 τ_O=5.91E-03 σ_O=152.08 σ_{ID}=152.08 Σ_T=152.09
CC 16 SLD (Collegamento 0024_-381)
Azioni sul collegamento: N=-6297.50 Ty=4.47 Tz=-0.23 Mx=-0.00 Mz=4.27
Sollecitazioni agenti localmente: Tx_l=4.47 Ty_l=-0.23 N_l=-6297.50 My_l=-4.27 Mz_l=-0.00
Azioni sul cordone: TP=0.33 TO=-0.02 NO=-465.51
Tensioni nel cordone: τ_P=0.11 τ_O=5.91E-03 σ_O=154.21 σ_{ID}=154.21 Σ_T=154.21
CC 17 SLV (Collegamento 0024_-381)
Azioni sul collegamento: N=-3838.16 Ty=0.76 Tz=-9.35 Mx=-0.02 Mz=1.23
Sollecitazioni agenti localmente: Tx_l=0.76 Ty_l=-9.35 N_l=-3838.16 My_l=-1.23 Mz_l=-0.02
Azioni sul cordone: TP=0.08 TO=-0.71 NO=-283.72
Tensioni nel cordone: τ_P= 0.03 τ_O=0.22 σ_O=91.98 σ_{ID}=91.98 Σ_T=92.20
CC 17 SLV (Collegamento 0024_-381)
Azioni sul collegamento: N=-3838.16 Ty=4.12 Tz=-9.35 Mx=-0.02 Mz=-1.95
Sollecitazioni agenti localmente: Tx_l=4.12 Ty_l=-9.35 N_l=-3838.16 My_l=1.95 Mz_l=-0.02
Azioni sul cordone: TP=0.33 TO=-0.67 NO=-283.72
Tensioni nel cordone: τ_P=0.10 τ_O=0.21 σ_O=93.03 σ_{ID}=93.03 Σ_T=93.25
CC 17 SLV (Collegamento 0024_-381)
Azioni sul collegamento: N=-3838.16 Ty=0.76 Tz=10.33 Mx=-0.02 Mz=1.23
Sollecitazioni agenti localmente: Tx_l=0.76 Ty_l=10.33 N_l=-3838.16 My_l=-1.23 Mz_l=-0.02
Azioni sul cordone: TP=0.08 TO=0.75 NO=-283.72
Tensioni nel cordone: τ_P= 0.03 τ_O=0.24 σ_O=91.98 σ_{ID}=91.98 Σ_T=92.21
CC 17 SLV (Collegamento 0024_-381)
Azioni sul collegamento: N=-3838.16 Ty=4.12 Tz=10.33 Mx=-0.02 Mz=-1.95
Sollecitazioni agenti localmente: Tx_l=4.12 Ty_l=10.33 N_l=-3838.16 My_l=1.95 Mz_l=-0.02
Azioni sul cordone: TP=0.33 TO=0.78 NO=-283.72
Tensioni nel cordone: τ_P=0.10 τ_O=0.25 σ_O=93.03 σ_{ID}=93.03 Σ_T=93.28
CC 17 SLV (Collegamento 0024_-381)
Azioni sul collegamento: N=-9123.66 Ty=0.76 Tz=-9.35 Mx=-0.02 Mz=1.23
Sollecitazioni agenti localmente: Tx_l=0.76 Ty_l=-9.35 N_l=-9123.66 My_l=-1.23 Mz_l=-0.02
Azioni sul cordone: TP=0.08 TO=-0.71 NO=-674.42
Tensioni nel cordone: τ_P= 0.03 τ_O=0.22 σ_O=216.16 σ_{ID}=216.16 Σ_T=216.39
CC 17 SLV (Collegamento 0024_-381)
Azioni sul collegamento: N=-9123.66 Ty=4.12 Tz=-9.35 Mx=-0.02 Mz=-1.95
Sollecitazioni agenti localmente: Tx_l=4.12 Ty_l=-9.35 N_l=-9123.66 My_l=1.95 Mz_l=-0.02
Azioni sul cordone: TP=0.33 TO=-0.67 NO=-674.42
Tensioni nel cordone: τ_P=0.10 τ_O=0.21 σ_O=217.22 σ_{ID}=217.22 Σ_T=217.43
CC 17 SLV (Collegamento 0024_-381)
Azioni sul collegamento: N=-9123.66 Ty=0.76 Tz=10.33 Mx=-0.02 Mz=1.23
Sollecitazioni agenti localmente: Tx_l=0.76 Ty_l=10.33 N_l=-9123.66 My_l=-1.23 Mz_l=-0.02
Azioni sul cordone: TP=0.08 TO=0.75 NO=-674.42
Tensioni nel cordone: τ_P= 0.03 τ_O=0.24 σ_O=216.16 σ_{ID}=216.16 Σ_T=216.40
CC 17 SLV (Collegamento 0024_-381)
Azioni sul collegamento: N=-9123.66 Ty=4.12 Tz=10.33 Mx=-0.02 Mz=-1.95
Sollecitazioni agenti localmente: Tx_l=4.12 Ty_l=10.33 N_l=-9123.66 My_l=1.95 Mz_l=-0.02
Azioni sul cordone: TP=0.33 TO=0.78 NO=-674.42
Tensioni nel cordone: τ_P=0.10 τ_O=0.25 σ_O=217.22 σ_{ID}=217.22 Σ_T=217.46

CC 18 SLD (Collegamento 0024_-381)
Azioni sul collegamento: N=-5707.53 Ty=3.80 Tz=-2.38 Mx=-0.01 Mz=2.21
Sollecitazioni agenti localmente: Tx_l=3.80 Ty_l=-2.38 N_l=-5707.53 My_l=-2.21 Mz_l=-0.01
Azioni sul cordone: TP=0.29 TO=-0.18 NO=-421.90
Tensioni nel cordone: τ_P= 0.09 τ_O= 0.06 σ_O=137.32 σ_{ID}=137.32 Σ_T=137.38
CC 18 SLD (Collegamento 0024_-381)
Azioni sul collegamento: N=-5707.53 Ty=2.77 Tz=-2.38 Mx=-0.01 Mz=1.24
Sollecitazioni agenti localmente: Tx_l=2.77 Ty_l=-2.38 N_l=-5707.53 My_l=-1.24 Mz_l=-0.01
Azioni sul cordone: TP=0.21 TO=-0.18 NO=-421.90
Tensioni nel cordone: τ_P= 0.07 τ_O= 0.06 σ_O=135.91 σ_{ID}=135.91 Σ_T=135.97
CC 18 SLD (Collegamento 0024_-381)
Azioni sul collegamento: N=-5707.53 Ty=3.80 Tz=3.62 Mx=-0.01 Mz=2.21
Sollecitazioni agenti localmente: Tx_l=3.80 Ty_l=3.62 N_l=-5707.53 My_l=-2.21 Mz_l=-0.01
Azioni sul cordone: TP=0.29 TO=0.26 NO=-421.90
Tensioni nel cordone: τ_P= 0.09 τ_O= 0.08 σ_O=137.32 σ_{ID}=137.32 Σ_T=137.41
CC 18 SLD (Collegamento 0024_-381)
Azioni sul collegamento: N=-5707.53 Ty=2.77 Tz=3.62 Mx=-0.01 Mz=1.24
Sollecitazioni agenti localmente: Tx_l=2.77 Ty_l=3.62 N_l=-5707.53 My_l=-1.24 Mz_l=-0.01
Azioni sul cordone: TP=0.21 TO=0.26 NO=-421.90
Tensioni nel cordone: τ_P= 0.07 τ_O= 0.08 σ_O=135.91 σ_{ID}=135.91 Σ_T=135.99
CC 18 SLD (Collegamento 0024_-381)
Azioni sul collegamento: N=-7319.25 Ty=3.80 Tz=-2.38 Mx=-0.01 Mz=2.21
Sollecitazioni agenti localmente: Tx_l=3.80 Ty_l=-2.38 N_l=-7319.25 My_l=-2.21 Mz_l=-0.01
Azioni sul cordone: TP=0.29 TO=-0.18 NO=-541.04
Tensioni nel cordone: τ_P= 0.09 τ_O= 0.06 σ_O=175.19 σ_{ID}=175.19 Σ_T=175.25
CC 18 SLD (Collegamento 0024_-381)
Azioni sul collegamento: N=-7319.25 Ty=2.77 Tz=-2.38 Mx=-0.01 Mz=1.24
Sollecitazioni agenti localmente: Tx_l=2.77 Ty_l=-2.38 N_l=-7319.25 My_l=-1.24 Mz_l=-0.01
Azioni sul cordone: TP=0.21 TO=-0.18 NO=-541.04
Tensioni nel cordone: τ_P= 0.07 τ_O= 0.06 σ_O=173.78 σ_{ID}=173.78 Σ_T=173.83
CC 18 SLD (Collegamento 0024_-381)
Azioni sul collegamento: N=-7319.25 Ty=3.80 Tz=3.62 Mx=-0.01 Mz=2.21
Sollecitazioni agenti localmente: Tx_l=3.80 Ty_l=3.62 N_l=-7319.25 My_l=-2.21 Mz_l=-0.01
Azioni sul cordone: TP=0.29 TO=0.26 NO=-541.04
Tensioni nel cordone: τ_P= 0.09 τ_O= 0.08 σ_O=175.19 σ_{ID}=175.19 Σ_T=175.28
CC 18 SLD (Collegamento 0024_-381)
Azioni sul collegamento: N=-7319.25 Ty=2.77 Tz=3.62 Mx=-0.01 Mz=1.24
Sollecitazioni agenti localmente: Tx_l=2.77 Ty_l=3.62 N_l=-7319.25 My_l=-1.24 Mz_l=-0.01
Azioni sul cordone: TP=0.21 TO=0.26 NO=-541.04
Tensioni nel cordone: τ_P= 0.07 τ_O= 0.08 σ_O=173.78 σ_{ID}=173.78 Σ_T=173.86
CC 19 SLV (Collegamento 0024_-381)
Azioni sul collegamento: N=-3843.85 Ty=1.39 Tz=-9.22 Mx=-0.02 Mz=-0.03
Sollecitazioni agenti localmente: Tx_l=1.39 Ty_l=-9.22 N_l=-3843.85 My_l=0.03 Mz_l=-0.02
Azioni sul cordone: TP=0.12 TO=-0.67 NO=-284.14
Tensioni nel cordone: τ_P= 0.04 τ_O=0.21 σ_O=90.35 σ_{ID}=90.35 Σ_T=90.57
CC 19 SLV (Collegamento 0024_-381)
Azioni sul collegamento: N=-3843.85 Ty=3.49 Tz=-9.22 Mx=-0.02 Mz=-0.69
Sollecitazioni agenti localmente: Tx_l=3.49 Ty_l=-9.22 N_l=-3843.85 My_l=0.69 Mz_l=-0.02
Azioni sul cordone: TP=0.28 TO=-0.67 NO=-284.14
Tensioni nel cordone: τ_P= 0.09 τ_O=0.21 σ_O=91.33 σ_{ID}=91.33 Σ_T=91.54
CC 19 SLV (Collegamento 0024_-381)
Azioni sul collegamento: N=-3843.85 Ty=1.39 Tz=10.20 Mx=-0.02 Mz=-0.03
Sollecitazioni agenti localmente: Tx_l=1.39 Ty_l=10.20 N_l=-3843.85 My_l=0.03 Mz_l=-0.02
Azioni sul cordone: TP=0.12 TO=0.77 NO=-284.14
Tensioni nel cordone: τ_P= 0.04 τ_O=0.24 σ_O=90.35 σ_{ID}=90.35 Σ_T=90.60
CC 19 SLV (Collegamento 0024_-381)
Azioni sul collegamento: N=-3843.85 Ty=3.49 Tz=10.20 Mx=-0.02 Mz=-0.69
Sollecitazioni agenti localmente: Tx_l=3.49 Ty_l=10.20 N_l=-3843.85 My_l=0.69 Mz_l=-0.02
Azioni sul cordone: TP=0.28 TO=0.77 NO=-284.14
Tensioni nel cordone: τ_P= 0.09 τ_O=0.24 σ_O=91.33 σ_{ID}=91.33 Σ_T=91.57
CC 19 SLV (Collegamento 0024_-381)
Azioni sul collegamento: N=-9117.97 Ty=1.39 Tz=-9.22 Mx=-0.02 Mz=-0.03
Sollecitazioni agenti localmente: Tx_l=1.39 Ty_l=-9.22 N_l=-9117.97 My_l=0.03 Mz_l=-0.02
Azioni sul cordone: TP=0.12 TO=-0.67 NO=-674.00
Tensioni nel cordone: τ_P= 0.04 τ_O=0.21 σ_O=214.27 σ_{ID}=214.27 Σ_T=214.48
CC 19 SLV (Collegamento 0024_-381)
Azioni sul collegamento: N=-9117.97 Ty=3.49 Tz=-9.22 Mx=-0.02 Mz=-0.69
Sollecitazioni agenti localmente: Tx_l=3.49 Ty_l=-9.22 N_l=-9117.97 My_l=0.69 Mz_l=-0.02
Azioni sul cordone: TP=0.28 TO=-0.67 NO=-674.00
Tensioni nel cordone: τ_P= 0.09 τ_O=0.21 σ_O=215.25 σ_{ID}=215.25 Σ_T=215.46
CC 19 SLV (Collegamento 0024_-381)
Azioni sul collegamento: N=-9117.97 Ty=1.39 Tz=10.20 Mx=-0.02 Mz=-0.03
Sollecitazioni agenti localmente: Tx_l=1.39 Ty_l=10.20 N_l=-9117.97 My_l=0.03 Mz_l=-0.02
Azioni sul cordone: TP=0.12 TO=0.77 NO=-674.00
Tensioni nel cordone: τ_P= 0.04 τ_O=0.24 σ_O=214.27 σ_{ID}=214.27 Σ_T=214.51
CC 19 SLV (Collegamento 0024_-381)
Azioni sul collegamento: N=-9117.97 Ty=3.49 Tz=10.20 Mx=-0.02 Mz=-0.69
Sollecitazioni agenti localmente: Tx_l=3.49 Ty_l=10.20 N_l=-9117.97 My_l=0.69 Mz_l=-0.02
Azioni sul cordone: TP=0.28 TO=0.77 NO=-674.00

Tensioni nel cordone: τ_P= 0.09 τ_O=0.24 σ_O=215.25 σ_{ID}=215.25 Σ_T=215.49
CC 20 SLD (Collegamento 0024_-381)
Azioni sul collegamento: N=-5709.27 Ty=3.60 Tz=-2.35 Mx=-0.01 Mz=1.82
Sollecitazioni agenti localmente: Tx_l=3.60 Ty_l=-2.35 N_l=-5709.27 My_l=-1.82 Mz_l=-0.01
Azioni sul cordone: TP=0.27 TO=-0.18 NO=-422.03
Tensioni nel cordone: τ_P= 0.09 τ_O= 0.06 σ_O=136.81 σ_{ID}=136.81 Σ_T=136.86
CC 20 SLD (Collegamento 0024_-381)
Azioni sul collegamento: N=-5709.27 Ty=2.97 Tz=-2.35 Mx=-0.01 Mz=1.62
Sollecitazioni agenti localmente: Tx_l=2.97 Ty_l=-2.35 N_l=-5709.27 My_l=-1.62 Mz_l=-0.01
Azioni sul cordone: TP=0.23 TO=-0.18 NO=-422.03
Tensioni nel cordone: τ_P= 0.07 τ_O= 0.06 σ_O=136.51 σ_{ID}=136.51 Σ_T=136.56
CC 20 SLD (Collegamento 0024_-381)
Azioni sul collegamento: N=-5709.27 Ty=3.60 Tz=3.58 Mx=-0.01 Mz=1.82
Sollecitazioni agenti localmente: Tx_l=3.60 Ty_l=3.58 N_l=-5709.27 My_l=-1.82 Mz_l=-0.01
Azioni sul cordone: TP=0.27 TO=0.26 NO=-422.03
Tensioni nel cordone: τ_P= 0.09 τ_O= 0.08 σ_O=136.81 σ_{ID}=136.81 Σ_T=136.89
CC 20 SLD (Collegamento 0024_-381)
Azioni sul collegamento: N=-5709.27 Ty=2.97 Tz=3.58 Mx=-0.01 Mz=1.62
Sollecitazioni agenti localmente: Tx_l=2.97 Ty_l=3.58 N_l=-5709.27 My_l=-1.62 Mz_l=-0.01
Azioni sul cordone: TP=0.23 TO=0.26 NO=-422.03
Tensioni nel cordone: τ_P= 0.07 τ_O= 0.08 σ_O=136.51 σ_{ID}=136.51 Σ_T=136.59
CC 20 SLD (Collegamento 0024_-381)
Azioni sul collegamento: N=-7317.51 Ty=3.60 Tz=-2.35 Mx=-0.01 Mz=1.82
Sollecitazioni agenti localmente: Tx_l=3.60 Ty_l=-2.35 N_l=-7317.51 My_l=-1.82 Mz_l=-0.01
Azioni sul cordone: TP=0.27 TO=-0.18 NO=-540.91
Tensioni nel cordone: τ_P= 0.09 τ_O= 0.06 σ_O=174.59 σ_{ID}=174.59 Σ_T=174.65
CC 20 SLD (Collegamento 0024_-381)
Azioni sul collegamento: N=-7317.51 Ty=2.97 Tz=-2.35 Mx=-0.01 Mz=1.62
Sollecitazioni agenti localmente: Tx_l=2.97 Ty_l=-2.35 N_l=-7317.51 My_l=-1.62 Mz_l=-0.01
Azioni sul cordone: TP=0.23 TO=-0.18 NO=-540.91
Tensioni nel cordone: τ_P= 0.07 τ_O= 0.06 σ_O=174.29 σ_{ID}=174.29 Σ_T=174.35
CC 20 SLD (Collegamento 0024_-381)
Azioni sul collegamento: N=-7317.51 Ty=3.60 Tz=3.58 Mx=-0.01 Mz=1.82
Sollecitazioni agenti localmente: Tx_l=3.60 Ty_l=3.58 N_l=-7317.51 My_l=-1.82 Mz_l=-0.01
Azioni sul cordone: TP=0.27 TO=0.26 NO=-540.91
Tensioni nel cordone: τ_P= 0.09 τ_O= 0.08 σ_O=174.59 σ_{ID}=174.59 Σ_T=174.67
CC 20 SLD (Collegamento 0024_-381)
Azioni sul collegamento: N=-7317.51 Ty=2.97 Tz=3.58 Mx=-0.01 Mz=1.62
Sollecitazioni agenti localmente: Tx_l=2.97 Ty_l=3.58 N_l=-7317.51 My_l=-1.62 Mz_l=-0.01
Azioni sul cordone: TP=0.23 TO=0.26 NO=-540.91
Tensioni nel cordone: τ_P= 0.07 τ_O= 0.08 σ_O=174.29 σ_{ID}=174.29 Σ_T=174.38
CC 21 SLV (Collegamento 0024_-381)
Azioni sul collegamento: N=-9117.97 Ty=3.49 Tz=10.20 Mx=-0.02 Mz=-0.69
Sollecitazioni agenti localmente: Tx_l=3.49 Ty_l=10.20 N_l=-9117.97 My_l=0.69 Mz_l=-0.02
Azioni sul cordone: TP=0.28 TO=0.77 NO=-674.00
Tensioni nel cordone: τ_P= 0.09 τ_O=0.24 σ_O=215.25 σ_{ID}=215.25 Σ_T=215.49
CC 21 SLV (Collegamento 0024_-381)
Azioni sul collegamento: N=-9117.97 Ty=1.39 Tz=10.20 Mx=-0.02 Mz=-0.03
Sollecitazioni agenti localmente: Tx_l=1.39 Ty_l=10.20 N_l=-9117.97 My_l=0.03 Mz_l=-0.02
Azioni sul cordone: TP=0.12 TO=0.77 NO=-674.00
Tensioni nel cordone: τ_P= 0.04 τ_O=0.24 σ_O=214.27 σ_{ID}=214.27 Σ_T=214.51
CC 21 SLV (Collegamento 0024_-381)
Azioni sul collegamento: N=-9117.97 Ty=3.49 Tz=-9.22 Mx=-0.02 Mz=-0.69
Sollecitazioni agenti localmente: Tx_l=3.49 Ty_l=-9.22 N_l=-9117.97 My_l=0.69 Mz_l=-0.02
Azioni sul cordone: TP=0.28 TO=-0.67 NO=-674.00
Tensioni nel cordone: τ_P= 0.09 τ_O=0.21 σ_O=215.25 σ_{ID}=215.25 Σ_T=215.46
CC 21 SLV (Collegamento 0024_-381)
Azioni sul collegamento: N=-9117.97 Ty=1.39 Tz=-9.22 Mx=-0.02 Mz=-0.03
Sollecitazioni agenti localmente: Tx_l=1.39 Ty_l=-9.22 N_l=-9117.97 My_l=0.03 Mz_l=-0.02
Azioni sul cordone: TP=0.12 TO=-0.67 NO=-674.00
Tensioni nel cordone: τ_P= 0.04 τ_O=0.21 σ_O=214.27 σ_{ID}=214.27 Σ_T=214.48
CC 21 SLV (Collegamento 0024_-381)
Azioni sul collegamento: N=-3843.85 Ty=3.49 Tz=10.20 Mx=-0.02 Mz=-0.69
Sollecitazioni agenti localmente: Tx_l=3.49 Ty_l=10.20 N_l=-3843.85 My_l=0.69 Mz_l=-0.02
Azioni sul cordone: TP=0.28 TO=0.77 NO=-284.14
Tensioni nel cordone: τ_P= 0.09 τ_O=0.24 σ_O=91.33 σ_{ID}=91.33 Σ_T=91.57
CC 21 SLV (Collegamento 0024_-381)
Azioni sul collegamento: N=-3843.85 Ty=1.39 Tz=10.20 Mx=-0.02 Mz=-0.03
Sollecitazioni agenti localmente: Tx_l=1.39 Ty_l=10.20 N_l=-3843.85 My_l=0.03 Mz_l=-0.02
Azioni sul cordone: TP=0.12 TO=0.77 NO=-284.14
Tensioni nel cordone: τ_P= 0.04 τ_O=0.24 σ_O=90.35 σ_{ID}=90.35 Σ_T=90.60
CC 21 SLV (Collegamento 0024_-381)
Azioni sul collegamento: N=-3843.85 Ty=3.49 Tz=-9.22 Mx=-0.02 Mz=-0.69
Sollecitazioni agenti localmente: Tx_l=3.49 Ty_l=-9.22 N_l=-3843.85 My_l=0.69 Mz_l=-0.02
Azioni sul cordone: TP=0.28 TO=-0.67 NO=-284.14
Tensioni nel cordone: τ_P= 0.09 τ_O=0.21 σ_O=91.33 σ_{ID}=91.33 Σ_T=91.54
CC 21 SLV (Collegamento 0024_-381)
Azioni sul collegamento: N=-3843.85 Ty=1.39 Tz=-9.22 Mx=-0.02 Mz=-0.03
Sollecitazioni agenti localmente: Tx_l=1.39 Ty_l=-9.22 N_l=-3843.85 My_l=0.03 Mz_l=-0.02

Azioni sul cordone: TP=0.12 TO=-0.67 NO=-284.14
Tensioni nel cordone: τ_P= 0.04 τ_O=0.21 σ_O=90.35 σ_{ID}=90.35 Σ_T=90.56
CC 22 SLD (Collegamento 0024_-381)
Azioni sul collegamento: N=-7317.51 Ty=2.97 Tz=3.58 Mx=-0.01 Mz=1.62
Sollecitazioni agenti localmente: Tx_l=2.97 Ty_l=3.58 N_l=-7317.51 My_l=-1.62 Mz_l=-0.01
Azioni sul cordone: TP=0.23 TO=0.26 NO=-540.91
Tensioni nel cordone: τ_P= 0.07 τ_O= 0.08 σ_O=174.29 σ_{ID}=174.29 Σ_T=174.38
CC 22 SLD (Collegamento 0024_-381)
Azioni sul collegamento: N=-7317.51 Ty=3.60 Tz=3.58 Mx=-0.01 Mz=1.82
Sollecitazioni agenti localmente: Tx_l=3.60 Ty_l=3.58 N_l=-7317.51 My_l=-1.82 Mz_l=-0.01
Azioni sul cordone: TP=0.28 TO=0.26 NO=-540.91
Tensioni nel cordone: τ_P= 0.09 τ_O= 0.08 σ_O=174.59 σ_{ID}=174.59 Σ_T=174.67
CC 22 SLD (Collegamento 0024_-381)
Azioni sul collegamento: N=-7317.51 Ty=2.97 Tz=-2.35 Mx=-0.01 Mz=1.62
Sollecitazioni agenti localmente: Tx_l=2.97 Ty_l=-2.35 N_l=-7317.51 My_l=-1.62 Mz_l=-0.01
Azioni sul cordone: TP=0.23 TO=-0.18 NO=-540.91
Tensioni nel cordone: τ_P= 0.07 τ_O= 0.06 σ_O=174.29 σ_{ID}=174.29 Σ_T=174.35
CC 22 SLD (Collegamento 0024_-381)
Azioni sul collegamento: N=-7317.51 Ty=3.60 Tz=-2.35 Mx=-0.01 Mz=1.82
Sollecitazioni agenti localmente: Tx_l=3.60 Ty_l=-2.35 N_l=-7317.51 My_l=-1.82 Mz_l=-0.01
Azioni sul cordone: TP=0.28 TO=-0.18 NO=-540.91
Tensioni nel cordone: τ_P= 0.09 τ_O= 0.06 σ_O=174.59 σ_{ID}=174.59 Σ_T=174.65
CC 22 SLD (Collegamento 0024_-381)
Azioni sul collegamento: N=-5709.27 Ty=2.97 Tz=3.58 Mx=-0.01 Mz=1.62
Sollecitazioni agenti localmente: Tx_l=2.97 Ty_l=3.58 N_l=-5709.27 My_l=-1.62 Mz_l=-0.01
Azioni sul cordone: TP=0.23 TO=0.26 NO=-422.03
Tensioni nel cordone: τ_P= 0.07 τ_O= 0.08 σ_O=136.51 σ_{ID}=136.51 Σ_T=136.59
CC 22 SLD (Collegamento 0024_-381)
Azioni sul collegamento: N=-5709.27 Ty=3.60 Tz=3.58 Mx=-0.01 Mz=1.82
Sollecitazioni agenti localmente: Tx_l=3.60 Ty_l=3.58 N_l=-5709.27 My_l=-1.82 Mz_l=-0.01
Azioni sul cordone: TP=0.28 TO=0.26 NO=-422.03
Tensioni nel cordone: τ_P= 0.09 τ_O= 0.08 σ_O=136.81 σ_{ID}=136.81 Σ_T=136.89
CC 22 SLD (Collegamento 0024_-381)
Azioni sul collegamento: N=-5709.27 Ty=2.97 Tz=-2.35 Mx=-0.01 Mz=1.62
Sollecitazioni agenti localmente: Tx_l=2.97 Ty_l=-2.35 N_l=-5709.27 My_l=-1.62 Mz_l=-0.01
Azioni sul cordone: TP=0.23 TO=-0.18 NO=-422.03
Tensioni nel cordone: τ_P= 0.07 τ_O= 0.06 σ_O=136.51 σ_{ID}=136.51 Σ_T=136.56
CC 22 SLD (Collegamento 0024_-381)
Azioni sul collegamento: N=-5709.27 Ty=3.60 Tz=-2.35 Mx=-0.01 Mz=1.82
Sollecitazioni agenti localmente: Tx_l=3.60 Ty_l=-2.35 N_l=-5709.27 My_l=-1.82 Mz_l=-0.01
Azioni sul cordone: TP=0.28 TO=-0.18 NO=-422.03
Tensioni nel cordone: τ_P= 0.09 τ_O= 0.06 σ_O=136.81 σ_{ID}=136.81 Σ_T=136.86
CC 23 SLV (Collegamento 0024_-381)
Azioni sul collegamento: N=-9123.66 Ty=4.12 Tz=10.33 Mx=-0.01 Mz=-1.95
Sollecitazioni agenti localmente: Tx_l=4.12 Ty_l=10.33 N_l=-9123.66 My_l=1.95 Mz_l=-0.01
Azioni sul cordone: TP=0.32 TO=0.77 NO=-674.42
Tensioni nel cordone: τ_P=0.10 τ_O=0.25 σ_O=217.22 σ_{ID}=217.22 Σ_T=217.46
CC 23 SLV (Collegamento 0024_-381)
Azioni sul collegamento: N=-9123.66 Ty=0.76 Tz=10.33 Mx=-0.01 Mz=1.23
Sollecitazioni agenti localmente: Tx_l=0.76 Ty_l=10.33 N_l=-9123.66 My_l=-1.23 Mz_l=-0.01
Azioni sul cordone: TP=0.07 TO=0.75 NO=-674.42
Tensioni nel cordone: τ_P= 0.02 τ_O=0.24 σ_O=216.16 σ_{ID}=216.16 Σ_T=216.40
CC 23 SLV (Collegamento 0024_-381)
Azioni sul collegamento: N=-9123.66 Ty=4.12 Tz=-9.35 Mx=-0.01 Mz=-1.95
Sollecitazioni agenti localmente: Tx_l=4.12 Ty_l=-9.35 N_l=-9123.66 My_l=1.95 Mz_l=-0.01
Azioni sul cordone: TP=0.32 TO=-0.68 NO=-674.42
Tensioni nel cordone: τ_P=0.10 τ_O=0.22 σ_O=217.22 σ_{ID}=217.22 Σ_T=217.43
CC 23 SLV (Collegamento 0024_-381)
Azioni sul collegamento: N=-9123.66 Ty=0.76 Tz=-9.35 Mx=-0.01 Mz=1.23
Sollecitazioni agenti localmente: Tx_l=0.76 Ty_l=-9.35 N_l=-9123.66 My_l=-1.23 Mz_l=-0.01
Azioni sul cordone: TP=0.07 TO=-0.70 NO=-674.42
Tensioni nel cordone: τ_P= 0.02 τ_O=0.22 σ_O=216.16 σ_{ID}=216.16 Σ_T=216.38
CC 23 SLV (Collegamento 0024_-381)
Azioni sul collegamento: N=-3838.16 Ty=4.12 Tz=10.33 Mx=-0.01 Mz=-1.95
Sollecitazioni agenti localmente: Tx_l=4.12 Ty_l=10.33 N_l=-3838.16 My_l=1.95 Mz_l=-0.01
Azioni sul cordone: TP=0.32 TO=0.77 NO=-283.72
Tensioni nel cordone: τ_P=0.10 τ_O=0.25 σ_O=93.03 σ_{ID}=93.03 Σ_T=93.28
CC 23 SLV (Collegamento 0024_-381)
Azioni sul collegamento: N=-3838.16 Ty=0.76 Tz=10.33 Mx=-0.01 Mz=1.23
Sollecitazioni agenti localmente: Tx_l=0.76 Ty_l=10.33 N_l=-3838.16 My_l=-1.23 Mz_l=-0.01
Azioni sul cordone: TP=0.07 TO=0.75 NO=-283.72
Tensioni nel cordone: τ_P= 0.02 τ_O=0.24 σ_O=91.98 σ_{ID}=91.98 Σ_T=92.22
CC 23 SLV (Collegamento 0024_-381)
Azioni sul collegamento: N=-3838.16 Ty=4.12 Tz=-9.35 Mx=-0.01 Mz=-1.95
Sollecitazioni agenti localmente: Tx_l=4.12 Ty_l=-9.35 N_l=-3838.16 My_l=1.95 Mz_l=-0.01
Azioni sul cordone: TP=0.32 TO=-0.68 NO=-283.72
Tensioni nel cordone: τ_P=0.10 τ_O=0.22 σ_O=93.03 σ_{ID}=93.03 Σ_T=93.25
CC 23 SLV (Collegamento 0024_-381)
Azioni sul collegamento: N=-3838.16 Ty=0.76 Tz=-9.35 Mx=-0.01 Mz=1.23

Sollecitazioni agenti localmente: Tx_l=0.76 Ty_l=-9.35 N_l=-3838.16 My_l=-1.23 Mz_l=-0.01
Azioni sul cordone: TP=0.07 TO=-0.70 NO=-283.72
Tensioni nel cordone: τ_P= 0.02 τ_0=0.22 σ_0=91.98 σ_{ID}=91.98 Σ_T=92.20
CC 24 SLD (Collegamento 0024_-381)
Azioni sul collegamento: N=-7319.25 Ty=2.77 Tz=3.62 Mx=-0.01 Mz=1.24
Sollecitazioni agenti localmente: Tx_l=2.77 Ty_l=3.62 N_l=-7319.25 My_l=-1.24 Mz_l=-0.01
Azioni sul cordone: TP=0.21 TO=0.26 NO=-541.04
Tensioni nel cordone: τ_P= 0.07 τ_0= 0.08 σ_0=173.78 σ_{ID}=173.78 Σ_T=173.86
CC 24 SLD (Collegamento 0024_-381)
Azioni sul collegamento: N=-7319.25 Ty=3.80 Tz=3.62 Mx=-0.01 Mz=2.21
Sollecitazioni agenti localmente: Tx_l=3.80 Ty_l=3.62 N_l=-7319.25 My_l=-2.21 Mz_l=-0.01
Azioni sul cordone: TP=0.29 TO=0.26 NO=-541.04
Tensioni nel cordone: τ_P= 0.09 τ_0= 0.08 σ_0=175.19 σ_{ID}=175.19 Σ_T=175.28
CC 24 SLD (Collegamento 0024_-381)
Azioni sul collegamento: N=-7319.25 Ty=2.77 Tz=-2.38 Mx=-0.01 Mz=1.24
Sollecitazioni agenti localmente: Tx_l=2.77 Ty_l=-2.38 N_l=-7319.25 My_l=-1.24 Mz_l=-0.01
Azioni sul cordone: TP=0.21 TO=-0.18 NO=-541.04
Tensioni nel cordone: τ_P= 0.07 τ_0= 0.06 σ_0=173.78 σ_{ID}=173.78 Σ_T=173.83
CC 24 SLD (Collegamento 0024_-381)
Azioni sul collegamento: N=-7319.25 Ty=3.80 Tz=-2.38 Mx=-0.01 Mz=2.21
Sollecitazioni agenti localmente: Tx_l=3.80 Ty_l=-2.38 N_l=-7319.25 My_l=-2.21 Mz_l=-0.01
Azioni sul cordone: TP=0.29 TO=-0.18 NO=-541.04
Tensioni nel cordone: τ_P= 0.09 τ_0= 0.06 σ_0=175.19 σ_{ID}=175.19 Σ_T=175.25
CC 24 SLD (Collegamento 0024_-381)
Azioni sul collegamento: N=-5707.53 Ty=2.77 Tz=3.62 Mx=-0.01 Mz=1.24
Sollecitazioni agenti localmente: Tx_l=2.77 Ty_l=3.62 N_l=-5707.53 My_l=-1.24 Mz_l=-0.01
Azioni sul cordone: TP=0.21 TO=0.26 NO=-421.90
Tensioni nel cordone: τ_P= 0.07 τ_0= 0.08 σ_0=135.91 σ_{ID}=135.91 Σ_T=135.99
CC 24 SLD (Collegamento 0024_-381)
Azioni sul collegamento: N=-5707.53 Ty=3.80 Tz=3.62 Mx=-0.01 Mz=2.21
Sollecitazioni agenti localmente: Tx_l=3.80 Ty_l=3.62 N_l=-5707.53 My_l=-2.21 Mz_l=-0.01
Azioni sul cordone: TP=0.29 TO=0.26 NO=-421.90
Tensioni nel cordone: τ_P= 0.09 τ_0= 0.08 σ_0=137.32 σ_{ID}=137.32 Σ_T=137.41
CC 24 SLD (Collegamento 0024_-381)
Azioni sul collegamento: N=-5707.53 Ty=2.77 Tz=-2.38 Mx=-0.01 Mz=1.24
Sollecitazioni agenti localmente: Tx_l=2.77 Ty_l=-2.38 N_l=-5707.53 My_l=-1.24 Mz_l=-0.01
Azioni sul cordone: TP=0.21 TO=-0.18 NO=-421.90
Tensioni nel cordone: τ_P= 0.07 τ_0= 0.06 σ_0=135.91 σ_{ID}=135.91 Σ_T=135.96
CC 24 SLD (Collegamento 0024_-381)
Azioni sul collegamento: N=-5707.53 Ty=3.80 Tz=-2.38 Mx=-0.01 Mz=2.21
Sollecitazioni agenti localmente: Tx_l=3.80 Ty_l=-2.38 N_l=-5707.53 My_l=-2.21 Mz_l=-0.01
Azioni sul cordone: TP=0.29 TO=-0.18 NO=-421.90
Tensioni nel cordone: τ_P= 0.09 τ_0= 0.06 σ_0=137.32 σ_{ID}=137.32 Σ_T=137.38
CC 25 SLV (Collegamento 0024_-381)
Azioni sul collegamento: N=-5679.46 Ty=0.97 Tz=-2.66 Mx=-0.03 Mz=2.02
Sollecitazioni agenti localmente: Tx_l=0.97 Ty_l=-2.66 N_l=-5679.46 My_l=-2.02 Mz_l=-0.03
Azioni sul cordone: TP=0.10 TO=-0.22 NO=-419.83
Tensioni nel cordone: τ_P= 0.03 τ_0= 0.07 σ_0=136.40 σ_{ID}=136.40 Σ_T=136.47
CC 25 SLV (Collegamento 0024_-381)
Azioni sul collegamento: N=-5679.46 Ty=3.91 Tz=-2.66 Mx=-0.03 Mz=-2.74
Sollecitazioni agenti localmente: Tx_l=3.91 Ty_l=-2.66 N_l=-5679.46 My_l=2.74 Mz_l=-0.03
Azioni sul cordone: TP=0.32 TO=-0.18 NO=-419.83
Tensioni nel cordone: τ_P=0.10 τ_0= 0.06 σ_0=137.45 σ_{ID}=137.45 Σ_T=137.51
CC 25 SLV (Collegamento 0024_-381)
Azioni sul collegamento: N=-5679.46 Ty=0.97 Tz=3.63 Mx=-0.03 Mz=2.02
Sollecitazioni agenti localmente: Tx_l=0.97 Ty_l=3.63 N_l=-5679.46 My_l=-2.02 Mz_l=-0.03
Azioni sul cordone: TP=0.10 TO=0.25 NO=-419.83
Tensioni nel cordone: τ_P= 0.03 τ_0= 0.08 σ_0=136.40 σ_{ID}=136.40 Σ_T=136.48
CC 25 SLV (Collegamento 0024_-381)
Azioni sul collegamento: N=-5679.46 Ty=3.91 Tz=3.63 Mx=-0.03 Mz=-2.74
Sollecitazioni agenti localmente: Tx_l=3.91 Ty_l=3.63 N_l=-5679.46 My_l=2.74 Mz_l=-0.03
Azioni sul cordone: TP=0.32 TO=0.29 NO=-419.83
Tensioni nel cordone: τ_P=0.10 τ_0= 0.09 σ_0=137.45 σ_{ID}=137.45 Σ_T=137.54
CC 25 SLV (Collegamento 0024_-381)
Azioni sul collegamento: N=-7282.36 Ty=0.97 Tz=-2.66 Mx=-0.03 Mz=2.02
Sollecitazioni agenti localmente: Tx_l=0.97 Ty_l=-2.66 N_l=-7282.36 My_l=-2.02 Mz_l=-0.03
Azioni sul cordone: TP=0.10 TO=-0.22 NO=-538.31
Tensioni nel cordone: τ_P= 0.03 τ_0= 0.07 σ_0=174.06 σ_{ID}=174.06 Σ_T=174.13
CC 25 SLV (Collegamento 0024_-381)
Azioni sul collegamento: N=-7282.36 Ty=3.91 Tz=-2.66 Mx=-0.03 Mz=-2.74
Sollecitazioni agenti localmente: Tx_l=3.91 Ty_l=-2.66 N_l=-7282.36 My_l=2.74 Mz_l=-0.03
Azioni sul cordone: TP=0.32 TO=-0.18 NO=-538.31
Tensioni nel cordone: τ_P=0.10 τ_0= 0.06 σ_0=175.11 σ_{ID}=175.11 Σ_T=175.17
CC 25 SLV (Collegamento 0024_-381)
Azioni sul collegamento: N=-7282.36 Ty=0.97 Tz=3.63 Mx=-0.03 Mz=2.02
Sollecitazioni agenti localmente: Tx_l=0.97 Ty_l=3.63 N_l=-7282.36 My_l=-2.02 Mz_l=-0.03
Azioni sul cordone: TP=0.10 TO=0.25 NO=-538.31
Tensioni nel cordone: τ_P= 0.03 τ_0= 0.08 σ_0=174.06 σ_{ID}=174.06 Σ_T=174.14
CC 25 SLV (Collegamento 0024_-381)

Azioni sul collegamento: N=-7282.36 Ty=3.91 Tz=3.63 Mx=-0.03 Mz=-2.74
Sollecitazioni agenti localmente: Tx_l=3.91 Ty_l=3.63 N_l=-7282.36 My_l=2.74 Mz_l=-0.03
Azioni sul cordone: TP=0.32 TO=0.29 NO=-538.31
Tensioni nel cordone: τ_P=0.10 τ_0= 0.09 σ_0=175.11 σ_{ID}=175.11 Σ_T=175.20
CC 26 SLD (Collegamento 0024_-381)
Azioni sul collegamento: N=-6269.00 Ty=3.73 Tz=-0.34 Mx=-0.01 Mz=2.45
Sollecitazioni agenti localmente: Tx_l=3.73 Ty_l=-0.34 N_l=-6269.00 My_l=-2.45 Mz_l=-0.01
Azioni sul cordone: TP=0.29 TO=-0.03 NO=-463.41
Tensioni nel cordone: τ_P= 0.09 τ_0= 0.01 σ_0=150.87 σ_{ID}=150.87 Σ_T=150.88
CC 26 SLD (Collegamento 0024_-381)
Azioni sul collegamento: N=-6269.00 Ty=2.84 Tz=-0.34 Mx=-0.01 Mz=0.99
Sollecitazioni agenti localmente: Tx_l=2.84 Ty_l=-0.34 N_l=-6269.00 My_l=-0.99 Mz_l=-0.01
Azioni sul cordone: TP=0.22 TO=-0.03 NO=-463.41
Tensioni nel cordone: τ_P= 0.07 τ_0= 0.01 σ_0=148.75 σ_{ID}=148.75 Σ_T=148.76
CC 26 SLD (Collegamento 0024_-381)
Azioni sul collegamento: N=-6269.00 Ty=3.73 Tz=1.57 Mx=-0.01 Mz=2.45
Sollecitazioni agenti localmente: Tx_l=3.73 Ty_l=1.57 N_l=-6269.00 My_l=-2.45 Mz_l=-0.01
Azioni sul cordone: TP=0.29 TO=0.11 NO=-463.41
Tensioni nel cordone: τ_P= 0.09 τ_0= 0.03 σ_0=150.87 σ_{ID}=150.87 Σ_T=150.90
CC 26 SLD (Collegamento 0024_-381)
Azioni sul collegamento: N=-6269.00 Ty=2.84 Tz=1.57 Mx=-0.01 Mz=0.99
Sollecitazioni agenti localmente: Tx_l=2.84 Ty_l=1.57 N_l=-6269.00 My_l=-0.99 Mz_l=-0.01
Azioni sul cordone: TP=0.22 TO=0.11 NO=-463.41
Tensioni nel cordone: τ_P= 0.07 τ_0= 0.03 σ_0=148.75 σ_{ID}=148.75 Σ_T=148.78
CC 26 SLD (Collegamento 0024_-381)
Azioni sul collegamento: N=-6757.78 Ty=3.73 Tz=-0.34 Mx=-0.01 Mz=2.45
Sollecitazioni agenti localmente: Tx_l=3.73 Ty_l=-0.34 N_l=-6757.78 My_l=-2.45 Mz_l=-0.01
Azioni sul cordone: TP=0.29 TO=-0.03 NO=-499.54
Tensioni nel cordone: τ_P= 0.09 τ_0= 0.01 σ_0=162.35 σ_{ID}=162.35 Σ_T=162.36
CC 26 SLD (Collegamento 0024_-381)
Azioni sul collegamento: N=-6757.78 Ty=2.84 Tz=-0.34 Mx=-0.01 Mz=0.99
Sollecitazioni agenti localmente: Tx_l=2.84 Ty_l=-0.34 N_l=-6757.78 My_l=-0.99 Mz_l=-0.01
Azioni sul cordone: TP=0.22 TO=-0.03 NO=-499.54
Tensioni nel cordone: τ_P= 0.07 τ_0= 0.01 σ_0=160.23 σ_{ID}=160.23 Σ_T=160.24
CC 26 SLD (Collegamento 0024_-381)
Azioni sul collegamento: N=-6757.78 Ty=3.73 Tz=1.57 Mx=-0.01 Mz=2.45
Sollecitazioni agenti localmente: Tx_l=3.73 Ty_l=1.57 N_l=-6757.78 My_l=-2.45 Mz_l=-0.01
Azioni sul cordone: TP=0.29 TO=0.11 NO=-499.54
Tensioni nel cordone: τ_P= 0.09 τ_0= 0.03 σ_0=162.35 σ_{ID}=162.35 Σ_T=162.39
CC 26 SLD (Collegamento 0024_-381)
Azioni sul collegamento: N=-6757.78 Ty=2.84 Tz=1.57 Mx=-0.01 Mz=0.99
Sollecitazioni agenti localmente: Tx_l=2.84 Ty_l=1.57 N_l=-6757.78 My_l=-0.99 Mz_l=-0.01
Azioni sul cordone: TP=0.22 TO=0.11 NO=-499.54
Tensioni nel cordone: τ_P= 0.07 τ_0= 0.03 σ_0=160.23 σ_{ID}=160.23 Σ_T=160.26
CC 27 SLV (Collegamento 0024_-381)
Azioni sul collegamento: N=-7263.40 Ty=1.79 Tz=3.21 Mx=-0.02 Mz=1.45
Sollecitazioni agenti localmente: Tx_l=1.79 Ty_l=3.21 N_l=-7263.40 My_l=-1.45 Mz_l=-0.02
Azioni sul cordone: TP=0.16 TO=0.22 NO=-536.91
Tensioni nel cordone: τ_P= 0.05 τ_0= 0.07 σ_0=172.77 σ_{ID}=172.77 Σ_T=172.84
CC 27 SLV (Collegamento 0024_-381)
Azioni sul collegamento: N=-7263.40 Ty=3.09 Tz=3.21 Mx=-0.02 Mz=-2.17
Sollecitazioni agenti localmente: Tx_l=3.09 Ty_l=3.21 N_l=-7263.40 My_l=2.17 Mz_l=-0.02
Azioni sul cordone: TP=0.26 TO=0.26 NO=-536.91
Tensioni nel cordone: τ_P= 0.08 τ_0= 0.08 σ_0=173.82 σ_{ID}=173.82 Σ_T=173.91
CC 27 SLV (Collegamento 0024_-381)
Azioni sul collegamento: N=-7263.40 Ty=1.79 Tz=-2.23 Mx=-0.02 Mz=1.45
Sollecitazioni agenti localmente: Tx_l=1.79 Ty_l=-2.23 N_l=-7263.40 My_l=-1.45 Mz_l=-0.02
Azioni sul cordone: TP=0.16 TO=-0.18 NO=-536.91
Tensioni nel cordone: τ_P= 0.05 τ_0= 0.06 σ_0=172.77 σ_{ID}=172.77 Σ_T=172.83
CC 27 SLV (Collegamento 0024_-381)
Azioni sul collegamento: N=-7263.40 Ty=3.09 Tz=-2.23 Mx=-0.02 Mz=-2.17
Sollecitazioni agenti localmente: Tx_l=3.09 Ty_l=-2.23 N_l=-7263.40 My_l=2.17 Mz_l=-0.02
Azioni sul cordone: TP=0.26 TO=-0.15 NO=-536.91
Tensioni nel cordone: τ_P= 0.08 τ_0= 0.05 σ_0=173.82 σ_{ID}=173.82 Σ_T=173.87
CC 27 SLV (Collegamento 0024_-381)
Azioni sul collegamento: N=-5698.42 Ty=1.79 Tz=3.21 Mx=-0.02 Mz=1.45
Sollecitazioni agenti localmente: Tx_l=1.79 Ty_l=3.21 N_l=-5698.42 My_l=-1.45 Mz_l=-0.02
Azioni sul cordone: TP=0.16 TO=0.22 NO=-421.23
Tensioni nel cordone: τ_P= 0.05 τ_0= 0.07 σ_0=136.00 σ_{ID}=136.00 Σ_T=136.07
CC 27 SLV (Collegamento 0024_-381)
Azioni sul collegamento: N=-5698.42 Ty=3.09 Tz=3.21 Mx=-0.02 Mz=-2.17
Sollecitazioni agenti localmente: Tx_l=3.09 Ty_l=3.21 N_l=-5698.42 My_l=2.17 Mz_l=-0.02
Azioni sul cordone: TP=0.26 TO=0.26 NO=-421.23
Tensioni nel cordone: τ_P= 0.08 τ_0= 0.08 σ_0=137.05 σ_{ID}=137.05 Σ_T=137.13
CC 27 SLV (Collegamento 0024_-381)
Azioni sul collegamento: N=-5698.42 Ty=1.79 Tz=-2.23 Mx=-0.02 Mz=1.45
Sollecitazioni agenti localmente: Tx_l=1.79 Ty_l=-2.23 N_l=-5698.42 My_l=-1.45 Mz_l=-0.02
Azioni sul cordone: TP=0.16 TO=-0.18 NO=-421.23
Tensioni nel cordone: τ_P= 0.05 τ_0= 0.06 σ_0=136.00 σ_{ID}=136.00 Σ_T=136.06

CC 27 SLV (Collegamento 0024_-381)
Azioni sul collegamento: N=-5698.42 Ty=3.09 Tz=-2.23 Mx=-0.02 Mz=-2.17
Sollecitazioni agenti localmente: Tx_l=3.09 Ty_l=-2.23 N_l=-5698.42 My_l=2.17 Mz_l=-0.02
Azioni sul cordone: TP=0.26 TO=-0.15 NO=-421.23
Tensioni nel cordone: τ_P= 0.08 τ_O= 0.05 σ_O=137.05 σ_{ID}=137.05 Σ_T=137.10
CC 28 SLD (Collegamento 0024_-381)
Azioni sul collegamento: N=-6752.00 Ty=3.48 Tz=1.44 Mx=-0.01 Mz=2.27
Sollecitazioni agenti localmente: Tx_l=3.48 Ty_l=1.44 N_l=-6752.00 My_l=-2.27 Mz_l=-0.01
Azioni sul cordone: TP=0.27 TO=0.10 NO=-499.11
Tensioni nel cordone: τ_P= 0.09 τ_O= 0.03 σ_O=161.96 σ_{ID}=161.96 Σ_T=161.99
CC 28 SLD (Collegamento 0024_-381)
Azioni sul collegamento: N=-6752.00 Ty=3.09 Tz=1.44 Mx=-0.01 Mz=1.17
Sollecitazioni agenti localmente: Tx_l=3.09 Ty_l=1.44 N_l=-6752.00 My_l=-1.17 Mz_l=-0.01
Azioni sul cordone: TP=0.24 TO=0.10 NO=-499.11
Tensioni nel cordone: τ_P= 0.08 τ_O= 0.03 σ_O=160.35 σ_{ID}=160.35 Σ_T=160.38
CC 28 SLD (Collegamento 0024_-381)
Azioni sul collegamento: N=-6752.00 Ty=3.48 Tz=-0.21 Mx=-0.01 Mz=2.27
Sollecitazioni agenti localmente: Tx_l=3.48 Ty_l=-0.21 N_l=-6752.00 My_l=-2.27 Mz_l=-0.01
Azioni sul cordone: TP=0.27 TO=-0.02 NO=-499.11
Tensioni nel cordone: τ_P= 0.09 τ_O=7.48E-03 σ_O=161.96 σ_{ID}=161.96 Σ_T=161.97
CC 28 SLD (Collegamento 0024_-381)
Azioni sul collegamento: N=-6752.00 Ty=3.09 Tz=-0.21 Mx=-0.01 Mz=1.17
Sollecitazioni agenti localmente: Tx_l=3.09 Ty_l=-0.21 N_l=-6752.00 My_l=-1.17 Mz_l=-0.01
Azioni sul cordone: TP=0.24 TO=-0.02 NO=-499.11
Tensioni nel cordone: τ_P= 0.08 τ_O=7.48E-03 σ_O=160.35 σ_{ID}=160.35 Σ_T=160.36
CC 28 SLD (Collegamento 0024_-381)
Azioni sul collegamento: N=-6274.78 Ty=3.48 Tz=1.44 Mx=-0.01 Mz=2.27
Sollecitazioni agenti localmente: Tx_l=3.48 Ty_l=1.44 N_l=-6274.78 My_l=-2.27 Mz_l=-0.01
Azioni sul cordone: TP=0.27 TO=0.10 NO=-463.83
Tensioni nel cordone: τ_P= 0.09 τ_O= 0.03 σ_O=150.75 σ_{ID}=150.75 Σ_T=150.78
CC 28 SLD (Collegamento 0024_-381)
Azioni sul collegamento: N=-6274.78 Ty=3.09 Tz=1.44 Mx=-0.01 Mz=1.17
Sollecitazioni agenti localmente: Tx_l=3.09 Ty_l=1.44 N_l=-6274.78 My_l=-1.17 Mz_l=-0.01
Azioni sul cordone: TP=0.24 TO=0.10 NO=-463.83
Tensioni nel cordone: τ_P= 0.08 τ_O= 0.03 σ_O=149.14 σ_{ID}=149.14 Σ_T=149.17
CC 28 SLD (Collegamento 0024_-381)
Azioni sul collegamento: N=-6274.78 Ty=3.48 Tz=-0.21 Mx=-0.01 Mz=2.27
Sollecitazioni agenti localmente: Tx_l=3.48 Ty_l=-0.21 N_l=-6274.78 My_l=-2.27 Mz_l=-0.01
Azioni sul cordone: TP=0.27 TO=-0.02 NO=-463.83
Tensioni nel cordone: τ_P= 0.09 τ_O=7.48E-03 σ_O=150.75 σ_{ID}=150.75 Σ_T=150.75
CC 28 SLD (Collegamento 0024_-381)
Azioni sul collegamento: N=-6274.78 Ty=3.09 Tz=-0.21 Mx=-0.01 Mz=1.17
Sollecitazioni agenti localmente: Tx_l=3.09 Ty_l=-0.21 N_l=-6274.78 My_l=-1.17 Mz_l=-0.01
Azioni sul cordone: TP=0.24 TO=-0.02 NO=-463.83
Tensioni nel cordone: τ_P= 0.08 τ_O=7.48E-03 σ_O=149.14 σ_{ID}=149.14 Σ_T=149.15
CC 29 SLV (Collegamento 0024_-381)
Azioni sul collegamento: N=-5698.42 Ty=3.09 Tz=-2.23 Mx=-0.01 Mz=-2.17
Sollecitazioni agenti localmente: Tx_l=3.09 Ty_l=-2.23 N_l=-5698.42 My_l=2.17 Mz_l=-0.01
Azioni sul cordone: TP=0.24 TO=-0.16 NO=-421.23
Tensioni nel cordone: τ_P= 0.08 τ_O= 0.05 σ_O=137.05 σ_{ID}=137.05 Σ_T=137.10
CC 29 SLV (Collegamento 0024_-381)
Azioni sul collegamento: N=-5698.42 Ty=1.79 Tz=-2.23 Mx=-0.01 Mz=1.45
Sollecitazioni agenti localmente: Tx_l=1.79 Ty_l=-2.23 N_l=-5698.42 My_l=-1.45 Mz_l=-0.01
Azioni sul cordone: TP=0.14 TO=-0.17 NO=-421.23
Tensioni nel cordone: τ_P= 0.05 τ_O= 0.05 σ_O=136.00 σ_{ID}=136.00 Σ_T=136.05
CC 29 SLV (Collegamento 0024_-381)
Azioni sul collegamento: N=-5698.42 Ty=3.09 Tz=3.21 Mx=-0.01 Mz=-2.17
Sollecitazioni agenti localmente: Tx_l=3.09 Ty_l=3.21 N_l=-5698.42 My_l=2.17 Mz_l=-0.01
Azioni sul cordone: TP=0.24 TO=0.24 NO=-421.23
Tensioni nel cordone: τ_P= 0.08 τ_O= 0.08 σ_O=137.05 σ_{ID}=137.05 Σ_T=137.13
CC 29 SLV (Collegamento 0024_-381)
Azioni sul collegamento: N=-5698.42 Ty=1.79 Tz=3.21 Mx=-0.01 Mz=1.45
Sollecitazioni agenti localmente: Tx_l=1.79 Ty_l=3.21 N_l=-5698.42 My_l=-1.45 Mz_l=-0.01
Azioni sul cordone: TP=0.14 TO=0.23 NO=-421.23
Tensioni nel cordone: τ_P= 0.05 τ_O= 0.07 σ_O=136.00 σ_{ID}=136.00 Σ_T=136.07
CC 29 SLV (Collegamento 0024_-381)
Azioni sul collegamento: N=-7263.40 Ty=3.09 Tz=-2.23 Mx=-0.01 Mz=-2.17
Sollecitazioni agenti localmente: Tx_l=3.09 Ty_l=-2.23 N_l=-7263.40 My_l=2.17 Mz_l=-0.01
Azioni sul cordone: TP=0.24 TO=-0.16 NO=-536.91
Tensioni nel cordone: τ_P= 0.08 τ_O= 0.05 σ_O=173.82 σ_{ID}=173.82 Σ_T=173.87
CC 29 SLV (Collegamento 0024_-381)
Azioni sul collegamento: N=-7263.40 Ty=1.79 Tz=-2.23 Mx=-0.01 Mz=1.45
Sollecitazioni agenti localmente: Tx_l=1.79 Ty_l=-2.23 N_l=-7263.40 My_l=-1.45 Mz_l=-0.01
Azioni sul cordone: TP=0.14 TO=-0.17 NO=-536.91
Tensioni nel cordone: τ_P= 0.05 τ_O= 0.05 σ_O=172.77 σ_{ID}=172.77 Σ_T=172.82
CC 29 SLV (Collegamento 0024_-381)
Azioni sul collegamento: N=-7263.40 Ty=3.09 Tz=3.21 Mx=-0.01 Mz=-2.17
Sollecitazioni agenti localmente: Tx_l=3.09 Ty_l=3.21 N_l=-7263.40 My_l=2.17 Mz_l=-0.01
Azioni sul cordone: TP=0.24 TO=0.24 NO=-536.91

Tensioni nel cordone: τ_P= 0.08 τ_0= 0.08 σ_0=173.82 σ_{ID}=173.82 Σ_T=173.90
CC 29 SLV (Collegamento 0024_-381)
Azioni sul collegamento: N=-7263.40 Ty=1.79 Tz=3.21 Mx=-0.01 Mz=1.45
Sollecitazioni agenti localmente: Tx_l=1.79 Ty_l=3.21 N_l=-7263.40 My_l=-1.45 Mz_l=-0.01
Azioni sul cordone: TP=0.14 TO=0.23 NO=-536.91
Tensioni nel cordone: τ_P= 0.05 τ_0= 0.07 σ_0=172.77 σ_{ID}=172.77 Σ_T=172.84
CC 30 SLD (Collegamento 0024_-381)
Azioni sul collegamento: N=-6274.78 Ty=3.09 Tz=-0.21 Mx=-0.01 Mz=1.17
Sollecitazioni agenti localmente: Tx_l=3.09 Ty_l=-0.21 N_l=-6274.78 My_l=-1.17 Mz_l=-0.01
Azioni sul cordone: TP=0.23 TO=-0.02 NO=-463.83
Tensioni nel cordone: τ_P= 0.07 τ_0=6.32E-03 σ_0=149.14 σ_{ID}=149.14 Σ_T=149.15
CC 30 SLD (Collegamento 0024_-381)
Azioni sul collegamento: N=-6274.78 Ty=3.48 Tz=-0.21 Mx=-0.01 Mz=2.27
Sollecitazioni agenti localmente: Tx_l=3.48 Ty_l=-0.21 N_l=-6274.78 My_l=-2.27 Mz_l=-0.01
Azioni sul cordone: TP=0.26 TO=-0.02 NO=-463.83
Tensioni nel cordone: τ_P= 0.08 τ_0=6.32E-03 σ_0=150.75 σ_{ID}=150.75 Σ_T=150.75
CC 30 SLD (Collegamento 0024_-381)
Azioni sul collegamento: N=-6274.78 Ty=3.09 Tz=1.44 Mx=-0.01 Mz=1.17
Sollecitazioni agenti localmente: Tx_l=3.09 Ty_l=1.44 N_l=-6274.78 My_l=-1.17 Mz_l=-0.01
Azioni sul cordone: TP=0.23 TO=0.10 NO=-463.83
Tensioni nel cordone: τ_P= 0.07 τ_0= 0.03 σ_0=149.14 σ_{ID}=149.14 Σ_T=149.17
CC 30 SLD (Collegamento 0024_-381)
Azioni sul collegamento: N=-6274.78 Ty=3.48 Tz=1.44 Mx=-0.01 Mz=2.27
Sollecitazioni agenti localmente: Tx_l=3.48 Ty_l=1.44 N_l=-6274.78 My_l=-2.27 Mz_l=-0.01
Azioni sul cordone: TP=0.26 TO=0.10 NO=-463.83
Tensioni nel cordone: τ_P= 0.08 τ_0= 0.03 σ_0=150.75 σ_{ID}=150.75 Σ_T=150.78
CC 30 SLD (Collegamento 0024_-381)
Azioni sul collegamento: N=-6752.00 Ty=3.09 Tz=-0.21 Mx=-0.01 Mz=1.17
Sollecitazioni agenti localmente: Tx_l=3.09 Ty_l=-0.21 N_l=-6752.00 My_l=-1.17 Mz_l=-0.01
Azioni sul cordone: TP=0.23 TO=-0.02 NO=-499.11
Tensioni nel cordone: τ_P= 0.07 τ_0=6.32E-03 σ_0=160.35 σ_{ID}=160.35 Σ_T=160.36
CC 30 SLD (Collegamento 0024_-381)
Azioni sul collegamento: N=-6752.00 Ty=3.48 Tz=-0.21 Mx=-0.01 Mz=2.27
Sollecitazioni agenti localmente: Tx_l=3.48 Ty_l=-0.21 N_l=-6752.00 My_l=-2.27 Mz_l=-0.01
Azioni sul cordone: TP=0.26 TO=-0.02 NO=-499.11
Tensioni nel cordone: τ_P= 0.08 τ_0=6.32E-03 σ_0=161.96 σ_{ID}=161.96 Σ_T=161.97
CC 30 SLD (Collegamento 0024_-381)
Azioni sul collegamento: N=-6752.00 Ty=3.09 Tz=1.44 Mx=-0.01 Mz=1.17
Sollecitazioni agenti localmente: Tx_l=3.09 Ty_l=1.44 N_l=-6752.00 My_l=-1.17 Mz_l=-0.01
Azioni sul cordone: TP=0.23 TO=0.10 NO=-499.11
Tensioni nel cordone: τ_P= 0.07 τ_0= 0.03 σ_0=160.35 σ_{ID}=160.35 Σ_T=160.38
CC 30 SLD (Collegamento 0024_-381)
Azioni sul collegamento: N=-6752.00 Ty=3.48 Tz=1.44 Mx=-0.01 Mz=2.27
Sollecitazioni agenti localmente: Tx_l=3.48 Ty_l=1.44 N_l=-6752.00 My_l=-2.27 Mz_l=-0.01
Azioni sul cordone: TP=0.26 TO=0.10 NO=-499.11
Tensioni nel cordone: τ_P= 0.08 τ_0= 0.03 σ_0=161.96 σ_{ID}=161.96 Σ_T=161.99
CC 31 SLV (Collegamento 0024_-381)
Azioni sul collegamento: N=-7282.36 Ty=3.91 Tz=3.63 Mx=-0.01 Mz=-2.74
Sollecitazioni agenti localmente: Tx_l=3.91 Ty_l=3.63 N_l=-7282.36 My_l=2.74 Mz_l=-0.01
Azioni sul cordone: TP=0.30 TO=0.28 NO=-538.31
Tensioni nel cordone: τ_P= 0.09 τ_0= 0.09 σ_0=175.11 σ_{ID}=175.11 Σ_T=175.20
CC 31 SLV (Collegamento 0024_-381)
Azioni sul collegamento: N=-7282.36 Ty=0.97 Tz=3.63 Mx=-0.01 Mz=2.02
Sollecitazioni agenti localmente: Tx_l=0.97 Ty_l=3.63 N_l=-7282.36 My_l=-2.02 Mz_l=-0.01
Azioni sul cordone: TP=0.08 TO=0.26 NO=-538.31
Tensioni nel cordone: τ_P= 0.03 τ_0= 0.08 σ_0=174.06 σ_{ID}=174.06 Σ_T=174.14
CC 31 SLV (Collegamento 0024_-381)
Azioni sul collegamento: N=-7282.36 Ty=3.91 Tz=-2.66 Mx=-0.01 Mz=-2.74
Sollecitazioni agenti localmente: Tx_l=3.91 Ty_l=-2.66 N_l=-7282.36 My_l=2.74 Mz_l=-0.01
Azioni sul cordone: TP=0.30 TO=-0.19 NO=-538.31
Tensioni nel cordone: τ_P= 0.09 τ_0= 0.06 σ_0=175.11 σ_{ID}=175.11 Σ_T=175.17
CC 31 SLV (Collegamento 0024_-381)
Azioni sul collegamento: N=-7282.36 Ty=0.97 Tz=-2.66 Mx=-0.01 Mz=2.02
Sollecitazioni agenti localmente: Tx_l=0.97 Ty_l=-2.66 N_l=-7282.36 My_l=-2.02 Mz_l=-0.01
Azioni sul cordone: TP=0.08 TO=-0.20 NO=-538.31
Tensioni nel cordone: τ_P= 0.03 τ_0= 0.06 σ_0=174.06 σ_{ID}=174.06 Σ_T=174.12
CC 31 SLV (Collegamento 0024_-381)
Azioni sul collegamento: N=-5679.46 Ty=3.91 Tz=3.63 Mx=-0.01 Mz=-2.74
Sollecitazioni agenti localmente: Tx_l=3.91 Ty_l=3.63 N_l=-5679.46 My_l=2.74 Mz_l=-0.01
Azioni sul cordone: TP=0.30 TO=0.28 NO=-419.83
Tensioni nel cordone: τ_P= 0.09 τ_0= 0.09 σ_0=137.45 σ_{ID}=137.45 Σ_T=137.54
CC 31 SLV (Collegamento 0024_-381)
Azioni sul collegamento: N=-5679.46 Ty=0.97 Tz=3.63 Mx=-0.01 Mz=2.02
Sollecitazioni agenti localmente: Tx_l=0.97 Ty_l=3.63 N_l=-5679.46 My_l=-2.02 Mz_l=-0.01
Azioni sul cordone: TP=0.08 TO=0.26 NO=-419.83
Tensioni nel cordone: τ_P= 0.03 τ_0= 0.08 σ_0=136.40 σ_{ID}=136.40 Σ_T=136.48
CC 31 SLV (Collegamento 0024_-381)
Azioni sul collegamento: N=-5679.46 Ty=3.91 Tz=-2.66 Mx=-0.01 Mz=-2.74
Sollecitazioni agenti localmente: Tx_l=3.91 Ty_l=-2.66 N_l=-5679.46 My_l=2.74 Mz_l=-0.01

Azioni sul cordone: TP=0.30 TO=-0.19 NO=-419.83
Tensioni nel cordone: τ_P= 0.09 τ_0= 0.06 σ_0=137.45 σ_{ID}=137.45 Σ_T=137.51
CC 31 SLV (Collegamento 0024_-381)
Azioni sul collegamento: N=-5679.46 Ty=0.97 Tz=-2.66 Mx=-0.01 Mz=2.02
Sollecitazioni agenti localmente: Tx_l=0.97 Ty_l=-2.66 N_l=-5679.46 My_l=-2.02 Mz_l=-0.01
Azioni sul cordone: TP=0.08 TO=-0.20 NO=-419.83
Tensioni nel cordone: τ_P= 0.03 τ_0= 0.06 σ_0=136.40 σ_{ID}=136.40 Σ_T=136.46
CC 32 SLD (Collegamento 0024_-381)
Azioni sul collegamento: N=-6757.78 Ty=2.84 Tz=1.57 Mx=-0.00 Mz=0.99
Sollecitazioni agenti localmente: Tx_l=2.84 Ty_l=1.57 N_l=-6757.78 My_l=-0.99 Mz_l=-0.00
Azioni sul cordone: TP=0.22 TO=0.11 NO=-499.54
Tensioni nel cordone: τ_P= 0.07 τ_0= 0.04 σ_0=160.23 σ_{ID}=160.23 Σ_T=160.26
CC 32 SLD (Collegamento 0024_-381)
Azioni sul collegamento: N=-6757.78 Ty=3.73 Tz=1.57 Mx=-0.00 Mz=2.45
Sollecitazioni agenti localmente: Tx_l=3.73 Ty_l=1.57 N_l=-6757.78 My_l=-2.45 Mz_l=-0.00
Azioni sul cordone: TP=0.28 TO=0.11 NO=-499.54
Tensioni nel cordone: τ_P= 0.09 τ_0= 0.04 σ_0=162.35 σ_{ID}=162.35 Σ_T=162.39
CC 32 SLD (Collegamento 0024_-381)
Azioni sul collegamento: N=-6757.78 Ty=2.84 Tz=-0.34 Mx=-0.00 Mz=0.99
Sollecitazioni agenti localmente: Tx_l=2.84 Ty_l=-0.34 N_l=-6757.78 My_l=-0.99 Mz_l=-0.00
Azioni sul cordone: TP=0.22 TO=-0.03 NO=-499.54
Tensioni nel cordone: τ_P= 0.07 τ_0=9.31E-03 σ_0=160.23 σ_{ID}=160.23 Σ_T=160.24
CC 32 SLD (Collegamento 0024_-381)
Azioni sul collegamento: N=-6757.78 Ty=3.73 Tz=-0.34 Mx=-0.00 Mz=2.45
Sollecitazioni agenti localmente: Tx_l=3.73 Ty_l=-0.34 N_l=-6757.78 My_l=-2.45 Mz_l=-0.00
Azioni sul cordone: TP=0.28 TO=-0.03 NO=-499.54
Tensioni nel cordone: τ_P= 0.09 τ_0=9.31E-03 σ_0=162.35 σ_{ID}=162.35 Σ_T=162.36
CC 32 SLD (Collegamento 0024_-381)
Azioni sul collegamento: N=-6269.00 Ty=2.84 Tz=1.57 Mx=-0.00 Mz=0.99
Sollecitazioni agenti localmente: Tx_l=2.84 Ty_l=1.57 N_l=-6269.00 My_l=-0.99 Mz_l=-0.00
Azioni sul cordone: TP=0.22 TO=0.11 NO=-463.41
Tensioni nel cordone: τ_P= 0.07 τ_0= 0.04 σ_0=148.75 σ_{ID}=148.75 Σ_T=148.78
CC 32 SLD (Collegamento 0024_-381)
Azioni sul collegamento: N=-6269.00 Ty=3.73 Tz=1.57 Mx=-0.00 Mz=2.45
Sollecitazioni agenti localmente: Tx_l=3.73 Ty_l=1.57 N_l=-6269.00 My_l=-2.45 Mz_l=-0.00
Azioni sul cordone: TP=0.28 TO=0.11 NO=-463.41
Tensioni nel cordone: τ_P= 0.09 τ_0= 0.04 σ_0=150.87 σ_{ID}=150.87 Σ_T=150.91
CC 32 SLD (Collegamento 0024_-381)
Azioni sul collegamento: N=-6269.00 Ty=2.84 Tz=-0.34 Mx=-0.00 Mz=0.99
Sollecitazioni agenti localmente: Tx_l=2.84 Ty_l=-0.34 N_l=-6269.00 My_l=-0.99 Mz_l=-0.00
Azioni sul cordone: TP=0.22 TO=-0.03 NO=-463.41
Tensioni nel cordone: τ_P= 0.07 τ_0=9.31E-03 σ_0=148.75 σ_{ID}=148.75 Σ_T=148.75
CC 32 SLD (Collegamento 0024_-381)
Azioni sul collegamento: N=-6269.00 Ty=3.73 Tz=-0.34 Mx=-0.00 Mz=2.45
Sollecitazioni agenti localmente: Tx_l=3.73 Ty_l=-0.34 N_l=-6269.00 My_l=-2.45 Mz_l=-0.00
Azioni sul cordone: TP=0.28 TO=-0.03 NO=-463.41
Tensioni nel cordone: τ_P= 0.09 τ_0=9.31E-03 σ_0=150.87 σ_{ID}=150.87 Σ_T=150.88
CC 33 SLU (Collegamento 0024_-381)
Azioni sul collegamento: N=-30229.20 Ty=5.39 Tz=79.58 Mx=-0.01 Mz=3.85
Sollecitazioni agenti localmente: Tx_l=5.39 Ty_l=79.58 N_l=-30229.20 My_l=-3.85 Mz_l=-0.01
Azioni sul cordone: TP=0.41 TO=5.88 NO=-2234.55
Tensioni nel cordone: τ_P=0.13 τ_0=1.87 σ_0=715.87 σ_{ID}=715.87 Σ_T=717.74
CC 34 SLU (Collegamento 0024_-381)
Azioni sul collegamento: N=-30778.60 Ty=5.67 Tz=81.62 Mx=-0.01 Mz=4.05
Sollecitazioni agenti localmente: Tx_l=5.67 Ty_l=81.62 N_l=-30778.60 My_l=-4.05 Mz_l=-0.01
Azioni sul cordone: TP=0.43 TO=6.03 NO=-2275.16
Tensioni nel cordone: τ_P=0.14 τ_0=1.92 σ_0=729.07 σ_{ID}=729.07 Σ_T=730.99
CC 35 SLU (Collegamento 0024_-381)
Azioni sul collegamento: N=-30504.90 Ty=5.64 Tz=80.58 Mx=-0.01 Mz=4.16
Sollecitazioni agenti localmente: Tx_l=5.64 Ty_l=80.58 N_l=-30504.90 My_l=-4.16 Mz_l=-0.01
Azioni sul cordone: TP=0.43 TO=5.95 NO=-2254.93
Tensioni nel cordone: τ_P=0.14 τ_0=1.89 σ_0=722.81 σ_{ID}=722.81 Σ_T=724.70
CC 36 SLU (Collegamento 0024_-381)
Azioni sul collegamento: N=-30502.90 Ty=5.42 Tz=80.62 Mx=-0.01 Mz=3.73
Sollecitazioni agenti localmente: Tx_l=5.42 Ty_l=80.62 N_l=-30502.90 My_l=-3.73 Mz_l=-0.01
Azioni sul cordone: TP=0.41 TO=5.96 NO=-2254.79
Tensioni nel cordone: τ_P=0.13 τ_0=1.89 σ_0=722.13 σ_{ID}=722.13 Σ_T=724.02
CC 37 SLU (Collegamento 0024_-381)
Azioni sul collegamento: N=-32152.70 Ty=5.24 Tz=86.01 Mx=0.00 Mz=3.86
Sollecitazioni agenti localmente: Tx_l=5.24 Ty_l=86.01 N_l=-32152.70 My_l=-3.86 Mz_l=0.00
Azioni sul cordone: TP=0.38 TO=6.36 NO=-2376.74
Tensioni nel cordone: τ_P=0.12 τ_0=2.02 σ_0=761.08 σ_{ID}=761.08 Σ_T=763.10
CC 38 SLU (Collegamento 0024_-381)
Azioni sul collegamento: N=-32702.10 Ty=5.53 Tz=88.04 Mx=0.00 Mz=4.06
Sollecitazioni agenti localmente: Tx_l=5.53 Ty_l=88.04 N_l=-32702.10 My_l=-4.06 Mz_l=0.00
Azioni sul cordone: TP=0.41 TO=6.51 NO=-2417.35
Tensioni nel cordone: τ_P=0.13 τ_0=2.07 σ_0=774.28 σ_{ID}=774.28 Σ_T=776.35
CC 39 SLU (Collegamento 0024_-381)
Azioni sul collegamento: N=-32428.40 Ty=5.50 Tz=87.00 Mx=0.00 Mz=4.18

Sollecitazioni agenti localmente: Tx_l=5.50 Ty_l=87.00 N_l=-32428.40 My_l=-4.18 Mz_l=0.00
Azioni sul cordone: TP=0.40 TO=6.43 NO=-2397.11
Tensioni nel cordone: τ_P=0.13 τ_0=2.04 σ_0=768.02 σ_{ID}=768.02 Σ_T=770.07
CC 40 SLU (Collegamento 0024_-381)
Azioni sul collegamento: N=-32426.40 Ty=5.28 Tz=87.05 Mx=0.00 Mz=3.74
Sollecitazioni agenti localmente: Tx_l=5.28 Ty_l=87.05 N_l=-32426.40 My_l=-3.74 Mz_l=0.00
Azioni sul cordone: TP=0.39 TO=6.44 NO=-2396.97
Tensioni nel cordone: τ_P=0.12 τ_0=2.05 σ_0=767.34 σ_{ID}=767.34 Σ_T=769.38
CC 41 SLU (Collegamento 0024_-381)
Azioni sul collegamento: N=-20958.20 Ty=6.23 Tz=45.50 Mx=-0.01 Mz=4.43
Sollecitazioni agenti localmente: Tx_l=6.23 Ty_l=45.50 N_l=-20958.20 My_l=-4.43 Mz_l=-0.01
Azioni sul cordone: TP=0.47 TO=3.36 NO=-1549.24
Tensioni nel cordone: τ_P=0.15 τ_0=1.07 σ_0=498.89 σ_{ID}=498.90 Σ_T=499.96
CC 42 SLU (Collegamento 0024_-381)
Azioni sul collegamento: N=-21507.60 Ty=6.52 Tz=47.54 Mx=-0.01 Mz=4.63
Sollecitazioni agenti localmente: Tx_l=6.52 Ty_l=47.54 N_l=-21507.60 My_l=-4.63 Mz_l=-0.01
Azioni sul cordone: TP=0.49 TO=3.51 NO=-1589.85
Tensioni nel cordone: τ_P=0.16 τ_0=1.12 σ_0=512.10 σ_{ID}=512.10 Σ_T=513.21
CC 43 SLU (Collegamento 0024_-381)
Azioni sul collegamento: N=-21233.90 Ty=6.48 Tz=46.50 Mx=-0.01 Mz=4.75
Sollecitazioni agenti localmente: Tx_l=6.48 Ty_l=46.50 N_l=-21233.90 My_l=-4.75 Mz_l=-0.01
Azioni sul cordone: TP=0.49 TO=3.43 NO=-1569.62
Tensioni nel cordone: τ_P=0.15 τ_0=1.09 σ_0=505.84 σ_{ID}=505.84 Σ_T=506.93
CC 44 SLU (Collegamento 0024_-381)
Azioni sul collegamento: N=-21231.90 Ty=6.26 Tz=46.54 Mx=-0.01 Mz=4.31
Sollecitazioni agenti localmente: Tx_l=6.26 Ty_l=46.54 N_l=-21231.90 My_l=-4.31 Mz_l=-0.01
Azioni sul cordone: TP=0.47 TO=3.44 NO=-1569.47
Tensioni nel cordone: τ_P=0.15 τ_0=1.09 σ_0=505.15 σ_{ID}=505.16 Σ_T=506.25
CC 45 SLU (Collegamento 0024_-381)
Azioni sul collegamento: N=-23044.60 Ty=5.94 Tz=53.22 Mx=-0.01 Mz=4.28
Sollecitazioni agenti localmente: Tx_l=5.94 Ty_l=53.22 N_l=-23044.60 My_l=-4.28 Mz_l=-0.01
Azioni sul cordone: TP=0.45 TO=3.93 NO=-1703.46
Tensioni nel cordone: τ_P=0.14 τ_0=1.25 σ_0=547.70 σ_{ID}=547.71 Σ_T=548.95
CC 46 SLU (Collegamento 0024_-381)
Azioni sul collegamento: N=-23594.00 Ty=6.22 Tz=55.25 Mx=-0.01 Mz=4.49
Sollecitazioni agenti localmente: Tx_l=6.22 Ty_l=55.25 N_l=-23594.00 My_l=-4.49 Mz_l=-0.01
Azioni sul cordone: TP=0.47 TO=4.08 NO=-1744.08
Tensioni nel cordone: τ_P=0.15 τ_0=1.30 σ_0=560.91 σ_{ID}=560.91 Σ_T=562.20
CC 47 SLU (Collegamento 0024_-381)
Azioni sul collegamento: N=-23320.30 Ty=6.19 Tz=54.21 Mx=-0.01 Mz=4.60
Sollecitazioni agenti localmente: Tx_l=6.19 Ty_l=54.21 N_l=-23320.30 My_l=-4.60 Mz_l=-0.01
Azioni sul cordone: TP=0.47 TO=4.00 NO=-1723.84
Tensioni nel cordone: τ_P=0.15 τ_0=1.27 σ_0=554.65 σ_{ID}=554.65 Σ_T=555.92
CC 48 SLU (Collegamento 0024_-381)
Azioni sul collegamento: N=-23318.30 Ty=5.97 Tz=54.26 Mx=-0.01 Mz=4.17
Sollecitazioni agenti localmente: Tx_l=5.97 Ty_l=54.26 N_l=-23318.30 My_l=-4.17 Mz_l=-0.01
Azioni sul cordone: TP=0.45 TO=4.01 NO=-1723.70
Tensioni nel cordone: τ_P=0.14 τ_0=1.27 σ_0=553.96 σ_{ID}=553.97 Σ_T=555.24
CC 49 SLU (Collegamento 0024_-381)
Azioni sul collegamento: N=-24483.70 Ty=5.83 Tz=58.03 Mx=0.00 Mz=4.29
Sollecitazioni agenti localmente: Tx_l=5.83 Ty_l=58.03 N_l=-24483.70 My_l=-4.29 Mz_l=0.00
Azioni sul cordone: TP=0.43 TO=4.29 NO=-1809.84
Tensioni nel cordone: τ_P=0.14 τ_0=1.36 σ_0=581.53 σ_{ID}=581.53 Σ_T=582.89
CC 50 SLU (Collegamento 0024_-381)
Azioni sul collegamento: N=-25033.00 Ty=6.12 Tz=60.06 Mx=0.00 Mz=4.50
Sollecitazioni agenti localmente: Tx_l=6.12 Ty_l=60.06 N_l=-25033.00 My_l=-4.50 Mz_l=0.00
Azioni sul cordone: TP=0.45 TO=4.44 NO=-1850.45
Tensioni nel cordone: τ_P=0.14 τ_0=1.41 σ_0=594.73 σ_{ID}=594.73 Σ_T=596.14
CC 51 SLU (Collegamento 0024_-381)
Azioni sul collegamento: N=-24759.30 Ty=6.08 Tz=59.02 Mx=-0.00 Mz=4.61
Sollecitazioni agenti localmente: Tx_l=6.08 Ty_l=59.02 N_l=-24759.30 My_l=-4.61 Mz_l=-0.00
Azioni sul cordone: TP=0.45 TO=4.36 NO=-1830.22
Tensioni nel cordone: τ_P=0.14 τ_0=1.39 σ_0=588.47 σ_{ID}=588.47 Σ_T=589.86
CC 52 SLU (Collegamento 0024_-381)
Azioni sul collegamento: N=-24757.40 Ty=5.87 Tz=59.07 Mx=0.00 Mz=4.18
Sollecitazioni agenti localmente: Tx_l=5.87 Ty_l=59.07 N_l=-24757.40 My_l=-4.18 Mz_l=0.00
Azioni sul cordone: TP=0.43 TO=4.37 NO=-1830.07
Tensioni nel cordone: τ_P=0.14 τ_0=1.39 σ_0=587.79 σ_{ID}=587.79 Σ_T=589.18
CC 53 SLU (Collegamento 0024_-381)
Azioni sul collegamento: N=-16108.60 Ty=6.57 Tz=27.72 Mx=-0.01 Mz=4.72
Sollecitazioni agenti localmente: Tx_l=6.57 Ty_l=27.72 N_l=-16108.60 My_l=-4.72 Mz_l=-0.01
Azioni sul cordone: TP=0.49 TO=2.04 NO=-1190.75
Tensioni nel cordone: τ_P=0.16 τ_0=0.65 σ_0=385.38 σ_{ID}=385.38 Σ_T=386.03
CC 54 SLU (Collegamento 0024_-381)
Azioni sul collegamento: N=-16657.90 Ty=6.86 Tz=29.76 Mx=-0.01 Mz=4.92
Sollecitazioni agenti localmente: Tx_l=6.86 Ty_l=29.76 N_l=-16657.90 My_l=-4.92 Mz_l=-0.01
Azioni sul cordone: TP=0.51 TO=2.19 NO=-1231.36
Tensioni nel cordone: τ_P=0.16 τ_0=0.70 σ_0=398.58 σ_{ID}=398.58 Σ_T=399.28
CC 55 SLU (Collegamento 0024_-381)

Azioni sul collegamento: N=-16384.20 Ty=6.82 Tz=28.72 Mx=-0.01 Mz=5.04
Sollecitazioni agenti localmente: Tx_l=6.82 Ty_l=28.72 N_l=-16384.20 My_l=-5.04 Mz_l=-0.01
Azioni sul cordone: TP=0.51 TO=2.12 NO=-1211.13
Tensioni nel cordone: τ_P=0.16 τ_0=0.67 σ_0=392.32 σ_{ID}=392.32 Σ_T=392.99
CC 56 SLU (Collegamento 0024_-381)
Azioni sul collegamento: N=-16382.30 Ty=6.60 Tz=28.76 Mx=-0.01 Mz=4.60
Sollecitazioni agenti localmente: Tx_l=6.60 Ty_l=28.76 N_l=-16382.30 My_l=-4.60 Mz_l=-0.01
Azioni sul cordone: TP=0.49 TO=2.12 NO=-1210.98
Tensioni nel cordone: τ_P=0.16 τ_0=0.67 σ_0=391.64 σ_{ID}=391.64 Σ_T=392.31
CC 57 SLU (Collegamento 0024_-381)
Azioni sul collegamento: N=-23426.90 Ty=6.35 Tz=54.67 Mx=-0.01 Mz=4.58
Sollecitazioni agenti localmente: Tx_l=6.35 Ty_l=54.67 N_l=-23426.90 My_l=-4.58 Mz_l=-0.01
Azioni sul cordone: TP=0.48 TO=4.04 NO=-1731.72
Tensioni nel cordone: τ_P=0.15 τ_0=1.28 σ_0=557.12 σ_{ID}=557.12 Σ_T=558.40
CC 58 SLU (Collegamento 0024_-381)
Azioni sul collegamento: N=-23976.20 Ty=6.64 Tz=56.70 Mx=-0.01 Mz=4.78
Sollecitazioni agenti localmente: Tx_l=6.64 Ty_l=56.70 N_l=-23976.20 My_l=-4.78 Mz_l=-0.01
Azioni sul cordone: TP=0.50 TO=4.19 NO=-1772.33
Tensioni nel cordone: τ_P=0.16 τ_0=1.33 σ_0=570.32 σ_{ID}=570.32 Σ_T=571.65
CC 59 SLU (Collegamento 0024_-381)
Azioni sul collegamento: N=-23702.50 Ty=6.61 Tz=55.66 Mx=-0.01 Mz=4.90
Sollecitazioni agenti localmente: Tx_l=6.61 Ty_l=55.66 N_l=-23702.50 My_l=-4.90 Mz_l=-0.01
Azioni sul cordone: TP=0.50 TO=4.11 NO=-1752.10
Tensioni nel cordone: τ_P=0.16 τ_0=1.31 σ_0=564.06 σ_{ID}=564.06 Σ_T=565.37
CC 60 SLU (Collegamento 0024_-381)
Azioni sul collegamento: N=-23700.60 Ty=6.39 Tz=55.71 Mx=-0.01 Mz=4.46
Sollecitazioni agenti localmente: Tx_l=6.39 Ty_l=55.71 N_l=-23700.60 My_l=-4.46 Mz_l=-0.01
Azioni sul cordone: TP=0.48 TO=4.11 NO=-1751.95
Tensioni nel cordone: τ_P=0.15 τ_0=1.31 σ_0=563.38 σ_{ID}=563.38 Σ_T=564.68
CC 61 SLU (Collegamento 0024_-381)
Azioni sul collegamento: N=-24865.90 Ty=6.25 Tz=59.47 Mx=0.00 Mz=4.59
Sollecitazioni agenti localmente: Tx_l=6.25 Ty_l=59.47 N_l=-24865.90 My_l=-4.59 Mz_l=0.00
Azioni sul cordone: TP=0.46 TO=4.40 NO=-1838.10
Tensioni nel cordone: τ_P=0.15 τ_0=1.40 σ_0=590.94 σ_{ID}=590.94 Σ_T=592.34
CC 62 SLU (Collegamento 0024_-381)
Azioni sul collegamento: N=-25415.30 Ty=6.53 Tz=61.51 Mx=-0.00 Mz=4.79
Sollecitazioni agenti localmente: Tx_l=6.53 Ty_l=61.51 N_l=-25415.30 My_l=-4.79 Mz_l=-0.00
Azioni sul cordone: TP=0.48 TO=4.55 NO=-1878.71
Tensioni nel cordone: τ_P=0.15 τ_0=1.45 σ_0=604.14 σ_{ID}=604.14 Σ_T=605.59
CC 63 SLU (Collegamento 0024_-381)
Azioni sul collegamento: N=-25141.60 Ty=6.50 Tz=60.47 Mx=-0.00 Mz=4.91
Sollecitazioni agenti localmente: Tx_l=6.50 Ty_l=60.47 N_l=-25141.60 My_l=-4.91 Mz_l=-0.00
Azioni sul cordone: TP=0.48 TO=4.47 NO=-1858.47
Tensioni nel cordone: τ_P=0.15 τ_0=1.42 σ_0=597.88 σ_{ID}=597.89 Σ_T=599.30
CC 64 SLU (Collegamento 0024_-381)
Azioni sul collegamento: N=-25139.60 Ty=6.28 Tz=60.51 Mx=0.00 Mz=4.47
Sollecitazioni agenti localmente: Tx_l=6.28 Ty_l=60.51 N_l=-25139.60 My_l=-4.47 Mz_l=0.00
Azioni sul cordone: TP=0.46 TO=4.47 NO=-1858.33
Tensioni nel cordone: τ_P=0.15 τ_0=1.42 σ_0=597.20 σ_{ID}=597.20 Σ_T=598.62
CC 65 SLU (Collegamento 0024_-381)
Azioni sul collegamento: N=-16490.80 Ty=6.99 Tz=29.17 Mx=-0.01 Mz=5.02
Sollecitazioni agenti localmente: Tx_l=6.99 Ty_l=29.17 N_l=-16490.80 My_l=-5.02 Mz_l=-0.01
Azioni sul cordone: TP=0.52 TO=2.15 NO=-1219.00
Tensioni nel cordone: τ_P=0.17 τ_0=0.68 σ_0=394.79 σ_{ID}=394.79 Σ_T=395.47
CC 66 SLU (Collegamento 0024_-381)
Azioni sul collegamento: N=-17040.20 Ty=7.27 Tz=31.20 Mx=-0.01 Mz=5.22
Sollecitazioni agenti localmente: Tx_l=7.27 Ty_l=31.20 N_l=-17040.20 My_l=-5.22 Mz_l=-0.01
Azioni sul cordone: TP=0.55 TO=2.30 NO=-1259.62
Tensioni nel cordone: τ_P=0.17 τ_0=0.73 σ_0=407.99 σ_{ID}=407.99 Σ_T=408.72
CC 67 SLU (Collegamento 0024_-381)
Azioni sul collegamento: N=-16766.50 Ty=7.24 Tz=30.16 Mx=-0.01 Mz=5.34
Sollecitazioni agenti localmente: Tx_l=7.24 Ty_l=30.16 N_l=-16766.50 My_l=-5.34 Mz_l=-0.01
Azioni sul cordone: TP=0.54 TO=2.22 NO=-1239.38
Tensioni nel cordone: τ_P=0.17 τ_0=0.71 σ_0=401.73 σ_{ID}=401.73 Σ_T=402.44
CC 68 SLU (Collegamento 0024_-381)
Azioni sul collegamento: N=-16764.50 Ty=7.02 Tz=30.21 Mx=-0.01 Mz=4.90
Sollecitazioni agenti localmente: Tx_l=7.02 Ty_l=30.21 N_l=-16764.50 My_l=-4.90 Mz_l=-0.01
Azioni sul cordone: TP=0.53 TO=2.23 NO=-1239.24
Tensioni nel cordone: τ_P=0.17 τ_0=0.71 σ_0=401.05 σ_{ID}=401.05 Σ_T=401.76
CC 97 SLU (Collegamento 0024_-381)
Azioni sul collegamento: N=-10609.80 Ty=16.63 Tz=15.80 Mx=0.03 Mz=19.66
Sollecitazioni agenti localmente: Tx_l=16.63 Ty_l=15.80 N_l=-10609.80 My_l=-19.66 Mz_l=0.03
Azioni sul cordone: TP=1.20 TO=1.19 NO=-784.28
Tensioni nel cordone: τ_P=0.38 τ_0=0.38 σ_0=278.01 σ_{ID}=278.01 Σ_T=278.38
CC 98 SLU (Collegamento 0024_-381)
Azioni sul collegamento: N=-11159.10 Ty=16.91 Tz=17.84 Mx=0.03 Mz=19.86
Sollecitazioni agenti localmente: Tx_l=16.91 Ty_l=17.84 N_l=-11159.10 My_l=-19.86 Mz_l=0.03
Azioni sul cordone: TP=1.22 TO=1.34 NO=-824.89
Tensioni nel cordone: τ_P=0.39 τ_0=0.43 σ_0=291.21 σ_{ID}=291.21 Σ_T=291.63

CC 99 SLU (Collegamento 0024_-381)
Azioni sul collegamento: N=-10885.40 Ty=16.88 Tz=16.80 Mx=0.03 Mz=19.98
Sollecitazioni agenti localmente: Tx_l=16.88 Ty_l=16.80 N_l=-10885.40 My_l=-19.98 Mz_l=0.03
Azioni sul cordone: TP=1.22 TO=1.26 NO=-804.65
Tensioni nel cordone: τ_P=0.39 τ_0=0.40 σ_0=284.95 σ_{ID}=284.95 Σ_T=285.35
CC 100 SLU (Collegamento 0024_-381)
Azioni sul collegamento: N=-10883.50 Ty=16.66 Tz=16.84 Mx=0.03 Mz=19.55
Sollecitazioni agenti localmente: Tx_l=16.66 Ty_l=16.84 N_l=-10883.50 My_l=-19.55 Mz_l=0.03
Azioni sul cordone: TP=1.20 TO=1.27 NO=-804.51
Tensioni nel cordone: τ_P=0.38 τ_0=0.40 σ_0=284.27 σ_{ID}=284.27 Σ_T=284.67
CC 101 SLU (Collegamento 0024_-381)
Azioni sul collegamento: N=-6606.14 Ty=1.32 Tz=0.91 Mx=-0.01 Mz=0.13
Sollecitazioni agenti localmente: Tx_l=1.32 Ty_l=0.91 N_l=-6606.14 My_l=-0.13 Mz_l=-0.01
Azioni sul cordone: TP=0.11 TO=0.06 NO=-488.33
Tensioni nel cordone: τ_P= 0.03 τ_0= 0.02 σ_0=155.41 σ_{ID}=155.41 Σ_T=155.42
CC 102 SLU (Collegamento 0024_-381)
Azioni sul collegamento: N=-7155.53 Ty=1.61 Tz=2.94 Mx=-0.01 Mz=0.33
Sollecitazioni agenti localmente: Tx_l=1.61 Ty_l=2.94 N_l=-7155.53 My_l=-0.33 Mz_l=-0.01
Azioni sul cordone: TP=0.13 TO=0.21 NO=-528.94
Tensioni nel cordone: τ_P= 0.04 τ_0= 0.07 σ_0=168.61 σ_{ID}=168.61 Σ_T=168.67
CC 103 SLU (Collegamento 0024_-381)
Azioni sul collegamento: N=-6881.82 Ty=1.58 Tz=1.90 Mx=-0.01 Mz=0.45
Sollecitazioni agenti localmente: Tx_l=1.58 Ty_l=1.90 N_l=-6881.82 My_l=-0.45 Mz_l=-0.01
Azioni sul cordone: TP=0.13 TO=0.13 NO=-508.71
Tensioni nel cordone: τ_P= 0.04 τ_0= 0.04 σ_0=162.35 σ_{ID}=162.35 Σ_T=162.39
CC 104 SLU (Collegamento 0024_-381)
Azioni sul collegamento: N=-6879.85 Ty=1.36 Tz=1.95 Mx=-0.01 Mz=0.01
Sollecitazioni agenti localmente: Tx_l=1.36 Ty_l=1.95 N_l=-6879.85 My_l=-0.01 Mz_l=-0.01
Azioni sul cordone: TP=0.11 TO=0.14 NO=-508.56
Tensioni nel cordone: τ_P= 0.03 τ_0= 0.04 σ_0=161.66 σ_{ID}=161.66 Σ_T=161.71

Flessione attacco superiore piastra

Bnetta=220.00 Hnetta=15.00
CC 1 SLV (Collegamento 0024_-381)
Azioni sul collegamento: N=-3931.62 Ty=6.55 Tz=-8.98 Mx=0.01 Mz=7.22
Sollecitazioni agenti localmente: Ty_l=-714.84 Mx_l=-14.30
Tensioni nella sezione: σ=173.29 τ=21.66
CC 1 SLV (Collegamento 0024_-381)
Azioni sul collegamento: N=-3931.62 Ty=3.19 Tz=-8.98 Mx=0.01 Mz=4.04
Sollecitazioni agenti localmente: Ty_l=-714.84 Mx_l=-14.30
Tensioni nella sezione: σ=173.29 τ=21.66
CC 1 SLV (Collegamento 0024_-381)
Azioni sul collegamento: N=-3931.62 Ty=6.55 Tz=10.69 Mx=0.01 Mz=7.22
Sollecitazioni agenti localmente: Ty_l=-714.84 Mx_l=-14.30
Tensioni nella sezione: σ=173.29 τ=21.66
CC 1 SLV (Collegamento 0024_-381)
Azioni sul collegamento: N=-3931.62 Ty=3.19 Tz=10.69 Mx=0.01 Mz=4.04
Sollecitazioni agenti localmente: Ty_l=-714.84 Mx_l=-14.30
Tensioni nella sezione: σ=173.29 τ=21.66
CC 1 SLV (Collegamento 0024_-381)
Azioni sul collegamento: N=-9217.12 Ty=6.55 Tz=-8.98 Mx=0.01 Mz=7.22
Sollecitazioni agenti localmente: Ty_l=-1675.84 Mx_l=-33.52
Tensioni nella sezione: σ=406.26 τ=50.78
CC 1 SLV (Collegamento 0024_-381)
Azioni sul collegamento: N=-9217.12 Ty=3.19 Tz=-8.98 Mx=0.01 Mz=4.04
Sollecitazioni agenti localmente: Ty_l=-1675.84 Mx_l=-33.52
Tensioni nella sezione: σ=406.26 τ=50.78
CC 1 SLV (Collegamento 0024_-381)
Azioni sul collegamento: N=-9217.12 Ty=6.55 Tz=10.69 Mx=0.01 Mz=7.22
Sollecitazioni agenti localmente: Ty_l=-1675.84 Mx_l=-33.52
Tensioni nella sezione: σ=406.26 τ=50.78
CC 1 SLV (Collegamento 0024_-381)
Azioni sul collegamento: N=-9217.12 Ty=3.19 Tz=10.69 Mx=0.01 Mz=4.04
Sollecitazioni agenti localmente: Ty_l=-1675.84 Mx_l=-33.52
Tensioni nella sezione: σ=406.26 τ=50.78
CC 2 SLD (Collegamento 0024_-381)
Azioni sul collegamento: N=-5736.03 Ty=4.54 Tz=-2.27 Mx=0.00 Mz=4.03
Sollecitazioni agenti localmente: Ty_l=-1042.91 Mx_l=-20.86
Tensioni nella sezione: σ=252.83 τ=31.60
CC 2 SLD (Collegamento 0024_-381)
Azioni sul collegamento: N=-5736.03 Ty=3.51 Tz=-2.27 Mx=0.00 Mz=3.06
Sollecitazioni agenti localmente: Ty_l=-1042.91 Mx_l=-20.86
Tensioni nella sezione: σ=252.83 τ=31.60
CC 2 SLD (Collegamento 0024_-381)
Azioni sul collegamento: N=-5736.03 Ty=4.54 Tz=3.73 Mx=0.00 Mz=4.03
Sollecitazioni agenti localmente: Ty_l=-1042.91 Mx_l=-20.86
Tensioni nella sezione: σ=252.83 τ=31.60
CC 2 SLD (Collegamento 0024_-381)

Azioni sul collegamento: N=-5736.03 Ty=3.51 Tz=3.73 Mx=0.00 Mz=3.06
Sollecitazioni agenti localmente: Ty_l=-1042.91 Mx_l=-20.86
Tensioni nella sezione: σ=252.83 τ=31.60
CC 2 SLD (Collegamento 0024_-381)
Azioni sul collegamento: N=-7347.75 Ty=4.54 Tz=-2.27 Mx=0.00 Mz=4.03
Sollecitazioni agenti localmente: Ty_l=-1335.95 Mx_l=-26.72
Tensioni nella sezione: σ=323.87 τ=40.48
CC 2 SLD (Collegamento 0024_-381)
Azioni sul collegamento: N=-7347.75 Ty=3.51 Tz=-2.27 Mx=0.00 Mz=3.06
Sollecitazioni agenti localmente: Ty_l=-1335.95 Mx_l=-26.72
Tensioni nella sezione: σ=323.87 τ=40.48
CC 2 SLD (Collegamento 0024_-381)
Azioni sul collegamento: N=-7347.75 Ty=4.54 Tz=3.73 Mx=0.00 Mz=4.03
Sollecitazioni agenti localmente: Ty_l=-1335.95 Mx_l=-26.72
Tensioni nella sezione: σ=323.87 τ=40.48
CC 2 SLD (Collegamento 0024_-381)
Azioni sul collegamento: N=-7347.75 Ty=3.51 Tz=3.73 Mx=0.00 Mz=3.06
Sollecitazioni agenti localmente: Ty_l=-1335.95 Mx_l=-26.72
Tensioni nella sezione: σ=323.87 τ=40.48
CC 3 SLV (Collegamento 0024_-381)
Azioni sul collegamento: N=-3937.31 Ty=5.92 Tz=-8.85 Mx=0.01 Mz=5.96
Sollecitazioni agenti localmente: Ty_l=-715.87 Mx_l=-14.32
Tensioni nella sezione: σ=173.54 τ=21.69
CC 3 SLV (Collegamento 0024_-381)
Azioni sul collegamento: N=-3937.31 Ty=3.82 Tz=-8.85 Mx=0.01 Mz=5.30
Sollecitazioni agenti localmente: Ty_l=-715.87 Mx_l=-14.32
Tensioni nella sezione: σ=173.54 τ=21.69
CC 3 SLV (Collegamento 0024_-381)
Azioni sul collegamento: N=-3937.31 Ty=5.92 Tz=10.56 Mx=0.01 Mz=5.96
Sollecitazioni agenti localmente: Ty_l=-715.87 Mx_l=-14.32
Tensioni nella sezione: σ=173.54 τ=21.69
CC 3 SLV (Collegamento 0024_-381)
Azioni sul collegamento: N=-3937.31 Ty=3.82 Tz=10.56 Mx=0.01 Mz=5.30
Sollecitazioni agenti localmente: Ty_l=-715.87 Mx_l=-14.32
Tensioni nella sezione: σ=173.54 τ=21.69
CC 3 SLV (Collegamento 0024_-381)
Azioni sul collegamento: N=-9211.43 Ty=5.92 Tz=-8.85 Mx=0.01 Mz=5.96
Sollecitazioni agenti localmente: Ty_l=-1674.80 Mx_l=-33.50
Tensioni nella sezione: σ=406.01 τ=50.75
CC 3 SLV (Collegamento 0024_-381)
Azioni sul collegamento: N=-9211.43 Ty=3.82 Tz=-8.85 Mx=0.01 Mz=5.30
Sollecitazioni agenti localmente: Ty_l=-1674.80 Mx_l=-33.50
Tensioni nella sezione: σ=406.01 τ=50.75
CC 3 SLV (Collegamento 0024_-381)
Azioni sul collegamento: N=-9211.43 Ty=5.92 Tz=10.56 Mx=0.01 Mz=5.96
Sollecitazioni agenti localmente: Ty_l=-1674.80 Mx_l=-33.50
Tensioni nella sezione: σ=406.01 τ=50.75
CC 3 SLV (Collegamento 0024_-381)
Azioni sul collegamento: N=-9211.43 Ty=3.82 Tz=10.56 Mx=0.01 Mz=5.30
Sollecitazioni agenti localmente: Ty_l=-1674.80 Mx_l=-33.50
Tensioni nella sezione: σ=406.01 τ=50.75
CC 4 SLD (Collegamento 0024_-381)
Azioni sul collegamento: N=-5737.77 Ty=4.34 Tz=-2.23 Mx=0.00 Mz=3.65
Sollecitazioni agenti localmente: Ty_l=-1043.23 Mx_l=-20.86
Tensioni nella sezione: σ=252.90 τ=31.61
CC 4 SLD (Collegamento 0024_-381)
Azioni sul collegamento: N=-5737.77 Ty=3.71 Tz=-2.23 Mx=0.00 Mz=3.45
Sollecitazioni agenti localmente: Ty_l=-1043.23 Mx_l=-20.86
Tensioni nella sezione: σ=252.90 τ=31.61
CC 4 SLD (Collegamento 0024_-381)
Azioni sul collegamento: N=-5737.77 Ty=4.34 Tz=3.69 Mx=0.00 Mz=3.65
Sollecitazioni agenti localmente: Ty_l=-1043.23 Mx_l=-20.86
Tensioni nella sezione: σ=252.90 τ=31.61
CC 4 SLD (Collegamento 0024_-381)
Azioni sul collegamento: N=-5737.77 Ty=3.71 Tz=3.69 Mx=0.00 Mz=3.45
Sollecitazioni agenti localmente: Ty_l=-1043.23 Mx_l=-20.86
Tensioni nella sezione: σ=252.90 τ=31.61
CC 4 SLD (Collegamento 0024_-381)
Azioni sul collegamento: N=-7346.01 Ty=4.34 Tz=-2.23 Mx=0.00 Mz=3.65
Sollecitazioni agenti localmente: Ty_l=-1335.64 Mx_l=-26.71
Tensioni nella sezione: σ=323.79 τ=40.47
CC 4 SLD (Collegamento 0024_-381)
Azioni sul collegamento: N=-7346.01 Ty=3.71 Tz=-2.23 Mx=0.00 Mz=3.45
Sollecitazioni agenti localmente: Ty_l=-1335.64 Mx_l=-26.71
Tensioni nella sezione: σ=323.79 τ=40.47
CC 4 SLD (Collegamento 0024_-381)
Azioni sul collegamento: N=-7346.01 Ty=4.34 Tz=3.69 Mx=0.00 Mz=3.65
Sollecitazioni agenti localmente: Ty_l=-1335.64 Mx_l=-26.71
Tensioni nella sezione: σ=323.79 τ=40.47

CC 4 SLD (Collegamento 0024_-381)
Azioni sul collegamento: N=-7346.01 Ty=3.71 Tz=3.69 Mx=0.00 Mz=3.45
Sollecitazioni agenti localmente: Ty_l=-1335.64 Mx_l=-26.71
Tensioni nella sezione: σ=323.79 τ=40.47
CC 5 SLV (Collegamento 0024_-381)
Azioni sul collegamento: N=-9211.43 Ty=3.82 Tz=10.56 Mx=0.01 Mz=5.30
Sollecitazioni agenti localmente: Ty_l=-1674.80 Mx_l=-33.50
Tensioni nella sezione: σ=406.01 τ=50.75
CC 5 SLV (Collegamento 0024_-381)
Azioni sul collegamento: N=-9211.43 Ty=5.92 Tz=10.56 Mx=0.01 Mz=5.96
Sollecitazioni agenti localmente: Ty_l=-1674.80 Mx_l=-33.50
Tensioni nella sezione: σ=406.01 τ=50.75
CC 5 SLV (Collegamento 0024_-381)
Azioni sul collegamento: N=-9211.43 Ty=3.82 Tz=-8.85 Mx=0.01 Mz=5.30
Sollecitazioni agenti localmente: Ty_l=-1674.80 Mx_l=-33.50
Tensioni nella sezione: σ=406.01 τ=50.75
CC 5 SLV (Collegamento 0024_-381)
Azioni sul collegamento: N=-9211.43 Ty=5.92 Tz=-8.85 Mx=0.01 Mz=5.96
Sollecitazioni agenti localmente: Ty_l=-1674.80 Mx_l=-33.50
Tensioni nella sezione: σ=406.01 τ=50.75
CC 5 SLV (Collegamento 0024_-381)
Azioni sul collegamento: N=-3937.31 Ty=3.82 Tz=10.56 Mx=0.01 Mz=5.30
Sollecitazioni agenti localmente: Ty_l=-715.87 Mx_l=-14.32
Tensioni nella sezione: σ=173.54 τ=21.69
CC 5 SLV (Collegamento 0024_-381)
Azioni sul collegamento: N=-3937.31 Ty=5.92 Tz=10.56 Mx=0.01 Mz=5.96
Sollecitazioni agenti localmente: Ty_l=-715.87 Mx_l=-14.32
Tensioni nella sezione: σ=173.54 τ=21.69
CC 5 SLV (Collegamento 0024_-381)
Azioni sul collegamento: N=-3937.31 Ty=3.82 Tz=-8.85 Mx=0.01 Mz=5.30
Sollecitazioni agenti localmente: Ty_l=-715.87 Mx_l=-14.32
Tensioni nella sezione: σ=173.54 τ=21.69
CC 5 SLV (Collegamento 0024_-381)
Azioni sul collegamento: N=-3937.31 Ty=5.92 Tz=-8.85 Mx=0.01 Mz=5.96
Sollecitazioni agenti localmente: Ty_l=-715.87 Mx_l=-14.32
Tensioni nella sezione: σ=173.54 τ=21.69
CC 6 SLD (Collegamento 0024_-381)
Azioni sul collegamento: N=-7346.01 Ty=3.71 Tz=3.69 Mx=0.00 Mz=3.45
Sollecitazioni agenti localmente: Ty_l=-1335.64 Mx_l=-26.71
Tensioni nella sezione: σ=323.79 τ=40.47
CC 6 SLD (Collegamento 0024_-381)
Azioni sul collegamento: N=-7346.01 Ty=4.34 Tz=3.69 Mx=0.00 Mz=3.65
Sollecitazioni agenti localmente: Ty_l=-1335.64 Mx_l=-26.71
Tensioni nella sezione: σ=323.79 τ=40.47
CC 6 SLD (Collegamento 0024_-381)
Azioni sul collegamento: N=-7346.01 Ty=3.71 Tz=-2.23 Mx=0.00 Mz=3.45
Sollecitazioni agenti localmente: Ty_l=-1335.64 Mx_l=-26.71
Tensioni nella sezione: σ=323.79 τ=40.47
CC 6 SLD (Collegamento 0024_-381)
Azioni sul collegamento: N=-7346.01 Ty=4.34 Tz=-2.23 Mx=0.00 Mz=3.65
Sollecitazioni agenti localmente: Ty_l=-1335.64 Mx_l=-26.71
Tensioni nella sezione: σ=323.79 τ=40.47
CC 6 SLD (Collegamento 0024_-381)
Azioni sul collegamento: N=-5737.77 Ty=3.71 Tz=3.69 Mx=0.00 Mz=3.45
Sollecitazioni agenti localmente: Ty_l=-1043.23 Mx_l=-20.86
Tensioni nella sezione: σ=252.90 τ=31.61
CC 6 SLD (Collegamento 0024_-381)
Azioni sul collegamento: N=-5737.77 Ty=4.34 Tz=3.69 Mx=0.00 Mz=3.65
Sollecitazioni agenti localmente: Ty_l=-1043.23 Mx_l=-20.86
Tensioni nella sezione: σ=252.90 τ=31.61
CC 6 SLD (Collegamento 0024_-381)
Azioni sul collegamento: N=-5737.77 Ty=3.71 Tz=-2.23 Mx=0.00 Mz=3.45
Sollecitazioni agenti localmente: Ty_l=-1043.23 Mx_l=-20.86
Tensioni nella sezione: σ=252.90 τ=31.61
CC 6 SLD (Collegamento 0024_-381)
Azioni sul collegamento: N=-5737.77 Ty=4.34 Tz=-2.23 Mx=0.00 Mz=3.65
Sollecitazioni agenti localmente: Ty_l=-1043.23 Mx_l=-20.86
Tensioni nella sezione: σ=252.90 τ=31.61
CC 7 SLV (Collegamento 0024_-381)
Azioni sul collegamento: N=-9217.12 Ty=3.19 Tz=10.69 Mx=0.01 Mz=4.04
Sollecitazioni agenti localmente: Ty_l=-1675.84 Mx_l=-33.52
Tensioni nella sezione: σ=406.26 τ=50.78
CC 7 SLV (Collegamento 0024_-381)
Azioni sul collegamento: N=-9217.12 Ty=6.55 Tz=10.69 Mx=0.01 Mz=7.22
Sollecitazioni agenti localmente: Ty_l=-1675.84 Mx_l=-33.52
Tensioni nella sezione: σ=406.26 τ=50.78
CC 7 SLV (Collegamento 0024_-381)
Azioni sul collegamento: N=-9217.12 Ty=3.19 Tz=-8.98 Mx=0.01 Mz=4.04
Sollecitazioni agenti localmente: Ty_l=-1675.84 Mx_l=-33.52

Tensioni nella sezione: σ=406.26 τ=50.78
CC 7 SLV (Collegamento 0024_-381)
Azioni sul collegamento: N=-9217.12 Ty=6.55 Tz=-8.98 Mx=0.01 Mz=7.22
Sollecitazioni agenti localmente: Ty_l=-1675.84 Mx_l=-33.52
Tensioni nella sezione: σ=406.26 τ=50.78
CC 7 SLV (Collegamento 0024_-381)
Azioni sul collegamento: N=-3931.62 Ty=3.19 Tz=10.69 Mx=0.01 Mz=4.04
Sollecitazioni agenti localmente: Ty_l=-714.84 Mx_l=-14.30
Tensioni nella sezione: σ=173.29 τ=21.66
CC 7 SLV (Collegamento 0024_-381)
Azioni sul collegamento: N=-3931.62 Ty=6.55 Tz=10.69 Mx=0.01 Mz=7.22
Sollecitazioni agenti localmente: Ty_l=-714.84 Mx_l=-14.30
Tensioni nella sezione: σ=173.29 τ=21.66
CC 7 SLV (Collegamento 0024_-381)
Azioni sul collegamento: N=-3931.62 Ty=3.19 Tz=-8.98 Mx=0.01 Mz=4.04
Sollecitazioni agenti localmente: Ty_l=-714.84 Mx_l=-14.30
Tensioni nella sezione: σ=173.29 τ=21.66
CC 7 SLV (Collegamento 0024_-381)
Azioni sul collegamento: N=-3931.62 Ty=6.55 Tz=-8.98 Mx=0.01 Mz=7.22
Sollecitazioni agenti localmente: Ty_l=-714.84 Mx_l=-14.30
Tensioni nella sezione: σ=173.29 τ=21.66
CC 8 SLD (Collegamento 0024_-381)
Azioni sul collegamento: N=-7347.75 Ty=3.51 Tz=3.73 Mx=-0.00 Mz=3.06
Sollecitazioni agenti localmente: Ty_l=-1335.95 Mx_l=-26.72
Tensioni nella sezione: σ=323.87 τ=40.48
CC 8 SLD (Collegamento 0024_-381)
Azioni sul collegamento: N=-7347.75 Ty=4.54 Tz=3.73 Mx=-0.00 Mz=4.03
Sollecitazioni agenti localmente: Ty_l=-1335.95 Mx_l=-26.72
Tensioni nella sezione: σ=323.87 τ=40.48
CC 8 SLD (Collegamento 0024_-381)
Azioni sul collegamento: N=-7347.75 Ty=3.51 Tz=-2.27 Mx=-0.00 Mz=3.06
Sollecitazioni agenti localmente: Ty_l=-1335.95 Mx_l=-26.72
Tensioni nella sezione: σ=323.87 τ=40.48
CC 8 SLD (Collegamento 0024_-381)
Azioni sul collegamento: N=-7347.75 Ty=4.54 Tz=-2.27 Mx=-0.00 Mz=4.03
Sollecitazioni agenti localmente: Ty_l=-1335.95 Mx_l=-26.72
Tensioni nella sezione: σ=323.87 τ=40.48
CC 8 SLD (Collegamento 0024_-381)
Azioni sul collegamento: N=-5736.03 Ty=3.51 Tz=3.73 Mx=-0.00 Mz=3.06
Sollecitazioni agenti localmente: Ty_l=-1042.91 Mx_l=-20.86
Tensioni nella sezione: σ=252.83 τ=31.60
CC 8 SLD (Collegamento 0024_-381)
Azioni sul collegamento: N=-5736.03 Ty=4.54 Tz=3.73 Mx=-0.00 Mz=4.03
Sollecitazioni agenti localmente: Ty_l=-1042.91 Mx_l=-20.86
Tensioni nella sezione: σ=252.83 τ=31.60
CC 8 SLD (Collegamento 0024_-381)
Azioni sul collegamento: N=-5736.03 Ty=3.51 Tz=-2.27 Mx=-0.00 Mz=3.06
Sollecitazioni agenti localmente: Ty_l=-1042.91 Mx_l=-20.86
Tensioni nella sezione: σ=252.83 τ=31.60
CC 8 SLD (Collegamento 0024_-381)
Azioni sul collegamento: N=-5736.03 Ty=4.54 Tz=-2.27 Mx=-0.00 Mz=4.03
Sollecitazioni agenti localmente: Ty_l=-1042.91 Mx_l=-20.86
Tensioni nella sezione: σ=252.83 τ=31.60
CC 9 SLV (Collegamento 0024_-381)
Azioni sul collegamento: N=-5772.92 Ty=6.34 Tz=-2.29 Mx=0.02 Mz=8.01
Sollecitazioni agenti localmente: Ty_l=-1049.62 Mx_l=-20.99
Tensioni nella sezione: σ=254.45 τ=31.81
CC 9 SLV (Collegamento 0024_-381)
Azioni sul collegamento: N=-5772.92 Ty=3.40 Tz=-2.29 Mx=0.02 Mz=3.25
Sollecitazioni agenti localmente: Ty_l=-1049.62 Mx_l=-20.99
Tensioni nella sezione: σ=254.45 τ=31.81
CC 9 SLV (Collegamento 0024_-381)
Azioni sul collegamento: N=-5772.92 Ty=6.34 Tz=4.00 Mx=0.02 Mz=8.01
Sollecitazioni agenti localmente: Ty_l=-1049.62 Mx_l=-20.99
Tensioni nella sezione: σ=254.45 τ=31.81
CC 9 SLV (Collegamento 0024_-381)
Azioni sul collegamento: N=-5772.92 Ty=3.40 Tz=4.00 Mx=0.02 Mz=3.25
Sollecitazioni agenti localmente: Ty_l=-1049.62 Mx_l=-20.99
Tensioni nella sezione: σ=254.45 τ=31.81
CC 9 SLV (Collegamento 0024_-381)
Azioni sul collegamento: N=-7375.82 Ty=6.34 Tz=-2.29 Mx=0.02 Mz=8.01
Sollecitazioni agenti localmente: Ty_l=-1341.06 Mx_l=-26.82
Tensioni nella sezione: σ=325.10 τ=40.64
CC 9 SLV (Collegamento 0024_-381)
Azioni sul collegamento: N=-7375.82 Ty=3.40 Tz=-2.29 Mx=0.02 Mz=3.25
Sollecitazioni agenti localmente: Ty_l=-1341.06 Mx_l=-26.82
Tensioni nella sezione: σ=325.10 τ=40.64
CC 9 SLV (Collegamento 0024_-381)
Azioni sul collegamento: N=-7375.82 Ty=6.34 Tz=4.00 Mx=0.02 Mz=8.01

Sollecitazioni agenti localmente: Ty_l=-1341.06 Mx_l=-26.82
Tensioni nella sezione: σ=325.10 τ=40.64
CC 9 SLV (Collegamento 0024_-381)
Azioni sul collegamento: N=-7375.82 Ty=3.40 Tz=4.00 Mx=0.02 Mz=3.25
Sollecitazioni agenti localmente: Ty_l=-1341.06 Mx_l=-26.82
Tensioni nella sezione: σ=325.10 τ=40.64
CC 10 SLD (Collegamento 0024_-381)
Azioni sul collegamento: N=-6297.50 Ty=4.47 Tz=-0.23 Mx=0.00 Mz=4.27
Sollecitazioni agenti localmente: Ty_l=-1145.00 Mx_l=-22.90
Tensioni nella sezione: σ=277.57 τ=34.70
CC 10 SLD (Collegamento 0024_-381)
Azioni sul collegamento: N=-6297.50 Ty=3.58 Tz=-0.23 Mx=0.00 Mz=2.82
Sollecitazioni agenti localmente: Ty_l=-1145.00 Mx_l=-22.90
Tensioni nella sezione: σ=277.57 τ=34.70
CC 10 SLD (Collegamento 0024_-381)
Azioni sul collegamento: N=-6297.50 Ty=4.47 Tz=1.69 Mx=0.00 Mz=4.27
Sollecitazioni agenti localmente: Ty_l=-1145.00 Mx_l=-22.90
Tensioni nella sezione: σ=277.57 τ=34.70
CC 10 SLD (Collegamento 0024_-381)
Azioni sul collegamento: N=-6297.50 Ty=3.58 Tz=1.69 Mx=0.00 Mz=2.82
Sollecitazioni agenti localmente: Ty_l=-1145.00 Mx_l=-22.90
Tensioni nella sezione: σ=277.57 τ=34.70
CC 10 SLD (Collegamento 0024_-381)
Azioni sul collegamento: N=-6786.28 Ty=4.47 Tz=-0.23 Mx=0.00 Mz=4.27
Sollecitazioni agenti localmente: Ty_l=-1233.87 Mx_l=-24.68
Tensioni nella sezione: σ=299.12 τ=37.39
CC 10 SLD (Collegamento 0024_-381)
Azioni sul collegamento: N=-6786.28 Ty=3.58 Tz=-0.23 Mx=0.00 Mz=2.82
Sollecitazioni agenti localmente: Ty_l=-1233.87 Mx_l=-24.68
Tensioni nella sezione: σ=299.12 τ=37.39
CC 10 SLD (Collegamento 0024_-381)
Azioni sul collegamento: N=-6786.28 Ty=4.47 Tz=1.69 Mx=0.00 Mz=4.27
Sollecitazioni agenti localmente: Ty_l=-1233.87 Mx_l=-24.68
Tensioni nella sezione: σ=299.12 τ=37.39
CC 10 SLD (Collegamento 0024_-381)
Azioni sul collegamento: N=-6786.28 Ty=3.58 Tz=1.69 Mx=0.00 Mz=2.82
Sollecitazioni agenti localmente: Ty_l=-1233.87 Mx_l=-24.68
Tensioni nella sezione: σ=299.12 τ=37.39
CC 11 SLV (Collegamento 0024_-381)
Azioni sul collegamento: N=-7356.86 Ty=5.52 Tz=3.57 Mx=0.02 Mz=7.44
Sollecitazioni agenti localmente: Ty_l=-1337.61 Mx_l=-26.75
Tensioni nella sezione: σ=324.27 τ=40.53
CC 11 SLV (Collegamento 0024_-381)
Azioni sul collegamento: N=-7356.86 Ty=4.22 Tz=3.57 Mx=0.02 Mz=3.82
Sollecitazioni agenti localmente: Ty_l=-1337.61 Mx_l=-26.75
Tensioni nella sezione: σ=324.27 τ=40.53
CC 11 SLV (Collegamento 0024_-381)
Azioni sul collegamento: N=-7356.86 Ty=5.52 Tz=-1.86 Mx=0.02 Mz=7.44
Sollecitazioni agenti localmente: Ty_l=-1337.61 Mx_l=-26.75
Tensioni nella sezione: σ=324.27 τ=40.53
CC 11 SLV (Collegamento 0024_-381)
Azioni sul collegamento: N=-7356.86 Ty=4.22 Tz=-1.86 Mx=0.02 Mz=3.82
Sollecitazioni agenti localmente: Ty_l=-1337.61 Mx_l=-26.75
Tensioni nella sezione: σ=324.27 τ=40.53
CC 11 SLV (Collegamento 0024_-381)
Azioni sul collegamento: N=-5791.88 Ty=5.52 Tz=3.57 Mx=0.02 Mz=7.44
Sollecitazioni agenti localmente: Ty_l=-1053.07 Mx_l=-21.06
Tensioni nella sezione: σ=255.29 τ=31.91
CC 11 SLV (Collegamento 0024_-381)
Azioni sul collegamento: N=-5791.88 Ty=4.22 Tz=3.57 Mx=0.02 Mz=3.82
Sollecitazioni agenti localmente: Ty_l=-1053.07 Mx_l=-21.06
Tensioni nella sezione: σ=255.29 τ=31.91
CC 11 SLV (Collegamento 0024_-381)
Azioni sul collegamento: N=-5791.88 Ty=5.52 Tz=-1.86 Mx=0.02 Mz=7.44
Sollecitazioni agenti localmente: Ty_l=-1053.07 Mx_l=-21.06
Tensioni nella sezione: σ=255.29 τ=31.91
CC 11 SLV (Collegamento 0024_-381)
Azioni sul collegamento: N=-5791.88 Ty=4.22 Tz=-1.86 Mx=0.02 Mz=3.82
Sollecitazioni agenti localmente: Ty_l=-1053.07 Mx_l=-21.06
Tensioni nella sezione: σ=255.29 τ=31.91
CC 12 SLD (Collegamento 0024_-381)
Azioni sul collegamento: N=-6780.50 Ty=4.22 Tz=1.56 Mx=0.00 Mz=4.10
Sollecitazioni agenti localmente: Ty_l=-1232.82 Mx_l=-24.66
Tensioni nella sezione: σ=298.86 τ=37.36
CC 12 SLD (Collegamento 0024_-381)
Azioni sul collegamento: N=-6780.50 Ty=3.83 Tz=1.56 Mx=0.00 Mz=3.00
Sollecitazioni agenti localmente: Ty_l=-1232.82 Mx_l=-24.66
Tensioni nella sezione: σ=298.86 τ=37.36
CC 12 SLD (Collegamento 0024_-381)

Azioni sul collegamento: N=-6780.50 Ty=4.22 Tz=-0.10 Mx=0.00 Mz=4.10
Sollecitazioni agenti localmente: Ty_l=-1232.82 Mx_l=-24.66
Tensioni nella sezione: σ=298.86 τ=37.36
CC 12 SLD (Collegamento 0024_-381)
Azioni sul collegamento: N=-6780.50 Ty=3.83 Tz=-0.10 Mx=0.00 Mz=3.00
Sollecitazioni agenti localmente: Ty_l=-1232.82 Mx_l=-24.66
Tensioni nella sezione: σ=298.86 τ=37.36
CC 12 SLD (Collegamento 0024_-381)
Azioni sul collegamento: N=-6303.28 Ty=4.22 Tz=1.56 Mx=0.00 Mz=4.10
Sollecitazioni agenti localmente: Ty_l=-1146.05 Mx_l=-22.92
Tensioni nella sezione: σ=277.83 τ=34.73
CC 12 SLD (Collegamento 0024_-381)
Azioni sul collegamento: N=-6303.28 Ty=3.83 Tz=1.56 Mx=0.00 Mz=3.00
Sollecitazioni agenti localmente: Ty_l=-1146.05 Mx_l=-22.92
Tensioni nella sezione: σ=277.83 τ=34.73
CC 12 SLD (Collegamento 0024_-381)
Azioni sul collegamento: N=-6303.28 Ty=4.22 Tz=-0.10 Mx=0.00 Mz=4.10
Sollecitazioni agenti localmente: Ty_l=-1146.05 Mx_l=-22.92
Tensioni nella sezione: σ=277.83 τ=34.73
CC 12 SLD (Collegamento 0024_-381)
Azioni sul collegamento: N=-6303.28 Ty=3.83 Tz=-0.10 Mx=0.00 Mz=3.00
Sollecitazioni agenti localmente: Ty_l=-1146.05 Mx_l=-22.92
Tensioni nella sezione: σ=277.83 τ=34.73
CC 13 SLV (Collegamento 0024_-381)
Azioni sul collegamento: N=-5791.88 Ty=4.22 Tz=-1.86 Mx=0.00 Mz=3.82
Sollecitazioni agenti localmente: Ty_l=-1053.07 Mx_l=-21.06
Tensioni nella sezione: σ=255.29 τ=31.91
CC 13 SLV (Collegamento 0024_-381)
Azioni sul collegamento: N=-5791.88 Ty=5.52 Tz=-1.86 Mx=0.00 Mz=7.44
Sollecitazioni agenti localmente: Ty_l=-1053.07 Mx_l=-21.06
Tensioni nella sezione: σ=255.29 τ=31.91
CC 13 SLV (Collegamento 0024_-381)
Azioni sul collegamento: N=-5791.88 Ty=4.22 Tz=3.57 Mx=0.00 Mz=3.82
Sollecitazioni agenti localmente: Ty_l=-1053.07 Mx_l=-21.06
Tensioni nella sezione: σ=255.29 τ=31.91
CC 13 SLV (Collegamento 0024_-381)
Azioni sul collegamento: N=-5791.88 Ty=5.52 Tz=3.57 Mx=0.00 Mz=7.44
Sollecitazioni agenti localmente: Ty_l=-1053.07 Mx_l=-21.06
Tensioni nella sezione: σ=255.29 τ=31.91
CC 13 SLV (Collegamento 0024_-381)
Azioni sul collegamento: N=-7356.86 Ty=4.22 Tz=-1.86 Mx=0.00 Mz=3.82
Sollecitazioni agenti localmente: Ty_l=-1337.61 Mx_l=-26.75
Tensioni nella sezione: σ=324.27 τ=40.53
CC 13 SLV (Collegamento 0024_-381)
Azioni sul collegamento: N=-7356.86 Ty=5.52 Tz=-1.86 Mx=0.00 Mz=7.44
Sollecitazioni agenti localmente: Ty_l=-1337.61 Mx_l=-26.75
Tensioni nella sezione: σ=324.27 τ=40.53
CC 13 SLV (Collegamento 0024_-381)
Azioni sul collegamento: N=-7356.86 Ty=4.22 Tz=3.57 Mx=0.00 Mz=3.82
Sollecitazioni agenti localmente: Ty_l=-1337.61 Mx_l=-26.75
Tensioni nella sezione: σ=324.27 τ=40.53
CC 13 SLV (Collegamento 0024_-381)
Azioni sul collegamento: N=-7356.86 Ty=5.52 Tz=3.57 Mx=0.00 Mz=7.44
Sollecitazioni agenti localmente: Ty_l=-1337.61 Mx_l=-26.75
Tensioni nella sezione: σ=324.27 τ=40.53
CC 14 SLD (Collegamento 0024_-381)
Azioni sul collegamento: N=-6303.28 Ty=3.83 Tz=-0.10 Mx=-0.00 Mz=3.00
Sollecitazioni agenti localmente: Ty_l=-1146.05 Mx_l=-22.92
Tensioni nella sezione: σ=277.83 τ=34.73
CC 14 SLD (Collegamento 0024_-381)
Azioni sul collegamento: N=-6303.28 Ty=4.22 Tz=-0.10 Mx=-0.00 Mz=4.10
Sollecitazioni agenti localmente: Ty_l=-1146.05 Mx_l=-22.92
Tensioni nella sezione: σ=277.83 τ=34.73
CC 14 SLD (Collegamento 0024_-381)
Azioni sul collegamento: N=-6303.28 Ty=3.83 Tz=1.56 Mx=-0.00 Mz=3.00
Sollecitazioni agenti localmente: Ty_l=-1146.05 Mx_l=-22.92
Tensioni nella sezione: σ=277.83 τ=34.73
CC 14 SLD (Collegamento 0024_-381)
Azioni sul collegamento: N=-6303.28 Ty=4.22 Tz=1.56 Mx=-0.00 Mz=4.10
Sollecitazioni agenti localmente: Ty_l=-1146.05 Mx_l=-22.92
Tensioni nella sezione: σ=277.83 τ=34.73
CC 14 SLD (Collegamento 0024_-381)
Azioni sul collegamento: N=-6780.50 Ty=3.83 Tz=-0.10 Mx=-0.00 Mz=3.00
Sollecitazioni agenti localmente: Ty_l=-1232.82 Mx_l=-24.66
Tensioni nella sezione: σ=298.86 τ=37.36
CC 14 SLD (Collegamento 0024_-381)
Azioni sul collegamento: N=-6780.50 Ty=4.22 Tz=-0.10 Mx=-0.00 Mz=4.10
Sollecitazioni agenti localmente: Ty_l=-1232.82 Mx_l=-24.66
Tensioni nella sezione: σ=298.86 τ=37.36

CC 14 SLD (Collegamento 0024_-381)
Azioni sul collegamento: N=-6780.50 Ty=3.83 Tz=1.56 Mx=-0.00 Mz=3.00
Sollecitazioni agenti localmente: Ty_l=-1232.82 Mx_l=-24.66
Tensioni nella sezione: σ=298.86 τ=37.36
CC 14 SLD (Collegamento 0024_-381)
Azioni sul collegamento: N=-6780.50 Ty=4.22 Tz=1.56 Mx=-0.00 Mz=4.10
Sollecitazioni agenti localmente: Ty_l=-1232.82 Mx_l=-24.66
Tensioni nella sezione: σ=298.86 τ=37.36
CC 15 SLV (Collegamento 0024_-381)
Azioni sul collegamento: N=-7375.82 Ty=3.40 Tz=4.00 Mx=0.00 Mz=3.25
Sollecitazioni agenti localmente: Ty_l=-1341.06 Mx_l=-26.82
Tensioni nella sezione: σ=325.10 τ=40.64
CC 15 SLV (Collegamento 0024_-381)
Azioni sul collegamento: N=-7375.82 Ty=6.34 Tz=4.00 Mx=0.00 Mz=8.01
Sollecitazioni agenti localmente: Ty_l=-1341.06 Mx_l=-26.82
Tensioni nella sezione: σ=325.10 τ=40.64
CC 15 SLV (Collegamento 0024_-381)
Azioni sul collegamento: N=-7375.82 Ty=3.40 Tz=-2.29 Mx=0.00 Mz=3.25
Sollecitazioni agenti localmente: Ty_l=-1341.06 Mx_l=-26.82
Tensioni nella sezione: σ=325.10 τ=40.64
CC 15 SLV (Collegamento 0024_-381)
Azioni sul collegamento: N=-7375.82 Ty=6.34 Tz=-2.29 Mx=0.00 Mz=8.01
Sollecitazioni agenti localmente: Ty_l=-1341.06 Mx_l=-26.82
Tensioni nella sezione: σ=325.10 τ=40.64
CC 15 SLV (Collegamento 0024_-381)
Azioni sul collegamento: N=-5772.92 Ty=3.40 Tz=4.00 Mx=0.00 Mz=3.25
Sollecitazioni agenti localmente: Ty_l=-1049.62 Mx_l=-20.99
Tensioni nella sezione: σ=254.45 τ=31.81
CC 15 SLV (Collegamento 0024_-381)
Azioni sul collegamento: N=-5772.92 Ty=6.34 Tz=4.00 Mx=0.00 Mz=8.01
Sollecitazioni agenti localmente: Ty_l=-1049.62 Mx_l=-20.99
Tensioni nella sezione: σ=254.45 τ=31.81
CC 15 SLV (Collegamento 0024_-381)
Azioni sul collegamento: N=-5772.92 Ty=3.40 Tz=-2.29 Mx=0.00 Mz=3.25
Sollecitazioni agenti localmente: Ty_l=-1049.62 Mx_l=-20.99
Tensioni nella sezione: σ=254.45 τ=31.81
CC 15 SLV (Collegamento 0024_-381)
Azioni sul collegamento: N=-5772.92 Ty=6.34 Tz=-2.29 Mx=0.00 Mz=8.01
Sollecitazioni agenti localmente: Ty_l=-1049.62 Mx_l=-20.99
Tensioni nella sezione: σ=254.45 τ=31.81
CC 16 SLD (Collegamento 0024_-381)
Azioni sul collegamento: N=-6786.28 Ty=3.58 Tz=1.69 Mx=-0.00 Mz=2.82
Sollecitazioni agenti localmente: Ty_l=-1233.87 Mx_l=-24.68
Tensioni nella sezione: σ=299.12 τ=37.39
CC 16 SLD (Collegamento 0024_-381)
Azioni sul collegamento: N=-6786.28 Ty=4.47 Tz=1.69 Mx=-0.00 Mz=4.27
Sollecitazioni agenti localmente: Ty_l=-1233.87 Mx_l=-24.68
Tensioni nella sezione: σ=299.12 τ=37.39
CC 16 SLD (Collegamento 0024_-381)
Azioni sul collegamento: N=-6786.28 Ty=3.58 Tz=-0.23 Mx=-0.00 Mz=2.82
Sollecitazioni agenti localmente: Ty_l=-1233.87 Mx_l=-24.68
Tensioni nella sezione: σ=299.12 τ=37.39
CC 16 SLD (Collegamento 0024_-381)
Azioni sul collegamento: N=-6786.28 Ty=4.47 Tz=-0.23 Mx=-0.00 Mz=4.27
Sollecitazioni agenti localmente: Ty_l=-1233.87 Mx_l=-24.68
Tensioni nella sezione: σ=299.12 τ=37.39
CC 16 SLD (Collegamento 0024_-381)
Azioni sul collegamento: N=-6297.50 Ty=3.58 Tz=1.69 Mx=-0.00 Mz=2.82
Sollecitazioni agenti localmente: Ty_l=-1145.00 Mx_l=-22.90
Tensioni nella sezione: σ=277.57 τ=34.70
CC 16 SLD (Collegamento 0024_-381)
Azioni sul collegamento: N=-6297.50 Ty=4.47 Tz=1.69 Mx=-0.00 Mz=4.27
Sollecitazioni agenti localmente: Ty_l=-1145.00 Mx_l=-22.90
Tensioni nella sezione: σ=277.57 τ=34.70
CC 16 SLD (Collegamento 0024_-381)
Azioni sul collegamento: N=-6297.50 Ty=3.58 Tz=-0.23 Mx=-0.00 Mz=2.82
Sollecitazioni agenti localmente: Ty_l=-1145.00 Mx_l=-22.90
Tensioni nella sezione: σ=277.57 τ=34.70
CC 16 SLD (Collegamento 0024_-381)
Azioni sul collegamento: N=-6297.50 Ty=4.47 Tz=-0.23 Mx=-0.00 Mz=4.27
Sollecitazioni agenti localmente: Ty_l=-1145.00 Mx_l=-22.90
Tensioni nella sezione: σ=277.57 τ=34.70
CC 17 SLV (Collegamento 0024_-381)
Azioni sul collegamento: N=-3838.16 Ty=0.76 Tz=-9.35 Mx=-0.02 Mz=1.23
Sollecitazioni agenti localmente: Ty_l=-697.85 Mx_l=-13.96
Tensioni nella sezione: σ=169.18 τ=21.15
CC 17 SLV (Collegamento 0024_-381)
Azioni sul collegamento: N=-3838.16 Ty=4.12 Tz=-9.35 Mx=-0.02 Mz=-1.95
Sollecitazioni agenti localmente: Ty_l=-697.85 Mx_l=-13.96

Tensioni nella sezione: σ=169.18 τ=21.15
CC 17 SLV (Collegamento 0024_-381)
Azioni sul collegamento: N=-3838.16 Ty=0.76 Tz=10.33 Mx=-0.02 Mz=1.23
Sollecitazioni agenti localmente: Ty_l=-697.85 Mx_l=-13.96
Tensioni nella sezione: σ=169.18 τ=21.15
CC 17 SLV (Collegamento 0024_-381)
Azioni sul collegamento: N=-3838.16 Ty=4.12 Tz=10.33 Mx=-0.02 Mz=-1.95
Sollecitazioni agenti localmente: Ty_l=-697.85 Mx_l=-13.96
Tensioni nella sezione: σ=169.18 τ=21.15
CC 17 SLV (Collegamento 0024_-381)
Azioni sul collegamento: N=-9123.66 Ty=0.76 Tz=-9.35 Mx=-0.02 Mz=1.23
Sollecitazioni agenti localmente: Ty_l=-1658.85 Mx_l=-33.18
Tensioni nella sezione: σ=402.14 τ=50.27
CC 17 SLV (Collegamento 0024_-381)
Azioni sul collegamento: N=-9123.66 Ty=4.12 Tz=-9.35 Mx=-0.02 Mz=-1.95
Sollecitazioni agenti localmente: Ty_l=-1658.85 Mx_l=-33.18
Tensioni nella sezione: σ=402.14 τ=50.27
CC 17 SLV (Collegamento 0024_-381)
Azioni sul collegamento: N=-9123.66 Ty=0.76 Tz=10.33 Mx=-0.02 Mz=1.23
Sollecitazioni agenti localmente: Ty_l=-1658.85 Mx_l=-33.18
Tensioni nella sezione: σ=402.14 τ=50.27
CC 17 SLV (Collegamento 0024_-381)
Azioni sul collegamento: N=-9123.66 Ty=4.12 Tz=10.33 Mx=-0.02 Mz=-1.95
Sollecitazioni agenti localmente: Ty_l=-1658.85 Mx_l=-33.18
Tensioni nella sezione: σ=402.14 τ=50.27
CC 18 SLD (Collegamento 0024_-381)
Azioni sul collegamento: N=-5707.53 Ty=3.80 Tz=-2.38 Mx=-0.01 Mz=2.21
Sollecitazioni agenti localmente: Ty_l=-1037.73 Mx_l=-20.75
Tensioni nella sezione: σ=251.57 τ=31.45
CC 18 SLD (Collegamento 0024_-381)
Azioni sul collegamento: N=-5707.53 Ty=2.77 Tz=-2.38 Mx=-0.01 Mz=1.24
Sollecitazioni agenti localmente: Ty_l=-1037.73 Mx_l=-20.75
Tensioni nella sezione: σ=251.57 τ=31.45
CC 18 SLD (Collegamento 0024_-381)
Azioni sul collegamento: N=-5707.53 Ty=3.80 Tz=3.62 Mx=-0.01 Mz=2.21
Sollecitazioni agenti localmente: Ty_l=-1037.73 Mx_l=-20.75
Tensioni nella sezione: σ=251.57 τ=31.45
CC 18 SLD (Collegamento 0024_-381)
Azioni sul collegamento: N=-5707.53 Ty=2.77 Tz=3.62 Mx=-0.01 Mz=1.24
Sollecitazioni agenti localmente: Ty_l=-1037.73 Mx_l=-20.75
Tensioni nella sezione: σ=251.57 τ=31.45
CC 18 SLD (Collegamento 0024_-381)
Azioni sul collegamento: N=-7319.25 Ty=3.80 Tz=-2.38 Mx=-0.01 Mz=2.21
Sollecitazioni agenti localmente: Ty_l=-1330.77 Mx_l=-26.62
Tensioni nella sezione: σ=322.61 τ=40.33
CC 18 SLD (Collegamento 0024_-381)
Azioni sul collegamento: N=-7319.25 Ty=2.77 Tz=-2.38 Mx=-0.01 Mz=1.24
Sollecitazioni agenti localmente: Ty_l=-1330.77 Mx_l=-26.62
Tensioni nella sezione: σ=322.61 τ=40.33
CC 18 SLD (Collegamento 0024_-381)
Azioni sul collegamento: N=-7319.25 Ty=3.80 Tz=3.62 Mx=-0.01 Mz=2.21
Sollecitazioni agenti localmente: Ty_l=-1330.77 Mx_l=-26.62
Tensioni nella sezione: σ=322.61 τ=40.33
CC 18 SLD (Collegamento 0024_-381)
Azioni sul collegamento: N=-7319.25 Ty=2.77 Tz=3.62 Mx=-0.01 Mz=1.24
Sollecitazioni agenti localmente: Ty_l=-1330.77 Mx_l=-26.62
Tensioni nella sezione: σ=322.61 τ=40.33
CC 19 SLV (Collegamento 0024_-381)
Azioni sul collegamento: N=-3843.85 Ty=1.39 Tz=-9.22 Mx=-0.02 Mz=-0.03
Sollecitazioni agenti localmente: Ty_l=-698.88 Mx_l=-13.98
Tensioni nella sezione: σ=169.43 τ=21.18
CC 19 SLV (Collegamento 0024_-381)
Azioni sul collegamento: N=-3843.85 Ty=3.49 Tz=-9.22 Mx=-0.02 Mz=-0.69
Sollecitazioni agenti localmente: Ty_l=-698.88 Mx_l=-13.98
Tensioni nella sezione: σ=169.43 τ=21.18
CC 19 SLV (Collegamento 0024_-381)
Azioni sul collegamento: N=-3843.85 Ty=1.39 Tz=10.20 Mx=-0.02 Mz=-0.03
Sollecitazioni agenti localmente: Ty_l=-698.88 Mx_l=-13.98
Tensioni nella sezione: σ=169.43 τ=21.18
CC 19 SLV (Collegamento 0024_-381)
Azioni sul collegamento: N=-3843.85 Ty=3.49 Tz=10.20 Mx=-0.02 Mz=-0.69
Sollecitazioni agenti localmente: Ty_l=-698.88 Mx_l=-13.98
Tensioni nella sezione: σ=169.43 τ=21.18
CC 19 SLV (Collegamento 0024_-381)
Azioni sul collegamento: N=-9117.97 Ty=1.39 Tz=-9.22 Mx=-0.02 Mz=-0.03
Sollecitazioni agenti localmente: Ty_l=-1657.81 Mx_l=-33.16
Tensioni nella sezione: σ=401.89 τ=50.24
CC 19 SLV (Collegamento 0024_-381)
Azioni sul collegamento: N=-9117.97 Ty=3.49 Tz=-9.22 Mx=-0.02 Mz=-0.69

Sollecitazioni agenti localmente: Ty_l=-1657.81 Mx_l=-33.16
Tensioni nella sezione: σ=401.89 τ=50.24
CC 19 SLV (Collegamento 0024_-381)
Azioni sul collegamento: N=-9117.97 Ty=1.39 Tz=10.20 Mx=-0.02 Mz=-0.03
Sollecitazioni agenti localmente: Ty_l=-1657.81 Mx_l=-33.16
Tensioni nella sezione: σ=401.89 τ=50.24
CC 19 SLV (Collegamento 0024_-381)
Azioni sul collegamento: N=-9117.97 Ty=3.49 Tz=10.20 Mx=-0.02 Mz=-0.69
Sollecitazioni agenti localmente: Ty_l=-1657.81 Mx_l=-33.16
Tensioni nella sezione: σ=401.89 τ=50.24
CC 20 SLD (Collegamento 0024_-381)
Azioni sul collegamento: N=-5709.27 Ty=3.60 Tz=-2.35 Mx=-0.01 Mz=1.82
Sollecitazioni agenti localmente: Ty_l=-1038.05 Mx_l=-20.76
Tensioni nella sezione: σ=251.65 τ=31.46
CC 20 SLD (Collegamento 0024_-381)
Azioni sul collegamento: N=-5709.27 Ty=2.97 Tz=-2.35 Mx=-0.01 Mz=1.62
Sollecitazioni agenti localmente: Ty_l=-1038.05 Mx_l=-20.76
Tensioni nella sezione: σ=251.65 τ=31.46
CC 20 SLD (Collegamento 0024_-381)
Azioni sul collegamento: N=-5709.27 Ty=3.60 Tz=3.58 Mx=-0.01 Mz=1.82
Sollecitazioni agenti localmente: Ty_l=-1038.05 Mx_l=-20.76
Tensioni nella sezione: σ=251.65 τ=31.46
CC 20 SLD (Collegamento 0024_-381)
Azioni sul collegamento: N=-5709.27 Ty=2.97 Tz=3.58 Mx=-0.01 Mz=1.62
Sollecitazioni agenti localmente: Ty_l=-1038.05 Mx_l=-20.76
Tensioni nella sezione: σ=251.65 τ=31.46
CC 20 SLD (Collegamento 0024_-381)
Azioni sul collegamento: N=-7317.51 Ty=3.60 Tz=-2.35 Mx=-0.01 Mz=1.82
Sollecitazioni agenti localmente: Ty_l=-1330.46 Mx_l=-26.61
Tensioni nella sezione: σ=322.53 τ=40.32
CC 20 SLD (Collegamento 0024_-381)
Azioni sul collegamento: N=-7317.51 Ty=2.97 Tz=-2.35 Mx=-0.01 Mz=1.62
Sollecitazioni agenti localmente: Ty_l=-1330.46 Mx_l=-26.61
Tensioni nella sezione: σ=322.53 τ=40.32
CC 20 SLD (Collegamento 0024_-381)
Azioni sul collegamento: N=-7317.51 Ty=3.60 Tz=3.58 Mx=-0.01 Mz=1.82
Sollecitazioni agenti localmente: Ty_l=-1330.46 Mx_l=-26.61
Tensioni nella sezione: σ=322.53 τ=40.32
CC 20 SLD (Collegamento 0024_-381)
Azioni sul collegamento: N=-7317.51 Ty=2.97 Tz=3.58 Mx=-0.01 Mz=1.62
Sollecitazioni agenti localmente: Ty_l=-1330.46 Mx_l=-26.61
Tensioni nella sezione: σ=322.53 τ=40.32
CC 21 SLV (Collegamento 0024_-381)
Azioni sul collegamento: N=-9117.97 Ty=3.49 Tz=10.20 Mx=-0.02 Mz=-0.69
Sollecitazioni agenti localmente: Ty_l=-1657.81 Mx_l=-33.16
Tensioni nella sezione: σ=401.89 τ=50.24
CC 21 SLV (Collegamento 0024_-381)
Azioni sul collegamento: N=-9117.97 Ty=1.39 Tz=10.20 Mx=-0.02 Mz=-0.03
Sollecitazioni agenti localmente: Ty_l=-1657.81 Mx_l=-33.16
Tensioni nella sezione: σ=401.89 τ=50.24
CC 21 SLV (Collegamento 0024_-381)
Azioni sul collegamento: N=-9117.97 Ty=3.49 Tz=-9.22 Mx=-0.02 Mz=-0.69
Sollecitazioni agenti localmente: Ty_l=-1657.81 Mx_l=-33.16
Tensioni nella sezione: σ=401.89 τ=50.24
CC 21 SLV (Collegamento 0024_-381)
Azioni sul collegamento: N=-9117.97 Ty=1.39 Tz=-9.22 Mx=-0.02 Mz=-0.03
Sollecitazioni agenti localmente: Ty_l=-1657.81 Mx_l=-33.16
Tensioni nella sezione: σ=401.89 τ=50.24
CC 21 SLV (Collegamento 0024_-381)
Azioni sul collegamento: N=-3843.85 Ty=3.49 Tz=10.20 Mx=-0.02 Mz=-0.69
Sollecitazioni agenti localmente: Ty_l=-698.88 Mx_l=-13.98
Tensioni nella sezione: σ=169.43 τ=21.18
CC 21 SLV (Collegamento 0024_-381)
Azioni sul collegamento: N=-3843.85 Ty=1.39 Tz=10.20 Mx=-0.02 Mz=-0.03
Sollecitazioni agenti localmente: Ty_l=-698.88 Mx_l=-13.98
Tensioni nella sezione: σ=169.43 τ=21.18
CC 21 SLV (Collegamento 0024_-381)
Azioni sul collegamento: N=-3843.85 Ty=3.49 Tz=-9.22 Mx=-0.02 Mz=-0.69
Sollecitazioni agenti localmente: Ty_l=-698.88 Mx_l=-13.98
Tensioni nella sezione: σ=169.43 τ=21.18
CC 21 SLV (Collegamento 0024_-381)
Azioni sul collegamento: N=-3843.85 Ty=1.39 Tz=-9.22 Mx=-0.02 Mz=-0.03
Sollecitazioni agenti localmente: Ty_l=-698.88 Mx_l=-13.98
Tensioni nella sezione: σ=169.43 τ=21.18
CC 22 SLD (Collegamento 0024_-381)
Azioni sul collegamento: N=-7317.51 Ty=2.97 Tz=3.58 Mx=-0.01 Mz=1.62
Sollecitazioni agenti localmente: Ty_l=-1330.46 Mx_l=-26.61
Tensioni nella sezione: σ=322.53 τ=40.32
CC 22 SLD (Collegamento 0024_-381)

Azioni sul collegamento: N=-7317.51 Ty=3.60 Tz=3.58 Mx=-0.01 Mz=1.82
Sollecitazioni agenti localmente: Ty_l=-1330.46 Mx_l=-26.61
Tensioni nella sezione: σ=322.53 τ=40.32
CC 22 SLD (Collegamento 0024_-381)
Azioni sul collegamento: N=-7317.51 Ty=2.97 Tz=-2.35 Mx=-0.01 Mz=1.62
Sollecitazioni agenti localmente: Ty_l=-1330.46 Mx_l=-26.61
Tensioni nella sezione: σ=322.53 τ=40.32
CC 22 SLD (Collegamento 0024_-381)
Azioni sul collegamento: N=-7317.51 Ty=3.60 Tz=-2.35 Mx=-0.01 Mz=1.82
Sollecitazioni agenti localmente: Ty_l=-1330.46 Mx_l=-26.61
Tensioni nella sezione: σ=322.53 τ=40.32
CC 22 SLD (Collegamento 0024_-381)
Azioni sul collegamento: N=-5709.27 Ty=2.97 Tz=3.58 Mx=-0.01 Mz=1.62
Sollecitazioni agenti localmente: Ty_l=-1038.05 Mx_l=-20.76
Tensioni nella sezione: σ=251.65 τ=31.46
CC 22 SLD (Collegamento 0024_-381)
Azioni sul collegamento: N=-5709.27 Ty=3.60 Tz=3.58 Mx=-0.01 Mz=1.82
Sollecitazioni agenti localmente: Ty_l=-1038.05 Mx_l=-20.76
Tensioni nella sezione: σ=251.65 τ=31.46
CC 22 SLD (Collegamento 0024_-381)
Azioni sul collegamento: N=-5709.27 Ty=2.97 Tz=-2.35 Mx=-0.01 Mz=1.62
Sollecitazioni agenti localmente: Ty_l=-1038.05 Mx_l=-20.76
Tensioni nella sezione: σ=251.65 τ=31.46
CC 22 SLD (Collegamento 0024_-381)
Azioni sul collegamento: N=-5709.27 Ty=3.60 Tz=-2.35 Mx=-0.01 Mz=1.82
Sollecitazioni agenti localmente: Ty_l=-1038.05 Mx_l=-20.76
Tensioni nella sezione: σ=251.65 τ=31.46
CC 23 SLV (Collegamento 0024_-381)
Azioni sul collegamento: N=-9123.66 Ty=4.12 Tz=10.33 Mx=-0.01 Mz=-1.95
Sollecitazioni agenti localmente: Ty_l=-1658.85 Mx_l=-33.18
Tensioni nella sezione: σ=402.14 τ=50.27
CC 23 SLV (Collegamento 0024_-381)
Azioni sul collegamento: N=-9123.66 Ty=0.76 Tz=10.33 Mx=-0.01 Mz=1.23
Sollecitazioni agenti localmente: Ty_l=-1658.85 Mx_l=-33.18
Tensioni nella sezione: σ=402.14 τ=50.27
CC 23 SLV (Collegamento 0024_-381)
Azioni sul collegamento: N=-9123.66 Ty=4.12 Tz=-9.35 Mx=-0.01 Mz=-1.95
Sollecitazioni agenti localmente: Ty_l=-1658.85 Mx_l=-33.18
Tensioni nella sezione: σ=402.14 τ=50.27
CC 23 SLV (Collegamento 0024_-381)
Azioni sul collegamento: N=-9123.66 Ty=0.76 Tz=-9.35 Mx=-0.01 Mz=1.23
Sollecitazioni agenti localmente: Ty_l=-1658.85 Mx_l=-33.18
Tensioni nella sezione: σ=402.14 τ=50.27
CC 23 SLV (Collegamento 0024_-381)
Azioni sul collegamento: N=-3838.16 Ty=4.12 Tz=10.33 Mx=-0.01 Mz=-1.95
Sollecitazioni agenti localmente: Ty_l=-697.85 Mx_l=-13.96
Tensioni nella sezione: σ=169.18 τ=21.15
CC 23 SLV (Collegamento 0024_-381)
Azioni sul collegamento: N=-3838.16 Ty=0.76 Tz=10.33 Mx=-0.01 Mz=1.23
Sollecitazioni agenti localmente: Ty_l=-697.85 Mx_l=-13.96
Tensioni nella sezione: σ=169.18 τ=21.15
CC 23 SLV (Collegamento 0024_-381)
Azioni sul collegamento: N=-3838.16 Ty=4.12 Tz=-9.35 Mx=-0.01 Mz=-1.95
Sollecitazioni agenti localmente: Ty_l=-697.85 Mx_l=-13.96
Tensioni nella sezione: σ=169.18 τ=21.15
CC 23 SLV (Collegamento 0024_-381)
Azioni sul collegamento: N=-3838.16 Ty=0.76 Tz=-9.35 Mx=-0.01 Mz=1.23
Sollecitazioni agenti localmente: Ty_l=-697.85 Mx_l=-13.96
Tensioni nella sezione: σ=169.18 τ=21.15
CC 24 SLD (Collegamento 0024_-381)
Azioni sul collegamento: N=-7319.25 Ty=2.77 Tz=3.62 Mx=-0.01 Mz=1.24
Sollecitazioni agenti localmente: Ty_l=-1330.77 Mx_l=-26.62
Tensioni nella sezione: σ=322.61 τ=40.33
CC 24 SLD (Collegamento 0024_-381)
Azioni sul collegamento: N=-7319.25 Ty=3.80 Tz=3.62 Mx=-0.01 Mz=2.21
Sollecitazioni agenti localmente: Ty_l=-1330.77 Mx_l=-26.62
Tensioni nella sezione: σ=322.61 τ=40.33
CC 24 SLD (Collegamento 0024_-381)
Azioni sul collegamento: N=-7319.25 Ty=2.77 Tz=-2.38 Mx=-0.01 Mz=1.24
Sollecitazioni agenti localmente: Ty_l=-1330.77 Mx_l=-26.62
Tensioni nella sezione: σ=322.61 τ=40.33
CC 24 SLD (Collegamento 0024_-381)
Azioni sul collegamento: N=-7319.25 Ty=3.80 Tz=-2.38 Mx=-0.01 Mz=2.21
Sollecitazioni agenti localmente: Ty_l=-1330.77 Mx_l=-26.62
Tensioni nella sezione: σ=322.61 τ=40.33
CC 24 SLD (Collegamento 0024_-381)
Azioni sul collegamento: N=-5707.53 Ty=2.77 Tz=3.62 Mx=-0.01 Mz=1.24
Sollecitazioni agenti localmente: Ty_l=-1037.73 Mx_l=-20.75
Tensioni nella sezione: σ=251.57 τ=31.45

CC 24 SLD (Collegamento 0024_-381)
Azioni sul collegamento: N=-5707.53 Ty=3.80 Tz=3.62 Mx=-0.01 Mz=2.21
Sollecitazioni agenti localmente: Ty_l=-1037.73 Mx_l=-20.75
Tensioni nella sezione: σ=251.57 τ=31.45
CC 24 SLD (Collegamento 0024_-381)
Azioni sul collegamento: N=-5707.53 Ty=2.77 Tz=-2.38 Mx=-0.01 Mz=1.24
Sollecitazioni agenti localmente: Ty_l=-1037.73 Mx_l=-20.75
Tensioni nella sezione: σ=251.57 τ=31.45
CC 24 SLD (Collegamento 0024_-381)
Azioni sul collegamento: N=-5707.53 Ty=3.80 Tz=-2.38 Mx=-0.01 Mz=2.21
Sollecitazioni agenti localmente: Ty_l=-1037.73 Mx_l=-20.75
Tensioni nella sezione: σ=251.57 τ=31.45
CC 25 SLV (Collegamento 0024_-381)
Azioni sul collegamento: N=-5679.46 Ty=0.97 Tz=-2.66 Mx=-0.03 Mz=2.02
Sollecitazioni agenti localmente: Ty_l=-1032.63 Mx_l=-20.65
Tensioni nella sezione: σ=250.33 τ=31.29
CC 25 SLV (Collegamento 0024_-381)
Azioni sul collegamento: N=-5679.46 Ty=3.91 Tz=-2.66 Mx=-0.03 Mz=-2.74
Sollecitazioni agenti localmente: Ty_l=-1032.63 Mx_l=-20.65
Tensioni nella sezione: σ=250.33 τ=31.29
CC 25 SLV (Collegamento 0024_-381)
Azioni sul collegamento: N=-5679.46 Ty=0.97 Tz=3.63 Mx=-0.03 Mz=2.02
Sollecitazioni agenti localmente: Ty_l=-1032.63 Mx_l=-20.65
Tensioni nella sezione: σ=250.33 τ=31.29
CC 25 SLV (Collegamento 0024_-381)
Azioni sul collegamento: N=-5679.46 Ty=3.91 Tz=3.63 Mx=-0.03 Mz=-2.74
Sollecitazioni agenti localmente: Ty_l=-1032.63 Mx_l=-20.65
Tensioni nella sezione: σ=250.33 τ=31.29
CC 25 SLV (Collegamento 0024_-381)
Azioni sul collegamento: N=-7282.36 Ty=0.97 Tz=-2.66 Mx=-0.03 Mz=2.02
Sollecitazioni agenti localmente: Ty_l=-1324.06 Mx_l=-26.48
Tensioni nella sezione: σ=320.99 τ=40.12
CC 25 SLV (Collegamento 0024_-381)
Azioni sul collegamento: N=-7282.36 Ty=3.91 Tz=-2.66 Mx=-0.03 Mz=-2.74
Sollecitazioni agenti localmente: Ty_l=-1324.06 Mx_l=-26.48
Tensioni nella sezione: σ=320.99 τ=40.12
CC 25 SLV (Collegamento 0024_-381)
Azioni sul collegamento: N=-7282.36 Ty=0.97 Tz=3.63 Mx=-0.03 Mz=2.02
Sollecitazioni agenti localmente: Ty_l=-1324.06 Mx_l=-26.48
Tensioni nella sezione: σ=320.99 τ=40.12
CC 25 SLV (Collegamento 0024_-381)
Azioni sul collegamento: N=-7282.36 Ty=3.91 Tz=3.63 Mx=-0.03 Mz=-2.74
Sollecitazioni agenti localmente: Ty_l=-1324.06 Mx_l=-26.48
Tensioni nella sezione: σ=320.99 τ=40.12
CC 26 SLD (Collegamento 0024_-381)
Azioni sul collegamento: N=-6269.00 Ty=3.73 Tz=-0.34 Mx=-0.01 Mz=2.45
Sollecitazioni agenti localmente: Ty_l=-1139.82 Mx_l=-22.80
Tensioni nella sezione: σ=276.32 τ=34.54
CC 26 SLD (Collegamento 0024_-381)
Azioni sul collegamento: N=-6269.00 Ty=2.84 Tz=-0.34 Mx=-0.01 Mz=0.99
Sollecitazioni agenti localmente: Ty_l=-1139.82 Mx_l=-22.80
Tensioni nella sezione: σ=276.32 τ=34.54
CC 26 SLD (Collegamento 0024_-381)
Azioni sul collegamento: N=-6269.00 Ty=3.73 Tz=1.57 Mx=-0.01 Mz=2.45
Sollecitazioni agenti localmente: Ty_l=-1139.82 Mx_l=-22.80
Tensioni nella sezione: σ=276.32 τ=34.54
CC 26 SLD (Collegamento 0024_-381)
Azioni sul collegamento: N=-6269.00 Ty=2.84 Tz=1.57 Mx=-0.01 Mz=0.99
Sollecitazioni agenti localmente: Ty_l=-1139.82 Mx_l=-22.80
Tensioni nella sezione: σ=276.32 τ=34.54
CC 26 SLD (Collegamento 0024_-381)
Azioni sul collegamento: N=-6757.78 Ty=3.73 Tz=-0.34 Mx=-0.01 Mz=2.45
Sollecitazioni agenti localmente: Ty_l=-1228.69 Mx_l=-24.57
Tensioni nella sezione: σ=297.86 τ=37.23
CC 26 SLD (Collegamento 0024_-381)
Azioni sul collegamento: N=-6757.78 Ty=2.84 Tz=-0.34 Mx=-0.01 Mz=0.99
Sollecitazioni agenti localmente: Ty_l=-1228.69 Mx_l=-24.57
Tensioni nella sezione: σ=297.86 τ=37.23
CC 26 SLD (Collegamento 0024_-381)
Azioni sul collegamento: N=-6757.78 Ty=3.73 Tz=1.57 Mx=-0.01 Mz=2.45
Sollecitazioni agenti localmente: Ty_l=-1228.69 Mx_l=-24.57
Tensioni nella sezione: σ=297.86 τ=37.23
CC 26 SLD (Collegamento 0024_-381)
Azioni sul collegamento: N=-6757.78 Ty=2.84 Tz=1.57 Mx=-0.01 Mz=0.99
Sollecitazioni agenti localmente: Ty_l=-1228.69 Mx_l=-24.57
Tensioni nella sezione: σ=297.86 τ=37.23
CC 27 SLV (Collegamento 0024_-381)
Azioni sul collegamento: N=-7263.40 Ty=1.79 Tz=3.21 Mx=-0.02 Mz=1.45
Sollecitazioni agenti localmente: Ty_l=-1320.62 Mx_l=-26.41

Tensioni nella sezione: σ=320.15 τ=40.02
CC 27 SLV (Collegamento 0024_-381)
Azioni sul collegamento: N=-7263.40 Ty=3.09 Tz=3.21 Mx=-0.02 Mz=-2.17
Sollecitazioni agenti localmente: Ty_l=-1320.62 Mx_l=-26.41
Tensioni nella sezione: σ=320.15 τ=40.02
CC 27 SLV (Collegamento 0024_-381)
Azioni sul collegamento: N=-7263.40 Ty=1.79 Tz=-2.23 Mx=-0.02 Mz=1.45
Sollecitazioni agenti localmente: Ty_l=-1320.62 Mx_l=-26.41
Tensioni nella sezione: σ=320.15 τ=40.02
CC 27 SLV (Collegamento 0024_-381)
Azioni sul collegamento: N=-7263.40 Ty=3.09 Tz=-2.23 Mx=-0.02 Mz=-2.17
Sollecitazioni agenti localmente: Ty_l=-1320.62 Mx_l=-26.41
Tensioni nella sezione: σ=320.15 τ=40.02
CC 27 SLV (Collegamento 0024_-381)
Azioni sul collegamento: N=-5698.42 Ty=1.79 Tz=3.21 Mx=-0.02 Mz=1.45
Sollecitazioni agenti localmente: Ty_l=-1036.07 Mx_l=-20.72
Tensioni nella sezione: σ=251.17 τ=31.40
CC 27 SLV (Collegamento 0024_-381)
Azioni sul collegamento: N=-5698.42 Ty=3.09 Tz=3.21 Mx=-0.02 Mz=-2.17
Sollecitazioni agenti localmente: Ty_l=-1036.07 Mx_l=-20.72
Tensioni nella sezione: σ=251.17 τ=31.40
CC 27 SLV (Collegamento 0024_-381)
Azioni sul collegamento: N=-5698.42 Ty=1.79 Tz=-2.23 Mx=-0.02 Mz=1.45
Sollecitazioni agenti localmente: Ty_l=-1036.07 Mx_l=-20.72
Tensioni nella sezione: σ=251.17 τ=31.40
CC 27 SLV (Collegamento 0024_-381)
Azioni sul collegamento: N=-5698.42 Ty=3.09 Tz=-2.23 Mx=-0.02 Mz=-2.17
Sollecitazioni agenti localmente: Ty_l=-1036.07 Mx_l=-20.72
Tensioni nella sezione: σ=251.17 τ=31.40
CC 28 SLD (Collegamento 0024_-381)
Azioni sul collegamento: N=-6752.00 Ty=3.48 Tz=1.44 Mx=-0.01 Mz=2.27
Sollecitazioni agenti localmente: Ty_l=-1227.64 Mx_l=-24.55
Tensioni nella sezione: σ=297.61 τ=37.20
CC 28 SLD (Collegamento 0024_-381)
Azioni sul collegamento: N=-6752.00 Ty=3.09 Tz=1.44 Mx=-0.01 Mz=1.17
Sollecitazioni agenti localmente: Ty_l=-1227.64 Mx_l=-24.55
Tensioni nella sezione: σ=297.61 τ=37.20
CC 28 SLD (Collegamento 0024_-381)
Azioni sul collegamento: N=-6752.00 Ty=3.48 Tz=-0.21 Mx=-0.01 Mz=2.27
Sollecitazioni agenti localmente: Ty_l=-1227.64 Mx_l=-24.55
Tensioni nella sezione: σ=297.61 τ=37.20
CC 28 SLD (Collegamento 0024_-381)
Azioni sul collegamento: N=-6752.00 Ty=3.09 Tz=-0.21 Mx=-0.01 Mz=1.17
Sollecitazioni agenti localmente: Ty_l=-1227.64 Mx_l=-24.55
Tensioni nella sezione: σ=297.61 τ=37.20
CC 28 SLD (Collegamento 0024_-381)
Azioni sul collegamento: N=-6274.78 Ty=3.48 Tz=1.44 Mx=-0.01 Mz=2.27
Sollecitazioni agenti localmente: Ty_l=-1140.87 Mx_l=-22.82
Tensioni nella sezione: σ=276.57 τ=34.57
CC 28 SLD (Collegamento 0024_-381)
Azioni sul collegamento: N=-6274.78 Ty=3.09 Tz=1.44 Mx=-0.01 Mz=1.17
Sollecitazioni agenti localmente: Ty_l=-1140.87 Mx_l=-22.82
Tensioni nella sezione: σ=276.57 τ=34.57
CC 28 SLD (Collegamento 0024_-381)
Azioni sul collegamento: N=-6274.78 Ty=3.48 Tz=-0.21 Mx=-0.01 Mz=2.27
Sollecitazioni agenti localmente: Ty_l=-1140.87 Mx_l=-22.82
Tensioni nella sezione: σ=276.57 τ=34.57
CC 28 SLD (Collegamento 0024_-381)
Azioni sul collegamento: N=-6274.78 Ty=3.09 Tz=-0.21 Mx=-0.01 Mz=1.17
Sollecitazioni agenti localmente: Ty_l=-1140.87 Mx_l=-22.82
Tensioni nella sezione: σ=276.57 τ=34.57
CC 29 SLV (Collegamento 0024_-381)
Azioni sul collegamento: N=-5698.42 Ty=3.09 Tz=-2.23 Mx=-0.01 Mz=-2.17
Sollecitazioni agenti localmente: Ty_l=-1036.07 Mx_l=-20.72
Tensioni nella sezione: σ=251.17 τ=31.40
CC 29 SLV (Collegamento 0024_-381)
Azioni sul collegamento: N=-5698.42 Ty=1.79 Tz=-2.23 Mx=-0.01 Mz=1.45
Sollecitazioni agenti localmente: Ty_l=-1036.07 Mx_l=-20.72
Tensioni nella sezione: σ=251.17 τ=31.40
CC 29 SLV (Collegamento 0024_-381)
Azioni sul collegamento: N=-5698.42 Ty=3.09 Tz=3.21 Mx=-0.01 Mz=-2.17
Sollecitazioni agenti localmente: Ty_l=-1036.07 Mx_l=-20.72
Tensioni nella sezione: σ=251.17 τ=31.40
CC 29 SLV (Collegamento 0024_-381)
Azioni sul collegamento: N=-5698.42 Ty=1.79 Tz=3.21 Mx=-0.01 Mz=1.45
Sollecitazioni agenti localmente: Ty_l=-1036.07 Mx_l=-20.72
Tensioni nella sezione: σ=251.17 τ=31.40
CC 29 SLV (Collegamento 0024_-381)
Azioni sul collegamento: N=-7263.40 Ty=3.09 Tz=-2.23 Mx=-0.01 Mz=-2.17

Sollecitazioni agenti localmente: Ty_l=-1320.62 Mx_l=-26.41
Tensioni nella sezione: σ=320.15 τ=40.02
CC 29 SLV (Collegamento 0024_-381)
Azioni sul collegamento: N=-7263.40 Ty=1.79 Tz=-2.23 Mx=-0.01 Mz=1.45
Sollecitazioni agenti localmente: Ty_l=-1320.62 Mx_l=-26.41
Tensioni nella sezione: σ=320.15 τ=40.02
CC 29 SLV (Collegamento 0024_-381)
Azioni sul collegamento: N=-7263.40 Ty=3.09 Tz=3.21 Mx=-0.01 Mz=-2.17
Sollecitazioni agenti localmente: Ty_l=-1320.62 Mx_l=-26.41
Tensioni nella sezione: σ=320.15 τ=40.02
CC 29 SLV (Collegamento 0024_-381)
Azioni sul collegamento: N=-7263.40 Ty=1.79 Tz=3.21 Mx=-0.01 Mz=1.45
Sollecitazioni agenti localmente: Ty_l=-1320.62 Mx_l=-26.41
Tensioni nella sezione: σ=320.15 τ=40.02
CC 30 SLD (Collegamento 0024_-381)
Azioni sul collegamento: N=-6274.78 Ty=3.09 Tz=-0.21 Mx=-0.01 Mz=1.17
Sollecitazioni agenti localmente: Ty_l=-1140.87 Mx_l=-22.82
Tensioni nella sezione: σ=276.57 τ=34.57
CC 30 SLD (Collegamento 0024_-381)
Azioni sul collegamento: N=-6274.78 Ty=3.48 Tz=-0.21 Mx=-0.01 Mz=2.27
Sollecitazioni agenti localmente: Ty_l=-1140.87 Mx_l=-22.82
Tensioni nella sezione: σ=276.57 τ=34.57
CC 30 SLD (Collegamento 0024_-381)
Azioni sul collegamento: N=-6274.78 Ty=3.09 Tz=1.44 Mx=-0.01 Mz=1.17
Sollecitazioni agenti localmente: Ty_l=-1140.87 Mx_l=-22.82
Tensioni nella sezione: σ=276.57 τ=34.57
CC 30 SLD (Collegamento 0024_-381)
Azioni sul collegamento: N=-6274.78 Ty=3.48 Tz=1.44 Mx=-0.01 Mz=2.27
Sollecitazioni agenti localmente: Ty_l=-1140.87 Mx_l=-22.82
Tensioni nella sezione: σ=276.57 τ=34.57
CC 30 SLD (Collegamento 0024_-381)
Azioni sul collegamento: N=-6752.00 Ty=3.09 Tz=-0.21 Mx=-0.01 Mz=1.17
Sollecitazioni agenti localmente: Ty_l=-1227.64 Mx_l=-24.55
Tensioni nella sezione: σ=297.61 τ=37.20
CC 30 SLD (Collegamento 0024_-381)
Azioni sul collegamento: N=-6752.00 Ty=3.48 Tz=-0.21 Mx=-0.01 Mz=2.27
Sollecitazioni agenti localmente: Ty_l=-1227.64 Mx_l=-24.55
Tensioni nella sezione: σ=297.61 τ=37.20
CC 30 SLD (Collegamento 0024_-381)
Azioni sul collegamento: N=-6752.00 Ty=3.09 Tz=1.44 Mx=-0.01 Mz=1.17
Sollecitazioni agenti localmente: Ty_l=-1227.64 Mx_l=-24.55
Tensioni nella sezione: σ=297.61 τ=37.20
CC 30 SLD (Collegamento 0024_-381)
Azioni sul collegamento: N=-6752.00 Ty=3.48 Tz=1.44 Mx=-0.01 Mz=2.27
Sollecitazioni agenti localmente: Ty_l=-1227.64 Mx_l=-24.55
Tensioni nella sezione: σ=297.61 τ=37.20
CC 31 SLV (Collegamento 0024_-381)
Azioni sul collegamento: N=-7282.36 Ty=3.91 Tz=3.63 Mx=-0.01 Mz=-2.74
Sollecitazioni agenti localmente: Ty_l=-1324.06 Mx_l=-26.48
Tensioni nella sezione: σ=320.99 τ=40.12
CC 31 SLV (Collegamento 0024_-381)
Azioni sul collegamento: N=-7282.36 Ty=0.97 Tz=3.63 Mx=-0.01 Mz=2.02
Sollecitazioni agenti localmente: Ty_l=-1324.06 Mx_l=-26.48
Tensioni nella sezione: σ=320.99 τ=40.12
CC 31 SLV (Collegamento 0024_-381)
Azioni sul collegamento: N=-7282.36 Ty=3.91 Tz=-2.66 Mx=-0.01 Mz=-2.74
Sollecitazioni agenti localmente: Ty_l=-1324.06 Mx_l=-26.48
Tensioni nella sezione: σ=320.99 τ=40.12
CC 31 SLV (Collegamento 0024_-381)
Azioni sul collegamento: N=-7282.36 Ty=0.97 Tz=-2.66 Mx=-0.01 Mz=2.02
Sollecitazioni agenti localmente: Ty_l=-1324.06 Mx_l=-26.48
Tensioni nella sezione: σ=320.99 τ=40.12
CC 31 SLV (Collegamento 0024_-381)
Azioni sul collegamento: N=-5679.46 Ty=3.91 Tz=3.63 Mx=-0.01 Mz=-2.74
Sollecitazioni agenti localmente: Ty_l=-1032.63 Mx_l=-20.65
Tensioni nella sezione: σ=250.33 τ=31.29
CC 31 SLV (Collegamento 0024_-381)
Azioni sul collegamento: N=-5679.46 Ty=0.97 Tz=3.63 Mx=-0.01 Mz=2.02
Sollecitazioni agenti localmente: Ty_l=-1032.63 Mx_l=-20.65
Tensioni nella sezione: σ=250.33 τ=31.29
CC 31 SLV (Collegamento 0024_-381)
Azioni sul collegamento: N=-5679.46 Ty=3.91 Tz=-2.66 Mx=-0.01 Mz=-2.74
Sollecitazioni agenti localmente: Ty_l=-1032.63 Mx_l=-20.65
Tensioni nella sezione: σ=250.33 τ=31.29
CC 31 SLV (Collegamento 0024_-381)
Azioni sul collegamento: N=-5679.46 Ty=0.97 Tz=-2.66 Mx=-0.01 Mz=2.02
Sollecitazioni agenti localmente: Ty_l=-1032.63 Mx_l=-20.65
Tensioni nella sezione: σ=250.33 τ=31.29
CC 32 SLD (Collegamento 0024_-381)

Azioni sul collegamento: N=-6757.78 Ty=2.84 Tz=1.57 Mx=-0.00 Mz=0.99
Sollecitazioni agenti localmente: Ty_l=-1228.69 Mx_l=-24.57
Tensioni nella sezione: σ=297.86 τ=37.23
CC 32 SLD (Collegamento 0024_-381)
Azioni sul collegamento: N=-6757.78 Ty=3.73 Tz=1.57 Mx=-0.00 Mz=2.45
Sollecitazioni agenti localmente: Ty_l=-1228.69 Mx_l=-24.57
Tensioni nella sezione: σ=297.86 τ=37.23
CC 32 SLD (Collegamento 0024_-381)
Azioni sul collegamento: N=-6757.78 Ty=2.84 Tz=-0.34 Mx=-0.00 Mz=0.99
Sollecitazioni agenti localmente: Ty_l=-1228.69 Mx_l=-24.57
Tensioni nella sezione: σ=297.86 τ=37.23
CC 32 SLD (Collegamento 0024_-381)
Azioni sul collegamento: N=-6757.78 Ty=3.73 Tz=-0.34 Mx=-0.00 Mz=2.45
Sollecitazioni agenti localmente: Ty_l=-1228.69 Mx_l=-24.57
Tensioni nella sezione: σ=297.86 τ=37.23
CC 32 SLD (Collegamento 0024_-381)
Azioni sul collegamento: N=-6269.00 Ty=2.84 Tz=1.57 Mx=-0.00 Mz=0.99
Sollecitazioni agenti localmente: Ty_l=-1139.82 Mx_l=-22.80
Tensioni nella sezione: σ=276.32 τ=34.54
CC 32 SLD (Collegamento 0024_-381)
Azioni sul collegamento: N=-6269.00 Ty=3.73 Tz=1.57 Mx=-0.00 Mz=2.45
Sollecitazioni agenti localmente: Ty_l=-1139.82 Mx_l=-22.80
Tensioni nella sezione: σ=276.32 τ=34.54
CC 32 SLD (Collegamento 0024_-381)
Azioni sul collegamento: N=-6269.00 Ty=2.84 Tz=-0.34 Mx=-0.00 Mz=0.99
Sollecitazioni agenti localmente: Ty_l=-1139.82 Mx_l=-22.80
Tensioni nella sezione: σ=276.32 τ=34.54
CC 32 SLD (Collegamento 0024_-381)
Azioni sul collegamento: N=-6269.00 Ty=3.73 Tz=-0.34 Mx=-0.00 Mz=2.45
Sollecitazioni agenti localmente: Ty_l=-1139.82 Mx_l=-22.80
Tensioni nella sezione: σ=276.32 τ=34.54
CC 33 SLU (Collegamento 0024_-381)
Azioni sul collegamento: N=-30229.20 Ty=5.39 Tz=79.58 Mx=-0.01 Mz=3.85
Sollecitazioni agenti localmente: Ty_l=-5496.22 Mx_l=-109.92
Tensioni nella sezione: σ=1332.41 τ=166.55
CC 34 SLU (Collegamento 0024_-381)
Azioni sul collegamento: N=-30778.60 Ty=5.67 Tz=81.62 Mx=-0.01 Mz=4.05
Sollecitazioni agenti localmente: Ty_l=-5596.11 Mx_l=-111.92
Tensioni nella sezione: σ=1356.63 τ=169.58
CC 35 SLU (Collegamento 0024_-381)
Azioni sul collegamento: N=-30504.90 Ty=5.64 Tz=80.58 Mx=-0.01 Mz=4.16
Sollecitazioni agenti localmente: Ty_l=-5546.34 Mx_l=-110.93
Tensioni nella sezione: σ=1344.57 τ=168.07
CC 36 SLU (Collegamento 0024_-381)
Azioni sul collegamento: N=-30502.90 Ty=5.42 Tz=80.62 Mx=-0.01 Mz=3.73
Sollecitazioni agenti localmente: Ty_l=-5545.98 Mx_l=-110.92
Tensioni nella sezione: σ=1344.48 τ=168.06
CC 37 SLU (Collegamento 0024_-381)
Azioni sul collegamento: N=-32152.70 Ty=5.24 Tz=86.01 Mx=0.00 Mz=3.86
Sollecitazioni agenti localmente: Ty_l=-5845.94 Mx_l=-116.92
Tensioni nella sezione: σ=1417.20 τ=177.15
CC 38 SLU (Collegamento 0024_-381)
Azioni sul collegamento: N=-32702.10 Ty=5.53 Tz=88.04 Mx=0.00 Mz=4.06
Sollecitazioni agenti localmente: Ty_l=-5945.83 Mx_l=-118.92
Tensioni nella sezione: σ=1441.41 τ=180.18
CC 39 SLU (Collegamento 0024_-381)
Azioni sul collegamento: N=-32428.40 Ty=5.50 Tz=87.00 Mx=0.00 Mz=4.18
Sollecitazioni agenti localmente: Ty_l=-5896.07 Mx_l=-117.92
Tensioni nella sezione: σ=1429.35 τ=178.67
CC 40 SLU (Collegamento 0024_-381)
Azioni sul collegamento: N=-32426.40 Ty=5.28 Tz=87.05 Mx=0.00 Mz=3.74
Sollecitazioni agenti localmente: Ty_l=-5895.71 Mx_l=-117.91
Tensioni nella sezione: σ=1429.26 τ=178.66
CC 41 SLU (Collegamento 0024_-381)
Azioni sul collegamento: N=-20958.20 Ty=6.23 Tz=45.50 Mx=-0.01 Mz=4.43
Sollecitazioni agenti localmente: Ty_l=-3810.59 Mx_l=-76.21
Tensioni nella sezione: σ=923.78 τ=115.47
CC 42 SLU (Collegamento 0024_-381)
Azioni sul collegamento: N=-21507.60 Ty=6.52 Tz=47.54 Mx=-0.01 Mz=4.63
Sollecitazioni agenti localmente: Ty_l=-3910.48 Mx_l=-78.21
Tensioni nella sezione: σ=947.99 τ=118.50
CC 43 SLU (Collegamento 0024_-381)
Azioni sul collegamento: N=-21233.90 Ty=6.48 Tz=46.50 Mx=-0.01 Mz=4.75
Sollecitazioni agenti localmente: Ty_l=-3860.71 Mx_l=-77.21
Tensioni nella sezione: σ=935.93 τ=116.99
CC 44 SLU (Collegamento 0024_-381)
Azioni sul collegamento: N=-21231.90 Ty=6.26 Tz=46.54 Mx=-0.01 Mz=4.31
Sollecitazioni agenti localmente: Ty_l=-3860.35 Mx_l=-77.21
Tensioni nella sezione: σ=935.84 τ=116.98

CC 45 SLU (Collegamento 0024_-381)
Azioni sul collegamento: N=-23044.60 Ty=5.94 Tz=53.22 Mx=-0.01 Mz=4.28
Sollecitazioni agenti localmente: Ty_l=-4189.93 Mx_l=-83.80
Tensioni nella sezione: σ=1015.74 τ=126.97
CC 46 SLU (Collegamento 0024_-381)
Azioni sul collegamento: N=-23594.00 Ty=6.22 Tz=55.25 Mx=-0.01 Mz=4.49
Sollecitazioni agenti localmente: Ty_l=-4289.82 Mx_l=-85.80
Tensioni nella sezione: σ=1039.95 τ=129.99
CC 47 SLU (Collegamento 0024_-381)
Azioni sul collegamento: N=-23320.30 Ty=6.19 Tz=54.21 Mx=-0.01 Mz=4.60
Sollecitazioni agenti localmente: Ty_l=-4240.05 Mx_l=-84.80
Tensioni nella sezione: σ=1027.89 τ=128.49
CC 48 SLU (Collegamento 0024_-381)
Azioni sul collegamento: N=-23318.30 Ty=5.97 Tz=54.26 Mx=-0.01 Mz=4.17
Sollecitazioni agenti localmente: Ty_l=-4239.69 Mx_l=-84.79
Tensioni nella sezione: σ=1027.80 τ=128.48
CC 49 SLU (Collegamento 0024_-381)
Azioni sul collegamento: N=-24483.70 Ty=5.83 Tz=58.03 Mx=0.00 Mz=4.29
Sollecitazioni agenti localmente: Ty_l=-4451.57 Mx_l=-89.03
Tensioni nella sezione: σ=1079.17 τ=134.90
CC 50 SLU (Collegamento 0024_-381)
Azioni sul collegamento: N=-25033.00 Ty=6.12 Tz=60.06 Mx=0.00 Mz=4.50
Sollecitazioni agenti localmente: Ty_l=-4551.46 Mx_l=-91.03
Tensioni nella sezione: σ=1103.38 τ=137.92
CC 51 SLU (Collegamento 0024_-381)
Azioni sul collegamento: N=-24759.30 Ty=6.08 Tz=59.02 Mx=-0.00 Mz=4.61
Sollecitazioni agenti localmente: Ty_l=-4501.70 Mx_l=-90.03
Tensioni nella sezione: σ=1091.32 τ=136.41
CC 52 SLU (Collegamento 0024_-381)
Azioni sul collegamento: N=-24757.40 Ty=5.87 Tz=59.07 Mx=0.00 Mz=4.18
Sollecitazioni agenti localmente: Ty_l=-4501.34 Mx_l=-90.03
Tensioni nella sezione: σ=1091.23 τ=136.40
CC 53 SLU (Collegamento 0024_-381)
Azioni sul collegamento: N=-16108.60 Ty=6.57 Tz=27.72 Mx=-0.01 Mz=4.72
Sollecitazioni agenti localmente: Ty_l=-2928.83 Mx_l=-58.58
Tensioni nella sezione: σ=710.02 τ=88.75
CC 54 SLU (Collegamento 0024_-381)
Azioni sul collegamento: N=-16657.90 Ty=6.86 Tz=29.76 Mx=-0.01 Mz=4.92
Sollecitazioni agenti localmente: Ty_l=-3028.71 Mx_l=-60.57
Tensioni nella sezione: σ=734.23 τ=91.78
CC 55 SLU (Collegamento 0024_-381)
Azioni sul collegamento: N=-16384.20 Ty=6.82 Tz=28.72 Mx=-0.01 Mz=5.04
Sollecitazioni agenti localmente: Ty_l=-2978.95 Mx_l=-59.58
Tensioni nella sezione: σ=722.17 τ=90.27
CC 56 SLU (Collegamento 0024_-381)
Azioni sul collegamento: N=-16382.30 Ty=6.60 Tz=28.76 Mx=-0.01 Mz=4.60
Sollecitazioni agenti localmente: Ty_l=-2978.59 Mx_l=-59.57
Tensioni nella sezione: σ=722.08 τ=90.26
CC 57 SLU (Collegamento 0024_-381)
Azioni sul collegamento: N=-23426.90 Ty=6.35 Tz=54.67 Mx=-0.01 Mz=4.58
Sollecitazioni agenti localmente: Ty_l=-4259.43 Mx_l=-85.19
Tensioni nella sezione: σ=1032.59 τ=129.07
CC 58 SLU (Collegamento 0024_-381)
Azioni sul collegamento: N=-23976.20 Ty=6.64 Tz=56.70 Mx=-0.01 Mz=4.78
Sollecitazioni agenti localmente: Ty_l=-4359.32 Mx_l=-87.19
Tensioni nella sezione: σ=1056.80 τ=132.10
CC 59 SLU (Collegamento 0024_-381)
Azioni sul collegamento: N=-23702.50 Ty=6.61 Tz=55.66 Mx=-0.01 Mz=4.90
Sollecitazioni agenti localmente: Ty_l=-4309.55 Mx_l=-86.19
Tensioni nella sezione: σ=1044.74 τ=130.59
CC 60 SLU (Collegamento 0024_-381)
Azioni sul collegamento: N=-23700.60 Ty=6.39 Tz=55.71 Mx=-0.01 Mz=4.46
Sollecitazioni agenti localmente: Ty_l=-4309.19 Mx_l=-86.18
Tensioni nella sezione: σ=1044.65 τ=130.58
CC 61 SLU (Collegamento 0024_-381)
Azioni sul collegamento: N=-24865.90 Ty=6.25 Tz=59.47 Mx=0.00 Mz=4.59
Sollecitazioni agenti localmente: Ty_l=-4521.07 Mx_l=-90.42
Tensioni nella sezione: σ=1096.02 τ=137.00
CC 62 SLU (Collegamento 0024_-381)
Azioni sul collegamento: N=-25415.30 Ty=6.53 Tz=61.51 Mx=-0.00 Mz=4.79
Sollecitazioni agenti localmente: Ty_l=-4620.96 Mx_l=-92.42
Tensioni nella sezione: σ=1120.23 τ=140.03
CC 63 SLU (Collegamento 0024_-381)
Azioni sul collegamento: N=-25141.60 Ty=6.50 Tz=60.47 Mx=-0.00 Mz=4.91
Sollecitazioni agenti localmente: Ty_l=-4571.20 Mx_l=-91.42
Tensioni nella sezione: σ=1108.17 τ=138.52
CC 64 SLU (Collegamento 0024_-381)
Azioni sul collegamento: N=-25139.60 Ty=6.28 Tz=60.51 Mx=0.00 Mz=4.47
Sollecitazioni agenti localmente: Ty_l=-4570.84 Mx_l=-91.42

Tensioni nella sezione: σ=1108.08 τ=138.51
CC 65 SLU (Collegamento 0024_-381)
Azioni sul collegamento: N=-16490.80 Ty=6.99 Tz=29.17 Mx=-0.01 Mz=5.02
Sollecitazioni agenti localmente: Ty_l=-2998.33 Mx_l=-59.97
Tensioni nella sezione: σ=726.87 τ=90.86
CC 66 SLU (Collegamento 0024_-381)
Azioni sul collegamento: N=-17040.20 Ty=7.27 Tz=31.20 Mx=-0.01 Mz=5.22
Sollecitazioni agenti localmente: Ty_l=-3098.21 Mx_l=-61.96
Tensioni nella sezione: σ=751.08 τ=93.89
CC 67 SLU (Collegamento 0024_-381)
Azioni sul collegamento: N=-16766.50 Ty=7.24 Tz=30.16 Mx=-0.01 Mz=5.34
Sollecitazioni agenti localmente: Ty_l=-3048.45 Mx_l=-60.97
Tensioni nella sezione: σ=739.02 τ=92.38
CC 68 SLU (Collegamento 0024_-381)
Azioni sul collegamento: N=-16764.50 Ty=7.02 Tz=30.21 Mx=-0.01 Mz=4.90
Sollecitazioni agenti localmente: Ty_l=-3048.09 Mx_l=-60.96
Tensioni nella sezione: σ=738.93 τ=92.37
CC 97 SLU (Collegamento 0024_-381)
Azioni sul collegamento: N=-10609.80 Ty=16.63 Tz=15.80 Mx=0.03 Mz=19.66
Sollecitazioni agenti localmente: Ty_l=-1929.04 Mx_l=-38.58
Tensioni nella sezione: σ=467.65 τ=58.46
CC 98 SLU (Collegamento 0024_-381)
Azioni sul collegamento: N=-11159.10 Ty=16.91 Tz=17.84 Mx=0.03 Mz=19.86
Sollecitazioni agenti localmente: Ty_l=-2028.93 Mx_l=-40.58
Tensioni nella sezione: σ=491.86 τ=61.48
CC 99 SLU (Collegamento 0024_-381)
Azioni sul collegamento: N=-10885.40 Ty=16.88 Tz=16.80 Mx=0.03 Mz=19.98
Sollecitazioni agenti localmente: Ty_l=-1979.17 Mx_l=-39.58
Tensioni nella sezione: σ=479.80 τ=59.97
CC 100 SLU (Collegamento 0024_-381)
Azioni sul collegamento: N=-10883.50 Ty=16.66 Tz=16.84 Mx=0.03 Mz=19.55
Sollecitazioni agenti localmente: Ty_l=-1978.81 Mx_l=-39.58
Tensioni nella sezione: σ=479.71 τ=59.96
CC 101 SLU (Collegamento 0024_-381)
Azioni sul collegamento: N=-6606.14 Ty=1.32 Tz=0.91 Mx=-0.01 Mz=0.13
Sollecitazioni agenti localmente: Ty_l=-1201.12 Mx_l=-24.02
Tensioni nella sezione: σ=291.18 τ=36.40
CC 102 SLU (Collegamento 0024_-381)
Azioni sul collegamento: N=-7155.53 Ty=1.61 Tz=2.94 Mx=-0.01 Mz=0.33
Sollecitazioni agenti localmente: Ty_l=-1301.00 Mx_l=-26.02
Tensioni nella sezione: σ=315.39 τ=39.42
CC 103 SLU (Collegamento 0024_-381)
Azioni sul collegamento: N=-6881.82 Ty=1.58 Tz=1.90 Mx=-0.01 Mz=0.45
Sollecitazioni agenti localmente: Ty_l=-1251.24 Mx_l=-25.02
Tensioni nella sezione: σ=303.33 τ=37.92
CC 104 SLU (Collegamento 0024_-381)
Azioni sul collegamento: N=-6879.85 Ty=1.36 Tz=1.95 Mx=-0.01 Mz=0.01
Sollecitazioni agenti localmente: Ty_l=-1250.88 Mx_l=-25.02
Tensioni nella sezione: σ=303.24 τ=37.91

Flessione attacco inferiore piastra

Bnetta=220.00 Hnetta=15.00
CC 1 SLV (Collegamento 0024_-381)
Azioni sul collegamento: N=-3931.62 Ty=6.55 Tz=-8.98 Mx=0.01 Mz=7.22
Sollecitazioni agenti localmente: Ty_l=-714.84 Mx_l=-14.30
Tensioni nella sezione: σ=173.29 τ=21.66
CC 1 SLV (Collegamento 0024_-381)
Azioni sul collegamento: N=-3931.62 Ty=3.19 Tz=-8.98 Mx=0.01 Mz=4.04
Sollecitazioni agenti localmente: Ty_l=-714.84 Mx_l=-14.30
Tensioni nella sezione: σ=173.29 τ=21.66
CC 1 SLV (Collegamento 0024_-381)
Azioni sul collegamento: N=-3931.62 Ty=6.55 Tz=10.69 Mx=0.01 Mz=7.22
Sollecitazioni agenti localmente: Ty_l=-714.84 Mx_l=-14.30
Tensioni nella sezione: σ=173.29 τ=21.66
CC 1 SLV (Collegamento 0024_-381)
Azioni sul collegamento: N=-3931.62 Ty=3.19 Tz=10.69 Mx=0.01 Mz=4.04
Sollecitazioni agenti localmente: Ty_l=-714.84 Mx_l=-14.30
Tensioni nella sezione: σ=173.29 τ=21.66
CC 1 SLV (Collegamento 0024_-381)
Azioni sul collegamento: N=-9217.12 Ty=6.55 Tz=-8.98 Mx=0.01 Mz=7.22
Sollecitazioni agenti localmente: Ty_l=-1675.84 Mx_l=-33.52
Tensioni nella sezione: σ=406.26 τ=50.78
CC 1 SLV (Collegamento 0024_-381)
Azioni sul collegamento: N=-9217.12 Ty=3.19 Tz=-8.98 Mx=0.01 Mz=4.04
Sollecitazioni agenti localmente: Ty_l=-1675.84 Mx_l=-33.52
Tensioni nella sezione: σ=406.26 τ=50.78
CC 1 SLV (Collegamento 0024_-381)
Azioni sul collegamento: N=-9217.12 Ty=6.55 Tz=10.69 Mx=0.01 Mz=7.22

Sollecitazioni agenti localmente: Ty_l=-1675.84 Mx_l=-33.52
Tensioni nella sezione: σ=406.26 τ=50.78
CC 1 SLV (Collegamento 0024_-381)
Azioni sul collegamento: N=-9217.12 Ty=3.19 Tz=10.69 Mx=0.01 Mz=4.04
Sollecitazioni agenti localmente: Ty_l=-1675.84 Mx_l=-33.52
Tensioni nella sezione: σ=406.26 τ=50.78
CC 2 SLD (Collegamento 0024_-381)
Azioni sul collegamento: N=-5736.03 Ty=4.54 Tz=-2.27 Mx=0.00 Mz=4.03
Sollecitazioni agenti localmente: Ty_l=-1042.91 Mx_l=-20.86
Tensioni nella sezione: σ=252.83 τ=31.60
CC 2 SLD (Collegamento 0024_-381)
Azioni sul collegamento: N=-5736.03 Ty=3.51 Tz=-2.27 Mx=0.00 Mz=3.06
Sollecitazioni agenti localmente: Ty_l=-1042.91 Mx_l=-20.86
Tensioni nella sezione: σ=252.83 τ=31.60
CC 2 SLD (Collegamento 0024_-381)
Azioni sul collegamento: N=-5736.03 Ty=4.54 Tz=3.73 Mx=0.00 Mz=4.03
Sollecitazioni agenti localmente: Ty_l=-1042.91 Mx_l=-20.86
Tensioni nella sezione: σ=252.83 τ=31.60
CC 2 SLD (Collegamento 0024_-381)
Azioni sul collegamento: N=-5736.03 Ty=3.51 Tz=3.73 Mx=0.00 Mz=3.06
Sollecitazioni agenti localmente: Ty_l=-1042.91 Mx_l=-20.86
Tensioni nella sezione: σ=252.83 τ=31.60
CC 2 SLD (Collegamento 0024_-381)
Azioni sul collegamento: N=-7347.75 Ty=4.54 Tz=-2.27 Mx=0.00 Mz=4.03
Sollecitazioni agenti localmente: Ty_l=-1335.95 Mx_l=-26.72
Tensioni nella sezione: σ=323.87 τ=40.48
CC 2 SLD (Collegamento 0024_-381)
Azioni sul collegamento: N=-7347.75 Ty=3.51 Tz=-2.27 Mx=0.00 Mz=3.06
Sollecitazioni agenti localmente: Ty_l=-1335.95 Mx_l=-26.72
Tensioni nella sezione: σ=323.87 τ=40.48
CC 2 SLD (Collegamento 0024_-381)
Azioni sul collegamento: N=-7347.75 Ty=4.54 Tz=3.73 Mx=0.00 Mz=4.03
Sollecitazioni agenti localmente: Ty_l=-1335.95 Mx_l=-26.72
Tensioni nella sezione: σ=323.87 τ=40.48
CC 2 SLD (Collegamento 0024_-381)
Azioni sul collegamento: N=-7347.75 Ty=3.51 Tz=3.73 Mx=0.00 Mz=3.06
Sollecitazioni agenti localmente: Ty_l=-1335.95 Mx_l=-26.72
Tensioni nella sezione: σ=323.87 τ=40.48
CC 3 SLV (Collegamento 0024_-381)
Azioni sul collegamento: N=-3937.31 Ty=5.92 Tz=-8.85 Mx=0.01 Mz=5.96
Sollecitazioni agenti localmente: Ty_l=-715.87 Mx_l=-14.32
Tensioni nella sezione: σ=173.54 τ=21.69
CC 3 SLV (Collegamento 0024_-381)
Azioni sul collegamento: N=-3937.31 Ty=3.82 Tz=-8.85 Mx=0.01 Mz=5.30
Sollecitazioni agenti localmente: Ty_l=-715.87 Mx_l=-14.32
Tensioni nella sezione: σ=173.54 τ=21.69
CC 3 SLV (Collegamento 0024_-381)
Azioni sul collegamento: N=-3937.31 Ty=5.92 Tz=10.56 Mx=0.01 Mz=5.96
Sollecitazioni agenti localmente: Ty_l=-715.87 Mx_l=-14.32
Tensioni nella sezione: σ=173.54 τ=21.69
CC 3 SLV (Collegamento 0024_-381)
Azioni sul collegamento: N=-3937.31 Ty=3.82 Tz=10.56 Mx=0.01 Mz=5.30
Sollecitazioni agenti localmente: Ty_l=-715.87 Mx_l=-14.32
Tensioni nella sezione: σ=173.54 τ=21.69
CC 3 SLV (Collegamento 0024_-381)
Azioni sul collegamento: N=-9211.43 Ty=5.92 Tz=-8.85 Mx=0.01 Mz=5.96
Sollecitazioni agenti localmente: Ty_l=-1674.81 Mx_l=-33.50
Tensioni nella sezione: σ=406.01 τ=50.75
CC 3 SLV (Collegamento 0024_-381)
Azioni sul collegamento: N=-9211.43 Ty=3.82 Tz=-8.85 Mx=0.01 Mz=5.30
Sollecitazioni agenti localmente: Ty_l=-1674.81 Mx_l=-33.50
Tensioni nella sezione: σ=406.01 τ=50.75
CC 3 SLV (Collegamento 0024_-381)
Azioni sul collegamento: N=-9211.43 Ty=5.92 Tz=10.56 Mx=0.01 Mz=5.96
Sollecitazioni agenti localmente: Ty_l=-1674.81 Mx_l=-33.50
Tensioni nella sezione: σ=406.01 τ=50.75
CC 3 SLV (Collegamento 0024_-381)
Azioni sul collegamento: N=-9211.43 Ty=3.82 Tz=10.56 Mx=0.01 Mz=5.30
Sollecitazioni agenti localmente: Ty_l=-1674.81 Mx_l=-33.50
Tensioni nella sezione: σ=406.01 τ=50.75
CC 4 SLD (Collegamento 0024_-381)
Azioni sul collegamento: N=-5737.77 Ty=4.34 Tz=-2.23 Mx=0.00 Mz=3.65
Sollecitazioni agenti localmente: Ty_l=-1043.23 Mx_l=-20.86
Tensioni nella sezione: σ=252.90 τ=31.61
CC 4 SLD (Collegamento 0024_-381)
Azioni sul collegamento: N=-5737.77 Ty=3.71 Tz=-2.23 Mx=0.00 Mz=3.45
Sollecitazioni agenti localmente: Ty_l=-1043.23 Mx_l=-20.86
Tensioni nella sezione: σ=252.90 τ=31.61
CC 4 SLD (Collegamento 0024_-381)

Azioni sul collegamento: N=-5737.77 Ty=4.34 Tz=3.69 Mx=0.00 Mz=3.65
Sollecitazioni agenti localmente: Ty_l=-1043.23 Mx_l=-20.86
Tensioni nella sezione: σ=252.90 τ=31.61
CC 4 SLD (Collegamento 0024_-381)
Azioni sul collegamento: N=-5737.77 Ty=3.71 Tz=3.69 Mx=0.00 Mz=3.45
Sollecitazioni agenti localmente: Ty_l=-1043.23 Mx_l=-20.86
Tensioni nella sezione: σ=252.90 τ=31.61
CC 4 SLD (Collegamento 0024_-381)
Azioni sul collegamento: N=-7346.01 Ty=4.34 Tz=-2.23 Mx=0.00 Mz=3.65
Sollecitazioni agenti localmente: Ty_l=-1335.64 Mx_l=-26.71
Tensioni nella sezione: σ=323.79 τ=40.47
CC 4 SLD (Collegamento 0024_-381)
Azioni sul collegamento: N=-7346.01 Ty=3.71 Tz=-2.23 Mx=0.00 Mz=3.45
Sollecitazioni agenti localmente: Ty_l=-1335.64 Mx_l=-26.71
Tensioni nella sezione: σ=323.79 τ=40.47
CC 4 SLD (Collegamento 0024_-381)
Azioni sul collegamento: N=-7346.01 Ty=4.34 Tz=3.69 Mx=0.00 Mz=3.65
Sollecitazioni agenti localmente: Ty_l=-1335.64 Mx_l=-26.71
Tensioni nella sezione: σ=323.79 τ=40.47
CC 4 SLD (Collegamento 0024_-381)
Azioni sul collegamento: N=-7346.01 Ty=3.71 Tz=3.69 Mx=0.00 Mz=3.45
Sollecitazioni agenti localmente: Ty_l=-1335.64 Mx_l=-26.71
Tensioni nella sezione: σ=323.79 τ=40.47
CC 5 SLV (Collegamento 0024_-381)
Azioni sul collegamento: N=-9211.43 Ty=3.82 Tz=10.56 Mx=0.01 Mz=5.30
Sollecitazioni agenti localmente: Ty_l=-1674.81 Mx_l=-33.50
Tensioni nella sezione: σ=406.01 τ=50.75
CC 5 SLV (Collegamento 0024_-381)
Azioni sul collegamento: N=-9211.43 Ty=5.92 Tz=10.56 Mx=0.01 Mz=5.96
Sollecitazioni agenti localmente: Ty_l=-1674.81 Mx_l=-33.50
Tensioni nella sezione: σ=406.01 τ=50.75
CC 5 SLV (Collegamento 0024_-381)
Azioni sul collegamento: N=-9211.43 Ty=3.82 Tz=-8.85 Mx=0.01 Mz=5.30
Sollecitazioni agenti localmente: Ty_l=-1674.81 Mx_l=-33.50
Tensioni nella sezione: σ=406.01 τ=50.75
CC 5 SLV (Collegamento 0024_-381)
Azioni sul collegamento: N=-9211.43 Ty=5.92 Tz=-8.85 Mx=0.01 Mz=5.96
Sollecitazioni agenti localmente: Ty_l=-1674.81 Mx_l=-33.50
Tensioni nella sezione: σ=406.01 τ=50.75
CC 5 SLV (Collegamento 0024_-381)
Azioni sul collegamento: N=-3937.31 Ty=3.82 Tz=10.56 Mx=0.01 Mz=5.30
Sollecitazioni agenti localmente: Ty_l=-715.87 Mx_l=-14.32
Tensioni nella sezione: σ=173.54 τ=21.69
CC 5 SLV (Collegamento 0024_-381)
Azioni sul collegamento: N=-3937.31 Ty=5.92 Tz=10.56 Mx=0.01 Mz=5.96
Sollecitazioni agenti localmente: Ty_l=-715.87 Mx_l=-14.32
Tensioni nella sezione: σ=173.54 τ=21.69
CC 5 SLV (Collegamento 0024_-381)
Azioni sul collegamento: N=-3937.31 Ty=3.82 Tz=-8.85 Mx=0.01 Mz=5.30
Sollecitazioni agenti localmente: Ty_l=-715.87 Mx_l=-14.32
Tensioni nella sezione: σ=173.54 τ=21.69
CC 5 SLV (Collegamento 0024_-381)
Azioni sul collegamento: N=-3937.31 Ty=5.92 Tz=-8.85 Mx=0.01 Mz=5.96
Sollecitazioni agenti localmente: Ty_l=-715.87 Mx_l=-14.32
Tensioni nella sezione: σ=173.54 τ=21.69
CC 6 SLD (Collegamento 0024_-381)
Azioni sul collegamento: N=-7346.01 Ty=3.71 Tz=3.69 Mx=0.00 Mz=3.45
Sollecitazioni agenti localmente: Ty_l=-1335.64 Mx_l=-26.71
Tensioni nella sezione: σ=323.79 τ=40.47
CC 6 SLD (Collegamento 0024_-381)
Azioni sul collegamento: N=-7346.01 Ty=4.34 Tz=3.69 Mx=0.00 Mz=3.65
Sollecitazioni agenti localmente: Ty_l=-1335.64 Mx_l=-26.71
Tensioni nella sezione: σ=323.79 τ=40.47
CC 6 SLD (Collegamento 0024_-381)
Azioni sul collegamento: N=-7346.01 Ty=3.71 Tz=-2.23 Mx=0.00 Mz=3.45
Sollecitazioni agenti localmente: Ty_l=-1335.64 Mx_l=-26.71
Tensioni nella sezione: σ=323.79 τ=40.47
CC 6 SLD (Collegamento 0024_-381)
Azioni sul collegamento: N=-7346.01 Ty=4.34 Tz=-2.23 Mx=0.00 Mz=3.65
Sollecitazioni agenti localmente: Ty_l=-1335.64 Mx_l=-26.71
Tensioni nella sezione: σ=323.79 τ=40.47
CC 6 SLD (Collegamento 0024_-381)
Azioni sul collegamento: N=-5737.77 Ty=3.71 Tz=3.69 Mx=0.00 Mz=3.45
Sollecitazioni agenti localmente: Ty_l=-1043.23 Mx_l=-20.86
Tensioni nella sezione: σ=252.90 τ=31.61
CC 6 SLD (Collegamento 0024_-381)
Azioni sul collegamento: N=-5737.77 Ty=4.34 Tz=3.69 Mx=0.00 Mz=3.65
Sollecitazioni agenti localmente: Ty_l=-1043.23 Mx_l=-20.86
Tensioni nella sezione: σ=252.90 τ=31.61

CC 6 SLD (Collegamento 0024_-381)
Azioni sul collegamento: N=-5737.77 Ty=3.71 Tz=-2.23 Mx=0.00 Mz=3.45
Sollecitazioni agenti localmente: Ty_l=-1043.23 Mx_l=-20.86
Tensioni nella sezione: σ=252.90 τ=31.61
CC 6 SLD (Collegamento 0024_-381)
Azioni sul collegamento: N=-5737.77 Ty=4.34 Tz=-2.23 Mx=0.00 Mz=3.65
Sollecitazioni agenti localmente: Ty_l=-1043.23 Mx_l=-20.86
Tensioni nella sezione: σ=252.90 τ=31.61
CC 7 SLV (Collegamento 0024_-381)
Azioni sul collegamento: N=-9217.12 Ty=3.19 Tz=10.69 Mx=0.01 Mz=4.04
Sollecitazioni agenti localmente: Ty_l=-1675.84 Mx_l=-33.52
Tensioni nella sezione: σ=406.26 τ=50.78
CC 7 SLV (Collegamento 0024_-381)
Azioni sul collegamento: N=-9217.12 Ty=6.55 Tz=10.69 Mx=0.01 Mz=7.22
Sollecitazioni agenti localmente: Ty_l=-1675.84 Mx_l=-33.52
Tensioni nella sezione: σ=406.26 τ=50.78
CC 7 SLV (Collegamento 0024_-381)
Azioni sul collegamento: N=-9217.12 Ty=3.19 Tz=-8.98 Mx=0.01 Mz=4.04
Sollecitazioni agenti localmente: Ty_l=-1675.84 Mx_l=-33.52
Tensioni nella sezione: σ=406.26 τ=50.78
CC 7 SLV (Collegamento 0024_-381)
Azioni sul collegamento: N=-9217.12 Ty=6.55 Tz=-8.98 Mx=0.01 Mz=7.22
Sollecitazioni agenti localmente: Ty_l=-1675.84 Mx_l=-33.52
Tensioni nella sezione: σ=406.26 τ=50.78
CC 7 SLV (Collegamento 0024_-381)
Azioni sul collegamento: N=-3931.62 Ty=3.19 Tz=10.69 Mx=0.01 Mz=4.04
Sollecitazioni agenti localmente: Ty_l=-714.84 Mx_l=-14.30
Tensioni nella sezione: σ=173.29 τ=21.66
CC 7 SLV (Collegamento 0024_-381)
Azioni sul collegamento: N=-3931.62 Ty=6.55 Tz=10.69 Mx=0.01 Mz=7.22
Sollecitazioni agenti localmente: Ty_l=-714.84 Mx_l=-14.30
Tensioni nella sezione: σ=173.29 τ=21.66
CC 7 SLV (Collegamento 0024_-381)
Azioni sul collegamento: N=-3931.62 Ty=3.19 Tz=-8.98 Mx=0.01 Mz=4.04
Sollecitazioni agenti localmente: Ty_l=-714.84 Mx_l=-14.30
Tensioni nella sezione: σ=173.29 τ=21.66
CC 7 SLV (Collegamento 0024_-381)
Azioni sul collegamento: N=-3931.62 Ty=6.55 Tz=-8.98 Mx=0.01 Mz=7.22
Sollecitazioni agenti localmente: Ty_l=-714.84 Mx_l=-14.30
Tensioni nella sezione: σ=173.29 τ=21.66
CC 8 SLD (Collegamento 0024_-381)
Azioni sul collegamento: N=-7347.75 Ty=3.51 Tz=3.73 Mx=-0.00 Mz=3.06
Sollecitazioni agenti localmente: Ty_l=-1335.95 Mx_l=-26.72
Tensioni nella sezione: σ=323.87 τ=40.48
CC 8 SLD (Collegamento 0024_-381)
Azioni sul collegamento: N=-7347.75 Ty=4.54 Tz=3.73 Mx=-0.00 Mz=4.03
Sollecitazioni agenti localmente: Ty_l=-1335.95 Mx_l=-26.72
Tensioni nella sezione: σ=323.87 τ=40.48
CC 8 SLD (Collegamento 0024_-381)
Azioni sul collegamento: N=-7347.75 Ty=3.51 Tz=-2.27 Mx=-0.00 Mz=3.06
Sollecitazioni agenti localmente: Ty_l=-1335.95 Mx_l=-26.72
Tensioni nella sezione: σ=323.87 τ=40.48
CC 8 SLD (Collegamento 0024_-381)
Azioni sul collegamento: N=-7347.75 Ty=4.54 Tz=-2.27 Mx=-0.00 Mz=4.03
Sollecitazioni agenti localmente: Ty_l=-1335.95 Mx_l=-26.72
Tensioni nella sezione: σ=323.87 τ=40.48
CC 8 SLD (Collegamento 0024_-381)
Azioni sul collegamento: N=-5736.03 Ty=3.51 Tz=3.73 Mx=-0.00 Mz=3.06
Sollecitazioni agenti localmente: Ty_l=-1042.91 Mx_l=-20.86
Tensioni nella sezione: σ=252.83 τ=31.60
CC 8 SLD (Collegamento 0024_-381)
Azioni sul collegamento: N=-5736.03 Ty=4.54 Tz=3.73 Mx=-0.00 Mz=4.03
Sollecitazioni agenti localmente: Ty_l=-1042.91 Mx_l=-20.86
Tensioni nella sezione: σ=252.83 τ=31.60
CC 8 SLD (Collegamento 0024_-381)
Azioni sul collegamento: N=-5736.03 Ty=3.51 Tz=-2.27 Mx=-0.00 Mz=3.06
Sollecitazioni agenti localmente: Ty_l=-1042.91 Mx_l=-20.86
Tensioni nella sezione: σ=252.83 τ=31.60
CC 8 SLD (Collegamento 0024_-381)
Azioni sul collegamento: N=-5736.03 Ty=4.54 Tz=-2.27 Mx=-0.00 Mz=4.03
Sollecitazioni agenti localmente: Ty_l=-1042.91 Mx_l=-20.86
Tensioni nella sezione: σ=252.83 τ=31.60
CC 9 SLV (Collegamento 0024_-381)
Azioni sul collegamento: N=-5772.92 Ty=6.34 Tz=-2.29 Mx=0.02 Mz=8.01
Sollecitazioni agenti localmente: Ty_l=-1049.62 Mx_l=-20.99
Tensioni nella sezione: σ=254.45 τ=31.81
CC 9 SLV (Collegamento 0024_-381)
Azioni sul collegamento: N=-5772.92 Ty=3.40 Tz=-2.29 Mx=0.02 Mz=3.25
Sollecitazioni agenti localmente: Ty_l=-1049.62 Mx_l=-20.99

Tensioni nella sezione: σ=254.45 τ=31.81
CC 9 SLV (Collegamento 0024_-381)
Azioni sul collegamento: N=-5772.92 Ty=6.34 Tz=4.00 Mx=0.02 Mz=8.01
Sollecitazioni agenti localmente: Ty_l=-1049.62 Mx_l=-20.99
Tensioni nella sezione: σ=254.45 τ=31.81
CC 9 SLV (Collegamento 0024_-381)
Azioni sul collegamento: N=-5772.92 Ty=3.40 Tz=4.00 Mx=0.02 Mz=3.25
Sollecitazioni agenti localmente: Ty_l=-1049.62 Mx_l=-20.99
Tensioni nella sezione: σ=254.45 τ=31.81
CC 9 SLV (Collegamento 0024_-381)
Azioni sul collegamento: N=-7375.82 Ty=6.34 Tz=-2.29 Mx=0.02 Mz=8.01
Sollecitazioni agenti localmente: Ty_l=-1341.06 Mx_l=-26.82
Tensioni nella sezione: σ=325.10 τ=40.64
CC 9 SLV (Collegamento 0024_-381)
Azioni sul collegamento: N=-7375.82 Ty=3.40 Tz=-2.29 Mx=0.02 Mz=3.25
Sollecitazioni agenti localmente: Ty_l=-1341.06 Mx_l=-26.82
Tensioni nella sezione: σ=325.10 τ=40.64
CC 9 SLV (Collegamento 0024_-381)
Azioni sul collegamento: N=-7375.82 Ty=6.34 Tz=4.00 Mx=0.02 Mz=8.01
Sollecitazioni agenti localmente: Ty_l=-1341.06 Mx_l=-26.82
Tensioni nella sezione: σ=325.10 τ=40.64
CC 9 SLV (Collegamento 0024_-381)
Azioni sul collegamento: N=-7375.82 Ty=3.40 Tz=4.00 Mx=0.02 Mz=3.25
Sollecitazioni agenti localmente: Ty_l=-1341.06 Mx_l=-26.82
Tensioni nella sezione: σ=325.10 τ=40.64
CC 10 SLD (Collegamento 0024_-381)
Azioni sul collegamento: N=-6297.50 Ty=4.47 Tz=-0.23 Mx=0.00 Mz=4.27
Sollecitazioni agenti localmente: Ty_l=-1145.00 Mx_l=-22.90
Tensioni nella sezione: σ=277.57 τ=34.70
CC 10 SLD (Collegamento 0024_-381)
Azioni sul collegamento: N=-6297.50 Ty=3.58 Tz=-0.23 Mx=0.00 Mz=2.82
Sollecitazioni agenti localmente: Ty_l=-1145.00 Mx_l=-22.90
Tensioni nella sezione: σ=277.57 τ=34.70
CC 10 SLD (Collegamento 0024_-381)
Azioni sul collegamento: N=-6297.50 Ty=4.47 Tz=1.69 Mx=0.00 Mz=4.27
Sollecitazioni agenti localmente: Ty_l=-1145.00 Mx_l=-22.90
Tensioni nella sezione: σ=277.57 τ=34.70
CC 10 SLD (Collegamento 0024_-381)
Azioni sul collegamento: N=-6297.50 Ty=3.58 Tz=1.69 Mx=0.00 Mz=2.82
Sollecitazioni agenti localmente: Ty_l=-1145.00 Mx_l=-22.90
Tensioni nella sezione: σ=277.57 τ=34.70
CC 10 SLD (Collegamento 0024_-381)
Azioni sul collegamento: N=-6786.28 Ty=4.47 Tz=-0.23 Mx=0.00 Mz=4.27
Sollecitazioni agenti localmente: Ty_l=-1233.87 Mx_l=-24.68
Tensioni nella sezione: σ=299.12 τ=37.39
CC 10 SLD (Collegamento 0024_-381)
Azioni sul collegamento: N=-6786.28 Ty=3.58 Tz=-0.23 Mx=0.00 Mz=2.82
Sollecitazioni agenti localmente: Ty_l=-1233.87 Mx_l=-24.68
Tensioni nella sezione: σ=299.12 τ=37.39
CC 10 SLD (Collegamento 0024_-381)
Azioni sul collegamento: N=-6786.28 Ty=4.47 Tz=1.69 Mx=0.00 Mz=4.27
Sollecitazioni agenti localmente: Ty_l=-1233.87 Mx_l=-24.68
Tensioni nella sezione: σ=299.12 τ=37.39
CC 10 SLD (Collegamento 0024_-381)
Azioni sul collegamento: N=-6786.28 Ty=3.58 Tz=1.69 Mx=0.00 Mz=2.82
Sollecitazioni agenti localmente: Ty_l=-1233.87 Mx_l=-24.68
Tensioni nella sezione: σ=299.12 τ=37.39
CC 11 SLV (Collegamento 0024_-381)
Azioni sul collegamento: N=-7356.86 Ty=5.52 Tz=3.57 Mx=0.02 Mz=7.44
Sollecitazioni agenti localmente: Ty_l=-1337.61 Mx_l=-26.75
Tensioni nella sezione: σ=324.27 τ=40.53
CC 11 SLV (Collegamento 0024_-381)
Azioni sul collegamento: N=-7356.86 Ty=4.22 Tz=3.57 Mx=0.02 Mz=3.82
Sollecitazioni agenti localmente: Ty_l=-1337.61 Mx_l=-26.75
Tensioni nella sezione: σ=324.27 τ=40.53
CC 11 SLV (Collegamento 0024_-381)
Azioni sul collegamento: N=-7356.86 Ty=5.52 Tz=-1.86 Mx=0.02 Mz=7.44
Sollecitazioni agenti localmente: Ty_l=-1337.61 Mx_l=-26.75
Tensioni nella sezione: σ=324.27 τ=40.53
CC 11 SLV (Collegamento 0024_-381)
Azioni sul collegamento: N=-7356.86 Ty=4.22 Tz=-1.86 Mx=0.02 Mz=3.82
Sollecitazioni agenti localmente: Ty_l=-1337.61 Mx_l=-26.75
Tensioni nella sezione: σ=324.27 τ=40.53
CC 11 SLV (Collegamento 0024_-381)
Azioni sul collegamento: N=-5791.88 Ty=5.52 Tz=3.57 Mx=0.02 Mz=7.44
Sollecitazioni agenti localmente: Ty_l=-1053.07 Mx_l=-21.06
Tensioni nella sezione: σ=255.29 τ=31.91
CC 11 SLV (Collegamento 0024_-381)
Azioni sul collegamento: N=-5791.88 Ty=4.22 Tz=3.57 Mx=0.02 Mz=3.82

Sollecitazioni agenti localmente: Ty_l=-1053.07 Mx_l=-21.06
Tensioni nella sezione: σ=255.29 τ=31.91
CC 11 SLV (Collegamento 0024_-381)
Azioni sul collegamento: N=-5791.88 Ty=5.52 Tz=-1.86 Mx=0.02 Mz=7.44
Sollecitazioni agenti localmente: Ty_l=-1053.07 Mx_l=-21.06
Tensioni nella sezione: σ=255.29 τ=31.91
CC 11 SLV (Collegamento 0024_-381)
Azioni sul collegamento: N=-5791.88 Ty=4.22 Tz=-1.86 Mx=0.02 Mz=3.82
Sollecitazioni agenti localmente: Ty_l=-1053.07 Mx_l=-21.06
Tensioni nella sezione: σ=255.29 τ=31.91
CC 12 SLD (Collegamento 0024_-381)
Azioni sul collegamento: N=-6780.50 Ty=4.22 Tz=1.56 Mx=0.00 Mz=4.10
Sollecitazioni agenti localmente: Ty_l=-1232.82 Mx_l=-24.66
Tensioni nella sezione: σ=298.86 τ=37.36
CC 12 SLD (Collegamento 0024_-381)
Azioni sul collegamento: N=-6780.50 Ty=3.83 Tz=1.56 Mx=0.00 Mz=3.00
Sollecitazioni agenti localmente: Ty_l=-1232.82 Mx_l=-24.66
Tensioni nella sezione: σ=298.86 τ=37.36
CC 12 SLD (Collegamento 0024_-381)
Azioni sul collegamento: N=-6780.50 Ty=4.22 Tz=-0.10 Mx=0.00 Mz=4.10
Sollecitazioni agenti localmente: Ty_l=-1232.82 Mx_l=-24.66
Tensioni nella sezione: σ=298.86 τ=37.36
CC 12 SLD (Collegamento 0024_-381)
Azioni sul collegamento: N=-6780.50 Ty=3.83 Tz=-0.10 Mx=0.00 Mz=3.00
Sollecitazioni agenti localmente: Ty_l=-1232.82 Mx_l=-24.66
Tensioni nella sezione: σ=298.86 τ=37.36
CC 12 SLD (Collegamento 0024_-381)
Azioni sul collegamento: N=-6303.28 Ty=4.22 Tz=1.56 Mx=0.00 Mz=4.10
Sollecitazioni agenti localmente: Ty_l=-1146.05 Mx_l=-22.92
Tensioni nella sezione: σ=277.83 τ=34.73
CC 12 SLD (Collegamento 0024_-381)
Azioni sul collegamento: N=-6303.28 Ty=3.83 Tz=1.56 Mx=0.00 Mz=3.00
Sollecitazioni agenti localmente: Ty_l=-1146.05 Mx_l=-22.92
Tensioni nella sezione: σ=277.83 τ=34.73
CC 12 SLD (Collegamento 0024_-381)
Azioni sul collegamento: N=-6303.28 Ty=4.22 Tz=-0.10 Mx=0.00 Mz=4.10
Sollecitazioni agenti localmente: Ty_l=-1146.05 Mx_l=-22.92
Tensioni nella sezione: σ=277.83 τ=34.73
CC 12 SLD (Collegamento 0024_-381)
Azioni sul collegamento: N=-6303.28 Ty=3.83 Tz=-0.10 Mx=0.00 Mz=3.00
Sollecitazioni agenti localmente: Ty_l=-1146.05 Mx_l=-22.92
Tensioni nella sezione: σ=277.83 τ=34.73
CC 13 SLV (Collegamento 0024_-381)
Azioni sul collegamento: N=-5791.88 Ty=4.22 Tz=-1.86 Mx=0.00 Mz=3.82
Sollecitazioni agenti localmente: Ty_l=-1053.07 Mx_l=-21.06
Tensioni nella sezione: σ=255.29 τ=31.91
CC 13 SLV (Collegamento 0024_-381)
Azioni sul collegamento: N=-5791.88 Ty=5.52 Tz=-1.86 Mx=0.00 Mz=7.44
Sollecitazioni agenti localmente: Ty_l=-1053.07 Mx_l=-21.06
Tensioni nella sezione: σ=255.29 τ=31.91
CC 13 SLV (Collegamento 0024_-381)
Azioni sul collegamento: N=-5791.88 Ty=4.22 Tz=3.57 Mx=0.00 Mz=3.82
Sollecitazioni agenti localmente: Ty_l=-1053.07 Mx_l=-21.06
Tensioni nella sezione: σ=255.29 τ=31.91
CC 13 SLV (Collegamento 0024_-381)
Azioni sul collegamento: N=-5791.88 Ty=5.52 Tz=3.57 Mx=0.00 Mz=7.44
Sollecitazioni agenti localmente: Ty_l=-1053.07 Mx_l=-21.06
Tensioni nella sezione: σ=255.29 τ=31.91
CC 13 SLV (Collegamento 0024_-381)
Azioni sul collegamento: N=-7356.86 Ty=4.22 Tz=-1.86 Mx=0.00 Mz=3.82
Sollecitazioni agenti localmente: Ty_l=-1337.61 Mx_l=-26.75
Tensioni nella sezione: σ=324.27 τ=40.53
CC 13 SLV (Collegamento 0024_-381)
Azioni sul collegamento: N=-7356.86 Ty=5.52 Tz=-1.86 Mx=0.00 Mz=7.44
Sollecitazioni agenti localmente: Ty_l=-1337.61 Mx_l=-26.75
Tensioni nella sezione: σ=324.27 τ=40.53
CC 13 SLV (Collegamento 0024_-381)
Azioni sul collegamento: N=-7356.86 Ty=4.22 Tz=3.57 Mx=0.00 Mz=3.82
Sollecitazioni agenti localmente: Ty_l=-1337.61 Mx_l=-26.75
Tensioni nella sezione: σ=324.27 τ=40.53
CC 13 SLV (Collegamento 0024_-381)
Azioni sul collegamento: N=-7356.86 Ty=5.52 Tz=3.57 Mx=0.00 Mz=7.44
Sollecitazioni agenti localmente: Ty_l=-1337.61 Mx_l=-26.75
Tensioni nella sezione: σ=324.27 τ=40.53
CC 14 SLD (Collegamento 0024_-381)
Azioni sul collegamento: N=-6303.28 Ty=3.83 Tz=-0.10 Mx=-0.00 Mz=3.00
Sollecitazioni agenti localmente: Ty_l=-1146.05 Mx_l=-22.92
Tensioni nella sezione: σ=277.83 τ=34.73
CC 14 SLD (Collegamento 0024_-381)

Azioni sul collegamento: N=-6303.28 Ty=4.22 Tz=-0.10 Mx=-0.00 Mz=4.10
Sollecitazioni agenti localmente: Ty_l=-1146.05 Mx_l=-22.92
Tensioni nella sezione: σ=277.83 τ=34.73
CC 14 SLD (Collegamento 0024_-381)
Azioni sul collegamento: N=-6303.28 Ty=3.83 Tz=1.56 Mx=-0.00 Mz=3.00
Sollecitazioni agenti localmente: Ty_l=-1146.05 Mx_l=-22.92
Tensioni nella sezione: σ=277.83 τ=34.73
CC 14 SLD (Collegamento 0024_-381)
Azioni sul collegamento: N=-6303.28 Ty=4.22 Tz=1.56 Mx=-0.00 Mz=4.10
Sollecitazioni agenti localmente: Ty_l=-1146.05 Mx_l=-22.92
Tensioni nella sezione: σ=277.83 τ=34.73
CC 14 SLD (Collegamento 0024_-381)
Azioni sul collegamento: N=-6780.50 Ty=3.83 Tz=-0.10 Mx=-0.00 Mz=3.00
Sollecitazioni agenti localmente: Ty_l=-1232.82 Mx_l=-24.66
Tensioni nella sezione: σ=298.86 τ=37.36
CC 14 SLD (Collegamento 0024_-381)
Azioni sul collegamento: N=-6780.50 Ty=4.22 Tz=-0.10 Mx=-0.00 Mz=4.10
Sollecitazioni agenti localmente: Ty_l=-1232.82 Mx_l=-24.66
Tensioni nella sezione: σ=298.86 τ=37.36
CC 14 SLD (Collegamento 0024_-381)
Azioni sul collegamento: N=-6780.50 Ty=3.83 Tz=1.56 Mx=-0.00 Mz=3.00
Sollecitazioni agenti localmente: Ty_l=-1232.82 Mx_l=-24.66
Tensioni nella sezione: σ=298.86 τ=37.36
CC 14 SLD (Collegamento 0024_-381)
Azioni sul collegamento: N=-6780.50 Ty=4.22 Tz=1.56 Mx=-0.00 Mz=4.10
Sollecitazioni agenti localmente: Ty_l=-1232.82 Mx_l=-24.66
Tensioni nella sezione: σ=298.86 τ=37.36
CC 15 SLV (Collegamento 0024_-381)
Azioni sul collegamento: N=-7375.82 Ty=3.40 Tz=4.00 Mx=0.00 Mz=3.25
Sollecitazioni agenti localmente: Ty_l=-1341.06 Mx_l=-26.82
Tensioni nella sezione: σ=325.10 τ=40.64
CC 15 SLV (Collegamento 0024_-381)
Azioni sul collegamento: N=-7375.82 Ty=6.34 Tz=4.00 Mx=0.00 Mz=8.01
Sollecitazioni agenti localmente: Ty_l=-1341.06 Mx_l=-26.82
Tensioni nella sezione: σ=325.10 τ=40.64
CC 15 SLV (Collegamento 0024_-381)
Azioni sul collegamento: N=-7375.82 Ty=3.40 Tz=-2.29 Mx=0.00 Mz=3.25
Sollecitazioni agenti localmente: Ty_l=-1341.06 Mx_l=-26.82
Tensioni nella sezione: σ=325.10 τ=40.64
CC 15 SLV (Collegamento 0024_-381)
Azioni sul collegamento: N=-7375.82 Ty=6.34 Tz=-2.29 Mx=0.00 Mz=8.01
Sollecitazioni agenti localmente: Ty_l=-1341.06 Mx_l=-26.82
Tensioni nella sezione: σ=325.10 τ=40.64
CC 15 SLV (Collegamento 0024_-381)
Azioni sul collegamento: N=-5772.92 Ty=3.40 Tz=4.00 Mx=0.00 Mz=3.25
Sollecitazioni agenti localmente: Ty_l=-1049.62 Mx_l=-20.99
Tensioni nella sezione: σ=254.45 τ=31.81
CC 15 SLV (Collegamento 0024_-381)
Azioni sul collegamento: N=-5772.92 Ty=6.34 Tz=4.00 Mx=0.00 Mz=8.01
Sollecitazioni agenti localmente: Ty_l=-1049.62 Mx_l=-20.99
Tensioni nella sezione: σ=254.45 τ=31.81
CC 15 SLV (Collegamento 0024_-381)
Azioni sul collegamento: N=-5772.92 Ty=3.40 Tz=-2.29 Mx=0.00 Mz=3.25
Sollecitazioni agenti localmente: Ty_l=-1049.62 Mx_l=-20.99
Tensioni nella sezione: σ=254.45 τ=31.81
CC 15 SLV (Collegamento 0024_-381)
Azioni sul collegamento: N=-5772.92 Ty=6.34 Tz=-2.29 Mx=0.00 Mz=8.01
Sollecitazioni agenti localmente: Ty_l=-1049.62 Mx_l=-20.99
Tensioni nella sezione: σ=254.45 τ=31.81
CC 16 SLD (Collegamento 0024_-381)
Azioni sul collegamento: N=-6786.28 Ty=3.58 Tz=1.69 Mx=-0.00 Mz=2.82
Sollecitazioni agenti localmente: Ty_l=-1233.87 Mx_l=-24.68
Tensioni nella sezione: σ=299.12 τ=37.39
CC 16 SLD (Collegamento 0024_-381)
Azioni sul collegamento: N=-6786.28 Ty=4.47 Tz=1.69 Mx=-0.00 Mz=4.27
Sollecitazioni agenti localmente: Ty_l=-1233.87 Mx_l=-24.68
Tensioni nella sezione: σ=299.12 τ=37.39
CC 16 SLD (Collegamento 0024_-381)
Azioni sul collegamento: N=-6786.28 Ty=3.58 Tz=-0.23 Mx=-0.00 Mz=2.82
Sollecitazioni agenti localmente: Ty_l=-1233.87 Mx_l=-24.68
Tensioni nella sezione: σ=299.12 τ=37.39
CC 16 SLD (Collegamento 0024_-381)
Azioni sul collegamento: N=-6786.28 Ty=4.47 Tz=-0.23 Mx=-0.00 Mz=4.27
Sollecitazioni agenti localmente: Ty_l=-1233.87 Mx_l=-24.68
Tensioni nella sezione: σ=299.12 τ=37.39
CC 16 SLD (Collegamento 0024_-381)
Azioni sul collegamento: N=-6297.50 Ty=3.58 Tz=1.69 Mx=-0.00 Mz=2.82
Sollecitazioni agenti localmente: Ty_l=-1145.00 Mx_l=-22.90
Tensioni nella sezione: σ=277.57 τ=34.70

CC 16 SLD (Collegamento 0024_-381)
Azioni sul collegamento: N=-6297.50 Ty=4.47 Tz=1.69 Mx=-0.00 Mz=4.27
Sollecitazioni agenti localmente: Ty_l=-1145.00 Mx_l=-22.90
Tensioni nella sezione: σ=277.57 τ=34.70
CC 16 SLD (Collegamento 0024_-381)
Azioni sul collegamento: N=-6297.50 Ty=3.58 Tz=-0.23 Mx=-0.00 Mz=2.82
Sollecitazioni agenti localmente: Ty_l=-1145.00 Mx_l=-22.90
Tensioni nella sezione: σ=277.57 τ=34.70
CC 16 SLD (Collegamento 0024_-381)
Azioni sul collegamento: N=-6297.50 Ty=4.47 Tz=-0.23 Mx=-0.00 Mz=4.27
Sollecitazioni agenti localmente: Ty_l=-1145.00 Mx_l=-22.90
Tensioni nella sezione: σ=277.57 τ=34.70
CC 17 SLV (Collegamento 0024_-381)
Azioni sul collegamento: N=-3838.16 Ty=0.76 Tz=-9.35 Mx=-0.02 Mz=1.23
Sollecitazioni agenti localmente: Ty_l=-697.85 Mx_l=-13.96
Tensioni nella sezione: σ=169.18 τ=21.15
CC 17 SLV (Collegamento 0024_-381)
Azioni sul collegamento: N=-3838.16 Ty=4.12 Tz=-9.35 Mx=-0.02 Mz=-1.95
Sollecitazioni agenti localmente: Ty_l=-697.85 Mx_l=-13.96
Tensioni nella sezione: σ=169.18 τ=21.15
CC 17 SLV (Collegamento 0024_-381)
Azioni sul collegamento: N=-3838.16 Ty=0.76 Tz=10.33 Mx=-0.02 Mz=1.23
Sollecitazioni agenti localmente: Ty_l=-697.85 Mx_l=-13.96
Tensioni nella sezione: σ=169.18 τ=21.15
CC 17 SLV (Collegamento 0024_-381)
Azioni sul collegamento: N=-3838.16 Ty=4.12 Tz=10.33 Mx=-0.02 Mz=-1.95
Sollecitazioni agenti localmente: Ty_l=-697.85 Mx_l=-13.96
Tensioni nella sezione: σ=169.18 τ=21.15
CC 17 SLV (Collegamento 0024_-381)
Azioni sul collegamento: N=-9123.66 Ty=0.76 Tz=-9.35 Mx=-0.02 Mz=1.23
Sollecitazioni agenti localmente: Ty_l=-1658.85 Mx_l=-33.18
Tensioni nella sezione: σ=402.14 τ=50.27
CC 17 SLV (Collegamento 0024_-381)
Azioni sul collegamento: N=-9123.66 Ty=4.12 Tz=-9.35 Mx=-0.02 Mz=-1.95
Sollecitazioni agenti localmente: Ty_l=-1658.85 Mx_l=-33.18
Tensioni nella sezione: σ=402.14 τ=50.27
CC 17 SLV (Collegamento 0024_-381)
Azioni sul collegamento: N=-9123.66 Ty=0.76 Tz=10.33 Mx=-0.02 Mz=1.23
Sollecitazioni agenti localmente: Ty_l=-1658.85 Mx_l=-33.18
Tensioni nella sezione: σ=402.14 τ=50.27
CC 17 SLV (Collegamento 0024_-381)
Azioni sul collegamento: N=-9123.66 Ty=4.12 Tz=10.33 Mx=-0.02 Mz=-1.95
Sollecitazioni agenti localmente: Ty_l=-1658.85 Mx_l=-33.18
Tensioni nella sezione: σ=402.14 τ=50.27
CC 18 SLD (Collegamento 0024_-381)
Azioni sul collegamento: N=-5707.53 Ty=3.80 Tz=-2.38 Mx=-0.01 Mz=2.21
Sollecitazioni agenti localmente: Ty_l=-1037.73 Mx_l=-20.75
Tensioni nella sezione: σ=251.57 τ=31.45
CC 18 SLD (Collegamento 0024_-381)
Azioni sul collegamento: N=-5707.53 Ty=2.77 Tz=-2.38 Mx=-0.01 Mz=1.24
Sollecitazioni agenti localmente: Ty_l=-1037.73 Mx_l=-20.75
Tensioni nella sezione: σ=251.57 τ=31.45
CC 18 SLD (Collegamento 0024_-381)
Azioni sul collegamento: N=-5707.53 Ty=3.80 Tz=3.62 Mx=-0.01 Mz=2.21
Sollecitazioni agenti localmente: Ty_l=-1037.73 Mx_l=-20.75
Tensioni nella sezione: σ=251.57 τ=31.45
CC 18 SLD (Collegamento 0024_-381)
Azioni sul collegamento: N=-5707.53 Ty=2.77 Tz=3.62 Mx=-0.01 Mz=1.24
Sollecitazioni agenti localmente: Ty_l=-1037.73 Mx_l=-20.75
Tensioni nella sezione: σ=251.57 τ=31.45
CC 18 SLD (Collegamento 0024_-381)
Azioni sul collegamento: N=-7319.25 Ty=3.80 Tz=-2.38 Mx=-0.01 Mz=2.21
Sollecitazioni agenti localmente: Ty_l=-1330.77 Mx_l=-26.62
Tensioni nella sezione: σ=322.61 τ=40.33
CC 18 SLD (Collegamento 0024_-381)
Azioni sul collegamento: N=-7319.25 Ty=2.77 Tz=-2.38 Mx=-0.01 Mz=1.24
Sollecitazioni agenti localmente: Ty_l=-1330.77 Mx_l=-26.62
Tensioni nella sezione: σ=322.61 τ=40.33
CC 18 SLD (Collegamento 0024_-381)
Azioni sul collegamento: N=-7319.25 Ty=3.80 Tz=3.62 Mx=-0.01 Mz=2.21
Sollecitazioni agenti localmente: Ty_l=-1330.77 Mx_l=-26.62
Tensioni nella sezione: σ=322.61 τ=40.33
CC 18 SLD (Collegamento 0024_-381)
Azioni sul collegamento: N=-7319.25 Ty=2.77 Tz=3.62 Mx=-0.01 Mz=1.24
Sollecitazioni agenti localmente: Ty_l=-1330.77 Mx_l=-26.62
Tensioni nella sezione: σ=322.61 τ=40.33
CC 19 SLV (Collegamento 0024_-381)
Azioni sul collegamento: N=-3843.85 Ty=1.39 Tz=-9.22 Mx=-0.02 Mz=-0.03
Sollecitazioni agenti localmente: Ty_l=-698.88 Mx_l=-13.98

Tensioni nella sezione: σ=169.43 τ=21.18
CC 19 SLV (Collegamento 0024_-381)
Azioni sul collegamento: N=-3843.85 Ty=3.49 Tz=-9.22 Mx=-0.02 Mz=-0.69
Sollecitazioni agenti localmente: Ty_l=-698.88 Mx_l=-13.98
Tensioni nella sezione: σ=169.43 τ=21.18
CC 19 SLV (Collegamento 0024_-381)
Azioni sul collegamento: N=-3843.85 Ty=1.39 Tz=10.20 Mx=-0.02 Mz=-0.03
Sollecitazioni agenti localmente: Ty_l=-698.88 Mx_l=-13.98
Tensioni nella sezione: σ=169.43 τ=21.18
CC 19 SLV (Collegamento 0024_-381)
Azioni sul collegamento: N=-3843.85 Ty=3.49 Tz=10.20 Mx=-0.02 Mz=-0.69
Sollecitazioni agenti localmente: Ty_l=-698.88 Mx_l=-13.98
Tensioni nella sezione: σ=169.43 τ=21.18
CC 19 SLV (Collegamento 0024_-381)
Azioni sul collegamento: N=-9117.97 Ty=1.39 Tz=-9.22 Mx=-0.02 Mz=-0.03
Sollecitazioni agenti localmente: Ty_l=-1657.81 Mx_l=-33.16
Tensioni nella sezione: σ=401.89 τ=50.24
CC 19 SLV (Collegamento 0024_-381)
Azioni sul collegamento: N=-9117.97 Ty=3.49 Tz=-9.22 Mx=-0.02 Mz=-0.69
Sollecitazioni agenti localmente: Ty_l=-1657.81 Mx_l=-33.16
Tensioni nella sezione: σ=401.89 τ=50.24
CC 19 SLV (Collegamento 0024_-381)
Azioni sul collegamento: N=-9117.97 Ty=1.39 Tz=10.20 Mx=-0.02 Mz=-0.03
Sollecitazioni agenti localmente: Ty_l=-1657.81 Mx_l=-33.16
Tensioni nella sezione: σ=401.89 τ=50.24
CC 19 SLV (Collegamento 0024_-381)
Azioni sul collegamento: N=-9117.97 Ty=3.49 Tz=10.20 Mx=-0.02 Mz=-0.69
Sollecitazioni agenti localmente: Ty_l=-1657.81 Mx_l=-33.16
Tensioni nella sezione: σ=401.89 τ=50.24
CC 20 SLD (Collegamento 0024_-381)
Azioni sul collegamento: N=-5709.27 Ty=3.60 Tz=-2.35 Mx=-0.01 Mz=1.82
Sollecitazioni agenti localmente: Ty_l=-1038.05 Mx_l=-20.76
Tensioni nella sezione: σ=251.65 τ=31.46
CC 20 SLD (Collegamento 0024_-381)
Azioni sul collegamento: N=-5709.27 Ty=2.97 Tz=-2.35 Mx=-0.01 Mz=1.62
Sollecitazioni agenti localmente: Ty_l=-1038.05 Mx_l=-20.76
Tensioni nella sezione: σ=251.65 τ=31.46
CC 20 SLD (Collegamento 0024_-381)
Azioni sul collegamento: N=-5709.27 Ty=3.60 Tz=3.58 Mx=-0.01 Mz=1.82
Sollecitazioni agenti localmente: Ty_l=-1038.05 Mx_l=-20.76
Tensioni nella sezione: σ=251.65 τ=31.46
CC 20 SLD (Collegamento 0024_-381)
Azioni sul collegamento: N=-5709.27 Ty=2.97 Tz=3.58 Mx=-0.01 Mz=1.62
Sollecitazioni agenti localmente: Ty_l=-1038.05 Mx_l=-20.76
Tensioni nella sezione: σ=251.65 τ=31.46
CC 20 SLD (Collegamento 0024_-381)
Azioni sul collegamento: N=-7317.51 Ty=3.60 Tz=-2.35 Mx=-0.01 Mz=1.82
Sollecitazioni agenti localmente: Ty_l=-1330.46 Mx_l=-26.61
Tensioni nella sezione: σ=322.53 τ=40.32
CC 20 SLD (Collegamento 0024_-381)
Azioni sul collegamento: N=-7317.51 Ty=2.97 Tz=-2.35 Mx=-0.01 Mz=1.62
Sollecitazioni agenti localmente: Ty_l=-1330.46 Mx_l=-26.61
Tensioni nella sezione: σ=322.53 τ=40.32
CC 20 SLD (Collegamento 0024_-381)
Azioni sul collegamento: N=-7317.51 Ty=3.60 Tz=3.58 Mx=-0.01 Mz=1.82
Sollecitazioni agenti localmente: Ty_l=-1330.46 Mx_l=-26.61
Tensioni nella sezione: σ=322.53 τ=40.32
CC 20 SLD (Collegamento 0024_-381)
Azioni sul collegamento: N=-7317.51 Ty=2.97 Tz=3.58 Mx=-0.01 Mz=1.62
Sollecitazioni agenti localmente: Ty_l=-1330.46 Mx_l=-26.61
Tensioni nella sezione: σ=322.53 τ=40.32
CC 21 SLV (Collegamento 0024_-381)
Azioni sul collegamento: N=-9117.97 Ty=3.49 Tz=10.20 Mx=-0.02 Mz=-0.69
Sollecitazioni agenti localmente: Ty_l=-1657.81 Mx_l=-33.16
Tensioni nella sezione: σ=401.89 τ=50.24
CC 21 SLV (Collegamento 0024_-381)
Azioni sul collegamento: N=-9117.97 Ty=1.39 Tz=10.20 Mx=-0.02 Mz=-0.03
Sollecitazioni agenti localmente: Ty_l=-1657.81 Mx_l=-33.16
Tensioni nella sezione: σ=401.89 τ=50.24
CC 21 SLV (Collegamento 0024_-381)
Azioni sul collegamento: N=-9117.97 Ty=3.49 Tz=-9.22 Mx=-0.02 Mz=-0.69
Sollecitazioni agenti localmente: Ty_l=-1657.81 Mx_l=-33.16
Tensioni nella sezione: σ=401.89 τ=50.24
CC 21 SLV (Collegamento 0024_-381)
Azioni sul collegamento: N=-9117.97 Ty=1.39 Tz=-9.22 Mx=-0.02 Mz=-0.03
Sollecitazioni agenti localmente: Ty_l=-1657.81 Mx_l=-33.16
Tensioni nella sezione: σ=401.89 τ=50.24
CC 21 SLV (Collegamento 0024_-381)
Azioni sul collegamento: N=-3843.85 Ty=3.49 Tz=10.20 Mx=-0.02 Mz=-0.69

Sollecitazioni agenti localmente: Ty_l=-698.88 Mx_l=-13.98
Tensioni nella sezione: σ=169.43 τ=21.18
CC 21 SLV (Collegamento 0024_-381)
Azioni sul collegamento: N=-3843.85 Ty=1.39 Tz=10.20 Mx=-0.02 Mz=-0.03
Sollecitazioni agenti localmente: Ty_l=-698.88 Mx_l=-13.98
Tensioni nella sezione: σ=169.43 τ=21.18
CC 21 SLV (Collegamento 0024_-381)
Azioni sul collegamento: N=-3843.85 Ty=3.49 Tz=-9.22 Mx=-0.02 Mz=-0.69
Sollecitazioni agenti localmente: Ty_l=-698.88 Mx_l=-13.98
Tensioni nella sezione: σ=169.43 τ=21.18
CC 21 SLV (Collegamento 0024_-381)
Azioni sul collegamento: N=-3843.85 Ty=1.39 Tz=-9.22 Mx=-0.02 Mz=-0.03
Sollecitazioni agenti localmente: Ty_l=-698.88 Mx_l=-13.98
Tensioni nella sezione: σ=169.43 τ=21.18
CC 22 SLD (Collegamento 0024_-381)
Azioni sul collegamento: N=-7317.51 Ty=2.97 Tz=3.58 Mx=-0.01 Mz=1.62
Sollecitazioni agenti localmente: Ty_l=-1330.46 Mx_l=-26.61
Tensioni nella sezione: σ=322.53 τ=40.32
CC 22 SLD (Collegamento 0024_-381)
Azioni sul collegamento: N=-7317.51 Ty=3.60 Tz=3.58 Mx=-0.01 Mz=1.82
Sollecitazioni agenti localmente: Ty_l=-1330.46 Mx_l=-26.61
Tensioni nella sezione: σ=322.53 τ=40.32
CC 22 SLD (Collegamento 0024_-381)
Azioni sul collegamento: N=-7317.51 Ty=2.97 Tz=-2.35 Mx=-0.01 Mz=1.62
Sollecitazioni agenti localmente: Ty_l=-1330.46 Mx_l=-26.61
Tensioni nella sezione: σ=322.53 τ=40.32
CC 22 SLD (Collegamento 0024_-381)
Azioni sul collegamento: N=-7317.51 Ty=3.60 Tz=-2.35 Mx=-0.01 Mz=1.82
Sollecitazioni agenti localmente: Ty_l=-1330.46 Mx_l=-26.61
Tensioni nella sezione: σ=322.53 τ=40.32
CC 22 SLD (Collegamento 0024_-381)
Azioni sul collegamento: N=-5709.27 Ty=2.97 Tz=3.58 Mx=-0.01 Mz=1.62
Sollecitazioni agenti localmente: Ty_l=-1038.05 Mx_l=-20.76
Tensioni nella sezione: σ=251.65 τ=31.46
CC 22 SLD (Collegamento 0024_-381)
Azioni sul collegamento: N=-5709.27 Ty=3.60 Tz=3.58 Mx=-0.01 Mz=1.82
Sollecitazioni agenti localmente: Ty_l=-1038.05 Mx_l=-20.76
Tensioni nella sezione: σ=251.65 τ=31.46
CC 22 SLD (Collegamento 0024_-381)
Azioni sul collegamento: N=-5709.27 Ty=2.97 Tz=-2.35 Mx=-0.01 Mz=1.62
Sollecitazioni agenti localmente: Ty_l=-1038.05 Mx_l=-20.76
Tensioni nella sezione: σ=251.65 τ=31.46
CC 22 SLD (Collegamento 0024_-381)
Azioni sul collegamento: N=-5709.27 Ty=3.60 Tz=-2.35 Mx=-0.01 Mz=1.82
Sollecitazioni agenti localmente: Ty_l=-1038.05 Mx_l=-20.76
Tensioni nella sezione: σ=251.65 τ=31.46
CC 23 SLV (Collegamento 0024_-381)
Azioni sul collegamento: N=-9123.66 Ty=4.12 Tz=10.33 Mx=-0.01 Mz=-1.95
Sollecitazioni agenti localmente: Ty_l=-1658.85 Mx_l=-33.18
Tensioni nella sezione: σ=402.14 τ=50.27
CC 23 SLV (Collegamento 0024_-381)
Azioni sul collegamento: N=-9123.66 Ty=0.76 Tz=10.33 Mx=-0.01 Mz=1.23
Sollecitazioni agenti localmente: Ty_l=-1658.85 Mx_l=-33.18
Tensioni nella sezione: σ=402.14 τ=50.27
CC 23 SLV (Collegamento 0024_-381)
Azioni sul collegamento: N=-9123.66 Ty=4.12 Tz=-9.35 Mx=-0.01 Mz=-1.95
Sollecitazioni agenti localmente: Ty_l=-1658.85 Mx_l=-33.18
Tensioni nella sezione: σ=402.14 τ=50.27
CC 23 SLV (Collegamento 0024_-381)
Azioni sul collegamento: N=-9123.66 Ty=0.76 Tz=-9.35 Mx=-0.01 Mz=1.23
Sollecitazioni agenti localmente: Ty_l=-1658.85 Mx_l=-33.18
Tensioni nella sezione: σ=402.14 τ=50.27
CC 23 SLV (Collegamento 0024_-381)
Azioni sul collegamento: N=-3838.16 Ty=4.12 Tz=10.33 Mx=-0.01 Mz=-1.95
Sollecitazioni agenti localmente: Ty_l=-697.85 Mx_l=-13.96
Tensioni nella sezione: σ=169.18 τ=21.15
CC 23 SLV (Collegamento 0024_-381)
Azioni sul collegamento: N=-3838.16 Ty=0.76 Tz=10.33 Mx=-0.01 Mz=1.23
Sollecitazioni agenti localmente: Ty_l=-697.85 Mx_l=-13.96
Tensioni nella sezione: σ=169.18 τ=21.15
CC 23 SLV (Collegamento 0024_-381)
Azioni sul collegamento: N=-3838.16 Ty=4.12 Tz=-9.35 Mx=-0.01 Mz=-1.95
Sollecitazioni agenti localmente: Ty_l=-697.85 Mx_l=-13.96
Tensioni nella sezione: σ=169.18 τ=21.15
CC 23 SLV (Collegamento 0024_-381)
Azioni sul collegamento: N=-3838.16 Ty=0.76 Tz=-9.35 Mx=-0.01 Mz=1.23
Sollecitazioni agenti localmente: Ty_l=-697.85 Mx_l=-13.96
Tensioni nella sezione: σ=169.18 τ=21.15
CC 24 SLD (Collegamento 0024_-381)

Azioni sul collegamento: N=-7319.25 Ty=2.77 Tz=3.62 Mx=-0.01 Mz=1.24
Sollecitazioni agenti localmente: Ty_l=-1330.77 Mx_l=-26.62
Tensioni nella sezione: σ=322.61 τ=40.33
CC 24 SLD (Collegamento 0024_-381)
Azioni sul collegamento: N=-7319.25 Ty=3.80 Tz=3.62 Mx=-0.01 Mz=2.21
Sollecitazioni agenti localmente: Ty_l=-1330.77 Mx_l=-26.62
Tensioni nella sezione: σ=322.61 τ=40.33
CC 24 SLD (Collegamento 0024_-381)
Azioni sul collegamento: N=-7319.25 Ty=2.77 Tz=-2.38 Mx=-0.01 Mz=1.24
Sollecitazioni agenti localmente: Ty_l=-1330.77 Mx_l=-26.62
Tensioni nella sezione: σ=322.61 τ=40.33
CC 24 SLD (Collegamento 0024_-381)
Azioni sul collegamento: N=-7319.25 Ty=3.80 Tz=-2.38 Mx=-0.01 Mz=2.21
Sollecitazioni agenti localmente: Ty_l=-1330.77 Mx_l=-26.62
Tensioni nella sezione: σ=322.61 τ=40.33
CC 24 SLD (Collegamento 0024_-381)
Azioni sul collegamento: N=-5707.53 Ty=2.77 Tz=3.62 Mx=-0.01 Mz=1.24
Sollecitazioni agenti localmente: Ty_l=-1037.73 Mx_l=-20.75
Tensioni nella sezione: σ=251.57 τ=31.45
CC 24 SLD (Collegamento 0024_-381)
Azioni sul collegamento: N=-5707.53 Ty=3.80 Tz=3.62 Mx=-0.01 Mz=2.21
Sollecitazioni agenti localmente: Ty_l=-1037.73 Mx_l=-20.75
Tensioni nella sezione: σ=251.57 τ=31.45
CC 24 SLD (Collegamento 0024_-381)
Azioni sul collegamento: N=-5707.53 Ty=2.77 Tz=-2.38 Mx=-0.01 Mz=1.24
Sollecitazioni agenti localmente: Ty_l=-1037.73 Mx_l=-20.75
Tensioni nella sezione: σ=251.57 τ=31.45
CC 24 SLD (Collegamento 0024_-381)
Azioni sul collegamento: N=-5707.53 Ty=3.80 Tz=-2.38 Mx=-0.01 Mz=2.21
Sollecitazioni agenti localmente: Ty_l=-1037.73 Mx_l=-20.75
Tensioni nella sezione: σ=251.57 τ=31.45
CC 25 SLV (Collegamento 0024_-381)
Azioni sul collegamento: N=-5679.46 Ty=0.97 Tz=-2.66 Mx=-0.03 Mz=2.02
Sollecitazioni agenti localmente: Ty_l=-1032.63 Mx_l=-20.65
Tensioni nella sezione: σ=250.33 τ=31.29
CC 25 SLV (Collegamento 0024_-381)
Azioni sul collegamento: N=-5679.46 Ty=3.91 Tz=-2.66 Mx=-0.03 Mz=-2.74
Sollecitazioni agenti localmente: Ty_l=-1032.63 Mx_l=-20.65
Tensioni nella sezione: σ=250.33 τ=31.29
CC 25 SLV (Collegamento 0024_-381)
Azioni sul collegamento: N=-5679.46 Ty=0.97 Tz=3.63 Mx=-0.03 Mz=2.02
Sollecitazioni agenti localmente: Ty_l=-1032.63 Mx_l=-20.65
Tensioni nella sezione: σ=250.33 τ=31.29
CC 25 SLV (Collegamento 0024_-381)
Azioni sul collegamento: N=-5679.46 Ty=3.91 Tz=3.63 Mx=-0.03 Mz=-2.74
Sollecitazioni agenti localmente: Ty_l=-1032.63 Mx_l=-20.65
Tensioni nella sezione: σ=250.33 τ=31.29
CC 25 SLV (Collegamento 0024_-381)
Azioni sul collegamento: N=-7282.36 Ty=0.97 Tz=-2.66 Mx=-0.03 Mz=2.02
Sollecitazioni agenti localmente: Ty_l=-1324.07 Mx_l=-26.48
Tensioni nella sezione: σ=320.99 τ=40.12
CC 25 SLV (Collegamento 0024_-381)
Azioni sul collegamento: N=-7282.36 Ty=3.91 Tz=-2.66 Mx=-0.03 Mz=-2.74
Sollecitazioni agenti localmente: Ty_l=-1324.07 Mx_l=-26.48
Tensioni nella sezione: σ=320.99 τ=40.12
CC 25 SLV (Collegamento 0024_-381)
Azioni sul collegamento: N=-7282.36 Ty=0.97 Tz=3.63 Mx=-0.03 Mz=2.02
Sollecitazioni agenti localmente: Ty_l=-1324.07 Mx_l=-26.48
Tensioni nella sezione: σ=320.99 τ=40.12
CC 25 SLV (Collegamento 0024_-381)
Azioni sul collegamento: N=-7282.36 Ty=3.91 Tz=3.63 Mx=-0.03 Mz=-2.74
Sollecitazioni agenti localmente: Ty_l=-1324.07 Mx_l=-26.48
Tensioni nella sezione: σ=320.99 τ=40.12
CC 26 SLD (Collegamento 0024_-381)
Azioni sul collegamento: N=-6269.00 Ty=3.73 Tz=-0.34 Mx=-0.01 Mz=2.45
Sollecitazioni agenti localmente: Ty_l=-1139.82 Mx_l=-22.80
Tensioni nella sezione: σ=276.32 τ=34.54
CC 26 SLD (Collegamento 0024_-381)
Azioni sul collegamento: N=-6269.00 Ty=2.84 Tz=-0.34 Mx=-0.01 Mz=0.99
Sollecitazioni agenti localmente: Ty_l=-1139.82 Mx_l=-22.80
Tensioni nella sezione: σ=276.32 τ=34.54
CC 26 SLD (Collegamento 0024_-381)
Azioni sul collegamento: N=-6269.00 Ty=3.73 Tz=1.57 Mx=-0.01 Mz=2.45
Sollecitazioni agenti localmente: Ty_l=-1139.82 Mx_l=-22.80
Tensioni nella sezione: σ=276.32 τ=34.54
CC 26 SLD (Collegamento 0024_-381)
Azioni sul collegamento: N=-6269.00 Ty=2.84 Tz=1.57 Mx=-0.01 Mz=0.99
Sollecitazioni agenti localmente: Ty_l=-1139.82 Mx_l=-22.80
Tensioni nella sezione: σ=276.32 τ=34.54

CC 26 SLD (Collegamento 0024_-381)
Azioni sul collegamento: N=-6757.78 Ty=3.73 Tz=-0.34 Mx=-0.01 Mz=2.45
Sollecitazioni agenti localmente: Ty_l=-1228.69 Mx_l=-24.57
Tensioni nella sezione: σ=297.86 τ=37.23
CC 26 SLD (Collegamento 0024_-381)
Azioni sul collegamento: N=-6757.78 Ty=2.84 Tz=-0.34 Mx=-0.01 Mz=0.99
Sollecitazioni agenti localmente: Ty_l=-1228.69 Mx_l=-24.57
Tensioni nella sezione: σ=297.86 τ=37.23
CC 26 SLD (Collegamento 0024_-381)
Azioni sul collegamento: N=-6757.78 Ty=3.73 Tz=1.57 Mx=-0.01 Mz=2.45
Sollecitazioni agenti localmente: Ty_l=-1228.69 Mx_l=-24.57
Tensioni nella sezione: σ=297.86 τ=37.23
CC 26 SLD (Collegamento 0024_-381)
Azioni sul collegamento: N=-6757.78 Ty=2.84 Tz=1.57 Mx=-0.01 Mz=0.99
Sollecitazioni agenti localmente: Ty_l=-1228.69 Mx_l=-24.57
Tensioni nella sezione: σ=297.86 τ=37.23
CC 27 SLV (Collegamento 0024_-381)
Azioni sul collegamento: N=-7263.40 Ty=1.79 Tz=3.21 Mx=-0.02 Mz=1.45
Sollecitazioni agenti localmente: Ty_l=-1320.62 Mx_l=-26.41
Tensioni nella sezione: σ=320.15 τ=40.02
CC 27 SLV (Collegamento 0024_-381)
Azioni sul collegamento: N=-7263.40 Ty=3.09 Tz=3.21 Mx=-0.02 Mz=-2.17
Sollecitazioni agenti localmente: Ty_l=-1320.62 Mx_l=-26.41
Tensioni nella sezione: σ=320.15 τ=40.02
CC 27 SLV (Collegamento 0024_-381)
Azioni sul collegamento: N=-7263.40 Ty=1.79 Tz=-2.23 Mx=-0.02 Mz=1.45
Sollecitazioni agenti localmente: Ty_l=-1320.62 Mx_l=-26.41
Tensioni nella sezione: σ=320.15 τ=40.02
CC 27 SLV (Collegamento 0024_-381)
Azioni sul collegamento: N=-7263.40 Ty=3.09 Tz=-2.23 Mx=-0.02 Mz=-2.17
Sollecitazioni agenti localmente: Ty_l=-1320.62 Mx_l=-26.41
Tensioni nella sezione: σ=320.15 τ=40.02
CC 27 SLV (Collegamento 0024_-381)
Azioni sul collegamento: N=-5698.42 Ty=1.79 Tz=3.21 Mx=-0.02 Mz=1.45
Sollecitazioni agenti localmente: Ty_l=-1036.08 Mx_l=-20.72
Tensioni nella sezione: σ=251.17 τ=31.40
CC 27 SLV (Collegamento 0024_-381)
Azioni sul collegamento: N=-5698.42 Ty=3.09 Tz=3.21 Mx=-0.02 Mz=-2.17
Sollecitazioni agenti localmente: Ty_l=-1036.08 Mx_l=-20.72
Tensioni nella sezione: σ=251.17 τ=31.40
CC 27 SLV (Collegamento 0024_-381)
Azioni sul collegamento: N=-5698.42 Ty=1.79 Tz=-2.23 Mx=-0.02 Mz=1.45
Sollecitazioni agenti localmente: Ty_l=-1036.08 Mx_l=-20.72
Tensioni nella sezione: σ=251.17 τ=31.40
CC 27 SLV (Collegamento 0024_-381)
Azioni sul collegamento: N=-5698.42 Ty=3.09 Tz=-2.23 Mx=-0.02 Mz=-2.17
Sollecitazioni agenti localmente: Ty_l=-1036.08 Mx_l=-20.72
Tensioni nella sezione: σ=251.17 τ=31.40
CC 28 SLD (Collegamento 0024_-381)
Azioni sul collegamento: N=-6752.00 Ty=3.48 Tz=1.44 Mx=-0.01 Mz=2.27
Sollecitazioni agenti localmente: Ty_l=-1227.64 Mx_l=-24.55
Tensioni nella sezione: σ=297.61 τ=37.20
CC 28 SLD (Collegamento 0024_-381)
Azioni sul collegamento: N=-6752.00 Ty=3.09 Tz=1.44 Mx=-0.01 Mz=1.17
Sollecitazioni agenti localmente: Ty_l=-1227.64 Mx_l=-24.55
Tensioni nella sezione: σ=297.61 τ=37.20
CC 28 SLD (Collegamento 0024_-381)
Azioni sul collegamento: N=-6752.00 Ty=3.48 Tz=-0.21 Mx=-0.01 Mz=2.27
Sollecitazioni agenti localmente: Ty_l=-1227.64 Mx_l=-24.55
Tensioni nella sezione: σ=297.61 τ=37.20
CC 28 SLD (Collegamento 0024_-381)
Azioni sul collegamento: N=-6752.00 Ty=3.09 Tz=-0.21 Mx=-0.01 Mz=1.17
Sollecitazioni agenti localmente: Ty_l=-1227.64 Mx_l=-24.55
Tensioni nella sezione: σ=297.61 τ=37.20
CC 28 SLD (Collegamento 0024_-381)
Azioni sul collegamento: N=-6274.78 Ty=3.48 Tz=1.44 Mx=-0.01 Mz=2.27
Sollecitazioni agenti localmente: Ty_l=-1140.87 Mx_l=-22.82
Tensioni nella sezione: σ=276.57 τ=34.57
CC 28 SLD (Collegamento 0024_-381)
Azioni sul collegamento: N=-6274.78 Ty=3.09 Tz=1.44 Mx=-0.01 Mz=1.17
Sollecitazioni agenti localmente: Ty_l=-1140.87 Mx_l=-22.82
Tensioni nella sezione: σ=276.57 τ=34.57
CC 28 SLD (Collegamento 0024_-381)
Azioni sul collegamento: N=-6274.78 Ty=3.48 Tz=-0.21 Mx=-0.01 Mz=2.27
Sollecitazioni agenti localmente: Ty_l=-1140.87 Mx_l=-22.82
Tensioni nella sezione: σ=276.57 τ=34.57
CC 28 SLD (Collegamento 0024_-381)
Azioni sul collegamento: N=-6274.78 Ty=3.09 Tz=-0.21 Mx=-0.01 Mz=1.17
Sollecitazioni agenti localmente: Ty_l=-1140.87 Mx_l=-22.82

Tensioni nella sezione: σ=276.57 τ=34.57
CC 29 SLV (Collegamento 0024_-381)
Azioni sul collegamento: N=-5698.42 Ty=3.09 Tz=-2.23 Mx=-0.01 Mz=-2.17
Sollecitazioni agenti localmente: Ty_l=-1036.08 Mx_l=-20.72
Tensioni nella sezione: σ=251.17 τ=31.40
CC 29 SLV (Collegamento 0024_-381)
Azioni sul collegamento: N=-5698.42 Ty=1.79 Tz=-2.23 Mx=-0.01 Mz=1.45
Sollecitazioni agenti localmente: Ty_l=-1036.08 Mx_l=-20.72
Tensioni nella sezione: σ=251.17 τ=31.40
CC 29 SLV (Collegamento 0024_-381)
Azioni sul collegamento: N=-5698.42 Ty=3.09 Tz=3.21 Mx=-0.01 Mz=-2.17
Sollecitazioni agenti localmente: Ty_l=-1036.08 Mx_l=-20.72
Tensioni nella sezione: σ=251.17 τ=31.40
CC 29 SLV (Collegamento 0024_-381)
Azioni sul collegamento: N=-5698.42 Ty=1.79 Tz=3.21 Mx=-0.01 Mz=1.45
Sollecitazioni agenti localmente: Ty_l=-1036.08 Mx_l=-20.72
Tensioni nella sezione: σ=251.17 τ=31.40
CC 29 SLV (Collegamento 0024_-381)
Azioni sul collegamento: N=-7263.40 Ty=3.09 Tz=-2.23 Mx=-0.01 Mz=-2.17
Sollecitazioni agenti localmente: Ty_l=-1320.62 Mx_l=-26.41
Tensioni nella sezione: σ=320.15 τ=40.02
CC 29 SLV (Collegamento 0024_-381)
Azioni sul collegamento: N=-7263.40 Ty=1.79 Tz=-2.23 Mx=-0.01 Mz=1.45
Sollecitazioni agenti localmente: Ty_l=-1320.62 Mx_l=-26.41
Tensioni nella sezione: σ=320.15 τ=40.02
CC 29 SLV (Collegamento 0024_-381)
Azioni sul collegamento: N=-7263.40 Ty=3.09 Tz=3.21 Mx=-0.01 Mz=-2.17
Sollecitazioni agenti localmente: Ty_l=-1320.62 Mx_l=-26.41
Tensioni nella sezione: σ=320.15 τ=40.02
CC 29 SLV (Collegamento 0024_-381)
Azioni sul collegamento: N=-7263.40 Ty=1.79 Tz=3.21 Mx=-0.01 Mz=1.45
Sollecitazioni agenti localmente: Ty_l=-1320.62 Mx_l=-26.41
Tensioni nella sezione: σ=320.15 τ=40.02
CC 30 SLD (Collegamento 0024_-381)
Azioni sul collegamento: N=-6274.78 Ty=3.09 Tz=-0.21 Mx=-0.01 Mz=1.17
Sollecitazioni agenti localmente: Ty_l=-1140.87 Mx_l=-22.82
Tensioni nella sezione: σ=276.57 τ=34.57
CC 30 SLD (Collegamento 0024_-381)
Azioni sul collegamento: N=-6274.78 Ty=3.48 Tz=-0.21 Mx=-0.01 Mz=2.27
Sollecitazioni agenti localmente: Ty_l=-1140.87 Mx_l=-22.82
Tensioni nella sezione: σ=276.57 τ=34.57
CC 30 SLD (Collegamento 0024_-381)
Azioni sul collegamento: N=-6274.78 Ty=3.09 Tz=1.44 Mx=-0.01 Mz=1.17
Sollecitazioni agenti localmente: Ty_l=-1140.87 Mx_l=-22.82
Tensioni nella sezione: σ=276.57 τ=34.57
CC 30 SLD (Collegamento 0024_-381)
Azioni sul collegamento: N=-6274.78 Ty=3.48 Tz=1.44 Mx=-0.01 Mz=2.27
Sollecitazioni agenti localmente: Ty_l=-1140.87 Mx_l=-22.82
Tensioni nella sezione: σ=276.57 τ=34.57
CC 30 SLD (Collegamento 0024_-381)
Azioni sul collegamento: N=-6752.00 Ty=3.09 Tz=-0.21 Mx=-0.01 Mz=1.17
Sollecitazioni agenti localmente: Ty_l=-1227.64 Mx_l=-24.55
Tensioni nella sezione: σ=297.61 τ=37.20
CC 30 SLD (Collegamento 0024_-381)
Azioni sul collegamento: N=-6752.00 Ty=3.48 Tz=-0.21 Mx=-0.01 Mz=2.27
Sollecitazioni agenti localmente: Ty_l=-1227.64 Mx_l=-24.55
Tensioni nella sezione: σ=297.61 τ=37.20
CC 30 SLD (Collegamento 0024_-381)
Azioni sul collegamento: N=-6752.00 Ty=3.09 Tz=1.44 Mx=-0.01 Mz=1.17
Sollecitazioni agenti localmente: Ty_l=-1227.64 Mx_l=-24.55
Tensioni nella sezione: σ=297.61 τ=37.20
CC 30 SLD (Collegamento 0024_-381)
Azioni sul collegamento: N=-6752.00 Ty=3.48 Tz=1.44 Mx=-0.01 Mz=2.27
Sollecitazioni agenti localmente: Ty_l=-1227.64 Mx_l=-24.55
Tensioni nella sezione: σ=297.61 τ=37.20
CC 31 SLV (Collegamento 0024_-381)
Azioni sul collegamento: N=-7282.36 Ty=3.91 Tz=3.63 Mx=-0.01 Mz=-2.74
Sollecitazioni agenti localmente: Ty_l=-1324.07 Mx_l=-26.48
Tensioni nella sezione: σ=320.99 τ=40.12
CC 31 SLV (Collegamento 0024_-381)
Azioni sul collegamento: N=-7282.36 Ty=0.97 Tz=3.63 Mx=-0.01 Mz=2.02
Sollecitazioni agenti localmente: Ty_l=-1324.07 Mx_l=-26.48
Tensioni nella sezione: σ=320.99 τ=40.12
CC 31 SLV (Collegamento 0024_-381)
Azioni sul collegamento: N=-7282.36 Ty=3.91 Tz=-2.66 Mx=-0.01 Mz=-2.74
Sollecitazioni agenti localmente: Ty_l=-1324.07 Mx_l=-26.48
Tensioni nella sezione: σ=320.99 τ=40.12
CC 31 SLV (Collegamento 0024_-381)
Azioni sul collegamento: N=-7282.36 Ty=0.97 Tz=-2.66 Mx=-0.01 Mz=2.02

Sollecitazioni agenti localmente: Ty_l=-1324.07 Mx_l=-26.48
Tensioni nella sezione: σ=320.99 τ=40.12
CC 31 SLV (Collegamento 0024_-381)
Azioni sul collegamento: N=-5679.46 Ty=3.91 Tz=3.63 Mx=-0.01 Mz=-2.74
Sollecitazioni agenti localmente: Ty_l=-1032.63 Mx_l=-20.65
Tensioni nella sezione: σ=250.33 τ=31.29
CC 31 SLV (Collegamento 0024_-381)
Azioni sul collegamento: N=-5679.46 Ty=0.97 Tz=3.63 Mx=-0.01 Mz=2.02
Sollecitazioni agenti localmente: Ty_l=-1032.63 Mx_l=-20.65
Tensioni nella sezione: σ=250.33 τ=31.29
CC 31 SLV (Collegamento 0024_-381)
Azioni sul collegamento: N=-5679.46 Ty=3.91 Tz=-2.66 Mx=-0.01 Mz=-2.74
Sollecitazioni agenti localmente: Ty_l=-1032.63 Mx_l=-20.65
Tensioni nella sezione: σ=250.33 τ=31.29
CC 31 SLV (Collegamento 0024_-381)
Azioni sul collegamento: N=-5679.46 Ty=0.97 Tz=-2.66 Mx=-0.01 Mz=2.02
Sollecitazioni agenti localmente: Ty_l=-1032.63 Mx_l=-20.65
Tensioni nella sezione: σ=250.33 τ=31.29
CC 32 SLD (Collegamento 0024_-381)
Azioni sul collegamento: N=-6757.78 Ty=2.84 Tz=1.57 Mx=-0.00 Mz=0.99
Sollecitazioni agenti localmente: Ty_l=-1228.69 Mx_l=-24.57
Tensioni nella sezione: σ=297.86 τ=37.23
CC 32 SLD (Collegamento 0024_-381)
Azioni sul collegamento: N=-6757.78 Ty=3.73 Tz=1.57 Mx=-0.00 Mz=2.45
Sollecitazioni agenti localmente: Ty_l=-1228.69 Mx_l=-24.57
Tensioni nella sezione: σ=297.86 τ=37.23
CC 32 SLD (Collegamento 0024_-381)
Azioni sul collegamento: N=-6757.78 Ty=2.84 Tz=-0.34 Mx=-0.00 Mz=0.99
Sollecitazioni agenti localmente: Ty_l=-1228.69 Mx_l=-24.57
Tensioni nella sezione: σ=297.86 τ=37.23
CC 32 SLD (Collegamento 0024_-381)
Azioni sul collegamento: N=-6757.78 Ty=3.73 Tz=-0.34 Mx=-0.00 Mz=2.45
Sollecitazioni agenti localmente: Ty_l=-1228.69 Mx_l=-24.57
Tensioni nella sezione: σ=297.86 τ=37.23
CC 32 SLD (Collegamento 0024_-381)
Azioni sul collegamento: N=-6269.00 Ty=2.84 Tz=1.57 Mx=-0.00 Mz=0.99
Sollecitazioni agenti localmente: Ty_l=-1139.82 Mx_l=-22.80
Tensioni nella sezione: σ=276.32 τ=34.54
CC 32 SLD (Collegamento 0024_-381)
Azioni sul collegamento: N=-6269.00 Ty=3.73 Tz=1.57 Mx=-0.00 Mz=2.45
Sollecitazioni agenti localmente: Ty_l=-1139.82 Mx_l=-22.80
Tensioni nella sezione: σ=276.32 τ=34.54
CC 32 SLD (Collegamento 0024_-381)
Azioni sul collegamento: N=-6269.00 Ty=2.84 Tz=-0.34 Mx=-0.00 Mz=0.99
Sollecitazioni agenti localmente: Ty_l=-1139.82 Mx_l=-22.80
Tensioni nella sezione: σ=276.32 τ=34.54
CC 32 SLD (Collegamento 0024_-381)
Azioni sul collegamento: N=-6269.00 Ty=3.73 Tz=-0.34 Mx=-0.00 Mz=2.45
Sollecitazioni agenti localmente: Ty_l=-1139.82 Mx_l=-22.80
Tensioni nella sezione: σ=276.32 τ=34.54
CC 33 SLU (Collegamento 0024_-381)
Azioni sul collegamento: N=-30229.20 Ty=5.39 Tz=79.58 Mx=-0.01 Mz=3.85
Sollecitazioni agenti localmente: Ty_l=-5496.22 Mx_l=-109.92
Tensioni nella sezione: σ=1332.41 τ=166.55
CC 34 SLU (Collegamento 0024_-381)
Azioni sul collegamento: N=-30778.60 Ty=5.67 Tz=81.62 Mx=-0.01 Mz=4.05
Sollecitazioni agenti localmente: Ty_l=-5596.11 Mx_l=-111.92
Tensioni nella sezione: σ=1356.63 τ=169.58
CC 35 SLU (Collegamento 0024_-381)
Azioni sul collegamento: N=-30504.90 Ty=5.64 Tz=80.58 Mx=-0.01 Mz=4.16
Sollecitazioni agenti localmente: Ty_l=-5546.35 Mx_l=-110.93
Tensioni nella sezione: σ=1344.57 τ=168.07
CC 36 SLU (Collegamento 0024_-381)
Azioni sul collegamento: N=-30502.90 Ty=5.42 Tz=80.62 Mx=-0.01 Mz=3.73
Sollecitazioni agenti localmente: Ty_l=-5545.98 Mx_l=-110.92
Tensioni nella sezione: σ=1344.48 τ=168.06
CC 37 SLU (Collegamento 0024_-381)
Azioni sul collegamento: N=-32152.70 Ty=5.24 Tz=86.01 Mx=0.00 Mz=3.86
Sollecitazioni agenti localmente: Ty_l=-5845.94 Mx_l=-116.92
Tensioni nella sezione: σ=1417.20 τ=177.15
CC 38 SLU (Collegamento 0024_-381)
Azioni sul collegamento: N=-32702.10 Ty=5.53 Tz=88.04 Mx=0.00 Mz=4.06
Sollecitazioni agenti localmente: Ty_l=-5945.83 Mx_l=-118.92
Tensioni nella sezione: σ=1441.41 τ=180.18
CC 39 SLU (Collegamento 0024_-381)
Azioni sul collegamento: N=-32428.40 Ty=5.50 Tz=87.00 Mx=0.00 Mz=4.18
Sollecitazioni agenti localmente: Ty_l=-5896.07 Mx_l=-117.92
Tensioni nella sezione: σ=1429.35 τ=178.67
CC 40 SLU (Collegamento 0024_-381)

Azioni sul collegamento: N=-32426.40 Ty=5.28 Tz=87.05 Mx=0.00 Mz=3.74
Sollecitazioni agenti localmente: Ty_l=-5895.71 Mx_l=-117.91
Tensioni nella sezione: σ=1429.26 τ=178.66
CC 41 SLU (Collegamento 0024_-381)
Azioni sul collegamento: N=-20958.20 Ty=6.23 Tz=45.50 Mx=-0.01 Mz=4.43
Sollecitazioni agenti localmente: Ty_l=-3810.59 Mx_l=-76.21
Tensioni nella sezione: σ=923.78 τ=115.47
CC 42 SLU (Collegamento 0024_-381)
Azioni sul collegamento: N=-21507.60 Ty=6.52 Tz=47.54 Mx=-0.01 Mz=4.63
Sollecitazioni agenti localmente: Ty_l=-3910.48 Mx_l=-78.21
Tensioni nella sezione: σ=947.99 τ=118.50
CC 43 SLU (Collegamento 0024_-381)
Azioni sul collegamento: N=-21233.90 Ty=6.48 Tz=46.50 Mx=-0.01 Mz=4.75
Sollecitazioni agenti localmente: Ty_l=-3860.71 Mx_l=-77.21
Tensioni nella sezione: σ=935.93 τ=116.99
CC 44 SLU (Collegamento 0024_-381)
Azioni sul collegamento: N=-21231.90 Ty=6.26 Tz=46.54 Mx=-0.01 Mz=4.31
Sollecitazioni agenti localmente: Ty_l=-3860.35 Mx_l=-77.21
Tensioni nella sezione: σ=935.84 τ=116.98
CC 45 SLU (Collegamento 0024_-381)
Azioni sul collegamento: N=-23044.60 Ty=5.94 Tz=53.22 Mx=-0.01 Mz=4.28
Sollecitazioni agenti localmente: Ty_l=-4189.93 Mx_l=-83.80
Tensioni nella sezione: σ=1015.74 τ=126.97
CC 46 SLU (Collegamento 0024_-381)
Azioni sul collegamento: N=-23594.00 Ty=6.22 Tz=55.25 Mx=-0.01 Mz=4.49
Sollecitazioni agenti localmente: Ty_l=-4289.82 Mx_l=-85.80
Tensioni nella sezione: σ=1039.95 τ=129.99
CC 47 SLU (Collegamento 0024_-381)
Azioni sul collegamento: N=-23320.30 Ty=6.19 Tz=54.21 Mx=-0.01 Mz=4.60
Sollecitazioni agenti localmente: Ty_l=-4240.05 Mx_l=-84.80
Tensioni nella sezione: σ=1027.89 τ=128.49
CC 48 SLU (Collegamento 0024_-381)
Azioni sul collegamento: N=-23318.30 Ty=5.97 Tz=54.26 Mx=-0.01 Mz=4.17
Sollecitazioni agenti localmente: Ty_l=-4239.70 Mx_l=-84.79
Tensioni nella sezione: σ=1027.80 τ=128.48
CC 49 SLU (Collegamento 0024_-381)
Azioni sul collegamento: N=-24483.70 Ty=5.83 Tz=58.03 Mx=0.00 Mz=4.29
Sollecitazioni agenti localmente: Ty_l=-4451.58 Mx_l=-89.03
Tensioni nella sezione: σ=1079.17 τ=134.90
CC 50 SLU (Collegamento 0024_-381)
Azioni sul collegamento: N=-25033.00 Ty=6.12 Tz=60.06 Mx=0.00 Mz=4.50
Sollecitazioni agenti localmente: Ty_l=-4551.46 Mx_l=-91.03
Tensioni nella sezione: σ=1103.38 τ=137.92
CC 51 SLU (Collegamento 0024_-381)
Azioni sul collegamento: N=-24759.30 Ty=6.08 Tz=59.02 Mx=-0.00 Mz=4.61
Sollecitazioni agenti localmente: Ty_l=-4501.70 Mx_l=-90.03
Tensioni nella sezione: σ=1091.32 τ=136.41
CC 52 SLU (Collegamento 0024_-381)
Azioni sul collegamento: N=-24757.40 Ty=5.87 Tz=59.07 Mx=0.00 Mz=4.18
Sollecitazioni agenti localmente: Ty_l=-4501.34 Mx_l=-90.03
Tensioni nella sezione: σ=1091.23 τ=136.40
CC 53 SLU (Collegamento 0024_-381)
Azioni sul collegamento: N=-16108.60 Ty=6.57 Tz=27.72 Mx=-0.01 Mz=4.72
Sollecitazioni agenti localmente: Ty_l=-2928.83 Mx_l=-58.58
Tensioni nella sezione: σ=710.02 τ=88.75
CC 54 SLU (Collegamento 0024_-381)
Azioni sul collegamento: N=-16657.90 Ty=6.86 Tz=29.76 Mx=-0.01 Mz=4.92
Sollecitazioni agenti localmente: Ty_l=-3028.71 Mx_l=-60.57
Tensioni nella sezione: σ=734.23 τ=91.78
CC 55 SLU (Collegamento 0024_-381)
Azioni sul collegamento: N=-16384.20 Ty=6.82 Tz=28.72 Mx=-0.01 Mz=5.04
Sollecitazioni agenti localmente: Ty_l=-2978.95 Mx_l=-59.58
Tensioni nella sezione: σ=722.17 τ=90.27
CC 56 SLU (Collegamento 0024_-381)
Azioni sul collegamento: N=-16382.30 Ty=6.60 Tz=28.76 Mx=-0.01 Mz=4.60
Sollecitazioni agenti localmente: Ty_l=-2978.59 Mx_l=-59.57
Tensioni nella sezione: σ=722.08 τ=90.26
CC 57 SLU (Collegamento 0024_-381)
Azioni sul collegamento: N=-23426.90 Ty=6.35 Tz=54.67 Mx=-0.01 Mz=4.58
Sollecitazioni agenti localmente: Ty_l=-4259.43 Mx_l=-85.19
Tensioni nella sezione: σ=1032.59 τ=129.07
CC 58 SLU (Collegamento 0024_-381)
Azioni sul collegamento: N=-23976.20 Ty=6.64 Tz=56.70 Mx=-0.01 Mz=4.78
Sollecitazioni agenti localmente: Ty_l=-4359.32 Mx_l=-87.19
Tensioni nella sezione: σ=1056.80 τ=132.10
CC 59 SLU (Collegamento 0024_-381)
Azioni sul collegamento: N=-23702.50 Ty=6.61 Tz=55.66 Mx=-0.01 Mz=4.90
Sollecitazioni agenti localmente: Ty_l=-4309.55 Mx_l=-86.19
Tensioni nella sezione: σ=1044.74 τ=130.59

CC 60 SLU (Collegamento 0024_-381)
Azioni sul collegamento: N=-23700.60 Ty=6.39 Tz=55.71 Mx=-0.01 Mz=4.46
Sollecitazioni agenti localmente: Ty_l=-4309.20 Mx_l=-86.18
Tensioni nella sezione: σ=1044.65 τ=130.58
CC 61 SLU (Collegamento 0024_-381)
Azioni sul collegamento: N=-24865.90 Ty=6.25 Tz=59.47 Mx=0.00 Mz=4.59
Sollecitazioni agenti localmente: Ty_l=-4521.07 Mx_l=-90.42
Tensioni nella sezione: σ=1096.02 τ=137.00
CC 62 SLU (Collegamento 0024_-381)
Azioni sul collegamento: N=-25415.30 Ty=6.53 Tz=61.51 Mx=-0.00 Mz=4.79
Sollecitazioni agenti localmente: Ty_l=-4620.96 Mx_l=-92.42
Tensioni nella sezione: σ=1120.23 τ=140.03
CC 63 SLU (Collegamento 0024_-381)
Azioni sul collegamento: N=-25141.60 Ty=6.50 Tz=60.47 Mx=-0.00 Mz=4.91
Sollecitazioni agenti localmente: Ty_l=-4571.20 Mx_l=-91.42
Tensioni nella sezione: σ=1108.17 τ=138.52
CC 64 SLU (Collegamento 0024_-381)
Azioni sul collegamento: N=-25139.60 Ty=6.28 Tz=60.51 Mx=0.00 Mz=4.47
Sollecitazioni agenti localmente: Ty_l=-4570.84 Mx_l=-91.42
Tensioni nella sezione: σ=1108.08 τ=138.51
CC 65 SLU (Collegamento 0024_-381)
Azioni sul collegamento: N=-16490.80 Ty=6.99 Tz=29.17 Mx=-0.01 Mz=5.02
Sollecitazioni agenti localmente: Ty_l=-2998.33 Mx_l=-59.97
Tensioni nella sezione: σ=726.87 τ=90.86
CC 66 SLU (Collegamento 0024_-381)
Azioni sul collegamento: N=-17040.20 Ty=7.27 Tz=31.20 Mx=-0.01 Mz=5.22
Sollecitazioni agenti localmente: Ty_l=-3098.22 Mx_l=-61.96
Tensioni nella sezione: σ=751.08 τ=93.89
CC 67 SLU (Collegamento 0024_-381)
Azioni sul collegamento: N=-16766.50 Ty=7.24 Tz=30.16 Mx=-0.01 Mz=5.34
Sollecitazioni agenti localmente: Ty_l=-3048.45 Mx_l=-60.97
Tensioni nella sezione: σ=739.02 τ=92.38
CC 68 SLU (Collegamento 0024_-381)
Azioni sul collegamento: N=-16764.50 Ty=7.02 Tz=30.21 Mx=-0.01 Mz=4.90
Sollecitazioni agenti localmente: Ty_l=-3048.09 Mx_l=-60.96
Tensioni nella sezione: σ=738.93 τ=92.37
CC 97 SLU (Collegamento 0024_-381)
Azioni sul collegamento: N=-10609.80 Ty=16.63 Tz=15.80 Mx=0.03 Mz=19.66
Sollecitazioni agenti localmente: Ty_l=-1929.05 Mx_l=-38.58
Tensioni nella sezione: σ=467.65 τ=58.46
CC 98 SLU (Collegamento 0024_-381)
Azioni sul collegamento: N=-11159.10 Ty=16.91 Tz=17.84 Mx=0.03 Mz=19.86
Sollecitazioni agenti localmente: Ty_l=-2028.93 Mx_l=-40.58
Tensioni nella sezione: σ=491.86 τ=61.48
CC 99 SLU (Collegamento 0024_-381)
Azioni sul collegamento: N=-10885.40 Ty=16.88 Tz=16.80 Mx=0.03 Mz=19.98
Sollecitazioni agenti localmente: Ty_l=-1979.17 Mx_l=-39.58
Tensioni nella sezione: σ=479.80 τ=59.97
CC 100 SLU (Collegamento 0024_-381)
Azioni sul collegamento: N=-10883.50 Ty=16.66 Tz=16.84 Mx=0.03 Mz=19.55
Sollecitazioni agenti localmente: Ty_l=-1978.81 Mx_l=-39.58
Tensioni nella sezione: σ=479.71 τ=59.96
CC 101 SLU (Collegamento 0024_-381)
Azioni sul collegamento: N=-6606.14 Ty=1.32 Tz=0.91 Mx=-0.01 Mz=0.13
Sollecitazioni agenti localmente: Ty_l=-1201.12 Mx_l=-24.02
Tensioni nella sezione: σ=291.18 τ=36.40
CC 102 SLU (Collegamento 0024_-381)
Azioni sul collegamento: N=-7155.53 Ty=1.61 Tz=2.94 Mx=-0.01 Mz=0.33
Sollecitazioni agenti localmente: Ty_l=-1301.01 Mx_l=-26.02
Tensioni nella sezione: σ=315.39 τ=39.42
CC 103 SLU (Collegamento 0024_-381)
Azioni sul collegamento: N=-6881.82 Ty=1.58 Tz=1.90 Mx=-0.01 Mz=0.45
Sollecitazioni agenti localmente: Ty_l=-1251.24 Mx_l=-25.02
Tensioni nella sezione: σ=303.33 τ=37.92
CC 104 SLU (Collegamento 0024_-381)
Azioni sul collegamento: N=-6879.85 Ty=1.36 Tz=1.95 Mx=-0.01 Mz=0.01
Sollecitazioni agenti localmente: Ty_l=-1250.88 Mx_l=-25.02
Tensioni nella sezione: σ=303.24 τ=37.91

Flessione attacco destro piastra

Bnetta=220.00 Hnetta=15.00
CC 1 SLV (Collegamento 0024_-381)
Azioni sul collegamento: N=-3931.62 Ty=6.55 Tz=-8.98 Mx=0.01 Mz=7.22
Sollecitazioni agenti localmente: Ty_l=-725.69 My_l=-14.92
Tensioni nella sezione: σ=180.81 τ=21.99
CC 1 SLV (Collegamento 0024_-381)
Azioni sul collegamento: N=-3931.62 Ty=3.19 Tz=-8.98 Mx=0.01 Mz=4.04
Sollecitazioni agenti localmente: Ty_l=-713.03 My_l=-14.64

Tensioni nella sezione: σ=177.45 τ=21.61
CC 1 SLV (Collegamento 0024_-381)
Azioni sul collegamento: N=-3931.62 Ty=6.55 Tz=10.69 Mx=0.01 Mz=7.22
Sollecitazioni agenti localmente: Ty_l=-725.69 My_l=-14.92
Tensioni nella sezione: σ=180.81 τ=21.99
CC 1 SLV (Collegamento 0024_-381)
Azioni sul collegamento: N=-3931.62 Ty=3.19 Tz=10.69 Mx=0.01 Mz=4.04
Sollecitazioni agenti localmente: Ty_l=-713.03 My_l=-14.64
Tensioni nella sezione: σ=177.45 τ=21.61
CC 1 SLV (Collegamento 0024_-381)
Azioni sul collegamento: N=-9217.12 Ty=6.55 Tz=-8.98 Mx=0.01 Mz=7.22
Sollecitazioni agenti localmente: Ty_l=-1662.66 My_l=-34.12
Tensioni nella sezione: σ=413.63 τ=50.38
CC 1 SLV (Collegamento 0024_-381)
Azioni sul collegamento: N=-9217.12 Ty=3.19 Tz=-8.98 Mx=0.01 Mz=4.04
Sollecitazioni agenti localmente: Ty_l=-1650.01 My_l=-33.85
Tensioni nella sezione: σ=410.27 τ=50.00
CC 1 SLV (Collegamento 0024_-381)
Azioni sul collegamento: N=-9217.12 Ty=6.55 Tz=10.69 Mx=0.01 Mz=7.22
Sollecitazioni agenti localmente: Ty_l=-1662.66 My_l=-34.12
Tensioni nella sezione: σ=413.63 τ=50.38
CC 1 SLV (Collegamento 0024_-381)
Azioni sul collegamento: N=-9217.12 Ty=3.19 Tz=10.69 Mx=0.01 Mz=4.04
Sollecitazioni agenti localmente: Ty_l=-1650.01 My_l=-33.85
Tensioni nella sezione: σ=410.27 τ=50.00
CC 2 SLD (Collegamento 0024_-381)
Azioni sul collegamento: N=-5736.03 Ty=4.54 Tz=-2.27 Mx=0.00 Mz=4.03
Sollecitazioni agenti localmente: Ty_l=-1032.88 My_l=-21.20
Tensioni nella sezione: σ=256.93 τ=31.30
CC 2 SLD (Collegamento 0024_-381)
Azioni sul collegamento: N=-5736.03 Ty=3.51 Tz=-2.27 Mx=0.00 Mz=3.06
Sollecitazioni agenti localmente: Ty_l=-1029.02 My_l=-21.11
Tensioni nella sezione: σ=255.90 τ=31.18
CC 2 SLD (Collegamento 0024_-381)
Azioni sul collegamento: N=-5736.03 Ty=4.54 Tz=3.73 Mx=0.00 Mz=4.03
Sollecitazioni agenti localmente: Ty_l=-1032.88 My_l=-21.20
Tensioni nella sezione: σ=256.93 τ=31.30
CC 2 SLD (Collegamento 0024_-381)
Azioni sul collegamento: N=-5736.03 Ty=3.51 Tz=3.73 Mx=0.00 Mz=3.06
Sollecitazioni agenti localmente: Ty_l=-1029.02 My_l=-21.11
Tensioni nella sezione: σ=255.90 τ=31.18
CC 2 SLD (Collegamento 0024_-381)
Azioni sul collegamento: N=-7347.75 Ty=4.54 Tz=-2.27 Mx=0.00 Mz=4.03
Sollecitazioni agenti localmente: Ty_l=-1318.60 My_l=-27.05
Tensioni nella sezione: σ=327.92 τ=39.96
CC 2 SLD (Collegamento 0024_-381)
Azioni sul collegamento: N=-7347.75 Ty=3.51 Tz=-2.27 Mx=0.00 Mz=3.06
Sollecitazioni agenti localmente: Ty_l=-1314.74 My_l=-26.97
Tensioni nella sezione: σ=326.90 τ=39.84
CC 2 SLD (Collegamento 0024_-381)
Azioni sul collegamento: N=-7347.75 Ty=4.54 Tz=3.73 Mx=0.00 Mz=4.03
Sollecitazioni agenti localmente: Ty_l=-1318.60 My_l=-27.05
Tensioni nella sezione: σ=327.92 τ=39.96
CC 2 SLD (Collegamento 0024_-381)
Azioni sul collegamento: N=-7347.75 Ty=3.51 Tz=3.73 Mx=0.00 Mz=3.06
Sollecitazioni agenti localmente: Ty_l=-1314.74 My_l=-26.97
Tensioni nella sezione: σ=326.90 τ=39.84
CC 3 SLV (Collegamento 0024_-381)
Azioni sul collegamento: N=-3937.31 Ty=5.92 Tz=-8.85 Mx=0.01 Mz=5.96
Sollecitazioni agenti localmente: Ty_l=-721.70 My_l=-14.83
Tensioni nella sezione: σ=179.73 τ=21.87
CC 3 SLV (Collegamento 0024_-381)
Azioni sul collegamento: N=-3937.31 Ty=3.82 Tz=-8.85 Mx=0.01 Mz=5.30
Sollecitazioni agenti localmente: Ty_l=-719.04 My_l=-14.77
Tensioni nella sezione: σ=179.03 τ=21.79
CC 3 SLV (Collegamento 0024_-381)
Azioni sul collegamento: N=-3937.31 Ty=5.92 Tz=10.56 Mx=0.01 Mz=5.96
Sollecitazioni agenti localmente: Ty_l=-721.70 My_l=-14.83
Tensioni nella sezione: σ=179.73 τ=21.87
CC 3 SLV (Collegamento 0024_-381)
Azioni sul collegamento: N=-3937.31 Ty=3.82 Tz=10.56 Mx=0.01 Mz=5.30
Sollecitazioni agenti localmente: Ty_l=-719.04 My_l=-14.77
Tensioni nella sezione: σ=179.03 τ=21.79
CC 3 SLV (Collegamento 0024_-381)
Azioni sul collegamento: N=-9211.43 Ty=5.92 Tz=-8.85 Mx=0.01 Mz=5.96
Sollecitazioni agenti localmente: Ty_l=-1656.65 My_l=-33.99
Tensioni nella sezione: σ=412.06 τ=50.20
CC 3 SLV (Collegamento 0024_-381)
Azioni sul collegamento: N=-9211.43 Ty=3.82 Tz=-8.85 Mx=0.01 Mz=5.30

Sollecitazioni agenti localmente: Ty_l=-1654.00 My_l=-33.94
Tensioni nella sezione: σ=411.35 τ=50.12
CC 3 SLV (Collegamento 0024_-381)
Azioni sul collegamento: N=-9211.43 Ty=5.92 Tz=10.56 Mx=0.01 Mz=5.96
Sollecitazioni agenti localmente: Ty_l=-1656.65 My_l=-33.99
Tensioni nella sezione: σ=412.06 τ=50.20
CC 3 SLV (Collegamento 0024_-381)
Azioni sul collegamento: N=-9211.43 Ty=3.82 Tz=10.56 Mx=0.01 Mz=5.30
Sollecitazioni agenti localmente: Ty_l=-1654.00 My_l=-33.94
Tensioni nella sezione: σ=411.35 τ=50.12
CC 4 SLD (Collegamento 0024_-381)
Azioni sul collegamento: N=-5737.77 Ty=4.34 Tz=-2.23 Mx=0.00 Mz=3.65
Sollecitazioni agenti localmente: Ty_l=-1031.66 My_l=-21.17
Tensioni nella sezione: σ=256.60 τ=31.26
CC 4 SLD (Collegamento 0024_-381)
Azioni sul collegamento: N=-5737.77 Ty=3.71 Tz=-2.23 Mx=0.00 Mz=3.45
Sollecitazioni agenti localmente: Ty_l=-1030.86 My_l=-21.15
Tensioni nella sezione: σ=256.38 τ=31.24
CC 4 SLD (Collegamento 0024_-381)
Azioni sul collegamento: N=-5737.77 Ty=4.34 Tz=3.69 Mx=0.00 Mz=3.65
Sollecitazioni agenti localmente: Ty_l=-1031.66 My_l=-21.17
Tensioni nella sezione: σ=256.60 τ=31.26
CC 4 SLD (Collegamento 0024_-381)
Azioni sul collegamento: N=-5737.77 Ty=3.71 Tz=3.69 Mx=0.00 Mz=3.45
Sollecitazioni agenti localmente: Ty_l=-1030.86 My_l=-21.15
Tensioni nella sezione: σ=256.38 τ=31.24
CC 4 SLD (Collegamento 0024_-381)
Azioni sul collegamento: N=-7346.01 Ty=4.34 Tz=-2.23 Mx=0.00 Mz=3.65
Sollecitazioni agenti localmente: Ty_l=-1316.76 My_l=-27.01
Tensioni nella sezione: σ=327.44 τ=39.90
CC 4 SLD (Collegamento 0024_-381)
Azioni sul collegamento: N=-7346.01 Ty=3.71 Tz=-2.23 Mx=0.00 Mz=3.45
Sollecitazioni agenti localmente: Ty_l=-1315.95 My_l=-27.00
Tensioni nella sezione: σ=327.23 τ=39.88
CC 4 SLD (Collegamento 0024_-381)
Azioni sul collegamento: N=-7346.01 Ty=4.34 Tz=3.69 Mx=0.00 Mz=3.65
Sollecitazioni agenti localmente: Ty_l=-1316.76 My_l=-27.01
Tensioni nella sezione: σ=327.44 τ=39.90
CC 4 SLD (Collegamento 0024_-381)
Azioni sul collegamento: N=-7346.01 Ty=3.71 Tz=3.69 Mx=0.00 Mz=3.45
Sollecitazioni agenti localmente: Ty_l=-1315.95 My_l=-27.00
Tensioni nella sezione: σ=327.23 τ=39.88
CC 5 SLV (Collegamento 0024_-381)
Azioni sul collegamento: N=-9211.43 Ty=3.82 Tz=10.56 Mx=0.01 Mz=5.30
Sollecitazioni agenti localmente: Ty_l=-1654.00 My_l=-33.94
Tensioni nella sezione: σ=411.35 τ=50.12
CC 5 SLV (Collegamento 0024_-381)
Azioni sul collegamento: N=-9211.43 Ty=5.92 Tz=10.56 Mx=0.01 Mz=5.96
Sollecitazioni agenti localmente: Ty_l=-1656.65 My_l=-33.99
Tensioni nella sezione: σ=412.06 τ=50.20
CC 5 SLV (Collegamento 0024_-381)
Azioni sul collegamento: N=-9211.43 Ty=3.82 Tz=-8.85 Mx=0.01 Mz=5.30
Sollecitazioni agenti localmente: Ty_l=-1654.00 My_l=-33.94
Tensioni nella sezione: σ=411.35 τ=50.12
CC 5 SLV (Collegamento 0024_-381)
Azioni sul collegamento: N=-9211.43 Ty=5.92 Tz=-8.85 Mx=0.01 Mz=5.96
Sollecitazioni agenti localmente: Ty_l=-1656.65 My_l=-33.99
Tensioni nella sezione: σ=412.06 τ=50.20
CC 5 SLV (Collegamento 0024_-381)
Azioni sul collegamento: N=-3937.31 Ty=3.82 Tz=10.56 Mx=0.01 Mz=5.30
Sollecitazioni agenti localmente: Ty_l=-719.04 My_l=-14.77
Tensioni nella sezione: σ=179.03 τ=21.79
CC 5 SLV (Collegamento 0024_-381)
Azioni sul collegamento: N=-3937.31 Ty=5.92 Tz=10.56 Mx=0.01 Mz=5.96
Sollecitazioni agenti localmente: Ty_l=-721.70 My_l=-14.83
Tensioni nella sezione: σ=179.73 τ=21.87
CC 5 SLV (Collegamento 0024_-381)
Azioni sul collegamento: N=-3937.31 Ty=3.82 Tz=-8.85 Mx=0.01 Mz=5.30
Sollecitazioni agenti localmente: Ty_l=-719.04 My_l=-14.77
Tensioni nella sezione: σ=179.03 τ=21.79
CC 5 SLV (Collegamento 0024_-381)
Azioni sul collegamento: N=-3937.31 Ty=5.92 Tz=-8.85 Mx=0.01 Mz=5.96
Sollecitazioni agenti localmente: Ty_l=-721.70 My_l=-14.83
Tensioni nella sezione: σ=179.73 τ=21.87
CC 6 SLD (Collegamento 0024_-381)
Azioni sul collegamento: N=-7346.01 Ty=3.71 Tz=3.69 Mx=0.00 Mz=3.45
Sollecitazioni agenti localmente: Ty_l=-1315.95 My_l=-27.00
Tensioni nella sezione: σ=327.23 τ=39.88
CC 6 SLD (Collegamento 0024_-381)

Azioni sul collegamento: N=-7346.01 Ty=4.34 Tz=3.69 Mx=0.00 Mz=3.65
Sollecitazioni agenti localmente: Ty_l=-1316.76 My_l=-27.01
Tensioni nella sezione: σ=327.44 τ=39.90
CC 6 SLD (Collegamento 0024_-381)
Azioni sul collegamento: N=-7346.01 Ty=3.71 Tz=-2.23 Mx=0.00 Mz=3.45
Sollecitazioni agenti localmente: Ty_l=-1315.95 My_l=-27.00
Tensioni nella sezione: σ=327.23 τ=39.88
CC 6 SLD (Collegamento 0024_-381)
Azioni sul collegamento: N=-7346.01 Ty=4.34 Tz=-2.23 Mx=0.00 Mz=3.65
Sollecitazioni agenti localmente: Ty_l=-1316.76 My_l=-27.01
Tensioni nella sezione: σ=327.44 τ=39.90
CC 6 SLD (Collegamento 0024_-381)
Azioni sul collegamento: N=-5737.77 Ty=3.71 Tz=3.69 Mx=0.00 Mz=3.45
Sollecitazioni agenti localmente: Ty_l=-1030.86 My_l=-21.15
Tensioni nella sezione: σ=256.38 τ=31.24
CC 6 SLD (Collegamento 0024_-381)
Azioni sul collegamento: N=-5737.77 Ty=4.34 Tz=3.69 Mx=0.00 Mz=3.65
Sollecitazioni agenti localmente: Ty_l=-1031.66 My_l=-21.17
Tensioni nella sezione: σ=256.60 τ=31.26
CC 6 SLD (Collegamento 0024_-381)
Azioni sul collegamento: N=-5737.77 Ty=3.71 Tz=-2.23 Mx=0.00 Mz=3.45
Sollecitazioni agenti localmente: Ty_l=-1030.86 My_l=-21.15
Tensioni nella sezione: σ=256.38 τ=31.24
CC 6 SLD (Collegamento 0024_-381)
Azioni sul collegamento: N=-5737.77 Ty=4.34 Tz=-2.23 Mx=0.00 Mz=3.65
Sollecitazioni agenti localmente: Ty_l=-1031.66 My_l=-21.17
Tensioni nella sezione: σ=256.60 τ=31.26
CC 7 SLV (Collegamento 0024_-381)
Azioni sul collegamento: N=-9217.12 Ty=3.19 Tz=10.69 Mx=0.01 Mz=4.04
Sollecitazioni agenti localmente: Ty_l=-1650.01 My_l=-33.85
Tensioni nella sezione: σ=410.27 τ=50.00
CC 7 SLV (Collegamento 0024_-381)
Azioni sul collegamento: N=-9217.12 Ty=6.55 Tz=10.69 Mx=0.01 Mz=7.22
Sollecitazioni agenti localmente: Ty_l=-1662.66 My_l=-34.12
Tensioni nella sezione: σ=413.63 τ=50.38
CC 7 SLV (Collegamento 0024_-381)
Azioni sul collegamento: N=-9217.12 Ty=3.19 Tz=-8.98 Mx=0.01 Mz=4.04
Sollecitazioni agenti localmente: Ty_l=-1650.01 My_l=-33.85
Tensioni nella sezione: σ=410.27 τ=50.00
CC 7 SLV (Collegamento 0024_-381)
Azioni sul collegamento: N=-9217.12 Ty=6.55 Tz=-8.98 Mx=0.01 Mz=7.22
Sollecitazioni agenti localmente: Ty_l=-1662.66 My_l=-34.12
Tensioni nella sezione: σ=413.63 τ=50.38
CC 7 SLV (Collegamento 0024_-381)
Azioni sul collegamento: N=-3931.62 Ty=3.19 Tz=10.69 Mx=0.01 Mz=4.04
Sollecitazioni agenti localmente: Ty_l=-713.03 My_l=-14.64
Tensioni nella sezione: σ=177.45 τ=21.61
CC 7 SLV (Collegamento 0024_-381)
Azioni sul collegamento: N=-3931.62 Ty=6.55 Tz=10.69 Mx=0.01 Mz=7.22
Sollecitazioni agenti localmente: Ty_l=-725.69 My_l=-14.92
Tensioni nella sezione: σ=180.81 τ=21.99
CC 7 SLV (Collegamento 0024_-381)
Azioni sul collegamento: N=-3931.62 Ty=3.19 Tz=-8.98 Mx=0.01 Mz=4.04
Sollecitazioni agenti localmente: Ty_l=-713.03 My_l=-14.64
Tensioni nella sezione: σ=177.45 τ=21.61
CC 7 SLV (Collegamento 0024_-381)
Azioni sul collegamento: N=-3931.62 Ty=6.55 Tz=-8.98 Mx=0.01 Mz=7.22
Sollecitazioni agenti localmente: Ty_l=-725.69 My_l=-14.92
Tensioni nella sezione: σ=180.81 τ=21.99
CC 8 SLD (Collegamento 0024_-381)
Azioni sul collegamento: N=-7347.75 Ty=3.51 Tz=3.73 Mx=-0.00 Mz=3.06
Sollecitazioni agenti localmente: Ty_l=-1314.74 My_l=-26.97
Tensioni nella sezione: σ=326.90 τ=39.84
CC 8 SLD (Collegamento 0024_-381)
Azioni sul collegamento: N=-7347.75 Ty=4.54 Tz=3.73 Mx=-0.00 Mz=4.03
Sollecitazioni agenti localmente: Ty_l=-1318.60 My_l=-27.05
Tensioni nella sezione: σ=327.92 τ=39.96
CC 8 SLD (Collegamento 0024_-381)
Azioni sul collegamento: N=-7347.75 Ty=3.51 Tz=-2.27 Mx=-0.00 Mz=3.06
Sollecitazioni agenti localmente: Ty_l=-1314.74 My_l=-26.97
Tensioni nella sezione: σ=326.90 τ=39.84
CC 8 SLD (Collegamento 0024_-381)
Azioni sul collegamento: N=-7347.75 Ty=4.54 Tz=-2.27 Mx=-0.00 Mz=4.03
Sollecitazioni agenti localmente: Ty_l=-1318.60 My_l=-27.05
Tensioni nella sezione: σ=327.92 τ=39.96
CC 8 SLD (Collegamento 0024_-381)
Azioni sul collegamento: N=-5736.03 Ty=3.51 Tz=3.73 Mx=-0.00 Mz=3.06
Sollecitazioni agenti localmente: Ty_l=-1029.02 My_l=-21.11
Tensioni nella sezione: σ=255.90 τ=31.18

CC 8 SLD (Collegamento 0024_-381)
Azioni sul collegamento: N=-5736.03 Ty=4.54 Tz=3.73 Mx=-0.00 Mz=4.03
Sollecitazioni agenti localmente: Ty_l=-1032.88 My_l=-21.20
Tensioni nella sezione: σ=256.93 τ=31.30
CC 8 SLD (Collegamento 0024_-381)
Azioni sul collegamento: N=-5736.03 Ty=3.51 Tz=-2.27 Mx=-0.00 Mz=3.06
Sollecitazioni agenti localmente: Ty_l=-1029.02 My_l=-21.11
Tensioni nella sezione: σ=255.90 τ=31.18
CC 8 SLD (Collegamento 0024_-381)
Azioni sul collegamento: N=-5736.03 Ty=4.54 Tz=-2.27 Mx=-0.00 Mz=4.03
Sollecitazioni agenti localmente: Ty_l=-1032.88 My_l=-21.20
Tensioni nella sezione: σ=256.93 τ=31.30
CC 9 SLV (Collegamento 0024_-381)
Azioni sul collegamento: N=-5772.92 Ty=6.34 Tz=-2.29 Mx=0.02 Mz=8.01
Sollecitazioni agenti localmente: Ty_l=-1055.26 My_l=-21.68
Tensioni nella sezione: σ=262.76 τ=31.98
CC 9 SLV (Collegamento 0024_-381)
Azioni sul collegamento: N=-5772.92 Ty=3.40 Tz=-2.29 Mx=0.02 Mz=3.25
Sollecitazioni agenti localmente: Ty_l=-1036.29 My_l=-21.26
Tensioni nella sezione: σ=257.72 τ=31.40
CC 9 SLV (Collegamento 0024_-381)
Azioni sul collegamento: N=-5772.92 Ty=6.34 Tz=4.00 Mx=0.02 Mz=8.01
Sollecitazioni agenti localmente: Ty_l=-1055.26 My_l=-21.68
Tensioni nella sezione: σ=262.76 τ=31.98
CC 9 SLV (Collegamento 0024_-381)
Azioni sul collegamento: N=-5772.92 Ty=3.40 Tz=4.00 Mx=0.02 Mz=3.25
Sollecitazioni agenti localmente: Ty_l=-1036.29 My_l=-21.26
Tensioni nella sezione: σ=257.72 τ=31.40
CC 9 SLV (Collegamento 0024_-381)
Azioni sul collegamento: N=-7375.82 Ty=6.34 Tz=-2.29 Mx=0.02 Mz=8.01
Sollecitazioni agenti localmente: Ty_l=-1339.41 My_l=-27.50
Tensioni nella sezione: σ=333.36 τ=40.59
CC 9 SLV (Collegamento 0024_-381)
Azioni sul collegamento: N=-7375.82 Ty=3.40 Tz=-2.29 Mx=0.02 Mz=3.25
Sollecitazioni agenti localmente: Ty_l=-1320.44 My_l=-27.09
Tensioni nella sezione: σ=328.33 τ=40.01
CC 9 SLV (Collegamento 0024_-381)
Azioni sul collegamento: N=-7375.82 Ty=6.34 Tz=4.00 Mx=0.02 Mz=8.01
Sollecitazioni agenti localmente: Ty_l=-1339.41 My_l=-27.50
Tensioni nella sezione: σ=333.36 τ=40.59
CC 9 SLV (Collegamento 0024_-381)
Azioni sul collegamento: N=-7375.82 Ty=3.40 Tz=4.00 Mx=0.02 Mz=3.25
Sollecitazioni agenti localmente: Ty_l=-1320.44 My_l=-27.09
Tensioni nella sezione: σ=328.33 τ=40.01
CC 10 SLD (Collegamento 0024_-381)
Azioni sul collegamento: N=-6297.50 Ty=4.47 Tz=-0.23 Mx=0.00 Mz=4.27
Sollecitazioni agenti localmente: Ty_l=-1133.38 My_l=-23.26
Tensioni nella sezione: σ=281.92 τ=34.34
CC 10 SLD (Collegamento 0024_-381)
Azioni sul collegamento: N=-6297.50 Ty=3.58 Tz=-0.23 Mx=0.00 Mz=2.82
Sollecitazioni agenti localmente: Ty_l=-1127.59 My_l=-23.13
Tensioni nella sezione: σ=280.38 τ=34.17
CC 10 SLD (Collegamento 0024_-381)
Azioni sul collegamento: N=-6297.50 Ty=4.47 Tz=1.69 Mx=0.00 Mz=4.27
Sollecitazioni agenti localmente: Ty_l=-1133.38 My_l=-23.26
Tensioni nella sezione: σ=281.92 τ=34.34
CC 10 SLD (Collegamento 0024_-381)
Azioni sul collegamento: N=-6297.50 Ty=3.58 Tz=1.69 Mx=0.00 Mz=2.82
Sollecitazioni agenti localmente: Ty_l=-1127.59 My_l=-23.13
Tensioni nella sezione: σ=280.38 τ=34.17
CC 10 SLD (Collegamento 0024_-381)
Azioni sul collegamento: N=-6786.28 Ty=4.47 Tz=-0.23 Mx=0.00 Mz=4.27
Sollecitazioni agenti localmente: Ty_l=-1220.02 My_l=-25.03
Tensioni nella sezione: σ=303.45 τ=36.97
CC 10 SLD (Collegamento 0024_-381)
Azioni sul collegamento: N=-6786.28 Ty=3.58 Tz=-0.23 Mx=0.00 Mz=2.82
Sollecitazioni agenti localmente: Ty_l=-1214.24 My_l=-24.91
Tensioni nella sezione: σ=301.91 τ=36.80
CC 10 SLD (Collegamento 0024_-381)
Azioni sul collegamento: N=-6786.28 Ty=4.47 Tz=1.69 Mx=0.00 Mz=4.27
Sollecitazioni agenti localmente: Ty_l=-1220.02 My_l=-25.03
Tensioni nella sezione: σ=303.45 τ=36.97
CC 10 SLD (Collegamento 0024_-381)
Azioni sul collegamento: N=-6786.28 Ty=3.58 Tz=1.69 Mx=0.00 Mz=2.82
Sollecitazioni agenti localmente: Ty_l=-1214.24 My_l=-24.91
Tensioni nella sezione: σ=301.91 τ=36.80
CC 11 SLV (Collegamento 0024_-381)
Azioni sul collegamento: N=-7356.86 Ty=5.52 Tz=3.57 Mx=0.02 Mz=7.44
Sollecitazioni agenti localmente: Ty_l=-1333.75 My_l=-27.38

Tensioni nella sezione: σ=331.92 τ=40.42
CC 11 SLV (Collegamento 0024_-381)
Azioni sul collegamento: N=-7356.86 Ty=4.22 Tz=3.57 Mx=0.02 Mz=3.82
Sollecitazioni agenti localmente: Ty_l=-1319.38 My_l=-27.07
Tensioni nella sezione: σ=328.10 τ=39.98
CC 11 SLV (Collegamento 0024_-381)
Azioni sul collegamento: N=-7356.86 Ty=5.52 Tz=-1.86 Mx=0.02 Mz=7.44
Sollecitazioni agenti localmente: Ty_l=-1333.75 My_l=-27.38
Tensioni nella sezione: σ=331.92 τ=40.42
CC 11 SLV (Collegamento 0024_-381)
Azioni sul collegamento: N=-7356.86 Ty=4.22 Tz=-1.86 Mx=0.02 Mz=3.82
Sollecitazioni agenti localmente: Ty_l=-1319.38 My_l=-27.07
Tensioni nella sezione: σ=328.10 τ=39.98
CC 11 SLV (Collegamento 0024_-381)
Azioni sul collegamento: N=-5791.88 Ty=5.52 Tz=3.57 Mx=0.02 Mz=7.44
Sollecitazioni agenti localmente: Ty_l=-1056.32 My_l=-21.70
Tensioni nella sezione: σ=262.98 τ=32.01
CC 11 SLV (Collegamento 0024_-381)
Azioni sul collegamento: N=-5791.88 Ty=4.22 Tz=3.57 Mx=0.02 Mz=3.82
Sollecitazioni agenti localmente: Ty_l=-1041.95 My_l=-21.38
Tensioni nella sezione: σ=259.17 τ=31.57
CC 11 SLV (Collegamento 0024_-381)
Azioni sul collegamento: N=-5791.88 Ty=5.52 Tz=-1.86 Mx=0.02 Mz=7.44
Sollecitazioni agenti localmente: Ty_l=-1056.32 My_l=-21.70
Tensioni nella sezione: σ=262.98 τ=32.01
CC 11 SLV (Collegamento 0024_-381)
Azioni sul collegamento: N=-5791.88 Ty=4.22 Tz=-1.86 Mx=0.02 Mz=3.82
Sollecitazioni agenti localmente: Ty_l=-1041.95 My_l=-21.38
Tensioni nella sezione: σ=259.17 τ=31.57
CC 12 SLD (Collegamento 0024_-381)
Azioni sul collegamento: N=-6780.50 Ty=4.22 Tz=1.56 Mx=0.00 Mz=4.10
Sollecitazioni agenti localmente: Ty_l=-1218.30 My_l=-25.00
Tensioni nella sezione: σ=303.00 τ=36.92
CC 12 SLD (Collegamento 0024_-381)
Azioni sul collegamento: N=-6780.50 Ty=3.83 Tz=1.56 Mx=0.00 Mz=3.00
Sollecitazioni agenti localmente: Ty_l=-1213.92 My_l=-24.90
Tensioni nella sezione: σ=301.84 τ=36.79
CC 12 SLD (Collegamento 0024_-381)
Azioni sul collegamento: N=-6780.50 Ty=4.22 Tz=-0.10 Mx=0.00 Mz=4.10
Sollecitazioni agenti localmente: Ty_l=-1218.30 My_l=-25.00
Tensioni nella sezione: σ=303.00 τ=36.92
CC 12 SLD (Collegamento 0024_-381)
Azioni sul collegamento: N=-6780.50 Ty=3.83 Tz=-0.10 Mx=0.00 Mz=3.00
Sollecitazioni agenti localmente: Ty_l=-1213.92 My_l=-24.90
Tensioni nella sezione: σ=301.84 τ=36.79
CC 12 SLD (Collegamento 0024_-381)
Azioni sul collegamento: N=-6303.28 Ty=4.22 Tz=1.56 Mx=0.00 Mz=4.10
Sollecitazioni agenti localmente: Ty_l=-1133.70 My_l=-23.26
Tensioni nella sezione: σ=281.98 τ=34.35
CC 12 SLD (Collegamento 0024_-381)
Azioni sul collegamento: N=-6303.28 Ty=3.83 Tz=1.56 Mx=0.00 Mz=3.00
Sollecitazioni agenti localmente: Ty_l=-1129.32 My_l=-23.17
Tensioni nella sezione: σ=280.82 τ=34.22
CC 12 SLD (Collegamento 0024_-381)
Azioni sul collegamento: N=-6303.28 Ty=4.22 Tz=-0.10 Mx=0.00 Mz=4.10
Sollecitazioni agenti localmente: Ty_l=-1133.70 My_l=-23.26
Tensioni nella sezione: σ=281.98 τ=34.35
CC 12 SLD (Collegamento 0024_-381)
Azioni sul collegamento: N=-6303.28 Ty=3.83 Tz=-0.10 Mx=0.00 Mz=3.00
Sollecitazioni agenti localmente: Ty_l=-1129.32 My_l=-23.17
Tensioni nella sezione: σ=280.82 τ=34.22
CC 13 SLV (Collegamento 0024_-381)
Azioni sul collegamento: N=-5791.88 Ty=4.22 Tz=-1.86 Mx=0.00 Mz=3.82
Sollecitazioni agenti localmente: Ty_l=-1041.95 My_l=-21.38
Tensioni nella sezione: σ=259.17 τ=31.57
CC 13 SLV (Collegamento 0024_-381)
Azioni sul collegamento: N=-5791.88 Ty=5.52 Tz=-1.86 Mx=0.00 Mz=7.44
Sollecitazioni agenti localmente: Ty_l=-1056.32 My_l=-21.70
Tensioni nella sezione: σ=262.98 τ=32.01
CC 13 SLV (Collegamento 0024_-381)
Azioni sul collegamento: N=-5791.88 Ty=4.22 Tz=3.57 Mx=0.00 Mz=3.82
Sollecitazioni agenti localmente: Ty_l=-1041.95 My_l=-21.38
Tensioni nella sezione: σ=259.17 τ=31.57
CC 13 SLV (Collegamento 0024_-381)
Azioni sul collegamento: N=-5791.88 Ty=5.52 Tz=3.57 Mx=0.00 Mz=7.44
Sollecitazioni agenti localmente: Ty_l=-1056.32 My_l=-21.70
Tensioni nella sezione: σ=262.98 τ=32.01
CC 13 SLV (Collegamento 0024_-381)
Azioni sul collegamento: N=-7356.86 Ty=4.22 Tz=-1.86 Mx=0.00 Mz=3.82

Sollecitazioni agenti localmente: Ty_l=-1319.38 My_l=-27.07
Tensioni nella sezione: σ=328.10 τ=39.98
CC 13 SLV (Collegamento 0024_-381)
Azioni sul collegamento: N=-7356.86 Ty=5.52 Tz=-1.86 Mx=0.00 Mz=7.44
Sollecitazioni agenti localmente: Ty_l=-1333.75 My_l=-27.38
Tensioni nella sezione: σ=331.92 τ=40.42
CC 13 SLV (Collegamento 0024_-381)
Azioni sul collegamento: N=-7356.86 Ty=4.22 Tz=3.57 Mx=0.00 Mz=3.82
Sollecitazioni agenti localmente: Ty_l=-1319.38 My_l=-27.07
Tensioni nella sezione: σ=328.10 τ=39.98
CC 13 SLV (Collegamento 0024_-381)
Azioni sul collegamento: N=-7356.86 Ty=5.52 Tz=3.57 Mx=0.00 Mz=7.44
Sollecitazioni agenti localmente: Ty_l=-1333.75 My_l=-27.38
Tensioni nella sezione: σ=331.92 τ=40.42
CC 14 SLD (Collegamento 0024_-381)
Azioni sul collegamento: N=-6303.28 Ty=3.83 Tz=-0.10 Mx=-0.00 Mz=3.00
Sollecitazioni agenti localmente: Ty_l=-1129.32 My_l=-23.17
Tensioni nella sezione: σ=280.82 τ=34.22
CC 14 SLD (Collegamento 0024_-381)
Azioni sul collegamento: N=-6303.28 Ty=4.22 Tz=-0.10 Mx=-0.00 Mz=4.10
Sollecitazioni agenti localmente: Ty_l=-1133.70 My_l=-23.26
Tensioni nella sezione: σ=281.98 τ=34.35
CC 14 SLD (Collegamento 0024_-381)
Azioni sul collegamento: N=-6303.28 Ty=3.83 Tz=1.56 Mx=-0.00 Mz=3.00
Sollecitazioni agenti localmente: Ty_l=-1129.32 My_l=-23.17
Tensioni nella sezione: σ=280.82 τ=34.22
CC 14 SLD (Collegamento 0024_-381)
Azioni sul collegamento: N=-6303.28 Ty=4.22 Tz=1.56 Mx=-0.00 Mz=4.10
Sollecitazioni agenti localmente: Ty_l=-1133.70 My_l=-23.26
Tensioni nella sezione: σ=281.98 τ=34.35
CC 14 SLD (Collegamento 0024_-381)
Azioni sul collegamento: N=-6780.50 Ty=3.83 Tz=-0.10 Mx=-0.00 Mz=3.00
Sollecitazioni agenti localmente: Ty_l=-1213.92 My_l=-24.90
Tensioni nella sezione: σ=301.84 τ=36.79
CC 14 SLD (Collegamento 0024_-381)
Azioni sul collegamento: N=-6780.50 Ty=4.22 Tz=-0.10 Mx=-0.00 Mz=4.10
Sollecitazioni agenti localmente: Ty_l=-1218.30 My_l=-25.00
Tensioni nella sezione: σ=303.00 τ=36.92
CC 14 SLD (Collegamento 0024_-381)
Azioni sul collegamento: N=-6780.50 Ty=3.83 Tz=1.56 Mx=-0.00 Mz=3.00
Sollecitazioni agenti localmente: Ty_l=-1213.92 My_l=-24.90
Tensioni nella sezione: σ=301.84 τ=36.79
CC 14 SLD (Collegamento 0024_-381)
Azioni sul collegamento: N=-6780.50 Ty=4.22 Tz=1.56 Mx=-0.00 Mz=4.10
Sollecitazioni agenti localmente: Ty_l=-1218.30 My_l=-25.00
Tensioni nella sezione: σ=303.00 τ=36.92
CC 15 SLV (Collegamento 0024_-381)
Azioni sul collegamento: N=-7375.82 Ty=3.40 Tz=4.00 Mx=0.00 Mz=3.25
Sollecitazioni agenti localmente: Ty_l=-1320.44 My_l=-27.09
Tensioni nella sezione: σ=328.33 τ=40.01
CC 15 SLV (Collegamento 0024_-381)
Azioni sul collegamento: N=-7375.82 Ty=6.34 Tz=4.00 Mx=0.00 Mz=8.01
Sollecitazioni agenti localmente: Ty_l=-1339.41 My_l=-27.50
Tensioni nella sezione: σ=333.36 τ=40.59
CC 15 SLV (Collegamento 0024_-381)
Azioni sul collegamento: N=-7375.82 Ty=3.40 Tz=-2.29 Mx=0.00 Mz=3.25
Sollecitazioni agenti localmente: Ty_l=-1320.44 My_l=-27.09
Tensioni nella sezione: σ=328.33 τ=40.01
CC 15 SLV (Collegamento 0024_-381)
Azioni sul collegamento: N=-7375.82 Ty=6.34 Tz=-2.29 Mx=0.00 Mz=8.01
Sollecitazioni agenti localmente: Ty_l=-1339.41 My_l=-27.50
Tensioni nella sezione: σ=333.36 τ=40.59
CC 15 SLV (Collegamento 0024_-381)
Azioni sul collegamento: N=-5772.92 Ty=3.40 Tz=4.00 Mx=0.00 Mz=3.25
Sollecitazioni agenti localmente: Ty_l=-1036.29 My_l=-21.26
Tensioni nella sezione: σ=257.72 τ=31.40
CC 15 SLV (Collegamento 0024_-381)
Azioni sul collegamento: N=-5772.92 Ty=6.34 Tz=4.00 Mx=0.00 Mz=8.01
Sollecitazioni agenti localmente: Ty_l=-1055.26 My_l=-21.68
Tensioni nella sezione: σ=262.76 τ=31.98
CC 15 SLV (Collegamento 0024_-381)
Azioni sul collegamento: N=-5772.92 Ty=3.40 Tz=-2.29 Mx=0.00 Mz=3.25
Sollecitazioni agenti localmente: Ty_l=-1036.29 My_l=-21.26
Tensioni nella sezione: σ=257.72 τ=31.40
CC 15 SLV (Collegamento 0024_-381)
Azioni sul collegamento: N=-5772.92 Ty=6.34 Tz=-2.29 Mx=0.00 Mz=8.01
Sollecitazioni agenti localmente: Ty_l=-1055.26 My_l=-21.68
Tensioni nella sezione: σ=262.76 τ=31.98
CC 16 SLD (Collegamento 0024_-381)

Azioni sul collegamento: N=-6786.28 Ty=3.58 Tz=1.69 Mx=-0.00 Mz=2.82
Sollecitazioni agenti localmente: Ty_l=-1214.24 My_l=-24.91
Tensioni nella sezione: σ=301.91 τ=36.80
CC 16 SLD (Collegamento 0024_-381)
Azioni sul collegamento: N=-6786.28 Ty=4.47 Tz=1.69 Mx=-0.00 Mz=4.27
Sollecitazioni agenti localmente: Ty_l=-1220.02 My_l=-25.03
Tensioni nella sezione: σ=303.45 τ=36.97
CC 16 SLD (Collegamento 0024_-381)
Azioni sul collegamento: N=-6786.28 Ty=3.58 Tz=-0.23 Mx=-0.00 Mz=2.82
Sollecitazioni agenti localmente: Ty_l=-1214.24 My_l=-24.91
Tensioni nella sezione: σ=301.91 τ=36.80
CC 16 SLD (Collegamento 0024_-381)
Azioni sul collegamento: N=-6786.28 Ty=4.47 Tz=-0.23 Mx=-0.00 Mz=4.27
Sollecitazioni agenti localmente: Ty_l=-1220.02 My_l=-25.03
Tensioni nella sezione: σ=303.45 τ=36.97
CC 16 SLD (Collegamento 0024_-381)
Azioni sul collegamento: N=-6297.50 Ty=3.58 Tz=1.69 Mx=-0.00 Mz=2.82
Sollecitazioni agenti localmente: Ty_l=-1127.59 My_l=-23.13
Tensioni nella sezione: σ=280.38 τ=34.17
CC 16 SLD (Collegamento 0024_-381)
Azioni sul collegamento: N=-6297.50 Ty=4.47 Tz=1.69 Mx=-0.00 Mz=4.27
Sollecitazioni agenti localmente: Ty_l=-1133.38 My_l=-23.26
Tensioni nella sezione: σ=281.92 τ=34.34
CC 16 SLD (Collegamento 0024_-381)
Azioni sul collegamento: N=-6297.50 Ty=3.58 Tz=-0.23 Mx=-0.00 Mz=2.82
Sollecitazioni agenti localmente: Ty_l=-1127.59 My_l=-23.13
Tensioni nella sezione: σ=280.38 τ=34.17
CC 16 SLD (Collegamento 0024_-381)
Azioni sul collegamento: N=-6297.50 Ty=4.47 Tz=-0.23 Mx=-0.00 Mz=4.27
Sollecitazioni agenti localmente: Ty_l=-1133.38 My_l=-23.26
Tensioni nella sezione: σ=281.92 τ=34.34
CC 17 SLV (Collegamento 0024_-381)
Azioni sul collegamento: N=-3838.16 Ty=0.76 Tz=-9.35 Mx=-0.02 Mz=1.23
Sollecitazioni agenti localmente: Ty_l=-685.29 My_l=-14.06
Tensioni nella sezione: σ=170.37 τ=20.77
CC 17 SLV (Collegamento 0024_-381)
Azioni sul collegamento: N=-3838.16 Ty=4.12 Tz=-9.35 Mx=-0.02 Mz=-1.95
Sollecitazioni agenti localmente: Ty_l=-672.64 My_l=-13.78
Tensioni nella sezione: σ=167.01 τ=20.38
CC 17 SLV (Collegamento 0024_-381)
Azioni sul collegamento: N=-3838.16 Ty=0.76 Tz=10.33 Mx=-0.02 Mz=1.23
Sollecitazioni agenti localmente: Ty_l=-685.29 My_l=-14.06
Tensioni nella sezione: σ=170.37 τ=20.77
CC 17 SLV (Collegamento 0024_-381)
Azioni sul collegamento: N=-3838.16 Ty=4.12 Tz=10.33 Mx=-0.02 Mz=-1.95
Sollecitazioni agenti localmente: Ty_l=-672.64 My_l=-13.78
Tensioni nella sezione: σ=167.01 τ=20.38
CC 17 SLV (Collegamento 0024_-381)
Azioni sul collegamento: N=-9123.66 Ty=0.76 Tz=-9.35 Mx=-0.02 Mz=1.23
Sollecitazioni agenti localmente: Ty_l=-1622.27 My_l=-33.26
Tensioni nella sezione: σ=403.19 τ=49.16
CC 17 SLV (Collegamento 0024_-381)
Azioni sul collegamento: N=-9123.66 Ty=4.12 Tz=-9.35 Mx=-0.02 Mz=-1.95
Sollecitazioni agenti localmente: Ty_l=-1609.61 My_l=-32.99
Tensioni nella sezione: σ=399.83 τ=48.78
CC 17 SLV (Collegamento 0024_-381)
Azioni sul collegamento: N=-9123.66 Ty=0.76 Tz=10.33 Mx=-0.02 Mz=1.23
Sollecitazioni agenti localmente: Ty_l=-1622.27 My_l=-33.26
Tensioni nella sezione: σ=403.19 τ=49.16
CC 17 SLV (Collegamento 0024_-381)
Azioni sul collegamento: N=-9123.66 Ty=4.12 Tz=10.33 Mx=-0.02 Mz=-1.95
Sollecitazioni agenti localmente: Ty_l=-1609.61 My_l=-32.99
Tensioni nella sezione: σ=399.83 τ=48.78
CC 18 SLD (Collegamento 0024_-381)
Azioni sul collegamento: N=-5707.53 Ty=3.80 Tz=-2.38 Mx=-0.01 Mz=2.21
Sollecitazioni agenti localmente: Ty_l=-1020.56 My_l=-20.93
Tensioni nella sezione: σ=253.74 τ=30.93
CC 18 SLD (Collegamento 0024_-381)
Azioni sul collegamento: N=-5707.53 Ty=2.77 Tz=-2.38 Mx=-0.01 Mz=1.24
Sollecitazioni agenti localmente: Ty_l=-1016.71 My_l=-20.85
Tensioni nella sezione: σ=252.72 τ=30.81
CC 18 SLD (Collegamento 0024_-381)
Azioni sul collegamento: N=-5707.53 Ty=3.80 Tz=3.62 Mx=-0.01 Mz=2.21
Sollecitazioni agenti localmente: Ty_l=-1020.56 My_l=-20.93
Tensioni nella sezione: σ=253.74 τ=30.93
CC 18 SLD (Collegamento 0024_-381)
Azioni sul collegamento: N=-5707.53 Ty=2.77 Tz=3.62 Mx=-0.01 Mz=1.24
Sollecitazioni agenti localmente: Ty_l=-1016.71 My_l=-20.85
Tensioni nella sezione: σ=252.72 τ=30.81

CC 18 SLD (Collegamento 0024_-381)
Azioni sul collegamento: N=-7319.25 Ty=3.80 Tz=-2.38 Mx=-0.01 Mz=2.21
Sollecitazioni agenti localmente: Ty_l=-1306.28 My_l=-26.79
Tensioni nella sezione: σ=324.74 τ=39.58
CC 18 SLD (Collegamento 0024_-381)
Azioni sul collegamento: N=-7319.25 Ty=2.77 Tz=-2.38 Mx=-0.01 Mz=1.24
Sollecitazioni agenti localmente: Ty_l=-1302.42 My_l=-26.71
Tensioni nella sezione: σ=323.71 τ=39.47
CC 18 SLD (Collegamento 0024_-381)
Azioni sul collegamento: N=-7319.25 Ty=3.80 Tz=3.62 Mx=-0.01 Mz=2.21
Sollecitazioni agenti localmente: Ty_l=-1306.28 My_l=-26.79
Tensioni nella sezione: σ=324.74 τ=39.58
CC 18 SLD (Collegamento 0024_-381)
Azioni sul collegamento: N=-7319.25 Ty=2.77 Tz=3.62 Mx=-0.01 Mz=1.24
Sollecitazioni agenti localmente: Ty_l=-1302.42 My_l=-26.71
Tensioni nella sezione: σ=323.71 τ=39.47
CC 19 SLV (Collegamento 0024_-381)
Azioni sul collegamento: N=-3843.85 Ty=1.39 Tz=-9.22 Mx=-0.02 Mz=-0.03
Sollecitazioni agenti localmente: Ty_l=-681.30 My_l=-13.97
Tensioni nella sezione: σ=169.29 τ=20.65
CC 19 SLV (Collegamento 0024_-381)
Azioni sul collegamento: N=-3843.85 Ty=3.49 Tz=-9.22 Mx=-0.02 Mz=-0.69
Sollecitazioni agenti localmente: Ty_l=-678.65 My_l=-13.91
Tensioni nella sezione: σ=168.59 τ=20.57
CC 19 SLV (Collegamento 0024_-381)
Azioni sul collegamento: N=-3843.85 Ty=1.39 Tz=10.20 Mx=-0.02 Mz=-0.03
Sollecitazioni agenti localmente: Ty_l=-681.30 My_l=-13.97
Tensioni nella sezione: σ=169.29 τ=20.65
CC 19 SLV (Collegamento 0024_-381)
Azioni sul collegamento: N=-3843.85 Ty=3.49 Tz=10.20 Mx=-0.02 Mz=-0.69
Sollecitazioni agenti localmente: Ty_l=-678.65 My_l=-13.91
Tensioni nella sezione: σ=168.59 τ=20.57
CC 19 SLV (Collegamento 0024_-381)
Azioni sul collegamento: N=-9117.97 Ty=1.39 Tz=-9.22 Mx=-0.02 Mz=-0.03
Sollecitazioni agenti localmente: Ty_l=-1616.26 My_l=-33.13
Tensioni nella sezione: σ=401.61 τ=48.98
CC 19 SLV (Collegamento 0024_-381)
Azioni sul collegamento: N=-9117.97 Ty=3.49 Tz=-9.22 Mx=-0.02 Mz=-0.69
Sollecitazioni agenti localmente: Ty_l=-1613.60 My_l=-33.08
Tensioni nella sezione: σ=400.91 τ=48.90
CC 19 SLV (Collegamento 0024_-381)
Azioni sul collegamento: N=-9117.97 Ty=1.39 Tz=10.20 Mx=-0.02 Mz=-0.03
Sollecitazioni agenti localmente: Ty_l=-1616.26 My_l=-33.13
Tensioni nella sezione: σ=401.61 τ=48.98
CC 19 SLV (Collegamento 0024_-381)
Azioni sul collegamento: N=-9117.97 Ty=3.49 Tz=10.20 Mx=-0.02 Mz=-0.69
Sollecitazioni agenti localmente: Ty_l=-1613.60 My_l=-33.08
Tensioni nella sezione: σ=400.91 τ=48.90
CC 20 SLD (Collegamento 0024_-381)
Azioni sul collegamento: N=-5709.27 Ty=3.60 Tz=-2.35 Mx=-0.01 Mz=1.82
Sollecitazioni agenti localmente: Ty_l=-1019.35 My_l=-20.91
Tensioni nella sezione: σ=253.41 τ=30.89
CC 20 SLD (Collegamento 0024_-381)
Azioni sul collegamento: N=-5709.27 Ty=2.97 Tz=-2.35 Mx=-0.01 Mz=1.62
Sollecitazioni agenti localmente: Ty_l=-1018.54 My_l=-20.89
Tensioni nella sezione: σ=253.20 τ=30.86
CC 20 SLD (Collegamento 0024_-381)
Azioni sul collegamento: N=-5709.27 Ty=3.60 Tz=3.58 Mx=-0.01 Mz=1.82
Sollecitazioni agenti localmente: Ty_l=-1019.35 My_l=-20.91
Tensioni nella sezione: σ=253.41 τ=30.89
CC 20 SLD (Collegamento 0024_-381)
Azioni sul collegamento: N=-5709.27 Ty=2.97 Tz=3.58 Mx=-0.01 Mz=1.62
Sollecitazioni agenti localmente: Ty_l=-1018.54 My_l=-20.89
Tensioni nella sezione: σ=253.20 τ=30.86
CC 20 SLD (Collegamento 0024_-381)
Azioni sul collegamento: N=-7317.51 Ty=3.60 Tz=-2.35 Mx=-0.01 Mz=1.82
Sollecitazioni agenti localmente: Ty_l=-1304.45 My_l=-26.75
Tensioni nella sezione: σ=324.26 τ=39.53
CC 20 SLD (Collegamento 0024_-381)
Azioni sul collegamento: N=-7317.51 Ty=2.97 Tz=-2.35 Mx=-0.01 Mz=1.62
Sollecitazioni agenti localmente: Ty_l=-1303.64 My_l=-26.73
Tensioni nella sezione: σ=324.04 τ=39.50
CC 20 SLD (Collegamento 0024_-381)
Azioni sul collegamento: N=-7317.51 Ty=3.60 Tz=3.58 Mx=-0.01 Mz=1.82
Sollecitazioni agenti localmente: Ty_l=-1304.45 My_l=-26.75
Tensioni nella sezione: σ=324.26 τ=39.53
CC 20 SLD (Collegamento 0024_-381)
Azioni sul collegamento: N=-7317.51 Ty=2.97 Tz=3.58 Mx=-0.01 Mz=1.62
Sollecitazioni agenti localmente: Ty_l=-1303.64 My_l=-26.73

Tensioni nella sezione: σ=324.04 τ=39.50
CC 21 SLV (Collegamento 0024_-381)
Azioni sul collegamento: N=-9117.97 Ty=3.49 Tz=10.20 Mx=-0.02 Mz=-0.69
Sollecitazioni agenti localmente: Ty_l=-1613.60 My_l=-33.08
Tensioni nella sezione: σ=400.91 τ=48.90
CC 21 SLV (Collegamento 0024_-381)
Azioni sul collegamento: N=-9117.97 Ty=1.39 Tz=10.20 Mx=-0.02 Mz=-0.03
Sollecitazioni agenti localmente: Ty_l=-1616.26 My_l=-33.13
Tensioni nella sezione: σ=401.61 τ=48.98
CC 21 SLV (Collegamento 0024_-381)
Azioni sul collegamento: N=-9117.97 Ty=3.49 Tz=-9.22 Mx=-0.02 Mz=-0.69
Sollecitazioni agenti localmente: Ty_l=-1613.60 My_l=-33.08
Tensioni nella sezione: σ=400.91 τ=48.90
CC 21 SLV (Collegamento 0024_-381)
Azioni sul collegamento: N=-9117.97 Ty=1.39 Tz=-9.22 Mx=-0.02 Mz=-0.03
Sollecitazioni agenti localmente: Ty_l=-1616.26 My_l=-33.13
Tensioni nella sezione: σ=401.61 τ=48.98
CC 21 SLV (Collegamento 0024_-381)
Azioni sul collegamento: N=-3843.85 Ty=3.49 Tz=10.20 Mx=-0.02 Mz=-0.69
Sollecitazioni agenti localmente: Ty_l=-678.65 My_l=-13.91
Tensioni nella sezione: σ=168.59 τ=20.57
CC 21 SLV (Collegamento 0024_-381)
Azioni sul collegamento: N=-3843.85 Ty=1.39 Tz=10.20 Mx=-0.02 Mz=-0.03
Sollecitazioni agenti localmente: Ty_l=-681.30 My_l=-13.97
Tensioni nella sezione: σ=169.29 τ=20.65
CC 21 SLV (Collegamento 0024_-381)
Azioni sul collegamento: N=-3843.85 Ty=3.49 Tz=-9.22 Mx=-0.02 Mz=-0.69
Sollecitazioni agenti localmente: Ty_l=-678.65 My_l=-13.91
Tensioni nella sezione: σ=168.59 τ=20.57
CC 21 SLV (Collegamento 0024_-381)
Azioni sul collegamento: N=-3843.85 Ty=1.39 Tz=-9.22 Mx=-0.02 Mz=-0.03
Sollecitazioni agenti localmente: Ty_l=-681.30 My_l=-13.97
Tensioni nella sezione: σ=169.29 τ=20.65
CC 22 SLD (Collegamento 0024_-381)
Azioni sul collegamento: N=-7317.51 Ty=2.97 Tz=3.58 Mx=-0.01 Mz=1.62
Sollecitazioni agenti localmente: Ty_l=-1303.64 My_l=-26.73
Tensioni nella sezione: σ=324.04 τ=39.50
CC 22 SLD (Collegamento 0024_-381)
Azioni sul collegamento: N=-7317.51 Ty=3.60 Tz=3.58 Mx=-0.01 Mz=1.82
Sollecitazioni agenti localmente: Ty_l=-1304.45 My_l=-26.75
Tensioni nella sezione: σ=324.26 τ=39.53
CC 22 SLD (Collegamento 0024_-381)
Azioni sul collegamento: N=-7317.51 Ty=2.97 Tz=-2.35 Mx=-0.01 Mz=1.62
Sollecitazioni agenti localmente: Ty_l=-1303.64 My_l=-26.73
Tensioni nella sezione: σ=324.04 τ=39.50
CC 22 SLD (Collegamento 0024_-381)
Azioni sul collegamento: N=-7317.51 Ty=3.60 Tz=-2.35 Mx=-0.01 Mz=1.82
Sollecitazioni agenti localmente: Ty_l=-1304.45 My_l=-26.75
Tensioni nella sezione: σ=324.26 τ=39.53
CC 22 SLD (Collegamento 0024_-381)
Azioni sul collegamento: N=-5709.27 Ty=2.97 Tz=3.58 Mx=-0.01 Mz=1.62
Sollecitazioni agenti localmente: Ty_l=-1018.54 My_l=-20.89
Tensioni nella sezione: σ=253.20 τ=30.86
CC 22 SLD (Collegamento 0024_-381)
Azioni sul collegamento: N=-5709.27 Ty=3.60 Tz=3.58 Mx=-0.01 Mz=1.82
Sollecitazioni agenti localmente: Ty_l=-1019.35 My_l=-20.91
Tensioni nella sezione: σ=253.41 τ=30.89
CC 22 SLD (Collegamento 0024_-381)
Azioni sul collegamento: N=-5709.27 Ty=2.97 Tz=-2.35 Mx=-0.01 Mz=1.62
Sollecitazioni agenti localmente: Ty_l=-1018.54 My_l=-20.89
Tensioni nella sezione: σ=253.20 τ=30.86
CC 22 SLD (Collegamento 0024_-381)
Azioni sul collegamento: N=-5709.27 Ty=3.60 Tz=-2.35 Mx=-0.01 Mz=1.82
Sollecitazioni agenti localmente: Ty_l=-1019.35 My_l=-20.91
Tensioni nella sezione: σ=253.41 τ=30.89
CC 23 SLV (Collegamento 0024_-381)
Azioni sul collegamento: N=-9123.66 Ty=4.12 Tz=10.33 Mx=-0.01 Mz=-1.95
Sollecitazioni agenti localmente: Ty_l=-1609.61 My_l=-32.99
Tensioni nella sezione: σ=399.83 τ=48.78
CC 23 SLV (Collegamento 0024_-381)
Azioni sul collegamento: N=-9123.66 Ty=0.76 Tz=10.33 Mx=-0.01 Mz=1.23
Sollecitazioni agenti localmente: Ty_l=-1622.27 My_l=-33.26
Tensioni nella sezione: σ=403.19 τ=49.16
CC 23 SLV (Collegamento 0024_-381)
Azioni sul collegamento: N=-9123.66 Ty=4.12 Tz=-9.35 Mx=-0.01 Mz=-1.95
Sollecitazioni agenti localmente: Ty_l=-1609.61 My_l=-32.99
Tensioni nella sezione: σ=399.83 τ=48.78
CC 23 SLV (Collegamento 0024_-381)
Azioni sul collegamento: N=-9123.66 Ty=0.76 Tz=-9.35 Mx=-0.01 Mz=1.23

Sollecitazioni agenti localmente: Ty_l=-1622.27 My_l=-33.26
Tensioni nella sezione: σ=403.19 τ=49.16
CC 23 SLV (Collegamento 0024_-381)
Azioni sul collegamento: N=-3838.16 Ty=4.12 Tz=10.33 Mx=-0.01 Mz=-1.95
Sollecitazioni agenti localmente: Ty_l=-672.64 My_l=-13.78
Tensioni nella sezione: σ=167.01 τ=20.38
CC 23 SLV (Collegamento 0024_-381)
Azioni sul collegamento: N=-3838.16 Ty=0.76 Tz=10.33 Mx=-0.01 Mz=1.23
Sollecitazioni agenti localmente: Ty_l=-685.29 My_l=-14.06
Tensioni nella sezione: σ=170.37 τ=20.77
CC 23 SLV (Collegamento 0024_-381)
Azioni sul collegamento: N=-3838.16 Ty=4.12 Tz=-9.35 Mx=-0.01 Mz=-1.95
Sollecitazioni agenti localmente: Ty_l=-672.64 My_l=-13.78
Tensioni nella sezione: σ=167.01 τ=20.38
CC 23 SLV (Collegamento 0024_-381)
Azioni sul collegamento: N=-3838.16 Ty=0.76 Tz=-9.35 Mx=-0.01 Mz=1.23
Sollecitazioni agenti localmente: Ty_l=-685.29 My_l=-14.06
Tensioni nella sezione: σ=170.37 τ=20.77
CC 24 SLD (Collegamento 0024_-381)
Azioni sul collegamento: N=-7319.25 Ty=2.77 Tz=3.62 Mx=-0.01 Mz=1.24
Sollecitazioni agenti localmente: Ty_l=-1302.42 My_l=-26.71
Tensioni nella sezione: σ=323.71 τ=39.47
CC 24 SLD (Collegamento 0024_-381)
Azioni sul collegamento: N=-7319.25 Ty=3.80 Tz=3.62 Mx=-0.01 Mz=2.21
Sollecitazioni agenti localmente: Ty_l=-1306.28 My_l=-26.79
Tensioni nella sezione: σ=324.74 τ=39.58
CC 24 SLD (Collegamento 0024_-381)
Azioni sul collegamento: N=-7319.25 Ty=2.77 Tz=-2.38 Mx=-0.01 Mz=1.24
Sollecitazioni agenti localmente: Ty_l=-1302.42 My_l=-26.71
Tensioni nella sezione: σ=323.71 τ=39.47
CC 24 SLD (Collegamento 0024_-381)
Azioni sul collegamento: N=-7319.25 Ty=3.80 Tz=-2.38 Mx=-0.01 Mz=2.21
Sollecitazioni agenti localmente: Ty_l=-1306.28 My_l=-26.79
Tensioni nella sezione: σ=324.74 τ=39.58
CC 24 SLD (Collegamento 0024_-381)
Azioni sul collegamento: N=-5707.53 Ty=2.77 Tz=3.62 Mx=-0.01 Mz=1.24
Sollecitazioni agenti localmente: Ty_l=-1016.71 My_l=-20.85
Tensioni nella sezione: σ=252.72 τ=30.81
CC 24 SLD (Collegamento 0024_-381)
Azioni sul collegamento: N=-5707.53 Ty=3.80 Tz=3.62 Mx=-0.01 Mz=2.21
Sollecitazioni agenti localmente: Ty_l=-1020.56 My_l=-20.93
Tensioni nella sezione: σ=253.74 τ=30.93
CC 24 SLD (Collegamento 0024_-381)
Azioni sul collegamento: N=-5707.53 Ty=2.77 Tz=-2.38 Mx=-0.01 Mz=1.24
Sollecitazioni agenti localmente: Ty_l=-1016.71 My_l=-20.85
Tensioni nella sezione: σ=252.72 τ=30.81
CC 24 SLD (Collegamento 0024_-381)
Azioni sul collegamento: N=-5707.53 Ty=3.80 Tz=-2.38 Mx=-0.01 Mz=2.21
Sollecitazioni agenti localmente: Ty_l=-1020.56 My_l=-20.93
Tensioni nella sezione: σ=253.74 τ=30.93
CC 25 SLV (Collegamento 0024_-381)
Azioni sul collegamento: N=-5679.46 Ty=0.97 Tz=-2.66 Mx=-0.03 Mz=2.02
Sollecitazioni agenti localmente: Ty_l=-1014.86 My_l=-20.82
Tensioni nella sezione: σ=252.31 τ=30.75
CC 25 SLV (Collegamento 0024_-381)
Azioni sul collegamento: N=-5679.46 Ty=3.91 Tz=-2.66 Mx=-0.03 Mz=-2.74
Sollecitazioni agenti localmente: Ty_l=-995.89 My_l=-20.40
Tensioni nella sezione: σ=247.28 τ=30.18
CC 25 SLV (Collegamento 0024_-381)
Azioni sul collegamento: N=-5679.46 Ty=0.97 Tz=3.63 Mx=-0.03 Mz=2.02
Sollecitazioni agenti localmente: Ty_l=-1014.86 My_l=-20.82
Tensioni nella sezione: σ=252.31 τ=30.75
CC 25 SLV (Collegamento 0024_-381)
Azioni sul collegamento: N=-5679.46 Ty=3.91 Tz=3.63 Mx=-0.03 Mz=-2.74
Sollecitazioni agenti localmente: Ty_l=-995.89 My_l=-20.40
Tensioni nella sezione: σ=247.28 τ=30.18
CC 25 SLV (Collegamento 0024_-381)
Azioni sul collegamento: N=-7282.36 Ty=0.97 Tz=-2.66 Mx=-0.03 Mz=2.02
Sollecitazioni agenti localmente: Ty_l=-1299.01 My_l=-26.64
Tensioni nella sezione: σ=322.92 τ=39.36
CC 25 SLV (Collegamento 0024_-381)
Azioni sul collegamento: N=-7282.36 Ty=3.91 Tz=-2.66 Mx=-0.03 Mz=-2.74
Sollecitazioni agenti localmente: Ty_l=-1280.05 My_l=-26.23
Tensioni nella sezione: σ=317.89 τ=38.79
CC 25 SLV (Collegamento 0024_-381)
Azioni sul collegamento: N=-7282.36 Ty=0.97 Tz=3.63 Mx=-0.03 Mz=2.02
Sollecitazioni agenti localmente: Ty_l=-1299.01 My_l=-26.64
Tensioni nella sezione: σ=322.92 τ=39.36
CC 25 SLV (Collegamento 0024_-381)

Azioni sul collegamento: N=-7282.36 Ty=3.91 Tz=3.63 Mx=-0.03 Mz=-2.74
Sollecitazioni agenti localmente: Ty_l=-1280.05 My_l=-26.23
Tensioni nella sezione: σ=317.89 τ=38.79
CC 26 SLD (Collegamento 0024_-381)
Azioni sul collegamento: N=-6269.00 Ty=3.73 Tz=-0.34 Mx=-0.01 Mz=2.45
Sollecitazioni agenti localmente: Ty_l=-1121.06 My_l=-23.00
Tensioni nella sezione: σ=278.73 τ=33.97
CC 26 SLD (Collegamento 0024_-381)
Azioni sul collegamento: N=-6269.00 Ty=2.84 Tz=-0.34 Mx=-0.01 Mz=0.99
Sollecitazioni agenti localmente: Ty_l=-1115.28 My_l=-22.87
Tensioni nella sezione: σ=277.20 τ=33.80
CC 26 SLD (Collegamento 0024_-381)
Azioni sul collegamento: N=-6269.00 Ty=3.73 Tz=1.57 Mx=-0.01 Mz=2.45
Sollecitazioni agenti localmente: Ty_l=-1121.06 My_l=-23.00
Tensioni nella sezione: σ=278.73 τ=33.97
CC 26 SLD (Collegamento 0024_-381)
Azioni sul collegamento: N=-6269.00 Ty=2.84 Tz=1.57 Mx=-0.01 Mz=0.99
Sollecitazioni agenti localmente: Ty_l=-1115.28 My_l=-22.87
Tensioni nella sezione: σ=277.20 τ=33.80
CC 26 SLD (Collegamento 0024_-381)
Azioni sul collegamento: N=-6757.78 Ty=3.73 Tz=-0.34 Mx=-0.01 Mz=2.45
Sollecitazioni agenti localmente: Ty_l=-1207.71 My_l=-24.77
Tensioni nella sezione: σ=300.26 τ=36.60
CC 26 SLD (Collegamento 0024_-381)
Azioni sul collegamento: N=-6757.78 Ty=2.84 Tz=-0.34 Mx=-0.01 Mz=0.99
Sollecitazioni agenti localmente: Ty_l=-1201.92 My_l=-24.64
Tensioni nella sezione: σ=298.73 τ=36.42
CC 26 SLD (Collegamento 0024_-381)
Azioni sul collegamento: N=-6757.78 Ty=3.73 Tz=1.57 Mx=-0.01 Mz=2.45
Sollecitazioni agenti localmente: Ty_l=-1207.71 My_l=-24.77
Tensioni nella sezione: σ=300.26 τ=36.60
CC 26 SLD (Collegamento 0024_-381)
Azioni sul collegamento: N=-6757.78 Ty=2.84 Tz=1.57 Mx=-0.01 Mz=0.99
Sollecitazioni agenti localmente: Ty_l=-1201.92 My_l=-24.64
Tensioni nella sezione: σ=298.73 τ=36.42
CC 27 SLV (Collegamento 0024_-381)
Azioni sul collegamento: N=-7263.40 Ty=1.79 Tz=3.21 Mx=-0.02 Mz=1.45
Sollecitazioni agenti localmente: Ty_l=-1293.35 My_l=-26.52
Tensioni nella sezione: σ=321.48 τ=39.19
CC 27 SLV (Collegamento 0024_-381)
Azioni sul collegamento: N=-7263.40 Ty=3.09 Tz=3.21 Mx=-0.02 Mz=-2.17
Sollecitazioni agenti localmente: Ty_l=-1278.98 My_l=-26.21
Tensioni nella sezione: σ=317.66 τ=38.76
CC 27 SLV (Collegamento 0024_-381)
Azioni sul collegamento: N=-7263.40 Ty=1.79 Tz=-2.23 Mx=-0.02 Mz=1.45
Sollecitazioni agenti localmente: Ty_l=-1293.35 My_l=-26.52
Tensioni nella sezione: σ=321.48 τ=39.19
CC 27 SLV (Collegamento 0024_-381)
Azioni sul collegamento: N=-7263.40 Ty=3.09 Tz=-2.23 Mx=-0.02 Mz=-2.17
Sollecitazioni agenti localmente: Ty_l=-1278.98 My_l=-26.21
Tensioni nella sezione: σ=317.66 τ=38.76
CC 27 SLV (Collegamento 0024_-381)
Azioni sul collegamento: N=-5698.42 Ty=1.79 Tz=3.21 Mx=-0.02 Mz=1.45
Sollecitazioni agenti localmente: Ty_l=-1015.92 My_l=-20.83
Tensioni nella sezione: σ=252.54 τ=30.79
CC 27 SLV (Collegamento 0024_-381)
Azioni sul collegamento: N=-5698.42 Ty=3.09 Tz=3.21 Mx=-0.02 Mz=-2.17
Sollecitazioni agenti localmente: Ty_l=-1001.55 My_l=-20.52
Tensioni nella sezione: σ=248.72 τ=30.35
CC 27 SLV (Collegamento 0024_-381)
Azioni sul collegamento: N=-5698.42 Ty=1.79 Tz=-2.23 Mx=-0.02 Mz=1.45
Sollecitazioni agenti localmente: Ty_l=-1015.92 My_l=-20.83
Tensioni nella sezione: σ=252.54 τ=30.79
CC 27 SLV (Collegamento 0024_-381)
Azioni sul collegamento: N=-5698.42 Ty=3.09 Tz=-2.23 Mx=-0.02 Mz=-2.17
Sollecitazioni agenti localmente: Ty_l=-1001.55 My_l=-20.52
Tensioni nella sezione: σ=248.72 τ=30.35
CC 28 SLD (Collegamento 0024_-381)
Azioni sul collegamento: N=-6752.00 Ty=3.48 Tz=1.44 Mx=-0.01 Mz=2.27
Sollecitazioni agenti localmente: Ty_l=-1205.98 My_l=-24.74
Tensioni nella sezione: σ=299.82 τ=36.54
CC 28 SLD (Collegamento 0024_-381)
Azioni sul collegamento: N=-6752.00 Ty=3.09 Tz=1.44 Mx=-0.01 Mz=1.17
Sollecitazioni agenti localmente: Ty_l=-1201.60 My_l=-24.64
Tensioni nella sezione: σ=298.66 τ=36.41
CC 28 SLD (Collegamento 0024_-381)
Azioni sul collegamento: N=-6752.00 Ty=3.48 Tz=-0.21 Mx=-0.01 Mz=2.27
Sollecitazioni agenti localmente: Ty_l=-1205.98 My_l=-24.74
Tensioni nella sezione: σ=299.82 τ=36.54

CC 28 SLD (Collegamento 0024_-381)
Azioni sul collegamento: N=-6752.00 Ty=3.09 Tz=-0.21 Mx=-0.01 Mz=1.17
Sollecitazioni agenti localmente: Ty_l=-1201.60 My_l=-24.64
Tensioni nella sezione: σ=298.66 τ=36.41
CC 28 SLD (Collegamento 0024_-381)
Azioni sul collegamento: N=-6274.78 Ty=3.48 Tz=1.44 Mx=-0.01 Mz=2.27
Sollecitazioni agenti localmente: Ty_l=-1121.38 My_l=-23.00
Tensioni nella sezione: σ=278.80 τ=33.98
CC 28 SLD (Collegamento 0024_-381)
Azioni sul collegamento: N=-6274.78 Ty=3.09 Tz=1.44 Mx=-0.01 Mz=1.17
Sollecitazioni agenti localmente: Ty_l=-1117.00 My_l=-22.91
Tensioni nella sezione: σ=277.64 τ=33.85
CC 28 SLD (Collegamento 0024_-381)
Azioni sul collegamento: N=-6274.78 Ty=3.48 Tz=-0.21 Mx=-0.01 Mz=2.27
Sollecitazioni agenti localmente: Ty_l=-1121.38 My_l=-23.00
Tensioni nella sezione: σ=278.80 τ=33.98
CC 28 SLD (Collegamento 0024_-381)
Azioni sul collegamento: N=-6274.78 Ty=3.09 Tz=-0.21 Mx=-0.01 Mz=1.17
Sollecitazioni agenti localmente: Ty_l=-1117.00 My_l=-22.91
Tensioni nella sezione: σ=277.64 τ=33.85
CC 29 SLV (Collegamento 0024_-381)
Azioni sul collegamento: N=-5698.42 Ty=3.09 Tz=-2.23 Mx=-0.01 Mz=-2.17
Sollecitazioni agenti localmente: Ty_l=-1001.55 My_l=-20.52
Tensioni nella sezione: σ=248.72 τ=30.35
CC 29 SLV (Collegamento 0024_-381)
Azioni sul collegamento: N=-5698.42 Ty=1.79 Tz=-2.23 Mx=-0.01 Mz=1.45
Sollecitazioni agenti localmente: Ty_l=-1015.92 My_l=-20.83
Tensioni nella sezione: σ=252.54 τ=30.79
CC 29 SLV (Collegamento 0024_-381)
Azioni sul collegamento: N=-5698.42 Ty=3.09 Tz=3.21 Mx=-0.01 Mz=-2.17
Sollecitazioni agenti localmente: Ty_l=-1001.55 My_l=-20.52
Tensioni nella sezione: σ=248.72 τ=30.35
CC 29 SLV (Collegamento 0024_-381)
Azioni sul collegamento: N=-5698.42 Ty=1.79 Tz=3.21 Mx=-0.01 Mz=1.45
Sollecitazioni agenti localmente: Ty_l=-1015.92 My_l=-20.83
Tensioni nella sezione: σ=252.54 τ=30.79
CC 29 SLV (Collegamento 0024_-381)
Azioni sul collegamento: N=-7263.40 Ty=3.09 Tz=-2.23 Mx=-0.01 Mz=-2.17
Sollecitazioni agenti localmente: Ty_l=-1278.98 My_l=-26.21
Tensioni nella sezione: σ=317.66 τ=38.76
CC 29 SLV (Collegamento 0024_-381)
Azioni sul collegamento: N=-7263.40 Ty=1.79 Tz=-2.23 Mx=-0.01 Mz=1.45
Sollecitazioni agenti localmente: Ty_l=-1293.35 My_l=-26.52
Tensioni nella sezione: σ=321.48 τ=39.19
CC 29 SLV (Collegamento 0024_-381)
Azioni sul collegamento: N=-7263.40 Ty=3.09 Tz=3.21 Mx=-0.01 Mz=-2.17
Sollecitazioni agenti localmente: Ty_l=-1278.98 My_l=-26.21
Tensioni nella sezione: σ=317.66 τ=38.76
CC 29 SLV (Collegamento 0024_-381)
Azioni sul collegamento: N=-7263.40 Ty=1.79 Tz=3.21 Mx=-0.01 Mz=1.45
Sollecitazioni agenti localmente: Ty_l=-1293.35 My_l=-26.52
Tensioni nella sezione: σ=321.48 τ=39.19
CC 30 SLD (Collegamento 0024_-381)
Azioni sul collegamento: N=-6274.78 Ty=3.09 Tz=-0.21 Mx=-0.01 Mz=1.17
Sollecitazioni agenti localmente: Ty_l=-1117.00 My_l=-22.91
Tensioni nella sezione: σ=277.64 τ=33.85
CC 30 SLD (Collegamento 0024_-381)
Azioni sul collegamento: N=-6274.78 Ty=3.48 Tz=-0.21 Mx=-0.01 Mz=2.27
Sollecitazioni agenti localmente: Ty_l=-1121.38 My_l=-23.00
Tensioni nella sezione: σ=278.80 τ=33.98
CC 30 SLD (Collegamento 0024_-381)
Azioni sul collegamento: N=-6274.78 Ty=3.09 Tz=1.44 Mx=-0.01 Mz=1.17
Sollecitazioni agenti localmente: Ty_l=-1117.00 My_l=-22.91
Tensioni nella sezione: σ=277.64 τ=33.85
CC 30 SLD (Collegamento 0024_-381)
Azioni sul collegamento: N=-6274.78 Ty=3.48 Tz=1.44 Mx=-0.01 Mz=2.27
Sollecitazioni agenti localmente: Ty_l=-1121.38 My_l=-23.00
Tensioni nella sezione: σ=278.80 τ=33.98
CC 30 SLD (Collegamento 0024_-381)
Azioni sul collegamento: N=-6752.00 Ty=3.09 Tz=-0.21 Mx=-0.01 Mz=1.17
Sollecitazioni agenti localmente: Ty_l=-1201.60 My_l=-24.64
Tensioni nella sezione: σ=298.66 τ=36.41
CC 30 SLD (Collegamento 0024_-381)
Azioni sul collegamento: N=-6752.00 Ty=3.48 Tz=-0.21 Mx=-0.01 Mz=2.27
Sollecitazioni agenti localmente: Ty_l=-1205.98 My_l=-24.74
Tensioni nella sezione: σ=299.82 τ=36.54
CC 30 SLD (Collegamento 0024_-381)
Azioni sul collegamento: N=-6752.00 Ty=3.09 Tz=1.44 Mx=-0.01 Mz=1.17
Sollecitazioni agenti localmente: Ty_l=-1201.60 My_l=-24.64

Tensioni nella sezione: σ=298.66 τ=36.41
CC 30 SLD (Collegamento 0024_-381)
Azioni sul collegamento: N=-6752.00 Ty=3.48 Tz=1.44 Mx=-0.01 Mz=2.27
Sollecitazioni agenti localmente: Ty_l=-1205.98 My_l=-24.74
Tensioni nella sezione: σ=299.82 τ=36.54
CC 31 SLV (Collegamento 0024_-381)
Azioni sul collegamento: N=-7282.36 Ty=3.91 Tz=3.63 Mx=-0.01 Mz=-2.74
Sollecitazioni agenti localmente: Ty_l=-1280.05 My_l=-26.23
Tensioni nella sezione: σ=317.89 τ=38.79
CC 31 SLV (Collegamento 0024_-381)
Azioni sul collegamento: N=-7282.36 Ty=0.97 Tz=3.63 Mx=-0.01 Mz=2.02
Sollecitazioni agenti localmente: Ty_l=-1299.01 My_l=-26.64
Tensioni nella sezione: σ=322.92 τ=39.36
CC 31 SLV (Collegamento 0024_-381)
Azioni sul collegamento: N=-7282.36 Ty=3.91 Tz=-2.66 Mx=-0.01 Mz=-2.74
Sollecitazioni agenti localmente: Ty_l=-1280.05 My_l=-26.23
Tensioni nella sezione: σ=317.89 τ=38.79
CC 31 SLV (Collegamento 0024_-381)
Azioni sul collegamento: N=-7282.36 Ty=0.97 Tz=-2.66 Mx=-0.01 Mz=2.02
Sollecitazioni agenti localmente: Ty_l=-1299.01 My_l=-26.64
Tensioni nella sezione: σ=322.92 τ=39.36
CC 31 SLV (Collegamento 0024_-381)
Azioni sul collegamento: N=-5679.46 Ty=3.91 Tz=3.63 Mx=-0.01 Mz=-2.74
Sollecitazioni agenti localmente: Ty_l=-995.89 My_l=-20.40
Tensioni nella sezione: σ=247.28 τ=30.18
CC 31 SLV (Collegamento 0024_-381)
Azioni sul collegamento: N=-5679.46 Ty=0.97 Tz=3.63 Mx=-0.01 Mz=2.02
Sollecitazioni agenti localmente: Ty_l=-1014.86 My_l=-20.82
Tensioni nella sezione: σ=252.31 τ=30.75
CC 31 SLV (Collegamento 0024_-381)
Azioni sul collegamento: N=-5679.46 Ty=3.91 Tz=-2.66 Mx=-0.01 Mz=-2.74
Sollecitazioni agenti localmente: Ty_l=-995.89 My_l=-20.40
Tensioni nella sezione: σ=247.28 τ=30.18
CC 31 SLV (Collegamento 0024_-381)
Azioni sul collegamento: N=-5679.46 Ty=0.97 Tz=-2.66 Mx=-0.01 Mz=2.02
Sollecitazioni agenti localmente: Ty_l=-1014.86 My_l=-20.82
Tensioni nella sezione: σ=252.31 τ=30.75
CC 32 SLD (Collegamento 0024_-381)
Azioni sul collegamento: N=-6757.78 Ty=2.84 Tz=1.57 Mx=-0.00 Mz=0.99
Sollecitazioni agenti localmente: Ty_l=-1201.92 My_l=-24.64
Tensioni nella sezione: σ=298.73 τ=36.42
CC 32 SLD (Collegamento 0024_-381)
Azioni sul collegamento: N=-6757.78 Ty=3.73 Tz=1.57 Mx=-0.00 Mz=2.45
Sollecitazioni agenti localmente: Ty_l=-1207.71 My_l=-24.77
Tensioni nella sezione: σ=300.26 τ=36.60
CC 32 SLD (Collegamento 0024_-381)
Azioni sul collegamento: N=-6757.78 Ty=2.84 Tz=-0.34 Mx=-0.00 Mz=0.99
Sollecitazioni agenti localmente: Ty_l=-1201.92 My_l=-24.64
Tensioni nella sezione: σ=298.73 τ=36.42
CC 32 SLD (Collegamento 0024_-381)
Azioni sul collegamento: N=-6757.78 Ty=3.73 Tz=-0.34 Mx=-0.00 Mz=2.45
Sollecitazioni agenti localmente: Ty_l=-1207.71 My_l=-24.77
Tensioni nella sezione: σ=300.26 τ=36.60
CC 32 SLD (Collegamento 0024_-381)
Azioni sul collegamento: N=-6269.00 Ty=2.84 Tz=1.57 Mx=-0.00 Mz=0.99
Sollecitazioni agenti localmente: Ty_l=-1115.28 My_l=-22.87
Tensioni nella sezione: σ=277.20 τ=33.80
CC 32 SLD (Collegamento 0024_-381)
Azioni sul collegamento: N=-6269.00 Ty=3.73 Tz=1.57 Mx=-0.00 Mz=2.45
Sollecitazioni agenti localmente: Ty_l=-1121.06 My_l=-23.00
Tensioni nella sezione: σ=278.73 τ=33.97
CC 32 SLD (Collegamento 0024_-381)
Azioni sul collegamento: N=-6269.00 Ty=2.84 Tz=-0.34 Mx=-0.00 Mz=0.99
Sollecitazioni agenti localmente: Ty_l=-1115.28 My_l=-22.87
Tensioni nella sezione: σ=277.20 τ=33.80
CC 32 SLD (Collegamento 0024_-381)
Azioni sul collegamento: N=-6269.00 Ty=3.73 Tz=-0.34 Mx=-0.00 Mz=2.45
Sollecitazioni agenti localmente: Ty_l=-1121.06 My_l=-23.00
Tensioni nella sezione: σ=278.73 τ=33.97
CC 33 SLU (Collegamento 0024_-381)
Azioni sul collegamento: N=-30229.20 Ty=5.39 Tz=79.58 Mx=-0.01 Mz=3.85
Sollecitazioni agenti localmente: Ty_l=-5374.11 My_l=-110.19
Tensioni nella sezione: σ=1335.64 τ=162.85
CC 34 SLU (Collegamento 0024_-381)
Azioni sul collegamento: N=-30778.60 Ty=5.67 Tz=81.62 Mx=-0.01 Mz=4.05
Sollecitazioni agenti localmente: Ty_l=-5472.30 My_l=-112.20
Tensioni nella sezione: σ=1360.06 τ=165.83
CC 35 SLU (Collegamento 0024_-381)
Azioni sul collegamento: N=-30504.90 Ty=5.64 Tz=80.58 Mx=-0.01 Mz=4.16

Sollecitazioni agenti localmente: Ty_l=-5424.25 My_l=-111.22
Tensioni nella sezione: σ=1348.13 τ=164.37
CC 36 SLU (Collegamento 0024_-381)
Azioni sul collegamento: N=-30502.90 Ty=5.42 Tz=80.62 Mx=-0.01 Mz=3.73
Sollecitazioni agenti localmente: Ty_l=-5422.17 My_l=-111.17
Tensioni nella sezione: σ=1347.58 τ=164.31
CC 37 SLU (Collegamento 0024_-381)
Azioni sul collegamento: N=-32152.70 Ty=5.24 Tz=86.01 Mx=0.00 Mz=3.86
Sollecitazioni agenti localmente: Ty_l=-5715.14 My_l=-117.18
Tensioni nella sezione: σ=1420.39 τ=173.19
CC 38 SLU (Collegamento 0024_-381)
Azioni sul collegamento: N=-32702.10 Ty=5.53 Tz=88.04 Mx=0.00 Mz=4.06
Sollecitazioni agenti localmente: Ty_l=-5813.33 My_l=-119.20
Tensioni nella sezione: σ=1444.80 τ=176.16
CC 39 SLU (Collegamento 0024_-381)
Azioni sul collegamento: N=-32428.40 Ty=5.50 Tz=87.00 Mx=0.00 Mz=4.18
Sollecitazioni agenti localmente: Ty_l=-5765.28 My_l=-118.21
Tensioni nella sezione: σ=1432.87 τ=174.71
CC 40 SLU (Collegamento 0024_-381)
Azioni sul collegamento: N=-32426.40 Ty=5.28 Tz=87.05 Mx=0.00 Mz=3.74
Sollecitazioni agenti localmente: Ty_l=-5763.20 My_l=-118.17
Tensioni nella sezione: σ=1432.32 τ=174.64
CC 41 SLU (Collegamento 0024_-381)
Azioni sul collegamento: N=-20958.20 Ty=6.23 Tz=45.50 Mx=-0.01 Mz=4.43
Sollecitazioni agenti localmente: Ty_l=-3732.94 My_l=-76.55
Tensioni nella sezione: σ=927.88 τ=113.12
CC 42 SLU (Collegamento 0024_-381)
Azioni sul collegamento: N=-21507.60 Ty=6.52 Tz=47.54 Mx=-0.01 Mz=4.63
Sollecitazioni agenti localmente: Ty_l=-3831.14 My_l=-78.56
Tensioni nella sezione: σ=952.29 τ=116.09
CC 43 SLU (Collegamento 0024_-381)
Azioni sul collegamento: N=-21233.90 Ty=6.48 Tz=46.50 Mx=-0.01 Mz=4.75
Sollecitazioni agenti localmente: Ty_l=-3783.08 My_l=-77.58
Tensioni nella sezione: σ=940.36 τ=114.64
CC 44 SLU (Collegamento 0024_-381)
Azioni sul collegamento: N=-21231.90 Ty=6.26 Tz=46.54 Mx=-0.01 Mz=4.31
Sollecitazioni agenti localmente: Ty_l=-3781.00 My_l=-77.53
Tensioni nella sezione: σ=939.81 τ=114.58
CC 45 SLU (Collegamento 0024_-381)
Azioni sul collegamento: N=-23044.60 Ty=5.94 Tz=53.22 Mx=-0.01 Mz=4.28
Sollecitazioni agenti localmente: Ty_l=-4102.22 My_l=-84.12
Tensioni nella sezione: σ=1019.63 τ=124.31
CC 46 SLU (Collegamento 0024_-381)
Azioni sul collegamento: N=-23594.00 Ty=6.22 Tz=55.25 Mx=-0.01 Mz=4.49
Sollecitazioni agenti localmente: Ty_l=-4200.42 My_l=-86.13
Tensioni nella sezione: σ=1044.04 τ=127.28
CC 47 SLU (Collegamento 0024_-381)
Azioni sul collegamento: N=-23320.30 Ty=6.19 Tz=54.21 Mx=-0.01 Mz=4.60
Sollecitazioni agenti localmente: Ty_l=-4152.36 My_l=-85.15
Tensioni nella sezione: σ=1032.11 τ=125.83
CC 48 SLU (Collegamento 0024_-381)
Azioni sul collegamento: N=-23318.30 Ty=5.97 Tz=54.26 Mx=-0.01 Mz=4.17
Sollecitazioni agenti localmente: Ty_l=-4150.28 My_l=-85.10
Tensioni nella sezione: σ=1031.56 τ=125.77
CC 49 SLU (Collegamento 0024_-381)
Azioni sul collegamento: N=-24483.70 Ty=5.83 Tz=58.03 Mx=0.00 Mz=4.29
Sollecitazioni agenti localmente: Ty_l=-4357.36 My_l=-89.35
Tensioni nella sezione: σ=1083.03 τ=132.04
CC 50 SLU (Collegamento 0024_-381)
Azioni sul collegamento: N=-25033.00 Ty=6.12 Tz=60.06 Mx=0.00 Mz=4.50
Sollecitazioni agenti localmente: Ty_l=-4455.56 My_l=-91.36
Tensioni nella sezione: σ=1107.44 τ=135.02
CC 51 SLU (Collegamento 0024_-381)
Azioni sul collegamento: N=-24759.30 Ty=6.08 Tz=59.02 Mx=-0.00 Mz=4.61
Sollecitazioni agenti localmente: Ty_l=-4407.50 My_l=-90.38
Tensioni nella sezione: σ=1095.51 τ=133.56
CC 52 SLU (Collegamento 0024_-381)
Azioni sul collegamento: N=-24757.40 Ty=5.87 Tz=59.07 Mx=0.00 Mz=4.18
Sollecitazioni agenti localmente: Ty_l=-4405.42 My_l=-90.33
Tensioni nella sezione: σ=1094.96 τ=133.50
CC 53 SLU (Collegamento 0024_-381)
Azioni sul collegamento: N=-16108.60 Ty=6.57 Tz=27.72 Mx=-0.01 Mz=4.72
Sollecitazioni agenti localmente: Ty_l=-2874.39 My_l=-58.95
Tensioni nella sezione: σ=714.56 τ=87.10
CC 54 SLU (Collegamento 0024_-381)
Azioni sul collegamento: N=-16657.90 Ty=6.86 Tz=29.76 Mx=-0.01 Mz=4.92
Sollecitazioni agenti localmente: Ty_l=-2972.58 My_l=-60.97
Tensioni nella sezione: σ=738.97 τ=90.08
CC 55 SLU (Collegamento 0024_-381)

Azioni sul collegamento: N=-16384.20 Ty=6.82 Tz=28.72 Mx=-0.01 Mz=5.04
Sollecitazioni agenti localmente: Ty_l=-2924.53 My_l=-59.98
Tensioni nella sezione: σ=727.04 τ=88.62
CC 56 SLU (Collegamento 0024_-381)
Azioni sul collegamento: N=-16382.30 Ty=6.60 Tz=28.76 Mx=-0.01 Mz=4.60
Sollecitazioni agenti localmente: Ty_l=-2922.44 My_l=-59.94
Tensioni nella sezione: σ=726.49 τ=88.56
CC 57 SLU (Collegamento 0024_-381)
Azioni sul collegamento: N=-23426.90 Ty=6.35 Tz=54.67 Mx=-0.01 Mz=4.58
Sollecitazioni agenti localmente: Ty_l=-4171.16 My_l=-85.53
Tensioni nella sezione: σ=1036.78 τ=126.40
CC 58 SLU (Collegamento 0024_-381)
Azioni sul collegamento: N=-23976.20 Ty=6.64 Tz=56.70 Mx=-0.01 Mz=4.78
Sollecitazioni agenti localmente: Ty_l=-4269.36 My_l=-87.55
Tensioni nella sezione: σ=1061.19 τ=129.37
CC 59 SLU (Collegamento 0024_-381)
Azioni sul collegamento: N=-23702.50 Ty=6.61 Tz=55.66 Mx=-0.01 Mz=4.90
Sollecitazioni agenti localmente: Ty_l=-4221.30 My_l=-86.56
Tensioni nella sezione: σ=1049.26 τ=127.92
CC 60 SLU (Collegamento 0024_-381)
Azioni sul collegamento: N=-23700.60 Ty=6.39 Tz=55.71 Mx=-0.01 Mz=4.46
Sollecitazioni agenti localmente: Ty_l=-4219.22 My_l=-86.52
Tensioni nella sezione: σ=1048.71 τ=127.86
CC 61 SLU (Collegamento 0024_-381)
Azioni sul collegamento: N=-24865.90 Ty=6.25 Tz=59.47 Mx=0.00 Mz=4.59
Sollecitazioni agenti localmente: Ty_l=-4426.30 My_l=-90.76
Tensioni nella sezione: σ=1100.18 τ=134.13
CC 62 SLU (Collegamento 0024_-381)
Azioni sul collegamento: N=-25415.30 Ty=6.53 Tz=61.51 Mx=-0.00 Mz=4.79
Sollecitazioni agenti localmente: Ty_l=-4524.50 My_l=-92.78
Tensioni nella sezione: σ=1124.59 τ=137.11
CC 63 SLU (Collegamento 0024_-381)
Azioni sul collegamento: N=-25141.60 Ty=6.50 Tz=60.47 Mx=-0.00 Mz=4.91
Sollecitazioni agenti localmente: Ty_l=-4476.44 My_l=-91.79
Tensioni nella sezione: σ=1112.66 τ=135.65
CC 64 SLU (Collegamento 0024_-381)
Azioni sul collegamento: N=-25139.60 Ty=6.28 Tz=60.51 Mx=0.00 Mz=4.47
Sollecitazioni agenti localmente: Ty_l=-4474.36 My_l=-91.75
Tensioni nella sezione: σ=1112.11 τ=135.59
CC 65 SLU (Collegamento 0024_-381)
Azioni sul collegamento: N=-16490.80 Ty=6.99 Tz=29.17 Mx=-0.01 Mz=5.02
Sollecitazioni agenti localmente: Ty_l=-2943.33 My_l=-60.37
Tensioni nella sezione: σ=731.71 τ=89.19
CC 66 SLU (Collegamento 0024_-381)
Azioni sul collegamento: N=-17040.20 Ty=7.27 Tz=31.20 Mx=-0.01 Mz=5.22
Sollecitazioni agenti localmente: Ty_l=-3041.52 My_l=-62.38
Tensioni nella sezione: σ=756.12 τ=92.17
CC 67 SLU (Collegamento 0024_-381)
Azioni sul collegamento: N=-16766.50 Ty=7.24 Tz=30.16 Mx=-0.01 Mz=5.34
Sollecitazioni agenti localmente: Ty_l=-2993.46 My_l=-61.40
Tensioni nella sezione: σ=744.19 τ=90.71
CC 68 SLU (Collegamento 0024_-381)
Azioni sul collegamento: N=-16764.50 Ty=7.02 Tz=30.21 Mx=-0.01 Mz=4.90
Sollecitazioni agenti localmente: Ty_l=-2991.38 My_l=-61.35
Tensioni nella sezione: σ=743.64 τ=90.65
CC 97 SLU (Collegamento 0024_-381)
Azioni sul collegamento: N=-10609.80 Ty=16.63 Tz=15.80 Mx=0.03 Mz=19.66
Sollecitazioni agenti localmente: Ty_l=-1959.03 My_l=-40.27
Tensioni nella sezione: σ=488.12 τ=59.36
CC 98 SLU (Collegamento 0024_-381)
Azioni sul collegamento: N=-11159.10 Ty=16.91 Tz=17.84 Mx=0.03 Mz=19.86
Sollecitazioni agenti localmente: Ty_l=-2057.22 My_l=-42.28
Tensioni nella sezione: σ=512.53 τ=62.34
CC 99 SLU (Collegamento 0024_-381)
Azioni sul collegamento: N=-10885.40 Ty=16.88 Tz=16.80 Mx=0.03 Mz=19.98
Sollecitazioni agenti localmente: Ty_l=-2009.17 My_l=-41.30
Tensioni nella sezione: σ=500.60 τ=60.88
CC 100 SLU (Collegamento 0024_-381)
Azioni sul collegamento: N=-10883.50 Ty=16.66 Tz=16.84 Mx=0.03 Mz=19.55
Sollecitazioni agenti localmente: Ty_l=-2007.08 My_l=-41.25
Tensioni nella sezione: σ=500.05 τ=60.82
CC 101 SLU (Collegamento 0024_-381)
Azioni sul collegamento: N=-6606.14 Ty=1.32 Tz=0.91 Mx=-0.01 Mz=0.13
Sollecitazioni agenti localmente: Ty_l=-1171.61 My_l=-24.02
Tensioni nella sezione: σ=291.13 τ=35.50
CC 102 SLU (Collegamento 0024_-381)
Azioni sul collegamento: N=-7155.53 Ty=1.61 Tz=2.94 Mx=-0.01 Mz=0.33
Sollecitazioni agenti localmente: Ty_l=-1269.80 My_l=-26.03
Tensioni nella sezione: σ=315.55 τ=38.48

CC 103 SLU (Collegamento 0024_-381)
Azioni sul collegamento: N=-6881.82 Ty=1.58 Tz=1.90 Mx=-0.01 Mz=0.45
Sollecitazioni agenti localmente: Ty_l=-1221.74 My_l=-25.05
Tensioni nella sezione: σ=303.62 τ=37.02
CC 104 SLU (Collegamento 0024_-381)
Azioni sul collegamento: N=-6879.85 Ty=1.36 Tz=1.95 Mx=-0.01 Mz=0.01
Sollecitazioni agenti localmente: Ty_l=-1219.66 My_l=-25.00
Tensioni nella sezione: σ=303.07 τ=36.96

Flessione attacco sinistro piastra

Bnetta=220.00 Hnetta=15.00
CC 1 SLV (Collegamento 0024_-381)
Azioni sul collegamento: N=-3931.62 Ty=6.55 Tz=-8.98 Mx=0.01 Mz=7.22
Sollecitazioni agenti localmente: Ty_l=-668.25 My_l=-13.66
Tensioni nella sezione: σ=165.56 τ=20.25
CC 1 SLV (Collegamento 0024_-381)
Azioni sul collegamento: N=-3931.62 Ty=3.19 Tz=-8.98 Mx=0.01 Mz=4.04
Sollecitazioni agenti localmente: Ty_l=-680.91 My_l=-13.94
Tensioni nella sezione: σ=168.92 τ=20.63
CC 1 SLV (Collegamento 0024_-381)
Azioni sul collegamento: N=-3931.62 Ty=6.55 Tz=10.69 Mx=0.01 Mz=7.22
Sollecitazioni agenti localmente: Ty_l=-668.25 My_l=-13.66
Tensioni nella sezione: σ=165.56 τ=20.25
CC 1 SLV (Collegamento 0024_-381)
Azioni sul collegamento: N=-3931.62 Ty=3.19 Tz=10.69 Mx=0.01 Mz=4.04
Sollecitazioni agenti localmente: Ty_l=-680.91 My_l=-13.94
Tensioni nella sezione: σ=168.92 τ=20.63
CC 1 SLV (Collegamento 0024_-381)
Azioni sul collegamento: N=-9217.12 Ty=6.55 Tz=-8.98 Mx=0.01 Mz=7.22
Sollecitazioni agenti localmente: Ty_l=-1605.22 My_l=-32.87
Tensioni nella sezione: σ=398.39 τ=48.64
CC 1 SLV (Collegamento 0024_-381)
Azioni sul collegamento: N=-9217.12 Ty=3.19 Tz=-8.98 Mx=0.01 Mz=4.04
Sollecitazioni agenti localmente: Ty_l=-1617.88 My_l=-33.14
Tensioni nella sezione: σ=401.75 τ=49.03
CC 1 SLV (Collegamento 0024_-381)
Azioni sul collegamento: N=-9217.12 Ty=6.55 Tz=10.69 Mx=0.01 Mz=7.22
Sollecitazioni agenti localmente: Ty_l=-1605.22 My_l=-32.87
Tensioni nella sezione: σ=398.39 τ=48.64
CC 1 SLV (Collegamento 0024_-381)
Azioni sul collegamento: N=-9217.12 Ty=3.19 Tz=10.69 Mx=0.01 Mz=4.04
Sollecitazioni agenti localmente: Ty_l=-1617.88 My_l=-33.14
Tensioni nella sezione: σ=401.75 τ=49.03
CC 2 SLD (Collegamento 0024_-381)
Azioni sul collegamento: N=-5736.03 Ty=4.54 Tz=-2.27 Mx=0.00 Mz=4.03
Sollecitazioni agenti localmente: Ty_l=-1000.80 My_l=-20.49
Tensioni nella sezione: σ=248.41 τ=30.33
CC 2 SLD (Collegamento 0024_-381)
Azioni sul collegamento: N=-5736.03 Ty=3.51 Tz=-2.27 Mx=0.00 Mz=3.06
Sollecitazioni agenti localmente: Ty_l=-1004.66 My_l=-20.58
Tensioni nella sezione: σ=249.44 τ=30.44
CC 2 SLD (Collegamento 0024_-381)
Azioni sul collegamento: N=-5736.03 Ty=4.54 Tz=3.73 Mx=0.00 Mz=4.03
Sollecitazioni agenti localmente: Ty_l=-1000.80 My_l=-20.49
Tensioni nella sezione: σ=248.41 τ=30.33
CC 2 SLD (Collegamento 0024_-381)
Azioni sul collegamento: N=-5736.03 Ty=3.51 Tz=3.73 Mx=0.00 Mz=3.06
Sollecitazioni agenti localmente: Ty_l=-1004.66 My_l=-20.58
Tensioni nella sezione: σ=249.44 τ=30.44
CC 2 SLD (Collegamento 0024_-381)
Azioni sul collegamento: N=-7347.75 Ty=4.54 Tz=-2.27 Mx=0.00 Mz=4.03
Sollecitazioni agenti localmente: Ty_l=-1286.51 My_l=-26.35
Tensioni nella sezione: σ=319.41 τ=38.99
CC 2 SLD (Collegamento 0024_-381)
Azioni sul collegamento: N=-7347.75 Ty=3.51 Tz=-2.27 Mx=0.00 Mz=3.06
Sollecitazioni agenti localmente: Ty_l=-1290.37 My_l=-26.44
Tensioni nella sezione: σ=320.43 τ=39.10
CC 2 SLD (Collegamento 0024_-381)
Azioni sul collegamento: N=-7347.75 Ty=4.54 Tz=3.73 Mx=0.00 Mz=4.03
Sollecitazioni agenti localmente: Ty_l=-1286.51 My_l=-26.35
Tensioni nella sezione: σ=319.41 τ=38.99
CC 2 SLD (Collegamento 0024_-381)
Azioni sul collegamento: N=-7347.75 Ty=3.51 Tz=3.73 Mx=0.00 Mz=3.06
Sollecitazioni agenti localmente: Ty_l=-1290.37 My_l=-26.44
Tensioni nella sezione: σ=320.43 τ=39.10
CC 3 SLV (Collegamento 0024_-381)
Azioni sul collegamento: N=-3937.31 Ty=5.92 Tz=-8.85 Mx=0.01 Mz=5.96
Sollecitazioni agenti localmente: Ty_l=-674.26 My_l=-13.79

Tensioni nella sezione: σ=167.14 τ=20.43
CC 3 SLV (Collegamento 0024_-381)
Azioni sul collegamento: N=-3937.31 Ty=3.82 Tz=-8.85 Mx=0.01 Mz=5.30
Sollecitazioni agenti localmente: Ty_l=-676.91 My_l=-13.85
Tensioni nella sezione: σ=167.84 τ=20.51
CC 3 SLV (Collegamento 0024_-381)
Azioni sul collegamento: N=-3937.31 Ty=5.92 Tz=10.56 Mx=0.01 Mz=5.96
Sollecitazioni agenti localmente: Ty_l=-674.26 My_l=-13.79
Tensioni nella sezione: σ=167.14 τ=20.43
CC 3 SLV (Collegamento 0024_-381)
Azioni sul collegamento: N=-3937.31 Ty=3.82 Tz=10.56 Mx=0.01 Mz=5.30
Sollecitazioni agenti localmente: Ty_l=-676.91 My_l=-13.85
Tensioni nella sezione: σ=167.84 τ=20.51
CC 3 SLV (Collegamento 0024_-381)
Azioni sul collegamento: N=-9211.43 Ty=5.92 Tz=-8.85 Mx=0.01 Mz=5.96
Sollecitazioni agenti localmente: Ty_l=-1609.22 My_l=-32.96
Tensioni nella sezione: σ=399.46 τ=48.76
CC 3 SLV (Collegamento 0024_-381)
Azioni sul collegamento: N=-9211.43 Ty=3.82 Tz=-8.85 Mx=0.01 Mz=5.30
Sollecitazioni agenti localmente: Ty_l=-1611.87 My_l=-33.01
Tensioni nella sezione: σ=400.17 τ=48.84
CC 3 SLV (Collegamento 0024_-381)
Azioni sul collegamento: N=-9211.43 Ty=5.92 Tz=10.56 Mx=0.01 Mz=5.96
Sollecitazioni agenti localmente: Ty_l=-1609.22 My_l=-32.96
Tensioni nella sezione: σ=399.46 τ=48.76
CC 3 SLV (Collegamento 0024_-381)
Azioni sul collegamento: N=-9211.43 Ty=3.82 Tz=10.56 Mx=0.01 Mz=5.30
Sollecitazioni agenti localmente: Ty_l=-1611.87 My_l=-33.01
Tensioni nella sezione: σ=400.17 τ=48.84
CC 4 SLD (Collegamento 0024_-381)
Azioni sul collegamento: N=-5737.77 Ty=4.34 Tz=-2.23 Mx=0.00 Mz=3.65
Sollecitazioni agenti localmente: Ty_l=-1002.63 My_l=-20.53
Tensioni nella sezione: σ=248.89 τ=30.38
CC 4 SLD (Collegamento 0024_-381)
Azioni sul collegamento: N=-5737.77 Ty=3.71 Tz=-2.23 Mx=0.00 Mz=3.45
Sollecitazioni agenti localmente: Ty_l=-1003.44 My_l=-20.55
Tensioni nella sezione: σ=249.11 τ=30.41
CC 4 SLD (Collegamento 0024_-381)
Azioni sul collegamento: N=-5737.77 Ty=4.34 Tz=3.69 Mx=0.00 Mz=3.65
Sollecitazioni agenti localmente: Ty_l=-1002.63 My_l=-20.53
Tensioni nella sezione: σ=248.89 τ=30.38
CC 4 SLD (Collegamento 0024_-381)
Azioni sul collegamento: N=-5737.77 Ty=3.71 Tz=3.69 Mx=0.00 Mz=3.45
Sollecitazioni agenti localmente: Ty_l=-1003.44 My_l=-20.55
Tensioni nella sezione: σ=249.11 τ=30.41
CC 4 SLD (Collegamento 0024_-381)
Azioni sul collegamento: N=-7346.01 Ty=4.34 Tz=-2.23 Mx=0.00 Mz=3.65
Sollecitazioni agenti localmente: Ty_l=-1287.73 My_l=-26.38
Tensioni nella sezione: σ=319.74 τ=39.02
CC 4 SLD (Collegamento 0024_-381)
Azioni sul collegamento: N=-7346.01 Ty=3.71 Tz=-2.23 Mx=0.00 Mz=3.45
Sollecitazioni agenti localmente: Ty_l=-1288.54 My_l=-26.40
Tensioni nella sezione: σ=319.95 τ=39.05
CC 4 SLD (Collegamento 0024_-381)
Azioni sul collegamento: N=-7346.01 Ty=4.34 Tz=3.69 Mx=0.00 Mz=3.65
Sollecitazioni agenti localmente: Ty_l=-1287.73 My_l=-26.38
Tensioni nella sezione: σ=319.74 τ=39.02
CC 4 SLD (Collegamento 0024_-381)
Azioni sul collegamento: N=-7346.01 Ty=3.71 Tz=3.69 Mx=0.00 Mz=3.45
Sollecitazioni agenti localmente: Ty_l=-1288.54 My_l=-26.40
Tensioni nella sezione: σ=319.95 τ=39.05
CC 5 SLV (Collegamento 0024_-381)
Azioni sul collegamento: N=-9211.43 Ty=3.82 Tz=10.56 Mx=0.01 Mz=5.30
Sollecitazioni agenti localmente: Ty_l=-1611.87 My_l=-33.01
Tensioni nella sezione: σ=400.17 τ=48.84
CC 5 SLV (Collegamento 0024_-381)
Azioni sul collegamento: N=-9211.43 Ty=5.92 Tz=10.56 Mx=0.01 Mz=5.96
Sollecitazioni agenti localmente: Ty_l=-1609.22 My_l=-32.96
Tensioni nella sezione: σ=399.46 τ=48.76
CC 5 SLV (Collegamento 0024_-381)
Azioni sul collegamento: N=-9211.43 Ty=3.82 Tz=-8.85 Mx=0.01 Mz=5.30
Sollecitazioni agenti localmente: Ty_l=-1611.87 My_l=-33.01
Tensioni nella sezione: σ=400.17 τ=48.84
CC 5 SLV (Collegamento 0024_-381)
Azioni sul collegamento: N=-9211.43 Ty=5.92 Tz=-8.85 Mx=0.01 Mz=5.96
Sollecitazioni agenti localmente: Ty_l=-1609.22 My_l=-32.96
Tensioni nella sezione: σ=399.46 τ=48.76
CC 5 SLV (Collegamento 0024_-381)
Azioni sul collegamento: N=-3937.31 Ty=3.82 Tz=10.56 Mx=0.01 Mz=5.30

Sollecitazioni agenti localmente: Ty_l=-676.91 My_l=-13.85
Tensioni nella sezione: σ=167.84 τ=20.51
CC 5 SLV (Collegamento 0024_-381)
Azioni sul collegamento: N=-3937.31 Ty=5.92 Tz=10.56 Mx=0.01 Mz=5.96
Sollecitazioni agenti localmente: Ty_l=-674.26 My_l=-13.79
Tensioni nella sezione: σ=167.14 τ=20.43
CC 5 SLV (Collegamento 0024_-381)
Azioni sul collegamento: N=-3937.31 Ty=3.82 Tz=-8.85 Mx=0.01 Mz=5.30
Sollecitazioni agenti localmente: Ty_l=-676.91 My_l=-13.85
Tensioni nella sezione: σ=167.84 τ=20.51
CC 5 SLV (Collegamento 0024_-381)
Azioni sul collegamento: N=-3937.31 Ty=5.92 Tz=-8.85 Mx=0.01 Mz=5.96
Sollecitazioni agenti localmente: Ty_l=-674.26 My_l=-13.79
Tensioni nella sezione: σ=167.14 τ=20.43
CC 6 SLD (Collegamento 0024_-381)
Azioni sul collegamento: N=-7346.01 Ty=3.71 Tz=3.69 Mx=0.00 Mz=3.45
Sollecitazioni agenti localmente: Ty_l=-1288.54 My_l=-26.40
Tensioni nella sezione: σ=319.95 τ=39.05
CC 6 SLD (Collegamento 0024_-381)
Azioni sul collegamento: N=-7346.01 Ty=4.34 Tz=3.69 Mx=0.00 Mz=3.65
Sollecitazioni agenti localmente: Ty_l=-1287.73 My_l=-26.38
Tensioni nella sezione: σ=319.74 τ=39.02
CC 6 SLD (Collegamento 0024_-381)
Azioni sul collegamento: N=-7346.01 Ty=3.71 Tz=-2.23 Mx=0.00 Mz=3.45
Sollecitazioni agenti localmente: Ty_l=-1288.54 My_l=-26.40
Tensioni nella sezione: σ=319.95 τ=39.05
CC 6 SLD (Collegamento 0024_-381)
Azioni sul collegamento: N=-7346.01 Ty=4.34 Tz=-2.23 Mx=0.00 Mz=3.65
Sollecitazioni agenti localmente: Ty_l=-1287.73 My_l=-26.38
Tensioni nella sezione: σ=319.74 τ=39.02
CC 6 SLD (Collegamento 0024_-381)
Azioni sul collegamento: N=-5737.77 Ty=3.71 Tz=3.69 Mx=0.00 Mz=3.45
Sollecitazioni agenti localmente: Ty_l=-1003.44 My_l=-20.55
Tensioni nella sezione: σ=249.11 τ=30.41
CC 6 SLD (Collegamento 0024_-381)
Azioni sul collegamento: N=-5737.77 Ty=4.34 Tz=3.69 Mx=0.00 Mz=3.65
Sollecitazioni agenti localmente: Ty_l=-1002.63 My_l=-20.53
Tensioni nella sezione: σ=248.89 τ=30.38
CC 6 SLD (Collegamento 0024_-381)
Azioni sul collegamento: N=-5737.77 Ty=3.71 Tz=-2.23 Mx=0.00 Mz=3.45
Sollecitazioni agenti localmente: Ty_l=-1003.44 My_l=-20.55
Tensioni nella sezione: σ=249.11 τ=30.41
CC 6 SLD (Collegamento 0024_-381)
Azioni sul collegamento: N=-5737.77 Ty=4.34 Tz=-2.23 Mx=0.00 Mz=3.65
Sollecitazioni agenti localmente: Ty_l=-1002.63 My_l=-20.53
Tensioni nella sezione: σ=248.89 τ=30.38
CC 7 SLV (Collegamento 0024_-381)
Azioni sul collegamento: N=-9217.12 Ty=3.19 Tz=10.69 Mx=0.01 Mz=4.04
Sollecitazioni agenti localmente: Ty_l=-1617.88 My_l=-33.14
Tensioni nella sezione: σ=401.75 τ=49.03
CC 7 SLV (Collegamento 0024_-381)
Azioni sul collegamento: N=-9217.12 Ty=6.55 Tz=10.69 Mx=0.01 Mz=7.22
Sollecitazioni agenti localmente: Ty_l=-1605.22 My_l=-32.87
Tensioni nella sezione: σ=398.39 τ=48.64
CC 7 SLV (Collegamento 0024_-381)
Azioni sul collegamento: N=-9217.12 Ty=3.19 Tz=-8.98 Mx=0.01 Mz=4.04
Sollecitazioni agenti localmente: Ty_l=-1617.88 My_l=-33.14
Tensioni nella sezione: σ=401.75 τ=49.03
CC 7 SLV (Collegamento 0024_-381)
Azioni sul collegamento: N=-9217.12 Ty=6.55 Tz=-8.98 Mx=0.01 Mz=7.22
Sollecitazioni agenti localmente: Ty_l=-1605.22 My_l=-32.87
Tensioni nella sezione: σ=398.39 τ=48.64
CC 7 SLV (Collegamento 0024_-381)
Azioni sul collegamento: N=-3931.62 Ty=3.19 Tz=10.69 Mx=0.01 Mz=4.04
Sollecitazioni agenti localmente: Ty_l=-680.91 My_l=-13.94
Tensioni nella sezione: σ=168.92 τ=20.63
CC 7 SLV (Collegamento 0024_-381)
Azioni sul collegamento: N=-3931.62 Ty=6.55 Tz=10.69 Mx=0.01 Mz=7.22
Sollecitazioni agenti localmente: Ty_l=-668.25 My_l=-13.66
Tensioni nella sezione: σ=165.56 τ=20.25
CC 7 SLV (Collegamento 0024_-381)
Azioni sul collegamento: N=-3931.62 Ty=3.19 Tz=-8.98 Mx=0.01 Mz=4.04
Sollecitazioni agenti localmente: Ty_l=-680.91 My_l=-13.94
Tensioni nella sezione: σ=168.92 τ=20.63
CC 7 SLV (Collegamento 0024_-381)
Azioni sul collegamento: N=-3931.62 Ty=6.55 Tz=-8.98 Mx=0.01 Mz=7.22
Sollecitazioni agenti localmente: Ty_l=-668.25 My_l=-13.66
Tensioni nella sezione: σ=165.56 τ=20.25
CC 8 SLD (Collegamento 0024_-381)

Azioni sul collegamento: N=-7347.75 Ty=3.51 Tz=3.73 Mx=-0.00 Mz=3.06
Sollecitazioni agenti localmente: Ty_l=-1290.37 My_l=-26.44
Tensioni nella sezione: σ=320.43 τ=39.10
CC 8 SLD (Collegamento 0024_-381)
Azioni sul collegamento: N=-7347.75 Ty=4.54 Tz=3.73 Mx=-0.00 Mz=4.03
Sollecitazioni agenti localmente: Ty_l=-1286.51 My_l=-26.35
Tensioni nella sezione: σ=319.41 τ=38.99
CC 8 SLD (Collegamento 0024_-381)
Azioni sul collegamento: N=-7347.75 Ty=3.51 Tz=-2.27 Mx=-0.00 Mz=3.06
Sollecitazioni agenti localmente: Ty_l=-1290.37 My_l=-26.44
Tensioni nella sezione: σ=320.43 τ=39.10
CC 8 SLD (Collegamento 0024_-381)
Azioni sul collegamento: N=-7347.75 Ty=4.54 Tz=-2.27 Mx=-0.00 Mz=4.03
Sollecitazioni agenti localmente: Ty_l=-1286.51 My_l=-26.35
Tensioni nella sezione: σ=319.41 τ=38.99
CC 8 SLD (Collegamento 0024_-381)
Azioni sul collegamento: N=-5736.03 Ty=3.51 Tz=3.73 Mx=-0.00 Mz=3.06
Sollecitazioni agenti localmente: Ty_l=-1004.66 My_l=-20.58
Tensioni nella sezione: σ=249.44 τ=30.44
CC 8 SLD (Collegamento 0024_-381)
Azioni sul collegamento: N=-5736.03 Ty=4.54 Tz=3.73 Mx=-0.00 Mz=4.03
Sollecitazioni agenti localmente: Ty_l=-1000.80 My_l=-20.49
Tensioni nella sezione: σ=248.41 τ=30.33
CC 8 SLD (Collegamento 0024_-381)
Azioni sul collegamento: N=-5736.03 Ty=3.51 Tz=-2.27 Mx=-0.00 Mz=3.06
Sollecitazioni agenti localmente: Ty_l=-1004.66 My_l=-20.58
Tensioni nella sezione: σ=249.44 τ=30.44
CC 8 SLD (Collegamento 0024_-381)
Azioni sul collegamento: N=-5736.03 Ty=4.54 Tz=-2.27 Mx=-0.00 Mz=4.03
Sollecitazioni agenti localmente: Ty_l=-1000.80 My_l=-20.49
Tensioni nella sezione: σ=248.41 τ=30.33
CC 9 SLV (Collegamento 0024_-381)
Azioni sul collegamento: N=-5772.92 Ty=6.34 Tz=-2.29 Mx=0.02 Mz=8.01
Sollecitazioni agenti localmente: Ty_l=-991.51 My_l=-20.28
Tensioni nella sezione: σ=245.83 τ=30.05
CC 9 SLV (Collegamento 0024_-381)
Azioni sul collegamento: N=-5772.92 Ty=3.40 Tz=-2.29 Mx=0.02 Mz=3.25
Sollecitazioni agenti localmente: Ty_l=-1010.47 My_l=-20.70
Tensioni nella sezione: σ=250.87 τ=30.62
CC 9 SLV (Collegamento 0024_-381)
Azioni sul collegamento: N=-5772.92 Ty=6.34 Tz=4.00 Mx=0.02 Mz=8.01
Sollecitazioni agenti localmente: Ty_l=-991.51 My_l=-20.28
Tensioni nella sezione: σ=245.83 τ=30.05
CC 9 SLV (Collegamento 0024_-381)
Azioni sul collegamento: N=-5772.92 Ty=3.40 Tz=4.00 Mx=0.02 Mz=3.25
Sollecitazioni agenti localmente: Ty_l=-1010.47 My_l=-20.70
Tensioni nella sezione: σ=250.87 τ=30.62
CC 9 SLV (Collegamento 0024_-381)
Azioni sul collegamento: N=-7375.82 Ty=6.34 Tz=-2.29 Mx=0.02 Mz=8.01
Sollecitazioni agenti localmente: Ty_l=-1275.66 My_l=-26.11
Tensioni nella sezione: σ=316.44 τ=38.66
CC 9 SLV (Collegamento 0024_-381)
Azioni sul collegamento: N=-7375.82 Ty=3.40 Tz=-2.29 Mx=0.02 Mz=3.25
Sollecitazioni agenti localmente: Ty_l=-1294.62 My_l=-26.52
Tensioni nella sezione: σ=321.48 τ=39.23
CC 9 SLV (Collegamento 0024_-381)
Azioni sul collegamento: N=-7375.82 Ty=6.34 Tz=4.00 Mx=0.02 Mz=8.01
Sollecitazioni agenti localmente: Ty_l=-1275.66 My_l=-26.11
Tensioni nella sezione: σ=316.44 τ=38.66
CC 9 SLV (Collegamento 0024_-381)
Azioni sul collegamento: N=-7375.82 Ty=3.40 Tz=4.00 Mx=0.02 Mz=3.25
Sollecitazioni agenti localmente: Ty_l=-1294.62 My_l=-26.52
Tensioni nella sezione: σ=321.48 τ=39.23
CC 10 SLD (Collegamento 0024_-381)
Azioni sul collegamento: N=-6297.50 Ty=4.47 Tz=-0.23 Mx=0.00 Mz=4.27
Sollecitazioni agenti localmente: Ty_l=-1099.37 My_l=-22.51
Tensioni nella sezione: σ=272.89 τ=33.31
CC 10 SLD (Collegamento 0024_-381)
Azioni sul collegamento: N=-6297.50 Ty=3.58 Tz=-0.23 Mx=0.00 Mz=2.82
Sollecitazioni agenti localmente: Ty_l=-1105.16 My_l=-22.64
Tensioni nella sezione: σ=274.42 τ=33.49
CC 10 SLD (Collegamento 0024_-381)
Azioni sul collegamento: N=-6297.50 Ty=4.47 Tz=1.69 Mx=0.00 Mz=4.27
Sollecitazioni agenti localmente: Ty_l=-1099.37 My_l=-22.51
Tensioni nella sezione: σ=272.89 τ=33.31
CC 10 SLD (Collegamento 0024_-381)
Azioni sul collegamento: N=-6297.50 Ty=3.58 Tz=1.69 Mx=0.00 Mz=2.82
Sollecitazioni agenti localmente: Ty_l=-1105.16 My_l=-22.64
Tensioni nella sezione: σ=274.42 τ=33.49

CC 10 SLD (Collegamento 0024_-381)
Azioni sul collegamento: N=-6786.28 Ty=4.47 Tz=-0.23 Mx=0.00 Mz=4.27
Sollecitazioni agenti localmente: Ty_l=-1186.02 My_l=-24.29
Tensioni nella sezione: σ=294.42 τ=35.94
CC 10 SLD (Collegamento 0024_-381)
Azioni sul collegamento: N=-6786.28 Ty=3.58 Tz=-0.23 Mx=0.00 Mz=2.82
Sollecitazioni agenti localmente: Ty_l=-1191.80 My_l=-24.42
Tensioni nella sezione: σ=295.95 τ=36.12
CC 10 SLD (Collegamento 0024_-381)
Azioni sul collegamento: N=-6786.28 Ty=4.47 Tz=1.69 Mx=0.00 Mz=4.27
Sollecitazioni agenti localmente: Ty_l=-1186.02 My_l=-24.29
Tensioni nella sezione: σ=294.42 τ=35.94
CC 10 SLD (Collegamento 0024_-381)
Azioni sul collegamento: N=-6786.28 Ty=3.58 Tz=1.69 Mx=0.00 Mz=2.82
Sollecitazioni agenti localmente: Ty_l=-1191.80 My_l=-24.42
Tensioni nella sezione: σ=295.95 τ=36.12
CC 11 SLV (Collegamento 0024_-381)
Azioni sul collegamento: N=-7356.86 Ty=5.52 Tz=3.57 Mx=0.02 Mz=7.44
Sollecitazioni agenti localmente: Ty_l=-1274.59 My_l=-26.09
Tensioni nella sezione: σ=316.21 τ=38.62
CC 11 SLV (Collegamento 0024_-381)
Azioni sul collegamento: N=-7356.86 Ty=4.22 Tz=3.57 Mx=0.02 Mz=3.82
Sollecitazioni agenti localmente: Ty_l=-1288.97 My_l=-26.40
Tensioni nella sezione: σ=320.03 τ=39.06
CC 11 SLV (Collegamento 0024_-381)
Azioni sul collegamento: N=-7356.86 Ty=5.52 Tz=-1.86 Mx=0.02 Mz=7.44
Sollecitazioni agenti localmente: Ty_l=-1274.59 My_l=-26.09
Tensioni nella sezione: σ=316.21 τ=38.62
CC 11 SLV (Collegamento 0024_-381)
Azioni sul collegamento: N=-7356.86 Ty=4.22 Tz=-1.86 Mx=0.02 Mz=3.82
Sollecitazioni agenti localmente: Ty_l=-1288.97 My_l=-26.40
Tensioni nella sezione: σ=320.03 τ=39.06
CC 11 SLV (Collegamento 0024_-381)
Azioni sul collegamento: N=-5791.88 Ty=5.52 Tz=3.57 Mx=0.02 Mz=7.44
Sollecitazioni agenti localmente: Ty_l=-997.16 My_l=-20.40
Tensioni nella sezione: σ=247.28 τ=30.22
CC 11 SLV (Collegamento 0024_-381)
Azioni sul collegamento: N=-5791.88 Ty=4.22 Tz=3.57 Mx=0.02 Mz=3.82
Sollecitazioni agenti localmente: Ty_l=-1011.54 My_l=-20.72
Tensioni nella sezione: σ=251.09 τ=30.65
CC 11 SLV (Collegamento 0024_-381)
Azioni sul collegamento: N=-5791.88 Ty=5.52 Tz=-1.86 Mx=0.02 Mz=7.44
Sollecitazioni agenti localmente: Ty_l=-997.16 My_l=-20.40
Tensioni nella sezione: σ=247.28 τ=30.22
CC 11 SLV (Collegamento 0024_-381)
Azioni sul collegamento: N=-5791.88 Ty=4.22 Tz=-1.86 Mx=0.02 Mz=3.82
Sollecitazioni agenti localmente: Ty_l=-1011.54 My_l=-20.72
Tensioni nella sezione: σ=251.09 τ=30.65
CC 12 SLD (Collegamento 0024_-381)
Azioni sul collegamento: N=-6780.50 Ty=4.22 Tz=1.56 Mx=0.00 Mz=4.10
Sollecitazioni agenti localmente: Ty_l=-1185.69 My_l=-24.28
Tensioni nella sezione: σ=294.35 τ=35.93
CC 12 SLD (Collegamento 0024_-381)
Azioni sul collegamento: N=-6780.50 Ty=3.83 Tz=1.56 Mx=0.00 Mz=3.00
Sollecitazioni agenti localmente: Ty_l=-1190.08 My_l=-24.38
Tensioni nella sezione: σ=295.51 τ=36.06
CC 12 SLD (Collegamento 0024_-381)
Azioni sul collegamento: N=-6780.50 Ty=4.22 Tz=-0.10 Mx=0.00 Mz=4.10
Sollecitazioni agenti localmente: Ty_l=-1185.69 My_l=-24.28
Tensioni nella sezione: σ=294.35 τ=35.93
CC 12 SLD (Collegamento 0024_-381)
Azioni sul collegamento: N=-6780.50 Ty=3.83 Tz=-0.10 Mx=0.00 Mz=3.00
Sollecitazioni agenti localmente: Ty_l=-1190.08 My_l=-24.38
Tensioni nella sezione: σ=295.51 τ=36.06
CC 12 SLD (Collegamento 0024_-381)
Azioni sul collegamento: N=-6303.28 Ty=4.22 Tz=1.56 Mx=0.00 Mz=4.10
Sollecitazioni agenti localmente: Ty_l=-1101.10 My_l=-22.55
Tensioni nella sezione: σ=273.33 τ=33.37
CC 12 SLD (Collegamento 0024_-381)
Azioni sul collegamento: N=-6303.28 Ty=3.83 Tz=1.56 Mx=0.00 Mz=3.00
Sollecitazioni agenti localmente: Ty_l=-1105.48 My_l=-22.65
Tensioni nella sezione: σ=274.49 τ=33.50
CC 12 SLD (Collegamento 0024_-381)
Azioni sul collegamento: N=-6303.28 Ty=4.22 Tz=-0.10 Mx=0.00 Mz=4.10
Sollecitazioni agenti localmente: Ty_l=-1101.10 My_l=-22.55
Tensioni nella sezione: σ=273.33 τ=33.37
CC 12 SLD (Collegamento 0024_-381)
Azioni sul collegamento: N=-6303.28 Ty=3.83 Tz=-0.10 Mx=0.00 Mz=3.00
Sollecitazioni agenti localmente: Ty_l=-1105.48 My_l=-22.65

Tensioni nella sezione: σ=274.49 τ=33.50
CC 13 SLV (Collegamento 0024_-381)
Azioni sul collegamento: N=-5791.88 Ty=4.22 Tz=-1.86 Mx=0.00 Mz=3.82
Sollecitazioni agenti localmente: Ty_l=-1011.54 My_l=-20.72
Tensioni nella sezione: σ=251.09 τ=30.65
CC 13 SLV (Collegamento 0024_-381)
Azioni sul collegamento: N=-5791.88 Ty=5.52 Tz=-1.86 Mx=0.00 Mz=7.44
Sollecitazioni agenti localmente: Ty_l=-997.16 My_l=-20.40
Tensioni nella sezione: σ=247.28 τ=30.22
CC 13 SLV (Collegamento 0024_-381)
Azioni sul collegamento: N=-5791.88 Ty=4.22 Tz=3.57 Mx=0.00 Mz=3.82
Sollecitazioni agenti localmente: Ty_l=-1011.54 My_l=-20.72
Tensioni nella sezione: σ=251.09 τ=30.65
CC 13 SLV (Collegamento 0024_-381)
Azioni sul collegamento: N=-5791.88 Ty=5.52 Tz=3.57 Mx=0.00 Mz=7.44
Sollecitazioni agenti localmente: Ty_l=-997.16 My_l=-20.40
Tensioni nella sezione: σ=247.28 τ=30.22
CC 13 SLV (Collegamento 0024_-381)
Azioni sul collegamento: N=-7356.86 Ty=4.22 Tz=-1.86 Mx=0.00 Mz=3.82
Sollecitazioni agenti localmente: Ty_l=-1288.97 My_l=-26.40
Tensioni nella sezione: σ=320.03 τ=39.06
CC 13 SLV (Collegamento 0024_-381)
Azioni sul collegamento: N=-7356.86 Ty=5.52 Tz=-1.86 Mx=0.00 Mz=7.44
Sollecitazioni agenti localmente: Ty_l=-1274.59 My_l=-26.09
Tensioni nella sezione: σ=316.21 τ=38.62
CC 13 SLV (Collegamento 0024_-381)
Azioni sul collegamento: N=-7356.86 Ty=4.22 Tz=3.57 Mx=0.00 Mz=3.82
Sollecitazioni agenti localmente: Ty_l=-1288.97 My_l=-26.40
Tensioni nella sezione: σ=320.03 τ=39.06
CC 13 SLV (Collegamento 0024_-381)
Azioni sul collegamento: N=-7356.86 Ty=5.52 Tz=3.57 Mx=0.00 Mz=7.44
Sollecitazioni agenti localmente: Ty_l=-1274.59 My_l=-26.09
Tensioni nella sezione: σ=316.21 τ=38.62
CC 14 SLD (Collegamento 0024_-381)
Azioni sul collegamento: N=-6303.28 Ty=3.83 Tz=-0.10 Mx=-0.00 Mz=3.00
Sollecitazioni agenti localmente: Ty_l=-1105.48 My_l=-22.65
Tensioni nella sezione: σ=274.49 τ=33.50
CC 14 SLD (Collegamento 0024_-381)
Azioni sul collegamento: N=-6303.28 Ty=4.22 Tz=-0.10 Mx=-0.00 Mz=4.10
Sollecitazioni agenti localmente: Ty_l=-1101.10 My_l=-22.55
Tensioni nella sezione: σ=273.33 τ=33.37
CC 14 SLD (Collegamento 0024_-381)
Azioni sul collegamento: N=-6303.28 Ty=3.83 Tz=1.56 Mx=-0.00 Mz=3.00
Sollecitazioni agenti localmente: Ty_l=-1105.48 My_l=-22.65
Tensioni nella sezione: σ=274.49 τ=33.50
CC 14 SLD (Collegamento 0024_-381)
Azioni sul collegamento: N=-6303.28 Ty=4.22 Tz=1.56 Mx=-0.00 Mz=4.10
Sollecitazioni agenti localmente: Ty_l=-1101.10 My_l=-22.55
Tensioni nella sezione: σ=273.33 τ=33.37
CC 14 SLD (Collegamento 0024_-381)
Azioni sul collegamento: N=-6780.50 Ty=3.83 Tz=-0.10 Mx=-0.00 Mz=3.00
Sollecitazioni agenti localmente: Ty_l=-1190.08 My_l=-24.38
Tensioni nella sezione: σ=295.51 τ=36.06
CC 14 SLD (Collegamento 0024_-381)
Azioni sul collegamento: N=-6780.50 Ty=4.22 Tz=-0.10 Mx=-0.00 Mz=4.10
Sollecitazioni agenti localmente: Ty_l=-1185.69 My_l=-24.28
Tensioni nella sezione: σ=294.35 τ=35.93
CC 14 SLD (Collegamento 0024_-381)
Azioni sul collegamento: N=-6780.50 Ty=3.83 Tz=1.56 Mx=-0.00 Mz=3.00
Sollecitazioni agenti localmente: Ty_l=-1190.08 My_l=-24.38
Tensioni nella sezione: σ=295.51 τ=36.06
CC 14 SLD (Collegamento 0024_-381)
Azioni sul collegamento: N=-6780.50 Ty=4.22 Tz=1.56 Mx=-0.00 Mz=4.10
Sollecitazioni agenti localmente: Ty_l=-1185.69 My_l=-24.28
Tensioni nella sezione: σ=294.35 τ=35.93
CC 15 SLV (Collegamento 0024_-381)
Azioni sul collegamento: N=-7375.82 Ty=3.40 Tz=4.00 Mx=0.00 Mz=3.25
Sollecitazioni agenti localmente: Ty_l=-1294.62 My_l=-26.52
Tensioni nella sezione: σ=321.48 τ=39.23
CC 15 SLV (Collegamento 0024_-381)
Azioni sul collegamento: N=-7375.82 Ty=6.34 Tz=4.00 Mx=0.00 Mz=8.01
Sollecitazioni agenti localmente: Ty_l=-1275.66 My_l=-26.11
Tensioni nella sezione: σ=316.44 τ=38.66
CC 15 SLV (Collegamento 0024_-381)
Azioni sul collegamento: N=-7375.82 Ty=3.40 Tz=-2.29 Mx=0.00 Mz=3.25
Sollecitazioni agenti localmente: Ty_l=-1294.62 My_l=-26.52
Tensioni nella sezione: σ=321.48 τ=39.23
CC 15 SLV (Collegamento 0024_-381)
Azioni sul collegamento: N=-7375.82 Ty=6.34 Tz=-2.29 Mx=0.00 Mz=8.01

Sollecitazioni agenti localmente: Ty_l=-1275.66 My_l=-26.11
Tensioni nella sezione: σ=316.44 τ=38.66
CC 15 SLV (Collegamento 0024_-381)
Azioni sul collegamento: N=-5772.92 Ty=3.40 Tz=4.00 Mx=0.00 Mz=3.25
Sollecitazioni agenti localmente: Ty_l=-1010.47 My_l=-20.70
Tensioni nella sezione: σ=250.87 τ=30.62
CC 15 SLV (Collegamento 0024_-381)
Azioni sul collegamento: N=-5772.92 Ty=6.34 Tz=4.00 Mx=0.00 Mz=8.01
Sollecitazioni agenti localmente: Ty_l=-991.51 My_l=-20.28
Tensioni nella sezione: σ=245.83 τ=30.05
CC 15 SLV (Collegamento 0024_-381)
Azioni sul collegamento: N=-5772.92 Ty=3.40 Tz=-2.29 Mx=0.00 Mz=3.25
Sollecitazioni agenti localmente: Ty_l=-1010.47 My_l=-20.70
Tensioni nella sezione: σ=250.87 τ=30.62
CC 15 SLV (Collegamento 0024_-381)
Azioni sul collegamento: N=-5772.92 Ty=6.34 Tz=-2.29 Mx=0.00 Mz=8.01
Sollecitazioni agenti localmente: Ty_l=-991.51 My_l=-20.28
Tensioni nella sezione: σ=245.83 τ=30.05
CC 16 SLD (Collegamento 0024_-381)
Azioni sul collegamento: N=-6786.28 Ty=3.58 Tz=1.69 Mx=-0.00 Mz=2.82
Sollecitazioni agenti localmente: Ty_l=-1191.80 My_l=-24.42
Tensioni nella sezione: σ=295.95 τ=36.12
CC 16 SLD (Collegamento 0024_-381)
Azioni sul collegamento: N=-6786.28 Ty=4.47 Tz=1.69 Mx=-0.00 Mz=4.27
Sollecitazioni agenti localmente: Ty_l=-1186.02 My_l=-24.29
Tensioni nella sezione: σ=294.42 τ=35.94
CC 16 SLD (Collegamento 0024_-381)
Azioni sul collegamento: N=-6786.28 Ty=3.58 Tz=-0.23 Mx=-0.00 Mz=2.82
Sollecitazioni agenti localmente: Ty_l=-1191.80 My_l=-24.42
Tensioni nella sezione: σ=295.95 τ=36.12
CC 16 SLD (Collegamento 0024_-381)
Azioni sul collegamento: N=-6786.28 Ty=4.47 Tz=-0.23 Mx=-0.00 Mz=4.27
Sollecitazioni agenti localmente: Ty_l=-1186.02 My_l=-24.29
Tensioni nella sezione: σ=294.42 τ=35.94
CC 16 SLD (Collegamento 0024_-381)
Azioni sul collegamento: N=-6297.50 Ty=3.58 Tz=1.69 Mx=-0.00 Mz=2.82
Sollecitazioni agenti localmente: Ty_l=-1105.16 My_l=-22.64
Tensioni nella sezione: σ=274.42 τ=33.49
CC 16 SLD (Collegamento 0024_-381)
Azioni sul collegamento: N=-6297.50 Ty=4.47 Tz=1.69 Mx=-0.00 Mz=4.27
Sollecitazioni agenti localmente: Ty_l=-1099.37 My_l=-22.51
Tensioni nella sezione: σ=272.89 τ=33.31
CC 16 SLD (Collegamento 0024_-381)
Azioni sul collegamento: N=-6297.50 Ty=3.58 Tz=-0.23 Mx=-0.00 Mz=2.82
Sollecitazioni agenti localmente: Ty_l=-1105.16 My_l=-22.64
Tensioni nella sezione: σ=274.42 τ=33.49
CC 16 SLD (Collegamento 0024_-381)
Azioni sul collegamento: N=-6297.50 Ty=4.47 Tz=-0.23 Mx=-0.00 Mz=4.27
Sollecitazioni agenti localmente: Ty_l=-1099.37 My_l=-22.51
Tensioni nella sezione: σ=272.89 τ=33.31
CC 17 SLV (Collegamento 0024_-381)
Azioni sul collegamento: N=-3838.16 Ty=0.76 Tz=-9.35 Mx=-0.02 Mz=1.23
Sollecitazioni agenti localmente: Ty_l=-675.51 My_l=-13.84
Tensioni nella sezione: σ=167.77 τ=20.47
CC 17 SLV (Collegamento 0024_-381)
Azioni sul collegamento: N=-3838.16 Ty=4.12 Tz=-9.35 Mx=-0.02 Mz=-1.95
Sollecitazioni agenti localmente: Ty_l=-688.16 My_l=-14.12
Tensioni nella sezione: σ=171.13 τ=20.85
CC 17 SLV (Collegamento 0024_-381)
Azioni sul collegamento: N=-3838.16 Ty=0.76 Tz=10.33 Mx=-0.02 Mz=1.23
Sollecitazioni agenti localmente: Ty_l=-675.51 My_l=-13.84
Tensioni nella sezione: σ=167.77 τ=20.47
CC 17 SLV (Collegamento 0024_-381)
Azioni sul collegamento: N=-3838.16 Ty=4.12 Tz=10.33 Mx=-0.02 Mz=-1.95
Sollecitazioni agenti localmente: Ty_l=-688.16 My_l=-14.12
Tensioni nella sezione: σ=171.13 τ=20.85
CC 17 SLV (Collegamento 0024_-381)
Azioni sul collegamento: N=-9123.66 Ty=0.76 Tz=-9.35 Mx=-0.02 Mz=1.23
Sollecitazioni agenti localmente: Ty_l=-1612.48 My_l=-33.05
Tensioni nella sezione: σ=400.59 τ=48.86
CC 17 SLV (Collegamento 0024_-381)
Azioni sul collegamento: N=-9123.66 Ty=4.12 Tz=-9.35 Mx=-0.02 Mz=-1.95
Sollecitazioni agenti localmente: Ty_l=-1625.14 My_l=-33.33
Tensioni nella sezione: σ=403.95 τ=49.25
CC 17 SLV (Collegamento 0024_-381)
Azioni sul collegamento: N=-9123.66 Ty=0.76 Tz=10.33 Mx=-0.02 Mz=1.23
Sollecitazioni agenti localmente: Ty_l=-1612.48 My_l=-33.05
Tensioni nella sezione: σ=400.59 τ=48.86
CC 17 SLV (Collegamento 0024_-381)

Azioni sul collegamento: N=-9123.66 Ty=4.12 Tz=10.33 Mx=-0.02 Mz=-1.95
Sollecitazioni agenti localmente: Ty_l=-1625.14 My_l=-33.33
Tensioni nella sezione: σ=403.95 τ=49.25
CC 18 SLD (Collegamento 0024_-381)
Azioni sul collegamento: N=-5707.53 Ty=3.80 Tz=-2.38 Mx=-0.01 Mz=2.21
Sollecitazioni agenti localmente: Ty_l=-1003.01 My_l=-20.55
Tensioni nella sezione: σ=249.09 τ=30.39
CC 18 SLD (Collegamento 0024_-381)
Azioni sul collegamento: N=-5707.53 Ty=2.77 Tz=-2.38 Mx=-0.01 Mz=1.24
Sollecitazioni agenti localmente: Ty_l=-1006.87 My_l=-20.63
Tensioni nella sezione: σ=250.11 τ=30.51
CC 18 SLD (Collegamento 0024_-381)
Azioni sul collegamento: N=-5707.53 Ty=3.80 Tz=3.62 Mx=-0.01 Mz=2.21
Sollecitazioni agenti localmente: Ty_l=-1003.01 My_l=-20.55
Tensioni nella sezione: σ=249.09 τ=30.39
CC 18 SLD (Collegamento 0024_-381)
Azioni sul collegamento: N=-5707.53 Ty=2.77 Tz=3.62 Mx=-0.01 Mz=1.24
Sollecitazioni agenti localmente: Ty_l=-1006.87 My_l=-20.63
Tensioni nella sezione: σ=250.11 τ=30.51
CC 18 SLD (Collegamento 0024_-381)
Azioni sul collegamento: N=-7319.25 Ty=3.80 Tz=-2.38 Mx=-0.01 Mz=2.21
Sollecitazioni agenti localmente: Ty_l=-1288.73 My_l=-26.41
Tensioni nella sezione: σ=320.08 τ=39.05
CC 18 SLD (Collegamento 0024_-381)
Azioni sul collegamento: N=-7319.25 Ty=2.77 Tz=-2.38 Mx=-0.01 Mz=1.24
Sollecitazioni agenti localmente: Ty_l=-1292.59 My_l=-26.49
Tensioni nella sezione: σ=321.11 τ=39.17
CC 18 SLD (Collegamento 0024_-381)
Azioni sul collegamento: N=-7319.25 Ty=3.80 Tz=3.62 Mx=-0.01 Mz=2.21
Sollecitazioni agenti localmente: Ty_l=-1288.73 My_l=-26.41
Tensioni nella sezione: σ=320.08 τ=39.05
CC 18 SLD (Collegamento 0024_-381)
Azioni sul collegamento: N=-7319.25 Ty=2.77 Tz=3.62 Mx=-0.01 Mz=1.24
Sollecitazioni agenti localmente: Ty_l=-1292.59 My_l=-26.49
Tensioni nella sezione: σ=321.11 τ=39.17
CC 19 SLV (Collegamento 0024_-381)
Azioni sul collegamento: N=-3843.85 Ty=1.39 Tz=-9.22 Mx=-0.02 Mz=-0.03
Sollecitazioni agenti localmente: Ty_l=-681.52 My_l=-13.97
Tensioni nella sezione: σ=169.35 τ=20.65
CC 19 SLV (Collegamento 0024_-381)
Azioni sul collegamento: N=-3843.85 Ty=3.49 Tz=-9.22 Mx=-0.02 Mz=-0.69
Sollecitazioni agenti localmente: Ty_l=-684.17 My_l=-14.03
Tensioni nella sezione: σ=170.05 τ=20.73
CC 19 SLV (Collegamento 0024_-381)
Azioni sul collegamento: N=-3843.85 Ty=1.39 Tz=10.20 Mx=-0.02 Mz=-0.03
Sollecitazioni agenti localmente: Ty_l=-681.52 My_l=-13.97
Tensioni nella sezione: σ=169.35 τ=20.65
CC 19 SLV (Collegamento 0024_-381)
Azioni sul collegamento: N=-3843.85 Ty=3.49 Tz=10.20 Mx=-0.02 Mz=-0.69
Sollecitazioni agenti localmente: Ty_l=-684.17 My_l=-14.03
Tensioni nella sezione: σ=170.05 τ=20.73
CC 19 SLV (Collegamento 0024_-381)
Azioni sul collegamento: N=-9117.97 Ty=1.39 Tz=-9.22 Mx=-0.02 Mz=-0.03
Sollecitazioni agenti localmente: Ty_l=-1616.47 My_l=-33.14
Tensioni nella sezione: σ=401.67 τ=48.98
CC 19 SLV (Collegamento 0024_-381)
Azioni sul collegamento: N=-9117.97 Ty=3.49 Tz=-9.22 Mx=-0.02 Mz=-0.69
Sollecitazioni agenti localmente: Ty_l=-1619.13 My_l=-33.20
Tensioni nella sezione: σ=402.38 τ=49.06
CC 19 SLV (Collegamento 0024_-381)
Azioni sul collegamento: N=-9117.97 Ty=1.39 Tz=10.20 Mx=-0.02 Mz=-0.03
Sollecitazioni agenti localmente: Ty_l=-1616.47 My_l=-33.14
Tensioni nella sezione: σ=401.67 τ=48.98
CC 19 SLV (Collegamento 0024_-381)
Azioni sul collegamento: N=-9117.97 Ty=3.49 Tz=10.20 Mx=-0.02 Mz=-0.69
Sollecitazioni agenti localmente: Ty_l=-1619.13 My_l=-33.20
Tensioni nella sezione: σ=402.38 τ=49.06
CC 20 SLD (Collegamento 0024_-381)
Azioni sul collegamento: N=-5709.27 Ty=3.60 Tz=-2.35 Mx=-0.01 Mz=1.82
Sollecitazioni agenti localmente: Ty_l=-1004.85 My_l=-20.59
Tensioni nella sezione: σ=249.57 τ=30.45
CC 20 SLD (Collegamento 0024_-381)
Azioni sul collegamento: N=-5709.27 Ty=2.97 Tz=-2.35 Mx=-0.01 Mz=1.62
Sollecitazioni agenti localmente: Ty_l=-1005.66 My_l=-20.61
Tensioni nella sezione: σ=249.78 τ=30.47
CC 20 SLD (Collegamento 0024_-381)
Azioni sul collegamento: N=-5709.27 Ty=3.60 Tz=3.58 Mx=-0.01 Mz=1.82
Sollecitazioni agenti localmente: Ty_l=-1004.85 My_l=-20.59
Tensioni nella sezione: σ=249.57 τ=30.45

CC 20 SLD (Collegamento 0024_-381)
Azioni sul collegamento: N=-5709.27 Ty=2.97 Tz=3.58 Mx=-0.01 Mz=1.62
Sollecitazioni agenti localmente: Ty_l=-1005.66 My_l=-20.61
Tensioni nella sezione: σ=249.78 τ=30.47
CC 20 SLD (Collegamento 0024_-381)
Azioni sul collegamento: N=-7317.51 Ty=3.60 Tz=-2.35 Mx=-0.01 Mz=1.82
Sollecitazioni agenti localmente: Ty_l=-1289.95 My_l=-26.43
Tensioni nella sezione: σ=320.41 τ=39.09
CC 20 SLD (Collegamento 0024_-381)
Azioni sul collegamento: N=-7317.51 Ty=2.97 Tz=-2.35 Mx=-0.01 Mz=1.62
Sollecitazioni agenti localmente: Ty_l=-1290.76 My_l=-26.45
Tensioni nella sezione: σ=320.62 τ=39.11
CC 20 SLD (Collegamento 0024_-381)
Azioni sul collegamento: N=-7317.51 Ty=3.60 Tz=3.58 Mx=-0.01 Mz=1.82
Sollecitazioni agenti localmente: Ty_l=-1289.95 My_l=-26.43
Tensioni nella sezione: σ=320.41 τ=39.09
CC 20 SLD (Collegamento 0024_-381)
Azioni sul collegamento: N=-7317.51 Ty=2.97 Tz=3.58 Mx=-0.01 Mz=1.62
Sollecitazioni agenti localmente: Ty_l=-1290.76 My_l=-26.45
Tensioni nella sezione: σ=320.62 τ=39.11
CC 21 SLV (Collegamento 0024_-381)
Azioni sul collegamento: N=-9117.97 Ty=3.49 Tz=10.20 Mx=-0.02 Mz=-0.69
Sollecitazioni agenti localmente: Ty_l=-1619.13 My_l=-33.20
Tensioni nella sezione: σ=402.38 τ=49.06
CC 21 SLV (Collegamento 0024_-381)
Azioni sul collegamento: N=-9117.97 Ty=1.39 Tz=10.20 Mx=-0.02 Mz=-0.03
Sollecitazioni agenti localmente: Ty_l=-1616.47 My_l=-33.14
Tensioni nella sezione: σ=401.67 τ=48.98
CC 21 SLV (Collegamento 0024_-381)
Azioni sul collegamento: N=-9117.97 Ty=3.49 Tz=-9.22 Mx=-0.02 Mz=-0.69
Sollecitazioni agenti localmente: Ty_l=-1619.13 My_l=-33.20
Tensioni nella sezione: σ=402.38 τ=49.06
CC 21 SLV (Collegamento 0024_-381)
Azioni sul collegamento: N=-9117.97 Ty=1.39 Tz=-9.22 Mx=-0.02 Mz=-0.03
Sollecitazioni agenti localmente: Ty_l=-1616.47 My_l=-33.14
Tensioni nella sezione: σ=401.67 τ=48.98
CC 21 SLV (Collegamento 0024_-381)
Azioni sul collegamento: N=-3843.85 Ty=3.49 Tz=10.20 Mx=-0.02 Mz=-0.69
Sollecitazioni agenti localmente: Ty_l=-684.17 My_l=-14.03
Tensioni nella sezione: σ=170.05 τ=20.73
CC 21 SLV (Collegamento 0024_-381)
Azioni sul collegamento: N=-3843.85 Ty=1.39 Tz=10.20 Mx=-0.02 Mz=-0.03
Sollecitazioni agenti localmente: Ty_l=-681.52 My_l=-13.97
Tensioni nella sezione: σ=169.35 τ=20.65
CC 21 SLV (Collegamento 0024_-381)
Azioni sul collegamento: N=-3843.85 Ty=3.49 Tz=-9.22 Mx=-0.02 Mz=-0.69
Sollecitazioni agenti localmente: Ty_l=-684.17 My_l=-14.03
Tensioni nella sezione: σ=170.05 τ=20.73
CC 21 SLV (Collegamento 0024_-381)
Azioni sul collegamento: N=-3843.85 Ty=1.39 Tz=-9.22 Mx=-0.02 Mz=-0.03
Sollecitazioni agenti localmente: Ty_l=-681.52 My_l=-13.97
Tensioni nella sezione: σ=169.35 τ=20.65
CC 22 SLD (Collegamento 0024_-381)
Azioni sul collegamento: N=-7317.51 Ty=2.97 Tz=3.58 Mx=-0.01 Mz=1.62
Sollecitazioni agenti localmente: Ty_l=-1290.76 My_l=-26.45
Tensioni nella sezione: σ=320.62 τ=39.11
CC 22 SLD (Collegamento 0024_-381)
Azioni sul collegamento: N=-7317.51 Ty=3.60 Tz=3.58 Mx=-0.01 Mz=1.82
Sollecitazioni agenti localmente: Ty_l=-1289.95 My_l=-26.43
Tensioni nella sezione: σ=320.41 τ=39.09
CC 22 SLD (Collegamento 0024_-381)
Azioni sul collegamento: N=-7317.51 Ty=2.97 Tz=-2.35 Mx=-0.01 Mz=1.62
Sollecitazioni agenti localmente: Ty_l=-1290.76 My_l=-26.45
Tensioni nella sezione: σ=320.62 τ=39.11
CC 22 SLD (Collegamento 0024_-381)
Azioni sul collegamento: N=-7317.51 Ty=3.60 Tz=-2.35 Mx=-0.01 Mz=1.82
Sollecitazioni agenti localmente: Ty_l=-1289.95 My_l=-26.43
Tensioni nella sezione: σ=320.41 τ=39.09
CC 22 SLD (Collegamento 0024_-381)
Azioni sul collegamento: N=-5709.27 Ty=2.97 Tz=3.58 Mx=-0.01 Mz=1.62
Sollecitazioni agenti localmente: Ty_l=-1005.66 My_l=-20.61
Tensioni nella sezione: σ=249.78 τ=30.47
CC 22 SLD (Collegamento 0024_-381)
Azioni sul collegamento: N=-5709.27 Ty=3.60 Tz=3.58 Mx=-0.01 Mz=1.82
Sollecitazioni agenti localmente: Ty_l=-1004.85 My_l=-20.59
Tensioni nella sezione: σ=249.57 τ=30.45
CC 22 SLD (Collegamento 0024_-381)
Azioni sul collegamento: N=-5709.27 Ty=2.97 Tz=-2.35 Mx=-0.01 Mz=1.62
Sollecitazioni agenti localmente: Ty_l=-1005.66 My_l=-20.61

Tensioni nella sezione: σ=249.78 τ=30.47
CC 22 SLD (Collegamento 0024_-381)
Azioni sul collegamento: N=-5709.27 Ty=3.60 Tz=-2.35 Mx=-0.01 Mz=1.82
Sollecitazioni agenti localmente: Ty_l=-1004.85 My_l=-20.59
Tensioni nella sezione: σ=249.57 τ=30.45
CC 23 SLV (Collegamento 0024_-381)
Azioni sul collegamento: N=-9123.66 Ty=4.12 Tz=10.33 Mx=-0.01 Mz=-1.95
Sollecitazioni agenti localmente: Ty_l=-1625.14 My_l=-33.33
Tensioni nella sezione: σ=403.95 τ=49.25
CC 23 SLV (Collegamento 0024_-381)
Azioni sul collegamento: N=-9123.66 Ty=0.76 Tz=10.33 Mx=-0.01 Mz=1.23
Sollecitazioni agenti localmente: Ty_l=-1612.48 My_l=-33.05
Tensioni nella sezione: σ=400.59 τ=48.86
CC 23 SLV (Collegamento 0024_-381)
Azioni sul collegamento: N=-9123.66 Ty=4.12 Tz=-9.35 Mx=-0.01 Mz=-1.95
Sollecitazioni agenti localmente: Ty_l=-1625.14 My_l=-33.33
Tensioni nella sezione: σ=403.95 τ=49.25
CC 23 SLV (Collegamento 0024_-381)
Azioni sul collegamento: N=-9123.66 Ty=0.76 Tz=-9.35 Mx=-0.01 Mz=1.23
Sollecitazioni agenti localmente: Ty_l=-1612.48 My_l=-33.05
Tensioni nella sezione: σ=400.59 τ=48.86
CC 23 SLV (Collegamento 0024_-381)
Azioni sul collegamento: N=-3838.16 Ty=4.12 Tz=10.33 Mx=-0.01 Mz=-1.95
Sollecitazioni agenti localmente: Ty_l=-688.16 My_l=-14.12
Tensioni nella sezione: σ=171.13 τ=20.85
CC 23 SLV (Collegamento 0024_-381)
Azioni sul collegamento: N=-3838.16 Ty=0.76 Tz=10.33 Mx=-0.01 Mz=1.23
Sollecitazioni agenti localmente: Ty_l=-675.51 My_l=-13.84
Tensioni nella sezione: σ=167.77 τ=20.47
CC 23 SLV (Collegamento 0024_-381)
Azioni sul collegamento: N=-3838.16 Ty=4.12 Tz=-9.35 Mx=-0.01 Mz=-1.95
Sollecitazioni agenti localmente: Ty_l=-688.16 My_l=-14.12
Tensioni nella sezione: σ=171.13 τ=20.85
CC 23 SLV (Collegamento 0024_-381)
Azioni sul collegamento: N=-3838.16 Ty=0.76 Tz=-9.35 Mx=-0.01 Mz=1.23
Sollecitazioni agenti localmente: Ty_l=-675.51 My_l=-13.84
Tensioni nella sezione: σ=167.77 τ=20.47
CC 24 SLD (Collegamento 0024_-381)
Azioni sul collegamento: N=-7319.25 Ty=2.77 Tz=3.62 Mx=-0.01 Mz=1.24
Sollecitazioni agenti localmente: Ty_l=-1292.59 My_l=-26.49
Tensioni nella sezione: σ=321.11 τ=39.17
CC 24 SLD (Collegamento 0024_-381)
Azioni sul collegamento: N=-7319.25 Ty=3.80 Tz=3.62 Mx=-0.01 Mz=2.21
Sollecitazioni agenti localmente: Ty_l=-1288.73 My_l=-26.41
Tensioni nella sezione: σ=320.08 τ=39.05
CC 24 SLD (Collegamento 0024_-381)
Azioni sul collegamento: N=-7319.25 Ty=2.77 Tz=-2.38 Mx=-0.01 Mz=1.24
Sollecitazioni agenti localmente: Ty_l=-1292.59 My_l=-26.49
Tensioni nella sezione: σ=321.11 τ=39.17
CC 24 SLD (Collegamento 0024_-381)
Azioni sul collegamento: N=-7319.25 Ty=3.80 Tz=-2.38 Mx=-0.01 Mz=2.21
Sollecitazioni agenti localmente: Ty_l=-1288.73 My_l=-26.41
Tensioni nella sezione: σ=320.08 τ=39.05
CC 24 SLD (Collegamento 0024_-381)
Azioni sul collegamento: N=-5707.53 Ty=2.77 Tz=3.62 Mx=-0.01 Mz=1.24
Sollecitazioni agenti localmente: Ty_l=-1006.87 My_l=-20.63
Tensioni nella sezione: σ=250.11 τ=30.51
CC 24 SLD (Collegamento 0024_-381)
Azioni sul collegamento: N=-5707.53 Ty=3.80 Tz=3.62 Mx=-0.01 Mz=2.21
Sollecitazioni agenti localmente: Ty_l=-1003.01 My_l=-20.55
Tensioni nella sezione: σ=249.09 τ=30.39
CC 24 SLD (Collegamento 0024_-381)
Azioni sul collegamento: N=-5707.53 Ty=2.77 Tz=-2.38 Mx=-0.01 Mz=1.24
Sollecitazioni agenti localmente: Ty_l=-1006.87 My_l=-20.63
Tensioni nella sezione: σ=250.11 τ=30.51
CC 24 SLD (Collegamento 0024_-381)
Azioni sul collegamento: N=-5707.53 Ty=3.80 Tz=-2.38 Mx=-0.01 Mz=2.21
Sollecitazioni agenti localmente: Ty_l=-1003.01 My_l=-20.55
Tensioni nella sezione: σ=249.09 τ=30.39
CC 25 SLV (Collegamento 0024_-381)
Azioni sul collegamento: N=-5679.46 Ty=0.97 Tz=-2.66 Mx=-0.03 Mz=2.02
Sollecitazioni agenti localmente: Ty_l=-998.77 My_l=-20.46
Tensioni nella sezione: σ=248.04 τ=30.27
CC 25 SLV (Collegamento 0024_-381)
Azioni sul collegamento: N=-5679.46 Ty=3.91 Tz=-2.66 Mx=-0.03 Mz=-2.74
Sollecitazioni agenti localmente: Ty_l=-1017.73 My_l=-20.88
Tensioni nella sezione: σ=253.08 τ=30.84
CC 25 SLV (Collegamento 0024_-381)
Azioni sul collegamento: N=-5679.46 Ty=0.97 Tz=3.63 Mx=-0.03 Mz=2.02

Sollecitazioni agenti localmente: Ty_l=-998.77 My_l=-20.46
Tensioni nella sezione: σ=248.04 τ=30.27
CC 25 SLV (Collegamento 0024_-381)
Azioni sul collegamento: N=-5679.46 Ty=3.91 Tz=3.63 Mx=-0.03 Mz=-2.74
Sollecitazioni agenti localmente: Ty_l=-1017.73 My_l=-20.88
Tensioni nella sezione: σ=253.08 τ=30.84
CC 25 SLV (Collegamento 0024_-381)
Azioni sul collegamento: N=-7282.36 Ty=0.97 Tz=-2.66 Mx=-0.03 Mz=2.02
Sollecitazioni agenti localmente: Ty_l=-1282.92 My_l=-26.29
Tensioni nella sezione: σ=318.65 τ=38.88
CC 25 SLV (Collegamento 0024_-381)
Azioni sul collegamento: N=-7282.36 Ty=3.91 Tz=-2.66 Mx=-0.03 Mz=-2.74
Sollecitazioni agenti localmente: Ty_l=-1301.88 My_l=-26.70
Tensioni nella sezione: σ=323.68 τ=39.45
CC 25 SLV (Collegamento 0024_-381)
Azioni sul collegamento: N=-7282.36 Ty=0.97 Tz=3.63 Mx=-0.03 Mz=2.02
Sollecitazioni agenti localmente: Ty_l=-1282.92 My_l=-26.29
Tensioni nella sezione: σ=318.65 τ=38.88
CC 25 SLV (Collegamento 0024_-381)
Azioni sul collegamento: N=-7282.36 Ty=3.91 Tz=3.63 Mx=-0.03 Mz=-2.74
Sollecitazioni agenti localmente: Ty_l=-1301.88 My_l=-26.70
Tensioni nella sezione: σ=323.68 τ=39.45
CC 26 SLD (Collegamento 0024_-381)
Azioni sul collegamento: N=-6269.00 Ty=3.73 Tz=-0.34 Mx=-0.01 Mz=2.45
Sollecitazioni agenti localmente: Ty_l=-1101.59 My_l=-22.57
Tensioni nella sezione: σ=273.56 τ=33.38
CC 26 SLD (Collegamento 0024_-381)
Azioni sul collegamento: N=-6269.00 Ty=2.84 Tz=-0.34 Mx=-0.01 Mz=0.99
Sollecitazioni agenti localmente: Ty_l=-1107.37 My_l=-22.70
Tensioni nella sezione: σ=275.10 τ=33.56
CC 26 SLD (Collegamento 0024_-381)
Azioni sul collegamento: N=-6269.00 Ty=3.73 Tz=1.57 Mx=-0.01 Mz=2.45
Sollecitazioni agenti localmente: Ty_l=-1101.59 My_l=-22.57
Tensioni nella sezione: σ=273.56 τ=33.38
CC 26 SLD (Collegamento 0024_-381)
Azioni sul collegamento: N=-6269.00 Ty=2.84 Tz=1.57 Mx=-0.01 Mz=0.99
Sollecitazioni agenti localmente: Ty_l=-1107.37 My_l=-22.70
Tensioni nella sezione: σ=275.10 τ=33.56
CC 26 SLD (Collegamento 0024_-381)
Azioni sul collegamento: N=-6757.78 Ty=3.73 Tz=-0.34 Mx=-0.01 Mz=2.45
Sollecitazioni agenti localmente: Ty_l=-1188.23 My_l=-24.35
Tensioni nella sezione: σ=295.09 τ=36.01
CC 26 SLD (Collegamento 0024_-381)
Azioni sul collegamento: N=-6757.78 Ty=2.84 Tz=-0.34 Mx=-0.01 Mz=0.99
Sollecitazioni agenti localmente: Ty_l=-1194.02 My_l=-24.47
Tensioni nella sezione: σ=296.63 τ=36.18
CC 26 SLD (Collegamento 0024_-381)
Azioni sul collegamento: N=-6757.78 Ty=3.73 Tz=1.57 Mx=-0.01 Mz=2.45
Sollecitazioni agenti localmente: Ty_l=-1188.23 My_l=-24.35
Tensioni nella sezione: σ=295.09 τ=36.01
CC 26 SLD (Collegamento 0024_-381)
Azioni sul collegamento: N=-6757.78 Ty=2.84 Tz=1.57 Mx=-0.01 Mz=0.99
Sollecitazioni agenti localmente: Ty_l=-1194.02 My_l=-24.47
Tensioni nella sezione: σ=296.63 τ=36.18
CC 27 SLV (Collegamento 0024_-381)
Azioni sul collegamento: N=-7263.40 Ty=1.79 Tz=3.21 Mx=-0.02 Mz=1.45
Sollecitazioni agenti localmente: Ty_l=-1281.85 My_l=-26.27
Tensioni nella sezione: σ=318.42 τ=38.84
CC 27 SLV (Collegamento 0024_-381)
Azioni sul collegamento: N=-7263.40 Ty=3.09 Tz=3.21 Mx=-0.02 Mz=-2.17
Sollecitazioni agenti localmente: Ty_l=-1296.22 My_l=-26.58
Tensioni nella sezione: σ=322.24 τ=39.28
CC 27 SLV (Collegamento 0024_-381)
Azioni sul collegamento: N=-7263.40 Ty=1.79 Tz=-2.23 Mx=-0.02 Mz=1.45
Sollecitazioni agenti localmente: Ty_l=-1281.85 My_l=-26.27
Tensioni nella sezione: σ=318.42 τ=38.84
CC 27 SLV (Collegamento 0024_-381)
Azioni sul collegamento: N=-7263.40 Ty=3.09 Tz=-2.23 Mx=-0.02 Mz=-2.17
Sollecitazioni agenti localmente: Ty_l=-1296.22 My_l=-26.58
Tensioni nella sezione: σ=322.24 τ=39.28
CC 27 SLV (Collegamento 0024_-381)
Azioni sul collegamento: N=-5698.42 Ty=1.79 Tz=3.21 Mx=-0.02 Mz=1.45
Sollecitazioni agenti localmente: Ty_l=-1004.42 My_l=-20.58
Tensioni nella sezione: σ=249.49 τ=30.44
CC 27 SLV (Collegamento 0024_-381)
Azioni sul collegamento: N=-5698.42 Ty=3.09 Tz=3.21 Mx=-0.02 Mz=-2.17
Sollecitazioni agenti localmente: Ty_l=-1018.79 My_l=-20.90
Tensioni nella sezione: σ=253.30 τ=30.87
CC 27 SLV (Collegamento 0024_-381)

Azioni sul collegamento: N=-5698.42 Ty=1.79 Tz=-2.23 Mx=-0.02 Mz=1.45
Sollecitazioni agenti localmente: Ty_l=-1004.42 My_l=-20.58
Tensioni nella sezione: σ=249.49 τ=30.44
CC 27 SLV (Collegamento 0024_-381)
Azioni sul collegamento: N=-5698.42 Ty=3.09 Tz=-2.23 Mx=-0.02 Mz=-2.17
Sollecitazioni agenti localmente: Ty_l=-1018.79 My_l=-20.90
Tensioni nella sezione: σ=253.30 τ=30.87
CC 28 SLD (Collegamento 0024_-381)
Azioni sul collegamento: N=-6752.00 Ty=3.48 Tz=1.44 Mx=-0.01 Mz=2.27
Sollecitazioni agenti localmente: Ty_l=-1187.91 My_l=-24.34
Tensioni nella sezione: σ=295.02 τ=36.00
CC 28 SLD (Collegamento 0024_-381)
Azioni sul collegamento: N=-6752.00 Ty=3.09 Tz=1.44 Mx=-0.01 Mz=1.17
Sollecitazioni agenti localmente: Ty_l=-1192.29 My_l=-24.44
Tensioni nella sezione: σ=296.19 τ=36.13
CC 28 SLD (Collegamento 0024_-381)
Azioni sul collegamento: N=-6752.00 Ty=3.48 Tz=-0.21 Mx=-0.01 Mz=2.27
Sollecitazioni agenti localmente: Ty_l=-1187.91 My_l=-24.34
Tensioni nella sezione: σ=295.02 τ=36.00
CC 28 SLD (Collegamento 0024_-381)
Azioni sul collegamento: N=-6752.00 Ty=3.09 Tz=-0.21 Mx=-0.01 Mz=1.17
Sollecitazioni agenti localmente: Ty_l=-1192.29 My_l=-24.44
Tensioni nella sezione: σ=296.19 τ=36.13
CC 28 SLD (Collegamento 0024_-381)
Azioni sul collegamento: N=-6274.78 Ty=3.48 Tz=1.44 Mx=-0.01 Mz=2.27
Sollecitazioni agenti localmente: Ty_l=-1103.31 My_l=-22.61
Tensioni nella sezione: σ=274.00 τ=33.43
CC 28 SLD (Collegamento 0024_-381)
Azioni sul collegamento: N=-6274.78 Ty=3.09 Tz=1.44 Mx=-0.01 Mz=1.17
Sollecitazioni agenti localmente: Ty_l=-1107.69 My_l=-22.70
Tensioni nella sezione: σ=275.17 τ=33.57
CC 28 SLD (Collegamento 0024_-381)
Azioni sul collegamento: N=-6274.78 Ty=3.48 Tz=-0.21 Mx=-0.01 Mz=2.27
Sollecitazioni agenti localmente: Ty_l=-1103.31 My_l=-22.61
Tensioni nella sezione: σ=274.00 τ=33.43
CC 28 SLD (Collegamento 0024_-381)
Azioni sul collegamento: N=-6274.78 Ty=3.09 Tz=-0.21 Mx=-0.01 Mz=1.17
Sollecitazioni agenti localmente: Ty_l=-1107.69 My_l=-22.70
Tensioni nella sezione: σ=275.17 τ=33.57
CC 29 SLV (Collegamento 0024_-381)
Azioni sul collegamento: N=-5698.42 Ty=3.09 Tz=-2.23 Mx=-0.01 Mz=-2.17
Sollecitazioni agenti localmente: Ty_l=-1018.79 My_l=-20.90
Tensioni nella sezione: σ=253.30 τ=30.87
CC 29 SLV (Collegamento 0024_-381)
Azioni sul collegamento: N=-5698.42 Ty=1.79 Tz=-2.23 Mx=-0.01 Mz=1.45
Sollecitazioni agenti localmente: Ty_l=-1004.42 My_l=-20.58
Tensioni nella sezione: σ=249.49 τ=30.44
CC 29 SLV (Collegamento 0024_-381)
Azioni sul collegamento: N=-5698.42 Ty=3.09 Tz=3.21 Mx=-0.01 Mz=-2.17
Sollecitazioni agenti localmente: Ty_l=-1018.79 My_l=-20.90
Tensioni nella sezione: σ=253.30 τ=30.87
CC 29 SLV (Collegamento 0024_-381)
Azioni sul collegamento: N=-5698.42 Ty=1.79 Tz=3.21 Mx=-0.01 Mz=1.45
Sollecitazioni agenti localmente: Ty_l=-1004.42 My_l=-20.58
Tensioni nella sezione: σ=249.49 τ=30.44
CC 29 SLV (Collegamento 0024_-381)
Azioni sul collegamento: N=-7263.40 Ty=3.09 Tz=-2.23 Mx=-0.01 Mz=-2.17
Sollecitazioni agenti localmente: Ty_l=-1296.22 My_l=-26.58
Tensioni nella sezione: σ=322.24 τ=39.28
CC 29 SLV (Collegamento 0024_-381)
Azioni sul collegamento: N=-7263.40 Ty=1.79 Tz=-2.23 Mx=-0.01 Mz=1.45
Sollecitazioni agenti localmente: Ty_l=-1281.85 My_l=-26.27
Tensioni nella sezione: σ=318.42 τ=38.84
CC 29 SLV (Collegamento 0024_-381)
Azioni sul collegamento: N=-7263.40 Ty=3.09 Tz=3.21 Mx=-0.01 Mz=-2.17
Sollecitazioni agenti localmente: Ty_l=-1296.22 My_l=-26.58
Tensioni nella sezione: σ=322.24 τ=39.28
CC 29 SLV (Collegamento 0024_-381)
Azioni sul collegamento: N=-7263.40 Ty=1.79 Tz=3.21 Mx=-0.01 Mz=1.45
Sollecitazioni agenti localmente: Ty_l=-1281.85 My_l=-26.27
Tensioni nella sezione: σ=318.42 τ=38.84
CC 30 SLD (Collegamento 0024_-381)
Azioni sul collegamento: N=-6274.78 Ty=3.09 Tz=-0.21 Mx=-0.01 Mz=1.17
Sollecitazioni agenti localmente: Ty_l=-1107.69 My_l=-22.70
Tensioni nella sezione: σ=275.17 τ=33.57
CC 30 SLD (Collegamento 0024_-381)
Azioni sul collegamento: N=-6274.78 Ty=3.48 Tz=-0.21 Mx=-0.01 Mz=2.27
Sollecitazioni agenti localmente: Ty_l=-1103.31 My_l=-22.61
Tensioni nella sezione: σ=274.00 τ=33.43

CC 30 SLD (Collegamento 0024_-381)
Azioni sul collegamento: N=-6274.78 Ty=3.09 Tz=1.44 Mx=-0.01 Mz=1.17
Sollecitazioni agenti localmente: Ty_l=-1107.69 My_l=-22.70
Tensioni nella sezione: σ=275.17 τ=33.57
CC 30 SLD (Collegamento 0024_-381)
Azioni sul collegamento: N=-6274.78 Ty=3.48 Tz=1.44 Mx=-0.01 Mz=2.27
Sollecitazioni agenti localmente: Ty_l=-1103.31 My_l=-22.61
Tensioni nella sezione: σ=274.00 τ=33.43
CC 30 SLD (Collegamento 0024_-381)
Azioni sul collegamento: N=-6752.00 Ty=3.09 Tz=-0.21 Mx=-0.01 Mz=1.17
Sollecitazioni agenti localmente: Ty_l=-1192.29 My_l=-24.44
Tensioni nella sezione: σ=296.19 τ=36.13
CC 30 SLD (Collegamento 0024_-381)
Azioni sul collegamento: N=-6752.00 Ty=3.48 Tz=-0.21 Mx=-0.01 Mz=2.27
Sollecitazioni agenti localmente: Ty_l=-1187.91 My_l=-24.34
Tensioni nella sezione: σ=295.02 τ=36.00
CC 30 SLD (Collegamento 0024_-381)
Azioni sul collegamento: N=-6752.00 Ty=3.09 Tz=1.44 Mx=-0.01 Mz=1.17
Sollecitazioni agenti localmente: Ty_l=-1192.29 My_l=-24.44
Tensioni nella sezione: σ=296.19 τ=36.13
CC 30 SLD (Collegamento 0024_-381)
Azioni sul collegamento: N=-6752.00 Ty=3.48 Tz=1.44 Mx=-0.01 Mz=2.27
Sollecitazioni agenti localmente: Ty_l=-1187.91 My_l=-24.34
Tensioni nella sezione: σ=295.02 τ=36.00
CC 31 SLV (Collegamento 0024_-381)
Azioni sul collegamento: N=-7282.36 Ty=3.91 Tz=3.63 Mx=-0.01 Mz=-2.74
Sollecitazioni agenti localmente: Ty_l=-1301.88 My_l=-26.70
Tensioni nella sezione: σ=323.68 τ=39.45
CC 31 SLV (Collegamento 0024_-381)
Azioni sul collegamento: N=-7282.36 Ty=0.97 Tz=3.63 Mx=-0.01 Mz=2.02
Sollecitazioni agenti localmente: Ty_l=-1282.92 My_l=-26.29
Tensioni nella sezione: σ=318.65 τ=38.88
CC 31 SLV (Collegamento 0024_-381)
Azioni sul collegamento: N=-7282.36 Ty=3.91 Tz=-2.66 Mx=-0.01 Mz=-2.74
Sollecitazioni agenti localmente: Ty_l=-1301.88 My_l=-26.70
Tensioni nella sezione: σ=323.68 τ=39.45
CC 31 SLV (Collegamento 0024_-381)
Azioni sul collegamento: N=-7282.36 Ty=0.97 Tz=-2.66 Mx=-0.01 Mz=2.02
Sollecitazioni agenti localmente: Ty_l=-1282.92 My_l=-26.29
Tensioni nella sezione: σ=318.65 τ=38.88
CC 31 SLV (Collegamento 0024_-381)
Azioni sul collegamento: N=-5679.46 Ty=3.91 Tz=3.63 Mx=-0.01 Mz=-2.74
Sollecitazioni agenti localmente: Ty_l=-1017.73 My_l=-20.88
Tensioni nella sezione: σ=253.08 τ=30.84
CC 31 SLV (Collegamento 0024_-381)
Azioni sul collegamento: N=-5679.46 Ty=0.97 Tz=3.63 Mx=-0.01 Mz=2.02
Sollecitazioni agenti localmente: Ty_l=-998.77 My_l=-20.46
Tensioni nella sezione: σ=248.04 τ=30.27
CC 31 SLV (Collegamento 0024_-381)
Azioni sul collegamento: N=-5679.46 Ty=3.91 Tz=-2.66 Mx=-0.01 Mz=-2.74
Sollecitazioni agenti localmente: Ty_l=-1017.73 My_l=-20.88
Tensioni nella sezione: σ=253.08 τ=30.84
CC 31 SLV (Collegamento 0024_-381)
Azioni sul collegamento: N=-5679.46 Ty=0.97 Tz=-2.66 Mx=-0.01 Mz=2.02
Sollecitazioni agenti localmente: Ty_l=-998.77 My_l=-20.46
Tensioni nella sezione: σ=248.04 τ=30.27
CC 32 SLD (Collegamento 0024_-381)
Azioni sul collegamento: N=-6757.78 Ty=2.84 Tz=1.57 Mx=-0.00 Mz=0.99
Sollecitazioni agenti localmente: Ty_l=-1194.02 My_l=-24.47
Tensioni nella sezione: σ=296.63 τ=36.18
CC 32 SLD (Collegamento 0024_-381)
Azioni sul collegamento: N=-6757.78 Ty=3.73 Tz=1.57 Mx=-0.00 Mz=2.45
Sollecitazioni agenti localmente: Ty_l=-1188.23 My_l=-24.35
Tensioni nella sezione: σ=295.09 τ=36.01
CC 32 SLD (Collegamento 0024_-381)
Azioni sul collegamento: N=-6757.78 Ty=2.84 Tz=-0.34 Mx=-0.00 Mz=0.99
Sollecitazioni agenti localmente: Ty_l=-1194.02 My_l=-24.47
Tensioni nella sezione: σ=296.63 τ=36.18
CC 32 SLD (Collegamento 0024_-381)
Azioni sul collegamento: N=-6757.78 Ty=3.73 Tz=-0.34 Mx=-0.00 Mz=2.45
Sollecitazioni agenti localmente: Ty_l=-1188.23 My_l=-24.35
Tensioni nella sezione: σ=295.09 τ=36.01
CC 32 SLD (Collegamento 0024_-381)
Azioni sul collegamento: N=-6269.00 Ty=2.84 Tz=1.57 Mx=-0.00 Mz=0.99
Sollecitazioni agenti localmente: Ty_l=-1107.37 My_l=-22.70
Tensioni nella sezione: σ=275.10 τ=33.56
CC 32 SLD (Collegamento 0024_-381)
Azioni sul collegamento: N=-6269.00 Ty=3.73 Tz=1.57 Mx=-0.00 Mz=2.45
Sollecitazioni agenti localmente: Ty_l=-1101.59 My_l=-22.57

Tensioni nella sezione: σ=273.56 τ=33.38
CC 32 SLD (Collegamento 0024_-381)
Azioni sul collegamento: N=-6269.00 Ty=2.84 Tz=-0.34 Mx=-0.00 Mz=0.99
Sollecitazioni agenti localmente: Ty_l=-1107.37 My_l=-22.70
Tensioni nella sezione: σ=275.10 τ=33.56
CC 32 SLD (Collegamento 0024_-381)
Azioni sul collegamento: N=-6269.00 Ty=3.73 Tz=-0.34 Mx=-0.00 Mz=2.45
Sollecitazioni agenti localmente: Ty_l=-1101.59 My_l=-22.57
Tensioni nella sezione: σ=273.56 τ=33.38
CC 33 SLU (Collegamento 0024_-381)
Azioni sul collegamento: N=-30229.20 Ty=5.39 Tz=79.58 Mx=-0.01 Mz=3.85
Sollecitazioni agenti localmente: Ty_l=-5343.52 My_l=-109.52
Tensioni nella sezione: σ=1327.52 τ=161.93
CC 34 SLU (Collegamento 0024_-381)
Azioni sul collegamento: N=-30778.60 Ty=5.67 Tz=81.62 Mx=-0.01 Mz=4.05
Sollecitazioni agenti localmente: Ty_l=-5440.11 My_l=-111.50
Tensioni nella sezione: σ=1351.51 τ=164.85
CC 35 SLU (Collegamento 0024_-381)
Azioni sul collegamento: N=-30504.90 Ty=5.64 Tz=80.58 Mx=-0.01 Mz=4.16
Sollecitazioni agenti localmente: Ty_l=-5391.12 My_l=-110.50
Tensioni nella sezione: σ=1339.33 τ=163.37
CC 36 SLU (Collegamento 0024_-381)
Azioni sul collegamento: N=-30502.90 Ty=5.42 Tz=80.62 Mx=-0.01 Mz=3.73
Sollecitazioni agenti localmente: Ty_l=-5392.50 My_l=-110.53
Tensioni nella sezione: σ=1339.70 τ=163.41
CC 37 SLU (Collegamento 0024_-381)
Azioni sul collegamento: N=-32152.70 Ty=5.24 Tz=86.01 Mx=0.00 Mz=3.86
Sollecitazioni agenti localmente: Ty_l=-5684.45 My_l=-116.51
Tensioni nella sezione: σ=1412.24 τ=172.26
CC 38 SLU (Collegamento 0024_-381)
Azioni sul collegamento: N=-32702.10 Ty=5.53 Tz=88.04 Mx=0.00 Mz=4.06
Sollecitazioni agenti localmente: Ty_l=-5781.04 My_l=-118.49
Tensioni nella sezione: σ=1436.23 τ=175.18
CC 39 SLU (Collegamento 0024_-381)
Azioni sul collegamento: N=-32428.40 Ty=5.50 Tz=87.00 Mx=0.00 Mz=4.18
Sollecitazioni agenti localmente: Ty_l=-5732.05 My_l=-117.48
Tensioni nella sezione: σ=1424.05 τ=173.70
CC 40 SLU (Collegamento 0024_-381)
Azioni sul collegamento: N=-32426.40 Ty=5.28 Tz=87.05 Mx=0.00 Mz=3.74
Sollecitazioni agenti localmente: Ty_l=-5733.44 My_l=-117.52
Tensioni nella sezione: σ=1424.42 τ=173.74
CC 41 SLU (Collegamento 0024_-381)
Azioni sul collegamento: N=-20958.20 Ty=6.23 Tz=45.50 Mx=-0.01 Mz=4.43
Sollecitazioni agenti localmente: Ty_l=-3697.70 My_l=-75.78
Tensioni nella sezione: σ=918.52 τ=112.05
CC 42 SLU (Collegamento 0024_-381)
Azioni sul collegamento: N=-21507.60 Ty=6.52 Tz=47.54 Mx=-0.01 Mz=4.63
Sollecitazioni agenti localmente: Ty_l=-3794.29 My_l=-77.76
Tensioni nella sezione: σ=942.51 τ=114.98
CC 43 SLU (Collegamento 0024_-381)
Azioni sul collegamento: N=-21233.90 Ty=6.48 Tz=46.50 Mx=-0.01 Mz=4.75
Sollecitazioni agenti localmente: Ty_l=-3745.31 My_l=-76.75
Tensioni nella sezione: σ=930.33 τ=113.49
CC 44 SLU (Collegamento 0024_-381)
Azioni sul collegamento: N=-21231.90 Ty=6.26 Tz=46.54 Mx=-0.01 Mz=4.31
Sollecitazioni agenti localmente: Ty_l=-3746.69 My_l=-76.78
Tensioni nella sezione: σ=930.71 τ=113.54
CC 45 SLU (Collegamento 0024_-381)
Azioni sul collegamento: N=-23044.60 Ty=5.94 Tz=53.22 Mx=-0.01 Mz=4.28
Sollecitazioni agenti localmente: Ty_l=-4068.14 My_l=-83.37
Tensioni nella sezione: σ=1010.58 τ=123.28
CC 46 SLU (Collegamento 0024_-381)
Azioni sul collegamento: N=-23594.00 Ty=6.22 Tz=55.25 Mx=-0.01 Mz=4.49
Sollecitazioni agenti localmente: Ty_l=-4164.73 My_l=-85.35
Tensioni nella sezione: σ=1034.57 τ=126.20
CC 47 SLU (Collegamento 0024_-381)
Azioni sul collegamento: N=-23320.30 Ty=6.19 Tz=54.21 Mx=-0.01 Mz=4.60
Sollecitazioni agenti localmente: Ty_l=-4115.74 My_l=-84.35
Tensioni nella sezione: σ=1022.39 τ=124.72
CC 48 SLU (Collegamento 0024_-381)
Azioni sul collegamento: N=-23318.30 Ty=5.97 Tz=54.26 Mx=-0.01 Mz=4.17
Sollecitazioni agenti localmente: Ty_l=-4117.13 My_l=-84.38
Tensioni nella sezione: σ=1022.76 τ=124.76
CC 49 SLU (Collegamento 0024_-381)
Azioni sul collegamento: N=-24483.70 Ty=5.83 Tz=58.03 Mx=0.00 Mz=4.29
Sollecitazioni agenti localmente: Ty_l=-4323.21 My_l=-88.60
Tensioni nella sezione: σ=1073.96 τ=131.01
CC 50 SLU (Collegamento 0024_-381)
Azioni sul collegamento: N=-25033.00 Ty=6.12 Tz=60.06 Mx=0.00 Mz=4.50

Sollecitazioni agenti localmente: Ty_l=-4419.80 My_l=-90.58
Tensioni nella sezione: σ=1097.95 τ=133.93
CC 51 SLU (Collegamento 0024_-381)
Azioni sul collegamento: N=-24759.30 Ty=6.08 Tz=59.02 Mx=-0.00 Mz=4.61
Sollecitazioni agenti localmente: Ty_l=-4370.81 My_l=-89.58
Tensioni nella sezione: σ=1085.77 τ=132.45
CC 52 SLU (Collegamento 0024_-381)
Azioni sul collegamento: N=-24757.40 Ty=5.87 Tz=59.07 Mx=0.00 Mz=4.18
Sollecitazioni agenti localmente: Ty_l=-4372.19 My_l=-89.61
Tensioni nella sezione: σ=1086.14 τ=132.49
CC 53 SLU (Collegamento 0024_-381)
Azioni sul collegamento: N=-16108.60 Ty=6.57 Tz=27.72 Mx=-0.01 Mz=4.72
Sollecitazioni agenti localmente: Ty_l=-2836.83 My_l=-58.13
Tensioni nella sezione: σ=704.59 τ=85.96
CC 54 SLU (Collegamento 0024_-381)
Azioni sul collegamento: N=-16657.90 Ty=6.86 Tz=29.76 Mx=-0.01 Mz=4.92
Sollecitazioni agenti localmente: Ty_l=-2933.41 My_l=-60.11
Tensioni nella sezione: σ=728.58 τ=88.89
CC 55 SLU (Collegamento 0024_-381)
Azioni sul collegamento: N=-16384.20 Ty=6.82 Tz=28.72 Mx=-0.01 Mz=5.04
Sollecitazioni agenti localmente: Ty_l=-2884.43 My_l=-59.10
Tensioni nella sezione: σ=716.40 τ=87.41
CC 56 SLU (Collegamento 0024_-381)
Azioni sul collegamento: N=-16382.30 Ty=6.60 Tz=28.76 Mx=-0.01 Mz=4.60
Sollecitazioni agenti localmente: Ty_l=-2885.81 My_l=-59.13
Tensioni nella sezione: σ=716.77 τ=87.45
CC 57 SLU (Collegamento 0024_-381)
Azioni sul collegamento: N=-23426.90 Ty=6.35 Tz=54.67 Mx=-0.01 Mz=4.58
Sollecitazioni agenti localmente: Ty_l=-4134.72 My_l=-84.74
Tensioni nella sezione: σ=1027.11 τ=125.30
CC 58 SLU (Collegamento 0024_-381)
Azioni sul collegamento: N=-23976.20 Ty=6.64 Tz=56.70 Mx=-0.01 Mz=4.78
Sollecitazioni agenti localmente: Ty_l=-4231.31 My_l=-86.72
Tensioni nella sezione: σ=1051.09 τ=128.22
CC 59 SLU (Collegamento 0024_-381)
Azioni sul collegamento: N=-23702.50 Ty=6.61 Tz=55.66 Mx=-0.01 Mz=4.90
Sollecitazioni agenti localmente: Ty_l=-4182.33 My_l=-85.71
Tensioni nella sezione: σ=1038.91 τ=126.74
CC 60 SLU (Collegamento 0024_-381)
Azioni sul collegamento: N=-23700.60 Ty=6.39 Tz=55.71 Mx=-0.01 Mz=4.46
Sollecitazioni agenti localmente: Ty_l=-4183.71 My_l=-85.74
Tensioni nella sezione: σ=1039.29 τ=126.78
CC 61 SLU (Collegamento 0024_-381)
Azioni sul collegamento: N=-24865.90 Ty=6.25 Tz=59.47 Mx=0.00 Mz=4.59
Sollecitazioni agenti localmente: Ty_l=-4389.79 My_l=-89.97
Tensioni nella sezione: σ=1090.49 τ=133.02
CC 62 SLU (Collegamento 0024_-381)
Azioni sul collegamento: N=-25415.30 Ty=6.53 Tz=61.51 Mx=-0.00 Mz=4.79
Sollecitazioni agenti localmente: Ty_l=-4486.38 My_l=-91.94
Tensioni nella sezione: σ=1114.47 τ=135.95
CC 63 SLU (Collegamento 0024_-381)
Azioni sul collegamento: N=-25141.60 Ty=6.50 Tz=60.47 Mx=-0.00 Mz=4.91
Sollecitazioni agenti localmente: Ty_l=-4437.39 My_l=-90.94
Tensioni nella sezione: σ=1102.29 τ=134.47
CC 64 SLU (Collegamento 0024_-381)
Azioni sul collegamento: N=-25139.60 Ty=6.28 Tz=60.51 Mx=0.00 Mz=4.47
Sollecitazioni agenti localmente: Ty_l=-4438.78 My_l=-90.97
Tensioni nella sezione: σ=1102.67 τ=134.51
CC 65 SLU (Collegamento 0024_-381)
Azioni sul collegamento: N=-16490.80 Ty=6.99 Tz=29.17 Mx=-0.01 Mz=5.02
Sollecitazioni agenti localmente: Ty_l=-2903.41 My_l=-59.49
Tensioni nella sezione: σ=721.12 τ=87.98
CC 66 SLU (Collegamento 0024_-381)
Azioni sul collegamento: N=-17040.20 Ty=7.27 Tz=31.20 Mx=-0.01 Mz=5.22
Sollecitazioni agenti localmente: Ty_l=-3000.00 My_l=-61.47
Tensioni nella sezione: σ=745.10 τ=90.91
CC 67 SLU (Collegamento 0024_-381)
Azioni sul collegamento: N=-16766.50 Ty=7.24 Tz=30.16 Mx=-0.01 Mz=5.34
Sollecitazioni agenti localmente: Ty_l=-2951.01 My_l=-60.47
Tensioni nella sezione: σ=732.92 τ=89.42
CC 68 SLU (Collegamento 0024_-381)
Azioni sul collegamento: N=-16764.50 Ty=7.02 Tz=30.21 Mx=-0.01 Mz=4.90
Sollecitazioni agenti localmente: Ty_l=-2952.40 My_l=-60.50
Tensioni nella sezione: σ=733.30 τ=89.47
CC 97 SLU (Collegamento 0024_-381)
Azioni sul collegamento: N=-10609.80 Ty=16.63 Tz=15.80 Mx=0.03 Mz=19.66
Sollecitazioni agenti localmente: Ty_l=-1802.61 My_l=-36.84
Tensioni nella sezione: σ=446.59 τ=54.62
CC 98 SLU (Collegamento 0024_-381)

Azioni sul collegamento: N=-11159.10 Ty=16.91 Tz=17.84 Mx=0.03 Mz=19.86
Sollecitazioni agenti localmente: Ty_l=-1899.20 My_l=-38.82
Tensioni nella sezione: σ=470.58 τ=57.55
CC 99 SLU (Collegamento 0024_-381)
Azioni sul collegamento: N=-10885.40 Ty=16.88 Tz=16.80 Mx=0.03 Mz=19.98
Sollecitazioni agenti localmente: Ty_l=-1850.21 My_l=-37.82
Tensioni nella sezione: σ=458.40 τ=56.07
CC 100 SLU (Collegamento 0024_-381)
Azioni sul collegamento: N=-10883.50 Ty=16.66 Tz=16.84 Mx=0.03 Mz=19.55
Sollecitazioni agenti localmente: Ty_l=-1851.60 My_l=-37.85
Tensioni nella sezione: σ=458.77 τ=56.11
CC 101 SLU (Collegamento 0024_-381)
Azioni sul collegamento: N=-6606.14 Ty=1.32 Tz=0.91 Mx=-0.01 Mz=0.13
Sollecitazioni agenti localmente: Ty_l=-1170.57 My_l=-24.00
Tensioni nella sezione: σ=290.86 τ=35.47
CC 102 SLU (Collegamento 0024_-381)
Azioni sul collegamento: N=-7155.53 Ty=1.61 Tz=2.94 Mx=-0.01 Mz=0.33
Sollecitazioni agenti localmente: Ty_l=-1267.16 My_l=-25.97
Tensioni nella sezione: σ=314.85 τ=38.40
CC 103 SLU (Collegamento 0024_-381)
Azioni sul collegamento: N=-6881.82 Ty=1.58 Tz=1.90 Mx=-0.01 Mz=0.45
Sollecitazioni agenti localmente: Ty_l=-1218.17 My_l=-24.97
Tensioni nella sezione: σ=302.67 τ=36.91
CC 104 SLU (Collegamento 0024_-381)
Azioni sul collegamento: N=-6879.85 Ty=1.36 Tz=1.95 Mx=-0.01 Mz=0.01
Sollecitazioni agenti localmente: Ty_l=-1219.56 My_l=-25.00
Tensioni nella sezione: σ=303.04 τ=36.96

Collegamento 0025_-382

Piastra 220.00 x 220.00 s=15.00 - 6 Tirafondi ϕ 16 - Profondità di infissione: 350.00
3 righe ad interasse 89.00
2 colonne ad interasse 178.00
Altezza di gola saldature: anima 7.07 - ala 7.07

Tirafondi e calcestruzzo

CC 1 SLV (Collegamento 0025_-382)
Azioni sul collegamento: N=-3838.16 Ty=-4.12 Tz=-9.35 Mx=0.02 Mz=1.95
Sollecitazioni agenti localmente: Tx_l=-4.12 Ty_l=-9.35 N_l=-3838.16 Mx_l=-0.00 My_l=1.95 Mz_l=0.02
Taglio nei bulloni: Fv,Ed=1.73 Fv,Rd=7720.78
Rifollamento lato piastra: Fb,Ed,p=1.73 Fb,Rd,p=7792.79
Tirafondi:LT=0.45 (0.31) $σ_{cR}$=0.00 $σ_{fR}$=0.00
Compressione nel calcestruzzo: $σ_c$=8.04
CC 1 SLV (Collegamento 0025_-382)
Azioni sul collegamento: N=-3838.16 Ty=-0.76 Tz=-9.35 Mx=0.02 Mz=-1.23
Sollecitazioni agenti localmente: Tx_l=-0.76 Ty_l=-9.35 N_l=-3838.16 Mx_l=-0.00 My_l=-1.23 Mz_l=0.02
Taglio nei bulloni: Fv,Ed=1.59 Fv,Rd=7720.78
Rifollamento lato piastra: Fb,Ed,p=1.59 Fb,Rd,p=6058.88
Tirafondi:LT=0.45 (0.31) $σ_{cR}$=0.00 $σ_{fR}$=0.00
Compressione nel calcestruzzo: $σ_c$=8.00
CC 1 SLV (Collegamento 0025_-382)
Azioni sul collegamento: N=-3838.16 Ty=-4.12 Tz=10.33 Mx=0.02 Mz=1.95
Sollecitazioni agenti localmente: Tx_l=-4.12 Ty_l=10.33 N_l=-3838.16 Mx_l=-0.00 My_l=1.95 Mz_l=0.02
Taglio nei bulloni: Fv,Ed=1.88 Fv,Rd=7720.78
Rifollamento lato piastra: Fb,Ed,p=1.87 Fb,Rd,p=7277.24
Tirafondi:LT=0.45 (0.31) $σ_{cR}$=0.00 $σ_{fR}$=0.00
Compressione nel calcestruzzo: $σ_c$=8.04
CC 1 SLV (Collegamento 0025_-382)
Azioni sul collegamento: N=-3838.16 Ty=-0.76 Tz=10.33 Mx=0.02 Mz=-1.23
Sollecitazioni agenti localmente: Tx_l=-0.76 Ty_l=10.33 N_l=-3838.16 Mx_l=-0.00 My_l=-1.23 Mz_l=0.02
Taglio nei bulloni: Fv,Ed=1.75 Fv,Rd=7720.78
Rifollamento lato piastra: Fb,Ed,p=1.75 Fb,Rd,p=6010.44
Tirafondi:LT=0.45 (0.31) $σ_{cR}$=0.00 $σ_{fR}$=0.00
Compressione nel calcestruzzo: $σ_c$=8.00
CC 1 SLV (Collegamento 0025_-382)
Azioni sul collegamento: N=-9123.66 Ty=-4.12 Tz=-9.35 Mx=0.02 Mz=1.95
Sollecitazioni agenti localmente: Tx_l=-4.12 Ty_l=-9.35 N_l=-9123.66 Mx_l=-0.00 My_l=1.95 Mz_l=0.02
Taglio nei bulloni: Fv,Ed=1.73 Fv,Rd=7720.78
Rifollamento lato piastra: Fb,Ed,p=1.73 Fb,Rd,p=7792.84
Tirafondi:LT=0.45 (0.31) $σ_{cR}$=0.00 $σ_{fR}$=0.00
Compressione nel calcestruzzo: $σ_c$=18.96
CC 1 SLV (Collegamento 0025_-382)
Azioni sul collegamento: N=-9123.66 Ty=-0.76 Tz=-9.35 Mx=0.02 Mz=-1.23
Sollecitazioni agenti localmente: Tx_l=-0.76 Ty_l=-9.35 N_l=-9123.66 Mx_l=-0.00 My_l=-1.23 Mz_l=0.02
Taglio nei bulloni: Fv,Ed=1.59 Fv,Rd=7720.78
Rifollamento lato piastra: Fb,Ed,p=1.59 Fb,Rd,p=6058.89
Tirafondi:LT=0.45 (0.31) $σ_{cR}$=0.00 $σ_{fR}$=0.00

Compressione nel calcestruzzo: σ_c=18.92
CC 1 SLV (Collegamento 0025_-382)
Azioni sul collegamento: N=-9123.66 Ty=-4.12 Tz=10.33 Mx=0.02 Mz=1.95
Sollecitazioni agenti localmente: Tx_l=-4.12 Ty_l=10.33 N_l=-9123.66 Mx_l=-0.00 My_l=1.95 Mz_l=0.02
Taglio nei bulloni: Fv,Ed=1.88 Fv,Rd=7720.78
Rifollamento lato piastra: Fb,Ed,p=1.87 Fb,Rd,p=7277.13
Tirafondi:LT=0.45 (0.31) σ_{cR}=0.00 σ_{fR}=0.00
Compressione nel calcestruzzo: σ_c=18.96
CC 1 SLV (Collegamento 0025_-382)
Azioni sul collegamento: N=-9123.66 Ty=-0.76 Tz=10.33 Mx=0.02 Mz=-1.23
Sollecitazioni agenti localmente: Tx_l=-0.76 Ty_l=10.33 N_l=-9123.66 Mx_l=-0.00 My_l=-1.23 Mz_l=0.02
Taglio nei bulloni: Fv,Ed=1.75 Fv,Rd=7720.78
Rifollamento lato piastra: Fb,Ed,p=1.75 Fb,Rd,p=6010.44
Tirafondi:LT=0.45 (0.31) σ_{cR}=0.00 σ_{fR}=0.00
Compressione nel calcestruzzo: σ_c=18.92
CC 2 SLD (Collegamento 0025_-382)
Azioni sul collegamento: N=-5707.53 Ty=-2.77 Tz=-2.38 Mx=0.01 Mz=-1.24
Sollecitazioni agenti localmente: Tx_l=-2.77 Ty_l=-2.38 N_l=-5707.53 Mx_l=-0.00 My_l=-1.24 Mz_l=0.01
Taglio nei bulloni: Fv,Ed=0.62 Fv,Rd=9650.97
Rifollamento lato piastra: Fb,Ed,p=0.61 Fb,Rd,p=13753.00
Tirafondi:LT=0.45 (0.31) σ_{cR}=0.00 σ_{fR}=0.00
Compressione nel calcestruzzo: σ_c=11.86
CC 2 SLD (Collegamento 0025_-382)
Azioni sul collegamento: N=-5707.53 Ty=-3.80 Tz=-2.38 Mx=0.01 Mz=-2.21
Sollecitazioni agenti localmente: Tx_l=-3.80 Ty_l=-2.38 N_l=-5707.53 Mx_l=-0.00 My_l=-2.21 Mz_l=0.01
Taglio nei bulloni: Fv,Ed=0.76 Fv,Rd=9650.97
Rifollamento lato piastra: Fb,Ed,p=0.75 Fb,Rd,p=11615.30
Tirafondi:LT=0.45 (0.31) σ_{cR}=0.00 σ_{fR}=0.00
Compressione nel calcestruzzo: σ_c=11.92
CC 2 SLD (Collegamento 0025_-382)
Azioni sul collegamento: N=-5707.53 Ty=-2.77 Tz=3.62 Mx=0.01 Mz=-1.24
Sollecitazioni agenti localmente: Tx_l=-2.77 Ty_l=3.62 N_l=-5707.53 Mx_l=-0.00 My_l=-1.24 Mz_l=0.01
Taglio nei bulloni: Fv,Ed=0.77 Fv,Rd=9650.97
Rifollamento lato piastra: Fb,Ed,p=0.76 Fb,Rd,p=13209.70
Tirafondi:LT=0.45 (0.31) σ_{cR}=0.00 σ_{fR}=0.00
Compressione nel calcestruzzo: σ_c=11.86
CC 2 SLD (Collegamento 0025_-382)
Azioni sul collegamento: N=-5707.53 Ty=-3.80 Tz=3.62 Mx=0.01 Mz=-2.21
Sollecitazioni agenti localmente: Tx_l=-3.80 Ty_l=3.62 N_l=-5707.53 Mx_l=-0.00 My_l=-2.21 Mz_l=0.01
Taglio nei bulloni: Fv,Ed=0.89 Fv,Rd=9650.97
Rifollamento lato piastra: Fb,Ed,p=0.89 Fb,Rd,p=14674.10
Tirafondi:LT=0.45 (0.31) σ_{cR}=0.00 σ_{fR}=0.00
Compressione nel calcestruzzo: σ_c=11.92
CC 2 SLD (Collegamento 0025_-382)
Azioni sul collegamento: N=-7319.25 Ty=-2.77 Tz=-2.38 Mx=0.01 Mz=-1.24
Sollecitazioni agenti localmente: Tx_l=-2.77 Ty_l=-2.38 N_l=-7319.25 Mx_l=-0.00 My_l=-1.24 Mz_l=0.01
Taglio nei bulloni: Fv,Ed=0.62 Fv,Rd=9650.97
Rifollamento lato piastra: Fb,Ed,p=0.61 Fb,Rd,p=13752.80
Tirafondi:LT=0.45 (0.31) σ_{cR}=0.00 σ_{fR}=0.00
Compressione nel calcestruzzo: σ_c=15.19
CC 2 SLD (Collegamento 0025_-382)
Azioni sul collegamento: N=-7319.25 Ty=-3.80 Tz=-2.38 Mx=0.01 Mz=-2.21
Sollecitazioni agenti localmente: Tx_l=-3.80 Ty_l=-2.38 N_l=-7319.25 Mx_l=-0.00 My_l=-2.21 Mz_l=0.01
Taglio nei bulloni: Fv,Ed=0.76 Fv,Rd=9650.97
Rifollamento lato piastra: Fb,Ed,p=0.75 Fb,Rd,p=11614.90
Tirafondi:LT=0.45 (0.31) σ_{cR}=0.00 σ_{fR}=0.00
Compressione nel calcestruzzo: σ_c=15.25
CC 2 SLD (Collegamento 0025_-382)
Azioni sul collegamento: N=-7319.25 Ty=-2.77 Tz=3.62 Mx=0.01 Mz=-1.24
Sollecitazioni agenti localmente: Tx_l=-2.77 Ty_l=3.62 N_l=-7319.25 Mx_l=-0.00 My_l=-1.24 Mz_l=0.01
Taglio nei bulloni: Fv,Ed=0.77 Fv,Rd=9650.97
Rifollamento lato piastra: Fb,Ed,p=0.76 Fb,Rd,p=13209.80
Tirafondi:LT=0.45 (0.31) σ_{cR}=0.00 σ_{fR}=0.00
Compressione nel calcestruzzo: σ_c=15.19
CC 2 SLD (Collegamento 0025_-382)
Azioni sul collegamento: N=-7319.25 Ty=-3.80 Tz=3.62 Mx=0.01 Mz=-2.21
Sollecitazioni agenti localmente: Tx_l=-3.80 Ty_l=3.62 N_l=-7319.25 Mx_l=-0.00 My_l=-2.21 Mz_l=0.01
Taglio nei bulloni: Fv,Ed=0.89 Fv,Rd=9650.97
Rifollamento lato piastra: Fb,Ed,p=0.89 Fb,Rd,p=14673.90
Tirafondi:LT=0.45 (0.31) σ_{cR}=0.00 σ_{fR}=0.00
Compressione nel calcestruzzo: σ_c=15.25
CC 3 SLV (Collegamento 0025_-382)
Azioni sul collegamento: N=-3843.85 Ty=-3.49 Tz=-9.22 Mx=0.02 Mz=0.69
Sollecitazioni agenti localmente: Tx_l=-3.49 Ty_l=-9.22 N_l=-3843.85 Mx_l=-0.00 My_l=0.69 Mz_l=0.02
Taglio nei bulloni: Fv,Ed=1.67 Fv,Rd=7720.78
Rifollamento lato piastra: Fb,Ed,p=1.67 Fb,Rd,p=7309.56
Tirafondi:LT=0.45 (0.31) σ_{cR}=0.00 σ_{fR}=0.00
Compressione nel calcestruzzo: σ_c=7.98

CC 3 SLV (Collegamento 0025_-382)
Azioni sul collegamento: N=-3843.85 Ty=-1.39 Tz=-9.22 Mx=0.02 Mz=0.03
Sollecitazioni agenti localmente: Tx_l=-1.39 Ty_l=-9.22 N_l=-3843.85 Mx_l=-0.00 My_l=0.03 Mz_l=0.02
Taglio nei bulloni: Fv,Ed=1.57 Fv,Rd=7720.78
Rifollamento lato piastra: Fb,Ed,p=1.57 Fb,Rd,p=6209.49
Tirafondi:LT=0.45 (0.31) σ_{cR}=0.00 σ_{fR}=0.00
Compressione nel calcestruzzo: σ_c=7.94
CC 3 SLV (Collegamento 0025_-382)
Azioni sul collegamento: N=-3843.85 Ty=-3.49 Tz=10.20 Mx=0.02 Mz=0.69
Sollecitazioni agenti localmente: Tx_l=-3.49 Ty_l=10.20 N_l=-3843.85 Mx_l=-0.00 My_l=0.69 Mz_l=0.02
Taglio nei bulloni: Fv,Ed=1.82 Fv,Rd=7720.78
Rifollamento lato piastra: Fb,Ed,p=1.81 Fb,Rd,p=6940.89
Tirafondi:LT=0.45 (0.31) σ_{cR}=0.00 σ_{fR}=0.00
Compressione nel calcestruzzo: σ_c=7.98
CC 3 SLV (Collegamento 0025_-382)
Azioni sul collegamento: N=-3843.85 Ty=-1.39 Tz=10.20 Mx=0.02 Mz=0.03
Sollecitazioni agenti localmente: Tx_l=-1.39 Ty_l=10.20 N_l=-3843.85 Mx_l=-0.00 My_l=0.03 Mz_l=0.02
Taglio nei bulloni: Fv,Ed=1.74 Fv,Rd=7720.78
Rifollamento lato piastra: Fb,Ed,p=1.73 Fb,Rd,p=6117.89
Tirafondi:LT=0.45 (0.31) σ_{cR}=0.00 σ_{fR}=0.00
Compressione nel calcestruzzo: σ_c=7.94
CC 3 SLV (Collegamento 0025_-382)
Azioni sul collegamento: N=-9117.97 Ty=-3.49 Tz=-9.22 Mx=0.02 Mz=0.69
Sollecitazioni agenti localmente: Tx_l=-3.49 Ty_l=-9.22 N_l=-9117.97 Mx_l=-0.00 My_l=0.69 Mz_l=0.02
Taglio nei bulloni: Fv,Ed=1.67 Fv,Rd=7720.78
Rifollamento lato piastra: Fb,Ed,p=1.67 Fb,Rd,p=7309.64
Tirafondi:LT=0.45 (0.31) σ_{cR}=0.00 σ_{fR}=0.00
Compressione nel calcestruzzo: σ_c=18.88
CC 3 SLV (Collegamento 0025_-382)
Azioni sul collegamento: N=-9117.97 Ty=-1.39 Tz=-9.22 Mx=0.02 Mz=0.03
Sollecitazioni agenti localmente: Tx_l=-1.39 Ty_l=-9.22 N_l=-9117.97 Mx_l=-0.00 My_l=0.03 Mz_l=0.02
Taglio nei bulloni: Fv,Ed=1.57 Fv,Rd=7720.78
Rifollamento lato piastra: Fb,Ed,p=1.57 Fb,Rd,p=6209.50
Tirafondi:LT=0.45 (0.31) σ_{cR}=0.00 σ_{fR}=0.00
Compressione nel calcestruzzo: σ_c=18.84
CC 3 SLV (Collegamento 0025_-382)
Azioni sul collegamento: N=-9117.97 Ty=-3.49 Tz=10.20 Mx=0.02 Mz=0.69
Sollecitazioni agenti localmente: Tx_l=-3.49 Ty_l=10.20 N_l=-9117.97 Mx_l=-0.00 My_l=0.69 Mz_l=0.02
Taglio nei bulloni: Fv,Ed=1.82 Fv,Rd=7720.78
Rifollamento lato piastra: Fb,Ed,p=1.81 Fb,Rd,p=6940.88
Tirafondi:LT=0.45 (0.31) σ_{cR}=0.00 σ_{fR}=0.00
Compressione nel calcestruzzo: σ_c=18.88
CC 3 SLV (Collegamento 0025_-382)
Azioni sul collegamento: N=-9117.97 Ty=-1.39 Tz=10.20 Mx=0.02 Mz=0.03
Sollecitazioni agenti localmente: Tx_l=-1.39 Ty_l=10.20 N_l=-9117.97 Mx_l=-0.00 My_l=0.03 Mz_l=0.02
Taglio nei bulloni: Fv,Ed=1.74 Fv,Rd=7720.78
Rifollamento lato piastra: Fb,Ed,p=1.73 Fb,Rd,p=6117.88
Tirafondi:LT=0.45 (0.31) σ_{cR}=0.00 σ_{fR}=0.00
Compressione nel calcestruzzo: σ_c=18.84
CC 4 SLD (Collegamento 0025_-382)
Azioni sul collegamento: N=-5709.27 Ty=-2.97 Tz=-2.35 Mx=0.01 Mz=-1.62
Sollecitazioni agenti localmente: Tx_l=-2.97 Ty_l=-2.35 N_l=-5709.27 Mx_l=-0.00 My_l=-1.62 Mz_l=0.01
Taglio nei bulloni: Fv,Ed=0.64 Fv,Rd=9650.97
Rifollamento lato piastra: Fb,Ed,p=0.63 Fb,Rd,p=13357.90
Tirafondi:LT=0.45 (0.31) σ_{cR}=0.00 σ_{fR}=0.00
Compressione nel calcestruzzo: σ_c=11.89
CC 4 SLD (Collegamento 0025_-382)
Azioni sul collegamento: N=-5709.27 Ty=-3.60 Tz=-2.35 Mx=0.01 Mz=-1.82
Sollecitazioni agenti localmente: Tx_l=-3.60 Ty_l=-2.35 N_l=-5709.27 Mx_l=-0.00 My_l=-1.82 Mz_l=0.01
Taglio nei bulloni: Fv,Ed=0.73 Fv,Rd=9650.97
Rifollamento lato piastra: Fb,Ed,p=0.72 Fb,Rd,p=11980.90
Tirafondi:LT=0.45 (0.31) σ_{cR}=0.00 σ_{fR}=0.00
Compressione nel calcestruzzo: σ_c=11.90
CC 4 SLD (Collegamento 0025_-382)
Azioni sul collegamento: N=-5709.27 Ty=-2.97 Tz=3.58 Mx=0.01 Mz=-1.62
Sollecitazioni agenti localmente: Tx_l=-2.97 Ty_l=3.58 N_l=-5709.27 Mx_l=-0.00 My_l=-1.62 Mz_l=0.01
Taglio nei bulloni: Fv,Ed=0.79 Fv,Rd=9650.97
Rifollamento lato piastra: Fb,Ed,p=0.78 Fb,Rd,p=13638.40
Tirafondi:LT=0.45 (0.31) σ_{cR}=0.00 σ_{fR}=0.00
Compressione nel calcestruzzo: σ_c=11.89
CC 4 SLD (Collegamento 0025_-382)
Azioni sul collegamento: N=-5709.27 Ty=-3.60 Tz=3.58 Mx=0.01 Mz=-1.82
Sollecitazioni agenti localmente: Tx_l=-3.60 Ty_l=3.58 N_l=-5709.27 Mx_l=-0.00 My_l=-1.82 Mz_l=0.01
Taglio nei bulloni: Fv,Ed=0.86 Fv,Rd=9650.97
Rifollamento lato piastra: Fb,Ed,p=0.86 Fb,Rd,p=14967.70
Tirafondi:LT=0.45 (0.31) σ_{cR}=0.00 σ_{fR}=0.00
Compressione nel calcestruzzo: σ_c=11.90
CC 4 SLD (Collegamento 0025_-382)

Azioni sul collegamento: N=-7317.51 Ty=-2.97 Tz=-2.35 Mx=0.01 Mz=-1.62
Sollecitazioni agenti localmente: Tx_l=-2.97 Ty_l=-2.35 N_l=-7317.51 Mx_l=-0.00 My_l=-1.62 Mz_l=0.01
Taglio nei bulloni: Fv,Ed=0.64 Fv,Rd=9650.97
Rifollamento lato piastra: Fb,Ed,p=0.63 Fb,Rd,p=13358.00
Tirafondi:LT=0.45 (0.31) σ_{cR}=0.00 σ_{fR}=0.00
Compressione nel calcestruzzo: σ_c=15.21
CC 4 SLD (Collegamento 0025_-382)
Azioni sul collegamento: N=-7317.51 Ty=-3.60 Tz=-2.35 Mx=0.01 Mz=-1.82
Sollecitazioni agenti localmente: Tx_l=-3.60 Ty_l=-2.35 N_l=-7317.51 Mx_l=-0.00 My_l=-1.82 Mz_l=0.01
Taglio nei bulloni: Fv,Ed=0.73 Fv,Rd=9650.97
Rifollamento lato piastra: Fb,Ed,p=0.72 Fb,Rd,p=11981.00
Tirafondi:LT=0.45 (0.31) σ_{cR}=0.00 σ_{fR}=0.00
Compressione nel calcestruzzo: σ_c=15.22
CC 4 SLD (Collegamento 0025_-382)
Azioni sul collegamento: N=-7317.51 Ty=-2.97 Tz=3.58 Mx=0.01 Mz=-1.62
Sollecitazioni agenti localmente: Tx_l=-2.97 Ty_l=3.58 N_l=-7317.51 Mx_l=-0.00 My_l=-1.62 Mz_l=0.01
Taglio nei bulloni: Fv,Ed=0.79 Fv,Rd=9650.97
Rifollamento lato piastra: Fb,Ed,p=0.78 Fb,Rd,p=13638.00
Tirafondi:LT=0.45 (0.31) σ_{cR}=0.00 σ_{fR}=0.00
Compressione nel calcestruzzo: σ_c=15.21
CC 4 SLD (Collegamento 0025_-382)
Azioni sul collegamento: N=-7317.51 Ty=-3.60 Tz=3.58 Mx=0.01 Mz=-1.82
Sollecitazioni agenti localmente: Tx_l=-3.60 Ty_l=3.58 N_l=-7317.51 Mx_l=-0.00 My_l=-1.82 Mz_l=0.01
Taglio nei bulloni: Fv,Ed=0.86 Fv,Rd=9650.97
Rifollamento lato piastra: Fb,Ed,p=0.86 Fb,Rd,p=14968.30
Tirafondi:LT=0.45 (0.31) σ_{cR}=0.00 σ_{fR}=0.00
Compressione nel calcestruzzo: σ_c=15.22
CC 5 SLV (Collegamento 0025_-382)
Azioni sul collegamento: N=-9117.97 Ty=-1.39 Tz=10.20 Mx=0.02 Mz=0.03
Sollecitazioni agenti localmente: Tx_l=-1.39 Ty_l=10.20 N_l=-9117.97 Mx_l=-0.00 My_l=0.03 Mz_l=0.02
Taglio nei bulloni: Fv,Ed=1.74 Fv,Rd=7720.78
Rifollamento lato piastra: Fb,Ed,p=1.73 Fb,Rd,p=6115.35
Tirafondi:LT=0.45 (0.31) σ_{cR}=0.00 σ_{fR}=0.00
Compressione nel calcestruzzo: σ_c=18.84
CC 5 SLV (Collegamento 0025_-382)
Azioni sul collegamento: N=-9117.97 Ty=-3.49 Tz=10.20 Mx=0.02 Mz=0.69
Sollecitazioni agenti localmente: Tx_l=-3.49 Ty_l=10.20 N_l=-9117.97 Mx_l=-0.00 My_l=0.69 Mz_l=0.02
Taglio nei bulloni: Fv,Ed=1.82 Fv,Rd=7720.78
Rifollamento lato piastra: Fb,Ed,p=1.81 Fb,Rd,p=6932.89
Tirafondi:LT=0.45 (0.31) σ_{cR}=0.00 σ_{fR}=0.00
Compressione nel calcestruzzo: σ_c=18.88
CC 5 SLV (Collegamento 0025_-382)
Azioni sul collegamento: N=-9117.97 Ty=-1.39 Tz=-9.22 Mx=0.02 Mz=0.03
Sollecitazioni agenti localmente: Tx_l=-1.39 Ty_l=-9.22 N_l=-9117.97 Mx_l=-0.00 My_l=0.03 Mz_l=0.02
Taglio nei bulloni: Fv,Ed=1.58 Fv,Rd=7720.78
Rifollamento lato piastra: Fb,Ed,p=1.58 Fb,Rd,p=6212.22
Tirafondi:LT=0.45 (0.31) σ_{cR}=0.00 σ_{fR}=0.00
Compressione nel calcestruzzo: σ_c=18.84
CC 5 SLV (Collegamento 0025_-382)
Azioni sul collegamento: N=-9117.97 Ty=-3.49 Tz=-9.22 Mx=0.02 Mz=0.69
Sollecitazioni agenti localmente: Tx_l=-3.49 Ty_l=-9.22 N_l=-9117.97 Mx_l=-0.00 My_l=0.69 Mz_l=0.02
Taglio nei bulloni: Fv,Ed=1.67 Fv,Rd=7720.78
Rifollamento lato piastra: Fb,Ed,p=1.67 Fb,Rd,p=7314.48
Tirafondi:LT=0.45 (0.31) σ_{cR}=0.00 σ_{fR}=0.00
Compressione nel calcestruzzo: σ_c=18.88
CC 5 SLV (Collegamento 0025_-382)
Azioni sul collegamento: N=-3843.85 Ty=-1.39 Tz=10.20 Mx=0.02 Mz=0.03
Sollecitazioni agenti localmente: Tx_l=-1.39 Ty_l=10.20 N_l=-3843.85 Mx_l=-0.00 My_l=0.03 Mz_l=0.02
Taglio nei bulloni: Fv,Ed=1.74 Fv,Rd=7720.78
Rifollamento lato piastra: Fb,Ed,p=1.73 Fb,Rd,p=6115.35
Tirafondi:LT=0.45 (0.31) σ_{cR}=0.00 σ_{fR}=0.00
Compressione nel calcestruzzo: σ_c=7.94
CC 5 SLV (Collegamento 0025_-382)
Azioni sul collegamento: N=-3843.85 Ty=-3.49 Tz=10.20 Mx=0.02 Mz=0.69
Sollecitazioni agenti localmente: Tx_l=-3.49 Ty_l=10.20 N_l=-3843.85 Mx_l=-0.00 My_l=0.69 Mz_l=0.02
Taglio nei bulloni: Fv,Ed=1.82 Fv,Rd=7720.78
Rifollamento lato piastra: Fb,Ed,p=1.81 Fb,Rd,p=6932.90
Tirafondi:LT=0.45 (0.31) σ_{cR}=0.00 σ_{fR}=0.00
Compressione nel calcestruzzo: σ_c=7.98
CC 5 SLV (Collegamento 0025_-382)
Azioni sul collegamento: N=-3843.85 Ty=-1.39 Tz=-9.22 Mx=0.02 Mz=0.03
Sollecitazioni agenti localmente: Tx_l=-1.39 Ty_l=-9.22 N_l=-3843.85 Mx_l=-0.00 My_l=0.03 Mz_l=0.02
Taglio nei bulloni: Fv,Ed=1.58 Fv,Rd=7720.78
Rifollamento lato piastra: Fb,Ed,p=1.58 Fb,Rd,p=6212.20
Tirafondi:LT=0.45 (0.31) σ_{cR}=0.00 σ_{fR}=0.00
Compressione nel calcestruzzo: σ_c=7.94
CC 5 SLV (Collegamento 0025_-382)
Azioni sul collegamento: N=-3843.85 Ty=-3.49 Tz=-9.22 Mx=0.02 Mz=0.69

Sollecitazioni agenti localmente: Tx_l=-3.49 Ty_l=-9.22 N_l=-3843.85 Mx_l=-0.00 My_l=0.69 Mz_l=0.02
Taglio nei bulloni: Fv,Ed=1.67 Fv,Rd=7720.78
Rifollamento lato piastra: Fb,Ed,p=1.67 Fb,Rd,p=7314.40
Tirafondi:LT=0.45 (0.31) σ_{cR}=0.00 σ_{fR}=0.00
Compressione nel calcestruzzo: σ_c=7.98
CC 6 SLD (Collegamento 0025_-382)
Azioni sul collegamento: N=-7317.51 Ty=-3.60 Tz=3.58 Mx=0.01 Mz=-1.82
Sollecitazioni agenti localmente: Tx_l=-3.60 Ty_l=3.58 N_l=-7317.51 Mx_l=-0.00 My_l=-1.82 Mz_l=0.01
Taglio nei bulloni: Fv,Ed=0.86 Fv,Rd=9650.97
Rifollamento lato piastra: Fb,Ed,p=0.86 Fb,Rd,p=14968.40
Tirafondi:LT=0.45 (0.31) σ_{cR}=0.00 σ_{fR}=0.00
Compressione nel calcestruzzo: σ_c=15.22
CC 6 SLD (Collegamento 0025_-382)
Azioni sul collegamento: N=-7317.51 Ty=-2.97 Tz=3.58 Mx=0.01 Mz=-1.62
Sollecitazioni agenti localmente: Tx_l=-2.97 Ty_l=3.58 N_l=-7317.51 Mx_l=-0.00 My_l=-1.62 Mz_l=0.01
Taglio nei bulloni: Fv,Ed=0.79 Fv,Rd=9650.97
Rifollamento lato piastra: Fb,Ed,p=0.78 Fb,Rd,p=13627.40
Tirafondi:LT=0.45 (0.31) σ_{cR}=0.00 σ_{fR}=0.00
Compressione nel calcestruzzo: σ_c=15.21
CC 6 SLD (Collegamento 0025_-382)
Azioni sul collegamento: N=-7317.51 Ty=-3.60 Tz=-2.35 Mx=0.01 Mz=-1.82
Sollecitazioni agenti localmente: Tx_l=-3.60 Ty_l=-2.35 N_l=-7317.51 Mx_l=-0.00 My_l=-1.82 Mz_l=0.01
Taglio nei bulloni: Fv,Ed=0.73 Fv,Rd=9650.97
Rifollamento lato piastra: Fb,Ed,p=0.72 Fb,Rd,p=11960.20
Tirafondi:LT=0.45 (0.31) σ_{cR}=0.00 σ_{fR}=0.00
Compressione nel calcestruzzo: σ_c=15.22
CC 6 SLD (Collegamento 0025_-382)
Azioni sul collegamento: N=-7317.51 Ty=-2.97 Tz=-2.35 Mx=0.01 Mz=-1.62
Sollecitazioni agenti localmente: Tx_l=-2.97 Ty_l=-2.35 N_l=-7317.51 Mx_l=-0.00 My_l=-1.62 Mz_l=0.01
Taglio nei bulloni: Fv,Ed=0.64 Fv,Rd=9650.97
Rifollamento lato piastra: Fb,Ed,p=0.63 Fb,Rd,p=13346.00
Tirafondi:LT=0.45 (0.31) σ_{cR}=0.00 σ_{fR}=0.00
Compressione nel calcestruzzo: σ_c=15.21
CC 6 SLD (Collegamento 0025_-382)
Azioni sul collegamento: N=-5709.27 Ty=-3.60 Tz=3.58 Mx=0.01 Mz=-1.82
Sollecitazioni agenti localmente: Tx_l=-3.60 Ty_l=3.58 N_l=-5709.27 Mx_l=-0.00 My_l=-1.82 Mz_l=0.01
Taglio nei bulloni: Fv,Ed=0.86 Fv,Rd=9650.97
Rifollamento lato piastra: Fb,Ed,p=0.86 Fb,Rd,p=14967.80
Tirafondi:LT=0.45 (0.31) σ_{cR}=0.00 σ_{fR}=0.00
Compressione nel calcestruzzo: σ_c=11.90
CC 6 SLD (Collegamento 0025_-382)
Azioni sul collegamento: N=-5709.27 Ty=-2.97 Tz=3.58 Mx=0.01 Mz=-1.62
Sollecitazioni agenti localmente: Tx_l=-2.97 Ty_l=3.58 N_l=-5709.27 Mx_l=-0.00 My_l=-1.62 Mz_l=0.01
Taglio nei bulloni: Fv,Ed=0.79 Fv,Rd=9650.97
Rifollamento lato piastra: Fb,Ed,p=0.78 Fb,Rd,p=13627.80
Tirafondi:LT=0.45 (0.31) σ_{cR}=0.00 σ_{fR}=0.00
Compressione nel calcestruzzo: σ_c=11.89
CC 6 SLD (Collegamento 0025_-382)
Azioni sul collegamento: N=-5709.27 Ty=-3.60 Tz=-2.35 Mx=0.01 Mz=-1.82
Sollecitazioni agenti localmente: Tx_l=-3.60 Ty_l=-2.35 N_l=-5709.27 Mx_l=-0.00 My_l=-1.82 Mz_l=0.01
Taglio nei bulloni: Fv,Ed=0.73 Fv,Rd=9650.97
Rifollamento lato piastra: Fb,Ed,p=0.72 Fb,Rd,p=11960.00
Tirafondi:LT=0.45 (0.31) σ_{cR}=0.00 σ_{fR}=0.00
Compressione nel calcestruzzo: σ_c=11.90
CC 6 SLD (Collegamento 0025_-382)
Azioni sul collegamento: N=-5709.27 Ty=-2.97 Tz=-2.35 Mx=0.01 Mz=-1.62
Sollecitazioni agenti localmente: Tx_l=-2.97 Ty_l=-2.35 N_l=-5709.27 Mx_l=-0.00 My_l=-1.62 Mz_l=0.01
Taglio nei bulloni: Fv,Ed=0.64 Fv,Rd=9650.97
Rifollamento lato piastra: Fb,Ed,p=0.63 Fb,Rd,p=13345.90
Tirafondi:LT=0.45 (0.31) σ_{cR}=0.00 σ_{fR}=0.00
Compressione nel calcestruzzo: σ_c=11.89
CC 7 SLV (Collegamento 0025_-382)
Azioni sul collegamento: N=-9123.66 Ty=-0.76 Tz=10.33 Mx=0.01 Mz=-1.23
Sollecitazioni agenti localmente: Tx_l=-0.76 Ty_l=10.33 N_l=-9123.66 Mx_l=-0.00 My_l=-1.23 Mz_l=0.01
Taglio nei bulloni: Fv,Ed=1.74 Fv,Rd=7720.78
Rifollamento lato piastra: Fb,Ed,p=1.74 Fb,Rd,p=6016.45
Tirafondi:LT=0.45 (0.31) σ_{cR}=0.00 σ_{fR}=0.00
Compressione nel calcestruzzo: σ_c=18.92
CC 7 SLV (Collegamento 0025_-382)
Azioni sul collegamento: N=-9123.66 Ty=-4.12 Tz=10.33 Mx=0.01 Mz=1.95
Sollecitazioni agenti localmente: Tx_l=-4.12 Ty_l=10.33 N_l=-9123.66 Mx_l=-0.00 My_l=1.95 Mz_l=0.01
Taglio nei bulloni: Fv,Ed=1.87 Fv,Rd=7720.78
Rifollamento lato piastra: Fb,Ed,p=1.86 Fb,Rd,p=7326.56
Tirafondi:LT=0.45 (0.31) σ_{cR}=0.00 σ_{fR}=0.00
Compressione nel calcestruzzo: σ_c=18.96
CC 7 SLV (Collegamento 0025_-382)
Azioni sul collegamento: N=-9123.66 Ty=-0.76 Tz=-9.35 Mx=0.01 Mz=-1.23
Sollecitazioni agenti localmente: Tx_l=-0.76 Ty_l=-9.35 N_l=-9123.66 Mx_l=-0.00 My_l=-1.23 Mz_l=0.01

Taglio nei bulloni: Fv,Ed=1.58 Fv,Rd=7720.78
Rifollamento lato piastra: Fb,Ed,p=1.58 Fb,Rd,p=6050.47
Tirafondi:LT=0.45 (0.31) σ_{cR}=0.00 σ_{fR}=0.00
Compressione nel calcestruzzo: σ_c=18.92
CC 7 SLV (Collegamento 0025_-382)
Azioni sul collegamento: N=-9123.66 Ty=-4.12 Tz=-9.35 Mx=0.01 Mz=1.95
Sollecitazioni agenti localmente: Tx_l=-4.12 Ty_l=-9.35 N_l=-9123.66 Mx_l=-0.00 My_l=1.95 Mz_l=0.01
Taglio nei bulloni: Fv,Ed=1.72 Fv,Rd=7720.78
Rifollamento lato piastra: Fb,Ed,p=1.72 Fb,Rd,p=7767.30
Tirafondi:LT=0.45 (0.31) σ_{cR}=0.00 σ_{fR}=0.00
Compressione nel calcestruzzo: σ_c=18.96
CC 7 SLV (Collegamento 0025_-382)
Azioni sul collegamento: N=-3838.16 Ty=-0.76 Tz=10.33 Mx=0.01 Mz=-1.23
Sollecitazioni agenti localmente: Tx_l=-0.76 Ty_l=10.33 N_l=-3838.16 Mx_l=-0.00 My_l=-1.23 Mz_l=0.01
Taglio nei bulloni: Fv,Ed=1.74 Fv,Rd=7720.78
Rifollamento lato piastra: Fb,Ed,p=1.74 Fb,Rd,p=6016.45
Tirafondi:LT=0.45 (0.31) σ_{cR}=0.00 σ_{fR}=0.00
Compressione nel calcestruzzo: σ_c=8.00
CC 7 SLV (Collegamento 0025_-382)
Azioni sul collegamento: N=-3838.16 Ty=-4.12 Tz=10.33 Mx=0.01 Mz=1.95
Sollecitazioni agenti localmente: Tx_l=-4.12 Ty_l=10.33 N_l=-3838.16 Mx_l=-0.00 My_l=1.95 Mz_l=0.01
Taglio nei bulloni: Fv,Ed=1.87 Fv,Rd=7720.78
Rifollamento lato piastra: Fb,Ed,p=1.86 Fb,Rd,p=7326.68
Tirafondi:LT=0.45 (0.31) σ_{cR}=0.00 σ_{fR}=0.00
Compressione nel calcestruzzo: σ_c=8.04
CC 7 SLV (Collegamento 0025_-382)
Azioni sul collegamento: N=-3838.16 Ty=-0.76 Tz=-9.35 Mx=0.01 Mz=-1.23
Sollecitazioni agenti localmente: Tx_l=-0.76 Ty_l=-9.35 N_l=-3838.16 Mx_l=-0.00 My_l=-1.23 Mz_l=0.01
Taglio nei bulloni: Fv,Ed=1.58 Fv,Rd=7720.78
Rifollamento lato piastra: Fb,Ed,p=1.58 Fb,Rd,p=6050.47
Tirafondi:LT=0.45 (0.31) σ_{cR}=0.00 σ_{fR}=0.00
Compressione nel calcestruzzo: σ_c=8.00
CC 7 SLV (Collegamento 0025_-382)
Azioni sul collegamento: N=-3838.16 Ty=-4.12 Tz=-9.35 Mx=0.01 Mz=1.95
Sollecitazioni agenti localmente: Tx_l=-4.12 Ty_l=-9.35 N_l=-3838.16 Mx_l=-0.00 My_l=1.95 Mz_l=0.01
Taglio nei bulloni: Fv,Ed=1.72 Fv,Rd=7720.78
Rifollamento lato piastra: Fb,Ed,p=1.72 Fb,Rd,p=7767.25
Tirafondi:LT=0.45 (0.31) σ_{cR}=0.00 σ_{fR}=0.00
Compressione nel calcestruzzo: σ_c=8.04
CC 8 SLD (Collegamento 0025_-382)
Azioni sul collegamento: N=-7319.25 Ty=-3.80 Tz=3.62 Mx=0.01 Mz=-2.21
Sollecitazioni agenti localmente: Tx_l=-3.80 Ty_l=3.62 N_l=-7319.25 Mx_l=-0.00 My_l=-2.21 Mz_l=0.01
Taglio nei bulloni: Fv,Ed=0.88 Fv,Rd=9650.97
Rifollamento lato piastra: Fb,Ed,p=0.88 Fb,Rd,p=14672.50
Tirafondi:LT=0.45 (0.31) σ_{cR}=0.00 σ_{fR}=0.00
Compressione nel calcestruzzo: σ_c=15.25
CC 8 SLD (Collegamento 0025_-382)
Azioni sul collegamento: N=-7319.25 Ty=-2.77 Tz=3.62 Mx=0.01 Mz=-1.24
Sollecitazioni agenti localmente: Tx_l=-2.77 Ty_l=3.62 N_l=-7319.25 Mx_l=-0.00 My_l=-1.24 Mz_l=0.01
Taglio nei bulloni: Fv,Ed=0.77 Fv,Rd=9650.97
Rifollamento lato piastra: Fb,Ed,p=0.76 Fb,Rd,p=13259.00
Tirafondi:LT=0.45 (0.31) σ_{cR}=0.00 σ_{fR}=0.00
Compressione nel calcestruzzo: σ_c=15.19
CC 8 SLD (Collegamento 0025_-382)
Azioni sul collegamento: N=-7319.25 Ty=-3.80 Tz=-2.38 Mx=0.01 Mz=-2.21
Sollecitazioni agenti localmente: Tx_l=-3.80 Ty_l=-2.38 N_l=-7319.25 Mx_l=-0.00 My_l=-2.21 Mz_l=0.01
Taglio nei bulloni: Fv,Ed=0.76 Fv,Rd=9650.97
Rifollamento lato piastra: Fb,Ed,p=0.75 Fb,Rd,p=11711.10
Tirafondi:LT=0.45 (0.31) σ_{cR}=0.00 σ_{fR}=0.00
Compressione nel calcestruzzo: σ_c=15.25
CC 8 SLD (Collegamento 0025_-382)
Azioni sul collegamento: N=-7319.25 Ty=-2.77 Tz=-2.38 Mx=0.01 Mz=-1.24
Sollecitazioni agenti localmente: Tx_l=-2.77 Ty_l=-2.38 N_l=-7319.25 Mx_l=-0.00 My_l=-1.24 Mz_l=0.01
Taglio nei bulloni: Fv,Ed=0.62 Fv,Rd=9650.97
Rifollamento lato piastra: Fb,Ed,p=0.61 Fb,Rd,p=13824.40
Tirafondi:LT=0.45 (0.31) σ_{cR}=0.00 σ_{fR}=0.00
Compressione nel calcestruzzo: σ_c=15.19
CC 8 SLD (Collegamento 0025_-382)
Azioni sul collegamento: N=-5707.53 Ty=-3.80 Tz=3.62 Mx=0.01 Mz=-2.21
Sollecitazioni agenti localmente: Tx_l=-3.80 Ty_l=3.62 N_l=-5707.53 Mx_l=-0.00 My_l=-2.21 Mz_l=0.01
Taglio nei bulloni: Fv,Ed=0.88 Fv,Rd=9650.97
Rifollamento lato piastra: Fb,Ed,p=0.88 Fb,Rd,p=14672.60
Tirafondi:LT=0.45 (0.31) σ_{cR}=0.00 σ_{fR}=0.00
Compressione nel calcestruzzo: σ_c=11.92
CC 8 SLD (Collegamento 0025_-382)
Azioni sul collegamento: N=-5707.53 Ty=-2.77 Tz=3.62 Mx=0.01 Mz=-1.24
Sollecitazioni agenti localmente: Tx_l=-2.77 Ty_l=3.62 N_l=-5707.53 Mx_l=-0.00 My_l=-1.24 Mz_l=0.01
Taglio nei bulloni: Fv,Ed=0.77 Fv,Rd=9650.97

Rifollamento lato piastra: Fb,Ed,p=0.76 Fb,Rd,p=13258.90
Tirafondi:LT=0.45 (0.31) σ_{cR}=0.00 σ_{fR}=0.00
Compressione nel calcestruzzo: σ_c=11.86
CC 8 SLD (Collegamento 0025_-382)
Azioni sul collegamento: N=-5707.53 Ty=-3.80 Tz=-2.38 Mx=0.01 Mz=-2.21
Sollecitazioni agenti localmente: Tx_l=-3.80 Ty_l=-2.38 N_l=-5707.53 Mx_l=-0.00 My_l=-2.21 Mz_l=0.01
Taglio nei bulloni: Fv,Ed=0.76 Fv,Rd=9650.97
Rifollamento lato piastra: Fb,Ed,p=0.75 Fb,Rd,p=11711.50
Tirafondi:LT=0.45 (0.31) σ_{cR}=0.00 σ_{fR}=0.00
Compressione nel calcestruzzo: σ_c=11.92
CC 8 SLD (Collegamento 0025_-382)
Azioni sul collegamento: N=-5707.53 Ty=-2.77 Tz=-2.38 Mx=0.01 Mz=-1.24
Sollecitazioni agenti localmente: Tx_l=-2.77 Ty_l=-2.38 N_l=-5707.53 Mx_l=-0.00 My_l=-1.24 Mz_l=0.01
Taglio nei bulloni: Fv,Ed=0.62 Fv,Rd=9650.97
Rifollamento lato piastra: Fb,Ed,p=0.61 Fb,Rd,p=13824.70
Tirafondi:LT=0.45 (0.31) σ_{cR}=0.00 σ_{fR}=0.00
Compressione nel calcestruzzo: σ_c=11.86
CC 9 SLV (Collegamento 0025_-382)
Azioni sul collegamento: N=-5679.47 Ty=-3.91 Tz=-2.66 Mx=0.03 Mz=2.74
Sollecitazioni agenti localmente: Tx_l=-3.91 Ty_l=-2.66 N_l=-5679.47 Mx_l=-0.00 My_l=2.74 Mz_l=0.03
Taglio nei bulloni: Fv,Ed=0.83 Fv,Rd=7720.78
Rifollamento lato piastra: Fb,Ed,p=0.80 Fb,Rd,p=9374.40
Tirafondi:LT=0.45 (0.31) σ_{cR}=0.00 σ_{fR}=0.00
Compressione nel calcestruzzo: σ_c=11.89
CC 9 SLV (Collegamento 0025_-382)
Azioni sul collegamento: N=-5679.47 Ty=-0.97 Tz=-2.66 Mx=0.03 Mz=-2.02
Sollecitazioni agenti localmente: Tx_l=-0.97 Ty_l=-2.66 N_l=-5679.47 Mx_l=-0.00 My_l=-2.02 Mz_l=0.03
Taglio nei bulloni: Fv,Ed=0.51 Fv,Rd=7720.78
Rifollamento lato piastra: Fb,Ed,p=0.51 Fb,Rd,p=7446.08
Tirafondi:LT=0.45 (0.31) σ_{cR}=0.00 σ_{fR}=0.00
Compressione nel calcestruzzo: σ_c=11.85
CC 9 SLV (Collegamento 0025_-382)
Azioni sul collegamento: N=-5679.47 Ty=-3.91 Tz=3.63 Mx=0.03 Mz=2.74
Sollecitazioni agenti localmente: Tx_l=-3.91 Ty_l=3.63 N_l=-5679.47 Mx_l=-0.00 My_l=2.74 Mz_l=0.03
Taglio nei bulloni: Fv,Ed=0.93 Fv,Rd=7720.78
Rifollamento lato piastra: Fb,Ed,p=0.93 Fb,Rd,p=11623.60
Tirafondi:LT=0.45 (0.31) σ_{cR}=0.00 σ_{fR}=0.00
Compressione nel calcestruzzo: σ_c=11.89
CC 9 SLV (Collegamento 0025_-382)
Azioni sul collegamento: N=-5679.47 Ty=-0.97 Tz=3.63 Mx=0.03 Mz=-2.02
Sollecitazioni agenti localmente: Tx_l=-0.97 Ty_l=3.63 N_l=-5679.47 Mx_l=-0.00 My_l=-2.02 Mz_l=0.03
Taglio nei bulloni: Fv,Ed=0.66 Fv,Rd=7720.78
Rifollamento lato piastra: Fb,Ed,p=0.65 Fb,Rd,p=6378.24
Tirafondi:LT=0.45 (0.31) σ_{cR}=0.00 σ_{fR}=0.00
Compressione nel calcestruzzo: σ_c=11.85
CC 9 SLV (Collegamento 0025_-382)
Azioni sul collegamento: N=-7282.35 Ty=-3.91 Tz=-2.66 Mx=0.03 Mz=2.74
Sollecitazioni agenti localmente: Tx_l=-3.91 Ty_l=-2.66 N_l=-7282.35 Mx_l=-0.00 My_l=2.74 Mz_l=0.03
Taglio nei bulloni: Fv,Ed=0.83 Fv,Rd=7720.78
Rifollamento lato piastra: Fb,Ed,p=0.80 Fb,Rd,p=9374.12
Tirafondi:LT=0.45 (0.31) σ_{cR}=0.00 σ_{fR}=0.00
Compressione nel calcestruzzo: σ_c=15.20
CC 9 SLV (Collegamento 0025_-382)
Azioni sul collegamento: N=-7282.35 Ty=-0.97 Tz=-2.66 Mx=0.03 Mz=-2.02
Sollecitazioni agenti localmente: Tx_l=-0.97 Ty_l=-2.66 N_l=-7282.35 Mx_l=-0.00 My_l=-2.02 Mz_l=0.03
Taglio nei bulloni: Fv,Ed=0.51 Fv,Rd=7720.78
Rifollamento lato piastra: Fb,Ed,p=0.51 Fb,Rd,p=7446.18
Tirafondi:LT=0.45 (0.31) σ_{cR}=0.00 σ_{fR}=0.00
Compressione nel calcestruzzo: σ_c=15.16
CC 9 SLV (Collegamento 0025_-382)
Azioni sul collegamento: N=-7282.35 Ty=-3.91 Tz=3.63 Mx=0.03 Mz=2.74
Sollecitazioni agenti localmente: Tx_l=-3.91 Ty_l=3.63 N_l=-7282.35 Mx_l=-0.00 My_l=2.74 Mz_l=0.03
Taglio nei bulloni: Fv,Ed=0.93 Fv,Rd=7720.78
Rifollamento lato piastra: Fb,Ed,p=0.93 Fb,Rd,p=11623.50
Tirafondi:LT=0.45 (0.31) σ_{cR}=0.00 σ_{fR}=0.00
Compressione nel calcestruzzo: σ_c=15.20
CC 9 SLV (Collegamento 0025_-382)
Azioni sul collegamento: N=-7282.35 Ty=-0.97 Tz=3.63 Mx=0.03 Mz=-2.02
Sollecitazioni agenti localmente: Tx_l=-0.97 Ty_l=3.63 N_l=-7282.35 Mx_l=-0.00 My_l=-2.02 Mz_l=0.03
Taglio nei bulloni: Fv,Ed=0.66 Fv,Rd=7720.78
Rifollamento lato piastra: Fb,Ed,p=0.65 Fb,Rd,p=6378.26
Tirafondi:LT=0.45 (0.31) σ_{cR}=0.00 σ_{fR}=0.00
Compressione nel calcestruzzo: σ_c=15.16
CC 10 SLD (Collegamento 0025_-382)
Azioni sul collegamento: N=-6269.01 Ty=-2.84 Tz=-0.34 Mx=0.01 Mz=-0.99
Sollecitazioni agenti localmente: Tx_l=-2.84 Ty_l=-0.34 N_l=-6269.01 Mx_l=-0.00 My_l=-0.99 Mz_l=0.01
Taglio nei bulloni: Fv,Ed=0.49 Fv,Rd=9650.97
Rifollamento lato piastra: Fb,Ed,p=0.49 Fb,Rd,p=7574.82

Tirafondi:LT=0.45 (0.31) σ_{cR}=0.00 σ_{fR}=0.00
Compressione nel calcestruzzo: σ_c=13.01
CC 10 SLD (Collegamento 0025_-382)
Azioni sul collegamento: N=-6269.01 Ty=-3.73 Tz=-0.34 Mx=0.01 Mz=-2.45
Sollecitazioni agenti localmente: Tx_l=-3.73 Ty_l=-0.34 N_l=-6269.01 Mx_l=-0.00 My_l=-2.45 Mz_l=0.01
Taglio nei bulloni: Fv,Ed=0.64 Fv,Rd=9650.97
Rifollamento lato piastra: Fb,Ed,p=0.63 Fb,Rd,p=7532.90
Tirafondi:LT=0.45 (0.31) σ_{cR}=0.00 σ_{fR}=0.00
Compressione nel calcestruzzo: σ_c=13.09
CC 10 SLD (Collegamento 0025_-382)
Azioni sul collegamento: N=-6269.00 Ty=-2.84 Tz=1.57 Mx=0.01 Mz=-0.99
Sollecitazioni agenti localmente: Tx_l=-2.84 Ty_l=1.57 N_l=-6269.00 Mx_l=-0.00 My_l=-0.99 Mz_l=0.01
Taglio nei bulloni: Fv,Ed=0.56 Fv,Rd=9650.97
Rifollamento lato piastra: Fb,Ed,p=0.56 Fb,Rd,p=11095.60
Tirafondi:LT=0.45 (0.31) σ_{cR}=0.00 σ_{fR}=0.00
Compressione nel calcestruzzo: σ_c=13.01
CC 10 SLD (Collegamento 0025_-382)
Azioni sul collegamento: N=-6269.00 Ty=-3.73 Tz=1.57 Mx=0.01 Mz=-2.45
Sollecitazioni agenti localmente: Tx_l=-3.73 Ty_l=1.57 N_l=-6269.00 Mx_l=-0.00 My_l=-2.45 Mz_l=0.01
Taglio nei bulloni: Fv,Ed=0.69 Fv,Rd=9650.97
Rifollamento lato piastra: Fb,Ed,p=0.69 Fb,Rd,p=9573.30
Tirafondi:LT=0.45 (0.31) σ_{cR}=0.00 σ_{fR}=0.00
Compressione nel calcestruzzo: σ_c=13.09
CC 10 SLD (Collegamento 0025_-382)
Azioni sul collegamento: N=-6757.78 Ty=-2.84 Tz=-0.34 Mx=0.01 Mz=-0.99
Sollecitazioni agenti localmente: Tx_l=-2.84 Ty_l=-0.34 N_l=-6757.78 Mx_l=-0.00 My_l=-0.99 Mz_l=0.01
Taglio nei bulloni: Fv,Ed=0.49 Fv,Rd=9650.97
Rifollamento lato piastra: Fb,Ed,p=0.49 Fb,Rd,p=7574.72
Tirafondi:LT=0.45 (0.31) σ_{cR}=0.00 σ_{fR}=0.00
Compressione nel calcestruzzo: σ_c=14.02
CC 10 SLD (Collegamento 0025_-382)
Azioni sul collegamento: N=-6757.78 Ty=-3.73 Tz=-0.34 Mx=0.01 Mz=-2.45
Sollecitazioni agenti localmente: Tx_l=-3.73 Ty_l=-0.34 N_l=-6757.78 Mx_l=-0.00 My_l=-2.45 Mz_l=0.01
Taglio nei bulloni: Fv,Ed=0.64 Fv,Rd=9650.97
Rifollamento lato piastra: Fb,Ed,p=0.63 Fb,Rd,p=7532.85
Tirafondi:LT=0.45 (0.31) σ_{cR}=0.00 σ_{fR}=0.00
Compressione nel calcestruzzo: σ_c=14.10
CC 10 SLD (Collegamento 0025_-382)
Azioni sul collegamento: N=-6757.78 Ty=-2.84 Tz=1.57 Mx=0.01 Mz=-0.99
Sollecitazioni agenti localmente: Tx_l=-2.84 Ty_l=1.57 N_l=-6757.78 Mx_l=-0.00 My_l=-0.99 Mz_l=0.01
Taglio nei bulloni: Fv,Ed=0.56 Fv,Rd=9650.97
Rifollamento lato piastra: Fb,Ed,p=0.56 Fb,Rd,p=11095.30
Tirafondi:LT=0.45 (0.31) σ_{cR}=0.00 σ_{fR}=0.00
Compressione nel calcestruzzo: σ_c=14.02
CC 10 SLD (Collegamento 0025_-382)
Azioni sul collegamento: N=-6757.78 Ty=-3.73 Tz=1.57 Mx=0.01 Mz=-2.45
Sollecitazioni agenti localmente: Tx_l=-3.73 Ty_l=1.57 N_l=-6757.78 Mx_l=-0.00 My_l=-2.45 Mz_l=0.01
Taglio nei bulloni: Fv,Ed=0.69 Fv,Rd=9650.97
Rifollamento lato piastra: Fb,Ed,p=0.69 Fb,Rd,p=9573.14
Tirafondi:LT=0.45 (0.31) σ_{cR}=0.00 σ_{fR}=0.00
Compressione nel calcestruzzo: σ_c=14.10
CC 11 SLV (Collegamento 0025_-382)
Azioni sul collegamento: N=-7263.41 Ty=-3.09 Tz=3.21 Mx=0.02 Mz=2.17
Sollecitazioni agenti localmente: Tx_l=-3.09 Ty_l=3.21 N_l=-7263.41 Mx_l=-0.00 My_l=2.17 Mz_l=0.02
Taglio nei bulloni: Fv,Ed=0.78 Fv,Rd=7720.78
Rifollamento lato piastra: Fb,Ed,p=0.74 Fb,Rd,p=11258.90
Tirafondi:LT=0.45 (0.31) σ_{cR}=0.00 σ_{fR}=0.00
Compressione nel calcestruzzo: σ_c=15.13
CC 11 SLV (Collegamento 0025_-382)
Azioni sul collegamento: N=-7263.41 Ty=-1.79 Tz=3.21 Mx=0.02 Mz=-1.45
Sollecitazioni agenti localmente: Tx_l=-1.79 Ty_l=3.21 N_l=-7263.41 Mx_l=-0.00 My_l=-1.45 Mz_l=0.02
Taglio nei bulloni: Fv,Ed=0.65 Fv,Rd=7720.78
Rifollamento lato piastra: Fb,Ed,p=0.62 Fb,Rd,p=8090.12
Tirafondi:LT=0.45 (0.31) σ_{cR}=0.00 σ_{fR}=0.00
Compressione nel calcestruzzo: σ_c=15.09
CC 11 SLV (Collegamento 0025_-382)
Azioni sul collegamento: N=-7263.41 Ty=-3.09 Tz=-2.23 Mx=0.02 Mz=2.17
Sollecitazioni agenti localmente: Tx_l=-3.09 Ty_l=-2.23 N_l=-7263.41 Mx_l=-0.00 My_l=2.17 Mz_l=0.02
Taglio nei bulloni: Fv,Ed=0.67 Fv,Rd=7720.78
Rifollamento lato piastra: Fb,Ed,p=0.64 Fb,Rd,p=9665.12
Tirafondi:LT=0.45 (0.31) σ_{cR}=0.00 σ_{fR}=0.00
Compressione nel calcestruzzo: σ_c=15.13
CC 11 SLV (Collegamento 0025_-382)
Azioni sul collegamento: N=-7263.41 Ty=-1.79 Tz=-2.23 Mx=0.02 Mz=-1.45
Sollecitazioni agenti localmente: Tx_l=-1.79 Ty_l=-2.23 N_l=-7263.41 Mx_l=-0.00 My_l=-1.45 Mz_l=0.02
Taglio nei bulloni: Fv,Ed=0.51 Fv,Rd=7720.78
Rifollamento lato piastra: Fb,Ed,p=0.51 Fb,Rd,p=10973.30
Tirafondi:LT=0.45 (0.31) σ_{cR}=0.00 σ_{fR}=0.00

Compressione nel calcestruzzo: σ_c=15.09
CC 11 SLV (Collegamento 0025_-382)
Azioni sul collegamento: N=-5698.41 Ty=-3.09 Tz=3.21 Mx=0.02 Mz=2.17
Sollecitazioni agenti localmente: Tx_l=-3.09 Ty_l=3.21 N_l=-5698.41 Mx_l=-0.00 My_l=2.17 Mz_l=0.02
Taglio nei bulloni: Fv,Ed=0.78 Fv,Rd=7720.78
Rifollamento lato piastra: Fb,Ed,p=0.74 Fb,Rd,p=11259.20
Tirafondi:LT=0.45 (0.31) σ_{cR}=0.00 σ_{fR}=0.00
Compressione nel calcestruzzo: σ_c=11.90
CC 11 SLV (Collegamento 0025_-382)
Azioni sul collegamento: N=-5698.41 Ty=-1.79 Tz=3.21 Mx=0.02 Mz=-1.45
Sollecitazioni agenti localmente: Tx_l=-1.79 Ty_l=3.21 N_l=-5698.41 Mx_l=-0.00 My_l=-1.45 Mz_l=0.02
Taglio nei bulloni: Fv,Ed=0.65 Fv,Rd=7720.78
Rifollamento lato piastra: Fb,Ed,p=0.62 Fb,Rd,p=8090.39
Tirafondi:LT=0.45 (0.31) σ_{cR}=0.00 σ_{fR}=0.00
Compressione nel calcestruzzo: σ_c=11.86
CC 11 SLV (Collegamento 0025_-382)
Azioni sul collegamento: N=-5698.41 Ty=-3.09 Tz=-2.23 Mx=0.02 Mz=2.17
Sollecitazioni agenti localmente: Tx_l=-3.09 Ty_l=-2.23 N_l=-5698.41 Mx_l=-0.00 My_l=2.17 Mz_l=0.02
Taglio nei bulloni: Fv,Ed=0.67 Fv,Rd=7720.78
Rifollamento lato piastra: Fb,Ed,p=0.64 Fb,Rd,p=9665.87
Tirafondi:LT=0.45 (0.31) σ_{cR}=0.00 σ_{fR}=0.00
Compressione nel calcestruzzo: σ_c=11.90
CC 11 SLV (Collegamento 0025_-382)
Azioni sul collegamento: N=-5698.41 Ty=-1.79 Tz=-2.23 Mx=0.02 Mz=-1.45
Sollecitazioni agenti localmente: Tx_l=-1.79 Ty_l=-2.23 N_l=-5698.41 Mx_l=-0.00 My_l=-1.45 Mz_l=0.02
Taglio nei bulloni: Fv,Ed=0.51 Fv,Rd=7720.78
Rifollamento lato piastra: Fb,Ed,p=0.51 Fb,Rd,p=10973.00
Tirafondi:LT=0.45 (0.31) σ_{cR}=0.00 σ_{fR}=0.00
Compressione nel calcestruzzo: σ_c=11.86
CC 12 SLD (Collegamento 0025_-382)
Azioni sul collegamento: N=-6752.00 Ty=-3.09 Tz=1.44 Mx=0.01 Mz=-1.17
Sollecitazioni agenti localmente: Tx_l=-3.09 Ty_l=1.44 N_l=-6752.00 Mx_l=-0.00 My_l=-1.17 Mz_l=0.01
Taglio nei bulloni: Fv,Ed=0.58 Fv,Rd=9650.97
Rifollamento lato piastra: Fb,Ed,p=0.58 Fb,Rd,p=10058.50
Tirafondi:LT=0.45 (0.31) σ_{cR}=0.00 σ_{fR}=0.00
Compressione nel calcestruzzo: σ_c=14.02
CC 12 SLD (Collegamento 0025_-382)
Azioni sul collegamento: N=-6752.00 Ty=-3.48 Tz=1.44 Mx=0.01 Mz=-2.27
Sollecitazioni agenti localmente: Tx_l=-3.48 Ty_l=1.44 N_l=-6752.00 Mx_l=-0.00 My_l=-2.27 Mz_l=0.01
Taglio nei bulloni: Fv,Ed=0.64 Fv,Rd=9650.97
Rifollamento lato piastra: Fb,Ed,p=0.64 Fb,Rd,p=9507.66
Tirafondi:LT=0.45 (0.31) σ_{cR}=0.00 σ_{fR}=0.00
Compressione nel calcestruzzo: σ_c=14.08
CC 12 SLD (Collegamento 0025_-382)
Azioni sul collegamento: N=-6752.00 Ty=-3.09 Tz=-0.21 Mx=0.01 Mz=-1.17
Sollecitazioni agenti localmente: Tx_l=-3.09 Ty_l=-0.21 N_l=-6752.00 Mx_l=-0.00 My_l=-1.17 Mz_l=0.01
Taglio nei bulloni: Fv,Ed=0.53 Fv,Rd=9650.97
Rifollamento lato piastra: Fb,Ed,p=0.53 Fb,Rd,p=7498.57
Tirafondi:LT=0.45 (0.31) σ_{cR}=0.00 σ_{fR}=0.00
Compressione nel calcestruzzo: σ_c=14.02
CC 12 SLD (Collegamento 0025_-382)
Azioni sul collegamento: N=-6752.00 Ty=-3.48 Tz=-0.21 Mx=0.01 Mz=-2.27
Sollecitazioni agenti localmente: Tx_l=-3.48 Ty_l=-0.21 N_l=-6752.00 Mx_l=-0.00 My_l=-2.27 Mz_l=0.01
Taglio nei bulloni: Fv,Ed=0.59 Fv,Rd=9650.97
Rifollamento lato piastra: Fb,Ed,p=0.59 Fb,Rd,p=7493.39
Tirafondi:LT=0.45 (0.31) σ_{cR}=0.00 σ_{fR}=0.00
Compressione nel calcestruzzo: σ_c=14.08
CC 12 SLD (Collegamento 0025_-382)
Azioni sul collegamento: N=-6274.78 Ty=-3.09 Tz=1.44 Mx=0.01 Mz=-1.17
Sollecitazioni agenti localmente: Tx_l=-3.09 Ty_l=1.44 N_l=-6274.78 Mx_l=-0.00 My_l=-1.17 Mz_l=0.01
Taglio nei bulloni: Fv,Ed=0.58 Fv,Rd=9650.97
Rifollamento lato piastra: Fb,Ed,p=0.58 Fb,Rd,p=10058.60
Tirafondi:LT=0.45 (0.31) σ_{cR}=0.00 σ_{fR}=0.00
Compressione nel calcestruzzo: σ_c=13.03
CC 12 SLD (Collegamento 0025_-382)
Azioni sul collegamento: N=-6274.78 Ty=-3.48 Tz=1.44 Mx=0.01 Mz=-2.27
Sollecitazioni agenti localmente: Tx_l=-3.48 Ty_l=1.44 N_l=-6274.78 Mx_l=-0.00 My_l=-2.27 Mz_l=0.01
Taglio nei bulloni: Fv,Ed=0.64 Fv,Rd=9650.97
Rifollamento lato piastra: Fb,Ed,p=0.64 Fb,Rd,p=9507.75
Tirafondi:LT=0.45 (0.31) σ_{cR}=0.00 σ_{fR}=0.00
Compressione nel calcestruzzo: σ_c=13.09
CC 12 SLD (Collegamento 0025_-382)
Azioni sul collegamento: N=-6274.78 Ty=-3.09 Tz=-0.21 Mx=0.01 Mz=-1.17
Sollecitazioni agenti localmente: Tx_l=-3.09 Ty_l=-0.21 N_l=-6274.78 Mx_l=-0.00 My_l=-1.17 Mz_l=0.01
Taglio nei bulloni: Fv,Ed=0.53 Fv,Rd=9650.97
Rifollamento lato piastra: Fb,Ed,p=0.53 Fb,Rd,p=7498.60
Tirafondi:LT=0.45 (0.31) σ_{cR}=0.00 σ_{fR}=0.00
Compressione nel calcestruzzo: σ_c=13.03

CC 12 SLD (Collegamento 0025_-382)
Azioni sul collegamento: N=-6274.78 Ty=-3.48 Tz=-0.21 Mx=0.01 Mz=-2.27
Sollecitazioni agenti localmente: Tx_l=-3.48 Ty_l=-0.21 N_l=-6274.78 Mx_l=-0.00 My_l=-2.27 Mz_l=0.01
Taglio nei bulloni: Fv,Ed=0.59 Fv,Rd=9650.97
Rifollamento lato piastra: Fb,Ed,p=0.59 Fb,Rd,p=7493.41
Tirafondi:LT=0.45 (0.31) σ_{cR}=0.00 σ_{fR}=0.00
Compressione nel calcestruzzo: σ_c=13.09
CC 13 SLV (Collegamento 0025_-382)
Azioni sul collegamento: N=-5698.41 Ty=-1.79 Tz=-2.23 Mx=0.01 Mz=-1.45
Sollecitazioni agenti localmente: Tx_l=-1.79 Ty_l=-2.23 N_l=-5698.41 Mx_l=-0.00 My_l=-1.45 Mz_l=0.01
Taglio nei bulloni: Fv,Ed=0.49 Fv,Rd=7720.78
Rifollamento lato piastra: Fb,Ed,p=0.49 Fb,Rd,p=10930.00
Tirafondi:LT=0.45 (0.31) σ_{cR}=0.00 σ_{fR}=0.00
Compressione nel calcestruzzo: σ_c=11.86
CC 13 SLV (Collegamento 0025_-382)
Azioni sul collegamento: N=-5698.41 Ty=-3.09 Tz=-2.23 Mx=0.01 Mz=2.17
Sollecitazioni agenti localmente: Tx_l=-3.09 Ty_l=-2.23 N_l=-5698.41 Mx_l=-0.00 My_l=2.17 Mz_l=0.01
Taglio nei bulloni: Fv,Ed=0.65 Fv,Rd=7720.78
Rifollamento lato piastra: Fb,Ed,p=0.64 Fb,Rd,p=10310.80
Tirafondi:LT=0.45 (0.31) σ_{cR}=0.00 σ_{fR}=0.00
Compressione nel calcestruzzo: σ_c=11.90
CC 13 SLV (Collegamento 0025_-382)
Azioni sul collegamento: N=-5698.41 Ty=-1.79 Tz=3.21 Mx=0.01 Mz=-1.45
Sollecitazioni agenti localmente: Tx_l=-1.79 Ty_l=3.21 N_l=-5698.41 Mx_l=-0.00 My_l=-1.45 Mz_l=0.01
Taglio nei bulloni: Fv,Ed=0.63 Fv,Rd=7720.78
Rifollamento lato piastra: Fb,Ed,p=0.62 Fb,Rd,p=8514.20
Tirafondi:LT=0.45 (0.31) σ_{cR}=0.00 σ_{fR}=0.00
Compressione nel calcestruzzo: σ_c=11.86
CC 13 SLV (Collegamento 0025_-382)
Azioni sul collegamento: N=-5698.41 Ty=-3.09 Tz=3.21 Mx=0.01 Mz=2.17
Sollecitazioni agenti localmente: Tx_l=-3.09 Ty_l=3.21 N_l=-5698.41 Mx_l=-0.00 My_l=2.17 Mz_l=0.01
Taglio nei bulloni: Fv,Ed=0.76 Fv,Rd=7720.78
Rifollamento lato piastra: Fb,Ed,p=0.74 Fb,Rd,p=11585.00
Tirafondi:LT=0.45 (0.31) σ_{cR}=0.00 σ_{fR}=0.00
Compressione nel calcestruzzo: σ_c=11.90
CC 13 SLV (Collegamento 0025_-382)
Azioni sul collegamento: N=-7263.41 Ty=-1.79 Tz=-2.23 Mx=0.01 Mz=-1.45
Sollecitazioni agenti localmente: Tx_l=-1.79 Ty_l=-2.23 N_l=-7263.41 Mx_l=-0.00 My_l=-1.45 Mz_l=0.01
Taglio nei bulloni: Fv,Ed=0.49 Fv,Rd=7720.78
Rifollamento lato piastra: Fb,Ed,p=0.49 Fb,Rd,p=10930.40
Tirafondi:LT=0.45 (0.31) σ_{cR}=0.00 σ_{fR}=0.00
Compressione nel calcestruzzo: σ_c=15.09
CC 13 SLV (Collegamento 0025_-382)
Azioni sul collegamento: N=-7263.41 Ty=-3.09 Tz=-2.23 Mx=0.01 Mz=2.17
Sollecitazioni agenti localmente: Tx_l=-3.09 Ty_l=-2.23 N_l=-7263.41 Mx_l=-0.00 My_l=2.17 Mz_l=0.01
Taglio nei bulloni: Fv,Ed=0.65 Fv,Rd=7720.78
Rifollamento lato piastra: Fb,Ed,p=0.64 Fb,Rd,p=10309.90
Tirafondi:LT=0.45 (0.31) σ_{cR}=0.00 σ_{fR}=0.00
Compressione nel calcestruzzo: σ_c=15.13
CC 13 SLV (Collegamento 0025_-382)
Azioni sul collegamento: N=-7263.41 Ty=-1.79 Tz=3.21 Mx=0.01 Mz=-1.45
Sollecitazioni agenti localmente: Tx_l=-1.79 Ty_l=3.21 N_l=-7263.41 Mx_l=-0.00 My_l=-1.45 Mz_l=0.01
Taglio nei bulloni: Fv,Ed=0.63 Fv,Rd=7720.78
Rifollamento lato piastra: Fb,Ed,p=0.62 Fb,Rd,p=8513.87
Tirafondi:LT=0.45 (0.31) σ_{cR}=0.00 σ_{fR}=0.00
Compressione nel calcestruzzo: σ_c=15.09
CC 13 SLV (Collegamento 0025_-382)
Azioni sul collegamento: N=-7263.41 Ty=-3.09 Tz=3.21 Mx=0.01 Mz=2.17
Sollecitazioni agenti localmente: Tx_l=-3.09 Ty_l=3.21 N_l=-7263.41 Mx_l=-0.00 My_l=2.17 Mz_l=0.01
Taglio nei bulloni: Fv,Ed=0.76 Fv,Rd=7720.78
Rifollamento lato piastra: Fb,Ed,p=0.74 Fb,Rd,p=11584.60
Tirafondi:LT=0.45 (0.31) σ_{cR}=0.00 σ_{fR}=0.00
Compressione nel calcestruzzo: σ_c=15.13
CC 14 SLD (Collegamento 0025_-382)
Azioni sul collegamento: N=-6274.78 Ty=-3.48 Tz=-0.21 Mx=0.01 Mz=-2.27
Sollecitazioni agenti localmente: Tx_l=-3.48 Ty_l=-0.21 N_l=-6274.78 Mx_l=-0.00 My_l=-2.27 Mz_l=0.01
Taglio nei bulloni: Fv,Ed=0.59 Fv,Rd=9650.97
Rifollamento lato piastra: Fb,Ed,p=0.59 Fb,Rd,p=7502.75
Tirafondi:LT=0.45 (0.31) σ_{cR}=0.00 σ_{fR}=0.00
Compressione nel calcestruzzo: σ_c=13.09
CC 14 SLD (Collegamento 0025_-382)
Azioni sul collegamento: N=-6274.78 Ty=-3.09 Tz=-0.21 Mx=0.01 Mz=-1.17
Sollecitazioni agenti localmente: Tx_l=-3.09 Ty_l=-0.21 N_l=-6274.78 Mx_l=-0.00 My_l=-1.17 Mz_l=0.01
Taglio nei bulloni: Fv,Ed=0.52 Fv,Rd=9650.97
Rifollamento lato piastra: Fb,Ed,p=0.52 Fb,Rd,p=7510.51
Tirafondi:LT=0.45 (0.31) σ_{cR}=0.00 σ_{fR}=0.00
Compressione nel calcestruzzo: σ_c=13.03
CC 14 SLD (Collegamento 0025_-382)

Azioni sul collegamento: N=-6274.78 Ty=-3.48 Tz=1.44 Mx=0.01 Mz=-2.27
Sollecitazioni agenti localmente: Tx_l=-3.48 Ty_l=1.44 N_l=-6274.78 Mx_l=-0.00 My_l=-2.27 Mz_l=0.01
Taglio nei bulloni: Fv,Ed=0.64 Fv,Rd=9650.97
Rifollamento lato piastra: Fb,Ed,p=0.64 Fb,Rd,p=9459.66
Tirafondi:LT=0.45 (0.31) σ_{cR}=0.00 σ_{fR}=0.00
Compressione nel calcestruzzo: σ_c=13.09
CC 14 SLD (Collegamento 0025_-382)
Azioni sul collegamento: N=-6274.78 Ty=-3.09 Tz=1.44 Mx=0.01 Mz=-1.17
Sollecitazioni agenti localmente: Tx_l=-3.09 Ty_l=1.44 N_l=-6274.78 Mx_l=-0.00 My_l=-1.17 Mz_l=0.01
Taglio nei bulloni: Fv,Ed=0.58 Fv,Rd=9650.97
Rifollamento lato piastra: Fb,Ed,p=0.58 Fb,Rd,p=10002.90
Tirafondi:LT=0.45 (0.31) σ_{cR}=0.00 σ_{fR}=0.00
Compressione nel calcestruzzo: σ_c=13.03
CC 14 SLD (Collegamento 0025_-382)
Azioni sul collegamento: N=-6752.00 Ty=-3.48 Tz=-0.21 Mx=0.01 Mz=-2.27
Sollecitazioni agenti localmente: Tx_l=-3.48 Ty_l=-0.21 N_l=-6752.00 Mx_l=-0.00 My_l=-2.27 Mz_l=0.01
Taglio nei bulloni: Fv,Ed=0.59 Fv,Rd=9650.97
Rifollamento lato piastra: Fb,Ed,p=0.59 Fb,Rd,p=7502.72
Tirafondi:LT=0.45 (0.31) σ_{cR}=0.00 σ_{fR}=0.00
Compressione nel calcestruzzo: σ_c=14.08
CC 14 SLD (Collegamento 0025_-382)
Azioni sul collegamento: N=-6752.00 Ty=-3.09 Tz=-0.21 Mx=0.01 Mz=-1.17
Sollecitazioni agenti localmente: Tx_l=-3.09 Ty_l=-0.21 N_l=-6752.00 Mx_l=-0.00 My_l=-1.17 Mz_l=0.01
Taglio nei bulloni: Fv,Ed=0.52 Fv,Rd=9650.97
Rifollamento lato piastra: Fb,Ed,p=0.52 Fb,Rd,p=7510.47
Tirafondi:LT=0.45 (0.31) σ_{cR}=0.00 σ_{fR}=0.00
Compressione nel calcestruzzo: σ_c=14.02
CC 14 SLD (Collegamento 0025_-382)
Azioni sul collegamento: N=-6752.00 Ty=-3.48 Tz=1.44 Mx=0.01 Mz=-2.27
Sollecitazioni agenti localmente: Tx_l=-3.48 Ty_l=1.44 N_l=-6752.00 Mx_l=-0.00 My_l=-2.27 Mz_l=0.01
Taglio nei bulloni: Fv,Ed=0.64 Fv,Rd=9650.97
Rifollamento lato piastra: Fb,Ed,p=0.64 Fb,Rd,p=9459.58
Tirafondi:LT=0.45 (0.31) σ_{cR}=0.00 σ_{fR}=0.00
Compressione nel calcestruzzo: σ_c=14.08
CC 14 SLD (Collegamento 0025_-382)
Azioni sul collegamento: N=-6752.00 Ty=-3.09 Tz=1.44 Mx=0.01 Mz=-1.17
Sollecitazioni agenti localmente: Tx_l=-3.09 Ty_l=1.44 N_l=-6752.00 Mx_l=-0.00 My_l=-1.17 Mz_l=0.01
Taglio nei bulloni: Fv,Ed=0.58 Fv,Rd=9650.97
Rifollamento lato piastra: Fb,Ed,p=0.58 Fb,Rd,p=10002.80
Tirafondi:LT=0.45 (0.31) σ_{cR}=0.00 σ_{fR}=0.00
Compressione nel calcestruzzo: σ_c=14.02
CC 15 SLV (Collegamento 0025_-382)
Azioni sul collegamento: N=-7282.35 Ty=-0.97 Tz=3.63 Mx=0.01 Mz=-2.02
Sollecitazioni agenti localmente: Tx_l=-0.97 Ty_l=3.63 N_l=-7282.35 Mx_l=-0.00 My_l=-2.02 Mz_l=0.01
Taglio nei bulloni: Fv,Ed=0.64 Fv,Rd=7720.78
Rifollamento lato piastra: Fb,Ed,p=0.63 Fb,Rd,p=6531.54
Tirafondi:LT=0.45 (0.31) σ_{cR}=0.00 σ_{fR}=0.00
Compressione nel calcestruzzo: σ_c=15.16
CC 15 SLV (Collegamento 0025_-382)
Azioni sul collegamento: N=-7282.35 Ty=-3.91 Tz=3.63 Mx=0.01 Mz=2.74
Sollecitazioni agenti localmente: Tx_l=-3.91 Ty_l=3.63 N_l=-7282.35 Mx_l=-0.00 My_l=2.74 Mz_l=0.01
Taglio nei bulloni: Fv,Ed=0.90 Fv,Rd=7720.78
Rifollamento lato piastra: Fb,Ed,p=0.90 Fb,Rd,p=11612.40
Tirafondi:LT=0.45 (0.31) σ_{cR}=0.00 σ_{fR}=0.00
Compressione nel calcestruzzo: σ_c=15.20
CC 15 SLV (Collegamento 0025_-382)
Azioni sul collegamento: N=-7282.35 Ty=-0.97 Tz=-2.66 Mx=0.01 Mz=-2.02
Sollecitazioni agenti localmente: Tx_l=-0.97 Ty_l=-2.66 N_l=-7282.35 Mx_l=-0.00 My_l=-2.02 Mz_l=0.01
Taglio nei bulloni: Fv,Ed=0.48 Fv,Rd=7720.78
Rifollamento lato piastra: Fb,Ed,p=0.48 Fb,Rd,p=7269.52
Tirafondi:LT=0.45 (0.31) σ_{cR}=0.00 σ_{fR}=0.00
Compressione nel calcestruzzo: σ_c=15.16
CC 15 SLV (Collegamento 0025_-382)
Azioni sul collegamento: N=-7282.35 Ty=-3.91 Tz=-2.66 Mx=0.01 Mz=2.74
Sollecitazioni agenti localmente: Tx_l=-3.91 Ty_l=-2.66 N_l=-7282.35 Mx_l=-0.00 My_l=2.74 Mz_l=0.01
Taglio nei bulloni: Fv,Ed=0.80 Fv,Rd=7720.78
Rifollamento lato piastra: Fb,Ed,p=0.79 Fb,Rd,p=9918.10
Tirafondi:LT=0.45 (0.31) σ_{cR}=0.00 σ_{fR}=0.00
Compressione nel calcestruzzo: σ_c=15.20
CC 15 SLV (Collegamento 0025_-382)
Azioni sul collegamento: N=-5679.47 Ty=-0.97 Tz=3.63 Mx=0.01 Mz=-2.02
Sollecitazioni agenti localmente: Tx_l=-0.97 Ty_l=3.63 N_l=-5679.47 Mx_l=-0.00 My_l=-2.02 Mz_l=0.01
Taglio nei bulloni: Fv,Ed=0.64 Fv,Rd=7720.78
Rifollamento lato piastra: Fb,Ed,p=0.63 Fb,Rd,p=6531.51
Tirafondi:LT=0.45 (0.31) σ_{cR}=0.00 σ_{fR}=0.00
Compressione nel calcestruzzo: σ_c=11.85
CC 15 SLV (Collegamento 0025_-382)
Azioni sul collegamento: N=-5679.47 Ty=-3.91 Tz=3.63 Mx=0.01 Mz=2.74

Sollecitazioni agenti localmente: Tx_l=-3.91 Ty_l=3.63 N_l=-5679.47 Mx_l=-0.00 My_l=2.74 Mz_l=0.01
Taglio nei bulloni: Fv,Ed=0.90 Fv,Rd=7720.78
Rifollamento lato piastra: Fb,Ed,p=0.90 Fb,Rd,p=11612.50
Tirafondi:LT=0.45 (0.31) σ_{cR}=0.00 σ_{fR}=0.00
Compressione nel calcestruzzo: σ_c=11.89
CC 15 SLV (Collegamento 0025_-382)
Azioni sul collegamento: N=-5679.47 Ty=-0.97 Tz=-2.66 Mx=0.01 Mz=-2.02
Sollecitazioni agenti localmente: Tx_l=-0.97 Ty_l=-2.66 N_l=-5679.47 Mx_l=-0.00 My_l=-2.02 Mz_l=0.01
Taglio nei bulloni: Fv,Ed=0.48 Fv,Rd=7720.78
Rifollamento lato piastra: Fb,Ed,p=0.48 Fb,Rd,p=7269.43
Tirafondi:LT=0.45 (0.31) σ_{cR}=0.00 σ_{fR}=0.00
Compressione nel calcestruzzo: σ_c=11.85
CC 15 SLV (Collegamento 0025_-382)
Azioni sul collegamento: N=-5679.47 Ty=-3.91 Tz=-2.66 Mx=0.01 Mz=2.74
Sollecitazioni agenti localmente: Tx_l=-3.91 Ty_l=-2.66 N_l=-5679.47 Mx_l=-0.00 My_l=2.74 Mz_l=0.01
Taglio nei bulloni: Fv,Ed=0.80 Fv,Rd=7720.78
Rifollamento lato piastra: Fb,Ed,p=0.79 Fb,Rd,p=9918.42
Tirafondi:LT=0.45 (0.31) σ_{cR}=0.00 σ_{fR}=0.00
Compressione nel calcestruzzo: σ_c=11.89
CC 16 SLD (Collegamento 0025_-382)
Azioni sul collegamento: N=-6757.78 Ty=-3.73 Tz=1.57 Mx=0.00 Mz=-2.45
Sollecitazioni agenti localmente: Tx_l=-3.73 Ty_l=1.57 N_l=-6757.78 Mx_l=-0.00 My_l=-2.45 Mz_l=0.00
Taglio nei bulloni: Fv,Ed=0.68 Fv,Rd=9650.97
Rifollamento lato piastra: Fb,Ed,p=0.68 Fb,Rd,p=9522.20
Tirafondi:LT=0.45 (0.31) σ_{cR}=0.00 σ_{fR}=0.00
Compressione nel calcestruzzo: σ_c=14.10
CC 16 SLD (Collegamento 0025_-382)
Azioni sul collegamento: N=-6757.78 Ty=-2.84 Tz=1.57 Mx=0.00 Mz=-0.99
Sollecitazioni agenti localmente: Tx_l=-2.84 Ty_l=1.57 N_l=-6757.78 Mx_l=-0.00 My_l=-0.99 Mz_l=0.00
Taglio nei bulloni: Fv,Ed=0.55 Fv,Rd=9650.97
Rifollamento lato piastra: Fb,Ed,p=0.55 Fb,Rd,p=11027.30
Tirafondi:LT=0.45 (0.31) σ_{cR}=0.00 σ_{fR}=0.00
Compressione nel calcestruzzo: σ_c=14.02
CC 16 SLD (Collegamento 0025_-382)
Azioni sul collegamento: N=-6757.78 Ty=-3.73 Tz=-0.34 Mx=0.00 Mz=-2.45
Sollecitazioni agenti localmente: Tx_l=-3.73 Ty_l=-0.34 N_l=-6757.78 Mx_l=-0.00 My_l=-2.45 Mz_l=0.00
Taglio nei bulloni: Fv,Ed=0.63 Fv,Rd=9650.97
Rifollamento lato piastra: Fb,Ed,p=0.63 Fb,Rd,p=7549.85
Tirafondi:LT=0.45 (0.31) σ_{cR}=0.00 σ_{fR}=0.00
Compressione nel calcestruzzo: σ_c=14.10
CC 16 SLD (Collegamento 0025_-382)
Azioni sul collegamento: N=-6757.78 Ty=-2.84 Tz=-0.34 Mx=0.00 Mz=-0.99
Sollecitazioni agenti localmente: Tx_l=-2.84 Ty_l=-0.34 N_l=-6757.78 Mx_l=-0.00 My_l=-0.99 Mz_l=0.00
Taglio nei bulloni: Fv,Ed=0.48 Fv,Rd=9650.97
Rifollamento lato piastra: Fb,Ed,p=0.48 Fb,Rd,p=7604.57
Tirafondi:LT=0.45 (0.31) σ_{cR}=0.00 σ_{fR}=0.00
Compressione nel calcestruzzo: σ_c=14.02
CC 16 SLD (Collegamento 0025_-382)
Azioni sul collegamento: N=-6269.00 Ty=-3.73 Tz=1.57 Mx=0.00 Mz=-2.45
Sollecitazioni agenti localmente: Tx_l=-3.73 Ty_l=1.57 N_l=-6269.00 Mx_l=-0.00 My_l=-2.45 Mz_l=0.00
Taglio nei bulloni: Fv,Ed=0.68 Fv,Rd=9650.97
Rifollamento lato piastra: Fb,Ed,p=0.68 Fb,Rd,p=9522.36
Tirafondi:LT=0.45 (0.31) σ_{cR}=0.00 σ_{fR}=0.00
Compressione nel calcestruzzo: σ_c=13.09
CC 16 SLD (Collegamento 0025_-382)
Azioni sul collegamento: N=-6269.00 Ty=-2.84 Tz=1.57 Mx=0.00 Mz=-0.99
Sollecitazioni agenti localmente: Tx_l=-2.84 Ty_l=1.57 N_l=-6269.00 Mx_l=-0.00 My_l=-0.99 Mz_l=0.00
Taglio nei bulloni: Fv,Ed=0.55 Fv,Rd=9650.97
Rifollamento lato piastra: Fb,Ed,p=0.55 Fb,Rd,p=11027.60
Tirafondi:LT=0.45 (0.31) σ_{cR}=0.00 σ_{fR}=0.00
Compressione nel calcestruzzo: σ_c=13.01
CC 16 SLD (Collegamento 0025_-382)
Azioni sul collegamento: N=-6269.01 Ty=-3.73 Tz=-0.34 Mx=0.00 Mz=-2.45
Sollecitazioni agenti localmente: Tx_l=-3.73 Ty_l=-0.34 N_l=-6269.01 Mx_l=-0.00 My_l=-2.45 Mz_l=0.00
Taglio nei bulloni: Fv,Ed=0.63 Fv,Rd=9650.97
Rifollamento lato piastra: Fb,Ed,p=0.63 Fb,Rd,p=7549.90
Tirafondi:LT=0.45 (0.31) σ_{cR}=0.00 σ_{fR}=0.00
Compressione nel calcestruzzo: σ_c=13.09
CC 16 SLD (Collegamento 0025_-382)
Azioni sul collegamento: N=-6269.01 Ty=-2.84 Tz=-0.34 Mx=0.00 Mz=-0.99
Sollecitazioni agenti localmente: Tx_l=-2.84 Ty_l=-0.34 N_l=-6269.01 Mx_l=-0.00 My_l=-0.99 Mz_l=0.00
Taglio nei bulloni: Fv,Ed=0.48 Fv,Rd=9650.97
Rifollamento lato piastra: Fb,Ed,p=0.48 Fb,Rd,p=7604.67
Tirafondi:LT=0.45 (0.31) σ_{cR}=0.00 σ_{fR}=0.00
Compressione nel calcestruzzo: σ_c=13.01
CC 17 SLV (Collegamento 0025_-382)
Azioni sul collegamento: N=-3931.62 Ty=-3.19 Tz=-8.98 Mx=-0.01 Mz=-4.04
Sollecitazioni agenti localmente: Tx_l=-3.19 Ty_l=-8.98 N_l=-3931.62 Mx_l=-0.00 My_l=-4.04 Mz_l=-0.01

Taglio nei bulloni: Fv,Ed=1.61 Fv,Rd=7720.78
Rifollamento lato piastra: Fb,Ed,p=1.60 Fb,Rd,p=7019.32
Tirafondi:LT=0.45 (0.31) σ_{cR}=0.00 σ_{fR}=0.00
Compressione nel calcestruzzo: σ_c=8.35
CC 17 SLV (Collegamento 0025_-382)
Azioni sul collegamento: N=-3931.62 Ty=-6.55 Tz=-8.98 Mx=-0.01 Mz=-7.22
Sollecitazioni agenti localmente: Tx_l=-6.55 Ty_l=-8.98 N_l=-3931.62 Mx_l=-0.00 My_l=-7.22 Mz_l=-0.01
Taglio nei bulloni: Fv,Ed=1.87 Fv,Rd=7720.78
Rifollamento lato piastra: Fb,Ed,p=1.86 Fb,Rd,p=10428.60
Tirafondi:LT=0.45 (0.31) σ_{cR}=0.00 σ_{fR}=0.00
Compressione nel calcestruzzo: σ_c=8.53
CC 17 SLV (Collegamento 0025_-382)
Azioni sul collegamento: N=-3931.62 Ty=-3.19 Tz=10.69 Mx=-0.01 Mz=-4.04
Sollecitazioni agenti localmente: Tx_l=-3.19 Ty_l=10.69 N_l=-3931.62 Mx_l=-0.00 My_l=-4.04 Mz_l=-0.01
Taglio nei bulloni: Fv,Ed=1.88 Fv,Rd=7720.78
Rifollamento lato piastra: Fb,Ed,p=1.88 Fb,Rd,p=6807.00
Tirafondi:LT=0.45 (0.31) σ_{cR}=0.00 σ_{fR}=0.00
Compressione nel calcestruzzo: σ_c=8.35
CC 17 SLV (Collegamento 0025_-382)
Azioni sul collegamento: N=-3931.62 Ty=-6.55 Tz=10.69 Mx=-0.01 Mz=-7.22
Sollecitazioni agenti localmente: Tx_l=-6.55 Ty_l=10.69 N_l=-3931.62 Mx_l=-0.00 My_l=-7.22 Mz_l=-0.01
Taglio nei bulloni: Fv,Ed=2.11 Fv,Rd=7720.78
Rifollamento lato piastra: Fb,Ed,p=2.11 Fb,Rd,p=9431.51
Tirafondi:LT=0.45 (0.31) σ_{cR}=0.00 σ_{fR}=0.00
Compressione nel calcestruzzo: σ_c=8.53
CC 17 SLV (Collegamento 0025_-382)
Azioni sul collegamento: N=-9217.12 Ty=-3.19 Tz=-8.98 Mx=-0.01 Mz=-4.04
Sollecitazioni agenti localmente: Tx_l=-3.19 Ty_l=-8.98 N_l=-9217.12 Mx_l=-0.00 My_l=-4.04 Mz_l=-0.01
Taglio nei bulloni: Fv,Ed=1.61 Fv,Rd=7720.78
Rifollamento lato piastra: Fb,Ed,p=1.60 Fb,Rd,p=7019.39
Tirafondi:LT=0.45 (0.31) σ_{cR}=0.00 σ_{fR}=0.00
Compressione nel calcestruzzo: σ_c=19.27
CC 17 SLV (Collegamento 0025_-382)
Azioni sul collegamento: N=-9217.12 Ty=-6.55 Tz=-8.98 Mx=-0.01 Mz=-7.22
Sollecitazioni agenti localmente: Tx_l=-6.55 Ty_l=-8.98 N_l=-9217.12 Mx_l=-0.00 My_l=-7.22 Mz_l=-0.01
Taglio nei bulloni: Fv,Ed=1.87 Fv,Rd=7720.78
Rifollamento lato piastra: Fb,Ed,p=1.86 Fb,Rd,p=10428.70
Tirafondi:LT=0.45 (0.31) σ_{cR}=0.00 σ_{fR}=0.00
Compressione nel calcestruzzo: σ_c=19.45
CC 17 SLV (Collegamento 0025_-382)
Azioni sul collegamento: N=-9217.12 Ty=-3.19 Tz=10.69 Mx=-0.01 Mz=-4.04
Sollecitazioni agenti localmente: Tx_l=-3.19 Ty_l=10.69 N_l=-9217.12 Mx_l=-0.00 My_l=-4.04 Mz_l=-0.01
Taglio nei bulloni: Fv,Ed=1.88 Fv,Rd=7720.78
Rifollamento lato piastra: Fb,Ed,p=1.88 Fb,Rd,p=6806.94
Tirafondi:LT=0.45 (0.31) σ_{cR}=0.00 σ_{fR}=0.00
Compressione nel calcestruzzo: σ_c=19.27
CC 17 SLV (Collegamento 0025_-382)
Azioni sul collegamento: N=-9217.12 Ty=-6.55 Tz=10.69 Mx=-0.01 Mz=-7.22
Sollecitazioni agenti localmente: Tx_l=-6.55 Ty_l=10.69 N_l=-9217.12 Mx_l=-0.00 My_l=-7.22 Mz_l=-0.01
Taglio nei bulloni: Fv,Ed=2.11 Fv,Rd=7720.78
Rifollamento lato piastra: Fb,Ed,p=2.11 Fb,Rd,p=9431.21
Tirafondi:LT=0.45 (0.31) σ_{cR}=0.00 σ_{fR}=0.00
Compressione nel calcestruzzo: σ_c=19.45
CC 18 SLD (Collegamento 0025_-382)
Azioni sul collegamento: N=-5736.03 Ty=-3.51 Tz=-2.27 Mx=-0.00 Mz=-3.06
Sollecitazioni agenti localmente: Tx_l=-3.51 Ty_l=-2.27 N_l=-5736.03 Mx_l=-0.00 My_l=-3.06 Mz_l=-0.00
Taglio nei bulloni: Fv,Ed=0.70 Fv,Rd=9650.97
Rifollamento lato piastra: Fb,Ed,p=0.70 Fb,Rd,p=12263.80
Tirafondi:LT=0.45 (0.31) σ_{cR}=0.00 σ_{fR}=0.00
Compressione nel calcestruzzo: σ_c=12.02
CC 18 SLD (Collegamento 0025_-382)
Azioni sul collegamento: N=-5736.03 Ty=-4.54 Tz=-2.27 Mx=-0.00 Mz=-4.03
Sollecitazioni agenti localmente: Tx_l=-4.54 Ty_l=-2.27 N_l=-5736.03 Mx_l=-0.00 My_l=-4.03 Mz_l=-0.00
Taglio nei bulloni: Fv,Ed=0.85 Fv,Rd=9650.97
Rifollamento lato piastra: Fb,Ed,p=0.85 Fb,Rd,p=10321.30
Tirafondi:LT=0.45 (0.31) σ_{cR}=0.00 σ_{fR}=0.00
Compressione nel calcestruzzo: σ_c=12.08
CC 18 SLD (Collegamento 0025_-382)
Azioni sul collegamento: N=-5736.03 Ty=-3.51 Tz=3.73 Mx=-0.00 Mz=-3.06
Sollecitazioni agenti localmente: Tx_l=-3.51 Ty_l=3.73 N_l=-5736.03 Mx_l=-0.00 My_l=-3.06 Mz_l=-0.00
Taglio nei bulloni: Fv,Ed=0.86 Fv,Rd=9650.97
Rifollamento lato piastra: Fb,Ed,p=0.86 Fb,Rd,p=14599.80
Tirafondi:LT=0.45 (0.31) σ_{cR}=0.00 σ_{fR}=0.00
Compressione nel calcestruzzo: σ_c=12.02
CC 18 SLD (Collegamento 0025_-382)
Azioni sul collegamento: N=-5736.03 Ty=-4.54 Tz=3.73 Mx=-0.00 Mz=-4.03
Sollecitazioni agenti localmente: Tx_l=-4.54 Ty_l=3.73 N_l=-5736.03 Mx_l=-0.00 My_l=-4.03 Mz_l=-0.00
Taglio nei bulloni: Fv,Ed=0.98 Fv,Rd=9650.97

Rifollamento lato piastra: Fb,Ed,p=0.98 Fb,Rd,p=13712.20
Tirafondi:LT=0.45 (0.31) σ_{cR}=0.00 σ_{fR}=0.00
Compressione nel calcestruzzo: σ_c=12.08
CC 18 SLD (Collegamento 0025_-382)
Azioni sul collegamento: N=-7347.75 Ty=-3.51 Tz=-2.27 Mx=-0.00 Mz=-3.06
Sollecitazioni agenti localmente: Tx_l=-3.51 Ty_l=-2.27 N_l=-7347.75 Mx_l=-0.00 My_l=-3.06 Mz_l=-0.00
Taglio nei bulloni: Fv,Ed=0.70 Fv,Rd=9650.97
Rifollamento lato piastra: Fb,Ed,p=0.70 Fb,Rd,p=12264.20
Tirafondi:LT=0.45 (0.31) σ_{cR}=0.00 σ_{fR}=0.00
Compressione nel calcestruzzo: σ_c=15.35
CC 18 SLD (Collegamento 0025_-382)
Azioni sul collegamento: N=-7347.75 Ty=-4.54 Tz=-2.27 Mx=-0.00 Mz=-4.03
Sollecitazioni agenti localmente: Tx_l=-4.54 Ty_l=-2.27 N_l=-7347.75 Mx_l=-0.00 My_l=-4.03 Mz_l=-0.00
Taglio nei bulloni: Fv,Ed=0.85 Fv,Rd=9650.97
Rifollamento lato piastra: Fb,Ed,p=0.85 Fb,Rd,p=10321.50
Tirafondi:LT=0.45 (0.31) σ_{cR}=0.00 σ_{fR}=0.00
Compressione nel calcestruzzo: σ_c=15.41
CC 18 SLD (Collegamento 0025_-382)
Azioni sul collegamento: N=-7347.75 Ty=-3.51 Tz=3.73 Mx=-0.00 Mz=-3.06
Sollecitazioni agenti localmente: Tx_l=-3.51 Ty_l=3.73 N_l=-7347.75 Mx_l=-0.00 My_l=-3.06 Mz_l=-0.00
Taglio nei bulloni: Fv,Ed=0.86 Fv,Rd=9650.97
Rifollamento lato piastra: Fb,Ed,p=0.86 Fb,Rd,p=14600.30
Tirafondi:LT=0.45 (0.31) σ_{cR}=0.00 σ_{fR}=0.00
Compressione nel calcestruzzo: σ_c=15.35
CC 18 SLD (Collegamento 0025_-382)
Azioni sul collegamento: N=-7347.75 Ty=-4.54 Tz=3.73 Mx=-0.00 Mz=-4.03
Sollecitazioni agenti localmente: Tx_l=-4.54 Ty_l=3.73 N_l=-7347.75 Mx_l=-0.00 My_l=-4.03 Mz_l=-0.00
Taglio nei bulloni: Fv,Ed=0.98 Fv,Rd=9650.97
Rifollamento lato piastra: Fb,Ed,p=0.98 Fb,Rd,p=13711.80
Tirafondi:LT=0.45 (0.31) σ_{cR}=0.00 σ_{fR}=0.00
Compressione nel calcestruzzo: σ_c=15.41
CC 19 SLV (Collegamento 0025_-382)
Azioni sul collegamento: N=-3937.31 Ty=-3.82 Tz=-8.85 Mx=-0.01 Mz=-5.30
Sollecitazioni agenti localmente: Tx_l=-3.82 Ty_l=-8.85 N_l=-3937.31 Mx_l=-0.00 My_l=-5.30 Mz_l=-0.01
Taglio nei bulloni: Fv,Ed=1.62 Fv,Rd=7720.78
Rifollamento lato piastra: Fb,Ed,p=1.61 Fb,Rd,p=7578.33
Tirafondi:LT=0.45 (0.31) σ_{cR}=0.00 σ_{fR}=0.00
Compressione nel calcestruzzo: σ_c=8.43
CC 19 SLV (Collegamento 0025_-382)
Azioni sul collegamento: N=-3937.31 Ty=-5.92 Tz=-8.85 Mx=-0.01 Mz=-5.96
Sollecitazioni agenti localmente: Tx_l=-5.92 Ty_l=-8.85 N_l=-3937.31 Mx_l=-0.00 My_l=-5.96 Mz_l=-0.01
Taglio nei bulloni: Fv,Ed=1.79 Fv,Rd=7720.78
Rifollamento lato piastra: Fb,Ed,p=1.78 Fb,Rd,p=9911.03
Tirafondi:LT=0.45 (0.31) σ_{cR}=0.00 σ_{fR}=0.00
Compressione nel calcestruzzo: σ_c=8.47
CC 19 SLV (Collegamento 0025_-382)
Azioni sul collegamento: N=-3937.31 Ty=-3.82 Tz=10.56 Mx=-0.01 Mz=-5.30
Sollecitazioni agenti localmente: Tx_l=-3.82 Ty_l=10.56 N_l=-3937.31 Mx_l=-0.00 My_l=-5.30 Mz_l=-0.01
Taglio nei bulloni: Fv,Ed=1.89 Fv,Rd=7720.78
Rifollamento lato piastra: Fb,Ed,p=1.89 Fb,Rd,p=7177.41
Tirafondi:LT=0.45 (0.31) σ_{cR}=0.00 σ_{fR}=0.00
Compressione nel calcestruzzo: σ_c=8.43
CC 19 SLV (Collegamento 0025_-382)
Azioni sul collegamento: N=-3937.31 Ty=-5.92 Tz=10.56 Mx=-0.01 Mz=-5.96
Sollecitazioni agenti localmente: Tx_l=-5.92 Ty_l=10.56 N_l=-3937.31 Mx_l=-0.00 My_l=-5.96 Mz_l=-0.01
Taglio nei bulloni: Fv,Ed=2.03 Fv,Rd=7720.78
Rifollamento lato piastra: Fb,Ed,p=2.03 Fb,Rd,p=8847.91
Tirafondi:LT=0.45 (0.31) σ_{cR}=0.00 σ_{fR}=0.00
Compressione nel calcestruzzo: σ_c=8.47
CC 19 SLV (Collegamento 0025_-382)
Azioni sul collegamento: N=-9211.43 Ty=-3.82 Tz=-8.85 Mx=-0.01 Mz=-5.30
Sollecitazioni agenti localmente: Tx_l=-3.82 Ty_l=-8.85 N_l=-9211.43 Mx_l=-0.00 My_l=-5.30 Mz_l=-0.01
Taglio nei bulloni: Fv,Ed=1.62 Fv,Rd=7720.78
Rifollamento lato piastra: Fb,Ed,p=1.61 Fb,Rd,p=7578.49
Tirafondi:LT=0.45 (0.31) σ_{cR}=0.00 σ_{fR}=0.00
Compressione nel calcestruzzo: σ_c=19.33
CC 19 SLV (Collegamento 0025_-382)
Azioni sul collegamento: N=-9211.43 Ty=-5.92 Tz=-8.85 Mx=-0.01 Mz=-5.96
Sollecitazioni agenti localmente: Tx_l=-5.92 Ty_l=-8.85 N_l=-9211.43 Mx_l=-0.00 My_l=-5.96 Mz_l=-0.01
Taglio nei bulloni: Fv,Ed=1.79 Fv,Rd=7720.78
Rifollamento lato piastra: Fb,Ed,p=1.78 Fb,Rd,p=9911.42
Tirafondi:LT=0.45 (0.31) σ_{cR}=0.00 σ_{fR}=0.00
Compressione nel calcestruzzo: σ_c=19.37
CC 19 SLV (Collegamento 0025_-382)
Azioni sul collegamento: N=-9211.43 Ty=-3.82 Tz=10.56 Mx=-0.01 Mz=-5.30
Sollecitazioni agenti localmente: Tx_l=-3.82 Ty_l=10.56 N_l=-9211.43 Mx_l=-0.00 My_l=-5.30 Mz_l=-0.01
Taglio nei bulloni: Fv,Ed=1.89 Fv,Rd=7720.78
Rifollamento lato piastra: Fb,Ed,p=1.89 Fb,Rd,p=7177.39

Tirafondi:LT=0.45 (0.31) σ_{cR}=0.00 σ_{fR}=0.00
Compressione nel calcestruzzo: σ_c=19.33
CC 19 SLV (Collegamento 0025_-382)
Azioni sul collegamento: N=-9211.43 Ty=-5.92 Tz=10.56 Mx=-0.01 Mz=-5.96
Sollecitazioni agenti localmente: Tx_l=-5.92 Ty_l=10.56 N_l=-9211.43 Mx_l=-0.00 My_l=-5.96 Mz_l=-0.01
Taglio nei bulloni: Fv,Ed=2.03 Fv,Rd=7720.78
Rifollamento lato piastra: Fb,Ed,p=2.03 Fb,Rd,p=8847.86
Tirafondi:LT=0.45 (0.31) σ_{cR}=0.00 σ_{fR}=0.00
Compressione nel calcestruzzo: σ_c=19.37
CC 20 SLD (Collegamento 0025_-382)
Azioni sul collegamento: N=-5737.77 Ty=-3.71 Tz=-2.23 Mx=-0.00 Mz=-3.45
Sollecitazioni agenti localmente: Tx_l=-3.71 Ty_l=-2.23 N_l=-5737.77 Mx_l=-0.00 My_l=-3.45 Mz_l=-0.00
Taglio nei bulloni: Fv,Ed=0.72 Fv,Rd=9650.97
Rifollamento lato piastra: Fb,Ed,p=0.72 Fb,Rd,p=11605.40
Tirafondi:LT=0.45 (0.31) σ_{cR}=0.00 σ_{fR}=0.00
Compressione nel calcestruzzo: σ_c=12.05
CC 20 SLD (Collegamento 0025_-382)
Azioni sul collegamento: N=-5737.77 Ty=-4.34 Tz=-2.23 Mx=-0.00 Mz=-3.65
Sollecitazioni agenti localmente: Tx_l=-4.34 Ty_l=-2.23 N_l=-5737.77 Mx_l=-0.00 My_l=-3.65 Mz_l=-0.00
Taglio nei bulloni: Fv,Ed=0.81 Fv,Rd=9650.97
Rifollamento lato piastra: Fb,Ed,p=0.81 Fb,Rd,p=10464.50
Tirafondi:LT=0.45 (0.31) σ_{cR}=0.00 σ_{fR}=0.00
Compressione nel calcestruzzo: σ_c=12.06
CC 20 SLD (Collegamento 0025_-382)
Azioni sul collegamento: N=-5737.77 Ty=-3.71 Tz=3.69 Mx=-0.00 Mz=-3.45
Sollecitazioni agenti localmente: Tx_l=-3.71 Ty_l=3.69 N_l=-5737.77 Mx_l=-0.00 My_l=-3.45 Mz_l=-0.00
Taglio nei bulloni: Fv,Ed=0.87 Fv,Rd=9650.97
Rifollamento lato piastra: Fb,Ed,p=0.87 Fb,Rd,p=14972.20
Tirafondi:LT=0.45 (0.31) σ_{cR}=0.00 σ_{fR}=0.00
Compressione nel calcestruzzo: σ_c=12.05
CC 20 SLD (Collegamento 0025_-382)
Azioni sul collegamento: N=-5737.77 Ty=-4.34 Tz=3.69 Mx=-0.00 Mz=-3.65
Sollecitazioni agenti localmente: Tx_l=-4.34 Ty_l=3.69 N_l=-5737.77 Mx_l=-0.00 My_l=-3.65 Mz_l=-0.00
Taglio nei bulloni: Fv,Ed=0.95 Fv,Rd=9650.97
Rifollamento lato piastra: Fb,Ed,p=0.95 Fb,Rd,p=13925.10
Tirafondi:LT=0.45 (0.31) σ_{cR}=0.00 σ_{fR}=0.00
Compressione nel calcestruzzo: σ_c=12.06
CC 20 SLD (Collegamento 0025_-382)
Azioni sul collegamento: N=-7346.01 Ty=-3.71 Tz=-2.23 Mx=-0.00 Mz=-3.45
Sollecitazioni agenti localmente: Tx_l=-3.71 Ty_l=-2.23 N_l=-7346.01 Mx_l=-0.00 My_l=-3.45 Mz_l=-0.00
Taglio nei bulloni: Fv,Ed=0.72 Fv,Rd=9650.97
Rifollamento lato piastra: Fb,Ed,p=0.72 Fb,Rd,p=11606.20
Tirafondi:LT=0.45 (0.31) σ_{cR}=0.00 σ_{fR}=0.00
Compressione nel calcestruzzo: σ_c=15.37
CC 20 SLD (Collegamento 0025_-382)
Azioni sul collegamento: N=-7346.01 Ty=-4.34 Tz=-2.23 Mx=-0.00 Mz=-3.65
Sollecitazioni agenti localmente: Tx_l=-4.34 Ty_l=-2.23 N_l=-7346.01 Mx_l=-0.00 My_l=-3.65 Mz_l=-0.00
Taglio nei bulloni: Fv,Ed=0.81 Fv,Rd=9650.97
Rifollamento lato piastra: Fb,Ed,p=0.81 Fb,Rd,p=10465.10
Tirafondi:LT=0.45 (0.31) σ_{cR}=0.00 σ_{fR}=0.00
Compressione nel calcestruzzo: σ_c=15.38
CC 20 SLD (Collegamento 0025_-382)
Azioni sul collegamento: N=-7346.01 Ty=-3.71 Tz=3.69 Mx=-0.00 Mz=-3.45
Sollecitazioni agenti localmente: Tx_l=-3.71 Ty_l=3.69 N_l=-7346.01 Mx_l=-0.00 My_l=-3.45 Mz_l=-0.00
Taglio nei bulloni: Fv,Ed=0.87 Fv,Rd=9650.97
Rifollamento lato piastra: Fb,Ed,p=0.87 Fb,Rd,p=14972.70
Tirafondi:LT=0.45 (0.31) σ_{cR}=0.00 σ_{fR}=0.00
Compressione nel calcestruzzo: σ_c=15.37
CC 20 SLD (Collegamento 0025_-382)
Azioni sul collegamento: N=-7346.01 Ty=-4.34 Tz=3.69 Mx=-0.00 Mz=-3.65
Sollecitazioni agenti localmente: Tx_l=-4.34 Ty_l=3.69 N_l=-7346.01 Mx_l=-0.00 My_l=-3.65 Mz_l=-0.00
Taglio nei bulloni: Fv,Ed=0.95 Fv,Rd=9650.97
Rifollamento lato piastra: Fb,Ed,p=0.95 Fb,Rd,p=13925.60
Tirafondi:LT=0.45 (0.31) σ_{cR}=0.00 σ_{fR}=0.00
Compressione nel calcestruzzo: σ_c=15.38
CC 21 SLV (Collegamento 0025_-382)
Azioni sul collegamento: N=-9211.43 Ty=-5.92 Tz=10.56 Mx=-0.01 Mz=-5.96
Sollecitazioni agenti localmente: Tx_l=-5.92 Ty_l=10.56 N_l=-9211.43 Mx_l=-0.00 My_l=-5.96 Mz_l=-0.01
Taglio nei bulloni: Fv,Ed=2.03 Fv,Rd=7720.78
Rifollamento lato piastra: Fb,Ed,p=2.03 Fb,Rd,p=8852.35
Tirafondi:LT=0.45 (0.31) σ_{cR}=0.00 σ_{fR}=0.00
Compressione nel calcestruzzo: σ_c=19.37
CC 21 SLV (Collegamento 0025_-382)
Azioni sul collegamento: N=-9211.43 Ty=-3.82 Tz=10.56 Mx=-0.01 Mz=-5.30
Sollecitazioni agenti localmente: Tx_l=-3.82 Ty_l=10.56 N_l=-9211.43 Mx_l=-0.00 My_l=-5.30 Mz_l=-0.01
Taglio nei bulloni: Fv,Ed=1.89 Fv,Rd=7720.78
Rifollamento lato piastra: Fb,Ed,p=1.89 Fb,Rd,p=7181.54
Tirafondi:LT=0.45 (0.31) σ_{cR}=0.00 σ_{fR}=0.00

Compressione nel calcestruzzo: σ_c=19.33
CC 21 SLV (Collegamento 0025_-382)
Azioni sul collegamento: N=-9211.43 Ty=-5.92 Tz=-8.85 Mx=-0.01 Mz=-5.96
Sollecitazioni agenti localmente: Tx_l=-5.92 Ty_l=-8.85 N_l=-9211.43 Mx_l=-0.00 My_l=-5.96 Mz_l=-0.01
Taglio nei bulloni: Fv,Ed=1.79 Fv,Rd=7720.78
Rifollamento lato piastra: Fb,Ed,p=1.78 Fb,Rd,p=9887.53
Tirafondi:LT=0.45 (0.31) σ_{cR}=0.00 σ_{fR}=0.00
Compressione nel calcestruzzo: σ_c=19.37
CC 21 SLV (Collegamento 0025_-382)
Azioni sul collegamento: N=-9211.43 Ty=-3.82 Tz=-8.85 Mx=-0.01 Mz=-5.30
Sollecitazioni agenti localmente: Tx_l=-3.82 Ty_l=-8.85 N_l=-9211.43 Mx_l=-0.00 My_l=-5.30 Mz_l=-0.01
Taglio nei bulloni: Fv,Ed=1.62 Fv,Rd=7720.78
Rifollamento lato piastra: Fb,Ed,p=1.61 Fb,Rd,p=7565.67
Tirafondi:LT=0.45 (0.31) σ_{cR}=0.00 σ_{fR}=0.00
Compressione nel calcestruzzo: σ_c=19.33
CC 21 SLV (Collegamento 0025_-382)
Azioni sul collegamento: N=-3937.31 Ty=-5.92 Tz=10.56 Mx=-0.01 Mz=-5.96
Sollecitazioni agenti localmente: Tx_l=-5.92 Ty_l=10.56 N_l=-3937.31 Mx_l=-0.00 My_l=-5.96 Mz_l=-0.01
Taglio nei bulloni: Fv,Ed=2.03 Fv,Rd=7720.78
Rifollamento lato piastra: Fb,Ed,p=2.03 Fb,Rd,p=8852.40
Tirafondi:LT=0.45 (0.31) σ_{cR}=0.00 σ_{fR}=0.00
Compressione nel calcestruzzo: σ_c=8.47
CC 21 SLV (Collegamento 0025_-382)
Azioni sul collegamento: N=-3937.31 Ty=-3.82 Tz=10.56 Mx=-0.01 Mz=-5.30
Sollecitazioni agenti localmente: Tx_l=-3.82 Ty_l=10.56 N_l=-3937.31 Mx_l=-0.00 My_l=-5.30 Mz_l=-0.01
Taglio nei bulloni: Fv,Ed=1.89 Fv,Rd=7720.78
Rifollamento lato piastra: Fb,Ed,p=1.89 Fb,Rd,p=7181.56
Tirafondi:LT=0.45 (0.31) σ_{cR}=0.00 σ_{fR}=0.00
Compressione nel calcestruzzo: σ_c=8.43
CC 21 SLV (Collegamento 0025_-382)
Azioni sul collegamento: N=-3937.31 Ty=-5.92 Tz=-8.85 Mx=-0.01 Mz=-5.96
Sollecitazioni agenti localmente: Tx_l=-5.92 Ty_l=-8.85 N_l=-3937.31 Mx_l=-0.00 My_l=-5.96 Mz_l=-0.01
Taglio nei bulloni: Fv,Ed=1.79 Fv,Rd=7720.78
Rifollamento lato piastra: Fb,Ed,p=1.78 Fb,Rd,p=9887.15
Tirafondi:LT=0.45 (0.31) σ_{cR}=0.00 σ_{fR}=0.00
Compressione nel calcestruzzo: σ_c=8.47
CC 21 SLV (Collegamento 0025_-382)
Azioni sul collegamento: N=-3937.31 Ty=-3.82 Tz=-8.85 Mx=-0.01 Mz=-5.30
Sollecitazioni agenti localmente: Tx_l=-3.82 Ty_l=-8.85 N_l=-3937.31 Mx_l=-0.00 My_l=-5.30 Mz_l=-0.01
Taglio nei bulloni: Fv,Ed=1.62 Fv,Rd=7720.78
Rifollamento lato piastra: Fb,Ed,p=1.61 Fb,Rd,p=7565.51
Tirafondi:LT=0.45 (0.31) σ_{cR}=0.00 σ_{fR}=0.00
Compressione nel calcestruzzo: σ_c=8.43
CC 22 SLD (Collegamento 0025_-382)
Azioni sul collegamento: N=-7346.01 Ty=-4.34 Tz=3.69 Mx=-0.00 Mz=-3.65
Sollecitazioni agenti localmente: Tx_l=-4.34 Ty_l=3.69 N_l=-7346.01 Mx_l=-0.00 My_l=-3.65 Mz_l=-0.00
Taglio nei bulloni: Fv,Ed=0.95 Fv,Rd=9650.97
Rifollamento lato piastra: Fb,Ed,p=0.95 Fb,Rd,p=13916.30
Tirafondi:LT=0.45 (0.31) σ_{cR}=0.00 σ_{fR}=0.00
Compressione nel calcestruzzo: σ_c=15.38
CC 22 SLD (Collegamento 0025_-382)
Azioni sul collegamento: N=-7346.01 Ty=-3.71 Tz=3.69 Mx=-0.00 Mz=-3.45
Sollecitazioni agenti localmente: Tx_l=-3.71 Ty_l=3.69 N_l=-7346.01 Mx_l=-0.00 My_l=-3.45 Mz_l=-0.00
Taglio nei bulloni: Fv,Ed=0.87 Fv,Rd=9650.97
Rifollamento lato piastra: Fb,Ed,p=0.87 Fb,Rd,p=14959.90
Tirafondi:LT=0.45 (0.31) σ_{cR}=0.00 σ_{fR}=0.00
Compressione nel calcestruzzo: σ_c=15.37
CC 22 SLD (Collegamento 0025_-382)
Azioni sul collegamento: N=-7346.01 Ty=-4.34 Tz=-2.23 Mx=-0.00 Mz=-3.65
Sollecitazioni agenti localmente: Tx_l=-4.34 Ty_l=-2.23 N_l=-7346.01 Mx_l=-0.00 My_l=-3.65 Mz_l=-0.00
Taglio nei bulloni: Fv,Ed=0.82 Fv,Rd=9650.97
Rifollamento lato piastra: Fb,Ed,p=0.82 Fb,Rd,p=10469.30
Tirafondi:LT=0.45 (0.31) σ_{cR}=0.00 σ_{fR}=0.00
Compressione nel calcestruzzo: σ_c=15.38
CC 22 SLD (Collegamento 0025_-382)
Azioni sul collegamento: N=-7346.01 Ty=-3.71 Tz=-2.23 Mx=-0.00 Mz=-3.45
Sollecitazioni agenti localmente: Tx_l=-3.71 Ty_l=-2.23 N_l=-7346.01 Mx_l=-0.00 My_l=-3.45 Mz_l=-0.00
Taglio nei bulloni: Fv,Ed=0.72 Fv,Rd=9650.97
Rifollamento lato piastra: Fb,Ed,p=0.72 Fb,Rd,p=11611.00
Tirafondi:LT=0.45 (0.31) σ_{cR}=0.00 σ_{fR}=0.00
Compressione nel calcestruzzo: σ_c=15.37
CC 22 SLD (Collegamento 0025_-382)
Azioni sul collegamento: N=-5737.77 Ty=-4.34 Tz=3.69 Mx=-0.00 Mz=-3.65
Sollecitazioni agenti localmente: Tx_l=-4.34 Ty_l=3.69 N_l=-5737.77 Mx_l=-0.00 My_l=-3.65 Mz_l=-0.00
Taglio nei bulloni: Fv,Ed=0.95 Fv,Rd=9650.97
Rifollamento lato piastra: Fb,Ed,p=0.95 Fb,Rd,p=13915.80
Tirafondi:LT=0.45 (0.31) σ_{cR}=0.00 σ_{fR}=0.00
Compressione nel calcestruzzo: σ_c=12.06

CC 22 SLD (Collegamento 0025_-382)
Azioni sul collegamento: N=-5737.77 Ty=-3.71 Tz=3.69 Mx=-0.00 Mz=-3.45
Sollecitazioni agenti localmente: Tx_l=-3.71 Ty_l=3.69 N_l=-5737.77 Mx_l=-0.00 My_l=-3.45 Mz_l=-0.00
Taglio nei bulloni: Fv,Ed=0.87 Fv,Rd=9650.97
Rifollamento lato piastra: Fb,Ed,p=0.87 Fb,Rd,p=14959.30
Tirafondi:LT=0.45 (0.31) σ_{cR}=0.00 σ_{fR}=0.00
Compressione nel calcestruzzo: σ_c=12.05
CC 22 SLD (Collegamento 0025_-382)
Azioni sul collegamento: N=-5737.77 Ty=-4.34 Tz=-2.23 Mx=-0.00 Mz=-3.65
Sollecitazioni agenti localmente: Tx_l=-4.34 Ty_l=-2.23 N_l=-5737.77 Mx_l=-0.00 My_l=-3.65 Mz_l=-0.00
Taglio nei bulloni: Fv,Ed=0.82 Fv,Rd=9650.97
Rifollamento lato piastra: Fb,Ed,p=0.82 Fb,Rd,p=10468.70
Tirafondi:LT=0.45 (0.31) σ_{cR}=0.00 σ_{fR}=0.00
Compressione nel calcestruzzo: σ_c=12.06
CC 22 SLD (Collegamento 0025_-382)
Azioni sul collegamento: N=-5737.77 Ty=-3.71 Tz=-2.23 Mx=-0.00 Mz=-3.45
Sollecitazioni agenti localmente: Tx_l=-3.71 Ty_l=-2.23 N_l=-5737.77 Mx_l=-0.00 My_l=-3.45 Mz_l=-0.00
Taglio nei bulloni: Fv,Ed=0.72 Fv,Rd=9650.97
Rifollamento lato piastra: Fb,Ed,p=0.72 Fb,Rd,p=11610.20
Tirafondi:LT=0.45 (0.31) σ_{cR}=0.00 σ_{fR}=0.00
Compressione nel calcestruzzo: σ_c=12.05
CC 23 SLV (Collegamento 0025_-382)
Azioni sul collegamento: N=-9217.12 Ty=-6.55 Tz=10.69 Mx=-0.01 Mz=-7.22
Sollecitazioni agenti localmente: Tx_l=-6.55 Ty_l=10.69 N_l=-9217.12 Mx_l=-0.00 My_l=-7.22 Mz_l=-0.01
Taglio nei bulloni: Fv,Ed=2.10 Fv,Rd=7720.78
Rifollamento lato piastra: Fb,Ed,p=2.10 Fb,Rd,p=9409.29
Tirafondi:LT=0.45 (0.31) σ_{cR}=0.00 σ_{fR}=0.00
Compressione nel calcestruzzo: σ_c=19.45
CC 23 SLV (Collegamento 0025_-382)
Azioni sul collegamento: N=-9217.12 Ty=-3.19 Tz=10.69 Mx=-0.01 Mz=-4.04
Sollecitazioni agenti localmente: Tx_l=-3.19 Ty_l=10.69 N_l=-9217.12 Mx_l=-0.00 My_l=-4.04 Mz_l=-0.01
Taglio nei bulloni: Fv,Ed=1.87 Fv,Rd=7720.78
Rifollamento lato piastra: Fb,Ed,p=1.87 Fb,Rd,p=6788.04
Tirafondi:LT=0.45 (0.31) σ_{cR}=0.00 σ_{fR}=0.00
Compressione nel calcestruzzo: σ_c=19.27
CC 23 SLV (Collegamento 0025_-382)
Azioni sul collegamento: N=-9217.12 Ty=-6.55 Tz=-8.98 Mx=-0.01 Mz=-7.22
Sollecitazioni agenti localmente: Tx_l=-6.55 Ty_l=-8.98 N_l=-9217.12 Mx_l=-0.00 My_l=-7.22 Mz_l=-0.01
Taglio nei bulloni: Fv,Ed=1.86 Fv,Rd=7720.78
Rifollamento lato piastra: Fb,Ed,p=1.85 Fb,Rd,p=10479.00
Tirafondi:LT=0.45 (0.31) σ_{cR}=0.00 σ_{fR}=0.00
Compressione nel calcestruzzo: σ_c=19.45
CC 23 SLV (Collegamento 0025_-382)
Azioni sul collegamento: N=-9217.12 Ty=-3.19 Tz=-8.98 Mx=-0.01 Mz=-4.04
Sollecitazioni agenti localmente: Tx_l=-3.19 Ty_l=-8.98 N_l=-9217.12 Mx_l=-0.00 My_l=-4.04 Mz_l=-0.01
Taglio nei bulloni: Fv,Ed=1.60 Fv,Rd=7720.78
Rifollamento lato piastra: Fb,Ed,p=1.59 Fb,Rd,p=7068.96
Tirafondi:LT=0.45 (0.31) σ_{cR}=0.00 σ_{fR}=0.00
Compressione nel calcestruzzo: σ_c=19.27
CC 23 SLV (Collegamento 0025_-382)
Azioni sul collegamento: N=-3931.62 Ty=-6.55 Tz=10.69 Mx=-0.01 Mz=-7.22
Sollecitazioni agenti localmente: Tx_l=-6.55 Ty_l=10.69 N_l=-3931.62 Mx_l=-0.00 My_l=-7.22 Mz_l=-0.01
Taglio nei bulloni: Fv,Ed=2.10 Fv,Rd=7720.78
Rifollamento lato piastra: Fb,Ed,p=2.10 Fb,Rd,p=9409.59
Tirafondi:LT=0.45 (0.31) σ_{cR}=0.00 σ_{fR}=0.00
Compressione nel calcestruzzo: σ_c=8.53
CC 23 SLV (Collegamento 0025_-382)
Azioni sul collegamento: N=-3931.62 Ty=-3.19 Tz=10.69 Mx=-0.01 Mz=-4.04
Sollecitazioni agenti localmente: Tx_l=-3.19 Ty_l=10.69 N_l=-3931.62 Mx_l=-0.00 My_l=-4.04 Mz_l=-0.01
Taglio nei bulloni: Fv,Ed=1.87 Fv,Rd=7720.78
Rifollamento lato piastra: Fb,Ed,p=1.87 Fb,Rd,p=6788.11
Tirafondi:LT=0.45 (0.31) σ_{cR}=0.00 σ_{fR}=0.00
Compressione nel calcestruzzo: σ_c=8.35
CC 23 SLV (Collegamento 0025_-382)
Azioni sul collegamento: N=-3931.62 Ty=-6.55 Tz=-8.98 Mx=-0.01 Mz=-7.22
Sollecitazioni agenti localmente: Tx_l=-6.55 Ty_l=-8.98 N_l=-3931.62 Mx_l=-0.00 My_l=-7.22 Mz_l=-0.01
Taglio nei bulloni: Fv,Ed=1.86 Fv,Rd=7720.78
Rifollamento lato piastra: Fb,Ed,p=1.85 Fb,Rd,p=10478.90
Tirafondi:LT=0.45 (0.31) σ_{cR}=0.00 σ_{fR}=0.00
Compressione nel calcestruzzo: σ_c=8.53
CC 23 SLV (Collegamento 0025_-382)
Azioni sul collegamento: N=-3931.62 Ty=-3.19 Tz=-8.98 Mx=-0.01 Mz=-4.04
Sollecitazioni agenti localmente: Tx_l=-3.19 Ty_l=-8.98 N_l=-3931.62 Mx_l=-0.00 My_l=-4.04 Mz_l=-0.01
Taglio nei bulloni: Fv,Ed=1.60 Fv,Rd=7720.78
Rifollamento lato piastra: Fb,Ed,p=1.59 Fb,Rd,p=7068.89
Tirafondi:LT=0.45 (0.31) σ_{cR}=0.00 σ_{fR}=0.00
Compressione nel calcestruzzo: σ_c=8.35
CC 24 SLD (Collegamento 0025_-382)

Azioni sul collegamento: N=-7347.75 Ty=-4.54 Tz=3.73 Mx=0.00 Mz=-4.03
Sollecitazioni agenti localmente: Tx_l=-4.54 Ty_l=3.73 N_l=-7347.75 Mx_l=-0.00 My_l=-4.03 Mz_l=0.00
Taglio nei bulloni: Fv,Ed=0.98 Fv,Rd=9650.97
Rifollamento lato piastra: Fb,Ed,p=0.98 Fb,Rd,p=13748.50
Tirafondi:LT=0.45 (0.31) σ_{cR}=0.00 σ_{fR}=0.00
Compressione nel calcestruzzo: σ_c=15.41
CC 24 SLD (Collegamento 0025_-382)
Azioni sul collegamento: N=-7347.75 Ty=-3.51 Tz=3.73 Mx=0.00 Mz=-3.06
Sollecitazioni agenti localmente: Tx_l=-3.51 Ty_l=3.73 N_l=-7347.75 Mx_l=-0.00 My_l=-3.06 Mz_l=0.00
Taglio nei bulloni: Fv,Ed=0.85 Fv,Rd=9650.97
Rifollamento lato piastra: Fb,Ed,p=0.85 Fb,Rd,p=14587.50
Tirafondi:LT=0.45 (0.31) σ_{cR}=0.00 σ_{fR}=0.00
Compressione nel calcestruzzo: σ_c=15.35
CC 24 SLD (Collegamento 0025_-382)
Azioni sul collegamento: N=-7347.75 Ty=-4.54 Tz=-2.27 Mx=0.00 Mz=-4.03
Sollecitazioni agenti localmente: Tx_l=-4.54 Ty_l=-2.27 N_l=-7347.75 Mx_l=-0.00 My_l=-4.03 Mz_l=0.00
Taglio nei bulloni: Fv,Ed=0.85 Fv,Rd=9650.97
Rifollamento lato piastra: Fb,Ed,p=0.85 Fb,Rd,p=10293.40
Tirafondi:LT=0.45 (0.31) σ_{cR}=0.00 σ_{fR}=0.00
Compressione nel calcestruzzo: σ_c=15.41
CC 24 SLD (Collegamento 0025_-382)
Azioni sul collegamento: N=-7347.75 Ty=-3.51 Tz=-2.27 Mx=0.00 Mz=-3.06
Sollecitazioni agenti localmente: Tx_l=-3.51 Ty_l=-2.27 N_l=-7347.75 Mx_l=-0.00 My_l=-3.06 Mz_l=0.00
Taglio nei bulloni: Fv,Ed=0.70 Fv,Rd=9650.97
Rifollamento lato piastra: Fb,Ed,p=0.70 Fb,Rd,p=12222.90
Tirafondi:LT=0.45 (0.31) σ_{cR}=0.00 σ_{fR}=0.00
Compressione nel calcestruzzo: σ_c=15.35
CC 24 SLD (Collegamento 0025_-382)
Azioni sul collegamento: N=-5736.03 Ty=-4.54 Tz=3.73 Mx=0.00 Mz=-4.03
Sollecitazioni agenti localmente: Tx_l=-4.54 Ty_l=3.73 N_l=-5736.03 Mx_l=-0.00 My_l=-4.03 Mz_l=0.00
Taglio nei bulloni: Fv,Ed=0.98 Fv,Rd=9650.97
Rifollamento lato piastra: Fb,Ed,p=0.98 Fb,Rd,p=13748.90
Tirafondi:LT=0.45 (0.31) σ_{cR}=0.00 σ_{fR}=0.00
Compressione nel calcestruzzo: σ_c=12.08
CC 24 SLD (Collegamento 0025_-382)
Azioni sul collegamento: N=-5736.03 Ty=-3.51 Tz=3.73 Mx=0.00 Mz=-3.06
Sollecitazioni agenti localmente: Tx_l=-3.51 Ty_l=3.73 N_l=-5736.03 Mx_l=-0.00 My_l=-3.06 Mz_l=0.00
Taglio nei bulloni: Fv,Ed=0.85 Fv,Rd=9650.97
Rifollamento lato piastra: Fb,Ed,p=0.85 Fb,Rd,p=14587.00
Tirafondi:LT=0.45 (0.31) σ_{cR}=0.00 σ_{fR}=0.00
Compressione nel calcestruzzo: σ_c=12.02
CC 24 SLD (Collegamento 0025_-382)
Azioni sul collegamento: N=-5736.03 Ty=-4.54 Tz=-2.27 Mx=0.00 Mz=-4.03
Sollecitazioni agenti localmente: Tx_l=-4.54 Ty_l=-2.27 N_l=-5736.03 Mx_l=-0.00 My_l=-4.03 Mz_l=0.00
Taglio nei bulloni: Fv,Ed=0.85 Fv,Rd=9650.97
Rifollamento lato piastra: Fb,Ed,p=0.85 Fb,Rd,p=10293.10
Tirafondi:LT=0.45 (0.31) σ_{cR}=0.00 σ_{fR}=0.00
Compressione nel calcestruzzo: σ_c=12.08
CC 24 SLD (Collegamento 0025_-382)
Azioni sul collegamento: N=-5736.03 Ty=-3.51 Tz=-2.27 Mx=0.00 Mz=-3.06
Sollecitazioni agenti localmente: Tx_l=-3.51 Ty_l=-2.27 N_l=-5736.03 Mx_l=-0.00 My_l=-3.06 Mz_l=0.00
Taglio nei bulloni: Fv,Ed=0.70 Fv,Rd=9650.97
Rifollamento lato piastra: Fb,Ed,p=0.70 Fb,Rd,p=12222.60
Tirafondi:LT=0.45 (0.31) σ_{cR}=0.00 σ_{fR}=0.00
Compressione nel calcestruzzo: σ_c=12.02
CC 25 SLV (Collegamento 0025_-382)
Azioni sul collegamento: N=-5772.93 Ty=-3.40 Tz=-2.29 Mx=-0.02 Mz=-3.25
Sollecitazioni agenti localmente: Tx_l=-3.40 Ty_l=-2.29 N_l=-5772.93 Mx_l=-0.00 My_l=-3.25 Mz_l=-0.02
Taglio nei bulloni: Fv,Ed=0.71 Fv,Rd=7720.78
Rifollamento lato piastra: Fb,Ed,p=0.71 Fb,Rd,p=10267.10
Tirafondi:LT=0.45 (0.31) σ_{cR}=0.00 σ_{fR}=0.00
Compressione nel calcestruzzo: σ_c=12.11
CC 25 SLV (Collegamento 0025_-382)
Azioni sul collegamento: N=-5772.93 Ty=-6.34 Tz=-2.29 Mx=-0.02 Mz=-8.01
Sollecitazioni agenti localmente: Tx_l=-6.34 Ty_l=-2.29 N_l=-5772.93 Mx_l=-0.00 My_l=-8.01 Mz_l=-0.02
Taglio nei bulloni: Fv,Ed=1.15 Fv,Rd=7720.78
Rifollamento lato piastra: Fb,Ed,p=1.15 Fb,Rd,p=7232.15
Tirafondi:LT=0.45 (0.31) σ_{cR}=0.00 σ_{fR}=0.00
Compressione nel calcestruzzo: σ_c=12.38
CC 25 SLV (Collegamento 0025_-382)
Azioni sul collegamento: N=-5772.93 Ty=-3.40 Tz=4.00 Mx=-0.02 Mz=-3.25
Sollecitazioni agenti localmente: Tx_l=-3.40 Ty_l=4.00 N_l=-5772.93 Mx_l=-0.00 My_l=-3.25 Mz_l=-0.02
Taglio nei bulloni: Fv,Ed=0.90 Fv,Rd=7720.78
Rifollamento lato piastra: Fb,Ed,p=0.90 Fb,Rd,p=11181.60
Tirafondi:LT=0.45 (0.31) σ_{cR}=0.00 σ_{fR}=0.00
Compressione nel calcestruzzo: σ_c=12.11
CC 25 SLV (Collegamento 0025_-382)
Azioni sul collegamento: N=-5772.93 Ty=-6.34 Tz=4.00 Mx=-0.02 Mz=-8.01

Sollecitazioni agenti localmente: Tx_l=-6.34 Ty_l=4.00 N_l=-5772.93 Mx_l=-0.00 My_l=-8.01 Mz_l=-0.02
Taglio nei bulloni: Fv,Ed=1.28 Fv,Rd=7720.78
Rifollamento lato piastra: Fb,Ed,p=1.26 Fb,Rd,p=9253.49
Tirafondi:LT=0.45 (0.31) σ_{cR}=0.00 σ_{fR}=0.00
Compressione nel calcestruzzo: σ_c=12.38
CC 25 SLV (Collegamento 0025_-382)
Azioni sul collegamento: N=-7375.81 Ty=-3.40 Tz=-2.29 Mx=-0.02 Mz=-3.25
Sollecitazioni agenti localmente: Tx_l=-3.40 Ty_l=-2.29 N_l=-7375.81 Mx_l=-0.00 My_l=-3.25 Mz_l=-0.02
Taglio nei bulloni: Fv,Ed=0.71 Fv,Rd=7720.78
Rifollamento lato piastra: Fb,Ed,p=0.71 Fb,Rd,p=10266.70
Tirafondi:LT=0.45 (0.31) σ_{cR}=0.00 σ_{fR}=0.00
Compressione nel calcestruzzo: σ_c=15.42
CC 25 SLV (Collegamento 0025_-382)
Azioni sul collegamento: N=-7375.81 Ty=-6.34 Tz=-2.29 Mx=-0.02 Mz=-8.01
Sollecitazioni agenti localmente: Tx_l=-6.34 Ty_l=-2.29 N_l=-7375.81 Mx_l=-0.00 My_l=-8.01 Mz_l=-0.02
Taglio nei bulloni: Fv,Ed=1.15 Fv,Rd=7720.78
Rifollamento lato piastra: Fb,Ed,p=1.15 Fb,Rd,p=7232.05
Tirafondi:LT=0.45 (0.31) σ_{cR}=0.00 σ_{fR}=0.00
Compressione nel calcestruzzo: σ_c=15.69
CC 25 SLV (Collegamento 0025_-382)
Azioni sul collegamento: N=-7375.81 Ty=-3.40 Tz=4.00 Mx=-0.02 Mz=-3.25
Sollecitazioni agenti localmente: Tx_l=-3.40 Ty_l=4.00 N_l=-7375.81 Mx_l=-0.00 My_l=-3.25 Mz_l=-0.02
Taglio nei bulloni: Fv,Ed=0.90 Fv,Rd=7720.78
Rifollamento lato piastra: Fb,Ed,p=0.90 Fb,Rd,p=11182.10
Tirafondi:LT=0.45 (0.31) σ_{cR}=0.00 σ_{fR}=0.00
Compressione nel calcestruzzo: σ_c=15.42
CC 25 SLV (Collegamento 0025_-382)
Azioni sul collegamento: N=-7375.81 Ty=-6.34 Tz=4.00 Mx=-0.02 Mz=-8.01
Sollecitazioni agenti localmente: Tx_l=-6.34 Ty_l=4.00 N_l=-7375.81 Mx_l=-0.00 My_l=-8.01 Mz_l=-0.02
Taglio nei bulloni: Fv,Ed=1.28 Fv,Rd=7720.78
Rifollamento lato piastra: Fb,Ed,p=1.26 Fb,Rd,p=9252.79
Tirafondi:LT=0.45 (0.31) σ_{cR}=0.00 σ_{fR}=0.00
Compressione nel calcestruzzo: σ_c=15.69
CC 26 SLD (Collegamento 0025_-382)
Azioni sul collegamento: N=-6297.50 Ty=-3.58 Tz=-0.23 Mx=-0.00 Mz=-2.82
Sollecitazioni agenti localmente: Tx_l=-3.58 Ty_l=-0.23 N_l=-6297.50 Mx_l=-0.00 My_l=-2.82 Mz_l=-0.00
Taglio nei bulloni: Fv,Ed=0.60 Fv,Rd=9650.97
Rifollamento lato piastra: Fb,Ed,p=0.60 Fb,Rd,p=7529.25
Tirafondi:LT=0.45 (0.31) σ_{cR}=0.00 σ_{fR}=0.00
Compressione nel calcestruzzo: σ_c=13.17
CC 26 SLD (Collegamento 0025_-382)
Azioni sul collegamento: N=-6297.50 Ty=-4.47 Tz=-0.23 Mx=-0.00 Mz=-4.27
Sollecitazioni agenti localmente: Tx_l=-4.47 Ty_l=-0.23 N_l=-6297.50 Mx_l=-0.00 My_l=-4.27 Mz_l=-0.00
Taglio nei bulloni: Fv,Ed=0.75 Fv,Rd=9650.97
Rifollamento lato piastra: Fb,Ed,p=0.75 Fb,Rd,p=7509.43
Tirafondi:LT=0.45 (0.31) σ_{cR}=0.00 σ_{fR}=0.00
Compressione nel calcestruzzo: σ_c=13.25
CC 26 SLD (Collegamento 0025_-382)
Azioni sul collegamento: N=-6297.50 Ty=-3.58 Tz=1.69 Mx=-0.00 Mz=-2.82
Sollecitazioni agenti localmente: Tx_l=-3.58 Ty_l=1.69 N_l=-6297.50 Mx_l=-0.00 My_l=-2.82 Mz_l=-0.00
Taglio nei bulloni: Fv,Ed=0.66 Fv,Rd=9650.97
Rifollamento lato piastra: Fb,Ed,p=0.66 Fb,Rd,p=9879.54
Tirafondi:LT=0.45 (0.31) σ_{cR}=0.00 σ_{fR}=0.00
Compressione nel calcestruzzo: σ_c=13.17
CC 26 SLD (Collegamento 0025_-382)
Azioni sul collegamento: N=-6297.50 Ty=-4.47 Tz=1.69 Mx=-0.00 Mz=-4.27
Sollecitazioni agenti localmente: Tx_l=-4.47 Ty_l=1.69 N_l=-6297.50 Mx_l=-0.00 My_l=-4.27 Mz_l=-0.00
Taglio nei bulloni: Fv,Ed=0.80 Fv,Rd=9650.97
Rifollamento lato piastra: Fb,Ed,p=0.80 Fb,Rd,p=9009.52
Tirafondi:LT=0.45 (0.31) σ_{cR}=0.00 σ_{fR}=0.00
Compressione nel calcestruzzo: σ_c=13.25
CC 26 SLD (Collegamento 0025_-382)
Azioni sul collegamento: N=-6786.28 Ty=-3.58 Tz=-0.23 Mx=-0.00 Mz=-2.82
Sollecitazioni agenti localmente: Tx_l=-3.58 Ty_l=-0.23 N_l=-6786.28 Mx_l=-0.00 My_l=-2.82 Mz_l=-0.00
Taglio nei bulloni: Fv,Ed=0.60 Fv,Rd=9650.97
Rifollamento lato piastra: Fb,Ed,p=0.60 Fb,Rd,p=7529.28
Tirafondi:LT=0.45 (0.31) σ_{cR}=0.00 σ_{fR}=0.00
Compressione nel calcestruzzo: σ_c=14.18
CC 26 SLD (Collegamento 0025_-382)
Azioni sul collegamento: N=-6786.28 Ty=-4.47 Tz=-0.23 Mx=-0.00 Mz=-4.27
Sollecitazioni agenti localmente: Tx_l=-4.47 Ty_l=-0.23 N_l=-6786.28 Mx_l=-0.00 My_l=-4.27 Mz_l=-0.00
Taglio nei bulloni: Fv,Ed=0.75 Fv,Rd=9650.97
Rifollamento lato piastra: Fb,Ed,p=0.75 Fb,Rd,p=7509.45
Tirafondi:LT=0.45 (0.31) σ_{cR}=0.00 σ_{fR}=0.00
Compressione nel calcestruzzo: σ_c=14.26
CC 26 SLD (Collegamento 0025_-382)
Azioni sul collegamento: N=-6786.28 Ty=-3.58 Tz=1.69 Mx=-0.00 Mz=-2.82
Sollecitazioni agenti localmente: Tx_l=-3.58 Ty_l=1.69 N_l=-6786.28 Mx_l=-0.00 My_l=-2.82 Mz_l=-0.00

Taglio nei bulloni: Fv,Ed=0.66 Fv,Rd=9650.97
Rifollamento lato piastra: Fb,Ed,p=0.66 Fb,Rd,p=9880.45
Tirafondi:LT=0.45 (0.31) σ_{cR}=0.00 σ_{fR}=0.00
Compressione nel calcestruzzo: σ_c=14.18
CC 26 SLD (Collegamento 0025_-382)
Azioni sul collegamento: N=-6786.28 Ty=-4.47 Tz=1.69 Mx=-0.00 Mz=-4.27
Sollecitazioni agenti localmente: Tx_l=-4.47 Ty_l=1.69 N_l=-6786.28 Mx_l=-0.00 My_l=-4.27 Mz_l=-0.00
Taglio nei bulloni: Fv,Ed=0.80 Fv,Rd=9650.97
Rifollamento lato piastra: Fb,Ed,p=0.80 Fb,Rd,p=9010.10
Tirafondi:LT=0.45 (0.31) σ_{cR}=0.00 σ_{fR}=0.00
Compressione nel calcestruzzo: σ_c=14.26
CC 27 SLV (Collegamento 0025_-382)
Azioni sul collegamento: N=-7356.87 Ty=-4.22 Tz=3.57 Mx=-0.02 Mz=-3.82
Sollecitazioni agenti localmente: Tx_l=-4.22 Ty_l=3.57 N_l=-7356.87 Mx_l=-0.00 My_l=-3.82 Mz_l=-0.02
Taglio nei bulloni: Fv,Ed=0.95 Fv,Rd=7720.78
Rifollamento lato piastra: Fb,Ed,p=0.92 Fb,Rd,p=10864.90
Tirafondi:LT=0.45 (0.31) σ_{cR}=0.00 σ_{fR}=0.00
Compressione nel calcestruzzo: σ_c=15.42
CC 27 SLV (Collegamento 0025_-382)
Azioni sul collegamento: N=-7356.87 Ty=-5.52 Tz=3.57 Mx=-0.02 Mz=-7.44
Sollecitazioni agenti localmente: Tx_l=-5.52 Ty_l=3.57 N_l=-7356.87 Mx_l=-0.00 My_l=-7.44 Mz_l=-0.02
Taglio nei bulloni: Fv,Ed=1.12 Fv,Rd=7720.78
Rifollamento lato piastra: Fb,Ed,p=1.10 Fb,Rd,p=9399.59
Tirafondi:LT=0.45 (0.31) σ_{cR}=0.00 σ_{fR}=0.00
Compressione nel calcestruzzo: σ_c=15.62
CC 27 SLV (Collegamento 0025_-382)
Azioni sul collegamento: N=-7356.87 Ty=-4.22 Tz=-1.86 Mx=-0.02 Mz=-3.82
Sollecitazioni agenti localmente: Tx_l=-4.22 Ty_l=-1.86 N_l=-7356.87 Mx_l=-0.00 My_l=-3.82 Mz_l=-0.02
Taglio nei bulloni: Fv,Ed=0.79 Fv,Rd=7720.78
Rifollamento lato piastra: Fb,Ed,p=0.79 Fb,Rd,p=7856.70
Tirafondi:LT=0.45 (0.31) σ_{cR}=0.00 σ_{fR}=0.00
Compressione nel calcestruzzo: σ_c=15.42
CC 27 SLV (Collegamento 0025_-382)
Azioni sul collegamento: N=-7356.87 Ty=-5.52 Tz=-1.86 Mx=-0.02 Mz=-7.44
Sollecitazioni agenti localmente: Tx_l=-5.52 Ty_l=-1.86 N_l=-7356.87 Mx_l=-0.00 My_l=-7.44 Mz_l=-0.02
Taglio nei bulloni: Fv,Ed=1.00 Fv,Rd=7720.78
Rifollamento lato piastra: Fb,Ed,p=1.00 Fb,Rd,p=7085.37
Tirafondi:LT=0.45 (0.31) σ_{cR}=0.00 σ_{fR}=0.00
Compressione nel calcestruzzo: σ_c=15.62
CC 27 SLV (Collegamento 0025_-382)
Azioni sul collegamento: N=-5791.87 Ty=-4.22 Tz=3.57 Mx=-0.02 Mz=-3.82
Sollecitazioni agenti localmente: Tx_l=-4.22 Ty_l=3.57 N_l=-5791.87 Mx_l=-0.00 My_l=-3.82 Mz_l=-0.02
Taglio nei bulloni: Fv,Ed=0.95 Fv,Rd=7720.78
Rifollamento lato piastra: Fb,Ed,p=0.92 Fb,Rd,p=10864.70
Tirafondi:LT=0.45 (0.31) σ_{cR}=0.00 σ_{fR}=0.00
Compressione nel calcestruzzo: σ_c=12.18
CC 27 SLV (Collegamento 0025_-382)
Azioni sul collegamento: N=-5791.87 Ty=-5.52 Tz=3.57 Mx=-0.02 Mz=-7.44
Sollecitazioni agenti localmente: Tx_l=-5.52 Ty_l=3.57 N_l=-5791.87 Mx_l=-0.00 My_l=-7.44 Mz_l=-0.02
Taglio nei bulloni: Fv,Ed=1.12 Fv,Rd=7720.78
Rifollamento lato piastra: Fb,Ed,p=1.10 Fb,Rd,p=9399.17
Tirafondi:LT=0.45 (0.31) σ_{cR}=0.00 σ_{fR}=0.00
Compressione nel calcestruzzo: σ_c=12.39
CC 27 SLV (Collegamento 0025_-382)
Azioni sul collegamento: N=-5791.87 Ty=-4.22 Tz=-1.86 Mx=-0.02 Mz=-3.82
Sollecitazioni agenti localmente: Tx_l=-4.22 Ty_l=-1.86 N_l=-5791.87 Mx_l=-0.00 My_l=-3.82 Mz_l=-0.02
Taglio nei bulloni: Fv,Ed=0.79 Fv,Rd=7720.78
Rifollamento lato piastra: Fb,Ed,p=0.79 Fb,Rd,p=7856.38
Tirafondi:LT=0.45 (0.31) σ_{cR}=0.00 σ_{fR}=0.00
Compressione nel calcestruzzo: σ_c=12.18
CC 27 SLV (Collegamento 0025_-382)
Azioni sul collegamento: N=-5791.87 Ty=-5.52 Tz=-1.86 Mx=-0.02 Mz=-7.44
Sollecitazioni agenti localmente: Tx_l=-5.52 Ty_l=-1.86 N_l=-5791.87 Mx_l=-0.00 My_l=-7.44 Mz_l=-0.02
Taglio nei bulloni: Fv,Ed=1.00 Fv,Rd=7720.78
Rifollamento lato piastra: Fb,Ed,p=1.00 Fb,Rd,p=7085.18
Tirafondi:LT=0.45 (0.31) σ_{cR}=0.00 σ_{fR}=0.00
Compressione nel calcestruzzo: σ_c=12.39
CC 28 SLD (Collegamento 0025_-382)
Azioni sul collegamento: N=-6780.50 Ty=-3.83 Tz=1.56 Mx=-0.00 Mz=-3.00
Sollecitazioni agenti localmente: Tx_l=-3.83 Ty_l=1.56 N_l=-6780.50 Mx_l=-0.00 My_l=-3.00 Mz_l=-0.00
Taglio nei bulloni: Fv,Ed=0.69 Fv,Rd=9650.97
Rifollamento lato piastra: Fb,Ed,p=0.69 Fb,Rd,p=9260.82
Tirafondi:LT=0.45 (0.31) σ_{cR}=0.00 σ_{fR}=0.00
Compressione nel calcestruzzo: σ_c=14.18
CC 28 SLD (Collegamento 0025_-382)
Azioni sul collegamento: N=-6780.50 Ty=-4.22 Tz=1.56 Mx=-0.00 Mz=-4.10
Sollecitazioni agenti localmente: Tx_l=-4.22 Ty_l=1.56 N_l=-6780.50 Mx_l=-0.00 My_l=-4.10 Mz_l=-0.00
Taglio nei bulloni: Fv,Ed=0.75 Fv,Rd=9650.97

Rifollamento lato piastra: Fb,Ed,p=0.75 Fb,Rd,p=8940.29
Tirafondi:LT=0.45 (0.31) σ_{cR}=0.00 σ_{fR}=0.00
Compressione nel calcestruzzo: σ_c=14.24
CC 28 SLD (Collegamento 0025_-382)
Azioni sul collegamento: N=-6780.50 Ty=-3.83 Tz=-0.10 Mx=-0.00 Mz=-3.00
Sollecitazioni agenti localmente: Tx_l=-3.83 Ty_l=-0.10 N_l=-6780.50 Mx_l=-0.00 My_l=-3.00 Mz_l=-0.00
Taglio nei bulloni: Fv,Ed=0.64 Fv,Rd=9650.97
Rifollamento lato piastra: Fb,Ed,p=0.64 Fb,Rd,p=7485.12
Tirafondi:LT=0.45 (0.31) σ_{cR}=0.00 σ_{fR}=0.00
Compressione nel calcestruzzo: σ_c=14.18
CC 28 SLD (Collegamento 0025_-382)
Azioni sul collegamento: N=-6780.50 Ty=-4.22 Tz=-0.10 Mx=-0.00 Mz=-4.10
Sollecitazioni agenti localmente: Tx_l=-4.22 Ty_l=-0.10 N_l=-6780.50 Mx_l=-0.00 My_l=-4.10 Mz_l=-0.00
Taglio nei bulloni: Fv,Ed=0.71 Fv,Rd=9650.97
Rifollamento lato piastra: Fb,Ed,p=0.71 Fb,Rd,p=7483.13
Tirafondi:LT=0.45 (0.31) σ_{cR}=0.00 σ_{fR}=0.00
Compressione nel calcestruzzo: σ_c=14.24
CC 28 SLD (Collegamento 0025_-382)
Azioni sul collegamento: N=-6303.28 Ty=-3.83 Tz=1.56 Mx=-0.00 Mz=-3.00
Sollecitazioni agenti localmente: Tx_l=-3.83 Ty_l=1.56 N_l=-6303.28 Mx_l=-0.00 My_l=-3.00 Mz_l=-0.00
Taglio nei bulloni: Fv,Ed=0.69 Fv,Rd=9650.97
Rifollamento lato piastra: Fb,Ed,p=0.69 Fb,Rd,p=9261.34
Tirafondi:LT=0.45 (0.31) σ_{cR}=0.00 σ_{fR}=0.00
Compressione nel calcestruzzo: σ_c=13.19
CC 28 SLD (Collegamento 0025_-382)
Azioni sul collegamento: N=-6303.28 Ty=-4.22 Tz=1.56 Mx=-0.00 Mz=-4.10
Sollecitazioni agenti localmente: Tx_l=-4.22 Ty_l=1.56 N_l=-6303.28 Mx_l=-0.00 My_l=-4.10 Mz_l=-0.00
Taglio nei bulloni: Fv,Ed=0.75 Fv,Rd=9650.97
Rifollamento lato piastra: Fb,Ed,p=0.75 Fb,Rd,p=8940.72
Tirafondi:LT=0.45 (0.31) σ_{cR}=0.00 σ_{fR}=0.00
Compressione nel calcestruzzo: σ_c=13.25
CC 28 SLD (Collegamento 0025_-382)
Azioni sul collegamento: N=-6303.28 Ty=-3.83 Tz=-0.10 Mx=-0.00 Mz=-3.00
Sollecitazioni agenti localmente: Tx_l=-3.83 Ty_l=-0.10 N_l=-6303.28 Mx_l=-0.00 My_l=-3.00 Mz_l=-0.00
Taglio nei bulloni: Fv,Ed=0.64 Fv,Rd=9650.97
Rifollamento lato piastra: Fb,Ed,p=0.64 Fb,Rd,p=7485.07
Tirafondi:LT=0.45 (0.31) σ_{cR}=0.00 σ_{fR}=0.00
Compressione nel calcestruzzo: σ_c=13.19
CC 28 SLD (Collegamento 0025_-382)
Azioni sul collegamento: N=-6303.28 Ty=-4.22 Tz=-0.10 Mx=-0.00 Mz=-4.10
Sollecitazioni agenti localmente: Tx_l=-4.22 Ty_l=-0.10 N_l=-6303.28 Mx_l=-0.00 My_l=-4.10 Mz_l=-0.00
Taglio nei bulloni: Fv,Ed=0.71 Fv,Rd=9650.97
Rifollamento lato piastra: Fb,Ed,p=0.71 Fb,Rd,p=7483.10
Tirafondi:LT=0.45 (0.31) σ_{cR}=0.00 σ_{fR}=0.00
Compressione nel calcestruzzo: σ_c=13.25
CC 29 SLV (Collegamento 0025_-382)
Azioni sul collegamento: N=-5791.87 Ty=-5.52 Tz=-1.86 Mx=-0.00 Mz=-7.44
Sollecitazioni agenti localmente: Tx_l=-5.52 Ty_l=-1.86 N_l=-5791.87 Mx_l=-0.00 My_l=-7.44 Mz_l=-0.00
Taglio nei bulloni: Fv,Ed=0.97 Fv,Rd=7720.78
Rifollamento lato piastra: Fb,Ed,p=0.97 Fb,Rd,p=7011.83
Tirafondi:LT=0.45 (0.31) σ_{cR}=0.00 σ_{fR}=0.00
Compressione nel calcestruzzo: σ_c=12.39
CC 29 SLV (Collegamento 0025_-382)
Azioni sul collegamento: N=-5791.87 Ty=-4.22 Tz=-1.86 Mx=-0.00 Mz=-3.82
Sollecitazioni agenti localmente: Tx_l=-4.22 Ty_l=-1.86 N_l=-5791.87 Mx_l=-0.00 My_l=-3.82 Mz_l=-0.00
Taglio nei bulloni: Fv,Ed=0.77 Fv,Rd=7720.78
Rifollamento lato piastra: Fb,Ed,p=0.77 Fb,Rd,p=7750.71
Tirafondi:LT=0.45 (0.31) σ_{cR}=0.00 σ_{fR}=0.00
Compressione nel calcestruzzo: σ_c=12.18
CC 29 SLV (Collegamento 0025_-382)
Azioni sul collegamento: N=-5791.87 Ty=-5.52 Tz=3.57 Mx=-0.00 Mz=-7.44
Sollecitazioni agenti localmente: Tx_l=-5.52 Ty_l=3.57 N_l=-5791.87 Mx_l=-0.00 My_l=-7.44 Mz_l=-0.00
Taglio nei bulloni: Fv,Ed=1.10 Fv,Rd=7720.78
Rifollamento lato piastra: Fb,Ed,p=1.10 Fb,Rd,p=9740.98
Tirafondi:LT=0.45 (0.31) σ_{cR}=0.00 σ_{fR}=0.00
Compressione nel calcestruzzo: σ_c=12.39
CC 29 SLV (Collegamento 0025_-382)
Azioni sul collegamento: N=-5791.87 Ty=-4.22 Tz=3.57 Mx=-0.00 Mz=-3.82
Sollecitazioni agenti localmente: Tx_l=-4.22 Ty_l=3.57 N_l=-5791.87 Mx_l=-0.00 My_l=-3.82 Mz_l=-0.00
Taglio nei bulloni: Fv,Ed=0.93 Fv,Rd=7720.78
Rifollamento lato piastra: Fb,Ed,p=0.92 Fb,Rd,p=11093.50
Tirafondi:LT=0.45 (0.31) σ_{cR}=0.00 σ_{fR}=0.00
Compressione nel calcestruzzo: σ_c=12.18
CC 29 SLV (Collegamento 0025_-382)
Azioni sul collegamento: N=-7356.87 Ty=-5.52 Tz=-1.86 Mx=-0.00 Mz=-7.44
Sollecitazioni agenti localmente: Tx_l=-5.52 Ty_l=-1.86 N_l=-7356.87 Mx_l=-0.00 My_l=-7.44 Mz_l=-0.00
Taglio nei bulloni: Fv,Ed=0.97 Fv,Rd=7720.78
Rifollamento lato piastra: Fb,Ed,p=0.97 Fb,Rd,p=7012.01

Tirafondi:LT=0.45 (0.31) σ_{cR}=0.00 σ_{fR}=0.00
Compressione nel calcestruzzo: σ_c=15.62
CC 29 SLV (Collegamento 0025_-382)
Azioni sul collegamento: N=-7356.87 Ty=-4.22 Tz=-1.86 Mx=-0.00 Mz=-3.82
Sollecitazioni agenti localmente: Tx_l=-4.22 Ty_l=-1.86 N_l=-7356.87 Mx_l=-0.00 My_l=-3.82 Mz_l=-0.00
Taglio nei bulloni: Fv,Ed=0.77 Fv,Rd=7720.78
Rifollamento lato piastra: Fb,Ed,p=0.77 Fb,Rd,p=7751.02
Tirafondi:LT=0.45 (0.31) σ_{cR}=0.00 σ_{fR}=0.00
Compressione nel calcestruzzo: σ_c=15.42
CC 29 SLV (Collegamento 0025_-382)
Azioni sul collegamento: N=-7356.87 Ty=-5.52 Tz=3.57 Mx=-0.00 Mz=-7.44
Sollecitazioni agenti localmente: Tx_l=-5.52 Ty_l=3.57 N_l=-7356.87 Mx_l=-0.00 My_l=-7.44 Mz_l=-0.00
Taglio nei bulloni: Fv,Ed=1.10 Fv,Rd=7720.78
Rifollamento lato piastra: Fb,Ed,p=1.10 Fb,Rd,p=9741.43
Tirafondi:LT=0.45 (0.31) σ_{cR}=0.00 σ_{fR}=0.00
Compressione nel calcestruzzo: σ_c=15.62
CC 29 SLV (Collegamento 0025_-382)
Azioni sul collegamento: N=-7356.87 Ty=-4.22 Tz=3.57 Mx=-0.00 Mz=-3.82
Sollecitazioni agenti localmente: Tx_l=-4.22 Ty_l=3.57 N_l=-7356.87 Mx_l=-0.00 My_l=-3.82 Mz_l=-0.00
Taglio nei bulloni: Fv,Ed=0.93 Fv,Rd=7720.78
Rifollamento lato piastra: Fb,Ed,p=0.92 Fb,Rd,p=11093.70
Tirafondi:LT=0.45 (0.31) σ_{cR}=0.00 σ_{fR}=0.00
Compressione nel calcestruzzo: σ_c=15.42
CC 30 SLD (Collegamento 0025_-382)
Azioni sul collegamento: N=-6303.28 Ty=-4.22 Tz=-0.10 Mx=0.00 Mz=-4.10
Sollecitazioni agenti localmente: Tx_l=-4.22 Ty_l=-0.10 N_l=-6303.28 Mx_l=-0.00 My_l=-4.10 Mz_l=0.00
Taglio nei bulloni: Fv,Ed=0.71 Fv,Rd=9650.97
Rifollamento lato piastra: Fb,Ed,p=0.71 Fb,Rd,p=7479.10
Tirafondi:LT=0.45 (0.31) σ_{cR}=0.00 σ_{fR}=0.00
Compressione nel calcestruzzo: σ_c=13.25
CC 30 SLD (Collegamento 0025_-382)
Azioni sul collegamento: N=-6303.28 Ty=-3.83 Tz=-0.10 Mx=0.00 Mz=-3.00
Sollecitazioni agenti localmente: Tx_l=-3.83 Ty_l=-0.10 N_l=-6303.28 Mx_l=-0.00 My_l=-3.00 Mz_l=0.00
Taglio nei bulloni: Fv,Ed=0.64 Fv,Rd=9650.97
Rifollamento lato piastra: Fb,Ed,p=0.64 Fb,Rd,p=7480.22
Tirafondi:LT=0.45 (0.31) σ_{cR}=0.00 σ_{fR}=0.00
Compressione nel calcestruzzo: σ_c=13.19
CC 30 SLD (Collegamento 0025_-382)
Azioni sul collegamento: N=-6303.28 Ty=-4.22 Tz=1.56 Mx=0.00 Mz=-4.10
Sollecitazioni agenti localmente: Tx_l=-4.22 Ty_l=1.56 N_l=-6303.28 Mx_l=-0.00 My_l=-4.10 Mz_l=0.00
Taglio nei bulloni: Fv,Ed=0.75 Fv,Rd=9650.97
Rifollamento lato piastra: Fb,Ed,p=0.75 Fb,Rd,p=9007.88
Tirafondi:LT=0.45 (0.31) σ_{cR}=0.00 σ_{fR}=0.00
Compressione nel calcestruzzo: σ_c=13.25
CC 30 SLD (Collegamento 0025_-382)
Azioni sul collegamento: N=-6303.28 Ty=-3.83 Tz=1.56 Mx=0.00 Mz=-3.00
Sollecitazioni agenti localmente: Tx_l=-3.83 Ty_l=1.56 N_l=-6303.28 Mx_l=-0.00 My_l=-3.00 Mz_l=0.00
Taglio nei bulloni: Fv,Ed=0.69 Fv,Rd=9650.97
Rifollamento lato piastra: Fb,Ed,p=0.69 Fb,Rd,p=9344.27
Tirafondi:LT=0.45 (0.31) σ_{cR}=0.00 σ_{fR}=0.00
Compressione nel calcestruzzo: σ_c=13.19
CC 30 SLD (Collegamento 0025_-382)
Azioni sul collegamento: N=-6780.50 Ty=-4.22 Tz=-0.10 Mx=0.00 Mz=-4.10
Sollecitazioni agenti localmente: Tx_l=-4.22 Ty_l=-0.10 N_l=-6780.50 Mx_l=-0.00 My_l=-4.10 Mz_l=0.00
Taglio nei bulloni: Fv,Ed=0.71 Fv,Rd=9650.97
Rifollamento lato piastra: Fb,Ed,p=0.71 Fb,Rd,p=7479.13
Tirafondi:LT=0.45 (0.31) σ_{cR}=0.00 σ_{fR}=0.00
Compressione nel calcestruzzo: σ_c=14.24
CC 30 SLD (Collegamento 0025_-382)
Azioni sul collegamento: N=-6780.50 Ty=-3.83 Tz=-0.10 Mx=0.00 Mz=-3.00
Sollecitazioni agenti localmente: Tx_l=-3.83 Ty_l=-0.10 N_l=-6780.50 Mx_l=-0.00 My_l=-3.00 Mz_l=0.00
Taglio nei bulloni: Fv,Ed=0.64 Fv,Rd=9650.97
Rifollamento lato piastra: Fb,Ed,p=0.64 Fb,Rd,p=7480.24
Tirafondi:LT=0.45 (0.31) σ_{cR}=0.00 σ_{fR}=0.00
Compressione nel calcestruzzo: σ_c=14.18
CC 30 SLD (Collegamento 0025_-382)
Azioni sul collegamento: N=-6780.50 Ty=-4.22 Tz=1.56 Mx=0.00 Mz=-4.10
Sollecitazioni agenti localmente: Tx_l=-4.22 Ty_l=1.56 N_l=-6780.50 Mx_l=-0.00 My_l=-4.10 Mz_l=0.00
Taglio nei bulloni: Fv,Ed=0.75 Fv,Rd=9650.97
Rifollamento lato piastra: Fb,Ed,p=0.75 Fb,Rd,p=9007.45
Tirafondi:LT=0.45 (0.31) σ_{cR}=0.00 σ_{fR}=0.00
Compressione nel calcestruzzo: σ_c=14.24
CC 30 SLD (Collegamento 0025_-382)
Azioni sul collegamento: N=-6780.50 Ty=-3.83 Tz=1.56 Mx=0.00 Mz=-3.00
Sollecitazioni agenti localmente: Tx_l=-3.83 Ty_l=1.56 N_l=-6780.50 Mx_l=-0.00 My_l=-3.00 Mz_l=0.00
Taglio nei bulloni: Fv,Ed=0.69 Fv,Rd=9650.97
Rifollamento lato piastra: Fb,Ed,p=0.69 Fb,Rd,p=9343.73
Tirafondi:LT=0.45 (0.31) σ_{cR}=0.00 σ_{fR}=0.00

Compressione nel calcestruzzo: σ_c=14.18
CC 31 SLV (Collegamento 0025_-382)
Azioni sul collegamento: N=-7375.81 Ty=-6.34 Tz=4.00 Mx=-0.00 Mz=-8.01
Sollecitazioni agenti localmente: Tx_l=-6.34 Ty_l=4.00 N_l=-7375.81 Mx_l=-0.00 My_l=-8.01 Mz_l=-0.00
Taglio nei bulloni: Fv,Ed=1.25 Fv,Rd=7720.78
Rifollamento lato piastra: Fb,Ed,p=1.25 Fb,Rd,p=9578.97
Tirafondi:LT=0.45 (0.31) σ_{cR}=0.00 σ_{fR}=0.00
Compressione nel calcestruzzo: σ_c=15.69
CC 31 SLV (Collegamento 0025_-382)
Azioni sul collegamento: N=-7375.81 Ty=-3.40 Tz=4.00 Mx=-0.00 Mz=-3.25
Sollecitazioni agenti localmente: Tx_l=-3.40 Ty_l=4.00 N_l=-7375.81 Mx_l=-0.00 My_l=-3.25 Mz_l=-0.00
Taglio nei bulloni: Fv,Ed=0.88 Fv,Rd=7720.78
Rifollamento lato piastra: Fb,Ed,p=0.88 Fb,Rd,p=11159.50
Tirafondi:LT=0.45 (0.31) σ_{cR}=0.00 σ_{fR}=0.00
Compressione nel calcestruzzo: σ_c=15.42
CC 31 SLV (Collegamento 0025_-382)
Azioni sul collegamento: N=-7375.81 Ty=-6.34 Tz=-2.29 Mx=-0.00 Mz=-8.01
Sollecitazioni agenti localmente: Tx_l=-6.34 Ty_l=-2.29 N_l=-7375.81 Mx_l=-0.00 My_l=-8.01 Mz_l=-0.00
Taglio nei bulloni: Fv,Ed=1.13 Fv,Rd=7720.78
Rifollamento lato piastra: Fb,Ed,p=1.13 Fb,Rd,p=7157.59
Tirafondi:LT=0.45 (0.31) σ_{cR}=0.00 σ_{fR}=0.00
Compressione nel calcestruzzo: σ_c=15.69
CC 31 SLV (Collegamento 0025_-382)
Azioni sul collegamento: N=-7375.81 Ty=-3.40 Tz=-2.29 Mx=-0.00 Mz=-3.25
Sollecitazioni agenti localmente: Tx_l=-3.40 Ty_l=-2.29 N_l=-7375.81 Mx_l=-0.00 My_l=-3.25 Mz_l=-0.00
Taglio nei bulloni: Fv,Ed=0.69 Fv,Rd=7720.78
Rifollamento lato piastra: Fb,Ed,p=0.69 Fb,Rd,p=10133.50
Tirafondi:LT=0.45 (0.31) σ_{cR}=0.00 σ_{fR}=0.00
Compressione nel calcestruzzo: σ_c=15.42
CC 31 SLV (Collegamento 0025_-382)
Azioni sul collegamento: N=-5772.93 Ty=-6.34 Tz=4.00 Mx=-0.00 Mz=-8.01
Sollecitazioni agenti localmente: Tx_l=-6.34 Ty_l=4.00 N_l=-5772.93 Mx_l=-0.00 My_l=-8.01 Mz_l=-0.00
Taglio nei bulloni: Fv,Ed=1.25 Fv,Rd=7720.78
Rifollamento lato piastra: Fb,Ed,p=1.25 Fb,Rd,p=9579.71
Tirafondi:LT=0.45 (0.31) σ_{cR}=0.00 σ_{fR}=0.00
Compressione nel calcestruzzo: σ_c=12.38
CC 31 SLV (Collegamento 0025_-382)
Azioni sul collegamento: N=-5772.93 Ty=-3.40 Tz=4.00 Mx=-0.00 Mz=-3.25
Sollecitazioni agenti localmente: Tx_l=-3.40 Ty_l=4.00 N_l=-5772.93 Mx_l=-0.00 My_l=-3.25 Mz_l=-0.00
Taglio nei bulloni: Fv,Ed=0.88 Fv,Rd=7720.78
Rifollamento lato piastra: Fb,Ed,p=0.88 Fb,Rd,p=11159.10
Tirafondi:LT=0.45 (0.31) σ_{cR}=0.00 σ_{fR}=0.00
Compressione nel calcestruzzo: σ_c=12.11
CC 31 SLV (Collegamento 0025_-382)
Azioni sul collegamento: N=-5772.93 Ty=-6.34 Tz=-2.29 Mx=-0.00 Mz=-8.01
Sollecitazioni agenti localmente: Tx_l=-6.34 Ty_l=-2.29 N_l=-5772.93 Mx_l=-0.00 My_l=-8.01 Mz_l=-0.00
Taglio nei bulloni: Fv,Ed=1.13 Fv,Rd=7720.78
Rifollamento lato piastra: Fb,Ed,p=1.13 Fb,Rd,p=7157.69
Tirafondi:LT=0.45 (0.31) σ_{cR}=0.00 σ_{fR}=0.00
Compressione nel calcestruzzo: σ_c=12.38
CC 31 SLV (Collegamento 0025_-382)
Azioni sul collegamento: N=-5772.93 Ty=-3.40 Tz=-2.29 Mx=-0.00 Mz=-3.25
Sollecitazioni agenti localmente: Tx_l=-3.40 Ty_l=-2.29 N_l=-5772.93 Mx_l=-0.00 My_l=-3.25 Mz_l=-0.00
Taglio nei bulloni: Fv,Ed=0.69 Fv,Rd=7720.78
Rifollamento lato piastra: Fb,Ed,p=0.69 Fb,Rd,p=10133.90
Tirafondi:LT=0.45 (0.31) σ_{cR}=0.00 σ_{fR}=0.00
Compressione nel calcestruzzo: σ_c=12.11
CC 32 SLD (Collegamento 0025_-382)
Azioni sul collegamento: N=-6786.28 Ty=-4.47 Tz=1.69 Mx=0.00 Mz=-4.27
Sollecitazioni agenti localmente: Tx_l=-4.47 Ty_l=1.69 N_l=-6786.28 Mx_l=-0.00 My_l=-4.27 Mz_l=0.00
Taglio nei bulloni: Fv,Ed=0.80 Fv,Rd=9650.97
Rifollamento lato piastra: Fb,Ed,p=0.80 Fb,Rd,p=9082.64
Tirafondi:LT=0.45 (0.31) σ_{cR}=0.00 σ_{fR}=0.00
Compressione nel calcestruzzo: σ_c=14.26
CC 32 SLD (Collegamento 0025_-382)
Azioni sul collegamento: N=-6786.28 Ty=-3.58 Tz=1.69 Mx=0.00 Mz=-2.82
Sollecitazioni agenti localmente: Tx_l=-3.58 Ty_l=1.69 N_l=-6786.28 Mx_l=-0.00 My_l=-2.82 Mz_l=0.00
Taglio nei bulloni: Fv,Ed=0.66 Fv,Rd=9650.97
Rifollamento lato piastra: Fb,Ed,p=0.66 Fb,Rd,p=9997.55
Tirafondi:LT=0.45 (0.31) σ_{cR}=0.00 σ_{fR}=0.00
Compressione nel calcestruzzo: σ_c=14.18
CC 32 SLD (Collegamento 0025_-382)
Azioni sul collegamento: N=-6786.28 Ty=-4.47 Tz=-0.23 Mx=0.00 Mz=-4.27
Sollecitazioni agenti localmente: Tx_l=-4.47 Ty_l=-0.23 N_l=-6786.28 Mx_l=-0.00 My_l=-4.27 Mz_l=0.00
Taglio nei bulloni: Fv,Ed=0.75 Fv,Rd=9650.97
Rifollamento lato piastra: Fb,Ed,p=0.75 Fb,Rd,p=7500.57
Tirafondi:LT=0.45 (0.31) σ_{cR}=0.00 σ_{fR}=0.00
Compressione nel calcestruzzo: σ_c=14.26

CC 32 SLD (Collegamento 0025_-382)
Azioni sul collegamento: N=-6786.28 Ty=-3.58 Tz=-0.23 Mx=0.00 Mz=-2.82
Sollecitazioni agenti localmente: Tx_l=-3.58 Ty_l=-0.23 N_l=-6786.28 Mx_l=-0.00 My_l=-2.82 Mz_l=0.00
Taglio nei bulloni: Fv,Ed=0.60 Fv,Rd=9650.97
Rifollamento lato piastra: Fb,Ed,p=0.60 Fb,Rd,p=7515.50
Tirafondi:LT=0.45 (0.31) σ_{cR}=0.00 σ_{fR}=0.00
Compressione nel calcestruzzo: σ_c=14.18
CC 32 SLD (Collegamento 0025_-382)
Azioni sul collegamento: N=-6297.50 Ty=-4.47 Tz=1.69 Mx=0.00 Mz=-4.27
Sollecitazioni agenti localmente: Tx_l=-4.47 Ty_l=1.69 N_l=-6297.50 Mx_l=-0.00 My_l=-4.27 Mz_l=0.00
Taglio nei bulloni: Fv,Ed=0.80 Fv,Rd=9650.97
Rifollamento lato piastra: Fb,Ed,p=0.80 Fb,Rd,p=9082.05
Tirafondi:LT=0.45 (0.31) σ_{cR}=0.00 σ_{fR}=0.00
Compressione nel calcestruzzo: σ_c=13.25
CC 32 SLD (Collegamento 0025_-382)
Azioni sul collegamento: N=-6297.50 Ty=-3.58 Tz=1.69 Mx=0.00 Mz=-2.82
Sollecitazioni agenti localmente: Tx_l=-3.58 Ty_l=1.69 N_l=-6297.50 Mx_l=-0.00 My_l=-2.82 Mz_l=0.00
Taglio nei bulloni: Fv,Ed=0.66 Fv,Rd=9650.97
Rifollamento lato piastra: Fb,Ed,p=0.66 Fb,Rd,p=9996.62
Tirafondi:LT=0.45 (0.31) σ_{cR}=0.00 σ_{fR}=0.00
Compressione nel calcestruzzo: σ_c=13.17
CC 32 SLD (Collegamento 0025_-382)
Azioni sul collegamento: N=-6297.50 Ty=-4.47 Tz=-0.23 Mx=0.00 Mz=-4.27
Sollecitazioni agenti localmente: Tx_l=-4.47 Ty_l=-0.23 N_l=-6297.50 Mx_l=-0.00 My_l=-4.27 Mz_l=0.00
Taglio nei bulloni: Fv,Ed=0.75 Fv,Rd=9650.97
Rifollamento lato piastra: Fb,Ed,p=0.75 Fb,Rd,p=7500.56
Tirafondi:LT=0.45 (0.31) σ_{cR}=0.00 σ_{fR}=0.00
Compressione nel calcestruzzo: σ_c=13.25
CC 32 SLD (Collegamento 0025_-382)
Azioni sul collegamento: N=-6297.50 Ty=-3.58 Tz=-0.23 Mx=0.00 Mz=-2.82
Sollecitazioni agenti localmente: Tx_l=-3.58 Ty_l=-0.23 N_l=-6297.50 Mx_l=-0.00 My_l=-2.82 Mz_l=0.00
Taglio nei bulloni: Fv,Ed=0.60 Fv,Rd=9650.97
Rifollamento lato piastra: Fb,Ed,p=0.60 Fb,Rd,p=7515.47
Tirafondi:LT=0.45 (0.31) σ_{cR}=0.00 σ_{fR}=0.00
Compressione nel calcestruzzo: σ_c=13.17
CC 33 SLU (Collegamento 0025_-382)
Azioni sul collegamento: N=-30778.60 Ty=-5.67 Tz=81.62 Mx=0.01 Mz=-4.05
Sollecitazioni agenti localmente: Tx_l=-5.67 Ty_l=81.62 N_l=-30778.60 Mx_l=-0.00 My_l=-4.05 Mz_l=0.01
Taglio nei bulloni: Fv,Ed=13.64 Fv,Rd=7720.78
Rifollamento lato piastra: Fb,Ed,p=13.64 Fb,Rd,p=6021.31
Tirafondi:LT=0.45 (0.31) σ_{cR}=0.00 σ_{fR}=0.00
Compressione nel calcestruzzo: σ_c=63.82
CC 34 SLU (Collegamento 0025_-382)
Azioni sul collegamento: N=-30229.20 Ty=-5.39 Tz=79.58 Mx=0.01 Mz=-3.85
Sollecitazioni agenti localmente: Tx_l=-5.39 Ty_l=79.58 N_l=-30229.20 Mx_l=-0.00 My_l=-3.85 Mz_l=0.01
Taglio nei bulloni: Fv,Ed=13.30 Fv,Rd=7720.78
Rifollamento lato piastra: Fb,Ed,p=13.30 Fb,Rd,p=6019.16
Tirafondi:LT=0.45 (0.31) σ_{cR}=0.00 σ_{fR}=0.00
Compressione nel calcestruzzo: σ_c=62.67
CC 35 SLU (Collegamento 0025_-382)
Azioni sul collegamento: N=-30504.90 Ty=-5.64 Tz=80.58 Mx=0.01 Mz=-4.16
Sollecitazioni agenti localmente: Tx_l=-5.64 Ty_l=80.58 N_l=-30504.90 Mx_l=-0.00 My_l=-4.16 Mz_l=0.01
Taglio nei bulloni: Fv,Ed=13.47 Fv,Rd=7720.78
Rifollamento lato piastra: Fb,Ed,p=13.47 Fb,Rd,p=6021.83
Tirafondi:LT=0.45 (0.31) σ_{cR}=0.00 σ_{fR}=0.00
Compressione nel calcestruzzo: σ_c=63.26
CC 36 SLU (Collegamento 0025_-382)
Azioni sul collegamento: N=-30502.90 Ty=-5.42 Tz=80.62 Mx=0.01 Mz=-3.73
Sollecitazioni agenti localmente: Tx_l=-5.42 Ty_l=80.62 N_l=-30502.90 Mx_l=-0.00 My_l=-3.73 Mz_l=0.01
Taglio nei bulloni: Fv,Ed=13.47 Fv,Rd=7720.78
Rifollamento lato piastra: Fb,Ed,p=13.47 Fb,Rd,p=6018.69
Tirafondi:LT=0.45 (0.31) σ_{cR}=0.00 σ_{fR}=0.00
Compressione nel calcestruzzo: σ_c=63.23
CC 37 SLU (Collegamento 0025_-382)
Azioni sul collegamento: N=-21507.60 Ty=-6.52 Tz=47.54 Mx=0.01 Mz=-4.63
Sollecitazioni agenti localmente: Tx_l=-6.52 Ty_l=47.54 N_l=-21507.60 Mx_l=-0.00 My_l=-4.63 Mz_l=0.01
Taglio nei bulloni: Fv,Ed=8.01 Fv,Rd=7720.78
Rifollamento lato piastra: Fb,Ed,p=8.00 Fb,Rd,p=6143.51
Tirafondi:LT=0.45 (0.31) σ_{cR}=0.00 σ_{fR}=0.00
Compressione nel calcestruzzo: σ_c=44.70
CC 38 SLU (Collegamento 0025_-382)
Azioni sul collegamento: N=-20958.20 Ty=-6.23 Tz=45.50 Mx=0.01 Mz=-4.43
Sollecitazioni agenti localmente: Tx_l=-6.23 Ty_l=45.50 N_l=-20958.20 Mx_l=-0.00 My_l=-4.43 Mz_l=0.01
Taglio nei bulloni: Fv,Ed=7.66 Fv,Rd=7720.78
Rifollamento lato piastra: Fb,Ed,p=7.66 Fb,Rd,p=6143.22
Tirafondi:LT=0.45 (0.31) σ_{cR}=0.00 σ_{fR}=0.00
Compressione nel calcestruzzo: σ_c=43.55
CC 39 SLU (Collegamento 0025_-382)

Azioni sul collegamento: N=-21233.90 Ty=-6.48 Tz=46.50 Mx=0.01 Mz=-4.75
Sollecitazioni agenti localmente: Tx_l=-6.48 Ty_l=46.50 N_l=-21233.90 Mx_l=-0.00 My_l=-4.75 Mz_l=0.01
Taglio nei bulloni: Fv,Ed=7.83 Fv,Rd=7720.78
Rifollamento lato piastra: Fb,Ed,p=7.83 Fb,Rd,p=6148.94
Tirafondi:LT=0.45 (0.31) σ_{cR}=0.00 σ_{fR}=0.00
Compressione nel calcestruzzo: σ_c=44.14
CC 40 SLU (Collegamento 0025_-382)
Azioni sul collegamento: N=-21231.90 Ty=-6.26 Tz=46.54 Mx=0.01 Mz=-4.31
Sollecitazioni agenti localmente: Tx_l=-6.26 Ty_l=46.54 N_l=-21231.90 Mx_l=-0.00 My_l=-4.31 Mz_l=0.01
Taglio nei bulloni: Fv,Ed=7.83 Fv,Rd=7720.78
Rifollamento lato piastra: Fb,Ed,p=7.83 Fb,Rd,p=6137.89
Tirafondi:LT=0.45 (0.31) σ_{cR}=0.00 σ_{fR}=0.00
Compressione nel calcestruzzo: σ_c=44.11
CC 41 SLU (Collegamento 0025_-382)
Azioni sul collegamento: N=-32702.20 Ty=-5.53 Tz=88.04 Mx=-0.00 Mz=-4.06
Sollecitazioni agenti localmente: Tx_l=-5.53 Ty_l=88.04 N_l=-32702.20 Mx_l=-0.00 My_l=-4.06 Mz_l=-0.00
Taglio nei bulloni: Fv,Ed=14.71 Fv,Rd=7720.78
Rifollamento lato piastra: Fb,Ed,p=14.71 Fb,Rd,p=6014.38
Tirafondi:LT=0.45 (0.31) σ_{cR}=0.00 σ_{fR}=0.00
Compressione nel calcestruzzo: σ_c=67.80
CC 42 SLU (Collegamento 0025_-382)
Azioni sul collegamento: N=-32152.80 Ty=-5.24 Tz=86.01 Mx=-0.00 Mz=-3.86
Sollecitazioni agenti localmente: Tx_l=-5.24 Ty_l=86.01 N_l=-32152.80 Mx_l=-0.00 My_l=-3.86 Mz_l=-0.00
Taglio nei bulloni: Fv,Ed=14.36 Fv,Rd=7720.78
Rifollamento lato piastra: Fb,Ed,p=14.36 Fb,Rd,p=6012.40
Tirafondi:LT=0.45 (0.31) σ_{cR}=0.00 σ_{fR}=0.00
Compressione nel calcestruzzo: σ_c=66.65
CC 43 SLU (Collegamento 0025_-382)
Azioni sul collegamento: N=-32428.50 Ty=-5.50 Tz=87.00 Mx=-0.00 Mz=-4.18
Sollecitazioni agenti localmente: Tx_l=-5.50 Ty_l=87.00 N_l=-32428.50 Mx_l=-0.00 My_l=-4.18 Mz_l=-0.00
Taglio nei bulloni: Fv,Ed=14.53 Fv,Rd=7720.78
Rifollamento lato piastra: Fb,Ed,p=14.53 Fb,Rd,p=6014.74
Tirafondi:LT=0.45 (0.31) σ_{cR}=0.00 σ_{fR}=0.00
Compressione nel calcestruzzo: σ_c=67.24
CC 44 SLU (Collegamento 0025_-382)
Azioni sul collegamento: N=-32426.50 Ty=-5.28 Tz=87.05 Mx=-0.00 Mz=-3.74
Sollecitazioni agenti localmente: Tx_l=-5.28 Ty_l=87.05 N_l=-32426.50 Mx_l=-0.00 My_l=-3.74 Mz_l=-0.00
Taglio nei bulloni: Fv,Ed=14.54 Fv,Rd=7720.78
Rifollamento lato piastra: Fb,Ed,p=14.54 Fb,Rd,p=6012.06
Tirafondi:LT=0.45 (0.31) σ_{cR}=0.00 σ_{fR}=0.00
Compressione nel calcestruzzo: σ_c=67.21
CC 45 SLU (Collegamento 0025_-382)
Azioni sul collegamento: N=-23594.00 Ty=-6.22 Tz=55.25 Mx=0.01 Mz=-4.49
Sollecitazioni agenti localmente: Tx_l=-6.22 Ty_l=55.25 N_l=-23594.00 Mx_l=-0.00 My_l=-4.49 Mz_l=0.01
Taglio nei bulloni: Fv,Ed=9.28 Fv,Rd=7720.78
Rifollamento lato piastra: Fb,Ed,p=9.27 Fb,Rd,p=6090.04
Tirafondi:LT=0.45 (0.31) σ_{cR}=0.00 σ_{fR}=0.00
Compressione nel calcestruzzo: σ_c=49.00
CC 46 SLU (Collegamento 0025_-382)
Azioni sul collegamento: N=-23044.60 Ty=-5.94 Tz=53.22 Mx=0.01 Mz=-4.28
Sollecitazioni agenti localmente: Tx_l=-5.94 Ty_l=53.22 N_l=-23044.60 Mx_l=-0.00 My_l=-4.28 Mz_l=0.01
Taglio nei bulloni: Fv,Ed=8.93 Fv,Rd=7720.78
Rifollamento lato piastra: Fb,Ed,p=8.93 Fb,Rd,p=6088.00
Tirafondi:LT=0.45 (0.31) σ_{cR}=0.00 σ_{fR}=0.00
Compressione nel calcestruzzo: σ_c=47.85
CC 47 SLU (Collegamento 0025_-382)
Azioni sul collegamento: N=-23320.30 Ty=-6.19 Tz=54.21 Mx=0.01 Mz=-4.60
Sollecitazioni agenti localmente: Tx_l=-6.19 Ty_l=54.21 N_l=-23320.30 Mx_l=-0.00 My_l=-4.60 Mz_l=0.01
Taglio nei bulloni: Fv,Ed=9.10 Fv,Rd=7720.78
Rifollamento lato piastra: Fb,Ed,p=9.10 Fb,Rd,p=6092.92
Tirafondi:LT=0.45 (0.31) σ_{cR}=0.00 σ_{fR}=0.00
Compressione nel calcestruzzo: σ_c=48.44
CC 48 SLU (Collegamento 0025_-382)
Azioni sul collegamento: N=-23318.30 Ty=-5.97 Tz=54.26 Mx=0.01 Mz=-4.17
Sollecitazioni agenti localmente: Tx_l=-5.97 Ty_l=54.26 N_l=-23318.30 Mx_l=-0.00 My_l=-4.17 Mz_l=0.01
Taglio nei bulloni: Fv,Ed=9.11 Fv,Rd=7720.78
Rifollamento lato piastra: Fb,Ed,p=9.10 Fb,Rd,p=6085.22
Tirafondi:LT=0.45 (0.31) σ_{cR}=0.00 σ_{fR}=0.00
Compressione nel calcestruzzo: σ_c=48.41
CC 49 SLU (Collegamento 0025_-382)
Azioni sul collegamento: N=-16657.90 Ty=-6.86 Tz=29.76 Mx=0.01 Mz=-4.92
Sollecitazioni agenti localmente: Tx_l=-6.86 Ty_l=29.76 N_l=-16657.90 Mx_l=-0.00 My_l=-4.92 Mz_l=0.01
Taglio nei bulloni: Fv,Ed=5.10 Fv,Rd=7720.78
Rifollamento lato piastra: Fb,Ed,p=5.10 Fb,Rd,p=6444.31
Tirafondi:LT=0.45 (0.31) σ_{cR}=0.00 σ_{fR}=0.00
Compressione nel calcestruzzo: σ_c=34.69
CC 50 SLU (Collegamento 0025_-382)
Azioni sul collegamento: N=-16108.50 Ty=-6.57 Tz=27.72 Mx=0.01 Mz=-4.72

Sollecitazioni agenti localmente: Tx_l=-6.57 Ty_l=27.72 N_l=-16108.50 Mx_l=-0.00 My_l=-4.72 Mz_l=0.01
Taglio nei bulloni: Fv,Ed=4.76 Fv,Rd=7720.78
Rifollamento lato piastra: Fb,Ed,p=4.75 Fb,Rd,p=6471.63
Tirafondi:LT=0.45 (0.31) σ_{cR}=0.00 σ_{fR}=0.00
Compressione nel calcestruzzo: σ_c=33.55
CC 51 SLU (Collegamento 0025_-382)
Azioni sul collegamento: N=-16384.20 Ty=-6.82 Tz=28.72 Mx=0.01 Mz=-5.04
Sollecitazioni agenti localmente: Tx_l=-6.82 Ty_l=28.72 N_l=-16384.20 Mx_l=-0.00 My_l=-5.04 Mz_l=0.01
Taglio nei bulloni: Fv,Ed=4.93 Fv,Rd=7720.78
Rifollamento lato piastra: Fb,Ed,p=4.93 Fb,Rd,p=6473.07
Tirafondi:LT=0.45 (0.31) σ_{cR}=0.00 σ_{fR}=0.00
Compressione nel calcestruzzo: σ_c=34.14
CC 52 SLU (Collegamento 0025_-382)
Azioni sul collegamento: N=-16382.20 Ty=-6.60 Tz=28.76 Mx=0.01 Mz=-4.60
Sollecitazioni agenti localmente: Tx_l=-6.60 Ty_l=28.76 N_l=-16382.20 Mx_l=-0.00 My_l=-4.60 Mz_l=0.01
Taglio nei bulloni: Fv,Ed=4.93 Fv,Rd=7720.78
Rifollamento lato piastra: Fb,Ed,p=4.92 Fb,Rd,p=6441.98
Tirafondi:LT=0.45 (0.31) σ_{cR}=0.00 σ_{fR}=0.00
Compressione nel calcestruzzo: σ_c=34.11
CC 53 SLU (Collegamento 0025_-382)
Azioni sul collegamento: N=-25033.10 Ty=-6.12 Tz=60.06 Mx=-0.00 Mz=-4.50
Sollecitazioni agenti localmente: Tx_l=-6.12 Ty_l=60.06 N_l=-25033.10 Mx_l=-0.00 My_l=-4.50 Mz_l=-0.00
Taglio nei bulloni: Fv,Ed=10.06 Fv,Rd=7720.78
Rifollamento lato piastra: Fb,Ed,p=10.06 Fb,Rd,p=6071.30
Tirafondi:LT=0.45 (0.31) σ_{cR}=0.00 σ_{fR}=0.00
Compressione nel calcestruzzo: σ_c=51.97
CC 54 SLU (Collegamento 0025_-382)
Azioni sul collegamento: N=-24483.80 Ty=-5.83 Tz=58.03 Mx=-0.00 Mz=-4.29
Sollecitazioni agenti localmente: Tx_l=-5.83 Ty_l=58.03 N_l=-24483.80 Mx_l=-0.00 My_l=-4.29 Mz_l=-0.00
Taglio nei bulloni: Fv,Ed=9.72 Fv,Rd=7720.78
Rifollamento lato piastra: Fb,Ed,p=9.72 Fb,Rd,p=6068.97
Tirafondi:LT=0.45 (0.31) σ_{cR}=0.00 σ_{fR}=0.00
Compressione nel calcestruzzo: σ_c=50.83
CC 55 SLU (Collegamento 0025_-382)
Azioni sul collegamento: N=-24759.40 Ty=-6.08 Tz=59.02 Mx=0.00 Mz=-4.61
Sollecitazioni agenti localmente: Tx_l=-6.08 Ty_l=59.02 N_l=-24759.40 Mx_l=-0.00 My_l=-4.61 Mz_l=0.00
Taglio nei bulloni: Fv,Ed=9.89 Fv,Rd=7720.78
Rifollamento lato piastra: Fb,Ed,p=9.89 Fb,Rd,p=6073.42
Tirafondi:LT=0.45 (0.31) σ_{cR}=0.00 σ_{fR}=0.00
Compressione nel calcestruzzo: σ_c=51.42
CC 56 SLU (Collegamento 0025_-382)
Azioni sul collegamento: N=-24757.50 Ty=-5.87 Tz=59.07 Mx=-0.00 Mz=-4.18
Sollecitazioni agenti localmente: Tx_l=-5.87 Ty_l=59.07 N_l=-24757.50 Mx_l=-0.00 My_l=-4.18 Mz_l=-0.00
Taglio nei bulloni: Fv,Ed=9.89 Fv,Rd=7720.78
Rifollamento lato piastra: Fb,Ed,p=9.89 Fb,Rd,p=6066.93
Tirafondi:LT=0.45 (0.31) σ_{cR}=0.00 σ_{fR}=0.00
Compressione nel calcestruzzo: σ_c=51.39
CC 57 SLU (Collegamento 0025_-382)
Azioni sul collegamento: N=-21981.50 Ty=-5.60 Tz=49.32 Mx=0.01 Mz=-4.03
Sollecitazioni agenti localmente: Tx_l=-5.60 Ty_l=49.32 N_l=-21981.50 Mx_l=-0.00 My_l=-4.03 Mz_l=0.01
Taglio nei bulloni: Fv,Ed=8.28 Fv,Rd=7720.78
Rifollamento lato piastra: Fb,Ed,p=8.28 Fb,Rd,p=6091.76
Tirafondi:LT=0.45 (0.31) σ_{cR}=0.00 σ_{fR}=0.00
Compressione nel calcestruzzo: σ_c=45.64
CC 58 SLU (Collegamento 0025_-382)
Azioni sul collegamento: N=-21432.10 Ty=-5.31 Tz=47.28 Mx=0.01 Mz=-3.83
Sollecitazioni agenti localmente: Tx_l=-5.31 Ty_l=47.28 N_l=-21432.10 Mx_l=-0.00 My_l=-3.83 Mz_l=0.01
Taglio nei bulloni: Fv,Ed=7.94 Fv,Rd=7720.78
Rifollamento lato piastra: Fb,Ed,p=7.94 Fb,Rd,p=6089.52
Tirafondi:LT=0.45 (0.31) σ_{cR}=0.00 σ_{fR}=0.00
Compressione nel calcestruzzo: σ_c=44.50
CC 59 SLU (Collegamento 0025_-382)
Azioni sul collegamento: N=-21707.80 Ty=-5.57 Tz=48.28 Mx=0.01 Mz=-4.15
Sollecitazioni agenti localmente: Tx_l=-5.57 Ty_l=48.28 N_l=-21707.80 Mx_l=-0.00 My_l=-4.15 Mz_l=0.01
Taglio nei bulloni: Fv,Ed=8.11 Fv,Rd=7720.78
Rifollamento lato piastra: Fb,Ed,p=8.11 Fb,Rd,p=6095.07
Tirafondi:LT=0.45 (0.31) σ_{cR}=0.00 σ_{fR}=0.00
Compressione nel calcestruzzo: σ_c=45.08
CC 60 SLU (Collegamento 0025_-382)
Azioni sul collegamento: N=-21705.80 Ty=-5.35 Tz=48.32 Mx=0.01 Mz=-3.72
Sollecitazioni agenti localmente: Tx_l=-5.35 Ty_l=48.32 N_l=-21705.80 Mx_l=-0.00 My_l=-3.72 Mz_l=0.01
Taglio nei bulloni: Fv,Ed=8.11 Fv,Rd=7720.78
Rifollamento lato piastra: Fb,Ed,p=8.11 Fb,Rd,p=6086.34
Tirafondi:LT=0.45 (0.31) σ_{cR}=0.00 σ_{fR}=0.00
Compressione nel calcestruzzo: σ_c=45.06
CC 61 SLU (Collegamento 0025_-382)
Azioni sul collegamento: N=-15045.40 Ty=-6.23 Tz=23.82 Mx=0.01 Mz=-4.47
Sollecitazioni agenti localmente: Tx_l=-6.23 Ty_l=23.82 N_l=-15045.40 Mx_l=-0.00 My_l=-4.47 Mz_l=0.01

Taglio nei bulloni: Fv,Ed=4.11 Fv,Rd=7720.78
Rifollamento lato piastra: Fb,Ed,p=4.11 Fb,Rd,p=6579.15
Tirafondi:LT=0.45 (0.31) σ_{cR}=0.00 σ_{fR}=0.00
Compressione nel calcestruzzo: σ_c=31.34
CC 62 SLU (Collegamento 0025_-382)
Azioni sul collegamento: N=-14496.00 Ty=-5.95 Tz=21.79 Mx=0.01 Mz=-4.27
Sollecitazioni agenti localmente: Tx_l=-5.95 Ty_l=21.79 N_l=-14496.00 Mx_l=-0.00 My_l=-4.27 Mz_l=0.01
Taglio nei bulloni: Fv,Ed=3.77 Fv,Rd=7720.78
Rifollamento lato piastra: Fb,Ed,p=3.77 Fb,Rd,p=6632.64
Tirafondi:LT=0.45 (0.31) σ_{cR}=0.00 σ_{fR}=0.00
Compressione nel calcestruzzo: σ_c=30.19
CC 63 SLU (Collegamento 0025_-382)
Azioni sul collegamento: N=-14771.70 Ty=-6.20 Tz=22.78 Mx=0.01 Mz=-4.59
Sollecitazioni agenti localmente: Tx_l=-6.20 Ty_l=22.78 N_l=-14771.70 Mx_l=-0.00 My_l=-4.59 Mz_l=0.01
Taglio nei bulloni: Fv,Ed=3.94 Fv,Rd=7720.78
Rifollamento lato piastra: Fb,Ed,p=3.94 Fb,Rd,p=6627.17
Tirafondi:LT=0.45 (0.31) σ_{cR}=0.00 σ_{fR}=0.00
Compressione nel calcestruzzo: σ_c=30.78
CC 64 SLU (Collegamento 0025_-382)
Azioni sul collegamento: N=-14769.70 Ty=-5.98 Tz=22.82 Mx=0.01 Mz=-4.15
Sollecitazioni agenti localmente: Tx_l=-5.98 Ty_l=22.82 N_l=-14769.70 Mx_l=-0.00 My_l=-4.15 Mz_l=0.01
Taglio nei bulloni: Fv,Ed=3.94 Fv,Rd=7720.78
Rifollamento lato piastra: Fb,Ed,p=3.94 Fb,Rd,p=6582.10
Tirafondi:LT=0.45 (0.31) σ_{cR}=0.00 σ_{fR}=0.00
Compressione nel calcestruzzo: σ_c=30.75
CC 65 SLU (Collegamento 0025_-382)
Azioni sul collegamento: N=-23420.60 Ty=-5.49 Tz=54.12 Mx=-0.00 Mz=-4.04
Sollecitazioni agenti localmente: Tx_l=-5.49 Ty_l=54.12 N_l=-23420.60 Mx_l=-0.00 My_l=-4.04 Mz_l=-0.00
Taglio nei bulloni: Fv,Ed=9.07 Fv,Rd=7720.78
Rifollamento lato piastra: Fb,Ed,p=9.07 Fb,Rd,p=6070.73
Tirafondi:LT=0.45 (0.31) σ_{cR}=0.00 σ_{fR}=0.00
Compressione nel calcestruzzo: σ_c=48.62
CC 66 SLU (Collegamento 0025_-382)
Azioni sul collegamento: N=-22871.20 Ty=-5.21 Tz=52.09 Mx=-0.00 Mz=-3.84
Sollecitazioni agenti localmente: Tx_l=-5.21 Ty_l=52.09 N_l=-22871.20 Mx_l=-0.00 My_l=-3.84 Mz_l=-0.00
Taglio nei bulloni: Fv,Ed=8.73 Fv,Rd=7720.78
Rifollamento lato piastra: Fb,Ed,p=8.73 Fb,Rd,p=6068.12
Tirafondi:LT=0.45 (0.31) σ_{cR}=0.00 σ_{fR}=0.00
Compressione nel calcestruzzo: σ_c=47.47
CC 67 SLU (Collegamento 0025_-382)
Azioni sul collegamento: N=-23146.90 Ty=-5.46 Tz=53.08 Mx=-0.00 Mz=-4.16
Sollecitazioni agenti localmente: Tx_l=-5.46 Ty_l=53.08 N_l=-23146.90 Mx_l=-0.00 My_l=-4.16 Mz_l=-0.00
Taglio nei bulloni: Fv,Ed=8.89 Fv,Rd=7720.78
Rifollamento lato piastra: Fb,Ed,p=8.89 Fb,Rd,p=6073.08
Tirafondi:LT=0.45 (0.31) σ_{cR}=0.00 σ_{fR}=0.00
Compressione nel calcestruzzo: σ_c=48.06
CC 68 SLU (Collegamento 0025_-382)
Azioni sul collegamento: N=-23144.90 Ty=-5.24 Tz=53.13 Mx=-0.00 Mz=-3.72
Sollecitazioni agenti localmente: Tx_l=-5.24 Ty_l=53.13 N_l=-23144.90 Mx_l=-0.00 My_l=-3.72 Mz_l=-0.00
Taglio nei bulloni: Fv,Ed=8.90 Fv,Rd=7720.78
Rifollamento lato piastra: Fb,Ed,p=8.90 Fb,Rd,p=6065.88
Tirafondi:LT=0.45 (0.31) σ_{cR}=0.00 σ_{fR}=0.00
Compressione nel calcestruzzo: σ_c=48.03
CC 97 SLU (Collegamento 0025_-382)
Azioni sul collegamento: N=-11444.50 Ty=-17.52 Tz=18.88 Mx=-0.03 Mz=-21.34
Sollecitazioni agenti localmente: Tx_l=-17.52 Ty_l=18.88 N_l=-11444.50 Mx_l=-0.00 My_l=-21.34 Mz_l=-0.03
Taglio nei bulloni: Fv,Ed=4.35 Fv,Rd=7720.78
Rifollamento lato piastra: Fb,Ed,p=4.35 Fb,Rd,p=11600.30
Tirafondi:LT=0.45 (0.31) σ_{cR}=0.00 σ_{fR}=0.00
Compressione nel calcestruzzo: σ_c=24.85
CC 98 SLU (Collegamento 0025_-382)
Azioni sul collegamento: N=-10895.20 Ty=-17.24 Tz=16.84 Mx=-0.03 Mz=-21.13
Sollecitazioni agenti localmente: Tx_l=-17.24 Ty_l=16.84 N_l=-10895.20 Mx_l=-0.00 My_l=-21.13 Mz_l=-0.03
Taglio nei bulloni: Fv,Ed=4.07 Fv,Rd=7720.78
Rifollamento lato piastra: Fb,Ed,p=4.02 Fb,Rd,p=11726.40
Tirafondi:LT=0.45 (0.31) σ_{cR}=0.00 σ_{fR}=0.00
Compressione nel calcestruzzo: σ_c=23.70
CC 99 SLU (Collegamento 0025_-382)
Azioni sul collegamento: N=-11170.80 Ty=-17.49 Tz=17.84 Mx=-0.03 Mz=-21.45
Sollecitazioni agenti localmente: Tx_l=-17.49 Ty_l=17.84 N_l=-11170.80 Mx_l=-0.00 My_l=-21.45 Mz_l=-0.03
Taglio nei bulloni: Fv,Ed=4.22 Fv,Rd=7720.78
Rifollamento lato piastra: Fb,Ed,p=4.22 Fb,Rd,p=11903.30
Tirafondi:LT=0.45 (0.31) σ_{cR}=0.00 σ_{fR}=0.00
Compressione nel calcestruzzo: σ_c=24.29
CC 100 SLU (Collegamento 0025_-382)
Azioni sul collegamento: N=-11168.90 Ty=-17.27 Tz=17.88 Mx=-0.04 Mz=-21.02
Sollecitazioni agenti localmente: Tx_l=-17.27 Ty_l=17.88 N_l=-11168.90 Mx_l=-0.00 My_l=-21.02 Mz_l=-0.04
Taglio nei bulloni: Fv,Ed=4.20 Fv,Rd=7720.78

Rifollamento lato piastra: Fb,Ed,p=4.20 Fb,Rd,p=11817.30
Tirafondi:LT=0.45 (0.31) σ_{cR}=0.00 σ_{fR}=0.00
Compressione nel calcestruzzo: σ_c=24.26
CC 101 SLU (Collegamento 0025_-382)
Azioni sul collegamento: N=-7155.53 Ty=-1.61 Tz=2.94 Mx=0.01 Mz=-0.33
Sollecitazioni agenti localmente: Tx_l=-1.61 Ty_l=2.94 N_l=-7155.53 Mx_l=-0.00 My_l=-0.33 Mz_l=0.01
Taglio nei bulloni: Fv,Ed=0.57 Fv,Rd=7720.78
Rifollamento lato piastra: Fb,Ed,p=0.56 Fb,Rd,p=8412.66
Tirafondi:LT=0.45 (0.31) σ_{cR}=0.00 σ_{fR}=0.00
Compressione nel calcestruzzo: σ_c=14.80
CC 102 SLU (Collegamento 0025_-382)
Azioni sul collegamento: N=-6606.15 Ty=-1.32 Tz=0.91 Mx=0.01 Mz=-0.13
Sollecitazioni agenti localmente: Tx_l=-1.32 Ty_l=0.91 N_l=-6606.15 Mx_l=-0.00 My_l=-0.13 Mz_l=0.01
Taglio nei bulloni: Fv,Ed=0.28 Fv,Rd=7720.78
Rifollamento lato piastra: Fb,Ed,p=0.28 Fb,Rd,p=10354.70
Tirafondi:LT=0.45 (0.31) σ_{cR}=0.00 σ_{fR}=0.00
Compressione nel calcestruzzo: σ_c=13.66
CC 103 SLU (Collegamento 0025_-382)
Azioni sul collegamento: N=-6881.82 Ty=-1.58 Tz=1.90 Mx=0.01 Mz=-0.45
Sollecitazioni agenti localmente: Tx_l=-1.58 Ty_l=1.90 N_l=-6881.82 Mx_l=-0.00 My_l=-0.45 Mz_l=0.01
Taglio nei bulloni: Fv,Ed=0.43 Fv,Rd=7720.78
Rifollamento lato piastra: Fb,Ed,p=0.41 Fb,Rd,p=10745.90
Tirafondi:LT=0.45 (0.31) σ_{cR}=0.00 σ_{fR}=0.00
Compressione nel calcestruzzo: σ_c=14.24
CC 104 SLU (Collegamento 0025_-382)
Azioni sul collegamento: N=-6879.85 Ty=-1.36 Tz=1.95 Mx=0.01 Mz=-0.01
Sollecitazioni agenti localmente: Tx_l=-1.36 Ty_l=1.95 N_l=-6879.85 Mx_l=-0.00 My_l=-0.01 Mz_l=0.01
Taglio nei bulloni: Fv,Ed=0.41 Fv,Rd=7720.78
Rifollamento lato piastra: Fb,Ed,p=0.40 Fb,Rd,p=9910.85
Tirafondi:LT=0.45 (0.31) σ_{cR}=0.00 σ_{fR}=0.00
Compressione nel calcestruzzo: σ_c=14.22

Saldatura profilo-piastra

CC 1 SLV (Collegamento 0025_-382)
Azioni sul collegamento: N=-3838.16 Ty=-4.12 Tz=-9.35 Mx=0.02 Mz=1.95
Sollecitazioni agenti localmente: Tx_l=-4.12 Ty_l=-9.35 N_l=-3838.16 My_l=-1.95 Mz_l=0.02
Azioni sul cordone: TP=-0.33 TO=-0.67 NO=-283.72
Tensioni nel cordone: τ_P=0.10 τ_O=0.21 σ_O=93.03 σ_{ID}=93.03 Σ_T=93.25
CC 1 SLV (Collegamento 0025_-382)
Azioni sul collegamento: N=-3838.16 Ty=-0.76 Tz=-9.35 Mx=0.02 Mz=-1.23
Sollecitazioni agenti localmente: Tx_l=-0.76 Ty_l=-9.35 N_l=-3838.16 My_l=1.23 Mz_l=0.02
Azioni sul cordone: TP=-0.08 TO=-0.71 NO=-283.72
Tensioni nel cordone: τ_P= 0.03 τ_O=0.22 σ_O=91.98 σ_{ID}=91.98 Σ_T=92.20
CC 1 SLV (Collegamento 0025_-382)
Azioni sul collegamento: N=-3838.16 Ty=-4.12 Tz=10.33 Mx=0.02 Mz=1.95
Sollecitazioni agenti localmente: Tx_l=-4.12 Ty_l=10.33 N_l=-3838.16 My_l=-1.95 Mz_l=0.02
Azioni sul cordone: TP=-0.33 TO=0.78 NO=-283.72
Tensioni nel cordone: τ_P=0.10 τ_O=0.25 σ_O=93.03 σ_{ID}=93.03 Σ_T=93.28
CC 1 SLV (Collegamento 0025_-382)
Azioni sul collegamento: N=-3838.16 Ty=-0.76 Tz=10.33 Mx=0.02 Mz=-1.23
Sollecitazioni agenti localmente: Tx_l=-0.76 Ty_l=10.33 N_l=-3838.16 My_l=1.23 Mz_l=0.02
Azioni sul cordone: TP=-0.08 TO=0.75 NO=-283.72
Tensioni nel cordone: τ_P= 0.03 τ_O=0.24 σ_O=91.98 σ_{ID}=91.98 Σ_T=92.21
CC 1 SLV (Collegamento 0025_-382)
Azioni sul collegamento: N=-9123.66 Ty=-4.12 Tz=-9.35 Mx=0.02 Mz=1.95
Sollecitazioni agenti localmente: Tx_l=-4.12 Ty_l=-9.35 N_l=-9123.66 My_l=-1.95 Mz_l=0.02
Azioni sul cordone: TP=-0.33 TO=-0.67 NO=-674.42
Tensioni nel cordone: τ_P=0.10 τ_O=0.21 σ_O=217.22 σ_{ID}=217.22 Σ_T=217.43
CC 1 SLV (Collegamento 0025_-382)
Azioni sul collegamento: N=-9123.66 Ty=-0.76 Tz=-9.35 Mx=0.02 Mz=-1.23
Sollecitazioni agenti localmente: Tx_l=-0.76 Ty_l=-9.35 N_l=-9123.66 My_l=1.23 Mz_l=0.02
Azioni sul cordone: TP=-0.08 TO=-0.71 NO=-674.42
Tensioni nel cordone: τ_P= 0.03 τ_O=0.22 σ_O=216.16 σ_{ID}=216.16 Σ_T=216.39
CC 1 SLV (Collegamento 0025_-382)
Azioni sul collegamento: N=-9123.66 Ty=-4.12 Tz=10.33 Mx=0.02 Mz=1.95
Sollecitazioni agenti localmente: Tx_l=-4.12 Ty_l=10.33 N_l=-9123.66 My_l=-1.95 Mz_l=0.02
Azioni sul cordone: TP=-0.33 TO=0.78 NO=-674.42
Tensioni nel cordone: τ_P=0.10 τ_O=0.25 σ_O=217.22 σ_{ID}=217.22 Σ_T=217.46
CC 1 SLV (Collegamento 0025_-382)
Azioni sul collegamento: N=-9123.66 Ty=-0.76 Tz=10.33 Mx=0.02 Mz=-1.23
Sollecitazioni agenti localmente: Tx_l=-0.76 Ty_l=10.33 N_l=-9123.66 My_l=1.23 Mz_l=0.02
Azioni sul cordone: TP=-0.08 TO=0.75 NO=-674.42
Tensioni nel cordone: τ_P= 0.03 τ_O=0.24 σ_O=216.16 σ_{ID}=216.16 Σ_T=216.40
CC 2 SLD (Collegamento 0025_-382)
Azioni sul collegamento: N=-5707.53 Ty=-2.77 Tz=-2.38 Mx=0.01 Mz=-1.24
Sollecitazioni agenti localmente: Tx_l=-2.77 Ty_l=-2.38 N_l=-5707.53 My_l=1.24 Mz_l=0.01
Azioni sul cordone: TP=-0.21 TO=-0.18 NO=-421.90
Tensioni nel cordone: τ_P= 0.07 τ_O= 0.06 σ_O=135.91 σ_{ID}=135.91 Σ_T=135.97

CC 2 SLD (Collegamento 0025_-382)
Azioni sul collegamento: N=-5707.53 Ty=-3.80 Tz=-2.38 Mx=0.01 Mz=-2.21
Sollecitazioni agenti localmente: Tx_l=-3.80 Ty_l=-2.38 N_l=-5707.53 My_l=2.21 Mz_l=0.01
Azioni sul cordone: TP=-0.29 TO=-0.18 NO=-421.90
Tensioni nel cordone: τ_P= 0.09 τ_O= 0.06 σ_O=137.32 σ_{ID}=137.32 Σ_T=137.38
CC 2 SLD (Collegamento 0025_-382)
Azioni sul collegamento: N=-5707.53 Ty=-2.77 Tz=3.62 Mx=0.01 Mz=-1.24
Sollecitazioni agenti localmente: Tx_l=-2.77 Ty_l=3.62 N_l=-5707.53 My_l=1.24 Mz_l=0.01
Azioni sul cordone: TP=-0.21 TO=0.26 NO=-421.90
Tensioni nel cordone: τ_P= 0.07 τ_O= 0.08 σ_O=135.91 σ_{ID}=135.91 Σ_T=135.99
CC 2 SLD (Collegamento 0025_-382)
Azioni sul collegamento: N=-5707.53 Ty=-3.80 Tz=3.62 Mx=0.01 Mz=-2.21
Sollecitazioni agenti localmente: Tx_l=-3.80 Ty_l=3.62 N_l=-5707.53 My_l=2.21 Mz_l=0.01
Azioni sul cordone: TP=-0.29 TO=0.26 NO=-421.90
Tensioni nel cordone: τ_P= 0.09 τ_O= 0.08 σ_O=137.32 σ_{ID}=137.32 Σ_T=137.41
CC 2 SLD (Collegamento 0025_-382)
Azioni sul collegamento: N=-7319.25 Ty=-2.77 Tz=-2.38 Mx=0.01 Mz=-1.24
Sollecitazioni agenti localmente: Tx_l=-2.77 Ty_l=-2.38 N_l=-7319.25 My_l=1.24 Mz_l=0.01
Azioni sul cordone: TP=-0.21 TO=-0.18 NO=-541.04
Tensioni nel cordone: τ_P= 0.07 τ_O= 0.06 σ_O=173.78 σ_{ID}=173.78 Σ_T=173.83
CC 2 SLD (Collegamento 0025_-382)
Azioni sul collegamento: N=-7319.25 Ty=-3.80 Tz=-2.38 Mx=0.01 Mz=-2.21
Sollecitazioni agenti localmente: Tx_l=-3.80 Ty_l=-2.38 N_l=-7319.25 My_l=2.21 Mz_l=0.01
Azioni sul cordone: TP=-0.29 TO=-0.18 NO=-541.04
Tensioni nel cordone: τ_P= 0.09 τ_O= 0.06 σ_O=175.19 σ_{ID}=175.19 Σ_T=175.25
CC 2 SLD (Collegamento 0025_-382)
Azioni sul collegamento: N=-7319.25 Ty=-2.77 Tz=3.62 Mx=0.01 Mz=-1.24
Sollecitazioni agenti localmente: Tx_l=-2.77 Ty_l=3.62 N_l=-7319.25 My_l=1.24 Mz_l=0.01
Azioni sul cordone: TP=-0.21 TO=0.26 NO=-541.04
Tensioni nel cordone: τ_P= 0.07 τ_O= 0.08 σ_O=173.78 σ_{ID}=173.78 Σ_T=173.86
CC 2 SLD (Collegamento 0025_-382)
Azioni sul collegamento: N=-7319.25 Ty=-3.80 Tz=3.62 Mx=0.01 Mz=-2.21
Sollecitazioni agenti localmente: Tx_l=-3.80 Ty_l=3.62 N_l=-7319.25 My_l=2.21 Mz_l=0.01
Azioni sul cordone: TP=-0.29 TO=0.26 NO=-541.04
Tensioni nel cordone: τ_P= 0.09 τ_O= 0.08 σ_O=175.19 σ_{ID}=175.19 Σ_T=175.28
CC 3 SLV (Collegamento 0025_-382)
Azioni sul collegamento: N=-3843.85 Ty=-3.49 Tz=-9.22 Mx=0.02 Mz=0.69
Sollecitazioni agenti localmente: Tx_l=-3.49 Ty_l=-9.22 N_l=-3843.85 My_l=-0.69 Mz_l=0.02
Azioni sul cordone: TP=-0.28 TO=-0.67 NO=-284.14
Tensioni nel cordone: τ_P= 0.09 τ_O=0.21 σ_O=91.33 σ_{ID}=91.33 Σ_T=91.54
CC 3 SLV (Collegamento 0025_-382)
Azioni sul collegamento: N=-3843.85 Ty=-1.39 Tz=-9.22 Mx=0.02 Mz=0.03
Sollecitazioni agenti localmente: Tx_l=-1.39 Ty_l=-9.22 N_l=-3843.85 My_l=-0.03 Mz_l=0.02
Azioni sul cordone: TP=-0.12 TO=-0.67 NO=-284.14
Tensioni nel cordone: τ_P= 0.04 τ_O=0.21 σ_O=90.35 σ_{ID}=90.35 Σ_T=90.56
CC 3 SLV (Collegamento 0025_-382)
Azioni sul collegamento: N=-3843.85 Ty=-3.49 Tz=10.20 Mx=0.02 Mz=0.69
Sollecitazioni agenti localmente: Tx_l=-3.49 Ty_l=10.20 N_l=-3843.85 My_l=-0.69 Mz_l=0.02
Azioni sul cordone: TP=-0.28 TO=0.77 NO=-284.14
Tensioni nel cordone: τ_P= 0.09 τ_O=0.24 σ_O=91.33 σ_{ID}=91.33 Σ_T=91.57
CC 3 SLV (Collegamento 0025_-382)
Azioni sul collegamento: N=-3843.85 Ty=-1.39 Tz=10.20 Mx=0.02 Mz=0.03
Sollecitazioni agenti localmente: Tx_l=-1.39 Ty_l=10.20 N_l=-3843.85 My_l=-0.03 Mz_l=0.02
Azioni sul cordone: TP=-0.12 TO=0.77 NO=-284.14
Tensioni nel cordone: τ_P= 0.04 τ_O=0.24 σ_O=90.35 σ_{ID}=90.35 Σ_T=90.60
CC 3 SLV (Collegamento 0025_-382)
Azioni sul collegamento: N=-9117.97 Ty=-3.49 Tz=-9.22 Mx=0.02 Mz=0.69
Sollecitazioni agenti localmente: Tx_l=-3.49 Ty_l=-9.22 N_l=-9117.97 My_l=-0.69 Mz_l=0.02
Azioni sul cordone: TP=-0.28 TO=-0.67 NO=-674.00
Tensioni nel cordone: τ_P= 0.09 τ_O=0.21 σ_O=215.25 σ_{ID}=215.25 Σ_T=215.46
CC 3 SLV (Collegamento 0025_-382)
Azioni sul collegamento: N=-9117.97 Ty=-1.39 Tz=-9.22 Mx=0.02 Mz=0.03
Sollecitazioni agenti localmente: Tx_l=-1.39 Ty_l=-9.22 N_l=-9117.97 My_l=-0.03 Mz_l=0.02
Azioni sul cordone: TP=-0.12 TO=-0.67 NO=-674.00
Tensioni nel cordone: τ_P= 0.04 τ_O=0.21 σ_O=214.27 σ_{ID}=214.27 Σ_T=214.48
CC 3 SLV (Collegamento 0025_-382)
Azioni sul collegamento: N=-9117.97 Ty=-3.49 Tz=10.20 Mx=0.02 Mz=0.69
Sollecitazioni agenti localmente: Tx_l=-3.49 Ty_l=10.20 N_l=-9117.97 My_l=-0.69 Mz_l=0.02
Azioni sul cordone: TP=-0.28 TO=0.77 NO=-674.00
Tensioni nel cordone: τ_P= 0.09 τ_O=0.24 σ_O=215.25 σ_{ID}=215.25 Σ_T=215.49
CC 3 SLV (Collegamento 0025_-382)
Azioni sul collegamento: N=-9117.97 Ty=-1.39 Tz=10.20 Mx=0.02 Mz=0.03
Sollecitazioni agenti localmente: Tx_l=-1.39 Ty_l=10.20 N_l=-9117.97 My_l=-0.03 Mz_l=0.02
Azioni sul cordone: TP=-0.12 TO=0.77 NO=-674.00
Tensioni nel cordone: τ_P= 0.04 τ_O=0.24 σ_O=214.27 σ_{ID}=214.27 Σ_T=214.51
CC 4 SLD (Collegamento 0025_-382)
Azioni sul collegamento: N=-5709.27 Ty=-2.97 Tz=-2.35 Mx=0.01 Mz=-1.62
Sollecitazioni agenti localmente: Tx_l=-2.97 Ty_l=-2.35 N_l=-5709.27 My_l=1.62 Mz_l=0.01
Azioni sul cordone: TP=-0.23 TO=-0.18 NO=-422.03

Tensioni nel cordone: τ_P= 0.07 τ_O= 0.06 σ_O=136.51 σ_{ID}=136.51 Σ_T=136.56
CC 4 SLD (Collegamento 0025_-382)
Azioni sul collegamento: N=-5709.27 Ty=-3.60 Tz=-2.35 Mx=0.01 Mz=-1.82
Sollecitazioni agenti localmente: Tx_l=-3.60 Ty_l=-2.35 N_l=-5709.27 My_l=1.82 Mz_l=0.01
Azioni sul cordone: TP=-0.27 TO=-0.18 NO=-422.03
Tensioni nel cordone: τ_P= 0.09 τ_O= 0.06 σ_O=136.81 σ_{ID}=136.81 Σ_T=136.86
CC 4 SLD (Collegamento 0025_-382)
Azioni sul collegamento: N=-5709.27 Ty=-2.97 Tz=3.58 Mx=0.01 Mz=-1.62
Sollecitazioni agenti localmente: Tx_l=-2.97 Ty_l=3.58 N_l=-5709.27 My_l=1.62 Mz_l=0.01
Azioni sul cordone: TP=-0.23 TO=0.26 NO=-422.03
Tensioni nel cordone: τ_P= 0.07 τ_O= 0.08 σ_O=136.51 σ_{ID}=136.51 Σ_T=136.59
CC 4 SLD (Collegamento 0025_-382)
Azioni sul collegamento: N=-5709.27 Ty=-3.60 Tz=3.58 Mx=0.01 Mz=-1.82
Sollecitazioni agenti localmente: Tx_l=-3.60 Ty_l=3.58 N_l=-5709.27 My_l=1.82 Mz_l=0.01
Azioni sul cordone: TP=-0.27 TO=0.26 NO=-422.03
Tensioni nel cordone: τ_P= 0.09 τ_O= 0.08 σ_O=136.81 σ_{ID}=136.81 Σ_T=136.89
CC 4 SLD (Collegamento 0025_-382)
Azioni sul collegamento: N=-7317.51 Ty=-2.97 Tz=-2.35 Mx=0.01 Mz=-1.62
Sollecitazioni agenti localmente: Tx_l=-2.97 Ty_l=-2.35 N_l=-7317.51 My_l=1.62 Mz_l=0.01
Azioni sul cordone: TP=-0.23 TO=-0.18 NO=-540.91
Tensioni nel cordone: τ_P= 0.07 τ_O= 0.06 σ_O=174.29 σ_{ID}=174.29 Σ_T=174.35
CC 4 SLD (Collegamento 0025_-382)
Azioni sul collegamento: N=-7317.51 Ty=-3.60 Tz=-2.35 Mx=0.01 Mz=-1.82
Sollecitazioni agenti localmente: Tx_l=-3.60 Ty_l=-2.35 N_l=-7317.51 My_l=1.82 Mz_l=0.01
Azioni sul cordone: TP=-0.27 TO=-0.18 NO=-540.91
Tensioni nel cordone: τ_P= 0.09 τ_O= 0.06 σ_O=174.59 σ_{ID}=174.59 Σ_T=174.65
CC 4 SLD (Collegamento 0025_-382)
Azioni sul collegamento: N=-7317.51 Ty=-2.97 Tz=3.58 Mx=0.01 Mz=-1.62
Sollecitazioni agenti localmente: Tx_l=-2.97 Ty_l=3.58 N_l=-7317.51 My_l=1.62 Mz_l=0.01
Azioni sul cordone: TP=-0.23 TO=0.26 NO=-540.91
Tensioni nel cordone: τ_P= 0.07 τ_O= 0.08 σ_O=174.29 σ_{ID}=174.29 Σ_T=174.38
CC 4 SLD (Collegamento 0025_-382)
Azioni sul collegamento: N=-7317.51 Ty=-3.60 Tz=3.58 Mx=0.01 Mz=-1.82
Sollecitazioni agenti localmente: Tx_l=-3.60 Ty_l=3.58 N_l=-7317.51 My_l=1.82 Mz_l=0.01
Azioni sul cordone: TP=-0.27 TO=0.26 NO=-540.91
Tensioni nel cordone: τ_P= 0.09 τ_O= 0.08 σ_O=174.59 σ_{ID}=174.59 Σ_T=174.67
CC 5 SLV (Collegamento 0025_-382)
Azioni sul collegamento: N=-9117.97 Ty=-1.39 Tz=10.20 Mx=0.02 Mz=0.03
Sollecitazioni agenti localmente: Tx_l=-1.39 Ty_l=10.20 N_l=-9117.97 My_l=-0.03 Mz_l=0.02
Azioni sul cordone: TP=-0.12 TO=0.77 NO=-674.00
Tensioni nel cordone: τ_P= 0.04 τ_O=0.24 σ_O=214.27 σ_{ID}=214.27 Σ_T=214.51
CC 5 SLV (Collegamento 0025_-382)
Azioni sul collegamento: N=-9117.97 Ty=-3.49 Tz=10.20 Mx=0.02 Mz=0.69
Sollecitazioni agenti localmente: Tx_l=-3.49 Ty_l=10.20 N_l=-9117.97 My_l=-0.69 Mz_l=0.02
Azioni sul cordone: TP=-0.28 TO=0.77 NO=-674.00
Tensioni nel cordone: τ_P= 0.09 τ_O=0.24 σ_O=215.25 σ_{ID}=215.25 Σ_T=215.49
CC 5 SLV (Collegamento 0025_-382)
Azioni sul collegamento: N=-9117.97 Ty=-1.39 Tz=-9.22 Mx=0.02 Mz=0.03
Sollecitazioni agenti localmente: Tx_l=-1.39 Ty_l=-9.22 N_l=-9117.97 My_l=-0.03 Mz_l=0.02
Azioni sul cordone: TP=-0.12 TO=-0.67 NO=-674.00
Tensioni nel cordone: τ_P= 0.04 τ_O=0.21 σ_O=214.27 σ_{ID}=214.27 Σ_T=214.48
CC 5 SLV (Collegamento 0025_-382)
Azioni sul collegamento: N=-9117.97 Ty=-3.49 Tz=-9.22 Mx=0.02 Mz=0.69
Sollecitazioni agenti localmente: Tx_l=-3.49 Ty_l=-9.22 N_l=-9117.97 My_l=-0.69 Mz_l=0.02
Azioni sul cordone: TP=-0.28 TO=-0.67 NO=-674.00
Tensioni nel cordone: τ_P= 0.09 τ_O=0.21 σ_O=215.25 σ_{ID}=215.25 Σ_T=215.46
CC 5 SLV (Collegamento 0025_-382)
Azioni sul collegamento: N=-3843.85 Ty=-1.39 Tz=10.20 Mx=0.02 Mz=0.03
Sollecitazioni agenti localmente: Tx_l=-1.39 Ty_l=10.20 N_l=-3843.85 My_l=-0.03 Mz_l=0.02
Azioni sul cordone: TP=-0.12 TO=0.77 NO=-284.14
Tensioni nel cordone: τ_P= 0.04 τ_O=0.24 σ_O=90.35 σ_{ID}=90.35 Σ_T=90.60
CC 5 SLV (Collegamento 0025_-382)
Azioni sul collegamento: N=-3843.85 Ty=-3.49 Tz=10.20 Mx=0.02 Mz=0.69
Sollecitazioni agenti localmente: Tx_l=-3.49 Ty_l=10.20 N_l=-3843.85 My_l=-0.69 Mz_l=0.02
Azioni sul cordone: TP=-0.28 TO=0.77 NO=-284.14
Tensioni nel cordone: τ_P= 0.09 τ_O=0.24 σ_O=91.33 σ_{ID}=91.33 Σ_T=91.57
CC 5 SLV (Collegamento 0025_-382)
Azioni sul collegamento: N=-3843.85 Ty=-1.39 Tz=-9.22 Mx=0.02 Mz=0.03
Sollecitazioni agenti localmente: Tx_l=-1.39 Ty_l=-9.22 N_l=-3843.85 My_l=-0.03 Mz_l=0.02
Azioni sul cordone: TP=-0.12 TO=-0.67 NO=-284.14
Tensioni nel cordone: τ_P= 0.04 τ_O=0.21 σ_O=90.35 σ_{ID}=90.35 Σ_T=90.56
CC 5 SLV (Collegamento 0025_-382)
Azioni sul collegamento: N=-3843.85 Ty=-3.49 Tz=-9.22 Mx=0.02 Mz=0.69
Sollecitazioni agenti localmente: Tx_l=-3.49 Ty_l=-9.22 N_l=-3843.85 My_l=-0.69 Mz_l=0.02
Azioni sul cordone: TP=-0.28 TO=-0.67 NO=-284.14
Tensioni nel cordone: τ_P= 0.09 τ_O=0.21 σ_O=91.33 σ_{ID}=91.33 Σ_T=91.54
CC 6 SLD (Collegamento 0025_-382)
Azioni sul collegamento: N=-7317.51 Ty=-3.60 Tz=3.58 Mx=0.01 Mz=-1.82
Sollecitazioni agenti localmente: Tx_l=-3.60 Ty_l=3.58 N_l=-7317.51 My_l=1.82 Mz_l=0.01

Azioni sul cordone: TP=-0.28 TO=0.26 NO=-540.91
Tensioni nel cordone: τ_P= 0.09 τ_0= 0.08 σ_0=174.59 σ_{ID}=174.59 Σ_T=174.67
CC 6 SLD (Collegamento 0025_-382)
Azioni sul collegamento: N=-7317.51 Ty=-2.97 Tz=3.58 Mx=0.01 Mz=-1.62
Sollecitazioni agenti localmente: Tx_l=-2.97 Ty_l=3.58 N_l=-7317.51 My_l=1.62 Mz_l=0.01
Azioni sul cordone: TP=-0.23 TO=0.26 NO=-540.91
Tensioni nel cordone: τ_P= 0.07 τ_0= 0.08 σ_0=174.29 σ_{ID}=174.29 Σ_T=174.38
CC 6 SLD (Collegamento 0025_-382)
Azioni sul collegamento: N=-7317.51 Ty=-3.60 Tz=-2.35 Mx=0.01 Mz=-1.82
Sollecitazioni agenti localmente: Tx_l=-3.60 Ty_l=-2.35 N_l=-7317.51 My_l=1.82 Mz_l=0.01
Azioni sul cordone: TP=-0.28 TO=-0.18 NO=-540.91
Tensioni nel cordone: τ_P= 0.09 τ_0= 0.06 σ_0=174.59 σ_{ID}=174.59 Σ_T=174.65
CC 6 SLD (Collegamento 0025_-382)
Azioni sul collegamento: N=-7317.51 Ty=-2.97 Tz=-2.35 Mx=0.01 Mz=-1.62
Sollecitazioni agenti localmente: Tx_l=-2.97 Ty_l=-2.35 N_l=-7317.51 My_l=1.62 Mz_l=0.01
Azioni sul cordone: TP=-0.23 TO=-0.18 NO=-540.91
Tensioni nel cordone: τ_P= 0.07 τ_0= 0.06 σ_0=174.29 σ_{ID}=174.29 Σ_T=174.35
CC 6 SLD (Collegamento 0025_-382)
Azioni sul collegamento: N=-5709.27 Ty=-3.60 Tz=3.58 Mx=0.01 Mz=-1.82
Sollecitazioni agenti localmente: Tx_l=-3.60 Ty_l=3.58 N_l=-5709.27 My_l=1.82 Mz_l=0.01
Azioni sul cordone: TP=-0.28 TO=0.26 NO=-422.03
Tensioni nel cordone: τ_P= 0.09 τ_0= 0.08 σ_0=136.81 σ_{ID}=136.81 Σ_T=136.89
CC 6 SLD (Collegamento 0025_-382)
Azioni sul collegamento: N=-5709.27 Ty=-2.97 Tz=3.58 Mx=0.01 Mz=-1.62
Sollecitazioni agenti localmente: Tx_l=-2.97 Ty_l=3.58 N_l=-5709.27 My_l=1.62 Mz_l=0.01
Azioni sul cordone: TP=-0.23 TO=0.26 NO=-422.03
Tensioni nel cordone: τ_P= 0.07 τ_0= 0.08 σ_0=136.51 σ_{ID}=136.51 Σ_T=136.59
CC 6 SLD (Collegamento 0025_-382)
Azioni sul collegamento: N=-5709.27 Ty=-3.60 Tz=-2.35 Mx=0.01 Mz=-1.82
Sollecitazioni agenti localmente: Tx_l=-3.60 Ty_l=-2.35 N_l=-5709.27 My_l=1.82 Mz_l=0.01
Azioni sul cordone: TP=-0.28 TO=-0.18 NO=-422.03
Tensioni nel cordone: τ_P= 0.09 τ_0= 0.06 σ_0=136.81 σ_{ID}=136.81 Σ_T=136.86
CC 6 SLD (Collegamento 0025_-382)
Azioni sul collegamento: N=-5709.27 Ty=-2.97 Tz=-2.35 Mx=0.01 Mz=-1.62
Sollecitazioni agenti localmente: Tx_l=-2.97 Ty_l=-2.35 N_l=-5709.27 My_l=1.62 Mz_l=0.01
Azioni sul cordone: TP=-0.23 TO=-0.18 NO=-422.03
Tensioni nel cordone: τ_P= 0.07 τ_0= 0.06 σ_0=136.51 σ_{ID}=136.51 Σ_T=136.56
CC 7 SLV (Collegamento 0025_-382)
Azioni sul collegamento: N=-9123.66 Ty=-0.76 Tz=10.33 Mx=0.01 Mz=-1.23
Sollecitazioni agenti localmente: Tx_l=-0.76 Ty_l=10.33 N_l=-9123.66 My_l=1.23 Mz_l=0.01
Azioni sul cordone: TP=-0.07 TO=0.75 NO=-674.42
Tensioni nel cordone: τ_P= 0.02 τ_0=0.24 σ_0=216.16 σ_{ID}=216.16 Σ_T=216.40
CC 7 SLV (Collegamento 0025_-382)
Azioni sul collegamento: N=-9123.66 Ty=-4.12 Tz=10.33 Mx=0.01 Mz=1.95
Sollecitazioni agenti localmente: Tx_l=-4.12 Ty_l=10.33 N_l=-9123.66 My_l=-1.95 Mz_l=0.01
Azioni sul cordone: TP=-0.32 TO=0.77 NO=-674.42
Tensioni nel cordone: τ_P=0.10 τ_0=0.25 σ_0=217.22 σ_{ID}=217.22 Σ_T=217.46
CC 7 SLV (Collegamento 0025_-382)
Azioni sul collegamento: N=-9123.66 Ty=-0.76 Tz=-9.35 Mx=0.01 Mz=-1.23
Sollecitazioni agenti localmente: Tx_l=-0.76 Ty_l=-9.35 N_l=-9123.66 My_l=1.23 Mz_l=0.01
Azioni sul cordone: TP=-0.07 TO=-0.70 NO=-674.42
Tensioni nel cordone: τ_P= 0.02 τ_0=0.22 σ_0=216.16 σ_{ID}=216.16 Σ_T=216.38
CC 7 SLV (Collegamento 0025_-382)
Azioni sul collegamento: N=-9123.66 Ty=-4.12 Tz=-9.35 Mx=0.01 Mz=1.95
Sollecitazioni agenti localmente: Tx_l=-4.12 Ty_l=-9.35 N_l=-9123.66 My_l=-1.95 Mz_l=0.01
Azioni sul cordone: TP=-0.32 TO=-0.68 NO=-674.42
Tensioni nel cordone: τ_P=0.10 τ_0=0.22 σ_0=217.22 σ_{ID}=217.22 Σ_T=217.43
CC 7 SLV (Collegamento 0025_-382)
Azioni sul collegamento: N=-3838.16 Ty=-0.76 Tz=10.33 Mx=0.01 Mz=-1.23
Sollecitazioni agenti localmente: Tx_l=-0.76 Ty_l=10.33 N_l=-3838.16 My_l=1.23 Mz_l=0.01
Azioni sul cordone: TP=-0.07 TO=0.75 NO=-283.72
Tensioni nel cordone: τ_P= 0.02 τ_0=0.24 σ_0=91.98 σ_{ID}=91.98 Σ_T=92.22
CC 7 SLV (Collegamento 0025_-382)
Azioni sul collegamento: N=-3838.16 Ty=-4.12 Tz=10.33 Mx=0.01 Mz=1.95
Sollecitazioni agenti localmente: Tx_l=-4.12 Ty_l=10.33 N_l=-3838.16 My_l=-1.95 Mz_l=0.01
Azioni sul cordone: TP=-0.32 TO=0.77 NO=-283.72
Tensioni nel cordone: τ_P=0.10 τ_0=0.25 σ_0=93.03 σ_{ID}=93.03 Σ_T=93.28
CC 7 SLV (Collegamento 0025_-382)
Azioni sul collegamento: N=-3838.16 Ty=-0.76 Tz=-9.35 Mx=0.01 Mz=-1.23
Sollecitazioni agenti localmente: Tx_l=-0.76 Ty_l=-9.35 N_l=-3838.16 My_l=1.23 Mz_l=0.01
Azioni sul cordone: TP=-0.07 TO=-0.70 NO=-283.72
Tensioni nel cordone: τ_P= 0.02 τ_0=0.22 σ_0=91.98 σ_{ID}=91.98 Σ_T=92.20
CC 7 SLV (Collegamento 0025_-382)
Azioni sul collegamento: N=-3838.16 Ty=-4.12 Tz=-9.35 Mx=0.01 Mz=1.95
Sollecitazioni agenti localmente: Tx_l=-4.12 Ty_l=-9.35 N_l=-3838.16 My_l=-1.95 Mz_l=0.01
Azioni sul cordone: TP=-0.32 TO=-0.68 NO=-283.72
Tensioni nel cordone: τ_P=0.10 τ_0=0.22 σ_0=93.03 σ_{ID}=93.03 Σ_T=93.25
CC 8 SLD (Collegamento 0025_-382)
Azioni sul collegamento: N=-7319.25 Ty=-3.80 Tz=3.62 Mx=0.01 Mz=-2.21

Sollecitazioni agenti localmente: Tx_l=-3.80 Ty_l=3.62 N_l=-7319.25 My_l=2.21 Mz_l=0.01
Azioni sul cordone: TP=-0.29 TO=0.26 NO=-541.04
Tensioni nel cordone: τ_P= 0.09 τ_O= 0.08 σ_O=175.19 σ_{ID}=175.19 Σ_T=175.28
CC 8 SLD (Collegamento 0025_-382)
Azioni sul collegamento: N=-7319.25 Ty=-2.77 Tz=3.62 Mx=0.01 Mz=-1.24
Sollecitazioni agenti localmente: Tx_l=-2.77 Ty_l=3.62 N_l=-7319.25 My_l=1.24 Mz_l=0.01
Azioni sul cordone: TP=-0.21 TO=0.26 NO=-541.04
Tensioni nel cordone: τ_P= 0.07 τ_O= 0.08 σ_O=173.78 σ_{ID}=173.78 Σ_T=173.86
CC 8 SLD (Collegamento 0025_-382)
Azioni sul collegamento: N=-7319.25 Ty=-3.80 Tz=-2.38 Mx=0.01 Mz=-2.21
Sollecitazioni agenti localmente: Tx_l=-3.80 Ty_l=-2.38 N_l=-7319.25 My_l=2.21 Mz_l=0.01
Azioni sul cordone: TP=-0.29 TO=-0.18 NO=-541.04
Tensioni nel cordone: τ_P= 0.09 τ_O= 0.06 σ_O=175.19 σ_{ID}=175.19 Σ_T=175.25
CC 8 SLD (Collegamento 0025_-382)
Azioni sul collegamento: N=-7319.25 Ty=-2.77 Tz=-2.38 Mx=0.01 Mz=-1.24
Sollecitazioni agenti localmente: Tx_l=-2.77 Ty_l=-2.38 N_l=-7319.25 My_l=1.24 Mz_l=0.01
Azioni sul cordone: TP=-0.21 TO=-0.18 NO=-541.04
Tensioni nel cordone: τ_P= 0.07 τ_O= 0.06 σ_O=173.78 σ_{ID}=173.78 Σ_T=173.83
CC 8 SLD (Collegamento 0025_-382)
Azioni sul collegamento: N=-5707.53 Ty=-3.80 Tz=3.62 Mx=0.01 Mz=-2.21
Sollecitazioni agenti localmente: Tx_l=-3.80 Ty_l=3.62 N_l=-5707.53 My_l=2.21 Mz_l=0.01
Azioni sul cordone: TP=-0.29 TO=0.26 NO=-421.90
Tensioni nel cordone: τ_P= 0.09 τ_O= 0.08 σ_O=137.32 σ_{ID}=137.32 Σ_T=137.41
CC 8 SLD (Collegamento 0025_-382)
Azioni sul collegamento: N=-5707.53 Ty=-2.77 Tz=3.62 Mx=0.01 Mz=-1.24
Sollecitazioni agenti localmente: Tx_l=-2.77 Ty_l=3.62 N_l=-5707.53 My_l=1.24 Mz_l=0.01
Azioni sul cordone: TP=-0.21 TO=0.26 NO=-421.90
Tensioni nel cordone: τ_P= 0.07 τ_O= 0.08 σ_O=135.91 σ_{ID}=135.91 Σ_T=135.99
CC 8 SLD (Collegamento 0025_-382)
Azioni sul collegamento: N=-5707.53 Ty=-3.80 Tz=-2.38 Mx=0.01 Mz=-2.21
Sollecitazioni agenti localmente: Tx_l=-3.80 Ty_l=-2.38 N_l=-5707.53 My_l=2.21 Mz_l=0.01
Azioni sul cordone: TP=-0.29 TO=-0.18 NO=-421.90
Tensioni nel cordone: τ_P= 0.09 τ_O= 0.06 σ_O=137.32 σ_{ID}=137.32 Σ_T=137.38
CC 8 SLD (Collegamento 0025_-382)
Azioni sul collegamento: N=-5707.53 Ty=-2.77 Tz=-2.38 Mx=0.01 Mz=-1.24
Sollecitazioni agenti localmente: Tx_l=-2.77 Ty_l=-2.38 N_l=-5707.53 My_l=1.24 Mz_l=0.01
Azioni sul cordone: TP=-0.21 TO=-0.18 NO=-421.90
Tensioni nel cordone: τ_P= 0.07 τ_O= 0.06 σ_O=135.91 σ_{ID}=135.91 Σ_T=135.96
CC 9 SLV (Collegamento 0025_-382)
Azioni sul collegamento: N=-5679.47 Ty=-3.91 Tz=-2.66 Mx=0.03 Mz=2.74
Sollecitazioni agenti localmente: Tx_l=-3.91 Ty_l=-2.66 N_l=-5679.47 My_l=-2.74 Mz_l=0.03
Azioni sul cordone: TP=-0.32 TO=-0.18 NO=-419.83
Tensioni nel cordone: τ_P=0.10 τ_O= 0.06 σ_O=137.45 σ_{ID}=137.45 Σ_T=137.51
CC 9 SLV (Collegamento 0025_-382)
Azioni sul collegamento: N=-5679.47 Ty=-0.97 Tz=-2.66 Mx=0.03 Mz=-2.02
Sollecitazioni agenti localmente: Tx_l=-0.97 Ty_l=-2.66 N_l=-5679.47 My_l=2.02 Mz_l=0.03
Azioni sul cordone: TP=-0.10 TO=-0.22 NO=-419.83
Tensioni nel cordone: τ_P= 0.03 τ_O= 0.07 σ_O=136.40 σ_{ID}=136.40 Σ_T=136.47
CC 9 SLV (Collegamento 0025_-382)
Azioni sul collegamento: N=-5679.47 Ty=-3.91 Tz=3.63 Mx=0.03 Mz=2.74
Sollecitazioni agenti localmente: Tx_l=-3.91 Ty_l=3.63 N_l=-5679.47 My_l=-2.74 Mz_l=0.03
Azioni sul cordone: TP=-0.32 TO=0.29 NO=-419.83
Tensioni nel cordone: τ_P=0.10 τ_O= 0.09 σ_O=137.45 σ_{ID}=137.45 Σ_T=137.54
CC 9 SLV (Collegamento 0025_-382)
Azioni sul collegamento: N=-5679.47 Ty=-0.97 Tz=3.63 Mx=0.03 Mz=-2.02
Sollecitazioni agenti localmente: Tx_l=-0.97 Ty_l=3.63 N_l=-5679.47 My_l=2.02 Mz_l=0.03
Azioni sul cordone: TP=-0.10 TO=0.25 NO=-419.83
Tensioni nel cordone: τ_P= 0.03 τ_O= 0.08 σ_O=136.40 σ_{ID}=136.40 Σ_T=136.48
CC 9 SLV (Collegamento 0025_-382)
Azioni sul collegamento: N=-7282.35 Ty=-3.91 Tz=-2.66 Mx=0.03 Mz=2.74
Sollecitazioni agenti localmente: Tx_l=-3.91 Ty_l=-2.66 N_l=-7282.35 My_l=-2.74 Mz_l=0.03
Azioni sul cordone: TP=-0.32 TO=-0.18 NO=-538.31
Tensioni nel cordone: τ_P=0.10 τ_O= 0.06 σ_O=175.11 σ_{ID}=175.11 Σ_T=175.17
CC 9 SLV (Collegamento 0025_-382)
Azioni sul collegamento: N=-7282.35 Ty=-0.97 Tz=-2.66 Mx=0.03 Mz=-2.02
Sollecitazioni agenti localmente: Tx_l=-0.97 Ty_l=-2.66 N_l=-7282.35 My_l=2.02 Mz_l=0.03
Azioni sul cordone: TP=-0.10 TO=-0.22 NO=-538.31
Tensioni nel cordone: τ_P= 0.03 τ_O= 0.07 σ_O=174.06 σ_{ID}=174.06 Σ_T=174.13
CC 9 SLV (Collegamento 0025_-382)
Azioni sul collegamento: N=-7282.35 Ty=-3.91 Tz=3.63 Mx=0.03 Mz=2.74
Sollecitazioni agenti localmente: Tx_l=-3.91 Ty_l=3.63 N_l=-7282.35 My_l=-2.74 Mz_l=0.03
Azioni sul cordone: TP=-0.32 TO=0.29 NO=-538.31
Tensioni nel cordone: τ_P=0.10 τ_O= 0.09 σ_O=175.11 σ_{ID}=175.11 Σ_T=175.20
CC 9 SLV (Collegamento 0025_-382)
Azioni sul collegamento: N=-7282.35 Ty=-0.97 Tz=3.63 Mx=0.03 Mz=-2.02
Sollecitazioni agenti localmente: Tx_l=-0.97 Ty_l=3.63 N_l=-7282.35 My_l=2.02 Mz_l=0.03
Azioni sul cordone: TP=-0.10 TO=0.25 NO=-538.31
Tensioni nel cordone: τ_P= 0.03 τ_O= 0.08 σ_O=174.06 σ_{ID}=174.06 Σ_T=174.14
CC 10 SLD (Collegamento 0025_-382)

Azioni sul collegamento: N=-6269.01 Ty=-2.84 Tz=-0.34 Mx=0.01 Mz=-0.99
Sollecitazioni agenti localmente: Tx_l=-2.84 Ty_l=-0.34 N_l=-6269.01 My_l=0.99 Mz_l=0.01
Azioni sul cordone: TP=-0.22 TO=-0.03 NO=-463.41
Tensioni nel cordone: τ_P= 0.07 τ_0= 0.01 σ_0=148.75 σ_{ID}=148.75 Σ_T=148.76
CC 10 SLD (Collegamento 0025_-382)
Azioni sul collegamento: N=-6269.01 Ty=-3.73 Tz=-0.34 Mx=0.01 Mz=-2.45
Sollecitazioni agenti localmente: Tx_l=-3.73 Ty_l=-0.34 N_l=-6269.01 My_l=2.45 Mz_l=0.01
Azioni sul cordone: TP=-0.29 TO=-0.03 NO=-463.41
Tensioni nel cordone: τ_P= 0.09 τ_0= 0.01 σ_0=150.87 σ_{ID}=150.87 Σ_T=150.88
CC 10 SLD (Collegamento 0025_-382)
Azioni sul collegamento: N=-6269.00 Ty=-2.84 Tz=1.57 Mx=0.01 Mz=-0.99
Sollecitazioni agenti localmente: Tx_l=-2.84 Ty_l=1.57 N_l=-6269.00 My_l=0.99 Mz_l=0.01
Azioni sul cordone: TP=-0.22 TO=0.11 NO=-463.41
Tensioni nel cordone: τ_P= 0.07 τ_0= 0.03 σ_0=148.75 σ_{ID}=148.75 Σ_T=148.78
CC 10 SLD (Collegamento 0025_-382)
Azioni sul collegamento: N=-6269.00 Ty=-3.73 Tz=1.57 Mx=0.01 Mz=-2.45
Sollecitazioni agenti localmente: Tx_l=-3.73 Ty_l=1.57 N_l=-6269.00 My_l=2.45 Mz_l=0.01
Azioni sul cordone: TP=-0.29 TO=0.11 NO=-463.41
Tensioni nel cordone: τ_P= 0.09 τ_0= 0.03 σ_0=150.87 σ_{ID}=150.87 Σ_T=150.90
CC 10 SLD (Collegamento 0025_-382)
Azioni sul collegamento: N=-6757.78 Ty=-2.84 Tz=-0.34 Mx=0.01 Mz=-0.99
Sollecitazioni agenti localmente: Tx_l=-2.84 Ty_l=-0.34 N_l=-6757.78 My_l=0.99 Mz_l=0.01
Azioni sul cordone: TP=-0.22 TO=-0.03 NO=-499.54
Tensioni nel cordone: τ_P= 0.07 τ_0= 0.01 σ_0=160.23 σ_{ID}=160.23 Σ_T=160.24
CC 10 SLD (Collegamento 0025_-382)
Azioni sul collegamento: N=-6757.78 Ty=-3.73 Tz=-0.34 Mx=0.01 Mz=-2.45
Sollecitazioni agenti localmente: Tx_l=-3.73 Ty_l=-0.34 N_l=-6757.78 My_l=2.45 Mz_l=0.01
Azioni sul cordone: TP=-0.29 TO=-0.03 NO=-499.54
Tensioni nel cordone: τ_P= 0.09 τ_0= 0.01 σ_0=162.35 σ_{ID}=162.35 Σ_T=162.36
CC 10 SLD (Collegamento 0025_-382)
Azioni sul collegamento: N=-6757.78 Ty=-2.84 Tz=1.57 Mx=0.01 Mz=-0.99
Sollecitazioni agenti localmente: Tx_l=-2.84 Ty_l=1.57 N_l=-6757.78 My_l=0.99 Mz_l=0.01
Azioni sul cordone: TP=-0.22 TO=0.11 NO=-499.54
Tensioni nel cordone: τ_P= 0.07 τ_0= 0.03 σ_0=160.23 σ_{ID}=160.23 Σ_T=160.26
CC 10 SLD (Collegamento 0025_-382)
Azioni sul collegamento: N=-6757.78 Ty=-3.73 Tz=1.57 Mx=0.01 Mz=-2.45
Sollecitazioni agenti localmente: Tx_l=-3.73 Ty_l=1.57 N_l=-6757.78 My_l=2.45 Mz_l=0.01
Azioni sul cordone: TP=-0.29 TO=0.11 NO=-499.54
Tensioni nel cordone: τ_P= 0.09 τ_0= 0.03 σ_0=162.35 σ_{ID}=162.35 Σ_T=162.39
CC 11 SLV (Collegamento 0025_-382)
Azioni sul collegamento: N=-7263.41 Ty=-3.09 Tz=3.21 Mx=0.02 Mz=2.17
Sollecitazioni agenti localmente: Tx_l=-3.09 Ty_l=3.21 N_l=-7263.41 My_l=-2.17 Mz_l=0.02
Azioni sul cordone: TP=-0.26 TO=0.26 NO=-536.91
Tensioni nel cordone: τ_P= 0.08 τ_0= 0.08 σ_0=173.82 σ_{ID}=173.82 Σ_T=173.91
CC 11 SLV (Collegamento 0025_-382)
Azioni sul collegamento: N=-7263.41 Ty=-1.79 Tz=3.21 Mx=0.02 Mz=-1.45
Sollecitazioni agenti localmente: Tx_l=-1.79 Ty_l=3.21 N_l=-7263.41 My_l=1.45 Mz_l=0.02
Azioni sul cordone: TP=-0.16 TO=0.22 NO=-536.91
Tensioni nel cordone: τ_P= 0.05 τ_0= 0.07 σ_0=172.77 σ_{ID}=172.77 Σ_T=172.84
CC 11 SLV (Collegamento 0025_-382)
Azioni sul collegamento: N=-7263.41 Ty=-3.09 Tz=-2.23 Mx=0.02 Mz=2.17
Sollecitazioni agenti localmente: Tx_l=-3.09 Ty_l=-2.23 N_l=-7263.41 My_l=-2.17 Mz_l=0.02
Azioni sul cordone: TP=-0.26 TO=-0.15 NO=-536.91
Tensioni nel cordone: τ_P= 0.08 τ_0= 0.05 σ_0=173.82 σ_{ID}=173.82 Σ_T=173.87
CC 11 SLV (Collegamento 0025_-382)
Azioni sul collegamento: N=-7263.41 Ty=-1.79 Tz=-2.23 Mx=0.02 Mz=-1.45
Sollecitazioni agenti localmente: Tx_l=-1.79 Ty_l=-2.23 N_l=-7263.41 My_l=1.45 Mz_l=0.02
Azioni sul cordone: TP=-0.16 TO=-0.18 NO=-536.91
Tensioni nel cordone: τ_P= 0.05 τ_0= 0.06 σ_0=172.77 σ_{ID}=172.77 Σ_T=172.83
CC 11 SLV (Collegamento 0025_-382)
Azioni sul collegamento: N=-5698.41 Ty=-3.09 Tz=3.21 Mx=0.02 Mz=2.17
Sollecitazioni agenti localmente: Tx_l=-3.09 Ty_l=3.21 N_l=-5698.41 My_l=-2.17 Mz_l=0.02
Azioni sul cordone: TP=-0.26 TO=0.26 NO=-421.23
Tensioni nel cordone: τ_P= 0.08 τ_0= 0.08 σ_0=137.05 σ_{ID}=137.05 Σ_T=137.13
CC 11 SLV (Collegamento 0025_-382)
Azioni sul collegamento: N=-5698.41 Ty=-1.79 Tz=3.21 Mx=0.02 Mz=-1.45
Sollecitazioni agenti localmente: Tx_l=-1.79 Ty_l=3.21 N_l=-5698.41 My_l=1.45 Mz_l=0.02
Azioni sul cordone: TP=-0.16 TO=0.22 NO=-421.23
Tensioni nel cordone: τ_P= 0.05 τ_0= 0.07 σ_0=136.00 σ_{ID}=136.00 Σ_T=136.07
CC 11 SLV (Collegamento 0025_-382)
Azioni sul collegamento: N=-5698.41 Ty=-3.09 Tz=-2.23 Mx=0.02 Mz=2.17
Sollecitazioni agenti localmente: Tx_l=-3.09 Ty_l=-2.23 N_l=-5698.41 My_l=-2.17 Mz_l=0.02
Azioni sul cordone: TP=-0.26 TO=-0.15 NO=-421.23
Tensioni nel cordone: τ_P= 0.08 τ_0= 0.05 σ_0=137.05 σ_{ID}=137.05 Σ_T=137.10
CC 11 SLV (Collegamento 0025_-382)
Azioni sul collegamento: N=-5698.41 Ty=-1.79 Tz=-2.23 Mx=0.02 Mz=-1.45
Sollecitazioni agenti localmente: Tx_l=-1.79 Ty_l=-2.23 N_l=-5698.41 My_l=1.45 Mz_l=0.02
Azioni sul cordone: TP=-0.16 TO=-0.18 NO=-421.23
Tensioni nel cordone: τ_P= 0.05 τ_0= 0.06 σ_0=136.00 σ_{ID}=136.00 Σ_T=136.06

CC 12 SLD (Collegamento 0025_-382)
Azioni sul collegamento: N=-6752.00 Ty=-3.09 Tz=1.44 Mx=0.01 Mz=-1.17
Sollecitazioni agenti localmente: Tx_l=-3.09 Ty_l=1.44 N_l=-6752.00 My_l=1.17 Mz_l=0.01
Azioni sul cordone: TP=-0.24 TO=0.10 NO=-499.11
Tensioni nel cordone: τ_P= 0.08 τ_0= 0.03 σ_0=160.35 σ_{ID}=160.35 Σ_T=160.38
CC 12 SLD (Collegamento 0025_-382)
Azioni sul collegamento: N=-6752.00 Ty=-3.48 Tz=1.44 Mx=0.01 Mz=-2.27
Sollecitazioni agenti localmente: Tx_l=-3.48 Ty_l=1.44 N_l=-6752.00 My_l=2.27 Mz_l=0.01
Azioni sul cordone: TP=-0.27 TO=0.10 NO=-499.11
Tensioni nel cordone: τ_P= 0.09 τ_0= 0.03 σ_0=161.96 σ_{ID}=161.96 Σ_T=161.99
CC 12 SLD (Collegamento 0025_-382)
Azioni sul collegamento: N=-6752.00 Ty=-3.09 Tz=-0.21 Mx=0.01 Mz=-1.17
Sollecitazioni agenti localmente: Tx_l=-3.09 Ty_l=-0.21 N_l=-6752.00 My_l=1.17 Mz_l=0.01
Azioni sul cordone: TP=-0.24 TO=-0.02 NO=-499.11
Tensioni nel cordone: τ_P= 0.08 τ_0=7.48E-03 σ_0=160.35 σ_{ID}=160.35 Σ_T=160.36
CC 12 SLD (Collegamento 0025_-382)
Azioni sul collegamento: N=-6752.00 Ty=-3.48 Tz=-0.21 Mx=0.01 Mz=-2.27
Sollecitazioni agenti localmente: Tx_l=-3.48 Ty_l=-0.21 N_l=-6752.00 My_l=2.27 Mz_l=0.01
Azioni sul cordone: TP=-0.27 TO=-0.02 NO=-499.11
Tensioni nel cordone: τ_P= 0.09 τ_0=7.48E-03 σ_0=161.96 σ_{ID}=161.96 Σ_T=161.97
CC 12 SLD (Collegamento 0025_-382)
Azioni sul collegamento: N=-6274.78 Ty=-3.09 Tz=1.44 Mx=0.01 Mz=-1.17
Sollecitazioni agenti localmente: Tx_l=-3.09 Ty_l=1.44 N_l=-6274.78 My_l=1.17 Mz_l=0.01
Azioni sul cordone: TP=-0.24 TO=0.10 NO=-463.83
Tensioni nel cordone: τ_P= 0.08 τ_0= 0.03 σ_0=149.14 σ_{ID}=149.14 Σ_T=149.17
CC 12 SLD (Collegamento 0025_-382)
Azioni sul collegamento: N=-6274.78 Ty=-3.48 Tz=1.44 Mx=0.01 Mz=-2.27
Sollecitazioni agenti localmente: Tx_l=-3.48 Ty_l=1.44 N_l=-6274.78 My_l=2.27 Mz_l=0.01
Azioni sul cordone: TP=-0.27 TO=0.10 NO=-463.83
Tensioni nel cordone: τ_P= 0.09 τ_0= 0.03 σ_0=150.75 σ_{ID}=150.75 Σ_T=150.78
CC 12 SLD (Collegamento 0025_-382)
Azioni sul collegamento: N=-6274.78 Ty=-3.09 Tz=-0.21 Mx=0.01 Mz=-1.17
Sollecitazioni agenti localmente: Tx_l=-3.09 Ty_l=-0.21 N_l=-6274.78 My_l=1.17 Mz_l=0.01
Azioni sul cordone: TP=-0.24 TO=-0.02 NO=-463.83
Tensioni nel cordone: τ_P= 0.08 τ_0=7.48E-03 σ_0=149.14 σ_{ID}=149.14 Σ_T=149.15
CC 12 SLD (Collegamento 0025_-382)
Azioni sul collegamento: N=-6274.78 Ty=-3.48 Tz=-0.21 Mx=0.01 Mz=-2.27
Sollecitazioni agenti localmente: Tx_l=-3.48 Ty_l=-0.21 N_l=-6274.78 My_l=2.27 Mz_l=0.01
Azioni sul cordone: TP=-0.27 TO=-0.02 NO=-463.83
Tensioni nel cordone: τ_P= 0.09 τ_0=7.48E-03 σ_0=150.75 σ_{ID}=150.75 Σ_T=150.75
CC 13 SLV (Collegamento 0025_-382)
Azioni sul collegamento: N=-5698.41 Ty=-1.79 Tz=-2.23 Mx=0.01 Mz=-1.45
Sollecitazioni agenti localmente: Tx_l=-1.79 Ty_l=-2.23 N_l=-5698.41 My_l=1.45 Mz_l=0.01
Azioni sul cordone: TP=-0.14 TO=-0.17 NO=-421.23
Tensioni nel cordone: τ_P= 0.05 τ_0= 0.05 σ_0=136.00 σ_{ID}=136.00 Σ_T=136.05
CC 13 SLV (Collegamento 0025_-382)
Azioni sul collegamento: N=-5698.41 Ty=-3.09 Tz=-2.23 Mx=0.01 Mz=2.17
Sollecitazioni agenti localmente: Tx_l=-3.09 Ty_l=-2.23 N_l=-5698.41 My_l=-2.17 Mz_l=0.01
Azioni sul cordone: TP=-0.24 TO=-0.16 NO=-421.23
Tensioni nel cordone: τ_P= 0.08 τ_0= 0.05 σ_0=137.05 σ_{ID}=137.05 Σ_T=137.10
CC 13 SLV (Collegamento 0025_-382)
Azioni sul collegamento: N=-5698.41 Ty=-1.79 Tz=3.21 Mx=0.01 Mz=-1.45
Sollecitazioni agenti localmente: Tx_l=-1.79 Ty_l=3.21 N_l=-5698.41 My_l=1.45 Mz_l=0.01
Azioni sul cordone: TP=-0.14 TO=0.23 NO=-421.23
Tensioni nel cordone: τ_P= 0.05 τ_0= 0.07 σ_0=136.00 σ_{ID}=136.00 Σ_T=136.07
CC 13 SLV (Collegamento 0025_-382)
Azioni sul collegamento: N=-5698.41 Ty=-3.09 Tz=3.21 Mx=0.01 Mz=2.17
Sollecitazioni agenti localmente: Tx_l=-3.09 Ty_l=3.21 N_l=-5698.41 My_l=-2.17 Mz_l=0.01
Azioni sul cordone: TP=-0.24 TO=0.24 NO=-421.23
Tensioni nel cordone: τ_P= 0.08 τ_0= 0.08 σ_0=137.05 σ_{ID}=137.05 Σ_T=137.13
CC 13 SLV (Collegamento 0025_-382)
Azioni sul collegamento: N=-7263.41 Ty=-1.79 Tz=-2.23 Mx=0.01 Mz=-1.45
Sollecitazioni agenti localmente: Tx_l=-1.79 Ty_l=-2.23 N_l=-7263.41 My_l=1.45 Mz_l=0.01
Azioni sul cordone: TP=-0.14 TO=-0.17 NO=-536.91
Tensioni nel cordone: τ_P= 0.05 τ_0= 0.05 σ_0=172.77 σ_{ID}=172.77 Σ_T=172.82
CC 13 SLV (Collegamento 0025_-382)
Azioni sul collegamento: N=-7263.41 Ty=-3.09 Tz=-2.23 Mx=0.01 Mz=2.17
Sollecitazioni agenti localmente: Tx_l=-3.09 Ty_l=-2.23 N_l=-7263.41 My_l=-2.17 Mz_l=0.01
Azioni sul cordone: TP=-0.24 TO=-0.16 NO=-536.91
Tensioni nel cordone: τ_P= 0.08 τ_0= 0.05 σ_0=173.82 σ_{ID}=173.82 Σ_T=173.87
CC 13 SLV (Collegamento 0025_-382)
Azioni sul collegamento: N=-7263.41 Ty=-1.79 Tz=3.21 Mx=0.01 Mz=-1.45
Sollecitazioni agenti localmente: Tx_l=-1.79 Ty_l=3.21 N_l=-7263.41 My_l=1.45 Mz_l=0.01
Azioni sul cordone: TP=-0.14 TO=0.23 NO=-536.91
Tensioni nel cordone: τ_P= 0.05 τ_0= 0.07 σ_0=172.77 σ_{ID}=172.77 Σ_T=172.84
CC 13 SLV (Collegamento 0025_-382)
Azioni sul collegamento: N=-7263.41 Ty=-3.09 Tz=3.21 Mx=0.01 Mz=2.17
Sollecitazioni agenti localmente: Tx_l=-3.09 Ty_l=3.21 N_l=-7263.41 My_l=-2.17 Mz_l=0.01
Azioni sul cordone: TP=-0.24 TO=0.24 NO=-536.91

Tensioni nel cordone: τ_P= 0.08 τ_O= 0.08 σ_O=173.82 σ_{ID}=173.82 Σ_T=173.90
CC 14 SLD (Collegamento 0025_-382)
Azioni sul collegamento: N=-6274.78 Ty=-3.48 Tz=-0.21 Mx=0.01 Mz=-2.27
Sollecitazioni agenti localmente: Tx_l=-3.48 Ty_l=-0.21 N_l=-6274.78 My_l=2.27 Mz_l=0.01
Azioni sul cordone: TP=-0.26 TO=-0.02 NO=-463.83
Tensioni nel cordone: τ_P= 0.08 τ_O=6.32E-03 σ_O=150.75 σ_{ID}=150.75 Σ_T=150.75
CC 14 SLD (Collegamento 0025_-382)
Azioni sul collegamento: N=-6274.78 Ty=-3.09 Tz=-0.21 Mx=0.01 Mz=-1.17
Sollecitazioni agenti localmente: Tx_l=-3.09 Ty_l=-0.21 N_l=-6274.78 My_l=1.17 Mz_l=0.01
Azioni sul cordone: TP=-0.23 TO=-0.02 NO=-463.83
Tensioni nel cordone: τ_P= 0.07 τ_O=6.32E-03 σ_O=149.14 σ_{ID}=149.14 Σ_T=149.15
CC 14 SLD (Collegamento 0025_-382)
Azioni sul collegamento: N=-6274.78 Ty=-3.48 Tz=1.44 Mx=0.01 Mz=-2.27
Sollecitazioni agenti localmente: Tx_l=-3.48 Ty_l=1.44 N_l=-6274.78 My_l=2.27 Mz_l=0.01
Azioni sul cordone: TP=-0.26 TO=0.10 NO=-463.83
Tensioni nel cordone: τ_P= 0.08 τ_O= 0.03 σ_O=150.75 σ_{ID}=150.75 Σ_T=150.78
CC 14 SLD (Collegamento 0025_-382)
Azioni sul collegamento: N=-6274.78 Ty=-3.09 Tz=1.44 Mx=0.01 Mz=-1.17
Sollecitazioni agenti localmente: Tx_l=-3.09 Ty_l=1.44 N_l=-6274.78 My_l=1.17 Mz_l=0.01
Azioni sul cordone: TP=-0.23 TO=0.10 NO=-463.83
Tensioni nel cordone: τ_P= 0.07 τ_O= 0.03 σ_O=149.14 σ_{ID}=149.14 Σ_T=149.17
CC 14 SLD (Collegamento 0025_-382)
Azioni sul collegamento: N=-6752.00 Ty=-3.48 Tz=-0.21 Mx=0.01 Mz=-2.27
Sollecitazioni agenti localmente: Tx_l=-3.48 Ty_l=-0.21 N_l=-6752.00 My_l=2.27 Mz_l=0.01
Azioni sul cordone: TP=-0.26 TO=-0.02 NO=-499.11
Tensioni nel cordone: τ_P= 0.08 τ_O=6.32E-03 σ_O=161.96 σ_{ID}=161.96 Σ_T=161.97
CC 14 SLD (Collegamento 0025_-382)
Azioni sul collegamento: N=-6752.00 Ty=-3.09 Tz=-0.21 Mx=0.01 Mz=-1.17
Sollecitazioni agenti localmente: Tx_l=-3.09 Ty_l=-0.21 N_l=-6752.00 My_l=1.17 Mz_l=0.01
Azioni sul cordone: TP=-0.23 TO=-0.02 NO=-499.11
Tensioni nel cordone: τ_P= 0.07 τ_O=6.32E-03 σ_O=160.35 σ_{ID}=160.35 Σ_T=160.36
CC 14 SLD (Collegamento 0025_-382)
Azioni sul collegamento: N=-6752.00 Ty=-3.48 Tz=1.44 Mx=0.01 Mz=-2.27
Sollecitazioni agenti localmente: Tx_l=-3.48 Ty_l=1.44 N_l=-6752.00 My_l=2.27 Mz_l=0.01
Azioni sul cordone: TP=-0.26 TO=0.10 NO=-499.11
Tensioni nel cordone: τ_P= 0.08 τ_O= 0.03 σ_O=161.96 σ_{ID}=161.96 Σ_T=161.99
CC 14 SLD (Collegamento 0025_-382)
Azioni sul collegamento: N=-6752.00 Ty=-3.09 Tz=1.44 Mx=0.01 Mz=-1.17
Sollecitazioni agenti localmente: Tx_l=-3.09 Ty_l=1.44 N_l=-6752.00 My_l=1.17 Mz_l=0.01
Azioni sul cordone: TP=-0.23 TO=0.10 NO=-499.11
Tensioni nel cordone: τ_P= 0.07 τ_O= 0.03 σ_O=160.35 σ_{ID}=160.35 Σ_T=160.38
CC 15 SLV (Collegamento 0025_-382)
Azioni sul collegamento: N=-7282.35 Ty=-0.97 Tz=3.63 Mx=0.01 Mz=-2.02
Sollecitazioni agenti localmente: Tx_l=-0.97 Ty_l=3.63 N_l=-7282.35 My_l=2.02 Mz_l=0.01
Azioni sul cordone: TP=-0.08 TO=0.26 NO=-538.31
Tensioni nel cordone: τ_P= 0.03 τ_O= 0.08 σ_O=174.06 σ_{ID}=174.06 Σ_T=174.14
CC 15 SLV (Collegamento 0025_-382)
Azioni sul collegamento: N=-7282.35 Ty=-3.91 Tz=3.63 Mx=0.01 Mz=2.74
Sollecitazioni agenti localmente: Tx_l=-3.91 Ty_l=3.63 N_l=-7282.35 My_l=-2.74 Mz_l=0.01
Azioni sul cordone: TP=-0.30 TO=0.28 NO=-538.31
Tensioni nel cordone: τ_P= 0.09 τ_O= 0.09 σ_O=175.11 σ_{ID}=175.11 Σ_T=175.20
CC 15 SLV (Collegamento 0025_-382)
Azioni sul collegamento: N=-7282.35 Ty=-0.97 Tz=-2.66 Mx=0.01 Mz=-2.02
Sollecitazioni agenti localmente: Tx_l=-0.97 Ty_l=-2.66 N_l=-7282.35 My_l=2.02 Mz_l=0.01
Azioni sul cordone: TP=-0.08 TO=-0.20 NO=-538.31
Tensioni nel cordone: τ_P= 0.03 τ_O= 0.06 σ_O=174.06 σ_{ID}=174.06 Σ_T=174.12
CC 15 SLV (Collegamento 0025_-382)
Azioni sul collegamento: N=-7282.35 Ty=-3.91 Tz=-2.66 Mx=0.01 Mz=2.74
Sollecitazioni agenti localmente: Tx_l=-3.91 Ty_l=-2.66 N_l=-7282.35 My_l=-2.74 Mz_l=0.01
Azioni sul cordone: TP=-0.30 TO=-0.19 NO=-538.31
Tensioni nel cordone: τ_P= 0.09 τ_O= 0.06 σ_O=175.11 σ_{ID}=175.11 Σ_T=175.17
CC 15 SLV (Collegamento 0025_-382)
Azioni sul collegamento: N=-5679.47 Ty=-0.97 Tz=3.63 Mx=0.01 Mz=-2.02
Sollecitazioni agenti localmente: Tx_l=-0.97 Ty_l=3.63 N_l=-5679.47 My_l=2.02 Mz_l=0.01
Azioni sul cordone: TP=-0.08 TO=0.26 NO=-419.83
Tensioni nel cordone: τ_P= 0.03 τ_O= 0.08 σ_O=136.40 σ_{ID}=136.40 Σ_T=136.48
CC 15 SLV (Collegamento 0025_-382)
Azioni sul collegamento: N=-5679.47 Ty=-3.91 Tz=3.63 Mx=0.01 Mz=2.74
Sollecitazioni agenti localmente: Tx_l=-3.91 Ty_l=3.63 N_l=-5679.47 My_l=-2.74 Mz_l=0.01
Azioni sul cordone: TP=-0.30 TO=0.28 NO=-419.83
Tensioni nel cordone: τ_P= 0.09 τ_O= 0.09 σ_O=137.45 σ_{ID}=137.45 Σ_T=137.54
CC 15 SLV (Collegamento 0025_-382)
Azioni sul collegamento: N=-5679.47 Ty=-0.97 Tz=-2.66 Mx=0.01 Mz=-2.02
Sollecitazioni agenti localmente: Tx_l=-0.97 Ty_l=-2.66 N_l=-5679.47 My_l=2.02 Mz_l=0.01
Azioni sul cordone: TP=-0.08 TO=-0.20 NO=-419.83
Tensioni nel cordone: τ_P= 0.03 τ_O= 0.06 σ_O=136.40 σ_{ID}=136.40 Σ_T=136.46
CC 15 SLV (Collegamento 0025_-382)
Azioni sul collegamento: N=-5679.47 Ty=-3.91 Tz=-2.66 Mx=0.01 Mz=2.74
Sollecitazioni agenti localmente: Tx_l=-3.91 Ty_l=-2.66 N_l=-5679.47 My_l=-2.74 Mz_l=0.01

Azioni sul cordone: TP=-0.30 TO=-0.19 NO=-419.83
Tensioni nel cordone: τ_P= 0.09 τ_O= 0.06 σ_O=137.45 σ_{ID}=137.45 Σ_T=137.51
CC 16 SLD (Collegamento 0025_-382)
Azioni sul collegamento: N=-6757.78 Ty=-3.73 Tz=1.57 Mx=0.00 Mz=-2.45
Sollecitazioni agenti localmente: Tx_l=-3.73 Ty_l=1.57 N_l=-6757.78 My_l=2.45 Mz_l=0.00
Azioni sul cordone: TP=-0.28 TO=0.11 NO=-499.54
Tensioni nel cordone: τ_P= 0.09 τ_O= 0.04 σ_O=162.35 σ_{ID}=162.35 Σ_T=162.39
CC 16 SLD (Collegamento 0025_-382)
Azioni sul collegamento: N=-6757.78 Ty=-2.84 Tz=1.57 Mx=0.00 Mz=-0.99
Sollecitazioni agenti localmente: Tx_l=-2.84 Ty_l=1.57 N_l=-6757.78 My_l=0.99 Mz_l=0.00
Azioni sul cordone: TP=-0.22 TO=0.11 NO=-499.54
Tensioni nel cordone: τ_P= 0.07 τ_O= 0.04 σ_O=160.23 σ_{ID}=160.23 Σ_T=160.26
CC 16 SLD (Collegamento 0025_-382)
Azioni sul collegamento: N=-6757.78 Ty=-3.73 Tz=-0.34 Mx=0.00 Mz=-2.45
Sollecitazioni agenti localmente: Tx_l=-3.73 Ty_l=-0.34 N_l=-6757.78 My_l=2.45 Mz_l=0.00
Azioni sul cordone: TP=-0.28 TO=-0.03 NO=-499.54
Tensioni nel cordone: τ_P= 0.09 τ_O=9.31E-03 σ_O=162.35 σ_{ID}=162.35 Σ_T=162.36
CC 16 SLD (Collegamento 0025_-382)
Azioni sul collegamento: N=-6757.78 Ty=-2.84 Tz=-0.34 Mx=0.00 Mz=-0.99
Sollecitazioni agenti localmente: Tx_l=-2.84 Ty_l=-0.34 N_l=-6757.78 My_l=0.99 Mz_l=0.00
Azioni sul cordone: TP=-0.22 TO=-0.03 NO=-499.54
Tensioni nel cordone: τ_P= 0.07 τ_O=9.31E-03 σ_O=160.23 σ_{ID}=160.23 Σ_T=160.24
CC 16 SLD (Collegamento 0025_-382)
Azioni sul collegamento: N=-6269.00 Ty=-3.73 Tz=1.57 Mx=0.00 Mz=-2.45
Sollecitazioni agenti localmente: Tx_l=-3.73 Ty_l=1.57 N_l=-6269.00 My_l=2.45 Mz_l=0.00
Azioni sul cordone: TP=-0.28 TO=0.11 NO=-463.41
Tensioni nel cordone: τ_P= 0.09 τ_O= 0.04 σ_O=150.87 σ_{ID}=150.87 Σ_T=150.91
CC 16 SLD (Collegamento 0025_-382)
Azioni sul collegamento: N=-6269.00 Ty=-2.84 Tz=1.57 Mx=0.00 Mz=-0.99
Sollecitazioni agenti localmente: Tx_l=-2.84 Ty_l=1.57 N_l=-6269.00 My_l=0.99 Mz_l=0.00
Azioni sul cordone: TP=-0.22 TO=0.11 NO=-463.41
Tensioni nel cordone: τ_P= 0.07 τ_O= 0.04 σ_O=148.75 σ_{ID}=148.75 Σ_T=148.78
CC 16 SLD (Collegamento 0025_-382)
Azioni sul collegamento: N=-6269.01 Ty=-3.73 Tz=-0.34 Mx=0.00 Mz=-2.45
Sollecitazioni agenti localmente: Tx_l=-3.73 Ty_l=-0.34 N_l=-6269.01 My_l=2.45 Mz_l=0.00
Azioni sul cordone: TP=-0.28 TO=-0.03 NO=-463.41
Tensioni nel cordone: τ_P= 0.09 τ_O=9.31E-03 σ_O=150.87 σ_{ID}=150.87 Σ_T=150.88
CC 16 SLD (Collegamento 0025_-382)
Azioni sul collegamento: N=-6269.01 Ty=-2.84 Tz=-0.34 Mx=0.00 Mz=-0.99
Sollecitazioni agenti localmente: Tx_l=-2.84 Ty_l=-0.34 N_l=-6269.01 My_l=0.99 Mz_l=0.00
Azioni sul cordone: TP=-0.22 TO=-0.03 NO=-463.41
Tensioni nel cordone: τ_P= 0.07 τ_O=9.31E-03 σ_O=148.75 σ_{ID}=148.75 Σ_T=148.75
CC 17 SLV (Collegamento 0025_-382)
Azioni sul collegamento: N=-3931.62 Ty=-3.19 Tz=-8.98 Mx=-0.01 Mz=-4.04
Sollecitazioni agenti localmente: Tx_l=-3.19 Ty_l=-8.98 N_l=-3931.62 My_l=4.04 Mz_l=-0.01
Azioni sul cordone: TP=-0.22 TO=-0.65 NO=-290.63
Tensioni nel cordone: τ_P= 0.07 τ_O=0.21 σ_O=98.28 σ_{ID}=98.28 Σ_T=98.48
CC 17 SLV (Collegamento 0025_-382)
Azioni sul collegamento: N=-3931.62 Ty=-6.55 Tz=-8.98 Mx=-0.01 Mz=-7.22
Sollecitazioni agenti localmente: Tx_l=-6.55 Ty_l=-8.98 N_l=-3931.62 My_l=7.22 Mz_l=-0.01
Azioni sul cordone: TP=-0.47 TO=-0.65 NO=-290.63
Tensioni nel cordone: τ_P=0.15 τ_O=0.21 σ_O=102.92 σ_{ID}=102.92 Σ_T=103.13
CC 17 SLV (Collegamento 0025_-382)
Azioni sul collegamento: N=-3931.62 Ty=-3.19 Tz=10.69 Mx=-0.01 Mz=-4.04
Sollecitazioni agenti localmente: Tx_l=-3.19 Ty_l=10.69 N_l=-3931.62 My_l=4.04 Mz_l=-0.01
Azioni sul cordone: TP=-0.22 TO=0.80 NO=-290.63
Tensioni nel cordone: τ_P= 0.07 τ_O=0.25 σ_O=98.28 σ_{ID}=98.28 Σ_T=98.53
CC 17 SLV (Collegamento 0025_-382)
Azioni sul collegamento: N=-3931.62 Ty=-6.55 Tz=10.69 Mx=-0.01 Mz=-7.22
Sollecitazioni agenti localmente: Tx_l=-6.55 Ty_l=10.69 N_l=-3931.62 My_l=7.22 Mz_l=-0.01
Azioni sul cordone: TP=-0.47 TO=0.80 NO=-290.63
Tensioni nel cordone: τ_P=0.15 τ_O=0.25 σ_O=102.92 σ_{ID}=102.92 Σ_T=103.18
CC 17 SLV (Collegamento 0025_-382)
Azioni sul collegamento: N=-9217.12 Ty=-3.19 Tz=-8.98 Mx=-0.01 Mz=-4.04
Sollecitazioni agenti localmente: Tx_l=-3.19 Ty_l=-8.98 N_l=-9217.12 My_l=4.04 Mz_l=-0.01
Azioni sul cordone: TP=-0.22 TO=-0.65 NO=-681.33
Tensioni nel cordone: τ_P= 0.07 τ_O=0.21 σ_O=222.46 σ_{ID}=222.46 Σ_T=222.67
CC 17 SLV (Collegamento 0025_-382)
Azioni sul collegamento: N=-9217.12 Ty=-6.55 Tz=-8.98 Mx=-0.01 Mz=-7.22
Sollecitazioni agenti localmente: Tx_l=-6.55 Ty_l=-8.98 N_l=-9217.12 My_l=7.22 Mz_l=-0.01
Azioni sul cordone: TP=-0.47 TO=-0.65 NO=-681.33
Tensioni nel cordone: τ_P=0.15 τ_O=0.21 σ_O=227.11 σ_{ID}=227.11 Σ_T=227.32
CC 17 SLV (Collegamento 0025_-382)
Azioni sul collegamento: N=-9217.12 Ty=-3.19 Tz=10.69 Mx=-0.01 Mz=-4.04
Sollecitazioni agenti localmente: Tx_l=-3.19 Ty_l=10.69 N_l=-9217.12 My_l=4.04 Mz_l=-0.01
Azioni sul cordone: TP=-0.22 TO=0.80 NO=-681.33
Tensioni nel cordone: τ_P= 0.07 τ_O=0.25 σ_O=222.46 σ_{ID}=222.46 Σ_T=222.72
CC 17 SLV (Collegamento 0025_-382)
Azioni sul collegamento: N=-9217.12 Ty=-6.55 Tz=10.69 Mx=-0.01 Mz=-7.22

Sollecitazioni agenti localmente: Tx_l=-6.55 Ty_l=10.69 N_l=-9217.12 My_l=7.22 Mz_l=-0.01
Azioni sul cordone: TP=-0.47 TO=0.80 NO=-681.33
Tensioni nel cordone: τ_P=0.15 τ_0=0.25 σ_0=227.11 σ_{ID}=227.11 Σ_T=227.36
CC 18 SLD (Collegamento 0025_-382)
Azioni sul collegamento: N=-5736.03 Ty=-3.51 Tz=-2.27 Mx=-0.00 Mz=-3.06
Sollecitazioni agenti localmente: Tx_l=-3.51 Ty_l=-2.27 N_l=-5736.03 My_l=3.06 Mz_l=-0.00
Azioni sul cordone: TP=-0.26 TO=-0.17 NO=-424.01
Tensioni nel cordone: τ_P= 0.08 τ_0= 0.05 σ_0=139.25 σ_{ID}=139.25 Σ_T=139.30
CC 18 SLD (Collegamento 0025_-382)
Azioni sul collegamento: N=-5736.03 Ty=-4.54 Tz=-2.27 Mx=-0.00 Mz=-4.03
Sollecitazioni agenti localmente: Tx_l=-4.54 Ty_l=-2.27 N_l=-5736.03 My_l=4.03 Mz_l=-0.00
Azioni sul cordone: TP=-0.33 TO=-0.17 NO=-424.01
Tensioni nel cordone: τ_P=0.11 τ_0= 0.05 σ_0=140.66 σ_{ID}=140.66 Σ_T=140.72
CC 18 SLD (Collegamento 0025_-382)
Azioni sul collegamento: N=-5736.03 Ty=-3.51 Tz=3.73 Mx=-0.00 Mz=-3.06
Sollecitazioni agenti localmente: Tx_l=-3.51 Ty_l=3.73 N_l=-5736.03 My_l=3.06 Mz_l=-0.00
Azioni sul cordone: TP=-0.26 TO=0.28 NO=-424.01
Tensioni nel cordone: τ_P= 0.08 τ_0= 0.09 σ_0=139.25 σ_{ID}=139.25 Σ_T=139.33
CC 18 SLD (Collegamento 0025_-382)
Azioni sul collegamento: N=-5736.03 Ty=-4.54 Tz=3.73 Mx=-0.00 Mz=-4.03
Sollecitazioni agenti localmente: Tx_l=-4.54 Ty_l=3.73 N_l=-5736.03 My_l=4.03 Mz_l=-0.00
Azioni sul cordone: TP=-0.33 TO=0.28 NO=-424.01
Tensioni nel cordone: τ_P=0.11 τ_0= 0.09 σ_0=140.66 σ_{ID}=140.66 Σ_T=140.75
CC 18 SLD (Collegamento 0025_-382)
Azioni sul collegamento: N=-7347.75 Ty=-3.51 Tz=-2.27 Mx=-0.00 Mz=-3.06
Sollecitazioni agenti localmente: Tx_l=-3.51 Ty_l=-2.27 N_l=-7347.75 My_l=3.06 Mz_l=-0.00
Azioni sul cordone: TP=-0.26 TO=-0.17 NO=-543.15
Tensioni nel cordone: τ_P= 0.08 τ_0= 0.05 σ_0=177.11 σ_{ID}=177.11 Σ_T=177.17
CC 18 SLD (Collegamento 0025_-382)
Azioni sul collegamento: N=-7347.75 Ty=-4.54 Tz=-2.27 Mx=-0.00 Mz=-4.03
Sollecitazioni agenti localmente: Tx_l=-4.54 Ty_l=-2.27 N_l=-7347.75 My_l=4.03 Mz_l=-0.00
Azioni sul cordone: TP=-0.33 TO=-0.17 NO=-543.15
Tensioni nel cordone: τ_P=0.11 τ_0= 0.05 σ_0=178.53 σ_{ID}=178.53 Σ_T=178.58
CC 18 SLD (Collegamento 0025_-382)
Azioni sul collegamento: N=-7347.75 Ty=-3.51 Tz=3.73 Mx=-0.00 Mz=-3.06
Sollecitazioni agenti localmente: Tx_l=-3.51 Ty_l=3.73 N_l=-7347.75 My_l=3.06 Mz_l=-0.00
Azioni sul cordone: TP=-0.26 TO=0.28 NO=-543.15
Tensioni nel cordone: τ_P= 0.08 τ_0= 0.09 σ_0=177.11 σ_{ID}=177.11 Σ_T=177.20
CC 18 SLD (Collegamento 0025_-382)
Azioni sul collegamento: N=-7347.75 Ty=-4.54 Tz=3.73 Mx=-0.00 Mz=-4.03
Sollecitazioni agenti localmente: Tx_l=-4.54 Ty_l=3.73 N_l=-7347.75 My_l=4.03 Mz_l=-0.00
Azioni sul cordone: TP=-0.33 TO=0.28 NO=-543.15
Tensioni nel cordone: τ_P=0.11 τ_0= 0.09 σ_0=178.53 σ_{ID}=178.53 Σ_T=178.62
CC 19 SLV (Collegamento 0025_-382)
Azioni sul collegamento: N=-3937.31 Ty=-3.82 Tz=-8.85 Mx=-0.01 Mz=-5.30
Sollecitazioni agenti localmente: Tx_l=-3.82 Ty_l=-8.85 N_l=-3937.31 My_l=5.30 Mz_l=-0.01
Azioni sul cordone: TP=-0.27 TO=-0.65 NO=-291.05
Tensioni nel cordone: τ_P= 0.09 τ_0=0.21 σ_0=100.25 σ_{ID}=100.25 Σ_T=100.45
CC 19 SLV (Collegamento 0025_-382)
Azioni sul collegamento: N=-3937.31 Ty=-5.92 Tz=-8.85 Mx=-0.01 Mz=-5.96
Sollecitazioni agenti localmente: Tx_l=-5.92 Ty_l=-8.85 N_l=-3937.31 My_l=5.96 Mz_l=-0.01
Azioni sul cordone: TP=-0.43 TO=-0.65 NO=-291.05
Tensioni nel cordone: τ_P=0.14 τ_0=0.21 σ_0=101.22 σ_{ID}=101.22 Σ_T=101.43
CC 19 SLV (Collegamento 0025_-382)
Azioni sul collegamento: N=-3937.31 Ty=-3.82 Tz=10.56 Mx=-0.01 Mz=-5.30
Sollecitazioni agenti localmente: Tx_l=-3.82 Ty_l=10.56 N_l=-3937.31 My_l=5.30 Mz_l=-0.01
Azioni sul cordone: TP=-0.27 TO=0.79 NO=-291.05
Tensioni nel cordone: τ_P= 0.09 τ_0=0.25 σ_0=100.25 σ_{ID}=100.25 Σ_T=100.50
CC 19 SLV (Collegamento 0025_-382)
Azioni sul collegamento: N=-3937.31 Ty=-5.92 Tz=10.56 Mx=-0.01 Mz=-5.96
Sollecitazioni agenti localmente: Tx_l=-5.92 Ty_l=10.56 N_l=-3937.31 My_l=5.96 Mz_l=-0.01
Azioni sul cordone: TP=-0.43 TO=0.79 NO=-291.05
Tensioni nel cordone: τ_P=0.14 τ_0=0.25 σ_0=101.22 σ_{ID}=101.22 Σ_T=101.47
CC 19 SLV (Collegamento 0025_-382)
Azioni sul collegamento: N=-9211.43 Ty=-3.82 Tz=-8.85 Mx=-0.01 Mz=-5.30
Sollecitazioni agenti localmente: Tx_l=-3.82 Ty_l=-8.85 N_l=-9211.43 My_l=5.30 Mz_l=-0.01
Azioni sul cordone: TP=-0.27 TO=-0.65 NO=-680.91
Tensioni nel cordone: τ_P= 0.09 τ_0=0.21 σ_0=224.16 σ_{ID}=224.16 Σ_T=224.37
CC 19 SLV (Collegamento 0025_-382)
Azioni sul collegamento: N=-9211.43 Ty=-5.92 Tz=-8.85 Mx=-0.01 Mz=-5.96
Sollecitazioni agenti localmente: Tx_l=-5.92 Ty_l=-8.85 N_l=-9211.43 My_l=5.96 Mz_l=-0.01
Azioni sul cordone: TP=-0.43 TO=-0.65 NO=-680.91
Tensioni nel cordone: τ_P=0.14 τ_0=0.21 σ_0=225.14 σ_{ID}=225.14 Σ_T=225.34
CC 19 SLV (Collegamento 0025_-382)
Azioni sul collegamento: N=-9211.43 Ty=-3.82 Tz=10.56 Mx=-0.01 Mz=-5.30
Sollecitazioni agenti localmente: Tx_l=-3.82 Ty_l=10.56 N_l=-9211.43 My_l=5.30 Mz_l=-0.01
Azioni sul cordone: TP=-0.27 TO=0.79 NO=-680.91
Tensioni nel cordone: τ_P= 0.09 τ_0=0.25 σ_0=224.16 σ_{ID}=224.16 Σ_T=224.41
CC 19 SLV (Collegamento 0025_-382)

Azioni sul collegamento: N=-9211.43 Ty=-5.92 Tz=10.56 Mx=-0.01 Mz=-5.96
Sollecitazioni agenti localmente: Tx_l=-5.92 Ty_l=10.56 N_l=-9211.43 My_l=5.96 Mz_l=-0.01
Azioni sul cordone: TP=-0.43 TO=0.79 NO=-680.91
Tensioni nel cordone: τ_P=0.14 τ_0=0.25 σ_0=225.14 σ_{ID}=225.14 Σ_T=225.39
CC 20 SLD (Collegamento 0025_-382)
Azioni sul collegamento: N=-5737.77 Ty=-3.71 Tz=-2.23 Mx=-0.00 Mz=-3.45
Sollecitazioni agenti localmente: Tx_l=-3.71 Ty_l=-2.23 N_l=-5737.77 My_l=3.45 Mz_l=-0.00
Azioni sul cordone: TP=-0.27 TO=-0.16 NO=-424.14
Tensioni nel cordone: τ_P= 0.09 τ_0= 0.05 σ_0=139.84 σ_{ID}=139.84 Σ_T=139.90
CC 20 SLD (Collegamento 0025_-382)
Azioni sul collegamento: N=-5737.77 Ty=-4.34 Tz=-2.23 Mx=-0.00 Mz=-3.65
Sollecitazioni agenti localmente: Tx_l=-4.34 Ty_l=-2.23 N_l=-5737.77 My_l=3.65 Mz_l=-0.00
Azioni sul cordone: TP=-0.32 TO=-0.16 NO=-424.14
Tensioni nel cordone: τ_P=0.10 τ_0= 0.05 σ_0=140.14 σ_{ID}=140.14 Σ_T=140.19
CC 20 SLD (Collegamento 0025_-382)
Azioni sul collegamento: N=-5737.77 Ty=-3.71 Tz=3.69 Mx=-0.00 Mz=-3.45
Sollecitazioni agenti localmente: Tx_l=-3.71 Ty_l=3.69 N_l=-5737.77 My_l=3.45 Mz_l=-0.00
Azioni sul cordone: TP=-0.27 TO=0.27 NO=-424.14
Tensioni nel cordone: τ_P= 0.09 τ_0= 0.09 σ_0=139.84 σ_{ID}=139.84 Σ_T=139.93
CC 20 SLD (Collegamento 0025_-382)
Azioni sul collegamento: N=-5737.77 Ty=-4.34 Tz=3.69 Mx=-0.00 Mz=-3.65
Sollecitazioni agenti localmente: Tx_l=-4.34 Ty_l=3.69 N_l=-5737.77 My_l=3.65 Mz_l=-0.00
Azioni sul cordone: TP=-0.32 TO=0.27 NO=-424.14
Tensioni nel cordone: τ_P=0.10 τ_0= 0.09 σ_0=140.14 σ_{ID}=140.14 Σ_T=140.23
CC 20 SLD (Collegamento 0025_-382)
Azioni sul collegamento: N=-7346.01 Ty=-3.71 Tz=-2.23 Mx=-0.00 Mz=-3.45
Sollecitazioni agenti localmente: Tx_l=-3.71 Ty_l=-2.23 N_l=-7346.01 My_l=3.45 Mz_l=-0.00
Azioni sul cordone: TP=-0.27 TO=-0.16 NO=-543.02
Tensioni nel cordone: τ_P= 0.09 τ_0= 0.05 σ_0=177.63 σ_{ID}=177.63 Σ_T=177.68
CC 20 SLD (Collegamento 0025_-382)
Azioni sul collegamento: N=-7346.01 Ty=-4.34 Tz=-2.23 Mx=-0.00 Mz=-3.65
Sollecitazioni agenti localmente: Tx_l=-4.34 Ty_l=-2.23 N_l=-7346.01 My_l=3.65 Mz_l=-0.00
Azioni sul cordone: TP=-0.32 TO=-0.16 NO=-543.02
Tensioni nel cordone: τ_P=0.10 τ_0= 0.05 σ_0=177.93 σ_{ID}=177.93 Σ_T=177.98
CC 20 SLD (Collegamento 0025_-382)
Azioni sul collegamento: N=-7346.01 Ty=-3.71 Tz=3.69 Mx=-0.00 Mz=-3.45
Sollecitazioni agenti localmente: Tx_l=-3.71 Ty_l=3.69 N_l=-7346.01 My_l=3.45 Mz_l=-0.00
Azioni sul cordone: TP=-0.27 TO=0.27 NO=-543.02
Tensioni nel cordone: τ_P= 0.09 τ_0= 0.09 σ_0=177.63 σ_{ID}=177.63 Σ_T=177.72
CC 20 SLD (Collegamento 0025_-382)
Azioni sul collegamento: N=-7346.01 Ty=-4.34 Tz=3.69 Mx=-0.00 Mz=-3.65
Sollecitazioni agenti localmente: Tx_l=-4.34 Ty_l=3.69 N_l=-7346.01 My_l=3.65 Mz_l=-0.00
Azioni sul cordone: TP=-0.32 TO=0.27 NO=-543.02
Tensioni nel cordone: τ_P=0.10 τ_0= 0.09 σ_0=177.93 σ_{ID}=177.93 Σ_T=178.02
CC 21 SLV (Collegamento 0025_-382)
Azioni sul collegamento: N=-9211.43 Ty=-5.92 Tz=10.56 Mx=-0.01 Mz=-5.96
Sollecitazioni agenti localmente: Tx_l=-5.92 Ty_l=10.56 N_l=-9211.43 My_l=5.96 Mz_l=-0.01
Azioni sul cordone: TP=-0.42 TO=0.79 NO=-680.91
Tensioni nel cordone: τ_P=0.13 τ_0=0.25 σ_0=225.14 σ_{ID}=225.14 Σ_T=225.39
CC 21 SLV (Collegamento 0025_-382)
Azioni sul collegamento: N=-9211.43 Ty=-3.82 Tz=10.56 Mx=-0.01 Mz=-5.30
Sollecitazioni agenti localmente: Tx_l=-3.82 Ty_l=10.56 N_l=-9211.43 My_l=5.30 Mz_l=-0.01
Azioni sul cordone: TP=-0.27 TO=0.79 NO=-680.91
Tensioni nel cordone: τ_P= 0.09 τ_0=0.25 σ_0=224.16 σ_{ID}=224.16 Σ_T=224.41
CC 21 SLV (Collegamento 0025_-382)
Azioni sul collegamento: N=-9211.43 Ty=-5.92 Tz=-8.85 Mx=-0.01 Mz=-5.96
Sollecitazioni agenti localmente: Tx_l=-5.92 Ty_l=-8.85 N_l=-9211.43 My_l=5.96 Mz_l=-0.01
Azioni sul cordone: TP=-0.42 TO=-0.65 NO=-680.91
Tensioni nel cordone: τ_P=0.13 τ_0=0.21 σ_0=225.14 σ_{ID}=225.14 Σ_T=225.34
CC 21 SLV (Collegamento 0025_-382)
Azioni sul collegamento: N=-9211.43 Ty=-3.82 Tz=-8.85 Mx=-0.01 Mz=-5.30
Sollecitazioni agenti localmente: Tx_l=-3.82 Ty_l=-8.85 N_l=-9211.43 My_l=5.30 Mz_l=-0.01
Azioni sul cordone: TP=-0.27 TO=-0.65 NO=-680.91
Tensioni nel cordone: τ_P= 0.09 τ_0=0.21 σ_0=224.16 σ_{ID}=224.16 Σ_T=224.37
CC 21 SLV (Collegamento 0025_-382)
Azioni sul collegamento: N=-3937.31 Ty=-5.92 Tz=10.56 Mx=-0.01 Mz=-5.96
Sollecitazioni agenti localmente: Tx_l=-5.92 Ty_l=10.56 N_l=-3937.31 My_l=5.96 Mz_l=-0.01
Azioni sul cordone: TP=-0.42 TO=0.79 NO=-291.05
Tensioni nel cordone: τ_P=0.13 τ_0=0.25 σ_0=101.22 σ_{ID}=101.22 Σ_T=101.47
CC 21 SLV (Collegamento 0025_-382)
Azioni sul collegamento: N=-3937.31 Ty=-3.82 Tz=10.56 Mx=-0.01 Mz=-5.30
Sollecitazioni agenti localmente: Tx_l=-3.82 Ty_l=10.56 N_l=-3937.31 My_l=5.30 Mz_l=-0.01
Azioni sul cordone: TP=-0.27 TO=0.79 NO=-291.05
Tensioni nel cordone: τ_P= 0.09 τ_0=0.25 σ_0=100.25 σ_{ID}=100.25 Σ_T=100.50
CC 21 SLV (Collegamento 0025_-382)
Azioni sul collegamento: N=-3937.31 Ty=-5.92 Tz=-8.85 Mx=-0.01 Mz=-5.96
Sollecitazioni agenti localmente: Tx_l=-5.92 Ty_l=-8.85 N_l=-3937.31 My_l=5.96 Mz_l=-0.01
Azioni sul cordone: TP=-0.42 TO=-0.65 NO=-291.05
Tensioni nel cordone: τ_P=0.13 τ_0=0.21 σ_0=101.22 σ_{ID}=101.22 Σ_T=101.43

CC 21 SLV (Collegamento 0025_-382)
Azioni sul collegamento: N=-3937.31 Ty=-3.82 Tz=-8.85 Mx=-0.01 Mz=-5.30
Sollecitazioni agenti localmente: Tx_l=-3.82 Ty_l=-8.85 N_l=-3937.31 My_l=5.30 Mz_l=-0.01
Azioni sul cordone: TP=-0.27 TO=-0.65 NO=-291.05
Tensioni nel cordone: τ_P= 0.09 τ_0=0.21 σ_0=100.25 σ_{ID}=100.25 Σ_T=100.45
CC 22 SLD (Collegamento 0025_-382)
Azioni sul collegamento: N=-7346.01 Ty=-4.34 Tz=3.69 Mx=-0.00 Mz=-3.65
Sollecitazioni agenti localmente: Tx_l=-4.34 Ty_l=3.69 N_l=-7346.01 My_l=3.65 Mz_l=-0.00
Azioni sul cordone: TP=-0.32 TO=0.27 NO=-543.02
Tensioni nel cordone: τ_P=0.10 τ_0= 0.09 σ_0=177.93 σ_{ID}=177.93 Σ_T=178.02
CC 22 SLD (Collegamento 0025_-382)
Azioni sul collegamento: N=-7346.01 Ty=-3.71 Tz=3.69 Mx=-0.00 Mz=-3.45
Sollecitazioni agenti localmente: Tx_l=-3.71 Ty_l=3.69 N_l=-7346.01 My_l=3.45 Mz_l=-0.00
Azioni sul cordone: TP=-0.27 TO=0.27 NO=-543.02
Tensioni nel cordone: τ_P= 0.09 τ_0= 0.09 σ_0=177.63 σ_{ID}=177.63 Σ_T=177.72
CC 22 SLD (Collegamento 0025_-382)
Azioni sul collegamento: N=-7346.01 Ty=-4.34 Tz=-2.23 Mx=-0.00 Mz=-3.65
Sollecitazioni agenti localmente: Tx_l=-4.34 Ty_l=-2.23 N_l=-7346.01 My_l=3.65 Mz_l=-0.00
Azioni sul cordone: TP=-0.32 TO=-0.16 NO=-543.02
Tensioni nel cordone: τ_P=0.10 τ_0= 0.05 σ_0=177.93 σ_{ID}=177.93 Σ_T=177.98
CC 22 SLD (Collegamento 0025_-382)
Azioni sul collegamento: N=-7346.01 Ty=-3.71 Tz=-2.23 Mx=-0.00 Mz=-3.45
Sollecitazioni agenti localmente: Tx_l=-3.71 Ty_l=-2.23 N_l=-7346.01 My_l=3.45 Mz_l=-0.00
Azioni sul cordone: TP=-0.27 TO=-0.16 NO=-543.02
Tensioni nel cordone: τ_P= 0.09 τ_0= 0.05 σ_0=177.63 σ_{ID}=177.63 Σ_T=177.68
CC 22 SLD (Collegamento 0025_-382)
Azioni sul collegamento: N=-5737.77 Ty=-4.34 Tz=3.69 Mx=-0.00 Mz=-3.65
Sollecitazioni agenti localmente: Tx_l=-4.34 Ty_l=3.69 N_l=-5737.77 My_l=3.65 Mz_l=-0.00
Azioni sul cordone: TP=-0.32 TO=0.27 NO=-424.14
Tensioni nel cordone: τ_P=0.10 τ_0= 0.09 σ_0=140.14 σ_{ID}=140.14 Σ_T=140.23
CC 22 SLD (Collegamento 0025_-382)
Azioni sul collegamento: N=-5737.77 Ty=-3.71 Tz=3.69 Mx=-0.00 Mz=-3.45
Sollecitazioni agenti localmente: Tx_l=-3.71 Ty_l=3.69 N_l=-5737.77 My_l=3.45 Mz_l=-0.00
Azioni sul cordone: TP=-0.27 TO=0.27 NO=-424.14
Tensioni nel cordone: τ_P= 0.09 τ_0= 0.09 σ_0=139.84 σ_{ID}=139.84 Σ_T=139.93
CC 22 SLD (Collegamento 0025_-382)
Azioni sul collegamento: N=-5737.77 Ty=-4.34 Tz=-2.23 Mx=-0.00 Mz=-3.65
Sollecitazioni agenti localmente: Tx_l=-4.34 Ty_l=-2.23 N_l=-5737.77 My_l=3.65 Mz_l=-0.00
Azioni sul cordone: TP=-0.32 TO=-0.16 NO=-424.14
Tensioni nel cordone: τ_P=0.10 τ_0= 0.05 σ_0=140.14 σ_{ID}=140.14 Σ_T=140.19
CC 22 SLD (Collegamento 0025_-382)
Azioni sul collegamento: N=-5737.77 Ty=-3.71 Tz=-2.23 Mx=-0.00 Mz=-3.45
Sollecitazioni agenti localmente: Tx_l=-3.71 Ty_l=-2.23 N_l=-5737.77 My_l=3.45 Mz_l=-0.00
Azioni sul cordone: TP=-0.27 TO=-0.16 NO=-424.14
Tensioni nel cordone: τ_P= 0.09 τ_0= 0.05 σ_0=139.84 σ_{ID}=139.84 Σ_T=139.90
CC 23 SLV (Collegamento 0025_-382)
Azioni sul collegamento: N=-9217.12 Ty=-6.55 Tz=10.69 Mx=-0.01 Mz=-7.22
Sollecitazioni agenti localmente: Tx_l=-6.55 Ty_l=10.69 N_l=-9217.12 My_l=7.22 Mz_l=-0.01
Azioni sul cordone: TP=-0.48 TO=0.80 NO=-681.33
Tensioni nel cordone: τ_P=0.15 τ_0=0.25 σ_0=227.11 σ_{ID}=227.11 Σ_T=227.36
CC 23 SLV (Collegamento 0025_-382)
Azioni sul collegamento: N=-9217.12 Ty=-3.19 Tz=10.69 Mx=-0.01 Mz=-4.04
Sollecitazioni agenti localmente: Tx_l=-3.19 Ty_l=10.69 N_l=-9217.12 My_l=4.04 Mz_l=-0.01
Azioni sul cordone: TP=-0.23 TO=0.80 NO=-681.33
Tensioni nel cordone: τ_P= 0.07 τ_0=0.25 σ_0=222.46 σ_{ID}=222.46 Σ_T=222.71
CC 23 SLV (Collegamento 0025_-382)
Azioni sul collegamento: N=-9217.12 Ty=-6.55 Tz=-8.98 Mx=-0.01 Mz=-7.22
Sollecitazioni agenti localmente: Tx_l=-6.55 Ty_l=-8.98 N_l=-9217.12 My_l=7.22 Mz_l=-0.01
Azioni sul cordone: TP=-0.48 TO=-0.66 NO=-681.33
Tensioni nel cordone: τ_P=0.15 τ_0=0.21 σ_0=227.11 σ_{ID}=227.11 Σ_T=227.32
CC 23 SLV (Collegamento 0025_-382)
Azioni sul collegamento: N=-9217.12 Ty=-3.19 Tz=-8.98 Mx=-0.01 Mz=-4.04
Sollecitazioni agenti localmente: Tx_l=-3.19 Ty_l=-8.98 N_l=-9217.12 My_l=4.04 Mz_l=-0.01
Azioni sul cordone: TP=-0.23 TO=-0.66 NO=-681.33
Tensioni nel cordone: τ_P= 0.07 τ_0=0.21 σ_0=222.46 σ_{ID}=222.46 Σ_T=222.67
CC 23 SLV (Collegamento 0025_-382)
Azioni sul collegamento: N=-3931.62 Ty=-6.55 Tz=10.69 Mx=-0.01 Mz=-7.22
Sollecitazioni agenti localmente: Tx_l=-6.55 Ty_l=10.69 N_l=-3931.62 My_l=7.22 Mz_l=-0.01
Azioni sul cordone: TP=-0.48 TO=0.80 NO=-290.63
Tensioni nel cordone: τ_P=0.15 τ_0=0.25 σ_0=102.92 σ_{ID}=102.92 Σ_T=103.18
CC 23 SLV (Collegamento 0025_-382)
Azioni sul collegamento: N=-3931.62 Ty=-3.19 Tz=10.69 Mx=-0.01 Mz=-4.04
Sollecitazioni agenti localmente: Tx_l=-3.19 Ty_l=10.69 N_l=-3931.62 My_l=4.04 Mz_l=-0.01
Azioni sul cordone: TP=-0.23 TO=0.80 NO=-290.63
Tensioni nel cordone: τ_P= 0.07 τ_0=0.25 σ_0=98.28 σ_{ID}=98.28 Σ_T=98.53
CC 23 SLV (Collegamento 0025_-382)
Azioni sul collegamento: N=-3931.62 Ty=-6.55 Tz=-8.98 Mx=-0.01 Mz=-7.22
Sollecitazioni agenti localmente: Tx_l=-6.55 Ty_l=-8.98 N_l=-3931.62 My_l=7.22 Mz_l=-0.01
Azioni sul cordone: TP=-0.48 TO=-0.66 NO=-290.63

Tensioni nel cordone: τ_P=0.15 τ_0=0.21 σ_0=102.92 σ_{ID}=102.92 Σ_T=103.13
CC 23 SLV (Collegamento 0025_-382)
Azioni sul collegamento: N=-3931.62 Ty=-3.19 Tz=-8.98 Mx=-0.01 Mz=-4.04
Sollecitazioni agenti localmente: Tx_l=-3.19 Ty_l=-8.98 N_l=-3931.62 My_l=4.04 Mz_l=-0.01
Azioni sul cordone: TP=-0.23 TO=-0.66 NO=-290.63
Tensioni nel cordone: τ_P= 0.07 τ_0=0.21 σ_0=98.28 σ_{ID}=98.28 Σ_T=98.48
CC 24 SLD (Collegamento 0025_-382)
Azioni sul collegamento: N=-7347.75 Ty=-4.54 Tz=3.73 Mx=0.00 Mz=-4.03
Sollecitazioni agenti localmente: Tx_l=-4.54 Ty_l=3.73 N_l=-7347.75 My_l=4.03 Mz_l=0.00
Azioni sul cordone: TP=-0.34 TO=0.28 NO=-543.15
Tensioni nel cordone: τ_P=0.11 τ_0= 0.09 σ_0=178.53 σ_{ID}=178.53 Σ_T=178.62
CC 24 SLD (Collegamento 0025_-382)
Azioni sul collegamento: N=-7347.75 Ty=-3.51 Tz=3.73 Mx=0.00 Mz=-3.06
Sollecitazioni agenti localmente: Tx_l=-3.51 Ty_l=3.73 N_l=-7347.75 My_l=3.06 Mz_l=0.00
Azioni sul cordone: TP=-0.26 TO=0.28 NO=-543.15
Tensioni nel cordone: τ_P= 0.08 τ_0= 0.09 σ_0=177.11 σ_{ID}=177.11 Σ_T=177.20
CC 24 SLD (Collegamento 0025_-382)
Azioni sul collegamento: N=-7347.75 Ty=-4.54 Tz=-2.27 Mx=0.00 Mz=-4.03
Sollecitazioni agenti localmente: Tx_l=-4.54 Ty_l=-2.27 N_l=-7347.75 My_l=4.03 Mz_l=0.00
Azioni sul cordone: TP=-0.34 TO=-0.17 NO=-543.15
Tensioni nel cordone: τ_P=0.11 τ_0= 0.05 σ_0=178.53 σ_{ID}=178.53 Σ_T=178.58
CC 24 SLD (Collegamento 0025_-382)
Azioni sul collegamento: N=-7347.75 Ty=-3.51 Tz=-2.27 Mx=0.00 Mz=-3.06
Sollecitazioni agenti localmente: Tx_l=-3.51 Ty_l=-2.27 N_l=-7347.75 My_l=3.06 Mz_l=0.00
Azioni sul cordone: TP=-0.26 TO=-0.17 NO=-543.15
Tensioni nel cordone: τ_P= 0.08 τ_0= 0.05 σ_0=177.11 σ_{ID}=177.11 Σ_T=177.17
CC 24 SLD (Collegamento 0025_-382)
Azioni sul collegamento: N=-5736.03 Ty=-4.54 Tz=3.73 Mx=0.00 Mz=-4.03
Sollecitazioni agenti localmente: Tx_l=-4.54 Ty_l=3.73 N_l=-5736.03 My_l=4.03 Mz_l=0.00
Azioni sul cordone: TP=-0.34 TO=0.28 NO=-424.01
Tensioni nel cordone: τ_P=0.11 τ_0= 0.09 σ_0=140.66 σ_{ID}=140.66 Σ_T=140.75
CC 24 SLD (Collegamento 0025_-382)
Azioni sul collegamento: N=-5736.03 Ty=-3.51 Tz=3.73 Mx=0.00 Mz=-3.06
Sollecitazioni agenti localmente: Tx_l=-3.51 Ty_l=3.73 N_l=-5736.03 My_l=3.06 Mz_l=0.00
Azioni sul cordone: TP=-0.26 TO=0.28 NO=-424.01
Tensioni nel cordone: τ_P= 0.08 τ_0= 0.09 σ_0=139.25 σ_{ID}=139.25 Σ_T=139.33
CC 24 SLD (Collegamento 0025_-382)
Azioni sul collegamento: N=-5736.03 Ty=-4.54 Tz=-2.27 Mx=0.00 Mz=-4.03
Sollecitazioni agenti localmente: Tx_l=-4.54 Ty_l=-2.27 N_l=-5736.03 My_l=4.03 Mz_l=0.00
Azioni sul cordone: TP=-0.34 TO=-0.17 NO=-424.01
Tensioni nel cordone: τ_P=0.11 τ_0= 0.05 σ_0=140.66 σ_{ID}=140.66 Σ_T=140.72
CC 24 SLD (Collegamento 0025_-382)
Azioni sul collegamento: N=-5736.03 Ty=-3.51 Tz=-2.27 Mx=0.00 Mz=-3.06
Sollecitazioni agenti localmente: Tx_l=-3.51 Ty_l=-2.27 N_l=-5736.03 My_l=3.06 Mz_l=0.00
Azioni sul cordone: TP=-0.26 TO=-0.17 NO=-424.01
Tensioni nel cordone: τ_P= 0.08 τ_0= 0.05 σ_0=139.25 σ_{ID}=139.25 Σ_T=139.30
CC 25 SLV (Collegamento 0025_-382)
Azioni sul collegamento: N=-5772.93 Ty=-3.40 Tz=-2.29 Mx=-0.02 Mz=-3.25
Sollecitazioni agenti localmente: Tx_l=-3.40 Ty_l=-2.29 N_l=-5772.93 My_l=3.25 Mz_l=-0.02
Azioni sul cordone: TP=-0.23 TO=-0.15 NO=-426.74
Tensioni nel cordone: τ_P= 0.07 τ_0= 0.05 σ_0=140.38 σ_{ID}=140.38 Σ_T=140.43
CC 25 SLV (Collegamento 0025_-382)
Azioni sul collegamento: N=-5772.93 Ty=-6.34 Tz=-2.29 Mx=-0.02 Mz=-8.01
Sollecitazioni agenti localmente: Tx_l=-6.34 Ty_l=-2.29 N_l=-5772.93 My_l=8.01 Mz_l=-0.02
Azioni sul cordone: TP=-0.45 TO=-0.15 NO=-426.74
Tensioni nel cordone: τ_P=0.14 τ_0= 0.05 σ_0=147.34 σ_{ID}=147.34 Σ_T=147.39
CC 25 SLV (Collegamento 0025_-382)
Azioni sul collegamento: N=-5772.93 Ty=-3.40 Tz=4.00 Mx=-0.02 Mz=-3.25
Sollecitazioni agenti localmente: Tx_l=-3.40 Ty_l=4.00 N_l=-5772.93 My_l=3.25 Mz_l=-0.02
Azioni sul cordone: TP=-0.23 TO=0.31 NO=-426.74
Tensioni nel cordone: τ_P= 0.07 τ_0= 0.10 σ_0=140.38 σ_{ID}=140.38 Σ_T=140.48
CC 25 SLV (Collegamento 0025_-382)
Azioni sul collegamento: N=-5772.93 Ty=-6.34 Tz=4.00 Mx=-0.02 Mz=-8.01
Sollecitazioni agenti localmente: Tx_l=-6.34 Ty_l=4.00 N_l=-5772.93 My_l=8.01 Mz_l=-0.02
Azioni sul cordone: TP=-0.45 TO=0.31 NO=-426.74
Tensioni nel cordone: τ_P=0.14 τ_0= 0.10 σ_0=147.34 σ_{ID}=147.34 Σ_T=147.44
CC 25 SLV (Collegamento 0025_-382)
Azioni sul collegamento: N=-7375.81 Ty=-3.40 Tz=-2.29 Mx=-0.02 Mz=-3.25
Sollecitazioni agenti localmente: Tx_l=-3.40 Ty_l=-2.29 N_l=-7375.81 My_l=3.25 Mz_l=-0.02
Azioni sul cordone: TP=-0.23 TO=-0.15 NO=-545.22
Tensioni nel cordone: τ_P= 0.07 τ_0= 0.05 σ_0=178.04 σ_{ID}=178.04 Σ_T=178.09
CC 25 SLV (Collegamento 0025_-382)
Azioni sul collegamento: N=-7375.81 Ty=-6.34 Tz=-2.29 Mx=-0.02 Mz=-8.01
Sollecitazioni agenti localmente: Tx_l=-6.34 Ty_l=-2.29 N_l=-7375.81 My_l=8.01 Mz_l=-0.02
Azioni sul cordone: TP=-0.45 TO=-0.15 NO=-545.22
Tensioni nel cordone: τ_P=0.14 τ_0= 0.05 σ_0=185.00 σ_{ID}=185.00 Σ_T=185.05
CC 25 SLV (Collegamento 0025_-382)
Azioni sul collegamento: N=-7375.81 Ty=-3.40 Tz=4.00 Mx=-0.02 Mz=-3.25
Sollecitazioni agenti localmente: Tx_l=-3.40 Ty_l=4.00 N_l=-7375.81 My_l=3.25 Mz_l=-0.02

Azioni sul cordone: TP=-0.23 TO=0.31 NO=-545.22
Tensioni nel cordone: τ_P= 0.07 τ_0= 0.10 σ_0=178.04 σ_{ID}=178.04 Σ_T=178.14
CC 25 SLV (Collegamento 0025_-382)
Azioni sul collegamento: N=-7375.81 Ty=-6.34 Tz=4.00 Mx=-0.02 Mz=-8.01
Sollecitazioni agenti localmente: Tx_l=-6.34 Ty_l=4.00 N_l=-7375.81 My_l=8.01 Mz_l=-0.02
Azioni sul cordone: TP=-0.45 TO=0.31 NO=-545.22
Tensioni nel cordone: τ_P=0.14 τ_0= 0.10 σ_0=185.00 σ_{ID}=185.00 Σ_T=185.10
CC 26 SLD (Collegamento 0025_-382)
Azioni sul collegamento: N=-6297.50 Ty=-3.58 Tz=-0.23 Mx=-0.00 Mz=-2.82
Sollecitazioni agenti localmente: Tx_l=-3.58 Ty_l=-0.23 N_l=-6297.50 My_l=2.82 Mz_l=-0.00
Azioni sul cordone: TP=-0.26 TO=-0.01 NO=-465.51
Tensioni nel cordone: τ_P= 0.08 τ_0=4.59E-03 σ_0=152.08 σ_{ID}=152.08 Σ_T=152.09
CC 26 SLD (Collegamento 0025_-382)
Azioni sul collegamento: N=-6297.50 Ty=-4.47 Tz=-0.23 Mx=-0.00 Mz=-4.27
Sollecitazioni agenti localmente: Tx_l=-4.47 Ty_l=-0.23 N_l=-6297.50 My_l=4.27 Mz_l=-0.00
Azioni sul cordone: TP=-0.33 TO=-0.01 NO=-465.51
Tensioni nel cordone: τ_P=0.10 τ_0=4.59E-03 σ_0=154.21 σ_{ID}=154.21 Σ_T=154.21
CC 26 SLD (Collegamento 0025_-382)
Azioni sul collegamento: N=-6297.50 Ty=-3.58 Tz=1.69 Mx=-0.00 Mz=-2.82
Sollecitazioni agenti localmente: Tx_l=-3.58 Ty_l=1.69 N_l=-6297.50 My_l=2.82 Mz_l=-0.00
Azioni sul cordone: TP=-0.26 TO=0.13 NO=-465.51
Tensioni nel cordone: τ_P= 0.08 τ_0= 0.04 σ_0=152.08 σ_{ID}=152.08 Σ_T=152.12
CC 26 SLD (Collegamento 0025_-382)
Azioni sul collegamento: N=-6297.50 Ty=-4.47 Tz=1.69 Mx=-0.00 Mz=-4.27
Sollecitazioni agenti localmente: Tx_l=-4.47 Ty_l=1.69 N_l=-6297.50 My_l=4.27 Mz_l=-0.00
Azioni sul cordone: TP=-0.33 TO=0.13 NO=-465.51
Tensioni nel cordone: τ_P=0.10 τ_0= 0.04 σ_0=154.21 σ_{ID}=154.21 Σ_T=154.25
CC 26 SLD (Collegamento 0025_-382)
Azioni sul collegamento: N=-6786.28 Ty=-3.58 Tz=-0.23 Mx=-0.00 Mz=-2.82
Sollecitazioni agenti localmente: Tx_l=-3.58 Ty_l=-0.23 N_l=-6786.28 My_l=2.82 Mz_l=-0.00
Azioni sul cordone: TP=-0.26 TO=-0.01 NO=-501.64
Tensioni nel cordone: τ_P= 0.08 τ_0=4.60E-03 σ_0=163.57 σ_{ID}=163.57 Σ_T=163.57
CC 26 SLD (Collegamento 0025_-382)
Azioni sul collegamento: N=-6786.28 Ty=-4.47 Tz=-0.23 Mx=-0.00 Mz=-4.27
Sollecitazioni agenti localmente: Tx_l=-4.47 Ty_l=-0.23 N_l=-6786.28 My_l=4.27 Mz_l=-0.00
Azioni sul cordone: TP=-0.33 TO=-0.01 NO=-501.64
Tensioni nel cordone: τ_P=0.10 τ_0=4.60E-03 σ_0=165.69 σ_{ID}=165.69 Σ_T=165.70
CC 26 SLD (Collegamento 0025_-382)
Azioni sul collegamento: N=-6786.28 Ty=-3.58 Tz=1.69 Mx=-0.00 Mz=-2.82
Sollecitazioni agenti localmente: Tx_l=-3.58 Ty_l=1.69 N_l=-6786.28 My_l=2.82 Mz_l=-0.00
Azioni sul cordone: TP=-0.26 TO=0.13 NO=-501.64
Tensioni nel cordone: τ_P= 0.08 τ_0= 0.04 σ_0=163.57 σ_{ID}=163.57 Σ_T=163.61
CC 26 SLD (Collegamento 0025_-382)
Azioni sul collegamento: N=-6786.28 Ty=-4.47 Tz=1.69 Mx=-0.00 Mz=-4.27
Sollecitazioni agenti localmente: Tx_l=-4.47 Ty_l=1.69 N_l=-6786.28 My_l=4.27 Mz_l=-0.00
Azioni sul cordone: TP=-0.33 TO=0.13 NO=-501.64
Tensioni nel cordone: τ_P=0.10 τ_0= 0.04 σ_0=165.69 σ_{ID}=165.69 Σ_T=165.73
CC 27 SLV (Collegamento 0025_-382)
Azioni sul collegamento: N=-7356.87 Ty=-4.22 Tz=3.57 Mx=-0.02 Mz=-3.82
Sollecitazioni agenti localmente: Tx_l=-4.22 Ty_l=3.57 N_l=-7356.87 My_l=3.82 Mz_l=-0.02
Azioni sul cordone: TP=-0.29 TO=0.28 NO=-543.82
Tensioni nel cordone: τ_P= 0.09 τ_0= 0.09 σ_0=178.44 σ_{ID}=178.44 Σ_T=178.53
CC 27 SLV (Collegamento 0025_-382)
Azioni sul collegamento: N=-7356.87 Ty=-5.52 Tz=3.57 Mx=-0.02 Mz=-7.44
Sollecitazioni agenti localmente: Tx_l=-5.52 Ty_l=3.57 N_l=-7356.87 My_l=7.44 Mz_l=-0.02
Azioni sul cordone: TP=-0.39 TO=0.28 NO=-543.82
Tensioni nel cordone: τ_P=0.12 τ_0= 0.09 σ_0=183.72 σ_{ID}=183.72 Σ_T=183.80
CC 27 SLV (Collegamento 0025_-382)
Azioni sul collegamento: N=-7356.87 Ty=-4.22 Tz=-1.86 Mx=-0.02 Mz=-3.82
Sollecitazioni agenti localmente: Tx_l=-4.22 Ty_l=-1.86 N_l=-7356.87 My_l=3.82 Mz_l=-0.02
Azioni sul cordone: TP=-0.29 TO=-0.12 NO=-543.82
Tensioni nel cordone: τ_P= 0.09 τ_0= 0.04 σ_0=178.44 σ_{ID}=178.44 Σ_T=178.48
CC 27 SLV (Collegamento 0025_-382)
Azioni sul collegamento: N=-7356.87 Ty=-5.52 Tz=-1.86 Mx=-0.02 Mz=-7.44
Sollecitazioni agenti localmente: Tx_l=-5.52 Ty_l=-1.86 N_l=-7356.87 My_l=7.44 Mz_l=-0.02
Azioni sul cordone: TP=-0.39 TO=-0.12 NO=-543.82
Tensioni nel cordone: τ_P=0.12 τ_0= 0.04 σ_0=183.72 σ_{ID}=183.72 Σ_T=183.75
CC 27 SLV (Collegamento 0025_-382)
Azioni sul collegamento: N=-5791.87 Ty=-4.22 Tz=3.57 Mx=-0.02 Mz=-3.82
Sollecitazioni agenti localmente: Tx_l=-4.22 Ty_l=3.57 N_l=-5791.87 My_l=3.82 Mz_l=-0.02
Azioni sul cordone: TP=-0.29 TO=0.28 NO=-428.14
Tensioni nel cordone: τ_P= 0.09 τ_0= 0.09 σ_0=141.67 σ_{ID}=141.67 Σ_T=141.76
CC 27 SLV (Collegamento 0025_-382)
Azioni sul collegamento: N=-5791.87 Ty=-5.52 Tz=3.57 Mx=-0.02 Mz=-7.44
Sollecitazioni agenti localmente: Tx_l=-5.52 Ty_l=3.57 N_l=-5791.87 My_l=7.44 Mz_l=-0.02
Azioni sul cordone: TP=-0.39 TO=0.28 NO=-428.14
Tensioni nel cordone: τ_P=0.12 τ_0= 0.09 σ_0=146.94 σ_{ID}=146.94 Σ_T=147.03
CC 27 SLV (Collegamento 0025_-382)
Azioni sul collegamento: N=-5791.87 Ty=-4.22 Tz=-1.86 Mx=-0.02 Mz=-3.82

Sollecitazioni agenti localmente: Tx_l=-4.22 Ty_l=-1.86 N_l=-5791.87 My_l=3.82 Mz_l=-0.02
Azioni sul cordone: TP=-0.29 TO=-0.12 NO=-428.14
Tensioni nel cordone: τ_P= 0.09 τ_O= 0.04 σ_O=141.67 σ_{ID}=141.67 Σ_T=141.71
CC 27 SLV (Collegamento 0025_-382)
Azioni sul collegamento: N=-5791.87 Ty=-5.52 Tz=-1.86 Mx=-0.02 Mz=-7.44
Sollecitazioni agenti localmente: Tx_l=-5.52 Ty_l=-1.86 N_l=-5791.87 My_l=7.44 Mz_l=-0.02
Azioni sul cordone: TP=-0.39 TO=-0.12 NO=-428.14
Tensioni nel cordone: τ_P=0.12 τ_O= 0.04 σ_O=146.94 σ_{ID}=146.94 Σ_T=146.99
CC 28 SLD (Collegamento 0025_-382)
Azioni sul collegamento: N=-6780.50 Ty=-3.83 Tz=1.56 Mx=-0.00 Mz=-3.00
Sollecitazioni agenti localmente: Tx_l=-3.83 Ty_l=1.56 N_l=-6780.50 My_l=3.00 Mz_l=-0.00
Azioni sul cordone: TP=-0.28 TO=0.12 NO=-501.22
Tensioni nel cordone: τ_P= 0.09 τ_O= 0.04 σ_O=163.69 σ_{ID}=163.69 Σ_T=163.73
CC 28 SLD (Collegamento 0025_-382)
Azioni sul collegamento: N=-6780.50 Ty=-4.22 Tz=1.56 Mx=-0.00 Mz=-4.10
Sollecitazioni agenti localmente: Tx_l=-4.22 Ty_l=1.56 N_l=-6780.50 My_l=4.10 Mz_l=-0.00
Azioni sul cordone: TP=-0.31 TO=0.12 NO=-501.22
Tensioni nel cordone: τ_P= 0.10 τ_O= 0.04 σ_O=165.30 σ_{ID}=165.30 Σ_T=165.34
CC 28 SLD (Collegamento 0025_-382)
Azioni sul collegamento: N=-6780.50 Ty=-3.83 Tz=-0.10 Mx=-0.00 Mz=-3.00
Sollecitazioni agenti localmente: Tx_l=-3.83 Ty_l=-0.10 N_l=-6780.50 My_l=3.00 Mz_l=-0.00
Azioni sul cordone: TP=-0.28 TO=-0.01 NO=-501.22
Tensioni nel cordone: τ_P= 0.09 τ_O=1.61E-03 σ_O=163.69 σ_{ID}=163.69 Σ_T=163.69
CC 28 SLD (Collegamento 0025_-382)
Azioni sul collegamento: N=-6780.50 Ty=-4.22 Tz=-0.10 Mx=-0.00 Mz=-4.10
Sollecitazioni agenti localmente: Tx_l=-4.22 Ty_l=-0.10 N_l=-6780.50 My_l=4.10 Mz_l=-0.00
Azioni sul cordone: TP=-0.31 TO=-0.01 NO=-501.22
Tensioni nel cordone: τ_P= 0.10 τ_O=1.61E-03 σ_O=165.30 σ_{ID}=165.30 Σ_T=165.30
CC 28 SLD (Collegamento 0025_-382)
Azioni sul collegamento: N=-6303.28 Ty=-3.83 Tz=1.56 Mx=-0.00 Mz=-3.00
Sollecitazioni agenti localmente: Tx_l=-3.83 Ty_l=1.56 N_l=-6303.28 My_l=3.00 Mz_l=-0.00
Azioni sul cordone: TP=-0.28 TO=0.12 NO=-465.94
Tensioni nel cordone: τ_P= 0.09 τ_O= 0.04 σ_O=152.48 σ_{ID}=152.48 Σ_T=152.51
CC 28 SLD (Collegamento 0025_-382)
Azioni sul collegamento: N=-6303.28 Ty=-4.22 Tz=1.56 Mx=-0.00 Mz=-4.10
Sollecitazioni agenti localmente: Tx_l=-4.22 Ty_l=1.56 N_l=-6303.28 My_l=4.10 Mz_l=-0.00
Azioni sul cordone: TP=-0.31 TO=0.12 NO=-465.94
Tensioni nel cordone: τ_P= 0.10 τ_O= 0.04 σ_O=154.09 σ_{ID}=154.09 Σ_T=154.12
CC 28 SLD (Collegamento 0025_-382)
Azioni sul collegamento: N=-6303.28 Ty=-3.83 Tz=-0.10 Mx=-0.00 Mz=-3.00
Sollecitazioni agenti localmente: Tx_l=-3.83 Ty_l=-0.10 N_l=-6303.28 My_l=3.00 Mz_l=-0.00
Azioni sul cordone: TP=-0.28 TO=-0.01 NO=-465.94
Tensioni nel cordone: τ_P= 0.09 τ_O=1.60E-03 σ_O=152.48 σ_{ID}=152.48 Σ_T=152.48
CC 28 SLD (Collegamento 0025_-382)
Azioni sul collegamento: N=-6303.28 Ty=-4.22 Tz=-0.10 Mx=-0.00 Mz=-4.10
Sollecitazioni agenti localmente: Tx_l=-4.22 Ty_l=-0.10 N_l=-6303.28 My_l=4.10 Mz_l=-0.00
Azioni sul cordone: TP=-0.31 TO=-0.01 NO=-465.94
Tensioni nel cordone: τ_P= 0.10 τ_O=1.60E-03 σ_O=154.09 σ_{ID}=154.09 Σ_T=154.09
CC 29 SLV (Collegamento 0025_-382)
Azioni sul collegamento: N=-5791.87 Ty=-5.52 Tz=-1.86 Mx=-0.00 Mz=-7.44
Sollecitazioni agenti localmente: Tx_l=-5.52 Ty_l=-1.86 N_l=-5791.87 My_l=7.44 Mz_l=-0.00
Azioni sul cordone: TP=-0.40 TO=-0.14 NO=-428.14
Tensioni nel cordone: τ_P=0.13 τ_O= 0.04 σ_O=146.94 σ_{ID}=146.94 Σ_T=146.99
CC 29 SLV (Collegamento 0025_-382)
Azioni sul collegamento: N=-5791.87 Ty=-4.22 Tz=-1.86 Mx=-0.00 Mz=-3.82
Sollecitazioni agenti localmente: Tx_l=-4.22 Ty_l=-1.86 N_l=-5791.87 My_l=3.82 Mz_l=-0.00
Azioni sul cordone: TP=-0.31 TO=-0.14 NO=-428.14
Tensioni nel cordone: τ_P= 0.10 τ_O= 0.04 σ_O=141.67 σ_{ID}=141.67 Σ_T=141.71
CC 29 SLV (Collegamento 0025_-382)
Azioni sul collegamento: N=-5791.87 Ty=-5.52 Tz=3.57 Mx=-0.00 Mz=-7.44
Sollecitazioni agenti localmente: Tx_l=-5.52 Ty_l=3.57 N_l=-5791.87 My_l=7.44 Mz_l=-0.00
Azioni sul cordone: TP=-0.40 TO=0.27 NO=-428.14
Tensioni nel cordone: τ_P=0.13 τ_O= 0.08 σ_O=146.94 σ_{ID}=146.94 Σ_T=147.03
CC 29 SLV (Collegamento 0025_-382)
Azioni sul collegamento: N=-5791.87 Ty=-4.22 Tz=3.57 Mx=-0.00 Mz=-3.82
Sollecitazioni agenti localmente: Tx_l=-4.22 Ty_l=3.57 N_l=-5791.87 My_l=3.82 Mz_l=-0.00
Azioni sul cordone: TP=-0.31 TO=0.27 NO=-428.14
Tensioni nel cordone: τ_P= 0.10 τ_O= 0.08 σ_O=141.67 σ_{ID}=141.67 Σ_T=141.75
CC 29 SLV (Collegamento 0025_-382)
Azioni sul collegamento: N=-7356.87 Ty=-5.52 Tz=-1.86 Mx=-0.00 Mz=-7.44
Sollecitazioni agenti localmente: Tx_l=-5.52 Ty_l=-1.86 N_l=-7356.87 My_l=7.44 Mz_l=-0.00
Azioni sul cordone: TP=-0.40 TO=-0.14 NO=-543.82
Tensioni nel cordone: τ_P=0.13 τ_O= 0.04 σ_O=183.72 σ_{ID}=183.72 Σ_T=183.76
CC 29 SLV (Collegamento 0025_-382)
Azioni sul collegamento: N=-7356.87 Ty=-4.22 Tz=-1.86 Mx=-0.00 Mz=-3.82
Sollecitazioni agenti localmente: Tx_l=-4.22 Ty_l=-1.86 N_l=-7356.87 My_l=3.82 Mz_l=-0.00
Azioni sul cordone: TP=-0.31 TO=-0.14 NO=-543.82
Tensioni nel cordone: τ_P= 0.10 τ_O= 0.04 σ_O=178.44 σ_{ID}=178.44 Σ_T=178.48
CC 29 SLV (Collegamento 0025_-382)

Azioni sul collegamento: N=-7356.87 Ty=-5.52 Tz=3.57 Mx=-0.00 Mz=-7.44
Sollecitazioni agenti localmente: Tx_l=-5.52 Ty_l=3.57 N_l=-7356.87 My_l=7.44 Mz_l=-0.00
Azioni sul cordone: TP=-0.40 TO=0.27 NO=-543.82
Tensioni nel cordone: τ_P=0.13 τ_0= 0.08 σ_0=183.72 σ_{ID}=183.72 Σ_T=183.80
CC 29 SLV (Collegamento 0025_-382)
Azioni sul collegamento: N=-7356.87 Ty=-4.22 Tz=3.57 Mx=-0.00 Mz=-3.82
Sollecitazioni agenti localmente: Tx_l=-4.22 Ty_l=3.57 N_l=-7356.87 My_l=3.82 Mz_l=-0.00
Azioni sul cordone: TP=-0.31 TO=0.27 NO=-543.82
Tensioni nel cordone: τ_P= 0.10 τ_0= 0.08 σ_0=178.44 σ_{ID}=178.44 Σ_T=178.52
CC 30 SLD (Collegamento 0025_-382)
Azioni sul collegamento: N=-6303.28 Ty=-4.22 Tz=-0.10 Mx=0.00 Mz=-4.10
Sollecitazioni agenti localmente: Tx_l=-4.22 Ty_l=-0.10 N_l=-6303.28 My_l=4.10 Mz_l=0.00
Azioni sul cordone: TP=-0.31 TO=-0.01 NO=-465.94
Tensioni nel cordone: τ_P= 0.10 τ_0=2.76E-03 σ_0=154.09 σ_{ID}=154.09 Σ_T=154.09
CC 30 SLD (Collegamento 0025_-382)
Azioni sul collegamento: N=-6303.28 Ty=-3.83 Tz=-0.10 Mx=0.00 Mz=-3.00
Sollecitazioni agenti localmente: Tx_l=-3.83 Ty_l=-0.10 N_l=-6303.28 My_l=3.00 Mz_l=0.00
Azioni sul cordone: TP=-0.28 TO=-0.01 NO=-465.94
Tensioni nel cordone: τ_P= 0.09 τ_0=2.76E-03 σ_0=152.48 σ_{ID}=152.48 Σ_T=152.48
CC 30 SLD (Collegamento 0025_-382)
Azioni sul collegamento: N=-6303.28 Ty=-4.22 Tz=1.56 Mx=0.00 Mz=-4.10
Sollecitazioni agenti localmente: Tx_l=-4.22 Ty_l=1.56 N_l=-6303.28 My_l=4.10 Mz_l=0.00
Azioni sul cordone: TP=-0.31 TO=0.11 NO=-465.94
Tensioni nel cordone: τ_P= 0.10 τ_0= 0.04 σ_0=154.09 σ_{ID}=154.09 Σ_T=154.12
CC 30 SLD (Collegamento 0025_-382)
Azioni sul collegamento: N=-6303.28 Ty=-3.83 Tz=1.56 Mx=0.00 Mz=-3.00
Sollecitazioni agenti localmente: Tx_l=-3.83 Ty_l=1.56 N_l=-6303.28 My_l=3.00 Mz_l=0.00
Azioni sul cordone: TP=-0.28 TO=0.11 NO=-465.94
Tensioni nel cordone: τ_P= 0.09 τ_0= 0.04 σ_0=152.48 σ_{ID}=152.48 Σ_T=152.51
CC 30 SLD (Collegamento 0025_-382)
Azioni sul collegamento: N=-6780.50 Ty=-4.22 Tz=-0.10 Mx=0.00 Mz=-4.10
Sollecitazioni agenti localmente: Tx_l=-4.22 Ty_l=-0.10 N_l=-6780.50 My_l=4.10 Mz_l=0.00
Azioni sul cordone: TP=-0.31 TO=-0.01 NO=-501.22
Tensioni nel cordone: τ_P= 0.10 τ_0=2.77E-03 σ_0=165.30 σ_{ID}=165.30 Σ_T=165.30
CC 30 SLD (Collegamento 0025_-382)
Azioni sul collegamento: N=-6780.50 Ty=-3.83 Tz=-0.10 Mx=0.00 Mz=-3.00
Sollecitazioni agenti localmente: Tx_l=-3.83 Ty_l=-0.10 N_l=-6780.50 My_l=3.00 Mz_l=0.00
Azioni sul cordone: TP=-0.28 TO=-0.01 NO=-501.22
Tensioni nel cordone: τ_P= 0.09 τ_0=2.77E-03 σ_0=163.69 σ_{ID}=163.69 Σ_T=163.69
CC 30 SLD (Collegamento 0025_-382)
Azioni sul collegamento: N=-6780.50 Ty=-4.22 Tz=1.56 Mx=0.00 Mz=-4.10
Sollecitazioni agenti localmente: Tx_l=-4.22 Ty_l=1.56 N_l=-6780.50 My_l=4.10 Mz_l=0.00
Azioni sul cordone: TP=-0.31 TO=0.11 NO=-501.22
Tensioni nel cordone: τ_P= 0.10 τ_0= 0.04 σ_0=165.30 σ_{ID}=165.30 Σ_T=165.33
CC 30 SLD (Collegamento 0025_-382)
Azioni sul collegamento: N=-6780.50 Ty=-3.83 Tz=1.56 Mx=0.00 Mz=-3.00
Sollecitazioni agenti localmente: Tx_l=-3.83 Ty_l=1.56 N_l=-6780.50 My_l=3.00 Mz_l=0.00
Azioni sul cordone: TP=-0.28 TO=0.11 NO=-501.22
Tensioni nel cordone: τ_P= 0.09 τ_0= 0.04 σ_0=163.69 σ_{ID}=163.69 Σ_T=163.72
CC 31 SLV (Collegamento 0025_-382)
Azioni sul collegamento: N=-7375.81 Ty=-6.34 Tz=4.00 Mx=-0.00 Mz=-8.01
Sollecitazioni agenti localmente: Tx_l=-6.34 Ty_l=4.00 N_l=-7375.81 My_l=8.01 Mz_l=-0.00
Azioni sul cordone: TP=-0.47 TO=0.30 NO=-545.22
Tensioni nel cordone: τ_P=0.15 τ_0= 0.09 σ_0=185.00 σ_{ID}=185.00 Σ_T=185.10
CC 31 SLV (Collegamento 0025_-382)
Azioni sul collegamento: N=-7375.81 Ty=-3.40 Tz=4.00 Mx=-0.00 Mz=-3.25
Sollecitazioni agenti localmente: Tx_l=-3.40 Ty_l=4.00 N_l=-7375.81 My_l=3.25 Mz_l=-0.00
Azioni sul cordone: TP=-0.25 TO=0.30 NO=-545.22
Tensioni nel cordone: τ_P= 0.08 τ_0= 0.09 σ_0=178.04 σ_{ID}=178.04 Σ_T=178.13
CC 31 SLV (Collegamento 0025_-382)
Azioni sul collegamento: N=-7375.81 Ty=-6.34 Tz=-2.29 Mx=-0.00 Mz=-8.01
Sollecitazioni agenti localmente: Tx_l=-6.34 Ty_l=-2.29 N_l=-7375.81 My_l=8.01 Mz_l=-0.00
Azioni sul cordone: TP=-0.47 TO=-0.17 NO=-545.22
Tensioni nel cordone: τ_P=0.15 τ_0= 0.05 σ_0=185.00 σ_{ID}=185.00 Σ_T=185.06
CC 31 SLV (Collegamento 0025_-382)
Azioni sul collegamento: N=-7375.81 Ty=-3.40 Tz=-2.29 Mx=-0.00 Mz=-3.25
Sollecitazioni agenti localmente: Tx_l=-3.40 Ty_l=-2.29 N_l=-7375.81 My_l=3.25 Mz_l=-0.00
Azioni sul cordone: TP=-0.25 TO=-0.17 NO=-545.22
Tensioni nel cordone: τ_P= 0.08 τ_0= 0.05 σ_0=178.04 σ_{ID}=178.04 Σ_T=178.09
CC 31 SLV (Collegamento 0025_-382)
Azioni sul collegamento: N=-5772.93 Ty=-6.34 Tz=4.00 Mx=-0.00 Mz=-8.01
Sollecitazioni agenti localmente: Tx_l=-6.34 Ty_l=4.00 N_l=-5772.93 My_l=8.01 Mz_l=-0.00
Azioni sul cordone: TP=-0.47 TO=0.30 NO=-426.74
Tensioni nel cordone: τ_P=0.15 τ_0= 0.09 σ_0=147.34 σ_{ID}=147.34 Σ_T=147.44
CC 31 SLV (Collegamento 0025_-382)
Azioni sul collegamento: N=-5772.93 Ty=-3.40 Tz=4.00 Mx=-0.00 Mz=-3.25
Sollecitazioni agenti localmente: Tx_l=-3.40 Ty_l=4.00 N_l=-5772.93 My_l=3.25 Mz_l=-0.00
Azioni sul cordone: TP=-0.25 TO=0.30 NO=-426.74
Tensioni nel cordone: τ_P= 0.08 τ_0= 0.09 σ_0=140.38 σ_{ID}=140.38 Σ_T=140.47

CC 31 SLV (Collegamento 0025_-382)
Azioni sul collegamento: N=-5772.93 Ty=-6.34 Tz=-2.29 Mx=-0.00 Mz=-8.01
Sollecitazioni agenti localmente: Tx_l=-6.34 Ty_l=-2.29 N_l=-5772.93 My_l=8.01 Mz_l=-0.00
Azioni sul cordone: TP=-0.47 TO=-0.17 NO=-426.74
Tensioni nel cordone: τ_P=0.15 τ_0= 0.05 σ_0=147.34 σ_{ID}=147.34 Σ_T=147.40
CC 31 SLV (Collegamento 0025_-382)
Azioni sul collegamento: N=-5772.93 Ty=-3.40 Tz=-2.29 Mx=-0.00 Mz=-3.25
Sollecitazioni agenti localmente: Tx_l=-3.40 Ty_l=-2.29 N_l=-5772.93 My_l=3.25 Mz_l=-0.00
Azioni sul cordone: TP=-0.25 TO=-0.17 NO=-426.74
Tensioni nel cordone: τ_P= 0.08 τ_0= 0.05 σ_0=140.38 σ_{ID}=140.38 Σ_T=140.43
CC 32 SLD (Collegamento 0025_-382)
Azioni sul collegamento: N=-6786.28 Ty=-4.47 Tz=1.69 Mx=0.00 Mz=-4.27
Sollecitazioni agenti localmente: Tx_l=-4.47 Ty_l=1.69 N_l=-6786.28 My_l=4.27 Mz_l=0.00
Azioni sul cordone: TP=-0.33 TO=0.12 NO=-501.64
Tensioni nel cordone: τ_P=0.11 τ_0= 0.04 σ_0=165.69 σ_{ID}=165.69 Σ_T=165.73
CC 32 SLD (Collegamento 0025_-382)
Azioni sul collegamento: N=-6786.28 Ty=-3.58 Tz=1.69 Mx=0.00 Mz=-2.82
Sollecitazioni agenti localmente: Tx_l=-3.58 Ty_l=1.69 N_l=-6786.28 My_l=2.82 Mz_l=0.00
Azioni sul cordone: TP=-0.27 TO=0.12 NO=-501.64
Tensioni nel cordone: τ_P= 0.08 τ_0= 0.04 σ_0=163.57 σ_{ID}=163.57 Σ_T=163.61
CC 32 SLD (Collegamento 0025_-382)
Azioni sul collegamento: N=-6786.28 Ty=-4.47 Tz=-0.23 Mx=0.00 Mz=-4.27
Sollecitazioni agenti localmente: Tx_l=-4.47 Ty_l=-0.23 N_l=-6786.28 My_l=4.27 Mz_l=0.00
Azioni sul cordone: TP=-0.33 TO=-0.02 NO=-501.64
Tensioni nel cordone: τ_P=0.11 τ_0=5.90E-03 σ_0=165.69 σ_{ID}=165.69 Σ_T=165.70
CC 32 SLD (Collegamento 0025_-382)
Azioni sul collegamento: N=-6786.28 Ty=-3.58 Tz=-0.23 Mx=0.00 Mz=-2.82
Sollecitazioni agenti localmente: Tx_l=-3.58 Ty_l=-0.23 N_l=-6786.28 My_l=2.82 Mz_l=0.00
Azioni sul cordone: TP=-0.27 TO=-0.02 NO=-501.64
Tensioni nel cordone: τ_P= 0.08 τ_0=5.90E-03 σ_0=163.57 σ_{ID}=163.57 Σ_T=163.57
CC 32 SLD (Collegamento 0025_-382)
Azioni sul collegamento: N=-6297.50 Ty=-4.47 Tz=1.69 Mx=0.00 Mz=-4.27
Sollecitazioni agenti localmente: Tx_l=-4.47 Ty_l=1.69 N_l=-6297.50 My_l=4.27 Mz_l=0.00
Azioni sul cordone: TP=-0.33 TO=0.12 NO=-465.51
Tensioni nel cordone: τ_P=0.11 τ_0= 0.04 σ_0=154.21 σ_{ID}=154.21 Σ_T=154.25
CC 32 SLD (Collegamento 0025_-382)
Azioni sul collegamento: N=-6297.50 Ty=-3.58 Tz=1.69 Mx=0.00 Mz=-2.82
Sollecitazioni agenti localmente: Tx_l=-3.58 Ty_l=1.69 N_l=-6297.50 My_l=2.82 Mz_l=0.00
Azioni sul cordone: TP=-0.27 TO=0.12 NO=-465.51
Tensioni nel cordone: τ_P= 0.08 τ_0= 0.04 σ_0=152.08 σ_{ID}=152.08 Σ_T=152.12
CC 32 SLD (Collegamento 0025_-382)
Azioni sul collegamento: N=-6297.50 Ty=-4.47 Tz=-0.23 Mx=0.00 Mz=-4.27
Sollecitazioni agenti localmente: Tx_l=-4.47 Ty_l=-0.23 N_l=-6297.50 My_l=4.27 Mz_l=0.00
Azioni sul cordone: TP=-0.33 TO=-0.02 NO=-465.51
Tensioni nel cordone: τ_P=0.11 τ_0=5.90E-03 σ_0=154.21 σ_{ID}=154.21 Σ_T=154.21
CC 32 SLD (Collegamento 0025_-382)
Azioni sul collegamento: N=-6297.50 Ty=-3.58 Tz=-0.23 Mx=0.00 Mz=-2.82
Sollecitazioni agenti localmente: Tx_l=-3.58 Ty_l=-0.23 N_l=-6297.50 My_l=2.82 Mz_l=0.00
Azioni sul cordone: TP=-0.27 TO=-0.02 NO=-465.51
Tensioni nel cordone: τ_P= 0.08 τ_0=5.90E-03 σ_0=152.08 σ_{ID}=152.08 Σ_T=152.09
CC 33 SLU (Collegamento 0025_-382)
Azioni sul collegamento: N=-30778.60 Ty=-5.67 Tz=81.62 Mx=0.01 Mz=-4.05
Sollecitazioni agenti localmente: Tx_l=-5.67 Ty_l=81.62 N_l=-30778.60 My_l=4.05 Mz_l=0.01
Azioni sul cordone: TP=-0.43 TO=6.03 NO=-2275.16
Tensioni nel cordone: τ_P=0.14 τ_0=1.92 σ_0=729.07 σ_{ID}=729.07 Σ_T=730.99
CC 34 SLU (Collegamento 0025_-382)
Azioni sul collegamento: N=-30229.20 Ty=-5.39 Tz=79.58 Mx=0.01 Mz=-3.85
Sollecitazioni agenti localmente: Tx_l=-5.39 Ty_l=79.58 N_l=-30229.20 My_l=3.85 Mz_l=0.01
Azioni sul cordone: TP=-0.41 TO=5.88 NO=-2234.55
Tensioni nel cordone: τ_P=0.13 τ_0=1.87 σ_0=715.87 σ_{ID}=715.87 Σ_T=717.74
CC 35 SLU (Collegamento 0025_-382)
Azioni sul collegamento: N=-30504.90 Ty=-5.64 Tz=80.58 Mx=0.01 Mz=-4.16
Sollecitazioni agenti localmente: Tx_l=-5.64 Ty_l=80.58 N_l=-30504.90 My_l=4.16 Mz_l=0.01
Azioni sul cordone: TP=-0.43 TO=5.95 NO=-2254.93
Tensioni nel cordone: τ_P=0.14 τ_0=1.89 σ_0=722.81 σ_{ID}=722.81 Σ_T=724.70
CC 36 SLU (Collegamento 0025_-382)
Azioni sul collegamento: N=-30502.90 Ty=-5.42 Tz=80.62 Mx=0.01 Mz=-3.73
Sollecitazioni agenti localmente: Tx_l=-5.42 Ty_l=80.62 N_l=-30502.90 My_l=3.73 Mz_l=0.01
Azioni sul cordone: TP=-0.41 TO=5.96 NO=-2254.79
Tensioni nel cordone: τ_P=0.13 τ_0=1.89 σ_0=722.13 σ_{ID}=722.13 Σ_T=724.02
CC 37 SLU (Collegamento 0025_-382)
Azioni sul collegamento: N=-21507.60 Ty=-6.52 Tz=47.54 Mx=0.01 Mz=-4.63
Sollecitazioni agenti localmente: Tx_l=-6.52 Ty_l=47.54 N_l=-21507.60 My_l=4.63 Mz_l=0.01
Azioni sul cordone: TP=-0.49 TO=3.51 NO=-1589.85
Tensioni nel cordone: τ_P=0.16 τ_0=1.12 σ_0=512.10 σ_{ID}=512.10 Σ_T=513.21
CC 38 SLU (Collegamento 0025_-382)
Azioni sul collegamento: N=-20958.20 Ty=-6.23 Tz=45.50 Mx=0.01 Mz=-4.43
Sollecitazioni agenti localmente: Tx_l=-6.23 Ty_l=45.50 N_l=-20958.20 My_l=4.43 Mz_l=0.01
Azioni sul cordone: TP=-0.47 TO=3.36 NO=-1549.24

Tensioni nel cordone: τ_P=0.15 τ_0=1.07 σ_0=498.89 σ_{ID}=498.90 Σ_T=499.96
CC 39 SLU (Collegamento 0025_-382)
Azioni sul collegamento: N=-21233.90 Ty=-6.48 Tz=46.50 Mx=0.01 Mz=-4.75
Sollecitazioni agenti localmente: Tx_l=-6.48 Ty_l=46.50 N_l=-21233.90 My_l=4.75 Mz_l=0.01
Azioni sul cordone: TP=-0.49 TO=3.43 NO=-1569.62
Tensioni nel cordone: τ_P=0.15 τ_0=1.09 σ_0=505.84 σ_{ID}=505.84 Σ_T=506.93
CC 40 SLU (Collegamento 0025_-382)
Azioni sul collegamento: N=-21231.90 Ty=-6.26 Tz=46.54 Mx=0.01 Mz=-4.31
Sollecitazioni agenti localmente: Tx_l=-6.26 Ty_l=46.54 N_l=-21231.90 My_l=4.31 Mz_l=0.01
Azioni sul cordone: TP=-0.47 TO=3.44 NO=-1569.47
Tensioni nel cordone: τ_P=0.15 τ_0=1.09 σ_0=505.15 σ_{ID}=505.16 Σ_T=506.25
CC 41 SLU (Collegamento 0025_-382)
Azioni sul collegamento: N=-32702.20 Ty=-5.53 Tz=88.04 Mx=-0.00 Mz=-4.06
Sollecitazioni agenti localmente: Tx_l=-5.53 Ty_l=88.04 N_l=-32702.20 My_l=4.06 Mz_l=-0.00
Azioni sul cordone: TP=-0.41 TO=6.51 NO=-2417.36
Tensioni nel cordone: τ_P=0.13 τ_0=2.07 σ_0=774.28 σ_{ID}=774.29 Σ_T=776.35
CC 42 SLU (Collegamento 0025_-382)
Azioni sul collegamento: N=-32152.80 Ty=-5.24 Tz=86.01 Mx=-0.00 Mz=-3.86
Sollecitazioni agenti localmente: Tx_l=-5.24 Ty_l=86.01 N_l=-32152.80 My_l=3.86 Mz_l=-0.00
Azioni sul cordone: TP=-0.38 TO=6.36 NO=-2376.75
Tensioni nel cordone: τ_P=0.12 τ_0=2.02 σ_0=761.08 σ_{ID}=761.09 Σ_T=763.10
CC 43 SLU (Collegamento 0025_-382)
Azioni sul collegamento: N=-32428.50 Ty=-5.50 Tz=87.00 Mx=-0.00 Mz=-4.18
Sollecitazioni agenti localmente: Tx_l=-5.50 Ty_l=87.00 N_l=-32428.50 My_l=4.18 Mz_l=-0.00
Azioni sul cordone: TP=-0.40 TO=6.43 NO=-2397.12
Tensioni nel cordone: τ_P=0.13 τ_0=2.04 σ_0=768.02 σ_{ID}=768.03 Σ_T=770.07
CC 44 SLU (Collegamento 0025_-382)
Azioni sul collegamento: N=-32426.50 Ty=-5.28 Tz=87.05 Mx=-0.00 Mz=-3.74
Sollecitazioni agenti localmente: Tx_l=-5.28 Ty_l=87.05 N_l=-32426.50 My_l=3.74 Mz_l=-0.00
Azioni sul cordone: TP=-0.39 TO=6.44 NO=-2396.98
Tensioni nel cordone: τ_P=0.12 τ_0=2.05 σ_0=767.34 σ_{ID}=767.35 Σ_T=769.39
CC 45 SLU (Collegamento 0025_-382)
Azioni sul collegamento: N=-23594.00 Ty=-6.22 Tz=55.25 Mx=0.01 Mz=-4.49
Sollecitazioni agenti localmente: Tx_l=-6.22 Ty_l=55.25 N_l=-23594.00 My_l=4.49 Mz_l=0.01
Azioni sul cordone: TP=-0.47 TO=4.08 NO=-1744.08
Tensioni nel cordone: τ_P=0.15 τ_0=1.30 σ_0=560.91 σ_{ID}=560.91 Σ_T=562.20
CC 46 SLU (Collegamento 0025_-382)
Azioni sul collegamento: N=-23044.60 Ty=-5.94 Tz=53.22 Mx=0.01 Mz=-4.28
Sollecitazioni agenti localmente: Tx_l=-5.94 Ty_l=53.22 N_l=-23044.60 My_l=4.28 Mz_l=0.01
Azioni sul cordone: TP=-0.45 TO=3.93 NO=-1703.47
Tensioni nel cordone: τ_P=0.14 τ_0=1.25 σ_0=547.70 σ_{ID}=547.71 Σ_T=548.95
CC 47 SLU (Collegamento 0025_-382)
Azioni sul collegamento: N=-23320.30 Ty=-6.19 Tz=54.21 Mx=0.01 Mz=-4.60
Sollecitazioni agenti localmente: Tx_l=-6.19 Ty_l=54.21 N_l=-23320.30 My_l=4.60 Mz_l=0.01
Azioni sul cordone: TP=-0.47 TO=4.00 NO=-1723.84
Tensioni nel cordone: τ_P=0.15 τ_0=1.27 σ_0=554.65 σ_{ID}=554.65 Σ_T=555.92
CC 48 SLU (Collegamento 0025_-382)
Azioni sul collegamento: N=-23318.30 Ty=-5.97 Tz=54.26 Mx=0.01 Mz=-4.17
Sollecitazioni agenti localmente: Tx_l=-5.97 Ty_l=54.26 N_l=-23318.30 My_l=4.17 Mz_l=0.01
Azioni sul cordone: TP=-0.45 TO=4.01 NO=-1723.70
Tensioni nel cordone: τ_P=0.14 τ_0=1.27 σ_0=553.96 σ_{ID}=553.97 Σ_T=555.24
CC 49 SLU (Collegamento 0025_-382)
Azioni sul collegamento: N=-16657.90 Ty=-6.86 Tz=29.76 Mx=0.01 Mz=-4.92
Sollecitazioni agenti localmente: Tx_l=-6.86 Ty_l=29.76 N_l=-16657.90 My_l=4.92 Mz_l=0.01
Azioni sul cordone: TP=-0.51 TO=2.19 NO=-1231.36
Tensioni nel cordone: τ_P=0.16 τ_0=0.70 σ_0=398.58 σ_{ID}=398.58 Σ_T=399.28
CC 50 SLU (Collegamento 0025_-382)
Azioni sul collegamento: N=-16108.50 Ty=-6.57 Tz=27.72 Mx=0.01 Mz=-4.72
Sollecitazioni agenti localmente: Tx_l=-6.57 Ty_l=27.72 N_l=-16108.50 My_l=4.72 Mz_l=0.01
Azioni sul cordone: TP=-0.49 TO=2.04 NO=-1190.75
Tensioni nel cordone: τ_P=0.16 τ_0=0.65 σ_0=385.38 σ_{ID}=385.38 Σ_T=386.02
CC 51 SLU (Collegamento 0025_-382)
Azioni sul collegamento: N=-16384.20 Ty=-6.82 Tz=28.72 Mx=0.01 Mz=-5.04
Sollecitazioni agenti localmente: Tx_l=-6.82 Ty_l=28.72 N_l=-16384.20 My_l=5.04 Mz_l=0.01
Azioni sul cordone: TP=-0.51 TO=2.12 NO=-1211.13
Tensioni nel cordone: τ_P=0.16 τ_0=0.67 σ_0=392.32 σ_{ID}=392.32 Σ_T=392.99
CC 52 SLU (Collegamento 0025_-382)
Azioni sul collegamento: N=-16382.20 Ty=-6.60 Tz=28.76 Mx=0.01 Mz=-4.60
Sollecitazioni agenti localmente: Tx_l=-6.60 Ty_l=28.76 N_l=-16382.20 My_l=4.60 Mz_l=0.01
Azioni sul cordone: TP=-0.49 TO=2.12 NO=-1210.98
Tensioni nel cordone: τ_P=0.16 τ_0=0.67 σ_0=391.64 σ_{ID}=391.64 Σ_T=392.31
CC 53 SLU (Collegamento 0025_-382)
Azioni sul collegamento: N=-25033.10 Ty=-6.12 Tz=60.06 Mx=-0.00 Mz=-4.50
Sollecitazioni agenti localmente: Tx_l=-6.12 Ty_l=60.06 N_l=-25033.10 My_l=4.50 Mz_l=-0.00
Azioni sul cordone: TP=-0.45 TO=4.44 NO=-1850.46
Tensioni nel cordone: τ_P=0.14 τ_0=1.41 σ_0=594.73 σ_{ID}=594.74 Σ_T=596.14
CC 54 SLU (Collegamento 0025_-382)
Azioni sul collegamento: N=-24483.80 Ty=-5.83 Tz=58.03 Mx=-0.00 Mz=-4.29
Sollecitazioni agenti localmente: Tx_l=-5.83 Ty_l=58.03 N_l=-24483.80 My_l=4.29 Mz_l=-0.00

Azioni sul cordone: TP=-0.43 TO=4.29 NO=-1809.85
Tensioni nel cordone: τ_P=0.14 τ_0=1.36 σ_0=581.53 σ_{ID}=581.53 Σ_T=582.89
CC 55 SLU (Collegamento 0025_-382)
Azioni sul collegamento: N=-24759.40 Ty=-6.08 Tz=59.02 Mx=0.00 Mz=-4.61
Sollecitazioni agenti localmente: Tx_l=-6.08 Ty_l=59.02 N_l=-24759.40 My_l=4.61 Mz_l=0.00
Azioni sul cordone: TP=-0.45 TO=4.36 NO=-1830.22
Tensioni nel cordone: τ_P=0.14 τ_0=1.39 σ_0=588.47 σ_{ID}=588.48 Σ_T=589.86
CC 56 SLU (Collegamento 0025_-382)
Azioni sul collegamento: N=-24757.50 Ty=-5.87 Tz=59.07 Mx=-0.00 Mz=-4.18
Sollecitazioni agenti localmente: Tx_l=-5.87 Ty_l=59.07 N_l=-24757.50 My_l=4.18 Mz_l=-0.00
Azioni sul cordone: TP=-0.43 TO=4.37 NO=-1830.08
Tensioni nel cordone: τ_P=0.14 τ_0=1.39 σ_0=587.79 σ_{ID}=587.79 Σ_T=589.18
CC 57 SLU (Collegamento 0025_-382)
Azioni sul collegamento: N=-21981.50 Ty=-5.60 Tz=49.32 Mx=0.01 Mz=-4.03
Sollecitazioni agenti localmente: Tx_l=-5.60 Ty_l=49.32 N_l=-21981.50 My_l=4.03 Mz_l=0.01
Azioni sul cordone: TP=-0.42 TO=3.64 NO=-1624.88
Tensioni nel cordone: τ_P=0.13 τ_0=1.16 σ_0=522.36 σ_{ID}=522.36 Σ_T=523.52
CC 58 SLU (Collegamento 0025_-382)
Azioni sul collegamento: N=-21432.10 Ty=-5.31 Tz=47.28 Mx=0.01 Mz=-3.83
Sollecitazioni agenti localmente: Tx_l=-5.31 Ty_l=47.28 N_l=-21432.10 My_l=3.83 Mz_l=0.01
Azioni sul cordone: TP=-0.40 TO=3.49 NO=-1584.27
Tensioni nel cordone: τ_P=0.13 τ_0=1.11 σ_0=509.16 σ_{ID}=509.16 Σ_T=510.26
CC 59 SLU (Collegamento 0025_-382)
Azioni sul collegamento: N=-21707.80 Ty=-5.57 Tz=48.28 Mx=0.01 Mz=-4.15
Sollecitazioni agenti localmente: Tx_l=-5.57 Ty_l=48.28 N_l=-21707.80 My_l=4.15 Mz_l=0.01
Azioni sul cordone: TP=-0.42 TO=3.56 NO=-1604.64
Tensioni nel cordone: τ_P=0.13 τ_0=1.13 σ_0=516.10 σ_{ID}=516.10 Σ_T=517.23
CC 60 SLU (Collegamento 0025_-382)
Azioni sul collegamento: N=-21705.80 Ty=-5.35 Tz=48.32 Mx=0.01 Mz=-3.72
Sollecitazioni agenti localmente: Tx_l=-5.35 Ty_l=48.32 N_l=-21705.80 My_l=3.72 Mz_l=0.01
Azioni sul cordone: TP=-0.40 TO=3.57 NO=-1604.50
Tensioni nel cordone: τ_P=0.13 τ_0=1.13 σ_0=515.42 σ_{ID}=515.42 Σ_T=516.55
CC 61 SLU (Collegamento 0025_-382)
Azioni sul collegamento: N=-15045.40 Ty=-6.23 Tz=23.82 Mx=0.01 Mz=-4.47
Sollecitazioni agenti localmente: Tx_l=-6.23 Ty_l=23.82 N_l=-15045.40 My_l=4.47 Mz_l=0.01
Azioni sul cordone: TP=-0.47 TO=1.76 NO=-1112.16
Tensioni nel cordone: τ_P=0.15 τ_0=0.56 σ_0=360.03 σ_{ID}=360.03 Σ_T=360.59
CC 62 SLU (Collegamento 0025_-382)
Azioni sul collegamento: N=-14496.00 Ty=-5.95 Tz=21.79 Mx=0.01 Mz=-4.27
Sollecitazioni agenti localmente: Tx_l=-5.95 Ty_l=21.79 N_l=-14496.00 My_l=4.27 Mz_l=0.01
Azioni sul cordone: TP=-0.45 TO=1.61 NO=-1071.55
Tensioni nel cordone: τ_P=0.14 τ_0=0.51 σ_0=346.83 σ_{ID}=346.83 Σ_T=347.34
CC 63 SLU (Collegamento 0025_-382)
Azioni sul collegamento: N=-14771.70 Ty=-6.20 Tz=22.78 Mx=0.01 Mz=-4.59
Sollecitazioni agenti localmente: Tx_l=-6.20 Ty_l=22.78 N_l=-14771.70 My_l=4.59 Mz_l=0.01
Azioni sul cordone: TP=-0.47 TO=1.68 NO=-1091.93
Tensioni nel cordone: τ_P=0.15 τ_0=0.53 σ_0=353.77 σ_{ID}=353.77 Σ_T=354.30
CC 64 SLU (Collegamento 0025_-382)
Azioni sul collegamento: N=-14769.70 Ty=-5.98 Tz=22.82 Mx=0.01 Mz=-4.15
Sollecitazioni agenti localmente: Tx_l=-5.98 Ty_l=22.82 N_l=-14769.70 My_l=4.15 Mz_l=0.01
Azioni sul cordone: TP=-0.45 TO=1.68 NO=-1091.78
Tensioni nel cordone: τ_P=0.14 τ_0=0.54 σ_0=353.09 σ_{ID}=353.09 Σ_T=353.62
CC 65 SLU (Collegamento 0025_-382)
Azioni sul collegamento: N=-23420.60 Ty=-5.49 Tz=54.12 Mx=-0.00 Mz=-4.04
Sollecitazioni agenti localmente: Tx_l=-5.49 Ty_l=54.12 N_l=-23420.60 My_l=4.04 Mz_l=-0.00
Azioni sul cordone: TP=-0.40 TO=4.00 NO=-1731.26
Tensioni nel cordone: τ_P=0.13 τ_0=1.27 σ_0=556.18 σ_{ID}=556.19 Σ_T=557.46
CC 66 SLU (Collegamento 0025_-382)
Azioni sul collegamento: N=-22871.20 Ty=-5.21 Tz=52.09 Mx=-0.00 Mz=-3.84
Sollecitazioni agenti localmente: Tx_l=-5.21 Ty_l=52.09 N_l=-22871.20 My_l=3.84 Mz_l=-0.00
Azioni sul cordone: TP=-0.38 TO=3.85 NO=-1690.65
Tensioni nel cordone: τ_P=0.12 τ_0=1.22 σ_0=542.98 σ_{ID}=542.98 Σ_T=544.21
CC 67 SLU (Collegamento 0025_-382)
Azioni sul collegamento: N=-23146.90 Ty=-5.46 Tz=53.08 Mx=-0.00 Mz=-4.16
Sollecitazioni agenti localmente: Tx_l=-5.46 Ty_l=53.08 N_l=-23146.90 My_l=4.16 Mz_l=-0.00
Azioni sul cordone: TP=-0.40 TO=3.92 NO=-1711.03
Tensioni nel cordone: τ_P=0.13 τ_0=1.25 σ_0=549.92 σ_{ID}=549.93 Σ_T=551.17
CC 68 SLU (Collegamento 0025_-382)
Azioni sul collegamento: N=-23144.90 Ty=-5.24 Tz=53.13 Mx=-0.00 Mz=-3.72
Sollecitazioni agenti localmente: Tx_l=-5.24 Ty_l=53.13 N_l=-23144.90 My_l=3.72 Mz_l=-0.00
Azioni sul cordone: TP=-0.39 TO=3.93 NO=-1710.88
Tensioni nel cordone: τ_P=0.12 τ_0=1.25 σ_0=549.24 σ_{ID}=549.24 Σ_T=550.49
CC 97 SLU (Collegamento 0025_-382)
Azioni sul collegamento: N=-11444.50 Ty=-17.52 Tz=18.88 Mx=-0.03 Mz=-21.34
Sollecitazioni agenti localmente: Tx_l=-17.52 Ty_l=18.88 N_l=-11444.50 My_l=21.34 Mz_l=-0.03
Azioni sul cordone: TP=-1.26 TO=1.42 NO=-845.98
Tensioni nel cordone: τ_P=0.40 τ_0=0.45 σ_0=300.06 σ_{ID}=300.06 Σ_T=300.52
CC 98 SLU (Collegamento 0025_-382)
Azioni sul collegamento: N=-10895.20 Ty=-17.24 Tz=16.84 Mx=-0.03 Mz=-21.13

Sollecitazioni agenti localmente: Tx_l=-17.24 Ty_l=16.84 N_l=-10895.20 My_l=21.13 Mz_l=-0.03
Azioni sul cordone: TP=-1.23 TO=1.27 NO=-805.37
Tensioni nel cordone: τ_P=0.39 τ_O=0.40 σ_O=286.86 σ_{ID}=286.86 Σ_T=287.27
CC 99 SLU (Collegamento 0025_-382)
Azioni sul collegamento: N=-11170.80 Ty=-17.49 Tz=17.84 Mx=-0.03 Mz=-21.45
Sollecitazioni agenti localmente: Tx_l=-17.49 Ty_l=17.84 N_l=-11170.80 My_l=21.45 Mz_l=-0.03
Azioni sul cordone: TP=-1.25 TO=1.35 NO=-825.75
Tensioni nel cordone: τ_P=0.40 τ_O=0.43 σ_O=293.81 σ_{ID}=293.81 Σ_T=294.23
CC 100 SLU (Collegamento 0025_-382)
Azioni sul collegamento: N=-11168.90 Ty=-17.27 Tz=17.88 Mx=-0.04 Mz=-21.02
Sollecitazioni agenti localmente: Tx_l=-17.27 Ty_l=17.88 N_l=-11168.90 My_l=21.02 Mz_l=-0.04
Azioni sul cordone: TP=-1.24 TO=1.35 NO=-825.61
Tensioni nel cordone: τ_P=0.39 τ_O=0.43 σ_O=293.12 σ_{ID}=293.12 Σ_T=293.55
CC 101 SLU (Collegamento 0025_-382)
Azioni sul collegamento: N=-7155.53 Ty=-1.61 Tz=2.94 Mx=0.01 Mz=-0.33
Sollecitazioni agenti localmente: Tx_l=-1.61 Ty_l=2.94 N_l=-7155.53 My_l=0.33 Mz_l=0.01
Azioni sul cordone: TP=-0.13 TO=0.21 NO=-528.94
Tensioni nel cordone: τ_P= 0.04 τ_O= 0.07 σ_O=168.61 σ_{ID}=168.61 Σ_T=168.67
CC 102 SLU (Collegamento 0025_-382)
Azioni sul collegamento: N=-6606.15 Ty=-1.32 Tz=0.91 Mx=0.01 Mz=-0.13
Sollecitazioni agenti localmente: Tx_l=-1.32 Ty_l=0.91 N_l=-6606.15 My_l=0.13 Mz_l=0.01
Azioni sul cordone: TP=-0.11 TO=0.06 NO=-488.33
Tensioni nel cordone: τ_P= 0.03 τ_O= 0.02 σ_O=155.41 σ_{ID}=155.41 Σ_T=155.42
CC 103 SLU (Collegamento 0025_-382)
Azioni sul collegamento: N=-6881.82 Ty=-1.58 Tz=1.90 Mx=0.01 Mz=-0.45
Sollecitazioni agenti localmente: Tx_l=-1.58 Ty_l=1.90 N_l=-6881.82 My_l=0.45 Mz_l=0.01
Azioni sul cordone: TP=-0.13 TO=0.13 NO=-508.71
Tensioni nel cordone: τ_P= 0.04 τ_O= 0.04 σ_O=162.35 σ_{ID}=162.35 Σ_T=162.39
CC 104 SLU (Collegamento 0025_-382)
Azioni sul collegamento: N=-6879.85 Ty=-1.36 Tz=1.95 Mx=0.01 Mz=-0.01
Sollecitazioni agenti localmente: Tx_l=-1.36 Ty_l=1.95 N_l=-6879.85 My_l=0.01 Mz_l=0.01
Azioni sul cordone: TP=-0.11 TO=0.14 NO=-508.56
Tensioni nel cordone: τ_P= 0.03 τ_O= 0.04 σ_O=161.66 σ_{ID}=161.66 Σ_T=161.71

Flessione attacco superiore piastra

Bnetta=220.00 Hnetta=15.00
CC 1 SLV (Collegamento 0025_-382)
Azioni sul collegamento: N=-3838.16 Ty=-4.12 Tz=-9.35 Mx=0.02 Mz=1.95
Sollecitazioni agenti localmente: Ty_l=-697.85 Mx_l=-13.96
Tensioni nella sezione: σ=169.18 τ=21.15
CC 1 SLV (Collegamento 0025_-382)
Azioni sul collegamento: N=-3838.16 Ty=-0.76 Tz=-9.35 Mx=0.02 Mz=-1.23
Sollecitazioni agenti localmente: Ty_l=-697.85 Mx_l=-13.96
Tensioni nella sezione: σ=169.18 τ=21.15
CC 1 SLV (Collegamento 0025_-382)
Azioni sul collegamento: N=-3838.16 Ty=-4.12 Tz=10.33 Mx=0.02 Mz=1.95
Sollecitazioni agenti localmente: Ty_l=-697.85 Mx_l=-13.96
Tensioni nella sezione: σ=169.18 τ=21.15
CC 1 SLV (Collegamento 0025_-382)
Azioni sul collegamento: N=-3838.16 Ty=-0.76 Tz=10.33 Mx=0.02 Mz=-1.23
Sollecitazioni agenti localmente: Ty_l=-697.85 Mx_l=-13.96
Tensioni nella sezione: σ=169.18 τ=21.15
CC 1 SLV (Collegamento 0025_-382)
Azioni sul collegamento: N=-9123.66 Ty=-4.12 Tz=-9.35 Mx=0.02 Mz=1.95
Sollecitazioni agenti localmente: Ty_l=-1658.85 Mx_l=-33.18
Tensioni nella sezione: σ=402.14 τ=50.27
CC 1 SLV (Collegamento 0025_-382)
Azioni sul collegamento: N=-9123.66 Ty=-0.76 Tz=-9.35 Mx=0.02 Mz=-1.23
Sollecitazioni agenti localmente: Ty_l=-1658.85 Mx_l=-33.18
Tensioni nella sezione: σ=402.14 τ=50.27
CC 1 SLV (Collegamento 0025_-382)
Azioni sul collegamento: N=-9123.66 Ty=-4.12 Tz=10.33 Mx=0.02 Mz=1.95
Sollecitazioni agenti localmente: Ty_l=-1658.85 Mx_l=-33.18
Tensioni nella sezione: σ=402.14 τ=50.27
CC 1 SLV (Collegamento 0025_-382)
Azioni sul collegamento: N=-9123.66 Ty=-0.76 Tz=10.33 Mx=0.02 Mz=-1.23
Sollecitazioni agenti localmente: Ty_l=-1658.85 Mx_l=-33.18
Tensioni nella sezione: σ=402.14 τ=50.27
CC 2 SLD (Collegamento 0025_-382)
Azioni sul collegamento: N=-5707.53 Ty=-2.77 Tz=-2.38 Mx=0.01 Mz=-1.24
Sollecitazioni agenti localmente: Ty_l=-1037.73 Mx_l=-20.75
Tensioni nella sezione: σ=251.57 τ=31.45
CC 2 SLD (Collegamento 0025_-382)
Azioni sul collegamento: N=-5707.53 Ty=-3.80 Tz=-2.38 Mx=0.01 Mz=-2.21
Sollecitazioni agenti localmente: Ty_l=-1037.73 Mx_l=-20.75
Tensioni nella sezione: σ=251.57 τ=31.45
CC 2 SLD (Collegamento 0025_-382)
Azioni sul collegamento: N=-5707.53 Ty=-2.77 Tz=3.62 Mx=0.01 Mz=-1.24

Sollecitazioni agenti localmente: Ty_l=-1037.73 Mx_l=-20.75
Tensioni nella sezione: σ=251.57 τ=31.45
CC 2 SLD (Collegamento 0025_-382)
Azioni sul collegamento: N=-5707.53 Ty=-3.80 Tz=3.62 Mx=0.01 Mz=-2.21
Sollecitazioni agenti localmente: Ty_l=-1037.73 Mx_l=-20.75
Tensioni nella sezione: σ=251.57 τ=31.45
CC 2 SLD (Collegamento 0025_-382)
Azioni sul collegamento: N=-7319.25 Ty=-2.77 Tz=-2.38 Mx=0.01 Mz=-1.24
Sollecitazioni agenti localmente: Ty_l=-1330.77 Mx_l=-26.62
Tensioni nella sezione: σ=322.61 τ=40.33
CC 2 SLD (Collegamento 0025_-382)
Azioni sul collegamento: N=-7319.25 Ty=-3.80 Tz=-2.38 Mx=0.01 Mz=-2.21
Sollecitazioni agenti localmente: Ty_l=-1330.77 Mx_l=-26.62
Tensioni nella sezione: σ=322.61 τ=40.33
CC 2 SLD (Collegamento 0025_-382)
Azioni sul collegamento: N=-7319.25 Ty=-2.77 Tz=3.62 Mx=0.01 Mz=-1.24
Sollecitazioni agenti localmente: Ty_l=-1330.77 Mx_l=-26.62
Tensioni nella sezione: σ=322.61 τ=40.33
CC 2 SLD (Collegamento 0025_-382)
Azioni sul collegamento: N=-7319.25 Ty=-3.80 Tz=3.62 Mx=0.01 Mz=-2.21
Sollecitazioni agenti localmente: Ty_l=-1330.77 Mx_l=-26.62
Tensioni nella sezione: σ=322.61 τ=40.33
CC 3 SLV (Collegamento 0025_-382)
Azioni sul collegamento: N=-3843.85 Ty=-3.49 Tz=-9.22 Mx=0.02 Mz=0.69
Sollecitazioni agenti localmente: Ty_l=-698.88 Mx_l=-13.98
Tensioni nella sezione: σ=169.43 τ=21.18
CC 3 SLV (Collegamento 0025_-382)
Azioni sul collegamento: N=-3843.85 Ty=-1.39 Tz=-9.22 Mx=0.02 Mz=0.03
Sollecitazioni agenti localmente: Ty_l=-698.88 Mx_l=-13.98
Tensioni nella sezione: σ=169.43 τ=21.18
CC 3 SLV (Collegamento 0025_-382)
Azioni sul collegamento: N=-3843.85 Ty=-3.49 Tz=10.20 Mx=0.02 Mz=0.69
Sollecitazioni agenti localmente: Ty_l=-698.88 Mx_l=-13.98
Tensioni nella sezione: σ=169.43 τ=21.18
CC 3 SLV (Collegamento 0025_-382)
Azioni sul collegamento: N=-3843.85 Ty=-1.39 Tz=10.20 Mx=0.02 Mz=0.03
Sollecitazioni agenti localmente: Ty_l=-698.88 Mx_l=-13.98
Tensioni nella sezione: σ=169.43 τ=21.18
CC 3 SLV (Collegamento 0025_-382)
Azioni sul collegamento: N=-9117.97 Ty=-3.49 Tz=-9.22 Mx=0.02 Mz=0.69
Sollecitazioni agenti localmente: Ty_l=-1657.81 Mx_l=-33.16
Tensioni nella sezione: σ=401.89 τ=50.24
CC 3 SLV (Collegamento 0025_-382)
Azioni sul collegamento: N=-9117.97 Ty=-1.39 Tz=-9.22 Mx=0.02 Mz=0.03
Sollecitazioni agenti localmente: Ty_l=-1657.81 Mx_l=-33.16
Tensioni nella sezione: σ=401.89 τ=50.24
CC 3 SLV (Collegamento 0025_-382)
Azioni sul collegamento: N=-9117.97 Ty=-3.49 Tz=10.20 Mx=0.02 Mz=0.69
Sollecitazioni agenti localmente: Ty_l=-1657.81 Mx_l=-33.16
Tensioni nella sezione: σ=401.89 τ=50.24
CC 3 SLV (Collegamento 0025_-382)
Azioni sul collegamento: N=-9117.97 Ty=-1.39 Tz=10.20 Mx=0.02 Mz=0.03
Sollecitazioni agenti localmente: Ty_l=-1657.81 Mx_l=-33.16
Tensioni nella sezione: σ=401.89 τ=50.24
CC 4 SLD (Collegamento 0025_-382)
Azioni sul collegamento: N=-5709.27 Ty=-2.97 Tz=-2.35 Mx=0.01 Mz=-1.62
Sollecitazioni agenti localmente: Ty_l=-1038.05 Mx_l=-20.76
Tensioni nella sezione: σ=251.65 τ=31.46
CC 4 SLD (Collegamento 0025_-382)
Azioni sul collegamento: N=-5709.27 Ty=-3.60 Tz=-2.35 Mx=0.01 Mz=-1.82
Sollecitazioni agenti localmente: Ty_l=-1038.05 Mx_l=-20.76
Tensioni nella sezione: σ=251.65 τ=31.46
CC 4 SLD (Collegamento 0025_-382)
Azioni sul collegamento: N=-5709.27 Ty=-2.97 Tz=3.58 Mx=0.01 Mz=-1.62
Sollecitazioni agenti localmente: Ty_l=-1038.05 Mx_l=-20.76
Tensioni nella sezione: σ=251.65 τ=31.46
CC 4 SLD (Collegamento 0025_-382)
Azioni sul collegamento: N=-5709.27 Ty=-3.60 Tz=3.58 Mx=0.01 Mz=-1.82
Sollecitazioni agenti localmente: Ty_l=-1038.05 Mx_l=-20.76
Tensioni nella sezione: σ=251.65 τ=31.46
CC 4 SLD (Collegamento 0025_-382)
Azioni sul collegamento: N=-7317.51 Ty=-2.97 Tz=-2.35 Mx=0.01 Mz=-1.62
Sollecitazioni agenti localmente: Ty_l=-1330.46 Mx_l=-26.61
Tensioni nella sezione: σ=322.53 τ=40.32
CC 4 SLD (Collegamento 0025_-382)
Azioni sul collegamento: N=-7317.51 Ty=-3.60 Tz=-2.35 Mx=0.01 Mz=-1.82
Sollecitazioni agenti localmente: Ty_l=-1330.46 Mx_l=-26.61
Tensioni nella sezione: σ=322.53 τ=40.32
CC 4 SLD (Collegamento 0025_-382)

Azioni sul collegamento: N=-7317.51 Ty=-2.97 Tz=3.58 Mx=0.01 Mz=-1.62
Sollecitazioni agenti localmente: Ty_l=-1330.46 Mx_l=-26.61
Tensioni nella sezione: σ=322.53 τ=40.32
CC 4 SLD (Collegamento 0025_-382)
Azioni sul collegamento: N=-7317.51 Ty=-3.60 Tz=3.58 Mx=0.01 Mz=-1.82
Sollecitazioni agenti localmente: Ty_l=-1330.46 Mx_l=-26.61
Tensioni nella sezione: σ=322.53 τ=40.32
CC 5 SLV (Collegamento 0025_-382)
Azioni sul collegamento: N=-9117.97 Ty=-1.39 Tz=10.20 Mx=0.02 Mz=0.03
Sollecitazioni agenti localmente: Ty_l=-1657.81 Mx_l=-33.16
Tensioni nella sezione: σ=401.89 τ=50.24
CC 5 SLV (Collegamento 0025_-382)
Azioni sul collegamento: N=-9117.97 Ty=-3.49 Tz=10.20 Mx=0.02 Mz=0.69
Sollecitazioni agenti localmente: Ty_l=-1657.81 Mx_l=-33.16
Tensioni nella sezione: σ=401.89 τ=50.24
CC 5 SLV (Collegamento 0025_-382)
Azioni sul collegamento: N=-9117.97 Ty=-1.39 Tz=-9.22 Mx=0.02 Mz=0.03
Sollecitazioni agenti localmente: Ty_l=-1657.81 Mx_l=-33.16
Tensioni nella sezione: σ=401.89 τ=50.24
CC 5 SLV (Collegamento 0025_-382)
Azioni sul collegamento: N=-9117.97 Ty=-3.49 Tz=-9.22 Mx=0.02 Mz=0.69
Sollecitazioni agenti localmente: Ty_l=-1657.81 Mx_l=-33.16
Tensioni nella sezione: σ=401.89 τ=50.24
CC 5 SLV (Collegamento 0025_-382)
Azioni sul collegamento: N=-3843.85 Ty=-1.39 Tz=10.20 Mx=0.02 Mz=0.03
Sollecitazioni agenti localmente: Ty_l=-698.88 Mx_l=-13.98
Tensioni nella sezione: σ=169.43 τ=21.18
CC 5 SLV (Collegamento 0025_-382)
Azioni sul collegamento: N=-3843.85 Ty=-3.49 Tz=10.20 Mx=0.02 Mz=0.69
Sollecitazioni agenti localmente: Ty_l=-698.88 Mx_l=-13.98
Tensioni nella sezione: σ=169.43 τ=21.18
CC 5 SLV (Collegamento 0025_-382)
Azioni sul collegamento: N=-3843.85 Ty=-1.39 Tz=-9.22 Mx=0.02 Mz=0.03
Sollecitazioni agenti localmente: Ty_l=-698.88 Mx_l=-13.98
Tensioni nella sezione: σ=169.43 τ=21.18
CC 5 SLV (Collegamento 0025_-382)
Azioni sul collegamento: N=-3843.85 Ty=-3.49 Tz=-9.22 Mx=0.02 Mz=0.69
Sollecitazioni agenti localmente: Ty_l=-698.88 Mx_l=-13.98
Tensioni nella sezione: σ=169.43 τ=21.18
CC 6 SLD (Collegamento 0025_-382)
Azioni sul collegamento: N=-7317.51 Ty=-3.60 Tz=3.58 Mx=0.01 Mz=-1.82
Sollecitazioni agenti localmente: Ty_l=-1330.46 Mx_l=-26.61
Tensioni nella sezione: σ=322.53 τ=40.32
CC 6 SLD (Collegamento 0025_-382)
Azioni sul collegamento: N=-7317.51 Ty=-2.97 Tz=3.58 Mx=0.01 Mz=-1.62
Sollecitazioni agenti localmente: Ty_l=-1330.46 Mx_l=-26.61
Tensioni nella sezione: σ=322.53 τ=40.32
CC 6 SLD (Collegamento 0025_-382)
Azioni sul collegamento: N=-7317.51 Ty=-3.60 Tz=-2.35 Mx=0.01 Mz=-1.82
Sollecitazioni agenti localmente: Ty_l=-1330.46 Mx_l=-26.61
Tensioni nella sezione: σ=322.53 τ=40.32
CC 6 SLD (Collegamento 0025_-382)
Azioni sul collegamento: N=-7317.51 Ty=-2.97 Tz=-2.35 Mx=0.01 Mz=-1.62
Sollecitazioni agenti localmente: Ty_l=-1330.46 Mx_l=-26.61
Tensioni nella sezione: σ=322.53 τ=40.32
CC 6 SLD (Collegamento 0025_-382)
Azioni sul collegamento: N=-5709.27 Ty=-3.60 Tz=3.58 Mx=0.01 Mz=-1.82
Sollecitazioni agenti localmente: Ty_l=-1038.05 Mx_l=-20.76
Tensioni nella sezione: σ=251.65 τ=31.46
CC 6 SLD (Collegamento 0025_-382)
Azioni sul collegamento: N=-5709.27 Ty=-2.97 Tz=3.58 Mx=0.01 Mz=-1.62
Sollecitazioni agenti localmente: Ty_l=-1038.05 Mx_l=-20.76
Tensioni nella sezione: σ=251.65 τ=31.46
CC 6 SLD (Collegamento 0025_-382)
Azioni sul collegamento: N=-5709.27 Ty=-3.60 Tz=-2.35 Mx=0.01 Mz=-1.82
Sollecitazioni agenti localmente: Ty_l=-1038.05 Mx_l=-20.76
Tensioni nella sezione: σ=251.65 τ=31.46
CC 6 SLD (Collegamento 0025_-382)
Azioni sul collegamento: N=-5709.27 Ty=-2.97 Tz=-2.35 Mx=0.01 Mz=-1.62
Sollecitazioni agenti localmente: Ty_l=-1038.05 Mx_l=-20.76
Tensioni nella sezione: σ=251.65 τ=31.46
CC 7 SLV (Collegamento 0025_-382)
Azioni sul collegamento: N=-9123.66 Ty=-0.76 Tz=10.33 Mx=0.01 Mz=-1.23
Sollecitazioni agenti localmente: Ty_l=-1658.85 Mx_l=-33.18
Tensioni nella sezione: σ=402.14 τ=50.27
CC 7 SLV (Collegamento 0025_-382)
Azioni sul collegamento: N=-9123.66 Ty=-4.12 Tz=10.33 Mx=0.01 Mz=1.95
Sollecitazioni agenti localmente: Ty_l=-1658.85 Mx_l=-33.18
Tensioni nella sezione: σ=402.14 τ=50.27

CC 7 SLV (Collegamento 0025_-382)
Azioni sul collegamento: N=-9123.66 Ty=-0.76 Tz=-9.35 Mx=0.01 Mz=-1.23
Sollecitazioni agenti localmente: Ty_l=-1658.85 Mx_l=-33.18
Tensioni nella sezione: σ=402.14 τ=50.27
CC 7 SLV (Collegamento 0025_-382)
Azioni sul collegamento: N=-9123.66 Ty=-4.12 Tz=-9.35 Mx=0.01 Mz=1.95
Sollecitazioni agenti localmente: Ty_l=-1658.85 Mx_l=-33.18
Tensioni nella sezione: σ=402.14 τ=50.27
CC 7 SLV (Collegamento 0025_-382)
Azioni sul collegamento: N=-3838.16 Ty=-0.76 Tz=10.33 Mx=0.01 Mz=-1.23
Sollecitazioni agenti localmente: Ty_l=-697.85 Mx_l=-13.96
Tensioni nella sezione: σ=169.18 τ=21.15
CC 7 SLV (Collegamento 0025_-382)
Azioni sul collegamento: N=-3838.16 Ty=-4.12 Tz=10.33 Mx=0.01 Mz=1.95
Sollecitazioni agenti localmente: Ty_l=-697.85 Mx_l=-13.96
Tensioni nella sezione: σ=169.18 τ=21.15
CC 7 SLV (Collegamento 0025_-382)
Azioni sul collegamento: N=-3838.16 Ty=-0.76 Tz=-9.35 Mx=0.01 Mz=-1.23
Sollecitazioni agenti localmente: Ty_l=-697.85 Mx_l=-13.96
Tensioni nella sezione: σ=169.18 τ=21.15
CC 7 SLV (Collegamento 0025_-382)
Azioni sul collegamento: N=-3838.16 Ty=-4.12 Tz=-9.35 Mx=0.01 Mz=1.95
Sollecitazioni agenti localmente: Ty_l=-697.85 Mx_l=-13.96
Tensioni nella sezione: σ=169.18 τ=21.15
CC 8 SLD (Collegamento 0025_-382)
Azioni sul collegamento: N=-7319.25 Ty=-3.80 Tz=3.62 Mx=0.01 Mz=-2.21
Sollecitazioni agenti localmente: Ty_l=-1330.77 Mx_l=-26.62
Tensioni nella sezione: σ=322.61 τ=40.33
CC 8 SLD (Collegamento 0025_-382)
Azioni sul collegamento: N=-7319.25 Ty=-2.77 Tz=3.62 Mx=0.01 Mz=-1.24
Sollecitazioni agenti localmente: Ty_l=-1330.77 Mx_l=-26.62
Tensioni nella sezione: σ=322.61 τ=40.33
CC 8 SLD (Collegamento 0025_-382)
Azioni sul collegamento: N=-7319.25 Ty=-3.80 Tz=-2.38 Mx=0.01 Mz=-2.21
Sollecitazioni agenti localmente: Ty_l=-1330.77 Mx_l=-26.62
Tensioni nella sezione: σ=322.61 τ=40.33
CC 8 SLD (Collegamento 0025_-382)
Azioni sul collegamento: N=-7319.25 Ty=-2.77 Tz=-2.38 Mx=0.01 Mz=-1.24
Sollecitazioni agenti localmente: Ty_l=-1330.77 Mx_l=-26.62
Tensioni nella sezione: σ=322.61 τ=40.33
CC 8 SLD (Collegamento 0025_-382)
Azioni sul collegamento: N=-5707.53 Ty=-3.80 Tz=3.62 Mx=0.01 Mz=-2.21
Sollecitazioni agenti localmente: Ty_l=-1037.73 Mx_l=-20.75
Tensioni nella sezione: σ=251.57 τ=31.45
CC 8 SLD (Collegamento 0025_-382)
Azioni sul collegamento: N=-5707.53 Ty=-2.77 Tz=3.62 Mx=0.01 Mz=-1.24
Sollecitazioni agenti localmente: Ty_l=-1037.73 Mx_l=-20.75
Tensioni nella sezione: σ=251.57 τ=31.45
CC 8 SLD (Collegamento 0025_-382)
Azioni sul collegamento: N=-5707.53 Ty=-3.80 Tz=-2.38 Mx=0.01 Mz=-2.21
Sollecitazioni agenti localmente: Ty_l=-1037.73 Mx_l=-20.75
Tensioni nella sezione: σ=251.57 τ=31.45
CC 8 SLD (Collegamento 0025_-382)
Azioni sul collegamento: N=-5707.53 Ty=-2.77 Tz=-2.38 Mx=0.01 Mz=-1.24
Sollecitazioni agenti localmente: Ty_l=-1037.73 Mx_l=-20.75
Tensioni nella sezione: σ=251.57 τ=31.45
CC 9 SLV (Collegamento 0025_-382)
Azioni sul collegamento: N=-5679.47 Ty=-3.91 Tz=-2.66 Mx=0.03 Mz=2.74
Sollecitazioni agenti localmente: Ty_l=-1032.63 Mx_l=-20.65
Tensioni nella sezione: σ=250.33 τ=31.29
CC 9 SLV (Collegamento 0025_-382)
Azioni sul collegamento: N=-5679.47 Ty=-0.97 Tz=-2.66 Mx=0.03 Mz=-2.02
Sollecitazioni agenti localmente: Ty_l=-1032.63 Mx_l=-20.65
Tensioni nella sezione: σ=250.33 τ=31.29
CC 9 SLV (Collegamento 0025_-382)
Azioni sul collegamento: N=-5679.47 Ty=-3.91 Tz=3.63 Mx=0.03 Mz=2.74
Sollecitazioni agenti localmente: Ty_l=-1032.63 Mx_l=-20.65
Tensioni nella sezione: σ=250.33 τ=31.29
CC 9 SLV (Collegamento 0025_-382)
Azioni sul collegamento: N=-5679.47 Ty=-0.97 Tz=3.63 Mx=0.03 Mz=-2.02
Sollecitazioni agenti localmente: Ty_l=-1032.63 Mx_l=-20.65
Tensioni nella sezione: σ=250.33 τ=31.29
CC 9 SLV (Collegamento 0025_-382)
Azioni sul collegamento: N=-7282.35 Ty=-3.91 Tz=-2.66 Mx=0.03 Mz=2.74
Sollecitazioni agenti localmente: Ty_l=-1324.06 Mx_l=-26.48
Tensioni nella sezione: σ=320.99 τ=40.12
CC 9 SLV (Collegamento 0025_-382)
Azioni sul collegamento: N=-7282.35 Ty=-0.97 Tz=-2.66 Mx=0.03 Mz=-2.02
Sollecitazioni agenti localmente: Ty_l=-1324.06 Mx_l=-26.48

Tensioni nella sezione: σ=320.99 τ=40.12
CC 9 SLV (Collegamento 0025_-382)
Azioni sul collegamento: N=-7282.35 Ty=-3.91 Tz=3.63 Mx=0.03 Mz=2.74
Sollecitazioni agenti localmente: Ty_l=-1324.06 Mx_l=-26.48
Tensioni nella sezione: σ=320.99 τ=40.12
CC 9 SLV (Collegamento 0025_-382)
Azioni sul collegamento: N=-7282.35 Ty=-0.97 Tz=3.63 Mx=0.03 Mz=-2.02
Sollecitazioni agenti localmente: Ty_l=-1324.06 Mx_l=-26.48
Tensioni nella sezione: σ=320.99 τ=40.12
CC 10 SLD (Collegamento 0025_-382)
Azioni sul collegamento: N=-6269.01 Ty=-2.84 Tz=-0.34 Mx=0.01 Mz=-0.99
Sollecitazioni agenti localmente: Ty_l=-1139.82 Mx_l=-22.80
Tensioni nella sezione: σ=276.32 τ=34.54
CC 10 SLD (Collegamento 0025_-382)
Azioni sul collegamento: N=-6269.01 Ty=-3.73 Tz=-0.34 Mx=0.01 Mz=-2.45
Sollecitazioni agenti localmente: Ty_l=-1139.82 Mx_l=-22.80
Tensioni nella sezione: σ=276.32 τ=34.54
CC 10 SLD (Collegamento 0025_-382)
Azioni sul collegamento: N=-6269.00 Ty=-2.84 Tz=1.57 Mx=0.01 Mz=-0.99
Sollecitazioni agenti localmente: Ty_l=-1139.82 Mx_l=-22.80
Tensioni nella sezione: σ=276.32 τ=34.54
CC 10 SLD (Collegamento 0025_-382)
Azioni sul collegamento: N=-6269.00 Ty=-3.73 Tz=1.57 Mx=0.01 Mz=-2.45
Sollecitazioni agenti localmente: Ty_l=-1139.82 Mx_l=-22.80
Tensioni nella sezione: σ=276.32 τ=34.54
CC 10 SLD (Collegamento 0025_-382)
Azioni sul collegamento: N=-6757.78 Ty=-2.84 Tz=-0.34 Mx=0.01 Mz=-0.99
Sollecitazioni agenti localmente: Ty_l=-1228.69 Mx_l=-24.57
Tensioni nella sezione: σ=297.86 τ=37.23
CC 10 SLD (Collegamento 0025_-382)
Azioni sul collegamento: N=-6757.78 Ty=-3.73 Tz=-0.34 Mx=0.01 Mz=-2.45
Sollecitazioni agenti localmente: Ty_l=-1228.69 Mx_l=-24.57
Tensioni nella sezione: σ=297.86 τ=37.23
CC 10 SLD (Collegamento 0025_-382)
Azioni sul collegamento: N=-6757.78 Ty=-2.84 Tz=1.57 Mx=0.01 Mz=-0.99
Sollecitazioni agenti localmente: Ty_l=-1228.69 Mx_l=-24.57
Tensioni nella sezione: σ=297.86 τ=37.23
CC 10 SLD (Collegamento 0025_-382)
Azioni sul collegamento: N=-6757.78 Ty=-3.73 Tz=1.57 Mx=0.01 Mz=-2.45
Sollecitazioni agenti localmente: Ty_l=-1228.69 Mx_l=-24.57
Tensioni nella sezione: σ=297.86 τ=37.23
CC 11 SLV (Collegamento 0025_-382)
Azioni sul collegamento: N=-7263.41 Ty=-3.09 Tz=3.21 Mx=0.02 Mz=2.17
Sollecitazioni agenti localmente: Ty_l=-1320.62 Mx_l=-26.41
Tensioni nella sezione: σ=320.15 τ=40.02
CC 11 SLV (Collegamento 0025_-382)
Azioni sul collegamento: N=-7263.41 Ty=-1.79 Tz=3.21 Mx=0.02 Mz=-1.45
Sollecitazioni agenti localmente: Ty_l=-1320.62 Mx_l=-26.41
Tensioni nella sezione: σ=320.15 τ=40.02
CC 11 SLV (Collegamento 0025_-382)
Azioni sul collegamento: N=-7263.41 Ty=-3.09 Tz=-2.23 Mx=0.02 Mz=2.17
Sollecitazioni agenti localmente: Ty_l=-1320.62 Mx_l=-26.41
Tensioni nella sezione: σ=320.15 τ=40.02
CC 11 SLV (Collegamento 0025_-382)
Azioni sul collegamento: N=-7263.41 Ty=-1.79 Tz=-2.23 Mx=0.02 Mz=-1.45
Sollecitazioni agenti localmente: Ty_l=-1320.62 Mx_l=-26.41
Tensioni nella sezione: σ=320.15 τ=40.02
CC 11 SLV (Collegamento 0025_-382)
Azioni sul collegamento: N=-5698.41 Ty=-3.09 Tz=3.21 Mx=0.02 Mz=2.17
Sollecitazioni agenti localmente: Ty_l=-1036.07 Mx_l=-20.72
Tensioni nella sezione: σ=251.17 τ=31.40
CC 11 SLV (Collegamento 0025_-382)
Azioni sul collegamento: N=-5698.41 Ty=-1.79 Tz=3.21 Mx=0.02 Mz=-1.45
Sollecitazioni agenti localmente: Ty_l=-1036.07 Mx_l=-20.72
Tensioni nella sezione: σ=251.17 τ=31.40
CC 11 SLV (Collegamento 0025_-382)
Azioni sul collegamento: N=-5698.41 Ty=-3.09 Tz=-2.23 Mx=0.02 Mz=2.17
Sollecitazioni agenti localmente: Ty_l=-1036.07 Mx_l=-20.72
Tensioni nella sezione: σ=251.17 τ=31.40
CC 11 SLV (Collegamento 0025_-382)
Azioni sul collegamento: N=-5698.41 Ty=-1.79 Tz=-2.23 Mx=0.02 Mz=-1.45
Sollecitazioni agenti localmente: Ty_l=-1036.07 Mx_l=-20.72
Tensioni nella sezione: σ=251.17 τ=31.40
CC 12 SLD (Collegamento 0025_-382)
Azioni sul collegamento: N=-6752.00 Ty=-3.09 Tz=1.44 Mx=0.01 Mz=-1.17
Sollecitazioni agenti localmente: Ty_l=-1227.64 Mx_l=-24.55
Tensioni nella sezione: σ=297.61 τ=37.20
CC 12 SLD (Collegamento 0025_-382)
Azioni sul collegamento: N=-6752.00 Ty=-3.48 Tz=1.44 Mx=0.01 Mz=-2.27

Sollecitazioni agenti localmente: Ty_l=-1227.64 Mx_l=-24.55
Tensioni nella sezione: σ=297.61 τ=37.20
CC 12 SLD (Collegamento 0025_-382)
Azioni sul collegamento: N=-6752.00 Ty=-3.09 Tz=-0.21 Mx=0.01 Mz=-1.17
Sollecitazioni agenti localmente: Ty_l=-1227.64 Mx_l=-24.55
Tensioni nella sezione: σ=297.61 τ=37.20
CC 12 SLD (Collegamento 0025_-382)
Azioni sul collegamento: N=-6752.00 Ty=-3.48 Tz=-0.21 Mx=0.01 Mz=-2.27
Sollecitazioni agenti localmente: Ty_l=-1227.64 Mx_l=-24.55
Tensioni nella sezione: σ=297.61 τ=37.20
CC 12 SLD (Collegamento 0025_-382)
Azioni sul collegamento: N=-6274.78 Ty=-3.09 Tz=1.44 Mx=0.01 Mz=-1.17
Sollecitazioni agenti localmente: Ty_l=-1140.87 Mx_l=-22.82
Tensioni nella sezione: σ=276.57 τ=34.57
CC 12 SLD (Collegamento 0025_-382)
Azioni sul collegamento: N=-6274.78 Ty=-3.48 Tz=1.44 Mx=0.01 Mz=-2.27
Sollecitazioni agenti localmente: Ty_l=-1140.87 Mx_l=-22.82
Tensioni nella sezione: σ=276.57 τ=34.57
CC 12 SLD (Collegamento 0025_-382)
Azioni sul collegamento: N=-6274.78 Ty=-3.09 Tz=-0.21 Mx=0.01 Mz=-1.17
Sollecitazioni agenti localmente: Ty_l=-1140.87 Mx_l=-22.82
Tensioni nella sezione: σ=276.57 τ=34.57
CC 12 SLD (Collegamento 0025_-382)
Azioni sul collegamento: N=-6274.78 Ty=-3.48 Tz=-0.21 Mx=0.01 Mz=-2.27
Sollecitazioni agenti localmente: Ty_l=-1140.87 Mx_l=-22.82
Tensioni nella sezione: σ=276.57 τ=34.57
CC 13 SLV (Collegamento 0025_-382)
Azioni sul collegamento: N=-5698.41 Ty=-1.79 Tz=-2.23 Mx=0.01 Mz=-1.45
Sollecitazioni agenti localmente: Ty_l=-1036.07 Mx_l=-20.72
Tensioni nella sezione: σ=251.17 τ=31.40
CC 13 SLV (Collegamento 0025_-382)
Azioni sul collegamento: N=-5698.41 Ty=-3.09 Tz=-2.23 Mx=0.01 Mz=2.17
Sollecitazioni agenti localmente: Ty_l=-1036.07 Mx_l=-20.72
Tensioni nella sezione: σ=251.17 τ=31.40
CC 13 SLV (Collegamento 0025_-382)
Azioni sul collegamento: N=-5698.41 Ty=-1.79 Tz=3.21 Mx=0.01 Mz=-1.45
Sollecitazioni agenti localmente: Ty_l=-1036.07 Mx_l=-20.72
Tensioni nella sezione: σ=251.17 τ=31.40
CC 13 SLV (Collegamento 0025_-382)
Azioni sul collegamento: N=-5698.41 Ty=-3.09 Tz=3.21 Mx=0.01 Mz=2.17
Sollecitazioni agenti localmente: Ty_l=-1036.07 Mx_l=-20.72
Tensioni nella sezione: σ=251.17 τ=31.40
CC 13 SLV (Collegamento 0025_-382)
Azioni sul collegamento: N=-7263.41 Ty=-1.79 Tz=-2.23 Mx=0.01 Mz=-1.45
Sollecitazioni agenti localmente: Ty_l=-1320.62 Mx_l=-26.41
Tensioni nella sezione: σ=320.15 τ=40.02
CC 13 SLV (Collegamento 0025_-382)
Azioni sul collegamento: N=-7263.41 Ty=-3.09 Tz=-2.23 Mx=0.01 Mz=2.17
Sollecitazioni agenti localmente: Ty_l=-1320.62 Mx_l=-26.41
Tensioni nella sezione: σ=320.15 τ=40.02
CC 13 SLV (Collegamento 0025_-382)
Azioni sul collegamento: N=-7263.41 Ty=-1.79 Tz=3.21 Mx=0.01 Mz=-1.45
Sollecitazioni agenti localmente: Ty_l=-1320.62 Mx_l=-26.41
Tensioni nella sezione: σ=320.15 τ=40.02
CC 13 SLV (Collegamento 0025_-382)
Azioni sul collegamento: N=-7263.41 Ty=-3.09 Tz=3.21 Mx=0.01 Mz=2.17
Sollecitazioni agenti localmente: Ty_l=-1320.62 Mx_l=-26.41
Tensioni nella sezione: σ=320.15 τ=40.02
CC 14 SLD (Collegamento 0025_-382)
Azioni sul collegamento: N=-6274.78 Ty=-3.48 Tz=-0.21 Mx=0.01 Mz=-2.27
Sollecitazioni agenti localmente: Ty_l=-1140.87 Mx_l=-22.82
Tensioni nella sezione: σ=276.57 τ=34.57
CC 14 SLD (Collegamento 0025_-382)
Azioni sul collegamento: N=-6274.78 Ty=-3.09 Tz=-0.21 Mx=0.01 Mz=-1.17
Sollecitazioni agenti localmente: Ty_l=-1140.87 Mx_l=-22.82
Tensioni nella sezione: σ=276.57 τ=34.57
CC 14 SLD (Collegamento 0025_-382)
Azioni sul collegamento: N=-6274.78 Ty=-3.48 Tz=1.44 Mx=0.01 Mz=-2.27
Sollecitazioni agenti localmente: Ty_l=-1140.87 Mx_l=-22.82
Tensioni nella sezione: σ=276.57 τ=34.57
CC 14 SLD (Collegamento 0025_-382)
Azioni sul collegamento: N=-6274.78 Ty=-3.09 Tz=1.44 Mx=0.01 Mz=-1.17
Sollecitazioni agenti localmente: Ty_l=-1140.87 Mx_l=-22.82
Tensioni nella sezione: σ=276.57 τ=34.57
CC 14 SLD (Collegamento 0025_-382)
Azioni sul collegamento: N=-6752.00 Ty=-3.48 Tz=-0.21 Mx=0.01 Mz=-2.27
Sollecitazioni agenti localmente: Ty_l=-1227.64 Mx_l=-24.55
Tensioni nella sezione: σ=297.61 τ=37.20
CC 14 SLD (Collegamento 0025_-382)

Azioni sul collegamento: N=-6752.00 Ty=-3.09 Tz=-0.21 Mx=0.01 Mz=-1.17
Sollecitazioni agenti localmente: Ty_l=-1227.64 Mx_l=-24.55
Tensioni nella sezione: σ=297.61 τ=37.20
CC 14 SLD (Collegamento 0025_-382)
Azioni sul collegamento: N=-6752.00 Ty=-3.48 Tz=1.44 Mx=0.01 Mz=-2.27
Sollecitazioni agenti localmente: Ty_l=-1227.64 Mx_l=-24.55
Tensioni nella sezione: σ=297.61 τ=37.20
CC 14 SLD (Collegamento 0025_-382)
Azioni sul collegamento: N=-6752.00 Ty=-3.09 Tz=1.44 Mx=0.01 Mz=-1.17
Sollecitazioni agenti localmente: Ty_l=-1227.64 Mx_l=-24.55
Tensioni nella sezione: σ=297.61 τ=37.20
CC 15 SLV (Collegamento 0025_-382)
Azioni sul collegamento: N=-7282.35 Ty=-0.97 Tz=3.63 Mx=0.01 Mz=-2.02
Sollecitazioni agenti localmente: Ty_l=-1324.06 Mx_l=-26.48
Tensioni nella sezione: σ=320.99 τ=40.12
CC 15 SLV (Collegamento 0025_-382)
Azioni sul collegamento: N=-7282.35 Ty=-3.91 Tz=3.63 Mx=0.01 Mz=2.74
Sollecitazioni agenti localmente: Ty_l=-1324.06 Mx_l=-26.48
Tensioni nella sezione: σ=320.99 τ=40.12
CC 15 SLV (Collegamento 0025_-382)
Azioni sul collegamento: N=-7282.35 Ty=-0.97 Tz=-2.66 Mx=0.01 Mz=-2.02
Sollecitazioni agenti localmente: Ty_l=-1324.06 Mx_l=-26.48
Tensioni nella sezione: σ=320.99 τ=40.12
CC 15 SLV (Collegamento 0025_-382)
Azioni sul collegamento: N=-7282.35 Ty=-3.91 Tz=-2.66 Mx=0.01 Mz=2.74
Sollecitazioni agenti localmente: Ty_l=-1324.06 Mx_l=-26.48
Tensioni nella sezione: σ=320.99 τ=40.12
CC 15 SLV (Collegamento 0025_-382)
Azioni sul collegamento: N=-5679.47 Ty=-0.97 Tz=3.63 Mx=0.01 Mz=-2.02
Sollecitazioni agenti localmente: Ty_l=-1032.63 Mx_l=-20.65
Tensioni nella sezione: σ=250.33 τ=31.29
CC 15 SLV (Collegamento 0025_-382)
Azioni sul collegamento: N=-5679.47 Ty=-3.91 Tz=3.63 Mx=0.01 Mz=2.74
Sollecitazioni agenti localmente: Ty_l=-1032.63 Mx_l=-20.65
Tensioni nella sezione: σ=250.33 τ=31.29
CC 15 SLV (Collegamento 0025_-382)
Azioni sul collegamento: N=-5679.47 Ty=-0.97 Tz=-2.66 Mx=0.01 Mz=-2.02
Sollecitazioni agenti localmente: Ty_l=-1032.63 Mx_l=-20.65
Tensioni nella sezione: σ=250.33 τ=31.29
CC 15 SLV (Collegamento 0025_-382)
Azioni sul collegamento: N=-5679.47 Ty=-3.91 Tz=-2.66 Mx=0.01 Mz=2.74
Sollecitazioni agenti localmente: Ty_l=-1032.63 Mx_l=-20.65
Tensioni nella sezione: σ=250.33 τ=31.29
CC 16 SLD (Collegamento 0025_-382)
Azioni sul collegamento: N=-6757.78 Ty=-3.73 Tz=1.57 Mx=0.00 Mz=-2.45
Sollecitazioni agenti localmente: Ty_l=-1228.69 Mx_l=-24.57
Tensioni nella sezione: σ=297.86 τ=37.23
CC 16 SLD (Collegamento 0025_-382)
Azioni sul collegamento: N=-6757.78 Ty=-2.84 Tz=1.57 Mx=0.00 Mz=-0.99
Sollecitazioni agenti localmente: Ty_l=-1228.69 Mx_l=-24.57
Tensioni nella sezione: σ=297.86 τ=37.23
CC 16 SLD (Collegamento 0025_-382)
Azioni sul collegamento: N=-6757.78 Ty=-3.73 Tz=-0.34 Mx=0.00 Mz=-2.45
Sollecitazioni agenti localmente: Ty_l=-1228.69 Mx_l=-24.57
Tensioni nella sezione: σ=297.86 τ=37.23
CC 16 SLD (Collegamento 0025_-382)
Azioni sul collegamento: N=-6757.78 Ty=-2.84 Tz=-0.34 Mx=0.00 Mz=-0.99
Sollecitazioni agenti localmente: Ty_l=-1228.69 Mx_l=-24.57
Tensioni nella sezione: σ=297.86 τ=37.23
CC 16 SLD (Collegamento 0025_-382)
Azioni sul collegamento: N=-6269.00 Ty=-3.73 Tz=1.57 Mx=0.00 Mz=-2.45
Sollecitazioni agenti localmente: Ty_l=-1139.82 Mx_l=-22.80
Tensioni nella sezione: σ=276.32 τ=34.54
CC 16 SLD (Collegamento 0025_-382)
Azioni sul collegamento: N=-6269.00 Ty=-2.84 Tz=1.57 Mx=0.00 Mz=-0.99
Sollecitazioni agenti localmente: Ty_l=-1139.82 Mx_l=-22.80
Tensioni nella sezione: σ=276.32 τ=34.54
CC 16 SLD (Collegamento 0025_-382)
Azioni sul collegamento: N=-6269.01 Ty=-3.73 Tz=-0.34 Mx=0.00 Mz=-2.45
Sollecitazioni agenti localmente: Ty_l=-1139.82 Mx_l=-22.80
Tensioni nella sezione: σ=276.32 τ=34.54
CC 16 SLD (Collegamento 0025_-382)
Azioni sul collegamento: N=-6269.01 Ty=-2.84 Tz=-0.34 Mx=0.00 Mz=-0.99
Sollecitazioni agenti localmente: Ty_l=-1139.82 Mx_l=-22.80
Tensioni nella sezione: σ=276.32 τ=34.54
CC 17 SLV (Collegamento 0025_-382)
Azioni sul collegamento: N=-3931.62 Ty=-3.19 Tz=-8.98 Mx=-0.01 Mz=-4.04
Sollecitazioni agenti localmente: Ty_l=-714.84 Mx_l=-14.30
Tensioni nella sezione: σ=173.29 τ=21.66

CC 17 SLV (Collegamento 0025_-382)
Azioni sul collegamento: N=-3931.62 Ty=-6.55 Tz=-8.98 Mx=-0.01 Mz=-7.22
Sollecitazioni agenti localmente: Ty_l=-714.84 Mx_l=-14.30
Tensioni nella sezione: σ=173.29 τ=21.66
CC 17 SLV (Collegamento 0025_-382)
Azioni sul collegamento: N=-3931.62 Ty=-3.19 Tz=10.69 Mx=-0.01 Mz=-4.04
Sollecitazioni agenti localmente: Ty_l=-714.84 Mx_l=-14.30
Tensioni nella sezione: σ=173.29 τ=21.66
CC 17 SLV (Collegamento 0025_-382)
Azioni sul collegamento: N=-3931.62 Ty=-6.55 Tz=10.69 Mx=-0.01 Mz=-7.22
Sollecitazioni agenti localmente: Ty_l=-714.84 Mx_l=-14.30
Tensioni nella sezione: σ=173.29 τ=21.66
CC 17 SLV (Collegamento 0025_-382)
Azioni sul collegamento: N=-9217.12 Ty=-3.19 Tz=-8.98 Mx=-0.01 Mz=-4.04
Sollecitazioni agenti localmente: Ty_l=-1675.84 Mx_l=-33.52
Tensioni nella sezione: σ=406.26 τ=50.78
CC 17 SLV (Collegamento 0025_-382)
Azioni sul collegamento: N=-9217.12 Ty=-6.55 Tz=-8.98 Mx=-0.01 Mz=-7.22
Sollecitazioni agenti localmente: Ty_l=-1675.84 Mx_l=-33.52
Tensioni nella sezione: σ=406.26 τ=50.78
CC 17 SLV (Collegamento 0025_-382)
Azioni sul collegamento: N=-9217.12 Ty=-3.19 Tz=10.69 Mx=-0.01 Mz=-4.04
Sollecitazioni agenti localmente: Ty_l=-1675.84 Mx_l=-33.52
Tensioni nella sezione: σ=406.26 τ=50.78
CC 17 SLV (Collegamento 0025_-382)
Azioni sul collegamento: N=-9217.12 Ty=-6.55 Tz=10.69 Mx=-0.01 Mz=-7.22
Sollecitazioni agenti localmente: Ty_l=-1675.84 Mx_l=-33.52
Tensioni nella sezione: σ=406.26 τ=50.78
CC 18 SLD (Collegamento 0025_-382)
Azioni sul collegamento: N=-5736.03 Ty=-3.51 Tz=-2.27 Mx=-0.00 Mz=-3.06
Sollecitazioni agenti localmente: Ty_l=-1042.91 Mx_l=-20.86
Tensioni nella sezione: σ=252.83 τ=31.60
CC 18 SLD (Collegamento 0025_-382)
Azioni sul collegamento: N=-5736.03 Ty=-4.54 Tz=-2.27 Mx=-0.00 Mz=-4.03
Sollecitazioni agenti localmente: Ty_l=-1042.91 Mx_l=-20.86
Tensioni nella sezione: σ=252.83 τ=31.60
CC 18 SLD (Collegamento 0025_-382)
Azioni sul collegamento: N=-5736.03 Ty=-3.51 Tz=3.73 Mx=-0.00 Mz=-3.06
Sollecitazioni agenti localmente: Ty_l=-1042.91 Mx_l=-20.86
Tensioni nella sezione: σ=252.83 τ=31.60
CC 18 SLD (Collegamento 0025_-382)
Azioni sul collegamento: N=-5736.03 Ty=-4.54 Tz=3.73 Mx=-0.00 Mz=-4.03
Sollecitazioni agenti localmente: Ty_l=-1042.91 Mx_l=-20.86
Tensioni nella sezione: σ=252.83 τ=31.60
CC 18 SLD (Collegamento 0025_-382)
Azioni sul collegamento: N=-7347.75 Ty=-3.51 Tz=-2.27 Mx=-0.00 Mz=-3.06
Sollecitazioni agenti localmente: Ty_l=-1335.95 Mx_l=-26.72
Tensioni nella sezione: σ=323.87 τ=40.48
CC 18 SLD (Collegamento 0025_-382)
Azioni sul collegamento: N=-7347.75 Ty=-4.54 Tz=-2.27 Mx=-0.00 Mz=-4.03
Sollecitazioni agenti localmente: Ty_l=-1335.95 Mx_l=-26.72
Tensioni nella sezione: σ=323.87 τ=40.48
CC 18 SLD (Collegamento 0025_-382)
Azioni sul collegamento: N=-7347.75 Ty=-3.51 Tz=3.73 Mx=-0.00 Mz=-3.06
Sollecitazioni agenti localmente: Ty_l=-1335.95 Mx_l=-26.72
Tensioni nella sezione: σ=323.87 τ=40.48
CC 18 SLD (Collegamento 0025_-382)
Azioni sul collegamento: N=-7347.75 Ty=-4.54 Tz=3.73 Mx=-0.00 Mz=-4.03
Sollecitazioni agenti localmente: Ty_l=-1335.95 Mx_l=-26.72
Tensioni nella sezione: σ=323.87 τ=40.48
CC 19 SLV (Collegamento 0025_-382)
Azioni sul collegamento: N=-3937.31 Ty=-3.82 Tz=-8.85 Mx=-0.01 Mz=-5.30
Sollecitazioni agenti localmente: Ty_l=-715.87 Mx_l=-14.32
Tensioni nella sezione: σ=173.54 τ=21.69
CC 19 SLV (Collegamento 0025_-382)
Azioni sul collegamento: N=-3937.31 Ty=-5.92 Tz=-8.85 Mx=-0.01 Mz=-5.96
Sollecitazioni agenti localmente: Ty_l=-715.87 Mx_l=-14.32
Tensioni nella sezione: σ=173.54 τ=21.69
CC 19 SLV (Collegamento 0025_-382)
Azioni sul collegamento: N=-3937.31 Ty=-3.82 Tz=10.56 Mx=-0.01 Mz=-5.30
Sollecitazioni agenti localmente: Ty_l=-715.87 Mx_l=-14.32
Tensioni nella sezione: σ=173.54 τ=21.69
CC 19 SLV (Collegamento 0025_-382)
Azioni sul collegamento: N=-3937.31 Ty=-5.92 Tz=10.56 Mx=-0.01 Mz=-5.96
Sollecitazioni agenti localmente: Ty_l=-715.87 Mx_l=-14.32
Tensioni nella sezione: σ=173.54 τ=21.69
CC 19 SLV (Collegamento 0025_-382)
Azioni sul collegamento: N=-9211.43 Ty=-3.82 Tz=-8.85 Mx=-0.01 Mz=-5.30
Sollecitazioni agenti localmente: Ty_l=-1674.81 Mx_l=-33.50

Tensioni nella sezione: σ=406.01 τ=50.75
CC 19 SLV (Collegamento 0025_-382)
Azioni sul collegamento: N=-9211.43 Ty=-5.92 Tz=-8.85 Mx=-0.01 Mz=-5.96
Sollecitazioni agenti localmente: Ty_l=-1674.81 Mx_l=-33.50
Tensioni nella sezione: σ=406.01 τ=50.75
CC 19 SLV (Collegamento 0025_-382)
Azioni sul collegamento: N=-9211.43 Ty=-3.82 Tz=10.56 Mx=-0.01 Mz=-5.30
Sollecitazioni agenti localmente: Ty_l=-1674.81 Mx_l=-33.50
Tensioni nella sezione: σ=406.01 τ=50.75
CC 19 SLV (Collegamento 0025_-382)
Azioni sul collegamento: N=-9211.43 Ty=-5.92 Tz=10.56 Mx=-0.01 Mz=-5.96
Sollecitazioni agenti localmente: Ty_l=-1674.81 Mx_l=-33.50
Tensioni nella sezione: σ=406.01 τ=50.75
CC 20 SLD (Collegamento 0025_-382)
Azioni sul collegamento: N=-5737.77 Ty=-3.71 Tz=-2.23 Mx=-0.00 Mz=-3.45
Sollecitazioni agenti localmente: Ty_l=-1043.23 Mx_l=-20.86
Tensioni nella sezione: σ=252.90 τ=31.61
CC 20 SLD (Collegamento 0025_-382)
Azioni sul collegamento: N=-5737.77 Ty=-4.34 Tz=-2.23 Mx=-0.00 Mz=-3.65
Sollecitazioni agenti localmente: Ty_l=-1043.23 Mx_l=-20.86
Tensioni nella sezione: σ=252.90 τ=31.61
CC 20 SLD (Collegamento 0025_-382)
Azioni sul collegamento: N=-5737.77 Ty=-3.71 Tz=3.69 Mx=-0.00 Mz=-3.45
Sollecitazioni agenti localmente: Ty_l=-1043.23 Mx_l=-20.86
Tensioni nella sezione: σ=252.90 τ=31.61
CC 20 SLD (Collegamento 0025_-382)
Azioni sul collegamento: N=-5737.77 Ty=-4.34 Tz=3.69 Mx=-0.00 Mz=-3.65
Sollecitazioni agenti localmente: Ty_l=-1043.23 Mx_l=-20.86
Tensioni nella sezione: σ=252.90 τ=31.61
CC 20 SLD (Collegamento 0025_-382)
Azioni sul collegamento: N=-7346.01 Ty=-3.71 Tz=-2.23 Mx=-0.00 Mz=-3.45
Sollecitazioni agenti localmente: Ty_l=-1335.64 Mx_l=-26.71
Tensioni nella sezione: σ=323.79 τ=40.47
CC 20 SLD (Collegamento 0025_-382)
Azioni sul collegamento: N=-7346.01 Ty=-4.34 Tz=-2.23 Mx=-0.00 Mz=-3.65
Sollecitazioni agenti localmente: Ty_l=-1335.64 Mx_l=-26.71
Tensioni nella sezione: σ=323.79 τ=40.47
CC 20 SLD (Collegamento 0025_-382)
Azioni sul collegamento: N=-7346.01 Ty=-3.71 Tz=3.69 Mx=-0.00 Mz=-3.45
Sollecitazioni agenti localmente: Ty_l=-1335.64 Mx_l=-26.71
Tensioni nella sezione: σ=323.79 τ=40.47
CC 20 SLD (Collegamento 0025_-382)
Azioni sul collegamento: N=-7346.01 Ty=-4.34 Tz=3.69 Mx=-0.00 Mz=-3.65
Sollecitazioni agenti localmente: Ty_l=-1335.64 Mx_l=-26.71
Tensioni nella sezione: σ=323.79 τ=40.47
CC 21 SLV (Collegamento 0025_-382)
Azioni sul collegamento: N=-9211.43 Ty=-5.92 Tz=10.56 Mx=-0.01 Mz=-5.96
Sollecitazioni agenti localmente: Ty_l=-1674.81 Mx_l=-33.50
Tensioni nella sezione: σ=406.01 τ=50.75
CC 21 SLV (Collegamento 0025_-382)
Azioni sul collegamento: N=-9211.43 Ty=-3.82 Tz=10.56 Mx=-0.01 Mz=-5.30
Sollecitazioni agenti localmente: Ty_l=-1674.81 Mx_l=-33.50
Tensioni nella sezione: σ=406.01 τ=50.75
CC 21 SLV (Collegamento 0025_-382)
Azioni sul collegamento: N=-9211.43 Ty=-5.92 Tz=-8.85 Mx=-0.01 Mz=-5.96
Sollecitazioni agenti localmente: Ty_l=-1674.81 Mx_l=-33.50
Tensioni nella sezione: σ=406.01 τ=50.75
CC 21 SLV (Collegamento 0025_-382)
Azioni sul collegamento: N=-9211.43 Ty=-3.82 Tz=-8.85 Mx=-0.01 Mz=-5.30
Sollecitazioni agenti localmente: Ty_l=-1674.81 Mx_l=-33.50
Tensioni nella sezione: σ=406.01 τ=50.75
CC 21 SLV (Collegamento 0025_-382)
Azioni sul collegamento: N=-3937.31 Ty=-5.92 Tz=10.56 Mx=-0.01 Mz=-5.96
Sollecitazioni agenti localmente: Ty_l=-715.87 Mx_l=-14.32
Tensioni nella sezione: σ=173.54 τ=21.69
CC 21 SLV (Collegamento 0025_-382)
Azioni sul collegamento: N=-3937.31 Ty=-3.82 Tz=10.56 Mx=-0.01 Mz=-5.30
Sollecitazioni agenti localmente: Ty_l=-715.87 Mx_l=-14.32
Tensioni nella sezione: σ=173.54 τ=21.69
CC 21 SLV (Collegamento 0025_-382)
Azioni sul collegamento: N=-3937.31 Ty=-5.92 Tz=-8.85 Mx=-0.01 Mz=-5.96
Sollecitazioni agenti localmente: Ty_l=-715.87 Mx_l=-14.32
Tensioni nella sezione: σ=173.54 τ=21.69
CC 21 SLV (Collegamento 0025_-382)
Azioni sul collegamento: N=-3937.31 Ty=-3.82 Tz=-8.85 Mx=-0.01 Mz=-5.30
Sollecitazioni agenti localmente: Ty_l=-715.87 Mx_l=-14.32
Tensioni nella sezione: σ=173.54 τ=21.69
CC 22 SLD (Collegamento 0025_-382)
Azioni sul collegamento: N=-7346.01 Ty=-4.34 Tz=3.69 Mx=-0.00 Mz=-3.65

Sollecitazioni agenti localmente: Ty_l=-1335.64 Mx_l=-26.71
Tensioni nella sezione: σ=323.79 τ=40.47
CC 22 SLD (Collegamento 0025_-382)
Azioni sul collegamento: N=-7346.01 Ty=-3.71 Tz=3.69 Mx=-0.00 Mz=-3.45
Sollecitazioni agenti localmente: Ty_l=-1335.64 Mx_l=-26.71
Tensioni nella sezione: σ=323.79 τ=40.47
CC 22 SLD (Collegamento 0025_-382)
Azioni sul collegamento: N=-7346.01 Ty=-4.34 Tz=-2.23 Mx=-0.00 Mz=-3.65
Sollecitazioni agenti localmente: Ty_l=-1335.64 Mx_l=-26.71
Tensioni nella sezione: σ=323.79 τ=40.47
CC 22 SLD (Collegamento 0025_-382)
Azioni sul collegamento: N=-7346.01 Ty=-3.71 Tz=-2.23 Mx=-0.00 Mz=-3.45
Sollecitazioni agenti localmente: Ty_l=-1335.64 Mx_l=-26.71
Tensioni nella sezione: σ=323.79 τ=40.47
CC 22 SLD (Collegamento 0025_-382)
Azioni sul collegamento: N=-5737.77 Ty=-4.34 Tz=3.69 Mx=-0.00 Mz=-3.65
Sollecitazioni agenti localmente: Ty_l=-1043.23 Mx_l=-20.86
Tensioni nella sezione: σ=252.90 τ=31.61
CC 22 SLD (Collegamento 0025_-382)
Azioni sul collegamento: N=-5737.77 Ty=-3.71 Tz=3.69 Mx=-0.00 Mz=-3.45
Sollecitazioni agenti localmente: Ty_l=-1043.23 Mx_l=-20.86
Tensioni nella sezione: σ=252.90 τ=31.61
CC 22 SLD (Collegamento 0025_-382)
Azioni sul collegamento: N=-5737.77 Ty=-4.34 Tz=-2.23 Mx=-0.00 Mz=-3.65
Sollecitazioni agenti localmente: Ty_l=-1043.23 Mx_l=-20.86
Tensioni nella sezione: σ=252.90 τ=31.61
CC 22 SLD (Collegamento 0025_-382)
Azioni sul collegamento: N=-5737.77 Ty=-3.71 Tz=-2.23 Mx=-0.00 Mz=-3.45
Sollecitazioni agenti localmente: Ty_l=-1043.23 Mx_l=-20.86
Tensioni nella sezione: σ=252.90 τ=31.61
CC 23 SLV (Collegamento 0025_-382)
Azioni sul collegamento: N=-9217.12 Ty=-6.55 Tz=10.69 Mx=-0.01 Mz=-7.22
Sollecitazioni agenti localmente: Ty_l=-1675.84 Mx_l=-33.52
Tensioni nella sezione: σ=406.26 τ=50.78
CC 23 SLV (Collegamento 0025_-382)
Azioni sul collegamento: N=-9217.12 Ty=-3.19 Tz=10.69 Mx=-0.01 Mz=-4.04
Sollecitazioni agenti localmente: Ty_l=-1675.84 Mx_l=-33.52
Tensioni nella sezione: σ=406.26 τ=50.78
CC 23 SLV (Collegamento 0025_-382)
Azioni sul collegamento: N=-9217.12 Ty=-6.55 Tz=-8.98 Mx=-0.01 Mz=-7.22
Sollecitazioni agenti localmente: Ty_l=-1675.84 Mx_l=-33.52
Tensioni nella sezione: σ=406.26 τ=50.78
CC 23 SLV (Collegamento 0025_-382)
Azioni sul collegamento: N=-9217.12 Ty=-3.19 Tz=-8.98 Mx=-0.01 Mz=-4.04
Sollecitazioni agenti localmente: Ty_l=-1675.84 Mx_l=-33.52
Tensioni nella sezione: σ=406.26 τ=50.78
CC 23 SLV (Collegamento 0025_-382)
Azioni sul collegamento: N=-3931.62 Ty=-6.55 Tz=10.69 Mx=-0.01 Mz=-7.22
Sollecitazioni agenti localmente: Ty_l=-714.84 Mx_l=-14.30
Tensioni nella sezione: σ=173.29 τ=21.66
CC 23 SLV (Collegamento 0025_-382)
Azioni sul collegamento: N=-3931.62 Ty=-3.19 Tz=10.69 Mx=-0.01 Mz=-4.04
Sollecitazioni agenti localmente: Ty_l=-714.84 Mx_l=-14.30
Tensioni nella sezione: σ=173.29 τ=21.66
CC 23 SLV (Collegamento 0025_-382)
Azioni sul collegamento: N=-3931.62 Ty=-6.55 Tz=-8.98 Mx=-0.01 Mz=-7.22
Sollecitazioni agenti localmente: Ty_l=-714.84 Mx_l=-14.30
Tensioni nella sezione: σ=173.29 τ=21.66
CC 23 SLV (Collegamento 0025_-382)
Azioni sul collegamento: N=-3931.62 Ty=-3.19 Tz=-8.98 Mx=-0.01 Mz=-4.04
Sollecitazioni agenti localmente: Ty_l=-714.84 Mx_l=-14.30
Tensioni nella sezione: σ=173.29 τ=21.66
CC 24 SLD (Collegamento 0025_-382)
Azioni sul collegamento: N=-7347.75 Ty=-4.54 Tz=3.73 Mx=0.00 Mz=-4.03
Sollecitazioni agenti localmente: Ty_l=-1335.95 Mx_l=-26.72
Tensioni nella sezione: σ=323.87 τ=40.48
CC 24 SLD (Collegamento 0025_-382)
Azioni sul collegamento: N=-7347.75 Ty=-3.51 Tz=3.73 Mx=0.00 Mz=-3.06
Sollecitazioni agenti localmente: Ty_l=-1335.95 Mx_l=-26.72
Tensioni nella sezione: σ=323.87 τ=40.48
CC 24 SLD (Collegamento 0025_-382)
Azioni sul collegamento: N=-7347.75 Ty=-4.54 Tz=-2.27 Mx=0.00 Mz=-4.03
Sollecitazioni agenti localmente: Ty_l=-1335.95 Mx_l=-26.72
Tensioni nella sezione: σ=323.87 τ=40.48
CC 24 SLD (Collegamento 0025_-382)
Azioni sul collegamento: N=-7347.75 Ty=-3.51 Tz=-2.27 Mx=0.00 Mz=-3.06
Sollecitazioni agenti localmente: Ty_l=-1335.95 Mx_l=-26.72
Tensioni nella sezione: σ=323.87 τ=40.48
CC 24 SLD (Collegamento 0025_-382)

Azioni sul collegamento: N=-5736.03 Ty=-4.54 Tz=3.73 Mx=0.00 Mz=-4.03
Sollecitazioni agenti localmente: Ty_l=-1042.91 Mx_l=-20.86
Tensioni nella sezione: σ=252.83 τ=31.60
CC 24 SLD (Collegamento 0025_-382)
Azioni sul collegamento: N=-5736.03 Ty=-3.51 Tz=3.73 Mx=0.00 Mz=-3.06
Sollecitazioni agenti localmente: Ty_l=-1042.91 Mx_l=-20.86
Tensioni nella sezione: σ=252.83 τ=31.60
CC 24 SLD (Collegamento 0025_-382)
Azioni sul collegamento: N=-5736.03 Ty=-4.54 Tz=-2.27 Mx=0.00 Mz=-4.03
Sollecitazioni agenti localmente: Ty_l=-1042.91 Mx_l=-20.86
Tensioni nella sezione: σ=252.83 τ=31.60
CC 24 SLD (Collegamento 0025_-382)
Azioni sul collegamento: N=-5736.03 Ty=-3.51 Tz=-2.27 Mx=0.00 Mz=-3.06
Sollecitazioni agenti localmente: Ty_l=-1042.91 Mx_l=-20.86
Tensioni nella sezione: σ=252.83 τ=31.60
CC 25 SLV (Collegamento 0025_-382)
Azioni sul collegamento: N=-5772.93 Ty=-3.40 Tz=-2.29 Mx=-0.02 Mz=-3.25
Sollecitazioni agenti localmente: Ty_l=-1049.62 Mx_l=-20.99
Tensioni nella sezione: σ=254.45 τ=31.81
CC 25 SLV (Collegamento 0025_-382)
Azioni sul collegamento: N=-5772.93 Ty=-6.34 Tz=-2.29 Mx=-0.02 Mz=-8.01
Sollecitazioni agenti localmente: Ty_l=-1049.62 Mx_l=-20.99
Tensioni nella sezione: σ=254.45 τ=31.81
CC 25 SLV (Collegamento 0025_-382)
Azioni sul collegamento: N=-5772.93 Ty=-3.40 Tz=4.00 Mx=-0.02 Mz=-3.25
Sollecitazioni agenti localmente: Ty_l=-1049.62 Mx_l=-20.99
Tensioni nella sezione: σ=254.45 τ=31.81
CC 25 SLV (Collegamento 0025_-382)
Azioni sul collegamento: N=-5772.93 Ty=-6.34 Tz=4.00 Mx=-0.02 Mz=-8.01
Sollecitazioni agenti localmente: Ty_l=-1049.62 Mx_l=-20.99
Tensioni nella sezione: σ=254.45 τ=31.81
CC 25 SLV (Collegamento 0025_-382)
Azioni sul collegamento: N=-7375.81 Ty=-3.40 Tz=-2.29 Mx=-0.02 Mz=-3.25
Sollecitazioni agenti localmente: Ty_l=-1341.06 Mx_l=-26.82
Tensioni nella sezione: σ=325.10 τ=40.64
CC 25 SLV (Collegamento 0025_-382)
Azioni sul collegamento: N=-7375.81 Ty=-6.34 Tz=-2.29 Mx=-0.02 Mz=-8.01
Sollecitazioni agenti localmente: Ty_l=-1341.06 Mx_l=-26.82
Tensioni nella sezione: σ=325.10 τ=40.64
CC 25 SLV (Collegamento 0025_-382)
Azioni sul collegamento: N=-7375.81 Ty=-3.40 Tz=4.00 Mx=-0.02 Mz=-3.25
Sollecitazioni agenti localmente: Ty_l=-1341.06 Mx_l=-26.82
Tensioni nella sezione: σ=325.10 τ=40.64
CC 25 SLV (Collegamento 0025_-382)
Azioni sul collegamento: N=-7375.81 Ty=-6.34 Tz=4.00 Mx=-0.02 Mz=-8.01
Sollecitazioni agenti localmente: Ty_l=-1341.06 Mx_l=-26.82
Tensioni nella sezione: σ=325.10 τ=40.64
CC 26 SLD (Collegamento 0025_-382)
Azioni sul collegamento: N=-6297.50 Ty=-3.58 Tz=-0.23 Mx=-0.00 Mz=-2.82
Sollecitazioni agenti localmente: Ty_l=-1145.00 Mx_l=-22.90
Tensioni nella sezione: σ=277.57 τ=34.70
CC 26 SLD (Collegamento 0025_-382)
Azioni sul collegamento: N=-6297.50 Ty=-4.47 Tz=-0.23 Mx=-0.00 Mz=-4.27
Sollecitazioni agenti localmente: Ty_l=-1145.00 Mx_l=-22.90
Tensioni nella sezione: σ=277.57 τ=34.70
CC 26 SLD (Collegamento 0025_-382)
Azioni sul collegamento: N=-6297.50 Ty=-3.58 Tz=1.69 Mx=-0.00 Mz=-2.82
Sollecitazioni agenti localmente: Ty_l=-1145.00 Mx_l=-22.90
Tensioni nella sezione: σ=277.57 τ=34.70
CC 26 SLD (Collegamento 0025_-382)
Azioni sul collegamento: N=-6297.50 Ty=-4.47 Tz=1.69 Mx=-0.00 Mz=-4.27
Sollecitazioni agenti localmente: Ty_l=-1145.00 Mx_l=-22.90
Tensioni nella sezione: σ=277.57 τ=34.70
CC 26 SLD (Collegamento 0025_-382)
Azioni sul collegamento: N=-6786.28 Ty=-3.58 Tz=-0.23 Mx=-0.00 Mz=-2.82
Sollecitazioni agenti localmente: Ty_l=-1233.87 Mx_l=-24.68
Tensioni nella sezione: σ=299.12 τ=37.39
CC 26 SLD (Collegamento 0025_-382)
Azioni sul collegamento: N=-6786.28 Ty=-4.47 Tz=-0.23 Mx=-0.00 Mz=-4.27
Sollecitazioni agenti localmente: Ty_l=-1233.87 Mx_l=-24.68
Tensioni nella sezione: σ=299.12 τ=37.39
CC 26 SLD (Collegamento 0025_-382)
Azioni sul collegamento: N=-6786.28 Ty=-3.58 Tz=1.69 Mx=-0.00 Mz=-2.82
Sollecitazioni agenti localmente: Ty_l=-1233.87 Mx_l=-24.68
Tensioni nella sezione: σ=299.12 τ=37.39
CC 26 SLD (Collegamento 0025_-382)
Azioni sul collegamento: N=-6786.28 Ty=-4.47 Tz=1.69 Mx=-0.00 Mz=-4.27
Sollecitazioni agenti localmente: Ty_l=-1233.87 Mx_l=-24.68
Tensioni nella sezione: σ=299.12 τ=37.39

CC 27 SLV (Collegamento 0025_-382)
Azioni sul collegamento: N=-7356.87 Ty=-4.22 Tz=3.57 Mx=-0.02 Mz=-3.82
Sollecitazioni agenti localmente: Ty_l=-1337.61 Mx_l=-26.75
Tensioni nella sezione: σ=324.27 τ=40.53
CC 27 SLV (Collegamento 0025_-382)
Azioni sul collegamento: N=-7356.87 Ty=-5.52 Tz=3.57 Mx=-0.02 Mz=-7.44
Sollecitazioni agenti localmente: Ty_l=-1337.61 Mx_l=-26.75
Tensioni nella sezione: σ=324.27 τ=40.53
CC 27 SLV (Collegamento 0025_-382)
Azioni sul collegamento: N=-7356.87 Ty=-4.22 Tz=-1.86 Mx=-0.02 Mz=-3.82
Sollecitazioni agenti localmente: Ty_l=-1337.61 Mx_l=-26.75
Tensioni nella sezione: σ=324.27 τ=40.53
CC 27 SLV (Collegamento 0025_-382)
Azioni sul collegamento: N=-7356.87 Ty=-5.52 Tz=-1.86 Mx=-0.02 Mz=-7.44
Sollecitazioni agenti localmente: Ty_l=-1337.61 Mx_l=-26.75
Tensioni nella sezione: σ=324.27 τ=40.53
CC 27 SLV (Collegamento 0025_-382)
Azioni sul collegamento: N=-5791.87 Ty=-4.22 Tz=3.57 Mx=-0.02 Mz=-3.82
Sollecitazioni agenti localmente: Ty_l=-1053.07 Mx_l=-21.06
Tensioni nella sezione: σ=255.29 τ=31.91
CC 27 SLV (Collegamento 0025_-382)
Azioni sul collegamento: N=-5791.87 Ty=-5.52 Tz=3.57 Mx=-0.02 Mz=-7.44
Sollecitazioni agenti localmente: Ty_l=-1053.07 Mx_l=-21.06
Tensioni nella sezione: σ=255.29 τ=31.91
CC 27 SLV (Collegamento 0025_-382)
Azioni sul collegamento: N=-5791.87 Ty=-4.22 Tz=-1.86 Mx=-0.02 Mz=-3.82
Sollecitazioni agenti localmente: Ty_l=-1053.07 Mx_l=-21.06
Tensioni nella sezione: σ=255.29 τ=31.91
CC 27 SLV (Collegamento 0025_-382)
Azioni sul collegamento: N=-5791.87 Ty=-5.52 Tz=-1.86 Mx=-0.02 Mz=-7.44
Sollecitazioni agenti localmente: Ty_l=-1053.07 Mx_l=-21.06
Tensioni nella sezione: σ=255.29 τ=31.91
CC 28 SLD (Collegamento 0025_-382)
Azioni sul collegamento: N=-6780.50 Ty=-3.83 Tz=1.56 Mx=-0.00 Mz=-3.00
Sollecitazioni agenti localmente: Ty_l=-1232.82 Mx_l=-24.66
Tensioni nella sezione: σ=298.86 τ=37.36
CC 28 SLD (Collegamento 0025_-382)
Azioni sul collegamento: N=-6780.50 Ty=-4.22 Tz=1.56 Mx=-0.00 Mz=-4.10
Sollecitazioni agenti localmente: Ty_l=-1232.82 Mx_l=-24.66
Tensioni nella sezione: σ=298.86 τ=37.36
CC 28 SLD (Collegamento 0025_-382)
Azioni sul collegamento: N=-6780.50 Ty=-3.83 Tz=-0.10 Mx=-0.00 Mz=-3.00
Sollecitazioni agenti localmente: Ty_l=-1232.82 Mx_l=-24.66
Tensioni nella sezione: σ=298.86 τ=37.36
CC 28 SLD (Collegamento 0025_-382)
Azioni sul collegamento: N=-6780.50 Ty=-4.22 Tz=-0.10 Mx=-0.00 Mz=-4.10
Sollecitazioni agenti localmente: Ty_l=-1232.82 Mx_l=-24.66
Tensioni nella sezione: σ=298.86 τ=37.36
CC 28 SLD (Collegamento 0025_-382)
Azioni sul collegamento: N=-6303.28 Ty=-3.83 Tz=1.56 Mx=-0.00 Mz=-3.00
Sollecitazioni agenti localmente: Ty_l=-1146.05 Mx_l=-22.92
Tensioni nella sezione: σ=277.83 τ=34.73
CC 28 SLD (Collegamento 0025_-382)
Azioni sul collegamento: N=-6303.28 Ty=-4.22 Tz=1.56 Mx=-0.00 Mz=-4.10
Sollecitazioni agenti localmente: Ty_l=-1146.05 Mx_l=-22.92
Tensioni nella sezione: σ=277.83 τ=34.73
CC 28 SLD (Collegamento 0025_-382)
Azioni sul collegamento: N=-6303.28 Ty=-3.83 Tz=-0.10 Mx=-0.00 Mz=-3.00
Sollecitazioni agenti localmente: Ty_l=-1146.05 Mx_l=-22.92
Tensioni nella sezione: σ=277.83 τ=34.73
CC 28 SLD (Collegamento 0025_-382)
Azioni sul collegamento: N=-6303.28 Ty=-4.22 Tz=-0.10 Mx=-0.00 Mz=-4.10
Sollecitazioni agenti localmente: Ty_l=-1146.05 Mx_l=-22.92
Tensioni nella sezione: σ=277.83 τ=34.73
CC 29 SLV (Collegamento 0025_-382)
Azioni sul collegamento: N=-5791.87 Ty=-5.52 Tz=-1.86 Mx=-0.00 Mz=-7.44
Sollecitazioni agenti localmente: Ty_l=-1053.07 Mx_l=-21.06
Tensioni nella sezione: σ=255.29 τ=31.91
CC 29 SLV (Collegamento 0025_-382)
Azioni sul collegamento: N=-5791.87 Ty=-4.22 Tz=-1.86 Mx=-0.00 Mz=-3.82
Sollecitazioni agenti localmente: Ty_l=-1053.07 Mx_l=-21.06
Tensioni nella sezione: σ=255.29 τ=31.91
CC 29 SLV (Collegamento 0025_-382)
Azioni sul collegamento: N=-5791.87 Ty=-5.52 Tz=3.57 Mx=-0.00 Mz=-7.44
Sollecitazioni agenti localmente: Ty_l=-1053.07 Mx_l=-21.06
Tensioni nella sezione: σ=255.29 τ=31.91
CC 29 SLV (Collegamento 0025_-382)
Azioni sul collegamento: N=-5791.87 Ty=-4.22 Tz=3.57 Mx=-0.00 Mz=-3.82
Sollecitazioni agenti localmente: Ty_l=-1053.07 Mx_l=-21.06

Tensioni nella sezione: σ=255.29 τ=31.91
CC 29 SLV (Collegamento 0025_-382)
Azioni sul collegamento: N=-7356.87 Ty=-5.52 Tz=-1.86 Mx=-0.00 Mz=-7.44
Sollecitazioni agenti localmente: Ty_l=-1337.61 Mx_l=-26.75
Tensioni nella sezione: σ=324.27 τ=40.53
CC 29 SLV (Collegamento 0025_-382)
Azioni sul collegamento: N=-7356.87 Ty=-4.22 Tz=-1.86 Mx=-0.00 Mz=-3.82
Sollecitazioni agenti localmente: Ty_l=-1337.61 Mx_l=-26.75
Tensioni nella sezione: σ=324.27 τ=40.53
CC 29 SLV (Collegamento 0025_-382)
Azioni sul collegamento: N=-7356.87 Ty=-5.52 Tz=3.57 Mx=-0.00 Mz=-7.44
Sollecitazioni agenti localmente: Ty_l=-1337.61 Mx_l=-26.75
Tensioni nella sezione: σ=324.27 τ=40.53
CC 29 SLV (Collegamento 0025_-382)
Azioni sul collegamento: N=-7356.87 Ty=-4.22 Tz=3.57 Mx=-0.00 Mz=-3.82
Sollecitazioni agenti localmente: Ty_l=-1337.61 Mx_l=-26.75
Tensioni nella sezione: σ=324.27 τ=40.53
CC 30 SLD (Collegamento 0025_-382)
Azioni sul collegamento: N=-6303.28 Ty=-4.22 Tz=-0.10 Mx=0.00 Mz=-4.10
Sollecitazioni agenti localmente: Ty_l=-1146.05 Mx_l=-22.92
Tensioni nella sezione: σ=277.83 τ=34.73
CC 30 SLD (Collegamento 0025_-382)
Azioni sul collegamento: N=-6303.28 Ty=-3.83 Tz=-0.10 Mx=0.00 Mz=-3.00
Sollecitazioni agenti localmente: Ty_l=-1146.05 Mx_l=-22.92
Tensioni nella sezione: σ=277.83 τ=34.73
CC 30 SLD (Collegamento 0025_-382)
Azioni sul collegamento: N=-6303.28 Ty=-4.22 Tz=1.56 Mx=0.00 Mz=-4.10
Sollecitazioni agenti localmente: Ty_l=-1146.05 Mx_l=-22.92
Tensioni nella sezione: σ=277.83 τ=34.73
CC 30 SLD (Collegamento 0025_-382)
Azioni sul collegamento: N=-6303.28 Ty=-3.83 Tz=1.56 Mx=0.00 Mz=-3.00
Sollecitazioni agenti localmente: Ty_l=-1146.05 Mx_l=-22.92
Tensioni nella sezione: σ=277.83 τ=34.73
CC 30 SLD (Collegamento 0025_-382)
Azioni sul collegamento: N=-6780.50 Ty=-4.22 Tz=-0.10 Mx=0.00 Mz=-4.10
Sollecitazioni agenti localmente: Ty_l=-1232.82 Mx_l=-24.66
Tensioni nella sezione: σ=298.86 τ=37.36
CC 30 SLD (Collegamento 0025_-382)
Azioni sul collegamento: N=-6780.50 Ty=-3.83 Tz=-0.10 Mx=0.00 Mz=-3.00
Sollecitazioni agenti localmente: Ty_l=-1232.82 Mx_l=-24.66
Tensioni nella sezione: σ=298.86 τ=37.36
CC 30 SLD (Collegamento 0025_-382)
Azioni sul collegamento: N=-6780.50 Ty=-4.22 Tz=1.56 Mx=0.00 Mz=-4.10
Sollecitazioni agenti localmente: Ty_l=-1232.82 Mx_l=-24.66
Tensioni nella sezione: σ=298.86 τ=37.36
CC 30 SLD (Collegamento 0025_-382)
Azioni sul collegamento: N=-6780.50 Ty=-3.83 Tz=1.56 Mx=0.00 Mz=-3.00
Sollecitazioni agenti localmente: Ty_l=-1232.82 Mx_l=-24.66
Tensioni nella sezione: σ=298.86 τ=37.36
CC 31 SLV (Collegamento 0025_-382)
Azioni sul collegamento: N=-7375.81 Ty=-6.34 Tz=4.00 Mx=-0.00 Mz=-8.01
Sollecitazioni agenti localmente: Ty_l=-1341.06 Mx_l=-26.82
Tensioni nella sezione: σ=325.10 τ=40.64
CC 31 SLV (Collegamento 0025_-382)
Azioni sul collegamento: N=-7375.81 Ty=-3.40 Tz=4.00 Mx=-0.00 Mz=-3.25
Sollecitazioni agenti localmente: Ty_l=-1341.06 Mx_l=-26.82
Tensioni nella sezione: σ=325.10 τ=40.64
CC 31 SLV (Collegamento 0025_-382)
Azioni sul collegamento: N=-7375.81 Ty=-6.34 Tz=-2.29 Mx=-0.00 Mz=-8.01
Sollecitazioni agenti localmente: Ty_l=-1341.06 Mx_l=-26.82
Tensioni nella sezione: σ=325.10 τ=40.64
CC 31 SLV (Collegamento 0025_-382)
Azioni sul collegamento: N=-7375.81 Ty=-3.40 Tz=-2.29 Mx=-0.00 Mz=-3.25
Sollecitazioni agenti localmente: Ty_l=-1341.06 Mx_l=-26.82
Tensioni nella sezione: σ=325.10 τ=40.64
CC 31 SLV (Collegamento 0025_-382)
Azioni sul collegamento: N=-5772.93 Ty=-6.34 Tz=4.00 Mx=-0.00 Mz=-8.01
Sollecitazioni agenti localmente: Ty_l=-1049.62 Mx_l=-20.99
Tensioni nella sezione: σ=254.45 τ=31.81
CC 31 SLV (Collegamento 0025_-382)
Azioni sul collegamento: N=-5772.93 Ty=-3.40 Tz=4.00 Mx=-0.00 Mz=-3.25
Sollecitazioni agenti localmente: Ty_l=-1049.62 Mx_l=-20.99
Tensioni nella sezione: σ=254.45 τ=31.81
CC 31 SLV (Collegamento 0025_-382)
Azioni sul collegamento: N=-5772.93 Ty=-6.34 Tz=-2.29 Mx=-0.00 Mz=-8.01
Sollecitazioni agenti localmente: Ty_l=-1049.62 Mx_l=-20.99
Tensioni nella sezione: σ=254.45 τ=31.81
CC 31 SLV (Collegamento 0025_-382)
Azioni sul collegamento: N=-5772.93 Ty=-3.40 Tz=-2.29 Mx=-0.00 Mz=-3.25

Sollecitazioni agenti localmente: Ty_l=-1049.62 Mx_l=-20.99
Tensioni nella sezione: σ=254.45 τ=31.81
CC 32 SLD (Collegamento 0025_-382)
Azioni sul collegamento: N=-6786.28 Ty=-4.47 Tz=1.69 Mx=0.00 Mz=-4.27
Sollecitazioni agenti localmente: Ty_l=-1233.87 Mx_l=-24.68
Tensioni nella sezione: σ=299.12 τ=37.39
CC 32 SLD (Collegamento 0025_-382)
Azioni sul collegamento: N=-6786.28 Ty=-3.58 Tz=1.69 Mx=0.00 Mz=-2.82
Sollecitazioni agenti localmente: Ty_l=-1233.87 Mx_l=-24.68
Tensioni nella sezione: σ=299.12 τ=37.39
CC 32 SLD (Collegamento 0025_-382)
Azioni sul collegamento: N=-6786.28 Ty=-4.47 Tz=-0.23 Mx=0.00 Mz=-4.27
Sollecitazioni agenti localmente: Ty_l=-1233.87 Mx_l=-24.68
Tensioni nella sezione: σ=299.12 τ=37.39
CC 32 SLD (Collegamento 0025_-382)
Azioni sul collegamento: N=-6786.28 Ty=-3.58 Tz=-0.23 Mx=0.00 Mz=-2.82
Sollecitazioni agenti localmente: Ty_l=-1233.87 Mx_l=-24.68
Tensioni nella sezione: σ=299.12 τ=37.39
CC 32 SLD (Collegamento 0025_-382)
Azioni sul collegamento: N=-6297.50 Ty=-4.47 Tz=1.69 Mx=0.00 Mz=-4.27
Sollecitazioni agenti localmente: Ty_l=-1145.00 Mx_l=-22.90
Tensioni nella sezione: σ=277.57 τ=34.70
CC 32 SLD (Collegamento 0025_-382)
Azioni sul collegamento: N=-6297.50 Ty=-3.58 Tz=1.69 Mx=0.00 Mz=-2.82
Sollecitazioni agenti localmente: Ty_l=-1145.00 Mx_l=-22.90
Tensioni nella sezione: σ=277.57 τ=34.70
CC 32 SLD (Collegamento 0025_-382)
Azioni sul collegamento: N=-6297.50 Ty=-4.47 Tz=-0.23 Mx=0.00 Mz=-4.27
Sollecitazioni agenti localmente: Ty_l=-1145.00 Mx_l=-22.90
Tensioni nella sezione: σ=277.57 τ=34.70
CC 32 SLD (Collegamento 0025_-382)
Azioni sul collegamento: N=-6297.50 Ty=-3.58 Tz=-0.23 Mx=0.00 Mz=-2.82
Sollecitazioni agenti localmente: Ty_l=-1145.00 Mx_l=-22.90
Tensioni nella sezione: σ=277.57 τ=34.70
CC 33 SLU (Collegamento 0025_-382)
Azioni sul collegamento: N=-30778.60 Ty=-5.67 Tz=81.62 Mx=0.01 Mz=-4.05
Sollecitazioni agenti localmente: Ty_l=-5596.11 Mx_l=-111.92
Tensioni nella sezione: σ=1356.63 τ=169.58
CC 34 SLU (Collegamento 0025_-382)
Azioni sul collegamento: N=-30229.20 Ty=-5.39 Tz=79.58 Mx=0.01 Mz=-3.85
Sollecitazioni agenti localmente: Ty_l=-5496.22 Mx_l=-109.92
Tensioni nella sezione: σ=1332.41 τ=166.55
CC 35 SLU (Collegamento 0025_-382)
Azioni sul collegamento: N=-30504.90 Ty=-5.64 Tz=80.58 Mx=0.01 Mz=-4.16
Sollecitazioni agenti localmente: Ty_l=-5546.34 Mx_l=-110.93
Tensioni nella sezione: σ=1344.57 τ=168.07
CC 36 SLU (Collegamento 0025_-382)
Azioni sul collegamento: N=-30502.90 Ty=-5.42 Tz=80.62 Mx=0.01 Mz=-3.73
Sollecitazioni agenti localmente: Ty_l=-5545.98 Mx_l=-110.92
Tensioni nella sezione: σ=1344.48 τ=168.06
CC 37 SLU (Collegamento 0025_-382)
Azioni sul collegamento: N=-21507.60 Ty=-6.52 Tz=47.54 Mx=0.01 Mz=-4.63
Sollecitazioni agenti localmente: Ty_l=-3910.47 Mx_l=-78.21
Tensioni nella sezione: σ=947.99 τ=118.50
CC 38 SLU (Collegamento 0025_-382)
Azioni sul collegamento: N=-20958.20 Ty=-6.23 Tz=45.50 Mx=0.01 Mz=-4.43
Sollecitazioni agenti localmente: Ty_l=-3810.59 Mx_l=-76.21
Tensioni nella sezione: σ=923.78 τ=115.47
CC 39 SLU (Collegamento 0025_-382)
Azioni sul collegamento: N=-21233.90 Ty=-6.48 Tz=46.50 Mx=0.01 Mz=-4.75
Sollecitazioni agenti localmente: Ty_l=-3860.71 Mx_l=-77.21
Tensioni nella sezione: σ=935.93 τ=116.99
CC 40 SLU (Collegamento 0025_-382)
Azioni sul collegamento: N=-21231.90 Ty=-6.26 Tz=46.54 Mx=0.01 Mz=-4.31
Sollecitazioni agenti localmente: Ty_l=-3860.35 Mx_l=-77.21
Tensioni nella sezione: σ=935.84 τ=116.98
CC 41 SLU (Collegamento 0025_-382)
Azioni sul collegamento: N=-32702.20 Ty=-5.53 Tz=88.04 Mx=-0.00 Mz=-4.06
Sollecitazioni agenti localmente: Ty_l=-5945.85 Mx_l=-118.92
Tensioni nella sezione: σ=1441.42 τ=180.18
CC 42 SLU (Collegamento 0025_-382)
Azioni sul collegamento: N=-32152.80 Ty=-5.24 Tz=86.01 Mx=-0.00 Mz=-3.86
Sollecitazioni agenti localmente: Ty_l=-5845.96 Mx_l=-116.92
Tensioni nella sezione: σ=1417.20 τ=177.15
CC 43 SLU (Collegamento 0025_-382)
Azioni sul collegamento: N=-32428.50 Ty=-5.50 Tz=87.00 Mx=-0.00 Mz=-4.18
Sollecitazioni agenti localmente: Ty_l=-5896.09 Mx_l=-117.92
Tensioni nella sezione: σ=1429.35 τ=178.67
CC 44 SLU (Collegamento 0025_-382)

Azioni sul collegamento: N=-32426.50 Ty=-5.28 Tz=87.05 Mx=-0.00 Mz=-3.74
Sollecitazioni agenti localmente: Ty_l=-5895.73 Mx_l=-117.91
Tensioni nella sezione: σ=1429.27 τ=178.66
CC 45 SLU (Collegamento 0025_-382)
Azioni sul collegamento: N=-23594.00 Ty=-6.22 Tz=55.25 Mx=0.01 Mz=-4.49
Sollecitazioni agenti localmente: Ty_l=-4289.82 Mx_l=-85.80
Tensioni nella sezione: σ=1039.95 τ=129.99
CC 46 SLU (Collegamento 0025_-382)
Azioni sul collegamento: N=-23044.60 Ty=-5.94 Tz=53.22 Mx=0.01 Mz=-4.28
Sollecitazioni agenti localmente: Ty_l=-4189.93 Mx_l=-83.80
Tensioni nella sezione: σ=1015.74 τ=126.97
CC 47 SLU (Collegamento 0025_-382)
Azioni sul collegamento: N=-23320.30 Ty=-6.19 Tz=54.21 Mx=0.01 Mz=-4.60
Sollecitazioni agenti localmente: Ty_l=-4240.05 Mx_l=-84.80
Tensioni nella sezione: σ=1027.89 τ=128.49
CC 48 SLU (Collegamento 0025_-382)
Azioni sul collegamento: N=-23318.30 Ty=-5.97 Tz=54.26 Mx=0.01 Mz=-4.17
Sollecitazioni agenti localmente: Ty_l=-4239.70 Mx_l=-84.79
Tensioni nella sezione: σ=1027.80 τ=128.48
CC 49 SLU (Collegamento 0025_-382)
Azioni sul collegamento: N=-16657.90 Ty=-6.86 Tz=29.76 Mx=0.01 Mz=-4.92
Sollecitazioni agenti localmente: Ty_l=-3028.71 Mx_l=-60.57
Tensioni nella sezione: σ=734.23 τ=91.78
CC 50 SLU (Collegamento 0025_-382)
Azioni sul collegamento: N=-16108.50 Ty=-6.57 Tz=27.72 Mx=0.01 Mz=-4.72
Sollecitazioni agenti localmente: Ty_l=-2928.83 Mx_l=-58.58
Tensioni nella sezione: σ=710.02 τ=88.75
CC 51 SLU (Collegamento 0025_-382)
Azioni sul collegamento: N=-16384.20 Ty=-6.82 Tz=28.72 Mx=0.01 Mz=-5.04
Sollecitazioni agenti localmente: Ty_l=-2978.95 Mx_l=-59.58
Tensioni nella sezione: σ=722.17 τ=90.27
CC 52 SLU (Collegamento 0025_-382)
Azioni sul collegamento: N=-16382.20 Ty=-6.60 Tz=28.76 Mx=0.01 Mz=-4.60
Sollecitazioni agenti localmente: Ty_l=-2978.59 Mx_l=-59.57
Tensioni nella sezione: σ=722.08 τ=90.26
CC 53 SLU (Collegamento 0025_-382)
Azioni sul collegamento: N=-25033.10 Ty=-6.12 Tz=60.06 Mx=-0.00 Mz=-4.50
Sollecitazioni agenti localmente: Ty_l=-4551.48 Mx_l=-91.03
Tensioni nella sezione: σ=1103.39 τ=137.92
CC 54 SLU (Collegamento 0025_-382)
Azioni sul collegamento: N=-24483.80 Ty=-5.83 Tz=58.03 Mx=-0.00 Mz=-4.29
Sollecitazioni agenti localmente: Ty_l=-4451.59 Mx_l=-89.03
Tensioni nella sezione: σ=1079.17 τ=134.90
CC 55 SLU (Collegamento 0025_-382)
Azioni sul collegamento: N=-24759.40 Ty=-6.08 Tz=59.02 Mx=0.00 Mz=-4.61
Sollecitazioni agenti localmente: Ty_l=-4501.71 Mx_l=-90.03
Tensioni nella sezione: σ=1091.32 τ=136.42
CC 56 SLU (Collegamento 0025_-382)
Azioni sul collegamento: N=-24757.50 Ty=-5.87 Tz=59.07 Mx=-0.00 Mz=-4.18
Sollecitazioni agenti localmente: Ty_l=-4501.36 Mx_l=-90.03
Tensioni nella sezione: σ=1091.24 τ=136.41
CC 57 SLU (Collegamento 0025_-382)
Azioni sul collegamento: N=-21981.50 Ty=-5.60 Tz=49.32 Mx=0.01 Mz=-4.03
Sollecitazioni agenti localmente: Ty_l=-3996.63 Mx_l=-79.93
Tensioni nella sezione: σ=968.88 τ=121.11
CC 58 SLU (Collegamento 0025_-382)
Azioni sul collegamento: N=-21432.10 Ty=-5.31 Tz=47.28 Mx=0.01 Mz=-3.83
Sollecitazioni agenti localmente: Ty_l=-3896.75 Mx_l=-77.93
Tensioni nella sezione: σ=944.66 τ=118.08
CC 59 SLU (Collegamento 0025_-382)
Azioni sul collegamento: N=-21707.80 Ty=-5.57 Tz=48.28 Mx=0.01 Mz=-4.15
Sollecitazioni agenti localmente: Ty_l=-3946.87 Mx_l=-78.94
Tensioni nella sezione: σ=956.81 τ=119.60
CC 60 SLU (Collegamento 0025_-382)
Azioni sul collegamento: N=-21705.80 Ty=-5.35 Tz=48.32 Mx=0.01 Mz=-3.72
Sollecitazioni agenti localmente: Ty_l=-3946.51 Mx_l=-78.93
Tensioni nella sezione: σ=956.73 τ=119.59
CC 61 SLU (Collegamento 0025_-382)
Azioni sul collegamento: N=-15045.40 Ty=-6.23 Tz=23.82 Mx=0.01 Mz=-4.47
Sollecitazioni agenti localmente: Ty_l=-2735.53 Mx_l=-54.71
Tensioni nella sezione: σ=663.16 τ=82.89
CC 62 SLU (Collegamento 0025_-382)
Azioni sul collegamento: N=-14496.00 Ty=-5.95 Tz=21.79 Mx=0.01 Mz=-4.27
Sollecitazioni agenti localmente: Ty_l=-2635.64 Mx_l=-52.71
Tensioni nella sezione: σ=638.94 τ=79.87
CC 63 SLU (Collegamento 0025_-382)
Azioni sul collegamento: N=-14771.70 Ty=-6.20 Tz=22.78 Mx=0.01 Mz=-4.59
Sollecitazioni agenti localmente: Ty_l=-2685.76 Mx_l=-53.72
Tensioni nella sezione: σ=651.09 τ=81.39

CC 64 SLU (Collegamento 0025_-382)
Azioni sul collegamento: N=-14769.70 Ty=-5.98 Tz=22.82 Mx=0.01 Mz=-4.15
Sollecitazioni agenti localmente: Ty_l=-2685.40 Mx_l=-53.71
Tensioni nella sezione: σ=651.01 τ=81.38
CC 65 SLU (Collegamento 0025_-382)
Azioni sul collegamento: N=-23420.60 Ty=-5.49 Tz=54.12 Mx=-0.00 Mz=-4.04
Sollecitazioni agenti localmente: Ty_l=-4258.29 Mx_l=-85.17
Tensioni nella sezione: σ=1032.31 τ=129.04
CC 66 SLU (Collegamento 0025_-382)
Azioni sul collegamento: N=-22871.20 Ty=-5.21 Tz=52.09 Mx=-0.00 Mz=-3.84
Sollecitazioni agenti localmente: Ty_l=-4158.41 Mx_l=-83.17
Tensioni nella sezione: σ=1008.10 τ=126.01
CC 67 SLU (Collegamento 0025_-382)
Azioni sul collegamento: N=-23146.90 Ty=-5.46 Tz=53.08 Mx=-0.00 Mz=-4.16
Sollecitazioni agenti localmente: Ty_l=-4208.53 Mx_l=-84.17
Tensioni nella sezione: σ=1020.25 τ=127.53
CC 68 SLU (Collegamento 0025_-382)
Azioni sul collegamento: N=-23144.90 Ty=-5.24 Tz=53.13 Mx=-0.00 Mz=-3.72
Sollecitazioni agenti localmente: Ty_l=-4208.17 Mx_l=-84.16
Tensioni nella sezione: σ=1020.16 τ=127.52
CC 97 SLU (Collegamento 0025_-382)
Azioni sul collegamento: N=-11444.50 Ty=-17.52 Tz=18.88 Mx=-0.03 Mz=-21.34
Sollecitazioni agenti localmente: Ty_l=-2080.82 Mx_l=-41.62
Tensioni nella sezione: σ=504.44 τ=63.06
CC 98 SLU (Collegamento 0025_-382)
Azioni sul collegamento: N=-10895.20 Ty=-17.24 Tz=16.84 Mx=-0.03 Mz=-21.13
Sollecitazioni agenti localmente: Ty_l=-1980.94 Mx_l=-39.62
Tensioni nella sezione: σ=480.23 τ=60.03
CC 99 SLU (Collegamento 0025_-382)
Azioni sul collegamento: N=-11170.80 Ty=-17.49 Tz=17.84 Mx=-0.03 Mz=-21.45
Sollecitazioni agenti localmente: Ty_l=-2031.06 Mx_l=-40.62
Tensioni nella sezione: σ=492.38 τ=61.55
CC 100 SLU (Collegamento 0025_-382)
Azioni sul collegamento: N=-11168.90 Ty=-17.27 Tz=17.88 Mx=-0.04 Mz=-21.02
Sollecitazioni agenti localmente: Ty_l=-2030.70 Mx_l=-40.61
Tensioni nella sezione: σ=492.29 τ=61.54
CC 101 SLU (Collegamento 0025_-382)
Azioni sul collegamento: N=-7155.53 Ty=-1.61 Tz=2.94 Mx=0.01 Mz=-0.33
Sollecitazioni agenti localmente: Ty_l=-1301.01 Mx_l=-26.02
Tensioni nella sezione: σ=315.39 τ=39.42
CC 102 SLU (Collegamento 0025_-382)
Azioni sul collegamento: N=-6606.15 Ty=-1.32 Tz=0.91 Mx=0.01 Mz=-0.13
Sollecitazioni agenti localmente: Ty_l=-1201.12 Mx_l=-24.02
Tensioni nella sezione: σ=291.18 τ=36.40
CC 103 SLU (Collegamento 0025_-382)
Azioni sul collegamento: N=-6881.82 Ty=-1.58 Tz=1.90 Mx=0.01 Mz=-0.45
Sollecitazioni agenti localmente: Ty_l=-1251.24 Mx_l=-25.02
Tensioni nella sezione: σ=303.33 τ=37.92
CC 104 SLU (Collegamento 0025_-382)
Azioni sul collegamento: N=-6879.85 Ty=-1.36 Tz=1.95 Mx=0.01 Mz=-0.01
Sollecitazioni agenti localmente: Ty_l=-1250.88 Mx_l=-25.02
Tensioni nella sezione: σ=303.24 τ=37.91

Flessione attacco inferiore piastra

Bnetta=220.00 Hnetta=15.00
CC 1 SLV (Collegamento 0025_-382)
Azioni sul collegamento: N=-3838.16 Ty=-4.12 Tz=-9.35 Mx=0.02 Mz=1.95
Sollecitazioni agenti localmente: Ty_l=-697.85 Mx_l=-13.96
Tensioni nella sezione: σ=169.18 τ=21.15
CC 1 SLV (Collegamento 0025_-382)
Azioni sul collegamento: N=-3838.16 Ty=-0.76 Tz=-9.35 Mx=0.02 Mz=-1.23
Sollecitazioni agenti localmente: Ty_l=-697.85 Mx_l=-13.96
Tensioni nella sezione: σ=169.18 τ=21.15
CC 1 SLV (Collegamento 0025_-382)
Azioni sul collegamento: N=-3838.16 Ty=-4.12 Tz=10.33 Mx=0.02 Mz=1.95
Sollecitazioni agenti localmente: Ty_l=-697.85 Mx_l=-13.96
Tensioni nella sezione: σ=169.18 τ=21.15
CC 1 SLV (Collegamento 0025_-382)
Azioni sul collegamento: N=-3838.16 Ty=-0.76 Tz=10.33 Mx=0.02 Mz=-1.23
Sollecitazioni agenti localmente: Ty_l=-697.85 Mx_l=-13.96
Tensioni nella sezione: σ=169.18 τ=21.15
CC 1 SLV (Collegamento 0025_-382)
Azioni sul collegamento: N=-9123.66 Ty=-4.12 Tz=-9.35 Mx=0.02 Mz=1.95
Sollecitazioni agenti localmente: Ty_l=-1658.85 Mx_l=-33.18
Tensioni nella sezione: σ=402.14 τ=50.27
CC 1 SLV (Collegamento 0025_-382)
Azioni sul collegamento: N=-9123.66 Ty=-0.76 Tz=-9.35 Mx=0.02 Mz=-1.23
Sollecitazioni agenti localmente: Ty_l=-1658.85 Mx_l=-33.18

Tensioni nella sezione: σ=402.14 τ=50.27
CC 1 SLV (Collegamento 0025_-382)
Azioni sul collegamento: N=-9123.66 Ty=-4.12 Tz=10.33 Mx=0.02 Mz=1.95
Sollecitazioni agenti localmente: Ty_l=-1658.85 Mx_l=-33.18
Tensioni nella sezione: σ=402.14 τ=50.27
CC 1 SLV (Collegamento 0025_-382)
Azioni sul collegamento: N=-9123.66 Ty=-0.76 Tz=10.33 Mx=0.02 Mz=-1.23
Sollecitazioni agenti localmente: Ty_l=-1658.85 Mx_l=-33.18
Tensioni nella sezione: σ=402.14 τ=50.27
CC 2 SLD (Collegamento 0025_-382)
Azioni sul collegamento: N=-5707.53 Ty=-2.77 Tz=-2.38 Mx=0.01 Mz=-1.24
Sollecitazioni agenti localmente: Ty_l=-1037.73 Mx_l=-20.75
Tensioni nella sezione: σ=251.57 τ=31.45
CC 2 SLD (Collegamento 0025_-382)
Azioni sul collegamento: N=-5707.53 Ty=-3.80 Tz=-2.38 Mx=0.01 Mz=-2.21
Sollecitazioni agenti localmente: Ty_l=-1037.73 Mx_l=-20.75
Tensioni nella sezione: σ=251.57 τ=31.45
CC 2 SLD (Collegamento 0025_-382)
Azioni sul collegamento: N=-5707.53 Ty=-2.77 Tz=3.62 Mx=0.01 Mz=-1.24
Sollecitazioni agenti localmente: Ty_l=-1037.73 Mx_l=-20.75
Tensioni nella sezione: σ=251.57 τ=31.45
CC 2 SLD (Collegamento 0025_-382)
Azioni sul collegamento: N=-5707.53 Ty=-3.80 Tz=3.62 Mx=0.01 Mz=-2.21
Sollecitazioni agenti localmente: Ty_l=-1037.73 Mx_l=-20.75
Tensioni nella sezione: σ=251.57 τ=31.45
CC 2 SLD (Collegamento 0025_-382)
Azioni sul collegamento: N=-7319.25 Ty=-2.77 Tz=-2.38 Mx=0.01 Mz=-1.24
Sollecitazioni agenti localmente: Ty_l=-1330.77 Mx_l=-26.62
Tensioni nella sezione: σ=322.61 τ=40.33
CC 2 SLD (Collegamento 0025_-382)
Azioni sul collegamento: N=-7319.25 Ty=-3.80 Tz=-2.38 Mx=0.01 Mz=-2.21
Sollecitazioni agenti localmente: Ty_l=-1330.77 Mx_l=-26.62
Tensioni nella sezione: σ=322.61 τ=40.33
CC 2 SLD (Collegamento 0025_-382)
Azioni sul collegamento: N=-7319.25 Ty=-2.77 Tz=3.62 Mx=0.01 Mz=-1.24
Sollecitazioni agenti localmente: Ty_l=-1330.77 Mx_l=-26.62
Tensioni nella sezione: σ=322.61 τ=40.33
CC 2 SLD (Collegamento 0025_-382)
Azioni sul collegamento: N=-7319.25 Ty=-3.80 Tz=3.62 Mx=0.01 Mz=-2.21
Sollecitazioni agenti localmente: Ty_l=-1330.77 Mx_l=-26.62
Tensioni nella sezione: σ=322.61 τ=40.33
CC 3 SLV (Collegamento 0025_-382)
Azioni sul collegamento: N=-3843.85 Ty=-3.49 Tz=-9.22 Mx=0.02 Mz=0.69
Sollecitazioni agenti localmente: Ty_l=-698.88 Mx_l=-13.98
Tensioni nella sezione: σ=169.43 τ=21.18
CC 3 SLV (Collegamento 0025_-382)
Azioni sul collegamento: N=-3843.85 Ty=-1.39 Tz=-9.22 Mx=0.02 Mz=0.03
Sollecitazioni agenti localmente: Ty_l=-698.88 Mx_l=-13.98
Tensioni nella sezione: σ=169.43 τ=21.18
CC 3 SLV (Collegamento 0025_-382)
Azioni sul collegamento: N=-3843.85 Ty=-3.49 Tz=10.20 Mx=0.02 Mz=0.69
Sollecitazioni agenti localmente: Ty_l=-698.88 Mx_l=-13.98
Tensioni nella sezione: σ=169.43 τ=21.18
CC 3 SLV (Collegamento 0025_-382)
Azioni sul collegamento: N=-3843.85 Ty=-1.39 Tz=10.20 Mx=0.02 Mz=0.03
Sollecitazioni agenti localmente: Ty_l=-698.88 Mx_l=-13.98
Tensioni nella sezione: σ=169.43 τ=21.18
CC 3 SLV (Collegamento 0025_-382)
Azioni sul collegamento: N=-9117.97 Ty=-3.49 Tz=-9.22 Mx=0.02 Mz=0.69
Sollecitazioni agenti localmente: Ty_l=-1657.81 Mx_l=-33.16
Tensioni nella sezione: σ=401.89 τ=50.24
CC 3 SLV (Collegamento 0025_-382)
Azioni sul collegamento: N=-9117.97 Ty=-1.39 Tz=-9.22 Mx=0.02 Mz=0.03
Sollecitazioni agenti localmente: Ty_l=-1657.81 Mx_l=-33.16
Tensioni nella sezione: σ=401.89 τ=50.24
CC 3 SLV (Collegamento 0025_-382)
Azioni sul collegamento: N=-9117.97 Ty=-3.49 Tz=10.20 Mx=0.02 Mz=0.69
Sollecitazioni agenti localmente: Ty_l=-1657.81 Mx_l=-33.16
Tensioni nella sezione: σ=401.89 τ=50.24
CC 3 SLV (Collegamento 0025_-382)
Azioni sul collegamento: N=-9117.97 Ty=-1.39 Tz=10.20 Mx=0.02 Mz=0.03
Sollecitazioni agenti localmente: Ty_l=-1657.81 Mx_l=-33.16
Tensioni nella sezione: σ=401.89 τ=50.24
CC 4 SLD (Collegamento 0025_-382)
Azioni sul collegamento: N=-5709.27 Ty=-2.97 Tz=-2.35 Mx=0.01 Mz=-1.62
Sollecitazioni agenti localmente: Ty_l=-1038.05 Mx_l=-20.76
Tensioni nella sezione: σ=251.65 τ=31.46
CC 4 SLD (Collegamento 0025_-382)
Azioni sul collegamento: N=-5709.27 Ty=-3.60 Tz=-2.35 Mx=0.01 Mz=-1.82

Sollecitazioni agenti localmente: Ty_l=-1038.05 Mx_l=-20.76
Tensioni nella sezione: σ=251.65 τ=31.46
CC 4 SLD (Collegamento 0025_-382)
Azioni sul collegamento: N=-5709.27 Ty=-2.97 Tz=3.58 Mx=0.01 Mz=-1.62
Sollecitazioni agenti localmente: Ty_l=-1038.05 Mx_l=-20.76
Tensioni nella sezione: σ=251.65 τ=31.46
CC 4 SLD (Collegamento 0025_-382)
Azioni sul collegamento: N=-5709.27 Ty=-3.60 Tz=3.58 Mx=0.01 Mz=-1.82
Sollecitazioni agenti localmente: Ty_l=-1038.05 Mx_l=-20.76
Tensioni nella sezione: σ=251.65 τ=31.46
CC 4 SLD (Collegamento 0025_-382)
Azioni sul collegamento: N=-7317.51 Ty=-2.97 Tz=-2.35 Mx=0.01 Mz=-1.62
Sollecitazioni agenti localmente: Ty_l=-1330.46 Mx_l=-26.61
Tensioni nella sezione: σ=322.53 τ=40.32
CC 4 SLD (Collegamento 0025_-382)
Azioni sul collegamento: N=-7317.51 Ty=-3.60 Tz=-2.35 Mx=0.01 Mz=-1.82
Sollecitazioni agenti localmente: Ty_l=-1330.46 Mx_l=-26.61
Tensioni nella sezione: σ=322.53 τ=40.32
CC 4 SLD (Collegamento 0025_-382)
Azioni sul collegamento: N=-7317.51 Ty=-2.97 Tz=3.58 Mx=0.01 Mz=-1.62
Sollecitazioni agenti localmente: Ty_l=-1330.46 Mx_l=-26.61
Tensioni nella sezione: σ=322.53 τ=40.32
CC 4 SLD (Collegamento 0025_-382)
Azioni sul collegamento: N=-7317.51 Ty=-3.60 Tz=3.58 Mx=0.01 Mz=-1.82
Sollecitazioni agenti localmente: Ty_l=-1330.46 Mx_l=-26.61
Tensioni nella sezione: σ=322.53 τ=40.32
CC 5 SLV (Collegamento 0025_-382)
Azioni sul collegamento: N=-9117.97 Ty=-1.39 Tz=10.20 Mx=0.02 Mz=0.03
Sollecitazioni agenti localmente: Ty_l=-1657.81 Mx_l=-33.16
Tensioni nella sezione: σ=401.89 τ=50.24
CC 5 SLV (Collegamento 0025_-382)
Azioni sul collegamento: N=-9117.97 Ty=-3.49 Tz=10.20 Mx=0.02 Mz=0.69
Sollecitazioni agenti localmente: Ty_l=-1657.81 Mx_l=-33.16
Tensioni nella sezione: σ=401.89 τ=50.24
CC 5 SLV (Collegamento 0025_-382)
Azioni sul collegamento: N=-9117.97 Ty=-1.39 Tz=-9.22 Mx=0.02 Mz=0.03
Sollecitazioni agenti localmente: Ty_l=-1657.81 Mx_l=-33.16
Tensioni nella sezione: σ=401.89 τ=50.24
CC 5 SLV (Collegamento 0025_-382)
Azioni sul collegamento: N=-9117.97 Ty=-3.49 Tz=-9.22 Mx=0.02 Mz=0.69
Sollecitazioni agenti localmente: Ty_l=-1657.81 Mx_l=-33.16
Tensioni nella sezione: σ=401.89 τ=50.24
CC 5 SLV (Collegamento 0025_-382)
Azioni sul collegamento: N=-3843.85 Ty=-1.39 Tz=10.20 Mx=0.02 Mz=0.03
Sollecitazioni agenti localmente: Ty_l=-698.88 Mx_l=-13.98
Tensioni nella sezione: σ=169.43 τ=21.18
CC 5 SLV (Collegamento 0025_-382)
Azioni sul collegamento: N=-3843.85 Ty=-3.49 Tz=10.20 Mx=0.02 Mz=0.69
Sollecitazioni agenti localmente: Ty_l=-698.88 Mx_l=-13.98
Tensioni nella sezione: σ=169.43 τ=21.18
CC 5 SLV (Collegamento 0025_-382)
Azioni sul collegamento: N=-3843.85 Ty=-1.39 Tz=-9.22 Mx=0.02 Mz=0.03
Sollecitazioni agenti localmente: Ty_l=-698.88 Mx_l=-13.98
Tensioni nella sezione: σ=169.43 τ=21.18
CC 5 SLV (Collegamento 0025_-382)
Azioni sul collegamento: N=-3843.85 Ty=-3.49 Tz=-9.22 Mx=0.02 Mz=0.69
Sollecitazioni agenti localmente: Ty_l=-698.88 Mx_l=-13.98
Tensioni nella sezione: σ=169.43 τ=21.18
CC 6 SLD (Collegamento 0025_-382)
Azioni sul collegamento: N=-7317.51 Ty=-3.60 Tz=3.58 Mx=0.01 Mz=-1.82
Sollecitazioni agenti localmente: Ty_l=-1330.46 Mx_l=-26.61
Tensioni nella sezione: σ=322.53 τ=40.32
CC 6 SLD (Collegamento 0025_-382)
Azioni sul collegamento: N=-7317.51 Ty=-2.97 Tz=3.58 Mx=0.01 Mz=-1.62
Sollecitazioni agenti localmente: Ty_l=-1330.46 Mx_l=-26.61
Tensioni nella sezione: σ=322.53 τ=40.32
CC 6 SLD (Collegamento 0025_-382)
Azioni sul collegamento: N=-7317.51 Ty=-3.60 Tz=-2.35 Mx=0.01 Mz=-1.82
Sollecitazioni agenti localmente: Ty_l=-1330.46 Mx_l=-26.61
Tensioni nella sezione: σ=322.53 τ=40.32
CC 6 SLD (Collegamento 0025_-382)
Azioni sul collegamento: N=-7317.51 Ty=-2.97 Tz=-2.35 Mx=0.01 Mz=-1.62
Sollecitazioni agenti localmente: Ty_l=-1330.46 Mx_l=-26.61
Tensioni nella sezione: σ=322.53 τ=40.32
CC 6 SLD (Collegamento 0025_-382)
Azioni sul collegamento: N=-5709.27 Ty=-3.60 Tz=3.58 Mx=0.01 Mz=-1.82
Sollecitazioni agenti localmente: Ty_l=-1038.05 Mx_l=-20.76
Tensioni nella sezione: σ=251.65 τ=31.46
CC 6 SLD (Collegamento 0025_-382)

Azioni sul collegamento: N=-5709.27 Ty=-2.97 Tz=3.58 Mx=0.01 Mz=-1.62
Sollecitazioni agenti localmente: Ty_l=-1038.05 Mx_l=-20.76
Tensioni nella sezione: σ=251.65 τ=31.46
CC 6 SLD (Collegamento 0025_-382)
Azioni sul collegamento: N=-5709.27 Ty=-3.60 Tz=-2.35 Mx=0.01 Mz=-1.82
Sollecitazioni agenti localmente: Ty_l=-1038.05 Mx_l=-20.76
Tensioni nella sezione: σ=251.65 τ=31.46
CC 6 SLD (Collegamento 0025_-382)
Azioni sul collegamento: N=-5709.27 Ty=-2.97 Tz=-2.35 Mx=0.01 Mz=-1.62
Sollecitazioni agenti localmente: Ty_l=-1038.05 Mx_l=-20.76
Tensioni nella sezione: σ=251.65 τ=31.46
CC 7 SLV (Collegamento 0025_-382)
Azioni sul collegamento: N=-9123.66 Ty=-0.76 Tz=10.33 Mx=0.01 Mz=-1.23
Sollecitazioni agenti localmente: Ty_l=-1658.85 Mx_l=-33.18
Tensioni nella sezione: σ=402.14 τ=50.27
CC 7 SLV (Collegamento 0025_-382)
Azioni sul collegamento: N=-9123.66 Ty=-4.12 Tz=10.33 Mx=0.01 Mz=1.95
Sollecitazioni agenti localmente: Ty_l=-1658.85 Mx_l=-33.18
Tensioni nella sezione: σ=402.14 τ=50.27
CC 7 SLV (Collegamento 0025_-382)
Azioni sul collegamento: N=-9123.66 Ty=-0.76 Tz=-9.35 Mx=0.01 Mz=-1.23
Sollecitazioni agenti localmente: Ty_l=-1658.85 Mx_l=-33.18
Tensioni nella sezione: σ=402.14 τ=50.27
CC 7 SLV (Collegamento 0025_-382)
Azioni sul collegamento: N=-9123.66 Ty=-4.12 Tz=-9.35 Mx=0.01 Mz=1.95
Sollecitazioni agenti localmente: Ty_l=-1658.85 Mx_l=-33.18
Tensioni nella sezione: σ=402.14 τ=50.27
CC 7 SLV (Collegamento 0025_-382)
Azioni sul collegamento: N=-3838.16 Ty=-0.76 Tz=10.33 Mx=0.01 Mz=-1.23
Sollecitazioni agenti localmente: Ty_l=-697.85 Mx_l=-13.96
Tensioni nella sezione: σ=169.18 τ=21.15
CC 7 SLV (Collegamento 0025_-382)
Azioni sul collegamento: N=-3838.16 Ty=-4.12 Tz=10.33 Mx=0.01 Mz=1.95
Sollecitazioni agenti localmente: Ty_l=-697.85 Mx_l=-13.96
Tensioni nella sezione: σ=169.18 τ=21.15
CC 7 SLV (Collegamento 0025_-382)
Azioni sul collegamento: N=-3838.16 Ty=-0.76 Tz=-9.35 Mx=0.01 Mz=-1.23
Sollecitazioni agenti localmente: Ty_l=-697.85 Mx_l=-13.96
Tensioni nella sezione: σ=169.18 τ=21.15
CC 7 SLV (Collegamento 0025_-382)
Azioni sul collegamento: N=-3838.16 Ty=-4.12 Tz=-9.35 Mx=0.01 Mz=1.95
Sollecitazioni agenti localmente: Ty_l=-697.85 Mx_l=-13.96
Tensioni nella sezione: σ=169.18 τ=21.15
CC 8 SLD (Collegamento 0025_-382)
Azioni sul collegamento: N=-7319.25 Ty=-3.80 Tz=3.62 Mx=0.01 Mz=-2.21
Sollecitazioni agenti localmente: Ty_l=-1330.77 Mx_l=-26.62
Tensioni nella sezione: σ=322.61 τ=40.33
CC 8 SLD (Collegamento 0025_-382)
Azioni sul collegamento: N=-7319.25 Ty=-2.77 Tz=3.62 Mx=0.01 Mz=-1.24
Sollecitazioni agenti localmente: Ty_l=-1330.77 Mx_l=-26.62
Tensioni nella sezione: σ=322.61 τ=40.33
CC 8 SLD (Collegamento 0025_-382)
Azioni sul collegamento: N=-7319.25 Ty=-3.80 Tz=-2.38 Mx=0.01 Mz=-2.21
Sollecitazioni agenti localmente: Ty_l=-1330.77 Mx_l=-26.62
Tensioni nella sezione: σ=322.61 τ=40.33
CC 8 SLD (Collegamento 0025_-382)
Azioni sul collegamento: N=-7319.25 Ty=-2.77 Tz=-2.38 Mx=0.01 Mz=-1.24
Sollecitazioni agenti localmente: Ty_l=-1330.77 Mx_l=-26.62
Tensioni nella sezione: σ=322.61 τ=40.33
CC 8 SLD (Collegamento 0025_-382)
Azioni sul collegamento: N=-5707.53 Ty=-3.80 Tz=3.62 Mx=0.01 Mz=-2.21
Sollecitazioni agenti localmente: Ty_l=-1037.73 Mx_l=-20.75
Tensioni nella sezione: σ=251.57 τ=31.45
CC 8 SLD (Collegamento 0025_-382)
Azioni sul collegamento: N=-5707.53 Ty=-2.77 Tz=3.62 Mx=0.01 Mz=-1.24
Sollecitazioni agenti localmente: Ty_l=-1037.73 Mx_l=-20.75
Tensioni nella sezione: σ=251.57 τ=31.45
CC 8 SLD (Collegamento 0025_-382)
Azioni sul collegamento: N=-5707.53 Ty=-3.80 Tz=-2.38 Mx=0.01 Mz=-2.21
Sollecitazioni agenti localmente: Ty_l=-1037.73 Mx_l=-20.75
Tensioni nella sezione: σ=251.57 τ=31.45
CC 8 SLD (Collegamento 0025_-382)
Azioni sul collegamento: N=-5707.53 Ty=-2.77 Tz=-2.38 Mx=0.01 Mz=-1.24
Sollecitazioni agenti localmente: Ty_l=-1037.73 Mx_l=-20.75
Tensioni nella sezione: σ=251.57 τ=31.45
CC 9 SLV (Collegamento 0025_-382)
Azioni sul collegamento: N=-5679.47 Ty=-3.91 Tz=-2.66 Mx=0.03 Mz=2.74
Sollecitazioni agenti localmente: Ty_l=-1032.63 Mx_l=-20.65
Tensioni nella sezione: σ=250.33 τ=31.29

CC 9 SLV (Collegamento 0025_-382)
Azioni sul collegamento: N=-5679.47 Ty=-0.97 Tz=-2.66 Mx=0.03 Mz=-2.02
Sollecitazioni agenti localmente: Ty_l=-1032.63 Mx_l=-20.65
Tensioni nella sezione: σ=250.33 τ=31.29
CC 9 SLV (Collegamento 0025_-382)
Azioni sul collegamento: N=-5679.47 Ty=-3.91 Tz=3.63 Mx=0.03 Mz=2.74
Sollecitazioni agenti localmente: Ty_l=-1032.63 Mx_l=-20.65
Tensioni nella sezione: σ=250.33 τ=31.29
CC 9 SLV (Collegamento 0025_-382)
Azioni sul collegamento: N=-5679.47 Ty=-0.97 Tz=3.63 Mx=0.03 Mz=-2.02
Sollecitazioni agenti localmente: Ty_l=-1032.63 Mx_l=-20.65
Tensioni nella sezione: σ=250.33 τ=31.29
CC 9 SLV (Collegamento 0025_-382)
Azioni sul collegamento: N=-7282.35 Ty=-3.91 Tz=-2.66 Mx=0.03 Mz=2.74
Sollecitazioni agenti localmente: Ty_l=-1324.06 Mx_l=-26.48
Tensioni nella sezione: σ=320.99 τ=40.12
CC 9 SLV (Collegamento 0025_-382)
Azioni sul collegamento: N=-7282.35 Ty=-0.97 Tz=-2.66 Mx=0.03 Mz=-2.02
Sollecitazioni agenti localmente: Ty_l=-1324.06 Mx_l=-26.48
Tensioni nella sezione: σ=320.99 τ=40.12
CC 9 SLV (Collegamento 0025_-382)
Azioni sul collegamento: N=-7282.35 Ty=-3.91 Tz=3.63 Mx=0.03 Mz=2.74
Sollecitazioni agenti localmente: Ty_l=-1324.06 Mx_l=-26.48
Tensioni nella sezione: σ=320.99 τ=40.12
CC 9 SLV (Collegamento 0025_-382)
Azioni sul collegamento: N=-7282.35 Ty=-0.97 Tz=3.63 Mx=0.03 Mz=-2.02
Sollecitazioni agenti localmente: Ty_l=-1324.06 Mx_l=-26.48
Tensioni nella sezione: σ=320.99 τ=40.12
CC 10 SLD (Collegamento 0025_-382)
Azioni sul collegamento: N=-6269.01 Ty=-2.84 Tz=-0.34 Mx=0.01 Mz=-0.99
Sollecitazioni agenti localmente: Ty_l=-1139.82 Mx_l=-22.80
Tensioni nella sezione: σ=276.32 τ=34.54
CC 10 SLD (Collegamento 0025_-382)
Azioni sul collegamento: N=-6269.01 Ty=-3.73 Tz=-0.34 Mx=0.01 Mz=-2.45
Sollecitazioni agenti localmente: Ty_l=-1139.82 Mx_l=-22.80
Tensioni nella sezione: σ=276.32 τ=34.54
CC 10 SLD (Collegamento 0025_-382)
Azioni sul collegamento: N=-6269.00 Ty=-2.84 Tz=1.57 Mx=0.01 Mz=-0.99
Sollecitazioni agenti localmente: Ty_l=-1139.82 Mx_l=-22.80
Tensioni nella sezione: σ=276.32 τ=34.54
CC 10 SLD (Collegamento 0025_-382)
Azioni sul collegamento: N=-6269.00 Ty=-3.73 Tz=1.57 Mx=0.01 Mz=-2.45
Sollecitazioni agenti localmente: Ty_l=-1139.82 Mx_l=-22.80
Tensioni nella sezione: σ=276.32 τ=34.54
CC 10 SLD (Collegamento 0025_-382)
Azioni sul collegamento: N=-6757.78 Ty=-2.84 Tz=-0.34 Mx=0.01 Mz=-0.99
Sollecitazioni agenti localmente: Ty_l=-1228.69 Mx_l=-24.57
Tensioni nella sezione: σ=297.86 τ=37.23
CC 10 SLD (Collegamento 0025_-382)
Azioni sul collegamento: N=-6757.78 Ty=-3.73 Tz=-0.34 Mx=0.01 Mz=-2.45
Sollecitazioni agenti localmente: Ty_l=-1228.69 Mx_l=-24.57
Tensioni nella sezione: σ=297.86 τ=37.23
CC 10 SLD (Collegamento 0025_-382)
Azioni sul collegamento: N=-6757.78 Ty=-2.84 Tz=1.57 Mx=0.01 Mz=-0.99
Sollecitazioni agenti localmente: Ty_l=-1228.69 Mx_l=-24.57
Tensioni nella sezione: σ=297.86 τ=37.23
CC 10 SLD (Collegamento 0025_-382)
Azioni sul collegamento: N=-6757.78 Ty=-3.73 Tz=1.57 Mx=0.01 Mz=-2.45
Sollecitazioni agenti localmente: Ty_l=-1228.69 Mx_l=-24.57
Tensioni nella sezione: σ=297.86 τ=37.23
CC 11 SLV (Collegamento 0025_-382)
Azioni sul collegamento: N=-7263.41 Ty=-3.09 Tz=3.21 Mx=0.02 Mz=2.17
Sollecitazioni agenti localmente: Ty_l=-1320.62 Mx_l=-26.41
Tensioni nella sezione: σ=320.15 τ=40.02
CC 11 SLV (Collegamento 0025_-382)
Azioni sul collegamento: N=-7263.41 Ty=-1.79 Tz=3.21 Mx=0.02 Mz=-1.45
Sollecitazioni agenti localmente: Ty_l=-1320.62 Mx_l=-26.41
Tensioni nella sezione: σ=320.15 τ=40.02
CC 11 SLV (Collegamento 0025_-382)
Azioni sul collegamento: N=-7263.41 Ty=-3.09 Tz=-2.23 Mx=0.02 Mz=2.17
Sollecitazioni agenti localmente: Ty_l=-1320.62 Mx_l=-26.41
Tensioni nella sezione: σ=320.15 τ=40.02
CC 11 SLV (Collegamento 0025_-382)
Azioni sul collegamento: N=-7263.41 Ty=-1.79 Tz=-2.23 Mx=0.02 Mz=-1.45
Sollecitazioni agenti localmente: Ty_l=-1320.62 Mx_l=-26.41
Tensioni nella sezione: σ=320.15 τ=40.02
CC 11 SLV (Collegamento 0025_-382)
Azioni sul collegamento: N=-5698.41 Ty=-3.09 Tz=3.21 Mx=0.02 Mz=2.17
Sollecitazioni agenti localmente: Ty_l=-1036.07 Mx_l=-20.72

Tensioni nella sezione: σ=251.17 τ=31.40
CC 11 SLV (Collegamento 0025_-382)
Azioni sul collegamento: N=-5698.41 Ty=-1.79 Tz=3.21 Mx=0.02 Mz=-1.45
Sollecitazioni agenti localmente: Ty_l=-1036.07 Mx_l=-20.72
Tensioni nella sezione: σ=251.17 τ=31.40
CC 11 SLV (Collegamento 0025_-382)
Azioni sul collegamento: N=-5698.41 Ty=-3.09 Tz=-2.23 Mx=0.02 Mz=2.17
Sollecitazioni agenti localmente: Ty_l=-1036.07 Mx_l=-20.72
Tensioni nella sezione: σ=251.17 τ=31.40
CC 11 SLV (Collegamento 0025_-382)
Azioni sul collegamento: N=-5698.41 Ty=-1.79 Tz=-2.23 Mx=0.02 Mz=-1.45
Sollecitazioni agenti localmente: Ty_l=-1036.07 Mx_l=-20.72
Tensioni nella sezione: σ=251.17 τ=31.40
CC 12 SLD (Collegamento 0025_-382)
Azioni sul collegamento: N=-6752.00 Ty=-3.09 Tz=1.44 Mx=0.01 Mz=-1.17
Sollecitazioni agenti localmente: Ty_l=-1227.64 Mx_l=-24.55
Tensioni nella sezione: σ=297.61 τ=37.20
CC 12 SLD (Collegamento 0025_-382)
Azioni sul collegamento: N=-6752.00 Ty=-3.48 Tz=1.44 Mx=0.01 Mz=-2.27
Sollecitazioni agenti localmente: Ty_l=-1227.64 Mx_l=-24.55
Tensioni nella sezione: σ=297.61 τ=37.20
CC 12 SLD (Collegamento 0025_-382)
Azioni sul collegamento: N=-6752.00 Ty=-3.09 Tz=-0.21 Mx=0.01 Mz=-1.17
Sollecitazioni agenti localmente: Ty_l=-1227.64 Mx_l=-24.55
Tensioni nella sezione: σ=297.61 τ=37.20
CC 12 SLD (Collegamento 0025_-382)
Azioni sul collegamento: N=-6752.00 Ty=-3.48 Tz=-0.21 Mx=0.01 Mz=-2.27
Sollecitazioni agenti localmente: Ty_l=-1227.64 Mx_l=-24.55
Tensioni nella sezione: σ=297.61 τ=37.20
CC 12 SLD (Collegamento 0025_-382)
Azioni sul collegamento: N=-6274.78 Ty=-3.09 Tz=1.44 Mx=0.01 Mz=-1.17
Sollecitazioni agenti localmente: Ty_l=-1140.87 Mx_l=-22.82
Tensioni nella sezione: σ=276.57 τ=34.57
CC 12 SLD (Collegamento 0025_-382)
Azioni sul collegamento: N=-6274.78 Ty=-3.48 Tz=1.44 Mx=0.01 Mz=-2.27
Sollecitazioni agenti localmente: Ty_l=-1140.87 Mx_l=-22.82
Tensioni nella sezione: σ=276.57 τ=34.57
CC 12 SLD (Collegamento 0025_-382)
Azioni sul collegamento: N=-6274.78 Ty=-3.09 Tz=-0.21 Mx=0.01 Mz=-1.17
Sollecitazioni agenti localmente: Ty_l=-1140.87 Mx_l=-22.82
Tensioni nella sezione: σ=276.57 τ=34.57
CC 12 SLD (Collegamento 0025_-382)
Azioni sul collegamento: N=-6274.78 Ty=-3.48 Tz=-0.21 Mx=0.01 Mz=-2.27
Sollecitazioni agenti localmente: Ty_l=-1140.87 Mx_l=-22.82
Tensioni nella sezione: σ=276.57 τ=34.57
CC 13 SLV (Collegamento 0025_-382)
Azioni sul collegamento: N=-5698.41 Ty=-1.79 Tz=-2.23 Mx=0.01 Mz=-1.45
Sollecitazioni agenti localmente: Ty_l=-1036.07 Mx_l=-20.72
Tensioni nella sezione: σ=251.17 τ=31.40
CC 13 SLV (Collegamento 0025_-382)
Azioni sul collegamento: N=-5698.41 Ty=-3.09 Tz=-2.23 Mx=0.01 Mz=2.17
Sollecitazioni agenti localmente: Ty_l=-1036.07 Mx_l=-20.72
Tensioni nella sezione: σ=251.17 τ=31.40
CC 13 SLV (Collegamento 0025_-382)
Azioni sul collegamento: N=-5698.41 Ty=-1.79 Tz=3.21 Mx=0.01 Mz=-1.45
Sollecitazioni agenti localmente: Ty_l=-1036.07 Mx_l=-20.72
Tensioni nella sezione: σ=251.17 τ=31.40
CC 13 SLV (Collegamento 0025_-382)
Azioni sul collegamento: N=-5698.41 Ty=-3.09 Tz=3.21 Mx=0.01 Mz=2.17
Sollecitazioni agenti localmente: Ty_l=-1036.07 Mx_l=-20.72
Tensioni nella sezione: σ=251.17 τ=31.40
CC 13 SLV (Collegamento 0025_-382)
Azioni sul collegamento: N=-7263.41 Ty=-1.79 Tz=-2.23 Mx=0.01 Mz=-1.45
Sollecitazioni agenti localmente: Ty_l=-1320.62 Mx_l=-26.41
Tensioni nella sezione: σ=320.15 τ=40.02
CC 13 SLV (Collegamento 0025_-382)
Azioni sul collegamento: N=-7263.41 Ty=-3.09 Tz=-2.23 Mx=0.01 Mz=2.17
Sollecitazioni agenti localmente: Ty_l=-1320.62 Mx_l=-26.41
Tensioni nella sezione: σ=320.15 τ=40.02
CC 13 SLV (Collegamento 0025_-382)
Azioni sul collegamento: N=-7263.41 Ty=-1.79 Tz=3.21 Mx=0.01 Mz=-1.45
Sollecitazioni agenti localmente: Ty_l=-1320.62 Mx_l=-26.41
Tensioni nella sezione: σ=320.15 τ=40.02
CC 13 SLV (Collegamento 0025_-382)
Azioni sul collegamento: N=-7263.41 Ty=-3.09 Tz=3.21 Mx=0.01 Mz=2.17
Sollecitazioni agenti localmente: Ty_l=-1320.62 Mx_l=-26.41
Tensioni nella sezione: σ=320.15 τ=40.02
CC 14 SLD (Collegamento 0025_-382)
Azioni sul collegamento: N=-6274.78 Ty=-3.48 Tz=-0.21 Mx=0.01 Mz=-2.27

Sollecitazioni agenti localmente: Ty_l=-1140.87 Mx_l=-22.82
Tensioni nella sezione: σ=276.57 τ=34.57
CC 14 SLD (Collegamento 0025_-382)
Azioni sul collegamento: N=-6274.78 Ty=-3.09 Tz=-0.21 Mx=0.01 Mz=-1.17
Sollecitazioni agenti localmente: Ty_l=-1140.87 Mx_l=-22.82
Tensioni nella sezione: σ=276.57 τ=34.57
CC 14 SLD (Collegamento 0025_-382)
Azioni sul collegamento: N=-6274.78 Ty=-3.48 Tz=1.44 Mx=0.01 Mz=-2.27
Sollecitazioni agenti localmente: Ty_l=-1140.87 Mx_l=-22.82
Tensioni nella sezione: σ=276.57 τ=34.57
CC 14 SLD (Collegamento 0025_-382)
Azioni sul collegamento: N=-6274.78 Ty=-3.09 Tz=1.44 Mx=0.01 Mz=-1.17
Sollecitazioni agenti localmente: Ty_l=-1140.87 Mx_l=-22.82
Tensioni nella sezione: σ=276.57 τ=34.57
CC 14 SLD (Collegamento 0025_-382)
Azioni sul collegamento: N=-6752.00 Ty=-3.48 Tz=-0.21 Mx=0.01 Mz=-2.27
Sollecitazioni agenti localmente: Ty_l=-1227.64 Mx_l=-24.55
Tensioni nella sezione: σ=297.61 τ=37.20
CC 14 SLD (Collegamento 0025_-382)
Azioni sul collegamento: N=-6752.00 Ty=-3.09 Tz=-0.21 Mx=0.01 Mz=-1.17
Sollecitazioni agenti localmente: Ty_l=-1227.64 Mx_l=-24.55
Tensioni nella sezione: σ=297.61 τ=37.20
CC 14 SLD (Collegamento 0025_-382)
Azioni sul collegamento: N=-6752.00 Ty=-3.48 Tz=1.44 Mx=0.01 Mz=-2.27
Sollecitazioni agenti localmente: Ty_l=-1227.64 Mx_l=-24.55
Tensioni nella sezione: σ=297.61 τ=37.20
CC 14 SLD (Collegamento 0025_-382)
Azioni sul collegamento: N=-6752.00 Ty=-3.09 Tz=1.44 Mx=0.01 Mz=-1.17
Sollecitazioni agenti localmente: Ty_l=-1227.64 Mx_l=-24.55
Tensioni nella sezione: σ=297.61 τ=37.20
CC 15 SLV (Collegamento 0025_-382)
Azioni sul collegamento: N=-7282.35 Ty=-0.97 Tz=3.63 Mx=0.01 Mz=-2.02
Sollecitazioni agenti localmente: Ty_l=-1324.06 Mx_l=-26.48
Tensioni nella sezione: σ=320.99 τ=40.12
CC 15 SLV (Collegamento 0025_-382)
Azioni sul collegamento: N=-7282.35 Ty=-3.91 Tz=3.63 Mx=0.01 Mz=2.74
Sollecitazioni agenti localmente: Ty_l=-1324.06 Mx_l=-26.48
Tensioni nella sezione: σ=320.99 τ=40.12
CC 15 SLV (Collegamento 0025_-382)
Azioni sul collegamento: N=-7282.35 Ty=-0.97 Tz=-2.66 Mx=0.01 Mz=-2.02
Sollecitazioni agenti localmente: Ty_l=-1324.06 Mx_l=-26.48
Tensioni nella sezione: σ=320.99 τ=40.12
CC 15 SLV (Collegamento 0025_-382)
Azioni sul collegamento: N=-7282.35 Ty=-3.91 Tz=-2.66 Mx=0.01 Mz=2.74
Sollecitazioni agenti localmente: Ty_l=-1324.06 Mx_l=-26.48
Tensioni nella sezione: σ=320.99 τ=40.12
CC 15 SLV (Collegamento 0025_-382)
Azioni sul collegamento: N=-5679.47 Ty=-0.97 Tz=3.63 Mx=0.01 Mz=-2.02
Sollecitazioni agenti localmente: Ty_l=-1032.63 Mx_l=-20.65
Tensioni nella sezione: σ=250.33 τ=31.29
CC 15 SLV (Collegamento 0025_-382)
Azioni sul collegamento: N=-5679.47 Ty=-3.91 Tz=3.63 Mx=0.01 Mz=2.74
Sollecitazioni agenti localmente: Ty_l=-1032.63 Mx_l=-20.65
Tensioni nella sezione: σ=250.33 τ=31.29
CC 15 SLV (Collegamento 0025_-382)
Azioni sul collegamento: N=-5679.47 Ty=-0.97 Tz=-2.66 Mx=0.01 Mz=-2.02
Sollecitazioni agenti localmente: Ty_l=-1032.63 Mx_l=-20.65
Tensioni nella sezione: σ=250.33 τ=31.29
CC 15 SLV (Collegamento 0025_-382)
Azioni sul collegamento: N=-5679.47 Ty=-3.91 Tz=-2.66 Mx=0.01 Mz=2.74
Sollecitazioni agenti localmente: Ty_l=-1032.63 Mx_l=-20.65
Tensioni nella sezione: σ=250.33 τ=31.29
CC 16 SLD (Collegamento 0025_-382)
Azioni sul collegamento: N=-6757.78 Ty=-3.73 Tz=1.57 Mx=0.00 Mz=-2.45
Sollecitazioni agenti localmente: Ty_l=-1228.69 Mx_l=-24.57
Tensioni nella sezione: σ=297.86 τ=37.23
CC 16 SLD (Collegamento 0025_-382)
Azioni sul collegamento: N=-6757.78 Ty=-2.84 Tz=1.57 Mx=0.00 Mz=-0.99
Sollecitazioni agenti localmente: Ty_l=-1228.69 Mx_l=-24.57
Tensioni nella sezione: σ=297.86 τ=37.23
CC 16 SLD (Collegamento 0025_-382)
Azioni sul collegamento: N=-6757.78 Ty=-3.73 Tz=-0.34 Mx=0.00 Mz=-2.45
Sollecitazioni agenti localmente: Ty_l=-1228.69 Mx_l=-24.57
Tensioni nella sezione: σ=297.86 τ=37.23
CC 16 SLD (Collegamento 0025_-382)
Azioni sul collegamento: N=-6757.78 Ty=-2.84 Tz=-0.34 Mx=0.00 Mz=-0.99
Sollecitazioni agenti localmente: Ty_l=-1228.69 Mx_l=-24.57
Tensioni nella sezione: σ=297.86 τ=37.23
CC 16 SLD (Collegamento 0025_-382)

Azioni sul collegamento: N=-6269.00 Ty=-3.73 Tz=1.57 Mx=0.00 Mz=-2.45
Sollecitazioni agenti localmente: Ty_l=-1139.82 Mx_l=-22.80
Tensioni nella sezione: σ=276.32 τ=34.54
CC 16 SLD (Collegamento 0025_-382)
Azioni sul collegamento: N=-6269.00 Ty=-2.84 Tz=1.57 Mx=0.00 Mz=-0.99
Sollecitazioni agenti localmente: Ty_l=-1139.82 Mx_l=-22.80
Tensioni nella sezione: σ=276.32 τ=34.54
CC 16 SLD (Collegamento 0025_-382)
Azioni sul collegamento: N=-6269.01 Ty=-3.73 Tz=-0.34 Mx=0.00 Mz=-2.45
Sollecitazioni agenti localmente: Ty_l=-1139.82 Mx_l=-22.80
Tensioni nella sezione: σ=276.32 τ=34.54
CC 16 SLD (Collegamento 0025_-382)
Azioni sul collegamento: N=-6269.01 Ty=-2.84 Tz=-0.34 Mx=0.00 Mz=-0.99
Sollecitazioni agenti localmente: Ty_l=-1139.82 Mx_l=-22.80
Tensioni nella sezione: σ=276.32 τ=34.54
CC 17 SLV (Collegamento 0025_-382)
Azioni sul collegamento: N=-3931.62 Ty=-3.19 Tz=-8.98 Mx=-0.01 Mz=-4.04
Sollecitazioni agenti localmente: Ty_l=-714.84 Mx_l=-14.30
Tensioni nella sezione: σ=173.29 τ=21.66
CC 17 SLV (Collegamento 0025_-382)
Azioni sul collegamento: N=-3931.62 Ty=-6.55 Tz=-8.98 Mx=-0.01 Mz=-7.22
Sollecitazioni agenti localmente: Ty_l=-714.84 Mx_l=-14.30
Tensioni nella sezione: σ=173.29 τ=21.66
CC 17 SLV (Collegamento 0025_-382)
Azioni sul collegamento: N=-3931.62 Ty=-3.19 Tz=10.69 Mx=-0.01 Mz=-4.04
Sollecitazioni agenti localmente: Ty_l=-714.84 Mx_l=-14.30
Tensioni nella sezione: σ=173.29 τ=21.66
CC 17 SLV (Collegamento 0025_-382)
Azioni sul collegamento: N=-3931.62 Ty=-6.55 Tz=10.69 Mx=-0.01 Mz=-7.22
Sollecitazioni agenti localmente: Ty_l=-714.84 Mx_l=-14.30
Tensioni nella sezione: σ=173.29 τ=21.66
CC 17 SLV (Collegamento 0025_-382)
Azioni sul collegamento: N=-9217.12 Ty=-3.19 Tz=-8.98 Mx=-0.01 Mz=-4.04
Sollecitazioni agenti localmente: Ty_l=-1675.84 Mx_l=-33.52
Tensioni nella sezione: σ=406.26 τ=50.78
CC 17 SLV (Collegamento 0025_-382)
Azioni sul collegamento: N=-9217.12 Ty=-6.55 Tz=-8.98 Mx=-0.01 Mz=-7.22
Sollecitazioni agenti localmente: Ty_l=-1675.84 Mx_l=-33.52
Tensioni nella sezione: σ=406.26 τ=50.78
CC 17 SLV (Collegamento 0025_-382)
Azioni sul collegamento: N=-9217.12 Ty=-3.19 Tz=10.69 Mx=-0.01 Mz=-4.04
Sollecitazioni agenti localmente: Ty_l=-1675.84 Mx_l=-33.52
Tensioni nella sezione: σ=406.26 τ=50.78
CC 17 SLV (Collegamento 0025_-382)
Azioni sul collegamento: N=-9217.12 Ty=-6.55 Tz=10.69 Mx=-0.01 Mz=-7.22
Sollecitazioni agenti localmente: Ty_l=-1675.84 Mx_l=-33.52
Tensioni nella sezione: σ=406.26 τ=50.78
CC 18 SLD (Collegamento 0025_-382)
Azioni sul collegamento: N=-5736.03 Ty=-3.51 Tz=-2.27 Mx=-0.00 Mz=-3.06
Sollecitazioni agenti localmente: Ty_l=-1042.92 Mx_l=-20.86
Tensioni nella sezione: σ=252.83 τ=31.60
CC 18 SLD (Collegamento 0025_-382)
Azioni sul collegamento: N=-5736.03 Ty=-4.54 Tz=-2.27 Mx=-0.00 Mz=-4.03
Sollecitazioni agenti localmente: Ty_l=-1042.92 Mx_l=-20.86
Tensioni nella sezione: σ=252.83 τ=31.60
CC 18 SLD (Collegamento 0025_-382)
Azioni sul collegamento: N=-5736.03 Ty=-3.51 Tz=3.73 Mx=-0.00 Mz=-3.06
Sollecitazioni agenti localmente: Ty_l=-1042.92 Mx_l=-20.86
Tensioni nella sezione: σ=252.83 τ=31.60
CC 18 SLD (Collegamento 0025_-382)
Azioni sul collegamento: N=-5736.03 Ty=-4.54 Tz=3.73 Mx=-0.00 Mz=-4.03
Sollecitazioni agenti localmente: Ty_l=-1042.92 Mx_l=-20.86
Tensioni nella sezione: σ=252.83 τ=31.60
CC 18 SLD (Collegamento 0025_-382)
Azioni sul collegamento: N=-7347.75 Ty=-3.51 Tz=-2.27 Mx=-0.00 Mz=-3.06
Sollecitazioni agenti localmente: Ty_l=-1335.95 Mx_l=-26.72
Tensioni nella sezione: σ=323.87 τ=40.48
CC 18 SLD (Collegamento 0025_-382)
Azioni sul collegamento: N=-7347.75 Ty=-4.54 Tz=-2.27 Mx=-0.00 Mz=-4.03
Sollecitazioni agenti localmente: Ty_l=-1335.95 Mx_l=-26.72
Tensioni nella sezione: σ=323.87 τ=40.48
CC 18 SLD (Collegamento 0025_-382)
Azioni sul collegamento: N=-7347.75 Ty=-3.51 Tz=3.73 Mx=-0.00 Mz=-3.06
Sollecitazioni agenti localmente: Ty_l=-1335.95 Mx_l=-26.72
Tensioni nella sezione: σ=323.87 τ=40.48
CC 18 SLD (Collegamento 0025_-382)
Azioni sul collegamento: N=-7347.75 Ty=-4.54 Tz=3.73 Mx=-0.00 Mz=-4.03
Sollecitazioni agenti localmente: Ty_l=-1335.95 Mx_l=-26.72
Tensioni nella sezione: σ=323.87 τ=40.48

CC 19 SLV (Collegamento 0025_-382)
Azioni sul collegamento: N=-3937.31 Ty=-3.82 Tz=-8.85 Mx=-0.01 Mz=-5.30
Sollecitazioni agenti localmente: Ty_l=-715.87 Mx_l=-14.32
Tensioni nella sezione: σ=173.54 τ=21.69
CC 19 SLV (Collegamento 0025_-382)
Azioni sul collegamento: N=-3937.31 Ty=-5.92 Tz=-8.85 Mx=-0.01 Mz=-5.96
Sollecitazioni agenti localmente: Ty_l=-715.87 Mx_l=-14.32
Tensioni nella sezione: σ=173.54 τ=21.69
CC 19 SLV (Collegamento 0025_-382)
Azioni sul collegamento: N=-3937.31 Ty=-3.82 Tz=10.56 Mx=-0.01 Mz=-5.30
Sollecitazioni agenti localmente: Ty_l=-715.87 Mx_l=-14.32
Tensioni nella sezione: σ=173.54 τ=21.69
CC 19 SLV (Collegamento 0025_-382)
Azioni sul collegamento: N=-3937.31 Ty=-5.92 Tz=10.56 Mx=-0.01 Mz=-5.96
Sollecitazioni agenti localmente: Ty_l=-715.87 Mx_l=-14.32
Tensioni nella sezione: σ=173.54 τ=21.69
CC 19 SLV (Collegamento 0025_-382)
Azioni sul collegamento: N=-9211.43 Ty=-3.82 Tz=-8.85 Mx=-0.01 Mz=-5.30
Sollecitazioni agenti localmente: Ty_l=-1674.81 Mx_l=-33.50
Tensioni nella sezione: σ=406.01 τ=50.75
CC 19 SLV (Collegamento 0025_-382)
Azioni sul collegamento: N=-9211.43 Ty=-5.92 Tz=-8.85 Mx=-0.01 Mz=-5.96
Sollecitazioni agenti localmente: Ty_l=-1674.81 Mx_l=-33.50
Tensioni nella sezione: σ=406.01 τ=50.75
CC 19 SLV (Collegamento 0025_-382)
Azioni sul collegamento: N=-9211.43 Ty=-3.82 Tz=10.56 Mx=-0.01 Mz=-5.30
Sollecitazioni agenti localmente: Ty_l=-1674.81 Mx_l=-33.50
Tensioni nella sezione: σ=406.01 τ=50.75
CC 19 SLV (Collegamento 0025_-382)
Azioni sul collegamento: N=-9211.43 Ty=-5.92 Tz=10.56 Mx=-0.01 Mz=-5.96
Sollecitazioni agenti localmente: Ty_l=-1674.81 Mx_l=-33.50
Tensioni nella sezione: σ=406.01 τ=50.75
CC 20 SLD (Collegamento 0025_-382)
Azioni sul collegamento: N=-5737.77 Ty=-3.71 Tz=-2.23 Mx=-0.00 Mz=-3.45
Sollecitazioni agenti localmente: Ty_l=-1043.23 Mx_l=-20.86
Tensioni nella sezione: σ=252.90 τ=31.61
CC 20 SLD (Collegamento 0025_-382)
Azioni sul collegamento: N=-5737.77 Ty=-4.34 Tz=-2.23 Mx=-0.00 Mz=-3.65
Sollecitazioni agenti localmente: Ty_l=-1043.23 Mx_l=-20.86
Tensioni nella sezione: σ=252.90 τ=31.61
CC 20 SLD (Collegamento 0025_-382)
Azioni sul collegamento: N=-5737.77 Ty=-3.71 Tz=3.69 Mx=-0.00 Mz=-3.45
Sollecitazioni agenti localmente: Ty_l=-1043.23 Mx_l=-20.86
Tensioni nella sezione: σ=252.90 τ=31.61
CC 20 SLD (Collegamento 0025_-382)
Azioni sul collegamento: N=-5737.77 Ty=-4.34 Tz=3.69 Mx=-0.00 Mz=-3.65
Sollecitazioni agenti localmente: Ty_l=-1043.23 Mx_l=-20.86
Tensioni nella sezione: σ=252.90 τ=31.61
CC 20 SLD (Collegamento 0025_-382)
Azioni sul collegamento: N=-7346.01 Ty=-3.71 Tz=-2.23 Mx=-0.00 Mz=-3.45
Sollecitazioni agenti localmente: Ty_l=-1335.64 Mx_l=-26.71
Tensioni nella sezione: σ=323.79 τ=40.47
CC 20 SLD (Collegamento 0025_-382)
Azioni sul collegamento: N=-7346.01 Ty=-4.34 Tz=-2.23 Mx=-0.00 Mz=-3.65
Sollecitazioni agenti localmente: Ty_l=-1335.64 Mx_l=-26.71
Tensioni nella sezione: σ=323.79 τ=40.47
CC 20 SLD (Collegamento 0025_-382)
Azioni sul collegamento: N=-7346.01 Ty=-3.71 Tz=3.69 Mx=-0.00 Mz=-3.45
Sollecitazioni agenti localmente: Ty_l=-1335.64 Mx_l=-26.71
Tensioni nella sezione: σ=323.79 τ=40.47
CC 20 SLD (Collegamento 0025_-382)
Azioni sul collegamento: N=-7346.01 Ty=-4.34 Tz=3.69 Mx=-0.00 Mz=-3.65
Sollecitazioni agenti localmente: Ty_l=-1335.64 Mx_l=-26.71
Tensioni nella sezione: σ=323.79 τ=40.47
CC 21 SLV (Collegamento 0025_-382)
Azioni sul collegamento: N=-9211.43 Ty=-5.92 Tz=10.56 Mx=-0.01 Mz=-5.96
Sollecitazioni agenti localmente: Ty_l=-1674.81 Mx_l=-33.50
Tensioni nella sezione: σ=406.01 τ=50.75
CC 21 SLV (Collegamento 0025_-382)
Azioni sul collegamento: N=-9211.43 Ty=-3.82 Tz=10.56 Mx=-0.01 Mz=-5.30
Sollecitazioni agenti localmente: Ty_l=-1674.81 Mx_l=-33.50
Tensioni nella sezione: σ=406.01 τ=50.75
CC 21 SLV (Collegamento 0025_-382)
Azioni sul collegamento: N=-9211.43 Ty=-5.92 Tz=-8.85 Mx=-0.01 Mz=-5.96
Sollecitazioni agenti localmente: Ty_l=-1674.81 Mx_l=-33.50
Tensioni nella sezione: σ=406.01 τ=50.75
CC 21 SLV (Collegamento 0025_-382)
Azioni sul collegamento: N=-9211.43 Ty=-3.82 Tz=-8.85 Mx=-0.01 Mz=-5.30
Sollecitazioni agenti localmente: Ty_l=-1674.81 Mx_l=-33.50

Tensioni nella sezione: σ=406.01 τ=50.75
CC 21 SLV (Collegamento 0025_-382)
Azioni sul collegamento: N=-3937.31 Ty=-5.92 Tz=10.56 Mx=-0.01 Mz=-5.96
Sollecitazioni agenti localmente: Ty_l=-715.87 Mx_l=-14.32
Tensioni nella sezione: σ=173.54 τ=21.69
CC 21 SLV (Collegamento 0025_-382)
Azioni sul collegamento: N=-3937.31 Ty=-3.82 Tz=10.56 Mx=-0.01 Mz=-5.30
Sollecitazioni agenti localmente: Ty_l=-715.87 Mx_l=-14.32
Tensioni nella sezione: σ=173.54 τ=21.69
CC 21 SLV (Collegamento 0025_-382)
Azioni sul collegamento: N=-3937.31 Ty=-5.92 Tz=-8.85 Mx=-0.01 Mz=-5.96
Sollecitazioni agenti localmente: Ty_l=-715.87 Mx_l=-14.32
Tensioni nella sezione: σ=173.54 τ=21.69
CC 21 SLV (Collegamento 0025_-382)
Azioni sul collegamento: N=-3937.31 Ty=-3.82 Tz=-8.85 Mx=-0.01 Mz=-5.30
Sollecitazioni agenti localmente: Ty_l=-715.87 Mx_l=-14.32
Tensioni nella sezione: σ=173.54 τ=21.69
CC 22 SLD (Collegamento 0025_-382)
Azioni sul collegamento: N=-7346.01 Ty=-4.34 Tz=3.69 Mx=-0.00 Mz=-3.65
Sollecitazioni agenti localmente: Ty_l=-1335.64 Mx_l=-26.71
Tensioni nella sezione: σ=323.79 τ=40.47
CC 22 SLD (Collegamento 0025_-382)
Azioni sul collegamento: N=-7346.01 Ty=-3.71 Tz=3.69 Mx=-0.00 Mz=-3.45
Sollecitazioni agenti localmente: Ty_l=-1335.64 Mx_l=-26.71
Tensioni nella sezione: σ=323.79 τ=40.47
CC 22 SLD (Collegamento 0025_-382)
Azioni sul collegamento: N=-7346.01 Ty=-4.34 Tz=-2.23 Mx=-0.00 Mz=-3.65
Sollecitazioni agenti localmente: Ty_l=-1335.64 Mx_l=-26.71
Tensioni nella sezione: σ=323.79 τ=40.47
CC 22 SLD (Collegamento 0025_-382)
Azioni sul collegamento: N=-7346.01 Ty=-3.71 Tz=-2.23 Mx=-0.00 Mz=-3.45
Sollecitazioni agenti localmente: Ty_l=-1335.64 Mx_l=-26.71
Tensioni nella sezione: σ=323.79 τ=40.47
CC 22 SLD (Collegamento 0025_-382)
Azioni sul collegamento: N=-5737.77 Ty=-4.34 Tz=3.69 Mx=-0.00 Mz=-3.65
Sollecitazioni agenti localmente: Ty_l=-1043.23 Mx_l=-20.86
Tensioni nella sezione: σ=252.90 τ=31.61
CC 22 SLD (Collegamento 0025_-382)
Azioni sul collegamento: N=-5737.77 Ty=-3.71 Tz=3.69 Mx=-0.00 Mz=-3.45
Sollecitazioni agenti localmente: Ty_l=-1043.23 Mx_l=-20.86
Tensioni nella sezione: σ=252.90 τ=31.61
CC 22 SLD (Collegamento 0025_-382)
Azioni sul collegamento: N=-5737.77 Ty=-4.34 Tz=-2.23 Mx=-0.00 Mz=-3.65
Sollecitazioni agenti localmente: Ty_l=-1043.23 Mx_l=-20.86
Tensioni nella sezione: σ=252.90 τ=31.61
CC 22 SLD (Collegamento 0025_-382)
Azioni sul collegamento: N=-5737.77 Ty=-3.71 Tz=-2.23 Mx=-0.00 Mz=-3.45
Sollecitazioni agenti localmente: Ty_l=-1043.23 Mx_l=-20.86
Tensioni nella sezione: σ=252.90 τ=31.61
CC 23 SLV (Collegamento 0025_-382)
Azioni sul collegamento: N=-9217.12 Ty=-6.55 Tz=10.69 Mx=-0.01 Mz=-7.22
Sollecitazioni agenti localmente: Ty_l=-1675.84 Mx_l=-33.52
Tensioni nella sezione: σ=406.26 τ=50.78
CC 23 SLV (Collegamento 0025_-382)
Azioni sul collegamento: N=-9217.12 Ty=-3.19 Tz=10.69 Mx=-0.01 Mz=-4.04
Sollecitazioni agenti localmente: Ty_l=-1675.84 Mx_l=-33.52
Tensioni nella sezione: σ=406.26 τ=50.78
CC 23 SLV (Collegamento 0025_-382)
Azioni sul collegamento: N=-9217.12 Ty=-6.55 Tz=-8.98 Mx=-0.01 Mz=-7.22
Sollecitazioni agenti localmente: Ty_l=-1675.84 Mx_l=-33.52
Tensioni nella sezione: σ=406.26 τ=50.78
CC 23 SLV (Collegamento 0025_-382)
Azioni sul collegamento: N=-9217.12 Ty=-3.19 Tz=-8.98 Mx=-0.01 Mz=-4.04
Sollecitazioni agenti localmente: Ty_l=-1675.84 Mx_l=-33.52
Tensioni nella sezione: σ=406.26 τ=50.78
CC 23 SLV (Collegamento 0025_-382)
Azioni sul collegamento: N=-3931.62 Ty=-6.55 Tz=10.69 Mx=-0.01 Mz=-7.22
Sollecitazioni agenti localmente: Ty_l=-714.84 Mx_l=-14.30
Tensioni nella sezione: σ=173.29 τ=21.66
CC 23 SLV (Collegamento 0025_-382)
Azioni sul collegamento: N=-3931.62 Ty=-3.19 Tz=10.69 Mx=-0.01 Mz=-4.04
Sollecitazioni agenti localmente: Ty_l=-714.84 Mx_l=-14.30
Tensioni nella sezione: σ=173.29 τ=21.66
CC 23 SLV (Collegamento 0025_-382)
Azioni sul collegamento: N=-3931.62 Ty=-6.55 Tz=-8.98 Mx=-0.01 Mz=-7.22
Sollecitazioni agenti localmente: Ty_l=-714.84 Mx_l=-14.30
Tensioni nella sezione: σ=173.29 τ=21.66
CC 23 SLV (Collegamento 0025_-382)
Azioni sul collegamento: N=-3931.62 Ty=-3.19 Tz=-8.98 Mx=-0.01 Mz=-4.04

Sollecitazioni agenti localmente: Ty_l=-714.84 Mx_l=-14.30
Tensioni nella sezione: σ=173.29 τ=21.66
CC 24 SLD (Collegamento 0025_-382)
Azioni sul collegamento: N=-7347.75 Ty=-4.54 Tz=3.73 Mx=0.00 Mz=-4.03
Sollecitazioni agenti localmente: Ty_l=-1335.95 Mx_l=-26.72
Tensioni nella sezione: σ=323.87 τ=40.48
CC 24 SLD (Collegamento 0025_-382)
Azioni sul collegamento: N=-7347.75 Ty=-3.51 Tz=3.73 Mx=0.00 Mz=-3.06
Sollecitazioni agenti localmente: Ty_l=-1335.95 Mx_l=-26.72
Tensioni nella sezione: σ=323.87 τ=40.48
CC 24 SLD (Collegamento 0025_-382)
Azioni sul collegamento: N=-7347.75 Ty=-4.54 Tz=-2.27 Mx=0.00 Mz=-4.03
Sollecitazioni agenti localmente: Ty_l=-1335.95 Mx_l=-26.72
Tensioni nella sezione: σ=323.87 τ=40.48
CC 24 SLD (Collegamento 0025_-382)
Azioni sul collegamento: N=-7347.75 Ty=-3.51 Tz=-2.27 Mx=0.00 Mz=-3.06
Sollecitazioni agenti localmente: Ty_l=-1335.95 Mx_l=-26.72
Tensioni nella sezione: σ=323.87 τ=40.48
CC 24 SLD (Collegamento 0025_-382)
Azioni sul collegamento: N=-5736.03 Ty=-4.54 Tz=3.73 Mx=0.00 Mz=-4.03
Sollecitazioni agenti localmente: Ty_l=-1042.92 Mx_l=-20.86
Tensioni nella sezione: σ=252.83 τ=31.60
CC 24 SLD (Collegamento 0025_-382)
Azioni sul collegamento: N=-5736.03 Ty=-3.51 Tz=3.73 Mx=0.00 Mz=-3.06
Sollecitazioni agenti localmente: Ty_l=-1042.92 Mx_l=-20.86
Tensioni nella sezione: σ=252.83 τ=31.60
CC 24 SLD (Collegamento 0025_-382)
Azioni sul collegamento: N=-5736.03 Ty=-4.54 Tz=-2.27 Mx=0.00 Mz=-4.03
Sollecitazioni agenti localmente: Ty_l=-1042.92 Mx_l=-20.86
Tensioni nella sezione: σ=252.83 τ=31.60
CC 24 SLD (Collegamento 0025_-382)
Azioni sul collegamento: N=-5736.03 Ty=-3.51 Tz=-2.27 Mx=0.00 Mz=-3.06
Sollecitazioni agenti localmente: Ty_l=-1042.92 Mx_l=-20.86
Tensioni nella sezione: σ=252.83 τ=31.60
CC 25 SLV (Collegamento 0025_-382)
Azioni sul collegamento: N=-5772.93 Ty=-3.40 Tz=-2.29 Mx=-0.02 Mz=-3.25
Sollecitazioni agenti localmente: Ty_l=-1049.62 Mx_l=-20.99
Tensioni nella sezione: σ=254.45 τ=31.81
CC 25 SLV (Collegamento 0025_-382)
Azioni sul collegamento: N=-5772.93 Ty=-6.34 Tz=-2.29 Mx=-0.02 Mz=-8.01
Sollecitazioni agenti localmente: Ty_l=-1049.62 Mx_l=-20.99
Tensioni nella sezione: σ=254.45 τ=31.81
CC 25 SLV (Collegamento 0025_-382)
Azioni sul collegamento: N=-5772.93 Ty=-3.40 Tz=4.00 Mx=-0.02 Mz=-3.25
Sollecitazioni agenti localmente: Ty_l=-1049.62 Mx_l=-20.99
Tensioni nella sezione: σ=254.45 τ=31.81
CC 25 SLV (Collegamento 0025_-382)
Azioni sul collegamento: N=-5772.93 Ty=-6.34 Tz=4.00 Mx=-0.02 Mz=-8.01
Sollecitazioni agenti localmente: Ty_l=-1049.62 Mx_l=-20.99
Tensioni nella sezione: σ=254.45 τ=31.81
CC 25 SLV (Collegamento 0025_-382)
Azioni sul collegamento: N=-7375.81 Ty=-3.40 Tz=-2.29 Mx=-0.02 Mz=-3.25
Sollecitazioni agenti localmente: Ty_l=-1341.06 Mx_l=-26.82
Tensioni nella sezione: σ=325.10 τ=40.64
CC 25 SLV (Collegamento 0025_-382)
Azioni sul collegamento: N=-7375.81 Ty=-6.34 Tz=-2.29 Mx=-0.02 Mz=-8.01
Sollecitazioni agenti localmente: Ty_l=-1341.06 Mx_l=-26.82
Tensioni nella sezione: σ=325.10 τ=40.64
CC 25 SLV (Collegamento 0025_-382)
Azioni sul collegamento: N=-7375.81 Ty=-3.40 Tz=4.00 Mx=-0.02 Mz=-3.25
Sollecitazioni agenti localmente: Ty_l=-1341.06 Mx_l=-26.82
Tensioni nella sezione: σ=325.10 τ=40.64
CC 25 SLV (Collegamento 0025_-382)
Azioni sul collegamento: N=-7375.81 Ty=-6.34 Tz=4.00 Mx=-0.02 Mz=-8.01
Sollecitazioni agenti localmente: Ty_l=-1341.06 Mx_l=-26.82
Tensioni nella sezione: σ=325.10 τ=40.64
CC 26 SLD (Collegamento 0025_-382)
Azioni sul collegamento: N=-6297.50 Ty=-3.58 Tz=-0.23 Mx=-0.00 Mz=-2.82
Sollecitazioni agenti localmente: Ty_l=-1145.00 Mx_l=-22.90
Tensioni nella sezione: σ=277.57 τ=34.70
CC 26 SLD (Collegamento 0025_-382)
Azioni sul collegamento: N=-6297.50 Ty=-4.47 Tz=-0.23 Mx=-0.00 Mz=-4.27
Sollecitazioni agenti localmente: Ty_l=-1145.00 Mx_l=-22.90
Tensioni nella sezione: σ=277.57 τ=34.70
CC 26 SLD (Collegamento 0025_-382)
Azioni sul collegamento: N=-6297.50 Ty=-3.58 Tz=1.69 Mx=-0.00 Mz=-2.82
Sollecitazioni agenti localmente: Ty_l=-1145.00 Mx_l=-22.90
Tensioni nella sezione: σ=277.57 τ=34.70
CC 26 SLD (Collegamento 0025_-382)

Azioni sul collegamento: N=-6297.50 Ty=-4.47 Tz=1.69 Mx=-0.00 Mz=-4.27
Sollecitazioni agenti localmente: Ty_l=-1145.00 Mx_l=-22.90
Tensioni nella sezione: σ=277.57 τ=34.70
CC 26 SLD (Collegamento 0025_-382)
Azioni sul collegamento: N=-6786.28 Ty=-3.58 Tz=-0.23 Mx=-0.00 Mz=-2.82
Sollecitazioni agenti localmente: Ty_l=-1233.87 Mx_l=-24.68
Tensioni nella sezione: σ=299.12 τ=37.39
CC 26 SLD (Collegamento 0025_-382)
Azioni sul collegamento: N=-6786.28 Ty=-4.47 Tz=-0.23 Mx=-0.00 Mz=-4.27
Sollecitazioni agenti localmente: Ty_l=-1233.87 Mx_l=-24.68
Tensioni nella sezione: σ=299.12 τ=37.39
CC 26 SLD (Collegamento 0025_-382)
Azioni sul collegamento: N=-6786.28 Ty=-3.58 Tz=1.69 Mx=-0.00 Mz=-2.82
Sollecitazioni agenti localmente: Ty_l=-1233.87 Mx_l=-24.68
Tensioni nella sezione: σ=299.12 τ=37.39
CC 26 SLD (Collegamento 0025_-382)
Azioni sul collegamento: N=-6786.28 Ty=-4.47 Tz=1.69 Mx=-0.00 Mz=-4.27
Sollecitazioni agenti localmente: Ty_l=-1233.87 Mx_l=-24.68
Tensioni nella sezione: σ=299.12 τ=37.39
CC 27 SLV (Collegamento 0025_-382)
Azioni sul collegamento: N=-7356.87 Ty=-4.22 Tz=3.57 Mx=-0.02 Mz=-3.82
Sollecitazioni agenti localmente: Ty_l=-1337.61 Mx_l=-26.75
Tensioni nella sezione: σ=324.27 τ=40.53
CC 27 SLV (Collegamento 0025_-382)
Azioni sul collegamento: N=-7356.87 Ty=-5.52 Tz=3.57 Mx=-0.02 Mz=-7.44
Sollecitazioni agenti localmente: Ty_l=-1337.61 Mx_l=-26.75
Tensioni nella sezione: σ=324.27 τ=40.53
CC 27 SLV (Collegamento 0025_-382)
Azioni sul collegamento: N=-7356.87 Ty=-4.22 Tz=-1.86 Mx=-0.02 Mz=-3.82
Sollecitazioni agenti localmente: Ty_l=-1337.61 Mx_l=-26.75
Tensioni nella sezione: σ=324.27 τ=40.53
CC 27 SLV (Collegamento 0025_-382)
Azioni sul collegamento: N=-7356.87 Ty=-5.52 Tz=-1.86 Mx=-0.02 Mz=-7.44
Sollecitazioni agenti localmente: Ty_l=-1337.61 Mx_l=-26.75
Tensioni nella sezione: σ=324.27 τ=40.53
CC 27 SLV (Collegamento 0025_-382)
Azioni sul collegamento: N=-5791.87 Ty=-4.22 Tz=3.57 Mx=-0.02 Mz=-3.82
Sollecitazioni agenti localmente: Ty_l=-1053.07 Mx_l=-21.06
Tensioni nella sezione: σ=255.29 τ=31.91
CC 27 SLV (Collegamento 0025_-382)
Azioni sul collegamento: N=-5791.87 Ty=-5.52 Tz=3.57 Mx=-0.02 Mz=-7.44
Sollecitazioni agenti localmente: Ty_l=-1053.07 Mx_l=-21.06
Tensioni nella sezione: σ=255.29 τ=31.91
CC 27 SLV (Collegamento 0025_-382)
Azioni sul collegamento: N=-5791.87 Ty=-4.22 Tz=-1.86 Mx=-0.02 Mz=-3.82
Sollecitazioni agenti localmente: Ty_l=-1053.07 Mx_l=-21.06
Tensioni nella sezione: σ=255.29 τ=31.91
CC 27 SLV (Collegamento 0025_-382)
Azioni sul collegamento: N=-5791.87 Ty=-5.52 Tz=-1.86 Mx=-0.02 Mz=-7.44
Sollecitazioni agenti localmente: Ty_l=-1053.07 Mx_l=-21.06
Tensioni nella sezione: σ=255.29 τ=31.91
CC 28 SLD (Collegamento 0025_-382)
Azioni sul collegamento: N=-6780.50 Ty=-3.83 Tz=1.56 Mx=-0.00 Mz=-3.00
Sollecitazioni agenti localmente: Ty_l=-1232.82 Mx_l=-24.66
Tensioni nella sezione: σ=298.86 τ=37.36
CC 28 SLD (Collegamento 0025_-382)
Azioni sul collegamento: N=-6780.50 Ty=-4.22 Tz=1.56 Mx=-0.00 Mz=-4.10
Sollecitazioni agenti localmente: Ty_l=-1232.82 Mx_l=-24.66
Tensioni nella sezione: σ=298.86 τ=37.36
CC 28 SLD (Collegamento 0025_-382)
Azioni sul collegamento: N=-6780.50 Ty=-3.83 Tz=-0.10 Mx=-0.00 Mz=-3.00
Sollecitazioni agenti localmente: Ty_l=-1232.82 Mx_l=-24.66
Tensioni nella sezione: σ=298.86 τ=37.36
CC 28 SLD (Collegamento 0025_-382)
Azioni sul collegamento: N=-6780.50 Ty=-4.22 Tz=-0.10 Mx=-0.00 Mz=-4.10
Sollecitazioni agenti localmente: Ty_l=-1232.82 Mx_l=-24.66
Tensioni nella sezione: σ=298.86 τ=37.36
CC 28 SLD (Collegamento 0025_-382)
Azioni sul collegamento: N=-6303.28 Ty=-3.83 Tz=1.56 Mx=-0.00 Mz=-3.00
Sollecitazioni agenti localmente: Ty_l=-1146.05 Mx_l=-22.92
Tensioni nella sezione: σ=277.83 τ=34.73
CC 28 SLD (Collegamento 0025_-382)
Azioni sul collegamento: N=-6303.28 Ty=-4.22 Tz=1.56 Mx=-0.00 Mz=-4.10
Sollecitazioni agenti localmente: Ty_l=-1146.05 Mx_l=-22.92
Tensioni nella sezione: σ=277.83 τ=34.73
CC 28 SLD (Collegamento 0025_-382)
Azioni sul collegamento: N=-6303.28 Ty=-3.83 Tz=-0.10 Mx=-0.00 Mz=-3.00
Sollecitazioni agenti localmente: Ty_l=-1146.05 Mx_l=-22.92
Tensioni nella sezione: σ=277.83 τ=34.73

CC 28 SLD (Collegamento 0025_-382)
Azioni sul collegamento: N=-6303.28 Ty=-4.22 Tz=-0.10 Mx=-0.00 Mz=-4.10
Sollecitazioni agenti localmente: Ty_l=-1146.05 Mx_l=-22.92
Tensioni nella sezione: σ=277.83 τ=34.73
CC 29 SLV (Collegamento 0025_-382)
Azioni sul collegamento: N=-5791.87 Ty=-5.52 Tz=-1.86 Mx=-0.00 Mz=-7.44
Sollecitazioni agenti localmente: Ty_l=-1053.07 Mx_l=-21.06
Tensioni nella sezione: σ=255.29 τ=31.91
CC 29 SLV (Collegamento 0025_-382)
Azioni sul collegamento: N=-5791.87 Ty=-4.22 Tz=-1.86 Mx=-0.00 Mz=-3.82
Sollecitazioni agenti localmente: Ty_l=-1053.07 Mx_l=-21.06
Tensioni nella sezione: σ=255.29 τ=31.91
CC 29 SLV (Collegamento 0025_-382)
Azioni sul collegamento: N=-5791.87 Ty=-5.52 Tz=3.57 Mx=-0.00 Mz=-7.44
Sollecitazioni agenti localmente: Ty_l=-1053.07 Mx_l=-21.06
Tensioni nella sezione: σ=255.29 τ=31.91
CC 29 SLV (Collegamento 0025_-382)
Azioni sul collegamento: N=-5791.87 Ty=-4.22 Tz=3.57 Mx=-0.00 Mz=-3.82
Sollecitazioni agenti localmente: Ty_l=-1053.07 Mx_l=-21.06
Tensioni nella sezione: σ=255.29 τ=31.91
CC 29 SLV (Collegamento 0025_-382)
Azioni sul collegamento: N=-7356.87 Ty=-5.52 Tz=-1.86 Mx=-0.00 Mz=-7.44
Sollecitazioni agenti localmente: Ty_l=-1337.61 Mx_l=-26.75
Tensioni nella sezione: σ=324.27 τ=40.53
CC 29 SLV (Collegamento 0025_-382)
Azioni sul collegamento: N=-7356.87 Ty=-4.22 Tz=-1.86 Mx=-0.00 Mz=-3.82
Sollecitazioni agenti localmente: Ty_l=-1337.61 Mx_l=-26.75
Tensioni nella sezione: σ=324.27 τ=40.53
CC 29 SLV (Collegamento 0025_-382)
Azioni sul collegamento: N=-7356.87 Ty=-5.52 Tz=3.57 Mx=-0.00 Mz=-7.44
Sollecitazioni agenti localmente: Ty_l=-1337.61 Mx_l=-26.75
Tensioni nella sezione: σ=324.27 τ=40.53
CC 29 SLV (Collegamento 0025_-382)
Azioni sul collegamento: N=-7356.87 Ty=-4.22 Tz=3.57 Mx=-0.00 Mz=-3.82
Sollecitazioni agenti localmente: Ty_l=-1337.61 Mx_l=-26.75
Tensioni nella sezione: σ=324.27 τ=40.53
CC 30 SLD (Collegamento 0025_-382)
Azioni sul collegamento: N=-6303.28 Ty=-4.22 Tz=-0.10 Mx=0.00 Mz=-4.10
Sollecitazioni agenti localmente: Ty_l=-1146.05 Mx_l=-22.92
Tensioni nella sezione: σ=277.83 τ=34.73
CC 30 SLD (Collegamento 0025_-382)
Azioni sul collegamento: N=-6303.28 Ty=-3.83 Tz=-0.10 Mx=0.00 Mz=-3.00
Sollecitazioni agenti localmente: Ty_l=-1146.05 Mx_l=-22.92
Tensioni nella sezione: σ=277.83 τ=34.73
CC 30 SLD (Collegamento 0025_-382)
Azioni sul collegamento: N=-6303.28 Ty=-4.22 Tz=1.56 Mx=0.00 Mz=-4.10
Sollecitazioni agenti localmente: Ty_l=-1146.05 Mx_l=-22.92
Tensioni nella sezione: σ=277.83 τ=34.73
CC 30 SLD (Collegamento 0025_-382)
Azioni sul collegamento: N=-6303.28 Ty=-3.83 Tz=1.56 Mx=0.00 Mz=-3.00
Sollecitazioni agenti localmente: Ty_l=-1146.05 Mx_l=-22.92
Tensioni nella sezione: σ=277.83 τ=34.73
CC 30 SLD (Collegamento 0025_-382)
Azioni sul collegamento: N=-6780.50 Ty=-4.22 Tz=-0.10 Mx=0.00 Mz=-4.10
Sollecitazioni agenti localmente: Ty_l=-1232.82 Mx_l=-24.66
Tensioni nella sezione: σ=298.86 τ=37.36
CC 30 SLD (Collegamento 0025_-382)
Azioni sul collegamento: N=-6780.50 Ty=-3.83 Tz=-0.10 Mx=0.00 Mz=-3.00
Sollecitazioni agenti localmente: Ty_l=-1232.82 Mx_l=-24.66
Tensioni nella sezione: σ=298.86 τ=37.36
CC 30 SLD (Collegamento 0025_-382)
Azioni sul collegamento: N=-6780.50 Ty=-4.22 Tz=1.56 Mx=0.00 Mz=-4.10
Sollecitazioni agenti localmente: Ty_l=-1232.82 Mx_l=-24.66
Tensioni nella sezione: σ=298.86 τ=37.36
CC 30 SLD (Collegamento 0025_-382)
Azioni sul collegamento: N=-6780.50 Ty=-3.83 Tz=1.56 Mx=0.00 Mz=-3.00
Sollecitazioni agenti localmente: Ty_l=-1232.82 Mx_l=-24.66
Tensioni nella sezione: σ=298.86 τ=37.36
CC 31 SLV (Collegamento 0025_-382)
Azioni sul collegamento: N=-7375.81 Ty=-6.34 Tz=4.00 Mx=-0.00 Mz=-8.01
Sollecitazioni agenti localmente: Ty_l=-1341.06 Mx_l=-26.82
Tensioni nella sezione: σ=325.10 τ=40.64
CC 31 SLV (Collegamento 0025_-382)
Azioni sul collegamento: N=-7375.81 Ty=-3.40 Tz=4.00 Mx=-0.00 Mz=-3.25
Sollecitazioni agenti localmente: Ty_l=-1341.06 Mx_l=-26.82
Tensioni nella sezione: σ=325.10 τ=40.64
CC 31 SLV (Collegamento 0025_-382)
Azioni sul collegamento: N=-7375.81 Ty=-6.34 Tz=-2.29 Mx=-0.00 Mz=-8.01
Sollecitazioni agenti localmente: Ty_l=-1341.06 Mx_l=-26.82

Tensioni nella sezione: σ=325.10 τ=40.64
CC 31 SLV (Collegamento 0025_-382)
Azioni sul collegamento: N=-7375.81 Ty=-3.40 Tz=-2.29 Mx=-0.00 Mz=-3.25
Sollecitazioni agenti localmente: Ty_l=-1341.06 Mx_l=-26.82
Tensioni nella sezione: σ=325.10 τ=40.64
CC 31 SLV (Collegamento 0025_-382)
Azioni sul collegamento: N=-5772.93 Ty=-6.34 Tz=4.00 Mx=-0.00 Mz=-8.01
Sollecitazioni agenti localmente: Ty_l=-1049.62 Mx_l=-20.99
Tensioni nella sezione: σ=254.45 τ=31.81
CC 31 SLV (Collegamento 0025_-382)
Azioni sul collegamento: N=-5772.93 Ty=-3.40 Tz=4.00 Mx=-0.00 Mz=-3.25
Sollecitazioni agenti localmente: Ty_l=-1049.62 Mx_l=-20.99
Tensioni nella sezione: σ=254.45 τ=31.81
CC 31 SLV (Collegamento 0025_-382)
Azioni sul collegamento: N=-5772.93 Ty=-6.34 Tz=-2.29 Mx=-0.00 Mz=-8.01
Sollecitazioni agenti localmente: Ty_l=-1049.62 Mx_l=-20.99
Tensioni nella sezione: σ=254.45 τ=31.81
CC 31 SLV (Collegamento 0025_-382)
Azioni sul collegamento: N=-5772.93 Ty=-3.40 Tz=-2.29 Mx=-0.00 Mz=-3.25
Sollecitazioni agenti localmente: Ty_l=-1049.62 Mx_l=-20.99
Tensioni nella sezione: σ=254.45 τ=31.81
CC 32 SLD (Collegamento 0025_-382)
Azioni sul collegamento: N=-6786.28 Ty=-4.47 Tz=1.69 Mx=0.00 Mz=-4.27
Sollecitazioni agenti localmente: Ty_l=-1233.87 Mx_l=-24.68
Tensioni nella sezione: σ=299.12 τ=37.39
CC 32 SLD (Collegamento 0025_-382)
Azioni sul collegamento: N=-6786.28 Ty=-3.58 Tz=1.69 Mx=0.00 Mz=-2.82
Sollecitazioni agenti localmente: Ty_l=-1233.87 Mx_l=-24.68
Tensioni nella sezione: σ=299.12 τ=37.39
CC 32 SLD (Collegamento 0025_-382)
Azioni sul collegamento: N=-6786.28 Ty=-4.47 Tz=-0.23 Mx=0.00 Mz=-4.27
Sollecitazioni agenti localmente: Ty_l=-1233.87 Mx_l=-24.68
Tensioni nella sezione: σ=299.12 τ=37.39
CC 32 SLD (Collegamento 0025_-382)
Azioni sul collegamento: N=-6786.28 Ty=-3.58 Tz=-0.23 Mx=0.00 Mz=-2.82
Sollecitazioni agenti localmente: Ty_l=-1233.87 Mx_l=-24.68
Tensioni nella sezione: σ=299.12 τ=37.39
CC 32 SLD (Collegamento 0025_-382)
Azioni sul collegamento: N=-6297.50 Ty=-4.47 Tz=1.69 Mx=0.00 Mz=-4.27
Sollecitazioni agenti localmente: Ty_l=-1145.00 Mx_l=-22.90
Tensioni nella sezione: σ=277.57 τ=34.70
CC 32 SLD (Collegamento 0025_-382)
Azioni sul collegamento: N=-6297.50 Ty=-3.58 Tz=1.69 Mx=0.00 Mz=-2.82
Sollecitazioni agenti localmente: Ty_l=-1145.00 Mx_l=-22.90
Tensioni nella sezione: σ=277.57 τ=34.70
CC 32 SLD (Collegamento 0025_-382)
Azioni sul collegamento: N=-6297.50 Ty=-4.47 Tz=-0.23 Mx=0.00 Mz=-4.27
Sollecitazioni agenti localmente: Ty_l=-1145.00 Mx_l=-22.90
Tensioni nella sezione: σ=277.57 τ=34.70
CC 32 SLD (Collegamento 0025_-382)
Azioni sul collegamento: N=-6297.50 Ty=-3.58 Tz=-0.23 Mx=0.00 Mz=-2.82
Sollecitazioni agenti localmente: Ty_l=-1145.00 Mx_l=-22.90
Tensioni nella sezione: σ=277.57 τ=34.70
CC 33 SLU (Collegamento 0025_-382)
Azioni sul collegamento: N=-30778.60 Ty=-5.67 Tz=81.62 Mx=0.01 Mz=-4.05
Sollecitazioni agenti localmente: Ty_l=-5596.11 Mx_l=-111.92
Tensioni nella sezione: σ=1356.63 τ=169.58
CC 34 SLU (Collegamento 0025_-382)
Azioni sul collegamento: N=-30229.20 Ty=-5.39 Tz=79.58 Mx=0.01 Mz=-3.85
Sollecitazioni agenti localmente: Ty_l=-5496.22 Mx_l=-109.92
Tensioni nella sezione: σ=1332.41 τ=166.55
CC 35 SLU (Collegamento 0025_-382)
Azioni sul collegamento: N=-30504.90 Ty=-5.64 Tz=80.58 Mx=0.01 Mz=-4.16
Sollecitazioni agenti localmente: Ty_l=-5546.35 Mx_l=-110.93
Tensioni nella sezione: σ=1344.57 τ=168.07
CC 36 SLU (Collegamento 0025_-382)
Azioni sul collegamento: N=-30502.90 Ty=-5.42 Tz=80.62 Mx=0.01 Mz=-3.73
Sollecitazioni agenti localmente: Ty_l=-5545.98 Mx_l=-110.92
Tensioni nella sezione: σ=1344.48 τ=168.06
CC 37 SLU (Collegamento 0025_-382)
Azioni sul collegamento: N=-21507.60 Ty=-6.52 Tz=47.54 Mx=0.01 Mz=-4.63
Sollecitazioni agenti localmente: Ty_l=-3910.47 Mx_l=-78.21
Tensioni nella sezione: σ=947.99 τ=118.50
CC 38 SLU (Collegamento 0025_-382)
Azioni sul collegamento: N=-20958.20 Ty=-6.23 Tz=45.50 Mx=0.01 Mz=-4.43
Sollecitazioni agenti localmente: Ty_l=-3810.59 Mx_l=-76.21
Tensioni nella sezione: σ=923.78 τ=115.47
CC 39 SLU (Collegamento 0025_-382)
Azioni sul collegamento: N=-21233.90 Ty=-6.48 Tz=46.50 Mx=0.01 Mz=-4.75

Sollecitazioni agenti localmente: Ty_l=-3860.71 Mx_l=-77.21
Tensioni nella sezione: σ=935.93 τ=116.99
CC 40 SLU (Collegamento 0025_-382)
Azioni sul collegamento: N=-21231.90 Ty=-6.26 Tz=46.54 Mx=0.01 Mz=-4.31
Sollecitazioni agenti localmente: Ty_l=-3860.35 Mx_l=-77.21
Tensioni nella sezione: σ=935.84 τ=116.98
CC 41 SLU (Collegamento 0025_-382)
Azioni sul collegamento: N=-32702.20 Ty=-5.53 Tz=88.04 Mx=-0.00 Mz=-4.06
Sollecitazioni agenti localmente: Ty_l=-5945.86 Mx_l=-118.92
Tensioni nella sezione: σ=1441.42 τ=180.18
CC 42 SLU (Collegamento 0025_-382)
Azioni sul collegamento: N=-32152.80 Ty=-5.24 Tz=86.01 Mx=-0.00 Mz=-3.86
Sollecitazioni agenti localmente: Ty_l=-5845.97 Mx_l=-116.92
Tensioni nella sezione: σ=1417.20 τ=177.15
CC 43 SLU (Collegamento 0025_-382)
Azioni sul collegamento: N=-32428.50 Ty=-5.50 Tz=87.00 Mx=-0.00 Mz=-4.18
Sollecitazioni agenti localmente: Ty_l=-5896.09 Mx_l=-117.92
Tensioni nella sezione: σ=1429.35 τ=178.67
CC 44 SLU (Collegamento 0025_-382)
Azioni sul collegamento: N=-32426.50 Ty=-5.28 Tz=87.05 Mx=-0.00 Mz=-3.74
Sollecitazioni agenti localmente: Ty_l=-5895.73 Mx_l=-117.91
Tensioni nella sezione: σ=1429.27 τ=178.66
CC 45 SLU (Collegamento 0025_-382)
Azioni sul collegamento: N=-23594.00 Ty=-6.22 Tz=55.25 Mx=0.01 Mz=-4.49
Sollecitazioni agenti localmente: Ty_l=-4289.82 Mx_l=-85.80
Tensioni nella sezione: σ=1039.95 τ=129.99
CC 46 SLU (Collegamento 0025_-382)
Azioni sul collegamento: N=-23044.60 Ty=-5.94 Tz=53.22 Mx=0.01 Mz=-4.28
Sollecitazioni agenti localmente: Ty_l=-4189.93 Mx_l=-83.80
Tensioni nella sezione: σ=1015.74 τ=126.97
CC 47 SLU (Collegamento 0025_-382)
Azioni sul collegamento: N=-23320.30 Ty=-6.19 Tz=54.21 Mx=0.01 Mz=-4.60
Sollecitazioni agenti localmente: Ty_l=-4240.06 Mx_l=-84.80
Tensioni nella sezione: σ=1027.89 τ=128.49
CC 48 SLU (Collegamento 0025_-382)
Azioni sul collegamento: N=-23318.30 Ty=-5.97 Tz=54.26 Mx=0.01 Mz=-4.17
Sollecitazioni agenti localmente: Ty_l=-4239.70 Mx_l=-84.79
Tensioni nella sezione: σ=1027.80 τ=128.48
CC 49 SLU (Collegamento 0025_-382)
Azioni sul collegamento: N=-16657.90 Ty=-6.86 Tz=29.76 Mx=0.01 Mz=-4.92
Sollecitazioni agenti localmente: Ty_l=-3028.71 Mx_l=-60.57
Tensioni nella sezione: σ=734.23 τ=91.78
CC 50 SLU (Collegamento 0025_-382)
Azioni sul collegamento: N=-16108.50 Ty=-6.57 Tz=27.72 Mx=0.01 Mz=-4.72
Sollecitazioni agenti localmente: Ty_l=-2928.83 Mx_l=-58.58
Tensioni nella sezione: σ=710.02 τ=88.75
CC 51 SLU (Collegamento 0025_-382)
Azioni sul collegamento: N=-16384.20 Ty=-6.82 Tz=28.72 Mx=0.01 Mz=-5.04
Sollecitazioni agenti localmente: Ty_l=-2978.95 Mx_l=-59.58
Tensioni nella sezione: σ=722.17 τ=90.27
CC 52 SLU (Collegamento 0025_-382)
Azioni sul collegamento: N=-16382.20 Ty=-6.60 Tz=28.76 Mx=0.01 Mz=-4.60
Sollecitazioni agenti localmente: Ty_l=-2978.59 Mx_l=-59.57
Tensioni nella sezione: σ=722.08 τ=90.26
CC 53 SLU (Collegamento 0025_-382)
Azioni sul collegamento: N=-25033.10 Ty=-6.12 Tz=60.06 Mx=-0.00 Mz=-4.50
Sollecitazioni agenti localmente: Ty_l=-4551.48 Mx_l=-91.03
Tensioni nella sezione: σ=1103.39 τ=137.92
CC 54 SLU (Collegamento 0025_-382)
Azioni sul collegamento: N=-24483.80 Ty=-5.83 Tz=58.03 Mx=-0.00 Mz=-4.29
Sollecitazioni agenti localmente: Ty_l=-4451.59 Mx_l=-89.03
Tensioni nella sezione: σ=1079.17 τ=134.90
CC 55 SLU (Collegamento 0025_-382)
Azioni sul collegamento: N=-24759.40 Ty=-6.08 Tz=59.02 Mx=0.00 Mz=-4.61
Sollecitazioni agenti localmente: Ty_l=-4501.72 Mx_l=-90.03
Tensioni nella sezione: σ=1091.32 τ=136.42
CC 56 SLU (Collegamento 0025_-382)
Azioni sul collegamento: N=-24757.50 Ty=-5.87 Tz=59.07 Mx=-0.00 Mz=-4.18
Sollecitazioni agenti localmente: Ty_l=-4501.36 Mx_l=-90.03
Tensioni nella sezione: σ=1091.24 τ=136.41
CC 57 SLU (Collegamento 0025_-382)
Azioni sul collegamento: N=-21981.50 Ty=-5.60 Tz=49.32 Mx=0.01 Mz=-4.03
Sollecitazioni agenti localmente: Ty_l=-3996.63 Mx_l=-79.93
Tensioni nella sezione: σ=968.88 τ=121.11
CC 58 SLU (Collegamento 0025_-382)
Azioni sul collegamento: N=-21432.10 Ty=-5.31 Tz=47.28 Mx=0.01 Mz=-3.83
Sollecitazioni agenti localmente: Ty_l=-3896.75 Mx_l=-77.93
Tensioni nella sezione: σ=944.66 τ=118.08
CC 59 SLU (Collegamento 0025_-382)

Azioni sul collegamento: N=-21707.80 Ty=-5.57 Tz=48.28 Mx=0.01 Mz=-4.15
Sollecitazioni agenti localmente: Ty_l=-3946.87 Mx_l=-78.94
Tensioni nella sezione: σ=956.82 τ=119.60
CC 60 SLU (Collegamento 0025_-382)
Azioni sul collegamento: N=-21705.80 Ty=-5.35 Tz=48.32 Mx=0.01 Mz=-3.72
Sollecitazioni agenti localmente: Ty_l=-3946.51 Mx_l=-78.93
Tensioni nella sezione: σ=956.73 τ=119.59
CC 61 SLU (Collegamento 0025_-382)
Azioni sul collegamento: N=-15045.40 Ty=-6.23 Tz=23.82 Mx=0.01 Mz=-4.47
Sollecitazioni agenti localmente: Ty_l=-2735.53 Mx_l=-54.71
Tensioni nella sezione: σ=663.16 τ=82.89
CC 62 SLU (Collegamento 0025_-382)
Azioni sul collegamento: N=-14496.00 Ty=-5.95 Tz=21.79 Mx=0.01 Mz=-4.27
Sollecitazioni agenti localmente: Ty_l=-2635.64 Mx_l=-52.71
Tensioni nella sezione: σ=638.94 τ=79.87
CC 63 SLU (Collegamento 0025_-382)
Azioni sul collegamento: N=-14771.70 Ty=-6.20 Tz=22.78 Mx=0.01 Mz=-4.59
Sollecitazioni agenti localmente: Ty_l=-2685.76 Mx_l=-53.72
Tensioni nella sezione: σ=651.09 τ=81.39
CC 64 SLU (Collegamento 0025_-382)
Azioni sul collegamento: N=-14769.70 Ty=-5.98 Tz=22.82 Mx=0.01 Mz=-4.15
Sollecitazioni agenti localmente: Ty_l=-2685.41 Mx_l=-53.71
Tensioni nella sezione: σ=651.01 τ=81.38
CC 65 SLU (Collegamento 0025_-382)
Azioni sul collegamento: N=-23420.60 Ty=-5.49 Tz=54.12 Mx=-0.00 Mz=-4.04
Sollecitazioni agenti localmente: Ty_l=-4258.29 Mx_l=-85.17
Tensioni nella sezione: σ=1032.31 τ=129.04
CC 66 SLU (Collegamento 0025_-382)
Azioni sul collegamento: N=-22871.20 Ty=-5.21 Tz=52.09 Mx=-0.00 Mz=-3.84
Sollecitazioni agenti localmente: Ty_l=-4158.41 Mx_l=-83.17
Tensioni nella sezione: σ=1008.10 τ=126.01
CC 67 SLU (Collegamento 0025_-382)
Azioni sul collegamento: N=-23146.90 Ty=-5.46 Tz=53.08 Mx=-0.00 Mz=-4.16
Sollecitazioni agenti localmente: Ty_l=-4208.53 Mx_l=-84.17
Tensioni nella sezione: σ=1020.25 τ=127.53
CC 68 SLU (Collegamento 0025_-382)
Azioni sul collegamento: N=-23144.90 Ty=-5.24 Tz=53.13 Mx=-0.00 Mz=-3.72
Sollecitazioni agenti localmente: Ty_l=-4208.17 Mx_l=-84.16
Tensioni nella sezione: σ=1020.16 τ=127.52
CC 97 SLU (Collegamento 0025_-382)
Azioni sul collegamento: N=-11444.50 Ty=-17.52 Tz=18.88 Mx=-0.03 Mz=-21.34
Sollecitazioni agenti localmente: Ty_l=-2080.82 Mx_l=-41.62
Tensioni nella sezione: σ=504.44 τ=63.06
CC 98 SLU (Collegamento 0025_-382)
Azioni sul collegamento: N=-10895.20 Ty=-17.24 Tz=16.84 Mx=-0.03 Mz=-21.13
Sollecitazioni agenti localmente: Ty_l=-1980.94 Mx_l=-39.62
Tensioni nella sezione: σ=480.23 τ=60.03
CC 99 SLU (Collegamento 0025_-382)
Azioni sul collegamento: N=-11170.80 Ty=-17.49 Tz=17.84 Mx=-0.03 Mz=-21.45
Sollecitazioni agenti localmente: Ty_l=-2031.06 Mx_l=-40.62
Tensioni nella sezione: σ=492.38 τ=61.55
CC 100 SLU (Collegamento 0025_-382)
Azioni sul collegamento: N=-11168.90 Ty=-17.27 Tz=17.88 Mx=-0.04 Mz=-21.02
Sollecitazioni agenti localmente: Ty_l=-2030.70 Mx_l=-40.61
Tensioni nella sezione: σ=492.29 τ=61.54
CC 101 SLU (Collegamento 0025_-382)
Azioni sul collegamento: N=-7155.53 Ty=-1.61 Tz=2.94 Mx=0.01 Mz=-0.33
Sollecitazioni agenti localmente: Ty_l=-1301.01 Mx_l=-26.02
Tensioni nella sezione: σ=315.39 τ=39.42
CC 102 SLU (Collegamento 0025_-382)
Azioni sul collegamento: N=-6606.15 Ty=-1.32 Tz=0.91 Mx=0.01 Mz=-0.13
Sollecitazioni agenti localmente: Ty_l=-1201.12 Mx_l=-24.02
Tensioni nella sezione: σ=291.18 τ=36.40
CC 103 SLU (Collegamento 0025_-382)
Azioni sul collegamento: N=-6881.82 Ty=-1.58 Tz=1.90 Mx=0.01 Mz=-0.45
Sollecitazioni agenti localmente: Ty_l=-1251.24 Mx_l=-25.02
Tensioni nella sezione: σ=303.33 τ=37.92
CC 104 SLU (Collegamento 0025_-382)
Azioni sul collegamento: N=-6879.85 Ty=-1.36 Tz=1.95 Mx=0.01 Mz=-0.01
Sollecitazioni agenti localmente: Ty_l=-1250.88 Mx_l=-25.02
Tensioni nella sezione: σ=303.24 τ=37.91

Flessione attacco destro piastra

Bnetta=220.00 Hnetta=15.00
CC 1 SLV (Collegamento 0025_-382)
Azioni sul collegamento: N=-3838.16 Ty=-4.12 Tz=-9.35 Mx=0.02 Mz=1.95
Sollecitazioni agenti localmente: Ty_l=-688.16 My_l=-14.12
Tensioni nella sezione: σ=171.13 τ=20.85

CC 1 SLV (Collegamento 0025_-382)
Azioni sul collegamento: N=-3838.16 Ty=-0.76 Tz=-9.35 Mx=0.02 Mz=-1.23
Sollecitazioni agenti localmente: Ty_l=-675.51 My_l=-13.84
Tensioni nella sezione: σ=167.77 τ=20.47
CC 1 SLV (Collegamento 0025_-382)
Azioni sul collegamento: N=-3838.16 Ty=-4.12 Tz=10.33 Mx=0.02 Mz=1.95
Sollecitazioni agenti localmente: Ty_l=-688.16 My_l=-14.12
Tensioni nella sezione: σ=171.13 τ=20.85
CC 1 SLV (Collegamento 0025_-382)
Azioni sul collegamento: N=-3838.16 Ty=-0.76 Tz=10.33 Mx=0.02 Mz=-1.23
Sollecitazioni agenti localmente: Ty_l=-675.51 My_l=-13.84
Tensioni nella sezione: σ=167.77 τ=20.47
CC 1 SLV (Collegamento 0025_-382)
Azioni sul collegamento: N=-9123.66 Ty=-4.12 Tz=-9.35 Mx=0.02 Mz=1.95
Sollecitazioni agenti localmente: Ty_l=-1625.14 My_l=-33.33
Tensioni nella sezione: σ=403.95 τ=49.25
CC 1 SLV (Collegamento 0025_-382)
Azioni sul collegamento: N=-9123.66 Ty=-0.76 Tz=-9.35 Mx=0.02 Mz=-1.23
Sollecitazioni agenti localmente: Ty_l=-1612.48 My_l=-33.05
Tensioni nella sezione: σ=400.60 τ=48.86
CC 1 SLV (Collegamento 0025_-382)
Azioni sul collegamento: N=-9123.66 Ty=-4.12 Tz=10.33 Mx=0.02 Mz=1.95
Sollecitazioni agenti localmente: Ty_l=-1625.14 My_l=-33.33
Tensioni nella sezione: σ=403.95 τ=49.25
CC 1 SLV (Collegamento 0025_-382)
Azioni sul collegamento: N=-9123.66 Ty=-0.76 Tz=10.33 Mx=0.02 Mz=-1.23
Sollecitazioni agenti localmente: Ty_l=-1612.48 My_l=-33.05
Tensioni nella sezione: σ=400.60 τ=48.86
CC 2 SLD (Collegamento 0025_-382)
Azioni sul collegamento: N=-5707.53 Ty=-2.77 Tz=-2.38 Mx=0.01 Mz=-1.24
Sollecitazioni agenti localmente: Ty_l=-1006.87 My_l=-20.63
Tensioni nella sezione: σ=250.11 τ=30.51
CC 2 SLD (Collegamento 0025_-382)
Azioni sul collegamento: N=-5707.53 Ty=-3.80 Tz=-2.38 Mx=0.01 Mz=-2.21
Sollecitazioni agenti localmente: Ty_l=-1003.02 My_l=-20.55
Tensioni nella sezione: σ=249.09 τ=30.39
CC 2 SLD (Collegamento 0025_-382)
Azioni sul collegamento: N=-5707.53 Ty=-2.77 Tz=3.62 Mx=0.01 Mz=-1.24
Sollecitazioni agenti localmente: Ty_l=-1006.87 My_l=-20.63
Tensioni nella sezione: σ=250.11 τ=30.51
CC 2 SLD (Collegamento 0025_-382)
Azioni sul collegamento: N=-5707.53 Ty=-3.80 Tz=3.62 Mx=0.01 Mz=-2.21
Sollecitazioni agenti localmente: Ty_l=-1003.02 My_l=-20.55
Tensioni nella sezione: σ=249.09 τ=30.39
CC 2 SLD (Collegamento 0025_-382)
Azioni sul collegamento: N=-7319.25 Ty=-2.77 Tz=-2.38 Mx=0.01 Mz=-1.24
Sollecitazioni agenti localmente: Ty_l=-1292.59 My_l=-26.49
Tensioni nella sezione: σ=321.11 τ=39.17
CC 2 SLD (Collegamento 0025_-382)
Azioni sul collegamento: N=-7319.25 Ty=-3.80 Tz=-2.38 Mx=0.01 Mz=-2.21
Sollecitazioni agenti localmente: Ty_l=-1288.73 My_l=-26.41
Tensioni nella sezione: σ=320.08 τ=39.05
CC 2 SLD (Collegamento 0025_-382)
Azioni sul collegamento: N=-7319.25 Ty=-2.77 Tz=3.62 Mx=0.01 Mz=-1.24
Sollecitazioni agenti localmente: Ty_l=-1292.59 My_l=-26.49
Tensioni nella sezione: σ=321.11 τ=39.17
CC 2 SLD (Collegamento 0025_-382)
Azioni sul collegamento: N=-7319.25 Ty=-3.80 Tz=3.62 Mx=0.01 Mz=-2.21
Sollecitazioni agenti localmente: Ty_l=-1288.73 My_l=-26.41
Tensioni nella sezione: σ=320.08 τ=39.05
CC 3 SLV (Collegamento 0025_-382)
Azioni sul collegamento: N=-3843.85 Ty=-3.49 Tz=-9.22 Mx=0.02 Mz=0.69
Sollecitazioni agenti localmente: Ty_l=-684.17 My_l=-14.03
Tensioni nella sezione: σ=170.05 τ=20.73
CC 3 SLV (Collegamento 0025_-382)
Azioni sul collegamento: N=-3843.85 Ty=-1.39 Tz=-9.22 Mx=0.02 Mz=0.03
Sollecitazioni agenti localmente: Ty_l=-681.52 My_l=-13.97
Tensioni nella sezione: σ=169.35 τ=20.65
CC 3 SLV (Collegamento 0025_-382)
Azioni sul collegamento: N=-3843.85 Ty=-3.49 Tz=10.20 Mx=0.02 Mz=0.69
Sollecitazioni agenti localmente: Ty_l=-684.17 My_l=-14.03
Tensioni nella sezione: σ=170.05 τ=20.73
CC 3 SLV (Collegamento 0025_-382)
Azioni sul collegamento: N=-3843.85 Ty=-1.39 Tz=10.20 Mx=0.02 Mz=0.03
Sollecitazioni agenti localmente: Ty_l=-681.52 My_l=-13.97
Tensioni nella sezione: σ=169.35 τ=20.65
CC 3 SLV (Collegamento 0025_-382)
Azioni sul collegamento: N=-9117.97 Ty=-3.49 Tz=-9.22 Mx=0.02 Mz=0.69
Sollecitazioni agenti localmente: Ty_l=-1619.13 My_l=-33.20

Tensioni nella sezione: σ=402.38 τ=49.06
CC 3 SLV (Collegamento 0025_-382)
Azioni sul collegamento: N=-9117.97 Ty=-1.39 Tz=-9.22 Mx=0.02 Mz=0.03
Sollecitazioni agenti localmente: Ty_l=-1616.47 My_l=-33.14
Tensioni nella sezione: σ=401.67 τ=48.98
CC 3 SLV (Collegamento 0025_-382)
Azioni sul collegamento: N=-9117.97 Ty=-3.49 Tz=10.20 Mx=0.02 Mz=0.69
Sollecitazioni agenti localmente: Ty_l=-1619.13 My_l=-33.20
Tensioni nella sezione: σ=402.38 τ=49.06
CC 3 SLV (Collegamento 0025_-382)
Azioni sul collegamento: N=-9117.97 Ty=-1.39 Tz=10.20 Mx=0.02 Mz=0.03
Sollecitazioni agenti localmente: Ty_l=-1616.47 My_l=-33.14
Tensioni nella sezione: σ=401.67 τ=48.98
CC 4 SLD (Collegamento 0025_-382)
Azioni sul collegamento: N=-5709.27 Ty=-2.97 Tz=-2.35 Mx=0.01 Mz=-1.62
Sollecitazioni agenti localmente: Ty_l=-1005.66 My_l=-20.61
Tensioni nella sezione: σ=249.78 τ=30.47
CC 4 SLD (Collegamento 0025_-382)
Azioni sul collegamento: N=-5709.27 Ty=-3.60 Tz=-2.35 Mx=0.01 Mz=-1.82
Sollecitazioni agenti localmente: Ty_l=-1004.85 My_l=-20.59
Tensioni nella sezione: σ=249.57 τ=30.45
CC 4 SLD (Collegamento 0025_-382)
Azioni sul collegamento: N=-5709.27 Ty=-2.97 Tz=3.58 Mx=0.01 Mz=-1.62
Sollecitazioni agenti localmente: Ty_l=-1005.66 My_l=-20.61
Tensioni nella sezione: σ=249.78 τ=30.47
CC 4 SLD (Collegamento 0025_-382)
Azioni sul collegamento: N=-5709.27 Ty=-3.60 Tz=3.58 Mx=0.01 Mz=-1.82
Sollecitazioni agenti localmente: Ty_l=-1004.85 My_l=-20.59
Tensioni nella sezione: σ=249.57 τ=30.45
CC 4 SLD (Collegamento 0025_-382)
Azioni sul collegamento: N=-7317.51 Ty=-2.97 Tz=-2.35 Mx=0.01 Mz=-1.62
Sollecitazioni agenti localmente: Ty_l=-1290.76 My_l=-26.45
Tensioni nella sezione: σ=320.62 τ=39.11
CC 4 SLD (Collegamento 0025_-382)
Azioni sul collegamento: N=-7317.51 Ty=-3.60 Tz=-2.35 Mx=0.01 Mz=-1.82
Sollecitazioni agenti localmente: Ty_l=-1289.95 My_l=-26.43
Tensioni nella sezione: σ=320.41 τ=39.09
CC 4 SLD (Collegamento 0025_-382)
Azioni sul collegamento: N=-7317.51 Ty=-2.97 Tz=3.58 Mx=0.01 Mz=-1.62
Sollecitazioni agenti localmente: Ty_l=-1290.76 My_l=-26.45
Tensioni nella sezione: σ=320.62 τ=39.11
CC 4 SLD (Collegamento 0025_-382)
Azioni sul collegamento: N=-7317.51 Ty=-3.60 Tz=3.58 Mx=0.01 Mz=-1.82
Sollecitazioni agenti localmente: Ty_l=-1289.95 My_l=-26.43
Tensioni nella sezione: σ=320.41 τ=39.09
CC 5 SLV (Collegamento 0025_-382)
Azioni sul collegamento: N=-9117.97 Ty=-1.39 Tz=10.20 Mx=0.02 Mz=0.03
Sollecitazioni agenti localmente: Ty_l=-1616.47 My_l=-33.14
Tensioni nella sezione: σ=401.67 τ=48.98
CC 5 SLV (Collegamento 0025_-382)
Azioni sul collegamento: N=-9117.97 Ty=-3.49 Tz=10.20 Mx=0.02 Mz=0.69
Sollecitazioni agenti localmente: Ty_l=-1619.13 My_l=-33.20
Tensioni nella sezione: σ=402.38 τ=49.06
CC 5 SLV (Collegamento 0025_-382)
Azioni sul collegamento: N=-9117.97 Ty=-1.39 Tz=-9.22 Mx=0.02 Mz=0.03
Sollecitazioni agenti localmente: Ty_l=-1616.47 My_l=-33.14
Tensioni nella sezione: σ=401.67 τ=48.98
CC 5 SLV (Collegamento 0025_-382)
Azioni sul collegamento: N=-9117.97 Ty=-3.49 Tz=-9.22 Mx=0.02 Mz=0.69
Sollecitazioni agenti localmente: Ty_l=-1619.13 My_l=-33.20
Tensioni nella sezione: σ=402.38 τ=49.06
CC 5 SLV (Collegamento 0025_-382)
Azioni sul collegamento: N=-3843.85 Ty=-1.39 Tz=10.20 Mx=0.02 Mz=0.03
Sollecitazioni agenti localmente: Ty_l=-681.52 My_l=-13.97
Tensioni nella sezione: σ=169.35 τ=20.65
CC 5 SLV (Collegamento 0025_-382)
Azioni sul collegamento: N=-3843.85 Ty=-3.49 Tz=10.20 Mx=0.02 Mz=0.69
Sollecitazioni agenti localmente: Ty_l=-684.17 My_l=-14.03
Tensioni nella sezione: σ=170.05 τ=20.73
CC 5 SLV (Collegamento 0025_-382)
Azioni sul collegamento: N=-3843.85 Ty=-1.39 Tz=-9.22 Mx=0.02 Mz=0.03
Sollecitazioni agenti localmente: Ty_l=-681.52 My_l=-13.97
Tensioni nella sezione: σ=169.35 τ=20.65
CC 5 SLV (Collegamento 0025_-382)
Azioni sul collegamento: N=-3843.85 Ty=-3.49 Tz=-9.22 Mx=0.02 Mz=0.69
Sollecitazioni agenti localmente: Ty_l=-684.17 My_l=-14.03
Tensioni nella sezione: σ=170.05 τ=20.73
CC 6 SLD (Collegamento 0025_-382)
Azioni sul collegamento: N=-7317.51 Ty=-3.60 Tz=3.58 Mx=0.01 Mz=-1.82

Sollecitazioni agenti localmente: Ty_l=-1289.95 My_l=-26.43
Tensioni nella sezione: σ=320.41 τ=39.09
CC 6 SLD (Collegamento 0025_-382)
Azioni sul collegamento: N=-7317.51 Ty=-2.97 Tz=3.58 Mx=0.01 Mz=-1.62
Sollecitazioni agenti localmente: Ty_l=-1290.76 My_l=-26.45
Tensioni nella sezione: σ=320.62 τ=39.11
CC 6 SLD (Collegamento 0025_-382)
Azioni sul collegamento: N=-7317.51 Ty=-3.60 Tz=-2.35 Mx=0.01 Mz=-1.82
Sollecitazioni agenti localmente: Ty_l=-1289.95 My_l=-26.43
Tensioni nella sezione: σ=320.41 τ=39.09
CC 6 SLD (Collegamento 0025_-382)
Azioni sul collegamento: N=-7317.51 Ty=-2.97 Tz=-2.35 Mx=0.01 Mz=-1.62
Sollecitazioni agenti localmente: Ty_l=-1290.76 My_l=-26.45
Tensioni nella sezione: σ=320.62 τ=39.11
CC 6 SLD (Collegamento 0025_-382)
Azioni sul collegamento: N=-5709.27 Ty=-3.60 Tz=3.58 Mx=0.01 Mz=-1.82
Sollecitazioni agenti localmente: Ty_l=-1004.85 My_l=-20.59
Tensioni nella sezione: σ=249.57 τ=30.45
CC 6 SLD (Collegamento 0025_-382)
Azioni sul collegamento: N=-5709.27 Ty=-2.97 Tz=3.58 Mx=0.01 Mz=-1.62
Sollecitazioni agenti localmente: Ty_l=-1005.66 My_l=-20.61
Tensioni nella sezione: σ=249.78 τ=30.47
CC 6 SLD (Collegamento 0025_-382)
Azioni sul collegamento: N=-5709.27 Ty=-3.60 Tz=-2.35 Mx=0.01 Mz=-1.82
Sollecitazioni agenti localmente: Ty_l=-1004.85 My_l=-20.59
Tensioni nella sezione: σ=249.57 τ=30.45
CC 6 SLD (Collegamento 0025_-382)
Azioni sul collegamento: N=-5709.27 Ty=-2.97 Tz=-2.35 Mx=0.01 Mz=-1.62
Sollecitazioni agenti localmente: Ty_l=-1005.66 My_l=-20.61
Tensioni nella sezione: σ=249.78 τ=30.47
CC 7 SLV (Collegamento 0025_-382)
Azioni sul collegamento: N=-9123.66 Ty=-0.76 Tz=10.33 Mx=0.01 Mz=-1.23
Sollecitazioni agenti localmente: Ty_l=-1612.48 My_l=-33.05
Tensioni nella sezione: σ=400.60 τ=48.86
CC 7 SLV (Collegamento 0025_-382)
Azioni sul collegamento: N=-9123.66 Ty=-4.12 Tz=10.33 Mx=0.01 Mz=1.95
Sollecitazioni agenti localmente: Ty_l=-1625.14 My_l=-33.33
Tensioni nella sezione: σ=403.95 τ=49.25
CC 7 SLV (Collegamento 0025_-382)
Azioni sul collegamento: N=-9123.66 Ty=-0.76 Tz=-9.35 Mx=0.01 Mz=-1.23
Sollecitazioni agenti localmente: Ty_l=-1612.48 My_l=-33.05
Tensioni nella sezione: σ=400.60 τ=48.86
CC 7 SLV (Collegamento 0025_-382)
Azioni sul collegamento: N=-9123.66 Ty=-4.12 Tz=-9.35 Mx=0.01 Mz=1.95
Sollecitazioni agenti localmente: Ty_l=-1625.14 My_l=-33.33
Tensioni nella sezione: σ=403.95 τ=49.25
CC 7 SLV (Collegamento 0025_-382)
Azioni sul collegamento: N=-3838.16 Ty=-0.76 Tz=10.33 Mx=0.01 Mz=-1.23
Sollecitazioni agenti localmente: Ty_l=-675.51 My_l=-13.84
Tensioni nella sezione: σ=167.77 τ=20.47
CC 7 SLV (Collegamento 0025_-382)
Azioni sul collegamento: N=-3838.16 Ty=-4.12 Tz=10.33 Mx=0.01 Mz=1.95
Sollecitazioni agenti localmente: Ty_l=-688.16 My_l=-14.12
Tensioni nella sezione: σ=171.13 τ=20.85
CC 7 SLV (Collegamento 0025_-382)
Azioni sul collegamento: N=-3838.16 Ty=-0.76 Tz=-9.35 Mx=0.01 Mz=-1.23
Sollecitazioni agenti localmente: Ty_l=-675.51 My_l=-13.84
Tensioni nella sezione: σ=167.77 τ=20.47
CC 7 SLV (Collegamento 0025_-382)
Azioni sul collegamento: N=-3838.16 Ty=-4.12 Tz=-9.35 Mx=0.01 Mz=1.95
Sollecitazioni agenti localmente: Ty_l=-688.16 My_l=-14.12
Tensioni nella sezione: σ=171.13 τ=20.85
CC 8 SLD (Collegamento 0025_-382)
Azioni sul collegamento: N=-7319.25 Ty=-3.80 Tz=3.62 Mx=0.01 Mz=-2.21
Sollecitazioni agenti localmente: Ty_l=-1288.73 My_l=-26.41
Tensioni nella sezione: σ=320.08 τ=39.05
CC 8 SLD (Collegamento 0025_-382)
Azioni sul collegamento: N=-7319.25 Ty=-2.77 Tz=3.62 Mx=0.01 Mz=-1.24
Sollecitazioni agenti localmente: Ty_l=-1292.59 My_l=-26.49
Tensioni nella sezione: σ=321.11 τ=39.17
CC 8 SLD (Collegamento 0025_-382)
Azioni sul collegamento: N=-7319.25 Ty=-3.80 Tz=-2.38 Mx=0.01 Mz=-2.21
Sollecitazioni agenti localmente: Ty_l=-1288.73 My_l=-26.41
Tensioni nella sezione: σ=320.08 τ=39.05
CC 8 SLD (Collegamento 0025_-382)
Azioni sul collegamento: N=-7319.25 Ty=-2.77 Tz=-2.38 Mx=0.01 Mz=-1.24
Sollecitazioni agenti localmente: Ty_l=-1292.59 My_l=-26.49
Tensioni nella sezione: σ=321.11 τ=39.17
CC 8 SLD (Collegamento 0025_-382)

Azioni sul collegamento: N=-5707.53 Ty=-3.80 Tz=3.62 Mx=0.01 Mz=-2.21
Sollecitazioni agenti localmente: Ty_l=-1003.02 My_l=-20.55
Tensioni nella sezione: σ=249.09 τ=30.39
CC 8 SLD (Collegamento 0025_-382)
Azioni sul collegamento: N=-5707.53 Ty=-2.77 Tz=3.62 Mx=0.01 Mz=-1.24
Sollecitazioni agenti localmente: Ty_l=-1006.87 My_l=-20.63
Tensioni nella sezione: σ=250.11 τ=30.51
CC 8 SLD (Collegamento 0025_-382)
Azioni sul collegamento: N=-5707.53 Ty=-3.80 Tz=-2.38 Mx=0.01 Mz=-2.21
Sollecitazioni agenti localmente: Ty_l=-1003.02 My_l=-20.55
Tensioni nella sezione: σ=249.09 τ=30.39
CC 8 SLD (Collegamento 0025_-382)
Azioni sul collegamento: N=-5707.53 Ty=-2.77 Tz=-2.38 Mx=0.01 Mz=-1.24
Sollecitazioni agenti localmente: Ty_l=-1006.87 My_l=-20.63
Tensioni nella sezione: σ=250.11 τ=30.51
CC 9 SLV (Collegamento 0025_-382)
Azioni sul collegamento: N=-5679.47 Ty=-3.91 Tz=-2.66 Mx=0.03 Mz=2.74
Sollecitazioni agenti localmente: Ty_l=-1017.73 My_l=-20.88
Tensioni nella sezione: σ=253.08 τ=30.84
CC 9 SLV (Collegamento 0025_-382)
Azioni sul collegamento: N=-5679.47 Ty=-0.97 Tz=-2.66 Mx=0.03 Mz=-2.02
Sollecitazioni agenti localmente: Ty_l=-998.77 My_l=-20.46
Tensioni nella sezione: σ=248.04 τ=30.27
CC 9 SLV (Collegamento 0025_-382)
Azioni sul collegamento: N=-5679.47 Ty=-3.91 Tz=3.63 Mx=0.03 Mz=2.74
Sollecitazioni agenti localmente: Ty_l=-1017.73 My_l=-20.88
Tensioni nella sezione: σ=253.08 τ=30.84
CC 9 SLV (Collegamento 0025_-382)
Azioni sul collegamento: N=-5679.47 Ty=-0.97 Tz=3.63 Mx=0.03 Mz=-2.02
Sollecitazioni agenti localmente: Ty_l=-998.77 My_l=-20.46
Tensioni nella sezione: σ=248.04 τ=30.27
CC 9 SLV (Collegamento 0025_-382)
Azioni sul collegamento: N=-7282.35 Ty=-3.91 Tz=-2.66 Mx=0.03 Mz=2.74
Sollecitazioni agenti localmente: Ty_l=-1301.88 My_l=-26.70
Tensioni nella sezione: σ=323.68 τ=39.45
CC 9 SLV (Collegamento 0025_-382)
Azioni sul collegamento: N=-7282.35 Ty=-0.97 Tz=-2.66 Mx=0.03 Mz=-2.02
Sollecitazioni agenti localmente: Ty_l=-1282.92 My_l=-26.29
Tensioni nella sezione: σ=318.65 τ=38.88
CC 9 SLV (Collegamento 0025_-382)
Azioni sul collegamento: N=-7282.35 Ty=-3.91 Tz=3.63 Mx=0.03 Mz=2.74
Sollecitazioni agenti localmente: Ty_l=-1301.88 My_l=-26.70
Tensioni nella sezione: σ=323.68 τ=39.45
CC 9 SLV (Collegamento 0025_-382)
Azioni sul collegamento: N=-7282.35 Ty=-0.97 Tz=3.63 Mx=0.03 Mz=-2.02
Sollecitazioni agenti localmente: Ty_l=-1282.92 My_l=-26.29
Tensioni nella sezione: σ=318.65 τ=38.88
CC 10 SLD (Collegamento 0025_-382)
Azioni sul collegamento: N=-6269.01 Ty=-2.84 Tz=-0.34 Mx=0.01 Mz=-0.99
Sollecitazioni agenti localmente: Ty_l=-1107.37 My_l=-22.70
Tensioni nella sezione: σ=275.10 τ=33.56
CC 10 SLD (Collegamento 0025_-382)
Azioni sul collegamento: N=-6269.01 Ty=-3.73 Tz=-0.34 Mx=0.01 Mz=-2.45
Sollecitazioni agenti localmente: Ty_l=-1101.59 My_l=-22.57
Tensioni nella sezione: σ=273.56 τ=33.38
CC 10 SLD (Collegamento 0025_-382)
Azioni sul collegamento: N=-6269.00 Ty=-2.84 Tz=1.57 Mx=0.01 Mz=-0.99
Sollecitazioni agenti localmente: Ty_l=-1107.37 My_l=-22.70
Tensioni nella sezione: σ=275.10 τ=33.56
CC 10 SLD (Collegamento 0025_-382)
Azioni sul collegamento: N=-6269.00 Ty=-3.73 Tz=1.57 Mx=0.01 Mz=-2.45
Sollecitazioni agenti localmente: Ty_l=-1101.59 My_l=-22.57
Tensioni nella sezione: σ=273.56 τ=33.38
CC 10 SLD (Collegamento 0025_-382)
Azioni sul collegamento: N=-6757.78 Ty=-2.84 Tz=-0.34 Mx=0.01 Mz=-0.99
Sollecitazioni agenti localmente: Ty_l=-1194.02 My_l=-24.47
Tensioni nella sezione: σ=296.63 τ=36.18
CC 10 SLD (Collegamento 0025_-382)
Azioni sul collegamento: N=-6757.78 Ty=-3.73 Tz=-0.34 Mx=0.01 Mz=-2.45
Sollecitazioni agenti localmente: Ty_l=-1188.23 My_l=-24.35
Tensioni nella sezione: σ=295.09 τ=36.01
CC 10 SLD (Collegamento 0025_-382)
Azioni sul collegamento: N=-6757.78 Ty=-2.84 Tz=1.57 Mx=0.01 Mz=-0.99
Sollecitazioni agenti localmente: Ty_l=-1194.02 My_l=-24.47
Tensioni nella sezione: σ=296.63 τ=36.18
CC 10 SLD (Collegamento 0025_-382)
Azioni sul collegamento: N=-6757.78 Ty=-3.73 Tz=1.57 Mx=0.01 Mz=-2.45
Sollecitazioni agenti localmente: Ty_l=-1188.23 My_l=-24.35
Tensioni nella sezione: σ=295.09 τ=36.01

CC 11 SLV (Collegamento 0025_-382)
Azioni sul collegamento: N=-7263.41 Ty=-3.09 Tz=3.21 Mx=0.02 Mz=2.17
Sollecitazioni agenti localmente: Ty_l=-1296.22 My_l=-26.58
Tensioni nella sezione: σ=322.24 τ=39.28
CC 11 SLV (Collegamento 0025_-382)
Azioni sul collegamento: N=-7263.41 Ty=-1.79 Tz=3.21 Mx=0.02 Mz=-1.45
Sollecitazioni agenti localmente: Ty_l=-1281.86 My_l=-26.27
Tensioni nella sezione: σ=318.42 τ=38.84
CC 11 SLV (Collegamento 0025_-382)
Azioni sul collegamento: N=-7263.41 Ty=-3.09 Tz=-2.23 Mx=0.02 Mz=2.17
Sollecitazioni agenti localmente: Ty_l=-1296.22 My_l=-26.58
Tensioni nella sezione: σ=322.24 τ=39.28
CC 11 SLV (Collegamento 0025_-382)
Azioni sul collegamento: N=-7263.41 Ty=-1.79 Tz=-2.23 Mx=0.02 Mz=-1.45
Sollecitazioni agenti localmente: Ty_l=-1281.86 My_l=-26.27
Tensioni nella sezione: σ=318.42 τ=38.84
CC 11 SLV (Collegamento 0025_-382)
Azioni sul collegamento: N=-5698.41 Ty=-3.09 Tz=3.21 Mx=0.02 Mz=2.17
Sollecitazioni agenti localmente: Ty_l=-1018.79 My_l=-20.90
Tensioni nella sezione: σ=253.30 τ=30.87
CC 11 SLV (Collegamento 0025_-382)
Azioni sul collegamento: N=-5698.41 Ty=-1.79 Tz=3.21 Mx=0.02 Mz=-1.45
Sollecitazioni agenti localmente: Ty_l=-1004.42 My_l=-20.58
Tensioni nella sezione: σ=249.49 τ=30.44
CC 11 SLV (Collegamento 0025_-382)
Azioni sul collegamento: N=-5698.41 Ty=-3.09 Tz=-2.23 Mx=0.02 Mz=2.17
Sollecitazioni agenti localmente: Ty_l=-1018.79 My_l=-20.90
Tensioni nella sezione: σ=253.30 τ=30.87
CC 11 SLV (Collegamento 0025_-382)
Azioni sul collegamento: N=-5698.41 Ty=-1.79 Tz=-2.23 Mx=0.02 Mz=-1.45
Sollecitazioni agenti localmente: Ty_l=-1004.42 My_l=-20.58
Tensioni nella sezione: σ=249.49 τ=30.44
CC 12 SLD (Collegamento 0025_-382)
Azioni sul collegamento: N=-6752.00 Ty=-3.09 Tz=1.44 Mx=0.01 Mz=-1.17
Sollecitazioni agenti localmente: Ty_l=-1192.29 My_l=-24.44
Tensioni nella sezione: σ=296.19 τ=36.13
CC 12 SLD (Collegamento 0025_-382)
Azioni sul collegamento: N=-6752.00 Ty=-3.48 Tz=1.44 Mx=0.01 Mz=-2.27
Sollecitazioni agenti localmente: Ty_l=-1187.91 My_l=-24.34
Tensioni nella sezione: σ=295.02 τ=36.00
CC 12 SLD (Collegamento 0025_-382)
Azioni sul collegamento: N=-6752.00 Ty=-3.09 Tz=-0.21 Mx=0.01 Mz=-1.17
Sollecitazioni agenti localmente: Ty_l=-1192.29 My_l=-24.44
Tensioni nella sezione: σ=296.19 τ=36.13
CC 12 SLD (Collegamento 0025_-382)
Azioni sul collegamento: N=-6752.00 Ty=-3.48 Tz=-0.21 Mx=0.01 Mz=-2.27
Sollecitazioni agenti localmente: Ty_l=-1187.91 My_l=-24.34
Tensioni nella sezione: σ=295.02 τ=36.00
CC 12 SLD (Collegamento 0025_-382)
Azioni sul collegamento: N=-6274.78 Ty=-3.09 Tz=1.44 Mx=0.01 Mz=-1.17
Sollecitazioni agenti localmente: Ty_l=-1107.69 My_l=-22.70
Tensioni nella sezione: σ=275.17 τ=33.57
CC 12 SLD (Collegamento 0025_-382)
Azioni sul collegamento: N=-6274.78 Ty=-3.48 Tz=1.44 Mx=0.01 Mz=-2.27
Sollecitazioni agenti localmente: Ty_l=-1103.31 My_l=-22.61
Tensioni nella sezione: σ=274.00 τ=33.43
CC 12 SLD (Collegamento 0025_-382)
Azioni sul collegamento: N=-6274.78 Ty=-3.09 Tz=-0.21 Mx=0.01 Mz=-1.17
Sollecitazioni agenti localmente: Ty_l=-1107.69 My_l=-22.70
Tensioni nella sezione: σ=275.17 τ=33.57
CC 12 SLD (Collegamento 0025_-382)
Azioni sul collegamento: N=-6274.78 Ty=-3.48 Tz=-0.21 Mx=0.01 Mz=-2.27
Sollecitazioni agenti localmente: Ty_l=-1103.31 My_l=-22.61
Tensioni nella sezione: σ=274.00 τ=33.43
CC 13 SLV (Collegamento 0025_-382)
Azioni sul collegamento: N=-5698.41 Ty=-1.79 Tz=-2.23 Mx=0.01 Mz=-1.45
Sollecitazioni agenti localmente: Ty_l=-1004.42 My_l=-20.58
Tensioni nella sezione: σ=249.49 τ=30.44
CC 13 SLV (Collegamento 0025_-382)
Azioni sul collegamento: N=-5698.41 Ty=-3.09 Tz=-2.23 Mx=0.01 Mz=2.17
Sollecitazioni agenti localmente: Ty_l=-1018.79 My_l=-20.90
Tensioni nella sezione: σ=253.30 τ=30.87
CC 13 SLV (Collegamento 0025_-382)
Azioni sul collegamento: N=-5698.41 Ty=-1.79 Tz=3.21 Mx=0.01 Mz=-1.45
Sollecitazioni agenti localmente: Ty_l=-1004.42 My_l=-20.58
Tensioni nella sezione: σ=249.49 τ=30.44
CC 13 SLV (Collegamento 0025_-382)
Azioni sul collegamento: N=-5698.41 Ty=-3.09 Tz=3.21 Mx=0.01 Mz=2.17
Sollecitazioni agenti localmente: Ty_l=-1018.79 My_l=-20.90

Tensioni nella sezione: σ=253.30 τ=30.87
CC 13 SLV (Collegamento 0025_-382)
Azioni sul collegamento: N=-7263.41 Ty=-1.79 Tz=-2.23 Mx=0.01 Mz=-1.45
Sollecitazioni agenti localmente: Ty_l=-1281.86 My_l=-26.27
Tensioni nella sezione: σ=318.42 τ=38.84
CC 13 SLV (Collegamento 0025_-382)
Azioni sul collegamento: N=-7263.41 Ty=-3.09 Tz=-2.23 Mx=0.01 Mz=2.17
Sollecitazioni agenti localmente: Ty_l=-1296.22 My_l=-26.58
Tensioni nella sezione: σ=322.24 τ=39.28
CC 13 SLV (Collegamento 0025_-382)
Azioni sul collegamento: N=-7263.41 Ty=-1.79 Tz=3.21 Mx=0.01 Mz=-1.45
Sollecitazioni agenti localmente: Ty_l=-1281.86 My_l=-26.27
Tensioni nella sezione: σ=318.42 τ=38.84
CC 13 SLV (Collegamento 0025_-382)
Azioni sul collegamento: N=-7263.41 Ty=-3.09 Tz=3.21 Mx=0.01 Mz=2.17
Sollecitazioni agenti localmente: Ty_l=-1296.22 My_l=-26.58
Tensioni nella sezione: σ=322.24 τ=39.28
CC 14 SLD (Collegamento 0025_-382)
Azioni sul collegamento: N=-6274.78 Ty=-3.48 Tz=-0.21 Mx=0.01 Mz=-2.27
Sollecitazioni agenti localmente: Ty_l=-1103.31 My_l=-22.61
Tensioni nella sezione: σ=274.00 τ=33.43
CC 14 SLD (Collegamento 0025_-382)
Azioni sul collegamento: N=-6274.78 Ty=-3.09 Tz=-0.21 Mx=0.01 Mz=-1.17
Sollecitazioni agenti localmente: Ty_l=-1107.69 My_l=-22.70
Tensioni nella sezione: σ=275.17 τ=33.57
CC 14 SLD (Collegamento 0025_-382)
Azioni sul collegamento: N=-6274.78 Ty=-3.48 Tz=1.44 Mx=0.01 Mz=-2.27
Sollecitazioni agenti localmente: Ty_l=-1103.31 My_l=-22.61
Tensioni nella sezione: σ=274.00 τ=33.43
CC 14 SLD (Collegamento 0025_-382)
Azioni sul collegamento: N=-6274.78 Ty=-3.09 Tz=1.44 Mx=0.01 Mz=-1.17
Sollecitazioni agenti localmente: Ty_l=-1107.69 My_l=-22.70
Tensioni nella sezione: σ=275.17 τ=33.57
CC 14 SLD (Collegamento 0025_-382)
Azioni sul collegamento: N=-6752.00 Ty=-3.48 Tz=-0.21 Mx=0.01 Mz=-2.27
Sollecitazioni agenti localmente: Ty_l=-1187.91 My_l=-24.34
Tensioni nella sezione: σ=295.02 τ=36.00
CC 14 SLD (Collegamento 0025_-382)
Azioni sul collegamento: N=-6752.00 Ty=-3.09 Tz=-0.21 Mx=0.01 Mz=-1.17
Sollecitazioni agenti localmente: Ty_l=-1192.29 My_l=-24.44
Tensioni nella sezione: σ=296.19 τ=36.13
CC 14 SLD (Collegamento 0025_-382)
Azioni sul collegamento: N=-6752.00 Ty=-3.48 Tz=1.44 Mx=0.01 Mz=-2.27
Sollecitazioni agenti localmente: Ty_l=-1187.91 My_l=-24.34
Tensioni nella sezione: σ=295.02 τ=36.00
CC 14 SLD (Collegamento 0025_-382)
Azioni sul collegamento: N=-6752.00 Ty=-3.09 Tz=1.44 Mx=0.01 Mz=-1.17
Sollecitazioni agenti localmente: Ty_l=-1192.29 My_l=-24.44
Tensioni nella sezione: σ=296.19 τ=36.13
CC 15 SLV (Collegamento 0025_-382)
Azioni sul collegamento: N=-7282.35 Ty=-0.97 Tz=3.63 Mx=0.01 Mz=-2.02
Sollecitazioni agenti localmente: Ty_l=-1282.92 My_l=-26.29
Tensioni nella sezione: σ=318.65 τ=38.88
CC 15 SLV (Collegamento 0025_-382)
Azioni sul collegamento: N=-7282.35 Ty=-3.91 Tz=3.63 Mx=0.01 Mz=2.74
Sollecitazioni agenti localmente: Ty_l=-1301.88 My_l=-26.70
Tensioni nella sezione: σ=323.68 τ=39.45
CC 15 SLV (Collegamento 0025_-382)
Azioni sul collegamento: N=-7282.35 Ty=-0.97 Tz=-2.66 Mx=0.01 Mz=-2.02
Sollecitazioni agenti localmente: Ty_l=-1282.92 My_l=-26.29
Tensioni nella sezione: σ=318.65 τ=38.88
CC 15 SLV (Collegamento 0025_-382)
Azioni sul collegamento: N=-7282.35 Ty=-3.91 Tz=-2.66 Mx=0.01 Mz=2.74
Sollecitazioni agenti localmente: Ty_l=-1301.88 My_l=-26.70
Tensioni nella sezione: σ=323.68 τ=39.45
CC 15 SLV (Collegamento 0025_-382)
Azioni sul collegamento: N=-5679.47 Ty=-0.97 Tz=3.63 Mx=0.01 Mz=-2.02
Sollecitazioni agenti localmente: Ty_l=-998.77 My_l=-20.46
Tensioni nella sezione: σ=248.04 τ=30.27
CC 15 SLV (Collegamento 0025_-382)
Azioni sul collegamento: N=-5679.47 Ty=-3.91 Tz=3.63 Mx=0.01 Mz=2.74
Sollecitazioni agenti localmente: Ty_l=-1017.73 My_l=-20.88
Tensioni nella sezione: σ=253.08 τ=30.84
CC 15 SLV (Collegamento 0025_-382)
Azioni sul collegamento: N=-5679.47 Ty=-0.97 Tz=-2.66 Mx=0.01 Mz=-2.02
Sollecitazioni agenti localmente: Ty_l=-998.77 My_l=-20.46
Tensioni nella sezione: σ=248.04 τ=30.27
CC 15 SLV (Collegamento 0025_-382)
Azioni sul collegamento: N=-5679.47 Ty=-3.91 Tz=-2.66 Mx=0.01 Mz=2.74

Sollecitazioni agenti localmente: Ty_l=-1017.73 My_l=-20.88
Tensioni nella sezione: σ=253.08 τ=30.84
CC 16 SLD (Collegamento 0025_-382)
Azioni sul collegamento: N=-6757.78 Ty=-3.73 Tz=1.57 Mx=0.00 Mz=-2.45
Sollecitazioni agenti localmente: Ty_l=-1188.23 My_l=-24.35
Tensioni nella sezione: σ=295.09 τ=36.01
CC 16 SLD (Collegamento 0025_-382)
Azioni sul collegamento: N=-6757.78 Ty=-2.84 Tz=1.57 Mx=0.00 Mz=-0.99
Sollecitazioni agenti localmente: Ty_l=-1194.02 My_l=-24.47
Tensioni nella sezione: σ=296.63 τ=36.18
CC 16 SLD (Collegamento 0025_-382)
Azioni sul collegamento: N=-6757.78 Ty=-3.73 Tz=-0.34 Mx=0.00 Mz=-2.45
Sollecitazioni agenti localmente: Ty_l=-1188.23 My_l=-24.35
Tensioni nella sezione: σ=295.09 τ=36.01
CC 16 SLD (Collegamento 0025_-382)
Azioni sul collegamento: N=-6757.78 Ty=-2.84 Tz=-0.34 Mx=0.00 Mz=-0.99
Sollecitazioni agenti localmente: Ty_l=-1194.02 My_l=-24.47
Tensioni nella sezione: σ=296.63 τ=36.18
CC 16 SLD (Collegamento 0025_-382)
Azioni sul collegamento: N=-6269.00 Ty=-3.73 Tz=1.57 Mx=0.00 Mz=-2.45
Sollecitazioni agenti localmente: Ty_l=-1101.59 My_l=-22.57
Tensioni nella sezione: σ=273.56 τ=33.38
CC 16 SLD (Collegamento 0025_-382)
Azioni sul collegamento: N=-6269.00 Ty=-2.84 Tz=1.57 Mx=0.00 Mz=-0.99
Sollecitazioni agenti localmente: Ty_l=-1107.37 My_l=-22.70
Tensioni nella sezione: σ=275.10 τ=33.56
CC 16 SLD (Collegamento 0025_-382)
Azioni sul collegamento: N=-6269.01 Ty=-3.73 Tz=-0.34 Mx=0.00 Mz=-2.45
Sollecitazioni agenti localmente: Ty_l=-1101.59 My_l=-22.57
Tensioni nella sezione: σ=273.56 τ=33.38
CC 16 SLD (Collegamento 0025_-382)
Azioni sul collegamento: N=-6269.01 Ty=-2.84 Tz=-0.34 Mx=0.00 Mz=-0.99
Sollecitazioni agenti localmente: Ty_l=-1107.37 My_l=-22.70
Tensioni nella sezione: σ=275.10 τ=33.56
CC 17 SLV (Collegamento 0025_-382)
Azioni sul collegamento: N=-3931.62 Ty=-3.19 Tz=-8.98 Mx=-0.01 Mz=-4.04
Sollecitazioni agenti localmente: Ty_l=-680.91 My_l=-13.94
Tensioni nella sezione: σ=168.92 τ=20.63
CC 17 SLV (Collegamento 0025_-382)
Azioni sul collegamento: N=-3931.62 Ty=-6.55 Tz=-8.98 Mx=-0.01 Mz=-7.22
Sollecitazioni agenti localmente: Ty_l=-668.25 My_l=-13.66
Tensioni nella sezione: σ=165.56 τ=20.25
CC 17 SLV (Collegamento 0025_-382)
Azioni sul collegamento: N=-3931.62 Ty=-3.19 Tz=10.69 Mx=-0.01 Mz=-4.04
Sollecitazioni agenti localmente: Ty_l=-680.91 My_l=-13.94
Tensioni nella sezione: σ=168.92 τ=20.63
CC 17 SLV (Collegamento 0025_-382)
Azioni sul collegamento: N=-3931.62 Ty=-6.55 Tz=10.69 Mx=-0.01 Mz=-7.22
Sollecitazioni agenti localmente: Ty_l=-668.25 My_l=-13.66
Tensioni nella sezione: σ=165.56 τ=20.25
CC 17 SLV (Collegamento 0025_-382)
Azioni sul collegamento: N=-9217.12 Ty=-3.19 Tz=-8.98 Mx=-0.01 Mz=-4.04
Sollecitazioni agenti localmente: Ty_l=-1617.88 My_l=-33.14
Tensioni nella sezione: σ=401.75 τ=49.03
CC 17 SLV (Collegamento 0025_-382)
Azioni sul collegamento: N=-9217.12 Ty=-6.55 Tz=-8.98 Mx=-0.01 Mz=-7.22
Sollecitazioni agenti localmente: Ty_l=-1605.22 My_l=-32.87
Tensioni nella sezione: σ=398.39 τ=48.64
CC 17 SLV (Collegamento 0025_-382)
Azioni sul collegamento: N=-9217.12 Ty=-3.19 Tz=10.69 Mx=-0.01 Mz=-4.04
Sollecitazioni agenti localmente: Ty_l=-1617.88 My_l=-33.14
Tensioni nella sezione: σ=401.75 τ=49.03
CC 17 SLV (Collegamento 0025_-382)
Azioni sul collegamento: N=-9217.12 Ty=-6.55 Tz=10.69 Mx=-0.01 Mz=-7.22
Sollecitazioni agenti localmente: Ty_l=-1605.22 My_l=-32.87
Tensioni nella sezione: σ=398.39 τ=48.64
CC 18 SLD (Collegamento 0025_-382)
Azioni sul collegamento: N=-5736.03 Ty=-3.51 Tz=-2.27 Mx=-0.00 Mz=-3.06
Sollecitazioni agenti localmente: Ty_l=-1004.66 My_l=-20.58
Tensioni nella sezione: σ=249.44 τ=30.44
CC 18 SLD (Collegamento 0025_-382)
Azioni sul collegamento: N=-5736.03 Ty=-4.54 Tz=-2.27 Mx=-0.00 Mz=-4.03
Sollecitazioni agenti localmente: Ty_l=-1000.80 My_l=-20.49
Tensioni nella sezione: σ=248.41 τ=30.33
CC 18 SLD (Collegamento 0025_-382)
Azioni sul collegamento: N=-5736.03 Ty=-3.51 Tz=3.73 Mx=-0.00 Mz=-3.06
Sollecitazioni agenti localmente: Ty_l=-1004.66 My_l=-20.58
Tensioni nella sezione: σ=249.44 τ=30.44
CC 18 SLD (Collegamento 0025_-382)

Azioni sul collegamento: N=-5736.03 Ty=-4.54 Tz=3.73 Mx=-0.00 Mz=-4.03
Sollecitazioni agenti localmente: Ty_l=-1000.80 My_l=-20.49
Tensioni nella sezione: σ=248.41 τ=30.33
CC 18 SLD (Collegamento 0025_-382)
Azioni sul collegamento: N=-7347.75 Ty=-3.51 Tz=-2.27 Mx=-0.00 Mz=-3.06
Sollecitazioni agenti localmente: Ty_l=-1290.37 My_l=-26.44
Tensioni nella sezione: σ=320.43 τ=39.10
CC 18 SLD (Collegamento 0025_-382)
Azioni sul collegamento: N=-7347.75 Ty=-4.54 Tz=-2.27 Mx=-0.00 Mz=-4.03
Sollecitazioni agenti localmente: Ty_l=-1286.51 My_l=-26.35
Tensioni nella sezione: σ=319.41 τ=38.99
CC 18 SLD (Collegamento 0025_-382)
Azioni sul collegamento: N=-7347.75 Ty=-3.51 Tz=3.73 Mx=-0.00 Mz=-3.06
Sollecitazioni agenti localmente: Ty_l=-1290.37 My_l=-26.44
Tensioni nella sezione: σ=320.43 τ=39.10
CC 18 SLD (Collegamento 0025_-382)
Azioni sul collegamento: N=-7347.75 Ty=-4.54 Tz=3.73 Mx=-0.00 Mz=-4.03
Sollecitazioni agenti localmente: Ty_l=-1286.51 My_l=-26.35
Tensioni nella sezione: σ=319.41 τ=38.99
CC 19 SLV (Collegamento 0025_-382)
Azioni sul collegamento: N=-3937.31 Ty=-3.82 Tz=-8.85 Mx=-0.01 Mz=-5.30
Sollecitazioni agenti localmente: Ty_l=-676.91 My_l=-13.85
Tensioni nella sezione: σ=167.85 τ=20.51
CC 19 SLV (Collegamento 0025_-382)
Azioni sul collegamento: N=-3937.31 Ty=-5.92 Tz=-8.85 Mx=-0.01 Mz=-5.96
Sollecitazioni agenti localmente: Ty_l=-674.26 My_l=-13.79
Tensioni nella sezione: σ=167.14 τ=20.43
CC 19 SLV (Collegamento 0025_-382)
Azioni sul collegamento: N=-3937.31 Ty=-3.82 Tz=10.56 Mx=-0.01 Mz=-5.30
Sollecitazioni agenti localmente: Ty_l=-676.91 My_l=-13.85
Tensioni nella sezione: σ=167.85 τ=20.51
CC 19 SLV (Collegamento 0025_-382)
Azioni sul collegamento: N=-3937.31 Ty=-5.92 Tz=10.56 Mx=-0.01 Mz=-5.96
Sollecitazioni agenti localmente: Ty_l=-674.26 My_l=-13.79
Tensioni nella sezione: σ=167.14 τ=20.43
CC 19 SLV (Collegamento 0025_-382)
Azioni sul collegamento: N=-9211.43 Ty=-3.82 Tz=-8.85 Mx=-0.01 Mz=-5.30
Sollecitazioni agenti localmente: Ty_l=-1611.87 My_l=-33.01
Tensioni nella sezione: σ=400.17 τ=48.84
CC 19 SLV (Collegamento 0025_-382)
Azioni sul collegamento: N=-9211.43 Ty=-5.92 Tz=-8.85 Mx=-0.01 Mz=-5.96
Sollecitazioni agenti localmente: Ty_l=-1609.22 My_l=-32.96
Tensioni nella sezione: σ=399.46 τ=48.76
CC 19 SLV (Collegamento 0025_-382)
Azioni sul collegamento: N=-9211.43 Ty=-3.82 Tz=10.56 Mx=-0.01 Mz=-5.30
Sollecitazioni agenti localmente: Ty_l=-1611.87 My_l=-33.01
Tensioni nella sezione: σ=400.17 τ=48.84
CC 19 SLV (Collegamento 0025_-382)
Azioni sul collegamento: N=-9211.43 Ty=-5.92 Tz=10.56 Mx=-0.01 Mz=-5.96
Sollecitazioni agenti localmente: Ty_l=-1609.22 My_l=-32.96
Tensioni nella sezione: σ=399.46 τ=48.76
CC 20 SLD (Collegamento 0025_-382)
Azioni sul collegamento: N=-5737.77 Ty=-3.71 Tz=-2.23 Mx=-0.00 Mz=-3.45
Sollecitazioni agenti localmente: Ty_l=-1003.44 My_l=-20.55
Tensioni nella sezione: σ=249.11 τ=30.41
CC 20 SLD (Collegamento 0025_-382)
Azioni sul collegamento: N=-5737.77 Ty=-4.34 Tz=-2.23 Mx=-0.00 Mz=-3.65
Sollecitazioni agenti localmente: Ty_l=-1002.63 My_l=-20.53
Tensioni nella sezione: σ=248.89 τ=30.38
CC 20 SLD (Collegamento 0025_-382)
Azioni sul collegamento: N=-5737.77 Ty=-3.71 Tz=3.69 Mx=-0.00 Mz=-3.45
Sollecitazioni agenti localmente: Ty_l=-1003.44 My_l=-20.55
Tensioni nella sezione: σ=249.11 τ=30.41
CC 20 SLD (Collegamento 0025_-382)
Azioni sul collegamento: N=-5737.77 Ty=-4.34 Tz=3.69 Mx=-0.00 Mz=-3.65
Sollecitazioni agenti localmente: Ty_l=-1002.63 My_l=-20.53
Tensioni nella sezione: σ=248.89 τ=30.38
CC 20 SLD (Collegamento 0025_-382)
Azioni sul collegamento: N=-7346.01 Ty=-3.71 Tz=-2.23 Mx=-0.00 Mz=-3.45
Sollecitazioni agenti localmente: Ty_l=-1288.54 My_l=-26.40
Tensioni nella sezione: σ=319.95 τ=39.05
CC 20 SLD (Collegamento 0025_-382)
Azioni sul collegamento: N=-7346.01 Ty=-4.34 Tz=-2.23 Mx=-0.00 Mz=-3.65
Sollecitazioni agenti localmente: Ty_l=-1287.73 My_l=-26.38
Tensioni nella sezione: σ=319.74 τ=39.02
CC 20 SLD (Collegamento 0025_-382)
Azioni sul collegamento: N=-7346.01 Ty=-3.71 Tz=3.69 Mx=-0.00 Mz=-3.45
Sollecitazioni agenti localmente: Ty_l=-1288.54 My_l=-26.40
Tensioni nella sezione: σ=319.95 τ=39.05

CC 20 SLD (Collegamento 0025_-382)
Azioni sul collegamento: N=-7346.01 Ty=-4.34 Tz=3.69 Mx=-0.00 Mz=-3.65
Sollecitazioni agenti localmente: Ty_l=-1287.73 My_l=-26.38
Tensioni nella sezione: σ=319.74 τ=39.02
CC 21 SLV (Collegamento 0025_-382)
Azioni sul collegamento: N=-9211.43 Ty=-5.92 Tz=10.56 Mx=-0.01 Mz=-5.96
Sollecitazioni agenti localmente: Ty_l=-1609.22 My_l=-32.96
Tensioni nella sezione: σ=399.46 τ=48.76
CC 21 SLV (Collegamento 0025_-382)
Azioni sul collegamento: N=-9211.43 Ty=-3.82 Tz=10.56 Mx=-0.01 Mz=-5.30
Sollecitazioni agenti localmente: Ty_l=-1611.87 My_l=-33.01
Tensioni nella sezione: σ=400.17 τ=48.84
CC 21 SLV (Collegamento 0025_-382)
Azioni sul collegamento: N=-9211.43 Ty=-5.92 Tz=-8.85 Mx=-0.01 Mz=-5.96
Sollecitazioni agenti localmente: Ty_l=-1609.22 My_l=-32.96
Tensioni nella sezione: σ=399.46 τ=48.76
CC 21 SLV (Collegamento 0025_-382)
Azioni sul collegamento: N=-9211.43 Ty=-3.82 Tz=-8.85 Mx=-0.01 Mz=-5.30
Sollecitazioni agenti localmente: Ty_l=-1611.87 My_l=-33.01
Tensioni nella sezione: σ=400.17 τ=48.84
CC 21 SLV (Collegamento 0025_-382)
Azioni sul collegamento: N=-3937.31 Ty=-5.92 Tz=10.56 Mx=-0.01 Mz=-5.96
Sollecitazioni agenti localmente: Ty_l=-674.26 My_l=-13.79
Tensioni nella sezione: σ=167.14 τ=20.43
CC 21 SLV (Collegamento 0025_-382)
Azioni sul collegamento: N=-3937.31 Ty=-3.82 Tz=10.56 Mx=-0.01 Mz=-5.30
Sollecitazioni agenti localmente: Ty_l=-676.91 My_l=-13.85
Tensioni nella sezione: σ=167.85 τ=20.51
CC 21 SLV (Collegamento 0025_-382)
Azioni sul collegamento: N=-3937.31 Ty=-5.92 Tz=-8.85 Mx=-0.01 Mz=-5.96
Sollecitazioni agenti localmente: Ty_l=-674.26 My_l=-13.79
Tensioni nella sezione: σ=167.14 τ=20.43
CC 21 SLV (Collegamento 0025_-382)
Azioni sul collegamento: N=-3937.31 Ty=-3.82 Tz=-8.85 Mx=-0.01 Mz=-5.30
Sollecitazioni agenti localmente: Ty_l=-676.91 My_l=-13.85
Tensioni nella sezione: σ=167.85 τ=20.51
CC 22 SLD (Collegamento 0025_-382)
Azioni sul collegamento: N=-7346.01 Ty=-4.34 Tz=3.69 Mx=-0.00 Mz=-3.65
Sollecitazioni agenti localmente: Ty_l=-1287.73 My_l=-26.38
Tensioni nella sezione: σ=319.74 τ=39.02
CC 22 SLD (Collegamento 0025_-382)
Azioni sul collegamento: N=-7346.01 Ty=-3.71 Tz=3.69 Mx=-0.00 Mz=-3.45
Sollecitazioni agenti localmente: Ty_l=-1288.54 My_l=-26.40
Tensioni nella sezione: σ=319.95 τ=39.05
CC 22 SLD (Collegamento 0025_-382)
Azioni sul collegamento: N=-7346.01 Ty=-4.34 Tz=-2.23 Mx=-0.00 Mz=-3.65
Sollecitazioni agenti localmente: Ty_l=-1287.73 My_l=-26.38
Tensioni nella sezione: σ=319.74 τ=39.02
CC 22 SLD (Collegamento 0025_-382)
Azioni sul collegamento: N=-7346.01 Ty=-3.71 Tz=-2.23 Mx=-0.00 Mz=-3.45
Sollecitazioni agenti localmente: Ty_l=-1288.54 My_l=-26.40
Tensioni nella sezione: σ=319.95 τ=39.05
CC 22 SLD (Collegamento 0025_-382)
Azioni sul collegamento: N=-5737.77 Ty=-4.34 Tz=3.69 Mx=-0.00 Mz=-3.65
Sollecitazioni agenti localmente: Ty_l=-1002.63 My_l=-20.53
Tensioni nella sezione: σ=248.89 τ=30.38
CC 22 SLD (Collegamento 0025_-382)
Azioni sul collegamento: N=-5737.77 Ty=-3.71 Tz=3.69 Mx=-0.00 Mz=-3.45
Sollecitazioni agenti localmente: Ty_l=-1003.44 My_l=-20.55
Tensioni nella sezione: σ=249.11 τ=30.41
CC 22 SLD (Collegamento 0025_-382)
Azioni sul collegamento: N=-5737.77 Ty=-4.34 Tz=-2.23 Mx=-0.00 Mz=-3.65
Sollecitazioni agenti localmente: Ty_l=-1002.63 My_l=-20.53
Tensioni nella sezione: σ=248.89 τ=30.38
CC 22 SLD (Collegamento 0025_-382)
Azioni sul collegamento: N=-5737.77 Ty=-3.71 Tz=-2.23 Mx=-0.00 Mz=-3.45
Sollecitazioni agenti localmente: Ty_l=-1003.44 My_l=-20.55
Tensioni nella sezione: σ=249.11 τ=30.41
CC 23 SLV (Collegamento 0025_-382)
Azioni sul collegamento: N=-9217.12 Ty=-6.55 Tz=10.69 Mx=-0.01 Mz=-7.22
Sollecitazioni agenti localmente: Ty_l=-1605.22 My_l=-32.87
Tensioni nella sezione: σ=398.39 τ=48.64
CC 23 SLV (Collegamento 0025_-382)
Azioni sul collegamento: N=-9217.12 Ty=-3.19 Tz=10.69 Mx=-0.01 Mz=-4.04
Sollecitazioni agenti localmente: Ty_l=-1617.88 My_l=-33.14
Tensioni nella sezione: σ=401.75 τ=49.03
CC 23 SLV (Collegamento 0025_-382)
Azioni sul collegamento: N=-9217.12 Ty=-6.55 Tz=-8.98 Mx=-0.01 Mz=-7.22
Sollecitazioni agenti localmente: Ty_l=-1605.22 My_l=-32.87

Tensioni nella sezione: σ=398.39 τ=48.64
CC 23 SLV (Collegamento 0025_-382)
Azioni sul collegamento: N=-9217.12 Ty=-3.19 Tz=-8.98 Mx=-0.01 Mz=-4.04
Sollecitazioni agenti localmente: Ty_l=-1617.88 My_l=-33.14
Tensioni nella sezione: σ=401.75 τ=49.03
CC 23 SLV (Collegamento 0025_-382)
Azioni sul collegamento: N=-3931.62 Ty=-6.55 Tz=10.69 Mx=-0.01 Mz=-7.22
Sollecitazioni agenti localmente: Ty_l=-668.25 My_l=-13.66
Tensioni nella sezione: σ=165.56 τ=20.25
CC 23 SLV (Collegamento 0025_-382)
Azioni sul collegamento: N=-3931.62 Ty=-3.19 Tz=10.69 Mx=-0.01 Mz=-4.04
Sollecitazioni agenti localmente: Ty_l=-680.91 My_l=-13.94
Tensioni nella sezione: σ=168.92 τ=20.63
CC 23 SLV (Collegamento 0025_-382)
Azioni sul collegamento: N=-3931.62 Ty=-6.55 Tz=-8.98 Mx=-0.01 Mz=-7.22
Sollecitazioni agenti localmente: Ty_l=-668.25 My_l=-13.66
Tensioni nella sezione: σ=165.56 τ=20.25
CC 23 SLV (Collegamento 0025_-382)
Azioni sul collegamento: N=-3931.62 Ty=-3.19 Tz=-8.98 Mx=-0.01 Mz=-4.04
Sollecitazioni agenti localmente: Ty_l=-680.91 My_l=-13.94
Tensioni nella sezione: σ=168.92 τ=20.63
CC 24 SLD (Collegamento 0025_-382)
Azioni sul collegamento: N=-7347.75 Ty=-4.54 Tz=3.73 Mx=0.00 Mz=-4.03
Sollecitazioni agenti localmente: Ty_l=-1286.51 My_l=-26.35
Tensioni nella sezione: σ=319.41 τ=38.99
CC 24 SLD (Collegamento 0025_-382)
Azioni sul collegamento: N=-7347.75 Ty=-3.51 Tz=3.73 Mx=0.00 Mz=-3.06
Sollecitazioni agenti localmente: Ty_l=-1290.37 My_l=-26.44
Tensioni nella sezione: σ=320.43 τ=39.10
CC 24 SLD (Collegamento 0025_-382)
Azioni sul collegamento: N=-7347.75 Ty=-4.54 Tz=-2.27 Mx=0.00 Mz=-4.03
Sollecitazioni agenti localmente: Ty_l=-1286.51 My_l=-26.35
Tensioni nella sezione: σ=319.41 τ=38.99
CC 24 SLD (Collegamento 0025_-382)
Azioni sul collegamento: N=-7347.75 Ty=-3.51 Tz=-2.27 Mx=0.00 Mz=-3.06
Sollecitazioni agenti localmente: Ty_l=-1290.37 My_l=-26.44
Tensioni nella sezione: σ=320.43 τ=39.10
CC 24 SLD (Collegamento 0025_-382)
Azioni sul collegamento: N=-5736.03 Ty=-4.54 Tz=3.73 Mx=0.00 Mz=-4.03
Sollecitazioni agenti localmente: Ty_l=-1000.80 My_l=-20.49
Tensioni nella sezione: σ=248.41 τ=30.33
CC 24 SLD (Collegamento 0025_-382)
Azioni sul collegamento: N=-5736.03 Ty=-3.51 Tz=3.73 Mx=0.00 Mz=-3.06
Sollecitazioni agenti localmente: Ty_l=-1004.66 My_l=-20.58
Tensioni nella sezione: σ=249.44 τ=30.44
CC 24 SLD (Collegamento 0025_-382)
Azioni sul collegamento: N=-5736.03 Ty=-4.54 Tz=-2.27 Mx=0.00 Mz=-4.03
Sollecitazioni agenti localmente: Ty_l=-1000.80 My_l=-20.49
Tensioni nella sezione: σ=248.41 τ=30.33
CC 24 SLD (Collegamento 0025_-382)
Azioni sul collegamento: N=-5736.03 Ty=-3.51 Tz=-2.27 Mx=0.00 Mz=-3.06
Sollecitazioni agenti localmente: Ty_l=-1004.66 My_l=-20.58
Tensioni nella sezione: σ=249.44 τ=30.44
CC 25 SLV (Collegamento 0025_-382)
Azioni sul collegamento: N=-5772.93 Ty=-3.40 Tz=-2.29 Mx=-0.02 Mz=-3.25
Sollecitazioni agenti localmente: Ty_l=-1010.47 My_l=-20.70
Tensioni nella sezione: σ=250.87 τ=30.62
CC 25 SLV (Collegamento 0025_-382)
Azioni sul collegamento: N=-5772.93 Ty=-6.34 Tz=-2.29 Mx=-0.02 Mz=-8.01
Sollecitazioni agenti localmente: Ty_l=-991.51 My_l=-20.28
Tensioni nella sezione: σ=245.83 τ=30.05
CC 25 SLV (Collegamento 0025_-382)
Azioni sul collegamento: N=-5772.93 Ty=-3.40 Tz=4.00 Mx=-0.02 Mz=-3.25
Sollecitazioni agenti localmente: Ty_l=-1010.47 My_l=-20.70
Tensioni nella sezione: σ=250.87 τ=30.62
CC 25 SLV (Collegamento 0025_-382)
Azioni sul collegamento: N=-5772.93 Ty=-6.34 Tz=4.00 Mx=-0.02 Mz=-8.01
Sollecitazioni agenti localmente: Ty_l=-991.51 My_l=-20.28
Tensioni nella sezione: σ=245.83 τ=30.05
CC 25 SLV (Collegamento 0025_-382)
Azioni sul collegamento: N=-7375.81 Ty=-3.40 Tz=-2.29 Mx=-0.02 Mz=-3.25
Sollecitazioni agenti localmente: Ty_l=-1294.62 My_l=-26.52
Tensioni nella sezione: σ=321.48 τ=39.23
CC 25 SLV (Collegamento 0025_-382)
Azioni sul collegamento: N=-7375.81 Ty=-6.34 Tz=-2.29 Mx=-0.02 Mz=-8.01
Sollecitazioni agenti localmente: Ty_l=-1275.66 My_l=-26.11
Tensioni nella sezione: σ=316.44 τ=38.66
CC 25 SLV (Collegamento 0025_-382)
Azioni sul collegamento: N=-7375.81 Ty=-3.40 Tz=4.00 Mx=-0.02 Mz=-3.25

Sollecitazioni agenti localmente: Ty_l=-1294.62 My_l=-26.52
Tensioni nella sezione: σ=321.48 τ=39.23
CC 25 SLV (Collegamento 0025_-382)
Azioni sul collegamento: N=-7375.81 Ty=-6.34 Tz=4.00 Mx=-0.02 Mz=-8.01
Sollecitazioni agenti localmente: Ty_l=-1275.66 My_l=-26.11
Tensioni nella sezione: σ=316.44 τ=38.66
CC 26 SLD (Collegamento 0025_-382)
Azioni sul collegamento: N=-6297.50 Ty=-3.58 Tz=-0.23 Mx=-0.00 Mz=-2.82
Sollecitazioni agenti localmente: Ty_l=-1105.16 My_l=-22.64
Tensioni nella sezione: σ=274.42 τ=33.49
CC 26 SLD (Collegamento 0025_-382)
Azioni sul collegamento: N=-6297.50 Ty=-4.47 Tz=-0.23 Mx=-0.00 Mz=-4.27
Sollecitazioni agenti localmente: Ty_l=-1099.37 My_l=-22.51
Tensioni nella sezione: σ=272.89 τ=33.31
CC 26 SLD (Collegamento 0025_-382)
Azioni sul collegamento: N=-6297.50 Ty=-3.58 Tz=1.69 Mx=-0.00 Mz=-2.82
Sollecitazioni agenti localmente: Ty_l=-1105.16 My_l=-22.64
Tensioni nella sezione: σ=274.42 τ=33.49
CC 26 SLD (Collegamento 0025_-382)
Azioni sul collegamento: N=-6297.50 Ty=-4.47 Tz=1.69 Mx=-0.00 Mz=-4.27
Sollecitazioni agenti localmente: Ty_l=-1099.37 My_l=-22.51
Tensioni nella sezione: σ=272.89 τ=33.31
CC 26 SLD (Collegamento 0025_-382)
Azioni sul collegamento: N=-6786.28 Ty=-3.58 Tz=-0.23 Mx=-0.00 Mz=-2.82
Sollecitazioni agenti localmente: Ty_l=-1191.80 My_l=-24.42
Tensioni nella sezione: σ=295.95 τ=36.12
CC 26 SLD (Collegamento 0025_-382)
Azioni sul collegamento: N=-6786.28 Ty=-4.47 Tz=-0.23 Mx=-0.00 Mz=-4.27
Sollecitazioni agenti localmente: Ty_l=-1186.02 My_l=-24.29
Tensioni nella sezione: σ=294.42 τ=35.94
CC 26 SLD (Collegamento 0025_-382)
Azioni sul collegamento: N=-6786.28 Ty=-3.58 Tz=1.69 Mx=-0.00 Mz=-2.82
Sollecitazioni agenti localmente: Ty_l=-1191.80 My_l=-24.42
Tensioni nella sezione: σ=295.95 τ=36.12
CC 26 SLD (Collegamento 0025_-382)
Azioni sul collegamento: N=-6786.28 Ty=-4.47 Tz=1.69 Mx=-0.00 Mz=-4.27
Sollecitazioni agenti localmente: Ty_l=-1186.02 My_l=-24.29
Tensioni nella sezione: σ=294.42 τ=35.94
CC 27 SLV (Collegamento 0025_-382)
Azioni sul collegamento: N=-7356.87 Ty=-4.22 Tz=3.57 Mx=-0.02 Mz=-3.82
Sollecitazioni agenti localmente: Ty_l=-1288.97 My_l=-26.40
Tensioni nella sezione: σ=320.03 τ=39.06
CC 27 SLV (Collegamento 0025_-382)
Azioni sul collegamento: N=-7356.87 Ty=-5.52 Tz=3.57 Mx=-0.02 Mz=-7.44
Sollecitazioni agenti localmente: Ty_l=-1274.60 My_l=-26.09
Tensioni nella sezione: σ=316.22 τ=38.62
CC 27 SLV (Collegamento 0025_-382)
Azioni sul collegamento: N=-7356.87 Ty=-4.22 Tz=-1.86 Mx=-0.02 Mz=-3.82
Sollecitazioni agenti localmente: Ty_l=-1288.97 My_l=-26.40
Tensioni nella sezione: σ=320.03 τ=39.06
CC 27 SLV (Collegamento 0025_-382)
Azioni sul collegamento: N=-7356.87 Ty=-5.52 Tz=-1.86 Mx=-0.02 Mz=-7.44
Sollecitazioni agenti localmente: Ty_l=-1274.60 My_l=-26.09
Tensioni nella sezione: σ=316.22 τ=38.62
CC 27 SLV (Collegamento 0025_-382)
Azioni sul collegamento: N=-5791.87 Ty=-4.22 Tz=3.57 Mx=-0.02 Mz=-3.82
Sollecitazioni agenti localmente: Ty_l=-1011.53 My_l=-20.72
Tensioni nella sezione: σ=251.09 τ=30.65
CC 27 SLV (Collegamento 0025_-382)
Azioni sul collegamento: N=-5791.87 Ty=-5.52 Tz=3.57 Mx=-0.02 Mz=-7.44
Sollecitazioni agenti localmente: Ty_l=-997.16 My_l=-20.40
Tensioni nella sezione: σ=247.28 τ=30.22
CC 27 SLV (Collegamento 0025_-382)
Azioni sul collegamento: N=-5791.87 Ty=-4.22 Tz=-1.86 Mx=-0.02 Mz=-3.82
Sollecitazioni agenti localmente: Ty_l=-1011.53 My_l=-20.72
Tensioni nella sezione: σ=251.09 τ=30.65
CC 27 SLV (Collegamento 0025_-382)
Azioni sul collegamento: N=-5791.87 Ty=-5.52 Tz=-1.86 Mx=-0.02 Mz=-7.44
Sollecitazioni agenti localmente: Ty_l=-997.16 My_l=-20.40
Tensioni nella sezione: σ=247.28 τ=30.22
CC 28 SLD (Collegamento 0025_-382)
Azioni sul collegamento: N=-6780.50 Ty=-3.83 Tz=1.56 Mx=-0.00 Mz=-3.00
Sollecitazioni agenti localmente: Ty_l=-1190.08 My_l=-24.38
Tensioni nella sezione: σ=295.51 τ=36.06
CC 28 SLD (Collegamento 0025_-382)
Azioni sul collegamento: N=-6780.50 Ty=-4.22 Tz=1.56 Mx=-0.00 Mz=-4.10
Sollecitazioni agenti localmente: Ty_l=-1185.70 My_l=-24.28
Tensioni nella sezione: σ=294.35 τ=35.93
CC 28 SLD (Collegamento 0025_-382)

Azioni sul collegamento: N=-6780.50 Ty=-3.83 Tz=-0.10 Mx=-0.00 Mz=-3.00
Sollecitazioni agenti localmente: Ty_l=-1190.08 My_l=-24.38
Tensioni nella sezione: σ=295.51 τ=36.06
CC 28 SLD (Collegamento 0025_-382)
Azioni sul collegamento: N=-6780.50 Ty=-4.22 Tz=-0.10 Mx=-0.00 Mz=-4.10
Sollecitazioni agenti localmente: Ty_l=-1185.70 My_l=-24.28
Tensioni nella sezione: σ=294.35 τ=35.93
CC 28 SLD (Collegamento 0025_-382)
Azioni sul collegamento: N=-6303.28 Ty=-3.83 Tz=1.56 Mx=-0.00 Mz=-3.00
Sollecitazioni agenti localmente: Ty_l=-1105.48 My_l=-22.65
Tensioni nella sezione: σ=274.49 τ=33.50
CC 28 SLD (Collegamento 0025_-382)
Azioni sul collegamento: N=-6303.28 Ty=-4.22 Tz=1.56 Mx=-0.00 Mz=-4.10
Sollecitazioni agenti localmente: Ty_l=-1101.10 My_l=-22.55
Tensioni nella sezione: σ=273.33 τ=33.37
CC 28 SLD (Collegamento 0025_-382)
Azioni sul collegamento: N=-6303.28 Ty=-3.83 Tz=-0.10 Mx=-0.00 Mz=-3.00
Sollecitazioni agenti localmente: Ty_l=-1105.48 My_l=-22.65
Tensioni nella sezione: σ=274.49 τ=33.50
CC 28 SLD (Collegamento 0025_-382)
Azioni sul collegamento: N=-6303.28 Ty=-4.22 Tz=-0.10 Mx=-0.00 Mz=-4.10
Sollecitazioni agenti localmente: Ty_l=-1101.10 My_l=-22.55
Tensioni nella sezione: σ=273.33 τ=33.37
CC 29 SLV (Collegamento 0025_-382)
Azioni sul collegamento: N=-5791.87 Ty=-5.52 Tz=-1.86 Mx=-0.00 Mz=-7.44
Sollecitazioni agenti localmente: Ty_l=-997.16 My_l=-20.40
Tensioni nella sezione: σ=247.28 τ=30.22
CC 29 SLV (Collegamento 0025_-382)
Azioni sul collegamento: N=-5791.87 Ty=-4.22 Tz=-1.86 Mx=-0.00 Mz=-3.82
Sollecitazioni agenti localmente: Ty_l=-1011.53 My_l=-20.72
Tensioni nella sezione: σ=251.09 τ=30.65
CC 29 SLV (Collegamento 0025_-382)
Azioni sul collegamento: N=-5791.87 Ty=-5.52 Tz=3.57 Mx=-0.00 Mz=-7.44
Sollecitazioni agenti localmente: Ty_l=-997.16 My_l=-20.40
Tensioni nella sezione: σ=247.28 τ=30.22
CC 29 SLV (Collegamento 0025_-382)
Azioni sul collegamento: N=-5791.87 Ty=-4.22 Tz=3.57 Mx=-0.00 Mz=-3.82
Sollecitazioni agenti localmente: Ty_l=-1011.53 My_l=-20.72
Tensioni nella sezione: σ=251.09 τ=30.65
CC 29 SLV (Collegamento 0025_-382)
Azioni sul collegamento: N=-7356.87 Ty=-5.52 Tz=-1.86 Mx=-0.00 Mz=-7.44
Sollecitazioni agenti localmente: Ty_l=-1274.60 My_l=-26.09
Tensioni nella sezione: σ=316.22 τ=38.62
CC 29 SLV (Collegamento 0025_-382)
Azioni sul collegamento: N=-7356.87 Ty=-4.22 Tz=-1.86 Mx=-0.00 Mz=-3.82
Sollecitazioni agenti localmente: Ty_l=-1288.97 My_l=-26.40
Tensioni nella sezione: σ=320.03 τ=39.06
CC 29 SLV (Collegamento 0025_-382)
Azioni sul collegamento: N=-7356.87 Ty=-5.52 Tz=3.57 Mx=-0.00 Mz=-7.44
Sollecitazioni agenti localmente: Ty_l=-1274.60 My_l=-26.09
Tensioni nella sezione: σ=316.22 τ=38.62
CC 29 SLV (Collegamento 0025_-382)
Azioni sul collegamento: N=-7356.87 Ty=-4.22 Tz=3.57 Mx=-0.00 Mz=-3.82
Sollecitazioni agenti localmente: Ty_l=-1288.97 My_l=-26.40
Tensioni nella sezione: σ=320.03 τ=39.06
CC 30 SLD (Collegamento 0025_-382)
Azioni sul collegamento: N=-6303.28 Ty=-4.22 Tz=-0.10 Mx=0.00 Mz=-4.10
Sollecitazioni agenti localmente: Ty_l=-1101.10 My_l=-22.55
Tensioni nella sezione: σ=273.33 τ=33.37
CC 30 SLD (Collegamento 0025_-382)
Azioni sul collegamento: N=-6303.28 Ty=-3.83 Tz=-0.10 Mx=0.00 Mz=-3.00
Sollecitazioni agenti localmente: Ty_l=-1105.48 My_l=-22.65
Tensioni nella sezione: σ=274.49 τ=33.50
CC 30 SLD (Collegamento 0025_-382)
Azioni sul collegamento: N=-6303.28 Ty=-4.22 Tz=1.56 Mx=0.00 Mz=-4.10
Sollecitazioni agenti localmente: Ty_l=-1101.10 My_l=-22.55
Tensioni nella sezione: σ=273.33 τ=33.37
CC 30 SLD (Collegamento 0025_-382)
Azioni sul collegamento: N=-6303.28 Ty=-3.83 Tz=1.56 Mx=0.00 Mz=-3.00
Sollecitazioni agenti localmente: Ty_l=-1105.48 My_l=-22.65
Tensioni nella sezione: σ=274.49 τ=33.50
CC 30 SLD (Collegamento 0025_-382)
Azioni sul collegamento: N=-6780.50 Ty=-4.22 Tz=-0.10 Mx=0.00 Mz=-4.10
Sollecitazioni agenti localmente: Ty_l=-1185.70 My_l=-24.28
Tensioni nella sezione: σ=294.35 τ=35.93
CC 30 SLD (Collegamento 0025_-382)
Azioni sul collegamento: N=-6780.50 Ty=-3.83 Tz=-0.10 Mx=0.00 Mz=-3.00
Sollecitazioni agenti localmente: Ty_l=-1190.08 My_l=-24.38
Tensioni nella sezione: σ=295.51 τ=36.06

CC 30 SLD (Collegamento 0025_-382)
Azioni sul collegamento: N=-6780.50 Ty=-4.22 Tz=1.56 Mx=0.00 Mz=-4.10
Sollecitazioni agenti localmente: Ty_l=-1185.70 My_l=-24.28
Tensioni nella sezione: σ=294.35 τ=35.93
CC 30 SLD (Collegamento 0025_-382)
Azioni sul collegamento: N=-6780.50 Ty=-3.83 Tz=1.56 Mx=0.00 Mz=-3.00
Sollecitazioni agenti localmente: Ty_l=-1190.08 My_l=-24.38
Tensioni nella sezione: σ=295.51 τ=36.06
CC 31 SLV (Collegamento 0025_-382)
Azioni sul collegamento: N=-7375.81 Ty=-6.34 Tz=4.00 Mx=-0.00 Mz=-8.01
Sollecitazioni agenti localmente: Ty_l=-1275.66 My_l=-26.11
Tensioni nella sezione: σ=316.44 τ=38.66
CC 31 SLV (Collegamento 0025_-382)
Azioni sul collegamento: N=-7375.81 Ty=-3.40 Tz=4.00 Mx=-0.00 Mz=-3.25
Sollecitazioni agenti localmente: Ty_l=-1294.62 My_l=-26.52
Tensioni nella sezione: σ=321.48 τ=39.23
CC 31 SLV (Collegamento 0025_-382)
Azioni sul collegamento: N=-7375.81 Ty=-6.34 Tz=-2.29 Mx=-0.00 Mz=-8.01
Sollecitazioni agenti localmente: Ty_l=-1275.66 My_l=-26.11
Tensioni nella sezione: σ=316.44 τ=38.66
CC 31 SLV (Collegamento 0025_-382)
Azioni sul collegamento: N=-7375.81 Ty=-3.40 Tz=-2.29 Mx=-0.00 Mz=-3.25
Sollecitazioni agenti localmente: Ty_l=-1294.62 My_l=-26.52
Tensioni nella sezione: σ=321.48 τ=39.23
CC 31 SLV (Collegamento 0025_-382)
Azioni sul collegamento: N=-5772.93 Ty=-6.34 Tz=4.00 Mx=-0.00 Mz=-8.01
Sollecitazioni agenti localmente: Ty_l=-991.51 My_l=-20.28
Tensioni nella sezione: σ=245.83 τ=30.05
CC 31 SLV (Collegamento 0025_-382)
Azioni sul collegamento: N=-5772.93 Ty=-3.40 Tz=4.00 Mx=-0.00 Mz=-3.25
Sollecitazioni agenti localmente: Ty_l=-1010.47 My_l=-20.70
Tensioni nella sezione: σ=250.87 τ=30.62
CC 31 SLV (Collegamento 0025_-382)
Azioni sul collegamento: N=-5772.93 Ty=-6.34 Tz=-2.29 Mx=-0.00 Mz=-8.01
Sollecitazioni agenti localmente: Ty_l=-991.51 My_l=-20.28
Tensioni nella sezione: σ=245.83 τ=30.05
CC 31 SLV (Collegamento 0025_-382)
Azioni sul collegamento: N=-5772.93 Ty=-3.40 Tz=-2.29 Mx=-0.00 Mz=-3.25
Sollecitazioni agenti localmente: Ty_l=-1010.47 My_l=-20.70
Tensioni nella sezione: σ=250.87 τ=30.62
CC 32 SLD (Collegamento 0025_-382)
Azioni sul collegamento: N=-6786.28 Ty=-4.47 Tz=1.69 Mx=0.00 Mz=-4.27
Sollecitazioni agenti localmente: Ty_l=-1186.02 My_l=-24.29
Tensioni nella sezione: σ=294.42 τ=35.94
CC 32 SLD (Collegamento 0025_-382)
Azioni sul collegamento: N=-6786.28 Ty=-3.58 Tz=1.69 Mx=0.00 Mz=-2.82
Sollecitazioni agenti localmente: Ty_l=-1191.80 My_l=-24.42
Tensioni nella sezione: σ=295.95 τ=36.12
CC 32 SLD (Collegamento 0025_-382)
Azioni sul collegamento: N=-6786.28 Ty=-4.47 Tz=-0.23 Mx=0.00 Mz=-4.27
Sollecitazioni agenti localmente: Ty_l=-1186.02 My_l=-24.29
Tensioni nella sezione: σ=294.42 τ=35.94
CC 32 SLD (Collegamento 0025_-382)
Azioni sul collegamento: N=-6786.28 Ty=-3.58 Tz=-0.23 Mx=0.00 Mz=-2.82
Sollecitazioni agenti localmente: Ty_l=-1191.80 My_l=-24.42
Tensioni nella sezione: σ=295.95 τ=36.12
CC 32 SLD (Collegamento 0025_-382)
Azioni sul collegamento: N=-6297.50 Ty=-4.47 Tz=1.69 Mx=0.00 Mz=-4.27
Sollecitazioni agenti localmente: Ty_l=-1099.37 My_l=-22.51
Tensioni nella sezione: σ=272.89 τ=33.31
CC 32 SLD (Collegamento 0025_-382)
Azioni sul collegamento: N=-6297.50 Ty=-3.58 Tz=1.69 Mx=0.00 Mz=-2.82
Sollecitazioni agenti localmente: Ty_l=-1105.16 My_l=-22.64
Tensioni nella sezione: σ=274.42 τ=33.49
CC 32 SLD (Collegamento 0025_-382)
Azioni sul collegamento: N=-6297.50 Ty=-4.47 Tz=-0.23 Mx=0.00 Mz=-4.27
Sollecitazioni agenti localmente: Ty_l=-1099.37 My_l=-22.51
Tensioni nella sezione: σ=272.89 τ=33.31
CC 32 SLD (Collegamento 0025_-382)
Azioni sul collegamento: N=-6297.50 Ty=-3.58 Tz=-0.23 Mx=0.00 Mz=-2.82
Sollecitazioni agenti localmente: Ty_l=-1105.16 My_l=-22.64
Tensioni nella sezione: σ=274.42 τ=33.49
CC 33 SLU (Collegamento 0025_-382)
Azioni sul collegamento: N=-30778.60 Ty=-5.67 Tz=81.62 Mx=0.01 Mz=-4.05
Sollecitazioni agenti localmente: Ty_l=-5440.11 My_l=-111.50
Tensioni nella sezione: σ=1351.51 τ=164.85
CC 34 SLU (Collegamento 0025_-382)
Azioni sul collegamento: N=-30229.20 Ty=-5.39 Tz=79.58 Mx=0.01 Mz=-3.85
Sollecitazioni agenti localmente: Ty_l=-5343.52 My_l=-109.52

Tensioni nella sezione: σ=1327.52 τ=161.93
CC 35 SLU (Collegamento 0025_-382)
Azioni sul collegamento: N=-30504.90 Ty=-5.64 Tz=80.58 Mx=0.01 Mz=-4.16
Sollecitazioni agenti localmente: Ty_l=-5391.12 My_l=-110.50
Tensioni nella sezione: σ=1339.33 τ=163.37
CC 36 SLU (Collegamento 0025_-382)
Azioni sul collegamento: N=-30502.90 Ty=-5.42 Tz=80.62 Mx=0.01 Mz=-3.73
Sollecitazioni agenti localmente: Ty_l=-5392.50 My_l=-110.53
Tensioni nella sezione: σ=1339.70 τ=163.41
CC 37 SLU (Collegamento 0025_-382)
Azioni sul collegamento: N=-21507.60 Ty=-6.52 Tz=47.54 Mx=0.01 Mz=-4.63
Sollecitazioni agenti localmente: Ty_l=-3794.29 My_l=-77.76
Tensioni nella sezione: σ=942.51 τ=114.98
CC 38 SLU (Collegamento 0025_-382)
Azioni sul collegamento: N=-20958.20 Ty=-6.23 Tz=45.50 Mx=0.01 Mz=-4.43
Sollecitazioni agenti localmente: Ty_l=-3697.70 My_l=-75.78
Tensioni nella sezione: σ=918.52 τ=112.05
CC 39 SLU (Collegamento 0025_-382)
Azioni sul collegamento: N=-21233.90 Ty=-6.48 Tz=46.50 Mx=0.01 Mz=-4.75
Sollecitazioni agenti localmente: Ty_l=-3745.30 My_l=-76.75
Tensioni nella sezione: σ=930.33 τ=113.49
CC 40 SLU (Collegamento 0025_-382)
Azioni sul collegamento: N=-21231.90 Ty=-6.26 Tz=46.54 Mx=0.01 Mz=-4.31
Sollecitazioni agenti localmente: Ty_l=-3746.69 My_l=-76.78
Tensioni nella sezione: σ=930.70 τ=113.54
CC 41 SLU (Collegamento 0025_-382)
Azioni sul collegamento: N=-32702.20 Ty=-5.53 Tz=88.04 Mx=-0.00 Mz=-4.06
Sollecitazioni agenti localmente: Ty_l=-5781.06 My_l=-118.49
Tensioni nella sezione: σ=1436.23 τ=175.18
CC 42 SLU (Collegamento 0025_-382)
Azioni sul collegamento: N=-32152.80 Ty=-5.24 Tz=86.01 Mx=-0.00 Mz=-3.86
Sollecitazioni agenti localmente: Ty_l=-5684.47 My_l=-116.51
Tensioni nella sezione: σ=1412.24 τ=172.26
CC 43 SLU (Collegamento 0025_-382)
Azioni sul collegamento: N=-32428.50 Ty=-5.50 Tz=87.00 Mx=-0.00 Mz=-4.18
Sollecitazioni agenti localmente: Ty_l=-5732.07 My_l=-117.48
Tensioni nella sezione: σ=1424.05 τ=173.70
CC 44 SLU (Collegamento 0025_-382)
Azioni sul collegamento: N=-32426.50 Ty=-5.28 Tz=87.05 Mx=-0.00 Mz=-3.74
Sollecitazioni agenti localmente: Ty_l=-5733.46 My_l=-117.52
Tensioni nella sezione: σ=1424.42 τ=173.74
CC 45 SLU (Collegamento 0025_-382)
Azioni sul collegamento: N=-23594.00 Ty=-6.22 Tz=55.25 Mx=0.01 Mz=-4.49
Sollecitazioni agenti localmente: Ty_l=-4164.73 My_l=-85.35
Tensioni nella sezione: σ=1034.57 τ=126.20
CC 46 SLU (Collegamento 0025_-382)
Azioni sul collegamento: N=-23044.60 Ty=-5.94 Tz=53.22 Mx=0.01 Mz=-4.28
Sollecitazioni agenti localmente: Ty_l=-4068.14 My_l=-83.37
Tensioni nella sezione: σ=1010.58 τ=123.28
CC 47 SLU (Collegamento 0025_-382)
Azioni sul collegamento: N=-23320.30 Ty=-6.19 Tz=54.21 Mx=0.01 Mz=-4.60
Sollecitazioni agenti localmente: Ty_l=-4115.74 My_l=-84.35
Tensioni nella sezione: σ=1022.39 τ=124.72
CC 48 SLU (Collegamento 0025_-382)
Azioni sul collegamento: N=-23318.30 Ty=-5.97 Tz=54.26 Mx=0.01 Mz=-4.17
Sollecitazioni agenti localmente: Ty_l=-4117.13 My_l=-84.38
Tensioni nella sezione: σ=1022.76 τ=124.76
CC 49 SLU (Collegamento 0025_-382)
Azioni sul collegamento: N=-16657.90 Ty=-6.86 Tz=29.76 Mx=0.01 Mz=-4.92
Sollecitazioni agenti localmente: Ty_l=-2933.41 My_l=-60.11
Tensioni nella sezione: σ=728.58 τ=88.89
CC 50 SLU (Collegamento 0025_-382)
Azioni sul collegamento: N=-16108.50 Ty=-6.57 Tz=27.72 Mx=0.01 Mz=-4.72
Sollecitazioni agenti localmente: Ty_l=-2836.82 My_l=-58.13
Tensioni nella sezione: σ=704.59 τ=85.96
CC 51 SLU (Collegamento 0025_-382)
Azioni sul collegamento: N=-16384.20 Ty=-6.82 Tz=28.72 Mx=0.01 Mz=-5.04
Sollecitazioni agenti localmente: Ty_l=-2884.43 My_l=-59.10
Tensioni nella sezione: σ=716.40 τ=87.41
CC 52 SLU (Collegamento 0025_-382)
Azioni sul collegamento: N=-16382.20 Ty=-6.60 Tz=28.76 Mx=0.01 Mz=-4.60
Sollecitazioni agenti localmente: Ty_l=-2885.81 My_l=-59.13
Tensioni nella sezione: σ=716.77 τ=87.45
CC 53 SLU (Collegamento 0025_-382)
Azioni sul collegamento: N=-25033.10 Ty=-6.12 Tz=60.06 Mx=-0.00 Mz=-4.50
Sollecitazioni agenti localmente: Ty_l=-4419.81 My_l=-90.58
Tensioni nella sezione: σ=1097.95 τ=133.93
CC 54 SLU (Collegamento 0025_-382)
Azioni sul collegamento: N=-24483.80 Ty=-5.83 Tz=58.03 Mx=-0.00 Mz=-4.29

Sollecitazioni agenti localmente: Ty_l=-4323.22 My_l=-88.60
Tensioni nella sezione: σ=1073.97 τ=131.01
CC 55 SLU (Collegamento 0025_-382)
Azioni sul collegamento: N=-24759.40 Ty=-6.08 Tz=59.02 Mx=0.00 Mz=-4.61
Sollecitazioni agenti localmente: Ty_l=-4370.82 My_l=-89.58
Tensioni nella sezione: σ=1085.77 τ=132.45
CC 56 SLU (Collegamento 0025_-382)
Azioni sul collegamento: N=-24757.50 Ty=-5.87 Tz=59.07 Mx=-0.00 Mz=-4.18
Sollecitazioni agenti localmente: Ty_l=-4372.21 My_l=-89.61
Tensioni nella sezione: σ=1086.15 τ=132.49
CC 57 SLU (Collegamento 0025_-382)
Azioni sul collegamento: N=-21981.50 Ty=-5.60 Tz=49.32 Mx=0.01 Mz=-4.03
Sollecitazioni agenti localmente: Ty_l=-3880.67 My_l=-79.53
Tensioni nella sezione: σ=964.02 τ=117.60
CC 58 SLU (Collegamento 0025_-382)
Azioni sul collegamento: N=-21432.10 Ty=-5.31 Tz=47.28 Mx=0.01 Mz=-3.83
Sollecitazioni agenti localmente: Ty_l=-3784.08 My_l=-77.55
Tensioni nella sezione: σ=940.03 τ=114.67
CC 59 SLU (Collegamento 0025_-382)
Azioni sul collegamento: N=-21707.80 Ty=-5.57 Tz=48.28 Mx=0.01 Mz=-4.15
Sollecitazioni agenti localmente: Ty_l=-3831.68 My_l=-78.53
Tensioni nella sezione: σ=951.84 τ=116.11
CC 60 SLU (Collegamento 0025_-382)
Azioni sul collegamento: N=-21705.80 Ty=-5.35 Tz=48.32 Mx=0.01 Mz=-3.72
Sollecitazioni agenti localmente: Ty_l=-3833.07 My_l=-78.56
Tensioni nella sezione: σ=952.21 τ=116.15
CC 61 SLU (Collegamento 0025_-382)
Azioni sul collegamento: N=-15045.40 Ty=-6.23 Tz=23.82 Mx=0.01 Mz=-4.47
Sollecitazioni agenti localmente: Ty_l=-2649.36 My_l=-54.29
Tensioni nella sezione: σ=658.02 τ=80.28
CC 62 SLU (Collegamento 0025_-382)
Azioni sul collegamento: N=-14496.00 Ty=-5.95 Tz=21.79 Mx=0.01 Mz=-4.27
Sollecitazioni agenti localmente: Ty_l=-2552.77 My_l=-52.31
Tensioni nella sezione: σ=634.04 τ=77.36
CC 63 SLU (Collegamento 0025_-382)
Azioni sul collegamento: N=-14771.70 Ty=-6.20 Tz=22.78 Mx=0.01 Mz=-4.59
Sollecitazioni agenti localmente: Ty_l=-2600.37 My_l=-53.28
Tensioni nella sezione: σ=645.84 τ=78.80
CC 64 SLU (Collegamento 0025_-382)
Azioni sul collegamento: N=-14769.70 Ty=-5.98 Tz=22.82 Mx=0.01 Mz=-4.15
Sollecitazioni agenti localmente: Ty_l=-2601.75 My_l=-53.31
Tensioni nella sezione: σ=646.22 τ=78.84
CC 65 SLU (Collegamento 0025_-382)
Azioni sul collegamento: N=-23420.60 Ty=-5.49 Tz=54.12 Mx=-0.00 Mz=-4.04
Sollecitazioni agenti localmente: Ty_l=-4135.75 My_l=-84.76
Tensioni nella sezione: σ=1027.40 τ=125.33
CC 66 SLU (Collegamento 0025_-382)
Azioni sul collegamento: N=-22871.20 Ty=-5.21 Tz=52.09 Mx=-0.00 Mz=-3.84
Sollecitazioni agenti localmente: Ty_l=-4039.17 My_l=-82.78
Tensioni nella sezione: σ=1003.41 τ=122.40
CC 67 SLU (Collegamento 0025_-382)
Azioni sul collegamento: N=-23146.90 Ty=-5.46 Tz=53.08 Mx=-0.00 Mz=-4.16
Sollecitazioni agenti localmente: Ty_l=-4086.77 My_l=-83.76
Tensioni nella sezione: σ=1015.22 τ=123.84
CC 68 SLU (Collegamento 0025_-382)
Azioni sul collegamento: N=-23144.90 Ty=-5.24 Tz=53.13 Mx=-0.00 Mz=-3.72
Sollecitazioni agenti localmente: Ty_l=-4088.15 My_l=-83.79
Tensioni nella sezione: σ=1015.59 τ=123.88
CC 97 SLU (Collegamento 0025_-382)
Azioni sul collegamento: N=-11444.50 Ty=-17.52 Tz=18.88 Mx=-0.03 Mz=-21.34
Sollecitazioni agenti localmente: Ty_l=-1943.94 My_l=-39.73
Tensioni nella sezione: σ=481.60 τ=58.91
CC 98 SLU (Collegamento 0025_-382)
Azioni sul collegamento: N=-10895.20 Ty=-17.24 Tz=16.84 Mx=-0.03 Mz=-21.13
Sollecitazioni agenti localmente: Ty_l=-1847.35 My_l=-37.75
Tensioni nella sezione: σ=457.61 τ=55.98
CC 99 SLU (Collegamento 0025_-382)
Azioni sul collegamento: N=-11170.80 Ty=-17.49 Tz=17.84 Mx=-0.03 Mz=-21.45
Sollecitazioni agenti localmente: Ty_l=-1894.95 My_l=-38.73
Tensioni nella sezione: σ=469.42 τ=57.42
CC 100 SLU (Collegamento 0025_-382)
Azioni sul collegamento: N=-11168.90 Ty=-17.27 Tz=17.88 Mx=-0.04 Mz=-21.02
Sollecitazioni agenti localmente: Ty_l=-1896.34 My_l=-38.76
Tensioni nella sezione: σ=469.79 τ=57.46
CC 101 SLU (Collegamento 0025_-382)
Azioni sul collegamento: N=-7155.53 Ty=-1.61 Tz=2.94 Mx=0.01 Mz=-0.33
Sollecitazioni agenti localmente: Ty_l=-1267.16 My_l=-25.97
Tensioni nella sezione: σ=314.85 τ=38.40
CC 102 SLU (Collegamento 0025_-382)

Azioni sul collegamento: N=-6606.15 Ty=-1.32 Tz=0.91 Mx=0.01 Mz=-0.13
Sollecitazioni agenti localmente: Ty_l=-1170.57 My_l=-24.00
Tensioni nella sezione: σ=290.86 τ=35.47
CC 103 SLU (Collegamento 0025_-382)
Azioni sul collegamento: N=-6881.82 Ty=-1.58 Tz=1.90 Mx=0.01 Mz=-0.45
Sollecitazioni agenti localmente: Ty_l=-1218.17 My_l=-24.97
Tensioni nella sezione: σ=302.67 τ=36.91
CC 104 SLU (Collegamento 0025_-382)
Azioni sul collegamento: N=-6879.85 Ty=-1.36 Tz=1.95 Mx=0.01 Mz=-0.01
Sollecitazioni agenti localmente: Ty_l=-1219.56 My_l=-25.00
Tensioni nella sezione: σ=303.04 τ=36.96

Flessione attacco sinistro piastra

Bnetta=220.00 Hnetta=15.00
CC 1 SLV (Collegamento 0025_-382)
Azioni sul collegamento: N=-3838.16 Ty=-4.12 Tz=-9.35 Mx=0.02 Mz=1.95
Sollecitazioni agenti localmente: Ty_l=-672.64 My_l=-13.78
Tensioni nella sezione: σ=167.01 τ=20.38
CC 1 SLV (Collegamento 0025_-382)
Azioni sul collegamento: N=-3838.16 Ty=-0.76 Tz=-9.35 Mx=0.02 Mz=-1.23
Sollecitazioni agenti localmente: Ty_l=-685.29 My_l=-14.06
Tensioni nella sezione: σ=170.37 τ=20.77
CC 1 SLV (Collegamento 0025_-382)
Azioni sul collegamento: N=-3838.16 Ty=-4.12 Tz=10.33 Mx=0.02 Mz=1.95
Sollecitazioni agenti localmente: Ty_l=-672.64 My_l=-13.78
Tensioni nella sezione: σ=167.01 τ=20.38
CC 1 SLV (Collegamento 0025_-382)
Azioni sul collegamento: N=-3838.16 Ty=-0.76 Tz=10.33 Mx=0.02 Mz=-1.23
Sollecitazioni agenti localmente: Ty_l=-685.29 My_l=-14.06
Tensioni nella sezione: σ=170.37 τ=20.77
CC 1 SLV (Collegamento 0025_-382)
Azioni sul collegamento: N=-9123.66 Ty=-4.12 Tz=-9.35 Mx=0.02 Mz=1.95
Sollecitazioni agenti localmente: Ty_l=-1609.61 My_l=-32.99
Tensioni nella sezione: σ=399.83 τ=48.78
CC 1 SLV (Collegamento 0025_-382)
Azioni sul collegamento: N=-9123.66 Ty=-0.76 Tz=-9.35 Mx=0.02 Mz=-1.23
Sollecitazioni agenti localmente: Ty_l=-1622.27 My_l=-33.26
Tensioni nella sezione: σ=403.19 τ=49.16
CC 1 SLV (Collegamento 0025_-382)
Azioni sul collegamento: N=-9123.66 Ty=-4.12 Tz=10.33 Mx=0.02 Mz=1.95
Sollecitazioni agenti localmente: Ty_l=-1609.61 My_l=-32.99
Tensioni nella sezione: σ=399.83 τ=48.78
CC 1 SLV (Collegamento 0025_-382)
Azioni sul collegamento: N=-9123.66 Ty=-0.76 Tz=10.33 Mx=0.02 Mz=-1.23
Sollecitazioni agenti localmente: Ty_l=-1622.27 My_l=-33.26
Tensioni nella sezione: σ=403.19 τ=49.16
CC 2 SLD (Collegamento 0025_-382)
Azioni sul collegamento: N=-5707.53 Ty=-2.77 Tz=-2.38 Mx=0.01 Mz=-1.24
Sollecitazioni agenti localmente: Ty_l=-1016.71 My_l=-20.85
Tensioni nella sezione: σ=252.72 τ=30.81
CC 2 SLD (Collegamento 0025_-382)
Azioni sul collegamento: N=-5707.53 Ty=-3.80 Tz=-2.38 Mx=0.01 Mz=-2.21
Sollecitazioni agenti localmente: Ty_l=-1020.56 My_l=-20.93
Tensioni nella sezione: σ=253.74 τ=30.93
CC 2 SLD (Collegamento 0025_-382)
Azioni sul collegamento: N=-5707.53 Ty=-2.77 Tz=3.62 Mx=0.01 Mz=-1.24
Sollecitazioni agenti localmente: Ty_l=-1016.71 My_l=-20.85
Tensioni nella sezione: σ=252.72 τ=30.81
CC 2 SLD (Collegamento 0025_-382)
Azioni sul collegamento: N=-5707.53 Ty=-3.80 Tz=3.62 Mx=0.01 Mz=-2.21
Sollecitazioni agenti localmente: Ty_l=-1020.56 My_l=-20.93
Tensioni nella sezione: σ=253.74 τ=30.93
CC 2 SLD (Collegamento 0025_-382)
Azioni sul collegamento: N=-7319.25 Ty=-2.77 Tz=-2.38 Mx=0.01 Mz=-1.24
Sollecitazioni agenti localmente: Ty_l=-1302.42 My_l=-26.71
Tensioni nella sezione: σ=323.71 τ=39.47
CC 2 SLD (Collegamento 0025_-382)
Azioni sul collegamento: N=-7319.25 Ty=-3.80 Tz=-2.38 Mx=0.01 Mz=-2.21
Sollecitazioni agenti localmente: Ty_l=-1306.28 My_l=-26.79
Tensioni nella sezione: σ=324.74 τ=39.58
CC 2 SLD (Collegamento 0025_-382)
Azioni sul collegamento: N=-7319.25 Ty=-2.77 Tz=3.62 Mx=0.01 Mz=-1.24
Sollecitazioni agenti localmente: Ty_l=-1302.42 My_l=-26.71
Tensioni nella sezione: σ=323.71 τ=39.47
CC 2 SLD (Collegamento 0025_-382)
Azioni sul collegamento: N=-7319.25 Ty=-3.80 Tz=3.62 Mx=0.01 Mz=-2.21
Sollecitazioni agenti localmente: Ty_l=-1306.28 My_l=-26.79
Tensioni nella sezione: σ=324.74 τ=39.58

CC 3 SLV (Collegamento 0025_-382)
Azioni sul collegamento: N=-3843.85 Ty=-3.49 Tz=-9.22 Mx=0.02 Mz=0.69
Sollecitazioni agenti localmente: Ty_l=-678.65 My_l=-13.91
Tensioni nella sezione: σ=168.59 τ=20.57
CC 3 SLV (Collegamento 0025_-382)
Azioni sul collegamento: N=-3843.85 Ty=-1.39 Tz=-9.22 Mx=0.02 Mz=0.03
Sollecitazioni agenti localmente: Ty_l=-681.30 My_l=-13.97
Tensioni nella sezione: σ=169.29 τ=20.65
CC 3 SLV (Collegamento 0025_-382)
Azioni sul collegamento: N=-3843.85 Ty=-3.49 Tz=10.20 Mx=0.02 Mz=0.69
Sollecitazioni agenti localmente: Ty_l=-678.65 My_l=-13.91
Tensioni nella sezione: σ=168.59 τ=20.57
CC 3 SLV (Collegamento 0025_-382)
Azioni sul collegamento: N=-3843.85 Ty=-1.39 Tz=10.20 Mx=0.02 Mz=0.03
Sollecitazioni agenti localmente: Ty_l=-681.30 My_l=-13.97
Tensioni nella sezione: σ=169.29 τ=20.65
CC 3 SLV (Collegamento 0025_-382)
Azioni sul collegamento: N=-9117.97 Ty=-3.49 Tz=-9.22 Mx=0.02 Mz=0.69
Sollecitazioni agenti localmente: Ty_l=-1613.60 My_l=-33.08
Tensioni nella sezione: σ=400.91 τ=48.90
CC 3 SLV (Collegamento 0025_-382)
Azioni sul collegamento: N=-9117.97 Ty=-1.39 Tz=-9.22 Mx=0.02 Mz=0.03
Sollecitazioni agenti localmente: Ty_l=-1616.26 My_l=-33.13
Tensioni nella sezione: σ=401.61 τ=48.98
CC 3 SLV (Collegamento 0025_-382)
Azioni sul collegamento: N=-9117.97 Ty=-3.49 Tz=10.20 Mx=0.02 Mz=0.69
Sollecitazioni agenti localmente: Ty_l=-1613.60 My_l=-33.08
Tensioni nella sezione: σ=400.91 τ=48.90
CC 3 SLV (Collegamento 0025_-382)
Azioni sul collegamento: N=-9117.97 Ty=-1.39 Tz=10.20 Mx=0.02 Mz=0.03
Sollecitazioni agenti localmente: Ty_l=-1616.26 My_l=-33.13
Tensioni nella sezione: σ=401.61 τ=48.98
CC 4 SLD (Collegamento 0025_-382)
Azioni sul collegamento: N=-5709.27 Ty=-2.97 Tz=-2.35 Mx=0.01 Mz=-1.62
Sollecitazioni agenti localmente: Ty_l=-1018.54 My_l=-20.89
Tensioni nella sezione: σ=253.20 τ=30.86
CC 4 SLD (Collegamento 0025_-382)
Azioni sul collegamento: N=-5709.27 Ty=-3.60 Tz=-2.35 Mx=0.01 Mz=-1.82
Sollecitazioni agenti localmente: Ty_l=-1019.35 My_l=-20.91
Tensioni nella sezione: σ=253.41 τ=30.89
CC 4 SLD (Collegamento 0025_-382)
Azioni sul collegamento: N=-5709.27 Ty=-2.97 Tz=3.58 Mx=0.01 Mz=-1.62
Sollecitazioni agenti localmente: Ty_l=-1018.54 My_l=-20.89
Tensioni nella sezione: σ=253.20 τ=30.86
CC 4 SLD (Collegamento 0025_-382)
Azioni sul collegamento: N=-5709.27 Ty=-3.60 Tz=3.58 Mx=0.01 Mz=-1.82
Sollecitazioni agenti localmente: Ty_l=-1019.35 My_l=-20.91
Tensioni nella sezione: σ=253.41 τ=30.89
CC 4 SLD (Collegamento 0025_-382)
Azioni sul collegamento: N=-7317.51 Ty=-2.97 Tz=-2.35 Mx=0.01 Mz=-1.62
Sollecitazioni agenti localmente: Ty_l=-1303.64 My_l=-26.73
Tensioni nella sezione: σ=324.04 τ=39.50
CC 4 SLD (Collegamento 0025_-382)
Azioni sul collegamento: N=-7317.51 Ty=-3.60 Tz=-2.35 Mx=0.01 Mz=-1.82
Sollecitazioni agenti localmente: Ty_l=-1304.45 My_l=-26.75
Tensioni nella sezione: σ=324.26 τ=39.53
CC 4 SLD (Collegamento 0025_-382)
Azioni sul collegamento: N=-7317.51 Ty=-2.97 Tz=3.58 Mx=0.01 Mz=-1.62
Sollecitazioni agenti localmente: Ty_l=-1303.64 My_l=-26.73
Tensioni nella sezione: σ=324.04 τ=39.50
CC 4 SLD (Collegamento 0025_-382)
Azioni sul collegamento: N=-7317.51 Ty=-3.60 Tz=3.58 Mx=0.01 Mz=-1.82
Sollecitazioni agenti localmente: Ty_l=-1304.45 My_l=-26.75
Tensioni nella sezione: σ=324.26 τ=39.53
CC 5 SLV (Collegamento 0025_-382)
Azioni sul collegamento: N=-9117.97 Ty=-1.39 Tz=10.20 Mx=0.02 Mz=0.03
Sollecitazioni agenti localmente: Ty_l=-1616.26 My_l=-33.13
Tensioni nella sezione: σ=401.61 τ=48.98
CC 5 SLV (Collegamento 0025_-382)
Azioni sul collegamento: N=-9117.97 Ty=-3.49 Tz=10.20 Mx=0.02 Mz=0.69
Sollecitazioni agenti localmente: Ty_l=-1613.60 My_l=-33.08
Tensioni nella sezione: σ=400.91 τ=48.90
CC 5 SLV (Collegamento 0025_-382)
Azioni sul collegamento: N=-9117.97 Ty=-1.39 Tz=-9.22 Mx=0.02 Mz=0.03
Sollecitazioni agenti localmente: Ty_l=-1616.26 My_l=-33.13
Tensioni nella sezione: σ=401.61 τ=48.98
CC 5 SLV (Collegamento 0025_-382)
Azioni sul collegamento: N=-9117.97 Ty=-3.49 Tz=-9.22 Mx=0.02 Mz=0.69
Sollecitazioni agenti localmente: Ty_l=-1613.60 My_l=-33.08

Tensioni nella sezione: σ=400.91 τ=48.90
CC 5 SLV (Collegamento 0025_-382)
Azioni sul collegamento: N=-3843.85 Ty=-1.39 Tz=10.20 Mx=0.02 Mz=0.03
Sollecitazioni agenti localmente: Ty_l=-681.30 My_l=-13.97
Tensioni nella sezione: σ=169.29 τ=20.65
CC 5 SLV (Collegamento 0025_-382)
Azioni sul collegamento: N=-3843.85 Ty=-3.49 Tz=10.20 Mx=0.02 Mz=0.69
Sollecitazioni agenti localmente: Ty_l=-678.65 My_l=-13.91
Tensioni nella sezione: σ=168.59 τ=20.57
CC 5 SLV (Collegamento 0025_-382)
Azioni sul collegamento: N=-3843.85 Ty=-1.39 Tz=-9.22 Mx=0.02 Mz=0.03
Sollecitazioni agenti localmente: Ty_l=-681.30 My_l=-13.97
Tensioni nella sezione: σ=169.29 τ=20.65
CC 5 SLV (Collegamento 0025_-382)
Azioni sul collegamento: N=-3843.85 Ty=-3.49 Tz=-9.22 Mx=0.02 Mz=0.69
Sollecitazioni agenti localmente: Ty_l=-678.65 My_l=-13.91
Tensioni nella sezione: σ=168.59 τ=20.57
CC 6 SLD (Collegamento 0025_-382)
Azioni sul collegamento: N=-7317.51 Ty=-3.60 Tz=3.58 Mx=0.01 Mz=-1.82
Sollecitazioni agenti localmente: Ty_l=-1304.45 My_l=-26.75
Tensioni nella sezione: σ=324.26 τ=39.53
CC 6 SLD (Collegamento 0025_-382)
Azioni sul collegamento: N=-7317.51 Ty=-2.97 Tz=3.58 Mx=0.01 Mz=-1.62
Sollecitazioni agenti localmente: Ty_l=-1303.64 My_l=-26.73
Tensioni nella sezione: σ=324.04 τ=39.50
CC 6 SLD (Collegamento 0025_-382)
Azioni sul collegamento: N=-7317.51 Ty=-3.60 Tz=-2.35 Mx=0.01 Mz=-1.82
Sollecitazioni agenti localmente: Ty_l=-1304.45 My_l=-26.75
Tensioni nella sezione: σ=324.26 τ=39.53
CC 6 SLD (Collegamento 0025_-382)
Azioni sul collegamento: N=-7317.51 Ty=-2.97 Tz=-2.35 Mx=0.01 Mz=-1.62
Sollecitazioni agenti localmente: Ty_l=-1303.64 My_l=-26.73
Tensioni nella sezione: σ=324.04 τ=39.50
CC 6 SLD (Collegamento 0025_-382)
Azioni sul collegamento: N=-5709.27 Ty=-3.60 Tz=3.58 Mx=0.01 Mz=-1.82
Sollecitazioni agenti localmente: Ty_l=-1019.35 My_l=-20.91
Tensioni nella sezione: σ=253.41 τ=30.89
CC 6 SLD (Collegamento 0025_-382)
Azioni sul collegamento: N=-5709.27 Ty=-2.97 Tz=3.58 Mx=0.01 Mz=-1.62
Sollecitazioni agenti localmente: Ty_l=-1018.54 My_l=-20.89
Tensioni nella sezione: σ=253.20 τ=30.86
CC 6 SLD (Collegamento 0025_-382)
Azioni sul collegamento: N=-5709.27 Ty=-3.60 Tz=-2.35 Mx=0.01 Mz=-1.82
Sollecitazioni agenti localmente: Ty_l=-1019.35 My_l=-20.91
Tensioni nella sezione: σ=253.41 τ=30.89
CC 6 SLD (Collegamento 0025_-382)
Azioni sul collegamento: N=-5709.27 Ty=-2.97 Tz=-2.35 Mx=0.01 Mz=-1.62
Sollecitazioni agenti localmente: Ty_l=-1018.54 My_l=-20.89
Tensioni nella sezione: σ=253.20 τ=30.86
CC 7 SLV (Collegamento 0025_-382)
Azioni sul collegamento: N=-9123.66 Ty=-0.76 Tz=10.33 Mx=0.01 Mz=-1.23
Sollecitazioni agenti localmente: Ty_l=-1622.27 My_l=-33.26
Tensioni nella sezione: σ=403.19 τ=49.16
CC 7 SLV (Collegamento 0025_-382)
Azioni sul collegamento: N=-9123.66 Ty=-4.12 Tz=10.33 Mx=0.01 Mz=1.95
Sollecitazioni agenti localmente: Ty_l=-1609.61 My_l=-32.99
Tensioni nella sezione: σ=399.83 τ=48.78
CC 7 SLV (Collegamento 0025_-382)
Azioni sul collegamento: N=-9123.66 Ty=-0.76 Tz=-9.35 Mx=0.01 Mz=-1.23
Sollecitazioni agenti localmente: Ty_l=-1622.27 My_l=-33.26
Tensioni nella sezione: σ=403.19 τ=49.16
CC 7 SLV (Collegamento 0025_-382)
Azioni sul collegamento: N=-9123.66 Ty=-4.12 Tz=-9.35 Mx=0.01 Mz=1.95
Sollecitazioni agenti localmente: Ty_l=-1609.61 My_l=-32.99
Tensioni nella sezione: σ=399.83 τ=48.78
CC 7 SLV (Collegamento 0025_-382)
Azioni sul collegamento: N=-3838.16 Ty=-0.76 Tz=10.33 Mx=0.01 Mz=-1.23
Sollecitazioni agenti localmente: Ty_l=-685.29 My_l=-14.06
Tensioni nella sezione: σ=170.37 τ=20.77
CC 7 SLV (Collegamento 0025_-382)
Azioni sul collegamento: N=-3838.16 Ty=-4.12 Tz=10.33 Mx=0.01 Mz=1.95
Sollecitazioni agenti localmente: Ty_l=-672.64 My_l=-13.78
Tensioni nella sezione: σ=167.01 τ=20.38
CC 7 SLV (Collegamento 0025_-382)
Azioni sul collegamento: N=-3838.16 Ty=-0.76 Tz=-9.35 Mx=0.01 Mz=-1.23
Sollecitazioni agenti localmente: Ty_l=-685.29 My_l=-14.06
Tensioni nella sezione: σ=170.37 τ=20.77
CC 7 SLV (Collegamento 0025_-382)
Azioni sul collegamento: N=-3838.16 Ty=-4.12 Tz=-9.35 Mx=0.01 Mz=1.95

Sollecitazioni agenti localmente: Ty_l=-672.64 My_l=-13.78
Tensioni nella sezione: σ=167.01 τ=20.38
CC 8 SLD (Collegamento 0025_-382)
Azioni sul collegamento: N=-7319.25 Ty=-3.80 Tz=3.62 Mx=0.01 Mz=-2.21
Sollecitazioni agenti localmente: Ty_l=-1306.28 My_l=-26.79
Tensioni nella sezione: σ=324.74 τ=39.58
CC 8 SLD (Collegamento 0025_-382)
Azioni sul collegamento: N=-7319.25 Ty=-2.77 Tz=3.62 Mx=0.01 Mz=-1.24
Sollecitazioni agenti localmente: Ty_l=-1302.42 My_l=-26.71
Tensioni nella sezione: σ=323.71 τ=39.47
CC 8 SLD (Collegamento 0025_-382)
Azioni sul collegamento: N=-7319.25 Ty=-3.80 Tz=-2.38 Mx=0.01 Mz=-2.21
Sollecitazioni agenti localmente: Ty_l=-1306.28 My_l=-26.79
Tensioni nella sezione: σ=324.74 τ=39.58
CC 8 SLD (Collegamento 0025_-382)
Azioni sul collegamento: N=-7319.25 Ty=-2.77 Tz=-2.38 Mx=0.01 Mz=-1.24
Sollecitazioni agenti localmente: Ty_l=-1302.42 My_l=-26.71
Tensioni nella sezione: σ=323.71 τ=39.47
CC 8 SLD (Collegamento 0025_-382)
Azioni sul collegamento: N=-5707.53 Ty=-3.80 Tz=3.62 Mx=0.01 Mz=-2.21
Sollecitazioni agenti localmente: Ty_l=-1020.56 My_l=-20.93
Tensioni nella sezione: σ=253.74 τ=30.93
CC 8 SLD (Collegamento 0025_-382)
Azioni sul collegamento: N=-5707.53 Ty=-2.77 Tz=3.62 Mx=0.01 Mz=-1.24
Sollecitazioni agenti localmente: Ty_l=-1016.71 My_l=-20.85
Tensioni nella sezione: σ=252.72 τ=30.81
CC 8 SLD (Collegamento 0025_-382)
Azioni sul collegamento: N=-5707.53 Ty=-3.80 Tz=-2.38 Mx=0.01 Mz=-2.21
Sollecitazioni agenti localmente: Ty_l=-1020.56 My_l=-20.93
Tensioni nella sezione: σ=253.74 τ=30.93
CC 8 SLD (Collegamento 0025_-382)
Azioni sul collegamento: N=-5707.53 Ty=-2.77 Tz=-2.38 Mx=0.01 Mz=-1.24
Sollecitazioni agenti localmente: Ty_l=-1016.71 My_l=-20.85
Tensioni nella sezione: σ=252.72 τ=30.81
CC 9 SLV (Collegamento 0025_-382)
Azioni sul collegamento: N=-5679.47 Ty=-3.91 Tz=-2.66 Mx=0.03 Mz=2.74
Sollecitazioni agenti localmente: Ty_l=-995.90 My_l=-20.40
Tensioni nella sezione: σ=247.28 τ=30.18
CC 9 SLV (Collegamento 0025_-382)
Azioni sul collegamento: N=-5679.47 Ty=-0.97 Tz=-2.66 Mx=0.03 Mz=-2.02
Sollecitazioni agenti localmente: Ty_l=-1014.86 My_l=-20.82
Tensioni nella sezione: σ=252.31 τ=30.75
CC 9 SLV (Collegamento 0025_-382)
Azioni sul collegamento: N=-5679.47 Ty=-3.91 Tz=3.63 Mx=0.03 Mz=2.74
Sollecitazioni agenti localmente: Ty_l=-995.90 My_l=-20.40
Tensioni nella sezione: σ=247.28 τ=30.18
CC 9 SLV (Collegamento 0025_-382)
Azioni sul collegamento: N=-5679.47 Ty=-0.97 Tz=3.63 Mx=0.03 Mz=-2.02
Sollecitazioni agenti localmente: Ty_l=-1014.86 My_l=-20.82
Tensioni nella sezione: σ=252.31 τ=30.75
CC 9 SLV (Collegamento 0025_-382)
Azioni sul collegamento: N=-7282.35 Ty=-3.91 Tz=-2.66 Mx=0.03 Mz=2.74
Sollecitazioni agenti localmente: Ty_l=-1280.05 My_l=-26.23
Tensioni nella sezione: σ=317.89 τ=38.79
CC 9 SLV (Collegamento 0025_-382)
Azioni sul collegamento: N=-7282.35 Ty=-0.97 Tz=-2.66 Mx=0.03 Mz=-2.02
Sollecitazioni agenti localmente: Ty_l=-1299.01 My_l=-26.64
Tensioni nella sezione: σ=322.92 τ=39.36
CC 9 SLV (Collegamento 0025_-382)
Azioni sul collegamento: N=-7282.35 Ty=-3.91 Tz=3.63 Mx=0.03 Mz=2.74
Sollecitazioni agenti localmente: Ty_l=-1280.05 My_l=-26.23
Tensioni nella sezione: σ=317.89 τ=38.79
CC 9 SLV (Collegamento 0025_-382)
Azioni sul collegamento: N=-7282.35 Ty=-0.97 Tz=3.63 Mx=0.03 Mz=-2.02
Sollecitazioni agenti localmente: Ty_l=-1299.01 My_l=-26.64
Tensioni nella sezione: σ=322.92 τ=39.36
CC 10 SLD (Collegamento 0025_-382)
Azioni sul collegamento: N=-6269.01 Ty=-2.84 Tz=-0.34 Mx=0.01 Mz=-0.99
Sollecitazioni agenti localmente: Ty_l=-1115.28 My_l=-22.87
Tensioni nella sezione: σ=277.20 τ=33.80
CC 10 SLD (Collegamento 0025_-382)
Azioni sul collegamento: N=-6269.01 Ty=-3.73 Tz=-0.34 Mx=0.01 Mz=-2.45
Sollecitazioni agenti localmente: Ty_l=-1121.06 My_l=-23.00
Tensioni nella sezione: σ=278.73 τ=33.97
CC 10 SLD (Collegamento 0025_-382)
Azioni sul collegamento: N=-6269.00 Ty=-2.84 Tz=1.57 Mx=0.01 Mz=-0.99
Sollecitazioni agenti localmente: Ty_l=-1115.28 My_l=-22.87
Tensioni nella sezione: σ=277.20 τ=33.80
CC 10 SLD (Collegamento 0025_-382)

Azioni sul collegamento: N=-6269.00 Ty=-3.73 Tz=1.57 Mx=0.01 Mz=-2.45
Sollecitazioni agenti localmente: Ty_l=-1121.06 My_l=-23.00
Tensioni nella sezione: σ=278.73 τ=33.97
CC 10 SLD (Collegamento 0025_-382)
Azioni sul collegamento: N=-6757.78 Ty=-2.84 Tz=-0.34 Mx=0.01 Mz=-0.99
Sollecitazioni agenti localmente: Ty_l=-1201.92 My_l=-24.64
Tensioni nella sezione: σ=298.73 τ=36.42
CC 10 SLD (Collegamento 0025_-382)
Azioni sul collegamento: N=-6757.78 Ty=-3.73 Tz=-0.34 Mx=0.01 Mz=-2.45
Sollecitazioni agenti localmente: Ty_l=-1207.71 My_l=-24.77
Tensioni nella sezione: σ=300.26 τ=36.60
CC 10 SLD (Collegamento 0025_-382)
Azioni sul collegamento: N=-6757.78 Ty=-2.84 Tz=1.57 Mx=0.01 Mz=-0.99
Sollecitazioni agenti localmente: Ty_l=-1201.92 My_l=-24.64
Tensioni nella sezione: σ=298.73 τ=36.42
CC 10 SLD (Collegamento 0025_-382)
Azioni sul collegamento: N=-6757.78 Ty=-3.73 Tz=1.57 Mx=0.01 Mz=-2.45
Sollecitazioni agenti localmente: Ty_l=-1207.71 My_l=-24.77
Tensioni nella sezione: σ=300.26 τ=36.60
CC 11 SLV (Collegamento 0025_-382)
Azioni sul collegamento: N=-7263.41 Ty=-3.09 Tz=3.21 Mx=0.02 Mz=2.17
Sollecitazioni agenti localmente: Ty_l=-1278.98 My_l=-26.21
Tensioni nella sezione: σ=317.66 τ=38.76
CC 11 SLV (Collegamento 0025_-382)
Azioni sul collegamento: N=-7263.41 Ty=-1.79 Tz=3.21 Mx=0.02 Mz=-1.45
Sollecitazioni agenti localmente: Ty_l=-1293.35 My_l=-26.52
Tensioni nella sezione: σ=321.48 τ=39.19
CC 11 SLV (Collegamento 0025_-382)
Azioni sul collegamento: N=-7263.41 Ty=-3.09 Tz=-2.23 Mx=0.02 Mz=2.17
Sollecitazioni agenti localmente: Ty_l=-1278.98 My_l=-26.21
Tensioni nella sezione: σ=317.66 τ=38.76
CC 11 SLV (Collegamento 0025_-382)
Azioni sul collegamento: N=-7263.41 Ty=-1.79 Tz=-2.23 Mx=0.02 Mz=-1.45
Sollecitazioni agenti localmente: Ty_l=-1293.35 My_l=-26.52
Tensioni nella sezione: σ=321.48 τ=39.19
CC 11 SLV (Collegamento 0025_-382)
Azioni sul collegamento: N=-5698.41 Ty=-3.09 Tz=3.21 Mx=0.02 Mz=2.17
Sollecitazioni agenti localmente: Ty_l=-1001.55 My_l=-20.52
Tensioni nella sezione: σ=248.72 τ=30.35
CC 11 SLV (Collegamento 0025_-382)
Azioni sul collegamento: N=-5698.41 Ty=-1.79 Tz=3.21 Mx=0.02 Mz=-1.45
Sollecitazioni agenti localmente: Ty_l=-1015.92 My_l=-20.83
Tensioni nella sezione: σ=252.54 τ=30.79
CC 11 SLV (Collegamento 0025_-382)
Azioni sul collegamento: N=-5698.41 Ty=-3.09 Tz=-2.23 Mx=0.02 Mz=2.17
Sollecitazioni agenti localmente: Ty_l=-1001.55 My_l=-20.52
Tensioni nella sezione: σ=248.72 τ=30.35
CC 11 SLV (Collegamento 0025_-382)
Azioni sul collegamento: N=-5698.41 Ty=-1.79 Tz=-2.23 Mx=0.02 Mz=-1.45
Sollecitazioni agenti localmente: Ty_l=-1015.92 My_l=-20.83
Tensioni nella sezione: σ=252.54 τ=30.79
CC 12 SLD (Collegamento 0025_-382)
Azioni sul collegamento: N=-6752.00 Ty=-3.09 Tz=1.44 Mx=0.01 Mz=-1.17
Sollecitazioni agenti localmente: Ty_l=-1201.60 My_l=-24.64
Tensioni nella sezione: σ=298.66 τ=36.41
CC 12 SLD (Collegamento 0025_-382)
Azioni sul collegamento: N=-6752.00 Ty=-3.48 Tz=1.44 Mx=0.01 Mz=-2.27
Sollecitazioni agenti localmente: Ty_l=-1205.98 My_l=-24.74
Tensioni nella sezione: σ=299.82 τ=36.54
CC 12 SLD (Collegamento 0025_-382)
Azioni sul collegamento: N=-6752.00 Ty=-3.09 Tz=-0.21 Mx=0.01 Mz=-1.17
Sollecitazioni agenti localmente: Ty_l=-1201.60 My_l=-24.64
Tensioni nella sezione: σ=298.66 τ=36.41
CC 12 SLD (Collegamento 0025_-382)
Azioni sul collegamento: N=-6752.00 Ty=-3.48 Tz=-0.21 Mx=0.01 Mz=-2.27
Sollecitazioni agenti localmente: Ty_l=-1205.98 My_l=-24.74
Tensioni nella sezione: σ=299.82 τ=36.54
CC 12 SLD (Collegamento 0025_-382)
Azioni sul collegamento: N=-6274.78 Ty=-3.09 Tz=1.44 Mx=0.01 Mz=-1.17
Sollecitazioni agenti localmente: Ty_l=-1117.00 My_l=-22.91
Tensioni nella sezione: σ=277.64 τ=33.85
CC 12 SLD (Collegamento 0025_-382)
Azioni sul collegamento: N=-6274.78 Ty=-3.48 Tz=1.44 Mx=0.01 Mz=-2.27
Sollecitazioni agenti localmente: Ty_l=-1121.38 My_l=-23.00
Tensioni nella sezione: σ=278.80 τ=33.98
CC 12 SLD (Collegamento 0025_-382)
Azioni sul collegamento: N=-6274.78 Ty=-3.09 Tz=-0.21 Mx=0.01 Mz=-1.17
Sollecitazioni agenti localmente: Ty_l=-1117.00 My_l=-22.91
Tensioni nella sezione: σ=277.64 τ=33.85

CC 12 SLD (Collegamento 0025_-382)
Azioni sul collegamento: N=-6274.78 Ty=-3.48 Tz=-0.21 Mx=0.01 Mz=-2.27
Sollecitazioni agenti localmente: Ty_l=-1121.38 My_l=-23.00
Tensioni nella sezione: σ=278.80 τ=33.98
CC 13 SLV (Collegamento 0025_-382)
Azioni sul collegamento: N=-5698.41 Ty=-1.79 Tz=-2.23 Mx=0.01 Mz=-1.45
Sollecitazioni agenti localmente: Ty_l=-1015.92 My_l=-20.83
Tensioni nella sezione: σ=252.54 τ=30.79
CC 13 SLV (Collegamento 0025_-382)
Azioni sul collegamento: N=-5698.41 Ty=-3.09 Tz=-2.23 Mx=0.01 Mz=2.17
Sollecitazioni agenti localmente: Ty_l=-1001.55 My_l=-20.52
Tensioni nella sezione: σ=248.72 τ=30.35
CC 13 SLV (Collegamento 0025_-382)
Azioni sul collegamento: N=-5698.41 Ty=-1.79 Tz=3.21 Mx=0.01 Mz=-1.45
Sollecitazioni agenti localmente: Ty_l=-1015.92 My_l=-20.83
Tensioni nella sezione: σ=252.54 τ=30.79
CC 13 SLV (Collegamento 0025_-382)
Azioni sul collegamento: N=-5698.41 Ty=-3.09 Tz=3.21 Mx=0.01 Mz=2.17
Sollecitazioni agenti localmente: Ty_l=-1001.55 My_l=-20.52
Tensioni nella sezione: σ=248.72 τ=30.35
CC 13 SLV (Collegamento 0025_-382)
Azioni sul collegamento: N=-7263.41 Ty=-1.79 Tz=-2.23 Mx=0.01 Mz=-1.45
Sollecitazioni agenti localmente: Ty_l=-1293.35 My_l=-26.52
Tensioni nella sezione: σ=321.48 τ=39.19
CC 13 SLV (Collegamento 0025_-382)
Azioni sul collegamento: N=-7263.41 Ty=-3.09 Tz=-2.23 Mx=0.01 Mz=2.17
Sollecitazioni agenti localmente: Ty_l=-1278.98 My_l=-26.21
Tensioni nella sezione: σ=317.66 τ=38.76
CC 13 SLV (Collegamento 0025_-382)
Azioni sul collegamento: N=-7263.41 Ty=-1.79 Tz=3.21 Mx=0.01 Mz=-1.45
Sollecitazioni agenti localmente: Ty_l=-1293.35 My_l=-26.52
Tensioni nella sezione: σ=321.48 τ=39.19
CC 13 SLV (Collegamento 0025_-382)
Azioni sul collegamento: N=-7263.41 Ty=-3.09 Tz=3.21 Mx=0.01 Mz=2.17
Sollecitazioni agenti localmente: Ty_l=-1278.98 My_l=-26.21
Tensioni nella sezione: σ=317.66 τ=38.76
CC 14 SLD (Collegamento 0025_-382)
Azioni sul collegamento: N=-6274.78 Ty=-3.48 Tz=-0.21 Mx=0.01 Mz=-2.27
Sollecitazioni agenti localmente: Ty_l=-1121.38 My_l=-23.00
Tensioni nella sezione: σ=278.80 τ=33.98
CC 14 SLD (Collegamento 0025_-382)
Azioni sul collegamento: N=-6274.78 Ty=-3.09 Tz=-0.21 Mx=0.01 Mz=-1.17
Sollecitazioni agenti localmente: Ty_l=-1117.00 My_l=-22.91
Tensioni nella sezione: σ=277.64 τ=33.85
CC 14 SLD (Collegamento 0025_-382)
Azioni sul collegamento: N=-6274.78 Ty=-3.48 Tz=1.44 Mx=0.01 Mz=-2.27
Sollecitazioni agenti localmente: Ty_l=-1121.38 My_l=-23.00
Tensioni nella sezione: σ=278.80 τ=33.98
CC 14 SLD (Collegamento 0025_-382)
Azioni sul collegamento: N=-6274.78 Ty=-3.09 Tz=1.44 Mx=0.01 Mz=-1.17
Sollecitazioni agenti localmente: Ty_l=-1117.00 My_l=-22.91
Tensioni nella sezione: σ=277.64 τ=33.85
CC 14 SLD (Collegamento 0025_-382)
Azioni sul collegamento: N=-6752.00 Ty=-3.48 Tz=-0.21 Mx=0.01 Mz=-2.27
Sollecitazioni agenti localmente: Ty_l=-1205.98 My_l=-24.74
Tensioni nella sezione: σ=299.82 τ=36.54
CC 14 SLD (Collegamento 0025_-382)
Azioni sul collegamento: N=-6752.00 Ty=-3.09 Tz=-0.21 Mx=0.01 Mz=-1.17
Sollecitazioni agenti localmente: Ty_l=-1201.60 My_l=-24.64
Tensioni nella sezione: σ=298.66 τ=36.41
CC 14 SLD (Collegamento 0025_-382)
Azioni sul collegamento: N=-6752.00 Ty=-3.48 Tz=1.44 Mx=0.01 Mz=-2.27
Sollecitazioni agenti localmente: Ty_l=-1205.98 My_l=-24.74
Tensioni nella sezione: σ=299.82 τ=36.54
CC 14 SLD (Collegamento 0025_-382)
Azioni sul collegamento: N=-6752.00 Ty=-3.09 Tz=1.44 Mx=0.01 Mz=-1.17
Sollecitazioni agenti localmente: Ty_l=-1201.60 My_l=-24.64
Tensioni nella sezione: σ=298.66 τ=36.41
CC 15 SLV (Collegamento 0025_-382)
Azioni sul collegamento: N=-7282.35 Ty=-0.97 Tz=3.63 Mx=0.01 Mz=-2.02
Sollecitazioni agenti localmente: Ty_l=-1299.01 My_l=-26.64
Tensioni nella sezione: σ=322.92 τ=39.36
CC 15 SLV (Collegamento 0025_-382)
Azioni sul collegamento: N=-7282.35 Ty=-3.91 Tz=3.63 Mx=0.01 Mz=2.74
Sollecitazioni agenti localmente: Ty_l=-1280.05 My_l=-26.23
Tensioni nella sezione: σ=317.89 τ=38.79
CC 15 SLV (Collegamento 0025_-382)
Azioni sul collegamento: N=-7282.35 Ty=-0.97 Tz=-2.66 Mx=0.01 Mz=-2.02
Sollecitazioni agenti localmente: Ty_l=-1299.01 My_l=-26.64

Tensioni nella sezione: σ=322.92 τ=39.36
CC 15 SLV (Collegamento 0025_-382)
Azioni sul collegamento: N=-7282.35 Ty=-3.91 Tz=-2.66 Mx=0.01 Mz=2.74
Sollecitazioni agenti localmente: Ty_l=-1280.05 My_l=-26.23
Tensioni nella sezione: σ=317.89 τ=38.79
CC 15 SLV (Collegamento 0025_-382)
Azioni sul collegamento: N=-5679.47 Ty=-0.97 Tz=3.63 Mx=0.01 Mz=-2.02
Sollecitazioni agenti localmente: Ty_l=-1014.86 My_l=-20.82
Tensioni nella sezione: σ=252.31 τ=30.75
CC 15 SLV (Collegamento 0025_-382)
Azioni sul collegamento: N=-5679.47 Ty=-3.91 Tz=3.63 Mx=0.01 Mz=2.74
Sollecitazioni agenti localmente: Ty_l=-995.90 My_l=-20.40
Tensioni nella sezione: σ=247.28 τ=30.18
CC 15 SLV (Collegamento 0025_-382)
Azioni sul collegamento: N=-5679.47 Ty=-0.97 Tz=-2.66 Mx=0.01 Mz=-2.02
Sollecitazioni agenti localmente: Ty_l=-1014.86 My_l=-20.82
Tensioni nella sezione: σ=252.31 τ=30.75
CC 15 SLV (Collegamento 0025_-382)
Azioni sul collegamento: N=-5679.47 Ty=-3.91 Tz=-2.66 Mx=0.01 Mz=2.74
Sollecitazioni agenti localmente: Ty_l=-995.90 My_l=-20.40
Tensioni nella sezione: σ=247.28 τ=30.18
CC 16 SLD (Collegamento 0025_-382)
Azioni sul collegamento: N=-6757.78 Ty=-3.73 Tz=1.57 Mx=0.00 Mz=-2.45
Sollecitazioni agenti localmente: Ty_l=-1207.71 My_l=-24.77
Tensioni nella sezione: σ=300.26 τ=36.60
CC 16 SLD (Collegamento 0025_-382)
Azioni sul collegamento: N=-6757.78 Ty=-2.84 Tz=1.57 Mx=0.00 Mz=-0.99
Sollecitazioni agenti localmente: Ty_l=-1201.92 My_l=-24.64
Tensioni nella sezione: σ=298.73 τ=36.42
CC 16 SLD (Collegamento 0025_-382)
Azioni sul collegamento: N=-6757.78 Ty=-3.73 Tz=-0.34 Mx=0.00 Mz=-2.45
Sollecitazioni agenti localmente: Ty_l=-1207.71 My_l=-24.77
Tensioni nella sezione: σ=300.26 τ=36.60
CC 16 SLD (Collegamento 0025_-382)
Azioni sul collegamento: N=-6757.78 Ty=-2.84 Tz=-0.34 Mx=0.00 Mz=-0.99
Sollecitazioni agenti localmente: Ty_l=-1201.92 My_l=-24.64
Tensioni nella sezione: σ=298.73 τ=36.42
CC 16 SLD (Collegamento 0025_-382)
Azioni sul collegamento: N=-6269.00 Ty=-3.73 Tz=1.57 Mx=0.00 Mz=-2.45
Sollecitazioni agenti localmente: Ty_l=-1121.06 My_l=-23.00
Tensioni nella sezione: σ=278.73 τ=33.97
CC 16 SLD (Collegamento 0025_-382)
Azioni sul collegamento: N=-6269.00 Ty=-2.84 Tz=1.57 Mx=0.00 Mz=-0.99
Sollecitazioni agenti localmente: Ty_l=-1115.28 My_l=-22.87
Tensioni nella sezione: σ=277.20 τ=33.80
CC 16 SLD (Collegamento 0025_-382)
Azioni sul collegamento: N=-6269.01 Ty=-3.73 Tz=-0.34 Mx=0.00 Mz=-2.45
Sollecitazioni agenti localmente: Ty_l=-1121.06 My_l=-23.00
Tensioni nella sezione: σ=278.73 τ=33.97
CC 16 SLD (Collegamento 0025_-382)
Azioni sul collegamento: N=-6269.01 Ty=-2.84 Tz=-0.34 Mx=0.00 Mz=-0.99
Sollecitazioni agenti localmente: Ty_l=-1115.28 My_l=-22.87
Tensioni nella sezione: σ=277.20 τ=33.80
CC 17 SLV (Collegamento 0025_-382)
Azioni sul collegamento: N=-3931.62 Ty=-3.19 Tz=-8.98 Mx=-0.01 Mz=-4.04
Sollecitazioni agenti localmente: Ty_l=-713.03 My_l=-14.64
Tensioni nella sezione: σ=177.45 τ=21.61
CC 17 SLV (Collegamento 0025_-382)
Azioni sul collegamento: N=-3931.62 Ty=-6.55 Tz=-8.98 Mx=-0.01 Mz=-7.22
Sollecitazioni agenti localmente: Ty_l=-725.69 My_l=-14.92
Tensioni nella sezione: σ=180.81 τ=21.99
CC 17 SLV (Collegamento 0025_-382)
Azioni sul collegamento: N=-3931.62 Ty=-3.19 Tz=10.69 Mx=-0.01 Mz=-4.04
Sollecitazioni agenti localmente: Ty_l=-713.03 My_l=-14.64
Tensioni nella sezione: σ=177.45 τ=21.61
CC 17 SLV (Collegamento 0025_-382)
Azioni sul collegamento: N=-3931.62 Ty=-6.55 Tz=10.69 Mx=-0.01 Mz=-7.22
Sollecitazioni agenti localmente: Ty_l=-725.69 My_l=-14.92
Tensioni nella sezione: σ=180.81 τ=21.99
CC 17 SLV (Collegamento 0025_-382)
Azioni sul collegamento: N=-9217.12 Ty=-3.19 Tz=-8.98 Mx=-0.01 Mz=-4.04
Sollecitazioni agenti localmente: Ty_l=-1650.01 My_l=-33.85
Tensioni nella sezione: σ=410.27 τ=50.00
CC 17 SLV (Collegamento 0025_-382)
Azioni sul collegamento: N=-9217.12 Ty=-6.55 Tz=-8.98 Mx=-0.01 Mz=-7.22
Sollecitazioni agenti localmente: Ty_l=-1662.66 My_l=-34.12
Tensioni nella sezione: σ=413.63 τ=50.38
CC 17 SLV (Collegamento 0025_-382)
Azioni sul collegamento: N=-9217.12 Ty=-3.19 Tz=10.69 Mx=-0.01 Mz=-4.04

Sollecitazioni agenti localmente: Ty_l=-1650.01 My_l=-33.85
Tensioni nella sezione: σ=410.27 τ=50.00
CC 17 SLV (Collegamento 0025_-382)
Azioni sul collegamento: N=-9217.12 Ty=-6.55 Tz=10.69 Mx=-0.01 Mz=-7.22
Sollecitazioni agenti localmente: Ty_l=-1662.66 My_l=-34.12
Tensioni nella sezione: σ=413.63 τ=50.38
CC 18 SLD (Collegamento 0025_-382)
Azioni sul collegamento: N=-5736.03 Ty=-3.51 Tz=-2.27 Mx=-0.00 Mz=-3.06
Sollecitazioni agenti localmente: Ty_l=-1029.02 My_l=-21.11
Tensioni nella sezione: σ=255.90 τ=31.18
CC 18 SLD (Collegamento 0025_-382)
Azioni sul collegamento: N=-5736.03 Ty=-4.54 Tz=-2.27 Mx=-0.00 Mz=-4.03
Sollecitazioni agenti localmente: Ty_l=-1032.88 My_l=-21.20
Tensioni nella sezione: σ=256.93 τ=31.30
CC 18 SLD (Collegamento 0025_-382)
Azioni sul collegamento: N=-5736.03 Ty=-3.51 Tz=3.73 Mx=-0.00 Mz=-3.06
Sollecitazioni agenti localmente: Ty_l=-1029.02 My_l=-21.11
Tensioni nella sezione: σ=255.90 τ=31.18
CC 18 SLD (Collegamento 0025_-382)
Azioni sul collegamento: N=-5736.03 Ty=-4.54 Tz=3.73 Mx=-0.00 Mz=-4.03
Sollecitazioni agenti localmente: Ty_l=-1032.88 My_l=-21.20
Tensioni nella sezione: σ=256.93 τ=31.30
CC 18 SLD (Collegamento 0025_-382)
Azioni sul collegamento: N=-7347.75 Ty=-3.51 Tz=-2.27 Mx=-0.00 Mz=-3.06
Sollecitazioni agenti localmente: Ty_l=-1314.74 My_l=-26.97
Tensioni nella sezione: σ=326.90 τ=39.84
CC 18 SLD (Collegamento 0025_-382)
Azioni sul collegamento: N=-7347.75 Ty=-4.54 Tz=-2.27 Mx=-0.00 Mz=-4.03
Sollecitazioni agenti localmente: Ty_l=-1318.60 My_l=-27.05
Tensioni nella sezione: σ=327.92 τ=39.96
CC 18 SLD (Collegamento 0025_-382)
Azioni sul collegamento: N=-7347.75 Ty=-3.51 Tz=3.73 Mx=-0.00 Mz=-3.06
Sollecitazioni agenti localmente: Ty_l=-1314.74 My_l=-26.97
Tensioni nella sezione: σ=326.90 τ=39.84
CC 18 SLD (Collegamento 0025_-382)
Azioni sul collegamento: N=-7347.75 Ty=-4.54 Tz=3.73 Mx=-0.00 Mz=-4.03
Sollecitazioni agenti localmente: Ty_l=-1318.60 My_l=-27.05
Tensioni nella sezione: σ=327.92 τ=39.96
CC 19 SLV (Collegamento 0025_-382)
Azioni sul collegamento: N=-3937.31 Ty=-3.82 Tz=-8.85 Mx=-0.01 Mz=-5.30
Sollecitazioni agenti localmente: Ty_l=-719.04 My_l=-14.77
Tensioni nella sezione: σ=179.03 τ=21.79
CC 19 SLV (Collegamento 0025_-382)
Azioni sul collegamento: N=-3937.31 Ty=-5.92 Tz=-8.85 Mx=-0.01 Mz=-5.96
Sollecitazioni agenti localmente: Ty_l=-721.70 My_l=-14.83
Tensioni nella sezione: σ=179.73 τ=21.87
CC 19 SLV (Collegamento 0025_-382)
Azioni sul collegamento: N=-3937.31 Ty=-3.82 Tz=10.56 Mx=-0.01 Mz=-5.30
Sollecitazioni agenti localmente: Ty_l=-719.04 My_l=-14.77
Tensioni nella sezione: σ=179.03 τ=21.79
CC 19 SLV (Collegamento 0025_-382)
Azioni sul collegamento: N=-3937.31 Ty=-5.92 Tz=10.56 Mx=-0.01 Mz=-5.96
Sollecitazioni agenti localmente: Ty_l=-721.70 My_l=-14.83
Tensioni nella sezione: σ=179.73 τ=21.87
CC 19 SLV (Collegamento 0025_-382)
Azioni sul collegamento: N=-9211.43 Ty=-3.82 Tz=-8.85 Mx=-0.01 Mz=-5.30
Sollecitazioni agenti localmente: Ty_l=-1654.00 My_l=-33.94
Tensioni nella sezione: σ=411.35 τ=50.12
CC 19 SLV (Collegamento 0025_-382)
Azioni sul collegamento: N=-9211.43 Ty=-5.92 Tz=-8.85 Mx=-0.01 Mz=-5.96
Sollecitazioni agenti localmente: Ty_l=-1656.66 My_l=-33.99
Tensioni nella sezione: σ=412.06 τ=50.20
CC 19 SLV (Collegamento 0025_-382)
Azioni sul collegamento: N=-9211.43 Ty=-3.82 Tz=10.56 Mx=-0.01 Mz=-5.30
Sollecitazioni agenti localmente: Ty_l=-1654.00 My_l=-33.94
Tensioni nella sezione: σ=411.35 τ=50.12
CC 19 SLV (Collegamento 0025_-382)
Azioni sul collegamento: N=-9211.43 Ty=-5.92 Tz=10.56 Mx=-0.01 Mz=-5.96
Sollecitazioni agenti localmente: Ty_l=-1656.66 My_l=-33.99
Tensioni nella sezione: σ=412.06 τ=50.20
CC 20 SLD (Collegamento 0025_-382)
Azioni sul collegamento: N=-5737.77 Ty=-3.71 Tz=-2.23 Mx=-0.00 Mz=-3.45
Sollecitazioni agenti localmente: Ty_l=-1030.86 My_l=-21.15
Tensioni nella sezione: σ=256.38 τ=31.24
CC 20 SLD (Collegamento 0025_-382)
Azioni sul collegamento: N=-5737.77 Ty=-4.34 Tz=-2.23 Mx=-0.00 Mz=-3.65
Sollecitazioni agenti localmente: Ty_l=-1031.67 My_l=-21.17
Tensioni nella sezione: σ=256.60 τ=31.26
CC 20 SLD (Collegamento 0025_-382)

Azioni sul collegamento: N=-5737.77 Ty=-3.71 Tz=3.69 Mx=-0.00 Mz=-3.45
Sollecitazioni agenti localmente: Ty_l=-1030.86 My_l=-21.15
Tensioni nella sezione: σ=256.38 τ=31.24
CC 20 SLD (Collegamento 0025_-382)
Azioni sul collegamento: N=-5737.77 Ty=-4.34 Tz=3.69 Mx=-0.00 Mz=-3.65
Sollecitazioni agenti localmente: Ty_l=-1031.67 My_l=-21.17
Tensioni nella sezione: σ=256.60 τ=31.26
CC 20 SLD (Collegamento 0025_-382)
Azioni sul collegamento: N=-7346.01 Ty=-3.71 Tz=-2.23 Mx=-0.00 Mz=-3.45
Sollecitazioni agenti localmente: Ty_l=-1315.95 My_l=-27.00
Tensioni nella sezione: σ=327.23 τ=39.88
CC 20 SLD (Collegamento 0025_-382)
Azioni sul collegamento: N=-7346.01 Ty=-4.34 Tz=-2.23 Mx=-0.00 Mz=-3.65
Sollecitazioni agenti localmente: Ty_l=-1316.76 My_l=-27.01
Tensioni nella sezione: σ=327.44 τ=39.90
CC 20 SLD (Collegamento 0025_-382)
Azioni sul collegamento: N=-7346.01 Ty=-3.71 Tz=3.69 Mx=-0.00 Mz=-3.45
Sollecitazioni agenti localmente: Ty_l=-1315.95 My_l=-27.00
Tensioni nella sezione: σ=327.23 τ=39.88
CC 20 SLD (Collegamento 0025_-382)
Azioni sul collegamento: N=-7346.01 Ty=-4.34 Tz=3.69 Mx=-0.00 Mz=-3.65
Sollecitazioni agenti localmente: Ty_l=-1316.76 My_l=-27.01
Tensioni nella sezione: σ=327.44 τ=39.90
CC 21 SLV (Collegamento 0025_-382)
Azioni sul collegamento: N=-9211.43 Ty=-5.92 Tz=10.56 Mx=-0.01 Mz=-5.96
Sollecitazioni agenti localmente: Ty_l=-1656.66 My_l=-33.99
Tensioni nella sezione: σ=412.06 τ=50.20
CC 21 SLV (Collegamento 0025_-382)
Azioni sul collegamento: N=-9211.43 Ty=-3.82 Tz=10.56 Mx=-0.01 Mz=-5.30
Sollecitazioni agenti localmente: Ty_l=-1654.00 My_l=-33.94
Tensioni nella sezione: σ=411.35 τ=50.12
CC 21 SLV (Collegamento 0025_-382)
Azioni sul collegamento: N=-9211.43 Ty=-5.92 Tz=-8.85 Mx=-0.01 Mz=-5.96
Sollecitazioni agenti localmente: Ty_l=-1656.66 My_l=-33.99
Tensioni nella sezione: σ=412.06 τ=50.20
CC 21 SLV (Collegamento 0025_-382)
Azioni sul collegamento: N=-9211.43 Ty=-3.82 Tz=-8.85 Mx=-0.01 Mz=-5.30
Sollecitazioni agenti localmente: Ty_l=-1654.00 My_l=-33.94
Tensioni nella sezione: σ=411.35 τ=50.12
CC 21 SLV (Collegamento 0025_-382)
Azioni sul collegamento: N=-3937.31 Ty=-5.92 Tz=10.56 Mx=-0.01 Mz=-5.96
Sollecitazioni agenti localmente: Ty_l=-721.70 My_l=-14.83
Tensioni nella sezione: σ=179.73 τ=21.87
CC 21 SLV (Collegamento 0025_-382)
Azioni sul collegamento: N=-3937.31 Ty=-3.82 Tz=10.56 Mx=-0.01 Mz=-5.30
Sollecitazioni agenti localmente: Ty_l=-719.04 My_l=-14.77
Tensioni nella sezione: σ=179.03 τ=21.79
CC 21 SLV (Collegamento 0025_-382)
Azioni sul collegamento: N=-3937.31 Ty=-5.92 Tz=-8.85 Mx=-0.01 Mz=-5.96
Sollecitazioni agenti localmente: Ty_l=-721.70 My_l=-14.83
Tensioni nella sezione: σ=179.73 τ=21.87
CC 21 SLV (Collegamento 0025_-382)
Azioni sul collegamento: N=-3937.31 Ty=-3.82 Tz=-8.85 Mx=-0.01 Mz=-5.30
Sollecitazioni agenti localmente: Ty_l=-719.04 My_l=-14.77
Tensioni nella sezione: σ=179.03 τ=21.79
CC 22 SLD (Collegamento 0025_-382)
Azioni sul collegamento: N=-7346.01 Ty=-4.34 Tz=3.69 Mx=-0.00 Mz=-3.65
Sollecitazioni agenti localmente: Ty_l=-1316.76 My_l=-27.01
Tensioni nella sezione: σ=327.44 τ=39.90
CC 22 SLD (Collegamento 0025_-382)
Azioni sul collegamento: N=-7346.01 Ty=-3.71 Tz=3.69 Mx=-0.00 Mz=-3.45
Sollecitazioni agenti localmente: Ty_l=-1315.95 My_l=-27.00
Tensioni nella sezione: σ=327.23 τ=39.88
CC 22 SLD (Collegamento 0025_-382)
Azioni sul collegamento: N=-7346.01 Ty=-4.34 Tz=-2.23 Mx=-0.00 Mz=-3.65
Sollecitazioni agenti localmente: Ty_l=-1316.76 My_l=-27.01
Tensioni nella sezione: σ=327.44 τ=39.90
CC 22 SLD (Collegamento 0025_-382)
Azioni sul collegamento: N=-7346.01 Ty=-3.71 Tz=-2.23 Mx=-0.00 Mz=-3.45
Sollecitazioni agenti localmente: Ty_l=-1315.95 My_l=-27.00
Tensioni nella sezione: σ=327.23 τ=39.88
CC 22 SLD (Collegamento 0025_-382)
Azioni sul collegamento: N=-5737.77 Ty=-4.34 Tz=3.69 Mx=-0.00 Mz=-3.65
Sollecitazioni agenti localmente: Ty_l=-1031.67 My_l=-21.17
Tensioni nella sezione: σ=256.60 τ=31.26
CC 22 SLD (Collegamento 0025_-382)
Azioni sul collegamento: N=-5737.77 Ty=-3.71 Tz=3.69 Mx=-0.00 Mz=-3.45
Sollecitazioni agenti localmente: Ty_l=-1030.86 My_l=-21.15
Tensioni nella sezione: σ=256.38 τ=31.24

CC 22 SLD (Collegamento 0025_-382)
Azioni sul collegamento: N=-5737.77 Ty=-4.34 Tz=-2.23 Mx=-0.00 Mz=-3.65
Sollecitazioni agenti localmente: Ty_l=-1031.67 My_l=-21.17
Tensioni nella sezione: σ=256.60 τ=31.26
CC 22 SLD (Collegamento 0025_-382)
Azioni sul collegamento: N=-5737.77 Ty=-3.71 Tz=-2.23 Mx=-0.00 Mz=-3.45
Sollecitazioni agenti localmente: Ty_l=-1030.86 My_l=-21.15
Tensioni nella sezione: σ=256.38 τ=31.24
CC 23 SLV (Collegamento 0025_-382)
Azioni sul collegamento: N=-9217.12 Ty=-6.55 Tz=10.69 Mx=-0.01 Mz=-7.22
Sollecitazioni agenti localmente: Ty_l=-1662.66 My_l=-34.12
Tensioni nella sezione: σ=413.63 τ=50.38
CC 23 SLV (Collegamento 0025_-382)
Azioni sul collegamento: N=-9217.12 Ty=-3.19 Tz=10.69 Mx=-0.01 Mz=-4.04
Sollecitazioni agenti localmente: Ty_l=-1650.01 My_l=-33.85
Tensioni nella sezione: σ=410.27 τ=50.00
CC 23 SLV (Collegamento 0025_-382)
Azioni sul collegamento: N=-9217.12 Ty=-6.55 Tz=-8.98 Mx=-0.01 Mz=-7.22
Sollecitazioni agenti localmente: Ty_l=-1662.66 My_l=-34.12
Tensioni nella sezione: σ=413.63 τ=50.38
CC 23 SLV (Collegamento 0025_-382)
Azioni sul collegamento: N=-9217.12 Ty=-3.19 Tz=-8.98 Mx=-0.01 Mz=-4.04
Sollecitazioni agenti localmente: Ty_l=-1650.01 My_l=-33.85
Tensioni nella sezione: σ=410.27 τ=50.00
CC 23 SLV (Collegamento 0025_-382)
Azioni sul collegamento: N=-3931.62 Ty=-6.55 Tz=10.69 Mx=-0.01 Mz=-7.22
Sollecitazioni agenti localmente: Ty_l=-725.69 My_l=-14.92
Tensioni nella sezione: σ=180.81 τ=21.99
CC 23 SLV (Collegamento 0025_-382)
Azioni sul collegamento: N=-3931.62 Ty=-3.19 Tz=10.69 Mx=-0.01 Mz=-4.04
Sollecitazioni agenti localmente: Ty_l=-713.03 My_l=-14.64
Tensioni nella sezione: σ=177.45 τ=21.61
CC 23 SLV (Collegamento 0025_-382)
Azioni sul collegamento: N=-3931.62 Ty=-6.55 Tz=-8.98 Mx=-0.01 Mz=-7.22
Sollecitazioni agenti localmente: Ty_l=-725.69 My_l=-14.92
Tensioni nella sezione: σ=180.81 τ=21.99
CC 23 SLV (Collegamento 0025_-382)
Azioni sul collegamento: N=-3931.62 Ty=-3.19 Tz=-8.98 Mx=-0.01 Mz=-4.04
Sollecitazioni agenti localmente: Ty_l=-713.03 My_l=-14.64
Tensioni nella sezione: σ=177.45 τ=21.61
CC 24 SLD (Collegamento 0025_-382)
Azioni sul collegamento: N=-7347.75 Ty=-4.54 Tz=3.73 Mx=0.00 Mz=-4.03
Sollecitazioni agenti localmente: Ty_l=-1318.60 My_l=-27.05
Tensioni nella sezione: σ=327.92 τ=39.96
CC 24 SLD (Collegamento 0025_-382)
Azioni sul collegamento: N=-7347.75 Ty=-3.51 Tz=3.73 Mx=0.00 Mz=-3.06
Sollecitazioni agenti localmente: Ty_l=-1314.74 My_l=-26.97
Tensioni nella sezione: σ=326.90 τ=39.84
CC 24 SLD (Collegamento 0025_-382)
Azioni sul collegamento: N=-7347.75 Ty=-4.54 Tz=-2.27 Mx=0.00 Mz=-4.03
Sollecitazioni agenti localmente: Ty_l=-1318.60 My_l=-27.05
Tensioni nella sezione: σ=327.92 τ=39.96
CC 24 SLD (Collegamento 0025_-382)
Azioni sul collegamento: N=-7347.75 Ty=-3.51 Tz=-2.27 Mx=0.00 Mz=-3.06
Sollecitazioni agenti localmente: Ty_l=-1314.74 My_l=-26.97
Tensioni nella sezione: σ=326.90 τ=39.84
CC 24 SLD (Collegamento 0025_-382)
Azioni sul collegamento: N=-5736.03 Ty=-4.54 Tz=3.73 Mx=0.00 Mz=-4.03
Sollecitazioni agenti localmente: Ty_l=-1032.88 My_l=-21.20
Tensioni nella sezione: σ=256.93 τ=31.30
CC 24 SLD (Collegamento 0025_-382)
Azioni sul collegamento: N=-5736.03 Ty=-3.51 Tz=3.73 Mx=0.00 Mz=-3.06
Sollecitazioni agenti localmente: Ty_l=-1029.02 My_l=-21.11
Tensioni nella sezione: σ=255.90 τ=31.18
CC 24 SLD (Collegamento 0025_-382)
Azioni sul collegamento: N=-5736.03 Ty=-4.54 Tz=-2.27 Mx=0.00 Mz=-4.03
Sollecitazioni agenti localmente: Ty_l=-1032.88 My_l=-21.20
Tensioni nella sezione: σ=256.93 τ=31.30
CC 24 SLD (Collegamento 0025_-382)
Azioni sul collegamento: N=-5736.03 Ty=-3.51 Tz=-2.27 Mx=0.00 Mz=-3.06
Sollecitazioni agenti localmente: Ty_l=-1029.02 My_l=-21.11
Tensioni nella sezione: σ=255.90 τ=31.18
CC 25 SLV (Collegamento 0025_-382)
Azioni sul collegamento: N=-5772.93 Ty=-3.40 Tz=-2.29 Mx=-0.02 Mz=-3.25
Sollecitazioni agenti localmente: Ty_l=-1036.29 My_l=-21.26
Tensioni nella sezione: σ=257.72 τ=31.40
CC 25 SLV (Collegamento 0025_-382)
Azioni sul collegamento: N=-5772.93 Ty=-6.34 Tz=-2.29 Mx=-0.02 Mz=-8.01
Sollecitazioni agenti localmente: Ty_l=-1055.26 My_l=-21.68

Tensioni nella sezione: σ=262.76 τ=31.98
CC 25 SLV (Collegamento 0025_-382)
Azioni sul collegamento: N=-5772.93 Ty=-3.40 Tz=4.00 Mx=-0.02 Mz=-3.25
Sollecitazioni agenti localmente: Ty_l=-1036.29 My_l=-21.26
Tensioni nella sezione: σ=257.72 τ=31.40
CC 25 SLV (Collegamento 0025_-382)
Azioni sul collegamento: N=-5772.93 Ty=-6.34 Tz=4.00 Mx=-0.02 Mz=-8.01
Sollecitazioni agenti localmente: Ty_l=-1055.26 My_l=-21.68
Tensioni nella sezione: σ=262.76 τ=31.98
CC 25 SLV (Collegamento 0025_-382)
Azioni sul collegamento: N=-7375.81 Ty=-3.40 Tz=-2.29 Mx=-0.02 Mz=-3.25
Sollecitazioni agenti localmente: Ty_l=-1320.44 My_l=-27.09
Tensioni nella sezione: σ=328.33 τ=40.01
CC 25 SLV (Collegamento 0025_-382)
Azioni sul collegamento: N=-7375.81 Ty=-6.34 Tz=-2.29 Mx=-0.02 Mz=-8.01
Sollecitazioni agenti localmente: Ty_l=-1339.40 My_l=-27.50
Tensioni nella sezione: σ=333.36 τ=40.59
CC 25 SLV (Collegamento 0025_-382)
Azioni sul collegamento: N=-7375.81 Ty=-3.40 Tz=4.00 Mx=-0.02 Mz=-3.25
Sollecitazioni agenti localmente: Ty_l=-1320.44 My_l=-27.09
Tensioni nella sezione: σ=328.33 τ=40.01
CC 25 SLV (Collegamento 0025_-382)
Azioni sul collegamento: N=-7375.81 Ty=-6.34 Tz=4.00 Mx=-0.02 Mz=-8.01
Sollecitazioni agenti localmente: Ty_l=-1339.40 My_l=-27.50
Tensioni nella sezione: σ=333.36 τ=40.59
CC 26 SLD (Collegamento 0025_-382)
Azioni sul collegamento: N=-6297.50 Ty=-3.58 Tz=-0.23 Mx=-0.00 Mz=-2.82
Sollecitazioni agenti localmente: Ty_l=-1127.60 My_l=-23.13
Tensioni nella sezione: σ=280.38 τ=34.17
CC 26 SLD (Collegamento 0025_-382)
Azioni sul collegamento: N=-6297.50 Ty=-4.47 Tz=-0.23 Mx=-0.00 Mz=-4.27
Sollecitazioni agenti localmente: Ty_l=-1133.38 My_l=-23.26
Tensioni nella sezione: σ=281.92 τ=34.34
CC 26 SLD (Collegamento 0025_-382)
Azioni sul collegamento: N=-6297.50 Ty=-3.58 Tz=1.69 Mx=-0.00 Mz=-2.82
Sollecitazioni agenti localmente: Ty_l=-1127.60 My_l=-23.13
Tensioni nella sezione: σ=280.38 τ=34.17
CC 26 SLD (Collegamento 0025_-382)
Azioni sul collegamento: N=-6297.50 Ty=-4.47 Tz=1.69 Mx=-0.00 Mz=-4.27
Sollecitazioni agenti localmente: Ty_l=-1133.38 My_l=-23.26
Tensioni nella sezione: σ=281.92 τ=34.34
CC 26 SLD (Collegamento 0025_-382)
Azioni sul collegamento: N=-6786.28 Ty=-3.58 Tz=-0.23 Mx=-0.00 Mz=-2.82
Sollecitazioni agenti localmente: Ty_l=-1214.24 My_l=-24.91
Tensioni nella sezione: σ=301.91 τ=36.80
CC 26 SLD (Collegamento 0025_-382)
Azioni sul collegamento: N=-6786.28 Ty=-4.47 Tz=-0.23 Mx=-0.00 Mz=-4.27
Sollecitazioni agenti localmente: Ty_l=-1220.02 My_l=-25.03
Tensioni nella sezione: σ=303.45 τ=36.97
CC 26 SLD (Collegamento 0025_-382)
Azioni sul collegamento: N=-6786.28 Ty=-3.58 Tz=1.69 Mx=-0.00 Mz=-2.82
Sollecitazioni agenti localmente: Ty_l=-1214.24 My_l=-24.91
Tensioni nella sezione: σ=301.91 τ=36.80
CC 26 SLD (Collegamento 0025_-382)
Azioni sul collegamento: N=-6786.28 Ty=-4.47 Tz=1.69 Mx=-0.00 Mz=-4.27
Sollecitazioni agenti localmente: Ty_l=-1220.02 My_l=-25.03
Tensioni nella sezione: σ=303.45 τ=36.97
CC 27 SLV (Collegamento 0025_-382)
Azioni sul collegamento: N=-7356.87 Ty=-4.22 Tz=3.57 Mx=-0.02 Mz=-3.82
Sollecitazioni agenti localmente: Ty_l=-1319.38 My_l=-27.07
Tensioni nella sezione: σ=328.10 τ=39.98
CC 27 SLV (Collegamento 0025_-382)
Azioni sul collegamento: N=-7356.87 Ty=-5.52 Tz=3.57 Mx=-0.02 Mz=-7.44
Sollecitazioni agenti localmente: Ty_l=-1333.75 My_l=-27.38
Tensioni nella sezione: σ=331.92 τ=40.42
CC 27 SLV (Collegamento 0025_-382)
Azioni sul collegamento: N=-7356.87 Ty=-4.22 Tz=-1.86 Mx=-0.02 Mz=-3.82
Sollecitazioni agenti localmente: Ty_l=-1319.38 My_l=-27.07
Tensioni nella sezione: σ=328.10 τ=39.98
CC 27 SLV (Collegamento 0025_-382)
Azioni sul collegamento: N=-7356.87 Ty=-5.52 Tz=-1.86 Mx=-0.02 Mz=-7.44
Sollecitazioni agenti localmente: Ty_l=-1333.75 My_l=-27.38
Tensioni nella sezione: σ=331.92 τ=40.42
CC 27 SLV (Collegamento 0025_-382)
Azioni sul collegamento: N=-5791.87 Ty=-4.22 Tz=3.57 Mx=-0.02 Mz=-3.82
Sollecitazioni agenti localmente: Ty_l=-1041.95 My_l=-21.38
Tensioni nella sezione: σ=259.17 τ=31.57
CC 27 SLV (Collegamento 0025_-382)
Azioni sul collegamento: N=-5791.87 Ty=-5.52 Tz=3.57 Mx=-0.02 Mz=-7.44

Sollecitazioni agenti localmente: Ty_l=-1056.32 My_l=-21.70
Tensioni nella sezione: σ=262.98 τ=32.01
CC 27 SLV (Collegamento 0025_-382)
Azioni sul collegamento: N=-5791.87 Ty=-4.22 Tz=-1.86 Mx=-0.02 Mz=-3.82
Sollecitazioni agenti localmente: Ty_l=-1041.95 My_l=-21.38
Tensioni nella sezione: σ=259.17 τ=31.57
CC 27 SLV (Collegamento 0025_-382)
Azioni sul collegamento: N=-5791.87 Ty=-5.52 Tz=-1.86 Mx=-0.02 Mz=-7.44
Sollecitazioni agenti localmente: Ty_l=-1056.32 My_l=-21.70
Tensioni nella sezione: σ=262.98 τ=32.01
CC 28 SLD (Collegamento 0025_-382)
Azioni sul collegamento: N=-6780.50 Ty=-3.83 Tz=1.56 Mx=-0.00 Mz=-3.00
Sollecitazioni agenti localmente: Ty_l=-1213.92 My_l=-24.90
Tensioni nella sezione: σ=301.84 τ=36.79
CC 28 SLD (Collegamento 0025_-382)
Azioni sul collegamento: N=-6780.50 Ty=-4.22 Tz=1.56 Mx=-0.00 Mz=-4.10
Sollecitazioni agenti localmente: Ty_l=-1218.30 My_l=-25.00
Tensioni nella sezione: σ=303.00 τ=36.92
CC 28 SLD (Collegamento 0025_-382)
Azioni sul collegamento: N=-6780.50 Ty=-3.83 Tz=-0.10 Mx=-0.00 Mz=-3.00
Sollecitazioni agenti localmente: Ty_l=-1213.92 My_l=-24.90
Tensioni nella sezione: σ=301.84 τ=36.79
CC 28 SLD (Collegamento 0025_-382)
Azioni sul collegamento: N=-6780.50 Ty=-4.22 Tz=-0.10 Mx=-0.00 Mz=-4.10
Sollecitazioni agenti localmente: Ty_l=-1218.30 My_l=-25.00
Tensioni nella sezione: σ=303.00 τ=36.92
CC 28 SLD (Collegamento 0025_-382)
Azioni sul collegamento: N=-6303.28 Ty=-3.83 Tz=1.56 Mx=-0.00 Mz=-3.00
Sollecitazioni agenti localmente: Ty_l=-1129.32 My_l=-23.17
Tensioni nella sezione: σ=280.82 τ=34.22
CC 28 SLD (Collegamento 0025_-382)
Azioni sul collegamento: N=-6303.28 Ty=-4.22 Tz=1.56 Mx=-0.00 Mz=-4.10
Sollecitazioni agenti localmente: Ty_l=-1133.70 My_l=-23.26
Tensioni nella sezione: σ=281.98 τ=34.35
CC 28 SLD (Collegamento 0025_-382)
Azioni sul collegamento: N=-6303.28 Ty=-3.83 Tz=-0.10 Mx=-0.00 Mz=-3.00
Sollecitazioni agenti localmente: Ty_l=-1129.32 My_l=-23.17
Tensioni nella sezione: σ=280.82 τ=34.22
CC 28 SLD (Collegamento 0025_-382)
Azioni sul collegamento: N=-6303.28 Ty=-4.22 Tz=-0.10 Mx=-0.00 Mz=-4.10
Sollecitazioni agenti localmente: Ty_l=-1133.70 My_l=-23.26
Tensioni nella sezione: σ=281.98 τ=34.35
CC 29 SLV (Collegamento 0025_-382)
Azioni sul collegamento: N=-5791.87 Ty=-5.52 Tz=-1.86 Mx=-0.00 Mz=-7.44
Sollecitazioni agenti localmente: Ty_l=-1056.32 My_l=-21.70
Tensioni nella sezione: σ=262.98 τ=32.01
CC 29 SLV (Collegamento 0025_-382)
Azioni sul collegamento: N=-5791.87 Ty=-4.22 Tz=-1.86 Mx=-0.00 Mz=-3.82
Sollecitazioni agenti localmente: Ty_l=-1041.95 My_l=-21.38
Tensioni nella sezione: σ=259.17 τ=31.57
CC 29 SLV (Collegamento 0025_-382)
Azioni sul collegamento: N=-5791.87 Ty=-5.52 Tz=3.57 Mx=-0.00 Mz=-7.44
Sollecitazioni agenti localmente: Ty_l=-1056.32 My_l=-21.70
Tensioni nella sezione: σ=262.98 τ=32.01
CC 29 SLV (Collegamento 0025_-382)
Azioni sul collegamento: N=-5791.87 Ty=-4.22 Tz=3.57 Mx=-0.00 Mz=-3.82
Sollecitazioni agenti localmente: Ty_l=-1041.95 My_l=-21.38
Tensioni nella sezione: σ=259.17 τ=31.57
CC 29 SLV (Collegamento 0025_-382)
Azioni sul collegamento: N=-7356.87 Ty=-5.52 Tz=-1.86 Mx=-0.00 Mz=-7.44
Sollecitazioni agenti localmente: Ty_l=-1333.75 My_l=-27.38
Tensioni nella sezione: σ=331.92 τ=40.42
CC 29 SLV (Collegamento 0025_-382)
Azioni sul collegamento: N=-7356.87 Ty=-4.22 Tz=-1.86 Mx=-0.00 Mz=-3.82
Sollecitazioni agenti localmente: Ty_l=-1319.38 My_l=-27.07
Tensioni nella sezione: σ=328.10 τ=39.98
CC 29 SLV (Collegamento 0025_-382)
Azioni sul collegamento: N=-7356.87 Ty=-5.52 Tz=3.57 Mx=-0.00 Mz=-7.44
Sollecitazioni agenti localmente: Ty_l=-1333.75 My_l=-27.38
Tensioni nella sezione: σ=331.92 τ=40.42
CC 29 SLV (Collegamento 0025_-382)
Azioni sul collegamento: N=-7356.87 Ty=-4.22 Tz=3.57 Mx=-0.00 Mz=-3.82
Sollecitazioni agenti localmente: Ty_l=-1319.38 My_l=-27.07
Tensioni nella sezione: σ=328.10 τ=39.98
CC 30 SLD (Collegamento 0025_-382)
Azioni sul collegamento: N=-6303.28 Ty=-4.22 Tz=-0.10 Mx=0.00 Mz=-4.10
Sollecitazioni agenti localmente: Ty_l=-1133.70 My_l=-23.26
Tensioni nella sezione: σ=281.98 τ=34.35
CC 30 SLD (Collegamento 0025_-382)

Azioni sul collegamento: N=-6303.28 Ty=-3.83 Tz=-0.10 Mx=0.00 Mz=-3.00
Sollecitazioni agenti localmente: Ty_l=-1129.32 My_l=-23.17
Tensioni nella sezione: σ=280.82 τ=34.22
CC 30 SLD (Collegamento 0025_-382)
Azioni sul collegamento: N=-6303.28 Ty=-4.22 Tz=1.56 Mx=0.00 Mz=-4.10
Sollecitazioni agenti localmente: Ty_l=-1133.70 My_l=-23.26
Tensioni nella sezione: σ=281.98 τ=34.35
CC 30 SLD (Collegamento 0025_-382)
Azioni sul collegamento: N=-6303.28 Ty=-3.83 Tz=1.56 Mx=0.00 Mz=-3.00
Sollecitazioni agenti localmente: Ty_l=-1129.32 My_l=-23.17
Tensioni nella sezione: σ=280.82 τ=34.22
CC 30 SLD (Collegamento 0025_-382)
Azioni sul collegamento: N=-6780.50 Ty=-4.22 Tz=-0.10 Mx=0.00 Mz=-4.10
Sollecitazioni agenti localmente: Ty_l=-1218.30 My_l=-25.00
Tensioni nella sezione: σ=303.00 τ=36.92
CC 30 SLD (Collegamento 0025_-382)
Azioni sul collegamento: N=-6780.50 Ty=-3.83 Tz=-0.10 Mx=0.00 Mz=-3.00
Sollecitazioni agenti localmente: Ty_l=-1213.92 My_l=-24.90
Tensioni nella sezione: σ=301.84 τ=36.79
CC 30 SLD (Collegamento 0025_-382)
Azioni sul collegamento: N=-6780.50 Ty=-4.22 Tz=1.56 Mx=0.00 Mz=-4.10
Sollecitazioni agenti localmente: Ty_l=-1218.30 My_l=-25.00
Tensioni nella sezione: σ=303.00 τ=36.92
CC 30 SLD (Collegamento 0025_-382)
Azioni sul collegamento: N=-6780.50 Ty=-3.83 Tz=1.56 Mx=0.00 Mz=-3.00
Sollecitazioni agenti localmente: Ty_l=-1213.92 My_l=-24.90
Tensioni nella sezione: σ=301.84 τ=36.79
CC 31 SLV (Collegamento 0025_-382)
Azioni sul collegamento: N=-7375.81 Ty=-6.34 Tz=4.00 Mx=-0.00 Mz=-8.01
Sollecitazioni agenti localmente: Ty_l=-1339.40 My_l=-27.50
Tensioni nella sezione: σ=333.36 τ=40.59
CC 31 SLV (Collegamento 0025_-382)
Azioni sul collegamento: N=-7375.81 Ty=-3.40 Tz=4.00 Mx=-0.00 Mz=-3.25
Sollecitazioni agenti localmente: Ty_l=-1320.44 My_l=-27.09
Tensioni nella sezione: σ=328.33 τ=40.01
CC 31 SLV (Collegamento 0025_-382)
Azioni sul collegamento: N=-7375.81 Ty=-6.34 Tz=-2.29 Mx=-0.00 Mz=-8.01
Sollecitazioni agenti localmente: Ty_l=-1339.40 My_l=-27.50
Tensioni nella sezione: σ=333.36 τ=40.59
CC 31 SLV (Collegamento 0025_-382)
Azioni sul collegamento: N=-7375.81 Ty=-3.40 Tz=-2.29 Mx=-0.00 Mz=-3.25
Sollecitazioni agenti localmente: Ty_l=-1320.44 My_l=-27.09
Tensioni nella sezione: σ=328.33 τ=40.01
CC 31 SLV (Collegamento 0025_-382)
Azioni sul collegamento: N=-5772.93 Ty=-6.34 Tz=4.00 Mx=-0.00 Mz=-8.01
Sollecitazioni agenti localmente: Ty_l=-1055.26 My_l=-21.68
Tensioni nella sezione: σ=262.76 τ=31.98
CC 31 SLV (Collegamento 0025_-382)
Azioni sul collegamento: N=-5772.93 Ty=-3.40 Tz=4.00 Mx=-0.00 Mz=-3.25
Sollecitazioni agenti localmente: Ty_l=-1036.29 My_l=-21.26
Tensioni nella sezione: σ=257.72 τ=31.40
CC 31 SLV (Collegamento 0025_-382)
Azioni sul collegamento: N=-5772.93 Ty=-6.34 Tz=-2.29 Mx=-0.00 Mz=-8.01
Sollecitazioni agenti localmente: Ty_l=-1055.26 My_l=-21.68
Tensioni nella sezione: σ=262.76 τ=31.98
CC 31 SLV (Collegamento 0025_-382)
Azioni sul collegamento: N=-5772.93 Ty=-3.40 Tz=-2.29 Mx=-0.00 Mz=-3.25
Sollecitazioni agenti localmente: Ty_l=-1036.29 My_l=-21.26
Tensioni nella sezione: σ=257.72 τ=31.40
CC 32 SLD (Collegamento 0025_-382)
Azioni sul collegamento: N=-6786.28 Ty=-4.47 Tz=1.69 Mx=0.00 Mz=-4.27
Sollecitazioni agenti localmente: Ty_l=-1220.02 My_l=-25.03
Tensioni nella sezione: σ=303.45 τ=36.97
CC 32 SLD (Collegamento 0025_-382)
Azioni sul collegamento: N=-6786.28 Ty=-3.58 Tz=1.69 Mx=0.00 Mz=-2.82
Sollecitazioni agenti localmente: Ty_l=-1214.24 My_l=-24.91
Tensioni nella sezione: σ=301.91 τ=36.80
CC 32 SLD (Collegamento 0025_-382)
Azioni sul collegamento: N=-6786.28 Ty=-4.47 Tz=-0.23 Mx=0.00 Mz=-4.27
Sollecitazioni agenti localmente: Ty_l=-1220.02 My_l=-25.03
Tensioni nella sezione: σ=303.45 τ=36.97
CC 32 SLD (Collegamento 0025_-382)
Azioni sul collegamento: N=-6786.28 Ty=-3.58 Tz=-0.23 Mx=0.00 Mz=-2.82
Sollecitazioni agenti localmente: Ty_l=-1214.24 My_l=-24.91
Tensioni nella sezione: σ=301.91 τ=36.80
CC 32 SLD (Collegamento 0025_-382)
Azioni sul collegamento: N=-6297.50 Ty=-4.47 Tz=1.69 Mx=0.00 Mz=-4.27
Sollecitazioni agenti localmente: Ty_l=-1133.38 My_l=-23.26
Tensioni nella sezione: σ=281.92 τ=34.34

CC 32 SLD (Collegamento 0025_-382)
Azioni sul collegamento: N=-6297.50 Ty=-3.58 Tz=1.69 Mx=0.00 Mz=-2.82
Sollecitazioni agenti localmente: Ty_l=-1127.60 My_l=-23.13
Tensioni nella sezione: σ=280.38 τ=34.17
CC 32 SLD (Collegamento 0025_-382)
Azioni sul collegamento: N=-6297.50 Ty=-4.47 Tz=-0.23 Mx=0.00 Mz=-4.27
Sollecitazioni agenti localmente: Ty_l=-1133.38 My_l=-23.26
Tensioni nella sezione: σ=281.92 τ=34.34
CC 32 SLD (Collegamento 0025_-382)
Azioni sul collegamento: N=-6297.50 Ty=-3.58 Tz=-0.23 Mx=0.00 Mz=-2.82
Sollecitazioni agenti localmente: Ty_l=-1127.60 My_l=-23.13
Tensioni nella sezione: σ=280.38 τ=34.17
CC 33 SLU (Collegamento 0025_-382)
Azioni sul collegamento: N=-30778.60 Ty=-5.67 Tz=81.62 Mx=0.01 Mz=-4.05
Sollecitazioni agenti localmente: Ty_l=-5472.30 My_l=-112.20
Tensioni nella sezione: σ=1360.06 τ=165.83
CC 34 SLU (Collegamento 0025_-382)
Azioni sul collegamento: N=-30229.20 Ty=-5.39 Tz=79.58 Mx=0.01 Mz=-3.85
Sollecitazioni agenti localmente: Ty_l=-5374.11 My_l=-110.19
Tensioni nella sezione: σ=1335.64 τ=162.85
CC 35 SLU (Collegamento 0025_-382)
Azioni sul collegamento: N=-30504.90 Ty=-5.64 Tz=80.58 Mx=0.01 Mz=-4.16
Sollecitazioni agenti localmente: Ty_l=-5424.25 My_l=-111.22
Tensioni nella sezione: σ=1348.12 τ=164.37
CC 36 SLU (Collegamento 0025_-382)
Azioni sul collegamento: N=-30502.90 Ty=-5.42 Tz=80.62 Mx=0.01 Mz=-3.73
Sollecitazioni agenti localmente: Ty_l=-5422.17 My_l=-111.17
Tensioni nella sezione: σ=1347.58 τ=164.31
CC 37 SLU (Collegamento 0025_-382)
Azioni sul collegamento: N=-21507.60 Ty=-6.52 Tz=47.54 Mx=0.01 Mz=-4.63
Sollecitazioni agenti localmente: Ty_l=-3831.13 My_l=-78.56
Tensioni nella sezione: σ=952.29 τ=116.09
CC 38 SLU (Collegamento 0025_-382)
Azioni sul collegamento: N=-20958.20 Ty=-6.23 Tz=45.50 Mx=0.01 Mz=-4.43
Sollecitazioni agenti localmente: Ty_l=-3732.94 My_l=-76.55
Tensioni nella sezione: σ=927.88 τ=113.12
CC 39 SLU (Collegamento 0025_-382)
Azioni sul collegamento: N=-21233.90 Ty=-6.48 Tz=46.50 Mx=0.01 Mz=-4.75
Sollecitazioni agenti localmente: Ty_l=-3783.08 My_l=-77.58
Tensioni nella sezione: σ=940.36 τ=114.64
CC 40 SLU (Collegamento 0025_-382)
Azioni sul collegamento: N=-21231.90 Ty=-6.26 Tz=46.54 Mx=0.01 Mz=-4.31
Sollecitazioni agenti localmente: Ty_l=-3781.00 My_l=-77.53
Tensioni nella sezione: σ=939.81 τ=114.58
CC 41 SLU (Collegamento 0025_-382)
Azioni sul collegamento: N=-32702.20 Ty=-5.53 Tz=88.04 Mx=-0.00 Mz=-4.06
Sollecitazioni agenti localmente: Ty_l=-5813.36 My_l=-119.20
Tensioni nella sezione: σ=1444.80 τ=176.16
CC 42 SLU (Collegamento 0025_-382)
Azioni sul collegamento: N=-32152.80 Ty=-5.24 Tz=86.01 Mx=-0.00 Mz=-3.86
Sollecitazioni agenti localmente: Ty_l=-5715.16 My_l=-117.18
Tensioni nella sezione: σ=1420.39 τ=173.19
CC 43 SLU (Collegamento 0025_-382)
Azioni sul collegamento: N=-32428.50 Ty=-5.50 Tz=87.00 Mx=-0.00 Mz=-4.18
Sollecitazioni agenti localmente: Ty_l=-5765.30 My_l=-118.21
Tensioni nella sezione: σ=1432.87 τ=174.71
CC 44 SLU (Collegamento 0025_-382)
Azioni sul collegamento: N=-32426.50 Ty=-5.28 Tz=87.05 Mx=-0.00 Mz=-3.74
Sollecitazioni agenti localmente: Ty_l=-5763.22 My_l=-118.17
Tensioni nella sezione: σ=1432.32 τ=174.64
CC 45 SLU (Collegamento 0025_-382)
Azioni sul collegamento: N=-23594.00 Ty=-6.22 Tz=55.25 Mx=0.01 Mz=-4.49
Sollecitazioni agenti localmente: Ty_l=-4200.42 My_l=-86.13
Tensioni nella sezione: σ=1044.04 τ=127.28
CC 46 SLU (Collegamento 0025_-382)
Azioni sul collegamento: N=-23044.60 Ty=-5.94 Tz=53.22 Mx=0.01 Mz=-4.28
Sollecitazioni agenti localmente: Ty_l=-4102.23 My_l=-84.12
Tensioni nella sezione: σ=1019.63 τ=124.31
CC 47 SLU (Collegamento 0025_-382)
Azioni sul collegamento: N=-23320.30 Ty=-6.19 Tz=54.21 Mx=0.01 Mz=-4.60
Sollecitazioni agenti localmente: Ty_l=-4152.36 My_l=-85.15
Tensioni nella sezione: σ=1032.11 τ=125.83
CC 48 SLU (Collegamento 0025_-382)
Azioni sul collegamento: N=-23318.30 Ty=-5.97 Tz=54.26 Mx=0.01 Mz=-4.17
Sollecitazioni agenti localmente: Ty_l=-4150.28 My_l=-85.10
Tensioni nella sezione: σ=1031.56 τ=125.77
CC 49 SLU (Collegamento 0025_-382)
Azioni sul collegamento: N=-16657.90 Ty=-6.86 Tz=29.76 Mx=0.01 Mz=-4.92
Sollecitazioni agenti localmente: Ty_l=-2972.58 My_l=-60.97

Tensioni nella sezione: σ=738.97 τ=90.08
CC 50 SLU (Collegamento 0025_-382)
Azioni sul collegamento: N=-16108.50 Ty=-6.57 Tz=27.72 Mx=0.01 Mz=-4.72
Sollecitazioni agenti localmente: Ty_l=-2874.39 My_l=-58.95
Tensioni nella sezione: σ=714.56 τ=87.10
CC 51 SLU (Collegamento 0025_-382)
Azioni sul collegamento: N=-16384.20 Ty=-6.82 Tz=28.72 Mx=0.01 Mz=-5.04
Sollecitazioni agenti localmente: Ty_l=-2924.52 My_l=-59.98
Tensioni nella sezione: σ=727.04 τ=88.62
CC 52 SLU (Collegamento 0025_-382)
Azioni sul collegamento: N=-16382.20 Ty=-6.60 Tz=28.76 Mx=0.01 Mz=-4.60
Sollecitazioni agenti localmente: Ty_l=-2922.44 My_l=-59.94
Tensioni nella sezione: σ=726.49 τ=88.56
CC 53 SLU (Collegamento 0025_-382)
Azioni sul collegamento: N=-25033.10 Ty=-6.12 Tz=60.06 Mx=-0.00 Mz=-4.50
Sollecitazioni agenti localmente: Ty_l=-4455.57 My_l=-91.36
Tensioni nella sezione: σ=1107.45 τ=135.02
CC 54 SLU (Collegamento 0025_-382)
Azioni sul collegamento: N=-24483.80 Ty=-5.83 Tz=58.03 Mx=-0.00 Mz=-4.29
Sollecitazioni agenti localmente: Ty_l=-4357.38 My_l=-89.35
Tensioni nella sezione: σ=1083.03 τ=132.04
CC 55 SLU (Collegamento 0025_-382)
Azioni sul collegamento: N=-24759.40 Ty=-6.08 Tz=59.02 Mx=0.00 Mz=-4.61
Sollecitazioni agenti localmente: Ty_l=-4407.52 My_l=-90.38
Tensioni nella sezione: σ=1095.51 τ=133.56
CC 56 SLU (Collegamento 0025_-382)
Azioni sul collegamento: N=-24757.50 Ty=-5.87 Tz=59.07 Mx=-0.00 Mz=-4.18
Sollecitazioni agenti localmente: Ty_l=-4405.44 My_l=-90.33
Tensioni nella sezione: σ=1094.97 τ=133.50
CC 57 SLU (Collegamento 0025_-382)
Azioni sul collegamento: N=-21981.50 Ty=-5.60 Tz=49.32 Mx=0.01 Mz=-4.03
Sollecitazioni agenti localmente: Ty_l=-3912.76 My_l=-80.23
Tensioni nella sezione: σ=972.53 τ=118.57
CC 58 SLU (Collegamento 0025_-382)
Azioni sul collegamento: N=-21432.10 Ty=-5.31 Tz=47.28 Mx=0.01 Mz=-3.83
Sollecitazioni agenti localmente: Ty_l=-3814.57 My_l=-78.22
Tensioni nella sezione: σ=948.12 τ=115.59
CC 59 SLU (Collegamento 0025_-382)
Azioni sul collegamento: N=-21707.80 Ty=-5.57 Tz=48.28 Mx=0.01 Mz=-4.15
Sollecitazioni agenti localmente: Ty_l=-3864.71 My_l=-79.25
Tensioni nella sezione: σ=960.60 τ=117.11
CC 60 SLU (Collegamento 0025_-382)
Azioni sul collegamento: N=-21705.80 Ty=-5.35 Tz=48.32 Mx=0.01 Mz=-3.72
Sollecitazioni agenti localmente: Ty_l=-3862.62 My_l=-79.20
Tensioni nella sezione: σ=960.05 τ=117.05
CC 61 SLU (Collegamento 0025_-382)
Azioni sul collegamento: N=-15045.40 Ty=-6.23 Tz=23.82 Mx=0.01 Mz=-4.47
Sollecitazioni agenti localmente: Ty_l=-2684.92 My_l=-55.07
Tensioni nella sezione: σ=667.46 τ=81.36
CC 62 SLU (Collegamento 0025_-382)
Azioni sul collegamento: N=-14496.00 Ty=-5.95 Tz=21.79 Mx=0.01 Mz=-4.27
Sollecitazioni agenti localmente: Ty_l=-2586.73 My_l=-53.05
Tensioni nella sezione: σ=643.05 τ=78.39
CC 63 SLU (Collegamento 0025_-382)
Azioni sul collegamento: N=-14771.70 Ty=-6.20 Tz=22.78 Mx=0.01 Mz=-4.59
Sollecitazioni agenti localmente: Ty_l=-2636.87 My_l=-54.08
Tensioni nella sezione: σ=655.53 τ=79.91
CC 64 SLU (Collegamento 0025_-382)
Azioni sul collegamento: N=-14769.70 Ty=-5.98 Tz=22.82 Mx=0.01 Mz=-4.15
Sollecitazioni agenti localmente: Ty_l=-2634.78 My_l=-54.04
Tensioni nella sezione: σ=654.98 τ=79.84
CC 65 SLU (Collegamento 0025_-382)
Azioni sul collegamento: N=-23420.60 Ty=-5.49 Tz=54.12 Mx=-0.00 Mz=-4.04
Sollecitazioni agenti localmente: Ty_l=-4167.92 My_l=-85.46
Tensioni nella sezione: σ=1035.94 τ=126.30
CC 66 SLU (Collegamento 0025_-382)
Azioni sul collegamento: N=-22871.20 Ty=-5.21 Tz=52.09 Mx=-0.00 Mz=-3.84
Sollecitazioni agenti localmente: Ty_l=-4069.73 My_l=-83.45
Tensioni nella sezione: σ=1011.52 τ=123.33
CC 67 SLU (Collegamento 0025_-382)
Azioni sul collegamento: N=-23146.90 Ty=-5.46 Tz=53.08 Mx=-0.00 Mz=-4.16
Sollecitazioni agenti localmente: Ty_l=-4119.86 My_l=-84.48
Tensioni nella sezione: σ=1024.00 τ=124.84
CC 68 SLU (Collegamento 0025_-382)
Azioni sul collegamento: N=-23144.90 Ty=-5.24 Tz=53.13 Mx=-0.00 Mz=-3.72
Sollecitazioni agenti localmente: Ty_l=-4117.78 My_l=-84.44
Tensioni nella sezione: σ=1023.46 τ=124.78
CC 97 SLU (Collegamento 0025_-382)
Azioni sul collegamento: N=-11444.50 Ty=-17.52 Tz=18.88 Mx=-0.03 Mz=-21.34

Sollecitazioni agenti localmente: Ty_l=-2113.67 My_l=-43.45
Tensioni nella sezione: σ=526.65 τ=64.05
CC 98 SLU (Collegamento 0025_-382)
Azioni sul collegamento: N=-10895.20 Ty=-17.24 Tz=16.84 Mx=-0.03 Mz=-21.13
Sollecitazioni agenti localmente: Ty_l=-2015.48 My_l=-41.43
Tensioni nella sezione: σ=502.24 τ=61.08
CC 99 SLU (Collegamento 0025_-382)
Azioni sul collegamento: N=-11170.80 Ty=-17.49 Tz=17.84 Mx=-0.03 Mz=-21.45
Sollecitazioni agenti localmente: Ty_l=-2065.62 My_l=-42.46
Tensioni nella sezione: σ=514.72 τ=62.59
CC 100 SLU (Collegamento 0025_-382)
Azioni sul collegamento: N=-11168.90 Ty=-17.27 Tz=17.88 Mx=-0.04 Mz=-21.02
Sollecitazioni agenti localmente: Ty_l=-2063.53 My_l=-42.42
Tensioni nella sezione: σ=514.17 τ=62.53
CC 101 SLU (Collegamento 0025_-382)
Azioni sul collegamento: N=-7155.53 Ty=-1.61 Tz=2.94 Mx=0.01 Mz=-0.33
Sollecitazioni agenti localmente: Ty_l=-1269.80 My_l=-26.03
Tensioni nella sezione: σ=315.55 τ=38.48
CC 102 SLU (Collegamento 0025_-382)
Azioni sul collegamento: N=-6606.15 Ty=-1.32 Tz=0.91 Mx=0.01 Mz=-0.13
Sollecitazioni agenti localmente: Ty_l=-1171.61 My_l=-24.02
Tensioni nella sezione: σ=291.13 τ=35.50
CC 103 SLU (Collegamento 0025_-382)
Azioni sul collegamento: N=-6881.82 Ty=-1.58 Tz=1.90 Mx=0.01 Mz=-0.45
Sollecitazioni agenti localmente: Ty_l=-1221.74 My_l=-25.05
Tensioni nella sezione: σ=303.62 τ=37.02
CC 104 SLU (Collegamento 0025_-382)
Azioni sul collegamento: N=-6879.85 Ty=-1.36 Tz=1.95 Mx=0.01 Mz=-0.01
Sollecitazioni agenti localmente: Ty_l=-1219.66 My_l=-25.00
Tensioni nella sezione: σ=303.07 τ=36.96